COMUNE DI TERNI
Direzione Lavori Pubblici e Manutenzioni - Patrimonio

Palazzo Spada - P.zza M. Ridolfi, 1
05100 Terni
Tel. +39 0744.549.501 Fax +39 0744.428708
renato.pierdonati@comune.terni.it

LAVORI DI RESTAURO, ADEGUAMENTO SISMICO, ADEGUAMENTO ALLE NORME DI PREVENZIONE INCENDI E ABBATTIMENTO BARRIERE ARCHITETTONICHE DELL'EDIFICIO SCOLASTICO "G. MATTEOTTI" VIA MARIE CURIE N. 4

DEFINITIVO

PROGETTO

Doc.
R1.1ST

EDIFICIO 1
RELAZIONE TECNICA DI CALCOLO
E DEI MATERIALI

Scala

Responsabile del Procedimento: Geom. S. Fredduzzi

Data: Marzo 2015

Progettisti:

Architettonico:	Arch. M. Finotto
Strutture:	Ing. M.Boccio
	Ing. S. Marinozzi
Impianti:	Per.Ind. T. Mococci
	Per.Ind. G. Rubeca
Sicurezza:	Geom. F. Formichetti

Collaboratori:

Geom. G. Poddi - Geom. M. D'Amato
Geom. F. Ottaviani - Per.Ind. E. Lenticchia
Geom. F. Ribeca - Geom. M. Ciuffetti
Geom. R. Sabatini - Geom. G. Severoni

Comune di Terni
Provincia di Terni

RELAZIONE TECNICA
RELAZIONE DI CALCOLO
RELAZIONE DEI MATERIALI

OGGETTO: Edificio 1

COMMITTENTE: Comune di Terni

I Progettisti

Ing. Marcello Boccio

Ing. Stefano Marinozzi

1 - DESCRIZIONE GENERALE DELL'OPERA

Vista Anteriore

La direzione di visualizzazione (bisettrice del cono ottico), relativamente al sistema di riferimento globale 0,X,Y, Z, ha versore (1;1;-1)

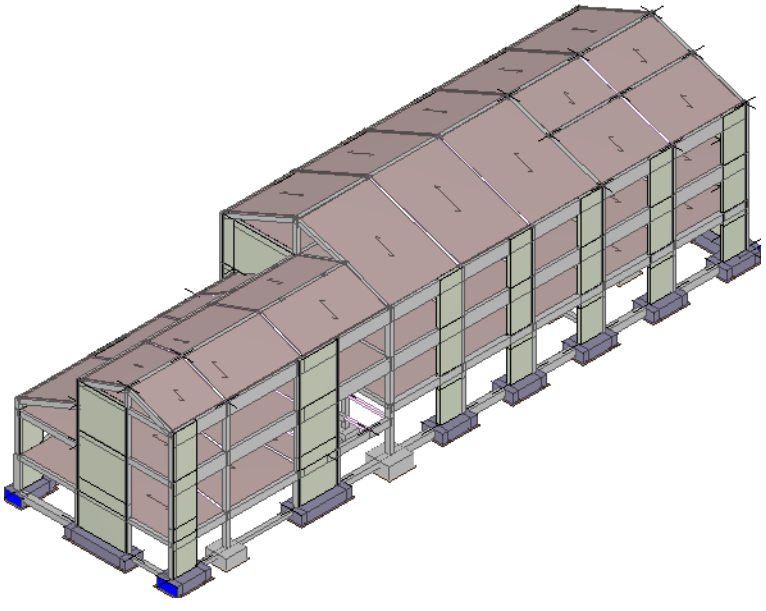

Vista Posteriore

La direzione di visualizzazione (bisettrice del cono ottico), relativamente al sistema di riferimento globale 0,X,Y, Z, ha versore (-1;-1;-1)

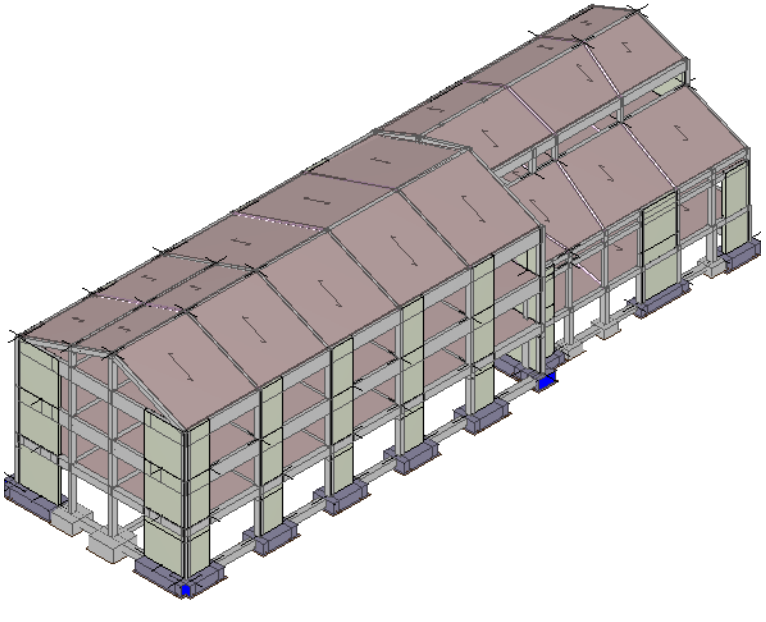

2 - NORMATIVA DI RIFERIMENTO

Le fasi di analisi e verifica della struttura sono state condotte in accordo alle seguenti disposizioni normative, per quanto applicabili in relazione al criterio di calcolo adottato dal progettista, evidenziato nel prosieguo della presente relazione:

Legge 5 novembre 1971 n. 1086 (G. U. 21 dicembre 1971 n. 321)
"Norme per la disciplina delle opere di conglomerato cementizio armato, normale e precompresso ed a struttura metallica"

Legge 2 febbraio 1974 n. 64 (G. U. 21 marzo 1974 n. 76)
"Provvedimenti per le costruzioni con particolari prescrizioni per le zone sismiche"
Indicazioni progettive per le nuove costruzioni in zone sismiche a cura del Ministero per la Ricerca scientifica - Roma 1981.

D. M. Infrastrutture Trasporti 14 gennaio 2008 (G.U. 4 febbraio 2008 n. 29 - Suppl. Ord.)
"Norme tecniche per le Costruzioni"

Inoltre, in mancanza di specifiche indicazioni, ad integrazione della norma precedente e per quanto con esse non in contrasto, sono state utilizzate le indicazioni contenute nella:

Circolare 2 febbraio 2009 n. 617 del Ministero delle Infrastrutture e dei Trasporti (G.U. 26 febbraio 2009 n. 27 – Suppl. Ord.)
"Istruzioni per l'applicazione delle 'Norme Tecniche delle Costruzioni' di cui al D.M. 14 gennaio 2008".

Eurocodice 6 – "Progettazione delle strutture di muratura" - ENV 1996-1-1.

3 - MATERIALI IMPIEGATI E RESISTENZE DI CALCOLO

Per la realizzazione dell'opera in oggetto saranno impiegati i seguenti materiali:

LIVELLO DI CONOSCENZA E FATTORE DI CONFIDENZA

Livello di Conoscenza e Fattore di Confidenza

LC	FC
LC2	1,2

LEGENDA:
LC [LC1] = Conoscenza Limitata - [LC2] = Conoscenza Adeguata - [LC3] = Conoscenza Accurata.
FC Fattore di confidenza applicato alle proprietà dei materiali.

MATERIALI CALCESTRUZZO ARMATO

Caratteristiche calcestruzzo armato

N_{id}	γ_k	$\alpha_{T,i}$	E	G	C_{Erid}	Stz	R_{ck}	R_{cm}	$\%R_{ck}$	γ_c	f_{cd}	f_{ctd}	f_{cfm}	n	n Ac
	[N/m³]	[1/°C]	[N/mm²]	[N/mm²]	[%]		[N/mm²]	[N/mm²]			[N/mm²]	[N/mm²]	[N/mm²]		
Cls stato di fatto edificio 1 - (Cls sf)															
001	25.000	0,000010	20.000	8.696	60	F	-	18,39	1,00	1,50	8,48	1,08	1,85	15	002
Cls C25/30_B450C - (C25/30)															
003	25.000	0,000010	31.447	13.103	60	P	30,00	-	0,85	1,50	14,11	1,79	3,07	15	004
Cls C28/35_B450C - (C28/35)															
005	25.000	0,000010	32.588	13.578	60	P	35,00	-	0,85	1,50	16,46	1,98	3,40	15	004
Cls C16/20_B450C - (C16/20)															
006	25.000	0,000010	30.200	12.583	60	F	-	21,18	1,00	1,50	9,76	1,18	2,03	15	004

LEGENDA:
N_{id} Numero identificativo del materiale, nella relativa tabella dei materiali.
γ_k Peso specifico.
$\alpha_{T,i}$ Coefficiente di dilatazione termica.
E Modulo elastico normale.
G Modulo elastico tangenziale.
C_{Erid} Coefficiente di riduzione del Modulo elastico normale per Analisi Sismica [$E_{sisma} = E \cdot c_{Erid}$].

Caratteristiche calcestruzzo armato

N_{id}	γ_k	$\alpha_{T,i}$	E	G	C_{Erid}	Stz	R_{ck}	R_{cm}	$\%R_{ck}$	γ_c	f_{cd}	f_{ctd}	f_{cfm}	n	n Ac
	[N/m³]	[1/°C]	[N/mm²]	[N/mm²]	[%]		[N/mm²]	[N/mm²]			[N/mm²]	[N/mm²]	[N/mm²]		

Stz Tipo di situazione: [F] = di Fatto (Esistente); [P] = di Progetto (Nuovo).
R_{ck} Resistenza caratteristica cubica.
R_{cm} Resistenza media cubica.
$\%R_{ck}$ Percentuale di riduzione della R_{ck}
γ_c Coefficiente parziale di sicurezza del materiale.
f_{cd} Resistenza di calcolo a compressione.
f_{ctd} Resistenza di calcolo a trazione.
f_{cfm} Resistenza media a trazione per flessione.
n Ac Identificativo, nella relativa tabella materiali, dell'acciaio utilizzato: [-] = parametro NON significativo per il materiale.

MATERIALI ACCIAIO

Caratteristiche acciaio

N_{id}	γ_k	$\alpha_{T,i}$	E	G	Stz	$f_{yk,1}$/ $f_{yk,2}$	$f_{tk,1}$/ $f_{tk,2}$	$f_{yd,1}$/ $f_{yd,2}$	f_{td}	γ_s	γ_{M1}	γ_{M2}	$\gamma_{M3,SLV}$	$\gamma_{M3,SLE}$	γ_{M7}
	[N/m³]	[1/°C]	[N/mm²]	[N/mm²]		[N/mm²]	[N/mm²]	[N/mm²]	[N/mm²]						
Acciaio Aq42 - (Aq42)															
002	78.500	0,000010	210.000	80.769	-	336,00 -	-	243,48 -	-	1,15	-	-	-	-	-
Acciaio B450C - (B450C)															
004	78.500	0,000010	210.000	80.769	-	450,00 -	-	326,09 -	-	1,15	-	-	-	-	-

LEGENDA:

N_{id} Numero identificativo del materiale, nella relativa tabella dei materiali.
γ_k Peso specifico.
$\alpha_{T,i}$ Coefficiente di dilatazione termica.
E Modulo elastico normale.
G Modulo elastico tangenziale.
Stz Tipo di situazione: [F] = di Fatto (Esistente); [P] = di Progetto (Nuovo).
$f_{tk,1}$ Resistenza caratteristica a Rottura (per profili <= 40 mm).
$f_{tk,2}$ Resistenza caratteristica a Rottura (per profili 40 mm < t <= 80 mm).
f_{td} Resistenza di calcolo a Rottura (Bulloni).
γ_s Coefficiente parziale di sicurezza allo SLV del materiale.
γ_{M1} Coefficiente parziale di sicurezza per instabilità.
γ_{M2} Coefficiente parziale di sicurezza per sezioni tese indebolite.
$\gamma_{M3,SLV}$ Coefficiente parziale di sicurezza per scorrimento allo SLV (Bulloni).
$\gamma_{M3,SLE}$ Coefficiente parziale di sicurezza per scorrimento allo SLE (Bulloni).
γ_{M7} Coefficiente parziale di sicurezza precarico bulloni ad alta resistenza (Bulloni): [-] = parametro NON significativo per il materiale.
$f_{yk,1}$ Resistenza caratteristica allo snervamento (per profili con t <= 40 mm).
$f_{yk,2}$ Resistenza caratteristica allo snervamento (per profili con 40 mm < t <= 80 mm).
$f_{yd,1}$ Resistenza di calcolo (per profili con t <= 40 mm).
$f_{yd,2}$ Resistenza di calcolo (per profili con 40 mm < t <= 80 mm).
NOTE [-] = Parametro non significativo per il materiale.

MATERIALI CARATTERISTICHE NON LINEARI

Materiali Caratteristiche non lineari

N_{id}	Fase Elastica				Fase Plastica				Punto di Rottura			
	σ_{Cmp}	ε_{Cmp}	σ_{Trz}	ε_{Trz}	σ_{Cmp}	ε_{Cmp}	σ_{Trz}	ε_{Trz}	σ_{Cmp}	ε_{Cmp}	σ_{Trz}	ε_{Trz}
	[N/mm²]	[‰]	[N/mm²]	[‰]	[N/mm²]	[‰]	[N/mm²]	[‰]	[N/mm²]	[‰]	[N/mm²]	[‰]
Cls stato di fatto edificio 1 - (Cls sf)												
001	7,78	0,39	0,00	0,00	12,97	2,00	0,00	0,10	2,59	3,50	0,00	1,00

Materiali Caratteristiche non lineari

N_{id}	Fase Elastica				Fase Plastica				Punto di Rottura			
	σ_{Cmp} [N/mm²]	ε_{Cmp} [‰]	σ_{Trz} [N/mm²]	ε_{Trz} [‰]	σ_{Cmp} [N/mm²]	ε_{Cmp} [‰]	σ_{Trz} [N/mm²]	ε_{Trz} [‰]	σ_{Cmp} [N/mm²]	ε_{Cmp} [‰]	σ_{Trz} [N/mm²]	ε_{Trz} [‰]
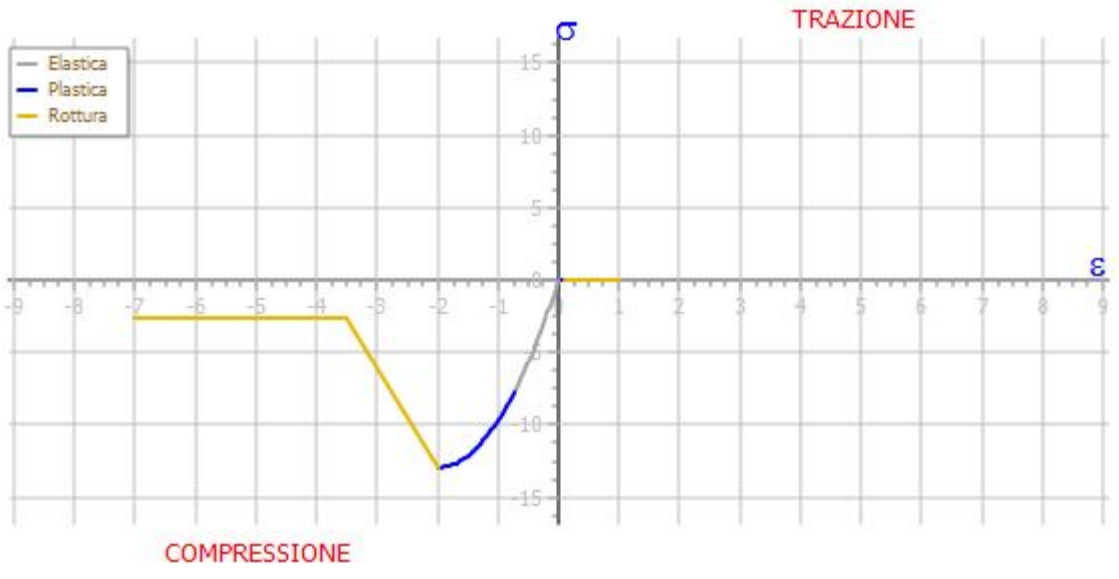												
Acciaio Aq42 - (Aq42)												
002	292,17	1,39	292,17	1,80	336,00	10,00	336,00	10,00	336,00	10,00	336,00	10,00
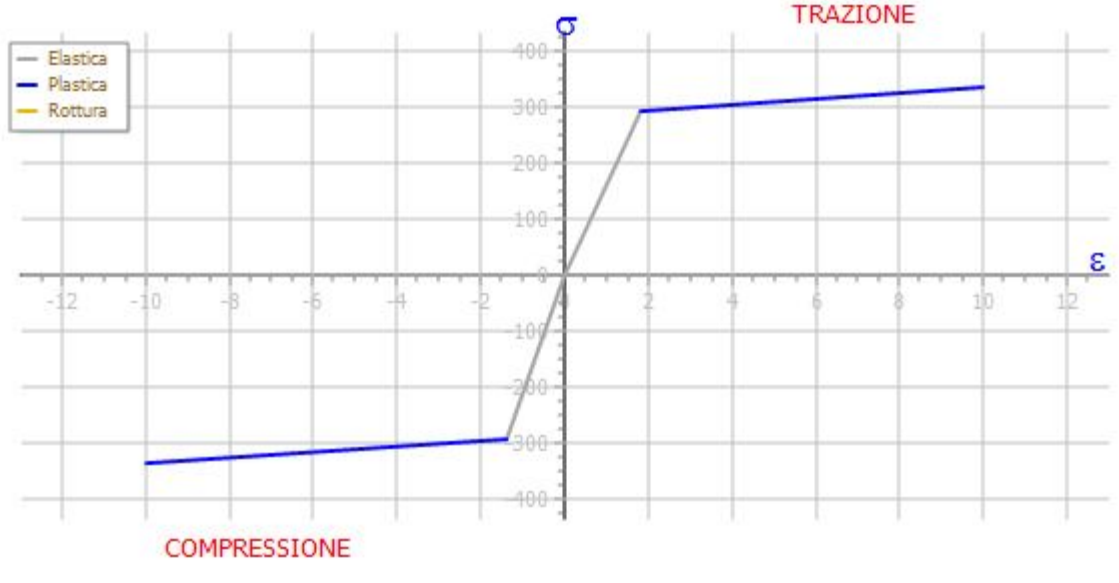												
Cls C25/30_B450C - (C25/30)												
003	14,94	0,48	0,00	0,00	24,90	2,00	0,00	0,10	4,98	3,50	0,00	1,00

Materiali Caratteristiche non lineari

N_{id}	Fase Elastica				Fase Plastica				Punto di Rottura			
	σ_{Cmp} [N/mm²]	ε_{Cmp} [‰]	σ_{Trz} [N/mm²]	ε_{Trz} [‰]	σ_{Cmp} [N/mm²]	ε_{Cmp} [‰]	σ_{Trz} [N/mm²]	ε_{Trz} [‰]	σ_{Cmp} [N/mm²]	ε_{Cmp} [‰]	σ_{Trz} [N/mm²]	ε_{Trz} [‰]
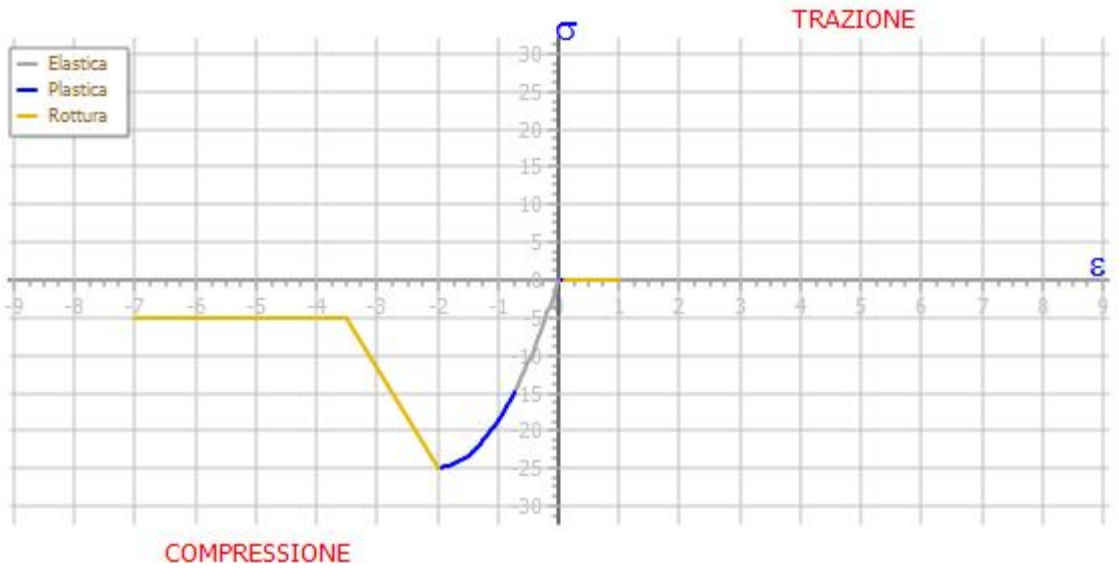												
Acciaio B450C - (B450C)												
004	391,30	1,86	391,30	1,86	450,00	10,00	450,00	10,00	450,00	10,00	450,00	10,00
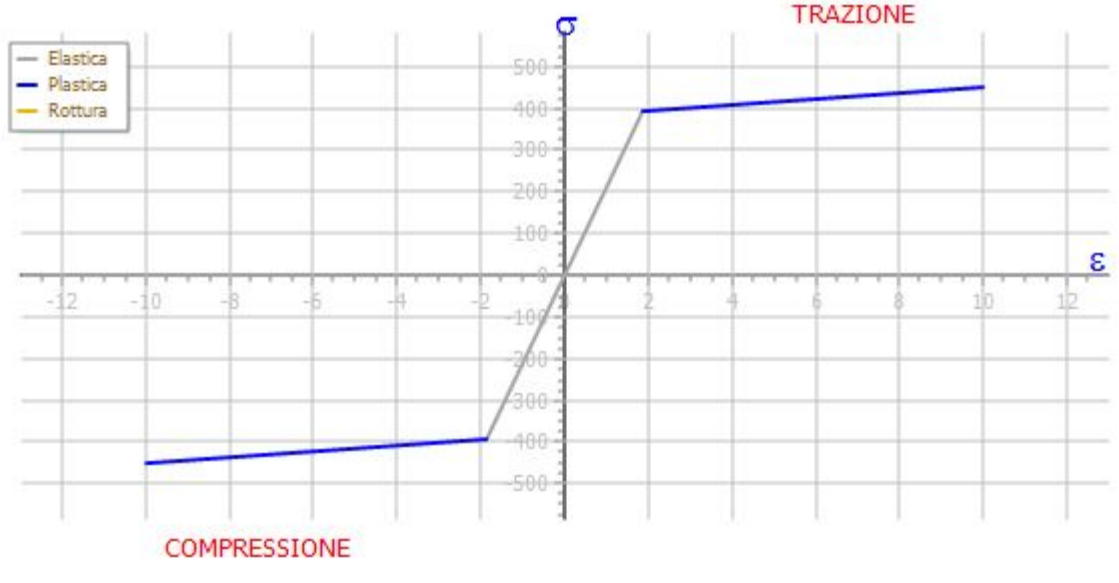												
Cls C28/35_B450C - (C28/35)												
005	17,43	0,53	0,00	0,00	29,05	2,00	0,00	0,10	5,81	3,50	0,00	1,00

Materiali Caratteristiche non lineari

N_{id}	Fase Elastica				Fase Plastica				Punto di Rottura			
	σ_{Cmp} [N/mm²]	ε_{Cmp} [‰]	σ_{Trz} [N/mm²]	ε_{Trz} [‰]	σ_{Cmp} [N/mm²]	ε_{Cmp} [‰]	σ_{Trz} [N/mm²]	ε_{Trz} [‰]	σ_{Cmp} [N/mm²]	ε_{Cmp} [‰]	σ_{Trz} [N/mm²]	ε_{Trz} [‰]

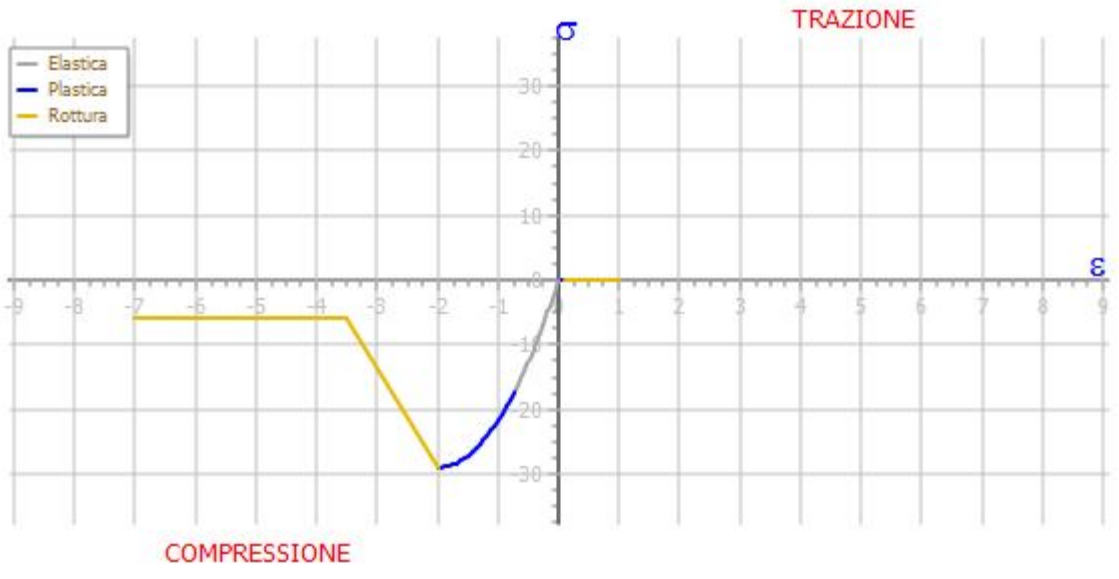

Cls C16/20_B450C - (C16/20)

006	8,96	0,30	0,00	0,00	14,94	2,00	0,00	0,10	2,99	3,50	0,00	1,00

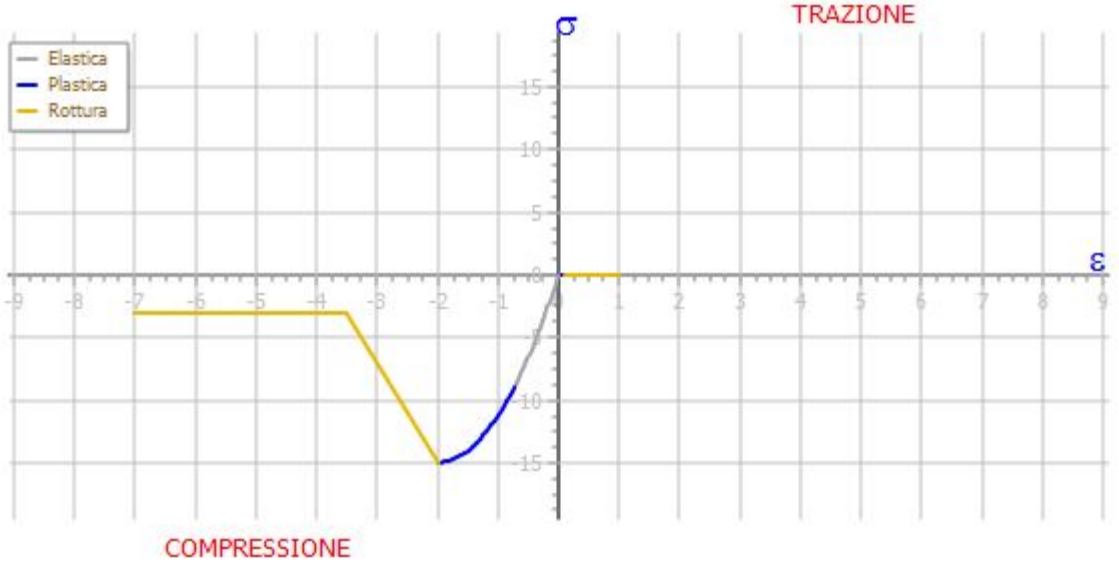

LEGENDA:

N_{id} Numero identificativo del materiale, nella relativa tabella dei materiali.
σ_{Cmp} Tensione massima per Compressione.
ε_{Cmp} Deformazione relativa alla tensione massima per compressione.
σ_{Trz} Tensione massima per Trazione.
ε_{Trz} Deformazione relativa alla tensione massima per trazione.

I valori dei parametri caratteristici dei suddetti materiali sono riportati anche nei **tabulati di calcolo**, nella relativa sezione.

Tutti i materiali impiegati dovranno essere comunque verificati con opportune prove di laboratorio

secondo le prescrizioni della vigente Normativa.

I diagrammi costitutivi degli elementi in calcestruzzo sono stati adottati in conformità alle indicazioni riportate al punto 4.1.2.1.2.2 del D.M. 14 gennaio 2008; in particolare per le verifiche effettuate a pressoflessione retta e pressoflessione deviata è adottato il modello riportato in fig. (a).

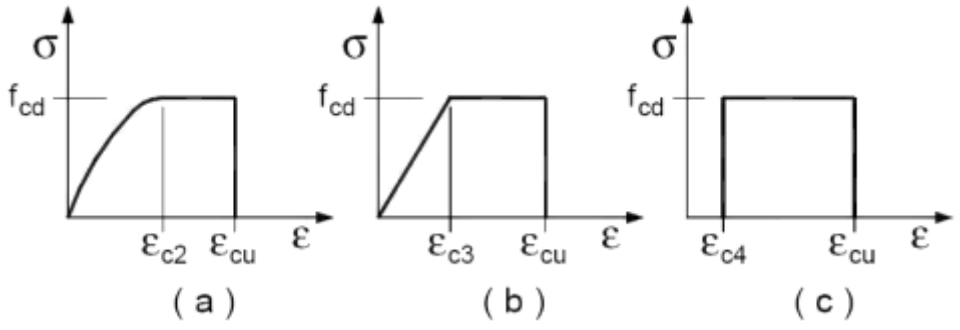

Diagrammi di calcolo tensione/deformazione del calcestruzzo.

I valori di deformazione assunti sono:

ε_{c2} = 0,0020;

ε_{cu2} = 0,0035.

Il comportamento non lineare del materiale calcestruzzo è definito attraverso una curva analitica uniassiale deformazioni-sforzi (ε-σ) comprendente sia la parte di compressione che quella di trazione. Nella schematizzazione a fibre della sezione, questo tipo di comportamento è utilizzato per simulare il comportamento a presso-flessione del calcestruzzo. Nella figura seguente è rappresentata una delle possibili curve uniassiali.

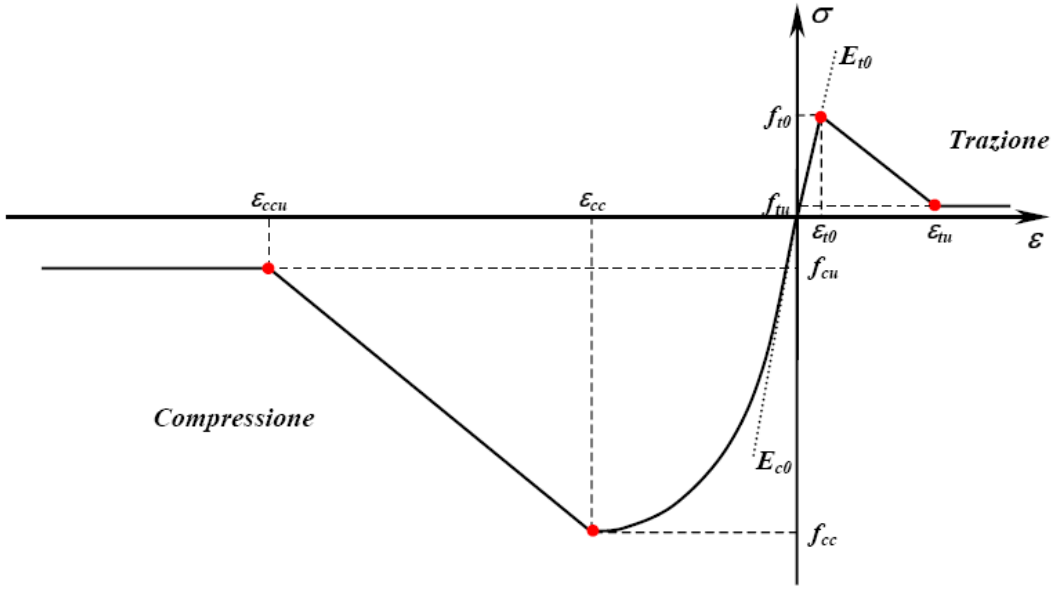

È possibile portare in conto anche l'effetto di confinamento causato dall'armatura trasversale (staffe). La figura seguente mostra la relazione tipica tra la curva del calcestruzzo non confinato (verde) e confinato (rosso).

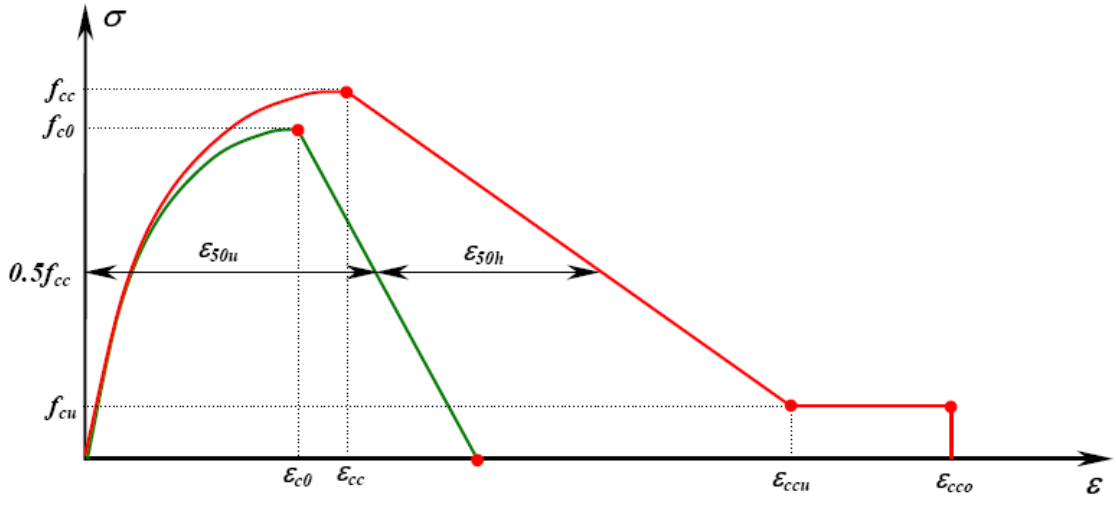

Le espressioni analitiche dei tratti in compressione sono riassunte di seguito. Il valore di E_{c0} è assegnato esplicitamente ed è pari al modulo elastico del calcestruzzo. Il modello parametrico del materiale permette di assegnare esplicitamente sia la curva del calcestruzzo non confinato sia di quello confinato, attribuendo gli opportuni valori alle coordinate dei punti (ε_{cc} ; f_{cc}) e (ε_{cu} ; f_{cu}).

Tratto			
crescente ($\varepsilon<\varepsilon_{cc}$)	decrescente ($\varepsilon_{cc}\le\varepsilon<\varepsilon_{ccu}$)	costante ($\varepsilon_{ccu}\le\varepsilon<\varepsilon_{cco}$)	nullo ($\varepsilon\ge\varepsilon_{cco}$)
$\sigma = E_{c0}\cdot\varepsilon\left[1-\frac{1}{n}\left(\frac{\varepsilon}{\varepsilon_{cc}}\right)^{n-1}\right]$	$\sigma = f_{cc} + E_{cd}\cdot(\varepsilon-\varepsilon_{cc})$	$\sigma = f_{cu}$	$\sigma = 0$
$n = \frac{E_{c0}}{E_{c0}-\frac{f_{cc}}{\varepsilon_{cc}}}$	$E_{cd} = \frac{f_{cu}-f_{cc}}{\varepsilon_{ccu}-\varepsilon_{cc}}$		

A seconda della quantità e geometria dell'armatura trasversale di contenimento la resistenza a compressione f_{cc} e la corrispondente deformazione ε_{cc} subiscono un incremento rispetto ai valori f_{c0} e ε_{c0}. Tale incremento è minore nel calcestruzzo ad alta resistenza. Risultano inoltre incrementate le caratteristiche di duttilità, evidenziate da una minore pendenza del tratto discendente. Convenzionalmente la pendenza del tratto post-picco è di solito determinata in riferimento alla deformazione ε_{50u} del materiale non confinato e all'incremento di deformazione ε_{50h} del materiale confinato in corrispondenza del 50% della resistenza di picco.

I valori f_{cc}, ε_{cc} possono essere ottenuti applicando un coefficiente di amplificazione K ai valori f_{c0}, ε_{c0}:

$$f_{cc} = K\cdot f_{c0} \qquad \varepsilon_{cc} = K\cdot\varepsilon_{c0} \qquad K = 1+\rho_s\frac{f_{yh}}{f_{c0}}$$

dove ρ_s è il rapporto tra il volume di una staffa e il volume di calcestruzzo da essa racchiuso, misurato sulla superficie esterna della staffa, e f_{yh} è la resistenza a snervamento della staffa. Per il calcestruzzo non confinato risulta ρ_s=0, per cui K=1 e f_{cc}= f_{c0} e ε_{cc}=ε_{c0}. Per quanto riguarda invece la deformazione ε_{c0}, per essa è di solito assunto il valore 0.002 per qualunque tipo di calcestruzzo.

Di solito al calcestruzzo non confinato si attribuisce una resistenza residua nulla (f_{cu}=0), come rappresentato in figura. Nel caso di calcestruzzo confinato si assegna invece di norma una resistenza residua non nulla (valore tipico: f_{cu}=0.2f_{cc}). Il software, a vantaggio di sicurezza, assegna, comunque, anche per un calcestruzzo confinato una resistenza residua nulla.

Il parametro $\varepsilon_{cc0}/\varepsilon_{cc}$ consente di definire il valore di cutoff ε_{cco} di deformazione. Per default, assegnando $\varepsilon_{cc0}/\varepsilon_{cc}$=0 il materiale conserva la resistenza residua f_{cu} per qualunque valore $\varepsilon\ge\varepsilon_{ccu}$. Viceversa, se $\varepsilon\ge\varepsilon_{cco}$ la resistenza residua è soppressa. Ad esempio, se ε_{cc}=0 e $\varepsilon_{cc0}/\varepsilon_{cc}$=10 il calcestruzzo (supposto ovviamente confinato) non collabora a compressione per deformazioni maggiori o uguali al 2%.

I diagrammi costitutivi dell'acciaio sono stati adottati in conformità alle indicazioni riportate al punto 4.1.2.1.2.3

del D.M. 14 gennaio 2008; in particolare è adottato il modello elastico perfettamente plastico rappresentato in fig. (b).

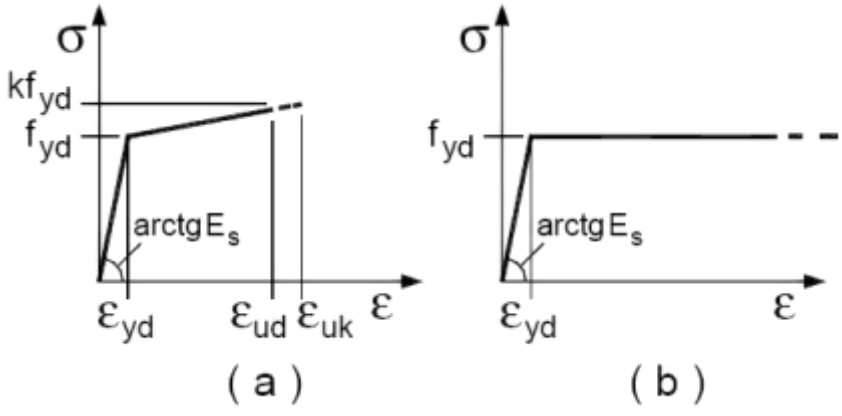

La resistenza di calcolo è data da f_{yk}/γ_f. Il coefficiente di sicurezza γ_f si assume pari a 1.15.

Il comportamento non lineare del materiale acciaio per cemento armato, nel caso di sezione schematizzata a fibre, è definito attraverso una curva bilineare uniassiale deformazioni-sforzi (ε-σ) simmetrica per trazione e compressione.

Per il calcolo della capacità di **elementi/meccanismi duttili** o **fragili** si impiegano le proprietà dei materiali esistenti (resistenze medie ottenute dalle prove in situ e da informazioni aggiuntive) divise per i fattori di confidenza in relazione al livello di conoscenza raggiunto.
Per il calcolo della capacità di resistenza degli **elementi fragili primari**, le resistenze dei materiali (resistenze medie ottenute dalle prove in situ e da informazioni aggiuntive) si dividono per i corrispondenti coefficienti parziali e per i fattori di confidenza in relazione al livello di conoscenza raggiunto.
Per i materiali nuovi o aggiunti si impiegano le proprietà nominali.
Il comportamento non lineare dell'eventuale materiale betoncino armato è definito attraverso una curva analitica uniassiale deformazioni-sforzi (ε-σ) comprendente la sola parte a compressione.
Il comportamento non lineare dell'eventuale materiale composito fibrorinforzato è definito attraverso una curva analitica uniassiale deformazioni-sforzi (ε-σ) comprendente la sola parte a trazione.

4 - LIVELLI DI CONOSCENZA E FATTORI DI CONFIDENZA

Sulla base delle informazioni acquisite:

- sulla GEOMETRIA (§ C8.A.1.A.1 - Circolare 02-02-2009 n. 617);
- sui DETTAGLI COSTRUTTIVI (§ C8.A.1.A.2 - Circolare 02-02-2009 n. 617);
- sulle PROPRIETA' DEI MATERIALI (§ C8.A.1.A.3 - Circolare 02-02-2009 n. 617).

con riferimento alla Tabella C8A.1.1 (Circolare 02-02-2009 n. 617) sono stati acquisiti il **LIVELLO DI CONOSCENZA** (LC - § C8.A.1.A.4 - Circolare 02-02-2009 n. 617) ed il **FATTORE DI CONFIDENZA** (FC - § C8.A.1.A.4 - Circolare 02-02-2009 n. 617) seguenti:

Livello di conoscenza e fattore di confidenza

Livello di conoscenza	Fattore di confidenza
LC2	**1.20**

LEGENDA: Livello di conoscenza e fattore di confidenza

Livello di conoscenza [LC1] = Conoscenza Limitata - [LC2] = Conoscenza Adeguata - [LC3] = Conoscenza Accurata.
Fattore di confidenza Fattore di confidenza applicato alle proprietà dei materiali.

4.1 Procedure per la valutazione della sicurezza e la redazione dei progetti

Per edifici esistenti l'analisi storico-critica ed il rilievo geometrico-strutturale devono evidenziare i seguenti aspetti:

- la costruzione riflette lo stato delle conoscenze al tempo della sua realizzazione;
- possono essere insiti e non palesi difetti di impostazione e di realizzazione;
- la costruzione può essere stata soggetta ad azioni, anche eccezionali, i cui effetti non siano completamente manifesti;
- le strutture possono presentare degrado e/o modificazioni significative rispetto alla situazione originaria.

Nella definizione dei modelli strutturali, si dovrà, inoltre, tenere conto che:

- la geometria e i dettagli costruttivi sono definiti e la loro conoscenza dipende solo dalla documentazione disponibile e dal livello di approfondimento delle indagini conoscitive;
- la conoscenza delle proprietà meccaniche dei materiali non risente delle incertezze legate alla produzione e posa in opera ma solo della omogeneità dei materiali stessi all'interno della costruzione, del livello di approfondimento delle indagini conoscitive e dell'affidabilità delle stesse;
- i carichi permanenti sono definiti e la loro conoscenza dipende dal livello di approfondimento delle indagini conoscitive.

- **Analisi storico-critica**

Ai fini di una corretta individuazione del sistema strutturale esistente e del suo stato di sollecitazione è stato importante ricostruire il processo di realizzazione e le successive modificazioni subite nel tempo dal manufatto, nonché gli eventi che lo hanno interessato. Viene di seguito indicata la documentazione reperita e vengono esplicitate le informazioni desunte da ciascuno dei documenti esaminati.

- **Rilievo geometrico-strutturale**

Il rilievo geometrico-strutturale è stato riferito sia alla geometria complessiva dell'organismo che a quella degli elementi costruttivi, comprendendo i rapporti con le eventuali strutture in aderenza. Nel rilievo sono state rappresentate le modificazioni intervenute nel tempo, come desunte dall'analisi storico-critica.
Il rilievo ha avuto come fine l'individuazione dell'organismo resistente della costruzione, tenendo anche presente la qualità e lo stato di conservazione dei materiali e degli elementi costitutivi.
Sono stati rilevati anche gli eventuali dissesti, in atto o stabilizzati, ponendo particolare attenzione all'individuazione dei quadri fessurativi e dei meccanismi di danno.

- **Caratterizzazione meccanica dei materiali**

Per conseguire un' adeguata conoscenza delle caratteristiche dei materiali e del loro degrado, ci si è basati sulla documentazione disponibile (progetto esecutivo), su verifiche visive in situ e su indagini sperimentali. Il numero di prove e dei riscontri effettuati per analogia ha permesso di attribuire un livello di conoscenza LC2 alla caratterizzazione dei materiali. I valori delle resistenze meccaniche dei medesimi sono stati valutati sulla base delle prove effettuate sulla struttura dalla soc. Istedil di Perugia e prescindono dalle classi discretizzate previste dalle norme per le nuovce costruzioni. Si riportano di seguito i valori numerici delle prove effettuate (prelievo di campioni di cls ed acciasio, prove pacometriche.

EDIFICIO 1

Carote

CONTR.	ZONA	Peso (g)	h/Ø (mm)	kN	N/mm²	
9	Pilastro n° 95	1880,5	105/104	151,4	17,83	Piano Seminterrato
10 bis	Trave tra pil. n° 52-53	1933,2	105/104	89,5	10,54	
11	Trave tra pil. n° 103-104	2052,7	106/104	174,8	20,59	
12	Pillastro n° 65	1934,5	105/104	136,6	16,09	Piano Rialzato
13	Trave tra pil. n° 64-65	2029,4	106/104	202,9	23,90	
14	Pilastro n° 67	1983,8	105/104	113,6	13,38	
15	Trave tra pil. n° 78-79	2028,3	105/104	175,9	20,72	
23	Pilastro n° 83	2045,9	105/104	173	20,38	
16	Pilastro n° 65	1891,6	104/104	154,1	18,15	Piano Primo
17	Trave tra pil. n° 64-65	1982,2	104/104	174,9	20,60	
18	Pilastro n° 79	1938,6	104/104	160,5	18,90	
19	Trave tra pil. n° 78-79	1971,5	106/104	166,6	19,62	

Media valori Piano Seminterrato **16,32** N/mm²

Media valori Piano Rialzato **18,89** N/mm²

Media valori Piano Primo **19,32** N/mm²

Media valori EDIFICIO 1 18,39 N/mm²

Ferri

CONTR.	ZONA	Diametro (Ø)	Snervam. (N/mm²)	Rottura (N/mm²)
9	Pilastro n° 95	16 (liscio)	313	457
10 bis	Trave tra pil. n° 52-53	14 (liscio)	330	481
11	Trave tra pil. n° 103-104	12 (liscio)	323	423
14	Pilastro n° 67	14 (liscio)	371	472
16	Pilastro n° 65	14 (liscio)	367	562
18	Pilastro n° 79	16 (liscio)	313	445

5 - TERRENO DI FONDAZIONE

Le indagini effettuate, mirate alla valutazione della velocità delle onde di taglio (V_{S30}) e/o del numero di colpi dello Standard Penetration Test (NSPT), permettono di classificare il profilo stratigrafico, ai fini della determinazione dell'azione sismica, di categoria **C [C - Depositi di terreni a grana grossa mediamente addensati o terreni a grana fina mediamente consistenti]**.

Tutti i parametri che caratterizzano i terreni di fondazione sono riportati nei tabulati di calcolo, nella relativa sezione. Per ulteriori dettagli si rimanda alle relazioni geologica e geotecnica.

6 - ANALISI DEI CARICHI

Un'accurata valutazione dei carichi è un requisito imprescindibile di una corretta progettazione, in particolare per le costruzioni realizzate in zona sismica.
Essa, infatti, è fondamentale ai fini della determinazione delle forze sismiche, in quanto incide sulla valutazione delle masse e dei periodi propri della struttura dai quali dipendono i valori delle accelerazioni (ordinate degli spettri di progetto).

La valutazione dei carichi e dei sovraccarichi è stata effettuata in accordo con le disposizioni del **Decreto Ministero Infrastrutture Trasporti 14 gennaio 2008** (G. U. 4 febbraio 2008, n. 29 - Suppl.Ord.) "Norme tecniche per le Costruzioni"
La valutazione dei carichi permanenti è effettuata sulle dimensioni definitive.

Le analisi effettuate, corredate da dettagliate descrizioni, oltre che nei tabulati di calcolo nella relativa sezione, sono di seguito riportate:

ANALISI CARICHI

Analisi carichi

N_{id}	T. C.	Descrizione del Carico	Tipologie di Carico	Peso Proprio		Permanente NON Strutturale		Sovraccarico Accidentale		Carico Neve
				Descrizione	PP	Descrizione	PNS	Descrizione	SA	
										[N/m^2]
001	S	Doppia fodera 30cm (12+8)	Carico Permanente	Fodera esterna (12 cm) e fodera interna (8 cm)	1.600	Intonaco interno, intonaco esterno, isolante poliuretano espanso	740		0	0
002	S	Lat-Cem H18 plafone	Scuole	Solaio di tipo tradizionale latero-cementizio di spessore cm 18	180	Intonaco inferiore	150	Solaio praticabile per sola manutenzione	500	0
003	S	Lat-Cem Copertura H18	Scuole	Solaio di tipo tradizionale latero-cementizio di spessore cm 18	1.800	Tegole, impermeabilizzazione	600	Coperture e sottotetti accessibili per sola manutenzione (Cat. H1 – Tab. 3.1.II - DM 14.01.2008)	500	600
004	S	Lat-Cem H25+5 Calpestio	Scuole	Solaio di tipo tradizionale latero-cementizio di spessore 30 cm (25+5)	3.750	Pavimentazione e sottofondo, incidenza dei tramezzi e intonaco inferiore	2.900	Scuole (Cat. C1 – Tab. 3.1.II - DM 14.01.2008)	3.000	0
005	S	Lat-Cem H18+3 calpestio	Scuole	Solaio di tipo tradizionale latero-cementizio di spessore 21 cm (18+3)	2.600	Pavimentazione e sottofondo, incidenza dei tramezzi	3.500	Scuole (Cat. C1 – Tab. 3.1.II - DM 14.01.2008)	3.000	0

LEGENDA:

N_{id} Numero identificativo dell'analisi di carico.
T. C. Identificativo del tipo di carico: [S] = Superficiale - [L] = Lineare - [C] = Concentrato.
PP, PNS, SA Valori rispettivamente, del Peso Proprio, del Sovraccarico Permanente NON strutturale, del Sovraccarico Accidentale. Secondo il tipo di carico indicato nella colonna "T.C." ("S" - "L" - "C"), i valori riportati nelle colonne "PP", "PNS" e "SA", sono espressi in [N/m^2] per carichi Superficiali, [N/m] per carichi Lineari, [N] per carichi Concentrati.

7 - VALUTAZIONE DELL'AZIONE SISMICA

L'azione sismica è stata valutata in conformità alle indicazioni riportate al capitolo 3.2 del D.M. 14 gennaio 2008 "Norme tecniche per le Costruzioni".

In particolare il procedimento per la definizione degli spettri di progetto per i vari Stati Limite per cui sono state effettuate le verifiche è stato il seguente:

- definizione della Vita Nominale e della Classe d'Uso della struttura, il cui uso combinato ha portato alla definizione del Periodo di Riferimento dell'azione sismica.
- Individuazione, tramite latitudine e longitudine, dei parametri sismici di base a_g, F_0 e T^*_c per tutti e quattro gli Stati Limite previsti (SLO, SLD, SLV e SLC); l'individuazione è stata effettuata interpolando tra i 4 punti più vicini al punto di riferimento dell'edificio.
- Determinazione dei coefficienti di amplificazione stratigrafica e topografica.
- Calcolo del periodo T_c corrispondente all'inizio del tratto a velocità costante dello Spettro.

I dati così calcolati sono stati utilizzati per determinare gli Spettri di Progetto nelle verifiche agli Stati Limite considerate.

Si riportano di seguito le coordinate geografiche del sito rispetto al Datum ED50:

Latitudine	Longitudine	Altitudine
[°]	[°]	[m]
42.5496	12.6586	150

7.1 Spettri di Progetto per S.L.U. e S.L.D.

L'edificio è stato progettato per una Vita Nominale pari a **50** e per Classe d'Uso pari a **3**.
In base alle indagini geognostiche effettuate si è classificato il suolo di fondazione di categoria **C**, cui corrispondono i seguenti valori per i parametri necessari alla costruzione degli spettri di risposta orizzontale e verticale:

							Parametri di pericolosità sismica	
Stato Limite	**a_g**	**F_O**	**T^*_c**	**C_C**	**T_B**	**T_C**	**T_D**	**S_S**
	[g]		[s]		[s]	[s]	[s]	[s]
SLO	0.0675	2.495	0.278	1.60	0.148	0.445	1.870	1.50
SLD	0.0825	2.495	0.290	1.58	0.153	0.458	1.930	1.50
SLV	0.1889	2.465	0.327	1.52	0.166	0.497	2.356	1.42
SLC	0.2337	2.490	0.339	1.50	0.169	0.508	2.535	1.35

Per la definizione degli spettri di risposta, oltre all'accelerazione a_g al suolo (dipendente dalla classificazione sismica del Comune) occorre determinare il Fattore di Struttura q.

Il Fattore di struttura q è un fattore riduttivo delle forze elastiche introdotto per tenere conto delle capacità dissipative della struttura che dipende dal sistema costruttivo adottato, dalla Classe di Duttilità e dalla regolarità in altezza.
Si è inoltre assunto il Coefficiente di Amplificazione Topografica S_T pari a **1,00**.

Tali succitate caratteristiche sono riportate negli allegati tabulati di calcolo al punto "DATI GENERALI ANALISI SISMICA".

Per la struttura in esame sono stati determinati i seguenti valori:

<u>Stato Limite Ultimo</u>

Verifica meccanismi "Duttili"
Fattore di Struttura q per sisma orizzontale in direzione X: **1,50**
Fattore di Struttura q per sisma orizzontale in direzione Y: **1,50**
Fattore di Struttura q per sisma verticale: **1,50**

Verifica meccanismi "Fragili"
Il fattore di struttura utilizzato per la verifica di tali meccanismi è pari a **1,50**.

Gli spettri utilizzati sono riportati nella successiva figura.

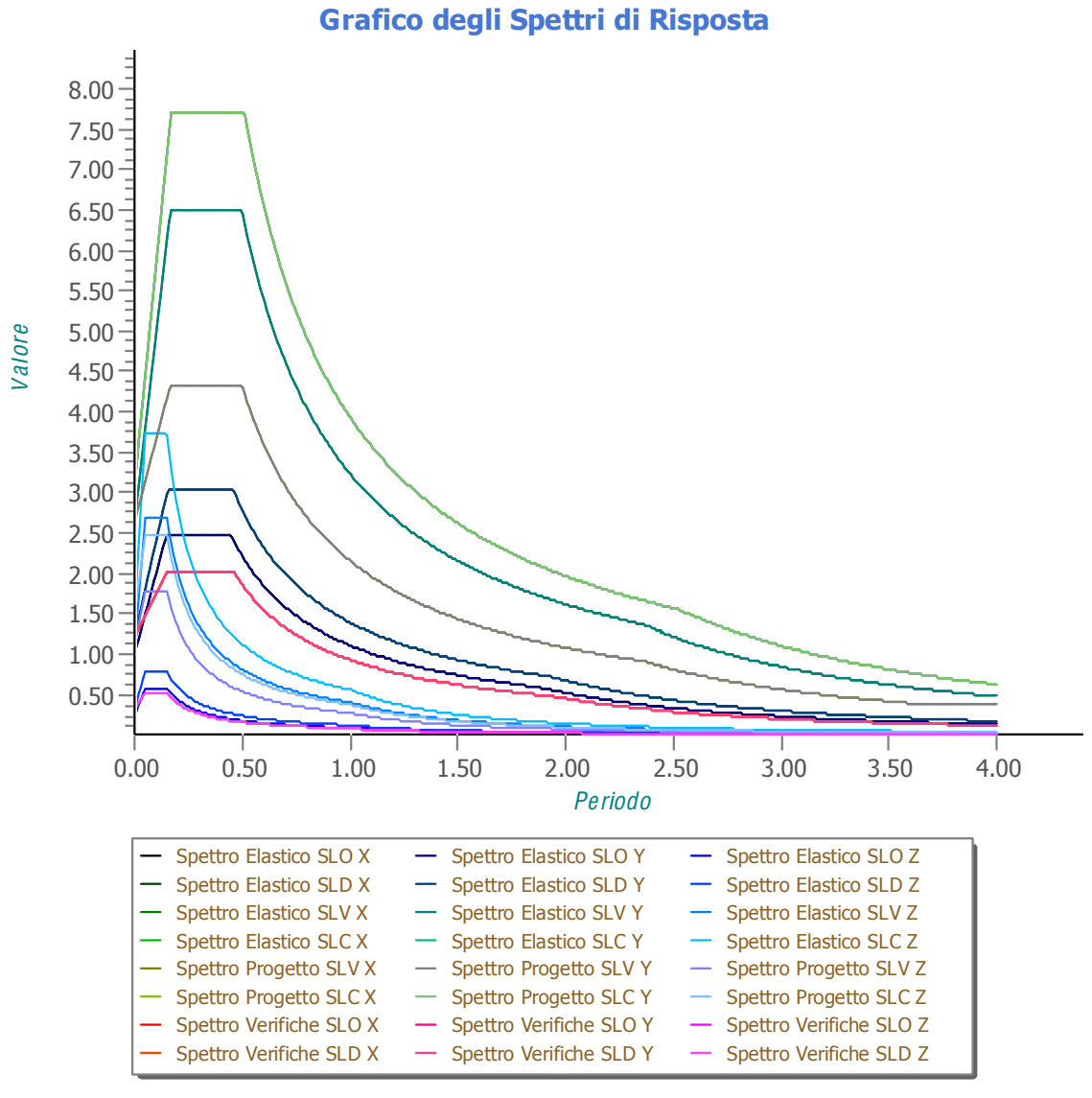

7.2 Metodo di Analisi

Il calcolo delle azioni sismiche è stato eseguito in analisi dinamica modale, considerando il comportamento della struttura in regime elastico lineare.
Il numero di modi di vibrazione considerato (15) ha consentito, nelle varie condizioni, di mobilitare le seguenti percentuali delle masse della struttura:

Stato Limite	Direzione Sisma	%
salvaguardia della vita	X	87.6
salvaguardia della vita	Y	90.0
salvaguardia della vita	Z	100.0

Per valutare la risposta massima complessiva di una generica caratteristica E, conseguente alla sovrapposizione dei modi, si è utilizzata una tecnica di combinazione probabilistica definita CQC (Complete Quadratic Combination - Combinazione Quadratica Completa):

$$E = \sqrt{\sum_{i,j=1,n} \rho_{ij} \cdot E_i \cdot E_j} \qquad \text{con} \qquad \rho_{ij} = \frac{8 \cdot \xi^2 \cdot (1+\beta_{ij}) \cdot \beta_{ij}^{\frac{3}{2}}}{(1-\beta_{ij}^2)^2 + 4 \cdot \xi^2 \cdot \beta_{ij} \cdot (1+\beta_{ij}^2)} \qquad \beta_{ij} = \frac{\varpi_i}{\varpi_j}$$

dove:

- n è il numero di modi di vibrazione considerati
- ξ è il coefficiente di smorzamento viscoso equivalente espresso in percentuale;
- β_{ij} è il rapporto tra le frequenze di ciascuna coppia i-j di modi di vibrazione.

Le sollecitazioni derivanti da tali azioni sono state composte poi con quelle derivanti da carichi verticali, orizzontali non sismici secondo le varie combinazioni di carico probabilistiche. Il calcolo è stato effettuato mediante un programma agli elementi finiti le cui caratteristiche verranno descritte nel seguito.

Il calcolo degli effetti dell'azione sismica è stato eseguito con riferimento alla struttura spaziale, tenendo cioè conto degli elementi interagenti fra loro secondo l'effettiva realizzazione escludendo i tamponamenti. Non ci sono approssimazioni su tetti inclinati, piani sfalsati o scale, solette, pareti irrigidenti e nuclei.

Si è tenuto conto delle deformabilità taglianti e flessionali degli elementi monodimensionali; muri, pareti, setti, solette sono stati correttamente schematizzati tramite elementi finiti a tre/quattro nodi con comportamento a guscio (sia a piastra che a lastra).

Sono stati considerati sei gradi di libertà per nodo; in ogni nodo della struttura sono state applicate le forze sismiche derivanti dalle masse circostanti.

Le sollecitazioni derivanti da tali forze sono state poi combinate con quelle derivanti dagli altri carichi come prima specificato.

7.3 Valutazione degli spostamenti

Gli spostamenti d_E della struttura sotto l'azione sismica di progetto allo SLV si ottengono moltiplicando per il fattore $_d$ i valori d_{Ee} ottenuti dall'analisi lineare, dinamica o statica, secondo l'espressione seguente:

$$d_E = \pm \mu_d \cdot d_{Ee}$$

dove

$\mu_d = q$ se $T_1 \geq T_C$

$\mu_d = 1+(q-1)\cdot T_C/T_1$ se $T_1 < T_C$

In ogni caso $\mu_d \leq 5q - 4$.

7.4 Combinazione delle componenti dell'azione sismica

Le azioni orizzontali dovute al sisma sulla struttura vengono convenzionalmente determinate come agenti separatamente in due direzioni tra loro ortogonali prefissate. In generale, però, le componenti orizzontali del sisma devono essere considerate come agenti simultaneamente. A tale scopo, la combinazione delle componenti orizzontali dell'azione sismica è stata tenuta in conto come segue:

- gli effetti delle azioni dovuti alla combinazione delle componenti orizzontali dell'azione sismica sono stati valutati mediante le seguenti combinazioni:

$$E_{EdX} \pm 0.30E_{EdY} \qquad\qquad E_{EdY} \pm 0.30E_{EdX}$$

dove:

- E_{EdX} rappresenta gli effetti dell'azione dovuti all'applicazione dell'azione sismica lungo l'asse orizzontale X scelto della struttura;
- E_{EdY} rappresenta gli effetti dell'azione dovuti all'applicazione dell'azione sismica lungo l'asse orizzontale Y scelto della struttura.

L'azione sismica verticale deve essere considerata in presenza di: elementi pressoché orizzontali con luce superiore a 20 m, elementi pressoché orizzontali precompressi, elementi a sbalzo pressoché orizzontali con luce maggiore di 5 m, travi che sostengono colonne, strutture isolate.
La combinazione della componente verticale del sisma, qualora portata in conto, con quelle orizzontali è stata tenuta in conto come segue:

- gli effetti delle azioni dovuti alla combinazione delle componenti orizzontali e verticali del sisma sono stati valutati mediante le seguenti combinazioni:

$E_{EdX} \pm 0.30E_{EdY} \pm 0.30E_{EdZ}$ $E_{EdY} \pm 0.30E_{EdX} \pm 0.30E_{EdZ}$ $E_{EdZ} \pm 0.30E_{EdX} \pm 0.30E_{EdY}$

dove:

E_{EdX} e E_{EdY} sono gli effetti dell'azione sismica nelle direzioni orizzontali prima definite;
E_{EdZ} rappresenta gli effetti dell'azione dovuti all'applicazione della componente verticale dell'azione sismica di progetto.

7.5 Eccentricità accidentali

Per valutare le eccentricità accidentali, previste in aggiunta all'eccentricità effettiva sono state considerate condizioni di carico aggiuntive ottenute applicando l'azione sismica nelle posizioni del centro di massa di ogni piano ottenute traslando gli stessi, in ogni direzione considerata, di una distanza pari a +/- 5% della dimensione massima del piano in direzione perpendicolare all'azione sismica.

8 - ANALISI STATICA NON LINEARE (PushOver)

Il calcolo è stato eseguito in Analisi Statica Non Lineare mediante un programma agli elementi finiti le cui caratteristiche verranno descritte nel seguito.

Il calcolo degli effetti dell'azione sismica è stato eseguito con riferimento alla struttura spaziale, tenendo cioè conto degli elementi interagenti fra loro secondo l'effettiva realizzazione. Non ci sono approssimazioni su tetti inclinati, piani sfalsati o scale, solette, pareti irrigidenti e nuclei.

Si è tenuto conto delle deformabilità assiali, taglianti e flessionali degli elementi monodimensionali; pareti, setti, muri, solette sono stati correttamente schematizzati tramite elementi finiti a tre/quattro nodi con comportamento sia a piastra che a lastra.

Sono stati considerati sei gradi di libertà per nodo; in ogni nodo della struttura sono state applicate le forze sismiche derivanti dalle masse circostanti.

Il calcolo in Analisi Statica Non Lineare viene svolto nei seguenti passi:

1) Definizione di un legame costitutivo non lineare per i materiali, come sopra esposto.
2) Definizione dei carichi agenti sulla struttura; tali carichi sono costituiti dai carichi verticali, combinati secondo le indicazioni del punto 2.5.3, relazione [2.5.5], oppure del punto 3.2.4, relazione [3.2.16] del D.M. 14.01.2008, e da una distribuzione di forze orizzontali come rappresentativa del sisma.
3) Definizione di un Punto di Controllo per l'Analisi; tale punto di controllo può essere scelto automaticamente tra i nodi strutturali dell'ultimo piano, con le coordinate più prossime (eventualmente coincidenti) a quelle del baricentro delle masse di tale impalcato, oppure manualmente dall'utente.
4) Soluzione del sistema tridimensionale dell'edificio soggetto ai carichi definiti al punto 2); tale soluzione viene perseguita per 4 direzioni del sisma (+X, -X, +Y e –Y) e per due distribuzioni di forze orizzontali (forze proporzionali alle masse e forze proporzionali al I Modo di vibrazione per la direzione considerata) per un totale di 8 Analisi Statiche Non Lineari. Alle 4 direzioni del sisma possono essere considerati anche i contributi dovuti alle eccentricità accidentali.
5) Per ognuna delle varie Analisi effettuate al punto 4 viene costruita la Curva di Capacità dell'Edificio, mettendo in ascissa il taglio alla base e sulle ordinate lo spostamento del Punto di Controllo; da tale Curva sono ricavate le caratteristiche di un Sistema a 1 Grado di Libertà equivalente e in particolare le grandezze Forza allo Snervamento e spostamento corrispondente imponendo l'uguaglianza tra l'area sottesa dalla curva e la bilineare equivalente. Definite quindi la rigidezza secante e la massa equivalente, si ricava il periodo del sistema a 1 Grado di Libertà; con tale Periodo sono calcolate le domande di spostamento allo SLU (SLV) e allo SLE (SLD), trasformate infine nelle domande del sistema reale.

Per quanto esposto al punto 4) è necessario preventivamente effettuare un calcolo in analisi dinamica modale, considerando il comportamento della struttura in regime elastico lineare.

9 - AZIONI SULLA STRUTTURA

I calcoli e le verifiche sono condotti con il metodo semiprobabilistico degli stati limite secondo le indicazioni del D.M. 14 gennaio 2008.
I carichi agenti sui solai, derivanti dall'analisi dei carichi, vengono ripartiti dal programma di calcolo in modo automatico sulle membrature (travi, pilastri, pareti, solette, platee, ecc.).

I carichi dovuti ai tamponamenti, sia sulle travi di fondazione che su quelle di piano, sono schematizzati come carichi lineari agenti esclusivamente sulle aste.
Su tutti gli elementi strutturali è inoltre possibile applicare direttamente ulteriori azioni concentrate e/o distribuite (variabili con legge lineare ed agenti lungo tutta l'asta o su tratti limitati di essa).

Le azioni introdotte direttamente sono combinate con le altre (carichi permanenti, accidentali e sisma) mediante le combinazioni di carico di seguito descritte; da esse si ottengono i valori probabilistici da impiegare successivamente nelle verifiche.

9.1 Stato Limite di Salvaguardia della Vita

Le azioni sulla costruzione sono state cumulate in modo da determinare condizioni di carico tali da risultare più sfavorevoli ai fini delle singole verifiche, tenendo conto della probabilità ridotta di intervento simultaneo di tutte le azioni con i rispettivi valori più sfavorevoli, come consentito dalle norme vigenti.
Per gli stati limite ultimi sono state adottate le combinazioni del tipo:

$$\gamma_{G1} \cdot G_1 + \gamma_{G2} \cdot G_2 + \gamma_P \cdot P + \gamma_{Q1} \cdot Q_{k1} + \gamma_{Q2} \cdot \psi_{02} \cdot Q_{k2} + \gamma_{Q3} \cdot \psi_{03} \cdot Q_{k3} + \ldots\ldots \quad (1)$$

dove:

- G_1 rappresenta il peso proprio di tutti gli elementi strutturali; peso proprio del terreno, quando pertinente; forze indotte dal terreno (esclusi gli effetti di carichi variabili applicati al terreno); forze risultanti dalla pressione dell'acqua (quando si configurino costanti nel tempo);
- G_2 rappresenta il peso proprio di tutti gli elementi non strutturali;
- P rappresenta l'azione di pretensione e/o precompressione;
- Q azioni sulla struttura o sull'elemento strutturale con valori istantanei che possono risultare sensibilmente diversi fra loro nel tempo:
  - di lunga durata: agiscono con un'intensità significativa, anche non continuativamente, per un tempo non trascurabile rispetto alla vita nominale della struttura;
  - di breve durata: azioni che agiscono per un periodo di tempo breve rispetto alla vita nominale della struttura;
- Q_{ki} rappresenta il valore caratteristico della i-esima azione variabile;
- γ_g, γ_q ,γ_p coefficienti parziali come definiti nella tabella 2.6.I del DM 14 gennaio 2008;
- ψ_{0i} sono i coefficienti di combinazione per tenere conto della ridotta probabilità di concomitanza delle azioni variabili con i rispettivi valori caratteristici.

Le 10 combinazioni risultanti sono state costruite a partire dalle sollecitazioni caratteristiche calcolate per ogni condizione di carico elementare: ciascuna condizione di carico accidentale, a rotazione, è stata considerata sollecitazione di base (Q_{k1} nella formula precedente).
I coefficienti relativi a tali combinazioni di carico sono riportati negli allegati tabulati di calcolo.

In zona sismica, oltre alle sollecitazioni derivanti dalle generiche condizioni di carico statiche, devono essere considerate anche le sollecitazioni derivanti dal sisma. L'azione sismica è stata combinata con le altre azioni secondo la seguente relazione:

$$G_1 + G_2 + P + E + \sum_i \psi_{2i} \cdot Q_{ki}$$

dove:

- E rappresenta l'azione sismica per lo stato limite in esame;

G_1 rappresenta peso proprio di tutti gli elementi strutturali;
G_2 rappresenta il peso proprio di tutti gli elementi non strutturali;
P rappresenta l'azione di pretensione e/o precompressione;
ψ_{2i} coefficiente di combinazione delle azioni variabili Q_i;
Q_{ki} valore caratteristico dell'azione variabile Q_i.

Gli effetti dell'azione sismica sono valutati tenendo conto delle masse associate ai seguenti carichi gravitazionali:

$$G_K + \sum_i (\psi_{2i} \cdot Q_{ki}) .$$

I valori dei coefficienti ψ_{2i} sono riportati nella seguente tabella:

Categoria/Azione	ψ_{2i}
Categoria A – Ambienti ad uso residenziale	0,3
Categoria B – Uffici	0,3
Categoria C – Ambienti suscettibili di affollamento	0,6
Categoria D – Ambienti ad uso commerciale	0,6
Categoria E – Biblioteche, archivi, magazzini e ambienti ad uso industriale	0,8
Categoria F – Rimesse e parcheggi (per autoveicoli di peso $\leq$ 30 kN)	0,6
Categoria G – Rimesse e parcheggi (per autoveicoli di peso > 30 kN)	0,3
Categoria H – Coperture	0,0
Vento	0,0
Neve (a quota $\leq$ 1000 m s.l.m.)	0,0
Neve (a quota > 1000 m s.l.m.)	0,2
Variazioni termiche	0,0

In zona sismica, oltre alle sollecitazioni derivanti dalle generiche condizioni di carico statiche, devono essere considerate anche le sollecitazioni derivanti dal sisma. L'azione sismica è stata combinata con le altre azioni secondo la seguente relazione:

$$G_1 + G_2 + P + E + \sum_i \psi_{2i} \cdot Q_{ki}$$

dove:
E rappresenta l'azione sismica per lo stato limite in esame;
G_1 rappresenta peso proprio di tutti gli elementi strutturali;
G_2 rappresenta il peso proprio di tutti gli elementi non strutturali;
P rappresenta l'azione di pretensione e/o precompressione;
ψ_{2i} coefficiente di combinazione delle azioni variabili Q_i;
Q_{ki} valore caratteristico dell'azione variabile Q_i.

Gli effetti dell'azione sismica sono valutati tenendo conto delle masse associate ai seguenti carichi gravitazionali:

$$G_K + \sum_i (\psi_{2i} \cdot Q_{ki}) .$$

I valori dei coefficienti ψ_{2i} sono riportati nella seguente tabella:

Categoria/Azione	ψ_{2i}
Categoria A – Ambienti ad uso residenziale	0,3
Categoria B – Uffici	0,3
Categoria C – Ambienti suscettibili di affollamento	0,6
Categoria D – Ambienti ad uso commerciale	0,6
Categoria E – Biblioteche, archivi, magazzini e ambienti ad uso industriale	0,8
Categoria F – Rimesse e parcheggi (per autoveicoli di peso $\leq$ 30 kN)	0,6
Categoria G – Rimesse e parcheggi (per autoveicoli di peso > 30 kN)	0,3

Categoria H – Coperture	0,0
Vento	0,0
Neve (a quota $\leq$ 1000 m s.l.m.)	0,0
Neve (a quota > 1000 m s.l.m.)	0,2
Variazioni termiche	0,0

Le verifiche strutturali e geotecniche delle fondazionii, sono state effettuate con l'**Approccio 2** come definito al p. 2.6.1 del DM 14/01/2008, attraverso la combinazione **A1+M1+R3**. Le azioni sono state amplificate tramite i coefficienti della colonna A1 (STR) definiti nella tabella 6.2.I del DM 14/01/2008.
I valori di resistenza del terreno sono stati ridotti tramite i coefficienti della colonna M1 definiti nella 6.2.II del DM 14/01/2008.
I valori calcolati delle resistenze totali dell'elemento strutturale sono stati divisi per i coefficienti R3 della tabella 6.4.I del DM 14/01/2008 per le fondazioni superficiali.

Si è quindi provveduto a progettare le armature di ogni elemento strutturale per ciascuno dei valori ottenuti secondo le modalità precedentemente illustrate. Nella sezione relativa alle verifiche dei "Tabulati di calcolo" in allegato sono riportati, per brevità, i valori della sollecitazione relativi alla combinazione cui corrisponde il minimo valore del coefficiente di sicurezza.

9.2 Stato Limite di Danno

L'azione sismica, ottenuta dallo spettro di progetto per lo Stato Limite di Danno, è stata combinata con le altre azioni mediante una relazione del tutto analoga alla precedente:

$$G_1 + G_2 + P + E + \sum_i \psi_{2i} \cdot Q_{ki}$$

dove:
- E rappresenta l'azione sismica per lo stato limite in esame;
- G_1 rappresenta peso proprio di tutti gli elementi strutturali;
- G_2 rappresenta il peso proprio di tutti gli elementi non strutturali
- P rappresenta l'azione di pretensione e/o precompressione;
- ψ_{2i} coefficiente di combinazione delle azioni variabili Q_i;
- Q_{ki} valore caratteristico dell'azione variabile Q_i.

Gli effetti dell'azione sismica sono valutati tenendo conto delle masse associate ai seguenti carichi gravitazionali:

$$G_K + \sum_i (\psi_{2i} \cdot Q_{ki})$$

I valori dei coefficienti ψ_{2i} sono riportati nella tabella di cui allo SLV.

9.3 Stato Limite di Danno

L'azione sismica, ottenuta dallo spettro di progetto per lo Stato Limite di Danno, è stata combinata con le altre azioni mediante una relazione del tutto analoga alla precedente:

$$G_1 + G_2 + P + E + \sum_i \psi_{2i} \cdot Q_{ki}$$

dove:
- E rappresenta l'azione sismica per lo stato limite in esame;
- G_1 rappresenta peso proprio di tutti gli elementi strutturali;
- G_2 rappresenta il peso proprio di tutti gli elementi non strutturali
- P rappresenta l'azione di pretensione e/o precompressione;
- ψ_{2i} coefficiente di combinazione delle azioni variabili Q_i;
- Q_{ki} valore caratteristico dell'azione variabile Q_i.

Gli effetti dell'azione sismica sono valutati tenendo conto delle masse associate ai seguenti carichi gravitazionali:

$$G_K + \sum_i (\psi_{2i} \cdot Q_{ki})$$

I valori dei coefficienti ψ_{2i} sono riportati nella tabella di cui allo SLV.

9.4 Stati Limite di Esercizio

Allo Stato Limite di Esercizio le sollecitazioni con cui sono state semiprogettate le aste in c.a. sono state ricavate applicando le formule riportate nel D.M. 14 gennaio 2008 - Norme tecniche per le costruzioni - al punto 2.5.3. Per le verifiche agli stati limite di esercizio, a seconda dei casi, si fa riferimento alle seguenti combinazioni di carico:

rara	frequente	quasi permanente
$\sum_{j\geq 1} G_{kj} + P + Q_{k1} + \sum_{i>1} \psi_{0i} \cdot Q_{ki}$	$\sum_{j\geq 1} G_{kj} + P + \psi_{11} \cdot Q_{k1} + \sum_{i>1} \psi_{2i} \cdot Q_{ki}$	$\sum_{j\geq 1} G_{kj} + P + \sum_{i>1} \psi_{2i} \cdot Q_{ki}$

dove:

- G_{kj} valore caratteristico della j-esima azione permanente;
- P_{kh} valore caratteristico della h-esima deformazione impressa;
- Q_{kl} valore caratteristico dell'azione variabile di base di ogni combinazione;
- Q_{ki} valore caratteristico della i-esima azione variabile;
- ψ_{0i} coefficiente atto a definire i valori delle azioni ammissibili di durata breve ma ancora significativi nei riguardi della possibile concomitanza con altre azioni variabili;
- ψ_{1i} coefficiente atto a definire i valori delle azioni ammissibili ai frattili di ordine 0,95 delle distribuzioni dei valori istantanei;
- ψ_{2i} coefficiente atto a definire i valori quasi permanenti delle azioni ammissibili ai valori medi delle distribuzioni dei valori istantanei.

Ai coefficienti ψ_{0i}, ψ_{1i}, ψ_{2i} sono attribuiti i seguenti valori:

Azione	ψ_{0i}	ψ_{1i}	ψ_{2i}
Categoria A – Ambienti ad uso residenziale	0,7	0,5	0,3
Categoria B – Uffici	0,7	0,5	0,3
Categoria C – Ambienti suscettibili di affollamento	0,7	0,7	0,6
Categoria D – Ambienti ad uso commerciale	0,7	0,7	0,6
Categoria E – Biblioteche, archivi, magazzini e ambienti ad uso industriale	1,0	0,9	0,8
Categoria F – Rimesse e parcheggi (per autoveicoli di peso $\leq$ 30 kN)	0,7	0,7	0,6
Categoria G – Rimesse e parcheggi (per autoveicoli di peso > 30 kN)	0,7	0,5	0,3
Categoria H – Coperture	0,0	0,0	0,0
Vento	0,6	0,2	0,0
Neve (a quota $\leq$ 1000 m s.l.m.)	0,5	0,2	0,0
Neve (a quota > 1000 m s.l.m.)	0,7	0,5	0,2
Variazioni termiche	0,6	0,5	0,0

In maniera analoga a quanto illustrato nel caso dello SLU le combinazioni risultanti sono state costruite a partire dalle sollecitazioni caratteristiche calcolate per ogni condizione di carico; a turno ogni condizione di carico accidentale è stata considerata sollecitazione di base (Q_{k1} nella formula (1)), con ciò dando origine a tanti valori combinati. Per ognuna delle combinazioni ottenute, in funzione dell'elemento (trave, pilastro, etc...) sono state effettuate le verifiche allo SLE (tensioni, deformazioni e fessurazione).
Negli allegati tabulati di calcolo sono riportanti i coefficienti relativi alle combinazioni di calcolo generate relativamente alle combinazioni di azioni "Quasi Permanente" (1), "Frequente" (3) e "Rara" (2).
Nelle sezioni relative alle verifiche allo SLE dei citati tabulati, inoltre, sono riportati i valori delle sollecitazioni relativi alle combinazioni che hanno originato i risultati più gravosi.

10 - CODICE DI CALCOLO IMPIEGATO

10.1 Denominazione

Nome del Software	**EdiLus**
Versione	30.00b
Caratteristiche del Software	Software per il calcolo di strutture agli elementi finiti per Windows
Numero di serie	12113371
Intestatario Licenza	Comune di TERNI
Produzione e Distribuzione	**ACCA software S.p.A.** Via Michelangelo Cianciulli 83048 Montella (AV) Tel. 0827/69504 r.a. - Fax 0827/601235 e-mail: info@acca.it - Internet: www.acca.it

10.2 Sintesi delle funzionalità generali

Il pacchetto consente di modellare la struttura, di effettuare il dimensionamento e le verifiche di tutti gli elementi strutturali e di generare gli elaborati grafici esecutivi.

È una procedura integrata dotata di tutte le funzionalità necessarie per consentire il calcolo completo di una struttura mediante il metodo degli elementi finiti (FEM); la modellazione della struttura è realizzata tramite elementi Beam (travi e pilastri) e Shell (platee, pareti, solette, setti, travi-parete).

L'input della struttura avviene per oggetti (travi, pilastri, solai, solette, pareti, etc.) in un ambiente grafico integrato; il modello di calcolo agli elementi finiti, che può essere visualizzato in qualsiasi momento in una apposita finestra, viene generato dinamicamente dal software.

Apposite funzioni consentono la creazione e la manutenzione di archivi Sezioni, Materiali e Carichi; tali archivi sono generali, nel senso che sono creati una tantum e sono pronti per ogni calcolo, potendoli comunque integrare/modificare in ogni momento.

L'utente non può modificare il codice ma soltanto eseguire delle scelte come:

- definire i vincoli di estremità per ciascuna asta (vincoli interni) e gli eventuali vincoli nei nodi (vincoli esterni);
- modificare i parametri necessari alla definizione dell'azione sismica;
- definire condizioni di carico;
- definire gli impalcati come rigidi o meno.

Il programma è dotato di un manuale tecnico ed operativo. L'assistenza è effettuata direttamente dalla casa produttrice, mediante linea telefonica o e-mail.

Il calcolo si basa sul solutore agli elementi finiti MICROSAP prodotto dalla società TESYS srl. La scelta di tale codice è motivata dall'elevata affidabilità dimostrata e dall'ampia documentazione a disposizione, dalla quale risulta la sostanziale uniformità dei risultati ottenuti su strutture standard con i risultati internazionalmente accettati ed utilizzati come riferimento.

Tutti i risultati del calcolo sono forniti, oltre che in formato numerico, anche in formato grafico permettendo così di evidenziare agevolmente eventuali incongruenze.

Il programma consente la stampa di tutti i dati di input, dei dati del modello strutturale utilizzato, dei risultati del calcolo e delle verifiche dei diagrammi delle sollecitazioni e delle deformate.

10.3 Sistemi di Riferimento

10.3.1 Riferimento globale

Il sistema di riferimento globale, rispetto al quale va riferita l'intera struttura, è costituito da una terna di assi cartesiani sinistrorsa O,X,Y,Z (X,Y, e Z sono disposti e orientati rispettivamente secondo il pollice, l'indice ed il medio della mano destra, una volta posizionati questi ultimi a 90° tra loro).

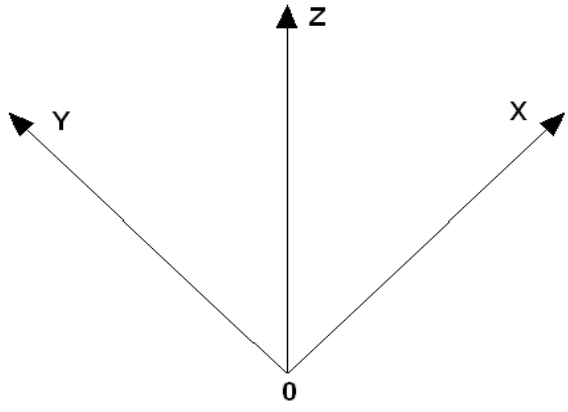

10.3.2 Riferimento locale per travi

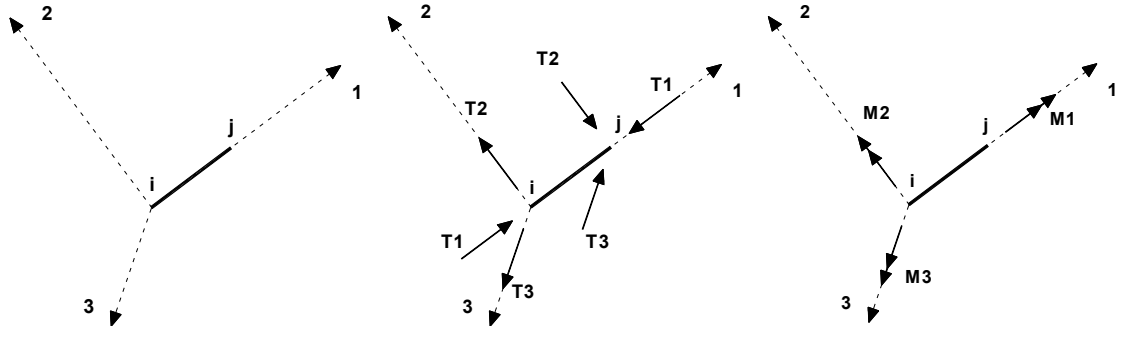

L'elemento Trave è un classico elemento strutturale in grado di ricevere Carichi distribuiti e Carichi Nodali applicati ai due nodi di estremità; per effetto di tali carichi nascono, negli estremi, sollecitazioni di taglio, sforzo normale, momenti flettenti e torcenti.

Definiti i e j i nodi iniziale e finale della Trave, viene individuato un sistema di assi cartesiani 1-2-3 locale all'elemento, con origine nel Nodo i così composto:

- asse 1 orientato dal nodo i al nodo j;
- assi 2 e 3 appartenenti alla sezione dell'elemento e coincidenti con gli assi principali d'inerzia della sezione stessa.

Le sollecitazioni verranno fornite in riferimento a tale sistema di riferimento:

1. Sollecitazione di Trazione o Compressione T1 (agente nella direzione i-j);
2. Sollecitazioni taglianti T2 e T3, agenti nei due piani 1-2 e 1-3, rispettivamente secondo l'asse 2 e l'asse 3;
3. Sollecitazioni che inducono flessione nei piani 1-3 e 1-2 (M2 e M3);
4. Sollecitazione torcente M1.

10.3.3 Riferimento locale per pilastri

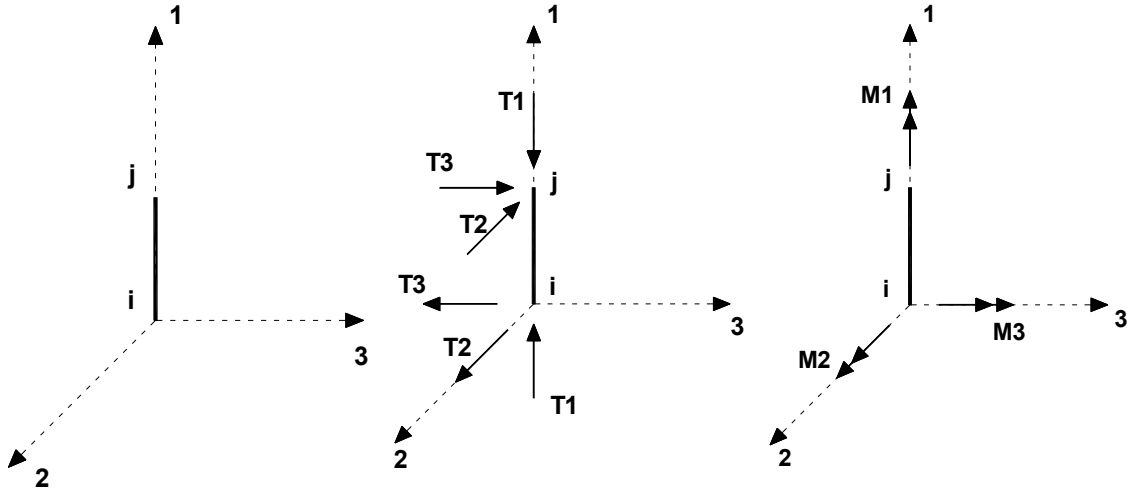

Definiti i e j come i due nodi iniziale e finale del pilastro, viene individuato un sistema di assi cartesiani 1-2-3 locale all'elemento, con origine nel Nodo i così composto:

- asse 1 orientato dal nodo i al nodo j;
- asse 2 perpendicolare all' asse 1, parallelo e discorde all'asse globale Y;
- asse 3 che completa la terna destrorsa, parallelo e concorde all'asse globale X.

Tale sistema di riferimento è valido per Pilastri con angolo di rotazione pari a '0' gradi; una rotazione del pilastro nel piano X,Y ha l'effetto di ruotare anche tale sistema (ad es. una rotazione di '90' gradi porterebbe l'asse 2 a essere parallelo e concorde all'asse X, mentre l'asse 3 sarebbe parallelo e concorde all'asse globale Y). La rotazione non ha alcun effetto sull'asse 1 che coinciderà sempre e comunque con l'asse globale Z.

Per quanto riguarda le sollecitazioni si ha:

- una forza di trazione o compressione T1, agente lungo l'asse locale 1;
- due forze taglianti T2 e T3 agenti lungo i due assi locali 2 e 3;
- due vettori momento (flettente) M2 e M3 agenti lungo i due assi locali 2 e 3;
- un vettore momento (torcente) M1 agente lungo l'asse locale nel piano 1.

10.3.4 Riferimento locale per pareti

Una parete è costituita da una sequenza di setti; ciascun setto è caratterizzato da un sistema di riferimento locale 1-2-3 così individuato:

- asse 1, coincidente con l'asse globale Z;
- asse 2, parallelo e discorde alla linea d'asse della traccia del setto in pianta;
- asse 3, ortogonale al piano della parete, che completa la terna levogira.

Su ciascun setto l'utente ha la possibilità di applicare uno o più carichi uniformemente distribuiti comunque orientati nello spazio; le componenti di tali carichi possono essere fornite, a discrezione dell'utente, rispetto al riferimento globale X,Y,Z oppure rispetto al riferimento locale 1,2,3 appena definito.

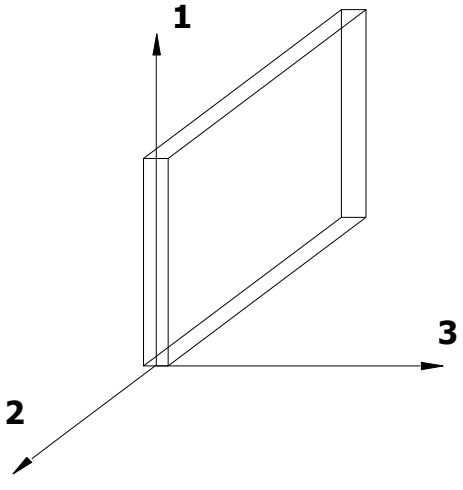

Si rende necessario, a questo punto, meglio precisare le modalità con cui EdiLus restituisce i risultati di calcolo.

Nel modello di calcolo agli elementi finiti ciascun setto è discretizzato in una serie di elementi tipo "shell" interconnessi; il solutore agli elementi finiti integrato nel programma EdiLus, definisce un riferimento locale per ciascun elemento shell e restituisce i valori delle tensioni esclusivamente rispetto a tali riferimenti.

Il software EdiLus provvede ad omogeneizzare tutti i valori riferendoli alla terna 1-2-3. Tale operazione consente, in fase di input, di ridurre al mimino gli errori dovuti alla complessità d'immissione dei dati stessi ed allo

stesso tempo di restituire all'utente dei risultati facilmente interpretabili.

Tutti i dati cioè, sia in fase di input che in fase di output, sono organizzati secondo un criterio razionale vicino al modo di operare del tecnico e svincolato dal procedimento seguito dall'elaboratore elettronico.

In tal modo ad esempio, il significato dei valori delle tensioni può essere compreso con immediatezza non solo dal progettista che ha operato con il programma ma anche da un tecnico terzo non coinvolto nell'elaborazione; entrambi, così, potranno controllare con facilità dal tabulato di calcolo, la congruità dei valori riportati.

Un'ultima notazione deve essere riservata alla modalità con cui il programma fornisce le armature delle pareti, con riferimento alla faccia anteriore e posteriore.

La faccia anteriore è quella di normale uscente concorde all'asse 3 come prima definito o, identicamente, quella posta alla destra dell'osservatore che percorresse il bordo superiore della parete concordemente al verso di tracciamento.

10.3.5 Riferimento locale per solette

In maniera analoga a quanto avviene per i setti, ciascuna soletta è caratterizzata da un sistema di riferimento locale 1,2,3 così definito:

- asse 1, coincidente con la direzione principale di armatura;
- asse 2, coincidente con la direzione secondaria di armatura;
- asse 3, ortogonale al piano della parete, che completa la terna levogira.

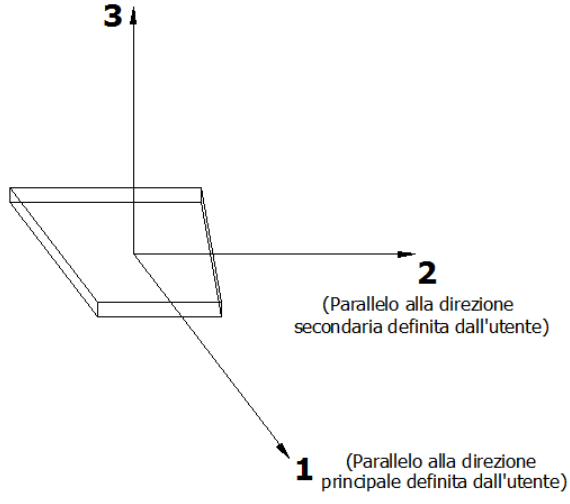

10.3.6 Riferimento locale per platee

Anche per le platee, analogamente a quanto descritto per le solette, è definito un sistema di riferimento locale 1,2,3:

- asse 1, coincidente con la direzione principale di armatura;
- asse 2, coincidente con la direzione secondaria di armatura;
- asse 3, ortogonale al piano della parete, che completa la terna levogira.

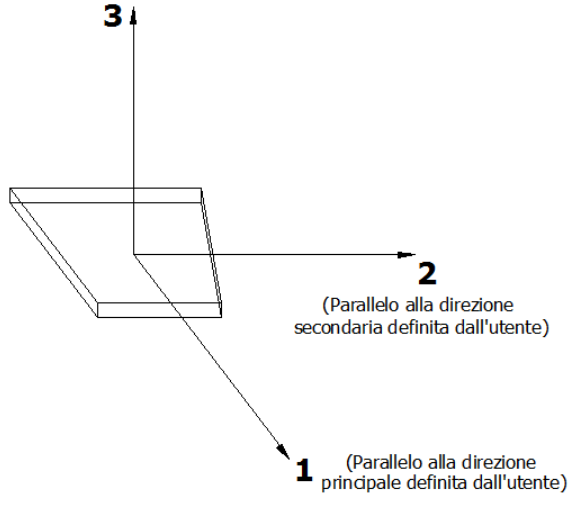

10.4 Modello di Calcolo

Il modello della struttura viene creato automaticamente dal codice di calcolo, individuando i vari elementi strutturali e fornendo le loro caratteristiche geometriche e meccaniche.

Viene definita un'opportuna numerazione degli elementi (nodi, aste, shell) costituenti il modello, al fine di individuare celermente ed univocamente ciascun elemento nei tabulati di calcolo.

Qui di seguito è fornita una rappresentazione grafica dettagliata della discretizzazione operata con evidenziazione dei nodi e degli elementi.

Vista Anteriore

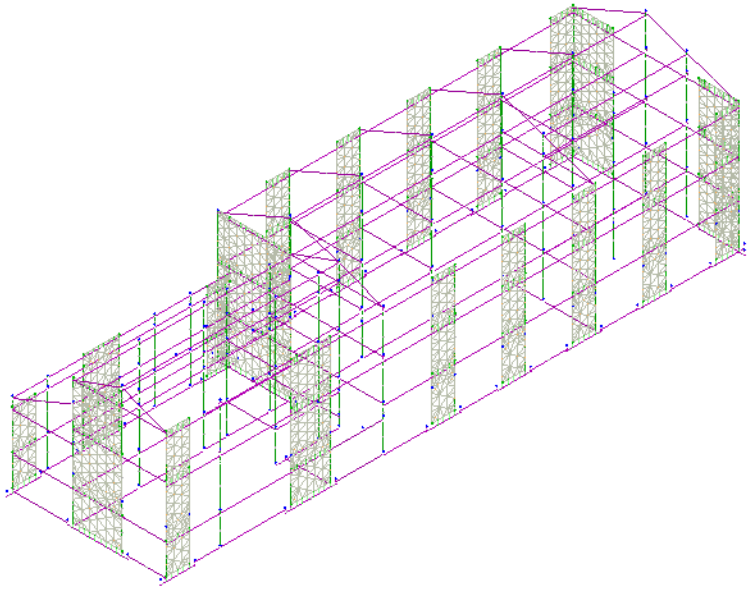

Vista Posteriore

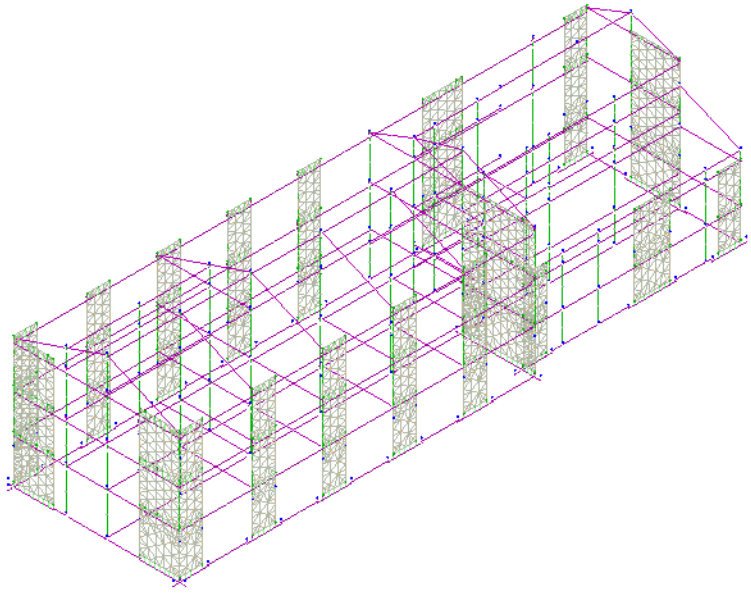

Dalle illustrazioni precedenti si evince come le aste, sia travi che pilastri, siano schematizzate con un tratto flessibile centrale e da due tratti (braccetti) rigidi alle estremità. I nodi vengono posizionati sull'asse verticale dei pilastri, in corrispondenza dell'estradosso della trave più alta che in esso si collega. Tramite i braccetti i tratti flessibili sono quindi collegati ad esso.

In questa maniera il nodo risulta perfettamente aderente alla realtà poiché vengono presi in conto tutti gli eventuali disassamenti degli elementi con gli effetti che si possono determinare, quali momenti flettenti/torcenti aggiuntivi.

Le sollecitazioni vengono determinate, com'è corretto, solo per il tratto flessibile. Sui tratti rigidi, infatti, essendo (teoricamente) nulle le deformazioni le sollecitazioni risultano indeterminate.

Questa schematizzazione dei nodi viene automaticamente realizzata dal programma anche quando il nodo sia determinato dall'incontro di più travi senza il pilastro, o all'attacco di travi/pilastri con elementi shell.

Per gli elementi monodimensionali (beam) in c.a., il comportamento non lineare del materiale è schematizzato

con un modello a **plasticità diffusa**, utilizzando una modellazione a fibre per descrivere il comportamento flessionale mentre, per descrive il comportamento tangenziale (taglio e torsione) vengono definiti dei diagrammi forza-spostamento per il taglio e momento-rotazione per la torsione.
Per portare in conto la non linearità di materiale è necessario definire compiutamente le caratteristiche degli elementi strutturali facendo intervenire anche le armature. Per gli elementi beam, essendo in genere le armature variabili lungo l'asse dell'elemento, è necessario considerare, nella costruzione della matrice di rigidezza, che il beam ha una sezione variabile (non costante). Non potendo portare in conto con continuità tale variabilità di sezione, si scelgono un certo numero di sezioni nelle quali si definiscono le caratteristiche non lineari. Tra due successive sezioni i dati sono poi ricavati per interpolazione. In linea generale, la caratterizzazione non lineare dell'elemento avviene nel seguente modo:

- Suddivisione dell'elemento in 3 tratti, un tratto centrale e due tratti laterali; la somma della lunghezza dei tre tratti è pari a quella totale dell'elemento.
- Per ognuno dei tre tratti, vengono definite le caratteristiche delle due sezioni di estremità. Il SAP provvede a definire, in funzione del grado di precisione richiesta, nuove sezioni (dette sezioni di integrazione) tra queste di estremità. In tali sezioni di integrazione i dati sono ricavati per interpolazione.
- Per ogni sezione di estremità occorre definire il comportamento lineare/non lineare del materiale. Per la definizione non lineare si hanno a disposizione due strade:
  - *Comportamento a Fibre*: si definisce la curva caratteristica dei materiali (calcestruzzo e acciaio) costituenti l'elemento e la geometria della sezione (inclusi i dati delle armature). La sezione, a tale scopo, viene suddivisa in fibre (meshata nel suo piano). Questo modello permette di riprodurre esattamente l'interazione tra le componenti di *azione normale* (N) e *momento biassiale* (Mx, My). Nel riprodurre tale comportamento è possibile portare in conto anche il contributo del confinamento. Questo metodo rappresenta la schematizzazione più rigorosa ma anche la più onerosa per il tempo di calcolo richiesto.
  - Per quanto riguarda, invece, il *comportamento a taglio e torsione*, si fa ricorso alla definizione di specifici legami costitutivi relativi al comportamento che si vuole analizzare. Si introducono pertanto i diagrammi *Momento-Rotazione* per il comportamento torsionale o *Forza-Spostamento* per quello tagliante che descrivono il comportamento dell'elemento in funzione dello stato deformativo.

Per gli elementi bidimensionali (shell) sia in c.a. che in muratura, la non linearità del materiale (sia con riferimento al comportamento membranale che flessionale) viene descritta tramite una stratificazione che opera lungo lo spessore dello shell. Con riferimento ad esempio ad una parete in c.a., lo shell viene descritto come formato dai seguenti strati:

- Uno strato di c.a. di spessore pari al copriferro.
- Uno strato di armature verticali (l'armatura ha spessore nullo).
- Uno strato di armature orizzontali (l'armatura ha spessore nullo).
- Uno strato di c.a. di spessore pari al totale dell'elemento meno 2 volte il copriferro.
- Uno strato di armature orizzontali (l'armatura ha spessore nullo).
- Uno strato di armature verticali (l'armatura ha spessore nullo).
- Uno strato di c.a. di spessore pari al copriferro.

Ognuno degli strati che costituiscono la shell può essere di materiale a comportamento lineare (basta definire E e G) o non lineare (definizione dal legame costitutivo del materiale). Nel caso di strato di spessore non nullo a comportamento non lineare il SAP provvede poi a suddividere ulteriormente lo strato in sottostrati per poter seguire più fedelmente il comportamento non lineare.

Gli elementi di fondazione (travi, platee, plinti, plinti su pali e pali) sono modellati assumendo un comportamento elastico-lineare sia a trazione che a compressione.
Gli elementi in acciaio per carpenterie metalliche e gli elementi in materiale generico sono modellati assumendo un comportamento elastico-lineare sia a trazione che a compressione.

10.5 Verifica della sicurezza

La verifica degli elementi allo SLU avviene col seguente procedimento:

- si costruiscono le combinazioni non sismiche in base al D.M. 14.01.2008, ottenendo un insieme di sollecitazioni;
- si combinano tali sollecitazioni con quelle dovute all'azione del sisma secondo quanto indicato nel § 2.5.3,

relazione (2.5.5) del D.M. 14/01/2008.

- per sollecitazioni semplici (flessione retta, taglio, etc.) si individuano i valori minimo e massimo con cui progettare o verificare l'elemento considerato; per sollecitazioni composte (pressoflessione retta/deviata) vengono eseguite le verifiche per tutte le possibili combinazioni e solo a seguito di ciò si individua quella che ha originato il minimo coefficiente di sicurezza.

Per quanto attiene agli elementi esistenti (di *Fatto*), ai fini delle verifiche di sicurezza, gli elementi strutturali vengono distinti in **duttili** e **fragili**. La classificazione degli elementi/meccanismi nelle due categorie è di seguito riportata:

- **duttili**: travi, pilastri e pareti/setti inflesse con e senza sforzo normale;
- **fragili**: meccanismi di taglio in travi, pilastri, pareti/setti e nodi.

Nel caso di uso del fattore di struttura, tutti gli elementi strutturali "duttili" devono soddisfare la condizione che la sollecitazione indotta dall'azione sismica, ridotta del fattore di struttura q, sia inferiore o uguale alla corrispondente resistenza. Tutti gli elementi strutturali "fragili" devono, invece, soddisfare la condizione che la sollecitazione indotta dall'azione sismica, ridotta per q = 1.5, sia inferiore o uguale alla corrispondente resistenza. Per gli elementi fragili, la resistenza a taglio si valuta come nel caso di situazioni non sismiche.
Per i nodi, la verifica di resistenza viene eseguita secondo quanto indicato nel § C8.7.2.5 della succitata Circolare verificando sia la resistenza a trazione diagonale [relazione (8.7.2.2)] che quella a compressione diagonale [relazione (8.7.2.3)].

Per quanto concerne gli elementi strutturali di nuova realizzazione (di *Progetto*), la progettazione e verifica di tali elementi segue le stesse regole previste per le strutture di nuova edificazione.

Relativamente alla verifica e/o il progetto degli elementi in c.a. illustriamo, in dettaglio, il procedimento seguito quando si è in presenza di pressoflessione deviata (pilastri e trave di sezione generica):

- per tutte le terne Mx, My, N, individuate secondo la modalità precedentemente illustrata, si calcola il coefficiente di sicurezza in base alla formula 4.1.10 del D.M. 14 gennaio 2008, effettuando due verifiche a pressoflessione retta con la seguente formula:

$$\left(\frac{M_{Ex}}{M_{Rx}}\right)^{\alpha} + \left(\frac{M_{Ey}}{M_{Ry}}\right)^{\alpha} \leq 1$$

  dove:

  M_{Ex}, M_{Ey} sono i valori di calcolo delle due componenti di flessione retta dell'azione attorno agli assi di flessione X ed Y del sistema di riferimento locale;

  M_{Rx}, M_{Ry} sono i valori di calcolo dei momenti resistenti di pressoflessione retta corrispondenti allo sforzo assiale N_{Ed} valutati separatamente attorno agli assi di flessione.

  L'esponente α può dedursi in funzione della geometria della sezione, della percentuale meccanica dell'armatura e della sollecitazione di sforzo normale agente.

- se per almeno una di queste terne la relazione 4.1.10 non è rispettata, si incrementa l'armatura variando il diametro delle barre utilizzate e/o il numero delle stesse in maniera iterativa fino a quando la suddetta relazione è rispettata per tutte le terne considerate.

Sempre quanto concerne il progetto degli elementi in c.a. illustriamo in dettaglio il procedimento seguito per le travi verificate/semiprogettate a pressoflessione retta:

- per tutte le coppie Mx, N, individuate secondo la modalità precedentemente illustrata, si calcola il coefficiente di sicurezza in base all'armatura adottata;
- se per almeno una di queste coppie esso è inferiore all'unità, si incrementa l'armatura variando il diametro delle barre utilizzate e/o il numero delle stesse in maniera iterativa fino a quando il coefficiente di sicurezza risulta maggiore o al più uguale all'unità per tutte le coppie considerate.

Nei tabulati di calcolo, per brevità, non potendo riportare una così grossa mole di dati, si riporta la terna Mx, My, N, o la coppia Mx, N che ha dato luogo al minimo coefficiente di sicurezza.

Una volta semiprogettate le armature allo SLU, si procede alla verifica delle sezioni allo Stato Limite di Esercizio con le sollecitazioni derivanti dalle combinazioni rare, frequenti e quasi permanenti; se necessario, le armature vengono integrate per far rientrare le tensioni entro i massimi valori previsti.

Successivamente si procede alle verifiche alla deformazione, quando richiesto, ed alla fessurazione che, come è noto, sono tese ad assicurare la durabilità dell'opera nel tempo.

Nel caso di analisi statica non lineare, la verifica globale di sicurezza consiste (come indicato nel § C7.3.4.1 della Circolare n.617 del 02/02/2009) nel confronto tra la capacità di spostamento ultimo della costruzione e la domanda di spostamento ottenute applicando il procedimento illustrato al § 7.3.4.1 del DM 14/01/2008.
Per quanto riguarda la verifica allo SLV (SLU), si controlla che la domanda di spostamento – calcolata secondo la relazione (C7.3.7) oppure C7.3.8 del § C7.3.4.1 della Circolare – sia inferiore alla capacità di spostamento dell'edificio (calcolata secondo le indicazioni del § C7.3.4.1), letta in corrispondenza del massimo spostamento offerto dalla Curva di Capacità. Se tale verifica (Domanda $\leq$ Capacità) risulta soddisfatta per tutte le 8 Analisi effettuate, l'edificio è verificato allo SLU.
Per quanto riguarda le verifiche allo SLD (SLE), oltre alla condizione che la capacità di spostamento sia maggiore o uguale alla domanda di spostamento allo SLD, deve essere ulteriormente soddisfatta la verifica relativa agli spostamenti di interpiano; la struttura viene di nuovo analizzata, stavolta sotto l'azione di forze orizzontali tali da provocare uno spostamento del Punto di Controllo pari alla domanda di spostamento allo SLD; con gli spostamenti nodali calcolati in corrispondenza di tale sistema di forze orizzontali sono calcolati gli spostamenti di interpiano ed effettuata la relativa verifica.

Per quanto riguarda la verifica degli elementi in c.a. in analisi statica NON lineare, gli elementi ed i meccanismi resistenti vengono classificati in:
- **duttili:** travi, pilastri e pareti/setti inflesse con e senza sforzo normale;
- **fragili:** meccanismi di taglio in travi, pilastri, pareti/setti e nodi.

La verifica degli elementi "duttili" viene eseguita confrontando gli effetti indotti dalle azioni sismiche in termini di deformazioni con i rispettivi limiti di deformazione. La verifica degli elementi "fragili" viene eseguita confrontando gli effetti indotti dalle azioni sismiche in termini di forze con le rispettive resistenze.
Per il calcolo della capacità di elementi/meccanismi duttili o fragili si impiegano le proprietà caratteristiche/nominali dei materiali. Per il calcolo della capacità di resistenza degli elementi fragili, le resistenze nominali dei materiali sono ridotti per i corrispondenti coefficienti parziali di sicurezza.

Per gli elementi duttili, la capacità deformativa è definita con riferimento alla rotazione ("rotazione rispetto alla corda") θ della sezione d'estremità rispetto alla congiungente quest'ultima con la sezione di momento nullo a distanza pari alla luce di taglio $L_V = M/V$. Tale rotazione è anche pari allo spostamento relativo delle due sezioni diviso per la luce di taglio.
Allo SLV, la capacità di rotazione totale rispetto alla corda, può essere assunta pari a 3/4 del valore ultimo θ_u, calcolata secondo la relazione (C8A.6.5) del § C8A.6 della Circolare n.617 del 02/02/2009.
Allo SLD, la capacità di rotazione totale rispetto alla corda, è calcolata secondo le relazioni (8.7.2.1a e 8.7.2.1b) del § C8.7.2.5 della succitata Circolare.

Per gli elementi fragili, la resistenza a taglio si valuta come nel caso di situazioni non sismiche, considerando comunque un contributo del conglomerato al massimo pari a quello relativo agli elementi senza armature trasversali resistenti.
Per i nodi, la verifica di resistenza viene eseguita secondo quanto indicato nel § C8.7.2.5 della succitata Circolare. Viene verificata sia la resistenza a trazione diagonale che quella a compressione diagonale.

Gli elementi di fondazione (travi, platee, plinti, plinti su pali e pali) sono verificati assumendo implicitamente un comportamento lineare (come indicato al § 7.2.5 del DM 14/01/2008). In particolare, le verifiche vengono condotte con riferimento alle sollecitazioni dell'Analisi Non Lineare (sollecitazioni ottenute in corrispondenza della domanda di spostamento).

11 - TABULATI DI CALCOLO

Per quanto non espressamente sopra riportato, ed in particolar modo per ciò che concerne i dati numerici di calcolo, si rimanda all'allegato "Tabulati di calcolo" costituente parte integrante della presente relazione.

I progettisti

Ing. Marcello Boccio

Ing. Stefano Marinozzi

INDICE

Tomo 1 di 2

INFORMAZIONI GENERALI ..... pag. 2
LIVELLO DI CONOSCENZA E FATTORE DI CONFIDENZA ..... pag. 2
MATERIALI CALCESTRUZZO ARMATO ..... pag. 2
MATERIALI ACCIAIO ..... pag. 2
MATERIALI CARATTERISTICHE NON LINEARI ..... pag. 3
TERRENI ..... pag. 5
STRATIGRAFIE ..... pag. 5
DATI GENERALI ANALISI SISMICA NON LINEARE ..... pag. 5
..... pag. 6
PRINCIPALI ELEMENTI ANALISI SISMICA ..... pag. 6
RIEPILOGO MODI DI VIBRAZIONE ..... pag. 7
CURVA DI CAPACITA' ..... pag. 9
LIVELLI O PIANI ..... pag. 13
NODI (CA) - VERIFICA DI CONFINAMENTO (Elevazione) ..... pag. 14
TRAVI (CA) - VERIFICHE PRESSOFLESSIONE RETTA ALLO SLU (Elevazione) ..... pag. 18
TRAVI (CA) - VERIFICHE A TAGLIO PER PRESSOFLESSIONE RETTA ALLO SLU (Elevazione) ..... pag. 21
TRAVI - VERIFICHE DI ROTAZIONE ALLA CORDA (Elevazione) ..... pag. 27
TRAVI - VERIFICHE A TAGLIO PER ANALISI NON LINEARE (Elevazione) ..... pag. 85
PILASTRI - VERIFICHE DI ROTAZIONE ALLA CORDA (Elevazione) ..... pag. 166

Tomo 2 di 2

PILASTRI - VERIFICHE DI ROTAZIONE ALLA CORDA (Elevazione) ..... pag. 2
PILASTRI - VERIFICHE A TAGLIO PER ANALISI NON LINEARE (Elevazione) ..... pag. 11
Pareti - VERIFICHE PRESSOFLESSIONE RETTA ALLO SLU (Elevazione) ..... pag. 69
Pareti - VERIFICHE A TAGLIO PER PRESSOFLESSIONE RETTA ALLO SLU (Elevazione) ..... pag. 145
PIANI - VERIFICHE REGOLARITÀ (Elevazione) ..... pag. 180
PIANI - VERIFICHE AGLI SPOSTAMENTI ..... pag. 180
PIANI - VERIFICHE ALLO SLO (Elevazione) ..... pag. 181
TRAVI (CA) - VERIFICHE PRESSOFLESSIONE RETTA ALLO SLU (Fondazione) ..... pag. 181
TRAVI (CA) - VERIFICHE A TAGLIO PER PRESSOFLESSIONE RETTA ALLO SLU (Fondazione) ..... pag. 185
PLINTI - SOLLECITAZIONI E VERIFICHE ALLO SLD (Fondazione) ..... pag. 199
VERIFICHE CARICO LIMITE FONDAZIONI DIRETTE (Fondazione) ..... pag. 199

COMUNE DI TERNI
Direzione Lavori Pubblici e Manutenzioni - Patrimonio

Palazzo Spada - P.zza M. Ridolfi, 1
05100 Terni
Tel. +39 0744.549.501 Fax +39 0744.428708
renato.pierdonati@comune.terni.it

LAVORI DI RESTAURO, ADEGUAMENTO SISMICO, ADEGUAMENTO ALLE NORME DI PREVENZIONE INCENDI E ABBATTIMENTO BARRIERE ARCHITETTONICHE DELL'EDIFICIO SCOLASTICO "G. MATTEOTTI" VIA MARIE CURIE N. 4

DEFINITIVO

PROGETTO

Doc.
R1.2ST

EDIFICIO 1
RELAZIONE GEOTECNICA
E DELLE FONDAZIONI

Scala

Responsabile del Procedimento: Geom. S. Fredduzzi

Data: Marzo 2015

Progettisti:

Architettonico:	Arch. M. Finotto
Strutture:	Ing. M.Boccio
	Ing. S. Marinozzi
Impianti:	Per.Ind. T. Mococci
	Per.Ind. G. Rubeca
Sicurezza:	Geom. F. Formichetti

Collaboratori:

Geom. G. Poddi - Geom. M. D'Amato
Geom. F. Ottaviani - Per.Ind. E. Lenticchia
Geom. F. Ribeca - Geom. M. Ciuffetti
Geom. R. Sabatini - Geom. G. Severoni

Comune di Terni
Provincia di Terni

RELAZIONE GEOTECNICA GENERALE E DELLE FONDAZIONI

OGGETTO: Edificio stralcio 1

COMMITTENTE: Comune di Terni

I Progettisti

Ing. Marcello Boccio

Ing. Stefano Marinozzi

1 - DESCRIZIONE GENERALE DELL'OPERA

La presente relazione geotecnica riguarda le indagini, la caratterizzazione e modellazione geotecnica del "volume significativo" per l'opera in esame e valuta l'interazione opera / terreno ai fini del dimensionamento delle relative fondazioni.
Questa relazione è stata redatta sulla base dei dati risultanti dalle prove di campagna e/o di laboratorio.

2 - NORMATIVA DI RIFERIMENTO

Le fasi di analisi e verifica della struttura sono state condotte in accordo alle seguenti disposizioni normative, per quanto applicabili in relazione al criterio di calcolo adottato dal progettista, evidenziato nel prosieguo della presente relazione:

Legge 5 novembre 1971 n. 1086 (G. U. 21 dicembre 1971 n. 321)
"Norme per la disciplina delle opere di conglomerato cementizio armato, normale e precompresso ed a struttura metallica"

Legge 2 febbraio 1974 n. 64 (G. U. 21 marzo 1974 n. 76)
"Provvedimenti per le costruzioni con particolari prescrizioni per le zone sismiche"
Indicazioni progettuali per le nuove costruzioni in zone sismiche a cura del Ministero per la Ricerca scientifica - Roma 1981.

D. M. Infrastrutture Trasporti 14 gennaio 2008 (G.U. 4 febbraio 2008 n. 29 - Suppl. Ord.)
"Norme tecniche per le Costruzioni"

Inoltre, in mancanza di specifiche indicazioni, ad integrazione della norma precedente e per quanto con esse non in contrasto, sono state utilizzate le indicazioni contenute nella:

Circolare 2 febbraio 2009 n. 617 del Ministero delle Infrastrutture e dei Trasporti (G.U. 26 febbraio 2009 n. 27 – Suppl. Ord.)
"Istruzioni per l'applicazione delle 'Norme Tecniche delle Costruzioni' di cui al D.M. 14 gennaio 2008";

Eurocodice 7 – "Progettazione geotecnica" - ENV 1997-1 per quanto non in contrasto con le disposizioni del D.M. 2008 "Norme Tecniche per le Costruzioni"

3 - INDAGINI GEOGNOSTICHE E CARATTERIZZAZIONE GEOTECNICA

Sulla base di quanto dettagliato nella relazione geologica dell'area di sito, si è proceduto alla progettazione della campagna di indagini geognostiche finalizzate alla determinazione delle caratteristiche geotecniche dei terreni interessati dal "volume significativo" dell'opera in esame.

3.1 Prove effettuate e Caratterizzazione geotecnica

Al fine della determinazione delle caratteristiche geotecniche dei terreni coinvolti nel "volume significativo" dell'opera in esame, sono state condotte delle prove geotecniche, riassunte nella relazione geologica.

Le indagini realizzate hanno permesso di ricostruire le seguenti stratigrafie per ognuna delle quali sono state definite le proprietà geotecniche dei singoli terreni coinvolti.

TERRENI

Terreni

N_{TRN}	γ_T	K			ϕ	c_u	c'	E_d	E_{cu}	A_{S-B}
		K_X	K_Y	K_Z						
	[N/m³]	[N/cm³]	[N/cm³]	[N/cm³]	[°]	[N/mm²]	[N/mm²]	[N/mm²]	[N/mm²]	
Sabbia argillosa mediamente consolidata										
T002	18.000	60	60	200	32	0,000	0,000	60	0	0,000

Terreni

N_{TRN}	γ_T	K			ϕ	c_u	c'	E_d	E_{cu}	A_{S-B}
		K_X	K_Y	K_Z						
	[N/m^3]	[N/cm^3]	[N/cm^3]	[N/cm^3]	[°]	[N/mm^2]	[N/mm^2]	[N/mm^2]	[N/mm^2]	

LEGENDA:

N_{TRN} Numero identificativo del terreno.
γ_T Peso specifico del terreno.
K Valori della costante di sottofondo del terreno nelle direzioni degli assi del riferimento globale X (K_X), Y (K_Y), e Z (K_Z).
ϕ Angolo di attrito del terreno.
c_u Coesione non drenata.
c' Coesione efficace.
E_d Modulo edometrico.
E_{cu} Modulo elastico in condizione non drenate.
A_{S-B} Parametro "A" di Skempton-Bjerrum per pressioni interstiziali.

STRATIGRAFIE

Stratigrafie

N_{TRN}	Q_i	Q_f	Cmp. S.	Add	ΔEd
	[m]	[m]			

LEGENDA:

N_{TRN} Numero identificativo della stratigrafia.
Q_i Quota iniziale dello strato (riferito alla quota iniziale della stratigrafia).
Q_f Quota finale dello strato (riferito alla quota iniziale della stratigrafia). INF = infinito (profondità dello strato finale.
Cmp. S. Comportamento dello strato.
Add Addensamento dello strato.
ΔEd Variazione con la profondità del modulo edometrico.

NB: Nel caso di fondazioni dirette con stratigrafia, il calcolo del carico limite (q_{lim}) viene fatto su un terreno "*equivalente*" con parametri geotecnici calcolati come media pesata degli strati compresi tra la quota del piano di posa e la quota della profondità "*significativa*" (stabilita come "*Multiplo della dimensione Significativa della fondazione*").

$$\text{Parametro "J"} = \frac{\sum_{i}^{n}\left[\text{Parametro "J" (strato, i)} \cdot \text{Spessore (strato, i)}\right]}{\text{Profondità significativa}}$$

con i = 1,..., n (numero di strati compresi tra la quota del piano di posa e la quota della profondità significativa).

3.2 Idrogeologia

Non è stata riscontrata la presenza di falde acquifere a profondità di interesse relativamente al "volume significativo" investigato.

3.3 Problematiche riscontrate

Durante l'esecuzione delle prove e dall'elaborazione dei dati non sono emerse problematiche rilevanti alla realizzazione delle opere di fondazione.

4 - MODELLAZIONE GEOTECNICA E PERICOLOSITA' SISMICA DEL SITO E PERICOLOSITA' SISMICA DEL SITO

Le indagini effettuate, permettono di classificare il profilo stratigrafico, ai fini della determinazione dell'azione sismica, di categoria:
C [C - Depositi di terreni a grana grossa mediamente addensati o terreni a grana fina mediamente consistenti], basandosi sulla valutazione della velocità delle onde di taglio (V_{S30}) e/o del numero di colpi dello Standard Penetration Test (N_{SPT}) e/o della resistenza non drenata equivalente ($c_{u,30}$).

Le indagini effettuate, permettono di classificare il profilo stratigrafico, ai fini della determinazione dell'azione sismica, di categoria:
C [C - Depositi di terreni a grana grossa mediamente addensati o terreni a grana fina mediamente consistenti], basandosi sulla valutazione della velocità delle onde di taglio (V_{S30}) e/o del numero di colpi dello Standard Penetration Test (N_{SPT}) e/o della resistenza non drenata equivalente ($c_{u,30}$).
Tutti i parametri che caratterizzano i terreni di fondazione sono riportati nei seguenti paragrafi.

4.1 Modellazione geotecnica

Ai fini del calcolo strutturale, il terreno sottostante l'opera viene modellato secondo lo schema di Winkler, cioè un sistema costituito da un letto di molle elastiche mutuamente indipendenti. Ciò consente di ricavare le rigidezze offerte dai manufatti di fondazione, siano queste profonde o superficiali, che sono state introdotte direttamente nel modello strutturale per tener conto dell'interazione opera / terreno.

4.2 Pericolosità sismica

Ai fini della pericolosità sismica sono stati analizzati i dati relativi alla sismicità dell'area di interesse e ad eventuali effetti di amplificazione stratigrafica e topografica. Si sono tenute in considerazione anche la classe dell'edificio e la vita nominale.

Per tale caratterizzazione si riportano di seguito i dati di pericolosità come da normativa:

4.3 Pericolosità sismica

Ai fini della pericolosità sismica sono stati analizzati i dati relativi alla sismicità dell'area di interesse e ad eventuali effetti di amplificazione stratigrafica e topografica. Si sono tenute in considerazione anche la classe d'importanza della struttura.

Per tale caratterizzazione si riportano di seguito i dati di pericolosità come da normativa:

5 - SCELTA TIPOLOGICA DELLE OPERE DI FONDAZIONE

La tipologia delle opere di fondazione sono consone alle caratteristiche meccaniche del terreno definite in base ai risultati delle indagini geognostiche.
Nel caso in esame, la struttura di fondazione è costituita da:

- fondazioni dirette

6 - VERIFICHE DI SICUREZZA

Nelle verifiche allo stato limite ultimo deve essere rispettata la condizione:

$$E_d \leq R_d$$

dove:

E_d è il valore di progetto dell'azione o dell'effetto dell'azione;
R_d è il valore di progetto della resistenza del sistema geotecnico.

Le verifiche strutturali e geotecniche delle fondazioni, sono state effettuate con l'**Approccio 2** come definito al p. 2.6.1 del DM 14/01/2008, attraverso la combinazione **A1+M1+R3**. Le azioni sono state amplificate tramite i coefficienti della colonna A1 (STR) definiti nella tabella 6.2.I del DM 14/01/2008.

Tabella 6.2.I – Coefficienti parziali per le azioni o per l'effetto delle azioni [DM 14/01/2008]

CARICHI	EFFETTO	Coefficiente parziale γ_F (o γ_E)	A1 (STR)	A2 (GEO)
Permanenti	Favorevole	γ_{G1}	1,00	1,00

	Sfavorevole		1,30	1,00
Permanenti non strutturali	Favorevole	γ_{G2}	0,00	0,00
	Sfavorevole		1,50	1,30
Variabili	Favorevole	γ_{Qi}	0,00	0,00
	Sfavorevole		1,50	1,30

I valori di resistenza del terreno sono stati ridotti tramite i coefficienti della colonna M1 definiti nella 6.2.II del DM 14/01/2008.

Tabella 6.2.II – Coefficienti parziali per i parametri geotecnici del terreno [EN 1997-1:2005 (EC7)]

PARAMETRO GEOTECNICO	Grandezza alla quale applicare il coefficiente parziale	Coefficiente parziale γ_M	M1	M2
Angolo di attrito	$\tan\varphi_k$	$\gamma_{\varphi'}$	1,00	1,25
Coesione efficace	c'_k	$\gamma_{c'}$	1,00	1,25
Coesione non drenata	c_{uk}	γ_{cu}	1,00	1,40
Peso dell'unità di volume	γ	γ_γ	1,00	1,00

I valori calcolati delle resistenze totali dell'elemento strutturale sono stati divisi per i coefficienti R3 della tabella 6.4.I del DM 14/01/2008 per le fondazioni superficiali.

Per le varie tipologie di fondazioni sono di seguito elencate le metodologie ed i modelli usati per il calcolo del carico limite ed i risultati di tale calcolo.

6.1 Carico limite fondazioni dirette

La formula del carico limite esprime l'equilibrio fra il carico applicato alla fondazione e la resistenza limite del terreno. Il carico limite è dato dalla seguente espressione:

$$q_{lim} = c \cdot N_c \cdot s_c \cdot d_c \cdot i_c \cdot g_c \cdot b_c \cdot \Psi_c + q \cdot N_q \cdot s_q \cdot d_q \cdot i_q \cdot g_q \cdot b_q \cdot \Psi_q + \frac{B'}{2} \cdot \gamma_f \cdot N_\gamma \cdot s_\gamma \cdot d_\gamma \cdot i_\gamma \cdot g_\gamma \cdot b_\gamma \cdot \Psi_\gamma \cdot r_\gamma$$

in cui:

c = coesione del terreno al disotto del piano di posa della fondazione;

q = $\gamma \times D$ = pressione geostatica in corrispondenza del piano di posa della fondazione;

γ = peso unità di volume del terreno al di sopra del piano di posa della fondazione;

D = profondità del piano di posa della fondazione;

B' = larghezza ridotta della suola di fondazione (vedi **NB**);

L = lunghezza della fondazione;

γ_f = peso unità di volume del terreno al disotto del piano di posa della fondazione;

N_c, N_q, N_γ = fattori di capacità portante;

s, d, i, g, b, ψ , r = coefficienti correttivi.

NB: Se la risultante dei carichi verticali è eccentrica, B e L saranno ridotte rispettivamente di:

$B' = B - 2 \cdot e_B$ ed $L' = L - 2 \cdot e_L$

dove:

e_B = eccentricità parallela al lato di dimensione B;

e_L = eccentricità parallela al lato di dimensione L;

con B' ≤ L'.

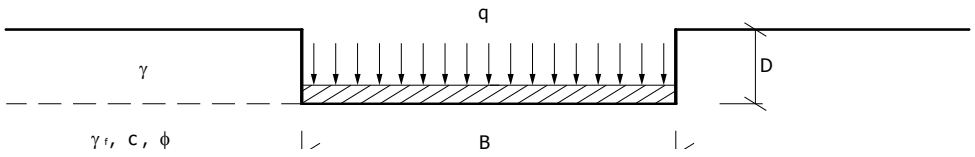

Calcolo dei fattori N_c, N_q, N_γ

Terreni puramente coesivi (c≠0, ϕ=0)	Terreni dotati di attrito e coesione (c≠0, ϕ≠0)
$N_c = 2 + \pi$	$N_c = (N_q - 1) \cdot \cot\phi$

$N_q = 1$	$N_q = K_p \cdot e^{\pi \cdot \tan\phi}$
$N_\gamma = 0$ se $\omega = 0$ $N_\gamma = -2 \cdot \sin\omega$ se $\omega \neq 0$	$N_\gamma = 2 \cdot (N_q + 1) \cdot \tan\phi$

dove:

$k_p = \tan^2\left(45 + \frac{\phi}{2}\right)$ è il coefficiente di spinta passiva di Rankine;

ϕ = angolo di attrito del terreno al disotto del piano di posa della fondazione;

ω = angolo di inclinazione del piano campagna.

Calcolo dei fattori di forma s_c, s_q, s_γ

Terreni puramente coesivi ($c\neq0$, $\phi=0$)	**Terreni dotati di attrito e coesione** ($c\neq0$, $\phi\neq0$)
$s_c = 1 + \frac{B'}{(2+\pi)\cdot L'}$	$s_c = 1 + \frac{N_q}{N_c} \cdot \frac{B'}{L'}$
$s_q = 1$	$s_q = 1 + \frac{B'}{L'} \cdot \tan\phi$
$s_\gamma = 1 - 0.40 \cdot \frac{B'}{L'}$	$s_\gamma = 1 - 0.40 \cdot \frac{B'}{L'}$

con B'/L'<1.

Calcolo dei fattori di profondità del piano di posa d_c, d_q, d_γ

Si definisce il seguente parametro:

$$K = \frac{D}{B'} \quad \text{se} \quad \frac{D}{B'} \leq 1;$$

$$K = \text{arctg}\left(\frac{D}{B'}\right) \quad \text{se} \quad \frac{D}{B'} > 1.$$

Terreni puramente coesivi ($c\neq0$, $\phi=0$)	**Terreni dotati di attrito e coesione** ($c\neq0$, $\phi\neq0$)
$d_c = 1 + 0.4 \cdot k$	$d_c = d_q - \frac{1 - d_q}{N_c \cdot \tan\phi}$
$d_q = 1$	$d_q = 1 + 2 \cdot \tan\phi \cdot (1 - \sin\phi)^2 \cdot K$
$d_\gamma = 1$	$d_\gamma = 1$

Calcolo dei fattori di inclinazione del carico i_c, i_q, i_γ

Si definisce il seguente parametro:

$m = m_B = \frac{2 + B/L}{1 + B/L}$ se la forza H è parallela alla direzione trasversale della fondazione

$m = m_L = \frac{2 + L/B}{1 + L/B}$ se la forza H è parallela alla direzione longitudinale della fondazione

$m = m_\theta = m_L \cdot \cos^2\theta + m_B \cdot \text{sen}^2\theta$ se la forza H forma un angolo θ con la direzione longitudinale della fondazione

Terreni coesivi ($c\neq0$, $\phi=0$)	**Terreni incoerenti** ($c=0$, $\phi\neq0$)	**Terreni dotati di attrito e coesione** ($c\neq0$, $\phi\neq0$)
$i_c = 1 - \frac{m \cdot H}{c \cdot N_c \cdot B \cdot L}$	$i_c = 0$	$i_c = i_q - \frac{1 - i_q}{N_c \cdot \tan\phi}$
$i_q = 1$	$i_q = \left(1 - \frac{H}{V}\right)^m$	$i_q = \left(1 - \frac{H}{V + B \cdot L \cdot c \cdot \cot\phi}\right)^m$

$i_\gamma = 0$	$i_\gamma = \left(1 - \frac{H}{V}\right)^{m+1}$	$i_\gamma = \left(1 - \frac{H}{V + B \cdot L \cdot c \cdot \cot\phi}\right)^{m+1}$

dove:

H = componente orizzontale dei carichi agente sul piano di posa della fondazione;
V = componente verticale dei carichi agente sul piano di posa della fondazione.

Calcolo dei fattori di inclinazione del piano di campagna b_c, b_q, b_γ

Indicando con ω la pendenza del piano campagna, si ha:

Terreni puramente coesivi ($c\neq0$, $\phi=0$)	**Terreni dotati di attrito e coesione** ($c\neq0$, $\phi\neq0$)
$b_c = 1 - \frac{2 \cdot \omega}{(2+\pi)}$	$b_c = b_q - \frac{1 - b_q}{N_c \cdot \tan\phi}$
$b_q = (1 - \tan\omega)^2 \cdot \cos\omega$	$b_q = (1 - \tan\omega)^2 \cdot \cos\omega$
$b_\gamma = \frac{b_q}{\cos\omega}$	$b_\gamma = \frac{b_q}{\cos\omega}$

Per poter applicare tali coefficienti correttivi deve essere verificata la seguente condizione:

$$\omega < \phi; \qquad \omega < 45°.$$

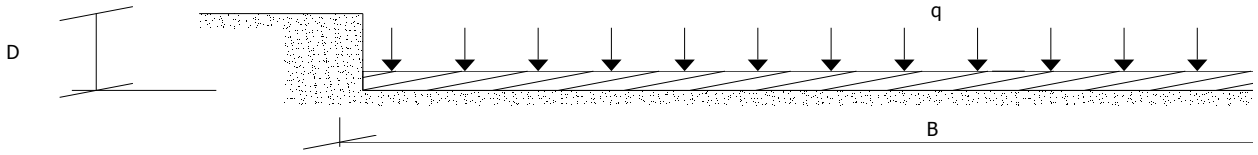

Calcolo dei fattori di inclinazione del piano di posa g_c, g_q, g_γ

Indicando con ε la pendenza del piano di posa della fondazione, si ha:

Terreni puramente coesivi ($c\neq0$, $\phi=0$)	**Terreni dotati di attrito e coesione** ($c\neq0$, $\phi\neq0$)
$g_c = 1 - \frac{2 \cdot \varepsilon}{(2+\pi)}$	$g_c = g_q - \frac{1 - g_q}{N_c \cdot \tan\phi}$
$g_q = 1$	$g_q = (1 - \varepsilon \cdot \tan\phi)^2$
$g_\gamma = 1$	$g_\gamma = g_q$

Per poter applicare tali coefficienti correttivi deve essere verificata la seguente condizione:

$$\varepsilon < 45°$$

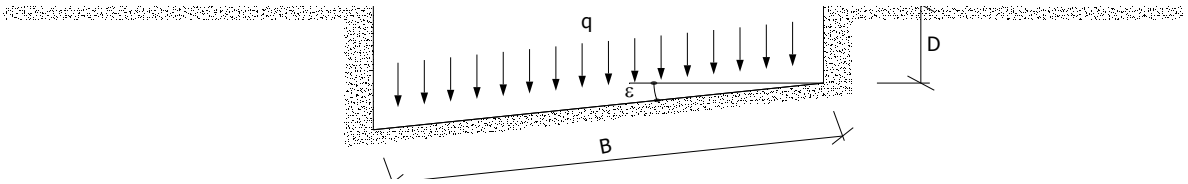

Calcolo dei fattori di riduzione per rottura a punzonamento ψ_c, ψ_q, ψ_γ

Si definisce l'*indice di rigidezza* del terreno come:

$$I_r = \frac{G}{c + \sigma \cdot \tan\phi}$$

dove:

$G = \frac{E}{2 \cdot (1+\nu)}$ = modulo d'elasticità tangenziale del terreno;

E= modulo elastico del terreno (nei calcoli è utilizzato il modulo edometrico);
ν = modulo di Poisson. Sia in condizioni non drenate che drenate è assunto pari a 0.5, a vantaggio di sicurezza;
σ= tensione litostatica alla profondità D+B/2.

La rottura a punzonamento si verifica quando i coefficienti di punzonamento ψ_c, ψ_q, ψ_γ sono inferiori all'unità; ciò accade quando l'indice di rigidezza I_r si mantiene inferiore al valore critico:

$$I_r < I_{r,crit} = \frac{1}{2} \cdot e^{\left[\left(3.3-0.45\cdot\frac{B}{L}\right)\cdot\cot\left(45-\frac{\phi}{2}\right)\right]}.$$

Terreni puramente coesivi ($c\neq0$, $\phi=0$)	**Terreni dotati di attrito e coesione** ($c\neq0$, $\phi\neq0$)
$\psi_c = 0.32 + 0.12 \cdot \frac{B'}{L'} + 0.6 \cdot \mathrm{Log}(I_r)$	$\psi_c = \psi_q - \frac{1-\psi_q}{N_c \cdot \tan\phi}$
$\psi_q = 1$	$\psi_q = e^{\left\{\left(0,6\cdot\frac{B'}{L'}-4,4\right)\cdot\tan\phi+\frac{3,07\cdot\sin\phi\cdot\mathrm{Log}(2\cdot I_r)}{1+\sin\phi}\right\}}$
$\psi_\gamma = 1$	$\psi_\gamma = \psi_q$

Correzione per fondazione tipo piastra

Bowles, al fine di limitare il contributo del termine "$B\cdot N_\gamma$", che per valori elevati di B porterebbe ad ottenere valori del carico limite prossimi a quelli di una fondazione profonda, propone il seguente fattore di riduzione $\mathbf{r_\gamma}$:

$$r_\gamma = 1 - 0,25 \cdot \mathrm{Log}\left(\frac{B}{2}\right) \quad \text{con } B \geq 2 \text{ m}$$

Nella tabella sottostante sono riportati una serie di valori del coefficiente r_γ al variare della larghezza dell'elemento di fondazione.

B [m]	2	2.5	3	3.5	4	5	10	20	100
r_γ	1,00	0,97	0,95	0,93	0,92	0,90	0,82	0,75	0,57

Questo coefficiente assume particolare importanza per fondazioni larghe con rapporto D/B basso, caso nel quale il termine "$B\cdot N_\gamma$" è predominante.

Calcolo del carico limite in condizioni non drenate

L'espressione generale del carico limite, valutato in termini di *tensioni totale*, diventa:

$$q_{lim} = c_u \cdot (2+\pi) \cdot s_c \cdot d_c \cdot i_c \cdot g_c \cdot b_c + q + \frac{B'}{2} \cdot \gamma_{sat} \cdot B' N_\gamma \cdot s_\gamma \cdot r_\gamma$$

dove:

c_u = coesione non drenata;

γ_{sat} = peso unità di volume del terreno in condizioni di saturazione.

N.B: Nel calcolo in condizioni non drenate (situazione molto rara per un terreno incoerente) si assume, sempre e comunque, che l'angolo di attrito ϕ sia nullo (ϕ=0).

6.2 Fattori correttivi al carico limite in presenza di sisma

L'azione del sisma si traduce in accelerazioni nel sottosuolo (**effetto cinematico**) e nella fondazione, per l'azione delle forze d'inerzia generate nella struttura in elevazione (**effetto inerziale**).
Nell'analisi pseudo-statica, modellando l'azione sismica attraverso la sola componente orizzontale, tali effetti possono essere portati in conto mediante l'introduzione di coefficienti sismici rispettivamente denominati $\mathbf{K_{hi}}$ e $\mathbf{K_{hk}}$, il primo definito dal rapporto tra le componenti orizzontale e verticale dei carichi trasmessi in fondazione ed il secondo funzione dell'accelerazione massima attesa al sito.
La formula generale del carico limite si modifica nel seguente modo:

$$q_{lim} = c \cdot N_c \cdot s_c \cdot d_c \cdot i_c \cdot g_c \cdot b_c \cdot \Psi_c \cdot z_c + q \cdot N_q \cdot s_q \cdot d_q \cdot i_q \cdot g_q \cdot b_q \cdot \Psi_q \cdot z_q + \frac{B'}{2} \cdot \gamma_f \cdot N_\gamma \cdot s_\gamma \cdot d_\gamma \cdot i_\gamma \cdot g_\gamma \cdot b_\gamma \cdot \Psi_\gamma \cdot r_\gamma \cdot z_\gamma \cdot c_\gamma$$

in cui, oltre ai termini già precedentemente indicati, si sono introdotti i seguenti termini:

z_c, z_q, z_γ = coefficienti correttivi dovuti all'effetto inerziale;
c_γ = coefficiente correttivo dovuto all'effetto cinematico.

Calcolo del fattore correttivo dovuto all'effetto cinematico c_γ

L'effetto cinematico modifica il solo coefficiente $N\gamma$ in funzione del coefficiente sismico K_{hk} che è pari a:

$$K_{hk} = \beta_s \cdot \frac{S_S \cdot S_T \cdot a_g}{g}$$

dove:

β_s = coefficiente di riduzione dell'accelerazione massima attesa al sito;
g = accelerazione di gravità;
S_S = coefficiente di amplificazione stratigrafica;
S_T = coefficiente di amplificazione topografica;
a_g = accelerazione orizzontale massima attesa su sito di riferimento rigido.

I valori di $\beta_s$sono riportati nella seguente tabella:

	CATEGORIA DI SOTTOSUOLO	
	A	**B,C,D,E**
	β_s	β_s
$0,2 < a_g(g) \le 0,4$	0,30	0,28
$0,1 < a_g(g) \le 0,2$	0,27	0,24
$a_g(g) \le 0,1$	0,20	0,20

Il fattore correttivo dovuto all'effetto cinematico $\mathbf{c_\gamma}$ è stato, pertanto, determinato con la seguente relazione:

Terreni puramente coesivi ($c\neq0$, $\phi=0$)	**Terreni dotati di attrito e coesione** ($c\neq0$, $\phi\neq0$)
$c_\gamma = 1$	$c_\gamma = \left(1 - \frac{K_{hk}}{\tan\phi}\right)^{0.45}$ se $\frac{K_{hk}}{\tan\phi} < 1$, altrimenti $c_\gamma = 0$

Calcolo dei fattori correttivi dovuti all'effetto inerziale z_c, z_q, z_γ

L'effetto inerziale produce variazioni di tutti i coefficienti di capacità portante del carico limite in funzione del coefficiente sismico K_{hi}.

Tali effetti correttivi vengono valutati con la teoria di **Paolucci - Pecker** attraverso le seguenti relazioni:

Terreni puramente coesivi ($c\neq0$, $\phi=0$)	**Terreni dotati di attrito e coesione** ($c\neq0$, $\phi\neq0$)		
$z_c = z_q = z_\gamma = 1$	$z_c = 1 - 0.32 \cdot K_{hi}$	se $z_c > 0$	altrimenti $z_c = 0$
	$z_\gamma = z_q = \left(1 - \frac{K_{hi}}{\tan\phi}\right)^{0.35}$	se $\frac{K_{hk}}{\tan\phi} < 1$	altrimenti $z_\gamma = z_q = 0$

dove:

K_{hi} è ricavato dallo spettro di progetto allo SLV attraverso la relazione:

$$K_{hi} = \frac{S_S \cdot S_T \cdot a_g}{g}$$

i cui termini sono stati precedentemente precisati.

Si fa notare che il coefficiente sismico K_{hi} coincide con l'ordinata dello spettro di progetto allo SLU per T =0 ed è indipendente dalle combinazioni di carico.

6.3 Fattori correttivi al carico limite in presenza di sisma

L'azione del sisma si traduce in accelerazioni nel sottosuolo (**effetto cinematico**) e nella fondazione, per l'azione delle forze d'inerzia generate nella struttura in elevazione (**effetto inerziale**).
Nell'analisi pseudo-statica, modellando l'azione sismica attraverso la sola componente orizzontale, tali effetti possono essere portati in conto mediante l'introduzione di coefficienti sismici rispettivamente denominati $\mathbf{K_{hi}}$ e $\mathbf{K_{hk}}$, il primo definito dal rapporto tra le componenti orizzontale e verticale dei carichi trasmessi in fondazione ed il secondo funzione dell'accelerazione massima attesa al sito.
La formula generale del carico limite si modifica nel seguente modo:

$$q_{lim} = c \cdot N_c \cdot s_c \cdot d_c \cdot i_c \cdot g_c \cdot b_c \cdot \Psi_c \cdot z_c + q \cdot N_q \cdot s_q \cdot d_q \cdot i_q \cdot g_q \cdot b_q \cdot \Psi_q \cdot z_q + \frac{B'}{2} \cdot \gamma_f \cdot N_\gamma \cdot s_\gamma \cdot d_\gamma \cdot i_\gamma \cdot g_\gamma \cdot b_\gamma \cdot \Psi_\gamma \cdot r_\gamma \cdot z_\gamma \cdot c_\gamma$$

in cui, oltre ai termini già precedentemente indicati, si sono introdotti i seguenti termini:

z_c, z_q, z_γ = coefficienti correttivi dovuti all'effetto inerziale;
c_γ = coefficiente correttivo dovuto all'effetto cinematico.

Calcolo del fattore correttivo dovuto all'effetto cinematico c_γ

L'effetto cinematico modifica il solo coefficiente N_γ in funzione del coefficiente sismico K_{hk} che è pari a:

$$K_{hk} = \beta_s \cdot \frac{S_S \cdot S_T \cdot a_g}{g}$$

dove:

β_s = coefficiente di riduzione dell'accelerazione massima attesa al sito;
g = accelerazione di gravità;
S_S = coefficiente di amplificazione stratigrafica;
S_T = coefficiente di amplificazione topografica;
a_g = accelerazione orizzontale massima attesa su sito di riferimento rigido.

I valori di $\beta_s$sono riportati nella seguente tabella:

	CATEGORIA DI SOTTOSUOLO	
	A	**B,C,D,E**
	β_s	β_s
$0,2 < a_g(g) \le 0,4$	0,30	0,28
$0,1 < a_g(g) \le 0,2$	0,27	0,24
$a_g(g) \le 0,1$	0,20	0,20

Il fattore correttivo dovuto all'effetto cinematico $\mathbf{c_\gamma}$ è stato, pertanto, determinato con la seguente relazione:

Terreni puramente coesivi ($c \neq 0$, $\phi = 0$)	**Terreni dotati di attrito e coesione** ($c \neq 0$, $\phi \neq 0$)
$c_\gamma = 1$	$c_\gamma = \left(1 - \frac{K_{hk}}{\tan\phi}\right)^{0.45}$ se $\frac{K_{hk}}{\tan\phi} < 1$, altrimenti $c_\gamma = 0$

Calcolo dei fattori correttivi dovuti all'effetto inerziale z_c, z_q, z_γ

L'effetto inerziale produce variazioni di tutti i coefficienti di capacità portante del carico limite in funzione del coefficiente sismico K_{hi}.

Tali effetti correttivi vengono valutati con la teoria di **Paolucci - Pecker** attraverso le seguenti relazioni:

Terreni puramente coesivi ($c \neq 0$, $\phi = 0$)	**Terreni dotati di attrito e coesione** ($c \neq 0$, $\phi \neq 0$)		
$z_c = z_q = z_\gamma = 1$	$z_c = 1 - 0.32 \cdot K_{hi}$	se $z_c > 0$	altrimenti $z_c = 0$
	$z_\gamma = z_q = \left(1 - \frac{K_{hi}}{\tan\phi}\right)^{0.35}$	se $\frac{K_{hk}}{\tan\phi} < 1$	altrimenti $z_\gamma = z_q = 0$

dove:

K_{hi} è ricavato dallo spettro di progetto allo SLU attraverso la relazione:

$$K_{hi} = \frac{S_S \cdot S_T \cdot a_g}{g}$$

i cui termini sono stati precedentemente precisati.

Si fa notare che il coefficiente sismico K_{hi} coincide con l'ordinata dello spettro di progetto allo SLV per T = 0 ed è indipendente dalle combinazioni di carico.

Verifiche nei confronti degli stati limite ultimi (SLU)

Di seguito si riporta una tabella riepilogativa relativa alla verifica dello stato limite di collasso per carico limite dell'insieme fondazione-terreno.
Si precisa che il valore relativo alla colonna $Q_{d,Rd}$, di cui nella tabella seguente, è da intendersi come il valore di progetto della resistenza R_d, ossia il rapporto fra il carico limite q_{lim} (calcolato come sopra esposto) ed il valore del coefficiente parziale di sicurezza γ_R relativo alla capacità portante del complesso terreno-fondazione, in relazione all'approccio utilizzato. Nel caso in esame il coefficiente parziale di sicurezza γ_R, come indicato nella tabella 6.4.I del DM 14/01/2008 è stato assunto pari a:

Tabella 6.4.I – Coefficienti parziali γ_R per le verifiche agli stati limiti ultimi di fondazioni superficiali [DM 14/01/2008]

Verifica	Coefficiente parziale γ_R (R3)
Capacità portante	2,3

Si precisa che, nella sottostante tabella:

- la coppia Q_{Ed} e $Q_{d,Rd}$ è relativa alla combinazione di carico, fra tutte quelle esaminate, che da luogo al minimo coefficiente di sicurezza (CS);
- nelle colonne "***per N_q, per N_c*** e ***per N_γ***", relative ai "***Coef. Cor. Terzaghi***", viene riportato il prodotto tra i vari coefficienti correttivi presenti nell'espressione generale del carico limite. Ad esempio si è posto:

Coef. Cor. Terzaghi per N_q = $s_q \cdot d_q \cdot i_q \cdot g_q \cdot b_q \cdot \psi_q \cdot z_q$
Coef. Cor. Terzaghi per N_c = $s_c \cdot d_c \cdot i_c \cdot g_c \cdot b_c \cdot \psi_c \cdot z_c$
Coef. Cor. Terzaghi per N_γ = $s_\gamma \cdot d_\gamma \cdot i_\gamma \cdot g_\gamma \cdot b_\gamma \cdot \Psi_\gamma \cdot r_\gamma \cdot z_\gamma \cdot c_\gamma$

VERIFICHE CARICO LIMITE FONDAZIONI DIRETTE

Verifiche Carico Limite fondazioni dirette

Id_{Fnd}	CS	L_X	L_Y	Rtz	$Z_{P.cmp}$	Z_{Fld}	Cmp T	C. Terzaghi						Q_{Ed}	$Q_{d,Rd}$	R_f
								per N_q	per N_c	per N_γ	N_q	N_c	N_γ			
		[m]	[m]	[°]	[m]	[m]								[N/mm²]	[N/mm²]	
Plinto 26	3,97	2,10	2,10	0,00	2,00	-	NON Coesivo	1,73	0,00	0,54	23,18	35,49	30,21	0,188	0,748	NO
Plinto 25	3,25	2,10	2,10	0,00	2,00	-	NON Coesivo	1,84	0,00	0,59	23,18	35,49	30,21	0,246	0,799	NO
Plinto 14	5,31	2,40	2,40	0,00	2,00	-	NON Coesivo	1,62	0,00	0,51	23,18	35,49	30,21	0,134	0,710	NO
Plinto 27	5,26	1,90	1,90	0,00	2,00	-	NON Coesivo	1,66	0,00	0,52	23,18	35,49	30,21	0,134	0,703	NO
Plinto 15	6,45	2,70	2,70	0,00	2,00	-	NON Coesivo	1,66	0,00	0,48	23,18	35,49	30,21	0,115	0,743	NO
Plinto 16	5,31	2,90	2,90	0,00	2,00	-	NON Coesivo	1,57	0,00	0,46	23,18	35,49	30,21	0,133	0,708	NO
Plinto 17	5,05	3,10	3,10	0,00	2,00	-	NON Coesivo	1,51	0,00	0,45	23,18	35,49	30,21	0,136	0,689	NO
Plinto 18	5,02	3,10	3,10	0,00	2,00	-	NON Coesivo	1,54	0,00	0,46	23,18	35,49	30,21	0,140	0,705	NO
Plinto 8	1,19	1,50	1,50	0,00	2,00	-	NON Coesivo	1,40	0,00	0,86	23,18	35,49	30,21	0,435	0,519	NO
Plinto 9	3,37	1,50	1,50	0,00	2,00	-	NON Coesivo	1,41	0,00	0,55	23,18	35,49	30,21	0,166	0,559	NO
Plinto 12	0,38	1,50	1,50	0,00	2,00	-	NON Coesivo	1,01	0,00	0,52	23,18	35,49	30,21	0,992	0,373	NO

Verifiche Carico Limite fondazioni dirette

Id_{Fnd}	CS	L_X	L_Y	Rtz	$Z_{P.cmp}$	Z_{Fld}	Cmp T	C. Terzaghi						Q_{Ed}	$Q_{d,Rd}$	R_f
								per N_q	per N_c	per N_γ	N_q	N_c	N_γ			
		[m]	[m]	[°]	[m]	[m]								[N/mm²]	[N/mm²]	
Plinto 23	5,71	2,70	2,70	0,00	2,00	-	NON Coesivo	1,65	0,00	0,47	23,18	35,49	30,21	0,129	0,735	NO
Plinto 37	5,26	2,40	2,40	0,00	2,00	-	NON Coesivo	1,62	0,00	0,55	23,18	35,49	30,21	0,135	0,710	NO
Plinto 28	5,22	1,50	1,50	0,00	2,00	-	NON Coesivo	1,76	0,00	0,55	23,18	35,49	30,21	0,139	0,723	NO
Plinto 29	7,02	1,90	1,90	0,00	2,00	-	NON Coesivo	1,70	0,00	0,52	23,18	35,49	30,21	0,103	0,721	NO
Plinto 30	8,85	2,10	2,10	0,00	2,00	-	NON Coesivo	1,67	0,00	0,51	23,18	35,49	30,21	0,081	0,717	NO
Plinto 40	6,56	2,10	2,10	0,00	2,00	-	NON Coesivo	1,74	0,00	0,55	23,18	35,49	30,21	0,114	0,746	NO
Plinto 20	4,60	2,10	2,10	0,00	2,00	-	NON Coesivo	1,87	0,00	0,56	23,18	35,49	30,21	0,175	0,808	NO
Plinto 21	6,06	1,80	1,95	0,00	2,00	-	NON Coesivo	1,57	0,00	0,48	23,18	35,49	30,21	0,109	0,662	NO
Plinto 22	4,98	2,10	2,65	0,00	2,00	-	NON Coesivo	1,46	0,00	0,53	23,18	35,49	30,21	0,129	0,642	NO
Trave 41-26f	4,09	0,50	2,10	0,00	2,00	-	NON Coesivo	1,41	0,00	0,92	64,20	75,31	109,41	0,732	2,991	NO
Trave P1-4f	2,65	0,50	2,10	0,00	2,00	-	NON Coesivo	1,32	0,00	0,95	64,20	75,31	109,41	1,098	2,911	NO
Trave P2-6f	4,18	0,50	2,10	0,00	2,00	-	NON Coesivo	1,36	0,00	0,94	64,20	75,31	109,41	0,706	2,947	NO
Trave P3-8f	4,07	0,50	2,10	0,00	2,00	-	NON Coesivo	1,36	0,00	0,94	64,20	75,31	109,41	0,723	2,946	NO
Trave P4-10f	3,57	0,50	2,10	0,00	2,00	-	NON Coesivo	1,22	0,00	1,00	64,20	75,31	109,41	0,790	2,822	NO
Trave P5-12f	3,52	0,50	2,10	0,00	2,00	-	NON Coesivo	1,34	0,00	0,94	64,20	75,31	109,41	0,833	2,933	NO
Trave P10-28f	2,62	0,50	2,10	0,00	2,00	-	NON Coesivo	1,32	0,00	0,95	64,20	75,31	109,41	1,113	2,915	NO
Trave P11-30f	4,23	0,50	2,10	0,00	2,00	-	NON Coesivo	1,36	0,00	0,94	64,20	75,31	109,41	0,697	2,947	NO
Trave P12-32f	4,02	0,50	2,10	0,00	2,00	-	NON Coesivo	1,36	0,00	0,94	64,20	75,31	109,41	0,733	2,944	NO
Trave P14-36f	3,30	0,50	2,10	0,00	2,00	-	NON Coesivo	1,34	0,00	0,95	64,20	75,31	109,41	0,886	2,927	NO
Trave P6-14f	2,73	0,50	1,50	0,00	2,00	-	NON Coesivo	1,50	0,00	0,88	64,20	75,31	109,41	1,013	2,763	NO
Trave 25f-P15	6,25	0,51	2,10	0,00	2,00	-	NON Coesivo	1,38	0,00	0,93	64,20	75,31	109,41	0,474	2,963	NO
Trave 17f-P7	6,72	0,51	1,80	0,00	2,00	-	NON Coesivo	1,43	0,00	0,90	64,20	75,31	109,41	0,422	2,838	NO
Trave 11f-5	3,44	0,50	2,10	0,00	2,00	-	NON Coesivo	1,39	0,00	0,93	64,20	75,31	109,41	0,863	2,973	NO
Trave 7f-3	2,98	0,50	2,10	0,00	2,00	-	NON Coesivo	1,36	0,00	0,94	64,20	75,31	109,41	0,988	2,949	NO
Trave 9f-4	3,30	0,50	2,10	0,00	2,00	-	NON Coesivo	1,38	0,00	0,93	64,20	75,31	109,41	0,900	2,966	NO
Trave 5f-2	3,10	0,50	2,10	0,00	2,00	-	NON Coesivo	1,37	0,00	0,94	64,20	75,31	109,41	0,952	2,952	NO
Trave 29f-33	3,08	0,50	2,10	0,00	2,00	-	NON Coesivo	1,36	0,00	0,94	64,20	75,31	109,41	0,956	2,948	NO
Trave 31f-34	3,14	0,50	2,10	0,00	2,00	-	NON Coesivo	1,37	0,00	0,93	64,20	75,31	109,41	0,941	2,956	NO
Trave 33f-35	3,40	0,50	2,10	0,00	2,00	-	NON Coesivo	1,39	0,00	0,93	64,20	75,31	109,41	0,874	2,972	NO
Trave 35f-36	3,46	0,50	2,10	0,00	2,00	-	NON Coesivo	1,39	0,00	0,92	64,20	75,31	109,41	0,860	2,976	NO

LEGENDA:

Id_{Fnd} Descrizione dell'oggetto di fondazione al quale è riferita la verifica.

Verifiche Carico Limite fondazioni dirette

Id_{Fnd}	CS	L_X	L_Y	Rtz	$Z_{P.cmp}$	Z_{Fld}	Cmp T	C. Terzaghi						Q_{Ed}	$Q_{d,Rd}$	R_f
								per N_q	per N_c	per N_γ	N_q	N_c	N_γ			
		[m]	[m]	[°]	[m]	[m]								[N/mm²]	[N/mm²]	

CS Coefficiente di sicurezza ([NS] = Non Significativo per valori di CS >= 100; [VNR]= Verifica Non Richiesta).
$L_{X/Y}$ Dimensioni dell'elemento di fondazione.
Rtz Angolo compreso tra l'asse X e il lato più lungo del minimo rettangolo che delimita il poligono della platea.
$Z_{P.cmp}$ Profondità di posa dell'elemento di fondazione dal piano campagna.
Z_{Fld} Profondità della falda dal piano campagna.
Cmp T Classificazione del comportamento del terreno ai fini del calcolo.
C. Terzaghi Coefficienti correttivi per la formula di Terzaghi.
Q_{Ed} Carico di progetto sul terreno.
$Q_{d,Rd}$ Resistenza di progetto del terreno.
R_f [SI] = nodo con presenza di rinforzo; [NO] = nodo senza rinforzo.

I Progettisti

Ing. Marcello Boccio

Ing. Stefano Marinozzi

COMUNE DI TERNI
Direzione Lavori Pubblici e Manutenzioni - Patrimonio

Palazzo Spada - P.zza M. Ridolfi, 1
05100 Terni
Tel. +39 0744.549.501 Fax +39 0744.428708
renato.pierdonati@comune.terni.it

LAVORI DI RESTAURO, ADEGUAMENTO SISMICO, ADEGUAMENTO ALLE NORME DI PREVENZIONE INCENDI E ABBATTIMENTO BARRIERE ARCHITETTONICHE DELL'EDIFICIO SCOLASTICO "G. MATTEOTTI" VIA MARIE CURIE N. 4

DEFINITIVO

PROGETTO

Doc.
R1.3ST

EDIFICIO 1
TABULATO DI CALCOLO 1

Scala

Responsabile del Procedimento: Geom. S. Fredduzzi

Data: Marzo 2015

Progettisti:

Architettonico:	Arch. M. Finotto
Strutture:	Ing. M.Boccio
	Ing. S. Marinozzi
Impianti:	Per.Ind. T. Mococci
	Per.Ind. G. Rubeca
Sicurezza:	Geom. F. Formichetti

Collaboratori:

Geom. G. Poddi - Geom. M. D'Amato
Geom. F. Ottaviani - Per.Ind. E. Lenticchia
Geom. F. Ribeca - Geom. M. Ciuffetti
Geom. R. Sabatini - Geom. G. Severoni

Comune di Terni
Provincia di Terni

TABULATI DI CALCOLO
(Tomo 1 di 2)

OGGETTO: Edificio_1

COMMITTENTE: Comune di Terni

I Progettisti

Ing. Marcello Boccio

Ing. Stefano Marinozzi

INFORMAZIONI GENERALI

Edificio	Cemento Armato
Costruzione	Esistente
Situazione	di Progetto
Intervento	Adeguamento
Comune	Terni
Provincia	Terni
Oggetto	Edificio_1
Parte d'opera	Edificio stralcio 1
Normativa di riferimento	D.M. 14/01/2008
Zona sismica	-
Analisi sismica	PushOver

LIVELLO DI CONOSCENZA E FATTORE DI CONFIDENZA

Livello di Conoscenza e Fattore di Confidenza

LC	FC
LC2	1,2

LEGENDA:

LC [LC1] = Conoscenza Limitata - [LC2] = Conoscenza Adeguata - [LC3] = Conoscenza Accurata.
FC Fattore di confidenza applicato alle proprietà dei materiali.

MATERIALI CALCESTRUZZO ARMATO

Caratteristiche calcestruzzo armato

N_{id}	γ_k	$\alpha_{T,i}$	E	G	C_{Erid}	Stz	R_{ck}	R_{cm}	$\%R_{ck}$	γ_c	f_{cd}	f_{ctd}	f_{cfm}	n	n Ac
	[N/m³]	[1/°C]	[N/mm²]	[N/mm²]	[%]		[N/mm²]	[N/mm²]			[N/mm²]	[N/mm²]	[N/mm²]		
Cls stato di fatto edificio 1 - (Cls sf)															
001	25.000	0,000010	20.000	8.696	60	F	-	18,39	1,00	1,50	8,48	1,08	1,85	15	002
Cls C25/30_B450C - (C25/30)															
003	25.000	0,000010	31.447	13.103	60	P	30,00	-	0,85	1,50	14,11	1,79	3,07	15	004
Cls C28/35_B450C - (C28/35)															
005	25.000	0,000010	32.588	13.578	60	P	35,00	-	0,85	1,50	16,46	1,98	3,40	15	004
Cls C16/20_B450C - (C16/20)															
006	25.000	0,000010	30.200	12.583	60	F	-	21,18	1,00	1,50	9,76	1,18	2,03	15	004

LEGENDA:

N_{id} Numero identificativo del materiale, nella relativa tabella dei materiali.
γ_k Peso specifico.
$\alpha_{T,i}$ Coefficiente di dilatazione termica.
E Modulo elastico normale.
G Modulo elastico tangenziale.
C_{Erid} Coefficiente di riduzione del Modulo elastico normale per Analisi Sismica [$E_{sisma} = E \cdot c_{Erid}$].
Stz Tipo di situazione: [F] = di Fatto (Esistente); [P] = di Progetto (Nuovo).
R_{ck} Resistenza caratteristica cubica.
R_{cm} Resistenza media cubica.
$\%R_{ck}$ Percentuale di riduzione della R_{ck}
γ_c Coefficiente parziale di sicurezza del materiale.
f_{cd} Resistenza di calcolo a compressione.
f_{ctd} Resistenza di calcolo a trazione.
f_{cfm} Resistenza media a trazione per flessione.
n Ac Identificativo, nella relativa tabella materiali, dell'acciaio utilizzato: [-] = parametro NON significativo per il materiale.

MATERIALI ACCIAIO

Caratteristiche acciaio

N_{id}	γ_k	$\alpha_{T,i}$	E	G	Stz	$f_{yk,1}$/ $f_{yk,2}$	$f_{tk,1}$/ $f_{tk,2}$	$f_{yd,1}$/ $f_{yd,2}$	f_{td}	γ_s	γ_{M1}	γ_{M2}	$\gamma_{M3,SLV}$	$\gamma_{M3,SLE}$	γ_{M7}
	[N/m³]	[1/°C]	[N/mm²]	[N/mm²]		[N/mm²]	[N/mm²]	[N/mm²]	[N/mm²]						
Acciaio Aq42 - (Aq42)															
002	78.500	0,000010	210.000	80.769	-	336,00 -	-	243,48 -	-	1,15	-	-	-	-	-
Acciaio B450C - (B450C)															
004	78.500	0,000010	210.000	80.769	-	450,00 -	-	326,09 -	-	1,15	-	-	-	-	-

LEGENDA:

N_{id} Numero identificativo del materiale, nella relativa tabella dei materiali.
γ_k Peso specifico.
$\alpha_{T,i}$ Coefficiente di dilatazione termica.
E Modulo elastico normale.
G Modulo elastico tangenziale.
Stz Tipo di situazione: [F] = di Fatto (Esistente); [P] = di Progetto (Nuovo).
$f_{tk,1}$ Resistenza caratteristica a Rottura (per profili <= 40 mm).
$f_{tk,2}$ Resistenza caratteristica a Rottura (per profili 40 mm < t <= 80 mm).
f_{td} Resistenza di calcolo a Rottura (Bulloni).
γ_s Coefficiente parziale di sicurezza allo SLV del materiale.
γ_{M1} Coefficiente parziale di sicurezza per instabilità.
γ_{M2} Coefficiente parziale di sicurezza per sezioni tese indebolite.
$\gamma_{M3.SLV}$ Coefficiente parziale di sicurezza per scorrimento allo SLV (Bulloni).
$\gamma_{M3,SLE}$ Coefficiente parziale di sicurezza per scorrimento allo SLE (Bulloni).
γ_{M7} Coefficiente parziale di sicurezza precarico bulloni ad alta resistenza (Bulloni): [-] = parametro NON significativo per il materiale.
$f_{yk,1}$ Resistenza caratteristica allo snervamento (per profili con t <= 40 mm).
$f_{yk,2}$ Resistenza caratteristica allo snervamento (per profili con 40 mm < t <= 80 mm).

Caratteristiche acciaio

N_{id}	γ_k	$\alpha_{T,i}$	E	G	Stz	$f_{yk,1}$/ $f_{yk,2}$	$f_{tk,1}$/ $f_{tk,2}$	$f_{yd,1}$/ $f_{yd,2}$	f_{td}	γ_s	γ_{M1}	γ_{M2}	$\gamma_{M3,SLV}$	$\gamma_{M3,SLE}$	γ_{M7}
	[N/m³]	[1/°C]	[N/mm²]	[N/mm²]		[N/mm²]	[N/mm²]	[N/mm²]	[N/mm²]						

$f_{yd,1}$ Resistenza di calcolo (per profili con t <= 40 mm).
$f_{yd,2}$ Resistenza di calcolo (per profili con 40 mm < t <= 80 mm).
NOTE [-] = Parametro non significativo per il materiale.

MATERIALI CARATTERISTICHE NON LINEARI

Materiali Caratteristiche non lineari

N_{id}	Fase Elastica				Fase Plastica				Punto di Rottura			
	σ_{Cmp} [N/mm²]	ε_{Cmp} [‰]	σ_{Trz} [N/mm²]	ε_{Trz} [‰]	σ_{Cmp} [N/mm²]	ε_{Cmp} [‰]	σ_{Trz} [N/mm²]	ε_{Trz} [‰]	σ_{Cmp} [N/mm²]	ε_{Cmp} [‰]	σ_{Trz} [N/mm²]	ε_{Trz} [‰]
Cls stato di fatto edificio 1 - (Cls sf)												
001	7,78	0,39	0,00	0,00	12,97	2,00	0,00	0,10	2,59	3,50	0,00	1,00

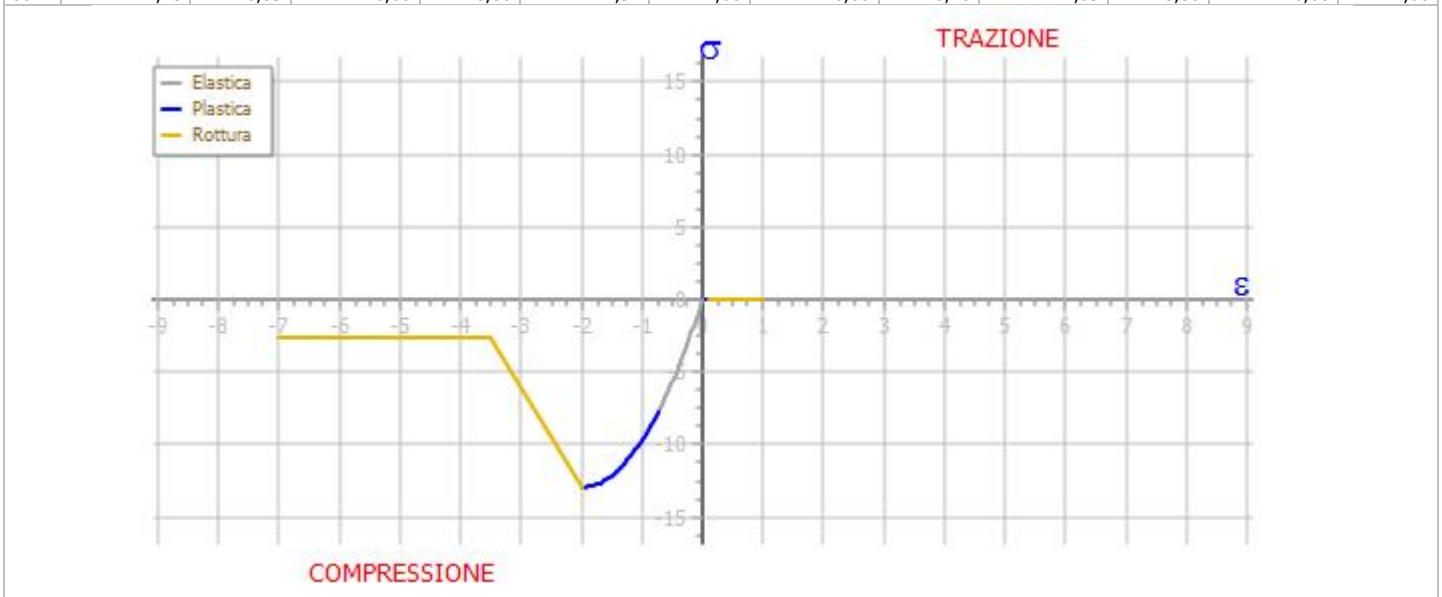

Acciaio Aq42 - (Aq42)												
002	292,17	1,39	292,17	1,80	336,00	10,00	336,00	10,00	336,00	10,00	336,00	10,00

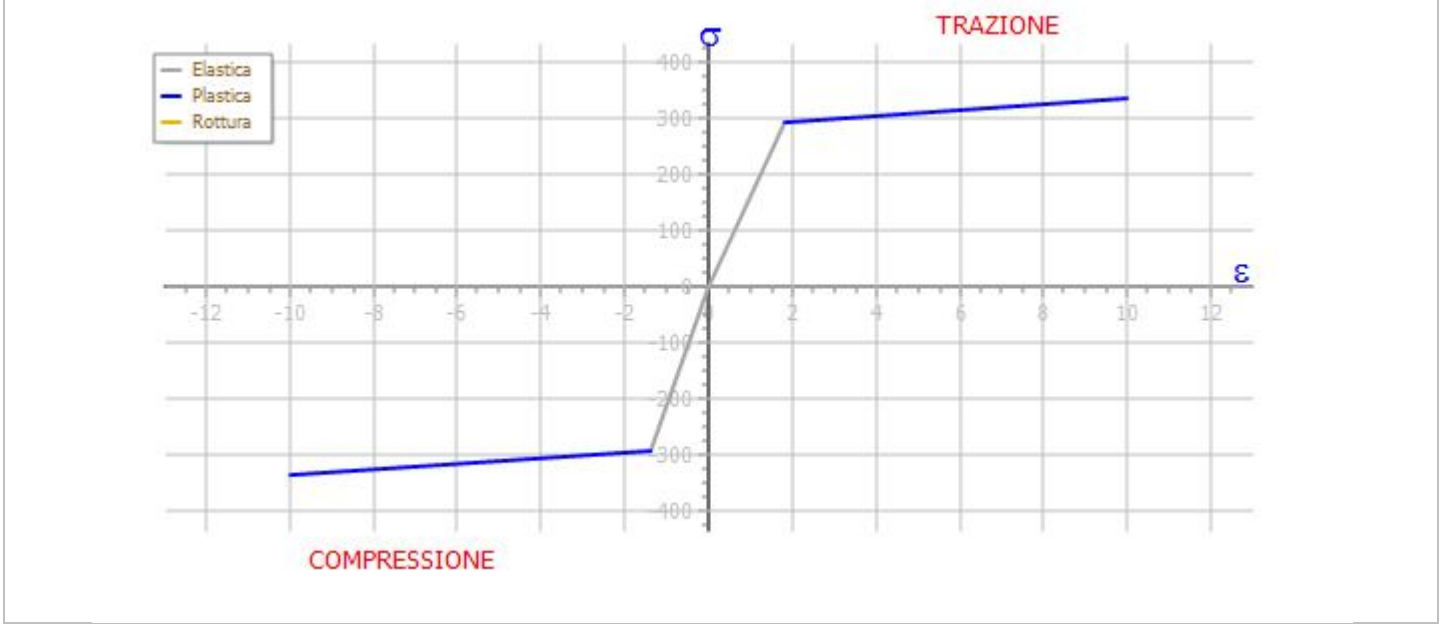

Cls C25/30_B450C - (C25/30)												
003	14,94	0,48	0,00	0,00	24,90	2,00	0,00	0,10	4,98	3,50	0,00	1,00

N_{id}	Fase Elastica				Fase Plastica				Punto di Rottura			
	σ_{Cmp} [N/mm²]	ε_{Cmp} [‰]	σ_{Trz} [N/mm²]	ε_{Trz} [‰]	σ_{Cmp} [N/mm²]	ε_{Cmp} [‰]	σ_{Trz} [N/mm²]	ε_{Trz} [‰]	σ_{Cmp} [N/mm²]	ε_{Cmp} [‰]	σ_{Trz} [N/mm²]	ε_{Trz} [‰]
Acciaio B450C - (B450C)												
004	391,30	1,86	391,30	1,86	450,00	10,00	450,00	10,00	450,00	10,00	450,00	10,00

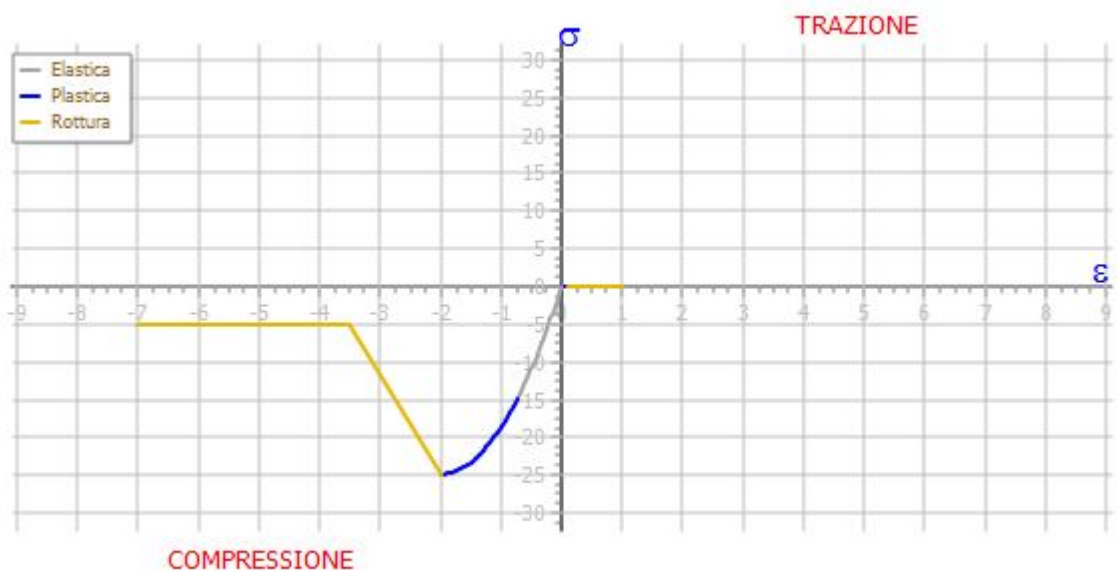

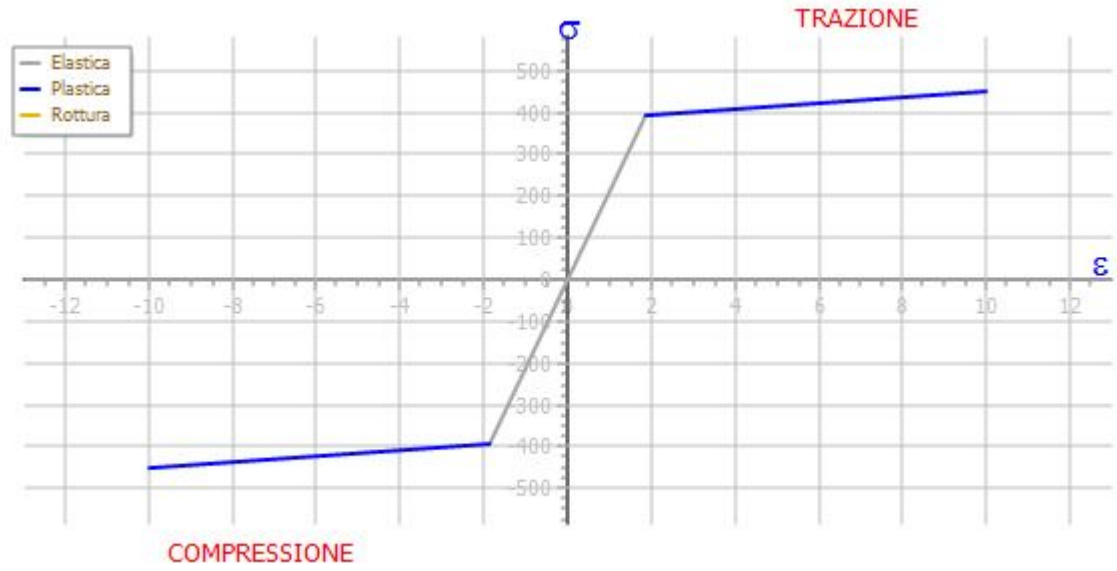

Cls C28/35_B450C - (C28/35)												
005	17,43	0,53	0,00	0,00	29,05	2,00	0,00	0,10	5,81	3,50	0,00	1,00

N_{id}	Fase Elastica				Fase Plastica				Punto di Rottura			
	σ_{Cmp} [N/mm²]	ε_{Cmp} [‰]	σ_{Trz} [N/mm²]	ε_{Trz} [‰]	σ_{Cmp} [N/mm²]	ε_{Cmp} [‰]	σ_{Trz} [N/mm²]	ε_{Trz} [‰]	σ_{Cmp} [N/mm²]	ε_{Cmp} [‰]	σ_{Trz} [N/mm²]	ε_{Trz} [‰]
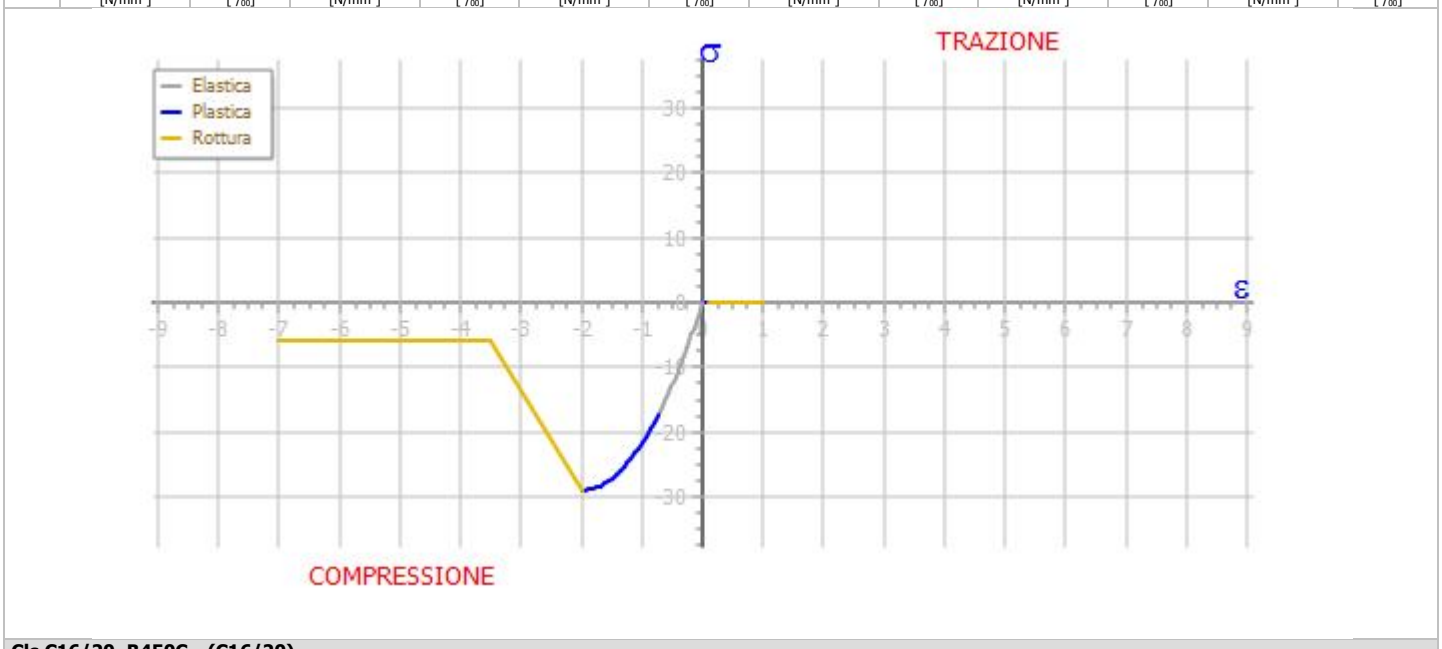												
Cls C16/20_B450C - (C16/20)												
006	8,96	0,30	0,00	0,00	14,94	2,00	0,00	0,10	2,99	3,50	0,00	1,00
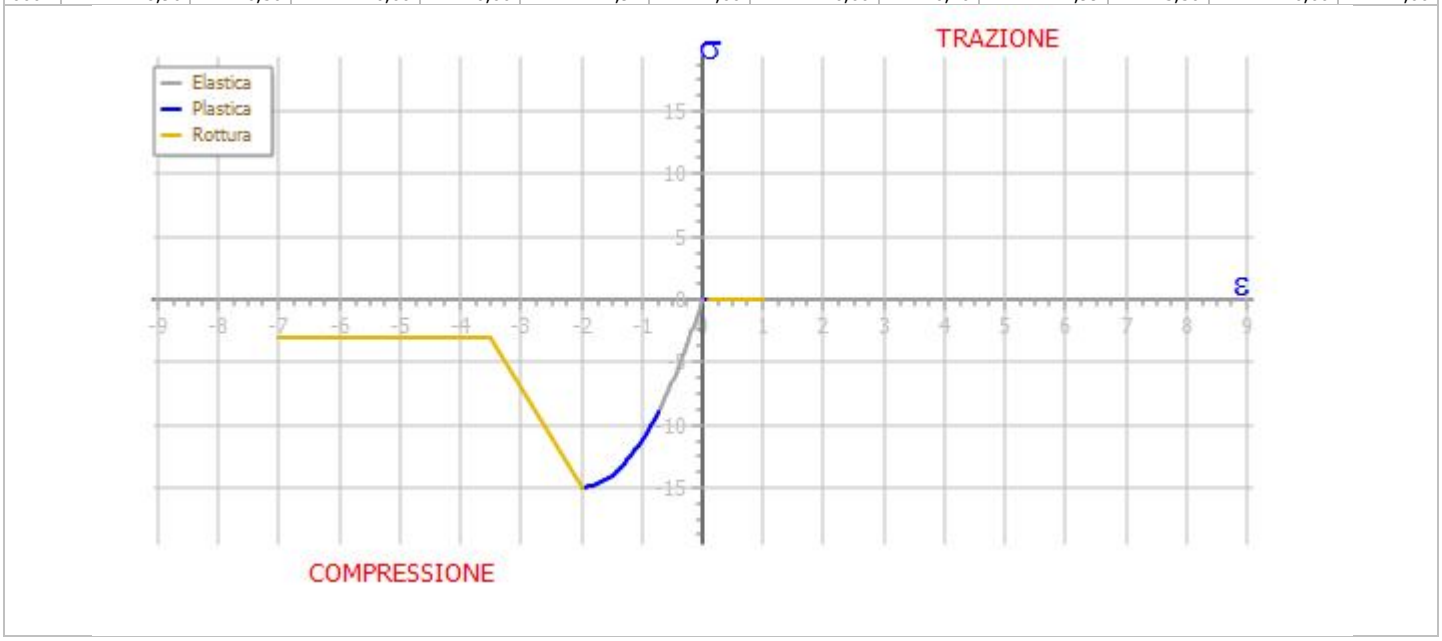												

LEGENDA:

N_{id} Numero identificativo del materiale, nella relativa tabella dei materiali.
σ_{Cmp} Tensione massima per Compressione.
ε_{Cmp} Deformazione relativa alla tensione massima per compressione.
σ_{Trz} Tensione massima per Trazione.
ε_{Trz} Deformazione relativa alla tensione massima per trazione.

TERRENI

Terreni

N_{TRN}	γ_T	K			ϕ	c_u	c'	E_d	E_{cu}	A_{S-B}
		K_X	K_Y	K_Z						
	[N/m³]	[N/cm³]	[N/cm³]	[N/cm³]	[°]	[N/mm²]	[N/mm²]	[N/mm²]	[N/mm²]	
Calcare scarsamente fratturato										
T001	24.000	100	100	1000	40	0,000	0,000	25.000	0	0,000
Sabbia argillosa mediamente consolidata										
T002	18.000	60	60	200	32	0,000	0,000	60	0	0,000

LEGENDA:

N_{TRN} Numero identificativo del terreno.
γ_T Peso specifico del terreno.
K Valori della costante di sottofondo del terreno nelle direzioni degli assi del riferimento globale X (K_X), Y (K_Y), e Z (K_Z).
ϕ Angolo di attrito del terreno.
c_u Coesione non drenata.
c' Coesione efficace.
E_d Modulo edometrico.

Terreni

N_{TRN}	γ_T	K			ϕ	c_u	c'	E_d	E_{cu}	A_{S-B}
		K_X	K_Y	K_Z						
	[N/m³]	[N/cm³]	[N/cm³]	[N/cm³]	[°]	[N/mm²]	[N/mm²]	[N/mm²]	[N/mm²]	

E_{cu} Modulo elastico in condizione non drenate.
A_{S-B} Parametro "A" di Skempton-Bjerrum per pressioni interstiziali.

STRATIGRAFIE

Stratigrafie

N_{TRN}	Q_i	Q_f	Cmp. S.	Add	ΔEd
	[m]	[m]			

LEGENDA:

N_{TRN} Numero identificativo della stratigrafia.
Q_i Quota iniziale dello strato (riferito alla quota iniziale della stratigrafia).
Q_f Quota finale dello strato (riferito alla quota iniziale della stratigrafia). INF = infinito (profondità dello strato finale.
Cmp. S. Comportamento dello strato.
Add Addensamento dello strato.
ΔEd Variazione con la profondità del modulo edometrico.

DATI GENERALI ANALISI SISMICA NON LINEARE

Dati generali analisi sismica non lineare

Ang	NV	MP	C.S.T.	ξ
[°]				
0	15	caOld	C	5

LEGENDA:

Ang Direzione di una componente dell'azione sismica rispetto all'asse X (sistema di riferimento globale); la seconda componente dell'azione sismica e' assunta con direzione ruotata di 90 gradi rispetto alla prima.
NV Nel caso di analisi dinamica, indica il numero di modi di vibrazione considerati.
MP Tipo di struttura sismo-resistente prevalente: [ca] = calcestruzzo armato - [caOld] = calcestruzzo armato esistente - [muOld] = muratura esistente - [muNew] = muratura nuova - [muArm] = muratura armata - [ac] = acciaio.
C.S.T. Categoria di sottosuolo: [A] = Ammassi rocciosi affioranti o terreni molto rigidi - [B] = Rocce tenere e depositi di terreni a grana grossa molto addensati o terreni a grana fina molto consistenti - [C] = Depositi di terreni a grana grossa mediamente addensati o terreni a grana fina mediamente consistenti - [D] = Depositi di terreni a grana grossa scarsamente addensati o di terreni a grana fina scarsamente consistenti - [E] = Terreni dei sottosuoli di tipo C o D per spessore non superiore a 20 m - [S1] = Depositi di terreni caratterizzati da valori di $V_{s,30}$ inferiori a 100 m/s (ovvero $10 < c_{u,30} < 20$ kPa), che includono uno strato di almeno 8 m di terreni a grana fina di bassa consistenza, oppure che includono almeno 3 m di torba o di argille altamente organiche - [S2] = Depositi di terreni suscettibili di liquefazione, di argille sensitive o qualsiasi altra categoria di sottosuolo non classificabile nei tipi precedenti.
ξ Coefficiente viscoso equivalente.
NOTE [-] = Parametro non significativo per il tipo di calcolo effettuato.

Stato Limite	T_r	a_g/g	Amplif. Stratigrafica		F_0	T^*_C	T_B	T_C	T_D
			S_S	C_C					
	[t]					[s]	[s]	[s]	[s]
SLO	45	0,0675	1,500	1,602	2,495	0,278	0,148	0,445	1,870
SLD	75	0,0825	1,500	1,579	2,495	0,290	0,153	0,458	1,930
SLV	712	0,1889	1,421	1,518	2,465	0,327	0,166	0,497	2,356
SLC	1462	0,2337	1,351	1,501	2,490	0,339	0,169	0,508	2,535

LEGENDA:

T_r Periodo di ritorno dell'azione sismica. [t] = anni.
a_g/g Coefficiente di accelerazione al suolo.
S_S Coefficienti di Amplificazione Stratigrafica allo SLO/SLD/SLV/SLC.
C_C Coefficienti di Amplificazione di Tc allo SLO/SLD/SLV/SLC.
F_0 Valore massimo del fattore di amplificazione dello spettro in accelerazione orizzontale.
T^*_C Periodo di inizio del tratto a velocità costante dello spettro in accelerazione orizzontale.
T_B Periodo di inizio del tratto accelerazione costante dello spettro di progetto.
T_C Periodo di inizio del tratto a velocità costante dello spettro di progetto.
T_D Periodo di inizio del tratto a spostamento costante dello spettro di progetto.

Cl Ed	V_N	V_R	Lat.	Long.	Q_q	CTop	CATop
	[t]	[t]	[°ssdc]	[°ssdc]	[m]		
3	50	75	42.5496	12.6586	150	T1	1,00

LEGENDA:

Cl Ed Classe dell'edificio.
Lat. Latitudine geografica del sito.
Long. Longitudine geografica del sito.
Q_q Altitudine geografica del sito.
CTop Categoria topografica. (Vedi NOTE)
CATop Coefficiente di amplificazione topografica.
NOTE [-] = Parametro non significativo per il tipo di calcolo effettuato.
Categoria topografica.
T1: Superficie pianeggiante, pendii e rilievi isolati con inclinazione media i <= 15°.
T2: Pendii con inclinazione media i > 15°.
T3: Rilievi con larghezza in cresta molto minore che alla base e inclinazione media 15° <= i <= 30°.
T4: Rilievi con larghezza in cresta molto minore che alla base e inclinazione media i > 30°.

PRINCIPALI ELEMENTI ANALISI SISMICA

Dir	M_{Str}	M_{SLU}	$M_{Ecc,SLU}$	M_{SLD}	$M_{Ecc,SLD}$	$\%T.M_{Ecc}$	$\Sigma V_{Ed,SLU}$

	[N·s²/m]	[N·s²/m]	[N·s²/m]	[N·s²/m]	[N·s²/m]	[%]	[N]
X	3.056.261	2.603.758	2.281.218	2.603.758	2.281.218	87,6	9.577.107
Y	3.056.261	2.603.758	2.344.443	2.603.758	2.344.443	90,0	9.577.107
Z	3.056.261	0	0	0	0	100,0	0

LEGENDA:

Dir Direzione del sisma.
M_{Str} Massa complessiva della struttura.
M_{SLU} Massa eccitabile allo SLU.
$M_{Ecc,SLU}$ Massa Eccitata dal sisma allo SLU.
M_{SLD} Massa eccitabile della struttura allo SLD, nelle direzioni X, Y, Z.
$M_{Ecc,SLD}$ Massa Eccitata dal sisma allo SLD.
%T.M_{Ecc} Percentuale Totale di Masse Eccitate dal sisma.
$\Sigma V_{Ed,SLU}$ Tagliante totale, alla base, per sisma allo SLU.

RIEPILOGO MODI DI VIBRAZIONE<u>MODI DI VIBRAZIONE N.15</u>

Sptr	T	$a_{g,O}$	$a_{g,V}$	Γ	CM	%M.M	M_{Ecc}
	[s]	[m/s²]	[m/s²]			[%]	[N·s²/m]
Modo Vibrazione n. 1							
SLU-X	0,229	4,327	0,000	-1.375,287	-1,8231	72,6	1.891.413
SLU-Y	0,229	4,327	0,000	187,015	0,2479	1,3	34.975
SLU-Z	0,000	0,000	1,088	0,000	0,0000	0,0	0
SLD-X	0,229	3,027	0,000	-1.375,287	-1,8231	72,6	1.891.413
SLD-Y	0,229	3,027	0,000	187,015	0,2479	1,3	34.975
SLD-Z	0,000	0,000	0,314	0,000	0,0000	0,0	0
Elast-X	-	3,027	0,000	-	-	-	-
Elast-Y	-	3,027	0,000	-	-	-	-
Elast-Z	-	0,000	1,088	-	-	-	-
Modo Vibrazione n. 2							
SLU-X	0,246	4,327	0,000	185,927	0,2845	1,3	34.569
SLU-Y	0,246	4,327	0,000	1.319,191	2,0184	66,8	1.740.264
SLU-Z	0,000	0,000	1,088	0,000	0,0000	0,0	0
SLD-X	0,246	3,027	0,000	185,927	0,2845	1,3	34.569
SLD-Y	0,246	3,027	0,000	1.319,191	2,0184	66,8	1.740.264
SLD-Z	0,000	0,000	0,314	0,000	0,0000	0,0	0
Elast-X	-	3,027	0,000	-	-	-	-
Elast-Y	-	3,027	0,000	-	-	-	-
Elast-Z	-	0,000	1,088	-	-	-	-
Modo Vibrazione n. 3							
SLU-X	0,059	3,238	0,000	577,999	0,0512	12,8	334.083
SLU-Y	0,059	3,238	0,000	34,994	0,0031	0,0	1.225
SLU-Z	0,000	0,000	1,088	0,000	0,0000	0,0	0
SLD-X	0,059	1,915	0,000	577,999	0,0512	12,8	334.083
SLD-Y	0,059	1,915	0,000	34,994	0,0031	0,0	1.225
SLD-Z	0,000	0,000	0,314	0,000	0,0000	0,0	0
Elast-X	-	1,915	0,000	-	-	-	-
Elast-Y	-	1,915	0,000	-	-	-	-
Elast-Z	-	0,000	1,088	-	-	-	-
Modo Vibrazione n. 4							
SLU-X	0,066	3,305	0,000	21,790	0,0024	0,0	475
SLU-Y	0,066	3,305	0,000	-452,150	-0,0493	7,9	204.440
SLU-Z	0,000	0,000	1,088	0,000	0,0000	0,0	0
SLD-X	0,066	1,992	0,000	21,790	0,0024	0,0	475
SLD-Y	0,066	1,992	0,000	-452,150	-0,0493	7,9	204.440
SLD-Z	0,000	0,000	0,314	0,000	0,0000	0,0	0
Elast-X	-	1,992	0,000	-	-	-	-
Elast-Y	-	1,992	0,000	-	-	-	-
Elast-Z	-	0,000	1,088	-	-	-	-
Modo Vibrazione n. 5							
SLU-X	0,067	3,315	0,000	3,425	0,0004	0,0	12
SLU-Y	0,067	3,315	0,000	-367,054	-0,0413	5,2	134.729
SLU-Z	0,000	0,000	1,088	0,000	0,0000	0,0	0
SLD-X	0,067	2,005	0,000	3,425	0,0004	0,0	12
SLD-Y	0,067	2,005	0,000	-367,054	-0,0413	5,2	134.729
SLD-Z	0,000	0,000	0,314	0,000	0,0000	0,0	0
Elast-X	-	2,005	0,000	-	-	-	-
Elast-Y	-	2,005	0,000	-	-	-	-
Elast-Z	-	0,000	1,088	-	-	-	-
Modo Vibrazione n. 6							
SLU-X	0,186	4,327	0,000	-64,620	-0,0566	0,2	4.176
SLU-Y	0,186	4,327	0,000	-274,947	-0,2406	2,9	75.596
SLU-Z	0,000	0,000	1,088	0,000	0,0000	0,0	0
SLD-X	0,186	3,027	0,000	-64,620	-0,0566	0,2	4.176
SLD-Y	0,186	3,027	0,000	-274,947	-0,2406	2,9	75.596
SLD-Z	0,000	0,000	0,314	0,000	0,0000	0,0	0
Elast-X	-	3,027	0,000	-	-	-	-
Elast-Y	-	3,027	0,000	-	-	-	-
Elast-Z	-	0,000	1,088	-	-	-	-
Modo Vibrazione n. 7							
SLU-X	0,063	3,279	0,000	4,490	0,0005	0,0	20
SLU-Y	0,063	3,279	0,000	-195,402	-0,0197	1,5	38.182
SLU-Z	0,000	0,000	1,088	0,000	0,0000	0,0	0
SLD-X	0,063	1,962	0,000	4,490	0,0005	0,0	20
SLD-Y	0,063	1,962	0,000	-195,402	-0,0197	1,5	38.182
SLD-Z	0,000	0,000	0,314	0,000	0,0000	0,0	0
Elast-X	-	1,962	0,000	-	-	-	-
Elast-Y	-	1,962	0,000	-	-	-	-
Elast-Z	-	0,000	1,088	-	-	-	-

Sptr	T	$a_{g,o}$	$a_{g,v}$	Γ	CM	%M.M	M_{Ecc}
Modo Vibrazione n. 8							
SLU-X	0,050	3,149	0,000	-9,868	-0,0006	0,0	97
SLU-Y	0,050	3,149	0,000	190,926	0,0123	1,4	36.453
SLU-Z	0,000	0,000	1,088	0,000	0,0000	0,0	0
SLD-X	0,050	1,811	0,000	-9,868	-0,0006	0,0	97
SLD-Y	0,050	1,811	0,000	190,926	0,0123	1,4	36.453
SLD-Z	0,000	0,000	0,314	0,000	0,0000	0,0	0
Elast-X	-	1,811	0,000	-	-	-	-
Elast-Y	-	1,811	0,000	-	-	-	-
Elast-Z	-	0,000	1,088	-	-	-	-
Modo Vibrazione n. 9							
SLU-X	0,052	3,161	0,000	-45,880	-0,0031	0,1	2.105
SLU-Y	0,052	3,161	0,000	127,058	0,0086	0,6	16.144
SLU-Z	0,000	0,000	1,088	0,000	0,0000	0,0	0
SLD-X	0,052	1,826	0,000	-45,880	-0,0031	0,1	2.105
SLD-Y	0,052	1,826	0,000	127,058	0,0086	0,6	16.144
SLD-Z	0,000	0,000	0,314	0,000	0,0000	0,0	0
Elast-X	-	1,826	0,000	-	-	-	-
Elast-Y	-	1,826	0,000	-	-	-	-
Elast-Z	-	0,000	1,088	-	-	-	-
Modo Vibrazione n. 10							
SLU-X	0,063	3,277	0,000	-20,448	-0,0021	0,0	418
SLU-Y	0,063	3,277	0,000	126,779	0,0127	0,6	16.073
SLU-Z	0,000	0,000	1,088	0,000	0,0000	0,0	0
SLD-X	0,063	1,961	0,000	-20,448	-0,0021	0,0	418
SLD-Y	0,063	1,961	0,000	126,779	0,0127	0,6	16.073
SLD-Z	0,000	0,000	0,314	0,000	0,0000	0,0	0
Elast-X	-	1,961	0,000	-	-	-	-
Elast-Y	-	1,961	0,000	-	-	-	-
Elast-Z	-	0,000	1,088	-	-	-	-
Modo Vibrazione n. 11							
SLU-X	0,051	3,158	0,000	-117,567	-0,0078	0,5	13.822
SLU-Y	0,051	3,158	0,000	-4,434	-0,0003	0,0	20
SLU-Z	0,000	0,000	1,088	0,000	0,0000	0,0	0
SLD-X	0,051	1,822	0,000	-117,567	-0,0078	0,5	13.822
SLD-Y	0,051	1,822	0,000	-4,434	-0,0003	0,0	20
SLD-Z	0,000	0,000	0,314	0,000	0,0000	0,0	0
Elast-X	-	1,822	0,000	-	-	-	-
Elast-Y	-	1,822	0,000	-	-	-	-
Elast-Z	-	0,000	1,088	-	-	-	-
Modo Vibrazione n. 12							
SLU-X	0,059	3,241	0,000	1,753	0,0002	0,0	3
SLU-Y	0,059	3,241	0,000	-115,040	-0,0103	0,5	13.234
SLU-Z	0,000	0,000	1,088	0,000	0,0000	0,0	0
SLD-X	0,059	1,919	0,000	1,753	0,0002	0,0	3
SLD-Y	0,059	1,919	0,000	-115,040	-0,0103	0,5	13.234
SLD-Z	0,000	0,000	0,314	0,000	0,0000	0,0	0
Elast-X	-	1,919	0,000	-	-	-	-
Elast-Y	-	1,919	0,000	-	-	-	-
Elast-Z	-	0,000	1,088	-	-	-	-
Modo Vibrazione n. 13							
SLU-X	0,062	3,271	0,000	-3,698	-0,0004	0,0	14
SLU-Y	0,062	3,271	0,000	-106,778	-0,0105	0,4	11.402
SLU-Z	0,000	0,000	1,088	0,000	0,0000	0,0	0
SLD-X	0,062	1,953	0,000	-3,698	-0,0004	0,0	14
SLD-Y	0,062	1,953	0,000	-106,778	-0,0105	0,4	11.402
SLD-Z	0,000	0,000	0,314	0,000	0,0000	0,0	0
Elast-X	-	1,953	0,000	-	-	-	-
Elast-Y	-	1,953	0,000	-	-	-	-
Elast-Z	-	0,000	1,088	-	-	-	-
Modo Vibrazione n. 14							
SLU-X	0,058	3,231	0,000	-2,646	-0,0002	0,0	7
SLU-Y	0,058	3,231	0,000	105,377	0,0091	0,4	11.104
SLU-Z	0,000	0,000	1,088	0,000	0,0000	0,0	0
SLD-X	0,058	1,907	0,000	-2,646	-0,0002	0,0	7
SLD-Y	0,058	1,907	0,000	105,377	0,0091	0,4	11.104
SLD-Z	0,000	0,000	0,314	0,000	0,0000	0,0	0
Elast-X	-	1,907	0,000	-	-	-	-
Elast-Y	-	1,907	0,000	-	-	-	-
Elast-Z	-	0,000	1,088	-	-	-	-
Modo Vibrazione n. 15							
SLU-X	0,056	3,203	0,000	1,894	0,0001	0,0	4
SLU-Y	0,056	3,203	0,000	-102,965	-0,0081	0,4	10.602
SLU-Z	0,000	0,000	1,088	0,000	0,0000	0,0	0
SLD-X	0,056	1,875	0,000	1,894	0,0001	0,0	4
SLD-Y	0,056	1,875	0,000	-102,965	-0,0081	0,4	10.602
SLD-Z	0,000	0,000	0,314	0,000	0,0000	0,0	0
Elast-X	-	1,875	0,000	-	-	-	-
Elast-Y	-	1,875	0,000	-	-	-	-
Elast-Z	-	0,000	1,088	-	-	-	-

LEGENDA:

Sptr Spettro di risposta considerato.
T Periodo del Modo di vibrazione.
$a_{g,o}$ Valore dell'Accelerazione Spettrale Orizzontale, riferita al corrispondente periodo.
$a_{g,v}$ Valore dell'Accelerazione Spettrale Verticale, riferita al corrispondente periodo.
Γ Coefficiente di partecipazione.
CM Coefficiente modale del modo di vibrazione.

Sptr	T	$a_{g,O}$	$a_{g,V}$	Γ	CM	%M.M	M_{Ecc}

%M.M Percentuale di mobilitazione delle masse nel modo di vibrazione.
M_{Ecc} Massa Eccitata nel modo di vibrazione.
SLU-X Spettro di progetto allo S.L. Ultimo per sisma in direzione X.
SLU-Y Spettro di progetto allo S.L. Ultimo per sisma in direzione Y.
SLU-Z Spettro di progetto allo S.L. Ultimo per sisma in direzione Z.
SLD-X Spettro di progetto allo S.L. di Danno per sisma in direzione X.
SLD-Y Spettro di progetto allo S.L. di Danno per sisma in direzione Y.
SLD-Z Spettro di progetto allo S.L. di Danno per sisma in direzione Z.
Elast-X Spettro Elastico per sisma in direzione X.
Elast-Y Spettro Elastico per sisma in direzione Y.
Elast-Z Spettro Elastico per sisma in direzione Z.

CURVA DI CAPACITA'

Curva di capacità

Γ	K_{Stop}	M_{Eq}	K_{sec}		$(d, F)_{Snv,Blt}$				A_{Snv}		T		PGA			α_u/α_1	q*	Pnt Cntr		
			SLV	SLD	F_{SLV}	F_{SLD}	δ_{SLV}	δ_{SLD}	SLV	SLD	SLV	SLD	SLV	SLD	SLD_{piani}			X	Y	Z
		[N·s²/m]	[N/cm]	[N/cm]	[N]	[N]	[cm]	[cm]	[N·m]	[N·m]	[s]	[s]						[m]	[m]	[m]
Direzione sisma in +X - proporzionale alle masse																				
1,000	3	2.603.758	7.292.592	7.292.592	13.399.629	13.399.629	1,837	1,837	182.197	182.197	0,375	0,375	0,264	0,261	0,151	0,00	1,26	0,00	6,40	13,95

Punti della curva di capacità (Forza / Spostamento).

Punto	Forza [N]	Spostamento [cm]	Punto	Forza [N]	Spostamento [cm]	Punto	Forza [N]	Spostamento [cm]
0	0	0,0000	1	274.213	0,0182	2	1.615.873	0,1128
3	3.486.283	0,3242	4	5.420.124	0,6132	5	7.399.127	0,9632
6	9.370.421	1,3520	7	11.564.124	1,7765	8	13.757.827	2,2784

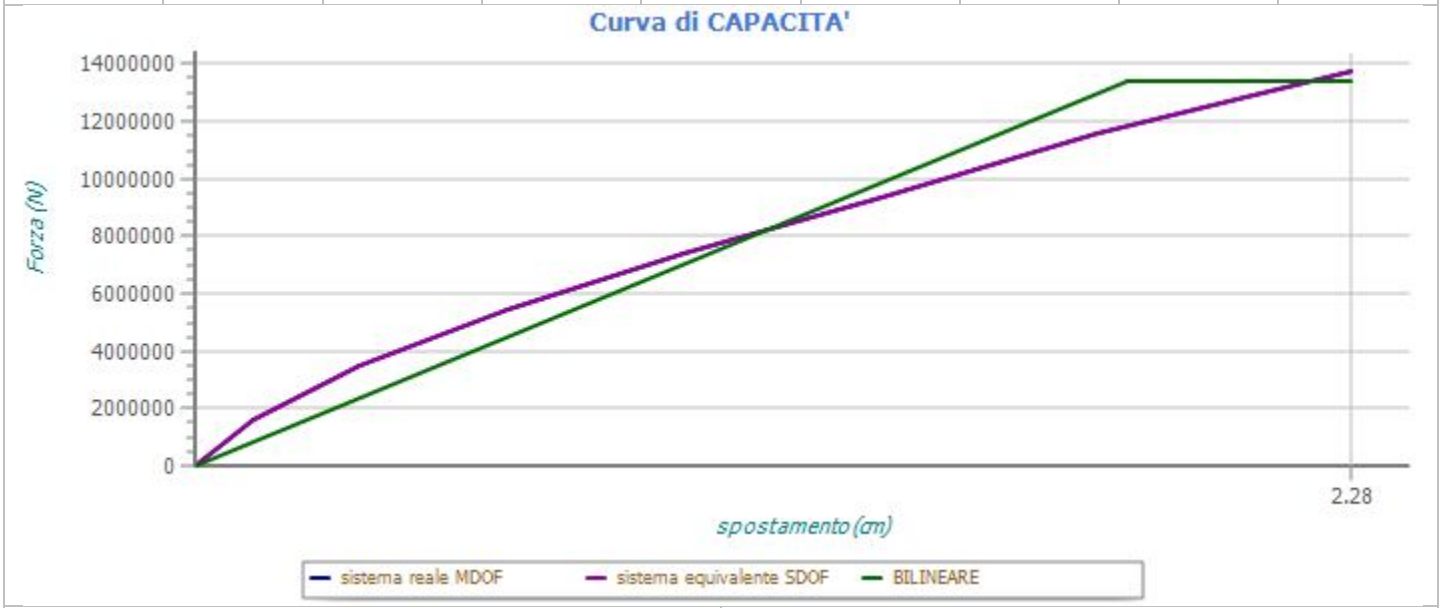

CAPACITA' DI SPOSTAMENTO DELL'EDIFICIO ALLO SLV (cm): 2,278	**CAPACITA' DI SPOSTAMENTO DELL'EDIFICIO ALLO SLD (cm): 2,278**
Domanda spostamento allo SLV (cm): 2,218	**Domanda spostamento allo SLD (cm): 1,081**
Verifica allo SLV: Verificata	**Verifica allo SLD: Verificata**

Γ	K_{Stop}	M_{Eq}	K_{sec}		$(d, F)_{Snv,Blt}$				A_{Snv}		T		PGA			α_u/α_1	q*	Pnt Cntr		
			SLV	SLD	F_{SLV}	F_{SLD}	δ_{SLV}	δ_{SLD}	SLV	SLD	SLV	SLD	SLV	SLD	SLD_{piani}			X	Y	Z
		[N·s²/m]	[N/cm]	[N/cm]	[N]	[N]	[cm]	[cm]	[N·m]	[N·m]	[s]	[s]						[m]	[m]	[m]
Direzione sisma in +X - proporzionale alla deformata 1° modo di vibrazione																				
1,342	3	1.444.293	5.195.538	5.195.538	7.594.877	7.594.877	1,462	1,462	83.648	83.648	0,331	0,331	0,273	0,269	0,162	1,36	1,23	0,00	6,40	13,95

Punti della curva di capacità (Forza / Spostamento).

Punto	Forza [N]	Spostamento [cm]	Punto	Forza [N]	Spostamento [cm]	Punto	Forza [N]	Spostamento [cm]
0	0	0,0000	1	152.105	0,0139	2	896.317	0,0857
3	2.113.154	0,2338	4	3.160.172	0,4294	5	4.242.466	0,6670
6	5.333.478	0,9363	7	6.415.080	1,2544	8	7.631.916	1,5734
9	8.848.753	1,9459	10	10.065.590	2,3415	11	10.369.800	2,4594

Γ	K_{St} op	M_{Eq}	K_{sec}		$(d, F)_{Snv,Blt}$				A_{Snv}		T		PGA			α_u/α_1	q*	Pnt Cntr		
			SLV	SLD	F_{SLV}	F_{SLD}	δ_{SLV}	δ_{SLD}	SLV	SLD	SLV	SLD	SLV	SLD	SLD_{piani}			X	Y	Z
		[N·s²/m]	[N/cm]	[N/cm]	[N]	[N]	[cm]	[cm]	[N·m]	[N·m]	[s]	[s]						[m]	[m]	[m]

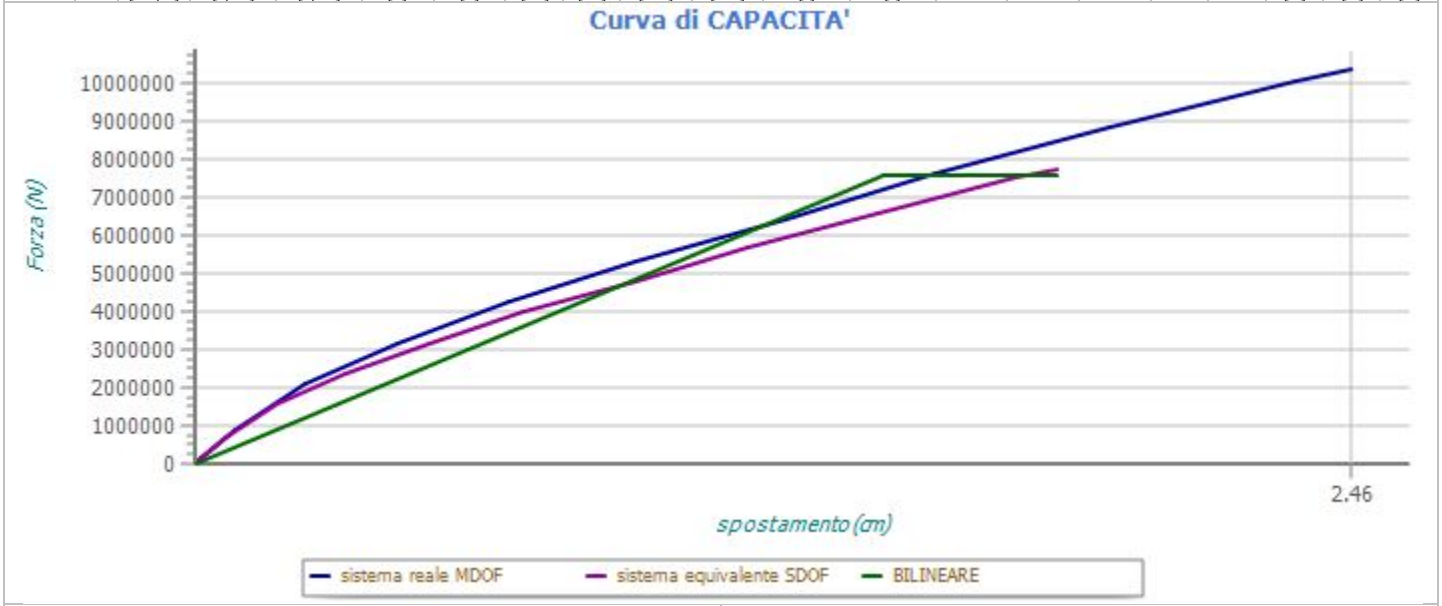

CAPACITA' DI SPOSTAMENTO DELL'EDIFICIO ALLO SLV (cm): 2,459	**CAPACITA' DI SPOSTAMENTO DELL'EDIFICIO ALLO SLD (cm): 2,459**
Domanda spostamento allo SLV (cm): 2,422	**Domanda spostamento allo SLD (cm): 1,130**
Verifica allo SLV: Verificata	**Verifica allo SLD: Verificata**

Direzione sisma in -X - proporzionale alle masse

1,000	3	2.603.758	7.561.659	7.561.659	11.360.067	11.360.067	1,502	1,502	143.441	143.441	0,369	0,369	0,242	0,239	0,147	0,00	1,49	0,00	6,40	13,95

Punti della curva di capacità (Forza / Spostamento).

Punto	Forza [N]	Spostamento [cm]	Punto	Forza [N]	Spostamento [cm]	Punto	Forza [N]	Spostamento [cm]
0	0	0,0000	1	274.213	0,0180	2	1.615.873	0,1102
3	3.553.449	0,2971	4	5.374.243	0,6294	5	7.567.946	1,0187
6	9.761.649	1,4914	7	11.955.352	2,0138			

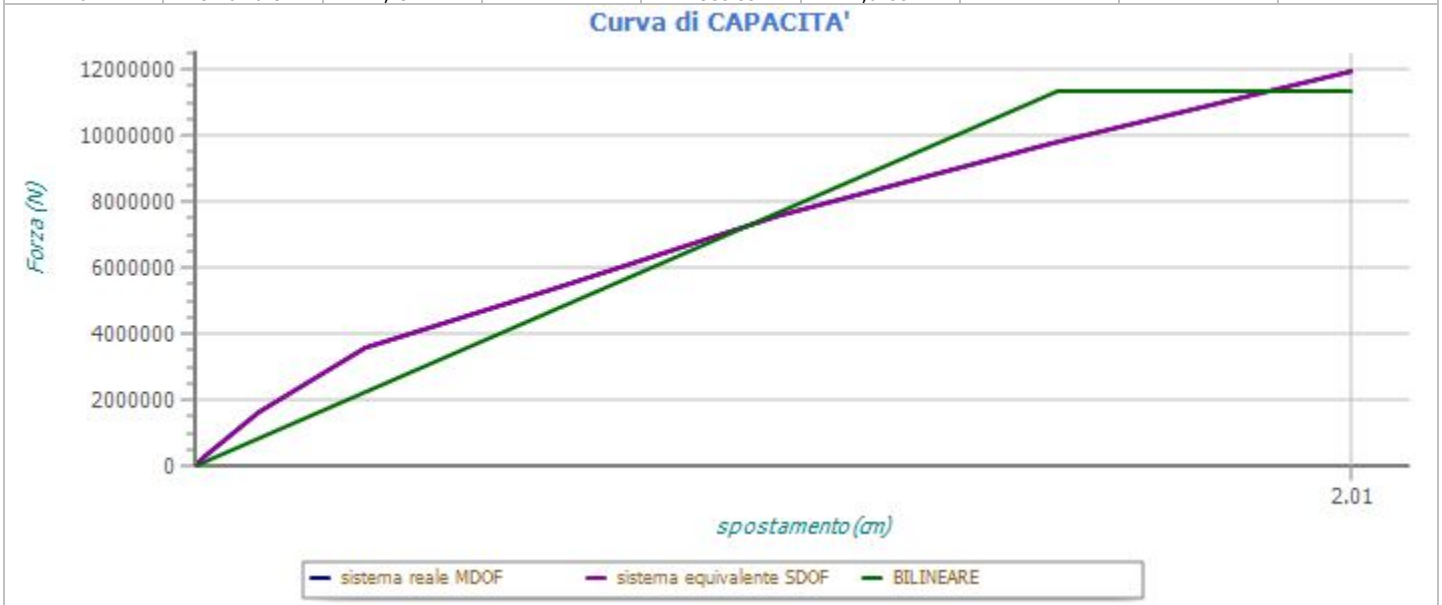

CAPACITA' DI SPOSTAMENTO DELL'EDIFICIO ALLO SLV (cm): 2,014	**CAPACITA' DI SPOSTAMENTO DELL'EDIFICIO ALLO SLD (cm): 2,014**
Domanda spostamento allo SLV (cm): 2,003	**Domanda spostamento allo SLD (cm): 1,042**
Verifica allo SLV: Verificata	**Verifica allo SLD: Verificata**

Direzione sisma in -X - proporzionale alla deformata 1° modo di vibrazione

1,342	2	1.444.293	5.418.573	5.418.573	6.345.981	6.345.981	1,171	1,171	65.699	65.699	0,324	0,324	0,251	0,248	0,158	0,00	1,48	0,00	6,40	13,95

Punti della curva di capacità (Forza / Spostamento).

Punto	Forza [N]	Spostamento [cm]	Punto	Forza [N]	Spostamento [cm]	Punto	Forza [N]	Spostamento [cm]
0	0	0,0000	1	152.105	0,0137	2	896.317	0,0841
3	1.938.857	0,2204	4	3.155.694	0,4162	5	4.189.183	0,6742
6	5.406.020	0,9945	7	6.622.857	1,3559	8	7.839.694	1,7471
9	9.056.531	2,4756						

Γ	K_{St} op	M_{Eq}	K_{sec}		(d, F)$_{Snv,Blt}$				A_{Snv}		T		PGA			α_u/α_1	q*	Pnt Cntr		
			SLV	SLD	F_{SLV}	F_{SLD}	δ_{SLV}	δ_{SLD}	SLV	SLD	SLV	SLD	SLV	SLD	SLD_{piani}			X	Y	Z
		[N·s²/m]	[N/cm]	[N/cm]	[N]	[N]	[cm]	[cm]	[N·m]	[N·m]	[s]	[s]						[m]	[m]	[m]

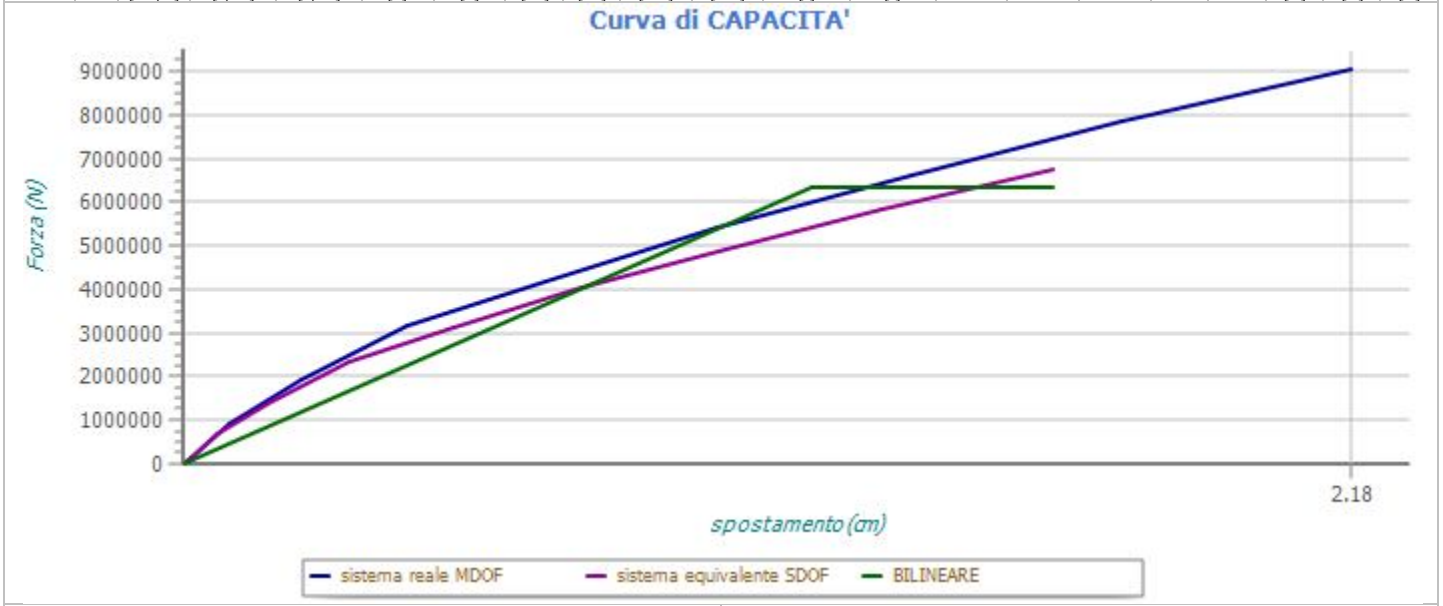

CAPACITA' DI SPOSTAMENTO DELL'EDIFICIO ALLO SLV (cm): 2,176	**CAPACITA' DI SPOSTAMENTO DELL'EDIFICIO ALLO SLD (cm): 2,176**
Domanda spostamento allo SLV (cm): 2,129	**Domanda spostamento allo SLD (cm): 1,083**
Verifica allo SLV: Verificata	**Verifica allo SLD: Verificata**

Direzione sisma in +Y - proporzionale alle masse

1,000	3	2.603.758	5.297.402	5.297.402	12.375.079	12.375.079	2,336	2,336	278.358	278.358	0,441	0,441	0,287	0,284	0,113	1,35	1,37	0,00	6,40	13,95

Punti della curva di capacità (Forza / Spostamento).

Punto	Forza [N]	Spostamento [cm]	Punto	Forza [N]	Spostamento [cm]	Punto	Forza [N]	Spostamento [cm]
0	0	0,0000	1	274.213	0,0220	2	1.615.873	0,1378
3	3.428.833	0,4177	4	5.622.536	0,8786	5	7.816.239	1,4463
6	10.009.942	2,0787	7	11.117.340	2,6684	8	12.418.941	3,0531
9	13.515.793	3,4174						

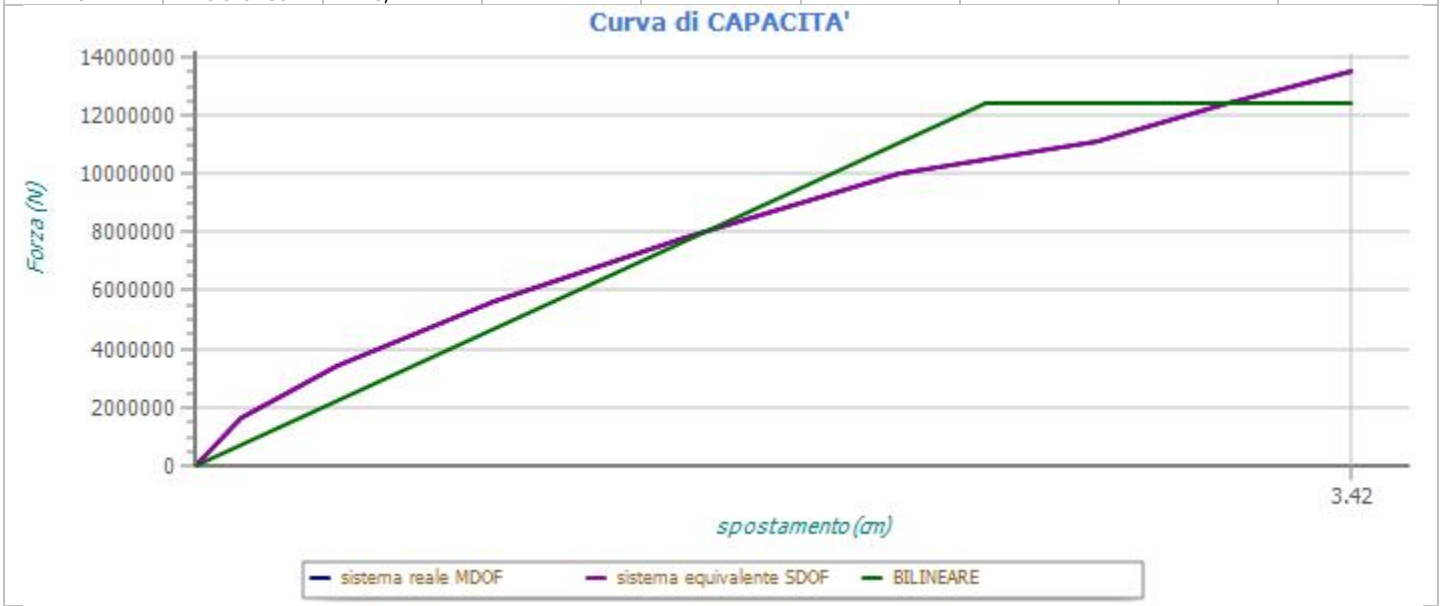

CAPACITA' DI SPOSTAMENTO DELL'EDIFICIO ALLO SLV (cm): 3,417	**CAPACITA' DI SPOSTAMENTO DELL'EDIFICIO ALLO SLD (cm): 3,417**
Domanda spostamento allo SLV (cm): 3,190	**Domanda spostamento allo SLD (cm): 1,488**
Verifica allo SLV: Verificata	**Verifica allo SLD: Verificata**

Direzione sisma in +Y - proporzionale alla deformata 1° modo di vibrazione

1,769	2	1.017.103	3.180.546	3.180.546	4.365.418	4.365.418	1,373	1,373	56.996	56.996	0,355	0,355	0,258	0,254	0,113	0,00	1,51	0,00	6,40	13,95

Punti della curva di capacità (Forza / Spostamento).

Punto	Forza [N]	Spostamento [cm]	Punto	Forza [N]	Spostamento [cm]	Punto	Forza [N]	Spostamento [cm]
0	0	0,0000	1	107.112	0,0144	2	631.187	0,0872
3	1.349.207	0,2427	4	2.097.784	0,4451	5	2.827.212	0,7310
6	3.684.109	1,0289	7	4.541.006	1,3904	8	5.397.903	1,7832
9	6.254.800	2,2040	10	7.111.697	2,6538	11	7.968.594	3,1271
12	8.000.741	3,5236						

Γ	K_{St} op	M_{Eq}	K_{sec}		$(d, F)_{Snv,Blt}$				A_{Snv}		T		PGA			α_u/α_1	q*	Pnt Cntr		
			SLV	SLD	F_{SLV}	F_{SLD}	δ_{SLV}	δ_{SLD}	SLV	SLD	SLV	SLD	SLV	SLD	$SLD_{pia\ ni}$			X	Y	Z
		[N·s²/m]	[N/cm]	[N/cm]	[N]	[N]	[cm]	[cm]	[N·m]	[N·m]	[s]	[s]						[m]	[m]	[m]

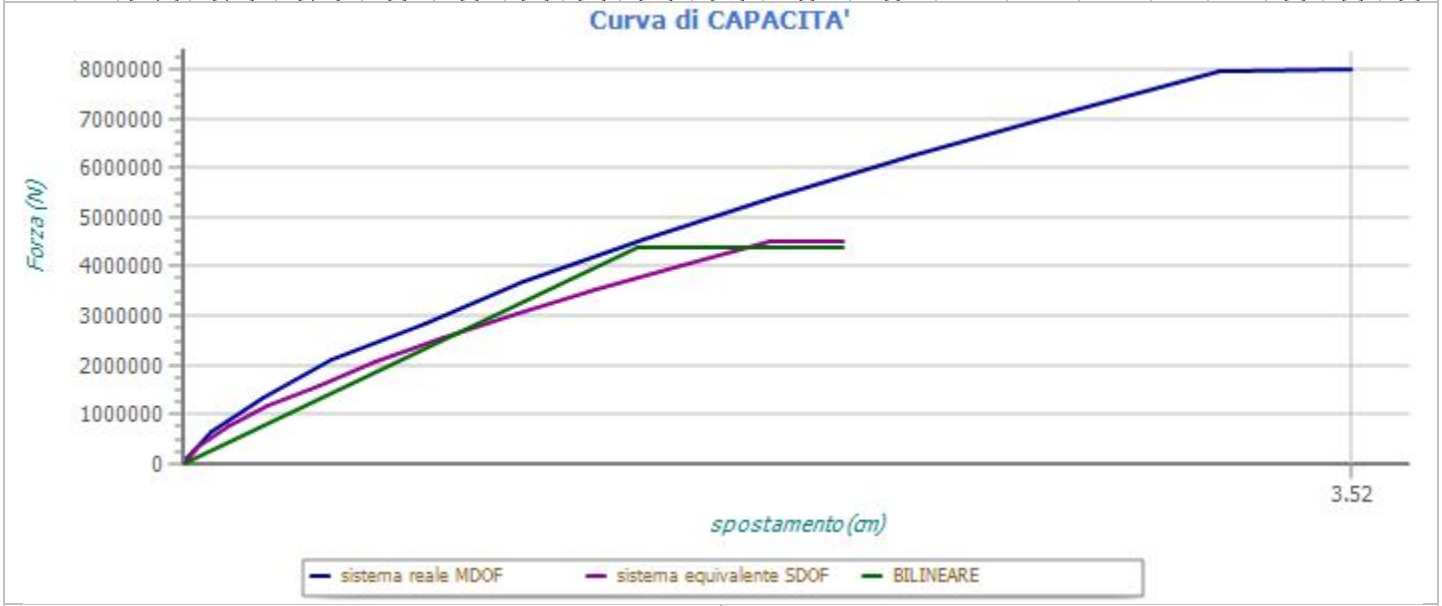

CAPACITA' DI SPOSTAMENTO DELL'EDIFICIO ALLO SLV (cm): 3,524	**CAPACITA' DI SPOSTAMENTO DELL'EDIFICIO ALLO SLD (cm): 3,524**
Domanda spostamento allo SLV (cm): 3,472	**Domanda spostamento allo SLD (cm): 1,712**
Verifica allo SLV: Verificata	**Verifica allo SLD: Verificata**

Direzione sisma in -Y - proporzionale alle masse

1,000	8	2.603.758	6.943.412	6.943.412	7.152.285	7.152.285	1,030	1,030	61.456	61.456	0,385	0,385	0,152	0,150	0,091	0,00	2,36	0,00	6,40	13,95

Punti della curva di capacità (Forza / Spostamento).

Punto	Forza [N]	Spostamento [cm]	Punto	Forza [N]	Spostamento [cm]	Punto	Forza [N]	Spostamento [cm]
0	0	0,0000	1	274.213	0,0214	2	1.615.873	0,1350
3	3.474.411	0,4169	4	5.345.924	0,8353	5	7.539.627	1,3743

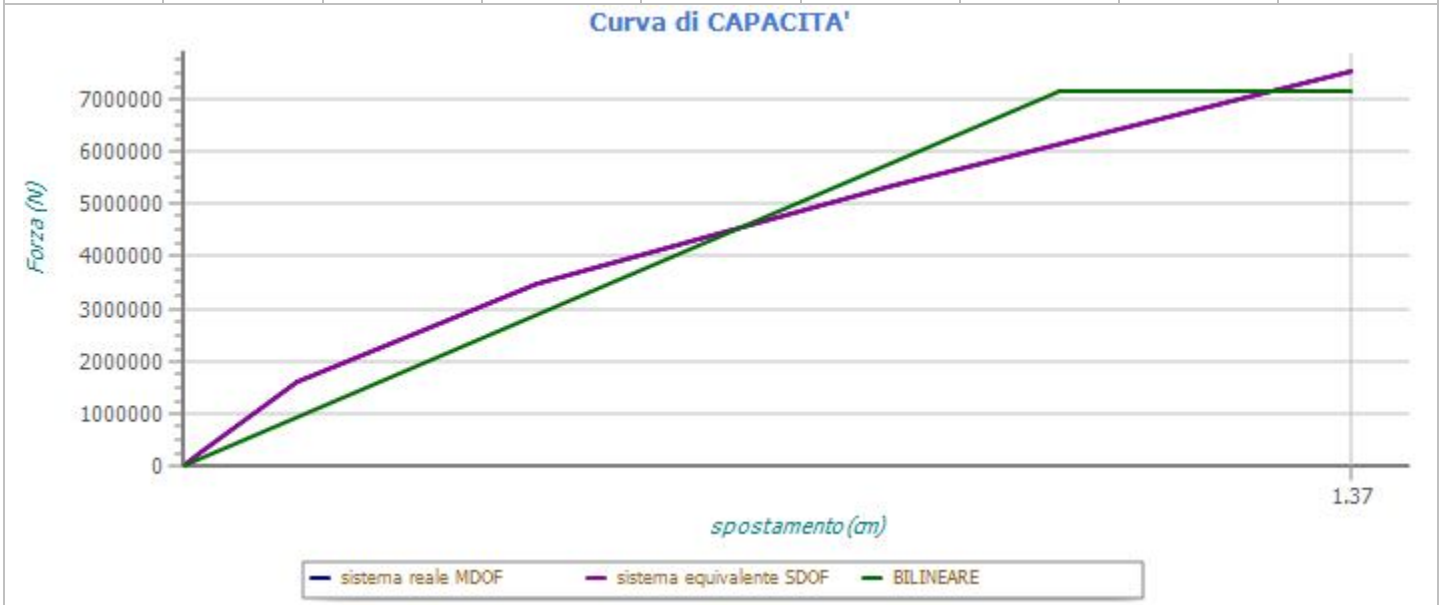

CAPACITA' DI SPOSTAMENTO DELL'EDIFICIO ALLO SLV (cm): 1,374	**CAPACITA' DI SPOSTAMENTO DELL'EDIFICIO ALLO SLD (cm): 1,374**
Domanda spostamento allo SLV (cm): 1,334	**Domanda spostamento allo SLD (cm): 1,135**
Verifica allo SLV: Verificata	**Verifica allo SLD: Verificata**

Direzione sisma in -Y - proporzionale alla deformata 1° modo di vibrazione

1,769	3	1.017.103	4.031.981	4.031.981	2.689.123	2.689.123	0,667	0,667	15.041	15.041	0,316	0,316	0,143	0,145	0,127	0,00	2,46	0,00	6,40	13,95

Punti della curva di capacità (Forza / Spostamento).

Punto	Forza [N]	Spostamento [cm]	Punto	Forza [N]	Spostamento [cm]	Punto	Forza [N]	Spostamento [cm]
0	0	0,0000	1	107.112	0,0138	2	631.187	0,0849
3	1.376.090	0,2382	4	2.136.718	0,4379	5	2.881.694	0,6978
6	3.738.591	1,0194	7	4.595.488	1,3845	8	5.023.937	1,5793

Curva di capacità

Γ	K_{Stop}	M_{Eq}	K_{sec}		$(d, F)_{Snv,Blt}$				A_{Snv}		T		PGA			α_u/α_1	q*	Pnt Cntr		
			SLV	SLD	F_{SLV}	F_{SLD}	δ_{SLV}	δ_{SLD}	SLV	SLD	SLV	SLD	SLV	SLD	SLD_{piani}			X	Y	Z
		[N·s²/m]	[N/cm]	[N/cm]	[N]	[N]	[cm]	[cm]	[N·m]	[N·m]	[s]	[s]						[m]	[m]	[m]

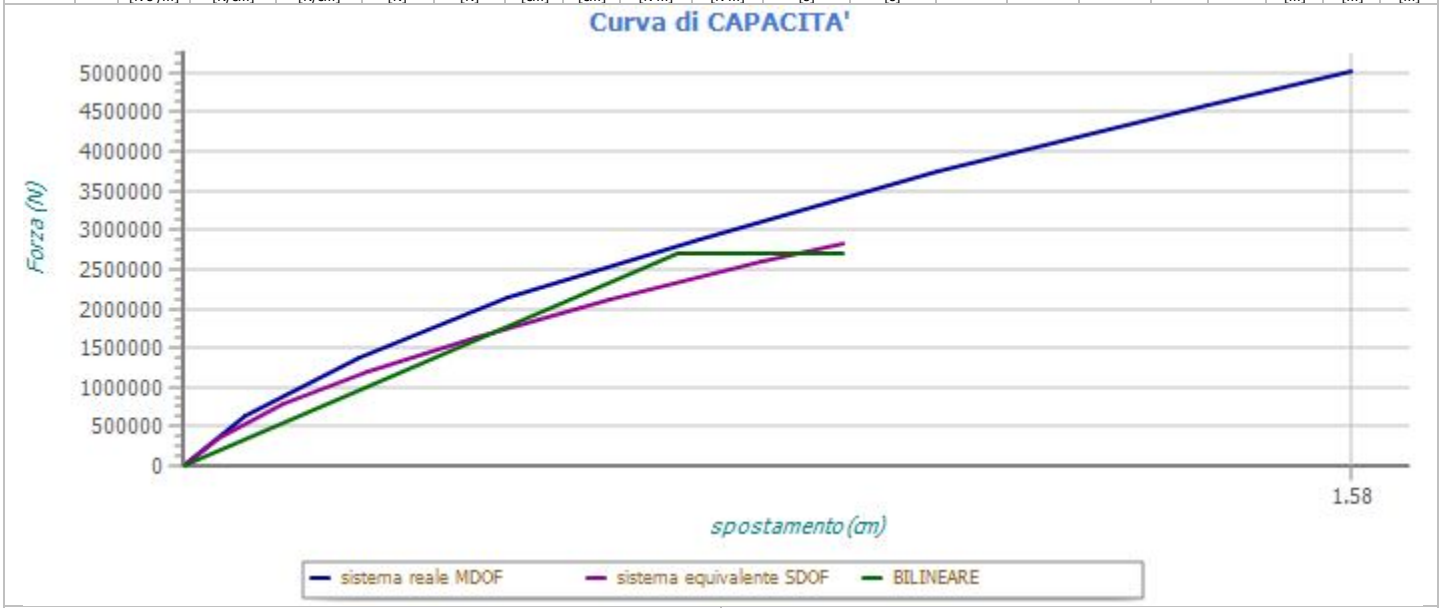

CAPACITA' DI SPOSTAMENTO DELL'EDIFICIO ALLO SLV (cm): 1,579	**CAPACITA' DI SPOSTAMENTO DELL'EDIFICIO ALLO SLD (cm): 1,579**
Domanda spostamento allo SLV (cm): 1,559	**Domanda spostamento allo SLD (cm): 1,351**
Verifica allo SLV: Verificata	**Verifica allo SLD: Verificata**

Legenda dei valori assunti dal parametro KStop

Valore	Descrizione
1	Raggiunto spostamento assegnato del punto di controllo
2	Raggiunta ampiezza minima del substep
3	Raggiunto massimo numero di tentativi di soluzione del substep
4	Raggiunto massimo numero di iterazioni cumulative
5	Raggiunta condizione di instabilità nella struttura
6	Richiesta di interruzione attraverso il file .ABT
7	Raggiunto valore limite assegnato del Parametro di Rigidezza
8	Raggiunto valore limite di Lambda dopo il superamento di LambdaMax
9	Raggiunta iterazione prossima alla condizione di singolarità o instabilità

LEGENDA:

Γ Coefficiente di partecipazione.
K_{Stop} Codice di conclusione dell'analisi.
M_{Eq} Massa del sistema SDOF.
K_{sec} Rigidezza secante allo snervamento del sistema SDOF.
$(d, F)_{Snv,Blt}$ Valori allo snervamento, di forze e spostamento, della bilatera equivalente.
A_{Snv} Area sottesa allo snervamento.
T Periodo del sistema SDOF.
PGA Accelerazione di picco al suolo: [SLV] = Stato limite salvaguardia della vita; [SLD] = Stato limite di danno (relativo al massimo valore della forza); [SLD_{piani}] = Stato limite di danno (relativo al superamento dello spostamento differenziale ammissibile fra due piani consecutivi).
α_u/α_1 Rapporto α_u/α_1
q* Rapporto tra la forza di risposta elastica e la forza di snervamento del sistema equivalente (SDOF).
Pnt Cntr Coordinate del punto di controllo.

LIVELLI O PIANI

Livelli o piani

Id Lv	Descrizione	Z_{Lv}	H_{Lv}	$Q_{ex,lv}$	PR	Rd_{Tmp}	Massa del piano			$Crd_{G,s}$		$Crd_{G,SLU}$		$Crd_{G,SLD}$		$Crd_{R,SLU}$	
							$M_{L,St}$	$M_{L,SLU}$	$M_{L,SLD}$	X	Y	X	Y	X	Y	X	Y
		[m]	[m]	[m]			[N·s²/m]	[N·s²/m]	[N·s²/m]	[m]	[m]	[m]	[m]	[m]	[m]	[m]	[m]
01	Estradosso travi colmo	11,15	2,80	13,95	NO	NO	160.604	131.334	131334	20,61	7,98	20,50	7,98	20,50	7,98	23,58	8,70
02	Estradosso travi gronda	7,40	3,75	11,15	NO	NO	401.952	359.389	359389	23,47	7,94	23,29	7,93	23,29	7,93	24,15	8,00
03	Piano primo	3,80	3,60	7,40	NO	NO	915.419	834.713	834713	22,89	7,70	22,84	7,71	22,84	7,71	26,99	5,78
04	Piano rialzato	2,75	1,05	3,80	NO	NO	647.417	591.113	591113	16,81	7,22	16,92	7,21	16,92	7,21	29,04	7,53
05	Piano terra ingresso	0,00	2,75	2,75	NO	NO	357.971	331.264	331264	36,79	7,16	36,34	7,15	36,34	7,15	26,42	7,43
06	Fondazione	0,00		0,00	NO	NO	572.891	572.891	572891	23,39	7,42	23,39	7,42	23,39	7,42	0,00	0,00

LEGENDA:

Id_{Lv} Numero identificativo del livello o piano.
Z_{Lv} Quota di calpestio del livello o piano, relativa al sistema di riferimento globale X, Y, Z.
H_{Lv} Altezza del livello o piano.
$Q_{ex,lv}$ Quota dell'estradosso dell'impalcato del livello o piano.
PR Indica se l'impalcato (orizzontale) è considerato rigido nel calcolo: [SI] = Piano Rigido - [NO] = Piano non Rigido.
In alternativa vedere tabella "Solai e Balconi" in quanto il comportamento rigido potrebbe essere stato assegnato ai singoli solai del livello.
Rd_{Tmp} Per i piani con riduzione dei tamponamenti, sono state incrementate le azioni di calcolo per gli elementi verticali (pilastri e pareti) di un fattore 1,4: [SI] = Piano con riduzione dei tamponamenti - [NO] = Piano senza riduzione dei tamponamenti.
$M_{L,St}$ Massa del piano valutata in condizioni statiche.
$M_{L,SLU}$ Massa del piano valutata per SLU.
$M_{L,SLD}$ Massa del piano valutata per SLD.
$Crd_{G,s}$ Coordinate del baricentro delle masse, valutate in condizioni statiche.
$Crd_{G,SLU}$ Coordinate del baricentro delle masse, valutate per SLU.

Livelli o piani

Id Lv	Descrizione	Z_{Lv}	H_{Lv}	$Q_{ex,lv}$	PR	Rd_{Tmp}	Massa del piano			$Crd_{G,s}$		$Crd_{G,SLU}$		$Crd_{G,SLD}$		$Crd_{R,SLU}$	
							$M_{L,St}$	$M_{L,SLU}$	$M_{L,SLD}$	X	Y	X	Y	X	Y	X	Y
		[m]	[m]	[m]			[N·s²/m]	[N·s²/m]	[N·s²/m]	[m]	[m]	[m]	[m]	[m]	[m]	[m]	[m]

$Crd_{G,SLD}$ Coordinate del baricentro delle masse, valutate per SLD.
$Crd_{R,SLU}$ Coordinate del baricentro delle rigidezze, valutate per SLU.

NODI (CA) - VERIFICA DI CONFINAMENTO (Elevazione)

Dati generali di verifica

Id_{Nd}	Pos	Stato	$Id_{Pil,sup}$	σ_{cR}	σ_{tR}	f_{yk}	f_{fk}	$N_{d,max}$	$A_{S,st}$	CS		Rf
										η	ξ	
				[N/mm²]	[N/mm²]	[N/mm²]	[N/mm²]	[N]				
Nodo 4	I	NC	Pilastro 15	4,24	0,87	336,00	-	291.615	4/ϕ6/15/2	1,18	0,83	NO
ERRORE: Verifica Confinamento Nodo a Trazione diagonale NON soddisfatta.												
Nodo 19	E	NC	Pilastro 8	4,24	0,87	336,00	-	154.614	-	1,36	0,62	NO
ERRORE: Verifica Confinamento Nodo a Trazione diagonale NON soddisfatta.												
Nodo 21	E	NC	Pilastro 9	4,24	0,87	336,00	-	69.082	-	1,72	0,51	NO
ERRORE: Verifica Confinamento Nodo a Trazione diagonale NON soddisfatta.												
Nodo 27	E	NC	Pilastro 12	4,24	0,87	336,00	-	39.685	-	1,41	0,34	NO
ERRORE: Verifica Confinamento Nodo a Trazione diagonale NON soddisfatta.												
Nodo 39	E	NC	Pilastro 37	4,24	0,87	336,00	-	320.503	-	1,09	0,72	NO
ERRORE: Verifica Confinamento Nodo a Trazione diagonale NON soddisfatta.												
Nodo 41	E	NC	Pilastro 14	4,24	0,87	336,00	-	213.476	-	1,21	0,51	NO
ERRORE: Verifica Confinamento Nodo a Trazione diagonale NON soddisfatta.												
Nodo 43	E	NC	Pilastro 25	4,24	0,87	336,00	-	294.829	-	0,88	0,37	NO
ERRORE: Verifica per Confinamento Nodo a compressione non soddisfatta.Verifica Confinamento Nodo a Trazione diagonale NON soddisfatta.												
Nodo 45	I	NC	Pilastro 18	4,24	0,87	336,00	-	472.927	5/ϕ6/15/2	1,12	0,94	NO
ERRORE: Verifica Confinamento Nodo a Trazione diagonale NON soddisfatta.												
Nodo 47	I	NC	Pilastro 17	4,24	0,87	336,00	-	439.245	5/ϕ6/15/2	1,12	0,78	NO
ERRORE: Verifica Confinamento Nodo a Trazione diagonale NON soddisfatta.												
Nodo 49	I	NC	Pilastro 26	4,24	0,87	336,00	-	426.754	4/ϕ6/15/2	0,87	1,42	NO
ERRORE: Verifica per Confinamento Nodo a compressione non soddisfatta.												
Nodo 51	E	NC	Pilastro 27	4,24	0,87	336,00	-	217.024	-	1,27	0,94	NO
ERRORE: Verifica Confinamento Nodo a Trazione diagonale NON soddisfatta.												
Nodo 53	I	NC	Pilastro 16	4,24	0,87	336,00	-	367.602	-	1,15	0,65	NO
ERRORE: Verifica Confinamento Nodo a Trazione diagonale NON soddisfatta.												
Nodo 57	I	NC	Pilastro 23	4,24	0,87	336,00	-	334.984	-	1,17	0,71	NO
ERRORE: Verifica Confinamento Nodo a Trazione diagonale NON soddisfatta.												
Nodo 60	I	NC	Pilastro 29	4,24	0,87	336,00	-	206.177	-	1,31	0,93	NO
ERRORE: Verifica Confinamento Nodo a Trazione diagonale NON soddisfatta.												
Nodo 62	E	NC	Pilastro 20	4,24	0,87	336,00	-	318.577	-	0,81	0,52	NO
ERRORE: Verifica per Confinamento Nodo a compressione non soddisfatta.Verifica Confinamento Nodo a Trazione diagonale NON soddisfatta.												
Nodo 64	E	NC	Pilastro 21	4,24	0,87	336,00	-	210.117	-	0,91	0,38	NO
ERRORE: Verifica per Confinamento Nodo a compressione non soddisfatta.Verifica Confinamento Nodo a Trazione diagonale NON soddisfatta.												
Nodo 67	E	NC	Pilastro 40	4,24	0,87	336,00	-	147.690	-	0,90	0,29	NO
ERRORE: Verifica per Confinamento Nodo a compressione non soddisfatta.Verifica Confinamento Nodo a Trazione diagonale NON soddisfatta.												
Nodo 71	I	NC	Pilastro 22	4,24	0,87	336,00	-	220.140	-	1,16	0,56	NO
ERRORE: Verifica Confinamento Nodo a Trazione diagonale NON soddisfatta.												
Nodo 73	E	NC	Pilastro 30	4,24	0,87	336,00	-	179.652	-	1,60	1,32	NO
Nodo 77	I	NC	Pilastro 16	4,24	0,87	336,00	-	0	-	1,84	0,38	NO
ERRORE: Verifica Confinamento Nodo a Trazione diagonale NON soddisfatta.												
Nodo 78	E	NC	Pilastro 27	4,24	0,87	336,00	-	100.284	-	1,73	0,66	NO
ERRORE: Verifica Confinamento Nodo a Trazione diagonale NON soddisfatta.												
Nodo 80	E	NC	Pilastro 21	4,24	0,87	336,00	-	156.567	-	1,42	0,70	NO
ERRORE: Verifica Confinamento Nodo a Trazione diagonale NON soddisfatta.												
Nodo 81	E	NC	Pilastro 30	4,24	0,87	336,00	-	25.618	-	1,84	0,43	NO
ERRORE: Verifica Confinamento Nodo a Trazione diagonale NON soddisfatta.												
Nodo 82	E	NC	Pilastro 20	4,24	0,87	336,00	-	190.234	-	1,09	0,50	NO
ERRORE: Verifica Confinamento Nodo a Trazione diagonale NON soddisfatta.												
Nodo 83	E	NC	Pilastro 29	4,24	0,87	336,00	-	107.579	-	2,17	1,15	NO
Nodo 85	E	NC	Pilastro 28	4,24	0,87	336,00	-	197.521	3/ϕ8/15/2	1,32	1,96	NO
Nodo 86	E	NC	Pilastro 37	4,24	0,87	336,00	-	169.024	-	0,93	0,28	NO
ERRORE: Verifica per Confinamento Nodo a compressione non soddisfatta.Verifica Confinamento Nodo a Trazione diagonale NON soddisfatta.												
Nodo 89	I	NC	Pilastro 18	4,24	0,87	336,00	-	0	5/ϕ6/15/2	1,88	0,41	NO
ERRORE: Verifica Confinamento Nodo a Trazione diagonale NON soddisfatta.												
Nodo 91	I	NC	Pilastro 17	4,24	0,87	336,00	-	0	5/ϕ6/15/2	1,84	0,40	NO
ERRORE: Verifica Confinamento Nodo a Trazione diagonale NON soddisfatta.												
Nodo 94	I	NC	Pilastro 15	4,24	0,87	336,00	-	0	4/ϕ6/15/2	1,60	0,35	NO
ERRORE: Verifica Confinamento Nodo a Trazione diagonale NON soddisfatta.												
Nodo 95	E	NC	Pilastro 22	4,24	0,87	336,00	-	75.635	-	1,14	0,30	NO
ERRORE: Verifica Confinamento Nodo a Trazione diagonale NON soddisfatta.												
Nodo 96	E	NC	Pilastro 9	4,24	0,87	336,00	-	34.355	-	2,46	0,65	NO
ERRORE: Verifica Confinamento Nodo a Trazione diagonale NON soddisfatta.												
Nodo 98	E	NC	Pilastro 8	4,24	0,87	336,00	-	93.511	-	2,35	1,14	NO
Nodo 101	E	NC	Pilastro 12	4,24	0,87	336,00	-	59.998	-	2,73	0,98	NO
ERRORE: Verifica Confinamento Nodo a Trazione diagonale NON soddisfatta.												
Nodo 103	E	NC	Pilastro 23	4,24	0,87	336,00	-	25.918	-	1,69	0,39	NO
ERRORE: Verifica Confinamento Nodo a Trazione diagonale NON soddisfatta.												
Nodo 106	E	NC	Pilastro 25	4,24	0,87	336,00	-	91.601	-	1,22	0,32	NO
ERRORE: Verifica Confinamento Nodo a Trazione diagonale NON soddisfatta.												
Nodo 107	I	NC	Pilastro 26	4,24	0,87	336,00	-	161.620	4/ϕ6/15/2	1,16	0,52	NO
ERRORE: Verifica Confinamento Nodo a Trazione diagonale NON soddisfatta.												
Nodo 110	E	NC	Pilastro 40	4,24	0,87	336,00	-	7.821	-	0,81	0,17	NO
ERRORE: Verifica per Confinamento Nodo a compressione non soddisfatta.Verifica Confinamento Nodo a Trazione diagonale NON soddisfatta.												

Dati generali di verifica

Id_{Nd}	Pos	Stato	$Id_{Pil,sup}$	σ_{cR}	σ_{tR}	f_{yk}	f_{fk}	$N_{d,max}$	$A_{S,st}$	CS		Rf
										η	ξ	
				[N/mm²]	[N/mm²]	[N/mm²]	[N/mm²]	[N]				
Nodo 115	E	NC	Pilastro 14	4,24	0,87	336,00	-	48.896	-	1,04	0,24	NO
ERRORE: Verifica Confinamento Nodo a Trazione diagonale NON soddisfatta.												
Nodo 117	I	NC	Pilastro 16	4,24	0,87	336,00	-	0	-	8,48	1,75	NO
Nodo 118	E	NC	Pilastro 27	4,24	0,87	336,00	-	63.944	-	5,05	6,76	NO
Nodo 120	E	NC	-	4,24	0,87	336,00	-	0	-	2,06	0,42	NO
ERRORE: Verifica Confinamento Nodo a Trazione diagonale NON soddisfatta.												
Nodo 121	E	NC	Pilastro 30	4,24	0,87	336,00	-	0	-	10,48	2,16	NO
Nodo 122	E	NC	-	4,24	0,87	336,00	-	0	-	1,88	0,39	NO
ERRORE: Verifica Confinamento Nodo a Trazione diagonale NON soddisfatta.												
Nodo 123	E	NC	Pilastro 29	4,24	0,87	336,00	-	79.546	-	4,66	33,48	NO
Nodo 125	E	NC	Pilastro 28	4,24	0,87	336,00	-	186.780	2/ϕ8/15/2	1,98	-	NO
Nodo 126	E	NC	-	4,24	0,87	336,00	-	0	-	3,25	0,67	NO
ERRORE: Verifica Confinamento Nodo a Trazione diagonale NON soddisfatta.												
Nodo 128	I	NC	Pilastro 18	4,24	0,87	336,00	-	0	4/ϕ6/15/2	7,68	2,07	NO
Nodo 130	I	NC	Pilastro 17	4,24	0,87	336,00	-	0	4/ϕ6/15/2	9,34	2,67	NO
Nodo 133	I	NC	Pilastro 15	4,24	0,87	336,00	-	0	4/ϕ6/15/2	7,91	2,15	NO
Nodo 134	E	NC	-	4,24	0,87	336,00	-	0	-	3,23	0,67	NO
ERRORE: Verifica Confinamento Nodo a Trazione diagonale NON soddisfatta.												
Nodo 137	E	NC	Pilastro 25	4,24	0,87	336,00	-	87.651	-	1,06	0,27	NO
ERRORE: Verifica Confinamento Nodo a Trazione diagonale NON soddisfatta.												
Nodo 138	I	NC	Pilastro 26	4,24	0,87	336,00	-	115.688	4/ϕ6/15/2	2,47	4,86	NO
Nodo 141	E	NC	Pilastro 14	4,24	0,87	336,00	-	111.595	-	1,09	0,30	NO
ERRORE: Verifica Confinamento Nodo a Trazione diagonale NON soddisfatta.												
Nodo 143	I	NC	-	4,24	0,87	336,00	-	0	-	2,61	0,54	NO
ERRORE: Verifica Confinamento Nodo a Trazione diagonale NON soddisfatta.												
Nodo 144	E	NC	-	4,24	0,87	336,00	-	0	-	4,24	0,87	NO
ERRORE: Verifica Confinamento Nodo a Trazione diagonale NON soddisfatta.												
Nodo 145	E	NC	-	4,24	0,87	336,00	-	0	-	3,15	0,65	NO
ERRORE: Verifica Confinamento Nodo a Trazione diagonale NON soddisfatta.												
Nodo 146	E	NC	-	4,24	0,87	336,00	-	0	3/ϕ8/15/2	3,88	1,14	NO
Nodo 147	I	NC	-	4,24	0,87	336,00	-	0	4/ϕ6/15/2	2,63	0,59	NO
ERRORE: Verifica Confinamento Nodo a Trazione diagonale NON soddisfatta.												
Nodo 148	I	NC	-	4,24	0,87	336,00	-	0	4/ϕ6/15/2	2,80	0,63	NO
ERRORE: Verifica Confinamento Nodo a Trazione diagonale NON soddisfatta.												
Nodo 149	I	NC	-	4,24	0,87	336,00	-	0	4/ϕ6/15/2	1,68	0,36	NO
ERRORE: Verifica Confinamento Nodo a Trazione diagonale NON soddisfatta.												
Nodo 150	E	NC	-	4,24	0,87	336,00	-	0	-	3,24	0,67	NO
ERRORE: Verifica Confinamento Nodo a Trazione diagonale NON soddisfatta.												
Nodo 151	E	NC	-	4,24	0,87	336,00	-	0	-	2,46	0,51	NO
ERRORE: Verifica Confinamento Nodo a Trazione diagonale NON soddisfatta.												
Nodo 152	E	NC	-	4,24	0,87	336,00	-	0	-	2,45	0,50	NO
ERRORE: Verifica Confinamento Nodo a Trazione diagonale NON soddisfatta.												
Nodo 153	I	NC	-	4,24	0,87	336,00	-	0	4/ϕ6/15/2	3,75	0,89	NO
ERRORE: Verifica Confinamento Nodo a Trazione diagonale NON soddisfatta.												
Nodo 157	E	NC	-	4,24	0,87	336,00	-	0	-	4,51	0,93	NO
ERRORE: Verifica Confinamento Nodo a Trazione diagonale NON soddisfatta.												
Nodo 158	E	NC	-	4,24	0,87	336,00	-	0	-	5,11	1,05	NO
Nodo 159	E	NC	-	4,24	0,87	336,00	-	0	-	5,15	1,06	NO
Nodo 161	E	NC	-	4,24	0,87	336,00	-	0	-	2,11	0,43	NO
ERRORE: Verifica Confinamento Nodo a Trazione diagonale NON soddisfatta.												
Nodo 167	E	NC	Pilastro 28	4,24	0,87	336,00	-	231.723	2/ϕ8/15/2	1,10	0,97	NO
ERRORE: Verifica Confinamento Nodo a Trazione diagonale NON soddisfatta.												
Nodo 168	E	NC	-	4,24	0,87	336,00	-	0	-	1,66	0,34	NO
ERRORE: Verifica Confinamento Nodo a Trazione diagonale NON soddisfatta.												
Nodo 169	E	NC	Pilastro 22	4,24	0,87	336,00	-	32.070	-	4,20	1,34	NO
Nodo 170	E	NC	Pilastro 21	4,24	0,87	336,00	-	112.402	-	3,34	46,29	NO
Nodo 171	E	NC	Pilastro 20	4,24	0,87	336,00	-	125.350	-	2,79	7,04	NO
Nodo 173	E	NC	Pilastro 23	4,24	0,87	336,00	-	0	-	4,75	0,98	NO
ERRORE: Verifica Confinamento Nodo a Trazione diagonale NON soddisfatta.												
Nodo 174	E	NC	Pilastro 22	4,24	0,87	336,00	-	224.066	-	1,76	3,11	NO
Nodo 175	E	NC	Pilastro 21	4,24	0,87	336,00	-	182.315	-	1,78	2,46	NO
Nodo 176	E	NC	Pilastro 20	4,24	0,87	336,00	-	234.536	-	1,31	1,39	NO
Nodo 178	E	NC	Pilastro 23	4,24	0,87	336,00	-	293.588	-	2,02	-	NO
Nodo 181	E	NC	-	4,24	0,87	336,00	-	0	-	1,27	0,26	NO
ERRORE: Verifica Confinamento Nodo a Trazione diagonale NON soddisfatta.												
Nodo 182	E	NC	-	4,24	0,87	336,00	-	0	-	1,26	0,26	NO
ERRORE: Verifica Confinamento Nodo a Trazione diagonale NON soddisfatta.												
Nodo 190	E	NC	-	4,24	0,87	336,00	-	0	-	3,11	0,64	NO
ERRORE: Verifica Confinamento Nodo a Trazione diagonale NON soddisfatta.												
Nodo 195	E	NC	Pilastro 28	4,24	0,87	336,00	-	237.272	1/ϕ8/15/2	1,46	-	NO
Nodo 196	E	NC	Pilastro 37	4,24	0,87	336,00	-	434.804	-	1,45	46,66	NO

Dati indicati per direzione

Id_{Nd}	Dir	ID_{tr}	b_j	h_{jw}	A_{sup}/M^+	A_i/M^-	Or_{Vid}	$V_{c,\eta}$	$V_{c,\xi}$	σ_η	σ_ξ	$V_{jsd,sup}$	$V_{jsd,inf}$	V_{jsr}	h_{jc}
			[cm]	[cm]	[cm²;N·m]	[cm²;N·m]		[N]	[N]	[N/mm²]	[N/mm²]	[N]	[N]	[N]	[cm]
Nodo 4	1	Trave 2-15	40	36	36.591,00	-7.105,00	M	29.942	0	2,51	0,00	-	-	-	36
	2	Trave 15-16	40	66	194.902,00	-6.162,00	M	35.022	35.022	3,59	1,05	-	-	-	36
		Trave 14-15	40	66	193.881,00	0,00	M	35.022	35.022	3,59	1,05	-	-	-	36
Nodo 19	1	Trave 8-9	47	36	32.974,00	-8.665,00	M	19.002	19.002	3,12	1,40	-	-	-	26
		Trave P6-8	47	36	54.876,00	-56.977,00	M	19.002	19.002	3,12	1,40	-	-	-	26
Nodo 21	1	Trave 9-10	47	36	52.820,00	-41.978,00	M	10.902	10.902	2,47	1,70	-	-	-	26

Id_{Nd}		Pos	Stato	$Id_{Pil,sup}$			σ_{cR}	σ_{tR}		f_{yk}	f_{fk}		$N_{d,max}$	$A_{S,st}$		CS		Rf
																η	ξ	
							[N/mm²]	[N/mm²]		[N/mm²]	[N/mm²]		[N]					
		Trave 8-9		47	36	43.867,00	-214,00		M	10.902	10.902	2,47	1,70	-	-	-		26
Nodo 27	1	Trave 12-P7		47	36	49.655,00	-71.085,00		M	13.773	13.773	3,01	2,57	-	-	-		26
		Trave 11-12		47	36	45.063,00	-31.728,00		M	13.773	13.773	3,01	2,57	-	-	-		26
Nodo 39	1	Trave 28-37		30	31	35.715,00	-8.731,00		M	22.183	22.183	2,86	0,19	-	-	-		46
	2	Trave P14-37		50	56	156.462,00	-134.413,00		M	25.086	25.086	3,89	1,22	-	-	-		26
Nodo 41	1	Trave 14-15		35	66	180.430,00	-24.464,00		M	32.265	32.265	2,78	1,01	-	-	-		46
	2	Trave 14-25		50	56	45.209,00	-89.516,00		M	45.089	45.089	3,51	1,73	-	-	-		26
		Trave P8-14		50	56	96.256,00	-102.857,00		M	45.089	45.089	3,51	1,73	-	-	-		26
Nodo 43	1	Trave 25-26		30	66	173.222,00	-14.165,00		M	29.104	29.104	3,94	1,48	-	-	-		36
	2	Trave 25-P9		45	56	60.101,00	-102.653,00		M	39.406	39.406	4,81	2,35	-	-	-		26
		Trave 14-25		45	56	117.469,00	-23.970,00		M	39.406	39.406	4,81	2,35	-	-	-		26
Nodo 45	1	Trave 18-19		40	81	325.006,00	0,00		M	99.896	99.896	3,80	0,93	-	-	-		56
		Trave 17-18		40	81	356.715,00	-82.849,00		M	99.896	99.896	3,80	0,93	-	-	-		56
	2	Trave 5-18		40	36	40.707,00	-5.706,00		M	77.129	0	2,74	0,00	-	-	-		36
Nodo 47	1	Trave 17-18		40	81	348.698,00	-79.274,00		M	97.814	97.814	3,79	1,12	-	-	-		56
		Trave 16-17		40	81	353.345,00	-33.538,00		M	97.814	97.814	3,79	1,12	-	-	-		56
	2	Trave 4-17		40	36	41.338,00	-6.269,00		M	76.374	0	2,55	0,00	-	-	-		36
Nodo 49	1	Trave 26-27		35	66	165.414,00	0,00		M	26.500	26.500	4,88	0,62	-	-	-		36
		Trave 25-26		35	66	166.413,00	0,00		M	26.500	26.500	4,88	0,62	-	-	-		36
Nodo 51	1	Trave 16-27		35	26	28.781,00	-10.973,00		M	24.948	24.948	3,34	0,92	-	-	-		26
		Trave 27-34		35	26	12.292,00	-15.691,00		M	24.948	24.948	3,34	0,92	-	-	-		26
	2	Trave 26-27		30	66	114.063,00	-22.139,00		M	28.677	28.677	3,32	0,91	-	-	-		31
Nodo 53	1	Trave 16-17		40	81	303.851,00	-81.374,00		M	59.465	59.465	3,68	1,35	-	-	-		51
		Trave 15-16		40	66	241.057,00	0,00		M	59.465	59.465	3,68	1,35	-	-	-		51
	2	Trave 16-27		50	26	19.206,00	-25.410,00		M	52.300	52.300	2,85	0,51	-	-	-		36
		Trave 3-16		40	36	40.039,00	-5.886,00		M	52.300	52.300	2,85	0,51	-	-	-		36
Nodo 57	1	Trave 23-24		40	66	219.033,00	0,00		M	36.584	36.584	3,62	1,23	-	-	-		41
		Trave 22-23		40	66	229.354,00	0,00		M	36.584	36.584	3,62	1,23	-	-	-		41
Nodo 60	1	Trave 20-29		30	41	40.921,00	-14.669,00		M	7.227	7.227	2,88	0,59	-	-	-		26
		Trave 29-4e		30	41	6.196,00	0,00		M	7.227	7.227	2,88	0,59	-	-	-		26
	2	Trave 29-30		30	46	27.752,00	-31.756,00		M	7.736	7.736	3,23	0,94	-	-	-		26
		Trave 28-29		30	26	16.473,00	-13.772,00		M	7.736	7.736	3,23	0,94	-	-	-		26
Nodo 62	1	Trave 20-29		30	41	18.837,00	-45.519,00		M	15.308	15.308	4,00	0,46	-	-	-		26
	2	Trave 20-21		30	46	44.596,00	-5.049,00		M	16.368	16.368	5,23	1,69	-	-	-		26
		Trave 19-20		30	46	60.031,00	-59.166,00		M	16.368	16.368	5,23	1,69	-	-	-		26
Nodo 64	1	Trave 21-30		30	41	22.609,00	-52.457,00		M	17.041	17.041	3,12	0,79	-	-	-		26
	2	Trave 21-22		30	46	48.012,00	-64.174,00		M	16.885	16.885	4,64	2,30	-	-	-		26
		Trave 20-21		30	46	49.646,00	0,00		M	16.885	16.885	4,64	2,30	-	-	-		26
Nodo 67	1	Trave 40-P15		40	56	113.168,00	-98.085,00		M	10.942	10.942	4,70	3,06	-	-	-		26
		Trave 39-40		40	56	108.441,00	0,00		M	10.942	10.942	4,70	3,06	-	-	-		26
Nodo 71	1	Trave 22-23		35	66	164.430,00	-5.361,00		M	19.393	19.393	3,67	1,57	-	-	-		36
		Trave 21-22		35	46	105.030,00	-19.708,00		M	19.393	19.393	3,67	1,57	-	-	-		36
Nodo 73	1	Trave 21-30		35	41	48.631,00	-15.880,00		M	8.779	8.779	2,66	0,66	-	-	-		26
	2	Trave 29-30		30	46	36.431,00	-26.410,00		M	6.293	6.293	2,32	0,32	-	-	-		31
Nodo 77	1	Trave 16-17		35	81	234.961,00	0,00		M	4.664	4.664	2,30	2,30	-	-	-		41
		Trave 15-16		35	66	200.491,00	0,00		M	4.664	4.664	2,30	2,30	-	-	-		41
	2	Trave 16-27		45	26	12.332,00	-15.656,00		M	4.054	4.054	1,31	1,31	-	-	-		31
		Trave 3-16		38	41	35.052,00	-7.599,00		M	4.054	4.054	1,31	1,31	-	-	-		31
Nodo 78	1	Trave 16-27		30	26	21.433,00	-5.999,00		M	9.714	9.714	2,45	1,33	-	-	-		26
		Trave 27-34		30	26	9.557,00	-14.784,00		M	9.714	9.714	2,45	1,33	-	-	-		26
	2	Trave 26-27		30	66	90.834,00	0,00		M	12.459	12.459	2,43	1,32	-	-	-		26
Nodo 80	1	Trave 21-30		35	33	13.425,00	-24.155,00		M	8.565	8.565	2,04	0,30	-	-	-		26
	2	Trave 21-22		30	36	26.846,00	-24.600,00		M	9.446	9.446	2,98	1,24	-	-	-		26
		Trave 20-21		30	36	27.827,00	-13.440,00		M	9.446	9.446	2,98	1,24	-	-	-		26
Nodo 81	1	Trave 21-30		35	33	25.510,00	-4.072,00		M	4.576	4.576	1,03	0,75	-	-	-		26
	2	Trave 30-4c		30	33	52.071,00	0,00		M	2.913	2.913	2,30	2,02	-	-	-		26
		Trave 29-30		30	46	61.087,00	0,00		M	2.913	2.913	2,30	2,02	-	-	-		26
Nodo 82	1	Trave 20-29		35	33	16.753,00	-26.552,00		M	17.943	17.943	2,36	0,25	-	-	-		26
	2	Trave 20-21		30	36	17.465,00	-21.136,00		M	15.466	15.466	3,87	1,76	-	-	-		26
		Trave 19-20		30	33	33.546,00	-50.002,00		M	15.466	15.466	3,87	1,76	-	-	-		26
Nodo 83	1	Trave 20-29		35	33	28.765,00	-6.987,00		M	8.471	8.471	1,72	0,53	-	-	-		26
	2	Trave 29-30		30	46	21.282,00	-14.629,00		M	6.921	6.921	1,95	0,76	-	-	-		26
		Trave 28-29		30	46	28.244,00	0,00		M	6.921	6.921	1,95	0,76	-	-	-		26
Nodo 85	1	Trave 19-28		30	31	25.251,00	-7.463,00		M	11.355	11.355	3,21	0,45	-	-	-		26
		Trave 28-37		30	31	10.518,00	-18.410,00		M	11.355	11.355	3,21	0,45	-	-	-		26
	2	Trave 28-29		30	46	13.385,00	-17.063,00		M	9.218	0	2,27	0,00	-	-	-		26
Nodo 86	1	Trave 28-37		30	31	29.061,00	-4.597,00		M	17.244	17.244	1,75	0,35	-	-	-		36
	2	Trave 37-38		40	106	137.817,00	-262.678,00		M	15.676	15.676	4,55	3,14	-	-	-		26
		Trave P14-37		40	106	129.440,00	-180.694,00		M	15.676	15.676	4,55	3,14	-	-	-		26
Nodo 89	1	Trave 18-19		35	81	257.818,00	0,00		M	6.946	6.946	2,25	2,13	-	-	-		46
		Trave 17-18		35	81	270.962,00	0,00		M	6.946	6.946	2,25	2,13	-	-	-		46
	2	Trave 5-18		38	41	33.547,00	-5.612,00		M	4.901	4.901	0,72	0,53	-	-	-		31
Nodo 91	1	Trave 17-18		35	81	267.768,00	0,00		M	6.809	6.809	2,31	2,19	-	-	-		46
		Trave 16-17		35	81	277.128,00	0,00		M	6.809	6.809	2,31	2,19	-	-	-		46
	2	Trave 4-17		38	41	33.016,00	-7.068,00		M	4.729	4.729	0,71	0,52	-	-	-		31
Nodo 94	1	Trave 2-15		35	41	28.086,00	-8.516,00		M	4.086	4.086	0,65	0,49	-	-	-		31
	2	Trave 15-16		35	66	163.217,00	0,00		M	4.691	4.691	2,64	2,53	-	-	-		31
		Trave 14-15		35	66	174.411,00	0,00		M	4.691	4.691	2,64	2,53	-	-	-		31
Nodo 95	1	Trave 22-23		35	71	167.647,00	-29.786,00		M	14.353	14.353	3,72	2,88	-	-	-		26
		Trave 21-22		35	36	39.492,00	-16.847,00		M	14.353	14.353	3,72	2,88	-	-	-		26
Nodo 96	1	Trave 9-10		30	36	27.843,00	-53.522,00		M	106.495	106.495	1,73	1,34	-	-	-		26
		Trave 8-9		30	36	20.826,00	-18.385,00		M	106.495	106.495	1,73	1,34	-	-	-		26
Nodo 98	1	Trave 8-9		30	36	23.580,00	-14.457,00		M	136.461	136.461	1,81	0,77	-	-	-		26

Id_{Nd}		Pos	Stato	$Id_{Pil,sup}$			σ_{cR}	σ_{tR}		f_{yk}	f_{fk}		$N_{d,max}$	$A_{S,st}$		CS		Rf
																η	ξ	
							[N/mm²]	[N/mm²]		[N/mm²]	[N/mm²]		[N]					
		Trave P6-8		30	36	36.636,00	-51.799,00		M	136.461	136.461	1,81	0,77	-	-	-		26
Nodo 101	1	Trave 12-P7		30	36	25.318,00	-44.273,00		M	127.638	127.638	1,56	0,89	-	-	-		26
		Trave 11-12		30	36	27.037,00	-47.074,00		M	127.638	127.638	1,56	0,89	-	-	-		26
Nodo 103	1	Trave 23-24		35	71	161.905,00	0,00		M	9.614	9.614	2,50	2,22	-	-	-		36
		Trave 22-23		35	71	197.034,00	0,00		M	9.614	9.614	2,50	2,22	-	-	-		36
Nodo 106	1	Trave 25-26		30	66	152.593,00	0,00		M	18.515	18.515	2,61	1,84	-	-	-		36
	2	Trave 25-P9		40	106	30.663,00	-60.987,00		M	19.430	19.430	3,48	2,72	-	-	-		26
		Trave 14-25		40	106	264.365,00	-86.034,00		M	19.430	19.430	3,48	2,72	-	-	-		26
Nodo 107	1	Trave 26-27		35	66	146.168,00	0,00		M	9.017	9.017	3,64	1,69	-	-	-		26
		Trave 25-26		35	66	146.547,00	0,00		M	9.017	9.017	3,64	1,69	-	-	-		26
Nodo 110	1	Trave 40-P15		30	106	102.234,00	-226.109,00		M	10.364	10.364	5,26	5,17	-	-	-		26
		Trave 39-40		30	106	174.289,00	-145.377,00		M	10.364	10.364	5,26	5,17	-	-	-		26
Nodo 115	1	Trave 14-15		35	66	149.953,00	0,00		M	17.811	17.811	2,06	1,66	-	-	-		36
	2	Trave 14-25		40	106	95.014,00	-279.005,00		M	18.782	18.782	4,08	3,67	-	-	-		26
		Trave P8-14		40	106	125.537,00	-288.650,00		M	18.782	18.782	4,08	3,67	-	-	-		26
Nodo 117	1	Trave 16-17		30	61	29.560,00	0,00		M	6.846	6.846	0,50	0,50	-	-	-		31
		Trave 15-16		30	61	27.817,00	0,00		M	6.846	6.846	0,50	0,50	-	-	-		31
	2	Trave 16-27		35	26	6.867,00	-2.983,00		M	9.687	9.687	0,21	0,21	-	-	-		26
Nodo 118	1	Trave 16-27		30	26	6.969,00	-3.233,00		M	41.839	41.839	0,77	0,06	-	-	-		26
		Trave 27-34		30	26	4.394,00	-6.937,00		M	41.839	41.839	0,77	0,06	-	-	-		26
	2	Trave 26-27		30	56	32.921,00	0,00		M	38.984	38.984	0,84	0,13	-	-	-		26
Nodo 120	1	Trave 21-22		30	66	47.065,00	-52.029,00		M	0	0	2,06	2,06	-	-	-		26
		Trave 20-21		30	66	44.209,00	-24.400,00		M	0	0	2,06	2,06	-	-	-		26
Nodo 121	1	Trave 30-2b		30	36	11.110,00	0,00		M	6.005	6.005	0,40	0,40	-	-	-		26
		Trave 29-30		30	36	12.440,00	0,00		M	6.005	6.005	0,40	0,40	-	-	-		26
Nodo 122	1	Trave 20-21		30	66	49.967,00	-21.205,00		M	0	0	2,26	2,26	-	-	-		26
		Trave 19-20		30	66	44.539,00	-55.564,00		M	0	0	2,26	2,26	-	-	-		26
Nodo 123	1	Trave 29-30		30	36	5.930,00	-781,00		M	9.573	9.573	0,91	0,03	-	-	-		26
		Trave 28-29		30	36	6.371,00	-292,00		M	9.573	9.573	0,91	0,03	-	-	-		26
Nodo 125	1	Trave 19-28		30	31	9.830,00	-1.113,00		M	35.930	0	2,14	0,00	-	-	-		26
		Trave 28-37		30	31	3.822,00	-8.847,00		M	35.930	0	2,14	0,00	-	-	-		26
	2	Trave 28-29		30	36	2.755,00	-5.878,00		M	24.173	0	2,08	0,00	-	-	-		26
Nodo 126	1	Trave 28-37		30	31	18.124,00	-9.815,00		M	0	0	0,64	0,64	-	-	-		33
	2	Trave 37-38		40	106	34.269,00	-66.745,00		M	0	0	1,31	1,31	-	-	-		26
		Trave P14-37		40	106	63.474,00	-20.971,00		M	0	0	1,31	1,31	-	-	-		26
Nodo 128	1	Trave 18-19		30	61	36.339,00	-4.452,00		M	5.984	5.984	0,55	0,42	-	-	-		36
		Trave 17-18		30	61	30.153,00	0,00		M	5.984	5.984	0,55	0,42	-	-	-		36
Nodo 130	1	Trave 17-18		30	61	30.847,00	0,00		M	7.285	7.285	0,45	0,33	-	-	-		36
		Trave 16-17		30	61	31.204,00	0,00		M	7.285	7.285	0,45	0,33	-	-	-		36
Nodo 133	1	Trave 15-16		30	61	23.341,00	0,00		M	6.928	6.928	0,54	0,41	-	-	-		26
		Trave 14-15		30	61	27.014,00	0,00		M	6.928	6.928	0,54	0,41	-	-	-		26
Nodo 134	1	Trave 13-24		30	36	26.447,00	-31.175,00		M	0	0	1,31	1,31	-	-	-		24
	2	Trave 12-13		30	36	22.608,00	-12.618,00		M	0	0	0,87	0,87	-	-	-		26
Nodo 137	1	Trave 25-26		30	56	63.756,00	0,00		M	75.723	75.723	0,95	0,22	-	-	-		36
	2	Trave 25-P9		40	106	78.788,00	-64.255,00		M	53.512	53.512	4,01	3,28	-	-	-		26
		Trave 14-25		40	106	349.305,00	-100.052,00		M	53.512	53.512	4,01	3,28	-	-	-		26
Nodo 138	1	Trave 26-27		30	56	19.181,00	-1.822,00		M	22.734	22.734	1,72	0,18	-	-	-		26
		Trave 25-26		30	56	11.028,00	-26.625,00		M	22.734	22.734	1,72	0,18	-	-	-		26
Nodo 141	1	Trave 14-15		30	61	31.901,00	0,00		M	15.398	15.398	1,07	0,14	-	-	-		36
	2	Trave 14-25		40	106	98.877,00	-221.923,00		M	12.053	12.053	3,88	2,95	-	-	-		26
		Trave P8-14		40	106	126.918,00	-224.898,00		M	12.053	12.053	3,88	2,95	-	-	-		26
Nodo 143	1	Trave 16-17		30	66	86.576,00	0,00		M	0	0	1,63	1,63	-	-	-		31
		Trave 15-16		30	66	90.558,00	0,00		M	0	0	1,63	1,63	-	-	-		31
	2	Trave 16-27		35	26	1.329,00	-856,00		M	0	0	0,67	0,67	-	-	-		23
		Trave 3-16		34	16	7.338,00	0,00		M	0	0	0,67	0,67	-	-	-		23
Nodo 144	1	Trave 16-27		30	26	2.005,00	-495,00		M	0	0	0,27	0,27	-	-	-		24
		Trave 27-34		30	26	4.129,00	-591,00		M	0	0	0,27	0,27	-	-	-		24
	2	Trave 26-27		30	56	39.702,00	0,00		M	0	0	1,00	1,00	-	-	-		26
Nodo 145	1	Trave 6-19		30	31	13.930,00	-89,00		M	0	0	1,34	1,34	-	-	-		25

Id_{Nd}		Pos	Stato	$Id_{Pil,sup}$			σ_{cR}	σ_{tR}		f_{yk}	f_{fk}		$N_{d,max}$	$A_{S,st}$		CS		Rf
																η	ξ	
							[N/mm²]	[N/mm²]		[N/mm²]	[N/mm²]		[N]					
		Trave 19-28		30	31	28.472,00	-5.076,00	M		0	0	1,34	1,34	-	-	-		25
	2	Trave 18-19		30	66	62.758,00	0,00	M		0	0	1,34	1,34	-	-	-		26
Nodo 146	1	Trave 19-28		30	18	7.164,00	0,00	M		0	0	1,09	0,77	-	-	-		24
		Trave 28-37		30	31	12.507,00	-10.158,00	M		0	0	1,09	0,77	-	-	-		24
	2	Trave 28-29		30	36	23.244,00	-3.540,00	M		0	0	0,90	0,63	-	-	-		26
Nodo 147	1	Trave 18-19		30	66	104.287,00	0,00	M		0	0	1,61	1,48	-	-	-		36
		Trave 17-18		30	66	71.874,00	0,00	M		0	0	1,61	1,48	-	-	-		36
	2	Trave 5-18		34	16	5.546,00	0,00	M		0	0	0,48	0,19	-	-	-		23
Nodo 148	1	Trave 17-18		30	66	97.775,00	0,00	M		0	0	1,51	1,38	-	-	-		36
		Trave 16-17		30	66	79.416,00	0,00	M		0	0	1,51	1,38	-	-	-		36
	2	Trave 4-17		34	16	6.123,00	0,00	M		0	0	0,53	0,22	-	-	-		23
Nodo 149	1	Trave 2-15		30	16	7.483,00	0,00	M		0	0	0,73	0,35	-	-	-		23
	2	Trave 15-16		30	66	71.401,00	0,00	M		0	0	2,53	2,39	-	-	-		26
		Trave 14-15		30	66	118.107,00	0,00	M		0	0	2,53	2,39	-	-	-		26
Nodo 150	1	Trave 25-26		30	56	62.927,00	0,00	M		0	0	1,14	1,14	-	-	-		36
	2	Trave 25-32		39	31	14.017,00	0,00	M		0	0	1,31	1,31	-	-	-		24
		Trave 14-25		39	31	34.856,00	-13.329,00	M		0	0	1,31	1,31	-	-	-		24
Nodo 151	1	Trave 14-15		30	66	55.292,00	-19.920,00	M		0	0	0,86	0,86	-	-	-		36
	2	Trave 14-25		39	31	14.355,00	-30.767,00	M		0	0	1,72	1,72	-	-	-		23
		Trave 1-14		39	31	13.226,00	0,00	M		0	0	1,72	1,72	-	-	-		23
Nodo 152	1	Trave 23-24		30	66	63.496,00	-9.841,00	M		0	0	1,73	1,73	-	-	-		26
		Trave 22-23		30	66	71.131,00	0,00	M		0	0	1,73	1,73	-	-	-		26
Nodo 153	1	Trave 26-27		30	56	41.133,00	0,00	M		0	0	1,13	0,98	-	-	-		26
		Trave 25-26		30	56	44.833,00	0,00	M		0	0	1,13	0,98	-	-	-		26
Nodo 157	1	Trave 24-31		30	36	6.428,00	0,00	M		0	0	0,27	0,27	-	-	-		24
		Trave 31-41		30	36	4.991,00	0,00	M		0	0	0,27	0,27	-	-	-		24
	2	Trave 2a-31		30	26	17.556,00	0,00	M		0	0	0,94	0,94	-	-	-		26
Nodo 158	1	Trave 30-1a		30	36	2.301,00	-6.625,00	M		0	0	0,83	0,83	-	-	-		26
		Trave 29-30		30	36	14.710,00	0,00	M		0	0	0,83	0,83	-	-	-		26
Nodo 159	1	Trave 29-30		30	36	13.883,00	0,00	M		0	0	0,82	0,82	-	-	-		26
		Trave 28-29		30	36	7.859,00	-7.276,00	M		0	0	0,82	0,82	-	-	-		26
Nodo 161	1	Trave 22-23		30	66	49.821,00	-2.662,00	M		0	0	2,01	2,01	-	-	-		26
		Trave 21-22		30	66	65.306,00	-44.058,00	M		0	0	2,01	2,01	-	-	-		26
Nodo 167	1	Trave 19-28		30	31	28.761,00	-10.149,00	M		13.410	13.410	3,86	0,90	-	-	-		26
		Trave 28-37		30	31	11.882,00	-24.949,00	M		13.410	13.410	3,86	0,90	-	-	-		26
Nodo 168	1	Trave 12-13		30	36	25.091,00	-8.996,00	M		0	0	2,55	2,55	-	-	-		26
		Trave 11-12		30	36	49.898,00	-40.900,00	M		0	0	2,55	2,55	-	-	-		26
Nodo 169	1	Trave 22-23		30	46	36.930,00	0,00	M		38.371	38.371	1,01	0,65	-	-	-		26
		Trave 21-22		30	46	16.624,00	-5.764,00	M		38.371	38.371	1,01	0,65	-	-	-		26
Nodo 170	1	Trave 21-22		30	46	17.534,00	-4.001,00	M		58.582	58.582	1,27	0,02	-	-	-		26
		Trave 20-21		30	46	25.637,00	0,00	M		58.582	58.582	1,27	0,02	-	-	-		26
Nodo 171	1	Trave 20-21		30	46	22.598,00	-3.190,00	M		47.583	47.583	1,52	0,12	-	-	-		26
		Trave 19-20		30	46	30.705,00	-11.561,00	M		47.583	47.583	1,52	0,12	-	-	-		26
Nodo 173	1	Trave 23-24		30	46	44.060,00	0,00	M		35.419	35.419	0,89	0,89	-	-	-		26
		Trave 22-23		30	46	40.462,00	0,00	M		35.419	35.419	0,89	0,89	-	-	-		26
Nodo 174	1	Trave 22-23		35	46	48.560,00	-27.137,00	M		121.610	121.610	2,41	0,28	-	-	-		26
		Trave 21-22		35	46	34.983,00	-33.896,00	M		121.610	121.610	2,41	0,28	-	-	-		26
Nodo 175	1	Trave 21-22		30	46	38.454,00	-27.452,00	M		73.092	73.092	2,38	0,36	-	-	-		26
		Trave 20-21		30	46	33.335,00	-21.972,00	M		73.092	73.092	2,38	0,36	-	-	-		26
Nodo 176	1	Trave 20-21		30	46	31.748,00	-21.722,00	M		76.158	76.158	3,23	0,63	-	-	-		26
		Trave 19-20		30	46	47.262,00	-46.840,00	M		76.158	76.158	3,23	0,63	-	-	-		26
Nodo 178	1	Trave 23-24		35	46	46.409,00	-30.383,00	M		220.346	0	2,10	0,00	-	-	-		36
		Trave 22-23		35	46	55.690,00	-26.461,00	M		220.346	0	2,10	0,00	-	-	-		36
Nodo 181	1	Trave 9-10		30	36	41.408,00	-48.157,00	M		0	0	3,33	3,33	-	-	-		26
		Trave 8-9		30	36	37.886,00	-28.179,00	M		0	0	3,33	3,33	-	-	-		26
Nodo 182	1	Trave 8-9		30	36	38.922,00	-23.135,00	M		0	0	3,37	3,37	-	-	-		26
		Trave 8-P6		30	36	47.791,00	-48.142,00	M		0	0	3,37	3,37	-	-	-		26
Nodo 190	1	Trave 40-P15		30	106	38.310,00	-38.272,00	M		0	0	1,36	1,36	-	-	-		26

Id_{Nd}		Pos	Stato	$Id_{Pil,sup}$			σ_{cR}	σ_{tR}		f_{yk}	f_{fk}		$N_{d,max}$	$A_{S,st}$		CS		Rf
																η	ξ	
							[N/mm²]	[N/mm²]		[N/mm²]	[N/mm²]		[N]					
		Trave 39-40		30	106	55.647,00	-63.778,00		M	0	0	1,36	1,36	-	-	-		26
Nodo 195	1	Trave 28-29		30	26	17.085,00	-22.799,00		M	25.401	0	2,91	0,00	-	-	-		26
Nodo 196	1	Trave 9e-37		45	56	79.080,00	-127.376,00		M	222.883	222.883	2,92	0,02	-	-	-		26

LEGENDA:

Dir Direzione di verifica.
ID_{tr} Identificativo delle travi che definiscono la direzione.
b_j Larghezza effettiva del nodo relativo alla trave esaminata.
h_{jw} Distanza tra le armature superiori ed inferiori della trave.
A_{sup}/M^+ Se Or. V_{id}= A -> Armatura superiore a flessione; se Or. V_{id}= M -> Massimo momento di calcolo nella sezione della trave a contatto con il nodo.
A_i/M^- Se Or. V_{id}= A -> Armatura inferiore a flessione; se Or. V_{id}= M -> Minimo momento di calcolo nella sezione della trave a contatto con il nodo.
Or_{vjd} Origine del taglio nel nodo per la direzione considerata: [A] = taglio derivante dalle armature delle travi concorrenti nel nodo; [M] = taglio derivante dai momenti agenti agli estremi delle travi concorrenti nel nodo.
V_{isr} Forza orizzontale resistente del rinforzo e delle staffe; [-] = rinforzo non presente.
h_{jc} Distanza, tra le giaciture più esterne delle armature del pilastro, nella direzione in esame.
ID_{rf} Identificativo dell'intervento
Pos Posizione del nodo: [I] = interno; [E] = esterno
C/NC Identificativo dello stato del nodo ([NC] = Non Confinato; [C] = Confinato).
$Id_{pil,sup}$ Identificativo del pilastro al di sopra del nodo.
σ_{cR} Resistenza di calcolo a compressione del calcestruzzo per la verifica del nodo.
σ_{tR} Resistenza di calcolo a trazione del calcestruzzo per la verifica del nodo.
f_{yk} Resistenza caratteristica allo snervamento delle staffe nel nodo.
f_{fk} Resistenza caratteristica ultima del rinforzo in FRP; [-] = rinforzo non presente.
$N_{Ed.max}$ Sforzo normale massimo nel pilastro al di sopra del nodo.
A_{sw} Staffe nel nodo (numero di staffe/diametro in mm/passo in cm/numero di bracci; [-] = assenza di staffe nel nodo).
CS Coefficiente di sicurezza: [η] = a compressione; [ξ] = a trazione; [f] = relativo al rinforzo e alle staffe ([NS] = Non Significativo per valori di CS >= 100).
R_f [SI] = nodo con presenza di rinforzo; [NO] = nodo senza rinforzo.
V_c Tagli nel pilastro al di sopra del nodo impiegato per la verifica: [η] = tensione principale di compressione; [ξ] = tensione principale di trazione
σ Tensioni principali di progetto: [η] = compressione; [ξ] = trazione; [-] = rinforzo presente.
V_{jsd} Forze orizzontali di progetto del rinforzo e delle staffe superiori e inferiori; [-] = rinforzo non presente.

TRAVI (CA) - VERIFICHE PRESSOFLESSIONE RETTA ALLO SLU (Elevazione)

Id_{Tr}	$\%L_{LI}$	$N_{Ed,s}$	$M_{Ed,3,s}$	$N_{Ed,i}$	$M_{Ed,3,i}$	$A_{s,s}$	$A_{s,i}$	CS_s	CS_i	R_f
	[%]	[N]	[N·m]	[N]	[N·m]	[cm²]	[cm²]			
Estradosso travi colmo						**Travata: Trave28-29-30-1a-2a-31**				
Trave 1a-2a	0%	83.395	142.923	-	-	5,62	4,62	0,34	-	NO
	25%	-	-	83.395	44.288	4,62	4,62	-	0,94	NO
	50%	-	-	83.395	139.984	4,62	4,62	-	0,30	NO
	75%	-	-	83.395	171.780	4,62	4,62	-	0,24	NO
	100%	-	-	83.395	156.302	4,62	4,62	-	0,27	NO
Trave 2a-31	0%	-	-	83.395	150.377	4,62	4,62	-	0,28	NO
	25%	-	-	83.395	106.504	4,62	4,62	-	0,39	NO
	50%	83.395	17.963	83.395	24.763	4,62	4,62	2,33	1,69	NO
	75%	83.395	141.501	-	-	4,62	4,62	0,30	-	NO
	100%	83.395	260.252	-	-	4,62	4,62	0,16	-	NO
Estradosso travi colmo						**Travata: Trave2-15**				
Trave 2-15	0%	7.821	7.229	-13.110	372	3,08	3,08	1,83	31,80	NO
	25%	6.590	143	-13.890	2.788	3,08	3,08	91,84	4,22	NO
	50%	-	-	5.494	2.951	3,08	3,08	-	4,43	NO
	75%	-15.454	1.220	4.390	1.567	3,08	3,08	9,57	8,29	NO
	100%	-16.217	7.486	-	-	3,08	3,08	1,55	-	NO
Estradosso travi colmo						**Travata: Trave3-16-27-34**				
Trave 3-16	0%	21.559	7.621	-	-	4,62	4,62	2,64	-	NO
	25%	2.914	769	2.883	490	4,62	4,62	24,54	38,51	NO
	50%	-	-	19.233	2.933	4,62	4,62	-	6,81	NO
	75%	-	-	19.082	1.748	4,62	4,62	-	11,41	NO
	100%	16.955	3.940	-	-	9,24	4,62	9,21	-	NO
Estradosso travi colmo						**Travata: Trave4-17**				
Trave 4-17	0%	5.629	6.919	-	-	3,08	3,08	1,89	-	NO
	25%	13.062	149	-20.480	2.330	3,08	3,08	91,01	4,87	NO
	50%	-	-	3.302	2.961	3,08	3,08	-	4,36	NO
	75%	-22.044	456	2.197	1.434	3,08	3,08	24,64	8,96	NO
	100%	-22.807	6.124	-	-	3,08	3,08	1,83	-	NO
Estradosso travi colmo						**Travata: Trave5-18**				
Trave 5-18	0%	7.917	6.698	-	-	3,08	3,08	1,97	-	NO
	25%	6.154	113	-4.638	1.516	3,08	3,08	NS	8,17	NO
	50%	-	-	5.590	2.943	3,08	3,08	-	4,44	NO
	75%	-6.202	336	4.485	1.304	3,08	3,08	36,57	9,96	NO
	100%	-6.965	5.546	-	-	3,08	3,08	2,21	-	NO
Fondazione						**Travata: Trave12f-6**				
Trave 12f-6	0%	50.815	89.320	-13.401	88.789	8,04	8,04	1,52	1,34	NO
	25%	50.815	62.890	-13.401	72.112	8,04	8,04	2,16	1,65	NO
	50%	-13.401	29.414	50.815	46.115	8,04	8,04	4,04	2,95	NO
	75%	-13.401	88.624	50.815	85.820	8,04	8,04	1,34	1,58	NO
	100%	-13.401	116.730	50.815	100.822	8,04	8,04	1,02	1,35	NO
Fondazione						**Travata: Trave14f-8-9-15f**				
Trave 14f-8	0%	12.251	21.715	-62.132	75.841	4,02	4,02	1,42	0,29	NO
	25%	12.251	21.715	-62.132	75.841	4,02	4,02	1,42	0,29	NO
	50%	-62.132	35.891	-62.132	47.500	4,02	4,02	0,61	0,46	NO
	75%	-62.132	64.990	-62.132	12.492	4,02	4,02	0,34	1,77	NO
	100%	-62.132	64.990	85.085	20.907	4,02	4,02	0,34	1,88	NO

Id_{Tr}	$\%L_{LI}$	$N_{Ed,s}$	$M_{Ed,3,s}$	$N_{Ed,i}$	$M_{Ed,3,i}$	$A_{s,s}$	$A_{s,i}$	CS_s	CS_i	R_f
	[%]	[N]	[N·m]	[N]	[N·m]	[cm²]	[cm²]			
Trave 8-9	0%	49.981	8.076	-	-	4,02	4,02	4,36	-	NO
	25%	49.981	2.678	-515	3.313	4,02	4,02	13,15	8,84	NO
	50%	-	-	-515	4.726	4,02	4,02	-	6,20	NO
	75%	-1.152	4.893	-515	4.007	4,02	4,02	5,97	7,31	NO
	100%	-1.152	10.327	49.981	1.346	4,02	4,02	2,83	26,16	NO
Trave 9-15f	0%	9.069	27.946	44.638	6.961	4,02	4,02	1,09	4,97	NO
	25%	9.069	16.331	44.638	6.806	4,02	4,02	1,86	5,08	NO
	50%	-	-	9.069	10.754	4,02	4,02	-	2,83	NO
	75%	3.230	6.527	9.069	22.228	4,02	4,02	4,56	1,37	NO
	100%	3.230	12.733	9.069	27.913	4,02	4,02	2,34	1,09	NO
Fondazione						**Travata: Trave16f-12-17f**				
Trave 16f-12	0%	40.354	13.835	44.095	32.170	4,02	4,02	2,46	1,07	NO
	25%	40.354	7.707	44.095	25.752	4,02	4,02	4,42	1,34	NO
	50%	48.180	160	44.095	13.104	4,02	4,02	NS	2,63	NO
	75%	44.095	16.049	48.180	6.507	4,02	4,02	2,15	5,38	NO
	100%	44.095	28.424	48.180	6.759	4,02	4,02	1,21	5,18	NO
Trave 12-17f	0%	1.113	21.241	81.639	14.812	4,02	4,02	1,39	2,63	NO
	25%	1.113	21.241	1.113	23.626	4,02	4,02	1,39	1,25	NO
	50%	81.639	37.508	1.113	36.052	4,02	4,02	1,04	0,82	NO
	62,5%	81.639	37.508	1.113	36.052	4,02	4,02	1,04	0,82	NO
	87,5%	81.639	37.508	1.113	36.052	4,02	4,02	1,04	0,82	NO
Fondazione						**Travata: Trave14-15-16-17-18-19-20-21-22-23-24**				
Trave 14-15	0%	-16.553	14.377	-	-	4,02	4,02	2,20	-	NO
	25%	-16.553	1.873	-17.433	2.678	4,02	4,02	16,90	11,77	NO
	50%	-	-	-16.553	5.845	4,02	4,02	-	5,42	NO
	75%	-17.433	641	-16.553	3.758	4,02	4,02	49,19	8,42	NO
	100%	-11.412	10.612	-	-	4,02	4,02	3,05	-	NO
Trave 15-16	0%	-5.586	10.884	-	-	4,02	4,02	3,05	-	NO
	25%	18.846	883	-5.586	2.842	4,02	4,02	41,51	11,68	NO
	50%	-	-	-5.586	5.500	4,02	4,02	-	6,04	NO
	75%	-24.735	982	-5.586	2.909	4,02	4,02	31,06	11,41	NO
	100%	-5.586	10.720	-	-	4,02	4,02	3,10	-	NO
Trave 16-17	0%	-8.433	10.739	-	-	4,02	4,02	3,05	-	NO
	25%	13.931	1.178	-18.909	2.598	4,02	4,02	30,53	12,06	NO
	50%	-	-	-8.433	5.191	4,02	4,02	-	6,32	NO
	75%	-18.909	1.177	-8.433	2.750	4,02	4,02	26,62	11,93	NO
	100%	-8.405	10.369	-	-	4,02	4,02	3,16	-	NO
Trave 17-18	0%	-1.774	10.320	-	-	4,02	4,02	3,27	-	NO
	25%	-15.059	1.240	-1.808	2.762	4,02	4,02	25,70	12,22	NO
	50%	-	-	-1.774	5.224	4,02	4,02	-	6,46	NO
	75%	2.565	1.195	-15.059	2.668	4,02	4,02	28,75	11,94	NO
	100%	-1.808	10.441	-	-	4,02	4,02	3,23	-	NO
Trave 18-19	0%	-60.092	15.906	77.459	125	4,02	4,02	1,60	NS	NO
	25%	-60.092	3.600	-1.445	4.252	4,02	4,02	7,08	7,95	NO
	50%	-	-	-60.092	7.941	4,02	4,02	-	3,21	NO
	75%	77.459	8.358	-60.092	9.105	4,02	4,02	5,37	2,80	NO
	100%	29.308	18.307	-60.092	5.883	4,02	4,02	2,08	4,33	NO
Trave 19-20	0%	-18.813	54.952	-24.290	73.761	4,02	4,02	0,59	0,43	NO
	25%	-18.813	50.068	-24.290	65.182	4,02	4,02	0,65	0,48	NO
	50%	-24.290	29.917	-56.789	31.425	4,02	4,02	1,05	0,86	NO
	75%	-24.290	68.514	29.865	24.938	4,02	4,02	0,46	1,57	NO
	100%	-24.290	77.617	29.865	30.333	4,02	4,02	0,41	1,29	NO
Trave 20-21	0%	8.486	7.770	-	-	4,02	4,02	4,66	-	NO
	25%	8.486	2.383	-37.638	1.826	4,02	4,02	15,19	16,23	NO
	50%	-	-	1.688	3.030	4,02	4,02	-	11,63	NO
	75%	-37.638	2.444	1.688	2.915	4,02	4,02	12,12	12,09	NO
	100%	-37.638	6.876	27.267	453	4,02	4,02	4,31	85,80	NO
Trave 21-22	0%	13.612	8.861	-40.451	298	4,02	4,02	4,17	98,09	NO
	25%	13.612	6.938	-40.451	314	4,02	4,02	5,32	93,10	NO
	50%	32.517	1.843	13.612	4.454	4,02	4,02	21,49	8,29	NO
	75%	-40.451	2.548	13.612	7.628	4,02	4,02	11,47	4,84	NO
	100%	-40.451	3.234	13.612	8.431	4,02	4,02	9,04	4,38	NO
Trave 22-23	0%	-22.060	22.910	-	-	8,04	8,04	4,17	-	NO
	25%	-209	6.369	-24.951	7.495	8,04	8,04	15,75	12,67	NO
	50%	-	-	-16.082	10.010	8,04	8,04	-	9,68	NO
	75%	-24.951	5.340	-22.060	7.782	8,04	8,04	17,78	12,28	NO
	100%	-24.951	19.954	-	-	8,04	8,04	4,76	-	NO
Trave 23-24	0%	-67.440	52.170	54.969	37.629	8,04	8,04	1,64	2,98	NO
	25%	-67.440	20.750	54.969	24.615	8,04	8,04	4,14	4,56	NO
	50%	54.969	27.125	-67.440	32.402	8,04	8,04	4,13	2,65	NO
	75%	54.969	73.672	-67.440	50.442	8,04	8,04	1,52	1,70	NO
	100%	54.969	112.196	-67.440	56.352	8,04	8,04	1,00	1,52	NO
Fondazione						**Travata: Trave28-29-21f-30**				
Trave 28-29	0%	-3.563	2.371	-3.563	1.257	8,04	4,02	22,67	22,25	NO
	25%	-3.563	1.879	-3.563	1.149	8,04	4,02	28,60	24,34	NO
	50%	-3.563	880	-3.563	588	8,04	4,02	61,07	47,57	NO
	75%	-701	2.343	-701	199	8,04	4,02	23,07	NS	NO
	100%	-701	3.030	-701	193	8,04	4,02	17,84	NS	NO
Fondazione						**Travata: Trave36f-37-23f**				
Trave 36f-37	0%	45.995	49.658	-37.340	54.015	8,04	4,02	2,71	0,98	NO
	25%	45.995	35.726	-37.340	48.552	8,04	4,02	3,77	1,09	NO
	50%	82.859	11.257	-37.340	30.071	8,04	4,02	12,82	1,76	NO
	75%	-37.340	37.054	82.859	17.081	8,04	4,02	3,04	4,97	NO
	100%	-37.340	55.985	82.859	18.188	8,04	4,02	2,01	4,67	NO
Trave 23f-37	0%	-1.124	27.015	-376	31.001	8,04	4,02	3,28	1,48	NO

Id_{Tr}	$\%L_{LI}$	$N_{Ed,s}$	$M_{Ed,3,s}$	$N_{Ed,i}$	$M_{Ed,3,i}$	$A_{s,s}$	$A_{s,i}$	CS_s	CS_i	R_f
	[%]	[N]	[N·m]	[N]	[N·m]	[cm²]	[cm²]			
	25%	37.511	12.016	-376	29.981	8,04	4,02	7,97	1,53	NO
	50%	-	-	-376	19.920	8,04	4,02	-	2,30	NO
	75%	-376	22.128	-1.124	9.627	8,04	4,02	4,01	4,75	NO
	100%	-376	45.187	37.511	1.738	8,04	4,02	1,96	30,57	NO
Fondazione						**Travata: Trave24f-40-25f**				
Trave 24f-40	0%	-5.763	27.419	-	-	4,02	4,02	1,01	-	NO
	25%	13.278	1.464	4.679	8.898	4,02	4,02	20,43	3,25	NO
	50%	-	-	-5.763	13.186	4,02	4,02	-	2,10	NO
	75%	4.679	2.898	-5.763	7.134	4,02	4,02	9,98	3,88	NO
	100%	4.679	25.419	-	-	4,02	4,02	1,14	-	NO
Trave 40-25f	0%	-29.904	11.327	12.244	6.303	4,02	4,02	2,20	4,73	NO
	25%	-29.904	6.698	12.244	6.010	4,02	4,02	3,72	4,96	NO
	50%	27.452	2.153	-29.904	4.468	4,02	4,02	14,65	5,57	NO
	75%	12.244	9.321	-29.904	7.261	4,02	4,02	3,20	3,43	NO
	100%	12.244	14.806	-29.904	7.897	4,02	4,02	2,01	3,15	NO
Fondazione						**Travata: Trave8f-9f**				
Trave 8f-9f	0%	32.404	100.868	9.689	92.815	8,04	8,04	1,30	1,35	NO
	25%	32.404	78.152	9.689	78.843	8,04	8,04	1,68	1,59	NO
	50%	9.689	25.281	32.404	45.485	8,04	8,04	4,95	2,88	NO
	75%	9.689	80.679	32.404	90.467	8,04	8,04	1,55	1,45	NO
	100%	9.689	102.379	32.404	105.455	8,04	8,04	1,22	1,24	NO
Fondazione						**Travata: Trave4f-5f**				
Trave 4f-5f	0%	40.879	90.954	12.191	92.018	8,04	8,04	1,47	1,37	NO
	25%	40.879	66.098	12.191	77.397	8,04	8,04	2,02	1,62	NO
	50%	12.191	21.465	40.879	43.906	8,04	8,04	5,86	3,04	NO
	75%	12.191	79.002	40.879	82.310	8,04	8,04	1,59	1,62	NO
	100%	12.191	104.893	40.879	95.896	8,04	8,04	1,20	1,39	NO
Fondazione						**Travata: Trave6f-7f**				
Trave 6f-7f	0%	32.742	102.712	9.911	91.952	8,04	8,04	1,28	1,36	NO
	25%	32.742	79.639	9.911	78.150	8,04	8,04	1,65	1,60	NO
	50%	9.911	24.918	32.742	46.208	8,04	8,04	5,02	2,84	NO
	75%	9.911	79.849	32.742	92.164	8,04	8,04	1,57	1,42	NO
	100%	9.911	101.379	32.742	107.509	8,04	8,04	1,23	1,22	NO
Fondazione						**Travata: Trave32f-33f**				
Trave 32f-33f	0%	33.385	104.537	9.368	92.635	8,04	8,04	1,26	1,35	NO
	25%	33.385	80.779	9.368	78.992	8,04	8,04	1,63	1,58	NO
	50%	9.368	25.325	33.385	47.084	8,04	8,04	4,93	2,79	NO
	75%	9.368	82.033	33.385	92.703	8,04	8,04	1,52	1,42	NO
	100%	9.368	104.398	33.385	107.738	8,04	8,04	1,20	1,22	NO
Fondazione						**Travata: Trave10f-11f**				
Trave 10f-11f	0%	34.472	101.612	8.842	94.281	8,04	8,04	1,30	1,32	NO
	25%	34.472	78.643	8.842	79.993	8,04	8,04	1,67	1,56	NO
	50%	8.842	26.092	34.472	46.564	8,04	8,04	4,78	2,83	NO
	75%	8.842	82.353	34.472	92.238	8,04	8,04	1,52	1,43	NO
	100%	8.842	104.369	34.472	107.479	8,04	8,04	1,20	1,22	NO
Fondazione						**Travata: Trave34f-35f**				
Trave 34f-35f	0%	33.760	107.384	8.394	95.402	8,04	8,04	1,22	1,31	NO
	25%	33.760	83.085	8.394	81.198	8,04	8,04	1,58	1,54	NO
	50%	8.394	26.600	33.760	48.140	8,04	8,04	4,69	2,73	NO
	75%	8.394	84.843	33.760	95.241	8,04	8,04	1,47	1,38	NO
	100%	8.394	107.769	33.760	110.818	8,04	8,04	1,16	1,19	NO
Fondazione						**Travata: Trave28f-29f**				
Trave 28f-29f	0%	40.311	88.169	12.519	94.512	8,04	8,04	1,51	1,33	NO
	25%	40.311	63.922	12.519	79.399	8,04	8,04	2,08	1,58	NO
	50%	12.519	22.068	40.311	42.860	8,04	8,04	5,70	3,11	NO
	75%	12.519	80.801	40.311	79.784	8,04	8,04	1,56	1,67	NO
	100%	12.519	107.184	40.311	92.761	8,04	8,04	1,17	1,44	NO
Fondazione						**Travata: Trave30f-31f**				
Trave 30f-31f	0%	32.945	104.190	10.432	90.997	8,04	8,04	1,26	1,38	NO
	25%	32.945	80.521	10.432	77.713	8,04	8,04	1,63	1,61	NO
	50%	10.432	24.373	32.945	46.795	8,04	8,04	5,14	2,80	NO
	75%	10.432	80.098	32.945	92.172	8,04	8,04	1,56	1,42	NO
	100%	10.432	102.104	32.945	107.119	8,04	8,04	1,23	1,22	NO
Fondazione						**Travata: TraveP8-14-25-P9**				
Trave P8-14	0%	28.420	62.451	-10.697	286.372	12,06	12,06	3,04	0,63	NO
	25%	28.420	52.680	-10.697	257.773	12,06	12,06	3,60	0,70	NO
	50%	-10.697	36.935	-10.697	144.009	12,06	12,06	4,86	1,25	NO
	75%	-10.697	168.244	28.420	31.095	12,06	12,06	1,07	6,11	NO
	100%	-10.697	203.773	28.420	33.936	12,06	12,06	0,88	5,59	NO
Trave 14-25	0%	4.563	20.634	1.104	8.529	12,06	12,06	8,90	21,41	NO
	25%	4.563	14.338	1.104	14.498	12,06	12,06	12,80	12,60	NO
	50%	4.563	3.160	1.104	14.201	12,06	12,06	58,09	12,86	NO
	75%	442	5.952	1.104	12.459	12,06	12,06	30,66	14,66	NO
	100%	442	11.405	59.958	4.649	12,06	12,06	16,00	42,63	NO
Trave 25-P9	0%	-44.296	108.300	70.775	98.807	12,06	12,06	1,58	2,03	NO
	25%	-44.296	108.300	-44.296	169.390	12,06	12,06	1,58	1,01	NO
	50%	70.775	166.689	-44.296	244.682	12,06	12,06	1,21	0,70	NO
	75%	70.775	166.689	-44.296	244.682	12,06	12,06	1,21	0,70	NO
	100%	70.775	166.689	-44.296	244.682	12,06	12,06	1,21	0,70	NO
Fondazione						**Travata: Trave13-19f**				
Trave 13-19f	0%	-2.737	76.616	125.981	62.852	8,04	8,04	1,30	2,03	NO
	25%	-2.737	41.996	125.981	58.704	8,04	8,04	2,38	2,17	NO
	50%	-2.737	802	125.981	39.213	8,04	8,04	NS	3,25	NO
	75%	125.981	31.548	-2.737	32.957	8,04	8,04	4,04	3,03	NO
	100%	125.981	69.759	-2.737	33.994	8,04	8,04	1,83	2,93	NO
Fondazione						**Travata: Trave16-27-34**				

Travi (CA) - Verifiche pressoflessione retta allo SLU

Id_{Tr}	$\%L_{LI}$	$N_{Ed,s}$	$M_{Ed,3,s}$	$N_{Ed,i}$	$M_{Ed,3,i}$	$A_{s,s}$	$A_{s,i}$	CS_s	CS_i	R_f
	[%]	[N]	[N·m]	[N]	[N·m]	[cm^2]	[cm^2]			
Trave 16-27	0%	6.278	2.546	622	8	4,02	4,02	11,43	NS	NO
	25%	6.278	453	807	1.664	4,02	4,02	64,23	17,10	NO
	50%	-	-	807	1.739	4,02	4,02	-	16,37	NO
	75%	807	1.544	-507	758	4,02	4,02	18,43	37,34	NO
	100%	807	4.838	-	-	4,02	4,02	5,88	-	NO
Trave 27-34	0%	24.081	10.377	-62.675	11.045	4,02	4,02	3,00	1,91	NO
	25%	24.081	3.127	-62.675	6.498	4,02	4,02	9,96	3,24	NO
	50%	-62.675	6.719	24.081	5.804	4,02	4,02	3,14	5,37	NO
	75%	-62.675	19.366	24.081	8.403	4,02	4,02	1,09	3,71	NO
	100%	-62.675	31.137	24.081	8.600	4,02	4,02	0,68	3,62	NO
Fondazione						**Travata: Trave22f-41**				
Trave 22f-41	0%	12.522	12.353	-102.366	22.886	4,02	4,02	2,41	0,72	NO
	25%	81.706	5.031	-102.366	17.516	4,02	4,02	7,51	0,94	NO
	50%	-102.366	4.530	-102.366	5.222	4,02	4,02	3,63	3,15	NO
	75%	-102.366	25.556	81.706	8.467	4,02	4,02	0,64	4,46	NO
	100%	-102.366	43.754	81.706	6.788	4,02	4,02	0,38	5,57	NO

LEGENDA:

Id_{Tr} Identificativo della trave. L'eventuale lettera tra parentesi distingue i diversi tratti della travata al livello considerato.
$\%L_{LI}$ Posizione della sezione per la quale vengono forniti i valori di verifica, valutata come % della lunghezza libera d'inflessione (L_{LI}), a partire dall'estremo iniziale.
R_f [SI] = nodo con presenza di rinforzo; [NO] = nodo senza rinforzo.
$N_{Ed,s}$, $M_{Ed,3,s}$ Sollecitazioni di progetto per armatura superiore.
$N_{Ed,i}$, $M_{Ed,3,i}$ Sollecitazioni di progetto per armatura inferiore.
$A_{s,s}$, $A_{s,i}$ Armatura a flessione superiore e inferiore.
CS_{sup}, CS_{inf} Coefficiente di sicurezza relativo alle sollecitazioni che tendono le fibre superiori e inferiori ([NS] = Non Significativo per valori di CS >= 100; [VNR]= Verifica Non Richiesta).

TRAVI (CA) - VERIFICHE A TAGLIO PER PRESSOFLESSIONE RETTA ALLO SLU (Elevazione)

Travi (CA) - Verifiche a taglio per pressoflessione retta allo SLU

Id_{Tr}	$\%L_{LI}$	+/-	$V_{Ed,2}$	CS	V_{Rcd}	$V_{Rsd,s}$	N_{Ed}	$V_{Rsd,p}$	V_{R1}	V_{fd}	Ctg Θ	A_{sw}	$A_{sw,p}$	$A_{s,Dg}$	R_f
	[%]		[N]		[N]	[N]	[N]	[N]	[N]	[N]		[cm^2/cm]	[cm^2]	[cm^2]	
Estradosso travi colmo									**Travata: Trave28-29-30-1a-2a-31**						
Trave 1a-2a	0%	+	116.470	0,50	109.274	58.619	46.235	0	171.912	0	2,50	0,0402	0,0000	0,0000	NO
		-	-	-	109.274	58.619	46.235	0	171.912	0	2,50	0,0402	0,0000	0,0000	NO
	25%	+	86.055	0,68	109.274	58.619	46.235	0	0	0	2,50	0,0402	0,0000	0,0000	NO
		-	-	-	109.274	58.619	46.235	0	0	0	2,50	0,0402	0,0000	0,0000	NO
	50%	+	48.325	1,21	109.274	58.619	46.235	0	0	0	2,50	0,0402	0,0000	0,0000	NO
		-	-	-	109.274	58.619	46.235	0	0	0	2,50	0,0402	0,0000	0,0000	NO
	75%	+	10.584	5,54	109.274	58.619	46.235	0	0	0	2,50	0,0402	0,0000	0,0000	NO
		-	-272	NS	109.274	58.619	46.235	0	0	0	2,50	0,0402	0,0000	0,0000	NO
	100%	+	-	-	109.274	58.619	46.235	0	171.912	0	2,50	0,0402	0,0000	0,0000	NO
		-	-25.531	2,30	109.274	58.619	46.235	0	171.912	0	2,50	0,0402	0,0000	0,0000	NO
Trave 2a-31	0%	+	-	-	109.274	58.619	46.235	0	171.912	0	2,50	0,0402	0,0000	0,0000	NO
		-	-43.255	1,36	109.274	58.619	46.235	0	171.912	0	2,50	0,0402	0,0000	0,0000	NO
	25%	+	-	-	109.274	58.619	46.235	0	0	0	2,50	0,0402	0,0000	0,0000	NO
		-	-68.898	0,85	109.274	58.619	46.235	0	0	0	2,50	0,0402	0,0000	0,0000	NO
	50%	+	-	-	109.274	58.619	46.235	0	0	0	2,50	0,0402	0,0000	0,0000	NO
		-	-94.542	0,62	109.274	58.619	46.235	0	0	0	2,50	0,0402	0,0000	0,0000	NO
	75%	+	-	-	109.274	58.619	46.235	0	0	0	2,50	0,0402	0,0000	0,0000	NO
		-	-120.183	0,49	109.274	58.619	46.235	0	0	0	2,50	0,0402	0,0000	0,0000	NO
	100%	+	-	-	109.274	58.619	46.235	0	171.912	0	2,50	0,0402	0,0000	0,0000	NO
		-	-140.491	0,42	109.274	58.619	46.235	0	171.912	0	2,50	0,0402	0,0000	0,0000	NO
Estradosso travi colmo									**Travata: Trave2-15**						
Trave 2-15	0%	+	5.714	6,36	43.831	36.348	4.840	0	71.066	0	2,50	0,0402	0,0000	0,0000	NO
		-	-	-	43.831	36.348	4.840	0	71.066	0	2,50	0,0402	0,0000	0,0000	NO
	25%	+	3.132	11,61	43.768	36.348	4.100	0	0	0	2,50	0,0402	0,0000	0,0000	NO
		-	-	-	43.768	36.348	4.100	0	0	0	2,50	0,0402	0,0000	0,0000	NO
	50%	+	515	70,58	43.705	36.348	3.358	0	0	0	2,50	0,0402	0,0000	0,0000	NO
		-	-	-	43.705	36.348	3.358	0	0	0	2,50	0,0402	0,0000	0,0000	NO
	75%	+	-	-	43.642	36.348	2.616	0	0	0	2,50	0,0402	0,0000	0,0000	NO
		-	-2.239	16,23	43.642	36.348	2.616	0	0	0	2,50	0,0402	0,0000	0,0000	NO
	100%	+	-	-	43.580	36.348	1.891	0	71.066	0	2,50	0,0402	0,0000	0,0000	NO
		-	-4.822	7,54	43.580	36.348	1.891	0	71.066	0	2,50	0,0402	0,0000	0,0000	NO
Estradosso travi colmo									**Travata: Trave3-16-27-34**						
Trave 3-16	0%	+	5.825	4,44	45.075	25.867	13.086	0	71.927	0	2,50	0,0283	0,0000	0,0000	NO
		-	-	-	45.075	25.867	13.086	0	71.927	0	2,50	0,0283	0,0000	0,0000	NO
	25%	+	3.244	7,97	45.011	25.867	12.346	0	0	0	2,50	0,0283	0,0000	0,0000	NO
		-	-	-	45.011	25.867	12.346	0	0	0	2,50	0,0283	0,0000	0,0000	NO
	50%	+	638	40,54	44.947	25.867	11.604	0	0	0	2,50	0,0283	0,0000	0,0000	NO
		-	-	-	44.947	25.867	11.604	0	0	0	2,50	0,0283	0,0000	0,0000	NO
	75%	+	-	-	44.883	25.867	10.862	0	0	0	2,50	0,0283	0,0000	0,0000	NO
		-	-2.127	12,16	44.883	25.867	10.862	0	0	0	2,50	0,0283	0,0000	0,0000	NO
	100%	+	-	-	44.820	25.867	10.137	0	71.927	0	2,50	0,0283	0,0000	0,0000	NO
		-	-4.710	5,49	44.820	25.867	10.137	0	71.927	0	2,50	0,0283	0,0000	0,0000	NO
Estradosso travi colmo									**Travata: Trave4-17**						
Trave 4-17	0%	+	5.623	6,46	43.720	36.348	3.538	0	71.066	0	2,50	0,0402	0,0000	0,0000	NO
		-	-	-	43.720	36.348	3.538	0	71.066	0	2,50	0,0402	0,0000	0,0000	NO
	25%	+	3.041	11,95	43.657	36.348	2.798	0	0	0	2,50	0,0402	0,0000	0,0000	NO
		-	-	-	43.657	36.348	2.798	0	0	0	2,50	0,0402	0,0000	0,0000	NO

Id_{Tr}	$\%L_{LI}$	+/-	$V_{Ed,2}$	CS	V_{Rcd}	$V_{Rsd,s}$	N_{Ed}	$V_{Rsd,p}$	V_{R1}	V_{fd}	Ctg Θ	A_{sw}	$A_{sw,p}$	$A_{s,Dg}$	R_f
	[%]		[N]		[N]	[N]	[N]	[N]	[N]	[N]		[cm²/cm]	[cm²]	[cm²]	
	50%	+	420	86,54	43.594	36.348	2.056	0	0	0	2,50	0,0402	0,0000	0,0000	NO
		-	-	-	43.594	36.348	2.056	0	0	0	2,50	0,0402	0,0000	0,0000	NO
	75%	+	-	-	43.531	36.348	1.314	0	0	0	2,50	0,0402	0,0000	0,0000	NO
		-	-2.330	15,60	43.531	36.348	1.314	0	0	0	2,50	0,0402	0,0000	0,0000	NO
	100%	+	-	-	43.460	36.348	483	0	71.066	0	2,50	0,0402	0,0000	0,0000	NO
		-	-4.913	7,40	43.460	36.348	483	0	71.066	0	2,50	0,0402	0,0000	0,0000	NO
Estradosso travi colmo									**Travata: Trave5-18**						
Trave 5-18	0%	+	5.550	6,55	43.828	36.348	4.795	0	71.066	0	2,50	0,0402	0,0000	0,0000	NO
		-	-	-	43.828	36.348	4.795	0	71.066	0	2,50	0,0402	0,0000	0,0000	NO
	25%	+	2.972	12,23	43.765	36.348	4.055	0	0	0	2,50	0,0402	0,0000	0,0000	NO
		-	-	-	43.765	36.348	4.055	0	0	0	2,50	0,0402	0,0000	0,0000	NO
	50%	+	343	NS	43.701	36.348	3.313	0	0	0	2,50	0,0402	0,0000	0,0000	NO
		-	-	-	43.701	36.348	3.313	0	0	0	2,50	0,0402	0,0000	0,0000	NO
	75%	+	-	-	43.638	36.348	2.571	0	0	0	2,50	0,0402	0,0000	0,0000	NO
		-	-2.401	15,14	43.638	36.348	2.571	0	0	0	2,50	0,0402	0,0000	0,0000	NO
	100%	+	-	-	43.576	36.348	1.846	0	71.066	0	2,50	0,0402	0,0000	0,0000	NO
		-	-4.983	7,29	43.576	36.348	1.846	0	71.066	0	2,50	0,0402	0,0000	0,0000	NO
Fondazione									**Travata: Trave12f-6**						
Trave 12f-6	0%	+	21.112	7,36	333.927	155.306	0	0	546.561	0	2,50	0,0503	0,0000	0,0000	NO
		-	-	-	333.927	155.306	0	0	546.561	0	2,50	0,0503	0,0000	0,0000	NO
	25%	+	16.479	9,42	333.927	155.306	0	0	0	0	2,50	0,0503	0,0000	0,0000	NO
		-	-	-	333.927	155.306	0	0	0	0	2,50	0,0503	0,0000	0,0000	NO
	50%	+	5.847	26,56	333.927	155.306	0	0	0	0	2,50	0,0503	0,0000	0,0000	NO
		-	-6.859	22,64	333.927	155.306	0	0	0	0	2,50	0,0503	0,0000	0,0000	NO
	75%	+	-	-	333.927	155.306	0	0	0	0	2,50	0,0503	0,0000	0,0000	NO
		-	-17.492	8,88	333.927	155.306	0	0	0	0	2,50	0,0503	0,0000	0,0000	NO
	100%	+	-	-	333.927	155.306	0	0	546.561	0	2,50	0,0503	0,0000	0,0000	NO
		-	-22.125	7,02	333.927	155.306	0	0	546.561	0	2,50	0,0503	0,0000	0,0000	NO
Fondazione									**Travata: Trave14f-8-9-15f**						
Trave 14f-8	0%	+	47.591	1,02	174.336	48.464	7.279	0	284.263	0	2,50	0,0335	0,0000	0,0000	NO
		-	-	-	174.336	48.464	7.279	0	284.263	0	2,50	0,0335	0,0000	0,0000	NO
	25%	+	47.591	1,02	174.336	48.464	7.279	0	284.263	0	2,50	0,0335	0,0000	0,0000	NO
		-	-	-	174.336	48.464	7.279	0	284.263	0	2,50	0,0335	0,0000	0,0000	NO
	50%	+	46.045	1,05	174.336	48.464	7.279	0	0	0	2,50	0,0335	0,0000	0,0000	NO
		-	-	-	174.336	48.464	7.279	0	0	0	2,50	0,0335	0,0000	0,0000	NO
	75%	+	44.154	1,10	174.336	48.464	7.279	0	284.263	0	2,50	0,0335	0,0000	0,0000	NO
		-	-	-	174.336	48.464	7.279	0	284.263	0	2,50	0,0335	0,0000	0,0000	NO
	100%	+	42.260	1,15	174.336	48.464	7.279	0	284.263	0	2,50	0,0335	0,0000	0,0000	NO
		-	-	-	174.336	48.464	7.279	0	284.263	0	2,50	0,0335	0,0000	0,0000	NO
Trave 8-9	0%	+	14.178	3,42	173.674	48.464	0	0	284.263	0	2,50	0,0335	0,0000	0,0000	NO
		-	-	-	173.674	48.464	0	0	284.263	0	2,50	0,0335	0,0000	0,0000	NO
	25%	+	9.696	5,00	173.674	48.464	0	0	0	0	2,50	0,0335	0,0000	0,0000	NO
		-	-	-	173.674	48.464	0	0	0	0	2,50	0,0335	0,0000	0,0000	NO
	50%	+	2.970	16,32	173.674	48.464	0	0	0	0	2,50	0,0335	0,0000	0,0000	NO
		-	-1.795	27,00	173.674	48.464	0	0	0	0	2,50	0,0335	0,0000	0,0000	NO
	75%	+	-	-	173.674	48.464	0	0	0	0	2,50	0,0335	0,0000	0,0000	NO
		-	-8.519	5,69	173.674	48.464	0	0	0	0	2,50	0,0335	0,0000	0,0000	NO
	100%	+	-	-	173.674	48.464	0	0	284.263	0	2,50	0,0335	0,0000	0,0000	NO
		-	-13.002	3,73	173.674	48.464	0	0	284.263	0	2,50	0,0335	0,0000	0,0000	NO
Trave 9-15f	0%	+	7.166	6,76	173.843	48.464	1.861	0	284.263	0	2,50	0,0335	0,0000	0,0000	NO
		-	-	-	173.843	48.464	1.861	0	284.263	0	2,50	0,0335	0,0000	0,0000	NO
	25%	+	3.516	13,78	173.843	48.464	1.861	0	0	0	2,50	0,0335	0,0000	0,0000	NO
		-	-2.428	19,96	173.843	48.464	1.861	0	0	0	2,50	0,0335	0,0000	0,0000	NO
	50%	+	-	-	173.843	48.464	1.861	0	0	0	2,50	0,0335	0,0000	0,0000	NO
		-	-8.321	5,82	173.843	48.464	1.861	0	0	0	2,50	0,0335	0,0000	0,0000	NO
	75%	+	-	-	173.843	48.464	1.861	0	0	0	2,50	0,0335	0,0000	0,0000	NO
		-	-14.214	3,41	173.843	48.464	1.861	0	0	0	2,50	0,0335	0,0000	0,0000	NO
	100%	+	-	-	173.843	48.464	1.861	0	284.263	0	2,50	0,0335	0,0000	0,0000	NO
		-	-17.864	2,71	173.843	48.464	1.861	0	284.263	0	2,50	0,0335	0,0000	0,0000	NO
Fondazione									**Travata: Trave16f-12-17f**						
Trave 16f-12	0%	+	16.040	3,02	173.865	48.464	2.105	0	284.263	0	2,50	0,0335	0,0000	0,0000	NO
		-	-	-	173.865	48.464	2.105	0	284.263	0	2,50	0,0335	0,0000	0,0000	NO
	25%	+	12.378	3,92	173.865	48.464	2.105	0	0	0	2,50	0,0335	0,0000	0,0000	NO
		-	-	-	173.865	48.464	2.105	0	0	0	2,50	0,0335	0,0000	0,0000	NO
	50%	+	6.474	7,49	173.865	48.464	2.105	0	0	0	2,50	0,0335	0,0000	0,0000	NO
		-	-	-	173.865	48.464	2.105	0	0	0	2,50	0,0335	0,0000	0,0000	NO
	75%	+	611	79,32	173.865	48.464	2.105	0	0	0	2,50	0,0335	0,0000	0,0000	NO
		-	-4.666	10,39	173.865	48.464	2.105	0	0	0	2,50	0,0335	0,0000	0,0000	NO
	100%	+	-	-	173.865	48.464	2.105	0	284.263	0	2,50	0,0335	0,0000	0,0000	NO
		-	-8.328	5,82	173.865	48.464	2.105	0	284.263	0	2,50	0,0335	0,0000	0,0000	NO
Trave 12-17f	0%	+	-	-	174.379	0	7.743	0	284.263	0	2,50	0,0000	0,0000	0,0000	NO
		-	-71.395	0,00	174.379	0	7.743	0	284.263	0	2,50	0,0000	0,0000	0,0000	NO
	25%	+	-	-	174.379	0	7.743	0	284.263	0	2,50	0,0000	0,0000	0,0000	NO
		-	-72.453	0,00	174.379	0	7.743	0	284.263	0	2,50	0,0000	0,0000	0,0000	NO
	50%	+	-	-	174.379	0	7.743	0	284.263	0	2,50	0,0000	0,0000	0,0000	NO
		-	-73.377	0,00	174.379	0	7.743	0	284.263	0	2,50	0,0000	0,0000	0,0000	NO
	62,5%	+	-	-	174.379	0	7.743	0	284.263	0	2,50	0,0000	0,0000	0,0000	NO
		-	-73.377	0,00	174.379	0	7.743	0	284.263	0	2,50	0,0000	0,0000	0,0000	NO
	87,5%	+	-	-	174.379	0	7.743	0	284.263	0	2,50	0,0000	0,0000	0,0000	NO
		-	-73.377	0,00	174.379	0	7.743	0	284.263	0	2,50	0,0000	0,0000	0,0000	NO
Fondazione									**Travata: Trave14-15-16-17-18-19-20-21-22-23-24**						
Trave 14-15	0%	+	12.693	4,54	144.597	57.643	0	0	236.671	0	2,50	0,0335	0,0000	0,0000	NO
		-	-	-	144.597	57.643	0	0	236.671	0	2,50	0,0335	0,0000	0,0000	NO

Id_{Tr}	$\%L_{LI}$	+/-	$V_{Ed,2}$	CS	V_{Rcd}	$V_{Rsd,s}$	N_{Ed}	$V_{Rsd,p}$	V_{R1}	V_{fd}	Ctg Θ	A_{sw}	$A_{sw,p}$	$A_{s,Dg}$	R_f
	[%]		[N]		[N]	[N]	[N]	[N]	[N]	[N]		[cm²/cm]	[cm²]	[cm²]	
	25%	+	7.847	7,35	144.597	57.643	0	0	0	0	2,50	0,0335	0,0000	0,0000	NO
		-	-	-	144.597	57.643	0	0	0	0	2,50	0,0335	0,0000	0,0000	NO
	50%	+	1.876	30,73	144.597	57.643	0	0	0	0	2,50	0,0335	0,0000	0,0000	NO
		-	-650	88,68	144.597	57.643	0	0	0	0	2,50	0,0335	0,0000	0,0000	NO
	75%	+	-	-	144.597	57.643	0	0	0	0	2,50	0,0335	0,0000	0,0000	NO
		-	-6.621	8,71	144.597	57.643	0	0	0	0	2,50	0,0335	0,0000	0,0000	NO
	100%	+	-	-	144.597	57.643	0	0	236.671	0	2,50	0,0335	0,0000	0,0000	NO
		-	-11.467	5,03	144.597	57.643	0	0	236.671	0	2,50	0,0335	0,0000	0,0000	NO
Trave 15-16	0%	+	11.421	5,05	144.597	57.643	0	0	236.671	0	2,50	0,0335	0,0000	0,0000	NO
		-	-	-	144.597	57.643	0	0	236.671	0	2,50	0,0335	0,0000	0,0000	NO
	25%	+	6.850	8,42	144.597	57.643	0	0	0	0	2,50	0,0335	0,0000	0,0000	NO
		-	-	-	144.597	57.643	0	0	0	0	2,50	0,0335	0,0000	0,0000	NO
	50%	+	1.153	49,99	144.597	57.643	0	0	0	0	2,50	0,0335	0,0000	0,0000	NO
		-	-1.098	52,50	144.597	57.643	0	0	0	0	2,50	0,0335	0,0000	0,0000	NO
	75%	+	-	-	144.597	57.643	0	0	0	0	2,50	0,0335	0,0000	0,0000	NO
		-	-6.794	8,48	144.597	57.643	0	0	0	0	2,50	0,0335	0,0000	0,0000	NO
	100%	+	-	-	144.597	57.643	0	0	236.671	0	2,50	0,0335	0,0000	0,0000	NO
		-	-11.365	5,07	144.597	57.643	0	0	236.671	0	2,50	0,0335	0,0000	0,0000	NO
Trave 16-17	0%	+	11.261	5,12	144.597	57.643	0	0	236.671	0	2,50	0,0335	0,0000	0,0000	NO
		-	-	-	144.597	57.643	0	0	236.671	0	2,50	0,0335	0,0000	0,0000	NO
	25%	+	6.788	8,49	144.597	57.643	0	0	0	0	2,50	0,0335	0,0000	0,0000	NO
		-	-	-	144.597	57.643	0	0	0	0	2,50	0,0335	0,0000	0,0000	NO
	50%	+	1.190	48,44	144.597	57.643	0	0	0	0	2,50	0,0335	0,0000	0,0000	NO
		-	-1.090	52,88	144.597	57.643	0	0	0	0	2,50	0,0335	0,0000	0,0000	NO
	75%	+	-	-	144.597	57.643	0	0	0	0	2,50	0,0335	0,0000	0,0000	NO
		-	-6.688	8,62	144.597	57.643	0	0	0	0	2,50	0,0335	0,0000	0,0000	NO
	100%	+	-	-	144.597	57.643	0	0	236.671	0	2,50	0,0335	0,0000	0,0000	NO
		-	-11.161	5,16	144.597	57.643	0	0	236.671	0	2,50	0,0335	0,0000	0,0000	NO
Trave 17-18	0%	+	11.131	5,18	144.597	57.643	0	0	236.671	0	2,50	0,0335	0,0000	0,0000	NO
		-	-	-	144.597	57.643	0	0	236.671	0	2,50	0,0335	0,0000	0,0000	NO
	25%	+	6.683	8,63	144.597	57.643	0	0	0	0	2,50	0,0335	0,0000	0,0000	NO
		-	-	-	144.597	57.643	0	0	0	0	2,50	0,0335	0,0000	0,0000	NO
	50%	+	1.110	51,93	144.597	57.643	0	0	0	0	2,50	0,0335	0,0000	0,0000	NO
		-	-1.147	50,26	144.597	57.643	0	0	0	0	2,50	0,0335	0,0000	0,0000	NO
	75%	+	-	-	144.597	57.643	0	0	0	0	2,50	0,0335	0,0000	0,0000	NO
		-	-6.720	8,58	144.597	57.643	0	0	0	0	2,50	0,0335	0,0000	0,0000	NO
	100%	+	-	-	144.597	57.643	0	0	236.671	0	2,50	0,0335	0,0000	0,0000	NO
		-	-11.167	5,16	144.597	57.643	0	0	236.671	0	2,50	0,0335	0,0000	0,0000	NO
Trave 18-19	0%	+	10.561	5,46	144.597	57.643	0	0	236.671	0	2,50	0,0335	0,0000	0,0000	NO
		-	-	-	144.597	57.643	0	0	236.671	0	2,50	0,0335	0,0000	0,0000	NO
	25%	+	5.940	9,70	144.597	57.643	0	0	0	0	2,50	0,0335	0,0000	0,0000	NO
		-	-	-	144.597	57.643	0	0	0	0	2,50	0,0335	0,0000	0,0000	NO
	50%	+	193	NS	144.597	57.643	0	0	0	0	2,50	0,0335	0,0000	0,0000	NO
		-	-2.451	23,52	144.597	57.643	0	0	0	0	2,50	0,0335	0,0000	0,0000	NO
	75%	+	-	-	144.597	57.643	0	0	0	0	2,50	0,0335	0,0000	0,0000	NO
		-	-8.198	7,03	144.597	57.643	0	0	0	0	2,50	0,0335	0,0000	0,0000	NO
	100%	+	-	-	144.597	57.643	0	0	236.671	0	2,50	0,0335	0,0000	0,0000	NO
		-	-12.819	4,50	144.597	57.643	0	0	236.671	0	2,50	0,0335	0,0000	0,0000	NO
Trave 19-20	0%	+	6.884	8,37	207.120	57.643	5.961	0	338.101	0	2,50	0,0335	0,0000	0,0000	NO
		-	-	-	207.120	57.643	5.961	0	338.101	0	2,50	0,0335	0,0000	0,0000	NO
	25%	+	6.393	9,02	207.120	57.643	5.961	0	0	0	2,50	0,0335	0,0000	0,0000	NO
		-	-	-	207.120	57.643	5.961	0	0	0	2,50	0,0335	0,0000	0,0000	NO
	50%	+	4.297	13,41	207.120	57.643	5.961	0	0	0	2,50	0,0335	0,0000	0,0000	NO
		-	-612	94,19	207.120	57.643	5.961	0	0	0	2,50	0,0335	0,0000	0,0000	NO
	75%	+	2.200	26,20	207.120	57.643	5.961	0	0	0	2,50	0,0335	0,0000	0,0000	NO
		-	-2.491	23,14	207.120	57.643	5.961	0	0	0	2,50	0,0335	0,0000	0,0000	NO
	100%	+	110	NS	207.120	57.643	5.961	0	331.863	0	2,50	0,0335	0,0000	0,0000	NO
		-	-2.981	19,34	207.120	57.643	5.961	0	331.863	0	2,50	0,0335	0,0000	0,0000	NO
Trave 20-21	0%	+	10.845	5,32	206.900	57.643	3.598	0	338.101	0	2,50	0,0335	0,0000	0,0000	NO
		-	-	-	206.900	57.643	3.598	0	338.101	0	2,50	0,0335	0,0000	0,0000	NO
	25%	+	7.504	7,68	206.900	57.643	3.598	0	0	0	2,50	0,0335	0,0000	0,0000	NO
		-	-	-	206.900	57.643	3.598	0	0	0	2,50	0,0335	0,0000	0,0000	NO
	50%	+	2.557	22,54	206.900	57.643	3.598	0	0	0	2,50	0,0335	0,0000	0,0000	NO
		-	-872	66,10	206.900	57.643	3.598	0	0	0	2,50	0,0335	0,0000	0,0000	NO
	75%	+	-	-	206.900	57.643	3.598	0	0	0	2,50	0,0335	0,0000	0,0000	NO
		-	-5.820	9,90	206.900	57.643	3.598	0	0	0	2,50	0,0335	0,0000	0,0000	NO
	100%	+	-	-	206.900	57.643	3.598	0	338.101	0	2,50	0,0335	0,0000	0,0000	NO
		-	-9.161	6,29	206.900	57.643	3.598	0	338.101	0	2,50	0,0335	0,0000	0,0000	NO
Trave 21-22	0%	+	15.173	3,80	207.159	57.643	6.382	0	338.101	0	2,50	0,0335	0,0000	0,0000	NO
		-	-	-	207.159	57.643	6.382	0	338.101	0	2,50	0,0335	0,0000	0,0000	NO
	25%	+	14.434	3,99	207.159	57.643	6.382	0	0	0	2,50	0,0335	0,0000	0,0000	NO
		-	-	-	207.159	57.643	6.382	0	0	0	2,50	0,0335	0,0000	0,0000	NO
	50%	+	12.088	4,77	207.159	57.643	6.382	0	0	0	2,50	0,0335	0,0000	0,0000	NO
		-	-	-	207.159	57.643	6.382	0	0	0	2,50	0,0335	0,0000	0,0000	NO
	75%	+	9.741	5,92	207.159	57.643	6.382	0	0	0	2,50	0,0335	0,0000	0,0000	NO
		-	-	-	207.159	57.643	6.382	0	0	0	2,50	0,0335	0,0000	0,0000	NO
	100%	+	7.396	7,79	207.159	57.643	6.382	0	338.101	0	2,50	0,0335	0,0000	0,0000	NO
		-	-	-	207.159	57.643	6.382	0	338.101	0	2,50	0,0335	0,0000	0,0000	NO
Trave 22-23	0%	+	23.110	5,53	305.245	127.769	0	0	499.614	0	2,50	0,0503	0,0000	0,0000	NO
		-	-	-	305.245	127.769	0	0	499.614	0	2,50	0,0503	0,0000	0,0000	NO
	25%	+	15.687	8,14	305.245	127.769	0	0	0	0	2,50	0,0503	0,0000	0,0000	NO
		-	-	-	305.245	127.769	0	0	0	0	2,50	0,0503	0,0000	0,0000	NO
	50%	+	4.869	26,24	305.245	127.769	0	0	0	0	2,50	0,0503	0,0000	0,0000	NO

Id_{Tr}	$\%L_{LI}$	+/-	$V_{Ed,2}$	CS	V_{Rcd}	$V_{Rsd,s}$	N_{Ed}	$V_{Rsd,p}$	V_{R1}	V_{fd}	Ctg Θ	A_{sw}	$A_{sw,p}$	$A_{s,Dg}$	R_f
	[%]		[N]		[N]	[N]	[N]	[N]	[N]	[N]		[cm²/cm]	[cm²]	[cm²]	
		-	-2.601	49,12	305.245	127.769	0	0	0	0	2,50	0,0503	0,0000	0,0000	NO
	75%	+	-	-	305.245	127.769	0	0	0	0	2,50	0,0503	0,0000	0,0000	NO
		-	-13.417	9,52	305.245	127.769	0	0	0	0	2,50	0,0503	0,0000	0,0000	NO
	100%	+	-	-	305.245	127.769	0	0	499.614	0	2,50	0,0503	0,0000	0,0000	NO
		-	-20.840	6,13	305.245	127.769	0	0	499.614	0	2,50	0,0503	0,0000	0,0000	NO
Trave 23-24	0%	+	15.562	8,21	305.245	127.769	0	0	499.614	0	2,50	0,0503	0,0000	0,0000	NO
		-	-	-	305.245	127.769	0	0	499.614	0	2,50	0,0503	0,0000	0,0000	NO
	25%	+	8.080	15,81	305.245	127.769	0	0	0	0	2,50	0,0503	0,0000	0,0000	NO
		-	-1.914	66,75	305.245	127.769	0	0	0	0	2,50	0,0503	0,0000	0,0000	NO
	50%	+	-	-	305.245	127.769	0	0	0	0	2,50	0,0503	0,0000	0,0000	NO
		-	-12.490	10,23	305.245	127.769	0	0	0	0	2,50	0,0503	0,0000	0,0000	NO
	75%	+	-	-	305.245	127.769	0	0	0	0	2,50	0,0503	0,0000	0,0000	NO
		-	-23.363	5,47	305.245	127.769	0	0	0	0	2,50	0,0503	0,0000	0,0000	NO
	100%	+	-	-	305.245	127.769	0	0	499.614	0	2,50	0,0503	0,0000	0,0000	NO
		-	-30.845	4,14	305.245	127.769	0	0	499.614	0	2,50	0,0503	0,0000	0,0000	NO
Fondazione									**Travata: Trave28-29-21f-30**						
Trave 28-29	0%	+	3.644	13,30	121.642	48.464	768	0	162.671	0	2,50	0,0335	0,0000	0,0000	NO
		-	-1.330	36,44	121.642	48.464	768	0	162.671	0	2,50	0,0335	0,0000	0,0000	NO
	25%	+	3.251	14,91	121.642	48.464	768	0	0	0	2,50	0,0335	0,0000	0,0000	NO
		-	-2.347	20,65	121.642	48.464	768	0	0	0	2,50	0,0335	0,0000	0,0000	NO
	50%	+	2.233	21,70	121.642	48.464	768	0	0	0	2,50	0,0335	0,0000	0,0000	NO
		-	-3.364	14,41	121.642	48.464	768	0	0	0	2,50	0,0335	0,0000	0,0000	NO
	75%	+	1.216	39,86	121.642	48.464	768	0	0	0	2,50	0,0335	0,0000	0,0000	NO
		-	-4.381	11,06	121.642	48.464	768	0	0	0	2,50	0,0335	0,0000	0,0000	NO
	100%	+	199	NS	121.642	48.464	768	0	194.838	0	2,50	0,0335	0,0000	0,0000	NO
		-	-4.775	10,15	121.642	48.464	768	0	194.838	0	2,50	0,0335	0,0000	0,0000	NO
Fondazione									**Travata: Trave36f-37-23f**						
Trave 36f-37	0%	+	35.705	4,35	333.938	155.306	107	0	546.561	0	2,50	0,0503	0,0000	0,0000	NO
		-	-	-	333.938	155.306	107	0	546.561	0	2,50	0,0503	0,0000	0,0000	NO
	25%	+	30.309	5,12	333.938	155.306	107	0	0	0	2,50	0,0503	0,0000	0,0000	NO
		-	-	-	333.938	155.306	107	0	0	0	2,50	0,0503	0,0000	0,0000	NO
	50%	+	18.142	8,56	333.938	155.306	107	0	0	0	2,50	0,0503	0,0000	0,0000	NO
		-	-	-	333.938	155.306	107	0	0	0	2,50	0,0503	0,0000	0,0000	NO
	75%	+	5.975	25,99	333.938	155.306	107	0	0	0	2,50	0,0503	0,0000	0,0000	NO
		-	-9.309	16,68	333.938	155.306	107	0	0	0	2,50	0,0503	0,0000	0,0000	NO
	100%	+	-	-	333.938	155.306	107	0	546.561	0	2,50	0,0503	0,0000	0,0000	NO
		-	-14.706	10,56	333.938	155.306	107	0	546.561	0	2,50	0,0503	0,0000	0,0000	NO
Trave 23f-37	0%	+	31.234	2,43	245.117	76.001	0	0	401.199	0	2,50	0,0335	0,0000	0,0000	NO
		-	-	-	245.117	76.001	0	0	401.199	0	2,50	0,0335	0,0000	0,0000	NO
	25%	+	22.833	3,33	245.117	76.001	0	0	0	0	2,50	0,0335	0,0000	0,0000	NO
		-	-	-	245.117	76.001	0	0	0	0	2,50	0,0335	0,0000	0,0000	NO
	50%	+	9.546	7,96	245.117	76.001	0	0	0	0	2,50	0,0335	0,0000	0,0000	NO
		-	-1.183	64,24	245.117	76.001	0	0	0	0	2,50	0,0335	0,0000	0,0000	NO
	75%	+	-	-	245.117	76.001	0	0	0	0	2,50	0,0335	0,0000	0,0000	NO
		-	-14.473	5,25	245.117	76.001	0	0	0	0	2,50	0,0335	0,0000	0,0000	NO
	100%	+	-	-	245.117	76.001	0	0	401.199	0	2,50	0,0335	0,0000	0,0000	NO
		-	-22.872	3,32	245.117	76.001	0	0	401.199	0	2,50	0,0335	0,0000	0,0000	NO
Fondazione									**Travata: Trave24f-40-25f**						
Trave 24f-40	0%	+	28.437	1,70	121.572	48.464	0	0	198.984	0	2,50	0,0335	0,0000	0,0000	NO
		-	-	-	121.572	48.464	0	0	198.984	0	2,50	0,0335	0,0000	0,0000	NO
	25%	+	16.870	2,87	121.572	48.464	0	0	0	0	2,50	0,0335	0,0000	0,0000	NO
		-	-	-	121.572	48.464	0	0	0	0	2,50	0,0335	0,0000	0,0000	NO
	50%	+	2.938	16,50	121.572	48.464	0	0	0	0	2,50	0,0335	0,0000	0,0000	NO
		-	-1.879	25,79	121.572	48.464	0	0	0	0	2,50	0,0335	0,0000	0,0000	NO
	75%	+	-	-	121.572	48.464	0	0	0	0	2,50	0,0335	0,0000	0,0000	NO
		-	-15.809	3,07	121.572	48.464	0	0	0	0	2,50	0,0335	0,0000	0,0000	NO
	100%	+	-	-	121.572	48.464	0	0	198.984	0	2,50	0,0335	0,0000	0,0000	NO
		-	-27.376	1,77	121.572	48.464	0	0	198.984	0	2,50	0,0335	0,0000	0,0000	NO
Trave 40-25f	0%	+	3.367	14,39	122.194	48.464	6.837	0	134.390	0	2,50	0,0335	0,0000	0,0000	NO
		-	-2.186	22,17	122.194	48.464	6.837	0	134.390	0	2,50	0,0335	0,0000	0,0000	NO
	25%	+	503	96,35	122.194	48.464	6.837	0	0	0	2,50	0,0335	0,0000	0,0000	NO
		-	-7.184	6,75	122.194	48.464	6.837	0	0	0	2,50	0,0335	0,0000	0,0000	NO
	50%	+	-	-	122.194	48.464	6.837	0	0	0	2,50	0,0335	0,0000	0,0000	NO
		-	-12.411	3,90	122.194	48.464	6.837	0	0	0	2,50	0,0335	0,0000	0,0000	NO
	75%	+	-	-	122.194	48.464	6.837	0	0	0	2,50	0,0335	0,0000	0,0000	NO
		-	-17.641	2,75	122.194	48.464	6.837	0	0	0	2,50	0,0335	0,0000	0,0000	NO
	100%	+	-	-	122.194	48.464	6.837	0	198.984	0	2,50	0,0335	0,0000	0,0000	NO
		-	-20.503	2,36	122.194	48.464	6.837	0	198.984	0	2,50	0,0335	0,0000	0,0000	NO
Fondazione									**Travata: Trave8f-9f**						
Trave 8f-9f	0%	+	24.859	6,25	333.927	155.306	0	0	546.561	0	2,50	0,0503	0,0000	0,0000	NO
		-	-	-	333.927	155.306	0	0	546.561	0	2,50	0,0503	0,0000	0,0000	NO
	25%	+	21.405	7,26	333.927	155.306	0	0	0	0	2,50	0,0503	0,0000	0,0000	NO
		-	-	-	333.927	155.306	0	0	0	0	2,50	0,0503	0,0000	0,0000	NO
	50%	+	11.951	13,00	333.927	155.306	0	0	0	0	2,50	0,0503	0,0000	0,0000	NO
		-	-935	NS	333.927	155.306	0	0	0	0	2,50	0,0503	0,0000	0,0000	NO
	75%	+	2.497	62,20	333.927	155.306	0	0	0	0	2,50	0,0503	0,0000	0,0000	NO
		-	-10.388	14,95	333.927	155.306	0	0	0	0	2,50	0,0503	0,0000	0,0000	NO
	100%	+	-	-	333.927	155.306	0	0	546.561	0	2,50	0,0503	0,0000	0,0000	NO
		-	-13.844	11,22	333.927	155.306	0	0	546.561	0	2,50	0,0503	0,0000	0,0000	NO
Fondazione									**Travata: Trave4f-5f**						
Trave 4f-5f	0%	+	28.669	5,42	333.991	155.306	653	0	546.561	0	2,50	0,0503	0,0000	0,0000	NO
		-	-	-	333.991	155.306	653	0	546.561	0	2,50	0,0503	0,0000	0,0000	NO
	25%	+	23.935	6,49	333.991	155.306	653	0	0	0	2,50	0,0503	0,0000	0,0000	NO

Id_{Tr}	$\%L_{LI}$	+/-	$V_{Ed,2}$	CS	V_{Rcd}	$V_{Rsd,s}$	N_{Ed}	$V_{Rsd,p}$	V_{R1}	V_{fd}	Ctg Θ	A_{sw}	$A_{sw,p}$	$A_{s,Dg}$	R_f
	[%]		[N]		[N]	[N]	[N]	[N]	[N]	[N]		[cm²/cm]	[cm²]	[cm²]	
		-	-	-	333.991	155.306	653	0	0	0	2,50	0,0503	0,0000	0,0000	NO
	50%	+	12.432	12,49	333.991	155.306	653	0	0	0	2,50	0,0503	0,0000	0,0000	NO
		-	-2.131	72,88	333.991	155.306	653	0	0	0	2,50	0,0503	0,0000	0,0000	NO
	75%	+	949	NS	333.991	155.306	653	0	0	0	2,50	0,0503	0,0000	0,0000	NO
		-	-13.636	11,39	333.991	155.306	653	0	0	0	2,50	0,0503	0,0000	0,0000	NO
	100%	+	-	-	333.991	155.306	653	0	546.561	0	2,50	0,0503	0,0000	0,0000	NO
		-	-18.370	8,45	333.991	155.306	653	0	546.561	0	2,50	0,0503	0,0000	0,0000	NO
Fondazione									**Travata: Trave6f-7f**						
Trave 6f-7f	0%	+	24.740	6,28	333.927	155.306	0	0	546.561	0	2,50	0,0503	0,0000	0,0000	NO
		-	-	-	333.927	155.306	0	0	546.561	0	2,50	0,0503	0,0000	0,0000	NO
	25%	+	21.285	7,30	333.927	155.306	0	0	0	0	2,50	0,0503	0,0000	0,0000	NO
		-	-	-	333.927	155.306	0	0	0	0	2,50	0,0503	0,0000	0,0000	NO
	50%	+	11.832	13,13	333.927	155.306	0	0	0	0	2,50	0,0503	0,0000	0,0000	NO
		-	-1.005	NS	333.927	155.306	0	0	0	0	2,50	0,0503	0,0000	0,0000	NO
	75%	+	2.378	65,31	333.927	155.306	0	0	0	0	2,50	0,0503	0,0000	0,0000	NO
		-	-10.458	14,85	333.927	155.306	0	0	0	0	2,50	0,0503	0,0000	0,0000	NO
	100%	+	-	-	333.927	155.306	0	0	546.561	0	2,50	0,0503	0,0000	0,0000	NO
		-	-13.914	11,16	333.927	155.306	0	0	546.561	0	2,50	0,0503	0,0000	0,0000	NO
Fondazione									**Travata: Trave32f-33f**						
Trave 32f-33f	0%	+	27.583	5,63	333.927	155.306	0	0	546.561	0	2,50	0,0503	0,0000	0,0000	NO
		-	-	-	333.927	155.306	0	0	546.561	0	2,50	0,0503	0,0000	0,0000	NO
	25%	+	23.681	6,56	333.927	155.306	0	0	0	0	2,50	0,0503	0,0000	0,0000	NO
		-	-	-	333.927	155.306	0	0	0	0	2,50	0,0503	0,0000	0,0000	NO
	50%	+	13.011	11,94	333.927	155.306	0	0	0	0	2,50	0,0503	0,0000	0,0000	NO
		-	-1.643	94,53	333.927	155.306	0	0	0	0	2,50	0,0503	0,0000	0,0000	NO
	75%	+	2.340	66,37	333.927	155.306	0	0	0	0	2,50	0,0503	0,0000	0,0000	NO
		-	-12.313	12,61	333.927	155.306	0	0	0	0	2,50	0,0503	0,0000	0,0000	NO
	100%	+	-	-	333.927	155.306	0	0	546.561	0	2,50	0,0503	0,0000	0,0000	NO
		-	-16.215	9,58	333.927	155.306	0	0	546.561	0	2,50	0,0503	0,0000	0,0000	NO
Fondazione									**Travata: Trave10f-11f**						
Trave 10f-11f	0%	+	25.179	6,17	333.927	155.306	0	0	546.561	0	2,50	0,0503	0,0000	0,0000	NO
		-	-	-	333.927	155.306	0	0	546.561	0	2,50	0,0503	0,0000	0,0000	NO
	25%	+	21.723	7,15	333.927	155.306	0	0	0	0	2,50	0,0503	0,0000	0,0000	NO
		-	-	-	333.927	155.306	0	0	0	0	2,50	0,0503	0,0000	0,0000	NO
	50%	+	12.269	12,66	333.927	155.306	0	0	0	0	2,50	0,0503	0,0000	0,0000	NO
		-	-730	NS	333.927	155.306	0	0	0	0	2,50	0,0503	0,0000	0,0000	NO
	75%	+	2.816	55,15	333.927	155.306	0	0	0	0	2,50	0,0503	0,0000	0,0000	NO
		-	-10.184	15,25	333.927	155.306	0	0	0	0	2,50	0,0503	0,0000	0,0000	NO
	100%	+	-	-	333.927	155.306	0	0	546.561	0	2,50	0,0503	0,0000	0,0000	NO
		-	-13.639	11,39	333.927	155.306	0	0	546.561	0	2,50	0,0503	0,0000	0,0000	NO
Fondazione									**Travata: Trave34f-35f**						
Trave 34f-35f	0%	+	28.847	5,38	333.927	155.306	0	0	546.561	0	2,50	0,0503	0,0000	0,0000	NO
		-	-	-	333.927	155.306	0	0	546.561	0	2,50	0,0503	0,0000	0,0000	NO
	25%	+	24.947	6,23	333.927	155.306	0	0	0	0	2,50	0,0503	0,0000	0,0000	NO
		-	-	-	333.927	155.306	0	0	0	0	2,50	0,0503	0,0000	0,0000	NO
	50%	+	14.276	10,88	333.927	155.306	0	0	0	0	2,50	0,0503	0,0000	0,0000	NO
		-	-728	NS	333.927	155.306	0	0	0	0	2,50	0,0503	0,0000	0,0000	NO
	75%	+	3.606	43,07	333.927	155.306	0	0	0	0	2,50	0,0503	0,0000	0,0000	NO
		-	-11.399	13,62	333.927	155.306	0	0	0	0	2,50	0,0503	0,0000	0,0000	NO
	100%	+	-	-	333.927	155.306	0	0	546.561	0	2,50	0,0503	0,0000	0,0000	NO
		-	-15.299	10,15	333.927	155.306	0	0	546.561	0	2,50	0,0503	0,0000	0,0000	NO
Fondazione									**Travata: Trave28f-29f**						
Trave 28f-29f	0%	+	26.274	5,91	334.001	155.306	755	0	546.561	0	2,50	0,0503	0,0000	0,0000	NO
		-	-	-	334.001	155.306	755	0	546.561	0	2,50	0,0503	0,0000	0,0000	NO
	25%	+	21.540	7,21	334.001	155.306	755	0	0	0	2,50	0,0503	0,0000	0,0000	NO
		-	-	-	334.001	155.306	755	0	0	0	2,50	0,0503	0,0000	0,0000	NO
	50%	+	10.037	15,47	334.001	155.306	755	0	0	0	2,50	0,0503	0,0000	0,0000	NO
		-	-3.823	40,62	334.001	155.306	755	0	0	0	2,50	0,0503	0,0000	0,0000	NO
	75%	+	-	-	334.001	155.306	755	0	0	0	2,50	0,0503	0,0000	0,0000	NO
		-	-15.328	10,13	334.001	155.306	755	0	0	0	2,50	0,0503	0,0000	0,0000	NO
	100%	+	-	-	334.001	155.306	755	0	546.561	0	2,50	0,0503	0,0000	0,0000	NO
		-	-20.063	7,74	334.001	155.306	755	0	546.561	0	2,50	0,0503	0,0000	0,0000	NO
Fondazione									**Travata: Trave30f-31f**						
Trave 30f-31f	0%	+	26.959	5,76	333.927	155.306	0	0	546.561	0	2,50	0,0503	0,0000	0,0000	NO
		-	-	-	333.927	155.306	0	0	546.561	0	2,50	0,0503	0,0000	0,0000	NO
	25%	+	23.057	6,74	333.927	155.306	0	0	0	0	2,50	0,0503	0,0000	0,0000	NO
		-	-	-	333.927	155.306	0	0	0	0	2,50	0,0503	0,0000	0,0000	NO
	50%	+	12.387	12,54	333.927	155.306	0	0	0	0	2,50	0,0503	0,0000	0,0000	NO
		-	-1.941	80,01	333.927	155.306	0	0	0	0	2,50	0,0503	0,0000	0,0000	NO
	75%	+	1.716	90,50	333.927	155.306	0	0	0	0	2,50	0,0503	0,0000	0,0000	NO
		-	-12.611	12,32	333.927	155.306	0	0	0	0	2,50	0,0503	0,0000	0,0000	NO
	100%	+	-	-	333.927	155.306	0	0	546.561	0	2,50	0,0503	0,0000	0,0000	NO
		-	-16.513	9,41	333.927	155.306	0	0	546.561	0	2,50	0,0503	0,0000	0,0000	NO
Fondazione									**Travata: TraveP8-14-25-P9**						
Trave P8-14	0%	+	55.117	3,76	371.434	207.074	4.154	0	607.290	0	2,50	0,0670	0,0000	0,0000	NO
		-	-	-	371.434	207.074	4.154	0	607.290	0	2,50	0,0670	0,0000	0,0000	NO
	25%	+	51.612	4,01	371.434	207.074	4.154	0	0	0	2,50	0,0670	0,0000	0,0000	NO
		-	-	-	371.434	207.074	4.154	0	0	0	2,50	0,0670	0,0000	0,0000	NO
	50%	+	38.216	5,42	371.434	207.074	4.154	0	0	0	2,50	0,0670	0,0000	0,0000	NO
		-	-	-	371.434	207.074	4.154	0	0	0	2,50	0,0670	0,0000	0,0000	NO
	75%	+	24.820	8,34	371.434	207.074	4.154	0	0	0	2,50	0,0670	0,0000	0,0000	NO
		-	-736	NS	371.434	207.074	4.154	0	0	0	2,50	0,0670	0,0000	0,0000	NO
	100%	+	11.425	18,12	371.434	207.074	4.154	0	494.788	0	2,50	0,0670	0,0000	0,0000	NO

Id_{Tr}	$\%L_{LI}$	+/-	$V_{Ed,2}$	CS	V_{Rcd}	$V_{Rsd,s}$	N_{Ed}	$V_{Rsd,p}$	V_{R1}	V_{fd}	Ctg Θ	A_{sw}	$A_{sw,p}$	$A_{s,Dg}$	R_f
	[%]		[N]		[N]	[N]	[N]	[N]	[N]	[N]		[cm²/cm]	[cm²]	[cm²]	
		-	-4.233	48,92	371.434	207.074	4.154	0	494.788	0	2,50	0,0670	0,0000	0,0000	NO
Trave 14-25	0%	+	21.164	9,78	371.111	207.074	829	0	607.290	0	2,50	0,0670	0,0000	0,0000	NO
		-	-	-	371.111	207.074	829	0	607.290	0	2,50	0,0670	0,0000	0,0000	NO
	25%	+	16.622	12,46	371.111	207.074	829	0	0	0	2,50	0,0670	0,0000	0,0000	NO
		-	-	-	371.111	207.074	829	0	0	0	2,50	0,0670	0,0000	0,0000	NO
	50%	+	4.813	43,02	371.111	207.074	829	0	0	0	2,50	0,0670	0,0000	0,0000	NO
		-	-10.474	19,77	371.111	207.074	829	0	0	0	2,50	0,0670	0,0000	0,0000	NO
	75%	+	-	-	371.111	207.074	829	0	0	0	2,50	0,0670	0,0000	0,0000	NO
		-	-22.282	9,29	371.111	207.074	829	0	0	0	2,50	0,0670	0,0000	0,0000	NO
	100%	+	-	-	371.111	207.074	829	0	607.290	0	2,50	0,0670	0,0000	0,0000	NO
		-	-26.825	7,72	371.111	207.074	829	0	607.290	0	2,50	0,0670	0,0000	0,0000	NO
Trave 25-P9	0%	+	-	-	371.647	207.074	6.345	0	607.290	0	2,50	0,0670	0,0000	0,0000	NO
		-	-67.290	3,08	371.647	207.074	6.345	0	607.290	0	2,50	0,0670	0,0000	0,0000	NO
	25%	+	-	-	371.647	207.074	6.345	0	607.290	0	2,50	0,0670	0,0000	0,0000	NO
		-	-70.689	2,93	371.647	207.074	6.345	0	607.290	0	2,50	0,0670	0,0000	0,0000	NO
	50%	+	-	-	371.647	207.074	6.345	0	607.290	0	2,50	0,0670	0,0000	0,0000	NO
		-	-73.622	2,81	371.647	207.074	6.345	0	607.290	0	2,50	0,0670	0,0000	0,0000	NO
	75%	+	-	-	371.647	207.074	6.345	0	607.290	0	2,50	0,0670	0,0000	0,0000	NO
		-	-73.622	2,81	371.647	207.074	6.345	0	607.290	0	2,50	0,0670	0,0000	0,0000	NO
	100%	+	-	-	371.647	207.074	6.345	0	607.290	0	2,50	0,0670	0,0000	0,0000	NO
		-	-73.622	2,81	371.647	207.074	6.345	0	607.290	0	2,50	0,0670	0,0000	0,0000	NO
Fondazione									**Travata: Trave13-19f**						
Trave 13-19f	0%	+	37.891	3,37	306.246	127.769	10.431	0	499.614	0	2,50	0,0503	0,0000	0,0000	NO
		-	-	-	306.246	127.769	10.431	0	499.614	0	2,50	0,0503	0,0000	0,0000	NO
	25%	+	26.496	4,82	306.246	127.769	10.431	0	0	0	2,50	0,0503	0,0000	0,0000	NO
		-	-	-	306.246	127.769	10.431	0	0	0	2,50	0,0503	0,0000	0,0000	NO
	50%	+	8.662	14,75	306.246	127.769	10.431	0	0	0	2,50	0,0503	0,0000	0,0000	NO
		-	-5.191	24,61	306.246	127.769	10.431	0	0	0	2,50	0,0503	0,0000	0,0000	NO
	75%	+	-	-	306.246	127.769	10.431	0	0	0	2,50	0,0503	0,0000	0,0000	NO
		-	-23.027	5,55	306.246	127.769	10.431	0	0	0	2,50	0,0503	0,0000	0,0000	NO
	100%	+	-	-	306.246	127.769	10.431	0	499.614	0	2,50	0,0503	0,0000	0,0000	NO
		-	-34.421	3,71	306.246	127.769	10.431	0	499.614	0	2,50	0,0503	0,0000	0,0000	NO
Fondazione									**Travata: Trave16-27-34**						
Trave 16-27	0%	+	4.662	10,40	121.622	48.464	555	0	198.984	0	2,50	0,0335	0,0000	0,0000	NO
		-	-	-	121.622	48.464	555	0	198.984	0	2,50	0,0335	0,0000	0,0000	NO
	25%	+	2.700	17,95	121.622	48.464	555	0	0	0	2,50	0,0335	0,0000	0,0000	NO
		-	-	-	121.622	48.464	555	0	0	0	2,50	0,0335	0,0000	0,0000	NO
	50%	+	-	-	121.622	48.464	555	0	0	0	2,50	0,0335	0,0000	0,0000	NO
		-	-1.973	24,56	121.622	48.464	555	0	0	0	2,50	0,0335	0,0000	0,0000	NO
	75%	+	-	-	121.622	48.464	555	0	0	0	2,50	0,0335	0,0000	0,0000	NO
		-	-4.746	10,21	121.622	48.464	555	0	0	0	2,50	0,0335	0,0000	0,0000	NO
	100%	+	-	-	121.622	48.464	555	0	198.984	0	2,50	0,0335	0,0000	0,0000	NO
		-	-6.707	7,23	121.622	48.464	555	0	198.984	0	2,50	0,0335	0,0000	0,0000	NO
Trave 27-34	0%	+	6.134	7,90	121.647	48.464	826	0	198.984	0	2,50	0,0335	0,0000	0,0000	NO
		-	-	-	121.647	48.464	826	0	198.984	0	2,50	0,0335	0,0000	0,0000	NO
	25%	+	3.361	14,42	121.647	48.464	826	0	0	0	2,50	0,0335	0,0000	0,0000	NO
		-	-	-	121.647	48.464	826	0	0	0	2,50	0,0335	0,0000	0,0000	NO
	50%	+	-	-	121.647	48.464	826	0	0	0	2,50	0,0335	0,0000	0,0000	NO
		-	-2.254	21,50	121.647	48.464	826	0	0	0	2,50	0,0335	0,0000	0,0000	NO
	75%	+	-	-	121.647	48.464	826	0	0	0	2,50	0,0335	0,0000	0,0000	NO
		-	-5.837	8,30	121.647	48.464	826	0	0	0	2,50	0,0335	0,0000	0,0000	NO
	100%	+	-	-	121.647	48.464	826	0	198.984	0	2,50	0,0335	0,0000	0,0000	NO
		-	-8.610	5,63	121.647	48.464	826	0	198.984	0	2,50	0,0335	0,0000	0,0000	NO
Fondazione									**Travata: Trave22f-41**						
Trave 22f-41	0%	+	19.623	3,70	122.383	72.696	8.910	0	198.984	0	2,50	0,0503	0,0000	0,0000	NO
		-	-	-	122.383	72.696	8.910	0	198.984	0	2,50	0,0503	0,0000	0,0000	NO
	25%	+	13.383	5,43	122.383	72.696	8.910	0	0	0	2,50	0,0503	0,0000	0,0000	NO
		-	-	-	122.383	72.696	8.910	0	0	0	2,50	0,0503	0,0000	0,0000	NO
	50%	+	4.564	15,93	122.383	72.696	8.910	0	0	0	2,50	0,0503	0,0000	0,0000	NO
		-	-1.110	65,49	122.383	72.696	8.910	0	0	0	2,50	0,0503	0,0000	0,0000	NO
	75%	+	-	-	122.383	72.696	8.910	0	0	0	2,50	0,0503	0,0000	0,0000	NO
		-	-9.929	7,32	122.383	72.696	8.910	0	0	0	2,50	0,0503	0,0000	0,0000	NO
	100%	+	-	-	122.383	72.696	8.910	0	198.984	0	2,50	0,0503	0,0000	0,0000	NO
		-	-16.169	4,50	122.383	72.696	8.910	0	198.984	0	2,50	0,0503	0,0000	0,0000	NO

LEGENDA:

Id_{Tr} Identificativo della trave. L'eventuale lettera tra parentesi distingue i diversi tratti della travata al livello considerato.
$\%L_{LI}$ Posizione della sezione per la quale vengono forniti i valori di verifica, valutata come % della lunghezza libera d'inflessione (L_{LI}), a partire dall'estremo iniziale.
+/- [+] = sollecitazione massima; [-] = sollecitazione minima.
$V_{Ed,2}$ Taglio di progetto in direzione 2.
CS Coefficiente di sicurezza ([NS] = Non Significativo per valori di CS >= 100; [VNR]= Verifica Non Richiesta).
V_{Rcd} Resistenza a taglio compressione del calcestruzzo.
$V_{Rsd,s}$ Resistenza a taglio trazione delle staffe.
N_{Ed} Sforzo Normale medio nella sezione di verifica.
$V_{Rsd,p}$ Resistenza a taglio trazione dei ferri piegati.
V_{R1} Resistenza a taglio in assenza di armatura incrociata.
V_{fd} Resistenza a taglio dovuta al rinforzo FRP.
CtgΘ Cotangente dell'angolo Θ utilizzata nella verifica.
A_{sw} Area delle staffe per unità di lunghezza.
$A_{sw,p}$ Area dei ferri piegati.
$A_{s,Dg}$ Area di ferri incrociati nelle zone critiche.
R_f [SI] = nodo con presenza di rinforzo; [NO] = nodo senza rinforzo.

TRAVI - VERIFICHE DI ROTAZIONE ALLA CORDA (Elevazione)

Verifiche di Rotazione alla corda

Id_{Tr}	$\%L_{LI}$	$L_{v,SLV}$	$L_{v,SLD}$	L_{pl}	ϕ_u	ϕ_y	SLV			SLD		
							Θ_c	Θ_d	CS	Θ_c	Θ_d	CS
	[%]	[m]	[m]	[m]	[rad/m]	[rad/m]	[rad]	[rad]		[rad]	[rad]	
Estradosso travi colmo							**Travata: Trave14-15-16-17-18-19**					
sisma in +X												
proporzionale alle masse												
Trave 14-15	0%	0,00	0,00	0,00	0,0000	0,0000	0,000000	0,000000	0,00	0,000000	0,000000	0,00
Trave 14-15	100%	0,00	0,00	0,00	0,0000	0,0000	0,000000	0,000000	0,00	0,000000	0,000000	0,00
proporzionale alla deformata 1° modo di vibrazione												
Trave 14-15	0%	0,56	0,63	0,46	0,0624	0,0033	0,010336	0,000761	13,58	0,004674	0,000668	7,00
Trave 14-15	100%	1,17	1,15	0,52	0,0281	0,0035	0,007136	0,000121	59,22	0,004371	0,000108	40,39
sisma in -X												
proporzionale alle masse												
Trave 14-15	0%	0,00	0,00	0,00	0,0000	0,0000	0,000000	0,000000	0,00	0,000000	0,000000	0,00
Trave 14-15	100%	0,00	0,00	0,00	0,0000	0,0000	0,000000	0,000000	0,00	0,000000	0,000000	0,00
proporzionale alla deformata 1° modo di vibrazione												
Trave 14-15	0%	0,00	0,00	0,00	0,0000	0,0000	0,000000	0,000000	0,00	0,000000	0,000000	0,00
Trave 14-15	100%	0,00	0,00	0,00	0,0000	0,0000	0,000000	0,000000	0,00	0,000000	0,000000	0,00
sisma in +Y												
proporzionale alle masse												
Trave 14-15	0%	0,24	0,27	0,42	0,0888	0,0033	0,012647	0,001437	8,80	0,007198	0,000981	7,34
Trave 14-15	100%	1,43	1,32	0,54	0,0253	0,0038	0,007014	0,000799	8,78	0,004570	0,000441	10,37
proporzionale alla deformata 1° modo di vibrazione												
Trave 14-15	0%	0,00	0,00	0,00	0,0000	0,0000	0,000000	0,000000	0,00	0,000000	0,000000	0,00
Trave 14-15	100%	0,00	0,00	0,00	0,0000	0,0000	0,000000	0,000000	0,00	0,000000	0,000000	0,00
sisma in -Y												
proporzionale alle masse												
Trave 14-15	0%	0,00	0,00	0,00	0,0000	0,0000	0,000000	0,000000	0,00	0,000000	0,000000	0,00
Trave 14-15	100%	0,00	0,00	0,00	0,0000	0,0000	0,000000	0,000000	0,00	0,000000	0,000000	0,00
proporzionale alla deformata 1° modo di vibrazione												
Trave 14-15	0%	0,00	0,00	0,00	0,0000	0,0000	0,000000	0,000000	0,00	0,000000	0,000000	0,00
Trave 14-15	100%	0,00	0,00	0,00	0,0000	0,0000	0,000000	0,000000	0,00	0,000000	0,000000	0,00
sisma in +X												
proporzionale alle masse												
Trave 15-16	0%	0,00	0,00	0,00	0,0000	0,0000	0,000000	0,000000	0,00	0,000000	0,000000	0,00
Trave 15-16	100%	0,00	0,00	0,00	0,0000	0,0000	0,000000	0,000000	0,00	0,000000	0,000000	0,00
proporzionale alla deformata 1° modo di vibrazione												
Trave 15-16	0%	0,90	0,91	0,49	0,0227	0,0041	0,005662	0,000121	46,98	0,004668	0,000108	43,12
Trave 15-16	100%	1,05	1,05	0,50	0,0239	0,0039	0,006110	0,000090	67,85	0,004537	0,000091	50,09
sisma in -X												
proporzionale alle masse												
Trave 15-16	0%	0,00	0,00	0,00	0,0000	0,0000	0,000000	0,000000	0,00	0,000000	0,000000	0,00
Trave 15-16	100%	0,00	0,00	0,00	0,0000	0,0000	0,000000	0,000000	0,00	0,000000	0,000000	0,00
proporzionale alla deformata 1° modo di vibrazione												
Trave 15-16	0%	0,00	0,00	0,00	0,0000	0,0000	0,000000	0,000000	0,00	0,000000	0,000000	0,00
Trave 15-16	100%	0,00	0,00	0,00	0,0000	0,0000	0,000000	0,000000	0,00	0,000000	0,000000	0,00
sisma in +Y												
proporzionale alle masse												
Trave 15-16	0%	0,32	0,66	0,43	0,0222	0,0041	0,004396	0,000799	5,51	0,004886	0,000441	11,08
Trave 15-16	100%	1,27	1,14	0,53	0,0233	0,0038	0,006330	0,000451	14,03	0,004538	0,000185	24,47
proporzionale alla deformata 1° modo di vibrazione												
Trave 15-16	0%	0,00	0,00	0,00	0,0000	0,0000	0,000000	0,000000	0,00	0,000000	0,000000	0,00
Trave 15-16	100%	0,00	0,00	0,00	0,0000	0,0000	0,000000	0,000000	0,00	0,000000	0,000000	0,00
sisma in -Y												
proporzionale alle masse												
Trave 15-16	0%	0,00	0,00	0,00	0,0000	0,0000	0,000000	0,000000	0,00	0,000000	0,000000	0,00
Trave 15-16	100%	0,00	0,00	0,00	0,0000	0,0000	0,000000	0,000000	0,00	0,000000	0,000000	0,00
proporzionale alla deformata 1° modo di vibrazione												
Trave 15-16	0%	0,00	0,00	0,00	0,0000	0,0000	0,000000	0,000000	0,00	0,000000	0,000000	0,00
Trave 15-16	100%	0,00	0,00	0,00	0,0000	0,0000	0,000000	0,000000	0,00	0,000000	0,000000	0,00
sisma in +X												
proporzionale alle masse												
Trave 16-17	0%	0,00	0,00	0,00	0,0000	0,0000	0,000000	0,000000	0,00	0,000000	0,000000	0,00
Trave 16-17	100%	0,00	0,00	0,00	0,0000	0,0000	0,000000	0,000000	0,00	0,000000	0,000000	0,00
proporzionale alla deformata 1° modo di vibrazione												
Trave 16-17	0%	0,92	0,92	0,49	0,0254	0,0039	0,006157	0,000090	68,37	0,004557	0,000091	50,31
Trave 16-17	100%	0,98	0,98	0,50	0,0372	0,0036	0,008440	0,000013	NS	0,004410	0,000024	NS
sisma in -X												
proporzionale alle masse												
Trave 16-17	0%	0,00	0,00	0,00	0,0000	0,0000	0,000000	0,000000	0,00	0,000000	0,000000	0,00
Trave 16-17	100%	0,00	0,00	0,00	0,0000	0,0000	0,000000	0,000000	0,00	0,000000	0,000000	0,00
proporzionale alla deformata 1° modo di vibrazione												
Trave 16-17	0%	0,00	0,00	0,00	0,0000	0,0000	0,000000	0,000000	0,00	0,000000	0,000000	0,00
Trave 16-17	100%	0,00	0,00	0,00	0,0000	0,0000	0,000000	0,000000	0,00	0,000000	0,000000	0,00
sisma in +Y												
proporzionale alle masse												
Trave 16-17	0%	0,83	0,93	0,48	0,0265	0,0037	0,006134	0,000451	13,59	0,004462	0,000185	24,06
Trave 16-17	100%	0,93	0,85	0,49	0,0397	0,0035	0,008765	0,000183	47,80	0,004436	0,000367	12,08
proporzionale alla deformata 1° modo di vibrazione												
Trave 16-17	0%	0,00	0,00	0,00	0,0000	0,0000	0,000000	0,000000	0,00	0,000000	0,000000	0,00
Trave 16-17	100%	0,00	0,00	0,00	0,0000	0,0000	0,000000	0,000000	0,00	0,000000	0,000000	0,00
sisma in -Y												
proporzionale alle masse												
Trave 16-17	0%	0,00	0,00	0,00	0,0000	0,0000	0,000000	0,000000	0,00	0,000000	0,000000	0,00
Trave 16-17	100%	0,00	0,00	0,00	0,0000	0,0000	0,000000	0,000000	0,00	0,000000	0,000000	0,00
proporzionale alla deformata 1° modo di vibrazione												

Id_{Tr}	$\%L_{LI}$	$L_{v,SLV}$	$L_{v,SLD}$	L_{pl}	ϕ_u	ϕ_y	SLV			SLD		
							Θ_c	Θ_d	CS	Θ_c	Θ_d	CS
	[%]	[m]	[m]	[m]	[rad/m]	[rad/m]	[rad]	[rad]		[rad]	[rad]	
Trave 16-17	0%	0,00	0,00	0,00	0,0000	0,0000	0,000000	0,000000	0,00	0,000000	0,000000	0,00
Trave 16-17	100%	0,00	0,00	0,00	0,0000	0,0000	0,000000	0,000000	0,00	0,000000	0,000000	0,00
sisma in +X												
proporzionale alle masse												
Trave 17-18	0%	0,00	0,00	0,00	0,0000	0,0000	0,000000	0,000000	0,00	0,000000	0,000000	0,00
Trave 17-18	100%	0,00	0,00	0,00	0,0000	0,0000	0,000000	0,000000	0,00	0,000000	0,000000	0,00
proporzionale alla deformata 1° modo di vibrazione												
Trave 17-18	0%	1,00	1,00	0,50	0,0515	0,0035	0,011175	0,000013	NS	0,004375	0,000024	NS
Trave 17-18	100%	0,92	0,91	0,49	0,0283	0,0038	0,006673	0,000079	84,84	0,004545	0,000100	45,28
sisma in -X												
proporzionale alle masse												
Trave 17-18	0%	0,00	0,00	0,00	0,0000	0,0000	0,000000	0,000000	0,00	0,000000	0,000000	0,00
Trave 17-18	100%	0,00	0,00	0,00	0,0000	0,0000	0,000000	0,000000	0,00	0,000000	0,000000	0,00
proporzionale alla deformata 1° modo di vibrazione												
Trave 17-18	0%	0,00	0,00	0,00	0,0000	0,0000	0,000000	0,000000	0,00	0,000000	0,000000	0,00
Trave 17-18	100%	0,00	0,00	0,00	0,0000	0,0000	0,000000	0,000000	0,00	0,000000	0,000000	0,00
sisma in +Y												
proporzionale alle masse												
Trave 17-18	0%	1,10	1,18	0,51	0,0458	0,0039	0,010489	0,000183	57,20	0,004566	0,000367	12,44
Trave 17-18	100%	0,88	0,81	0,49	0,0264	0,0043	0,006291	0,000091	68,91	0,004795	0,000238	20,15
proporzionale alla deformata 1° modo di vibrazione												
Trave 17-18	0%	0,00	0,00	0,00	0,0000	0,0000	0,000000	0,000000	0,00	0,000000	0,000000	0,00
Trave 17-18	100%	0,00	0,00	0,00	0,0000	0,0000	0,000000	0,000000	0,00	0,000000	0,000000	0,00
sisma in -Y												
proporzionale alle masse												
Trave 17-18	0%	0,00	0,00	0,00	0,0000	0,0000	0,000000	0,000000	0,00	0,000000	0,000000	0,00
Trave 17-18	100%	0,00	0,00	0,00	0,0000	0,0000	0,000000	0,000000	0,00	0,000000	0,000000	0,00
proporzionale alla deformata 1° modo di vibrazione												
Trave 17-18	0%	0,00	0,00	0,00	0,0000	0,0000	0,000000	0,000000	0,00	0,000000	0,000000	0,00
Trave 17-18	100%	0,00	0,00	0,00	0,0000	0,0000	0,000000	0,000000	0,00	0,000000	0,000000	0,00
sisma in +X												
proporzionale alle masse												
Trave 18-19	0%	0,00	0,00	0,00	0,0000	0,0000	0,000000	0,000000	0,00	0,000000	0,000000	0,00
Trave 18-19	100%	0,00	0,00	0,00	0,0000	0,0000	0,000000	0,000000	0,00	0,000000	0,000000	0,00
proporzionale alla deformata 1° modo di vibrazione												
Trave 18-19	0%	1,10	1,10	0,51	0,0384	0,0035	0,009012	0,000079	NS	0,004363	0,000100	43,47
Trave 18-19	100%	0,72	0,75	0,47	0,0697	0,0033	0,012762	0,000458	27,87	0,004451	0,000417	10,68
sisma in -X												
proporzionale alle masse												
Trave 18-19	0%	0,00	0,00	0,00	0,0000	0,0000	0,000000	0,000000	0,00	0,000000	0,000000	0,00
Trave 18-19	100%	0,00	0,00	0,00	0,0000	0,0000	0,000000	0,000000	0,00	0,000000	0,000000	0,00
proporzionale alla deformata 1° modo di vibrazione												
Trave 18-19	0%	0,00	0,00	0,00	0,0000	0,0000	0,000000	0,000000	0,00	0,000000	0,000000	0,00
Trave 18-19	100%	0,00	0,00	0,00	0,0000	0,0000	0,000000	0,000000	0,00	0,000000	0,000000	0,00
sisma in +Y												
proporzionale alle masse												
Trave 18-19	0%	1,12	1,19	0,51	0,0380	0,0036	0,009013	0,000091	98,71	0,004417	0,000238	18,56
Trave 18-19	100%	0,63	0,44	0,46	0,0694	0,0033	0,012371	0,000618	20,01	0,005355	0,000931	5,75
proporzionale alla deformata 1° modo di vibrazione												
Trave 18-19	0%	0,00	0,00	0,00	0,0000	0,0000	0,000000	0,000000	0,00	0,000000	0,000000	0,00
Trave 18-19	100%	0,00	0,00	0,00	0,0000	0,0000	0,000000	0,000000	0,00	0,000000	0,000000	0,00
sisma in -Y												
proporzionale alle masse												
Trave 18-19	0%	0,00	0,00	0,00	0,0000	0,0000	0,000000	0,000000	0,00	0,000000	0,000000	0,00
Trave 18-19	100%	0,00	0,00	0,00	0,0000	0,0000	0,000000	0,000000	0,00	0,000000	0,000000	0,00
proporzionale alla deformata 1° modo di vibrazione												
Trave 18-19	0%	0,00	0,00	0,00	0,0000	0,0000	0,000000	0,000000	0,00	0,000000	0,000000	0,00
Trave 18-19	100%	0,00	0,00	0,00	0,0000	0,0000	0,000000	0,000000	0,00	0,000000	0,000000	0,00
Estradosso travi colmo							**Travata: Trave25-26-27**					
sisma in +X												
proporzionale alle masse												
Trave 25-26	0%	0,00	0,00	0,00	0,0000	0,0000	0,000000	0,000000	0,00	0,000000	0,000000	0,00
Trave 25-26	100%	0,00	0,00	0,00	0,0000	0,0000	0,000000	0,000000	0,00	0,000000	0,000000	0,00
proporzionale alla deformata 1° modo di vibrazione												
Trave 25-26	0%	1,14	1,09	0,48	0,0343	0,0041	0,007917	0,000482	16,43	0,004433	0,000437	10,15
Trave 25-26	100%	0,66	0,78	0,43	0,0230	0,0047	0,004983	0,000022	NS	0,004688	0,000010	NS
sisma in -X												
proporzionale alle masse												
Trave 25-26	0%	0,00	0,00	0,00	0,0000	0,0000	0,000000	0,000000	0,00	0,000000	0,000000	0,00
Trave 25-26	100%	0,00	0,00	0,00	0,0000	0,0000	0,000000	0,000000	0,00	0,000000	0,000000	0,00
proporzionale alla deformata 1° modo di vibrazione												
Trave 25-26	0%	0,00	0,00	0,00	0,0000	0,0000	0,000000	0,000000	0,00	0,000000	0,000000	0,00
Trave 25-26	100%	0,00	0,00	0,00	0,0000	0,0000	0,000000	0,000000	0,00	0,000000	0,000000	0,00
sisma in +Y												
proporzionale alle masse												
Trave 25-26	0%	1,18	1,17	0,48	0,0355	0,0040	0,008215	0,001187	6,92	0,004432	0,000596	7,44
Trave 25-26	100%	0,42	0,59	0,40	0,0236	0,0047	0,004424	0,000264	16,73	0,004868	0,000084	57,98
proporzionale alla deformata 1° modo di vibrazione												
Trave 25-26	0%	0,00	0,00	0,00	0,0000	0,0000	0,000000	0,000000	0,00	0,000000	0,000000	0,00
Trave 25-26	100%	0,00	0,00	0,00	0,0000	0,0000	0,000000	0,000000	0,00	0,000000	0,000000	0,00
sisma in -Y												
proporzionale alle masse												
Trave 25-26	0%	0,00	0,00	0,00	0,0000	0,0000	0,000000	0,000000	0,00	0,000000	0,000000	0,00
Trave 25-26	100%	0,00	0,00	0,00	0,0000	0,0000	0,000000	0,000000	0,00	0,000000	0,000000	0,00
proporzionale alla deformata 1° modo di vibrazione												

Id_{Tr}	$\%L_{LI}$	$L_{v,SLV}$	$L_{v,SLD}$	L_{pl}	ϕ_u	ϕ_y	SLV			SLD		
							Θ_c	Θ_d	CS	Θ_c	Θ_d	CS
	[%]	[m]	[m]	[m]	[rad/m]	[rad/m]	[rad]	[rad]		[rad]	[rad]	
Trave 25-26	0%	0,00	0,00	0,00	0,0000	0,0000	0,000000	0,000000	0,00	0,000000	0,000000	0,00
Trave 25-26	100%	0,00	0,00	0,00	0,0000	0,0000	0,000000	0,000000	0,00	0,000000	0,000000	0,00
sisma in +X												
proporzionale alle masse												
Trave 26-27	0%	0,00	0,00	0,00	0,0000	0,0000	0,000000	0,000000	0,00	0,000000	0,000000	0,00
Trave 26-27	100%	0,00	0,00	0,00	0,0000	0,0000	0,000000	0,000000	0,00	0,000000	0,000000	0,00
proporzionale alla deformata 1° modo di vibrazione												
Trave 26-27	0%	0,92	0,93	0,45	0,0239	0,0044	0,005605	0,000022	NS	0,004551	0,000010	NS
Trave 26-27	100%	0,86	0,86	0,45	0,0365	0,0041	0,007573	0,000668	11,34	0,004418	0,000639	6,91
sisma in -X												
proporzionale alle masse												
Trave 26-27	0%	0,00	0,00	0,00	0,0000	0,0000	0,000000	0,000000	0,00	0,000000	0,000000	0,00
Trave 26-27	100%	0,00	0,00	0,00	0,0000	0,0000	0,000000	0,000000	0,00	0,000000	0,000000	0,00
proporzionale alla deformata 1° modo di vibrazione												
Trave 26-27	0%	0,00	0,00	0,00	0,0000	0,0000	0,000000	0,000000	0,00	0,000000	0,000000	0,00
Trave 26-27	100%	0,00	0,00	0,00	0,0000	0,0000	0,000000	0,000000	0,00	0,000000	0,000000	0,00
sisma in +Y												
proporzionale alle masse												
Trave 26-27	0%	0,85	0,91	0,45	0,0243	0,0044	0,005543	0,000264	20,96	0,004550	0,000084	54,20
Trave 26-27	100%	0,89	0,86	0,45	0,0372	0,0040	0,007768	0,000560	13,87	0,004382	0,000615	7,13
proporzionale alla deformata 1° modo di vibrazione												
Trave 26-27	0%	0,00	0,00	0,00	0,0000	0,0000	0,000000	0,000000	0,00	0,000000	0,000000	0,00
Trave 26-27	100%	0,00	0,00	0,00	0,0000	0,0000	0,000000	0,000000	0,00	0,000000	0,000000	0,00
sisma in -Y												
proporzionale alle masse												
Trave 26-27	0%	0,00	0,00	0,00	0,0000	0,0000	0,000000	0,000000	0,00	0,000000	0,000000	0,00
Trave 26-27	100%	0,00	0,00	0,00	0,0000	0,0000	0,000000	0,000000	0,00	0,000000	0,000000	0,00
proporzionale alla deformata 1° modo di vibrazione												
Trave 26-27	0%	0,00	0,00	0,00	0,0000	0,0000	0,000000	0,000000	0,00	0,000000	0,000000	0,00
Trave 26-27	100%	0,00	0,00	0,00	0,0000	0,0000	0,000000	0,000000	0,00	0,000000	0,000000	0,00
Estradosso travi colmo							**Travata: Trave28-29-30-1a-2a-31**					
sisma in +X												
proporzionale alle masse												
Trave 28-29	0%	0,00	0,00	0,00	0,0000	0,0000	0,000000	0,000000	0,00	0,000000	0,000000	0,00
Trave 28-29	100%	0,00	0,00	0,00	0,0000	0,0000	0,000000	0,000000	0,00	0,000000	0,000000	0,00
proporzionale alla deformata 1° modo di vibrazione												
Trave 28-29	0%	0,92	0,91	0,38	0,1058	0,0054	0,017453	0,000284	61,37	0,004448	0,000202	21,99
Trave 28-29	100%	0,44	0,45	0,34	0,0608	0,0064	0,007994	0,000184	43,36	0,004773	0,000143	33,28
sisma in -X												
proporzionale alle masse												
Trave 28-29	0%	0,00	0,00	0,00	0,0000	0,0000	0,000000	0,000000	0,00	0,000000	0,000000	0,00
Trave 28-29	100%	0,00	0,00	0,00	0,0000	0,0000	0,000000	0,000000	0,00	0,000000	0,000000	0,00
proporzionale alla deformata 1° modo di vibrazione												
Trave 28-29	0%	0,00	0,00	0,00	0,0000	0,0000	0,000000	0,000000	0,00	0,000000	0,000000	0,00
Trave 28-29	100%	0,00	0,00	0,00	0,0000	0,0000	0,000000	0,000000	0,00	0,000000	0,000000	0,00
sisma in +Y												
proporzionale alle masse												
Trave 28-29	0%	0,76	0,04	0,37	0,0655	0,0074	0,018004	0,000900	20,01	0,019812	0,000142	NS
Trave 28-29	100%	0,81	0,47	0,37	0,0880	0,0068	0,014044	0,000278	50,57	0,004855	0,000020	NS
proporzionale alla deformata 1° modo di vibrazione												
Trave 28-29	0%	0,00	0,00	0,00	0,0000	0,0000	0,000000	0,000000	0,00	0,000000	0,000000	0,00
Trave 28-29	100%	0,00	0,00	0,00	0,0000	0,0000	0,000000	0,000000	0,00	0,000000	0,000000	0,00
sisma in -Y												
proporzionale alle masse												
Trave 28-29	0%	0,00	0,00	0,00	0,0000	0,0000	0,000000	0,000000	0,00	0,000000	0,000000	0,00
Trave 28-29	100%	0,00	0,00	0,00	0,0000	0,0000	0,000000	0,000000	0,00	0,000000	0,000000	0,00
proporzionale alla deformata 1° modo di vibrazione												
Trave 28-29	0%	0,00	0,00	0,00	0,0000	0,0000	0,000000	0,000000	0,00	0,000000	0,000000	0,00
Trave 28-29	100%	0,00	0,00	0,00	0,0000	0,0000	0,000000	0,000000	0,00	0,000000	0,000000	0,00
sisma in +X												
proporzionale alle masse												
Trave 29-30	0%	0,00	0,00	0,00	0,0000	0,0000	0,000000	0,000000	0,00	0,000000	0,000000	0,00
Trave 29-30	100%	0,00	0,00	0,00	0,0000	0,0000	0,000000	0,000000	0,00	0,000000	0,000000	0,00
proporzionale alla deformata 1° modo di vibrazione												
Trave 29-30	0%	0,54	0,54	0,35	0,0728	0,0057	0,010154	0,000184	55,08	0,004448	0,000143	31,02
Trave 29-30	100%	0,57	0,58	0,35	0,0319	0,0068	0,005436	0,000020	NS	0,004779	0,000049	96,75
sisma in -X												
proporzionale alle masse												
Trave 29-30	0%	0,00	0,00	0,00	0,0000	0,0000	0,000000	0,000000	0,00	0,000000	0,000000	0,00
Trave 29-30	100%	0,00	0,00	0,00	0,0000	0,0000	0,000000	0,000000	0,00	0,000000	0,000000	0,00
proporzionale alla deformata 1° modo di vibrazione												
Trave 29-30	0%	0,00	0,00	0,00	0,0000	0,0000	0,000000	0,000000	0,00	0,000000	0,000000	0,00
Trave 29-30	100%	0,00	0,00	0,00	0,0000	0,0000	0,000000	0,000000	0,00	0,000000	0,000000	0,00
sisma in +Y												
proporzionale alle masse												
Trave 29-30	0%	0,58	0,55	0,35	0,0695	0,0061	0,010034	0,000278	36,13	0,004581	0,000020	NS
Trave 29-30	100%	0,60	0,59	0,35	0,0307	0,0072	0,005385	0,000233	23,13	0,004918	0,000142	34,67
proporzionale alla deformata 1° modo di vibrazione												
Trave 29-30	0%	0,00	0,00	0,00	0,0000	0,0000	0,000000	0,000000	0,00	0,000000	0,000000	0,00
Trave 29-30	100%	0,00	0,00	0,00	0,0000	0,0000	0,000000	0,000000	0,00	0,000000	0,000000	0,00
sisma in -Y												
proporzionale alle masse												
Trave 29-30	0%	0,00	0,00	0,00	0,0000	0,0000	0,000000	0,000000	0,00	0,000000	0,000000	0,00
Trave 29-30	100%	0,00	0,00	0,00	0,0000	0,0000	0,000000	0,000000	0,00	0,000000	0,000000	0,00
proporzionale alla deformata 1° modo di vibrazione												

Id_{Tr}	$\%L_{LI}$	$L_{v,SLV}$	$L_{v,SLD}$	L_{pl}	ϕ_u	ϕ_y	SLV			SLD		
							Θ_c	Θ_d	CS	Θ_c	Θ_d	CS
	[%]	[m]	[m]	[m]	[rad/m]	[rad/m]	[rad]	[rad]		[rad]	[rad]	
Trave 29-30	0%	0,00	0,00	0,00	0,0000	0,0000	0,000000	0,000000	0,00	0,000000	0,000000	0,00
Trave 29-30	100%	0,00	0,00	0,00	0,0000	0,0000	0,000000	0,000000	0,00	0,000000	0,000000	0,00
sisma in +X												
proporzionale alle masse												
Trave 30-1a	0%	0,00	0,00	0,00	0,0000	0,0000	0,000000	0,000000	0,00	0,000000	0,000000	0,00
Trave 30-1a	100%	0,00	0,00	0,00	0,0000	0,0000	0,000000	0,000000	0,00	0,000000	0,000000	0,00
proporzionale alla deformata 1° modo di vibrazione												
Trave 30-1a	0%	0,35	0,33	0,34	0,0323	0,0090	0,004928	0,000020	NS	0,005807	0,000049	NS
Trave 30-1a	100%	0,77	0,77	0,38	0,0695	0,0091	0,011598	0,000500	23,17	0,005833	0,000478	12,20
sisma in -X												
proporzionale alle masse												
Trave 30-1a	0%	0,00	0,00	0,00	0,0000	0,0000	0,000000	0,000000	0,00	0,000000	0,000000	0,00
Trave 30-1a	100%	0,00	0,00	0,00	0,0000	0,0000	0,000000	0,000000	0,00	0,000000	0,000000	0,00
proporzionale alla deformata 1° modo di vibrazione												
Trave 30-1a	0%	0,00	0,00	0,00	0,0000	0,0000	0,000000	0,000000	0,00	0,000000	0,000000	0,00
Trave 30-1a	100%	0,00	0,00	0,00	0,0000	0,0000	0,000000	0,000000	0,00	0,000000	0,000000	0,00
sisma in +Y												
proporzionale alle masse												
Trave 30-1a	0%	0,23	0,27	0,33	0,0927	0,0074	0,009922	0,000233	42,62	0,005794	0,000142	40,84
Trave 30-1a	100%	0,70	0,80	0,38	0,0647	0,0066	0,010425	0,000242	43,10	0,004880	0,000428	11,41
proporzionale alla deformata 1° modo di vibrazione												
Trave 30-1a	0%	0,00	0,00	0,00	0,0000	0,0000	0,000000	0,000000	0,00	0,000000	0,000000	0,00
Trave 30-1a	100%	0,00	0,00	0,00	0,0000	0,0000	0,000000	0,000000	0,00	0,000000	0,000000	0,00
sisma in -Y												
proporzionale alle masse												
Trave 30-1a	0%	0,00	0,00	0,00	0,0000	0,0000	0,000000	0,000000	0,00	0,000000	0,000000	0,00
Trave 30-1a	100%	0,00	0,00	0,00	0,0000	0,0000	0,000000	0,000000	0,00	0,000000	0,000000	0,00
proporzionale alla deformata 1° modo di vibrazione												
Trave 30-1a	0%	0,00	0,00	0,00	0,0000	0,0000	0,000000	0,000000	0,00	0,000000	0,000000	0,00
Trave 30-1a	100%	0,00	0,00	0,00	0,0000	0,0000	0,000000	0,000000	0,00	0,000000	0,000000	0,00
Estradosso travi colmo							**Travata: Trave1-14-25-32**					
sisma in +X												
proporzionale alle masse												
Trave 1-14	0%	0,00	0,00	0,00	0,0000	0,0000	0,000000	0,000000	0,00	0,000000	0,000000	0,00
Trave 1-14	100%	0,00	0,00	0,00	0,0000	0,0000	0,000000	0,000000	0,00	0,000000	0,000000	0,00
proporzionale alla deformata 1° modo di vibrazione												
Trave 1-14	0%	1,06	1,09	0,40	0,0886	0,0073	0,015997	0,000005	NS	0,005493	0,000007	NS
Trave 1-14	100%	1,39	1,31	0,43	0,0902	0,0070	0,018131	0,000621	29,18	0,005746	0,000445	12,92
sisma in -X												
proporzionale alle masse												
Trave 1-14	0%	0,00	0,00	0,00	0,0000	0,0000	0,000000	0,000000	0,00	0,000000	0,000000	0,00
Trave 1-14	100%	0,00	0,00	0,00	0,0000	0,0000	0,000000	0,000000	0,00	0,000000	0,000000	0,00
proporzionale alla deformata 1° modo di vibrazione												
Trave 1-14	0%	0,00	0,00	0,00	0,0000	0,0000	0,000000	0,000000	0,00	0,000000	0,000000	0,00
Trave 1-14	100%	0,00	0,00	0,00	0,0000	0,0000	0,000000	0,000000	0,00	0,000000	0,000000	0,00
sisma in +Y												
proporzionale alle masse												
Trave 1-14	0%	0,45	0,78	0,34	0,0976	0,0072	0,012119	0,002055	5,90	0,004985	0,000927	5,38
Trave 1-14	100%	1,33	1,26	0,43	0,0992	0,0057	0,019288	0,000425	45,42	0,004983	0,000344	14,50
proporzionale alla deformata 1° modo di vibrazione												
Trave 1-14	0%	0,00	0,00	0,00	0,0000	0,0000	0,000000	0,000000	0,00	0,000000	0,000000	0,00
Trave 1-14	100%	0,00	0,00	0,00	0,0000	0,0000	0,000000	0,000000	0,00	0,000000	0,000000	0,00
sisma in -Y												
proporzionale alle masse												
Trave 1-14	0%	0,00	0,00	0,00	0,0000	0,0000	0,000000	0,000000	0,00	0,000000	0,000000	0,00
Trave 1-14	100%	0,00	0,00	0,00	0,0000	0,0000	0,000000	0,000000	0,00	0,000000	0,000000	0,00
proporzionale alla deformata 1° modo di vibrazione												
Trave 1-14	0%	0,00	0,00	0,00	0,0000	0,0000	0,000000	0,000000	0,00	0,000000	0,000000	0,00
Trave 1-14	100%	0,00	0,00	0,00	0,0000	0,0000	0,000000	0,000000	0,00	0,000000	0,000000	0,00
sisma in +X												
proporzionale alle masse												
Trave 14-25	0%	0,00	0,00	0,00	0,0000	0,0000	0,000000	0,000000	0,00	0,000000	0,000000	0,00
Trave 14-25	100%	0,00	0,00	0,00	0,0000	0,0000	0,000000	0,000000	0,00	0,000000	0,000000	0,00
proporzionale alla deformata 1° modo di vibrazione												
Trave 14-25	0%	0,26	0,06	0,32	0,1009	0,0055	0,014739	0,000621	23,72	0,014140	0,000445	31,79
Trave 14-25	100%	0,67	0,65	0,36	0,1003	0,0056	0,014653	0,000082	NS	0,004279	0,000071	59,97
sisma in -X												
proporzionale alle masse												
Trave 14-25	0%	0,00	0,00	0,00	0,0000	0,0000	0,000000	0,000000	0,00	0,000000	0,000000	0,00
Trave 14-25	100%	0,00	0,00	0,00	0,0000	0,0000	0,000000	0,000000	0,00	0,000000	0,000000	0,00
proporzionale alla deformata 1° modo di vibrazione												
Trave 14-25	0%	0,00	0,00	0,00	0,0000	0,0000	0,000000	0,000000	0,00	0,000000	0,000000	0,00
Trave 14-25	100%	0,00	0,00	0,00	0,0000	0,0000	0,000000	0,000000	0,00	0,000000	0,000000	0,00
sisma in +Y												
proporzionale alle masse												
Trave 14-25	0%	2,12	2,53	0,51	0,0747	0,0075	0,019437	0,000425	45,77	0,008840	0,000344	25,73
Trave 14-25	100%	1,52	1,41	0,45	0,0742	0,0070	0,015807	0,000807	19,60	0,005993	0,000612	9,79
proporzionale alla deformata 1° modo di vibrazione												
Trave 14-25	0%	0,00	0,00	0,00	0,0000	0,0000	0,000000	0,000000	0,00	0,000000	0,000000	0,00
Trave 14-25	100%	0,00	0,00	0,00	0,0000	0,0000	0,000000	0,000000	0,00	0,000000	0,000000	0,00
sisma in -Y												
proporzionale alle masse												
Trave 14-25	0%	0,00	0,00	0,00	0,0000	0,0000	0,000000	0,000000	0,00	0,000000	0,000000	0,00
Trave 14-25	100%	0,00	0,00	0,00	0,0000	0,0000	0,000000	0,000000	0,00	0,000000	0,000000	0,00
proporzionale alla deformata 1° modo di vibrazione												

Id_{Tr}	$\%L_{LI}$	$L_{v,SLV}$	$L_{v,SLD}$	L_{pl}	ϕ_u	ϕ_y	SLV			SLD		
							Θ_c	Θ_d	CS	Θ_c	Θ_d	CS
	[%]	[m]	[m]	[m]	[rad/m]	[rad/m]	[rad]	[rad]		[rad]	[rad]	
Trave 14-25	0%	0,00	0,00	0,00	0,0000	0,0000	0,000000	0,000000	0,00	0,000000	0,000000	0,00
Trave 14-25	100%	0,00	0,00	0,00	0,0000	0,0000	0,000000	0,000000	0,00	0,000000	0,000000	0,00
sisma in +X												
proporzionale alle masse												
Trave 25-32	0%	0,00	0,00	0,00	0,0000	0,0000	0,000000	0,000000	0,00	0,000000	0,000000	0,00
Trave 25-32	100%	0,00	0,00	0,00	0,0000	0,0000	0,000000	0,000000	0,00	0,000000	0,000000	0,00
proporzionale alla deformata 1° modo di vibrazione												
Trave 25-32	0%	0,65	0,62	0,36	0,1244	0,0022	0,017496	0,000082	NS	0,003131	0,000071	43,88
Trave 25-32	100%	0,97	0,93	0,39	0,0935	0,0076	0,016141	0,000113	NS	0,005351	0,000083	64,47
sisma in -X												
proporzionale alle masse												
Trave 25-32	0%	0,00	0,00	0,00	0,0000	0,0000	0,000000	0,000000	0,00	0,000000	0,000000	0,00
Trave 25-32	100%	0,00	0,00	0,00	0,0000	0,0000	0,000000	0,000000	0,00	0,000000	0,000000	0,00
proporzionale alla deformata 1° modo di vibrazione												
Trave 25-32	0%	0,00	0,00	0,00	0,0000	0,0000	0,000000	0,000000	0,00	0,000000	0,000000	0,00
Trave 25-32	100%	0,00	0,00	0,00	0,0000	0,0000	0,000000	0,000000	0,00	0,000000	0,000000	0,00
sisma in +Y												
proporzionale alle masse												
Trave 25-32	0%	1,32	0,78	0,43	0,1132	0,0026	0,021389	0,000807	26,52	0,003195	0,000612	5,22
Trave 25-32	100%	1,16	1,06	0,41	0,0844	0,0076	0,015785	0,001814	8,70	0,005615	0,000996	5,64
proporzionale alla deformata 1° modo di vibrazione												
Trave 25-32	0%	0,00	0,00	0,00	0,0000	0,0000	0,000000	0,000000	0,00	0,000000	0,000000	0,00
Trave 25-32	100%	0,00	0,00	0,00	0,0000	0,0000	0,000000	0,000000	0,00	0,000000	0,000000	0,00
sisma in -Y												
proporzionale alle masse												
Trave 25-32	0%	0,00	0,00	0,00	0,0000	0,0000	0,000000	0,000000	0,00	0,000000	0,000000	0,00
Trave 25-32	100%	0,00	0,00	0,00	0,0000	0,0000	0,000000	0,000000	0,00	0,000000	0,000000	0,00
proporzionale alla deformata 1° modo di vibrazione												
Trave 25-32	0%	0,00	0,00	0,00	0,0000	0,0000	0,000000	0,000000	0,00	0,000000	0,000000	0,00
Trave 25-32	100%	0,00	0,00	0,00	0,0000	0,0000	0,000000	0,000000	0,00	0,000000	0,000000	0,00
Estradosso travi colmo							**Travata: Trave3-16-27-34**					
sisma in +X												
proporzionale alle masse												
Trave 16-27	0%	0,00	0,00	0,00	0,0000	0,0000	0,000000	0,000000	0,00	0,000000	0,000000	0,00
Trave 16-27	100%	0,00	0,00	0,00	0,0000	0,0000	0,000000	0,000000	0,00	0,000000	0,000000	0,00
proporzionale alla deformata 1° modo di vibrazione												
Trave 16-27	0%	0,28	0,06	0,36	0,0758	0,0000	0,012149	0,001794	6,77	0,010699	0,001485	7,21
Trave 16-27	100%	0,14	0,28	0,34	0,1033	0,0060	0,010812	0,000650	16,63	0,004843	0,000413	11,73
sisma in -X												
proporzionale alle masse												
Trave 16-27	0%	0,00	0,00	0,00	0,0000	0,0000	0,000000	0,000000	0,00	0,000000	0,000000	0,00
Trave 16-27	100%	0,00	0,00	0,00	0,0000	0,0000	0,000000	0,000000	0,00	0,000000	0,000000	0,00
proporzionale alla deformata 1° modo di vibrazione												
Trave 16-27	0%	0,00	0,00	0,00	0,0000	0,0000	0,000000	0,000000	0,00	0,000000	0,000000	0,00
Trave 16-27	100%	0,00	0,00	0,00	0,0000	0,0000	0,000000	0,000000	0,00	0,000000	0,000000	0,00
sisma in +Y												
proporzionale alle masse												
Trave 16-27	0%	0,13	0,27	0,34	0,1043	0,0056	0,010896	0,001620	6,73	0,004798	0,001539	3,12
Trave 16-27	100%	0,36	0,45	0,37	0,1022	0,0057	0,011022	0,000356	31,00	0,004317	0,000317	13,63
proporzionale alla deformata 1° modo di vibrazione												
Trave 16-27	0%	0,00	0,00	0,00	0,0000	0,0000	0,000000	0,000000	0,00	0,000000	0,000000	0,00
Trave 16-27	100%	0,00	0,00	0,00	0,0000	0,0000	0,000000	0,000000	0,00	0,000000	0,000000	0,00
sisma in -Y												
proporzionale alle masse												
Trave 16-27	0%	0,00	0,00	0,00	0,0000	0,0000	0,000000	0,000000	0,00	0,000000	0,000000	0,00
Trave 16-27	100%	0,00	0,00	0,00	0,0000	0,0000	0,000000	0,000000	0,00	0,000000	0,000000	0,00
proporzionale alla deformata 1° modo di vibrazione												
Trave 16-27	0%	0,00	0,00	0,00	0,0000	0,0000	0,000000	0,000000	0,00	0,000000	0,000000	0,00
Trave 16-27	100%	0,00	0,00	0,00	0,0000	0,0000	0,000000	0,000000	0,00	0,000000	0,000000	0,00
sisma in +X												
proporzionale alle masse												
Trave 27-34	0%	0,00	0,00	0,00	0,0000	0,0000	0,000000	0,000000	0,00	0,000000	0,000000	0,00
Trave 27-34	100%	0,00	0,00	0,00	0,0000	0,0000	0,000000	0,000000	0,00	0,000000	0,000000	0,00
proporzionale alla deformata 1° modo di vibrazione												
Trave 27-34	0%	0,52	0,62	0,38	0,0934	0,0090	0,012924	0,000650	19,88	0,005472	0,000413	13,25
Trave 27-34	100%	1,12	0,97	0,44	0,0925	0,0088	0,017906	0,000204	87,71	0,006088	0,000159	38,22
sisma in -X												
proporzionale alle masse												
Trave 27-34	0%	0,00	0,00	0,00	0,0000	0,0000	0,000000	0,000000	0,00	0,000000	0,000000	0,00
Trave 27-34	100%	0,00	0,00	0,00	0,0000	0,0000	0,000000	0,000000	0,00	0,000000	0,000000	0,00
proporzionale alla deformata 1° modo di vibrazione												
Trave 27-34	0%	0,00	0,00	0,00	0,0000	0,0000	0,000000	0,000000	0,00	0,000000	0,000000	0,00
Trave 27-34	100%	0,00	0,00	0,00	0,0000	0,0000	0,000000	0,000000	0,00	0,000000	0,000000	0,00
sisma in +Y												
proporzionale alle masse												
Trave 27-34	0%	0,24	0,48	0,36	0,0830	0,0093	0,009249	0,000356	26,01	0,005406	0,000317	17,07
Trave 27-34	100%	1,64	1,34	0,49	0,0822	0,0099	0,019022	0,001267	15,01	0,007663	0,000580	13,21
proporzionale alla deformata 1° modo di vibrazione												
Trave 27-34	0%	0,00	0,00	0,00	0,0000	0,0000	0,000000	0,000000	0,00	0,000000	0,000000	0,00
Trave 27-34	100%	0,00	0,00	0,00	0,0000	0,0000	0,000000	0,000000	0,00	0,000000	0,000000	0,00
sisma in -Y												
proporzionale alle masse												
Trave 27-34	0%	0,00	0,00	0,00	0,0000	0,0000	0,000000	0,000000	0,00	0,000000	0,000000	0,00
Trave 27-34	100%	0,00	0,00	0,00	0,0000	0,0000	0,000000	0,000000	0,00	0,000000	0,000000	0,00
proporzionale alla deformata 1° modo di vibrazione												

Id_{Tr}	$\%L_{LI}$	$L_{v,SLV}$	$L_{v,SLD}$	L_{pl}	ϕ_u	ϕ_y	SLV			SLD		
							Θ_c	Θ_d	CS	Θ_c	Θ_d	CS
	[%]	[m]	[m]	[m]	[rad/m]	[rad/m]	[rad]	[rad]		[rad]	[rad]	
Trave 27-34	0%	0,00	0,00	0,00	0,0000	0,0000	0,000000	0,000000	0,00	0,000000	0,000000	0,00
Trave 27-34	100%	0,00	0,00	0,00	0,0000	0,0000	0,000000	0,000000	0,00	0,000000	0,000000	0,00
Estradosso travi colmo							**Travata: Trave6-19-28-37**					
sisma in +X												
proporzionale alle masse												
Trave 6-19	0%	0,00	0,00	0,00	0,0000	0,0000	0,000000	0,000000	0,00	0,000000	0,000000	0,00
Trave 6-19	100%	0,00	0,00	0,00	0,0000	0,0000	0,000000	0,000000	0,00	0,000000	0,000000	0,00
proporzionale alla deformata 1° modo di vibrazione												
Trave 6-19	0%	1,10	1,17	0,41	0,0868	0,0066	0,015937	0,000051	NS	0,005281	0,000093	56,49
Trave 6-19	100%	1,48	1,26	0,44	0,0883	0,0071	0,018169	0,000847	21,44	0,005706	0,000388	14,69
sisma in -X												
proporzionale alle masse												
Trave 6-19	0%	0,00	0,00	0,00	0,0000	0,0000	0,000000	0,000000	0,00	0,000000	0,000000	0,00
Trave 6-19	100%	0,00	0,00	0,00	0,0000	0,0000	0,000000	0,000000	0,00	0,000000	0,000000	0,00
proporzionale alla deformata 1° modo di vibrazione												
Trave 6-19	0%	0,00	0,00	0,00	0,0000	0,0000	0,000000	0,000000	0,00	0,000000	0,000000	0,00
Trave 6-19	100%	0,00	0,00	0,00	0,0000	0,0000	0,000000	0,000000	0,00	0,000000	0,000000	0,00
sisma in +Y												
proporzionale alle masse												
Trave 6-19	0%	2,91	1,16	0,59	0,0364	0,0106	0,010474	0,005326	1,97	0,007361	0,000013	NS
Trave 6-19	100%	0,05	1,90	0,30	0,0373	0,0090	0,006401	0,001315	4,87	0,008554	0,001970	4,34
proporzionale alla deformata 1° modo di vibrazione												
Trave 6-19	0%	0,00	0,00	0,00	0,0000	0,0000	0,000000	0,000000	0,00	0,000000	0,000000	0,00
Trave 6-19	100%	0,00	0,00	0,00	0,0000	0,0000	0,000000	0,000000	0,00	0,000000	0,000000	0,00
sisma in -Y												
proporzionale alle masse												
Trave 6-19	0%	0,00	0,00	0,00	0,0000	0,0000	0,000000	0,000000	0,00	0,000000	0,000000	0,00
Trave 6-19	100%	0,00	0,00	0,00	0,0000	0,0000	0,000000	0,000000	0,00	0,000000	0,000000	0,00
proporzionale alla deformata 1° modo di vibrazione												
Trave 6-19	0%	0,00	0,00	0,00	0,0000	0,0000	0,000000	0,000000	0,00	0,000000	0,000000	0,00
Trave 6-19	100%	0,00	0,00	0,00	0,0000	0,0000	0,000000	0,000000	0,00	0,000000	0,000000	0,00
sisma in +X												
proporzionale alle masse												
Trave 19-28	0%	0,00	0,00	0,00	0,0000	0,0000	0,000000	0,000000	0,00	0,000000	0,000000	0,00
Trave 19-28	100%	0,00	0,00	0,00	0,0000	0,0000	0,000000	0,000000	0,00	0,000000	0,000000	0,00
proporzionale alla deformata 1° modo di vibrazione												
Trave 19-28	0%	0,29	0,31	0,32	0,0904	0,0073	0,009325	0,000847	11,01	0,005179	0,000388	13,33
Trave 19-28	100%	0,01	0,25	0,30	0,0895	0,0075	0,008909	0,000915	9,73	0,005647	0,000490	11,52
sisma in -X												
proporzionale alle masse												
Trave 19-28	0%	0,00	0,00	0,00	0,0000	0,0000	0,000000	0,000000	0,00	0,000000	0,000000	0,00
Trave 19-28	100%	0,00	0,00	0,00	0,0000	0,0000	0,000000	0,000000	0,00	0,000000	0,000000	0,00
proporzionale alla deformata 1° modo di vibrazione												
Trave 19-28	0%	0,00	0,00	0,00	0,0000	0,0000	0,000000	0,000000	0,00	0,000000	0,000000	0,00
Trave 19-28	100%	0,00	0,00	0,00	0,0000	0,0000	0,000000	0,000000	0,00	0,000000	0,000000	0,00
sisma in +Y												
proporzionale alle masse												
Trave 19-28	0%	1,23	5,56	0,42	0,0956	0,0068	0,022909	0,001315	17,42	0,014951	0,001970	7,59
Trave 19-28	100%	0,93	0,93	0,39	0,0949	0,0070	0,016079	0,000438	36,72	0,005116	0,000211	24,26
proporzionale alla deformata 1° modo di vibrazione												
Trave 19-28	0%	0,00	0,00	0,00	0,0000	0,0000	0,000000	0,000000	0,00	0,000000	0,000000	0,00
Trave 19-28	100%	0,00	0,00	0,00	0,0000	0,0000	0,000000	0,000000	0,00	0,000000	0,000000	0,00
sisma in -Y												
proporzionale alle masse												
Trave 19-28	0%	0,00	0,00	0,00	0,0000	0,0000	0,000000	0,000000	0,00	0,000000	0,000000	0,00
Trave 19-28	100%	0,00	0,00	0,00	0,0000	0,0000	0,000000	0,000000	0,00	0,000000	0,000000	0,00
proporzionale alla deformata 1° modo di vibrazione												
Trave 19-28	0%	0,00	0,00	0,00	0,0000	0,0000	0,000000	0,000000	0,00	0,000000	0,000000	0,00
Trave 19-28	100%	0,00	0,00	0,00	0,0000	0,0000	0,000000	0,000000	0,00	0,000000	0,000000	0,00
sisma in +X												
proporzionale alle masse												
Trave 28-37	0%	0,00	0,00	0,00	0,0000	0,0000	0,000000	0,000000	0,00	0,000000	0,000000	0,00
Trave 28-37	100%	0,00	0,00	0,00	0,0000	0,0000	0,000000	0,000000	0,00	0,000000	0,000000	0,00
proporzionale alla deformata 1° modo di vibrazione												
Trave 28-37	0%	1,23	1,10	0,42	0,0962	0,0058	0,018111	0,000915	19,78	0,004808	0,000490	9,81
Trave 28-37	100%	6,26	5,23	0,92	0,0951	0,0062	0,044477	0,001792	24,82	0,013045	0,000930	14,03
sisma in -X												
proporzionale alle masse												
Trave 28-37	0%	0,00	0,00	0,00	0,0000	0,0000	0,000000	0,000000	0,00	0,000000	0,000000	0,00
Trave 28-37	100%	0,00	0,00	0,00	0,0000	0,0000	0,000000	0,000000	0,00	0,000000	0,000000	0,00
proporzionale alla deformata 1° modo di vibrazione												
Trave 28-37	0%	0,00	0,00	0,00	0,0000	0,0000	0,000000	0,000000	0,00	0,000000	0,000000	0,00
Trave 28-37	100%	0,00	0,00	0,00	0,0000	0,0000	0,000000	0,000000	0,00	0,000000	0,000000	0,00
sisma in +Y												
proporzionale alle masse												
Trave 28-37	0%	3,22	227,40	0,62	0,0807	0,0062	0,258609	0,000438	NS	0,475616	0,000211	NS
Trave 28-37	100%	1,55	1,32	0,45	0,0801	0,0074	0,016979	0,001278	13,29	0,005986	0,000676	8,85
proporzionale alla deformata 1° modo di vibrazione												
Trave 28-37	0%	0,00	0,00	0,00	0,0000	0,0000	0,000000	0,000000	0,00	0,000000	0,000000	0,00
Trave 28-37	100%	0,00	0,00	0,00	0,0000	0,0000	0,000000	0,000000	0,00	0,000000	0,000000	0,00
sisma in -Y												
proporzionale alle masse												
Trave 28-37	0%	0,00	0,00	0,00	0,0000	0,0000	0,000000	0,000000	0,00	0,000000	0,000000	0,00
Trave 28-37	100%	0,00	0,00	0,00	0,0000	0,0000	0,000000	0,000000	0,00	0,000000	0,000000	0,00
proporzionale alla deformata 1° modo di vibrazione												

Id_{Tr}	$\%L_{LI}$	$L_{v,SLV}$	$L_{v,SLD}$	L_{pl}	ϕ_u	ϕ_y	SLV			SLD		
							Θ_c	Θ_d	CS	Θ_c	Θ_d	CS
	[%]	[m]	[m]	[m]	[rad/m]	[rad/m]	[rad]	[rad]		[rad]	[rad]	
Trave 28-37	0%	0,00	0,00	0,00	0,0000	0,0000	0,000000	0,000000	0,00	0,000000	0,000000	0,00
Trave 28-37	100%	0,00	0,00	0,00	0,0000	0,0000	0,000000	0,000000	0,00	0,000000	0,000000	0,00
Estradosso travi colmo							**Travata: Trave19-28**					
sisma in +X												
proporzionale alle masse												
Trave 19-28	0%	0,00	0,00	0,00	0,0000	0,0000	0,000000	0,000000	0,00	0,000000	0,000000	0,00
Trave 19-28	100%	0,00	0,00	0,00	0,0000	0,0000	0,000000	0,000000	0,00	0,000000	0,000000	0,00
proporzionale alla deformata 1° modo di vibrazione												
Trave 19-28	0%	0,66	0,65	0,38	0,1018	0,0098	0,015217	0,000179	85,16	0,005531	0,000069	80,71
Trave 19-28	100%	0,69	0,74	0,38	0,1036	0,0104	0,015894	0,000915	17,36	0,005993	0,000490	12,23
sisma in -X												
proporzionale alle masse												
Trave 19-28	0%	0,00	0,00	0,00	0,0000	0,0000	0,000000	0,000000	0,00	0,000000	0,000000	0,00
Trave 19-28	100%	0,00	0,00	0,00	0,0000	0,0000	0,000000	0,000000	0,00	0,000000	0,000000	0,00
proporzionale alla deformata 1° modo di vibrazione												
Trave 19-28	0%	0,00	0,00	0,00	0,0000	0,0000	0,000000	0,000000	0,00	0,000000	0,000000	0,00
Trave 19-28	100%	0,00	0,00	0,00	0,0000	0,0000	0,000000	0,000000	0,00	0,000000	0,000000	0,00
sisma in +Y												
proporzionale alle masse												
Trave 19-28	0%	0,42	0,53	0,36	0,1038	0,0101	0,012354	0,001634	7,56	0,005414	0,000716	7,56
Trave 19-28	100%	1,00	0,92	0,41	0,1055	0,0094	0,018755	0,000438	42,84	0,006044	0,000211	28,66
proporzionale alla deformata 1° modo di vibrazione												
Trave 19-28	0%	0,00	0,00	0,00	0,0000	0,0000	0,000000	0,000000	0,00	0,000000	0,000000	0,00
Trave 19-28	100%	0,00	0,00	0,00	0,0000	0,0000	0,000000	0,000000	0,00	0,000000	0,000000	0,00
sisma in -Y												
proporzionale alle masse												
Trave 19-28	0%	0,00	0,00	0,00	0,0000	0,0000	0,000000	0,000000	0,00	0,000000	0,000000	0,00
Trave 19-28	100%	0,00	0,00	0,00	0,0000	0,0000	0,000000	0,000000	0,00	0,000000	0,000000	0,00
proporzionale alla deformata 1° modo di vibrazione												
Trave 19-28	0%	0,00	0,00	0,00	0,0000	0,0000	0,000000	0,000000	0,00	0,000000	0,000000	0,00
Trave 19-28	100%	0,00	0,00	0,00	0,0000	0,0000	0,000000	0,000000	0,00	0,000000	0,000000	0,00
Estradosso travi colmo							**Travata: Trave24-31-41**					
sisma in +X												
proporzionale alle masse												
Trave 24-31	0%	0,00	0,00	0,00	0,0000	0,0000	0,000000	0,000000	0,00	0,000000	0,000000	0,00
Trave 24-31	100%	0,00	0,00	0,00	0,0000	0,0000	0,000000	0,000000	0,00	0,000000	0,000000	0,00
proporzionale alla deformata 1° modo di vibrazione												
Trave 24-31	0%	0,84	0,94	0,39	0,0918	0,0064	0,015161	0,000164	92,28	0,004963	0,000163	30,46
Trave 24-31	100%	0,55	0,49	0,36	0,0926	0,0067	0,012814	0,000189	67,94	0,004840	0,000103	46,88
sisma in -X												
proporzionale alle masse												
Trave 24-31	0%	0,00	0,00	0,00	0,0000	0,0000	0,000000	0,000000	0,00	0,000000	0,000000	0,00
Trave 24-31	100%	0,00	0,00	0,00	0,0000	0,0000	0,000000	0,000000	0,00	0,000000	0,000000	0,00
proporzionale alla deformata 1° modo di vibrazione												
Trave 24-31	0%	0,00	0,00	0,00	0,0000	0,0000	0,000000	0,000000	0,00	0,000000	0,000000	0,00
Trave 24-31	100%	0,00	0,00	0,00	0,0000	0,0000	0,000000	0,000000	0,00	0,000000	0,000000	0,00
sisma in +Y												
proporzionale alle masse												
Trave 24-31	0%	0,15	0,89	0,32	0,0939	0,0066	0,009417	0,001129	8,34	0,004954	0,000225	22,04
Trave 24-31	100%	0,75	0,46	0,38	0,0933	0,0058	0,014716	0,000520	28,29	0,004622	0,000182	25,35
proporzionale alla deformata 1° modo di vibrazione												
Trave 24-31	0%	0,00	0,00	0,00	0,0000	0,0000	0,000000	0,000000	0,00	0,000000	0,000000	0,00
Trave 24-31	100%	0,00	0,00	0,00	0,0000	0,0000	0,000000	0,000000	0,00	0,000000	0,000000	0,00
sisma in -Y												
proporzionale alle masse												
Trave 24-31	0%	0,00	0,00	0,00	0,0000	0,0000	0,000000	0,000000	0,00	0,000000	0,000000	0,00
Trave 24-31	100%	0,00	0,00	0,00	0,0000	0,0000	0,000000	0,000000	0,00	0,000000	0,000000	0,00
proporzionale alla deformata 1° modo di vibrazione												
Trave 24-31	0%	0,00	0,00	0,00	0,0000	0,0000	0,000000	0,000000	0,00	0,000000	0,000000	0,00
Trave 24-31	100%	0,00	0,00	0,00	0,0000	0,0000	0,000000	0,000000	0,00	0,000000	0,000000	0,00
sisma in +X												
proporzionale alle masse												
Trave 31-41	0%	0,00	0,00	0,00	0,0000	0,0000	0,000000	0,000000	0,00	0,000000	0,000000	0,00
Trave 31-41	100%	0,00	0,00	0,00	0,0000	0,0000	0,000000	0,000000	0,00	0,000000	0,000000	0,00
proporzionale alla deformata 1° modo di vibrazione												
Trave 31-41	0%	0,73	0,75	0,38	0,0929	0,0059	0,014421	0,000190	76,04	0,004583	0,000104	44,06
Trave 31-41	100%	0,55	0,49	0,36	0,0919	0,0070	0,012762	0,000187	68,35	0,004926	0,000121	40,56
sisma in -X												
proporzionale alle masse												
Trave 31-41	0%	0,00	0,00	0,00	0,0000	0,0000	0,000000	0,000000	0,00	0,000000	0,000000	0,00
Trave 31-41	100%	0,00	0,00	0,00	0,0000	0,0000	0,000000	0,000000	0,00	0,000000	0,000000	0,00
proporzionale alla deformata 1° modo di vibrazione												
Trave 31-41	0%	0,00	0,00	0,00	0,0000	0,0000	0,000000	0,000000	0,00	0,000000	0,000000	0,00
Trave 31-41	100%	0,00	0,00	0,00	0,0000	0,0000	0,000000	0,000000	0,00	0,000000	0,000000	0,00
sisma in +Y												
proporzionale alle masse												
Trave 31-41	0%	0,86	0,77	0,39	0,0907	0,0056	0,015056	0,000518	29,06	0,004470	0,000181	24,73
Trave 31-41	100%	1,48	0,40	0,45	0,0902	0,0065	0,018465	0,000103	NS	0,004932	0,000155	31,87
proporzionale alla deformata 1° modo di vibrazione												
Trave 31-41	0%	0,00	0,00	0,00	0,0000	0,0000	0,000000	0,000000	0,00	0,000000	0,000000	0,00
Trave 31-41	100%	0,00	0,00	0,00	0,0000	0,0000	0,000000	0,000000	0,00	0,000000	0,000000	0,00
sisma in -Y												
proporzionale alle masse												
Trave 31-41	0%	0,00	0,00	0,00	0,0000	0,0000	0,000000	0,000000	0,00	0,000000	0,000000	0,00
Trave 31-41	100%	0,00	0,00	0,00	0,0000	0,0000	0,000000	0,000000	0,00	0,000000	0,000000	0,00

Id_{Tr}	$\%L_{LI}$	$L_{v,SLV}$	$L_{v,SLD}$	L_{pl}	ϕ_u	ϕ_y	SLV			SLD		
							Θ_c	Θ_d	CS	Θ_c	Θ_d	CS
	[%]	[m]	[m]	[m]	[rad/m]	[rad/m]	[rad]	[rad]		[rad]	[rad]	
proporzionale alla deformata 1° modo di vibrazione												
Trave 31-41	0%	0,00	0,00	0,00	0,0000	0,0000	0,000000	0,000000	0,00	0,000000	0,000000	0,00
Trave 31-41	100%	0,00	0,00	0,00	0,0000	0,0000	0,000000	0,000000	0,00	0,000000	0,000000	0,00
Estradosso travi gronda							**Travata: Trave1-P1-2-P2-3-P3-4-P4-5-P5-6**					
sisma in +X												
proporzionale alle masse												
Trave P1-2	0%	0,00	0,00	0,00	0,0000	0,0000	0,000000	0,000000	0,00	0,000000	0,000000	0,00
Trave P1-2	100%	0,00	0,00	0,00	0,0000	0,0000	0,000000	0,000000	0,00	0,000000	0,000000	0,00
proporzionale alla deformata 1° modo di vibrazione												
Trave P1-2	0%	0,63	0,13	0,49	0,0344	0,0016	0,013940	0,000069	NS	0,018107	0,000086	NS
Trave P1-2	100%	1,18	0,97	0,54	0,0516	0,0021	0,012611	0,000141	89,18	0,004490	0,000082	54,72
sisma in -X												
proporzionale alle masse												
Trave P1-2	0%	0,00	0,00	0,00	0,0000	0,0000	0,000000	0,000000	0,00	0,000000	0,000000	0,00
Trave P1-2	100%	0,00	0,00	0,00	0,0000	0,0000	0,000000	0,000000	0,00	0,000000	0,000000	0,00
proporzionale alla deformata 1° modo di vibrazione												
Trave P1-2	0%	0,00	0,00	0,00	0,0000	0,0000	0,000000	0,000000	0,00	0,000000	0,000000	0,00
Trave P1-2	100%	0,00	0,00	0,00	0,0000	0,0000	0,000000	0,000000	0,00	0,000000	0,000000	0,00
sisma in +Y												
proporzionale alle masse												
Trave P1-2	0%	1,03	0,88	0,53	0,0988	0,0017	0,021359	0,000214	99,65	0,004433	0,000109	40,63
Trave P1-2	100%	0,77	0,18	0,50	0,0900	0,0020	0,021688	0,000241	89,98	0,013427	0,000092	NS
proporzionale alla deformata 1° modo di vibrazione												
Trave P1-2	0%	0,00	0,00	0,00	0,0000	0,0000	0,000000	0,000000	0,00	0,000000	0,000000	0,00
Trave P1-2	100%	0,00	0,00	0,00	0,0000	0,0000	0,000000	0,000000	0,00	0,000000	0,000000	0,00
sisma in -Y												
proporzionale alle masse												
Trave P1-2	0%	0,00	0,00	0,00	0,0000	0,0000	0,000000	0,000000	0,00	0,000000	0,000000	0,00
Trave P1-2	100%	0,00	0,00	0,00	0,0000	0,0000	0,000000	0,000000	0,00	0,000000	0,000000	0,00
proporzionale alla deformata 1° modo di vibrazione												
Trave P1-2	0%	0,00	0,00	0,00	0,0000	0,0000	0,000000	0,000000	0,00	0,000000	0,000000	0,00
Trave P1-2	100%	0,00	0,00	0,00	0,0000	0,0000	0,000000	0,000000	0,00	0,000000	0,000000	0,00
sisma in +X												
proporzionale alle masse												
Trave P2-3	0%	0,00	0,00	0,00	0,0000	0,0000	0,000000	0,000000	0,00	0,000000	0,000000	0,00
Trave P2-3	100%	0,00	0,00	0,00	0,0000	0,0000	0,000000	0,000000	0,00	0,000000	0,000000	0,00
proporzionale alla deformata 1° modo di vibrazione												
Trave P2-3	0%	0,97	0,09	0,52	0,0345	0,0016	0,019361	0,000054	NS	0,026119	0,000064	NS
Trave P2-3	100%	1,20	1,00	0,55	0,0259	0,0024	0,007238	0,000138	52,42	0,004566	0,000075	60,50
sisma in -X												
proporzionale alle masse												
Trave P2-3	0%	0,00	0,00	0,00	0,0000	0,0000	0,000000	0,000000	0,00	0,000000	0,000000	0,00
Trave P2-3	100%	0,00	0,00	0,00	0,0000	0,0000	0,000000	0,000000	0,00	0,000000	0,000000	0,00
proporzionale alla deformata 1° modo di vibrazione												
Trave P2-3	0%	0,00	0,00	0,00	0,0000	0,0000	0,000000	0,000000	0,00	0,000000	0,000000	0,00
Trave P2-3	100%	0,00	0,00	0,00	0,0000	0,0000	0,000000	0,000000	0,00	0,000000	0,000000	0,00
sisma in +Y												
proporzionale alle masse												
Trave P2-3	0%	0,40	0,41	0,47	0,1082	0,0015	0,015932	0,000223	71,45	0,006942	0,000106	65,55
Trave P2-3	100%	0,63	0,59	0,49	0,0312	0,0021	0,007162	0,000108	66,56	0,005599	0,000009	NS
proporzionale alla deformata 1° modo di vibrazione												
Trave P2-3	0%	0,00	0,00	0,00	0,0000	0,0000	0,000000	0,000000	0,00	0,000000	0,000000	0,00
Trave P2-3	100%	0,00	0,00	0,00	0,0000	0,0000	0,000000	0,000000	0,00	0,000000	0,000000	0,00
sisma in -Y												
proporzionale alle masse												
Trave P2-3	0%	0,00	0,00	0,00	0,0000	0,0000	0,000000	0,000000	0,00	0,000000	0,000000	0,00
Trave P2-3	100%	0,00	0,00	0,00	0,0000	0,0000	0,000000	0,000000	0,00	0,000000	0,000000	0,00
proporzionale alla deformata 1° modo di vibrazione												
Trave P2-3	0%	0,00	0,00	0,00	0,0000	0,0000	0,000000	0,000000	0,00	0,000000	0,000000	0,00
Trave P2-3	100%	0,00	0,00	0,00	0,0000	0,0000	0,000000	0,000000	0,00	0,000000	0,000000	0,00
sisma in +X												
proporzionale alle masse												
Trave P3-4	0%	0,00	0,00	0,00	0,0000	0,0000	0,000000	0,000000	0,00	0,000000	0,000000	0,00
Trave P3-4	100%	0,00	0,00	0,00	0,0000	0,0000	0,000000	0,000000	0,00	0,000000	0,000000	0,00
proporzionale alla deformata 1° modo di vibrazione												
Trave P3-4	0%	0,96	0,08	0,52	0,0521	0,0018	0,023227	0,000052	NS	0,027304	0,000060	NS
Trave P3-4	100%	1,20	1,01	0,55	0,0512	0,0022	0,012586	0,000135	93,09	0,004461	0,000070	63,94
sisma in -X												
proporzionale alle masse												
Trave P3-4	0%	0,00	0,00	0,00	0,0000	0,0000	0,000000	0,000000	0,00	0,000000	0,000000	0,00
Trave P3-4	100%	0,00	0,00	0,00	0,0000	0,0000	0,000000	0,000000	0,00	0,000000	0,000000	0,00
proporzionale alla deformata 1° modo di vibrazione												
Trave P3-4	0%	0,00	0,00	0,00	0,0000	0,0000	0,000000	0,000000	0,00	0,000000	0,000000	0,00
Trave P3-4	100%	0,00	0,00	0,00	0,0000	0,0000	0,000000	0,000000	0,00	0,000000	0,000000	0,00
sisma in +Y												
proporzionale alle masse												
Trave P3-4	0%	0,44	0,53	0,47	0,1020	0,0016	0,014757	0,000138	NS	0,005866	0,000032	NS
Trave P3-4	100%	0,65	0,56	0,49	0,0688	0,0019	0,013053	0,000011	NS	0,005705	0,000086	66,02
proporzionale alla deformata 1° modo di vibrazione												
Trave P3-4	0%	0,00	0,00	0,00	0,0000	0,0000	0,000000	0,000000	0,00	0,000000	0,000000	0,00
Trave P3-4	100%	0,00	0,00	0,00	0,0000	0,0000	0,000000	0,000000	0,00	0,000000	0,000000	0,00
sisma in -Y												
proporzionale alle masse												
Trave P3-4	0%	0,00	0,00	0,00	0,0000	0,0000	0,000000	0,000000	0,00	0,000000	0,000000	0,00
Trave P3-4	100%	0,00	0,00	0,00	0,0000	0,0000	0,000000	0,000000	0,00	0,000000	0,000000	0,00

Id_{Tr}	$\%L_{LI}$	$L_{v,SLV}$	$L_{v,SLD}$	L_{pl}	ϕ_u	ϕ_y	SLV			SLD		
							Θ_c	Θ_d	CS	Θ_c	Θ_d	CS
	[%]	[m]	[m]	[m]	[rad/m]	[rad/m]	[rad]	[rad]		[rad]	[rad]	
proporzionale alla deformata 1° modo di vibrazione												
Trave P3-4	0%	0,00	0,00	0,00	0,0000	0,0000	0,000000	0,000000	0,00	0,000000	0,000000	0,00
Trave P3-4	100%	0,00	0,00	0,00	0,0000	0,0000	0,000000	0,000000	0,00	0,000000	0,000000	0,00
sisma in +X												
proporzionale alle masse												
Trave P4-5	0%	0,00	0,00	0,00	0,0000	0,0000	0,000000	0,000000	0,00	0,000000	0,000000	0,00
Trave P4-5	100%	0,00	0,00	0,00	0,0000	0,0000	0,000000	0,000000	0,00	0,000000	0,000000	0,00
proporzionale alla deformata 1° modo di vibrazione												
Trave P4-5	0%	0,87	0,06	0,51	0,0340	0,0017	0,024453	0,000062	NS	0,037162	0,000059	NS
Trave P4-5	100%	1,18	0,96	0,54	0,0716	0,0021	0,016785	0,000148	NS	0,004486	0,000068	65,53
sisma in -X												
proporzionale alle masse												
Trave P4-5	0%	0,00	0,00	0,00	0,0000	0,0000	0,000000	0,000000	0,00	0,000000	0,000000	0,00
Trave P4-5	100%	0,00	0,00	0,00	0,0000	0,0000	0,000000	0,000000	0,00	0,000000	0,000000	0,00
proporzionale alla deformata 1° modo di vibrazione												
Trave P4-5	0%	0,00	0,00	0,00	0,0000	0,0000	0,000000	0,000000	0,00	0,000000	0,000000	0,00
Trave P4-5	100%	0,00	0,00	0,00	0,0000	0,0000	0,000000	0,000000	0,00	0,000000	0,000000	0,00
sisma in +Y												
proporzionale alle masse												
Trave P4-5	0%	0,36	0,43	0,46	0,1082	0,0015	0,015727	0,000045	NS	0,006721	0,000046	NS
Trave P4-5	100%	0,64	0,49	0,49	0,0820	0,0018	0,015242	0,000071	NS	0,006231	0,000210	29,65
proporzionale alla deformata 1° modo di vibrazione												
Trave P4-5	0%	0,00	0,00	0,00	0,0000	0,0000	0,000000	0,000000	0,00	0,000000	0,000000	0,00
Trave P4-5	100%	0,00	0,00	0,00	0,0000	0,0000	0,000000	0,000000	0,00	0,000000	0,000000	0,00
sisma in -Y												
proporzionale alle masse												
Trave P4-5	0%	0,00	0,00	0,00	0,0000	0,0000	0,000000	0,000000	0,00	0,000000	0,000000	0,00
Trave P4-5	100%	0,00	0,00	0,00	0,0000	0,0000	0,000000	0,000000	0,00	0,000000	0,000000	0,00
proporzionale alla deformata 1° modo di vibrazione												
Trave P4-5	0%	0,00	0,00	0,00	0,0000	0,0000	0,000000	0,000000	0,00	0,000000	0,000000	0,00
Trave P4-5	100%	0,00	0,00	0,00	0,0000	0,0000	0,000000	0,000000	0,00	0,000000	0,000000	0,00
sisma in +X												
proporzionale alle masse												
Trave P5-6	0%	0,00	0,00	0,00	0,0000	0,0000	0,000000	0,000000	0,00	0,000000	0,000000	0,00
Trave P5-6	100%	0,00	0,00	0,00	0,0000	0,0000	0,000000	0,000000	0,00	0,000000	0,000000	0,00
proporzionale alla deformata 1° modo di vibrazione												
Trave P5-6	0%	0,08	0,18	0,43	0,1066	0,0015	0,018292	0,000055	NS	0,013724	0,000048	NS
Trave P5-6	100%	0,89	0,80	0,52	0,0655	0,0020	0,014058	0,000007	NS	0,004791	0,000035	NS
sisma in -X												
proporzionale alle masse												
Trave P5-6	0%	0,00	0,00	0,00	0,0000	0,0000	0,000000	0,000000	0,00	0,000000	0,000000	0,00
Trave P5-6	100%	0,00	0,00	0,00	0,0000	0,0000	0,000000	0,000000	0,00	0,000000	0,000000	0,00
proporzionale alla deformata 1° modo di vibrazione												
Trave P5-6	0%	0,00	0,00	0,00	0,0000	0,0000	0,000000	0,000000	0,00	0,000000	0,000000	0,00
Trave P5-6	100%	0,00	0,00	0,00	0,0000	0,0000	0,000000	0,000000	0,00	0,000000	0,000000	0,00
sisma in +Y												
proporzionale alle masse												
Trave P5-6	0%	0,22	0,29	0,45	0,1085	0,0015	0,016567	0,000151	NS	0,009137	0,000210	43,56
Trave P5-6	100%	0,67	0,94	0,49	0,0694	0,0021	0,012772	0,000338	37,76	0,004488	0,000292	15,36
proporzionale alla deformata 1° modo di vibrazione												
Trave P5-6	0%	0,00	0,00	0,00	0,0000	0,0000	0,000000	0,000000	0,00	0,000000	0,000000	0,00
Trave P5-6	100%	0,00	0,00	0,00	0,0000	0,0000	0,000000	0,000000	0,00	0,000000	0,000000	0,00
sisma in -Y												
proporzionale alle masse												
Trave P5-6	0%	0,00	0,00	0,00	0,0000	0,0000	0,000000	0,000000	0,00	0,000000	0,000000	0,00
Trave P5-6	100%	0,00	0,00	0,00	0,0000	0,0000	0,000000	0,000000	0,00	0,000000	0,000000	0,00
proporzionale alla deformata 1° modo di vibrazione												
Trave P5-6	0%	0,00	0,00	0,00	0,0000	0,0000	0,000000	0,000000	0,00	0,000000	0,000000	0,00
Trave P5-6	100%	0,00	0,00	0,00	0,0000	0,0000	0,000000	0,000000	0,00	0,000000	0,000000	0,00
Estradosso travi gronda							**Travata: Trave7-P6-8-9-10-11-12-13**					
sisma in +X												
proporzionale alle masse												
Trave 8-P6	0%	0,00	0,00	0,00	0,0000	0,0000	0,000000	0,000000	0,00	0,000000	0,000000	0,00
Trave 8-P6	100%	0,00	0,00	0,00	0,0000	0,0000	0,000000	0,000000	0,00	0,000000	0,000000	0,00
proporzionale alla deformata 1° modo di vibrazione												
Trave 8-P6	0%	0,63	0,67	0,35	0,0297	0,0078	0,005342	0,000547	9,77	0,005137	0,000824	6,23
Trave 8-P6	100%	0,03	0,65	0,29	0,0596	0,0070	0,006247	0,001094	5,71	0,004847	0,000388	12,50
sisma in -X												
proporzionale alle masse												
Trave 8-P6	0%	0,00	0,00	0,00	0,0000	0,0000	0,000000	0,000000	0,00	0,000000	0,000000	0,00
Trave 8-P6	100%	0,00	0,00	0,00	0,0000	0,0000	0,000000	0,000000	0,00	0,000000	0,000000	0,00
proporzionale alla deformata 1° modo di vibrazione												
Trave 8-P6	0%	0,00	0,00	0,00	0,0000	0,0000	0,000000	0,000000	0,00	0,000000	0,000000	0,00
Trave 8-P6	100%	0,00	0,00	0,00	0,0000	0,0000	0,000000	0,000000	0,00	0,000000	0,000000	0,00
sisma in +Y												
proporzionale alle masse												
Trave 8-P6	0%	0,66	0,73	0,35	0,0924	0,0052	0,013444	0,000321	41,82	0,004260	0,000154	27,59
Trave 8-P6	100%	0,59	0,56	0,35	0,0810	0,0054	0,011402	0,001059	10,77	0,004336	0,000404	10,72
proporzionale alla deformata 1° modo di vibrazione												
Trave 8-P6	0%	0,00	0,00	0,00	0,0000	0,0000	0,000000	0,000000	0,00	0,000000	0,000000	0,00
Trave 8-P6	100%	0,00	0,00	0,00	0,0000	0,0000	0,000000	0,000000	0,00	0,000000	0,000000	0,00
sisma in -Y												
proporzionale alle masse												
Trave 8-P6	0%	0,00	0,00	0,00	0,0000	0,0000	0,000000	0,000000	0,00	0,000000	0,000000	0,00
Trave 8-P6	100%	0,00	0,00	0,00	0,0000	0,0000	0,000000	0,000000	0,00	0,000000	0,000000	0,00

Id_{Tr}	$\%L_{LI}$	$L_{v,SLV}$	$L_{v,SLD}$	L_{pl}	ϕ_u	ϕ_y	SLV			SLD		
							Θ_c	Θ_d	CS	Θ_c	Θ_d	CS
	[%]	[m]	[m]	[m]	[rad/m]	[rad/m]	[rad]	[rad]		[rad]	[rad]	
proporzionale alla deformata 1° modo di vibrazione												
Trave 8-P6	0%	0,00	0,00	0,00	0,0000	0,0000	0,000000	0,000000	0,00	0,000000	0,000000	0,00
Trave 8-P6	100%	0,00	0,00	0,00	0,0000	0,0000	0,000000	0,000000	0,00	0,000000	0,000000	0,00
sisma in +X												
proporzionale alle masse												
Trave 8-9	0%	0,00	0,00	0,00	0,0000	0,0000	0,000000	0,000000	0,00	0,000000	0,000000	0,00
Trave 8-9	100%	0,00	0,00	0,00	0,0000	0,0000	0,000000	0,000000	0,00	0,000000	0,000000	0,00
proporzionale alla deformata 1° modo di vibrazione												
Trave 8-9	0%	4,10	18,33	0,70	0,0925	0,0059	0,046776	0,000555	84,33	0,038321	0,000831	46,13
Trave 8-9	100%	1,04	0,95	0,39	0,0357	0,0075	0,007186	0,001075	6,68	0,005391	0,000897	6,01
sisma in -X												
proporzionale alle masse												
Trave 8-9	0%	0,00	0,00	0,00	0,0000	0,0000	0,000000	0,000000	0,00	0,000000	0,000000	0,00
Trave 8-9	100%	0,00	0,00	0,00	0,0000	0,0000	0,000000	0,000000	0,00	0,000000	0,000000	0,00
proporzionale alla deformata 1° modo di vibrazione												
Trave 8-9	0%	0,00	0,00	0,00	0,0000	0,0000	0,000000	0,000000	0,00	0,000000	0,000000	0,00
Trave 8-9	100%	0,00	0,00	0,00	0,0000	0,0000	0,000000	0,000000	0,00	0,000000	0,000000	0,00
sisma in +Y												
proporzionale alle masse												
Trave 8-9	0%	0,51	0,52	0,34	0,0722	0,0061	0,009791	0,000393	24,92	0,004588	0,000184	24,95
Trave 8-9	100%	0,43	0,40	0,33	0,0580	0,0066	0,007674	0,000341	22,49	0,004922	0,000096	51,05
proporzionale alla deformata 1° modo di vibrazione												
Trave 8-9	0%	0,00	0,00	0,00	0,0000	0,0000	0,000000	0,000000	0,00	0,000000	0,000000	0,00
Trave 8-9	100%	0,00	0,00	0,00	0,0000	0,0000	0,000000	0,000000	0,00	0,000000	0,000000	0,00
sisma in -Y												
proporzionale alle masse												
Trave 8-9	0%	0,00	0,00	0,00	0,0000	0,0000	0,000000	0,000000	0,00	0,000000	0,000000	0,00
Trave 8-9	100%	0,00	0,00	0,00	0,0000	0,0000	0,000000	0,000000	0,00	0,000000	0,000000	0,00
proporzionale alla deformata 1° modo di vibrazione												
Trave 8-9	0%	0,00	0,00	0,00	0,0000	0,0000	0,000000	0,000000	0,00	0,000000	0,000000	0,00
Trave 8-9	100%	0,00	0,00	0,00	0,0000	0,0000	0,000000	0,000000	0,00	0,000000	0,000000	0,00
sisma in +X												
proporzionale alle masse												
Trave 9-10	0%	0,00	0,00	0,00	0,0000	0,0000	0,000000	0,000000	0,00	0,000000	0,000000	0,00
Trave 9-10	100%	0,00	0,00	0,00	0,0000	0,0000	0,000000	0,000000	0,00	0,000000	0,000000	0,00
proporzionale alla deformata 1° modo di vibrazione												
Trave 9-10	0%	1,79	2,38	0,47	0,0586	0,0059	0,014195	0,001075	13,20	0,007007	0,000897	7,81
Trave 9-10	100%	1,15	1,02	0,40	0,0244	0,0083	0,005622	0,001838	3,06	0,005861	0,000813	7,21
sisma in -X												
proporzionale alle masse												
Trave 9-10	0%	0,00	0,00	0,00	0,0000	0,0000	0,000000	0,000000	0,00	0,000000	0,000000	0,00
Trave 9-10	100%	0,00	0,00	0,00	0,0000	0,0000	0,000000	0,000000	0,00	0,000000	0,000000	0,00
proporzionale alla deformata 1° modo di vibrazione												
Trave 9-10	0%	0,00	0,00	0,00	0,0000	0,0000	0,000000	0,000000	0,00	0,000000	0,000000	0,00
Trave 9-10	100%	0,00	0,00	0,00	0,0000	0,0000	0,000000	0,000000	0,00	0,000000	0,000000	0,00
sisma in +Y												
proporzionale alle masse												
Trave 9-10	0%	0,49	0,19	0,34	0,1091	0,0070	0,014677	0,000341	43,03	0,006760	0,000096	70,12
Trave 9-10	100%	0,69	0,60	0,36	0,0559	0,0063	0,008886	0,000059	NS	0,004614	0,000044	NS
proporzionale alla deformata 1° modo di vibrazione												
Trave 9-10	0%	0,00	0,00	0,00	0,0000	0,0000	0,000000	0,000000	0,00	0,000000	0,000000	0,00
Trave 9-10	100%	0,00	0,00	0,00	0,0000	0,0000	0,000000	0,000000	0,00	0,000000	0,000000	0,00
sisma in -Y												
proporzionale alle masse												
Trave 9-10	0%	0,00	0,00	0,00	0,0000	0,0000	0,000000	0,000000	0,00	0,000000	0,000000	0,00
Trave 9-10	100%	0,00	0,00	0,00	0,0000	0,0000	0,000000	0,000000	0,00	0,000000	0,000000	0,00
proporzionale alla deformata 1° modo di vibrazione												
Trave 9-10	0%	0,00	0,00	0,00	0,0000	0,0000	0,000000	0,000000	0,00	0,000000	0,000000	0,00
Trave 9-10	100%	0,00	0,00	0,00	0,0000	0,0000	0,000000	0,000000	0,00	0,000000	0,000000	0,00
sisma in +X												
proporzionale alle masse												
Trave 11-12	0%	0,00	0,00	0,00	0,0000	0,0000	0,000000	0,000000	0,00	0,000000	0,000000	0,00
Trave 11-12	100%	0,00	0,00	0,00	0,0000	0,0000	0,000000	0,000000	0,00	0,000000	0,000000	0,00
proporzionale alla deformata 1° modo di vibrazione												
Trave 11-12	0%	2,18	3,07	0,51	0,0808	0,0058	0,020856	0,002048	10,18	0,008170	0,000990	8,25
Trave 11-12	100%	1,06	1,01	0,39	0,0335	0,0072	0,006894	0,001682	4,10	0,005354	0,001012	5,29
sisma in -X												
proporzionale alle masse												
Trave 11-12	0%	0,00	0,00	0,00	0,0000	0,0000	0,000000	0,000000	0,00	0,000000	0,000000	0,00
Trave 11-12	100%	0,00	0,00	0,00	0,0000	0,0000	0,000000	0,000000	0,00	0,000000	0,000000	0,00
proporzionale alla deformata 1° modo di vibrazione												
Trave 11-12	0%	0,00	0,00	0,00	0,0000	0,0000	0,000000	0,000000	0,00	0,000000	0,000000	0,00
Trave 11-12	100%	0,00	0,00	0,00	0,0000	0,0000	0,000000	0,000000	0,00	0,000000	0,000000	0,00
sisma in +Y												
proporzionale alle masse												
Trave 11-12	0%	0,17	0,47	0,30	0,0690	0,0062	0,007125	0,000230	30,95	0,004682	0,000121	38,81
Trave 11-12	100%	0,67	0,52	0,35	0,0670	0,0063	0,010218	0,000290	35,29	0,004644	0,000125	37,01
proporzionale alla deformata 1° modo di vibrazione												
Trave 11-12	0%	0,00	0,00	0,00	0,0000	0,0000	0,000000	0,000000	0,00	0,000000	0,000000	0,00
Trave 11-12	100%	0,00	0,00	0,00	0,0000	0,0000	0,000000	0,000000	0,00	0,000000	0,000000	0,00
sisma in -Y												
proporzionale alle masse												
Trave 11-12	0%	0,00	0,00	0,00	0,0000	0,0000	0,000000	0,000000	0,00	0,000000	0,000000	0,00
Trave 11-12	100%	0,00	0,00	0,00	0,0000	0,0000	0,000000	0,000000	0,00	0,000000	0,000000	0,00
proporzionale alla deformata 1° modo di vibrazione												

Id_{Tr}	$\%L_{LI}$	$L_{v,SLV}$	$L_{v,SLD}$	L_{pl}	ϕ_u	ϕ_y	SLV			SLD		
							Θ_c	Θ_d	CS	Θ_c	Θ_d	CS
	[%]	[m]	[m]	[m]	[rad/m]	[rad/m]	[rad]	[rad]		[rad]	[rad]	
Trave 11-12	0%	0,00	0,00	0,00	0,0000	0,0000	0,000000	0,000000	0,00	0,000000	0,000000	0,00
Trave 11-12	100%	0,00	0,00	0,00	0,0000	0,0000	0,000000	0,000000	0,00	0,000000	0,000000	0,00
sisma in +X												
proporzionale alle masse												
Trave 12-13	0%	0,00	0,00	0,00	0,0000	0,0000	0,000000	0,000000	0,00	0,000000	0,000000	0,00
Trave 12-13	100%	0,00	0,00	0,00	0,0000	0,0000	0,000000	0,000000	0,00	0,000000	0,000000	0,00
proporzionale alla deformata 1° modo di vibrazione												
Trave 12-13	0%	3,54	0,20	0,64	0,1081	0,0070	0,032813	0,001682	19,51	0,006555	0,001012	6,48
Trave 12-13	100%	0,90	0,70	0,38	0,0648	0,0065	0,011075	0,001972	5,62	0,004720	0,000920	5,13
sisma in -X												
proporzionale alle masse												
Trave 12-13	0%	0,00	0,00	0,00	0,0000	0,0000	0,000000	0,000000	0,00	0,000000	0,000000	0,00
Trave 12-13	100%	0,00	0,00	0,00	0,0000	0,0000	0,000000	0,000000	0,00	0,000000	0,000000	0,00
proporzionale alla deformata 1° modo di vibrazione												
Trave 12-13	0%	0,00	0,00	0,00	0,0000	0,0000	0,000000	0,000000	0,00	0,000000	0,000000	0,00
Trave 12-13	100%	0,00	0,00	0,00	0,0000	0,0000	0,000000	0,000000	0,00	0,000000	0,000000	0,00
sisma in +Y												
proporzionale alle masse												
Trave 12-13	0%	0,23	0,24	0,31	0,1161	0,0065	0,011459	0,000290	39,58	0,005878	0,000125	46,85
Trave 12-13	100%	0,70	0,59	0,36	0,0795	0,0060	0,012075	0,000199	60,62	0,004518	0,000033	NS
proporzionale alla deformata 1° modo di vibrazione												
Trave 12-13	0%	0,00	0,00	0,00	0,0000	0,0000	0,000000	0,000000	0,00	0,000000	0,000000	0,00
Trave 12-13	100%	0,00	0,00	0,00	0,0000	0,0000	0,000000	0,000000	0,00	0,000000	0,000000	0,00
sisma in -Y												
proporzionale alle masse												
Trave 12-13	0%	0,00	0,00	0,00	0,0000	0,0000	0,000000	0,000000	0,00	0,000000	0,000000	0,00
Trave 12-13	100%	0,00	0,00	0,00	0,0000	0,0000	0,000000	0,000000	0,00	0,000000	0,000000	0,00
proporzionale alla deformata 1° modo di vibrazione												
Trave 12-13	0%	0,00	0,00	0,00	0,0000	0,0000	0,000000	0,000000	0,00	0,000000	0,000000	0,00
Trave 12-13	100%	0,00	0,00	0,00	0,0000	0,0000	0,000000	0,000000	0,00	0,000000	0,000000	0,00
Estradosso travi gronda							**Travata: Trave32-P10-33-P11-34-P12-35-P13-36-P14-37-38-4b-39-40-P15-41**					
sisma in +X												
proporzionale alle masse												
Trave P10-33	0%	0,00	0,00	0,00	0,0000	0,0000	0,000000	0,000000	0,00	0,000000	0,000000	0,00
Trave P10-33	100%	0,00	0,00	0,00	0,0000	0,0000	0,000000	0,000000	0,00	0,000000	0,000000	0,00
proporzionale alla deformata 1° modo di vibrazione												
Trave P10-33	0%	4,56	0,44	0,88	0,0503	0,0017	0,022682	0,000033	NS	0,006676	0,000063	NS
Trave P10-33	100%	1,41	1,12	0,57	0,0294	0,0024	0,008333	0,000172	48,43	0,004411	0,000087	50,73
sisma in -X												
proporzionale alle masse												
Trave P10-33	0%	0,00	0,00	0,00	0,0000	0,0000	0,000000	0,000000	0,00	0,000000	0,000000	0,00
Trave P10-33	100%	0,00	0,00	0,00	0,0000	0,0000	0,000000	0,000000	0,00	0,000000	0,000000	0,00
proporzionale alla deformata 1° modo di vibrazione												
Trave P10-33	0%	0,00	0,00	0,00	0,0000	0,0000	0,000000	0,000000	0,00	0,000000	0,000000	0,00
Trave P10-33	100%	0,00	0,00	0,00	0,0000	0,0000	0,000000	0,000000	0,00	0,000000	0,000000	0,00
sisma in +Y												
proporzionale alle masse												
Trave P10-33	0%	0,44	0,37	0,47	0,1017	0,0017	0,015521	0,000120	NS	0,007486	0,000071	NS
Trave P10-33	100%	0,70	0,78	0,50	0,0405	0,0019	0,008570	0,000017	NS	0,004815	0,000035	NS
proporzionale alla deformata 1° modo di vibrazione												
Trave P10-33	0%	0,00	0,00	0,00	0,0000	0,0000	0,000000	0,000000	0,00	0,000000	0,000000	0,00
Trave P10-33	100%	0,00	0,00	0,00	0,0000	0,0000	0,000000	0,000000	0,00	0,000000	0,000000	0,00
sisma in -Y												
proporzionale alle masse												
Trave P10-33	0%	0,00	0,00	0,00	0,0000	0,0000	0,000000	0,000000	0,00	0,000000	0,000000	0,00
Trave P10-33	100%	0,00	0,00	0,00	0,0000	0,0000	0,000000	0,000000	0,00	0,000000	0,000000	0,00
proporzionale alla deformata 1° modo di vibrazione												
Trave P10-33	0%	0,00	0,00	0,00	0,0000	0,0000	0,000000	0,000000	0,00	0,000000	0,000000	0,00
Trave P10-33	100%	0,00	0,00	0,00	0,0000	0,0000	0,000000	0,000000	0,00	0,000000	0,000000	0,00
sisma in +X												
proporzionale alle masse												
Trave P11-34	0%	0,00	0,00	0,00	0,0000	0,0000	0,000000	0,000000	0,00	0,000000	0,000000	0,00
Trave P11-34	100%	0,00	0,00	0,00	0,0000	0,0000	0,000000	0,000000	0,00	0,000000	0,000000	0,00
proporzionale alla deformata 1° modo di vibrazione												
Trave P11-34	0%	2,90	0,43	0,72	0,0426	0,0017	0,016227	0,000048	NS	0,006721	0,000076	88,42
Trave P11-34	100%	1,29	1,03	0,56	0,0543	0,0022	0,013581	0,000164	82,57	0,004408	0,000093	47,28
sisma in -X												
proporzionale alle masse												
Trave P11-34	0%	0,00	0,00	0,00	0,0000	0,0000	0,000000	0,000000	0,00	0,000000	0,000000	0,00
Trave P11-34	100%	0,00	0,00	0,00	0,0000	0,0000	0,000000	0,000000	0,00	0,000000	0,000000	0,00
proporzionale alla deformata 1° modo di vibrazione												
Trave P11-34	0%	0,00	0,00	0,00	0,0000	0,0000	0,000000	0,000000	0,00	0,000000	0,000000	0,00
Trave P11-34	100%	0,00	0,00	0,00	0,0000	0,0000	0,000000	0,000000	0,00	0,000000	0,000000	0,00
sisma in +Y												
proporzionale alle masse												
Trave P11-34	0%	0,56	0,54	0,48	0,1089	0,0016	0,017581	0,000050	NS	0,005807	0,000028	NS
Trave P11-34	100%	0,53	0,61	0,48	0,0742	0,0020	0,012204	0,000013	NS	0,005486	0,000016	NS
proporzionale alla deformata 1° modo di vibrazione												
Trave P11-34	0%	0,00	0,00	0,00	0,0000	0,0000	0,000000	0,000000	0,00	0,000000	0,000000	0,00
Trave P11-34	100%	0,00	0,00	0,00	0,0000	0,0000	0,000000	0,000000	0,00	0,000000	0,000000	0,00
sisma in -Y												
proporzionale alle masse												
Trave P11-34	0%	0,00	0,00	0,00	0,0000	0,0000	0,000000	0,000000	0,00	0,000000	0,000000	0,00

Id_{Tr}	$\%L_{LI}$	$L_{v,SLV}$	$L_{v,SLD}$	L_{pl}	ϕ_u	ϕ_y	SLV			SLD		
							Θ_c	Θ_d	CS	Θ_c	Θ_d	CS
	[%]	[m]	[m]	[m]	[rad/m]	[rad/m]	[rad]	[rad]		[rad]	[rad]	
Trave P11-34	100%	0,00	0,00	0,00	0,0000	0,0000	0,000000	0,000000	0,00	0,000000	0,000000	0,00
proporzionale alla deformata 1° modo di vibrazione												
Trave P11-34	0%	0,00	0,00	0,00	0,0000	0,0000	0,000000	0,000000	0,00	0,000000	0,000000	0,00
Trave P11-34	100%	0,00	0,00	0,00	0,0000	0,0000	0,000000	0,000000	0,00	0,000000	0,000000	0,00
sisma in +X												
proporzionale alle masse												
Trave P12-35	0%	0,00	0,00	0,00	0,0000	0,0000	0,000000	0,000000	0,00	0,000000	0,000000	0,00
Trave P12-35	100%	0,00	0,00	0,00	0,0000	0,0000	0,000000	0,000000	0,00	0,000000	0,000000	0,00
proporzionale alla deformata 1° modo di vibrazione												
Trave P12-35	0%	1,46	0,09	0,57	0,0310	0,0016	0,019189	0,000092	NS	0,024857	0,000088	NS
Trave P12-35	100%	1,21	1,00	0,55	0,0216	0,0025	0,006355	0,000175	36,33	0,004582	0,000100	45,65
sisma in -X												
proporzionale alle masse												
Trave P12-35	0%	0,00	0,00	0,00	0,0000	0,0000	0,000000	0,000000	0,00	0,000000	0,000000	0,00
Trave P12-35	100%	0,00	0,00	0,00	0,0000	0,0000	0,000000	0,000000	0,00	0,000000	0,000000	0,00
proporzionale alla deformata 1° modo di vibrazione												
Trave P12-35	0%	0,00	0,00	0,00	0,0000	0,0000	0,000000	0,000000	0,00	0,000000	0,000000	0,00
Trave P12-35	100%	0,00	0,00	0,00	0,0000	0,0000	0,000000	0,000000	0,00	0,000000	0,000000	0,00
sisma in +Y												
proporzionale alle masse												
Trave P12-35	0%	0,47	0,47	0,47	0,1076	0,0015	0,015727	0,000061	NS	0,006322	0,000041	NS
Trave P12-35	100%	0,61	0,67	0,49	0,0255	0,0022	0,006040	0,000020	NS	0,005261	0,000015	NS
proporzionale alla deformata 1° modo di vibrazione												
Trave P12-35	0%	0,00	0,00	0,00	0,0000	0,0000	0,000000	0,000000	0,00	0,000000	0,000000	0,00
Trave P12-35	100%	0,00	0,00	0,00	0,0000	0,0000	0,000000	0,000000	0,00	0,000000	0,000000	0,00
sisma in -Y												
proporzionale alle masse												
Trave P12-35	0%	0,00	0,00	0,00	0,0000	0,0000	0,000000	0,000000	0,00	0,000000	0,000000	0,00
Trave P12-35	100%	0,00	0,00	0,00	0,0000	0,0000	0,000000	0,000000	0,00	0,000000	0,000000	0,00
proporzionale alla deformata 1° modo di vibrazione												
Trave P12-35	0%	0,00	0,00	0,00	0,0000	0,0000	0,000000	0,000000	0,00	0,000000	0,000000	0,00
Trave P12-35	100%	0,00	0,00	0,00	0,0000	0,0000	0,000000	0,000000	0,00	0,000000	0,000000	0,00
sisma in +X												
proporzionale alle masse												
Trave P13-36	0%	0,00	0,00	0,00	0,0000	0,0000	0,000000	0,000000	0,00	0,000000	0,000000	0,00
Trave P13-36	100%	0,00	0,00	0,00	0,0000	0,0000	0,000000	0,000000	0,00	0,000000	0,000000	0,00
proporzionale alla deformata 1° modo di vibrazione												
Trave P13-36	0%	1,42	0,16	0,57	0,0323	0,0016	0,014713	0,000111	NS	0,015405	0,000101	NS
Trave P13-36	100%	1,18	0,99	0,55	0,0183	0,0025	0,005631	0,000155	36,37	0,004641	0,000073	63,51
sisma in -X												
proporzionale alle masse												
Trave P13-36	0%	0,00	0,00	0,00	0,0000	0,0000	0,000000	0,000000	0,00	0,000000	0,000000	0,00
Trave P13-36	100%	0,00	0,00	0,00	0,0000	0,0000	0,000000	0,000000	0,00	0,000000	0,000000	0,00
proporzionale alla deformata 1° modo di vibrazione												
Trave P13-36	0%	0,00	0,00	0,00	0,0000	0,0000	0,000000	0,000000	0,00	0,000000	0,000000	0,00
Trave P13-36	100%	0,00	0,00	0,00	0,0000	0,0000	0,000000	0,000000	0,00	0,000000	0,000000	0,00
sisma in +Y												
proporzionale alle masse												
Trave P13-36	0%	0,51	0,44	0,48	0,1068	0,0015	0,016615	0,000047	NS	0,006633	0,000042	NS
Trave P13-36	100%	0,67	0,71	0,49	0,0202	0,0023	0,005376	0,000016	NS	0,005150	0,000009	NS
proporzionale alla deformata 1° modo di vibrazione												
Trave P13-36	0%	0,00	0,00	0,00	0,0000	0,0000	0,000000	0,000000	0,00	0,000000	0,000000	0,00
Trave P13-36	100%	0,00	0,00	0,00	0,0000	0,0000	0,000000	0,000000	0,00	0,000000	0,000000	0,00
sisma in -Y												
proporzionale alle masse												
Trave P13-36	0%	0,00	0,00	0,00	0,0000	0,0000	0,000000	0,000000	0,00	0,000000	0,000000	0,00
Trave P13-36	100%	0,00	0,00	0,00	0,0000	0,0000	0,000000	0,000000	0,00	0,000000	0,000000	0,00
proporzionale alla deformata 1° modo di vibrazione												
Trave P13-36	0%	0,00	0,00	0,00	0,0000	0,0000	0,000000	0,000000	0,00	0,000000	0,000000	0,00
Trave P13-36	100%	0,00	0,00	0,00	0,0000	0,0000	0,000000	0,000000	0,00	0,000000	0,000000	0,00
sisma in +X												
proporzionale alle masse												
Trave P14-37	0%	0,00	0,00	0,00	0,0000	0,0000	0,000000	0,000000	0,00	0,000000	0,000000	0,00
Trave P14-37	100%	0,00	0,00	0,00	0,0000	0,0000	0,000000	0,000000	0,00	0,000000	0,000000	0,00
proporzionale alla deformata 1° modo di vibrazione												
Trave P14-37	0%	1,00	0,04	0,53	0,0370	0,0017	0,037096	0,000081	NS	0,060523	0,000087	NS
Trave P14-37	100%	0,99	0,85	0,53	0,0294	0,0022	0,007602	0,000083	91,51	0,004709	0,000044	NS
sisma in -X												
proporzionale alle masse												
Trave P14-37	0%	0,00	0,00	0,00	0,0000	0,0000	0,000000	0,000000	0,00	0,000000	0,000000	0,00
Trave P14-37	100%	0,00	0,00	0,00	0,0000	0,0000	0,000000	0,000000	0,00	0,000000	0,000000	0,00
proporzionale alla deformata 1° modo di vibrazione												
Trave P14-37	0%	0,00	0,00	0,00	0,0000	0,0000	0,000000	0,000000	0,00	0,000000	0,000000	0,00
Trave P14-37	100%	0,00	0,00	0,00	0,0000	0,0000	0,000000	0,000000	0,00	0,000000	0,000000	0,00
sisma in +Y												
proporzionale alle masse												
Trave P14-37	0%	0,72	0,59	0,50	0,1043	0,0016	0,019525	0,000120	NS	0,005446	0,000057	95,12
Trave P14-37	100%	0,16	0,52	0,44	0,0291	0,0024	0,006033	0,000046	NS	0,006139	0,000003	NS
proporzionale alla deformata 1° modo di vibrazione												
Trave P14-37	0%	0,00	0,00	0,00	0,0000	0,0000	0,000000	0,000000	0,00	0,000000	0,000000	0,00
Trave P14-37	100%	0,00	0,00	0,00	0,0000	0,0000	0,000000	0,000000	0,00	0,000000	0,000000	0,00
sisma in -Y												
proporzionale alle masse												
Trave P14-37	0%	0,00	0,00	0,00	0,0000	0,0000	0,000000	0,000000	0,00	0,000000	0,000000	0,00
Trave P14-37	100%	0,00	0,00	0,00	0,0000	0,0000	0,000000	0,000000	0,00	0,000000	0,000000	0,00

Id_{Tr}	$\%L_{LI}$	$L_{v,SLV}$	$L_{v,SLD}$	L_{pl}	ϕ_u	ϕ_y	SLV			SLD		
							Θ_c	Θ_d	CS	Θ_c	Θ_d	CS
	[%]	[m]	[m]	[m]	[rad/m]	[rad/m]	[rad]	[rad]		[rad]	[rad]	
proporzionale alla deformata 1° modo di vibrazione												
Trave P14-37	0%	0,00	0,00	0,00	0,0000	0,0000	0,000000	0,000000	0,00	0,000000	0,000000	0,00
Trave P14-37	100%	0,00	0,00	0,00	0,0000	0,0000	0,000000	0,000000	0,00	0,000000	0,000000	0,00
sisma in +X												
proporzionale alle masse												
Trave 37-38	0%	0,00	0,00	0,00	0,0000	0,0000	0,000000	0,000000	0,00	0,000000	0,000000	0,00
Trave 37-38	100%	0,00	0,00	0,00	0,0000	0,0000	0,000000	0,000000	0,00	0,000000	0,000000	0,00
proporzionale alla deformata 1° modo di vibrazione												
Trave 37-38	0%	4,38	9,56	0,87	0,0835	0,0027	0,036810	0,000083	NS	0,010623	0,000044	NS
Trave 37-38	100%	1,75	1,46	0,60	0,0352	0,0021	0,010296	0,000355	29,00	0,004093	0,000177	23,06
sisma in -X												
proporzionale alle masse												
Trave 37-38	0%	0,00	0,00	0,00	0,0000	0,0000	0,000000	0,000000	0,00	0,000000	0,000000	0,00
Trave 37-38	100%	0,00	0,00	0,00	0,0000	0,0000	0,000000	0,000000	0,00	0,000000	0,000000	0,00
proporzionale alla deformata 1° modo di vibrazione												
Trave 37-38	0%	0,00	0,00	0,00	0,0000	0,0000	0,000000	0,000000	0,00	0,000000	0,000000	0,00
Trave 37-38	100%	0,00	0,00	0,00	0,0000	0,0000	0,000000	0,000000	0,00	0,000000	0,000000	0,00
sisma in +Y												
proporzionale alle masse												
Trave 37-38	0%	1,15	0,13	0,54	0,1028	0,0027	0,029695	0,000046	NS	0,017879	0,000003	NS
Trave 37-38	100%	1,03	0,89	0,53	0,0907	0,0017	0,019749	0,000128	NS	0,004447	0,000054	82,32
proporzionale alla deformata 1° modo di vibrazione												
Trave 37-38	0%	0,00	0,00	0,00	0,0000	0,0000	0,000000	0,000000	0,00	0,000000	0,000000	0,00
Trave 37-38	100%	0,00	0,00	0,00	0,0000	0,0000	0,000000	0,000000	0,00	0,000000	0,000000	0,00
sisma in -Y												
proporzionale alle masse												
Trave 37-38	0%	0,00	0,00	0,00	0,0000	0,0000	0,000000	0,000000	0,00	0,000000	0,000000	0,00
Trave 37-38	100%	0,00	0,00	0,00	0,0000	0,0000	0,000000	0,000000	0,00	0,000000	0,000000	0,00
proporzionale alla deformata 1° modo di vibrazione												
Trave 37-38	0%	0,00	0,00	0,00	0,0000	0,0000	0,000000	0,000000	0,00	0,000000	0,000000	0,00
Trave 37-38	100%	0,00	0,00	0,00	0,0000	0,0000	0,000000	0,000000	0,00	0,000000	0,000000	0,00
sisma in +X												
proporzionale alle masse												
Trave 39-40	0%	0,00	0,00	0,00	0,0000	0,0000	0,000000	0,000000	0,00	0,000000	0,000000	0,00
Trave 39-40	100%	0,00	0,00	0,00	0,0000	0,0000	0,000000	0,000000	0,00	0,000000	0,000000	0,00
proporzionale alla deformata 1° modo di vibrazione												
Trave 39-40	0%	0,32	0,58	0,46	0,0926	0,0017	0,013215	0,000417	31,68	0,005564	0,000270	20,64
Trave 39-40	100%	1,10	1,02	0,54	0,0411	0,0020	0,010105	0,000006	NS	0,004325	0,000056	76,88
sisma in -X												
proporzionale alle masse												
Trave 39-40	0%	0,00	0,00	0,00	0,0000	0,0000	0,000000	0,000000	0,00	0,000000	0,000000	0,00
Trave 39-40	100%	0,00	0,00	0,00	0,0000	0,0000	0,000000	0,000000	0,00	0,000000	0,000000	0,00
proporzionale alla deformata 1° modo di vibrazione												
Trave 39-40	0%	0,00	0,00	0,00	0,0000	0,0000	0,000000	0,000000	0,00	0,000000	0,000000	0,00
Trave 39-40	100%	0,00	0,00	0,00	0,0000	0,0000	0,000000	0,000000	0,00	0,000000	0,000000	0,00
sisma in +Y												
proporzionale alle masse												
Trave 39-40	0%	0,86	0,89	0,51	0,0907	0,0017	0,018282	0,000024	NS	0,004463	0,000054	82,92
Trave 39-40	100%	0,81	0,83	0,51	0,0396	0,0021	0,008928	0,000229	39,02	0,004749	0,000147	32,29
proporzionale alla deformata 1° modo di vibrazione												
Trave 39-40	0%	0,00	0,00	0,00	0,0000	0,0000	0,000000	0,000000	0,00	0,000000	0,000000	0,00
Trave 39-40	100%	0,00	0,00	0,00	0,0000	0,0000	0,000000	0,000000	0,00	0,000000	0,000000	0,00
sisma in -Y												
proporzionale alle masse												
Trave 39-40	0%	0,00	0,00	0,00	0,0000	0,0000	0,000000	0,000000	0,00	0,000000	0,000000	0,00
Trave 39-40	100%	0,00	0,00	0,00	0,0000	0,0000	0,000000	0,000000	0,00	0,000000	0,000000	0,00
proporzionale alla deformata 1° modo di vibrazione												
Trave 39-40	0%	0,00	0,00	0,00	0,0000	0,0000	0,000000	0,000000	0,00	0,000000	0,000000	0,00
Trave 39-40	100%	0,00	0,00	0,00	0,0000	0,0000	0,000000	0,000000	0,00	0,000000	0,000000	0,00
sisma in +X												
proporzionale alle masse												
Trave 40-P15	0%	0,00	0,00	0,00	0,0000	0,0000	0,000000	0,000000	0,00	0,000000	0,000000	0,00
Trave 40-P15	100%	0,00	0,00	0,00	0,0000	0,0000	0,000000	0,000000	0,00	0,000000	0,000000	0,00
proporzionale alla deformata 1° modo di vibrazione												
Trave 40-P15	0%	1,50	17,48	0,58	0,0930	0,0029	0,030223	0,000006	NS	0,018460	0,000056	NS
Trave 40-P15	100%	1,20	1,15	0,55	0,0780	0,0022	0,018160	0,000166	NS	0,004316	0,000060	72,35
sisma in -X												
proporzionale alle masse												
Trave 40-P15	0%	0,00	0,00	0,00	0,0000	0,0000	0,000000	0,000000	0,00	0,000000	0,000000	0,00
Trave 40-P15	100%	0,00	0,00	0,00	0,0000	0,0000	0,000000	0,000000	0,00	0,000000	0,000000	0,00
proporzionale alla deformata 1° modo di vibrazione												
Trave 40-P15	0%	0,00	0,00	0,00	0,0000	0,0000	0,000000	0,000000	0,00	0,000000	0,000000	0,00
Trave 40-P15	100%	0,00	0,00	0,00	0,0000	0,0000	0,000000	0,000000	0,00	0,000000	0,000000	0,00
sisma in +Y												
proporzionale alle masse												
Trave 40-P15	0%	0,90	0,99	0,52	0,0231	0,0023	0,006094	0,000229	26,63	0,004516	0,000147	30,71
Trave 40-P15	100%	6,02	5,08	1,03	0,0517	0,0027	0,026348	0,000206	NS	0,006613	0,000089	74,72
proporzionale alla deformata 1° modo di vibrazione												
Trave 40-P15	0%	0,00	0,00	0,00	0,0000	0,0000	0,000000	0,000000	0,00	0,000000	0,000000	0,00
Trave 40-P15	100%	0,00	0,00	0,00	0,0000	0,0000	0,000000	0,000000	0,00	0,000000	0,000000	0,00
sisma in -Y												
proporzionale alle masse												
Trave 40-P15	0%	0,00	0,00	0,00	0,0000	0,0000	0,000000	0,000000	0,00	0,000000	0,000000	0,00
Trave 40-P15	100%	0,00	0,00	0,00	0,0000	0,0000	0,000000	0,000000	0,00	0,000000	0,000000	0,00
proporzionale alla deformata 1° modo di vibrazione												

Id_{Tr}	$\%L_{LI}$	$L_{v,SLV}$	$L_{v,SLD}$	L_{pl}	ϕ_u	ϕ_y	SLV			SLD		
							Θ_c	Θ_d	CS	Θ_c	Θ_d	CS
	[%]	[m]	[m]	[m]	[rad/m]	[rad/m]	[rad]	[rad]		[rad]	[rad]	
Trave 40-P15	0%	0,00	0,00	0,00	0,0000	0,0000	0,000000	0,000000	0,00	0,000000	0,000000	0,00
Trave 40-P15	100%	0,00	0,00	0,00	0,0000	0,0000	0,000000	0,000000	0,00	0,000000	0,000000	0,00
Estradosso travi gronda							**Travata: Trave14-15-16-17-18-19-20-21-22-23-24**					
sisma in +X												
proporzionale alle masse												
Trave 14-15	0%	0,00	0,00	0,00	0,0000	0,0000	0,000000	0,000000	0,00	0,000000	0,000000	0,00
Trave 14-15	100%	0,00	0,00	0,00	0,0000	0,0000	0,000000	0,000000	0,00	0,000000	0,000000	0,00
proporzionale alla deformata 1° modo di vibrazione												
Trave 14-15	0%	0,49	0,70	0,40	0,0735	0,0034	0,010512	0,000708	14,84	0,004363	0,000521	8,37
Trave 14-15	100%	1,09	1,03	0,46	0,0345	0,0036	0,007740	0,000092	84,42	0,004242	0,000062	68,21
sisma in -X												
proporzionale alle masse												
Trave 14-15	0%	0,00	0,00	0,00	0,0000	0,0000	0,000000	0,000000	0,00	0,000000	0,000000	0,00
Trave 14-15	100%	0,00	0,00	0,00	0,0000	0,0000	0,000000	0,000000	0,00	0,000000	0,000000	0,00
proporzionale alla deformata 1° modo di vibrazione												
Trave 14-15	0%	0,00	0,00	0,00	0,0000	0,0000	0,000000	0,000000	0,00	0,000000	0,000000	0,00
Trave 14-15	100%	0,00	0,00	0,00	0,0000	0,0000	0,000000	0,000000	0,00	0,000000	0,000000	0,00
sisma in +Y												
proporzionale alle masse												
Trave 14-15	0%	1,12	1,05	0,46	0,0699	0,0036	0,014286	0,000270	52,86	0,004231	0,000217	19,50
Trave 14-15	100%	0,74	0,85	0,43	0,0323	0,0039	0,006517	0,000093	69,90	0,004422	0,000025	NS
proporzionale alla deformata 1° modo di vibrazione												
Trave 14-15	0%	0,00	0,00	0,00	0,0000	0,0000	0,000000	0,000000	0,00	0,000000	0,000000	0,00
Trave 14-15	100%	0,00	0,00	0,00	0,0000	0,0000	0,000000	0,000000	0,00	0,000000	0,000000	0,00
sisma in -Y												
proporzionale alle masse												
Trave 14-15	0%	0,00	0,00	0,00	0,0000	0,0000	0,000000	0,000000	0,00	0,000000	0,000000	0,00
Trave 14-15	100%	0,00	0,00	0,00	0,0000	0,0000	0,000000	0,000000	0,00	0,000000	0,000000	0,00
proporzionale alla deformata 1° modo di vibrazione												
Trave 14-15	0%	0,00	0,00	0,00	0,0000	0,0000	0,000000	0,000000	0,00	0,000000	0,000000	0,00
Trave 14-15	100%	0,00	0,00	0,00	0,0000	0,0000	0,000000	0,000000	0,00	0,000000	0,000000	0,00
sisma in +X												
proporzionale alle masse												
Trave 15-16	0%	0,00	0,00	0,00	0,0000	0,0000	0,000000	0,000000	0,00	0,000000	0,000000	0,00
Trave 15-16	100%	0,00	0,00	0,00	0,0000	0,0000	0,000000	0,000000	0,00	0,000000	0,000000	0,00
proporzionale alla deformata 1° modo di vibrazione												
Trave 15-16	0%	0,75	0,85	0,43	0,0457	0,0040	0,008576	0,000092	93,53	0,004459	0,000062	71,70
Trave 15-16	100%	1,19	1,11	0,47	0,0243	0,0044	0,006081	0,000127	47,72	0,004658	0,000076	60,99
sisma in -X												
proporzionale alle masse												
Trave 15-16	0%	0,00	0,00	0,00	0,0000	0,0000	0,000000	0,000000	0,00	0,000000	0,000000	0,00
Trave 15-16	100%	0,00	0,00	0,00	0,0000	0,0000	0,000000	0,000000	0,00	0,000000	0,000000	0,00
proporzionale alla deformata 1° modo di vibrazione												
Trave 15-16	0%	0,00	0,00	0,00	0,0000	0,0000	0,000000	0,000000	0,00	0,000000	0,000000	0,00
Trave 15-16	100%	0,00	0,00	0,00	0,0000	0,0000	0,000000	0,000000	0,00	0,000000	0,000000	0,00
sisma in +Y												
proporzionale alle masse												
Trave 15-16	0%	0,91	0,94	0,44	0,0478	0,0039	0,009563	0,000093	NS	0,004392	0,000025	NS
Trave 15-16	100%	1,01	1,01	0,45	0,0250	0,0043	0,005905	0,000042	NS	0,004565	0,000010	NS
proporzionale alla deformata 1° modo di vibrazione												
Trave 15-16	0%	0,00	0,00	0,00	0,0000	0,0000	0,000000	0,000000	0,00	0,000000	0,000000	0,00
Trave 15-16	100%	0,00	0,00	0,00	0,0000	0,0000	0,000000	0,000000	0,00	0,000000	0,000000	0,00
sisma in -Y												
proporzionale alle masse												
Trave 15-16	0%	0,00	0,00	0,00	0,0000	0,0000	0,000000	0,000000	0,00	0,000000	0,000000	0,00
Trave 15-16	100%	0,00	0,00	0,00	0,0000	0,0000	0,000000	0,000000	0,00	0,000000	0,000000	0,00
proporzionale alla deformata 1° modo di vibrazione												
Trave 15-16	0%	0,00	0,00	0,00	0,0000	0,0000	0,000000	0,000000	0,00	0,000000	0,000000	0,00
Trave 15-16	100%	0,00	0,00	0,00	0,0000	0,0000	0,000000	0,000000	0,00	0,000000	0,000000	0,00
sisma in +X												
proporzionale alle masse												
Trave 16-17	0%	0,00	0,00	0,00	0,0000	0,0000	0,000000	0,000000	0,00	0,000000	0,000000	0,00
Trave 16-17	100%	0,00	0,00	0,00	0,0000	0,0000	0,000000	0,000000	0,00	0,000000	0,000000	0,00
proporzionale alla deformata 1° modo di vibrazione												
Trave 16-17	0%	0,79	0,88	0,43	0,0198	0,0046	0,004706	0,000127	36,94	0,004665	0,000076	61,09
Trave 16-17	100%	1,14	1,06	0,46	0,0166	0,0049	0,004596	0,000155	29,73	0,004879	0,000081	59,92
sisma in -X												
proporzionale alle masse												
Trave 16-17	0%	0,00	0,00	0,00	0,0000	0,0000	0,000000	0,000000	0,00	0,000000	0,000000	0,00
Trave 16-17	100%	0,00	0,00	0,00	0,0000	0,0000	0,000000	0,000000	0,00	0,000000	0,000000	0,00
proporzionale alla deformata 1° modo di vibrazione												
Trave 16-17	0%	0,00	0,00	0,00	0,0000	0,0000	0,000000	0,000000	0,00	0,000000	0,000000	0,00
Trave 16-17	100%	0,00	0,00	0,00	0,0000	0,0000	0,000000	0,000000	0,00	0,000000	0,000000	0,00
sisma in +Y												
proporzionale alle masse												
Trave 16-17	0%	0,97	0,95	0,45	0,0200	0,0046	0,004994	0,000042	NS	0,004698	0,000010	NS
Trave 16-17	100%	0,98	0,98	0,45	0,0168	0,0048	0,004458	0,000057	77,99	0,004772	0,000015	NS
proporzionale alla deformata 1° modo di vibrazione												
Trave 16-17	0%	0,00	0,00	0,00	0,0000	0,0000	0,000000	0,000000	0,00	0,000000	0,000000	0,00
Trave 16-17	100%	0,00	0,00	0,00	0,0000	0,0000	0,000000	0,000000	0,00	0,000000	0,000000	0,00
sisma in -Y												
proporzionale alle masse												
Trave 16-17	0%	0,00	0,00	0,00	0,0000	0,0000	0,000000	0,000000	0,00	0,000000	0,000000	0,00
Trave 16-17	100%	0,00	0,00	0,00	0,0000	0,0000	0,000000	0,000000	0,00	0,000000	0,000000	0,00
proporzionale alla deformata 1° modo di vibrazione												

Id_{Tr}	$\%L_{LI}$	$L_{v,SLV}$	$L_{v,SLD}$	L_{pl}	ϕ_u	ϕ_y	SLV			SLD		
							Θ_c	Θ_d	CS	Θ_c	Θ_d	CS
	[%]	[m]	[m]	[m]	[rad/m]	[rad/m]	[rad]	[rad]		[rad]	[rad]	
Trave 16-17	0%	0,00	0,00	0,00	0,0000	0,0000	0,000000	0,000000	0,00	0,000000	0,000000	0,00
Trave 16-17	100%	0,00	0,00	0,00	0,0000	0,0000	0,000000	0,000000	0,00	0,000000	0,000000	0,00
sisma in +X												
proporzionale alle masse												
Trave 17-18	0%	0,00	0,00	0,00	0,0000	0,0000	0,000000	0,000000	0,00	0,000000	0,000000	0,00
Trave 17-18	100%	0,00	0,00	0,00	0,0000	0,0000	0,000000	0,000000	0,00	0,000000	0,000000	0,00
proporzionale alla deformata 1° modo di vibrazione												
Trave 17-18	0%	0,77	0,88	0,43	0,0167	0,0048	0,004222	0,000155	27,31	0,004750	0,000081	58,34
Trave 17-18	100%	1,11	1,03	0,46	0,0167	0,0049	0,004578	0,000129	35,60	0,004823	0,000049	98,01
sisma in -X												
proporzionale alle masse												
Trave 17-18	0%	0,00	0,00	0,00	0,0000	0,0000	0,000000	0,000000	0,00	0,000000	0,000000	0,00
Trave 17-18	100%	0,00	0,00	0,00	0,0000	0,0000	0,000000	0,000000	0,00	0,000000	0,000000	0,00
proporzionale alla deformata 1° modo di vibrazione												
Trave 17-18	0%	0,00	0,00	0,00	0,0000	0,0000	0,000000	0,000000	0,00	0,000000	0,000000	0,00
Trave 17-18	100%	0,00	0,00	0,00	0,0000	0,0000	0,000000	0,000000	0,00	0,000000	0,000000	0,00
sisma in +Y												
proporzionale alle masse												
Trave 17-18	0%	0,92	0,90	0,44	0,0166	0,0048	0,004362	0,000057	76,31	0,004750	0,000015	NS
Trave 17-18	100%	1,09	1,07	0,46	0,0166	0,0048	0,004551	0,000151	30,09	0,004805	0,000073	65,58
proporzionale alla deformata 1° modo di vibrazione												
Trave 17-18	0%	0,00	0,00	0,00	0,0000	0,0000	0,000000	0,000000	0,00	0,000000	0,000000	0,00
Trave 17-18	100%	0,00	0,00	0,00	0,0000	0,0000	0,000000	0,000000	0,00	0,000000	0,000000	0,00
sisma in -Y												
proporzionale alle masse												
Trave 17-18	0%	0,00	0,00	0,00	0,0000	0,0000	0,000000	0,000000	0,00	0,000000	0,000000	0,00
Trave 17-18	100%	0,00	0,00	0,00	0,0000	0,0000	0,000000	0,000000	0,00	0,000000	0,000000	0,00
proporzionale alla deformata 1° modo di vibrazione												
Trave 17-18	0%	0,00	0,00	0,00	0,0000	0,0000	0,000000	0,000000	0,00	0,000000	0,000000	0,00
Trave 17-18	100%	0,00	0,00	0,00	0,0000	0,0000	0,000000	0,000000	0,00	0,000000	0,000000	0,00
sisma in +X												
proporzionale alle masse												
Trave 18-19	0%	0,00	0,00	0,00	0,0000	0,0000	0,000000	0,000000	0,00	0,000000	0,000000	0,00
Trave 18-19	100%	0,00	0,00	0,00	0,0000	0,0000	0,000000	0,000000	0,00	0,000000	0,000000	0,00
proporzionale alla deformata 1° modo di vibrazione												
Trave 18-19	0%	0,00	0,42	0,35	0,0938	0,0052	0,010624	0,000129	82,62	0,005751	0,000049	NS
Trave 18-19	100%	1,52	1,37	0,50	0,0317	0,0042	0,008094	0,000427	18,95	0,004693	0,000225	20,81
sisma in -X												
proporzionale alle masse												
Trave 18-19	0%	0,00	0,00	0,00	0,0000	0,0000	0,000000	0,000000	0,00	0,000000	0,000000	0,00
Trave 18-19	100%	0,00	0,00	0,00	0,0000	0,0000	0,000000	0,000000	0,00	0,000000	0,000000	0,00
proporzionale alla deformata 1° modo di vibrazione												
Trave 18-19	0%	0,00	0,00	0,00	0,0000	0,0000	0,000000	0,000000	0,00	0,000000	0,000000	0,00
Trave 18-19	100%	0,00	0,00	0,00	0,0000	0,0000	0,000000	0,000000	0,00	0,000000	0,000000	0,00
sisma in +Y												
proporzionale alle masse												
Trave 18-19	0%	1,16	1,09	0,47	0,0250	0,0042	0,006135	0,000151	40,56	0,004553	0,000073	62,13
Trave 18-19	100%	0,53	0,73	0,40	0,0393	0,0039	0,006689	0,000137	48,66	0,004499	0,000126	35,73
proporzionale alla deformata 1° modo di vibrazione												
Trave 18-19	0%	0,00	0,00	0,00	0,0000	0,0000	0,000000	0,000000	0,00	0,000000	0,000000	0,00
Trave 18-19	100%	0,00	0,00	0,00	0,0000	0,0000	0,000000	0,000000	0,00	0,000000	0,000000	0,00
sisma in -Y												
proporzionale alle masse												
Trave 18-19	0%	0,00	0,00	0,00	0,0000	0,0000	0,000000	0,000000	0,00	0,000000	0,000000	0,00
Trave 18-19	100%	0,00	0,00	0,00	0,0000	0,0000	0,000000	0,000000	0,00	0,000000	0,000000	0,00
proporzionale alla deformata 1° modo di vibrazione												
Trave 18-19	0%	0,00	0,00	0,00	0,0000	0,0000	0,000000	0,000000	0,00	0,000000	0,000000	0,00
Trave 18-19	100%	0,00	0,00	0,00	0,0000	0,0000	0,000000	0,000000	0,00	0,000000	0,000000	0,00
sisma in +X												
proporzionale alle masse												
Trave 19-20	0%	0,00	0,00	0,00	0,0000	0,0000	0,000000	0,000000	0,00	0,000000	0,000000	0,00
Trave 19-20	100%	0,00	0,00	0,00	0,0000	0,0000	0,000000	0,000000	0,00	0,000000	0,000000	0,00
proporzionale alla deformata 1° modo di vibrazione												
Trave 19-20	0%	0,93	0,60	0,45	0,0968	0,0032	0,018410	0,000427	43,11	0,004618	0,000225	20,48
Trave 19-20	100%	0,66	0,80	0,43	0,0560	0,0036	0,009801	0,000404	24,27	0,004433	0,000337	13,17
sisma in -X												
proporzionale alle masse												
Trave 19-20	0%	0,00	0,00	0,00	0,0000	0,0000	0,000000	0,000000	0,00	0,000000	0,000000	0,00
Trave 19-20	100%	0,00	0,00	0,00	0,0000	0,0000	0,000000	0,000000	0,00	0,000000	0,000000	0,00
proporzionale alla deformata 1° modo di vibrazione												
Trave 19-20	0%	0,00	0,00	0,00	0,0000	0,0000	0,000000	0,000000	0,00	0,000000	0,000000	0,00
Trave 19-20	100%	0,00	0,00	0,00	0,0000	0,0000	0,000000	0,000000	0,00	0,000000	0,000000	0,00
sisma in +Y												
proporzionale alle masse												
Trave 19-20	0%	0,90	0,50	0,45	0,0950	0,0030	0,018017	0,000137	NS	0,004932	0,000126	39,16
Trave 19-20	100%	0,68	0,70	0,43	0,0517	0,0035	0,009335	0,000176	52,99	0,004535	0,000037	NS
proporzionale alla deformata 1° modo di vibrazione												
Trave 19-20	0%	0,00	0,00	0,00	0,0000	0,0000	0,000000	0,000000	0,00	0,000000	0,000000	0,00
Trave 19-20	100%	0,00	0,00	0,00	0,0000	0,0000	0,000000	0,000000	0,00	0,000000	0,000000	0,00
sisma in -Y												
proporzionale alle masse												
Trave 19-20	0%	0,00	0,00	0,00	0,0000	0,0000	0,000000	0,000000	0,00	0,000000	0,000000	0,00
Trave 19-20	100%	0,00	0,00	0,00	0,0000	0,0000	0,000000	0,000000	0,00	0,000000	0,000000	0,00
proporzionale alla deformata 1° modo di vibrazione												
Trave 19-20	0%	0,00	0,00	0,00	0,0000	0,0000	0,000000	0,000000	0,00	0,000000	0,000000	0,00

Id_{Tr}	$\%L_{LI}$	$L_{v,SLV}$	$L_{v,SLD}$	L_{pl}	ϕ_u	ϕ_y	SLV			SLD		
							Θ_c	Θ_d	CS	Θ_c	Θ_d	CS
	[%]	[m]	[m]	[m]	[rad/m]	[rad/m]	[rad]	[rad]		[rad]	[rad]	
Trave 19-20	100%	0,00	0,00	0,00	0,0000	0,0000	0,000000	0,000000	0,00	0,000000	0,000000	0,00
sisma in +X												
proporzionale alle masse												
Trave 20-21	0%	0,00	0,00	0,00	0,0000	0,0000	0,000000	0,000000	0,00	0,000000	0,000000	0,00
Trave 20-21	100%	0,00	0,00	0,00	0,0000	0,0000	0,000000	0,000000	0,00	0,000000	0,000000	0,00
proporzionale alla deformata 1° modo di vibrazione												
Trave 20-21	0%	7,03	2,75	1,06	0,1015	0,0034	0,050906	0,000404	NS	0,005328	0,000337	15,83
Trave 20-21	100%	1,09	1,03	0,47	0,0674	0,0033	0,013912	0,000363	38,36	0,004193	0,000278	15,10
sisma in -X												
proporzionale alle masse												
Trave 20-21	0%	0,00	0,00	0,00	0,0000	0,0000	0,000000	0,000000	0,00	0,000000	0,000000	0,00
Trave 20-21	100%	0,00	0,00	0,00	0,0000	0,0000	0,000000	0,000000	0,00	0,000000	0,000000	0,00
proporzionale alla deformata 1° modo di vibrazione												
Trave 20-21	0%	0,00	0,00	0,00	0,0000	0,0000	0,000000	0,000000	0,00	0,000000	0,000000	0,00
Trave 20-21	100%	0,00	0,00	0,00	0,0000	0,0000	0,000000	0,000000	0,00	0,000000	0,000000	0,00
sisma in +Y												
proporzionale alle masse												
Trave 20-21	0%	0,65	0,25	0,43	0,1047	0,0030	0,018306	0,000176	NS	0,007447	0,000037	NS
Trave 20-21	100%	0,97	0,75	0,46	0,0710	0,0033	0,014040	0,000090	NS	0,004392	0,000055	79,76
proporzionale alla deformata 1° modo di vibrazione												
Trave 20-21	0%	0,00	0,00	0,00	0,0000	0,0000	0,000000	0,000000	0,00	0,000000	0,000000	0,00
Trave 20-21	100%	0,00	0,00	0,00	0,0000	0,0000	0,000000	0,000000	0,00	0,000000	0,000000	0,00
sisma in -Y												
proporzionale alle masse												
Trave 20-21	0%	0,00	0,00	0,00	0,0000	0,0000	0,000000	0,000000	0,00	0,000000	0,000000	0,00
Trave 20-21	100%	0,00	0,00	0,00	0,0000	0,0000	0,000000	0,000000	0,00	0,000000	0,000000	0,00
proporzionale alla deformata 1° modo di vibrazione												
Trave 20-21	0%	0,00	0,00	0,00	0,0000	0,0000	0,000000	0,000000	0,00	0,000000	0,000000	0,00
Trave 20-21	100%	0,00	0,00	0,00	0,0000	0,0000	0,000000	0,000000	0,00	0,000000	0,000000	0,00
sisma in +X												
proporzionale alle masse												
Trave 21-22	0%	0,00	0,00	0,00	0,0000	0,0000	0,000000	0,000000	0,00	0,000000	0,000000	0,00
Trave 21-22	100%	0,00	0,00	0,00	0,0000	0,0000	0,000000	0,000000	0,00	0,000000	0,000000	0,00
proporzionale alla deformata 1° modo di vibrazione												
Trave 21-22	0%	0,98	0,97	0,46	0,0994	0,0029	0,018972	0,000363	52,31	0,004046	0,000278	14,57
Trave 21-22	100%	0,78	0,77	0,44	0,0258	0,0046	0,005767	0,000368	15,68	0,004839	0,000294	16,44
sisma in -X												
proporzionale alle masse												
Trave 21-22	0%	0,00	0,00	0,00	0,0000	0,0000	0,000000	0,000000	0,00	0,000000	0,000000	0,00
Trave 21-22	100%	0,00	0,00	0,00	0,0000	0,0000	0,000000	0,000000	0,00	0,000000	0,000000	0,00
proporzionale alla deformata 1° modo di vibrazione												
Trave 21-22	0%	0,00	0,00	0,00	0,0000	0,0000	0,000000	0,000000	0,00	0,000000	0,000000	0,00
Trave 21-22	100%	0,00	0,00	0,00	0,0000	0,0000	0,000000	0,000000	0,00	0,000000	0,000000	0,00
sisma in +Y												
proporzionale alle masse												
Trave 21-22	0%	0,89	0,93	0,45	0,0873	0,0030	0,016211	0,000090	NS	0,004103	0,000055	74,51
Trave 21-22	100%	0,82	0,77	0,44	0,0228	0,0044	0,005366	0,000082	65,27	0,004793	0,000015	NS
proporzionale alla deformata 1° modo di vibrazione												
Trave 21-22	0%	0,00	0,00	0,00	0,0000	0,0000	0,000000	0,000000	0,00	0,000000	0,000000	0,00
Trave 21-22	100%	0,00	0,00	0,00	0,0000	0,0000	0,000000	0,000000	0,00	0,000000	0,000000	0,00
sisma in -Y												
proporzionale alle masse												
Trave 21-22	0%	0,00	0,00	0,00	0,0000	0,0000	0,000000	0,000000	0,00	0,000000	0,000000	0,00
Trave 21-22	100%	0,00	0,00	0,00	0,0000	0,0000	0,000000	0,000000	0,00	0,000000	0,000000	0,00
proporzionale alla deformata 1° modo di vibrazione												
Trave 21-22	0%	0,00	0,00	0,00	0,0000	0,0000	0,000000	0,000000	0,00	0,000000	0,000000	0,00
Trave 21-22	100%	0,00	0,00	0,00	0,0000	0,0000	0,000000	0,000000	0,00	0,000000	0,000000	0,00
sisma in +X												
proporzionale alle masse												
Trave 22-23	0%	0,00	0,00	0,00	0,0000	0,0000	0,000000	0,000000	0,00	0,000000	0,000000	0,00
Trave 22-23	100%	0,00	0,00	0,00	0,0000	0,0000	0,000000	0,000000	0,00	0,000000	0,000000	0,00
proporzionale alla deformata 1° modo di vibrazione												
Trave 22-23	0%	0,24	0,38	0,38	0,0226	0,0038	0,004746	0,000368	12,90	0,005886	0,000294	20,00
Trave 22-23	100%	1,25	1,20	0,48	0,0226	0,0040	0,005903	0,000395	14,96	0,004539	0,000307	14,81
sisma in -X												
proporzionale alle masse												
Trave 22-23	0%	0,00	0,00	0,00	0,0000	0,0000	0,000000	0,000000	0,00	0,000000	0,000000	0,00
Trave 22-23	100%	0,00	0,00	0,00	0,0000	0,0000	0,000000	0,000000	0,00	0,000000	0,000000	0,00
proporzionale alla deformata 1° modo di vibrazione												
Trave 22-23	0%	0,00	0,00	0,00	0,0000	0,0000	0,000000	0,000000	0,00	0,000000	0,000000	0,00
Trave 22-23	100%	0,00	0,00	0,00	0,0000	0,0000	0,000000	0,000000	0,00	0,000000	0,000000	0,00
sisma in +Y												
proporzionale alle masse												
Trave 22-23	0%	0,11	0,50	0,37	0,0999	0,0038	0,011479	0,000082	NS	0,005153	0,000015	NS
Trave 22-23	100%	1,39	1,19	0,50	0,0207	0,0041	0,005690	0,000093	61,18	0,004606	0,000072	63,95
proporzionale alla deformata 1° modo di vibrazione												
Trave 22-23	0%	0,00	0,00	0,00	0,0000	0,0000	0,000000	0,000000	0,00	0,000000	0,000000	0,00
Trave 22-23	100%	0,00	0,00	0,00	0,0000	0,0000	0,000000	0,000000	0,00	0,000000	0,000000	0,00
sisma in -Y												
proporzionale alle masse												
Trave 22-23	0%	0,00	0,00	0,00	0,0000	0,0000	0,000000	0,000000	0,00	0,000000	0,000000	0,00
Trave 22-23	100%	0,00	0,00	0,00	0,0000	0,0000	0,000000	0,000000	0,00	0,000000	0,000000	0,00
proporzionale alla deformata 1° modo di vibrazione												
Trave 22-23	0%	0,00	0,00	0,00	0,0000	0,0000	0,000000	0,000000	0,00	0,000000	0,000000	0,00
Trave 22-23	100%	0,00	0,00	0,00	0,0000	0,0000	0,000000	0,000000	0,00	0,000000	0,000000	0,00

Id_{Tr}	$\%L_{LI}$	$L_{v,SLV}$	$L_{v,SLD}$	L_{pl}	ϕ_u	ϕ_y	SLV			SLD		
							Θ_c	Θ_d	CS	Θ_c	Θ_d	CS
	[%]	[m]	[m]	[m]	[rad/m]	[rad/m]	[rad]	[rad]		[rad]	[rad]	
sisma in +X												
proporzionale alle masse												
Trave 23-24	0%	0,00	0,00	0,00	0,0000	0,0000	0,000000	0,000000	0,00	0,000000	0,000000	0,00
Trave 23-24	100%	0,00	0,00	0,00	0,0000	0,0000	0,000000	0,000000	0,00	0,000000	0,000000	0,00
proporzionale alla deformata 1° modo di vibrazione												
Trave 23-24	0%	0,53	0,20	0,41	0,1010	0,0036	0,016597	0,000395	42,07	0,008680	0,000307	28,31
Trave 23-24	100%	1,41	1,20	0,50	0,0257	0,0039	0,006724	0,000529	12,70	0,004496	0,000209	21,51
sisma in -X												
proporzionale alle masse												
Trave 23-24	0%	0,00	0,00	0,00	0,0000	0,0000	0,000000	0,000000	0,00	0,000000	0,000000	0,00
Trave 23-24	100%	0,00	0,00	0,00	0,0000	0,0000	0,000000	0,000000	0,00	0,000000	0,000000	0,00
proporzionale alla deformata 1° modo di vibrazione												
Trave 23-24	0%	0,00	0,00	0,00	0,0000	0,0000	0,000000	0,000000	0,00	0,000000	0,000000	0,00
Trave 23-24	100%	0,00	0,00	0,00	0,0000	0,0000	0,000000	0,000000	0,00	0,000000	0,000000	0,00
sisma in +Y												
proporzionale alle masse												
Trave 23-24	0%	0,43	0,46	0,40	0,1029	0,0032	0,013356	0,000093	NS	0,005182	0,000072	71,96
Trave 23-24	100%	1,29	1,07	0,49	0,0274	0,0037	0,006884	0,000278	24,77	0,004392	0,000210	20,89
proporzionale alla deformata 1° modo di vibrazione												
Trave 23-24	0%	0,00	0,00	0,00	0,0000	0,0000	0,000000	0,000000	0,00	0,000000	0,000000	0,00
Trave 23-24	100%	0,00	0,00	0,00	0,0000	0,0000	0,000000	0,000000	0,00	0,000000	0,000000	0,00
sisma in -Y												
proporzionale alle masse												
Trave 23-24	0%	0,00	0,00	0,00	0,0000	0,0000	0,000000	0,000000	0,00	0,000000	0,000000	0,00
Trave 23-24	100%	0,00	0,00	0,00	0,0000	0,0000	0,000000	0,000000	0,00	0,000000	0,000000	0,00
proporzionale alla deformata 1° modo di vibrazione												
Trave 23-24	0%	0,00	0,00	0,00	0,0000	0,0000	0,000000	0,000000	0,00	0,000000	0,000000	0,00
Trave 23-24	100%	0,00	0,00	0,00	0,0000	0,0000	0,000000	0,000000	0,00	0,000000	0,000000	0,00
Estradosso travi gronda							**Travata: Trave19-20-21-22-23-24**					
sisma in +X												
proporzionale alle masse												
Trave 19-20	0%	0,00	0,00	0,00	0,0000	0,0000	0,000000	0,000000	0,00	0,000000	0,000000	0,00
Trave 19-20	100%	0,00	0,00	0,00	0,0000	0,0000	0,000000	0,000000	0,00	0,000000	0,000000	0,00
proporzionale alla deformata 1° modo di vibrazione												
Trave 19-20	0%	2,02	2,90	0,53	0,1189	0,0037	0,029302	0,001645	17,81	0,005667	0,000912	6,22
Trave 19-20	100%	0,41	0,46	0,37	0,0808	0,0041	0,010095	0,000436	23,17	0,004599	0,000395	11,65
sisma in -X												
proporzionale alle masse												
Trave 19-20	0%	0,00	0,00	0,00	0,0000	0,0000	0,000000	0,000000	0,00	0,000000	0,000000	0,00
Trave 19-20	100%	0,00	0,00	0,00	0,0000	0,0000	0,000000	0,000000	0,00	0,000000	0,000000	0,00
proporzionale alla deformata 1° modo di vibrazione												
Trave 19-20	0%	0,00	0,00	0,00	0,0000	0,0000	0,000000	0,000000	0,00	0,000000	0,000000	0,00
Trave 19-20	100%	0,00	0,00	0,00	0,0000	0,0000	0,000000	0,000000	0,00	0,000000	0,000000	0,00
sisma in +Y												
proporzionale alle masse												
Trave 19-20	0%	1,04	1,42	0,43	0,0991	0,0041	0,018455	0,000144	NS	0,004474	0,000053	84,51
Trave 19-20	100%	0,62	0,56	0,39	0,0581	0,0049	0,009405	0,000486	19,35	0,004587	0,000126	36,38
proporzionale alla deformata 1° modo di vibrazione												
Trave 19-20	0%	0,00	0,00	0,00	0,0000	0,0000	0,000000	0,000000	0,00	0,000000	0,000000	0,00
Trave 19-20	100%	0,00	0,00	0,00	0,0000	0,0000	0,000000	0,000000	0,00	0,000000	0,000000	0,00
sisma in -Y												
proporzionale alle masse												
Trave 19-20	0%	0,00	0,00	0,00	0,0000	0,0000	0,000000	0,000000	0,00	0,000000	0,000000	0,00
Trave 19-20	100%	0,00	0,00	0,00	0,0000	0,0000	0,000000	0,000000	0,00	0,000000	0,000000	0,00
proporzionale alla deformata 1° modo di vibrazione												
Trave 19-20	0%	0,00	0,00	0,00	0,0000	0,0000	0,000000	0,000000	0,00	0,000000	0,000000	0,00
Trave 19-20	100%	0,00	0,00	0,00	0,0000	0,0000	0,000000	0,000000	0,00	0,000000	0,000000	0,00
sisma in +X												
proporzionale alle masse												
Trave 20-21	0%	0,00	0,00	0,00	0,0000	0,0000	0,000000	0,000000	0,00	0,000000	0,000000	0,00
Trave 20-21	100%	0,00	0,00	0,00	0,0000	0,0000	0,000000	0,000000	0,00	0,000000	0,000000	0,00
proporzionale alla deformata 1° modo di vibrazione												
Trave 20-21	0%	0,25	0,04	0,35	0,1053	0,0045	0,022866	0,000436	52,47	0,028004	0,000395	70,95
Trave 20-21	100%	0,80	0,75	0,41	0,0662	0,0045	0,011513	0,000324	35,57	0,004328	0,000236	18,31
sisma in -X												
proporzionale alle masse												
Trave 20-21	0%	0,00	0,00	0,00	0,0000	0,0000	0,000000	0,000000	0,00	0,000000	0,000000	0,00
Trave 20-21	100%	0,00	0,00	0,00	0,0000	0,0000	0,000000	0,000000	0,00	0,000000	0,000000	0,00
proporzionale alla deformata 1° modo di vibrazione												
Trave 20-21	0%	0,00	0,00	0,00	0,0000	0,0000	0,000000	0,000000	0,00	0,000000	0,000000	0,00
Trave 20-21	100%	0,00	0,00	0,00	0,0000	0,0000	0,000000	0,000000	0,00	0,000000	0,000000	0,00
sisma in +Y												
proporzionale alle masse												
Trave 20-21	0%	0,77	0,64	0,40	0,0707	0,0055	0,012087	0,000486	24,86	0,004718	0,000126	37,42
Trave 20-21	100%	0,65	0,61	0,39	0,0627	0,0043	0,010143	0,000195	51,99	0,004343	0,000060	72,46
proporzionale alla deformata 1° modo di vibrazione												
Trave 20-21	0%	0,00	0,00	0,00	0,0000	0,0000	0,000000	0,000000	0,00	0,000000	0,000000	0,00
Trave 20-21	100%	0,00	0,00	0,00	0,0000	0,0000	0,000000	0,000000	0,00	0,000000	0,000000	0,00
sisma in -Y												
proporzionale alle masse												
Trave 20-21	0%	0,00	0,00	0,00	0,0000	0,0000	0,000000	0,000000	0,00	0,000000	0,000000	0,00
Trave 20-21	100%	0,00	0,00	0,00	0,0000	0,0000	0,000000	0,000000	0,00	0,000000	0,000000	0,00
proporzionale alla deformata 1° modo di vibrazione												
Trave 20-21	0%	0,00	0,00	0,00	0,0000	0,0000	0,000000	0,000000	0,00	0,000000	0,000000	0,00
Trave 20-21	100%	0,00	0,00	0,00	0,0000	0,0000	0,000000	0,000000	0,00	0,000000	0,000000	0,00

Id_{Tr}	$\%L_{LI}$	$L_{v,SLV}$	$L_{v,SLD}$	L_{pl}	ϕ_u	ϕ_y	SLV			SLD		
							Θ_c	Θ_d	CS	Θ_c	Θ_d	CS
	[%]	[m]	[m]	[m]	[rad/m]	[rad/m]	[rad]	[rad]		[rad]	[rad]	
sisma in +X												
proporzionale alle masse												
Trave 21-22	0%	0,00	0,00	0,00	0,0000	0,0000	0,000000	0,000000	0,00	0,000000	0,000000	0,00
Trave 21-22	100%	0,00	0,00	0,00	0,0000	0,0000	0,000000	0,000000	0,00	0,000000	0,000000	0,00
proporzionale alla deformata 1° modo di vibrazione												
Trave 21-22	0%	4,94	2,01	0,82	0,0961	0,0081	0,037208	0,000324	NS	0,008262	0,000236	34,95
Trave 21-22	100%	0,79	0,78	0,40	0,0700	0,0058	0,012059	0,000548	22,01	0,004808	0,000469	10,25
sisma in -X												
proporzionale alle masse												
Trave 21-22	0%	0,00	0,00	0,00	0,0000	0,0000	0,000000	0,000000	0,00	0,000000	0,000000	0,00
Trave 21-22	100%	0,00	0,00	0,00	0,0000	0,0000	0,000000	0,000000	0,00	0,000000	0,000000	0,00
proporzionale alla deformata 1° modo di vibrazione												
Trave 21-22	0%	0,00	0,00	0,00	0,0000	0,0000	0,000000	0,000000	0,00	0,000000	0,000000	0,00
Trave 21-22	100%	0,00	0,00	0,00	0,0000	0,0000	0,000000	0,000000	0,00	0,000000	0,000000	0,00
sisma in +Y												
proporzionale alle masse												
Trave 21-22	0%	7,46	0,08	1,07	0,0964	0,0081	0,051123	0,000195	NS	0,014352	0,000060	NS
Trave 21-22	100%	0,79	0,77	0,41	0,0700	0,0061	0,012113	0,000042	NS	0,004922	0,000152	32,33
proporzionale alla deformata 1° modo di vibrazione												
Trave 21-22	0%	0,00	0,00	0,00	0,0000	0,0000	0,000000	0,000000	0,00	0,000000	0,000000	0,00
Trave 21-22	100%	0,00	0,00	0,00	0,0000	0,0000	0,000000	0,000000	0,00	0,000000	0,000000	0,00
sisma in -Y												
proporzionale alle masse												
Trave 21-22	0%	0,00	0,00	0,00	0,0000	0,0000	0,000000	0,000000	0,00	0,000000	0,000000	0,00
Trave 21-22	100%	0,00	0,00	0,00	0,0000	0,0000	0,000000	0,000000	0,00	0,000000	0,000000	0,00
proporzionale alla deformata 1° modo di vibrazione												
Trave 21-22	0%	0,00	0,00	0,00	0,0000	0,0000	0,000000	0,000000	0,00	0,000000	0,000000	0,00
Trave 21-22	100%	0,00	0,00	0,00	0,0000	0,0000	0,000000	0,000000	0,00	0,000000	0,000000	0,00
sisma in +X												
proporzionale alle masse												
Trave 22-23	0%	0,00	0,00	0,00	0,0000	0,0000	0,000000	0,000000	0,00	0,000000	0,000000	0,00
Trave 22-23	100%	0,00	0,00	0,00	0,0000	0,0000	0,000000	0,000000	0,00	0,000000	0,000000	0,00
proporzionale alla deformata 1° modo di vibrazione												
Trave 22-23	0%	0,74	0,76	0,40	0,0473	0,0047	0,008390	0,000548	15,32	0,004403	0,000469	9,38
Trave 22-23	100%	1,01	1,01	0,43	0,0549	0,0047	0,010677	0,000231	46,26	0,004480	0,000203	22,08
sisma in -X												
proporzionale alle masse												
Trave 22-23	0%	0,00	0,00	0,00	0,0000	0,0000	0,000000	0,000000	0,00	0,000000	0,000000	0,00
Trave 22-23	100%	0,00	0,00	0,00	0,0000	0,0000	0,000000	0,000000	0,00	0,000000	0,000000	0,00
proporzionale alla deformata 1° modo di vibrazione												
Trave 22-23	0%	0,00	0,00	0,00	0,0000	0,0000	0,000000	0,000000	0,00	0,000000	0,000000	0,00
Trave 22-23	100%	0,00	0,00	0,00	0,0000	0,0000	0,000000	0,000000	0,00	0,000000	0,000000	0,00
sisma in +Y												
proporzionale alle masse												
Trave 22-23	0%	0,85	0,83	0,41	0,0484	0,0047	0,008983	0,000042	NS	0,004395	0,000152	28,87
Trave 22-23	100%	0,88	0,92	0,41	0,0566	0,0048	0,010398	0,000432	24,06	0,004439	0,000174	25,54
proporzionale alla deformata 1° modo di vibrazione												
Trave 22-23	0%	0,00	0,00	0,00	0,0000	0,0000	0,000000	0,000000	0,00	0,000000	0,000000	0,00
Trave 22-23	100%	0,00	0,00	0,00	0,0000	0,0000	0,000000	0,000000	0,00	0,000000	0,000000	0,00
sisma in -Y												
proporzionale alle masse												
Trave 22-23	0%	0,00	0,00	0,00	0,0000	0,0000	0,000000	0,000000	0,00	0,000000	0,000000	0,00
Trave 22-23	100%	0,00	0,00	0,00	0,0000	0,0000	0,000000	0,000000	0,00	0,000000	0,000000	0,00
proporzionale alla deformata 1° modo di vibrazione												
Trave 22-23	0%	0,00	0,00	0,00	0,0000	0,0000	0,000000	0,000000	0,00	0,000000	0,000000	0,00
Trave 22-23	100%	0,00	0,00	0,00	0,0000	0,0000	0,000000	0,000000	0,00	0,000000	0,000000	0,00
sisma in +X												
proporzionale alle masse												
Trave 23-24	0%	0,00	0,00	0,00	0,0000	0,0000	0,000000	0,000000	0,00	0,000000	0,000000	0,00
Trave 23-24	100%	0,00	0,00	0,00	0,0000	0,0000	0,000000	0,000000	0,00	0,000000	0,000000	0,00
proporzionale alla deformata 1° modo di vibrazione												
Trave 23-24	0%	0,70	0,77	0,39	0,0314	0,0051	0,005978	0,000231	25,90	0,004536	0,000203	22,35
Trave 23-24	100%	1,10	1,00	0,43	0,0500	0,0050	0,010140	0,000350	28,94	0,004600	0,000024	NS
sisma in -X												
proporzionale alle masse												
Trave 23-24	0%	0,00	0,00	0,00	0,0000	0,0000	0,000000	0,000000	0,00	0,000000	0,000000	0,00
Trave 23-24	100%	0,00	0,00	0,00	0,0000	0,0000	0,000000	0,000000	0,00	0,000000	0,000000	0,00
proporzionale alla deformata 1° modo di vibrazione												
Trave 23-24	0%	0,00	0,00	0,00	0,0000	0,0000	0,000000	0,000000	0,00	0,000000	0,000000	0,00
Trave 23-24	100%	0,00	0,00	0,00	0,0000	0,0000	0,000000	0,000000	0,00	0,000000	0,000000	0,00
sisma in +Y												
proporzionale alle masse												
Trave 23-24	0%	0,59	0,78	0,38	0,0315	0,0051	0,005678	0,000432	13,14	0,004536	0,000174	26,09
Trave 23-24	100%	1,12	0,98	0,44	0,0503	0,0049	0,010261	0,000523	19,61	0,004546	0,000383	11,86
proporzionale alla deformata 1° modo di vibrazione												
Trave 23-24	0%	0,00	0,00	0,00	0,0000	0,0000	0,000000	0,000000	0,00	0,000000	0,000000	0,00
Trave 23-24	100%	0,00	0,00	0,00	0,0000	0,0000	0,000000	0,000000	0,00	0,000000	0,000000	0,00
sisma in -Y												
proporzionale alle masse												
Trave 23-24	0%	0,00	0,00	0,00	0,0000	0,0000	0,000000	0,000000	0,00	0,000000	0,000000	0,00
Trave 23-24	100%	0,00	0,00	0,00	0,0000	0,0000	0,000000	0,000000	0,00	0,000000	0,000000	0,00
proporzionale alla deformata 1° modo di vibrazione												
Trave 23-24	0%	0,00	0,00	0,00	0,0000	0,0000	0,000000	0,000000	0,00	0,000000	0,000000	0,00
Trave 23-24	100%	0,00	0,00	0,00	0,0000	0,0000	0,000000	0,000000	0,00	0,000000	0,000000	0,00
Estradosso travi gronda							**Travata: Trave25-26-27**					

Id_{Tr}	$\%L_{LI}$	$L_{v,SLV}$	$L_{v,SLD}$	L_{pl}	ϕ_u	ϕ_y	SLV			SLD		
							Θ_c	Θ_d	CS	Θ_c	Θ_d	CS
	[%]	[m]	[m]	[m]	[rad/m]	[rad/m]	[rad]	[rad]		[rad]	[rad]	
sisma in +X												
proporzionale alle masse												
Trave 25-26	0%	0,00	0,00	0,00	0,0000	0,0000	0,000000	0,000000	0,00	0,000000	0,000000	0,00
Trave 25-26	100%	0,00	0,00	0,00	0,0000	0,0000	0,000000	0,000000	0,00	0,000000	0,000000	0,00
proporzionale alla deformata 1° modo di vibrazione												
Trave 25-26	0%	1,19	1,21	0,48	0,0358	0,0045	0,008350	0,000587	14,23	0,004699	0,000395	11,90
Trave 25-26	100%	0,60	0,55	0,42	0,0193	0,0057	0,004497	0,000422	10,65	0,005258	0,000222	23,70
sisma in -X												
proporzionale alle masse												
Trave 25-26	0%	0,00	0,00	0,00	0,0000	0,0000	0,000000	0,000000	0,00	0,000000	0,000000	0,00
Trave 25-26	100%	0,00	0,00	0,00	0,0000	0,0000	0,000000	0,000000	0,00	0,000000	0,000000	0,00
proporzionale alla deformata 1° modo di vibrazione												
Trave 25-26	0%	0,00	0,00	0,00	0,0000	0,0000	0,000000	0,000000	0,00	0,000000	0,000000	0,00
Trave 25-26	100%	0,00	0,00	0,00	0,0000	0,0000	0,000000	0,000000	0,00	0,000000	0,000000	0,00
sisma in +Y												
proporzionale alle masse												
Trave 25-26	0%	1,80	1,63	0,54	0,0294	0,0048	0,008295	0,000435	19,06	0,005288	0,000231	22,84
Trave 25-26	100%	3,23	0,99	0,68	0,1013	0,0035	0,031969	0,000180	NS	0,004135	0,000150	27,61
proporzionale alla deformata 1° modo di vibrazione												
Trave 25-26	0%	0,00	0,00	0,00	0,0000	0,0000	0,000000	0,000000	0,00	0,000000	0,000000	0,00
Trave 25-26	100%	0,00	0,00	0,00	0,0000	0,0000	0,000000	0,000000	0,00	0,000000	0,000000	0,00
sisma in -Y												
proporzionale alle masse												
Trave 25-26	0%	0,00	0,00	0,00	0,0000	0,0000	0,000000	0,000000	0,00	0,000000	0,000000	0,00
Trave 25-26	100%	0,00	0,00	0,00	0,0000	0,0000	0,000000	0,000000	0,00	0,000000	0,000000	0,00
proporzionale alla deformata 1° modo di vibrazione												
Trave 25-26	0%	0,00	0,00	0,00	0,0000	0,0000	0,000000	0,000000	0,00	0,000000	0,000000	0,00
Trave 25-26	100%	0,00	0,00	0,00	0,0000	0,0000	0,000000	0,000000	0,00	0,000000	0,000000	0,00
sisma in +X												
proporzionale alle masse												
Trave 26-27	0%	0,00	0,00	0,00	0,0000	0,0000	0,000000	0,000000	0,00	0,000000	0,000000	0,00
Trave 26-27	100%	0,00	0,00	0,00	0,0000	0,0000	0,000000	0,000000	0,00	0,000000	0,000000	0,00
proporzionale alla deformata 1° modo di vibrazione												
Trave 26-27	0%	0,14	0,22	0,38	0,1062	0,0051	0,013385	0,000422	31,68	0,007787	0,000222	35,10
Trave 26-27	100%	1,35	1,25	0,50	0,0353	0,0043	0,008577	0,000002	NS	0,004623	0,000049	94,26
sisma in -X												
proporzionale alle masse												
Trave 26-27	0%	0,00	0,00	0,00	0,0000	0,0000	0,000000	0,000000	0,00	0,000000	0,000000	0,00
Trave 26-27	100%	0,00	0,00	0,00	0,0000	0,0000	0,000000	0,000000	0,00	0,000000	0,000000	0,00
proporzionale alla deformata 1° modo di vibrazione												
Trave 26-27	0%	0,00	0,00	0,00	0,0000	0,0000	0,000000	0,000000	0,00	0,000000	0,000000	0,00
Trave 26-27	100%	0,00	0,00	0,00	0,0000	0,0000	0,000000	0,000000	0,00	0,000000	0,000000	0,00
sisma in +Y												
proporzionale alle masse												
Trave 26-27	0%	0,53	0,53	0,41	0,0242	0,0046	0,004952	0,000180	27,55	0,004984	0,000150	33,28
Trave 26-27	100%	1,09	1,09	0,47	0,0372	0,0041	0,008311	0,000162	51,44	0,004459	0,000153	29,15
proporzionale alla deformata 1° modo di vibrazione												
Trave 26-27	0%	0,00	0,00	0,00	0,0000	0,0000	0,000000	0,000000	0,00	0,000000	0,000000	0,00
Trave 26-27	100%	0,00	0,00	0,00	0,0000	0,0000	0,000000	0,000000	0,00	0,000000	0,000000	0,00
sisma in -Y												
proporzionale alle masse												
Trave 26-27	0%	0,00	0,00	0,00	0,0000	0,0000	0,000000	0,000000	0,00	0,000000	0,000000	0,00
Trave 26-27	100%	0,00	0,00	0,00	0,0000	0,0000	0,000000	0,000000	0,00	0,000000	0,000000	0,00
proporzionale alla deformata 1° modo di vibrazione												
Trave 26-27	0%	0,00	0,00	0,00	0,0000	0,0000	0,000000	0,000000	0,00	0,000000	0,000000	0,00
Trave 26-27	100%	0,00	0,00	0,00	0,0000	0,0000	0,000000	0,000000	0,00	0,000000	0,000000	0,00
Estradosso travi gronda							**Travata: Trave28-29-30-2b**					
sisma in +X												
proporzionale alle masse												
Trave 28-29	0%	0,00	0,00	0,00	0,0000	0,0000	0,000000	0,000000	0,00	0,000000	0,000000	0,00
Trave 28-29	100%	0,00	0,00	0,00	0,0000	0,0000	0,000000	0,000000	0,00	0,000000	0,000000	0,00
proporzionale alla deformata 1° modo di vibrazione												
Trave 28-29	0%	1,95	12,17	0,50	0,1109	0,0061	0,036351	0,000268	NS	0,026700	0,000168	NS
Trave 28-29	100%	0,56	0,54	0,36	0,0436	0,0073	0,006983	0,000256	27,30	0,005002	0,000165	30,31
sisma in -X												
proporzionale alle masse												
Trave 28-29	0%	0,00	0,00	0,00	0,0000	0,0000	0,000000	0,000000	0,00	0,000000	0,000000	0,00
Trave 28-29	100%	0,00	0,00	0,00	0,0000	0,0000	0,000000	0,000000	0,00	0,000000	0,000000	0,00
proporzionale alla deformata 1° modo di vibrazione												
Trave 28-29	0%	0,00	0,00	0,00	0,0000	0,0000	0,000000	0,000000	0,00	0,000000	0,000000	0,00
Trave 28-29	100%	0,00	0,00	0,00	0,0000	0,0000	0,000000	0,000000	0,00	0,000000	0,000000	0,00
sisma in +Y												
proporzionale alle masse												
Trave 28-29	0%	1,45	2,07	0,45	0,1129	0,0051	0,023513	0,000080	NS	0,005860	0,000058	NS
Trave 28-29	100%	0,54	0,50	0,36	0,0445	0,0066	0,006951	0,000173	40,22	0,004823	0,000031	NS
proporzionale alla deformata 1° modo di vibrazione												
Trave 28-29	0%	0,00	0,00	0,00	0,0000	0,0000	0,000000	0,000000	0,00	0,000000	0,000000	0,00
Trave 28-29	100%	0,00	0,00	0,00	0,0000	0,0000	0,000000	0,000000	0,00	0,000000	0,000000	0,00
sisma in -Y												
proporzionale alle masse												
Trave 28-29	0%	0,00	0,00	0,00	0,0000	0,0000	0,000000	0,000000	0,00	0,000000	0,000000	0,00
Trave 28-29	100%	0,00	0,00	0,00	0,0000	0,0000	0,000000	0,000000	0,00	0,000000	0,000000	0,00
proporzionale alla deformata 1° modo di vibrazione												
Trave 28-29	0%	0,00	0,00	0,00	0,0000	0,0000	0,000000	0,000000	0,00	0,000000	0,000000	0,00
Trave 28-29	100%	0,00	0,00	0,00	0,0000	0,0000	0,000000	0,000000	0,00	0,000000	0,000000	0,00

Id_{Tr}	$\%L_{LI}$	$L_{v,SLV}$	$L_{v,SLD}$	L_{pl}	ϕ_u	ϕ_y	SLV			SLD		
							Θ_c	Θ_d	CS	Θ_c	Θ_d	CS
	[%]	[m]	[m]	[m]	[rad/m]	[rad/m]	[rad]	[rad]		[rad]	[rad]	
sisma in +X												
proporzionale alle masse												
Trave 29-30	0%	0,00	0,00	0,00	0,0000	0,0000	0,000000	0,000000	0,00	0,000000	0,000000	0,00
Trave 29-30	100%	0,00	0,00	0,00	0,0000	0,0000	0,000000	0,000000	0,00	0,000000	0,000000	0,00
proporzionale alla deformata 1° modo di vibrazione												
Trave 29-30	0%	0,16	0,09	0,32	0,1032	0,0137	0,013428	0,000256	52,49	0,012360	0,000165	74,89
Trave 29-30	100%	0,99	0,94	0,41	0,0367	0,0077	0,007463	0,000476	15,69	0,005556	0,000368	15,09
sisma in -X												
proporzionale alle masse												
Trave 29-30	0%	0,00	0,00	0,00	0,0000	0,0000	0,000000	0,000000	0,00	0,000000	0,000000	0,00
Trave 29-30	100%	0,00	0,00	0,00	0,0000	0,0000	0,000000	0,000000	0,00	0,000000	0,000000	0,00
proporzionale alla deformata 1° modo di vibrazione												
Trave 29-30	0%	0,00	0,00	0,00	0,0000	0,0000	0,000000	0,000000	0,00	0,000000	0,000000	0,00
Trave 29-30	100%	0,00	0,00	0,00	0,0000	0,0000	0,000000	0,000000	0,00	0,000000	0,000000	0,00
sisma in +Y												
proporzionale alle masse												
Trave 29-30	0%	0,43	0,42	0,35	0,0685	0,0110	0,009021	0,000173	52,20	0,006138	0,000031	NS
Trave 29-30	100%	0,84	0,85	0,39	0,0379	0,0076	0,007246	0,000004	NS	0,005348	0,000156	34,23
proporzionale alla deformata 1° modo di vibrazione												
Trave 29-30	0%	0,00	0,00	0,00	0,0000	0,0000	0,000000	0,000000	0,00	0,000000	0,000000	0,00
Trave 29-30	100%	0,00	0,00	0,00	0,0000	0,0000	0,000000	0,000000	0,00	0,000000	0,000000	0,00
sisma in -Y												
proporzionale alle masse												
Trave 29-30	0%	0,00	0,00	0,00	0,0000	0,0000	0,000000	0,000000	0,00	0,000000	0,000000	0,00
Trave 29-30	100%	0,00	0,00	0,00	0,0000	0,0000	0,000000	0,000000	0,00	0,000000	0,000000	0,00
proporzionale alla deformata 1° modo di vibrazione												
Trave 29-30	0%	0,00	0,00	0,00	0,0000	0,0000	0,000000	0,000000	0,00	0,000000	0,000000	0,00
Trave 29-30	100%	0,00	0,00	0,00	0,0000	0,0000	0,000000	0,000000	0,00	0,000000	0,000000	0,00
sisma in +X												
proporzionale alle masse												
Trave 30-2b	0%	0,00	0,00	0,00	0,0000	0,0000	0,000000	0,000000	0,00	0,000000	0,000000	0,00
Trave 30-2b	100%	0,00	0,00	0,00	0,0000	0,0000	0,000000	0,000000	0,00	0,000000	0,000000	0,00
proporzionale alla deformata 1° modo di vibrazione												
Trave 30-2b	0%	0,81	0,81	0,39	0,0371	0,0083	0,007020	0,000476	14,75	0,005568	0,000368	15,12
Trave 30-2b	100%	1,23	1,22	0,43	0,1026	0,0072	0,019791	0,000634	31,21	0,005779	0,000529	10,93
sisma in -X												
proporzionale alle masse												
Trave 30-2b	0%	0,00	0,00	0,00	0,0000	0,0000	0,000000	0,000000	0,00	0,000000	0,000000	0,00
Trave 30-2b	100%	0,00	0,00	0,00	0,0000	0,0000	0,000000	0,000000	0,00	0,000000	0,000000	0,00
proporzionale alla deformata 1° modo di vibrazione												
Trave 30-2b	0%	0,00	0,00	0,00	0,0000	0,0000	0,000000	0,000000	0,00	0,000000	0,000000	0,00
Trave 30-2b	100%	0,00	0,00	0,00	0,0000	0,0000	0,000000	0,000000	0,00	0,000000	0,000000	0,00
sisma in +Y												
proporzionale alle masse												
Trave 30-2b	0%	0,80	0,81	0,39	0,0370	0,0080	0,006982	0,000004	NS	0,005449	0,000156	34,87
Trave 30-2b	100%	1,24	1,23	0,43	0,1026	0,0072	0,019883	0,000157	NS	0,005792	0,000314	18,43
proporzionale alla deformata 1° modo di vibrazione												
Trave 30-2b	0%	0,00	0,00	0,00	0,0000	0,0000	0,000000	0,000000	0,00	0,000000	0,000000	0,00
Trave 30-2b	100%	0,00	0,00	0,00	0,0000	0,0000	0,000000	0,000000	0,00	0,000000	0,000000	0,00
sisma in -Y												
proporzionale alle masse												
Trave 30-2b	0%	0,00	0,00	0,00	0,0000	0,0000	0,000000	0,000000	0,00	0,000000	0,000000	0,00
Trave 30-2b	100%	0,00	0,00	0,00	0,0000	0,0000	0,000000	0,000000	0,00	0,000000	0,000000	0,00
proporzionale alla deformata 1° modo di vibrazione												
Trave 30-2b	0%	0,00	0,00	0,00	0,0000	0,0000	0,000000	0,000000	0,00	0,000000	0,000000	0,00
Trave 30-2b	100%	0,00	0,00	0,00	0,0000	0,0000	0,000000	0,000000	0,00	0,000000	0,000000	0,00
Estradosso travi gronda							**Travata: Trave1-1b-P8-14-25-P9-3b-32**					
sisma in +X												
proporzionale alle masse												
Trave P8-14	0%	0,00	0,00	0,00	0,0000	0,0000	0,000000	0,000000	0,00	0,000000	0,000000	0,00
Trave P8-14	100%	0,00	0,00	0,00	0,0000	0,0000	0,000000	0,000000	0,00	0,000000	0,000000	0,00
proporzionale alla deformata 1° modo di vibrazione												
Trave P8-14	0%	1,02	0,99	0,53	0,0961	0,0018	0,020641	0,000201	NS	0,004264	0,000126	33,80
Trave P8-14	100%	2,35	2,75	0,66	0,0976	0,0018	0,029237	0,000118	NS	0,003975	0,000084	47,24
sisma in -X												
proporzionale alle masse												
Trave P8-14	0%	0,00	0,00	0,00	0,0000	0,0000	0,000000	0,000000	0,00	0,000000	0,000000	0,00
Trave P8-14	100%	0,00	0,00	0,00	0,0000	0,0000	0,000000	0,000000	0,00	0,000000	0,000000	0,00
proporzionale alla deformata 1° modo di vibrazione												
Trave P8-14	0%	0,00	0,00	0,00	0,0000	0,0000	0,000000	0,000000	0,00	0,000000	0,000000	0,00
Trave P8-14	100%	0,00	0,00	0,00	0,0000	0,0000	0,000000	0,000000	0,00	0,000000	0,000000	0,00
sisma in +Y												
proporzionale alle masse												
Trave P8-14	0%	1,76	2,22	0,60	0,0553	0,0017	0,015265	0,000975	15,65	0,003725	0,000413	9,02
Trave P8-14	100%	1,07	0,84	0,53	0,0471	0,0019	0,011378	0,001182	9,63	0,004627	0,000529	8,75
proporzionale alla deformata 1° modo di vibrazione												
Trave P8-14	0%	0,00	0,00	0,00	0,0000	0,0000	0,000000	0,000000	0,00	0,000000	0,000000	0,00
Trave P8-14	100%	0,00	0,00	0,00	0,0000	0,0000	0,000000	0,000000	0,00	0,000000	0,000000	0,00
sisma in -Y												
proporzionale alle masse												
Trave P8-14	0%	0,00	0,00	0,00	0,0000	0,0000	0,000000	0,000000	0,00	0,000000	0,000000	0,00
Trave P8-14	100%	0,00	0,00	0,00	0,0000	0,0000	0,000000	0,000000	0,00	0,000000	0,000000	0,00
proporzionale alla deformata 1° modo di vibrazione												
Trave P8-14	0%	0,00	0,00	0,00	0,0000	0,0000	0,000000	0,000000	0,00	0,000000	0,000000	0,00
Trave P8-14	100%	0,00	0,00	0,00	0,0000	0,0000	0,000000	0,000000	0,00	0,000000	0,000000	0,00

Id_{Tr}	$\%L_{LI}$	$L_{v,SLV}$	$L_{v,SLD}$	L_{pl}	ϕ_u	ϕ_y	SLV			SLD		
							Θ_c	Θ_d	CS	Θ_c	Θ_d	CS
	[%]	[m]	[m]	[m]	[rad/m]	[rad/m]	[rad]	[rad]		[rad]	[rad]	
sisma in +X												
proporzionale alle masse												
Trave 14-25	0%	0,00	0,00	0,00	0,0000	0,0000	0,000000	0,000000	0,00	0,000000	0,000000	0,00
Trave 14-25	100%	0,00	0,00	0,00	0,0000	0,0000	0,000000	0,000000	0,00	0,000000	0,000000	0,00
proporzionale alla deformata 1° modo di vibrazione												
Trave 14-25	0%	0,96	0,32	0,52	0,1116	0,0016	0,025125	0,000118	NS	0,008346	0,000084	99,18
Trave 14-25	100%	0,66	0,63	0,49	0,1064	0,0016	0,018759	0,000311	60,35	0,005255	0,000218	24,15
sisma in -X												
proporzionale alle masse												
Trave 14-25	0%	0,00	0,00	0,00	0,0000	0,0000	0,000000	0,000000	0,00	0,000000	0,000000	0,00
Trave 14-25	100%	0,00	0,00	0,00	0,0000	0,0000	0,000000	0,000000	0,00	0,000000	0,000000	0,00
proporzionale alla deformata 1° modo di vibrazione												
Trave 14-25	0%	0,00	0,00	0,00	0,0000	0,0000	0,000000	0,000000	0,00	0,000000	0,000000	0,00
Trave 14-25	100%	0,00	0,00	0,00	0,0000	0,0000	0,000000	0,000000	0,00	0,000000	0,000000	0,00
sisma in +Y												
proporzionale alle masse												
Trave 14-25	0%	1,43	1,66	0,57	0,0153	0,0031	0,005140	0,001182	4,35	0,004743	0,000529	8,97
Trave 14-25	100%	1,82	1,65	0,61	0,0129	0,0022	0,004777	0,000066	72,34	0,004121	0,000020	NS
proporzionale alla deformata 1° modo di vibrazione												
Trave 14-25	0%	0,00	0,00	0,00	0,0000	0,0000	0,000000	0,000000	0,00	0,000000	0,000000	0,00
Trave 14-25	100%	0,00	0,00	0,00	0,0000	0,0000	0,000000	0,000000	0,00	0,000000	0,000000	0,00
sisma in -Y												
proporzionale alle masse												
Trave 14-25	0%	0,00	0,00	0,00	0,0000	0,0000	0,000000	0,000000	0,00	0,000000	0,000000	0,00
Trave 14-25	100%	0,00	0,00	0,00	0,0000	0,0000	0,000000	0,000000	0,00	0,000000	0,000000	0,00
proporzionale alla deformata 1° modo di vibrazione												
Trave 14-25	0%	0,00	0,00	0,00	0,0000	0,0000	0,000000	0,000000	0,00	0,000000	0,000000	0,00
Trave 14-25	100%	0,00	0,00	0,00	0,0000	0,0000	0,000000	0,000000	0,00	0,000000	0,000000	0,00
sisma in +X												
proporzionale alle masse												
Trave 25-P9	0%	0,00	0,00	0,00	0,0000	0,0000	0,000000	0,000000	0,00	0,000000	0,000000	0,00
Trave 25-P9	100%	0,00	0,00	0,00	0,0000	0,0000	0,000000	0,000000	0,00	0,000000	0,000000	0,00
proporzionale alla deformata 1° modo di vibrazione												
Trave 25-P9	0%	0,39	0,39	0,46	0,0682	0,0034	0,011259	0,000311	36,22	0,007642	0,000218	35,12
Trave 25-P9	100%	0,55	0,55	0,48	0,0417	0,0023	0,008290	0,000225	36,77	0,005916	0,000151	39,11
sisma in -X												
proporzionale alle masse												
Trave 25-P9	0%	0,00	0,00	0,00	0,0000	0,0000	0,000000	0,000000	0,00	0,000000	0,000000	0,00
Trave 25-P9	100%	0,00	0,00	0,00	0,0000	0,0000	0,000000	0,000000	0,00	0,000000	0,000000	0,00
proporzionale alla deformata 1° modo di vibrazione												
Trave 25-P9	0%	0,00	0,00	0,00	0,0000	0,0000	0,000000	0,000000	0,00	0,000000	0,000000	0,00
Trave 25-P9	100%	0,00	0,00	0,00	0,0000	0,0000	0,000000	0,000000	0,00	0,000000	0,000000	0,00
sisma in +Y												
proporzionale alle masse												
Trave 25-P9	0%	0,31	0,12	0,45	0,0073	0,0025	0,010416	0,000066	NS	0,019759	0,000020	NS
Trave 25-P9	100%	1,23	1,04	0,54	0,0075	0,0048	0,003381	0,000845	4,00	0,005647	0,000382	14,78
proporzionale alla deformata 1° modo di vibrazione												
Trave 25-P9	0%	0,00	0,00	0,00	0,0000	0,0000	0,000000	0,000000	0,00	0,000000	0,000000	0,00
Trave 25-P9	100%	0,00	0,00	0,00	0,0000	0,0000	0,000000	0,000000	0,00	0,000000	0,000000	0,00
sisma in -Y												
proporzionale alle masse												
Trave 25-P9	0%	0,00	0,00	0,00	0,0000	0,0000	0,000000	0,000000	0,00	0,000000	0,000000	0,00
Trave 25-P9	100%	0,00	0,00	0,00	0,0000	0,0000	0,000000	0,000000	0,00	0,000000	0,000000	0,00
proporzionale alla deformata 1° modo di vibrazione												
Trave 25-P9	0%	0,00	0,00	0,00	0,0000	0,0000	0,000000	0,000000	0,00	0,000000	0,000000	0,00
Trave 25-P9	100%	0,00	0,00	0,00	0,0000	0,0000	0,000000	0,000000	0,00	0,000000	0,000000	0,00
Estradosso travi gronda							**Travata: Trave7-19-28-37**					
sisma in +X												
proporzionale alle masse												
Trave 19-28	0%	0,00	0,00	0,00	0,0000	0,0000	0,000000	0,000000	0,00	0,000000	0,000000	0,00
Trave 19-28	100%	0,00	0,00	0,00	0,0000	0,0000	0,000000	0,000000	0,00	0,000000	0,000000	0,00
proporzionale alla deformata 1° modo di vibrazione												
Trave 19-28	0%	0,67	0,67	0,33	0,0780	0,0069	0,011083	0,000179	62,02	0,004596	0,000069	67,07
Trave 19-28	100%	0,88	0,79	0,35	0,0621	0,0079	0,010112	0,000087	NS	0,005091	0,000090	56,69
sisma in -X												
proporzionale alle masse												
Trave 19-28	0%	0,00	0,00	0,00	0,0000	0,0000	0,000000	0,000000	0,00	0,000000	0,000000	0,00
Trave 19-28	100%	0,00	0,00	0,00	0,0000	0,0000	0,000000	0,000000	0,00	0,000000	0,000000	0,00
proporzionale alla deformata 1° modo di vibrazione												
Trave 19-28	0%	0,00	0,00	0,00	0,0000	0,0000	0,000000	0,000000	0,00	0,000000	0,000000	0,00
Trave 19-28	100%	0,00	0,00	0,00	0,0000	0,0000	0,000000	0,000000	0,00	0,000000	0,000000	0,00
sisma in +Y												
proporzionale alle masse												
Trave 19-28	0%	8,60	0,60	1,12	0,1236	0,0048	0,064108	0,001634	39,23	0,003931	0,000716	5,49
Trave 19-28	100%	1,15	0,99	0,37	0,0620	0,0069	0,011163	0,000281	39,66	0,005029	0,000051	98,80
proporzionale alla deformata 1° modo di vibrazione												
Trave 19-28	0%	0,00	0,00	0,00	0,0000	0,0000	0,000000	0,000000	0,00	0,000000	0,000000	0,00
Trave 19-28	100%	0,00	0,00	0,00	0,0000	0,0000	0,000000	0,000000	0,00	0,000000	0,000000	0,00
sisma in -Y												
proporzionale alle masse												
Trave 19-28	0%	0,00	0,00	0,00	0,0000	0,0000	0,000000	0,000000	0,00	0,000000	0,000000	0,00
Trave 19-28	100%	0,00	0,00	0,00	0,0000	0,0000	0,000000	0,000000	0,00	0,000000	0,000000	0,00
proporzionale alla deformata 1° modo di vibrazione												
Trave 19-28	0%	0,00	0,00	0,00	0,0000	0,0000	0,000000	0,000000	0,00	0,000000	0,000000	0,00
Trave 19-28	100%	0,00	0,00	0,00	0,0000	0,0000	0,000000	0,000000	0,00	0,000000	0,000000	0,00

Id_{Tr}	$\%L_{LI}$	$L_{v,SLV}$	$L_{v,SLD}$	L_{pl}	ϕ_u	ϕ_y	SLV			SLD		
							Θ_c	Θ_d	CS	Θ_c	Θ_d	CS
	[%]	[m]	[m]	[m]	[rad/m]	[rad/m]	[rad]	[rad]		[rad]	[rad]	
sisma in +X												
proporzionale alle masse												
Trave 28-37	0%	0,00	0,00	0,00	0,0000	0,0000	0,000000	0,000000	0,00	0,000000	0,000000	0,00
Trave 28-37	100%	0,00	0,00	0,00	0,0000	0,0000	0,000000	0,000000	0,00	0,000000	0,000000	0,00
proporzionale alla deformata 1° modo di vibrazione												
Trave 28-37	0%	0,67	0,67	0,33	0,0710	0,0058	0,010151	0,000087	NS	0,004227	0,000090	47,08
Trave 28-37	100%	0,82	0,12	0,34	0,1303	0,0047	0,020741	0,001792	11,58	0,007566	0,000930	8,14
sisma in -X												
proporzionale alle masse												
Trave 28-37	0%	0,00	0,00	0,00	0,0000	0,0000	0,000000	0,000000	0,00	0,000000	0,000000	0,00
Trave 28-37	100%	0,00	0,00	0,00	0,0000	0,0000	0,000000	0,000000	0,00	0,000000	0,000000	0,00
proporzionale alla deformata 1° modo di vibrazione												
Trave 28-37	0%	0,00	0,00	0,00	0,0000	0,0000	0,000000	0,000000	0,00	0,000000	0,000000	0,00
Trave 28-37	100%	0,00	0,00	0,00	0,0000	0,0000	0,000000	0,000000	0,00	0,000000	0,000000	0,00
sisma in +Y												
proporzionale alle masse												
Trave 28-37	0%	2,80	23,74	0,54	0,1090	0,0097	0,063846	0,000281	NS	0,079267	0,000051	NS
Trave 28-37	100%	1,47	1,28	0,41	0,0578	0,0081	0,011792	0,001278	9,23	0,006153	0,000676	9,10
proporzionale alla deformata 1° modo di vibrazione												
Trave 28-37	0%	0,00	0,00	0,00	0,0000	0,0000	0,000000	0,000000	0,00	0,000000	0,000000	0,00
Trave 28-37	100%	0,00	0,00	0,00	0,0000	0,0000	0,000000	0,000000	0,00	0,000000	0,000000	0,00
sisma in -Y												
proporzionale alle masse												
Trave 28-37	0%	0,00	0,00	0,00	0,0000	0,0000	0,000000	0,000000	0,00	0,000000	0,000000	0,00
Trave 28-37	100%	0,00	0,00	0,00	0,0000	0,0000	0,000000	0,000000	0,00	0,000000	0,000000	0,00
proporzionale alla deformata 1° modo di vibrazione												
Trave 28-37	0%	0,00	0,00	0,00	0,0000	0,0000	0,000000	0,000000	0,00	0,000000	0,000000	0,00
Trave 28-37	100%	0,00	0,00	0,00	0,0000	0,0000	0,000000	0,000000	0,00	0,000000	0,000000	0,00
Estradosso travi gronda							**Travata: Trave13-24**					
sisma in +X												
proporzionale alle masse												
Trave 13-24	0%	0,00	0,00	0,00	0,0000	0,0000	0,000000	0,000000	0,00	0,000000	0,000000	0,00
Trave 13-24	100%	0,00	0,00	0,00	0,0000	0,0000	0,000000	0,000000	0,00	0,000000	0,000000	0,00
proporzionale alla deformata 1° modo di vibrazione												
Trave 13-24	0%	0,93	1,04	0,44	0,0966	0,0058	0,017739	0,000027	NS	0,004953	0,000121	41,09
Trave 13-24	100%	0,71	0,69	0,42	0,0980	0,0055	0,015941	0,000427	37,33	0,004544	0,000250	18,14
sisma in -X												
proporzionale alle masse												
Trave 13-24	0%	0,00	0,00	0,00	0,0000	0,0000	0,000000	0,000000	0,00	0,000000	0,000000	0,00
Trave 13-24	100%	0,00	0,00	0,00	0,0000	0,0000	0,000000	0,000000	0,00	0,000000	0,000000	0,00
proporzionale alla deformata 1° modo di vibrazione												
Trave 13-24	0%	0,00	0,00	0,00	0,0000	0,0000	0,000000	0,000000	0,00	0,000000	0,000000	0,00
Trave 13-24	100%	0,00	0,00	0,00	0,0000	0,0000	0,000000	0,000000	0,00	0,000000	0,000000	0,00
sisma in +Y												
proporzionale alle masse												
Trave 13-24	0%	5,16	12,14	0,86	0,0958	0,0051	0,047339	0,010706	4,42	0,022914	0,004603	4,98
Trave 13-24	100%	1,84	1,61	0,53	0,0964	0,0051	0,023386	0,001796	13,02	0,005276	0,000650	8,12
proporzionale alla deformata 1° modo di vibrazione												
Trave 13-24	0%	0,00	0,00	0,00	0,0000	0,0000	0,000000	0,000000	0,00	0,000000	0,000000	0,00
Trave 13-24	100%	0,00	0,00	0,00	0,0000	0,0000	0,000000	0,000000	0,00	0,000000	0,000000	0,00
sisma in -Y												
proporzionale alle masse												
Trave 13-24	0%	0,00	0,00	0,00	0,0000	0,0000	0,000000	0,000000	0,00	0,000000	0,000000	0,00
Trave 13-24	100%	0,00	0,00	0,00	0,0000	0,0000	0,000000	0,000000	0,00	0,000000	0,000000	0,00
proporzionale alla deformata 1° modo di vibrazione												
Trave 13-24	0%	0,00	0,00	0,00	0,0000	0,0000	0,000000	0,000000	0,00	0,000000	0,000000	0,00
Trave 13-24	100%	0,00	0,00	0,00	0,0000	0,0000	0,000000	0,000000	0,00	0,000000	0,000000	0,00
Estradosso travi gronda							**Travata: Trave16-27-34**					
sisma in +X												
proporzionale alle masse												
Trave 16-27	0%	0,00	0,00	0,00	0,0000	0,0000	0,000000	0,000000	0,00	0,000000	0,000000	0,00
Trave 16-27	100%	0,00	0,00	0,00	0,0000	0,0000	0,000000	0,000000	0,00	0,000000	0,000000	0,00
proporzionale alla deformata 1° modo di vibrazione												
Trave 16-27	0%	0,93	0,83	0,42	0,1071	0,0068	0,018903	0,000050	NS	0,004925	0,000073	67,27
Trave 16-27	100%	1,90	0,26	0,52	0,1065	0,0088	0,024750	0,000294	84,10	0,005627	0,000164	34,29
sisma in -X												
proporzionale alle masse												
Trave 16-27	0%	0,00	0,00	0,00	0,0000	0,0000	0,000000	0,000000	0,00	0,000000	0,000000	0,00
Trave 16-27	100%	0,00	0,00	0,00	0,0000	0,0000	0,000000	0,000000	0,00	0,000000	0,000000	0,00
proporzionale alla deformata 1° modo di vibrazione												
Trave 16-27	0%	0,00	0,00	0,00	0,0000	0,0000	0,000000	0,000000	0,00	0,000000	0,000000	0,00
Trave 16-27	100%	0,00	0,00	0,00	0,0000	0,0000	0,000000	0,000000	0,00	0,000000	0,000000	0,00
sisma in +Y												
proporzionale alle masse												
Trave 16-27	0%	2,91	0,30	0,62	0,1043	0,0068	0,029577	0,000755	39,18	0,004961	0,000229	21,70
Trave 16-27	100%	0,98	0,76	0,43	0,1052	0,0072	0,018894	0,000688	27,45	0,004964	0,000288	17,25
proporzionale alla deformata 1° modo di vibrazione												
Trave 16-27	0%	0,00	0,00	0,00	0,0000	0,0000	0,000000	0,000000	0,00	0,000000	0,000000	0,00
Trave 16-27	100%	0,00	0,00	0,00	0,0000	0,0000	0,000000	0,000000	0,00	0,000000	0,000000	0,00
sisma in -Y												
proporzionale alle masse												
Trave 16-27	0%	0,00	0,00	0,00	0,0000	0,0000	0,000000	0,000000	0,00	0,000000	0,000000	0,00
Trave 16-27	100%	0,00	0,00	0,00	0,0000	0,0000	0,000000	0,000000	0,00	0,000000	0,000000	0,00
proporzionale alla deformata 1° modo di vibrazione												
Trave 16-27	0%	0,00	0,00	0,00	0,0000	0,0000	0,000000	0,000000	0,00	0,000000	0,000000	0,00

Id_{Tr}	$\%L_{LI}$	$L_{v,SLV}$	$L_{v,SLD}$	L_{pl}	ϕ_u	ϕ_y	SLV			SLD		
							Θ_c	Θ_d	CS	Θ_c	Θ_d	CS
	[%]	[m]	[m]	[m]	[rad/m]	[rad/m]	[rad]	[rad]		[rad]	[rad]	
Trave 16-27	100%	0,00	0,00	0,00	0,0000	0,0000	0,000000	0,000000	0,00	0,000000	0,000000	0,00
sisma in +X												
proporzionale alle masse												
Trave 27-34	0%	0,00	0,00	0,00	0,0000	0,0000	0,000000	0,000000	0,00	0,000000	0,000000	0,00
Trave 27-34	100%	0,00	0,00	0,00	0,0000	0,0000	0,000000	0,000000	0,00	0,000000	0,000000	0,00
proporzionale alla deformata 1° modo di vibrazione												
Trave 27-34	0%	0,09	0,30	0,34	0,1055	0,0096	0,011032	0,000294	37,49	0,005688	0,000164	34,65
Trave 27-34	100%	1,03	0,92	0,44	0,1055	0,0071	0,019495	0,000204	95,49	0,005185	0,000159	32,55
sisma in -X												
proporzionale alle masse												
Trave 27-34	0%	0,00	0,00	0,00	0,0000	0,0000	0,000000	0,000000	0,00	0,000000	0,000000	0,00
Trave 27-34	100%	0,00	0,00	0,00	0,0000	0,0000	0,000000	0,000000	0,00	0,000000	0,000000	0,00
proporzionale alla deformata 1° modo di vibrazione												
Trave 27-34	0%	0,00	0,00	0,00	0,0000	0,0000	0,000000	0,000000	0,00	0,000000	0,000000	0,00
Trave 27-34	100%	0,00	0,00	0,00	0,0000	0,0000	0,000000	0,000000	0,00	0,000000	0,000000	0,00
sisma in +Y												
proporzionale alle masse												
Trave 27-34	0%	25,97	1,14	2,93	0,0949	0,0116	0,119102	0,000688	NS	0,007998	0,000288	27,78
Trave 27-34	100%	1,40	1,20	0,47	0,0954	0,0076	0,020239	0,001267	15,97	0,005982	0,000580	10,31
proporzionale alla deformata 1° modo di vibrazione												
Trave 27-34	0%	0,00	0,00	0,00	0,0000	0,0000	0,000000	0,000000	0,00	0,000000	0,000000	0,00
Trave 27-34	100%	0,00	0,00	0,00	0,0000	0,0000	0,000000	0,000000	0,00	0,000000	0,000000	0,00
sisma in -Y												
proporzionale alle masse												
Trave 27-34	0%	0,00	0,00	0,00	0,0000	0,0000	0,000000	0,000000	0,00	0,000000	0,000000	0,00
Trave 27-34	100%	0,00	0,00	0,00	0,0000	0,0000	0,000000	0,000000	0,00	0,000000	0,000000	0,00
proporzionale alla deformata 1° modo di vibrazione												
Trave 27-34	0%	0,00	0,00	0,00	0,0000	0,0000	0,000000	0,000000	0,00	0,000000	0,000000	0,00
Trave 27-34	100%	0,00	0,00	0,00	0,0000	0,0000	0,000000	0,000000	0,00	0,000000	0,000000	0,00
Estradosso travi gronda							**Travata: Trave24-31-41**					
sisma in +X												
proporzionale alle masse												
Trave 31-41	0%	0,00	0,00	0,00	0,0000	0,0000	0,000000	0,000000	0,00	0,000000	0,000000	0,00
Trave 31-41	100%	0,00	0,00	0,00	0,0000	0,0000	0,000000	0,000000	0,00	0,000000	0,000000	0,00
proporzionale alla deformata 1° modo di vibrazione												
Trave 31-41	0%	0,23	0,41	0,29	0,1144	0,0054	0,010161	0,000017	NS	0,004526	0,000052	86,61
Trave 31-41	100%	0,81	0,66	0,35	0,0722	0,0061	0,011281	0,000187	60,42	0,004477	0,000121	36,86
sisma in -X												
proporzionale alle masse												
Trave 31-41	0%	0,00	0,00	0,00	0,0000	0,0000	0,000000	0,000000	0,00	0,000000	0,000000	0,00
Trave 31-41	100%	0,00	0,00	0,00	0,0000	0,0000	0,000000	0,000000	0,00	0,000000	0,000000	0,00
proporzionale alla deformata 1° modo di vibrazione												
Trave 31-41	0%	0,00	0,00	0,00	0,0000	0,0000	0,000000	0,000000	0,00	0,000000	0,000000	0,00
Trave 31-41	100%	0,00	0,00	0,00	0,0000	0,0000	0,000000	0,000000	0,00	0,000000	0,000000	0,00
sisma in +Y												
proporzionale alle masse												
Trave 31-41	0%	25,28	0,22	2,80	0,1199	0,0051	0,154479	0,001089	NS	0,005764	0,000152	38,02
Trave 31-41	100%	1,24	1,03	0,39	0,0621	0,0064	0,011684	0,000103	NS	0,004946	0,000155	31,97
proporzionale alla deformata 1° modo di vibrazione												
Trave 31-41	0%	0,00	0,00	0,00	0,0000	0,0000	0,000000	0,000000	0,00	0,000000	0,000000	0,00
Trave 31-41	100%	0,00	0,00	0,00	0,0000	0,0000	0,000000	0,000000	0,00	0,000000	0,000000	0,00
sisma in -Y												
proporzionale alle masse												
Trave 31-41	0%	0,00	0,00	0,00	0,0000	0,0000	0,000000	0,000000	0,00	0,000000	0,000000	0,00
Trave 31-41	100%	0,00	0,00	0,00	0,0000	0,0000	0,000000	0,000000	0,00	0,000000	0,000000	0,00
proporzionale alla deformata 1° modo di vibrazione												
Trave 31-41	0%	0,00	0,00	0,00	0,0000	0,0000	0,000000	0,000000	0,00	0,000000	0,000000	0,00
Trave 31-41	100%	0,00	0,00	0,00	0,0000	0,0000	0,000000	0,000000	0,00	0,000000	0,000000	0,00
Piano primo							**Travata: Trave1-P1-2-P2-3-P3-4-P4-5-P5-6**					
sisma in +X												
proporzionale alle masse												
Trave P1-2	0%	0,00	0,00	0,00	0,0000	0,0000	0,000000	0,000000	0,00	0,000000	0,000000	0,00
Trave P1-2	100%	0,00	0,00	0,00	0,0000	0,0000	0,000000	0,000000	0,00	0,000000	0,000000	0,00
proporzionale alla deformata 1° modo di vibrazione												
Trave P1-2	0%	3,71	8,48	0,80	0,0143	0,0025	0,008632	0,001169	7,38	0,008805	0,000680	12,95
Trave P1-2	100%	1,53	1,38	0,58	0,0167	0,0022	0,005475	0,001035	5,29	0,004129	0,000535	7,72
sisma in -X												
proporzionale alle masse												
Trave P1-2	0%	0,00	0,00	0,00	0,0000	0,0000	0,000000	0,000000	0,00	0,000000	0,000000	0,00
Trave P1-2	100%	0,00	0,00	0,00	0,0000	0,0000	0,000000	0,000000	0,00	0,000000	0,000000	0,00
proporzionale alla deformata 1° modo di vibrazione												
Trave P1-2	0%	0,00	0,00	0,00	0,0000	0,0000	0,000000	0,000000	0,00	0,000000	0,000000	0,00
Trave P1-2	100%	0,00	0,00	0,00	0,0000	0,0000	0,000000	0,000000	0,00	0,000000	0,000000	0,00
sisma in +Y												
proporzionale alle masse												
Trave P1-2	0%	0,80	0,75	0,51	0,0993	0,0015	0,019265	0,000486	39,61	0,004748	0,000223	21,30
Trave P1-2	100%	0,35	0,08	0,46	0,0906	0,0020	0,024782	0,000162	NS	0,029112	0,000006	NS
proporzionale alla deformata 1° modo di vibrazione												
Trave P1-2	0%	0,00	0,00	0,00	0,0000	0,0000	0,000000	0,000000	0,00	0,000000	0,000000	0,00
Trave P1-2	100%	0,00	0,00	0,00	0,0000	0,0000	0,000000	0,000000	0,00	0,000000	0,000000	0,00
sisma in -Y												
proporzionale alle masse												
Trave P1-2	0%	0,00	0,00	0,00	0,0000	0,0000	0,000000	0,000000	0,00	0,000000	0,000000	0,00
Trave P1-2	100%	0,00	0,00	0,00	0,0000	0,0000	0,000000	0,000000	0,00	0,000000	0,000000	0,00
proporzionale alla deformata 1° modo di vibrazione												

Id_{Tr}	$\%L_{LI}$	$L_{v,SLV}$	$L_{v,SLD}$	L_{pl}	ϕ_u	ϕ_y	SLV			SLD		
							Θ_c	Θ_d	CS	Θ_c	Θ_d	CS
	[%]	[m]	[m]	[m]	[rad/m]	[rad/m]	[rad]	[rad]		[rad]	[rad]	
Trave P1-2	0%	0,00	0,00	0,00	0,0000	0,0000	0,000000	0,000000	0,00	0,000000	0,000000	0,00
Trave P1-2	100%	0,00	0,00	0,00	0,0000	0,0000	0,000000	0,000000	0,00	0,000000	0,000000	0,00
sisma in +X												
proporzionale alle masse												
Trave P2-3	0%	0,00	0,00	0,00	0,0000	0,0000	0,000000	0,000000	0,00	0,000000	0,000000	0,00
Trave P2-3	100%	0,00	0,00	0,00	0,0000	0,0000	0,000000	0,000000	0,00	0,000000	0,000000	0,00
proporzionale alla deformata 1° modo di vibrazione												
Trave P2-3	0%	3,14	5,51	0,74	0,0139	0,0025	0,007024	0,001012	6,94	0,006603	0,000581	11,36
Trave P2-3	100%	1,53	1,38	0,58	0,0138	0,0024	0,004816	0,001035	4,65	0,004282	0,000532	8,06
sisma in -X												
proporzionale alle masse												
Trave P2-3	0%	0,00	0,00	0,00	0,0000	0,0000	0,000000	0,000000	0,00	0,000000	0,000000	0,00
Trave P2-3	100%	0,00	0,00	0,00	0,0000	0,0000	0,000000	0,000000	0,00	0,000000	0,000000	0,00
proporzionale alla deformata 1° modo di vibrazione												
Trave P2-3	0%	0,00	0,00	0,00	0,0000	0,0000	0,000000	0,000000	0,00	0,000000	0,000000	0,00
Trave P2-3	100%	0,00	0,00	0,00	0,0000	0,0000	0,000000	0,000000	0,00	0,000000	0,000000	0,00
sisma in +Y												
proporzionale alle masse												
Trave P2-3	0%	0,35	0,49	0,46	0,1068	0,0016	0,015243	0,000205	74,35	0,006151	0,000059	NS
Trave P2-3	100%	0,68	0,66	0,49	0,0423	0,0019	0,008948	0,000004	NS	0,005224	0,000036	NS
proporzionale alla deformata 1° modo di vibrazione												
Trave P2-3	0%	0,00	0,00	0,00	0,0000	0,0000	0,000000	0,000000	0,00	0,000000	0,000000	0,00
Trave P2-3	100%	0,00	0,00	0,00	0,0000	0,0000	0,000000	0,000000	0,00	0,000000	0,000000	0,00
sisma in -Y												
proporzionale alle masse												
Trave P2-3	0%	0,00	0,00	0,00	0,0000	0,0000	0,000000	0,000000	0,00	0,000000	0,000000	0,00
Trave P2-3	100%	0,00	0,00	0,00	0,0000	0,0000	0,000000	0,000000	0,00	0,000000	0,000000	0,00
proporzionale alla deformata 1° modo di vibrazione												
Trave P2-3	0%	0,00	0,00	0,00	0,0000	0,0000	0,000000	0,000000	0,00	0,000000	0,000000	0,00
Trave P2-3	100%	0,00	0,00	0,00	0,0000	0,0000	0,000000	0,000000	0,00	0,000000	0,000000	0,00
sisma in +X												
proporzionale alle masse												
Trave P3-4	0%	0,00	0,00	0,00	0,0000	0,0000	0,000000	0,000000	0,00	0,000000	0,000000	0,00
Trave P3-4	100%	0,00	0,00	0,00	0,0000	0,0000	0,000000	0,000000	0,00	0,000000	0,000000	0,00
proporzionale alla deformata 1° modo di vibrazione												
Trave P3-4	0%	2,90	4,56	0,72	0,0162	0,0023	0,007169	0,000920	7,79	0,005645	0,000550	10,26
Trave P3-4	100%	1,62	1,48	0,59	0,0140	0,0025	0,004922	0,000999	4,93	0,004315	0,000513	8,42
sisma in -X												
proporzionale alle masse												
Trave P3-4	0%	0,00	0,00	0,00	0,0000	0,0000	0,000000	0,000000	0,00	0,000000	0,000000	0,00
Trave P3-4	100%	0,00	0,00	0,00	0,0000	0,0000	0,000000	0,000000	0,00	0,000000	0,000000	0,00
proporzionale alla deformata 1° modo di vibrazione												
Trave P3-4	0%	0,00	0,00	0,00	0,0000	0,0000	0,000000	0,000000	0,00	0,000000	0,000000	0,00
Trave P3-4	100%	0,00	0,00	0,00	0,0000	0,0000	0,000000	0,000000	0,00	0,000000	0,000000	0,00
sisma in +Y												
proporzionale alle masse												
Trave P3-4	0%	0,48	0,53	0,47	0,0977	0,0017	0,014403	0,000081	NS	0,005841	0,000043	NS
Trave P3-4	100%	0,74	0,70	0,50	0,0397	0,0021	0,008786	0,000007	NS	0,005143	0,000033	NS
proporzionale alla deformata 1° modo di vibrazione												
Trave P3-4	0%	0,00	0,00	0,00	0,0000	0,0000	0,000000	0,000000	0,00	0,000000	0,000000	0,00
Trave P3-4	100%	0,00	0,00	0,00	0,0000	0,0000	0,000000	0,000000	0,00	0,000000	0,000000	0,00
sisma in -Y												
proporzionale alle masse												
Trave P3-4	0%	0,00	0,00	0,00	0,0000	0,0000	0,000000	0,000000	0,00	0,000000	0,000000	0,00
Trave P3-4	100%	0,00	0,00	0,00	0,0000	0,0000	0,000000	0,000000	0,00	0,000000	0,000000	0,00
proporzionale alla deformata 1° modo di vibrazione												
Trave P3-4	0%	0,00	0,00	0,00	0,0000	0,0000	0,000000	0,000000	0,00	0,000000	0,000000	0,00
Trave P3-4	100%	0,00	0,00	0,00	0,0000	0,0000	0,000000	0,000000	0,00	0,000000	0,000000	0,00
sisma in +X												
proporzionale alle masse												
Trave P4-5	0%	0,00	0,00	0,00	0,0000	0,0000	0,000000	0,000000	0,00	0,000000	0,000000	0,00
Trave P4-5	100%	0,00	0,00	0,00	0,0000	0,0000	0,000000	0,000000	0,00	0,000000	0,000000	0,00
proporzionale alla deformata 1° modo di vibrazione												
Trave P4-5	0%	3,03	4,94	0,73	0,0132	0,0025	0,006547	0,000991	6,61	0,006263	0,000581	10,78
Trave P4-5	100%	1,57	1,41	0,58	0,0151	0,0025	0,005151	0,001065	4,84	0,004305	0,000548	7,85
sisma in -X												
proporzionale alle masse												
Trave P4-5	0%	0,00	0,00	0,00	0,0000	0,0000	0,000000	0,000000	0,00	0,000000	0,000000	0,00
Trave P4-5	100%	0,00	0,00	0,00	0,0000	0,0000	0,000000	0,000000	0,00	0,000000	0,000000	0,00
proporzionale alla deformata 1° modo di vibrazione												
Trave P4-5	0%	0,00	0,00	0,00	0,0000	0,0000	0,000000	0,000000	0,00	0,000000	0,000000	0,00
Trave P4-5	100%	0,00	0,00	0,00	0,0000	0,0000	0,000000	0,000000	0,00	0,000000	0,000000	0,00
sisma in +Y												
proporzionale alle masse												
Trave P4-5	0%	0,46	0,51	0,47	0,1062	0,0015	0,015379	0,000069	NS	0,005952	0,000041	NS
Trave P4-5	100%	0,60	0,56	0,49	0,0659	0,0020	0,012165	0,000119	NS	0,005775	0,000113	51,14
proporzionale alla deformata 1° modo di vibrazione												
Trave P4-5	0%	0,00	0,00	0,00	0,0000	0,0000	0,000000	0,000000	0,00	0,000000	0,000000	0,00
Trave P4-5	100%	0,00	0,00	0,00	0,0000	0,0000	0,000000	0,000000	0,00	0,000000	0,000000	0,00
sisma in -Y												
proporzionale alle masse												
Trave P4-5	0%	0,00	0,00	0,00	0,0000	0,0000	0,000000	0,000000	0,00	0,000000	0,000000	0,00
Trave P4-5	100%	0,00	0,00	0,00	0,0000	0,0000	0,000000	0,000000	0,00	0,000000	0,000000	0,00
proporzionale alla deformata 1° modo di vibrazione												
Trave P4-5	0%	0,00	0,00	0,00	0,0000	0,0000	0,000000	0,000000	0,00	0,000000	0,000000	0,00

Id_{Tr}	$\%L_{LI}$	$L_{v,SLV}$	$L_{v,SLD}$	L_{pl}	ϕ_u	ϕ_y	SLV			SLD		
							Θ_c	Θ_d	CS	Θ_c	Θ_d	CS
	[%]	[m]	[m]	[m]	[rad/m]	[rad/m]	[rad]	[rad]		[rad]	[rad]	
Trave P4-5	100%	0,00	0,00	0,00	0,0000	0,0000	0,000000	0,000000	0,00	0,000000	0,000000	0,00
sisma in +X												
proporzionale alle masse												
Trave P5-6	0%	0,00	0,00	0,00	0,0000	0,0000	0,000000	0,000000	0,00	0,000000	0,000000	0,00
Trave P5-6	100%	0,00	0,00	0,00	0,0000	0,0000	0,000000	0,000000	0,00	0,000000	0,000000	0,00
proporzionale alla deformata 1° modo di vibrazione												
Trave P5-6	0%	266,74	1,86	27,10	0,0386	0,0015	0,479588	0,001050	NS	0,003559	0,000625	5,70
Trave P5-6	100%	0,94	0,86	0,52	0,0611	0,0019	0,013451	0,000279	48,23	0,004578	0,000270	16,94
sisma in -X												
proporzionale alle masse												
Trave P5-6	0%	0,00	0,00	0,00	0,0000	0,0000	0,000000	0,000000	0,00	0,000000	0,000000	0,00
Trave P5-6	100%	0,00	0,00	0,00	0,0000	0,0000	0,000000	0,000000	0,00	0,000000	0,000000	0,00
proporzionale alla deformata 1° modo di vibrazione												
Trave P5-6	0%	0,00	0,00	0,00	0,0000	0,0000	0,000000	0,000000	0,00	0,000000	0,000000	0,00
Trave P5-6	100%	0,00	0,00	0,00	0,0000	0,0000	0,000000	0,000000	0,00	0,000000	0,000000	0,00
sisma in +Y												
proporzionale alle masse												
Trave P5-6	0%	11,64	0,53	1,59	0,0435	0,0015	0,034057	0,000460	74,07	0,005812	0,000096	60,80
Trave P5-6	100%	0,88	0,77	0,51	0,0679	0,0018	0,014395	0,001826	7,88	0,004777	0,000782	6,11
proporzionale alla deformata 1° modo di vibrazione												
Trave P5-6	0%	0,00	0,00	0,00	0,0000	0,0000	0,000000	0,000000	0,00	0,000000	0,000000	0,00
Trave P5-6	100%	0,00	0,00	0,00	0,0000	0,0000	0,000000	0,000000	0,00	0,000000	0,000000	0,00
sisma in -Y												
proporzionale alle masse												
Trave P5-6	0%	0,00	0,00	0,00	0,0000	0,0000	0,000000	0,000000	0,00	0,000000	0,000000	0,00
Trave P5-6	100%	0,00	0,00	0,00	0,0000	0,0000	0,000000	0,000000	0,00	0,000000	0,000000	0,00
proporzionale alla deformata 1° modo di vibrazione												
Trave P5-6	0%	0,00	0,00	0,00	0,0000	0,0000	0,000000	0,000000	0,00	0,000000	0,000000	0,00
Trave P5-6	100%	0,00	0,00	0,00	0,0000	0,0000	0,000000	0,000000	0,00	0,000000	0,000000	0,00
Piano primo							**Travata: Trave7-P6-8-9-10-11-12-P7-13**					
sisma in +X												
proporzionale alle masse												
Trave P6-8	0%	0,00	0,00	0,00	0,0000	0,0000	0,000000	0,000000	0,00	0,000000	0,000000	0,00
Trave P6-8	100%	0,00	0,00	0,00	0,0000	0,0000	0,000000	0,000000	0,00	0,000000	0,000000	0,00
proporzionale alla deformata 1° modo di vibrazione												
Trave P6-8	0%	0,59	0,74	0,34	0,0742	0,0060	0,010572	0,001605	6,59	0,004556	0,000593	7,69
Trave P6-8	100%	0,58	0,58	0,34	0,0374	0,0075	0,006118	0,000309	19,82	0,004966	0,000337	14,72
sisma in -X												
proporzionale alle masse												
Trave P6-8	0%	0,00	0,00	0,00	0,0000	0,0000	0,000000	0,000000	0,00	0,000000	0,000000	0,00
Trave P6-8	100%	0,00	0,00	0,00	0,0000	0,0000	0,000000	0,000000	0,00	0,000000	0,000000	0,00
proporzionale alla deformata 1° modo di vibrazione												
Trave P6-8	0%	0,00	0,00	0,00	0,0000	0,0000	0,000000	0,000000	0,00	0,000000	0,000000	0,00
Trave P6-8	100%	0,00	0,00	0,00	0,0000	0,0000	0,000000	0,000000	0,00	0,000000	0,000000	0,00
sisma in +Y												
proporzionale alle masse												
Trave P6-8	0%	0,56	0,57	0,34	0,0980	0,0051	0,013174	0,001250	10,54	0,004238	0,000497	8,53
Trave P6-8	100%	0,76	0,75	0,36	0,0994	0,0050	0,015086	0,000772	19,55	0,004172	0,000351	11,88
proporzionale alla deformata 1° modo di vibrazione												
Trave P6-8	0%	0,00	0,00	0,00	0,0000	0,0000	0,000000	0,000000	0,00	0,000000	0,000000	0,00
Trave P6-8	100%	0,00	0,00	0,00	0,0000	0,0000	0,000000	0,000000	0,00	0,000000	0,000000	0,00
sisma in -Y												
proporzionale alle masse												
Trave P6-8	0%	0,00	0,00	0,00	0,0000	0,0000	0,000000	0,000000	0,00	0,000000	0,000000	0,00
Trave P6-8	100%	0,00	0,00	0,00	0,0000	0,0000	0,000000	0,000000	0,00	0,000000	0,000000	0,00
proporzionale alla deformata 1° modo di vibrazione												
Trave P6-8	0%	0,00	0,00	0,00	0,0000	0,0000	0,000000	0,000000	0,00	0,000000	0,000000	0,00
Trave P6-8	100%	0,00	0,00	0,00	0,0000	0,0000	0,000000	0,000000	0,00	0,000000	0,000000	0,00
sisma in +X												
proporzionale alle masse												
Trave 8-9	0%	0,00	0,00	0,00	0,0000	0,0000	0,000000	0,000000	0,00	0,000000	0,000000	0,00
Trave 8-9	100%	0,00	0,00	0,00	0,0000	0,0000	0,000000	0,000000	0,00	0,000000	0,000000	0,00
proporzionale alla deformata 1° modo di vibrazione												
Trave 8-9	0%	2,66	5,26	0,55	0,0956	0,0061	0,028514	0,000309	92,36	0,012803	0,000337	37,94
Trave 8-9	100%	1,07	0,99	0,39	0,0527	0,0067	0,009929	0,000487	20,38	0,005110	0,000457	11,18
sisma in -X												
proporzionale alle masse												
Trave 8-9	0%	0,00	0,00	0,00	0,0000	0,0000	0,000000	0,000000	0,00	0,000000	0,000000	0,00
Trave 8-9	100%	0,00	0,00	0,00	0,0000	0,0000	0,000000	0,000000	0,00	0,000000	0,000000	0,00
proporzionale alla deformata 1° modo di vibrazione												
Trave 8-9	0%	0,00	0,00	0,00	0,0000	0,0000	0,000000	0,000000	0,00	0,000000	0,000000	0,00
Trave 8-9	100%	0,00	0,00	0,00	0,0000	0,0000	0,000000	0,000000	0,00	0,000000	0,000000	0,00
sisma in +Y												
proporzionale alle masse												
Trave 8-9	0%	0,27	0,38	0,31	0,0746	0,0061	0,007776	0,000772	10,08	0,004846	0,000351	13,80
Trave 8-9	100%	0,40	0,40	0,33	0,0786	0,0052	0,009409	0,000193	48,73	0,004573	0,000050	92,14
proporzionale alla deformata 1° modo di vibrazione												
Trave 8-9	0%	0,00	0,00	0,00	0,0000	0,0000	0,000000	0,000000	0,00	0,000000	0,000000	0,00
Trave 8-9	100%	0,00	0,00	0,00	0,0000	0,0000	0,000000	0,000000	0,00	0,000000	0,000000	0,00
sisma in -Y												
proporzionale alle masse												
Trave 8-9	0%	0,00	0,00	0,00	0,0000	0,0000	0,000000	0,000000	0,00	0,000000	0,000000	0,00
Trave 8-9	100%	0,00	0,00	0,00	0,0000	0,0000	0,000000	0,000000	0,00	0,000000	0,000000	0,00
proporzionale alla deformata 1° modo di vibrazione												
Trave 8-9	0%	0,00	0,00	0,00	0,0000	0,0000	0,000000	0,000000	0,00	0,000000	0,000000	0,00

Id_{Tr}	$\%L_{LI}$	$L_{v,SLV}$	$L_{v,SLD}$	L_{pl}	ϕ_u	ϕ_y	SLV			SLD		
							Θ_c	Θ_d	CS	Θ_c	Θ_d	CS
	[%]	[m]	[m]	[m]	[rad/m]	[rad/m]	[rad]	[rad]		[rad]	[rad]	
Trave 8-9	100%	0,00	0,00	0,00	0,0000	0,0000	0,000000	0,000000	0,00	0,000000	0,000000	0,00
sisma in +X												
proporzionale alle masse												
Trave 9-10	0%	0,00	0,00	0,00	0,0000	0,0000	0,000000	0,000000	0,00	0,000000	0,000000	0,00
Trave 9-10	100%	0,00	0,00	0,00	0,0000	0,0000	0,000000	0,000000	0,00	0,000000	0,000000	0,00
proporzionale alla deformata 1° modo di vibrazione												
Trave 9-10	0%	1,50	1,68	0,44	0,0425	0,0069	0,009843	0,000487	20,21	0,006423	0,000457	14,05
Trave 9-10	100%	1,35	1,25	0,42	0,0231	0,0087	0,005835	0,002372	2,46	0,006572	0,001075	6,11
sisma in -X												
proporzionale alle masse												
Trave 9-10	0%	0,00	0,00	0,00	0,0000	0,0000	0,000000	0,000000	0,00	0,000000	0,000000	0,00
Trave 9-10	100%	0,00	0,00	0,00	0,0000	0,0000	0,000000	0,000000	0,00	0,000000	0,000000	0,00
proporzionale alla deformata 1° modo di vibrazione												
Trave 9-10	0%	0,00	0,00	0,00	0,0000	0,0000	0,000000	0,000000	0,00	0,000000	0,000000	0,00
Trave 9-10	100%	0,00	0,00	0,00	0,0000	0,0000	0,000000	0,000000	0,00	0,000000	0,000000	0,00
sisma in +Y												
proporzionale alle masse												
Trave 9-10	0%	1,18	0,16	0,40	0,1054	0,0070	0,020123	0,000193	NS	0,007293	0,000050	NS
Trave 9-10	100%	0,77	0,69	0,36	0,0694	0,0064	0,011084	0,000080	NS	0,004662	0,000006	NS
proporzionale alla deformata 1° modo di vibrazione												
Trave 9-10	0%	0,00	0,00	0,00	0,0000	0,0000	0,000000	0,000000	0,00	0,000000	0,000000	0,00
Trave 9-10	100%	0,00	0,00	0,00	0,0000	0,0000	0,000000	0,000000	0,00	0,000000	0,000000	0,00
sisma in -Y												
proporzionale alle masse												
Trave 9-10	0%	0,00	0,00	0,00	0,0000	0,0000	0,000000	0,000000	0,00	0,000000	0,000000	0,00
Trave 9-10	100%	0,00	0,00	0,00	0,0000	0,0000	0,000000	0,000000	0,00	0,000000	0,000000	0,00
proporzionale alla deformata 1° modo di vibrazione												
Trave 9-10	0%	0,00	0,00	0,00	0,0000	0,0000	0,000000	0,000000	0,00	0,000000	0,000000	0,00
Trave 9-10	100%	0,00	0,00	0,00	0,0000	0,0000	0,000000	0,000000	0,00	0,000000	0,000000	0,00
sisma in +X												
proporzionale alle masse												
Trave 11-12	0%	0,00	0,00	0,00	0,0000	0,0000	0,000000	0,000000	0,00	0,000000	0,000000	0,00
Trave 11-12	100%	0,00	0,00	0,00	0,0000	0,0000	0,000000	0,000000	0,00	0,000000	0,000000	0,00
proporzionale alla deformata 1° modo di vibrazione												
Trave 11-12	0%	2,27	3,17	0,51	0,0925	0,0049	0,023582	0,002315	10,19	0,007349	0,001068	6,88
Trave 11-12	100%	1,01	0,94	0,39	0,0556	0,0063	0,010125	0,000202	50,02	0,004855	0,000117	41,35
sisma in -X												
proporzionale alle masse												
Trave 11-12	0%	0,00	0,00	0,00	0,0000	0,0000	0,000000	0,000000	0,00	0,000000	0,000000	0,00
Trave 11-12	100%	0,00	0,00	0,00	0,0000	0,0000	0,000000	0,000000	0,00	0,000000	0,000000	0,00
proporzionale alla deformata 1° modo di vibrazione												
Trave 11-12	0%	0,00	0,00	0,00	0,0000	0,0000	0,000000	0,000000	0,00	0,000000	0,000000	0,00
Trave 11-12	100%	0,00	0,00	0,00	0,0000	0,0000	0,000000	0,000000	0,00	0,000000	0,000000	0,00
sisma in +Y												
proporzionale alle masse												
Trave 11-12	0%	0,46	0,56	0,33	0,0959	0,0054	0,011826	0,000121	97,49	0,004346	0,000039	NS
Trave 11-12	100%	0,40	0,25	0,33	0,0743	0,0062	0,009460	0,000015	NS	0,005704	0,000061	94,13
proporzionale alla deformata 1° modo di vibrazione												
Trave 11-12	0%	0,00	0,00	0,00	0,0000	0,0000	0,000000	0,000000	0,00	0,000000	0,000000	0,00
Trave 11-12	100%	0,00	0,00	0,00	0,0000	0,0000	0,000000	0,000000	0,00	0,000000	0,000000	0,00
sisma in -Y												
proporzionale alle masse												
Trave 11-12	0%	0,00	0,00	0,00	0,0000	0,0000	0,000000	0,000000	0,00	0,000000	0,000000	0,00
Trave 11-12	100%	0,00	0,00	0,00	0,0000	0,0000	0,000000	0,000000	0,00	0,000000	0,000000	0,00
proporzionale alla deformata 1° modo di vibrazione												
Trave 11-12	0%	0,00	0,00	0,00	0,0000	0,0000	0,000000	0,000000	0,00	0,000000	0,000000	0,00
Trave 11-12	100%	0,00	0,00	0,00	0,0000	0,0000	0,000000	0,000000	0,00	0,000000	0,000000	0,00
sisma in +X												
proporzionale alle masse												
Trave 12-P7	0%	0,00	0,00	0,00	0,0000	0,0000	0,000000	0,000000	0,00	0,000000	0,000000	0,00
Trave 12-P7	100%	0,00	0,00	0,00	0,0000	0,0000	0,000000	0,000000	0,00	0,000000	0,000000	0,00
proporzionale alla deformata 1° modo di vibrazione												
Trave 12-P7	0%	0,55	0,47	0,34	0,0705	0,0065	0,009901	0,000202	48,91	0,004736	0,000117	40,34
Trave 12-P7	100%	0,35	0,42	0,32	0,0552	0,0055	0,006656	0,002428	2,74	0,004585	0,000652	7,04
sisma in -X												
proporzionale alle masse												
Trave 12-P7	0%	0,00	0,00	0,00	0,0000	0,0000	0,000000	0,000000	0,00	0,000000	0,000000	0,00
Trave 12-P7	100%	0,00	0,00	0,00	0,0000	0,0000	0,000000	0,000000	0,00	0,000000	0,000000	0,00
proporzionale alla deformata 1° modo di vibrazione												
Trave 12-P7	0%	0,00	0,00	0,00	0,0000	0,0000	0,000000	0,000000	0,00	0,000000	0,000000	0,00
Trave 12-P7	100%	0,00	0,00	0,00	0,0000	0,0000	0,000000	0,000000	0,00	0,000000	0,000000	0,00
sisma in +Y												
proporzionale alle masse												
Trave 12-P7	0%	0,69	0,67	0,35	0,1142	0,0052	0,016459	0,000015	NS	0,004240	0,000061	69,98
Trave 12-P7	100%	0,36	0,38	0,32	0,1168	0,0053	0,012145	0,000026	NS	0,004630	0,000074	62,75
proporzionale alla deformata 1° modo di vibrazione												
Trave 12-P7	0%	0,00	0,00	0,00	0,0000	0,0000	0,000000	0,000000	0,00	0,000000	0,000000	0,00
Trave 12-P7	100%	0,00	0,00	0,00	0,0000	0,0000	0,000000	0,000000	0,00	0,000000	0,000000	0,00
sisma in -Y												
proporzionale alle masse												
Trave 12-P7	0%	0,00	0,00	0,00	0,0000	0,0000	0,000000	0,000000	0,00	0,000000	0,000000	0,00
Trave 12-P7	100%	0,00	0,00	0,00	0,0000	0,0000	0,000000	0,000000	0,00	0,000000	0,000000	0,00
proporzionale alla deformata 1° modo di vibrazione												
Trave 12-P7	0%	0,00	0,00	0,00	0,0000	0,0000	0,000000	0,000000	0,00	0,000000	0,000000	0,00
Trave 12-P7	100%	0,00	0,00	0,00	0,0000	0,0000	0,000000	0,000000	0,00	0,000000	0,000000	0,00

Id_{Tr}	$\%L_{LI}$	$L_{v,SLV}$	$L_{v,SLD}$	L_{pl}	ϕ_u	ϕ_y	SLV			SLD		
							Θ_c	Θ_d	CS	Θ_c	Θ_d	CS
	[%]	[m]	[m]	[m]	[rad/m]	[rad/m]	[rad]	[rad]		[rad]	[rad]	
Piano primo							**Travata: Trave32-P10-33-P11-34-P12-35-P13-36-P14-37-38-7c-39-40-P15-41**					
sisma in +X												
proporzionale alle masse												
Trave P10-33	0%	0,00	0,00	0,00	0,0000	0,0000	0,000000	0,000000	0,00	0,000000	0,000000	0,00
Trave P10-33	100%	0,00	0,00	0,00	0,0000	0,0000	0,000000	0,000000	0,00	0,000000	0,000000	0,00
proporzionale alla deformata 1° modo di vibrazione												
Trave P10-33	0%	3,09	4,91	0,74	0,0166	0,0022	0,007486	0,001174	6,38	0,005624	0,000660	8,52
Trave P10-33	100%	1,69	1,52	0,60	0,0135	0,0024	0,004853	0,001062	4,57	0,004255	0,000537	7,93
sisma in -X												
proporzionale alle masse												
Trave P10-33	0%	0,00	0,00	0,00	0,0000	0,0000	0,000000	0,000000	0,00	0,000000	0,000000	0,00
Trave P10-33	100%	0,00	0,00	0,00	0,0000	0,0000	0,000000	0,000000	0,00	0,000000	0,000000	0,00
proporzionale alla deformata 1° modo di vibrazione												
Trave P10-33	0%	0,00	0,00	0,00	0,0000	0,0000	0,000000	0,000000	0,00	0,000000	0,000000	0,00
Trave P10-33	100%	0,00	0,00	0,00	0,0000	0,0000	0,000000	0,000000	0,00	0,000000	0,000000	0,00
sisma in +Y												
proporzionale alle masse												
Trave P10-33	0%	0,01	0,31	0,43	0,0941	0,0017	0,014220	0,000120	NS	0,008679	0,000103	83,90
Trave P10-33	100%	0,96	0,88	0,52	0,0407	0,0020	0,009636	0,000019	NS	0,004577	0,000006	NS
proporzionale alla deformata 1° modo di vibrazione												
Trave P10-33	0%	0,00	0,00	0,00	0,0000	0,0000	0,000000	0,000000	0,00	0,000000	0,000000	0,00
Trave P10-33	100%	0,00	0,00	0,00	0,0000	0,0000	0,000000	0,000000	0,00	0,000000	0,000000	0,00
sisma in -Y												
proporzionale alle masse												
Trave P10-33	0%	0,00	0,00	0,00	0,0000	0,0000	0,000000	0,000000	0,00	0,000000	0,000000	0,00
Trave P10-33	100%	0,00	0,00	0,00	0,0000	0,0000	0,000000	0,000000	0,00	0,000000	0,000000	0,00
proporzionale alla deformata 1° modo di vibrazione												
Trave P10-33	0%	0,00	0,00	0,00	0,0000	0,0000	0,000000	0,000000	0,00	0,000000	0,000000	0,00
Trave P10-33	100%	0,00	0,00	0,00	0,0000	0,0000	0,000000	0,000000	0,00	0,000000	0,000000	0,00
sisma in +X												
proporzionale alle masse												
Trave P11-34	0%	0,00	0,00	0,00	0,0000	0,0000	0,000000	0,000000	0,00	0,000000	0,000000	0,00
Trave P11-34	100%	0,00	0,00	0,00	0,0000	0,0000	0,000000	0,000000	0,00	0,000000	0,000000	0,00
proporzionale alla deformata 1° modo di vibrazione												
Trave P11-34	0%	2,72	3,79	0,70	0,0147	0,0024	0,006341	0,000966	6,57	0,005175	0,000555	9,32
Trave P11-34	100%	1,64	1,51	0,59	0,0116	0,0028	0,004374	0,001033	4,23	0,004501	0,000553	8,13
sisma in -X												
proporzionale alle masse												
Trave P11-34	0%	0,00	0,00	0,00	0,0000	0,0000	0,000000	0,000000	0,00	0,000000	0,000000	0,00
Trave P11-34	100%	0,00	0,00	0,00	0,0000	0,0000	0,000000	0,000000	0,00	0,000000	0,000000	0,00
proporzionale alla deformata 1° modo di vibrazione												
Trave P11-34	0%	0,00	0,00	0,00	0,0000	0,0000	0,000000	0,000000	0,00	0,000000	0,000000	0,00
Trave P11-34	100%	0,00	0,00	0,00	0,0000	0,0000	0,000000	0,000000	0,00	0,000000	0,000000	0,00
sisma in +Y												
proporzionale alle masse												
Trave P11-34	0%	0,48	0,43	0,48	0,1071	0,0016	0,016100	0,000077	NS	0,006775	0,000075	90,44
Trave P11-34	100%	0,73	0,77	0,50	0,0277	0,0022	0,006654	0,000011	NS	0,004921	0,000009	NS
proporzionale alla deformata 1° modo di vibrazione												
Trave P11-34	0%	0,00	0,00	0,00	0,0000	0,0000	0,000000	0,000000	0,00	0,000000	0,000000	0,00
Trave P11-34	100%	0,00	0,00	0,00	0,0000	0,0000	0,000000	0,000000	0,00	0,000000	0,000000	0,00
sisma in -Y												
proporzionale alle masse												
Trave P11-34	0%	0,00	0,00	0,00	0,0000	0,0000	0,000000	0,000000	0,00	0,000000	0,000000	0,00
Trave P11-34	100%	0,00	0,00	0,00	0,0000	0,0000	0,000000	0,000000	0,00	0,000000	0,000000	0,00
proporzionale alla deformata 1° modo di vibrazione												
Trave P11-34	0%	0,00	0,00	0,00	0,0000	0,0000	0,000000	0,000000	0,00	0,000000	0,000000	0,00
Trave P11-34	100%	0,00	0,00	0,00	0,0000	0,0000	0,000000	0,000000	0,00	0,000000	0,000000	0,00
sisma in +X												
proporzionale alle masse												
Trave P12-35	0%	0,00	0,00	0,00	0,0000	0,0000	0,000000	0,000000	0,00	0,000000	0,000000	0,00
Trave P12-35	100%	0,00	0,00	0,00	0,0000	0,0000	0,000000	0,000000	0,00	0,000000	0,000000	0,00
proporzionale alla deformata 1° modo di vibrazione												
Trave P12-35	0%	3,53	8,64	0,78	0,0134	0,0025	0,008373	0,001069	7,83	0,009220	0,000631	14,62
Trave P12-35	100%	1,47	1,31	0,57	0,0112	0,0028	0,004209	0,001025	4,10	0,004510	0,000544	8,29
sisma in -X												
proporzionale alle masse												
Trave P12-35	0%	0,00	0,00	0,00	0,0000	0,0000	0,000000	0,000000	0,00	0,000000	0,000000	0,00
Trave P12-35	100%	0,00	0,00	0,00	0,0000	0,0000	0,000000	0,000000	0,00	0,000000	0,000000	0,00
proporzionale alla deformata 1° modo di vibrazione												
Trave P12-35	0%	0,00	0,00	0,00	0,0000	0,0000	0,000000	0,000000	0,00	0,000000	0,000000	0,00
Trave P12-35	100%	0,00	0,00	0,00	0,0000	0,0000	0,000000	0,000000	0,00	0,000000	0,000000	0,00
sisma in +Y												
proporzionale alle masse												
Trave P12-35	0%	0,45	0,44	0,47	0,1056	0,0015	0,015558	0,000096	NS	0,006580	0,000091	72,51
Trave P12-35	100%	0,71	0,72	0,50	0,0243	0,0022	0,006110	0,000007	NS	0,005089	0,000009	NS
proporzionale alla deformata 1° modo di vibrazione												
Trave P12-35	0%	0,00	0,00	0,00	0,0000	0,0000	0,000000	0,000000	0,00	0,000000	0,000000	0,00
Trave P12-35	100%	0,00	0,00	0,00	0,0000	0,0000	0,000000	0,000000	0,00	0,000000	0,000000	0,00
sisma in -Y												
proporzionale alle masse												
Trave P12-35	0%	0,00	0,00	0,00	0,0000	0,0000	0,000000	0,000000	0,00	0,000000	0,000000	0,00
Trave P12-35	100%	0,00	0,00	0,00	0,0000	0,0000	0,000000	0,000000	0,00	0,000000	0,000000	0,00
proporzionale alla deformata 1° modo di vibrazione												

Id_{Tr}	$\%L_{LI}$	$L_{v,SLV}$	$L_{v,SLD}$	L_{pl}	ϕ_u	ϕ_y	SLV			SLD		
							Θ_c	Θ_d	CS	Θ_c	Θ_d	CS
	[%]	[m]	[m]	[m]	[rad/m]	[rad/m]	[rad]	[rad]		[rad]	[rad]	
Trave P12-35	0%	0,00	0,00	0,00	0,0000	0,0000	0,000000	0,000000	0,00	0,000000	0,000000	0,00
Trave P12-35	100%	0,00	0,00	0,00	0,0000	0,0000	0,000000	0,000000	0,00	0,000000	0,000000	0,00
sisma in +X												
proporzionale alle masse												
Trave P13-36	0%	0,00	0,00	0,00	0,0000	0,0000	0,000000	0,000000	0,00	0,000000	0,000000	0,00
Trave P13-36	100%	0,00	0,00	0,00	0,0000	0,0000	0,000000	0,000000	0,00	0,000000	0,000000	0,00
proporzionale alla deformata 1° modo di vibrazione												
Trave P13-36	0%	3,40	7,33	0,77	0,0128	0,0026	0,007605	0,001074	7,08	0,008239	0,000631	13,05
Trave P13-36	100%	1,49	1,33	0,58	0,0098	0,0030	0,003902	0,001101	3,54	0,004628	0,000575	8,05
sisma in -X												
proporzionale alle masse												
Trave P13-36	0%	0,00	0,00	0,00	0,0000	0,0000	0,000000	0,000000	0,00	0,000000	0,000000	0,00
Trave P13-36	100%	0,00	0,00	0,00	0,0000	0,0000	0,000000	0,000000	0,00	0,000000	0,000000	0,00
proporzionale alla deformata 1° modo di vibrazione												
Trave P13-36	0%	0,00	0,00	0,00	0,0000	0,0000	0,000000	0,000000	0,00	0,000000	0,000000	0,00
Trave P13-36	100%	0,00	0,00	0,00	0,0000	0,0000	0,000000	0,000000	0,00	0,000000	0,000000	0,00
sisma in +Y												
proporzionale alle masse												
Trave P13-36	0%	0,47	0,44	0,47	0,1055	0,0015	0,015600	0,000093	NS	0,006578	0,000085	77,62
Trave P13-36	100%	0,70	0,73	0,50	0,0197	0,0023	0,005332	0,000010	NS	0,005101	0,000011	NS
proporzionale alla deformata 1° modo di vibrazione												
Trave P13-36	0%	0,00	0,00	0,00	0,0000	0,0000	0,000000	0,000000	0,00	0,000000	0,000000	0,00
Trave P13-36	100%	0,00	0,00	0,00	0,0000	0,0000	0,000000	0,000000	0,00	0,000000	0,000000	0,00
sisma in -Y												
proporzionale alle masse												
Trave P13-36	0%	0,00	0,00	0,00	0,0000	0,0000	0,000000	0,000000	0,00	0,000000	0,000000	0,00
Trave P13-36	100%	0,00	0,00	0,00	0,0000	0,0000	0,000000	0,000000	0,00	0,000000	0,000000	0,00
proporzionale alla deformata 1° modo di vibrazione												
Trave P13-36	0%	0,00	0,00	0,00	0,0000	0,0000	0,000000	0,000000	0,00	0,000000	0,000000	0,00
Trave P13-36	100%	0,00	0,00	0,00	0,0000	0,0000	0,000000	0,000000	0,00	0,000000	0,000000	0,00
sisma in +X												
proporzionale alle masse												
Trave P14-37	0%	0,00	0,00	0,00	0,0000	0,0000	0,000000	0,000000	0,00	0,000000	0,000000	0,00
Trave P14-37	100%	0,00	0,00	0,00	0,0000	0,0000	0,000000	0,000000	0,00	0,000000	0,000000	0,00
proporzionale alla deformata 1° modo di vibrazione												
Trave P14-37	0%	4,36	0,79	0,86	0,0379	0,0015	0,016448	0,001033	15,93	0,004605	0,000693	6,64
Trave P14-37	100%	0,86	0,82	0,51	0,0242	0,0021	0,006354	0,000248	25,62	0,004785	0,000162	29,54
sisma in -X												
proporzionale alle masse												
Trave P14-37	0%	0,00	0,00	0,00	0,0000	0,0000	0,000000	0,000000	0,00	0,000000	0,000000	0,00
Trave P14-37	100%	0,00	0,00	0,00	0,0000	0,0000	0,000000	0,000000	0,00	0,000000	0,000000	0,00
proporzionale alla deformata 1° modo di vibrazione												
Trave P14-37	0%	0,00	0,00	0,00	0,0000	0,0000	0,000000	0,000000	0,00	0,000000	0,000000	0,00
Trave P14-37	100%	0,00	0,00	0,00	0,0000	0,0000	0,000000	0,000000	0,00	0,000000	0,000000	0,00
sisma in +Y												
proporzionale alle masse												
Trave P14-37	0%	0,62	0,55	0,49	0,1045	0,0015	0,018006	0,000112	NS	0,005674	0,000097	58,25
Trave P14-37	100%	0,32	0,52	0,46	0,0236	0,0023	0,005500	0,000122	45,08	0,006103	0,000106	57,67
proporzionale alla deformata 1° modo di vibrazione												
Trave P14-37	0%	0,00	0,00	0,00	0,0000	0,0000	0,000000	0,000000	0,00	0,000000	0,000000	0,00
Trave P14-37	100%	0,00	0,00	0,00	0,0000	0,0000	0,000000	0,000000	0,00	0,000000	0,000000	0,00
sisma in -Y												
proporzionale alle masse												
Trave P14-37	0%	0,00	0,00	0,00	0,0000	0,0000	0,000000	0,000000	0,00	0,000000	0,000000	0,00
Trave P14-37	100%	0,00	0,00	0,00	0,0000	0,0000	0,000000	0,000000	0,00	0,000000	0,000000	0,00
proporzionale alla deformata 1° modo di vibrazione												
Trave P14-37	0%	0,00	0,00	0,00	0,0000	0,0000	0,000000	0,000000	0,00	0,000000	0,000000	0,00
Trave P14-37	100%	0,00	0,00	0,00	0,0000	0,0000	0,000000	0,000000	0,00	0,000000	0,000000	0,00
sisma in +X												
proporzionale alle masse												
Trave 37-38	0%	0,00	0,00	0,00	0,0000	0,0000	0,000000	0,000000	0,00	0,000000	0,000000	0,00
Trave 37-38	100%	0,00	0,00	0,00	0,0000	0,0000	0,000000	0,000000	0,00	0,000000	0,000000	0,00
proporzionale alla deformata 1° modo di vibrazione												
Trave 37-38	0%	2,50	3,62	0,68	0,0337	0,0034	0,012096	0,000248	48,77	0,006481	0,000162	40,01
Trave 37-38	100%	2,03	1,82	0,63	0,0123	0,0024	0,004760	0,001137	4,19	0,004266	0,000570	7,49
sisma in -X												
proporzionale alle masse												
Trave 37-38	0%	0,00	0,00	0,00	0,0000	0,0000	0,000000	0,000000	0,00	0,000000	0,000000	0,00
Trave 37-38	100%	0,00	0,00	0,00	0,0000	0,0000	0,000000	0,000000	0,00	0,000000	0,000000	0,00
proporzionale alla deformata 1° modo di vibrazione												
Trave 37-38	0%	0,00	0,00	0,00	0,0000	0,0000	0,000000	0,000000	0,00	0,000000	0,000000	0,00
Trave 37-38	100%	0,00	0,00	0,00	0,0000	0,0000	0,000000	0,000000	0,00	0,000000	0,000000	0,00
sisma in +Y												
proporzionale alle masse												
Trave 37-38	0%	0,03	0,47	0,43	0,0198	0,0029	0,005150	0,000122	42,22	0,006678	0,000106	63,11
Trave 37-38	100%	1,01	0,92	0,53	0,0695	0,0019	0,015421	0,000063	NS	0,004466	0,000032	NS
proporzionale alla deformata 1° modo di vibrazione												
Trave 37-38	0%	0,00	0,00	0,00	0,0000	0,0000	0,000000	0,000000	0,00	0,000000	0,000000	0,00
Trave 37-38	100%	0,00	0,00	0,00	0,0000	0,0000	0,000000	0,000000	0,00	0,000000	0,000000	0,00
sisma in -Y												
proporzionale alle masse												
Trave 37-38	0%	0,00	0,00	0,00	0,0000	0,0000	0,000000	0,000000	0,00	0,000000	0,000000	0,00
Trave 37-38	100%	0,00	0,00	0,00	0,0000	0,0000	0,000000	0,000000	0,00	0,000000	0,000000	0,00
proporzionale alla deformata 1° modo di vibrazione												
Trave 37-38	0%	0,00	0,00	0,00	0,0000	0,0000	0,000000	0,000000	0,00	0,000000	0,000000	0,00

Id_{Tr}	$\%L_{LI}$	$L_{v,SLV}$	$L_{v,SLD}$	L_{pl}	ϕ_u	ϕ_y	SLV			SLD		
							Θ_c	Θ_d	CS	Θ_c	Θ_d	CS
	[%]	[m]	[m]	[m]	[rad/m]	[rad/m]	[rad]	[rad]		[rad]	[rad]	
Trave 37-38	100%	0,00	0,00	0,00	0,0000	0,0000	0,000000	0,000000	0,00	0,000000	0,000000	0,00
sisma in +X												
proporzionale alle masse												
Trave 39-40	0%	0,00	0,00	0,00	0,0000	0,0000	0,000000	0,000000	0,00	0,000000	0,000000	0,00
Trave 39-40	100%	0,00	0,00	0,00	0,0000	0,0000	0,000000	0,000000	0,00	0,000000	0,000000	0,00
proporzionale alla deformata 1° modo di vibrazione												
Trave 39-40	0%	0,15	0,40	0,44	0,1015	0,0019	0,014576	0,001679	8,68	0,007137	0,000987	7,23
Trave 39-40	100%	1,19	1,10	0,55	0,0340	0,0020	0,008868	0,000176	50,32	0,004262	0,000251	16,98
sisma in -X												
proporzionale alle masse												
Trave 39-40	0%	0,00	0,00	0,00	0,0000	0,0000	0,000000	0,000000	0,00	0,000000	0,000000	0,00
Trave 39-40	100%	0,00	0,00	0,00	0,0000	0,0000	0,000000	0,000000	0,00	0,000000	0,000000	0,00
proporzionale alla deformata 1° modo di vibrazione												
Trave 39-40	0%	0,00	0,00	0,00	0,0000	0,0000	0,000000	0,000000	0,00	0,000000	0,000000	0,00
Trave 39-40	100%	0,00	0,00	0,00	0,0000	0,0000	0,000000	0,000000	0,00	0,000000	0,000000	0,00
sisma in +Y												
proporzionale alle masse												
Trave 39-40	0%	1,01	1,01	0,53	0,0372	0,0019	0,009036	0,000162	55,72	0,004331	0,000164	26,46
Trave 39-40	100%	0,79	0,79	0,51	0,0368	0,0021	0,008372	0,000385	21,75	0,004819	0,000350	13,78
proporzionale alla deformata 1° modo di vibrazione												
Trave 39-40	0%	0,00	0,00	0,00	0,0000	0,0000	0,000000	0,000000	0,00	0,000000	0,000000	0,00
Trave 39-40	100%	0,00	0,00	0,00	0,0000	0,0000	0,000000	0,000000	0,00	0,000000	0,000000	0,00
sisma in -Y												
proporzionale alle masse												
Trave 39-40	0%	0,00	0,00	0,00	0,0000	0,0000	0,000000	0,000000	0,00	0,000000	0,000000	0,00
Trave 39-40	100%	0,00	0,00	0,00	0,0000	0,0000	0,000000	0,000000	0,00	0,000000	0,000000	0,00
proporzionale alla deformata 1° modo di vibrazione												
Trave 39-40	0%	0,00	0,00	0,00	0,0000	0,0000	0,000000	0,000000	0,00	0,000000	0,000000	0,00
Trave 39-40	100%	0,00	0,00	0,00	0,0000	0,0000	0,000000	0,000000	0,00	0,000000	0,000000	0,00
sisma in +X												
proporzionale alle masse												
Trave 40-P15	0%	0,00	0,00	0,00	0,0000	0,0000	0,000000	0,000000	0,00	0,000000	0,000000	0,00
Trave 40-P15	100%	0,00	0,00	0,00	0,0000	0,0000	0,000000	0,000000	0,00	0,000000	0,000000	0,00
proporzionale alla deformata 1° modo di vibrazione												
Trave 40-P15	0%	1,26	1,41	0,55	0,0185	0,0041	0,005754	0,000176	32,65	0,005299	0,000251	21,11
Trave 40-P15	100%	1,31	1,26	0,56	0,0138	0,0021	0,004657	0,000863	5,39	0,004177	0,000366	11,42
sisma in -X												
proporzionale alle masse												
Trave 40-P15	0%	0,00	0,00	0,00	0,0000	0,0000	0,000000	0,000000	0,00	0,000000	0,000000	0,00
Trave 40-P15	100%	0,00	0,00	0,00	0,0000	0,0000	0,000000	0,000000	0,00	0,000000	0,000000	0,00
proporzionale alla deformata 1° modo di vibrazione												
Trave 40-P15	0%	0,00	0,00	0,00	0,0000	0,0000	0,000000	0,000000	0,00	0,000000	0,000000	0,00
Trave 40-P15	100%	0,00	0,00	0,00	0,0000	0,0000	0,000000	0,000000	0,00	0,000000	0,000000	0,00
sisma in +Y												
proporzionale alle masse												
Trave 40-P15	0%	0,53	0,42	0,48	0,0208	0,0037	0,005934	0,000385	15,42	0,007409	0,000350	21,19
Trave 40-P15	100%	0,90	0,95	0,52	0,0868	0,0021	0,017823	0,000202	88,40	0,004508	0,000140	32,17
proporzionale alla deformata 1° modo di vibrazione												
Trave 40-P15	0%	0,00	0,00	0,00	0,0000	0,0000	0,000000	0,000000	0,00	0,000000	0,000000	0,00
Trave 40-P15	100%	0,00	0,00	0,00	0,0000	0,0000	0,000000	0,000000	0,00	0,000000	0,000000	0,00
sisma in -Y												
proporzionale alle masse												
Trave 40-P15	0%	0,00	0,00	0,00	0,0000	0,0000	0,000000	0,000000	0,00	0,000000	0,000000	0,00
Trave 40-P15	100%	0,00	0,00	0,00	0,0000	0,0000	0,000000	0,000000	0,00	0,000000	0,000000	0,00
proporzionale alla deformata 1° modo di vibrazione												
Trave 40-P15	0%	0,00	0,00	0,00	0,0000	0,0000	0,000000	0,000000	0,00	0,000000	0,000000	0,00
Trave 40-P15	100%	0,00	0,00	0,00	0,0000	0,0000	0,000000	0,000000	0,00	0,000000	0,000000	0,00
Piano primo							**Travata: Trave14-15-16-17-18-19-20-21-22-23-24**					
sisma in +X												
proporzionale alle masse												
Trave 14-15	0%	0,00	0,00	0,00	0,0000	0,0000	0,000000	0,000000	0,00	0,000000	0,000000	0,00
Trave 14-15	100%	0,00	0,00	0,00	0,0000	0,0000	0,000000	0,000000	0,00	0,000000	0,000000	0,00
proporzionale alla deformata 1° modo di vibrazione												
Trave 14-15	0%	0,06	0,43	0,43	0,0329	0,0033	0,005898	0,003079	1,92	0,005497	0,002089	2,63
Trave 14-15	100%	1,03	1,01	0,52	0,0203	0,0038	0,005498	0,000609	9,03	0,004550	0,000374	12,18
sisma in -X												
proporzionale alle masse												
Trave 14-15	0%	0,00	0,00	0,00	0,0000	0,0000	0,000000	0,000000	0,00	0,000000	0,000000	0,00
Trave 14-15	100%	0,00	0,00	0,00	0,0000	0,0000	0,000000	0,000000	0,00	0,000000	0,000000	0,00
proporzionale alla deformata 1° modo di vibrazione												
Trave 14-15	0%	0,00	0,00	0,00	0,0000	0,0000	0,000000	0,000000	0,00	0,000000	0,000000	0,00
Trave 14-15	100%	0,00	0,00	0,00	0,0000	0,0000	0,000000	0,000000	0,00	0,000000	0,000000	0,00
sisma in +Y												
proporzionale alle masse												
Trave 14-15	0%	0,50	0,69	0,47	0,0372	0,0033	0,006542	0,002229	2,93	0,004584	0,001476	3,11
Trave 14-15	100%	0,94	0,97	0,51	0,0223	0,0036	0,005723	0,000079	72,54	0,004452	0,000045	98,93
proporzionale alla deformata 1° modo di vibrazione												
Trave 14-15	0%	0,00	0,00	0,00	0,0000	0,0000	0,000000	0,000000	0,00	0,000000	0,000000	0,00
Trave 14-15	100%	0,00	0,00	0,00	0,0000	0,0000	0,000000	0,000000	0,00	0,000000	0,000000	0,00
sisma in -Y												
proporzionale alle masse												
Trave 14-15	0%	0,00	0,00	0,00	0,0000	0,0000	0,000000	0,000000	0,00	0,000000	0,000000	0,00
Trave 14-15	100%	0,00	0,00	0,00	0,0000	0,0000	0,000000	0,000000	0,00	0,000000	0,000000	0,00
proporzionale alla deformata 1° modo di vibrazione												
Trave 14-15	0%	0,00	0,00	0,00	0,0000	0,0000	0,000000	0,000000	0,00	0,000000	0,000000	0,00

Id_{Tr}	$\%L_{LI}$	$L_{v,SLV}$	$L_{v,SLD}$	L_{pl}	ϕ_u	ϕ_y	SLV			SLD		
							Θ_c	Θ_d	CS	Θ_c	Θ_d	CS
	[%]	[m]	[m]	[m]	[rad/m]	[rad/m]	[rad]	[rad]		[rad]	[rad]	
Trave 14-15	100%	0,00	0,00	0,00	0,0000	0,0000	0,000000	0,000000	0,00	0,000000	0,000000	0,00
sisma in +X												
proporzionale alle masse												
Trave 15-16	0%	0,00	0,00	0,00	0,0000	0,0000	0,000000	0,000000	0,00	0,000000	0,000000	0,00
Trave 15-16	100%	0,00	0,00	0,00	0,0000	0,0000	0,000000	0,000000	0,00	0,000000	0,000000	0,00
proporzionale alla deformata 1° modo di vibrazione												
Trave 15-16	0%	0,52	0,73	0,47	0,0200	0,0040	0,004469	0,000609	7,34	0,004786	0,000374	12,81
Trave 15-16	100%	1,25	1,19	0,55	0,0138	0,0047	0,004475	0,000986	4,54	0,005057	0,000663	7,62
sisma in -X												
proporzionale alle masse												
Trave 15-16	0%	0,00	0,00	0,00	0,0000	0,0000	0,000000	0,000000	0,00	0,000000	0,000000	0,00
Trave 15-16	100%	0,00	0,00	0,00	0,0000	0,0000	0,000000	0,000000	0,00	0,000000	0,000000	0,00
proporzionale alla deformata 1° modo di vibrazione												
Trave 15-16	0%	0,00	0,00	0,00	0,0000	0,0000	0,000000	0,000000	0,00	0,000000	0,000000	0,00
Trave 15-16	100%	0,00	0,00	0,00	0,0000	0,0000	0,000000	0,000000	0,00	0,000000	0,000000	0,00
sisma in +Y												
proporzionale alle masse												
Trave 15-16	0%	0,90	0,91	0,51	0,0230	0,0040	0,005813	0,000079	73,69	0,004650	0,000045	NS
Trave 15-16	100%	1,06	1,06	0,53	0,0152	0,0044	0,004569	0,000222	20,62	0,004835	0,000203	23,87
proporzionale alla deformata 1° modo di vibrazione												
Trave 15-16	0%	0,00	0,00	0,00	0,0000	0,0000	0,000000	0,000000	0,00	0,000000	0,000000	0,00
Trave 15-16	100%	0,00	0,00	0,00	0,0000	0,0000	0,000000	0,000000	0,00	0,000000	0,000000	0,00
sisma in -Y												
proporzionale alle masse												
Trave 15-16	0%	0,00	0,00	0,00	0,0000	0,0000	0,000000	0,000000	0,00	0,000000	0,000000	0,00
Trave 15-16	100%	0,00	0,00	0,00	0,0000	0,0000	0,000000	0,000000	0,00	0,000000	0,000000	0,00
proporzionale alla deformata 1° modo di vibrazione												
Trave 15-16	0%	0,00	0,00	0,00	0,0000	0,0000	0,000000	0,000000	0,00	0,000000	0,000000	0,00
Trave 15-16	100%	0,00	0,00	0,00	0,0000	0,0000	0,000000	0,000000	0,00	0,000000	0,000000	0,00
sisma in +X												
proporzionale alle masse												
Trave 16-17	0%	0,00	0,00	0,00	0,0000	0,0000	0,000000	0,000000	0,00	0,000000	0,000000	0,00
Trave 16-17	100%	0,00	0,00	0,00	0,0000	0,0000	0,000000	0,000000	0,00	0,000000	0,000000	0,00
proporzionale alla deformata 1° modo di vibrazione												
Trave 16-17	0%	0,28	0,60	0,47	0,0179	0,0031	0,004339	0,000986	4,40	0,005167	0,000663	7,79
Trave 16-17	100%	1,17	1,09	0,56	0,0135	0,0036	0,004473	0,000839	5,33	0,004696	0,000494	9,50
sisma in -X												
proporzionale alle masse												
Trave 16-17	0%	0,00	0,00	0,00	0,0000	0,0000	0,000000	0,000000	0,00	0,000000	0,000000	0,00
Trave 16-17	100%	0,00	0,00	0,00	0,0000	0,0000	0,000000	0,000000	0,00	0,000000	0,000000	0,00
proporzionale alla deformata 1° modo di vibrazione												
Trave 16-17	0%	0,00	0,00	0,00	0,0000	0,0000	0,000000	0,000000	0,00	0,000000	0,000000	0,00
Trave 16-17	100%	0,00	0,00	0,00	0,0000	0,0000	0,000000	0,000000	0,00	0,000000	0,000000	0,00
sisma in +Y												
proporzionale alle masse												
Trave 16-17	0%	0,87	0,88	0,53	0,0215	0,0031	0,005696	0,000222	25,71	0,004586	0,000203	22,64
Trave 16-17	100%	0,96	0,96	0,54	0,0155	0,0033	0,004685	0,000049	96,13	0,004601	0,000026	NS
proporzionale alla deformata 1° modo di vibrazione												
Trave 16-17	0%	0,00	0,00	0,00	0,0000	0,0000	0,000000	0,000000	0,00	0,000000	0,000000	0,00
Trave 16-17	100%	0,00	0,00	0,00	0,0000	0,0000	0,000000	0,000000	0,00	0,000000	0,000000	0,00
sisma in -Y												
proporzionale alle masse												
Trave 16-17	0%	0,00	0,00	0,00	0,0000	0,0000	0,000000	0,000000	0,00	0,000000	0,000000	0,00
Trave 16-17	100%	0,00	0,00	0,00	0,0000	0,0000	0,000000	0,000000	0,00	0,000000	0,000000	0,00
proporzionale alla deformata 1° modo di vibrazione												
Trave 16-17	0%	0,00	0,00	0,00	0,0000	0,0000	0,000000	0,000000	0,00	0,000000	0,000000	0,00
Trave 16-17	100%	0,00	0,00	0,00	0,0000	0,0000	0,000000	0,000000	0,00	0,000000	0,000000	0,00
sisma in +X												
proporzionale alle masse												
Trave 17-18	0%	0,00	0,00	0,00	0,0000	0,0000	0,000000	0,000000	0,00	0,000000	0,000000	0,00
Trave 17-18	100%	0,00	0,00	0,00	0,0000	0,0000	0,000000	0,000000	0,00	0,000000	0,000000	0,00
proporzionale alla deformata 1° modo di vibrazione												
Trave 17-18	0%	0,39	0,70	0,48	0,0137	0,0033	0,003747	0,000839	4,46	0,004990	0,000494	10,10
Trave 17-18	100%	1,17	1,08	0,56	0,0136	0,0036	0,004486	0,000801	5,60	0,004695	0,000434	10,83
sisma in -X												
proporzionale alle masse												
Trave 17-18	0%	0,00	0,00	0,00	0,0000	0,0000	0,000000	0,000000	0,00	0,000000	0,000000	0,00
Trave 17-18	100%	0,00	0,00	0,00	0,0000	0,0000	0,000000	0,000000	0,00	0,000000	0,000000	0,00
proporzionale alla deformata 1° modo di vibrazione												
Trave 17-18	0%	0,00	0,00	0,00	0,0000	0,0000	0,000000	0,000000	0,00	0,000000	0,000000	0,00
Trave 17-18	100%	0,00	0,00	0,00	0,0000	0,0000	0,000000	0,000000	0,00	0,000000	0,000000	0,00
sisma in +Y												
proporzionale alle masse												
Trave 17-18	0%	0,93	0,93	0,54	0,0149	0,0033	0,004540	0,000049	93,17	0,004647	0,000026	NS
Trave 17-18	100%	0,98	0,95	0,54	0,0149	0,0034	0,004603	0,000150	30,75	0,004673	0,000041	NS
proporzionale alla deformata 1° modo di vibrazione												
Trave 17-18	0%	0,00	0,00	0,00	0,0000	0,0000	0,000000	0,000000	0,00	0,000000	0,000000	0,00
Trave 17-18	100%	0,00	0,00	0,00	0,0000	0,0000	0,000000	0,000000	0,00	0,000000	0,000000	0,00
sisma in -Y												
proporzionale alle masse												
Trave 17-18	0%	0,00	0,00	0,00	0,0000	0,0000	0,000000	0,000000	0,00	0,000000	0,000000	0,00
Trave 17-18	100%	0,00	0,00	0,00	0,0000	0,0000	0,000000	0,000000	0,00	0,000000	0,000000	0,00
proporzionale alla deformata 1° modo di vibrazione												
Trave 17-18	0%	0,00	0,00	0,00	0,0000	0,0000	0,000000	0,000000	0,00	0,000000	0,000000	0,00
Trave 17-18	100%	0,00	0,00	0,00	0,0000	0,0000	0,000000	0,000000	0,00	0,000000	0,000000	0,00

Id_{Tr}	$\%L_{LI}$	$L_{v,SLV}$	$L_{v,SLD}$	L_{pl}	ϕ_u	ϕ_y	SLV			SLD		
							Θ_c	Θ_d	CS	Θ_c	Θ_d	CS
	[%]	[m]	[m]	[m]	[rad/m]	[rad/m]	[rad]	[rad]		[rad]	[rad]	
sisma in +X												
proporzionale alle masse												
Trave 18-19	0%	0,00	0,00	0,00	0,0000	0,0000	0,000000	0,000000	0,00	0,000000	0,000000	0,00
Trave 18-19	100%	0,00	0,00	0,00	0,0000	0,0000	0,000000	0,000000	0,00	0,000000	0,000000	0,00
proporzionale alla deformata 1° modo di vibrazione												
Trave 18-19	0%	0,67	0,80	0,51	0,0231	0,0029	0,005501	0,000801	6,87	0,004620	0,000434	10,66
Trave 18-19	100%	0,84	0,82	0,53	0,0335	0,0025	0,007827	0,000645	12,13	0,004430	0,000777	5,70
sisma in -X												
proporzionale alle masse												
Trave 18-19	0%	0,00	0,00	0,00	0,0000	0,0000	0,000000	0,000000	0,00	0,000000	0,000000	0,00
Trave 18-19	100%	0,00	0,00	0,00	0,0000	0,0000	0,000000	0,000000	0,00	0,000000	0,000000	0,00
proporzionale alla deformata 1° modo di vibrazione												
Trave 18-19	0%	0,00	0,00	0,00	0,0000	0,0000	0,000000	0,000000	0,00	0,000000	0,000000	0,00
Trave 18-19	100%	0,00	0,00	0,00	0,0000	0,0000	0,000000	0,000000	0,00	0,000000	0,000000	0,00
sisma in +Y												
proporzionale alle masse												
Trave 18-19	0%	0,97	0,94	0,54	0,0200	0,0030	0,005576	0,000150	37,26	0,004512	0,000041	NS
Trave 18-19	100%	0,27	0,50	0,47	0,0277	0,0026	0,005704	0,001315	4,34	0,005490	0,001137	4,83
proporzionale alla deformata 1° modo di vibrazione												
Trave 18-19	0%	0,00	0,00	0,00	0,0000	0,0000	0,000000	0,000000	0,00	0,000000	0,000000	0,00
Trave 18-19	100%	0,00	0,00	0,00	0,0000	0,0000	0,000000	0,000000	0,00	0,000000	0,000000	0,00
sisma in -Y												
proporzionale alle masse												
Trave 18-19	0%	0,00	0,00	0,00	0,0000	0,0000	0,000000	0,000000	0,00	0,000000	0,000000	0,00
Trave 18-19	100%	0,00	0,00	0,00	0,0000	0,0000	0,000000	0,000000	0,00	0,000000	0,000000	0,00
proporzionale alla deformata 1° modo di vibrazione												
Trave 18-19	0%	0,00	0,00	0,00	0,0000	0,0000	0,000000	0,000000	0,00	0,000000	0,000000	0,00
Trave 18-19	100%	0,00	0,00	0,00	0,0000	0,0000	0,000000	0,000000	0,00	0,000000	0,000000	0,00
sisma in +X												
proporzionale alle masse												
Trave 19-20	0%	0,00	0,00	0,00	0,0000	0,0000	0,000000	0,000000	0,00	0,000000	0,000000	0,00
Trave 19-20	100%	0,00	0,00	0,00	0,0000	0,0000	0,000000	0,000000	0,00	0,000000	0,000000	0,00
proporzionale alla deformata 1° modo di vibrazione												
Trave 19-20	0%	0,94	0,76	0,45	0,0404	0,0072	0,008339	0,000645	12,93	0,005223	0,000777	6,72
Trave 19-20	100%	0,32	0,70	0,39	0,0283	0,0120	0,005144	0,000936	5,50	0,007064	0,000419	16,85
sisma in -X												
proporzionale alle masse												
Trave 19-20	0%	0,00	0,00	0,00	0,0000	0,0000	0,000000	0,000000	0,00	0,000000	0,000000	0,00
Trave 19-20	100%	0,00	0,00	0,00	0,0000	0,0000	0,000000	0,000000	0,00	0,000000	0,000000	0,00
proporzionale alla deformata 1° modo di vibrazione												
Trave 19-20	0%	0,00	0,00	0,00	0,0000	0,0000	0,000000	0,000000	0,00	0,000000	0,000000	0,00
Trave 19-20	100%	0,00	0,00	0,00	0,0000	0,0000	0,000000	0,000000	0,00	0,000000	0,000000	0,00
sisma in +Y												
proporzionale alle masse												
Trave 19-20	0%	0,67	0,86	0,43	0,0672	0,0071	0,011439	0,001315	8,70	0,005332	0,001137	4,69
Trave 19-20	100%	0,78	1,10	0,44	0,0355	0,0100	0,007638	0,000302	25,32	0,007224	0,000144	50,16
proporzionale alla deformata 1° modo di vibrazione												
Trave 19-20	0%	0,00	0,00	0,00	0,0000	0,0000	0,000000	0,000000	0,00	0,000000	0,000000	0,00
Trave 19-20	100%	0,00	0,00	0,00	0,0000	0,0000	0,000000	0,000000	0,00	0,000000	0,000000	0,00
sisma in -Y												
proporzionale alle masse												
Trave 19-20	0%	0,00	0,00	0,00	0,0000	0,0000	0,000000	0,000000	0,00	0,000000	0,000000	0,00
Trave 19-20	100%	0,00	0,00	0,00	0,0000	0,0000	0,000000	0,000000	0,00	0,000000	0,000000	0,00
proporzionale alla deformata 1° modo di vibrazione												
Trave 19-20	0%	0,00	0,00	0,00	0,0000	0,0000	0,000000	0,000000	0,00	0,000000	0,000000	0,00
Trave 19-20	100%	0,00	0,00	0,00	0,0000	0,0000	0,000000	0,000000	0,00	0,000000	0,000000	0,00
sisma in +X												
proporzionale alle masse												
Trave 20-21	0%	0,00	0,00	0,00	0,0000	0,0000	0,000000	0,000000	0,00	0,000000	0,000000	0,00
Trave 20-21	100%	0,00	0,00	0,00	0,0000	0,0000	0,000000	0,000000	0,00	0,000000	0,000000	0,00
proporzionale alla deformata 1° modo di vibrazione												
Trave 20-21	0%	2,17	3,50	0,58	0,0787	0,0075	0,023683	0,000936	25,31	0,011471	0,000419	27,36
Trave 20-21	100%	1,51	1,33	0,52	0,0310	0,0095	0,008415	0,000858	9,80	0,007621	0,000442	17,25
sisma in -X												
proporzionale alle masse												
Trave 20-21	0%	0,00	0,00	0,00	0,0000	0,0000	0,000000	0,000000	0,00	0,000000	0,000000	0,00
Trave 20-21	100%	0,00	0,00	0,00	0,0000	0,0000	0,000000	0,000000	0,00	0,000000	0,000000	0,00
proporzionale alla deformata 1° modo di vibrazione												
Trave 20-21	0%	0,00	0,00	0,00	0,0000	0,0000	0,000000	0,000000	0,00	0,000000	0,000000	0,00
Trave 20-21	100%	0,00	0,00	0,00	0,0000	0,0000	0,000000	0,000000	0,00	0,000000	0,000000	0,00
sisma in +Y												
proporzionale alle masse												
Trave 20-21	0%	0,91	0,91	0,46	0,0547	0,0063	0,010822	0,000302	35,88	0,005066	0,000144	35,18
Trave 20-21	100%	0,79	0,72	0,45	0,0314	0,0082	0,006552	0,000302	21,72	0,005680	0,000111	50,99
proporzionale alla deformata 1° modo di vibrazione												
Trave 20-21	0%	0,00	0,00	0,00	0,0000	0,0000	0,000000	0,000000	0,00	0,000000	0,000000	0,00
Trave 20-21	100%	0,00	0,00	0,00	0,0000	0,0000	0,000000	0,000000	0,00	0,000000	0,000000	0,00
sisma in -Y												
proporzionale alle masse												
Trave 20-21	0%	0,00	0,00	0,00	0,0000	0,0000	0,000000	0,000000	0,00	0,000000	0,000000	0,00
Trave 20-21	100%	0,00	0,00	0,00	0,0000	0,0000	0,000000	0,000000	0,00	0,000000	0,000000	0,00
proporzionale alla deformata 1° modo di vibrazione												
Trave 20-21	0%	0,00	0,00	0,00	0,0000	0,0000	0,000000	0,000000	0,00	0,000000	0,000000	0,00
Trave 20-21	100%	0,00	0,00	0,00	0,0000	0,0000	0,000000	0,000000	0,00	0,000000	0,000000	0,00
sisma in +X												

Id_{Tr}	$\%L_{LI}$	$L_{v,SLV}$	$L_{v,SLD}$	L_{pl}	ϕ_u	ϕ_y	SLV			SLD		
							Θ_c	Θ_d	CS	Θ_c	Θ_d	CS
	[%]	[m]	[m]	[m]	[rad/m]	[rad/m]	[rad]	[rad]		[rad]	[rad]	
proporzionale alle masse												
Trave 21-22	0%	0,00	0,00	0,00	0,0000	0,0000	0,000000	0,000000	0,00	0,000000	0,000000	0,00
Trave 21-22	100%	0,00	0,00	0,00	0,0000	0,0000	0,000000	0,000000	0,00	0,000000	0,000000	0,00
proporzionale alla deformata 1° modo di vibrazione												
Trave 21-22	0%	1,12	18,42	0,48	0,0769	0,0078	0,038220	0,000858	44,53	0,050514	0,000442	NS
Trave 21-22	100%	0,73	0,60	0,44	0,0286	0,0085	0,005917	0,001473	4,02	0,005679	0,000721	7,88
sisma in -X												
proporzionale alle masse												
Trave 21-22	0%	0,00	0,00	0,00	0,0000	0,0000	0,000000	0,000000	0,00	0,000000	0,000000	0,00
Trave 21-22	100%	0,00	0,00	0,00	0,0000	0,0000	0,000000	0,000000	0,00	0,000000	0,000000	0,00
proporzionale alla deformata 1° modo di vibrazione												
Trave 21-22	0%	0,00	0,00	0,00	0,0000	0,0000	0,000000	0,000000	0,00	0,000000	0,000000	0,00
Trave 21-22	100%	0,00	0,00	0,00	0,0000	0,0000	0,000000	0,000000	0,00	0,000000	0,000000	0,00
sisma in +Y												
proporzionale alle masse												
Trave 21-22	0%	0,55	0,47	0,42	0,0645	0,0075	0,010051	0,000302	33,31	0,005341	0,000111	47,95
Trave 21-22	100%	0,07	0,21	0,37	0,0997	0,0107	0,012027	0,000070	NS	0,007490	0,000043	NS
proporzionale alla deformata 1° modo di vibrazione												
Trave 21-22	0%	0,00	0,00	0,00	0,0000	0,0000	0,000000	0,000000	0,00	0,000000	0,000000	0,00
Trave 21-22	100%	0,00	0,00	0,00	0,0000	0,0000	0,000000	0,000000	0,00	0,000000	0,000000	0,00
sisma in -Y												
proporzionale alle masse												
Trave 21-22	0%	0,00	0,00	0,00	0,0000	0,0000	0,000000	0,000000	0,00	0,000000	0,000000	0,00
Trave 21-22	100%	0,00	0,00	0,00	0,0000	0,0000	0,000000	0,000000	0,00	0,000000	0,000000	0,00
proporzionale alla deformata 1° modo di vibrazione												
Trave 21-22	0%	0,00	0,00	0,00	0,0000	0,0000	0,000000	0,000000	0,00	0,000000	0,000000	0,00
Trave 21-22	100%	0,00	0,00	0,00	0,0000	0,0000	0,000000	0,000000	0,00	0,000000	0,000000	0,00
sisma in +X												
proporzionale alle masse												
Trave 22-23	0%	0,00	0,00	0,00	0,0000	0,0000	0,000000	0,000000	0,00	0,000000	0,000000	0,00
Trave 22-23	100%	0,00	0,00	0,00	0,0000	0,0000	0,000000	0,000000	0,00	0,000000	0,000000	0,00
proporzionale alla deformata 1° modo di vibrazione												
Trave 22-23	0%	0,46	0,43	0,47	0,0888	0,0032	0,012996	0,001473	8,82	0,005712	0,000721	7,92
Trave 22-23	100%	1,32	1,17	0,56	0,0184	0,0039	0,005536	0,001117	4,96	0,004684	0,000505	9,28
sisma in -X												
proporzionale alle masse												
Trave 22-23	0%	0,00	0,00	0,00	0,0000	0,0000	0,000000	0,000000	0,00	0,000000	0,000000	0,00
Trave 22-23	100%	0,00	0,00	0,00	0,0000	0,0000	0,000000	0,000000	0,00	0,000000	0,000000	0,00
proporzionale alla deformata 1° modo di vibrazione												
Trave 22-23	0%	0,00	0,00	0,00	0,0000	0,0000	0,000000	0,000000	0,00	0,000000	0,000000	0,00
Trave 22-23	100%	0,00	0,00	0,00	0,0000	0,0000	0,000000	0,000000	0,00	0,000000	0,000000	0,00
sisma in +Y												
proporzionale alle masse												
Trave 22-23	0%	0,94	0,89	0,52	0,0309	0,0032	0,007431	0,000070	NS	0,004405	0,000043	NS
Trave 22-23	100%	0,74	0,82	0,50	0,0223	0,0035	0,005422	0,000380	14,25	0,004628	0,000197	23,44
proporzionale alla deformata 1° modo di vibrazione												
Trave 22-23	0%	0,00	0,00	0,00	0,0000	0,0000	0,000000	0,000000	0,00	0,000000	0,000000	0,00
Trave 22-23	100%	0,00	0,00	0,00	0,0000	0,0000	0,000000	0,000000	0,00	0,000000	0,000000	0,00
sisma in -Y												
proporzionale alle masse												
Trave 22-23	0%	0,00	0,00	0,00	0,0000	0,0000	0,000000	0,000000	0,00	0,000000	0,000000	0,00
Trave 22-23	100%	0,00	0,00	0,00	0,0000	0,0000	0,000000	0,000000	0,00	0,000000	0,000000	0,00
proporzionale alla deformata 1° modo di vibrazione												
Trave 22-23	0%	0,00	0,00	0,00	0,0000	0,0000	0,000000	0,000000	0,00	0,000000	0,000000	0,00
Trave 22-23	100%	0,00	0,00	0,00	0,0000	0,0000	0,000000	0,000000	0,00	0,000000	0,000000	0,00
sisma in +X												
proporzionale alle masse												
Trave 23-24	0%	0,00	0,00	0,00	0,0000	0,0000	0,000000	0,000000	0,00	0,000000	0,000000	0,00
Trave 23-24	100%	0,00	0,00	0,00	0,0000	0,0000	0,000000	0,000000	0,00	0,000000	0,000000	0,00
proporzionale alla deformata 1° modo di vibrazione												
Trave 23-24	0%	0,43	0,74	0,47	0,0205	0,0034	0,004345	0,001117	3,89	0,004649	0,000505	9,21
Trave 23-24	100%	0,95	0,82	0,52	0,0302	0,0030	0,007356	0,000429	17,16	0,004390	0,000623	7,05
sisma in -X												
proporzionale alle masse												
Trave 23-24	0%	0,00	0,00	0,00	0,0000	0,0000	0,000000	0,000000	0,00	0,000000	0,000000	0,00
Trave 23-24	100%	0,00	0,00	0,00	0,0000	0,0000	0,000000	0,000000	0,00	0,000000	0,000000	0,00
proporzionale alla deformata 1° modo di vibrazione												
Trave 23-24	0%	0,00	0,00	0,00	0,0000	0,0000	0,000000	0,000000	0,00	0,000000	0,000000	0,00
Trave 23-24	100%	0,00	0,00	0,00	0,0000	0,0000	0,000000	0,000000	0,00	0,000000	0,000000	0,00
sisma in +Y												
proporzionale alle masse												
Trave 23-24	0%	0,60	0,86	0,49	0,0201	0,0034	0,004661	0,000380	12,25	0,004507	0,000197	22,83
Trave 23-24	100%	0,91	0,78	0,52	0,0292	0,0030	0,007085	0,001529	4,63	0,004461	0,001071	4,16
proporzionale alla deformata 1° modo di vibrazione												
Trave 23-24	0%	0,00	0,00	0,00	0,0000	0,0000	0,000000	0,000000	0,00	0,000000	0,000000	0,00
Trave 23-24	100%	0,00	0,00	0,00	0,0000	0,0000	0,000000	0,000000	0,00	0,000000	0,000000	0,00
sisma in -Y												
proporzionale alle masse												
Trave 23-24	0%	0,00	0,00	0,00	0,0000	0,0000	0,000000	0,000000	0,00	0,000000	0,000000	0,00
Trave 23-24	100%	0,00	0,00	0,00	0,0000	0,0000	0,000000	0,000000	0,00	0,000000	0,000000	0,00
proporzionale alla deformata 1° modo di vibrazione												
Trave 23-24	0%	0,00	0,00	0,00	0,0000	0,0000	0,000000	0,000000	0,00	0,000000	0,000000	0,00
Trave 23-24	100%	0,00	0,00	0,00	0,0000	0,0000	0,000000	0,000000	0,00	0,000000	0,000000	0,00
Piano primo							**Travata: Trave19-20-21-22-23-24**					
sisma in +X												

Id_{Tr}	$\%L_{LI}$	$L_{v,SLV}$	$L_{v,SLD}$	L_{pl}	ϕ_u	ϕ_y	SLV			SLD		
							Θ_c	Θ_d	CS	Θ_c	Θ_d	CS
	[%]	[m]	[m]	[m]	[rad/m]	[rad/m]	[rad]	[rad]		[rad]	[rad]	
proporzionale alle masse												
Trave 19-20	0%	0,00	0,00	0,00	0,0000	0,0000	0,000000	0,000000	0,00	0,000000	0,000000	0,00
Trave 19-20	100%	0,00	0,00	0,00	0,0000	0,0000	0,000000	0,000000	0,00	0,000000	0,000000	0,00
proporzionale alla deformata 1° modo di vibrazione												
Trave 19-20	0%	0,78	0,96	0,40	0,0915	0,0037	0,014995	0,002880	5,21	0,003979	0,001336	2,98
Trave 19-20	100%	0,69	0,58	0,39	0,0541	0,0049	0,009167	0,000803	11,41	0,004536	0,000445	10,19
sisma in -X												
proporzionale alle masse												
Trave 19-20	0%	0,00	0,00	0,00	0,0000	0,0000	0,000000	0,000000	0,00	0,000000	0,000000	0,00
Trave 19-20	100%	0,00	0,00	0,00	0,0000	0,0000	0,000000	0,000000	0,00	0,000000	0,000000	0,00
proporzionale alla deformata 1° modo di vibrazione												
Trave 19-20	0%	0,00	0,00	0,00	0,0000	0,0000	0,000000	0,000000	0,00	0,000000	0,000000	0,00
Trave 19-20	100%	0,00	0,00	0,00	0,0000	0,0000	0,000000	0,000000	0,00	0,000000	0,000000	0,00
sisma in +Y												
proporzionale alle masse												
Trave 19-20	0%	0,78	0,86	0,40	0,0761	0,0039	0,012699	0,000086	NS	0,004042	0,000177	22,84
Trave 19-20	100%	0,71	0,64	0,39	0,0436	0,0052	0,007736	0,000742	10,43	0,004588	0,000337	13,60
proporzionale alla deformata 1° modo di vibrazione												
Trave 19-20	0%	0,00	0,00	0,00	0,0000	0,0000	0,000000	0,000000	0,00	0,000000	0,000000	0,00
Trave 19-20	100%	0,00	0,00	0,00	0,0000	0,0000	0,000000	0,000000	0,00	0,000000	0,000000	0,00
sisma in -Y												
proporzionale alle masse												
Trave 19-20	0%	0,00	0,00	0,00	0,0000	0,0000	0,000000	0,000000	0,00	0,000000	0,000000	0,00
Trave 19-20	100%	0,00	0,00	0,00	0,0000	0,0000	0,000000	0,000000	0,00	0,000000	0,000000	0,00
proporzionale alla deformata 1° modo di vibrazione												
Trave 19-20	0%	0,00	0,00	0,00	0,0000	0,0000	0,000000	0,000000	0,00	0,000000	0,000000	0,00
Trave 19-20	100%	0,00	0,00	0,00	0,0000	0,0000	0,000000	0,000000	0,00	0,000000	0,000000	0,00
sisma in +X												
proporzionale alle masse												
Trave 20-21	0%	0,00	0,00	0,00	0,0000	0,0000	0,000000	0,000000	0,00	0,000000	0,000000	0,00
Trave 20-21	100%	0,00	0,00	0,00	0,0000	0,0000	0,000000	0,000000	0,00	0,000000	0,000000	0,00
proporzionale alla deformata 1° modo di vibrazione												
Trave 20-21	0%	2,90	1.210,75	0,61	0,0980	0,0042	0,877707	0,000803	NS	1,703999	0,000445	NS
Trave 20-21	100%	1,38	1,15	0,46	0,0517	0,0053	0,011357	0,000855	13,28	0,004890	0,000424	11,53
sisma in -X												
proporzionale alle masse												
Trave 20-21	0%	0,00	0,00	0,00	0,0000	0,0000	0,000000	0,000000	0,00	0,000000	0,000000	0,00
Trave 20-21	100%	0,00	0,00	0,00	0,0000	0,0000	0,000000	0,000000	0,00	0,000000	0,000000	0,00
proporzionale alla deformata 1° modo di vibrazione												
Trave 20-21	0%	0,00	0,00	0,00	0,0000	0,0000	0,000000	0,000000	0,00	0,000000	0,000000	0,00
Trave 20-21	100%	0,00	0,00	0,00	0,0000	0,0000	0,000000	0,000000	0,00	0,000000	0,000000	0,00
sisma in +Y												
proporzionale alle masse												
Trave 20-21	0%	1,32	0,98	0,46	0,0596	0,0065	0,012651	0,000742	17,06	0,005274	0,000337	15,64
Trave 20-21	100%	0,70	0,66	0,39	0,0560	0,0047	0,009492	0,000157	60,59	0,004423	0,000052	84,72
proporzionale alla deformata 1° modo di vibrazione												
Trave 20-21	0%	0,00	0,00	0,00	0,0000	0,0000	0,000000	0,000000	0,00	0,000000	0,000000	0,00
Trave 20-21	100%	0,00	0,00	0,00	0,0000	0,0000	0,000000	0,000000	0,00	0,000000	0,000000	0,00
sisma in -Y												
proporzionale alle masse												
Trave 20-21	0%	0,00	0,00	0,00	0,0000	0,0000	0,000000	0,000000	0,00	0,000000	0,000000	0,00
Trave 20-21	100%	0,00	0,00	0,00	0,0000	0,0000	0,000000	0,000000	0,00	0,000000	0,000000	0,00
proporzionale alla deformata 1° modo di vibrazione												
Trave 20-21	0%	0,00	0,00	0,00	0,0000	0,0000	0,000000	0,000000	0,00	0,000000	0,000000	0,00
Trave 20-21	100%	0,00	0,00	0,00	0,0000	0,0000	0,000000	0,000000	0,00	0,000000	0,000000	0,00
sisma in +X												
proporzionale alle masse												
Trave 21-22	0%	0,00	0,00	0,00	0,0000	0,0000	0,000000	0,000000	0,00	0,000000	0,000000	0,00
Trave 21-22	100%	0,00	0,00	0,00	0,0000	0,0000	0,000000	0,000000	0,00	0,000000	0,000000	0,00
proporzionale alla deformata 1° modo di vibrazione												
Trave 21-22	0%	0,83	0,95	0,41	0,0956	0,0041	0,016168	0,000855	18,90	0,004149	0,000424	9,78
Trave 21-22	100%	0,87	0,79	0,41	0,0383	0,0059	0,007499	0,000983	7,63	0,004846	0,000502	9,66
sisma in -X												
proporzionale alle masse												
Trave 21-22	0%	0,00	0,00	0,00	0,0000	0,0000	0,000000	0,000000	0,00	0,000000	0,000000	0,00
Trave 21-22	100%	0,00	0,00	0,00	0,0000	0,0000	0,000000	0,000000	0,00	0,000000	0,000000	0,00
proporzionale alla deformata 1° modo di vibrazione												
Trave 21-22	0%	0,00	0,00	0,00	0,0000	0,0000	0,000000	0,000000	0,00	0,000000	0,000000	0,00
Trave 21-22	100%	0,00	0,00	0,00	0,0000	0,0000	0,000000	0,000000	0,00	0,000000	0,000000	0,00
sisma in +Y												
proporzionale alle masse												
Trave 21-22	0%	0,72	0,69	0,40	0,0598	0,0053	0,010125	0,000157	64,63	0,004611	0,000052	88,31
Trave 21-22	100%	1,05	1,12	0,43	0,1105	0,0037	0,020251	0,000219	92,29	0,004039	0,000155	26,12
proporzionale alla deformata 1° modo di vibrazione												
Trave 21-22	0%	0,00	0,00	0,00	0,0000	0,0000	0,000000	0,000000	0,00	0,000000	0,000000	0,00
Trave 21-22	100%	0,00	0,00	0,00	0,0000	0,0000	0,000000	0,000000	0,00	0,000000	0,000000	0,00
sisma in -Y												
proporzionale alle masse												
Trave 21-22	0%	0,00	0,00	0,00	0,0000	0,0000	0,000000	0,000000	0,00	0,000000	0,000000	0,00
Trave 21-22	100%	0,00	0,00	0,00	0,0000	0,0000	0,000000	0,000000	0,00	0,000000	0,000000	0,00
proporzionale alla deformata 1° modo di vibrazione												
Trave 21-22	0%	0,00	0,00	0,00	0,0000	0,0000	0,000000	0,000000	0,00	0,000000	0,000000	0,00
Trave 21-22	100%	0,00	0,00	0,00	0,0000	0,0000	0,000000	0,000000	0,00	0,000000	0,000000	0,00
sisma in +X												
proporzionale alle masse												

Id_{Tr}	$\%L_{LI}$	$L_{v,SLV}$	$L_{v,SLD}$	L_{pl}	ϕ_u	ϕ_y	SLV			SLD		
							Θ_c	Θ_d	CS	Θ_c	Θ_d	CS
	[%]	[m]	[m]	[m]	[rad/m]	[rad/m]	[rad]	[rad]		[rad]	[rad]	
Trave 22-23	0%	0,00	0,00	0,00	0,0000	0,0000	0,000000	0,000000	0,00	0,000000	0,000000	0,00
Trave 22-23	100%	0,00	0,00	0,00	0,0000	0,0000	0,000000	0,000000	0,00	0,000000	0,000000	0,00
proporzionale alla deformata 1° modo di vibrazione												
Trave 22-23	0%	11,24	1,07	1,45	0,0789	0,0070	0,051528	0,000983	52,42	0,005589	0,000502	11,14
Trave 22-23	100%	1,98	1,58	0,52	0,0207	0,0070	0,006366	0,001945	3,27	0,006520	0,000861	7,57
sisma in -X												
proporzionale alle masse												
Trave 22-23	0%	0,00	0,00	0,00	0,0000	0,0000	0,000000	0,000000	0,00	0,000000	0,000000	0,00
Trave 22-23	100%	0,00	0,00	0,00	0,0000	0,0000	0,000000	0,000000	0,00	0,000000	0,000000	0,00
proporzionale alla deformata 1° modo di vibrazione												
Trave 22-23	0%	0,00	0,00	0,00	0,0000	0,0000	0,000000	0,000000	0,00	0,000000	0,000000	0,00
Trave 22-23	100%	0,00	0,00	0,00	0,0000	0,0000	0,000000	0,000000	0,00	0,000000	0,000000	0,00
sisma in +Y												
proporzionale alle masse												
Trave 22-23	0%	1,10	1,06	0,43	0,0691	0,0049	0,013467	0,000219	61,37	0,004580	0,000155	29,61
Trave 22-23	100%	0,69	0,73	0,39	0,0268	0,0060	0,005365	0,000170	31,58	0,004874	0,000120	40,50
proporzionale alla deformata 1° modo di vibrazione												
Trave 22-23	0%	0,00	0,00	0,00	0,0000	0,0000	0,000000	0,000000	0,00	0,000000	0,000000	0,00
Trave 22-23	100%	0,00	0,00	0,00	0,0000	0,0000	0,000000	0,000000	0,00	0,000000	0,000000	0,00
sisma in -Y												
proporzionale alle masse												
Trave 22-23	0%	0,00	0,00	0,00	0,0000	0,0000	0,000000	0,000000	0,00	0,000000	0,000000	0,00
Trave 22-23	100%	0,00	0,00	0,00	0,0000	0,0000	0,000000	0,000000	0,00	0,000000	0,000000	0,00
proporzionale alla deformata 1° modo di vibrazione												
Trave 22-23	0%	0,00	0,00	0,00	0,0000	0,0000	0,000000	0,000000	0,00	0,000000	0,000000	0,00
Trave 22-23	100%	0,00	0,00	0,00	0,0000	0,0000	0,000000	0,000000	0,00	0,000000	0,000000	0,00
sisma in +X												
proporzionale alle masse												
Trave 23-24	0%	0,00	0,00	0,00	0,0000	0,0000	0,000000	0,000000	0,00	0,000000	0,000000	0,00
Trave 23-24	100%	0,00	0,00	0,00	0,0000	0,0000	0,000000	0,000000	0,00	0,000000	0,000000	0,00
proporzionale alla deformata 1° modo di vibrazione												
Trave 23-24	0%	13,94	3,02	1,72	0,0994	0,0038	0,079998	0,001945	41,13	0,005902	0,000861	6,86
Trave 23-24	100%	1,84	1,58	0,51	0,0319	0,0060	0,008601	0,001328	6,47	0,005840	0,000620	9,42
sisma in -X												
proporzionale alle masse												
Trave 23-24	0%	0,00	0,00	0,00	0,0000	0,0000	0,000000	0,000000	0,00	0,000000	0,000000	0,00
Trave 23-24	100%	0,00	0,00	0,00	0,0000	0,0000	0,000000	0,000000	0,00	0,000000	0,000000	0,00
proporzionale alla deformata 1° modo di vibrazione												
Trave 23-24	0%	0,00	0,00	0,00	0,0000	0,0000	0,000000	0,000000	0,00	0,000000	0,000000	0,00
Trave 23-24	100%	0,00	0,00	0,00	0,0000	0,0000	0,000000	0,000000	0,00	0,000000	0,000000	0,00
sisma in +Y												
proporzionale alle masse												
Trave 23-24	0%	2,78	0,55	0,60	0,1035	0,0041	0,028846	0,000170	NS	0,004345	0,000120	36,11
Trave 23-24	100%	1,56	1,39	0,48	0,0376	0,0056	0,009154	0,000520	17,61	0,005329	0,000188	28,41
proporzionale alla deformata 1° modo di vibrazione												
Trave 23-24	0%	0,00	0,00	0,00	0,0000	0,0000	0,000000	0,000000	0,00	0,000000	0,000000	0,00
Trave 23-24	100%	0,00	0,00	0,00	0,0000	0,0000	0,000000	0,000000	0,00	0,000000	0,000000	0,00
sisma in -Y												
proporzionale alle masse												
Trave 23-24	0%	0,00	0,00	0,00	0,0000	0,0000	0,000000	0,000000	0,00	0,000000	0,000000	0,00
Trave 23-24	100%	0,00	0,00	0,00	0,0000	0,0000	0,000000	0,000000	0,00	0,000000	0,000000	0,00
proporzionale alla deformata 1° modo di vibrazione												
Trave 23-24	0%	0,00	0,00	0,00	0,0000	0,0000	0,000000	0,000000	0,00	0,000000	0,000000	0,00
Trave 23-24	100%	0,00	0,00	0,00	0,0000	0,0000	0,000000	0,000000	0,00	0,000000	0,000000	0,00
Piano primo							**Travata: Trave25-26-27**					
sisma in +X												
proporzionale alle masse												
Trave 25-26	0%	0,00	0,00	0,00	0,0000	0,0000	0,000000	0,000000	0,00	0,000000	0,000000	0,00
Trave 25-26	100%	0,00	0,00	0,00	0,0000	0,0000	0,000000	0,000000	0,00	0,000000	0,000000	0,00
proporzionale alla deformata 1° modo di vibrazione												
Trave 25-26	0%	0,21	0,57	0,44	0,0508	0,0032	0,007645	0,003062	2,50	0,004819	0,001958	2,46
Trave 25-26	100%	1,10	1,09	0,53	0,0177	0,0039	0,005080	0,000729	6,97	0,004589	0,000384	11,95
sisma in -X												
proporzionale alle masse												
Trave 25-26	0%	0,00	0,00	0,00	0,0000	0,0000	0,000000	0,000000	0,00	0,000000	0,000000	0,00
Trave 25-26	100%	0,00	0,00	0,00	0,0000	0,0000	0,000000	0,000000	0,00	0,000000	0,000000	0,00
proporzionale alla deformata 1° modo di vibrazione												
Trave 25-26	0%	0,00	0,00	0,00	0,0000	0,0000	0,000000	0,000000	0,00	0,000000	0,000000	0,00
Trave 25-26	100%	0,00	0,00	0,00	0,0000	0,0000	0,000000	0,000000	0,00	0,000000	0,000000	0,00
sisma in +Y												
proporzionale alle masse												
Trave 25-26	0%	0,94	0,89	0,51	0,0539	0,0031	0,011622	0,001803	6,44	0,004263	0,001381	3,09
Trave 25-26	100%	0,84	0,93	0,50	0,0182	0,0039	0,004819	0,000417	11,56	0,004593	0,000202	22,72
proporzionale alla deformata 1° modo di vibrazione												
Trave 25-26	0%	0,00	0,00	0,00	0,0000	0,0000	0,000000	0,000000	0,00	0,000000	0,000000	0,00
Trave 25-26	100%	0,00	0,00	0,00	0,0000	0,0000	0,000000	0,000000	0,00	0,000000	0,000000	0,00
sisma in -Y												
proporzionale alle masse												
Trave 25-26	0%	0,00	0,00	0,00	0,0000	0,0000	0,000000	0,000000	0,00	0,000000	0,000000	0,00
Trave 25-26	100%	0,00	0,00	0,00	0,0000	0,0000	0,000000	0,000000	0,00	0,000000	0,000000	0,00
proporzionale alla deformata 1° modo di vibrazione												
Trave 25-26	0%	0,00	0,00	0,00	0,0000	0,0000	0,000000	0,000000	0,00	0,000000	0,000000	0,00
Trave 25-26	100%	0,00	0,00	0,00	0,0000	0,0000	0,000000	0,000000	0,00	0,000000	0,000000	0,00
sisma in +X												
proporzionale alle masse												

Id_{Tr}	$\%L_{LI}$	$L_{v,SLV}$	$L_{v,SLD}$	L_{pl}	ϕ_u	ϕ_y	SLV			SLD		
							Θ_c	Θ_d	CS	Θ_c	Θ_d	CS
	[%]	[m]	[m]	[m]	[rad/m]	[rad/m]	[rad]	[rad]		[rad]	[rad]	
Trave 26-27	0%	0,00	0,00	0,00	0,0000	0,0000	0,000000	0,000000	0,00	0,000000	0,000000	0,00
Trave 26-27	100%	0,00	0,00	0,00	0,0000	0,0000	0,000000	0,000000	0,00	0,000000	0,000000	0,00
proporzionale alla deformata 1° modo di vibrazione												
Trave 26-27	0%	0,82	0,95	0,50	0,0235	0,0035	0,005697	0,000729	7,82	0,004409	0,000384	11,48
Trave 26-27	100%	0,83	0,70	0,50	0,0371	0,0031	0,008211	0,000961	8,55	0,004491	0,001222	3,67
sisma in -X												
proporzionale alle masse												
Trave 26-27	0%	0,00	0,00	0,00	0,0000	0,0000	0,000000	0,000000	0,00	0,000000	0,000000	0,00
Trave 26-27	100%	0,00	0,00	0,00	0,0000	0,0000	0,000000	0,000000	0,00	0,000000	0,000000	0,00
proporzionale alla deformata 1° modo di vibrazione												
Trave 26-27	0%	0,00	0,00	0,00	0,0000	0,0000	0,000000	0,000000	0,00	0,000000	0,000000	0,00
Trave 26-27	100%	0,00	0,00	0,00	0,0000	0,0000	0,000000	0,000000	0,00	0,000000	0,000000	0,00
sisma in +Y												
proporzionale alle masse												
Trave 26-27	0%	0,99	1,02	0,52	0,0241	0,0035	0,006135	0,000417	14,72	0,004393	0,000202	21,73
Trave 26-27	100%	0,59	0,57	0,48	0,0386	0,0030	0,007435	0,001576	4,72	0,004726	0,001565	3,02
proporzionale alla deformata 1° modo di vibrazione												
Trave 26-27	0%	0,00	0,00	0,00	0,0000	0,0000	0,000000	0,000000	0,00	0,000000	0,000000	0,00
Trave 26-27	100%	0,00	0,00	0,00	0,0000	0,0000	0,000000	0,000000	0,00	0,000000	0,000000	0,00
sisma in -Y												
proporzionale alle masse												
Trave 26-27	0%	0,00	0,00	0,00	0,0000	0,0000	0,000000	0,000000	0,00	0,000000	0,000000	0,00
Trave 26-27	100%	0,00	0,00	0,00	0,0000	0,0000	0,000000	0,000000	0,00	0,000000	0,000000	0,00
proporzionale alla deformata 1° modo di vibrazione												
Trave 26-27	0%	0,00	0,00	0,00	0,0000	0,0000	0,000000	0,000000	0,00	0,000000	0,000000	0,00
Trave 26-27	100%	0,00	0,00	0,00	0,0000	0,0000	0,000000	0,000000	0,00	0,000000	0,000000	0,00
Piano primo							**Travata: Trave28-29-30-4c**					
sisma in +X												
proporzionale alle masse												
Trave 28-29	0%	0,00	0,00	0,00	0,0000	0,0000	0,000000	0,000000	0,00	0,000000	0,000000	0,00
Trave 28-29	100%	0,00	0,00	0,00	0,0000	0,0000	0,000000	0,000000	0,00	0,000000	0,000000	0,00
proporzionale alla deformata 1° modo di vibrazione												
Trave 28-29	0%	9,48	2,03	1,27	0,1054	0,0041	0,062739	0,000769	81,63	0,005086	0,000571	8,90
Trave 28-29	100%	0,50	0,46	0,38	0,0503	0,0049	0,007736	0,000511	15,15	0,004808	0,000345	13,94
sisma in -X												
proporzionale alle masse												
Trave 28-29	0%	0,00	0,00	0,00	0,0000	0,0000	0,000000	0,000000	0,00	0,000000	0,000000	0,00
Trave 28-29	100%	0,00	0,00	0,00	0,0000	0,0000	0,000000	0,000000	0,00	0,000000	0,000000	0,00
proporzionale alla deformata 1° modo di vibrazione												
Trave 28-29	0%	0,00	0,00	0,00	0,0000	0,0000	0,000000	0,000000	0,00	0,000000	0,000000	0,00
Trave 28-29	100%	0,00	0,00	0,00	0,0000	0,0000	0,000000	0,000000	0,00	0,000000	0,000000	0,00
sisma in +Y												
proporzionale alle masse												
Trave 28-29	0%	0,35	0,21	0,36	0,1121	0,0069	0,013138	0,000079	NS	0,007273	0,000141	51,68
Trave 28-29	100%	0,42	0,41	0,37	0,0546	0,0049	0,007662	0,000010	NS	0,004978	0,000088	56,27
proporzionale alla deformata 1° modo di vibrazione												
Trave 28-29	0%	0,00	0,00	0,00	0,0000	0,0000	0,000000	0,000000	0,00	0,000000	0,000000	0,00
Trave 28-29	100%	0,00	0,00	0,00	0,0000	0,0000	0,000000	0,000000	0,00	0,000000	0,000000	0,00
sisma in -Y												
proporzionale alle masse												
Trave 28-29	0%	0,00	0,00	0,00	0,0000	0,0000	0,000000	0,000000	0,00	0,000000	0,000000	0,00
Trave 28-29	100%	0,00	0,00	0,00	0,0000	0,0000	0,000000	0,000000	0,00	0,000000	0,000000	0,00
proporzionale alla deformata 1° modo di vibrazione												
Trave 28-29	0%	0,00	0,00	0,00	0,0000	0,0000	0,000000	0,000000	0,00	0,000000	0,000000	0,00
Trave 28-29	100%	0,00	0,00	0,00	0,0000	0,0000	0,000000	0,000000	0,00	0,000000	0,000000	0,00
sisma in +X												
proporzionale alle masse												
Trave 29-30	0%	0,00	0,00	0,00	0,0000	0,0000	0,000000	0,000000	0,00	0,000000	0,000000	0,00
Trave 29-30	100%	0,00	0,00	0,00	0,0000	0,0000	0,000000	0,000000	0,00	0,000000	0,000000	0,00
proporzionale alla deformata 1° modo di vibrazione												
Trave 29-30	0%	1,33	0,47	0,46	0,0879	0,0076	0,018024	0,000511	35,29	0,005555	0,000345	16,10
Trave 29-30	100%	1,12	1,05	0,44	0,0307	0,0058	0,006905	0,001223	5,65	0,005030	0,000948	5,31
sisma in -X												
proporzionale alle masse												
Trave 29-30	0%	0,00	0,00	0,00	0,0000	0,0000	0,000000	0,000000	0,00	0,000000	0,000000	0,00
Trave 29-30	100%	0,00	0,00	0,00	0,0000	0,0000	0,000000	0,000000	0,00	0,000000	0,000000	0,00
proporzionale alla deformata 1° modo di vibrazione												
Trave 29-30	0%	0,00	0,00	0,00	0,0000	0,0000	0,000000	0,000000	0,00	0,000000	0,000000	0,00
Trave 29-30	100%	0,00	0,00	0,00	0,0000	0,0000	0,000000	0,000000	0,00	0,000000	0,000000	0,00
sisma in +Y												
proporzionale alle masse												
Trave 29-30	0%	0,13	0,18	0,34	0,0524	0,0053	0,007897	0,000010	NS	0,007818	0,000088	88,37
Trave 29-30	100%	0,98	0,98	0,42	0,0345	0,0058	0,007244	0,000534	13,57	0,004930	0,000621	7,94
proporzionale alla deformata 1° modo di vibrazione												
Trave 29-30	0%	0,00	0,00	0,00	0,0000	0,0000	0,000000	0,000000	0,00	0,000000	0,000000	0,00
Trave 29-30	100%	0,00	0,00	0,00	0,0000	0,0000	0,000000	0,000000	0,00	0,000000	0,000000	0,00
sisma in -Y												
proporzionale alle masse												
Trave 29-30	0%	0,00	0,00	0,00	0,0000	0,0000	0,000000	0,000000	0,00	0,000000	0,000000	0,00
Trave 29-30	100%	0,00	0,00	0,00	0,0000	0,0000	0,000000	0,000000	0,00	0,000000	0,000000	0,00
proporzionale alla deformata 1° modo di vibrazione												
Trave 29-30	0%	0,00	0,00	0,00	0,0000	0,0000	0,000000	0,000000	0,00	0,000000	0,000000	0,00
Trave 29-30	100%	0,00	0,00	0,00	0,0000	0,0000	0,000000	0,000000	0,00	0,000000	0,000000	0,00
sisma in +X												
proporzionale alle masse												

Id_{Tr}	$\%L_{LI}$	$L_{v,SLV}$	$L_{v,SLD}$	L_{pl}	ϕ_u	ϕ_y	SLV			SLD		
							Θ_c	Θ_d	CS	Θ_c	Θ_d	CS
	[%]	[m]	[m]	[m]	[rad/m]	[rad/m]	[rad]	[rad]		[rad]	[rad]	
Trave 30-4c	0%	0,00	0,00	0,00	0,0000	0,0000	0,000000	0,000000	0,00	0,000000	0,000000	0,00
Trave 30-4c	100%	0,00	0,00	0,00	0,0000	0,0000	0,000000	0,000000	0,00	0,000000	0,000000	0,00
proporzionale alla deformata 1° modo di vibrazione												
Trave 30-4c	0%	0,72	0,72	0,37	0,0297	0,0086	0,005659	0,001223	4,63	0,005487	0,000948	5,79
Trave 30-4c	100%	1,99	1,99	0,50	0,0914	0,0069	0,022081	0,001768	12,49	0,007137	0,001508	4,73
sisma in -X												
proporzionale alle masse												
Trave 30-4c	0%	0,00	0,00	0,00	0,0000	0,0000	0,000000	0,000000	0,00	0,000000	0,000000	0,00
Trave 30-4c	100%	0,00	0,00	0,00	0,0000	0,0000	0,000000	0,000000	0,00	0,000000	0,000000	0,00
proporzionale alla deformata 1° modo di vibrazione												
Trave 30-4c	0%	0,00	0,00	0,00	0,0000	0,0000	0,000000	0,000000	0,00	0,000000	0,000000	0,00
Trave 30-4c	100%	0,00	0,00	0,00	0,0000	0,0000	0,000000	0,000000	0,00	0,000000	0,000000	0,00
sisma in +Y												
proporzionale alle masse												
Trave 30-4c	0%	0,72	0,72	0,37	0,0297	0,0086	0,005657	0,000534	10,59	0,005487	0,000621	8,84
Trave 30-4c	100%	1,99	1,99	0,50	0,0914	0,0069	0,022085	0,001077	20,51	0,007139	0,001179	6,06
proporzionale alla deformata 1° modo di vibrazione												
Trave 30-4c	0%	0,00	0,00	0,00	0,0000	0,0000	0,000000	0,000000	0,00	0,000000	0,000000	0,00
Trave 30-4c	100%	0,00	0,00	0,00	0,0000	0,0000	0,000000	0,000000	0,00	0,000000	0,000000	0,00
sisma in -Y												
proporzionale alle masse												
Trave 30-4c	0%	0,00	0,00	0,00	0,0000	0,0000	0,000000	0,000000	0,00	0,000000	0,000000	0,00
Trave 30-4c	100%	0,00	0,00	0,00	0,0000	0,0000	0,000000	0,000000	0,00	0,000000	0,000000	0,00
proporzionale alla deformata 1° modo di vibrazione												
Trave 30-4c	0%	0,00	0,00	0,00	0,0000	0,0000	0,000000	0,000000	0,00	0,000000	0,000000	0,00
Trave 30-4c	100%	0,00	0,00	0,00	0,0000	0,0000	0,000000	0,000000	0,00	0,000000	0,000000	0,00
Piano primo							**Travata: Trave1-1c-3c-P8-14-25-P9-5c-6c-32**					
sisma in +X												
proporzionale alle masse												
Trave P8-14	0%	0,00	0,00	0,00	0,0000	0,0000	0,000000	0,000000	0,00	0,000000	0,000000	0,00
Trave P8-14	100%	0,00	0,00	0,00	0,0000	0,0000	0,000000	0,000000	0,00	0,000000	0,000000	0,00
proporzionale alla deformata 1° modo di vibrazione												
Trave P8-14	0%	0,86	0,88	0,51	0,1018	0,0017	0,020259	0,000396	51,20	0,004468	0,000199	22,51
Trave P8-14	100%	3,51	4,03	0,78	0,1023	0,0017	0,036985	0,000155	NS	0,004298	0,000090	47,66
sisma in -X												
proporzionale alle masse												
Trave P8-14	0%	0,00	0,00	0,00	0,0000	0,0000	0,000000	0,000000	0,00	0,000000	0,000000	0,00
Trave P8-14	100%	0,00	0,00	0,00	0,0000	0,0000	0,000000	0,000000	0,00	0,000000	0,000000	0,00
proporzionale alla deformata 1° modo di vibrazione												
Trave P8-14	0%	0,00	0,00	0,00	0,0000	0,0000	0,000000	0,000000	0,00	0,000000	0,000000	0,00
Trave P8-14	100%	0,00	0,00	0,00	0,0000	0,0000	0,000000	0,000000	0,00	0,000000	0,000000	0,00
sisma in +Y												
proporzionale alle masse												
Trave P8-14	0%	1,84	2,24	0,61	0,0572	0,0017	0,016020	0,001854	8,64	0,003740	0,000754	4,96
Trave P8-14	100%	1,05	0,86	0,53	0,0413	0,0020	0,010115	0,001142	8,86	0,004619	0,000464	9,96
proporzionale alla deformata 1° modo di vibrazione												
Trave P8-14	0%	0,00	0,00	0,00	0,0000	0,0000	0,000000	0,000000	0,00	0,000000	0,000000	0,00
Trave P8-14	100%	0,00	0,00	0,00	0,0000	0,0000	0,000000	0,000000	0,00	0,000000	0,000000	0,00
sisma in -Y												
proporzionale alle masse												
Trave P8-14	0%	0,00	0,00	0,00	0,0000	0,0000	0,000000	0,000000	0,00	0,000000	0,000000	0,00
Trave P8-14	100%	0,00	0,00	0,00	0,0000	0,0000	0,000000	0,000000	0,00	0,000000	0,000000	0,00
proporzionale alla deformata 1° modo di vibrazione												
Trave P8-14	0%	0,00	0,00	0,00	0,0000	0,0000	0,000000	0,000000	0,00	0,000000	0,000000	0,00
Trave P8-14	100%	0,00	0,00	0,00	0,0000	0,0000	0,000000	0,000000	0,00	0,000000	0,000000	0,00
sisma in +X												
proporzionale alle masse												
Trave 14-25	0%	0,00	0,00	0,00	0,0000	0,0000	0,000000	0,000000	0,00	0,000000	0,000000	0,00
Trave 14-25	100%	0,00	0,00	0,00	0,0000	0,0000	0,000000	0,000000	0,00	0,000000	0,000000	0,00
proporzionale alla deformata 1° modo di vibrazione												
Trave 14-25	0%	2,71	1,15	0,70	0,1048	0,0016	0,033362	0,000155	NS	0,003980	0,000090	44,13
Trave 14-25	100%	0,59	0,60	0,49	0,1249	0,0016	0,020315	0,000424	47,94	0,005369	0,000245	21,88
sisma in -X												
proporzionale alle masse												
Trave 14-25	0%	0,00	0,00	0,00	0,0000	0,0000	0,000000	0,000000	0,00	0,000000	0,000000	0,00
Trave 14-25	100%	0,00	0,00	0,00	0,0000	0,0000	0,000000	0,000000	0,00	0,000000	0,000000	0,00
proporzionale alla deformata 1° modo di vibrazione												
Trave 14-25	0%	0,00	0,00	0,00	0,0000	0,0000	0,000000	0,000000	0,00	0,000000	0,000000	0,00
Trave 14-25	100%	0,00	0,00	0,00	0,0000	0,0000	0,000000	0,000000	0,00	0,000000	0,000000	0,00
sisma in +Y												
proporzionale alle masse												
Trave 14-25	0%	1,64	1,81	0,59	0,0141	0,0033	0,005073	0,001142	4,44	0,004885	0,000464	10,54
Trave 14-25	100%	1,28	1,50	0,56	0,0163	0,0019	0,005108	0,000059	86,29	0,003951	0,000097	40,57
proporzionale alla deformata 1° modo di vibrazione												
Trave 14-25	0%	0,00	0,00	0,00	0,0000	0,0000	0,000000	0,000000	0,00	0,000000	0,000000	0,00
Trave 14-25	100%	0,00	0,00	0,00	0,0000	0,0000	0,000000	0,000000	0,00	0,000000	0,000000	0,00
sisma in -Y												
proporzionale alle masse												
Trave 14-25	0%	0,00	0,00	0,00	0,0000	0,0000	0,000000	0,000000	0,00	0,000000	0,000000	0,00
Trave 14-25	100%	0,00	0,00	0,00	0,0000	0,0000	0,000000	0,000000	0,00	0,000000	0,000000	0,00
proporzionale alla deformata 1° modo di vibrazione												
Trave 14-25	0%	0,00	0,00	0,00	0,0000	0,0000	0,000000	0,000000	0,00	0,000000	0,000000	0,00
Trave 14-25	100%	0,00	0,00	0,00	0,0000	0,0000	0,000000	0,000000	0,00	0,000000	0,000000	0,00
sisma in +X												
proporzionale alle masse												

Id_{Tr}	$\%L_{LI}$	$L_{v,SLV}$	$L_{v,SLD}$	L_{pl}	ϕ_u	ϕ_y	SLV			SLD		
							Θ_c	Θ_d	CS	Θ_c	Θ_d	CS
	[%]	[m]	[m]	[m]	[rad/m]	[rad/m]	[rad]	[rad]		[rad]	[rad]	
Trave 25-P9	0%	0,00	0,00	0,00	0,0000	0,0000	0,000000	0,000000	0,00	0,000000	0,000000	0,00
Trave 25-P9	100%	0,00	0,00	0,00	0,0000	0,0000	0,000000	0,000000	0,00	0,000000	0,000000	0,00
proporzionale alla deformata 1° modo di vibrazione												
Trave 25-P9	0%	0,42	0,43	0,47	0,0587	0,0029	0,010139	0,000424	23,93	0,007124	0,000245	29,03
Trave 25-P9	100%	0,53	0,51	0,48	0,0688	0,0022	0,011777	0,000363	32,45	0,006145	0,000193	31,85
sisma in -X												
proporzionale alle masse												
Trave 25-P9	0%	0,00	0,00	0,00	0,0000	0,0000	0,000000	0,000000	0,00	0,000000	0,000000	0,00
Trave 25-P9	100%	0,00	0,00	0,00	0,0000	0,0000	0,000000	0,000000	0,00	0,000000	0,000000	0,00
proporzionale alla deformata 1° modo di vibrazione												
Trave 25-P9	0%	0,00	0,00	0,00	0,0000	0,0000	0,000000	0,000000	0,00	0,000000	0,000000	0,00
Trave 25-P9	100%	0,00	0,00	0,00	0,0000	0,0000	0,000000	0,000000	0,00	0,000000	0,000000	0,00
sisma in +Y												
proporzionale alle masse												
Trave 25-P9	0%	0,01	0,10	0,43	0,0065	0,0028	0,012151	0,000059	NS	0,023518	0,000097	NS
Trave 25-P9	100%	0,91	0,83	0,52	0,0068	0,0038	0,003264	0,000887	3,68	0,005438	0,000367	14,83
proporzionale alla deformata 1° modo di vibrazione												
Trave 25-P9	0%	0,00	0,00	0,00	0,0000	0,0000	0,000000	0,000000	0,00	0,000000	0,000000	0,00
Trave 25-P9	100%	0,00	0,00	0,00	0,0000	0,0000	0,000000	0,000000	0,00	0,000000	0,000000	0,00
sisma in -Y												
proporzionale alle masse												
Trave 25-P9	0%	0,00	0,00	0,00	0,0000	0,0000	0,000000	0,000000	0,00	0,000000	0,000000	0,00
Trave 25-P9	100%	0,00	0,00	0,00	0,0000	0,0000	0,000000	0,000000	0,00	0,000000	0,000000	0,00
proporzionale alla deformata 1° modo di vibrazione												
Trave 25-P9	0%	0,00	0,00	0,00	0,0000	0,0000	0,000000	0,000000	0,00	0,000000	0,000000	0,00
Trave 25-P9	100%	0,00	0,00	0,00	0,0000	0,0000	0,000000	0,000000	0,00	0,000000	0,000000	0,00
Piano primo							**Travata: Trave2-15**					
sisma in +X												
proporzionale alle masse												
Trave 2-15	0%	0,00	0,00	0,00	0,0000	0,0000	0,000000	0,000000	0,00	0,000000	0,000000	0,00
Trave 2-15	100%	0,00	0,00	0,00	0,0000	0,0000	0,000000	0,000000	0,00	0,000000	0,000000	0,00
proporzionale alla deformata 1° modo di vibrazione												
Trave 2-15	0%	1,26	1,20	0,46	0,0807	0,0051	0,016718	0,000331	50,56	0,004805	0,000216	22,28
Trave 2-15	100%	0,43	0,60	0,38	0,0708	0,0060	0,009314	0,000005	NS	0,004792	0,000053	90,54
sisma in -X												
proporzionale alle masse												
Trave 2-15	0%	0,00	0,00	0,00	0,0000	0,0000	0,000000	0,000000	0,00	0,000000	0,000000	0,00
Trave 2-15	100%	0,00	0,00	0,00	0,0000	0,0000	0,000000	0,000000	0,00	0,000000	0,000000	0,00
proporzionale alla deformata 1° modo di vibrazione												
Trave 2-15	0%	0,00	0,00	0,00	0,0000	0,0000	0,000000	0,000000	0,00	0,000000	0,000000	0,00
Trave 2-15	100%	0,00	0,00	0,00	0,0000	0,0000	0,000000	0,000000	0,00	0,000000	0,000000	0,00
sisma in +Y												
proporzionale alle masse												
Trave 2-15	0%	2,88	0,10	0,63	0,0926	0,0052	0,029763	0,002194	13,57	0,010813	0,001218	8,88
Trave 2-15	100%	1,65	1,31	0,50	0,0649	0,0055	0,015233	0,001500	10,16	0,005143	0,000616	8,34
proporzionale alla deformata 1° modo di vibrazione												
Trave 2-15	0%	0,00	0,00	0,00	0,0000	0,0000	0,000000	0,000000	0,00	0,000000	0,000000	0,00
Trave 2-15	100%	0,00	0,00	0,00	0,0000	0,0000	0,000000	0,000000	0,00	0,000000	0,000000	0,00
sisma in -Y												
proporzionale alle masse												
Trave 2-15	0%	0,00	0,00	0,00	0,0000	0,0000	0,000000	0,000000	0,00	0,000000	0,000000	0,00
Trave 2-15	100%	0,00	0,00	0,00	0,0000	0,0000	0,000000	0,000000	0,00	0,000000	0,000000	0,00
proporzionale alla deformata 1° modo di vibrazione												
Trave 2-15	0%	0,00	0,00	0,00	0,0000	0,0000	0,000000	0,000000	0,00	0,000000	0,000000	0,00
Trave 2-15	100%	0,00	0,00	0,00	0,0000	0,0000	0,000000	0,000000	0,00	0,000000	0,000000	0,00
Piano primo							**Travata: Trave3-16-27-34**					
sisma in +X												
proporzionale alle masse												
Trave 3-16	0%	0,00	0,00	0,00	0,0000	0,0000	0,000000	0,000000	0,00	0,000000	0,000000	0,00
Trave 3-16	100%	0,00	0,00	0,00	0,0000	0,0000	0,000000	0,000000	0,00	0,000000	0,000000	0,00
proporzionale alla deformata 1° modo di vibrazione												
Trave 3-16	0%	1,18	1,14	0,46	0,0807	0,0051	0,016272	0,000354	46,02	0,004733	0,000231	20,49
Trave 3-16	100%	0,62	0,74	0,40	0,0523	0,0061	0,008694	0,000047	NS	0,004866	0,000001	NS
sisma in -X												
proporzionale alle masse												
Trave 3-16	0%	0,00	0,00	0,00	0,0000	0,0000	0,000000	0,000000	0,00	0,000000	0,000000	0,00
Trave 3-16	100%	0,00	0,00	0,00	0,0000	0,0000	0,000000	0,000000	0,00	0,000000	0,000000	0,00
proporzionale alla deformata 1° modo di vibrazione												
Trave 3-16	0%	0,00	0,00	0,00	0,0000	0,0000	0,000000	0,000000	0,00	0,000000	0,000000	0,00
Trave 3-16	100%	0,00	0,00	0,00	0,0000	0,0000	0,000000	0,000000	0,00	0,000000	0,000000	0,00
sisma in +Y												
proporzionale alle masse												
Trave 3-16	0%	13,37	0,17	1,67	0,0892	0,0054	0,069489	0,002441	28,47	0,007443	0,001121	6,64
Trave 3-16	100%	1,85	1,46	0,52	0,0431	0,0061	0,011148	0,001896	5,88	0,005727	0,000774	7,40
proporzionale alla deformata 1° modo di vibrazione												
Trave 3-16	0%	0,00	0,00	0,00	0,0000	0,0000	0,000000	0,000000	0,00	0,000000	0,000000	0,00
Trave 3-16	100%	0,00	0,00	0,00	0,0000	0,0000	0,000000	0,000000	0,00	0,000000	0,000000	0,00
sisma in -Y												
proporzionale alle masse												
Trave 3-16	0%	0,00	0,00	0,00	0,0000	0,0000	0,000000	0,000000	0,00	0,000000	0,000000	0,00
Trave 3-16	100%	0,00	0,00	0,00	0,0000	0,0000	0,000000	0,000000	0,00	0,000000	0,000000	0,00
proporzionale alla deformata 1° modo di vibrazione												
Trave 3-16	0%	0,00	0,00	0,00	0,0000	0,0000	0,000000	0,000000	0,00	0,000000	0,000000	0,00
Trave 3-16	100%	0,00	0,00	0,00	0,0000	0,0000	0,000000	0,000000	0,00	0,000000	0,000000	0,00
sisma in +X												

Id_{Tr}	$\%L_{LI}$	$L_{v,SLV}$	$L_{v,SLD}$	L_{pl}	ϕ_u	ϕ_y	SLV			SLD		
							Θ_c	Θ_d	CS	Θ_c	Θ_d	CS
	[%]	[m]	[m]	[m]	[rad/m]	[rad/m]	[rad]	[rad]		[rad]	[rad]	
proporzionale alle masse												
Trave 16-27	0%	0,00	0,00	0,00	0,0000	0,0000	0,000000	0,000000	0,00	0,000000	0,000000	0,00
Trave 16-27	100%	0,00	0,00	0,00	0,0000	0,0000	0,000000	0,000000	0,00	0,000000	0,000000	0,00
proporzionale alla deformata 1° modo di vibrazione												
Trave 16-27	0%	0,57	0,54	0,37	0,1080	0,0076	0,014981	0,000047	NS	0,004842	0,000001	NS
Trave 16-27	100%	0,50	0,55	0,36	0,1082	0,0079	0,014049	0,000096	NS	0,004917	0,000076	64,61
sisma in -X												
proporzionale alle masse												
Trave 16-27	0%	0,00	0,00	0,00	0,0000	0,0000	0,000000	0,000000	0,00	0,000000	0,000000	0,00
Trave 16-27	100%	0,00	0,00	0,00	0,0000	0,0000	0,000000	0,000000	0,00	0,000000	0,000000	0,00
proporzionale alla deformata 1° modo di vibrazione												
Trave 16-27	0%	0,00	0,00	0,00	0,0000	0,0000	0,000000	0,000000	0,00	0,000000	0,000000	0,00
Trave 16-27	100%	0,00	0,00	0,00	0,0000	0,0000	0,000000	0,000000	0,00	0,000000	0,000000	0,00
sisma in +Y												
proporzionale alle masse												
Trave 16-27	0%	3,32	3,35	0,64	0,0908	0,0083	0,029989	0,001896	15,81	0,011978	0,000774	15,47
Trave 16-27	100%	1,20	0,98	0,43	0,0911	0,0075	0,017520	0,001847	9,49	0,005434	0,000828	6,56
proporzionale alla deformata 1° modo di vibrazione												
Trave 16-27	0%	0,00	0,00	0,00	0,0000	0,0000	0,000000	0,000000	0,00	0,000000	0,000000	0,00
Trave 16-27	100%	0,00	0,00	0,00	0,0000	0,0000	0,000000	0,000000	0,00	0,000000	0,000000	0,00
sisma in -Y												
proporzionale alle masse												
Trave 16-27	0%	0,00	0,00	0,00	0,0000	0,0000	0,000000	0,000000	0,00	0,000000	0,000000	0,00
Trave 16-27	100%	0,00	0,00	0,00	0,0000	0,0000	0,000000	0,000000	0,00	0,000000	0,000000	0,00
proporzionale alla deformata 1° modo di vibrazione												
Trave 16-27	0%	0,00	0,00	0,00	0,0000	0,0000	0,000000	0,000000	0,00	0,000000	0,000000	0,00
Trave 16-27	100%	0,00	0,00	0,00	0,0000	0,0000	0,000000	0,000000	0,00	0,000000	0,000000	0,00
sisma in +X												
proporzionale alle masse												
Trave 27-34	0%	0,00	0,00	0,00	0,0000	0,0000	0,000000	0,000000	0,00	0,000000	0,000000	0,00
Trave 27-34	100%	0,00	0,00	0,00	0,0000	0,0000	0,000000	0,000000	0,00	0,000000	0,000000	0,00
proporzionale alla deformata 1° modo di vibrazione												
Trave 27-34	0%	0,28	0,21	0,34	0,1026	0,0093	0,010967	0,000096	NS	0,006053	0,000076	79,53
Trave 27-34	100%	1,05	0,94	0,42	0,1028	0,0071	0,018553	0,000010	NS	0,005148	0,000005	NS
sisma in -X												
proporzionale alle masse												
Trave 27-34	0%	0,00	0,00	0,00	0,0000	0,0000	0,000000	0,000000	0,00	0,000000	0,000000	0,00
Trave 27-34	100%	0,00	0,00	0,00	0,0000	0,0000	0,000000	0,000000	0,00	0,000000	0,000000	0,00
proporzionale alla deformata 1° modo di vibrazione												
Trave 27-34	0%	0,00	0,00	0,00	0,0000	0,0000	0,000000	0,000000	0,00	0,000000	0,000000	0,00
Trave 27-34	100%	0,00	0,00	0,00	0,0000	0,0000	0,000000	0,000000	0,00	0,000000	0,000000	0,00
sisma in +Y												
proporzionale alle masse												
Trave 27-34	0%	14,59	1,29	1,77	0,0855	0,0097	0,066710	0,001847	36,13	0,007276	0,000828	8,79
Trave 27-34	100%	1,45	1,19	0,46	0,0857	0,0076	0,017969	0,002526	7,11	0,005912	0,001079	5,48
proporzionale alla deformata 1° modo di vibrazione												
Trave 27-34	0%	0,00	0,00	0,00	0,0000	0,0000	0,000000	0,000000	0,00	0,000000	0,000000	0,00
Trave 27-34	100%	0,00	0,00	0,00	0,0000	0,0000	0,000000	0,000000	0,00	0,000000	0,000000	0,00
sisma in -Y												
proporzionale alle masse												
Trave 27-34	0%	0,00	0,00	0,00	0,0000	0,0000	0,000000	0,000000	0,00	0,000000	0,000000	0,00
Trave 27-34	100%	0,00	0,00	0,00	0,0000	0,0000	0,000000	0,000000	0,00	0,000000	0,000000	0,00
proporzionale alla deformata 1° modo di vibrazione												
Trave 27-34	0%	0,00	0,00	0,00	0,0000	0,0000	0,000000	0,000000	0,00	0,000000	0,000000	0,00
Trave 27-34	100%	0,00	0,00	0,00	0,0000	0,0000	0,000000	0,000000	0,00	0,000000	0,000000	0,00
Piano primo							**Travata: Trave4-17**					
sisma in +X												
proporzionale alle masse												
Trave 4-17	0%	0,00	0,00	0,00	0,0000	0,0000	0,000000	0,000000	0,00	0,000000	0,000000	0,00
Trave 4-17	100%	0,00	0,00	0,00	0,0000	0,0000	0,000000	0,000000	0,00	0,000000	0,000000	0,00
proporzionale alla deformata 1° modo di vibrazione												
Trave 4-17	0%	1,23	1,17	0,46	0,0811	0,0051	0,016573	0,000331	50,09	0,004753	0,000231	20,60
Trave 4-17	100%	0,51	0,65	0,39	0,0712	0,0057	0,010199	0,000015	NS	0,004696	0,000049	95,23
sisma in -X												
proporzionale alle masse												
Trave 4-17	0%	0,00	0,00	0,00	0,0000	0,0000	0,000000	0,000000	0,00	0,000000	0,000000	0,00
Trave 4-17	100%	0,00	0,00	0,00	0,0000	0,0000	0,000000	0,000000	0,00	0,000000	0,000000	0,00
proporzionale alla deformata 1° modo di vibrazione												
Trave 4-17	0%	0,00	0,00	0,00	0,0000	0,0000	0,000000	0,000000	0,00	0,000000	0,000000	0,00
Trave 4-17	100%	0,00	0,00	0,00	0,0000	0,0000	0,000000	0,000000	0,00	0,000000	0,000000	0,00
sisma in +Y												
proporzionale alle masse												
Trave 4-17	0%	15,88	0,07	1,92	0,0895	0,0053	0,083395	0,002653	31,44	0,014666	0,001135	12,92
Trave 4-17	100%	1,82	1,40	0,52	0,0574	0,0057	0,014210	0,001989	7,14	0,005357	0,000786	6,82
proporzionale alla deformata 1° modo di vibrazione												
Trave 4-17	0%	0,00	0,00	0,00	0,0000	0,0000	0,000000	0,000000	0,00	0,000000	0,000000	0,00
Trave 4-17	100%	0,00	0,00	0,00	0,0000	0,0000	0,000000	0,000000	0,00	0,000000	0,000000	0,00
sisma in -Y												
proporzionale alle masse												
Trave 4-17	0%	0,00	0,00	0,00	0,0000	0,0000	0,000000	0,000000	0,00	0,000000	0,000000	0,00
Trave 4-17	100%	0,00	0,00	0,00	0,0000	0,0000	0,000000	0,000000	0,00	0,000000	0,000000	0,00
proporzionale alla deformata 1° modo di vibrazione												
Trave 4-17	0%	0,00	0,00	0,00	0,0000	0,0000	0,000000	0,000000	0,00	0,000000	0,000000	0,00
Trave 4-17	100%	0,00	0,00	0,00	0,0000	0,0000	0,000000	0,000000	0,00	0,000000	0,000000	0,00
Piano primo							**Travata: Trave5-18**					

Id_{Tr}	$\%L_{LI}$	$L_{v,SLV}$	$L_{v,SLD}$	L_{pl}	ϕ_u	ϕ_y	SLV			SLD		
							Θ_c	Θ_d	CS	Θ_c	Θ_d	CS
	[%]	[m]	[m]	[m]	[rad/m]	[rad/m]	[rad]	[rad]		[rad]	[rad]	
sisma in +X												
proporzionale alle masse												
Trave 5-18	0%	0,00	0,00	0,00	0,0000	0,0000	0,000000	0,000000	0,00	0,000000	0,000000	0,00
Trave 5-18	100%	0,00	0,00	0,00	0,0000	0,0000	0,000000	0,000000	0,00	0,000000	0,000000	0,00
proporzionale alla deformata 1° modo di vibrazione												
Trave 5-18	0%	1,25	1,19	0,46	0,0807	0,0051	0,016641	0,000294	56,69	0,004795	0,000208	23,03
Trave 5-18	100%	0,50	0,65	0,39	0,0707	0,0058	0,010038	0,000018	NS	0,004709	0,000029	NS
sisma in -X												
proporzionale alle masse												
Trave 5-18	0%	0,00	0,00	0,00	0,0000	0,0000	0,000000	0,000000	0,00	0,000000	0,000000	0,00
Trave 5-18	100%	0,00	0,00	0,00	0,0000	0,0000	0,000000	0,000000	0,00	0,000000	0,000000	0,00
proporzionale alla deformata 1° modo di vibrazione												
Trave 5-18	0%	0,00	0,00	0,00	0,0000	0,0000	0,000000	0,000000	0,00	0,000000	0,000000	0,00
Trave 5-18	100%	0,00	0,00	0,00	0,0000	0,0000	0,000000	0,000000	0,00	0,000000	0,000000	0,00
sisma in +Y												
proporzionale alle masse												
Trave 5-18	0%	19,78	0,06	2,31	0,0891	0,0054	0,100093	0,002713	36,89	0,017675	0,001091	16,21
Trave 5-18	100%	1,83	1,40	0,52	0,0567	0,0057	0,014087	0,002057	6,85	0,005372	0,000820	6,55
proporzionale alla deformata 1° modo di vibrazione												
Trave 5-18	0%	0,00	0,00	0,00	0,0000	0,0000	0,000000	0,000000	0,00	0,000000	0,000000	0,00
Trave 5-18	100%	0,00	0,00	0,00	0,0000	0,0000	0,000000	0,000000	0,00	0,000000	0,000000	0,00
sisma in -Y												
proporzionale alle masse												
Trave 5-18	0%	0,00	0,00	0,00	0,0000	0,0000	0,000000	0,000000	0,00	0,000000	0,000000	0,00
Trave 5-18	100%	0,00	0,00	0,00	0,0000	0,0000	0,000000	0,000000	0,00	0,000000	0,000000	0,00
proporzionale alla deformata 1° modo di vibrazione												
Trave 5-18	0%	0,00	0,00	0,00	0,0000	0,0000	0,000000	0,000000	0,00	0,000000	0,000000	0,00
Trave 5-18	100%	0,00	0,00	0,00	0,0000	0,0000	0,000000	0,000000	0,00	0,000000	0,000000	0,00
Piano primo							**Travata: Trave6-7-2c-19-28-37**					
sisma in +X												
proporzionale alle masse												
Trave 19-28	0%	0,00	0,00	0,00	0,0000	0,0000	0,000000	0,000000	0,00	0,000000	0,000000	0,00
Trave 19-28	100%	0,00	0,00	0,00	0,0000	0,0000	0,000000	0,000000	0,00	0,000000	0,000000	0,00
proporzionale alla deformata 1° modo di vibrazione												
Trave 19-28	0%	0,49	0,56	0,31	0,0686	0,0070	0,008791	0,000269	32,63	0,004578	0,000184	24,91
Trave 19-28	100%	0,69	0,68	0,33	0,0913	0,0061	0,012826	0,000131	97,92	0,004352	0,000067	64,96
sisma in -X												
proporzionale alle masse												
Trave 19-28	0%	0,00	0,00	0,00	0,0000	0,0000	0,000000	0,000000	0,00	0,000000	0,000000	0,00
Trave 19-28	100%	0,00	0,00	0,00	0,0000	0,0000	0,000000	0,000000	0,00	0,000000	0,000000	0,00
proporzionale alla deformata 1° modo di vibrazione												
Trave 19-28	0%	0,00	0,00	0,00	0,0000	0,0000	0,000000	0,000000	0,00	0,000000	0,000000	0,00
Trave 19-28	100%	0,00	0,00	0,00	0,0000	0,0000	0,000000	0,000000	0,00	0,000000	0,000000	0,00
sisma in +Y												
proporzionale alle masse												
Trave 19-28	0%	4,54	4,08	0,71	0,1082	0,0053	0,038433	0,002452	15,67	0,009225	0,001121	8,23
Trave 19-28	100%	1,44	1,19	0,40	0,0689	0,0071	0,013448	0,001436	9,37	0,005471	0,000541	10,11
proporzionale alla deformata 1° modo di vibrazione												
Trave 19-28	0%	0,00	0,00	0,00	0,0000	0,0000	0,000000	0,000000	0,00	0,000000	0,000000	0,00
Trave 19-28	100%	0,00	0,00	0,00	0,0000	0,0000	0,000000	0,000000	0,00	0,000000	0,000000	0,00
sisma in -Y												
proporzionale alle masse												
Trave 19-28	0%	0,00	0,00	0,00	0,0000	0,0000	0,000000	0,000000	0,00	0,000000	0,000000	0,00
Trave 19-28	100%	0,00	0,00	0,00	0,0000	0,0000	0,000000	0,000000	0,00	0,000000	0,000000	0,00
proporzionale alla deformata 1° modo di vibrazione												
Trave 19-28	0%	0,00	0,00	0,00	0,0000	0,0000	0,000000	0,000000	0,00	0,000000	0,000000	0,00
Trave 19-28	100%	0,00	0,00	0,00	0,0000	0,0000	0,000000	0,000000	0,00	0,000000	0,000000	0,00
sisma in +X												
proporzionale alle masse												
Trave 28-37	0%	0,00	0,00	0,00	0,0000	0,0000	0,000000	0,000000	0,00	0,000000	0,000000	0,00
Trave 28-37	100%	0,00	0,00	0,00	0,0000	0,0000	0,000000	0,000000	0,00	0,000000	0,000000	0,00
proporzionale alla deformata 1° modo di vibrazione												
Trave 28-37	0%	0,64	0,71	0,32	0,0767	0,0068	0,010758	0,000131	82,14	0,004620	0,000067	68,95
Trave 28-37	100%	0,75	0,54	0,33	0,0763	0,0079	0,011322	0,000119	94,84	0,004831	0,000057	84,46
sisma in -X												
proporzionale alle masse												
Trave 28-37	0%	0,00	0,00	0,00	0,0000	0,0000	0,000000	0,000000	0,00	0,000000	0,000000	0,00
Trave 28-37	100%	0,00	0,00	0,00	0,0000	0,0000	0,000000	0,000000	0,00	0,000000	0,000000	0,00
proporzionale alla deformata 1° modo di vibrazione												
Trave 28-37	0%	0,00	0,00	0,00	0,0000	0,0000	0,000000	0,000000	0,00	0,000000	0,000000	0,00
Trave 28-37	100%	0,00	0,00	0,00	0,0000	0,0000	0,000000	0,000000	0,00	0,000000	0,000000	0,00
sisma in +Y												
proporzionale alle masse												
Trave 28-37	0%	2,52	16,16	0,51	0,0963	0,0066	0,039476	0,001436	27,49	0,037770	0,000541	69,82
Trave 28-37	100%	1,49	1,18	0,41	0,0441	0,0081	0,009306	0,002473	3,76	0,005927	0,000953	6,22
proporzionale alla deformata 1° modo di vibrazione												
Trave 28-37	0%	0,00	0,00	0,00	0,0000	0,0000	0,000000	0,000000	0,00	0,000000	0,000000	0,00
Trave 28-37	100%	0,00	0,00	0,00	0,0000	0,0000	0,000000	0,000000	0,00	0,000000	0,000000	0,00
sisma in -Y												
proporzionale alle masse												
Trave 28-37	0%	0,00	0,00	0,00	0,0000	0,0000	0,000000	0,000000	0,00	0,000000	0,000000	0,00
Trave 28-37	100%	0,00	0,00	0,00	0,0000	0,0000	0,000000	0,000000	0,00	0,000000	0,000000	0,00
proporzionale alla deformata 1° modo di vibrazione												
Trave 28-37	0%	0,00	0,00	0,00	0,0000	0,0000	0,000000	0,000000	0,00	0,000000	0,000000	0,00
Trave 28-37	100%	0,00	0,00	0,00	0,0000	0,0000	0,000000	0,000000	0,00	0,000000	0,000000	0,00

Id_{Tr}	$\%L_{LI}$	$L_{v,SLV}$	$L_{v,SLD}$	L_{pl}	ϕ_u	ϕ_y	SLV			SLD		
							Θ_c	Θ_d	CS	Θ_c	Θ_d	CS
	[%]	[m]	[m]	[m]	[rad/m]	[rad/m]	[rad]	[rad]		[rad]	[rad]	
Piano primo							**Travata: Trave13-24**					
sisma in +X												
proporzionale alle masse												
Trave 13-24	0%	0,00	0,00	0,00	0,0000	0,0000	0,000000	0,000000	0,00	0,000000	0,000000	0,00
Trave 13-24	100%	0,00	0,00	0,00	0,0000	0,0000	0,000000	0,000000	0,00	0,000000	0,000000	0,00
proporzionale alla deformata 1° modo di vibrazione												
Trave 13-24	0%	0,78	0,83	0,39	0,0834	0,0052	0,013784	0,000130	NS	0,004459	0,000157	28,42
Trave 13-24	100%	0,78	0,76	0,39	0,0913	0,0049	0,014867	0,000190	78,32	0,004320	0,000140	30,90
sisma in -X												
proporzionale alle masse												
Trave 13-24	0%	0,00	0,00	0,00	0,0000	0,0000	0,000000	0,000000	0,00	0,000000	0,000000	0,00
Trave 13-24	100%	0,00	0,00	0,00	0,0000	0,0000	0,000000	0,000000	0,00	0,000000	0,000000	0,00
proporzionale alla deformata 1° modo di vibrazione												
Trave 13-24	0%	0,00	0,00	0,00	0,0000	0,0000	0,000000	0,000000	0,00	0,000000	0,000000	0,00
Trave 13-24	100%	0,00	0,00	0,00	0,0000	0,0000	0,000000	0,000000	0,00	0,000000	0,000000	0,00
sisma in +Y												
proporzionale alle masse												
Trave 13-24	0%	7,26	5,68	1,04	0,0781	0,0055	0,041396	0,003039	13,62	0,012514	0,002056	6,09
Trave 13-24	100%	1,42	1,27	0,46	0,0541	0,0051	0,011824	0,002304	5,13	0,004804	0,000984	4,88
proporzionale alla deformata 1° modo di vibrazione												
Trave 13-24	0%	0,00	0,00	0,00	0,0000	0,0000	0,000000	0,000000	0,00	0,000000	0,000000	0,00
Trave 13-24	100%	0,00	0,00	0,00	0,0000	0,0000	0,000000	0,000000	0,00	0,000000	0,000000	0,00
sisma in -Y												
proporzionale alle masse												
Trave 13-24	0%	0,00	0,00	0,00	0,0000	0,0000	0,000000	0,000000	0,00	0,000000	0,000000	0,00
Trave 13-24	100%	0,00	0,00	0,00	0,0000	0,0000	0,000000	0,000000	0,00	0,000000	0,000000	0,00
proporzionale alla deformata 1° modo di vibrazione												
Trave 13-24	0%	0,00	0,00	0,00	0,0000	0,0000	0,000000	0,000000	0,00	0,000000	0,000000	0,00
Trave 13-24	100%	0,00	0,00	0,00	0,0000	0,0000	0,000000	0,000000	0,00	0,000000	0,000000	0,00
Piano primo							**Travata: Trave20-29**					
sisma in +X												
proporzionale alle masse												
Trave 20-29	0%	0,00	0,00	0,00	0,0000	0,0000	0,000000	0,000000	0,00	0,000000	0,000000	0,00
Trave 20-29	100%	0,00	0,00	0,00	0,0000	0,0000	0,000000	0,000000	0,00	0,000000	0,000000	0,00
proporzionale alla deformata 1° modo di vibrazione												
Trave 20-29	0%	0,35	0,47	0,36	0,0838	0,0057	0,009198	0,000288	31,93	0,004519	0,000207	21,79
Trave 20-29	100%	0,61	0,57	0,38	0,0496	0,0060	0,008010	0,000302	26,54	0,004544	0,000246	18,45
sisma in -X												
proporzionale alle masse												
Trave 20-29	0%	0,00	0,00	0,00	0,0000	0,0000	0,000000	0,000000	0,00	0,000000	0,000000	0,00
Trave 20-29	100%	0,00	0,00	0,00	0,0000	0,0000	0,000000	0,000000	0,00	0,000000	0,000000	0,00
proporzionale alla deformata 1° modo di vibrazione												
Trave 20-29	0%	0,00	0,00	0,00	0,0000	0,0000	0,000000	0,000000	0,00	0,000000	0,000000	0,00
Trave 20-29	100%	0,00	0,00	0,00	0,0000	0,0000	0,000000	0,000000	0,00	0,000000	0,000000	0,00
sisma in +Y												
proporzionale alle masse												
Trave 20-29	0%	4,79	4,07	0,80	0,0946	0,0055	0,037531	0,002267	16,55	0,009669	0,001036	9,33
Trave 20-29	100%	1,30	1,09	0,45	0,0418	0,0074	0,009242	0,000967	9,56	0,005682	0,000297	19,10
proporzionale alla deformata 1° modo di vibrazione												
Trave 20-29	0%	0,00	0,00	0,00	0,0000	0,0000	0,000000	0,000000	0,00	0,000000	0,000000	0,00
Trave 20-29	100%	0,00	0,00	0,00	0,0000	0,0000	0,000000	0,000000	0,00	0,000000	0,000000	0,00
sisma in -Y												
proporzionale alle masse												
Trave 20-29	0%	0,00	0,00	0,00	0,0000	0,0000	0,000000	0,000000	0,00	0,000000	0,000000	0,00
Trave 20-29	100%	0,00	0,00	0,00	0,0000	0,0000	0,000000	0,000000	0,00	0,000000	0,000000	0,00
proporzionale alla deformata 1° modo di vibrazione												
Trave 20-29	0%	0,00	0,00	0,00	0,0000	0,0000	0,000000	0,000000	0,00	0,000000	0,000000	0,00
Trave 20-29	100%	0,00	0,00	0,00	0,0000	0,0000	0,000000	0,000000	0,00	0,000000	0,000000	0,00
Piano primo							**Travata: Trave21-30**					
sisma in +X												
proporzionale alle masse												
Trave 21-30	0%	0,00	0,00	0,00	0,0000	0,0000	0,000000	0,000000	0,00	0,000000	0,000000	0,00
Trave 21-30	100%	0,00	0,00	0,00	0,0000	0,0000	0,000000	0,000000	0,00	0,000000	0,000000	0,00
proporzionale alla deformata 1° modo di vibrazione												
Trave 21-30	0%	0,51	0,55	0,37	0,0838	0,0056	0,011429	0,000319	35,85	0,004406	0,000217	20,35
Trave 21-30	100%	0,46	0,47	0,37	0,0497	0,0058	0,007085	0,000264	26,83	0,004550	0,000249	18,29
sisma in -X												
proporzionale alle masse												
Trave 21-30	0%	0,00	0,00	0,00	0,0000	0,0000	0,000000	0,000000	0,00	0,000000	0,000000	0,00
Trave 21-30	100%	0,00	0,00	0,00	0,0000	0,0000	0,000000	0,000000	0,00	0,000000	0,000000	0,00
proporzionale alla deformata 1° modo di vibrazione												
Trave 21-30	0%	0,00	0,00	0,00	0,0000	0,0000	0,000000	0,000000	0,00	0,000000	0,000000	0,00
Trave 21-30	100%	0,00	0,00	0,00	0,0000	0,0000	0,000000	0,000000	0,00	0,000000	0,000000	0,00
sisma in +Y												
proporzionale alle masse												
Trave 21-30	0%	5,85	2,52	0,91	0,0964	0,0053	0,041471	0,002430	17,06	0,006800	0,001093	6,22
Trave 21-30	100%	1,23	1,02	0,44	0,0436	0,0072	0,009350	0,000901	10,38	0,005458	0,000257	21,27
proporzionale alla deformata 1° modo di vibrazione												
Trave 21-30	0%	0,00	0,00	0,00	0,0000	0,0000	0,000000	0,000000	0,00	0,000000	0,000000	0,00
Trave 21-30	100%	0,00	0,00	0,00	0,0000	0,0000	0,000000	0,000000	0,00	0,000000	0,000000	0,00
sisma in -Y												
proporzionale alle masse												
Trave 21-30	0%	0,00	0,00	0,00	0,0000	0,0000	0,000000	0,000000	0,00	0,000000	0,000000	0,00
Trave 21-30	100%	0,00	0,00	0,00	0,0000	0,0000	0,000000	0,000000	0,00	0,000000	0,000000	0,00
proporzionale alla deformata 1° modo di vibrazione												

Id_{Tr}	$\%L_{LI}$	$L_{v,SLV}$	$L_{v,SLD}$	L_{pl}	ϕ_u	ϕ_y	SLV			SLD		
							Θ_c	Θ_d	CS	Θ_c	Θ_d	CS
	[%]	[m]	[m]	[m]	[rad/m]	[rad/m]	[rad]	[rad]		[rad]	[rad]	
Trave 21-30	0%	0,00	0,00	0,00	0,0000	0,0000	0,000000	0,000000	0,00	0,000000	0,000000	0,00
Trave 21-30	100%	0,00	0,00	0,00	0,0000	0,0000	0,000000	0,000000	0,00	0,000000	0,000000	0,00
Piano primo							**Travata: Trave24-31-41**					
sisma in +X												
proporzionale alle masse												
Trave 31-41	0%	0,00	0,00	0,00	0,0000	0,0000	0,000000	0,000000	0,00	0,000000	0,000000	0,00
Trave 31-41	100%	0,00	0,00	0,00	0,0000	0,0000	0,000000	0,000000	0,00	0,000000	0,000000	0,00
proporzionale alla deformata 1° modo di vibrazione												
Trave 31-41	0%	0,68	0,67	0,42	0,0946	0,0049	0,015353	0,000068	NS	0,004461	0,000061	73,05
Trave 31-41	100%	0,41	0,43	0,40	0,0946	0,0049	0,011473	0,000205	55,98	0,004779	0,000178	26,92
sisma in -X												
proporzionale alle masse												
Trave 31-41	0%	0,00	0,00	0,00	0,0000	0,0000	0,000000	0,000000	0,00	0,000000	0,000000	0,00
Trave 31-41	100%	0,00	0,00	0,00	0,0000	0,0000	0,000000	0,000000	0,00	0,000000	0,000000	0,00
proporzionale alla deformata 1° modo di vibrazione												
Trave 31-41	0%	0,00	0,00	0,00	0,0000	0,0000	0,000000	0,000000	0,00	0,000000	0,000000	0,00
Trave 31-41	100%	0,00	0,00	0,00	0,0000	0,0000	0,000000	0,000000	0,00	0,000000	0,000000	0,00
sisma in +Y												
proporzionale alle masse												
Trave 31-41	0%	7,80	1,18	1,14	0,0728	0,0057	0,037893	0,002104	18,01	0,005134	0,000966	5,31
Trave 31-41	100%	1,18	0,99	0,48	0,0711	0,0049	0,014843	0,001250	11,87	0,004568	0,000582	7,85
proporzionale alla deformata 1° modo di vibrazione												
Trave 31-41	0%	0,00	0,00	0,00	0,0000	0,0000	0,000000	0,000000	0,00	0,000000	0,000000	0,00
Trave 31-41	100%	0,00	0,00	0,00	0,0000	0,0000	0,000000	0,000000	0,00	0,000000	0,000000	0,00
sisma in -Y												
proporzionale alle masse												
Trave 31-41	0%	0,00	0,00	0,00	0,0000	0,0000	0,000000	0,000000	0,00	0,000000	0,000000	0,00
Trave 31-41	100%	0,00	0,00	0,00	0,0000	0,0000	0,000000	0,000000	0,00	0,000000	0,000000	0,00
proporzionale alla deformata 1° modo di vibrazione												
Trave 31-41	0%	0,00	0,00	0,00	0,0000	0,0000	0,000000	0,000000	0,00	0,000000	0,000000	0,00
Trave 31-41	100%	0,00	0,00	0,00	0,0000	0,0000	0,000000	0,000000	0,00	0,000000	0,000000	0,00
Piano terra ingresso							**Travata: Trave1-P1-2-P2-3-P3-4-P4-5-P5-6**					
sisma in +X												
proporzionale alle masse												
Trave P1-2	0%	0,00	0,00	0,00	0,0000	0,0000	0,000000	0,000000	0,00	0,000000	0,000000	0,00
Trave P1-2	100%	0,00	0,00	0,00	0,0000	0,0000	0,000000	0,000000	0,00	0,000000	0,000000	0,00
proporzionale alla deformata 1° modo di vibrazione												
Trave P1-2	0%	8,50	2,95	1,25	0,0394	0,0046	0,023682	0,001921	12,33	0,006942	0,001100	6,31
Trave P1-2	100%	1,32	1,14	0,54	0,0257	0,0045	0,006905	0,001628	4,24	0,004764	0,000749	6,36
sisma in -X												
proporzionale alle masse												
Trave P1-2	0%	0,00	0,00	0,00	0,0000	0,0000	0,000000	0,000000	0,00	0,000000	0,000000	0,00
Trave P1-2	100%	0,00	0,00	0,00	0,0000	0,0000	0,000000	0,000000	0,00	0,000000	0,000000	0,00
proporzionale alla deformata 1° modo di vibrazione												
Trave P1-2	0%	0,00	0,00	0,00	0,0000	0,0000	0,000000	0,000000	0,00	0,000000	0,000000	0,00
Trave P1-2	100%	0,00	0,00	0,00	0,0000	0,0000	0,000000	0,000000	0,00	0,000000	0,000000	0,00
sisma in +Y												
proporzionale alle masse												
Trave P1-2	0%	0,35	0,49	0,44	0,0828	0,0036	0,011104	0,001268	8,76	0,004840	0,000682	7,10
Trave P1-2	100%	0,61	0,64	0,46	0,0720	0,0032	0,012013	0,000098	NS	0,004326	0,000096	45,19
proporzionale alla deformata 1° modo di vibrazione												
Trave P1-2	0%	0,00	0,00	0,00	0,0000	0,0000	0,000000	0,000000	0,00	0,000000	0,000000	0,00
Trave P1-2	100%	0,00	0,00	0,00	0,0000	0,0000	0,000000	0,000000	0,00	0,000000	0,000000	0,00
sisma in -Y												
proporzionale alle masse												
Trave P1-2	0%	0,00	0,00	0,00	0,0000	0,0000	0,000000	0,000000	0,00	0,000000	0,000000	0,00
Trave P1-2	100%	0,00	0,00	0,00	0,0000	0,0000	0,000000	0,000000	0,00	0,000000	0,000000	0,00
proporzionale alla deformata 1° modo di vibrazione												
Trave P1-2	0%	0,00	0,00	0,00	0,0000	0,0000	0,000000	0,000000	0,00	0,000000	0,000000	0,00
Trave P1-2	100%	0,00	0,00	0,00	0,0000	0,0000	0,000000	0,000000	0,00	0,000000	0,000000	0,00
sisma in +X												
proporzionale alle masse												
Trave P2-3	0%	0,00	0,00	0,00	0,0000	0,0000	0,000000	0,000000	0,00	0,000000	0,000000	0,00
Trave P2-3	100%	0,00	0,00	0,00	0,0000	0,0000	0,000000	0,000000	0,00	0,000000	0,000000	0,00
proporzionale alla deformata 1° modo di vibrazione												
Trave P2-3	0%	5,58	6,03	0,96	0,0379	0,0045	0,020334	0,001810	11,24	0,011380	0,001058	10,75
Trave P2-3	100%	1,29	1,12	0,53	0,0208	0,0049	0,005859	0,001603	3,65	0,004965	0,000745	6,67
sisma in -X												
proporzionale alle masse												
Trave P2-3	0%	0,00	0,00	0,00	0,0000	0,0000	0,000000	0,000000	0,00	0,000000	0,000000	0,00
Trave P2-3	100%	0,00	0,00	0,00	0,0000	0,0000	0,000000	0,000000	0,00	0,000000	0,000000	0,00
proporzionale alla deformata 1° modo di vibrazione												
Trave P2-3	0%	0,00	0,00	0,00	0,0000	0,0000	0,000000	0,000000	0,00	0,000000	0,000000	0,00
Trave P2-3	100%	0,00	0,00	0,00	0,0000	0,0000	0,000000	0,000000	0,00	0,000000	0,000000	0,00
sisma in +Y												
proporzionale alle masse												
Trave P2-3	0%	0,64	0,64	0,47	0,0778	0,0036	0,013305	0,000087	NS	0,004491	0,000086	52,16
Trave P2-3	100%	0,60	0,61	0,46	0,0420	0,0039	0,007768	0,000097	80,48	0,004637	0,000095	48,88
proporzionale alla deformata 1° modo di vibrazione												
Trave P2-3	0%	0,00	0,00	0,00	0,0000	0,0000	0,000000	0,000000	0,00	0,000000	0,000000	0,00
Trave P2-3	100%	0,00	0,00	0,00	0,0000	0,0000	0,000000	0,000000	0,00	0,000000	0,000000	0,00
sisma in -Y												
proporzionale alle masse												
Trave P2-3	0%	0,00	0,00	0,00	0,0000	0,0000	0,000000	0,000000	0,00	0,000000	0,000000	0,00
Trave P2-3	100%	0,00	0,00	0,00	0,0000	0,0000	0,000000	0,000000	0,00	0,000000	0,000000	0,00

Id_{Tr}	$\%L_{LI}$	$L_{v,SLV}$	$L_{v,SLD}$	L_{pl}	ϕ_u	ϕ_y	SLV			SLD		
							Θ_c	Θ_d	CS	Θ_c	Θ_d	CS
	[%]	[m]	[m]	[m]	[rad/m]	[rad/m]	[rad]	[rad]		[rad]	[rad]	
proporzionale alla deformata 1° modo di vibrazione												
Trave P2-3	0%	0,00	0,00	0,00	0,0000	0,0000	0,000000	0,000000	0,00	0,000000	0,000000	0,00
Trave P2-3	100%	0,00	0,00	0,00	0,0000	0,0000	0,000000	0,000000	0,00	0,000000	0,000000	0,00
sisma in +X												
proporzionale alle masse												
Trave P3-4	0%	0,00	0,00	0,00	0,0000	0,0000	0,000000	0,000000	0,00	0,000000	0,000000	0,00
Trave P3-4	100%	0,00	0,00	0,00	0,0000	0,0000	0,000000	0,000000	0,00	0,000000	0,000000	0,00
proporzionale alla deformata 1° modo di vibrazione												
Trave P3-4	0%	4,87	7,57	0,89	0,0574	0,0043	0,027983	0,001400	19,99	0,012974	0,000956	13,57
Trave P3-4	100%	1,41	1,22	0,54	0,0214	0,0047	0,006129	0,001596	3,84	0,004951	0,000741	6,68
sisma in -X												
proporzionale alle masse												
Trave P3-4	0%	0,00	0,00	0,00	0,0000	0,0000	0,000000	0,000000	0,00	0,000000	0,000000	0,00
Trave P3-4	100%	0,00	0,00	0,00	0,0000	0,0000	0,000000	0,000000	0,00	0,000000	0,000000	0,00
proporzionale alla deformata 1° modo di vibrazione												
Trave P3-4	0%	0,00	0,00	0,00	0,0000	0,0000	0,000000	0,000000	0,00	0,000000	0,000000	0,00
Trave P3-4	100%	0,00	0,00	0,00	0,0000	0,0000	0,000000	0,000000	0,00	0,000000	0,000000	0,00
sisma in +Y												
proporzionale alle masse												
Trave P3-4	0%	0,65	0,65	0,47	0,0696	0,0038	0,012101	0,000099	NS	0,004534	0,000090	50,65
Trave P3-4	100%	0,63	0,63	0,47	0,0420	0,0039	0,007882	0,000097	80,91	0,004610	0,000102	45,20
proporzionale alla deformata 1° modo di vibrazione												
Trave P3-4	0%	0,00	0,00	0,00	0,0000	0,0000	0,000000	0,000000	0,00	0,000000	0,000000	0,00
Trave P3-4	100%	0,00	0,00	0,00	0,0000	0,0000	0,000000	0,000000	0,00	0,000000	0,000000	0,00
sisma in -Y												
proporzionale alle masse												
Trave P3-4	0%	0,00	0,00	0,00	0,0000	0,0000	0,000000	0,000000	0,00	0,000000	0,000000	0,00
Trave P3-4	100%	0,00	0,00	0,00	0,0000	0,0000	0,000000	0,000000	0,00	0,000000	0,000000	0,00
proporzionale alla deformata 1° modo di vibrazione												
Trave P3-4	0%	0,00	0,00	0,00	0,0000	0,0000	0,000000	0,000000	0,00	0,000000	0,000000	0,00
Trave P3-4	100%	0,00	0,00	0,00	0,0000	0,0000	0,000000	0,000000	0,00	0,000000	0,000000	0,00
sisma in +X												
proporzionale alle masse												
Trave P4-5	0%	0,00	0,00	0,00	0,0000	0,0000	0,000000	0,000000	0,00	0,000000	0,000000	0,00
Trave P4-5	100%	0,00	0,00	0,00	0,0000	0,0000	0,000000	0,000000	0,00	0,000000	0,000000	0,00
proporzionale alla deformata 1° modo di vibrazione												
Trave P4-5	0%	5,79	4,60	0,98	0,0213	0,0028	0,011476	0,001942	5,91	0,006257	0,001095	5,71
Trave P4-5	100%	1,31	1,13	0,53	0,0213	0,0049	0,005987	0,001715	3,49	0,005002	0,000794	6,30
sisma in -X												
proporzionale alle masse												
Trave P4-5	0%	0,00	0,00	0,00	0,0000	0,0000	0,000000	0,000000	0,00	0,000000	0,000000	0,00
Trave P4-5	100%	0,00	0,00	0,00	0,0000	0,0000	0,000000	0,000000	0,00	0,000000	0,000000	0,00
proporzionale alla deformata 1° modo di vibrazione												
Trave P4-5	0%	0,00	0,00	0,00	0,0000	0,0000	0,000000	0,000000	0,00	0,000000	0,000000	0,00
Trave P4-5	100%	0,00	0,00	0,00	0,0000	0,0000	0,000000	0,000000	0,00	0,000000	0,000000	0,00
sisma in +Y												
proporzionale alle masse												
Trave P4-5	0%	0,53	0,54	0,46	0,1035	0,0028	0,015377	0,000087	NS	0,004429	0,000074	60,11
Trave P4-5	100%	0,64	0,63	0,47	0,0421	0,0040	0,007953	0,000131	60,58	0,004669	0,000139	33,65
proporzionale alla deformata 1° modo di vibrazione												
Trave P4-5	0%	0,00	0,00	0,00	0,0000	0,0000	0,000000	0,000000	0,00	0,000000	0,000000	0,00
Trave P4-5	100%	0,00	0,00	0,00	0,0000	0,0000	0,000000	0,000000	0,00	0,000000	0,000000	0,00
sisma in -Y												
proporzionale alle masse												
Trave P4-5	0%	0,00	0,00	0,00	0,0000	0,0000	0,000000	0,000000	0,00	0,000000	0,000000	0,00
Trave P4-5	100%	0,00	0,00	0,00	0,0000	0,0000	0,000000	0,000000	0,00	0,000000	0,000000	0,00
proporzionale alla deformata 1° modo di vibrazione												
Trave P4-5	0%	0,00	0,00	0,00	0,0000	0,0000	0,000000	0,000000	0,00	0,000000	0,000000	0,00
Trave P4-5	100%	0,00	0,00	0,00	0,0000	0,0000	0,000000	0,000000	0,00	0,000000	0,000000	0,00
sisma in +X												
proporzionale alle masse												
Trave P5-6	0%	0,00	0,00	0,00	0,0000	0,0000	0,000000	0,000000	0,00	0,000000	0,000000	0,00
Trave P5-6	100%	0,00	0,00	0,00	0,0000	0,0000	0,000000	0,000000	0,00	0,000000	0,000000	0,00
proporzionale alla deformata 1° modo di vibrazione												
Trave P5-6	0%	2,12	0,16	0,62	0,0910	0,0028	0,027817	0,002431	11,44	0,009283	0,001170	7,93
Trave P5-6	100%	1,06	0,89	0,51	0,0460	0,0040	0,010348	0,000341	30,37	0,004468	0,000058	76,47
sisma in -X												
proporzionale alle masse												
Trave P5-6	0%	0,00	0,00	0,00	0,0000	0,0000	0,000000	0,000000	0,00	0,000000	0,000000	0,00
Trave P5-6	100%	0,00	0,00	0,00	0,0000	0,0000	0,000000	0,000000	0,00	0,000000	0,000000	0,00
proporzionale alla deformata 1° modo di vibrazione												
Trave P5-6	0%	0,00	0,00	0,00	0,0000	0,0000	0,000000	0,000000	0,00	0,000000	0,000000	0,00
Trave P5-6	100%	0,00	0,00	0,00	0,0000	0,0000	0,000000	0,000000	0,00	0,000000	0,000000	0,00
sisma in +Y												
proporzionale alle masse												
Trave P5-6	0%	0,13	0,33	0,42	0,1554	0,0027	0,018689	0,000005	NS	0,005588	0,000016	NS
Trave P5-6	100%	0,72	0,59	0,48	0,0685	0,0034	0,012671	0,001482	8,55	0,004523	0,001001	4,52
proporzionale alla deformata 1° modo di vibrazione												
Trave P5-6	0%	0,00	0,00	0,00	0,0000	0,0000	0,000000	0,000000	0,00	0,000000	0,000000	0,00
Trave P5-6	100%	0,00	0,00	0,00	0,0000	0,0000	0,000000	0,000000	0,00	0,000000	0,000000	0,00
sisma in -Y												
proporzionale alle masse												
Trave P5-6	0%	0,00	0,00	0,00	0,0000	0,0000	0,000000	0,000000	0,00	0,000000	0,000000	0,00
Trave P5-6	100%	0,00	0,00	0,00	0,0000	0,0000	0,000000	0,000000	0,00	0,000000	0,000000	0,00
proporzionale alla deformata 1° modo di vibrazione												

Id_{Tr}	$\%L_{LI}$	$L_{v,SLV}$	$L_{v,SLD}$	L_{pl}	ϕ_u	ϕ_y	SLV			SLD		
							Θ_c	Θ_d	CS	Θ_c	Θ_d	CS
	[%]	[m]	[m]	[m]	[rad/m]	[rad/m]	[rad]	[rad]		[rad]	[rad]	
Trave P5-6	0%	0,00	0,00	0,00	0,0000	0,0000	0,000000	0,000000	0,00	0,000000	0,000000	0,00
Trave P5-6	100%	0,00	0,00	0,00	0,0000	0,0000	0,000000	0,000000	0,00	0,000000	0,000000	0,00
Piano terra ingresso							**Travata: Trave7-P6-8-9-10-11-12-P7-13**					
sisma in +X												
proporzionale alle masse												
Trave P6-8	0%	0,00	0,00	0,00	0,0000	0,0000	0,000000	0,000000	0,00	0,000000	0,000000	0,00
Trave P6-8	100%	0,00	0,00	0,00	0,0000	0,0000	0,000000	0,000000	0,00	0,000000	0,000000	0,00
proporzionale alla deformata 1° modo di vibrazione												
Trave P6-8	0%	0,86	0,90	0,45	0,0664	0,0058	0,012529	0,002187	5,73	0,004868	0,000733	6,64
Trave P6-8	100%	0,55	0,49	0,42	0,0435	0,0068	0,007328	0,000824	8,90	0,005085	0,000150	33,79
sisma in -X												
proporzionale alle masse												
Trave P6-8	0%	0,00	0,00	0,00	0,0000	0,0000	0,000000	0,000000	0,00	0,000000	0,000000	0,00
Trave P6-8	100%	0,00	0,00	0,00	0,0000	0,0000	0,000000	0,000000	0,00	0,000000	0,000000	0,00
proporzionale alla deformata 1° modo di vibrazione												
Trave P6-8	0%	0,00	0,00	0,00	0,0000	0,0000	0,000000	0,000000	0,00	0,000000	0,000000	0,00
Trave P6-8	100%	0,00	0,00	0,00	0,0000	0,0000	0,000000	0,000000	0,00	0,000000	0,000000	0,00
sisma in +Y												
proporzionale alle masse												
Trave P6-8	0%	0,08	0,17	0,37	0,1086	0,0062	0,013272	0,000681	19,50	0,007359	0,000367	20,05
Trave P6-8	100%	0,21	0,25	0,39	0,0661	0,0053	0,008781	0,000534	16,45	0,005756	0,000368	15,65
proporzionale alla deformata 1° modo di vibrazione												
Trave P6-8	0%	0,00	0,00	0,00	0,0000	0,0000	0,000000	0,000000	0,00	0,000000	0,000000	0,00
Trave P6-8	100%	0,00	0,00	0,00	0,0000	0,0000	0,000000	0,000000	0,00	0,000000	0,000000	0,00
sisma in -Y												
proporzionale alle masse												
Trave P6-8	0%	0,00	0,00	0,00	0,0000	0,0000	0,000000	0,000000	0,00	0,000000	0,000000	0,00
Trave P6-8	100%	0,00	0,00	0,00	0,0000	0,0000	0,000000	0,000000	0,00	0,000000	0,000000	0,00
proporzionale alla deformata 1° modo di vibrazione												
Trave P6-8	0%	0,00	0,00	0,00	0,0000	0,0000	0,000000	0,000000	0,00	0,000000	0,000000	0,00
Trave P6-8	100%	0,00	0,00	0,00	0,0000	0,0000	0,000000	0,000000	0,00	0,000000	0,000000	0,00
sisma in +X												
proporzionale alle masse												
Trave 8-9	0%	0,00	0,00	0,00	0,0000	0,0000	0,000000	0,000000	0,00	0,000000	0,000000	0,00
Trave 8-9	100%	0,00	0,00	0,00	0,0000	0,0000	0,000000	0,000000	0,00	0,000000	0,000000	0,00
proporzionale alla deformata 1° modo di vibrazione												
Trave 8-9	0%	0,35	0,27	0,40	0,0940	0,0060	0,011696	0,000824	14,20	0,005695	0,000150	37,84
Trave 8-9	100%	0,72	0,62	0,44	0,0440	0,0063	0,008210	0,000344	23,88	0,004878	0,000212	23,04
sisma in -X												
proporzionale alle masse												
Trave 8-9	0%	0,00	0,00	0,00	0,0000	0,0000	0,000000	0,000000	0,00	0,000000	0,000000	0,00
Trave 8-9	100%	0,00	0,00	0,00	0,0000	0,0000	0,000000	0,000000	0,00	0,000000	0,000000	0,00
proporzionale alla deformata 1° modo di vibrazione												
Trave 8-9	0%	0,00	0,00	0,00	0,0000	0,0000	0,000000	0,000000	0,00	0,000000	0,000000	0,00
Trave 8-9	100%	0,00	0,00	0,00	0,0000	0,0000	0,000000	0,000000	0,00	0,000000	0,000000	0,00
sisma in +Y												
proporzionale alle masse												
Trave 8-9	0%	0,39	0,41	0,41	0,0640	0,0060	0,008379	0,000534	15,70	0,004995	0,000368	13,59
Trave 8-9	100%	0,46	0,46	0,41	0,0505	0,0059	0,007539	0,000057	NS	0,004855	0,000059	82,53
proporzionale alla deformata 1° modo di vibrazione												
Trave 8-9	0%	0,00	0,00	0,00	0,0000	0,0000	0,000000	0,000000	0,00	0,000000	0,000000	0,00
Trave 8-9	100%	0,00	0,00	0,00	0,0000	0,0000	0,000000	0,000000	0,00	0,000000	0,000000	0,00
sisma in -Y												
proporzionale alle masse												
Trave 8-9	0%	0,00	0,00	0,00	0,0000	0,0000	0,000000	0,000000	0,00	0,000000	0,000000	0,00
Trave 8-9	100%	0,00	0,00	0,00	0,0000	0,0000	0,000000	0,000000	0,00	0,000000	0,000000	0,00
proporzionale alla deformata 1° modo di vibrazione												
Trave 8-9	0%	0,00	0,00	0,00	0,0000	0,0000	0,000000	0,000000	0,00	0,000000	0,000000	0,00
Trave 8-9	100%	0,00	0,00	0,00	0,0000	0,0000	0,000000	0,000000	0,00	0,000000	0,000000	0,00
sisma in +X												
proporzionale alle masse												
Trave 9-10	0%	0,00	0,00	0,00	0,0000	0,0000	0,000000	0,000000	0,00	0,000000	0,000000	0,00
Trave 9-10	100%	0,00	0,00	0,00	0,0000	0,0000	0,000000	0,000000	0,00	0,000000	0,000000	0,00
proporzionale alla deformata 1° modo di vibrazione												
Trave 9-10	0%	4,36	1,42	0,80	0,0759	0,0069	0,028247	0,000344	82,17	0,006203	0,000212	29,30
Trave 9-10	100%	0,96	0,81	0,46	0,0337	0,0074	0,007352	0,000947	7,76	0,005466	0,000446	12,24
sisma in -X												
proporzionale alle masse												
Trave 9-10	0%	0,00	0,00	0,00	0,0000	0,0000	0,000000	0,000000	0,00	0,000000	0,000000	0,00
Trave 9-10	100%	0,00	0,00	0,00	0,0000	0,0000	0,000000	0,000000	0,00	0,000000	0,000000	0,00
proporzionale alla deformata 1° modo di vibrazione												
Trave 9-10	0%	0,00	0,00	0,00	0,0000	0,0000	0,000000	0,000000	0,00	0,000000	0,000000	0,00
Trave 9-10	100%	0,00	0,00	0,00	0,0000	0,0000	0,000000	0,000000	0,00	0,000000	0,000000	0,00
sisma in +Y												
proporzionale alle masse												
Trave 9-10	0%	0,58	0,54	0,42	0,0704	0,0060	0,011023	0,000057	NS	0,004777	0,000059	81,22
Trave 9-10	100%	0,43	0,46	0,41	0,0603	0,0063	0,008229	0,000146	56,46	0,004984	0,000108	46,17
proporzionale alla deformata 1° modo di vibrazione												
Trave 9-10	0%	0,00	0,00	0,00	0,0000	0,0000	0,000000	0,000000	0,00	0,000000	0,000000	0,00
Trave 9-10	100%	0,00	0,00	0,00	0,0000	0,0000	0,000000	0,000000	0,00	0,000000	0,000000	0,00
sisma in -Y												
proporzionale alle masse												
Trave 9-10	0%	0,00	0,00	0,00	0,0000	0,0000	0,000000	0,000000	0,00	0,000000	0,000000	0,00
Trave 9-10	100%	0,00	0,00	0,00	0,0000	0,0000	0,000000	0,000000	0,00	0,000000	0,000000	0,00
proporzionale alla deformata 1° modo di vibrazione												

Id_{Tr}	$\%L_{LI}$	$L_{v,SLV}$	$L_{v,SLD}$	L_{pl}	ϕ_u	ϕ_y	SLV			SLD		
							Θ_c	Θ_d	CS	Θ_c	Θ_d	CS
	[%]	[m]	[m]	[m]	[rad/m]	[rad/m]	[rad]	[rad]		[rad]	[rad]	
Trave 9-10	0%	0,00	0,00	0,00	0,0000	0,0000	0,000000	0,000000	0,00	0,000000	0,000000	0,00
Trave 9-10	100%	0,00	0,00	0,00	0,0000	0,0000	0,000000	0,000000	0,00	0,000000	0,000000	0,00
sisma in +X												
proporzionale alle masse												
Trave 11-12	0%	0,00	0,00	0,00	0,0000	0,0000	0,000000	0,000000	0,00	0,000000	0,000000	0,00
Trave 11-12	100%	0,00	0,00	0,00	0,0000	0,0000	0,000000	0,000000	0,00	0,000000	0,000000	0,00
proporzionale alla deformata 1° modo di vibrazione												
Trave 11-12	0%	1,86	0,14	0,55	0,1032	0,0042	0,027234	0,002292	11,88	0,007836	0,001110	7,06
Trave 11-12	100%	0,71	0,61	0,44	0,0714	0,0056	0,012311	0,000484	25,43	0,004619	0,000352	13,11
sisma in -X												
proporzionale alle masse												
Trave 11-12	0%	0,00	0,00	0,00	0,0000	0,0000	0,000000	0,000000	0,00	0,000000	0,000000	0,00
Trave 11-12	100%	0,00	0,00	0,00	0,0000	0,0000	0,000000	0,000000	0,00	0,000000	0,000000	0,00
proporzionale alla deformata 1° modo di vibrazione												
Trave 11-12	0%	0,00	0,00	0,00	0,0000	0,0000	0,000000	0,000000	0,00	0,000000	0,000000	0,00
Trave 11-12	100%	0,00	0,00	0,00	0,0000	0,0000	0,000000	0,000000	0,00	0,000000	0,000000	0,00
sisma in +Y												
proporzionale alle masse												
Trave 11-12	0%	0,54	0,55	0,42	0,0478	0,0062	0,007787	0,000023	NS	0,004875	0,000042	NS
Trave 11-12	100%	0,41	0,40	0,41	0,0716	0,0059	0,009225	0,000168	54,98	0,005010	0,000177	28,29
proporzionale alla deformata 1° modo di vibrazione												
Trave 11-12	0%	0,00	0,00	0,00	0,0000	0,0000	0,000000	0,000000	0,00	0,000000	0,000000	0,00
Trave 11-12	100%	0,00	0,00	0,00	0,0000	0,0000	0,000000	0,000000	0,00	0,000000	0,000000	0,00
sisma in -Y												
proporzionale alle masse												
Trave 11-12	0%	0,00	0,00	0,00	0,0000	0,0000	0,000000	0,000000	0,00	0,000000	0,000000	0,00
Trave 11-12	100%	0,00	0,00	0,00	0,0000	0,0000	0,000000	0,000000	0,00	0,000000	0,000000	0,00
proporzionale alla deformata 1° modo di vibrazione												
Trave 11-12	0%	0,00	0,00	0,00	0,0000	0,0000	0,000000	0,000000	0,00	0,000000	0,000000	0,00
Trave 11-12	100%	0,00	0,00	0,00	0,0000	0,0000	0,000000	0,000000	0,00	0,000000	0,000000	0,00
sisma in +X												
proporzionale alle masse												
Trave 12-P7	0%	0,00	0,00	0,00	0,0000	0,0000	0,000000	0,000000	0,00	0,000000	0,000000	0,00
Trave 12-P7	100%	0,00	0,00	0,00	0,0000	0,0000	0,000000	0,000000	0,00	0,000000	0,000000	0,00
proporzionale alla deformata 1° modo di vibrazione												
Trave 12-P7	0%	0,45	0,41	0,41	0,0392	0,0093	0,006326	0,000484	13,06	0,005982	0,000352	16,98
Trave 12-P7	100%	0,38	0,52	0,40	0,0547	0,0062	0,007348	0,000624	11,78	0,004886	0,000300	16,27
sisma in -X												
proporzionale alle masse												
Trave 12-P7	0%	0,00	0,00	0,00	0,0000	0,0000	0,000000	0,000000	0,00	0,000000	0,000000	0,00
Trave 12-P7	100%	0,00	0,00	0,00	0,0000	0,0000	0,000000	0,000000	0,00	0,000000	0,000000	0,00
proporzionale alla deformata 1° modo di vibrazione												
Trave 12-P7	0%	0,00	0,00	0,00	0,0000	0,0000	0,000000	0,000000	0,00	0,000000	0,000000	0,00
Trave 12-P7	100%	0,00	0,00	0,00	0,0000	0,0000	0,000000	0,000000	0,00	0,000000	0,000000	0,00
sisma in +Y												
proporzionale alle masse												
Trave 12-P7	0%	0,37	0,34	0,40	0,0564	0,0078	0,007787	0,000168	46,41	0,005751	0,000177	32,47
Trave 12-P7	100%	1,99	0,35	0,57	0,0707	0,0102	0,017899	0,000073	NS	0,006368	0,000065	98,62
proporzionale alla deformata 1° modo di vibrazione												
Trave 12-P7	0%	0,00	0,00	0,00	0,0000	0,0000	0,000000	0,000000	0,00	0,000000	0,000000	0,00
Trave 12-P7	100%	0,00	0,00	0,00	0,0000	0,0000	0,000000	0,000000	0,00	0,000000	0,000000	0,00
sisma in -Y												
proporzionale alle masse												
Trave 12-P7	0%	0,00	0,00	0,00	0,0000	0,0000	0,000000	0,000000	0,00	0,000000	0,000000	0,00
Trave 12-P7	100%	0,00	0,00	0,00	0,0000	0,0000	0,000000	0,000000	0,00	0,000000	0,000000	0,00
proporzionale alla deformata 1° modo di vibrazione												
Trave 12-P7	0%	0,00	0,00	0,00	0,0000	0,0000	0,000000	0,000000	0,00	0,000000	0,000000	0,00
Trave 12-P7	100%	0,00	0,00	0,00	0,0000	0,0000	0,000000	0,000000	0,00	0,000000	0,000000	0,00
Piano terra ingresso							**Travata: Trave32-P10-33-P11-34-P12-35-P13-36-P14-37**					
sisma in +X												
proporzionale alle masse												
Trave P10-33	0%	0,00	0,00	0,00	0,0000	0,0000	0,000000	0,000000	0,00	0,000000	0,000000	0,00
Trave P10-33	100%	0,00	0,00	0,00	0,0000	0,0000	0,000000	0,000000	0,00	0,000000	0,000000	0,00
proporzionale alla deformata 1° modo di vibrazione												
Trave P10-33	0%	5,55	5,74	0,96	0,0240	0,0048	0,014109	0,002077	6,79	0,011379	0,001083	10,51
Trave P10-33	100%	1,41	1,23	0,54	0,0240	0,0047	0,006709	0,001710	3,92	0,004956	0,000794	6,24
sisma in -X												
proporzionale alle masse												
Trave P10-33	0%	0,00	0,00	0,00	0,0000	0,0000	0,000000	0,000000	0,00	0,000000	0,000000	0,00
Trave P10-33	100%	0,00	0,00	0,00	0,0000	0,0000	0,000000	0,000000	0,00	0,000000	0,000000	0,00
proporzionale alla deformata 1° modo di vibrazione												
Trave P10-33	0%	0,00	0,00	0,00	0,0000	0,0000	0,000000	0,000000	0,00	0,000000	0,000000	0,00
Trave P10-33	100%	0,00	0,00	0,00	0,0000	0,0000	0,000000	0,000000	0,00	0,000000	0,000000	0,00
sisma in +Y												
proporzionale alle masse												
Trave P10-33	0%	0,57	0,53	0,46	0,1036	0,0028	0,016033	0,000046	NS	0,004451	0,000074	60,53
Trave P10-33	100%	0,77	0,76	0,48	0,0487	0,0040	0,009647	0,000078	NS	0,004489	0,000054	83,26
proporzionale alla deformata 1° modo di vibrazione												
Trave P10-33	0%	0,00	0,00	0,00	0,0000	0,0000	0,000000	0,000000	0,00	0,000000	0,000000	0,00
Trave P10-33	100%	0,00	0,00	0,00	0,0000	0,0000	0,000000	0,000000	0,00	0,000000	0,000000	0,00
sisma in -Y												
proporzionale alle masse												
Trave P10-33	0%	0,00	0,00	0,00	0,0000	0,0000	0,000000	0,000000	0,00	0,000000	0,000000	0,00
Trave P10-33	100%	0,00	0,00	0,00	0,0000	0,0000	0,000000	0,000000	0,00	0,000000	0,000000	0,00
proporzionale alla deformata 1° modo di vibrazione												

Id_{Tr}	$\%L_{LI}$	$L_{v,SLV}$	$L_{v,SLD}$	L_{pl}	ϕ_u	ϕ_y	SLV			SLD		
							Θ_c	Θ_d	CS	Θ_c	Θ_d	CS
	[%]	[m]	[m]	[m]	[rad/m]	[rad/m]	[rad]	[rad]		[rad]	[rad]	
Trave P10-33	0%	0,00	0,00	0,00	0,0000	0,0000	0,000000	0,000000	0,00	0,000000	0,000000	0,00
Trave P10-33	100%	0,00	0,00	0,00	0,0000	0,0000	0,000000	0,000000	0,00	0,000000	0,000000	0,00
sisma in +X												
proporzionale alle masse												
Trave P11-34	0%	0,00	0,00	0,00	0,0000	0,0000	0,000000	0,000000	0,00	0,000000	0,000000	0,00
Trave P11-34	100%	0,00	0,00	0,00	0,0000	0,0000	0,000000	0,000000	0,00	0,000000	0,000000	0,00
proporzionale alla deformata 1° modo di vibrazione												
Trave P11-34	0%	4,26	19,02	0,83	0,0277	0,0043	0,023439	0,002120	11,06	0,029388	0,001090	26,97
Trave P11-34	100%	1,39	1,23	0,54	0,0169	0,0056	0,005198	0,001714	3,03	0,005458	0,000809	6,75
sisma in -X												
proporzionale alle masse												
Trave P11-34	0%	0,00	0,00	0,00	0,0000	0,0000	0,000000	0,000000	0,00	0,000000	0,000000	0,00
Trave P11-34	100%	0,00	0,00	0,00	0,0000	0,0000	0,000000	0,000000	0,00	0,000000	0,000000	0,00
proporzionale alla deformata 1° modo di vibrazione												
Trave P11-34	0%	0,00	0,00	0,00	0,0000	0,0000	0,000000	0,000000	0,00	0,000000	0,000000	0,00
Trave P11-34	100%	0,00	0,00	0,00	0,0000	0,0000	0,000000	0,000000	0,00	0,000000	0,000000	0,00
sisma in +Y												
proporzionale alle masse												
Trave P11-34	0%	0,51	0,50	0,45	0,1079	0,0028	0,015588	0,000104	NS	0,004583	0,000108	42,61
Trave P11-34	100%	0,68	0,70	0,47	0,0281	0,0044	0,006003	0,000052	NS	0,004733	0,000038	NS
proporzionale alla deformata 1° modo di vibrazione												
Trave P11-34	0%	0,00	0,00	0,00	0,0000	0,0000	0,000000	0,000000	0,00	0,000000	0,000000	0,00
Trave P11-34	100%	0,00	0,00	0,00	0,0000	0,0000	0,000000	0,000000	0,00	0,000000	0,000000	0,00
sisma in -Y												
proporzionale alle masse												
Trave P11-34	0%	0,00	0,00	0,00	0,0000	0,0000	0,000000	0,000000	0,00	0,000000	0,000000	0,00
Trave P11-34	100%	0,00	0,00	0,00	0,0000	0,0000	0,000000	0,000000	0,00	0,000000	0,000000	0,00
proporzionale alla deformata 1° modo di vibrazione												
Trave P11-34	0%	0,00	0,00	0,00	0,0000	0,0000	0,000000	0,000000	0,00	0,000000	0,000000	0,00
Trave P11-34	100%	0,00	0,00	0,00	0,0000	0,0000	0,000000	0,000000	0,00	0,000000	0,000000	0,00
sisma in +X												
proporzionale alle masse												
Trave P12-35	0%	0,00	0,00	0,00	0,0000	0,0000	0,000000	0,000000	0,00	0,000000	0,000000	0,00
Trave P12-35	100%	0,00	0,00	0,00	0,0000	0,0000	0,000000	0,000000	0,00	0,000000	0,000000	0,00
proporzionale alla deformata 1° modo di vibrazione												
Trave P12-35	0%	7,19	2,61	1,12	0,0357	0,0041	0,019335	0,002059	9,39	0,005960	0,001116	5,34
Trave P12-35	100%	1,36	1,21	0,54	0,0183	0,0052	0,005436	0,001649	3,30	0,005219	0,000760	6,86
sisma in -X												
proporzionale alle masse												
Trave P12-35	0%	0,00	0,00	0,00	0,0000	0,0000	0,000000	0,000000	0,00	0,000000	0,000000	0,00
Trave P12-35	100%	0,00	0,00	0,00	0,0000	0,0000	0,000000	0,000000	0,00	0,000000	0,000000	0,00
proporzionale alla deformata 1° modo di vibrazione												
Trave P12-35	0%	0,00	0,00	0,00	0,0000	0,0000	0,000000	0,000000	0,00	0,000000	0,000000	0,00
Trave P12-35	100%	0,00	0,00	0,00	0,0000	0,0000	0,000000	0,000000	0,00	0,000000	0,000000	0,00
sisma in +Y												
proporzionale alle masse												
Trave P12-35	0%	0,56	0,55	0,46	0,0970	0,0031	0,014935	0,000157	95,42	0,004490	0,000157	28,55
Trave P12-35	100%	0,70	0,71	0,47	0,0300	0,0043	0,006359	0,000072	88,60	0,004662	0,000064	72,42
proporzionale alla deformata 1° modo di vibrazione												
Trave P12-35	0%	0,00	0,00	0,00	0,0000	0,0000	0,000000	0,000000	0,00	0,000000	0,000000	0,00
Trave P12-35	100%	0,00	0,00	0,00	0,0000	0,0000	0,000000	0,000000	0,00	0,000000	0,000000	0,00
sisma in -Y												
proporzionale alle masse												
Trave P12-35	0%	0,00	0,00	0,00	0,0000	0,0000	0,000000	0,000000	0,00	0,000000	0,000000	0,00
Trave P12-35	100%	0,00	0,00	0,00	0,0000	0,0000	0,000000	0,000000	0,00	0,000000	0,000000	0,00
proporzionale alla deformata 1° modo di vibrazione												
Trave P12-35	0%	0,00	0,00	0,00	0,0000	0,0000	0,000000	0,000000	0,00	0,000000	0,000000	0,00
Trave P12-35	100%	0,00	0,00	0,00	0,0000	0,0000	0,000000	0,000000	0,00	0,000000	0,000000	0,00
sisma in +X												
proporzionale alle masse												
Trave P13-36	0%	0,00	0,00	0,00	0,0000	0,0000	0,000000	0,000000	0,00	0,000000	0,000000	0,00
Trave P13-36	100%	0,00	0,00	0,00	0,0000	0,0000	0,000000	0,000000	0,00	0,000000	0,000000	0,00
proporzionale alla deformata 1° modo di vibrazione												
Trave P13-36	0%	10,26	1,81	1,43	0,0321	0,0041	0,021140	0,002278	9,28	0,005082	0,001155	4,40
Trave P13-36	100%	1,29	1,12	0,53	0,0159	0,0057	0,004849	0,001739	2,79	0,005412	0,000814	6,65
sisma in -X												
proporzionale alle masse												
Trave P13-36	0%	0,00	0,00	0,00	0,0000	0,0000	0,000000	0,000000	0,00	0,000000	0,000000	0,00
Trave P13-36	100%	0,00	0,00	0,00	0,0000	0,0000	0,000000	0,000000	0,00	0,000000	0,000000	0,00
proporzionale alla deformata 1° modo di vibrazione												
Trave P13-36	0%	0,00	0,00	0,00	0,0000	0,0000	0,000000	0,000000	0,00	0,000000	0,000000	0,00
Trave P13-36	100%	0,00	0,00	0,00	0,0000	0,0000	0,000000	0,000000	0,00	0,000000	0,000000	0,00
sisma in +Y												
proporzionale alle masse												
Trave P13-36	0%	0,52	0,52	0,46	0,1055	0,0029	0,015455	0,000155	NS	0,004542	0,000153	29,68
Trave P13-36	100%	0,69	0,70	0,47	0,0251	0,0045	0,005581	0,000054	NS	0,004764	0,000056	85,49
proporzionale alla deformata 1° modo di vibrazione												
Trave P13-36	0%	0,00	0,00	0,00	0,0000	0,0000	0,000000	0,000000	0,00	0,000000	0,000000	0,00
Trave P13-36	100%	0,00	0,00	0,00	0,0000	0,0000	0,000000	0,000000	0,00	0,000000	0,000000	0,00
sisma in -Y												
proporzionale alle masse												
Trave P13-36	0%	0,00	0,00	0,00	0,0000	0,0000	0,000000	0,000000	0,00	0,000000	0,000000	0,00
Trave P13-36	100%	0,00	0,00	0,00	0,0000	0,0000	0,000000	0,000000	0,00	0,000000	0,000000	0,00
proporzionale alla deformata 1° modo di vibrazione												
Trave P13-36	0%	0,00	0,00	0,00	0,0000	0,0000	0,000000	0,000000	0,00	0,000000	0,000000	0,00

Id_{Tr}	$\%L_{LI}$	$L_{v,SLV}$	$L_{v,SLD}$	L_{pl}	ϕ_u	ϕ_y	SLV			SLD		
							Θ_c	Θ_d	CS	Θ_c	Θ_d	CS
	[%]	[m]	[m]	[m]	[rad/m]	[rad/m]	[rad]	[rad]		[rad]	[rad]	
Trave P13-36	100%	0,00	0,00	0,00	0,0000	0,0000	0,000000	0,000000	0,00	0,000000	0,000000	0,00
sisma in +X												
proporzionale alle masse												
Trave P14-37	0%	0,00	0,00	0,00	0,0000	0,0000	0,000000	0,000000	0,00	0,000000	0,000000	0,00
Trave P14-37	100%	0,00	0,00	0,00	0,0000	0,0000	0,000000	0,000000	0,00	0,000000	0,000000	0,00
proporzionale alla deformata 1° modo di vibrazione												
Trave P14-37	0%	4,29	0,48	0,83	0,0358	0,0027	0,014757	0,002282	6,47	0,004644	0,001185	3,92
Trave P14-37	100%	1,02	0,97	0,51	0,0422	0,0040	0,009491	0,000808	11,74	0,004453	0,000500	8,90
sisma in -X												
proporzionale alle masse												
Trave P14-37	0%	0,00	0,00	0,00	0,0000	0,0000	0,000000	0,000000	0,00	0,000000	0,000000	0,00
Trave P14-37	100%	0,00	0,00	0,00	0,0000	0,0000	0,000000	0,000000	0,00	0,000000	0,000000	0,00
proporzionale alla deformata 1° modo di vibrazione												
Trave P14-37	0%	0,00	0,00	0,00	0,0000	0,0000	0,000000	0,000000	0,00	0,000000	0,000000	0,00
Trave P14-37	100%	0,00	0,00	0,00	0,0000	0,0000	0,000000	0,000000	0,00	0,000000	0,000000	0,00
sisma in +Y												
proporzionale alle masse												
Trave P14-37	0%	0,58	0,57	0,46	0,1032	0,0027	0,016053	0,000170	94,64	0,004328	0,000163	26,57
Trave P14-37	100%	0,50	0,52	0,45	0,0592	0,0038	0,009327	0,000428	21,80	0,004847	0,000443	10,94
proporzionale alla deformata 1° modo di vibrazione												
Trave P14-37	0%	0,00	0,00	0,00	0,0000	0,0000	0,000000	0,000000	0,00	0,000000	0,000000	0,00
Trave P14-37	100%	0,00	0,00	0,00	0,0000	0,0000	0,000000	0,000000	0,00	0,000000	0,000000	0,00
sisma in -Y												
proporzionale alle masse												
Trave P14-37	0%	0,00	0,00	0,00	0,0000	0,0000	0,000000	0,000000	0,00	0,000000	0,000000	0,00
Trave P14-37	100%	0,00	0,00	0,00	0,0000	0,0000	0,000000	0,000000	0,00	0,000000	0,000000	0,00
proporzionale alla deformata 1° modo di vibrazione												
Trave P14-37	0%	0,00	0,00	0,00	0,0000	0,0000	0,000000	0,000000	0,00	0,000000	0,000000	0,00
Trave P14-37	100%	0,00	0,00	0,00	0,0000	0,0000	0,000000	0,000000	0,00	0,000000	0,000000	0,00
Piano terra ingresso							**Travata: Trave14-15-16-17-18-19**					
sisma in +X												
proporzionale alle masse												
Trave 14-15	0%	0,00	0,00	0,00	0,0000	0,0000	0,000000	0,000000	0,00	0,000000	0,000000	0,00
Trave 14-15	100%	0,00	0,00	0,00	0,0000	0,0000	0,000000	0,000000	0,00	0,000000	0,000000	0,00
proporzionale alla deformata 1° modo di vibrazione												
Trave 14-15	0%	0,24	0,34	0,44	0,0846	0,0031	0,012166	0,003325	3,66	0,006235	0,002019	3,09
Trave 14-15	100%	1,10	1,04	0,53	0,0208	0,0039	0,005697	0,001033	5,51	0,004593	0,000551	8,33
sisma in -X												
proporzionale alle masse												
Trave 14-15	0%	0,00	0,00	0,00	0,0000	0,0000	0,000000	0,000000	0,00	0,000000	0,000000	0,00
Trave 14-15	100%	0,00	0,00	0,00	0,0000	0,0000	0,000000	0,000000	0,00	0,000000	0,000000	0,00
proporzionale alla deformata 1° modo di vibrazione												
Trave 14-15	0%	0,00	0,00	0,00	0,0000	0,0000	0,000000	0,000000	0,00	0,000000	0,000000	0,00
Trave 14-15	100%	0,00	0,00	0,00	0,0000	0,0000	0,000000	0,000000	0,00	0,000000	0,000000	0,00
sisma in +Y												
proporzionale alle masse												
Trave 14-15	0%	0,62	0,71	0,48	0,0536	0,0031	0,009633	0,001573	6,13	0,004474	0,001116	4,01
Trave 14-15	100%	0,96	0,98	0,52	0,0247	0,0035	0,006205	0,000008	NS	0,004429	0,000018	NS
proporzionale alla deformata 1° modo di vibrazione												
Trave 14-15	0%	0,00	0,00	0,00	0,0000	0,0000	0,000000	0,000000	0,00	0,000000	0,000000	0,00
Trave 14-15	100%	0,00	0,00	0,00	0,0000	0,0000	0,000000	0,000000	0,00	0,000000	0,000000	0,00
sisma in -Y												
proporzionale alle masse												
Trave 14-15	0%	0,00	0,00	0,00	0,0000	0,0000	0,000000	0,000000	0,00	0,000000	0,000000	0,00
Trave 14-15	100%	0,00	0,00	0,00	0,0000	0,0000	0,000000	0,000000	0,00	0,000000	0,000000	0,00
proporzionale alla deformata 1° modo di vibrazione												
Trave 14-15	0%	0,00	0,00	0,00	0,0000	0,0000	0,000000	0,000000	0,00	0,000000	0,000000	0,00
Trave 14-15	100%	0,00	0,00	0,00	0,0000	0,0000	0,000000	0,000000	0,00	0,000000	0,000000	0,00
sisma in +X												
proporzionale alle masse												
Trave 15-16	0%	0,00	0,00	0,00	0,0000	0,0000	0,000000	0,000000	0,00	0,000000	0,000000	0,00
Trave 15-16	100%	0,00	0,00	0,00	0,0000	0,0000	0,000000	0,000000	0,00	0,000000	0,000000	0,00
proporzionale alla deformata 1° modo di vibrazione												
Trave 15-16	0%	0,07	0,54	0,43	0,0865	0,0044	0,011435	0,001033	11,07	0,005346	0,000551	9,70
Trave 15-16	100%	1,37	1,24	0,56	0,0149	0,0047	0,004808	0,001548	3,11	0,005081	0,000877	5,80
sisma in -X												
proporzionale alle masse												
Trave 15-16	0%	0,00	0,00	0,00	0,0000	0,0000	0,000000	0,000000	0,00	0,000000	0,000000	0,00
Trave 15-16	100%	0,00	0,00	0,00	0,0000	0,0000	0,000000	0,000000	0,00	0,000000	0,000000	0,00
proporzionale alla deformata 1° modo di vibrazione												
Trave 15-16	0%	0,00	0,00	0,00	0,0000	0,0000	0,000000	0,000000	0,00	0,000000	0,000000	0,00
Trave 15-16	100%	0,00	0,00	0,00	0,0000	0,0000	0,000000	0,000000	0,00	0,000000	0,000000	0,00
sisma in +Y												
proporzionale alle masse												
Trave 15-16	0%	0,92	0,93	0,51	0,0164	0,0044	0,004640	0,000008	NS	0,004840	0,000018	NS
Trave 15-16	100%	1,02	1,02	0,52	0,0190	0,0041	0,005240	0,000135	38,86	0,004711	0,000129	36,56
proporzionale alla deformata 1° modo di vibrazione												
Trave 15-16	0%	0,00	0,00	0,00	0,0000	0,0000	0,000000	0,000000	0,00	0,000000	0,000000	0,00
Trave 15-16	100%	0,00	0,00	0,00	0,0000	0,0000	0,000000	0,000000	0,00	0,000000	0,000000	0,00
sisma in -Y												
proporzionale alle masse												
Trave 15-16	0%	0,00	0,00	0,00	0,0000	0,0000	0,000000	0,000000	0,00	0,000000	0,000000	0,00
Trave 15-16	100%	0,00	0,00	0,00	0,0000	0,0000	0,000000	0,000000	0,00	0,000000	0,000000	0,00
proporzionale alla deformata 1° modo di vibrazione												
Trave 15-16	0%	0,00	0,00	0,00	0,0000	0,0000	0,000000	0,000000	0,00	0,000000	0,000000	0,00

Id_{Tr}	$\%L_{LI}$	$L_{v,SLV}$	$L_{v,SLD}$	L_{pl}	ϕ_u	ϕ_y	SLV			SLD		
							Θ_c	Θ_d	CS	Θ_c	Θ_d	CS
	[%]	[m]	[m]	[m]	[rad/m]	[rad/m]	[rad]	[rad]		[rad]	[rad]	
Trave 15-16	100%	0,00	0,00	0,00	0,0000	0,0000	0,000000	0,000000	0,00	0,000000	0,000000	0,00
sisma in +X												
proporzionale alle masse												
Trave 16-17	0%	0,00	0,00	0,00	0,0000	0,0000	0,000000	0,000000	0,00	0,000000	0,000000	0,00
Trave 16-17	100%	0,00	0,00	0,00	0,0000	0,0000	0,000000	0,000000	0,00	0,000000	0,000000	0,00
proporzionale alla deformata 1° modo di vibrazione												
Trave 16-17	0%	0,71	0,27	0,52	0,0851	0,0033	0,017513	0,001548	11,31	0,008217	0,000877	9,37
Trave 16-17	100%	1,32	1,17	0,58	0,0182	0,0034	0,005650	0,001399	4,04	0,004599	0,000741	6,21
sisma in -X												
proporzionale alle masse												
Trave 16-17	0%	0,00	0,00	0,00	0,0000	0,0000	0,000000	0,000000	0,00	0,000000	0,000000	0,00
Trave 16-17	100%	0,00	0,00	0,00	0,0000	0,0000	0,000000	0,000000	0,00	0,000000	0,000000	0,00
proporzionale alla deformata 1° modo di vibrazione												
Trave 16-17	0%	0,00	0,00	0,00	0,0000	0,0000	0,000000	0,000000	0,00	0,000000	0,000000	0,00
Trave 16-17	100%	0,00	0,00	0,00	0,0000	0,0000	0,000000	0,000000	0,00	0,000000	0,000000	0,00
sisma in +Y												
proporzionale alle masse												
Trave 16-17	0%	0,88	0,88	0,53	0,0153	0,0033	0,004586	0,000135	34,00	0,004697	0,000129	36,45
Trave 16-17	100%	0,93	0,93	0,54	0,0295	0,0029	0,007315	0,000010	NS	0,004464	0,000004	NS
proporzionale alla deformata 1° modo di vibrazione												
Trave 16-17	0%	0,00	0,00	0,00	0,0000	0,0000	0,000000	0,000000	0,00	0,000000	0,000000	0,00
Trave 16-17	100%	0,00	0,00	0,00	0,0000	0,0000	0,000000	0,000000	0,00	0,000000	0,000000	0,00
sisma in -Y												
proporzionale alle masse												
Trave 16-17	0%	0,00	0,00	0,00	0,0000	0,0000	0,000000	0,000000	0,00	0,000000	0,000000	0,00
Trave 16-17	100%	0,00	0,00	0,00	0,0000	0,0000	0,000000	0,000000	0,00	0,000000	0,000000	0,00
proporzionale alla deformata 1° modo di vibrazione												
Trave 16-17	0%	0,00	0,00	0,00	0,0000	0,0000	0,000000	0,000000	0,00	0,000000	0,000000	0,00
Trave 16-17	100%	0,00	0,00	0,00	0,0000	0,0000	0,000000	0,000000	0,00	0,000000	0,000000	0,00
sisma in +X												
proporzionale alle masse												
Trave 17-18	0%	0,00	0,00	0,00	0,0000	0,0000	0,000000	0,000000	0,00	0,000000	0,000000	0,00
Trave 17-18	100%	0,00	0,00	0,00	0,0000	0,0000	0,000000	0,000000	0,00	0,000000	0,000000	0,00
proporzionale alla deformata 1° modo di vibrazione												
Trave 17-18	0%	0,70	0,35	0,52	0,0700	0,0030	0,014376	0,001399	10,28	0,006889	0,000741	9,30
Trave 17-18	100%	1,34	1,18	0,58	0,0121	0,0039	0,004301	0,001456	2,95	0,004859	0,000758	6,41
sisma in -X												
proporzionale alle masse												
Trave 17-18	0%	0,00	0,00	0,00	0,0000	0,0000	0,000000	0,000000	0,00	0,000000	0,000000	0,00
Trave 17-18	100%	0,00	0,00	0,00	0,0000	0,0000	0,000000	0,000000	0,00	0,000000	0,000000	0,00
proporzionale alla deformata 1° modo di vibrazione												
Trave 17-18	0%	0,00	0,00	0,00	0,0000	0,0000	0,000000	0,000000	0,00	0,000000	0,000000	0,00
Trave 17-18	100%	0,00	0,00	0,00	0,0000	0,0000	0,000000	0,000000	0,00	0,000000	0,000000	0,00
sisma in +Y												
proporzionale alle masse												
Trave 17-18	0%	0,93	0,93	0,54	0,0275	0,0030	0,006933	0,000010	NS	0,004492	0,000004	NS
Trave 17-18	100%	0,96	0,94	0,54	0,0158	0,0034	0,004767	0,000114	41,76	0,004686	0,000040	NS
proporzionale alla deformata 1° modo di vibrazione												
Trave 17-18	0%	0,00	0,00	0,00	0,0000	0,0000	0,000000	0,000000	0,00	0,000000	0,000000	0,00
Trave 17-18	100%	0,00	0,00	0,00	0,0000	0,0000	0,000000	0,000000	0,00	0,000000	0,000000	0,00
sisma in -Y												
proporzionale alle masse												
Trave 17-18	0%	0,00	0,00	0,00	0,0000	0,0000	0,000000	0,000000	0,00	0,000000	0,000000	0,00
Trave 17-18	100%	0,00	0,00	0,00	0,0000	0,0000	0,000000	0,000000	0,00	0,000000	0,000000	0,00
proporzionale alla deformata 1° modo di vibrazione												
Trave 17-18	0%	0,00	0,00	0,00	0,0000	0,0000	0,000000	0,000000	0,00	0,000000	0,000000	0,00
Trave 17-18	100%	0,00	0,00	0,00	0,0000	0,0000	0,000000	0,000000	0,00	0,000000	0,000000	0,00
sisma in +X												
proporzionale alle masse												
Trave 18-19	0%	0,00	0,00	0,00	0,0000	0,0000	0,000000	0,000000	0,00	0,000000	0,000000	0,00
Trave 18-19	100%	0,00	0,00	0,00	0,0000	0,0000	0,000000	0,000000	0,00	0,000000	0,000000	0,00
proporzionale alla deformata 1° modo di vibrazione												
Trave 18-19	0%	0,22	0,68	0,47	0,0220	0,0028	0,004662	0,001456	3,20	0,004831	0,000758	6,38
Trave 18-19	100%	0,98	0,87	0,54	0,0743	0,0023	0,016240	0,000197	82,56	0,004255	0,000320	13,29
sisma in -X												
proporzionale alle masse												
Trave 18-19	0%	0,00	0,00	0,00	0,0000	0,0000	0,000000	0,000000	0,00	0,000000	0,000000	0,00
Trave 18-19	100%	0,00	0,00	0,00	0,0000	0,0000	0,000000	0,000000	0,00	0,000000	0,000000	0,00
proporzionale alla deformata 1° modo di vibrazione												
Trave 18-19	0%	0,00	0,00	0,00	0,0000	0,0000	0,000000	0,000000	0,00	0,000000	0,000000	0,00
Trave 18-19	100%	0,00	0,00	0,00	0,0000	0,0000	0,000000	0,000000	0,00	0,000000	0,000000	0,00
sisma in +Y												
proporzionale alle masse												
Trave 18-19	0%	1,01	0,96	0,55	0,0210	0,0030	0,005824	0,000114	51,02	0,004494	0,000040	NS
Trave 18-19	100%	0,36	0,51	0,48	0,0732	0,0022	0,011196	0,000784	14,28	0,005300	0,000900	5,89
proporzionale alla deformata 1° modo di vibrazione												
Trave 18-19	0%	0,00	0,00	0,00	0,0000	0,0000	0,000000	0,000000	0,00	0,000000	0,000000	0,00
Trave 18-19	100%	0,00	0,00	0,00	0,0000	0,0000	0,000000	0,000000	0,00	0,000000	0,000000	0,00
sisma in -Y												
proporzionale alle masse												
Trave 18-19	0%	0,00	0,00	0,00	0,0000	0,0000	0,000000	0,000000	0,00	0,000000	0,000000	0,00
Trave 18-19	100%	0,00	0,00	0,00	0,0000	0,0000	0,000000	0,000000	0,00	0,000000	0,000000	0,00
proporzionale alla deformata 1° modo di vibrazione												
Trave 18-19	0%	0,00	0,00	0,00	0,0000	0,0000	0,000000	0,000000	0,00	0,000000	0,000000	0,00
Trave 18-19	100%	0,00	0,00	0,00	0,0000	0,0000	0,000000	0,000000	0,00	0,000000	0,000000	0,00

Id_{Tr}	$\%L_{LI}$	$L_{v,SLV}$	$L_{v,SLD}$	L_{pl}	ϕ_u	ϕ_y	SLV			SLD		
							Θ_c	Θ_d	CS	Θ_c	Θ_d	CS
	[%]	[m]	[m]	[m]	[rad/m]	[rad/m]	[rad]	[rad]		[rad]	[rad]	
Piano terra ingresso							**Travata: Trave37-9e-38-7e-8e-39-40-P15-41**					
sisma in +X												
proporzionale alle masse												
Trave 9e-37	0%	0,00	0,00	0,00	0,0000	0,0000	0,000000	0,000000	0,00	0,000000	0,000000	0,00
Trave 9e-37	100%	0,00	0,00	0,00	0,0000	0,0000	0,000000	0,000000	0,00	0,000000	0,000000	0,00
proporzionale alla deformata 1° modo di vibrazione												
Trave 9e-37	0%	1,41	1,73	0,50	0,0279	0,0057	0,007626	0,001244	6,13	0,006081	0,000612	9,94
Trave 9e-37	100%	5,17	63,89	0,88	0,0633	0,0037	0,063816	0,003095	20,62	0,079695	0,001522	52,35
sisma in -X												
proporzionale alle masse												
Trave 9e-37	0%	0,00	0,00	0,00	0,0000	0,0000	0,000000	0,000000	0,00	0,000000	0,000000	0,00
Trave 9e-37	100%	0,00	0,00	0,00	0,0000	0,0000	0,000000	0,000000	0,00	0,000000	0,000000	0,00
proporzionale alla deformata 1° modo di vibrazione												
Trave 9e-37	0%	0,00	0,00	0,00	0,0000	0,0000	0,000000	0,000000	0,00	0,000000	0,000000	0,00
Trave 9e-37	100%	0,00	0,00	0,00	0,0000	0,0000	0,000000	0,000000	0,00	0,000000	0,000000	0,00
sisma in +Y												
proporzionale alle masse												
Trave 9e-37	0%	28,23	18,60	3,19	0,0492	0,0040	0,081310	0,000053	NS	0,027010	0,000007	NS
Trave 9e-37	100%	0,13	0,15	0,37	0,0752	0,0035	0,011525	0,000335	34,42	0,009611	0,000346	27,74
proporzionale alla deformata 1° modo di vibrazione												
Trave 9e-37	0%	0,00	0,00	0,00	0,0000	0,0000	0,000000	0,000000	0,00	0,000000	0,000000	0,00
Trave 9e-37	100%	0,00	0,00	0,00	0,0000	0,0000	0,000000	0,000000	0,00	0,000000	0,000000	0,00
sisma in -Y												
proporzionale alle masse												
Trave 9e-37	0%	0,00	0,00	0,00	0,0000	0,0000	0,000000	0,000000	0,00	0,000000	0,000000	0,00
Trave 9e-37	100%	0,00	0,00	0,00	0,0000	0,0000	0,000000	0,000000	0,00	0,000000	0,000000	0,00
proporzionale alla deformata 1° modo di vibrazione												
Trave 9e-37	0%	0,00	0,00	0,00	0,0000	0,0000	0,000000	0,000000	0,00	0,000000	0,000000	0,00
Trave 9e-37	100%	0,00	0,00	0,00	0,0000	0,0000	0,000000	0,000000	0,00	0,000000	0,000000	0,00
sisma in +X												
proporzionale alle masse												
Trave 38-9e	0%	0,00	0,00	0,00	0,0000	0,0000	0,000000	0,000000	0,00	0,000000	0,000000	0,00
Trave 38-9e	100%	0,00	0,00	0,00	0,0000	0,0000	0,000000	0,000000	0,00	0,000000	0,000000	0,00
proporzionale alla deformata 1° modo di vibrazione												
Trave 38-9e	0%	1,32	1,21	0,49	0,0241	0,0050	0,006326	0,000032	NS	0,005013	0,000042	NS
Trave 38-9e	100%	1,41	1,69	0,50	0,0275	0,0057	0,007522	0,001244	6,05	0,006038	0,000612	9,87
sisma in -X												
proporzionale alle masse												
Trave 38-9e	0%	0,00	0,00	0,00	0,0000	0,0000	0,000000	0,000000	0,00	0,000000	0,000000	0,00
Trave 38-9e	100%	0,00	0,00	0,00	0,0000	0,0000	0,000000	0,000000	0,00	0,000000	0,000000	0,00
proporzionale alla deformata 1° modo di vibrazione												
Trave 38-9e	0%	0,00	0,00	0,00	0,0000	0,0000	0,000000	0,000000	0,00	0,000000	0,000000	0,00
Trave 38-9e	100%	0,00	0,00	0,00	0,0000	0,0000	0,000000	0,000000	0,00	0,000000	0,000000	0,00
sisma in +Y												
proporzionale alle masse												
Trave 38-9e	0%	0,89	0,86	0,45	0,0396	0,0044	0,008191	0,000089	92,11	0,004548	0,000088	51,48
Trave 38-9e	100%	41,27	215,41	4,49	0,0492	0,0040	0,241514	0,000053	NS	0,291141	0,000007	NS
proporzionale alla deformata 1° modo di vibrazione												
Trave 38-9e	0%	0,00	0,00	0,00	0,0000	0,0000	0,000000	0,000000	0,00	0,000000	0,000000	0,00
Trave 38-9e	100%	0,00	0,00	0,00	0,0000	0,0000	0,000000	0,000000	0,00	0,000000	0,000000	0,00
sisma in -Y												
proporzionale alle masse												
Trave 38-9e	0%	0,00	0,00	0,00	0,0000	0,0000	0,000000	0,000000	0,00	0,000000	0,000000	0,00
Trave 38-9e	100%	0,00	0,00	0,00	0,0000	0,0000	0,000000	0,000000	0,00	0,000000	0,000000	0,00
proporzionale alla deformata 1° modo di vibrazione												
Trave 38-9e	0%	0,00	0,00	0,00	0,0000	0,0000	0,000000	0,000000	0,00	0,000000	0,000000	0,00
Trave 38-9e	100%	0,00	0,00	0,00	0,0000	0,0000	0,000000	0,000000	0,00	0,000000	0,000000	0,00
sisma in +X												
proporzionale alle masse												
Trave 39-40	0%	0,00	0,00	0,00	0,0000	0,0000	0,000000	0,000000	0,00	0,000000	0,000000	0,00
Trave 39-40	100%	0,00	0,00	0,00	0,0000	0,0000	0,000000	0,000000	0,00	0,000000	0,000000	0,00
proporzionale alla deformata 1° modo di vibrazione												
Trave 39-40	0%	0,51	0,78	0,41	0,0664	0,0036	0,009891	0,002362	4,19	0,004256	0,001268	3,36
Trave 39-40	100%	1,03	1,03	0,47	0,0338	0,0040	0,007557	0,000088	86,20	0,004385	0,000247	17,75
sisma in -X												
proporzionale alle masse												
Trave 39-40	0%	0,00	0,00	0,00	0,0000	0,0000	0,000000	0,000000	0,00	0,000000	0,000000	0,00
Trave 39-40	100%	0,00	0,00	0,00	0,0000	0,0000	0,000000	0,000000	0,00	0,000000	0,000000	0,00
proporzionale alla deformata 1° modo di vibrazione												
Trave 39-40	0%	0,00	0,00	0,00	0,0000	0,0000	0,000000	0,000000	0,00	0,000000	0,000000	0,00
Trave 39-40	100%	0,00	0,00	0,00	0,0000	0,0000	0,000000	0,000000	0,00	0,000000	0,000000	0,00
sisma in +Y												
proporzionale alle masse												
Trave 39-40	0%	0,95	0,96	0,46	0,0662	0,0036	0,012976	0,000315	41,18	0,004193	0,000298	14,09
Trave 39-40	100%	1,00	0,99	0,46	0,0339	0,0040	0,007483	0,000482	15,53	0,004387	0,000477	9,20
proporzionale alla deformata 1° modo di vibrazione												
Trave 39-40	0%	0,00	0,00	0,00	0,0000	0,0000	0,000000	0,000000	0,00	0,000000	0,000000	0,00
Trave 39-40	100%	0,00	0,00	0,00	0,0000	0,0000	0,000000	0,000000	0,00	0,000000	0,000000	0,00
sisma in -Y												
proporzionale alle masse												
Trave 39-40	0%	0,00	0,00	0,00	0,0000	0,0000	0,000000	0,000000	0,00	0,000000	0,000000	0,00
Trave 39-40	100%	0,00	0,00	0,00	0,0000	0,0000	0,000000	0,000000	0,00	0,000000	0,000000	0,00
proporzionale alla deformata 1° modo di vibrazione												
Trave 39-40	0%	0,00	0,00	0,00	0,0000	0,0000	0,000000	0,000000	0,00	0,000000	0,000000	0,00
Trave 39-40	100%	0,00	0,00	0,00	0,0000	0,0000	0,000000	0,000000	0,00	0,000000	0,000000	0,00

Id_{Tr}	$\%L_{LI}$	$L_{v,SLV}$	$L_{v,SLD}$	L_{pl}	ϕ_u	ϕ_y	SLV			SLD		
							Θ_c	Θ_d	CS	Θ_c	Θ_d	CS
	[%]	[m]	[m]	[m]	[rad/m]	[rad/m]	[rad]	[rad]		[rad]	[rad]	
sisma in +X												
proporzionale alle masse												
Trave 40-P15	0%	0,00	0,00	0,00	0,0000	0,0000	0,000000	0,000000	0,00	0,000000	0,000000	0,00
Trave 40-P15	100%	0,00	0,00	0,00	0,0000	0,0000	0,000000	0,000000	0,00	0,000000	0,000000	0,00
proporzionale alla deformata 1° modo di vibrazione												
Trave 40-P15	0%	2,17	5,55	0,58	0,0672	0,0060	0,022110	0,000088	NS	0,013535	0,000247	54,79
Trave 40-P15	100%	0,94	0,95	0,46	0,0391	0,0035	0,008196	0,001272	6,44	0,004135	0,000576	7,18
sisma in -X												
proporzionale alle masse												
Trave 40-P15	0%	0,00	0,00	0,00	0,0000	0,0000	0,000000	0,000000	0,00	0,000000	0,000000	0,00
Trave 40-P15	100%	0,00	0,00	0,00	0,0000	0,0000	0,000000	0,000000	0,00	0,000000	0,000000	0,00
proporzionale alla deformata 1° modo di vibrazione												
Trave 40-P15	0%	0,00	0,00	0,00	0,0000	0,0000	0,000000	0,000000	0,00	0,000000	0,000000	0,00
Trave 40-P15	100%	0,00	0,00	0,00	0,0000	0,0000	0,000000	0,000000	0,00	0,000000	0,000000	0,00
sisma in +Y												
proporzionale alle masse												
Trave 40-P15	0%	0,74	0,75	0,44	0,0212	0,0060	0,004943	0,000482	10,26	0,005219	0,000477	10,94
Trave 40-P15	100%	0,58	0,55	0,42	0,0934	0,0055	0,014354	0,000051	NS	0,005195	0,000056	93,04
proporzionale alla deformata 1° modo di vibrazione												
Trave 40-P15	0%	0,00	0,00	0,00	0,0000	0,0000	0,000000	0,000000	0,00	0,000000	0,000000	0,00
Trave 40-P15	100%	0,00	0,00	0,00	0,0000	0,0000	0,000000	0,000000	0,00	0,000000	0,000000	0,00
sisma in -Y												
proporzionale alle masse												
Trave 40-P15	0%	0,00	0,00	0,00	0,0000	0,0000	0,000000	0,000000	0,00	0,000000	0,000000	0,00
Trave 40-P15	100%	0,00	0,00	0,00	0,0000	0,0000	0,000000	0,000000	0,00	0,000000	0,000000	0,00
proporzionale alla deformata 1° modo di vibrazione												
Trave 40-P15	0%	0,00	0,00	0,00	0,0000	0,0000	0,000000	0,000000	0,00	0,000000	0,000000	0,00
Trave 40-P15	100%	0,00	0,00	0,00	0,0000	0,0000	0,000000	0,000000	0,00	0,000000	0,000000	0,00
Piano terra ingresso							**Travata: Trave19-20-21-22-23-24**					
sisma in +X												
proporzionale alle masse												
Trave 19-20	0%	0,00	0,00	0,00	0,0000	0,0000	0,000000	0,000000	0,00	0,000000	0,000000	0,00
Trave 19-20	100%	0,00	0,00	0,00	0,0000	0,0000	0,000000	0,000000	0,00	0,000000	0,000000	0,00
proporzionale alla deformata 1° modo di vibrazione												
Trave 19-20	0%	0,94	1,16	0,45	0,0838	0,0038	0,015821	0,002888	5,48	0,004160	0,001324	3,14
Trave 19-20	100%	0,62	0,54	0,42	0,0645	0,0043	0,010653	0,000774	13,76	0,004502	0,000547	8,23
sisma in -X												
proporzionale alle masse												
Trave 19-20	0%	0,00	0,00	0,00	0,0000	0,0000	0,000000	0,000000	0,00	0,000000	0,000000	0,00
Trave 19-20	100%	0,00	0,00	0,00	0,0000	0,0000	0,000000	0,000000	0,00	0,000000	0,000000	0,00
proporzionale alla deformata 1° modo di vibrazione												
Trave 19-20	0%	0,00	0,00	0,00	0,0000	0,0000	0,000000	0,000000	0,00	0,000000	0,000000	0,00
Trave 19-20	100%	0,00	0,00	0,00	0,0000	0,0000	0,000000	0,000000	0,00	0,000000	0,000000	0,00
sisma in +Y												
proporzionale alle masse												
Trave 19-20	0%	0,85	1,09	0,44	0,0758	0,0039	0,013864	0,000118	NS	0,004200	0,000071	58,99
Trave 19-20	100%	0,64	0,56	0,42	0,0489	0,0043	0,008556	0,000933	9,17	0,004486	0,000373	12,02
proporzionale alla deformata 1° modo di vibrazione												
Trave 19-20	0%	0,00	0,00	0,00	0,0000	0,0000	0,000000	0,000000	0,00	0,000000	0,000000	0,00
Trave 19-20	100%	0,00	0,00	0,00	0,0000	0,0000	0,000000	0,000000	0,00	0,000000	0,000000	0,00
sisma in -Y												
proporzionale alle masse												
Trave 19-20	0%	0,00	0,00	0,00	0,0000	0,0000	0,000000	0,000000	0,00	0,000000	0,000000	0,00
Trave 19-20	100%	0,00	0,00	0,00	0,0000	0,0000	0,000000	0,000000	0,00	0,000000	0,000000	0,00
proporzionale alla deformata 1° modo di vibrazione												
Trave 19-20	0%	0,00	0,00	0,00	0,0000	0,0000	0,000000	0,000000	0,00	0,000000	0,000000	0,00
Trave 19-20	100%	0,00	0,00	0,00	0,0000	0,0000	0,000000	0,000000	0,00	0,000000	0,000000	0,00
sisma in +X												
proporzionale alle masse												
Trave 20-21	0%	0,00	0,00	0,00	0,0000	0,0000	0,000000	0,000000	0,00	0,000000	0,000000	0,00
Trave 20-21	100%	0,00	0,00	0,00	0,0000	0,0000	0,000000	0,000000	0,00	0,000000	0,000000	0,00
proporzionale alla deformata 1° modo di vibrazione												
Trave 20-21	0%	0,18	0,27	0,38	0,0707	0,0041	0,009311	0,000774	12,02	0,005929	0,000547	10,84
Trave 20-21	100%	0,86	0,74	0,45	0,0774	0,0043	0,014303	0,000781	18,31	0,004329	0,000400	10,83
sisma in -X												
proporzionale alle masse												
Trave 20-21	0%	0,00	0,00	0,00	0,0000	0,0000	0,000000	0,000000	0,00	0,000000	0,000000	0,00
Trave 20-21	100%	0,00	0,00	0,00	0,0000	0,0000	0,000000	0,000000	0,00	0,000000	0,000000	0,00
proporzionale alla deformata 1° modo di vibrazione												
Trave 20-21	0%	0,00	0,00	0,00	0,0000	0,0000	0,000000	0,000000	0,00	0,000000	0,000000	0,00
Trave 20-21	100%	0,00	0,00	0,00	0,0000	0,0000	0,000000	0,000000	0,00	0,000000	0,000000	0,00
sisma in +Y												
proporzionale alle masse												
Trave 20-21	0%	0,83	0,67	0,45	0,0774	0,0047	0,014145	0,000933	15,16	0,004527	0,000373	12,13
Trave 20-21	100%	0,55	0,57	0,42	0,0716	0,0041	0,010964	0,000086	NS	0,004430	0,000034	NS
proporzionale alla deformata 1° modo di vibrazione												
Trave 20-21	0%	0,00	0,00	0,00	0,0000	0,0000	0,000000	0,000000	0,00	0,000000	0,000000	0,00
Trave 20-21	100%	0,00	0,00	0,00	0,0000	0,0000	0,000000	0,000000	0,00	0,000000	0,000000	0,00
sisma in -Y												
proporzionale alle masse												
Trave 20-21	0%	0,00	0,00	0,00	0,0000	0,0000	0,000000	0,000000	0,00	0,000000	0,000000	0,00
Trave 20-21	100%	0,00	0,00	0,00	0,0000	0,0000	0,000000	0,000000	0,00	0,000000	0,000000	0,00
proporzionale alla deformata 1° modo di vibrazione												
Trave 20-21	0%	0,00	0,00	0,00	0,0000	0,0000	0,000000	0,000000	0,00	0,000000	0,000000	0,00
Trave 20-21	100%	0,00	0,00	0,00	0,0000	0,0000	0,000000	0,000000	0,00	0,000000	0,000000	0,00

Id_{Tr}	$\%L_{LI}$	$L_{v,SLV}$	$L_{v,SLD}$	L_{pl}	ϕ_u	ϕ_y	SLV			SLD		
							Θ_c	Θ_d	CS	Θ_c	Θ_d	CS
	[%]	[m]	[m]	[m]	[rad/m]	[rad/m]	[rad]	[rad]		[rad]	[rad]	
sisma in +X												
proporzionale alle masse												
Trave 21-22	0%	0,00	0,00	0,00	0,0000	0,0000	0,000000	0,000000	0,00	0,000000	0,000000	0,00
Trave 21-22	100%	0,00	0,00	0,00	0,0000	0,0000	0,000000	0,000000	0,00	0,000000	0,000000	0,00
proporzionale alla deformata 1° modo di vibrazione												
Trave 21-22	0%	1,12	1,58	0,48	0,0233	0,0083	0,006566	0,000781	8,41	0,007496	0,000400	18,76
Trave 21-22	100%	0,74	0,71	0,44	0,0157	0,0080	0,004075	0,001851	2,20	0,005787	0,001200	4,82
sisma in -X												
proporzionale alle masse												
Trave 21-22	0%	0,00	0,00	0,00	0,0000	0,0000	0,000000	0,000000	0,00	0,000000	0,000000	0,00
Trave 21-22	100%	0,00	0,00	0,00	0,0000	0,0000	0,000000	0,000000	0,00	0,000000	0,000000	0,00
proporzionale alla deformata 1° modo di vibrazione												
Trave 21-22	0%	0,00	0,00	0,00	0,0000	0,0000	0,000000	0,000000	0,00	0,000000	0,000000	0,00
Trave 21-22	100%	0,00	0,00	0,00	0,0000	0,0000	0,000000	0,000000	0,00	0,000000	0,000000	0,00
sisma in +Y												
proporzionale alle masse												
Trave 21-22	0%	0,14	0,06	0,38	0,0769	0,0032	0,016145	0,000086	NS	0,018383	0,000034	NS
Trave 21-22	100%	0,67	0,65	0,43	0,0213	0,0083	0,004815	0,000565	8,52	0,005862	0,000570	10,28
proporzionale alla deformata 1° modo di vibrazione												
Trave 21-22	0%	0,00	0,00	0,00	0,0000	0,0000	0,000000	0,000000	0,00	0,000000	0,000000	0,00
Trave 21-22	100%	0,00	0,00	0,00	0,0000	0,0000	0,000000	0,000000	0,00	0,000000	0,000000	0,00
sisma in -Y												
proporzionale alle masse												
Trave 21-22	0%	0,00	0,00	0,00	0,0000	0,0000	0,000000	0,000000	0,00	0,000000	0,000000	0,00
Trave 21-22	100%	0,00	0,00	0,00	0,0000	0,0000	0,000000	0,000000	0,00	0,000000	0,000000	0,00
proporzionale alla deformata 1° modo di vibrazione												
Trave 21-22	0%	0,00	0,00	0,00	0,0000	0,0000	0,000000	0,000000	0,00	0,000000	0,000000	0,00
Trave 21-22	100%	0,00	0,00	0,00	0,0000	0,0000	0,000000	0,000000	0,00	0,000000	0,000000	0,00
sisma in +X												
proporzionale alle masse												
Trave 22-23	0%	0,00	0,00	0,00	0,0000	0,0000	0,000000	0,000000	0,00	0,000000	0,000000	0,00
Trave 22-23	100%	0,00	0,00	0,00	0,0000	0,0000	0,000000	0,000000	0,00	0,000000	0,000000	0,00
proporzionale alla deformata 1° modo di vibrazione												
Trave 22-23	0%	0,00	0,46	0,40	0,0736	0,0031	0,009647	0,001851	5,21	0,005194	0,001200	4,33
Trave 22-23	100%	1,16	1,06	0,52	0,0273	0,0037	0,006963	0,001492	4,67	0,004448	0,000774	5,74
sisma in -X												
proporzionale alle masse												
Trave 22-23	0%	0,00	0,00	0,00	0,0000	0,0000	0,000000	0,000000	0,00	0,000000	0,000000	0,00
Trave 22-23	100%	0,00	0,00	0,00	0,0000	0,0000	0,000000	0,000000	0,00	0,000000	0,000000	0,00
proporzionale alla deformata 1° modo di vibrazione												
Trave 22-23	0%	0,00	0,00	0,00	0,0000	0,0000	0,000000	0,000000	0,00	0,000000	0,000000	0,00
Trave 22-23	100%	0,00	0,00	0,00	0,0000	0,0000	0,000000	0,000000	0,00	0,000000	0,000000	0,00
sisma in +Y												
proporzionale alle masse												
Trave 22-23	0%	0,74	0,74	0,47	0,0664	0,0030	0,012362	0,000565	21,87	0,004367	0,000570	7,66
Trave 22-23	100%	0,90	0,91	0,49	0,0445	0,0033	0,009496	0,000167	56,81	0,004294	0,000098	43,97
proporzionale alla deformata 1° modo di vibrazione												
Trave 22-23	0%	0,00	0,00	0,00	0,0000	0,0000	0,000000	0,000000	0,00	0,000000	0,000000	0,00
Trave 22-23	100%	0,00	0,00	0,00	0,0000	0,0000	0,000000	0,000000	0,00	0,000000	0,000000	0,00
sisma in -Y												
proporzionale alle masse												
Trave 22-23	0%	0,00	0,00	0,00	0,0000	0,0000	0,000000	0,000000	0,00	0,000000	0,000000	0,00
Trave 22-23	100%	0,00	0,00	0,00	0,0000	0,0000	0,000000	0,000000	0,00	0,000000	0,000000	0,00
proporzionale alla deformata 1° modo di vibrazione												
Trave 22-23	0%	0,00	0,00	0,00	0,0000	0,0000	0,000000	0,000000	0,00	0,000000	0,000000	0,00
Trave 22-23	100%	0,00	0,00	0,00	0,0000	0,0000	0,000000	0,000000	0,00	0,000000	0,000000	0,00
sisma in +X												
proporzionale alle masse												
Trave 23-24	0%	0,00	0,00	0,00	0,0000	0,0000	0,000000	0,000000	0,00	0,000000	0,000000	0,00
Trave 23-24	100%	0,00	0,00	0,00	0,0000	0,0000	0,000000	0,000000	0,00	0,000000	0,000000	0,00
proporzionale alla deformata 1° modo di vibrazione												
Trave 23-24	0%	0,50	0,78	0,45	0,0312	0,0034	0,005646	0,001492	3,78	0,004445	0,000774	5,74
Trave 23-24	100%	0,93	0,81	0,49	0,0605	0,0031	0,012529	0,000123	NS	0,004309	0,000590	7,30
sisma in -X												
proporzionale alle masse												
Trave 23-24	0%	0,00	0,00	0,00	0,0000	0,0000	0,000000	0,000000	0,00	0,000000	0,000000	0,00
Trave 23-24	100%	0,00	0,00	0,00	0,0000	0,0000	0,000000	0,000000	0,00	0,000000	0,000000	0,00
proporzionale alla deformata 1° modo di vibrazione												
Trave 23-24	0%	0,00	0,00	0,00	0,0000	0,0000	0,000000	0,000000	0,00	0,000000	0,000000	0,00
Trave 23-24	100%	0,00	0,00	0,00	0,0000	0,0000	0,000000	0,000000	0,00	0,000000	0,000000	0,00
sisma in +Y												
proporzionale alle masse												
Trave 23-24	0%	0,87	0,90	0,49	0,0373	0,0034	0,008103	0,000167	48,47	0,004346	0,000098	44,51
Trave 23-24	100%	0,59	0,54	0,46	0,0686	0,0029	0,011618	0,002217	5,24	0,004778	0,001978	2,42
proporzionale alla deformata 1° modo di vibrazione												
Trave 23-24	0%	0,00	0,00	0,00	0,0000	0,0000	0,000000	0,000000	0,00	0,000000	0,000000	0,00
Trave 23-24	100%	0,00	0,00	0,00	0,0000	0,0000	0,000000	0,000000	0,00	0,000000	0,000000	0,00
sisma in -Y												
proporzionale alle masse												
Trave 23-24	0%	0,00	0,00	0,00	0,0000	0,0000	0,000000	0,000000	0,00	0,000000	0,000000	0,00
Trave 23-24	100%	0,00	0,00	0,00	0,0000	0,0000	0,000000	0,000000	0,00	0,000000	0,000000	0,00
proporzionale alla deformata 1° modo di vibrazione												
Trave 23-24	0%	0,00	0,00	0,00	0,0000	0,0000	0,000000	0,000000	0,00	0,000000	0,000000	0,00
Trave 23-24	100%	0,00	0,00	0,00	0,0000	0,0000	0,000000	0,000000	0,00	0,000000	0,000000	0,00
Piano terra ingresso							**Travata: Trave25-26-27**					

Id_{Tr}	$\%L_{LI}$	$L_{v,SLV}$	$L_{v,SLD}$	L_{pl}	ϕ_u	ϕ_y	SLV			SLD		
							Θ_c	Θ_d	CS	Θ_c	Θ_d	CS
	[%]	[m]	[m]	[m]	[rad/m]	[rad/m]	[rad]	[rad]		[rad]	[rad]	
sisma in +X												
proporzionale alle masse												
Trave 25-26	0%	0,00	0,00	0,00	0,0000	0,0000	0,000000	0,000000	0,00	0,000000	0,000000	0,00
Trave 25-26	100%	0,00	0,00	0,00	0,0000	0,0000	0,000000	0,000000	0,00	0,000000	0,000000	0,00
proporzionale alla deformata 1° modo di vibrazione												
Trave 25-26	0%	0,18	0,42	0,44	0,0853	0,0029	0,011709	0,003366	3,48	0,005411	0,002005	2,70
Trave 25-26	100%	1,18	1,13	0,54	0,0199	0,0039	0,005630	0,001125	5,00	0,004586	0,000560	8,19
sisma in -X												
proporzionale alle masse												
Trave 25-26	0%	0,00	0,00	0,00	0,0000	0,0000	0,000000	0,000000	0,00	0,000000	0,000000	0,00
Trave 25-26	100%	0,00	0,00	0,00	0,0000	0,0000	0,000000	0,000000	0,00	0,000000	0,000000	0,00
proporzionale alla deformata 1° modo di vibrazione												
Trave 25-26	0%	0,00	0,00	0,00	0,0000	0,0000	0,000000	0,000000	0,00	0,000000	0,000000	0,00
Trave 25-26	100%	0,00	0,00	0,00	0,0000	0,0000	0,000000	0,000000	0,00	0,000000	0,000000	0,00
sisma in +Y												
proporzionale alle masse												
Trave 25-26	0%	0,81	0,79	0,50	0,0757	0,0028	0,014730	0,001757	8,39	0,004221	0,001368	3,08
Trave 25-26	100%	0,92	0,98	0,51	0,0228	0,0036	0,005759	0,000193	29,77	0,004445	0,000088	50,45
proporzionale alla deformata 1° modo di vibrazione												
Trave 25-26	0%	0,00	0,00	0,00	0,0000	0,0000	0,000000	0,000000	0,00	0,000000	0,000000	0,00
Trave 25-26	100%	0,00	0,00	0,00	0,0000	0,0000	0,000000	0,000000	0,00	0,000000	0,000000	0,00
sisma in -Y												
proporzionale alle masse												
Trave 25-26	0%	0,00	0,00	0,00	0,0000	0,0000	0,000000	0,000000	0,00	0,000000	0,000000	0,00
Trave 25-26	100%	0,00	0,00	0,00	0,0000	0,0000	0,000000	0,000000	0,00	0,000000	0,000000	0,00
proporzionale alla deformata 1° modo di vibrazione												
Trave 25-26	0%	0,00	0,00	0,00	0,0000	0,0000	0,000000	0,000000	0,00	0,000000	0,000000	0,00
Trave 25-26	100%	0,00	0,00	0,00	0,0000	0,0000	0,000000	0,000000	0,00	0,000000	0,000000	0,00
sisma in +X												
proporzionale alle masse												
Trave 26-27	0%	0,00	0,00	0,00	0,0000	0,0000	0,000000	0,000000	0,00	0,000000	0,000000	0,00
Trave 26-27	100%	0,00	0,00	0,00	0,0000	0,0000	0,000000	0,000000	0,00	0,000000	0,000000	0,00
proporzionale alla deformata 1° modo di vibrazione												
Trave 26-27	0%	0,63	0,87	0,48	0,0222	0,0035	0,005003	0,001125	4,45	0,004473	0,000560	7,99
Trave 26-27	100%	0,99	0,81	0,52	0,0736	0,0029	0,015634	0,000139	NS	0,004230	0,000664	6,37
sisma in -X												
proporzionale alle masse												
Trave 26-27	0%	0,00	0,00	0,00	0,0000	0,0000	0,000000	0,000000	0,00	0,000000	0,000000	0,00
Trave 26-27	100%	0,00	0,00	0,00	0,0000	0,0000	0,000000	0,000000	0,00	0,000000	0,000000	0,00
proporzionale alla deformata 1° modo di vibrazione												
Trave 26-27	0%	0,00	0,00	0,00	0,0000	0,0000	0,000000	0,000000	0,00	0,000000	0,000000	0,00
Trave 26-27	100%	0,00	0,00	0,00	0,0000	0,0000	0,000000	0,000000	0,00	0,000000	0,000000	0,00
sisma in +Y												
proporzionale alle masse												
Trave 26-27	0%	1,03	1,05	0,52	0,0230	0,0035	0,006004	0,000193	31,03	0,004418	0,000088	50,14
Trave 26-27	100%	0,59	0,59	0,48	0,0766	0,0027	0,012785	0,001272	10,05	0,004591	0,001225	3,75
proporzionale alla deformata 1° modo di vibrazione												
Trave 26-27	0%	0,00	0,00	0,00	0,0000	0,0000	0,000000	0,000000	0,00	0,000000	0,000000	0,00
Trave 26-27	100%	0,00	0,00	0,00	0,0000	0,0000	0,000000	0,000000	0,00	0,000000	0,000000	0,00
sisma in -Y												
proporzionale alle masse												
Trave 26-27	0%	0,00	0,00	0,00	0,0000	0,0000	0,000000	0,000000	0,00	0,000000	0,000000	0,00
Trave 26-27	100%	0,00	0,00	0,00	0,0000	0,0000	0,000000	0,000000	0,00	0,000000	0,000000	0,00
proporzionale alla deformata 1° modo di vibrazione												
Trave 26-27	0%	0,00	0,00	0,00	0,0000	0,0000	0,000000	0,000000	0,00	0,000000	0,000000	0,00
Trave 26-27	100%	0,00	0,00	0,00	0,0000	0,0000	0,000000	0,000000	0,00	0,000000	0,000000	0,00
Piano terra ingresso							**Travata: Trave28-29-30**					
sisma in +X												
proporzionale alle masse												
Trave 28-29	0%	0,00	0,00	0,00	0,0000	0,0000	0,000000	0,000000	0,00	0,000000	0,000000	0,00
Trave 28-29	100%	0,00	0,00	0,00	0,0000	0,0000	0,000000	0,000000	0,00	0,000000	0,000000	0,00
proporzionale alla deformata 1° modo di vibrazione												
Trave 28-29	0%	0,96	0,97	0,41	0,0892	0,0071	0,015749	0,002064	7,63	0,005198	0,001072	4,85
Trave 28-29	100%	0,61	0,62	0,37	0,0892	0,0073	0,012965	0,000713	18,19	0,004766	0,000516	9,23
sisma in -X												
proporzionale alle masse												
Trave 28-29	0%	0,00	0,00	0,00	0,0000	0,0000	0,000000	0,000000	0,00	0,000000	0,000000	0,00
Trave 28-29	100%	0,00	0,00	0,00	0,0000	0,0000	0,000000	0,000000	0,00	0,000000	0,000000	0,00
proporzionale alla deformata 1° modo di vibrazione												
Trave 28-29	0%	0,00	0,00	0,00	0,0000	0,0000	0,000000	0,000000	0,00	0,000000	0,000000	0,00
Trave 28-29	100%	0,00	0,00	0,00	0,0000	0,0000	0,000000	0,000000	0,00	0,000000	0,000000	0,00
sisma in +Y												
proporzionale alle masse												
Trave 28-29	0%	1,47	0,05	0,46	0,0985	0,0066	0,025417	0,000028	NS	0,015324	0,000022	NS
Trave 28-29	100%	0,51	0,48	0,36	0,0984	0,0070	0,012985	0,000010	NS	0,004631	0,000051	91,56
proporzionale alla deformata 1° modo di vibrazione												
Trave 28-29	0%	0,00	0,00	0,00	0,0000	0,0000	0,000000	0,000000	0,00	0,000000	0,000000	0,00
Trave 28-29	100%	0,00	0,00	0,00	0,0000	0,0000	0,000000	0,000000	0,00	0,000000	0,000000	0,00
sisma in -Y												
proporzionale alle masse												
Trave 28-29	0%	0,00	0,00	0,00	0,0000	0,0000	0,000000	0,000000	0,00	0,000000	0,000000	0,00
Trave 28-29	100%	0,00	0,00	0,00	0,0000	0,0000	0,000000	0,000000	0,00	0,000000	0,000000	0,00
proporzionale alla deformata 1° modo di vibrazione												
Trave 28-29	0%	0,00	0,00	0,00	0,0000	0,0000	0,000000	0,000000	0,00	0,000000	0,000000	0,00
Trave 28-29	100%	0,00	0,00	0,00	0,0000	0,0000	0,000000	0,000000	0,00	0,000000	0,000000	0,00

Id_{Tr}	$\%L_{LI}$	$L_{v,SLV}$	$L_{v,SLD}$	L_{pl}	ϕ_u	ϕ_y	SLV			SLD		
							Θ_c	Θ_d	CS	Θ_c	Θ_d	CS
	[%]	[m]	[m]	[m]	[rad/m]	[rad/m]	[rad]	[rad]		[rad]	[rad]	
sisma in +X												
proporzionale alle masse												
Trave 29-30	0%	0,00	0,00	0,00	0,0000	0,0000	0,000000	0,000000	0,00	0,000000	0,000000	0,00
Trave 29-30	100%	0,00	0,00	0,00	0,0000	0,0000	0,000000	0,000000	0,00	0,000000	0,000000	0,00
proporzionale alla deformata 1° modo di vibrazione												
Trave 29-30	0%	2,30	3,19	0,58	0,1007	0,0038	0,027501	0,000713	38,59	0,006129	0,000516	11,87
Trave 29-30	100%	1,41	1,25	0,49	0,0480	0,0047	0,011077	0,002089	5,30	0,004703	0,000925	5,08
sisma in -X												
proporzionale alle masse												
Trave 29-30	0%	0,00	0,00	0,00	0,0000	0,0000	0,000000	0,000000	0,00	0,000000	0,000000	0,00
Trave 29-30	100%	0,00	0,00	0,00	0,0000	0,0000	0,000000	0,000000	0,00	0,000000	0,000000	0,00
proporzionale alla deformata 1° modo di vibrazione												
Trave 29-30	0%	0,00	0,00	0,00	0,0000	0,0000	0,000000	0,000000	0,00	0,000000	0,000000	0,00
Trave 29-30	100%	0,00	0,00	0,00	0,0000	0,0000	0,000000	0,000000	0,00	0,000000	0,000000	0,00
sisma in +Y												
proporzionale alle masse												
Trave 29-30	0%	0,49	0,52	0,40	0,0524	0,0045	0,007971	0,000010	NS	0,004582	0,000051	90,59
Trave 29-30	100%	0,49	0,43	0,40	0,0523	0,0045	0,008104	0,000096	84,66	0,004856	0,000083	58,85
proporzionale alla deformata 1° modo di vibrazione												
Trave 29-30	0%	0,00	0,00	0,00	0,0000	0,0000	0,000000	0,000000	0,00	0,000000	0,000000	0,00
Trave 29-30	100%	0,00	0,00	0,00	0,0000	0,0000	0,000000	0,000000	0,00	0,000000	0,000000	0,00
sisma in -Y												
proporzionale alle masse												
Trave 29-30	0%	0,00	0,00	0,00	0,0000	0,0000	0,000000	0,000000	0,00	0,000000	0,000000	0,00
Trave 29-30	100%	0,00	0,00	0,00	0,0000	0,0000	0,000000	0,000000	0,00	0,000000	0,000000	0,00
proporzionale alla deformata 1° modo di vibrazione												
Trave 29-30	0%	0,00	0,00	0,00	0,0000	0,0000	0,000000	0,000000	0,00	0,000000	0,000000	0,00
Trave 29-30	100%	0,00	0,00	0,00	0,0000	0,0000	0,000000	0,000000	0,00	0,000000	0,000000	0,00
Piano terra ingresso							**Travata: Trave1-1e-2e-P8-14-25-P9-3e-5e-6e-32**					
sisma in +X												
proporzionale alle masse												
Trave P8-14	0%	0,00	0,00	0,00	0,0000	0,0000	0,000000	0,000000	0,00	0,000000	0,000000	0,00
Trave P8-14	100%	0,00	0,00	0,00	0,0000	0,0000	0,000000	0,000000	0,00	0,000000	0,000000	0,00
proporzionale alla deformata 1° modo di vibrazione												
Trave P8-14	0%	0,22	0,49	0,39	0,1177	0,0032	0,013420	0,000343	39,08	0,004653	0,000182	25,52
Trave P8-14	100%	0,42	0,02	0,41	0,0801	0,0032	0,042705	0,000110	NS	0,069185	0,000108	NS
sisma in -X												
proporzionale alle masse												
Trave P8-14	0%	0,00	0,00	0,00	0,0000	0,0000	0,000000	0,000000	0,00	0,000000	0,000000	0,00
Trave P8-14	100%	0,00	0,00	0,00	0,0000	0,0000	0,000000	0,000000	0,00	0,000000	0,000000	0,00
proporzionale alla deformata 1° modo di vibrazione												
Trave P8-14	0%	0,00	0,00	0,00	0,0000	0,0000	0,000000	0,000000	0,00	0,000000	0,000000	0,00
Trave P8-14	100%	0,00	0,00	0,00	0,0000	0,0000	0,000000	0,000000	0,00	0,000000	0,000000	0,00
sisma in +Y												
proporzionale alle masse												
Trave P8-14	0%	2,02	2,30	0,57	0,0682	0,0034	0,018219	0,002182	8,35	0,004861	0,001020	4,77
Trave P8-14	100%	0,94	0,91	0,46	0,0589	0,0037	0,011709	0,000436	26,85	0,004218	0,000049	85,30
proporzionale alla deformata 1° modo di vibrazione												
Trave P8-14	0%	0,00	0,00	0,00	0,0000	0,0000	0,000000	0,000000	0,00	0,000000	0,000000	0,00
Trave P8-14	100%	0,00	0,00	0,00	0,0000	0,0000	0,000000	0,000000	0,00	0,000000	0,000000	0,00
sisma in -Y												
proporzionale alle masse												
Trave P8-14	0%	0,00	0,00	0,00	0,0000	0,0000	0,000000	0,000000	0,00	0,000000	0,000000	0,00
Trave P8-14	100%	0,00	0,00	0,00	0,0000	0,0000	0,000000	0,000000	0,00	0,000000	0,000000	0,00
proporzionale alla deformata 1° modo di vibrazione												
Trave P8-14	0%	0,00	0,00	0,00	0,0000	0,0000	0,000000	0,000000	0,00	0,000000	0,000000	0,00
Trave P8-14	100%	0,00	0,00	0,00	0,0000	0,0000	0,000000	0,000000	0,00	0,000000	0,000000	0,00
sisma in +X												
proporzionale alle masse												
Trave 14-25	0%	0,00	0,00	0,00	0,0000	0,0000	0,000000	0,000000	0,00	0,000000	0,000000	0,00
Trave 14-25	100%	0,00	0,00	0,00	0,0000	0,0000	0,000000	0,000000	0,00	0,000000	0,000000	0,00
proporzionale alla deformata 1° modo di vibrazione												
Trave 14-25	0%	0,37	0,36	0,40	0,0879	0,0033	0,011207	0,000110	NS	0,005390	0,000108	50,08
Trave 14-25	100%	0,49	0,51	0,41	0,0920	0,0032	0,012910	0,000316	40,89	0,004580	0,000254	18,00
sisma in -X												
proporzionale alle masse												
Trave 14-25	0%	0,00	0,00	0,00	0,0000	0,0000	0,000000	0,000000	0,00	0,000000	0,000000	0,00
Trave 14-25	100%	0,00	0,00	0,00	0,0000	0,0000	0,000000	0,000000	0,00	0,000000	0,000000	0,00
proporzionale alla deformata 1° modo di vibrazione												
Trave 14-25	0%	0,00	0,00	0,00	0,0000	0,0000	0,000000	0,000000	0,00	0,000000	0,000000	0,00
Trave 14-25	100%	0,00	0,00	0,00	0,0000	0,0000	0,000000	0,000000	0,00	0,000000	0,000000	0,00
sisma in +Y												
proporzionale alle masse												
Trave 14-25	0%	2,20	4,62	0,58	0,0812	0,0038	0,023582	0,000436	54,08	0,007888	0,000049	NS
Trave 14-25	100%	1,38	1,11	0,50	0,0453	0,0041	0,010711	0,000238	45,02	0,004478	0,000288	15,56
proporzionale alla deformata 1° modo di vibrazione												
Trave 14-25	0%	0,00	0,00	0,00	0,0000	0,0000	0,000000	0,000000	0,00	0,000000	0,000000	0,00
Trave 14-25	100%	0,00	0,00	0,00	0,0000	0,0000	0,000000	0,000000	0,00	0,000000	0,000000	0,00
sisma in -Y												
proporzionale alle masse												
Trave 14-25	0%	0,00	0,00	0,00	0,0000	0,0000	0,000000	0,000000	0,00	0,000000	0,000000	0,00
Trave 14-25	100%	0,00	0,00	0,00	0,0000	0,0000	0,000000	0,000000	0,00	0,000000	0,000000	0,00
proporzionale alla deformata 1° modo di vibrazione												
Trave 14-25	0%	0,00	0,00	0,00	0,0000	0,0000	0,000000	0,000000	0,00	0,000000	0,000000	0,00
Trave 14-25	100%	0,00	0,00	0,00	0,0000	0,0000	0,000000	0,000000	0,00	0,000000	0,000000	0,00

Id_{Tr}	$\%L_{LI}$	$L_{v,SLV}$	$L_{v,SLD}$	L_{pl}	ϕ_u	ϕ_y	SLV			SLD		
							Θ_c	Θ_d	CS	Θ_c	Θ_d	CS
	[%]	[m]	[m]	[m]	[rad/m]	[rad/m]	[rad]	[rad]		[rad]	[rad]	
sisma in +X												
proporzionale alle masse												
Trave 25-P9	0%	0,00	0,00	0,00	0,0000	0,0000	0,000000	0,000000	0,00	0,000000	0,000000	0,00
Trave 25-P9	100%	0,00	0,00	0,00	0,0000	0,0000	0,000000	0,000000	0,00	0,000000	0,000000	0,00
proporzionale alla deformata 1° modo di vibrazione												
Trave 25-P9	0%	0,50	0,46	0,42	0,1073	0,0050	0,015077	0,000316	47,76	0,005353	0,000254	21,03
Trave 25-P9	100%	0,45	0,49	0,41	0,1088	0,0040	0,014260	0,000280	50,88	0,004899	0,000188	26,09
sisma in -X												
proporzionale alle masse												
Trave 25-P9	0%	0,00	0,00	0,00	0,0000	0,0000	0,000000	0,000000	0,00	0,000000	0,000000	0,00
Trave 25-P9	100%	0,00	0,00	0,00	0,0000	0,0000	0,000000	0,000000	0,00	0,000000	0,000000	0,00
proporzionale alla deformata 1° modo di vibrazione												
Trave 25-P9	0%	0,00	0,00	0,00	0,0000	0,0000	0,000000	0,000000	0,00	0,000000	0,000000	0,00
Trave 25-P9	100%	0,00	0,00	0,00	0,0000	0,0000	0,000000	0,000000	0,00	0,000000	0,000000	0,00
sisma in +Y												
proporzionale alle masse												
Trave 25-P9	0%	0,31	0,38	0,40	0,0205	0,0062	0,004452	0,000238	18,71	0,006075	0,000288	21,11
Trave 25-P9	100%	0,63	0,57	0,43	0,0194	0,0047	0,004539	0,000709	6,40	0,004903	0,000221	22,17
proporzionale alla deformata 1° modo di vibrazione												
Trave 25-P9	0%	0,00	0,00	0,00	0,0000	0,0000	0,000000	0,000000	0,00	0,000000	0,000000	0,00
Trave 25-P9	100%	0,00	0,00	0,00	0,0000	0,0000	0,000000	0,000000	0,00	0,000000	0,000000	0,00
sisma in -Y												
proporzionale alle masse												
Trave 25-P9	0%	0,00	0,00	0,00	0,0000	0,0000	0,000000	0,000000	0,00	0,000000	0,000000	0,00
Trave 25-P9	100%	0,00	0,00	0,00	0,0000	0,0000	0,000000	0,000000	0,00	0,000000	0,000000	0,00
proporzionale alla deformata 1° modo di vibrazione												
Trave 25-P9	0%	0,00	0,00	0,00	0,0000	0,0000	0,000000	0,000000	0,00	0,000000	0,000000	0,00
Trave 25-P9	100%	0,00	0,00	0,00	0,0000	0,0000	0,000000	0,000000	0,00	0,000000	0,000000	0,00
Piano terra ingresso							**Travata: Trave2-15**					
sisma in +X												
proporzionale alle masse												
Trave 2-15	0%	0,00	0,00	0,00	0,0000	0,0000	0,000000	0,000000	0,00	0,000000	0,000000	0,00
Trave 2-15	100%	0,00	0,00	0,00	0,0000	0,0000	0,000000	0,000000	0,00	0,000000	0,000000	0,00
proporzionale alla deformata 1° modo di vibrazione												
Trave 2-15	0%	1,19	1,12	0,45	0,0806	0,0060	0,016118	0,000295	54,72	0,005065	0,000180	28,18
Trave 2-15	100%	0,63	0,76	0,39	0,0706	0,0065	0,011096	0,000059	NS	0,004899	0,000005	NS
sisma in -X												
proporzionale alle masse												
Trave 2-15	0%	0,00	0,00	0,00	0,0000	0,0000	0,000000	0,000000	0,00	0,000000	0,000000	0,00
Trave 2-15	100%	0,00	0,00	0,00	0,0000	0,0000	0,000000	0,000000	0,00	0,000000	0,000000	0,00
proporzionale alla deformata 1° modo di vibrazione												
Trave 2-15	0%	0,00	0,00	0,00	0,0000	0,0000	0,000000	0,000000	0,00	0,000000	0,000000	0,00
Trave 2-15	100%	0,00	0,00	0,00	0,0000	0,0000	0,000000	0,000000	0,00	0,000000	0,000000	0,00
sisma in +Y												
proporzionale alle masse												
Trave 2-15	0%	24,37	1,07	2,77	0,0836	0,0067	0,102960	0,002878	35,78	0,005389	0,001366	3,94
Trave 2-15	100%	2,00	1,63	0,53	0,0471	0,0069	0,012469	0,003162	3,94	0,006539	0,001486	4,40
proporzionale alla deformata 1° modo di vibrazione												
Trave 2-15	0%	0,00	0,00	0,00	0,0000	0,0000	0,000000	0,000000	0,00	0,000000	0,000000	0,00
Trave 2-15	100%	0,00	0,00	0,00	0,0000	0,0000	0,000000	0,000000	0,00	0,000000	0,000000	0,00
sisma in -Y												
proporzionale alle masse												
Trave 2-15	0%	0,00	0,00	0,00	0,0000	0,0000	0,000000	0,000000	0,00	0,000000	0,000000	0,00
Trave 2-15	100%	0,00	0,00	0,00	0,0000	0,0000	0,000000	0,000000	0,00	0,000000	0,000000	0,00
proporzionale alla deformata 1° modo di vibrazione												
Trave 2-15	0%	0,00	0,00	0,00	0,0000	0,0000	0,000000	0,000000	0,00	0,000000	0,000000	0,00
Trave 2-15	100%	0,00	0,00	0,00	0,0000	0,0000	0,000000	0,000000	0,00	0,000000	0,000000	0,00
Piano terra ingresso							**Travata: Trave3-16-27-34**					
sisma in +X												
proporzionale alle masse												
Trave 3-16	0%	0,00	0,00	0,00	0,0000	0,0000	0,000000	0,000000	0,00	0,000000	0,000000	0,00
Trave 3-16	100%	0,00	0,00	0,00	0,0000	0,0000	0,000000	0,000000	0,00	0,000000	0,000000	0,00
proporzionale alla deformata 1° modo di vibrazione												
Trave 3-16	0%	1,16	1,09	0,44	0,0833	0,0059	0,016388	0,000271	60,40	0,004985	0,000170	29,31
Trave 3-16	100%	0,71	0,82	0,40	0,0702	0,0066	0,011602	0,000099	NS	0,004970	0,000046	NS
sisma in -X												
proporzionale alle masse												
Trave 3-16	0%	0,00	0,00	0,00	0,0000	0,0000	0,000000	0,000000	0,00	0,000000	0,000000	0,00
Trave 3-16	100%	0,00	0,00	0,00	0,0000	0,0000	0,000000	0,000000	0,00	0,000000	0,000000	0,00
proporzionale alla deformata 1° modo di vibrazione												
Trave 3-16	0%	0,00	0,00	0,00	0,0000	0,0000	0,000000	0,000000	0,00	0,000000	0,000000	0,00
Trave 3-16	100%	0,00	0,00	0,00	0,0000	0,0000	0,000000	0,000000	0,00	0,000000	0,000000	0,00
sisma in +Y												
proporzionale alle masse												
Trave 3-16	0%	12,83	1,38	1,61	0,0787	0,0071	0,057150	0,002785	20,52	0,006134	0,001313	4,67
Trave 3-16	100%	2,08	1,70	0,54	0,0431	0,0071	0,011798	0,003562	3,31	0,006784	0,001679	4,04
proporzionale alla deformata 1° modo di vibrazione												
Trave 3-16	0%	0,00	0,00	0,00	0,0000	0,0000	0,000000	0,000000	0,00	0,000000	0,000000	0,00
Trave 3-16	100%	0,00	0,00	0,00	0,0000	0,0000	0,000000	0,000000	0,00	0,000000	0,000000	0,00
sisma in -Y												
proporzionale alle masse												
Trave 3-16	0%	0,00	0,00	0,00	0,0000	0,0000	0,000000	0,000000	0,00	0,000000	0,000000	0,00
Trave 3-16	100%	0,00	0,00	0,00	0,0000	0,0000	0,000000	0,000000	0,00	0,000000	0,000000	0,00
proporzionale alla deformata 1° modo di vibrazione												
Trave 3-16	0%	0,00	0,00	0,00	0,0000	0,0000	0,000000	0,000000	0,00	0,000000	0,000000	0,00

Id_{Tr}	$\%L_{LI}$	$L_{v,SLV}$	$L_{v,SLD}$	L_{pl}	ϕ_u	ϕ_y	SLV			SLD		
							Θ_c	Θ_d	CS	Θ_c	Θ_d	CS
	[%]	[m]	[m]	[m]	[rad/m]	[rad/m]	[rad]	[rad]		[rad]	[rad]	
Trave 3-16	100%	0,00	0,00	0,00	0,0000	0,0000	0,000000	0,000000	0,00	0,000000	0,000000	0,00
sisma in +X												
proporzionale alle masse												
Trave 16-27	0%	0,00	0,00	0,00	0,0000	0,0000	0,000000	0,000000	0,00	0,000000	0,000000	0,00
Trave 16-27	100%	0,00	0,00	0,00	0,0000	0,0000	0,000000	0,000000	0,00	0,000000	0,000000	0,00
proporzionale alla deformata 1° modo di vibrazione												
Trave 16-27	0%	0,54	0,53	0,37	0,0830	0,0088	0,011605	0,000099	NS	0,005203	0,000046	NS
Trave 16-27	100%	0,53	0,55	0,36	0,1092	0,0075	0,014532	0,000071	NS	0,004807	0,000064	74,96
sisma in -X												
proporzionale alle masse												
Trave 16-27	0%	0,00	0,00	0,00	0,0000	0,0000	0,000000	0,000000	0,00	0,000000	0,000000	0,00
Trave 16-27	100%	0,00	0,00	0,00	0,0000	0,0000	0,000000	0,000000	0,00	0,000000	0,000000	0,00
proporzionale alla deformata 1° modo di vibrazione												
Trave 16-27	0%	0,00	0,00	0,00	0,0000	0,0000	0,000000	0,000000	0,00	0,000000	0,000000	0,00
Trave 16-27	100%	0,00	0,00	0,00	0,0000	0,0000	0,000000	0,000000	0,00	0,000000	0,000000	0,00
sisma in +Y												
proporzionale alle masse												
Trave 16-27	0%	2,39	5,01	0,55	0,0929	0,0072	0,028160	0,003562	7,91	0,014531	0,001679	8,66
Trave 16-27	100%	1,26	1,09	0,44	0,0842	0,0075	0,016709	0,002637	6,34	0,005624	0,001244	4,52
proporzionale alla deformata 1° modo di vibrazione												
Trave 16-27	0%	0,00	0,00	0,00	0,0000	0,0000	0,000000	0,000000	0,00	0,000000	0,000000	0,00
Trave 16-27	100%	0,00	0,00	0,00	0,0000	0,0000	0,000000	0,000000	0,00	0,000000	0,000000	0,00
sisma in -Y												
proporzionale alle masse												
Trave 16-27	0%	0,00	0,00	0,00	0,0000	0,0000	0,000000	0,000000	0,00	0,000000	0,000000	0,00
Trave 16-27	100%	0,00	0,00	0,00	0,0000	0,0000	0,000000	0,000000	0,00	0,000000	0,000000	0,00
proporzionale alla deformata 1° modo di vibrazione												
Trave 16-27	0%	0,00	0,00	0,00	0,0000	0,0000	0,000000	0,000000	0,00	0,000000	0,000000	0,00
Trave 16-27	100%	0,00	0,00	0,00	0,0000	0,0000	0,000000	0,000000	0,00	0,000000	0,000000	0,00
sisma in +X												
proporzionale alle masse												
Trave 27-34	0%	0,00	0,00	0,00	0,0000	0,0000	0,000000	0,000000	0,00	0,000000	0,000000	0,00
Trave 27-34	100%	0,00	0,00	0,00	0,0000	0,0000	0,000000	0,000000	0,00	0,000000	0,000000	0,00
proporzionale alla deformata 1° modo di vibrazione												
Trave 27-34	0%	0,16	0,32	0,33	0,1038	0,0080	0,010416	0,000071	NS	0,005106	0,000064	79,62
Trave 27-34	100%	1,02	0,90	0,41	0,1038	0,0071	0,018490	0,000030	NS	0,005078	0,000017	NS
sisma in -X												
proporzionale alle masse												
Trave 27-34	0%	0,00	0,00	0,00	0,0000	0,0000	0,000000	0,000000	0,00	0,000000	0,000000	0,00
Trave 27-34	100%	0,00	0,00	0,00	0,0000	0,0000	0,000000	0,000000	0,00	0,000000	0,000000	0,00
proporzionale alla deformata 1° modo di vibrazione												
Trave 27-34	0%	0,00	0,00	0,00	0,0000	0,0000	0,000000	0,000000	0,00	0,000000	0,000000	0,00
Trave 27-34	100%	0,00	0,00	0,00	0,0000	0,0000	0,000000	0,000000	0,00	0,000000	0,000000	0,00
sisma in +Y												
proporzionale alle masse												
Trave 27-34	0%	7,81	1,90	1,09	0,0862	0,0087	0,043595	0,002637	16,53	0,008354	0,001244	6,72
Trave 27-34	100%	1,45	1,20	0,46	0,0864	0,0075	0,018110	0,002728	6,64	0,005855	0,001214	4,82
proporzionale alla deformata 1° modo di vibrazione												
Trave 27-34	0%	0,00	0,00	0,00	0,0000	0,0000	0,000000	0,000000	0,00	0,000000	0,000000	0,00
Trave 27-34	100%	0,00	0,00	0,00	0,0000	0,0000	0,000000	0,000000	0,00	0,000000	0,000000	0,00
sisma in -Y												
proporzionale alle masse												
Trave 27-34	0%	0,00	0,00	0,00	0,0000	0,0000	0,000000	0,000000	0,00	0,000000	0,000000	0,00
Trave 27-34	100%	0,00	0,00	0,00	0,0000	0,0000	0,000000	0,000000	0,00	0,000000	0,000000	0,00
proporzionale alla deformata 1° modo di vibrazione												
Trave 27-34	0%	0,00	0,00	0,00	0,0000	0,0000	0,000000	0,000000	0,00	0,000000	0,000000	0,00
Trave 27-34	100%	0,00	0,00	0,00	0,0000	0,0000	0,000000	0,000000	0,00	0,000000	0,000000	0,00
Piano terra ingresso							**Travata: Trave4-17**					
sisma in +X												
proporzionale alle masse												
Trave 4-17	0%	0,00	0,00	0,00	0,0000	0,0000	0,000000	0,000000	0,00	0,000000	0,000000	0,00
Trave 4-17	100%	0,00	0,00	0,00	0,0000	0,0000	0,000000	0,000000	0,00	0,000000	0,000000	0,00
proporzionale alla deformata 1° modo di vibrazione												
Trave 4-17	0%	1,20	1,12	0,45	0,0804	0,0060	0,016093	0,000258	62,43	0,005066	0,000166	30,57
Trave 4-17	100%	0,63	0,78	0,39	0,0516	0,0070	0,008570	0,000048	NS	0,005105	0,000011	NS
sisma in -X												
proporzionale alle masse												
Trave 4-17	0%	0,00	0,00	0,00	0,0000	0,0000	0,000000	0,000000	0,00	0,000000	0,000000	0,00
Trave 4-17	100%	0,00	0,00	0,00	0,0000	0,0000	0,000000	0,000000	0,00	0,000000	0,000000	0,00
proporzionale alla deformata 1° modo di vibrazione												
Trave 4-17	0%	0,00	0,00	0,00	0,0000	0,0000	0,000000	0,000000	0,00	0,000000	0,000000	0,00
Trave 4-17	100%	0,00	0,00	0,00	0,0000	0,0000	0,000000	0,000000	0,00	0,000000	0,000000	0,00
sisma in +Y												
proporzionale alle masse												
Trave 4-17	0%	11,13	1,36	1,44	0,0805	0,0070	0,052555	0,002760	19,04	0,006025	0,001285	4,69
Trave 4-17	100%	2,12	1,72	0,54	0,0342	0,0077	0,009861	0,003592	2,75	0,007243	0,001653	4,38
proporzionale alla deformata 1° modo di vibrazione												
Trave 4-17	0%	0,00	0,00	0,00	0,0000	0,0000	0,000000	0,000000	0,00	0,000000	0,000000	0,00
Trave 4-17	100%	0,00	0,00	0,00	0,0000	0,0000	0,000000	0,000000	0,00	0,000000	0,000000	0,00
sisma in -Y												
proporzionale alle masse												
Trave 4-17	0%	0,00	0,00	0,00	0,0000	0,0000	0,000000	0,000000	0,00	0,000000	0,000000	0,00
Trave 4-17	100%	0,00	0,00	0,00	0,0000	0,0000	0,000000	0,000000	0,00	0,000000	0,000000	0,00
proporzionale alla deformata 1° modo di vibrazione												
Trave 4-17	0%	0,00	0,00	0,00	0,0000	0,0000	0,000000	0,000000	0,00	0,000000	0,000000	0,00

Id_{Tr}	$\%L_{LI}$	$L_{v,SLV}$	$L_{v,SLD}$	L_{pl}	ϕ_u	ϕ_y	SLV			SLD		
							Θ_c	Θ_d	CS	Θ_c	Θ_d	CS
	[%]	[m]	[m]	[m]	[rad/m]	[rad/m]	[rad]	[rad]		[rad]	[rad]	
Trave 4-17	100%	0,00	0,00	0,00	0,0000	0,0000	0,000000	0,000000	0,00	0,000000	0,000000	0,00
Piano terra ingresso							**Travata: Trave5-18**					
sisma in +X												
proporzionale alle masse												
Trave 5-18	0%	0,00	0,00	0,00	0,0000	0,0000	0,000000	0,000000	0,00	0,000000	0,000000	0,00
Trave 5-18	100%	0,00	0,00	0,00	0,0000	0,0000	0,000000	0,000000	0,00	0,000000	0,000000	0,00
proporzionale alla deformata 1° modo di vibrazione												
Trave 5-18	0%	1,22	1,13	0,45	0,0803	0,0060	0,016198	0,000237	68,25	0,005088	0,000155	32,90
Trave 5-18	100%	0,59	0,76	0,39	0,0514	0,0070	0,008333	0,000037	NS	0,005095	0,000006	NS
sisma in -X												
proporzionale alle masse												
Trave 5-18	0%	0,00	0,00	0,00	0,0000	0,0000	0,000000	0,000000	0,00	0,000000	0,000000	0,00
Trave 5-18	100%	0,00	0,00	0,00	0,0000	0,0000	0,000000	0,000000	0,00	0,000000	0,000000	0,00
proporzionale alla deformata 1° modo di vibrazione												
Trave 5-18	0%	0,00	0,00	0,00	0,0000	0,0000	0,000000	0,000000	0,00	0,000000	0,000000	0,00
Trave 5-18	100%	0,00	0,00	0,00	0,0000	0,0000	0,000000	0,000000	0,00	0,000000	0,000000	0,00
sisma in +Y												
proporzionale alle masse												
Trave 5-18	0%	11,96	1,31	1,52	0,0809	0,0070	0,055748	0,002774	20,10	0,005922	0,001283	4,62
Trave 5-18	100%	2,10	1,69	0,54	0,0345	0,0077	0,009892	0,003531	2,80	0,007172	0,001594	4,50
proporzionale alla deformata 1° modo di vibrazione												
Trave 5-18	0%	0,00	0,00	0,00	0,0000	0,0000	0,000000	0,000000	0,00	0,000000	0,000000	0,00
Trave 5-18	100%	0,00	0,00	0,00	0,0000	0,0000	0,000000	0,000000	0,00	0,000000	0,000000	0,00
sisma in -Y												
proporzionale alle masse												
Trave 5-18	0%	0,00	0,00	0,00	0,0000	0,0000	0,000000	0,000000	0,00	0,000000	0,000000	0,00
Trave 5-18	100%	0,00	0,00	0,00	0,0000	0,0000	0,000000	0,000000	0,00	0,000000	0,000000	0,00
proporzionale alla deformata 1° modo di vibrazione												
Trave 5-18	0%	0,00	0,00	0,00	0,0000	0,0000	0,000000	0,000000	0,00	0,000000	0,000000	0,00
Trave 5-18	100%	0,00	0,00	0,00	0,0000	0,0000	0,000000	0,000000	0,00	0,000000	0,000000	0,00
Piano terra ingresso							**Travata: Trave6-7-19-28-37**					
sisma in +X												
proporzionale alle masse												
Trave 19-28	0%	0,00	0,00	0,00	0,0000	0,0000	0,000000	0,000000	0,00	0,000000	0,000000	0,00
Trave 19-28	100%	0,00	0,00	0,00	0,0000	0,0000	0,000000	0,000000	0,00	0,000000	0,000000	0,00
proporzionale alla deformata 1° modo di vibrazione												
Trave 19-28	0%	0,43	0,53	0,30	0,0811	0,0070	0,009519	0,000104	91,57	0,004574	0,000080	57,14
Trave 19-28	100%	0,78	0,74	0,34	0,0896	0,0067	0,013280	0,000020	NS	0,004589	0,000036	NS
sisma in -X												
proporzionale alle masse												
Trave 19-28	0%	0,00	0,00	0,00	0,0000	0,0000	0,000000	0,000000	0,00	0,000000	0,000000	0,00
Trave 19-28	100%	0,00	0,00	0,00	0,0000	0,0000	0,000000	0,000000	0,00	0,000000	0,000000	0,00
proporzionale alla deformata 1° modo di vibrazione												
Trave 19-28	0%	0,00	0,00	0,00	0,0000	0,0000	0,000000	0,000000	0,00	0,000000	0,000000	0,00
Trave 19-28	100%	0,00	0,00	0,00	0,0000	0,0000	0,000000	0,000000	0,00	0,000000	0,000000	0,00
sisma in +Y												
proporzionale alle masse												
Trave 19-28	0%	2,94	8,77	0,55	0,1024	0,0054	0,033170	0,003129	10,60	0,017690	0,001363	12,98
Trave 19-28	100%	1,58	1,34	0,42	0,0604	0,0073	0,012547	0,001731	7,25	0,005882	0,000763	7,71
proporzionale alla deformata 1° modo di vibrazione												
Trave 19-28	0%	0,00	0,00	0,00	0,0000	0,0000	0,000000	0,000000	0,00	0,000000	0,000000	0,00
Trave 19-28	100%	0,00	0,00	0,00	0,0000	0,0000	0,000000	0,000000	0,00	0,000000	0,000000	0,00
sisma in -Y												
proporzionale alle masse												
Trave 19-28	0%	0,00	0,00	0,00	0,0000	0,0000	0,000000	0,000000	0,00	0,000000	0,000000	0,00
Trave 19-28	100%	0,00	0,00	0,00	0,0000	0,0000	0,000000	0,000000	0,00	0,000000	0,000000	0,00
proporzionale alla deformata 1° modo di vibrazione												
Trave 19-28	0%	0,00	0,00	0,00	0,0000	0,0000	0,000000	0,000000	0,00	0,000000	0,000000	0,00
Trave 19-28	100%	0,00	0,00	0,00	0,0000	0,0000	0,000000	0,000000	0,00	0,000000	0,000000	0,00
sisma in +X												
proporzionale alle masse												
Trave 28-37	0%	0,00	0,00	0,00	0,0000	0,0000	0,000000	0,000000	0,00	0,000000	0,000000	0,00
Trave 28-37	100%	0,00	0,00	0,00	0,0000	0,0000	0,000000	0,000000	0,00	0,000000	0,000000	0,00
proporzionale alla deformata 1° modo di vibrazione												
Trave 28-37	0%	0,65	0,67	0,32	0,0670	0,0074	0,009653	0,000020	NS	0,004769	0,000036	NS
Trave 28-37	100%	0,53	0,47	0,31	0,0898	0,0074	0,011451	0,000036	NS	0,004712	0,000022	NS
sisma in -X												
proporzionale alle masse												
Trave 28-37	0%	0,00	0,00	0,00	0,0000	0,0000	0,000000	0,000000	0,00	0,000000	0,000000	0,00
Trave 28-37	100%	0,00	0,00	0,00	0,0000	0,0000	0,000000	0,000000	0,00	0,000000	0,000000	0,00
proporzionale alla deformata 1° modo di vibrazione												
Trave 28-37	0%	0,00	0,00	0,00	0,0000	0,0000	0,000000	0,000000	0,00	0,000000	0,000000	0,00
Trave 28-37	100%	0,00	0,00	0,00	0,0000	0,0000	0,000000	0,000000	0,00	0,000000	0,000000	0,00
sisma in +Y												
proporzionale alle masse												
Trave 28-37	0%	1,99	2,97	0,46	0,0919	0,0063	0,021603	0,001731	12,48	0,008467	0,000763	11,10
Trave 28-37	100%	1,61	1,38	0,42	0,0439	0,0081	0,009736	0,003091	3,15	0,006411	0,001395	4,59
proporzionale alla deformata 1° modo di vibrazione												
Trave 28-37	0%	0,00	0,00	0,00	0,0000	0,0000	0,000000	0,000000	0,00	0,000000	0,000000	0,00
Trave 28-37	100%	0,00	0,00	0,00	0,0000	0,0000	0,000000	0,000000	0,00	0,000000	0,000000	0,00
sisma in -Y												
proporzionale alle masse												
Trave 28-37	0%	0,00	0,00	0,00	0,0000	0,0000	0,000000	0,000000	0,00	0,000000	0,000000	0,00
Trave 28-37	100%	0,00	0,00	0,00	0,0000	0,0000	0,000000	0,000000	0,00	0,000000	0,000000	0,00
proporzionale alla deformata 1° modo di vibrazione												

Id_{Tr}	$\%L_{LI}$	$L_{v,SLV}$	$L_{v,SLD}$	L_{pl}	ϕ_u	ϕ_y	SLV			SLD		
							Θ_c	Θ_d	CS	Θ_c	Θ_d	CS
	[%]	[m]	[m]	[m]	[rad/m]	[rad/m]	[rad]	[rad]		[rad]	[rad]	
Trave 28-37	0%	0,00	0,00	0,00	0,0000	0,0000	0,000000	0,000000	0,00	0,000000	0,000000	0,00
Trave 28-37	100%	0,00	0,00	0,00	0,0000	0,0000	0,000000	0,000000	0,00	0,000000	0,000000	0,00
Piano terra ingresso							**Travata: Trave13-24-31-41**					
sisma in +X												
proporzionale alle masse												
Trave 13-24	0%	0,00	0,00	0,00	0,0000	0,0000	0,000000	0,000000	0,00	0,000000	0,000000	0,00
Trave 13-24	100%	0,00	0,00	0,00	0,0000	0,0000	0,000000	0,000000	0,00	0,000000	0,000000	0,00
proporzionale alla deformata 1° modo di vibrazione												
Trave 13-24	0%	0,79	0,80	0,40	0,0824	0,0063	0,013691	0,000127	NS	0,004698	0,000153	30,69
Trave 13-24	100%	0,82	0,81	0,40	0,0740	0,0065	0,012636	0,000227	55,70	0,004815	0,000187	25,80
sisma in -X												
proporzionale alle masse												
Trave 13-24	0%	0,00	0,00	0,00	0,0000	0,0000	0,000000	0,000000	0,00	0,000000	0,000000	0,00
Trave 13-24	100%	0,00	0,00	0,00	0,0000	0,0000	0,000000	0,000000	0,00	0,000000	0,000000	0,00
proporzionale alla deformata 1° modo di vibrazione												
Trave 13-24	0%	0,00	0,00	0,00	0,0000	0,0000	0,000000	0,000000	0,00	0,000000	0,000000	0,00
Trave 13-24	100%	0,00	0,00	0,00	0,0000	0,0000	0,000000	0,000000	0,00	0,000000	0,000000	0,00
sisma in +Y												
proporzionale alle masse												
Trave 13-24	0%	0,36	0,46	0,35	0,0885	0,0063	0,009619	0,003076	3,13	0,004624	0,001346	3,44
Trave 13-24	100%	1,18	1,03	0,44	0,0635	0,0068	0,012719	0,001842	6,90	0,005257	0,000796	6,60
proporzionale alla deformata 1° modo di vibrazione												
Trave 13-24	0%	0,00	0,00	0,00	0,0000	0,0000	0,000000	0,000000	0,00	0,000000	0,000000	0,00
Trave 13-24	100%	0,00	0,00	0,00	0,0000	0,0000	0,000000	0,000000	0,00	0,000000	0,000000	0,00
sisma in -Y												
proporzionale alle masse												
Trave 13-24	0%	0,00	0,00	0,00	0,0000	0,0000	0,000000	0,000000	0,00	0,000000	0,000000	0,00
Trave 13-24	100%	0,00	0,00	0,00	0,0000	0,0000	0,000000	0,000000	0,00	0,000000	0,000000	0,00
proporzionale alla deformata 1° modo di vibrazione												
Trave 13-24	0%	0,00	0,00	0,00	0,0000	0,0000	0,000000	0,000000	0,00	0,000000	0,000000	0,00
Trave 13-24	100%	0,00	0,00	0,00	0,0000	0,0000	0,000000	0,000000	0,00	0,000000	0,000000	0,00
sisma in +X												
proporzionale alle masse												
Trave 31-41	0%	0,00	0,00	0,00	0,0000	0,0000	0,000000	0,000000	0,00	0,000000	0,000000	0,00
Trave 31-41	100%	0,00	0,00	0,00	0,0000	0,0000	0,000000	0,000000	0,00	0,000000	0,000000	0,00
proporzionale alla deformata 1° modo di vibrazione												
Trave 31-41	0%	0,91	0,77	0,40	0,1022	0,0072	0,017353	0,000017	NS	0,004909	0,000006	NS
Trave 31-41	100%	0,38	0,29	0,35	0,1022	0,0074	0,011462	0,000034	NS	0,005092	0,000015	NS
sisma in -X												
proporzionale alle masse												
Trave 31-41	0%	0,00	0,00	0,00	0,0000	0,0000	0,000000	0,000000	0,00	0,000000	0,000000	0,00
Trave 31-41	100%	0,00	0,00	0,00	0,0000	0,0000	0,000000	0,000000	0,00	0,000000	0,000000	0,00
proporzionale alla deformata 1° modo di vibrazione												
Trave 31-41	0%	0,00	0,00	0,00	0,0000	0,0000	0,000000	0,000000	0,00	0,000000	0,000000	0,00
Trave 31-41	100%	0,00	0,00	0,00	0,0000	0,0000	0,000000	0,000000	0,00	0,000000	0,000000	0,00
sisma in +Y												
proporzionale alle masse												
Trave 31-41	0%	2,58	6,77	0,57	0,0797	0,0081	0,028496	0,002638	10,80	0,020700	0,001157	17,89
Trave 31-41	100%	1,44	1,23	0,45	0,0798	0,0077	0,016794	0,002406	6,98	0,005984	0,001088	5,50
proporzionale alla deformata 1° modo di vibrazione												
Trave 31-41	0%	0,00	0,00	0,00	0,0000	0,0000	0,000000	0,000000	0,00	0,000000	0,000000	0,00
Trave 31-41	100%	0,00	0,00	0,00	0,0000	0,0000	0,000000	0,000000	0,00	0,000000	0,000000	0,00
sisma in -Y												
proporzionale alle masse												
Trave 31-41	0%	0,00	0,00	0,00	0,0000	0,0000	0,000000	0,000000	0,00	0,000000	0,000000	0,00
Trave 31-41	100%	0,00	0,00	0,00	0,0000	0,0000	0,000000	0,000000	0,00	0,000000	0,000000	0,00
proporzionale alla deformata 1° modo di vibrazione												
Trave 31-41	0%	0,00	0,00	0,00	0,0000	0,0000	0,000000	0,000000	0,00	0,000000	0,000000	0,00
Trave 31-41	100%	0,00	0,00	0,00	0,0000	0,0000	0,000000	0,000000	0,00	0,000000	0,000000	0,00
Piano terra ingresso							**Travata: Trave20-29-4e**					
sisma in +X												
proporzionale alle masse												
Trave 20-29	0%	0,00	0,00	0,00	0,0000	0,0000	0,000000	0,000000	0,00	0,000000	0,000000	0,00
Trave 20-29	100%	0,00	0,00	0,00	0,0000	0,0000	0,000000	0,000000	0,00	0,000000	0,000000	0,00
proporzionale alla deformata 1° modo di vibrazione												
Trave 20-29	0%	0,09	0,16	0,35	0,1031	0,0044	0,012370	0,000093	NS	0,007656	0,000081	94,66
Trave 20-29	100%	0,94	0,90	0,43	0,0777	0,0049	0,014304	0,000060	NS	0,004454	0,000064	70,12
sisma in -X												
proporzionale alle masse												
Trave 20-29	0%	0,00	0,00	0,00	0,0000	0,0000	0,000000	0,000000	0,00	0,000000	0,000000	0,00
Trave 20-29	100%	0,00	0,00	0,00	0,0000	0,0000	0,000000	0,000000	0,00	0,000000	0,000000	0,00
proporzionale alla deformata 1° modo di vibrazione												
Trave 20-29	0%	0,00	0,00	0,00	0,0000	0,0000	0,000000	0,000000	0,00	0,000000	0,000000	0,00
Trave 20-29	100%	0,00	0,00	0,00	0,0000	0,0000	0,000000	0,000000	0,00	0,000000	0,000000	0,00
sisma in +Y												
proporzionale alle masse												
Trave 20-29	0%	2,88	3,35	0,63	0,0985	0,0041	0,029694	0,002619	11,34	0,006778	0,001197	5,66
Trave 20-29	100%	1,51	1,49	0,49	0,0752	0,0049	0,016900	0,003056	5,53	0,005013	0,001332	3,76
proporzionale alla deformata 1° modo di vibrazione												
Trave 20-29	0%	0,00	0,00	0,00	0,0000	0,0000	0,000000	0,000000	0,00	0,000000	0,000000	0,00
Trave 20-29	100%	0,00	0,00	0,00	0,0000	0,0000	0,000000	0,000000	0,00	0,000000	0,000000	0,00
sisma in -Y												
proporzionale alle masse												
Trave 20-29	0%	0,00	0,00	0,00	0,0000	0,0000	0,000000	0,000000	0,00	0,000000	0,000000	0,00
Trave 20-29	100%	0,00	0,00	0,00	0,0000	0,0000	0,000000	0,000000	0,00	0,000000	0,000000	0,00

Id_{Tr}	$\%L_{LI}$	$L_{v,SLV}$	$L_{v,SLD}$	L_{pl}	ϕ_u	ϕ_y	SLV			SLD		
							Θ_c	Θ_d	CS	Θ_c	Θ_d	CS
	[%]	[m]	[m]	[m]	[rad/m]	[rad/m]	[rad]	[rad]		[rad]	[rad]	
proporzionale alla deformata 1° modo di vibrazione												
Trave 20-29	0%	0,00	0,00	0,00	0,0000	0,0000	0,000000	0,000000	0,00	0,000000	0,000000	0,00
Trave 20-29	100%	0,00	0,00	0,00	0,0000	0,0000	0,000000	0,000000	0,00	0,000000	0,000000	0,00
sisma in +X												
proporzionale alle masse												
Trave 29-4e	0%	0,00	0,00	0,00	0,0000	0,0000	0,000000	0,000000	0,00	0,000000	0,000000	0,00
Trave 29-4e	100%	0,00	0,00	0,00	0,0000	0,0000	0,000000	0,000000	0,00	0,000000	0,000000	0,00
proporzionale alla deformata 1° modo di vibrazione												
Trave 29-4e	0%	1,02	1,00	0,44	0,0839	0,0050	0,015849	0,000060	NS	0,004528	0,000064	71,28
Trave 29-4e	100%	0,00	0,01	0,34	0,1008	0,0062	0,073380	0,000417	NS	0,130812	0,000418	NS
sisma in -X												
proporzionale alle masse												
Trave 29-4e	0%	0,00	0,00	0,00	0,0000	0,0000	0,000000	0,000000	0,00	0,000000	0,000000	0,00
Trave 29-4e	100%	0,00	0,00	0,00	0,0000	0,0000	0,000000	0,000000	0,00	0,000000	0,000000	0,00
proporzionale alla deformata 1° modo di vibrazione												
Trave 29-4e	0%	0,00	0,00	0,00	0,0000	0,0000	0,000000	0,000000	0,00	0,000000	0,000000	0,00
Trave 29-4e	100%	0,00	0,00	0,00	0,0000	0,0000	0,000000	0,000000	0,00	0,000000	0,000000	0,00
sisma in +Y												
proporzionale alle masse												
Trave 29-4e	0%	1,07	1,04	0,44	0,0844	0,0045	0,016212	0,003056	5,30	0,004336	0,001332	3,25
Trave 29-4e	100%	0,41	0,00	0,38	0,1009	0,0041	0,011802	0,003519	3,35	0,003823	0,001726	2,21
proporzionale alla deformata 1° modo di vibrazione												
Trave 29-4e	0%	0,00	0,00	0,00	0,0000	0,0000	0,000000	0,000000	0,00	0,000000	0,000000	0,00
Trave 29-4e	100%	0,00	0,00	0,00	0,0000	0,0000	0,000000	0,000000	0,00	0,000000	0,000000	0,00
sisma in -Y												
proporzionale alle masse												
Trave 29-4e	0%	0,00	0,00	0,00	0,0000	0,0000	0,000000	0,000000	0,00	0,000000	0,000000	0,00
Trave 29-4e	100%	0,00	0,00	0,00	0,0000	0,0000	0,000000	0,000000	0,00	0,000000	0,000000	0,00
proporzionale alla deformata 1° modo di vibrazione												
Trave 29-4e	0%	0,00	0,00	0,00	0,0000	0,0000	0,000000	0,000000	0,00	0,000000	0,000000	0,00
Trave 29-4e	100%	0,00	0,00	0,00	0,0000	0,0000	0,000000	0,000000	0,00	0,000000	0,000000	0,00
Piano terra ingresso							**Travata: Trave21-30**					
sisma in +X												
proporzionale alle masse												
Trave 21-30	0%	0,00	0,00	0,00	0,0000	0,0000	0,000000	0,000000	0,00	0,000000	0,000000	0,00
Trave 21-30	100%	0,00	0,00	0,00	0,0000	0,0000	0,000000	0,000000	0,00	0,000000	0,000000	0,00
proporzionale alla deformata 1° modo di vibrazione												
Trave 21-30	0%	0,47	0,45	0,36	0,0973	0,0045	0,012577	0,000123	NS	0,004503	0,000114	39,59
Trave 21-30	100%	0,61	0,63	0,38	0,0522	0,0051	0,008332	0,000065	NS	0,004436	0,000063	70,59
sisma in -X												
proporzionale alle masse												
Trave 21-30	0%	0,00	0,00	0,00	0,0000	0,0000	0,000000	0,000000	0,00	0,000000	0,000000	0,00
Trave 21-30	100%	0,00	0,00	0,00	0,0000	0,0000	0,000000	0,000000	0,00	0,000000	0,000000	0,00
proporzionale alla deformata 1° modo di vibrazione												
Trave 21-30	0%	0,00	0,00	0,00	0,0000	0,0000	0,000000	0,000000	0,00	0,000000	0,000000	0,00
Trave 21-30	100%	0,00	0,00	0,00	0,0000	0,0000	0,000000	0,000000	0,00	0,000000	0,000000	0,00
sisma in +Y												
proporzionale alle masse												
Trave 21-30	0%	2,85	4,04	0,60	0,0787	0,0050	0,024309	0,002821	8,62	0,008864	0,001326	6,69
Trave 21-30	100%	1,51	1,37	0,47	0,0357	0,0062	0,008620	0,001859	4,64	0,005564	0,000863	6,45
proporzionale alla deformata 1° modo di vibrazione												
Trave 21-30	0%	0,00	0,00	0,00	0,0000	0,0000	0,000000	0,000000	0,00	0,000000	0,000000	0,00
Trave 21-30	100%	0,00	0,00	0,00	0,0000	0,0000	0,000000	0,000000	0,00	0,000000	0,000000	0,00
sisma in -Y												
proporzionale alle masse												
Trave 21-30	0%	0,00	0,00	0,00	0,0000	0,0000	0,000000	0,000000	0,00	0,000000	0,000000	0,00
Trave 21-30	100%	0,00	0,00	0,00	0,0000	0,0000	0,000000	0,000000	0,00	0,000000	0,000000	0,00
proporzionale alla deformata 1° modo di vibrazione												
Trave 21-30	0%	0,00	0,00	0,00	0,0000	0,0000	0,000000	0,000000	0,00	0,000000	0,000000	0,00
Trave 21-30	100%	0,00	0,00	0,00	0,0000	0,0000	0,000000	0,000000	0,00	0,000000	0,000000	0,00
Fondazione							**Travata: Trave28-29-21f-30**					
sisma in +X												
proporzionale alle masse												
Trave 29-21f	0%	0,00	0,00	0,00	0,0000	0,0000	0,000000	0,000000	0,00	0,000000	0,000000	0,00
Trave 29-21f	100%	0,00	0,00	0,00	0,0000	0,0000	0,000000	0,000000	0,00	0,000000	0,000000	0,00
proporzionale alla deformata 1° modo di vibrazione												
Trave 29-21f	0%	0,40	0,48	0,45	0,0922	0,0041	0,012144	0,000070	NS	0,004685	0,000049	96,46
Trave 29-21f	100%	0,03	0,10	0,41	0,0921	0,0044	0,014893	0,000092	NS	0,011900	0,000094	NS
sisma in -X												
proporzionale alle masse												
Trave 29-21f	0%	0,00	0,00	0,00	0,0000	0,0000	0,000000	0,000000	0,00	0,000000	0,000000	0,00
Trave 29-21f	100%	0,00	0,00	0,00	0,0000	0,0000	0,000000	0,000000	0,00	0,000000	0,000000	0,00
proporzionale alla deformata 1° modo di vibrazione												
Trave 29-21f	0%	0,00	0,00	0,00	0,0000	0,0000	0,000000	0,000000	0,00	0,000000	0,000000	0,00
Trave 29-21f	100%	0,00	0,00	0,00	0,0000	0,0000	0,000000	0,000000	0,00	0,000000	0,000000	0,00
sisma in +Y												
proporzionale alle masse												
Trave 29-21f	0%	0,50	0,55	0,46	0,0920	0,0041	0,013187	0,000011	NS	0,004530	0,000014	NS
Trave 29-21f	100%	0,04	0,12	0,41	0,0920	0,0043	0,014060	0,000084	NS	0,010164	0,000087	NS
proporzionale alla deformata 1° modo di vibrazione												
Trave 29-21f	0%	0,00	0,00	0,00	0,0000	0,0000	0,000000	0,000000	0,00	0,000000	0,000000	0,00
Trave 29-21f	100%	0,00	0,00	0,00	0,0000	0,0000	0,000000	0,000000	0,00	0,000000	0,000000	0,00
sisma in -Y												
proporzionale alle masse												
Trave 29-21f	0%	0,00	0,00	0,00	0,0000	0,0000	0,000000	0,000000	0,00	0,000000	0,000000	0,00

Verifiche di Rotazione alla corda

Id_{Tr}	$\%L_{LI}$	$L_{v,SLV}$	$L_{v,SLD}$	L_{pl}	ϕ_u	ϕ_y	SLV			SLD		
							Θ_c	Θ_d	CS	Θ_c	Θ_d	CS
	[%]	[m]	[m]	[m]	[rad/m]	[rad/m]	[rad]	[rad]		[rad]	[rad]	
Trave 29-21f	100%	0,00	0,00	0,00	0,0000	0,0000	0,000000	0,000000	0,00	0,000000	0,000000	0,00
proporzionale alla deformata 1° modo di vibrazione												
Trave 29-21f	0%	0,00	0,00	0,00	0,0000	0,0000	0,000000	0,000000	0,00	0,000000	0,000000	0,00
Trave 29-21f	100%	0,00	0,00	0,00	0,0000	0,0000	0,000000	0,000000	0,00	0,000000	0,000000	0,00
sisma in +X												
proporzionale alle masse												
Trave 21f-30	0%	0,00	0,00	0,00	0,0000	0,0000	0,000000	0,000000	0,00	0,000000	0,000000	0,00
Trave 21f-30	100%	0,00	0,00	0,00	0,0000	0,0000	0,000000	0,000000	0,00	0,000000	0,000000	0,00
proporzionale alla deformata 1° modo di vibrazione												
Trave 21f-30	0%	0,12	0,15	0,42	0,0921	0,0044	0,013525	0,000092	NS	0,008760	0,000094	93,06
Trave 21f-30	100%	0,58	0,55	0,46	0,0921	0,0041	0,014453	0,000034	NS	0,004527	0,000015	NS
sisma in -X												
proporzionale alle masse												
Trave 21f-30	0%	0,00	0,00	0,00	0,0000	0,0000	0,000000	0,000000	0,00	0,000000	0,000000	0,00
Trave 21f-30	100%	0,00	0,00	0,00	0,0000	0,0000	0,000000	0,000000	0,00	0,000000	0,000000	0,00
proporzionale alla deformata 1° modo di vibrazione												
Trave 21f-30	0%	0,00	0,00	0,00	0,0000	0,0000	0,000000	0,000000	0,00	0,000000	0,000000	0,00
Trave 21f-30	100%	0,00	0,00	0,00	0,0000	0,0000	0,000000	0,000000	0,00	0,000000	0,000000	0,00
sisma in +Y												
proporzionale alle masse												
Trave 21f-30	0%	0,11	0,17	0,42	0,0920	0,0046	0,013157	0,000084	NS	0,008125	0,000087	93,02
Trave 21f-30	100%	0,56	0,53	0,46	0,0920	0,0041	0,014264	0,000010	NS	0,004580	0,000012	NS
proporzionale alla deformata 1° modo di vibrazione												
Trave 21f-30	0%	0,00	0,00	0,00	0,0000	0,0000	0,000000	0,000000	0,00	0,000000	0,000000	0,00
Trave 21f-30	100%	0,00	0,00	0,00	0,0000	0,0000	0,000000	0,000000	0,00	0,000000	0,000000	0,00
sisma in -Y												
proporzionale alle masse												
Trave 21f-30	0%	0,00	0,00	0,00	0,0000	0,0000	0,000000	0,000000	0,00	0,000000	0,000000	0,00
Trave 21f-30	100%	0,00	0,00	0,00	0,0000	0,0000	0,000000	0,000000	0,00	0,000000	0,000000	0,00
proporzionale alla deformata 1° modo di vibrazione												
Trave 21f-30	0%	0,00	0,00	0,00	0,0000	0,0000	0,000000	0,000000	0,00	0,000000	0,000000	0,00
Trave 21f-30	100%	0,00	0,00	0,00	0,0000	0,0000	0,000000	0,000000	0,00	0,000000	0,000000	0,00
Fondazione							**Travata: Trave21f-38**					
sisma in +X												
proporzionale alle masse												
Trave 21f-38	0%	0,00	0,00	0,00	0,0000	0,0000	0,000000	0,000000	0,00	0,000000	0,000000	0,00
Trave 21f-38	100%	0,00	0,00	0,00	0,0000	0,0000	0,000000	0,000000	0,00	0,000000	0,000000	0,00
proporzionale alla deformata 1° modo di vibrazione												
Trave 21f-38	0%	0,38	0,46	0,42	0,1113	0,0058	0,013310	0,000021	NS	0,004657	0,000028	NS
Trave 21f-38	100%	0,80	0,71	0,46	0,1112	0,0054	0,019476	0,000084	NS	0,004474	0,000017	NS
sisma in -X												
proporzionale alle masse												
Trave 21f-38	0%	0,00	0,00	0,00	0,0000	0,0000	0,000000	0,000000	0,00	0,000000	0,000000	0,00
Trave 21f-38	100%	0,00	0,00	0,00	0,0000	0,0000	0,000000	0,000000	0,00	0,000000	0,000000	0,00
proporzionale alla deformata 1° modo di vibrazione												
Trave 21f-38	0%	0,00	0,00	0,00	0,0000	0,0000	0,000000	0,000000	0,00	0,000000	0,000000	0,00
Trave 21f-38	100%	0,00	0,00	0,00	0,0000	0,0000	0,000000	0,000000	0,00	0,000000	0,000000	0,00
sisma in +Y												
proporzionale alle masse												
Trave 21f-38	0%	116,42	0,56	12,02	0,1084	0,0062	0,584914	0,000029	NS	0,004730	0,000027	NS
Trave 21f-38	100%	1,47	1,20	0,53	0,1088	0,0054	0,024771	0,002391	10,36	0,004934	0,001111	4,44
proporzionale alla deformata 1° modo di vibrazione												
Trave 21f-38	0%	0,00	0,00	0,00	0,0000	0,0000	0,000000	0,000000	0,00	0,000000	0,000000	0,00
Trave 21f-38	100%	0,00	0,00	0,00	0,0000	0,0000	0,000000	0,000000	0,00	0,000000	0,000000	0,00
sisma in -Y												
proporzionale alle masse												
Trave 21f-38	0%	0,00	0,00	0,00	0,0000	0,0000	0,000000	0,000000	0,00	0,000000	0,000000	0,00
Trave 21f-38	100%	0,00	0,00	0,00	0,0000	0,0000	0,000000	0,000000	0,00	0,000000	0,000000	0,00
proporzionale alla deformata 1° modo di vibrazione												
Trave 21f-38	0%	0,00	0,00	0,00	0,0000	0,0000	0,000000	0,000000	0,00	0,000000	0,000000	0,00
Trave 21f-38	100%	0,00	0,00	0,00	0,0000	0,0000	0,000000	0,000000	0,00	0,000000	0,000000	0,00

LEGENDA:

Id_{Tr} Identificativo della trave. L'eventuale lettera tra parentesi distingue i diversi tratti della travata al livello considerato.
$\%L_{LI}$ Posizione della sezione per la quale vengono forniti i valori di verifica, valutata come % della lunghezza libera d'inflessione (L_{LI}), a partire dall'estremo iniziale.
$L_{v,SLV}$ Luce di Taglio allo SLV
$L_{v,SLD}$ Luce di Taglio allo SLD
L_{pl} Lunghezza della cerniera plastica.
ϕ_u Curvatura allo SLU.
ϕ_y Curvatura allo snervamento.
Θ_c Capacità di rotazione alla corda.
Θ_d Domanda di Rotazione alla Corda.
CS Coefficiente di sicurezza ([NS] = Non Significativo per valori di CS >= 100; [VNR]= Verifica Non Richiesta).

TRAVI - VERIFICHE A TAGLIO PER ANALISI NON LINEARE (Elevazione)

Travi - Verifiche a Taglio per Analisi Non Lineare

Id_{Tr}	$\%L_{LI}$	$V_{Ed,3}$	$V_{Ed,2}$	$CS^{(3)}$	$CS^{(2)}$	α_C	$V_{Rsd,s}{}^{(3)}$	$V_{Rsd,s}{}^{(2)}$	$V_{Rcd}{}^{(3)}$	$V_{Rcd}{}^{(2)}$	$V_{fd}{}^{(3)}$	$V_{fd}{}^{(2)}$	$Ctg\Theta^{(3)}$	$Ctg\Theta^{(2)}$
	[%]	[N]	[N]				[N]	[N]	[N]	[N]	[N]	[N]		
Estradosso travi colmo								**Travata: Trave14-15-16-17-18-19**						
sisma in +X														
proporzionale alle masse														
Trave 14-15	0%	-	-	VNR	VNR	0,00	0	0	0	0	0	0	0,00	0,00
	100%	-	-	VNR	VNR	0,00	0	0	0	0	0	0	0,00	0,00
proporzionale alla deformata 1° modo di vibrazione														

Id_{Tr}	$\%L_{LI}$	$V_{Ed,3}$	$V_{Ed,2}$	$CS^{(3)}$	$CS^{(2)}$	α_C	$V_{Rsd,s}{}^{(3)}$	$V_{Rsd,s}{}^{(2)}$	$V_{Rcd}{}^{(3)}$	$V_{Rcd}{}^{(2)}$	$V_{fd}{}^{(3)}$	$V_{fd}{}^{(2)}$	$Ctg\Theta^{(3)}$	$Ctg\Theta^{(2)}$
	[%]	[N]	[N]				[N]	[N]	[N]	[N]	[N]	[N]		
	0%	6	50.929	NS	2,88	1,01	58405	146522	264159	264159	0	0	2,50	2,50
	100%	6	-67.433	NS	2,17	1,01	58405	146522	264174	264174	0	0	2,50	2,50
sisma in -X														
proporzionale alle masse														
	0%	-	-	VNR	VNR	0,00	0	0	0	0	0	0	0,00	0,00
	100%	-	-	VNR	VNR	0,00	0	0	0	0	0	0	0,00	0,00
proporzionale alla deformata 1° modo di vibrazione														
	0%	-	-	VNR	VNR	0,00	0	0	0	0	0	0	0,00	0,00
	100%	-	-	VNR	VNR	0,00	0	0	0	0	0	0	0,00	0,00
sisma in +Y														
proporzionale alle masse														
	0%	-1.453	38.836	40,20	3,77	1,02	58405	146522	268878	268878	0	0	2,50	2,50
	100%	-1.453	-79.526	40,20	1,84	1,02	58405	146522	268361	268361	0	0	2,50	2,50
proporzionale alla deformata 1° modo di vibrazione														
	0%	-	-	VNR	VNR	0,00	0	0	0	0	0	0	0,00	0,00
	100%	-	-	VNR	VNR	0,00	0	0	0	0	0	0	0,00	0,00
sisma in -Y														
proporzionale alle masse														
	0%	-	-	VNR	VNR	0,00	0	0	0	0	0	0	0,00	0,00
	100%	-	-	VNR	VNR	0,00	0	0	0	0	0	0	0,00	0,00
proporzionale alla deformata 1° modo di vibrazione														
	0%	-	-	VNR	VNR	0,00	0	0	0	0	0	0	0,00	0,00
	100%	-	-	VNR	VNR	0,00	0	0	0	0	0	0	0,00	0,00
sisma in +X														
proporzionale alle masse														
Trave 15-16	0%	-	-	VNR	VNR	0,00	0	0	0	0	0	0	0,00	0,00
	100%	-	-	VNR	VNR	0,00	0	0	0	0	0	0	0,00	0,00
proporzionale alla deformata 1° modo di vibrazione														
	0%	-162	54.839	NS	2,67	1,02	58405	146522	266877	266877	0	0	2,50	2,50
	100%	-162	-59.133	NS	2,48	1,02	58405	146522	266878	266878	0	0	2,50	2,50
sisma in -X														
proporzionale alle masse														
	0%	-	-	VNR	VNR	0,00	0	0	0	0	0	0	0,00	0,00
	100%	-	-	VNR	VNR	0,00	0	0	0	0	0	0	0,00	0,00
proporzionale alla deformata 1° modo di vibrazione														
	0%	-	-	VNR	VNR	0,00	0	0	0	0	0	0	0,00	0,00
	100%	-	-	VNR	VNR	0,00	0	0	0	0	0	0	0,00	0,00
sisma in +Y														
proporzionale alle masse														
	0%	-1.735	44.078	33,66	3,32	1,02	58405	146522	268003	268003	0	0	2,50	2,50
	100%	-1.735	-69.894	33,66	2,10	1,02	58405	146522	268029	268029	0	0	2,50	2,50
proporzionale alla deformata 1° modo di vibrazione														
	0%	-	-	VNR	VNR	0,00	0	0	0	0	0	0	0,00	0,00
	100%	-	-	VNR	VNR	0,00	0	0	0	0	0	0	0,00	0,00
sisma in -Y														
proporzionale alle masse														
	0%	-	-	VNR	VNR	0,00	0	0	0	0	0	0	0,00	0,00
	100%	-	-	VNR	VNR	0,00	0	0	0	0	0	0	0,00	0,00
proporzionale alla deformata 1° modo di vibrazione														
	0%	-	-	VNR	VNR	0,00	0	0	0	0	0	0	0,00	0,00
	100%	-	-	VNR	VNR	0,00	0	0	0	0	0	0	0,00	0,00
sisma in +X														
proporzionale alle masse														
Trave 16-17	0%	-	-	VNR	VNR	0,00	0	0	0	0	0	0	0,00	0,00
	100%	-	-	VNR	VNR	0,00	0	0	0	0	0	0	0,00	0,00
proporzionale alla deformata 1° modo di vibrazione														
	0%	425	74.505	NS	1,97	1,02	58405	146522	266883	266883	0	0	2,50	2,50
	100%	425	-76.691	NS	1,91	1,02	58405	146522	266896	266896	0	0	2,50	2,50
sisma in -X														
proporzionale alle masse														
	0%	-	-	VNR	VNR	0,00	0	0	0	0	0	0	0,00	0,00
	100%	-	-	VNR	VNR	0,00	0	0	0	0	0	0	0,00	0,00
proporzionale alla deformata 1° modo di vibrazione														
	0%	-	-	VNR	VNR	0,00	0	0	0	0	0	0	0,00	0,00
	100%	-	-	VNR	VNR	0,00	0	0	0	0	0	0	0,00	0,00
sisma in +Y														
proporzionale alle masse														
	0%	-1.243	73.668	46,99	1,99	1,01	58405	146522	265057	265057	0	0	2,50	2,50
	100%	-1.243	-77.528	46,99	1,89	1,01	58405	146522	265094	265094	0	0	2,50	2,50
proporzionale alla deformata 1° modo di vibrazione														
	0%	-	-	VNR	VNR	0,00	0	0	0	0	0	0	0,00	0,00
	100%	-	-	VNR	VNR	0,00	0	0	0	0	0	0	0,00	0,00
sisma in -Y														
proporzionale alle masse														
	0%	-	-	VNR	VNR	0,00	0	0	0	0	0	0	0,00	0,00
	100%	-	-	VNR	VNR	0,00	0	0	0	0	0	0	0,00	0,00
proporzionale alla deformata 1° modo di vibrazione														
	0%	-	-	VNR	VNR	0,00	0	0	0	0	0	0	0,00	0,00
	100%	-	-	VNR	VNR	0,00	0	0	0	0	0	0	0,00	0,00
sisma in +X														
proporzionale alle masse														
Trave 17-18	0%	-	-	VNR	VNR	0,00	0	0	0	0	0	0	0,00	0,00
	100%	-	-	VNR	VNR	0,00	0	0	0	0	0	0	0,00	0,00
proporzionale alla deformata 1° modo di vibrazione														
	0%	702	76.804	83,20	1,91	1,02	58405	146522	267414	267414	0	0	2,50	2,50
	100%	702	-73.743	83,20	1,99	1,02	58405	146522	267415	267415	0	0	2,50	2,50

Id_{Tr}	$\%L_{LI}$	$V_{Ed,3}$	$V_{Ed,2}$	$CS^{(3)}$	$CS^{(2)}$	α_C	$V_{Rsd,s}{}^{(3)}$	$V_{Rsd,s}{}^{(2)}$	$V_{Rcd}{}^{(3)}$	$V_{Rcd}{}^{(2)}$	$V_{fd}{}^{(3)}$	$V_{fd}{}^{(2)}$	$Ctg\Theta^{(3)}$	$Ctg\Theta^{(2)}$
	[%]	[N]	[N]				[N]	[N]	[N]	[N]	[N]	[N]		
sisma in -X														
proporzionale alle masse														
	0%	-	-	VNR	VNR	0,00	0	0	0	0	0	0	0,00	0,00
	100%	-	-	VNR	VNR	0,00	0	0	0	0	0	0	0,00	0,00
proporzionale alla deformata 1° modo di vibrazione														
	0%	-	-	VNR	VNR	0,00	0	0	0	0	0	0	0,00	0,00
	100%	-	-	VNR	VNR	0,00	0	0	0	0	0	0	0,00	0,00
sisma in +Y														
proporzionale alle masse														
	0%	394	79.617	NS	1,84	1,03	58405	146522	270009	270009	0	0	2,50	2,50
	100%	394	-70.930	NS	2,07	1,03	58405	146522	270099	270099	0	0	2,50	2,50
proporzionale alla deformata 1° modo di vibrazione														
	0%	-	-	VNR	VNR	0,00	0	0	0	0	0	0	0,00	0,00
	100%	-	-	VNR	VNR	0,00	0	0	0	0	0	0	0,00	0,00
sisma in -Y														
proporzionale alle masse														
	0%	-	-	VNR	VNR	0,00	0	0	0	0	0	0	0,00	0,00
	100%	-	-	VNR	VNR	0,00	0	0	0	0	0	0	0,00	0,00
proporzionale alla deformata 1° modo di vibrazione														
	0%	-	-	VNR	VNR	0,00	0	0	0	0	0	0	0,00	0,00
	100%	-	-	VNR	VNR	0,00	0	0	0	0	0	0	0,00	0,00
sisma in +X														
proporzionale alle masse														
Trave 18-19	0%	-	-	VNR	VNR	0,00	0	0	0	0	0	0	0,00	0,00
	100%	-	-	VNR	VNR	0,00	0	0	0	0	0	0	0,00	0,00
proporzionale alla deformata 1° modo di vibrazione														
	0%	1.642	84.351	35,57	1,74	1,01	58405	146522	265988	265988	0	0	2,50	2,50
	100%	1.642	-70.111	35,57	2,09	1,01	58405	146522	266026	266026	0	0	2,50	2,50
sisma in -X														
proporzionale alle masse														
	0%	-	-	VNR	VNR	0,00	0	0	0	0	0	0	0,00	0,00
	100%	-	-	VNR	VNR	0,00	0	0	0	0	0	0	0,00	0,00
proporzionale alla deformata 1° modo di vibrazione														
	0%	-	-	VNR	VNR	0,00	0	0	0	0	0	0	0,00	0,00
	100%	-	-	VNR	VNR	0,00	0	0	0	0	0	0	0,00	0,00
sisma in +Y														
proporzionale alle masse														
	0%	1.987	86.267	29,39	1,70	1,01	58405	146522	266279	266279	0	0	2,50	2,50
	100%	1.987	-68.195	29,39	2,15	1,01	58405	146522	266285	266285	0	0	2,50	2,50
proporzionale alla deformata 1° modo di vibrazione														
	0%	-	-	VNR	VNR	0,00	0	0	0	0	0	0	0,00	0,00
	100%	-	-	VNR	VNR	0,00	0	0	0	0	0	0	0,00	0,00
sisma in -Y														
proporzionale alle masse														
	0%	-	-	VNR	VNR	0,00	0	0	0	0	0	0	0,00	0,00
	100%	-	-	VNR	VNR	0,00	0	0	0	0	0	0	0,00	0,00
proporzionale alla deformata 1° modo di vibrazione														
	0%	-	-	VNR	VNR	0,00	0	0	0	0	0	0	0,00	0,00
	100%	-	-	VNR	VNR	0,00	0	0	0	0	0	0	0,00	0,00
Estradosso travi colmo								**Travata: Trave25-26-27**						
sisma in +X														
proporzionale alle masse														
Trave 25-26	0%	-	-	VNR	VNR	0,00	0	0	0	0	0	0	0,00	0,00
	100%	-	-	VNR	VNR	0,00	0	0	0	0	0	0	0,00	0,00
proporzionale alla deformata 1° modo di vibrazione														
	0%	-162	50.961	NS	2,44	1,01	47495	124597	188458	188458	0	0	2,50	2,50
	100%	-162	-40.543	NS	3,07	1,01	47495	124597	188407	188407	0	0	2,50	2,50
sisma in -X														
proporzionale alle masse														
	0%	-	-	VNR	VNR	0,00	0	0	0	0	0	0	0,00	0,00
	100%	-	-	VNR	VNR	0,00	0	0	0	0	0	0	0,00	0,00
proporzionale alla deformata 1° modo di vibrazione														
	0%	-	-	VNR	VNR	0,00	0	0	0	0	0	0	0,00	0,00
	100%	-	-	VNR	VNR	0,00	0	0	0	0	0	0	0,00	0,00
sisma in +Y														
proporzionale alle masse														
	0%	-310	53.458	NS	2,33	1,01	47495	124597	187649	187649	0	0	2,50	2,50
	100%	-310	-38.046	NS	3,27	1,01	47495	124597	187509	187509	0	0	2,50	2,50
proporzionale alla deformata 1° modo di vibrazione														
	0%	-	-	VNR	VNR	0,00	0	0	0	0	0	0	0,00	0,00
	100%	-	-	VNR	VNR	0,00	0	0	0	0	0	0	0,00	0,00
sisma in -Y														
proporzionale alle masse														
	0%	-	-	VNR	VNR	0,00	0	0	0	0	0	0	0,00	0,00
	100%	-	-	VNR	VNR	0,00	0	0	0	0	0	0	0,00	0,00
proporzionale alla deformata 1° modo di vibrazione														
	0%	-	-	VNR	VNR	0,00	0	0	0	0	0	0	0,00	0,00
	100%	-	-	VNR	VNR	0,00	0	0	0	0	0	0	0,00	0,00
sisma in +X														
proporzionale alle masse														
Trave 26-27	0%	-	-	VNR	VNR	0,00	0	0	0	0	0	0	0,00	0,00
	100%	-	-	VNR	VNR	0,00	0	0	0	0	0	0	0,00	0,00
proporzionale alla deformata 1° modo di vibrazione														
	0%	95	44.825	NS	2,78	1,00	47495	124597	186955	186955	0	0	2,50	2,50
	100%	95	-43.653	NS	2,85	1,00	47495	124597	186962	186962	0	0	2,50	2,50
sisma in -X														

Id_{Tr}	$\%L_{LI}$	$V_{Ed,3}$	$V_{Ed,2}$	$CS^{(3)}$	$CS^{(2)}$	α_C	$V_{Rsd,s}{}^{(3)}$	$V_{Rsd,s}{}^{(2)}$	$V_{Rcd}{}^{(3)}$	$V_{Rcd}{}^{(2)}$	$V_{fd}{}^{(3)}$	$V_{fd}{}^{(2)}$	$Ctg\Theta^{(3)}$	$Ctg\Theta^{(2)}$
	[%]	[N]	[N]				[N]	[N]	[N]	[N]	[N]	[N]		
proporzionale alle masse														
	0%	-	-	VNR	VNR	0,00	0	0	0	0	0	0	0,00	0,00
	100%	-	-	VNR	VNR	0,00	0	0	0	0	0	0	0,00	0,00
proporzionale alla deformata 1° modo di vibrazione														
	0%	-	-	VNR	VNR	0,00	0	0	0	0	0	0	0,00	0,00
	100%	-	-	VNR	VNR	0,00	0	0	0	0	0	0	0,00	0,00
sisma in +Y														
proporzionale alle masse														
	0%	116	43.827	NS	2,84	1,00	47495	124597	186459	186459	0	0	2,50	2,50
	100%	116	-44.652	NS	2,79	1,00	47495	124597	186489	186489	0	0	2,50	2,50
proporzionale alla deformata 1° modo di vibrazione														
	0%	-	-	VNR	VNR	0,00	0	0	0	0	0	0	0,00	0,00
	100%	-	-	VNR	VNR	0,00	0	0	0	0	0	0	0,00	0,00
sisma in -Y														
proporzionale alle masse														
	0%	-	-	VNR	VNR	0,00	0	0	0	0	0	0	0,00	0,00
	100%	-	-	VNR	VNR	0,00	0	0	0	0	0	0	0,00	0,00
proporzionale alla deformata 1° modo di vibrazione														
	0%	-	-	VNR	VNR	0,00	0	0	0	0	0	0	0,00	0,00
	100%	-	-	VNR	VNR	0,00	0	0	0	0	0	0	0,00	0,00
Estradosso travi colmo								**Travata: Trave28-29-30-1a-2a-31**						
sisma in +X														
proporzionale alle masse														
Trave 28-29	0%	-	-	VNR	VNR	0,00	0	0	0	0	0	0	0,00	0,00
	100%	-	-	VNR	VNR	0,00	0	0	0	0	0	0	0,00	0,00
proporzionale alla deformata 1° modo di vibrazione														
	0%	-4.100	3.607	0,00	0,00	1,02	0	0	122453	122453	0	0	2,50	2,50
	100%	-4.100	-17.930	0,00	0,00	1,02	0	0	122458	122458	0	0	2,50	2,50
sisma in -X														
proporzionale alle masse														
	0%	-	-	VNR	VNR	0,00	0	0	0	0	0	0	0,00	0,00
	100%	-	-	VNR	VNR	0,00	0	0	0	0	0	0	0,00	0,00
proporzionale alla deformata 1° modo di vibrazione														
	0%	-	-	VNR	VNR	0,00	0	0	0	0	0	0	0,00	0,00
	100%	-	-	VNR	VNR	0,00	0	0	0	0	0	0	0,00	0,00
sisma in +Y														
proporzionale alle masse														
	0%	1.144	30.574	0,00	0,00	1,11	0	0	133209	133209	0	0	2,50	2,50
	100%	1.144	9.037	0,00	0,00	1,11	0	0	133137	133137	0	0	2,50	2,50
proporzionale alla deformata 1° modo di vibrazione														
	0%	-	-	VNR	VNR	0,00	0	0	0	0	0	0	0,00	0,00
	100%	-	-	VNR	VNR	0,00	0	0	0	0	0	0	0,00	0,00
sisma in -Y														
proporzionale alle masse														
	0%	-	-	VNR	VNR	0,00	0	0	0	0	0	0	0,00	0,00
	100%	-	-	VNR	VNR	0,00	0	0	0	0	0	0	0,00	0,00
proporzionale alla deformata 1° modo di vibrazione														
	0%	-	-	VNR	VNR	0,00	0	0	0	0	0	0	0,00	0,00
	100%	-	-	VNR	VNR	0,00	0	0	0	0	0	0	0,00	0,00
sisma in +X														
proporzionale alle masse														
Trave 29-30	0%	-	-	VNR	VNR	0,00	0	0	0	0	0	0	0,00	0,00
	100%	-	-	VNR	VNR	0,00	0	0	0	0	0	0	0,00	0,00
proporzionale alla deformata 1° modo di vibrazione														
	0%	-102	23.886	0,00	0,00	1,01	0	0	121858	121858	0	0	2,50	2,50
	100%	-102	-24.469	0,00	0,00	1,01	0	0	121858	121858	0	0	2,50	2,50
sisma in -X														
proporzionale alle masse														
	0%	-	-	VNR	VNR	0,00	0	0	0	0	0	0	0,00	0,00
	100%	-	-	VNR	VNR	0,00	0	0	0	0	0	0	0,00	0,00
proporzionale alla deformata 1° modo di vibrazione														
	0%	-	-	VNR	VNR	0,00	0	0	0	0	0	0	0,00	0,00
	100%	-	-	VNR	VNR	0,00	0	0	0	0	0	0	0,00	0,00
sisma in +Y														
proporzionale alle masse														
	0%	1.155	23.967	0,00	0,00	1,02	0	0	122880	122880	0	0	2,50	2,50
	100%	1.155	-24.388	0,00	0,00	1,02	0	0	122870	122870	0	0	2,50	2,50
proporzionale alla deformata 1° modo di vibrazione														
	0%	-	-	VNR	VNR	0,00	0	0	0	0	0	0	0,00	0,00
	100%	-	-	VNR	VNR	0,00	0	0	0	0	0	0	0,00	0,00
sisma in -Y														
proporzionale alle masse														
	0%	-	-	VNR	VNR	0,00	0	0	0	0	0	0	0,00	0,00
	100%	-	-	VNR	VNR	0,00	0	0	0	0	0	0	0,00	0,00
proporzionale alla deformata 1° modo di vibrazione														
	0%	-	-	VNR	VNR	0,00	0	0	0	0	0	0	0,00	0,00
	100%	-	-	VNR	VNR	0,00	0	0	0	0	0	0	0,00	0,00
sisma in +X														
proporzionale alle masse														
Trave 30-1a	0%	-	-	VNR	VNR	0,00	0	0	0	0	0	0	0,00	0,00
	100%	-	-	VNR	VNR	0,00	0	0	0	0	0	0	0,00	0,00
proporzionale alla deformata 1° modo di vibrazione														
	0%	1.758	6.610	27,08	12,20	1,07	47604	80648	128284	128284	0	0	2,50	2,50
	100%	1.758	-17.935	27,08	4,50	1,07	47604	80648	128281	128281	0	0	2,50	2,50
sisma in -X														
proporzionale alle masse														

Id_{Tr}	$\%L_{LI}$	$V_{Ed,3}$	$V_{Ed,2}$	$CS^{(3)}$	$CS^{(2)}$	α_C	$V_{Rsd,s}{}^{(3)}$	$V_{Rsd,s}{}^{(2)}$	$V_{Rcd}{}^{(3)}$	$V_{Rcd}{}^{(2)}$	$V_{fd}{}^{(3)}$	$V_{fd}{}^{(2)}$	$Ctg\Theta^{(3)}$	$Ctg\Theta^{(2)}$
	[%]	[N]	[N]				[N]	[N]	[N]	[N]	[N]	[N]		
	0%	-	-	VNR	VNR	0,00	0	0	0	0	0	0	0,00	0,00
	100%	-	-	VNR	VNR	0,00	0	0	0	0	0	0	0,00	0,00
proporzionale alla deformata 1° modo di vibrazione														
	0%	-	-	VNR	VNR	0,00	0	0	0	0	0	0	0,00	0,00
	100%	-	-	VNR	VNR	0,00	0	0	0	0	0	0	0,00	0,00
sisma in +Y														
proporzionale alle masse														
	0%	13.991	4.772	3,40	16,90	1,09	47604	80648	130694	130694	0	0	2,50	2,50
	100%	13.991	-19.773	3,40	4,08	1,09	47604	80648	130710	130710	0	0	2,50	2,50
proporzionale alla deformata 1° modo di vibrazione														
	0%	-	-	VNR	VNR	0,00	0	0	0	0	0	0	0,00	0,00
	100%	-	-	VNR	VNR	0,00	0	0	0	0	0	0	0,00	0,00
sisma in -Y														
proporzionale alle masse														
	0%	-	-	VNR	VNR	0,00	0	0	0	0	0	0	0,00	0,00
	100%	-	-	VNR	VNR	0,00	0	0	0	0	0	0	0,00	0,00
proporzionale alla deformata 1° modo di vibrazione														
	0%	-	-	VNR	VNR	0,00	0	0	0	0	0	0	0,00	0,00
	100%	-	-	VNR	VNR	0,00	0	0	0	0	0	0	0,00	0,00
Estradosso travi colmo								**Travata: Trave1-14-25-32**						
sisma in +X														
proporzionale alle masse														
Trave 1-14	0%	-	-	VNR	VNR	0,00	0	0	0	0	0	0	0,00	0,00
	100%	-	-	VNR	VNR	0,00	0	0	0	0	0	0	0,00	0,00
proporzionale alla deformata 1° modo di vibrazione														
	0%	434	6.620	NS	13,14	1,04	59479	87015	107807	107807	0	0	2,50	2,50
	100%	434	-7.742	NS	11,24	1,03	59479	87015	107276	107276	0	0	2,50	2,50
sisma in -X														
proporzionale alle masse														
	0%	-	-	VNR	VNR	0,00	0	0	0	0	0	0	0,00	0,00
	100%	-	-	VNR	VNR	0,00	0	0	0	0	0	0	0,00	0,00
proporzionale alla deformata 1° modo di vibrazione														
	0%	-	-	VNR	VNR	0,00	0	0	0	0	0	0	0,00	0,00
	100%	-	-	VNR	VNR	0,00	0	0	0	0	0	0	0,00	0,00
sisma in +Y														
proporzionale alle masse														
	0%	248	5.901	NS	14,75	1,01	59479	87015	104899	104899	0	0	2,50	2,50
	100%	248	-8.461	NS	10,28	1,00	59479	87015	104412	104412	0	0	2,50	2,50
proporzionale alla deformata 1° modo di vibrazione														
	0%	-	-	VNR	VNR	0,00	0	0	0	0	0	0	0,00	0,00
	100%	-	-	VNR	VNR	0,00	0	0	0	0	0	0	0,00	0,00
sisma in -Y														
proporzionale alle masse														
	0%	-	-	VNR	VNR	0,00	0	0	0	0	0	0	0,00	0,00
	100%	-	-	VNR	VNR	0,00	0	0	0	0	0	0	0,00	0,00
proporzionale alla deformata 1° modo di vibrazione														
	0%	-	-	VNR	VNR	0,00	0	0	0	0	0	0	0,00	0,00
	100%	-	-	VNR	VNR	0,00	0	0	0	0	0	0	0,00	0,00
sisma in +X														
proporzionale alle masse														
Trave 14-25	0%	-	-	VNR	VNR	0,00	0	0	0	0	0	0	0,00	0,00
	100%	-	-	VNR	VNR	0,00	0	0	0	0	0	0	0,00	0,00
proporzionale alla deformata 1° modo di vibrazione														
	0%	57	2.621	NS	33,20	1,00	59479	87015	103941	103941	0	0	2,50	2,50
	100%	57	-4.969	NS	17,51	1,00	59479	87015	104061	104061	0	0	2,50	2,50
sisma in -X														
proporzionale alle masse														
	0%	-	-	VNR	VNR	0,00	0	0	0	0	0	0	0,00	0,00
	100%	-	-	VNR	VNR	0,00	0	0	0	0	0	0	0,00	0,00
proporzionale alla deformata 1° modo di vibrazione														
	0%	-	-	VNR	VNR	0,00	0	0	0	0	0	0	0,00	0,00
	100%	-	-	VNR	VNR	0,00	0	0	0	0	0	0	0,00	0,00
sisma in +Y														
proporzionale alle masse														
	0%	-597	-10.646	99,63	8,17	1,08	59479	87015	112724	112724	0	0	2,50	2,50
	100%	-597	-18.236	99,63	4,77	1,09	59479	87015	112924	112924	0	0	2,50	2,50
proporzionale alla deformata 1° modo di vibrazione														
	0%	-	-	VNR	VNR	0,00	0	0	0	0	0	0	0,00	0,00
	100%	-	-	VNR	VNR	0,00	0	0	0	0	0	0	0,00	0,00
sisma in -Y														
proporzionale alle masse														
	0%	-	-	VNR	VNR	0,00	0	0	0	0	0	0	0,00	0,00
	100%	-	-	VNR	VNR	0,00	0	0	0	0	0	0	0,00	0,00
proporzionale alla deformata 1° modo di vibrazione														
	0%	-	-	VNR	VNR	0,00	0	0	0	0	0	0	0,00	0,00
	100%	-	-	VNR	VNR	0,00	0	0	0	0	0	0	0,00	0,00
sisma in +X														
proporzionale alle masse														
Trave 25-32	0%	-	-	VNR	VNR	0,00	0	0	0	0	0	0	0,00	0,00
	100%	-	-	VNR	VNR	0,00	0	0	0	0	0	0	0,00	0,00
proporzionale alla deformata 1° modo di vibrazione														
	0%	-178	4.582	NS	18,99	1,02	59479	87015	105842	105842	0	0	2,50	2,50
	100%	-178	-5.633	NS	15,45	1,02	59479	87015	106205	106205	0	0	2,50	2,50
sisma in -X														
proporzionale alle masse														
	0%	-	-	VNR	VNR	0,00	0	0	0	0	0	0	0,00	0,00

Id_{Tr}	$\%L_{LI}$	$V_{Ed,3}$	$V_{Ed,2}$	$CS^{(3)}$	$CS^{(2)}$	α_C	$V_{Rsd,s}{}^{(3)}$	$V_{Rsd,s}{}^{(2)}$	$V_{Rcd}{}^{(3)}$	$V_{Rcd}{}^{(2)}$	$V_{fd}{}^{(3)}$	$V_{fd}{}^{(2)}$	$Ctg\Theta^{(3)}$	$Ctg\Theta^{(2)}$
	[%]	[N]	[N]				[N]	[N]	[N]	[N]	[N]	[N]		
	100%	-	-	VNR	VNR	0,00	0	0	0	0	0	0	0,00	0,00
proporzionale alla deformata 1° modo di vibrazione														
	0%	-	-	VNR	VNR	0,00	0	0	0	0	0	0	0,00	0,00
	100%	-	-	VNR	VNR	0,00	0	0	0	0	0	0	0,00	0,00
sisma in +Y														
proporzionale alle masse														
	0%	-261	5.599	NS	15,54	1,05	59479	87015	109049	109049	0	0	2,50	2,50
	100%	-261	-4.616	NS	18,85	1,05	59479	87015	109218	109218	0	0	2,50	2,50
proporzionale alla deformata 1° modo di vibrazione														
	0%	-	-	VNR	VNR	0,00	0	0	0	0	0	0	0,00	0,00
	100%	-	-	VNR	VNR	0,00	0	0	0	0	0	0	0,00	0,00
sisma in -Y														
proporzionale alle masse														
	0%	-	-	VNR	VNR	0,00	0	0	0	0	0	0	0,00	0,00
	100%	-	-	VNR	VNR	0,00	0	0	0	0	0	0	0,00	0,00
proporzionale alla deformata 1° modo di vibrazione														
	0%	-	-	VNR	VNR	0,00	0	0	0	0	0	0	0,00	0,00
	100%	-	-	VNR	VNR	0,00	0	0	0	0	0	0	0,00	0,00
Estradosso travi colmo								**Travata: Trave3-16-27-34**						
sisma in +X														
proporzionale alle masse														
Trave 16-27	0%	-	-	VNR	VNR	0,00	0	0	0	0	0	0	0,00	0,00
	100%	-	-	VNR	VNR	0,00	0	0	0	0	0	0	0,00	0,00
proporzionale alla deformata 1° modo di vibrazione														
	0%	89	4.703	NS	8,79	1,00	41356	41356	105388	105388	0	0	2,50	2,50
	100%	89	-3.614	NS	11,44	1,00	41356	41356	105388	105388	0	0	2,50	2,50
sisma in -X														
proporzionale alle masse														
	0%	-	-	VNR	VNR	0,00	0	0	0	0	0	0	0,00	0,00
	100%	-	-	VNR	VNR	0,00	0	0	0	0	0	0	0,00	0,00
proporzionale alla deformata 1° modo di vibrazione														
	0%	-	-	VNR	VNR	0,00	0	0	0	0	0	0	0,00	0,00
	100%	-	-	VNR	VNR	0,00	0	0	0	0	0	0	0,00	0,00
sisma in +Y														
proporzionale alle masse														
	0%	-138	3.536	NS	11,70	1,00	41356	41356	105388	105388	0	0	2,50	2,50
	100%	-138	-4.781	NS	8,65	1,00	41356	41356	105388	105388	0	0	2,50	2,50
proporzionale alla deformata 1° modo di vibrazione														
	0%	-	-	VNR	VNR	0,00	0	0	0	0	0	0	0,00	0,00
	100%	-	-	VNR	VNR	0,00	0	0	0	0	0	0	0,00	0,00
sisma in -Y														
proporzionale alle masse														
	0%	-	-	VNR	VNR	0,00	0	0	0	0	0	0	0,00	0,00
	100%	-	-	VNR	VNR	0,00	0	0	0	0	0	0	0,00	0,00
proporzionale alla deformata 1° modo di vibrazione														
	0%	-	-	VNR	VNR	0,00	0	0	0	0	0	0	0,00	0,00
	100%	-	-	VNR	VNR	0,00	0	0	0	0	0	0	0,00	0,00
sisma in +X														
proporzionale alle masse														
Trave 27-34	0%	-	-	VNR	VNR	0,00	0	0	0	0	0	0	0,00	0,00
	100%	-	-	VNR	VNR	0,00	0	0	0	0	0	0	0,00	0,00
proporzionale alla deformata 1° modo di vibrazione														
	0%	476	4.206	86,88	9,83	1,02	41356	41356	107856	107856	0	0	2,50	2,50
	100%	476	-6.501	86,88	6,36	1,03	41356	41356	108247	108247	0	0	2,50	2,50
sisma in -X														
proporzionale alle masse														
	0%	-	-	VNR	VNR	0,00	0	0	0	0	0	0	0,00	0,00
	100%	-	-	VNR	VNR	0,00	0	0	0	0	0	0	0,00	0,00
proporzionale alla deformata 1° modo di vibrazione														
	0%	-	-	VNR	VNR	0,00	0	0	0	0	0	0	0,00	0,00
	100%	-	-	VNR	VNR	0,00	0	0	0	0	0	0	0,00	0,00
sisma in +Y														
proporzionale alle masse														
	0%	580	2.088	71,30	19,81	1,07	41356	41356	112268	112268	0	0	2,50	2,50
	100%	580	-8.618	71,30	4,80	1,07	41356	41356	112613	112613	0	0	2,50	2,50
proporzionale alla deformata 1° modo di vibrazione														
	0%	-	-	VNR	VNR	0,00	0	0	0	0	0	0	0,00	0,00
	100%	-	-	VNR	VNR	0,00	0	0	0	0	0	0	0,00	0,00
sisma in -Y														
proporzionale alle masse														
	0%	-	-	VNR	VNR	0,00	0	0	0	0	0	0	0,00	0,00
	100%	-	-	VNR	VNR	0,00	0	0	0	0	0	0	0,00	0,00
proporzionale alla deformata 1° modo di vibrazione														
	0%	-	-	VNR	VNR	0,00	0	0	0	0	0	0	0,00	0,00
	100%	-	-	VNR	VNR	0,00	0	0	0	0	0	0	0,00	0,00
Estradosso travi colmo								**Travata: Trave6-19-28-37**						
sisma in +X														
proporzionale alle masse														
Trave 6-19	0%	-	-	VNR	VNR	0,00	0	0	0	0	0	0	0,00	0,00
	100%	-	-	VNR	VNR	0,00	0	0	0	0	0	0	0,00	0,00
proporzionale alla deformata 1° modo di vibrazione														
	0%	52	6.512	NS	13,36	1,04	59479	87015	108398	108398	0	0	2,50	2,50
	100%	52	-7.850	NS	11,08	1,04	59479	87015	107910	107910	0	0	2,50	2,50
sisma in -X														
proporzionale alle masse														
	0%	-	-	VNR	VNR	0,00	0	0	0	0	0	0	0,00	0,00

Id_{Tr}	$\%L_{LI}$	$V_{Ed,3}$	$V_{Ed,2}$	$CS^{(3)}$	$CS^{(2)}$	α_C	$V_{Rsd,s}{}^{(3)}$	$V_{Rsd,s}{}^{(2)}$	$V_{Rcd}{}^{(3)}$	$V_{Rcd}{}^{(2)}$	$V_{fd}{}^{(3)}$	$V_{fd}{}^{(2)}$	$Ctg\Theta^{(3)}$	$Ctg\Theta^{(2)}$
	[%]	[N]	[N]				[N]	[N]	[N]	[N]	[N]	[N]		
	100%	-	-	VNR	VNR	0,00	0	0	0	0	0	0	0,00	0,00
proporzionale alla deformata 1° modo di vibrazione														
	0%	-	-	VNR	VNR	0,00	0	0	0	0	0	0	0,00	0,00
	100%	-	-	VNR	VNR	0,00	0	0	0	0	0	0	0,00	0,00
sisma in +Y														
proporzionale alle masse														
	0%	-346	12.529	NS	6,95	1,22	59479	87015	127039	127039	0	0	2,50	2,50
	100%	-346	-1.834	NS	47,45	1,22	59479	87015	126472	126472	0	0	2,50	2,50
proporzionale alla deformata 1° modo di vibrazione														
	0%	-	-	VNR	VNR	0,00	0	0	0	0	0	0	0,00	0,00
	100%	-	-	VNR	VNR	0,00	0	0	0	0	0	0	0,00	0,00
sisma in -Y														
proporzionale alle masse														
	0%	-	-	VNR	VNR	0,00	0	0	0	0	0	0	0,00	0,00
	100%	-	-	VNR	VNR	0,00	0	0	0	0	0	0	0,00	0,00
proporzionale alla deformata 1° modo di vibrazione														
	0%	-	-	VNR	VNR	0,00	0	0	0	0	0	0	0,00	0,00
	100%	-	-	VNR	VNR	0,00	0	0	0	0	0	0	0,00	0,00
sisma in +X														
proporzionale alle masse														
Trave 19-28	0%	-	-	VNR	VNR	0,00	0	0	0	0	0	0	0,00	0,00
	100%	-	-	VNR	VNR	0,00	0	0	0	0	0	0	0,00	0,00
proporzionale alla deformata 1° modo di vibrazione														
	0%	459	4.311	NS	20,18	1,03	59479	87015	107220	107220	0	0	2,50	2,50
	100%	459	-4.903	NS	17,75	1,03	59479	87015	107503	107503	0	0	2,50	2,50
sisma in -X														
proporzionale alle masse														
	0%	-	-	VNR	VNR	0,00	0	0	0	0	0	0	0,00	0,00
	100%	-	-	VNR	VNR	0,00	0	0	0	0	0	0	0,00	0,00
proporzionale alla deformata 1° modo di vibrazione														
	0%	-	-	VNR	VNR	0,00	0	0	0	0	0	0	0,00	0,00
	100%	-	-	VNR	VNR	0,00	0	0	0	0	0	0	0,00	0,00
sisma in +Y														
proporzionale alle masse														
	0%	584	2.344	NS	37,12	1,02	59479	87015	105529	105529	0	0	2,50	2,50
	100%	584	-6.869	NS	12,67	1,02	59479	87015	105764	105764	0	0	2,50	2,50
proporzionale alla deformata 1° modo di vibrazione														
	0%	-	-	VNR	VNR	0,00	0	0	0	0	0	0	0,00	0,00
	100%	-	-	VNR	VNR	0,00	0	0	0	0	0	0	0,00	0,00
sisma in -Y														
proporzionale alle masse														
	0%	-	-	VNR	VNR	0,00	0	0	0	0	0	0	0,00	0,00
	100%	-	-	VNR	VNR	0,00	0	0	0	0	0	0	0,00	0,00
proporzionale alla deformata 1° modo di vibrazione														
	0%	-	-	VNR	VNR	0,00	0	0	0	0	0	0	0,00	0,00
	100%	-	-	VNR	VNR	0,00	0	0	0	0	0	0	0,00	0,00
sisma in +X														
proporzionale alle masse														
Trave 28-37	0%	-	-	VNR	VNR	0,00	0	0	0	0	0	0	0,00	0,00
	100%	-	-	VNR	VNR	0,00	0	0	0	0	0	0	0,00	0,00
proporzionale alla deformata 1° modo di vibrazione														
	0%	108	10.145	NS	8,58	1,01	59479	87015	105331	105331	0	0	2,50	2,50
	100%	108	1.568	NS	55,49	1,02	59479	87015	105676	105676	0	0	2,50	2,50
sisma in -X														
proporzionale alle masse														
	0%	-	-	VNR	VNR	0,00	0	0	0	0	0	0	0,00	0,00
	100%	-	-	VNR	VNR	0,00	0	0	0	0	0	0	0,00	0,00
proporzionale alla deformata 1° modo di vibrazione														
	0%	-	-	VNR	VNR	0,00	0	0	0	0	0	0	0,00	0,00
	100%	-	-	VNR	VNR	0,00	0	0	0	0	0	0	0,00	0,00
sisma in +Y														
proporzionale alle masse														
	0%	427	-3.150	NS	27,62	1,06	59479	87015	110521	110521	0	0	2,50	2,50
	100%	427	-11.728	NS	7,42	1,07	59479	87015	110733	110733	0	0	2,50	2,50
proporzionale alla deformata 1° modo di vibrazione														
	0%	-	-	VNR	VNR	0,00	0	0	0	0	0	0	0,00	0,00
	100%	-	-	VNR	VNR	0,00	0	0	0	0	0	0	0,00	0,00
sisma in -Y														
proporzionale alle masse														
	0%	-	-	VNR	VNR	0,00	0	0	0	0	0	0	0,00	0,00
	100%	-	-	VNR	VNR	0,00	0	0	0	0	0	0	0,00	0,00
proporzionale alla deformata 1° modo di vibrazione														
	0%	-	-	VNR	VNR	0,00	0	0	0	0	0	0	0,00	0,00
	100%	-	-	VNR	VNR	0,00	0	0	0	0	0	0	0,00	0,00
Estradosso travi colmo								**Travata: Trave19-28**						
sisma in +X														
proporzionale alle masse														
Trave 19-28	0%	-	-	VNR	VNR	0,00	0	0	0	0	0	0	0,00	0,00
	100%	-	-	VNR	VNR	0,00	0	0	0	0	0	0	0,00	0,00
proporzionale alla deformata 1° modo di vibrazione														
	0%	97	10.902	NS	3,74	1,02	58377	40754	74408	74408	0	0	2,50	2,50
	100%	97	-5.643	NS	7,22	1,01	58377	40754	73880	73880	0	0	2,50	2,50
sisma in -X														
proporzionale alle masse														
	0%	-	-	VNR	VNR	0,00	0	0	0	0	0	0	0,00	0,00
	100%	-	-	VNR	VNR	0,00	0	0	0	0	0	0	0,00	0,00

Id_{Tr}	$\%L_{LI}$	$V_{Ed,3}$	$V_{Ed,2}$	$CS^{(3)}$	$CS^{(2)}$	α_C	$V_{Rsd,s}{}^{(3)}$	$V_{Rsd,s}{}^{(2)}$	$V_{Rcd}{}^{(3)}$	$V_{Rcd}{}^{(2)}$	$V_{fd}{}^{(3)}$	$V_{fd}{}^{(2)}$	$Ctg\Theta^{(3)}$	$Ctg\Theta^{(2)}$
	[%]	[N]	[N]				[N]	[N]	[N]	[N]	[N]	[N]		
proporzionale alla deformata 1° modo di vibrazione														
	0%	-	-	VNR	VNR	0,00	0	0	0	0	0	0	0,00	0,00
	100%	-	-	VNR	VNR	0,00	0	0	0	0	0	0	0,00	0,00
sisma in +Y														
proporzionale alle masse														
	0%	-414	9.365	NS	4,35	1,01	58377	40754	73844	73844	0	0	2,50	2,50
	100%	-414	-7.180	NS	5,68	1,00	58377	40754	73358	73358	0	0	2,50	2,50
proporzionale alla deformata 1° modo di vibrazione														
	0%	-	-	VNR	VNR	0,00	0	0	0	0	0	0	0,00	0,00
	100%	-	-	VNR	VNR	0,00	0	0	0	0	0	0	0,00	0,00
sisma in -Y														
proporzionale alle masse														
	0%	-	-	VNR	VNR	0,00	0	0	0	0	0	0	0,00	0,00
	100%	-	-	VNR	VNR	0,00	0	0	0	0	0	0	0,00	0,00
proporzionale alla deformata 1° modo di vibrazione														
	0%	-	-	VNR	VNR	0,00	0	0	0	0	0	0	0,00	0,00
	100%	-	-	VNR	VNR	0,00	0	0	0	0	0	0	0,00	0,00
Estradosso travi colmo								**Travata: Trave24-31-41**						
sisma in +X														
proporzionale alle masse														
Trave 24-31	0%	-	-	VNR	VNR	0,00	0	0	0	0	0	0	0,00	0,00
	100%	-	-	VNR	VNR	0,00	0	0	0	0	0	0	0,00	0,00
proporzionale alla deformata 1° modo di vibrazione														
	0%	-261	4.710	NS	20,66	1,01	45711	100784	97294	97294	0	0	2,50	2,50
	100%	-261	-3.953	NS	24,55	1,01	45711	100784	97062	97062	0	0	2,50	2,50
sisma in -X														
proporzionale alle masse														
	0%	-	-	VNR	VNR	0,00	0	0	0	0	0	0	0,00	0,00
	100%	-	-	VNR	VNR	0,00	0	0	0	0	0	0	0,00	0,00
proporzionale alla deformata 1° modo di vibrazione														
	0%	-	-	VNR	VNR	0,00	0	0	0	0	0	0	0,00	0,00
	100%	-	-	VNR	VNR	0,00	0	0	0	0	0	0	0,00	0,00
sisma in +Y														
proporzionale alle masse														
	0%	253	3.516	NS	27,49	1,00	45711	100784	96670	96670	0	0	2,50	2,50
	100%	253	-5.147	NS	18,81	1,01	45711	100784	96832	96832	0	0	2,50	2,50
proporzionale alla deformata 1° modo di vibrazione														
	0%	-	-	VNR	VNR	0,00	0	0	0	0	0	0	0,00	0,00
	100%	-	-	VNR	VNR	0,00	0	0	0	0	0	0	0,00	0,00
sisma in -Y														
proporzionale alle masse														
	0%	-	-	VNR	VNR	0,00	0	0	0	0	0	0	0,00	0,00
	100%	-	-	VNR	VNR	0,00	0	0	0	0	0	0	0,00	0,00
proporzionale alla deformata 1° modo di vibrazione														
	0%	-	-	VNR	VNR	0,00	0	0	0	0	0	0	0,00	0,00
	100%	-	-	VNR	VNR	0,00	0	0	0	0	0	0	0,00	0,00
sisma in +X														
proporzionale alle masse														
Trave 31-41	0%	-	-	VNR	VNR	0,00	0	0	0	0	0	0	0,00	0,00
	100%	-	-	VNR	VNR	0,00	0	0	0	0	0	0	0,00	0,00
proporzionale alla deformata 1° modo di vibrazione														
	0%	271	4.012	NS	24,17	1,01	45711	100784	96969	96969	0	0	2,50	2,50
	100%	271	-3.501	NS	27,78	1,01	45711	100784	97265	97265	0	0	2,50	2,50
sisma in -X														
proporzionale alle masse														
	0%	-	-	VNR	VNR	0,00	0	0	0	0	0	0	0,00	0,00
	100%	-	-	VNR	VNR	0,00	0	0	0	0	0	0	0,00	0,00
proporzionale alla deformata 1° modo di vibrazione														
	0%	-	-	VNR	VNR	0,00	0	0	0	0	0	0	0,00	0,00
	100%	-	-	VNR	VNR	0,00	0	0	0	0	0	0	0,00	0,00
sisma in +Y														
proporzionale alle masse														
	0%	1.189	5.783	38,44	16,89	1,01	45711	100784	97646	97646	0	0	2,50	2,50
	100%	1.189	-1.730	38,44	56,54	1,02	45711	100784	97815	97815	0	0	2,50	2,50
proporzionale alla deformata 1° modo di vibrazione														
	0%	-	-	VNR	VNR	0,00	0	0	0	0	0	0	0,00	0,00
	100%	-	-	VNR	VNR	0,00	0	0	0	0	0	0	0,00	0,00
sisma in -Y														
proporzionale alle masse														
	0%	-	-	VNR	VNR	0,00	0	0	0	0	0	0	0,00	0,00
	100%	-	-	VNR	VNR	0,00	0	0	0	0	0	0	0,00	0,00
proporzionale alla deformata 1° modo di vibrazione														
	0%	-	-	VNR	VNR	0,00	0	0	0	0	0	0	0,00	0,00
	100%	-	-	VNR	VNR	0,00	0	0	0	0	0	0	0,00	0,00
Estradosso travi gronda								**Travata: Trave1-P1-2-P2-3-P3-4-P4-5-P5-6**						
sisma in +X														
proporzionale alle masse														
Trave 1-P1	0%	-	-	VNR	VNR	0,00	0	0	0	0	0	0	0,00	0,00
	100%	-	-	VNR	VNR	0,00	0	0	0	0	0	0	0,00	0,00
proporzionale alla deformata 1° modo di vibrazione														
	0%	-25.021	54.284	0,00	0,00	1,00	0	0	350643	350643	0	0	2,50	2,50
	100%	-18.395	-79.948	0,00	0,00	1,00	0	0	352360	352360	0	0	2,50	2,50
sisma in -X														
proporzionale alle masse														
	0%	-	-	VNR	VNR	0,00	0	0	0	0	0	0	0,00	0,00
	100%	-	-	VNR	VNR	0,00	0	0	0	0	0	0	0,00	0,00

Id_{Tr}	$\%L_{LI}$	$V_{Ed,3}$	$V_{Ed,2}$	$CS^{(3)}$	$CS^{(2)}$	α_C	$V_{Rsd,s}{}^{(3)}$	$V_{Rsd,s}{}^{(2)}$	$V_{Rcd}{}^{(3)}$	$V_{Rcd}{}^{(2)}$	$V_{fd}{}^{(3)}$	$V_{fd}{}^{(2)}$	$Ctg\Theta^{(3)}$	$Ctg\Theta^{(2)}$
	[%]	[N]	[N]				[N]	[N]	[N]	[N]	[N]	[N]		
proporzionale alla deformata 1° modo di vibrazione														
	0%	-	-	VNR	VNR	0,00	0	0	0	0	0	0	0,00	0,00
	100%	-	-	VNR	VNR	0,00	0	0	0	0	0	0	0,00	0,00
sisma in +Y														
proporzionale alle masse														
	0%	41.934	-42.549	0,00	0,00	1,02	0	0	358867	358867	0	0	2,50	2,50
	100%	22.774	14.874	0,00	0,00	1,04	0	0	364192	364192	0	0	2,50	2,50
proporzionale alla deformata 1° modo di vibrazione														
	0%	-	-	VNR	VNR	0,00	0	0	0	0	0	0	0,00	0,00
	100%	-	-	VNR	VNR	0,00	0	0	0	0	0	0	0,00	0,00
sisma in -Y														
proporzionale alle masse														
	0%	-	-	VNR	VNR	0,00	0	0	0	0	0	0	0,00	0,00
	100%	-	-	VNR	VNR	0,00	0	0	0	0	0	0	0,00	0,00
proporzionale alla deformata 1° modo di vibrazione														
	0%	-	-	VNR	VNR	0,00	0	0	0	0	0	0	0,00	0,00
	100%	-	-	VNR	VNR	0,00	0	0	0	0	0	0	0,00	0,00
sisma in +X														
proporzionale alle masse														
Trave P1-2	0%	-	-	VNR	VNR	0,00	0	0	0	0	0	0	0,00	0,00
	100%	-	-	VNR	VNR	0,00	0	0	0	0	0	0	0,00	0,00
proporzionale alla deformata 1° modo di vibrazione														
	0%	814	20.026	58,46	11,73	1,02	47588	234836	357609	357609	0	0	2,50	2,50
	100%	814	-57.735	58,46	4,07	1,02	47588	234836	357463	357463	0	0	2,50	2,50
sisma in -X														
proporzionale alle masse														
	0%	-	-	VNR	VNR	0,00	0	0	0	0	0	0	0,00	0,00
	100%	-	-	VNR	VNR	0,00	0	0	0	0	0	0	0,00	0,00
proporzionale alla deformata 1° modo di vibrazione														
	0%	-	-	VNR	VNR	0,00	0	0	0	0	0	0	0,00	0,00
	100%	-	-	VNR	VNR	0,00	0	0	0	0	0	0	0,00	0,00
sisma in +Y														
proporzionale alle masse														
	0%	354	56.826	NS	4,13	1,02	47588	234836	357922	357922	0	0	2,50	2,50
	100%	354	-20.935	NS	11,22	1,02	47588	234836	358308	358308	0	0	2,50	2,50
proporzionale alla deformata 1° modo di vibrazione														
	0%	-	-	VNR	VNR	0,00	0	0	0	0	0	0	0,00	0,00
	100%	-	-	VNR	VNR	0,00	0	0	0	0	0	0	0,00	0,00
sisma in -Y														
proporzionale alle masse														
	0%	-	-	VNR	VNR	0,00	0	0	0	0	0	0	0,00	0,00
	100%	-	-	VNR	VNR	0,00	0	0	0	0	0	0	0,00	0,00
proporzionale alla deformata 1° modo di vibrazione														
	0%	-	-	VNR	VNR	0,00	0	0	0	0	0	0	0,00	0,00
	100%	-	-	VNR	VNR	0,00	0	0	0	0	0	0	0,00	0,00
sisma in +X														
proporzionale alle masse														
Trave 2-P2	0%	-	-	VNR	VNR	0,00	0	0	0	0	0	0	0,00	0,00
	100%	-	-	VNR	VNR	0,00	0	0	0	0	0	0	0,00	0,00
proporzionale alla deformata 1° modo di vibrazione														
	0%	-27.430	130.558	0,00	0,00	1,02	0	0	357885	357885	0	0	2,50	2,50
	100%	-15.017	-56.255	0,00	0,00	1,00	0	0	352305	352305	0	0	2,50	2,50
sisma in -X														
proporzionale alle masse														
	0%	-	-	VNR	VNR	0,00	0	0	0	0	0	0	0,00	0,00
	100%	-	-	VNR	VNR	0,00	0	0	0	0	0	0	0,00	0,00
proporzionale alla deformata 1° modo di vibrazione														
	0%	-	-	VNR	VNR	0,00	0	0	0	0	0	0	0,00	0,00
	100%	-	-	VNR	VNR	0,00	0	0	0	0	0	0	0,00	0,00
sisma in +Y														
proporzionale alle masse														
	0%	39.392	172.397	0,00	0,00	1,03	0	0	360265	360265	0	0	2,50	2,50
	100%	-2.580	-23.686	0,00	0,00	1,00	0	0	351827	351827	0	0	2,50	2,50
proporzionale alla deformata 1° modo di vibrazione														
	0%	-	-	VNR	VNR	0,00	0	0	0	0	0	0	0,00	0,00
	100%	-	-	VNR	VNR	0,00	0	0	0	0	0	0	0,00	0,00
sisma in -Y														
proporzionale alle masse														
	0%	-	-	VNR	VNR	0,00	0	0	0	0	0	0	0,00	0,00
	100%	-	-	VNR	VNR	0,00	0	0	0	0	0	0	0,00	0,00
proporzionale alla deformata 1° modo di vibrazione														
	0%	-	-	VNR	VNR	0,00	0	0	0	0	0	0	0,00	0,00
	100%	-	-	VNR	VNR	0,00	0	0	0	0	0	0	0,00	0,00
sisma in +X														
proporzionale alle masse														
Trave P2-3	0%	-	-	VNR	VNR	0,00	0	0	0	0	0	0	0,00	0,00
	100%	-	-	VNR	VNR	0,00	0	0	0	0	0	0	0,00	0,00
proporzionale alla deformata 1° modo di vibrazione														
	0%	825	15.705	57,68	14,95	1,02	47588	234836	357532	357532	0	0	2,50	2,50
	100%	825	-57.516	57,68	4,08	1,02	47588	234836	357392	357392	0	0	2,50	2,50
sisma in -X														
proporzionale alle masse														
	0%	-	-	VNR	VNR	0,00	0	0	0	0	0	0	0,00	0,00
	100%	-	-	VNR	VNR	0,00	0	0	0	0	0	0	0,00	0,00
proporzionale alla deformata 1° modo di vibrazione														
	0%	-	-	VNR	VNR	0,00	0	0	0	0	0	0	0,00	0,00

Id_{Tr}	$\%L_{LI}$	$V_{Ed,3}$	$V_{Ed,2}$	$CS^{(3)}$	$CS^{(2)}$	α_C	$V_{Rsd,s}{}^{(3)}$	$V_{Rsd,s}{}^{(2)}$	$V_{Rcd}{}^{(3)}$	$V_{Rcd}{}^{(2)}$	$V_{fd}{}^{(3)}$	$V_{fd}{}^{(2)}$	$Ctg\Theta^{(3)}$	$Ctg\Theta^{(2)}$
	[%]	[N]	[N]				[N]	[N]	[N]	[N]	[N]	[N]		
	100%	-	-	VNR	VNR	0,00	0	0	0	0	0	0	0,00	0,00
sisma in +Y														
proporzionale alle masse														
	0%	503	33.876	94,61	6,93	1,00	47588	234836	351412	351412	0	0	2,50	2,50
	100%	503	-39.345	94,61	5,97	1,00	47588	234836	351482	351482	0	0	2,50	2,50
proporzionale alla deformata 1° modo di vibrazione														
	0%	-	-	VNR	VNR	0,00	0	0	0	0	0	0	0,00	0,00
	100%	-	-	VNR	VNR	0,00	0	0	0	0	0	0	0,00	0,00
sisma in -Y														
proporzionale alle masse														
	0%	-	-	VNR	VNR	0,00	0	0	0	0	0	0	0,00	0,00
	100%	-	-	VNR	VNR	0,00	0	0	0	0	0	0	0,00	0,00
proporzionale alla deformata 1° modo di vibrazione														
	0%	-	-	VNR	VNR	0,00	0	0	0	0	0	0	0,00	0,00
	100%	-	-	VNR	VNR	0,00	0	0	0	0	0	0	0,00	0,00
sisma in +X														
proporzionale alle masse														
Trave 3-P3	0%	-	-	VNR	VNR	0,00	0	0	0	0	0	0	0,00	0,00
	100%	-	-	VNR	VNR	0,00	0	0	0	0	0	0	0,00	0,00
proporzionale alla deformata 1° modo di vibrazione														
	0%	-29.438	124.931	0,00	0,00	1,02	0	0	358812	358812	0	0	2,50	2,50
	100%	-13.940	-50.468	0,00	0,00	1,01	0	0	352419	352419	0	0	2,50	2,50
sisma in -X														
proporzionale alle masse														
	0%	-	-	VNR	VNR	0,00	0	0	0	0	0	0	0,00	0,00
	100%	-	-	VNR	VNR	0,00	0	0	0	0	0	0	0,00	0,00
proporzionale alla deformata 1° modo di vibrazione														
	0%	-	-	VNR	VNR	0,00	0	0	0	0	0	0	0,00	0,00
	100%	-	-	VNR	VNR	0,00	0	0	0	0	0	0	0,00	0,00
sisma in +Y														
proporzionale alle masse														
	0%	32.282	83.948	0,00	0,00	1,02	0	0	357855	357855	0	0	2,50	2,50
	100%	3.258	-5.603	0,00	0,00	1,01	0	0	353054	353054	0	0	2,50	2,50
proporzionale alla deformata 1° modo di vibrazione														
	0%	-	-	VNR	VNR	0,00	0	0	0	0	0	0	0,00	0,00
	100%	-	-	VNR	VNR	0,00	0	0	0	0	0	0	0,00	0,00
sisma in -Y														
proporzionale alle masse														
	0%	-	-	VNR	VNR	0,00	0	0	0	0	0	0	0,00	0,00
	100%	-	-	VNR	VNR	0,00	0	0	0	0	0	0	0,00	0,00
proporzionale alla deformata 1° modo di vibrazione														
	0%	-	-	VNR	VNR	0,00	0	0	0	0	0	0	0,00	0,00
	100%	-	-	VNR	VNR	0,00	0	0	0	0	0	0	0,00	0,00
sisma in +X														
proporzionale alle masse														
Trave P3-4	0%	-	-	VNR	VNR	0,00	0	0	0	0	0	0	0,00	0,00
	100%	-	-	VNR	VNR	0,00	0	0	0	0	0	0	0,00	0,00
proporzionale alla deformata 1° modo di vibrazione														
	0%	893	15.862	53,29	14,80	1,02	47588	234836	357474	357474	0	0	2,50	2,50
	100%	893	-57.358	53,29	4,09	1,02	47588	234836	357424	357424	0	0	2,50	2,50
sisma in -X														
proporzionale alle masse														
	0%	-	-	VNR	VNR	0,00	0	0	0	0	0	0	0,00	0,00
	100%	-	-	VNR	VNR	0,00	0	0	0	0	0	0	0,00	0,00
proporzionale alla deformata 1° modo di vibrazione														
	0%	-	-	VNR	VNR	0,00	0	0	0	0	0	0	0,00	0,00
	100%	-	-	VNR	VNR	0,00	0	0	0	0	0	0	0,00	0,00
sisma in +Y														
proporzionale alle masse														
	0%	144	34.034	NS	6,90	1,00	47588	234836	351201	351201	0	0	2,50	2,50
	100%	144	-39.186	NS	5,99	1,00	47588	234836	351222	351222	0	0	2,50	2,50
proporzionale alla deformata 1° modo di vibrazione														
	0%	-	-	VNR	VNR	0,00	0	0	0	0	0	0	0,00	0,00
	100%	-	-	VNR	VNR	0,00	0	0	0	0	0	0	0,00	0,00
sisma in -Y														
proporzionale alle masse														
	0%	-	-	VNR	VNR	0,00	0	0	0	0	0	0	0,00	0,00
	100%	-	-	VNR	VNR	0,00	0	0	0	0	0	0	0,00	0,00
proporzionale alla deformata 1° modo di vibrazione														
	0%	-	-	VNR	VNR	0,00	0	0	0	0	0	0	0,00	0,00
	100%	-	-	VNR	VNR	0,00	0	0	0	0	0	0	0,00	0,00
sisma in +X														
proporzionale alle masse														
Trave 4-P4	0%	-	-	VNR	VNR	0,00	0	0	0	0	0	0	0,00	0,00
	100%	-	-	VNR	VNR	0,00	0	0	0	0	0	0	0,00	0,00
proporzionale alla deformata 1° modo di vibrazione														
	0%	-29.868	124.648	0,00	0,00	1,02	0	0	358871	358871	0	0	2,50	2,50
	100%	-14.852	-50.010	0,00	0,00	1,01	0	0	352747	352747	0	0	2,50	2,50
sisma in -X														
proporzionale alle masse														
	0%	-	-	VNR	VNR	0,00	0	0	0	0	0	0	0,00	0,00
	100%	-	-	VNR	VNR	0,00	0	0	0	0	0	0	0,00	0,00
proporzionale alla deformata 1° modo di vibrazione														
	0%	-	-	VNR	VNR	0,00	0	0	0	0	0	0	0,00	0,00
	100%	-	-	VNR	VNR	0,00	0	0	0	0	0	0	0,00	0,00
sisma in +Y														

Id_{Tr}	$\%L_{LI}$	$V_{Ed,3}$	$V_{Ed,2}$	$CS^{(3)}$	$CS^{(2)}$	α_C	$V_{Rsd,s}{}^{(3)}$	$V_{Rsd,s}{}^{(2)}$	$V_{Rcd}{}^{(3)}$	$V_{Rcd}{}^{(2)}$	$V_{fd}{}^{(3)}$	$V_{fd}{}^{(2)}$	$Ctg\Theta^{(3)}$	$Ctg\Theta^{(2)}$
	[%]	[N]	[N]				[N]	[N]	[N]	[N]	[N]	[N]		
proporzionale alle masse														
	0%	13.789	10.768	0,00	0,00	1,01	0	0	355211	355211	0	0	2,50	2,50
	100%	6.840	197	0,00	0,00	1,01	0	0	353899	353899	0	0	2,50	2,50
proporzionale alla deformata 1° modo di vibrazione														
	0%	-	-	VNR	VNR	0,00	0	0	0	0	0	0	0,00	0,00
	100%	-	-	VNR	VNR	0,00	0	0	0	0	0	0	0,00	0,00
sisma in -Y														
proporzionale alle masse														
	0%	-	-	VNR	VNR	0,00	0	0	0	0	0	0	0,00	0,00
	100%	-	-	VNR	VNR	0,00	0	0	0	0	0	0	0,00	0,00
proporzionale alla deformata 1° modo di vibrazione														
	0%	-	-	VNR	VNR	0,00	0	0	0	0	0	0	0,00	0,00
	100%	-	-	VNR	VNR	0,00	0	0	0	0	0	0	0,00	0,00
sisma in +X														
proporzionale alle masse														
Trave P4-5	0%	-	-	VNR	VNR	0,00	0	0	0	0	0	0	0,00	0,00
	100%	-	-	VNR	VNR	0,00	0	0	0	0	0	0	0,00	0,00
proporzionale alla deformata 1° modo di vibrazione														
	0%	767	16.479	62,04	14,25	1,02	47588	234836	357897	357897	0	0	2,50	2,50
	100%	767	-56.741	62,04	4,14	1,02	47588	234836	357733	357733	0	0	2,50	2,50
sisma in -X														
proporzionale alle masse														
	0%	-	-	VNR	VNR	0,00	0	0	0	0	0	0	0,00	0,00
	100%	-	-	VNR	VNR	0,00	0	0	0	0	0	0	0,00	0,00
proporzionale alla deformata 1° modo di vibrazione														
	0%	-	-	VNR	VNR	0,00	0	0	0	0	0	0	0,00	0,00
	100%	-	-	VNR	VNR	0,00	0	0	0	0	0	0	0,00	0,00
sisma in +Y														
proporzionale alle masse														
	0%	-113	33.228	NS	7,07	1,00	47588	234836	351414	351414	0	0	2,50	2,50
	100%	-113	-39.992	NS	5,87	1,00	47588	234836	351490	351490	0	0	2,50	2,50
proporzionale alla deformata 1° modo di vibrazione														
	0%	-	-	VNR	VNR	0,00	0	0	0	0	0	0	0,00	0,00
	100%	-	-	VNR	VNR	0,00	0	0	0	0	0	0	0,00	0,00
sisma in -Y														
proporzionale alle masse														
	0%	-	-	VNR	VNR	0,00	0	0	0	0	0	0	0,00	0,00
	100%	-	-	VNR	VNR	0,00	0	0	0	0	0	0	0,00	0,00
proporzionale alla deformata 1° modo di vibrazione														
	0%	-	-	VNR	VNR	0,00	0	0	0	0	0	0	0,00	0,00
	100%	-	-	VNR	VNR	0,00	0	0	0	0	0	0	0,00	0,00
sisma in +X														
proporzionale alle masse														
Trave 5-P5	0%	-	-	VNR	VNR	0,00	0	0	0	0	0	0	0,00	0,00
	100%	-	-	VNR	VNR	0,00	0	0	0	0	0	0	0,00	0,00
proporzionale alla deformata 1° modo di vibrazione														
	0%	-30.102	138.615	0,00	0,00	1,03	0	0	359606	359606	0	0	2,50	2,50
	100%	-18.049	-48.036	0,00	0,00	1,00	0	0	352241	352241	0	0	2,50	2,50
sisma in -X														
proporzionale alle masse														
	0%	-	-	VNR	VNR	0,00	0	0	0	0	0	0	0,00	0,00
	100%	-	-	VNR	VNR	0,00	0	0	0	0	0	0	0,00	0,00
proporzionale alla deformata 1° modo di vibrazione														
	0%	-	-	VNR	VNR	0,00	0	0	0	0	0	0	0,00	0,00
	100%	-	-	VNR	VNR	0,00	0	0	0	0	0	0	0,00	0,00
sisma in +Y														
proporzionale alle masse														
	0%	14.998	-27.721	0,00	0,00	1,01	0	0	353783	353783	0	0	2,50	2,50
	100%	31.782	-14.918	0,00	0,00	1,01	0	0	355296	355296	0	0	2,50	2,50
proporzionale alla deformata 1° modo di vibrazione														
	0%	-	-	VNR	VNR	0,00	0	0	0	0	0	0	0,00	0,00
	100%	-	-	VNR	VNR	0,00	0	0	0	0	0	0	0,00	0,00
sisma in -Y														
proporzionale alle masse														
	0%	-	-	VNR	VNR	0,00	0	0	0	0	0	0	0,00	0,00
	100%	-	-	VNR	VNR	0,00	0	0	0	0	0	0	0,00	0,00
proporzionale alla deformata 1° modo di vibrazione														
	0%	-	-	VNR	VNR	0,00	0	0	0	0	0	0	0,00	0,00
	100%	-	-	VNR	VNR	0,00	0	0	0	0	0	0	0,00	0,00
sisma in +X														
proporzionale alle masse														
Trave P5-6	0%	-	-	VNR	VNR	0,00	0	0	0	0	0	0	0,00	0,00
	100%	-	-	VNR	VNR	0,00	0	0	0	0	0	0	0,00	0,00
proporzionale alla deformata 1° modo di vibrazione														
	0%	-444	26.569	NS	8,84	1,01	47588	234836	352515	352515	0	0	2,50	2,50
	100%	-444	-47.555	NS	4,94	1,01	47588	234836	353158	353158	0	0	2,50	2,50
sisma in -X														
proporzionale alle masse														
	0%	-	-	VNR	VNR	0,00	0	0	0	0	0	0	0,00	0,00
	100%	-	-	VNR	VNR	0,00	0	0	0	0	0	0	0,00	0,00
proporzionale alla deformata 1° modo di vibrazione														
	0%	-	-	VNR	VNR	0,00	0	0	0	0	0	0	0,00	0,00
	100%	-	-	VNR	VNR	0,00	0	0	0	0	0	0	0,00	0,00
sisma in +Y														
proporzionale alle masse														
	0%	881	31.909	54,02	7,36	1,00	47588	234836	351249	351249	0	0	2,50	2,50

Id_{Tr}	$\%L_{LI}$	$V_{Ed,3}$	$V_{Ed,2}$	$CS^{(3)}$	$CS^{(2)}$	α_C	$V_{Rsd,s}{}^{(3)}$	$V_{Rsd,s}{}^{(2)}$	$V_{Rcd}{}^{(3)}$	$V_{Rcd}{}^{(2)}$	$V_{fd}{}^{(3)}$	$V_{fd}{}^{(2)}$	$Ctg\Theta^{(3)}$	$Ctg\Theta^{(2)}$
	[%]	[N]	[N]				[N]	[N]	[N]	[N]	[N]	[N]		
	100%	881	-42.215	54,02	5,56	1,00	47588	234836	351096	351096	0	0	2,50	2,50
proporzionale alla deformata 1° modo di vibrazione														
	0%	-	-	VNR	VNR	0,00	0	0	0	0	0	0	0,00	0,00
	100%	-	-	VNR	VNR	0,00	0	0	0	0	0	0	0,00	0,00
sisma in -Y														
proporzionale alle masse														
	0%	-	-	VNR	VNR	0,00	0	0	0	0	0	0	0,00	0,00
	100%	-	-	VNR	VNR	0,00	0	0	0	0	0	0	0,00	0,00
proporzionale alla deformata 1° modo di vibrazione														
	0%	-	-	VNR	VNR	0,00	0	0	0	0	0	0	0,00	0,00
	100%	-	-	VNR	VNR	0,00	0	0	0	0	0	0	0,00	0,00
Estradosso travi gronda								**Travata: Trave7-P6-8-9-10-11-12-13**						
sisma in +X														
proporzionale alle masse														
Trave 7-P6	0%	-	-	VNR	VNR	0,00	0	0	0	0	0	0	0,00	0,00
	100%	-	-	VNR	VNR	0,00	0	0	0	0	0	0	0,00	0,00
proporzionale alla deformata 1° modo di vibrazione														
	0%	34.393	74.833	0,85	0,76	1,19	29189	57069	126717	126717	0	0	2,50	2,50
	100%	-19.327	-17.183	1,51	3,32	1,00	29189	57069	106935	106935	0	0	2,50	2,50
sisma in -X														
proporzionale alle masse														
	0%	-	-	VNR	VNR	0,00	0	0	0	0	0	0	0,00	0,00
	100%	-	-	VNR	VNR	0,00	0	0	0	0	0	0	0,00	0,00
proporzionale alla deformata 1° modo di vibrazione														
	0%	-	-	VNR	VNR	0,00	0	0	0	0	0	0	0,00	0,00
	100%	-	-	VNR	VNR	0,00	0	0	0	0	0	0	0,00	0,00
sisma in +Y														
proporzionale alle masse														
	0%	21.769	235.047	1,34	0,10	1,20	29189	22828	127845	185366	0	0	2,50	1,00
	100%	8.656	34.997	3,37	1,63	1,07	29189	57069	113701	113701	0	0	2,50	2,50
proporzionale alla deformata 1° modo di vibrazione														
	0%	-	-	VNR	VNR	0,00	0	0	0	0	0	0	0,00	0,00
	100%	-	-	VNR	VNR	0,00	0	0	0	0	0	0	0,00	0,00
sisma in -Y														
proporzionale alle masse														
	0%	-	-	VNR	VNR	0,00	0	0	0	0	0	0	0,00	0,00
	100%	-	-	VNR	VNR	0,00	0	0	0	0	0	0	0,00	0,00
proporzionale alla deformata 1° modo di vibrazione														
	0%	-	-	VNR	VNR	0,00	0	0	0	0	0	0	0,00	0,00
	100%	-	-	VNR	VNR	0,00	0	0	0	0	0	0	0,00	0,00
sisma in +X														
proporzionale alle masse														
Trave 8-P6	0%	-	-	VNR	VNR	0,00	0	0	0	0	0	0	0,00	0,00
	100%	-	-	VNR	VNR	0,00	0	0	0	0	0	0	0,00	0,00
proporzionale alla deformata 1° modo di vibrazione														
	0%	-5.538	72.056	5,27	0,79	1,13	29189	57069	120010	120010	0	0	2,50	2,50
	100%	-5.549	64.777	5,26	0,88	1,18	29189	57069	125356	125356	0	0	2,50	2,50
sisma in -X														
proporzionale alle masse														
	0%	-	-	VNR	VNR	0,00	0	0	0	0	0	0	0,00	0,00
	100%	-	-	VNR	VNR	0,00	0	0	0	0	0	0	0,00	0,00
proporzionale alla deformata 1° modo di vibrazione														
	0%	-	-	VNR	VNR	0,00	0	0	0	0	0	0	0,00	0,00
	100%	-	-	VNR	VNR	0,00	0	0	0	0	0	0	0,00	0,00
sisma in +Y														
proporzionale alle masse														
	0%	5.819	-47.174	5,02	1,21	1,11	29189	57069	118613	118613	0	0	2,50	2,50
	100%	5.809	-54.453	5,02	1,05	1,12	29189	57069	119465	119465	0	0	2,50	2,50
proporzionale alla deformata 1° modo di vibrazione														
	0%	-	-	VNR	VNR	0,00	0	0	0	0	0	0	0,00	0,00
	100%	-	-	VNR	VNR	0,00	0	0	0	0	0	0	0,00	0,00
sisma in -Y														
proporzionale alle masse														
	0%	-	-	VNR	VNR	0,00	0	0	0	0	0	0	0,00	0,00
	100%	-	-	VNR	VNR	0,00	0	0	0	0	0	0	0,00	0,00
proporzionale alla deformata 1° modo di vibrazione														
	0%	-	-	VNR	VNR	0,00	0	0	0	0	0	0	0,00	0,00
	100%	-	-	VNR	VNR	0,00	0	0	0	0	0	0	0,00	0,00
sisma in +X														
proporzionale alle masse														
Trave 8-9	0%	-	-	VNR	VNR	0,00	0	0	0	0	0	0	0,00	0,00
	100%	-	-	VNR	VNR	0,00	0	0	0	0	0	0	0,00	0,00
proporzionale alla deformata 1° modo di vibrazione														
	0%	-129	-4.739	NS	12,04	1,08	29189	57069	115544	115544	0	0	2,50	2,50
	100%	-129	-32.790	NS	1,74	1,09	29189	57069	115717	115717	0	0	2,50	2,50
sisma in -X														
proporzionale alle masse														
	0%	-	-	VNR	VNR	0,00	0	0	0	0	0	0	0,00	0,00
	100%	-	-	VNR	VNR	0,00	0	0	0	0	0	0	0,00	0,00
proporzionale alla deformata 1° modo di vibrazione														
	0%	-	-	VNR	VNR	0,00	0	0	0	0	0	0	0,00	0,00
	100%	-	-	VNR	VNR	0,00	0	0	0	0	0	0	0,00	0,00
sisma in +Y														
proporzionale alle masse														
	0%	403	14.653	72,43	3,89	1,01	29189	57069	107588	107588	0	0	2,50	2,50
	100%	403	-13.398	72,43	4,26	1,01	29189	57069	107594	107594	0	0	2,50	2,50

Id_{Tr}	$\%L_{LI}$	$V_{Ed,3}$	$V_{Ed,2}$	$CS^{(3)}$	$CS^{(2)}$	α_C	$V_{Rsd,s}{}^{(3)}$	$V_{Rsd,s}{}^{(2)}$	$V_{Rcd}{}^{(3)}$	$V_{Rcd}{}^{(2)}$	$V_{fd}{}^{(3)}$	$V_{fd}{}^{(2)}$	$Ctg\Theta^{(3)}$	$Ctg\Theta^{(2)}$
	[%]	[N]	[N]				[N]	[N]	[N]	[N]	[N]	[N]		
proporzionale alla deformata 1° modo di vibrazione														
	0%	-	-	VNR	VNR	0,00	0	0	0	0	0	0	0,00	0,00
	100%	-	-	VNR	VNR	0,00	0	0	0	0	0	0	0,00	0,00
sisma in -Y														
proporzionale alle masse														
	0%	-	-	VNR	VNR	0,00	0	0	0	0	0	0	0,00	0,00
	100%	-	-	VNR	VNR	0,00	0	0	0	0	0	0	0,00	0,00
proporzionale alla deformata 1° modo di vibrazione														
	0%	-	-	VNR	VNR	0,00	0	0	0	0	0	0	0,00	0,00
	100%	-	-	VNR	VNR	0,00	0	0	0	0	0	0	0,00	0,00
sisma in +X														
proporzionale alle masse														
Trave 9-10	0%	-	-	VNR	VNR	0,00	0	0	0	0	0	0	0,00	0,00
	100%	-	-	VNR	VNR	0,00	0	0	0	0	0	0	0,00	0,00
proporzionale alla deformata 1° modo di vibrazione														
	0%	-2.209	-26.916	13,21	2,12	1,18	29189	57069	125576	125576	0	0	2,50	2,50
	100%	-2.209	-51.485	13,21	1,11	1,18	29189	57069	125476	125476	0	0	2,50	2,50
sisma in -X														
proporzionale alle masse														
	0%	-	-	VNR	VNR	0,00	0	0	0	0	0	0	0,00	0,00
	100%	-	-	VNR	VNR	0,00	0	0	0	0	0	0	0,00	0,00
proporzionale alla deformata 1° modo di vibrazione														
	0%	-	-	VNR	VNR	0,00	0	0	0	0	0	0	0,00	0,00
	100%	-	-	VNR	VNR	0,00	0	0	0	0	0	0	0,00	0,00
sisma in +Y														
proporzionale alle masse														
	0%	-390	5.175	74,84	11,03	1,02	29189	57069	108392	108392	0	0	2,50	2,50
	100%	-390	-19.394	74,84	2,94	1,01	29189	57069	108092	108092	0	0	2,50	2,50
proporzionale alla deformata 1° modo di vibrazione														
	0%	-	-	VNR	VNR	0,00	0	0	0	0	0	0	0,00	0,00
	100%	-	-	VNR	VNR	0,00	0	0	0	0	0	0	0,00	0,00
sisma in -Y														
proporzionale alle masse														
	0%	-	-	VNR	VNR	0,00	0	0	0	0	0	0	0,00	0,00
	100%	-	-	VNR	VNR	0,00	0	0	0	0	0	0	0,00	0,00
proporzionale alla deformata 1° modo di vibrazione														
	0%	-	-	VNR	VNR	0,00	0	0	0	0	0	0	0,00	0,00
	100%	-	-	VNR	VNR	0,00	0	0	0	0	0	0	0,00	0,00
sisma in +X														
proporzionale alle masse														
Trave 10-11	0%	-	-	VNR	VNR	0,00	0	0	0	0	0	0	0,00	0,00
	100%	-	-	VNR	VNR	0,00	0	0	0	0	0	0	0,00	0,00
proporzionale alla deformata 1° modo di vibrazione														
	0%	-5.044	43.983	5,79	1,30	1,17	29189	57069	124715	124715	0	0	2,50	2,50
	100%	-34	15.926	NS	3,58	1,00	29189	57069	106649	106649	0	0	2,50	2,50
sisma in -X														
proporzionale alle masse														
	0%	-	-	VNR	VNR	0,00	0	0	0	0	0	0	0,00	0,00
	100%	-	-	VNR	VNR	0,00	0	0	0	0	0	0	0,00	0,00
proporzionale alla deformata 1° modo di vibrazione														
	0%	-	-	VNR	VNR	0,00	0	0	0	0	0	0	0,00	0,00
	100%	-	-	VNR	VNR	0,00	0	0	0	0	0	0	0,00	0,00
sisma in +Y														
proporzionale alle masse														
	0%	-5.308	-7.221	5,50	7,90	1,02	29189	57069	108541	108541	0	0	2,50	2,50
	100%	-6.449	-413	4,53	NS	1,02	29189	57069	109118	109118	0	0	2,50	2,50
proporzionale alla deformata 1° modo di vibrazione														
	0%	-	-	VNR	VNR	0,00	0	0	0	0	0	0	0,00	0,00
	100%	-	-	VNR	VNR	0,00	0	0	0	0	0	0	0,00	0,00
sisma in -Y														
proporzionale alle masse														
	0%	-	-	VNR	VNR	0,00	0	0	0	0	0	0	0,00	0,00
	100%	-	-	VNR	VNR	0,00	0	0	0	0	0	0	0,00	0,00
proporzionale alla deformata 1° modo di vibrazione														
	0%	-	-	VNR	VNR	0,00	0	0	0	0	0	0	0,00	0,00
	100%	-	-	VNR	VNR	0,00	0	0	0	0	0	0	0,00	0,00
sisma in +X														
proporzionale alle masse														
Trave 11-12	0%	-	-	VNR	VNR	0,00	0	0	0	0	0	0	0,00	0,00
	100%	-	-	VNR	VNR	0,00	0	0	0	0	0	0	0,00	0,00
proporzionale alla deformata 1° modo di vibrazione														
	0%	-1.674	-19.986	17,44	2,86	1,13	29189	57069	120826	120826	0	0	2,50	2,50
	100%	-1.674	-46.611	17,44	1,22	1,13	29189	57069	120157	120157	0	0	2,50	2,50
sisma in -X														
proporzionale alle masse														
	0%	-	-	VNR	VNR	0,00	0	0	0	0	0	0	0,00	0,00
	100%	-	-	VNR	VNR	0,00	0	0	0	0	0	0	0,00	0,00
proporzionale alla deformata 1° modo di vibrazione														
	0%	-	-	VNR	VNR	0,00	0	0	0	0	0	0	0,00	0,00
	100%	-	-	VNR	VNR	0,00	0	0	0	0	0	0	0,00	0,00
sisma in +Y														
proporzionale alle masse														
	0%	25	8.841	NS	6,46	1,02	29189	57069	108497	108497	0	0	2,50	2,50
	100%	25	-17.784	NS	3,21	1,02	29189	57069	108864	108864	0	0	2,50	2,50
proporzionale alla deformata 1° modo di vibrazione														
	0%	-	-	VNR	VNR	0,00	0	0	0	0	0	0	0,00	0,00

Id_{Tr}	$\%L_{LI}$	$V_{Ed,3}$	$V_{Ed,2}$	$CS^{(3)}$	$CS^{(2)}$	α_C	$V_{Rsd,s}{}^{(3)}$	$V_{Rsd,s}{}^{(2)}$	$V_{Rcd}{}^{(3)}$	$V_{Rcd}{}^{(2)}$	$V_{fd}{}^{(3)}$	$V_{fd}{}^{(2)}$	$Ctg\Theta^{(3)}$	$Ctg\Theta^{(2)}$
	[%]	[N]	[N]				[N]	[N]	[N]	[N]	[N]	[N]		
	100%	-	-	VNR	VNR	0,00	0	0	0	0	0	0	0,00	0,00
sisma in -Y														
proporzionale alle masse														
	0%	-	-	VNR	VNR	0,00	0	0	0	0	0	0	0,00	0,00
	100%	-	-	VNR	VNR	0,00	0	0	0	0	0	0	0,00	0,00
proporzionale alla deformata 1° modo di vibrazione														
	0%	-	-	VNR	VNR	0,00	0	0	0	0	0	0	0,00	0,00
	100%	-	-	VNR	VNR	0,00	0	0	0	0	0	0	0,00	0,00
sisma in +X														
proporzionale alle masse														
Trave 12-13	0%	-	-	VNR	VNR	0,00	0	0	0	0	0	0	0,00	0,00
	100%	-	-	VNR	VNR	0,00	0	0	0	0	0	0	0,00	0,00
proporzionale alla deformata 1° modo di vibrazione														
	0%	986	2.539	29,60	22,48	1,05	29189	57069	111921	111921	0	0	2,50	2,50
	100%	986	-25.020	29,60	2,28	1,05	29189	57069	112266	112266	0	0	2,50	2,50
sisma in -X														
proporzionale alle masse														
	0%	-	-	VNR	VNR	0,00	0	0	0	0	0	0	0,00	0,00
	100%	-	-	VNR	VNR	0,00	0	0	0	0	0	0	0,00	0,00
proporzionale alla deformata 1° modo di vibrazione														
	0%	-	-	VNR	VNR	0,00	0	0	0	0	0	0	0,00	0,00
	100%	-	-	VNR	VNR	0,00	0	0	0	0	0	0	0,00	0,00
sisma in +Y														
proporzionale alle masse														
	0%	72	8.196	NS	6,96	1,02	29189	57069	108673	108673	0	0	2,50	2,50
	100%	72	-19.363	NS	2,95	1,02	29189	57069	108652	108652	0	0	2,50	2,50
proporzionale alla deformata 1° modo di vibrazione														
	0%	-	-	VNR	VNR	0,00	0	0	0	0	0	0	0,00	0,00
	100%	-	-	VNR	VNR	0,00	0	0	0	0	0	0	0,00	0,00
sisma in -Y														
proporzionale alle masse														
	0%	-	-	VNR	VNR	0,00	0	0	0	0	0	0	0,00	0,00
	100%	-	-	VNR	VNR	0,00	0	0	0	0	0	0	0,00	0,00
proporzionale alla deformata 1° modo di vibrazione														
	0%	-	-	VNR	VNR	0,00	0	0	0	0	0	0	0,00	0,00
	100%	-	-	VNR	VNR	0,00	0	0	0	0	0	0	0,00	0,00
Estradosso travi gronda								**Travata: Trave32-P10-33-P11-34-P12-35-P13-36-P14-37-38-4b-39-40 -P15-41**						
sisma in +X														
proporzionale alle masse														
Trave 32-P10	0%	-	-	VNR	VNR	0,00	0	0	0	0	0	0	0,00	0,00
	100%	-	-	VNR	VNR	0,00	0	0	0	0	0	0	0,00	0,00
proporzionale alla deformata 1° modo di vibrazione														
	0%	13.274	59.492	0,00	0,00	1,00	0	0	350647	350647	0	0	2,50	2,50
	100%	12.996	-87.048	0,00	0,00	1,00	0	0	351453	351453	0	0	2,50	2,50
sisma in -X														
proporzionale alle masse														
	0%	-	-	VNR	VNR	0,00	0	0	0	0	0	0	0,00	0,00
	100%	-	-	VNR	VNR	0,00	0	0	0	0	0	0	0,00	0,00
proporzionale alla deformata 1° modo di vibrazione														
	0%	-	-	VNR	VNR	0,00	0	0	0	0	0	0	0,00	0,00
	100%	-	-	VNR	VNR	0,00	0	0	0	0	0	0	0,00	0,00
sisma in +Y														
proporzionale alle masse														
	0%	12.547	35.205	0,00	0,00	1,00	0	0	351204	351204	0	0	2,50	2,50
	100%	6.571	-34.010	0,00	0,00	1,00	0	0	352236	352236	0	0	2,50	2,50
proporzionale alla deformata 1° modo di vibrazione														
	0%	-	-	VNR	VNR	0,00	0	0	0	0	0	0	0,00	0,00
	100%	-	-	VNR	VNR	0,00	0	0	0	0	0	0	0,00	0,00
sisma in -Y														
proporzionale alle masse														
	0%	-	-	VNR	VNR	0,00	0	0	0	0	0	0	0,00	0,00
	100%	-	-	VNR	VNR	0,00	0	0	0	0	0	0	0,00	0,00
proporzionale alla deformata 1° modo di vibrazione														
	0%	-	-	VNR	VNR	0,00	0	0	0	0	0	0	0,00	0,00
	100%	-	-	VNR	VNR	0,00	0	0	0	0	0	0	0,00	0,00
sisma in +X														
proporzionale alle masse														
Trave P10-33	0%	-	-	VNR	VNR	0,00	0	0	0	0	0	0	0,00	0,00
	100%	-	-	VNR	VNR	0,00	0	0	0	0	0	0	0,00	0,00
proporzionale alla deformata 1° modo di vibrazione														
	0%	-10	6.151	NS	38,18	1,03	47590	234838	359975	359975	0	0	2,50	2,50
	100%	-10	-56.876	NS	4,13	1,03	47590	234838	359790	359790	0	0	2,50	2,50
sisma in -X														
proporzionale alle masse														
	0%	-	-	VNR	VNR	0,00	0	0	0	0	0	0	0,00	0,00
	100%	-	-	VNR	VNR	0,00	0	0	0	0	0	0	0,00	0,00
proporzionale alla deformata 1° modo di vibrazione														
	0%	-	-	VNR	VNR	0,00	0	0	0	0	0	0	0,00	0,00
	100%	-	-	VNR	VNR	0,00	0	0	0	0	0	0	0,00	0,00
sisma in +Y														
proporzionale alle masse														
	0%	-128	28.960	NS	8,11	1,00	47590	234838	351378	351378	0	0	2,50	2,50
	100%	-128	-34.066	NS	6,89	1,00	47590	234838	351329	351329	0	0	2,50	2,50
proporzionale alla deformata 1° modo di vibrazione														

Id_{Tr}	$\%L_{LI}$	$V_{Ed,3}$	$V_{Ed,2}$	$CS^{(3)}$	$CS^{(2)}$	α_C	$V_{Rsd,s}{}^{(3)}$	$V_{Rsd,s}{}^{(2)}$	$V_{Rcd}{}^{(3)}$	$V_{Rcd}{}^{(2)}$	$V_{fd}{}^{(3)}$	$V_{fd}{}^{(2)}$	$Ctg\Theta^{(3)}$	$Ctg\Theta^{(2)}$
	[%]	[N]	[N]				[N]	[N]	[N]	[N]	[N]	[N]		
	0%	-	-	VNR	VNR	0,00	0	0	0	0	0	0	0,00	0,00
	100%	-	-	VNR	VNR	0,00	0	0	0	0	0	0	0,00	0,00
sisma in -Y														
proporzionale alle masse														
	0%	-	-	VNR	VNR	0,00	0	0	0	0	0	0	0,00	0,00
	100%	-	-	VNR	VNR	0,00	0	0	0	0	0	0	0,00	0,00
proporzionale alla deformata 1° modo di vibrazione														
	0%	-	-	VNR	VNR	0,00	0	0	0	0	0	0	0,00	0,00
	100%	-	-	VNR	VNR	0,00	0	0	0	0	0	0	0,00	0,00
sisma in +X														
proporzionale alle masse														
Trave 33-P11	0%	-	-	VNR	VNR	0,00	0	0	0	0	0	0	0,00	0,00
	100%	-	-	VNR	VNR	0,00	0	0	0	0	0	0	0,00	0,00
proporzionale alla deformata 1° modo di vibrazione														
	0%	-2.202	151.171	0,00	0,00	1,02	0	0	358997	358997	0	0	2,50	2,50
	100%	791	-65.494	0,00	0,00	1,00	0	0	350840	350840	0	0	2,50	2,50
sisma in -X														
proporzionale alle masse														
	0%	-	-	VNR	VNR	0,00	0	0	0	0	0	0	0,00	0,00
	100%	-	-	VNR	VNR	0,00	0	0	0	0	0	0	0,00	0,00
proporzionale alla deformata 1° modo di vibrazione														
	0%	-	-	VNR	VNR	0,00	0	0	0	0	0	0	0,00	0,00
	100%	-	-	VNR	VNR	0,00	0	0	0	0	0	0	0,00	0,00
sisma in +Y														
proporzionale alle masse														
	0%	4.392	-38.264	0,00	0,00	1,02	0	0	356341	356341	0	0	2,50	2,50
	100%	4.807	27.954	0,00	0,00	1,01	0	0	354813	354813	0	0	2,50	2,50
proporzionale alla deformata 1° modo di vibrazione														
	0%	-	-	VNR	VNR	0,00	0	0	0	0	0	0	0,00	0,00
	100%	-	-	VNR	VNR	0,00	0	0	0	0	0	0	0,00	0,00
sisma in -Y														
proporzionale alle masse														
	0%	-	-	VNR	VNR	0,00	0	0	0	0	0	0	0,00	0,00
	100%	-	-	VNR	VNR	0,00	0	0	0	0	0	0	0,00	0,00
proporzionale alla deformata 1° modo di vibrazione														
	0%	-	-	VNR	VNR	0,00	0	0	0	0	0	0	0,00	0,00
	100%	-	-	VNR	VNR	0,00	0	0	0	0	0	0	0,00	0,00
sisma in +X														
proporzionale alle masse														
Trave P11-34	0%	-	-	VNR	VNR	0,00	0	0	0	0	0	0	0,00	0,00
	100%	-	-	VNR	VNR	0,00	0	0	0	0	0	0	0,00	0,00
proporzionale alla deformata 1° modo di vibrazione														
	0%	363	7.486	NS	31,37	1,02	47590	234838	358863	358863	0	0	2,50	2,50
	100%	363	-51.857	NS	4,53	1,02	47590	234838	358639	358639	0	0	2,50	2,50
sisma in -X														
proporzionale alle masse														
	0%	-	-	VNR	VNR	0,00	0	0	0	0	0	0	0,00	0,00
	100%	-	-	VNR	VNR	0,00	0	0	0	0	0	0	0,00	0,00
proporzionale alla deformata 1° modo di vibrazione														
	0%	-	-	VNR	VNR	0,00	0	0	0	0	0	0	0,00	0,00
	100%	-	-	VNR	VNR	0,00	0	0	0	0	0	0	0,00	0,00
sisma in +Y														
proporzionale alle masse														
	0%	524	29.946	90,82	7,84	1,00	47590	234838	351923	351923	0	0	2,50	2,50
	100%	524	-29.396	90,82	7,99	1,00	47590	234838	351871	351871	0	0	2,50	2,50
proporzionale alla deformata 1° modo di vibrazione														
	0%	-	-	VNR	VNR	0,00	0	0	0	0	0	0	0,00	0,00
	100%	-	-	VNR	VNR	0,00	0	0	0	0	0	0	0,00	0,00
sisma in -Y														
proporzionale alle masse														
	0%	-	-	VNR	VNR	0,00	0	0	0	0	0	0	0,00	0,00
	100%	-	-	VNR	VNR	0,00	0	0	0	0	0	0	0,00	0,00
proporzionale alla deformata 1° modo di vibrazione														
	0%	-	-	VNR	VNR	0,00	0	0	0	0	0	0	0,00	0,00
	100%	-	-	VNR	VNR	0,00	0	0	0	0	0	0	0,00	0,00
sisma in +X														
proporzionale alle masse														
Trave 34-P12	0%	-	-	VNR	VNR	0,00	0	0	0	0	0	0	0,00	0,00
	100%	-	-	VNR	VNR	0,00	0	0	0	0	0	0	0,00	0,00
proporzionale alla deformata 1° modo di vibrazione														
	0%	-17.403	143.080	0,00	0,00	1,02	0	0	356945	356945	0	0	2,50	2,50
	100%	-2.493	-53.388	0,00	0,00	1,00	0	0	350647	350647	0	0	2,50	2,50
sisma in -X														
proporzionale alle masse														
	0%	-	-	VNR	VNR	0,00	0	0	0	0	0	0	0,00	0,00
	100%	-	-	VNR	VNR	0,00	0	0	0	0	0	0	0,00	0,00
proporzionale alla deformata 1° modo di vibrazione														
	0%	-	-	VNR	VNR	0,00	0	0	0	0	0	0	0,00	0,00
	100%	-	-	VNR	VNR	0,00	0	0	0	0	0	0	0,00	0,00
sisma in +Y														
proporzionale alle masse														
	0%	-26.793	-64.869	0,00	0,00	1,02	0	0	358031	358031	0	0	2,50	2,50
	100%	-9.519	37.143	0,00	0,00	1,01	0	0	355121	355121	0	0	2,50	2,50
proporzionale alla deformata 1° modo di vibrazione														
	0%	-	-	VNR	VNR	0,00	0	0	0	0	0	0	0,00	0,00
	100%	-	-	VNR	VNR	0,00	0	0	0	0	0	0	0,00	0,00

Id_{Tr}	$\%L_{LI}$	$V_{Ed,3}$	$V_{Ed,2}$	$CS^{(3)}$	$CS^{(2)}$	α_C	$V_{Rsd,s}{}^{(3)}$	$V_{Rsd,s}{}^{(2)}$	$V_{Rcd}{}^{(3)}$	$V_{Rcd}{}^{(2)}$	$V_{fd}{}^{(3)}$	$V_{fd}{}^{(2)}$	$Ctg\Theta^{(3)}$	$Ctg\Theta^{(2)}$
	[%]	[N]	[N]				[N]	[N]	[N]	[N]	[N]	[N]		
sisma in -Y														
proporzionale alle masse														
	0%	-	-	VNR	VNR	0,00	0	0	0	0	0	0	0,00	0,00
	100%	-	-	VNR	VNR	0,00	0	0	0	0	0	0	0,00	0,00
proporzionale alla deformata 1° modo di vibrazione														
	0%	-	-	VNR	VNR	0,00	0	0	0	0	0	0	0,00	0,00
	100%	-	-	VNR	VNR	0,00	0	0	0	0	0	0	0,00	0,00
sisma in +X														
proporzionale alle masse														
Trave P12-35	0%	-	-	VNR	VNR	0,00	0	0	0	0	0	0	0,00	0,00
	100%	-	-	VNR	VNR	0,00	0	0	0	0	0	0	0,00	0,00
proporzionale alla deformata 1° modo di vibrazione														
	0%	-376	15.747	NS	14,91	1,02	47590	234838	358194	358194	0	0	2,50	2,50
	100%	-376	-68.906	NS	3,41	1,02	47590	234838	357858	357858	0	0	2,50	2,50
sisma in -X														
proporzionale alle masse														
	0%	-	-	VNR	VNR	0,00	0	0	0	0	0	0	0,00	0,00
	100%	-	-	VNR	VNR	0,00	0	0	0	0	0	0	0,00	0,00
proporzionale alla deformata 1° modo di vibrazione														
	0%	-	-	VNR	VNR	0,00	0	0	0	0	0	0	0,00	0,00
	100%	-	-	VNR	VNR	0,00	0	0	0	0	0	0	0,00	0,00
sisma in +Y														
proporzionale alle masse														
	0%	11	40.215	NS	5,84	1,00	47590	234838	351614	351614	0	0	2,50	2,50
	100%	11	-44.438	NS	5,28	1,00	47590	234838	351557	351557	0	0	2,50	2,50
proporzionale alla deformata 1° modo di vibrazione														
	0%	-	-	VNR	VNR	0,00	0	0	0	0	0	0	0,00	0,00
	100%	-	-	VNR	VNR	0,00	0	0	0	0	0	0	0,00	0,00
sisma in -Y														
proporzionale alle masse														
	0%	-	-	VNR	VNR	0,00	0	0	0	0	0	0	0,00	0,00
	100%	-	-	VNR	VNR	0,00	0	0	0	0	0	0	0,00	0,00
proporzionale alla deformata 1° modo di vibrazione														
	0%	-	-	VNR	VNR	0,00	0	0	0	0	0	0	0,00	0,00
	100%	-	-	VNR	VNR	0,00	0	0	0	0	0	0	0,00	0,00
sisma in +X														
proporzionale alle masse														
Trave 35-P13	0%	-	-	VNR	VNR	0,00	0	0	0	0	0	0	0,00	0,00
	100%	-	-	VNR	VNR	0,00	0	0	0	0	0	0	0,00	0,00
proporzionale alla deformata 1° modo di vibrazione														
	0%	25.533	156.287	0,00	0,00	1,02	0	0	359202	359202	0	0	2,50	2,50
	100%	11.295	-40.226	0,00	0,00	1,00	0	0	351332	351332	0	0	2,50	2,50
sisma in -X														
proporzionale alle masse														
	0%	-	-	VNR	VNR	0,00	0	0	0	0	0	0	0,00	0,00
	100%	-	-	VNR	VNR	0,00	0	0	0	0	0	0	0,00	0,00
proporzionale alla deformata 1° modo di vibrazione														
	0%	-	-	VNR	VNR	0,00	0	0	0	0	0	0	0,00	0,00
	100%	-	-	VNR	VNR	0,00	0	0	0	0	0	0	0,00	0,00
sisma in +Y														
proporzionale alle masse														
	0%	-5.748	-40.716	0,00	0,00	1,01	0	0	355677	355677	0	0	2,50	2,50
	100%	-3.418	15.151	0,00	0,00	1,01	0	0	355452	355452	0	0	2,50	2,50
proporzionale alla deformata 1° modo di vibrazione														
	0%	-	-	VNR	VNR	0,00	0	0	0	0	0	0	0,00	0,00
	100%	-	-	VNR	VNR	0,00	0	0	0	0	0	0	0,00	0,00
sisma in -Y														
proporzionale alle masse														
	0%	-	-	VNR	VNR	0,00	0	0	0	0	0	0	0,00	0,00
	100%	-	-	VNR	VNR	0,00	0	0	0	0	0	0	0,00	0,00
proporzionale alla deformata 1° modo di vibrazione														
	0%	-	-	VNR	VNR	0,00	0	0	0	0	0	0	0,00	0,00
	100%	-	-	VNR	VNR	0,00	0	0	0	0	0	0	0,00	0,00
sisma in +X														
proporzionale alle masse														
Trave P13-36	0%	-	-	VNR	VNR	0,00	0	0	0	0	0	0	0,00	0,00
	100%	-	-	VNR	VNR	0,00	0	0	0	0	0	0	0,00	0,00
proporzionale alla deformata 1° modo di vibrazione														
	0%	-344	16.437	NS	14,29	1,02	47590	234838	356971	356971	0	0	2,50	2,50
	100%	-344	-68.216	NS	3,44	1,02	47590	234838	356752	356752	0	0	2,50	2,50
sisma in -X														
proporzionale alle masse														
	0%	-	-	VNR	VNR	0,00	0	0	0	0	0	0	0,00	0,00
	100%	-	-	VNR	VNR	0,00	0	0	0	0	0	0	0,00	0,00
proporzionale alla deformata 1° modo di vibrazione														
	0%	-	-	VNR	VNR	0,00	0	0	0	0	0	0	0,00	0,00
	100%	-	-	VNR	VNR	0,00	0	0	0	0	0	0	0,00	0,00
sisma in +Y														
proporzionale alle masse														
	0%	-155	39.902	NS	5,89	1,00	47590	234838	352227	352227	0	0	2,50	2,50
	100%	-155	-44.751	NS	5,25	1,00	47590	234838	352210	352210	0	0	2,50	2,50
proporzionale alla deformata 1° modo di vibrazione														
	0%	-	-	VNR	VNR	0,00	0	0	0	0	0	0	0,00	0,00
	100%	-	-	VNR	VNR	0,00	0	0	0	0	0	0	0,00	0,00
sisma in -Y														
proporzionale alle masse														

Id_{Tr}	$\%L_{LI}$	$V_{Ed,3}$	$V_{Ed,2}$	$CS^{(3)}$	$CS^{(2)}$	α_C	$V_{Rsd,s}{}^{(3)}$	$V_{Rsd,s}{}^{(2)}$	$V_{Rcd}{}^{(3)}$	$V_{Rcd}{}^{(2)}$	$V_{fd}{}^{(3)}$	$V_{fd}{}^{(2)}$	$Ctg\Theta^{(3)}$	$Ctg\Theta^{(2)}$
	[%]	[N]	[N]				[N]	[N]	[N]	[N]	[N]	[N]		
	0%	-	-	VNR	VNR	0,00	0	0	0	0	0	0	0,00	0,00
	100%	-	-	VNR	VNR	0,00	0	0	0	0	0	0	0,00	0,00
proporzionale alla deformata 1° modo di vibrazione														
	0%	-	-	VNR	VNR	0,00	0	0	0	0	0	0	0,00	0,00
	100%	-	-	VNR	VNR	0,00	0	0	0	0	0	0	0,00	0,00
sisma in +X														
proporzionale alle masse														
Trave 36-P14	0%	-	-	VNR	VNR	0,00	0	0	0	0	0	0	0,00	0,00
	100%	-	-	VNR	VNR	0,00	0	0	0	0	0	0	0,00	0,00
proporzionale alla deformata 1° modo di vibrazione														
	0%	2.130	162.666	0,00	0,00	1,02	0	0	357749	357749	0	0	2,50	2,50
	100%	5.200	-30.518	0,00	0,00	1,00	0	0	350647	350647	0	0	2,50	2,50
sisma in -X														
proporzionale alle masse														
	0%	-	-	VNR	VNR	0,00	0	0	0	0	0	0	0,00	0,00
	100%	-	-	VNR	VNR	0,00	0	0	0	0	0	0	0,00	0,00
proporzionale alla deformata 1° modo di vibrazione														
	0%	-	-	VNR	VNR	0,00	0	0	0	0	0	0	0,00	0,00
	100%	-	-	VNR	VNR	0,00	0	0	0	0	0	0	0,00	0,00
sisma in +Y														
proporzionale alle masse														
	0%	16.969	-34.144	0,00	0,00	1,02	0	0	358947	358947	0	0	2,50	2,50
	100%	21.775	35.575	0,00	0,00	1,03	0	0	361429	361429	0	0	2,50	2,50
proporzionale alla deformata 1° modo di vibrazione														
	0%	-	-	VNR	VNR	0,00	0	0	0	0	0	0	0,00	0,00
	100%	-	-	VNR	VNR	0,00	0	0	0	0	0	0	0,00	0,00
sisma in -Y														
proporzionale alle masse														
	0%	-	-	VNR	VNR	0,00	0	0	0	0	0	0	0,00	0,00
	100%	-	-	VNR	VNR	0,00	0	0	0	0	0	0	0,00	0,00
proporzionale alla deformata 1° modo di vibrazione														
	0%	-	-	VNR	VNR	0,00	0	0	0	0	0	0	0,00	0,00
	100%	-	-	VNR	VNR	0,00	0	0	0	0	0	0	0,00	0,00
sisma in +X														
proporzionale alle masse														
Trave P14-37	0%	-	-	VNR	VNR	0,00	0	0	0	0	0	0	0,00	0,00
	100%	-	-	VNR	VNR	0,00	0	0	0	0	0	0	0,00	0,00
proporzionale alla deformata 1° modo di vibrazione														
	0%	1.920	22.440	24,79	10,47	1,01	47590	234838	353461	353461	0	0	2,50	2,50
	100%	1.920	-64.318	24,79	3,65	1,01	47590	234838	353437	353437	0	0	2,50	2,50
sisma in -X														
proporzionale alle masse														
	0%	-	-	VNR	VNR	0,00	0	0	0	0	0	0	0,00	0,00
	100%	-	-	VNR	VNR	0,00	0	0	0	0	0	0	0,00	0,00
proporzionale alla deformata 1° modo di vibrazione														
	0%	-	-	VNR	VNR	0,00	0	0	0	0	0	0	0,00	0,00
	100%	-	-	VNR	VNR	0,00	0	0	0	0	0	0	0,00	0,00
sisma in +Y														
proporzionale alle masse														
	0%	906	51.490	52,53	4,56	1,01	47590	234838	354036	354036	0	0	2,50	2,50
	100%	906	-35.268	52,53	6,66	1,01	47590	234838	353719	353719	0	0	2,50	2,50
proporzionale alla deformata 1° modo di vibrazione														
	0%	-	-	VNR	VNR	0,00	0	0	0	0	0	0	0,00	0,00
	100%	-	-	VNR	VNR	0,00	0	0	0	0	0	0	0,00	0,00
sisma in -Y														
proporzionale alle masse														
	0%	-	-	VNR	VNR	0,00	0	0	0	0	0	0	0,00	0,00
	100%	-	-	VNR	VNR	0,00	0	0	0	0	0	0	0,00	0,00
proporzionale alla deformata 1° modo di vibrazione														
	0%	-	-	VNR	VNR	0,00	0	0	0	0	0	0	0,00	0,00
	100%	-	-	VNR	VNR	0,00	0	0	0	0	0	0	0,00	0,00
sisma in +X														
proporzionale alle masse														
Trave 37-38	0%	-	-	VNR	VNR	0,00	0	0	0	0	0	0	0,00	0,00
	100%	-	-	VNR	VNR	0,00	0	0	0	0	0	0	0,00	0,00
proporzionale alla deformata 1° modo di vibrazione														
	0%	-251	-15.239	NS	15,41	1,06	47590	234838	373121	373121	0	0	2,50	2,50
	100%	-251	-74.822	NS	3,14	1,06	47590	234838	373127	373127	0	0	2,50	2,50
sisma in -X														
proporzionale alle masse														
	0%	-	-	VNR	VNR	0,00	0	0	0	0	0	0	0,00	0,00
	100%	-	-	VNR	VNR	0,00	0	0	0	0	0	0	0,00	0,00
proporzionale alla deformata 1° modo di vibrazione														
	0%	-	-	VNR	VNR	0,00	0	0	0	0	0	0	0,00	0,00
	100%	-	-	VNR	VNR	0,00	0	0	0	0	0	0	0,00	0,00
sisma in +Y														
proporzionale alle masse														
	0%	60	14.857	NS	15,81	1,01	47590	234838	355177	355177	0	0	2,50	2,50
	100%	60	-44.726	NS	5,25	1,01	47590	234838	354400	354400	0	0	2,50	2,50
proporzionale alla deformata 1° modo di vibrazione														
	0%	-	-	VNR	VNR	0,00	0	0	0	0	0	0	0,00	0,00
	100%	-	-	VNR	VNR	0,00	0	0	0	0	0	0	0,00	0,00
sisma in -Y														
proporzionale alle masse														
	0%	-	-	VNR	VNR	0,00	0	0	0	0	0	0	0,00	0,00
	100%	-	-	VNR	VNR	0,00	0	0	0	0	0	0	0,00	0,00

Id_{Tr}	$\%L_{LI}$	$V_{Ed,3}$	$V_{Ed,2}$	$CS^{(3)}$	$CS^{(2)}$	α_C	$V_{Rsd,s}{}^{(3)}$	$V_{Rsd,s}{}^{(2)}$	$V_{Rcd}{}^{(3)}$	$V_{Rcd}{}^{(2)}$	$V_{fd}{}^{(3)}$	$V_{fd}{}^{(2)}$	$Ctg\Theta^{(3)}$	$Ctg\Theta^{(2)}$
	[%]	[N]	[N]				[N]	[N]	[N]	[N]	[N]	[N]		
proporzionale alla deformata 1° modo di vibrazione														
	0%	-	-	VNR	VNR	0,00	0	0	0	0	0	0	0,00	0,00
	100%	-	-	VNR	VNR	0,00	0	0	0	0	0	0	0,00	0,00
sisma in +X														
proporzionale alle masse														
Trave 38-4b	0%	-	-	VNR	VNR	0,00	0	0	0	0	0	0	0,00	0,00
	100%	-	-	VNR	VNR	0,00	0	0	0	0	0	0	0,00	0,00
proporzionale alla deformata 1° modo di vibrazione														
	0%	57.844	152.750	0,00	0,00	1,08	0	0	379877	379877	0	0	2,50	2,50
	100%	23.532	94.987	0,00	0,00	1,02	0	0	356782	356782	0	0	2,50	2,50
sisma in -X														
proporzionale alle masse														
	0%	-	-	VNR	VNR	0,00	0	0	0	0	0	0	0,00	0,00
	100%	-	-	VNR	VNR	0,00	0	0	0	0	0	0	0,00	0,00
proporzionale alla deformata 1° modo di vibrazione														
	0%	-	-	VNR	VNR	0,00	0	0	0	0	0	0	0,00	0,00
	100%	-	-	VNR	VNR	0,00	0	0	0	0	0	0	0,00	0,00
sisma in +Y														
proporzionale alle masse														
	0%	19.650	-7.972	0,00	0,00	1,03	0	0	359773	359773	0	0	2,50	2,50
	100%	-18.180	96.076	0,00	0,00	1,02	0	0	356446	356446	0	0	2,50	2,50
proporzionale alla deformata 1° modo di vibrazione														
	0%	-	-	VNR	VNR	0,00	0	0	0	0	0	0	0,00	0,00
	100%	-	-	VNR	VNR	0,00	0	0	0	0	0	0	0,00	0,00
sisma in -Y														
proporzionale alle masse														
	0%	-	-	VNR	VNR	0,00	0	0	0	0	0	0	0,00	0,00
	100%	-	-	VNR	VNR	0,00	0	0	0	0	0	0	0,00	0,00
proporzionale alla deformata 1° modo di vibrazione														
	0%	-	-	VNR	VNR	0,00	0	0	0	0	0	0	0,00	0,00
	100%	-	-	VNR	VNR	0,00	0	0	0	0	0	0	0,00	0,00
sisma in +X														
proporzionale alle masse														
Trave 4b-39	0%	-	-	VNR	VNR	0,00	0	0	0	0	0	0	0,00	0,00
	100%	-	-	VNR	VNR	0,00	0	0	0	0	0	0	0,00	0,00
proporzionale alla deformata 1° modo di vibrazione														
	0%	-10.206	158.563	0,00	0,00	1,02	0	0	358585	358585	0	0	2,50	2,50
	100%	3.298	84.474	0,00	0,00	1,01	0	0	355186	355186	0	0	2,50	2,50
sisma in -X														
proporzionale alle masse														
	0%	-	-	VNR	VNR	0,00	0	0	0	0	0	0	0,00	0,00
	100%	-	-	VNR	VNR	0,00	0	0	0	0	0	0	0,00	0,00
proporzionale alla deformata 1° modo di vibrazione														
	0%	-	-	VNR	VNR	0,00	0	0	0	0	0	0	0,00	0,00
	100%	-	-	VNR	VNR	0,00	0	0	0	0	0	0	0,00	0,00
sisma in +Y														
proporzionale alle masse														
	0%	-32.918	121.977	0,00	0,00	1,02	0	0	356558	356558	0	0	2,50	2,50
	100%	-690	54.208	0,00	0,00	1,01	0	0	354930	354930	0	0	2,50	2,50
proporzionale alla deformata 1° modo di vibrazione														
	0%	-	-	VNR	VNR	0,00	0	0	0	0	0	0	0,00	0,00
	100%	-	-	VNR	VNR	0,00	0	0	0	0	0	0	0,00	0,00
sisma in -Y														
proporzionale alle masse														
	0%	-	-	VNR	VNR	0,00	0	0	0	0	0	0	0,00	0,00
	100%	-	-	VNR	VNR	0,00	0	0	0	0	0	0	0,00	0,00
proporzionale alla deformata 1° modo di vibrazione														
	0%	-	-	VNR	VNR	0,00	0	0	0	0	0	0	0,00	0,00
	100%	-	-	VNR	VNR	0,00	0	0	0	0	0	0	0,00	0,00
sisma in +X														
proporzionale alle masse														
Trave 39-40	0%	-	-	VNR	VNR	0,00	0	0	0	0	0	0	0,00	0,00
	100%	-	-	VNR	VNR	0,00	0	0	0	0	0	0	0,00	0,00
proporzionale alla deformata 1° modo di vibrazione														
	0%	123	36.723	NS	6,39	1,00	47590	234838	350841	350841	0	0	2,50	2,50
	100%	123	-50.528	NS	4,65	1,00	47590	234838	351038	351038	0	0	2,50	2,50
sisma in -X														
proporzionale alle masse														
	0%	-	-	VNR	VNR	0,00	0	0	0	0	0	0	0,00	0,00
	100%	-	-	VNR	VNR	0,00	0	0	0	0	0	0	0,00	0,00
proporzionale alla deformata 1° modo di vibrazione														
	0%	-	-	VNR	VNR	0,00	0	0	0	0	0	0	0,00	0,00
	100%	-	-	VNR	VNR	0,00	0	0	0	0	0	0	0,00	0,00
sisma in +Y														
proporzionale alle masse														
	0%	-776	45.024	61,33	5,22	1,00	47590	234838	351674	351674	0	0	2,50	2,50
	100%	-776	-42.228	61,33	5,56	1,00	47590	234838	351822	351822	0	0	2,50	2,50
proporzionale alla deformata 1° modo di vibrazione														
	0%	-	-	VNR	VNR	0,00	0	0	0	0	0	0	0,00	0,00
	100%	-	-	VNR	VNR	0,00	0	0	0	0	0	0	0,00	0,00
sisma in -Y														
proporzionale alle masse														
	0%	-	-	VNR	VNR	0,00	0	0	0	0	0	0	0,00	0,00
	100%	-	-	VNR	VNR	0,00	0	0	0	0	0	0	0,00	0,00
proporzionale alla deformata 1° modo di vibrazione														
	0%	-	-	VNR	VNR	0,00	0	0	0	0	0	0	0,00	0,00

Id_{Tr}	$\%L_{LI}$	$V_{Ed,3}$	$V_{Ed,2}$	$CS^{(3)}$	$CS^{(2)}$	α_C	$V_{Rsd,s}{}^{(3)}$	$V_{Rsd,s}{}^{(2)}$	$V_{Rcd}{}^{(3)}$	$V_{Rcd}{}^{(2)}$	$V_{fd}{}^{(3)}$	$V_{fd}{}^{(2)}$	$Ctg\Theta^{(3)}$	$Ctg\Theta^{(2)}$
	[%]	[N]	[N]				[N]	[N]	[N]	[N]	[N]	[N]		
	100%	-	-	VNR	VNR	0,00	0	0	0	0	0	0	0,00	0,00
sisma in +X														
proporzionale alle masse														
Trave 40-P15	0%	-	-	VNR	VNR	0,00	0	0	0	0	0	0	0,00	0,00
	100%	-	-	VNR	VNR	0,00	0	0	0	0	0	0	0,00	0,00
proporzionale alla deformata 1° modo di vibrazione														
	0%	91	-25.580	NS	9,18	1,04	47590	234838	364771	364771	0	0	2,50	2,50
	100%	91	-64.333	NS	3,65	1,04	47590	234838	364555	364555	0	0	2,50	2,50
sisma in -X														
proporzionale alle masse														
	0%	-	-	VNR	VNR	0,00	0	0	0	0	0	0	0,00	0,00
	100%	-	-	VNR	VNR	0,00	0	0	0	0	0	0	0,00	0,00
proporzionale alla deformata 1° modo di vibrazione														
	0%	-	-	VNR	VNR	0,00	0	0	0	0	0	0	0,00	0,00
	100%	-	-	VNR	VNR	0,00	0	0	0	0	0	0	0,00	0,00
sisma in +Y														
proporzionale alle masse														
	0%	-7.604	42.479	6,26	5,53	1,03	47590	234838	359515	359515	0	0	2,50	2,50
	100%	-7.604	3.726	6,26	63,03	1,03	47590	234838	359486	359486	0	0	2,50	2,50
proporzionale alla deformata 1° modo di vibrazione														
	0%	-	-	VNR	VNR	0,00	0	0	0	0	0	0	0,00	0,00
	100%	-	-	VNR	VNR	0,00	0	0	0	0	0	0	0,00	0,00
sisma in -Y														
proporzionale alle masse														
	0%	-	-	VNR	VNR	0,00	0	0	0	0	0	0	0,00	0,00
	100%	-	-	VNR	VNR	0,00	0	0	0	0	0	0	0,00	0,00
proporzionale alla deformata 1° modo di vibrazione														
	0%	-	-	VNR	VNR	0,00	0	0	0	0	0	0	0,00	0,00
	100%	-	-	VNR	VNR	0,00	0	0	0	0	0	0	0,00	0,00
sisma in +X														
proporzionale alle masse														
Trave P15-41	0%	-	-	VNR	VNR	0,00	0	0	0	0	0	0	0,00	0,00
	100%	-	-	VNR	VNR	0,00	0	0	0	0	0	0	0,00	0,00
proporzionale alla deformata 1° modo di vibrazione														
	0%	29.179	102.511	0,00	0,00	1,06	0	0	371112	371112	0	0	2,50	2,50
	100%	4.482	66.373	0,00	0,00	1,00	0	0	350647	350647	0	0	2,50	2,50
sisma in -X														
proporzionale alle masse														
	0%	-	-	VNR	VNR	0,00	0	0	0	0	0	0	0,00	0,00
	100%	-	-	VNR	VNR	0,00	0	0	0	0	0	0	0,00	0,00
proporzionale alla deformata 1° modo di vibrazione														
	0%	-	-	VNR	VNR	0,00	0	0	0	0	0	0	0,00	0,00
	100%	-	-	VNR	VNR	0,00	0	0	0	0	0	0	0,00	0,00
sisma in +Y														
proporzionale alle masse														
	0%	10.813	7.975	0,00	0,00	1,02	0	0	356354	356354	0	0	2,50	2,50
	100%	-4.079	98.483	0,00	0,00	1,00	0	0	352126	352126	0	0	2,50	2,50
proporzionale alla deformata 1° modo di vibrazione														
	0%	-	-	VNR	VNR	0,00	0	0	0	0	0	0	0,00	0,00
	100%	-	-	VNR	VNR	0,00	0	0	0	0	0	0	0,00	0,00
sisma in -Y														
proporzionale alle masse														
	0%	-	-	VNR	VNR	0,00	0	0	0	0	0	0	0,00	0,00
	100%	-	-	VNR	VNR	0,00	0	0	0	0	0	0	0,00	0,00
proporzionale alla deformata 1° modo di vibrazione														
	0%	-	-	VNR	VNR	0,00	0	0	0	0	0	0	0,00	0,00
	100%	-	-	VNR	VNR	0,00	0	0	0	0	0	0	0,00	0,00
Estradosso travi gronda								**Travata: Trave14-15-16-17-18-19-20-21-22-23-24**						
sisma in +X														
proporzionale alle masse														
Trave 14-15	0%	-	-	VNR	VNR	0,00	0	0	0	0	0	0	0,00	0,00
	100%	-	-	VNR	VNR	0,00	0	0	0	0	0	0	0,00	0,00
proporzionale alla deformata 1° modo di vibrazione														
	0%	48	18.947	NS	5,03	1,00	33419	95376	202735	202735	0	0	2,50	2,50
	100%	48	-24.778	NS	3,85	1,00	33419	95376	202755	202755	0	0	2,50	2,50
sisma in -X														
proporzionale alle masse														
	0%	-	-	VNR	VNR	0,00	0	0	0	0	0	0	0,00	0,00
	100%	-	-	VNR	VNR	0,00	0	0	0	0	0	0	0,00	0,00
proporzionale alla deformata 1° modo di vibrazione														
	0%	-	-	VNR	VNR	0,00	0	0	0	0	0	0	0,00	0,00
	100%	-	-	VNR	VNR	0,00	0	0	0	0	0	0	0,00	0,00
sisma in +Y														
proporzionale alle masse														
	0%	-327	23.842	NS	4,00	1,01	33419	95376	204574	204574	0	0	2,50	2,50
	100%	-327	-19.883	NS	4,80	1,01	33419	95376	204488	204488	0	0	2,50	2,50
proporzionale alla deformata 1° modo di vibrazione														
	0%	-	-	VNR	VNR	0,00	0	0	0	0	0	0	0,00	0,00
	100%	-	-	VNR	VNR	0,00	0	0	0	0	0	0	0,00	0,00
sisma in -Y														
proporzionale alle masse														
	0%	-	-	VNR	VNR	0,00	0	0	0	0	0	0	0,00	0,00
	100%	-	-	VNR	VNR	0,00	0	0	0	0	0	0	0,00	0,00
proporzionale alla deformata 1° modo di vibrazione														
	0%	-	-	VNR	VNR	0,00	0	0	0	0	0	0	0,00	0,00
	100%	-	-	VNR	VNR	0,00	0	0	0	0	0	0	0,00	0,00

Id_{Tr}	$\%L_{LI}$	$V_{Ed,3}$	$V_{Ed,2}$	$CS^{(3)}$	$CS^{(2)}$	α_C	$V_{Rsd,s}{}^{(3)}$	$V_{Rsd,s}{}^{(2)}$	$V_{Rcd}{}^{(3)}$	$V_{Rcd}{}^{(2)}$	$V_{fd}{}^{(3)}$	$V_{fd}{}^{(2)}$	$Ctg\Theta^{(3)}$	$Ctg\Theta^{(2)}$
	[%]	[N]	[N]				[N]	[N]	[N]	[N]	[N]	[N]		
sisma in +X														
proporzionale alle masse														
Trave 15-16	0%	-	-	VNR	VNR	0,00	0	0	0	0	0	0	0,00	0,00
	100%	-	-	VNR	VNR	0,00	0	0	0	0	0	0	0,00	0,00
proporzionale alla deformata 1° modo di vibrazione														
	0%	-81	18.670	NS	5,11	1,01	33419	95376	204953	204953	0	0	2,50	2,50
	100%	-81	-23.433	NS	4,07	1,01	33419	95376	205049	205049	0	0	2,50	2,50
sisma in -X														
proporzionale alle masse														
	0%	-	-	VNR	VNR	0,00	0	0	0	0	0	0	0,00	0,00
	100%	-	-	VNR	VNR	0,00	0	0	0	0	0	0	0,00	0,00
proporzionale alla deformata 1° modo di vibrazione														
	0%	-	-	VNR	VNR	0,00	0	0	0	0	0	0	0,00	0,00
	100%	-	-	VNR	VNR	0,00	0	0	0	0	0	0	0,00	0,00
sisma in +Y														
proporzionale alle masse														
	0%	-189	20.554	NS	4,64	1,01	33419	95376	204096	204096	0	0	2,50	2,50
	100%	-189	-21.549	NS	4,43	1,01	33419	95376	204104	204104	0	0	2,50	2,50
proporzionale alla deformata 1° modo di vibrazione														
	0%	-	-	VNR	VNR	0,00	0	0	0	0	0	0	0,00	0,00
	100%	-	-	VNR	VNR	0,00	0	0	0	0	0	0	0,00	0,00
sisma in -Y														
proporzionale alle masse														
	0%	-	-	VNR	VNR	0,00	0	0	0	0	0	0	0,00	0,00
	100%	-	-	VNR	VNR	0,00	0	0	0	0	0	0	0,00	0,00
proporzionale alla deformata 1° modo di vibrazione														
	0%	-	-	VNR	VNR	0,00	0	0	0	0	0	0	0,00	0,00
	100%	-	-	VNR	VNR	0,00	0	0	0	0	0	0	0,00	0,00
sisma in +X														
proporzionale alle masse														
Trave 16-17	0%	-	-	VNR	VNR	0,00	0	0	0	0	0	0	0,00	0,00
	100%	-	-	VNR	VNR	0,00	0	0	0	0	0	0	0,00	0,00
proporzionale alla deformata 1° modo di vibrazione														
	0%	59	22.806	NS	5,95	1,01	47530	135647	204944	204944	0	0	2,50	2,50
	100%	59	-27.388	NS	4,95	1,01	47530	135647	204995	204995	0	0	2,50	2,50
sisma in -X														
proporzionale alle masse														
	0%	-	-	VNR	VNR	0,00	0	0	0	0	0	0	0,00	0,00
	100%	-	-	VNR	VNR	0,00	0	0	0	0	0	0	0,00	0,00
proporzionale alla deformata 1° modo di vibrazione														
	0%	-	-	VNR	VNR	0,00	0	0	0	0	0	0	0,00	0,00
	100%	-	-	VNR	VNR	0,00	0	0	0	0	0	0	0,00	0,00
sisma in +Y														
proporzionale alle masse														
	0%	-329	25.059	NS	5,41	1,01	47530	135647	204430	204430	0	0	2,50	2,50
	100%	-329	-25.135	NS	5,40	1,01	47530	135647	204426	204426	0	0	2,50	2,50
proporzionale alla deformata 1° modo di vibrazione														
	0%	-	-	VNR	VNR	0,00	0	0	0	0	0	0	0,00	0,00
	100%	-	-	VNR	VNR	0,00	0	0	0	0	0	0	0,00	0,00
sisma in -Y														
proporzionale alle masse														
	0%	-	-	VNR	VNR	0,00	0	0	0	0	0	0	0,00	0,00
	100%	-	-	VNR	VNR	0,00	0	0	0	0	0	0	0,00	0,00
proporzionale alla deformata 1° modo di vibrazione														
	0%	-	-	VNR	VNR	0,00	0	0	0	0	0	0	0,00	0,00
	100%	-	-	VNR	VNR	0,00	0	0	0	0	0	0	0,00	0,00
sisma in +X														
proporzionale alle masse														
Trave 17-18	0%	-	-	VNR	VNR	0,00	0	0	0	0	0	0	0,00	0,00
	100%	-	-	VNR	VNR	0,00	0	0	0	0	0	0	0,00	0,00
proporzionale alla deformata 1° modo di vibrazione														
	0%	79	22.794	NS	5,95	1,01	47530	135647	204598	204598	0	0	2,50	2,50
	100%	79	-27.185	NS	4,99	1,01	47530	135647	204660	204660	0	0	2,50	2,50
sisma in -X														
proporzionale alle masse														
	0%	-	-	VNR	VNR	0,00	0	0	0	0	0	0	0,00	0,00
	100%	-	-	VNR	VNR	0,00	0	0	0	0	0	0	0,00	0,00
proporzionale alla deformata 1° modo di vibrazione														
	0%	-	-	VNR	VNR	0,00	0	0	0	0	0	0	0,00	0,00
	100%	-	-	VNR	VNR	0,00	0	0	0	0	0	0	0,00	0,00
sisma in +Y														
proporzionale alle masse														
	0%	35	23.789	NS	5,70	1,01	47530	135647	204987	204987	0	0	2,50	2,50
	100%	35	-26.190	NS	5,18	1,01	47530	135647	205019	205019	0	0	2,50	2,50
proporzionale alla deformata 1° modo di vibrazione														
	0%	-	-	VNR	VNR	0,00	0	0	0	0	0	0	0,00	0,00
	100%	-	-	VNR	VNR	0,00	0	0	0	0	0	0	0,00	0,00
sisma in -Y														
proporzionale alle masse														
	0%	-	-	VNR	VNR	0,00	0	0	0	0	0	0	0,00	0,00
	100%	-	-	VNR	VNR	0,00	0	0	0	0	0	0	0,00	0,00
proporzionale alla deformata 1° modo di vibrazione														
	0%	-	-	VNR	VNR	0,00	0	0	0	0	0	0	0,00	0,00
	100%	-	-	VNR	VNR	0,00	0	0	0	0	0	0	0,00	0,00
sisma in +X														
proporzionale alle masse														

Id_{Tr}	$\%L_{LI}$	$V_{Ed,3}$	$V_{Ed,2}$	$CS^{(3)}$	$CS^{(2)}$	α_C	$V_{Rsd,s}{}^{(3)}$	$V_{Rsd,s}{}^{(2)}$	$V_{Rcd}{}^{(3)}$	$V_{Rcd}{}^{(2)}$	$V_{fd}{}^{(3)}$	$V_{fd}{}^{(2)}$	$Ctg\Theta^{(3)}$	$Ctg\Theta^{(2)}$
	[%]	[N]	[N]				[N]	[N]	[N]	[N]	[N]	[N]		
Trave 18-19	0%	-	-	VNR	VNR	0,00	0	0	0	0	0	0	0,00	0,00
	100%	-	-	VNR	VNR	0,00	0	0	0	0	0	0	0,00	0,00
proporzionale alla deformata 1° modo di vibrazione														
	0%	378	16.844	NS	8,05	1,03	47530	135647	209301	209301	0	0	2,50	2,50
	100%	378	-34.427	NS	3,94	1,03	47530	135647	209304	209304	0	0	2,50	2,50
sisma in -X														
proporzionale alle masse														
	0%	-	-	VNR	VNR	0,00	0	0	0	0	0	0	0,00	0,00
	100%	-	-	VNR	VNR	0,00	0	0	0	0	0	0	0,00	0,00
proporzionale alla deformata 1° modo di vibrazione														
	0%	-	-	VNR	VNR	0,00	0	0	0	0	0	0	0,00	0,00
	100%	-	-	VNR	VNR	0,00	0	0	0	0	0	0	0,00	0,00
sisma in +Y														
proporzionale alle masse														
	0%	353	29.440	NS	4,61	1,01	47530	135647	204075	204075	0	0	2,50	2,50
	100%	353	-21.831	NS	6,21	1,01	47530	135647	203894	203894	0	0	2,50	2,50
proporzionale alla deformata 1° modo di vibrazione														
	0%	-	-	VNR	VNR	0,00	0	0	0	0	0	0	0,00	0,00
	100%	-	-	VNR	VNR	0,00	0	0	0	0	0	0	0,00	0,00
sisma in -Y														
proporzionale alle masse														
	0%	-	-	VNR	VNR	0,00	0	0	0	0	0	0	0,00	0,00
	100%	-	-	VNR	VNR	0,00	0	0	0	0	0	0	0,00	0,00
proporzionale alla deformata 1° modo di vibrazione														
	0%	-	-	VNR	VNR	0,00	0	0	0	0	0	0	0,00	0,00
	100%	-	-	VNR	VNR	0,00	0	0	0	0	0	0	0,00	0,00
sisma in +X														
proporzionale alle masse														
Trave 19-20	0%	-	-	VNR	VNR	0,00	0	0	0	0	0	0	0,00	0,00
	100%	-	-	VNR	VNR	0,00	0	0	0	0	0	0	0,00	0,00
proporzionale alla deformata 1° modo di vibrazione														
	0%	5.506	-31.197	5,98	2,64	1,02	32931	82497	269326	269326	0	0	2,50	2,50
	100%	5.506	-50.635	5,98	1,63	1,02	32931	82497	269058	269058	0	0	2,50	2,50
sisma in -X														
proporzionale alle masse														
	0%	-	-	VNR	VNR	0,00	0	0	0	0	0	0	0,00	0,00
	100%	-	-	VNR	VNR	0,00	0	0	0	0	0	0	0,00	0,00
proporzionale alla deformata 1° modo di vibrazione														
	0%	-	-	VNR	VNR	0,00	0	0	0	0	0	0	0,00	0,00
	100%	-	-	VNR	VNR	0,00	0	0	0	0	0	0	0,00	0,00
sisma in +Y														
proporzionale alle masse														
	0%	-5.637	-46.320	5,84	1,78	1,03	32931	82497	270960	270960	0	0	2,50	2,50
	100%	-5.637	-65.759	5,84	1,25	1,03	32931	82497	270618	270618	0	0	2,50	2,50
proporzionale alla deformata 1° modo di vibrazione														
	0%	-	-	VNR	VNR	0,00	0	0	0	0	0	0	0,00	0,00
	100%	-	-	VNR	VNR	0,00	0	0	0	0	0	0	0,00	0,00
sisma in -Y														
proporzionale alle masse														
	0%	-	-	VNR	VNR	0,00	0	0	0	0	0	0	0,00	0,00
	100%	-	-	VNR	VNR	0,00	0	0	0	0	0	0	0,00	0,00
proporzionale alla deformata 1° modo di vibrazione														
	0%	-	-	VNR	VNR	0,00	0	0	0	0	0	0	0,00	0,00
	100%	-	-	VNR	VNR	0,00	0	0	0	0	0	0	0,00	0,00
sisma in +X														
proporzionale alle masse														
Trave 20-21	0%	-	-	VNR	VNR	0,00	0	0	0	0	0	0	0,00	0,00
	100%	-	-	VNR	VNR	0,00	0	0	0	0	0	0	0,00	0,00
proporzionale alla deformata 1° modo di vibrazione														
	0%	-498	3.017	66,13	27,34	1,02	32931	82497	269192	269192	0	0	2,50	2,50
	100%	-498	-40.627	66,13	2,03	1,02	32931	82497	269174	269174	0	0	2,50	2,50
sisma in -X														
proporzionale alle masse														
	0%	-	-	VNR	VNR	0,00	0	0	0	0	0	0	0,00	0,00
	100%	-	-	VNR	VNR	0,00	0	0	0	0	0	0	0,00	0,00
proporzionale alla deformata 1° modo di vibrazione														
	0%	-	-	VNR	VNR	0,00	0	0	0	0	0	0	0,00	0,00
	100%	-	-	VNR	VNR	0,00	0	0	0	0	0	0	0,00	0,00
sisma in +Y														
proporzionale alle masse														
	0%	576	10.361	57,17	7,96	1,02	32931	82497	267808	267808	0	0	2,50	2,50
	100%	576	-33.283	57,17	2,48	1,02	32931	82497	267593	267593	0	0	2,50	2,50
proporzionale alla deformata 1° modo di vibrazione														
	0%	-	-	VNR	VNR	0,00	0	0	0	0	0	0	0,00	0,00
	100%	-	-	VNR	VNR	0,00	0	0	0	0	0	0	0,00	0,00
sisma in -Y														
proporzionale alle masse														
	0%	-	-	VNR	VNR	0,00	0	0	0	0	0	0	0,00	0,00
	100%	-	-	VNR	VNR	0,00	0	0	0	0	0	0	0,00	0,00
proporzionale alla deformata 1° modo di vibrazione														
	0%	-	-	VNR	VNR	0,00	0	0	0	0	0	0	0,00	0,00
	100%	-	-	VNR	VNR	0,00	0	0	0	0	0	0	0,00	0,00
sisma in +X														
proporzionale alle masse														
Trave 21-22	0%	-	-	VNR	VNR	0,00	0	0	0	0	0	0	0,00	0,00
	100%	-	-	VNR	VNR	0,00	0	0	0	0	0	0	0,00	0,00

Id_{Tr}	$\%L_{LI}$ [%]	$V_{Ed,3}$ [N]	$V_{Ed,2}$ [N]	$CS^{(3)}$	$CS^{(2)}$	α_C	$V_{Rsd,s}{}^{(3)}$ [N]	$V_{Rsd,s}{}^{(2)}$ [N]	$V_{Rcd}{}^{(3)}$ [N]	$V_{Rcd}{}^{(2)}$ [N]	$V_{fd}{}^{(3)}$ [N]	$V_{fd}{}^{(2)}$ [N]	$Ctg\Theta^{(3)}$	$Ctg\Theta^{(2)}$
proporzionale alla deformata 1° modo di vibrazione														
	0%	-521	-30.184	63,21	2,73	1,03	32931	82497	270063	270063	0	0	2,50	2,50
	100%	-521	-51.504	63,21	1,60	1,03	32931	82497	270034	270034	0	0	2,50	2,50
sisma in -X														
proporzionale alle masse														
	0%	-	-	VNR	VNR	0,00	0	0	0	0	0	0	0,00	0,00
	100%	-	-	VNR	VNR	0,00	0	0	0	0	0	0	0,00	0,00
proporzionale alla deformata 1° modo di vibrazione														
	0%	-	-	VNR	VNR	0,00	0	0	0	0	0	0	0,00	0,00
	100%	-	-	VNR	VNR	0,00	0	0	0	0	0	0	0,00	0,00
sisma in +Y														
proporzionale alle masse														
	0%	-9.342	-58.599	3,53	1,41	1,05	32931	82497	275550	275550	0	0	2,50	2,50
	100%	-9.342	-79.920	3,53	1,03	1,05	32931	82497	275471	275471	0	0	2,50	2,50
proporzionale alla deformata 1° modo di vibrazione														
	0%	-	-	VNR	VNR	0,00	0	0	0	0	0	0	0,00	0,00
	100%	-	-	VNR	VNR	0,00	0	0	0	0	0	0	0,00	0,00
sisma in -Y														
proporzionale alle masse														
	0%	-	-	VNR	VNR	0,00	0	0	0	0	0	0	0,00	0,00
	100%	-	-	VNR	VNR	0,00	0	0	0	0	0	0	0,00	0,00
proporzionale alla deformata 1° modo di vibrazione														
	0%	-	-	VNR	VNR	0,00	0	0	0	0	0	0	0,00	0,00
	100%	-	-	VNR	VNR	0,00	0	0	0	0	0	0	0,00	0,00
sisma in +X														
proporzionale alle masse														
Trave 22-23	0%	-	-	VNR	VNR	0,00	0	0	0	0	0	0	0,00	0,00
	100%	-	-	VNR	VNR	0,00	0	0	0	0	0	0	0,00	0,00
proporzionale alla deformata 1° modo di vibrazione														
	0%	-369	27.726	NS	5,29	1,02	58545	146661	267373	267373	0	0	2,50	2,50
	100%	-369	-47.145	NS	3,11	1,02	58545	146661	267521	267521	0	0	2,50	2,50
sisma in -X														
proporzionale alle masse														
	0%	-	-	VNR	VNR	0,00	0	0	0	0	0	0	0,00	0,00
	100%	-	-	VNR	VNR	0,00	0	0	0	0	0	0	0,00	0,00
proporzionale alla deformata 1° modo di vibrazione														
	0%	-	-	VNR	VNR	0,00	0	0	0	0	0	0	0,00	0,00
	100%	-	-	VNR	VNR	0,00	0	0	0	0	0	0	0,00	0,00
sisma in +Y														
proporzionale alle masse														
	0%	-4.332	23.617	13,51	6,21	1,03	58545	146661	271898	271898	0	0	2,50	2,50
	100%	-4.332	-51.255	13,51	2,86	1,03	58545	146661	271823	271823	0	0	2,50	2,50
proporzionale alla deformata 1° modo di vibrazione														
	0%	-	-	VNR	VNR	0,00	0	0	0	0	0	0	0,00	0,00
	100%	-	-	VNR	VNR	0,00	0	0	0	0	0	0	0,00	0,00
sisma in -Y														
proporzionale alle masse														
	0%	-	-	VNR	VNR	0,00	0	0	0	0	0	0	0,00	0,00
	100%	-	-	VNR	VNR	0,00	0	0	0	0	0	0	0,00	0,00
proporzionale alla deformata 1° modo di vibrazione														
	0%	-	-	VNR	VNR	0,00	0	0	0	0	0	0	0,00	0,00
	100%	-	-	VNR	VNR	0,00	0	0	0	0	0	0	0,00	0,00
sisma in +X														
proporzionale alle masse														
Trave 23-24	0%	-	-	VNR	VNR	0,00	0	0	0	0	0	0	0,00	0,00
	100%	-	-	VNR	VNR	0,00	0	0	0	0	0	0	0,00	0,00
proporzionale alla deformata 1° modo di vibrazione														
	0%	-1.292	18.592	45,31	7,89	1,03	58545	146661	270424	270424	0	0	2,50	2,50
	100%	-1.292	-52.831	45,31	2,78	1,03	58545	146661	270311	270311	0	0	2,50	2,50
sisma in -X														
proporzionale alle masse														
	0%	-	-	VNR	VNR	0,00	0	0	0	0	0	0	0,00	0,00
	100%	-	-	VNR	VNR	0,00	0	0	0	0	0	0	0,00	0,00
proporzionale alla deformata 1° modo di vibrazione														
	0%	-	-	VNR	VNR	0,00	0	0	0	0	0	0	0,00	0,00
	100%	-	-	VNR	VNR	0,00	0	0	0	0	0	0	0,00	0,00
sisma in +Y														
proporzionale alle masse														
	0%	-2.990	20.191	19,58	7,26	1,02	58545	146661	267987	267987	0	0	2,50	2,50
	100%	-2.990	-51.233	19,58	2,86	1,02	58545	146661	267686	267686	0	0	2,50	2,50
proporzionale alla deformata 1° modo di vibrazione														
	0%	-	-	VNR	VNR	0,00	0	0	0	0	0	0	0,00	0,00
	100%	-	-	VNR	VNR	0,00	0	0	0	0	0	0	0,00	0,00
sisma in -Y														
proporzionale alle masse														
	0%	-	-	VNR	VNR	0,00	0	0	0	0	0	0	0,00	0,00
	100%	-	-	VNR	VNR	0,00	0	0	0	0	0	0	0,00	0,00
proporzionale alla deformata 1° modo di vibrazione														
	0%	-	-	VNR	VNR	0,00	0	0	0	0	0	0	0,00	0,00
	100%	-	-	VNR	VNR	0,00	0	0	0	0	0	0	0,00	0,00
Estradosso travi gronda								**Travata: Trave19-20-21-22-23-24**						
sisma in +X														
proporzionale alle masse														
Trave 19-20	0%	-	-	VNR	VNR	0,00	0	0	0	0	0	0	0,00	0,00
	100%	-	-	VNR	VNR	0,00	0	0	0	0	0	0	0,00	0,00
proporzionale alla deformata 1° modo di vibrazione														

Id_{Tr}	$\%L_{LI}$	$V_{Ed,3}$	$V_{Ed,2}$	$CS^{(3)}$	$CS^{(2)}$	α_C	$V_{Rsd,s}{}^{(3)}$	$V_{Rsd,s}{}^{(2)}$	$V_{Rcd}{}^{(3)}$	$V_{Rcd}{}^{(2)}$	$V_{fd}{}^{(3)}$	$V_{fd}{}^{(2)}$	$Ctg\Theta^{(3)}$	$Ctg\Theta^{(2)}$
	[%]	[N]	[N]				[N]	[N]	[N]	[N]	[N]	[N]		
	0%	-5.169	-9.144	7,98	7,90	1,00	41223	72201	183991	183991	0	0	2,50	2,50
	100%	-5.169	-31.013	7,98	2,33	1,00	41223	72201	183991	183991	0	0	2,50	2,50
sisma in -X														
proporzionale alle masse														
	0%	-	-	VNR	VNR	0,00	0	0	0	0	0	0	0,00	0,00
	100%	-	-	VNR	VNR	0,00	0	0	0	0	0	0	0,00	0,00
proporzionale alla deformata 1° modo di vibrazione														
	0%	-	-	VNR	VNR	0,00	0	0	0	0	0	0	0,00	0,00
	100%	-	-	VNR	VNR	0,00	0	0	0	0	0	0	0,00	0,00
sisma in +Y														
proporzionale alle masse														
	0%	-5.503	-27.483	7,49	2,63	1,03	41223	72201	189692	189692	0	0	2,50	2,50
	100%	-5.503	-49.352	7,49	1,46	1,03	41223	72201	189716	189716	0	0	2,50	2,50
proporzionale alla deformata 1° modo di vibrazione														
	0%	-	-	VNR	VNR	0,00	0	0	0	0	0	0	0,00	0,00
	100%	-	-	VNR	VNR	0,00	0	0	0	0	0	0	0,00	0,00
sisma in -Y														
proporzionale alle masse														
	0%	-	-	VNR	VNR	0,00	0	0	0	0	0	0	0,00	0,00
	100%	-	-	VNR	VNR	0,00	0	0	0	0	0	0	0,00	0,00
proporzionale alla deformata 1° modo di vibrazione														
	0%	-	-	VNR	VNR	0,00	0	0	0	0	0	0	0,00	0,00
	100%	-	-	VNR	VNR	0,00	0	0	0	0	0	0	0,00	0,00
sisma in +X														
proporzionale alle masse														
Trave 20-21	0%	-	-	VNR	VNR	0,00	0	0	0	0	0	0	0,00	0,00
	100%	-	-	VNR	VNR	0,00	0	0	0	0	0	0	0,00	0,00
proporzionale alla deformata 1° modo di vibrazione														
	0%	-120	11.495	NS	6,28	1,02	41223	72201	187388	187388	0	0	2,50	2,50
	100%	-120	-31.907	NS	2,26	1,02	41223	72201	187362	187362	0	0	2,50	2,50
sisma in -X														
proporzionale alle masse														
	0%	-	-	VNR	VNR	0,00	0	0	0	0	0	0	0,00	0,00
	100%	-	-	VNR	VNR	0,00	0	0	0	0	0	0	0,00	0,00
proporzionale alla deformata 1° modo di vibrazione														
	0%	-	-	VNR	VNR	0,00	0	0	0	0	0	0	0,00	0,00
	100%	-	-	VNR	VNR	0,00	0	0	0	0	0	0	0,00	0,00
sisma in +Y														
proporzionale alle masse														
	0%	982	19.608	41,98	3,68	1,02	41223	72201	188582	188582	0	0	2,50	2,50
	100%	982	-23.793	41,98	3,03	1,02	41223	72201	188404	188404	0	0	2,50	2,50
proporzionale alla deformata 1° modo di vibrazione														
	0%	-	-	VNR	VNR	0,00	0	0	0	0	0	0	0,00	0,00
	100%	-	-	VNR	VNR	0,00	0	0	0	0	0	0	0,00	0,00
sisma in -Y														
proporzionale alle masse														
	0%	-	-	VNR	VNR	0,00	0	0	0	0	0	0	0,00	0,00
	100%	-	-	VNR	VNR	0,00	0	0	0	0	0	0	0,00	0,00
proporzionale alla deformata 1° modo di vibrazione														
	0%	-	-	VNR	VNR	0,00	0	0	0	0	0	0	0,00	0,00
	100%	-	-	VNR	VNR	0,00	0	0	0	0	0	0	0,00	0,00
sisma in +X														
proporzionale alle masse														
Trave 21-22	0%	-	-	VNR	VNR	0,00	0	0	0	0	0	0	0,00	0,00
	100%	-	-	VNR	VNR	0,00	0	0	0	0	0	0	0,00	0,00
proporzionale alla deformata 1° modo di vibrazione														
	0%	3.049	560	13,52	NS	1,04	41223	72201	191259	191259	0	0	2,50	2,50
	100%	3.049	-19.914	13,52	3,63	1,04	41223	72201	191171	191171	0	0	2,50	2,50
sisma in -X														
proporzionale alle masse														
	0%	-	-	VNR	VNR	0,00	0	0	0	0	0	0	0,00	0,00
	100%	-	-	VNR	VNR	0,00	0	0	0	0	0	0	0,00	0,00
proporzionale alla deformata 1° modo di vibrazione														
	0%	-	-	VNR	VNR	0,00	0	0	0	0	0	0	0,00	0,00
	100%	-	-	VNR	VNR	0,00	0	0	0	0	0	0	0,00	0,00
sisma in +Y														
proporzionale alle masse														
	0%	1.682	-452	24,51	NS	1,04	41223	72201	191144	191144	0	0	2,50	2,50
	100%	1.682	-20.926	24,51	3,45	1,04	41223	72201	191181	191181	0	0	2,50	2,50
proporzionale alla deformata 1° modo di vibrazione														
	0%	-	-	VNR	VNR	0,00	0	0	0	0	0	0	0,00	0,00
	100%	-	-	VNR	VNR	0,00	0	0	0	0	0	0	0,00	0,00
sisma in -Y														
proporzionale alle masse														
	0%	-	-	VNR	VNR	0,00	0	0	0	0	0	0	0,00	0,00
	100%	-	-	VNR	VNR	0,00	0	0	0	0	0	0	0,00	0,00
proporzionale alla deformata 1° modo di vibrazione														
	0%	-	-	VNR	VNR	0,00	0	0	0	0	0	0	0,00	0,00
	100%	-	-	VNR	VNR	0,00	0	0	0	0	0	0	0,00	0,00
sisma in +X														
proporzionale alle masse														
Trave 22-23	0%	-	-	VNR	VNR	0,00	0	0	0	0	0	0	0,00	0,00
	100%	-	-	VNR	VNR	0,00	0	0	0	0	0	0	0,00	0,00
proporzionale alla deformata 1° modo di vibrazione														
	0%	-193	35.935	NS	2,86	1,01	58628	102686	186342	186342	0	0	2,50	2,50
	100%	-193	-39.571	NS	2,59	1,01	58628	102686	186363	186363	0	0	2,50	2,50

Id_{Tr}	$\%L_{LI}$	$V_{Ed,3}$	$V_{Ed,2}$	$CS^{(3)}$	$CS^{(2)}$	α_C	$V_{Rsd,s}{}^{(3)}$	$V_{Rsd,s}{}^{(2)}$	$V_{Rcd}{}^{(3)}$	$V_{Rcd}{}^{(2)}$	$V_{fd}{}^{(3)}$	$V_{fd}{}^{(2)}$	$Ctg\Theta^{(3)}$	$Ctg\Theta^{(2)}$
	[%]	[N]	[N]				[N]	[N]	[N]	[N]	[N]	[N]		
sisma in -X														
proporzionale alle masse														
	0%	-	-	VNR	VNR	0,00	0	0	0	0	0	0	0,00	0,00
	100%	-	-	VNR	VNR	0,00	0	0	0	0	0	0	0,00	0,00
proporzionale alla deformata 1° modo di vibrazione														
	0%	-	-	VNR	VNR	0,00	0	0	0	0	0	0	0,00	0,00
	100%	-	-	VNR	VNR	0,00	0	0	0	0	0	0	0,00	0,00
sisma in +Y														
proporzionale alle masse														
	0%	-386	38.465	NS	2,67	1,01	58628	102686	185868	185868	0	0	2,50	2,50
	100%	-386	-37.041	NS	2,77	1,01	58628	102686	185798	185798	0	0	2,50	2,50
proporzionale alla deformata 1° modo di vibrazione														
	0%	-	-	VNR	VNR	0,00	0	0	0	0	0	0	0,00	0,00
	100%	-	-	VNR	VNR	0,00	0	0	0	0	0	0	0,00	0,00
sisma in -Y														
proporzionale alle masse														
	0%	-	-	VNR	VNR	0,00	0	0	0	0	0	0	0,00	0,00
	100%	-	-	VNR	VNR	0,00	0	0	0	0	0	0	0,00	0,00
proporzionale alla deformata 1° modo di vibrazione														
	0%	-	-	VNR	VNR	0,00	0	0	0	0	0	0	0,00	0,00
	100%	-	-	VNR	VNR	0,00	0	0	0	0	0	0	0,00	0,00
sisma in +X														
proporzionale alle masse														
Trave 23-24	0%	-	-	VNR	VNR	0,00	0	0	0	0	0	0	0,00	0,00
	100%	-	-	VNR	VNR	0,00	0	0	0	0	0	0	0,00	0,00
proporzionale alla deformata 1° modo di vibrazione														
	0%	1.430	34.447	41,00	2,98	1,02	58628	102686	188146	188146	0	0	2,50	2,50
	100%	1.430	-42.901	41,00	2,39	1,02	58628	102686	188201	188201	0	0	2,50	2,50
sisma in -X														
proporzionale alle masse														
	0%	-	-	VNR	VNR	0,00	0	0	0	0	0	0	0,00	0,00
	100%	-	-	VNR	VNR	0,00	0	0	0	0	0	0	0,00	0,00
proporzionale alla deformata 1° modo di vibrazione														
	0%	-	-	VNR	VNR	0,00	0	0	0	0	0	0	0,00	0,00
	100%	-	-	VNR	VNR	0,00	0	0	0	0	0	0	0,00	0,00
sisma in +Y														
proporzionale alle masse														
	0%	-1.022	33.112	57,37	3,10	1,02	58628	102686	187954	187954	0	0	2,50	2,50
	100%	-1.022	-44.237	57,37	2,32	1,02	58628	102686	188073	188073	0	0	2,50	2,50
proporzionale alla deformata 1° modo di vibrazione														
	0%	-	-	VNR	VNR	0,00	0	0	0	0	0	0	0,00	0,00
	100%	-	-	VNR	VNR	0,00	0	0	0	0	0	0	0,00	0,00
sisma in -Y														
proporzionale alle masse														
	0%	-	-	VNR	VNR	0,00	0	0	0	0	0	0	0,00	0,00
	100%	-	-	VNR	VNR	0,00	0	0	0	0	0	0	0,00	0,00
proporzionale alla deformata 1° modo di vibrazione														
	0%	-	-	VNR	VNR	0,00	0	0	0	0	0	0	0,00	0,00
	100%	-	-	VNR	VNR	0,00	0	0	0	0	0	0	0,00	0,00
Estradosso travi gronda								**Travata: Trave25-26-27**						
sisma in +X														
proporzionale alle masse														
Trave 25-26	0%	-	-	VNR	VNR	0,00	0	0	0	0	0	0	0,00	0,00
	100%	-	-	VNR	VNR	0,00	0	0	0	0	0	0	0,00	0,00
proporzionale alla deformata 1° modo di vibrazione														
	0%	96	21.777	NS	5,72	1,01	47495	124597	187415	187415	0	0	2,50	2,50
	100%	96	-16.586	NS	7,51	1,01	47495	124597	187435	187435	0	0	2,50	2,50
sisma in -X														
proporzionale alle masse														
	0%	-	-	VNR	VNR	0,00	0	0	0	0	0	0	0,00	0,00
	100%	-	-	VNR	VNR	0,00	0	0	0	0	0	0	0,00	0,00
proporzionale alla deformata 1° modo di vibrazione														
	0%	-	-	VNR	VNR	0,00	0	0	0	0	0	0	0,00	0,00
	100%	-	-	VNR	VNR	0,00	0	0	0	0	0	0	0,00	0,00
sisma in +Y														
proporzionale alle masse														
	0%	144	32.024	NS	3,89	1,04	47495	124597	192797	192797	0	0	2,50	2,50
	100%	144	-6.339	NS	19,66	1,04	47495	124597	193130	193130	0	0	2,50	2,50
proporzionale alla deformata 1° modo di vibrazione														
	0%	-	-	VNR	VNR	0,00	0	0	0	0	0	0	0,00	0,00
	100%	-	-	VNR	VNR	0,00	0	0	0	0	0	0	0,00	0,00
sisma in -Y														
proporzionale alle masse														
	0%	-	-	VNR	VNR	0,00	0	0	0	0	0	0	0,00	0,00
	100%	-	-	VNR	VNR	0,00	0	0	0	0	0	0	0,00	0,00
proporzionale alla deformata 1° modo di vibrazione														
	0%	-	-	VNR	VNR	0,00	0	0	0	0	0	0	0,00	0,00
	100%	-	-	VNR	VNR	0,00	0	0	0	0	0	0	0,00	0,00
sisma in +X														
proporzionale alle masse														
Trave 26-27	0%	-	-	VNR	VNR	0,00	0	0	0	0	0	0	0,00	0,00
	100%	-	-	VNR	VNR	0,00	0	0	0	0	0	0	0,00	0,00
proporzionale alla deformata 1° modo di vibrazione														
	0%	-41	12.655	NS	9,85	1,01	47495	124597	187779	187779	0	0	2,50	2,50
	100%	-41	-24.442	NS	5,10	1,01	47495	124597	187793	187793	0	0	2,50	2,50
sisma in -X														

Id_{Tr}	$\%L_{LI}$ [%]	$V_{Ed,3}$ [N]	$V_{Ed,2}$ [N]	$CS^{(3)}$	$CS^{(2)}$	α_C	$V_{Rsd,s}{}^{(3)}$ [N]	$V_{Rsd,s}{}^{(2)}$ [N]	$V_{Rcd}{}^{(3)}$ [N]	$V_{Rcd}{}^{(2)}$ [N]	$V_{fd}{}^{(3)}$ [N]	$V_{fd}{}^{(2)}$ [N]	$Ctg\Theta^{(3)}$	$Ctg\Theta^{(2)}$
proporzionale alle masse														
	0%	-	-	VNR	VNR	0,00	0	0	0	0	0	0	0,00	0,00
	100%	-	-	VNR	VNR	0,00	0	0	0	0	0	0	0,00	0,00
proporzionale alla deformata 1° modo di vibrazione														
	0%	-	-	VNR	VNR	0,00	0	0	0	0	0	0	0,00	0,00
	100%	-	-	VNR	VNR	0,00	0	0	0	0	0	0	0,00	0,00
sisma in +Y														
proporzionale alle masse														
	0%	26	16.120	NS	7,73	1,00	47495	124597	186514	186514	0	0	2,50	2,50
	100%	26	-20.978	NS	5,94	1,00	47495	124597	186517	186517	0	0	2,50	2,50
proporzionale alla deformata 1° modo di vibrazione														
	0%	-	-	VNR	VNR	0,00	0	0	0	0	0	0	0,00	0,00
	100%	-	-	VNR	VNR	0,00	0	0	0	0	0	0	0,00	0,00
sisma in -Y														
proporzionale alle masse														
	0%	-	-	VNR	VNR	0,00	0	0	0	0	0	0	0,00	0,00
	100%	-	-	VNR	VNR	0,00	0	0	0	0	0	0	0,00	0,00
proporzionale alla deformata 1° modo di vibrazione														
	0%	-	-	VNR	VNR	0,00	0	0	0	0	0	0	0,00	0,00
	100%	-	-	VNR	VNR	0,00	0	0	0	0	0	0	0,00	0,00
Estradosso travi gronda								**Travata: Trave28-29-30-2b**						
sisma in +X														
proporzionale alle masse														
Trave 28-29	0%	-	-	VNR	VNR	0,00	0	0	0	0	0	0	0,00	0,00
	100%	-	-	VNR	VNR	0,00	0	0	0	0	0	0	0,00	0,00
proporzionale alla deformata 1° modo di vibrazione														
	0%	-982	-1.580	34,39	36,08	1,01	33775	57009	122312	122312	0	0	2,50	2,50
	100%	-982	-9.375	34,39	6,08	1,01	33775	57009	122230	122230	0	0	2,50	2,50
sisma in -X														
proporzionale alle masse														
	0%	-	-	VNR	VNR	0,00	0	0	0	0	0	0	0,00	0,00
	100%	-	-	VNR	VNR	0,00	0	0	0	0	0	0	0,00	0,00
proporzionale alla deformata 1° modo di vibrazione														
	0%	-	-	VNR	VNR	0,00	0	0	0	0	0	0	0,00	0,00
	100%	-	-	VNR	VNR	0,00	0	0	0	0	0	0	0,00	0,00
sisma in +Y														
proporzionale alle masse														
	0%	-1.597	-4.064	21,15	14,03	1,01	33775	57009	121883	121883	0	0	2,50	2,50
	100%	-1.597	-11.859	21,15	4,81	1,01	33775	57009	121849	121849	0	0	2,50	2,50
proporzionale alla deformata 1° modo di vibrazione														
	0%	-	-	VNR	VNR	0,00	0	0	0	0	0	0	0,00	0,00
	100%	-	-	VNR	VNR	0,00	0	0	0	0	0	0	0,00	0,00
sisma in -Y														
proporzionale alle masse														
	0%	-	-	VNR	VNR	0,00	0	0	0	0	0	0	0,00	0,00
	100%	-	-	VNR	VNR	0,00	0	0	0	0	0	0	0,00	0,00
proporzionale alla deformata 1° modo di vibrazione														
	0%	-	-	VNR	VNR	0,00	0	0	0	0	0	0	0,00	0,00
	100%	-	-	VNR	VNR	0,00	0	0	0	0	0	0	0,00	0,00
sisma in +X														
proporzionale alle masse														
Trave 29-30	0%	-	-	VNR	VNR	0,00	0	0	0	0	0	0	0,00	0,00
	100%	-	-	VNR	VNR	0,00	0	0	0	0	0	0	0,00	0,00
proporzionale alla deformata 1° modo di vibrazione														
	0%	28	4.949	NS	11,52	1,02	33775	57009	123929	123929	0	0	2,50	2,50
	100%	28	-12.553	NS	4,54	1,02	33775	57009	123937	123937	0	0	2,50	2,50
sisma in -X														
proporzionale alle masse														
	0%	-	-	VNR	VNR	0,00	0	0	0	0	0	0	0,00	0,00
	100%	-	-	VNR	VNR	0,00	0	0	0	0	0	0	0,00	0,00
proporzionale alla deformata 1° modo di vibrazione														
	0%	-	-	VNR	VNR	0,00	0	0	0	0	0	0	0,00	0,00
	100%	-	-	VNR	VNR	0,00	0	0	0	0	0	0	0,00	0,00
sisma in +Y														
proporzionale alle masse														
	0%	510	7.107	66,23	8,02	1,02	33775	57009	123137	123137	0	0	2,50	2,50
	100%	510	-10.394	66,23	5,48	1,02	33775	57009	123147	123147	0	0	2,50	2,50
proporzionale alla deformata 1° modo di vibrazione														
	0%	-	-	VNR	VNR	0,00	0	0	0	0	0	0	0,00	0,00
	100%	-	-	VNR	VNR	0,00	0	0	0	0	0	0	0,00	0,00
sisma in -Y														
proporzionale alle masse														
	0%	-	-	VNR	VNR	0,00	0	0	0	0	0	0	0,00	0,00
	100%	-	-	VNR	VNR	0,00	0	0	0	0	0	0	0,00	0,00
proporzionale alla deformata 1° modo di vibrazione														
	0%	-	-	VNR	VNR	0,00	0	0	0	0	0	0	0,00	0,00
	100%	-	-	VNR	VNR	0,00	0	0	0	0	0	0	0,00	0,00
sisma in +X														
proporzionale alle masse														
Trave 30-2b	0%	-	-	VNR	VNR	0,00	0	0	0	0	0	0	0,00	0,00
	100%	-	-	VNR	VNR	0,00	0	0	0	0	0	0	0,00	0,00
proporzionale alla deformata 1° modo di vibrazione														
	0%	56	13.709	NS	5,54	1,02	45033	76011	123769	123769	0	0	2,50	2,50
	100%	56	4.658	NS	16,32	1,02	45033	76011	123779	123779	0	0	2,50	2,50
sisma in -X														
proporzionale alle masse														

Id_{Tr}	$\%L_{LI}$	$V_{Ed,3}$	$V_{Ed,2}$	$CS^{(3)}$	$CS^{(2)}$	α_C	$V_{Rsd,s}{}^{(3)}$	$V_{Rsd,s}{}^{(2)}$	$V_{Rcd}{}^{(3)}$	$V_{Rcd}{}^{(2)}$	$V_{fd}{}^{(3)}$	$V_{fd}{}^{(2)}$	$Ctg\Theta^{(3)}$	$Ctg\Theta^{(2)}$
	[%]	[N]	[N]				[N]	[N]	[N]	[N]	[N]	[N]		
	0%	-	-	VNR	VNR	0,00	0	0	0	0	0	0	0,00	0,00
	100%	-	-	VNR	VNR	0,00	0	0	0	0	0	0	0,00	0,00
proporzionale alla deformata 1° modo di vibrazione														
	0%	-	-	VNR	VNR	0,00	0	0	0	0	0	0	0,00	0,00
	100%	-	-	VNR	VNR	0,00	0	0	0	0	0	0	0,00	0,00
sisma in +Y														
proporzionale alle masse														
	0%	775	13.709	58,11	5,54	1,02	45033	76011	123816	123816	0	0	2,50	2,50
	100%	775	4.658	58,11	16,32	1,02	45033	76011	123818	123818	0	0	2,50	2,50
proporzionale alla deformata 1° modo di vibrazione														
	0%	-	-	VNR	VNR	0,00	0	0	0	0	0	0	0,00	0,00
	100%	-	-	VNR	VNR	0,00	0	0	0	0	0	0	0,00	0,00
sisma in -Y														
proporzionale alle masse														
	0%	-	-	VNR	VNR	0,00	0	0	0	0	0	0	0,00	0,00
	100%	-	-	VNR	VNR	0,00	0	0	0	0	0	0	0,00	0,00
proporzionale alla deformata 1° modo di vibrazione														
	0%	-	-	VNR	VNR	0,00	0	0	0	0	0	0	0,00	0,00
	100%	-	-	VNR	VNR	0,00	0	0	0	0	0	0	0,00	0,00
Estradosso travi gronda								**Travata: Trave1-1b-P8-14-25-P9-3b-32**						
sisma in +X														
proporzionale alle masse														
Trave 1-1b	0%	-	-	VNR	VNR	0,00	0	0	0	0	0	0	0,00	0,00
	100%	-	-	VNR	VNR	0,00	0	0	0	0	0	0	0,00	0,00
proporzionale alla deformata 1° modo di vibrazione														
	0%	17.854	-126.738	0,00	0,00	1,02	0	0	356550	356550	0	0	2,50	2,50
	100%	-2.105	44.238	0,00	0,00	1,03	0	0	360717	360717	0	0	2,50	2,50
sisma in -X														
proporzionale alle masse														
	0%	-	-	VNR	VNR	0,00	0	0	0	0	0	0	0,00	0,00
	100%	-	-	VNR	VNR	0,00	0	0	0	0	0	0	0,00	0,00
proporzionale alla deformata 1° modo di vibrazione														
	0%	-	-	VNR	VNR	0,00	0	0	0	0	0	0	0,00	0,00
	100%	-	-	VNR	VNR	0,00	0	0	0	0	0	0	0,00	0,00
sisma in +Y														
proporzionale alle masse														
	0%	-9.931	1.317	0,00	0,00	1,02	0	0	357615	357615	0	0	2,50	2,50
	100%	1.083	30.904	0,00	0,00	1,00	0	0	350697	350697	0	0	2,50	2,50
proporzionale alla deformata 1° modo di vibrazione														
	0%	-	-	VNR	VNR	0,00	0	0	0	0	0	0	0,00	0,00
	100%	-	-	VNR	VNR	0,00	0	0	0	0	0	0	0,00	0,00
sisma in -Y														
proporzionale alle masse														
	0%	-	-	VNR	VNR	0,00	0	0	0	0	0	0	0,00	0,00
	100%	-	-	VNR	VNR	0,00	0	0	0	0	0	0	0,00	0,00
proporzionale alla deformata 1° modo di vibrazione														
	0%	-	-	VNR	VNR	0,00	0	0	0	0	0	0	0,00	0,00
	100%	-	-	VNR	VNR	0,00	0	0	0	0	0	0	0,00	0,00
sisma in +X														
proporzionale alle masse														
Trave 1b-P8	0%	-	-	VNR	VNR	0,00	0	0	0	0	0	0	0,00	0,00
	100%	-	-	VNR	VNR	0,00	0	0	0	0	0	0	0,00	0,00
proporzionale alla deformata 1° modo di vibrazione														
	0%	-3.536	13.909	0,00	0,00	1,03	0	0	361744	361744	0	0	2,50	2,50
	100%	-745	4.293	0,00	0,00	1,03	0	0	361652	361652	0	0	2,50	2,50
sisma in -X														
proporzionale alle masse														
	0%	-	-	VNR	VNR	0,00	0	0	0	0	0	0	0,00	0,00
	100%	-	-	VNR	VNR	0,00	0	0	0	0	0	0	0,00	0,00
proporzionale alla deformata 1° modo di vibrazione														
	0%	-	-	VNR	VNR	0,00	0	0	0	0	0	0	0,00	0,00
	100%	-	-	VNR	VNR	0,00	0	0	0	0	0	0	0,00	0,00
sisma in +Y														
proporzionale alle masse														
	0%	1.658	40.038	0,00	0,00	1,00	0	0	350697	350697	0	0	2,50	2,50
	100%	1.601	-23.113	0,00	0,00	1,00	0	0	350697	350697	0	0	2,50	2,50
proporzionale alla deformata 1° modo di vibrazione														
	0%	-	-	VNR	VNR	0,00	0	0	0	0	0	0	0,00	0,00
	100%	-	-	VNR	VNR	0,00	0	0	0	0	0	0	0,00	0,00
sisma in -Y														
proporzionale alle masse														
	0%	-	-	VNR	VNR	0,00	0	0	0	0	0	0	0,00	0,00
	100%	-	-	VNR	VNR	0,00	0	0	0	0	0	0	0,00	0,00
proporzionale alla deformata 1° modo di vibrazione														
	0%	-	-	VNR	VNR	0,00	0	0	0	0	0	0	0,00	0,00
	100%	-	-	VNR	VNR	0,00	0	0	0	0	0	0	0,00	0,00
sisma in +X														
proporzionale alle masse														
Trave P8-14	0%	-	-	VNR	VNR	0,00	0	0	0	0	0	0	0,00	0,00
	100%	-	-	VNR	VNR	0,00	0	0	0	0	0	0	0,00	0,00
proporzionale alla deformata 1° modo di vibrazione														
	0%	440	50.335	NS	4,67	1,02	47623	234871	357716	357716	0	0	2,50	2,50
	100%	440	20.007	NS	11,74	1,02	47623	234871	357796	357796	0	0	2,50	2,50
sisma in -X														
proporzionale alle masse														
	0%	-	-	VNR	VNR	0,00	0	0	0	0	0	0	0,00	0,00

Id_{Tr}	$\%L_{LI}$	$V_{Ed,3}$	$V_{Ed,2}$	$CS^{(3)}$	$CS^{(2)}$	α_C	$V_{Rsd,s}{}^{(3)}$	$V_{Rsd,s}{}^{(2)}$	$V_{Rcd}{}^{(3)}$	$V_{Rcd}{}^{(2)}$	$V_{fd}{}^{(3)}$	$V_{fd}{}^{(2)}$	$Ctg\Theta^{(3)}$	$Ctg\Theta^{(2)}$
	[%]	[N]	[N]				[N]	[N]	[N]	[N]	[N]	[N]		
	100%	-	-	VNR	VNR	0,00	0	0	0	0	0	0	0,00	0,00
proporzionale alla deformata 1° modo di vibrazione														
	0%	-	-	VNR	VNR	0,00	0	0	0	0	0	0	0,00	0,00
	100%	-	-	VNR	VNR	0,00	0	0	0	0	0	0	0,00	0,00
sisma in +Y														
proporzionale alle masse														
	0%	-22	-88.333	NS	2,66	1,03	47623	234871	360679	360679	0	0	2,50	2,50
	100%	-22	-118.661	NS	1,98	1,02	47623	234871	359184	359184	0	0	2,50	2,50
proporzionale alla deformata 1° modo di vibrazione														
	0%	-	-	VNR	VNR	0,00	0	0	0	0	0	0	0,00	0,00
	100%	-	-	VNR	VNR	0,00	0	0	0	0	0	0	0,00	0,00
sisma in -Y														
proporzionale alle masse														
	0%	-	-	VNR	VNR	0,00	0	0	0	0	0	0	0,00	0,00
	100%	-	-	VNR	VNR	0,00	0	0	0	0	0	0	0,00	0,00
proporzionale alla deformata 1° modo di vibrazione														
	0%	-	-	VNR	VNR	0,00	0	0	0	0	0	0	0,00	0,00
	100%	-	-	VNR	VNR	0,00	0	0	0	0	0	0	0,00	0,00
sisma in +X														
proporzionale alle masse														
Trave 14-25	0%	-	-	VNR	VNR	0,00	0	0	0	0	0	0	0,00	0,00
	100%	-	-	VNR	VNR	0,00	0	0	0	0	0	0	0,00	0,00
proporzionale alla deformata 1° modo di vibrazione														
	0%	173	10.777	NS	21,79	1,00	47623	234871	351296	351296	0	0	2,50	2,50
	100%	173	-26.031	NS	9,02	1,00	47623	234871	351034	351034	0	0	2,50	2,50
sisma in -X														
proporzionale alle masse														
	0%	-	-	VNR	VNR	0,00	0	0	0	0	0	0	0,00	0,00
	100%	-	-	VNR	VNR	0,00	0	0	0	0	0	0	0,00	0,00
proporzionale alla deformata 1° modo di vibrazione														
	0%	-	-	VNR	VNR	0,00	0	0	0	0	0	0	0,00	0,00
	100%	-	-	VNR	VNR	0,00	0	0	0	0	0	0	0,00	0,00
sisma in +Y														
proporzionale alle masse														
	0%	1.027	-155.082	46,37	1,51	1,20	47623	234871	420514	420514	0	0	2,50	2,50
	100%	1.027	-191.889	46,37	1,22	1,20	47623	234871	420469	420469	0	0	2,50	2,50
proporzionale alla deformata 1° modo di vibrazione														
	0%	-	-	VNR	VNR	0,00	0	0	0	0	0	0	0,00	0,00
	100%	-	-	VNR	VNR	0,00	0	0	0	0	0	0	0,00	0,00
sisma in -Y														
proporzionale alle masse														
	0%	-	-	VNR	VNR	0,00	0	0	0	0	0	0	0,00	0,00
	100%	-	-	VNR	VNR	0,00	0	0	0	0	0	0	0,00	0,00
proporzionale alla deformata 1° modo di vibrazione														
	0%	-	-	VNR	VNR	0,00	0	0	0	0	0	0	0,00	0,00
	100%	-	-	VNR	VNR	0,00	0	0	0	0	0	0	0,00	0,00
sisma in +X														
proporzionale alle masse														
Trave 25-P9	0%	-	-	VNR	VNR	0,00	0	0	0	0	0	0	0,00	0,00
	100%	-	-	VNR	VNR	0,00	0	0	0	0	0	0	0,00	0,00
proporzionale alla deformata 1° modo di vibrazione														
	0%	2.580	-163.235	46,15	2,26	1,05	119058	587178	369164	369164	0	0	2,50	2,50
	100%	2.580	-171.976	46,15	2,15	1,05	119058	587178	369182	369182	0	0	2,50	2,50
sisma in -X														
proporzionale alle masse														
	0%	-	-	VNR	VNR	0,00	0	0	0	0	0	0	0,00	0,00
	100%	-	-	VNR	VNR	0,00	0	0	0	0	0	0	0,00	0,00
proporzionale alla deformata 1° modo di vibrazione														
	0%	-	-	VNR	VNR	0,00	0	0	0	0	0	0	0,00	0,00
	100%	-	-	VNR	VNR	0,00	0	0	0	0	0	0	0,00	0,00
sisma in +Y														
proporzionale alle masse														
	0%	-527	-250.770	NS	1,87	1,34	119058	587178	468848	468848	0	0	2,50	2,50
	100%	-527	-259.511	NS	1,81	1,34	119058	587178	468567	468567	0	0	2,50	2,50
proporzionale alla deformata 1° modo di vibrazione														
	0%	-	-	VNR	VNR	0,00	0	0	0	0	0	0	0,00	0,00
	100%	-	-	VNR	VNR	0,00	0	0	0	0	0	0	0,00	0,00
sisma in -Y														
proporzionale alle masse														
	0%	-	-	VNR	VNR	0,00	0	0	0	0	0	0	0,00	0,00
	100%	-	-	VNR	VNR	0,00	0	0	0	0	0	0	0,00	0,00
proporzionale alla deformata 1° modo di vibrazione														
	0%	-	-	VNR	VNR	0,00	0	0	0	0	0	0	0,00	0,00
	100%	-	-	VNR	VNR	0,00	0	0	0	0	0	0	0,00	0,00
sisma in +X														
proporzionale alle masse														
Trave P9-3b	0%	-	-	VNR	VNR	0,00	0	0	0	0	0	0	0,00	0,00
	100%	-	-	VNR	VNR	0,00	0	0	0	0	0	0	0,00	0,00
proporzionale alla deformata 1° modo di vibrazione														
	0%	5.149	-38.641	0,00	0,00	1,07	0	0	376574	376574	0	0	2,50	2,50
	100%	6.464	-12.324	0,00	0,00	1,07	0	0	376577	376577	0	0	2,50	2,50
sisma in -X														
proporzionale alle masse														
	0%	-	-	VNR	VNR	0,00	0	0	0	0	0	0	0,00	0,00
	100%	-	-	VNR	VNR	0,00	0	0	0	0	0	0	0,00	0,00
proporzionale alla deformata 1° modo di vibrazione														

Id_{Tr}	$\%L_{LI}$	$V_{Ed,3}$	$V_{Ed,2}$	$CS^{(3)}$	$CS^{(2)}$	α_C	$V_{Rsd,s}{}^{(3)}$	$V_{Rsd,s}{}^{(2)}$	$V_{Rcd}{}^{(3)}$	$V_{Rcd}{}^{(2)}$	$V_{fd}{}^{(3)}$	$V_{fd}{}^{(2)}$	$Ctg\Theta^{(3)}$	$Ctg\Theta^{(2)}$
	[%]	[N]	[N]				[N]	[N]	[N]	[N]	[N]	[N]		
	0%	-	-	VNR	VNR	0,00	0	0	0	0	0	0	0,00	0,00
	100%	-	-	VNR	VNR	0,00	0	0	0	0	0	0	0,00	0,00
sisma in +Y														
proporzionale alle masse														
	0%	-9.960	107.428	0,00	0,00	1,36	0	0	478289	478289	0	0	2,50	2,50
	100%	-1.992	328.732	0,00	0,00	1,34	0	0	468203	468203	0	0	2,50	2,50
proporzionale alla deformata 1° modo di vibrazione														
	0%	-	-	VNR	VNR	0,00	0	0	0	0	0	0	0,00	0,00
	100%	-	-	VNR	VNR	0,00	0	0	0	0	0	0	0,00	0,00
sisma in -Y														
proporzionale alle masse														
	0%	-	-	VNR	VNR	0,00	0	0	0	0	0	0	0,00	0,00
	100%	-	-	VNR	VNR	0,00	0	0	0	0	0	0	0,00	0,00
proporzionale alla deformata 1° modo di vibrazione														
	0%	-	-	VNR	VNR	0,00	0	0	0	0	0	0	0,00	0,00
	100%	-	-	VNR	VNR	0,00	0	0	0	0	0	0	0,00	0,00
sisma in +X														
proporzionale alle masse														
Trave 3b-32	0%	-	-	VNR	VNR	0,00	0	0	0	0	0	0	0,00	0,00
	100%	-	-	VNR	VNR	0,00	0	0	0	0	0	0	0,00	0,00
proporzionale alla deformata 1° modo di vibrazione														
	0%	5.403	11.739	0,00	0,00	1,07	0	0	374920	374920	0	0	2,50	2,50
	100%	-14.920	124.615	0,00	0,00	1,02	0	0	356363	356363	0	0	2,50	2,50
sisma in -X														
proporzionale alle masse														
	0%	-	-	VNR	VNR	0,00	0	0	0	0	0	0	0,00	0,00
	100%	-	-	VNR	VNR	0,00	0	0	0	0	0	0	0,00	0,00
proporzionale alla deformata 1° modo di vibrazione														
	0%	-	-	VNR	VNR	0,00	0	0	0	0	0	0	0,00	0,00
	100%	-	-	VNR	VNR	0,00	0	0	0	0	0	0	0,00	0,00
sisma in +Y														
proporzionale alle masse														
	0%	3.567	380.447	0,00	0,00	1,28	0	0	447545	447545	0	0	2,50	2,50
	100%	1.344	149.877	0,00	0,00	1,00	0	0	352189	352189	0	0	2,50	2,50
proporzionale alla deformata 1° modo di vibrazione														
	0%	-	-	VNR	VNR	0,00	0	0	0	0	0	0	0,00	0,00
	100%	-	-	VNR	VNR	0,00	0	0	0	0	0	0	0,00	0,00
sisma in -Y														
proporzionale alle masse														
	0%	-	-	VNR	VNR	0,00	0	0	0	0	0	0	0,00	0,00
	100%	-	-	VNR	VNR	0,00	0	0	0	0	0	0	0,00	0,00
proporzionale alla deformata 1° modo di vibrazione														
	0%	-	-	VNR	VNR	0,00	0	0	0	0	0	0	0,00	0,00
	100%	-	-	VNR	VNR	0,00	0	0	0	0	0	0	0,00	0,00
Estradosso travi gronda								**Travata: Trave7-19-28-37**						
sisma in +X														
proporzionale alle masse														
Trave 7-19	0%	-	-	VNR	VNR	0,00	0	0	0	0	0	0	0,00	0,00
	100%	-	-	VNR	VNR	0,00	0	0	0	0	0	0	0,00	0,00
proporzionale alla deformata 1° modo di vibrazione														
	0%	2.393	2.345	14,18	30,98	1,00	33930	72653	154712	154712	0	0	2,50	2,50
	100%	-27.374	44.696	1,24	1,63	1,01	33930	72653	155259	155259	0	0	2,50	2,50
sisma in -X														
proporzionale alle masse														
	0%	-	-	VNR	VNR	0,00	0	0	0	0	0	0	0,00	0,00
	100%	-	-	VNR	VNR	0,00	0	0	0	0	0	0	0,00	0,00
proporzionale alla deformata 1° modo di vibrazione														
	0%	-	-	VNR	VNR	0,00	0	0	0	0	0	0	0,00	0,00
	100%	-	-	VNR	VNR	0,00	0	0	0	0	0	0	0,00	0,00
sisma in +Y														
proporzionale alle masse														
	0%	-1.273	-40.935	26,65	1,77	1,01	33930	72653	155908	155908	0	0	2,50	2,50
	100%	-11.099	-137.425	3,06	0,53	1,04	33930	72653	159785	159785	0	0	2,50	2,50
proporzionale alla deformata 1° modo di vibrazione														
	0%	-	-	VNR	VNR	0,00	0	0	0	0	0	0	0,00	0,00
	100%	-	-	VNR	VNR	0,00	0	0	0	0	0	0	0,00	0,00
sisma in -Y														
proporzionale alle masse														
	0%	-	-	VNR	VNR	0,00	0	0	0	0	0	0	0,00	0,00
	100%	-	-	VNR	VNR	0,00	0	0	0	0	0	0	0,00	0,00
proporzionale alla deformata 1° modo di vibrazione														
	0%	-	-	VNR	VNR	0,00	0	0	0	0	0	0	0,00	0,00
	100%	-	-	VNR	VNR	0,00	0	0	0	0	0	0	0,00	0,00
sisma in +X														
proporzionale alle masse														
Trave 19-28	0%	-	-	VNR	VNR	0,00	0	0	0	0	0	0	0,00	0,00
	100%	-	-	VNR	VNR	0,00	0	0	0	0	0	0	0,00	0,00
proporzionale alla deformata 1° modo di vibrazione														
	0%	112	4.190	NS	11,79	1,01	33930	49419	106144	106144	0	0	2,50	2,50
	100%	112	-5.011	NS	9,86	1,01	33930	49419	106176	106176	0	0	2,50	2,50
sisma in -X														
proporzionale alle masse														
	0%	-	-	VNR	VNR	0,00	0	0	0	0	0	0	0,00	0,00
	100%	-	-	VNR	VNR	0,00	0	0	0	0	0	0	0,00	0,00
proporzionale alla deformata 1° modo di vibrazione														
	0%	-	-	VNR	VNR	0,00	0	0	0	0	0	0	0,00	0,00

Id_{Tr}	$\%L_{LI}$	$V_{Ed,3}$	$V_{Ed,2}$	$CS^{(3)}$	$CS^{(2)}$	α_C	$V_{Rsd,s}{}^{(3)}$	$V_{Rsd,s}{}^{(2)}$	$V_{Rcd}{}^{(3)}$	$V_{Rcd}{}^{(2)}$	$V_{fd}{}^{(3)}$	$V_{fd}{}^{(2)}$	$Ctg\Theta^{(3)}$	$Ctg\Theta^{(2)}$
	[%]	[N]	[N]				[N]	[N]	[N]	[N]	[N]	[N]		
	100%	-	-	VNR	VNR	0,00	0	0	0	0	0	0	0,00	0,00
sisma in +Y														
proporzionale alle masse														
	0%	-28	674	NS	73,32	1,01	33930	49419	106290	106290	0	0	2,50	2,50
	100%	-28	-8.527	NS	5,80	1,01	33930	49419	106195	106195	0	0	2,50	2,50
proporzionale alla deformata 1° modo di vibrazione														
	0%	-	-	VNR	VNR	0,00	0	0	0	0	0	0	0,00	0,00
	100%	-	-	VNR	VNR	0,00	0	0	0	0	0	0	0,00	0,00
sisma in -Y														
proporzionale alle masse														
	0%	-	-	VNR	VNR	0,00	0	0	0	0	0	0	0,00	0,00
	100%	-	-	VNR	VNR	0,00	0	0	0	0	0	0	0,00	0,00
proporzionale alla deformata 1° modo di vibrazione														
	0%	-	-	VNR	VNR	0,00	0	0	0	0	0	0	0,00	0,00
	100%	-	-	VNR	VNR	0,00	0	0	0	0	0	0	0,00	0,00
sisma in +X														
proporzionale alle masse														
Trave 28-37	0%	-	-	VNR	VNR	0,00	0	0	0	0	0	0	0,00	0,00
	100%	-	-	VNR	VNR	0,00	0	0	0	0	0	0	0,00	0,00
proporzionale alla deformata 1° modo di vibrazione														
	0%	224	5.729	NS	8,63	1,00	33930	49419	104946	104946	0	0	2,50	2,50
	100%	224	-2.438	NS	20,27	1,00	33930	49419	104946	104946	0	0	2,50	2,50
sisma in -X														
proporzionale alle masse														
	0%	-	-	VNR	VNR	0,00	0	0	0	0	0	0	0,00	0,00
	100%	-	-	VNR	VNR	0,00	0	0	0	0	0	0	0,00	0,00
proporzionale alla deformata 1° modo di vibrazione														
	0%	-	-	VNR	VNR	0,00	0	0	0	0	0	0	0,00	0,00
	100%	-	-	VNR	VNR	0,00	0	0	0	0	0	0	0,00	0,00
sisma in +Y														
proporzionale alle masse														
	0%	332	-3.155	NS	15,66	1,06	33930	49419	111539	111539	0	0	2,50	2,50
	100%	332	-11.321	NS	4,37	1,06	33930	49419	111358	111358	0	0	2,50	2,50
proporzionale alla deformata 1° modo di vibrazione														
	0%	-	-	VNR	VNR	0,00	0	0	0	0	0	0	0,00	0,00
	100%	-	-	VNR	VNR	0,00	0	0	0	0	0	0	0,00	0,00
sisma in -Y														
proporzionale alle masse														
	0%	-	-	VNR	VNR	0,00	0	0	0	0	0	0	0,00	0,00
	100%	-	-	VNR	VNR	0,00	0	0	0	0	0	0	0,00	0,00
proporzionale alla deformata 1° modo di vibrazione														
	0%	-	-	VNR	VNR	0,00	0	0	0	0	0	0	0,00	0,00
	100%	-	-	VNR	VNR	0,00	0	0	0	0	0	0	0,00	0,00
Estradosso travi gronda								**Travata: Trave13-24**						
sisma in +X														
proporzionale alle masse														
Trave 13-24	0%	-	-	VNR	VNR	0,00	0	0	0	0	0	0	0,00	0,00
	100%	-	-	VNR	VNR	0,00	0	0	0	0	0	0	0,00	0,00
proporzionale alla deformata 1° modo di vibrazione														
	0%	449	5.593	57,61	10,16	1,01	25867	56845	97396	97396	0	0	2,50	2,50
	100%	444	-5.010	58,26	11,35	1,00	25867	56845	97004	97004	0	0	2,50	2,50
sisma in -X														
proporzionale alle masse														
	0%	-	-	VNR	VNR	0,00	0	0	0	0	0	0	0,00	0,00
	100%	-	-	VNR	VNR	0,00	0	0	0	0	0	0	0,00	0,00
proporzionale alla deformata 1° modo di vibrazione														
	0%	-	-	VNR	VNR	0,00	0	0	0	0	0	0	0,00	0,00
	100%	-	-	VNR	VNR	0,00	0	0	0	0	0	0	0,00	0,00
sisma in +Y														
proporzionale alle masse														
	0%	99	-6.039	NS	9,41	1,01	25867	56845	97598	97598	0	0	2,50	2,50
	100%	94	-16.643	NS	3,42	1,01	25867	56845	97432	97432	0	0	2,50	2,50
proporzionale alla deformata 1° modo di vibrazione														
	0%	-	-	VNR	VNR	0,00	0	0	0	0	0	0	0,00	0,00
	100%	-	-	VNR	VNR	0,00	0	0	0	0	0	0	0,00	0,00
sisma in -Y														
proporzionale alle masse														
	0%	-	-	VNR	VNR	0,00	0	0	0	0	0	0	0,00	0,00
	100%	-	-	VNR	VNR	0,00	0	0	0	0	0	0	0,00	0,00
proporzionale alla deformata 1° modo di vibrazione														
	0%	-	-	VNR	VNR	0,00	0	0	0	0	0	0	0,00	0,00
	100%	-	-	VNR	VNR	0,00	0	0	0	0	0	0	0,00	0,00
Estradosso travi gronda								**Travata: Trave16-27-34**						
sisma in +X														
proporzionale alle masse														
Trave 16-27	0%	-	-	VNR	VNR	0,00	0	0	0	0	0	0	0,00	0,00
	100%	-	-	VNR	VNR	0,00	0	0	0	0	0	0	0,00	0,00
proporzionale alla deformata 1° modo di vibrazione														
	0%	-56	6.569	NS	6,30	1,01	41356	41356	106527	106527	0	0	2,50	2,50
	100%	-56	-1.298	NS	31,86	1,01	41356	41356	106712	106712	0	0	2,50	2,50
sisma in -X														
proporzionale alle masse														
	0%	-	-	VNR	VNR	0,00	0	0	0	0	0	0	0,00	0,00
	100%	-	-	VNR	VNR	0,00	0	0	0	0	0	0	0,00	0,00
proporzionale alla deformata 1° modo di vibrazione														
	0%	-	-	VNR	VNR	0,00	0	0	0	0	0	0	0,00	0,00

Id_{Tr}	$\%L_{LI}$	$V_{Ed,3}$	$V_{Ed,2}$	$CS^{(3)}$	$CS^{(2)}$	α_C	$V_{Rsd,s}{}^{(3)}$	$V_{Rsd,s}{}^{(2)}$	$V_{Rcd}{}^{(3)}$	$V_{Rcd}{}^{(2)}$	$V_{fd}{}^{(3)}$	$V_{fd}{}^{(2)}$	$Ctg\Theta^{(3)}$	$Ctg\Theta^{(2)}$
	[%]	[N]	[N]				[N]	[N]	[N]	[N]	[N]	[N]		
	100%	-	-	VNR	VNR	0,00	0	0	0	0	0	0	0,00	0,00
sisma in +Y														
proporzionale alle masse														
	0%	-21	971	NS	42,59	1,02	41356	41356	107332	107332	0	0	2,50	2,50
	100%	-21	-6.896	NS	6,00	1,02	41356	41356	107090	107090	0	0	2,50	2,50
proporzionale alla deformata 1° modo di vibrazione														
	0%	-	-	VNR	VNR	0,00	0	0	0	0	0	0	0,00	0,00
	100%	-	-	VNR	VNR	0,00	0	0	0	0	0	0	0,00	0,00
sisma in -Y														
proporzionale alle masse														
	0%	-	-	VNR	VNR	0,00	0	0	0	0	0	0	0,00	0,00
	100%	-	-	VNR	VNR	0,00	0	0	0	0	0	0	0,00	0,00
proporzionale alla deformata 1° modo di vibrazione														
	0%	-	-	VNR	VNR	0,00	0	0	0	0	0	0	0,00	0,00
	100%	-	-	VNR	VNR	0,00	0	0	0	0	0	0	0,00	0,00
sisma in +X														
proporzionale alle masse														
Trave 27-34	0%	-	-	VNR	VNR	0,00	0	0	0	0	0	0	0,00	0,00
	100%	-	-	VNR	VNR	0,00	0	0	0	0	0	0	0,00	0,00
proporzionale alla deformata 1° modo di vibrazione														
	0%	51	3.342	NS	9,90	1,02	33085	33085	106996	106996	0	0	2,50	2,50
	100%	51	-6.790	NS	4,87	1,02	33085	33085	107004	107004	0	0	2,50	2,50
sisma in -X														
proporzionale alle masse														
	0%	-	-	VNR	VNR	0,00	0	0	0	0	0	0	0,00	0,00
	100%	-	-	VNR	VNR	0,00	0	0	0	0	0	0	0,00	0,00
proporzionale alla deformata 1° modo di vibrazione														
	0%	-	-	VNR	VNR	0,00	0	0	0	0	0	0	0,00	0,00
	100%	-	-	VNR	VNR	0,00	0	0	0	0	0	0	0,00	0,00
sisma in +Y														
proporzionale alle masse														
	0%	32	250	NS	NS	1,04	33085	33085	110127	110127	0	0	2,50	2,50
	100%	32	-9.882	NS	3,35	1,04	33085	33085	109992	109992	0	0	2,50	2,50
proporzionale alla deformata 1° modo di vibrazione														
	0%	-	-	VNR	VNR	0,00	0	0	0	0	0	0	0,00	0,00
	100%	-	-	VNR	VNR	0,00	0	0	0	0	0	0	0,00	0,00
sisma in -Y														
proporzionale alle masse														
	0%	-	-	VNR	VNR	0,00	0	0	0	0	0	0	0,00	0,00
	100%	-	-	VNR	VNR	0,00	0	0	0	0	0	0	0,00	0,00
proporzionale alla deformata 1° modo di vibrazione														
	0%	-	-	VNR	VNR	0,00	0	0	0	0	0	0	0,00	0,00
	100%	-	-	VNR	VNR	0,00	0	0	0	0	0	0	0,00	0,00
Estradosso travi gronda								**Travata: Trave24-31-41**						
sisma in +X														
proporzionale alle masse														
Trave 24-31	0%	-	-	VNR	VNR	0,00	0	0	0	0	0	0	0,00	0,00
	100%	-	-	VNR	VNR	0,00	0	0	0	0	0	0	0,00	0,00
proporzionale alla deformata 1° modo di vibrazione														
	0%	19.336	-11.182	1,35	5,11	1,05	26199	57177	101580	101580	0	0	2,50	2,50
	100%	564	-6.694	46,45	8,54	1,00	26199	57177	97280	97280	0	0	2,50	2,50
sisma in -X														
proporzionale alle masse														
	0%	-	-	VNR	VNR	0,00	0	0	0	0	0	0	0,00	0,00
	100%	-	-	VNR	VNR	0,00	0	0	0	0	0	0	0,00	0,00
proporzionale alla deformata 1° modo di vibrazione														
	0%	-	-	VNR	VNR	0,00	0	0	0	0	0	0	0,00	0,00
	100%	-	-	VNR	VNR	0,00	0	0	0	0	0	0	0,00	0,00
sisma in +Y														
proporzionale alle masse														
	0%	13.371	-6.455	1,96	8,86	1,17	26199	57177	114096	114096	0	0	2,50	2,50
	100%	1.267	-8.343	20,68	6,85	1,00	26199	57177	97137	97137	0	0	2,50	2,50
proporzionale alla deformata 1° modo di vibrazione														
	0%	-	-	VNR	VNR	0,00	0	0	0	0	0	0	0,00	0,00
	100%	-	-	VNR	VNR	0,00	0	0	0	0	0	0	0,00	0,00
sisma in -Y														
proporzionale alle masse														
	0%	-	-	VNR	VNR	0,00	0	0	0	0	0	0	0,00	0,00
	100%	-	-	VNR	VNR	0,00	0	0	0	0	0	0	0,00	0,00
proporzionale alla deformata 1° modo di vibrazione														
	0%	-	-	VNR	VNR	0,00	0	0	0	0	0	0	0,00	0,00
	100%	-	-	VNR	VNR	0,00	0	0	0	0	0	0	0,00	0,00
sisma in +X														
proporzionale alle masse														
Trave 31-41	0%	-	-	VNR	VNR	0,00	0	0	0	0	0	0	0,00	0,00
	100%	-	-	VNR	VNR	0,00	0	0	0	0	0	0	0,00	0,00
proporzionale alla deformata 1° modo di vibrazione														
	0%	-230	5.279	NS	10,83	1,00	26199	57177	97386	97386	0	0	2,50	2,50
	100%	-230	-5.382	91,13	8,50	1,00	20959	45742	97474	97474	0	0	2,50	2,50
sisma in -X														
proporzionale alle masse														
	0%	-	-	VNR	VNR	0,00	0	0	0	0	0	0	0,00	0,00
	100%	-	-	VNR	VNR	0,00	0	0	0	0	0	0	0,00	0,00
proporzionale alla deformata 1° modo di vibrazione														
	0%	-	-	VNR	VNR	0,00	0	0	0	0	0	0	0,00	0,00
	100%	-	-	VNR	VNR	0,00	0	0	0	0	0	0	0,00	0,00

Id_{Tr}	$\%L_{LI}$	$V_{Ed,3}$	$V_{Ed,2}$	$CS^{(3)}$	$CS^{(2)}$	α_C	$V_{Rsd,s}{}^{(3)}$	$V_{Rsd,s}{}^{(2)}$	$V_{Rcd}{}^{(3)}$	$V_{Rcd}{}^{(2)}$	$V_{fd}{}^{(3)}$	$V_{fd}{}^{(2)}$	$Ctg\Theta^{(3)}$	$Ctg\Theta^{(2)}$
	[%]	[N]	[N]				[N]	[N]	[N]	[N]	[N]	[N]		
sisma in +Y														
proporzionale alle masse														
	0%	9	-387	NS	NS	1,02	26199	57177	99333	99333	0	0	2,50	2,50
	100%	9	-11.047	NS	4,14	1,02	20959	45742	99148	99148	0	0	2,50	2,50
proporzionale alla deformata 1° modo di vibrazione														
	0%	-	-	VNR	VNR	0,00	0	0	0	0	0	0	0,00	0,00
	100%	-	-	VNR	VNR	0,00	0	0	0	0	0	0	0,00	0,00
sisma in -Y														
proporzionale alle masse														
	0%	-	-	VNR	VNR	0,00	0	0	0	0	0	0	0,00	0,00
	100%	-	-	VNR	VNR	0,00	0	0	0	0	0	0	0,00	0,00
proporzionale alla deformata 1° modo di vibrazione														
	0%	-	-	VNR	VNR	0,00	0	0	0	0	0	0	0,00	0,00
	100%	-	-	VNR	VNR	0,00	0	0	0	0	0	0	0,00	0,00
Piano primo								**Travata: Trave1-P1-2-P2-3-P3-4-P4-5-P5-6**						
sisma in +X														
proporzionale alle masse														
Trave 1-P1	0%	-	-	VNR	VNR	0,00	0	0	0	0	0	0	0,00	0,00
	100%	-	-	VNR	VNR	0,00	0	0	0	0	0	0	0,00	0,00
proporzionale alla deformata 1° modo di vibrazione														
	0%	4.582	5.826	0,00	0,00	1,00	0	0	350643	350643	0	0	2,50	2,50
	100%	125	-46.151	0,00	0,00	1,00	0	0	350643	350643	0	0	2,50	2,50
sisma in -X														
proporzionale alle masse														
	0%	-	-	VNR	VNR	0,00	0	0	0	0	0	0	0,00	0,00
	100%	-	-	VNR	VNR	0,00	0	0	0	0	0	0	0,00	0,00
proporzionale alla deformata 1° modo di vibrazione														
	0%	-	-	VNR	VNR	0,00	0	0	0	0	0	0	0,00	0,00
	100%	-	-	VNR	VNR	0,00	0	0	0	0	0	0	0,00	0,00
sisma in +Y														
proporzionale alle masse														
	0%	-15.657	15.706	0,00	0,00	1,03	0	0	360498	360498	0	0	2,50	2,50
	100%	7.392	22.112	0,00	0,00	1,04	0	0	365849	365849	0	0	2,50	2,50
proporzionale alla deformata 1° modo di vibrazione														
	0%	-	-	VNR	VNR	0,00	0	0	0	0	0	0	0,00	0,00
	100%	-	-	VNR	VNR	0,00	0	0	0	0	0	0	0,00	0,00
sisma in -Y														
proporzionale alle masse														
	0%	-	-	VNR	VNR	0,00	0	0	0	0	0	0	0,00	0,00
	100%	-	-	VNR	VNR	0,00	0	0	0	0	0	0	0,00	0,00
proporzionale alla deformata 1° modo di vibrazione														
	0%	-	-	VNR	VNR	0,00	0	0	0	0	0	0	0,00	0,00
	100%	-	-	VNR	VNR	0,00	0	0	0	0	0	0	0,00	0,00
sisma in +X														
proporzionale alle masse														
Trave P1-2	0%	-	-	VNR	VNR	0,00	0	0	0	0	0	0	0,00	0,00
	100%	-	-	VNR	VNR	0,00	0	0	0	0	0	0	0,00	0,00
proporzionale alla deformata 1° modo di vibrazione														
	0%	-147	-96.675	NS	2,43	1,12	47588	234836	394361	394361	0	0	2,50	2,50
	100%	-147	-249.749	NS	0,94	1,12	47588	234836	394152	394152	0	0	2,50	2,50
sisma in -X														
proporzionale alle masse														
	0%	-	-	VNR	VNR	0,00	0	0	0	0	0	0	0,00	0,00
	100%	-	-	VNR	VNR	0,00	0	0	0	0	0	0	0,00	0,00
proporzionale alla deformata 1° modo di vibrazione														
	0%	-	-	VNR	VNR	0,00	0	0	0	0	0	0	0,00	0,00
	100%	-	-	VNR	VNR	0,00	0	0	0	0	0	0	0,00	0,00
sisma in +Y														
proporzionale alle masse														
	0%	174	100.046	NS	2,35	1,02	47588	234836	357550	357550	0	0	2,50	2,50
	100%	174	-53.028	NS	4,43	1,02	47588	234836	357953	357953	0	0	2,50	2,50
proporzionale alla deformata 1° modo di vibrazione														
	0%	-	-	VNR	VNR	0,00	0	0	0	0	0	0	0,00	0,00
	100%	-	-	VNR	VNR	0,00	0	0	0	0	0	0	0,00	0,00
sisma in -Y														
proporzionale alle masse														
	0%	-	-	VNR	VNR	0,00	0	0	0	0	0	0	0,00	0,00
	100%	-	-	VNR	VNR	0,00	0	0	0	0	0	0	0,00	0,00
proporzionale alla deformata 1° modo di vibrazione														
	0%	-	-	VNR	VNR	0,00	0	0	0	0	0	0	0,00	0,00
	100%	-	-	VNR	VNR	0,00	0	0	0	0	0	0	0,00	0,00
sisma in +X														
proporzionale alle masse														
Trave 2-P2	0%	-	-	VNR	VNR	0,00	0	0	0	0	0	0	0,00	0,00
	100%	-	-	VNR	VNR	0,00	0	0	0	0	0	0	0,00	0,00
proporzionale alla deformata 1° modo di vibrazione														
	0%	8.269	455.963	0,00	0,00	1,17	0	0	410933	457067	0	0	2,50	2,14
	100%	-400	70.056	0,00	0,00	1,00	0	0	350643	350643	0	0	2,50	2,50
sisma in -X														
proporzionale alle masse														
	0%	-	-	VNR	VNR	0,00	0	0	0	0	0	0	0,00	0,00
	100%	-	-	VNR	VNR	0,00	0	0	0	0	0	0	0,00	0,00
proporzionale alla deformata 1° modo di vibrazione														
	0%	-	-	VNR	VNR	0,00	0	0	0	0	0	0	0,00	0,00
	100%	-	-	VNR	VNR	0,00	0	0	0	0	0	0	0,00	0,00
sisma in +Y														

Id_{Tr}	$\%L_{LI}$	$V_{Ed,3}$	$V_{Ed,2}$	$CS^{(3)}$	$CS^{(2)}$	α_C	$V_{Rsd,s}{}^{(3)}$	$V_{Rsd,s}{}^{(2)}$	$V_{Rcd}{}^{(3)}$	$V_{Rcd}{}^{(2)}$	$V_{fd}{}^{(3)}$	$V_{fd}{}^{(2)}$	$Ctg\Theta^{(3)}$	$Ctg\Theta^{(2)}$
	[%]	[N]	[N]				[N]	[N]	[N]	[N]	[N]	[N]		
proporzionale alle masse														
	0%	2.925	-28.908	0,00	0,00	1,01	0	0	355611	355611	0	0	2,50	2,50
	100%	-3.751	23.197	0,00	0,00	1,02	0	0	356589	356589	0	0	2,50	2,50
proporzionale alla deformata 1° modo di vibrazione														
	0%	-	-	VNR	VNR	0,00	0	0	0	0	0	0	0,00	0,00
	100%	-	-	VNR	VNR	0,00	0	0	0	0	0	0	0,00	0,00
sisma in -Y														
proporzionale alle masse														
	0%	-	-	VNR	VNR	0,00	0	0	0	0	0	0	0,00	0,00
	100%	-	-	VNR	VNR	0,00	0	0	0	0	0	0	0,00	0,00
proporzionale alla deformata 1° modo di vibrazione														
	0%	-	-	VNR	VNR	0,00	0	0	0	0	0	0	0,00	0,00
	100%	-	-	VNR	VNR	0,00	0	0	0	0	0	0	0,00	0,00
sisma in +X														
proporzionale alle masse														
Trave P2-3	0%	-	-	VNR	VNR	0,00	0	0	0	0	0	0	0,00	0,00
	100%	-	-	VNR	VNR	0,00	0	0	0	0	0	0	0,00	0,00
proporzionale alla deformata 1° modo di vibrazione														
	0%	-58	-113.477	NS	2,07	1,13	47588	234836	396389	396389	0	0	2,50	2,50
	100%	-58	-257.612	NS	0,91	1,13	47588	234836	396565	396565	0	0	2,50	2,50
sisma in -X														
proporzionale alle masse														
	0%	-	-	VNR	VNR	0,00	0	0	0	0	0	0	0,00	0,00
	100%	-	-	VNR	VNR	0,00	0	0	0	0	0	0	0,00	0,00
proporzionale alla deformata 1° modo di vibrazione														
	0%	-	-	VNR	VNR	0,00	0	0	0	0	0	0	0,00	0,00
	100%	-	-	VNR	VNR	0,00	0	0	0	0	0	0	0,00	0,00
sisma in +Y														
proporzionale alle masse														
	0%	-106	64.198	NS	3,66	1,00	47588	234836	352361	352361	0	0	2,50	2,50
	100%	-106	-79.937	NS	2,94	1,01	47588	234836	352515	352515	0	0	2,50	2,50
proporzionale alla deformata 1° modo di vibrazione														
	0%	-	-	VNR	VNR	0,00	0	0	0	0	0	0	0,00	0,00
	100%	-	-	VNR	VNR	0,00	0	0	0	0	0	0	0,00	0,00
sisma in -Y														
proporzionale alle masse														
	0%	-	-	VNR	VNR	0,00	0	0	0	0	0	0	0,00	0,00
	100%	-	-	VNR	VNR	0,00	0	0	0	0	0	0	0,00	0,00
proporzionale alla deformata 1° modo di vibrazione														
	0%	-	-	VNR	VNR	0,00	0	0	0	0	0	0	0,00	0,00
	100%	-	-	VNR	VNR	0,00	0	0	0	0	0	0	0,00	0,00
sisma in +X														
proporzionale alle masse														
Trave 3-P3	0%	-	-	VNR	VNR	0,00	0	0	0	0	0	0	0,00	0,00
	100%	-	-	VNR	VNR	0,00	0	0	0	0	0	0	0,00	0,00
proporzionale alla deformata 1° modo di vibrazione														
	0%	6.741	457.240	0,00	0,00	1,18	0	0	413698	457392	0	0	2,50	2,16
	100%	-140	92.749	0,00	0,00	1,00	0	0	350643	350643	0	0	2,50	2,50
sisma in -X														
proporzionale alle masse														
	0%	-	-	VNR	VNR	0,00	0	0	0	0	0	0	0,00	0,00
	100%	-	-	VNR	VNR	0,00	0	0	0	0	0	0	0,00	0,00
proporzionale alla deformata 1° modo di vibrazione														
	0%	-	-	VNR	VNR	0,00	0	0	0	0	0	0	0,00	0,00
	100%	-	-	VNR	VNR	0,00	0	0	0	0	0	0	0,00	0,00
sisma in +Y														
proporzionale alle masse														
	0%	-2.445	-2.183	0,00	0,00	1,03	0	0	360986	360986	0	0	2,50	2,50
	100%	-4.155	21.461	0,00	0,00	1,02	0	0	358760	358760	0	0	2,50	2,50
proporzionale alla deformata 1° modo di vibrazione														
	0%	-	-	VNR	VNR	0,00	0	0	0	0	0	0	0,00	0,00
	100%	-	-	VNR	VNR	0,00	0	0	0	0	0	0	0,00	0,00
sisma in -Y														
proporzionale alle masse														
	0%	-	-	VNR	VNR	0,00	0	0	0	0	0	0	0,00	0,00
	100%	-	-	VNR	VNR	0,00	0	0	0	0	0	0	0,00	0,00
proporzionale alla deformata 1° modo di vibrazione														
	0%	-	-	VNR	VNR	0,00	0	0	0	0	0	0	0,00	0,00
	100%	-	-	VNR	VNR	0,00	0	0	0	0	0	0	0,00	0,00
sisma in +X														
proporzionale alle masse														
Trave P3-4	0%	-	-	VNR	VNR	0,00	0	0	0	0	0	0	0,00	0,00
	100%	-	-	VNR	VNR	0,00	0	0	0	0	0	0	0,00	0,00
proporzionale alla deformata 1° modo di vibrazione														
	0%	-65	-120.597	NS	1,95	1,13	47588	234836	395957	395957	0	0	2,50	2,50
	100%	-65	-264.732	NS	0,89	1,13	47588	234836	395818	395818	0	0	2,50	2,50
sisma in -X														
proporzionale alle masse														
	0%	-	-	VNR	VNR	0,00	0	0	0	0	0	0	0,00	0,00
	100%	-	-	VNR	VNR	0,00	0	0	0	0	0	0	0,00	0,00
proporzionale alla deformata 1° modo di vibrazione														
	0%	-	-	VNR	VNR	0,00	0	0	0	0	0	0	0,00	0,00
	100%	-	-	VNR	VNR	0,00	0	0	0	0	0	0	0,00	0,00
sisma in +Y														
proporzionale alle masse														
	0%	-103	65.461	NS	3,59	1,01	47588	234836	353654	353654	0	0	2,50	2,50

Id_{Tr}	$\%L_{LI}$	$V_{Ed,3}$	$V_{Ed,2}$	$CS^{(3)}$	$CS^{(2)}$	α_C	$V_{Rsd,s}{}^{(3)}$	$V_{Rsd,s}{}^{(2)}$	$V_{Rcd}{}^{(3)}$	$V_{Rcd}{}^{(2)}$	$V_{fd}{}^{(3)}$	$V_{fd}{}^{(2)}$	$Ctg\Theta^{(3)}$	$Ctg\Theta^{(2)}$
	[%]	[N]	[N]				[N]	[N]	[N]	[N]	[N]	[N]		
	100%	-103	-78.674	NS	2,98	1,01	47588	234836	353910	353910	0	0	2,50	2,50
proporzionale alla deformata 1° modo di vibrazione														
	0%	-	-	VNR	VNR	0,00	0	0	0	0	0	0	0,00	0,00
	100%	-	-	VNR	VNR	0,00	0	0	0	0	0	0	0,00	0,00
sisma in -Y														
proporzionale alle masse														
	0%	-	-	VNR	VNR	0,00	0	0	0	0	0	0	0,00	0,00
	100%	-	-	VNR	VNR	0,00	0	0	0	0	0	0	0,00	0,00
proporzionale alla deformata 1° modo di vibrazione														
	0%	-	-	VNR	VNR	0,00	0	0	0	0	0	0	0,00	0,00
	100%	-	-	VNR	VNR	0,00	0	0	0	0	0	0	0,00	0,00
sisma in +X														
proporzionale alle masse														
Trave 4-P4	0%	-	-	VNR	VNR	0,00	0	0	0	0	0	0	0,00	0,00
	100%	-	-	VNR	VNR	0,00	0	0	0	0	0	0	0,00	0,00
proporzionale alla deformata 1° modo di vibrazione														
	0%	8.714	475.126	0,00	0,00	1,19	0	0	417178	475289	0	0	2,50	2,06
	100%	388	85.765	0,00	0,00	1,00	0	0	350643	350643	0	0	2,50	2,50
sisma in -X														
proporzionale alle masse														
	0%	-	-	VNR	VNR	0,00	0	0	0	0	0	0	0,00	0,00
	100%	-	-	VNR	VNR	0,00	0	0	0	0	0	0	0,00	0,00
proporzionale alla deformata 1° modo di vibrazione														
	0%	-	-	VNR	VNR	0,00	0	0	0	0	0	0	0,00	0,00
	100%	-	-	VNR	VNR	0,00	0	0	0	0	0	0	0,00	0,00
sisma in +Y														
proporzionale alle masse														
	0%	-2.869	9.437	0,00	0,00	1,03	0	0	361636	361636	0	0	2,50	2,50
	100%	-1.900	19.941	0,00	0,00	1,02	0	0	357800	357800	0	0	2,50	2,50
proporzionale alla deformata 1° modo di vibrazione														
	0%	-	-	VNR	VNR	0,00	0	0	0	0	0	0	0,00	0,00
	100%	-	-	VNR	VNR	0,00	0	0	0	0	0	0	0,00	0,00
sisma in -Y														
proporzionale alle masse														
	0%	-	-	VNR	VNR	0,00	0	0	0	0	0	0	0,00	0,00
	100%	-	-	VNR	VNR	0,00	0	0	0	0	0	0	0,00	0,00
proporzionale alla deformata 1° modo di vibrazione														
	0%	-	-	VNR	VNR	0,00	0	0	0	0	0	0	0,00	0,00
	100%	-	-	VNR	VNR	0,00	0	0	0	0	0	0	0,00	0,00
sisma in +X														
proporzionale alle masse														
Trave P4-5	0%	-	-	VNR	VNR	0,00	0	0	0	0	0	0	0,00	0,00
	100%	-	-	VNR	VNR	0,00	0	0	0	0	0	0	0,00	0,00
proporzionale alla deformata 1° modo di vibrazione														
	0%	21	-120.512	NS	1,95	1,14	47588	234836	399789	399789	0	0	2,50	2,50
	100%	21	-264.648	NS	0,89	1,14	47588	234836	399771	399771	0	0	2,50	2,50
sisma in -X														
proporzionale alle masse														
	0%	-	-	VNR	VNR	0,00	0	0	0	0	0	0	0,00	0,00
	100%	-	-	VNR	VNR	0,00	0	0	0	0	0	0	0,00	0,00
proporzionale alla deformata 1° modo di vibrazione														
	0%	-	-	VNR	VNR	0,00	0	0	0	0	0	0	0,00	0,00
	100%	-	-	VNR	VNR	0,00	0	0	0	0	0	0	0,00	0,00
sisma in +Y														
proporzionale alle masse														
	0%	-1	68.681	NS	3,42	1,01	47588	234836	352784	352784	0	0	2,50	2,50
	100%	-1	-75.455	NS	3,11	1,01	47588	234836	352752	352752	0	0	2,50	2,50
proporzionale alla deformata 1° modo di vibrazione														
	0%	-	-	VNR	VNR	0,00	0	0	0	0	0	0	0,00	0,00
	100%	-	-	VNR	VNR	0,00	0	0	0	0	0	0	0,00	0,00
sisma in -Y														
proporzionale alle masse														
	0%	-	-	VNR	VNR	0,00	0	0	0	0	0	0	0,00	0,00
	100%	-	-	VNR	VNR	0,00	0	0	0	0	0	0	0,00	0,00
proporzionale alla deformata 1° modo di vibrazione														
	0%	-	-	VNR	VNR	0,00	0	0	0	0	0	0	0,00	0,00
	100%	-	-	VNR	VNR	0,00	0	0	0	0	0	0	0,00	0,00
sisma in +X														
proporzionale alle masse														
Trave 5-P5	0%	-	-	VNR	VNR	0,00	0	0	0	0	0	0	0,00	0,00
	100%	-	-	VNR	VNR	0,00	0	0	0	0	0	0	0,00	0,00
proporzionale alla deformata 1° modo di vibrazione														
	0%	6.702	473.909	0,00	0,00	1,19	0	0	418149	474966	0	0	2,50	2,07
	100%	895	131.691	0,00	0,00	1,00	0	0	350643	350643	0	0	2,50	2,50
sisma in -X														
proporzionale alle masse														
	0%	-	-	VNR	VNR	0,00	0	0	0	0	0	0	0,00	0,00
	100%	-	-	VNR	VNR	0,00	0	0	0	0	0	0	0,00	0,00
proporzionale alla deformata 1° modo di vibrazione														
	0%	-	-	VNR	VNR	0,00	0	0	0	0	0	0	0,00	0,00
	100%	-	-	VNR	VNR	0,00	0	0	0	0	0	0	0,00	0,00
sisma in +Y														
proporzionale alle masse														
	0%	-1.440	66.650	0,00	0,00	1,02	0	0	356517	356517	0	0	2,50	2,50
	100%	2.851	80.249	0,00	0,00	1,00	0	0	350643	350643	0	0	2,50	2,50
proporzionale alla deformata 1° modo di vibrazione														

Id_{Tr}	$\%L_{LI}$	$V_{Ed,3}$	$V_{Ed,2}$	$CS^{(3)}$	$CS^{(2)}$	α_C	$V_{Rsd,s}{}^{(3)}$	$V_{Rsd,s}{}^{(2)}$	$V_{Rcd}{}^{(3)}$	$V_{Rcd}{}^{(2)}$	$V_{fd}{}^{(3)}$	$V_{fd}{}^{(2)}$	$Ctg\Theta^{(3)}$	$Ctg\Theta^{(2)}$
	[%]	[N]	[N]				[N]	[N]	[N]	[N]	[N]	[N]		
	0%	-	-	VNR	VNR	0,00	0	0	0	0	0	0	0,00	0,00
	100%	-	-	VNR	VNR	0,00	0	0	0	0	0	0	0,00	0,00
sisma in -Y														
proporzionale alle masse														
	0%	-	-	VNR	VNR	0,00	0	0	0	0	0	0	0,00	0,00
	100%	-	-	VNR	VNR	0,00	0	0	0	0	0	0	0,00	0,00
proporzionale alla deformata 1° modo di vibrazione														
	0%	-	-	VNR	VNR	0,00	0	0	0	0	0	0	0,00	0,00
	100%	-	-	VNR	VNR	0,00	0	0	0	0	0	0	0,00	0,00
sisma in +X														
proporzionale alle masse														
Trave P5-6	0%	-	-	VNR	VNR	0,00	0	0	0	0	0	0	0,00	0,00
	100%	-	-	VNR	VNR	0,00	0	0	0	0	0	0	0,00	0,00
proporzionale alla deformata 1° modo di vibrazione														
	0%	14	596	NS	NS	1,01	47588	234836	354715	354715	0	0	2,50	2,50
	100%	14	-145.318	NS	1,62	1,01	47588	234836	354759	354759	0	0	2,50	2,50
sisma in -X														
proporzionale alle masse														
	0%	-	-	VNR	VNR	0,00	0	0	0	0	0	0	0,00	0,00
	100%	-	-	VNR	VNR	0,00	0	0	0	0	0	0	0,00	0,00
proporzionale alla deformata 1° modo di vibrazione														
	0%	-	-	VNR	VNR	0,00	0	0	0	0	0	0	0,00	0,00
	100%	-	-	VNR	VNR	0,00	0	0	0	0	0	0	0,00	0,00
sisma in +Y														
proporzionale alle masse														
	0%	170	11.450	NS	20,51	1,00	47588	234836	352097	352097	0	0	2,50	2,50
	100%	170	-134.464	NS	1,75	1,00	47588	234836	351918	351918	0	0	2,50	2,50
proporzionale alla deformata 1° modo di vibrazione														
	0%	-	-	VNR	VNR	0,00	0	0	0	0	0	0	0,00	0,00
	100%	-	-	VNR	VNR	0,00	0	0	0	0	0	0	0,00	0,00
sisma in -Y														
proporzionale alle masse														
	0%	-	-	VNR	VNR	0,00	0	0	0	0	0	0	0,00	0,00
	100%	-	-	VNR	VNR	0,00	0	0	0	0	0	0	0,00	0,00
proporzionale alla deformata 1° modo di vibrazione														
	0%	-	-	VNR	VNR	0,00	0	0	0	0	0	0	0,00	0,00
	100%	-	-	VNR	VNR	0,00	0	0	0	0	0	0	0,00	0,00
Piano primo								**Travata: Trave7-P6-8-9-10-11-12-P7-13**						
sisma in +X														
proporzionale alle masse														
Trave 7-P6	0%	-	-	VNR	VNR	0,00	0	0	0	0	0	0	0,00	0,00
	100%	-	-	VNR	VNR	0,00	0	0	0	0	0	0	0,00	0,00
proporzionale alla deformata 1° modo di vibrazione														
	0%	-1.810	-76.325	0,00	0,00	1,00	0	0	106151	106151	0	0	2,50	2,50
	100%	1.000	4.083	0,00	0,00	1,00	0	0	106151	106151	0	0	2,50	2,50
sisma in -X														
proporzionale alle masse														
	0%	-	-	VNR	VNR	0,00	0	0	0	0	0	0	0,00	0,00
	100%	-	-	VNR	VNR	0,00	0	0	0	0	0	0	0,00	0,00
proporzionale alla deformata 1° modo di vibrazione														
	0%	-	-	VNR	VNR	0,00	0	0	0	0	0	0	0,00	0,00
	100%	-	-	VNR	VNR	0,00	0	0	0	0	0	0	0,00	0,00
sisma in +Y														
proporzionale alle masse														
	0%	-35.665	99.272	0,00	0,00	1,18	0	0	125161	125161	0	0	2,50	2,50
	100%	-1.291	977	0,00	0,00	1,06	0	0	112597	112597	0	0	2,50	2,50
proporzionale alla deformata 1° modo di vibrazione														
	0%	-	-	VNR	VNR	0,00	0	0	0	0	0	0	0,00	0,00
	100%	-	-	VNR	VNR	0,00	0	0	0	0	0	0	0,00	0,00
sisma in -Y														
proporzionale alle masse														
	0%	-	-	VNR	VNR	0,00	0	0	0	0	0	0	0,00	0,00
	100%	-	-	VNR	VNR	0,00	0	0	0	0	0	0	0,00	0,00
proporzionale alla deformata 1° modo di vibrazione														
	0%	-	-	VNR	VNR	0,00	0	0	0	0	0	0	0,00	0,00
	100%	-	-	VNR	VNR	0,00	0	0	0	0	0	0	0,00	0,00
sisma in +X														
proporzionale alle masse														
Trave P6-8	0%	-	-	VNR	VNR	0,00	0	0	0	0	0	0	0,00	0,00
	100%	-	-	VNR	VNR	0,00	0	0	0	0	0	0	0,00	0,00
proporzionale alla deformata 1° modo di vibrazione														
	0%	-1.154	-52.740	35,64	1,53	1,03	41134	80787	109682	109682	0	0	2,50	2,50
	100%	-1.154	-59.165	35,64	1,37	1,08	41134	80787	114222	114222	0	0	2,50	2,50
sisma in -X														
proporzionale alle masse														
	0%	-	-	VNR	VNR	0,00	0	0	0	0	0	0	0,00	0,00
	100%	-	-	VNR	VNR	0,00	0	0	0	0	0	0	0,00	0,00
proporzionale alla deformata 1° modo di vibrazione														
	0%	-	-	VNR	VNR	0,00	0	0	0	0	0	0	0,00	0,00
	100%	-	-	VNR	VNR	0,00	0	0	0	0	0	0	0,00	0,00
sisma in +Y														
proporzionale alle masse														
	0%	-1.991	35.715	20,66	2,26	1,06	41134	80787	112710	112710	0	0	2,50	2,50
	100%	-1.991	29.290	20,66	2,76	1,07	41134	80787	113170	113170	0	0	2,50	2,50
proporzionale alla deformata 1° modo di vibrazione														
	0%	-	-	VNR	VNR	0,00	0	0	0	0	0	0	0,00	0,00

Id_{Tr}	$\%L_{LI}$	$V_{Ed,3}$	$V_{Ed,2}$	$CS^{(3)}$	$CS^{(2)}$	α_C	$V_{Rsd,s}{}^{(3)}$	$V_{Rsd,s}{}^{(2)}$	$V_{Rcd}{}^{(3)}$	$V_{Rcd}{}^{(2)}$	$V_{fd}{}^{(3)}$	$V_{fd}{}^{(2)}$	$Ctg\Theta^{(3)}$	$Ctg\Theta^{(2)}$
	[%]	[N]	[N]				[N]	[N]	[N]	[N]	[N]	[N]		
	100%	-	-	VNR	VNR	0,00	0	0	0	0	0	0	0,00	0,00
sisma in -Y														
proporzionale alle masse														
	0%	-	-	VNR	VNR	0,00	0	0	0	0	0	0	0,00	0,00
	100%	-	-	VNR	VNR	0,00	0	0	0	0	0	0	0,00	0,00
proporzionale alla deformata 1° modo di vibrazione														
	0%	-	-	VNR	VNR	0,00	0	0	0	0	0	0	0,00	0,00
	100%	-	-	VNR	VNR	0,00	0	0	0	0	0	0	0,00	0,00
sisma in +X														
proporzionale alle masse														
Trave 8-9	0%	-	-	VNR	VNR	0,00	0	0	0	0	0	0	0,00	0,00
	100%	-	-	VNR	VNR	0,00	0	0	0	0	0	0	0,00	0,00
proporzionale alla deformata 1° modo di vibrazione														
	0%	391	-5.442	NS	14,85	1,05	41134	80787	111873	111873	0	0	2,50	2,50
	100%	391	-19.470	NS	4,15	1,05	41134	80787	111395	111395	0	0	2,50	2,50
sisma in -X														
proporzionale alle masse														
	0%	-	-	VNR	VNR	0,00	0	0	0	0	0	0	0,00	0,00
	100%	-	-	VNR	VNR	0,00	0	0	0	0	0	0	0,00	0,00
proporzionale alla deformata 1° modo di vibrazione														
	0%	-	-	VNR	VNR	0,00	0	0	0	0	0	0	0,00	0,00
	100%	-	-	VNR	VNR	0,00	0	0	0	0	0	0	0,00	0,00
sisma in +Y														
proporzionale alle masse														
	0%	-223	6.493	NS	12,44	1,00	41134	80787	106151	106151	0	0	2,50	2,50
	100%	-223	-7.535	NS	10,72	1,00	41134	80787	106151	106151	0	0	2,50	2,50
proporzionale alla deformata 1° modo di vibrazione														
	0%	-	-	VNR	VNR	0,00	0	0	0	0	0	0	0,00	0,00
	100%	-	-	VNR	VNR	0,00	0	0	0	0	0	0	0,00	0,00
sisma in -Y														
proporzionale alle masse														
	0%	-	-	VNR	VNR	0,00	0	0	0	0	0	0	0,00	0,00
	100%	-	-	VNR	VNR	0,00	0	0	0	0	0	0	0,00	0,00
proporzionale alla deformata 1° modo di vibrazione														
	0%	-	-	VNR	VNR	0,00	0	0	0	0	0	0	0,00	0,00
	100%	-	-	VNR	VNR	0,00	0	0	0	0	0	0	0,00	0,00
sisma in +X														
proporzionale alle masse														
Trave 9-10	0%	-	-	VNR	VNR	0,00	0	0	0	0	0	0	0,00	0,00
	100%	-	-	VNR	VNR	0,00	0	0	0	0	0	0	0,00	0,00
proporzionale alla deformata 1° modo di vibrazione														
	0%	242	-35.680	NS	2,26	1,22	41134	80787	129856	129856	0	0	2,50	2,50
	100%	242	-48.957	NS	1,65	1,22	41134	80787	129740	129740	0	0	2,50	2,50
sisma in -X														
proporzionale alle masse														
	0%	-	-	VNR	VNR	0,00	0	0	0	0	0	0	0,00	0,00
	100%	-	-	VNR	VNR	0,00	0	0	0	0	0	0	0,00	0,00
proporzionale alla deformata 1° modo di vibrazione														
	0%	-	-	VNR	VNR	0,00	0	0	0	0	0	0	0,00	0,00
	100%	-	-	VNR	VNR	0,00	0	0	0	0	0	0	0,00	0,00
sisma in +Y														
proporzionale alle masse														
	0%	-379	2.354	NS	34,32	1,01	41134	80787	107568	107568	0	0	2,50	2,50
	100%	-379	-10.922	NS	7,40	1,01	41134	80787	107408	107408	0	0	2,50	2,50
proporzionale alla deformata 1° modo di vibrazione														
	0%	-	-	VNR	VNR	0,00	0	0	0	0	0	0	0,00	0,00
	100%	-	-	VNR	VNR	0,00	0	0	0	0	0	0	0,00	0,00
sisma in -Y														
proporzionale alle masse														
	0%	-	-	VNR	VNR	0,00	0	0	0	0	0	0	0,00	0,00
	100%	-	-	VNR	VNR	0,00	0	0	0	0	0	0	0,00	0,00
proporzionale alla deformata 1° modo di vibrazione														
	0%	-	-	VNR	VNR	0,00	0	0	0	0	0	0	0,00	0,00
	100%	-	-	VNR	VNR	0,00	0	0	0	0	0	0	0,00	0,00
sisma in +X														
proporzionale alle masse														
Trave 10-11	0%	-	-	VNR	VNR	0,00	0	0	0	0	0	0	0,00	0,00
	100%	-	-	VNR	VNR	0,00	0	0	0	0	0	0	0,00	0,00
proporzionale alla deformata 1° modo di vibrazione														
	0%	-872	-24.067	0,00	0,00	1,05	0	0	111255	111255	0	0	2,50	2,50
	100%	-766	-3.717	0,00	0,00	1,00	0	0	106151	106151	0	0	2,50	2,50
sisma in -X														
proporzionale alle masse														
	0%	-	-	VNR	VNR	0,00	0	0	0	0	0	0	0,00	0,00
	100%	-	-	VNR	VNR	0,00	0	0	0	0	0	0	0,00	0,00
proporzionale alla deformata 1° modo di vibrazione														
	0%	-	-	VNR	VNR	0,00	0	0	0	0	0	0	0,00	0,00
	100%	-	-	VNR	VNR	0,00	0	0	0	0	0	0	0,00	0,00
sisma in +Y														
proporzionale alle masse														
	0%	-1.952	2.796	0,00	0,00	1,00	0	0	106462	106462	0	0	2,50	2,50
	100%	4.607	-7.119	0,00	0,00	1,02	0	0	108197	108197	0	0	2,50	2,50
proporzionale alla deformata 1° modo di vibrazione														
	0%	-	-	VNR	VNR	0,00	0	0	0	0	0	0	0,00	0,00
	100%	-	-	VNR	VNR	0,00	0	0	0	0	0	0	0,00	0,00
sisma in -Y														

Id_{Tr}	$\%L_{LI}$ [%]	$V_{Ed,3}$ [N]	$V_{Ed,2}$ [N]	$CS^{(3)}$	$CS^{(2)}$	α_C	$V_{Rsd,s}{}^{(3)}$ [N]	$V_{Rsd,s}{}^{(2)}$ [N]	$V_{Rcd}{}^{(3)}$ [N]	$V_{Rcd}{}^{(2)}$ [N]	$V_{fd}{}^{(3)}$ [N]	$V_{fd}{}^{(2)}$ [N]	$Ctg\Theta^{(3)}$	$Ctg\Theta^{(2)}$
proporzionale alle masse														
	0%	-	-	VNR	VNR	0,00	0	0	0	0	0	0	0,00	0,00
	100%	-	-	VNR	VNR	0,00	0	0	0	0	0	0	0,00	0,00
proporzionale alla deformata 1° modo di vibrazione														
	0%	-	-	VNR	VNR	0,00	0	0	0	0	0	0	0,00	0,00
	100%	-	-	VNR	VNR	0,00	0	0	0	0	0	0	0,00	0,00
sisma in +X														
proporzionale alle masse														
Trave 11-12	0%	-	-	VNR	VNR	0,00	0	0	0	0	0	0	0,00	0,00
	100%	-	-	VNR	VNR	0,00	0	0	0	0	0	0	0,00	0,00
proporzionale alla deformata 1° modo di vibrazione														
	0%	32	-13.062	NS	6,18	1,05	41134	80787	111358	111358	0	0	2,50	2,50
	100%	32	-26.783	NS	3,02	1,04	41134	80787	110669	110669	0	0	2,50	2,50
sisma in -X														
proporzionale alle masse														
	0%	-	-	VNR	VNR	0,00	0	0	0	0	0	0	0,00	0,00
	100%	-	-	VNR	VNR	0,00	0	0	0	0	0	0	0,00	0,00
proporzionale alla deformata 1° modo di vibrazione														
	0%	-	-	VNR	VNR	0,00	0	0	0	0	0	0	0,00	0,00
	100%	-	-	VNR	VNR	0,00	0	0	0	0	0	0	0,00	0,00
sisma in +Y														
proporzionale alle masse														
	0%	294	6.822	NS	11,84	1,00	41134	80787	106630	106630	0	0	2,50	2,50
	100%	294	-6.899	NS	11,71	1,00	41134	80787	106649	106649	0	0	2,50	2,50
proporzionale alla deformata 1° modo di vibrazione														
	0%	-	-	VNR	VNR	0,00	0	0	0	0	0	0	0,00	0,00
	100%	-	-	VNR	VNR	0,00	0	0	0	0	0	0	0,00	0,00
sisma in -Y														
proporzionale alle masse														
	0%	-	-	VNR	VNR	0,00	0	0	0	0	0	0	0,00	0,00
	100%	-	-	VNR	VNR	0,00	0	0	0	0	0	0	0,00	0,00
proporzionale alla deformata 1° modo di vibrazione														
	0%	-	-	VNR	VNR	0,00	0	0	0	0	0	0	0,00	0,00
	100%	-	-	VNR	VNR	0,00	0	0	0	0	0	0	0,00	0,00
sisma in +X														
proporzionale alle masse														
Trave 12-P7	0%	-	-	VNR	VNR	0,00	0	0	0	0	0	0	0,00	0,00
	100%	-	-	VNR	VNR	0,00	0	0	0	0	0	0	0,00	0,00
proporzionale alla deformata 1° modo di vibrazione														
	0%	-456	-73.629	90,21	1,10	1,17	41134	80787	124252	124252	0	0	2,50	2,50
	100%	-456	-78.328	90,21	1,03	1,18	41134	80787	125775	125775	0	0	2,50	2,50
sisma in -X														
proporzionale alle masse														
	0%	-	-	VNR	VNR	0,00	0	0	0	0	0	0	0,00	0,00
	100%	-	-	VNR	VNR	0,00	0	0	0	0	0	0	0,00	0,00
proporzionale alla deformata 1° modo di vibrazione														
	0%	-	-	VNR	VNR	0,00	0	0	0	0	0	0	0,00	0,00
	100%	-	-	VNR	VNR	0,00	0	0	0	0	0	0	0,00	0,00
sisma in +Y														
proporzionale alle masse														
	0%	1.186	-5.213	34,68	15,50	1,01	41134	80787	107428	107428	0	0	2,50	2,50
	100%	1.186	-9.912	34,68	8,15	1,01	41134	80787	107412	107412	0	0	2,50	2,50
proporzionale alla deformata 1° modo di vibrazione														
	0%	-	-	VNR	VNR	0,00	0	0	0	0	0	0	0,00	0,00
	100%	-	-	VNR	VNR	0,00	0	0	0	0	0	0	0,00	0,00
sisma in -Y														
proporzionale alle masse														
	0%	-	-	VNR	VNR	0,00	0	0	0	0	0	0	0,00	0,00
	100%	-	-	VNR	VNR	0,00	0	0	0	0	0	0	0,00	0,00
proporzionale alla deformata 1° modo di vibrazione														
	0%	-	-	VNR	VNR	0,00	0	0	0	0	0	0	0,00	0,00
	100%	-	-	VNR	VNR	0,00	0	0	0	0	0	0	0,00	0,00
sisma in +X														
proporzionale alle masse														
Trave P7-13	0%	-	-	VNR	VNR	0,00	0	0	0	0	0	0	0,00	0,00
	100%	-	-	VNR	VNR	0,00	0	0	0	0	0	0	0,00	0,00
proporzionale alla deformata 1° modo di vibrazione														
	0%	-1.584	21.916	0,00	0,00	1,13	0	0	120002	120002	0	0	2,50	2,50
	100%	-3.201	9.164	0,00	0,00	1,01	0	0	107560	107560	0	0	2,50	2,50
sisma in -X														
proporzionale alle masse														
	0%	-	-	VNR	VNR	0,00	0	0	0	0	0	0	0,00	0,00
	100%	-	-	VNR	VNR	0,00	0	0	0	0	0	0	0,00	0,00
proporzionale alla deformata 1° modo di vibrazione														
	0%	-	-	VNR	VNR	0,00	0	0	0	0	0	0	0,00	0,00
	100%	-	-	VNR	VNR	0,00	0	0	0	0	0	0	0,00	0,00
sisma in +Y														
proporzionale alle masse														
	0%	5.563	7.723	0,00	0,00	1,02	0	0	108023	108023	0	0	2,50	2,50
	100%	-1.019	-5.349	0,00	0,00	1,01	0	0	107373	107373	0	0	2,50	2,50
proporzionale alla deformata 1° modo di vibrazione														
	0%	-	-	VNR	VNR	0,00	0	0	0	0	0	0	0,00	0,00
	100%	-	-	VNR	VNR	0,00	0	0	0	0	0	0	0,00	0,00
sisma in -Y														
proporzionale alle masse														
	0%	-	-	VNR	VNR	0,00	0	0	0	0	0	0	0,00	0,00

Id_{Tr}	$\%L_{LI}$	$V_{Ed,3}$	$V_{Ed,2}$	$CS^{(3)}$	$CS^{(2)}$	α_C	$V_{Rsd,s}{}^{(3)}$	$V_{Rsd,s}{}^{(2)}$	$V_{Rcd}{}^{(3)}$	$V_{Rcd}{}^{(2)}$	$V_{fd}{}^{(3)}$	$V_{fd}{}^{(2)}$	$Ctg\Theta^{(3)}$	$Ctg\Theta^{(2)}$
	[%]	[N]	[N]				[N]	[N]	[N]	[N]	[N]	[N]		
	100%	-	-	VNR	VNR	0,00	0	0	0	0	0	0	0,00	0,00
proporzionale alla deformata 1° modo di vibrazione														
	0%	-	-	VNR	VNR	0,00	0	0	0	0	0	0	0,00	0,00
	100%	-	-	VNR	VNR	0,00	0	0	0	0	0	0	0,00	0,00
Piano primo								**Travata: Trave32-P10-33-P11-34-P12-35-P13-36-P14-37-38-7c-39-40-P15-41**						
sisma in +X														
proporzionale alle masse														
Trave 32-P10	0%	-	-	VNR	VNR	0,00	0	0	0	0	0	0	0,00	0,00
	100%	-	-	VNR	VNR	0,00	0	0	0	0	0	0	0,00	0,00
proporzionale alla deformata 1° modo di vibrazione														
	0%	-5.257	-25.439	0,00	0,00	1,00	0	0	350665	350665	0	0	2,50	2,50
	100%	-1.019	-48.126	0,00	0,00	1,00	0	0	350665	350665	0	0	2,50	2,50
sisma in -X														
proporzionale alle masse														
	0%	-	-	VNR	VNR	0,00	0	0	0	0	0	0	0,00	0,00
	100%	-	-	VNR	VNR	0,00	0	0	0	0	0	0	0,00	0,00
proporzionale alla deformata 1° modo di vibrazione														
	0%	-	-	VNR	VNR	0,00	0	0	0	0	0	0	0,00	0,00
	100%	-	-	VNR	VNR	0,00	0	0	0	0	0	0	0,00	0,00
sisma in +Y														
proporzionale alle masse														
	0%	-9.156	-46.280	0,00	0,00	1,00	0	0	350833	350833	0	0	2,50	2,50
	100%	-5.649	11.872	0,00	0,00	1,01	0	0	354625	354625	0	0	2,50	2,50
proporzionale alla deformata 1° modo di vibrazione														
	0%	-	-	VNR	VNR	0,00	0	0	0	0	0	0	0,00	0,00
	100%	-	-	VNR	VNR	0,00	0	0	0	0	0	0	0,00	0,00
sisma in -Y														
proporzionale alle masse														
	0%	-	-	VNR	VNR	0,00	0	0	0	0	0	0	0,00	0,00
	100%	-	-	VNR	VNR	0,00	0	0	0	0	0	0	0,00	0,00
proporzionale alla deformata 1° modo di vibrazione														
	0%	-	-	VNR	VNR	0,00	0	0	0	0	0	0	0,00	0,00
	100%	-	-	VNR	VNR	0,00	0	0	0	0	0	0	0,00	0,00
sisma in +X														
proporzionale alle masse														
Trave P10-33	0%	-	-	VNR	VNR	0,00	0	0	0	0	0	0	0,00	0,00
	100%	-	-	VNR	VNR	0,00	0	0	0	0	0	0	0,00	0,00
proporzionale alla deformata 1° modo di vibrazione														
	0%	-11	-110.930	NS	2,12	1,14	47602	234850	399903	399903	0	0	2,50	2,50
	100%	-11	-231.976	NS	1,01	1,14	47602	234850	399364	399364	0	0	2,50	2,50
sisma in -X														
proporzionale alle masse														
	0%	-	-	VNR	VNR	0,00	0	0	0	0	0	0	0,00	0,00
	100%	-	-	VNR	VNR	0,00	0	0	0	0	0	0	0,00	0,00
proporzionale alla deformata 1° modo di vibrazione														
	0%	-	-	VNR	VNR	0,00	0	0	0	0	0	0	0,00	0,00
	100%	-	-	VNR	VNR	0,00	0	0	0	0	0	0	0,00	0,00
sisma in +Y														
proporzionale alle masse														
	0%	-139	43.286	NS	5,43	1,01	47602	234850	354733	354733	0	0	2,50	2,50
	100%	-139	-77.760	NS	3,02	1,01	47602	234850	354782	354782	0	0	2,50	2,50
proporzionale alla deformata 1° modo di vibrazione														
	0%	-	-	VNR	VNR	0,00	0	0	0	0	0	0	0,00	0,00
	100%	-	-	VNR	VNR	0,00	0	0	0	0	0	0	0,00	0,00
sisma in -Y														
proporzionale alle masse														
	0%	-	-	VNR	VNR	0,00	0	0	0	0	0	0	0,00	0,00
	100%	-	-	VNR	VNR	0,00	0	0	0	0	0	0	0,00	0,00
proporzionale alla deformata 1° modo di vibrazione														
	0%	-	-	VNR	VNR	0,00	0	0	0	0	0	0	0,00	0,00
	100%	-	-	VNR	VNR	0,00	0	0	0	0	0	0	0,00	0,00
sisma in +X														
proporzionale alle masse														
Trave 33-P11	0%	-	-	VNR	VNR	0,00	0	0	0	0	0	0	0,00	0,00
	100%	-	-	VNR	VNR	0,00	0	0	0	0	0	0	0,00	0,00
proporzionale alla deformata 1° modo di vibrazione														
	0%	-642	459.136	0,00	0,00	1,19	0	0	415892	459819	0	0	2,50	2,16
	100%	420	61.752	0,00	0,00	1,00	0	0	350665	350665	0	0	2,50	2,50
sisma in -X														
proporzionale alle masse														
	0%	-	-	VNR	VNR	0,00	0	0	0	0	0	0	0,00	0,00
	100%	-	-	VNR	VNR	0,00	0	0	0	0	0	0	0,00	0,00
proporzionale alla deformata 1° modo di vibrazione														
	0%	-	-	VNR	VNR	0,00	0	0	0	0	0	0	0,00	0,00
	100%	-	-	VNR	VNR	0,00	0	0	0	0	0	0	0,00	0,00
sisma in +Y														
proporzionale alle masse														
	0%	751	31.343	0,00	0,00	1,03	0	0	362650	362650	0	0	2,50	2,50
	100%	1.075	3.238	0,00	0,00	1,02	0	0	355934	355934	0	0	2,50	2,50
proporzionale alla deformata 1° modo di vibrazione														
	0%	-	-	VNR	VNR	0,00	0	0	0	0	0	0	0,00	0,00
	100%	-	-	VNR	VNR	0,00	0	0	0	0	0	0	0,00	0,00
sisma in -Y														
proporzionale alle masse														

Id_{Tr}	$\%L_{LI}$	$V_{Ed,3}$	$V_{Ed,2}$	$CS^{(3)}$	$CS^{(2)}$	α_C	$V_{Rsd,s}{}^{(3)}$	$V_{Rsd,s}{}^{(2)}$	$V_{Rcd}{}^{(3)}$	$V_{Rcd}{}^{(2)}$	$V_{fd}{}^{(3)}$	$V_{fd}{}^{(2)}$	$Ctg\Theta^{(3)}$	$Ctg\Theta^{(2)}$
	[%]	[N]	[N]				[N]	[N]	[N]	[N]	[N]	[N]		
	0%	-	-	VNR	VNR	0,00	0	0	0	0	0	0	0,00	0,00
	100%	-	-	VNR	VNR	0,00	0	0	0	0	0	0	0,00	0,00
proporzionale alla deformata 1° modo di vibrazione														
	0%	-	-	VNR	VNR	0,00	0	0	0	0	0	0	0,00	0,00
	100%	-	-	VNR	VNR	0,00	0	0	0	0	0	0	0,00	0,00
sisma in +X														
proporzionale alle masse														
Trave P11-34	0%	-	-	VNR	VNR	0,00	0	0	0	0	0	0	0,00	0,00
	100%	-	-	VNR	VNR	0,00	0	0	0	0	0	0	0,00	0,00
proporzionale alla deformata 1° modo di vibrazione														
	0%	70	-125.341	NS	1,87	1,14	47602	234850	399192	399192	0	0	2,50	2,50
	100%	70	-239.319	NS	0,98	1,14	47602	234850	398491	398491	0	0	2,50	2,50
sisma in -X														
proporzionale alle masse														
	0%	-	-	VNR	VNR	0,00	0	0	0	0	0	0	0,00	0,00
	100%	-	-	VNR	VNR	0,00	0	0	0	0	0	0	0,00	0,00
proporzionale alla deformata 1° modo di vibrazione														
	0%	-	-	VNR	VNR	0,00	0	0	0	0	0	0	0,00	0,00
	100%	-	-	VNR	VNR	0,00	0	0	0	0	0	0	0,00	0,00
sisma in +Y														
proporzionale alle masse														
	0%	178	52.042	NS	4,51	1,01	47602	234850	352980	352980	0	0	2,50	2,50
	100%	178	-61.937	NS	3,79	1,01	47602	234850	352972	352972	0	0	2,50	2,50
proporzionale alla deformata 1° modo di vibrazione														
	0%	-	-	VNR	VNR	0,00	0	0	0	0	0	0	0,00	0,00
	100%	-	-	VNR	VNR	0,00	0	0	0	0	0	0	0,00	0,00
sisma in -Y														
proporzionale alle masse														
	0%	-	-	VNR	VNR	0,00	0	0	0	0	0	0	0,00	0,00
	100%	-	-	VNR	VNR	0,00	0	0	0	0	0	0	0,00	0,00
proporzionale alla deformata 1° modo di vibrazione														
	0%	-	-	VNR	VNR	0,00	0	0	0	0	0	0	0,00	0,00
	100%	-	-	VNR	VNR	0,00	0	0	0	0	0	0	0,00	0,00
sisma in +X														
proporzionale alle masse														
Trave 34-P12	0%	-	-	VNR	VNR	0,00	0	0	0	0	0	0	0,00	0,00
	100%	-	-	VNR	VNR	0,00	0	0	0	0	0	0	0,00	0,00
proporzionale alla deformata 1° modo di vibrazione														
	0%	-8.443	489.761	0,00	0,00	1,18	0	0	412364	489937	0	0	2,50	1,92
	100%	-148	67.833	0,00	0,00	1,00	0	0	350665	350665	0	0	2,50	2,50
sisma in -X														
proporzionale alle masse														
	0%	-	-	VNR	VNR	0,00	0	0	0	0	0	0	0,00	0,00
	100%	-	-	VNR	VNR	0,00	0	0	0	0	0	0	0,00	0,00
proporzionale alla deformata 1° modo di vibrazione														
	0%	-	-	VNR	VNR	0,00	0	0	0	0	0	0	0,00	0,00
	100%	-	-	VNR	VNR	0,00	0	0	0	0	0	0	0,00	0,00
sisma in +Y														
proporzionale alle masse														
	0%	-18.289	17.612	0,00	0,00	1,02	0	0	358650	358650	0	0	2,50	2,50
	100%	-1.055	-4.217	0,00	0,00	1,02	0	0	357439	357439	0	0	2,50	2,50
proporzionale alla deformata 1° modo di vibrazione														
	0%	-	-	VNR	VNR	0,00	0	0	0	0	0	0	0,00	0,00
	100%	-	-	VNR	VNR	0,00	0	0	0	0	0	0	0,00	0,00
sisma in -Y														
proporzionale alle masse														
	0%	-	-	VNR	VNR	0,00	0	0	0	0	0	0	0,00	0,00
	100%	-	-	VNR	VNR	0,00	0	0	0	0	0	0	0,00	0,00
proporzionale alla deformata 1° modo di vibrazione														
	0%	-	-	VNR	VNR	0,00	0	0	0	0	0	0	0,00	0,00
	100%	-	-	VNR	VNR	0,00	0	0	0	0	0	0	0,00	0,00
sisma in +X														
proporzionale alle masse														
Trave P12-35	0%	-	-	VNR	VNR	0,00	0	0	0	0	0	0	0,00	0,00
	100%	-	-	VNR	VNR	0,00	0	0	0	0	0	0	0,00	0,00
proporzionale alla deformata 1° modo di vibrazione														
	0%	11	-102.542	NS	2,29	1,13	47602	234850	396485	396485	0	0	2,50	2,50
	100%	11	-277.485	NS	0,85	1,13	47602	234850	396418	396418	0	0	2,50	2,50
sisma in -X														
proporzionale alle masse														
	0%	-	-	VNR	VNR	0,00	0	0	0	0	0	0	0,00	0,00
	100%	-	-	VNR	VNR	0,00	0	0	0	0	0	0	0,00	0,00
proporzionale alla deformata 1° modo di vibrazione														
	0%	-	-	VNR	VNR	0,00	0	0	0	0	0	0	0,00	0,00
	100%	-	-	VNR	VNR	0,00	0	0	0	0	0	0	0,00	0,00
sisma in +Y														
proporzionale alle masse														
	0%	23	79.559	NS	2,95	1,01	47602	234850	353247	353247	0	0	2,50	2,50
	100%	23	-95.384	NS	2,46	1,01	47602	234850	353295	353295	0	0	2,50	2,50
proporzionale alla deformata 1° modo di vibrazione														
	0%	-	-	VNR	VNR	0,00	0	0	0	0	0	0	0,00	0,00
	100%	-	-	VNR	VNR	0,00	0	0	0	0	0	0	0,00	0,00
sisma in -Y														
proporzionale alle masse														
	0%	-	-	VNR	VNR	0,00	0	0	0	0	0	0	0,00	0,00
	100%	-	-	VNR	VNR	0,00	0	0	0	0	0	0	0,00	0,00

Id_{Tr}	$\%L_{LI}$	$V_{Ed,3}$	$V_{Ed,2}$	$CS^{(3)}$	$CS^{(2)}$	α_C	$V_{Rsd,s}{}^{(3)}$	$V_{Rsd,s}{}^{(2)}$	$V_{Rcd}{}^{(3)}$	$V_{Rcd}{}^{(2)}$	$V_{fd}{}^{(3)}$	$V_{fd}{}^{(2)}$	$Ctg\Theta^{(3)}$	$Ctg\Theta^{(2)}$
	[%]	[N]	[N]				[N]	[N]	[N]	[N]	[N]	[N]		
proporzionale alla deformata 1° modo di vibrazione														
	0%	-	-	VNR	VNR	0,00	0	0	0	0	0	0	0,00	0,00
	100%	-	-	VNR	VNR	0,00	0	0	0	0	0	0	0,00	0,00
sisma in +X														
proporzionale alle masse														
Trave 35-P13	0%	-	-	VNR	VNR	0,00	0	0	0	0	0	0	0,00	0,00
	100%	-	-	VNR	VNR	0,00	0	0	0	0	0	0	0,00	0,00
proporzionale alla deformata 1° modo di vibrazione														
	0%	268	479.827	0,00	0,00	1,18	0	0	413391	480974	0	0	2,50	1,99
	100%	-240	62.985	0,00	0,00	1,00	0	0	350665	350665	0	0	2,50	2,50
sisma in -X														
proporzionale alle masse														
	0%	-	-	VNR	VNR	0,00	0	0	0	0	0	0	0,00	0,00
	100%	-	-	VNR	VNR	0,00	0	0	0	0	0	0	0,00	0,00
proporzionale alla deformata 1° modo di vibrazione														
	0%	-	-	VNR	VNR	0,00	0	0	0	0	0	0	0,00	0,00
	100%	-	-	VNR	VNR	0,00	0	0	0	0	0	0	0,00	0,00
sisma in +Y														
proporzionale alle masse														
	0%	2.884	23.688	0,00	0,00	1,03	0	0	360977	360977	0	0	2,50	2,50
	100%	612	-1.368	0,00	0,00	1,02	0	0	357658	357658	0	0	2,50	2,50
proporzionale alla deformata 1° modo di vibrazione														
	0%	-	-	VNR	VNR	0,00	0	0	0	0	0	0	0,00	0,00
	100%	-	-	VNR	VNR	0,00	0	0	0	0	0	0	0,00	0,00
sisma in -Y														
proporzionale alle masse														
	0%	-	-	VNR	VNR	0,00	0	0	0	0	0	0	0,00	0,00
	100%	-	-	VNR	VNR	0,00	0	0	0	0	0	0	0,00	0,00
proporzionale alla deformata 1° modo di vibrazione														
	0%	-	-	VNR	VNR	0,00	0	0	0	0	0	0	0,00	0,00
	100%	-	-	VNR	VNR	0,00	0	0	0	0	0	0	0,00	0,00
sisma in +X														
proporzionale alle masse														
Trave P13-36	0%	-	-	VNR	VNR	0,00	0	0	0	0	0	0	0,00	0,00
	100%	-	-	VNR	VNR	0,00	0	0	0	0	0	0	0,00	0,00
proporzionale alla deformata 1° modo di vibrazione														
	0%	-118	-109.795	NS	2,14	1,14	47602	234850	399446	399446	0	0	2,50	2,50
	100%	-118	-284.739	NS	0,82	1,14	47602	234850	399413	399413	0	0	2,50	2,50
sisma in -X														
proporzionale alle masse														
	0%	-	-	VNR	VNR	0,00	0	0	0	0	0	0	0,00	0,00
	100%	-	-	VNR	VNR	0,00	0	0	0	0	0	0	0,00	0,00
proporzionale alla deformata 1° modo di vibrazione														
	0%	-	-	VNR	VNR	0,00	0	0	0	0	0	0	0,00	0,00
	100%	-	-	VNR	VNR	0,00	0	0	0	0	0	0	0,00	0,00
sisma in +Y														
proporzionale alle masse														
	0%	-47	80.479	NS	2,92	1,01	47602	234850	353296	353296	0	0	2,50	2,50
	100%	-47	-94.465	NS	2,49	1,01	47602	234850	353262	353262	0	0	2,50	2,50
proporzionale alla deformata 1° modo di vibrazione														
	0%	-	-	VNR	VNR	0,00	0	0	0	0	0	0	0,00	0,00
	100%	-	-	VNR	VNR	0,00	0	0	0	0	0	0	0,00	0,00
sisma in -Y														
proporzionale alle masse														
	0%	-	-	VNR	VNR	0,00	0	0	0	0	0	0	0,00	0,00
	100%	-	-	VNR	VNR	0,00	0	0	0	0	0	0	0,00	0,00
proporzionale alla deformata 1° modo di vibrazione														
	0%	-	-	VNR	VNR	0,00	0	0	0	0	0	0	0,00	0,00
	100%	-	-	VNR	VNR	0,00	0	0	0	0	0	0	0,00	0,00
sisma in +X														
proporzionale alle masse														
Trave 36-P14	0%	-	-	VNR	VNR	0,00	0	0	0	0	0	0	0,00	0,00
	100%	-	-	VNR	VNR	0,00	0	0	0	0	0	0	0,00	0,00
proporzionale alla deformata 1° modo di vibrazione														
	0%	2.166	474.264	0,00	0,00	1,20	0	0	420122	474350	0	0	2,50	2,09
	100%	-881	143.218	0,00	0,00	1,00	0	0	350665	350665	0	0	2,50	2,50
sisma in -X														
proporzionale alle masse														
	0%	-	-	VNR	VNR	0,00	0	0	0	0	0	0	0,00	0,00
	100%	-	-	VNR	VNR	0,00	0	0	0	0	0	0	0,00	0,00
proporzionale alla deformata 1° modo di vibrazione														
	0%	-	-	VNR	VNR	0,00	0	0	0	0	0	0	0,00	0,00
	100%	-	-	VNR	VNR	0,00	0	0	0	0	0	0	0,00	0,00
sisma in +Y														
proporzionale alle masse														
	0%	2.252	21.144	0,00	0,00	1,03	0	0	360983	360983	0	0	2,50	2,50
	100%	1.992	-7.123	0,00	0,00	1,03	0	0	361354	361354	0	0	2,50	2,50
proporzionale alla deformata 1° modo di vibrazione														
	0%	-	-	VNR	VNR	0,00	0	0	0	0	0	0	0,00	0,00
	100%	-	-	VNR	VNR	0,00	0	0	0	0	0	0	0,00	0,00
sisma in -Y														
proporzionale alle masse														
	0%	-	-	VNR	VNR	0,00	0	0	0	0	0	0	0,00	0,00
	100%	-	-	VNR	VNR	0,00	0	0	0	0	0	0	0,00	0,00
proporzionale alla deformata 1° modo di vibrazione														
	0%	-	-	VNR	VNR	0,00	0	0	0	0	0	0	0,00	0,00

Id_{Tr}	$\%L_{LI}$	$V_{Ed,3}$	$V_{Ed,2}$	$CS^{(3)}$	$CS^{(2)}$	α_C	$V_{Rsd,s}{}^{(3)}$	$V_{Rsd,s}{}^{(2)}$	$V_{Rcd}{}^{(3)}$	$V_{Rcd}{}^{(2)}$	$V_{fd}{}^{(3)}$	$V_{fd}{}^{(2)}$	$Ctg\Theta^{(3)}$	$Ctg\Theta^{(2)}$
	[%]	[N]	[N]				[N]	[N]	[N]	[N]	[N]	[N]		
	100%	-	-	VNR	VNR	0,00	0	0	0	0	0	0	0,00	0,00
sisma in +X														
proporzionale alle masse														
Trave P14-37	0%	-	-	VNR	VNR	0,00	0	0	0	0	0	0	0,00	0,00
	100%	-	-	VNR	VNR	0,00	0	0	0	0	0	0	0,00	0,00
proporzionale alla deformata 1° modo di vibrazione														
	0%	267	28.449	NS	8,26	1,01	47602	234850	352889	352889	0	0	2,50	2,50
	100%	267	-150.812	NS	1,56	1,01	47602	234850	352838	352838	0	0	2,50	2,50
sisma in -X														
proporzionale alle masse														
	0%	-	-	VNR	VNR	0,00	0	0	0	0	0	0	0,00	0,00
	100%	-	-	VNR	VNR	0,00	0	0	0	0	0	0	0,00	0,00
proporzionale alla deformata 1° modo di vibrazione														
	0%	-	-	VNR	VNR	0,00	0	0	0	0	0	0	0,00	0,00
	100%	-	-	VNR	VNR	0,00	0	0	0	0	0	0	0,00	0,00
sisma in +Y														
proporzionale alle masse														
	0%	75	98.095	NS	2,39	1,01	47602	234850	354072	354072	0	0	2,50	2,50
	100%	75	-81.166	NS	2,89	1,01	47602	234850	353691	353691	0	0	2,50	2,50
proporzionale alla deformata 1° modo di vibrazione														
	0%	-	-	VNR	VNR	0,00	0	0	0	0	0	0	0,00	0,00
	100%	-	-	VNR	VNR	0,00	0	0	0	0	0	0	0,00	0,00
sisma in -Y														
proporzionale alle masse														
	0%	-	-	VNR	VNR	0,00	0	0	0	0	0	0	0,00	0,00
	100%	-	-	VNR	VNR	0,00	0	0	0	0	0	0	0,00	0,00
proporzionale alla deformata 1° modo di vibrazione														
	0%	-	-	VNR	VNR	0,00	0	0	0	0	0	0	0,00	0,00
	100%	-	-	VNR	VNR	0,00	0	0	0	0	0	0	0,00	0,00
sisma in +X														
proporzionale alle masse														
Trave 37-38	0%	-	-	VNR	VNR	0,00	0	0	0	0	0	0	0,00	0,00
	100%	-	-	VNR	VNR	0,00	0	0	0	0	0	0	0,00	0,00
proporzionale alla deformata 1° modo di vibrazione														
	0%	695	-105.121	68,49	2,23	1,19	47602	234850	418131	418131	0	0	2,50	2,50
	100%	695	-211.539	68,49	1,11	1,19	47602	234850	417821	417821	0	0	2,50	2,50
sisma in -X														
proporzionale alle masse														
	0%	-	-	VNR	VNR	0,00	0	0	0	0	0	0	0,00	0,00
	100%	-	-	VNR	VNR	0,00	0	0	0	0	0	0	0,00	0,00
proporzionale alla deformata 1° modo di vibrazione														
	0%	-	-	VNR	VNR	0,00	0	0	0	0	0	0	0,00	0,00
	100%	-	-	VNR	VNR	0,00	0	0	0	0	0	0	0,00	0,00
sisma in +Y														
proporzionale alle masse														
	0%	95	37.654	NS	6,24	1,01	47602	234850	355652	355652	0	0	2,50	2,50
	100%	95	-68.763	NS	3,42	1,01	47602	234850	355757	355757	0	0	2,50	2,50
proporzionale alla deformata 1° modo di vibrazione														
	0%	-	-	VNR	VNR	0,00	0	0	0	0	0	0	0,00	0,00
	100%	-	-	VNR	VNR	0,00	0	0	0	0	0	0	0,00	0,00
sisma in -Y														
proporzionale alle masse														
	0%	-	-	VNR	VNR	0,00	0	0	0	0	0	0	0,00	0,00
	100%	-	-	VNR	VNR	0,00	0	0	0	0	0	0	0,00	0,00
proporzionale alla deformata 1° modo di vibrazione														
	0%	-	-	VNR	VNR	0,00	0	0	0	0	0	0	0,00	0,00
	100%	-	-	VNR	VNR	0,00	0	0	0	0	0	0	0,00	0,00
sisma in +X														
proporzionale alle masse														
Trave 38-7c	0%	-	-	VNR	VNR	0,00	0	0	0	0	0	0	0,00	0,00
	100%	-	-	VNR	VNR	0,00	0	0	0	0	0	0	0,00	0,00
proporzionale alla deformata 1° modo di vibrazione														
	0%	-60	393.782	0,00	0,00	1,24	0	0	434687	434687	0	0	2,50	2,50
	100%	-3.903	-26.435	0,00	0,00	1,02	0	0	359197	359197	0	0	2,50	2,50
sisma in -X														
proporzionale alle masse														
	0%	-	-	VNR	VNR	0,00	0	0	0	0	0	0	0,00	0,00
	100%	-	-	VNR	VNR	0,00	0	0	0	0	0	0	0,00	0,00
proporzionale alla deformata 1° modo di vibrazione														
	0%	-	-	VNR	VNR	0,00	0	0	0	0	0	0	0,00	0,00
	100%	-	-	VNR	VNR	0,00	0	0	0	0	0	0	0,00	0,00
sisma in +Y														
proporzionale alle masse														
	0%	-1.466	36.346	0,00	0,00	1,03	0	0	362327	362327	0	0	2,50	2,50
	100%	-3.285	-43.657	0,00	0,00	1,04	0	0	362995	362995	0	0	2,50	2,50
proporzionale alla deformata 1° modo di vibrazione														
	0%	-	-	VNR	VNR	0,00	0	0	0	0	0	0	0,00	0,00
	100%	-	-	VNR	VNR	0,00	0	0	0	0	0	0	0,00	0,00
sisma in -Y														
proporzionale alle masse														
	0%	-	-	VNR	VNR	0,00	0	0	0	0	0	0	0,00	0,00
	100%	-	-	VNR	VNR	0,00	0	0	0	0	0	0	0,00	0,00
proporzionale alla deformata 1° modo di vibrazione														
	0%	-	-	VNR	VNR	0,00	0	0	0	0	0	0	0,00	0,00
	100%	-	-	VNR	VNR	0,00	0	0	0	0	0	0	0,00	0,00
sisma in +X														

Id_{Tr}	$\%L_{LI}$	$V_{Ed,3}$	$V_{Ed,2}$	$CS^{(3)}$	$CS^{(2)}$	α_C	$V_{Rsd,s}{}^{(3)}$	$V_{Rsd,s}{}^{(2)}$	$V_{Rcd}{}^{(3)}$	$V_{Rcd}{}^{(2)}$	$V_{fd}{}^{(3)}$	$V_{fd}{}^{(2)}$	$Ctg\Theta^{(3)}$	$Ctg\Theta^{(2)}$
	[%]	[N]	[N]				[N]	[N]	[N]	[N]	[N]	[N]		
proporzionale alle masse														
Trave 7c-39	0%	-	-	VNR	VNR	0,00	0	0	0	0	0	0	0,00	0,00
	100%	-	-	VNR	VNR	0,00	0	0	0	0	0	0	0,00	0,00
proporzionale alla deformata 1° modo di vibrazione														
	0%	-4.541	19.702	0,00	0,00	1,02	0	0	356352	356352	0	0	2,50	2,50
	100%	-85	58.361	0,00	0,00	1,01	0	0	355330	355330	0	0	2,50	2,50
sisma in -X														
proporzionale alle masse														
	0%	-	-	VNR	VNR	0,00	0	0	0	0	0	0	0,00	0,00
	100%	-	-	VNR	VNR	0,00	0	0	0	0	0	0	0,00	0,00
proporzionale alla deformata 1° modo di vibrazione														
	0%	-	-	VNR	VNR	0,00	0	0	0	0	0	0	0,00	0,00
	100%	-	-	VNR	VNR	0,00	0	0	0	0	0	0	0,00	0,00
sisma in +Y														
proporzionale alle masse														
	0%	-2.167	-47.248	0,00	0,00	1,05	0	0	369348	369348	0	0	2,50	2,50
	100%	-611	-29.828	0,00	0,00	1,06	0	0	371591	371591	0	0	2,50	2,50
proporzionale alla deformata 1° modo di vibrazione														
	0%	-	-	VNR	VNR	0,00	0	0	0	0	0	0	0,00	0,00
	100%	-	-	VNR	VNR	0,00	0	0	0	0	0	0	0,00	0,00
sisma in -Y														
proporzionale alle masse														
	0%	-	-	VNR	VNR	0,00	0	0	0	0	0	0	0,00	0,00
	100%	-	-	VNR	VNR	0,00	0	0	0	0	0	0	0,00	0,00
proporzionale alla deformata 1° modo di vibrazione														
	0%	-	-	VNR	VNR	0,00	0	0	0	0	0	0	0,00	0,00
	100%	-	-	VNR	VNR	0,00	0	0	0	0	0	0	0,00	0,00
sisma in +X														
proporzionale alle masse														
Trave 39-40	0%	-	-	VNR	VNR	0,00	0	0	0	0	0	0	0,00	0,00
	100%	-	-	VNR	VNR	0,00	0	0	0	0	0	0	0,00	0,00
proporzionale alla deformata 1° modo di vibrazione														
	0%	-2	95.689	NS	2,45	1,02	47602	234850	356257	356257	0	0	2,50	2,50
	100%	-2	-146.396	NS	1,60	1,01	47602	234850	355587	355587	0	0	2,50	2,50
sisma in -X														
proporzionale alle masse														
	0%	-	-	VNR	VNR	0,00	0	0	0	0	0	0	0,00	0,00
	100%	-	-	VNR	VNR	0,00	0	0	0	0	0	0	0,00	0,00
proporzionale alla deformata 1° modo di vibrazione														
	0%	-	-	VNR	VNR	0,00	0	0	0	0	0	0	0,00	0,00
	100%	-	-	VNR	VNR	0,00	0	0	0	0	0	0	0,00	0,00
sisma in +Y														
proporzionale alle masse														
	0%	-262	137.217	NS	1,71	1,01	47602	234850	353587	353587	0	0	2,50	2,50
	100%	-262	-104.868	NS	2,24	1,01	47602	234850	353631	353631	0	0	2,50	2,50
proporzionale alla deformata 1° modo di vibrazione														
	0%	-	-	VNR	VNR	0,00	0	0	0	0	0	0	0,00	0,00
	100%	-	-	VNR	VNR	0,00	0	0	0	0	0	0	0,00	0,00
sisma in -Y														
proporzionale alle masse														
	0%	-	-	VNR	VNR	0,00	0	0	0	0	0	0	0,00	0,00
	100%	-	-	VNR	VNR	0,00	0	0	0	0	0	0	0,00	0,00
proporzionale alla deformata 1° modo di vibrazione														
	0%	-	-	VNR	VNR	0,00	0	0	0	0	0	0	0,00	0,00
	100%	-	-	VNR	VNR	0,00	0	0	0	0	0	0	0,00	0,00
sisma in +X														
proporzionale alle masse														
Trave 40-P15	0%	-	-	VNR	VNR	0,00	0	0	0	0	0	0	0,00	0,00
	100%	-	-	VNR	VNR	0,00	0	0	0	0	0	0	0,00	0,00
proporzionale alla deformata 1° modo di vibrazione														
	0%	335	-179.109	NS	1,31	1,23	47602	234850	429747	429747	0	0	2,50	2,50
	100%	335	-291.982	NS	0,80	1,22	47602	234850	428962	428962	0	0	2,50	2,50
sisma in -X														
proporzionale alle masse														
	0%	-	-	VNR	VNR	0,00	0	0	0	0	0	0	0,00	0,00
	100%	-	-	VNR	VNR	0,00	0	0	0	0	0	0	0,00	0,00
proporzionale alla deformata 1° modo di vibrazione														
	0%	-	-	VNR	VNR	0,00	0	0	0	0	0	0	0,00	0,00
	100%	-	-	VNR	VNR	0,00	0	0	0	0	0	0	0,00	0,00
sisma in +Y														
proporzionale alle masse														
	0%	-604	38.932	78,81	6,03	1,04	47602	234850	363927	363927	0	0	2,50	2,50
	100%	-604	-73.941	78,81	3,18	1,04	47602	234850	363905	363905	0	0	2,50	2,50
proporzionale alla deformata 1° modo di vibrazione														
	0%	-	-	VNR	VNR	0,00	0	0	0	0	0	0	0,00	0,00
	100%	-	-	VNR	VNR	0,00	0	0	0	0	0	0	0,00	0,00
sisma in -Y														
proporzionale alle masse														
	0%	-	-	VNR	VNR	0,00	0	0	0	0	0	0	0,00	0,00
	100%	-	-	VNR	VNR	0,00	0	0	0	0	0	0	0,00	0,00
proporzionale alla deformata 1° modo di vibrazione														
	0%	-	-	VNR	VNR	0,00	0	0	0	0	0	0	0,00	0,00
	100%	-	-	VNR	VNR	0,00	0	0	0	0	0	0	0,00	0,00
sisma in +X														
proporzionale alle masse														
Trave P15-41	0%	-	-	VNR	VNR	0,00	0	0	0	0	0	0	0,00	0,00

Id_{Tr}	$\%L_{LI}$	$V_{Ed,3}$	$V_{Ed,2}$	$CS^{(3)}$	$CS^{(2)}$	α_C	$V_{Rsd,s}{}^{(3)}$	$V_{Rsd,s}{}^{(2)}$	$V_{Rcd}{}^{(3)}$	$V_{Rcd}{}^{(2)}$	$V_{fd}{}^{(3)}$	$V_{fd}{}^{(2)}$	$Ctg\Theta^{(3)}$	$Ctg\Theta^{(2)}$
	[%]	[N]	[N]				[N]	[N]	[N]	[N]	[N]	[N]		
	100%	-	-	VNR	VNR	0,00	0	0	0	0	0	0	0,00	0,00
proporzionale alla deformata 1° modo di vibrazione														
	0%	2.553	359.663	0,00	0,00	1,29	0	0	450804	450804	0	0	2,50	2,50
	100%	9.466	156.881	0,00	0,00	1,02	0	0	359058	359058	0	0	2,50	2,50
sisma in -X														
proporzionale alle masse														
	0%	-	-	VNR	VNR	0,00	0	0	0	0	0	0	0,00	0,00
	100%	-	-	VNR	VNR	0,00	0	0	0	0	0	0	0,00	0,00
proporzionale alla deformata 1° modo di vibrazione														
	0%	-	-	VNR	VNR	0,00	0	0	0	0	0	0	0,00	0,00
	100%	-	-	VNR	VNR	0,00	0	0	0	0	0	0	0,00	0,00
sisma in +Y														
proporzionale alle masse														
	0%	16.033	28.786	0,00	0,00	1,05	0	0	368585	368585	0	0	2,50	2,50
	100%	40.420	53.231	0,00	0,00	1,02	0	0	356556	356556	0	0	2,50	2,50
proporzionale alla deformata 1° modo di vibrazione														
	0%	-	-	VNR	VNR	0,00	0	0	0	0	0	0	0,00	0,00
	100%	-	-	VNR	VNR	0,00	0	0	0	0	0	0	0,00	0,00
sisma in -Y														
proporzionale alle masse														
	0%	-	-	VNR	VNR	0,00	0	0	0	0	0	0	0,00	0,00
	100%	-	-	VNR	VNR	0,00	0	0	0	0	0	0	0,00	0,00
proporzionale alla deformata 1° modo di vibrazione														
	0%	-	-	VNR	VNR	0,00	0	0	0	0	0	0	0,00	0,00
	100%	-	-	VNR	VNR	0,00	0	0	0	0	0	0	0,00	0,00
Piano primo								**Travata: Trave14-15-16-17-18-19-20-21-22-23-24**						
sisma in +X														
proporzionale alle masse														
Trave 14-15	0%	-	-	VNR	VNR	0,00	0	0	0	0	0	0	0,00	0,00
	100%	-	-	VNR	VNR	0,00	0	0	0	0	0	0	0,00	0,00
proporzionale alla deformata 1° modo di vibrazione														
	0%	-99	113.548	NS	1,29	1,01	69323	146425	310622	310622	0	0	2,50	2,50
	100%	-99	-169.451	NS	0,86	1,02	69323	146425	311752	311752	0	0	2,50	2,50
sisma in -X														
proporzionale alle masse														
	0%	-	-	VNR	VNR	0,00	0	0	0	0	0	0	0,00	0,00
	100%	-	-	VNR	VNR	0,00	0	0	0	0	0	0	0,00	0,00
proporzionale alla deformata 1° modo di vibrazione														
	0%	-	-	VNR	VNR	0,00	0	0	0	0	0	0	0,00	0,00
	100%	-	-	VNR	VNR	0,00	0	0	0	0	0	0	0,00	0,00
sisma in +Y														
proporzionale alle masse														
	0%	-637	128.189	NS	1,14	1,00	69323	146425	306227	306227	0	0	2,50	2,50
	100%	-637	-154.810	NS	0,95	1,00	69323	146425	306302	306302	0	0	2,50	2,50
proporzionale alla deformata 1° modo di vibrazione														
	0%	-	-	VNR	VNR	0,00	0	0	0	0	0	0	0,00	0,00
	100%	-	-	VNR	VNR	0,00	0	0	0	0	0	0	0,00	0,00
sisma in -Y														
proporzionale alle masse														
	0%	-	-	VNR	VNR	0,00	0	0	0	0	0	0	0,00	0,00
	100%	-	-	VNR	VNR	0,00	0	0	0	0	0	0	0,00	0,00
proporzionale alla deformata 1° modo di vibrazione														
	0%	-	-	VNR	VNR	0,00	0	0	0	0	0	0	0,00	0,00
	100%	-	-	VNR	VNR	0,00	0	0	0	0	0	0	0,00	0,00
sisma in +X														
proporzionale alle masse														
Trave 15-16	0%	-	-	VNR	VNR	0,00	0	0	0	0	0	0	0,00	0,00
	100%	-	-	VNR	VNR	0,00	0	0	0	0	0	0	0,00	0,00
proporzionale alla deformata 1° modo di vibrazione														
	0%	30	110.361	NS	1,33	1,06	69323	146425	323829	323829	0	0	2,50	2,50
	100%	30	-159.769	NS	0,92	1,06	69323	146425	324070	324070	0	0	2,50	2,50
sisma in -X														
proporzionale alle masse														
	0%	-	-	VNR	VNR	0,00	0	0	0	0	0	0	0,00	0,00
	100%	-	-	VNR	VNR	0,00	0	0	0	0	0	0	0,00	0,00
proporzionale alla deformata 1° modo di vibrazione														
	0%	-	-	VNR	VNR	0,00	0	0	0	0	0	0	0,00	0,00
	100%	-	-	VNR	VNR	0,00	0	0	0	0	0	0	0,00	0,00
sisma in +Y														
proporzionale alle masse														
	0%	222	129.345	NS	1,13	1,03	69323	146425	315617	315617	0	0	2,50	2,50
	100%	222	-140.785	NS	1,04	1,03	69323	146425	315630	315630	0	0	2,50	2,50
proporzionale alla deformata 1° modo di vibrazione														
	0%	-	-	VNR	VNR	0,00	0	0	0	0	0	0	0,00	0,00
	100%	-	-	VNR	VNR	0,00	0	0	0	0	0	0	0,00	0,00
sisma in -Y														
proporzionale alle masse														
	0%	-	-	VNR	VNR	0,00	0	0	0	0	0	0	0,00	0,00
	100%	-	-	VNR	VNR	0,00	0	0	0	0	0	0	0,00	0,00
proporzionale alla deformata 1° modo di vibrazione														
	0%	-	-	VNR	VNR	0,00	0	0	0	0	0	0	0,00	0,00
	100%	-	-	VNR	VNR	0,00	0	0	0	0	0	0	0,00	0,00
sisma in +X														
proporzionale alle masse														
Trave 16-17	0%	-	-	VNR	VNR	0,00	0	0	0	0	0	0	0,00	0,00
	100%	-	-	VNR	VNR	0,00	0	0	0	0	0	0	0,00	0,00

Id_{Tr}	$\%L_{LI}$	$V_{Ed,3}$	$V_{Ed,2}$	$CS^{(3)}$	$CS^{(2)}$	α_C	$V_{Rsd,s}{}^{(3)}$	$V_{Rsd,s}{}^{(2)}$	$V_{Rcd}{}^{(3)}$	$V_{Rcd}{}^{(2)}$	$V_{fd}{}^{(3)}$	$V_{fd}{}^{(2)}$	$Ctg\Theta^{(3)}$	$Ctg\Theta^{(2)}$
	[%]	[N]	[N]				[N]	[N]	[N]	[N]	[N]	[N]		
proporzionale alla deformata 1° modo di vibrazione														
	0%	94	154.166	NS	1,46	1,05	86654	224336	394011	394011	0	0	2,50	2,50
	100%	94	-236.473	NS	0,95	1,05	86654	224336	394442	394442	0	0	2,50	2,50
sisma in -X														
proporzionale alle masse														
	0%	-	-	VNR	VNR	0,00	0	0	0	0	0	0	0,00	0,00
	100%	-	-	VNR	VNR	0,00	0	0	0	0	0	0	0,00	0,00
proporzionale alla deformata 1° modo di vibrazione														
	0%	-	-	VNR	VNR	0,00	0	0	0	0	0	0	0,00	0,00
	100%	-	-	VNR	VNR	0,00	0	0	0	0	0	0	0,00	0,00
sisma in +Y														
proporzionale alle masse														
	0%	-141	190.774	NS	1,18	1,02	86654	224336	382453	382453	0	0	2,50	2,50
	100%	-141	-199.866	NS	1,12	1,02	86654	224336	382461	382461	0	0	2,50	2,50
proporzionale alla deformata 1° modo di vibrazione														
	0%	-	-	VNR	VNR	0,00	0	0	0	0	0	0	0,00	0,00
	100%	-	-	VNR	VNR	0,00	0	0	0	0	0	0	0,00	0,00
sisma in -Y														
proporzionale alle masse														
	0%	-	-	VNR	VNR	0,00	0	0	0	0	0	0	0,00	0,00
	100%	-	-	VNR	VNR	0,00	0	0	0	0	0	0	0,00	0,00
proporzionale alla deformata 1° modo di vibrazione														
	0%	-	-	VNR	VNR	0,00	0	0	0	0	0	0	0,00	0,00
	100%	-	-	VNR	VNR	0,00	0	0	0	0	0	0	0,00	0,00
sisma in +X														
proporzionale alle masse														
Trave 17-18	0%	-	-	VNR	VNR	0,00	0	0	0	0	0	0	0,00	0,00
	100%	-	-	VNR	VNR	0,00	0	0	0	0	0	0	0,00	0,00
proporzionale alla deformata 1° modo di vibrazione														
	0%	4	157.336	NS	1,43	1,05	86654	224336	393330	393330	0	0	2,50	2,50
	100%	4	-231.598	NS	0,97	1,05	86654	224336	393982	393982	0	0	2,50	2,50
sisma in -X														
proporzionale alle masse														
	0%	-	-	VNR	VNR	0,00	0	0	0	0	0	0	0,00	0,00
	100%	-	-	VNR	VNR	0,00	0	0	0	0	0	0	0,00	0,00
proporzionale alla deformata 1° modo di vibrazione														
	0%	-	-	VNR	VNR	0,00	0	0	0	0	0	0	0,00	0,00
	100%	-	-	VNR	VNR	0,00	0	0	0	0	0	0	0,00	0,00
sisma in +Y														
proporzionale alle masse														
	0%	76	191.638	NS	1,17	1,03	86654	224336	385606	385606	0	0	2,50	2,50
	100%	76	-197.295	NS	1,14	1,03	86654	224336	385605	385605	0	0	2,50	2,50
proporzionale alla deformata 1° modo di vibrazione														
	0%	-	-	VNR	VNR	0,00	0	0	0	0	0	0	0,00	0,00
	100%	-	-	VNR	VNR	0,00	0	0	0	0	0	0	0,00	0,00
sisma in -Y														
proporzionale alle masse														
	0%	-	-	VNR	VNR	0,00	0	0	0	0	0	0	0,00	0,00
	100%	-	-	VNR	VNR	0,00	0	0	0	0	0	0	0,00	0,00
proporzionale alla deformata 1° modo di vibrazione														
	0%	-	-	VNR	VNR	0,00	0	0	0	0	0	0	0,00	0,00
	100%	-	-	VNR	VNR	0,00	0	0	0	0	0	0	0,00	0,00
sisma in +X														
proporzionale alle masse														
Trave 18-19	0%	-	-	VNR	VNR	0,00	0	0	0	0	0	0	0,00	0,00
	100%	-	-	VNR	VNR	0,00	0	0	0	0	0	0	0,00	0,00
proporzionale alla deformata 1° modo di vibrazione														
	0%	32	191.534	NS	1,17	1,00	86654	224336	375163	375163	0	0	2,50	2,50
	100%	32	-207.635	NS	1,08	1,00	86654	224336	375163	375163	0	0	2,50	2,50
sisma in -X														
proporzionale alle masse														
	0%	-	-	VNR	VNR	0,00	0	0	0	0	0	0	0,00	0,00
	100%	-	-	VNR	VNR	0,00	0	0	0	0	0	0	0,00	0,00
proporzionale alla deformata 1° modo di vibrazione														
	0%	-	-	VNR	VNR	0,00	0	0	0	0	0	0	0,00	0,00
	100%	-	-	VNR	VNR	0,00	0	0	0	0	0	0	0,00	0,00
sisma in +Y														
proporzionale alle masse														
	0%	-102	230.265	NS	0,97	1,02	86654	224336	381067	381067	0	0	2,50	2,50
	100%	-102	-168.904	NS	1,33	1,01	86654	224336	380468	380468	0	0	2,50	2,50
proporzionale alla deformata 1° modo di vibrazione														
	0%	-	-	VNR	VNR	0,00	0	0	0	0	0	0	0,00	0,00
	100%	-	-	VNR	VNR	0,00	0	0	0	0	0	0	0,00	0,00
sisma in -Y														
proporzionale alle masse														
	0%	-	-	VNR	VNR	0,00	0	0	0	0	0	0	0,00	0,00
	100%	-	-	VNR	VNR	0,00	0	0	0	0	0	0	0,00	0,00
proporzionale alla deformata 1° modo di vibrazione														
	0%	-	-	VNR	VNR	0,00	0	0	0	0	0	0	0,00	0,00
	100%	-	-	VNR	VNR	0,00	0	0	0	0	0	0	0,00	0,00
sisma in +X														
proporzionale alle masse														
Trave 19-20	0%	-	-	VNR	VNR	0,00	0	0	0	0	0	0	0,00	0,00
	100%	-	-	VNR	VNR	0,00	0	0	0	0	0	0	0,00	0,00
proporzionale alla deformata 1° modo di vibrazione														
	0%	1.314	34.877	44,38	2,11	1,17	58309	73729	155146	155146	0	0	2,50	2,50

Id_{Tr}	$\%L_{LI}$	$V_{Ed,3}$	$V_{Ed,2}$	$CS^{(3)}$	$CS^{(2)}$	α_C	$V_{Rsd,s}{}^{(3)}$	$V_{Rsd,s}{}^{(2)}$	$V_{Rcd}{}^{(3)}$	$V_{Rcd}{}^{(2)}$	$V_{fd}{}^{(3)}$	$V_{fd}{}^{(2)}$	$Ctg\Theta^{(3)}$	$Ctg\Theta^{(2)}$
	[%]	[N]	[N]				[N]	[N]	[N]	[N]	[N]	[N]		
	100%	1.314	6.238	44,38	11,82	1,17	58309	73729	155196	155196	0	0	2,50	2,50
sisma in -X														
proporzionale alle masse														
	0%	-	-	VNR	VNR	0,00	0	0	0	0	0	0	0,00	0,00
	100%	-	-	VNR	VNR	0,00	0	0	0	0	0	0	0,00	0,00
proporzionale alla deformata 1° modo di vibrazione														
	0%	-	-	VNR	VNR	0,00	0	0	0	0	0	0	0,00	0,00
	100%	-	-	VNR	VNR	0,00	0	0	0	0	0	0	0,00	0,00
sisma in +Y														
proporzionale alle masse														
	0%	860	-14.578	67,80	5,06	1,12	58309	73729	147878	147878	0	0	2,50	2,50
	100%	860	-43.217	67,80	1,71	1,12	58309	73729	147980	147980	0	0	2,50	2,50
proporzionale alla deformata 1° modo di vibrazione														
	0%	-	-	VNR	VNR	0,00	0	0	0	0	0	0	0,00	0,00
	100%	-	-	VNR	VNR	0,00	0	0	0	0	0	0	0,00	0,00
sisma in -Y														
proporzionale alle masse														
	0%	-	-	VNR	VNR	0,00	0	0	0	0	0	0	0,00	0,00
	100%	-	-	VNR	VNR	0,00	0	0	0	0	0	0	0,00	0,00
proporzionale alla deformata 1° modo di vibrazione														
	0%	-	-	VNR	VNR	0,00	0	0	0	0	0	0	0,00	0,00
	100%	-	-	VNR	VNR	0,00	0	0	0	0	0	0	0,00	0,00
sisma in +X														
proporzionale alle masse														
Trave 20-21	0%	-	-	VNR	VNR	0,00	0	0	0	0	0	0	0,00	0,00
	100%	-	-	VNR	VNR	0,00	0	0	0	0	0	0	0,00	0,00
proporzionale alla deformata 1° modo di vibrazione														
	0%	-14	-9.748	NS	8,24	1,08	47294	80338	129734	129734	0	0	2,50	2,50
	100%	-14	-18.448	NS	4,35	1,08	47294	80338	129707	129707	0	0	2,50	2,50
sisma in -X														
proporzionale alle masse														
	0%	-	-	VNR	VNR	0,00	0	0	0	0	0	0	0,00	0,00
	100%	-	-	VNR	VNR	0,00	0	0	0	0	0	0	0,00	0,00
proporzionale alla deformata 1° modo di vibrazione														
	0%	-	-	VNR	VNR	0,00	0	0	0	0	0	0	0,00	0,00
	100%	-	-	VNR	VNR	0,00	0	0	0	0	0	0	0,00	0,00
sisma in +Y														
proporzionale alle masse														
	0%	-26	4.635	NS	17,33	1,08	47294	80338	129349	129349	0	0	2,50	2,50
	100%	-26	-4.065	NS	19,76	1,08	47294	80338	129349	129349	0	0	2,50	2,50
proporzionale alla deformata 1° modo di vibrazione														
	0%	-	-	VNR	VNR	0,00	0	0	0	0	0	0	0,00	0,00
	100%	-	-	VNR	VNR	0,00	0	0	0	0	0	0	0,00	0,00
sisma in -Y														
proporzionale alle masse														
	0%	-	-	VNR	VNR	0,00	0	0	0	0	0	0	0,00	0,00
	100%	-	-	VNR	VNR	0,00	0	0	0	0	0	0	0,00	0,00
proporzionale alla deformata 1° modo di vibrazione														
	0%	-	-	VNR	VNR	0,00	0	0	0	0	0	0	0,00	0,00
	100%	-	-	VNR	VNR	0,00	0	0	0	0	0	0	0,00	0,00
sisma in +X														
proporzionale alle masse														
Trave 21-22	0%	-	-	VNR	VNR	0,00	0	0	0	0	0	0	0,00	0,00
	100%	-	-	VNR	VNR	0,00	0	0	0	0	0	0	0,00	0,00
proporzionale alla deformata 1° modo di vibrazione														
	0%	-54	-22.011	NS	3,65	1,10	47294	80338	132016	132016	0	0	2,50	2,50
	100%	-54	-54.002	NS	1,49	1,10	47294	80338	131954	131954	0	0	2,50	2,50
sisma in -X														
proporzionale alle masse														
	0%	-	-	VNR	VNR	0,00	0	0	0	0	0	0	0,00	0,00
	100%	-	-	VNR	VNR	0,00	0	0	0	0	0	0	0,00	0,00
proporzionale alla deformata 1° modo di vibrazione														
	0%	-	-	VNR	VNR	0,00	0	0	0	0	0	0	0,00	0,00
	100%	-	-	VNR	VNR	0,00	0	0	0	0	0	0	0,00	0,00
sisma in +Y														
proporzionale alle masse														
	0%	-885	23.819	53,44	3,37	1,03	47294	80338	124054	124054	0	0	2,50	2,50
	100%	-885	-8.172	53,44	9,83	1,03	47294	80338	124018	124018	0	0	2,50	2,50
proporzionale alla deformata 1° modo di vibrazione														
	0%	-	-	VNR	VNR	0,00	0	0	0	0	0	0	0,00	0,00
	100%	-	-	VNR	VNR	0,00	0	0	0	0	0	0	0,00	0,00
sisma in -Y														
proporzionale alle masse														
	0%	-	-	VNR	VNR	0,00	0	0	0	0	0	0	0,00	0,00
	100%	-	-	VNR	VNR	0,00	0	0	0	0	0	0	0,00	0,00
proporzionale alla deformata 1° modo di vibrazione														
	0%	-	-	VNR	VNR	0,00	0	0	0	0	0	0	0,00	0,00
	100%	-	-	VNR	VNR	0,00	0	0	0	0	0	0	0,00	0,00
sisma in +X														
proporzionale alle masse														
Trave 22-23	0%	-	-	VNR	VNR	0,00	0	0	0	0	0	0	0,00	0,00
	100%	-	-	VNR	VNR	0,00	0	0	0	0	0	0	0,00	0,00
proporzionale alla deformata 1° modo di vibrazione														
	0%	-16	65.123	NS	2,42	1,05	58309	157440	296317	296317	0	0	2,50	2,50
	100%	-16	-149.801	NS	1,05	1,05	58309	157440	295738	295738	0	0	2,50	2,50
sisma in -X														

Id_{Tr}	$\%L_{LI}$	$V_{Ed,3}$	$V_{Ed,2}$	$CS^{(3)}$	$CS^{(2)}$	α_C	$V_{Rsd,s}{}^{(3)}$	$V_{Rsd,s}{}^{(2)}$	$V_{Rcd}{}^{(3)}$	$V_{Rcd}{}^{(2)}$	$V_{fd}{}^{(3)}$	$V_{fd}{}^{(2)}$	$Ctg\Theta^{(3)}$	$Ctg\Theta^{(2)}$
	[%]	[N]	[N]				[N]	[N]	[N]	[N]	[N]	[N]		
proporzionale alle masse														
	0%	-	-	VNR	VNR	0,00	0	0	0	0	0	0	0,00	0,00
	100%	-	-	VNR	VNR	0,00	0	0	0	0	0	0	0,00	0,00
proporzionale alla deformata 1° modo di vibrazione														
	0%	-	-	VNR	VNR	0,00	0	0	0	0	0	0	0,00	0,00
	100%	-	-	VNR	VNR	0,00	0	0	0	0	0	0	0,00	0,00
sisma in +Y														
proporzionale alle masse														
	0%	-243	113.212	NS	1,39	1,01	58309	157440	285695	285695	0	0	2,50	2,50
	100%	-243	-101.712	NS	1,55	1,01	58309	157440	285576	285576	0	0	2,50	2,50
proporzionale alla deformata 1° modo di vibrazione														
	0%	-	-	VNR	VNR	0,00	0	0	0	0	0	0	0,00	0,00
	100%	-	-	VNR	VNR	0,00	0	0	0	0	0	0	0,00	0,00
sisma in -Y														
proporzionale alle masse														
	0%	-	-	VNR	VNR	0,00	0	0	0	0	0	0	0,00	0,00
	100%	-	-	VNR	VNR	0,00	0	0	0	0	0	0	0,00	0,00
proporzionale alla deformata 1° modo di vibrazione														
	0%	-	-	VNR	VNR	0,00	0	0	0	0	0	0	0,00	0,00
	100%	-	-	VNR	VNR	0,00	0	0	0	0	0	0	0,00	0,00
sisma in +X														
proporzionale alle masse														
Trave 23-24	0%	-	-	VNR	VNR	0,00	0	0	0	0	0	0	0,00	0,00
	100%	-	-	VNR	VNR	0,00	0	0	0	0	0	0	0,00	0,00
proporzionale alla deformata 1° modo di vibrazione														
	0%	-74	79.670	NS	1,98	1,00	58309	157440	282097	282097	0	0	2,50	2,50
	100%	-74	-122.464	NS	1,29	1,00	58309	157440	282097	282097	0	0	2,50	2,50
sisma in -X														
proporzionale alle masse														
	0%	-	-	VNR	VNR	0,00	0	0	0	0	0	0	0,00	0,00
	100%	-	-	VNR	VNR	0,00	0	0	0	0	0	0	0,00	0,00
proporzionale alla deformata 1° modo di vibrazione														
	0%	-	-	VNR	VNR	0,00	0	0	0	0	0	0	0,00	0,00
	100%	-	-	VNR	VNR	0,00	0	0	0	0	0	0	0,00	0,00
sisma in +Y														
proporzionale alle masse														
	0%	-258	84.241	NS	1,87	1,00	58309	157440	282097	282097	0	0	2,50	2,50
	100%	-258	-117.893	NS	1,34	1,00	58309	157440	282097	282097	0	0	2,50	2,50
proporzionale alla deformata 1° modo di vibrazione														
	0%	-	-	VNR	VNR	0,00	0	0	0	0	0	0	0,00	0,00
	100%	-	-	VNR	VNR	0,00	0	0	0	0	0	0	0,00	0,00
sisma in -Y														
proporzionale alle masse														
	0%	-	-	VNR	VNR	0,00	0	0	0	0	0	0	0,00	0,00
	100%	-	-	VNR	VNR	0,00	0	0	0	0	0	0	0,00	0,00
proporzionale alla deformata 1° modo di vibrazione														
	0%	-	-	VNR	VNR	0,00	0	0	0	0	0	0	0,00	0,00
	100%	-	-	VNR	VNR	0,00	0	0	0	0	0	0	0,00	0,00
Piano primo								**Travata: Trave19-20-21-22-23-24**						
sisma in +X														
proporzionale alle masse														
Trave 19-20	0%	-	-	VNR	VNR	0,00	0	0	0	0	0	0	0,00	0,00
	100%	-	-	VNR	VNR	0,00	0	0	0	0	0	0	0,00	0,00
proporzionale alla deformata 1° modo di vibrazione														
	0%	557	-46.071	NS	3,47	1,04	79368	171157	159746	159746	0	0	2,50	2,50
	100%	557	-53.273	NS	3,01	1,04	79368	171157	160226	160226	0	0	2,50	2,50
sisma in -X														
proporzionale alle masse														
	0%	-	-	VNR	VNR	0,00	0	0	0	0	0	0	0,00	0,00
	100%	-	-	VNR	VNR	0,00	0	0	0	0	0	0	0,00	0,00
proporzionale alla deformata 1° modo di vibrazione														
	0%	-	-	VNR	VNR	0,00	0	0	0	0	0	0	0,00	0,00
	100%	-	-	VNR	VNR	0,00	0	0	0	0	0	0	0,00	0,00
sisma in +Y														
proporzionale alle masse														
	0%	-1.113	-59.319	71,31	2,76	1,07	79368	171157	163919	163919	0	0	2,50	2,50
	100%	-1.113	-66.520	71,31	2,47	1,07	79368	171157	164105	164105	0	0	2,50	2,50
proporzionale alla deformata 1° modo di vibrazione														
	0%	-	-	VNR	VNR	0,00	0	0	0	0	0	0	0,00	0,00
	100%	-	-	VNR	VNR	0,00	0	0	0	0	0	0	0,00	0,00
sisma in -Y														
proporzionale alle masse														
	0%	-	-	VNR	VNR	0,00	0	0	0	0	0	0	0,00	0,00
	100%	-	-	VNR	VNR	0,00	0	0	0	0	0	0	0,00	0,00
proporzionale alla deformata 1° modo di vibrazione														
	0%	-	-	VNR	VNR	0,00	0	0	0	0	0	0	0,00	0,00
	100%	-	-	VNR	VNR	0,00	0	0	0	0	0	0	0,00	0,00
sisma in +X														
proporzionale alle masse														
Trave 20-21	0%	-	-	VNR	VNR	0,00	0	0	0	0	0	0	0,00	0,00
	100%	-	-	VNR	VNR	0,00	0	0	0	0	0	0	0,00	0,00
proporzionale alla deformata 1° modo di vibrazione														
	0%	-110	-7.502	NS	13,69	1,05	47621	102694	161015	161015	0	0	2,50	2,50
	100%	-110	-24.210	NS	4,24	1,05	47621	102694	160965	160965	0	0	2,50	2,50
sisma in -X														
proporzionale alle masse														

Id_{Tr}	$\%L_{LI}$	$V_{Ed,3}$	$V_{Ed,2}$	$CS^{(3)}$	$CS^{(2)}$	α_C	$V_{Rsd,s}{}^{(3)}$	$V_{Rsd,s}{}^{(2)}$	$V_{Rcd}{}^{(3)}$	$V_{Rcd}{}^{(2)}$	$V_{fd}{}^{(3)}$	$V_{fd}{}^{(2)}$	$Ctg\Theta^{(3)}$	$Ctg\Theta^{(2)}$
	[%]	[N]	[N]				[N]	[N]	[N]	[N]	[N]	[N]		
	0%	-	-	VNR	VNR	0,00	0	0	0	0	0	0	0,00	0,00
	100%	-	-	VNR	VNR	0,00	0	0	0	0	0	0	0,00	0,00
proporzionale alla deformata 1° modo di vibrazione														
	0%	-	-	VNR	VNR	0,00	0	0	0	0	0	0	0,00	0,00
	100%	-	-	VNR	VNR	0,00	0	0	0	0	0	0	0,00	0,00
sisma in +Y														
proporzionale alle masse														
	0%	-19	11.947	NS	8,60	1,04	47621	102694	159690	159690	0	0	2,50	2,50
	100%	-19	-4.761	NS	21,57	1,04	47621	102694	159683	159683	0	0	2,50	2,50
proporzionale alla deformata 1° modo di vibrazione														
	0%	-	-	VNR	VNR	0,00	0	0	0	0	0	0	0,00	0,00
	100%	-	-	VNR	VNR	0,00	0	0	0	0	0	0	0,00	0,00
sisma in -Y														
proporzionale alle masse														
	0%	-	-	VNR	VNR	0,00	0	0	0	0	0	0	0,00	0,00
	100%	-	-	VNR	VNR	0,00	0	0	0	0	0	0	0,00	0,00
proporzionale alla deformata 1° modo di vibrazione														
	0%	-	-	VNR	VNR	0,00	0	0	0	0	0	0	0,00	0,00
	100%	-	-	VNR	VNR	0,00	0	0	0	0	0	0	0,00	0,00
sisma in +X														
proporzionale alle masse														
Trave 21-22	0%	-	-	VNR	VNR	0,00	0	0	0	0	0	0	0,00	0,00
	100%	-	-	VNR	VNR	0,00	0	0	0	0	0	0	0,00	0,00
proporzionale alla deformata 1° modo di vibrazione														
	0%	-102	-32.882	NS	3,12	1,06	47621	102694	162680	162680	0	0	2,50	2,50
	100%	-102	-40.289	NS	2,55	1,06	47621	102694	162639	162639	0	0	2,50	2,50
sisma in -X														
proporzionale alle masse														
	0%	-	-	VNR	VNR	0,00	0	0	0	0	0	0	0,00	0,00
	100%	-	-	VNR	VNR	0,00	0	0	0	0	0	0	0,00	0,00
proporzionale alla deformata 1° modo di vibrazione														
	0%	-	-	VNR	VNR	0,00	0	0	0	0	0	0	0,00	0,00
	100%	-	-	VNR	VNR	0,00	0	0	0	0	0	0	0,00	0,00
sisma in +Y														
proporzionale alle masse														
	0%	489	15.244	97,38	6,74	1,02	47621	102694	155641	155641	0	0	2,50	2,50
	100%	489	7.838	97,38	13,10	1,01	47621	102694	155625	155625	0	0	2,50	2,50
proporzionale alla deformata 1° modo di vibrazione														
	0%	-	-	VNR	VNR	0,00	0	0	0	0	0	0	0,00	0,00
	100%	-	-	VNR	VNR	0,00	0	0	0	0	0	0	0,00	0,00
sisma in -Y														
proporzionale alle masse														
	0%	-	-	VNR	VNR	0,00	0	0	0	0	0	0	0,00	0,00
	100%	-	-	VNR	VNR	0,00	0	0	0	0	0	0	0,00	0,00
proporzionale alla deformata 1° modo di vibrazione														
	0%	-	-	VNR	VNR	0,00	0	0	0	0	0	0	0,00	0,00
	100%	-	-	VNR	VNR	0,00	0	0	0	0	0	0	0,00	0,00
sisma in +X														
proporzionale alle masse														
Trave 22-23	0%	-	-	VNR	VNR	0,00	0	0	0	0	0	0	0,00	0,00
	100%	-	-	VNR	VNR	0,00	0	0	0	0	0	0	0,00	0,00
proporzionale alla deformata 1° modo di vibrazione														
	0%	-16	-2.414	NS	42,54	1,07	47621	102694	164300	164300	0	0	2,50	2,50
	100%	-16	-28.101	NS	3,65	1,07	47621	102694	164219	164219	0	0	2,50	2,50
sisma in -X														
proporzionale alle masse														
	0%	-	-	VNR	VNR	0,00	0	0	0	0	0	0	0,00	0,00
	100%	-	-	VNR	VNR	0,00	0	0	0	0	0	0	0,00	0,00
proporzionale alla deformata 1° modo di vibrazione														
	0%	-	-	VNR	VNR	0,00	0	0	0	0	0	0	0,00	0,00
	100%	-	-	VNR	VNR	0,00	0	0	0	0	0	0	0,00	0,00
sisma in +Y														
proporzionale alle masse														
	0%	-104	14.467	NS	7,10	1,01	47621	102694	154783	154783	0	0	2,50	2,50
	100%	-104	-11.220	NS	9,15	1,01	47621	102694	154728	154728	0	0	2,50	2,50
proporzionale alla deformata 1° modo di vibrazione														
	0%	-	-	VNR	VNR	0,00	0	0	0	0	0	0	0,00	0,00
	100%	-	-	VNR	VNR	0,00	0	0	0	0	0	0	0,00	0,00
sisma in -Y														
proporzionale alle masse														
	0%	-	-	VNR	VNR	0,00	0	0	0	0	0	0	0,00	0,00
	100%	-	-	VNR	VNR	0,00	0	0	0	0	0	0	0,00	0,00
proporzionale alla deformata 1° modo di vibrazione														
	0%	-	-	VNR	VNR	0,00	0	0	0	0	0	0	0,00	0,00
	100%	-	-	VNR	VNR	0,00	0	0	0	0	0	0	0,00	0,00
sisma in +X														
proporzionale alle masse														
Trave 23-24	0%	-	-	VNR	VNR	0,00	0	0	0	0	0	0	0,00	0,00
	100%	-	-	VNR	VNR	0,00	0	0	0	0	0	0	0,00	0,00
proporzionale alla deformata 1° modo di vibrazione														
	0%	-234	-2.180	NS	47,11	1,05	47621	102694	161498	161498	0	0	2,50	2,50
	100%	-234	-28.243	NS	3,64	1,05	47621	102694	161403	161403	0	0	2,50	2,50
sisma in -X														
proporzionale alle masse														
	0%	-	-	VNR	VNR	0,00	0	0	0	0	0	0	0,00	0,00
	100%	-	-	VNR	VNR	0,00	0	0	0	0	0	0	0,00	0,00

Id_{Tr}	$\%L_{LI}$	$V_{Ed,3}$	$V_{Ed,2}$	$CS^{(3)}$	$CS^{(2)}$	α_C	$V_{Rsd,s}{}^{(3)}$	$V_{Rsd,s}{}^{(2)}$	$V_{Rcd}{}^{(3)}$	$V_{Rcd}{}^{(2)}$	$V_{fd}{}^{(3)}$	$V_{fd}{}^{(2)}$	$Ctg\Theta^{(3)}$	$Ctg\Theta^{(2)}$
	[%]	[N]	[N]				[N]	[N]	[N]	[N]	[N]	[N]		
proporzionale alla deformata 1° modo di vibrazione														
	0%	-	-	VNR	VNR	0,00	0	0	0	0	0	0	0,00	0,00
	100%	-	-	VNR	VNR	0,00	0	0	0	0	0	0	0,00	0,00
sisma in +Y														
proporzionale alle masse														
	0%	-138	4.502	NS	22,81	1,03	47621	102694	157507	157507	0	0	2,50	2,50
	100%	-138	-21.561	NS	4,76	1,03	47621	102694	157272	157272	0	0	2,50	2,50
proporzionale alla deformata 1° modo di vibrazione														
	0%	-	-	VNR	VNR	0,00	0	0	0	0	0	0	0,00	0,00
	100%	-	-	VNR	VNR	0,00	0	0	0	0	0	0	0,00	0,00
sisma in -Y														
proporzionale alle masse														
	0%	-	-	VNR	VNR	0,00	0	0	0	0	0	0	0,00	0,00
	100%	-	-	VNR	VNR	0,00	0	0	0	0	0	0	0,00	0,00
proporzionale alla deformata 1° modo di vibrazione														
	0%	-	-	VNR	VNR	0,00	0	0	0	0	0	0	0,00	0,00
	100%	-	-	VNR	VNR	0,00	0	0	0	0	0	0	0,00	0,00
Piano primo								**Travata: Trave25-26-27**						
sisma in +X														
proporzionale alle masse														
Trave 25-26	0%	-	-	VNR	VNR	0,00	0	0	0	0	0	0	0,00	0,00
	100%	-	-	VNR	VNR	0,00	0	0	0	0	0	0	0,00	0,00
proporzionale alla deformata 1° modo di vibrazione														
	0%	207	91.431	NS	1,60	1,00	58223	146340	262292	262292	0	0	2,50	2,50
	100%	207	-133.415	NS	1,10	1,00	58223	146340	262527	262527	0	0	2,50	2,50
sisma in -X														
proporzionale alle masse														
	0%	-	-	VNR	VNR	0,00	0	0	0	0	0	0	0,00	0,00
	100%	-	-	VNR	VNR	0,00	0	0	0	0	0	0	0,00	0,00
proporzionale alla deformata 1° modo di vibrazione														
	0%	-	-	VNR	VNR	0,00	0	0	0	0	0	0	0,00	0,00
	100%	-	-	VNR	VNR	0,00	0	0	0	0	0	0	0,00	0,00
sisma in +Y														
proporzionale alle masse														
	0%	395	115.213	NS	1,27	1,00	58223	146340	262208	262208	0	0	2,50	2,50
	100%	395	-109.633	NS	1,33	1,00	58223	146340	262208	262208	0	0	2,50	2,50
proporzionale alla deformata 1° modo di vibrazione														
	0%	-	-	VNR	VNR	0,00	0	0	0	0	0	0	0,00	0,00
	100%	-	-	VNR	VNR	0,00	0	0	0	0	0	0	0,00	0,00
sisma in -Y														
proporzionale alle masse														
	0%	-	-	VNR	VNR	0,00	0	0	0	0	0	0	0,00	0,00
	100%	-	-	VNR	VNR	0,00	0	0	0	0	0	0	0,00	0,00
proporzionale alla deformata 1° modo di vibrazione														
	0%	-	-	VNR	VNR	0,00	0	0	0	0	0	0	0,00	0,00
	100%	-	-	VNR	VNR	0,00	0	0	0	0	0	0	0,00	0,00
sisma in +X														
proporzionale alle masse														
Trave 26-27	0%	-	-	VNR	VNR	0,00	0	0	0	0	0	0	0,00	0,00
	100%	-	-	VNR	VNR	0,00	0	0	0	0	0	0	0,00	0,00
proporzionale alla deformata 1° modo di vibrazione														
	0%	-38	108.425	NS	1,35	1,00	58223	146340	262208	262208	0	0	2,50	2,50
	100%	-38	-109.002	NS	1,34	1,00	58223	146340	262208	262208	0	0	2,50	2,50
sisma in -X														
proporzionale alle masse														
	0%	-	-	VNR	VNR	0,00	0	0	0	0	0	0	0,00	0,00
	100%	-	-	VNR	VNR	0,00	0	0	0	0	0	0	0,00	0,00
proporzionale alla deformata 1° modo di vibrazione														
	0%	-	-	VNR	VNR	0,00	0	0	0	0	0	0	0,00	0,00
	100%	-	-	VNR	VNR	0,00	0	0	0	0	0	0	0,00	0,00
sisma in +Y														
proporzionale alle masse														
	0%	-1	118.696	NS	1,23	1,00	58223	146340	262208	262208	0	0	2,50	2,50
	100%	-1	-98.732	NS	1,48	1,00	58223	146340	262208	262208	0	0	2,50	2,50
proporzionale alla deformata 1° modo di vibrazione														
	0%	-	-	VNR	VNR	0,00	0	0	0	0	0	0	0,00	0,00
	100%	-	-	VNR	VNR	0,00	0	0	0	0	0	0	0,00	0,00
sisma in -Y														
proporzionale alle masse														
	0%	-	-	VNR	VNR	0,00	0	0	0	0	0	0	0,00	0,00
	100%	-	-	VNR	VNR	0,00	0	0	0	0	0	0	0,00	0,00
proporzionale alla deformata 1° modo di vibrazione														
	0%	-	-	VNR	VNR	0,00	0	0	0	0	0	0	0,00	0,00
	100%	-	-	VNR	VNR	0,00	0	0	0	0	0	0	0,00	0,00
Piano primo								**Travata: Trave28-29-30-4c**						
sisma in +X														
proporzionale alle masse														
Trave 28-29	0%	-	-	VNR	VNR	0,00	0	0	0	0	0	0	0,00	0,00
	100%	-	-	VNR	VNR	0,00	0	0	0	0	0	0	0,00	0,00
proporzionale alla deformata 1° modo di vibrazione														
	0%	83	-1.800	NS	40,27	1,02	41511	72490	188881	188881	0	0	2,50	2,50
	100%	83	-56.328	NS	1,29	1,02	41511	72490	188850	188850	0	0	2,50	2,50
sisma in -X														
proporzionale alle masse														
	0%	-	-	VNR	VNR	0,00	0	0	0	0	0	0	0,00	0,00
	100%	-	-	VNR	VNR	0,00	0	0	0	0	0	0	0,00	0,00

Id_{Tr}	$\%L_{LI}$	$V_{Ed,3}$	$V_{Ed,2}$	$CS^{(3)}$	$CS^{(2)}$	α_C	$V_{Rsd,s}{}^{(3)}$	$V_{Rsd,s}{}^{(2)}$	$V_{Rcd}{}^{(3)}$	$V_{Rcd}{}^{(2)}$	$V_{fd}{}^{(3)}$	$V_{fd}{}^{(2)}$	$Ctg\Theta^{(3)}$	$Ctg\Theta^{(2)}$
	[%]	[N]	[N]				[N]	[N]	[N]	[N]	[N]	[N]		
proporzionale alla deformata 1° modo di vibrazione														
	0%	-	-	VNR	VNR	0,00	0	0	0	0	0	0	0,00	0,00
	100%	-	-	VNR	VNR	0,00	0	0	0	0	0	0	0,00	0,00
sisma in +Y														
proporzionale alle masse														
	0%	600	13.136	69,19	5,52	1,01	41511	72490	187251	187251	0	0	2,50	2,50
	100%	600	-41.392	69,19	1,75	1,01	41511	72490	187195	187195	0	0	2,50	2,50
proporzionale alla deformata 1° modo di vibrazione														
	0%	-	-	VNR	VNR	0,00	0	0	0	0	0	0	0,00	0,00
	100%	-	-	VNR	VNR	0,00	0	0	0	0	0	0	0,00	0,00
sisma in -Y														
proporzionale alle masse														
	0%	-	-	VNR	VNR	0,00	0	0	0	0	0	0	0,00	0,00
	100%	-	-	VNR	VNR	0,00	0	0	0	0	0	0	0,00	0,00
proporzionale alla deformata 1° modo di vibrazione														
	0%	-	-	VNR	VNR	0,00	0	0	0	0	0	0	0,00	0,00
	100%	-	-	VNR	VNR	0,00	0	0	0	0	0	0	0,00	0,00
sisma in +X														
proporzionale alle masse														
Trave 29-30	0%	-	-	VNR	VNR	0,00	0	0	0	0	0	0	0,00	0,00
	100%	-	-	VNR	VNR	0,00	0	0	0	0	0	0	0,00	0,00
proporzionale alla deformata 1° modo di vibrazione														
	0%	-33	11.002	NS	6,59	1,07	41511	72490	197968	197968	0	0	2,50	2,50
	100%	-33	-54.606	NS	1,33	1,07	41511	72490	197918	197918	0	0	2,50	2,50
sisma in -X														
proporzionale alle masse														
	0%	-	-	VNR	VNR	0,00	0	0	0	0	0	0	0,00	0,00
	100%	-	-	VNR	VNR	0,00	0	0	0	0	0	0	0,00	0,00
proporzionale alla deformata 1° modo di vibrazione														
	0%	-	-	VNR	VNR	0,00	0	0	0	0	0	0	0,00	0,00
	100%	-	-	VNR	VNR	0,00	0	0	0	0	0	0	0,00	0,00
sisma in +Y														
proporzionale alle masse														
	0%	-102	20.960	NS	3,46	1,05	41511	72490	194244	194244	0	0	2,50	2,50
	100%	-102	-44.648	NS	1,62	1,05	41511	72490	194226	194226	0	0	2,50	2,50
proporzionale alla deformata 1° modo di vibrazione														
	0%	-	-	VNR	VNR	0,00	0	0	0	0	0	0	0,00	0,00
	100%	-	-	VNR	VNR	0,00	0	0	0	0	0	0	0,00	0,00
sisma in -Y														
proporzionale alle masse														
	0%	-	-	VNR	VNR	0,00	0	0	0	0	0	0	0,00	0,00
	100%	-	-	VNR	VNR	0,00	0	0	0	0	0	0	0,00	0,00
proporzionale alla deformata 1° modo di vibrazione														
	0%	-	-	VNR	VNR	0,00	0	0	0	0	0	0	0,00	0,00
	100%	-	-	VNR	VNR	0,00	0	0	0	0	0	0	0,00	0,00
sisma in +X														
proporzionale alle masse														
Trave 30-4c	0%	-	-	VNR	VNR	0,00	0	0	0	0	0	0	0,00	0,00
	100%	-	-	VNR	VNR	0,00	0	0	0	0	0	0	0,00	0,00
proporzionale alla deformata 1° modo di vibrazione														
	0%	-63	72.160	NS	0,97	1,09	55348	69805	145427	145427	0	0	2,50	2,50
	100%	-63	11.802	NS	5,91	1,09	55348	69805	145427	145427	0	0	2,50	2,50
sisma in -X														
proporzionale alle masse														
	0%	-	-	VNR	VNR	0,00	0	0	0	0	0	0	0,00	0,00
	100%	-	-	VNR	VNR	0,00	0	0	0	0	0	0	0,00	0,00
proporzionale alla deformata 1° modo di vibrazione														
	0%	-	-	VNR	VNR	0,00	0	0	0	0	0	0	0,00	0,00
	100%	-	-	VNR	VNR	0,00	0	0	0	0	0	0	0,00	0,00
sisma in +Y														
proporzionale alle masse														
	0%	39	72.160	NS	0,97	1,09	55348	69805	145435	145435	0	0	2,50	2,50
	100%	39	11.802	NS	5,91	1,09	55348	69805	145437	145437	0	0	2,50	2,50
proporzionale alla deformata 1° modo di vibrazione														
	0%	-	-	VNR	VNR	0,00	0	0	0	0	0	0	0,00	0,00
	100%	-	-	VNR	VNR	0,00	0	0	0	0	0	0	0,00	0,00
sisma in -Y														
proporzionale alle masse														
	0%	-	-	VNR	VNR	0,00	0	0	0	0	0	0	0,00	0,00
	100%	-	-	VNR	VNR	0,00	0	0	0	0	0	0	0,00	0,00
proporzionale alla deformata 1° modo di vibrazione														
	0%	-	-	VNR	VNR	0,00	0	0	0	0	0	0	0,00	0,00
	100%	-	-	VNR	VNR	0,00	0	0	0	0	0	0	0,00	0,00
Piano primo								**Travata: Trave1-1c-3c-P8-14-25-P9-5c-6c-32**						
sisma in +X														
proporzionale alle masse														
Trave 1-1c	0%	-	-	VNR	VNR	0,00	0	0	0	0	0	0	0,00	0,00
	100%	-	-	VNR	VNR	0,00	0	0	0	0	0	0	0,00	0,00
proporzionale alla deformata 1° modo di vibrazione														
	0%	29.712	6.391	0,00	0,00	1,02	0	0	356491	356491	0	0	2,50	2,50
	100%	9.328	21.905	0,00	0,00	1,02	0	0	358721	358721	0	0	2,50	2,50
sisma in -X														
proporzionale alle masse														
	0%	-	-	VNR	VNR	0,00	0	0	0	0	0	0	0,00	0,00
	100%	-	-	VNR	VNR	0,00	0	0	0	0	0	0	0,00	0,00
proporzionale alla deformata 1° modo di vibrazione														

Id_{Tr}	$\%L_{LI}$	$V_{Ed,3}$	$V_{Ed,2}$	$CS^{(3)}$	$CS^{(2)}$	α_C	$V_{Rsd,s}{}^{(3)}$	$V_{Rsd,s}{}^{(2)}$	$V_{Rcd}{}^{(3)}$	$V_{Rcd}{}^{(2)}$	$V_{fd}{}^{(3)}$	$V_{fd}{}^{(2)}$	$Ctg\Theta^{(3)}$	$Ctg\Theta^{(2)}$
	[%]	[N]	[N]				[N]	[N]	[N]	[N]	[N]	[N]		
	0%	-	-	VNR	VNR	0,00	0	0	0	0	0	0	0,00	0,00
	100%	-	-	VNR	VNR	0,00	0	0	0	0	0	0	0,00	0,00
sisma in +Y														
proporzionale alle masse														
	0%	-13.610	-98.128	0,00	0,00	1,00	0	0	350697	350697	0	0	2,50	2,50
	100%	3.261	-37.819	0,00	0,00	1,01	0	0	352563	352563	0	0	2,50	2,50
proporzionale alla deformata 1° modo di vibrazione														
	0%	-	-	VNR	VNR	0,00	0	0	0	0	0	0	0,00	0,00
	100%	-	-	VNR	VNR	0,00	0	0	0	0	0	0	0,00	0,00
sisma in -Y														
proporzionale alle masse														
	0%	-	-	VNR	VNR	0,00	0	0	0	0	0	0	0,00	0,00
	100%	-	-	VNR	VNR	0,00	0	0	0	0	0	0	0,00	0,00
proporzionale alla deformata 1° modo di vibrazione														
	0%	-	-	VNR	VNR	0,00	0	0	0	0	0	0	0,00	0,00
	100%	-	-	VNR	VNR	0,00	0	0	0	0	0	0	0,00	0,00
sisma in +X														
proporzionale alle masse														
Trave 1c-3c	0%	-	-	VNR	VNR	0,00	0	0	0	0	0	0	0,00	0,00
	100%	-	-	VNR	VNR	0,00	0	0	0	0	0	0	0,00	0,00
proporzionale alla deformata 1° modo di vibrazione														
	0%	10.024	14.614	0,00	0,00	1,02	0	0	358615	358615	0	0	2,50	2,50
	100%	10.718	55.423	0,00	0,00	1,02	0	0	357816	357816	0	0	2,50	2,50
sisma in -X														
proporzionale alle masse														
	0%	-	-	VNR	VNR	0,00	0	0	0	0	0	0	0,00	0,00
	100%	-	-	VNR	VNR	0,00	0	0	0	0	0	0	0,00	0,00
proporzionale alla deformata 1° modo di vibrazione														
	0%	-	-	VNR	VNR	0,00	0	0	0	0	0	0	0,00	0,00
	100%	-	-	VNR	VNR	0,00	0	0	0	0	0	0	0,00	0,00
sisma in +Y														
proporzionale alle masse														
	0%	9.455	28.948	0,00	0,00	1,00	0	0	351421	351421	0	0	2,50	2,50
	100%	13.494	15.618	0,00	0,00	1,00	0	0	350697	350697	0	0	2,50	2,50
proporzionale alla deformata 1° modo di vibrazione														
	0%	-	-	VNR	VNR	0,00	0	0	0	0	0	0	0,00	0,00
	100%	-	-	VNR	VNR	0,00	0	0	0	0	0	0	0,00	0,00
sisma in -Y														
proporzionale alle masse														
	0%	-	-	VNR	VNR	0,00	0	0	0	0	0	0	0,00	0,00
	100%	-	-	VNR	VNR	0,00	0	0	0	0	0	0	0,00	0,00
proporzionale alla deformata 1° modo di vibrazione														
	0%	-	-	VNR	VNR	0,00	0	0	0	0	0	0	0,00	0,00
	100%	-	-	VNR	VNR	0,00	0	0	0	0	0	0	0,00	0,00
sisma in +X														
proporzionale alle masse														
Trave 3c-P8	0%	-	-	VNR	VNR	0,00	0	0	0	0	0	0	0,00	0,00
	100%	-	-	VNR	VNR	0,00	0	0	0	0	0	0	0,00	0,00
proporzionale alla deformata 1° modo di vibrazione														
	0%	11.842	21.131	0,00	0,00	1,02	0	0	359455	359455	0	0	2,50	2,50
	100%	13.159	10.753	0,00	0,00	1,02	0	0	359213	359213	0	0	2,50	2,50
sisma in -X														
proporzionale alle masse														
	0%	-	-	VNR	VNR	0,00	0	0	0	0	0	0	0,00	0,00
	100%	-	-	VNR	VNR	0,00	0	0	0	0	0	0	0,00	0,00
proporzionale alla deformata 1° modo di vibrazione														
	0%	-	-	VNR	VNR	0,00	0	0	0	0	0	0	0,00	0,00
	100%	-	-	VNR	VNR	0,00	0	0	0	0	0	0	0,00	0,00
sisma in +Y														
proporzionale alle masse														
	0%	18.125	59.417	0,00	0,00	1,00	0	0	350697	350697	0	0	2,50	2,50
	100%	26.226	40.945	0,00	0,00	1,00	0	0	350697	350697	0	0	2,50	2,50
proporzionale alla deformata 1° modo di vibrazione														
	0%	-	-	VNR	VNR	0,00	0	0	0	0	0	0	0,00	0,00
	100%	-	-	VNR	VNR	0,00	0	0	0	0	0	0	0,00	0,00
sisma in -Y														
proporzionale alle masse														
	0%	-	-	VNR	VNR	0,00	0	0	0	0	0	0	0,00	0,00
	100%	-	-	VNR	VNR	0,00	0	0	0	0	0	0	0,00	0,00
proporzionale alla deformata 1° modo di vibrazione														
	0%	-	-	VNR	VNR	0,00	0	0	0	0	0	0	0,00	0,00
	100%	-	-	VNR	VNR	0,00	0	0	0	0	0	0	0,00	0,00
sisma in +X														
proporzionale alle masse														
Trave P8-14	0%	-	-	VNR	VNR	0,00	0	0	0	0	0	0	0,00	0,00
	100%	-	-	VNR	VNR	0,00	0	0	0	0	0	0	0,00	0,00
proporzionale alla deformata 1° modo di vibrazione														
	0%	777	49.801	61,29	4,72	1,01	47623	234871	355622	355622	0	0	2,50	2,50
	100%	777	12.242	61,29	19,19	1,01	47623	234871	355656	355656	0	0	2,50	2,50
sisma in -X														
proporzionale alle masse														
	0%	-	-	VNR	VNR	0,00	0	0	0	0	0	0	0,00	0,00
	100%	-	-	VNR	VNR	0,00	0	0	0	0	0	0	0,00	0,00
proporzionale alla deformata 1° modo di vibrazione														
	0%	-	-	VNR	VNR	0,00	0	0	0	0	0	0	0,00	0,00
	100%	-	-	VNR	VNR	0,00	0	0	0	0	0	0	0,00	0,00

Id_{Tr}	$\%L_{LI}$	$V_{Ed,3}$	$V_{Ed,2}$	$CS^{(3)}$	$CS^{(2)}$	α_C	$V_{Rsd,s}{}^{(3)}$	$V_{Rsd,s}{}^{(2)}$	$V_{Rcd}{}^{(3)}$	$V_{Rcd}{}^{(2)}$	$V_{fd}{}^{(3)}$	$V_{fd}{}^{(2)}$	$Ctg\Theta^{(3)}$	$Ctg\Theta^{(2)}$
	[%]	[N]	[N]				[N]	[N]	[N]	[N]	[N]	[N]		
sisma in +Y														
proporzionale alle masse														
	0%	1.615	-81.874	29,49	2,87	1,03	47623	234871	360148	360148	0	0	2,50	2,50
	100%	1.615	-119.433	29,49	1,97	1,02	47623	234871	358734	358734	0	0	2,50	2,50
proporzionale alla deformata 1° modo di vibrazione														
	0%	-	-	VNR	VNR	0,00	0	0	0	0	0	0	0,00	0,00
	100%	-	-	VNR	VNR	0,00	0	0	0	0	0	0	0,00	0,00
sisma in -Y														
proporzionale alle masse														
	0%	-	-	VNR	VNR	0,00	0	0	0	0	0	0	0,00	0,00
	100%	-	-	VNR	VNR	0,00	0	0	0	0	0	0	0,00	0,00
proporzionale alla deformata 1° modo di vibrazione														
	0%	-	-	VNR	VNR	0,00	0	0	0	0	0	0	0,00	0,00
	100%	-	-	VNR	VNR	0,00	0	0	0	0	0	0	0,00	0,00
sisma in +X														
proporzionale alle masse														
Trave 14-25	0%	-	-	VNR	VNR	0,00	0	0	0	0	0	0	0,00	0,00
	100%	-	-	VNR	VNR	0,00	0	0	0	0	0	0	0,00	0,00
proporzionale alla deformata 1° modo di vibrazione														
	0%	253	7.115	NS	33,01	1,00	47623	234871	351224	351224	0	0	2,50	2,50
	100%	253	-29.327	NS	8,01	1,00	47623	234871	351121	351121	0	0	2,50	2,50
sisma in -X														
proporzionale alle masse														
	0%	-	-	VNR	VNR	0,00	0	0	0	0	0	0	0,00	0,00
	100%	-	-	VNR	VNR	0,00	0	0	0	0	0	0	0,00	0,00
proporzionale alla deformata 1° modo di vibrazione														
	0%	-	-	VNR	VNR	0,00	0	0	0	0	0	0	0,00	0,00
	100%	-	-	VNR	VNR	0,00	0	0	0	0	0	0	0,00	0,00
sisma in +Y														
proporzionale alle masse														
	0%	982	-170.176	48,50	1,38	1,20	47623	234871	422124	422124	0	0	2,50	2,50
	100%	982	-206.618	48,50	1,14	1,16	47623	234871	405952	405952	0	0	2,50	2,50
proporzionale alla deformata 1° modo di vibrazione														
	0%	-	-	VNR	VNR	0,00	0	0	0	0	0	0	0,00	0,00
	100%	-	-	VNR	VNR	0,00	0	0	0	0	0	0	0,00	0,00
sisma in -Y														
proporzionale alle masse														
	0%	-	-	VNR	VNR	0,00	0	0	0	0	0	0	0,00	0,00
	100%	-	-	VNR	VNR	0,00	0	0	0	0	0	0	0,00	0,00
proporzionale alla deformata 1° modo di vibrazione														
	0%	-	-	VNR	VNR	0,00	0	0	0	0	0	0	0,00	0,00
	100%	-	-	VNR	VNR	0,00	0	0	0	0	0	0	0,00	0,00
sisma in +X														
proporzionale alle masse														
Trave 25-P9	0%	-	-	VNR	VNR	0,00	0	0	0	0	0	0	0,00	0,00
	100%	-	-	VNR	VNR	0,00	0	0	0	0	0	0	0,00	0,00
proporzionale alla deformata 1° modo di vibrazione														
	0%	-8.331	-130.716	3,22	1,01	1,04	26788	132115	366072	366072	0	0	2,50	2,50
	100%	-8.331	-141.212	3,22	0,94	1,04	26788	132115	366098	366098	0	0	2,50	2,50
sisma in -X														
proporzionale alle masse														
	0%	-	-	VNR	VNR	0,00	0	0	0	0	0	0	0,00	0,00
	100%	-	-	VNR	VNR	0,00	0	0	0	0	0	0	0,00	0,00
proporzionale alla deformata 1° modo di vibrazione														
	0%	-	-	VNR	VNR	0,00	0	0	0	0	0	0	0,00	0,00
	100%	-	-	VNR	VNR	0,00	0	0	0	0	0	0	0,00	0,00
sisma in +Y														
proporzionale alle masse														
	0%	-20.289	-441.708	1,32	0,30	1,40	26788	132115	489640	489640	0	0	2,50	2,50
	100%	-20.289	-452.204	1,32	0,29	1,39	26788	132115	487630	487630	0	0	2,50	2,50
proporzionale alla deformata 1° modo di vibrazione														
	0%	-	-	VNR	VNR	0,00	0	0	0	0	0	0	0,00	0,00
	100%	-	-	VNR	VNR	0,00	0	0	0	0	0	0	0,00	0,00
sisma in -Y														
proporzionale alle masse														
	0%	-	-	VNR	VNR	0,00	0	0	0	0	0	0	0,00	0,00
	100%	-	-	VNR	VNR	0,00	0	0	0	0	0	0	0,00	0,00
proporzionale alla deformata 1° modo di vibrazione														
	0%	-	-	VNR	VNR	0,00	0	0	0	0	0	0	0,00	0,00
	100%	-	-	VNR	VNR	0,00	0	0	0	0	0	0	0,00	0,00
sisma in +X														
proporzionale alle masse														
Trave P9-5c	0%	-	-	VNR	VNR	0,00	0	0	0	0	0	0	0,00	0,00
	100%	-	-	VNR	VNR	0,00	0	0	0	0	0	0	0,00	0,00
proporzionale alla deformata 1° modo di vibrazione														
	0%	-28.028	-7.989	0,00	0,00	1,06	0	0	370953	370953	0	0	2,50	2,50
	100%	-23.140	-2.395	0,00	0,00	1,06	0	0	370080	370080	0	0	2,50	2,50
sisma in -X														
proporzionale alle masse														
	0%	-	-	VNR	VNR	0,00	0	0	0	0	0	0	0,00	0,00
	100%	-	-	VNR	VNR	0,00	0	0	0	0	0	0	0,00	0,00
proporzionale alla deformata 1° modo di vibrazione														
	0%	-	-	VNR	VNR	0,00	0	0	0	0	0	0	0,00	0,00
	100%	-	-	VNR	VNR	0,00	0	0	0	0	0	0	0,00	0,00
sisma in +Y														
proporzionale alle masse														

Id_{Tr}	$\%L_{LI}$	$V_{Ed,3}$	$V_{Ed,2}$	$CS^{(3)}$	$CS^{(2)}$	α_C	$V_{Rsd,s}{}^{(3)}$	$V_{Rsd,s}{}^{(2)}$	$V_{Rcd}{}^{(3)}$	$V_{Rcd}{}^{(2)}$	$V_{fd}{}^{(3)}$	$V_{fd}{}^{(2)}$	$Ctg\Theta^{(3)}$	$Ctg\Theta^{(2)}$
	[%]	[N]	[N]				[N]	[N]	[N]	[N]	[N]	[N]		
	0%	-70.643	133.710	0,00	0,00	1,44	0	0	504295	504295	0	0	2,50	2,50
	100%	-55.017	282.312	0,00	0,00	1,40	0	0	491533	491533	0	0	2,50	2,50
proporzionale alla deformata 1° modo di vibrazione														
	0%	-	-	VNR	VNR	0,00	0	0	0	0	0	0	0,00	0,00
	100%	-	-	VNR	VNR	0,00	0	0	0	0	0	0	0,00	0,00
sisma in -Y														
proporzionale alle masse														
	0%	-	-	VNR	VNR	0,00	0	0	0	0	0	0	0,00	0,00
	100%	-	-	VNR	VNR	0,00	0	0	0	0	0	0	0,00	0,00
proporzionale alla deformata 1° modo di vibrazione														
	0%	-	-	VNR	VNR	0,00	0	0	0	0	0	0	0,00	0,00
	100%	-	-	VNR	VNR	0,00	0	0	0	0	0	0	0,00	0,00
sisma in +X														
proporzionale alle masse														
Trave 5c-6c	0%	-	-	VNR	VNR	0,00	0	0	0	0	0	0	0,00	0,00
	100%	-	-	VNR	VNR	0,00	0	0	0	0	0	0	0,00	0,00
proporzionale alla deformata 1° modo di vibrazione														
	0%	-15.185	6.203	0,00	0,00	1,05	0	0	367857	367857	0	0	2,50	2,50
	100%	-14.812	-21.887	0,00	0,00	1,04	0	0	365500	365500	0	0	2,50	2,50
sisma in -X														
proporzionale alle masse														
	0%	-	-	VNR	VNR	0,00	0	0	0	0	0	0	0,00	0,00
	100%	-	-	VNR	VNR	0,00	0	0	0	0	0	0	0,00	0,00
proporzionale alla deformata 1° modo di vibrazione														
	0%	-	-	VNR	VNR	0,00	0	0	0	0	0	0	0,00	0,00
	100%	-	-	VNR	VNR	0,00	0	0	0	0	0	0	0,00	0,00
sisma in +Y														
proporzionale alle masse														
	0%	-30.255	338.132	0,00	0,00	1,33	0	0	465008	465008	0	0	2,50	2,50
	100%	-19.975	220.964	0,00	0,00	1,22	0	0	428927	428927	0	0	2,50	2,50
proporzionale alla deformata 1° modo di vibrazione														
	0%	-	-	VNR	VNR	0,00	0	0	0	0	0	0	0,00	0,00
	100%	-	-	VNR	VNR	0,00	0	0	0	0	0	0	0,00	0,00
sisma in -Y														
proporzionale alle masse														
	0%	-	-	VNR	VNR	0,00	0	0	0	0	0	0	0,00	0,00
	100%	-	-	VNR	VNR	0,00	0	0	0	0	0	0	0,00	0,00
proporzionale alla deformata 1° modo di vibrazione														
	0%	-	-	VNR	VNR	0,00	0	0	0	0	0	0	0,00	0,00
	100%	-	-	VNR	VNR	0,00	0	0	0	0	0	0	0,00	0,00
sisma in +X														
proporzionale alle masse														
Trave 6c-32	0%	-	-	VNR	VNR	0,00	0	0	0	0	0	0	0,00	0,00
	100%	-	-	VNR	VNR	0,00	0	0	0	0	0	0	0,00	0,00
proporzionale alla deformata 1° modo di vibrazione														
	0%	-13.911	-30.520	0,00	0,00	1,04	0	0	363110	363110	0	0	2,50	2,50
	100%	-36.413	6.127	0,00	0,00	1,02	0	0	357991	357991	0	0	2,50	2,50
sisma in -X														
proporzionale alle masse														
	0%	-	-	VNR	VNR	0,00	0	0	0	0	0	0	0,00	0,00
	100%	-	-	VNR	VNR	0,00	0	0	0	0	0	0	0,00	0,00
proporzionale alla deformata 1° modo di vibrazione														
	0%	-	-	VNR	VNR	0,00	0	0	0	0	0	0	0,00	0,00
	100%	-	-	VNR	VNR	0,00	0	0	0	0	0	0	0,00	0,00
sisma in +Y														
proporzionale alle masse														
	0%	-16.179	107.534	0,00	0,00	1,14	0	0	401368	401368	0	0	2,50	2,50
	100%	-17.583	55.808	0,00	0,00	1,02	0	0	357434	357434	0	0	2,50	2,50
proporzionale alla deformata 1° modo di vibrazione														
	0%	-	-	VNR	VNR	0,00	0	0	0	0	0	0	0,00	0,00
	100%	-	-	VNR	VNR	0,00	0	0	0	0	0	0	0,00	0,00
sisma in -Y														
proporzionale alle masse														
	0%	-	-	VNR	VNR	0,00	0	0	0	0	0	0	0,00	0,00
	100%	-	-	VNR	VNR	0,00	0	0	0	0	0	0	0,00	0,00
proporzionale alla deformata 1° modo di vibrazione														
	0%	-	-	VNR	VNR	0,00	0	0	0	0	0	0	0,00	0,00
	100%	-	-	VNR	VNR	0,00	0	0	0	0	0	0	0,00	0,00
Piano primo								**Travata: Trave2-15**						
sisma in +X														
proporzionale alle masse														
Trave 2-15	0%	-	-	VNR	VNR	0,00	0	0	0	0	0	0	0,00	0,00
	100%	-	-	VNR	VNR	0,00	0	0	0	0	0	0	0,00	0,00
proporzionale alla deformata 1° modo di vibrazione														
	0%	-17	11.465	NS	4,51	1,01	20756	51734	110785	110785	0	0	2,50	2,50
	100%	-17	-7.755	NS	6,67	1,01	20756	51734	110734	110734	0	0	2,50	2,50
sisma in -X														
proporzionale alle masse														
	0%	-	-	VNR	VNR	0,00	0	0	0	0	0	0	0,00	0,00
	100%	-	-	VNR	VNR	0,00	0	0	0	0	0	0	0,00	0,00
proporzionale alla deformata 1° modo di vibrazione														
	0%	-	-	VNR	VNR	0,00	0	0	0	0	0	0	0,00	0,00
	100%	-	-	VNR	VNR	0,00	0	0	0	0	0	0	0,00	0,00
sisma in +Y														
proporzionale alle masse														
	0%	14	3.580	NS	14,45	1,02	20756	51734	112378	112378	0	0	2,50	2,50

Id_{Tr}	$\%L_{LI}$	$V_{Ed,3}$	$V_{Ed,2}$	$CS^{(3)}$	$CS^{(2)}$	α_C	$V_{Rsd,s}{}^{(3)}$	$V_{Rsd,s}{}^{(2)}$	$V_{Rcd}{}^{(3)}$	$V_{Rcd}{}^{(2)}$	$V_{fd}{}^{(3)}$	$V_{fd}{}^{(2)}$	$Ctg\Theta^{(3)}$	$Ctg\Theta^{(2)}$
	[%]	[N]	[N]				[N]	[N]	[N]	[N]	[N]	[N]		
	100%	14	-15.640	NS	3,31	1,02	20756	51734	112244	112244	0	0	2,50	2,50
proporzionale alla deformata 1° modo di vibrazione														
	0%	-	-	VNR	VNR	0,00	0	0	0	0	0	0	0,00	0,00
	100%	-	-	VNR	VNR	0,00	0	0	0	0	0	0	0,00	0,00
sisma in -Y														
proporzionale alle masse														
	0%	-	-	VNR	VNR	0,00	0	0	0	0	0	0	0,00	0,00
	100%	-	-	VNR	VNR	0,00	0	0	0	0	0	0	0,00	0,00
proporzionale alla deformata 1° modo di vibrazione														
	0%	-	-	VNR	VNR	0,00	0	0	0	0	0	0	0,00	0,00
	100%	-	-	VNR	VNR	0,00	0	0	0	0	0	0	0,00	0,00
Piano primo								**Travata: Trave3-16-27-34**						
sisma in +X														
proporzionale alle masse														
Trave 3-16	0%	-	-	VNR	VNR	0,00	0	0	0	0	0	0	0,00	0,00
	100%	-	-	VNR	VNR	0,00	0	0	0	0	0	0	0,00	0,00
proporzionale alla deformata 1° modo di vibrazione														
	0%	-1	10.889	NS	4,75	1,01	20735	51713	110644	110644	0	0	2,50	2,50
	100%	-1	-8.330	NS	6,21	1,01	20735	51713	110633	110633	0	0	2,50	2,50
sisma in -X														
proporzionale alle masse														
	0%	-	-	VNR	VNR	0,00	0	0	0	0	0	0	0,00	0,00
	100%	-	-	VNR	VNR	0,00	0	0	0	0	0	0	0,00	0,00
proporzionale alla deformata 1° modo di vibrazione														
	0%	-	-	VNR	VNR	0,00	0	0	0	0	0	0	0,00	0,00
	100%	-	-	VNR	VNR	0,00	0	0	0	0	0	0	0,00	0,00
sisma in +Y														
proporzionale alle masse														
	0%	14	1.267	NS	40,82	1,03	20735	51713	113647	113647	0	0	2,50	2,50
	100%	14	-17.953	NS	2,88	1,03	20735	51713	113465	113465	0	0	2,50	2,50
proporzionale alla deformata 1° modo di vibrazione														
	0%	-	-	VNR	VNR	0,00	0	0	0	0	0	0	0,00	0,00
	100%	-	-	VNR	VNR	0,00	0	0	0	0	0	0	0,00	0,00
sisma in -Y														
proporzionale alle masse														
	0%	-	-	VNR	VNR	0,00	0	0	0	0	0	0	0,00	0,00
	100%	-	-	VNR	VNR	0,00	0	0	0	0	0	0	0,00	0,00
proporzionale alla deformata 1° modo di vibrazione														
	0%	-	-	VNR	VNR	0,00	0	0	0	0	0	0	0,00	0,00
	100%	-	-	VNR	VNR	0,00	0	0	0	0	0	0	0,00	0,00
sisma in +X														
proporzionale alle masse														
Trave 16-27	0%	-	-	VNR	VNR	0,00	0	0	0	0	0	0	0,00	0,00
	100%	-	-	VNR	VNR	0,00	0	0	0	0	0	0	0,00	0,00
proporzionale alla deformata 1° modo di vibrazione														
	0%	-452	6.351	73,29	5,22	1,01	33126	33126	106620	106620	0	0	2,50	2,50
	100%	-452	-5.930	73,29	5,59	1,01	33126	33126	106586	106586	0	0	2,50	2,50
sisma in -X														
proporzionale alle masse														
	0%	-	-	VNR	VNR	0,00	0	0	0	0	0	0	0,00	0,00
	100%	-	-	VNR	VNR	0,00	0	0	0	0	0	0	0,00	0,00
proporzionale alla deformata 1° modo di vibrazione														
	0%	-	-	VNR	VNR	0,00	0	0	0	0	0	0	0,00	0,00
	100%	-	-	VNR	VNR	0,00	0	0	0	0	0	0	0,00	0,00
sisma in +Y														
proporzionale alle masse														
	0%	-342	-4.215	96,86	7,86	1,06	33126	33126	111721	111721	0	0	2,50	2,50
	100%	-342	-16.497	96,86	2,01	1,06	33126	33126	111643	111643	0	0	2,50	2,50
proporzionale alla deformata 1° modo di vibrazione														
	0%	-	-	VNR	VNR	0,00	0	0	0	0	0	0	0,00	0,00
	100%	-	-	VNR	VNR	0,00	0	0	0	0	0	0	0,00	0,00
sisma in -Y														
proporzionale alle masse														
	0%	-	-	VNR	VNR	0,00	0	0	0	0	0	0	0,00	0,00
	100%	-	-	VNR	VNR	0,00	0	0	0	0	0	0	0,00	0,00
proporzionale alla deformata 1° modo di vibrazione														
	0%	-	-	VNR	VNR	0,00	0	0	0	0	0	0	0,00	0,00
	100%	-	-	VNR	VNR	0,00	0	0	0	0	0	0	0,00	0,00
sisma in +X														
proporzionale alle masse														
Trave 27-34	0%	-	-	VNR	VNR	0,00	0	0	0	0	0	0	0,00	0,00
	100%	-	-	VNR	VNR	0,00	0	0	0	0	0	0	0,00	0,00
proporzionale alla deformata 1° modo di vibrazione														
	0%	287	4.897	NS	6,76	1,03	33126	33126	108174	108174	0	0	2,50	2,50
	100%	287	-11.041	NS	3,00	1,02	33126	33126	108115	108115	0	0	2,50	2,50
sisma in -X														
proporzionale alle masse														
	0%	-	-	VNR	VNR	0,00	0	0	0	0	0	0	0,00	0,00
	100%	-	-	VNR	VNR	0,00	0	0	0	0	0	0	0,00	0,00
proporzionale alla deformata 1° modo di vibrazione														
	0%	-	-	VNR	VNR	0,00	0	0	0	0	0	0	0,00	0,00
	100%	-	-	VNR	VNR	0,00	0	0	0	0	0	0	0,00	0,00
sisma in +Y														
proporzionale alle masse														
	0%	200	-907	NS	36,52	1,08	33126	33126	113446	113446	0	0	2,50	2,50
	100%	200	-16.845	NS	1,97	1,07	33126	33126	113379	113379	0	0	2,50	2,50

Id_{Tr}	$\%L_{LI}$	$V_{Ed,3}$	$V_{Ed,2}$	$CS^{(3)}$	$CS^{(2)}$	α_C	$V_{Rsd,s}{}^{(3)}$	$V_{Rsd,s}{}^{(2)}$	$V_{Rcd}{}^{(3)}$	$V_{Rcd}{}^{(2)}$	$V_{fd}{}^{(3)}$	$V_{fd}{}^{(2)}$	$Ctg\Theta^{(3)}$	$Ctg\Theta^{(2)}$
	[%]	[N]	[N]				[N]	[N]	[N]	[N]	[N]	[N]		
proporzionale alla deformata 1° modo di vibrazione														
	0%	-	-	VNR	VNR	0,00	0	0	0	0	0	0	0,00	0,00
	100%	-	-	VNR	VNR	0,00	0	0	0	0	0	0	0,00	0,00
sisma in -Y														
proporzionale alle masse														
	0%	-	-	VNR	VNR	0,00	0	0	0	0	0	0	0,00	0,00
	100%	-	-	VNR	VNR	0,00	0	0	0	0	0	0	0,00	0,00
proporzionale alla deformata 1° modo di vibrazione														
	0%	-	-	VNR	VNR	0,00	0	0	0	0	0	0	0,00	0,00
	100%	-	-	VNR	VNR	0,00	0	0	0	0	0	0	0,00	0,00
Piano primo								**Travata: Trave4-17**						
sisma in +X														
proporzionale alle masse														
Trave 4-17	0%	-	-	VNR	VNR	0,00	0	0	0	0	0	0	0,00	0,00
	100%	-	-	VNR	VNR	0,00	0	0	0	0	0	0	0,00	0,00
proporzionale alla deformata 1° modo di vibrazione														
	0%	-12	11.222	NS	4,61	1,01	20756	51734	110659	110659	0	0	2,50	2,50
	100%	-12	-7.998	NS	6,47	1,01	20756	51734	110620	110620	0	0	2,50	2,50
sisma in -X														
proporzionale alle masse														
	0%	-	-	VNR	VNR	0,00	0	0	0	0	0	0	0,00	0,00
	100%	-	-	VNR	VNR	0,00	0	0	0	0	0	0	0,00	0,00
proporzionale alla deformata 1° modo di vibrazione														
	0%	-	-	VNR	VNR	0,00	0	0	0	0	0	0	0,00	0,00
	100%	-	-	VNR	VNR	0,00	0	0	0	0	0	0	0,00	0,00
sisma in +Y														
proporzionale alle masse														
	0%	-7	1.130	NS	45,78	1,04	20756	51734	113754	113754	0	0	2,50	2,50
	100%	-7	-18.090	NS	2,86	1,03	20756	51734	113634	113634	0	0	2,50	2,50
proporzionale alla deformata 1° modo di vibrazione														
	0%	-	-	VNR	VNR	0,00	0	0	0	0	0	0	0,00	0,00
	100%	-	-	VNR	VNR	0,00	0	0	0	0	0	0	0,00	0,00
sisma in -Y														
proporzionale alle masse														
	0%	-	-	VNR	VNR	0,00	0	0	0	0	0	0	0,00	0,00
	100%	-	-	VNR	VNR	0,00	0	0	0	0	0	0	0,00	0,00
proporzionale alla deformata 1° modo di vibrazione														
	0%	-	-	VNR	VNR	0,00	0	0	0	0	0	0	0,00	0,00
	100%	-	-	VNR	VNR	0,00	0	0	0	0	0	0	0,00	0,00
Piano primo								**Travata: Trave5-18**						
sisma in +X														
proporzionale alle masse														
Trave 5-18	0%	-	-	VNR	VNR	0,00	0	0	0	0	0	0	0,00	0,00
	100%	-	-	VNR	VNR	0,00	0	0	0	0	0	0	0,00	0,00
proporzionale alla deformata 1° modo di vibrazione														
	0%	1	11.313	NS	4,57	1,01	20756	51734	110808	110808	0	0	2,50	2,50
	100%	1	-7.906	NS	6,54	1,01	20756	51734	110776	110776	0	0	2,50	2,50
sisma in -X														
proporzionale alle masse														
	0%	-	-	VNR	VNR	0,00	0	0	0	0	0	0	0,00	0,00
	100%	-	-	VNR	VNR	0,00	0	0	0	0	0	0	0,00	0,00
proporzionale alla deformata 1° modo di vibrazione														
	0%	-	-	VNR	VNR	0,00	0	0	0	0	0	0	0,00	0,00
	100%	-	-	VNR	VNR	0,00	0	0	0	0	0	0	0,00	0,00
sisma in +Y														
proporzionale alle masse														
	0%	28	936	NS	55,27	1,04	20756	51734	113914	113914	0	0	2,50	2,50
	100%	28	-18.284	NS	2,83	1,04	20756	51734	113787	113787	0	0	2,50	2,50
proporzionale alla deformata 1° modo di vibrazione														
	0%	-	-	VNR	VNR	0,00	0	0	0	0	0	0	0,00	0,00
	100%	-	-	VNR	VNR	0,00	0	0	0	0	0	0	0,00	0,00
sisma in -Y														
proporzionale alle masse														
	0%	-	-	VNR	VNR	0,00	0	0	0	0	0	0	0,00	0,00
	100%	-	-	VNR	VNR	0,00	0	0	0	0	0	0	0,00	0,00
proporzionale alla deformata 1° modo di vibrazione														
	0%	-	-	VNR	VNR	0,00	0	0	0	0	0	0	0,00	0,00
	100%	-	-	VNR	VNR	0,00	0	0	0	0	0	0	0,00	0,00
Piano primo								**Travata: Trave6-7-2c-19-28-37**						
sisma in +X														
proporzionale alle masse														
Trave 6-7	0%	-	-	VNR	VNR	0,00	0	0	0	0	0	0	0,00	0,00
	100%	-	-	VNR	VNR	0,00	0	0	0	0	0	0	0,00	0,00
proporzionale alla deformata 1° modo di vibrazione														
	0%	54.751	-17.690	0,48	3,23	1,05	26138	57117	101828	101828	0	0	2,50	2,50
	100%	20.998	-13.187	1,24	4,33	1,05	26138	57117	101440	101440	0	0	2,50	2,50
sisma in -X														
proporzionale alle masse														
	0%	-	-	VNR	VNR	0,00	0	0	0	0	0	0	0,00	0,00
	100%	-	-	VNR	VNR	0,00	0	0	0	0	0	0	0,00	0,00
proporzionale alla deformata 1° modo di vibrazione														
	0%	-	-	VNR	VNR	0,00	0	0	0	0	0	0	0,00	0,00
	100%	-	-	VNR	VNR	0,00	0	0	0	0	0	0	0,00	0,00
sisma in +Y														
proporzionale alle masse														
	0%	42.561	-46.439	0,61	1,23	1,02	26138	57117	98603	98603	0	0	2,50	2,50

Id_{Tr}	$\%L_{LI}$	$V_{Ed,3}$	$V_{Ed,2}$	$CS^{(3)}$	$CS^{(2)}$	α_C	$V_{Rsd,s}{}^{(3)}$	$V_{Rsd,s}{}^{(2)}$	$V_{Rcd}{}^{(3)}$	$V_{Rcd}{}^{(2)}$	$V_{fd}{}^{(3)}$	$V_{fd}{}^{(2)}$	$Ctg\Theta^{(3)}$	$Ctg\Theta^{(2)}$
	[%]	[N]	[N]				[N]	[N]	[N]	[N]	[N]	[N]		
	100%	42.622	-59.146	0,61	0,97	1,07	26138	57117	104303	104303	0	0	2,50	2,50
proporzionale alla deformata 1° modo di vibrazione														
	0%	-	-	VNR	VNR	0,00	0	0	0	0	0	0	0,00	0,00
	100%	-	-	VNR	VNR	0,00	0	0	0	0	0	0	0,00	0,00
sisma in -Y														
proporzionale alle masse														
	0%	-	-	VNR	VNR	0,00	0	0	0	0	0	0	0,00	0,00
	100%	-	-	VNR	VNR	0,00	0	0	0	0	0	0	0,00	0,00
proporzionale alla deformata 1° modo di vibrazione														
	0%	-	-	VNR	VNR	0,00	0	0	0	0	0	0	0,00	0,00
	100%	-	-	VNR	VNR	0,00	0	0	0	0	0	0	0,00	0,00
sisma in +X														
proporzionale alle masse														
Trave 7-2c	0%	-	-	VNR	VNR	0,00	0	0	0	0	0	0	0,00	0,00
	100%	-	-	VNR	VNR	0,00	0	0	0	0	0	0	0,00	0,00
proporzionale alla deformata 1° modo di vibrazione														
	0%	3.487	2.580	7,50	22,14	1,04	26138	57117	100835	100835	0	0	2,50	2,50
	100%	-23.593	19.554	1,11	2,92	1,05	26138	57117	102360	102360	0	0	2,50	2,50
sisma in -X														
proporzionale alle masse														
	0%	-	-	VNR	VNR	0,00	0	0	0	0	0	0	0,00	0,00
	100%	-	-	VNR	VNR	0,00	0	0	0	0	0	0	0,00	0,00
proporzionale alla deformata 1° modo di vibrazione														
	0%	-	-	VNR	VNR	0,00	0	0	0	0	0	0	0,00	0,00
	100%	-	-	VNR	VNR	0,00	0	0	0	0	0	0	0,00	0,00
sisma in +Y														
proporzionale alle masse														
	0%	710	-20.089	36,81	2,84	1,04	26138	57117	100737	100737	0	0	2,50	2,50
	100%	-2.890	-23.912	9,04	2,39	1,00	26138	57117	97034	97034	0	0	2,50	2,50
proporzionale alla deformata 1° modo di vibrazione														
	0%	-	-	VNR	VNR	0,00	0	0	0	0	0	0	0,00	0,00
	100%	-	-	VNR	VNR	0,00	0	0	0	0	0	0	0,00	0,00
sisma in -Y														
proporzionale alle masse														
	0%	-	-	VNR	VNR	0,00	0	0	0	0	0	0	0,00	0,00
	100%	-	-	VNR	VNR	0,00	0	0	0	0	0	0	0,00	0,00
proporzionale alla deformata 1° modo di vibrazione														
	0%	-	-	VNR	VNR	0,00	0	0	0	0	0	0	0,00	0,00
	100%	-	-	VNR	VNR	0,00	0	0	0	0	0	0	0,00	0,00
sisma in +X														
proporzionale alle masse														
Trave 2c-19	0%	-	-	VNR	VNR	0,00	0	0	0	0	0	0	0,00	0,00
	100%	-	-	VNR	VNR	0,00	0	0	0	0	0	0	0,00	0,00
proporzionale alla deformata 1° modo di vibrazione														
	0%	29.186	20.262	0,90	2,82	1,05	26138	57117	102294	102294	0	0	2,50	2,50
	100%	-25.181	4.993	1,04	11,44	1,04	26138	57117	101290	101290	0	0	2,50	2,50
sisma in -X														
proporzionale alle masse														
	0%	-	-	VNR	VNR	0,00	0	0	0	0	0	0	0,00	0,00
	100%	-	-	VNR	VNR	0,00	0	0	0	0	0	0	0,00	0,00
proporzionale alla deformata 1° modo di vibrazione														
	0%	-	-	VNR	VNR	0,00	0	0	0	0	0	0	0,00	0,00
	100%	-	-	VNR	VNR	0,00	0	0	0	0	0	0	0,00	0,00
sisma in +Y														
proporzionale alle masse														
	0%	7.758	-49.841	3,37	1,15	1,06	26138	57117	103119	103119	0	0	2,50	2,50
	100%	-13.888	16.595	1,88	3,44	1,02	26138	57117	98678	98678	0	0	2,50	2,50
proporzionale alla deformata 1° modo di vibrazione														
	0%	-	-	VNR	VNR	0,00	0	0	0	0	0	0	0,00	0,00
	100%	-	-	VNR	VNR	0,00	0	0	0	0	0	0	0,00	0,00
sisma in -Y														
proporzionale alle masse														
	0%	-	-	VNR	VNR	0,00	0	0	0	0	0	0	0,00	0,00
	100%	-	-	VNR	VNR	0,00	0	0	0	0	0	0	0,00	0,00
proporzionale alla deformata 1° modo di vibrazione														
	0%	-	-	VNR	VNR	0,00	0	0	0	0	0	0	0,00	0,00
	100%	-	-	VNR	VNR	0,00	0	0	0	0	0	0	0,00	0,00
sisma in +X														
proporzionale alle masse														
Trave 19-28	0%	-	-	VNR	VNR	0,00	0	0	0	0	0	0	0,00	0,00
	100%	-	-	VNR	VNR	0,00	0	0	0	0	0	0	0,00	0,00
proporzionale alla deformata 1° modo di vibrazione														
	0%	119	6.365	NS	7,76	1,00	33883	49372	105280	105280	0	0	2,50	2,50
	100%	119	-7.372	NS	6,70	1,00	33883	49372	105285	105285	0	0	2,50	2,50
sisma in -X														
proporzionale alle masse														
	0%	-	-	VNR	VNR	0,00	0	0	0	0	0	0	0,00	0,00
	100%	-	-	VNR	VNR	0,00	0	0	0	0	0	0	0,00	0,00
proporzionale alla deformata 1° modo di vibrazione														
	0%	-	-	VNR	VNR	0,00	0	0	0	0	0	0	0,00	0,00
	100%	-	-	VNR	VNR	0,00	0	0	0	0	0	0	0,00	0,00
sisma in +Y														
proporzionale alle masse														
	0%	23	-3.831	NS	12,89	1,06	33883	49372	111356	111356	0	0	2,50	2,50
	100%	23	-17.569	NS	2,81	1,06	33883	49372	111189	111189	0	0	2,50	2,50
proporzionale alla deformata 1° modo di vibrazione														

Id_{Tr}	$\%L_{LI}$	$V_{Ed,3}$	$V_{Ed,2}$	$CS^{(3)}$	$CS^{(2)}$	α_C	$V_{Rsd,s}{}^{(3)}$	$V_{Rsd,s}{}^{(2)}$	$V_{Rcd}{}^{(3)}$	$V_{Rcd}{}^{(2)}$	$V_{fd}{}^{(3)}$	$V_{fd}{}^{(2)}$	$Ctg\Theta^{(3)}$	$Ctg\Theta^{(2)}$
	[%]	[N]	[N]				[N]	[N]	[N]	[N]	[N]	[N]		
	0%	-	-	VNR	VNR	0,00	0	0	0	0	0	0	0,00	0,00
	100%	-	-	VNR	VNR	0,00	0	0	0	0	0	0	0,00	0,00
sisma in -Y														
proporzionale alle masse														
	0%	-	-	VNR	VNR	0,00	0	0	0	0	0	0	0,00	0,00
	100%	-	-	VNR	VNR	0,00	0	0	0	0	0	0	0,00	0,00
proporzionale alla deformata 1° modo di vibrazione														
	0%	-	-	VNR	VNR	0,00	0	0	0	0	0	0	0,00	0,00
	100%	-	-	VNR	VNR	0,00	0	0	0	0	0	0	0,00	0,00
sisma in +X														
proporzionale alle masse														
Trave 28-37	0%	-	-	VNR	VNR	0,00	0	0	0	0	0	0	0,00	0,00
	100%	-	-	VNR	VNR	0,00	0	0	0	0	0	0	0,00	0,00
proporzionale alla deformata 1° modo di vibrazione														
	0%	7	5.756	NS	8,58	1,02	33883	49372	106509	106509	0	0	2,50	2,50
	100%	7	-6.448	NS	7,66	1,02	33883	49372	106591	106591	0	0	2,50	2,50
sisma in -X														
proporzionale alle masse														
	0%	-	-	VNR	VNR	0,00	0	0	0	0	0	0	0,00	0,00
	100%	-	-	VNR	VNR	0,00	0	0	0	0	0	0	0,00	0,00
proporzionale alla deformata 1° modo di vibrazione														
	0%	-	-	VNR	VNR	0,00	0	0	0	0	0	0	0,00	0,00
	100%	-	-	VNR	VNR	0,00	0	0	0	0	0	0	0,00	0,00
sisma in +Y														
proporzionale alle masse														
	0%	-129	-7.320	NS	6,74	1,10	33883	49372	115262	115262	0	0	2,50	2,50
	100%	-129	-19.524	NS	2,53	1,10	33883	49372	115143	115143	0	0	2,50	2,50
proporzionale alla deformata 1° modo di vibrazione														
	0%	-	-	VNR	VNR	0,00	0	0	0	0	0	0	0,00	0,00
	100%	-	-	VNR	VNR	0,00	0	0	0	0	0	0	0,00	0,00
sisma in -Y														
proporzionale alle masse														
	0%	-	-	VNR	VNR	0,00	0	0	0	0	0	0	0,00	0,00
	100%	-	-	VNR	VNR	0,00	0	0	0	0	0	0	0,00	0,00
proporzionale alla deformata 1° modo di vibrazione														
	0%	-	-	VNR	VNR	0,00	0	0	0	0	0	0	0,00	0,00
	100%	-	-	VNR	VNR	0,00	0	0	0	0	0	0	0,00	0,00
Piano primo								**Travata: Trave13-24**						
sisma in +X														
proporzionale alle masse														
Trave 13-24	0%	-	-	VNR	VNR	0,00	0	0	0	0	0	0	0,00	0,00
	100%	-	-	VNR	VNR	0,00	0	0	0	0	0	0	0,00	0,00
proporzionale alla deformata 1° modo di vibrazione														
	0%	-154	11.970	NS	5,41	1,01	26044	64767	111105	111105	0	0	2,50	2,50
	100%	-154	-17.986	NS	3,60	1,01	26044	64767	111124	111124	0	0	2,50	2,50
sisma in -X														
proporzionale alle masse														
	0%	-	-	VNR	VNR	0,00	0	0	0	0	0	0	0,00	0,00
	100%	-	-	VNR	VNR	0,00	0	0	0	0	0	0	0,00	0,00
proporzionale alla deformata 1° modo di vibrazione														
	0%	-	-	VNR	VNR	0,00	0	0	0	0	0	0	0,00	0,00
	100%	-	-	VNR	VNR	0,00	0	0	0	0	0	0	0,00	0,00
sisma in +Y														
proporzionale alle masse														
	0%	-35	-5.459	NS	11,86	1,09	26044	64767	120009	120009	0	0	2,50	2,50
	100%	-35	-35.415	NS	1,83	1,08	26044	64767	118687	118687	0	0	2,50	2,50
proporzionale alla deformata 1° modo di vibrazione														
	0%	-	-	VNR	VNR	0,00	0	0	0	0	0	0	0,00	0,00
	100%	-	-	VNR	VNR	0,00	0	0	0	0	0	0	0,00	0,00
sisma in -Y														
proporzionale alle masse														
	0%	-	-	VNR	VNR	0,00	0	0	0	0	0	0	0,00	0,00
	100%	-	-	VNR	VNR	0,00	0	0	0	0	0	0	0,00	0,00
proporzionale alla deformata 1° modo di vibrazione														
	0%	-	-	VNR	VNR	0,00	0	0	0	0	0	0	0,00	0,00
	100%	-	-	VNR	VNR	0,00	0	0	0	0	0	0	0,00	0,00
Piano primo								**Travata: Trave20-29**						
sisma in +X														
proporzionale alle masse														
Trave 20-29	0%	-	-	VNR	VNR	0,00	0	0	0	0	0	0	0,00	0,00
	100%	-	-	VNR	VNR	0,00	0	0	0	0	0	0	0,00	0,00
proporzionale alla deformata 1° modo di vibrazione														
	0%	-7	7.596	NS	12,17	1,00	86923	92431	154574	154574	0	0	2,50	2,50
	100%	-7	-9.064	NS	10,20	1,00	86923	92431	154574	154574	0	0	2,50	2,50
sisma in -X														
proporzionale alle masse														
	0%	-	-	VNR	VNR	0,00	0	0	0	0	0	0	0,00	0,00
	100%	-	-	VNR	VNR	0,00	0	0	0	0	0	0	0,00	0,00
proporzionale alla deformata 1° modo di vibrazione														
	0%	-	-	VNR	VNR	0,00	0	0	0	0	0	0	0,00	0,00
	100%	-	-	VNR	VNR	0,00	0	0	0	0	0	0	0,00	0,00
sisma in +Y														
proporzionale alle masse														
	0%	133	-5.538	NS	16,69	1,03	86923	92431	158680	158680	0	0	2,50	2,50
	100%	133	-22.198	NS	4,16	1,03	86923	92431	158613	158613	0	0	2,50	2,50
proporzionale alla deformata 1° modo di vibrazione														

Id_{Tr}	$\%L_{LI}$	$V_{Ed,3}$	$V_{Ed,2}$	$CS^{(3)}$	$CS^{(2)}$	α_C	$V_{Rsd,s}{}^{(3)}$	$V_{Rsd,s}{}^{(2)}$	$V_{Rcd}{}^{(3)}$	$V_{Rcd}{}^{(2)}$	$V_{fd}{}^{(3)}$	$V_{fd}{}^{(2)}$	$Ctg\Theta^{(3)}$	$Ctg\Theta^{(2)}$
	[%]	[N]	[N]				[N]	[N]	[N]	[N]	[N]	[N]		
	0%	-	-	VNR	VNR	0,00	0	0	0	0	0	0	0,00	0,00
	100%	-	-	VNR	VNR	0,00	0	0	0	0	0	0	0,00	0,00
sisma in -Y														
proporzionale alle masse														
	0%	-	-	VNR	VNR	0,00	0	0	0	0	0	0	0,00	0,00
	100%	-	-	VNR	VNR	0,00	0	0	0	0	0	0	0,00	0,00
proporzionale alla deformata 1° modo di vibrazione														
	0%	-	-	VNR	VNR	0,00	0	0	0	0	0	0	0,00	0,00
	100%	-	-	VNR	VNR	0,00	0	0	0	0	0	0	0,00	0,00
Piano primo								**Travata: Trave21-30**						
sisma in +X														
proporzionale alle masse														
Trave 21-30	0%	-	-	VNR	VNR	0,00	0	0	0	0	0	0	0,00	0,00
	100%	-	-	VNR	VNR	0,00	0	0	0	0	0	0	0,00	0,00
proporzionale alla deformata 1° modo di vibrazione														
	0%	-17	8.478	NS	10,90	1,00	86923	92431	154574	154574	0	0	2,50	2,50
	100%	-17	-8.182	NS	11,30	1,00	86923	92431	154574	154574	0	0	2,50	2,50
sisma in -X														
proporzionale alle masse														
	0%	-	-	VNR	VNR	0,00	0	0	0	0	0	0	0,00	0,00
	100%	-	-	VNR	VNR	0,00	0	0	0	0	0	0	0,00	0,00
proporzionale alla deformata 1° modo di vibrazione														
	0%	-	-	VNR	VNR	0,00	0	0	0	0	0	0	0,00	0,00
	100%	-	-	VNR	VNR	0,00	0	0	0	0	0	0	0,00	0,00
sisma in +Y														
proporzionale alle masse														
	0%	112	-4.126	NS	22,40	1,02	86923	92431	157525	157525	0	0	2,50	2,50
	100%	112	-20.786	NS	4,45	1,02	86923	92431	157433	157433	0	0	2,50	2,50
proporzionale alla deformata 1° modo di vibrazione														
	0%	-	-	VNR	VNR	0,00	0	0	0	0	0	0	0,00	0,00
	100%	-	-	VNR	VNR	0,00	0	0	0	0	0	0	0,00	0,00
sisma in -Y														
proporzionale alle masse														
	0%	-	-	VNR	VNR	0,00	0	0	0	0	0	0	0,00	0,00
	100%	-	-	VNR	VNR	0,00	0	0	0	0	0	0	0,00	0,00
proporzionale alla deformata 1° modo di vibrazione														
	0%	-	-	VNR	VNR	0,00	0	0	0	0	0	0	0,00	0,00
	100%	-	-	VNR	VNR	0,00	0	0	0	0	0	0	0,00	0,00
Piano primo								**Travata: Trave24-31-41**						
sisma in +X														
proporzionale alle masse														
Trave 24-31	0%	-	-	VNR	VNR	0,00	0	0	0	0	0	0	0,00	0,00
	100%	-	-	VNR	VNR	0,00	0	0	0	0	0	0	0,00	0,00
proporzionale alla deformata 1° modo di vibrazione														
	0%	31.196	-14.746	0,83	4,38	1,04	25867	64590	113630	113630	0	0	2,50	2,50
	100%	2.128	-5.851	12,16	11,04	1,02	25867	64590	112140	112140	0	0	2,50	2,50
sisma in -X														
proporzionale alle masse														
	0%	-	-	VNR	VNR	0,00	0	0	0	0	0	0	0,00	0,00
	100%	-	-	VNR	VNR	0,00	0	0	0	0	0	0	0,00	0,00
proporzionale alla deformata 1° modo di vibrazione														
	0%	-	-	VNR	VNR	0,00	0	0	0	0	0	0	0,00	0,00
	100%	-	-	VNR	VNR	0,00	0	0	0	0	0	0	0,00	0,00
sisma in +Y														
proporzionale alle masse														
	0%	24.294	-27.123	1,06	2,38	1,02	25867	64590	111861	111861	0	0	2,50	2,50
	100%	-113	6.124	NS	10,55	1,00	25867	64590	109730	109730	0	0	2,50	2,50
proporzionale alla deformata 1° modo di vibrazione														
	0%	-	-	VNR	VNR	0,00	0	0	0	0	0	0	0,00	0,00
	100%	-	-	VNR	VNR	0,00	0	0	0	0	0	0	0,00	0,00
sisma in -Y														
proporzionale alle masse														
	0%	-	-	VNR	VNR	0,00	0	0	0	0	0	0	0,00	0,00
	100%	-	-	VNR	VNR	0,00	0	0	0	0	0	0	0,00	0,00
proporzionale alla deformata 1° modo di vibrazione														
	0%	-	-	VNR	VNR	0,00	0	0	0	0	0	0	0,00	0,00
	100%	-	-	VNR	VNR	0,00	0	0	0	0	0	0	0,00	0,00
sisma in +X														
proporzionale alle masse														
Trave 31-41	0%	-	-	VNR	VNR	0,00	0	0	0	0	0	0	0,00	0,00
	100%	-	-	VNR	VNR	0,00	0	0	0	0	0	0	0,00	0,00
proporzionale alla deformata 1° modo di vibrazione														
	0%	-91	21.105	NS	3,06	1,01	25867	64590	111112	111112	0	0	2,50	2,50
	100%	-91	-16.877	NS	3,06	1,01	20694	51672	111108	111108	0	0	2,50	2,50
sisma in -X														
proporzionale alle masse														
	0%	-	-	VNR	VNR	0,00	0	0	0	0	0	0	0,00	0,00
	100%	-	-	VNR	VNR	0,00	0	0	0	0	0	0	0,00	0,00
proporzionale alla deformata 1° modo di vibrazione														
	0%	-	-	VNR	VNR	0,00	0	0	0	0	0	0	0,00	0,00
	100%	-	-	VNR	VNR	0,00	0	0	0	0	0	0	0,00	0,00
sisma in +Y														
proporzionale alle masse														
	0%	-37	-4.427	NS	14,59	1,07	25867	64590	117771	117771	0	0	2,50	2,50
	100%	-37	-42.409	NS	1,22	1,08	20694	51672	118329	118329	0	0	2,50	2,50
proporzionale alla deformata 1° modo di vibrazione														

Id_{Tr}	$\%L_{LI}$	$V_{Ed,3}$	$V_{Ed,2}$	$CS^{(3)}$	$CS^{(2)}$	α_C	$V_{Rsd,s}{}^{(3)}$	$V_{Rsd,s}{}^{(2)}$	$V_{Rcd}{}^{(3)}$	$V_{Rcd}{}^{(2)}$	$V_{fd}{}^{(3)}$	$V_{fd}{}^{(2)}$	$Ctg\Theta^{(3)}$	$Ctg\Theta^{(2)}$
	[%]	[N]	[N]				[N]	[N]	[N]	[N]	[N]	[N]		
	0%	-	-	VNR	VNR	0,00	0	0	0	0	0	0	0,00	0,00
	100%	-	-	VNR	VNR	0,00	0	0	0	0	0	0	0,00	0,00
sisma in -Y														
proporzionale alle masse														
	0%	-	-	VNR	VNR	0,00	0	0	0	0	0	0	0,00	0,00
	100%	-	-	VNR	VNR	0,00	0	0	0	0	0	0	0,00	0,00
proporzionale alla deformata 1° modo di vibrazione														
	0%	-	-	VNR	VNR	0,00	0	0	0	0	0	0	0,00	0,00
	100%	-	-	VNR	VNR	0,00	0	0	0	0	0	0	0,00	0,00
Piano terra ingresso								**Travata: Trave1-P1-2-P2-3-P3-4-P4-5-P5-6**						
sisma in +X														
proporzionale alle masse														
Trave 1-P1	0%	-	-	VNR	VNR	0,00	0	0	0	0	0	0	0,00	0,00
	100%	-	-	VNR	VNR	0,00	0	0	0	0	0	0	0,00	0,00
proporzionale alla deformata 1° modo di vibrazione														
	0%	29.075	-112.204	0,00	0,00	1,00	0	0	334366	334366	0	0	2,50	2,50
	100%	1.177	52.184	0,00	0,00	1,00	0	0	334366	334366	0	0	2,50	2,50
sisma in -X														
proporzionale alle masse														
	0%	-	-	VNR	VNR	0,00	0	0	0	0	0	0	0,00	0,00
	100%	-	-	VNR	VNR	0,00	0	0	0	0	0	0	0,00	0,00
proporzionale alla deformata 1° modo di vibrazione														
	0%	-	-	VNR	VNR	0,00	0	0	0	0	0	0	0,00	0,00
	100%	-	-	VNR	VNR	0,00	0	0	0	0	0	0	0,00	0,00
sisma in +Y														
proporzionale alle masse														
	0%	-36.784	171.330	0,00	0,00	1,07	0	0	358975	358975	0	0	2,50	2,50
	100%	1.342	2.474	0,00	0,00	1,01	0	0	337543	337543	0	0	2,50	2,50
proporzionale alla deformata 1° modo di vibrazione														
	0%	-	-	VNR	VNR	0,00	0	0	0	0	0	0	0,00	0,00
	100%	-	-	VNR	VNR	0,00	0	0	0	0	0	0	0,00	0,00
sisma in -Y														
proporzionale alle masse														
	0%	-	-	VNR	VNR	0,00	0	0	0	0	0	0	0,00	0,00
	100%	-	-	VNR	VNR	0,00	0	0	0	0	0	0	0,00	0,00
proporzionale alla deformata 1° modo di vibrazione														
	0%	-	-	VNR	VNR	0,00	0	0	0	0	0	0	0,00	0,00
	100%	-	-	VNR	VNR	0,00	0	0	0	0	0	0	0,00	0,00
sisma in +X														
proporzionale alle masse														
Trave P1-2	0%	-	-	VNR	VNR	0,00	0	0	0	0	0	0	0,00	0,00
	100%	-	-	VNR	VNR	0,00	0	0	0	0	0	0	0,00	0,00
proporzionale alla deformata 1° modo di vibrazione														
	0%	-143	-22.836	NS	5,45	1,12	91364	124408	374458	374458	0	0	2,50	2,50
	100%	-143	-175.574	NS	0,71	1,12	91364	124408	373959	373959	0	0	2,50	2,50
sisma in -X														
proporzionale alle masse														
	0%	-	-	VNR	VNR	0,00	0	0	0	0	0	0	0,00	0,00
	100%	-	-	VNR	VNR	0,00	0	0	0	0	0	0	0,00	0,00
proporzionale alla deformata 1° modo di vibrazione														
	0%	-	-	VNR	VNR	0,00	0	0	0	0	0	0	0,00	0,00
	100%	-	-	VNR	VNR	0,00	0	0	0	0	0	0	0,00	0,00
sisma in +Y														
proporzionale alle masse														
	0%	85	70.153	NS	1,77	1,00	91364	124408	334366	334366	0	0	2,50	2,50
	100%	85	-82.585	NS	1,51	1,00	91364	124408	334366	334366	0	0	2,50	2,50
proporzionale alla deformata 1° modo di vibrazione														
	0%	-	-	VNR	VNR	0,00	0	0	0	0	0	0	0,00	0,00
	100%	-	-	VNR	VNR	0,00	0	0	0	0	0	0	0,00	0,00
sisma in -Y														
proporzionale alle masse														
	0%	-	-	VNR	VNR	0,00	0	0	0	0	0	0	0,00	0,00
	100%	-	-	VNR	VNR	0,00	0	0	0	0	0	0	0,00	0,00
proporzionale alla deformata 1° modo di vibrazione														
	0%	-	-	VNR	VNR	0,00	0	0	0	0	0	0	0,00	0,00
	100%	-	-	VNR	VNR	0,00	0	0	0	0	0	0	0,00	0,00
sisma in +X														
proporzionale alle masse														
Trave 2-P2	0%	-	-	VNR	VNR	0,00	0	0	0	0	0	0	0,00	0,00
	100%	-	-	VNR	VNR	0,00	0	0	0	0	0	0	0,00	0,00
proporzionale alla deformata 1° modo di vibrazione														
	0%	8.486	139.001	0,00	0,00	1,21	0	0	403656	403656	0	0	2,50	2,50
	100%	330	76.755	0,00	0,00	1,00	0	0	334366	334366	0	0	2,50	2,50
sisma in -X														
proporzionale alle masse														
	0%	-	-	VNR	VNR	0,00	0	0	0	0	0	0	0,00	0,00
	100%	-	-	VNR	VNR	0,00	0	0	0	0	0	0	0,00	0,00
proporzionale alla deformata 1° modo di vibrazione														
	0%	-	-	VNR	VNR	0,00	0	0	0	0	0	0	0,00	0,00
	100%	-	-	VNR	VNR	0,00	0	0	0	0	0	0	0,00	0,00
sisma in +Y														
proporzionale alle masse														
	0%	1.243	16.048	0,00	0,00	1,03	0	0	344222	344222	0	0	2,50	2,50
	100%	2.227	-19.017	0,00	0,00	1,04	0	0	348137	348137	0	0	2,50	2,50
proporzionale alla deformata 1° modo di vibrazione														
	0%	-	-	VNR	VNR	0,00	0	0	0	0	0	0	0,00	0,00

Id_{Tr}	$\%L_{LI}$	$V_{Ed,3}$	$V_{Ed,2}$	$CS^{(3)}$	$CS^{(2)}$	α_C	$V_{Rsd,s}{}^{(3)}$	$V_{Rsd,s}{}^{(2)}$	$V_{Rcd}{}^{(3)}$	$V_{Rcd}{}^{(2)}$	$V_{fd}{}^{(3)}$	$V_{fd}{}^{(2)}$	$Ctg\Theta^{(3)}$	$Ctg\Theta^{(2)}$
	[%]	[N]	[N]				[N]	[N]	[N]	[N]	[N]	[N]		
	100%	-	-	VNR	VNR	0,00	0	0	0	0	0	0	0,00	0,00
sisma in -Y														
proporzionale alle masse														
	0%	-	-	VNR	VNR	0,00	0	0	0	0	0	0	0,00	0,00
	100%	-	-	VNR	VNR	0,00	0	0	0	0	0	0	0,00	0,00
proporzionale alla deformata 1° modo di vibrazione														
	0%	-	-	VNR	VNR	0,00	0	0	0	0	0	0	0,00	0,00
	100%	-	-	VNR	VNR	0,00	0	0	0	0	0	0	0,00	0,00
sisma in +X														
proporzionale alle masse														
Trave P2-3	0%	-	-	VNR	VNR	0,00	0	0	0	0	0	0	0,00	0,00
	100%	-	-	VNR	VNR	0,00	0	0	0	0	0	0	0,00	0,00
proporzionale alla deformata 1° modo di vibrazione														
	0%	-238	-37.003	NS	3,36	1,12	91364	124408	376058	376058	0	0	2,50	2,50
	100%	-238	-180.822	NS	0,69	1,12	91364	124408	375919	375919	0	0	2,50	2,50
sisma in -X														
proporzionale alle masse														
	0%	-	-	VNR	VNR	0,00	0	0	0	0	0	0	0,00	0,00
	100%	-	-	VNR	VNR	0,00	0	0	0	0	0	0	0,00	0,00
proporzionale alla deformata 1° modo di vibrazione														
	0%	-	-	VNR	VNR	0,00	0	0	0	0	0	0	0,00	0,00
	100%	-	-	VNR	VNR	0,00	0	0	0	0	0	0	0,00	0,00
sisma in +Y														
proporzionale alle masse														
	0%	-5	72.919	NS	1,71	1,01	91364	124408	337723	337723	0	0	2,50	2,50
	100%	-5	-70.900	NS	1,75	1,01	91364	124408	337718	337718	0	0	2,50	2,50
proporzionale alla deformata 1° modo di vibrazione														
	0%	-	-	VNR	VNR	0,00	0	0	0	0	0	0	0,00	0,00
	100%	-	-	VNR	VNR	0,00	0	0	0	0	0	0	0,00	0,00
sisma in -Y														
proporzionale alle masse														
	0%	-	-	VNR	VNR	0,00	0	0	0	0	0	0	0,00	0,00
	100%	-	-	VNR	VNR	0,00	0	0	0	0	0	0	0,00	0,00
proporzionale alla deformata 1° modo di vibrazione														
	0%	-	-	VNR	VNR	0,00	0	0	0	0	0	0	0,00	0,00
	100%	-	-	VNR	VNR	0,00	0	0	0	0	0	0	0,00	0,00
sisma in +X														
proporzionale alle masse														
Trave 3-P3	0%	-	-	VNR	VNR	0,00	0	0	0	0	0	0	0,00	0,00
	100%	-	-	VNR	VNR	0,00	0	0	0	0	0	0	0,00	0,00
proporzionale alla deformata 1° modo di vibrazione														
	0%	7.979	148.000	0,00	0,00	1,21	0	0	405262	405262	0	0	2,50	2,50
	100%	-90	-5.762	0,00	0,00	1,00	0	0	334366	334366	0	0	2,50	2,50
sisma in -X														
proporzionale alle masse														
	0%	-	-	VNR	VNR	0,00	0	0	0	0	0	0	0,00	0,00
	100%	-	-	VNR	VNR	0,00	0	0	0	0	0	0	0,00	0,00
proporzionale alla deformata 1° modo di vibrazione														
	0%	-	-	VNR	VNR	0,00	0	0	0	0	0	0	0,00	0,00
	100%	-	-	VNR	VNR	0,00	0	0	0	0	0	0	0,00	0,00
sisma in +Y														
proporzionale alle masse														
	0%	-4.268	25.648	0,00	0,00	1,04	0	0	346381	346381	0	0	2,50	2,50
	100%	684	-18.561	0,00	0,00	1,04	0	0	348202	348202	0	0	2,50	2,50
proporzionale alla deformata 1° modo di vibrazione														
	0%	-	-	VNR	VNR	0,00	0	0	0	0	0	0	0,00	0,00
	100%	-	-	VNR	VNR	0,00	0	0	0	0	0	0	0,00	0,00
sisma in -Y														
proporzionale alle masse														
	0%	-	-	VNR	VNR	0,00	0	0	0	0	0	0	0,00	0,00
	100%	-	-	VNR	VNR	0,00	0	0	0	0	0	0	0,00	0,00
proporzionale alla deformata 1° modo di vibrazione														
	0%	-	-	VNR	VNR	0,00	0	0	0	0	0	0	0,00	0,00
	100%	-	-	VNR	VNR	0,00	0	0	0	0	0	0	0,00	0,00
sisma in +X														
proporzionale alle masse														
Trave P3-4	0%	-	-	VNR	VNR	0,00	0	0	0	0	0	0	0,00	0,00
	100%	-	-	VNR	VNR	0,00	0	0	0	0	0	0	0,00	0,00
proporzionale alla deformata 1° modo di vibrazione														
	0%	-209	-39.389	NS	3,16	1,12	91364	124408	374203	374203	0	0	2,50	2,50
	100%	-209	-183.208	NS	0,68	1,12	91364	124408	374050	374050	0	0	2,50	2,50
sisma in -X														
proporzionale alle masse														
	0%	-	-	VNR	VNR	0,00	0	0	0	0	0	0	0,00	0,00
	100%	-	-	VNR	VNR	0,00	0	0	0	0	0	0	0,00	0,00
proporzionale alla deformata 1° modo di vibrazione														
	0%	-	-	VNR	VNR	0,00	0	0	0	0	0	0	0,00	0,00
	100%	-	-	VNR	VNR	0,00	0	0	0	0	0	0	0,00	0,00
sisma in +Y														
proporzionale alle masse														
	0%	110	72.494	NS	1,72	1,01	91364	124408	337683	337683	0	0	2,50	2,50
	100%	110	-71.325	NS	1,74	1,01	91364	124408	337689	337689	0	0	2,50	2,50
proporzionale alla deformata 1° modo di vibrazione														
	0%	-	-	VNR	VNR	0,00	0	0	0	0	0	0	0,00	0,00
	100%	-	-	VNR	VNR	0,00	0	0	0	0	0	0	0,00	0,00
sisma in -Y														

Id_{Tr}	$\%L_{LI}$	$V_{Ed,3}$	$V_{Ed,2}$	$CS^{(3)}$	$CS^{(2)}$	α_C	$V_{Rsd,s}{}^{(3)}$	$V_{Rsd,s}{}^{(2)}$	$V_{Rcd}{}^{(3)}$	$V_{Rcd}{}^{(2)}$	$V_{fd}{}^{(3)}$	$V_{fd}{}^{(2)}$	$Ctg\Theta^{(3)}$	$Ctg\Theta^{(2)}$
	[%]	[N]	[N]				[N]	[N]	[N]	[N]	[N]	[N]		
proporzionale alle masse														
	0%	-	-	VNR	VNR	0,00	0	0	0	0	0	0	0,00	0,00
	100%	-	-	VNR	VNR	0,00	0	0	0	0	0	0	0,00	0,00
proporzionale alla deformata 1° modo di vibrazione														
	0%	-	-	VNR	VNR	0,00	0	0	0	0	0	0	0,00	0,00
	100%	-	-	VNR	VNR	0,00	0	0	0	0	0	0	0,00	0,00
sisma in +X														
proporzionale alle masse														
Trave 4-P4	0%	-	-	VNR	VNR	0,00	0	0	0	0	0	0	0,00	0,00
	100%	-	-	VNR	VNR	0,00	0	0	0	0	0	0	0,00	0,00
proporzionale alla deformata 1° modo di vibrazione														
	0%	7.162	154.495	0,00	0,00	1,22	0	0	408458	408458	0	0	2,50	2,50
	100%	96	67.629	0,00	0,00	1,00	0	0	334366	334366	0	0	2,50	2,50
sisma in -X														
proporzionale alle masse														
	0%	-	-	VNR	VNR	0,00	0	0	0	0	0	0	0,00	0,00
	100%	-	-	VNR	VNR	0,00	0	0	0	0	0	0	0,00	0,00
proporzionale alla deformata 1° modo di vibrazione														
	0%	-	-	VNR	VNR	0,00	0	0	0	0	0	0	0,00	0,00
	100%	-	-	VNR	VNR	0,00	0	0	0	0	0	0	0,00	0,00
sisma in +Y														
proporzionale alle masse														
	0%	-6.426	26.353	0,00	0,00	1,04	0	0	346710	346710	0	0	2,50	2,50
	100%	239	-15.185	0,00	0,00	1,04	0	0	346755	346755	0	0	2,50	2,50
proporzionale alla deformata 1° modo di vibrazione														
	0%	-	-	VNR	VNR	0,00	0	0	0	0	0	0	0,00	0,00
	100%	-	-	VNR	VNR	0,00	0	0	0	0	0	0	0,00	0,00
sisma in -Y														
proporzionale alle masse														
	0%	-	-	VNR	VNR	0,00	0	0	0	0	0	0	0,00	0,00
	100%	-	-	VNR	VNR	0,00	0	0	0	0	0	0	0,00	0,00
proporzionale alla deformata 1° modo di vibrazione														
	0%	-	-	VNR	VNR	0,00	0	0	0	0	0	0	0,00	0,00
	100%	-	-	VNR	VNR	0,00	0	0	0	0	0	0	0,00	0,00
sisma in +X														
proporzionale alle masse														
Trave P4-5	0%	-	-	VNR	VNR	0,00	0	0	0	0	0	0	0,00	0,00
	100%	-	-	VNR	VNR	0,00	0	0	0	0	0	0	0,00	0,00
proporzionale alla deformata 1° modo di vibrazione														
	0%	-135	-33.673	NS	3,69	1,12	91364	124408	375490	375490	0	0	2,50	2,50
	100%	-135	-177.493	NS	0,70	1,12	91364	124408	375453	375453	0	0	2,50	2,50
sisma in -X														
proporzionale alle masse														
	0%	-	-	VNR	VNR	0,00	0	0	0	0	0	0	0,00	0,00
	100%	-	-	VNR	VNR	0,00	0	0	0	0	0	0	0,00	0,00
proporzionale alla deformata 1° modo di vibrazione														
	0%	-	-	VNR	VNR	0,00	0	0	0	0	0	0	0,00	0,00
	100%	-	-	VNR	VNR	0,00	0	0	0	0	0	0	0,00	0,00
sisma in +Y														
proporzionale alle masse														
	0%	160	69.358	NS	1,79	1,01	91364	124408	339040	339040	0	0	2,50	2,50
	100%	160	-74.461	NS	1,67	1,01	91364	124408	339023	339023	0	0	2,50	2,50
proporzionale alla deformata 1° modo di vibrazione														
	0%	-	-	VNR	VNR	0,00	0	0	0	0	0	0	0,00	0,00
	100%	-	-	VNR	VNR	0,00	0	0	0	0	0	0	0,00	0,00
sisma in -Y														
proporzionale alle masse														
	0%	-	-	VNR	VNR	0,00	0	0	0	0	0	0	0,00	0,00
	100%	-	-	VNR	VNR	0,00	0	0	0	0	0	0	0,00	0,00
proporzionale alla deformata 1° modo di vibrazione														
	0%	-	-	VNR	VNR	0,00	0	0	0	0	0	0	0,00	0,00
	100%	-	-	VNR	VNR	0,00	0	0	0	0	0	0	0,00	0,00
sisma in +X														
proporzionale alle masse														
Trave 5-P5	0%	-	-	VNR	VNR	0,00	0	0	0	0	0	0	0,00	0,00
	100%	-	-	VNR	VNR	0,00	0	0	0	0	0	0	0,00	0,00
proporzionale alla deformata 1° modo di vibrazione														
	0%	5.525	136.465	0,00	0,00	1,21	0	0	404340	404340	0	0	2,50	2,50
	100%	3.078	61.662	0,00	0,00	1,01	0	0	338684	338684	0	0	2,50	2,50
sisma in -X														
proporzionale alle masse														
	0%	-	-	VNR	VNR	0,00	0	0	0	0	0	0	0,00	0,00
	100%	-	-	VNR	VNR	0,00	0	0	0	0	0	0	0,00	0,00
proporzionale alla deformata 1° modo di vibrazione														
	0%	-	-	VNR	VNR	0,00	0	0	0	0	0	0	0,00	0,00
	100%	-	-	VNR	VNR	0,00	0	0	0	0	0	0	0,00	0,00
sisma in +Y														
proporzionale alle masse														
	0%	-4.575	36.083	0,00	0,00	1,04	0	0	347515	347515	0	0	2,50	2,50
	100%	5.902	11.556	0,00	0,00	1,01	0	0	337554	337554	0	0	2,50	2,50
proporzionale alla deformata 1° modo di vibrazione														
	0%	-	-	VNR	VNR	0,00	0	0	0	0	0	0	0,00	0,00
	100%	-	-	VNR	VNR	0,00	0	0	0	0	0	0	0,00	0,00
sisma in -Y														
proporzionale alle masse														
	0%	-	-	VNR	VNR	0,00	0	0	0	0	0	0	0,00	0,00

Id_{Tr}	$\%L_{LI}$	$V_{Ed,3}$	$V_{Ed,2}$	$CS^{(3)}$	$CS^{(2)}$	α_C	$V_{Rsd,s}{}^{(3)}$	$V_{Rsd,s}{}^{(2)}$	$V_{Rcd}{}^{(3)}$	$V_{Rcd}{}^{(2)}$	$V_{fd}{}^{(3)}$	$V_{fd}{}^{(2)}$	$Ctg\Theta^{(3)}$	$Ctg\Theta^{(2)}$
	[%]	[N]	[N]				[N]	[N]	[N]	[N]	[N]	[N]		
	100%	-	-	VNR	VNR	0,00	0	0	0	0	0	0	0,00	0,00
proporzionale alla deformata 1° modo di vibrazione														
	0%	-	-	VNR	VNR	0,00	0	0	0	0	0	0	0,00	0,00
	100%	-	-	VNR	VNR	0,00	0	0	0	0	0	0	0,00	0,00
sisma in +X														
proporzionale alle masse														
Trave P5-6	0%	-	-	VNR	VNR	0,00	0	0	0	0	0	0	0,00	0,00
	100%	-	-	VNR	VNR	0,00	0	0	0	0	0	0	0,00	0,00
proporzionale alla deformata 1° modo di vibrazione														
	0%	-816	27.982	NS	4,45	1,04	91364	124408	346907	346907	0	0	2,50	2,50
	100%	-816	-117.612	NS	1,06	1,04	91364	124408	346757	346757	0	0	2,50	2,50
sisma in -X														
proporzionale alle masse														
	0%	-	-	VNR	VNR	0,00	0	0	0	0	0	0	0,00	0,00
	100%	-	-	VNR	VNR	0,00	0	0	0	0	0	0	0,00	0,00
proporzionale alla deformata 1° modo di vibrazione														
	0%	-	-	VNR	VNR	0,00	0	0	0	0	0	0	0,00	0,00
	100%	-	-	VNR	VNR	0,00	0	0	0	0	0	0	0,00	0,00
sisma in +Y														
proporzionale alle masse														
	0%	-666	59.068	NS	2,11	1,00	91364	124408	334366	334366	0	0	2,50	2,50
	100%	-666	-86.526	NS	1,44	1,00	91364	124408	334366	334366	0	0	2,50	2,50
proporzionale alla deformata 1° modo di vibrazione														
	0%	-	-	VNR	VNR	0,00	0	0	0	0	0	0	0,00	0,00
	100%	-	-	VNR	VNR	0,00	0	0	0	0	0	0	0,00	0,00
sisma in -Y														
proporzionale alle masse														
	0%	-	-	VNR	VNR	0,00	0	0	0	0	0	0	0,00	0,00
	100%	-	-	VNR	VNR	0,00	0	0	0	0	0	0	0,00	0,00
proporzionale alla deformata 1° modo di vibrazione														
	0%	-	-	VNR	VNR	0,00	0	0	0	0	0	0	0,00	0,00
	100%	-	-	VNR	VNR	0,00	0	0	0	0	0	0	0,00	0,00
Piano terra ingresso								**Travata: Trave7-P6-8-9-10-11-12-P7-13**						
sisma in +X														
proporzionale alle masse														
Trave 7-P6	0%	-	-	VNR	VNR	0,00	0	0	0	0	0	0	0,00	0,00
	100%	-	-	VNR	VNR	0,00	0	0	0	0	0	0	0,00	0,00
proporzionale alla deformata 1° modo di vibrazione														
	0%	-957	-114.593	0,00	0,00	1,00	0	0	153560	153560	0	0	2,50	2,50
	100%	-28	30.876	0,00	0,00	1,00	0	0	153560	153560	0	0	2,50	2,50
sisma in -X														
proporzionale alle masse														
	0%	-	-	VNR	VNR	0,00	0	0	0	0	0	0	0,00	0,00
	100%	-	-	VNR	VNR	0,00	0	0	0	0	0	0	0,00	0,00
proporzionale alla deformata 1° modo di vibrazione														
	0%	-	-	VNR	VNR	0,00	0	0	0	0	0	0	0,00	0,00
	100%	-	-	VNR	VNR	0,00	0	0	0	0	0	0	0,00	0,00
sisma in +Y														
proporzionale alle masse														
	0%	-42.153	159.683	0,00	0,00	1,15	0	0	176329	176329	0	0	2,50	2,50
	100%	-1.990	-10.712	0,00	0,00	1,00	0	0	153560	153560	0	0	2,50	2,50
proporzionale alla deformata 1° modo di vibrazione														
	0%	-	-	VNR	VNR	0,00	0	0	0	0	0	0	0,00	0,00
	100%	-	-	VNR	VNR	0,00	0	0	0	0	0	0	0,00	0,00
sisma in -Y														
proporzionale alle masse														
	0%	-	-	VNR	VNR	0,00	0	0	0	0	0	0	0,00	0,00
	100%	-	-	VNR	VNR	0,00	0	0	0	0	0	0	0,00	0,00
proporzionale alla deformata 1° modo di vibrazione														
	0%	-	-	VNR	VNR	0,00	0	0	0	0	0	0	0,00	0,00
	100%	-	-	VNR	VNR	0,00	0	0	0	0	0	0	0,00	0,00
sisma in +X														
proporzionale alle masse														
Trave P6-8	0%	-	-	VNR	VNR	0,00	0	0	0	0	0	0	0,00	0,00
	100%	-	-	VNR	VNR	0,00	0	0	0	0	0	0	0,00	0,00
proporzionale alla deformata 1° modo di vibrazione														
	0%	1.883	-62.448	33,31	1,29	1,03	62723	80346	158524	158524	0	0	2,50	2,50
	100%	1.883	-98.559	33,31	0,82	1,06	62723	80346	162611	162611	0	0	2,50	2,50
sisma in -X														
proporzionale alle masse														
	0%	-	-	VNR	VNR	0,00	0	0	0	0	0	0	0,00	0,00
	100%	-	-	VNR	VNR	0,00	0	0	0	0	0	0	0,00	0,00
proporzionale alla deformata 1° modo di vibrazione														
	0%	-	-	VNR	VNR	0,00	0	0	0	0	0	0	0,00	0,00
	100%	-	-	VNR	VNR	0,00	0	0	0	0	0	0	0,00	0,00
sisma in +Y														
proporzionale alle masse														
	0%	-595	15.664	NS	5,13	1,00	62723	80346	153560	153560	0	0	2,50	2,50
	100%	-595	-20.448	NS	3,93	1,00	62723	80346	153560	153560	0	0	2,50	2,50
proporzionale alla deformata 1° modo di vibrazione														
	0%	-	-	VNR	VNR	0,00	0	0	0	0	0	0	0,00	0,00
	100%	-	-	VNR	VNR	0,00	0	0	0	0	0	0	0,00	0,00
sisma in -Y														
proporzionale alle masse														
	0%	-	-	VNR	VNR	0,00	0	0	0	0	0	0	0,00	0,00
	100%	-	-	VNR	VNR	0,00	0	0	0	0	0	0	0,00	0,00

Id_{Tr}	$\%L_{LI}$	$V_{Ed,3}$	$V_{Ed,2}$	$CS^{(3)}$	$CS^{(2)}$	α_C	$V_{Rsd,s}{}^{(3)}$	$V_{Rsd,s}{}^{(2)}$	$V_{Rcd}{}^{(3)}$	$V_{Rcd}{}^{(2)}$	$V_{fd}{}^{(3)}$	$V_{fd}{}^{(2)}$	$Ctg\Theta^{(3)}$	$Ctg\Theta^{(2)}$
	[%]	[N]	[N]				[N]	[N]	[N]	[N]	[N]	[N]		
proporzionale alla deformata 1° modo di vibrazione														
	0%	-	-	VNR	VNR	0,00	0	0	0	0	0	0	0,00	0,00
	100%	-	-	VNR	VNR	0,00	0	0	0	0	0	0	0,00	0,00
sisma in +X														
proporzionale alle masse														
Trave 8-9	0%	-	-	VNR	VNR	0,00	0	0	0	0	0	0	0,00	0,00
	100%	-	-	VNR	VNR	0,00	0	0	0	0	0	0	0,00	0,00
proporzionale alla deformata 1° modo di vibrazione														
	0%	-59	22.099	NS	3,64	1,03	62723	80346	157572	157572	0	0	2,50	2,50
	100%	-59	-56.745	NS	1,42	1,02	62723	80346	157018	157018	0	0	2,50	2,50
sisma in -X														
proporzionale alle masse														
	0%	-	-	VNR	VNR	0,00	0	0	0	0	0	0	0,00	0,00
	100%	-	-	VNR	VNR	0,00	0	0	0	0	0	0	0,00	0,00
proporzionale alla deformata 1° modo di vibrazione														
	0%	-	-	VNR	VNR	0,00	0	0	0	0	0	0	0,00	0,00
	100%	-	-	VNR	VNR	0,00	0	0	0	0	0	0	0,00	0,00
sisma in +Y														
proporzionale alle masse														
	0%	-236	37.907	NS	2,12	1,00	62723	80346	153853	153853	0	0	2,50	2,50
	100%	-236	-40.936	NS	1,96	1,00	62723	80346	153862	153862	0	0	2,50	2,50
proporzionale alla deformata 1° modo di vibrazione														
	0%	-	-	VNR	VNR	0,00	0	0	0	0	0	0	0,00	0,00
	100%	-	-	VNR	VNR	0,00	0	0	0	0	0	0	0,00	0,00
sisma in -Y														
proporzionale alle masse														
	0%	-	-	VNR	VNR	0,00	0	0	0	0	0	0	0,00	0,00
	100%	-	-	VNR	VNR	0,00	0	0	0	0	0	0	0,00	0,00
proporzionale alla deformata 1° modo di vibrazione														
	0%	-	-	VNR	VNR	0,00	0	0	0	0	0	0	0,00	0,00
	100%	-	-	VNR	VNR	0,00	0	0	0	0	0	0	0,00	0,00
sisma in +X														
proporzionale alle masse														
Trave 9-10	0%	-	-	VNR	VNR	0,00	0	0	0	0	0	0	0,00	0,00
	100%	-	-	VNR	VNR	0,00	0	0	0	0	0	0	0,00	0,00
proporzionale alla deformata 1° modo di vibrazione														
	0%	-70	-8.792	NS	9,14	1,11	62723	80346	170142	170142	0	0	2,50	2,50
	100%	-70	-78.031	NS	1,03	1,11	62723	80346	169903	169903	0	0	2,50	2,50
sisma in -X														
proporzionale alle masse														
	0%	-	-	VNR	VNR	0,00	0	0	0	0	0	0	0,00	0,00
	100%	-	-	VNR	VNR	0,00	0	0	0	0	0	0	0,00	0,00
proporzionale alla deformata 1° modo di vibrazione														
	0%	-	-	VNR	VNR	0,00	0	0	0	0	0	0	0,00	0,00
	100%	-	-	VNR	VNR	0,00	0	0	0	0	0	0	0,00	0,00
sisma in +Y														
proporzionale alle masse														
	0%	333	31.849	NS	2,52	1,01	62723	80346	155716	155716	0	0	2,50	2,50
	100%	333	-37.390	NS	2,15	1,01	62723	80346	155674	155674	0	0	2,50	2,50
proporzionale alla deformata 1° modo di vibrazione														
	0%	-	-	VNR	VNR	0,00	0	0	0	0	0	0	0,00	0,00
	100%	-	-	VNR	VNR	0,00	0	0	0	0	0	0	0,00	0,00
sisma in -Y														
proporzionale alle masse														
	0%	-	-	VNR	VNR	0,00	0	0	0	0	0	0	0,00	0,00
	100%	-	-	VNR	VNR	0,00	0	0	0	0	0	0	0,00	0,00
proporzionale alla deformata 1° modo di vibrazione														
	0%	-	-	VNR	VNR	0,00	0	0	0	0	0	0	0,00	0,00
	100%	-	-	VNR	VNR	0,00	0	0	0	0	0	0	0,00	0,00
sisma in +X														
proporzionale alle masse														
Trave 10-11	0%	-	-	VNR	VNR	0,00	0	0	0	0	0	0	0,00	0,00
	100%	-	-	VNR	VNR	0,00	0	0	0	0	0	0	0,00	0,00
proporzionale alla deformata 1° modo di vibrazione														
	0%	-1.143	-14.454	0,00	0,00	1,16	0	0	177665	177665	0	0	2,50	2,50
	100%	3.876	3.645	0,00	0,00	1,03	0	0	158855	158855	0	0	2,50	2,50
sisma in -X														
proporzionale alle masse														
	0%	-	-	VNR	VNR	0,00	0	0	0	0	0	0	0,00	0,00
	100%	-	-	VNR	VNR	0,00	0	0	0	0	0	0	0,00	0,00
proporzionale alla deformata 1° modo di vibrazione														
	0%	-	-	VNR	VNR	0,00	0	0	0	0	0	0	0,00	0,00
	100%	-	-	VNR	VNR	0,00	0	0	0	0	0	0	0,00	0,00
sisma in +Y														
proporzionale alle masse														
	0%	8.021	14.020	0,00	0,00	1,03	0	0	157984	157984	0	0	2,50	2,50
	100%	-7.040	-10.475	0,00	0,00	1,02	0	0	156945	156945	0	0	2,50	2,50
proporzionale alla deformata 1° modo di vibrazione														
	0%	-	-	VNR	VNR	0,00	0	0	0	0	0	0	0,00	0,00
	100%	-	-	VNR	VNR	0,00	0	0	0	0	0	0	0,00	0,00
sisma in -Y														
proporzionale alle masse														
	0%	-	-	VNR	VNR	0,00	0	0	0	0	0	0	0,00	0,00
	100%	-	-	VNR	VNR	0,00	0	0	0	0	0	0	0,00	0,00
proporzionale alla deformata 1° modo di vibrazione														
	0%	-	-	VNR	VNR	0,00	0	0	0	0	0	0	0,00	0,00

Id_{Tr}	$\%L_{LI}$	$V_{Ed,3}$	$V_{Ed,2}$	$CS^{(3)}$	$CS^{(2)}$	α_C	$V_{Rsd,s}{}^{(3)}$	$V_{Rsd,s}{}^{(2)}$	$V_{Rcd}{}^{(3)}$	$V_{Rcd}{}^{(2)}$	$V_{fd}{}^{(3)}$	$V_{fd}{}^{(2)}$	$Ctg\Theta^{(3)}$	$Ctg\Theta^{(2)}$
	[%]	[N]	[N]				[N]	[N]	[N]	[N]	[N]	[N]		
	100%	-	-	VNR	VNR	0,00	0	0	0	0	0	0	0,00	0,00
sisma in +X														
proporzionale alle masse														
Trave 11-12	0%	-	-	VNR	VNR	0,00	0	0	0	0	0	0	0,00	0,00
	100%	-	-	VNR	VNR	0,00	0	0	0	0	0	0	0,00	0,00
proporzionale alla deformata 1° modo di vibrazione														
	0%	66	11.951	NS	6,72	1,01	62723	80346	155253	155253	0	0	2,50	2,50
	100%	66	-62.589	NS	1,28	1,01	62723	80346	155181	155181	0	0	2,50	2,50
sisma in -X														
proporzionale alle masse														
	0%	-	-	VNR	VNR	0,00	0	0	0	0	0	0	0,00	0,00
	100%	-	-	VNR	VNR	0,00	0	0	0	0	0	0	0,00	0,00
proporzionale alla deformata 1° modo di vibrazione														
	0%	-	-	VNR	VNR	0,00	0	0	0	0	0	0	0,00	0,00
	100%	-	-	VNR	VNR	0,00	0	0	0	0	0	0	0,00	0,00
sisma in +Y														
proporzionale alle masse														
	0%	-666	37.153	94,18	2,16	1,01	62723	80346	155060	155060	0	0	2,50	2,50
	100%	-666	-37.388	94,18	2,15	1,01	62723	80346	155068	155068	0	0	2,50	2,50
proporzionale alla deformata 1° modo di vibrazione														
	0%	-	-	VNR	VNR	0,00	0	0	0	0	0	0	0,00	0,00
	100%	-	-	VNR	VNR	0,00	0	0	0	0	0	0	0,00	0,00
sisma in -Y														
proporzionale alle masse														
	0%	-	-	VNR	VNR	0,00	0	0	0	0	0	0	0,00	0,00
	100%	-	-	VNR	VNR	0,00	0	0	0	0	0	0	0,00	0,00
proporzionale alla deformata 1° modo di vibrazione														
	0%	-	-	VNR	VNR	0,00	0	0	0	0	0	0	0,00	0,00
	100%	-	-	VNR	VNR	0,00	0	0	0	0	0	0	0,00	0,00
sisma in +X														
proporzionale alle masse														
Trave 12-P7	0%	-	-	VNR	VNR	0,00	0	0	0	0	0	0	0,00	0,00
	100%	-	-	VNR	VNR	0,00	0	0	0	0	0	0	0,00	0,00
proporzionale alla deformata 1° modo di vibrazione														
	0%	-231	-153.330	NS	0,52	1,28	62723	80346	197228	197228	0	0	2,50	2,50
	100%	-231	-179.645	NS	0,45	1,20	62723	80346	184061	184061	0	0	2,50	2,50
sisma in -X														
proporzionale alle masse														
	0%	-	-	VNR	VNR	0,00	0	0	0	0	0	0	0,00	0,00
	100%	-	-	VNR	VNR	0,00	0	0	0	0	0	0	0,00	0,00
proporzionale alla deformata 1° modo di vibrazione														
	0%	-	-	VNR	VNR	0,00	0	0	0	0	0	0	0,00	0,00
	100%	-	-	VNR	VNR	0,00	0	0	0	0	0	0	0,00	0,00
sisma in +Y														
proporzionale alle masse														
	0%	662	25.273	94,75	3,18	1,02	62723	80346	156906	156906	0	0	2,50	2,50
	100%	662	-1.042	94,75	77,11	1,02	62723	80346	156848	156848	0	0	2,50	2,50
proporzionale alla deformata 1° modo di vibrazione														
	0%	-	-	VNR	VNR	0,00	0	0	0	0	0	0	0,00	0,00
	100%	-	-	VNR	VNR	0,00	0	0	0	0	0	0	0,00	0,00
sisma in -Y														
proporzionale alle masse														
	0%	-	-	VNR	VNR	0,00	0	0	0	0	0	0	0,00	0,00
	100%	-	-	VNR	VNR	0,00	0	0	0	0	0	0	0,00	0,00
proporzionale alla deformata 1° modo di vibrazione														
	0%	-	-	VNR	VNR	0,00	0	0	0	0	0	0	0,00	0,00
	100%	-	-	VNR	VNR	0,00	0	0	0	0	0	0	0,00	0,00
sisma in +X														
proporzionale alle masse														
Trave P7-13	0%	-	-	VNR	VNR	0,00	0	0	0	0	0	0	0,00	0,00
	100%	-	-	VNR	VNR	0,00	0	0	0	0	0	0	0,00	0,00
proporzionale alla deformata 1° modo di vibrazione														
	0%	-1.311	24.688	0,00	0,00	1,32	0	0	202492	202492	0	0	2,50	2,50
	100%	-6.873	21.978	0,00	0,00	1,06	0	0	162285	162285	0	0	2,50	2,50
sisma in -X														
proporzionale alle masse														
	0%	-	-	VNR	VNR	0,00	0	0	0	0	0	0	0,00	0,00
	100%	-	-	VNR	VNR	0,00	0	0	0	0	0	0	0,00	0,00
proporzionale alla deformata 1° modo di vibrazione														
	0%	-	-	VNR	VNR	0,00	0	0	0	0	0	0	0,00	0,00
	100%	-	-	VNR	VNR	0,00	0	0	0	0	0	0	0,00	0,00
sisma in +Y														
proporzionale alle masse														
	0%	920	8.266	0,00	0,00	1,01	0	0	154613	154613	0	0	2,50	2,50
	100%	-2.260	-751	0,00	0,00	1,00	0	0	153732	153732	0	0	2,50	2,50
proporzionale alla deformata 1° modo di vibrazione														
	0%	-	-	VNR	VNR	0,00	0	0	0	0	0	0	0,00	0,00
	100%	-	-	VNR	VNR	0,00	0	0	0	0	0	0	0,00	0,00
sisma in -Y														
proporzionale alle masse														
	0%	-	-	VNR	VNR	0,00	0	0	0	0	0	0	0,00	0,00
	100%	-	-	VNR	VNR	0,00	0	0	0	0	0	0	0,00	0,00
proporzionale alla deformata 1° modo di vibrazione														
	0%	-	-	VNR	VNR	0,00	0	0	0	0	0	0	0,00	0,00
	100%	-	-	VNR	VNR	0,00	0	0	0	0	0	0	0,00	0,00
Piano terra ingresso								**Travata: Trave32-P10-33-P11-34-P12-35-P13-36-P14-37**						

Id_{Tr}	$\%L_{LI}$	$V_{Ed,3}$	$V_{Ed,2}$	$CS^{(3)}$	$CS^{(2)}$	α_C	$V_{Rsd,s}{}^{(3)}$	$V_{Rsd,s}{}^{(2)}$	$V_{Rcd}{}^{(3)}$	$V_{Rcd}{}^{(2)}$	$V_{fd}{}^{(3)}$	$V_{fd}{}^{(2)}$	$Ctg\Theta^{(3)}$	$Ctg\Theta^{(2)}$
	[%]	[N]	[N]				[N]	[N]	[N]	[N]	[N]	[N]		
sisma in +X														
proporzionale alle masse														
Trave 32-P10	0%	-	-	VNR	VNR	0,00	0	0	0	0	0	0	0,00	0,00
	100%	-	-	VNR	VNR	0,00	0	0	0	0	0	0	0,00	0,00
proporzionale alla deformata 1° modo di vibrazione														
	0%	-31.716	-154.556	0,00	0,00	1,00	0	0	334314	334314	0	0	2,50	2,50
	100%	-1.839	65.616	0,00	0,00	1,00	0	0	334314	334314	0	0	2,50	2,50
sisma in -X														
proporzionale alle masse														
	0%	-	-	VNR	VNR	0,00	0	0	0	0	0	0	0,00	0,00
	100%	-	-	VNR	VNR	0,00	0	0	0	0	0	0	0,00	0,00
proporzionale alla deformata 1° modo di vibrazione														
	0%	-	-	VNR	VNR	0,00	0	0	0	0	0	0	0,00	0,00
	100%	-	-	VNR	VNR	0,00	0	0	0	0	0	0	0,00	0,00
sisma in +Y														
proporzionale alle masse														
	0%	-47.382	-132.995	0,00	0,00	1,00	0	0	334430	334430	0	0	2,50	2,50
	100%	-6.605	6.881	0,00	0,00	1,03	0	0	345961	345961	0	0	2,50	2,50
proporzionale alla deformata 1° modo di vibrazione														
	0%	-	-	VNR	VNR	0,00	0	0	0	0	0	0	0,00	0,00
	100%	-	-	VNR	VNR	0,00	0	0	0	0	0	0	0,00	0,00
sisma in -Y														
proporzionale alle masse														
	0%	-	-	VNR	VNR	0,00	0	0	0	0	0	0	0,00	0,00
	100%	-	-	VNR	VNR	0,00	0	0	0	0	0	0	0,00	0,00
proporzionale alla deformata 1° modo di vibrazione														
	0%	-	-	VNR	VNR	0,00	0	0	0	0	0	0	0,00	0,00
	100%	-	-	VNR	VNR	0,00	0	0	0	0	0	0	0,00	0,00
sisma in +X														
proporzionale alle masse														
Trave P10-33	0%	-	-	VNR	VNR	0,00	0	0	0	0	0	0	0,00	0,00
	100%	-	-	VNR	VNR	0,00	0	0	0	0	0	0	0,00	0,00
proporzionale alla deformata 1° modo di vibrazione														
	0%	-86	-33.580	NS	3,70	1,12	91345	124389	372766	372766	0	0	2,50	2,50
	100%	-86	-154.670	NS	0,80	1,11	91345	124389	372733	372733	0	0	2,50	2,50
sisma in -X														
proporzionale alle masse														
	0%	-	-	VNR	VNR	0,00	0	0	0	0	0	0	0,00	0,00
	100%	-	-	VNR	VNR	0,00	0	0	0	0	0	0	0,00	0,00
proporzionale alla deformata 1° modo di vibrazione														
	0%	-	-	VNR	VNR	0,00	0	0	0	0	0	0	0,00	0,00
	100%	-	-	VNR	VNR	0,00	0	0	0	0	0	0	0,00	0,00
sisma in +Y														
proporzionale alle masse														
	0%	136	56.390	NS	2,21	1,01	91345	124389	339306	339306	0	0	2,50	2,50
	100%	136	-64.699	NS	1,92	1,02	91345	124389	339340	339340	0	0	2,50	2,50
proporzionale alla deformata 1° modo di vibrazione														
	0%	-	-	VNR	VNR	0,00	0	0	0	0	0	0	0,00	0,00
	100%	-	-	VNR	VNR	0,00	0	0	0	0	0	0	0,00	0,00
sisma in -Y														
proporzionale alle masse														
	0%	-	-	VNR	VNR	0,00	0	0	0	0	0	0	0,00	0,00
	100%	-	-	VNR	VNR	0,00	0	0	0	0	0	0	0,00	0,00
proporzionale alla deformata 1° modo di vibrazione														
	0%	-	-	VNR	VNR	0,00	0	0	0	0	0	0	0,00	0,00
	100%	-	-	VNR	VNR	0,00	0	0	0	0	0	0	0,00	0,00
sisma in +X														
proporzionale alle masse														
Trave 33-P11	0%	-	-	VNR	VNR	0,00	0	0	0	0	0	0	0,00	0,00
	100%	-	-	VNR	VNR	0,00	0	0	0	0	0	0	0,00	0,00
proporzionale alla deformata 1° modo di vibrazione														
	0%	-1.822	118.778	0,00	0,00	1,19	0	0	399194	399194	0	0	2,50	2,50
	100%	651	73.257	0,00	0,00	1,00	0	0	334314	334314	0	0	2,50	2,50
sisma in -X														
proporzionale alle masse														
	0%	-	-	VNR	VNR	0,00	0	0	0	0	0	0	0,00	0,00
	100%	-	-	VNR	VNR	0,00	0	0	0	0	0	0	0,00	0,00
proporzionale alla deformata 1° modo di vibrazione														
	0%	-	-	VNR	VNR	0,00	0	0	0	0	0	0	0,00	0,00
	100%	-	-	VNR	VNR	0,00	0	0	0	0	0	0	0,00	0,00
sisma in +Y														
proporzionale alle masse														
	0%	928	38.676	0,00	0,00	1,04	0	0	346622	346622	0	0	2,50	2,50
	100%	2.306	-13.921	0,00	0,00	1,02	0	0	342221	342221	0	0	2,50	2,50
proporzionale alla deformata 1° modo di vibrazione														
	0%	-	-	VNR	VNR	0,00	0	0	0	0	0	0	0,00	0,00
	100%	-	-	VNR	VNR	0,00	0	0	0	0	0	0	0,00	0,00
sisma in -Y														
proporzionale alle masse														
	0%	-	-	VNR	VNR	0,00	0	0	0	0	0	0	0,00	0,00
	100%	-	-	VNR	VNR	0,00	0	0	0	0	0	0	0,00	0,00
proporzionale alla deformata 1° modo di vibrazione														
	0%	-	-	VNR	VNR	0,00	0	0	0	0	0	0	0,00	0,00
	100%	-	-	VNR	VNR	0,00	0	0	0	0	0	0	0,00	0,00
sisma in +X														
proporzionale alle masse														

Id_{Tr}	$\%L_{LI}$	$V_{Ed,3}$	$V_{Ed,2}$	$CS^{(3)}$	$CS^{(2)}$	α_C	$V_{Rsd,s}{}^{(3)}$	$V_{Rsd,s}{}^{(2)}$	$V_{Rcd}{}^{(3)}$	$V_{Rcd}{}^{(2)}$	$V_{fd}{}^{(3)}$	$V_{fd}{}^{(2)}$	$Ctg\Theta^{(3)}$	$Ctg\Theta^{(2)}$
	[%]	[N]	[N]				[N]	[N]	[N]	[N]	[N]	[N]		
Trave P11-34	0%	-	-	VNR	VNR	0,00	0	0	0	0	0	0	0,00	0,00
	100%	-	-	VNR	VNR	0,00	0	0	0	0	0	0	0,00	0,00
proporzionale alla deformata 1° modo di vibrazione														
	0%	180	-44.539	NS	2,79	1,12	91345	124389	374905	374905	0	0	2,50	2,50
	100%	180	-158.559	NS	0,78	1,12	91345	124389	374873	374873	0	0	2,50	2,50
sisma in -X														
proporzionale alle masse														
	0%	-	-	VNR	VNR	0,00	0	0	0	0	0	0	0,00	0,00
	100%	-	-	VNR	VNR	0,00	0	0	0	0	0	0	0,00	0,00
proporzionale alla deformata 1° modo di vibrazione														
	0%	-	-	VNR	VNR	0,00	0	0	0	0	0	0	0,00	0,00
	100%	-	-	VNR	VNR	0,00	0	0	0	0	0	0	0,00	0,00
sisma in +Y														
proporzionale alle masse														
	0%	363	53.777	NS	2,31	1,01	91345	124389	337456	337456	0	0	2,50	2,50
	100%	363	-60.242	NS	2,06	1,01	91345	124389	337475	337475	0	0	2,50	2,50
proporzionale alla deformata 1° modo di vibrazione														
	0%	-	-	VNR	VNR	0,00	0	0	0	0	0	0	0,00	0,00
	100%	-	-	VNR	VNR	0,00	0	0	0	0	0	0	0,00	0,00
sisma in -Y														
proporzionale alle masse														
	0%	-	-	VNR	VNR	0,00	0	0	0	0	0	0	0,00	0,00
	100%	-	-	VNR	VNR	0,00	0	0	0	0	0	0	0,00	0,00
proporzionale alla deformata 1° modo di vibrazione														
	0%	-	-	VNR	VNR	0,00	0	0	0	0	0	0	0,00	0,00
	100%	-	-	VNR	VNR	0,00	0	0	0	0	0	0	0,00	0,00
sisma in +X														
proporzionale alle masse														
Trave 34-P12	0%	-	-	VNR	VNR	0,00	0	0	0	0	0	0	0,00	0,00
	100%	-	-	VNR	VNR	0,00	0	0	0	0	0	0	0,00	0,00
proporzionale alla deformata 1° modo di vibrazione														
	0%	-8.237	139.643	0,00	0,00	1,20	0	0	401275	401275	0	0	2,50	2,50
	100%	-120	72.170	0,00	0,00	1,00	0	0	334314	334314	0	0	2,50	2,50
sisma in -X														
proporzionale alle masse														
	0%	-	-	VNR	VNR	0,00	0	0	0	0	0	0	0,00	0,00
	100%	-	-	VNR	VNR	0,00	0	0	0	0	0	0	0,00	0,00
proporzionale alla deformata 1° modo di vibrazione														
	0%	-	-	VNR	VNR	0,00	0	0	0	0	0	0	0,00	0,00
	100%	-	-	VNR	VNR	0,00	0	0	0	0	0	0	0,00	0,00
sisma in +Y														
proporzionale alle masse														
	0%	-17.677	31.203	0,00	0,00	1,03	0	0	343852	343852	0	0	2,50	2,50
	100%	-702	-24.772	0,00	0,00	1,04	0	0	346434	346434	0	0	2,50	2,50
proporzionale alla deformata 1° modo di vibrazione														
	0%	-	-	VNR	VNR	0,00	0	0	0	0	0	0	0,00	0,00
	100%	-	-	VNR	VNR	0,00	0	0	0	0	0	0	0,00	0,00
sisma in -Y														
proporzionale alle masse														
	0%	-	-	VNR	VNR	0,00	0	0	0	0	0	0	0,00	0,00
	100%	-	-	VNR	VNR	0,00	0	0	0	0	0	0	0,00	0,00
proporzionale alla deformata 1° modo di vibrazione														
	0%	-	-	VNR	VNR	0,00	0	0	0	0	0	0	0,00	0,00
	100%	-	-	VNR	VNR	0,00	0	0	0	0	0	0	0,00	0,00
sisma in +X														
proporzionale alle masse														
Trave P12-35	0%	-	-	VNR	VNR	0,00	0	0	0	0	0	0	0,00	0,00
	100%	-	-	VNR	VNR	0,00	0	0	0	0	0	0	0,00	0,00
proporzionale alla deformata 1° modo di vibrazione														
	0%	-56	-25.554	NS	4,87	1,11	91345	124389	371184	371184	0	0	2,50	2,50
	100%	-56	-200.185	NS	0,62	1,11	91345	124389	371063	371063	0	0	2,50	2,50
sisma in -X														
proporzionale alle masse														
	0%	-	-	VNR	VNR	0,00	0	0	0	0	0	0	0,00	0,00
	100%	-	-	VNR	VNR	0,00	0	0	0	0	0	0	0,00	0,00
proporzionale alla deformata 1° modo di vibrazione														
	0%	-	-	VNR	VNR	0,00	0	0	0	0	0	0	0,00	0,00
	100%	-	-	VNR	VNR	0,00	0	0	0	0	0	0	0,00	0,00
sisma in +Y														
proporzionale alle masse														
	0%	11	82.927	NS	1,50	1,01	91345	124389	337235	337235	0	0	2,50	2,50
	100%	11	-91.705	NS	1,36	1,01	91345	124389	337251	337251	0	0	2,50	2,50
proporzionale alla deformata 1° modo di vibrazione														
	0%	-	-	VNR	VNR	0,00	0	0	0	0	0	0	0,00	0,00
	100%	-	-	VNR	VNR	0,00	0	0	0	0	0	0	0,00	0,00
sisma in -Y														
proporzionale alle masse														
	0%	-	-	VNR	VNR	0,00	0	0	0	0	0	0	0,00	0,00
	100%	-	-	VNR	VNR	0,00	0	0	0	0	0	0	0,00	0,00
proporzionale alla deformata 1° modo di vibrazione														
	0%	-	-	VNR	VNR	0,00	0	0	0	0	0	0	0,00	0,00
	100%	-	-	VNR	VNR	0,00	0	0	0	0	0	0	0,00	0,00
sisma in +X														
proporzionale alle masse														
Trave 35-P13	0%	-	-	VNR	VNR	0,00	0	0	0	0	0	0	0,00	0,00
	100%	-	-	VNR	VNR	0,00	0	0	0	0	0	0	0,00	0,00

Id_{Tr}	$\%L_{LI}$	$V_{Ed,3}$	$V_{Ed,2}$	$CS^{(3)}$	$CS^{(2)}$	α_C	$V_{Rsd,s}{}^{(3)}$	$V_{Rsd,s}{}^{(2)}$	$V_{Rcd}{}^{(3)}$	$V_{Rcd}{}^{(2)}$	$V_{fd}{}^{(3)}$	$V_{fd}{}^{(2)}$	$Ctg\Theta^{(3)}$	$Ctg\Theta^{(2)}$
	[%]	[N]	[N]				[N]	[N]	[N]	[N]	[N]	[N]		
proporzionale alla deformata 1° modo di vibrazione														
	0%	-917	149.662	0,00	0,00	1,22	0	0	408845	408845	0	0	2,50	2,50
	100%	-325	66.315	0,00	0,00	1,00	0	0	334314	334314	0	0	2,50	2,50
sisma in -X														
proporzionale alle masse														
	0%	-	-	VNR	VNR	0,00	0	0	0	0	0	0	0,00	0,00
	100%	-	-	VNR	VNR	0,00	0	0	0	0	0	0	0,00	0,00
proporzionale alla deformata 1° modo di vibrazione														
	0%	-	-	VNR	VNR	0,00	0	0	0	0	0	0	0,00	0,00
	100%	-	-	VNR	VNR	0,00	0	0	0	0	0	0	0,00	0,00
sisma in +Y														
proporzionale alle masse														
	0%	-3.047	44.097	0,00	0,00	1,04	0	0	347647	347647	0	0	2,50	2,50
	100%	-825	-21.554	0,00	0,00	1,04	0	0	346218	346218	0	0	2,50	2,50
proporzionale alla deformata 1° modo di vibrazione														
	0%	-	-	VNR	VNR	0,00	0	0	0	0	0	0	0,00	0,00
	100%	-	-	VNR	VNR	0,00	0	0	0	0	0	0	0,00	0,00
sisma in -Y														
proporzionale alle masse														
	0%	-	-	VNR	VNR	0,00	0	0	0	0	0	0	0,00	0,00
	100%	-	-	VNR	VNR	0,00	0	0	0	0	0	0	0,00	0,00
proporzionale alla deformata 1° modo di vibrazione														
	0%	-	-	VNR	VNR	0,00	0	0	0	0	0	0	0,00	0,00
	100%	-	-	VNR	VNR	0,00	0	0	0	0	0	0	0,00	0,00
sisma in +X														
proporzionale alle masse														
Trave P13-36	0%	-	-	VNR	VNR	0,00	0	0	0	0	0	0	0,00	0,00
	100%	-	-	VNR	VNR	0,00	0	0	0	0	0	0	0,00	0,00
proporzionale alla deformata 1° modo di vibrazione														
	0%	-39	-16.910	NS	7,36	1,12	91345	124389	374834	374834	0	0	2,50	2,50
	100%	-39	-191.542	NS	0,65	1,12	91345	124389	374648	374648	0	0	2,50	2,50
sisma in -X														
proporzionale alle masse														
	0%	-	-	VNR	VNR	0,00	0	0	0	0	0	0	0,00	0,00
	100%	-	-	VNR	VNR	0,00	0	0	0	0	0	0	0,00	0,00
proporzionale alla deformata 1° modo di vibrazione														
	0%	-	-	VNR	VNR	0,00	0	0	0	0	0	0	0,00	0,00
	100%	-	-	VNR	VNR	0,00	0	0	0	0	0	0	0,00	0,00
sisma in +Y														
proporzionale alle masse														
	0%	168	82.153	NS	1,51	1,01	91345	124389	337926	337926	0	0	2,50	2,50
	100%	168	-92.479	NS	1,35	1,01	91345	124389	337944	337944	0	0	2,50	2,50
proporzionale alla deformata 1° modo di vibrazione														
	0%	-	-	VNR	VNR	0,00	0	0	0	0	0	0	0,00	0,00
	100%	-	-	VNR	VNR	0,00	0	0	0	0	0	0	0,00	0,00
sisma in -Y														
proporzionale alle masse														
	0%	-	-	VNR	VNR	0,00	0	0	0	0	0	0	0,00	0,00
	100%	-	-	VNR	VNR	0,00	0	0	0	0	0	0	0,00	0,00
proporzionale alla deformata 1° modo di vibrazione														
	0%	-	-	VNR	VNR	0,00	0	0	0	0	0	0	0,00	0,00
	100%	-	-	VNR	VNR	0,00	0	0	0	0	0	0	0,00	0,00
sisma in +X														
proporzionale alle masse														
Trave 36-P14	0%	-	-	VNR	VNR	0,00	0	0	0	0	0	0	0,00	0,00
	100%	-	-	VNR	VNR	0,00	0	0	0	0	0	0	0,00	0,00
proporzionale alla deformata 1° modo di vibrazione														
	0%	1.249	142.197	0,00	0,00	1,21	0	0	405394	405394	0	0	2,50	2,50
	100%	-804	84.724	0,00	0,00	1,00	0	0	334314	334314	0	0	2,50	2,50
sisma in -X														
proporzionale alle masse														
	0%	-	-	VNR	VNR	0,00	0	0	0	0	0	0	0,00	0,00
	100%	-	-	VNR	VNR	0,00	0	0	0	0	0	0	0,00	0,00
proporzionale alla deformata 1° modo di vibrazione														
	0%	-	-	VNR	VNR	0,00	0	0	0	0	0	0	0,00	0,00
	100%	-	-	VNR	VNR	0,00	0	0	0	0	0	0	0,00	0,00
sisma in +Y														
proporzionale alle masse														
	0%	-5.329	41.143	0,00	0,00	1,04	0	0	347845	347845	0	0	2,50	2,50
	100%	-306	-20.586	0,00	0,00	1,04	0	0	348086	348086	0	0	2,50	2,50
proporzionale alla deformata 1° modo di vibrazione														
	0%	-	-	VNR	VNR	0,00	0	0	0	0	0	0	0,00	0,00
	100%	-	-	VNR	VNR	0,00	0	0	0	0	0	0	0,00	0,00
sisma in -Y														
proporzionale alle masse														
	0%	-	-	VNR	VNR	0,00	0	0	0	0	0	0	0,00	0,00
	100%	-	-	VNR	VNR	0,00	0	0	0	0	0	0	0,00	0,00
proporzionale alla deformata 1° modo di vibrazione														
	0%	-	-	VNR	VNR	0,00	0	0	0	0	0	0	0,00	0,00
	100%	-	-	VNR	VNR	0,00	0	0	0	0	0	0	0,00	0,00
sisma in +X														
proporzionale alle masse														
Trave P14-37	0%	-	-	VNR	VNR	0,00	0	0	0	0	0	0	0,00	0,00
	100%	-	-	VNR	VNR	0,00	0	0	0	0	0	0	0,00	0,00
proporzionale alla deformata 1° modo di vibrazione														
	0%	423	25.446	NS	4,89	1,04	91345	124389	347708	347708	0	0	2,50	2,50

Id_{Tr}	$\%L_{LI}$	$V_{Ed,3}$	$V_{Ed,2}$	$CS^{(3)}$	$CS^{(2)}$	α_C	$V_{Rsd,s}{}^{(3)}$	$V_{Rsd,s}{}^{(2)}$	$V_{Rcd}{}^{(3)}$	$V_{Rcd}{}^{(2)}$	$V_{fd}{}^{(3)}$	$V_{fd}{}^{(2)}$	$Ctg\Theta^{(3)}$	$Ctg\Theta^{(2)}$
	[%]	[N]	[N]				[N]	[N]	[N]	[N]	[N]	[N]		
	100%	423	-153.496	NS	0,81	1,04	91345	124389	347561	347561	0	0	2,50	2,50
sisma in -X														
proporzionale alle masse														
	0%	-	-	VNR	VNR	0,00	0	0	0	0	0	0	0,00	0,00
	100%	-	-	VNR	VNR	0,00	0	0	0	0	0	0	0,00	0,00
proporzionale alla deformata 1° modo di vibrazione														
	0%	-	-	VNR	VNR	0,00	0	0	0	0	0	0	0,00	0,00
	100%	-	-	VNR	VNR	0,00	0	0	0	0	0	0	0,00	0,00
sisma in +Y														
proporzionale alle masse														
	0%	-1.815	91.577	50,33	1,36	1,01	91345	124389	336878	336878	0	0	2,50	2,50
	100%	-1.815	-87.364	50,33	1,42	1,01	91345	124389	336826	336826	0	0	2,50	2,50
proporzionale alla deformata 1° modo di vibrazione														
	0%	-	-	VNR	VNR	0,00	0	0	0	0	0	0	0,00	0,00
	100%	-	-	VNR	VNR	0,00	0	0	0	0	0	0	0,00	0,00
sisma in -Y														
proporzionale alle masse														
	0%	-	-	VNR	VNR	0,00	0	0	0	0	0	0	0,00	0,00
	100%	-	-	VNR	VNR	0,00	0	0	0	0	0	0	0,00	0,00
proporzionale alla deformata 1° modo di vibrazione														
	0%	-	-	VNR	VNR	0,00	0	0	0	0	0	0	0,00	0,00
	100%	-	-	VNR	VNR	0,00	0	0	0	0	0	0	0,00	0,00
Piano terra ingresso								**Travata: Trave14-15-16-17-18-19**						
sisma in +X														
proporzionale alle masse														
Trave 14-15	0%	-	-	VNR	VNR	0,00	0	0	0	0	0	0	0,00	0,00
	100%	-	-	VNR	VNR	0,00	0	0	0	0	0	0	0,00	0,00
proporzionale alla deformata 1° modo di vibrazione														
	0%	-55	101.442	NS	1,44	1,04	69284	146386	318019	318019	0	0	2,50	2,50
	100%	-55	-175.526	NS	0,83	1,03	69284	146386	316581	316581	0	0	2,50	2,50
sisma in -X														
proporzionale alle masse														
	0%	-	-	VNR	VNR	0,00	0	0	0	0	0	0	0,00	0,00
	100%	-	-	VNR	VNR	0,00	0	0	0	0	0	0	0,00	0,00
proporzionale alla deformata 1° modo di vibrazione														
	0%	-	-	VNR	VNR	0,00	0	0	0	0	0	0	0,00	0,00
	100%	-	-	VNR	VNR	0,00	0	0	0	0	0	0	0,00	0,00
sisma in +Y														
proporzionale alle masse														
	0%	-856	127.761	80,94	1,15	1,00	69284	146386	307003	307003	0	0	2,50	2,50
	100%	-856	-149.207	80,94	0,98	1,00	69284	146386	307046	307046	0	0	2,50	2,50
proporzionale alla deformata 1° modo di vibrazione														
	0%	-	-	VNR	VNR	0,00	0	0	0	0	0	0	0,00	0,00
	100%	-	-	VNR	VNR	0,00	0	0	0	0	0	0	0,00	0,00
sisma in -Y														
proporzionale alle masse														
	0%	-	-	VNR	VNR	0,00	0	0	0	0	0	0	0,00	0,00
	100%	-	-	VNR	VNR	0,00	0	0	0	0	0	0	0,00	0,00
proporzionale alla deformata 1° modo di vibrazione														
	0%	-	-	VNR	VNR	0,00	0	0	0	0	0	0	0,00	0,00
	100%	-	-	VNR	VNR	0,00	0	0	0	0	0	0	0,00	0,00
sisma in +X														
proporzionale alle masse														
Trave 15-16	0%	-	-	VNR	VNR	0,00	0	0	0	0	0	0	0,00	0,00
	100%	-	-	VNR	VNR	0,00	0	0	0	0	0	0	0,00	0,00
proporzionale alla deformata 1° modo di vibrazione														
	0%	69	89.066	NS	1,64	1,09	69284	146386	333367	333367	0	0	2,50	2,50
	100%	69	-175.149	NS	0,84	1,09	69284	146386	333344	333344	0	0	2,50	2,50
sisma in -X														
proporzionale alle masse														
	0%	-	-	VNR	VNR	0,00	0	0	0	0	0	0	0,00	0,00
	100%	-	-	VNR	VNR	0,00	0	0	0	0	0	0	0,00	0,00
proporzionale alla deformata 1° modo di vibrazione														
	0%	-	-	VNR	VNR	0,00	0	0	0	0	0	0	0,00	0,00
	100%	-	-	VNR	VNR	0,00	0	0	0	0	0	0	0,00	0,00
sisma in +Y														
proporzionale alle masse														
	0%	262	128.693	NS	1,14	1,03	69284	146386	315300	315300	0	0	2,50	2,50
	100%	262	-135.522	NS	1,08	1,03	69284	146386	315321	315321	0	0	2,50	2,50
proporzionale alla deformata 1° modo di vibrazione														
	0%	-	-	VNR	VNR	0,00	0	0	0	0	0	0	0,00	0,00
	100%	-	-	VNR	VNR	0,00	0	0	0	0	0	0	0,00	0,00
sisma in -Y														
proporzionale alle masse														
	0%	-	-	VNR	VNR	0,00	0	0	0	0	0	0	0,00	0,00
	100%	-	-	VNR	VNR	0,00	0	0	0	0	0	0	0,00	0,00
proporzionale alla deformata 1° modo di vibrazione														
	0%	-	-	VNR	VNR	0,00	0	0	0	0	0	0	0,00	0,00
	100%	-	-	VNR	VNR	0,00	0	0	0	0	0	0	0,00	0,00
sisma in +X														
proporzionale alle masse														
Trave 16-17	0%	-	-	VNR	VNR	0,00	0	0	0	0	0	0	0,00	0,00
	100%	-	-	VNR	VNR	0,00	0	0	0	0	0	0	0,00	0,00
proporzionale alla deformata 1° modo di vibrazione														
	0%	100	112.373	NS	1,60	1,09	69284	179430	409327	409327	0	0	2,50	2,50
	100%	100	-266.691	NS	0,67	1,09	69284	179430	408765	408765	0	0	2,50	2,50

Id_{Tr}	$\%L_{LI}$	$V_{Ed,3}$	$V_{Ed,2}$	$CS^{(3)}$	$CS^{(2)}$	α_C	$V_{Rsd,s}{}^{(3)}$	$V_{Rsd,s}{}^{(2)}$	$V_{Rcd}{}^{(3)}$	$V_{Rcd}{}^{(2)}$	$V_{fd}{}^{(3)}$	$V_{fd}{}^{(2)}$	$Ctg\Theta^{(3)}$	$Ctg\Theta^{(2)}$
	[%]	[N]	[N]				[N]	[N]	[N]	[N]	[N]	[N]		
sisma in -X														
proporzionale alle masse														
	0%	-	-	VNR	VNR	0,00	0	0	0	0	0	0	0,00	0,00
	100%	-	-	VNR	VNR	0,00	0	0	0	0	0	0	0,00	0,00
proporzionale alla deformata 1° modo di vibrazione														
	0%	-	-	VNR	VNR	0,00	0	0	0	0	0	0	0,00	0,00
	100%	-	-	VNR	VNR	0,00	0	0	0	0	0	0	0,00	0,00
sisma in +Y														
proporzionale alle masse														
	0%	-13	186.980	NS	0,96	1,02	69284	179430	382650	382650	0	0	2,50	2,50
	100%	-13	-192.083	NS	0,93	1,02	69284	179430	382651	382651	0	0	2,50	2,50
proporzionale alla deformata 1° modo di vibrazione														
	0%	-	-	VNR	VNR	0,00	0	0	0	0	0	0	0,00	0,00
	100%	-	-	VNR	VNR	0,00	0	0	0	0	0	0	0,00	0,00
sisma in -Y														
proporzionale alle masse														
	0%	-	-	VNR	VNR	0,00	0	0	0	0	0	0	0,00	0,00
	100%	-	-	VNR	VNR	0,00	0	0	0	0	0	0	0,00	0,00
proporzionale alla deformata 1° modo di vibrazione														
	0%	-	-	VNR	VNR	0,00	0	0	0	0	0	0	0,00	0,00
	100%	-	-	VNR	VNR	0,00	0	0	0	0	0	0	0,00	0,00
sisma in +X														
proporzionale alle masse														
Trave 17-18	0%	-	-	VNR	VNR	0,00	0	0	0	0	0	0	0,00	0,00
	100%	-	-	VNR	VNR	0,00	0	0	0	0	0	0	0,00	0,00
proporzionale alla deformata 1° modo di vibrazione														
	0%	-37	111.081	NS	1,62	1,09	69284	179430	410153	410153	0	0	2,50	2,50
	100%	-37	-266.297	NS	0,67	1,09	69284	179430	409870	409870	0	0	2,50	2,50
sisma in -X														
proporzionale alle masse														
	0%	-	-	VNR	VNR	0,00	0	0	0	0	0	0	0,00	0,00
	100%	-	-	VNR	VNR	0,00	0	0	0	0	0	0	0,00	0,00
proporzionale alla deformata 1° modo di vibrazione														
	0%	-	-	VNR	VNR	0,00	0	0	0	0	0	0	0,00	0,00
	100%	-	-	VNR	VNR	0,00	0	0	0	0	0	0	0,00	0,00
sisma in +Y														
proporzionale alle masse														
	0%	-25	186.721	NS	0,96	1,03	69284	179430	385632	385632	0	0	2,50	2,50
	100%	-25	-190.657	NS	0,94	1,03	69284	179430	385661	385661	0	0	2,50	2,50
proporzionale alla deformata 1° modo di vibrazione														
	0%	-	-	VNR	VNR	0,00	0	0	0	0	0	0	0,00	0,00
	100%	-	-	VNR	VNR	0,00	0	0	0	0	0	0	0,00	0,00
sisma in -Y														
proporzionale alle masse														
	0%	-	-	VNR	VNR	0,00	0	0	0	0	0	0	0,00	0,00
	100%	-	-	VNR	VNR	0,00	0	0	0	0	0	0	0,00	0,00
proporzionale alla deformata 1° modo di vibrazione														
	0%	-	-	VNR	VNR	0,00	0	0	0	0	0	0	0,00	0,00
	100%	-	-	VNR	VNR	0,00	0	0	0	0	0	0	0,00	0,00
sisma in +X														
proporzionale alle masse														
Trave 18-19	0%	-	-	VNR	VNR	0,00	0	0	0	0	0	0	0,00	0,00
	100%	-	-	VNR	VNR	0,00	0	0	0	0	0	0	0,00	0,00
proporzionale alla deformata 1° modo di vibrazione														
	0%	131	162.308	NS	1,11	1,01	69284	179430	380304	380304	0	0	2,50	2,50
	100%	131	-226.864	NS	0,79	1,02	69284	179430	381397	381397	0	0	2,50	2,50
sisma in -X														
proporzionale alle masse														
	0%	-	-	VNR	VNR	0,00	0	0	0	0	0	0	0,00	0,00
	100%	-	-	VNR	VNR	0,00	0	0	0	0	0	0	0,00	0,00
proporzionale alla deformata 1° modo di vibrazione														
	0%	-	-	VNR	VNR	0,00	0	0	0	0	0	0	0,00	0,00
	100%	-	-	VNR	VNR	0,00	0	0	0	0	0	0	0,00	0,00
sisma in +Y														
proporzionale alle masse														
	0%	68	223.483	NS	0,80	1,02	69284	179430	383045	383045	0	0	2,50	2,50
	100%	68	-165.688	NS	1,08	1,02	69284	179430	382406	382406	0	0	2,50	2,50
proporzionale alla deformata 1° modo di vibrazione														
	0%	-	-	VNR	VNR	0,00	0	0	0	0	0	0	0,00	0,00
	100%	-	-	VNR	VNR	0,00	0	0	0	0	0	0	0,00	0,00
sisma in -Y														
proporzionale alle masse														
	0%	-	-	VNR	VNR	0,00	0	0	0	0	0	0	0,00	0,00
	100%	-	-	VNR	VNR	0,00	0	0	0	0	0	0	0,00	0,00
proporzionale alla deformata 1° modo di vibrazione														
	0%	-	-	VNR	VNR	0,00	0	0	0	0	0	0	0,00	0,00
	100%	-	-	VNR	VNR	0,00	0	0	0	0	0	0	0,00	0,00
Piano terra ingresso								**Travata: Trave37-9e-38-7e-8e-39-40-P15-41**						
sisma in +X														
proporzionale alle masse														
Trave 9e-37	0%	-	-	VNR	VNR	0,00	0	0	0	0	0	0	0,00	0,00
	100%	-	-	VNR	VNR	0,00	0	0	0	0	0	0	0,00	0,00
proporzionale alla deformata 1° modo di vibrazione														
	0%	-36	45.234	NS	2,75	1,09	58510	124597	244170	244170	0	0	2,50	2,50
	100%	-36	23.484	NS	5,31	1,10	58510	124597	245267	245267	0	0	2,50	2,50
sisma in -X														

Id_{Tr}	$\%L_{LI}$	$V_{Ed,3}$	$V_{Ed,2}$	$CS^{(3)}$	$CS^{(2)}$	α_C	$V_{Rsd,s}{}^{(3)}$	$V_{Rsd,s}{}^{(2)}$	$V_{Rcd}{}^{(3)}$	$V_{Rcd}{}^{(2)}$	$V_{fd}{}^{(3)}$	$V_{fd}{}^{(2)}$	$Ctg\Theta^{(3)}$	$Ctg\Theta^{(2)}$
	[%]	[N]	[N]				[N]	[N]	[N]	[N]	[N]	[N]		
proporzionale alle masse														
	0%	-	-	VNR	VNR	0,00	0	0	0	0	0	0	0,00	0,00
	100%	-	-	VNR	VNR	0,00	0	0	0	0	0	0	0,00	0,00
proporzionale alla deformata 1° modo di vibrazione														
	0%	-	-	VNR	VNR	0,00	0	0	0	0	0	0	0,00	0,00
	100%	-	-	VNR	VNR	0,00	0	0	0	0	0	0	0,00	0,00
sisma in +Y														
proporzionale alle masse														
	0%	10.827	-610	5,40	NS	1,02	58510	124597	227879	227879	0	0	2,50	2,50
	100%	10.827	-22.360	5,40	5,57	1,02	58510	124597	227755	227755	0	0	2,50	2,50
proporzionale alla deformata 1° modo di vibrazione														
	0%	-	-	VNR	VNR	0,00	0	0	0	0	0	0	0,00	0,00
	100%	-	-	VNR	VNR	0,00	0	0	0	0	0	0	0,00	0,00
sisma in -Y														
proporzionale alle masse														
	0%	-	-	VNR	VNR	0,00	0	0	0	0	0	0	0,00	0,00
	100%	-	-	VNR	VNR	0,00	0	0	0	0	0	0	0,00	0,00
proporzionale alla deformata 1° modo di vibrazione														
	0%	-	-	VNR	VNR	0,00	0	0	0	0	0	0	0,00	0,00
	100%	-	-	VNR	VNR	0,00	0	0	0	0	0	0	0,00	0,00
sisma in +X														
proporzionale alle masse														
Trave 38-9e	0%	-	-	VNR	VNR	0,00	0	0	0	0	0	0	0,00	0,00
	100%	-	-	VNR	VNR	0,00	0	0	0	0	0	0	0,00	0,00
proporzionale alla deformata 1° modo di vibrazione														
	0%	-40	80.858	NS	1,54	1,10	58510	124597	244702	244702	0	0	2,50	2,50
	100%	-40	46.260	NS	2,69	1,10	58510	124597	244721	244721	0	0	2,50	2,50
sisma in -X														
proporzionale alle masse														
	0%	-	-	VNR	VNR	0,00	0	0	0	0	0	0	0,00	0,00
	100%	-	-	VNR	VNR	0,00	0	0	0	0	0	0	0,00	0,00
proporzionale alla deformata 1° modo di vibrazione														
	0%	-	-	VNR	VNR	0,00	0	0	0	0	0	0	0,00	0,00
	100%	-	-	VNR	VNR	0,00	0	0	0	0	0	0	0,00	0,00
sisma in +Y														
proporzionale alle masse														
	0%	-4.742	35.014	12,34	3,56	1,02	58510	124597	227554	227554	0	0	2,50	2,50
	100%	-4.742	416	12,34	NS	1,02	58510	124597	227848	227848	0	0	2,50	2,50
proporzionale alla deformata 1° modo di vibrazione														
	0%	-	-	VNR	VNR	0,00	0	0	0	0	0	0	0,00	0,00
	100%	-	-	VNR	VNR	0,00	0	0	0	0	0	0	0,00	0,00
sisma in -Y														
proporzionale alle masse														
	0%	-	-	VNR	VNR	0,00	0	0	0	0	0	0	0,00	0,00
	100%	-	-	VNR	VNR	0,00	0	0	0	0	0	0	0,00	0,00
proporzionale alla deformata 1° modo di vibrazione														
	0%	-	-	VNR	VNR	0,00	0	0	0	0	0	0	0,00	0,00
	100%	-	-	VNR	VNR	0,00	0	0	0	0	0	0	0,00	0,00
sisma in +X														
proporzionale alle masse														
Trave 38-7e	0%	-	-	VNR	VNR	0,00	0	0	0	0	0	0	0,00	0,00
	100%	-	-	VNR	VNR	0,00	0	0	0	0	0	0	0,00	0,00
proporzionale alla deformata 1° modo di vibrazione														
	0%	-3.100	62.659	18,87	1,99	1,05	58510	124597	235268	235268	0	0	2,50	2,50
	100%	-1.515	-78.391	38,62	1,59	1,04	58510	124597	233242	233242	0	0	2,50	2,50
sisma in -X														
proporzionale alle masse														
	0%	-	-	VNR	VNR	0,00	0	0	0	0	0	0	0,00	0,00
	100%	-	-	VNR	VNR	0,00	0	0	0	0	0	0	0,00	0,00
proporzionale alla deformata 1° modo di vibrazione														
	0%	-	-	VNR	VNR	0,00	0	0	0	0	0	0	0,00	0,00
	100%	-	-	VNR	VNR	0,00	0	0	0	0	0	0	0,00	0,00
sisma in +Y														
proporzionale alle masse														
	0%	1.022	39.306	57,25	3,17	1,01	58510	124597	225892	225892	0	0	2,50	2,50
	100%	-537	6.262	NS	19,90	1,00	58510	124597	223250	223250	0	0	2,50	2,50
proporzionale alla deformata 1° modo di vibrazione														
	0%	-	-	VNR	VNR	0,00	0	0	0	0	0	0	0,00	0,00
	100%	-	-	VNR	VNR	0,00	0	0	0	0	0	0	0,00	0,00
sisma in -Y														
proporzionale alle masse														
	0%	-	-	VNR	VNR	0,00	0	0	0	0	0	0	0,00	0,00
	100%	-	-	VNR	VNR	0,00	0	0	0	0	0	0	0,00	0,00
proporzionale alla deformata 1° modo di vibrazione														
	0%	-	-	VNR	VNR	0,00	0	0	0	0	0	0	0,00	0,00
	100%	-	-	VNR	VNR	0,00	0	0	0	0	0	0	0,00	0,00
sisma in +X														
proporzionale alle masse														
Trave 7e-8e	0%	-	-	VNR	VNR	0,00	0	0	0	0	0	0	0,00	0,00
	100%	-	-	VNR	VNR	0,00	0	0	0	0	0	0	0,00	0,00
proporzionale alla deformata 1° modo di vibrazione														
	0%	1.329	-212.887	44,03	0,59	1,09	58510	124597	242573	242573	0	0	2,50	2,50
	100%	2.130	-87.776	27,47	1,42	1,06	58510	124597	237492	237492	0	0	2,50	2,50
sisma in -X														
proporzionale alle masse														
	0%	-	-	VNR	VNR	0,00	0	0	0	0	0	0	0,00	0,00

Id_{Tr}	$\%L_{LI}$	$V_{Ed,3}$	$V_{Ed,2}$	$CS^{(3)}$	$CS^{(2)}$	α_C	$V_{Rsd,s}{}^{(3)}$	$V_{Rsd,s}{}^{(2)}$	$V_{Rcd}{}^{(3)}$	$V_{Rcd}{}^{(2)}$	$V_{fd}{}^{(3)}$	$V_{fd}{}^{(2)}$	$Ctg\Theta^{(3)}$	$Ctg\Theta^{(2)}$
	[%]	[N]	[N]				[N]	[N]	[N]	[N]	[N]	[N]		
	100%	-	-	VNR	VNR	0,00	0	0	0	0	0	0	0,00	0,00
proporzionale alla deformata 1° modo di vibrazione														
	0%	-	-	VNR	VNR	0,00	0	0	0	0	0	0	0,00	0,00
	100%	-	-	VNR	VNR	0,00	0	0	0	0	0	0	0,00	0,00
sisma in +Y														
proporzionale alle masse														
	0%	5.817	-6.370	10,06	19,56	1,00	58510	124597	224152	224152	0	0	2,50	2,50
	100%	1.857	-29.569	31,51	4,21	1,02	58510	124597	228476	228476	0	0	2,50	2,50
proporzionale alla deformata 1° modo di vibrazione														
	0%	-	-	VNR	VNR	0,00	0	0	0	0	0	0	0,00	0,00
	100%	-	-	VNR	VNR	0,00	0	0	0	0	0	0	0,00	0,00
sisma in -Y														
proporzionale alle masse														
	0%	-	-	VNR	VNR	0,00	0	0	0	0	0	0	0,00	0,00
	100%	-	-	VNR	VNR	0,00	0	0	0	0	0	0	0,00	0,00
proporzionale alla deformata 1° modo di vibrazione														
	0%	-	-	VNR	VNR	0,00	0	0	0	0	0	0	0,00	0,00
	100%	-	-	VNR	VNR	0,00	0	0	0	0	0	0	0,00	0,00
sisma in +X														
proporzionale alle masse														
Trave 8e-39	0%	-	-	VNR	VNR	0,00	0	0	0	0	0	0	0,00	0,00
	100%	-	-	VNR	VNR	0,00	0	0	0	0	0	0	0,00	0,00
proporzionale alla deformata 1° modo di vibrazione														
	0%	2.210	-90.911	26,48	1,37	1,09	58510	124597	243682	243682	0	0	2,50	2,50
	100%	1.872	-7.340	31,26	16,98	1,09	58510	124597	243869	243869	0	0	2,50	2,50
sisma in -X														
proporzionale alle masse														
	0%	-	-	VNR	VNR	0,00	0	0	0	0	0	0	0,00	0,00
	100%	-	-	VNR	VNR	0,00	0	0	0	0	0	0	0,00	0,00
proporzionale alla deformata 1° modo di vibrazione														
	0%	-	-	VNR	VNR	0,00	0	0	0	0	0	0	0,00	0,00
	100%	-	-	VNR	VNR	0,00	0	0	0	0	0	0	0,00	0,00
sisma in +Y														
proporzionale alle masse														
	0%	828	-61.888	70,66	2,01	1,07	58510	124597	239584	239584	0	0	2,50	2,50
	100%	3.514	-73.076	16,65	1,71	1,10	58510	124597	246050	246050	0	0	2,50	2,50
proporzionale alla deformata 1° modo di vibrazione														
	0%	-	-	VNR	VNR	0,00	0	0	0	0	0	0	0,00	0,00
	100%	-	-	VNR	VNR	0,00	0	0	0	0	0	0	0,00	0,00
sisma in -Y														
proporzionale alle masse														
	0%	-	-	VNR	VNR	0,00	0	0	0	0	0	0	0,00	0,00
	100%	-	-	VNR	VNR	0,00	0	0	0	0	0	0	0,00	0,00
proporzionale alla deformata 1° modo di vibrazione														
	0%	-	-	VNR	VNR	0,00	0	0	0	0	0	0	0,00	0,00
	100%	-	-	VNR	VNR	0,00	0	0	0	0	0	0	0,00	0,00
sisma in +X														
proporzionale alle masse														
Trave 39-40	0%	-	-	VNR	VNR	0,00	0	0	0	0	0	0	0,00	0,00
	100%	-	-	VNR	VNR	0,00	0	0	0	0	0	0	0,00	0,00
proporzionale alla deformata 1° modo di vibrazione														
	0%	14	98.104	NS	1,27	1,02	58510	124597	226817	226817	0	0	2,50	2,50
	100%	14	-104.628	NS	1,19	1,02	58510	124597	227001	227001	0	0	2,50	2,50
sisma in -X														
proporzionale alle masse														
	0%	-	-	VNR	VNR	0,00	0	0	0	0	0	0	0,00	0,00
	100%	-	-	VNR	VNR	0,00	0	0	0	0	0	0	0,00	0,00
proporzionale alla deformata 1° modo di vibrazione														
	0%	-	-	VNR	VNR	0,00	0	0	0	0	0	0	0,00	0,00
	100%	-	-	VNR	VNR	0,00	0	0	0	0	0	0	0,00	0,00
sisma in +Y														
proporzionale alle masse														
	0%	-153	109.829	NS	1,13	1,02	58510	124597	226898	226898	0	0	2,50	2,50
	100%	-153	-92.903	NS	1,34	1,02	58510	124597	226910	226910	0	0	2,50	2,50
proporzionale alla deformata 1° modo di vibrazione														
	0%	-	-	VNR	VNR	0,00	0	0	0	0	0	0	0,00	0,00
	100%	-	-	VNR	VNR	0,00	0	0	0	0	0	0	0,00	0,00
sisma in -Y														
proporzionale alle masse														
	0%	-	-	VNR	VNR	0,00	0	0	0	0	0	0	0,00	0,00
	100%	-	-	VNR	VNR	0,00	0	0	0	0	0	0	0,00	0,00
proporzionale alla deformata 1° modo di vibrazione														
	0%	-	-	VNR	VNR	0,00	0	0	0	0	0	0	0,00	0,00
	100%	-	-	VNR	VNR	0,00	0	0	0	0	0	0	0,00	0,00
sisma in +X														
proporzionale alle masse														
Trave 40-P15	0%	-	-	VNR	VNR	0,00	0	0	0	0	0	0	0,00	0,00
	100%	-	-	VNR	VNR	0,00	0	0	0	0	0	0	0,00	0,00
proporzionale alla deformata 1° modo di vibrazione														
	0%	51	-42.068	NS	2,96	1,22	58510	124597	272297	272297	0	0	2,50	2,50
	100%	51	-143.349	NS	0,87	1,19	58510	124597	266709	266709	0	0	2,50	2,50
sisma in -X														
proporzionale alle masse														
	0%	-	-	VNR	VNR	0,00	0	0	0	0	0	0	0,00	0,00
	100%	-	-	VNR	VNR	0,00	0	0	0	0	0	0	0,00	0,00
proporzionale alla deformata 1° modo di vibrazione														

Id_{Tr}	$\%L_{LI}$	$V_{Ed,3}$	$V_{Ed,2}$	$CS^{(3)}$	$CS^{(2)}$	α_C	$V_{Rsd,s}{}^{(3)}$	$V_{Rsd,s}{}^{(2)}$	$V_{Rcd}{}^{(3)}$	$V_{Rcd}{}^{(2)}$	$V_{fd}{}^{(3)}$	$V_{fd}{}^{(2)}$	$Ctg\Theta^{(3)}$	$Ctg\Theta^{(2)}$
	[%]	[N]	[N]				[N]	[N]	[N]	[N]	[N]	[N]		
	0%	-	-	VNR	VNR	0,00	0	0	0	0	0	0	0,00	0,00
	100%	-	-	VNR	VNR	0,00	0	0	0	0	0	0	0,00	0,00
sisma in +Y														
proporzionale alle masse														
	0%	467	56.969	NS	2,19	1,05	58510	124597	234584	234584	0	0	2,50	2,50
	100%	467	-44.312	NS	2,81	1,05	58510	124597	234730	234730	0	0	2,50	2,50
proporzionale alla deformata 1° modo di vibrazione														
	0%	-	-	VNR	VNR	0,00	0	0	0	0	0	0	0,00	0,00
	100%	-	-	VNR	VNR	0,00	0	0	0	0	0	0	0,00	0,00
sisma in -Y														
proporzionale alle masse														
	0%	-	-	VNR	VNR	0,00	0	0	0	0	0	0	0,00	0,00
	100%	-	-	VNR	VNR	0,00	0	0	0	0	0	0	0,00	0,00
proporzionale alla deformata 1° modo di vibrazione														
	0%	-	-	VNR	VNR	0,00	0	0	0	0	0	0	0,00	0,00
	100%	-	-	VNR	VNR	0,00	0	0	0	0	0	0	0,00	0,00
sisma in +X														
proporzionale alle masse														
Trave P15-41	0%	-	-	VNR	VNR	0,00	0	0	0	0	0	0	0,00	0,00
	100%	-	-	VNR	VNR	0,00	0	0	0	0	0	0	0,00	0,00
proporzionale alla deformata 1° modo di vibrazione														
	0%	-292	55.033	0,00	0,00	1,28	0	0	286512	286512	0	0	2,50	2,50
	100%	2.034	54.889	0,00	0,00	1,05	0	0	234513	234513	0	0	2,50	2,50
sisma in -X														
proporzionale alle masse														
	0%	-	-	VNR	VNR	0,00	0	0	0	0	0	0	0,00	0,00
	100%	-	-	VNR	VNR	0,00	0	0	0	0	0	0	0,00	0,00
proporzionale alla deformata 1° modo di vibrazione														
	0%	-	-	VNR	VNR	0,00	0	0	0	0	0	0	0,00	0,00
	100%	-	-	VNR	VNR	0,00	0	0	0	0	0	0	0,00	0,00
sisma in +Y														
proporzionale alle masse														
	0%	8.446	34.878	0,00	0,00	1,05	0	0	234880	234880	0	0	2,50	2,50
	100%	21.654	591	0,00	0,00	1,01	0	0	225672	225672	0	0	2,50	2,50
proporzionale alla deformata 1° modo di vibrazione														
	0%	-	-	VNR	VNR	0,00	0	0	0	0	0	0	0,00	0,00
	100%	-	-	VNR	VNR	0,00	0	0	0	0	0	0	0,00	0,00
sisma in -Y														
proporzionale alle masse														
	0%	-	-	VNR	VNR	0,00	0	0	0	0	0	0	0,00	0,00
	100%	-	-	VNR	VNR	0,00	0	0	0	0	0	0	0,00	0,00
proporzionale alla deformata 1° modo di vibrazione														
	0%	-	-	VNR	VNR	0,00	0	0	0	0	0	0	0,00	0,00
	100%	-	-	VNR	VNR	0,00	0	0	0	0	0	0	0,00	0,00
Piano terra ingresso								**Travata: Trave19-20-21-22-23-24**						
sisma in +X														
proporzionale alle masse														
Trave 19-20	0%	-	-	VNR	VNR	0,00	0	0	0	0	0	0	0,00	0,00
	100%	-	-	VNR	VNR	0,00	0	0	0	0	0	0	0,00	0,00
proporzionale alla deformata 1° modo di vibrazione														
	0%	-221	-45.212	NS	3,62	1,07	78950	170738	163546	163546	0	0	2,50	2,50
	100%	-221	-80.455	NS	2,04	1,07	78950	170738	164003	164003	0	0	2,50	2,50
sisma in -X														
proporzionale alle masse														
	0%	-	-	VNR	VNR	0,00	0	0	0	0	0	0	0,00	0,00
	100%	-	-	VNR	VNR	0,00	0	0	0	0	0	0	0,00	0,00
proporzionale alla deformata 1° modo di vibrazione														
	0%	-	-	VNR	VNR	0,00	0	0	0	0	0	0	0,00	0,00
	100%	-	-	VNR	VNR	0,00	0	0	0	0	0	0	0,00	0,00
sisma in +Y														
proporzionale alle masse														
	0%	94	-58.655	NS	2,84	1,09	78950	170738	166842	166842	0	0	2,50	2,50
	100%	94	-93.897	NS	1,80	1,10	78950	170738	168555	168555	0	0	2,50	2,50
proporzionale alla deformata 1° modo di vibrazione														
	0%	-	-	VNR	VNR	0,00	0	0	0	0	0	0	0,00	0,00
	100%	-	-	VNR	VNR	0,00	0	0	0	0	0	0	0,00	0,00
sisma in -Y														
proporzionale alle masse														
	0%	-	-	VNR	VNR	0,00	0	0	0	0	0	0	0,00	0,00
	100%	-	-	VNR	VNR	0,00	0	0	0	0	0	0	0,00	0,00
proporzionale alla deformata 1° modo di vibrazione														
	0%	-	-	VNR	VNR	0,00	0	0	0	0	0	0	0,00	0,00
	100%	-	-	VNR	VNR	0,00	0	0	0	0	0	0	0,00	0,00
sisma in +X														
proporzionale alle masse														
Trave 20-21	0%	-	-	VNR	VNR	0,00	0	0	0	0	0	0	0,00	0,00
	100%	-	-	VNR	VNR	0,00	0	0	0	0	0	0	0,00	0,00
proporzionale alla deformata 1° modo di vibrazione														
	0%	-121	26.117	NS	3,92	1,04	47370	102443	159419	159419	0	0	2,50	2,50
	100%	-121	-57.034	NS	1,80	1,04	47370	102443	159428	159428	0	0	2,50	2,50
sisma in -X														
proporzionale alle masse														
	0%	-	-	VNR	VNR	0,00	0	0	0	0	0	0	0,00	0,00
	100%	-	-	VNR	VNR	0,00	0	0	0	0	0	0	0,00	0,00
proporzionale alla deformata 1° modo di vibrazione														
	0%	-	-	VNR	VNR	0,00	0	0	0	0	0	0	0,00	0,00

Id_{Tr}	$\%L_{LI}$	$V_{Ed,3}$	$V_{Ed,2}$	$CS^{(3)}$	$CS^{(2)}$	α_C	$V_{Rsd,s}{}^{(3)}$	$V_{Rsd,s}{}^{(2)}$	$V_{Rcd}{}^{(3)}$	$V_{Rcd}{}^{(2)}$	$V_{fd}{}^{(3)}$	$V_{fd}{}^{(2)}$	$Ctg\Theta^{(3)}$	$Ctg\Theta^{(2)}$
	[%]	[N]	[N]				[N]	[N]	[N]	[N]	[N]	[N]		
	100%	-	-	VNR	VNR	0,00	0	0	0	0	0	0	0,00	0,00
sisma in +Y														
proporzionale alle masse														
	0%	44	47.294	NS	2,17	1,06	47370	102443	161934	161934	0	0	2,50	2,50
	100%	44	-35.857	NS	2,86	1,06	47370	102443	161789	161789	0	0	2,50	2,50
proporzionale alla deformata 1° modo di vibrazione														
	0%	-	-	VNR	VNR	0,00	0	0	0	0	0	0	0,00	0,00
	100%	-	-	VNR	VNR	0,00	0	0	0	0	0	0	0,00	0,00
sisma in -Y														
proporzionale alle masse														
	0%	-	-	VNR	VNR	0,00	0	0	0	0	0	0	0,00	0,00
	100%	-	-	VNR	VNR	0,00	0	0	0	0	0	0	0,00	0,00
proporzionale alla deformata 1° modo di vibrazione														
	0%	-	-	VNR	VNR	0,00	0	0	0	0	0	0	0,00	0,00
	100%	-	-	VNR	VNR	0,00	0	0	0	0	0	0	0,00	0,00
sisma in +X														
proporzionale alle masse														
Trave 21-22	0%	-	-	VNR	VNR	0,00	0	0	0	0	0	0	0,00	0,00
	100%	-	-	VNR	VNR	0,00	0	0	0	0	0	0	0,00	0,00
proporzionale alla deformata 1° modo di vibrazione														
	0%	77	-55.916	NS	1,83	1,19	47370	102443	181459	181459	0	0	2,50	2,50
	100%	77	-139.736	NS	0,73	1,19	47370	102443	181407	181407	0	0	2,50	2,50
sisma in -X														
proporzionale alle masse														
	0%	-	-	VNR	VNR	0,00	0	0	0	0	0	0	0,00	0,00
	100%	-	-	VNR	VNR	0,00	0	0	0	0	0	0	0,00	0,00
proporzionale alla deformata 1° modo di vibrazione														
	0%	-	-	VNR	VNR	0,00	0	0	0	0	0	0	0,00	0,00
	100%	-	-	VNR	VNR	0,00	0	0	0	0	0	0	0,00	0,00
sisma in +Y														
proporzionale alle masse														
	0%	-1.277	21.056	37,09	4,87	1,09	47370	102443	167059	167059	0	0	2,50	2,50
	100%	-1.277	-62.764	37,09	1,63	1,09	47370	102443	167052	167052	0	0	2,50	2,50
proporzionale alla deformata 1° modo di vibrazione														
	0%	-	-	VNR	VNR	0,00	0	0	0	0	0	0	0,00	0,00
	100%	-	-	VNR	VNR	0,00	0	0	0	0	0	0	0,00	0,00
sisma in -Y														
proporzionale alle masse														
	0%	-	-	VNR	VNR	0,00	0	0	0	0	0	0	0,00	0,00
	100%	-	-	VNR	VNR	0,00	0	0	0	0	0	0	0,00	0,00
proporzionale alla deformata 1° modo di vibrazione														
	0%	-	-	VNR	VNR	0,00	0	0	0	0	0	0	0,00	0,00
	100%	-	-	VNR	VNR	0,00	0	0	0	0	0	0	0,00	0,00
sisma in +X														
proporzionale alle masse														
Trave 22-23	0%	-	-	VNR	VNR	0,00	0	0	0	0	0	0	0,00	0,00
	100%	-	-	VNR	VNR	0,00	0	0	0	0	0	0	0,00	0,00
proporzionale alla deformata 1° modo di vibrazione														
	0%	20	111.915	NS	1,31	1,06	58385	146501	279288	279288	0	0	2,50	2,50
	100%	20	-194.736	NS	0,75	1,06	58385	146501	279268	279268	0	0	2,50	2,50
sisma in -X														
proporzionale alle masse														
	0%	-	-	VNR	VNR	0,00	0	0	0	0	0	0	0,00	0,00
	100%	-	-	VNR	VNR	0,00	0	0	0	0	0	0	0,00	0,00
proporzionale alla deformata 1° modo di vibrazione														
	0%	-	-	VNR	VNR	0,00	0	0	0	0	0	0	0,00	0,00
	100%	-	-	VNR	VNR	0,00	0	0	0	0	0	0	0,00	0,00
sisma in +Y														
proporzionale alle masse														
	0%	35	148.226	NS	0,99	1,01	58385	146501	264230	264230	0	0	2,50	2,50
	100%	35	-158.426	NS	0,92	1,01	58385	146501	264234	264234	0	0	2,50	2,50
proporzionale alla deformata 1° modo di vibrazione														
	0%	-	-	VNR	VNR	0,00	0	0	0	0	0	0	0,00	0,00
	100%	-	-	VNR	VNR	0,00	0	0	0	0	0	0	0,00	0,00
sisma in -Y														
proporzionale alle masse														
	0%	-	-	VNR	VNR	0,00	0	0	0	0	0	0	0,00	0,00
	100%	-	-	VNR	VNR	0,00	0	0	0	0	0	0	0,00	0,00
proporzionale alla deformata 1° modo di vibrazione														
	0%	-	-	VNR	VNR	0,00	0	0	0	0	0	0	0,00	0,00
	100%	-	-	VNR	VNR	0,00	0	0	0	0	0	0	0,00	0,00
sisma in +X														
proporzionale alle masse														
Trave 23-24	0%	-	-	VNR	VNR	0,00	0	0	0	0	0	0	0,00	0,00
	100%	-	-	VNR	VNR	0,00	0	0	0	0	0	0	0,00	0,00
proporzionale alla deformata 1° modo di vibrazione														
	0%	-200	125.349	NS	1,17	1,00	58385	146501	263306	263306	0	0	2,50	2,50
	100%	-200	-173.149	NS	0,85	1,00	58385	146501	263459	263459	0	0	2,50	2,50
sisma in -X														
proporzionale alle masse														
	0%	-	-	VNR	VNR	0,00	0	0	0	0	0	0	0,00	0,00
	100%	-	-	VNR	VNR	0,00	0	0	0	0	0	0	0,00	0,00
proporzionale alla deformata 1° modo di vibrazione														
	0%	-	-	VNR	VNR	0,00	0	0	0	0	0	0	0,00	0,00
	100%	-	-	VNR	VNR	0,00	0	0	0	0	0	0	0,00	0,00
sisma in +Y														

Id_{Tr}	$\%L_{LI}$	$V_{Ed,3}$	$V_{Ed,2}$	$CS^{(3)}$	$CS^{(2)}$	α_C	$V_{Rsd,s}{}^{(3)}$	$V_{Rsd,s}{}^{(2)}$	$V_{Rcd}{}^{(3)}$	$V_{Rcd}{}^{(2)}$	$V_{fd}{}^{(3)}$	$V_{fd}{}^{(2)}$	$Ctg\Theta^{(3)}$	$Ctg\Theta^{(2)}$
	[%]	[N]	[N]				[N]	[N]	[N]	[N]	[N]	[N]		
proporzionale alle masse														
	0%	-54	152.399	NS	0,96	1,00	58385	146501	262497	262497	0	0	2,50	2,50
	100%	-54	-146.100	NS	1,00	1,00	58385	146501	262497	262497	0	0	2,50	2,50
proporzionale alla deformata 1° modo di vibrazione														
	0%	-	-	VNR	VNR	0,00	0	0	0	0	0	0	0,00	0,00
	100%	-	-	VNR	VNR	0,00	0	0	0	0	0	0	0,00	0,00
sisma in -Y														
proporzionale alle masse														
	0%	-	-	VNR	VNR	0,00	0	0	0	0	0	0	0,00	0,00
	100%	-	-	VNR	VNR	0,00	0	0	0	0	0	0	0,00	0,00
proporzionale alla deformata 1° modo di vibrazione														
	0%	-	-	VNR	VNR	0,00	0	0	0	0	0	0	0,00	0,00
	100%	-	-	VNR	VNR	0,00	0	0	0	0	0	0	0,00	0,00
Piano terra ingresso								**Travata: Trave25-26-27**						
sisma in +X														
proporzionale alle masse														
Trave 25-26	0%	-	-	VNR	VNR	0,00	0	0	0	0	0	0	0,00	0,00
	100%	-	-	VNR	VNR	0,00	0	0	0	0	0	0	0,00	0,00
proporzionale alla deformata 1° modo di vibrazione														
	0%	10	79.430	NS	1,84	1,02	58240	146356	268033	268033	0	0	2,50	2,50
	100%	10	-140.409	NS	1,04	1,02	58240	146356	267066	267066	0	0	2,50	2,50
sisma in -X														
proporzionale alle masse														
	0%	-	-	VNR	VNR	0,00	0	0	0	0	0	0	0,00	0,00
	100%	-	-	VNR	VNR	0,00	0	0	0	0	0	0	0,00	0,00
proporzionale alla deformata 1° modo di vibrazione														
	0%	-	-	VNR	VNR	0,00	0	0	0	0	0	0	0,00	0,00
	100%	-	-	VNR	VNR	0,00	0	0	0	0	0	0	0,00	0,00
sisma in +Y														
proporzionale alle masse														
	0%	-142	106.742	NS	1,37	1,00	58240	146356	262237	262237	0	0	2,50	2,50
	100%	-142	-113.097	NS	1,29	1,00	58240	146356	262237	262237	0	0	2,50	2,50
proporzionale alla deformata 1° modo di vibrazione														
	0%	-	-	VNR	VNR	0,00	0	0	0	0	0	0	0,00	0,00
	100%	-	-	VNR	VNR	0,00	0	0	0	0	0	0	0,00	0,00
sisma in -Y														
proporzionale alle masse														
	0%	-	-	VNR	VNR	0,00	0	0	0	0	0	0	0,00	0,00
	100%	-	-	VNR	VNR	0,00	0	0	0	0	0	0	0,00	0,00
proporzionale alla deformata 1° modo di vibrazione														
	0%	-	-	VNR	VNR	0,00	0	0	0	0	0	0	0,00	0,00
	100%	-	-	VNR	VNR	0,00	0	0	0	0	0	0	0,00	0,00
sisma in +X														
proporzionale alle masse														
Trave 26-27	0%	-	-	VNR	VNR	0,00	0	0	0	0	0	0	0,00	0,00
	100%	-	-	VNR	VNR	0,00	0	0	0	0	0	0	0,00	0,00
proporzionale alla deformata 1° modo di vibrazione														
	0%	6	97.028	NS	1,51	1,00	58240	146356	262237	262237	0	0	2,50	2,50
	100%	6	-115.335	NS	1,27	1,00	58240	146356	262237	262237	0	0	2,50	2,50
sisma in -X														
proporzionale alle masse														
	0%	-	-	VNR	VNR	0,00	0	0	0	0	0	0	0,00	0,00
	100%	-	-	VNR	VNR	0,00	0	0	0	0	0	0	0,00	0,00
proporzionale alla deformata 1° modo di vibrazione														
	0%	-	-	VNR	VNR	0,00	0	0	0	0	0	0	0,00	0,00
	100%	-	-	VNR	VNR	0,00	0	0	0	0	0	0	0,00	0,00
sisma in +Y														
proporzionale alle masse														
	0%	108	117.252	NS	1,25	1,00	58240	146356	262237	262237	0	0	2,50	2,50
	100%	108	-95.111	NS	1,54	1,00	58240	146356	262237	262237	0	0	2,50	2,50
proporzionale alla deformata 1° modo di vibrazione														
	0%	-	-	VNR	VNR	0,00	0	0	0	0	0	0	0,00	0,00
	100%	-	-	VNR	VNR	0,00	0	0	0	0	0	0	0,00	0,00
sisma in -Y														
proporzionale alle masse														
	0%	-	-	VNR	VNR	0,00	0	0	0	0	0	0	0,00	0,00
	100%	-	-	VNR	VNR	0,00	0	0	0	0	0	0	0,00	0,00
proporzionale alla deformata 1° modo di vibrazione														
	0%	-	-	VNR	VNR	0,00	0	0	0	0	0	0	0,00	0,00
	100%	-	-	VNR	VNR	0,00	0	0	0	0	0	0	0,00	0,00
Piano terra ingresso								**Travata: Trave28-29-30**						
sisma in +X														
proporzionale alle masse														
Trave 28-29	0%	-	-	VNR	VNR	0,00	0	0	0	0	0	0	0,00	0,00
	100%	-	-	VNR	VNR	0,00	0	0	0	0	0	0	0,00	0,00
proporzionale alla deformata 1° modo di vibrazione														
	0%	170	-22.828	NS	1,82	1,03	33721	41466	90264	90264	0	0	2,50	2,50
	100%	170	-25.735	NS	1,61	1,03	33721	41466	90264	90264	0	0	2,50	2,50
sisma in -X														
proporzionale alle masse														
	0%	-	-	VNR	VNR	0,00	0	0	0	0	0	0	0,00	0,00
	100%	-	-	VNR	VNR	0,00	0	0	0	0	0	0	0,00	0,00
proporzionale alla deformata 1° modo di vibrazione														
	0%	-	-	VNR	VNR	0,00	0	0	0	0	0	0	0,00	0,00
	100%	-	-	VNR	VNR	0,00	0	0	0	0	0	0	0,00	0,00
sisma in +Y														

Id_{Tr}	$\%L_{LI}$ [%]	$V_{Ed,3}$ [N]	$V_{Ed,2}$ [N]	$CS^{(3)}$	$CS^{(2)}$	α_C	$V_{Rsd,s}{}^{(3)}$ [N]	$V_{Rsd,s}{}^{(2)}$ [N]	$V_{Rcd}{}^{(3)}$ [N]	$V_{Rcd}{}^{(2)}$ [N]	$V_{fd}{}^{(3)}$ [N]	$V_{fd}{}^{(2)}$ [N]	$Ctg\Theta^{(3)}$	$Ctg\Theta^{(2)}$
proporzionale alle masse														
	0%	1.108	355	30,43	NS	1,00	33721	41466	88078	88078	0	0	2,50	2,50
	100%	1.108	-2.551	30,43	16,25	1,00	33721	41466	88089	88089	0	0	2,50	2,50
proporzionale alla deformata 1° modo di vibrazione														
	0%	-	-	VNR	VNR	0,00	0	0	0	0	0	0	0,00	0,00
	100%	-	-	VNR	VNR	0,00	0	0	0	0	0	0	0,00	0,00
sisma in -Y														
proporzionale alle masse														
	0%	-	-	VNR	VNR	0,00	0	0	0	0	0	0	0,00	0,00
	100%	-	-	VNR	VNR	0,00	0	0	0	0	0	0	0,00	0,00
proporzionale alla deformata 1° modo di vibrazione														
	0%	-	-	VNR	VNR	0,00	0	0	0	0	0	0	0,00	0,00
	100%	-	-	VNR	VNR	0,00	0	0	0	0	0	0	0,00	0,00
sisma in +X														
proporzionale alle masse														
Trave 29-30	0%	-	-	VNR	VNR	0,00	0	0	0	0	0	0	0,00	0,00
	100%	-	-	VNR	VNR	0,00	0	0	0	0	0	0	0,00	0,00
proporzionale alla deformata 1° modo di vibrazione														
	0%	-33	-12.757	NS	5,68	1,01	33721	72444	155356	155356	0	0	2,50	2,50
	100%	-33	-23.554	NS	3,08	1,01	33721	72444	155320	155320	0	0	2,50	2,50
sisma in -X														
proporzionale alle masse														
	0%	-	-	VNR	VNR	0,00	0	0	0	0	0	0	0,00	0,00
	100%	-	-	VNR	VNR	0,00	0	0	0	0	0	0	0,00	0,00
proporzionale alla deformata 1° modo di vibrazione														
	0%	-	-	VNR	VNR	0,00	0	0	0	0	0	0	0,00	0,00
	100%	-	-	VNR	VNR	0,00	0	0	0	0	0	0	0,00	0,00
sisma in +Y														
proporzionale alle masse														
	0%	-594	5.327	56,77	13,60	1,00	33721	72444	153841	153841	0	0	2,50	2,50
	100%	-594	-5.469	56,77	13,25	1,00	33721	72444	153841	153841	0	0	2,50	2,50
proporzionale alla deformata 1° modo di vibrazione														
	0%	-	-	VNR	VNR	0,00	0	0	0	0	0	0	0,00	0,00
	100%	-	-	VNR	VNR	0,00	0	0	0	0	0	0	0,00	0,00
sisma in -Y														
proporzionale alle masse														
	0%	-	-	VNR	VNR	0,00	0	0	0	0	0	0	0,00	0,00
	100%	-	-	VNR	VNR	0,00	0	0	0	0	0	0	0,00	0,00
proporzionale alla deformata 1° modo di vibrazione														
	0%	-	-	VNR	VNR	0,00	0	0	0	0	0	0	0,00	0,00
	100%	-	-	VNR	VNR	0,00	0	0	0	0	0	0	0,00	0,00
Piano terra ingresso								**Travata: Trave1-1e-2e-P8-14-25-P9-3e-5e-6e-32**						
sisma in +X														
proporzionale alle masse														
Trave 1-1e	0%	-	-	VNR	VNR	0,00	0	0	0	0	0	0	0,00	0,00
	100%	-	-	VNR	VNR	0,00	0	0	0	0	0	0	0,00	0,00
proporzionale alla deformata 1° modo di vibrazione														
	0%	27.659	106.693	0,00	0,00	1,05	0	0	350303	350303	0	0	2,50	2,50
	100%	3.477	19.544	0,00	0,00	1,00	0	0	334884	334884	0	0	2,50	2,50
sisma in -X														
proporzionale alle masse														
	0%	-	-	VNR	VNR	0,00	0	0	0	0	0	0	0,00	0,00
	100%	-	-	VNR	VNR	0,00	0	0	0	0	0	0	0,00	0,00
proporzionale alla deformata 1° modo di vibrazione														
	0%	-	-	VNR	VNR	0,00	0	0	0	0	0	0	0,00	0,00
	100%	-	-	VNR	VNR	0,00	0	0	0	0	0	0	0,00	0,00
sisma in +Y														
proporzionale alle masse														
	0%	-41.325	-150.754	0,00	0,00	1,00	0	0	334884	334884	0	0	2,50	2,50
	100%	-7.629	-175.658	0,00	0,00	1,07	0	0	359058	359058	0	0	2,50	2,50
proporzionale alla deformata 1° modo di vibrazione														
	0%	-	-	VNR	VNR	0,00	0	0	0	0	0	0	0,00	0,00
	100%	-	-	VNR	VNR	0,00	0	0	0	0	0	0	0,00	0,00
sisma in -Y														
proporzionale alle masse														
	0%	-	-	VNR	VNR	0,00	0	0	0	0	0	0	0,00	0,00
	100%	-	-	VNR	VNR	0,00	0	0	0	0	0	0	0,00	0,00
proporzionale alla deformata 1° modo di vibrazione														
	0%	-	-	VNR	VNR	0,00	0	0	0	0	0	0	0,00	0,00
	100%	-	-	VNR	VNR	0,00	0	0	0	0	0	0	0,00	0,00
sisma in +X														
proporzionale alle masse														
Trave 1e-2e	0%	-	-	VNR	VNR	0,00	0	0	0	0	0	0	0,00	0,00
	100%	-	-	VNR	VNR	0,00	0	0	0	0	0	0	0,00	0,00
proporzionale alla deformata 1° modo di vibrazione														
	0%	4.557	-1.124	0,00	0,00	1,00	0	0	334884	334884	0	0	2,50	2,50
	100%	8.635	-27.196	0,00	0,00	1,00	0	0	335254	335254	0	0	2,50	2,50
sisma in -X														
proporzionale alle masse														
	0%	-	-	VNR	VNR	0,00	0	0	0	0	0	0	0,00	0,00
	100%	-	-	VNR	VNR	0,00	0	0	0	0	0	0	0,00	0,00
proporzionale alla deformata 1° modo di vibrazione														
	0%	-	-	VNR	VNR	0,00	0	0	0	0	0	0	0,00	0,00
	100%	-	-	VNR	VNR	0,00	0	0	0	0	0	0	0,00	0,00
sisma in +Y														
proporzionale alle masse														

Id_{Tr}	$\%L_{LI}$	$V_{Ed,3}$	$V_{Ed,2}$	$CS^{(3)}$	$CS^{(2)}$	α_C	$V_{Rsd,s}{}^{(3)}$	$V_{Rsd,s}{}^{(2)}$	$V_{Rcd}{}^{(3)}$	$V_{Rcd}{}^{(2)}$	$V_{fd}{}^{(3)}$	$V_{fd}{}^{(2)}$	$Ctg\Theta^{(3)}$	$Ctg\Theta^{(2)}$
	[%]	[N]	[N]				[N]	[N]	[N]	[N]	[N]	[N]		
	0%	-838	-23.550	0,00	0,00	1,07	0	0	358229	358229	0	0	2,50	2,50
	100%	15.429	9.677	0,00	0,00	1,04	0	0	346820	346820	0	0	2,50	2,50
proporzionale alla deformata 1° modo di vibrazione														
	0%	-	-	VNR	VNR	0,00	0	0	0	0	0	0	0,00	0,00
	100%	-	-	VNR	VNR	0,00	0	0	0	0	0	0	0,00	0,00
sisma in -Y														
proporzionale alle masse														
	0%	-	-	VNR	VNR	0,00	0	0	0	0	0	0	0,00	0,00
	100%	-	-	VNR	VNR	0,00	0	0	0	0	0	0	0,00	0,00
proporzionale alla deformata 1° modo di vibrazione														
	0%	-	-	VNR	VNR	0,00	0	0	0	0	0	0	0,00	0,00
	100%	-	-	VNR	VNR	0,00	0	0	0	0	0	0	0,00	0,00
sisma in +X														
proporzionale alle masse														
Trave 2e-P8	0%	-	-	VNR	VNR	0,00	0	0	0	0	0	0	0,00	0,00
	100%	-	-	VNR	VNR	0,00	0	0	0	0	0	0	0,00	0,00
proporzionale alla deformata 1° modo di vibrazione														
	0%	11.164	-8.542	0,00	0,00	1,00	0	0	335536	335536	0	0	2,50	2,50
	100%	9.045	5.622	0,00	0,00	1,00	0	0	335940	335940	0	0	2,50	2,50
sisma in -X														
proporzionale alle masse														
	0%	-	-	VNR	VNR	0,00	0	0	0	0	0	0	0,00	0,00
	100%	-	-	VNR	VNR	0,00	0	0	0	0	0	0	0,00	0,00
proporzionale alla deformata 1° modo di vibrazione														
	0%	-	-	VNR	VNR	0,00	0	0	0	0	0	0	0,00	0,00
	100%	-	-	VNR	VNR	0,00	0	0	0	0	0	0	0,00	0,00
sisma in +Y														
proporzionale alle masse														
	0%	22.392	100.918	0,00	0,00	1,00	0	0	334884	334884	0	0	2,50	2,50
	100%	28.487	120.043	0,00	0,00	1,00	0	0	334884	334884	0	0	2,50	2,50
proporzionale alla deformata 1° modo di vibrazione														
	0%	-	-	VNR	VNR	0,00	0	0	0	0	0	0	0,00	0,00
	100%	-	-	VNR	VNR	0,00	0	0	0	0	0	0	0,00	0,00
sisma in -Y														
proporzionale alle masse														
	0%	-	-	VNR	VNR	0,00	0	0	0	0	0	0	0,00	0,00
	100%	-	-	VNR	VNR	0,00	0	0	0	0	0	0	0,00	0,00
proporzionale alla deformata 1° modo di vibrazione														
	0%	-	-	VNR	VNR	0,00	0	0	0	0	0	0	0,00	0,00
	100%	-	-	VNR	VNR	0,00	0	0	0	0	0	0	0,00	0,00
sisma in +X														
proporzionale alle masse														
Trave P8-14	0%	-	-	VNR	VNR	0,00	0	0	0	0	0	0	0,00	0,00
	100%	-	-	VNR	VNR	0,00	0	0	0	0	0	0	0,00	0,00
proporzionale alla deformata 1° modo di vibrazione														
	0%	60	16.672	NS	4,20	1,00	51501	70088	334884	334884	0	0	2,50	2,50
	100%	60	-20.858	NS	3,36	1,00	51501	70088	335010	335010	0	0	2,50	2,50
sisma in -X														
proporzionale alle masse														
	0%	-	-	VNR	VNR	0,00	0	0	0	0	0	0	0,00	0,00
	100%	-	-	VNR	VNR	0,00	0	0	0	0	0	0	0,00	0,00
proporzionale alla deformata 1° modo di vibrazione														
	0%	-	-	VNR	VNR	0,00	0	0	0	0	0	0	0,00	0,00
	100%	-	-	VNR	VNR	0,00	0	0	0	0	0	0	0,00	0,00
sisma in +Y														
proporzionale alle masse														
	0%	1.016	-64.414	50,69	1,09	1,03	51501	70088	344647	344647	0	0	2,50	2,50
	100%	1.016	-101.944	50,69	0,69	1,03	51501	70088	344848	344848	0	0	2,50	2,50
proporzionale alla deformata 1° modo di vibrazione														
	0%	-	-	VNR	VNR	0,00	0	0	0	0	0	0	0,00	0,00
	100%	-	-	VNR	VNR	0,00	0	0	0	0	0	0	0,00	0,00
sisma in -Y														
proporzionale alle masse														
	0%	-	-	VNR	VNR	0,00	0	0	0	0	0	0	0,00	0,00
	100%	-	-	VNR	VNR	0,00	0	0	0	0	0	0	0,00	0,00
proporzionale alla deformata 1° modo di vibrazione														
	0%	-	-	VNR	VNR	0,00	0	0	0	0	0	0	0,00	0,00
	100%	-	-	VNR	VNR	0,00	0	0	0	0	0	0	0,00	0,00
sisma in +X														
proporzionale alle masse														
Trave 14-25	0%	-	-	VNR	VNR	0,00	0	0	0	0	0	0	0,00	0,00
	100%	-	-	VNR	VNR	0,00	0	0	0	0	0	0	0,00	0,00
proporzionale alla deformata 1° modo di vibrazione														
	0%	-42	18.029	NS	4,05	1,00	53646	73008	334918	334918	0	0	2,50	2,50
	100%	-42	-19.736	NS	3,70	1,00	53646	73008	334884	334884	0	0	2,50	2,50
sisma in -X														
proporzionale alle masse														
	0%	-	-	VNR	VNR	0,00	0	0	0	0	0	0	0,00	0,00
	100%	-	-	VNR	VNR	0,00	0	0	0	0	0	0	0,00	0,00
proporzionale alla deformata 1° modo di vibrazione														
	0%	-	-	VNR	VNR	0,00	0	0	0	0	0	0	0,00	0,00
	100%	-	-	VNR	VNR	0,00	0	0	0	0	0	0	0,00	0,00
sisma in +Y														
proporzionale alle masse														
	0%	2.442	-34.112	21,97	2,14	1,07	53646	73008	357113	357113	0	0	2,50	2,50
	100%	2.442	-71.877	21,97	1,02	1,07	53646	73008	357083	357083	0	0	2,50	2,50

Id_{Tr}	$\%L_{LI}$	$V_{Ed,3}$	$V_{Ed,2}$	$CS^{(3)}$	$CS^{(2)}$	α_C	$V_{Rsd,s}{}^{(3)}$	$V_{Rsd,s}{}^{(2)}$	$V_{Rcd}{}^{(3)}$	$V_{Rcd}{}^{(2)}$	$V_{fd}{}^{(3)}$	$V_{fd}{}^{(2)}$	$Ctg\Theta^{(3)}$	$Ctg\Theta^{(2)}$
	[%]	[N]	[N]				[N]	[N]	[N]	[N]	[N]	[N]		
proporzionale alla deformata 1° modo di vibrazione														
	0%	-	-	VNR	VNR	0,00	0	0	0	0	0	0	0,00	0,00
	100%	-	-	VNR	VNR	0,00	0	0	0	0	0	0	0,00	0,00
sisma in -Y														
proporzionale alle masse														
	0%	-	-	VNR	VNR	0,00	0	0	0	0	0	0	0,00	0,00
	100%	-	-	VNR	VNR	0,00	0	0	0	0	0	0	0,00	0,00
proporzionale alla deformata 1° modo di vibrazione														
	0%	-	-	VNR	VNR	0,00	0	0	0	0	0	0	0,00	0,00
	100%	-	-	VNR	VNR	0,00	0	0	0	0	0	0	0,00	0,00
sisma in +X														
proporzionale alle masse														
Trave 25-P9	0%	-	-	VNR	VNR	0,00	0	0	0	0	0	0	0,00	0,00
	100%	-	-	VNR	VNR	0,00	0	0	0	0	0	0	0,00	0,00
proporzionale alla deformata 1° modo di vibrazione														
	0%	4.179	-29.798	12,32	2,35	1,02	51501	70088	340766	340766	0	0	2,50	2,50
	100%	4.179	-40.678	12,32	1,72	1,02	51501	70088	340613	340613	0	0	2,50	2,50
sisma in -X														
proporzionale alle masse														
	0%	-	-	VNR	VNR	0,00	0	0	0	0	0	0	0,00	0,00
	100%	-	-	VNR	VNR	0,00	0	0	0	0	0	0	0,00	0,00
proporzionale alla deformata 1° modo di vibrazione														
	0%	-	-	VNR	VNR	0,00	0	0	0	0	0	0	0,00	0,00
	100%	-	-	VNR	VNR	0,00	0	0	0	0	0	0	0,00	0,00
sisma in +Y														
proporzionale alle masse														
	0%	-14.349	-328.749	3,59	0,21	1,27	51501	70088	424896	424896	0	0	2,50	2,50
	100%	-14.349	-339.629	3,59	0,21	1,27	51501	70088	424605	424605	0	0	2,50	2,50
proporzionale alla deformata 1° modo di vibrazione														
	0%	-	-	VNR	VNR	0,00	0	0	0	0	0	0	0,00	0,00
	100%	-	-	VNR	VNR	0,00	0	0	0	0	0	0	0,00	0,00
sisma in -Y														
proporzionale alle masse														
	0%	-	-	VNR	VNR	0,00	0	0	0	0	0	0	0,00	0,00
	100%	-	-	VNR	VNR	0,00	0	0	0	0	0	0	0,00	0,00
proporzionale alla deformata 1° modo di vibrazione														
	0%	-	-	VNR	VNR	0,00	0	0	0	0	0	0	0,00	0,00
	100%	-	-	VNR	VNR	0,00	0	0	0	0	0	0	0,00	0,00
sisma in +X														
proporzionale alle masse														
Trave P9-3e	0%	-	-	VNR	VNR	0,00	0	0	0	0	0	0	0,00	0,00
	100%	-	-	VNR	VNR	0,00	0	0	0	0	0	0	0,00	0,00
proporzionale alla deformata 1° modo di vibrazione														
	0%	-41.024	8.450	0,00	0,00	1,02	0	0	341473	341473	0	0	2,50	2,50
	100%	10.635	20.390	0,00	0,00	1,02	0	0	340247	340247	0	0	2,50	2,50
sisma in -X														
proporzionale alle masse														
	0%	-	-	VNR	VNR	0,00	0	0	0	0	0	0	0,00	0,00
	100%	-	-	VNR	VNR	0,00	0	0	0	0	0	0	0,00	0,00
proporzionale alla deformata 1° modo di vibrazione														
	0%	-	-	VNR	VNR	0,00	0	0	0	0	0	0	0,00	0,00
	100%	-	-	VNR	VNR	0,00	0	0	0	0	0	0	0,00	0,00
sisma in +Y														
proporzionale alle masse														
	0%	-56.318	81.200	0,00	0,00	1,29	0	0	431239	431239	0	0	2,50	2,50
	100%	-55.267	97.278	0,00	0,00	1,25	0	0	419543	419543	0	0	2,50	2,50
proporzionale alla deformata 1° modo di vibrazione														
	0%	-	-	VNR	VNR	0,00	0	0	0	0	0	0	0,00	0,00
	100%	-	-	VNR	VNR	0,00	0	0	0	0	0	0	0,00	0,00
sisma in -Y														
proporzionale alle masse														
	0%	-	-	VNR	VNR	0,00	0	0	0	0	0	0	0,00	0,00
	100%	-	-	VNR	VNR	0,00	0	0	0	0	0	0	0,00	0,00
proporzionale alla deformata 1° modo di vibrazione														
	0%	-	-	VNR	VNR	0,00	0	0	0	0	0	0	0,00	0,00
	100%	-	-	VNR	VNR	0,00	0	0	0	0	0	0	0,00	0,00
sisma in +X														
proporzionale alle masse														
Trave 3e-5e	0%	-	-	VNR	VNR	0,00	0	0	0	0	0	0	0,00	0,00
	100%	-	-	VNR	VNR	0,00	0	0	0	0	0	0	0,00	0,00
proporzionale alla deformata 1° modo di vibrazione														
	0%	-24.993	35.937	0,00	0,00	1,01	0	0	338122	338122	0	0	2,50	2,50
	100%	-64	-2.579	0,00	0,00	1,00	0	0	334884	334884	0	0	2,50	2,50
sisma in -X														
proporzionale alle masse														
	0%	-	-	VNR	VNR	0,00	0	0	0	0	0	0	0,00	0,00
	100%	-	-	VNR	VNR	0,00	0	0	0	0	0	0	0,00	0,00
proporzionale alla deformata 1° modo di vibrazione														
	0%	-	-	VNR	VNR	0,00	0	0	0	0	0	0	0,00	0,00
	100%	-	-	VNR	VNR	0,00	0	0	0	0	0	0	0,00	0,00
sisma in +Y														
proporzionale alle masse														
	0%	-24.687	62.375	0,00	0,00	1,19	0	0	397562	397562	0	0	2,50	2,50
	100%	-31.151	-116.726	0,00	0,00	1,11	0	0	372969	372969	0	0	2,50	2,50
proporzionale alla deformata 1° modo di vibrazione														
	0%	-	-	VNR	VNR	0,00	0	0	0	0	0	0	0,00	0,00

Id_{Tr}	$\%L_{LI}$	$V_{Ed,3}$	$V_{Ed,2}$	$CS^{(3)}$	$CS^{(2)}$	α_C	$V_{Rsd,s}{}^{(3)}$	$V_{Rsd,s}{}^{(2)}$	$V_{Rcd}{}^{(3)}$	$V_{Rcd}{}^{(2)}$	$V_{fd}{}^{(3)}$	$V_{fd}{}^{(2)}$	$Ctg\Theta^{(3)}$	$Ctg\Theta^{(2)}$
	[%]	[N]	[N]				[N]	[N]	[N]	[N]	[N]	[N]		
	100%	-	-	VNR	VNR	0,00	0	0	0	0	0	0	0,00	0,00
sisma in -Y														
proporzionale alle masse														
	0%	-	-	VNR	VNR	0,00	0	0	0	0	0	0	0,00	0,00
	100%	-	-	VNR	VNR	0,00	0	0	0	0	0	0	0,00	0,00
proporzionale alla deformata 1° modo di vibrazione														
	0%	-	-	VNR	VNR	0,00	0	0	0	0	0	0	0,00	0,00
	100%	-	-	VNR	VNR	0,00	0	0	0	0	0	0	0,00	0,00
sisma in +X														
proporzionale alle masse														
Trave 5e-6e	0%	-	-	VNR	VNR	0,00	0	0	0	0	0	0	0,00	0,00
	100%	-	-	VNR	VNR	0,00	0	0	0	0	0	0	0,00	0,00
proporzionale alla deformata 1° modo di vibrazione														
	0%	-12.941	-34.236	0,00	0,00	1,00	0	0	334884	334884	0	0	2,50	2,50
	100%	-25.932	-131.959	0,00	0,00	1,02	0	0	341092	341092	0	0	2,50	2,50
sisma in -X														
proporzionale alle masse														
	0%	-	-	VNR	VNR	0,00	0	0	0	0	0	0	0,00	0,00
	100%	-	-	VNR	VNR	0,00	0	0	0	0	0	0	0,00	0,00
proporzionale alla deformata 1° modo di vibrazione														
	0%	-	-	VNR	VNR	0,00	0	0	0	0	0	0	0,00	0,00
	100%	-	-	VNR	VNR	0,00	0	0	0	0	0	0	0,00	0,00
sisma in +Y														
proporzionale alle masse														
	0%	-19.204	-198.777	0,00	0,00	1,10	0	0	367122	367122	0	0	2,50	2,50
	100%	-31.026	-125.117	0,00	0,00	1,10	0	0	368040	368040	0	0	2,50	2,50
proporzionale alla deformata 1° modo di vibrazione														
	0%	-	-	VNR	VNR	0,00	0	0	0	0	0	0	0,00	0,00
	100%	-	-	VNR	VNR	0,00	0	0	0	0	0	0	0,00	0,00
sisma in -Y														
proporzionale alle masse														
	0%	-	-	VNR	VNR	0,00	0	0	0	0	0	0	0,00	0,00
	100%	-	-	VNR	VNR	0,00	0	0	0	0	0	0	0,00	0,00
proporzionale alla deformata 1° modo di vibrazione														
	0%	-	-	VNR	VNR	0,00	0	0	0	0	0	0	0,00	0,00
	100%	-	-	VNR	VNR	0,00	0	0	0	0	0	0	0,00	0,00
sisma in +X														
proporzionale alle masse														
Trave 6e-32	0%	-	-	VNR	VNR	0,00	0	0	0	0	0	0	0,00	0,00
	100%	-	-	VNR	VNR	0,00	0	0	0	0	0	0	0,00	0,00
proporzionale alla deformata 1° modo di vibrazione														
	0%	-48.040	-161.279	0,00	0,00	1,03	0	0	345240	345240	0	0	2,50	2,50
	100%	-63.558	-141.373	0,00	0,00	1,06	0	0	354043	354043	0	0	2,50	2,50
sisma in -X														
proporzionale alle masse														
	0%	-	-	VNR	VNR	0,00	0	0	0	0	0	0	0,00	0,00
	100%	-	-	VNR	VNR	0,00	0	0	0	0	0	0	0,00	0,00
proporzionale alla deformata 1° modo di vibrazione														
	0%	-	-	VNR	VNR	0,00	0	0	0	0	0	0	0,00	0,00
	100%	-	-	VNR	VNR	0,00	0	0	0	0	0	0	0,00	0,00
sisma in +Y														
proporzionale alle masse														
	0%	-33.007	-110.616	0,00	0,00	1,08	0	0	363028	363028	0	0	2,50	2,50
	100%	-48.105	-64.636	0,00	0,00	1,09	0	0	366118	366118	0	0	2,50	2,50
proporzionale alla deformata 1° modo di vibrazione														
	0%	-	-	VNR	VNR	0,00	0	0	0	0	0	0	0,00	0,00
	100%	-	-	VNR	VNR	0,00	0	0	0	0	0	0	0,00	0,00
sisma in -Y														
proporzionale alle masse														
	0%	-	-	VNR	VNR	0,00	0	0	0	0	0	0	0,00	0,00
	100%	-	-	VNR	VNR	0,00	0	0	0	0	0	0	0,00	0,00
proporzionale alla deformata 1° modo di vibrazione														
	0%	-	-	VNR	VNR	0,00	0	0	0	0	0	0	0,00	0,00
	100%	-	-	VNR	VNR	0,00	0	0	0	0	0	0	0,00	0,00
Piano terra ingresso								**Travata: Trave2-15**						
sisma in +X														
proporzionale alle masse														
Trave 2-15	0%	-	-	VNR	VNR	0,00	0	0	0	0	0	0	0,00	0,00
	100%	-	-	VNR	VNR	0,00	0	0	0	0	0	0	0,00	0,00
proporzionale alla deformata 1° modo di vibrazione														
	0%	-21	9.946	NS	4,58	1,01	20756	45538	97664	97664	0	0	2,50	2,50
	100%	-21	-7.547	NS	6,03	1,01	20756	45538	97641	97641	0	0	2,50	2,50
sisma in -X														
proporzionale alle masse														
	0%	-	-	VNR	VNR	0,00	0	0	0	0	0	0	0,00	0,00
	100%	-	-	VNR	VNR	0,00	0	0	0	0	0	0	0,00	0,00
proporzionale alla deformata 1° modo di vibrazione														
	0%	-	-	VNR	VNR	0,00	0	0	0	0	0	0	0,00	0,00
	100%	-	-	VNR	VNR	0,00	0	0	0	0	0	0	0,00	0,00
sisma in +Y														
proporzionale alle masse														
	0%	23	-830	NS	54,87	1,07	20756	45538	103121	103121	0	0	2,50	2,50
	100%	23	-18.323	NS	2,49	1,07	20756	45538	103058	103058	0	0	2,50	2,50
proporzionale alla deformata 1° modo di vibrazione														
	0%	-	-	VNR	VNR	0,00	0	0	0	0	0	0	0,00	0,00
	100%	-	-	VNR	VNR	0,00	0	0	0	0	0	0	0,00	0,00

Id_{Tr}	$\%L_{LI}$	$V_{Ed,3}$	$V_{Ed,2}$	$CS^{(3)}$	$CS^{(2)}$	α_C	$V_{Rsd,s}{}^{(3)}$	$V_{Rsd,s}{}^{(2)}$	$V_{Rcd}{}^{(3)}$	$V_{Rcd}{}^{(2)}$	$V_{fd}{}^{(3)}$	$V_{fd}{}^{(2)}$	$Ctg\Theta^{(3)}$	$Ctg\Theta^{(2)}$
	[%]	[N]	[N]				[N]	[N]	[N]	[N]	[N]	[N]		
sisma in -Y														
proporzionale alle masse														
	0%	-	-	VNR	VNR	0,00	0	0	0	0	0	0	0,00	0,00
	100%	-	-	VNR	VNR	0,00	0	0	0	0	0	0	0,00	0,00
proporzionale alla deformata 1° modo di vibrazione														
	0%	-	-	VNR	VNR	0,00	0	0	0	0	0	0	0,00	0,00
	100%	-	-	VNR	VNR	0,00	0	0	0	0	0	0	0,00	0,00
Piano terra ingresso								**Travata: Trave3-16-27-34**						
sisma in +X														
proporzionale alle masse														
Trave 3-16	0%	-	-	VNR	VNR	0,00	0	0	0	0	0	0	0,00	0,00
	100%	-	-	VNR	VNR	0,00	0	0	0	0	0	0	0,00	0,00
proporzionale alla deformata 1° modo di vibrazione														
	0%	-	9.713	-	4,69	1,01	0	45528	0	97745	0	0	0,00	2,50
	100%	-	-7.780	-	5,85	1,01	0	45528	0	97715	0	0	0,00	2,50
sisma in -X														
proporzionale alle masse														
	0%	-	-	VNR	VNR	0,00	0	0	0	0	0	0	0,00	0,00
	100%	-	-	VNR	VNR	0,00	0	0	0	0	0	0	0,00	0,00
proporzionale alla deformata 1° modo di vibrazione														
	0%	-	-	VNR	VNR	0,00	0	0	0	0	0	0	0,00	0,00
	100%	-	-	VNR	VNR	0,00	0	0	0	0	0	0	0,00	0,00
sisma in +Y														
proporzionale alle masse														
	0%	7	-1.719	NS	26,49	1,08	20745	45528	104468	104468	0	0	2,50	2,50
	100%	7	-19.212	NS	2,37	1,08	20745	45528	104398	104398	0	0	2,50	2,50
proporzionale alla deformata 1° modo di vibrazione														
	0%	-	-	VNR	VNR	0,00	0	0	0	0	0	0	0,00	0,00
	100%	-	-	VNR	VNR	0,00	0	0	0	0	0	0	0,00	0,00
sisma in -Y														
proporzionale alle masse														
	0%	-	-	VNR	VNR	0,00	0	0	0	0	0	0	0,00	0,00
	100%	-	-	VNR	VNR	0,00	0	0	0	0	0	0	0,00	0,00
proporzionale alla deformata 1° modo di vibrazione														
	0%	-	-	VNR	VNR	0,00	0	0	0	0	0	0	0,00	0,00
	100%	-	-	VNR	VNR	0,00	0	0	0	0	0	0	0,00	0,00
sisma in +X														
proporzionale alle masse														
Trave 16-27	0%	-	-	VNR	VNR	0,00	0	0	0	0	0	0	0,00	0,00
	100%	-	-	VNR	VNR	0,00	0	0	0	0	0	0	0,00	0,00
proporzionale alla deformata 1° modo di vibrazione														
	0%	-421	6.141	78,71	5,40	1,01	33137	33137	106418	106418	0	0	2,50	2,50
	100%	-421	-6.047	78,71	5,48	1,01	33137	33137	106400	106400	0	0	2,50	2,50
sisma in -X														
proporzionale alle masse														
	0%	-	-	VNR	VNR	0,00	0	0	0	0	0	0	0,00	0,00
	100%	-	-	VNR	VNR	0,00	0	0	0	0	0	0	0,00	0,00
proporzionale alla deformata 1° modo di vibrazione														
	0%	-	-	VNR	VNR	0,00	0	0	0	0	0	0	0,00	0,00
	100%	-	-	VNR	VNR	0,00	0	0	0	0	0	0	0,00	0,00
sisma in +Y														
proporzionale alle masse														
	0%	-302	-10.629	NS	3,12	1,08	33137	33137	113959	113959	0	0	2,50	2,50
	100%	-302	-22.817	NS	1,45	1,08	33137	33137	113943	113943	0	0	2,50	2,50
proporzionale alla deformata 1° modo di vibrazione														
	0%	-	-	VNR	VNR	0,00	0	0	0	0	0	0	0,00	0,00
	100%	-	-	VNR	VNR	0,00	0	0	0	0	0	0	0,00	0,00
sisma in -Y														
proporzionale alle masse														
	0%	-	-	VNR	VNR	0,00	0	0	0	0	0	0	0,00	0,00
	100%	-	-	VNR	VNR	0,00	0	0	0	0	0	0	0,00	0,00
proporzionale alla deformata 1° modo di vibrazione														
	0%	-	-	VNR	VNR	0,00	0	0	0	0	0	0	0,00	0,00
	100%	-	-	VNR	VNR	0,00	0	0	0	0	0	0	0,00	0,00
sisma in +X														
proporzionale alle masse														
Trave 27-34	0%	-	-	VNR	VNR	0,00	0	0	0	0	0	0	0,00	0,00
	100%	-	-	VNR	VNR	0,00	0	0	0	0	0	0	0,00	0,00
proporzionale alla deformata 1° modo di vibrazione														
	0%	290	5.094	NS	6,51	1,02	33137	33137	107907	107907	0	0	2,50	2,50
	100%	290	-10.656	NS	3,11	1,02	33137	33137	107920	107920	0	0	2,50	2,50
sisma in -X														
proporzionale alle masse														
	0%	-	-	VNR	VNR	0,00	0	0	0	0	0	0	0,00	0,00
	100%	-	-	VNR	VNR	0,00	0	0	0	0	0	0	0,00	0,00
proporzionale alla deformata 1° modo di vibrazione														
	0%	-	-	VNR	VNR	0,00	0	0	0	0	0	0	0,00	0,00
	100%	-	-	VNR	VNR	0,00	0	0	0	0	0	0	0,00	0,00
sisma in +Y														
proporzionale alle masse														
	0%	160	-2.009	NS	16,49	1,07	33137	33137	113275	113275	0	0	2,50	2,50
	100%	160	-17.759	NS	1,87	1,07	33137	33137	113216	113216	0	0	2,50	2,50
proporzionale alla deformata 1° modo di vibrazione														
	0%	-	-	VNR	VNR	0,00	0	0	0	0	0	0	0,00	0,00
	100%	-	-	VNR	VNR	0,00	0	0	0	0	0	0	0,00	0,00
sisma in -Y														

Id_{Tr}	$\%L_{LI}$	$V_{Ed,3}$	$V_{Ed,2}$	$CS^{(3)}$	$CS^{(2)}$	α_C	$V_{Rsd,s}{}^{(3)}$	$V_{Rsd,s}{}^{(2)}$	$V_{Rcd}{}^{(3)}$	$V_{Rcd}{}^{(2)}$	$V_{fd}{}^{(3)}$	$V_{fd}{}^{(2)}$	$Ctg\Theta^{(3)}$	$Ctg\Theta^{(2)}$
	[%]	[N]	[N]				[N]	[N]	[N]	[N]	[N]	[N]		
proporzionale alle masse														
	0%	-	-	VNR	VNR	0,00	0	0	0	0	0	0	0,00	0,00
	100%	-	-	VNR	VNR	0,00	0	0	0	0	0	0	0,00	0,00
proporzionale alla deformata 1° modo di vibrazione														
	0%	-	-	VNR	VNR	0,00	0	0	0	0	0	0	0,00	0,00
	100%	-	-	VNR	VNR	0,00	0	0	0	0	0	0	0,00	0,00
Piano terra ingresso								**Travata: Trave4-17**						
sisma in +X														
proporzionale alle masse														
Trave 4-17	0%	-	-	VNR	VNR	0,00	0	0	0	0	0	0	0,00	0,00
	100%	-	-	VNR	VNR	0,00	0	0	0	0	0	0	0,00	0,00
proporzionale alla deformata 1° modo di vibrazione														
	0%	-11	9.954	NS	4,57	1,01	20756	45538	97725	97725	0	0	2,50	2,50
	100%	-11	-7.539	NS	6,04	1,01	20756	45538	97695	97695	0	0	2,50	2,50
sisma in -X														
proporzionale alle masse														
	0%	-	-	VNR	VNR	0,00	0	0	0	0	0	0	0,00	0,00
	100%	-	-	VNR	VNR	0,00	0	0	0	0	0	0	0,00	0,00
proporzionale alla deformata 1° modo di vibrazione														
	0%	-	-	VNR	VNR	0,00	0	0	0	0	0	0	0,00	0,00
	100%	-	-	VNR	VNR	0,00	0	0	0	0	0	0	0,00	0,00
sisma in +Y														
proporzionale alle masse														
	0%	-	-2.030	-	22,43	1,08	0	45538	0	104531	0	0	0,00	2,50
	100%	-	-19.523	-	2,33	1,08	0	45538	0	104460	0	0	0,00	2,50
proporzionale alla deformata 1° modo di vibrazione														
	0%	-	-	VNR	VNR	0,00	0	0	0	0	0	0	0,00	0,00
	100%	-	-	VNR	VNR	0,00	0	0	0	0	0	0	0,00	0,00
sisma in -Y														
proporzionale alle masse														
	0%	-	-	VNR	VNR	0,00	0	0	0	0	0	0	0,00	0,00
	100%	-	-	VNR	VNR	0,00	0	0	0	0	0	0	0,00	0,00
proporzionale alla deformata 1° modo di vibrazione														
	0%	-	-	VNR	VNR	0,00	0	0	0	0	0	0	0,00	0,00
	100%	-	-	VNR	VNR	0,00	0	0	0	0	0	0	0,00	0,00
Piano terra ingresso								**Travata: Trave5-18**						
sisma in +X														
proporzionale alle masse														
Trave 5-18	0%	-	-	VNR	VNR	0,00	0	0	0	0	0	0	0,00	0,00
	100%	-	-	VNR	VNR	0,00	0	0	0	0	0	0	0,00	0,00
proporzionale alla deformata 1° modo di vibrazione														
	0%	-8	10.085	NS	4,52	1,01	20756	45538	97772	97772	0	0	2,50	2,50
	100%	-8	-7.408	NS	6,15	1,01	20756	45538	97734	97734	0	0	2,50	2,50
sisma in -X														
proporzionale alle masse														
	0%	-	-	VNR	VNR	0,00	0	0	0	0	0	0	0,00	0,00
	100%	-	-	VNR	VNR	0,00	0	0	0	0	0	0	0,00	0,00
proporzionale alla deformata 1° modo di vibrazione														
	0%	-	-	VNR	VNR	0,00	0	0	0	0	0	0	0,00	0,00
	100%	-	-	VNR	VNR	0,00	0	0	0	0	0	0	0,00	0,00
sisma in +Y														
proporzionale alle masse														
	0%	11	-1.855	NS	24,55	1,08	20756	45538	104331	104331	0	0	2,50	2,50
	100%	11	-19.348	NS	2,35	1,08	20756	45538	104260	104260	0	0	2,50	2,50
proporzionale alla deformata 1° modo di vibrazione														
	0%	-	-	VNR	VNR	0,00	0	0	0	0	0	0	0,00	0,00
	100%	-	-	VNR	VNR	0,00	0	0	0	0	0	0	0,00	0,00
sisma in -Y														
proporzionale alle masse														
	0%	-	-	VNR	VNR	0,00	0	0	0	0	0	0	0,00	0,00
	100%	-	-	VNR	VNR	0,00	0	0	0	0	0	0	0,00	0,00
proporzionale alla deformata 1° modo di vibrazione														
	0%	-	-	VNR	VNR	0,00	0	0	0	0	0	0	0,00	0,00
	100%	-	-	VNR	VNR	0,00	0	0	0	0	0	0	0,00	0,00
Piano terra ingresso								**Travata: Trave6-7-19-28-37**						
sisma in +X														
proporzionale alle masse														
Trave 6-7	0%	-	-	VNR	VNR	0,00	0	0	0	0	0	0	0,00	0,00
	100%	-	-	VNR	VNR	0,00	0	0	0	0	0	0	0,00	0,00
proporzionale alla deformata 1° modo di vibrazione														
	0%	67.711	-59.922	0,39	0,95	1,05	26138	57117	102162	102162	0	0	2,50	2,50
	100%	29.060	-38.037	0,90	1,50	1,10	26138	57117	106882	106882	0	0	2,50	2,50
sisma in -X														
proporzionale alle masse														
	0%	-	-	VNR	VNR	0,00	0	0	0	0	0	0	0,00	0,00
	100%	-	-	VNR	VNR	0,00	0	0	0	0	0	0	0,00	0,00
proporzionale alla deformata 1° modo di vibrazione														
	0%	-	-	VNR	VNR	0,00	0	0	0	0	0	0	0,00	0,00
	100%	-	-	VNR	VNR	0,00	0	0	0	0	0	0	0,00	0,00
sisma in +Y														
proporzionale alle masse														
	0%	26.722	-65.535	0,98	0,87	1,00	26138	57117	97034	97034	0	0	2,50	2,50
	100%	10.533	-77.982	2,48	0,73	1,06	26138	57117	102372	102372	0	0	2,50	2,50
proporzionale alla deformata 1° modo di vibrazione														
	0%	-	-	VNR	VNR	0,00	0	0	0	0	0	0	0,00	0,00
	100%	-	-	VNR	VNR	0,00	0	0	0	0	0	0	0,00	0,00

Id_{Tr}	$\%L_{LI}$	$V_{Ed,3}$	$V_{Ed,2}$	$CS^{(3)}$	$CS^{(2)}$	α_C	$V_{Rsd,s}{}^{(3)}$	$V_{Rsd,s}{}^{(2)}$	$V_{Rcd}{}^{(3)}$	$V_{Rcd}{}^{(2)}$	$V_{fd}{}^{(3)}$	$V_{fd}{}^{(2)}$	$Ctg\Theta^{(3)}$	$Ctg\Theta^{(2)}$
	[%]	[N]	[N]				[N]	[N]	[N]	[N]	[N]	[N]		
sisma in -Y														
proporzionale alle masse														
	0%	-	-	VNR	VNR	0,00	0	0	0	0	0	0	0,00	0,00
	100%	-	-	VNR	VNR	0,00	0	0	0	0	0	0	0,00	0,00
proporzionale alla deformata 1° modo di vibrazione														
	0%	-	-	VNR	VNR	0,00	0	0	0	0	0	0	0,00	0,00
	100%	-	-	VNR	VNR	0,00	0	0	0	0	0	0	0,00	0,00
sisma in +X														
proporzionale alle masse														
Trave 7-19	0%	-	-	VNR	VNR	0,00	0	0	0	0	0	0	0,00	0,00
	100%	-	-	VNR	VNR	0,00	0	0	0	0	0	0	0,00	0,00
proporzionale alla deformata 1° modo di vibrazione														
	0%	4.276	42.309	6,11	1,35	1,07	26138	57117	104286	104286	0	0	2,50	2,50
	100%	-45.748	1.598	0,57	35,74	1,07	26138	57117	103764	103764	0	0	2,50	2,50
sisma in -X														
proporzionale alle masse														
	0%	-	-	VNR	VNR	0,00	0	0	0	0	0	0	0,00	0,00
	100%	-	-	VNR	VNR	0,00	0	0	0	0	0	0	0,00	0,00
proporzionale alla deformata 1° modo di vibrazione														
	0%	-	-	VNR	VNR	0,00	0	0	0	0	0	0	0,00	0,00
	100%	-	-	VNR	VNR	0,00	0	0	0	0	0	0	0,00	0,00
sisma in +Y														
proporzionale alle masse														
	0%	-215	-101.937	NS	0,56	1,02	26138	57117	98855	98855	0	0	2,50	2,50
	100%	-14.497	-32.027	1,80	1,78	1,09	26138	57117	105499	105499	0	0	2,50	2,50
proporzionale alla deformata 1° modo di vibrazione														
	0%	-	-	VNR	VNR	0,00	0	0	0	0	0	0	0,00	0,00
	100%	-	-	VNR	VNR	0,00	0	0	0	0	0	0	0,00	0,00
sisma in -Y														
proporzionale alle masse														
	0%	-	-	VNR	VNR	0,00	0	0	0	0	0	0	0,00	0,00
	100%	-	-	VNR	VNR	0,00	0	0	0	0	0	0	0,00	0,00
proporzionale alla deformata 1° modo di vibrazione														
	0%	-	-	VNR	VNR	0,00	0	0	0	0	0	0	0,00	0,00
	100%	-	-	VNR	VNR	0,00	0	0	0	0	0	0	0,00	0,00
sisma in +X														
proporzionale alle masse														
Trave 19-28	0%	-	-	VNR	VNR	0,00	0	0	0	0	0	0	0,00	0,00
	100%	-	-	VNR	VNR	0,00	0	0	0	0	0	0	0,00	0,00
proporzionale alla deformata 1° modo di vibrazione														
	0%	416	4.745	81,45	10,41	1,01	33883	49372	105634	105634	0	0	2,50	2,50
	100%	416	-6.216	81,45	7,94	1,01	33883	49372	105670	105670	0	0	2,50	2,50
sisma in -X														
proporzionale alle masse														
	0%	-	-	VNR	VNR	0,00	0	0	0	0	0	0	0,00	0,00
	100%	-	-	VNR	VNR	0,00	0	0	0	0	0	0	0,00	0,00
proporzionale alla deformata 1° modo di vibrazione														
	0%	-	-	VNR	VNR	0,00	0	0	0	0	0	0	0,00	0,00
	100%	-	-	VNR	VNR	0,00	0	0	0	0	0	0	0,00	0,00
sisma in +Y														
proporzionale alle masse														
	0%	-9	-7.282	NS	6,78	1,08	33883	49372	113109	113109	0	0	2,50	2,50
	100%	-9	-18.244	NS	2,71	1,08	33883	49372	112924	112924	0	0	2,50	2,50
proporzionale alla deformata 1° modo di vibrazione														
	0%	-	-	VNR	VNR	0,00	0	0	0	0	0	0	0,00	0,00
	100%	-	-	VNR	VNR	0,00	0	0	0	0	0	0	0,00	0,00
sisma in -Y														
proporzionale alle masse														
	0%	-	-	VNR	VNR	0,00	0	0	0	0	0	0	0,00	0,00
	100%	-	-	VNR	VNR	0,00	0	0	0	0	0	0	0,00	0,00
proporzionale alla deformata 1° modo di vibrazione														
	0%	-	-	VNR	VNR	0,00	0	0	0	0	0	0	0,00	0,00
	100%	-	-	VNR	VNR	0,00	0	0	0	0	0	0	0,00	0,00
sisma in +X														
proporzionale alle masse														
Trave 28-37	0%	-	-	VNR	VNR	0,00	0	0	0	0	0	0	0,00	0,00
	100%	-	-	VNR	VNR	0,00	0	0	0	0	0	0	0,00	0,00
proporzionale alla deformata 1° modo di vibrazione														
	0%	-445	5.106	76,14	9,67	1,01	33883	49372	105587	105587	0	0	2,50	2,50
	100%	-445	-4.607	76,14	10,72	1,01	33883	49372	105625	105625	0	0	2,50	2,50
sisma in -X														
proporzionale alle masse														
	0%	-	-	VNR	VNR	0,00	0	0	0	0	0	0	0,00	0,00
	100%	-	-	VNR	VNR	0,00	0	0	0	0	0	0	0,00	0,00
proporzionale alla deformata 1° modo di vibrazione														
	0%	-	-	VNR	VNR	0,00	0	0	0	0	0	0	0,00	0,00
	100%	-	-	VNR	VNR	0,00	0	0	0	0	0	0	0,00	0,00
sisma in +Y														
proporzionale alle masse														
	0%	-401	-12.529	84,50	3,94	1,13	33883	49372	118287	118287	0	0	2,50	2,50
	100%	-401	-22.241	84,50	2,22	1,13	33883	49372	118216	118216	0	0	2,50	2,50
proporzionale alla deformata 1° modo di vibrazione														
	0%	-	-	VNR	VNR	0,00	0	0	0	0	0	0	0,00	0,00
	100%	-	-	VNR	VNR	0,00	0	0	0	0	0	0	0,00	0,00
sisma in -Y														
proporzionale alle masse														

Id_{Tr}	$\%L_{LI}$	$V_{Ed,3}$	$V_{Ed,2}$	$CS^{(3)}$	$CS^{(2)}$	α_C	$V_{Rsd,s}{}^{(3)}$	$V_{Rsd,s}{}^{(2)}$	$V_{Rcd}{}^{(3)}$	$V_{Rcd}{}^{(2)}$	$V_{fd}{}^{(3)}$	$V_{fd}{}^{(2)}$	$Ctg\Theta^{(3)}$	$Ctg\Theta^{(2)}$
	[%]	[N]	[N]				[N]	[N]	[N]	[N]	[N]	[N]		
	0%	-	-	VNR	VNR	0,00	0	0	0	0	0	0	0,00	0,00
	100%	-	-	VNR	VNR	0,00	0	0	0	0	0	0	0,00	0,00
proporzionale alla deformata 1° modo di vibrazione														
	0%	-	-	VNR	VNR	0,00	0	0	0	0	0	0	0,00	0,00
	100%	-	-	VNR	VNR	0,00	0	0	0	0	0	0	0,00	0,00
Piano terra ingresso								**Travata: Trave13-24-31-41**						
sisma in +X														
proporzionale alle masse														
Trave 13-24	0%	-	-	VNR	VNR	0,00	0	0	0	0	0	0	0,00	0,00
	100%	-	-	VNR	VNR	0,00	0	0	0	0	0	0	0,00	0,00
proporzionale alla deformata 1° modo di vibrazione														
	0%	-195	24.342	NS	2,01	1,02	33415	48904	106015	106015	0	0	2,50	2,50
	100%	-195	-24.766	NS	1,97	1,02	33415	48904	106017	106017	0	0	2,50	2,50
sisma in -X														
proporzionale alle masse														
	0%	-	-	VNR	VNR	0,00	0	0	0	0	0	0	0,00	0,00
	100%	-	-	VNR	VNR	0,00	0	0	0	0	0	0	0,00	0,00
proporzionale alla deformata 1° modo di vibrazione														
	0%	-	-	VNR	VNR	0,00	0	0	0	0	0	0	0,00	0,00
	100%	-	-	VNR	VNR	0,00	0	0	0	0	0	0	0,00	0,00
sisma in +Y														
proporzionale alle masse														
	0%	-230	15.314	NS	3,19	1,05	33415	48904	109485	109485	0	0	2,50	2,50
	100%	-230	-33.795	NS	1,45	1,05	33415	48904	109008	109008	0	0	2,50	2,50
proporzionale alla deformata 1° modo di vibrazione														
	0%	-	-	VNR	VNR	0,00	0	0	0	0	0	0	0,00	0,00
	100%	-	-	VNR	VNR	0,00	0	0	0	0	0	0	0,00	0,00
sisma in -Y														
proporzionale alle masse														
	0%	-	-	VNR	VNR	0,00	0	0	0	0	0	0	0,00	0,00
	100%	-	-	VNR	VNR	0,00	0	0	0	0	0	0	0,00	0,00
proporzionale alla deformata 1° modo di vibrazione														
	0%	-	-	VNR	VNR	0,00	0	0	0	0	0	0	0,00	0,00
	100%	-	-	VNR	VNR	0,00	0	0	0	0	0	0	0,00	0,00
sisma in +X														
proporzionale alle masse														
Trave 24-31	0%	-	-	VNR	VNR	0,00	0	0	0	0	0	0	0,00	0,00
	100%	-	-	VNR	VNR	0,00	0	0	0	0	0	0	0,00	0,00
proporzionale alla deformata 1° modo di vibrazione														
	0%	57.743	699	0,00	0,00	1,07	0	0	112548	112548	0	0	2,50	2,50
	100%	-443	-3.385	0,00	0,00	1,01	0	0	105954	105954	0	0	2,50	2,50
sisma in -X														
proporzionale alle masse														
	0%	-	-	VNR	VNR	0,00	0	0	0	0	0	0	0,00	0,00
	100%	-	-	VNR	VNR	0,00	0	0	0	0	0	0	0,00	0,00
proporzionale alla deformata 1° modo di vibrazione														
	0%	-	-	VNR	VNR	0,00	0	0	0	0	0	0	0,00	0,00
	100%	-	-	VNR	VNR	0,00	0	0	0	0	0	0	0,00	0,00
sisma in +Y														
proporzionale alle masse														
	0%	37.683	-60.910	0,00	0,00	1,04	0	0	109233	109233	0	0	2,50	2,50
	100%	1.507	-6.473	0,00	0,00	1,06	0	0	111234	111234	0	0	2,50	2,50
proporzionale alla deformata 1° modo di vibrazione														
	0%	-	-	VNR	VNR	0,00	0	0	0	0	0	0	0,00	0,00
	100%	-	-	VNR	VNR	0,00	0	0	0	0	0	0	0,00	0,00
sisma in -Y														
proporzionale alle masse														
	0%	-	-	VNR	VNR	0,00	0	0	0	0	0	0	0,00	0,00
	100%	-	-	VNR	VNR	0,00	0	0	0	0	0	0	0,00	0,00
proporzionale alla deformata 1° modo di vibrazione														
	0%	-	-	VNR	VNR	0,00	0	0	0	0	0	0	0,00	0,00
	100%	-	-	VNR	VNR	0,00	0	0	0	0	0	0	0,00	0,00
sisma in +X														
proporzionale alle masse														
Trave 31-41	0%	-	-	VNR	VNR	0,00	0	0	0	0	0	0	0,00	0,00
	100%	-	-	VNR	VNR	0,00	0	0	0	0	0	0	0,00	0,00
proporzionale alla deformata 1° modo di vibrazione														
	0%	-100	7.805	NS	5,27	1,02	41159	41159	106649	106649	0	0	2,50	2,50
	100%	-100	-3.148	NS	13,07	1,02	41159	41159	106666	106666	0	0	2,50	2,50
sisma in -X														
proporzionale alle masse														
	0%	-	-	VNR	VNR	0,00	0	0	0	0	0	0	0,00	0,00
	100%	-	-	VNR	VNR	0,00	0	0	0	0	0	0	0,00	0,00
proporzionale alla deformata 1° modo di vibrazione														
	0%	-	-	VNR	VNR	0,00	0	0	0	0	0	0	0,00	0,00
	100%	-	-	VNR	VNR	0,00	0	0	0	0	0	0	0,00	0,00
sisma in +Y														
proporzionale alle masse														
	0%	-75	-9.033	NS	4,56	1,09	41159	41159	113974	113974	0	0	2,50	2,50
	100%	-75	-19.986	NS	2,06	1,09	41159	41159	113935	113935	0	0	2,50	2,50
proporzionale alla deformata 1° modo di vibrazione														
	0%	-	-	VNR	VNR	0,00	0	0	0	0	0	0	0,00	0,00
	100%	-	-	VNR	VNR	0,00	0	0	0	0	0	0	0,00	0,00
sisma in -Y														
proporzionale alle masse														
	0%	-	-	VNR	VNR	0,00	0	0	0	0	0	0	0,00	0,00

Id_{Tr}	$\%L_{LI}$	$V_{Ed,3}$	$V_{Ed,2}$	$CS^{(3)}$	$CS^{(2)}$	α_C	$V_{Rsd,s}{}^{(3)}$	$V_{Rsd,s}{}^{(2)}$	$V_{Rcd}{}^{(3)}$	$V_{Rcd}{}^{(2)}$	$V_{fd}{}^{(3)}$	$V_{fd}{}^{(2)}$	$Ctg\Theta^{(3)}$	$Ctg\Theta^{(2)}$
	[%]	[N]	[N]				[N]	[N]	[N]	[N]	[N]	[N]		
	100%	-	-	VNR	VNR	0,00	0	0	0	0	0	0	0,00	0,00
proporzionale alla deformata 1° modo di vibrazione														
	0%	-	-	VNR	VNR	0,00	0	0	0	0	0	0	0,00	0,00
	100%	-	-	VNR	VNR	0,00	0	0	0	0	0	0	0,00	0,00
Piano terra ingresso								**Travata: Trave20-29-4e**						
sisma in +X														
proporzionale alle masse														
Trave 20-29	0%	-	-	VNR	VNR	0,00	0	0	0	0	0	0	0,00	0,00
	100%	-	-	VNR	VNR	0,00	0	0	0	0	0	0	0,00	0,00
proporzionale alla deformata 1° modo di vibrazione														
	0%	393	3.793	85,68	17,05	1,00	33674	64652	137381	137381	0	0	2,50	2,50
	100%	393	-7.455	85,68	8,67	1,00	33674	64652	137327	137327	0	0	2,50	2,50
sisma in -X														
proporzionale alle masse														
	0%	-	-	VNR	VNR	0,00	0	0	0	0	0	0	0,00	0,00
	100%	-	-	VNR	VNR	0,00	0	0	0	0	0	0	0,00	0,00
proporzionale alla deformata 1° modo di vibrazione														
	0%	-	-	VNR	VNR	0,00	0	0	0	0	0	0	0,00	0,00
	100%	-	-	VNR	VNR	0,00	0	0	0	0	0	0	0,00	0,00
sisma in +Y														
proporzionale alle masse														
	0%	45	-15.795	NS	4,09	1,02	33674	64652	139847	139847	0	0	2,50	2,50
	100%	45	-27.043	NS	2,39	1,01	33674	64652	138342	138342	0	0	2,50	2,50
proporzionale alla deformata 1° modo di vibrazione														
	0%	-	-	VNR	VNR	0,00	0	0	0	0	0	0	0,00	0,00
	100%	-	-	VNR	VNR	0,00	0	0	0	0	0	0	0,00	0,00
sisma in -Y														
proporzionale alle masse														
	0%	-	-	VNR	VNR	0,00	0	0	0	0	0	0	0,00	0,00
	100%	-	-	VNR	VNR	0,00	0	0	0	0	0	0	0,00	0,00
proporzionale alla deformata 1° modo di vibrazione														
	0%	-	-	VNR	VNR	0,00	0	0	0	0	0	0	0,00	0,00
	100%	-	-	VNR	VNR	0,00	0	0	0	0	0	0	0,00	0,00
sisma in +X														
proporzionale alle masse														
Trave 29-4e	0%	-	-	VNR	VNR	0,00	0	0	0	0	0	0	0,00	0,00
	100%	-	-	VNR	VNR	0,00	0	0	0	0	0	0	0,00	0,00
proporzionale alla deformata 1° modo di vibrazione														
	0%	-740	5.798	45,51	11,15	1,00	33674	64652	137348	137348	0	0	2,50	2,50
	100%	-740	1.026	45,51	63,01	1,00	33674	64652	137295	137295	0	0	2,50	2,50
sisma in -X														
proporzionale alle masse														
	0%	-	-	VNR	VNR	0,00	0	0	0	0	0	0	0,00	0,00
	100%	-	-	VNR	VNR	0,00	0	0	0	0	0	0	0,00	0,00
proporzionale alla deformata 1° modo di vibrazione														
	0%	-	-	VNR	VNR	0,00	0	0	0	0	0	0	0,00	0,00
	100%	-	-	VNR	VNR	0,00	0	0	0	0	0	0	0,00	0,00
sisma in +Y														
proporzionale alle masse														
	0%	-	5.798	-	11,15	1,00	0	64652	0	137294	0	0	0,00	2,50
	100%	-	1.026	-	63,01	1,00	0	64652	0	137294	0	0	0,00	2,50
proporzionale alla deformata 1° modo di vibrazione														
	0%	-	-	VNR	VNR	0,00	0	0	0	0	0	0	0,00	0,00
	100%	-	-	VNR	VNR	0,00	0	0	0	0	0	0	0,00	0,00
sisma in -Y														
proporzionale alle masse														
	0%	-	-	VNR	VNR	0,00	0	0	0	0	0	0	0,00	0,00
	100%	-	-	VNR	VNR	0,00	0	0	0	0	0	0	0,00	0,00
proporzionale alla deformata 1° modo di vibrazione														
	0%	-	-	VNR	VNR	0,00	0	0	0	0	0	0	0,00	0,00
	100%	-	-	VNR	VNR	0,00	0	0	0	0	0	0	0,00	0,00
Piano terra ingresso								**Travata: Trave21-30**						
sisma in +X														
proporzionale alle masse														
Trave 21-30	0%	-	-	VNR	VNR	0,00	0	0	0	0	0	0	0,00	0,00
	100%	-	-	VNR	VNR	0,00	0	0	0	0	0	0	0,00	0,00
proporzionale alla deformata 1° modo di vibrazione														
	0%	126	6.627	NS	9,77	1,00	33767	64745	137521	137521	0	0	2,50	2,50
	100%	126	-7.273	NS	8,90	1,00	33767	64745	137510	137510	0	0	2,50	2,50
sisma in -X														
proporzionale alle masse														
	0%	-	-	VNR	VNR	0,00	0	0	0	0	0	0	0,00	0,00
	100%	-	-	VNR	VNR	0,00	0	0	0	0	0	0	0,00	0,00
proporzionale alla deformata 1° modo di vibrazione														
	0%	-	-	VNR	VNR	0,00	0	0	0	0	0	0	0,00	0,00
	100%	-	-	VNR	VNR	0,00	0	0	0	0	0	0	0,00	0,00
sisma in +Y														
proporzionale alle masse														
	0%	159	-18.377	NS	3,52	1,06	33767	64745	145170	145170	0	0	2,50	2,50
	100%	159	-32.277	NS	2,01	1,06	33767	64745	145165	145165	0	0	2,50	2,50
proporzionale alla deformata 1° modo di vibrazione														
	0%	-	-	VNR	VNR	0,00	0	0	0	0	0	0	0,00	0,00
	100%	-	-	VNR	VNR	0,00	0	0	0	0	0	0	0,00	0,00
sisma in -Y														
proporzionale alle masse														
	0%	-	-	VNR	VNR	0,00	0	0	0	0	0	0	0,00	0,00

Id_{Tr}	$\%L_{LI}$	$V_{Ed,3}$	$V_{Ed,2}$	$CS^{(3)}$	$CS^{(2)}$	α_C	$V_{Rsd,s}{}^{(3)}$	$V_{Rsd,s}{}^{(2)}$	$V_{Rcd}{}^{(3)}$	$V_{Rcd}{}^{(2)}$	$V_{fd}{}^{(3)}$	$V_{fd}{}^{(2)}$	$Ctg\Theta^{(3)}$	$Ctg\Theta^{(2)}$
	[%]	[N]	[N]				[N]	[N]	[N]	[N]	[N]	[N]		
	100%	-	-	VNR	VNR	0,00	0	0	0	0	0	0	0,00	0,00
proporzionale alla deformata 1° modo di vibrazione														
	0%	-	-	VNR	VNR	0,00	0	0	0	0	0	0	0,00	0,00
	100%	-	-	VNR	VNR	0,00	0	0	0	0	0	0	0,00	0,00
Fondazione								**Travata: Trave28-29-21f-30**						
sisma in +X														
proporzionale alle masse														
Trave 29-21f	0%	-	-	VNR	VNR	0,00	0	0	0	0	0	0	0,00	0,00
	100%	-	-	VNR	VNR	0,00	0	0	0	0	0	0	0,00	0,00
proporzionale alla deformata 1° modo di vibrazione														
	0%	-1.011	9.701	NS	13,17	1,00	127769	127769	305350	305350	0	0	2,50	2,50
	100%	-1.011	-7.174	NS	17,81	1,00	127769	127769	305397	305397	0	0	2,50	2,50
sisma in -X														
proporzionale alle masse														
	0%	-	-	VNR	VNR	0,00	0	0	0	0	0	0	0,00	0,00
	100%	-	-	VNR	VNR	0,00	0	0	0	0	0	0	0,00	0,00
proporzionale alla deformata 1° modo di vibrazione														
	0%	-	-	VNR	VNR	0,00	0	0	0	0	0	0	0,00	0,00
	100%	-	-	VNR	VNR	0,00	0	0	0	0	0	0	0,00	0,00
sisma in +Y														
proporzionale alle masse														
	0%	-972	10.026	NS	12,74	1,00	127769	127769	305449	305449	0	0	2,50	2,50
	100%	-972	-6.849	NS	18,66	1,00	127769	127769	305498	305498	0	0	2,50	2,50
proporzionale alla deformata 1° modo di vibrazione														
	0%	-	-	VNR	VNR	0,00	0	0	0	0	0	0	0,00	0,00
	100%	-	-	VNR	VNR	0,00	0	0	0	0	0	0	0,00	0,00
sisma in -Y														
proporzionale alle masse														
	0%	-	-	VNR	VNR	0,00	0	0	0	0	0	0	0,00	0,00
	100%	-	-	VNR	VNR	0,00	0	0	0	0	0	0	0,00	0,00
proporzionale alla deformata 1° modo di vibrazione														
	0%	-	-	VNR	VNR	0,00	0	0	0	0	0	0	0,00	0,00
	100%	-	-	VNR	VNR	0,00	0	0	0	0	0	0	0,00	0,00
sisma in +X														
proporzionale alle masse														
Trave 21f-30	0%	-	-	VNR	VNR	0,00	0	0	0	0	0	0	0,00	0,00
	100%	-	-	VNR	VNR	0,00	0	0	0	0	0	0	0,00	0,00
proporzionale alla deformata 1° modo di vibrazione														
	0%	5.738	-13.913	22,27	9,18	1,00	127769	127769	305384	305384	0	0	2,50	2,50
	100%	5.738	-18.631	22,27	6,86	1,00	127769	127769	305408	305408	0	0	2,50	2,50
sisma in -X														
proporzionale alle masse														
	0%	-	-	VNR	VNR	0,00	0	0	0	0	0	0	0,00	0,00
	100%	-	-	VNR	VNR	0,00	0	0	0	0	0	0	0,00	0,00
proporzionale alla deformata 1° modo di vibrazione														
	0%	-	-	VNR	VNR	0,00	0	0	0	0	0	0	0,00	0,00
	100%	-	-	VNR	VNR	0,00	0	0	0	0	0	0	0,00	0,00
sisma in +Y														
proporzionale alle masse														
	0%	5.933	-6.797	21,54	18,80	1,00	127769	127769	305446	305446	0	0	2,50	2,50
	100%	5.933	-11.516	21,54	11,09	1,00	127769	127769	305489	305489	0	0	2,50	2,50
proporzionale alla deformata 1° modo di vibrazione														
	0%	-	-	VNR	VNR	0,00	0	0	0	0	0	0	0,00	0,00
	100%	-	-	VNR	VNR	0,00	0	0	0	0	0	0	0,00	0,00
sisma in -Y														
proporzionale alle masse														
	0%	-	-	VNR	VNR	0,00	0	0	0	0	0	0	0,00	0,00
	100%	-	-	VNR	VNR	0,00	0	0	0	0	0	0	0,00	0,00
proporzionale alla deformata 1° modo di vibrazione														
	0%	-	-	VNR	VNR	0,00	0	0	0	0	0	0	0,00	0,00
	100%	-	-	VNR	VNR	0,00	0	0	0	0	0	0	0,00	0,00
Fondazione								**Travata: Trave21f-38**						
sisma in +X														
proporzionale alle masse														
Trave 21f-38	0%	-	-	VNR	VNR	0,00	0	0	0	0	0	0	0,00	0,00
	100%	-	-	VNR	VNR	0,00	0	0	0	0	0	0	0,00	0,00
proporzionale alla deformata 1° modo di vibrazione														
	0%	66	6.738	NS	12,83	1,00	127769	86465	207157	207157	0	0	2,50	2,50
	100%	66	-9.437	NS	9,16	1,00	127769	86465	207231	207231	0	0	2,50	2,50
sisma in -X														
proporzionale alle masse														
	0%	-	-	VNR	VNR	0,00	0	0	0	0	0	0	0,00	0,00
	100%	-	-	VNR	VNR	0,00	0	0	0	0	0	0	0,00	0,00
proporzionale alla deformata 1° modo di vibrazione														
	0%	-	-	VNR	VNR	0,00	0	0	0	0	0	0	0,00	0,00
	100%	-	-	VNR	VNR	0,00	0	0	0	0	0	0	0,00	0,00
sisma in +Y														
proporzionale alle masse														
	0%	-151	-52	NS	NS	1,01	127769	86465	208407	208407	0	0	2,50	2,50
	100%	-151	-16.227	NS	5,33	1,01	127769	86465	208240	208240	0	0	2,50	2,50
proporzionale alla deformata 1° modo di vibrazione														
	0%	-	-	VNR	VNR	0,00	0	0	0	0	0	0	0,00	0,00
	100%	-	-	VNR	VNR	0,00	0	0	0	0	0	0	0,00	0,00
sisma in -Y														
proporzionale alle masse														
	0%	-	-	VNR	VNR	0,00	0	0	0	0	0	0	0,00	0,00

Id_{Tr}	$\%L_{LI}$	$V_{Ed,3}$	$V_{Ed,2}$	$CS^{(3)}$	$CS^{(2)}$	α_C	$V_{Rsd,s}^{(3)}$	$V_{Rsd,s}^{(2)}$	$V_{Rcd}^{(3)}$	$V_{Rcd}^{(2)}$	$V_{fd}^{(3)}$	$V_{fd}^{(2)}$	$Ctg\Theta^{(3)}$	$Ctg\Theta^{(2)}$
	[%]	[N]	[N]				[N]	[N]	[N]	[N]	[N]	[N]		
	100%	-	-	VNR	VNR	0,00	0	0	0	0	0	0	0,00	0,00
proporzionale alla deformata 1° modo di vibrazione														
	0%	-	-	VNR	VNR	0,00	0	0	0	0	0	0	0,00	0,00
	100%	-	-	VNR	VNR	0,00	0	0	0	0	0	0	0,00	0,00

LEGENDA:

Id_{Tr} Identificativo della trave. L'eventuale lettera tra parentesi distingue i diversi tratti della travata al livello considerato.
$\%L_{LI}$ Posizione della sezione per la quale vengono forniti i valori di verifica, valutata come % della lunghezza libera d'inflessione (L_{LI}), a partire dall'estremo iniziale.
V_{Ed} Taglio di progetto.
CS Coefficiente di sicurezza, con riferimento alla direzione positiva e negativa del sisma. ([NS] = Non Significativo per valori di CS >= 100). Per ulteriori dettagli sulla verifica si rimanda alle tabelle relative alle Verifiche a Taglio.
α_C Coefficiente maggiorativo per compressione
$V_{Rsd,s}$ Resistenza a taglio trazione delle staffe.
V_{Rcd} Resistenza a taglio compressione del calcestruzzo.
V_{fd} Resistenza a taglio dovuta al rinforzo FRP.
$Ctg\Theta$ Cotangente dell'angolo Θ utilizzata nella verifica.

PILASTRI - VERIFICHE DI ROTAZIONE ALLA CORDA (Elevazione)

Verifiche di Rotazione alla corda

Lv	$\%L_{LI}$	$L_{v,SLV}$	$L_{v,SLD}$	L_{pl}	ϕ_u	ϕ_y	SLV			SLD		
							Θ_c	Θ_d	CS	Θ_c	Θ_d	CS
	[%]	[m]	[m]	[m]	[rad/m]	[rad/m]	[rad]	[rad]		[rad]	[rad]	
Pilastrata: Pilastrata8												
sisma in +X												
proporzionale alle masse												
Piano terra ingresso	0%	0,00	0,00	0,00	0,0000	0,0000	0,000000	0,000000	0,00	0,000000	0,000000	0,00
Piano terra ingresso	100%	0,00	0,00	0,00	0,0000	0,0000	0,000000	0,000000	0,00	0,000000	0,000000	0,00
proporzionale alla deformata 1° modo di vibrazione												
Piano terra ingresso	0%	1,26	1,20	0,51	0,0646	0,0050	0,014603	0,002424	6,03	0,005017	0,001179	4,25
Piano terra ingresso	100%	1,09	1,11	0,49	0,0662	0,0052	0,014139	0,002424	5,83	0,005071	0,001179	4,30
sisma in -X												
proporzionale alle masse												
Piano terra ingresso	0%	0,00	0,00	0,00	0,0000	0,0000	0,000000	0,000000	0,00	0,000000	0,000000	0,00
Piano terra ingresso	100%	0,00	0,00	0,00	0,0000	0,0000	0,000000	0,000000	0,00	0,000000	0,000000	0,00
proporzionale alla deformata 1° modo di vibrazione												
Piano terra ingresso	0%	0,00	0,00	0,00	0,0000	0,0000	0,000000	0,000000	0,00	0,000000	0,000000	0,00
Piano terra ingresso	100%	0,00	0,00	0,00	0,0000	0,0000	0,000000	0,000000	0,00	0,000000	0,000000	0,00
sisma in +Y												
proporzionale alle masse												
Piano terra ingresso	0%	2,43	2,53	0,61	0,0744	0,0040	0,021570	0,002732	7,90	0,005653	0,001263	4,48
Piano terra ingresso	100%	0,13	0,19	0,38	0,0758	0,0041	0,010399	0,002732	3,81	0,007233	0,001263	5,73
proporzionale alla deformata 1° modo di vibrazione												
Piano terra ingresso	0%	0,00	0,00	0,00	0,0000	0,0000	0,000000	0,000000	0,00	0,000000	0,000000	0,00
Piano terra ingresso	100%	0,00	0,00	0,00	0,0000	0,0000	0,000000	0,000000	0,00	0,000000	0,000000	0,00
sisma in -Y												
proporzionale alle masse												
Piano terra ingresso	0%	0,00	0,00	0,00	0,0000	0,0000	0,000000	0,000000	0,00	0,000000	0,000000	0,00
Piano terra ingresso	100%	0,00	0,00	0,00	0,0000	0,0000	0,000000	0,000000	0,00	0,000000	0,000000	0,00
proporzionale alla deformata 1° modo di vibrazione												
Piano terra ingresso	0%	0,00	0,00	0,00	0,0000	0,0000	0,000000	0,000000	0,00	0,000000	0,000000	0,00
Piano terra ingresso	100%	0,00	0,00	0,00	0,0000	0,0000	0,000000	0,000000	0,00	0,000000	0,000000	0,00
sisma in +X												
proporzionale alle masse												
Piano primo	0%	0,00	0,00	0,00	0,0000	0,0000	0,000000	0,000000	0,00	0,000000	0,000000	0,00
Piano primo	100%	0,00	0,00	0,00	0,0000	0,0000	0,000000	0,000000	0,00	0,000000	0,000000	0,00
proporzionale alla deformata 1° modo di vibrazione												
Piano primo	0%	1,47	1,54	0,53	0,0708	0,0073	0,017194	0,003398	5,06	0,006919	0,001491	4,64
Piano primo	100%	1,57	1,46	0,54	0,0720	0,0073	0,017814	0,003398	5,24	0,006751	0,001491	4,53
sisma in -X												
proporzionale alle masse												
Piano primo	0%	0,00	0,00	0,00	0,0000	0,0000	0,000000	0,000000	0,00	0,000000	0,000000	0,00
Piano primo	100%	0,00	0,00	0,00	0,0000	0,0000	0,000000	0,000000	0,00	0,000000	0,000000	0,00
proporzionale alla deformata 1° modo di vibrazione												
Piano primo	0%	0,00	0,00	0,00	0,0000	0,0000	0,000000	0,000000	0,00	0,000000	0,000000	0,00
Piano primo	100%	0,00	0,00	0,00	0,0000	0,0000	0,000000	0,000000	0,00	0,000000	0,000000	0,00
sisma in +Y												
proporzionale alle masse												
Piano primo	0%	1,37	1,52	0,47	0,1230	0,0048	0,025285	0,002816	8,98	0,004866	0,001197	4,07
Piano primo	100%	1,75	1,66	0,50	0,1254	0,0049	0,028560	0,002816	10,14	0,005082	0,001197	4,25
proporzionale alla deformata 1° modo di vibrazione												
Piano primo	0%	0,00	0,00	0,00	0,0000	0,0000	0,000000	0,000000	0,00	0,000000	0,000000	0,00
Piano primo	100%	0,00	0,00	0,00	0,0000	0,0000	0,000000	0,000000	0,00	0,000000	0,000000	0,00
sisma in -Y												
proporzionale alle masse												
Piano primo	0%	0,00	0,00	0,00	0,0000	0,0000	0,000000	0,000000	0,00	0,000000	0,000000	0,00
Piano primo	100%	0,00	0,00	0,00	0,0000	0,0000	0,000000	0,000000	0,00	0,000000	0,000000	0,00
proporzionale alla deformata 1° modo di vibrazione												
Piano primo	0%	0,00	0,00	0,00	0,0000	0,0000	0,000000	0,000000	0,00	0,000000	0,000000	0,00
Piano primo	100%	0,00	0,00	0,00	0,0000	0,0000	0,000000	0,000000	0,00	0,000000	0,000000	0,00
sisma in +X												
proporzionale alle masse												
Estradosso travi gronda	0%	0,00	0,00	0,00	0,0000	0,0000	0,000000	0,000000	0,00	0,000000	0,000000	0,00
Estradosso travi gronda	100%	0,00	0,00	0,00	0,0000	0,0000	0,000000	0,000000	0,00	0,000000	0,000000	0,00

Lv	$\%L_{LI}$	$L_{v,SLV}$	$L_{v,SLD}$	L_{pl}	ϕ_u	ϕ_y	SLV			SLD		
							Θ_c	Θ_d	CS	Θ_c	Θ_d	CS
	[%]	[m]	[m]	[m]	[rad/m]	[rad/m]	[rad]	[rad]		[rad]	[rad]	
proporzionale alla deformata 1° modo di vibrazione												
Estradosso travi gronda	0%	0,22	0,26	0,41	0,0867	0,0061	0,011794	0,004146	2,84	0,007254	0,001303	5,57
Estradosso travi gronda	100%	0,22	0,19	0,41	0,0866	0,0061	0,012610	0,004146	3,04	0,008888	0,001303	6,82
sisma in -X												
proporzionale alle masse												
Estradosso travi gronda	0%	0,00	0,00	0,00	0,0000	0,0000	0,000000	0,000000	0,00	0,000000	0,000000	0,00
Estradosso travi gronda	100%	0,00	0,00	0,00	0,0000	0,0000	0,000000	0,000000	0,00	0,000000	0,000000	0,00
proporzionale alla deformata 1° modo di vibrazione												
Estradosso travi gronda	0%	0,00	0,00	0,00	0,0000	0,0000	0,000000	0,000000	0,00	0,000000	0,000000	0,00
Estradosso travi gronda	100%	0,00	0,00	0,00	0,0000	0,0000	0,000000	0,000000	0,00	0,000000	0,000000	0,00
sisma in +Y												
proporzionale alle masse												
Estradosso travi gronda	0%	0,56	0,59	0,39	0,1177	0,0057	0,016411	0,005960	2,75	0,004267	0,002447	1,74
Estradosso travi gronda	100%	0,12	0,14	0,34	0,1185	0,0051	0,013009	0,005960	2,18	0,006510	0,002447	2,66
proporzionale alla deformata 1° modo di vibrazione												
Estradosso travi gronda	0%	0,00	0,00	0,00	0,0000	0,0000	0,000000	0,000000	0,00	0,000000	0,000000	0,00
Estradosso travi gronda	100%	0,00	0,00	0,00	0,0000	0,0000	0,000000	0,000000	0,00	0,000000	0,000000	0,00
sisma in -Y												
proporzionale alle masse												
Estradosso travi gronda	0%	0,00	0,00	0,00	0,0000	0,0000	0,000000	0,000000	0,00	0,000000	0,000000	0,00
Estradosso travi gronda	100%	0,00	0,00	0,00	0,0000	0,0000	0,000000	0,000000	0,00	0,000000	0,000000	0,00
proporzionale alla deformata 1° modo di vibrazione												
Estradosso travi gronda	0%	0,00	0,00	0,00	0,0000	0,0000	0,000000	0,000000	0,00	0,000000	0,000000	0,00
Estradosso travi gronda	100%	0,00	0,00	0,00	0,0000	0,0000	0,000000	0,000000	0,00	0,000000	0,000000	0,00
Pilastrata: Pilastrata9												
sisma in +X												
proporzionale alle masse												
Piano terra ingresso	0%	0,00	0,00	0,00	0,0000	0,0000	0,000000	0,000000	0,00	0,000000	0,000000	0,00
Piano terra ingresso	100%	0,00	0,00	0,00	0,0000	0,0000	0,000000	0,000000	0,00	0,000000	0,000000	0,00
proporzionale alla deformata 1° modo di vibrazione												
Piano terra ingresso	0%	1,20	1,18	0,50	0,0972	0,0039	0,020716	0,002489	8,32	0,004408	0,001162	3,79
Piano terra ingresso	100%	1,15	1,13	0,50	0,0989	0,0039	0,020717	0,002489	8,32	0,004377	0,001162	3,77
sisma in -X												
proporzionale alle masse												
Piano terra ingresso	0%	0,00	0,00	0,00	0,0000	0,0000	0,000000	0,000000	0,00	0,000000	0,000000	0,00
Piano terra ingresso	100%	0,00	0,00	0,00	0,0000	0,0000	0,000000	0,000000	0,00	0,000000	0,000000	0,00
proporzionale alla deformata 1° modo di vibrazione												
Piano terra ingresso	0%	0,00	0,00	0,00	0,0000	0,0000	0,000000	0,000000	0,00	0,000000	0,000000	0,00
Piano terra ingresso	100%	0,00	0,00	0,00	0,0000	0,0000	0,000000	0,000000	0,00	0,000000	0,000000	0,00
sisma in +Y												
proporzionale alle masse												
Piano terra ingresso	0%	2,16	2,09	0,58	0,0460	0,0044	0,013249	0,002667	4,97	0,005530	0,001204	4,59
Piano terra ingresso	100%	0,19	0,16	0,38	0,0489	0,0055	0,008403	0,002667	3,15	0,008456	0,001204	7,02
proporzionale alla deformata 1° modo di vibrazione												
Piano terra ingresso	0%	0,00	0,00	0,00	0,0000	0,0000	0,000000	0,000000	0,00	0,000000	0,000000	0,00
Piano terra ingresso	100%	0,00	0,00	0,00	0,0000	0,0000	0,000000	0,000000	0,00	0,000000	0,000000	0,00
sisma in -Y												
proporzionale alle masse												
Piano terra ingresso	0%	0,00	0,00	0,00	0,0000	0,0000	0,000000	0,000000	0,00	0,000000	0,000000	0,00
Piano terra ingresso	100%	0,00	0,00	0,00	0,0000	0,0000	0,000000	0,000000	0,00	0,000000	0,000000	0,00
proporzionale alla deformata 1° modo di vibrazione												
Piano terra ingresso	0%	0,00	0,00	0,00	0,0000	0,0000	0,000000	0,000000	0,00	0,000000	0,000000	0,00
Piano terra ingresso	100%	0,00	0,00	0,00	0,0000	0,0000	0,000000	0,000000	0,00	0,000000	0,000000	0,00
sisma in +X												
proporzionale alle masse												
Piano primo	0%	0,00	0,00	0,00	0,0000	0,0000	0,000000	0,000000	0,00	0,000000	0,000000	0,00
Piano primo	100%	0,00	0,00	0,00	0,0000	0,0000	0,000000	0,000000	0,00	0,000000	0,000000	0,00
proporzionale alla deformata 1° modo di vibrazione												
Piano primo	0%	1,55	1,58	0,54	0,1087	0,0054	0,025764	0,003376	7,63	0,005707	0,001476	3,87
Piano primo	100%	1,50	1,44	0,53	0,1111	0,0054	0,025843	0,003376	7,65	0,005518	0,001476	3,74
sisma in -X												
proporzionale alle masse												
Piano primo	0%	0,00	0,00	0,00	0,0000	0,0000	0,000000	0,000000	0,00	0,000000	0,000000	0,00
Piano primo	100%	0,00	0,00	0,00	0,0000	0,0000	0,000000	0,000000	0,00	0,000000	0,000000	0,00
proporzionale alla deformata 1° modo di vibrazione												
Piano primo	0%	0,00	0,00	0,00	0,0000	0,0000	0,000000	0,000000	0,00	0,000000	0,000000	0,00
Piano primo	100%	0,00	0,00	0,00	0,0000	0,0000	0,000000	0,000000	0,00	0,000000	0,000000	0,00
sisma in +Y												
proporzionale alle masse												
Piano primo	0%	1,24	1,28	0,45	0,0976	0,0063	0,019617	0,002687	7,30	0,005378	0,001145	4,70
Piano primo	100%	1,80	1,69	0,51	0,0997	0,0058	0,023451	0,002687	8,73	0,005815	0,001145	5,08

Lv	$\%L_{LI}$	$L_{v,SLV}$	$L_{v,SLD}$	L_{pl}	ϕ_u	ϕ_y	SLV			SLD		
							Θ_c	Θ_d	CS	Θ_c	Θ_d	CS
	[%]	[m]	[m]	[m]	[rad/m]	[rad/m]	[rad]	[rad]		[rad]	[rad]	
proporzionale alla deformata 1° modo di vibrazione												
Piano primo	0%	0,00	0,00	0,00	0,0000	0,0000	0,000000	0,000000	0,00	0,000000	0,000000	0,00
Piano primo	100%	0,00	0,00	0,00	0,0000	0,0000	0,000000	0,000000	0,00	0,000000	0,000000	0,00
sisma in -Y												
proporzionale alle masse												
Piano primo	0%	0,00	0,00	0,00	0,0000	0,0000	0,000000	0,000000	0,00	0,000000	0,000000	0,00
Piano primo	100%	0,00	0,00	0,00	0,0000	0,0000	0,000000	0,000000	0,00	0,000000	0,000000	0,00
proporzionale alla deformata 1° modo di vibrazione												
Piano primo	0%	0,00	0,00	0,00	0,0000	0,0000	0,000000	0,000000	0,00	0,000000	0,000000	0,00
Piano primo	100%	0,00	0,00	0,00	0,0000	0,0000	0,000000	0,000000	0,00	0,000000	0,000000	0,00
sisma in +X												
proporzionale alle masse												
Estradosso travi gronda	0%	0,00	0,00	0,00	0,0000	0,0000	0,000000	0,000000	0,00	0,000000	0,000000	0,00
Estradosso travi gronda	100%	0,00	0,00	0,00	0,0000	0,0000	0,000000	0,000000	0,00	0,000000	0,000000	0,00
proporzionale alla deformata 1° modo di vibrazione												
Estradosso travi gronda	0%	0,21	0,26	0,40	0,1070	0,0056	0,013829	0,003653	3,79	0,007178	0,001256	5,71
Estradosso travi gronda	100%	0,18	0,19	0,40	0,1039	0,0055	0,014261	0,003653	3,90	0,008778	0,001256	6,99
sisma in -X												
proporzionale alle masse												
Estradosso travi gronda	0%	0,00	0,00	0,00	0,0000	0,0000	0,000000	0,000000	0,00	0,000000	0,000000	0,00
Estradosso travi gronda	100%	0,00	0,00	0,00	0,0000	0,0000	0,000000	0,000000	0,00	0,000000	0,000000	0,00
proporzionale alla deformata 1° modo di vibrazione												
Estradosso travi gronda	0%	0,00	0,00	0,00	0,0000	0,0000	0,000000	0,000000	0,00	0,000000	0,000000	0,00
Estradosso travi gronda	100%	0,00	0,00	0,00	0,0000	0,0000	0,000000	0,000000	0,00	0,000000	0,000000	0,00
sisma in +Y												
proporzionale alle masse												
Estradosso travi gronda	0%	0,78	0,79	0,41	0,1036	0,0058	0,017001	0,007165	2,37	0,004432	0,002956	1,50
Estradosso travi gronda	100%	0,34	0,32	0,37	0,1045	0,0060	0,011337	0,007165	1,58	0,004666	0,002956	1,58
proporzionale alla deformata 1° modo di vibrazione												
Estradosso travi gronda	0%	0,00	0,00	0,00	0,0000	0,0000	0,000000	0,000000	0,00	0,000000	0,000000	0,00
Estradosso travi gronda	100%	0,00	0,00	0,00	0,0000	0,0000	0,000000	0,000000	0,00	0,000000	0,000000	0,00
sisma in -Y												
proporzionale alle masse												
Estradosso travi gronda	0%	0,00	0,00	0,00	0,0000	0,0000	0,000000	0,000000	0,00	0,000000	0,000000	0,00
Estradosso travi gronda	100%	0,00	0,00	0,00	0,0000	0,0000	0,000000	0,000000	0,00	0,000000	0,000000	0,00
proporzionale alla deformata 1° modo di vibrazione												
Estradosso travi gronda	0%	0,00	0,00	0,00	0,0000	0,0000	0,000000	0,000000	0,00	0,000000	0,000000	0,00
Estradosso travi gronda	100%	0,00	0,00	0,00	0,0000	0,0000	0,000000	0,000000	0,00	0,000000	0,000000	0,00
Pilastrata: Pilastrata12												
sisma in +X												
proporzionale alle masse												
Piano terra ingresso	0%	0,00	0,00	0,00	0,0000	0,0000	0,000000	0,000000	0,00	0,000000	0,000000	0,00
Piano terra ingresso	100%	0,00	0,00	0,00	0,0000	0,0000	0,000000	0,000000	0,00	0,000000	0,000000	0,00
proporzionale alla deformata 1° modo di vibrazione												
Piano terra ingresso	0%	1,13	1,15	0,50	0,1254	0,0033	0,025664	0,002642	9,71	0,004063	0,001267	3,21
Piano terra ingresso	100%	1,15	1,25	0,50	0,1265	0,0032	0,026114	0,002642	9,88	0,004070	0,001267	3,21
sisma in -X												
proporzionale alle masse												
Piano terra ingresso	0%	0,00	0,00	0,00	0,0000	0,0000	0,000000	0,000000	0,00	0,000000	0,000000	0,00
Piano terra ingresso	100%	0,00	0,00	0,00	0,0000	0,0000	0,000000	0,000000	0,00	0,000000	0,000000	0,00
proporzionale alla deformata 1° modo di vibrazione												
Piano terra ingresso	0%	0,00	0,00	0,00	0,0000	0,0000	0,000000	0,000000	0,00	0,000000	0,000000	0,00
Piano terra ingresso	100%	0,00	0,00	0,00	0,0000	0,0000	0,000000	0,000000	0,00	0,000000	0,000000	0,00
sisma in +Y												
proporzionale alle masse												
Piano terra ingresso	0%	2,06	1,94	0,57	0,0535	0,0043	0,014721	0,002554	5,76	0,005225	0,001135	4,60
Piano terra ingresso	100%	0,29	0,35	0,39	0,0565	0,0085	0,007923	0,002554	3,10	0,006367	0,001135	5,61
proporzionale alla deformata 1° modo di vibrazione												
Piano terra ingresso	0%	0,00	0,00	0,00	0,0000	0,0000	0,000000	0,000000	0,00	0,000000	0,000000	0,00
Piano terra ingresso	100%	0,00	0,00	0,00	0,0000	0,0000	0,000000	0,000000	0,00	0,000000	0,000000	0,00
sisma in -Y												
proporzionale alle masse												
Piano terra ingresso	0%	0,00	0,00	0,00	0,0000	0,0000	0,000000	0,000000	0,00	0,000000	0,000000	0,00
Piano terra ingresso	100%	0,00	0,00	0,00	0,0000	0,0000	0,000000	0,000000	0,00	0,000000	0,000000	0,00
proporzionale alla deformata 1° modo di vibrazione												
Piano terra ingresso	0%	0,00	0,00	0,00	0,0000	0,0000	0,000000	0,000000	0,00	0,000000	0,000000	0,00
Piano terra ingresso	100%	0,00	0,00	0,00	0,0000	0,0000	0,000000	0,000000	0,00	0,000000	0,000000	0,00
sisma in +X												
proporzionale alle masse												

Lv	$\%L_{LI}$	$L_{v,SLV}$	$L_{v,SLD}$	L_{pl}	ϕ_u	ϕ_y	SLV			SLD		
							Θ_c	Θ_d	CS	Θ_c	Θ_d	CS
	[%]	[m]	[m]	[m]	[rad/m]	[rad/m]	[rad]	[rad]		[rad]	[rad]	
Piano primo	0%	0,00	0,00	0,00	0,0000	0,0000	0,000000	0,000000	0,00	0,000000	0,000000	0,00
Piano primo	100%	0,00	0,00	0,00	0,0000	0,0000	0,000000	0,000000	0,00	0,000000	0,000000	0,00
proporzionale alla deformata 1° modo di vibrazione												
Piano primo	0%	1,59	1,66	0,54	0,1043	0,0055	0,025058	0,003417	7,33	0,005900	0,001521	3,88
Piano primo	100%	1,46	1,41	0,53	0,1067	0,0055	0,024623	0,003417	7,21	0,005563	0,001521	3,66
sisma in -X												
proporzionale alle masse												
Piano primo	0%	0,00	0,00	0,00	0,0000	0,0000	0,000000	0,000000	0,00	0,000000	0,000000	0,00
Piano primo	100%	0,00	0,00	0,00	0,0000	0,0000	0,000000	0,000000	0,00	0,000000	0,000000	0,00
proporzionale alla deformata 1° modo di vibrazione												
Piano primo	0%	0,00	0,00	0,00	0,0000	0,0000	0,000000	0,000000	0,00	0,000000	0,000000	0,00
Piano primo	100%	0,00	0,00	0,00	0,0000	0,0000	0,000000	0,000000	0,00	0,000000	0,000000	0,00
sisma in +Y												
proporzionale alle masse												
Piano primo	0%	1,23	1,23	0,45	0,0998	0,0067	0,019965	0,002704	7,38	0,005535	0,001043	5,31
Piano primo	100%	1,82	1,77	0,51	0,1020	0,0059	0,024108	0,002704	8,92	0,005958	0,001043	5,71
proporzionale alla deformata 1° modo di vibrazione												
Piano primo	0%	0,00	0,00	0,00	0,0000	0,0000	0,000000	0,000000	0,00	0,000000	0,000000	0,00
Piano primo	100%	0,00	0,00	0,00	0,0000	0,0000	0,000000	0,000000	0,00	0,000000	0,000000	0,00
sisma in -Y												
proporzionale alle masse												
Piano primo	0%	0,00	0,00	0,00	0,0000	0,0000	0,000000	0,000000	0,00	0,000000	0,000000	0,00
Piano primo	100%	0,00	0,00	0,00	0,0000	0,0000	0,000000	0,000000	0,00	0,000000	0,000000	0,00
proporzionale alla deformata 1° modo di vibrazione												
Piano primo	0%	0,00	0,00	0,00	0,0000	0,0000	0,000000	0,000000	0,00	0,000000	0,000000	0,00
Piano primo	100%	0,00	0,00	0,00	0,0000	0,0000	0,000000	0,000000	0,00	0,000000	0,000000	0,00
sisma in +X												
proporzionale alle masse												
Estradosso travi gronda	0%	0,00	0,00	0,00	0,0000	0,0000	0,000000	0,000000	0,00	0,000000	0,000000	0,00
Estradosso travi gronda	100%	0,00	0,00	0,00	0,0000	0,0000	0,000000	0,000000	0,00	0,000000	0,000000	0,00
proporzionale alla deformata 1° modo di vibrazione												
Estradosso travi gronda	0%	0,20	0,30	0,40	0,0924	0,0062	0,012047	0,003104	3,88	0,006722	0,001190	5,65
Estradosso travi gronda	100%	0,25	0,14	0,41	0,0992	0,0059	0,014915	0,003104	4,80	0,010799	0,001190	9,07
sisma in -X												
proporzionale alle masse												
Estradosso travi gronda	0%	0,00	0,00	0,00	0,0000	0,0000	0,000000	0,000000	0,00	0,000000	0,000000	0,00
Estradosso travi gronda	100%	0,00	0,00	0,00	0,0000	0,0000	0,000000	0,000000	0,00	0,000000	0,000000	0,00
proporzionale alla deformata 1° modo di vibrazione												
Estradosso travi gronda	0%	0,00	0,00	0,00	0,0000	0,0000	0,000000	0,000000	0,00	0,000000	0,000000	0,00
Estradosso travi gronda	100%	0,00	0,00	0,00	0,0000	0,0000	0,000000	0,000000	0,00	0,000000	0,000000	0,00
sisma in +Y												
proporzionale alle masse												
Estradosso travi gronda	0%	0,77	0,84	0,41	0,1071	0,0059	0,017522	0,009518	1,84	0,004545	0,003650	1,25
Estradosso travi gronda	100%	0,36	0,39	0,37	0,1033	0,0063	0,011221	0,009518	1,18	0,004582	0,003650	1,26
proporzionale alla deformata 1° modo di vibrazione												
Estradosso travi gronda	0%	0,00	0,00	0,00	0,0000	0,0000	0,000000	0,000000	0,00	0,000000	0,000000	0,00
Estradosso travi gronda	100%	0,00	0,00	0,00	0,0000	0,0000	0,000000	0,000000	0,00	0,000000	0,000000	0,00
sisma in -Y												
proporzionale alle masse												
Estradosso travi gronda	0%	0,00	0,00	0,00	0,0000	0,0000	0,000000	0,000000	0,00	0,000000	0,000000	0,00
Estradosso travi gronda	100%	0,00	0,00	0,00	0,0000	0,0000	0,000000	0,000000	0,00	0,000000	0,000000	0,00
proporzionale alla deformata 1° modo di vibrazione												
Estradosso travi gronda	0%	0,00	0,00	0,00	0,0000	0,0000	0,000000	0,000000	0,00	0,000000	0,000000	0,00
Estradosso travi gronda	100%	0,00	0,00	0,00	0,0000	0,0000	0,000000	0,000000	0,00	0,000000	0,000000	0,00
Pilastrata: Pilastrata13												
sisma in +X												
proporzionale alle masse												
Estradosso travi gronda	0%	0,00	0,00	0,00	0,0000	0,0000	0,000000	0,000000	0,00	0,000000	0,000000	0,00
Estradosso travi gronda	100%	0,00	0,00	0,00	0,0000	0,0000	0,000000	0,000000	0,00	0,000000	0,000000	0,00
proporzionale alla deformata 1° modo di vibrazione												
Estradosso travi gronda	0%	0,06	0,12	0,39	0,1005	0,0071	0,015218	0,002826	5,38	0,012229	0,001281	9,55
Estradosso travi gronda	100%	0,39	0,32	0,42	0,1011	0,0057	0,013278	0,002826	4,70	0,006416	0,001281	5,01
sisma in -X												
proporzionale alle masse												
Estradosso travi	0%	0,00	0,00	0,00	0,0000	0,0000	0,000000	0,000000	0,00	0,000000	0,000000	0,00

Lv	$\%L_{LI}$	$L_{v,SLV}$	$L_{v,SLD}$	L_{pl}	ϕ_u	ϕ_y	SLV			SLD		
							Θ_c	Θ_d	CS	Θ_c	Θ_d	CS
	[%]	[m]	[m]	[m]	[rad/m]	[rad/m]	[rad]	[rad]		[rad]	[rad]	
gronda												
Estradosso travi gronda	100%	0,00	0,00	0,00	0,0000	0,0000	0,000000	0,000000	0,00	0,000000	0,000000	0,00
proporzionale alla deformata 1° modo di vibrazione												
Estradosso travi gronda	0%	0,00	0,00	0,00	0,0000	0,0000	0,000000	0,000000	0,00	0,000000	0,000000	0,00
Estradosso travi gronda	100%	0,00	0,00	0,00	0,0000	0,0000	0,000000	0,000000	0,00	0,000000	0,000000	0,00
sisma in +Y												
proporzionale alle masse												
Estradosso travi gronda	0%	0,35	0,48	0,37	0,1127	0,0059	0,011985	0,010525	1,14	0,004357	0,003816	1,14
Estradosso travi gronda	100%	0,09	0,09	0,34	0,1116	0,0058	0,013326	0,010525	1,27	0,008574	0,003816	2,25
proporzionale alla deformata 1° modo di vibrazione												
Estradosso travi gronda	0%	0,00	0,00	0,00	0,0000	0,0000	0,000000	0,000000	0,00	0,000000	0,000000	0,00
Estradosso travi gronda	100%	0,00	0,00	0,00	0,0000	0,0000	0,000000	0,000000	0,00	0,000000	0,000000	0,00
sisma in -Y												
proporzionale alle masse												
Estradosso travi gronda	0%	0,00	0,00	0,00	0,0000	0,0000	0,000000	0,000000	0,00	0,000000	0,000000	0,00
Estradosso travi gronda	100%	0,00	0,00	0,00	0,0000	0,0000	0,000000	0,000000	0,00	0,000000	0,000000	0,00
proporzionale alla deformata 1° modo di vibrazione												
Estradosso travi gronda	0%	0,00	0,00	0,00	0,0000	0,0000	0,000000	0,000000	0,00	0,000000	0,000000	0,00
Estradosso travi gronda	100%	0,00	0,00	0,00	0,0000	0,0000	0,000000	0,000000	0,00	0,000000	0,000000	0,00
Pilastrata: Pilastrata14												
sisma in +X												
proporzionale alle masse												
Piano terra ingresso	0%	0,00	0,00	0,00	0,0000	0,0000	0,000000	0,000000	0,00	0,000000	0,000000	0,00
Piano terra ingresso	100%	0,00	0,00	0,00	0,0000	0,0000	0,000000	0,000000	0,00	0,000000	0,000000	0,00
proporzionale alla deformata 1° modo di vibrazione												
Piano terra ingresso	0%	5,07	0,10	0,98	0,0310	0,0065	0,022181	0,002066	10,74	0,022729	0,000851	26,69
Piano terra ingresso	100%	2,09	3,21	0,68	0,0327	0,0096	0,013429	0,002066	6,50	0,013726	0,000851	16,12
sisma in -X												
proporzionale alle masse												
Piano terra ingresso	0%	0,00	0,00	0,00	0,0000	0,0000	0,000000	0,000000	0,00	0,000000	0,000000	0,00
Piano terra ingresso	100%	0,00	0,00	0,00	0,0000	0,0000	0,000000	0,000000	0,00	0,000000	0,000000	0,00
proporzionale alla deformata 1° modo di vibrazione												
Piano terra ingresso	0%	0,00	0,00	0,00	0,0000	0,0000	0,000000	0,000000	0,00	0,000000	0,000000	0,00
Piano terra ingresso	100%	0,00	0,00	0,00	0,0000	0,0000	0,000000	0,000000	0,00	0,000000	0,000000	0,00
sisma in +Y												
proporzionale alle masse												
Piano terra ingresso	0%	1,57	1,52	0,51	0,0618	0,0052	0,014650	0,003945	3,71	0,005158	0,001862	2,77
Piano terra ingresso	100%	1,50	1,45	0,50	0,0650	0,0056	0,015062	0,003945	3,82	0,005310	0,001862	2,85
proporzionale alla deformata 1° modo di vibrazione												
Piano terra ingresso	0%	0,00	0,00	0,00	0,0000	0,0000	0,000000	0,000000	0,00	0,000000	0,000000	0,00
Piano terra ingresso	100%	0,00	0,00	0,00	0,0000	0,0000	0,000000	0,000000	0,00	0,000000	0,000000	0,00
sisma in -Y												
proporzionale alle masse												
Piano terra ingresso	0%	0,00	0,00	0,00	0,0000	0,0000	0,000000	0,000000	0,00	0,000000	0,000000	0,00
Piano terra ingresso	100%	0,00	0,00	0,00	0,0000	0,0000	0,000000	0,000000	0,00	0,000000	0,000000	0,00
proporzionale alla deformata 1° modo di vibrazione												
Piano terra ingresso	0%	0,00	0,00	0,00	0,0000	0,0000	0,000000	0,000000	0,00	0,000000	0,000000	0,00
Piano terra ingresso	100%	0,00	0,00	0,00	0,0000	0,0000	0,000000	0,000000	0,00	0,000000	0,000000	0,00
sisma in +X												
proporzionale alle masse												
Piano primo	0%	0,00	0,00	0,00	0,0000	0,0000	0,000000	0,000000	0,00	0,000000	0,000000	0,00
Piano primo	100%	0,00	0,00	0,00	0,0000	0,0000	0,000000	0,000000	0,00	0,000000	0,000000	0,00
proporzionale alla deformata 1° modo di vibrazione												
Piano primo	0%	1,33	1,23	0,57	0,0830	0,0060	0,020256	0,002665	7,60	0,006009	0,000883	6,80
Piano primo	100%	1,18	1,27	0,55	0,0848	0,0058	0,019746	0,002665	7,41	0,005908	0,000883	6,69
sisma in -X												
proporzionale alle masse												
Piano primo	0%	0,00	0,00	0,00	0,0000	0,0000	0,000000	0,000000	0,00	0,000000	0,000000	0,00
Piano primo	100%	0,00	0,00	0,00	0,0000	0,0000	0,000000	0,000000	0,00	0,000000	0,000000	0,00
proporzionale alla deformata 1° modo di vibrazione												
Piano primo	0%	0,00	0,00	0,00	0,0000	0,0000	0,000000	0,000000	0,00	0,000000	0,000000	0,00
Piano primo	100%	0,00	0,00	0,00	0,0000	0,0000	0,000000	0,000000	0,00	0,000000	0,000000	0,00
sisma in +Y												
proporzionale alle masse												
Piano primo	0%	1,27	1,18	0,48	0,0911	0,0060	0,019075	0,004713	4,05	0,005136	0,002110	2,43
Piano primo	100%	1,21	1,19	0,47	0,0926	0,0060	0,019053	0,004713	4,04	0,005145	0,002110	2,44
proporzionale alla deformata 1° modo di vibrazione												
Piano primo	0%	0,00	0,00	0,00	0,0000	0,0000	0,000000	0,000000	0,00	0,000000	0,000000	0,00
Piano primo	100%	0,00	0,00	0,00	0,0000	0,0000	0,000000	0,000000	0,00	0,000000	0,000000	0,00
sisma in -Y												
proporzionale alle masse												
Piano primo	0%	0,00	0,00	0,00	0,0000	0,0000	0,000000	0,000000	0,00	0,000000	0,000000	0,00
Piano primo	100%	0,00	0,00	0,00	0,0000	0,0000	0,000000	0,000000	0,00	0,000000	0,000000	0,00
proporzionale alla deformata 1° modo di vibrazione												

Lv	$\%L_{LI}$	$L_{v,SLV}$	$L_{v,SLD}$	L_{pl}	ϕ_u	ϕ_y	SLV			SLD		
							Θ_c	Θ_d	CS	Θ_c	Θ_d	CS
	[%]	[m]	[m]	[m]	[rad/m]	[rad/m]	[rad]	[rad]		[rad]	[rad]	
Piano primo	0%	0,00	0,00	0,00	0,0000	0,0000	0,000000	0,000000	0,00	0,000000	0,000000	0,00
Piano primo	100%	0,00	0,00	0,00	0,0000	0,0000	0,000000	0,000000	0,00	0,000000	0,000000	0,00
sisma in +X proporzionale alle masse												
Estradosso travi gronda	0%	0,00	0,00	0,00	0,0000	0,0000	0,000000	0,000000	0,00	0,000000	0,000000	0,00
Estradosso travi gronda	100%	0,00	0,00	0,00	0,0000	0,0000	0,000000	0,000000	0,00	0,000000	0,000000	0,00
proporzionale alla deformata 1° modo di vibrazione												
Estradosso travi gronda	0%	5,42	2,26	0,98	0,1262	0,0046	0,057171	0,001738	32,90	0,006189	0,000822	7,53
Estradosso travi gronda	100%	1,90	0,65	0,63	0,1296	0,0046	0,035357	0,001738	20,35	0,005455	0,000822	6,64
sisma in -X proporzionale alle masse												
Estradosso travi gronda	0%	0,00	0,00	0,00	0,0000	0,0000	0,000000	0,000000	0,00	0,000000	0,000000	0,00
Estradosso travi gronda	100%	0,00	0,00	0,00	0,0000	0,0000	0,000000	0,000000	0,00	0,000000	0,000000	0,00
proporzionale alla deformata 1° modo di vibrazione												
Estradosso travi gronda	0%	0,00	0,00	0,00	0,0000	0,0000	0,000000	0,000000	0,00	0,000000	0,000000	0,00
Estradosso travi gronda	100%	0,00	0,00	0,00	0,0000	0,0000	0,000000	0,000000	0,00	0,000000	0,000000	0,00
sisma in +Y proporzionale alle masse												
Estradosso travi gronda	0%	1,33	1,29	0,48	0,1256	0,0048	0,026168	0,003759	6,96	0,004615	0,001729	2,67
Estradosso travi gronda	100%	1,29	1,30	0,48	0,1286	0,0045	0,026441	0,003759	7,03	0,004445	0,001729	2,57
proporzionale alla deformata 1° modo di vibrazione												
Estradosso travi gronda	0%	0,00	0,00	0,00	0,0000	0,0000	0,000000	0,000000	0,00	0,000000	0,000000	0,00
Estradosso travi gronda	100%	0,00	0,00	0,00	0,0000	0,0000	0,000000	0,000000	0,00	0,000000	0,000000	0,00
sisma in -Y proporzionale alle masse												
Estradosso travi gronda	0%	0,00	0,00	0,00	0,0000	0,0000	0,000000	0,000000	0,00	0,000000	0,000000	0,00
Estradosso travi gronda	100%	0,00	0,00	0,00	0,0000	0,0000	0,000000	0,000000	0,00	0,000000	0,000000	0,00
proporzionale alla deformata 1° modo di vibrazione												
Estradosso travi gronda	0%	0,00	0,00	0,00	0,0000	0,0000	0,000000	0,000000	0,00	0,000000	0,000000	0,00
Estradosso travi gronda	100%	0,00	0,00	0,00	0,0000	0,0000	0,000000	0,000000	0,00	0,000000	0,000000	0,00
sisma in +X proporzionale alle masse												
Estradosso travi colmo	0%	0,00	0,00	0,00	0,0000	0,0000	0,000000	0,000000	0,00	0,000000	0,000000	0,00
Estradosso travi colmo	100%	0,00	0,00	0,00	0,0000	0,0000	0,000000	0,000000	0,00	0,000000	0,000000	0,00
proporzionale alla deformata 1° modo di vibrazione												
Estradosso travi colmo	0%	1,04	1,02	0,54	0,1345	0,0036	0,028473	0,000227	NS	0,004618	0,000196	23,52
Estradosso travi colmo	100%	1,07	1,11	0,54	0,1369	0,0036	0,029305	0,000227	NS	0,004611	0,000196	23,49
sisma in -X proporzionale alle masse												
Estradosso travi colmo	0%	0,00	0,00	0,00	0,0000	0,0000	0,000000	0,000000	0,00	0,000000	0,000000	0,00
Estradosso travi colmo	100%	0,00	0,00	0,00	0,0000	0,0000	0,000000	0,000000	0,00	0,000000	0,000000	0,00
proporzionale alla deformata 1° modo di vibrazione												
Estradosso travi colmo	0%	0,00	0,00	0,00	0,0000	0,0000	0,000000	0,000000	0,00	0,000000	0,000000	0,00
Estradosso travi colmo	100%	0,00	0,00	0,00	0,0000	0,0000	0,000000	0,000000	0,00	0,000000	0,000000	0,00
sisma in +Y proporzionale alle masse												
Estradosso travi colmo	0%	1,37	1,61	0,49	0,1260	0,0045	0,026788	0,000230	NS	0,004817	0,000076	63,67
Estradosso travi colmo	100%	0,70	0,35	0,42	0,1283	0,0043	0,020281	0,000230	88,18	0,004153	0,000076	54,90
proporzionale alla deformata 1° modo di vibrazione												
Estradosso travi colmo	0%	0,00	0,00	0,00	0,0000	0,0000	0,000000	0,000000	0,00	0,000000	0,000000	0,00
Estradosso travi colmo	100%	0,00	0,00	0,00	0,0000	0,0000	0,000000	0,000000	0,00	0,000000	0,000000	0,00
sisma in -Y proporzionale alle masse												
Estradosso travi colmo	0%	0,00	0,00	0,00	0,0000	0,0000	0,000000	0,000000	0,00	0,000000	0,000000	0,00
Estradosso travi colmo	100%	0,00	0,00	0,00	0,0000	0,0000	0,000000	0,000000	0,00	0,000000	0,000000	0,00

Lv	$\%L_{LI}$	$L_{v,SLV}$	$L_{v,SLD}$	L_{pl}	ϕ_u	ϕ_y	SLV			SLD		
							Θ_c	Θ_d	CS	Θ_c	Θ_d	CS
	[%]	[m]	[m]	[m]	[rad/m]	[rad/m]	[rad]	[rad]		[rad]	[rad]	
proporzionale alla deformata 1° modo di vibrazione												
Estradosso travi colmo	0%	0,00	0,00	0,00	0,0000	0,0000	0,000000	0,000000	0,00	0,000000	0,000000	0,00
Estradosso travi colmo	100%	0,00	0,00	0,00	0,0000	0,0000	0,000000	0,000000	0,00	0,000000	0,000000	0,00
Pilastrata: Pilastrata15												
sisma in +X												
proporzionale alle masse												
Piano terra ingresso	0%	0,00	0,00	0,00	0,0000	0,0000	0,000000	0,000000	0,00	0,000000	0,000000	0,00
Piano terra ingresso	100%	0,00	0,00	0,00	0,0000	0,0000	0,000000	0,000000	0,00	0,000000	0,000000	0,00
proporzionale alla deformata 1° modo di vibrazione												
Piano terra ingresso	0%	1,65	1,70	0,60	0,0222	0,0076	0,007479	0,002676	2,79	0,007732	0,001213	6,38
Piano terra ingresso	100%	1,08	1,04	0,54	0,0225	0,0096	0,006469	0,002676	2,42	0,007680	0,001213	6,33
sisma in -X												
proporzionale alle masse												
Piano terra ingresso	0%	0,00	0,00	0,00	0,0000	0,0000	0,000000	0,000000	0,00	0,000000	0,000000	0,00
Piano terra ingresso	100%	0,00	0,00	0,00	0,0000	0,0000	0,000000	0,000000	0,00	0,000000	0,000000	0,00
proporzionale alla deformata 1° modo di vibrazione												
Piano terra ingresso	0%	0,00	0,00	0,00	0,0000	0,0000	0,000000	0,000000	0,00	0,000000	0,000000	0,00
Piano terra ingresso	100%	0,00	0,00	0,00	0,0000	0,0000	0,000000	0,000000	0,00	0,000000	0,000000	0,00
sisma in +Y												
proporzionale alle masse												
Piano terra ingresso	0%	2,11	2,10	0,58	0,0236	0,0091	0,008392	0,003002	2,80	0,009528	0,001431	6,66
Piano terra ingresso	100%	0,63	0,65	0,43	0,0242	0,0057	0,004968	0,003002	1,65	0,004682	0,001431	3,27
proporzionale alla deformata 1° modo di vibrazione												
Piano terra ingresso	0%	0,00	0,00	0,00	0,0000	0,0000	0,000000	0,000000	0,00	0,000000	0,000000	0,00
Piano terra ingresso	100%	0,00	0,00	0,00	0,0000	0,0000	0,000000	0,000000	0,00	0,000000	0,000000	0,00
sisma in -Y												
proporzionale alle masse												
Piano terra ingresso	0%	0,00	0,00	0,00	0,0000	0,0000	0,000000	0,000000	0,00	0,000000	0,000000	0,00
Piano terra ingresso	100%	0,00	0,00	0,00	0,0000	0,0000	0,000000	0,000000	0,00	0,000000	0,000000	0,00
proporzionale alla deformata 1° modo di vibrazione												
Piano terra ingresso	0%	0,00	0,00	0,00	0,0000	0,0000	0,000000	0,000000	0,00	0,000000	0,000000	0,00
Piano terra ingresso	100%	0,00	0,00	0,00	0,0000	0,0000	0,000000	0,000000	0,00	0,000000	0,000000	0,00
sisma in +X												
proporzionale alle masse												
Piano rialzato	0%	0,00	0,00	0,00	0,0000	0,0000	0,000000	0,000000	0,00	0,000000	0,000000	0,00
Piano rialzato	100%	0,00	0,00	0,00	0,0000	0,0000	0,000000	0,000000	0,00	0,000000	0,000000	0,00
proporzionale alla deformata 1° modo di vibrazione												
Piano rialzato	0%	1,11	1,10	0,55	0,0224	0,0095	0,006547	0,001675	3,91	0,007764	0,000809	9,59
Piano rialzato	100%	1,47	1,45	0,58	0,0225	0,0092	0,007276	0,001675	4,34	0,008318	0,000809	10,28
sisma in -X												
proporzionale alle masse												
Piano rialzato	0%	0,00	0,00	0,00	0,0000	0,0000	0,000000	0,000000	0,00	0,000000	0,000000	0,00
Piano rialzato	100%	0,00	0,00	0,00	0,0000	0,0000	0,000000	0,000000	0,00	0,000000	0,000000	0,00
proporzionale alla deformata 1° modo di vibrazione												
Piano rialzato	0%	0,00	0,00	0,00	0,0000	0,0000	0,000000	0,000000	0,00	0,000000	0,000000	0,00
Piano rialzato	100%	0,00	0,00	0,00	0,0000	0,0000	0,000000	0,000000	0,00	0,000000	0,000000	0,00
sisma in +Y												
proporzionale alle masse												
Piano rialzato	0%	0,71	0,74	0,44	0,0242	0,0057	0,005149	0,003431	1,50	0,004701	0,001630	2,88
Piano rialzato	100%	1,06	1,09	0,48	0,0243	0,0072	0,006045	0,003431	1,76	0,005807	0,001630	3,56
proporzionale alla deformata 1° modo di vibrazione												
Piano rialzato	0%	0,00	0,00	0,00	0,0000	0,0000	0,000000	0,000000	0,00	0,000000	0,000000	0,00
Piano rialzato	100%	0,00	0,00	0,00	0,0000	0,0000	0,000000	0,000000	0,00	0,000000	0,000000	0,00
sisma in -Y												
proporzionale alle masse												
Piano rialzato	0%	0,00	0,00	0,00	0,0000	0,0000	0,000000	0,000000	0,00	0,000000	0,000000	0,00
Piano rialzato	100%	0,00	0,00	0,00	0,0000	0,0000	0,000000	0,000000	0,00	0,000000	0,000000	0,00
proporzionale alla deformata 1° modo di vibrazione												
Piano rialzato	0%	0,00	0,00	0,00	0,0000	0,0000	0,000000	0,000000	0,00	0,000000	0,000000	0,00
Piano rialzato	100%	0,00	0,00	0,00	0,0000	0,0000	0,000000	0,000000	0,00	0,000000	0,000000	0,00
sisma in +X												
proporzionale alle masse												
Piano primo	0%	0,00	0,00	0,00	0,0000	0,0000	0,000000	0,000000	0,00	0,000000	0,000000	0,00
Piano primo	100%	0,00	0,00	0,00	0,0000	0,0000	0,000000	0,000000	0,00	0,000000	0,000000	0,00
proporzionale alla deformata 1° modo di vibrazione												
Piano primo	0%	1,40	1,33	0,56	0,0379	0,0068	0,010180	0,003317	3,07	0,006421	0,001463	4,39
Piano primo	100%	1,47	1,41	0,57	0,0390	0,0065	0,010625	0,003317	3,20	0,006375	0,001463	4,36
sisma in -X												
proporzionale alle masse												
Piano primo	0%	0,00	0,00	0,00	0,0000	0,0000	0,000000	0,000000	0,00	0,000000	0,000000	0,00
Piano primo	100%	0,00	0,00	0,00	0,0000	0,0000	0,000000	0,000000	0,00	0,000000	0,000000	0,00
proporzionale alla deformata 1° modo di vibrazione												
Piano primo	0%	0,00	0,00	0,00	0,0000	0,0000	0,000000	0,000000	0,00	0,000000	0,000000	0,00
Piano primo	100%	0,00	0,00	0,00	0,0000	0,0000	0,000000	0,000000	0,00	0,000000	0,000000	0,00
sisma in +Y												
proporzionale alle masse												
Piano primo	0%	1,01	0,94	0,46	0,0445	0,0093	0,009473	0,003267	2,90	0,006457	0,001471	4,39
Piano primo	100%	1,88	1,96	0,55	0,0456	0,0097	0,013188	0,003267	4,04	0,009564	0,001471	6,50
proporzionale alla deformata 1° modo di vibrazione												
Piano primo	0%	0,00	0,00	0,00	0,0000	0,0000	0,000000	0,000000	0,00	0,000000	0,000000	0,00
Piano primo	100%	0,00	0,00	0,00	0,0000	0,0000	0,000000	0,000000	0,00	0,000000	0,000000	0,00
sisma in -Y												
proporzionale alle masse												

Lv	$\%L_{LI}$	$L_{v,SLV}$	$L_{v,SLD}$	L_{pl}	ϕ_u	ϕ_y	SLV			SLD		
							Θ_c	Θ_d	CS	Θ_c	Θ_d	CS
	[%]	[m]	[m]	[m]	[rad/m]	[rad/m]	[rad]	[rad]		[rad]	[rad]	
Piano primo	0%	0,00	0,00	0,00	0,0000	0,0000	0,000000	0,000000	0,00	0,000000	0,000000	0,00
Piano primo	100%	0,00	0,00	0,00	0,0000	0,0000	0,000000	0,000000	0,00	0,000000	0,000000	0,00
proporzionale alla deformata 1° modo di vibrazione												
Piano primo	0%	0,00	0,00	0,00	0,0000	0,0000	0,000000	0,000000	0,00	0,000000	0,000000	0,00
Piano primo	100%	0,00	0,00	0,00	0,0000	0,0000	0,000000	0,000000	0,00	0,000000	0,000000	0,00
sisma in +X												
proporzionale alle masse												
Estradosso travi gronda	0%	0,00	0,00	0,00	0,0000	0,0000	0,000000	0,000000	0,00	0,000000	0,000000	0,00
Estradosso travi gronda	100%	0,00	0,00	0,00	0,0000	0,0000	0,000000	0,000000	0,00	0,000000	0,000000	0,00
proporzionale alla deformata 1° modo di vibrazione												
Estradosso travi gronda	0%	1,45	1,47	0,55	0,1261	0,0041	0,029452	0,001718	17,14	0,004793	0,000875	5,48
Estradosso travi gronda	100%	1,65	1,66	0,57	0,1286	0,0042	0,031708	0,001718	18,45	0,004980	0,000875	5,69
sisma in -X												
proporzionale alle masse												
Estradosso travi gronda	0%	0,00	0,00	0,00	0,0000	0,0000	0,000000	0,000000	0,00	0,000000	0,000000	0,00
Estradosso travi gronda	100%	0,00	0,00	0,00	0,0000	0,0000	0,000000	0,000000	0,00	0,000000	0,000000	0,00
proporzionale alla deformata 1° modo di vibrazione												
Estradosso travi gronda	0%	0,00	0,00	0,00	0,0000	0,0000	0,000000	0,000000	0,00	0,000000	0,000000	0,00
Estradosso travi gronda	100%	0,00	0,00	0,00	0,0000	0,0000	0,000000	0,000000	0,00	0,000000	0,000000	0,00
sisma in +Y												
proporzionale alle masse												
Estradosso travi gronda	0%	1,37	1,36	0,49	0,1244	0,0044	0,026260	0,002722	9,65	0,004428	0,001272	3,48
Estradosso travi gronda	100%	1,72	1,71	0,52	0,1269	0,0044	0,029564	0,002722	10,86	0,004882	0,001272	3,84
proporzionale alla deformata 1° modo di vibrazione												
Estradosso travi gronda	0%	0,00	0,00	0,00	0,0000	0,0000	0,000000	0,000000	0,00	0,000000	0,000000	0,00
Estradosso travi gronda	100%	0,00	0,00	0,00	0,0000	0,0000	0,000000	0,000000	0,00	0,000000	0,000000	0,00
sisma in -Y												
proporzionale alle masse												
Estradosso travi gronda	0%	0,00	0,00	0,00	0,0000	0,0000	0,000000	0,000000	0,00	0,000000	0,000000	0,00
Estradosso travi gronda	100%	0,00	0,00	0,00	0,0000	0,0000	0,000000	0,000000	0,00	0,000000	0,000000	0,00
proporzionale alla deformata 1° modo di vibrazione												
Estradosso travi gronda	0%	0,00	0,00	0,00	0,0000	0,0000	0,000000	0,000000	0,00	0,000000	0,000000	0,00
Estradosso travi gronda	100%	0,00	0,00	0,00	0,0000	0,0000	0,000000	0,000000	0,00	0,000000	0,000000	0,00
sisma in +X												
proporzionale alle masse												
Estradosso travi colmo	0%	0,00	0,00	0,00	0,0000	0,0000	0,000000	0,000000	0,00	0,000000	0,000000	0,00
Estradosso travi colmo	100%	0,00	0,00	0,00	0,0000	0,0000	0,000000	0,000000	0,00	0,000000	0,000000	0,00
proporzionale alla deformata 1° modo di vibrazione												
Estradosso travi colmo	0%	0,94	1,03	0,50	0,1519	0,0000	0,028926	0,000019	NS	0,002435	0,000015	NS
Estradosso travi colmo	100%	1,13	1,14	0,51	0,1555	0,0038	0,032311	0,000019	NS	0,004363	0,000015	NS
sisma in -X												
proporzionale alle masse												
Estradosso travi colmo	0%	0,00	0,00	0,00	0,0000	0,0000	0,000000	0,000000	0,00	0,000000	0,000000	0,00
Estradosso travi colmo	100%	0,00	0,00	0,00	0,0000	0,0000	0,000000	0,000000	0,00	0,000000	0,000000	0,00
proporzionale alla deformata 1° modo di vibrazione												
Estradosso travi colmo	0%	0,00	0,00	0,00	0,0000	0,0000	0,000000	0,000000	0,00	0,000000	0,000000	0,00
Estradosso travi colmo	100%	0,00	0,00	0,00	0,0000	0,0000	0,000000	0,000000	0,00	0,000000	0,000000	0,00
sisma in +Y												
proporzionale alle masse												
Estradosso travi colmo	0%	0,86	0,81	0,44	0,1445	0,0000	0,024499	0,000386	63,55	0,002026	0,000421	4,81
Estradosso travi colmo	100%	1,24	1,29	0,47	0,1462	0,0040	0,029374	0,000386	76,20	0,004145	0,000421	9,84
proporzionale alla deformata 1° modo di vibrazione												
Estradosso travi colmo	0%	0,00	0,00	0,00	0,0000	0,0000	0,000000	0,000000	0,00	0,000000	0,000000	0,00
Estradosso travi colmo	100%	0,00	0,00	0,00	0,0000	0,0000	0,000000	0,000000	0,00	0,000000	0,000000	0,00
sisma in -Y												
proporzionale alle masse												
Estradosso travi	0%	0,00	0,00	0,00	0,0000	0,0000	0,000000	0,000000	0,00	0,000000	0,000000	0,00

Lv	$\%L_{LI}$	$L_{v,SLV}$	$L_{v,SLD}$	L_{pl}	ϕ_u	ϕ_y	SLV			SLD		
							Θ_c	Θ_d	CS	Θ_c	Θ_d	CS
	[%]	[m]	[m]	[m]	[rad/m]	[rad/m]	[rad]	[rad]		[rad]	[rad]	
colmo												
Estradosso travi colmo	100%	0,00	0,00	0,00	0,0000	0,0000	0,000000	0,000000	0,00	0,000000	0,000000	0,00
proporzionale alla deformata 1° modo di vibrazione												
Estradosso travi colmo	0%	0,00	0,00	0,00	0,0000	0,0000	0,000000	0,000000	0,00	0,000000	0,000000	0,00
Estradosso travi colmo	100%	0,00	0,00	0,00	0,0000	0,0000	0,000000	0,000000	0,00	0,000000	0,000000	0,00
Pilastrata: Pilastrata16												
sisma in +X												
proporzionale alle masse												
Piano terra ingresso	0%	0,00	0,00	0,00	0,0000	0,0000	0,000000	0,000000	0,00	0,000000	0,000000	0,00
Piano terra ingresso	100%	0,00	0,00	0,00	0,0000	0,0000	0,000000	0,000000	0,00	0,000000	0,000000	0,00
proporzionale alla deformata 1° modo di vibrazione												
Piano terra ingresso	0%	1,66	1,85	0,67	0,0187	0,0048	0,006850	0,002466	2,78	0,006241	0,001090	5,73
Piano terra ingresso	100%	1,25	1,06	0,63	0,0189	0,0058	0,006285	0,002466	2,55	0,006377	0,001090	5,85
sisma in -X												
proporzionale alle masse												
Piano terra ingresso	0%	0,00	0,00	0,00	0,0000	0,0000	0,000000	0,000000	0,00	0,000000	0,000000	0,00
Piano terra ingresso	100%	0,00	0,00	0,00	0,0000	0,0000	0,000000	0,000000	0,00	0,000000	0,000000	0,00
proporzionale alla deformata 1° modo di vibrazione												
Piano terra ingresso	0%	0,00	0,00	0,00	0,0000	0,0000	0,000000	0,000000	0,00	0,000000	0,000000	0,00
Piano terra ingresso	100%	0,00	0,00	0,00	0,0000	0,0000	0,000000	0,000000	0,00	0,000000	0,000000	0,00
sisma in +Y												
proporzionale alle masse												
Piano terra ingresso	0%	2,31	2,27	0,62	0,0276	0,0065	0,009522	0,002897	3,29	0,007742	0,001367	5,66
Piano terra ingresso	100%	0,63	0,66	0,45	0,0285	0,0054	0,005649	0,002897	1,95	0,004630	0,001367	3,39
proporzionale alla deformata 1° modo di vibrazione												
Piano terra ingresso	0%	0,00	0,00	0,00	0,0000	0,0000	0,000000	0,000000	0,00	0,000000	0,000000	0,00
Piano terra ingresso	100%	0,00	0,00	0,00	0,0000	0,0000	0,000000	0,000000	0,00	0,000000	0,000000	0,00
sisma in -Y												
proporzionale alle masse												
Piano terra ingresso	0%	0,00	0,00	0,00	0,0000	0,0000	0,000000	0,000000	0,00	0,000000	0,000000	0,00
Piano terra ingresso	100%	0,00	0,00	0,00	0,0000	0,0000	0,000000	0,000000	0,00	0,000000	0,000000	0,00
proporzionale alla deformata 1° modo di vibrazione												
Piano terra ingresso	0%	0,00	0,00	0,00	0,0000	0,0000	0,000000	0,000000	0,00	0,000000	0,000000	0,00
Piano terra ingresso	100%	0,00	0,00	0,00	0,0000	0,0000	0,000000	0,000000	0,00	0,000000	0,000000	0,00
sisma in +X												
proporzionale alle masse												
Piano primo	0%	0,00	0,00	0,00	0,0000	0,0000	0,000000	0,000000	0,00	0,000000	0,000000	0,00
Piano primo	100%	0,00	0,00	0,00	0,0000	0,0000	0,000000	0,000000	0,00	0,000000	0,000000	0,00
proporzionale alla deformata 1° modo di vibrazione												
Piano primo	0%	1,32	1,26	0,61	0,0300	0,0053	0,008684	0,003347	2,59	0,005837	0,001432	4,08
Piano primo	100%	1,42	1,35	0,62	0,0306	0,0051	0,009044	0,003347	2,70	0,005789	0,001432	4,04
sisma in -X												
proporzionale alle masse												
Piano primo	0%	0,00	0,00	0,00	0,0000	0,0000	0,000000	0,000000	0,00	0,000000	0,000000	0,00
Piano primo	100%	0,00	0,00	0,00	0,0000	0,0000	0,000000	0,000000	0,00	0,000000	0,000000	0,00
proporzionale alla deformata 1° modo di vibrazione												
Piano primo	0%	0,00	0,00	0,00	0,0000	0,0000	0,000000	0,000000	0,00	0,000000	0,000000	0,00
Piano primo	100%	0,00	0,00	0,00	0,0000	0,0000	0,000000	0,000000	0,00	0,000000	0,000000	0,00
sisma in +Y												
proporzionale alle masse												
Piano primo	0%	0,56	0,40	0,44	0,0469	0,0065	0,007863	0,003237	2,43	0,005007	0,001444	3,47
Piano primo	100%	2,16	2,34	0,60	0,0475	0,0108	0,015413	0,003237	4,76	0,011954	0,001444	8,28
proporzionale alla deformata 1° modo di vibrazione												
Piano primo	0%	0,00	0,00	0,00	0,0000	0,0000	0,000000	0,000000	0,00	0,000000	0,000000	0,00
Piano primo	100%	0,00	0,00	0,00	0,0000	0,0000	0,000000	0,000000	0,00	0,000000	0,000000	0,00
sisma in -Y												
proporzionale alle masse												
Piano primo	0%	0,00	0,00	0,00	0,0000	0,0000	0,000000	0,000000	0,00	0,000000	0,000000	0,00
Piano primo	100%	0,00	0,00	0,00	0,0000	0,0000	0,000000	0,000000	0,00	0,000000	0,000000	0,00
proporzionale alla deformata 1° modo di vibrazione												
Piano primo	0%	0,00	0,00	0,00	0,0000	0,0000	0,000000	0,000000	0,00	0,000000	0,000000	0,00
Piano primo	100%	0,00	0,00	0,00	0,0000	0,0000	0,000000	0,000000	0,00	0,000000	0,000000	0,00
sisma in +X												
proporzionale alle masse												
Estradosso travi gronda	0%	0,00	0,00	0,00	0,0000	0,0000	0,000000	0,000000	0,00	0,000000	0,000000	0,00
Estradosso travi gronda	100%	0,00	0,00	0,00	0,0000	0,0000	0,000000	0,000000	0,00	0,000000	0,000000	0,00
proporzionale alla deformata 1° modo di vibrazione												
Estradosso travi gronda	0%	1,34	1,21	0,57	0,1128	0,0038	0,026821	0,001709	15,70	0,004601	0,000871	5,28
Estradosso travi gronda	100%	1,74	1,87	0,61	0,1151	0,0039	0,030597	0,001709	17,91	0,005106	0,000871	5,86
sisma in -X												
proporzionale alle masse												
Estradosso travi gronda	0%	0,00	0,00	0,00	0,0000	0,0000	0,000000	0,000000	0,00	0,000000	0,000000	0,00
Estradosso travi gronda	100%	0,00	0,00	0,00	0,0000	0,0000	0,000000	0,000000	0,00	0,000000	0,000000	0,00
proporzionale alla deformata 1° modo di vibrazione												
Estradosso travi gronda	0%	0,00	0,00	0,00	0,0000	0,0000	0,000000	0,000000	0,00	0,000000	0,000000	0,00

Lv	$\%L_{LI}$	$L_{v,SLV}$	$L_{v,SLD}$	L_{pl}	ϕ_u	ϕ_y	SLV			SLD		
							Θ_c	Θ_d	CS	Θ_c	Θ_d	CS
	[%]	[m]	[m]	[m]	[rad/m]	[rad/m]	[rad]	[rad]		[rad]	[rad]	
Estradosso travi gronda	100%	0,00	0,00	0,00	0,0000	0,0000	0,000000	0,000000	0,00	0,000000	0,000000	0,00
sisma in +Y												
proporzionale alle masse												
Estradosso travi gronda	0%	1,31	1,43	0,50	0,1111	0,0044	0,023933	0,002603	9,19	0,004553	0,001184	3,84
Estradosso travi gronda	100%	1,78	1,71	0,55	0,1132	0,0043	0,027655	0,002603	10,62	0,004826	0,001184	4,08
proporzionale alla deformata 1° modo di vibrazione												
Estradosso travi gronda	0%	0,00	0,00	0,00	0,0000	0,0000	0,000000	0,000000	0,00	0,000000	0,000000	0,00
Estradosso travi gronda	100%	0,00	0,00	0,00	0,0000	0,0000	0,000000	0,000000	0,00	0,000000	0,000000	0,00
sisma in -Y												
proporzionale alle masse												
Estradosso travi gronda	0%	0,00	0,00	0,00	0,0000	0,0000	0,000000	0,000000	0,00	0,000000	0,000000	0,00
Estradosso travi gronda	100%	0,00	0,00	0,00	0,0000	0,0000	0,000000	0,000000	0,00	0,000000	0,000000	0,00
proporzionale alla deformata 1° modo di vibrazione												
Estradosso travi gronda	0%	0,00	0,00	0,00	0,0000	0,0000	0,000000	0,000000	0,00	0,000000	0,000000	0,00
Estradosso travi gronda	100%	0,00	0,00	0,00	0,0000	0,0000	0,000000	0,000000	0,00	0,000000	0,000000	0,00
sisma in +X												
proporzionale alle masse												
Estradosso travi colmo	0%	0,00	0,00	0,00	0,0000	0,0000	0,000000	0,000000	0,00	0,000000	0,000000	0,00
Estradosso travi colmo	100%	0,00	0,00	0,00	0,0000	0,0000	0,000000	0,000000	0,00	0,000000	0,000000	0,00
proporzionale alla deformata 1° modo di vibrazione												
Estradosso travi colmo	0%	1,08	0,96	0,55	0,1314	0,0035	0,028294	0,000011	NS	0,004433	0,000013	NS
Estradosso travi colmo	100%	0,98	1,11	0,54	0,1330	0,0036	0,027457	0,000011	NS	0,004491	0,000013	NS
sisma in -X												
proporzionale alle masse												
Estradosso travi colmo	0%	0,00	0,00	0,00	0,0000	0,0000	0,000000	0,000000	0,00	0,000000	0,000000	0,00
Estradosso travi colmo	100%	0,00	0,00	0,00	0,0000	0,0000	0,000000	0,000000	0,00	0,000000	0,000000	0,00
proporzionale alla deformata 1° modo di vibrazione												
Estradosso travi colmo	0%	0,00	0,00	0,00	0,0000	0,0000	0,000000	0,000000	0,00	0,000000	0,000000	0,00
Estradosso travi colmo	100%	0,00	0,00	0,00	0,0000	0,0000	0,000000	0,000000	0,00	0,000000	0,000000	0,00
sisma in +Y												
proporzionale alle masse												
Estradosso travi colmo	0%	0,95	0,87	0,47	0,1277	0,0039	0,023593	0,000397	59,39	0,003761	0,000445	8,45
Estradosso travi colmo	100%	1,16	1,23	0,49	0,1291	0,0041	0,026105	0,000397	65,72	0,004145	0,000445	9,31
proporzionale alla deformata 1° modo di vibrazione												
Estradosso travi colmo	0%	0,00	0,00	0,00	0,0000	0,0000	0,000000	0,000000	0,00	0,000000	0,000000	0,00
Estradosso travi colmo	100%	0,00	0,00	0,00	0,0000	0,0000	0,000000	0,000000	0,00	0,000000	0,000000	0,00
sisma in -Y												
proporzionale alle masse												
Estradosso travi colmo	0%	0,00	0,00	0,00	0,0000	0,0000	0,000000	0,000000	0,00	0,000000	0,000000	0,00
Estradosso travi colmo	100%	0,00	0,00	0,00	0,0000	0,0000	0,000000	0,000000	0,00	0,000000	0,000000	0,00
proporzionale alla deformata 1° modo di vibrazione												
Estradosso travi colmo	0%	0,00	0,00	0,00	0,0000	0,0000	0,000000	0,000000	0,00	0,000000	0,000000	0,00
Estradosso travi colmo	100%	0,00	0,00	0,00	0,0000	0,0000	0,000000	0,000000	0,00	0,000000	0,000000	0,00
Pilastrata: Pilastrata17												
sisma in +X												
proporzionale alle masse												
Piano terra ingresso	0%	0,00	0,00	0,00	0,0000	0,0000	0,000000	0,000000	0,00	0,000000	0,000000	0,00
Piano terra ingresso	100%	0,00	0,00	0,00	0,0000	0,0000	0,000000	0,000000	0,00	0,000000	0,000000	0,00
proporzionale alla deformata 1° modo di vibrazione												
Piano terra ingresso	0%	1,63	1,71	0,69	0,0172	0,0048	0,006499	0,002538	2,56	0,006251	0,001133	5,52
Piano terra ingresso	100%	1,09	1,00	0,64	0,0175	0,0071	0,005965	0,002538	2,35	0,007240	0,001133	6,39
sisma in -X												
proporzionale alle masse												
Piano terra ingresso	0%	0,00	0,00	0,00	0,0000	0,0000	0,000000	0,000000	0,00	0,000000	0,000000	0,00
Piano terra ingresso	100%	0,00	0,00	0,00	0,0000	0,0000	0,000000	0,000000	0,00	0,000000	0,000000	0,00
proporzionale alla deformata 1° modo di vibrazione												
Piano terra ingresso	0%	0,00	0,00	0,00	0,0000	0,0000	0,000000	0,000000	0,00	0,000000	0,000000	0,00
Piano terra ingresso	100%	0,00	0,00	0,00	0,0000	0,0000	0,000000	0,000000	0,00	0,000000	0,000000	0,00
sisma in +Y												
proporzionale alle masse												

Lv	$\%L_{LI}$	$L_{v,SLV}$	$L_{v,SLD}$	L_{pl}	ϕ_u	ϕ_y	SLV			SLD		
							Θ_c	Θ_d	CS	Θ_c	Θ_d	CS
	[%]	[m]	[m]	[m]	[rad/m]	[rad/m]	[rad]	[rad]		[rad]	[rad]	
Piano terra ingresso	0%	2,32	2,27	0,62	0,0221	0,0073	0,008188	0,002823	2,90	0,008438	0,001325	6,37
Piano terra ingresso	100%	0,41	0,48	0,43	0,0224	0,0029	0,004048	0,002823	1,43	0,003888	0,001325	2,93
proporzionale alla deformata 1° modo di vibrazione												
Piano terra ingresso	0%	0,00	0,00	0,00	0,0000	0,0000	0,000000	0,000000	0,00	0,000000	0,000000	0,00
Piano terra ingresso	100%	0,00	0,00	0,00	0,0000	0,0000	0,000000	0,000000	0,00	0,000000	0,000000	0,00
sisma in -Y												
proporzionale alle masse												
Piano terra ingresso	0%	0,00	0,00	0,00	0,0000	0,0000	0,000000	0,000000	0,00	0,000000	0,000000	0,00
Piano terra ingresso	100%	0,00	0,00	0,00	0,0000	0,0000	0,000000	0,000000	0,00	0,000000	0,000000	0,00
proporzionale alla deformata 1° modo di vibrazione												
Piano terra ingresso	0%	0,00	0,00	0,00	0,0000	0,0000	0,000000	0,000000	0,00	0,000000	0,000000	0,00
Piano terra ingresso	100%	0,00	0,00	0,00	0,0000	0,0000	0,000000	0,000000	0,00	0,000000	0,000000	0,00
sisma in +X												
proporzionale alle masse												
Piano rialzato	0%	0,00	0,00	0,00	0,0000	0,0000	0,000000	0,000000	0,00	0,000000	0,000000	0,00
Piano rialzato	100%	0,00	0,00	0,00	0,0000	0,0000	0,000000	0,000000	0,00	0,000000	0,000000	0,00
proporzionale alla deformata 1° modo di vibrazione												
Piano rialzato	0%	1,11	1,02	0,64	0,0175	0,0071	0,005972	0,001785	3,35	0,007252	0,000893	8,12
Piano rialzato	100%	1,31	1,22	0,66	0,0175	0,0057	0,006172	0,001785	3,46	0,006543	0,000893	7,33
sisma in -X												
proporzionale alle masse												
Piano rialzato	0%	0,00	0,00	0,00	0,0000	0,0000	0,000000	0,000000	0,00	0,000000	0,000000	0,00
Piano rialzato	100%	0,00	0,00	0,00	0,0000	0,0000	0,000000	0,000000	0,00	0,000000	0,000000	0,00
proporzionale alla deformata 1° modo di vibrazione												
Piano rialzato	0%	0,00	0,00	0,00	0,0000	0,0000	0,000000	0,000000	0,00	0,000000	0,000000	0,00
Piano rialzato	100%	0,00	0,00	0,00	0,0000	0,0000	0,000000	0,000000	0,00	0,000000	0,000000	0,00
sisma in +Y												
proporzionale alle masse												
Piano rialzato	0%	0,49	0,59	0,44	0,0224	0,0029	0,004214	0,003681	1,14	0,003698	0,001705	2,17
Piano rialzato	100%	0,69	0,79	0,46	0,0224	0,0036	0,004821	0,003681	1,31	0,003884	0,001705	2,28
proporzionale alla deformata 1° modo di vibrazione												
Piano rialzato	0%	0,00	0,00	0,00	0,0000	0,0000	0,000000	0,000000	0,00	0,000000	0,000000	0,00
Piano rialzato	100%	0,00	0,00	0,00	0,0000	0,0000	0,000000	0,000000	0,00	0,000000	0,000000	0,00
sisma in -Y												
proporzionale alle masse												
Piano rialzato	0%	0,00	0,00	0,00	0,0000	0,0000	0,000000	0,000000	0,00	0,000000	0,000000	0,00
Piano rialzato	100%	0,00	0,00	0,00	0,0000	0,0000	0,000000	0,000000	0,00	0,000000	0,000000	0,00
proporzionale alla deformata 1° modo di vibrazione												
Piano rialzato	0%	0,00	0,00	0,00	0,0000	0,0000	0,000000	0,000000	0,00	0,000000	0,000000	0,00
Piano rialzato	100%	0,00	0,00	0,00	0,0000	0,0000	0,000000	0,000000	0,00	0,000000	0,000000	0,00
sisma in +X												
proporzionale alle masse												
Piano primo	0%	0,00	0,00	0,00	0,0000	0,0000	0,000000	0,000000	0,00	0,000000	0,000000	0,00
Piano primo	100%	0,00	0,00	0,00	0,0000	0,0000	0,000000	0,000000	0,00	0,000000	0,000000	0,00
proporzionale alla deformata 1° modo di vibrazione												
Piano primo	0%	1,31	1,24	0,62	0,0316	0,0049	0,009210	0,003391	2,72	0,005750	0,001484	3,87
Piano primo	100%	1,39	1,38	0,63	0,0317	0,0052	0,009459	0,003391	2,79	0,005980	0,001484	4,03
sisma in -X												
proporzionale alle masse												
Piano primo	0%	0,00	0,00	0,00	0,0000	0,0000	0,000000	0,000000	0,00	0,000000	0,000000	0,00
Piano primo	100%	0,00	0,00	0,00	0,0000	0,0000	0,000000	0,000000	0,00	0,000000	0,000000	0,00
proporzionale alla deformata 1° modo di vibrazione												
Piano primo	0%	0,00	0,00	0,00	0,0000	0,0000	0,000000	0,000000	0,00	0,000000	0,000000	0,00
Piano primo	100%	0,00	0,00	0,00	0,0000	0,0000	0,000000	0,000000	0,00	0,000000	0,000000	0,00
sisma in +Y												
proporzionale alle masse												
Piano primo	0%	0,43	0,34	0,42	0,0329	0,0034	0,005288	0,003206	1,65	0,004269	0,001415	3,02
Piano primo	100%	2,24	2,41	0,60	0,0333	0,0077	0,011249	0,003206	3,51	0,009091	0,001415	6,43
proporzionale alla deformata 1° modo di vibrazione												
Piano primo	0%	0,00	0,00	0,00	0,0000	0,0000	0,000000	0,000000	0,00	0,000000	0,000000	0,00
Piano primo	100%	0,00	0,00	0,00	0,0000	0,0000	0,000000	0,000000	0,00	0,000000	0,000000	0,00
sisma in -Y												
proporzionale alle masse												
Piano primo	0%	0,00	0,00	0,00	0,0000	0,0000	0,000000	0,000000	0,00	0,000000	0,000000	0,00
Piano primo	100%	0,00	0,00	0,00	0,0000	0,0000	0,000000	0,000000	0,00	0,000000	0,000000	0,00
proporzionale alla deformata 1° modo di vibrazione												
Piano primo	0%	0,00	0,00	0,00	0,0000	0,0000	0,000000	0,000000	0,00	0,000000	0,000000	0,00
Piano primo	100%	0,00	0,00	0,00	0,0000	0,0000	0,000000	0,000000	0,00	0,000000	0,000000	0,00
sisma in +X												
proporzionale alle masse												
Estradosso travi gronda	0%	0,00	0,00	0,00	0,0000	0,0000	0,000000	0,000000	0,00	0,000000	0,000000	0,00
Estradosso travi gronda	100%	0,00	0,00	0,00	0,0000	0,0000	0,000000	0,000000	0,00	0,000000	0,000000	0,00
proporzionale alla deformata 1° modo di vibrazione												
Estradosso travi gronda	0%	1,39	1,35	0,60	0,1149	0,0036	0,028359	0,001699	16,69	0,004709	0,000868	5,42
Estradosso travi gronda	100%	1,69	1,73	0,62	0,1174	0,0037	0,031429	0,001699	18,49	0,004941	0,000868	5,69
sisma in -X												
proporzionale alle masse												
Estradosso travi gronda	0%	0,00	0,00	0,00	0,0000	0,0000	0,000000	0,000000	0,00	0,000000	0,000000	0,00
Estradosso travi gronda	100%	0,00	0,00	0,00	0,0000	0,0000	0,000000	0,000000	0,00	0,000000	0,000000	0,00

Lv	%L_{LI}	$L_{v,SLV}$	$L_{v,SLD}$	L_{pl}	ϕ_u	ϕ_y	SLV			SLD		
							Θ_c	Θ_d	CS	Θ_c	Θ_d	CS
	[%]	[m]	[m]	[m]	[rad/m]	[rad/m]	[rad]	[rad]		[rad]	[rad]	
proporzionale alla deformata 1° modo di vibrazione												
Estradosso travi gronda	0%	0,00	0,00	0,00	0,0000	0,0000	0,000000	0,000000	0,00	0,000000	0,000000	0,00
Estradosso travi gronda	100%	0,00	0,00	0,00	0,0000	0,0000	0,000000	0,000000	0,00	0,000000	0,000000	0,00
sisma in +Y												
proporzionale alle masse												
Estradosso travi gronda	0%	1,31	1,34	0,50	0,1143	0,0038	0,024460	0,002515	9,73	0,004097	0,001132	3,62
Estradosso travi gronda	100%	1,76	1,70	0,55	0,1167	0,0038	0,028331	0,002515	11,26	0,004417	0,001132	3,90
proporzionale alla deformata 1° modo di vibrazione												
Estradosso travi gronda	0%	0,00	0,00	0,00	0,0000	0,0000	0,000000	0,000000	0,00	0,000000	0,000000	0,00
Estradosso travi gronda	100%	0,00	0,00	0,00	0,0000	0,0000	0,000000	0,000000	0,00	0,000000	0,000000	0,00
sisma in -Y												
proporzionale alle masse												
Estradosso travi gronda	0%	0,00	0,00	0,00	0,0000	0,0000	0,000000	0,000000	0,00	0,000000	0,000000	0,00
Estradosso travi gronda	100%	0,00	0,00	0,00	0,0000	0,0000	0,000000	0,000000	0,00	0,000000	0,000000	0,00
proporzionale alla deformata 1° modo di vibrazione												
Estradosso travi gronda	0%	0,00	0,00	0,00	0,0000	0,0000	0,000000	0,000000	0,00	0,000000	0,000000	0,00
Estradosso travi gronda	100%	0,00	0,00	0,00	0,0000	0,0000	0,000000	0,000000	0,00	0,000000	0,000000	0,00
sisma in +X												
proporzionale alle masse												
Estradosso travi colmo	0%	0,00	0,00	0,00	0,0000	0,0000	0,000000	0,000000	0,00	0,000000	0,000000	0,00
Estradosso travi colmo	100%	0,00	0,00	0,00	0,0000	0,0000	0,000000	0,000000	0,00	0,000000	0,000000	0,00
proporzionale alla deformata 1° modo di vibrazione												
Estradosso travi colmo	0%	1,63	2,68	0,62	0,1347	0,0000	0,034756	0,000022	NS	0,001883	0,000022	86,22
Estradosso travi colmo	100%	0,46	0,67	0,50	0,1365	0,0000	0,018942	0,000022	NS	0,003640	0,000022	NS
sisma in -X												
proporzionale alle masse												
Estradosso travi colmo	0%	0,00	0,00	0,00	0,0000	0,0000	0,000000	0,000000	0,00	0,000000	0,000000	0,00
Estradosso travi colmo	100%	0,00	0,00	0,00	0,0000	0,0000	0,000000	0,000000	0,00	0,000000	0,000000	0,00
proporzionale alla deformata 1° modo di vibrazione												
Estradosso travi colmo	0%	0,00	0,00	0,00	0,0000	0,0000	0,000000	0,000000	0,00	0,000000	0,000000	0,00
Estradosso travi colmo	100%	0,00	0,00	0,00	0,0000	0,0000	0,000000	0,000000	0,00	0,000000	0,000000	0,00
sisma in +Y												
proporzionale alle masse												
Estradosso travi colmo	0%	1,12	0,92	0,48	0,1326	0,0000	0,026040	0,000099	NS	0,001937	0,000195	9,93
Estradosso travi colmo	100%	0,98	1,16	0,47	0,1342	0,0032	0,025131	0,000099	NS	0,003584	0,000195	18,38
proporzionale alla deformata 1° modo di vibrazione												
Estradosso travi colmo	0%	0,00	0,00	0,00	0,0000	0,0000	0,000000	0,000000	0,00	0,000000	0,000000	0,00
Estradosso travi colmo	100%	0,00	0,00	0,00	0,0000	0,0000	0,000000	0,000000	0,00	0,000000	0,000000	0,00
sisma in -Y												
proporzionale alle masse												
Estradosso travi colmo	0%	0,00	0,00	0,00	0,0000	0,0000	0,000000	0,000000	0,00	0,000000	0,000000	0,00
Estradosso travi colmo	100%	0,00	0,00	0,00	0,0000	0,0000	0,000000	0,000000	0,00	0,000000	0,000000	0,00
proporzionale alla deformata 1° modo di vibrazione												
Estradosso travi colmo	0%	0,00	0,00	0,00	0,0000	0,0000	0,000000	0,000000	0,00	0,000000	0,000000	0,00
Estradosso travi colmo	100%	0,00	0,00	0,00	0,0000	0,0000	0,000000	0,000000	0,00	0,000000	0,000000	0,00
Pilastrata: Pilastrata18												
sisma in +X												
proporzionale alle masse												
Piano terra ingresso	0%	0,00	0,00	0,00	0,0000	0,0000	0,000000	0,000000	0,00	0,000000	0,000000	0,00
Piano terra ingresso	100%	0,00	0,00	0,00	0,0000	0,0000	0,000000	0,000000	0,00	0,000000	0,000000	0,00
proporzionale alla deformata 1° modo di vibrazione												
Piano terra ingresso	0%	1,63	1,73	0,69	0,0158	0,0051	0,006159	0,002525	2,44	0,006511	0,001130	5,76
Piano terra ingresso	100%	1,08	1,00	0,63	0,0160	0,0081	0,005650	0,002525	2,24	0,007738	0,001130	6,85
sisma in -X												
proporzionale alle masse												
Piano terra ingresso	0%	0,00	0,00	0,00	0,0000	0,0000	0,000000	0,000000	0,00	0,000000	0,000000	0,00
Piano terra ingresso	100%	0,00	0,00	0,00	0,0000	0,0000	0,000000	0,000000	0,00	0,000000	0,000000	0,00
proporzionale alla deformata 1° modo di vibrazione												
Piano terra ingresso	0%	0,00	0,00	0,00	0,0000	0,0000	0,000000	0,000000	0,00	0,000000	0,000000	0,00

Lv	$\%L_{LI}$	$L_{v,SLV}$	$L_{v,SLD}$	L_{pl}	ϕ_u	ϕ_y	SLV			SLD		
							Θ_c	Θ_d	CS	Θ_c	Θ_d	CS
	[%]	[m]	[m]	[m]	[rad/m]	[rad/m]	[rad]	[rad]		[rad]	[rad]	
Piano terra ingresso	100%	0,00	0,00	0,00	0,0000	0,0000	0,000000	0,000000	0,00	0,000000	0,000000	0,00
sisma in +Y												
proporzionale alle masse												
Piano terra ingresso	0%	2,27	2,22	0,62	0,0207	0,0081	0,007907	0,002800	2,82	0,009097	0,001305	6,97
Piano terra ingresso	100%	0,45	0,53	0,44	0,0211	0,0037	0,004004	0,002800	1,43	0,004062	0,001305	3,11
proporzionale alla deformata 1° modo di vibrazione												
Piano terra ingresso	0%	0,00	0,00	0,00	0,0000	0,0000	0,000000	0,000000	0,00	0,000000	0,000000	0,00
Piano terra ingresso	100%	0,00	0,00	0,00	0,0000	0,0000	0,000000	0,000000	0,00	0,000000	0,000000	0,00
sisma in -Y												
proporzionale alle masse												
Piano terra ingresso	0%	0,00	0,00	0,00	0,0000	0,0000	0,000000	0,000000	0,00	0,000000	0,000000	0,00
Piano terra ingresso	100%	0,00	0,00	0,00	0,0000	0,0000	0,000000	0,000000	0,00	0,000000	0,000000	0,00
proporzionale alla deformata 1° modo di vibrazione												
Piano terra ingresso	0%	0,00	0,00	0,00	0,0000	0,0000	0,000000	0,000000	0,00	0,000000	0,000000	0,00
Piano terra ingresso	100%	0,00	0,00	0,00	0,0000	0,0000	0,000000	0,000000	0,00	0,000000	0,000000	0,00
sisma in +X												
proporzionale alle masse												
Piano rialzato	0%	0,00	0,00	0,00	0,0000	0,0000	0,000000	0,000000	0,00	0,000000	0,000000	0,00
Piano rialzato	100%	0,00	0,00	0,00	0,0000	0,0000	0,000000	0,000000	0,00	0,000000	0,000000	0,00
proporzionale alla deformata 1° modo di vibrazione												
Piano rialzato	0%	1,10	1,02	0,64	0,0160	0,0080	0,005659	0,001828	3,10	0,007713	0,000907	8,50
Piano rialzato	100%	1,30	1,22	0,66	0,0160	0,0064	0,005836	0,001828	3,19	0,006970	0,000907	7,69
sisma in -X												
proporzionale alle masse												
Piano rialzato	0%	0,00	0,00	0,00	0,0000	0,0000	0,000000	0,000000	0,00	0,000000	0,000000	0,00
Piano rialzato	100%	0,00	0,00	0,00	0,0000	0,0000	0,000000	0,000000	0,00	0,000000	0,000000	0,00
proporzionale alla deformata 1° modo di vibrazione												
Piano rialzato	0%	0,00	0,00	0,00	0,0000	0,0000	0,000000	0,000000	0,00	0,000000	0,000000	0,00
Piano rialzato	100%	0,00	0,00	0,00	0,0000	0,0000	0,000000	0,000000	0,00	0,000000	0,000000	0,00
sisma in +Y												
proporzionale alle masse												
Piano rialzato	0%	0,53	0,64	0,44	0,0211	0,0036	0,004228	0,003627	1,17	0,003934	0,001649	2,39
Piano rialzato	100%	0,73	0,84	0,46	0,0212	0,0043	0,004764	0,003627	1,31	0,004193	0,001649	2,54
proporzionale alla deformata 1° modo di vibrazione												
Piano rialzato	0%	0,00	0,00	0,00	0,0000	0,0000	0,000000	0,000000	0,00	0,000000	0,000000	0,00
Piano rialzato	100%	0,00	0,00	0,00	0,0000	0,0000	0,000000	0,000000	0,00	0,000000	0,000000	0,00
sisma in -Y												
proporzionale alle masse												
Piano rialzato	0%	0,00	0,00	0,00	0,0000	0,0000	0,000000	0,000000	0,00	0,000000	0,000000	0,00
Piano rialzato	100%	0,00	0,00	0,00	0,0000	0,0000	0,000000	0,000000	0,00	0,000000	0,000000	0,00
proporzionale alla deformata 1° modo di vibrazione												
Piano rialzato	0%	0,00	0,00	0,00	0,0000	0,0000	0,000000	0,000000	0,00	0,000000	0,000000	0,00
Piano rialzato	100%	0,00	0,00	0,00	0,0000	0,0000	0,000000	0,000000	0,00	0,000000	0,000000	0,00
sisma in +X												
proporzionale alle masse												
Piano primo	0%	0,00	0,00	0,00	0,0000	0,0000	0,000000	0,000000	0,00	0,000000	0,000000	0,00
Piano primo	100%	0,00	0,00	0,00	0,0000	0,0000	0,000000	0,000000	0,00	0,000000	0,000000	0,00
proporzionale alla deformata 1° modo di vibrazione												
Piano primo	0%	1,31	1,22	0,62	0,0300	0,0050	0,008831	0,003400	2,60	0,005810	0,001502	3,87
Piano primo	100%	1,40	1,36	0,63	0,0302	0,0053	0,009123	0,003400	2,68	0,006059	0,001502	4,03
sisma in -X												
proporzionale alle masse												
Piano primo	0%	0,00	0,00	0,00	0,0000	0,0000	0,000000	0,000000	0,00	0,000000	0,000000	0,00
Piano primo	100%	0,00	0,00	0,00	0,0000	0,0000	0,000000	0,000000	0,00	0,000000	0,000000	0,00
proporzionale alla deformata 1° modo di vibrazione												
Piano primo	0%	0,00	0,00	0,00	0,0000	0,0000	0,000000	0,000000	0,00	0,000000	0,000000	0,00
Piano primo	100%	0,00	0,00	0,00	0,0000	0,0000	0,000000	0,000000	0,00	0,000000	0,000000	0,00
sisma in +Y												
proporzionale alle masse												
Piano primo	0%	0,47	0,35	0,43	0,0308	0,0042	0,005343	0,003182	1,68	0,004464	0,001378	3,24
Piano primo	100%	2,27	2,40	0,61	0,0314	0,0077	0,010766	0,003182	3,38	0,009084	0,001378	6,59
proporzionale alla deformata 1° modo di vibrazione												
Piano primo	0%	0,00	0,00	0,00	0,0000	0,0000	0,000000	0,000000	0,00	0,000000	0,000000	0,00
Piano primo	100%	0,00	0,00	0,00	0,0000	0,0000	0,000000	0,000000	0,00	0,000000	0,000000	0,00
sisma in -Y												
proporzionale alle masse												
Piano primo	0%	0,00	0,00	0,00	0,0000	0,0000	0,000000	0,000000	0,00	0,000000	0,000000	0,00
Piano primo	100%	0,00	0,00	0,00	0,0000	0,0000	0,000000	0,000000	0,00	0,000000	0,000000	0,00
proporzionale alla deformata 1° modo di vibrazione												
Piano primo	0%	0,00	0,00	0,00	0,0000	0,0000	0,000000	0,000000	0,00	0,000000	0,000000	0,00
Piano primo	100%	0,00	0,00	0,00	0,0000	0,0000	0,000000	0,000000	0,00	0,000000	0,000000	0,00
sisma in +X												
proporzionale alle masse												
Estradosso travi gronda	0%	0,00	0,00	0,00	0,0000	0,0000	0,000000	0,000000	0,00	0,000000	0,000000	0,00
Estradosso travi gronda	100%	0,00	0,00	0,00	0,0000	0,0000	0,000000	0,000000	0,00	0,000000	0,000000	0,00
proporzionale alla deformata 1° modo di vibrazione												
Estradosso travi gronda	0%	1,40	1,39	0,60	0,1164	0,0035	0,028845	0,001702	16,95	0,004628	0,000873	5,30
Estradosso travi gronda	100%	1,69	1,70	0,63	0,1190	0,0036	0,031846	0,001702	18,71	0,004891	0,000873	5,60
sisma in -X												
proporzionale alle masse												
Estradosso travi	0%	0,00	0,00	0,00	0,0000	0,0000	0,000000	0,000000	0,00	0,000000	0,000000	0,00

Lv	$\%L_{LI}$	$L_{v,SLV}$	$L_{v,SLD}$	L_{pl}	ϕ_u	ϕ_y	SLV			SLD		
							Θ_c	Θ_d	CS	Θ_c	Θ_d	CS
	[%]	[m]	[m]	[m]	[rad/m]	[rad/m]	[rad]	[rad]		[rad]	[rad]	
gronda												
Estradosso travi gronda	100%	0,00	0,00	0,00	0,0000	0,0000	0,000000	0,000000	0,00	0,000000	0,000000	0,00
proporzionale alla deformata 1° modo di vibrazione												
Estradosso travi gronda	0%	0,00	0,00	0,00	0,0000	0,0000	0,000000	0,000000	0,00	0,000000	0,000000	0,00
Estradosso travi gronda	100%	0,00	0,00	0,00	0,0000	0,0000	0,000000	0,000000	0,00	0,000000	0,000000	0,00
sisma in +Y												
proporzionale alle masse												
Estradosso travi gronda	0%	1,27	1,34	0,50	0,1140	0,0041	0,024139	0,002469	9,78	0,004263	0,001056	4,04
Estradosso travi gronda	100%	1,74	1,76	0,55	0,1164	0,0039	0,028183	0,002469	11,42	0,004628	0,001056	4,38
proporzionale alla deformata 1° modo di vibrazione												
Estradosso travi gronda	0%	0,00	0,00	0,00	0,0000	0,0000	0,000000	0,000000	0,00	0,000000	0,000000	0,00
Estradosso travi gronda	100%	0,00	0,00	0,00	0,0000	0,0000	0,000000	0,000000	0,00	0,000000	0,000000	0,00
sisma in -Y												
proporzionale alle masse												
Estradosso travi gronda	0%	0,00	0,00	0,00	0,0000	0,0000	0,000000	0,000000	0,00	0,000000	0,000000	0,00
Estradosso travi gronda	100%	0,00	0,00	0,00	0,0000	0,0000	0,000000	0,000000	0,00	0,000000	0,000000	0,00
proporzionale alla deformata 1° modo di vibrazione												
Estradosso travi gronda	0%	0,00	0,00	0,00	0,0000	0,0000	0,000000	0,000000	0,00	0,000000	0,000000	0,00
Estradosso travi gronda	100%	0,00	0,00	0,00	0,0000	0,0000	0,000000	0,000000	0,00	0,000000	0,000000	0,00
sisma in +X												
proporzionale alle masse												
Estradosso travi colmo	0%	0,00	0,00	0,00	0,0000	0,0000	0,000000	0,000000	0,00	0,000000	0,000000	0,00
Estradosso travi colmo	100%	0,00	0,00	0,00	0,0000	0,0000	0,000000	0,000000	0,00	0,000000	0,000000	0,00
proporzionale alla deformata 1° modo di vibrazione												
Estradosso travi colmo	0%	0,89	0,79	0,55	0,1346	0,0000	0,027164	0,000044	NS	0,003268	0,000048	67,77
Estradosso travi colmo	100%	3,06	1,31	0,76	0,1365	0,0000	0,046792	0,000044	NS	0,002492	0,000048	51,67
sisma in -X												
proporzionale alle masse												
Estradosso travi colmo	0%	0,00	0,00	0,00	0,0000	0,0000	0,000000	0,000000	0,00	0,000000	0,000000	0,00
Estradosso travi colmo	100%	0,00	0,00	0,00	0,0000	0,0000	0,000000	0,000000	0,00	0,000000	0,000000	0,00
proporzionale alla deformata 1° modo di vibrazione												
Estradosso travi colmo	0%	0,00	0,00	0,00	0,0000	0,0000	0,000000	0,000000	0,00	0,000000	0,000000	0,00
Estradosso travi colmo	100%	0,00	0,00	0,00	0,0000	0,0000	0,000000	0,000000	0,00	0,000000	0,000000	0,00
sisma in +Y												
proporzionale alle masse												
Estradosso travi colmo	0%	1,07	1,02	0,48	0,1340	0,0032	0,025993	0,000209	NS	0,003514	0,000029	NS
Estradosso travi colmo	100%	1,01	1,06	0,47	0,1357	0,0000	0,025498	0,000209	NS	0,001851	0,000029	63,28
proporzionale alla deformata 1° modo di vibrazione												
Estradosso travi colmo	0%	0,00	0,00	0,00	0,0000	0,0000	0,000000	0,000000	0,00	0,000000	0,000000	0,00
Estradosso travi colmo	100%	0,00	0,00	0,00	0,0000	0,0000	0,000000	0,000000	0,00	0,000000	0,000000	0,00
sisma in -Y												
proporzionale alle masse												
Estradosso travi colmo	0%	0,00	0,00	0,00	0,0000	0,0000	0,000000	0,000000	0,00	0,000000	0,000000	0,00
Estradosso travi colmo	100%	0,00	0,00	0,00	0,0000	0,0000	0,000000	0,000000	0,00	0,000000	0,000000	0,00
proporzionale alla deformata 1° modo di vibrazione												
Estradosso travi colmo	0%	0,00	0,00	0,00	0,0000	0,0000	0,000000	0,000000	0,00	0,000000	0,000000	0,00
Estradosso travi colmo	100%	0,00	0,00	0,00	0,0000	0,0000	0,000000	0,000000	0,00	0,000000	0,000000	0,00
Pilastrata: Pilastrata19												
sisma in +X												
proporzionale alle masse												
Estradosso travi colmo	0%	0,00	0,00	0,00	0,0000	0,0000	0,000000	0,000000	0,00	0,000000	0,000000	0,00
Estradosso travi colmo	100%	0,00	0,00	0,00	0,0000	0,0000	0,000000	0,000000	0,00	0,000000	0,000000	0,00
proporzionale alla deformata 1° modo di vibrazione												
Estradosso travi colmo	0%	0,45	0,73	0,44	0,1121	0,0045	0,014369	0,000167	86,16	0,004700	0,000152	30,88
Estradosso travi	100%	1,81	1,53	0,58	0,1138	0,0050	0,029076	0,000167	NS	0,005412	0,000152	35,55

Lv	$\%L_{LI}$	$L_{v,SLV}$	$L_{v,SLD}$	L_{pl}	ϕ_u	ϕ_y	SLV			SLD		
							Θ_c	Θ_d	CS	Θ_c	Θ_d	CS
	[%]	[m]	[m]	[m]	[rad/m]	[rad/m]	[rad]	[rad]		[rad]	[rad]	
colmo												
sisma in -X												
proporzionale alle masse												
Estradosso travi colmo	0%	0,00	0,00	0,00	0,0000	0,0000	0,000000	0,000000	0,00	0,000000	0,000000	0,00
Estradosso travi colmo	100%	0,00	0,00	0,00	0,0000	0,0000	0,000000	0,000000	0,00	0,000000	0,000000	0,00
proporzionale alla deformata 1° modo di vibrazione												
Estradosso travi colmo	0%	0,00	0,00	0,00	0,0000	0,0000	0,000000	0,000000	0,00	0,000000	0,000000	0,00
Estradosso travi colmo	100%	0,00	0,00	0,00	0,0000	0,0000	0,000000	0,000000	0,00	0,000000	0,000000	0,00
sisma in +Y												
proporzionale alle masse												
Estradosso travi colmo	0%	1,07	0,95	0,45	0,4810	0,0041	0,086978	0,000271	NS	0,003860	0,000384	10,05
Estradosso travi colmo	100%	0,93	0,98	0,44	0,5987	0,0044	0,101308	0,000271	NS	0,004046	0,000384	10,53
proporzionale alla deformata 1° modo di vibrazione												
Estradosso travi colmo	0%	0,00	0,00	0,00	0,0000	0,0000	0,000000	0,000000	0,00	0,000000	0,000000	0,00
Estradosso travi colmo	100%	0,00	0,00	0,00	0,0000	0,0000	0,000000	0,000000	0,00	0,000000	0,000000	0,00
sisma in -Y												
proporzionale alle masse												
Estradosso travi colmo	0%	0,00	0,00	0,00	0,0000	0,0000	0,000000	0,000000	0,00	0,000000	0,000000	0,00
Estradosso travi colmo	100%	0,00	0,00	0,00	0,0000	0,0000	0,000000	0,000000	0,00	0,000000	0,000000	0,00
proporzionale alla deformata 1° modo di vibrazione												
Estradosso travi colmo	0%	0,00	0,00	0,00	0,0000	0,0000	0,000000	0,000000	0,00	0,000000	0,000000	0,00
Estradosso travi colmo	100%	0,00	0,00	0,00	0,0000	0,0000	0,000000	0,000000	0,00	0,000000	0,000000	0,00
Pilastrata: Pilastrata20												
sisma in +X												
proporzionale alle masse												
Piano terra ingresso	0%	0,00	0,00	0,00	0,0000	0,0000	0,000000	0,000000	0,00	0,000000	0,000000	0,00
Piano terra ingresso	100%	0,00	0,00	0,00	0,0000	0,0000	0,000000	0,000000	0,00	0,000000	0,000000	0,00
proporzionale alla deformata 1° modo di vibrazione												
Piano terra ingresso	0%	1,18	1,15	0,51	0,0468	0,0089	0,011189	0,002479	4,51	0,007159	0,001124	6,37
Piano terra ingresso	100%	1,05	0,93	0,50	0,0472	0,0096	0,010688	0,002479	4,31	0,007061	0,001124	6,28
sisma in -X												
proporzionale alle masse												
Piano terra ingresso	0%	0,00	0,00	0,00	0,0000	0,0000	0,000000	0,000000	0,00	0,000000	0,000000	0,00
Piano terra ingresso	100%	0,00	0,00	0,00	0,0000	0,0000	0,000000	0,000000	0,00	0,000000	0,000000	0,00
proporzionale alla deformata 1° modo di vibrazione												
Piano terra ingresso	0%	0,00	0,00	0,00	0,0000	0,0000	0,000000	0,000000	0,00	0,000000	0,000000	0,00
Piano terra ingresso	100%	0,00	0,00	0,00	0,0000	0,0000	0,000000	0,000000	0,00	0,000000	0,000000	0,00
sisma in +Y												
proporzionale alle masse												
Piano terra ingresso	0%	1,41	1,39	0,49	0,0238	0,0164	0,007441	0,002954	2,52	0,011902	0,001358	8,76
Piano terra ingresso	100%	0,83	0,83	0,43	0,0239	0,0142	0,005633	0,002954	1,91	0,008163	0,001358	6,01
proporzionale alla deformata 1° modo di vibrazione												
Piano terra ingresso	0%	0,00	0,00	0,00	0,0000	0,0000	0,000000	0,000000	0,00	0,000000	0,000000	0,00
Piano terra ingresso	100%	0,00	0,00	0,00	0,0000	0,0000	0,000000	0,000000	0,00	0,000000	0,000000	0,00
sisma in -Y												
proporzionale alle masse												
Piano terra ingresso	0%	0,00	0,00	0,00	0,0000	0,0000	0,000000	0,000000	0,00	0,000000	0,000000	0,00
Piano terra ingresso	100%	0,00	0,00	0,00	0,0000	0,0000	0,000000	0,000000	0,00	0,000000	0,000000	0,00
proporzionale alla deformata 1° modo di vibrazione												
Piano terra ingresso	0%	0,00	0,00	0,00	0,0000	0,0000	0,000000	0,000000	0,00	0,000000	0,000000	0,00
Piano terra ingresso	100%	0,00	0,00	0,00	0,0000	0,0000	0,000000	0,000000	0,00	0,000000	0,000000	0,00
sisma in +X												
proporzionale alle masse												
Piano primo (a)	0%	0,00	0,00	0,00	0,0000	0,0000	0,000000	0,000000	0,00	0,000000	0,000000	0,00
Piano primo (a)	100%	0,00	0,00	0,00	0,0000	0,0000	0,000000	0,000000	0,00	0,000000	0,000000	0,00
proporzionale alla deformata 1° modo di vibrazione												
Piano primo (a)	0%	1,47	1,40	0,54	0,0761	0,0068	0,018547	0,003498	5,30	0,006421	0,001549	4,15
Piano primo (a)	100%	1,46	1,45	0,54	0,0781	0,0067	0,018974	0,003498	5,42	0,006411	0,001549	4,14
sisma in -X												
proporzionale alle masse												
Piano primo (a)	0%	0,00	0,00	0,00	0,0000	0,0000	0,000000	0,000000	0,00	0,000000	0,000000	0,00
Piano primo (a)	100%	0,00	0,00	0,00	0,0000	0,0000	0,000000	0,000000	0,00	0,000000	0,000000	0,00
proporzionale alla deformata 1° modo di vibrazione												
Piano primo (a)	0%	0,00	0,00	0,00	0,0000	0,0000	0,000000	0,000000	0,00	0,000000	0,000000	0,00
Piano primo (a)	100%	0,00	0,00	0,00	0,0000	0,0000	0,000000	0,000000	0,00	0,000000	0,000000	0,00
sisma in +Y												
proporzionale alle masse												
Piano primo (a)	0%	1,90	1,80	0,53	0,0339	0,0122	0,010433	0,003087	3,38	0,010893	0,001306	8,34
Piano primo (a)	100%	1,02	1,15	0,45	0,0347	0,0095	0,007872	0,003087	2,55	0,006952	0,001306	5,32
proporzionale alla deformata 1° modo di vibrazione												
Piano primo (a)	0%	0,00	0,00	0,00	0,0000	0,0000	0,000000	0,000000	0,00	0,000000	0,000000	0,00
Piano primo (a)	100%	0,00	0,00	0,00	0,0000	0,0000	0,000000	0,000000	0,00	0,000000	0,000000	0,00
sisma in -Y												

Lv	$\%L_{LI}$	$L_{v,SLV}$	$L_{v,SLD}$	L_{pl}	ϕ_u	ϕ_y	SLV			SLD		
							Θ_c	Θ_d	CS	Θ_c	Θ_d	CS
	[%]	[m]	[m]	[m]	[rad/m]	[rad/m]	[rad]	[rad]		[rad]	[rad]	
proporzionale alle masse												
Piano primo (a)	0%	0,00	0,00	0,00	0,0000	0,0000	0,000000	0,000000	0,00	0,000000	0,000000	0,00
Piano primo (a)	100%	0,00	0,00	0,00	0,0000	0,0000	0,000000	0,000000	0,00	0,000000	0,000000	0,00
proporzionale alla deformata 1° modo di vibrazione												
Piano primo (a)	0%	0,00	0,00	0,00	0,0000	0,0000	0,000000	0,000000	0,00	0,000000	0,000000	0,00
Piano primo (a)	100%	0,00	0,00	0,00	0,0000	0,0000	0,000000	0,000000	0,00	0,000000	0,000000	0,00
sisma in +X												
proporzionale alle masse												
Piano primo (b)	0%	0,00	0,00	0,00	0,0000	0,0000	0,000000	0,000000	0,00	0,000000	0,000000	0,00
Piano primo (b)	100%	0,00	0,00	0,00	0,0000	0,0000	0,000000	0,000000	0,00	0,000000	0,000000	0,00
proporzionale alla deformata 1° modo di vibrazione												
Piano primo (b)	0%	0,41	0,39	0,44	0,0834	0,0061	0,011481	0,002048	5,61	0,006069	0,000910	6,67
Piano primo (b)	100%	0,39	0,40	0,43	0,0845	0,0063	0,011525	0,002048	5,63	0,006052	0,000910	6,65
sisma in -X												
proporzionale alle masse												
Piano primo (b)	0%	0,00	0,00	0,00	0,0000	0,0000	0,000000	0,000000	0,00	0,000000	0,000000	0,00
Piano primo (b)	100%	0,00	0,00	0,00	0,0000	0,0000	0,000000	0,000000	0,00	0,000000	0,000000	0,00
proporzionale alla deformata 1° modo di vibrazione												
Piano primo (b)	0%	0,00	0,00	0,00	0,0000	0,0000	0,000000	0,000000	0,00	0,000000	0,000000	0,00
Piano primo (b)	100%	0,00	0,00	0,00	0,0000	0,0000	0,000000	0,000000	0,00	0,000000	0,000000	0,00
sisma in +Y												
proporzionale alle masse												
Piano primo (b)	0%	0,10	0,11	0,35	0,0461	0,0108	0,007577	0,002895	2,62	0,008896	0,001233	7,21
Piano primo (b)	100%	0,69	0,67	0,41	0,0468	0,0106	0,008362	0,002895	2,89	0,006221	0,001233	5,04
proporzionale alla deformata 1° modo di vibrazione												
Piano primo (b)	0%	0,00	0,00	0,00	0,0000	0,0000	0,000000	0,000000	0,00	0,000000	0,000000	0,00
Piano primo (b)	100%	0,00	0,00	0,00	0,0000	0,0000	0,000000	0,000000	0,00	0,000000	0,000000	0,00
sisma in -Y												
proporzionale alle masse												
Piano primo (b)	0%	0,00	0,00	0,00	0,0000	0,0000	0,000000	0,000000	0,00	0,000000	0,000000	0,00
Piano primo (b)	100%	0,00	0,00	0,00	0,0000	0,0000	0,000000	0,000000	0,00	0,000000	0,000000	0,00
proporzionale alla deformata 1° modo di vibrazione												
Piano primo (b)	0%	0,00	0,00	0,00	0,0000	0,0000	0,000000	0,000000	0,00	0,000000	0,000000	0,00
Piano primo (b)	100%	0,00	0,00	0,00	0,0000	0,0000	0,000000	0,000000	0,00	0,000000	0,000000	0,00
sisma in +X												
proporzionale alle masse												
Estradosso travi gronda (a)	0%	0,00	0,00	0,00	0,0000	0,0000	0,000000	0,000000	0,00	0,000000	0,000000	0,00
Estradosso travi gronda (a)	100%	0,00	0,00	0,00	0,0000	0,0000	0,000000	0,000000	0,00	0,000000	0,000000	0,00
proporzionale alla deformata 1° modo di vibrazione												
Estradosso travi gronda (a)	0%	0,80	0,69	0,48	0,0889	0,0072	0,016597	0,000166	99,88	0,005799	0,000022	NS
Estradosso travi gronda (a)	100%	0,60	0,70	0,46	0,0901	0,0078	0,014635	0,000166	88,07	0,006036	0,000022	NS
sisma in -X												
proporzionale alle masse												
Estradosso travi gronda (a)	0%	0,00	0,00	0,00	0,0000	0,0000	0,000000	0,000000	0,00	0,000000	0,000000	0,00
Estradosso travi gronda (a)	100%	0,00	0,00	0,00	0,0000	0,0000	0,000000	0,000000	0,00	0,000000	0,000000	0,00
proporzionale alla deformata 1° modo di vibrazione												
Estradosso travi gronda (a)	0%	0,00	0,00	0,00	0,0000	0,0000	0,000000	0,000000	0,00	0,000000	0,000000	0,00
Estradosso travi gronda (a)	100%	0,00	0,00	0,00	0,0000	0,0000	0,000000	0,000000	0,00	0,000000	0,000000	0,00
sisma in +Y												
proporzionale alle masse												
Estradosso travi gronda (a)	0%	0,90	1,03	0,44	0,0578	0,0123	0,011558	0,001853	6,24	0,008070	0,000828	9,74
Estradosso travi gronda (a)	100%	0,49	0,37	0,39	0,0589	0,0158	0,008781	0,001853	4,74	0,007348	0,000828	8,87
proporzionale alla deformata 1° modo di vibrazione												
Estradosso travi gronda (a)	0%	0,00	0,00	0,00	0,0000	0,0000	0,000000	0,000000	0,00	0,000000	0,000000	0,00
Estradosso travi gronda (a)	100%	0,00	0,00	0,00	0,0000	0,0000	0,000000	0,000000	0,00	0,000000	0,000000	0,00
sisma in -Y												
proporzionale alle masse												
Estradosso travi gronda (a)	0%	0,00	0,00	0,00	0,0000	0,0000	0,000000	0,000000	0,00	0,000000	0,000000	0,00
Estradosso travi gronda (a)	100%	0,00	0,00	0,00	0,0000	0,0000	0,000000	0,000000	0,00	0,000000	0,000000	0,00
proporzionale alla deformata 1° modo di vibrazione												
Estradosso travi gronda (a)	0%	0,00	0,00	0,00	0,0000	0,0000	0,000000	0,000000	0,00	0,000000	0,000000	0,00
Estradosso travi gronda (a)	100%	0,00	0,00	0,00	0,0000	0,0000	0,000000	0,000000	0,00	0,000000	0,000000	0,00
sisma in +X												
proporzionale alle masse												
Estradosso travi gronda (b)	0%	0,00	0,00	0,00	0,0000	0,0000	0,000000	0,000000	0,00	0,000000	0,000000	0,00
Estradosso travi gronda (b)	100%	0,00	0,00	0,00	0,0000	0,0000	0,000000	0,000000	0,00	0,000000	0,000000	0,00
proporzionale alla deformata 1° modo di vibrazione												

Lv	$\%L_{LI}$	$L_{v,SLV}$	$L_{v,SLD}$	L_{pl}	ϕ_u	ϕ_y	SLV			SLD		
							Θ_c	Θ_d	CS	Θ_c	Θ_d	CS
	[%]	[m]	[m]	[m]	[rad/m]	[rad/m]	[rad]	[rad]		[rad]	[rad]	
Estradosso travi gronda (b)	0%	0,58	0,57	0,45	0,0942	0,0060	0,014880	0,004014	3,71	0,005435	0,001968	2,76
Estradosso travi gronda (b)	100%	0,57	0,58	0,45	0,0949	0,0059	0,014863	0,004014	3,70	0,005388	0,001968	2,74
sisma in -X												
proporzionale alle masse												
Estradosso travi gronda (b)	0%	0,00	0,00	0,00	0,0000	0,0000	0,000000	0,000000	0,00	0,000000	0,000000	0,00
Estradosso travi gronda (b)	100%	0,00	0,00	0,00	0,0000	0,0000	0,000000	0,000000	0,00	0,000000	0,000000	0,00
proporzionale alla deformata 1° modo di vibrazione												
Estradosso travi gronda (b)	0%	0,00	0,00	0,00	0,0000	0,0000	0,000000	0,000000	0,00	0,000000	0,000000	0,00
Estradosso travi gronda (b)	100%	0,00	0,00	0,00	0,0000	0,0000	0,000000	0,000000	0,00	0,000000	0,000000	0,00
sisma in +Y												
proporzionale alle masse												
Estradosso travi gronda (b)	0%	0,69	0,65	0,41	0,0789	0,0069	0,012840	0,002610	4,92	0,004800	0,001013	4,74
Estradosso travi gronda (b)	100%	0,45	0,45	0,39	0,0798	0,0068	0,010400	0,002610	3,99	0,004710	0,001013	4,65
proporzionale alla deformata 1° modo di vibrazione												
Estradosso travi gronda (b)	0%	0,00	0,00	0,00	0,0000	0,0000	0,000000	0,000000	0,00	0,000000	0,000000	0,00
Estradosso travi gronda (b)	100%	0,00	0,00	0,00	0,0000	0,0000	0,000000	0,000000	0,00	0,000000	0,000000	0,00
sisma in -Y												
proporzionale alle masse												
Estradosso travi gronda (b)	0%	0,00	0,00	0,00	0,0000	0,0000	0,000000	0,000000	0,00	0,000000	0,000000	0,00
Estradosso travi gronda (b)	100%	0,00	0,00	0,00	0,0000	0,0000	0,000000	0,000000	0,00	0,000000	0,000000	0,00
proporzionale alla deformata 1° modo di vibrazione												
Estradosso travi gronda (b)	0%	0,00	0,00	0,00	0,0000	0,0000	0,000000	0,000000	0,00	0,000000	0,000000	0,00
Estradosso travi gronda (b)	100%	0,00	0,00	0,00	0,0000	0,0000	0,000000	0,000000	0,00	0,000000	0,000000	0,00
Pilastrata: Pilastrata21												
sisma in +X												
proporzionale alle masse												
Piano terra ingresso	0%	0,00	0,00	0,00	0,0000	0,0000	0,000000	0,000000	0,00	0,000000	0,000000	0,00
Piano terra ingresso	100%	0,00	0,00	0,00	0,0000	0,0000	0,000000	0,000000	0,00	0,000000	0,000000	0,00
proporzionale alla deformata 1° modo di vibrazione												
Piano terra ingresso	0%	1,18	1,15	0,51	0,0669	0,0075	0,015116	0,002467	6,13	0,006372	0,001154	5,52
Piano terra ingresso	100%	1,06	1,02	0,50	0,0678	0,0077	0,014676	0,002467	5,95	0,006272	0,001154	5,43
sisma in -X												
proporzionale alle masse												
Piano terra ingresso	0%	0,00	0,00	0,00	0,0000	0,0000	0,000000	0,000000	0,00	0,000000	0,000000	0,00
Piano terra ingresso	100%	0,00	0,00	0,00	0,0000	0,0000	0,000000	0,000000	0,00	0,000000	0,000000	0,00
proporzionale alla deformata 1° modo di vibrazione												
Piano terra ingresso	0%	0,00	0,00	0,00	0,0000	0,0000	0,000000	0,000000	0,00	0,000000	0,000000	0,00
Piano terra ingresso	100%	0,00	0,00	0,00	0,0000	0,0000	0,000000	0,000000	0,00	0,000000	0,000000	0,00
sisma in +Y												
proporzionale alle masse												
Piano terra ingresso	0%	1,49	1,49	0,49	0,0448	0,0100	0,011271	0,002821	4,00	0,008218	0,001275	6,44
Piano terra ingresso	100%	0,75	0,70	0,42	0,0458	0,0134	0,008619	0,002821	3,06	0,007416	0,001275	5,81
proporzionale alla deformata 1° modo di vibrazione												
Piano terra ingresso	0%	0,00	0,00	0,00	0,0000	0,0000	0,000000	0,000000	0,00	0,000000	0,000000	0,00
Piano terra ingresso	100%	0,00	0,00	0,00	0,0000	0,0000	0,000000	0,000000	0,00	0,000000	0,000000	0,00
sisma in -Y												
proporzionale alle masse												
Piano terra ingresso	0%	0,00	0,00	0,00	0,0000	0,0000	0,000000	0,000000	0,00	0,000000	0,000000	0,00
Piano terra ingresso	100%	0,00	0,00	0,00	0,0000	0,0000	0,000000	0,000000	0,00	0,000000	0,000000	0,00
proporzionale alla deformata 1° modo di vibrazione												
Piano terra ingresso	0%	0,00	0,00	0,00	0,0000	0,0000	0,000000	0,000000	0,00	0,000000	0,000000	0,00
Piano terra ingresso	100%	0,00	0,00	0,00	0,0000	0,0000	0,000000	0,000000	0,00	0,000000	0,000000	0,00
sisma in +X												
proporzionale alle masse												
Piano primo (a)	0%	0,00	0,00	0,00	0,0000	0,0000	0,000000	0,000000	0,00	0,000000	0,000000	0,00
Piano primo (a)	100%	0,00	0,00	0,00	0,0000	0,0000	0,000000	0,000000	0,00	0,000000	0,000000	0,00
proporzionale alla deformata 1° modo di vibrazione												
Piano primo (a)	0%	1,50	1,45	0,55	0,0732	0,0071	0,018071	0,003491	5,18	0,006679	0,001553	4,30
Piano primo (a)	100%	1,46	1,44	0,54	0,0748	0,0070	0,018275	0,003491	5,24	0,006592	0,001553	4,24
sisma in -X												
proporzionale alle masse												
Piano primo (a)	0%	0,00	0,00	0,00	0,0000	0,0000	0,000000	0,000000	0,00	0,000000	0,000000	0,00
Piano primo (a)	100%	0,00	0,00	0,00	0,0000	0,0000	0,000000	0,000000	0,00	0,000000	0,000000	0,00
proporzionale alla deformata 1° modo di vibrazione												
Piano primo (a)	0%	0,00	0,00	0,00	0,0000	0,0000	0,000000	0,000000	0,00	0,000000	0,000000	0,00
Piano primo (a)	100%	0,00	0,00	0,00	0,0000	0,0000	0,000000	0,000000	0,00	0,000000	0,000000	0,00
sisma in +Y												
proporzionale alle masse												
Piano primo (a)	0%	2,06	3,19	0,55	0,0578	0,0025	0,015460	0,003051	5,07	0,004518	0,001286	3,51
Piano primo (a)	100%	0,89	0,19	0,43	0,0600	0,0039	0,011798	0,003051	3,87	0,005193	0,001286	4,04
proporzionale alla deformata 1° modo di vibrazione												

Lv	$\%L_{LI}$	$L_{v,SLV}$	$L_{v,SLD}$	L_{pl}	ϕ_u	ϕ_y	SLV			SLD		
							Θ_c	Θ_d	CS	Θ_c	Θ_d	CS
	[%]	[m]	[m]	[m]	[rad/m]	[rad/m]	[rad]	[rad]		[rad]	[rad]	
Piano primo (a)	0%	0,00	0,00	0,00	0,0000	0,0000	0,000000	0,000000	0,00	0,000000	0,000000	0,00
Piano primo (a)	100%	0,00	0,00	0,00	0,0000	0,0000	0,000000	0,000000	0,00	0,000000	0,000000	0,00
sisma in -Y												
proporzionale alle masse												
Piano primo (a)	0%	0,00	0,00	0,00	0,0000	0,0000	0,000000	0,000000	0,00	0,000000	0,000000	0,00
Piano primo (a)	100%	0,00	0,00	0,00	0,0000	0,0000	0,000000	0,000000	0,00	0,000000	0,000000	0,00
proporzionale alla deformata 1° modo di vibrazione												
Piano primo (a)	0%	0,00	0,00	0,00	0,0000	0,0000	0,000000	0,000000	0,00	0,000000	0,000000	0,00
Piano primo (a)	100%	0,00	0,00	0,00	0,0000	0,0000	0,000000	0,000000	0,00	0,000000	0,000000	0,00
sisma in +X												
proporzionale alle masse												
Piano primo (b)	0%	0,00	0,00	0,00	0,0000	0,0000	0,000000	0,000000	0,00	0,000000	0,000000	0,00
Piano primo (b)	100%	0,00	0,00	0,00	0,0000	0,0000	0,000000	0,000000	0,00	0,000000	0,000000	0,00
proporzionale alla deformata 1° modo di vibrazione												
Piano primo (b)	0%	0,40	0,40	0,44	0,0704	0,0072	0,010042	0,001775	5,66	0,006316	0,000759	8,32
Piano primo (b)	100%	0,40	0,36	0,44	0,0709	0,0071	0,010220	0,001775	5,76	0,006554	0,000759	8,63
sisma in -X												
proporzionale alle masse												
Piano primo (b)	0%	0,00	0,00	0,00	0,0000	0,0000	0,000000	0,000000	0,00	0,000000	0,000000	0,00
Piano primo (b)	100%	0,00	0,00	0,00	0,0000	0,0000	0,000000	0,000000	0,00	0,000000	0,000000	0,00
proporzionale alla deformata 1° modo di vibrazione												
Piano primo (b)	0%	0,00	0,00	0,00	0,0000	0,0000	0,000000	0,000000	0,00	0,000000	0,000000	0,00
Piano primo (b)	100%	0,00	0,00	0,00	0,0000	0,0000	0,000000	0,000000	0,00	0,000000	0,000000	0,00
sisma in +Y												
proporzionale alle masse												
Piano primo (b)	0%	0,07	0,14	0,35	0,0638	0,0128	0,008498	0,002929	2,90	0,008041	0,001236	6,51
Piano primo (b)	100%	0,73	0,66	0,42	0,0636	0,0165	0,011226	0,002929	3,83	0,008443	0,001236	6,83
proporzionale alla deformata 1° modo di vibrazione												
Piano primo (b)	0%	0,00	0,00	0,00	0,0000	0,0000	0,000000	0,000000	0,00	0,000000	0,000000	0,00
Piano primo (b)	100%	0,00	0,00	0,00	0,0000	0,0000	0,000000	0,000000	0,00	0,000000	0,000000	0,00
sisma in -Y												
proporzionale alle masse												
Piano primo (b)	0%	0,00	0,00	0,00	0,0000	0,0000	0,000000	0,000000	0,00	0,000000	0,000000	0,00
Piano primo (b)	100%	0,00	0,00	0,00	0,0000	0,0000	0,000000	0,000000	0,00	0,000000	0,000000	0,00
proporzionale alla deformata 1° modo di vibrazione												
Piano primo (b)	0%	0,00	0,00	0,00	0,0000	0,0000	0,000000	0,000000	0,00	0,000000	0,000000	0,00
Piano primo (b)	100%	0,00	0,00	0,00	0,0000	0,0000	0,000000	0,000000	0,00	0,000000	0,000000	0,00
sisma in +X												
proporzionale alle masse												
Estradosso travi gronda (a)	0%	0,00	0,00	0,00	0,0000	0,0000	0,000000	0,000000	0,00	0,000000	0,000000	0,00
Estradosso travi gronda (a)	100%	0,00	0,00	0,00	0,0000	0,0000	0,000000	0,000000	0,00	0,000000	0,000000	0,00
proporzionale alla deformata 1° modo di vibrazione												
Estradosso travi gronda (a)	0%	1,00	0,81	0,50	0,0754	0,0163	0,015912	0,000381	41,80	0,009758	0,000163	60,02
Estradosso travi gronda (a)	100%	0,40	0,58	0,44	0,0761	0,0124	0,010798	0,000381	28,37	0,007683	0,000163	47,26
sisma in -X												
proporzionale alle masse												
Estradosso travi gronda (a)	0%	0,00	0,00	0,00	0,0000	0,0000	0,000000	0,000000	0,00	0,000000	0,000000	0,00
Estradosso travi gronda (a)	100%	0,00	0,00	0,00	0,0000	0,0000	0,000000	0,000000	0,00	0,000000	0,000000	0,00
proporzionale alla deformata 1° modo di vibrazione												
Estradosso travi gronda (a)	0%	0,00	0,00	0,00	0,0000	0,0000	0,000000	0,000000	0,00	0,000000	0,000000	0,00
Estradosso travi gronda (a)	100%	0,00	0,00	0,00	0,0000	0,0000	0,000000	0,000000	0,00	0,000000	0,000000	0,00
sisma in +Y												
proporzionale alle masse												
Estradosso travi gronda (a)	0%	1,38	2,61	0,48	0,0708	0,0123	0,018759	0,002083	9,01	0,014152	0,000933	15,16
Estradosso travi gronda (a)	100%	0,01	1,21	0,35	0,0716	0,0126	0,009566	0,002083	4,59	0,008902	0,000933	9,54
proporzionale alla deformata 1° modo di vibrazione												
Estradosso travi gronda (a)	0%	0,00	0,00	0,00	0,0000	0,0000	0,000000	0,000000	0,00	0,000000	0,000000	0,00
Estradosso travi gronda (a)	100%	0,00	0,00	0,00	0,0000	0,0000	0,000000	0,000000	0,00	0,000000	0,000000	0,00
sisma in -Y												
proporzionale alle masse												
Estradosso travi gronda (a)	0%	0,00	0,00	0,00	0,0000	0,0000	0,000000	0,000000	0,00	0,000000	0,000000	0,00
Estradosso travi gronda (a)	100%	0,00	0,00	0,00	0,0000	0,0000	0,000000	0,000000	0,00	0,000000	0,000000	0,00
proporzionale alla deformata 1° modo di vibrazione												
Estradosso travi gronda (a)	0%	0,00	0,00	0,00	0,0000	0,0000	0,000000	0,000000	0,00	0,000000	0,000000	0,00
Estradosso travi gronda (a)	100%	0,00	0,00	0,00	0,0000	0,0000	0,000000	0,000000	0,00	0,000000	0,000000	0,00
sisma in +X												
proporzionale alle masse												
Estradosso travi gronda (b)	0%	0,00	0,00	0,00	0,0000	0,0000	0,000000	0,000000	0,00	0,000000	0,000000	0,00

Lv	$\%L_{LI}$	$L_{v,SLV}$	$L_{v,SLD}$	L_{pl}	ϕ_u	ϕ_y	SLV			SLD		
							Θ_c	Θ_d	CS	Θ_c	Θ_d	CS
	[%]	[m]	[m]	[m]	[rad/m]	[rad/m]	[rad]	[rad]		[rad]	[rad]	
Estradosso travi gronda (b)	100%	0,00	0,00	0,00	0,0000	0,0000	0,000000	0,000000	0,00	0,000000	0,000000	0,00
proporzionale alla deformata 1° modo di vibrazione												
Estradosso travi gronda (b)	0%	0,57	0,58	0,45	0,0804	0,0060	0,012921	0,004037	3,20	0,005430	0,001996	2,72
Estradosso travi gronda (b)	100%	0,57	0,57	0,45	0,0810	0,0059	0,012947	0,004037	3,21	0,005419	0,001996	2,71
sisma in -X												
proporzionale alle masse												
Estradosso travi gronda (b)	0%	0,00	0,00	0,00	0,0000	0,0000	0,000000	0,000000	0,00	0,000000	0,000000	0,00
Estradosso travi gronda (b)	100%	0,00	0,00	0,00	0,0000	0,0000	0,000000	0,000000	0,00	0,000000	0,000000	0,00
proporzionale alla deformata 1° modo di vibrazione												
Estradosso travi gronda (b)	0%	0,00	0,00	0,00	0,0000	0,0000	0,000000	0,000000	0,00	0,000000	0,000000	0,00
Estradosso travi gronda (b)	100%	0,00	0,00	0,00	0,0000	0,0000	0,000000	0,000000	0,00	0,000000	0,000000	0,00
sisma in +Y												
proporzionale alle masse												
Estradosso travi gronda (b)	0%	1,02	1,07	0,45	0,0770	0,0070	0,014939	0,002307	6,48	0,005472	0,000878	6,23
Estradosso travi gronda (b)	100%	0,12	0,02	0,36	0,0774	0,0068	0,020431	0,002307	8,86	0,028255	0,000878	32,19
proporzionale alla deformata 1° modo di vibrazione												
Estradosso travi gronda (b)	0%	0,00	0,00	0,00	0,0000	0,0000	0,000000	0,000000	0,00	0,000000	0,000000	0,00
Estradosso travi gronda (b)	100%	0,00	0,00	0,00	0,0000	0,0000	0,000000	0,000000	0,00	0,000000	0,000000	0,00
sisma in -Y												
proporzionale alle masse												
Estradosso travi gronda (b)	0%	0,00	0,00	0,00	0,0000	0,0000	0,000000	0,000000	0,00	0,000000	0,000000	0,00
Estradosso travi gronda (b)	100%	0,00	0,00	0,00	0,0000	0,0000	0,000000	0,000000	0,00	0,000000	0,000000	0,00
proporzionale alla deformata 1° modo di vibrazione												
Estradosso travi gronda (b)	0%	0,00	0,00	0,00	0,0000	0,0000	0,000000	0,000000	0,00	0,000000	0,000000	0,00
Estradosso travi gronda (b)	100%	0,00	0,00	0,00	0,0000	0,0000	0,000000	0,000000	0,00	0,000000	0,000000	0,00
Pilastrata: Pilastrata22												
sisma in +X												
proporzionale alle masse												
Piano terra ingresso	0%	0,00	0,00	0,00	0,0000	0,0000	0,000000	0,000000	0,00	0,000000	0,000000	0,00
Piano terra ingresso	100%	0,00	0,00	0,00	0,0000	0,0000	0,000000	0,000000	0,00	0,000000	0,000000	0,00
proporzionale alla deformata 1° modo di vibrazione												
Piano terra ingresso	0%	1,24	2,40	0,56	0,0227	0,0081	0,008019	0,002257	3,55	0,009718	0,000953	10,20
Piano terra ingresso	100%	0,75	0,36	0,51	0,0229	0,0107	0,006367	0,002257	2,82	0,008645	0,000953	9,07
sisma in -X												
proporzionale alle masse												
Piano terra ingresso	0%	0,00	0,00	0,00	0,0000	0,0000	0,000000	0,000000	0,00	0,000000	0,000000	0,00
Piano terra ingresso	100%	0,00	0,00	0,00	0,0000	0,0000	0,000000	0,000000	0,00	0,000000	0,000000	0,00
proporzionale alla deformata 1° modo di vibrazione												
Piano terra ingresso	0%	0,00	0,00	0,00	0,0000	0,0000	0,000000	0,000000	0,00	0,000000	0,000000	0,00
Piano terra ingresso	100%	0,00	0,00	0,00	0,0000	0,0000	0,000000	0,000000	0,00	0,000000	0,000000	0,00
sisma in +Y												
proporzionale alle masse												
Piano terra ingresso	0%	2,09	2,03	0,57	0,0336	0,0083	0,010469	0,002498	4,19	0,008572	0,001125	7,62
Piano terra ingresso	100%	0,06	0,01	0,36	0,0344	0,0090	0,039285	0,002498	15,72	0,073980	0,001125	65,76
proporzionale alla deformata 1° modo di vibrazione												
Piano terra ingresso	0%	0,00	0,00	0,00	0,0000	0,0000	0,000000	0,000000	0,00	0,000000	0,000000	0,00
Piano terra ingresso	100%	0,00	0,00	0,00	0,0000	0,0000	0,000000	0,000000	0,00	0,000000	0,000000	0,00
sisma in -Y												
proporzionale alle masse												
Piano terra ingresso	0%	0,00	0,00	0,00	0,0000	0,0000	0,000000	0,000000	0,00	0,000000	0,000000	0,00
Piano terra ingresso	100%	0,00	0,00	0,00	0,0000	0,0000	0,000000	0,000000	0,00	0,000000	0,000000	0,00
proporzionale alla deformata 1° modo di vibrazione												
Piano terra ingresso	0%	0,00	0,00	0,00	0,0000	0,0000	0,000000	0,000000	0,00	0,000000	0,000000	0,00
Piano terra ingresso	100%	0,00	0,00	0,00	0,0000	0,0000	0,000000	0,000000	0,00	0,000000	0,000000	0,00
sisma in +X												
proporzionale alle masse												
Piano primo (a)	0%	0,00	0,00	0,00	0,0000	0,0000	0,000000	0,000000	0,00	0,000000	0,000000	0,00
Piano primo (a)	100%	0,00	0,00	0,00	0,0000	0,0000	0,000000	0,000000	0,00	0,000000	0,000000	0,00
proporzionale alla deformata 1° modo di vibrazione												
Piano primo (a)	0%	1,38	1,08	0,53	0,0612	0,0084	0,014741	0,003469	4,25	0,006759	0,001540	4,39
Piano primo (a)	100%	1,56	1,79	0,55	0,0620	0,0077	0,016236	0,003469	4,68	0,007766	0,001540	5,04
sisma in -X												
proporzionale alle masse												
Piano primo (a)	0%	0,00	0,00	0,00	0,0000	0,0000	0,000000	0,000000	0,00	0,000000	0,000000	0,00
Piano primo (a)	100%	0,00	0,00	0,00	0,0000	0,0000	0,000000	0,000000	0,00	0,000000	0,000000	0,00
proporzionale alla deformata 1° modo di vibrazione												
Piano primo (a)	0%	0,00	0,00	0,00	0,0000	0,0000	0,000000	0,000000	0,00	0,000000	0,000000	0,00
Piano primo (a)	100%	0,00	0,00	0,00	0,0000	0,0000	0,000000	0,000000	0,00	0,000000	0,000000	0,00
sisma in +Y												
proporzionale alle masse												

Lv	$\%L_{LI}$	$L_{v,SLV}$	$L_{v,SLD}$	L_{pl}	ϕ_u	ϕ_y	SLV			SLD		
							Θ_c	Θ_d	CS	Θ_c	Θ_d	CS
	[%]	[m]	[m]	[m]	[rad/m]	[rad/m]	[rad]	[rad]		[rad]	[rad]	
Piano primo (a)	0%	3,08	2,61	0,66	0,0623	0,0106	0,021521	0,003083	6,98	0,012466	0,001292	9,65
Piano primo (a)	100%	0,13	0,34	0,37	0,0637	0,0055	0,007747	0,003083	2,51	0,004810	0,001292	3,72
proporzionale alla deformata 1° modo di vibrazione												
Piano primo (a)	0%	0,00	0,00	0,00	0,0000	0,0000	0,000000	0,000000	0,00	0,000000	0,000000	0,00
Piano primo (a)	100%	0,00	0,00	0,00	0,0000	0,0000	0,000000	0,000000	0,00	0,000000	0,000000	0,00
sisma in -Y												
proporzionale alle masse												
Piano primo (a)	0%	0,00	0,00	0,00	0,0000	0,0000	0,000000	0,000000	0,00	0,000000	0,000000	0,00
Piano primo (a)	100%	0,00	0,00	0,00	0,0000	0,0000	0,000000	0,000000	0,00	0,000000	0,000000	0,00
proporzionale alla deformata 1° modo di vibrazione												
Piano primo (a)	0%	0,00	0,00	0,00	0,0000	0,0000	0,000000	0,000000	0,00	0,000000	0,000000	0,00
Piano primo (a)	100%	0,00	0,00	0,00	0,0000	0,0000	0,000000	0,000000	0,00	0,000000	0,000000	0,00
sisma in +X												
proporzionale alle masse												
Piano primo (b)	0%	0,00	0,00	0,00	0,0000	0,0000	0,000000	0,000000	0,00	0,000000	0,000000	0,00
Piano primo (b)	100%	0,00	0,00	0,00	0,0000	0,0000	0,000000	0,000000	0,00	0,000000	0,000000	0,00
proporzionale alla deformata 1° modo di vibrazione												
Piano primo (b)	0%	0,36	0,13	0,43	0,0692	0,0078	0,012603	0,001467	8,59	0,011918	0,000545	21,88
Piano primo (b)	100%	0,08	0,33	0,41	0,0701	0,0072	0,009776	0,001467	6,66	0,006815	0,000545	12,51
sisma in -X												
proporzionale alle masse												
Piano primo (b)	0%	0,00	0,00	0,00	0,0000	0,0000	0,000000	0,000000	0,00	0,000000	0,000000	0,00
Piano primo (b)	100%	0,00	0,00	0,00	0,0000	0,0000	0,000000	0,000000	0,00	0,000000	0,000000	0,00
proporzionale alla deformata 1° modo di vibrazione												
Piano primo (b)	0%	0,00	0,00	0,00	0,0000	0,0000	0,000000	0,000000	0,00	0,000000	0,000000	0,00
Piano primo (b)	100%	0,00	0,00	0,00	0,0000	0,0000	0,000000	0,000000	0,00	0,000000	0,000000	0,00
sisma in +Y												
proporzionale alle masse												
Piano primo (b)	0%	1,59	0,88	0,51	0,0649	0,0071	0,015077	0,002769	5,45	0,005289	0,001165	4,54
Piano primo (b)	100%	1,60	0,51	0,51	0,0658	0,0066	0,015182	0,002769	5,48	0,004828	0,001165	4,15
proporzionale alla deformata 1° modo di vibrazione												
Piano primo (b)	0%	0,00	0,00	0,00	0,0000	0,0000	0,000000	0,000000	0,00	0,000000	0,000000	0,00
Piano primo (b)	100%	0,00	0,00	0,00	0,0000	0,0000	0,000000	0,000000	0,00	0,000000	0,000000	0,00
sisma in -Y												
proporzionale alle masse												
Piano primo (b)	0%	0,00	0,00	0,00	0,0000	0,0000	0,000000	0,000000	0,00	0,000000	0,000000	0,00
Piano primo (b)	100%	0,00	0,00	0,00	0,0000	0,0000	0,000000	0,000000	0,00	0,000000	0,000000	0,00
proporzionale alla deformata 1° modo di vibrazione												
Piano primo (b)	0%	0,00	0,00	0,00	0,0000	0,0000	0,000000	0,000000	0,00	0,000000	0,000000	0,00
Piano primo (b)	100%	0,00	0,00	0,00	0,0000	0,0000	0,000000	0,000000	0,00	0,000000	0,000000	0,00
sisma in +X												
proporzionale alle masse												
Estradosso travi gronda (a)	0%	0,00	0,00	0,00	0,0000	0,0000	0,000000	0,000000	0,00	0,000000	0,000000	0,00
Estradosso travi gronda (a)	100%	0,00	0,00	0,00	0,0000	0,0000	0,000000	0,000000	0,00	0,000000	0,000000	0,00
proporzionale alla deformata 1° modo di vibrazione												
Estradosso travi gronda (a)	0%	0,85	0,74	0,48	0,1005	0,0059	0,019005	0,000291	65,41	0,005260	0,000072	72,77
Estradosso travi gronda (a)	100%	0,54	0,65	0,45	0,1014	0,0063	0,015297	0,000291	52,65	0,005457	0,000072	75,50
sisma in -X												
proporzionale alle masse												
Estradosso travi gronda (a)	0%	0,00	0,00	0,00	0,0000	0,0000	0,000000	0,000000	0,00	0,000000	0,000000	0,00
Estradosso travi gronda (a)	100%	0,00	0,00	0,00	0,0000	0,0000	0,000000	0,000000	0,00	0,000000	0,000000	0,00
proporzionale alla deformata 1° modo di vibrazione												
Estradosso travi gronda (a)	0%	0,00	0,00	0,00	0,0000	0,0000	0,000000	0,000000	0,00	0,000000	0,000000	0,00
Estradosso travi gronda (a)	100%	0,00	0,00	0,00	0,0000	0,0000	0,000000	0,000000	0,00	0,000000	0,000000	0,00
sisma in +Y												
proporzionale alle masse												
Estradosso travi gronda (a)	0%	0,94	0,07	0,44	0,1017	0,0061	0,021244	0,002344	9,06	0,010293	0,001062	9,69
Estradosso travi gronda (a)	100%	2,40	1,35	0,59	0,1027	0,0062	0,027549	0,002344	11,75	0,005487	0,001062	5,17
proporzionale alla deformata 1° modo di vibrazione												
Estradosso travi gronda (a)	0%	0,00	0,00	0,00	0,0000	0,0000	0,000000	0,000000	0,00	0,000000	0,000000	0,00
Estradosso travi gronda (a)	100%	0,00	0,00	0,00	0,0000	0,0000	0,000000	0,000000	0,00	0,000000	0,000000	0,00
sisma in -Y												
proporzionale alle masse												
Estradosso travi gronda (a)	0%	0,00	0,00	0,00	0,0000	0,0000	0,000000	0,000000	0,00	0,000000	0,000000	0,00
Estradosso travi gronda (a)	100%	0,00	0,00	0,00	0,0000	0,0000	0,000000	0,000000	0,00	0,000000	0,000000	0,00
proporzionale alla deformata 1° modo di vibrazione												
Estradosso travi gronda (a)	0%	0,00	0,00	0,00	0,0000	0,0000	0,000000	0,000000	0,00	0,000000	0,000000	0,00
Estradosso travi gronda (a)	100%	0,00	0,00	0,00	0,0000	0,0000	0,000000	0,000000	0,00	0,000000	0,000000	0,00
sisma in +X												

Lv	$\%L_{LI}$	$L_{v,SLV}$	$L_{v,SLD}$	L_{pl}	ϕ_u	ϕ_y	SLV			SLD		
							Θ_c	Θ_d	CS	Θ_c	Θ_d	CS
	[%]	[m]	[m]	[m]	[rad/m]	[rad/m]	[rad]	[rad]		[rad]	[rad]	
proporzionale alle masse												
Estradosso travi gronda (b)	0%	0,00	0,00	0,00	0,0000	0,0000	0,000000	0,000000	0,00	0,000000	0,000000	0,00
Estradosso travi gronda (b)	100%	0,00	0,00	0,00	0,0000	0,0000	0,000000	0,000000	0,00	0,000000	0,000000	0,00
proporzionale alla deformata 1° modo di vibrazione												
Estradosso travi gronda (b)	0%	0,58	0,54	0,45	0,1055	0,0055	0,016439	0,004042	4,07	0,005321	0,001994	2,67
Estradosso travi gronda (b)	100%	0,56	0,58	0,45	0,1064	0,0055	0,016252	0,004042	4,02	0,005258	0,001994	2,64
sisma in -X												
proporzionale alle masse												
Estradosso travi gronda (b)	0%	0,00	0,00	0,00	0,0000	0,0000	0,000000	0,000000	0,00	0,000000	0,000000	0,00
Estradosso travi gronda (b)	100%	0,00	0,00	0,00	0,0000	0,0000	0,000000	0,000000	0,00	0,000000	0,000000	0,00
proporzionale alla deformata 1° modo di vibrazione												
Estradosso travi gronda (b)	0%	0,00	0,00	0,00	0,0000	0,0000	0,000000	0,000000	0,00	0,000000	0,000000	0,00
Estradosso travi gronda (b)	100%	0,00	0,00	0,00	0,0000	0,0000	0,000000	0,000000	0,00	0,000000	0,000000	0,00
sisma in +Y												
proporzionale alle masse												
Estradosso travi gronda (b)	0%	0,40	0,50	0,38	0,1106	0,0053	0,012636	0,001757	7,19	0,004181	0,000573	7,30
Estradosso travi gronda (b)	100%	0,73	0,71	0,42	0,1108	0,0055	0,017857	0,001757	10,16	0,004286	0,000573	7,48
proporzionale alla deformata 1° modo di vibrazione												
Estradosso travi gronda (b)	0%	0,00	0,00	0,00	0,0000	0,0000	0,000000	0,000000	0,00	0,000000	0,000000	0,00
Estradosso travi gronda (b)	100%	0,00	0,00	0,00	0,0000	0,0000	0,000000	0,000000	0,00	0,000000	0,000000	0,00
sisma in -Y												
proporzionale alle masse												
Estradosso travi gronda (b)	0%	0,00	0,00	0,00	0,0000	0,0000	0,000000	0,000000	0,00	0,000000	0,000000	0,00
Estradosso travi gronda (b)	100%	0,00	0,00	0,00	0,0000	0,0000	0,000000	0,000000	0,00	0,000000	0,000000	0,00
proporzionale alla deformata 1° modo di vibrazione												
Estradosso travi gronda (b)	0%	0,00	0,00	0,00	0,0000	0,0000	0,000000	0,000000	0,00	0,000000	0,000000	0,00
Estradosso travi gronda (b)	100%	0,00	0,00	0,00	0,0000	0,0000	0,000000	0,000000	0,00	0,000000	0,000000	0,00
Pilastrata: Pilastrata23												
sisma in +X												
proporzionale alle masse												
Piano terra ingresso	0%	0,00	0,00	0,00	0,0000	0,0000	0,000000	0,000000	0,00	0,000000	0,000000	0,00
Piano terra ingresso	100%	0,00	0,00	0,00	0,0000	0,0000	0,000000	0,000000	0,00	0,000000	0,000000	0,00
proporzionale alla deformata 1° modo di vibrazione												
Piano terra ingresso	0%	1,14	1,19	0,57	0,0192	0,0065	0,005909	0,002364	2,50	0,006386	0,001088	5,87
Piano terra ingresso	100%	0,87	0,82	0,54	0,0193	0,0092	0,005604	0,002364	2,37	0,007421	0,001088	6,82
sisma in -X												
proporzionale alle masse												
Piano terra ingresso	0%	0,00	0,00	0,00	0,0000	0,0000	0,000000	0,000000	0,00	0,000000	0,000000	0,00
Piano terra ingresso	100%	0,00	0,00	0,00	0,0000	0,0000	0,000000	0,000000	0,00	0,000000	0,000000	0,00
proporzionale alla deformata 1° modo di vibrazione												
Piano terra ingresso	0%	0,00	0,00	0,00	0,0000	0,0000	0,000000	0,000000	0,00	0,000000	0,000000	0,00
Piano terra ingresso	100%	0,00	0,00	0,00	0,0000	0,0000	0,000000	0,000000	0,00	0,000000	0,000000	0,00
sisma in +Y												
proporzionale alle masse												
Piano terra ingresso	0%	2,17	2,13	0,58	0,0302	0,0070	0,009738	0,002412	4,04	0,007792	0,001067	7,30
Piano terra ingresso	100%	0,14	0,08	0,38	0,0311	0,0048	0,008294	0,002412	3,44	0,011603	0,001067	10,87
proporzionale alla deformata 1° modo di vibrazione												
Piano terra ingresso	0%	0,00	0,00	0,00	0,0000	0,0000	0,000000	0,000000	0,00	0,000000	0,000000	0,00
Piano terra ingresso	100%	0,00	0,00	0,00	0,0000	0,0000	0,000000	0,000000	0,00	0,000000	0,000000	0,00
sisma in -Y												
proporzionale alle masse												
Piano terra ingresso	0%	0,00	0,00	0,00	0,0000	0,0000	0,000000	0,000000	0,00	0,000000	0,000000	0,00
Piano terra ingresso	100%	0,00	0,00	0,00	0,0000	0,0000	0,000000	0,000000	0,00	0,000000	0,000000	0,00
proporzionale alla deformata 1° modo di vibrazione												
Piano terra ingresso	0%	0,00	0,00	0,00	0,0000	0,0000	0,000000	0,000000	0,00	0,000000	0,000000	0,00
Piano terra ingresso	100%	0,00	0,00	0,00	0,0000	0,0000	0,000000	0,000000	0,00	0,000000	0,000000	0,00
sisma in +X												
proporzionale alle masse												
Piano primo (a)	0%	0,00	0,00	0,00	0,0000	0,0000	0,000000	0,000000	0,00	0,000000	0,000000	0,00
Piano primo (a)	100%	0,00	0,00	0,00	0,0000	0,0000	0,000000	0,000000	0,00	0,000000	0,000000	0,00
proporzionale alla deformata 1° modo di vibrazione												
Piano primo (a)	0%	1,53	1,46	0,59	0,0377	0,0072	0,010723	0,003305	3,24	0,007036	0,001479	4,76
Piano primo (a)	100%	1,40	1,43	0,57	0,0388	0,0076	0,010734	0,003305	3,25	0,007222	0,001479	4,88
sisma in -X												
proporzionale alle masse												
Piano primo (a)	0%	0,00	0,00	0,00	0,0000	0,0000	0,000000	0,000000	0,00	0,000000	0,000000	0,00
Piano primo (a)	100%	0,00	0,00	0,00	0,0000	0,0000	0,000000	0,000000	0,00	0,000000	0,000000	0,00
proporzionale alla deformata 1° modo di vibrazione												
Piano primo (a)	0%	0,00	0,00	0,00	0,0000	0,0000	0,000000	0,000000	0,00	0,000000	0,000000	0,00

Lv	$\%L_{LI}$	$L_{v,SLV}$	$L_{v,SLD}$	L_{pl}	ϕ_u	ϕ_y	SLV			SLD		
							Θ_c	Θ_d	CS	Θ_c	Θ_d	CS
	[%]	[m]	[m]	[m]	[rad/m]	[rad/m]	[rad]	[rad]		[rad]	[rad]	
Piano primo (a)	100%	0,00	0,00	0,00	0,0000	0,0000	0,000000	0,000000	0,00	0,000000	0,000000	0,00
sisma in +Y												
proporzionale alle masse												
Piano primo (a)	0%	3,80	2,88	0,74	0,0722	0,0117	0,027433	0,003038	9,03	0,014683	0,001257	11,68
Piano primo (a)	100%	1,03	0,08	0,46	0,0743	0,0099	0,017435	0,003038	5,74	0,011944	0,001257	9,50
proporzionale alla deformata 1° modo di vibrazione												
Piano primo (a)	0%	0,00	0,00	0,00	0,0000	0,0000	0,000000	0,000000	0,00	0,000000	0,000000	0,00
Piano primo (a)	100%	0,00	0,00	0,00	0,0000	0,0000	0,000000	0,000000	0,00	0,000000	0,000000	0,00
sisma in -Y												
proporzionale alle masse												
Piano primo (a)	0%	0,00	0,00	0,00	0,0000	0,0000	0,000000	0,000000	0,00	0,000000	0,000000	0,00
Piano primo (a)	100%	0,00	0,00	0,00	0,0000	0,0000	0,000000	0,000000	0,00	0,000000	0,000000	0,00
proporzionale alla deformata 1° modo di vibrazione												
Piano primo (a)	0%	0,00	0,00	0,00	0,0000	0,0000	0,000000	0,000000	0,00	0,000000	0,000000	0,00
Piano primo (a)	100%	0,00	0,00	0,00	0,0000	0,0000	0,000000	0,000000	0,00	0,000000	0,000000	0,00
sisma in +X												
proporzionale alle masse												
Piano primo (b)	0%	0,00	0,00	0,00	0,0000	0,0000	0,000000	0,000000	0,00	0,000000	0,000000	0,00
Piano primo (b)	100%	0,00	0,00	0,00	0,0000	0,0000	0,000000	0,000000	0,00	0,000000	0,000000	0,00
proporzionale alla deformata 1° modo di vibrazione												
Piano primo (b)	0%	0,11	0,09	0,44	0,0430	0,0109	0,014176	0,002053	6,90	0,021252	0,000895	23,75
Piano primo (b)	100%	0,34	0,35	0,47	0,0429	0,0056	0,008032	0,002053	3,91	0,007367	0,000895	8,23
sisma in -X												
proporzionale alle masse												
Piano primo (b)	0%	0,00	0,00	0,00	0,0000	0,0000	0,000000	0,000000	0,00	0,000000	0,000000	0,00
Piano primo (b)	100%	0,00	0,00	0,00	0,0000	0,0000	0,000000	0,000000	0,00	0,000000	0,000000	0,00
proporzionale alla deformata 1° modo di vibrazione												
Piano primo (b)	0%	0,00	0,00	0,00	0,0000	0,0000	0,000000	0,000000	0,00	0,000000	0,000000	0,00
Piano primo (b)	100%	0,00	0,00	0,00	0,0000	0,0000	0,000000	0,000000	0,00	0,000000	0,000000	0,00
sisma in +Y												
proporzionale alle masse												
Piano primo (b)	0%	0,24	3,52	0,38	0,0783	0,0020	0,009337	0,002716	3,44	0,004178	0,001120	3,73
Piano primo (b)	100%	0,36	3,97	0,39	0,0772	0,0082	0,013565	0,002716	4,99	0,013587	0,001120	12,13
proporzionale alla deformata 1° modo di vibrazione												
Piano primo (b)	0%	0,00	0,00	0,00	0,0000	0,0000	0,000000	0,000000	0,00	0,000000	0,000000	0,00
Piano primo (b)	100%	0,00	0,00	0,00	0,0000	0,0000	0,000000	0,000000	0,00	0,000000	0,000000	0,00
sisma in -Y												
proporzionale alle masse												
Piano primo (b)	0%	0,00	0,00	0,00	0,0000	0,0000	0,000000	0,000000	0,00	0,000000	0,000000	0,00
Piano primo (b)	100%	0,00	0,00	0,00	0,0000	0,0000	0,000000	0,000000	0,00	0,000000	0,000000	0,00
proporzionale alla deformata 1° modo di vibrazione												
Piano primo (b)	0%	0,00	0,00	0,00	0,0000	0,0000	0,000000	0,000000	0,00	0,000000	0,000000	0,00
Piano primo (b)	100%	0,00	0,00	0,00	0,0000	0,0000	0,000000	0,000000	0,00	0,000000	0,000000	0,00
sisma in +X												
proporzionale alle masse												
Estradosso travi gronda (a)	0%	0,00	0,00	0,00	0,0000	0,0000	0,000000	0,000000	0,00	0,000000	0,000000	0,00
Estradosso travi gronda (a)	100%	0,00	0,00	0,00	0,0000	0,0000	0,000000	0,000000	0,00	0,000000	0,000000	0,00
proporzionale alla deformata 1° modo di vibrazione												
Estradosso travi gronda (a)	0%	1,13	0,73	0,51	0,0988	0,0064	0,020947	0,000410	51,03	0,005466	0,000177	30,83
Estradosso travi gronda (a)	100%	0,26	0,52	0,42	0,1004	0,0051	0,012702	0,000410	30,95	0,005259	0,000177	29,67
sisma in -X												
proporzionale alle masse												
Estradosso travi gronda (a)	0%	0,00	0,00	0,00	0,0000	0,0000	0,000000	0,000000	0,00	0,000000	0,000000	0,00
Estradosso travi gronda (a)	100%	0,00	0,00	0,00	0,0000	0,0000	0,000000	0,000000	0,00	0,000000	0,000000	0,00
proporzionale alla deformata 1° modo di vibrazione												
Estradosso travi gronda (a)	0%	0,00	0,00	0,00	0,0000	0,0000	0,000000	0,000000	0,00	0,000000	0,000000	0,00
Estradosso travi gronda (a)	100%	0,00	0,00	0,00	0,0000	0,0000	0,000000	0,000000	0,00	0,000000	0,000000	0,00
sisma in +Y												
proporzionale alle masse												
Estradosso travi gronda (a)	0%	0,56	0,67	0,40	0,1375	0,0039	0,019033	0,002961	6,43	0,003680	0,001430	2,57
Estradosso travi gronda (a)	100%	0,85	0,92	0,43	0,1406	0,0039	0,023825	0,002961	8,05	0,003749	0,001430	2,62
proporzionale alla deformata 1° modo di vibrazione												
Estradosso travi gronda (a)	0%	0,00	0,00	0,00	0,0000	0,0000	0,000000	0,000000	0,00	0,000000	0,000000	0,00
Estradosso travi gronda (a)	100%	0,00	0,00	0,00	0,0000	0,0000	0,000000	0,000000	0,00	0,000000	0,000000	0,00
sisma in -Y												
proporzionale alle masse												
Estradosso travi gronda (a)	0%	0,00	0,00	0,00	0,0000	0,0000	0,000000	0,000000	0,00	0,000000	0,000000	0,00
Estradosso travi gronda (a)	100%	0,00	0,00	0,00	0,0000	0,0000	0,000000	0,000000	0,00	0,000000	0,000000	0,00
proporzionale alla deformata 1° modo di vibrazione												
Estradosso travi gronda (a)	0%	0,00	0,00	0,00	0,0000	0,0000	0,000000	0,000000	0,00	0,000000	0,000000	0,00

Lv	$\%L_{LI}$	$L_{v,SLV}$	$L_{v,SLD}$	L_{pl}	ϕ_u	ϕ_y	SLV			SLD		
							Θ_c	Θ_d	CS	Θ_c	Θ_d	CS
	[%]	[m]	[m]	[m]	[rad/m]	[rad/m]	[rad]	[rad]		[rad]	[rad]	
Estradosso travi gronda (a)	100%	0,00	0,00	0,00	0,0000	0,0000	0,000000	0,000000	0,00	0,000000	0,000000	0,00
sisma in +X												
proporzionale alle masse												
Estradosso travi gronda (b)	0%	0,00	0,00	0,00	0,0000	0,0000	0,000000	0,000000	0,00	0,000000	0,000000	0,00
Estradosso travi gronda (b)	100%	0,00	0,00	0,00	0,0000	0,0000	0,000000	0,000000	0,00	0,000000	0,000000	0,00
proporzionale alla deformata 1° modo di vibrazione												
Estradosso travi gronda (b)	0%	0,58	0,57	0,45	0,1087	0,0049	0,016831	0,004018	4,19	0,005070	0,001982	2,56
Estradosso travi gronda (b)	100%	0,57	0,56	0,45	0,1096	0,0050	0,016838	0,004018	4,19	0,005133	0,001982	2,59
sisma in -X												
proporzionale alle masse												
Estradosso travi gronda (b)	0%	0,00	0,00	0,00	0,0000	0,0000	0,000000	0,000000	0,00	0,000000	0,000000	0,00
Estradosso travi gronda (b)	100%	0,00	0,00	0,00	0,0000	0,0000	0,000000	0,000000	0,00	0,000000	0,000000	0,00
proporzionale alla deformata 1° modo di vibrazione												
Estradosso travi gronda (b)	0%	0,00	0,00	0,00	0,0000	0,0000	0,000000	0,000000	0,00	0,000000	0,000000	0,00
Estradosso travi gronda (b)	100%	0,00	0,00	0,00	0,0000	0,0000	0,000000	0,000000	0,00	0,000000	0,000000	0,00
sisma in +Y												
proporzionale alle masse												
Estradosso travi gronda (b)	0%	0,60	0,47	0,41	0,2416	0,0038	0,033848	0,000169	NS	0,003760	0,000041	92,08
Estradosso travi gronda (b)	100%	0,56	0,65	0,40	0,2829	0,0041	0,037745	0,000169	NS	0,003741	0,000041	91,62
proporzionale alla deformata 1° modo di vibrazione												
Estradosso travi gronda (b)	0%	0,00	0,00	0,00	0,0000	0,0000	0,000000	0,000000	0,00	0,000000	0,000000	0,00
Estradosso travi gronda (b)	100%	0,00	0,00	0,00	0,0000	0,0000	0,000000	0,000000	0,00	0,000000	0,000000	0,00
sisma in -Y												
proporzionale alle masse												
Estradosso travi gronda (b)	0%	0,00	0,00	0,00	0,0000	0,0000	0,000000	0,000000	0,00	0,000000	0,000000	0,00
Estradosso travi gronda (b)	100%	0,00	0,00	0,00	0,0000	0,0000	0,000000	0,000000	0,00	0,000000	0,000000	0,00
proporzionale alla deformata 1° modo di vibrazione												
Estradosso travi gronda (b)	0%	0,00	0,00	0,00	0,0000	0,0000	0,000000	0,000000	0,00	0,000000	0,000000	0,00
Estradosso travi gronda (b)	100%	0,00	0,00	0,00	0,0000	0,0000	0,000000	0,000000	0,00	0,000000	0,000000	0,00
Pilastrata: Pilastrata25												
sisma in +X												
proporzionale alle masse												
Piano terra ingresso	0%	0,00	0,00	0,00	0,0000	0,0000	0,000000	0,000000	0,00	0,000000	0,000000	0,00
Piano terra ingresso	100%	0,00	0,00	0,00	0,0000	0,0000	0,000000	0,000000	0,00	0,000000	0,000000	0,00
proporzionale alla deformata 1° modo di vibrazione												
Piano terra ingresso	0%	4,74	0,65	0,89	0,0877	0,0056	0,035968	0,002077	17,32	0,005756	0,000859	6,70
Piano terra ingresso	100%	1,79	3,74	0,59	0,0905	0,0091	0,027409	0,002077	13,20	0,014457	0,000859	16,83
sisma in -X												
proporzionale alle masse												
Piano terra ingresso	0%	0,00	0,00	0,00	0,0000	0,0000	0,000000	0,000000	0,00	0,000000	0,000000	0,00
Piano terra ingresso	100%	0,00	0,00	0,00	0,0000	0,0000	0,000000	0,000000	0,00	0,000000	0,000000	0,00
proporzionale alla deformata 1° modo di vibrazione												
Piano terra ingresso	0%	0,00	0,00	0,00	0,0000	0,0000	0,000000	0,000000	0,00	0,000000	0,000000	0,00
Piano terra ingresso	100%	0,00	0,00	0,00	0,0000	0,0000	0,000000	0,000000	0,00	0,000000	0,000000	0,00
sisma in +Y												
proporzionale alle masse												
Piano terra ingresso	0%	1,62	1,54	0,49	0,2615	0,0038	0,055958	0,003926	14,25	0,004191	0,001932	2,17
Piano terra ingresso	100%	1,49	1,63	0,48	0,2724	0,0039	0,056290	0,003926	14,34	0,004360	0,001932	2,26
proporzionale alla deformata 1° modo di vibrazione												
Piano terra ingresso	0%	0,00	0,00	0,00	0,0000	0,0000	0,000000	0,000000	0,00	0,000000	0,000000	0,00
Piano terra ingresso	100%	0,00	0,00	0,00	0,0000	0,0000	0,000000	0,000000	0,00	0,000000	0,000000	0,00
sisma in -Y												
proporzionale alle masse												
Piano terra ingresso	0%	0,00	0,00	0,00	0,0000	0,0000	0,000000	0,000000	0,00	0,000000	0,000000	0,00
Piano terra ingresso	100%	0,00	0,00	0,00	0,0000	0,0000	0,000000	0,000000	0,00	0,000000	0,000000	0,00
proporzionale alla deformata 1° modo di vibrazione												
Piano terra ingresso	0%	0,00	0,00	0,00	0,0000	0,0000	0,000000	0,000000	0,00	0,000000	0,000000	0,00
Piano terra ingresso	100%	0,00	0,00	0,00	0,0000	0,0000	0,000000	0,000000	0,00	0,000000	0,000000	0,00
sisma in +X												
proporzionale alle masse												
Piano primo	0%	0,00	0,00	0,00	0,0000	0,0000	0,000000	0,000000	0,00	0,000000	0,000000	0,00
Piano primo	100%	0,00	0,00	0,00	0,0000	0,0000	0,000000	0,000000	0,00	0,000000	0,000000	0,00
proporzionale alla deformata 1° modo di vibrazione												
Piano primo	0%	1,48	1,27	0,56	0,1204	0,0055	0,029117	0,002677	10,88	0,005666	0,000942	6,01
Piano primo	100%	1,27	1,25	0,54	0,1228	0,0053	0,027838	0,002677	10,40	0,005556	0,000942	5,90
sisma in -X												
proporzionale alle masse												
Piano primo	0%	0,00	0,00	0,00	0,0000	0,0000	0,000000	0,000000	0,00	0,000000	0,000000	0,00

Lv	$\%L_{LI}$	$L_{v,SLV}$	$L_{v,SLD}$	L_{pl}	ϕ_u	ϕ_y	SLV			SLD		
							Θ_c	Θ_d	CS	Θ_c	Θ_d	CS
	[%]	[m]	[m]	[m]	[rad/m]	[rad/m]	[rad]	[rad]		[rad]	[rad]	
Piano primo	100%	0,00	0,00	0,00	0,0000	0,0000	0,000000	0,000000	0,00	0,000000	0,000000	0,00
proporzionale alla deformata 1° modo di vibrazione												
Piano primo	0%	0,00	0,00	0,00	0,0000	0,0000	0,000000	0,000000	0,00	0,000000	0,000000	0,00
Piano primo	100%	0,00	0,00	0,00	0,0000	0,0000	0,000000	0,000000	0,00	0,000000	0,000000	0,00
sisma in +Y												
proporzionale alle masse												
Piano primo	0%	1,28	1,27	0,46	0,1303	0,0050	0,025929	0,004245	6,11	0,004636	0,001953	2,37
Piano primo	100%	1,19	1,20	0,45	0,1331	0,0049	0,025662	0,004245	6,05	0,004511	0,001953	2,31
proporzionale alla deformata 1° modo di vibrazione												
Piano primo	0%	0,00	0,00	0,00	0,0000	0,0000	0,000000	0,000000	0,00	0,000000	0,000000	0,00
Piano primo	100%	0,00	0,00	0,00	0,0000	0,0000	0,000000	0,000000	0,00	0,000000	0,000000	0,00
sisma in -Y												
proporzionale alle masse												
Piano primo	0%	0,00	0,00	0,00	0,0000	0,0000	0,000000	0,000000	0,00	0,000000	0,000000	0,00
Piano primo	100%	0,00	0,00	0,00	0,0000	0,0000	0,000000	0,000000	0,00	0,000000	0,000000	0,00
proporzionale alla deformata 1° modo di vibrazione												
Piano primo	0%	0,00	0,00	0,00	0,0000	0,0000	0,000000	0,000000	0,00	0,000000	0,000000	0,00
Piano primo	100%	0,00	0,00	0,00	0,0000	0,0000	0,000000	0,000000	0,00	0,000000	0,000000	0,00
sisma in +X												
proporzionale alle masse												
Estradosso travi gronda	0%	0,00	0,00	0,00	0,0000	0,0000	0,000000	0,000000	0,00	0,000000	0,000000	0,00
Estradosso travi gronda	100%	0,00	0,00	0,00	0,0000	0,0000	0,000000	0,000000	0,00	0,000000	0,000000	0,00
proporzionale alla deformata 1° modo di vibrazione												
Estradosso travi gronda	0%	18,53	2,40	2,27	0,1214	0,0037	0,127999	0,001801	71,07	0,005507	0,000879	6,26
Estradosso travi gronda	100%	13,66	0,50	1,78	0,1243	0,0034	0,103412	0,001801	57,42	0,005517	0,000879	6,27
sisma in -X												
proporzionale alle masse												
Estradosso travi gronda	0%	0,00	0,00	0,00	0,0000	0,0000	0,000000	0,000000	0,00	0,000000	0,000000	0,00
Estradosso travi gronda	100%	0,00	0,00	0,00	0,0000	0,0000	0,000000	0,000000	0,00	0,000000	0,000000	0,00
proporzionale alla deformata 1° modo di vibrazione												
Estradosso travi gronda	0%	0,00	0,00	0,00	0,0000	0,0000	0,000000	0,000000	0,00	0,000000	0,000000	0,00
Estradosso travi gronda	100%	0,00	0,00	0,00	0,0000	0,0000	0,000000	0,000000	0,00	0,000000	0,000000	0,00
sisma in +Y												
proporzionale alle masse												
Estradosso travi gronda	0%	1,31	1,31	0,46	0,0993	0,0052	0,020299	0,003246	6,25	0,004806	0,001522	3,16
Estradosso travi gronda	100%	1,34	1,31	0,46	0,1011	0,0051	0,020812	0,003246	6,41	0,004717	0,001522	3,10
proporzionale alla deformata 1° modo di vibrazione												
Estradosso travi gronda	0%	0,00	0,00	0,00	0,0000	0,0000	0,000000	0,000000	0,00	0,000000	0,000000	0,00
Estradosso travi gronda	100%	0,00	0,00	0,00	0,0000	0,0000	0,000000	0,000000	0,00	0,000000	0,000000	0,00
sisma in -Y												
proporzionale alle masse												
Estradosso travi gronda	0%	0,00	0,00	0,00	0,0000	0,0000	0,000000	0,000000	0,00	0,000000	0,000000	0,00
Estradosso travi gronda	100%	0,00	0,00	0,00	0,0000	0,0000	0,000000	0,000000	0,00	0,000000	0,000000	0,00
proporzionale alla deformata 1° modo di vibrazione												
Estradosso travi gronda	0%	0,00	0,00	0,00	0,0000	0,0000	0,000000	0,000000	0,00	0,000000	0,000000	0,00
Estradosso travi gronda	100%	0,00	0,00	0,00	0,0000	0,0000	0,000000	0,000000	0,00	0,000000	0,000000	0,00
sisma in +X												
proporzionale alle masse												
Estradosso travi colmo	0%	0,00	0,00	0,00	0,0000	0,0000	0,000000	0,000000	0,00	0,000000	0,000000	0,00
Estradosso travi colmo	100%	0,00	0,00	0,00	0,0000	0,0000	0,000000	0,000000	0,00	0,000000	0,000000	0,00
proporzionale alla deformata 1° modo di vibrazione												
Estradosso travi colmo	0%	0,48	0,46	0,46	0,0885	0,0050	0,013204	0,000270	48,86	0,006198	0,000246	25,15
Estradosso travi colmo	100%	0,47	0,49	0,46	0,0895	0,0049	0,012867	0,000270	47,61	0,006053	0,000246	24,56
sisma in -X												
proporzionale alle masse												
Estradosso travi colmo	0%	0,00	0,00	0,00	0,0000	0,0000	0,000000	0,000000	0,00	0,000000	0,000000	0,00
Estradosso travi colmo	100%	0,00	0,00	0,00	0,0000	0,0000	0,000000	0,000000	0,00	0,000000	0,000000	0,00
proporzionale alla deformata 1° modo di vibrazione												
Estradosso travi colmo	0%	0,00	0,00	0,00	0,0000	0,0000	0,000000	0,000000	0,00	0,000000	0,000000	0,00
Estradosso travi colmo	100%	0,00	0,00	0,00	0,0000	0,0000	0,000000	0,000000	0,00	0,000000	0,000000	0,00
sisma in +Y												

Lv	$\%L_{LI}$	$L_{v,SLV}$	$L_{v,SLD}$	L_{pl}	ϕ_u	ϕ_y	SLV			SLD		
							Θ_c	Θ_d	CS	Θ_c	Θ_d	CS
	[%]	[m]	[m]	[m]	[rad/m]	[rad/m]	[rad]	[rad]		[rad]	[rad]	
proporzionale alle masse												
Estradosso travi colmo	0%	0,70	0,58	0,40	0,0954	0,0053	0,014996	0,001900	7,89	0,004152	0,000829	5,01
Estradosso travi colmo	100%	0,23	0,34	0,35	0,0963	0,0051	0,010270	0,001900	5,41	0,004381	0,000829	5,28
proporzionale alla deformata 1° modo di vibrazione												
Estradosso travi colmo	0%	0,00	0,00	0,00	0,0000	0,0000	0,000000	0,000000	0,00	0,000000	0,000000	0,00
Estradosso travi colmo	100%	0,00	0,00	0,00	0,0000	0,0000	0,000000	0,000000	0,00	0,000000	0,000000	0,00
sisma in -Y												
proporzionale alle masse												
Estradosso travi colmo	0%	0,00	0,00	0,00	0,0000	0,0000	0,000000	0,000000	0,00	0,000000	0,000000	0,00
Estradosso travi colmo	100%	0,00	0,00	0,00	0,0000	0,0000	0,000000	0,000000	0,00	0,000000	0,000000	0,00
proporzionale alla deformata 1° modo di vibrazione												
Estradosso travi colmo	0%	0,00	0,00	0,00	0,0000	0,0000	0,000000	0,000000	0,00	0,000000	0,000000	0,00
Estradosso travi colmo	100%	0,00	0,00	0,00	0,0000	0,0000	0,000000	0,000000	0,00	0,000000	0,000000	0,00
Pilastrata: Pilastrata26												
sisma in +X												
proporzionale alle masse												
Piano terra ingresso	0%	0,00	0,00	0,00	0,0000	0,0000	0,000000	0,000000	0,00	0,000000	0,000000	0,00
Piano terra ingresso	100%	0,00	0,00	0,00	0,0000	0,0000	0,000000	0,000000	0,00	0,000000	0,000000	0,00
proporzionale alla deformata 1° modo di vibrazione												
Piano terra ingresso	0%	1,66	1,69	0,60	0,0184	0,0115	0,007003	0,002646	2,65	0,010607	0,001208	8,78
Piano terra ingresso	100%	1,07	1,05	0,54	0,0187	0,0085	0,005634	0,002646	2,13	0,007142	0,001208	5,91
sisma in -X												
proporzionale alle masse												
Piano terra ingresso	0%	0,00	0,00	0,00	0,0000	0,0000	0,000000	0,000000	0,00	0,000000	0,000000	0,00
Piano terra ingresso	100%	0,00	0,00	0,00	0,0000	0,0000	0,000000	0,000000	0,00	0,000000	0,000000	0,00
proporzionale alla deformata 1° modo di vibrazione												
Piano terra ingresso	0%	0,00	0,00	0,00	0,0000	0,0000	0,000000	0,000000	0,00	0,000000	0,000000	0,00
Piano terra ingresso	100%	0,00	0,00	0,00	0,0000	0,0000	0,000000	0,000000	0,00	0,000000	0,000000	0,00
sisma in +Y												
proporzionale alle masse												
Piano terra ingresso	0%	2,25	2,23	0,59	0,0231	0,0106	0,008771	0,002911	3,01	0,011197	0,001404	7,97
Piano terra ingresso	100%	0,44	0,52	0,40	0,0237	0,0048	0,004189	0,002911	1,44	0,004220	0,001404	3,01
proporzionale alla deformata 1° modo di vibrazione												
Piano terra ingresso	0%	0,00	0,00	0,00	0,0000	0,0000	0,000000	0,000000	0,00	0,000000	0,000000	0,00
Piano terra ingresso	100%	0,00	0,00	0,00	0,0000	0,0000	0,000000	0,000000	0,00	0,000000	0,000000	0,00
sisma in -Y												
proporzionale alle masse												
Piano terra ingresso	0%	0,00	0,00	0,00	0,0000	0,0000	0,000000	0,000000	0,00	0,000000	0,000000	0,00
Piano terra ingresso	100%	0,00	0,00	0,00	0,0000	0,0000	0,000000	0,000000	0,00	0,000000	0,000000	0,00
proporzionale alla deformata 1° modo di vibrazione												
Piano terra ingresso	0%	0,00	0,00	0,00	0,0000	0,0000	0,000000	0,000000	0,00	0,000000	0,000000	0,00
Piano terra ingresso	100%	0,00	0,00	0,00	0,0000	0,0000	0,000000	0,000000	0,00	0,000000	0,000000	0,00
sisma in +X												
proporzionale alle masse												
Piano rialzato	0%	0,00	0,00	0,00	0,0000	0,0000	0,000000	0,000000	0,00	0,000000	0,000000	0,00
Piano rialzato	100%	0,00	0,00	0,00	0,0000	0,0000	0,000000	0,000000	0,00	0,000000	0,000000	0,00
proporzionale alla deformata 1° modo di vibrazione												
Piano rialzato	0%	1,11	1,11	0,55	0,0187	0,0084	0,005721	0,001700	3,37	0,007205	0,000811	8,88
Piano rialzato	100%	1,43	1,46	0,58	0,0187	0,0102	0,006459	0,001700	3,80	0,009008	0,000811	11,11
sisma in -X												
proporzionale alle masse												
Piano rialzato	0%	0,00	0,00	0,00	0,0000	0,0000	0,000000	0,000000	0,00	0,000000	0,000000	0,00
Piano rialzato	100%	0,00	0,00	0,00	0,0000	0,0000	0,000000	0,000000	0,00	0,000000	0,000000	0,00
proporzionale alla deformata 1° modo di vibrazione												
Piano rialzato	0%	0,00	0,00	0,00	0,0000	0,0000	0,000000	0,000000	0,00	0,000000	0,000000	0,00
Piano rialzato	100%	0,00	0,00	0,00	0,0000	0,0000	0,000000	0,000000	0,00	0,000000	0,000000	0,00
sisma in +Y												
proporzionale alle masse												
Piano rialzato	0%	0,52	0,64	0,41	0,0237	0,0048	0,004447	0,003703	1,20	0,004159	0,001728	2,41
Piano rialzato	100%	0,87	0,99	0,45	0,0237	0,0063	0,005452	0,003703	1,47	0,005106	0,001728	2,95
proporzionale alla deformata 1° modo di vibrazione												
Piano rialzato	0%	0,00	0,00	0,00	0,0000	0,0000	0,000000	0,000000	0,00	0,000000	0,000000	0,00
Piano rialzato	100%	0,00	0,00	0,00	0,0000	0,0000	0,000000	0,000000	0,00	0,000000	0,000000	0,00
sisma in -Y												
proporzionale alle masse												
Piano rialzato	0%	0,00	0,00	0,00	0,0000	0,0000	0,000000	0,000000	0,00	0,000000	0,000000	0,00
Piano rialzato	100%	0,00	0,00	0,00	0,0000	0,0000	0,000000	0,000000	0,00	0,000000	0,000000	0,00
proporzionale alla deformata 1° modo di vibrazione												
Piano rialzato	0%	0,00	0,00	0,00	0,0000	0,0000	0,000000	0,000000	0,00	0,000000	0,000000	0,00
Piano rialzato	100%	0,00	0,00	0,00	0,0000	0,0000	0,000000	0,000000	0,00	0,000000	0,000000	0,00
sisma in +X												
proporzionale alle masse												
Piano primo	0%	0,00	0,00	0,00	0,0000	0,0000	0,000000	0,000000	0,00	0,000000	0,000000	0,00
Piano primo	100%	0,00	0,00	0,00	0,0000	0,0000	0,000000	0,000000	0,00	0,000000	0,000000	0,00
proporzionale alla deformata 1° modo di vibrazione												
Piano primo	0%	1,40	1,41	0,54	0,0315	0,0144	0,009352	0,003293	2,84	0,011245	0,001462	7,69
Piano primo	100%	1,48	1,49	0,55	0,0319	0,0130	0,009543	0,003293	2,90	0,010610	0,001462	7,26

Lv	$\%L_{LI}$	$L_{v,SLV}$	$L_{v,SLD}$	L_{pl}	ϕ_u	ϕ_y	SLV			SLD		
							Θ_c	Θ_d	CS	Θ_c	Θ_d	CS
	[%]	[m]	[m]	[m]	[rad/m]	[rad/m]	[rad]	[rad]		[rad]	[rad]	
sisma in -X												
proporzionale alle masse												
Piano primo	0%	0,00	0,00	0,00	0,0000	0,0000	0,000000	0,000000	0,00	0,000000	0,000000	0,00
Piano primo	100%	0,00	0,00	0,00	0,0000	0,0000	0,000000	0,000000	0,00	0,000000	0,000000	0,00
proporzionale alla deformata 1° modo di vibrazione												
Piano primo	0%	0,00	0,00	0,00	0,0000	0,0000	0,000000	0,000000	0,00	0,000000	0,000000	0,00
Piano primo	100%	0,00	0,00	0,00	0,0000	0,0000	0,000000	0,000000	0,00	0,000000	0,000000	0,00
sisma in +Y												
proporzionale alle masse												
Piano primo	0%	1,38	13,47	0,50	0,0302	0,0051	0,017582	0,003060	5,75	0,024894	0,001362	18,28
Piano primo	100%	4,28	16,37	0,79	0,0309	0,0084	0,032396	0,003060	10,59	0,048745	0,001362	35,80
proporzionale alla deformata 1° modo di vibrazione												
Piano primo	0%	0,00	0,00	0,00	0,0000	0,0000	0,000000	0,000000	0,00	0,000000	0,000000	0,00
Piano primo	100%	0,00	0,00	0,00	0,0000	0,0000	0,000000	0,000000	0,00	0,000000	0,000000	0,00
sisma in -Y												
proporzionale alle masse												
Piano primo	0%	0,00	0,00	0,00	0,0000	0,0000	0,000000	0,000000	0,00	0,000000	0,000000	0,00
Piano primo	100%	0,00	0,00	0,00	0,0000	0,0000	0,000000	0,000000	0,00	0,000000	0,000000	0,00
proporzionale alla deformata 1° modo di vibrazione												
Piano primo	0%	0,00	0,00	0,00	0,0000	0,0000	0,000000	0,000000	0,00	0,000000	0,000000	0,00
Piano primo	100%	0,00	0,00	0,00	0,0000	0,0000	0,000000	0,000000	0,00	0,000000	0,000000	0,00
sisma in +X												
proporzionale alle masse												
Estradosso travi gronda	0%	0,00	0,00	0,00	0,0000	0,0000	0,000000	0,000000	0,00	0,000000	0,000000	0,00
Estradosso travi gronda	100%	0,00	0,00	0,00	0,0000	0,0000	0,000000	0,000000	0,00	0,000000	0,000000	0,00
proporzionale alla deformata 1° modo di vibrazione												
Estradosso travi gronda	0%	1,49	1,48	0,55	0,0719	0,0121	0,018419	0,001643	11,21	0,010004	0,000837	11,95
Estradosso travi gronda	100%	1,61	1,59	0,56	0,0738	0,0097	0,019246	0,001643	11,71	0,008755	0,000837	10,46
sisma in -X												
proporzionale alle masse												
Estradosso travi gronda	0%	0,00	0,00	0,00	0,0000	0,0000	0,000000	0,000000	0,00	0,000000	0,000000	0,00
Estradosso travi gronda	100%	0,00	0,00	0,00	0,0000	0,0000	0,000000	0,000000	0,00	0,000000	0,000000	0,00
proporzionale alla deformata 1° modo di vibrazione												
Estradosso travi gronda	0%	0,00	0,00	0,00	0,0000	0,0000	0,000000	0,000000	0,00	0,000000	0,000000	0,00
Estradosso travi gronda	100%	0,00	0,00	0,00	0,0000	0,0000	0,000000	0,000000	0,00	0,000000	0,000000	0,00
sisma in +Y												
proporzionale alle masse												
Estradosso travi gronda	0%	1,16	1,12	0,47	0,0790	0,0125	0,016661	0,002566	6,49	0,008502	0,001191	7,14
Estradosso travi gronda	100%	1,96	1,91	0,55	0,0810	0,0082	0,021167	0,002566	8,25	0,008168	0,001191	6,86
proporzionale alla deformata 1° modo di vibrazione												
Estradosso travi gronda	0%	0,00	0,00	0,00	0,0000	0,0000	0,000000	0,000000	0,00	0,000000	0,000000	0,00
Estradosso travi gronda	100%	0,00	0,00	0,00	0,0000	0,0000	0,000000	0,000000	0,00	0,000000	0,000000	0,00
sisma in -Y												
proporzionale alle masse												
Estradosso travi gronda	0%	0,00	0,00	0,00	0,0000	0,0000	0,000000	0,000000	0,00	0,000000	0,000000	0,00
Estradosso travi gronda	100%	0,00	0,00	0,00	0,0000	0,0000	0,000000	0,000000	0,00	0,000000	0,000000	0,00
proporzionale alla deformata 1° modo di vibrazione												
Estradosso travi gronda	0%	0,00	0,00	0,00	0,0000	0,0000	0,000000	0,000000	0,00	0,000000	0,000000	0,00
Estradosso travi gronda	100%	0,00	0,00	0,00	0,0000	0,0000	0,000000	0,000000	0,00	0,000000	0,000000	0,00
sisma in +X												
proporzionale alle masse												
Estradosso travi colmo	0%	0,00	0,00	0,00	0,0000	0,0000	0,000000	0,000000	0,00	0,000000	0,000000	0,00
Estradosso travi colmo	100%	0,00	0,00	0,00	0,0000	0,0000	0,000000	0,000000	0,00	0,000000	0,000000	0,00
proporzionale alla deformata 1° modo di vibrazione												
Estradosso travi colmo	0%	0,71	0,72	0,47	0,0833	0,0090	0,014952	0,000031	NS	0,006528	0,000027	NS
Estradosso travi colmo	100%	0,23	0,20	0,42	0,0840	0,0083	0,012599	0,000031	NS	0,009113	0,000027	NS
sisma in -X												
proporzionale alle masse												
Estradosso travi colmo	0%	0,00	0,00	0,00	0,0000	0,0000	0,000000	0,000000	0,00	0,000000	0,000000	0,00
Estradosso travi colmo	100%	0,00	0,00	0,00	0,0000	0,0000	0,000000	0,000000	0,00	0,000000	0,000000	0,00
proporzionale alla deformata 1° modo di vibrazione												
Estradosso travi colmo	0%	0,00	0,00	0,00	0,0000	0,0000	0,000000	0,000000	0,00	0,000000	0,000000	0,00

Lv	$\%L_{LI}$	$L_{v,SLV}$	$L_{v,SLD}$	L_{pl}	ϕ_u	ϕ_y	SLV			SLD		
							Θ_c	Θ_d	CS	Θ_c	Θ_d	CS
	[%]	[m]	[m]	[m]	[rad/m]	[rad/m]	[rad]	[rad]		[rad]	[rad]	
Estradosso travi colmo	100%	0,00	0,00	0,00	0,0000	0,0000	0,000000	0,000000	0,00	0,000000	0,000000	0,00
sisma in +Y												
proporzionale alle masse												
Estradosso travi colmo	0%	1,07	1,05	0,46	0,0890	0,0070	0,017476	0,000280	62,52	0,005443	0,000387	14,06
Estradosso travi colmo	100%	0,12	0,08	0,36	0,0894	0,0091	0,012501	0,000280	44,72	0,010436	0,000387	26,96
proporzionale alla deformata 1° modo di vibrazione												
Estradosso travi colmo	0%	0,00	0,00	0,00	0,0000	0,0000	0,000000	0,000000	0,00	0,000000	0,000000	0,00
Estradosso travi colmo	100%	0,00	0,00	0,00	0,0000	0,0000	0,000000	0,000000	0,00	0,000000	0,000000	0,00
sisma in -Y												
proporzionale alle masse												
Estradosso travi colmo	0%	0,00	0,00	0,00	0,0000	0,0000	0,000000	0,000000	0,00	0,000000	0,000000	0,00
Estradosso travi colmo	100%	0,00	0,00	0,00	0,0000	0,0000	0,000000	0,000000	0,00	0,000000	0,000000	0,00
proporzionale alla deformata 1° modo di vibrazione												
Estradosso travi colmo	0%	0,00	0,00	0,00	0,0000	0,0000	0,000000	0,000000	0,00	0,000000	0,000000	0,00
Estradosso travi colmo	100%	0,00	0,00	0,00	0,0000	0,0000	0,000000	0,000000	0,00	0,000000	0,000000	0,00
Pilastrata: Pilastrata27												
sisma in +X												
proporzionale alle masse												
Piano terra ingresso	0%	0,00	0,00	0,00	0,0000	0,0000	0,000000	0,000000	0,00	0,000000	0,000000	0,00
Piano terra ingresso	100%	0,00	0,00	0,00	0,0000	0,0000	0,000000	0,000000	0,00	0,000000	0,000000	0,00
proporzionale alla deformata 1° modo di vibrazione												
Piano terra ingresso	0%	1,53	1,40	0,55	0,0303	0,0094	0,008782	0,002824	3,11	0,008111	0,001425	5,69
Piano terra ingresso	100%	1,56	1,68	0,55	0,0310	0,0090	0,009267	0,002824	3,28	0,008490	0,001425	5,96
sisma in -X												
proporzionale alle masse												
Piano terra ingresso	0%	0,00	0,00	0,00	0,0000	0,0000	0,000000	0,000000	0,00	0,000000	0,000000	0,00
Piano terra ingresso	100%	0,00	0,00	0,00	0,0000	0,0000	0,000000	0,000000	0,00	0,000000	0,000000	0,00
proporzionale alla deformata 1° modo di vibrazione												
Piano terra ingresso	0%	0,00	0,00	0,00	0,0000	0,0000	0,000000	0,000000	0,00	0,000000	0,000000	0,00
Piano terra ingresso	100%	0,00	0,00	0,00	0,0000	0,0000	0,000000	0,000000	0,00	0,000000	0,000000	0,00
sisma in +Y												
proporzionale alle masse												
Piano terra ingresso	0%	1,94	1,92	0,52	0,0379	0,0099	0,011063	0,003120	3,55	0,009452	0,001476	6,41
Piano terra ingresso	100%	1,15	1,13	0,45	0,0390	0,0118	0,008914	0,003120	2,86	0,008043	0,001476	5,45
proporzionale alla deformata 1° modo di vibrazione												
Piano terra ingresso	0%	0,00	0,00	0,00	0,0000	0,0000	0,000000	0,000000	0,00	0,000000	0,000000	0,00
Piano terra ingresso	100%	0,00	0,00	0,00	0,0000	0,0000	0,000000	0,000000	0,00	0,000000	0,000000	0,00
sisma in -Y												
proporzionale alle masse												
Piano terra ingresso	0%	0,00	0,00	0,00	0,0000	0,0000	0,000000	0,000000	0,00	0,000000	0,000000	0,00
Piano terra ingresso	100%	0,00	0,00	0,00	0,0000	0,0000	0,000000	0,000000	0,00	0,000000	0,000000	0,00
proporzionale alla deformata 1° modo di vibrazione												
Piano terra ingresso	0%	0,00	0,00	0,00	0,0000	0,0000	0,000000	0,000000	0,00	0,000000	0,000000	0,00
Piano terra ingresso	100%	0,00	0,00	0,00	0,0000	0,0000	0,000000	0,000000	0,00	0,000000	0,000000	0,00
sisma in +X												
proporzionale alle masse												
Piano primo	0%	0,00	0,00	0,00	0,0000	0,0000	0,000000	0,000000	0,00	0,000000	0,000000	0,00
Piano primo	100%	0,00	0,00	0,00	0,0000	0,0000	0,000000	0,000000	0,00	0,000000	0,000000	0,00
proporzionale alla deformata 1° modo di vibrazione												
Piano primo	0%	1,41	1,41	0,52	0,0498	0,0075	0,012412	0,003700	3,35	0,006812	0,001849	3,68
Piano primo	100%	1,48	1,48	0,53	0,0502	0,0075	0,012748	0,003700	3,45	0,006940	0,001849	3,75
sisma in -X												
proporzionale alle masse												
Piano primo	0%	0,00	0,00	0,00	0,0000	0,0000	0,000000	0,000000	0,00	0,000000	0,000000	0,00
Piano primo	100%	0,00	0,00	0,00	0,0000	0,0000	0,000000	0,000000	0,00	0,000000	0,000000	0,00
proporzionale alla deformata 1° modo di vibrazione												
Piano primo	0%	0,00	0,00	0,00	0,0000	0,0000	0,000000	0,000000	0,00	0,000000	0,000000	0,00
Piano primo	100%	0,00	0,00	0,00	0,0000	0,0000	0,000000	0,000000	0,00	0,000000	0,000000	0,00
sisma in +Y												
proporzionale alle masse												
Piano primo	0%	1,22	1,12	0,45	0,0528	0,0097	0,011388	0,003180	3,58	0,006877	0,001396	4,93
Piano primo	100%	1,67	1,74	0,50	0,0545	0,0090	0,013748	0,003180	4,32	0,008195	0,001396	5,87
proporzionale alla deformata 1° modo di vibrazione												
Piano primo	0%	0,00	0,00	0,00	0,0000	0,0000	0,000000	0,000000	0,00	0,000000	0,000000	0,00
Piano primo	100%	0,00	0,00	0,00	0,0000	0,0000	0,000000	0,000000	0,00	0,000000	0,000000	0,00
sisma in -Y												
proporzionale alle masse												
Piano primo	0%	0,00	0,00	0,00	0,0000	0,0000	0,000000	0,000000	0,00	0,000000	0,000000	0,00
Piano primo	100%	0,00	0,00	0,00	0,0000	0,0000	0,000000	0,000000	0,00	0,000000	0,000000	0,00
proporzionale alla deformata 1° modo di vibrazione												
Piano primo	0%	0,00	0,00	0,00	0,0000	0,0000	0,000000	0,000000	0,00	0,000000	0,000000	0,00
Piano primo	100%	0,00	0,00	0,00	0,0000	0,0000	0,000000	0,000000	0,00	0,000000	0,000000	0,00
sisma in +X												
proporzionale alle masse												
Estradosso travi gronda	0%	0,00	0,00	0,00	0,0000	0,0000	0,000000	0,000000	0,00	0,000000	0,000000	0,00

Lv	$\%L_{LI}$	$L_{v,SLV}$	$L_{v,SLD}$	L_{pl}	ϕ_u	ϕ_y	SLV			SLD		
							Θ_c	Θ_d	CS	Θ_c	Θ_d	CS
	[%]	[m]	[m]	[m]	[rad/m]	[rad/m]	[rad]	[rad]		[rad]	[rad]	
Estradosso travi gronda	100%	0,00	0,00	0,00	0,0000	0,0000	0,000000	0,000000	0,00	0,000000	0,000000	0,00
proporzionale alla deformata 1° modo di vibrazione												
Estradosso travi gronda	0%	1,68	1,77	0,55	0,0840	0,0068	0,021252	0,001724	12,33	0,006988	0,000889	7,86
Estradosso travi gronda	100%	1,46	1,37	0,53	0,0859	0,0069	0,020244	0,001724	11,74	0,006367	0,000889	7,16
sisma in -X proporzionale alle masse												
Estradosso travi gronda	0%	0,00	0,00	0,00	0,0000	0,0000	0,000000	0,000000	0,00	0,000000	0,000000	0,00
Estradosso travi gronda	100%	0,00	0,00	0,00	0,0000	0,0000	0,000000	0,000000	0,00	0,000000	0,000000	0,00
proporzionale alla deformata 1° modo di vibrazione												
Estradosso travi gronda	0%	0,00	0,00	0,00	0,0000	0,0000	0,000000	0,000000	0,00	0,000000	0,000000	0,00
Estradosso travi gronda	100%	0,00	0,00	0,00	0,0000	0,0000	0,000000	0,000000	0,00	0,000000	0,000000	0,00
sisma in +Y proporzionale alle masse												
Estradosso travi gronda	0%	1,27	1,20	0,46	0,0854	0,0077	0,017559	0,002585	6,79	0,006034	0,001158	5,21
Estradosso travi gronda	100%	1,83	1,89	0,51	0,0878	0,0072	0,021386	0,002585	8,27	0,007216	0,001158	6,23
proporzionale alla deformata 1° modo di vibrazione												
Estradosso travi gronda	0%	0,00	0,00	0,00	0,0000	0,0000	0,000000	0,000000	0,00	0,000000	0,000000	0,00
Estradosso travi gronda	100%	0,00	0,00	0,00	0,0000	0,0000	0,000000	0,000000	0,00	0,000000	0,000000	0,00
sisma in -Y proporzionale alle masse												
Estradosso travi gronda	0%	0,00	0,00	0,00	0,0000	0,0000	0,000000	0,000000	0,00	0,000000	0,000000	0,00
Estradosso travi gronda	100%	0,00	0,00	0,00	0,0000	0,0000	0,000000	0,000000	0,00	0,000000	0,000000	0,00
proporzionale alla deformata 1° modo di vibrazione												
Estradosso travi gronda	0%	0,00	0,00	0,00	0,0000	0,0000	0,000000	0,000000	0,00	0,000000	0,000000	0,00
Estradosso travi gronda	100%	0,00	0,00	0,00	0,0000	0,0000	0,000000	0,000000	0,00	0,000000	0,000000	0,00

Continua nella prossima tabella...

LEGENDA:

Lv Livello o piano di appartenenza dell'elemento strutturale.
$\%L_{LI}$ Posizione della sezione per la quale vengono forniti i valori di verifica, valutata come % della lunghezza libera d'inflessione (L_{LI}), a partire dall'estremo iniziale.
$L_{v,SLV}$ Luce di Taglio allo SLV
$L_{v,SLD}$ Luce di Taglio allo SLD
L_{pl} Lunghezza della cerniera plastica.
ϕ_u Curvatura allo SLU.
ϕ_y Curvatura allo snervamento.
Θ_c Capacità di rotazione alla corda.
Θ_d Domanda di Rotazione alla Corda.
CS Coefficiente di sicurezza ([NS] = Non Significativo per valori di CS >= 100; [VNR]= Verifica Non Richiesta).
$L_{v,SLV}$ Luce di Taglio allo SLV

INFORMAZIONI GENERALI ..... pag. 2
LIVELLO DI CONOSCENZA E FATTORE DI CONFIDENZA ..... pag. 2
MATERIALI CALCESTRUZZO ARMATO ..... pag. 2
MATERIALI ACCIAIO ..... pag. 2
MATERIALI CARATTERISTICHE NON LINEARI ..... pag. 3
TERRENI ..... pag. 5
STRATIGRAFIE ..... pag. 5
DATI GENERALI ANALISI SISMICA NON LINEARE ..... pag. 5
..... pag. 6
PRINCIPALI ELEMENTI ANALISI SISMICA ..... pag. 6
RIEPILOGO MODI DI VIBRAZIONE ..... pag. 7
CURVA DI CAPACITA' ..... pag. 9
LIVELLI O PIANI ..... pag. 13
NODI (CA) - VERIFICA DI CONFINAMENTO (Elevazione) ..... pag. 14
TRAVI (CA) - VERIFICHE PRESSOFLESSIONE RETTA ALLO SLU (Elevazione) ..... pag. 18
TRAVI (CA) - VERIFICHE A TAGLIO PER PRESSOFLESSIONE RETTA ALLO SLU (Elevazione) ..... pag. 21
TRAVI - VERIFICHE DI ROTAZIONE ALLA CORDA (Elevazione) ..... pag. 27
TRAVI - VERIFICHE A TAGLIO PER ANALISI NON LINEARE (Elevazione) ..... pag. 85
PILASTRI - VERIFICHE DI ROTAZIONE ALLA CORDA (Elevazione) ..... pag. 166

COMUNE DI TERNI
Direzione Lavori Pubblici e Manutenzioni - Patrimonio

Palazzo Spada - P.zza M. Ridolfi, 1
05100 Terni
Tel. +39 0744.549.501 Fax +39 0744.428708
renato.pierdonati@comune.terni.it

LAVORI DI RESTAURO, ADEGUAMENTO SISMICO, ADEGUAMENTO ALLE NORME DI PREVENZIONE INCENDI E ABBATTIMENTO BARRIERE ARCHITETTONICHE DELL'EDIFICIO SCOLASTICO "G. MATTEOTTI" VIA MARIE CURIE N. 4

DEFINITIVO

PROGETTO

Doc.
R1.4ST

EDIFICIO 1
TABULATO DI CALCOLO 2

Scala

Responsabile del Procedimento: Geom. S. Fredduzzi

Data: Marzo 2015

Progettisti:

Architettonico:	Arch. M. Finotto
Strutture:	Ing. M.Boccio
	Ing. S. Marinozzi
Impianti:	Per.Ind. T. Mococci
	Per.Ind. G. Rubeca
Sicurezza:	Geom. F. Formichetti

Collaboratori:

Geom. G. Poddi - Geom. M. D'Amato
Geom. F. Ottaviani - Per.Ind. E. Lenticchia
Geom. F. Ribeca - Geom. M. Ciuffetti
Geom. R. Sabatini - Geom. G. Severoni

Comune di Terni
Provincia di Terni

TABULATI DI CALCOLO
(Tomo 2 di 2)

OGGETTO: Edificio_1

COMMITTENTE: Comune di Terni

I Progettisti

Ing. Marcello Boccio

Ing. Stefano Marinozzi

PILASTRI - VERIFICHE DI ROTAZIONE ALLA CORDA (Elevazione)

Verifiche di Rotazione alla corda

Lv	%L_{LI}	$L_{v,SLV}$	$L_{v,SLD}$	L_{pl}	ϕ_u	ϕ_y	SLV			SLD		
							Θ_c	Θ_d	CS	Θ_c	Θ_d	CS
	[%]	[m]	[m]	[m]	[rad/m]	[rad/m]	[rad]	[rad]		[rad]	[rad]	
sisma in +X												
proporzionale alle masse												
Estradosso travi colmo	0%	0,00	0,00	0,00	0,0000	0,0000	0,000000	0,000000	0,00	0,000000	0,000000	0,00
Estradosso travi colmo	100%	0,00	0,00	0,00	0,0000	0,0000	0,000000	0,000000	0,00	0,000000	0,000000	0,00
proporzionale alla deformata 1° modo di vibrazione												
Estradosso travi colmo	0%	0,41	0,42	0,42	0,0949	0,0066	0,012315	0,000439	28,04	0,006006	0,000425	14,13
Estradosso travi colmo	100%	0,54	0,53	0,44	0,0956	0,0061	0,014452	0,000439	32,91	0,005496	0,000425	12,93
sisma in -X												
proporzionale alle masse												
Estradosso travi colmo	0%	0,00	0,00	0,00	0,0000	0,0000	0,000000	0,000000	0,00	0,000000	0,000000	0,00
Estradosso travi colmo	100%	0,00	0,00	0,00	0,0000	0,0000	0,000000	0,000000	0,00	0,000000	0,000000	0,00
proporzionale alla deformata 1° modo di vibrazione												
Estradosso travi colmo	0%	0,00	0,00	0,00	0,0000	0,0000	0,000000	0,000000	0,00	0,000000	0,000000	0,00
Estradosso travi colmo	100%	0,00	0,00	0,00	0,0000	0,0000	0,000000	0,000000	0,00	0,000000	0,000000	0,00
sisma in +Y												
proporzionale alle masse												
Estradosso travi colmo	0%	0,85	0,84	0,42	0,0966	0,0065	0,016550	0,000102	NS	0,004790	0,000181	26,51
Estradosso travi colmo	100%	0,09	0,10	0,34	0,0974	0,0059	0,011804	0,000102	NS	0,008064	0,000181	44,63
proporzionale alla deformata 1° modo di vibrazione												
Estradosso travi colmo	0%	0,00	0,00	0,00	0,0000	0,0000	0,000000	0,000000	0,00	0,000000	0,000000	0,00
Estradosso travi colmo	100%	0,00	0,00	0,00	0,0000	0,0000	0,000000	0,000000	0,00	0,000000	0,000000	0,00
sisma in -Y												
proporzionale alle masse												
Estradosso travi colmo	0%	0,00	0,00	0,00	0,0000	0,0000	0,000000	0,000000	0,00	0,000000	0,000000	0,00
Estradosso travi colmo	100%	0,00	0,00	0,00	0,0000	0,0000	0,000000	0,000000	0,00	0,000000	0,000000	0,00
proporzionale alla deformata 1° modo di vibrazione												
Estradosso travi colmo	0%	0,00	0,00	0,00	0,0000	0,0000	0,000000	0,000000	0,00	0,000000	0,000000	0,00
Estradosso travi colmo	100%	0,00	0,00	0,00	0,0000	0,0000	0,000000	0,000000	0,00	0,000000	0,000000	0,00
Pilastrata: Pilastrata28												
sisma in +X												
proporzionale alle masse												
Piano terra ingresso	0%	0,00	0,00	0,00	0,0000	0,0000	0,000000	0,000000	0,00	0,000000	0,000000	0,00
Piano terra ingresso	100%	0,00	0,00	0,00	0,0000	0,0000	0,000000	0,000000	0,00	0,000000	0,000000	0,00
proporzionale alla deformata 1° modo di vibrazione												
Piano terra ingresso	0%	1,69	1,90	0,54	0,1059	0,0054	0,025991	0,001907	13,63	0,006142	0,000888	6,92
Piano terra ingresso	100%	0,78	0,40	0,45	0,1067	0,0052	0,019212	0,001907	10,07	0,005697	0,000888	6,42
sisma in -X												
proporzionale alle masse												
Piano terra ingresso	0%	0,00	0,00	0,00	0,0000	0,0000	0,000000	0,000000	0,00	0,000000	0,000000	0,00
Piano terra ingresso	100%	0,00	0,00	0,00	0,0000	0,0000	0,000000	0,000000	0,00	0,000000	0,000000	0,00
proporzionale alla deformata 1° modo di vibrazione												
Piano terra ingresso	0%	0,00	0,00	0,00	0,0000	0,0000	0,000000	0,000000	0,00	0,000000	0,000000	0,00
Piano terra ingresso	100%	0,00	0,00	0,00	0,0000	0,0000	0,000000	0,000000	0,00	0,000000	0,000000	0,00
sisma in +Y												
proporzionale alle masse												
Piano terra ingresso	0%	1,75	1,69	0,50	0,0441	0,0106	0,011783	0,003178	3,71	0,009232	0,001466	6,30
Piano terra ingresso	100%	0,69	0,70	0,39	0,0452	0,0109	0,007976	0,003178	2,51	0,006304	0,001466	4,30
proporzionale alla deformata 1° modo di vibrazione												
Piano terra ingresso	0%	0,00	0,00	0,00	0,0000	0,0000	0,000000	0,000000	0,00	0,000000	0,000000	0,00
Piano terra ingresso	100%	0,00	0,00	0,00	0,0000	0,0000	0,000000	0,000000	0,00	0,000000	0,000000	0,00
sisma in -Y												
proporzionale alle masse												
Piano terra ingresso	0%	0,00	0,00	0,00	0,0000	0,0000	0,000000	0,000000	0,00	0,000000	0,000000	0,00
Piano terra ingresso	100%	0,00	0,00	0,00	0,0000	0,0000	0,000000	0,000000	0,00	0,000000	0,000000	0,00
proporzionale alla deformata 1° modo di vibrazione												
Piano terra ingresso	0%	0,00	0,00	0,00	0,0000	0,0000	0,000000	0,000000	0,00	0,000000	0,000000	0,00
Piano terra ingresso	100%	0,00	0,00	0,00	0,0000	0,0000	0,000000	0,000000	0,00	0,000000	0,000000	0,00
sisma in +X												
proporzionale alle masse												
Piano rialzato	0%	0,00	0,00	0,00	0,0000	0,0000	0,000000	0,000000	0,00	0,000000	0,000000	0,00
Piano rialzato	100%	0,00	0,00	0,00	0,0000	0,0000	0,000000	0,000000	0,00	0,000000	0,000000	0,00
proporzionale alla deformata 1° modo di vibrazione												
Piano rialzato	0%	0,61	0,61	0,44	0,1020	0,0056	0,016170	0,003231	5,01	0,005171	0,001454	3,56
Piano rialzato	100%	0,06	0,05	0,38	0,1011	0,0094	0,021111	0,003231	6,53	0,024636	0,001454	16,94
sisma in -X												
proporzionale alle masse												

Lv	$\%L_{LI}$	$L_{v,SLV}$	$L_{v,SLD}$	L_{pl}	ϕ_u	ϕ_y	SLV			SLD		
							Θ_c	Θ_d	CS	Θ_c	Θ_d	CS
	[%]	[m]	[m]	[m]	[rad/m]	[rad/m]	[rad]	[rad]		[rad]	[rad]	
Piano rialzato	0%	0,00	0,00	0,00	0,0000	0,0000	0,000000	0,000000	0,00	0,000000	0,000000	0,00
Piano rialzato	100%	0,00	0,00	0,00	0,0000	0,0000	0,000000	0,000000	0,00	0,000000	0,000000	0,00
proporzionale alla deformata 1° modo di vibrazione												
Piano rialzato	0%	0,00	0,00	0,00	0,0000	0,0000	0,000000	0,000000	0,00	0,000000	0,000000	0,00
Piano rialzato	100%	0,00	0,00	0,00	0,0000	0,0000	0,000000	0,000000	0,00	0,000000	0,000000	0,00
sisma in +Y												
proporzionale alle masse												
Piano rialzato	0%	1,18	1,28	0,44	0,0456	0,0118	0,010363	0,002757	3,76	0,008561	0,001233	6,94
Piano rialzato	100%	1,87	1,90	0,51	0,0457	0,0150	0,013461	0,002757	4,88	0,013382	0,001233	10,85
proporzionale alla deformata 1° modo di vibrazione												
Piano rialzato	0%	0,00	0,00	0,00	0,0000	0,0000	0,000000	0,000000	0,00	0,000000	0,000000	0,00
Piano rialzato	100%	0,00	0,00	0,00	0,0000	0,0000	0,000000	0,000000	0,00	0,000000	0,000000	0,00
sisma in -Y												
proporzionale alle masse												
Piano rialzato	0%	0,00	0,00	0,00	0,0000	0,0000	0,000000	0,000000	0,00	0,000000	0,000000	0,00
Piano rialzato	100%	0,00	0,00	0,00	0,0000	0,0000	0,000000	0,000000	0,00	0,000000	0,000000	0,00
proporzionale alla deformata 1° modo di vibrazione												
Piano rialzato	0%	0,00	0,00	0,00	0,0000	0,0000	0,000000	0,000000	0,00	0,000000	0,000000	0,00
Piano rialzato	100%	0,00	0,00	0,00	0,0000	0,0000	0,000000	0,000000	0,00	0,000000	0,000000	0,00
sisma in +X												
proporzionale alle masse												
Piano primo	0%	0,00	0,00	0,00	0,0000	0,0000	0,000000	0,000000	0,00	0,000000	0,000000	0,00
Piano primo	100%	0,00	0,00	0,00	0,0000	0,0000	0,000000	0,000000	0,00	0,000000	0,000000	0,00
proporzionale alla deformata 1° modo di vibrazione												
Piano primo	0%	0,84	0,53	0,46	0,1050	0,0061	0,019212	0,003110	6,18	0,005481	0,001359	4,03
Piano primo	100%	2,25	2,24	0,60	0,1081	0,0054	0,030034	0,003110	9,66	0,006638	0,001359	4,88
sisma in -X												
proporzionale alle masse												
Piano primo	0%	0,00	0,00	0,00	0,0000	0,0000	0,000000	0,000000	0,00	0,000000	0,000000	0,00
Piano primo	100%	0,00	0,00	0,00	0,0000	0,0000	0,000000	0,000000	0,00	0,000000	0,000000	0,00
proporzionale alla deformata 1° modo di vibrazione												
Piano primo	0%	0,00	0,00	0,00	0,0000	0,0000	0,000000	0,000000	0,00	0,000000	0,000000	0,00
Piano primo	100%	0,00	0,00	0,00	0,0000	0,0000	0,000000	0,000000	0,00	0,000000	0,000000	0,00
sisma in +Y												
proporzionale alle masse												
Piano primo	0%	1,49	1,43	0,47	0,0467	0,0160	0,011956	0,003149	3,80	0,011724	0,001336	8,78
Piano primo	100%	1,59	1,52	0,48	0,0486	0,0136	0,012472	0,003149	3,96	0,010585	0,001336	7,93
proporzionale alla deformata 1° modo di vibrazione												
Piano primo	0%	0,00	0,00	0,00	0,0000	0,0000	0,000000	0,000000	0,00	0,000000	0,000000	0,00
Piano primo	100%	0,00	0,00	0,00	0,0000	0,0000	0,000000	0,000000	0,00	0,000000	0,000000	0,00
sisma in -Y												
proporzionale alle masse												
Piano primo	0%	0,00	0,00	0,00	0,0000	0,0000	0,000000	0,000000	0,00	0,000000	0,000000	0,00
Piano primo	100%	0,00	0,00	0,00	0,0000	0,0000	0,000000	0,000000	0,00	0,000000	0,000000	0,00
proporzionale alla deformata 1° modo di vibrazione												
Piano primo	0%	0,00	0,00	0,00	0,0000	0,0000	0,000000	0,000000	0,00	0,000000	0,000000	0,00
Piano primo	100%	0,00	0,00	0,00	0,0000	0,0000	0,000000	0,000000	0,00	0,000000	0,000000	0,00
sisma in +X												
proporzionale alle masse												
Estradosso travi gronda	0%	0,00	0,00	0,00	0,0000	0,0000	0,000000	0,000000	0,00	0,000000	0,000000	0,00
Estradosso travi gronda	100%	0,00	0,00	0,00	0,0000	0,0000	0,000000	0,000000	0,00	0,000000	0,000000	0,00
proporzionale alla deformata 1° modo di vibrazione												
Estradosso travi gronda	0%	1,57	1,50	0,53	0,1123	0,0045	0,026317	0,001599	16,46	0,005018	0,000812	6,18
Estradosso travi gronda	100%	1,91	1,77	0,57	0,1146	0,0043	0,029194	0,001599	18,26	0,005152	0,000812	6,34
sisma in -X												
proporzionale alle masse												
Estradosso travi gronda	0%	0,00	0,00	0,00	0,0000	0,0000	0,000000	0,000000	0,00	0,000000	0,000000	0,00
Estradosso travi gronda	100%	0,00	0,00	0,00	0,0000	0,0000	0,000000	0,000000	0,00	0,000000	0,000000	0,00
proporzionale alla deformata 1° modo di vibrazione												
Estradosso travi gronda	0%	0,00	0,00	0,00	0,0000	0,0000	0,000000	0,000000	0,00	0,000000	0,000000	0,00
Estradosso travi gronda	100%	0,00	0,00	0,00	0,0000	0,0000	0,000000	0,000000	0,00	0,000000	0,000000	0,00
sisma in +Y												
proporzionale alle masse												
Estradosso travi gronda	0%	1,49	1,48	0,47	0,0547	0,0160	0,013689	0,002454	5,58	0,011953	0,001017	11,75
Estradosso travi gronda	100%	1,84	1,80	0,51	0,0572	0,0110	0,015059	0,002454	6,14	0,009846	0,001017	9,68
proporzionale alla deformata 1° modo di vibrazione												
Estradosso travi gronda	0%	0,00	0,00	0,00	0,0000	0,0000	0,000000	0,000000	0,00	0,000000	0,000000	0,00
Estradosso travi gronda	100%	0,00	0,00	0,00	0,0000	0,0000	0,000000	0,000000	0,00	0,000000	0,000000	0,00
sisma in -Y												
proporzionale alle masse												
Estradosso travi gronda	0%	0,00	0,00	0,00	0,0000	0,0000	0,000000	0,000000	0,00	0,000000	0,000000	0,00
Estradosso travi	100%	0,00	0,00	0,00	0,0000	0,0000	0,000000	0,000000	0,00	0,000000	0,000000	0,00

Lv	$\%L_{LI}$	$L_{v,SLV}$	$L_{v,SLD}$	L_{pl}	ϕ_u	ϕ_y	SLV			SLD		
							Θ_c	Θ_d	CS	Θ_c	Θ_d	CS
	[%]	[m]	[m]	[m]	[rad/m]	[rad/m]	[rad]	[rad]		[rad]	[rad]	
gronda												
proporzionale alla deformata 1° modo di vibrazione												
Estradosso travi gronda	0%	0,00	0,00	0,00	0,0000	0,0000	0,000000	0,000000	0,00	0,000000	0,000000	0,00
Estradosso travi gronda	100%	0,00	0,00	0,00	0,0000	0,0000	0,000000	0,000000	0,00	0,000000	0,000000	0,00
sisma in +X												
proporzionale alle masse												
Estradosso travi colmo	0%	0,00	0,00	0,00	0,0000	0,0000	0,000000	0,000000	0,00	0,000000	0,000000	0,00
Estradosso travi colmo	100%	0,00	0,00	0,00	0,0000	0,0000	0,000000	0,000000	0,00	0,000000	0,000000	0,00
proporzionale alla deformata 1° modo di vibrazione												
Estradosso travi colmo	0%	0,52	0,59	0,43	0,1184	0,0047	0,016760	0,000019	NS	0,004907	0,000049	NS
Estradosso travi colmo	100%	0,61	0,63	0,44	0,1193	0,0050	0,018435	0,000019	NS	0,004938	0,000049	NS
sisma in -X												
proporzionale alle masse												
Estradosso travi colmo	0%	0,00	0,00	0,00	0,0000	0,0000	0,000000	0,000000	0,00	0,000000	0,000000	0,00
Estradosso travi colmo	100%	0,00	0,00	0,00	0,0000	0,0000	0,000000	0,000000	0,00	0,000000	0,000000	0,00
proporzionale alla deformata 1° modo di vibrazione												
Estradosso travi colmo	0%	0,00	0,00	0,00	0,0000	0,0000	0,000000	0,000000	0,00	0,000000	0,000000	0,00
Estradosso travi colmo	100%	0,00	0,00	0,00	0,0000	0,0000	0,000000	0,000000	0,00	0,000000	0,000000	0,00
sisma in +Y												
proporzionale alle masse												
Estradosso travi colmo	0%	0,56	0,51	0,38	0,0579	0,0101	0,008859	0,000362	24,45	0,005668	0,000236	24,04
Estradosso travi colmo	100%	0,55	0,58	0,38	0,0587	0,0088	0,008856	0,000362	24,44	0,005300	0,000236	22,48
proporzionale alla deformata 1° modo di vibrazione												
Estradosso travi colmo	0%	0,00	0,00	0,00	0,0000	0,0000	0,000000	0,000000	0,00	0,000000	0,000000	0,00
Estradosso travi colmo	100%	0,00	0,00	0,00	0,0000	0,0000	0,000000	0,000000	0,00	0,000000	0,000000	0,00
sisma in -Y												
proporzionale alle masse												
Estradosso travi colmo	0%	0,00	0,00	0,00	0,0000	0,0000	0,000000	0,000000	0,00	0,000000	0,000000	0,00
Estradosso travi colmo	100%	0,00	0,00	0,00	0,0000	0,0000	0,000000	0,000000	0,00	0,000000	0,000000	0,00
proporzionale alla deformata 1° modo di vibrazione												
Estradosso travi colmo	0%	0,00	0,00	0,00	0,0000	0,0000	0,000000	0,000000	0,00	0,000000	0,000000	0,00
Estradosso travi colmo	100%	0,00	0,00	0,00	0,0000	0,0000	0,000000	0,000000	0,00	0,000000	0,000000	0,00
Pilastrata: Pilastrata29												
sisma in +X												
proporzionale alle masse												
Piano terra ingresso	0%	0,00	0,00	0,00	0,0000	0,0000	0,000000	0,000000	0,00	0,000000	0,000000	0,00
Piano terra ingresso	100%	0,00	0,00	0,00	0,0000	0,0000	0,000000	0,000000	0,00	0,000000	0,000000	0,00
proporzionale alla deformata 1° modo di vibrazione												
Piano terra ingresso	0%	1,20	1,23	0,50	0,0780	0,0069	0,017125	0,002174	7,88	0,006140	0,001003	6,12
Piano terra ingresso	100%	1,05	0,93	0,49	0,0794	0,0070	0,016434	0,002174	7,56	0,005794	0,001003	5,78
sisma in -X												
proporzionale alle masse												
Piano terra ingresso	0%	0,00	0,00	0,00	0,0000	0,0000	0,000000	0,000000	0,00	0,000000	0,000000	0,00
Piano terra ingresso	100%	0,00	0,00	0,00	0,0000	0,0000	0,000000	0,000000	0,00	0,000000	0,000000	0,00
proporzionale alla deformata 1° modo di vibrazione												
Piano terra ingresso	0%	0,00	0,00	0,00	0,0000	0,0000	0,000000	0,000000	0,00	0,000000	0,000000	0,00
Piano terra ingresso	100%	0,00	0,00	0,00	0,0000	0,0000	0,000000	0,000000	0,00	0,000000	0,000000	0,00
sisma in +Y												
proporzionale alle masse												
Piano terra ingresso	0%	1,40	1,36	0,47	0,0427	0,0091	0,010176	0,003347	3,04	0,007202	0,001523	4,73
Piano terra ingresso	100%	0,84	0,81	0,41	0,0436	0,0151	0,008626	0,003347	2,58	0,008354	0,001523	5,49
proporzionale alla deformata 1° modo di vibrazione												
Piano terra ingresso	0%	0,00	0,00	0,00	0,0000	0,0000	0,000000	0,000000	0,00	0,000000	0,000000	0,00
Piano terra ingresso	100%	0,00	0,00	0,00	0,0000	0,0000	0,000000	0,000000	0,00	0,000000	0,000000	0,00
sisma in -Y												
proporzionale alle masse												
Piano terra ingresso	0%	0,00	0,00	0,00	0,0000	0,0000	0,000000	0,000000	0,00	0,000000	0,000000	0,00
Piano terra ingresso	100%	0,00	0,00	0,00	0,0000	0,0000	0,000000	0,000000	0,00	0,000000	0,000000	0,00
proporzionale alla deformata 1° modo di vibrazione												
Piano terra ingresso	0%	0,00	0,00	0,00	0,0000	0,0000	0,000000	0,000000	0,00	0,000000	0,000000	0,00
Piano terra ingresso	100%	0,00	0,00	0,00	0,0000	0,0000	0,000000	0,000000	0,00	0,000000	0,000000	0,00
sisma in +X												
proporzionale alle masse												
Piano primo	0%	0,00	0,00	0,00	0,0000	0,0000	0,000000	0,000000	0,00	0,000000	0,000000	0,00
Piano primo	100%	0,00	0,00	0,00	0,0000	0,0000	0,000000	0,000000	0,00	0,000000	0,000000	0,00
proporzionale alla deformata 1° modo di vibrazione												
Piano primo	0%	2,07	1,84	0,59	0,0915	0,0065	0,024933	0,003209	7,77	0,006911	0,001413	4,89

Lv	$\%L_{LI}$	$L_{v,SLV}$	$L_{v,SLD}$	L_{pl}	ϕ_u	ϕ_y	SLV			SLD		
							Θ_c	Θ_d	CS	Θ_c	Θ_d	CS
	[%]	[m]	[m]	[m]	[rad/m]	[rad/m]	[rad]	[rad]		[rad]	[rad]	
Piano primo	100%	2,08	2,03	0,59	0,0942	0,0063	0,025802	0,003209	8,04	0,007114	0,001413	5,03
sisma in -X												
proporzionale alle masse												
Piano primo	0%	0,00	0,00	0,00	0,0000	0,0000	0,000000	0,000000	0,00	0,000000	0,000000	0,00
Piano primo	100%	0,00	0,00	0,00	0,0000	0,0000	0,000000	0,000000	0,00	0,000000	0,000000	0,00
proporzionale alla deformata 1° modo di vibrazione												
Piano primo	0%	0,00	0,00	0,00	0,0000	0,0000	0,000000	0,000000	0,00	0,000000	0,000000	0,00
Piano primo	100%	0,00	0,00	0,00	0,0000	0,0000	0,000000	0,000000	0,00	0,000000	0,000000	0,00
sisma in +Y												
proporzionale alle masse												
Piano primo	0%	1,33	1,29	0,46	0,0524	0,0065	0,011557	0,002954	3,91	0,005513	0,001278	4,31
Piano primo	100%	2,80	2,77	0,61	0,0548	0,0131	0,019150	0,002954	6,48	0,015648	0,001278	12,24
proporzionale alla deformata 1° modo di vibrazione												
Piano primo	0%	0,00	0,00	0,00	0,0000	0,0000	0,000000	0,000000	0,00	0,000000	0,000000	0,00
Piano primo	100%	0,00	0,00	0,00	0,0000	0,0000	0,000000	0,000000	0,00	0,000000	0,000000	0,00
sisma in -Y												
proporzionale alle masse												
Piano primo	0%	0,00	0,00	0,00	0,0000	0,0000	0,000000	0,000000	0,00	0,000000	0,000000	0,00
Piano primo	100%	0,00	0,00	0,00	0,0000	0,0000	0,000000	0,000000	0,00	0,000000	0,000000	0,00
proporzionale alla deformata 1° modo di vibrazione												
Piano primo	0%	0,00	0,00	0,00	0,0000	0,0000	0,000000	0,000000	0,00	0,000000	0,000000	0,00
Piano primo	100%	0,00	0,00	0,00	0,0000	0,0000	0,000000	0,000000	0,00	0,000000	0,000000	0,00
sisma in +X												
proporzionale alle masse												
Estradosso travi gronda	0%	0,00	0,00	0,00	0,0000	0,0000	0,000000	0,000000	0,00	0,000000	0,000000	0,00
Estradosso travi gronda	100%	0,00	0,00	0,00	0,0000	0,0000	0,000000	0,000000	0,00	0,000000	0,000000	0,00
proporzionale alla deformata 1° modo di vibrazione												
Estradosso travi gronda	0%	1,63	1,76	0,54	0,1210	0,0044	0,029027	0,001601	18,13	0,005192	0,000813	6,38
Estradosso travi gronda	100%	1,73	1,95	0,55	0,1237	0,0040	0,030429	0,001601	19,00	0,005123	0,000813	6,30
sisma in -X												
proporzionale alle masse												
Estradosso travi gronda	0%	0,00	0,00	0,00	0,0000	0,0000	0,000000	0,000000	0,00	0,000000	0,000000	0,00
Estradosso travi gronda	100%	0,00	0,00	0,00	0,0000	0,0000	0,000000	0,000000	0,00	0,000000	0,000000	0,00
proporzionale alla deformata 1° modo di vibrazione												
Estradosso travi gronda	0%	0,00	0,00	0,00	0,0000	0,0000	0,000000	0,000000	0,00	0,000000	0,000000	0,00
Estradosso travi gronda	100%	0,00	0,00	0,00	0,0000	0,0000	0,000000	0,000000	0,00	0,000000	0,000000	0,00
sisma in +Y												
proporzionale alle masse												
Estradosso travi gronda	0%	1,70	1,73	0,50	0,0792	0,0088	0,019009	0,002335	8,14	0,008007	0,000956	8,38
Estradosso travi gronda	100%	1,64	1,56	0,49	0,0812	0,0085	0,018954	0,002335	8,12	0,007365	0,000956	7,71
proporzionale alla deformata 1° modo di vibrazione												
Estradosso travi gronda	0%	0,00	0,00	0,00	0,0000	0,0000	0,000000	0,000000	0,00	0,000000	0,000000	0,00
Estradosso travi gronda	100%	0,00	0,00	0,00	0,0000	0,0000	0,000000	0,000000	0,00	0,000000	0,000000	0,00
sisma in -Y												
proporzionale alle masse												
Estradosso travi gronda	0%	0,00	0,00	0,00	0,0000	0,0000	0,000000	0,000000	0,00	0,000000	0,000000	0,00
Estradosso travi gronda	100%	0,00	0,00	0,00	0,0000	0,0000	0,000000	0,000000	0,00	0,000000	0,000000	0,00
proporzionale alla deformata 1° modo di vibrazione												
Estradosso travi gronda	0%	0,00	0,00	0,00	0,0000	0,0000	0,000000	0,000000	0,00	0,000000	0,000000	0,00
Estradosso travi gronda	100%	0,00	0,00	0,00	0,0000	0,0000	0,000000	0,000000	0,00	0,000000	0,000000	0,00
sisma in +X												
proporzionale alle masse												
Estradosso travi colmo	0%	0,00	0,00	0,00	0,0000	0,0000	0,000000	0,000000	0,00	0,000000	0,000000	0,00
Estradosso travi colmo	100%	0,00	0,00	0,00	0,0000	0,0000	0,000000	0,000000	0,00	0,000000	0,000000	0,00
proporzionale alla deformata 1° modo di vibrazione												
Estradosso travi colmo	0%	0,61	0,59	0,44	0,1295	0,0042	0,019973	0,000029	NS	0,004747	0,000018	NS
Estradosso travi colmo	100%	0,55	0,60	0,44	0,1304	0,0038	0,018964	0,000029	NS	0,004569	0,000018	NS
sisma in -X												
proporzionale alle masse												
Estradosso travi colmo	0%	0,00	0,00	0,00	0,0000	0,0000	0,000000	0,000000	0,00	0,000000	0,000000	0,00
Estradosso travi colmo	100%	0,00	0,00	0,00	0,0000	0,0000	0,000000	0,000000	0,00	0,000000	0,000000	0,00
proporzionale alla deformata 1° modo di vibrazione												
Estradosso travi	0%	0,00	0,00	0,00	0,0000	0,0000	0,000000	0,000000	0,00	0,000000	0,000000	0,00

Lv	$\%L_{LI}$	$L_{v,SLV}$	$L_{v,SLD}$	L_{pl}	ϕ_u	ϕ_y	SLV			SLD		
							Θ_c	Θ_d	CS	Θ_c	Θ_d	CS
	[%]	[m]	[m]	[m]	[rad/m]	[rad/m]	[rad]	[rad]		[rad]	[rad]	
colmo												
Estradosso travi colmo	100%	0,00	0,00	0,00	0,0000	0,0000	0,000000	0,000000	0,00	0,000000	0,000000	0,00
sisma in +Y												
proporzionale alle masse												
Estradosso travi colmo	0%	1,25	1,12	0,46	0,0868	0,0078	0,017688	0,000074	NS	0,005921	0,000019	NS
Estradosso travi colmo	100%	0,10	0,10	0,34	0,0877	0,0047	0,010983	0,000074	NS	0,007844	0,000019	NS
proporzionale alla deformata 1° modo di vibrazione												
Estradosso travi colmo	0%	0,00	0,00	0,00	0,0000	0,0000	0,000000	0,000000	0,00	0,000000	0,000000	0,00
Estradosso travi colmo	100%	0,00	0,00	0,00	0,0000	0,0000	0,000000	0,000000	0,00	0,000000	0,000000	0,00
sisma in -Y												
proporzionale alle masse												
Estradosso travi colmo	0%	0,00	0,00	0,00	0,0000	0,0000	0,000000	0,000000	0,00	0,000000	0,000000	0,00
Estradosso travi colmo	100%	0,00	0,00	0,00	0,0000	0,0000	0,000000	0,000000	0,00	0,000000	0,000000	0,00
proporzionale alla deformata 1° modo di vibrazione												
Estradosso travi colmo	0%	0,00	0,00	0,00	0,0000	0,0000	0,000000	0,000000	0,00	0,000000	0,000000	0,00
Estradosso travi colmo	100%	0,00	0,00	0,00	0,0000	0,0000	0,000000	0,000000	0,00	0,000000	0,000000	0,00
Pilastrata: Pilastrata30												
sisma in +X												
proporzionale alle masse												
Piano terra ingresso	0%	0,00	0,00	0,00	0,0000	0,0000	0,000000	0,000000	0,00	0,000000	0,000000	0,00
Piano terra ingresso	100%	0,00	0,00	0,00	0,0000	0,0000	0,000000	0,000000	0,00	0,000000	0,000000	0,00
proporzionale alla deformata 1° modo di vibrazione												
Piano terra ingresso	0%	1,41	1,35	0,54	0,0663	0,0068	0,016198	0,002243	7,22	0,006409	0,001058	6,06
Piano terra ingresso	100%	0,83	0,80	0,48	0,0674	0,0098	0,013375	0,002243	5,96	0,007090	0,001058	6,70
sisma in -X												
proporzionale alle masse												
Piano terra ingresso	0%	0,00	0,00	0,00	0,0000	0,0000	0,000000	0,000000	0,00	0,000000	0,000000	0,00
Piano terra ingresso	100%	0,00	0,00	0,00	0,0000	0,0000	0,000000	0,000000	0,00	0,000000	0,000000	0,00
proporzionale alla deformata 1° modo di vibrazione												
Piano terra ingresso	0%	0,00	0,00	0,00	0,0000	0,0000	0,000000	0,000000	0,00	0,000000	0,000000	0,00
Piano terra ingresso	100%	0,00	0,00	0,00	0,0000	0,0000	0,000000	0,000000	0,00	0,000000	0,000000	0,00
sisma in +Y												
proporzionale alle masse												
Piano terra ingresso	0%	1,26	1,20	0,46	0,0552	0,0070	0,011846	0,003050	3,88	0,005659	0,001386	4,08
Piano terra ingresso	100%	0,98	0,93	0,43	0,0570	0,0080	0,011013	0,003050	3,61	0,005600	0,001386	4,04
proporzionale alla deformata 1° modo di vibrazione												
Piano terra ingresso	0%	0,00	0,00	0,00	0,0000	0,0000	0,000000	0,000000	0,00	0,000000	0,000000	0,00
Piano terra ingresso	100%	0,00	0,00	0,00	0,0000	0,0000	0,000000	0,000000	0,00	0,000000	0,000000	0,00
sisma in -Y												
proporzionale alle masse												
Piano terra ingresso	0%	0,00	0,00	0,00	0,0000	0,0000	0,000000	0,000000	0,00	0,000000	0,000000	0,00
Piano terra ingresso	100%	0,00	0,00	0,00	0,0000	0,0000	0,000000	0,000000	0,00	0,000000	0,000000	0,00
proporzionale alla deformata 1° modo di vibrazione												
Piano terra ingresso	0%	0,00	0,00	0,00	0,0000	0,0000	0,000000	0,000000	0,00	0,000000	0,000000	0,00
Piano terra ingresso	100%	0,00	0,00	0,00	0,0000	0,0000	0,000000	0,000000	0,00	0,000000	0,000000	0,00
sisma in +X												
proporzionale alle masse												
Piano primo	0%	0,00	0,00	0,00	0,0000	0,0000	0,000000	0,000000	0,00	0,000000	0,000000	0,00
Piano primo	100%	0,00	0,00	0,00	0,0000	0,0000	0,000000	0,000000	0,00	0,000000	0,000000	0,00
proporzionale alla deformata 1° modo di vibrazione												
Piano primo	0%	1,81	2,66	0,56	0,0772	0,0124	0,022704	0,002908	7,81	0,014599	0,001252	11,66
Piano primo	100%	2,22	1,48	0,60	0,0790	0,0093	0,022251	0,002908	7,65	0,008069	0,001252	6,45
sisma in -X												
proporzionale alle masse												
Piano primo	0%	0,00	0,00	0,00	0,0000	0,0000	0,000000	0,000000	0,00	0,000000	0,000000	0,00
Piano primo	100%	0,00	0,00	0,00	0,0000	0,0000	0,000000	0,000000	0,00	0,000000	0,000000	0,00
proporzionale alla deformata 1° modo di vibrazione												
Piano primo	0%	0,00	0,00	0,00	0,0000	0,0000	0,000000	0,000000	0,00	0,000000	0,000000	0,00
Piano primo	100%	0,00	0,00	0,00	0,0000	0,0000	0,000000	0,000000	0,00	0,000000	0,000000	0,00
sisma in +Y												
proporzionale alle masse												
Piano primo	0%	1,91	1,79	0,52	0,0602	0,0134	0,016365	0,003230	5,07	0,011695	0,001379	8,48
Piano primo	100%	2,21	2,18	0,55	0,0638	0,0099	0,018155	0,003230	5,62	0,010237	0,001379	7,42
proporzionale alla deformata 1° modo di vibrazione												
Piano primo	0%	0,00	0,00	0,00	0,0000	0,0000	0,000000	0,000000	0,00	0,000000	0,000000	0,00
Piano primo	100%	0,00	0,00	0,00	0,0000	0,0000	0,000000	0,000000	0,00	0,000000	0,000000	0,00
sisma in -Y												
proporzionale alle masse												
Piano primo	0%	0,00	0,00	0,00	0,0000	0,0000	0,000000	0,000000	0,00	0,000000	0,000000	0,00
Piano primo	100%	0,00	0,00	0,00	0,0000	0,0000	0,000000	0,000000	0,00	0,000000	0,000000	0,00
proporzionale alla deformata 1° modo di vibrazione												
Piano primo	0%	0,00	0,00	0,00	0,0000	0,0000	0,000000	0,000000	0,00	0,000000	0,000000	0,00
Piano primo	100%	0,00	0,00	0,00	0,0000	0,0000	0,000000	0,000000	0,00	0,000000	0,000000	0,00
sisma in +X												
proporzionale alle masse												
Estradosso travi	0%	0,00	0,00	0,00	0,0000	0,0000	0,000000	0,000000	0,00	0,000000	0,000000	0,00

Lv	$\%L_{LI}$	$L_{v,SLV}$	$L_{v,SLD}$	L_{pl}	ϕ_u	ϕ_y	SLV			SLD		
							Θ_c	Θ_d	CS	Θ_c	Θ_d	CS
	[%]	[m]	[m]	[m]	[rad/m]	[rad/m]	[rad]	[rad]		[rad]	[rad]	
gronda												
Estradosso travi gronda	100%	0,00	0,00	0,00	0,0000	0,0000	0,000000	0,000000	0,00	0,000000	0,000000	0,00
proporzionale alla deformata 1° modo di vibrazione												
Estradosso travi gronda	0%	1,36	3,09	0,52	0,1235	0,0057	0,028835	0,001575	18,31	0,008362	0,000788	10,61
Estradosso travi gronda	100%	1,95	2,82	0,58	0,1263	0,0048	0,033293	0,001575	21,14	0,006935	0,000788	8,80
sisma in -X												
proporzionale alle masse												
Estradosso travi gronda	0%	0,00	0,00	0,00	0,0000	0,0000	0,000000	0,000000	0,00	0,000000	0,000000	0,00
Estradosso travi gronda	100%	0,00	0,00	0,00	0,0000	0,0000	0,000000	0,000000	0,00	0,000000	0,000000	0,00
proporzionale alla deformata 1° modo di vibrazione												
Estradosso travi gronda	0%	0,00	0,00	0,00	0,0000	0,0000	0,000000	0,000000	0,00	0,000000	0,000000	0,00
Estradosso travi gronda	100%	0,00	0,00	0,00	0,0000	0,0000	0,000000	0,000000	0,00	0,000000	0,000000	0,00
sisma in +Y												
proporzionale alle masse												
Estradosso travi gronda	0%	1,80	1,70	0,51	0,1031	0,0063	0,024253	0,002306	10,52	0,006157	0,000926	6,65
Estradosso travi gronda	100%	1,52	1,31	0,48	0,1054	0,0060	0,022792	0,002306	9,88	0,005272	0,000926	5,69
proporzionale alla deformata 1° modo di vibrazione												
Estradosso travi gronda	0%	0,00	0,00	0,00	0,0000	0,0000	0,000000	0,000000	0,00	0,000000	0,000000	0,00
Estradosso travi gronda	100%	0,00	0,00	0,00	0,0000	0,0000	0,000000	0,000000	0,00	0,000000	0,000000	0,00
sisma in -Y												
proporzionale alle masse												
Estradosso travi gronda	0%	0,00	0,00	0,00	0,0000	0,0000	0,000000	0,000000	0,00	0,000000	0,000000	0,00
Estradosso travi gronda	100%	0,00	0,00	0,00	0,0000	0,0000	0,000000	0,000000	0,00	0,000000	0,000000	0,00
proporzionale alla deformata 1° modo di vibrazione												
Estradosso travi gronda	0%	0,00	0,00	0,00	0,0000	0,0000	0,000000	0,000000	0,00	0,000000	0,000000	0,00
Estradosso travi gronda	100%	0,00	0,00	0,00	0,0000	0,0000	0,000000	0,000000	0,00	0,000000	0,000000	0,00
sisma in +X												
proporzionale alle masse												
Estradosso travi colmo	0%	0,00	0,00	0,00	0,0000	0,0000	0,000000	0,000000	0,00	0,000000	0,000000	0,00
Estradosso travi colmo	100%	0,00	0,00	0,00	0,0000	0,0000	0,000000	0,000000	0,00	0,000000	0,000000	0,00
proporzionale alla deformata 1° modo di vibrazione												
Estradosso travi colmo	0%	1,04	1,02	0,49	0,1364	0,0000	0,026569	0,000122	NS	0,002446	0,000066	36,79
Estradosso travi colmo	100%	0,12	0,13	0,39	0,1374	0,0000	0,018520	0,000122	NS	0,010056	0,000066	NS
sisma in -X												
proporzionale alle masse												
Estradosso travi colmo	0%	0,00	0,00	0,00	0,0000	0,0000	0,000000	0,000000	0,00	0,000000	0,000000	0,00
Estradosso travi colmo	100%	0,00	0,00	0,00	0,0000	0,0000	0,000000	0,000000	0,00	0,000000	0,000000	0,00
proporzionale alla deformata 1° modo di vibrazione												
Estradosso travi colmo	0%	0,00	0,00	0,00	0,0000	0,0000	0,000000	0,000000	0,00	0,000000	0,000000	0,00
Estradosso travi colmo	100%	0,00	0,00	0,00	0,0000	0,0000	0,000000	0,000000	0,00	0,000000	0,000000	0,00
sisma in +Y												
proporzionale alle masse												
Estradosso travi colmo	0%	1,19	1,30	0,45	0,1142	0,0054	0,022277	0,000143	NS	0,004943	0,000035	NS
Estradosso travi colmo	100%	0,05	0,22	0,34	0,1155	0,0040	0,011771	0,000143	82,12	0,004863	0,000035	NS
proporzionale alla deformata 1° modo di vibrazione												
Estradosso travi colmo	0%	0,00	0,00	0,00	0,0000	0,0000	0,000000	0,000000	0,00	0,000000	0,000000	0,00
Estradosso travi colmo	100%	0,00	0,00	0,00	0,0000	0,0000	0,000000	0,000000	0,00	0,000000	0,000000	0,00
sisma in -Y												
proporzionale alle masse												
Estradosso travi colmo	0%	0,00	0,00	0,00	0,0000	0,0000	0,000000	0,000000	0,00	0,000000	0,000000	0,00
Estradosso travi colmo	100%	0,00	0,00	0,00	0,0000	0,0000	0,000000	0,000000	0,00	0,000000	0,000000	0,00
proporzionale alla deformata 1° modo di vibrazione												
Estradosso travi colmo	0%	0,00	0,00	0,00	0,0000	0,0000	0,000000	0,000000	0,00	0,000000	0,000000	0,00
Estradosso travi colmo	100%	0,00	0,00	0,00	0,0000	0,0000	0,000000	0,000000	0,00	0,000000	0,000000	0,00

Lv	$\%L_{LI}$	$L_{v,SLV}$	$L_{v,SLD}$	L_{pl}	ϕ_u	ϕ_y	SLV			SLD		
							Θ_c	Θ_d	CS	Θ_c	Θ_d	CS
	[%]	[m]	[m]	[m]	[rad/m]	[rad/m]	[rad]	[rad]		[rad]	[rad]	
Pilastrata: Pilastrata31												
sisma in +X												
proporzionale alle masse												
Estradosso travi colmo	0%	0,00	0,00	0,00	0,0000	0,0000	0,000000	0,000000	0,00	0,000000	0,000000	0,00
Estradosso travi colmo	100%	0,00	0,00	0,00	0,0000	0,0000	0,000000	0,000000	0,00	0,000000	0,000000	0,00
proporzionale alla deformata 1° modo di vibrazione												
Estradosso travi colmo	0%	0,27	0,23	0,40	0,1185	0,0040	0,015212	0,000575	26,45	0,007314	0,000379	19,32
Estradosso travi colmo	100%	0,85	0,82	0,46	0,1204	0,0046	0,021807	0,000575	37,92	0,004662	0,000379	12,31
sisma in -X												
proporzionale alle masse												
Estradosso travi colmo	0%	0,00	0,00	0,00	0,0000	0,0000	0,000000	0,000000	0,00	0,000000	0,000000	0,00
Estradosso travi colmo	100%	0,00	0,00	0,00	0,0000	0,0000	0,000000	0,000000	0,00	0,000000	0,000000	0,00
proporzionale alla deformata 1° modo di vibrazione												
Estradosso travi colmo	0%	0,00	0,00	0,00	0,0000	0,0000	0,000000	0,000000	0,00	0,000000	0,000000	0,00
Estradosso travi colmo	100%	0,00	0,00	0,00	0,0000	0,0000	0,000000	0,000000	0,00	0,000000	0,000000	0,00
sisma in +Y												
proporzionale alle masse												
Estradosso travi colmo	0%	0,00	0,00	0,00	0,0000	0,0000	0,000000	0,000000	0,00	0,000000	0,000000	0,00
Estradosso travi colmo	100%	0,00	0,00	0,00	0,0000	0,0000	0,000000	0,000000	0,00	0,000000	0,000000	0,00
proporzionale alla deformata 1° modo di vibrazione												
Estradosso travi colmo	0%	0,00	0,00	0,00	0,0000	0,0000	0,000000	0,000000	0,00	0,000000	0,000000	0,00
Estradosso travi colmo	100%	0,00	0,00	0,00	0,0000	0,0000	0,000000	0,000000	0,00	0,000000	0,000000	0,00
sisma in -Y												
proporzionale alle masse												
Estradosso travi colmo	0%	0,00	0,00	0,00	0,0000	0,0000	0,000000	0,000000	0,00	0,000000	0,000000	0,00
Estradosso travi colmo	100%	0,00	0,00	0,00	0,0000	0,0000	0,000000	0,000000	0,00	0,000000	0,000000	0,00
proporzionale alla deformata 1° modo di vibrazione												
Estradosso travi colmo	0%	0,00	0,00	0,00	0,0000	0,0000	0,000000	0,000000	0,00	0,000000	0,000000	0,00
Estradosso travi colmo	100%	0,00	0,00	0,00	0,0000	0,0000	0,000000	0,000000	0,00	0,000000	0,000000	0,00
Pilastrata: Pilastrata37												
sisma in +X												
proporzionale alle masse												
Piano terra ingresso	0%	0,00	0,00	0,00	0,0000	0,0000	0,000000	0,000000	0,00	0,000000	0,000000	0,00
Piano terra ingresso	100%	0,00	0,00	0,00	0,0000	0,0000	0,000000	0,000000	0,00	0,000000	0,000000	0,00
proporzionale alla deformata 1° modo di vibrazione												
Piano terra ingresso	0%	2,13	2,22	0,64	0,0771	0,0053	0,022748	0,002182	10,43	0,006691	0,001035	6,46
Piano terra ingresso	100%	0,01	0,21	0,42	0,0784	0,0051	0,011831	0,002182	5,42	0,008159	0,001035	7,88
sisma in -X												
proporzionale alle masse												
Piano terra ingresso	0%	0,00	0,00	0,00	0,0000	0,0000	0,000000	0,000000	0,00	0,000000	0,000000	0,00
Piano terra ingresso	100%	0,00	0,00	0,00	0,0000	0,0000	0,000000	0,000000	0,00	0,000000	0,000000	0,00
proporzionale alla deformata 1° modo di vibrazione												
Piano terra ingresso	0%	0,00	0,00	0,00	0,0000	0,0000	0,000000	0,000000	0,00	0,000000	0,000000	0,00
Piano terra ingresso	100%	0,00	0,00	0,00	0,0000	0,0000	0,000000	0,000000	0,00	0,000000	0,000000	0,00
sisma in +Y												
proporzionale alle masse												
Piano terra ingresso	0%	2,04	1,97	0,61	0,0189	0,0064	0,006791	0,002660	2,55	0,007127	0,001203	5,92
Piano terra ingresso	100%	0,11	0,08	0,42	0,0190	0,0051	0,008373	0,002660	3,15	0,013856	0,001203	11,52
proporzionale alla deformata 1° modo di vibrazione												
Piano terra ingresso	0%	0,00	0,00	0,00	0,0000	0,0000	0,000000	0,000000	0,00	0,000000	0,000000	0,00
Piano terra ingresso	100%	0,00	0,00	0,00	0,0000	0,0000	0,000000	0,000000	0,00	0,000000	0,000000	0,00
sisma in -Y												
proporzionale alle masse												
Piano terra ingresso	0%	0,00	0,00	0,00	0,0000	0,0000	0,000000	0,000000	0,00	0,000000	0,000000	0,00
Piano terra ingresso	100%	0,00	0,00	0,00	0,0000	0,0000	0,000000	0,000000	0,00	0,000000	0,000000	0,00
proporzionale alla deformata 1° modo di vibrazione												
Piano terra ingresso	0%	0,00	0,00	0,00	0,0000	0,0000	0,000000	0,000000	0,00	0,000000	0,000000	0,00
Piano terra ingresso	100%	0,00	0,00	0,00	0,0000	0,0000	0,000000	0,000000	0,00	0,000000	0,000000	0,00
sisma in +X												
proporzionale alle masse												
Piano rialzato	0%	0,00	0,00	0,00	0,0000	0,0000	0,000000	0,000000	0,00	0,000000	0,000000	0,00
Piano rialzato	100%	0,00	0,00	0,00	0,0000	0,0000	0,000000	0,000000	0,00	0,000000	0,000000	0,00
proporzionale alla deformata 1° modo di vibrazione												
Piano rialzato	0%	0,21	0,08	0,44	0,0718	0,0047	0,016071	0,004148	3,87	0,017216	0,001479	11,64
Piano rialzato	100%	0,21	0,37	0,44	0,0786	0,0047	0,011142	0,004148	2,69	0,005869	0,001479	3,97
sisma in -X												
proporzionale alle masse												
Piano rialzato	0%	0,00	0,00	0,00	0,0000	0,0000	0,000000	0,000000	0,00	0,000000	0,000000	0,00
Piano rialzato	100%	0,00	0,00	0,00	0,0000	0,0000	0,000000	0,000000	0,00	0,000000	0,000000	0,00

Lv	$\%L_{LI}$	$L_{v,SLV}$	$L_{v,SLD}$	L_{pl}	ϕ_u	ϕ_y	SLV			SLD		
							Θ_c	Θ_d	CS	Θ_c	Θ_d	CS
	[%]	[m]	[m]	[m]	[rad/m]	[rad/m]	[rad]	[rad]		[rad]	[rad]	
proporzionale alla deformata 1° modo di vibrazione												
Piano rialzato	0%	0,00	0,00	0,00	0,0000	0,0000	0,000000	0,000000	0,00	0,000000	0,000000	0,00
Piano rialzato	100%	0,00	0,00	0,00	0,0000	0,0000	0,000000	0,000000	0,00	0,000000	0,000000	0,00
sisma in +Y												
proporzionale alle masse												
Piano rialzato	0%	1,04	1,06	0,51	0,0249	0,0082	0,006477	0,003387	1,91	0,006537	0,001561	4,19
Piano rialzato	100%	1,48	1,56	0,55	0,0250	0,0072	0,007479	0,003387	2,21	0,006946	0,001561	4,45
proporzionale alla deformata 1° modo di vibrazione												
Piano rialzato	0%	0,00	0,00	0,00	0,0000	0,0000	0,000000	0,000000	0,00	0,000000	0,000000	0,00
Piano rialzato	100%	0,00	0,00	0,00	0,0000	0,0000	0,000000	0,000000	0,00	0,000000	0,000000	0,00
sisma in -Y												
proporzionale alle masse												
Piano rialzato	0%	0,00	0,00	0,00	0,0000	0,0000	0,000000	0,000000	0,00	0,000000	0,000000	0,00
Piano rialzato	100%	0,00	0,00	0,00	0,0000	0,0000	0,000000	0,000000	0,00	0,000000	0,000000	0,00
proporzionale alla deformata 1° modo di vibrazione												
Piano rialzato	0%	0,00	0,00	0,00	0,0000	0,0000	0,000000	0,000000	0,00	0,000000	0,000000	0,00
Piano rialzato	100%	0,00	0,00	0,00	0,0000	0,0000	0,000000	0,000000	0,00	0,000000	0,000000	0,00
sisma in +X												
proporzionale alle masse												
Piano primo	0%	0,00	0,00	0,00	0,0000	0,0000	0,000000	0,000000	0,00	0,000000	0,000000	0,00
Piano primo	100%	0,00	0,00	0,00	0,0000	0,0000	0,000000	0,000000	0,00	0,000000	0,000000	0,00
proporzionale alla deformata 1° modo di vibrazione												
Piano primo	0%	1,17	1,20	0,54	0,1005	0,0046	0,022369	0,004140	5,40	0,004893	0,001881	2,60
Piano primo	100%	1,23	1,29	0,55	0,1047	0,0046	0,023759	0,004140	5,74	0,005001	0,001881	2,66
sisma in -X												
proporzionale alle masse												
Piano primo	0%	0,00	0,00	0,00	0,0000	0,0000	0,000000	0,000000	0,00	0,000000	0,000000	0,00
Piano primo	100%	0,00	0,00	0,00	0,0000	0,0000	0,000000	0,000000	0,00	0,000000	0,000000	0,00
proporzionale alla deformata 1° modo di vibrazione												
Piano primo	0%	0,00	0,00	0,00	0,0000	0,0000	0,000000	0,000000	0,00	0,000000	0,000000	0,00
Piano primo	100%	0,00	0,00	0,00	0,0000	0,0000	0,000000	0,000000	0,00	0,000000	0,000000	0,00
sisma in +Y												
proporzionale alle masse												
Piano primo	0%	0,80	0,66	0,47	0,0337	0,0110	0,007178	0,003101	2,32	0,006828	0,001343	5,08
Piano primo	100%	1,69	1,71	0,56	0,0346	0,0126	0,010678	0,003101	3,44	0,011135	0,001343	8,29
proporzionale alla deformata 1° modo di vibrazione												
Piano primo	0%	0,00	0,00	0,00	0,0000	0,0000	0,000000	0,000000	0,00	0,000000	0,000000	0,00
Piano primo	100%	0,00	0,00	0,00	0,0000	0,0000	0,000000	0,000000	0,00	0,000000	0,000000	0,00
sisma in -Y												
proporzionale alle masse												
Piano primo	0%	0,00	0,00	0,00	0,0000	0,0000	0,000000	0,000000	0,00	0,000000	0,000000	0,00
Piano primo	100%	0,00	0,00	0,00	0,0000	0,0000	0,000000	0,000000	0,00	0,000000	0,000000	0,00
proporzionale alla deformata 1° modo di vibrazione												
Piano primo	0%	0,00	0,00	0,00	0,0000	0,0000	0,000000	0,000000	0,00	0,000000	0,000000	0,00
Piano primo	100%	0,00	0,00	0,00	0,0000	0,0000	0,000000	0,000000	0,00	0,000000	0,000000	0,00
sisma in +X												
proporzionale alle masse												
Estradosso travi gronda	0%	0,00	0,00	0,00	0,0000	0,0000	0,000000	0,000000	0,00	0,000000	0,000000	0,00
Estradosso travi gronda	100%	0,00	0,00	0,00	0,0000	0,0000	0,000000	0,000000	0,00	0,000000	0,000000	0,00
proporzionale alla deformata 1° modo di vibrazione												
Estradosso travi gronda	0%	1,35	1,40	0,56	0,1344	0,0042	0,031210	0,002105	14,83	0,004852	0,001074	4,52
Estradosso travi gronda	100%	1,28	1,27	0,55	0,1372	0,0042	0,031105	0,002105	14,78	0,004751	0,001074	4,42
sisma in -X												
proporzionale alle masse												
Estradosso travi gronda	0%	0,00	0,00	0,00	0,0000	0,0000	0,000000	0,000000	0,00	0,000000	0,000000	0,00
Estradosso travi gronda	100%	0,00	0,00	0,00	0,0000	0,0000	0,000000	0,000000	0,00	0,000000	0,000000	0,00
proporzionale alla deformata 1° modo di vibrazione												
Estradosso travi gronda	0%	0,00	0,00	0,00	0,0000	0,0000	0,000000	0,000000	0,00	0,000000	0,000000	0,00
Estradosso travi gronda	100%	0,00	0,00	0,00	0,0000	0,0000	0,000000	0,000000	0,00	0,000000	0,000000	0,00
sisma in +Y												
proporzionale alle masse												
Estradosso travi gronda	0%	1,01	1,13	0,49	0,0640	0,0049	0,013272	0,002617	5,07	0,004673	0,001015	4,60
Estradosso travi gronda	100%	1,65	1,59	0,55	0,0668	0,0069	0,017110	0,002617	6,54	0,006659	0,001015	6,56
proporzionale alla deformata 1° modo di vibrazione												
Estradosso travi gronda	0%	0,00	0,00	0,00	0,0000	0,0000	0,000000	0,000000	0,00	0,000000	0,000000	0,00
Estradosso travi gronda	100%	0,00	0,00	0,00	0,0000	0,0000	0,000000	0,000000	0,00	0,000000	0,000000	0,00
sisma in -Y												
proporzionale alle masse												
Estradosso travi gronda	0%	0,00	0,00	0,00	0,0000	0,0000	0,000000	0,000000	0,00	0,000000	0,000000	0,00
Estradosso travi gronda	100%	0,00	0,00	0,00	0,0000	0,0000	0,000000	0,000000	0,00	0,000000	0,000000	0,00
proporzionale alla deformata 1° modo di vibrazione												

Lv	$\%L_{LI}$	$L_{v,SLV}$	$L_{v,SLD}$	L_{pl}	ϕ_u	ϕ_y	SLV			SLD		
							Θ_c	Θ_d	CS	Θ_c	Θ_d	CS
	[%]	[m]	[m]	[m]	[rad/m]	[rad/m]	[rad]	[rad]		[rad]	[rad]	
Estradosso travi gronda	0%	0,00	0,00	0,00	0,0000	0,0000	0,000000	0,000000	0,00	0,000000	0,000000	0,00
Estradosso travi gronda	100%	0,00	0,00	0,00	0,0000	0,0000	0,000000	0,000000	0,00	0,000000	0,000000	0,00
Pilastrata: Pilastrata40												
sisma in +X												
proporzionale alle masse												
Piano terra ingresso	0%	0,00	0,00	0,00	0,0000	0,0000	0,000000	0,000000	0,00	0,000000	0,000000	0,00
Piano terra ingresso	100%	0,00	0,00	0,00	0,0000	0,0000	0,000000	0,000000	0,00	0,000000	0,000000	0,00
proporzionale alla deformata 1° modo di vibrazione												
Piano terra ingresso	0%	1,05	1,03	0,51	0,0822	0,0054	0,017353	0,002895	5,99	0,005155	0,001410	3,66
Piano terra ingresso	100%	1,04	1,10	0,51	0,0833	0,0053	0,017481	0,002895	6,04	0,005143	0,001410	3,65
sisma in -X												
proporzionale alle masse												
Piano terra ingresso	0%	0,00	0,00	0,00	0,0000	0,0000	0,000000	0,000000	0,00	0,000000	0,000000	0,00
Piano terra ingresso	100%	0,00	0,00	0,00	0,0000	0,0000	0,000000	0,000000	0,00	0,000000	0,000000	0,00
proporzionale alla deformata 1° modo di vibrazione												
Piano terra ingresso	0%	0,00	0,00	0,00	0,0000	0,0000	0,000000	0,000000	0,00	0,000000	0,000000	0,00
Piano terra ingresso	100%	0,00	0,00	0,00	0,0000	0,0000	0,000000	0,000000	0,00	0,000000	0,000000	0,00
sisma in +Y												
proporzionale alle masse												
Piano terra ingresso	0%	2,19	2,12	0,59	0,0329	0,0082	0,010669	0,002462	4,33	0,008757	0,001090	8,03
Piano terra ingresso	100%	0,06	0,01	0,37	0,0340	0,0085	0,031599	0,002462	12,84	0,058420	0,001090	53,58
proporzionale alla deformata 1° modo di vibrazione												
Piano terra ingresso	0%	0,00	0,00	0,00	0,0000	0,0000	0,000000	0,000000	0,00	0,000000	0,000000	0,00
Piano terra ingresso	100%	0,00	0,00	0,00	0,0000	0,0000	0,000000	0,000000	0,00	0,000000	0,000000	0,00
sisma in -Y												
proporzionale alle masse												
Piano terra ingresso	0%	0,00	0,00	0,00	0,0000	0,0000	0,000000	0,000000	0,00	0,000000	0,000000	0,00
Piano terra ingresso	100%	0,00	0,00	0,00	0,0000	0,0000	0,000000	0,000000	0,00	0,000000	0,000000	0,00
proporzionale alla deformata 1° modo di vibrazione												
Piano terra ingresso	0%	0,00	0,00	0,00	0,0000	0,0000	0,000000	0,000000	0,00	0,000000	0,000000	0,00
Piano terra ingresso	100%	0,00	0,00	0,00	0,0000	0,0000	0,000000	0,000000	0,00	0,000000	0,000000	0,00
sisma in +X												
proporzionale alle masse												
Piano primo	0%	0,00	0,00	0,00	0,0000	0,0000	0,000000	0,000000	0,00	0,000000	0,000000	0,00
Piano primo	100%	0,00	0,00	0,00	0,0000	0,0000	0,000000	0,000000	0,00	0,000000	0,000000	0,00
proporzionale alla deformata 1° modo di vibrazione												
Piano primo	0%	1,78	1,78	0,58	0,1058	0,0055	0,027360	0,003661	7,47	0,006094	0,001692	3,60
Piano primo	100%	1,77	1,74	0,58	0,1079	0,0054	0,027759	0,003661	7,58	0,005991	0,001692	3,54
sisma in -X												
proporzionale alle masse												
Piano primo	0%	0,00	0,00	0,00	0,0000	0,0000	0,000000	0,000000	0,00	0,000000	0,000000	0,00
Piano primo	100%	0,00	0,00	0,00	0,0000	0,0000	0,000000	0,000000	0,00	0,000000	0,000000	0,00
proporzionale alla deformata 1° modo di vibrazione												
Piano primo	0%	0,00	0,00	0,00	0,0000	0,0000	0,000000	0,000000	0,00	0,000000	0,000000	0,00
Piano primo	100%	0,00	0,00	0,00	0,0000	0,0000	0,000000	0,000000	0,00	0,000000	0,000000	0,00
sisma in +Y												
proporzionale alle masse												
Piano primo	0%	1,67	15,88	0,52	0,0719	0,0121	0,046610	0,003071	15,18	0,067110	0,001271	52,80
Piano primo	100%	4,84	11,55	0,83	0,0736	0,0146	0,052492	0,003071	17,09	0,059982	0,001271	47,19
proporzionale alla deformata 1° modo di vibrazione												
Piano primo	0%	0,00	0,00	0,00	0,0000	0,0000	0,000000	0,000000	0,00	0,000000	0,000000	0,00
Piano primo	100%	0,00	0,00	0,00	0,0000	0,0000	0,000000	0,000000	0,00	0,000000	0,000000	0,00
sisma in -Y												
proporzionale alle masse												
Piano primo	0%	0,00	0,00	0,00	0,0000	0,0000	0,000000	0,000000	0,00	0,000000	0,000000	0,00
Piano primo	100%	0,00	0,00	0,00	0,0000	0,0000	0,000000	0,000000	0,00	0,000000	0,000000	0,00
proporzionale alla deformata 1° modo di vibrazione												
Piano primo	0%	0,00	0,00	0,00	0,0000	0,0000	0,000000	0,000000	0,00	0,000000	0,000000	0,00
Piano primo	100%	0,00	0,00	0,00	0,0000	0,0000	0,000000	0,000000	0,00	0,000000	0,000000	0,00
sisma in +X												
proporzionale alle masse												
Estradosso travi gronda	0%	0,00	0,00	0,00	0,0000	0,0000	0,000000	0,000000	0,00	0,000000	0,000000	0,00
Estradosso travi gronda	100%	0,00	0,00	0,00	0,0000	0,0000	0,000000	0,000000	0,00	0,000000	0,000000	0,00
proporzionale alla deformata 1° modo di vibrazione												
Estradosso travi gronda	0%	1,34	1,33	0,54	0,1086	0,0055	0,024853	0,002047	12,14	0,005503	0,001076	5,12
Estradosso travi gronda	100%	1,29	1,24	0,53	0,1106	0,0054	0,024824	0,002047	12,13	0,005355	0,001076	4,98
sisma in -X												
proporzionale alle masse												
Estradosso travi gronda	0%	0,00	0,00	0,00	0,0000	0,0000	0,000000	0,000000	0,00	0,000000	0,000000	0,00
Estradosso travi gronda	100%	0,00	0,00	0,00	0,0000	0,0000	0,000000	0,000000	0,00	0,000000	0,000000	0,00
proporzionale alla deformata 1° modo di vibrazione												
Estradosso travi gronda	0%	0,00	0,00	0,00	0,0000	0,0000	0,000000	0,000000	0,00	0,000000	0,000000	0,00
Estradosso travi gronda	100%	0,00	0,00	0,00	0,0000	0,0000	0,000000	0,000000	0,00	0,000000	0,000000	0,00
sisma in +Y												
proporzionale alle masse												

Verifiche di Rotazione alla corda

Lv	%L_{LI}	$L_{v,SLV}$	$L_{v,SLD}$	L_{pl}	ϕ_u	ϕ_y	SLV			SLD		
							Θ_c	Θ_d	CS	Θ_c	Θ_d	CS
	[%]	[m]	[m]	[m]	[rad/m]	[rad/m]	[rad]	[rad]		[rad]	[rad]	
Estradosso travi gronda	0%	1,02	1,00	0,45	0,1277	0,0041	0,023663	0,002853	8,29	0,003914	0,001180	3,32
Estradosso travi gronda	100%	1,61	1,59	0,51	0,1299	0,0045	0,029367	0,002853	10,29	0,004757	0,001180	4,03
proporzionale alla deformata 1° modo di vibrazione												
Estradosso travi gronda	0%	0,00	0,00	0,00	0,0000	0,0000	0,000000	0,000000	0,00	0,000000	0,000000	0,00
Estradosso travi gronda	100%	0,00	0,00	0,00	0,0000	0,0000	0,000000	0,000000	0,00	0,000000	0,000000	0,00
sisma in -Y												
proporzionale alle masse												
Estradosso travi gronda	0%	0,00	0,00	0,00	0,0000	0,0000	0,000000	0,000000	0,00	0,000000	0,000000	0,00
Estradosso travi gronda	100%	0,00	0,00	0,00	0,0000	0,0000	0,000000	0,000000	0,00	0,000000	0,000000	0,00
proporzionale alla deformata 1° modo di vibrazione												
Estradosso travi gronda	0%	0,00	0,00	0,00	0,0000	0,0000	0,000000	0,000000	0,00	0,000000	0,000000	0,00
Estradosso travi gronda	100%	0,00	0,00	0,00	0,0000	0,0000	0,000000	0,000000	0,00	0,000000	0,000000	0,00

LEGENDA:

Lv Livello o piano di appartenenza dell'elemento strutturale.
%L_{LI} Posizione della sezione per la quale vengono forniti i valori di verifica, valutata come % della lunghezza libera d'inflessione (L_{LI}), a partire dall'estremo iniziale.
$L_{v,SLV}$ Luce di Taglio allo SLV
$L_{v,SLD}$ Luce di Taglio allo SLD
L_{pl} Lunghezza della cerniera plastica.
ϕ_u Curvatura allo SLU.
ϕ_y Curvatura allo snervamento.
Θ_c Capacità di rotazione alla corda.
Θ_d Domanda di Rotazione alla Corda.
CS Coefficiente di sicurezza ([NS] = Non Significativo per valori di CS >= 100; [VNR]= Verifica Non Richiesta).
$L_{v,SLV}$ Luce di Taglio allo SLV

PILASTRI - VERIFICHE A TAGLIO PER ANALISI NON LINEARE (Elevazione)

Pilastri - Verifiche a Taglio per Analisi Non Lineare

Lv	%L_{LI}	$V_{Ed,3}$	$V_{Ed,2}$	$CS^{(3)}$	$CS^{(2)}$	α_C	$V_{Rsd,s}{}^{(3)}$	$V_{Rsd,s}{}^{(2)}$	$V_{Rcd}{}^{(3)}$	$V_{Rcd}{}^{(2)}$	$V_{fd}{}^{(3)}$	$V_{fd}{}^{(2)}$	$Ctg\Theta^{(3)}$	$Ctg\Theta^{(2)}$
	[%]	[N]	[N]				[N]	[N]	[N]	[N]	[N]	[N]		
Pilastrata: Pilastrata1														
sisma in +X														
proporzionale alle masse														
Piano terra ingresso	0%	-	-	VNR	VNR	0,00	0	0	0	0	0	0	0,00	0,00
	100%	-	-	VNR	VNR	0,00	0	0	0	0	0	0	0,00	0,00
proporzionale alla deformata 1° modo di vibrazione														
	0%	-9.636	-6.395	8,14	12,27	1,00	78479	78479	199988	199988	0	0	2,50	2,50
	100%	-27.663	-17.175	2,84	4,57	1,00	78479	78479	199988	199988	0	0	2,50	2,50
sisma in -X														
proporzionale alle masse														
	0%	-	-	VNR	VNR	0,00	0	0	0	0	0	0	0,00	0,00
	100%	-	-	VNR	VNR	0,00	0	0	0	0	0	0	0,00	0,00
proporzionale alla deformata 1° modo di vibrazione														
	0%	-	-	VNR	VNR	0,00	0	0	0	0	0	0	0,00	0,00
	100%	-	-	VNR	VNR	0,00	0	0	0	0	0	0	0,00	0,00
sisma in +Y														
proporzionale alle masse														
	0%	14.974	22.171	5,24	3,54	1,00	78479	78479	199988	199988	0	0	2,50	2,50
	100%	29.113	37.200	2,70	2,11	1,00	78479	78479	199988	199988	0	0	2,50	2,50
proporzionale alla deformata 1° modo di vibrazione														
	0%	-	-	VNR	VNR	0,00	0	0	0	0	0	0	0,00	0,00
	100%	-	-	VNR	VNR	0,00	0	0	0	0	0	0	0,00	0,00
sisma in -Y														
proporzionale alle masse														
	0%	-	-	VNR	VNR	0,00	0	0	0	0	0	0	0,00	0,00
	100%	-	-	VNR	VNR	0,00	0	0	0	0	0	0	0,00	0,00
proporzionale alla deformata 1° modo di vibrazione														
	0%	-	-	VNR	VNR	0,00	0	0	0	0	0	0	0,00	0,00
	100%	-	-	VNR	VNR	0,00	0	0	0	0	0	0	0,00	0,00
sisma in +X														
proporzionale alle masse														
Piano rialzato	0%	-	-	VNR	VNR	0,00	0	0	0	0	0	0	0,00	0,00
	100%	-	-	VNR	VNR	0,00	0	0	0	0	0	0	0,00	0,00
proporzionale alla deformata 1° modo di vibrazione														
	0%	-26.202	-12.633	2,64	5,48	1,00	69246	69246	199988	199988	0	0	2,50	2,50
	100%	-57.187	3.531	1,21	19,61	1,00	69246	69246	200701	200701	0	0	2,50	2,50
sisma in -X														
proporzionale alle masse														
	0%	-	-	VNR	VNR	0,00	0	0	0	0	0	0	0,00	0,00
	100%	-	-	VNR	VNR	0,00	0	0	0	0	0	0	0,00	0,00
proporzionale alla deformata 1° modo di vibrazione														
	0%	-	-	VNR	VNR	0,00	0	0	0	0	0	0	0,00	0,00
	100%	-	-	VNR	VNR	0,00	0	0	0	0	0	0	0,00	0,00
sisma in +Y														
proporzionale alle masse														
	0%	19.409	54.337	3,57	1,27	1,00	69246	69246	199988	199988	0	0	2,50	2,50

Lv	%L_{LI}	$V_{Ed,3}$	$V_{Ed,2}$	$CS^{(3)}$	$CS^{(2)}$	α_C	$V_{Rsd,s}{}^{(3)}$	$V_{Rsd,s}{}^{(2)}$	$V_{Rcd}{}^{(3)}$	$V_{Rcd}{}^{(2)}$	$V_{fd}{}^{(3)}$	$V_{fd}{}^{(2)}$	$Ctg\Theta^{(3)}$	$Ctg\Theta^{(2)}$
	[%]	[N]	[N]				[N]	[N]	[N]	[N]	[N]	[N]		
	100%	5.061	97.398	13,68	0,71	1,03	69246	69246	205000	205000	0	0	2,50	2,50
proporzionale alla deformata 1° modo di vibrazione														
	0%	-	-	VNR	VNR	0,00	0	0	0	0	0	0	0,00	0,00
	100%	-	-	VNR	VNR	0,00	0	0	0	0	0	0	0,00	0,00
sisma in -Y														
proporzionale alle masse														
	0%	-	-	VNR	VNR	0,00	0	0	0	0	0	0	0,00	0,00
	100%	-	-	VNR	VNR	0,00	0	0	0	0	0	0	0,00	0,00
proporzionale alla deformata 1° modo di vibrazione														
	0%	-	-	VNR	VNR	0,00	0	0	0	0	0	0	0,00	0,00
	100%	-	-	VNR	VNR	0,00	0	0	0	0	0	0	0,00	0,00
sisma in +X														
proporzionale alle masse														
Piano primo	0%	-	-	VNR	VNR	0,00	0	0	0	0	0	0	0,00	0,00
	100%	-	-	VNR	VNR	0,00	0	0	0	0	0	0	0,00	0,00
proporzionale alla deformata 1° modo di vibrazione														
	0%	26.754	-60.755	2,93	1,29	1,03	78479	78479	206854	206854	0	0	2,50	2,50
	100%	-75.380	8.568	1,04	9,16	1,11	78479	78479	221457	221457	0	0	2,50	2,50
sisma in -X														
proporzionale alle masse														
	0%	-	-	VNR	VNR	0,00	0	0	0	0	0	0	0,00	0,00
	100%	-	-	VNR	VNR	0,00	0	0	0	0	0	0	0,00	0,00
proporzionale alla deformata 1° modo di vibrazione														
	0%	-	-	VNR	VNR	0,00	0	0	0	0	0	0	0,00	0,00
	100%	-	-	VNR	VNR	0,00	0	0	0	0	0	0	0,00	0,00
sisma in +Y														
proporzionale alle masse														
	0%	70.361	-66.394	1,12	1,18	1,05	78479	78479	210116	210116	0	0	2,50	2,50
	100%	-4.890	97.870	16,05	0,80	1,11	78479	78479	221329	221329	0	0	2,50	2,50
proporzionale alla deformata 1° modo di vibrazione														
	0%	-	-	VNR	VNR	0,00	0	0	0	0	0	0	0,00	0,00
	100%	-	-	VNR	VNR	0,00	0	0	0	0	0	0	0,00	0,00
sisma in -Y														
proporzionale alle masse														
	0%	-	-	VNR	VNR	0,00	0	0	0	0	0	0	0,00	0,00
	100%	-	-	VNR	VNR	0,00	0	0	0	0	0	0	0,00	0,00
proporzionale alla deformata 1° modo di vibrazione														
	0%	-	-	VNR	VNR	0,00	0	0	0	0	0	0	0,00	0,00
	100%	-	-	VNR	VNR	0,00	0	0	0	0	0	0	0,00	0,00
sisma in +X														
proporzionale alle masse														
Estradosso travi gronda	0%	-	-	VNR	VNR	0,00	0	0	0	0	0	0	0,00	0,00
	100%	-	-	VNR	VNR	0,00	0	0	0	0	0	0	0,00	0,00
proporzionale alla deformata 1° modo di vibrazione														
	0%	22.024	-21.727	3,34	3,39	1,09	73574	73574	218464	218464	0	0	2,50	2,50
	100%	-20.208	8.768	3,64	8,39	1,10	73574	73574	219356	219356	0	0	2,50	2,50
sisma in -X														
proporzionale alle masse														
	0%	-	-	VNR	VNR	0,00	0	0	0	0	0	0	0,00	0,00
	100%	-	-	VNR	VNR	0,00	0	0	0	0	0	0	0,00	0,00
proporzionale alla deformata 1° modo di vibrazione														
	0%	-	-	VNR	VNR	0,00	0	0	0	0	0	0	0,00	0,00
	100%	-	-	VNR	VNR	0,00	0	0	0	0	0	0	0,00	0,00
sisma in +Y														
proporzionale alle masse														
	0%	60.189	-27.149	1,22	2,71	1,14	73574	73574	228762	228762	0	0	2,50	2,50
	100%	6.695	28.246	10,99	2,60	1,08	73574	73574	215790	215790	0	0	2,50	2,50
proporzionale alla deformata 1° modo di vibrazione														
	0%	-	-	VNR	VNR	0,00	0	0	0	0	0	0	0,00	0,00
	100%	-	-	VNR	VNR	0,00	0	0	0	0	0	0	0,00	0,00
sisma in -Y														
proporzionale alle masse														
	0%	-	-	VNR	VNR	0,00	0	0	0	0	0	0	0,00	0,00
	100%	-	-	VNR	VNR	0,00	0	0	0	0	0	0	0,00	0,00
proporzionale alla deformata 1° modo di vibrazione														
	0%	-	-	VNR	VNR	0,00	0	0	0	0	0	0	0,00	0,00
	100%	-	-	VNR	VNR	0,00	0	0	0	0	0	0	0,00	0,00
Pilastrata: Pilastrata2														
sisma in +X														
proporzionale alle masse														
Piano terra ingresso	0%	-	-	VNR	VNR	0,00	0	0	0	0	0	0	0,00	0,00
	100%	-	-	VNR	VNR	0,00	0	0	0	0	0	0	0,00	0,00
proporzionale alla deformata 1° modo di vibrazione														
	0%	-9.558	-1.208	6,05	82,06	1,00	57826	99131	184199	184199	0	0	2,50	2,50
	100%	-29.158	667	1,98	NS	1,00	57826	99131	184199	184199	0	0	2,50	2,50
sisma in -X														
proporzionale alle masse														
	0%	-	-	VNR	VNR	0,00	0	0	0	0	0	0	0,00	0,00
	100%	-	-	VNR	VNR	0,00	0	0	0	0	0	0	0,00	0,00
proporzionale alla deformata 1° modo di vibrazione														
	0%	-	-	VNR	VNR	0,00	0	0	0	0	0	0	0,00	0,00
	100%	-	-	VNR	VNR	0,00	0	0	0	0	0	0	0,00	0,00
sisma in +Y														
proporzionale alle masse														
	0%	1.565	3.323	36,95	29,83	1,02	57826	99131	187447	187447	0	0	2,50	2,50

Lv	%L_{LI}	$V_{Ed,3}$	$V_{Ed,2}$	$CS^{(3)}$	$CS^{(2)}$	α_C	$V_{Rsd,s}{}^{(3)}$	$V_{Rsd,s}{}^{(2)}$	$V_{Rcd}{}^{(3)}$	$V_{Rcd}{}^{(2)}$	$V_{fd}{}^{(3)}$	$V_{fd}{}^{(2)}$	$Ctg\Theta^{(3)}$	$Ctg\Theta^{(2)}$
	[%]	[N]	[N]				[N]	[N]	[N]	[N]	[N]	[N]		
	100%	-169	-639	NS	NS	1,01	57826	99131	185730	185730	0	0	2,50	2,50
proporzionale alla deformata 1° modo di vibrazione														
	0%	-	-	VNR	VNR	0,00	0	0	0	0	0	0	0,00	0,00
	100%	-	-	VNR	VNR	0,00	0	0	0	0	0	0	0,00	0,00
sisma in -Y														
proporzionale alle masse														
	0%	-	-	VNR	VNR	0,00	0	0	0	0	0	0	0,00	0,00
	100%	-	-	VNR	VNR	0,00	0	0	0	0	0	0	0,00	0,00
proporzionale alla deformata 1° modo di vibrazione														
	0%	-	-	VNR	VNR	0,00	0	0	0	0	0	0	0,00	0,00
	100%	-	-	VNR	VNR	0,00	0	0	0	0	0	0	0,00	0,00
sisma in +X														
proporzionale alle masse														
Piano rialzato	0%	-	-	VNR	VNR	0,00	0	0	0	0	0	0	0,00	0,00
	100%	-	-	VNR	VNR	0,00	0	0	0	0	0	0	0,00	0,00
proporzionale alla deformata 1° modo di vibrazione														
	0%	-26.802	1.218	1,90	71,81	1,00	51023	87469	184199	184199	0	0	2,50	2,50
	100%	-131.067	384	0,39	NS	1,10	51023	87469	201838	201838	0	0	2,50	2,50
sisma in -X														
proporzionale alle masse														
	0%	-	-	VNR	VNR	0,00	0	0	0	0	0	0	0,00	0,00
	100%	-	-	VNR	VNR	0,00	0	0	0	0	0	0	0,00	0,00
proporzionale alla deformata 1° modo di vibrazione														
	0%	-	-	VNR	VNR	0,00	0	0	0	0	0	0	0,00	0,00
	100%	-	-	VNR	VNR	0,00	0	0	0	0	0	0	0,00	0,00
sisma in +Y														
proporzionale alle masse														
	0%	-541	-1.384	94,31	63,20	1,01	51023	87469	185986	185986	0	0	2,50	2,50
	100%	-17.159	-4.234	2,97	20,66	1,03	51023	87469	188993	188993	0	0	2,50	2,50
proporzionale alla deformata 1° modo di vibrazione														
	0%	-	-	VNR	VNR	0,00	0	0	0	0	0	0	0,00	0,00
	100%	-	-	VNR	VNR	0,00	0	0	0	0	0	0	0,00	0,00
sisma in -Y														
proporzionale alle masse														
	0%	-	-	VNR	VNR	0,00	0	0	0	0	0	0	0,00	0,00
	100%	-	-	VNR	VNR	0,00	0	0	0	0	0	0	0,00	0,00
proporzionale alla deformata 1° modo di vibrazione														
	0%	-	-	VNR	VNR	0,00	0	0	0	0	0	0	0,00	0,00
	100%	-	-	VNR	VNR	0,00	0	0	0	0	0	0	0,00	0,00
sisma in +X														
proporzionale alle masse														
Piano primo	0%	-	-	VNR	VNR	0,00	0	0	0	0	0	0	0,00	0,00
	100%	-	-	VNR	VNR	0,00	0	0	0	0	0	0	0,00	0,00
proporzionale alla deformata 1° modo di vibrazione														
	0%	-16.420	-1.669	3,52	47,02	1,00	57826	78479	147360	147360	0	0	2,50	2,50
	100%	-119.759	-1.140	0,48	68,84	1,39	57826	78479	205023	205023	0	0	2,50	2,50
sisma in -X														
proporzionale alle masse														
	0%	-	-	VNR	VNR	0,00	0	0	0	0	0	0	0,00	0,00
	100%	-	-	VNR	VNR	0,00	0	0	0	0	0	0	0,00	0,00
proporzionale alla deformata 1° modo di vibrazione														
	0%	-	-	VNR	VNR	0,00	0	0	0	0	0	0	0,00	0,00
	100%	-	-	VNR	VNR	0,00	0	0	0	0	0	0	0,00	0,00
sisma in +Y														
proporzionale alle masse														
	0%	-918	3.300	62,99	23,78	1,00	57826	78479	147360	147360	0	0	2,50	2,50
	100%	-1.632	-1.730	35,43	45,36	1,00	57826	78479	147360	147360	0	0	2,50	2,50
proporzionale alla deformata 1° modo di vibrazione														
	0%	-	-	VNR	VNR	0,00	0	0	0	0	0	0	0,00	0,00
	100%	-	-	VNR	VNR	0,00	0	0	0	0	0	0	0,00	0,00
sisma in -Y														
proporzionale alle masse														
	0%	-	-	VNR	VNR	0,00	0	0	0	0	0	0	0,00	0,00
	100%	-	-	VNR	VNR	0,00	0	0	0	0	0	0	0,00	0,00
proporzionale alla deformata 1° modo di vibrazione														
	0%	-	-	VNR	VNR	0,00	0	0	0	0	0	0	0,00	0,00
	100%	-	-	VNR	VNR	0,00	0	0	0	0	0	0	0,00	0,00
sisma in +X														
proporzionale alle masse														
Estradosso travi gronda	0%	-	-	VNR	VNR	0,00	0	0	0	0	0	0	0,00	0,00
	100%	-	-	VNR	VNR	0,00	0	0	0	0	0	0	0,00	0,00
proporzionale alla deformata 1° modo di vibrazione														
	0%	-16.955	429	3,20	NS	1,01	54212	73574	148950	148950	0	0	2,50	2,50
	100%	-70.918	3.688	0,76	19,95	1,29	54212	73574	190276	190276	0	0	2,50	2,50
sisma in -X														
proporzionale alle masse														
	0%	-	-	VNR	VNR	0,00	0	0	0	0	0	0	0,00	0,00
	100%	-	-	VNR	VNR	0,00	0	0	0	0	0	0	0,00	0,00
proporzionale alla deformata 1° modo di vibrazione														
	0%	-	-	VNR	VNR	0,00	0	0	0	0	0	0	0,00	0,00
	100%	-	-	VNR	VNR	0,00	0	0	0	0	0	0	0,00	0,00
sisma in +Y														
proporzionale alle masse														
	0%	2.166	2.061	25,03	35,70	1,00	54212	73574	147360	147360	0	0	2,50	2,50
	100%	-1.124	-4.557	48,23	16,15	1,00	54212	73574	147360	147360	0	0	2,50	2,50

Lv	%L_{LI}	$V_{Ed,3}$	$V_{Ed,2}$	$CS^{(3)}$	$CS^{(2)}$	α_C	$V_{Rsd,s}{}^{(3)}$	$V_{Rsd,s}{}^{(2)}$	$V_{Rcd}{}^{(3)}$	$V_{Rcd}{}^{(2)}$	$V_{fd}{}^{(3)}$	$V_{fd}{}^{(2)}$	$Ctg\Theta^{(3)}$	$Ctg\Theta^{(2)}$
	[%]	[N]	[N]				[N]	[N]	[N]	[N]	[N]	[N]		
proporzionale alla deformata 1° modo di vibrazione														
	0%	-	-	VNR	VNR	0,00	0	0	0	0	0	0	0,00	0,00
	100%	-	-	VNR	VNR	0,00	0	0	0	0	0	0	0,00	0,00
sisma in -Y														
proporzionale alle masse														
	0%	-	-	VNR	VNR	0,00	0	0	0	0	0	0	0,00	0,00
	100%	-	-	VNR	VNR	0,00	0	0	0	0	0	0	0,00	0,00
proporzionale alla deformata 1° modo di vibrazione														
	0%	-	-	VNR	VNR	0,00	0	0	0	0	0	0	0,00	0,00
	100%	-	-	VNR	VNR	0,00	0	0	0	0	0	0	0,00	0,00
Pilastrata: Pilastrata3														
sisma in +X														
proporzionale alle masse														
Piano terra ingresso	0%	-	-	VNR	VNR	0,00	0	0	0	0	0	0	0,00	0,00
	100%	-	-	VNR	VNR	0,00	0	0	0	0	0	0	0,00	0,00
proporzionale alla deformata 1° modo di vibrazione														
	0%	-9.298	-1.165	6,22	85,09	1,00	57826	99131	184199	184199	0	0	2,50	2,50
	100%	-29.760	1.244	1,94	79,69	1,00	57826	99131	184199	184199	0	0	2,50	2,50
sisma in -X														
proporzionale alle masse														
	0%	-	-	VNR	VNR	0,00	0	0	0	0	0	0	0,00	0,00
	100%	-	-	VNR	VNR	0,00	0	0	0	0	0	0	0,00	0,00
proporzionale alla deformata 1° modo di vibrazione														
	0%	-	-	VNR	VNR	0,00	0	0	0	0	0	0	0,00	0,00
	100%	-	-	VNR	VNR	0,00	0	0	0	0	0	0	0,00	0,00
sisma in +Y														
proporzionale alle masse														
	0%	5.286	1.955	10,94	50,71	1,03	57826	99131	189982	189982	0	0	2,50	2,50
	100%	-14	-1.879	NS	52,76	1,01	57826	99131	186510	186510	0	0	2,50	2,50
proporzionale alla deformata 1° modo di vibrazione														
	0%	-	-	VNR	VNR	0,00	0	0	0	0	0	0	0,00	0,00
	100%	-	-	VNR	VNR	0,00	0	0	0	0	0	0	0,00	0,00
sisma in -Y														
proporzionale alle masse														
	0%	-	-	VNR	VNR	0,00	0	0	0	0	0	0	0,00	0,00
	100%	-	-	VNR	VNR	0,00	0	0	0	0	0	0	0,00	0,00
proporzionale alla deformata 1° modo di vibrazione														
	0%	-	-	VNR	VNR	0,00	0	0	0	0	0	0	0,00	0,00
	100%	-	-	VNR	VNR	0,00	0	0	0	0	0	0	0,00	0,00
sisma in +X														
proporzionale alle masse														
Piano rialzato	0%	-	-	VNR	VNR	0,00	0	0	0	0	0	0	0,00	0,00
	100%	-	-	VNR	VNR	0,00	0	0	0	0	0	0	0,00	0,00
proporzionale alla deformata 1° modo di vibrazione														
	0%	-26.526	1.094	1,92	79,95	1,00	51023	87469	184199	184199	0	0	2,50	2,50
	100%	-135.824	370	0,38	NS	1,10	51023	87469	203070	203070	0	0	2,50	2,50
sisma in -X														
proporzionale alle masse														
	0%	-	-	VNR	VNR	0,00	0	0	0	0	0	0	0,00	0,00
	100%	-	-	VNR	VNR	0,00	0	0	0	0	0	0	0,00	0,00
proporzionale alla deformata 1° modo di vibrazione														
	0%	-	-	VNR	VNR	0,00	0	0	0	0	0	0	0,00	0,00
	100%	-	-	VNR	VNR	0,00	0	0	0	0	0	0	0,00	0,00
sisma in +Y														
proporzionale alle masse														
	0%	-437	-2.142	NS	40,84	1,01	51023	87469	186548	186548	0	0	2,50	2,50
	100%	-19.192	-2.673	2,66	32,72	1,03	51023	87469	189738	189738	0	0	2,50	2,50
proporzionale alla deformata 1° modo di vibrazione														
	0%	-	-	VNR	VNR	0,00	0	0	0	0	0	0	0,00	0,00
	100%	-	-	VNR	VNR	0,00	0	0	0	0	0	0	0,00	0,00
sisma in -Y														
proporzionale alle masse														
	0%	-	-	VNR	VNR	0,00	0	0	0	0	0	0	0,00	0,00
	100%	-	-	VNR	VNR	0,00	0	0	0	0	0	0	0,00	0,00
proporzionale alla deformata 1° modo di vibrazione														
	0%	-	-	VNR	VNR	0,00	0	0	0	0	0	0	0,00	0,00
	100%	-	-	VNR	VNR	0,00	0	0	0	0	0	0	0,00	0,00
sisma in +X														
proporzionale alle masse														
Piano primo	0%	-	-	VNR	VNR	0,00	0	0	0	0	0	0	0,00	0,00
	100%	-	-	VNR	VNR	0,00	0	0	0	0	0	0	0,00	0,00
proporzionale alla deformata 1° modo di vibrazione														
	0%	-16.476	-992	3,51	79,11	1,00	57826	78479	147360	147360	0	0	2,50	2,50
	100%	-120.743	601	0,48	NS	1,40	57826	78479	206454	206454	0	0	2,50	2,50
sisma in -X														
proporzionale alle masse														
	0%	-	-	VNR	VNR	0,00	0	0	0	0	0	0	0,00	0,00
	100%	-	-	VNR	VNR	0,00	0	0	0	0	0	0	0,00	0,00
proporzionale alla deformata 1° modo di vibrazione														
	0%	-	-	VNR	VNR	0,00	0	0	0	0	0	0	0,00	0,00
	100%	-	-	VNR	VNR	0,00	0	0	0	0	0	0	0,00	0,00
sisma in +Y														
proporzionale alle masse														
	0%	-2.033	2.808	28,44	27,95	1,00	57826	78479	147360	147360	0	0	2,50	2,50
	100%	-7.655	2.164	7,55	36,27	1,02	57826	78479	149810	149810	0	0	2,50	2,50
proporzionale alla deformata 1° modo di vibrazione														

Lv	%L_{LI}	$V_{Ed,3}$	$V_{Ed,2}$	$CS^{(3)}$	$CS^{(2)}$	α_C	$V_{Rsd,s}{}^{(3)}$	$V_{Rsd,s}{}^{(2)}$	$V_{Rcd}{}^{(3)}$	$V_{Rcd}{}^{(2)}$	$V_{fd}{}^{(3)}$	$V_{fd}{}^{(2)}$	$Ctg\Theta^{(3)}$	$Ctg\Theta^{(2)}$
	[%]	[N]	[N]				[N]	[N]	[N]	[N]	[N]	[N]		
	0%	-	-	VNR	VNR	0,00	0	0	0	0	0	0	0,00	0,00
	100%	-	-	VNR	VNR	0,00	0	0	0	0	0	0	0,00	0,00
sisma in -Y														
proporzionale alle masse														
	0%	-	-	VNR	VNR	0,00	0	0	0	0	0	0	0,00	0,00
	100%	-	-	VNR	VNR	0,00	0	0	0	0	0	0	0,00	0,00
proporzionale alla deformata 1° modo di vibrazione														
	0%	-	-	VNR	VNR	0,00	0	0	0	0	0	0	0,00	0,00
	100%	-	-	VNR	VNR	0,00	0	0	0	0	0	0	0,00	0,00
sisma in +X														
proporzionale alle masse														
Estradosso travi gronda	0%	-	-	VNR	VNR	0,00	0	0	0	0	0	0	0,00	0,00
	100%	-	-	VNR	VNR	0,00	0	0	0	0	0	0	0,00	0,00
proporzionale alla deformata 1° modo di vibrazione														
	0%	-17.395	954	3,12	77,12	1,01	54212	73574	149504	149504	0	0	2,50	2,50
	100%	-67.200	5.389	0,81	13,65	1,29	54212	73574	190708	190708	0	0	2,50	2,50
sisma in -X														
proporzionale alle masse														
	0%	-	-	VNR	VNR	0,00	0	0	0	0	0	0	0,00	0,00
	100%	-	-	VNR	VNR	0,00	0	0	0	0	0	0	0,00	0,00
proporzionale alla deformata 1° modo di vibrazione														
	0%	-	-	VNR	VNR	0,00	0	0	0	0	0	0	0,00	0,00
	100%	-	-	VNR	VNR	0,00	0	0	0	0	0	0	0,00	0,00
sisma in +Y														
proporzionale alle masse														
	0%	376	2.055	NS	35,80	1,00	54212	73574	147360	147360	0	0	2,50	2,50
	100%	-1.732	-4.735	31,30	15,54	1,00	54212	73574	147360	147360	0	0	2,50	2,50
proporzionale alla deformata 1° modo di vibrazione														
	0%	-	-	VNR	VNR	0,00	0	0	0	0	0	0	0,00	0,00
	100%	-	-	VNR	VNR	0,00	0	0	0	0	0	0	0,00	0,00
sisma in -Y														
proporzionale alle masse														
	0%	-	-	VNR	VNR	0,00	0	0	0	0	0	0	0,00	0,00
	100%	-	-	VNR	VNR	0,00	0	0	0	0	0	0	0,00	0,00
proporzionale alla deformata 1° modo di vibrazione														
	0%	-	-	VNR	VNR	0,00	0	0	0	0	0	0	0,00	0,00
	100%	-	-	VNR	VNR	0,00	0	0	0	0	0	0	0,00	0,00
Pilastrata: Pilastrata4														
sisma in +X														
proporzionale alle masse														
Piano terra ingresso	0%	-	-	VNR	VNR	0,00	0	0	0	0	0	0	0,00	0,00
	100%	-	-	VNR	VNR	0,00	0	0	0	0	0	0	0,00	0,00
proporzionale alla deformata 1° modo di vibrazione														
	0%	-9.492	-1.252	6,09	79,18	1,00	57826	99131	184199	184199	0	0	2,50	2,50
	100%	-29.980	1.160	1,93	85,46	1,00	57826	99131	184199	184199	0	0	2,50	2,50
sisma in -X														
proporzionale alle masse														
	0%	-	-	VNR	VNR	0,00	0	0	0	0	0	0	0,00	0,00
	100%	-	-	VNR	VNR	0,00	0	0	0	0	0	0	0,00	0,00
proporzionale alla deformata 1° modo di vibrazione														
	0%	-	-	VNR	VNR	0,00	0	0	0	0	0	0	0,00	0,00
	100%	-	-	VNR	VNR	0,00	0	0	0	0	0	0	0,00	0,00
sisma in +Y														
proporzionale alle masse														
	0%	6.525	2.008	8,86	49,37	1,04	57826	99131	191201	191201	0	0	2,50	2,50
	100%	141	-1.954	NS	50,73	1,01	57826	99131	186921	186921	0	0	2,50	2,50
proporzionale alla deformata 1° modo di vibrazione														
	0%	-	-	VNR	VNR	0,00	0	0	0	0	0	0	0,00	0,00
	100%	-	-	VNR	VNR	0,00	0	0	0	0	0	0	0,00	0,00
sisma in -Y														
proporzionale alle masse														
	0%	-	-	VNR	VNR	0,00	0	0	0	0	0	0	0,00	0,00
	100%	-	-	VNR	VNR	0,00	0	0	0	0	0	0	0,00	0,00
proporzionale alla deformata 1° modo di vibrazione														
	0%	-	-	VNR	VNR	0,00	0	0	0	0	0	0	0,00	0,00
	100%	-	-	VNR	VNR	0,00	0	0	0	0	0	0	0,00	0,00
sisma in +X														
proporzionale alle masse														
Piano rialzato	0%	-	-	VNR	VNR	0,00	0	0	0	0	0	0	0,00	0,00
	100%	-	-	VNR	VNR	0,00	0	0	0	0	0	0	0,00	0,00
proporzionale alla deformata 1° modo di vibrazione														
	0%	-26.657	1.150	1,91	76,06	1,00	51023	87469	184199	184199	0	0	2,50	2,50
	100%	-137.341	256	0,37	NS	1,11	51023	87469	204051	204051	0	0	2,50	2,50
sisma in -X														
proporzionale alle masse														
	0%	-	-	VNR	VNR	0,00	0	0	0	0	0	0	0,00	0,00
	100%	-	-	VNR	VNR	0,00	0	0	0	0	0	0	0,00	0,00
proporzionale alla deformata 1° modo di vibrazione														
	0%	-	-	VNR	VNR	0,00	0	0	0	0	0	0	0,00	0,00
	100%	-	-	VNR	VNR	0,00	0	0	0	0	0	0	0,00	0,00
sisma in +Y														
proporzionale alle masse														
	0%	-320	-2.168	NS	40,35	1,01	51023	87469	186821	186821	0	0	2,50	2,50
	100%	-18.694	-1.638	2,73	53,40	1,03	51023	87469	189748	189748	0	0	2,50	2,50
proporzionale alla deformata 1° modo di vibrazione														

Lv	%L_{LI}	$V_{Ed,3}$	$V_{Ed,2}$	$CS^{(3)}$	$CS^{(2)}$	α_C	$V_{Rsd,s}{}^{(3)}$	$V_{Rsd,s}{}^{(2)}$	$V_{Rcd}{}^{(3)}$	$V_{Rcd}{}^{(2)}$	$V_{fd}{}^{(3)}$	$V_{fd}{}^{(2)}$	$Ctg\Theta^{(3)}$	$Ctg\Theta^{(2)}$
	[%]	[N]	[N]				[N]	[N]	[N]	[N]	[N]	[N]		
	0%	-	-	VNR	VNR	0,00	0	0	0	0	0	0	0,00	0,00
	100%	-	-	VNR	VNR	0,00	0	0	0	0	0	0	0,00	0,00
sisma in -Y														
proporzionale alle masse														
	0%	-	-	VNR	VNR	0,00	0	0	0	0	0	0	0,00	0,00
	100%	-	-	VNR	VNR	0,00	0	0	0	0	0	0	0,00	0,00
proporzionale alla deformata 1° modo di vibrazione														
	0%	-	-	VNR	VNR	0,00	0	0	0	0	0	0	0,00	0,00
	100%	-	-	VNR	VNR	0,00	0	0	0	0	0	0	0,00	0,00
sisma in +X														
proporzionale alle masse														
Piano primo	0%	-	-	VNR	VNR	0,00	0	0	0	0	0	0	0,00	0,00
	100%	-	-	VNR	VNR	0,00	0	0	0	0	0	0	0,00	0,00
proporzionale alla deformata 1° modo di vibrazione														
	0%	-16.382	-1.443	3,53	54,39	1,00	57826	78479	147360	147360	0	0	2,50	2,50
	100%	-123.920	-123	0,47	NS	1,41	57826	78479	208181	208181	0	0	2,50	2,50
sisma in -X														
proporzionale alle masse														
	0%	-	-	VNR	VNR	0,00	0	0	0	0	0	0	0,00	0,00
	100%	-	-	VNR	VNR	0,00	0	0	0	0	0	0	0,00	0,00
proporzionale alla deformata 1° modo di vibrazione														
	0%	-	-	VNR	VNR	0,00	0	0	0	0	0	0	0,00	0,00
	100%	-	-	VNR	VNR	0,00	0	0	0	0	0	0	0,00	0,00
sisma in +Y														
proporzionale alle masse														
	0%	-2.055	2.539	28,14	30,91	1,00	57826	78479	147360	147360	0	0	2,50	2,50
	100%	-9.890	860	5,85	91,25	1,03	57826	78479	151242	151242	0	0	2,50	2,50
proporzionale alla deformata 1° modo di vibrazione														
	0%	-	-	VNR	VNR	0,00	0	0	0	0	0	0	0,00	0,00
	100%	-	-	VNR	VNR	0,00	0	0	0	0	0	0	0,00	0,00
sisma in -Y														
proporzionale alle masse														
	0%	-	-	VNR	VNR	0,00	0	0	0	0	0	0	0,00	0,00
	100%	-	-	VNR	VNR	0,00	0	0	0	0	0	0	0,00	0,00
proporzionale alla deformata 1° modo di vibrazione														
	0%	-	-	VNR	VNR	0,00	0	0	0	0	0	0	0,00	0,00
	100%	-	-	VNR	VNR	0,00	0	0	0	0	0	0	0,00	0,00
sisma in +X														
proporzionale alle masse														
Estradosso travi gronda	0%	-	-	VNR	VNR	0,00	0	0	0	0	0	0	0,00	0,00
	100%	-	-	VNR	VNR	0,00	0	0	0	0	0	0	0,00	0,00
proporzionale alla deformata 1° modo di vibrazione														
	0%	-18.140	762	2,99	96,55	1,01	54212	73574	149478	149478	0	0	2,50	2,50
	100%	-68.228	5.397	0,79	13,63	1,30	54212	73574	191604	191604	0	0	2,50	2,50
sisma in -X														
proporzionale alle masse														
	0%	-	-	VNR	VNR	0,00	0	0	0	0	0	0	0,00	0,00
	100%	-	-	VNR	VNR	0,00	0	0	0	0	0	0	0,00	0,00
proporzionale alla deformata 1° modo di vibrazione														
	0%	-	-	VNR	VNR	0,00	0	0	0	0	0	0	0,00	0,00
	100%	-	-	VNR	VNR	0,00	0	0	0	0	0	0	0,00	0,00
sisma in +Y														
proporzionale alle masse														
	0%	-487	2.266	NS	32,47	1,00	54212	73574	147360	147360	0	0	2,50	2,50
	100%	-405	-3.333	NS	22,07	1,00	54212	73574	147360	147360	0	0	2,50	2,50
proporzionale alla deformata 1° modo di vibrazione														
	0%	-	-	VNR	VNR	0,00	0	0	0	0	0	0	0,00	0,00
	100%	-	-	VNR	VNR	0,00	0	0	0	0	0	0	0,00	0,00
sisma in -Y														
proporzionale alle masse														
	0%	-	-	VNR	VNR	0,00	0	0	0	0	0	0	0,00	0,00
	100%	-	-	VNR	VNR	0,00	0	0	0	0	0	0	0,00	0,00
proporzionale alla deformata 1° modo di vibrazione														
	0%	-	-	VNR	VNR	0,00	0	0	0	0	0	0	0,00	0,00
	100%	-	-	VNR	VNR	0,00	0	0	0	0	0	0	0,00	0,00
Pilastrata: Pilastrata5														
sisma in +X														
proporzionale alle masse														
Piano terra ingresso	0%	-	-	VNR	VNR	0,00	0	0	0	0	0	0	0,00	0,00
	100%	-	-	VNR	VNR	0,00	0	0	0	0	0	0	0,00	0,00
proporzionale alla deformata 1° modo di vibrazione														
	0%	-8.541	-1.101	6,77	90,04	1,00	57826	99131	184199	184199	0	0	2,50	2,50
	100%	-29.741	1.045	1,94	94,86	1,00	57826	99131	184199	184199	0	0	2,50	2,50
sisma in -X														
proporzionale alle masse														
	0%	-	-	VNR	VNR	0,00	0	0	0	0	0	0	0,00	0,00
	100%	-	-	VNR	VNR	0,00	0	0	0	0	0	0	0,00	0,00
proporzionale alla deformata 1° modo di vibrazione														
	0%	-	-	VNR	VNR	0,00	0	0	0	0	0	0	0,00	0,00
	100%	-	-	VNR	VNR	0,00	0	0	0	0	0	0	0,00	0,00
sisma in +Y														
proporzionale alle masse														
	0%	5.975	2.350	9,68	42,18	1,04	57826	99131	190717	190717	0	0	2,50	2,50
	100%	51	-321	NS	NS	1,02	57826	99131	187481	187481	0	0	2,50	2,50
proporzionale alla deformata 1° modo di vibrazione														

Lv	%L_{LI}	$V_{Ed,3}$	$V_{Ed,2}$	$CS^{(3)}$	$CS^{(2)}$	α_C	$V_{Rsd,s}{}^{(3)}$	$V_{Rsd,s}{}^{(2)}$	$V_{Rcd}{}^{(3)}$	$V_{Rcd}{}^{(2)}$	$V_{fd}{}^{(3)}$	$V_{fd}{}^{(2)}$	$Ctg\Theta^{(3)}$	$Ctg\Theta^{(2)}$
	[%]	[N]	[N]				[N]	[N]	[N]	[N]	[N]	[N]		
	0%	-	-	VNR	VNR	0,00	0	0	0	0	0	0	0,00	0,00
	100%	-	-	VNR	VNR	0,00	0	0	0	0	0	0	0,00	0,00
sisma in -Y														
proporzionale alle masse														
	0%	-	-	VNR	VNR	0,00	0	0	0	0	0	0	0,00	0,00
	100%	-	-	VNR	VNR	0,00	0	0	0	0	0	0	0,00	0,00
proporzionale alla deformata 1° modo di vibrazione														
	0%	-	-	VNR	VNR	0,00	0	0	0	0	0	0	0,00	0,00
	100%	-	-	VNR	VNR	0,00	0	0	0	0	0	0	0,00	0,00
sisma in +X														
proporzionale alle masse														
Piano rialzato	0%	-	-	VNR	VNR	0,00	0	0	0	0	0	0	0,00	0,00
	100%	-	-	VNR	VNR	0,00	0	0	0	0	0	0	0,00	0,00
proporzionale alla deformata 1° modo di vibrazione														
	0%	-26.681	736	1,91	NS	1,00	51023	87469	184199	184199	0	0	2,50	2,50
	100%	-128.226	1.639	0,40	53,37	1,10	51023	87469	202564	202564	0	0	2,50	2,50
sisma in -X														
proporzionale alle masse														
	0%	-	-	VNR	VNR	0,00	0	0	0	0	0	0	0,00	0,00
	100%	-	-	VNR	VNR	0,00	0	0	0	0	0	0	0,00	0,00
proporzionale alla deformata 1° modo di vibrazione														
	0%	-	-	VNR	VNR	0,00	0	0	0	0	0	0	0,00	0,00
	100%	-	-	VNR	VNR	0,00	0	0	0	0	0	0	0,00	0,00
sisma in +Y														
proporzionale alle masse														
	0%	-501	-768	NS	NS	1,02	51023	87469	187571	187571	0	0	2,50	2,50
	100%	-20.015	-652	2,55	NS	1,04	51023	87469	190754	190754	0	0	2,50	2,50
proporzionale alla deformata 1° modo di vibrazione														
	0%	-	-	VNR	VNR	0,00	0	0	0	0	0	0	0,00	0,00
	100%	-	-	VNR	VNR	0,00	0	0	0	0	0	0	0,00	0,00
sisma in -Y														
proporzionale alle masse														
	0%	-	-	VNR	VNR	0,00	0	0	0	0	0	0	0,00	0,00
	100%	-	-	VNR	VNR	0,00	0	0	0	0	0	0	0,00	0,00
proporzionale alla deformata 1° modo di vibrazione														
	0%	-	-	VNR	VNR	0,00	0	0	0	0	0	0	0,00	0,00
	100%	-	-	VNR	VNR	0,00	0	0	0	0	0	0	0,00	0,00
sisma in +X														
proporzionale alle masse														
Piano primo	0%	-	-	VNR	VNR	0,00	0	0	0	0	0	0	0,00	0,00
	100%	-	-	VNR	VNR	0,00	0	0	0	0	0	0	0,00	0,00
proporzionale alla deformata 1° modo di vibrazione														
	0%	-17.648	-2.291	3,28	34,26	1,00	57826	78479	147360	147360	0	0	2,50	2,50
	100%	-120.011	893	0,48	87,88	1,41	57826	78479	208331	208331	0	0	2,50	2,50
sisma in -X														
proporzionale alle masse														
	0%	-	-	VNR	VNR	0,00	0	0	0	0	0	0	0,00	0,00
	100%	-	-	VNR	VNR	0,00	0	0	0	0	0	0	0,00	0,00
proporzionale alla deformata 1° modo di vibrazione														
	0%	-	-	VNR	VNR	0,00	0	0	0	0	0	0	0,00	0,00
	100%	-	-	VNR	VNR	0,00	0	0	0	0	0	0	0,00	0,00
sisma in +Y														
proporzionale alle masse														
	0%	-2.687	2.375	21,52	33,04	1,00	57826	78479	147360	147360	0	0	2,50	2,50
	100%	-16.067	-148	3,60	NS	1,05	57826	78479	155253	155253	0	0	2,50	2,50
proporzionale alla deformata 1° modo di vibrazione														
	0%	-	-	VNR	VNR	0,00	0	0	0	0	0	0	0,00	0,00
	100%	-	-	VNR	VNR	0,00	0	0	0	0	0	0	0,00	0,00
sisma in -Y														
proporzionale alle masse														
	0%	-	-	VNR	VNR	0,00	0	0	0	0	0	0	0,00	0,00
	100%	-	-	VNR	VNR	0,00	0	0	0	0	0	0	0,00	0,00
proporzionale alla deformata 1° modo di vibrazione														
	0%	-	-	VNR	VNR	0,00	0	0	0	0	0	0	0,00	0,00
	100%	-	-	VNR	VNR	0,00	0	0	0	0	0	0	0,00	0,00
sisma in +X														
proporzionale alle masse														
Estradosso travi gronda	0%	-	-	VNR	VNR	0,00	0	0	0	0	0	0	0,00	0,00
	100%	-	-	VNR	VNR	0,00	0	0	0	0	0	0	0,00	0,00
proporzionale alla deformata 1° modo di vibrazione														
	0%	-18.968	538	2,86	NS	1,02	54212	73574	149987	149987	0	0	2,50	2,50
	100%	-59.381	5.955	0,91	12,35	1,28	54212	73574	188182	188182	0	0	2,50	2,50
sisma in -X														
proporzionale alle masse														
	0%	-	-	VNR	VNR	0,00	0	0	0	0	0	0	0,00	0,00
	100%	-	-	VNR	VNR	0,00	0	0	0	0	0	0	0,00	0,00
proporzionale alla deformata 1° modo di vibrazione														
	0%	-	-	VNR	VNR	0,00	0	0	0	0	0	0	0,00	0,00
	100%	-	-	VNR	VNR	0,00	0	0	0	0	0	0	0,00	0,00
sisma in +Y														
proporzionale alle masse														
	0%	2.034	3.609	26,65	20,39	1,00	54212	73574	147360	147360	0	0	2,50	2,50
	100%	-5.244	-2.302	10,34	31,96	1,00	54212	73574	147360	147360	0	0	2,50	2,50
proporzionale alla deformata 1° modo di vibrazione														
	0%	-	-	VNR	VNR	0,00	0	0	0	0	0	0	0,00	0,00

Lv	%L_{LI}	$V_{Ed,3}$	$V_{Ed,2}$	$CS^{(3)}$	$CS^{(2)}$	α_C	$V_{Rsd,s}{}^{(3)}$	$V_{Rsd,s}{}^{(2)}$	$V_{Rcd}{}^{(3)}$	$V_{Rcd}{}^{(2)}$	$V_{fd}{}^{(3)}$	$V_{fd}{}^{(2)}$	$Ctg\Theta^{(3)}$	$Ctg\Theta^{(2)}$
	[%]	[N]	[N]				[N]	[N]	[N]	[N]	[N]	[N]		
	100%	-	-	VNR	VNR	0,00	0	0	0	0	0	0	0,00	0,00
sisma in -Y														
proporzionale alle masse														
	0%	-	-	VNR	VNR	0,00	0	0	0	0	0	0	0,00	0,00
	100%	-	-	VNR	VNR	0,00	0	0	0	0	0	0	0,00	0,00
proporzionale alla deformata 1° modo di vibrazione														
	0%	-	-	VNR	VNR	0,00	0	0	0	0	0	0	0,00	0,00
	100%	-	-	VNR	VNR	0,00	0	0	0	0	0	0	0,00	0,00
Pilastrata: Pilastrata6														
sisma in +X														
proporzionale alle masse														
Piano terra ingresso	0%	-	-	VNR	VNR	0,00	0	0	0	0	0	0	0,00	0,00
	100%	-	-	VNR	VNR	0,00	0	0	0	0	0	0	0,00	0,00
proporzionale alla deformata 1° modo di vibrazione														
	0%	-8.347	-193	9,40	NS	1,00	78479	78479	199988	199988	0	0	2,50	2,50
	100%	-8.544	3.836	9,19	20,46	1,00	78479	78479	199988	199988	0	0	2,50	2,50
sisma in -X														
proporzionale alle masse														
	0%	-	-	VNR	VNR	0,00	0	0	0	0	0	0	0,00	0,00
	100%	-	-	VNR	VNR	0,00	0	0	0	0	0	0	0,00	0,00
proporzionale alla deformata 1° modo di vibrazione														
	0%	-	-	VNR	VNR	0,00	0	0	0	0	0	0	0,00	0,00
	100%	-	-	VNR	VNR	0,00	0	0	0	0	0	0	0,00	0,00
sisma in +Y														
proporzionale alle masse														
	0%	-1.220	13.101	64,33	5,99	1,00	78479	78479	199988	199988	0	0	2,50	2,50
	100%	-5.182	29.896	15,14	2,63	1,00	78479	78479	199988	199988	0	0	2,50	2,50
proporzionale alla deformata 1° modo di vibrazione														
	0%	-	-	VNR	VNR	0,00	0	0	0	0	0	0	0,00	0,00
	100%	-	-	VNR	VNR	0,00	0	0	0	0	0	0	0,00	0,00
sisma in -Y														
proporzionale alle masse														
	0%	-	-	VNR	VNR	0,00	0	0	0	0	0	0	0,00	0,00
	100%	-	-	VNR	VNR	0,00	0	0	0	0	0	0	0,00	0,00
proporzionale alla deformata 1° modo di vibrazione														
	0%	-	-	VNR	VNR	0,00	0	0	0	0	0	0	0,00	0,00
	100%	-	-	VNR	VNR	0,00	0	0	0	0	0	0	0,00	0,00
sisma in +X														
proporzionale alle masse														
Piano rialzato	0%	-	-	VNR	VNR	0,00	0	0	0	0	0	0	0,00	0,00
	100%	-	-	VNR	VNR	0,00	0	0	0	0	0	0	0,00	0,00
proporzionale alla deformata 1° modo di vibrazione														
	0%	-12.967	8.936	5,34	7,75	1,00	69246	69246	199988	199988	0	0	2,50	2,50
	100%	-74.102	80.300	0,93	0,86	1,04	69246	69246	208969	208969	0	0	2,50	2,50
sisma in -X														
proporzionale alle masse														
	0%	-	-	VNR	VNR	0,00	0	0	0	0	0	0	0,00	0,00
	100%	-	-	VNR	VNR	0,00	0	0	0	0	0	0	0,00	0,00
proporzionale alla deformata 1° modo di vibrazione														
	0%	-	-	VNR	VNR	0,00	0	0	0	0	0	0	0,00	0,00
	100%	-	-	VNR	VNR	0,00	0	0	0	0	0	0	0,00	0,00
sisma in +Y														
proporzionale alle masse														
	0%	-8.849	38.513	7,83	1,80	1,00	69246	69246	199988	199988	0	0	2,50	2,50
	100%	-27.164	110.824	2,55	0,62	1,00	69246	69246	199988	199988	0	0	2,50	2,50
proporzionale alla deformata 1° modo di vibrazione														
	0%	-	-	VNR	VNR	0,00	0	0	0	0	0	0	0,00	0,00
	100%	-	-	VNR	VNR	0,00	0	0	0	0	0	0	0,00	0,00
sisma in -Y														
proporzionale alle masse														
	0%	-	-	VNR	VNR	0,00	0	0	0	0	0	0	0,00	0,00
	100%	-	-	VNR	VNR	0,00	0	0	0	0	0	0	0,00	0,00
proporzionale alla deformata 1° modo di vibrazione														
	0%	-	-	VNR	VNR	0,00	0	0	0	0	0	0	0,00	0,00
	100%	-	-	VNR	VNR	0,00	0	0	0	0	0	0	0,00	0,00
sisma in +X														
proporzionale alle masse														
Piano primo	0%	-	-	VNR	VNR	0,00	0	0	0	0	0	0	0,00	0,00
	100%	-	-	VNR	VNR	0,00	0	0	0	0	0	0	0,00	0,00
proporzionale alla deformata 1° modo di vibrazione														
	0%	-53.604	-38.126	1,46	2,06	1,05	78479	78479	209862	209862	0	0	2,50	2,50
	100%	-53.188	41.077	1,48	1,91	1,12	78479	78479	224256	224256	0	0	2,50	2,50
sisma in -X														
proporzionale alle masse														
	0%	-	-	VNR	VNR	0,00	0	0	0	0	0	0	0,00	0,00
	100%	-	-	VNR	VNR	0,00	0	0	0	0	0	0	0,00	0,00
proporzionale alla deformata 1° modo di vibrazione														
	0%	-	-	VNR	VNR	0,00	0	0	0	0	0	0	0,00	0,00
	100%	-	-	VNR	VNR	0,00	0	0	0	0	0	0	0,00	0,00
sisma in +Y														
proporzionale alle masse														
	0%	-22.777	-43.633	3,45	1,80	1,00	78479	78479	199988	199988	0	0	2,50	2,50
	100%	-51.280	71.743	1,53	1,09	1,08	78479	78479	215517	215517	0	0	2,50	2,50
proporzionale alla deformata 1° modo di vibrazione														
	0%	-	-	VNR	VNR	0,00	0	0	0	0	0	0	0,00	0,00
	100%	-	-	VNR	VNR	0,00	0	0	0	0	0	0	0,00	0,00

Lv	%L_{LI}	$V_{Ed,3}$	$V_{Ed,2}$	$CS^{(3)}$	$CS^{(2)}$	α_C	$V_{Rsd,s}{}^{(3)}$	$V_{Rsd,s}{}^{(2)}$	$V_{Rcd}{}^{(3)}$	$V_{Rcd}{}^{(2)}$	$V_{fd}{}^{(3)}$	$V_{fd}{}^{(2)}$	$Ctg\Theta^{(3)}$	$Ctg\Theta^{(2)}$
	[%]	[N]	[N]				[N]	[N]	[N]	[N]	[N]	[N]		
sisma in -Y														
proporzionale alle masse														
	0%	-	-	VNR	VNR	0,00	0	0	0	0	0	0	0,00	0,00
	100%	-	-	VNR	VNR	0,00	0	0	0	0	0	0	0,00	0,00
proporzionale alla deformata 1° modo di vibrazione														
	0%	-	-	VNR	VNR	0,00	0	0	0	0	0	0	0,00	0,00
	100%	-	-	VNR	VNR	0,00	0	0	0	0	0	0	0,00	0,00
sisma in +X														
proporzionale alle masse														
Estradosso travi gronda	0%	-	-	VNR	VNR	0,00	0	0	0	0	0	0	0,00	0,00
	100%	-	-	VNR	VNR	0,00	0	0	0	0	0	0	0,00	0,00
proporzionale alla deformata 1° modo di vibrazione														
	0%	-64.750	-39.889	1,14	1,84	1,08	73574	73574	216895	216895	0	0	2,50	2,50
	100%	-44.947	27.472	1,64	2,68	1,09	73574	73574	218044	218044	0	0	2,50	2,50
sisma in -X														
proporzionale alle masse														
	0%	-	-	VNR	VNR	0,00	0	0	0	0	0	0	0,00	0,00
	100%	-	-	VNR	VNR	0,00	0	0	0	0	0	0	0,00	0,00
proporzionale alla deformata 1° modo di vibrazione														
	0%	-	-	VNR	VNR	0,00	0	0	0	0	0	0	0,00	0,00
	100%	-	-	VNR	VNR	0,00	0	0	0	0	0	0	0,00	0,00
sisma in +Y														
proporzionale alle masse														
	0%	-53.784	-49.555	1,37	1,48	1,07	73574	73574	213465	213465	0	0	2,50	2,50
	100%	1.875	189	39,24	NS	1,07	73574	73574	213666	213666	0	0	2,50	2,50
proporzionale alla deformata 1° modo di vibrazione														
	0%	-	-	VNR	VNR	0,00	0	0	0	0	0	0	0,00	0,00
	100%	-	-	VNR	VNR	0,00	0	0	0	0	0	0	0,00	0,00
sisma in -Y														
proporzionale alle masse														
	0%	-	-	VNR	VNR	0,00	0	0	0	0	0	0	0,00	0,00
	100%	-	-	VNR	VNR	0,00	0	0	0	0	0	0	0,00	0,00
proporzionale alla deformata 1° modo di vibrazione														
	0%	-	-	VNR	VNR	0,00	0	0	0	0	0	0	0,00	0,00
	100%	-	-	VNR	VNR	0,00	0	0	0	0	0	0	0,00	0,00
Pilastrata: Pilastrata7														
sisma in +X														
proporzionale alle masse														
Piano terra ingresso	0%	-	-	VNR	VNR	0,00	0	0	0	0	0	0	0,00	0,00
	100%	-	-	VNR	VNR	0,00	0	0	0	0	0	0	0,00	0,00
proporzionale alla deformata 1° modo di vibrazione														
	0%	124	-35.156	NS	3,99	1,00	99131	140436	442079	442079	0	0	2,50	2,50
	100%	-19.167	-142.136	5,17	0,99	1,00	99131	140436	442079	442079	0	0	2,50	2,50
sisma in -X														
proporzionale alle masse														
	0%	-	-	VNR	VNR	0,00	0	0	0	0	0	0	0,00	0,00
	100%	-	-	VNR	VNR	0,00	0	0	0	0	0	0	0,00	0,00
proporzionale alla deformata 1° modo di vibrazione														
	0%	-	-	VNR	VNR	0,00	0	0	0	0	0	0	0,00	0,00
	100%	-	-	VNR	VNR	0,00	0	0	0	0	0	0	0,00	0,00
sisma in +Y														
proporzionale alle masse														
	0%	-65.037	9.943	1,52	14,12	1,00	99131	140436	442079	442079	0	0	2,50	2,50
	100%	-199.437	37.061	0,50	3,79	1,00	99131	140436	442079	442079	0	0	2,50	2,50
proporzionale alla deformata 1° modo di vibrazione														
	0%	-	-	VNR	VNR	0,00	0	0	0	0	0	0	0,00	0,00
	100%	-	-	VNR	VNR	0,00	0	0	0	0	0	0	0,00	0,00
sisma in -Y														
proporzionale alle masse														
	0%	-	-	VNR	VNR	0,00	0	0	0	0	0	0	0,00	0,00
	100%	-	-	VNR	VNR	0,00	0	0	0	0	0	0	0,00	0,00
proporzionale alla deformata 1° modo di vibrazione														
	0%	-	-	VNR	VNR	0,00	0	0	0	0	0	0	0,00	0,00
	100%	-	-	VNR	VNR	0,00	0	0	0	0	0	0	0,00	0,00
sisma in +X														
proporzionale alle masse														
Piano rialzato	0%	-	-	VNR	VNR	0,00	0	0	0	0	0	0	0,00	0,00
	100%	-	-	VNR	VNR	0,00	0	0	0	0	0	0	0,00	0,00
proporzionale alla deformata 1° modo di vibrazione														
	0%	9.369	33.522	5,45	3,70	1,00	51023	123914	257879	257879	0	0	2,50	2,50
	100%	1.887	-34.732	27,04	3,57	1,00	51023	123914	257879	257879	0	0	2,50	2,50
sisma in -X														
proporzionale alle masse														
	0%	-	-	VNR	VNR	0,00	0	0	0	0	0	0	0,00	0,00
	100%	-	-	VNR	VNR	0,00	0	0	0	0	0	0	0,00	0,00
proporzionale alla deformata 1° modo di vibrazione														
	0%	-	-	VNR	VNR	0,00	0	0	0	0	0	0	0,00	0,00
	100%	-	-	VNR	VNR	0,00	0	0	0	0	0	0	0,00	0,00
sisma in +Y														
proporzionale alle masse														
	0%	21.422	68.744	2,38	1,80	1,00	51023	123914	257879	257879	0	0	2,50	2,50
	100%	-72.385	29.032	0,70	4,27	1,00	51023	123914	257879	257879	0	0	2,50	2,50
proporzionale alla deformata 1° modo di vibrazione														
	0%	-	-	VNR	VNR	0,00	0	0	0	0	0	0	0,00	0,00
	100%	-	-	VNR	VNR	0,00	0	0	0	0	0	0	0,00	0,00

Lv	%L_{LI}	$V_{Ed,3}$	$V_{Ed,2}$	$CS^{(3)}$	$CS^{(2)}$	α_C	$V_{Rsd,s}{}^{(3)}$	$V_{Rsd,s}{}^{(2)}$	$V_{Rcd}{}^{(3)}$	$V_{Rcd}{}^{(2)}$	$V_{fd}{}^{(3)}$	$V_{fd}{}^{(2)}$	$Ctg\Theta^{(3)}$	$Ctg\Theta^{(2)}$
	[%]	[N]	[N]				[N]	[N]	[N]	[N]	[N]	[N]		
sisma in -Y														
proporzionale alle masse														
	0%	-	-	VNR	VNR	0,00	0	0	0	0	0	0	0,00	0,00
	100%	-	-	VNR	VNR	0,00	0	0	0	0	0	0	0,00	0,00
proporzionale alla deformata 1° modo di vibrazione														
	0%	-	-	VNR	VNR	0,00	0	0	0	0	0	0	0,00	0,00
	100%	-	-	VNR	VNR	0,00	0	0	0	0	0	0	0,00	0,00
sisma in +X														
proporzionale alle masse														
Piano primo (a)	0%	-	-	VNR	VNR	0,00	0	0	0	0	0	0	0,00	0,00
	100%	-	-	VNR	VNR	0,00	0	0	0	0	0	0	0,00	0,00
proporzionale alla deformata 1° modo di vibrazione														
	0%	7.476	-1.854	7,73	75,75	1,00	57826	140436	258158	258158	0	0	2,50	2,50
	100%	-4.273	-159.002	13,53	0,88	1,07	57826	140436	275282	275282	0	0	2,50	2,50
sisma in -X														
proporzionale alle masse														
	0%	-	-	VNR	VNR	0,00	0	0	0	0	0	0	0,00	0,00
	100%	-	-	VNR	VNR	0,00	0	0	0	0	0	0	0,00	0,00
proporzionale alla deformata 1° modo di vibrazione														
	0%	-	-	VNR	VNR	0,00	0	0	0	0	0	0	0,00	0,00
	100%	-	-	VNR	VNR	0,00	0	0	0	0	0	0	0,00	0,00
sisma in +Y														
proporzionale alle masse														
	0%	-5.711	41.998	10,13	3,34	1,00	57826	140436	257879	257879	0	0	2,50	2,50
	100%	-60.692	-1.412	0,95	99,46	1,00	57826	140436	257879	257879	0	0	2,50	2,50
proporzionale alla deformata 1° modo di vibrazione														
	0%	-	-	VNR	VNR	0,00	0	0	0	0	0	0	0,00	0,00
	100%	-	-	VNR	VNR	0,00	0	0	0	0	0	0	0,00	0,00
sisma in -Y														
proporzionale alle masse														
	0%	-	-	VNR	VNR	0,00	0	0	0	0	0	0	0,00	0,00
	100%	-	-	VNR	VNR	0,00	0	0	0	0	0	0	0,00	0,00
proporzionale alla deformata 1° modo di vibrazione														
	0%	-	-	VNR	VNR	0,00	0	0	0	0	0	0	0,00	0,00
	100%	-	-	VNR	VNR	0,00	0	0	0	0	0	0	0,00	0,00
sisma in +X														
proporzionale alle masse														
Piano primo (b)	0%	-	-	VNR	VNR	0,00	0	0	0	0	0	0	0,00	0,00
	100%	-	-	VNR	VNR	0,00	0	0	0	0	0	0	0,00	0,00
proporzionale alla deformata 1° modo di vibrazione														
	0%	12.250	-4.224	4,43	31,17	1,10	54212	131658	282491	282491	0	0	2,50	2,50
	100%	1.132	3.194	47,89	41,22	1,09	54212	131658	281320	281320	0	0	2,50	2,50
sisma in -X														
proporzionale alle masse														
	0%	-	-	VNR	VNR	0,00	0	0	0	0	0	0	0,00	0,00
	100%	-	-	VNR	VNR	0,00	0	0	0	0	0	0	0,00	0,00
proporzionale alla deformata 1° modo di vibrazione														
	0%	-	-	VNR	VNR	0,00	0	0	0	0	0	0	0,00	0,00
	100%	-	-	VNR	VNR	0,00	0	0	0	0	0	0	0,00	0,00
sisma in +Y														
proporzionale alle masse														
	0%	-164.022	109.969	0,33	1,20	1,00	54212	131658	257879	257879	0	0	2,50	2,50
	100%	-3.694	-5.505	14,68	23,92	1,00	54212	131658	257879	257879	0	0	2,50	2,50
proporzionale alla deformata 1° modo di vibrazione														
	0%	-	-	VNR	VNR	0,00	0	0	0	0	0	0	0,00	0,00
	100%	-	-	VNR	VNR	0,00	0	0	0	0	0	0	0,00	0,00
sisma in -Y														
proporzionale alle masse														
	0%	-	-	VNR	VNR	0,00	0	0	0	0	0	0	0,00	0,00
	100%	-	-	VNR	VNR	0,00	0	0	0	0	0	0	0,00	0,00
proporzionale alla deformata 1° modo di vibrazione														
	0%	-	-	VNR	VNR	0,00	0	0	0	0	0	0	0,00	0,00
	100%	-	-	VNR	VNR	0,00	0	0	0	0	0	0	0,00	0,00
Pilastrata: Pilastrata8														
sisma in +X														
proporzionale alle masse														
Piano terra ingresso	0%	-	-	VNR	VNR	0,00	0	0	0	0	0	0	0,00	0,00
	100%	-	-	VNR	VNR	0,00	0	0	0	0	0	0	0,00	0,00
proporzionale alla deformata 1° modo di vibrazione														
	0%	-38.558	1.200	1,41	77,45	1,15	54212	92935	211142	211142	0	0	2,50	2,50
	100%	-38.558	1.200	1,41	77,45	1,14	54212	92935	210343	210343	0	0	2,50	2,50
sisma in -X														
proporzionale alle masse														
	0%	-	-	VNR	VNR	0,00	0	0	0	0	0	0	0,00	0,00
	100%	-	-	VNR	VNR	0,00	0	0	0	0	0	0	0,00	0,00
proporzionale alla deformata 1° modo di vibrazione														
	0%	-	-	VNR	VNR	0,00	0	0	0	0	0	0	0,00	0,00
	100%	-	-	VNR	VNR	0,00	0	0	0	0	0	0	0,00	0,00
sisma in +Y														
proporzionale alle masse														
	0%	6.877	15.946	7,88	5,83	1,02	54212	92935	188102	188102	0	0	2,50	2,50
	100%	6.877	15.946	7,88	5,83	1,02	54212	92935	187575	187575	0	0	2,50	2,50
proporzionale alla deformata 1° modo di vibrazione														
	0%	-	-	VNR	VNR	0,00	0	0	0	0	0	0	0,00	0,00
	100%	-	-	VNR	VNR	0,00	0	0	0	0	0	0	0,00	0,00
sisma in -Y														

Lv	%L_{LI}	$V_{Ed,3}$	$V_{Ed,2}$	$CS^{(3)}$	$CS^{(2)}$	α_C	$V_{Rsd,s}{}^{(3)}$	$V_{Rsd,s}{}^{(2)}$	$V_{Rcd}{}^{(3)}$	$V_{Rcd}{}^{(2)}$	$V_{fd}{}^{(3)}$	$V_{fd}{}^{(2)}$	$Ctg\Theta^{(3)}$	$Ctg\Theta^{(2)}$
	[%]	[N]	[N]				[N]	[N]	[N]	[N]	[N]	[N]		
proporzionale alle masse														
	0%	-	-	VNR	VNR	0,00	0	0	0	0	0	0	0,00	0,00
	100%	-	-	VNR	VNR	0,00	0	0	0	0	0	0	0,00	0,00
proporzionale alla deformata 1° modo di vibrazione														
	0%	-	-	VNR	VNR	0,00	0	0	0	0	0	0	0,00	0,00
	100%	-	-	VNR	VNR	0,00	0	0	0	0	0	0	0,00	0,00
sisma in +X														
proporzionale alle masse														
Piano primo	0%	-	-	VNR	VNR	0,00	0	0	0	0	0	0	0,00	0,00
	100%	-	-	VNR	VNR	0,00	0	0	0	0	0	0	0,00	0,00
proporzionale alla deformata 1° modo di vibrazione														
	0%	-19.002	-1.959	3,04	29,52	1,12	57826	57826	124199	124199	0	0	2,50	2,50
	100%	-19.002	-1.959	3,04	29,52	1,12	57826	57826	123690	123690	0	0	2,50	2,50
sisma in -X														
proporzionale alle masse														
	0%	-	-	VNR	VNR	0,00	0	0	0	0	0	0	0,00	0,00
	100%	-	-	VNR	VNR	0,00	0	0	0	0	0	0	0,00	0,00
proporzionale alla deformata 1° modo di vibrazione														
	0%	-	-	VNR	VNR	0,00	0	0	0	0	0	0	0,00	0,00
	100%	-	-	VNR	VNR	0,00	0	0	0	0	0	0	0,00	0,00
sisma in +Y														
proporzionale alle masse														
	0%	1.778	-3.927	32,52	14,73	1,00	57826	57826	110520	110520	0	0	2,50	2,50
	100%	1.778	-3.927	32,52	14,73	1,00	57826	57826	110520	110520	0	0	2,50	2,50
proporzionale alla deformata 1° modo di vibrazione														
	0%	-	-	VNR	VNR	0,00	0	0	0	0	0	0	0,00	0,00
	100%	-	-	VNR	VNR	0,00	0	0	0	0	0	0	0,00	0,00
sisma in -Y														
proporzionale alle masse														
	0%	-	-	VNR	VNR	0,00	0	0	0	0	0	0	0,00	0,00
	100%	-	-	VNR	VNR	0,00	0	0	0	0	0	0	0,00	0,00
proporzionale alla deformata 1° modo di vibrazione														
	0%	-	-	VNR	VNR	0,00	0	0	0	0	0	0	0,00	0,00
	100%	-	-	VNR	VNR	0,00	0	0	0	0	0	0	0,00	0,00
sisma in +X														
proporzionale alle masse														
Estradosso travi gronda	0%	-	-	VNR	VNR	0,00	0	0	0	0	0	0	0,00	0,00
	100%	-	-	VNR	VNR	0,00	0	0	0	0	0	0	0,00	0,00
proporzionale alla deformata 1° modo di vibrazione														
	0%	-136.461	-860	0,29	45,85	1,07	39427	39427	118242	118242	0	0	2,50	2,50
	100%	-136.461	-860	0,29	45,85	1,07	39427	39427	118255	118255	0	0	2,50	2,50
sisma in -X														
proporzionale alle masse														
	0%	-	-	VNR	VNR	0,00	0	0	0	0	0	0	0,00	0,00
	100%	-	-	VNR	VNR	0,00	0	0	0	0	0	0	0,00	0,00
proporzionale alla deformata 1° modo di vibrazione														
	0%	-	-	VNR	VNR	0,00	0	0	0	0	0	0	0,00	0,00
	100%	-	-	VNR	VNR	0,00	0	0	0	0	0	0	0,00	0,00
sisma in +Y														
proporzionale alle masse														
	0%	37.347	22.409	1,06	1,76	1,00	39427	39427	110520	110520	0	0	2,50	2,50
	100%	37.347	22.409	1,06	1,76	1,00	39427	39427	110520	110520	0	0	2,50	2,50
proporzionale alla deformata 1° modo di vibrazione														
	0%	-	-	VNR	VNR	0,00	0	0	0	0	0	0	0,00	0,00
	100%	-	-	VNR	VNR	0,00	0	0	0	0	0	0	0,00	0,00
sisma in -Y														
proporzionale alle masse														
	0%	-	-	VNR	VNR	0,00	0	0	0	0	0	0	0,00	0,00
	100%	-	-	VNR	VNR	0,00	0	0	0	0	0	0	0,00	0,00
proporzionale alla deformata 1° modo di vibrazione														
	0%	-	-	VNR	VNR	0,00	0	0	0	0	0	0	0,00	0,00
	100%	-	-	VNR	VNR	0,00	0	0	0	0	0	0	0,00	0,00
Pilastrata: Pilastrata9														
sisma in +X														
proporzionale alle masse														
Piano terra ingresso	0%	-	-	VNR	VNR	0,00	0	0	0	0	0	0	0,00	0,00
	100%	-	-	VNR	VNR	0,00	0	0	0	0	0	0	0,00	0,00
proporzionale alla deformata 1° modo di vibrazione														
	0%	-27.794	-97	1,95	NS	1,04	54212	92935	192356	192356	0	0	2,50	2,50
	100%	-27.794	-97	1,95	NS	1,04	54212	92935	191502	191502	0	0	2,50	2,50
sisma in -X														
proporzionale alle masse														
	0%	-	-	VNR	VNR	0,00	0	0	0	0	0	0	0,00	0,00
	100%	-	-	VNR	VNR	0,00	0	0	0	0	0	0	0,00	0,00
proporzionale alla deformata 1° modo di vibrazione														
	0%	-	-	VNR	VNR	0,00	0	0	0	0	0	0	0,00	0,00
	100%	-	-	VNR	VNR	0,00	0	0	0	0	0	0	0,00	0,00
sisma in +Y														
proporzionale alle masse														
	0%	1.655	25.061	32,76	3,71	1,08	54212	92935	198544	198544	0	0	2,50	2,50
	100%	1.655	25.061	32,76	3,71	1,07	54212	92935	197238	197238	0	0	2,50	2,50
proporzionale alla deformata 1° modo di vibrazione														
	0%	-	-	VNR	VNR	0,00	0	0	0	0	0	0	0,00	0,00
	100%	-	-	VNR	VNR	0,00	0	0	0	0	0	0	0,00	0,00
sisma in -Y														

Lv	%L_{LI}	$V_{Ed,3}$	$V_{Ed,2}$	$CS^{(3)}$	$CS^{(2)}$	α_C	$V_{Rsd,s}{}^{(3)}$	$V_{Rsd,s}{}^{(2)}$	$V_{Rcd}{}^{(3)}$	$V_{Rcd}{}^{(2)}$	$V_{fd}{}^{(3)}$	$V_{fd}{}^{(2)}$	$Ctg\Theta^{(3)}$	$Ctg\Theta^{(2)}$
	[%]	[N]	[N]				[N]	[N]	[N]	[N]	[N]	[N]		
proporzionale alle masse														
	0%	-	-	VNR	VNR	0,00	0	0	0	0	0	0	0,00	0,00
	100%	-	-	VNR	VNR	0,00	0	0	0	0	0	0	0,00	0,00
proporzionale alla deformata 1° modo di vibrazione														
	0%	-	-	VNR	VNR	0,00	0	0	0	0	0	0	0,00	0,00
	100%	-	-	VNR	VNR	0,00	0	0	0	0	0	0	0,00	0,00
sisma in +X														
proporzionale alle masse														
Piano primo	0%	-	-	VNR	VNR	0,00	0	0	0	0	0	0	0,00	0,00
	100%	-	-	VNR	VNR	0,00	0	0	0	0	0	0	0,00	0,00
proporzionale alla deformata 1° modo di vibrazione														
	0%	-10.902	1.060	5,30	54,55	1,01	57826	57826	111240	111240	0	0	2,50	2,50
	100%	-10.902	1.060	5,30	54,55	1,00	57826	57826	110544	110544	0	0	2,50	2,50
sisma in -X														
proporzionale alle masse														
	0%	-	-	VNR	VNR	0,00	0	0	0	0	0	0	0,00	0,00
	100%	-	-	VNR	VNR	0,00	0	0	0	0	0	0	0,00	0,00
proporzionale alla deformata 1° modo di vibrazione														
	0%	-	-	VNR	VNR	0,00	0	0	0	0	0	0	0,00	0,00
	100%	-	-	VNR	VNR	0,00	0	0	0	0	0	0	0,00	0,00
sisma in +Y														
proporzionale alle masse														
	0%	56	-9.210	NS	6,28	1,04	57826	57826	114643	114643	0	0	2,50	2,50
	100%	56	-9.210	NS	6,28	1,03	57826	57826	113977	113977	0	0	2,50	2,50
proporzionale alla deformata 1° modo di vibrazione														
	0%	-	-	VNR	VNR	0,00	0	0	0	0	0	0	0,00	0,00
	100%	-	-	VNR	VNR	0,00	0	0	0	0	0	0	0,00	0,00
sisma in -Y														
proporzionale alle masse														
	0%	-	-	VNR	VNR	0,00	0	0	0	0	0	0	0,00	0,00
	100%	-	-	VNR	VNR	0,00	0	0	0	0	0	0	0,00	0,00
proporzionale alla deformata 1° modo di vibrazione														
	0%	-	-	VNR	VNR	0,00	0	0	0	0	0	0	0,00	0,00
	100%	-	-	VNR	VNR	0,00	0	0	0	0	0	0	0,00	0,00
sisma in +X														
proporzionale alle masse														
Estradosso travi gronda	0%	-	-	VNR	VNR	0,00	0	0	0	0	0	0	0,00	0,00
	100%	-	-	VNR	VNR	0,00	0	0	0	0	0	0	0,00	0,00
proporzionale alla deformata 1° modo di vibrazione														
	0%	-106.495	-371	0,37	NS	1,01	39427	39427	111756	111756	0	0	2,50	2,50
	100%	-106.495	-371	0,37	NS	1,02	39427	39427	112697	112697	0	0	2,50	2,50
sisma in -X														
proporzionale alle masse														
	0%	-	-	VNR	VNR	0,00	0	0	0	0	0	0	0,00	0,00
	100%	-	-	VNR	VNR	0,00	0	0	0	0	0	0	0,00	0,00
proporzionale alla deformata 1° modo di vibrazione														
	0%	-	-	VNR	VNR	0,00	0	0	0	0	0	0	0,00	0,00
	100%	-	-	VNR	VNR	0,00	0	0	0	0	0	0	0,00	0,00
sisma in +Y														
proporzionale alle masse														
	0%	-12.211	27.035	3,23	1,46	1,02	39427	39427	112780	112780	0	0	2,50	2,50
	100%	-12.211	27.035	3,23	1,46	1,02	39427	39427	112497	112497	0	0	2,50	2,50
proporzionale alla deformata 1° modo di vibrazione														
	0%	-	-	VNR	VNR	0,00	0	0	0	0	0	0	0,00	0,00
	100%	-	-	VNR	VNR	0,00	0	0	0	0	0	0	0,00	0,00
sisma in -Y														
proporzionale alle masse														
	0%	-	-	VNR	VNR	0,00	0	0	0	0	0	0	0,00	0,00
	100%	-	-	VNR	VNR	0,00	0	0	0	0	0	0	0,00	0,00
proporzionale alla deformata 1° modo di vibrazione														
	0%	-	-	VNR	VNR	0,00	0	0	0	0	0	0	0,00	0,00
	100%	-	-	VNR	VNR	0,00	0	0	0	0	0	0	0,00	0,00
Pilastrata: Pilastrata10														
sisma in +X														
proporzionale alle masse														
Piano terra ingresso	0%	-	-	VNR	VNR	0,00	0	0	0	0	0	0	0,00	0,00
	100%	-	-	VNR	VNR	0,00	0	0	0	0	0	0	0,00	0,00
proporzionale alla deformata 1° modo di vibrazione														
	0%	-13.707	-802	4,22	NS	1,00	57826	99131	184199	184199	0	0	2,50	2,50
	100%	-74.467	-2.093	0,78	47,36	1,00	57826	99131	184199	184199	0	0	2,50	2,50
sisma in -X														
proporzionale alle masse														
	0%	-	-	VNR	VNR	0,00	0	0	0	0	0	0	0,00	0,00
	100%	-	-	VNR	VNR	0,00	0	0	0	0	0	0	0,00	0,00
proporzionale alla deformata 1° modo di vibrazione														
	0%	-	-	VNR	VNR	0,00	0	0	0	0	0	0	0,00	0,00
	100%	-	-	VNR	VNR	0,00	0	0	0	0	0	0	0,00	0,00
sisma in +Y														
proporzionale alle masse														
	0%	7.034	3.758	8,22	26,38	1,03	57826	99131	189420	189420	0	0	2,50	2,50
	100%	-11.602	-3.820	4,98	25,95	1,02	57826	99131	186996	186996	0	0	2,50	2,50
proporzionale alla deformata 1° modo di vibrazione														
	0%	-	-	VNR	VNR	0,00	0	0	0	0	0	0	0,00	0,00
	100%	-	-	VNR	VNR	0,00	0	0	0	0	0	0	0,00	0,00
sisma in -Y														

Lv	%L_{LI}	$V_{Ed,3}$	$V_{Ed,2}$	$CS^{(3)}$	$CS^{(2)}$	α_C	$V_{Rsd,s}{}^{(3)}$	$V_{Rsd,s}{}^{(2)}$	$V_{Rcd}{}^{(3)}$	$V_{Rcd}{}^{(2)}$	$V_{fd}{}^{(3)}$	$V_{fd}{}^{(2)}$	$Ctg\Theta^{(3)}$	$Ctg\Theta^{(2)}$
	[%]	[N]	[N]				[N]	[N]	[N]	[N]	[N]	[N]		
proporzionale alle masse														
	0%	-	-	VNR	VNR	0,00	0	0	0	0	0	0	0,00	0,00
	100%	-	-	VNR	VNR	0,00	0	0	0	0	0	0	0,00	0,00
proporzionale alla deformata 1° modo di vibrazione														
	0%	-	-	VNR	VNR	0,00	0	0	0	0	0	0	0,00	0,00
	100%	-	-	VNR	VNR	0,00	0	0	0	0	0	0	0,00	0,00
sisma in +X														
proporzionale alle masse														
Piano rialzato	0%	-	-	VNR	VNR	0,00	0	0	0	0	0	0	0,00	0,00
	100%	-	-	VNR	VNR	0,00	0	0	0	0	0	0	0,00	0,00
proporzionale alla deformata 1° modo di vibrazione														
	0%	-21.294	-1.966	2,40	25,95	1,00	51023	51023	110520	110520	0	0	2,50	2,50
	100%	858	2.898	59,47	17,61	1,00	51023	51023	110520	110520	0	0	2,50	2,50
sisma in -X														
proporzionale alle masse														
	0%	-	-	VNR	VNR	0,00	0	0	0	0	0	0	0,00	0,00
	100%	-	-	VNR	VNR	0,00	0	0	0	0	0	0	0,00	0,00
proporzionale alla deformata 1° modo di vibrazione														
	0%	-	-	VNR	VNR	0,00	0	0	0	0	0	0	0,00	0,00
	100%	-	-	VNR	VNR	0,00	0	0	0	0	0	0	0,00	0,00
sisma in +Y														
proporzionale alle masse														
	0%	-2.759	-2.036	18,49	25,06	1,00	51023	51023	110520	110520	0	0	2,50	2,50
	100%	-390	-1.993	NS	25,60	1,00	51023	51023	110520	110520	0	0	2,50	2,50
proporzionale alla deformata 1° modo di vibrazione														
	0%	-	-	VNR	VNR	0,00	0	0	0	0	0	0	0,00	0,00
	100%	-	-	VNR	VNR	0,00	0	0	0	0	0	0	0,00	0,00
sisma in -Y														
proporzionale alle masse														
	0%	-	-	VNR	VNR	0,00	0	0	0	0	0	0	0,00	0,00
	100%	-	-	VNR	VNR	0,00	0	0	0	0	0	0	0,00	0,00
proporzionale alla deformata 1° modo di vibrazione														
	0%	-	-	VNR	VNR	0,00	0	0	0	0	0	0	0,00	0,00
	100%	-	-	VNR	VNR	0,00	0	0	0	0	0	0	0,00	0,00
sisma in +X														
proporzionale alle masse														
Piano primo	0%	-	-	VNR	VNR	0,00	0	0	0	0	0	0	0,00	0,00
	100%	-	-	VNR	VNR	0,00	0	0	0	0	0	0	0,00	0,00
proporzionale alla deformata 1° modo di vibrazione														
	0%	-9.607	481	6,02	NS	1,00	57826	57826	110520	110520	0	0	2,50	2,50
	100%	-	-	-	-	1,00	0	0	0	0	0	0	0,00	0,00
sisma in -X														
proporzionale alle masse														
	0%	-	-	VNR	VNR	0,00	0	0	0	0	0	0	0,00	0,00
	100%	-	-	VNR	VNR	0,00	0	0	0	0	0	0	0,00	0,00
proporzionale alla deformata 1° modo di vibrazione														
	0%	-	-	VNR	VNR	0,00	0	0	0	0	0	0	0,00	0,00
	100%	-	-	VNR	VNR	0,00	0	0	0	0	0	0	0,00	0,00
sisma in +Y														
proporzionale alle masse														
	0%	387	-3.209	NS	18,02	1,00	57826	57826	110520	110520	0	0	2,50	2,50
	100%	-	-	-	-	1,00	0	0	0	0	0	0	0,00	0,00
proporzionale alla deformata 1° modo di vibrazione														
	0%	-	-	VNR	VNR	0,00	0	0	0	0	0	0	0,00	0,00
	100%	-	-	VNR	VNR	0,00	0	0	0	0	0	0	0,00	0,00
sisma in -Y														
proporzionale alle masse														
	0%	-	-	VNR	VNR	0,00	0	0	0	0	0	0	0,00	0,00
	100%	-	-	VNR	VNR	0,00	0	0	0	0	0	0	0,00	0,00
proporzionale alla deformata 1° modo di vibrazione														
	0%	-	-	VNR	VNR	0,00	0	0	0	0	0	0	0,00	0,00
	100%	-	-	VNR	VNR	0,00	0	0	0	0	0	0	0,00	0,00
sisma in +X														
proporzionale alle masse														
Estradosso travi gronda	0%	-	-	VNR	VNR	0,00	0	0	0	0	0	0	0,00	0,00
	100%	-	-	VNR	VNR	0,00	0	0	0	0	0	0	0,00	0,00
proporzionale alla deformata 1° modo di vibrazione														
	0%	1.631	-20.514	33,24	2,64	1,02	54212	54212	113085	113085	0	0	2,50	2,50
	100%	-58.573	-23.317	0,93	2,32	1,08	54212	54212	119517	119517	0	0	2,50	2,50
sisma in -X														
proporzionale alle masse														
	0%	-	-	VNR	VNR	0,00	0	0	0	0	0	0	0,00	0,00
	100%	-	-	VNR	VNR	0,00	0	0	0	0	0	0	0,00	0,00
proporzionale alla deformata 1° modo di vibrazione														
	0%	-	-	VNR	VNR	0,00	0	0	0	0	0	0	0,00	0,00
	100%	-	-	VNR	VNR	0,00	0	0	0	0	0	0	0,00	0,00
sisma in +Y														
proporzionale alle masse														
	0%	-9.860	18.153	5,50	2,99	1,00	54212	54212	110520	110520	0	0	2,50	2,50
	100%	-25.165	14.845	2,15	3,65	1,00	54212	54212	110520	110520	0	0	2,50	2,50
proporzionale alla deformata 1° modo di vibrazione														
	0%	-	-	VNR	VNR	0,00	0	0	0	0	0	0	0,00	0,00
	100%	-	-	VNR	VNR	0,00	0	0	0	0	0	0	0,00	0,00
sisma in -Y														
proporzionale alle masse														

Lv	%L_{LI}	$V_{Ed,3}$	$V_{Ed,2}$	$CS^{(3)}$	$CS^{(2)}$	α_C	$V_{Rsd,s}{}^{(3)}$	$V_{Rsd,s}{}^{(2)}$	$V_{Rcd}{}^{(3)}$	$V_{Rcd}{}^{(2)}$	$V_{fd}{}^{(3)}$	$V_{fd}{}^{(2)}$	$Ctg\Theta^{(3)}$	$Ctg\Theta^{(2)}$
	[%]	[N]	[N]				[N]	[N]	[N]	[N]	[N]	[N]		
	0%	-	-	VNR	VNR	0,00	0	0	0	0	0	0	0,00	0,00
	100%	-	-	VNR	VNR	0,00	0	0	0	0	0	0	0,00	0,00
proporzionale alla deformata 1° modo di vibrazione														
	0%	-	-	VNR	VNR	0,00	0	0	0	0	0	0	0,00	0,00
	100%	-	-	VNR	VNR	0,00	0	0	0	0	0	0	0,00	0,00
Pilastrata: Pilastrata11														
sisma in +X														
proporzionale alle masse														
Piano terra ingresso	0%	-	-	VNR	VNR	0,00	0	0	0	0	0	0	0,00	0,00
	100%	-	-	VNR	VNR	0,00	0	0	0	0	0	0	0,00	0,00
proporzionale alla deformata 1° modo di vibrazione														
	0%	-135.976	260	0,43	NS	1,47	57826	99131	270429	270429	0	0	2,50	2,50
	100%	23.256	463	2,49	NS	1,17	57826	99131	215707	215707	0	0	2,50	2,50
sisma in -X														
proporzionale alle masse														
	0%	-	-	VNR	VNR	0,00	0	0	0	0	0	0	0,00	0,00
	100%	-	-	VNR	VNR	0,00	0	0	0	0	0	0	0,00	0,00
proporzionale alla deformata 1° modo di vibrazione														
	0%	-	-	VNR	VNR	0,00	0	0	0	0	0	0	0,00	0,00
	100%	-	-	VNR	VNR	0,00	0	0	0	0	0	0	0,00	0,00
sisma in +Y														
proporzionale alle masse														
	0%	929	2.631	62,25	37,68	1,00	57826	99131	184874	184874	0	0	2,50	2,50
	100%	19.214	-2.960	3,01	33,49	1,04	57826	99131	190679	190679	0	0	2,50	2,50
proporzionale alla deformata 1° modo di vibrazione														
	0%	-	-	VNR	VNR	0,00	0	0	0	0	0	0	0,00	0,00
	100%	-	-	VNR	VNR	0,00	0	0	0	0	0	0	0,00	0,00
sisma in -Y														
proporzionale alle masse														
	0%	-	-	VNR	VNR	0,00	0	0	0	0	0	0	0,00	0,00
	100%	-	-	VNR	VNR	0,00	0	0	0	0	0	0	0,00	0,00
proporzionale alla deformata 1° modo di vibrazione														
	0%	-	-	VNR	VNR	0,00	0	0	0	0	0	0	0,00	0,00
	100%	-	-	VNR	VNR	0,00	0	0	0	0	0	0	0,00	0,00
sisma in +X														
proporzionale alle masse														
Piano rialzato	0%	-	-	VNR	VNR	0,00	0	0	0	0	0	0	0,00	0,00
	100%	-	-	VNR	VNR	0,00	0	0	0	0	0	0	0,00	0,00
proporzionale alla deformata 1° modo di vibrazione														
	0%	-75.559	1.847	0,68	27,62	1,26	51023	51023	139738	139738	0	0	2,50	2,50
	100%	-21.254	1.706	2,40	29,91	1,06	51023	51023	117517	117517	0	0	2,50	2,50
sisma in -X														
proporzionale alle masse														
	0%	-	-	VNR	VNR	0,00	0	0	0	0	0	0	0,00	0,00
	100%	-	-	VNR	VNR	0,00	0	0	0	0	0	0	0,00	0,00
proporzionale alla deformata 1° modo di vibrazione														
	0%	-	-	VNR	VNR	0,00	0	0	0	0	0	0	0,00	0,00
	100%	-	-	VNR	VNR	0,00	0	0	0	0	0	0	0,00	0,00
sisma in +Y														
proporzionale alle masse														
	0%	551	-3.669	92,60	13,91	1,02	51023	51023	112225	112225	0	0	2,50	2,50
	100%	-612	-1.966	83,37	25,95	1,02	51023	51023	112296	112296	0	0	2,50	2,50
proporzionale alla deformata 1° modo di vibrazione														
	0%	-	-	VNR	VNR	0,00	0	0	0	0	0	0	0,00	0,00
	100%	-	-	VNR	VNR	0,00	0	0	0	0	0	0	0,00	0,00
sisma in -Y														
proporzionale alle masse														
	0%	-	-	VNR	VNR	0,00	0	0	0	0	0	0	0,00	0,00
	100%	-	-	VNR	VNR	0,00	0	0	0	0	0	0	0,00	0,00
proporzionale alla deformata 1° modo di vibrazione														
	0%	-	-	VNR	VNR	0,00	0	0	0	0	0	0	0,00	0,00
	100%	-	-	VNR	VNR	0,00	0	0	0	0	0	0	0,00	0,00
sisma in +X														
proporzionale alle masse														
Piano primo	0%	-	-	VNR	VNR	0,00	0	0	0	0	0	0	0,00	0,00
	100%	-	-	VNR	VNR	0,00	0	0	0	0	0	0	0,00	0,00
proporzionale alla deformata 1° modo di vibrazione														
	0%	-10.302	158	5,61	NS	1,01	57826	57826	111738	111738	0	0	2,50	2,50
	100%	-	-	-	-	1,00	0	0	0	0	0	0	0,00	0,00
sisma in -X														
proporzionale alle masse														
	0%	-	-	VNR	VNR	0,00	0	0	0	0	0	0	0,00	0,00
	100%	-	-	VNR	VNR	0,00	0	0	0	0	0	0	0,00	0,00
proporzionale alla deformata 1° modo di vibrazione														
	0%	-	-	VNR	VNR	0,00	0	0	0	0	0	0	0,00	0,00
	100%	-	-	VNR	VNR	0,00	0	0	0	0	0	0	0,00	0,00
sisma in +Y														
proporzionale alle masse														
	0%	132	-2.678	NS	21,59	1,02	57826	57826	112345	112345	0	0	2,50	2,50
	100%	-	-	-	-	1,00	0	0	0	0	0	0	0,00	0,00
proporzionale alla deformata 1° modo di vibrazione														
	0%	-	-	VNR	VNR	0,00	0	0	0	0	0	0	0,00	0,00
	100%	-	-	VNR	VNR	0,00	0	0	0	0	0	0	0,00	0,00
sisma in -Y														
proporzionale alle masse														
	0%	-	-	VNR	VNR	0,00	0	0	0	0	0	0	0,00	0,00

Lv	%L_{LI}	$V_{Ed,3}$	$V_{Ed,2}$	$CS^{(3)}$	$CS^{(2)}$	α_C	$V_{Rsd,s}{}^{(3)}$	$V_{Rsd,s}{}^{(2)}$	$V_{Rcd}{}^{(3)}$	$V_{Rcd}{}^{(2)}$	$V_{fd}{}^{(3)}$	$V_{fd}{}^{(2)}$	$Ctg\Theta^{(3)}$	$Ctg\Theta^{(2)}$
	[%]	[N]	[N]				[N]	[N]	[N]	[N]	[N]	[N]		
	100%	-	-	VNR	VNR	0,00	0	0	0	0	0	0	0,00	0,00
proporzionale alla deformata 1° modo di vibrazione														
	0%	-	-	VNR	VNR	0,00	0	0	0	0	0	0	0,00	0,00
	100%	-	-	VNR	VNR	0,00	0	0	0	0	0	0	0,00	0,00
sisma in +X														
proporzionale alle masse														
Estradosso travi gronda	0%	-	-	VNR	VNR	0,00	0	0	0	0	0	0	0,00	0,00
	100%	-	-	VNR	VNR	0,00	0	0	0	0	0	0	0,00	0,00
proporzionale alla deformata 1° modo di vibrazione														
	0%	-12.869	16.718	4,21	3,24	1,00	54212	54212	110520	110520	0	0	2,50	2,50
	100%	-6.867	10.482	7,89	5,17	1,00	54212	54212	110520	110520	0	0	2,50	2,50
sisma in -X														
proporzionale alle masse														
	0%	-	-	VNR	VNR	0,00	0	0	0	0	0	0	0,00	0,00
	100%	-	-	VNR	VNR	0,00	0	0	0	0	0	0	0,00	0,00
proporzionale alla deformata 1° modo di vibrazione														
	0%	-	-	VNR	VNR	0,00	0	0	0	0	0	0	0,00	0,00
	100%	-	-	VNR	VNR	0,00	0	0	0	0	0	0	0,00	0,00
sisma in +Y														
proporzionale alle masse														
	0%	-26.425	33.751	2,05	1,61	1,02	54212	54212	112425	112425	0	0	2,50	2,50
	100%	-5.789	19.587	9,36	2,77	1,00	54212	54212	110520	110520	0	0	2,50	2,50
proporzionale alla deformata 1° modo di vibrazione														
	0%	-	-	VNR	VNR	0,00	0	0	0	0	0	0	0,00	0,00
	100%	-	-	VNR	VNR	0,00	0	0	0	0	0	0	0,00	0,00
sisma in -Y														
proporzionale alle masse														
	0%	-	-	VNR	VNR	0,00	0	0	0	0	0	0	0,00	0,00
	100%	-	-	VNR	VNR	0,00	0	0	0	0	0	0	0,00	0,00
proporzionale alla deformata 1° modo di vibrazione														
	0%	-	-	VNR	VNR	0,00	0	0	0	0	0	0	0,00	0,00
	100%	-	-	VNR	VNR	0,00	0	0	0	0	0	0	0,00	0,00
Pilastrata: Pilastrata12														
sisma in +X														
proporzionale alle masse														
Piano terra ingresso	0%	-	-	VNR	VNR	0,00	0	0	0	0	0	0	0,00	0,00
	100%	-	-	VNR	VNR	0,00	0	0	0	0	0	0	0,00	0,00
proporzionale alla deformata 1° modo di vibrazione														
	0%	-22.457	-1.147	2,41	81,02	1,00	54212	92935	184199	184199	0	0	2,50	2,50
	100%	-22.457	-1.147	2,41	81,02	1,00	54212	92935	184199	184199	0	0	2,50	2,50
sisma in -X														
proporzionale alle masse														
	0%	-	-	VNR	VNR	0,00	0	0	0	0	0	0	0,00	0,00
	100%	-	-	VNR	VNR	0,00	0	0	0	0	0	0	0,00	0,00
proporzionale alla deformata 1° modo di vibrazione														
	0%	-	-	VNR	VNR	0,00	0	0	0	0	0	0	0,00	0,00
	100%	-	-	VNR	VNR	0,00	0	0	0	0	0	0	0,00	0,00
sisma in +Y														
proporzionale alle masse														
	0%	-715	23.163	75,82	4,01	1,06	54212	92935	195384	195384	0	0	2,50	2,50
	100%	-715	23.163	75,82	4,01	1,06	54212	92935	194355	194355	0	0	2,50	2,50
proporzionale alla deformata 1° modo di vibrazione														
	0%	-	-	VNR	VNR	0,00	0	0	0	0	0	0	0,00	0,00
	100%	-	-	VNR	VNR	0,00	0	0	0	0	0	0	0,00	0,00
sisma in -Y														
proporzionale alle masse														
	0%	-	-	VNR	VNR	0,00	0	0	0	0	0	0	0,00	0,00
	100%	-	-	VNR	VNR	0,00	0	0	0	0	0	0	0,00	0,00
proporzionale alla deformata 1° modo di vibrazione														
	0%	-	-	VNR	VNR	0,00	0	0	0	0	0	0	0,00	0,00
	100%	-	-	VNR	VNR	0,00	0	0	0	0	0	0	0,00	0,00
sisma in +X														
proporzionale alle masse														
Piano primo	0%	-	-	VNR	VNR	0,00	0	0	0	0	0	0	0,00	0,00
	100%	-	-	VNR	VNR	0,00	0	0	0	0	0	0	0,00	0,00
proporzionale alla deformata 1° modo di vibrazione														
	0%	-13.773	876	4,20	66,01	1,02	57826	57826	112574	112574	0	0	2,50	2,50
	100%	-13.773	876	4,20	66,01	1,01	57826	57826	111851	111851	0	0	2,50	2,50
sisma in -X														
proporzionale alle masse														
	0%	-	-	VNR	VNR	0,00	0	0	0	0	0	0	0,00	0,00
	100%	-	-	VNR	VNR	0,00	0	0	0	0	0	0	0,00	0,00
proporzionale alla deformata 1° modo di vibrazione														
	0%	-	-	VNR	VNR	0,00	0	0	0	0	0	0	0,00	0,00
	100%	-	-	VNR	VNR	0,00	0	0	0	0	0	0	0,00	0,00
sisma in +Y														
proporzionale alle masse														
	0%	-615	-6.926	94,03	8,35	1,03	57826	57826	113947	113947	0	0	2,50	2,50
	100%	-615	-6.926	94,03	8,35	1,02	57826	57826	113278	113278	0	0	2,50	2,50
proporzionale alla deformata 1° modo di vibrazione														
	0%	-	-	VNR	VNR	0,00	0	0	0	0	0	0	0,00	0,00
	100%	-	-	VNR	VNR	0,00	0	0	0	0	0	0	0,00	0,00
sisma in -Y														
proporzionale alle masse														
	0%	-	-	VNR	VNR	0,00	0	0	0	0	0	0	0,00	0,00

Lv	%L_{LI}	$V_{Ed,3}$	$V_{Ed,2}$	$CS^{(3)}$	$CS^{(2)}$	α_C	$V_{Rsd,s}{}^{(3)}$	$V_{Rsd,s}{}^{(2)}$	$V_{Rcd}{}^{(3)}$	$V_{Rcd}{}^{(2)}$	$V_{fd}{}^{(3)}$	$V_{fd}{}^{(2)}$	$Ctg\Theta^{(3)}$	$Ctg\Theta^{(2)}$
	[%]	[N]	[N]				[N]	[N]	[N]	[N]	[N]	[N]		
	100%	-	-	VNR	VNR	0,00	0	0	0	0	0	0	0,00	0,00
proporzionale alla deformata 1° modo di vibrazione														
	0%	-	-	VNR	VNR	0,00	0	0	0	0	0	0	0,00	0,00
	100%	-	-	VNR	VNR	0,00	0	0	0	0	0	0	0,00	0,00
sisma in +X														
proporzionale alle masse														
Estradosso travi gronda	0%	-	-	VNR	VNR	0,00	0	0	0	0	0	0	0,00	0,00
	100%	-	-	VNR	VNR	0,00	0	0	0	0	0	0	0,00	0,00
proporzionale alla deformata 1° modo di vibrazione														
	0%	-127.638	-14.010	0,31	2,81	1,05	39427	39427	116313	116313	0	0	2,50	2,50
	100%	-127.638	-14.010	0,31	2,81	1,03	39427	39427	114129	114129	0	0	2,50	2,50
sisma in -X														
proporzionale alle masse														
	0%	-	-	VNR	VNR	0,00	0	0	0	0	0	0	0,00	0,00
	100%	-	-	VNR	VNR	0,00	0	0	0	0	0	0	0,00	0,00
proporzionale alla deformata 1° modo di vibrazione														
	0%	-	-	VNR	VNR	0,00	0	0	0	0	0	0	0,00	0,00
	100%	-	-	VNR	VNR	0,00	0	0	0	0	0	0	0,00	0,00
sisma in +Y														
proporzionale alle masse														
	0%	-23.160	28.559	1,70	1,38	1,01	39427	39427	111721	111721	0	0	2,50	2,50
	100%	-23.160	28.559	1,70	1,38	1,02	39427	39427	112877	112877	0	0	2,50	2,50
proporzionale alla deformata 1° modo di vibrazione														
	0%	-	-	VNR	VNR	0,00	0	0	0	0	0	0	0,00	0,00
	100%	-	-	VNR	VNR	0,00	0	0	0	0	0	0	0,00	0,00
sisma in -Y														
proporzionale alle masse														
	0%	-	-	VNR	VNR	0,00	0	0	0	0	0	0	0,00	0,00
	100%	-	-	VNR	VNR	0,00	0	0	0	0	0	0	0,00	0,00
proporzionale alla deformata 1° modo di vibrazione														
	0%	-	-	VNR	VNR	0,00	0	0	0	0	0	0	0,00	0,00
	100%	-	-	VNR	VNR	0,00	0	0	0	0	0	0	0,00	0,00
Pilastrata: Pilastrata13														
sisma in +X														
proporzionale alle masse														
Piano terra ingresso	0%	-	-	VNR	VNR	0,00	0	0	0	0	0	0	0,00	0,00
	100%	-	-	VNR	VNR	0,00	0	0	0	0	0	0	0,00	0,00
proporzionale alla deformata 1° modo di vibrazione														
	0%	-116.428	-5.567	0,47	16,69	1,39	54212	92935	256903	256903	0	0	2,50	2,50
	100%	19.907	-10.500	2,72	8,85	1,11	54212	92935	204685	204685	0	0	2,50	2,50
sisma in -X														
proporzionale alle masse														
	0%	-	-	VNR	VNR	0,00	0	0	0	0	0	0	0,00	0,00
	100%	-	-	VNR	VNR	0,00	0	0	0	0	0	0	0,00	0,00
proporzionale alla deformata 1° modo di vibrazione														
	0%	-	-	VNR	VNR	0,00	0	0	0	0	0	0	0,00	0,00
	100%	-	-	VNR	VNR	0,00	0	0	0	0	0	0	0,00	0,00
sisma in +Y														
proporzionale alle masse														
	0%	-1.171	7.563	46,30	12,29	1,02	54212	92935	187427	187427	0	0	2,50	2,50
	100%	2.775	2.041	19,54	45,53	1,02	54212	92935	186977	186977	0	0	2,50	2,50
proporzionale alla deformata 1° modo di vibrazione														
	0%	-	-	VNR	VNR	0,00	0	0	0	0	0	0	0,00	0,00
	100%	-	-	VNR	VNR	0,00	0	0	0	0	0	0	0,00	0,00
sisma in -Y														
proporzionale alle masse														
	0%	-	-	VNR	VNR	0,00	0	0	0	0	0	0	0,00	0,00
	100%	-	-	VNR	VNR	0,00	0	0	0	0	0	0	0,00	0,00
proporzionale alla deformata 1° modo di vibrazione														
	0%	-	-	VNR	VNR	0,00	0	0	0	0	0	0	0,00	0,00
	100%	-	-	VNR	VNR	0,00	0	0	0	0	0	0	0,00	0,00
sisma in +X														
proporzionale alle masse														
Piano rialzato	0%	-	-	VNR	VNR	0,00	0	0	0	0	0	0	0,00	0,00
	100%	-	-	VNR	VNR	0,00	0	0	0	0	0	0	0,00	0,00
proporzionale alla deformata 1° modo di vibrazione														
	0%	-29.176	2.616	1,98	22,10	1,20	57826	57826	132955	132955	0	0	2,50	2,50
	100%	3.281	-4.155	17,62	13,92	1,01	57826	57826	111121	111121	0	0	2,50	2,50
sisma in -X														
proporzionale alle masse														
	0%	-	-	VNR	VNR	0,00	0	0	0	0	0	0	0,00	0,00
	100%	-	-	VNR	VNR	0,00	0	0	0	0	0	0	0,00	0,00
proporzionale alla deformata 1° modo di vibrazione														
	0%	-	-	VNR	VNR	0,00	0	0	0	0	0	0	0,00	0,00
	100%	-	-	VNR	VNR	0,00	0	0	0	0	0	0	0,00	0,00
sisma in +Y														
proporzionale alle masse														
	0%	-2.484	149	23,28	NS	1,02	57826	57826	112786	112786	0	0	2,50	2,50
	100%	2.029	-1.694	28,50	34,14	1,00	57826	57826	110520	110520	0	0	2,50	2,50
proporzionale alla deformata 1° modo di vibrazione														
	0%	-	-	VNR	VNR	0,00	0	0	0	0	0	0	0,00	0,00
	100%	-	-	VNR	VNR	0,00	0	0	0	0	0	0	0,00	0,00
sisma in -Y														
proporzionale alle masse														
	0%	-	-	VNR	VNR	0,00	0	0	0	0	0	0	0,00	0,00

Lv	%L_{LI}	$V_{Ed,3}$	$V_{Ed,2}$	$CS^{(3)}$	$CS^{(2)}$	α_C	$V_{Rsd,s}{}^{(3)}$	$V_{Rsd,s}{}^{(2)}$	$V_{Rcd}{}^{(3)}$	$V_{Rcd}{}^{(2)}$	$V_{fd}{}^{(3)}$	$V_{fd}{}^{(2)}$	$Ctg\Theta^{(3)}$	$Ctg\Theta^{(2)}$
	[%]	[N]	[N]				[N]	[N]	[N]	[N]	[N]	[N]		
	100%	-	-	VNR	VNR	0,00	0	0	0	0	0	0	0,00	0,00
proporzionale alla deformata 1° modo di vibrazione														
	0%	-	-	VNR	VNR	0,00	0	0	0	0	0	0	0,00	0,00
	100%	-	-	VNR	VNR	0,00	0	0	0	0	0	0	0,00	0,00
sisma in +X														
proporzionale alle masse														
Estradosso travi gronda	0%	-	-	VNR	VNR	0,00	0	0	0	0	0	0	0,00	0,00
	100%	-	-	VNR	VNR	0,00	0	0	0	0	0	0	0,00	0,00
proporzionale alla deformata 1° modo di vibrazione														
	0%	-49.179	-6.885	0,80	5,73	1,03	39427	39427	113716	113716	0	0	2,50	2,50
	100%	-49.179	-6.885	0,80	5,73	1,03	39427	39427	113530	113530	0	0	2,50	2,50
sisma in -X														
proporzionale alle masse														
	0%	-	-	VNR	VNR	0,00	0	0	0	0	0	0	0,00	0,00
	100%	-	-	VNR	VNR	0,00	0	0	0	0	0	0	0,00	0,00
proporzionale alla deformata 1° modo di vibrazione														
	0%	-	-	VNR	VNR	0,00	0	0	0	0	0	0	0,00	0,00
	100%	-	-	VNR	VNR	0,00	0	0	0	0	0	0	0,00	0,00
sisma in +Y														
proporzionale alle masse														
	0%	-31.248	57.526	1,26	0,69	1,00	39427	39427	110520	110520	0	0	2,50	2,50
	100%	-31.248	57.526	1,26	0,69	1,00	39427	39427	110520	110520	0	0	2,50	2,50
proporzionale alla deformata 1° modo di vibrazione														
	0%	-	-	VNR	VNR	0,00	0	0	0	0	0	0	0,00	0,00
	100%	-	-	VNR	VNR	0,00	0	0	0	0	0	0	0,00	0,00
sisma in -Y														
proporzionale alle masse														
	0%	-	-	VNR	VNR	0,00	0	0	0	0	0	0	0,00	0,00
	100%	-	-	VNR	VNR	0,00	0	0	0	0	0	0	0,00	0,00
proporzionale alla deformata 1° modo di vibrazione														
	0%	-	-	VNR	VNR	0,00	0	0	0	0	0	0	0,00	0,00
	100%	-	-	VNR	VNR	0,00	0	0	0	0	0	0	0,00	0,00
Pilastrata: Pilastrata14														
sisma in +X														
proporzionale alle masse														
Piano terra ingresso	0%	-	-	VNR	VNR	0,00	0	0	0	0	0	0	0,00	0,00
	100%	-	-	VNR	VNR	0,00	0	0	0	0	0	0	0,00	0,00
proporzionale alla deformata 1° modo di vibrazione														
	0%	-547	-9.312	NS	10,65	1,12	57826	99131	207014	207014	0	0	2,50	2,50
	100%	-547	-9.312	NS	10,65	1,11	57826	99131	205295	205295	0	0	2,50	2,50
sisma in -X														
proporzionale alle masse														
	0%	-	-	VNR	VNR	0,00	0	0	0	0	0	0	0,00	0,00
	100%	-	-	VNR	VNR	0,00	0	0	0	0	0	0	0,00	0,00
proporzionale alla deformata 1° modo di vibrazione														
	0%	-	-	VNR	VNR	0,00	0	0	0	0	0	0	0,00	0,00
	100%	-	-	VNR	VNR	0,00	0	0	0	0	0	0	0,00	0,00
sisma in +Y														
proporzionale alle masse														
	0%	-39.329	26.002	1,47	3,81	1,15	57826	99131	212339	212339	0	0	2,50	2,50
	100%	-39.329	26.002	1,47	3,81	1,14	57826	99131	210469	210469	0	0	2,50	2,50
proporzionale alla deformata 1° modo di vibrazione														
	0%	-	-	VNR	VNR	0,00	0	0	0	0	0	0	0,00	0,00
	100%	-	-	VNR	VNR	0,00	0	0	0	0	0	0	0,00	0,00
sisma in -Y														
proporzionale alle masse														
	0%	-	-	VNR	VNR	0,00	0	0	0	0	0	0	0,00	0,00
	100%	-	-	VNR	VNR	0,00	0	0	0	0	0	0	0,00	0,00
proporzionale alla deformata 1° modo di vibrazione														
	0%	-	-	VNR	VNR	0,00	0	0	0	0	0	0	0,00	0,00
	100%	-	-	VNR	VNR	0,00	0	0	0	0	0	0	0,00	0,00
sisma in +X														
proporzionale alle masse														
Piano primo	0%	-	-	VNR	VNR	0,00	0	0	0	0	0	0	0,00	0,00
	100%	-	-	VNR	VNR	0,00	0	0	0	0	0	0	0,00	0,00
proporzionale alla deformata 1° modo di vibrazione														
	0%	933	14.977	54,69	4,62	1,05	51023	69246	154592	154592	0	0	2,50	2,50
	100%	933	14.977	54,69	4,62	1,04	51023	69246	153811	153811	0	0	2,50	2,50
sisma in -X														
proporzionale alle masse														
	0%	-	-	VNR	VNR	0,00	0	0	0	0	0	0	0,00	0,00
	100%	-	-	VNR	VNR	0,00	0	0	0	0	0	0	0,00	0,00
proporzionale alla deformata 1° modo di vibrazione														
	0%	-	-	VNR	VNR	0,00	0	0	0	0	0	0	0,00	0,00
	100%	-	-	VNR	VNR	0,00	0	0	0	0	0	0	0,00	0,00
sisma in +Y														
proporzionale alle masse														
	0%	-20.439	14.900	2,50	4,65	1,05	51023	69246	155049	155049	0	0	2,50	2,50
	100%	-20.439	14.900	2,50	4,65	1,05	51023	69246	154372	154372	0	0	2,50	2,50
proporzionale alla deformata 1° modo di vibrazione														
	0%	-	-	VNR	VNR	0,00	0	0	0	0	0	0	0,00	0,00
	100%	-	-	VNR	VNR	0,00	0	0	0	0	0	0	0,00	0,00
sisma in -Y														
proporzionale alle masse														
	0%	-	-	VNR	VNR	0,00	0	0	0	0	0	0	0,00	0,00

Lv	%L_{LI}	$V_{Ed,3}$	$V_{Ed,2}$	$CS^{(3)}$	$CS^{(2)}$	α_C	$V_{Rsd,s}{}^{(3)}$	$V_{Rsd,s}{}^{(2)}$	$V_{Rcd}{}^{(3)}$	$V_{Rcd}{}^{(2)}$	$V_{fd}{}^{(3)}$	$V_{fd}{}^{(2)}$	$Ctg\Theta^{(3)}$	$Ctg\Theta^{(2)}$
	[%]	[N]	[N]				[N]	[N]	[N]	[N]	[N]	[N]		
	100%	-	-	VNR	VNR	0,00	0	0	0	0	0	0	0,00	0,00
proporzionale alla deformata 1° modo di vibrazione														
	0%	-	-	VNR	VNR	0,00	0	0	0	0	0	0	0,00	0,00
	100%	-	-	VNR	VNR	0,00	0	0	0	0	0	0	0,00	0,00
sisma in +X														
proporzionale alle masse														
Estradosso travi gronda	0%	-	-	VNR	VNR	0,00	0	0	0	0	0	0	0,00	0,00
	100%	-	-	VNR	VNR	0,00	0	0	0	0	0	0	0,00	0,00
proporzionale alla deformata 1° modo di vibrazione														
	0%	127	896	NS	87,59	1,00	57826	78479	147360	147360	0	0	2,50	2,50
	100%	127	896	NS	87,59	1,00	57826	78479	147360	147360	0	0	2,50	2,50
sisma in -X														
proporzionale alle masse														
	0%	-	-	VNR	VNR	0,00	0	0	0	0	0	0	0,00	0,00
	100%	-	-	VNR	VNR	0,00	0	0	0	0	0	0	0,00	0,00
proporzionale alla deformata 1° modo di vibrazione														
	0%	-	-	VNR	VNR	0,00	0	0	0	0	0	0	0,00	0,00
	100%	-	-	VNR	VNR	0,00	0	0	0	0	0	0	0,00	0,00
sisma in +Y														
proporzionale alle masse														
	0%	-14.963	10.478	3,86	7,49	1,00	57826	78479	147360	147360	0	0	2,50	2,50
	100%	-14.963	10.478	3,86	7,49	1,00	57826	78479	147360	147360	0	0	2,50	2,50
proporzionale alla deformata 1° modo di vibrazione														
	0%	-	-	VNR	VNR	0,00	0	0	0	0	0	0	0,00	0,00
	100%	-	-	VNR	VNR	0,00	0	0	0	0	0	0	0,00	0,00
sisma in -Y														
proporzionale alle masse														
	0%	-	-	VNR	VNR	0,00	0	0	0	0	0	0	0,00	0,00
	100%	-	-	VNR	VNR	0,00	0	0	0	0	0	0	0,00	0,00
proporzionale alla deformata 1° modo di vibrazione														
	0%	-	-	VNR	VNR	0,00	0	0	0	0	0	0	0,00	0,00
	100%	-	-	VNR	VNR	0,00	0	0	0	0	0	0	0,00	0,00
sisma in +X														
proporzionale alle masse														
Estradosso travi colmo	0%	-	-	VNR	VNR	0,00	0	0	0	0	0	0	0,00	0,00
	100%	-	-	VNR	VNR	0,00	0	0	0	0	0	0	0,00	0,00
proporzionale alla deformata 1° modo di vibrazione														
	0%	2.687	9.346	20,18	7,87	1,00	54212	73574	147360	147360	0	0	2,50	2,50
	100%	2.687	9.346	20,18	7,87	1,00	54212	73574	147360	147360	0	0	2,50	2,50
sisma in -X														
proporzionale alle masse														
	0%	-	-	VNR	VNR	0,00	0	0	0	0	0	0	0,00	0,00
	100%	-	-	VNR	VNR	0,00	0	0	0	0	0	0	0,00	0,00
proporzionale alla deformata 1° modo di vibrazione														
	0%	-	-	VNR	VNR	0,00	0	0	0	0	0	0	0,00	0,00
	100%	-	-	VNR	VNR	0,00	0	0	0	0	0	0	0,00	0,00
sisma in +Y														
proporzionale alle masse														
	0%	-4.919	15.398	11,02	4,78	1,00	54212	73574	147360	147360	0	0	2,50	2,50
	100%	-4.919	15.398	11,02	4,78	1,00	54212	73574	147360	147360	0	0	2,50	2,50
proporzionale alla deformata 1° modo di vibrazione														
	0%	-	-	VNR	VNR	0,00	0	0	0	0	0	0	0,00	0,00
	100%	-	-	VNR	VNR	0,00	0	0	0	0	0	0	0,00	0,00
sisma in -Y														
proporzionale alle masse														
	0%	-	-	VNR	VNR	0,00	0	0	0	0	0	0	0,00	0,00
	100%	-	-	VNR	VNR	0,00	0	0	0	0	0	0	0,00	0,00
proporzionale alla deformata 1° modo di vibrazione														
	0%	-	-	VNR	VNR	0,00	0	0	0	0	0	0	0,00	0,00
	100%	-	-	VNR	VNR	0,00	0	0	0	0	0	0	0,00	0,00
Pilastrata: Pilastrata15														
sisma in +X														
proporzionale alle masse														
Piano terra ingresso	0%	-	-	VNR	VNR	0,00	0	0	0	0	0	0	0,00	0,00
	100%	-	-	VNR	VNR	0,00	0	0	0	0	0	0	0,00	0,00
proporzionale alla deformata 1° modo di vibrazione														
	0%	-48.824	3.286	1,61	23,88	1,28	78479	78479	255834	255834	0	0	2,50	2,50
	100%	-48.824	3.286	1,61	23,88	1,27	78479	78479	254682	254682	0	0	2,50	2,50
sisma in -X														
proporzionale alle masse														
	0%	-	-	VNR	VNR	0,00	0	0	0	0	0	0	0,00	0,00
	100%	-	-	VNR	VNR	0,00	0	0	0	0	0	0	0,00	0,00
proporzionale alla deformata 1° modo di vibrazione														
	0%	-	-	VNR	VNR	0,00	0	0	0	0	0	0	0,00	0,00
	100%	-	-	VNR	VNR	0,00	0	0	0	0	0	0	0,00	0,00
sisma in +Y														
proporzionale alle masse														
	0%	1.853	39.696	42,35	1,98	1,30	78479	78479	259967	259967	0	0	2,50	2,50
	100%	1.853	39.696	42,35	1,98	1,29	78479	78479	258515	258515	0	0	2,50	2,50
proporzionale alla deformata 1° modo di vibrazione														
	0%	-	-	VNR	VNR	0,00	0	0	0	0	0	0	0,00	0,00
	100%	-	-	VNR	VNR	0,00	0	0	0	0	0	0	0,00	0,00
sisma in -Y														
proporzionale alle masse														
	0%	-	-	VNR	VNR	0,00	0	0	0	0	0	0	0,00	0,00

Lv	%L_{LI}	$V_{Ed,3}$	$V_{Ed,2}$	$CS^{(3)}$	$CS^{(2)}$	α_C	$V_{Rsd,s}{}^{(3)}$	$V_{Rsd,s}{}^{(2)}$	$V_{Rcd}{}^{(3)}$	$V_{Rcd}{}^{(2)}$	$V_{fd}{}^{(3)}$	$V_{fd}{}^{(2)}$	$Ctg\Theta^{(3)}$	$Ctg\Theta^{(2)}$
	[%]	[N]	[N]				[N]	[N]	[N]	[N]	[N]	[N]		
	100%	-	-	VNR	VNR	0,00	0	0	0	0	0	0	0,00	0,00
proporzionale alla deformata 1° modo di vibrazione														
	0%	-	-	VNR	VNR	0,00	0	0	0	0	0	0	0,00	0,00
	100%	-	-	VNR	VNR	0,00	0	0	0	0	0	0	0,00	0,00
sisma in +X														
proporzionale alle masse														
Piano rialzato	0%	-	-	VNR	VNR	0,00	0	0	0	0	0	0	0,00	0,00
	100%	-	-	VNR	VNR	0,00	0	0	0	0	0	0	0,00	0,00
proporzionale alla deformata 1° modo di vibrazione														
	0%	-46.777	3.247	1,48	21,33	1,27	69246	69246	254959	254959	0	0	2,50	2,50
	100%	-46.777	3.247	1,48	21,33	1,27	69246	69246	254741	254741	0	0	2,50	2,50
sisma in -X														
proporzionale alle masse														
	0%	-	-	VNR	VNR	0,00	0	0	0	0	0	0	0,00	0,00
	100%	-	-	VNR	VNR	0,00	0	0	0	0	0	0	0,00	0,00
proporzionale alla deformata 1° modo di vibrazione														
	0%	-	-	VNR	VNR	0,00	0	0	0	0	0	0	0,00	0,00
	100%	-	-	VNR	VNR	0,00	0	0	0	0	0	0	0,00	0,00
sisma in +Y														
proporzionale alle masse														
	0%	1.730	35.609	40,03	1,94	1,29	69246	69246	258515	258515	0	0	2,50	2,50
	100%	1.730	35.609	40,03	1,94	1,29	69246	69246	258369	258369	0	0	2,50	2,50
proporzionale alla deformata 1° modo di vibrazione														
	0%	-	-	VNR	VNR	0,00	0	0	0	0	0	0	0,00	0,00
	100%	-	-	VNR	VNR	0,00	0	0	0	0	0	0	0,00	0,00
sisma in -Y														
proporzionale alle masse														
	0%	-	-	VNR	VNR	0,00	0	0	0	0	0	0	0,00	0,00
	100%	-	-	VNR	VNR	0,00	0	0	0	0	0	0	0,00	0,00
proporzionale alla deformata 1° modo di vibrazione														
	0%	-	-	VNR	VNR	0,00	0	0	0	0	0	0	0,00	0,00
	100%	-	-	VNR	VNR	0,00	0	0	0	0	0	0	0,00	0,00
sisma in +X														
proporzionale alle masse														
Piano primo	0%	-	-	VNR	VNR	0,00	0	0	0	0	0	0	0,00	0,00
	100%	-	-	VNR	VNR	0,00	0	0	0	0	0	0	0,00	0,00
proporzionale alla deformata 1° modo di vibrazione														
	0%	-35.022	2.480	1,95	27,48	1,17	68153	68153	178246	178246	0	0	2,50	2,50
	100%	-35.022	2.480	1,95	27,48	1,17	68153	68153	177329	177329	0	0	2,50	2,50
sisma in -X														
proporzionale alle masse														
	0%	-	-	VNR	VNR	0,00	0	0	0	0	0	0	0,00	0,00
	100%	-	-	VNR	VNR	0,00	0	0	0	0	0	0	0,00	0,00
proporzionale alla deformata 1° modo di vibrazione														
	0%	-	-	VNR	VNR	0,00	0	0	0	0	0	0	0,00	0,00
	100%	-	-	VNR	VNR	0,00	0	0	0	0	0	0	0,00	0,00
sisma in +Y														
proporzionale alle masse														
	0%	480	18.421	NS	3,70	1,18	68153	68153	179609	179609	0	0	2,50	2,50
	100%	480	18.421	NS	3,70	1,18	68153	68153	178919	178919	0	0	2,50	2,50
proporzionale alla deformata 1° modo di vibrazione														
	0%	-	-	VNR	VNR	0,00	0	0	0	0	0	0	0,00	0,00
	100%	-	-	VNR	VNR	0,00	0	0	0	0	0	0	0,00	0,00
sisma in -Y														
proporzionale alle masse														
	0%	-	-	VNR	VNR	0,00	0	0	0	0	0	0	0,00	0,00
	100%	-	-	VNR	VNR	0,00	0	0	0	0	0	0	0,00	0,00
proporzionale alla deformata 1° modo di vibrazione														
	0%	-	-	VNR	VNR	0,00	0	0	0	0	0	0	0,00	0,00
	100%	-	-	VNR	VNR	0,00	0	0	0	0	0	0	0,00	0,00
sisma in +X														
proporzionale alle masse														
Estradosso travi gronda	0%	-	-	VNR	VNR	0,00	0	0	0	0	0	0	0,00	0,00
	100%	-	-	VNR	VNR	0,00	0	0	0	0	0	0	0,00	0,00
proporzionale alla deformata 1° modo di vibrazione														
	0%	-2.907	800	18,65	67,77	1,00	54212	54212	110520	110520	0	0	2,50	2,50
	100%	-2.907	800	18,65	67,77	1,00	54212	54212	110520	110520	0	0	2,50	2,50
sisma in -X														
proporzionale alle masse														
	0%	-	-	VNR	VNR	0,00	0	0	0	0	0	0	0,00	0,00
	100%	-	-	VNR	VNR	0,00	0	0	0	0	0	0	0,00	0,00
proporzionale alla deformata 1° modo di vibrazione														
	0%	-	-	VNR	VNR	0,00	0	0	0	0	0	0	0,00	0,00
	100%	-	-	VNR	VNR	0,00	0	0	0	0	0	0	0,00	0,00
sisma in +Y														
proporzionale alle masse														
	0%	415	4.086	NS	13,27	1,00	54212	54212	110520	110520	0	0	2,50	2,50
	100%	415	4.086	NS	13,27	1,00	54212	54212	110520	110520	0	0	2,50	2,50
proporzionale alla deformata 1° modo di vibrazione														
	0%	-	-	VNR	VNR	0,00	0	0	0	0	0	0	0,00	0,00
	100%	-	-	VNR	VNR	0,00	0	0	0	0	0	0	0,00	0,00
sisma in -Y														
proporzionale alle masse														
	0%	-	-	VNR	VNR	0,00	0	0	0	0	0	0	0,00	0,00
	100%	-	-	VNR	VNR	0,00	0	0	0	0	0	0	0,00	0,00

Lv	%L_{LI}	$V_{Ed,3}$	$V_{Ed,2}$	$CS^{(3)}$	$CS^{(2)}$	α_C	$V_{Rsd,s}{}^{(3)}$	$V_{Rsd,s}{}^{(2)}$	$V_{Rcd}{}^{(3)}$	$V_{Rcd}{}^{(2)}$	$V_{fd}{}^{(3)}$	$V_{fd}{}^{(2)}$	$Ctg\Theta^{(3)}$	$Ctg\Theta^{(2)}$
	[%]	[N]	[N]				[N]	[N]	[N]	[N]	[N]	[N]		
proporzionale alla deformata 1° modo di vibrazione														
	0%	-	-	VNR	VNR	0,00	0	0	0	0	0	0	0,00	0,00
	100%	-	-	VNR	VNR	0,00	0	0	0	0	0	0	0,00	0,00
sisma in +X														
proporzionale alle masse														
Estradosso travi colmo	0%	-	-	VNR	VNR	0,00	0	0	0	0	0	0	0,00	0,00
	100%	-	-	VNR	VNR	0,00	0	0	0	0	0	0	0,00	0,00
proporzionale alla deformata 1° modo di vibrazione														
	0%	620	-6.592	87,44	8,22	1,00	54212	54212	110520	110520	0	0	2,50	2,50
	100%	620	-6.592	87,44	8,22	1,00	54212	54212	110520	110520	0	0	2,50	2,50
sisma in -X														
proporzionale alle masse														
	0%	-	-	VNR	VNR	0,00	0	0	0	0	0	0	0,00	0,00
	100%	-	-	VNR	VNR	0,00	0	0	0	0	0	0	0,00	0,00
proporzionale alla deformata 1° modo di vibrazione														
	0%	-	-	VNR	VNR	0,00	0	0	0	0	0	0	0,00	0,00
	100%	-	-	VNR	VNR	0,00	0	0	0	0	0	0	0,00	0,00
sisma in +Y														
proporzionale alle masse														
	0%	2.339	-6.582	23,18	8,24	1,00	54212	54212	110520	110520	0	0	2,50	2,50
	100%	2.339	-6.582	23,18	8,24	1,00	54212	54212	110520	110520	0	0	2,50	2,50
proporzionale alla deformata 1° modo di vibrazione														
	0%	-	-	VNR	VNR	0,00	0	0	0	0	0	0	0,00	0,00
	100%	-	-	VNR	VNR	0,00	0	0	0	0	0	0	0,00	0,00
sisma in -Y														
proporzionale alle masse														
	0%	-	-	VNR	VNR	0,00	0	0	0	0	0	0	0,00	0,00
	100%	-	-	VNR	VNR	0,00	0	0	0	0	0	0	0,00	0,00
proporzionale alla deformata 1° modo di vibrazione														
	0%	-	-	VNR	VNR	0,00	0	0	0	0	0	0	0,00	0,00
	100%	-	-	VNR	VNR	0,00	0	0	0	0	0	0	0,00	0,00
Pilastrata: Pilastrata16														
sisma in +X														
proporzionale alle masse														
Piano terra ingresso	0%	-	-	VNR	VNR	0,00	0	0	0	0	0	0	0,00	0,00
	100%	-	-	VNR	VNR	0,00	0	0	0	0	0	0	0,00	0,00
proporzionale alla deformata 1° modo di vibrazione														
	0%	-64	-97.732	NS	1,12	1,23	78479	109457	338694	338694	0	0	2,50	2,50
	100%	-64	-97.732	NS	1,12	1,23	78479	109457	337556	337556	0	0	2,50	2,50
sisma in -X														
proporzionale alle masse														
	0%	-	-	VNR	VNR	0,00	0	0	0	0	0	0	0,00	0,00
	100%	-	-	VNR	VNR	0,00	0	0	0	0	0	0	0,00	0,00
proporzionale alla deformata 1° modo di vibrazione														
	0%	-	-	VNR	VNR	0,00	0	0	0	0	0	0	0,00	0,00
	100%	-	-	VNR	VNR	0,00	0	0	0	0	0	0	0,00	0,00
sisma in +Y														
proporzionale alle masse														
	0%	-44.195	8.112	1,78	13,49	1,26	78479	109457	345632	345632	0	0	2,50	2,50
	100%	-44.195	8.112	1,78	13,49	1,25	78479	109457	343418	343418	0	0	2,50	2,50
proporzionale alla deformata 1° modo di vibrazione														
	0%	-	-	VNR	VNR	0,00	0	0	0	0	0	0	0,00	0,00
	100%	-	-	VNR	VNR	0,00	0	0	0	0	0	0	0,00	0,00
sisma in -Y														
proporzionale alle masse														
	0%	-	-	VNR	VNR	0,00	0	0	0	0	0	0	0,00	0,00
	100%	-	-	VNR	VNR	0,00	0	0	0	0	0	0	0,00	0,00
proporzionale alla deformata 1° modo di vibrazione														
	0%	-	-	VNR	VNR	0,00	0	0	0	0	0	0	0,00	0,00
	100%	-	-	VNR	VNR	0,00	0	0	0	0	0	0	0,00	0,00
sisma in +X														
proporzionale alle masse														
Piano primo	0%	-	-	VNR	VNR	0,00	0	0	0	0	0	0	0,00	0,00
	100%	-	-	VNR	VNR	0,00	0	0	0	0	0	0	0,00	0,00
proporzionale alla deformata 1° modo di vibrazione														
	0%	-31	-59.465	NS	1,32	1,15	60135	78357	225445	225445	0	0	2,50	2,50
	100%	-31	-59.465	NS	1,32	1,15	60135	78357	224599	224599	0	0	2,50	2,50
sisma in -X														
proporzionale alle masse														
	0%	-	-	VNR	VNR	0,00	0	0	0	0	0	0	0,00	0,00
	100%	-	-	VNR	VNR	0,00	0	0	0	0	0	0	0,00	0,00
proporzionale alla deformata 1° modo di vibrazione														
	0%	-	-	VNR	VNR	0,00	0	0	0	0	0	0	0,00	0,00
	100%	-	-	VNR	VNR	0,00	0	0	0	0	0	0	0,00	0,00
sisma in +Y														
proporzionale alle masse														
	0%	-14.301	7.289	4,20	10,75	1,17	60135	78357	229130	229130	0	0	2,50	2,50
	100%	-14.301	7.289	4,20	10,75	1,17	60135	78357	228669	228669	0	0	2,50	2,50
proporzionale alla deformata 1° modo di vibrazione														
	0%	-	-	VNR	VNR	0,00	0	0	0	0	0	0	0,00	0,00
	100%	-	-	VNR	VNR	0,00	0	0	0	0	0	0	0,00	0,00
sisma in -Y														
proporzionale alle masse														
	0%	-	-	VNR	VNR	0,00	0	0	0	0	0	0	0,00	0,00
	100%	-	-	VNR	VNR	0,00	0	0	0	0	0	0	0,00	0,00
proporzionale alla deformata 1° modo di vibrazione														

Lv	%L_{LI}	$V_{Ed,3}$	$V_{Ed,2}$	$CS^{(3)}$	$CS^{(2)}$	α_C	$V_{Rsd,s}{}^{(3)}$	$V_{Rsd,s}{}^{(2)}$	$V_{Rcd}{}^{(3)}$	$V_{Rcd}{}^{(2)}$	$V_{fd}{}^{(3)}$	$V_{fd}{}^{(2)}$	$Ctg\Theta^{(3)}$	$Ctg\Theta^{(2)}$
	[%]	[N]	[N]				[N]	[N]	[N]	[N]	[N]	[N]		
	0%	-	-	VNR	VNR	0,00	0	0	0	0	0	0	0,00	0,00
	100%	-	-	VNR	VNR	0,00	0	0	0	0	0	0	0,00	0,00
sisma in +X														
proporzionale alle masse														
Estradosso travi gronda	0%	-	-	VNR	VNR	0,00	0	0	0	0	0	0	0,00	0,00
	100%	-	-	VNR	VNR	0,00	0	0	0	0	0	0	0,00	0,00
proporzionale alla deformata 1° modo di vibrazione														
	0%	-171	-4.664	NS	14,61	1,00	57826	68153	128940	128940	0	0	2,50	2,50
	100%	-171	-4.664	NS	14,61	1,00	57826	68153	128940	128940	0	0	2,50	2,50
sisma in -X														
proporzionale alle masse														
	0%	-	-	VNR	VNR	0,00	0	0	0	0	0	0	0,00	0,00
	100%	-	-	VNR	VNR	0,00	0	0	0	0	0	0	0,00	0,00
proporzionale alla deformata 1° modo di vibrazione														
	0%	-	-	VNR	VNR	0,00	0	0	0	0	0	0	0,00	0,00
	100%	-	-	VNR	VNR	0,00	0	0	0	0	0	0	0,00	0,00
sisma in +Y														
proporzionale alle masse														
	0%	-4.033	629	14,34	NS	1,00	57826	68153	128940	128940	0	0	2,50	2,50
	100%	-4.033	629	14,34	NS	1,00	57826	68153	128940	128940	0	0	2,50	2,50
proporzionale alla deformata 1° modo di vibrazione														
	0%	-	-	VNR	VNR	0,00	0	0	0	0	0	0	0,00	0,00
	100%	-	-	VNR	VNR	0,00	0	0	0	0	0	0	0,00	0,00
sisma in -Y														
proporzionale alle masse														
	0%	-	-	VNR	VNR	0,00	0	0	0	0	0	0	0,00	0,00
	100%	-	-	VNR	VNR	0,00	0	0	0	0	0	0	0,00	0,00
proporzionale alla deformata 1° modo di vibrazione														
	0%	-	-	VNR	VNR	0,00	0	0	0	0	0	0	0,00	0,00
	100%	-	-	VNR	VNR	0,00	0	0	0	0	0	0	0,00	0,00
sisma in +X														
proporzionale alle masse														
Estradosso travi colmo	0%	-	-	VNR	VNR	0,00	0	0	0	0	0	0	0,00	0,00
	100%	-	-	VNR	VNR	0,00	0	0	0	0	0	0	0,00	0,00
proporzionale alla deformata 1° modo di vibrazione														
	0%	8.992	1.161	6,03	55,03	1,00	54212	63893	128940	128940	0	0	2,50	2,50
	100%	8.992	1.161	6,03	55,03	1,00	54212	63893	128940	128940	0	0	2,50	2,50
sisma in -X														
proporzionale alle masse														
	0%	-	-	VNR	VNR	0,00	0	0	0	0	0	0	0,00	0,00
	100%	-	-	VNR	VNR	0,00	0	0	0	0	0	0	0,00	0,00
proporzionale alla deformata 1° modo di vibrazione														
	0%	-	-	VNR	VNR	0,00	0	0	0	0	0	0	0,00	0,00
	100%	-	-	VNR	VNR	0,00	0	0	0	0	0	0	0,00	0,00
sisma in +Y														
proporzionale alle masse														
	0%	9.687	2.750	5,60	23,23	1,00	54212	63893	128940	128940	0	0	2,50	2,50
	100%	9.687	2.750	5,60	23,23	1,00	54212	63893	128940	128940	0	0	2,50	2,50
proporzionale alla deformata 1° modo di vibrazione														
	0%	-	-	VNR	VNR	0,00	0	0	0	0	0	0	0,00	0,00
	100%	-	-	VNR	VNR	0,00	0	0	0	0	0	0	0,00	0,00
sisma in -Y														
proporzionale alle masse														
	0%	-	-	VNR	VNR	0,00	0	0	0	0	0	0	0,00	0,00
	100%	-	-	VNR	VNR	0,00	0	0	0	0	0	0	0,00	0,00
proporzionale alla deformata 1° modo di vibrazione														
	0%	-	-	VNR	VNR	0,00	0	0	0	0	0	0	0,00	0,00
	100%	-	-	VNR	VNR	0,00	0	0	0	0	0	0	0,00	0,00
Pilastrata: Pilastrata17														
sisma in +X														
proporzionale alle masse														
Piano terra ingresso	0%	-	-	VNR	VNR	0,00	0	0	0	0	0	0	0,00	0,00
	100%	-	-	VNR	VNR	0,00	0	0	0	0	0	0	0,00	0,00
proporzionale alla deformata 1° modo di vibrazione														
	0%	444	-153.313	NS	0,78	1,27	78479	119783	382165	382165	0	0	2,50	2,50
	100%	444	-153.313	NS	0,78	1,27	78479	119783	380917	380917	0	0	2,50	2,50
sisma in -X														
proporzionale alle masse														
	0%	-	-	VNR	VNR	0,00	0	0	0	0	0	0	0,00	0,00
	100%	-	-	VNR	VNR	0,00	0	0	0	0	0	0	0,00	0,00
proporzionale alla deformata 1° modo di vibrazione														
	0%	-	-	VNR	VNR	0,00	0	0	0	0	0	0	0,00	0,00
	100%	-	-	VNR	VNR	0,00	0	0	0	0	0	0	0,00	0,00
sisma in +Y														
proporzionale alle masse														
	0%	-41.821	2.279	1,88	52,56	1,29	78479	119783	387823	387823	0	0	2,50	2,50
	100%	-41.821	2.279	1,88	52,56	1,29	78479	119783	385866	385866	0	0	2,50	2,50
proporzionale alla deformata 1° modo di vibrazione														
	0%	-	-	VNR	VNR	0,00	0	0	0	0	0	0	0,00	0,00
	100%	-	-	VNR	VNR	0,00	0	0	0	0	0	0	0,00	0,00
sisma in -Y														
proporzionale alle masse														
	0%	-	-	VNR	VNR	0,00	0	0	0	0	0	0	0,00	0,00
	100%	-	-	VNR	VNR	0,00	0	0	0	0	0	0	0,00	0,00
proporzionale alla deformata 1° modo di vibrazione														

Lv	%L_{LI}	$V_{Ed,3}$	$V_{Ed,2}$	$CS^{(3)}$	$CS^{(2)}$	α_C	$V_{Rsd,s}{}^{(3)}$	$V_{Rsd,s}{}^{(2)}$	$V_{Rcd}{}^{(3)}$	$V_{Rcd}{}^{(2)}$	$V_{fd}{}^{(3)}$	$V_{fd}{}^{(2)}$	$Ctg\Theta^{(3)}$	$Ctg\Theta^{(2)}$
	[%]	[N]	[N]				[N]	[N]	[N]	[N]	[N]	[N]		
	0%	-	-	VNR	VNR	0,00	0	0	0	0	0	0	0,00	0,00
	100%	-	-	VNR	VNR	0,00	0	0	0	0	0	0	0,00	0,00
sisma in +X														
proporzionale alle masse														
Piano rialzato	0%	-	-	VNR	VNR	0,00	0	0	0	0	0	0	0,00	0,00
	100%	-	-	VNR	VNR	0,00	0	0	0	0	0	0	0,00	0,00
proporzionale alla deformata 1° modo di vibrazione														
	0%	392	-150.170	NS	0,70	1,27	69246	105691	381154	381154	0	0	2,50	2,50
	100%	392	-150.170	NS	0,70	1,27	69246	105691	380959	380959	0	0	2,50	2,50
sisma in -X														
proporzionale alle masse														
	0%	-	-	VNR	VNR	0,00	0	0	0	0	0	0	0,00	0,00
	100%	-	-	VNR	VNR	0,00	0	0	0	0	0	0	0,00	0,00
proporzionale alla deformata 1° modo di vibrazione														
	0%	-	-	VNR	VNR	0,00	0	0	0	0	0	0	0,00	0,00
	100%	-	-	VNR	VNR	0,00	0	0	0	0	0	0	0,00	0,00
sisma in +Y														
proporzionale alle masse														
	0%	-35.403	2.453	1,96	43,09	1,29	69246	105691	385866	385866	0	0	2,50	2,50
	100%	-35.403	2.453	1,96	43,09	1,29	69246	105691	385745	385745	0	0	2,50	2,50
proporzionale alla deformata 1° modo di vibrazione														
	0%	-	-	VNR	VNR	0,00	0	0	0	0	0	0	0,00	0,00
	100%	-	-	VNR	VNR	0,00	0	0	0	0	0	0	0,00	0,00
sisma in -Y														
proporzionale alle masse														
	0%	-	-	VNR	VNR	0,00	0	0	0	0	0	0	0,00	0,00
	100%	-	-	VNR	VNR	0,00	0	0	0	0	0	0	0,00	0,00
proporzionale alla deformata 1° modo di vibrazione														
	0%	-	-	VNR	VNR	0,00	0	0	0	0	0	0	0,00	0,00
	100%	-	-	VNR	VNR	0,00	0	0	0	0	0	0	0,00	0,00
sisma in +X														
proporzionale alle masse														
Piano primo	0%	-	-	VNR	VNR	0,00	0	0	0	0	0	0	0,00	0,00
	100%	-	-	VNR	VNR	0,00	0	0	0	0	0	0	0,00	0,00
proporzionale alla deformata 1° modo di vibrazione														
	0%	-606	-97.814	NS	1,01	1,18	68153	99131	256060	256060	0	0	2,50	2,50
	100%	-606	-97.814	NS	1,01	1,18	68153	99131	255858	255858	0	0	2,50	2,50
sisma in -X														
proporzionale alle masse														
	0%	-	-	VNR	VNR	0,00	0	0	0	0	0	0	0,00	0,00
	100%	-	-	VNR	VNR	0,00	0	0	0	0	0	0	0,00	0,00
proporzionale alla deformata 1° modo di vibrazione														
	0%	-	-	VNR	VNR	0,00	0	0	0	0	0	0	0,00	0,00
	100%	-	-	VNR	VNR	0,00	0	0	0	0	0	0	0,00	0,00
sisma in +Y														
proporzionale alle masse														
	0%	-12.065	-2.605	5,65	38,05	1,20	68153	99131	259501	259501	0	0	2,50	2,50
	100%	-12.065	-2.605	5,65	38,05	1,19	68153	99131	258808	258808	0	0	2,50	2,50
proporzionale alla deformata 1° modo di vibrazione														
	0%	-	-	VNR	VNR	0,00	0	0	0	0	0	0	0,00	0,00
	100%	-	-	VNR	VNR	0,00	0	0	0	0	0	0	0,00	0,00
sisma in -Y														
proporzionale alle masse														
	0%	-	-	VNR	VNR	0,00	0	0	0	0	0	0	0,00	0,00
	100%	-	-	VNR	VNR	0,00	0	0	0	0	0	0	0,00	0,00
proporzionale alla deformata 1° modo di vibrazione														
	0%	-	-	VNR	VNR	0,00	0	0	0	0	0	0	0,00	0,00
	100%	-	-	VNR	VNR	0,00	0	0	0	0	0	0	0,00	0,00
sisma in +X														
proporzionale alle masse														
Estradosso travi gronda	0%	-	-	VNR	VNR	0,00	0	0	0	0	0	0	0,00	0,00
	100%	-	-	VNR	VNR	0,00	0	0	0	0	0	0	0,00	0,00
proporzionale alla deformata 1° modo di vibrazione														
	0%	-497	-6.809	NS	10,81	1,00	54212	73574	147360	147360	0	0	2,50	2,50
	100%	-497	-6.809	NS	10,81	1,00	54212	73574	147360	147360	0	0	2,50	2,50
sisma in -X														
proporzionale alle masse														
	0%	-	-	VNR	VNR	0,00	0	0	0	0	0	0	0,00	0,00
	100%	-	-	VNR	VNR	0,00	0	0	0	0	0	0	0,00	0,00
proporzionale alla deformata 1° modo di vibrazione														
	0%	-	-	VNR	VNR	0,00	0	0	0	0	0	0	0,00	0,00
	100%	-	-	VNR	VNR	0,00	0	0	0	0	0	0	0,00	0,00
sisma in +Y														
proporzionale alle masse														
	0%	-3.037	301	17,85	NS	1,00	54212	73574	147360	147360	0	0	2,50	2,50
	100%	-3.037	301	17,85	NS	1,00	54212	73574	147360	147360	0	0	2,50	2,50
proporzionale alla deformata 1° modo di vibrazione														
	0%	-	-	VNR	VNR	0,00	0	0	0	0	0	0	0,00	0,00
	100%	-	-	VNR	VNR	0,00	0	0	0	0	0	0	0,00	0,00
sisma in -Y														
proporzionale alle masse														
	0%	-	-	VNR	VNR	0,00	0	0	0	0	0	0	0,00	0,00
	100%	-	-	VNR	VNR	0,00	0	0	0	0	0	0	0,00	0,00
proporzionale alla deformata 1° modo di vibrazione														
	0%	-	-	VNR	VNR	0,00	0	0	0	0	0	0	0,00	0,00

Lv	$\%L_{LI}$	$V_{Ed,3}$	$V_{Ed,2}$	$CS^{(3)}$	$CS^{(2)}$	α_C	$V_{Rsd,s}{}^{(3)}$	$V_{Rsd,s}{}^{(2)}$	$V_{Rcd}{}^{(3)}$	$V_{Rcd}{}^{(2)}$	$V_{fd}{}^{(3)}$	$V_{fd}{}^{(2)}$	$Ctg\Theta^{(3)}$	$Ctg\Theta^{(2)}$
	[%]	[N]	[N]				[N]	[N]	[N]	[N]	[N]	[N]		
	100%	-	-	VNR	VNR	0,00	0	0	0	0	0	0	0,00	0,00
sisma in +X														
proporzionale alle masse														
Estradosso travi colmo	0%	-	-	VNR	VNR	0,00	0	0	0	0	0	0	0,00	0,00
	100%	-	-	VNR	VNR	0,00	0	0	0	0	0	0	0,00	0,00
proporzionale alla deformata 1° modo di vibrazione														
	0%	2.864	591	18,93	NS	1,00	54212	73574	147360	147360	0	0	2,50	2,50
	100%	2.864	591	18,93	NS	1,00	54212	73574	147360	147360	0	0	2,50	2,50
sisma in -X														
proporzionale alle masse														
	0%	-	-	VNR	VNR	0,00	0	0	0	0	0	0	0,00	0,00
	100%	-	-	VNR	VNR	0,00	0	0	0	0	0	0	0,00	0,00
proporzionale alla deformata 1° modo di vibrazione														
	0%	-	-	VNR	VNR	0,00	0	0	0	0	0	0	0,00	0,00
	100%	-	-	VNR	VNR	0,00	0	0	0	0	0	0	0,00	0,00
sisma in +Y														
proporzionale alle masse														
	0%	5.586	-2.365	9,70	31,11	1,00	54212	73574	147360	147360	0	0	2,50	2,50
	100%	5.586	-2.365	9,70	31,11	1,00	54212	73574	147360	147360	0	0	2,50	2,50
proporzionale alla deformata 1° modo di vibrazione														
	0%	-	-	VNR	VNR	0,00	0	0	0	0	0	0	0,00	0,00
	100%	-	-	VNR	VNR	0,00	0	0	0	0	0	0	0,00	0,00
sisma in -Y														
proporzionale alle masse														
	0%	-	-	VNR	VNR	0,00	0	0	0	0	0	0	0,00	0,00
	100%	-	-	VNR	VNR	0,00	0	0	0	0	0	0	0,00	0,00
proporzionale alla deformata 1° modo di vibrazione														
	0%	-	-	VNR	VNR	0,00	0	0	0	0	0	0	0,00	0,00
	100%	-	-	VNR	VNR	0,00	0	0	0	0	0	0	0,00	0,00
Pilastrata: Pilastrata18														
sisma in +X														
proporzionale alle masse														
Piano terra ingresso	0%	-	-	VNR	VNR	0,00	0	0	0	0	0	0	0,00	0,00
	100%	-	-	VNR	VNR	0,00	0	0	0	0	0	0	0,00	0,00
proporzionale alla deformata 1° modo di vibrazione														
	0%	339	-153.272	NS	0,78	1,30	78479	119783	389565	389565	0	0	2,50	2,50
	100%	339	-153.272	NS	0,78	1,29	78479	119783	388315	388315	0	0	2,50	2,50
sisma in -X														
proporzionale alle masse														
	0%	-	-	VNR	VNR	0,00	0	0	0	0	0	0	0,00	0,00
	100%	-	-	VNR	VNR	0,00	0	0	0	0	0	0	0,00	0,00
proporzionale alla deformata 1° modo di vibrazione														
	0%	-	-	VNR	VNR	0,00	0	0	0	0	0	0	0,00	0,00
	100%	-	-	VNR	VNR	0,00	0	0	0	0	0	0	0,00	0,00
sisma in +Y														
proporzionale alle masse														
	0%	-43.021	9.712	1,82	12,33	1,32	78479	119783	395519	395519	0	0	2,50	2,50
	100%	-43.021	9.712	1,82	12,33	1,31	78479	119783	393064	393064	0	0	2,50	2,50
proporzionale alla deformata 1° modo di vibrazione														
	0%	-	-	VNR	VNR	0,00	0	0	0	0	0	0	0,00	0,00
	100%	-	-	VNR	VNR	0,00	0	0	0	0	0	0	0,00	0,00
sisma in -Y														
proporzionale alle masse														
	0%	-	-	VNR	VNR	0,00	0	0	0	0	0	0	0,00	0,00
	100%	-	-	VNR	VNR	0,00	0	0	0	0	0	0	0,00	0,00
proporzionale alla deformata 1° modo di vibrazione														
	0%	-	-	VNR	VNR	0,00	0	0	0	0	0	0	0,00	0,00
	100%	-	-	VNR	VNR	0,00	0	0	0	0	0	0	0,00	0,00
sisma in +X														
proporzionale alle masse														
Piano rialzato	0%	-	-	VNR	VNR	0,00	0	0	0	0	0	0	0,00	0,00
	100%	-	-	VNR	VNR	0,00	0	0	0	0	0	0	0,00	0,00
proporzionale alla deformata 1° modo di vibrazione														
	0%	286	-150.121	NS	0,70	1,30	69246	105691	388730	388730	0	0	2,50	2,50
	100%	286	-150.121	NS	0,70	1,29	69246	105691	388359	388359	0	0	2,50	2,50
sisma in -X														
proporzionale alle masse														
	0%	-	-	VNR	VNR	0,00	0	0	0	0	0	0	0,00	0,00
	100%	-	-	VNR	VNR	0,00	0	0	0	0	0	0	0,00	0,00
proporzionale alla deformata 1° modo di vibrazione														
	0%	-	-	VNR	VNR	0,00	0	0	0	0	0	0	0,00	0,00
	100%	-	-	VNR	VNR	0,00	0	0	0	0	0	0	0,00	0,00
sisma in +Y														
proporzionale alle masse														
	0%	-36.602	9.886	1,89	10,69	1,31	69246	105691	393063	393063	0	0	2,50	2,50
	100%	-36.602	9.886	1,89	10,69	1,31	69246	105691	392942	392942	0	0	2,50	2,50
proporzionale alla deformata 1° modo di vibrazione														
	0%	-	-	VNR	VNR	0,00	0	0	0	0	0	0	0,00	0,00
	100%	-	-	VNR	VNR	0,00	0	0	0	0	0	0	0,00	0,00
sisma in -Y														
proporzionale alle masse														
	0%	-	-	VNR	VNR	0,00	0	0	0	0	0	0	0,00	0,00
	100%	-	-	VNR	VNR	0,00	0	0	0	0	0	0	0,00	0,00
proporzionale alla deformata 1° modo di vibrazione														
	0%	-	-	VNR	VNR	0,00	0	0	0	0	0	0	0,00	0,00
	100%	-	-	VNR	VNR	0,00	0	0	0	0	0	0	0,00	0,00

Lv	%L_{LI}	$V_{Ed,3}$	$V_{Ed,2}$	$CS^{(3)}$	$CS^{(2)}$	α_C	$V_{Rsd,s}{}^{(3)}$	$V_{Rsd,s}{}^{(2)}$	$V_{Rcd}{}^{(3)}$	$V_{Rcd}{}^{(2)}$	$V_{fd}{}^{(3)}$	$V_{fd}{}^{(2)}$	$Ctg\Theta^{(3)}$	$Ctg\Theta^{(2)}$
	[%]	[N]	[N]				[N]	[N]	[N]	[N]	[N]	[N]		
sisma in +X														
proporzionale alle masse														
Piano primo	0%	-	-	VNR	VNR	0,00	0	0	0	0	0	0	0,00	0,00
	100%	-	-	VNR	VNR	0,00	0	0	0	0	0	0	0,00	0,00
proporzionale alla deformata 1° modo di vibrazione														
	0%	-146	-99.896	NS	0,99	1,19	68153	99131	258114	258114	0	0	2,50	2,50
	100%	-146	-99.896	NS	0,99	1,19	68153	99131	257783	257783	0	0	2,50	2,50
sisma in -X														
proporzionale alle masse														
	0%	-	-	VNR	VNR	0,00	0	0	0	0	0	0	0,00	0,00
	100%	-	-	VNR	VNR	0,00	0	0	0	0	0	0	0,00	0,00
proporzionale alla deformata 1° modo di vibrazione														
	0%	-	-	VNR	VNR	0,00	0	0	0	0	0	0	0,00	0,00
	100%	-	-	VNR	VNR	0,00	0	0	0	0	0	0	0,00	0,00
sisma in +Y														
proporzionale alle masse														
	0%	-11.531	5.877	5,91	16,87	1,21	68153	99131	263220	263220	0	0	2,50	2,50
	100%	-11.531	5.877	5,91	16,87	1,21	68153	99131	262139	262139	0	0	2,50	2,50
proporzionale alla deformata 1° modo di vibrazione														
	0%	-	-	VNR	VNR	0,00	0	0	0	0	0	0	0,00	0,00
	100%	-	-	VNR	VNR	0,00	0	0	0	0	0	0	0,00	0,00
sisma in -Y														
proporzionale alle masse														
	0%	-	-	VNR	VNR	0,00	0	0	0	0	0	0	0,00	0,00
	100%	-	-	VNR	VNR	0,00	0	0	0	0	0	0	0,00	0,00
proporzionale alla deformata 1° modo di vibrazione														
	0%	-	-	VNR	VNR	0,00	0	0	0	0	0	0	0,00	0,00
	100%	-	-	VNR	VNR	0,00	0	0	0	0	0	0	0,00	0,00
sisma in +X														
proporzionale alle masse														
Estradosso travi gronda	0%	-	-	VNR	VNR	0,00	0	0	0	0	0	0	0,00	0,00
	100%	-	-	VNR	VNR	0,00	0	0	0	0	0	0	0,00	0,00
proporzionale alla deformata 1° modo di vibrazione														
	0%	-525	-6.946	NS	10,59	1,00	54212	73574	147360	147360	0	0	2,50	2,50
	100%	-525	-6.946	NS	10,59	1,00	54212	73574	147360	147360	0	0	2,50	2,50
sisma in -X														
proporzionale alle masse														
	0%	-	-	VNR	VNR	0,00	0	0	0	0	0	0	0,00	0,00
	100%	-	-	VNR	VNR	0,00	0	0	0	0	0	0	0,00	0,00
proporzionale alla deformata 1° modo di vibrazione														
	0%	-	-	VNR	VNR	0,00	0	0	0	0	0	0	0,00	0,00
	100%	-	-	VNR	VNR	0,00	0	0	0	0	0	0	0,00	0,00
sisma in +Y														
proporzionale alle masse														
	0%	-2.665	1.021	20,34	72,06	1,00	54212	73574	147360	147360	0	0	2,50	2,50
	100%	-2.665	1.021	20,34	72,06	1,00	54212	73574	147360	147360	0	0	2,50	2,50
proporzionale alla deformata 1° modo di vibrazione														
	0%	-	-	VNR	VNR	0,00	0	0	0	0	0	0	0,00	0,00
	100%	-	-	VNR	VNR	0,00	0	0	0	0	0	0	0,00	0,00
sisma in -Y														
proporzionale alle masse														
	0%	-	-	VNR	VNR	0,00	0	0	0	0	0	0	0,00	0,00
	100%	-	-	VNR	VNR	0,00	0	0	0	0	0	0	0,00	0,00
proporzionale alla deformata 1° modo di vibrazione														
	0%	-	-	VNR	VNR	0,00	0	0	0	0	0	0	0,00	0,00
	100%	-	-	VNR	VNR	0,00	0	0	0	0	0	0	0,00	0,00
sisma in +X														
proporzionale alle masse														
Estradosso travi colmo	0%	-	-	VNR	VNR	0,00	0	0	0	0	0	0	0,00	0,00
	100%	-	-	VNR	VNR	0,00	0	0	0	0	0	0	0,00	0,00
proporzionale alla deformata 1° modo di vibrazione														
	0%	3.575	-209	15,16	NS	1,00	54212	73574	147360	147360	0	0	2,50	2,50
	100%	3.575	-209	15,16	NS	1,00	54212	73574	147360	147360	0	0	2,50	2,50
sisma in -X														
proporzionale alle masse														
	0%	-	-	VNR	VNR	0,00	0	0	0	0	0	0	0,00	0,00
	100%	-	-	VNR	VNR	0,00	0	0	0	0	0	0	0,00	0,00
proporzionale alla deformata 1° modo di vibrazione														
	0%	-	-	VNR	VNR	0,00	0	0	0	0	0	0	0,00	0,00
	100%	-	-	VNR	VNR	0,00	0	0	0	0	0	0	0,00	0,00
sisma in +Y														
proporzionale alle masse														
	0%	7.240	-316	7,49	NS	1,00	54212	73574	147360	147360	0	0	2,50	2,50
	100%	7.240	-316	7,49	NS	1,00	54212	73574	147360	147360	0	0	2,50	2,50
proporzionale alla deformata 1° modo di vibrazione														
	0%	-	-	VNR	VNR	0,00	0	0	0	0	0	0	0,00	0,00
	100%	-	-	VNR	VNR	0,00	0	0	0	0	0	0	0,00	0,00
sisma in -Y														
proporzionale alle masse														
	0%	-	-	VNR	VNR	0,00	0	0	0	0	0	0	0,00	0,00
	100%	-	-	VNR	VNR	0,00	0	0	0	0	0	0	0,00	0,00
proporzionale alla deformata 1° modo di vibrazione														
	0%	-	-	VNR	VNR	0,00	0	0	0	0	0	0	0,00	0,00
	100%	-	-	VNR	VNR	0,00	0	0	0	0	0	0	0,00	0,00
Pilastrata: Pilastrata19														

Lv	$\%L_{LI}$	$V_{Ed,3}$	$V_{Ed,2}$	$CS^{(3)}$	$CS^{(2)}$	α_C	$V_{Rsd,s}{}^{(3)}$	$V_{Rsd,s}{}^{(2)}$	$V_{Rcd}{}^{(3)}$	$V_{Rcd}{}^{(2)}$	$V_{fd}{}^{(3)}$	$V_{fd}{}^{(2)}$	$Ctg\Theta^{(3)}$	$Ctg\Theta^{(2)}$
	[%]	[N]	[N]				[N]	[N]	[N]	[N]	[N]	[N]		
sisma in +X														
proporzionale alle masse														
Piano terra ingresso	0%	-	-	VNR	VNR	0,00	0	0	0	0	0	0	0,00	0,00
	100%	-	-	VNR	VNR	0,00	0	0	0	0	0	0	0,00	0,00
proporzionale alla deformata 1° modo di vibrazione														
	0%	-6.889	6.712	22,92	20,79	1,05	157876	139518	236634	236634	0	0	2,50	2,50
	100%	-4.256	-8.818	37,09	15,82	1,05	157876	139518	237417	237417	0	0	2,50	2,50
sisma in -X														
proporzionale alle masse														
	0%	-	-	VNR	VNR	0,00	0	0	0	0	0	0	0,00	0,00
	100%	-	-	VNR	VNR	0,00	0	0	0	0	0	0	0,00	0,00
proporzionale alla deformata 1° modo di vibrazione														
	0%	-	-	VNR	VNR	0,00	0	0	0	0	0	0	0,00	0,00
	100%	-	-	VNR	VNR	0,00	0	0	0	0	0	0	0,00	0,00
sisma in +Y														
proporzionale alle masse														
	0%	63.317	25.294	2,49	5,52	1,10	157876	139518	248761	248761	0	0	2,50	2,50
	100%	-17.688	-76.876	8,93	1,81	1,33	157876	139518	301089	301089	0	0	2,50	2,50
proporzionale alla deformata 1° modo di vibrazione														
	0%	-	-	VNR	VNR	0,00	0	0	0	0	0	0	0,00	0,00
	100%	-	-	VNR	VNR	0,00	0	0	0	0	0	0	0,00	0,00
sisma in -Y														
proporzionale alle masse														
	0%	-	-	VNR	VNR	0,00	0	0	0	0	0	0	0,00	0,00
	100%	-	-	VNR	VNR	0,00	0	0	0	0	0	0	0,00	0,00
proporzionale alla deformata 1° modo di vibrazione														
	0%	-	-	VNR	VNR	0,00	0	0	0	0	0	0	0,00	0,00
	100%	-	-	VNR	VNR	0,00	0	0	0	0	0	0	0,00	0,00
sisma in +X														
proporzionale alle masse														
Piano rialzato	0%	-	-	VNR	VNR	0,00	0	0	0	0	0	0	0,00	0,00
	100%	-	-	VNR	VNR	0,00	0	0	0	0	0	0	0,00	0,00
proporzionale alla deformata 1° modo di vibrazione														
	0%	-101.787	13.169	1,37	9,35	1,08	139302	123104	243392	243392	0	0	2,50	2,50
	100%	-121.337	-73.108	1,15	1,68	1,10	139302	123104	248457	248457	0	0	2,50	2,50
sisma in -X														
proporzionale alle masse														
	0%	-	-	VNR	VNR	0,00	0	0	0	0	0	0	0,00	0,00
	100%	-	-	VNR	VNR	0,00	0	0	0	0	0	0	0,00	0,00
proporzionale alla deformata 1° modo di vibrazione														
	0%	-	-	VNR	VNR	0,00	0	0	0	0	0	0	0,00	0,00
	100%	-	-	VNR	VNR	0,00	0	0	0	0	0	0	0,00	0,00
sisma in +Y														
proporzionale alle masse														
	0%	-48.953	135.113	2,85	0,91	1,32	139302	123104	298512	298512	0	0	2,50	2,50
	100%	-71.998	-18.302	1,93	6,73	1,21	139302	123104	274938	274938	0	0	2,50	2,50
proporzionale alla deformata 1° modo di vibrazione														
	0%	-	-	VNR	VNR	0,00	0	0	0	0	0	0	0,00	0,00
	100%	-	-	VNR	VNR	0,00	0	0	0	0	0	0	0,00	0,00
sisma in -Y														
proporzionale alle masse														
	0%	-	-	VNR	VNR	0,00	0	0	0	0	0	0	0,00	0,00
	100%	-	-	VNR	VNR	0,00	0	0	0	0	0	0	0,00	0,00
proporzionale alla deformata 1° modo di vibrazione														
	0%	-	-	VNR	VNR	0,00	0	0	0	0	0	0	0,00	0,00
	100%	-	-	VNR	VNR	0,00	0	0	0	0	0	0	0,00	0,00
sisma in +X														
proporzionale alle masse														
Piano primo (a)	0%	-	-	VNR	VNR	0,00	0	0	0	0	0	0	0,00	0,00
	100%	-	-	VNR	VNR	0,00	0	0	0	0	0	0	0,00	0,00
proporzionale alla deformata 1° modo di vibrazione														
	0%	-22.781	-65.824	4,51	2,12	1,10	102803	139518	162451	162451	0	0	2,50	2,50
	100%	10.122	-36.955	10,16	3,78	1,03	102803	139518	151240	151240	0	0	2,50	2,50
sisma in -X														
proporzionale alle masse														
	0%	-	-	VNR	VNR	0,00	0	0	0	0	0	0	0,00	0,00
	100%	-	-	VNR	VNR	0,00	0	0	0	0	0	0	0,00	0,00
proporzionale alla deformata 1° modo di vibrazione														
	0%	-	-	VNR	VNR	0,00	0	0	0	0	0	0	0,00	0,00
	100%	-	-	VNR	VNR	0,00	0	0	0	0	0	0	0,00	0,00
sisma in +Y														
proporzionale alle masse														
	0%	-78.418	-31.967	1,31	4,36	1,15	102803	139518	169659	169659	0	0	2,50	2,50
	100%	4.098	-11.615	25,09	12,01	1,00	102803	139518	147360	147360	0	0	2,50	2,50
proporzionale alla deformata 1° modo di vibrazione														
	0%	-	-	VNR	VNR	0,00	0	0	0	0	0	0	0,00	0,00
	100%	-	-	VNR	VNR	0,00	0	0	0	0	0	0	0,00	0,00
sisma in -Y														
proporzionale alle masse														
	0%	-	-	VNR	VNR	0,00	0	0	0	0	0	0	0,00	0,00
	100%	-	-	VNR	VNR	0,00	0	0	0	0	0	0	0,00	0,00
proporzionale alla deformata 1° modo di vibrazione														
	0%	-	-	VNR	VNR	0,00	0	0	0	0	0	0	0,00	0,00
	100%	-	-	VNR	VNR	0,00	0	0	0	0	0	0	0,00	0,00
sisma in +X														
proporzionale alle masse														

Lv	%L_{LI}	$V_{Ed,3}$	$V_{Ed,2}$	$CS^{(3)}$	$CS^{(2)}$	α_C	$V_{Rsd,s}{}^{(3)}$	$V_{Rsd,s}{}^{(2)}$	$V_{Rcd}{}^{(3)}$	$V_{Rcd}{}^{(2)}$	$V_{fd}{}^{(3)}$	$V_{fd}{}^{(2)}$	$Ctg\Theta^{(3)}$	$Ctg\Theta^{(2)}$
	[%]	[N]	[N]				[N]	[N]	[N]	[N]	[N]	[N]		
Piano primo (b)	0%	-	-	VNR	VNR	0,00	0	0	0	0	0	0	0,00	0,00
	100%	-	-	VNR	VNR	0,00	0	0	0	0	0	0	0,00	0,00
proporzionale alla deformata 1° modo di vibrazione														
	0%	10.282	-30.269	10,00	4,61	1,06	102803	139518	155908	155908	0	0	2,50	2,50
	100%	28.059	-47.158	3,66	2,96	1,12	102803	139518	164982	164982	0	0	2,50	2,50
sisma in -X														
proporzionale alle masse														
	0%	-	-	VNR	VNR	0,00	0	0	0	0	0	0	0,00	0,00
	100%	-	-	VNR	VNR	0,00	0	0	0	0	0	0	0,00	0,00
proporzionale alla deformata 1° modo di vibrazione														
	0%	-	-	VNR	VNR	0,00	0	0	0	0	0	0	0,00	0,00
	100%	-	-	VNR	VNR	0,00	0	0	0	0	0	0	0,00	0,00
sisma in +Y														
proporzionale alle masse														
	0%	-13.252	-33.883	7,76	4,12	1,01	102803	139518	149191	149191	0	0	2,50	2,50
	100%	5.766	-44.150	17,83	3,16	1,03	102803	139518	151388	151388	0	0	2,50	2,50
proporzionale alla deformata 1° modo di vibrazione														
	0%	-	-	VNR	VNR	0,00	0	0	0	0	0	0	0,00	0,00
	100%	-	-	VNR	VNR	0,00	0	0	0	0	0	0	0,00	0,00
sisma in -Y														
proporzionale alle masse														
	0%	-	-	VNR	VNR	0,00	0	0	0	0	0	0	0,00	0,00
	100%	-	-	VNR	VNR	0,00	0	0	0	0	0	0	0,00	0,00
proporzionale alla deformata 1° modo di vibrazione														
	0%	-	-	VNR	VNR	0,00	0	0	0	0	0	0	0,00	0,00
	100%	-	-	VNR	VNR	0,00	0	0	0	0	0	0	0,00	0,00
sisma in +X														
proporzionale alle masse														
Estradosso travi gronda (a)	0%	-	-	VNR	VNR	0,00	0	0	0	0	0	0	0,00	0,00
	100%	-	-	VNR	VNR	0,00	0	0	0	0	0	0	0,00	0,00
proporzionale alla deformata 1° modo di vibrazione														
	0%	-10.005	6.115	9,63	15,76	1,00	96378	96378	110520	110520	0	0	2,50	2,50
	100%	7.355	-2.405	13,10	40,07	1,00	96378	96378	110520	110520	0	0	2,50	2,50
sisma in -X														
proporzionale alle masse														
	0%	-	-	VNR	VNR	0,00	0	0	0	0	0	0	0,00	0,00
	100%	-	-	VNR	VNR	0,00	0	0	0	0	0	0	0,00	0,00
proporzionale alla deformata 1° modo di vibrazione														
	0%	-	-	VNR	VNR	0,00	0	0	0	0	0	0	0,00	0,00
	100%	-	-	VNR	VNR	0,00	0	0	0	0	0	0	0,00	0,00
sisma in +Y														
proporzionale alle masse														
	0%	-9.589	1.114	10,05	86,52	1,00	96378	96378	110520	110520	0	0	2,50	2,50
	100%	-3.128	-23.419	30,81	4,12	1,00	96378	96378	110520	110520	0	0	2,50	2,50
proporzionale alla deformata 1° modo di vibrazione														
	0%	-	-	VNR	VNR	0,00	0	0	0	0	0	0	0,00	0,00
	100%	-	-	VNR	VNR	0,00	0	0	0	0	0	0	0,00	0,00
sisma in -Y														
proporzionale alle masse														
	0%	-	-	VNR	VNR	0,00	0	0	0	0	0	0	0,00	0,00
	100%	-	-	VNR	VNR	0,00	0	0	0	0	0	0	0,00	0,00
proporzionale alla deformata 1° modo di vibrazione														
	0%	-	-	VNR	VNR	0,00	0	0	0	0	0	0	0,00	0,00
	100%	-	-	VNR	VNR	0,00	0	0	0	0	0	0	0,00	0,00
sisma in +X														
proporzionale alle masse														
Estradosso travi gronda (b)	0%	-	-	VNR	VNR	0,00	0	0	0	0	0	0	0,00	0,00
	100%	-	-	VNR	VNR	0,00	0	0	0	0	0	0	0,00	0,00
proporzionale alla deformata 1° modo di vibrazione														
	0%	-46.412	-9.843	2,22	10,44	1,00	102803	102803	110520	110520	0	0	2,50	2,50
	100%	-34.721	-13.534	2,96	7,60	1,08	102803	102803	119695	119695	0	0	2,50	2,50
sisma in -X														
proporzionale alle masse														
	0%	-	-	VNR	VNR	0,00	0	0	0	0	0	0	0,00	0,00
	100%	-	-	VNR	VNR	0,00	0	0	0	0	0	0	0,00	0,00
proporzionale alla deformata 1° modo di vibrazione														
	0%	-	-	VNR	VNR	0,00	0	0	0	0	0	0	0,00	0,00
	100%	-	-	VNR	VNR	0,00	0	0	0	0	0	0	0,00	0,00
sisma in +Y														
proporzionale alle masse														
	0%	-17.049	43.131	6,03	2,38	1,00	102803	102803	110520	110520	0	0	2,50	2,50
	100%	-4.497	20.223	22,86	5,08	1,00	102803	102803	110520	110520	0	0	2,50	2,50
proporzionale alla deformata 1° modo di vibrazione														
	0%	-	-	VNR	VNR	0,00	0	0	0	0	0	0	0,00	0,00
	100%	-	-	VNR	VNR	0,00	0	0	0	0	0	0	0,00	0,00
sisma in -Y														
proporzionale alle masse														
	0%	-	-	VNR	VNR	0,00	0	0	0	0	0	0	0,00	0,00
	100%	-	-	VNR	VNR	0,00	0	0	0	0	0	0	0,00	0,00
proporzionale alla deformata 1° modo di vibrazione														
	0%	-	-	VNR	VNR	0,00	0	0	0	0	0	0	0,00	0,00
	100%	-	-	VNR	VNR	0,00	0	0	0	0	0	0	0,00	0,00
sisma in +X														
proporzionale alle masse														

Lv	%L_{LI}	$V_{Ed,3}$	$V_{Ed,2}$	$CS^{(3)}$	$CS^{(2)}$	α_C	$V_{Rsd,s}{}^{(3)}$	$V_{Rsd,s}{}^{(2)}$	$V_{Rcd}{}^{(3)}$	$V_{Rcd}{}^{(2)}$	$V_{fd}{}^{(3)}$	$V_{fd}{}^{(2)}$	$Ctg\Theta^{(3)}$	$Ctg\Theta^{(2)}$
	[%]	[N]	[N]				[N]	[N]	[N]	[N]	[N]	[N]		
Estradosso travi colmo	0%	-	-	VNR	VNR	0,00	0	0	0	0	0	0	0,00	0,00
	100%	-	-	VNR	VNR	0,00	0	0	0	0	0	0	0,00	0,00
proporzionale alla deformata 1° modo di vibrazione														
	0%	-1.274	-3.173	75,65	30,37	1,00	96378	96378	110520	110520	0	0	2,50	2,50
	100%	-1.274	-3.173	75,65	30,37	1,00	96378	96378	110520	110520	0	0	2,50	2,50
sisma in -X														
proporzionale alle masse														
	0%	-	-	VNR	VNR	0,00	0	0	0	0	0	0	0,00	0,00
	100%	-	-	VNR	VNR	0,00	0	0	0	0	0	0	0,00	0,00
proporzionale alla deformata 1° modo di vibrazione														
	0%	-	-	VNR	VNR	0,00	0	0	0	0	0	0	0,00	0,00
	100%	-	-	VNR	VNR	0,00	0	0	0	0	0	0	0,00	0,00
sisma in +Y														
proporzionale alle masse														
	0%	-1.760	-2.718	54,76	35,46	1,00	96378	96378	110520	110520	0	0	2,50	2,50
	100%	-1.760	-2.718	54,76	35,46	1,00	96378	96378	110520	110520	0	0	2,50	2,50
proporzionale alla deformata 1° modo di vibrazione														
	0%	-	-	VNR	VNR	0,00	0	0	0	0	0	0	0,00	0,00
	100%	-	-	VNR	VNR	0,00	0	0	0	0	0	0	0,00	0,00
sisma in -Y														
proporzionale alle masse														
	0%	-	-	VNR	VNR	0,00	0	0	0	0	0	0	0,00	0,00
	100%	-	-	VNR	VNR	0,00	0	0	0	0	0	0	0,00	0,00
proporzionale alla deformata 1° modo di vibrazione														
	0%	-	-	VNR	VNR	0,00	0	0	0	0	0	0	0,00	0,00
	100%	-	-	VNR	VNR	0,00	0	0	0	0	0	0	0,00	0,00
Pilastrata: Pilastrata20														
sisma in +X														
proporzionale alle masse														
Piano terra ingresso	0%	-	-	VNR	VNR	0,00	0	0	0	0	0	0	0,00	0,00
	100%	-	-	VNR	VNR	0,00	0	0	0	0	0	0	0,00	0,00
proporzionale alla deformata 1° modo di vibrazione														
	0%	-29.947	470	3,22	NS	1,20	96378	96378	132817	132817	0	0	2,50	2,50
	100%	-29.947	470	3,22	NS	1,20	96378	96378	132655	132655	0	0	2,50	2,50
sisma in -X														
proporzionale alle masse														
	0%	-	-	VNR	VNR	0,00	0	0	0	0	0	0	0,00	0,00
	100%	-	-	VNR	VNR	0,00	0	0	0	0	0	0	0,00	0,00
proporzionale alla deformata 1° modo di vibrazione														
	0%	-	-	VNR	VNR	0,00	0	0	0	0	0	0	0,00	0,00
	100%	-	-	VNR	VNR	0,00	0	0	0	0	0	0	0,00	0,00
sisma in +Y														
proporzionale alle masse														
	0%	-11.364	26.612	8,48	3,62	1,40	96378	96378	154409	154409	0	0	2,50	2,50
	100%	-11.364	26.612	8,48	3,62	1,39	96378	96378	154108	154108	0	0	2,50	2,50
proporzionale alla deformata 1° modo di vibrazione														
	0%	-	-	VNR	VNR	0,00	0	0	0	0	0	0	0,00	0,00
	100%	-	-	VNR	VNR	0,00	0	0	0	0	0	0	0,00	0,00
sisma in -Y														
proporzionale alle masse														
	0%	-	-	VNR	VNR	0,00	0	0	0	0	0	0	0,00	0,00
	100%	-	-	VNR	VNR	0,00	0	0	0	0	0	0	0,00	0,00
proporzionale alla deformata 1° modo di vibrazione														
	0%	-	-	VNR	VNR	0,00	0	0	0	0	0	0	0,00	0,00
	100%	-	-	VNR	VNR	0,00	0	0	0	0	0	0	0,00	0,00
sisma in +X														
proporzionale alle masse														
Piano primo (a)	0%	-	-	VNR	VNR	0,00	0	0	0	0	0	0	0,00	0,00
	100%	-	-	VNR	VNR	0,00	0	0	0	0	0	0	0,00	0,00
proporzionale alla deformata 1° modo di vibrazione														
	0%	-16.368	497	5,89	NS	1,10	96378	96378	121157	121157	0	0	2,50	2,50
	100%	-16.368	497	5,89	NS	1,09	96378	96378	120353	120353	0	0	2,50	2,50
sisma in -X														
proporzionale alle masse														
	0%	-	-	VNR	VNR	0,00	0	0	0	0	0	0	0,00	0,00
	100%	-	-	VNR	VNR	0,00	0	0	0	0	0	0	0,00	0,00
proporzionale alla deformata 1° modo di vibrazione														
	0%	-	-	VNR	VNR	0,00	0	0	0	0	0	0	0,00	0,00
	100%	-	-	VNR	VNR	0,00	0	0	0	0	0	0	0,00	0,00
sisma in +Y														
proporzionale alle masse														
	0%	-10.229	2.662	9,42	36,21	1,28	96378	96378	141279	141279	0	0	2,50	2,50
	100%	-10.229	2.662	9,42	36,21	1,27	96378	96378	140622	140622	0	0	2,50	2,50
proporzionale alla deformata 1° modo di vibrazione														
	0%	-	-	VNR	VNR	0,00	0	0	0	0	0	0	0,00	0,00
	100%	-	-	VNR	VNR	0,00	0	0	0	0	0	0	0,00	0,00
sisma in -Y														
proporzionale alle masse														
	0%	-	-	VNR	VNR	0,00	0	0	0	0	0	0	0,00	0,00
	100%	-	-	VNR	VNR	0,00	0	0	0	0	0	0	0,00	0,00
proporzionale alla deformata 1° modo di vibrazione														
	0%	-	-	VNR	VNR	0,00	0	0	0	0	0	0	0,00	0,00
	100%	-	-	VNR	VNR	0,00	0	0	0	0	0	0	0,00	0,00
sisma in +X														
proporzionale alle masse														
Piano primo (b)	0%	-	-	VNR	VNR	0,00	0	0	0	0	0	0	0,00	0,00

Lv	%L_{LI}	$V_{Ed,3}$	$V_{Ed,2}$	$CS^{(3)}$	$CS^{(2)}$	α_C	$V_{Rsd,s}{}^{(3)}$	$V_{Rsd,s}{}^{(2)}$	$V_{Rcd}{}^{(3)}$	$V_{Rcd}{}^{(2)}$	$V_{fd}{}^{(3)}$	$V_{fd}{}^{(2)}$	$Ctg\Theta^{(3)}$	$Ctg\Theta^{(2)}$
	[%]	[N]	[N]				[N]	[N]	[N]	[N]	[N]	[N]		
	100%	-	-	VNR	VNR	0,00	0	0	0	0	0	0	0,00	0,00
proporzionale alla deformata 1° modo di vibrazione														
	0%	-76.158	-3.087	1,27	31,22	1,05	96378	96378	116237	116237	0	0	2,50	2,50
	100%	-76.158	-3.087	1,27	31,22	1,05	96378	96378	115740	115740	0	0	2,50	2,50
sisma in -X														
proporzionale alle masse														
	0%	-	-	VNR	VNR	0,00	0	0	0	0	0	0	0,00	0,00
	100%	-	-	VNR	VNR	0,00	0	0	0	0	0	0	0,00	0,00
proporzionale alla deformata 1° modo di vibrazione														
	0%	-	-	VNR	VNR	0,00	0	0	0	0	0	0	0,00	0,00
	100%	-	-	VNR	VNR	0,00	0	0	0	0	0	0	0,00	0,00
sisma in +Y														
proporzionale alle masse														
	0%	-60.431	24.118	1,59	4,00	1,20	96378	96378	133164	133164	0	0	2,50	2,50
	100%	-60.431	24.118	1,59	4,00	1,20	96378	96378	132840	132840	0	0	2,50	2,50
proporzionale alla deformata 1° modo di vibrazione														
	0%	-	-	VNR	VNR	0,00	0	0	0	0	0	0	0,00	0,00
	100%	-	-	VNR	VNR	0,00	0	0	0	0	0	0	0,00	0,00
sisma in -Y														
proporzionale alle masse														
	0%	-	-	VNR	VNR	0,00	0	0	0	0	0	0	0,00	0,00
	100%	-	-	VNR	VNR	0,00	0	0	0	0	0	0	0,00	0,00
proporzionale alla deformata 1° modo di vibrazione														
	0%	-	-	VNR	VNR	0,00	0	0	0	0	0	0	0,00	0,00
	100%	-	-	VNR	VNR	0,00	0	0	0	0	0	0	0,00	0,00
sisma in +X														
proporzionale alle masse														
Estradosso travi gronda (a)	0%	-	-	VNR	VNR	0,00	0	0	0	0	0	0	0,00	0,00
	100%	-	-	VNR	VNR	0,00	0	0	0	0	0	0	0,00	0,00
proporzionale alla deformata 1° modo di vibrazione														
	0%	15.466	5.792	5,86	15,66	1,05	90708	90708	116351	116351	0	0	2,50	2,50
	100%	15.466	5.792	5,86	15,66	1,05	90708	90708	115933	115933	0	0	2,50	2,50
sisma in -X														
proporzionale alle masse														
	0%	-	-	VNR	VNR	0,00	0	0	0	0	0	0	0,00	0,00
	100%	-	-	VNR	VNR	0,00	0	0	0	0	0	0	0,00	0,00
proporzionale alla deformata 1° modo di vibrazione														
	0%	-	-	VNR	VNR	0,00	0	0	0	0	0	0	0,00	0,00
	100%	-	-	VNR	VNR	0,00	0	0	0	0	0	0	0,00	0,00
sisma in +Y														
proporzionale alle masse														
	0%	2.303	-10.334	39,39	8,78	1,16	90708	90708	128567	128567	0	0	2,50	2,50
	100%	2.303	-10.334	39,39	8,78	1,16	90708	90708	128239	128239	0	0	2,50	2,50
proporzionale alla deformata 1° modo di vibrazione														
	0%	-	-	VNR	VNR	0,00	0	0	0	0	0	0	0,00	0,00
	100%	-	-	VNR	VNR	0,00	0	0	0	0	0	0	0,00	0,00
sisma in -Y														
proporzionale alle masse														
	0%	-	-	VNR	VNR	0,00	0	0	0	0	0	0	0,00	0,00
	100%	-	-	VNR	VNR	0,00	0	0	0	0	0	0	0,00	0,00
proporzionale alla deformata 1° modo di vibrazione														
	0%	-	-	VNR	VNR	0,00	0	0	0	0	0	0	0,00	0,00
	100%	-	-	VNR	VNR	0,00	0	0	0	0	0	0	0,00	0,00
sisma in +X														
proporzionale alle masse														
Estradosso travi gronda (b)	0%	-	-	VNR	VNR	0,00	0	0	0	0	0	0	0,00	0,00
	100%	-	-	VNR	VNR	0,00	0	0	0	0	0	0	0,00	0,00
proporzionale alla deformata 1° modo di vibrazione														
	0%	-47.583	-8.853	2,03	10,89	1,01	96378	96378	111626	111626	0	0	2,50	2,50
	100%	-47.583	-8.853	2,03	10,89	1,01	96378	96378	111353	111353	0	0	2,50	2,50
sisma in -X														
proporzionale alle masse														
	0%	-	-	VNR	VNR	0,00	0	0	0	0	0	0	0,00	0,00
	100%	-	-	VNR	VNR	0,00	0	0	0	0	0	0	0,00	0,00
proporzionale alla deformata 1° modo di vibrazione														
	0%	-	-	VNR	VNR	0,00	0	0	0	0	0	0	0,00	0,00
	100%	-	-	VNR	VNR	0,00	0	0	0	0	0	0	0,00	0,00
sisma in +Y														
proporzionale alle masse														
	0%	-44.298	18.776	2,18	5,13	1,07	96378	96378	118277	118277	0	0	2,50	2,50
	100%	-44.298	18.776	2,18	5,13	1,07	96378	96378	117841	117841	0	0	2,50	2,50
proporzionale alla deformata 1° modo di vibrazione														
	0%	-	-	VNR	VNR	0,00	0	0	0	0	0	0	0,00	0,00
	100%	-	-	VNR	VNR	0,00	0	0	0	0	0	0	0,00	0,00
sisma in -Y														
proporzionale alle masse														
	0%	-	-	VNR	VNR	0,00	0	0	0	0	0	0	0,00	0,00
	100%	-	-	VNR	VNR	0,00	0	0	0	0	0	0	0,00	0,00
proporzionale alla deformata 1° modo di vibrazione														
	0%	-	-	VNR	VNR	0,00	0	0	0	0	0	0	0,00	0,00
	100%	-	-	VNR	VNR	0,00	0	0	0	0	0	0	0,00	0,00
Pilastrata: Pilastrata21														
sisma in +X														
proporzionale alle masse														

Lv	%L_{LI}	$V_{Ed,3}$	$V_{Ed,2}$	$CS^{(3)}$	$CS^{(2)}$	α_C	$V_{Rsd,s}{}^{(3)}$	$V_{Rsd,s}{}^{(2)}$	$V_{Rcd}{}^{(3)}$	$V_{Rcd}{}^{(2)}$	$V_{fd}{}^{(3)}$	$V_{fd}{}^{(2)}$	$Ctg\Theta^{(3)}$	$Ctg\Theta^{(2)}$
	[%]	[N]	[N]				[N]	[N]	[N]	[N]	[N]	[N]		
Piano terra ingresso	0%	-	-	VNR	VNR	0,00	0	0	0	0	0	0	0,00	0,00
	100%	-	-	VNR	VNR	0,00	0	0	0	0	0	0	0,00	0,00
proporzionale alla deformata 1° modo di vibrazione														
	0%	-25.705	-373	3,75	NS	1,12	96378	96378	124161	124161	0	0	2,50	2,50
	100%	-25.705	-373	3,75	NS	1,12	96378	96378	123681	123681	0	0	2,50	2,50
sisma in -X														
proporzionale alle masse														
	0%	-	-	VNR	VNR	0,00	0	0	0	0	0	0	0,00	0,00
	100%	-	-	VNR	VNR	0,00	0	0	0	0	0	0	0,00	0,00
proporzionale alla deformata 1° modo di vibrazione														
	0%	-	-	VNR	VNR	0,00	0	0	0	0	0	0	0,00	0,00
	100%	-	-	VNR	VNR	0,00	0	0	0	0	0	0	0,00	0,00
sisma in +Y														
proporzionale alle masse														
	0%	-533	21.304	NS	4,52	1,21	96378	96378	133833	133833	0	0	2,50	2,50
	100%	-533	21.304	NS	4,52	1,21	96378	96378	133289	133289	0	0	2,50	2,50
proporzionale alla deformata 1° modo di vibrazione														
	0%	-	-	VNR	VNR	0,00	0	0	0	0	0	0	0,00	0,00
	100%	-	-	VNR	VNR	0,00	0	0	0	0	0	0	0,00	0,00
sisma in -Y														
proporzionale alle masse														
	0%	-	-	VNR	VNR	0,00	0	0	0	0	0	0	0,00	0,00
	100%	-	-	VNR	VNR	0,00	0	0	0	0	0	0	0,00	0,00
proporzionale alla deformata 1° modo di vibrazione														
	0%	-	-	VNR	VNR	0,00	0	0	0	0	0	0	0,00	0,00
	100%	-	-	VNR	VNR	0,00	0	0	0	0	0	0	0,00	0,00
sisma in +X														
proporzionale alle masse														
Piano primo (a)	0%	-	-	VNR	VNR	0,00	0	0	0	0	0	0	0,00	0,00
	100%	-	-	VNR	VNR	0,00	0	0	0	0	0	0	0,00	0,00
proporzionale alla deformata 1° modo di vibrazione														
	0%	-16.885	-339	5,71	NS	1,11	96378	96378	122321	122321	0	0	2,50	2,50
	100%	-16.885	-339	5,71	NS	1,10	96378	96378	121660	121660	0	0	2,50	2,50
sisma in -X														
proporzionale alle masse														
	0%	-	-	VNR	VNR	0,00	0	0	0	0	0	0	0,00	0,00
	100%	-	-	VNR	VNR	0,00	0	0	0	0	0	0	0,00	0,00
proporzionale alla deformata 1° modo di vibrazione														
	0%	-	-	VNR	VNR	0,00	0	0	0	0	0	0	0,00	0,00
	100%	-	-	VNR	VNR	0,00	0	0	0	0	0	0	0,00	0,00
sisma in +Y														
proporzionale alle masse														
	0%	-2.175	1.074	44,31	89,74	1,16	96378	96378	128564	128564	0	0	2,50	2,50
	100%	-2.175	1.074	44,31	89,74	1,16	96378	96378	127924	127924	0	0	2,50	2,50
proporzionale alla deformata 1° modo di vibrazione														
	0%	-	-	VNR	VNR	0,00	0	0	0	0	0	0	0,00	0,00
	100%	-	-	VNR	VNR	0,00	0	0	0	0	0	0	0,00	0,00
sisma in -Y														
proporzionale alle masse														
	0%	-	-	VNR	VNR	0,00	0	0	0	0	0	0	0,00	0,00
	100%	-	-	VNR	VNR	0,00	0	0	0	0	0	0	0,00	0,00
proporzionale alla deformata 1° modo di vibrazione														
	0%	-	-	VNR	VNR	0,00	0	0	0	0	0	0	0,00	0,00
	100%	-	-	VNR	VNR	0,00	0	0	0	0	0	0	0,00	0,00
sisma in +X														
proporzionale alle masse														
Piano primo (b)	0%	-	-	VNR	VNR	0,00	0	0	0	0	0	0	0,00	0,00
	100%	-	-	VNR	VNR	0,00	0	0	0	0	0	0	0,00	0,00
proporzionale alla deformata 1° modo di vibrazione														
	0%	-73.092	1.691	1,32	56,99	1,11	96378	96378	122361	122361	0	0	2,50	2,50
	100%	-73.092	1.691	1,32	56,99	1,10	96378	96378	122098	122098	0	0	2,50	2,50
sisma in -X														
proporzionale alle masse														
	0%	-	-	VNR	VNR	0,00	0	0	0	0	0	0	0,00	0,00
	100%	-	-	VNR	VNR	0,00	0	0	0	0	0	0	0,00	0,00
proporzionale alla deformata 1° modo di vibrazione														
	0%	-	-	VNR	VNR	0,00	0	0	0	0	0	0	0,00	0,00
	100%	-	-	VNR	VNR	0,00	0	0	0	0	0	0	0,00	0,00
sisma in +Y														
proporzionale alle masse														
	0%	6.638	19.867	14,52	4,85	1,14	96378	96378	125838	125838	0	0	2,50	2,50
	100%	6.638	19.867	14,52	4,85	1,14	96378	96378	125952	125952	0	0	2,50	2,50
proporzionale alla deformata 1° modo di vibrazione														
	0%	-	-	VNR	VNR	0,00	0	0	0	0	0	0	0,00	0,00
	100%	-	-	VNR	VNR	0,00	0	0	0	0	0	0	0,00	0,00
sisma in -Y														
proporzionale alle masse														
	0%	-	-	VNR	VNR	0,00	0	0	0	0	0	0	0,00	0,00
	100%	-	-	VNR	VNR	0,00	0	0	0	0	0	0	0,00	0,00
proporzionale alla deformata 1° modo di vibrazione														
	0%	-	-	VNR	VNR	0,00	0	0	0	0	0	0	0,00	0,00
	100%	-	-	VNR	VNR	0,00	0	0	0	0	0	0	0,00	0,00
sisma in +X														
proporzionale alle masse														
Estradosso travi gronda (a)	0%	-	-	VNR	VNR	0,00	0	0	0	0	0	0	0,00	0,00

Lv	%L_{LI}	$V_{Ed,3}$	$V_{Ed,2}$	$CS^{(3)}$	$CS^{(2)}$	α_C	$V_{Rsd,s}{}^{(3)}$	$V_{Rsd,s}{}^{(2)}$	$V_{Rcd}{}^{(3)}$	$V_{Rcd}{}^{(2)}$	$V_{fd}{}^{(3)}$	$V_{fd}{}^{(2)}$	$Ctg\Theta^{(3)}$	$Ctg\Theta^{(2)}$
	[%]	[N]	[N]				[N]	[N]	[N]	[N]	[N]	[N]		
	100%	-	-	VNR	VNR	0,00	0	0	0	0	0	0	0,00	0,00
proporzionale alla deformata 1° modo di vibrazione														
	0%	9.446	-367	9,60	NS	1,10	90708	90708	121409	121409	0	0	2,50	2,50
	100%	9.446	-367	9,60	NS	1,10	90708	90708	121120	121120	0	0	2,50	2,50
sisma in -X														
proporzionale alle masse														
	0%	-	-	VNR	VNR	0,00	0	0	0	0	0	0	0,00	0,00
	100%	-	-	VNR	VNR	0,00	0	0	0	0	0	0	0,00	0,00
proporzionale alla deformata 1° modo di vibrazione														
	0%	-	-	VNR	VNR	0,00	0	0	0	0	0	0	0,00	0,00
	100%	-	-	VNR	VNR	0,00	0	0	0	0	0	0	0,00	0,00
sisma in +Y														
proporzionale alle masse														
	0%	5.525	-4.232	16,42	21,43	1,12	90708	90708	123302	123302	0	0	2,50	2,50
	100%	5.525	-4.232	16,42	21,43	1,11	90708	90708	122978	122978	0	0	2,50	2,50
proporzionale alla deformata 1° modo di vibrazione														
	0%	-	-	VNR	VNR	0,00	0	0	0	0	0	0	0,00	0,00
	100%	-	-	VNR	VNR	0,00	0	0	0	0	0	0	0,00	0,00
sisma in -Y														
proporzionale alle masse														
	0%	-	-	VNR	VNR	0,00	0	0	0	0	0	0	0,00	0,00
	100%	-	-	VNR	VNR	0,00	0	0	0	0	0	0	0,00	0,00
proporzionale alla deformata 1° modo di vibrazione														
	0%	-	-	VNR	VNR	0,00	0	0	0	0	0	0	0,00	0,00
	100%	-	-	VNR	VNR	0,00	0	0	0	0	0	0	0,00	0,00
sisma in +X														
proporzionale alle masse														
Estradosso travi gronda (b)	0%	-	-	VNR	VNR	0,00	0	0	0	0	0	0	0,00	0,00
	100%	-	-	VNR	VNR	0,00	0	0	0	0	0	0	0,00	0,00
proporzionale alla deformata 1° modo di vibrazione														
	0%	-58.582	444	1,65	NS	1,06	96378	96378	117568	117568	0	0	2,50	2,50
	100%	-58.582	444	1,65	NS	1,06	96378	96378	117321	117321	0	0	2,50	2,50
sisma in -X														
proporzionale alle masse														
	0%	-	-	VNR	VNR	0,00	0	0	0	0	0	0	0,00	0,00
	100%	-	-	VNR	VNR	0,00	0	0	0	0	0	0	0,00	0,00
proporzionale alla deformata 1° modo di vibrazione														
	0%	-	-	VNR	VNR	0,00	0	0	0	0	0	0	0,00	0,00
	100%	-	-	VNR	VNR	0,00	0	0	0	0	0	0	0,00	0,00
sisma in +Y														
proporzionale alle masse														
	0%	-40.038	6.003	2,41	16,05	1,08	96378	96378	119164	119164	0	0	2,50	2,50
	100%	-40.038	6.003	2,41	16,05	1,08	96378	96378	118944	118944	0	0	2,50	2,50
proporzionale alla deformata 1° modo di vibrazione														
	0%	-	-	VNR	VNR	0,00	0	0	0	0	0	0	0,00	0,00
	100%	-	-	VNR	VNR	0,00	0	0	0	0	0	0	0,00	0,00
sisma in -Y														
proporzionale alle masse														
	0%	-	-	VNR	VNR	0,00	0	0	0	0	0	0	0,00	0,00
	100%	-	-	VNR	VNR	0,00	0	0	0	0	0	0	0,00	0,00
proporzionale alla deformata 1° modo di vibrazione														
	0%	-	-	VNR	VNR	0,00	0	0	0	0	0	0	0,00	0,00
	100%	-	-	VNR	VNR	0,00	0	0	0	0	0	0	0,00	0,00
Pilastrata: Pilastrata22														
sisma in +X														
proporzionale alle masse														
Piano terra ingresso	0%	-	-	VNR	VNR	0,00	0	0	0	0	0	0	0,00	0,00
	100%	-	-	VNR	VNR	0,00	0	0	0	0	0	0	0,00	0,00
proporzionale alla deformata 1° modo di vibrazione														
	0%	-60.523	2.261	2,16	50,24	1,28	130798	113588	224689	224689	0	0	2,50	2,50
	100%	-60.523	2.261	2,16	50,24	1,28	130798	113588	223998	223998	0	0	2,50	2,50
sisma in -X														
proporzionale alle masse														
	0%	-	-	VNR	VNR	0,00	0	0	0	0	0	0	0,00	0,00
	100%	-	-	VNR	VNR	0,00	0	0	0	0	0	0	0,00	0,00
proporzionale alla deformata 1° modo di vibrazione														
	0%	-	-	VNR	VNR	0,00	0	0	0	0	0	0	0,00	0,00
	100%	-	-	VNR	VNR	0,00	0	0	0	0	0	0	0,00	0,00
sisma in +Y														
proporzionale alle masse														
	0%	25.561	24.403	5,12	4,65	1,24	130798	113588	217180	217180	0	0	2,50	2,50
	100%	25.561	24.403	5,12	4,65	1,24	130798	113588	216166	216166	0	0	2,50	2,50
proporzionale alla deformata 1° modo di vibrazione														
	0%	-	-	VNR	VNR	0,00	0	0	0	0	0	0	0,00	0,00
	100%	-	-	VNR	VNR	0,00	0	0	0	0	0	0	0,00	0,00
sisma in -Y														
proporzionale alle masse														
	0%	-	-	VNR	VNR	0,00	0	0	0	0	0	0	0,00	0,00
	100%	-	-	VNR	VNR	0,00	0	0	0	0	0	0	0,00	0,00
proporzionale alla deformata 1° modo di vibrazione														
	0%	-	-	VNR	VNR	0,00	0	0	0	0	0	0	0,00	0,00
	100%	-	-	VNR	VNR	0,00	0	0	0	0	0	0	0,00	0,00
sisma in +X														
proporzionale alle masse														
Piano primo (a)	0%	-	-	VNR	VNR	0,00	0	0	0	0	0	0	0,00	0,00

Lv	%L_{LI}	$V_{Ed,3}$	$V_{Ed,2}$	$CS^{(3)}$	$CS^{(2)}$	α_C	$V_{Rsd,s}{}^{(3)}$	$V_{Rsd,s}{}^{(2)}$	$V_{Rcd}{}^{(3)}$	$V_{Rcd}{}^{(2)}$	$V_{fd}{}^{(3)}$	$V_{fd}{}^{(2)}$	$Ctg\Theta^{(3)}$	$Ctg\Theta^{(2)}$
	[%]	[N]	[N]				[N]	[N]	[N]	[N]	[N]	[N]		
	100%	-	-	VNR	VNR	0,00	0	0	0	0	0	0	0,00	0,00
proporzionale alla deformata 1° modo di vibrazione														
	0%	-19.393	-677	4,97	NS	1,15	96378	113588	148557	148557	0	0	2,50	2,50
	100%	-19.393	-677	4,97	NS	1,15	96378	113588	148048	148048	0	0	2,50	2,50
sisma in -X														
proporzionale alle masse														
	0%	-	-	VNR	VNR	0,00	0	0	0	0	0	0	0,00	0,00
	100%	-	-	VNR	VNR	0,00	0	0	0	0	0	0	0,00	0,00
proporzionale alla deformata 1° modo di vibrazione														
	0%	-	-	VNR	VNR	0,00	0	0	0	0	0	0	0,00	0,00
	100%	-	-	VNR	VNR	0,00	0	0	0	0	0	0	0,00	0,00
sisma in +Y														
proporzionale alle masse														
	0%	1.069	-2.378	90,16	47,77	1,12	96378	113588	145051	145051	0	0	2,50	2,50
	100%	1.069	-2.378	90,16	47,77	1,12	96378	113588	144301	144301	0	0	2,50	2,50
proporzionale alla deformata 1° modo di vibrazione														
	0%	-	-	VNR	VNR	0,00	0	0	0	0	0	0	0,00	0,00
	100%	-	-	VNR	VNR	0,00	0	0	0	0	0	0	0,00	0,00
sisma in -Y														
proporzionale alle masse														
	0%	-	-	VNR	VNR	0,00	0	0	0	0	0	0	0,00	0,00
	100%	-	-	VNR	VNR	0,00	0	0	0	0	0	0	0,00	0,00
proporzionale alla deformata 1° modo di vibrazione														
	0%	-	-	VNR	VNR	0,00	0	0	0	0	0	0	0,00	0,00
	100%	-	-	VNR	VNR	0,00	0	0	0	0	0	0	0,00	0,00
sisma in +X														
proporzionale alle masse														
Piano primo (b)	0%	-	-	VNR	VNR	0,00	0	0	0	0	0	0	0,00	0,00
	100%	-	-	VNR	VNR	0,00	0	0	0	0	0	0	0,00	0,00
proporzionale alla deformata 1° modo di vibrazione														
	0%	-59.191	4.504	1,63	25,22	1,12	96378	113588	143876	143876	0	0	2,50	2,50
	100%	-59.191	4.504	1,63	25,22	1,11	96378	113588	143424	143424	0	0	2,50	2,50
sisma in -X														
proporzionale alle masse														
	0%	-	-	VNR	VNR	0,00	0	0	0	0	0	0	0,00	0,00
	100%	-	-	VNR	VNR	0,00	0	0	0	0	0	0	0,00	0,00
proporzionale alla deformata 1° modo di vibrazione														
	0%	-	-	VNR	VNR	0,00	0	0	0	0	0	0	0,00	0,00
	100%	-	-	VNR	VNR	0,00	0	0	0	0	0	0	0,00	0,00
sisma in +Y														
proporzionale alle masse														
	0%	121.610	1.131	0,79	NS	1,11	96378	113588	143642	143642	0	0	2,50	2,50
	100%	121.610	1.131	0,79	NS	1,11	96378	113588	143171	143171	0	0	2,50	2,50
proporzionale alla deformata 1° modo di vibrazione														
	0%	-	-	VNR	VNR	0,00	0	0	0	0	0	0	0,00	0,00
	100%	-	-	VNR	VNR	0,00	0	0	0	0	0	0	0,00	0,00
sisma in -Y														
proporzionale alle masse														
	0%	-	-	VNR	VNR	0,00	0	0	0	0	0	0	0,00	0,00
	100%	-	-	VNR	VNR	0,00	0	0	0	0	0	0	0,00	0,00
proporzionale alla deformata 1° modo di vibrazione														
	0%	-	-	VNR	VNR	0,00	0	0	0	0	0	0	0,00	0,00
	100%	-	-	VNR	VNR	0,00	0	0	0	0	0	0	0,00	0,00
sisma in +X														
proporzionale alle masse														
Estradosso travi gronda (a)	0%	-	-	VNR	VNR	0,00	0	0	0	0	0	0	0,00	0,00
	100%	-	-	VNR	VNR	0,00	0	0	0	0	0	0	0,00	0,00
proporzionale alla deformata 1° modo di vibrazione														
	0%	14.353	3.189	6,32	28,44	1,02	90708	90708	112472	112472	0	0	2,50	2,50
	100%	14.353	3.189	6,32	28,44	1,02	90708	90708	112192	112192	0	0	2,50	2,50
sisma in -X														
proporzionale alle masse														
	0%	-	-	VNR	VNR	0,00	0	0	0	0	0	0	0,00	0,00
	100%	-	-	VNR	VNR	0,00	0	0	0	0	0	0	0,00	0,00
proporzionale alla deformata 1° modo di vibrazione														
	0%	-	-	VNR	VNR	0,00	0	0	0	0	0	0	0,00	0,00
	100%	-	-	VNR	VNR	0,00	0	0	0	0	0	0	0,00	0,00
sisma in +Y														
proporzionale alle masse														
	0%	9.418	1.553	9,63	58,41	1,01	90708	90708	112078	112078	0	0	2,50	2,50
	100%	9.418	1.553	9,63	58,41	1,01	90708	90708	111779	111779	0	0	2,50	2,50
proporzionale alla deformata 1° modo di vibrazione														
	0%	-	-	VNR	VNR	0,00	0	0	0	0	0	0	0,00	0,00
	100%	-	-	VNR	VNR	0,00	0	0	0	0	0	0	0,00	0,00
sisma in -Y														
proporzionale alle masse														
	0%	-	-	VNR	VNR	0,00	0	0	0	0	0	0	0,00	0,00
	100%	-	-	VNR	VNR	0,00	0	0	0	0	0	0	0,00	0,00
proporzionale alla deformata 1° modo di vibrazione														
	0%	-	-	VNR	VNR	0,00	0	0	0	0	0	0	0,00	0,00
	100%	-	-	VNR	VNR	0,00	0	0	0	0	0	0	0,00	0,00
sisma in +X														
proporzionale alle masse														
Estradosso travi gronda (b)	0%	-	-	VNR	VNR	0,00	0	0	0	0	0	0	0,00	0,00

Lv	%L_{LI}	$V_{Ed,3}$	$V_{Ed,2}$	$CS^{(3)}$	$CS^{(2)}$	α_C	$V_{Rsd,s}{}^{(3)}$	$V_{Rsd,s}{}^{(2)}$	$V_{Rcd}{}^{(3)}$	$V_{Rcd}{}^{(2)}$	$V_{fd}{}^{(3)}$	$V_{fd}{}^{(2)}$	$Ctg\Theta^{(3)}$	$Ctg\Theta^{(2)}$
	[%]	[N]	[N]				[N]	[N]	[N]	[N]	[N]	[N]		
	100%	-	-	VNR	VNR	0,00	0	0	0	0	0	0	0,00	0,00
proporzionale alla deformata 1° modo di vibrazione														
	0%	-38.371	-11.511	2,51	8,37	1,00	96378	96378	110520	110520	0	0	2,50	2,50
	100%	-38.371	-11.511	2,51	8,37	1,00	96378	96378	110520	110520	0	0	2,50	2,50
sisma in -X														
proporzionale alle masse														
	0%	-	-	VNR	VNR	0,00	0	0	0	0	0	0	0,00	0,00
	100%	-	-	VNR	VNR	0,00	0	0	0	0	0	0	0,00	0,00
proporzionale alla deformata 1° modo di vibrazione														
	0%	-	-	VNR	VNR	0,00	0	0	0	0	0	0	0,00	0,00
	100%	-	-	VNR	VNR	0,00	0	0	0	0	0	0	0,00	0,00
sisma in +Y														
proporzionale alle masse														
	0%	-19.673	-13.908	4,90	6,93	1,00	96378	96378	110520	110520	0	0	2,50	2,50
	100%	-19.673	-13.908	4,90	6,93	1,00	96378	96378	110520	110520	0	0	2,50	2,50
proporzionale alla deformata 1° modo di vibrazione														
	0%	-	-	VNR	VNR	0,00	0	0	0	0	0	0	0,00	0,00
	100%	-	-	VNR	VNR	0,00	0	0	0	0	0	0	0,00	0,00
sisma in -Y														
proporzionale alle masse														
	0%	-	-	VNR	VNR	0,00	0	0	0	0	0	0	0,00	0,00
	100%	-	-	VNR	VNR	0,00	0	0	0	0	0	0	0,00	0,00
proporzionale alla deformata 1° modo di vibrazione														
	0%	-	-	VNR	VNR	0,00	0	0	0	0	0	0	0,00	0,00
	100%	-	-	VNR	VNR	0,00	0	0	0	0	0	0	0,00	0,00
Pilastrata: Pilastrata23														
sisma in +X														
proporzionale alle masse														
Piano terra ingresso	0%	-	-	VNR	VNR	0,00	0	0	0	0	0	0	0,00	0,00
	100%	-	-	VNR	VNR	0,00	0	0	0	0	0	0	0,00	0,00
proporzionale alla deformata 1° modo di vibrazione														
	0%	-108.987	3.214	1,36	40,70	1,31	148009	130798	296438	296438	0	0	2,50	2,50
	100%	-108.987	3.214	1,36	40,70	1,31	148009	130798	296033	296033	0	0	2,50	2,50
sisma in -X														
proporzionale alle masse														
	0%	-	-	VNR	VNR	0,00	0	0	0	0	0	0	0,00	0,00
	100%	-	-	VNR	VNR	0,00	0	0	0	0	0	0	0,00	0,00
proporzionale alla deformata 1° modo di vibrazione														
	0%	-	-	VNR	VNR	0,00	0	0	0	0	0	0	0,00	0,00
	100%	-	-	VNR	VNR	0,00	0	0	0	0	0	0	0,00	0,00
sisma in +Y														
proporzionale alle masse														
	0%	-9.754	34.951	15,17	3,74	1,23	148009	130798	279426	279426	0	0	2,50	2,50
	100%	-9.754	34.951	15,17	3,74	1,23	148009	130798	277847	277847	0	0	2,50	2,50
proporzionale alla deformata 1° modo di vibrazione														
	0%	-	-	VNR	VNR	0,00	0	0	0	0	0	0	0,00	0,00
	100%	-	-	VNR	VNR	0,00	0	0	0	0	0	0	0,00	0,00
sisma in -Y														
proporzionale alle masse														
	0%	-	-	VNR	VNR	0,00	0	0	0	0	0	0	0,00	0,00
	100%	-	-	VNR	VNR	0,00	0	0	0	0	0	0	0,00	0,00
proporzionale alla deformata 1° modo di vibrazione														
	0%	-	-	VNR	VNR	0,00	0	0	0	0	0	0	0,00	0,00
	100%	-	-	VNR	VNR	0,00	0	0	0	0	0	0	0,00	0,00
sisma in +X														
proporzionale alle masse														
Piano primo (a)	0%	-	-	VNR	VNR	0,00	0	0	0	0	0	0	0,00	0,00
	100%	-	-	VNR	VNR	0,00	0	0	0	0	0	0	0,00	0,00
proporzionale alla deformata 1° modo di vibrazione														
	0%	-36.584	-1.481	3,58	76,70	1,19	130798	113588	207910	207910	0	0	2,50	2,50
	100%	-36.584	-1.481	3,58	76,70	1,18	130798	113588	206908	206908	0	0	2,50	2,50
sisma in -X														
proporzionale alle masse														
	0%	-	-	VNR	VNR	0,00	0	0	0	0	0	0	0,00	0,00
	100%	-	-	VNR	VNR	0,00	0	0	0	0	0	0	0,00	0,00
proporzionale alla deformata 1° modo di vibrazione														
	0%	-	-	VNR	VNR	0,00	0	0	0	0	0	0	0,00	0,00
	100%	-	-	VNR	VNR	0,00	0	0	0	0	0	0	0,00	0,00
sisma in +Y														
proporzionale alle masse														
	0%	-8.000	-1.861	16,35	61,04	1,09	130798	113588	191010	191010	0	0	2,50	2,50
	100%	-8.000	-1.861	16,35	61,04	1,08	130798	113588	189827	189827	0	0	2,50	2,50
proporzionale alla deformata 1° modo di vibrazione														
	0%	-	-	VNR	VNR	0,00	0	0	0	0	0	0	0,00	0,00
	100%	-	-	VNR	VNR	0,00	0	0	0	0	0	0	0,00	0,00
sisma in -Y														
proporzionale alle masse														
	0%	-	-	VNR	VNR	0,00	0	0	0	0	0	0	0,00	0,00
	100%	-	-	VNR	VNR	0,00	0	0	0	0	0	0	0,00	0,00
proporzionale alla deformata 1° modo di vibrazione														
	0%	-	-	VNR	VNR	0,00	0	0	0	0	0	0	0,00	0,00
	100%	-	-	VNR	VNR	0,00	0	0	0	0	0	0	0,00	0,00
sisma in +X														
proporzionale alle masse														
Piano primo (b)	0%	-	-	VNR	VNR	0,00	0	0	0	0	0	0	0,00	0,00
	100%	-	-	VNR	VNR	0,00	0	0	0	0	0	0	0,00	0,00

Lv	%L_{LI}	$V_{Ed,3}$	$V_{Ed,2}$	$CS^{(3)}$	$CS^{(2)}$	α_C	$V_{Rsd,s}{}^{(3)}$	$V_{Rsd,s}{}^{(2)}$	$V_{Rcd}{}^{(3)}$	$V_{Rcd}{}^{(2)}$	$V_{fd}{}^{(3)}$	$V_{fd}{}^{(2)}$	$Ctg\Theta^{(3)}$	$Ctg\Theta^{(2)}$
	[%]	[N]	[N]				[N]	[N]	[N]	[N]	[N]	[N]		
proporzionale alla deformata 1° modo di vibrazione														
	0%	-220.346	14.126	0,59	8,04	1,16	130798	113588	203842	203842	0	0	2,50	2,50
	100%	-220.346	14.126	0,59	8,04	1,16	130798	113588	203855	203855	0	0	2,50	2,50
sisma in -X														
proporzionale alle masse														
	0%	-	-	VNR	VNR	0,00	0	0	0	0	0	0	0,00	0,00
	100%	-	-	VNR	VNR	0,00	0	0	0	0	0	0	0,00	0,00
proporzionale alla deformata 1° modo di vibrazione														
	0%	-	-	VNR	VNR	0,00	0	0	0	0	0	0	0,00	0,00
	100%	-	-	VNR	VNR	0,00	0	0	0	0	0	0	0,00	0,00
sisma in +Y														
proporzionale alle masse														
	0%	-38.549	571	3,39	NS	1,07	130798	113588	187641	187641	0	0	2,50	2,50
	100%	-38.549	571	3,39	NS	1,08	130798	113588	188250	188250	0	0	2,50	2,50
proporzionale alla deformata 1° modo di vibrazione														
	0%	-	-	VNR	VNR	0,00	0	0	0	0	0	0	0,00	0,00
	100%	-	-	VNR	VNR	0,00	0	0	0	0	0	0	0,00	0,00
sisma in -Y														
proporzionale alle masse														
	0%	-	-	VNR	VNR	0,00	0	0	0	0	0	0	0,00	0,00
	100%	-	-	VNR	VNR	0,00	0	0	0	0	0	0	0,00	0,00
proporzionale alla deformata 1° modo di vibrazione														
	0%	-	-	VNR	VNR	0,00	0	0	0	0	0	0	0,00	0,00
	100%	-	-	VNR	VNR	0,00	0	0	0	0	0	0	0,00	0,00
sisma in +X														
proporzionale alle masse														
Estradosso travi gronda (a)	0%	-	-	VNR	VNR	0,00	0	0	0	0	0	0	0,00	0,00
	100%	-	-	VNR	VNR	0,00	0	0	0	0	0	0	0,00	0,00
proporzionale alla deformata 1° modo di vibrazione														
	0%	5.935	2.446	15,28	37,08	1,02	90708	90708	113022	113022	0	0	2,50	2,50
	100%	5.935	2.446	15,28	37,08	1,02	90708	90708	112497	112497	0	0	2,50	2,50
sisma in -X														
proporzionale alle masse														
	0%	-	-	VNR	VNR	0,00	0	0	0	0	0	0	0,00	0,00
	100%	-	-	VNR	VNR	0,00	0	0	0	0	0	0	0,00	0,00
proporzionale alla deformata 1° modo di vibrazione														
	0%	-	-	VNR	VNR	0,00	0	0	0	0	0	0	0,00	0,00
	100%	-	-	VNR	VNR	0,00	0	0	0	0	0	0	0,00	0,00
sisma in +Y														
proporzionale alle masse														
	0%	-1.185	6.312	76,55	14,37	1,00	90708	90708	110520	110520	0	0	2,50	2,50
	100%	-1.185	6.312	76,55	14,37	1,00	90708	90708	110520	110520	0	0	2,50	2,50
proporzionale alla deformata 1° modo di vibrazione														
	0%	-	-	VNR	VNR	0,00	0	0	0	0	0	0	0,00	0,00
	100%	-	-	VNR	VNR	0,00	0	0	0	0	0	0	0,00	0,00
sisma in -Y														
proporzionale alle masse														
	0%	-	-	VNR	VNR	0,00	0	0	0	0	0	0	0,00	0,00
	100%	-	-	VNR	VNR	0,00	0	0	0	0	0	0	0,00	0,00
proporzionale alla deformata 1° modo di vibrazione														
	0%	-	-	VNR	VNR	0,00	0	0	0	0	0	0	0,00	0,00
	100%	-	-	VNR	VNR	0,00	0	0	0	0	0	0	0,00	0,00
sisma in +X														
proporzionale alle masse														
Estradosso travi gronda (b)	0%	-	-	VNR	VNR	0,00	0	0	0	0	0	0	0,00	0,00
	100%	-	-	VNR	VNR	0,00	0	0	0	0	0	0	0,00	0,00
proporzionale alla deformata 1° modo di vibrazione														
	0%	-35.419	-10.126	2,72	9,52	1,00	96378	96378	110520	110520	0	0	2,50	2,50
	100%	-35.419	-10.126	2,72	9,52	1,00	96378	96378	110520	110520	0	0	2,50	2,50
sisma in -X														
proporzionale alle masse														
	0%	-	-	VNR	VNR	0,00	0	0	0	0	0	0	0,00	0,00
	100%	-	-	VNR	VNR	0,00	0	0	0	0	0	0	0,00	0,00
proporzionale alla deformata 1° modo di vibrazione														
	0%	-	-	VNR	VNR	0,00	0	0	0	0	0	0	0,00	0,00
	100%	-	-	VNR	VNR	0,00	0	0	0	0	0	0	0,00	0,00
sisma in +Y														
proporzionale alle masse														
	0%	-8.344	-10.482	11,55	9,19	1,00	96378	96378	110520	110520	0	0	2,50	2,50
	100%	-8.344	-10.482	11,55	9,19	1,00	96378	96378	110520	110520	0	0	2,50	2,50
proporzionale alla deformata 1° modo di vibrazione														
	0%	-	-	VNR	VNR	0,00	0	0	0	0	0	0	0,00	0,00
	100%	-	-	VNR	VNR	0,00	0	0	0	0	0	0	0,00	0,00
sisma in -Y														
proporzionale alle masse														
	0%	-	-	VNR	VNR	0,00	0	0	0	0	0	0	0,00	0,00
	100%	-	-	VNR	VNR	0,00	0	0	0	0	0	0	0,00	0,00
proporzionale alla deformata 1° modo di vibrazione														
	0%	-	-	VNR	VNR	0,00	0	0	0	0	0	0	0,00	0,00
	100%	-	-	VNR	VNR	0,00	0	0	0	0	0	0	0,00	0,00
Pilastrata: Pilastrata24														
sisma in +X														
proporzionale alle masse														
Piano terra ingresso	0%	-	-	VNR	VNR	0,00	0	0	0	0	0	0	0,00	0,00

Lv	%L_{LI}	$V_{Ed,3}$	$V_{Ed,2}$	$CS^{(3)}$	$CS^{(2)}$	α_C	$V_{Rsd,s}{}^{(3)}$	$V_{Rsd,s}{}^{(2)}$	$V_{Rcd}{}^{(3)}$	$V_{Rcd}{}^{(2)}$	$V_{fd}{}^{(3)}$	$V_{fd}{}^{(2)}$	$Ctg\Theta^{(3)}$	$Ctg\Theta^{(2)}$
	[%]	[N]	[N]				[N]	[N]	[N]	[N]	[N]	[N]		
	100%	-	-	VNR	VNR	0,00	0	0	0	0	0	0	0,00	0,00
proporzionale alla deformata 1° modo di vibrazione														
	0%	7.357	-16.218	13,97	8,60	1,07	102803	139518	157641	157641	0	0	2,50	2,50
	100%	-36.590	-69.596	2,81	2,00	1,15	102803	139518	168863	168863	0	0	2,50	2,50
sisma in -X														
proporzionale alle masse														
	0%	-	-	VNR	VNR	0,00	0	0	0	0	0	0	0,00	0,00
	100%	-	-	VNR	VNR	0,00	0	0	0	0	0	0	0,00	0,00
proporzionale alla deformata 1° modo di vibrazione														
	0%	-	-	VNR	VNR	0,00	0	0	0	0	0	0	0,00	0,00
	100%	-	-	VNR	VNR	0,00	0	0	0	0	0	0	0,00	0,00
sisma in +Y														
proporzionale alle masse														
	0%	-21.511	-1.467	4,78	95,10	1,00	102803	139518	147360	147360	0	0	2,50	2,50
	100%	-105.932	-24.391	0,97	5,72	1,00	102803	139518	147360	147360	0	0	2,50	2,50
proporzionale alla deformata 1° modo di vibrazione														
	0%	-	-	VNR	VNR	0,00	0	0	0	0	0	0	0,00	0,00
	100%	-	-	VNR	VNR	0,00	0	0	0	0	0	0	0,00	0,00
sisma in -Y														
proporzionale alle masse														
	0%	-	-	VNR	VNR	0,00	0	0	0	0	0	0	0,00	0,00
	100%	-	-	VNR	VNR	0,00	0	0	0	0	0	0	0,00	0,00
proporzionale alla deformata 1° modo di vibrazione														
	0%	-	-	VNR	VNR	0,00	0	0	0	0	0	0	0,00	0,00
	100%	-	-	VNR	VNR	0,00	0	0	0	0	0	0	0,00	0,00
sisma in +X														
proporzionale alle masse														
Piano rialzato	0%	-	-	VNR	VNR	0,00	0	0	0	0	0	0	0,00	0,00
	100%	-	-	VNR	VNR	0,00	0	0	0	0	0	0	0,00	0,00
proporzionale alla deformata 1° modo di vibrazione														
	0%	4.209	-39.111	21,55	2,32	1,09	90708	90708	120377	120377	0	0	2,50	2,50
	100%	4.410	-6.877	20,57	13,19	1,06	90708	90708	117343	117343	0	0	2,50	2,50
sisma in -X														
proporzionale alle masse														
	0%	-	-	VNR	VNR	0,00	0	0	0	0	0	0	0,00	0,00
	100%	-	-	VNR	VNR	0,00	0	0	0	0	0	0	0,00	0,00
proporzionale alla deformata 1° modo di vibrazione														
	0%	-	-	VNR	VNR	0,00	0	0	0	0	0	0	0,00	0,00
	100%	-	-	VNR	VNR	0,00	0	0	0	0	0	0	0,00	0,00
sisma in +Y														
proporzionale alle masse														
	0%	8.990	-18.389	10,09	4,93	1,00	90708	90708	110520	110520	0	0	2,50	2,50
	100%	6.400	-3.587	14,17	25,29	1,00	90708	90708	110520	110520	0	0	2,50	2,50
proporzionale alla deformata 1° modo di vibrazione														
	0%	-	-	VNR	VNR	0,00	0	0	0	0	0	0	0,00	0,00
	100%	-	-	VNR	VNR	0,00	0	0	0	0	0	0	0,00	0,00
sisma in -Y														
proporzionale alle masse														
	0%	-	-	VNR	VNR	0,00	0	0	0	0	0	0	0,00	0,00
	100%	-	-	VNR	VNR	0,00	0	0	0	0	0	0	0,00	0,00
proporzionale alla deformata 1° modo di vibrazione														
	0%	-	-	VNR	VNR	0,00	0	0	0	0	0	0	0,00	0,00
	100%	-	-	VNR	VNR	0,00	0	0	0	0	0	0	0,00	0,00
sisma in +X														
proporzionale alle masse														
Piano primo (a)	0%	-	-	VNR	VNR	0,00	0	0	0	0	0	0	0,00	0,00
	100%	-	-	VNR	VNR	0,00	0	0	0	0	0	0	0,00	0,00
proporzionale alla deformata 1° modo di vibrazione														
	0%	3.754	-6.595	27,38	15,59	1,06	102803	102803	116894	116894	0	0	2,50	2,50
	100%	184	-14.952	NS	6,88	1,08	102803	102803	118943	118943	0	0	2,50	2,50
sisma in -X														
proporzionale alle masse														
	0%	-	-	VNR	VNR	0,00	0	0	0	0	0	0	0,00	0,00
	100%	-	-	VNR	VNR	0,00	0	0	0	0	0	0	0,00	0,00
proporzionale alla deformata 1° modo di vibrazione														
	0%	-	-	VNR	VNR	0,00	0	0	0	0	0	0	0,00	0,00
	100%	-	-	VNR	VNR	0,00	0	0	0	0	0	0	0,00	0,00
sisma in +Y														
proporzionale alle masse														
	0%	-1.908	-4.138	53,88	24,84	1,00	102803	102803	110520	110520	0	0	2,50	2,50
	100%	-73.602	-13.173	1,40	7,80	1,04	102803	102803	114718	114718	0	0	2,50	2,50
proporzionale alla deformata 1° modo di vibrazione														
	0%	-	-	VNR	VNR	0,00	0	0	0	0	0	0	0,00	0,00
	100%	-	-	VNR	VNR	0,00	0	0	0	0	0	0	0,00	0,00
sisma in -Y														
proporzionale alle masse														
	0%	-	-	VNR	VNR	0,00	0	0	0	0	0	0	0,00	0,00
	100%	-	-	VNR	VNR	0,00	0	0	0	0	0	0	0,00	0,00
proporzionale alla deformata 1° modo di vibrazione														
	0%	-	-	VNR	VNR	0,00	0	0	0	0	0	0	0,00	0,00
	100%	-	-	VNR	VNR	0,00	0	0	0	0	0	0	0,00	0,00
sisma in +X														
proporzionale alle masse														
Piano primo (b)	0%	-	-	VNR	VNR	0,00	0	0	0	0	0	0	0,00	0,00
	100%	-	-	VNR	VNR	0,00	0	0	0	0	0	0	0,00	0,00
proporzionale alla deformata 1° modo di vibrazione														

Lv	$\%L_{LI}$	$V_{Ed,3}$	$V_{Ed,2}$	$CS^{(3)}$	$CS^{(2)}$	α_C	$V_{Rsd,s}{}^{(3)}$	$V_{Rsd,s}{}^{(2)}$	$V_{Rcd}{}^{(3)}$	$V_{Rcd}{}^{(2)}$	$V_{fd}{}^{(3)}$	$V_{fd}{}^{(2)}$	$Ctg\Theta^{(3)}$	$Ctg\Theta^{(2)}$
	[%]	[N]	[N]				[N]	[N]	[N]	[N]	[N]	[N]		
	0%	-38.642	-23.018	2,66	4,47	1,01	102803	102803	111558	111558	0	0	2,50	2,50
	100%	-31.876	-42.763	3,23	2,40	1,14	102803	102803	126445	126445	0	0	2,50	2,50
sisma in -X														
proporzionale alle masse														
	0%	-	-	VNR	VNR	0,00	0	0	0	0	0	0	0,00	0,00
	100%	-	-	VNR	VNR	0,00	0	0	0	0	0	0	0,00	0,00
proporzionale alla deformata 1° modo di vibrazione														
	0%	-	-	VNR	VNR	0,00	0	0	0	0	0	0	0,00	0,00
	100%	-	-	VNR	VNR	0,00	0	0	0	0	0	0	0,00	0,00
sisma in +Y														
proporzionale alle masse														
	0%	-9.466	-17.747	10,86	5,79	1,00	102803	102803	110859	110859	0	0	2,50	2,50
	100%	-60.091	-38.205	1,71	2,69	1,17	102803	102803	129363	129363	0	0	2,50	2,50
proporzionale alla deformata 1° modo di vibrazione														
	0%	-	-	VNR	VNR	0,00	0	0	0	0	0	0	0,00	0,00
	100%	-	-	VNR	VNR	0,00	0	0	0	0	0	0	0,00	0,00
sisma in -Y														
proporzionale alle masse														
	0%	-	-	VNR	VNR	0,00	0	0	0	0	0	0	0,00	0,00
	100%	-	-	VNR	VNR	0,00	0	0	0	0	0	0	0,00	0,00
proporzionale alla deformata 1° modo di vibrazione														
	0%	-	-	VNR	VNR	0,00	0	0	0	0	0	0	0,00	0,00
	100%	-	-	VNR	VNR	0,00	0	0	0	0	0	0	0,00	0,00
sisma in +X														
proporzionale alle masse														
Estradosso travi gronda (a)	0%	-	-	VNR	VNR	0,00	0	0	0	0	0	0	0,00	0,00
	100%	-	-	VNR	VNR	0,00	0	0	0	0	0	0	0,00	0,00
proporzionale alla deformata 1° modo di vibrazione														
	0%	13.921	-19.919	6,92	4,84	1,08	96378	96378	119640	119640	0	0	2,50	2,50
	100%	15.661	-4.140	6,15	23,28	1,07	96378	96378	118785	118785	0	0	2,50	2,50
sisma in -X														
proporzionale alle masse														
	0%	-	-	VNR	VNR	0,00	0	0	0	0	0	0	0,00	0,00
	100%	-	-	VNR	VNR	0,00	0	0	0	0	0	0	0,00	0,00
proporzionale alla deformata 1° modo di vibrazione														
	0%	-	-	VNR	VNR	0,00	0	0	0	0	0	0	0,00	0,00
	100%	-	-	VNR	VNR	0,00	0	0	0	0	0	0	0,00	0,00
sisma in +Y														
proporzionale alle masse														
	0%	19.417	-26.613	4,96	3,62	1,15	96378	96378	127487	127487	0	0	2,50	2,50
	100%	-4.990	-18.510	19,31	5,21	1,20	96378	96378	132658	132658	0	0	2,50	2,50
proporzionale alla deformata 1° modo di vibrazione														
	0%	-	-	VNR	VNR	0,00	0	0	0	0	0	0	0,00	0,00
	100%	-	-	VNR	VNR	0,00	0	0	0	0	0	0	0,00	0,00
sisma in -Y														
proporzionale alle masse														
	0%	-	-	VNR	VNR	0,00	0	0	0	0	0	0	0,00	0,00
	100%	-	-	VNR	VNR	0,00	0	0	0	0	0	0	0,00	0,00
proporzionale alla deformata 1° modo di vibrazione														
	0%	-	-	VNR	VNR	0,00	0	0	0	0	0	0	0,00	0,00
	100%	-	-	VNR	VNR	0,00	0	0	0	0	0	0	0,00	0,00
sisma in +X														
proporzionale alle masse														
Estradosso travi gronda (b)	0%	-	-	VNR	VNR	0,00	0	0	0	0	0	0	0,00	0,00
	100%	-	-	VNR	VNR	0,00	0	0	0	0	0	0	0,00	0,00
proporzionale alla deformata 1° modo di vibrazione														
	0%	-40.951	-29.444	2,51	3,49	1,00	102803	102803	110520	110520	0	0	2,50	2,50
	100%	-44.404	-39.129	2,32	2,63	1,15	102803	102803	127610	127610	0	0	2,50	2,50
sisma in -X														
proporzionale alle masse														
	0%	-	-	VNR	VNR	0,00	0	0	0	0	0	0	0,00	0,00
	100%	-	-	VNR	VNR	0,00	0	0	0	0	0	0	0,00	0,00
proporzionale alla deformata 1° modo di vibrazione														
	0%	-	-	VNR	VNR	0,00	0	0	0	0	0	0	0,00	0,00
	100%	-	-	VNR	VNR	0,00	0	0	0	0	0	0	0,00	0,00
sisma in +Y														
proporzionale alle masse														
	0%	-54.992	-16.521	1,87	6,22	1,06	102803	102803	117427	117427	0	0	2,50	2,50
	100%	-98.637	-23.031	1,04	4,46	1,40	102803	102803	155073	155073	0	0	2,50	2,50
proporzionale alla deformata 1° modo di vibrazione														
	0%	-	-	VNR	VNR	0,00	0	0	0	0	0	0	0,00	0,00
	100%	-	-	VNR	VNR	0,00	0	0	0	0	0	0	0,00	0,00
sisma in -Y														
proporzionale alle masse														
	0%	-	-	VNR	VNR	0,00	0	0	0	0	0	0	0,00	0,00
	100%	-	-	VNR	VNR	0,00	0	0	0	0	0	0	0,00	0,00
proporzionale alla deformata 1° modo di vibrazione														
	0%	-	-	VNR	VNR	0,00	0	0	0	0	0	0	0,00	0,00
	100%	-	-	VNR	VNR	0,00	0	0	0	0	0	0	0,00	0,00
Pilastrata: Pilastrata25														
sisma in +X														
proporzionale alle masse														
Piano terra ingresso	0%	-	-	VNR	VNR	0,00	0	0	0	0	0	0	0,00	0,00
	100%	-	-	VNR	VNR	0,00	0	0	0	0	0	0	0,00	0,00

Lv	$\%L_{LI}$	$V_{Ed,3}$	$V_{Ed,2}$	$CS^{(3)}$	$CS^{(2)}$	α_C	$V_{Rsd,s}{}^{(3)}$	$V_{Rsd,s}{}^{(2)}$	$V_{Rcd}{}^{(3)}$	$V_{Rcd}{}^{(2)}$	$V_{fd}{}^{(3)}$	$V_{fd}{}^{(2)}$	$Ctg\Theta^{(3)}$	$Ctg\Theta^{(2)}$
	[%]	[N]	[N]				[N]	[N]	[N]	[N]	[N]	[N]		
proporzionale alla deformata 1° modo di vibrazione														
	0%	-3.005	-3.636	19,24	21,58	1,04	57826	78479	152628	152628	0	0	2,50	2,50
	100%	-3.005	-3.636	19,24	21,58	1,03	57826	78479	151480	151480	0	0	2,50	2,50
sisma in -X														
proporzionale alle masse														
	0%	-	-	VNR	VNR	0,00	0	0	0	0	0	0	0,00	0,00
	100%	-	-	VNR	VNR	0,00	0	0	0	0	0	0	0,00	0,00
proporzionale alla deformata 1° modo di vibrazione														
	0%	-	-	VNR	VNR	0,00	0	0	0	0	0	0	0,00	0,00
	100%	-	-	VNR	VNR	0,00	0	0	0	0	0	0	0,00	0,00
sisma in +Y														
proporzionale alle masse														
	0%	-4.906	4.820	11,79	16,28	1,00	57826	78479	147360	147360	0	0	2,50	2,50
	100%	-4.906	4.820	11,79	16,28	1,00	57826	78479	147360	147360	0	0	2,50	2,50
proporzionale alla deformata 1° modo di vibrazione														
	0%	-	-	VNR	VNR	0,00	0	0	0	0	0	0	0,00	0,00
	100%	-	-	VNR	VNR	0,00	0	0	0	0	0	0	0,00	0,00
sisma in -Y														
proporzionale alle masse														
	0%	-	-	VNR	VNR	0,00	0	0	0	0	0	0	0,00	0,00
	100%	-	-	VNR	VNR	0,00	0	0	0	0	0	0	0,00	0,00
proporzionale alla deformata 1° modo di vibrazione														
	0%	-	-	VNR	VNR	0,00	0	0	0	0	0	0	0,00	0,00
	100%	-	-	VNR	VNR	0,00	0	0	0	0	0	0	0,00	0,00
sisma in +X														
proporzionale alle masse														
Piano primo	0%	-	-	VNR	VNR	0,00	0	0	0	0	0	0	0,00	0,00
	100%	-	-	VNR	VNR	0,00	0	0	0	0	0	0	0,00	0,00
proporzionale alla deformata 1° modo di vibrazione														
	0%	-2.553	4.240	19,99	16,33	1,00	51023	69246	147360	147360	0	0	2,50	2,50
	100%	-2.553	4.240	19,99	16,33	1,00	51023	69246	147360	147360	0	0	2,50	2,50
sisma in -X														
proporzionale alle masse														
	0%	-	-	VNR	VNR	0,00	0	0	0	0	0	0	0,00	0,00
	100%	-	-	VNR	VNR	0,00	0	0	0	0	0	0	0,00	0,00
proporzionale alla deformata 1° modo di vibrazione														
	0%	-	-	VNR	VNR	0,00	0	0	0	0	0	0	0,00	0,00
	100%	-	-	VNR	VNR	0,00	0	0	0	0	0	0	0,00	0,00
sisma in +Y														
proporzionale alle masse														
	0%	-13.947	17.575	3,66	3,94	1,00	51023	69246	147360	147360	0	0	2,50	2,50
	100%	-13.947	17.575	3,66	3,94	1,00	51023	69246	147360	147360	0	0	2,50	2,50
proporzionale alla deformata 1° modo di vibrazione														
	0%	-	-	VNR	VNR	0,00	0	0	0	0	0	0	0,00	0,00
	100%	-	-	VNR	VNR	0,00	0	0	0	0	0	0	0,00	0,00
sisma in -Y														
proporzionale alle masse														
	0%	-	-	VNR	VNR	0,00	0	0	0	0	0	0	0,00	0,00
	100%	-	-	VNR	VNR	0,00	0	0	0	0	0	0	0,00	0,00
proporzionale alla deformata 1° modo di vibrazione														
	0%	-	-	VNR	VNR	0,00	0	0	0	0	0	0	0,00	0,00
	100%	-	-	VNR	VNR	0,00	0	0	0	0	0	0	0,00	0,00
sisma in +X														
proporzionale alle masse														
Estradosso travi gronda	0%	-	-	VNR	VNR	0,00	0	0	0	0	0	0	0,00	0,00
	100%	-	-	VNR	VNR	0,00	0	0	0	0	0	0	0,00	0,00
proporzionale alla deformata 1° modo di vibrazione														
	0%	-1.866	194	30,99	NS	1,00	57826	78479	147360	147360	0	0	2,50	2,50
	100%	-1.866	194	30,99	NS	1,00	57826	78479	147360	147360	0	0	2,50	2,50
sisma in -X														
proporzionale alle masse														
	0%	-	-	VNR	VNR	0,00	0	0	0	0	0	0	0,00	0,00
	100%	-	-	VNR	VNR	0,00	0	0	0	0	0	0	0,00	0,00
proporzionale alla deformata 1° modo di vibrazione														
	0%	-	-	VNR	VNR	0,00	0	0	0	0	0	0	0,00	0,00
	100%	-	-	VNR	VNR	0,00	0	0	0	0	0	0	0,00	0,00
sisma in +Y														
proporzionale alle masse														
	0%	-19.430	14.792	2,98	5,31	1,05	57826	78479	154444	154444	0	0	2,50	2,50
	100%	-19.430	14.792	2,98	5,31	1,04	57826	78479	153831	153831	0	0	2,50	2,50
proporzionale alla deformata 1° modo di vibrazione														
	0%	-	-	VNR	VNR	0,00	0	0	0	0	0	0	0,00	0,00
	100%	-	-	VNR	VNR	0,00	0	0	0	0	0	0	0,00	0,00
sisma in -Y														
proporzionale alle masse														
	0%	-	-	VNR	VNR	0,00	0	0	0	0	0	0	0,00	0,00
	100%	-	-	VNR	VNR	0,00	0	0	0	0	0	0	0,00	0,00
proporzionale alla deformata 1° modo di vibrazione														
	0%	-	-	VNR	VNR	0,00	0	0	0	0	0	0	0,00	0,00
	100%	-	-	VNR	VNR	0,00	0	0	0	0	0	0	0,00	0,00
sisma in +X														
proporzionale alle masse														
Estradosso travi colmo	0%	-	-	VNR	VNR	0,00	0	0	0	0	0	0	0,00	0,00
	100%	-	-	VNR	VNR	0,00	0	0	0	0	0	0	0,00	0,00
proporzionale alla deformata 1° modo di vibrazione														

Lv	%L_{LI}	$V_{Ed,3}$	$V_{Ed,2}$	$CS^{(3)}$	$CS^{(2)}$	α_C	$V_{Rsd,s}{}^{(3)}$	$V_{Rsd,s}{}^{(2)}$	$V_{Rcd}{}^{(3)}$	$V_{Rcd}{}^{(2)}$	$V_{fd}{}^{(3)}$	$V_{fd}{}^{(2)}$	$Ctg\Theta^{(3)}$	$Ctg\Theta^{(2)}$
	[%]	[N]	[N]				[N]	[N]	[N]	[N]	[N]	[N]		
	0%	-10.308	75.723	5,26	0,97	1,05	54212	73574	154447	154447	0	0	2,50	2,50
	100%	-10.308	75.723	5,26	0,97	1,05	54212	73574	154101	154101	0	0	2,50	2,50
sisma in -X														
proporzionale alle masse														
	0%	-	-	VNR	VNR	0,00	0	0	0	0	0	0	0,00	0,00
	100%	-	-	VNR	VNR	0,00	0	0	0	0	0	0	0,00	0,00
proporzionale alla deformata 1° modo di vibrazione														
	0%	-	-	VNR	VNR	0,00	0	0	0	0	0	0	0,00	0,00
	100%	-	-	VNR	VNR	0,00	0	0	0	0	0	0	0,00	0,00
sisma in +Y														
proporzionale alle masse														
	0%	-35.270	72.527	1,54	1,01	1,06	54212	73574	155822	155822	0	0	2,50	2,50
	100%	-35.270	72.527	1,54	1,01	1,06	54212	73574	155510	155510	0	0	2,50	2,50
proporzionale alla deformata 1° modo di vibrazione														
	0%	-	-	VNR	VNR	0,00	0	0	0	0	0	0	0,00	0,00
	100%	-	-	VNR	VNR	0,00	0	0	0	0	0	0	0,00	0,00
sisma in -Y														
proporzionale alle masse														
	0%	-	-	VNR	VNR	0,00	0	0	0	0	0	0	0,00	0,00
	100%	-	-	VNR	VNR	0,00	0	0	0	0	0	0	0,00	0,00
proporzionale alla deformata 1° modo di vibrazione														
	0%	-	-	VNR	VNR	0,00	0	0	0	0	0	0	0,00	0,00
	100%	-	-	VNR	VNR	0,00	0	0	0	0	0	0	0,00	0,00
Pilastrata: Pilastrata26														
sisma in +X														
proporzionale alle masse														
Piano terra ingresso	0%	-	-	VNR	VNR	0,00	0	0	0	0	0	0	0,00	0,00
	100%	-	-	VNR	VNR	0,00	0	0	0	0	0	0	0,00	0,00
proporzionale alla deformata 1° modo di vibrazione														
	0%	-43.790	2.337	1,79	29,16	1,38	78479	68153	241035	241035	0	0	2,50	2,50
	100%	-43.790	2.337	1,79	29,16	1,37	78479	68153	239803	239803	0	0	2,50	2,50
sisma in -X														
proporzionale alle masse														
	0%	-	-	VNR	VNR	0,00	0	0	0	0	0	0	0,00	0,00
	100%	-	-	VNR	VNR	0,00	0	0	0	0	0	0	0,00	0,00
proporzionale alla deformata 1° modo di vibrazione														
	0%	-	-	VNR	VNR	0,00	0	0	0	0	0	0	0,00	0,00
	100%	-	-	VNR	VNR	0,00	0	0	0	0	0	0	0,00	0,00
sisma in +Y														
proporzionale alle masse														
	0%	4.433	23.212	17,70	2,94	1,35	78479	68153	236419	236419	0	0	2,50	2,50
	100%	4.433	23.212	17,70	2,94	1,34	78479	68153	234850	234850	0	0	2,50	2,50
proporzionale alla deformata 1° modo di vibrazione														
	0%	-	-	VNR	VNR	0,00	0	0	0	0	0	0	0,00	0,00
	100%	-	-	VNR	VNR	0,00	0	0	0	0	0	0	0,00	0,00
sisma in -Y														
proporzionale alle masse														
	0%	-	-	VNR	VNR	0,00	0	0	0	0	0	0	0,00	0,00
	100%	-	-	VNR	VNR	0,00	0	0	0	0	0	0	0,00	0,00
proporzionale alla deformata 1° modo di vibrazione														
	0%	-	-	VNR	VNR	0,00	0	0	0	0	0	0	0,00	0,00
	100%	-	-	VNR	VNR	0,00	0	0	0	0	0	0	0,00	0,00
sisma in +X														
proporzionale alle masse														
Piano rialzato	0%	-	-	VNR	VNR	0,00	0	0	0	0	0	0	0,00	0,00
	100%	-	-	VNR	VNR	0,00	0	0	0	0	0	0	0,00	0,00
proporzionale alla deformata 1° modo di vibrazione														
	0%	-41.989	2.304	1,65	26,10	1,37	69246	60135	239854	239854	0	0	2,50	2,50
	100%	-41.989	2.304	1,65	26,10	1,37	69246	60135	239907	239907	0	0	2,50	2,50
sisma in -X														
proporzionale alle masse														
	0%	-	-	VNR	VNR	0,00	0	0	0	0	0	0	0,00	0,00
	100%	-	-	VNR	VNR	0,00	0	0	0	0	0	0	0,00	0,00
proporzionale alla deformata 1° modo di vibrazione														
	0%	-	-	VNR	VNR	0,00	0	0	0	0	0	0	0,00	0,00
	100%	-	-	VNR	VNR	0,00	0	0	0	0	0	0	0,00	0,00
sisma in +Y														
proporzionale alle masse														
	0%	4.325	19.636	16,01	3,06	1,34	69246	60135	234850	234850	0	0	2,50	2,50
	100%	4.325	19.636	16,01	3,06	1,34	69246	60135	234725	234725	0	0	2,50	2,50
proporzionale alla deformata 1° modo di vibrazione														
	0%	-	-	VNR	VNR	0,00	0	0	0	0	0	0	0,00	0,00
	100%	-	-	VNR	VNR	0,00	0	0	0	0	0	0	0,00	0,00
sisma in -Y														
proporzionale alle masse														
	0%	-	-	VNR	VNR	0,00	0	0	0	0	0	0	0,00	0,00
	100%	-	-	VNR	VNR	0,00	0	0	0	0	0	0	0,00	0,00
proporzionale alla deformata 1° modo di vibrazione														
	0%	-	-	VNR	VNR	0,00	0	0	0	0	0	0	0,00	0,00
	100%	-	-	VNR	VNR	0,00	0	0	0	0	0	0	0,00	0,00
sisma in +X														
proporzionale alle masse														
Piano primo	0%	-	-	VNR	VNR	0,00	0	0	0	0	0	0	0,00	0,00
	100%	-	-	VNR	VNR	0,00	0	0	0	0	0	0	0,00	0,00
proporzionale alla deformata 1° modo di vibrazione														
	0%	-26.500	730	2,18	93,36	1,30	57826	68153	167614	167614	0	0	2,50	2,50

Lv	%L_{LI}	$V_{Ed,3}$	$V_{Ed,2}$	$CS^{(3)}$	$CS^{(2)}$	α_C	$V_{Rsd,s}{}^{(3)}$	$V_{Rsd,s}{}^{(2)}$	$V_{Rcd}{}^{(3)}$	$V_{Rcd}{}^{(2)}$	$V_{fd}{}^{(3)}$	$V_{fd}{}^{(2)}$	$Ctg\Theta^{(3)}$	$Ctg\Theta^{(2)}$
	[%]	[N]	[N]				[N]	[N]	[N]	[N]	[N]	[N]		
	100%	-26.500	730	2,18	93,36	1,30	57826	68153	167098	167098	0	0	2,50	2,50
sisma in -X														
proporzionale alle masse														
	0%	-	-	VNR	VNR	0,00	0	0	0	0	0	0	0,00	0,00
	100%	-	-	VNR	VNR	0,00	0	0	0	0	0	0	0,00	0,00
proporzionale alla deformata 1° modo di vibrazione														
	0%	-	-	VNR	VNR	0,00	0	0	0	0	0	0	0,00	0,00
	100%	-	-	VNR	VNR	0,00	0	0	0	0	0	0	0,00	0,00
sisma in +Y														
proporzionale alle masse														
	0%	4.238	1.759	13,64	38,75	1,27	57826	68153	163467	163467	0	0	2,50	2,50
	100%	4.238	1.759	13,64	38,75	1,26	57826	68153	162728	162728	0	0	2,50	2,50
proporzionale alla deformata 1° modo di vibrazione														
	0%	-	-	VNR	VNR	0,00	0	0	0	0	0	0	0,00	0,00
	100%	-	-	VNR	VNR	0,00	0	0	0	0	0	0	0,00	0,00
sisma in -Y														
proporzionale alle masse														
	0%	-	-	VNR	VNR	0,00	0	0	0	0	0	0	0,00	0,00
	100%	-	-	VNR	VNR	0,00	0	0	0	0	0	0	0,00	0,00
proporzionale alla deformata 1° modo di vibrazione														
	0%	-	-	VNR	VNR	0,00	0	0	0	0	0	0	0,00	0,00
	100%	-	-	VNR	VNR	0,00	0	0	0	0	0	0	0,00	0,00
sisma in +X														
proporzionale alle masse														
Estradosso travi gronda	0%	-	-	VNR	VNR	0,00	0	0	0	0	0	0	0,00	0,00
	100%	-	-	VNR	VNR	0,00	0	0	0	0	0	0	0,00	0,00
proporzionale alla deformata 1° modo di vibrazione														
	0%	-9.017	3.123	6,01	17,36	1,12	54212	54212	123745	123745	0	0	2,50	2,50
	100%	-9.017	3.123	6,01	17,36	1,11	54212	54212	122969	122969	0	0	2,50	2,50
sisma in -X														
proporzionale alle masse														
	0%	-	-	VNR	VNR	0,00	0	0	0	0	0	0	0,00	0,00
	100%	-	-	VNR	VNR	0,00	0	0	0	0	0	0	0,00	0,00
proporzionale alla deformata 1° modo di vibrazione														
	0%	-	-	VNR	VNR	0,00	0	0	0	0	0	0	0,00	0,00
	100%	-	-	VNR	VNR	0,00	0	0	0	0	0	0	0,00	0,00
sisma in +Y														
proporzionale alle masse														
	0%	2.563	7.224	21,15	7,50	1,09	54212	54212	120961	120961	0	0	2,50	2,50
	100%	2.563	7.224	21,15	7,50	1,09	54212	54212	120248	120248	0	0	2,50	2,50
proporzionale alla deformata 1° modo di vibrazione														
	0%	-	-	VNR	VNR	0,00	0	0	0	0	0	0	0,00	0,00
	100%	-	-	VNR	VNR	0,00	0	0	0	0	0	0	0,00	0,00
sisma in -Y														
proporzionale alle masse														
	0%	-	-	VNR	VNR	0,00	0	0	0	0	0	0	0,00	0,00
	100%	-	-	VNR	VNR	0,00	0	0	0	0	0	0	0,00	0,00
proporzionale alla deformata 1° modo di vibrazione														
	0%	-	-	VNR	VNR	0,00	0	0	0	0	0	0	0,00	0,00
	100%	-	-	VNR	VNR	0,00	0	0	0	0	0	0	0,00	0,00
sisma in +X														
proporzionale alle masse														
Estradosso travi colmo	0%	-	-	VNR	VNR	0,00	0	0	0	0	0	0	0,00	0,00
	100%	-	-	VNR	VNR	0,00	0	0	0	0	0	0	0,00	0,00
proporzionale alla deformata 1° modo di vibrazione														
	0%	12.255	-9.437	4,42	5,74	1,08	54212	54212	119432	119432	0	0	2,50	2,50
	100%	12.255	-9.437	4,42	5,74	1,08	54212	54212	119153	119153	0	0	2,50	2,50
sisma in -X														
proporzionale alle masse														
	0%	-	-	VNR	VNR	0,00	0	0	0	0	0	0	0,00	0,00
	100%	-	-	VNR	VNR	0,00	0	0	0	0	0	0	0,00	0,00
proporzionale alla deformata 1° modo di vibrazione														
	0%	-	-	VNR	VNR	0,00	0	0	0	0	0	0	0,00	0,00
	100%	-	-	VNR	VNR	0,00	0	0	0	0	0	0	0,00	0,00
sisma in +Y														
proporzionale alle masse														
	0%	15.389	-14.719	3,52	3,68	1,06	54212	54212	117430	117430	0	0	2,50	2,50
	100%	15.389	-14.719	3,52	3,68	1,06	54212	54212	117303	117303	0	0	2,50	2,50
proporzionale alla deformata 1° modo di vibrazione														
	0%	-	-	VNR	VNR	0,00	0	0	0	0	0	0	0,00	0,00
	100%	-	-	VNR	VNR	0,00	0	0	0	0	0	0	0,00	0,00
sisma in -Y														
proporzionale alle masse														
	0%	-	-	VNR	VNR	0,00	0	0	0	0	0	0	0,00	0,00
	100%	-	-	VNR	VNR	0,00	0	0	0	0	0	0	0,00	0,00
proporzionale alla deformata 1° modo di vibrazione														
	0%	-	-	VNR	VNR	0,00	0	0	0	0	0	0	0,00	0,00
	100%	-	-	VNR	VNR	0,00	0	0	0	0	0	0	0,00	0,00
Pilastrata: Pilastrata27														
sisma in +X														
proporzionale alle masse														
Piano terra ingresso	0%	-	-	VNR	VNR	0,00	0	0	0	0	0	0	0,00	0,00
	100%	-	-	VNR	VNR	0,00	0	0	0	0	0	0	0,00	0,00
proporzionale alla deformata 1° modo di vibrazione														
	0%	-35.012	1.020	1,95	56,69	1,27	68153	57826	165002	165002	0	0	2,50	2,50

Lv	%L_{LI}	$V_{Ed,3}$	$V_{Ed,2}$	$CS^{(3)}$	$CS^{(2)}$	α_C	$V_{Rsd,s}{}^{(3)}$	$V_{Rsd,s}{}^{(2)}$	$V_{Rcd}{}^{(3)}$	$V_{Rcd}{}^{(2)}$	$V_{fd}{}^{(3)}$	$V_{fd}{}^{(2)}$	$Ctg\Theta^{(3)}$	$Ctg\Theta^{(2)}$
	[%]	[N]	[N]				[N]	[N]	[N]	[N]	[N]	[N]		
	100%	-35.012	1.020	1,95	56,69	1,26	68153	57826	164245	164245	0	0	2,50	2,50
sisma in -X														
proporzionale alle masse														
	0%	-	-	VNR	VNR	0,00	0	0	0	0	0	0	0,00	0,00
	100%	-	-	VNR	VNR	0,00	0	0	0	0	0	0	0,00	0,00
proporzionale alla deformata 1° modo di vibrazione														
	0%	-	-	VNR	VNR	0,00	0	0	0	0	0	0	0,00	0,00
	100%	-	-	VNR	VNR	0,00	0	0	0	0	0	0	0,00	0,00
sisma in +Y														
proporzionale alle masse														
	0%	-11.673	17.218	5,84	3,36	1,25	68153	57826	162718	162718	0	0	2,50	2,50
	100%	-11.673	17.218	5,84	3,36	1,24	68153	57826	161799	161799	0	0	2,50	2,50
proporzionale alla deformata 1° modo di vibrazione														
	0%	-	-	VNR	VNR	0,00	0	0	0	0	0	0	0,00	0,00
	100%	-	-	VNR	VNR	0,00	0	0	0	0	0	0	0,00	0,00
sisma in -Y														
proporzionale alle masse														
	0%	-	-	VNR	VNR	0,00	0	0	0	0	0	0	0,00	0,00
	100%	-	-	VNR	VNR	0,00	0	0	0	0	0	0	0,00	0,00
proporzionale alla deformata 1° modo di vibrazione														
	0%	-	-	VNR	VNR	0,00	0	0	0	0	0	0	0,00	0,00
	100%	-	-	VNR	VNR	0,00	0	0	0	0	0	0	0,00	0,00
sisma in +X														
proporzionale alle masse														
Piano primo	0%	-	-	VNR	VNR	0,00	0	0	0	0	0	0	0,00	0,00
	100%	-	-	VNR	VNR	0,00	0	0	0	0	0	0	0,00	0,00
proporzionale alla deformata 1° modo di vibrazione														
	0%	-28.677	495	1,78	NS	1,19	51023	51023	131474	131474	0	0	2,50	2,50
	100%	-28.677	495	1,78	NS	1,19	51023	51023	131310	131310	0	0	2,50	2,50
sisma in -X														
proporzionale alle masse														
	0%	-	-	VNR	VNR	0,00	0	0	0	0	0	0	0,00	0,00
	100%	-	-	VNR	VNR	0,00	0	0	0	0	0	0	0,00	0,00
proporzionale alla deformata 1° modo di vibrazione														
	0%	-	-	VNR	VNR	0,00	0	0	0	0	0	0	0,00	0,00
	100%	-	-	VNR	VNR	0,00	0	0	0	0	0	0	0,00	0,00
sisma in +Y														
proporzionale alle masse														
	0%	-16.397	7.301	3,11	6,99	1,18	51023	51023	130271	130271	0	0	2,50	2,50
	100%	-16.397	7.301	3,11	6,99	1,17	51023	51023	129656	129656	0	0	2,50	2,50
proporzionale alla deformata 1° modo di vibrazione														
	0%	-	-	VNR	VNR	0,00	0	0	0	0	0	0	0,00	0,00
	100%	-	-	VNR	VNR	0,00	0	0	0	0	0	0	0,00	0,00
sisma in -Y														
proporzionale alle masse														
	0%	-	-	VNR	VNR	0,00	0	0	0	0	0	0	0,00	0,00
	100%	-	-	VNR	VNR	0,00	0	0	0	0	0	0	0,00	0,00
proporzionale alla deformata 1° modo di vibrazione														
	0%	-	-	VNR	VNR	0,00	0	0	0	0	0	0	0,00	0,00
	100%	-	-	VNR	VNR	0,00	0	0	0	0	0	0	0,00	0,00
sisma in +X														
proporzionale alle masse														
Estradosso travi gronda	0%	-	-	VNR	VNR	0,00	0	0	0	0	0	0	0,00	0,00
	100%	-	-	VNR	VNR	0,00	0	0	0	0	0	0	0,00	0,00
proporzionale alla deformata 1° modo di vibrazione														
	0%	-12.459	1.520	4,64	38,04	1,08	57826	57826	119159	119159	0	0	2,50	2,50
	100%	-12.459	1.520	4,64	38,04	1,07	57826	57826	118508	118508	0	0	2,50	2,50
sisma in -X														
proporzionale alle masse														
	0%	-	-	VNR	VNR	0,00	0	0	0	0	0	0	0,00	0,00
	100%	-	-	VNR	VNR	0,00	0	0	0	0	0	0	0,00	0,00
proporzionale alla deformata 1° modo di vibrazione														
	0%	-	-	VNR	VNR	0,00	0	0	0	0	0	0	0,00	0,00
	100%	-	-	VNR	VNR	0,00	0	0	0	0	0	0	0,00	0,00
sisma in +Y														
proporzionale alle masse														
	0%	-5.523	7.806	10,47	7,41	1,07	57826	57826	118658	118658	0	0	2,50	2,50
	100%	-5.523	7.806	10,47	7,41	1,07	57826	57826	117852	117852	0	0	2,50	2,50
proporzionale alla deformata 1° modo di vibrazione														
	0%	-	-	VNR	VNR	0,00	0	0	0	0	0	0	0,00	0,00
	100%	-	-	VNR	VNR	0,00	0	0	0	0	0	0	0,00	0,00
sisma in -Y														
proporzionale alle masse														
	0%	-	-	VNR	VNR	0,00	0	0	0	0	0	0	0,00	0,00
	100%	-	-	VNR	VNR	0,00	0	0	0	0	0	0	0,00	0,00
proporzionale alla deformata 1° modo di vibrazione														
	0%	-	-	VNR	VNR	0,00	0	0	0	0	0	0	0,00	0,00
	100%	-	-	VNR	VNR	0,00	0	0	0	0	0	0	0,00	0,00
sisma in +X														
proporzionale alle masse														
Estradosso travi colmo	0%	-	-	VNR	VNR	0,00	0	0	0	0	0	0	0,00	0,00
	100%	-	-	VNR	VNR	0,00	0	0	0	0	0	0	0,00	0,00
proporzionale alla deformata 1° modo di vibrazione														
	0%	-37.274	-9.324	1,45	5,81	1,04	54212	54212	115485	115485	0	0	2,50	2,50
	100%	-37.274	-9.324	1,45	5,81	1,04	54212	54212	115274	115274	0	0	2,50	2,50

Lv	%L_{LI}	$V_{Ed,3}$	$V_{Ed,2}$	$CS^{(3)}$	$CS^{(2)}$	α_C	$V_{Rsd,s}{}^{(3)}$	$V_{Rsd,s}{}^{(2)}$	$V_{Rcd}{}^{(3)}$	$V_{Rcd}{}^{(2)}$	$V_{fd}{}^{(3)}$	$V_{fd}{}^{(2)}$	$Ctg\Theta^{(3)}$	$Ctg\Theta^{(2)}$
	[%]	[N]	[N]				[N]	[N]	[N]	[N]	[N]	[N]		
sisma in -X														
proporzionale alle masse														
	0%	-	-	VNR	VNR	0,00	0	0	0	0	0	0	0,00	0,00
	100%	-	-	VNR	VNR	0,00	0	0	0	0	0	0	0,00	0,00
proporzionale alla deformata 1° modo di vibrazione														
	0%	-	-	VNR	VNR	0,00	0	0	0	0	0	0	0,00	0,00
	100%	-	-	VNR	VNR	0,00	0	0	0	0	0	0	0,00	0,00
sisma in +Y														
proporzionale alle masse														
	0%	-38.984	-12.610	1,39	4,30	1,04	54212	54212	114949	114949	0	0	2,50	2,50
	100%	-38.984	-12.610	1,39	4,30	1,04	54212	54212	114698	114698	0	0	2,50	2,50
proporzionale alla deformata 1° modo di vibrazione														
	0%	-	-	VNR	VNR	0,00	0	0	0	0	0	0	0,00	0,00
	100%	-	-	VNR	VNR	0,00	0	0	0	0	0	0	0,00	0,00
sisma in -Y														
proporzionale alle masse														
	0%	-	-	VNR	VNR	0,00	0	0	0	0	0	0	0,00	0,00
	100%	-	-	VNR	VNR	0,00	0	0	0	0	0	0	0,00	0,00
proporzionale alla deformata 1° modo di vibrazione														
	0%	-	-	VNR	VNR	0,00	0	0	0	0	0	0	0,00	0,00
	100%	-	-	VNR	VNR	0,00	0	0	0	0	0	0	0,00	0,00
Pilastrata: Pilastrata28														
sisma in +X														
proporzionale alle masse														
Piano terra ingresso	0%	-	-	VNR	VNR	0,00	0	0	0	0	0	0	0,00	0,00
	100%	-	-	VNR	VNR	0,00	0	0	0	0	0	0	0,00	0,00
proporzionale alla deformata 1° modo di vibrazione														
	0%	-5.018	385	20,49	NS	1,00	102803	102803	110775	110775	0	0	2,50	2,50
	100%	-5.018	385	20,49	NS	1,00	102803	102803	110520	110520	0	0	2,50	2,50
sisma in -X														
proporzionale alle masse														
	0%	-	-	VNR	VNR	0,00	0	0	0	0	0	0	0,00	0,00
	100%	-	-	VNR	VNR	0,00	0	0	0	0	0	0	0,00	0,00
proporzionale alla deformata 1° modo di vibrazione														
	0%	-	-	VNR	VNR	0,00	0	0	0	0	0	0	0,00	0,00
	100%	-	-	VNR	VNR	0,00	0	0	0	0	0	0	0,00	0,00
sisma in +Y														
proporzionale alle masse														
	0%	-154	16.137	NS	6,37	1,21	102803	102803	134185	134185	0	0	2,50	2,50
	100%	-154	16.137	NS	6,37	1,21	102803	102803	133632	133632	0	0	2,50	2,50
proporzionale alla deformata 1° modo di vibrazione														
	0%	-	-	VNR	VNR	0,00	0	0	0	0	0	0	0,00	0,00
	100%	-	-	VNR	VNR	0,00	0	0	0	0	0	0	0,00	0,00
sisma in -Y														
proporzionale alle masse														
	0%	-	-	VNR	VNR	0,00	0	0	0	0	0	0	0,00	0,00
	100%	-	-	VNR	VNR	0,00	0	0	0	0	0	0	0,00	0,00
proporzionale alla deformata 1° modo di vibrazione														
	0%	-	-	VNR	VNR	0,00	0	0	0	0	0	0	0,00	0,00
	100%	-	-	VNR	VNR	0,00	0	0	0	0	0	0	0,00	0,00
sisma in +X														
proporzionale alle masse														
Piano rialzato	0%	-	-	VNR	VNR	0,00	0	0	0	0	0	0	0,00	0,00
	100%	-	-	VNR	VNR	0,00	0	0	0	0	0	0	0,00	0,00
proporzionale alla deformata 1° modo di vibrazione														
	0%	-25.401	1.384	3,57	65,54	1,01	90708	90708	112006	112006	0	0	2,50	2,50
	100%	-25.401	1.384	3,57	65,54	1,02	90708	90708	112267	112267	0	0	2,50	2,50
sisma in -X														
proporzionale alle masse														
	0%	-	-	VNR	VNR	0,00	0	0	0	0	0	0	0,00	0,00
	100%	-	-	VNR	VNR	0,00	0	0	0	0	0	0	0,00	0,00
proporzionale alla deformata 1° modo di vibrazione														
	0%	-	-	VNR	VNR	0,00	0	0	0	0	0	0	0,00	0,00
	100%	-	-	VNR	VNR	0,00	0	0	0	0	0	0	0,00	0,00
sisma in +Y														
proporzionale alle masse														
	0%	-61	11.503	NS	7,89	1,21	90708	90708	133429	133429	0	0	2,50	2,50
	100%	-61	11.503	NS	7,89	1,21	90708	90708	133381	133381	0	0	2,50	2,50
proporzionale alla deformata 1° modo di vibrazione														
	0%	-	-	VNR	VNR	0,00	0	0	0	0	0	0	0,00	0,00
	100%	-	-	VNR	VNR	0,00	0	0	0	0	0	0	0,00	0,00
sisma in -Y														
proporzionale alle masse														
	0%	-	-	VNR	VNR	0,00	0	0	0	0	0	0	0,00	0,00
	100%	-	-	VNR	VNR	0,00	0	0	0	0	0	0	0,00	0,00
proporzionale alla deformata 1° modo di vibrazione														
	0%	-	-	VNR	VNR	0,00	0	0	0	0	0	0	0,00	0,00
	100%	-	-	VNR	VNR	0,00	0	0	0	0	0	0	0,00	0,00
sisma in +X														
proporzionale alle masse														
Piano primo	0%	-	-	VNR	VNR	0,00	0	0	0	0	0	0	0,00	0,00
	100%	-	-	VNR	VNR	0,00	0	0	0	0	0	0	0,00	0,00
proporzionale alla deformata 1° modo di vibrazione														
	0%	-3.344	885	30,74	NS	1,00	102803	102803	111031	111031	0	0	2,50	2,50
	100%	-3.344	885	30,74	NS	1,00	102803	102803	110520	110520	0	0	2,50	2,50
sisma in -X														

Lv	%L_{LI}	$V_{Ed,3}$	$V_{Ed,2}$	$CS^{(3)}$	$CS^{(2)}$	α_C	$V_{Rsd,s}{}^{(3)}$	$V_{Rsd,s}{}^{(2)}$	$V_{Rcd}{}^{(3)}$	$V_{Rcd}{}^{(2)}$	$V_{fd}{}^{(3)}$	$V_{fd}{}^{(2)}$	$Ctg\Theta^{(3)}$	$Ctg\Theta^{(2)}$
	[%]	[N]	[N]				[N]	[N]	[N]	[N]	[N]	[N]		
proporzionale alle masse														
	0%	-	-	VNR	VNR	0,00	0	0	0	0	0	0	0,00	0,00
	100%	-	-	VNR	VNR	0,00	0	0	0	0	0	0	0,00	0,00
proporzionale alla deformata 1° modo di vibrazione														
	0%	-	-	VNR	VNR	0,00	0	0	0	0	0	0	0,00	0,00
	100%	-	-	VNR	VNR	0,00	0	0	0	0	0	0	0,00	0,00
sisma in +Y														
proporzionale alle masse														
	0%	-18	13.410	NS	7,67	1,20	102803	102803	132893	132893	0	0	2,50	2,50
	100%	-18	13.410	NS	7,67	1,19	102803	102803	131985	131985	0	0	2,50	2,50
proporzionale alla deformata 1° modo di vibrazione														
	0%	-	-	VNR	VNR	0,00	0	0	0	0	0	0	0,00	0,00
	100%	-	-	VNR	VNR	0,00	0	0	0	0	0	0	0,00	0,00
sisma in -Y														
proporzionale alle masse														
	0%	-	-	VNR	VNR	0,00	0	0	0	0	0	0	0,00	0,00
	100%	-	-	VNR	VNR	0,00	0	0	0	0	0	0	0,00	0,00
proporzionale alla deformata 1° modo di vibrazione														
	0%	-	-	VNR	VNR	0,00	0	0	0	0	0	0	0,00	0,00
	100%	-	-	VNR	VNR	0,00	0	0	0	0	0	0	0,00	0,00
sisma in +X														
proporzionale alle masse														
Estradosso travi gronda	0%	-	-	VNR	VNR	0,00	0	0	0	0	0	0	0,00	0,00
	100%	-	-	VNR	VNR	0,00	0	0	0	0	0	0	0,00	0,00
proporzionale alla deformata 1° modo di vibrazione														
	0%	-1.926	165	53,38	NS	1,00	102803	102803	110520	110520	0	0	2,50	2,50
	100%	-1.926	165	53,38	NS	1,00	102803	102803	110520	110520	0	0	2,50	2,50
sisma in -X														
proporzionale alle masse														
	0%	-	-	VNR	VNR	0,00	0	0	0	0	0	0	0,00	0,00
	100%	-	-	VNR	VNR	0,00	0	0	0	0	0	0	0,00	0,00
proporzionale alla deformata 1° modo di vibrazione														
	0%	-	-	VNR	VNR	0,00	0	0	0	0	0	0	0,00	0,00
	100%	-	-	VNR	VNR	0,00	0	0	0	0	0	0	0,00	0,00
sisma in +Y														
proporzionale alle masse														
	0%	830	11.355	NS	9,05	1,17	102803	102803	129591	129591	0	0	2,50	2,50
	100%	830	11.355	NS	9,05	1,17	102803	102803	128770	128770	0	0	2,50	2,50
proporzionale alla deformata 1° modo di vibrazione														
	0%	-	-	VNR	VNR	0,00	0	0	0	0	0	0	0,00	0,00
	100%	-	-	VNR	VNR	0,00	0	0	0	0	0	0	0,00	0,00
sisma in -Y														
proporzionale alle masse														
	0%	-	-	VNR	VNR	0,00	0	0	0	0	0	0	0,00	0,00
	100%	-	-	VNR	VNR	0,00	0	0	0	0	0	0	0,00	0,00
proporzionale alla deformata 1° modo di vibrazione														
	0%	-	-	VNR	VNR	0,00	0	0	0	0	0	0	0,00	0,00
	100%	-	-	VNR	VNR	0,00	0	0	0	0	0	0	0,00	0,00
sisma in +X														
proporzionale alle masse														
Estradosso travi colmo	0%	-	-	VNR	VNR	0,00	0	0	0	0	0	0	0,00	0,00
	100%	-	-	VNR	VNR	0,00	0	0	0	0	0	0	0,00	0,00
proporzionale alla deformata 1° modo di vibrazione														
	0%	5.705	9.270	16,89	10,40	1,00	96378	96378	110520	110520	0	0	2,50	2,50
	100%	5.705	9.270	16,89	10,40	1,00	96378	96378	110520	110520	0	0	2,50	2,50
sisma in -X														
proporzionale alle masse														
	0%	-	-	VNR	VNR	0,00	0	0	0	0	0	0	0,00	0,00
	100%	-	-	VNR	VNR	0,00	0	0	0	0	0	0	0,00	0,00
proporzionale alla deformata 1° modo di vibrazione														
	0%	-	-	VNR	VNR	0,00	0	0	0	0	0	0	0,00	0,00
	100%	-	-	VNR	VNR	0,00	0	0	0	0	0	0	0,00	0,00
sisma in +Y														
proporzionale alle masse														
	0%	-20.979	-35.930	4,59	2,68	1,16	96378	96378	128554	128554	0	0	2,50	2,50
	100%	-20.979	-35.930	4,59	2,68	1,16	96378	96378	128293	128293	0	0	2,50	2,50
proporzionale alla deformata 1° modo di vibrazione														
	0%	-	-	VNR	VNR	0,00	0	0	0	0	0	0	0,00	0,00
	100%	-	-	VNR	VNR	0,00	0	0	0	0	0	0	0,00	0,00
sisma in -Y														
proporzionale alle masse														
	0%	-	-	VNR	VNR	0,00	0	0	0	0	0	0	0,00	0,00
	100%	-	-	VNR	VNR	0,00	0	0	0	0	0	0	0,00	0,00
proporzionale alla deformata 1° modo di vibrazione														
	0%	-	-	VNR	VNR	0,00	0	0	0	0	0	0	0,00	0,00
	100%	-	-	VNR	VNR	0,00	0	0	0	0	0	0	0,00	0,00
Pilastrata: Pilastrata29														
sisma in +X														
proporzionale alle masse														
Piano terra ingresso	0%	-	-	VNR	VNR	0,00	0	0	0	0	0	0	0,00	0,00
	100%	-	-	VNR	VNR	0,00	0	0	0	0	0	0	0,00	0,00
proporzionale alla deformata 1° modo di vibrazione														
	0%	-21.183	998	2,73	57,94	1,09	57826	57826	119957	119957	0	0	2,50	2,50
	100%	-21.183	998	2,73	57,94	1,08	57826	57826	119310	119310	0	0	2,50	2,50
sisma in -X														

Lv	$\%L_{LI}$	$V_{Ed,3}$	$V_{Ed,2}$	$CS^{(3)}$	$CS^{(2)}$	α_C	$V_{Rsd,s}{}^{(3)}$	$V_{Rsd,s}{}^{(2)}$	$V_{Rcd}{}^{(3)}$	$V_{Rcd}{}^{(2)}$	$V_{fd}{}^{(3)}$	$V_{fd}{}^{(2)}$	$Ctg\Theta^{(3)}$	$Ctg\Theta^{(2)}$
	[%]	[N]	[N]				[N]	[N]	[N]	[N]	[N]	[N]		
proporzionale alle masse														
	0%	-	-	VNR	VNR	0,00	0	0	0	0	0	0	0,00	0,00
	100%	-	-	VNR	VNR	0,00	0	0	0	0	0	0	0,00	0,00
proporzionale alla deformata 1° modo di vibrazione														
	0%	-	-	VNR	VNR	0,00	0	0	0	0	0	0	0,00	0,00
	100%	-	-	VNR	VNR	0,00	0	0	0	0	0	0	0,00	0,00
sisma in +Y														
proporzionale alle masse														
	0%	-82	26.655	NS	2,17	1,22	57826	57826	134977	134977	0	0	2,50	2,50
	100%	-82	26.655	NS	2,17	1,22	57826	57826	134479	134479	0	0	2,50	2,50
proporzionale alla deformata 1° modo di vibrazione														
	0%	-	-	VNR	VNR	0,00	0	0	0	0	0	0	0,00	0,00
	100%	-	-	VNR	VNR	0,00	0	0	0	0	0	0	0,00	0,00
sisma in -Y														
proporzionale alle masse														
	0%	-	-	VNR	VNR	0,00	0	0	0	0	0	0	0,00	0,00
	100%	-	-	VNR	VNR	0,00	0	0	0	0	0	0	0,00	0,00
proporzionale alla deformata 1° modo di vibrazione														
	0%	-	-	VNR	VNR	0,00	0	0	0	0	0	0	0,00	0,00
	100%	-	-	VNR	VNR	0,00	0	0	0	0	0	0	0,00	0,00
sisma in +X														
proporzionale alle masse														
Piano primo	0%	-	-	VNR	VNR	0,00	0	0	0	0	0	0	0,00	0,00
	100%	-	-	VNR	VNR	0,00	0	0	0	0	0	0	0,00	0,00
proporzionale alla deformata 1° modo di vibrazione														
	0%	-7.736	884	6,60	57,72	1,06	51023	51023	116610	116610	0	0	2,50	2,50
	100%	-7.736	884	6,60	57,72	1,05	51023	51023	115704	115704	0	0	2,50	2,50
sisma in -X														
proporzionale alle masse														
	0%	-	-	VNR	VNR	0,00	0	0	0	0	0	0	0,00	0,00
	100%	-	-	VNR	VNR	0,00	0	0	0	0	0	0	0,00	0,00
proporzionale alla deformata 1° modo di vibrazione														
	0%	-	-	VNR	VNR	0,00	0	0	0	0	0	0	0,00	0,00
	100%	-	-	VNR	VNR	0,00	0	0	0	0	0	0	0,00	0,00
sisma in +Y														
proporzionale alle masse														
	0%	57	5.134	NS	9,94	1,18	51023	51023	130426	130426	0	0	2,50	2,50
	100%	57	5.134	NS	9,94	1,17	51023	51023	129581	129581	0	0	2,50	2,50
proporzionale alla deformata 1° modo di vibrazione														
	0%	-	-	VNR	VNR	0,00	0	0	0	0	0	0	0,00	0,00
	100%	-	-	VNR	VNR	0,00	0	0	0	0	0	0	0,00	0,00
sisma in -Y														
proporzionale alle masse														
	0%	-	-	VNR	VNR	0,00	0	0	0	0	0	0	0,00	0,00
	100%	-	-	VNR	VNR	0,00	0	0	0	0	0	0	0,00	0,00
proporzionale alla deformata 1° modo di vibrazione														
	0%	-	-	VNR	VNR	0,00	0	0	0	0	0	0	0,00	0,00
	100%	-	-	VNR	VNR	0,00	0	0	0	0	0	0	0,00	0,00
sisma in +X														
proporzionale alle masse														
Estradosso travi gronda	0%	-	-	VNR	VNR	0,00	0	0	0	0	0	0	0,00	0,00
	100%	-	-	VNR	VNR	0,00	0	0	0	0	0	0	0,00	0,00
proporzionale alla deformata 1° modo di vibrazione														
	0%	-2.230	307	25,93	NS	1,00	57826	57826	110520	110520	0	0	2,50	2,50
	100%	-2.230	307	25,93	NS	1,00	57826	57826	110520	110520	0	0	2,50	2,50
sisma in -X														
proporzionale alle masse														
	0%	-	-	VNR	VNR	0,00	0	0	0	0	0	0	0,00	0,00
	100%	-	-	VNR	VNR	0,00	0	0	0	0	0	0	0,00	0,00
proporzionale alla deformata 1° modo di vibrazione														
	0%	-	-	VNR	VNR	0,00	0	0	0	0	0	0	0,00	0,00
	100%	-	-	VNR	VNR	0,00	0	0	0	0	0	0	0,00	0,00
sisma in +Y														
proporzionale alle masse														
	0%	-428	8.471	NS	6,83	1,09	57826	57826	120907	120907	0	0	2,50	2,50
	100%	-428	8.471	NS	6,83	1,09	57826	57826	120162	120162	0	0	2,50	2,50
proporzionale alla deformata 1° modo di vibrazione														
	0%	-	-	VNR	VNR	0,00	0	0	0	0	0	0	0,00	0,00
	100%	-	-	VNR	VNR	0,00	0	0	0	0	0	0	0,00	0,00
sisma in -Y														
proporzionale alle masse														
	0%	-	-	VNR	VNR	0,00	0	0	0	0	0	0	0,00	0,00
	100%	-	-	VNR	VNR	0,00	0	0	0	0	0	0	0,00	0,00
proporzionale alla deformata 1° modo di vibrazione														
	0%	-	-	VNR	VNR	0,00	0	0	0	0	0	0	0,00	0,00
	100%	-	-	VNR	VNR	0,00	0	0	0	0	0	0	0,00	0,00
sisma in +X														
proporzionale alle masse														
Estradosso travi colmo	0%	-	-	VNR	VNR	0,00	0	0	0	0	0	0	0,00	0,00
	100%	-	-	VNR	VNR	0,00	0	0	0	0	0	0	0,00	0,00
proporzionale alla deformata 1° modo di vibrazione														
	0%	2.960	1.946	18,31	27,86	1,00	54212	54212	110520	110520	0	0	2,50	2,50
	100%	2.960	1.946	18,31	27,86	1,00	54212	54212	110520	110520	0	0	2,50	2,50
sisma in -X														
proporzionale alle masse														

Lv	%L_{LI}	$V_{Ed,3}$	$V_{Ed,2}$	$CS^{(3)}$	$CS^{(2)}$	α_C	$V_{Rsd,s}{}^{(3)}$	$V_{Rsd,s}{}^{(2)}$	$V_{Rcd}{}^{(3)}$	$V_{Rcd}{}^{(2)}$	$V_{fd}{}^{(3)}$	$V_{fd}{}^{(2)}$	$Ctg\Theta^{(3)}$	$Ctg\Theta^{(2)}$
	[%]	[N]	[N]				[N]	[N]	[N]	[N]	[N]	[N]		
	0%	-	-	VNR	VNR	0,00	0	0	0	0	0	0	0,00	0,00
	100%	-	-	VNR	VNR	0,00	0	0	0	0	0	0	0,00	0,00
proporzionale alla deformata 1° modo di vibrazione														
	0%	-	-	VNR	VNR	0,00	0	0	0	0	0	0	0,00	0,00
	100%	-	-	VNR	VNR	0,00	0	0	0	0	0	0	0,00	0,00
sisma in +Y														
proporzionale alle masse														
	0%	817	-10.118	66,35	5,36	1,07	54212	54212	118200	118200	0	0	2,50	2,50
	100%	817	-10.118	66,35	5,36	1,07	54212	54212	117877	117877	0	0	2,50	2,50
proporzionale alla deformata 1° modo di vibrazione														
	0%	-	-	VNR	VNR	0,00	0	0	0	0	0	0	0,00	0,00
	100%	-	-	VNR	VNR	0,00	0	0	0	0	0	0	0,00	0,00
sisma in -Y														
proporzionale alle masse														
	0%	-	-	VNR	VNR	0,00	0	0	0	0	0	0	0,00	0,00
	100%	-	-	VNR	VNR	0,00	0	0	0	0	0	0	0,00	0,00
proporzionale alla deformata 1° modo di vibrazione														
	0%	-	-	VNR	VNR	0,00	0	0	0	0	0	0	0,00	0,00
	100%	-	-	VNR	VNR	0,00	0	0	0	0	0	0	0,00	0,00
Pilastrata: Pilastrata30														
sisma in +X														
proporzionale alle masse														
Piano terra ingresso	0%	-	-	VNR	VNR	0,00	0	0	0	0	0	0	0,00	0,00
	100%	-	-	VNR	VNR	0,00	0	0	0	0	0	0	0,00	0,00
proporzionale alla deformata 1° modo di vibrazione														
	0%	-25.241	1.512	2,70	38,24	1,12	68153	57826	145443	145443	0	0	2,50	2,50
	100%	-25.241	1.512	2,70	38,24	1,11	68153	57826	144885	144885	0	0	2,50	2,50
sisma in -X														
proporzionale alle masse														
	0%	-	-	VNR	VNR	0,00	0	0	0	0	0	0	0,00	0,00
	100%	-	-	VNR	VNR	0,00	0	0	0	0	0	0	0,00	0,00
proporzionale alla deformata 1° modo di vibrazione														
	0%	-	-	VNR	VNR	0,00	0	0	0	0	0	0	0,00	0,00
	100%	-	-	VNR	VNR	0,00	0	0	0	0	0	0	0,00	0,00
sisma in +Y														
proporzionale alle masse														
	0%	-1.783	31.335	38,22	1,85	1,17	68153	57826	152529	152529	0	0	2,50	2,50
	100%	-1.783	31.335	38,22	1,85	1,17	68153	57826	151845	151845	0	0	2,50	2,50
proporzionale alla deformata 1° modo di vibrazione														
	0%	-	-	VNR	VNR	0,00	0	0	0	0	0	0	0,00	0,00
	100%	-	-	VNR	VNR	0,00	0	0	0	0	0	0	0,00	0,00
sisma in -Y														
proporzionale alle masse														
	0%	-	-	VNR	VNR	0,00	0	0	0	0	0	0	0,00	0,00
	100%	-	-	VNR	VNR	0,00	0	0	0	0	0	0	0,00	0,00
proporzionale alla deformata 1° modo di vibrazione														
	0%	-	-	VNR	VNR	0,00	0	0	0	0	0	0	0,00	0,00
	100%	-	-	VNR	VNR	0,00	0	0	0	0	0	0	0,00	0,00
sisma in +X														
proporzionale alle masse														
Piano primo	0%	-	-	VNR	VNR	0,00	0	0	0	0	0	0	0,00	0,00
	100%	-	-	VNR	VNR	0,00	0	0	0	0	0	0	0,00	0,00
proporzionale alla deformata 1° modo di vibrazione														
	0%	-6.060	1.426	8,42	35,78	1,10	51023	51023	121676	121676	0	0	2,50	2,50
	100%	-6.060	1.426	8,42	35,78	1,09	51023	51023	120961	120961	0	0	2,50	2,50
sisma in -X														
proporzionale alle masse														
	0%	-	-	VNR	VNR	0,00	0	0	0	0	0	0	0,00	0,00
	100%	-	-	VNR	VNR	0,00	0	0	0	0	0	0	0,00	0,00
proporzionale alla deformata 1° modo di vibrazione														
	0%	-	-	VNR	VNR	0,00	0	0	0	0	0	0	0,00	0,00
	100%	-	-	VNR	VNR	0,00	0	0	0	0	0	0	0,00	0,00
sisma in +Y														
proporzionale alle masse														
	0%	1.546	8.779	33,00	5,81	1,16	51023	51023	127865	127865	0	0	2,50	2,50
	100%	1.546	8.779	33,00	5,81	1,15	51023	51023	126873	126873	0	0	2,50	2,50
proporzionale alla deformata 1° modo di vibrazione														
	0%	-	-	VNR	VNR	0,00	0	0	0	0	0	0	0,00	0,00
	100%	-	-	VNR	VNR	0,00	0	0	0	0	0	0	0,00	0,00
sisma in -Y														
proporzionale alle masse														
	0%	-	-	VNR	VNR	0,00	0	0	0	0	0	0	0,00	0,00
	100%	-	-	VNR	VNR	0,00	0	0	0	0	0	0	0,00	0,00
proporzionale alla deformata 1° modo di vibrazione														
	0%	-	-	VNR	VNR	0,00	0	0	0	0	0	0	0,00	0,00
	100%	-	-	VNR	VNR	0,00	0	0	0	0	0	0	0,00	0,00
sisma in +X														
proporzionale alle masse														
Estradosso travi gronda	0%	-	-	VNR	VNR	0,00	0	0	0	0	0	0	0,00	0,00
	100%	-	-	VNR	VNR	0,00	0	0	0	0	0	0	0,00	0,00
proporzionale alla deformata 1° modo di vibrazione														
	0%	-1.278	346	45,25	NS	1,00	57826	57826	110520	110520	0	0	2,50	2,50
	100%	-1.278	346	45,25	NS	1,00	57826	57826	110520	110520	0	0	2,50	2,50
sisma in -X														
proporzionale alle masse														

Lv	%L_{LI}	$V_{Ed,3}$	$V_{Ed,2}$	$CS^{(3)}$	$CS^{(2)}$	α_C	$V_{Rsd,s}{}^{(3)}$	$V_{Rsd,s}{}^{(2)}$	$V_{Rcd}{}^{(3)}$	$V_{Rcd}{}^{(2)}$	$V_{fd}{}^{(3)}$	$V_{fd}{}^{(2)}$	$Ctg\Theta^{(3)}$	$Ctg\Theta^{(2)}$
	[%]	[N]	[N]				[N]	[N]	[N]	[N]	[N]	[N]		
	0%	-	-	VNR	VNR	0,00	0	0	0	0	0	0	0,00	0,00
	100%	-	-	VNR	VNR	0,00	0	0	0	0	0	0	0,00	0,00
proporzionale alla deformata 1° modo di vibrazione														
	0%	-	-	VNR	VNR	0,00	0	0	0	0	0	0	0,00	0,00
	100%	-	-	VNR	VNR	0,00	0	0	0	0	0	0	0,00	0,00
sisma in +Y														
proporzionale alle masse														
	0%	1.301	4.576	44,45	12,64	1,02	57826	57826	112936	112936	0	0	2,50	2,50
	100%	1.301	4.576	44,45	12,64	1,02	57826	57826	112231	112231	0	0	2,50	2,50
proporzionale alla deformata 1° modo di vibrazione														
	0%	-	-	VNR	VNR	0,00	0	0	0	0	0	0	0,00	0,00
	100%	-	-	VNR	VNR	0,00	0	0	0	0	0	0	0,00	0,00
sisma in -Y														
proporzionale alle masse														
	0%	-	-	VNR	VNR	0,00	0	0	0	0	0	0	0,00	0,00
	100%	-	-	VNR	VNR	0,00	0	0	0	0	0	0	0,00	0,00
proporzionale alla deformata 1° modo di vibrazione														
	0%	-	-	VNR	VNR	0,00	0	0	0	0	0	0	0,00	0,00
	100%	-	-	VNR	VNR	0,00	0	0	0	0	0	0	0,00	0,00
sisma in +X														
proporzionale alle masse														
Estradosso travi colmo	0%	-	-	VNR	VNR	0,00	0	0	0	0	0	0	0,00	0,00
	100%	-	-	VNR	VNR	0,00	0	0	0	0	0	0	0,00	0,00
proporzionale alla deformata 1° modo di vibrazione														
	0%	1.613	-153	33,61	NS	1,00	54212	54212	110520	110520	0	0	2,50	2,50
	100%	1.613	-153	33,61	NS	1,00	54212	54212	110520	110520	0	0	2,50	2,50
sisma in -X														
proporzionale alle masse														
	0%	-	-	VNR	VNR	0,00	0	0	0	0	0	0	0,00	0,00
	100%	-	-	VNR	VNR	0,00	0	0	0	0	0	0	0,00	0,00
proporzionale alla deformata 1° modo di vibrazione														
	0%	-	-	VNR	VNR	0,00	0	0	0	0	0	0	0,00	0,00
	100%	-	-	VNR	VNR	0,00	0	0	0	0	0	0	0,00	0,00
sisma in +Y														
proporzionale alle masse														
	0%	3.042	-6.516	17,82	8,32	1,00	54212	54212	110520	110520	0	0	2,50	2,50
	100%	3.042	-6.516	17,82	8,32	1,00	54212	54212	110520	110520	0	0	2,50	2,50
proporzionale alla deformata 1° modo di vibrazione														
	0%	-	-	VNR	VNR	0,00	0	0	0	0	0	0	0,00	0,00
	100%	-	-	VNR	VNR	0,00	0	0	0	0	0	0	0,00	0,00
sisma in -Y														
proporzionale alle masse														
	0%	-	-	VNR	VNR	0,00	0	0	0	0	0	0	0,00	0,00
	100%	-	-	VNR	VNR	0,00	0	0	0	0	0	0	0,00	0,00
proporzionale alla deformata 1° modo di vibrazione														
	0%	-	-	VNR	VNR	0,00	0	0	0	0	0	0	0,00	0,00
	100%	-	-	VNR	VNR	0,00	0	0	0	0	0	0	0,00	0,00
Pilastrata: Pilastrata31														
sisma in +X														
proporzionale alle masse														
Piano terra ingresso	0%	-	-	VNR	VNR	0,00	0	0	0	0	0	0	0,00	0,00
	100%	-	-	VNR	VNR	0,00	0	0	0	0	0	0	0,00	0,00
proporzionale alla deformata 1° modo di vibrazione														
	0%	96	600	NS	NS	1,01	102803	102803	111746	111746	0	0	2,50	2,50
	100%	764	-7.288	NS	14,11	1,03	102803	102803	114160	114160	0	0	2,50	2,50
sisma in -X														
proporzionale alle masse														
	0%	-	-	VNR	VNR	0,00	0	0	0	0	0	0	0,00	0,00
	100%	-	-	VNR	VNR	0,00	0	0	0	0	0	0	0,00	0,00
proporzionale alla deformata 1° modo di vibrazione														
	0%	-	-	VNR	VNR	0,00	0	0	0	0	0	0	0,00	0,00
	100%	-	-	VNR	VNR	0,00	0	0	0	0	0	0	0,00	0,00
sisma in +Y														
proporzionale alle masse														
	0%	-38.502	-24.269	2,67	4,24	1,20	102803	102803	132908	132908	0	0	2,50	2,50
	100%	-2.904	-29.914	35,40	3,44	1,32	102803	102803	146362	146362	0	0	2,50	2,50
proporzionale alla deformata 1° modo di vibrazione														
	0%	-	-	VNR	VNR	0,00	0	0	0	0	0	0	0,00	0,00
	100%	-	-	VNR	VNR	0,00	0	0	0	0	0	0	0,00	0,00
sisma in -Y														
proporzionale alle masse														
	0%	-	-	VNR	VNR	0,00	0	0	0	0	0	0	0,00	0,00
	100%	-	-	VNR	VNR	0,00	0	0	0	0	0	0	0,00	0,00
proporzionale alla deformata 1° modo di vibrazione														
	0%	-	-	VNR	VNR	0,00	0	0	0	0	0	0	0,00	0,00
	100%	-	-	VNR	VNR	0,00	0	0	0	0	0	0	0,00	0,00
sisma in +X														
proporzionale alle masse														
Piano rialzato	0%	-	-	VNR	VNR	0,00	0	0	0	0	0	0	0,00	0,00
	100%	-	-	VNR	VNR	0,00	0	0	0	0	0	0	0,00	0,00
proporzionale alla deformata 1° modo di vibrazione														
	0%	-1.181	973	76,81	93,23	1,02	90708	90708	113276	113276	0	0	2,50	2,50
	100%	-2.213	-86	40,99	NS	1,02	90708	90708	112712	112712	0	0	2,50	2,50
sisma in -X														
proporzionale alle masse														
	0%	-	-	VNR	VNR	0,00	0	0	0	0	0	0	0,00	0,00

Lv	%L_{LI}	$V_{Ed,3}$	$V_{Ed,2}$	$CS^{(3)}$	$CS^{(2)}$	α_C	$V_{Rsd,s}{}^{(3)}$	$V_{Rsd,s}{}^{(2)}$	$V_{Rcd}{}^{(3)}$	$V_{Rcd}{}^{(2)}$	$V_{fd}{}^{(3)}$	$V_{fd}{}^{(2)}$	$Ctg\Theta^{(3)}$	$Ctg\Theta^{(2)}$
	[%]	[N]	[N]				[N]	[N]	[N]	[N]	[N]	[N]		
	100%	-	-	VNR	VNR	0,00	0	0	0	0	0	0	0,00	0,00
proporzionale alla deformata 1° modo di vibrazione														
	0%	-	-	VNR	VNR	0,00	0	0	0	0	0	0	0,00	0,00
	100%	-	-	VNR	VNR	0,00	0	0	0	0	0	0	0,00	0,00
sisma in +Y														
proporzionale alle masse														
	0%	3.504	87.648	25,89	1,03	1,33	90708	90708	146949	146949	0	0	2,50	2,50
	100%	459	15.051	NS	6,03	1,09	90708	90708	120725	120725	0	0	2,50	2,50
proporzionale alla deformata 1° modo di vibrazione														
	0%	-	-	VNR	VNR	0,00	0	0	0	0	0	0	0,00	0,00
	100%	-	-	VNR	VNR	0,00	0	0	0	0	0	0	0,00	0,00
sisma in -Y														
proporzionale alle masse														
	0%	-	-	VNR	VNR	0,00	0	0	0	0	0	0	0,00	0,00
	100%	-	-	VNR	VNR	0,00	0	0	0	0	0	0	0,00	0,00
proporzionale alla deformata 1° modo di vibrazione														
	0%	-	-	VNR	VNR	0,00	0	0	0	0	0	0	0,00	0,00
	100%	-	-	VNR	VNR	0,00	0	0	0	0	0	0	0,00	0,00
sisma in +X														
proporzionale alle masse														
Piano primo	0%	-	-	VNR	VNR	0,00	0	0	0	0	0	0	0,00	0,00
	100%	-	-	VNR	VNR	0,00	0	0	0	0	0	0	0,00	0,00
proporzionale alla deformata 1° modo di vibrazione														
	0%	-1.421	-110	72,35	NS	1,02	102803	102803	112668	112668	0	0	2,50	2,50
	100%	241	-11.972	NS	8,59	1,04	102803	102803	115016	115016	0	0	2,50	2,50
sisma in -X														
proporzionale alle masse														
	0%	-	-	VNR	VNR	0,00	0	0	0	0	0	0	0,00	0,00
	100%	-	-	VNR	VNR	0,00	0	0	0	0	0	0	0,00	0,00
proporzionale alla deformata 1° modo di vibrazione														
	0%	-	-	VNR	VNR	0,00	0	0	0	0	0	0	0,00	0,00
	100%	-	-	VNR	VNR	0,00	0	0	0	0	0	0	0,00	0,00
sisma in +Y														
proporzionale alle masse														
	0%	442	1.906	NS	53,94	1,04	102803	102803	114416	114416	0	0	2,50	2,50
	100%	56	3.164	NS	32,49	1,00	102803	102803	110520	110520	0	0	2,50	2,50
proporzionale alla deformata 1° modo di vibrazione														
	0%	-	-	VNR	VNR	0,00	0	0	0	0	0	0	0,00	0,00
	100%	-	-	VNR	VNR	0,00	0	0	0	0	0	0	0,00	0,00
sisma in -Y														
proporzionale alle masse														
	0%	-	-	VNR	VNR	0,00	0	0	0	0	0	0	0,00	0,00
	100%	-	-	VNR	VNR	0,00	0	0	0	0	0	0	0,00	0,00
proporzionale alla deformata 1° modo di vibrazione														
	0%	-	-	VNR	VNR	0,00	0	0	0	0	0	0	0,00	0,00
	100%	-	-	VNR	VNR	0,00	0	0	0	0	0	0	0,00	0,00
sisma in +X														
proporzionale alle masse														
Estradosso travi gronda	0%	-	-	VNR	VNR	0,00	0	0	0	0	0	0	0,00	0,00
	100%	-	-	VNR	VNR	0,00	0	0	0	0	0	0	0,00	0,00
proporzionale alla deformata 1° modo di vibrazione														
	0%	-957	119	NS	NS	1,02	96378	96378	112812	112812	0	0	2,50	2,50
	100%	-578	889	NS	NS	1,00	96378	96378	110520	110520	0	0	2,50	2,50
sisma in -X														
proporzionale alle masse														
	0%	-	-	VNR	VNR	0,00	0	0	0	0	0	0	0,00	0,00
	100%	-	-	VNR	VNR	0,00	0	0	0	0	0	0	0,00	0,00
proporzionale alla deformata 1° modo di vibrazione														
	0%	-	-	VNR	VNR	0,00	0	0	0	0	0	0	0,00	0,00
	100%	-	-	VNR	VNR	0,00	0	0	0	0	0	0	0,00	0,00
sisma in +Y														
proporzionale alle masse														
	0%	979	10.092	98,45	9,55	1,00	96378	96378	110520	110520	0	0	2,50	2,50
	100%	-1.019	31.217	94,58	3,09	1,00	96378	96378	110520	110520	0	0	2,50	2,50
proporzionale alla deformata 1° modo di vibrazione														
	0%	-	-	VNR	VNR	0,00	0	0	0	0	0	0	0,00	0,00
	100%	-	-	VNR	VNR	0,00	0	0	0	0	0	0	0,00	0,00
sisma in -Y														
proporzionale alle masse														
	0%	-	-	VNR	VNR	0,00	0	0	0	0	0	0	0,00	0,00
	100%	-	-	VNR	VNR	0,00	0	0	0	0	0	0	0,00	0,00
proporzionale alla deformata 1° modo di vibrazione														
	0%	-	-	VNR	VNR	0,00	0	0	0	0	0	0	0,00	0,00
	100%	-	-	VNR	VNR	0,00	0	0	0	0	0	0	0,00	0,00
sisma in +X														
proporzionale alle masse														
Estradosso travi colmo	0%	-	-	VNR	VNR	0,00	0	0	0	0	0	0	0,00	0,00
	100%	-	-	VNR	VNR	0,00	0	0	0	0	0	0	0,00	0,00
proporzionale alla deformata 1° modo di vibrazione														
	0%	-11.317	-378	8,52	NS	1,00	96378	96378	110520	110520	0	0	2,50	2,50
	100%	-11.317	-378	8,52	NS	1,00	96378	96378	110520	110520	0	0	2,50	2,50
sisma in -X														
proporzionale alle masse														
	0%	-	-	VNR	VNR	0,00	0	0	0	0	0	0	0,00	0,00
	100%	-	-	VNR	VNR	0,00	0	0	0	0	0	0	0,00	0,00

Lv	%L_{LI}	$V_{Ed,3}$	$V_{Ed,2}$	$CS^{(3)}$	$CS^{(2)}$	α_C	$V_{Rsd,s}{}^{(3)}$	$V_{Rsd,s}{}^{(2)}$	$V_{Rcd}{}^{(3)}$	$V_{Rcd}{}^{(2)}$	$V_{fd}{}^{(3)}$	$V_{fd}{}^{(2)}$	$Ctg\Theta^{(3)}$	$Ctg\Theta^{(2)}$
	[%]	[N]	[N]				[N]	[N]	[N]	[N]	[N]	[N]		
proporzionale alla deformata 1° modo di vibrazione														
	0%	-	-	VNR	VNR	0,00	0	0	0	0	0	0	0,00	0,00
	100%	-	-	VNR	VNR	0,00	0	0	0	0	0	0	0,00	0,00
sisma in +Y														
proporzionale alle masse														
	0%	65	22	NS	NS	1,00	96378	96378	110520	110520	0	0	2,50	2,50
	100%	65	22	NS	NS	1,00	96378	96378	110520	110520	0	0	2,50	2,50
proporzionale alla deformata 1° modo di vibrazione														
	0%	-	-	VNR	VNR	0,00	0	0	0	0	0	0	0,00	0,00
	100%	-	-	VNR	VNR	0,00	0	0	0	0	0	0	0,00	0,00
sisma in -Y														
proporzionale alle masse														
	0%	-	-	VNR	VNR	0,00	0	0	0	0	0	0	0,00	0,00
	100%	-	-	VNR	VNR	0,00	0	0	0	0	0	0	0,00	0,00
proporzionale alla deformata 1° modo di vibrazione														
	0%	-	-	VNR	VNR	0,00	0	0	0	0	0	0	0,00	0,00
	100%	-	-	VNR	VNR	0,00	0	0	0	0	0	0	0,00	0,00
Pilastrata: Pilastrata32														
sisma in +X														
proporzionale alle masse														
Piano terra ingresso	0%	-	-	VNR	VNR	0,00	0	0	0	0	0	0	0,00	0,00
	100%	-	-	VNR	VNR	0,00	0	0	0	0	0	0	0,00	0,00
proporzionale alla deformata 1° modo di vibrazione														
	0%	-8.223	18.107	9,54	4,33	1,00	78479	78479	199988	199988	0	0	2,50	2,50
	100%	-23.137	39.826	3,39	1,97	1,00	78479	78479	199988	199988	0	0	2,50	2,50
sisma in -X														
proporzionale alle masse														
	0%	-	-	VNR	VNR	0,00	0	0	0	0	0	0	0,00	0,00
	100%	-	-	VNR	VNR	0,00	0	0	0	0	0	0	0,00	0,00
proporzionale alla deformata 1° modo di vibrazione														
	0%	-	-	VNR	VNR	0,00	0	0	0	0	0	0	0,00	0,00
	100%	-	-	VNR	VNR	0,00	0	0	0	0	0	0	0,00	0,00
sisma in +Y														
proporzionale alle masse														
	0%	-7.107	201.272	11,04	0,39	1,32	78479	78479	263287	263287	0	0	2,50	2,50
	100%	-36.566	100.488	2,15	0,78	1,06	78479	78479	211153	211153	0	0	2,50	2,50
proporzionale alla deformata 1° modo di vibrazione														
	0%	-	-	VNR	VNR	0,00	0	0	0	0	0	0	0,00	0,00
	100%	-	-	VNR	VNR	0,00	0	0	0	0	0	0	0,00	0,00
sisma in -Y														
proporzionale alle masse														
	0%	-	-	VNR	VNR	0,00	0	0	0	0	0	0	0,00	0,00
	100%	-	-	VNR	VNR	0,00	0	0	0	0	0	0	0,00	0,00
proporzionale alla deformata 1° modo di vibrazione														
	0%	-	-	VNR	VNR	0,00	0	0	0	0	0	0	0,00	0,00
	100%	-	-	VNR	VNR	0,00	0	0	0	0	0	0	0,00	0,00
sisma in +X														
proporzionale alle masse														
Piano rialzato	0%	-	-	VNR	VNR	0,00	0	0	0	0	0	0	0,00	0,00
	100%	-	-	VNR	VNR	0,00	0	0	0	0	0	0	0,00	0,00
proporzionale alla deformata 1° modo di vibrazione														
	0%	-21.203	41.125	3,27	1,68	1,00	69246	69246	199988	199988	0	0	2,50	2,50
	100%	-63.022	-1.760	1,10	39,34	1,02	69246	69246	203812	203812	0	0	2,50	2,50
sisma in -X														
proporzionale alle masse														
	0%	-	-	VNR	VNR	0,00	0	0	0	0	0	0	0,00	0,00
	100%	-	-	VNR	VNR	0,00	0	0	0	0	0	0	0,00	0,00
proporzionale alla deformata 1° modo di vibrazione														
	0%	-	-	VNR	VNR	0,00	0	0	0	0	0	0	0,00	0,00
	100%	-	-	VNR	VNR	0,00	0	0	0	0	0	0	0,00	0,00
sisma in +Y														
proporzionale alle masse														
	0%	-30.091	47.034	2,30	1,47	1,04	69246	69246	208257	208257	0	0	2,50	2,50
	100%	-39.361	-28.731	1,76	2,41	1,08	69246	69246	215018	215018	0	0	2,50	2,50
proporzionale alla deformata 1° modo di vibrazione														
	0%	-	-	VNR	VNR	0,00	0	0	0	0	0	0	0,00	0,00
	100%	-	-	VNR	VNR	0,00	0	0	0	0	0	0	0,00	0,00
sisma in -Y														
proporzionale alle masse														
	0%	-	-	VNR	VNR	0,00	0	0	0	0	0	0	0,00	0,00
	100%	-	-	VNR	VNR	0,00	0	0	0	0	0	0	0,00	0,00
proporzionale alla deformata 1° modo di vibrazione														
	0%	-	-	VNR	VNR	0,00	0	0	0	0	0	0	0,00	0,00
	100%	-	-	VNR	VNR	0,00	0	0	0	0	0	0	0,00	0,00
sisma in +X														
proporzionale alle masse														
Piano primo	0%	-	-	VNR	VNR	0,00	0	0	0	0	0	0	0,00	0,00
	100%	-	-	VNR	VNR	0,00	0	0	0	0	0	0	0,00	0,00
proporzionale alla deformata 1° modo di vibrazione														
	0%	28.015	80.159	2,80	0,98	1,04	78479	78479	208685	208685	0	0	2,50	2,50
	100%	-66.724	-660	1,18	NS	1,09	78479	78479	218757	218757	0	0	2,50	2,50
sisma in -X														
proporzionale alle masse														
	0%	-	-	VNR	VNR	0,00	0	0	0	0	0	0	0,00	0,00
	100%	-	-	VNR	VNR	0,00	0	0	0	0	0	0	0,00	0,00
proporzionale alla deformata 1° modo di vibrazione														

Lv	%L_{LI}	$V_{Ed,3}$	$V_{Ed,2}$	$CS^{(3)}$	$CS^{(2)}$	α_C	$V_{Rsd,s}{}^{(3)}$	$V_{Rsd,s}{}^{(2)}$	$V_{Rcd}{}^{(3)}$	$V_{Rcd}{}^{(2)}$	$V_{fd}{}^{(3)}$	$V_{fd}{}^{(2)}$	$Ctg\Theta^{(3)}$	$Ctg\Theta^{(2)}$
	[%]	[N]	[N]				[N]	[N]	[N]	[N]	[N]	[N]		
	0%	-	-	VNR	VNR	0,00	0	0	0	0	0	0	0,00	0,00
	100%	-	-	VNR	VNR	0,00	0	0	0	0	0	0	0,00	0,00
sisma in +Y														
proporzionale alle masse														
	0%	23.386	117.365	3,36	0,67	1,12	78479	78479	223649	223649	0	0	2,50	2,50
	100%	-9.915	1.888	7,92	41,57	1,00	78479	78479	199988	199988	0	0	2,50	2,50
proporzionale alla deformata 1° modo di vibrazione														
	0%	-	-	VNR	VNR	0,00	0	0	0	0	0	0	0,00	0,00
	100%	-	-	VNR	VNR	0,00	0	0	0	0	0	0	0,00	0,00
sisma in -Y														
proporzionale alle masse														
	0%	-	-	VNR	VNR	0,00	0	0	0	0	0	0	0,00	0,00
	100%	-	-	VNR	VNR	0,00	0	0	0	0	0	0	0,00	0,00
proporzionale alla deformata 1° modo di vibrazione														
	0%	-	-	VNR	VNR	0,00	0	0	0	0	0	0	0,00	0,00
	100%	-	-	VNR	VNR	0,00	0	0	0	0	0	0	0,00	0,00
sisma in +X														
proporzionale alle masse														
Estradosso travi gronda	0%	-	-	VNR	VNR	0,00	0	0	0	0	0	0	0,00	0,00
	100%	-	-	VNR	VNR	0,00	0	0	0	0	0	0	0,00	0,00
proporzionale alla deformata 1° modo di vibrazione														
	0%	26.369	36.419	2,79	2,02	1,10	73574	73574	220897	220897	0	0	2,50	2,50
	100%	-13.927	-8.126	5,28	9,05	1,06	73574	73574	212790	212790	0	0	2,50	2,50
sisma in -X														
proporzionale alle masse														
	0%	-	-	VNR	VNR	0,00	0	0	0	0	0	0	0,00	0,00
	100%	-	-	VNR	VNR	0,00	0	0	0	0	0	0	0,00	0,00
proporzionale alla deformata 1° modo di vibrazione														
	0%	-	-	VNR	VNR	0,00	0	0	0	0	0	0	0,00	0,00
	100%	-	-	VNR	VNR	0,00	0	0	0	0	0	0	0,00	0,00
sisma in +Y														
proporzionale alle masse														
	0%	2.196	28.147	33,50	2,61	1,01	73574	73574	202358	202358	0	0	2,50	2,50
	100%	-5	-4.120	NS	17,86	1,00	73574	73574	199988	199988	0	0	2,50	2,50
proporzionale alla deformata 1° modo di vibrazione														
	0%	-	-	VNR	VNR	0,00	0	0	0	0	0	0	0,00	0,00
	100%	-	-	VNR	VNR	0,00	0	0	0	0	0	0	0,00	0,00
sisma in -Y														
proporzionale alle masse														
	0%	-	-	VNR	VNR	0,00	0	0	0	0	0	0	0,00	0,00
	100%	-	-	VNR	VNR	0,00	0	0	0	0	0	0	0,00	0,00
proporzionale alla deformata 1° modo di vibrazione														
	0%	-	-	VNR	VNR	0,00	0	0	0	0	0	0	0,00	0,00
	100%	-	-	VNR	VNR	0,00	0	0	0	0	0	0	0,00	0,00
Pilastrata: Pilastrata33														
sisma in +X														
proporzionale alle masse														
Piano terra ingresso	0%	-	-	VNR	VNR	0,00	0	0	0	0	0	0	0,00	0,00
	100%	-	-	VNR	VNR	0,00	0	0	0	0	0	0	0,00	0,00
proporzionale alla deformata 1° modo di vibrazione														
	0%	-11.289	707	5,12	NS	1,00	57826	99131	184199	184199	0	0	2,50	2,50
	100%	-29.156	1.071	1,98	92,56	1,00	57826	99131	184199	184199	0	0	2,50	2,50
sisma in -X														
proporzionale alle masse														
	0%	-	-	VNR	VNR	0,00	0	0	0	0	0	0	0,00	0,00
	100%	-	-	VNR	VNR	0,00	0	0	0	0	0	0	0,00	0,00
proporzionale alla deformata 1° modo di vibrazione														
	0%	-	-	VNR	VNR	0,00	0	0	0	0	0	0	0,00	0,00
	100%	-	-	VNR	VNR	0,00	0	0	0	0	0	0	0,00	0,00
sisma in +Y														
proporzionale alle masse														
	0%	6.856	2.368	8,43	41,86	1,04	57826	99131	191957	191957	0	0	2,50	2,50
	100%	-94	-1.457	NS	68,04	1,03	57826	99131	189093	189093	0	0	2,50	2,50
proporzionale alla deformata 1° modo di vibrazione														
	0%	-	-	VNR	VNR	0,00	0	0	0	0	0	0	0,00	0,00
	100%	-	-	VNR	VNR	0,00	0	0	0	0	0	0	0,00	0,00
sisma in -Y														
proporzionale alle masse														
	0%	-	-	VNR	VNR	0,00	0	0	0	0	0	0	0,00	0,00
	100%	-	-	VNR	VNR	0,00	0	0	0	0	0	0	0,00	0,00
proporzionale alla deformata 1° modo di vibrazione														
	0%	-	-	VNR	VNR	0,00	0	0	0	0	0	0	0,00	0,00
	100%	-	-	VNR	VNR	0,00	0	0	0	0	0	0	0,00	0,00
sisma in +X														
proporzionale alle masse														
Piano rialzato	0%	-	-	VNR	VNR	0,00	0	0	0	0	0	0	0,00	0,00
	100%	-	-	VNR	VNR	0,00	0	0	0	0	0	0	0,00	0,00
proporzionale alla deformata 1° modo di vibrazione														
	0%	-27.856	937	1,83	93,35	1,00	51023	87469	184199	184199	0	0	2,50	2,50
	100%	-120.102	1.578	0,42	55,43	1,08	51023	87469	199565	199565	0	0	2,50	2,50
sisma in -X														
proporzionale alle masse														
	0%	-	-	VNR	VNR	0,00	0	0	0	0	0	0	0,00	0,00
	100%	-	-	VNR	VNR	0,00	0	0	0	0	0	0	0,00	0,00
proporzionale alla deformata 1° modo di vibrazione														

Lv	%L_{LI}	$V_{Ed,3}$	$V_{Ed,2}$	$CS^{(3)}$	$CS^{(2)}$	α_C	$V_{Rsd,s}{}^{(3)}$	$V_{Rsd,s}{}^{(2)}$	$V_{Rcd}{}^{(3)}$	$V_{Rcd}{}^{(2)}$	$V_{fd}{}^{(3)}$	$V_{fd}{}^{(2)}$	$Ctg\Theta^{(3)}$	$Ctg\Theta^{(2)}$
	[%]	[N]	[N]				[N]	[N]	[N]	[N]	[N]	[N]		
	0%	-	-	VNR	VNR	0,00	0	0	0	0	0	0	0,00	0,00
	100%	-	-	VNR	VNR	0,00	0	0	0	0	0	0	0,00	0,00
sisma in +Y														
proporzionale alle masse														
	0%	-735	-2.076	69,42	42,13	1,03	51023	87469	189226	189226	0	0	2,50	2,50
	100%	-19.023	-2.628	2,68	33,28	1,04	51023	87469	192332	192332	0	0	2,50	2,50
proporzionale alla deformata 1° modo di vibrazione														
	0%	-	-	VNR	VNR	0,00	0	0	0	0	0	0	0,00	0,00
	100%	-	-	VNR	VNR	0,00	0	0	0	0	0	0	0,00	0,00
sisma in -Y														
proporzionale alle masse														
	0%	-	-	VNR	VNR	0,00	0	0	0	0	0	0	0,00	0,00
	100%	-	-	VNR	VNR	0,00	0	0	0	0	0	0	0,00	0,00
proporzionale alla deformata 1° modo di vibrazione														
	0%	-	-	VNR	VNR	0,00	0	0	0	0	0	0	0,00	0,00
	100%	-	-	VNR	VNR	0,00	0	0	0	0	0	0	0,00	0,00
sisma in +X														
proporzionale alle masse														
Piano primo	0%	-	-	VNR	VNR	0,00	0	0	0	0	0	0	0,00	0,00
	100%	-	-	VNR	VNR	0,00	0	0	0	0	0	0	0,00	0,00
proporzionale alla deformata 1° modo di vibrazione														
	0%	-14.039	1.288	4,12	60,93	1,00	57826	78479	147360	147360	0	0	2,50	2,50
	100%	-120.202	1.634	0,48	48,03	1,38	57826	78479	203981	203981	0	0	2,50	2,50
sisma in -X														
proporzionale alle masse														
	0%	-	-	VNR	VNR	0,00	0	0	0	0	0	0	0,00	0,00
	100%	-	-	VNR	VNR	0,00	0	0	0	0	0	0	0,00	0,00
proporzionale alla deformata 1° modo di vibrazione														
	0%	-	-	VNR	VNR	0,00	0	0	0	0	0	0	0,00	0,00
	100%	-	-	VNR	VNR	0,00	0	0	0	0	0	0	0,00	0,00
sisma in +Y														
proporzionale alle masse														
	0%	-4.224	1.078	13,69	72,80	1,00	57826	78479	147895	147895	0	0	2,50	2,50
	100%	-11.165	-513	5,18	NS	1,05	57826	78479	154683	154683	0	0	2,50	2,50
proporzionale alla deformata 1° modo di vibrazione														
	0%	-	-	VNR	VNR	0,00	0	0	0	0	0	0	0,00	0,00
	100%	-	-	VNR	VNR	0,00	0	0	0	0	0	0	0,00	0,00
sisma in -Y														
proporzionale alle masse														
	0%	-	-	VNR	VNR	0,00	0	0	0	0	0	0	0,00	0,00
	100%	-	-	VNR	VNR	0,00	0	0	0	0	0	0	0,00	0,00
proporzionale alla deformata 1° modo di vibrazione														
	0%	-	-	VNR	VNR	0,00	0	0	0	0	0	0	0,00	0,00
	100%	-	-	VNR	VNR	0,00	0	0	0	0	0	0	0,00	0,00
sisma in +X														
proporzionale alle masse														
Estradosso travi gronda	0%	-	-	VNR	VNR	0,00	0	0	0	0	0	0	0,00	0,00
	100%	-	-	VNR	VNR	0,00	0	0	0	0	0	0	0,00	0,00
proporzionale alla deformata 1° modo di vibrazione														
	0%	-19.952	-597	2,72	NS	1,01	54212	73574	148894	148894	0	0	2,50	2,50
	100%	-72.507	7	0,75	NS	1,30	54212	73574	191461	191461	0	0	2,50	2,50
sisma in -X														
proporzionale alle masse														
	0%	-	-	VNR	VNR	0,00	0	0	0	0	0	0	0,00	0,00
	100%	-	-	VNR	VNR	0,00	0	0	0	0	0	0	0,00	0,00
proporzionale alla deformata 1° modo di vibrazione														
	0%	-	-	VNR	VNR	0,00	0	0	0	0	0	0	0,00	0,00
	100%	-	-	VNR	VNR	0,00	0	0	0	0	0	0	0,00	0,00
sisma in +Y														
proporzionale alle masse														
	0%	-3.576	2.361	15,16	31,16	1,01	54212	73574	148321	148321	0	0	2,50	2,50
	100%	-5.547	-2.014	9,77	36,53	1,03	54212	73574	152172	152172	0	0	2,50	2,50
proporzionale alla deformata 1° modo di vibrazione														
	0%	-	-	VNR	VNR	0,00	0	0	0	0	0	0	0,00	0,00
	100%	-	-	VNR	VNR	0,00	0	0	0	0	0	0	0,00	0,00
sisma in -Y														
proporzionale alle masse														
	0%	-	-	VNR	VNR	0,00	0	0	0	0	0	0	0,00	0,00
	100%	-	-	VNR	VNR	0,00	0	0	0	0	0	0	0,00	0,00
proporzionale alla deformata 1° modo di vibrazione														
	0%	-	-	VNR	VNR	0,00	0	0	0	0	0	0	0,00	0,00
	100%	-	-	VNR	VNR	0,00	0	0	0	0	0	0	0,00	0,00
Pilastrata: Pilastrata34														
sisma in +X														
proporzionale alle masse														
Piano terra ingresso	0%	-	-	VNR	VNR	0,00	0	0	0	0	0	0	0,00	0,00
	100%	-	-	VNR	VNR	0,00	0	0	0	0	0	0	0,00	0,00
proporzionale alla deformata 1° modo di vibrazione														
	0%	-9.053	209	6,39	NS	1,00	57826	99131	184199	184199	0	0	2,50	2,50
	100%	-29.157	2.346	1,98	42,26	1,00	57826	99131	184199	184199	0	0	2,50	2,50
sisma in -X														
proporzionale alle masse														
	0%	-	-	VNR	VNR	0,00	0	0	0	0	0	0	0,00	0,00
	100%	-	-	VNR	VNR	0,00	0	0	0	0	0	0	0,00	0,00
proporzionale alla deformata 1° modo di vibrazione														

Lv	%L_{LI}	$V_{Ed,3}$	$V_{Ed,2}$	$CS^{(3)}$	$CS^{(2)}$	α_C	$V_{Rsd,s}{}^{(3)}$	$V_{Rsd,s}{}^{(2)}$	$V_{Rcd}{}^{(3)}$	$V_{Rcd}{}^{(2)}$	$V_{fd}{}^{(3)}$	$V_{fd}{}^{(2)}$	$Ctg\Theta^{(3)}$	$Ctg\Theta^{(2)}$
	[%]	[N]	[N]				[N]	[N]	[N]	[N]	[N]	[N]		
	0%	-	-	VNR	VNR	0,00	0	0	0	0	0	0	0,00	0,00
	100%	-	-	VNR	VNR	0,00	0	0	0	0	0	0	0,00	0,00
sisma in +Y														
proporzionale alle masse														
	0%	9.717	5.159	5,95	19,22	1,06	57826	99131	194770	194770	0	0	2,50	2,50
	100%	-100	1.385	NS	71,57	1,04	57826	99131	191723	191723	0	0	2,50	2,50
proporzionale alla deformata 1° modo di vibrazione														
	0%	-	-	VNR	VNR	0,00	0	0	0	0	0	0	0,00	0,00
	100%	-	-	VNR	VNR	0,00	0	0	0	0	0	0	0,00	0,00
sisma in -Y														
proporzionale alle masse														
	0%	-	-	VNR	VNR	0,00	0	0	0	0	0	0	0,00	0,00
	100%	-	-	VNR	VNR	0,00	0	0	0	0	0	0	0,00	0,00
proporzionale alla deformata 1° modo di vibrazione														
	0%	-	-	VNR	VNR	0,00	0	0	0	0	0	0	0,00	0,00
	100%	-	-	VNR	VNR	0,00	0	0	0	0	0	0	0,00	0,00
sisma in +X														
proporzionale alle masse														
Piano rialzato	0%	-	-	VNR	VNR	0,00	0	0	0	0	0	0	0,00	0,00
	100%	-	-	VNR	VNR	0,00	0	0	0	0	0	0	0,00	0,00
proporzionale alla deformata 1° modo di vibrazione														
	0%	-26.476	1.762	1,93	49,64	1,00	51023	87469	184199	184199	0	0	2,50	2,50
	100%	-126.727	5.250	0,40	16,66	1,09	51023	87469	200485	200485	0	0	2,50	2,50
sisma in -X														
proporzionale alle masse														
	0%	-	-	VNR	VNR	0,00	0	0	0	0	0	0	0,00	0,00
	100%	-	-	VNR	VNR	0,00	0	0	0	0	0	0	0,00	0,00
proporzionale alla deformata 1° modo di vibrazione														
	0%	-	-	VNR	VNR	0,00	0	0	0	0	0	0	0,00	0,00
	100%	-	-	VNR	VNR	0,00	0	0	0	0	0	0	0,00	0,00
sisma in +Y														
proporzionale alle masse														
	0%	-631	1.492	80,86	58,63	1,04	51023	87469	191917	191917	0	0	2,50	2,50
	100%	-19.076	3.665	2,67	23,87	1,06	51023	87469	194921	194921	0	0	2,50	2,50
proporzionale alla deformata 1° modo di vibrazione														
	0%	-	-	VNR	VNR	0,00	0	0	0	0	0	0	0,00	0,00
	100%	-	-	VNR	VNR	0,00	0	0	0	0	0	0	0,00	0,00
sisma in -Y														
proporzionale alle masse														
	0%	-	-	VNR	VNR	0,00	0	0	0	0	0	0	0,00	0,00
	100%	-	-	VNR	VNR	0,00	0	0	0	0	0	0	0,00	0,00
proporzionale alla deformata 1° modo di vibrazione														
	0%	-	-	VNR	VNR	0,00	0	0	0	0	0	0	0,00	0,00
	100%	-	-	VNR	VNR	0,00	0	0	0	0	0	0	0,00	0,00
sisma in +X														
proporzionale alle masse														
Piano primo	0%	-	-	VNR	VNR	0,00	0	0	0	0	0	0	0,00	0,00
	100%	-	-	VNR	VNR	0,00	0	0	0	0	0	0	0,00	0,00
proporzionale alla deformata 1° modo di vibrazione														
	0%	-16.844	2.212	3,43	35,48	1,00	57826	78479	147360	147360	0	0	2,50	2,50
	100%	-124.263	8.271	0,47	9,49	1,41	57826	78479	207074	207074	0	0	2,50	2,50
sisma in -X														
proporzionale alle masse														
	0%	-	-	VNR	VNR	0,00	0	0	0	0	0	0	0,00	0,00
	100%	-	-	VNR	VNR	0,00	0	0	0	0	0	0	0,00	0,00
proporzionale alla deformata 1° modo di vibrazione														
	0%	-	-	VNR	VNR	0,00	0	0	0	0	0	0	0,00	0,00
	100%	-	-	VNR	VNR	0,00	0	0	0	0	0	0	0,00	0,00
sisma in +Y														
proporzionale alle masse														
	0%	-3.647	6.027	15,86	13,02	1,02	57826	78479	150684	150684	0	0	2,50	2,50
	100%	-7.279	3.629	7,94	21,63	1,05	57826	78479	155397	155397	0	0	2,50	2,50
proporzionale alla deformata 1° modo di vibrazione														
	0%	-	-	VNR	VNR	0,00	0	0	0	0	0	0	0,00	0,00
	100%	-	-	VNR	VNR	0,00	0	0	0	0	0	0	0,00	0,00
sisma in -Y														
proporzionale alle masse														
	0%	-	-	VNR	VNR	0,00	0	0	0	0	0	0	0,00	0,00
	100%	-	-	VNR	VNR	0,00	0	0	0	0	0	0	0,00	0,00
proporzionale alla deformata 1° modo di vibrazione														
	0%	-	-	VNR	VNR	0,00	0	0	0	0	0	0	0,00	0,00
	100%	-	-	VNR	VNR	0,00	0	0	0	0	0	0	0,00	0,00
sisma in +X														
proporzionale alle masse														
Estradosso travi gronda	0%	-	-	VNR	VNR	0,00	0	0	0	0	0	0	0,00	0,00
	100%	-	-	VNR	VNR	0,00	0	0	0	0	0	0	0,00	0,00
proporzionale alla deformata 1° modo di vibrazione														
	0%	-15.767	1.553	3,44	47,38	1,01	54212	73574	148573	148573	0	0	2,50	2,50
	100%	-70.893	2.796	0,76	26,31	1,29	54212	73574	190710	190710	0	0	2,50	2,50
sisma in -X														
proporzionale alle masse														
	0%	-	-	VNR	VNR	0,00	0	0	0	0	0	0	0,00	0,00
	100%	-	-	VNR	VNR	0,00	0	0	0	0	0	0	0,00	0,00
proporzionale alla deformata 1° modo di vibrazione														
	0%	-	-	VNR	VNR	0,00	0	0	0	0	0	0	0,00	0,00

Lv	%L_{LI}	$V_{Ed,3}$	$V_{Ed,2}$	$CS^{(3)}$	$CS^{(2)}$	α_C	$V_{Rsd,s}{}^{(3)}$	$V_{Rsd,s}{}^{(2)}$	$V_{Rcd}{}^{(3)}$	$V_{Rcd}{}^{(2)}$	$V_{fd}{}^{(3)}$	$V_{fd}{}^{(2)}$	$Ctg\Theta^{(3)}$	$Ctg\Theta^{(2)}$
	[%]	[N]	[N]				[N]	[N]	[N]	[N]	[N]	[N]		
	100%	-	-	VNR	VNR	0,00	0	0	0	0	0	0	0,00	0,00
sisma in +Y														
proporzionale alle masse														
	0%	-1.770	6.334	30,63	11,62	1,02	54212	73574	150080	150080	0	0	2,50	2,50
	100%	-3.570	4.854	15,19	15,16	1,05	54212	73574	154403	154403	0	0	2,50	2,50
proporzionale alla deformata 1° modo di vibrazione														
	0%	-	-	VNR	VNR	0,00	0	0	0	0	0	0	0,00	0,00
	100%	-	-	VNR	VNR	0,00	0	0	0	0	0	0	0,00	0,00
sisma in -Y														
proporzionale alle masse														
	0%	-	-	VNR	VNR	0,00	0	0	0	0	0	0	0,00	0,00
	100%	-	-	VNR	VNR	0,00	0	0	0	0	0	0	0,00	0,00
proporzionale alla deformata 1° modo di vibrazione														
	0%	-	-	VNR	VNR	0,00	0	0	0	0	0	0	0,00	0,00
	100%	-	-	VNR	VNR	0,00	0	0	0	0	0	0	0,00	0,00
Pilastrata: Pilastrata35														
sisma in +X														
proporzionale alle masse														
Piano terra ingresso	0%	-	-	VNR	VNR	0,00	0	0	0	0	0	0	0,00	0,00
	100%	-	-	VNR	VNR	0,00	0	0	0	0	0	0	0,00	0,00
proporzionale alla deformata 1° modo di vibrazione														
	0%	-10.205	-558	5,67	NS	1,00	57826	99131	184199	184199	0	0	2,50	2,50
	100%	-29.651	1.204	1,95	82,33	1,00	57826	99131	184199	184199	0	0	2,50	2,50
sisma in -X														
proporzionale alle masse														
	0%	-	-	VNR	VNR	0,00	0	0	0	0	0	0	0,00	0,00
	100%	-	-	VNR	VNR	0,00	0	0	0	0	0	0	0,00	0,00
proporzionale alla deformata 1° modo di vibrazione														
	0%	-	-	VNR	VNR	0,00	0	0	0	0	0	0	0,00	0,00
	100%	-	-	VNR	VNR	0,00	0	0	0	0	0	0	0,00	0,00
sisma in +Y														
proporzionale alle masse														
	0%	10.265	1.752	5,63	56,58	1,06	57826	99131	195694	195694	0	0	2,50	2,50
	100%	-430	-3.270	NS	30,32	1,05	57826	99131	193810	193810	0	0	2,50	2,50
proporzionale alla deformata 1° modo di vibrazione														
	0%	-	-	VNR	VNR	0,00	0	0	0	0	0	0	0,00	0,00
	100%	-	-	VNR	VNR	0,00	0	0	0	0	0	0	0,00	0,00
sisma in -Y														
proporzionale alle masse														
	0%	-	-	VNR	VNR	0,00	0	0	0	0	0	0	0,00	0,00
	100%	-	-	VNR	VNR	0,00	0	0	0	0	0	0	0,00	0,00
proporzionale alla deformata 1° modo di vibrazione														
	0%	-	-	VNR	VNR	0,00	0	0	0	0	0	0	0,00	0,00
	100%	-	-	VNR	VNR	0,00	0	0	0	0	0	0	0,00	0,00
sisma in +X														
proporzionale alle masse														
Piano rialzato	0%	-	-	VNR	VNR	0,00	0	0	0	0	0	0	0,00	0,00
	100%	-	-	VNR	VNR	0,00	0	0	0	0	0	0	0,00	0,00
proporzionale alla deformata 1° modo di vibrazione														
	0%	-25.812	2.119	1,98	41,28	1,00	51023	87469	184199	184199	0	0	2,50	2,50
	100%	-135.055	1.668	0,38	52,44	1,11	51023	87469	203835	203835	0	0	2,50	2,50
sisma in -X														
proporzionale alle masse														
	0%	-	-	VNR	VNR	0,00	0	0	0	0	0	0	0,00	0,00
	100%	-	-	VNR	VNR	0,00	0	0	0	0	0	0	0,00	0,00
proporzionale alla deformata 1° modo di vibrazione														
	0%	-	-	VNR	VNR	0,00	0	0	0	0	0	0	0,00	0,00
	100%	-	-	VNR	VNR	0,00	0	0	0	0	0	0	0,00	0,00
sisma in +Y														
proporzionale alle masse														
	0%	-1.224	-3.968	41,69	22,04	1,05	51023	87469	194243	194243	0	0	2,50	2,50
	100%	-26.659	-2.686	1,91	32,56	1,08	51023	87469	198321	198321	0	0	2,50	2,50
proporzionale alla deformata 1° modo di vibrazione														
	0%	-	-	VNR	VNR	0,00	0	0	0	0	0	0	0,00	0,00
	100%	-	-	VNR	VNR	0,00	0	0	0	0	0	0	0,00	0,00
sisma in -Y														
proporzionale alle masse														
	0%	-	-	VNR	VNR	0,00	0	0	0	0	0	0	0,00	0,00
	100%	-	-	VNR	VNR	0,00	0	0	0	0	0	0	0,00	0,00
proporzionale alla deformata 1° modo di vibrazione														
	0%	-	-	VNR	VNR	0,00	0	0	0	0	0	0	0,00	0,00
	100%	-	-	VNR	VNR	0,00	0	0	0	0	0	0	0,00	0,00
sisma in +X														
proporzionale alle masse														
Piano primo	0%	-	-	VNR	VNR	0,00	0	0	0	0	0	0	0,00	0,00
	100%	-	-	VNR	VNR	0,00	0	0	0	0	0	0	0,00	0,00
proporzionale alla deformata 1° modo di vibrazione														
	0%	-19.354	657	2,99	NS	1,00	57826	78479	147360	147360	0	0	2,50	2,50
	100%	-128.613	1.625	0,45	48,29	1,41	57826	78479	207962	207962	0	0	2,50	2,50
sisma in -X														
proporzionale alle masse														
	0%	-	-	VNR	VNR	0,00	0	0	0	0	0	0	0,00	0,00
	100%	-	-	VNR	VNR	0,00	0	0	0	0	0	0	0,00	0,00
proporzionale alla deformata 1° modo di vibrazione														
	0%	-	-	VNR	VNR	0,00	0	0	0	0	0	0	0,00	0,00
	100%	-	-	VNR	VNR	0,00	0	0	0	0	0	0	0,00	0,00

Lv	$\%L_{LI}$	$V_{Ed,3}$	$V_{Ed,2}$	$CS^{(3)}$	$CS^{(2)}$	α_C	$V_{Rsd,s}{}^{(3)}$	$V_{Rsd,s}{}^{(2)}$	$V_{Rcd}{}^{(3)}$	$V_{Rcd}{}^{(2)}$	$V_{fd}{}^{(3)}$	$V_{fd}{}^{(2)}$	$Ctg\Theta^{(3)}$	$Ctg\Theta^{(2)}$
	[%]	[N]	[N]				[N]	[N]	[N]	[N]	[N]	[N]		
sisma in +Y														
proporzionale alle masse														
	0%	-5.888	2.131	9,82	36,83	1,02	57826	78479	150366	150366	0	0	2,50	2,50
	100%	-10.213	-738	5,66	NS	1,07	57826	78479	157032	157032	0	0	2,50	2,50
proporzionale alla deformata 1° modo di vibrazione														
	0%	-	-	VNR	VNR	0,00	0	0	0	0	0	0	0,00	0,00
	100%	-	-	VNR	VNR	0,00	0	0	0	0	0	0	0,00	0,00
sisma in -Y														
proporzionale alle masse														
	0%	-	-	VNR	VNR	0,00	0	0	0	0	0	0	0,00	0,00
	100%	-	-	VNR	VNR	0,00	0	0	0	0	0	0	0,00	0,00
proporzionale alla deformata 1° modo di vibrazione														
	0%	-	-	VNR	VNR	0,00	0	0	0	0	0	0	0,00	0,00
	100%	-	-	VNR	VNR	0,00	0	0	0	0	0	0	0,00	0,00
sisma in +X														
proporzionale alle masse														
Estradosso travi gronda	0%	-	-	VNR	VNR	0,00	0	0	0	0	0	0	0,00	0,00
	100%	-	-	VNR	VNR	0,00	0	0	0	0	0	0	0,00	0,00
proporzionale alla deformata 1° modo di vibrazione														
	0%	-15.780	-271	3,44	NS	1,01	54212	73574	148357	148357	0	0	2,50	2,50
	100%	-70.281	-3.964	0,77	18,56	1,29	54212	73574	189635	189635	0	0	2,50	2,50
sisma in -X														
proporzionale alle masse														
	0%	-	-	VNR	VNR	0,00	0	0	0	0	0	0	0,00	0,00
	100%	-	-	VNR	VNR	0,00	0	0	0	0	0	0	0,00	0,00
proporzionale alla deformata 1° modo di vibrazione														
	0%	-	-	VNR	VNR	0,00	0	0	0	0	0	0	0,00	0,00
	100%	-	-	VNR	VNR	0,00	0	0	0	0	0	0	0,00	0,00
sisma in +Y														
proporzionale alle masse														
	0%	-3.517	1.605	15,41	45,84	1,02	54212	73574	149752	149752	0	0	2,50	2,50
	100%	-4.880	765	11,11	96,18	1,05	54212	73574	154805	154805	0	0	2,50	2,50
proporzionale alla deformata 1° modo di vibrazione														
	0%	-	-	VNR	VNR	0,00	0	0	0	0	0	0	0,00	0,00
	100%	-	-	VNR	VNR	0,00	0	0	0	0	0	0	0,00	0,00
sisma in -Y														
proporzionale alle masse														
	0%	-	-	VNR	VNR	0,00	0	0	0	0	0	0	0,00	0,00
	100%	-	-	VNR	VNR	0,00	0	0	0	0	0	0	0,00	0,00
proporzionale alla deformata 1° modo di vibrazione														
	0%	-	-	VNR	VNR	0,00	0	0	0	0	0	0	0,00	0,00
	100%	-	-	VNR	VNR	0,00	0	0	0	0	0	0	0,00	0,00
Pilastrata: Pilastrata36														
sisma in +X														
proporzionale alle masse														
Piano terra ingresso	0%	-	-	VNR	VNR	0,00	0	0	0	0	0	0	0,00	0,00
	100%	-	-	VNR	VNR	0,00	0	0	0	0	0	0	0,00	0,00
proporzionale alla deformata 1° modo di vibrazione														
	0%	-5.372	2.925	10,76	33,89	1,00	57826	99131	184199	184199	0	0	2,50	2,50
	100%	-30.195	847	1,92	NS	1,00	57826	99131	184199	184199	0	0	2,50	2,50
sisma in -X														
proporzionale alle masse														
	0%	-	-	VNR	VNR	0,00	0	0	0	0	0	0	0,00	0,00
	100%	-	-	VNR	VNR	0,00	0	0	0	0	0	0	0,00	0,00
proporzionale alla deformata 1° modo di vibrazione														
	0%	-	-	VNR	VNR	0,00	0	0	0	0	0	0	0,00	0,00
	100%	-	-	VNR	VNR	0,00	0	0	0	0	0	0	0,00	0,00
sisma in +Y														
proporzionale alle masse														
	0%	12.272	1.892	4,71	52,39	1,08	57826	99131	198040	198040	0	0	2,50	2,50
	100%	-383	-1.631	NS	60,78	1,07	57826	99131	196334	196334	0	0	2,50	2,50
proporzionale alla deformata 1° modo di vibrazione														
	0%	-	-	VNR	VNR	0,00	0	0	0	0	0	0	0,00	0,00
	100%	-	-	VNR	VNR	0,00	0	0	0	0	0	0	0,00	0,00
sisma in -Y														
proporzionale alle masse														
	0%	-	-	VNR	VNR	0,00	0	0	0	0	0	0	0,00	0,00
	100%	-	-	VNR	VNR	0,00	0	0	0	0	0	0	0,00	0,00
proporzionale alla deformata 1° modo di vibrazione														
	0%	-	-	VNR	VNR	0,00	0	0	0	0	0	0	0,00	0,00
	100%	-	-	VNR	VNR	0,00	0	0	0	0	0	0	0,00	0,00
sisma in +X														
proporzionale alle masse														
Piano rialzato	0%	-	-	VNR	VNR	0,00	0	0	0	0	0	0	0,00	0,00
	100%	-	-	VNR	VNR	0,00	0	0	0	0	0	0	0,00	0,00
proporzionale alla deformata 1° modo di vibrazione														
	0%	-24.902	1.930	2,05	45,32	1,00	51023	87469	184199	184199	0	0	2,50	2,50
	100%	-128.670	2.205	0,40	39,67	1,10	51023	87469	203515	203515	0	0	2,50	2,50
sisma in -X														
proporzionale alle masse														
	0%	-	-	VNR	VNR	0,00	0	0	0	0	0	0	0,00	0,00
	100%	-	-	VNR	VNR	0,00	0	0	0	0	0	0	0,00	0,00
proporzionale alla deformata 1° modo di vibrazione														
	0%	-	-	VNR	VNR	0,00	0	0	0	0	0	0	0,00	0,00
	100%	-	-	VNR	VNR	0,00	0	0	0	0	0	0	0,00	0,00

Lv	$\%L_{LI}$	$V_{Ed,3}$	$V_{Ed,2}$	$CS^{(3)}$	$CS^{(2)}$	α_C	$V_{Rsd,s}{}^{(3)}$	$V_{Rsd,s}{}^{(2)}$	$V_{Rcd}{}^{(3)}$	$V_{Rcd}{}^{(2)}$	$V_{fd}{}^{(3)}$	$V_{fd}{}^{(2)}$	$Ctg\Theta^{(3)}$	$Ctg\Theta^{(2)}$
	[%]	[N]	[N]				[N]	[N]	[N]	[N]	[N]	[N]		
sisma in +Y														
proporzionale alle masse														
	0%	-1.096	-2.464	46,55	35,50	1,07	51023	87469	196793	196793	0	0	2,50	2,50
	100%	-30.140	-688	1,69	NS	1,09	51023	87469	201071	201071	0	0	2,50	2,50
proporzionale alla deformata 1° modo di vibrazione														
	0%	-	-	VNR	VNR	0,00	0	0	0	0	0	0	0,00	0,00
	100%	-	-	VNR	VNR	0,00	0	0	0	0	0	0	0,00	0,00
sisma in -Y														
proporzionale alle masse														
	0%	-	-	VNR	VNR	0,00	0	0	0	0	0	0	0,00	0,00
	100%	-	-	VNR	VNR	0,00	0	0	0	0	0	0	0,00	0,00
proporzionale alla deformata 1° modo di vibrazione														
	0%	-	-	VNR	VNR	0,00	0	0	0	0	0	0	0,00	0,00
	100%	-	-	VNR	VNR	0,00	0	0	0	0	0	0	0,00	0,00
sisma in +X														
proporzionale alle masse														
Piano primo	0%	-	-	VNR	VNR	0,00	0	0	0	0	0	0	0,00	0,00
	100%	-	-	VNR	VNR	0,00	0	0	0	0	0	0	0,00	0,00
proporzionale alla deformata 1° modo di vibrazione														
	0%	-19.285	482	3,00	NS	1,00	57826	78479	147360	147360	0	0	2,50	2,50
	100%	-128.457	2.911	0,45	26,96	1,42	57826	78479	208696	208696	0	0	2,50	2,50
sisma in -X														
proporzionale alle masse														
	0%	-	-	VNR	VNR	0,00	0	0	0	0	0	0	0,00	0,00
	100%	-	-	VNR	VNR	0,00	0	0	0	0	0	0	0,00	0,00
proporzionale alla deformata 1° modo di vibrazione														
	0%	-	-	VNR	VNR	0,00	0	0	0	0	0	0	0,00	0,00
	100%	-	-	VNR	VNR	0,00	0	0	0	0	0	0	0,00	0,00
sisma in +Y														
proporzionale alle masse														
	0%	-5.544	3.021	10,43	25,98	1,03	57826	78479	152435	152435	0	0	2,50	2,50
	100%	-12.000	-1.343	4,82	58,44	1,08	57826	78479	159321	159321	0	0	2,50	2,50
proporzionale alla deformata 1° modo di vibrazione														
	0%	-	-	VNR	VNR	0,00	0	0	0	0	0	0	0,00	0,00
	100%	-	-	VNR	VNR	0,00	0	0	0	0	0	0	0,00	0,00
sisma in -Y														
proporzionale alle masse														
	0%	-	-	VNR	VNR	0,00	0	0	0	0	0	0	0,00	0,00
	100%	-	-	VNR	VNR	0,00	0	0	0	0	0	0	0,00	0,00
proporzionale alla deformata 1° modo di vibrazione														
	0%	-	-	VNR	VNR	0,00	0	0	0	0	0	0	0,00	0,00
	100%	-	-	VNR	VNR	0,00	0	0	0	0	0	0	0,00	0,00
sisma in +X														
proporzionale alle masse														
Estradosso travi gronda	0%	-	-	VNR	VNR	0,00	0	0	0	0	0	0	0,00	0,00
	100%	-	-	VNR	VNR	0,00	0	0	0	0	0	0	0,00	0,00
proporzionale alla deformata 1° modo di vibrazione														
	0%	-19.205	886	2,82	83,04	1,01	54212	73574	148922	148922	0	0	2,50	2,50
	100%	-58.221	695	0,93	NS	1,26	54212	73574	186047	186047	0	0	2,50	2,50
sisma in -X														
proporzionale alle masse														
	0%	-	-	VNR	VNR	0,00	0	0	0	0	0	0	0,00	0,00
	100%	-	-	VNR	VNR	0,00	0	0	0	0	0	0	0,00	0,00
proporzionale alla deformata 1° modo di vibrazione														
	0%	-	-	VNR	VNR	0,00	0	0	0	0	0	0	0,00	0,00
	100%	-	-	VNR	VNR	0,00	0	0	0	0	0	0	0,00	0,00
sisma in +Y														
proporzionale alle masse														
	0%	-2.717	1.574	19,95	46,74	1,03	54212	73574	151773	151773	0	0	2,50	2,50
	100%	-5.840	-4.343	9,28	16,94	1,04	54212	73574	152712	152712	0	0	2,50	2,50
proporzionale alla deformata 1° modo di vibrazione														
	0%	-	-	VNR	VNR	0,00	0	0	0	0	0	0	0,00	0,00
	100%	-	-	VNR	VNR	0,00	0	0	0	0	0	0	0,00	0,00
sisma in -Y														
proporzionale alle masse														
	0%	-	-	VNR	VNR	0,00	0	0	0	0	0	0	0,00	0,00
	100%	-	-	VNR	VNR	0,00	0	0	0	0	0	0	0,00	0,00
proporzionale alla deformata 1° modo di vibrazione														
	0%	-	-	VNR	VNR	0,00	0	0	0	0	0	0	0,00	0,00
	100%	-	-	VNR	VNR	0,00	0	0	0	0	0	0	0,00	0,00
Pilastrata: Pilastrata37														
sisma in +X														
proporzionale alle masse														
Piano terra ingresso	0%	-	-	VNR	VNR	0,00	0	0	0	0	0	0	0,00	0,00
	100%	-	-	VNR	VNR	0,00	0	0	0	0	0	0	0,00	0,00
proporzionale alla deformata 1° modo di vibrazione														
	0%	-14.138	1.278	4,09	77,57	1,09	57826	99131	201191	201191	0	0	2,50	2,50
	100%	-14.138	1.278	4,09	77,57	1,09	57826	99131	200319	200319	0	0	2,50	2,50
sisma in -X														
proporzionale alle masse														
	0%	-	-	VNR	VNR	0,00	0	0	0	0	0	0	0,00	0,00
	100%	-	-	VNR	VNR	0,00	0	0	0	0	0	0	0,00	0,00
proporzionale alla deformata 1° modo di vibrazione														
	0%	-	-	VNR	VNR	0,00	0	0	0	0	0	0	0,00	0,00
	100%	-	-	VNR	VNR	0,00	0	0	0	0	0	0	0,00	0,00

Lv	$\%L_{LI}$	$V_{Ed,3}$	$V_{Ed,2}$	$CS^{(3)}$	$CS^{(2)}$	α_C	$V_{Rsd,s}{}^{(3)}$	$V_{Rsd,s}{}^{(2)}$	$V_{Rcd}{}^{(3)}$	$V_{Rcd}{}^{(2)}$	$V_{fd}{}^{(3)}$	$V_{fd}{}^{(2)}$	$Ctg\Theta^{(3)}$	$Ctg\Theta^{(2)}$
	[%]	[N]	[N]				[N]	[N]	[N]	[N]	[N]	[N]		
sisma in +Y														
proporzionale alle masse														
	0%	5.529	47.130	10,46	2,10	1,25	57826	99131	229566	229566	0	0	2,50	2,50
	100%	5.529	47.130	10,46	2,10	1,24	57826	99131	228740	228740	0	0	2,50	2,50
proporzionale alla deformata 1° modo di vibrazione														
	0%	-	-	VNR	VNR	0,00	0	0	0	0	0	0	0,00	0,00
	100%	-	-	VNR	VNR	0,00	0	0	0	0	0	0	0,00	0,00
sisma in -Y														
proporzionale alle masse														
	0%	-	-	VNR	VNR	0,00	0	0	0	0	0	0	0,00	0,00
	100%	-	-	VNR	VNR	0,00	0	0	0	0	0	0	0,00	0,00
proporzionale alla deformata 1° modo di vibrazione														
	0%	-	-	VNR	VNR	0,00	0	0	0	0	0	0	0,00	0,00
	100%	-	-	VNR	VNR	0,00	0	0	0	0	0	0	0,00	0,00
sisma in +X														
proporzionale alle masse														
Piano rialzato	0%	-	-	VNR	VNR	0,00	0	0	0	0	0	0	0,00	0,00
	100%	-	-	VNR	VNR	0,00	0	0	0	0	0	0	0,00	0,00
proporzionale alla deformata 1° modo di vibrazione														
	0%	-222.882	2.170	0,23	40,31	1,12	51023	87469	206190	206190	0	0	2,50	2,50
	100%	-222.882	2.170	0,23	40,31	1,10	51023	87469	202231	202231	0	0	2,50	2,50
sisma in -X														
proporzionale alle masse														
	0%	-	-	VNR	VNR	0,00	0	0	0	0	0	0	0,00	0,00
	100%	-	-	VNR	VNR	0,00	0	0	0	0	0	0	0,00	0,00
proporzionale alla deformata 1° modo di vibrazione														
	0%	-	-	VNR	VNR	0,00	0	0	0	0	0	0	0,00	0,00
	100%	-	-	VNR	VNR	0,00	0	0	0	0	0	0	0,00	0,00
sisma in +Y														
proporzionale alle masse														
	0%	-38.948	27.446	1,31	3,19	1,23	51023	87469	226180	226180	0	0	2,50	2,50
	100%	-38.948	27.446	1,31	3,19	1,23	51023	87469	225957	225957	0	0	2,50	2,50
proporzionale alla deformata 1° modo di vibrazione														
	0%	-	-	VNR	VNR	0,00	0	0	0	0	0	0	0,00	0,00
	100%	-	-	VNR	VNR	0,00	0	0	0	0	0	0	0,00	0,00
sisma in -Y														
proporzionale alle masse														
	0%	-	-	VNR	VNR	0,00	0	0	0	0	0	0	0,00	0,00
	100%	-	-	VNR	VNR	0,00	0	0	0	0	0	0	0,00	0,00
proporzionale alla deformata 1° modo di vibrazione														
	0%	-	-	VNR	VNR	0,00	0	0	0	0	0	0	0,00	0,00
	100%	-	-	VNR	VNR	0,00	0	0	0	0	0	0	0,00	0,00
sisma in +X														
proporzionale alle masse														
Piano primo	0%	-	-	VNR	VNR	0,00	0	0	0	0	0	0	0,00	0,00
	100%	-	-	VNR	VNR	0,00	0	0	0	0	0	0	0,00	0,00
proporzionale alla deformata 1° modo di vibrazione														
	0%	-25.086	-124	2,31	NS	1,02	57826	78479	151020	151020	0	0	2,50	2,50
	100%	-25.086	-124	2,31	NS	1,01	57826	78479	149283	149283	0	0	2,50	2,50
sisma in -X														
proporzionale alle masse														
	0%	-	-	VNR	VNR	0,00	0	0	0	0	0	0	0,00	0,00
	100%	-	-	VNR	VNR	0,00	0	0	0	0	0	0	0,00	0,00
proporzionale alla deformata 1° modo di vibrazione														
	0%	-	-	VNR	VNR	0,00	0	0	0	0	0	0	0,00	0,00
	100%	-	-	VNR	VNR	0,00	0	0	0	0	0	0	0,00	0,00
sisma in +Y														
proporzionale alle masse														
	0%	-8.197	10.818	7,05	7,25	1,21	57826	78479	178305	178305	0	0	2,50	2,50
	100%	-8.197	10.818	7,05	7,25	1,21	57826	78479	177571	177571	0	0	2,50	2,50
proporzionale alla deformata 1° modo di vibrazione														
	0%	-	-	VNR	VNR	0,00	0	0	0	0	0	0	0,00	0,00
	100%	-	-	VNR	VNR	0,00	0	0	0	0	0	0	0,00	0,00
sisma in -Y														
proporzionale alle masse														
	0%	-	-	VNR	VNR	0,00	0	0	0	0	0	0	0,00	0,00
	100%	-	-	VNR	VNR	0,00	0	0	0	0	0	0	0,00	0,00
proporzionale alla deformata 1° modo di vibrazione														
	0%	-	-	VNR	VNR	0,00	0	0	0	0	0	0	0,00	0,00
	100%	-	-	VNR	VNR	0,00	0	0	0	0	0	0	0,00	0,00
sisma in +X														
proporzionale alle masse														
Estradosso travi gronda	0%	-	-	VNR	VNR	0,00	0	0	0	0	0	0	0,00	0,00
	100%	-	-	VNR	VNR	0,00	0	0	0	0	0	0	0,00	0,00
proporzionale alla deformata 1° modo di vibrazione														
	0%	-8.114	11.725	6,68	6,27	1,00	54212	73574	147360	147360	0	0	2,50	2,50
	100%	-8.114	11.725	6,68	6,27	1,00	54212	73574	147360	147360	0	0	2,50	2,50
sisma in -X														
proporzionale alle masse														
	0%	-	-	VNR	VNR	0,00	0	0	0	0	0	0	0,00	0,00
	100%	-	-	VNR	VNR	0,00	0	0	0	0	0	0	0,00	0,00
proporzionale alla deformata 1° modo di vibrazione														
	0%	-	-	VNR	VNR	0,00	0	0	0	0	0	0	0,00	0,00
	100%	-	-	VNR	VNR	0,00	0	0	0	0	0	0	0,00	0,00
sisma in +Y														

Lv	%L_{LI}	$V_{Ed,3}$	$V_{Ed,2}$	$CS^{(3)}$	$CS^{(2)}$	α_C	$V_{Rsd,s}{}^{(3)}$	$V_{Rsd,s}{}^{(2)}$	$V_{Rcd}{}^{(3)}$	$V_{Rcd}{}^{(2)}$	$V_{fd}{}^{(3)}$	$V_{fd}{}^{(2)}$	$Ctg\Theta^{(3)}$	$Ctg\Theta^{(2)}$
	[%]	[N]	[N]				[N]	[N]	[N]	[N]	[N]	[N]		
proporzionale alle masse														
	0%	-55	17.244	NS	4,27	1,11	54212	73574	163679	163679	0	0	2,50	2,50
	100%	-55	17.244	NS	4,27	1,10	54212	73574	162738	162738	0	0	2,50	2,50
proporzionale alla deformata 1° modo di vibrazione														
	0%	-	-	VNR	VNR	0,00	0	0	0	0	0	0	0,00	0,00
	100%	-	-	VNR	VNR	0,00	0	0	0	0	0	0	0,00	0,00
sisma in -Y														
proporzionale alle masse														
	0%	-	-	VNR	VNR	0,00	0	0	0	0	0	0	0,00	0,00
	100%	-	-	VNR	VNR	0,00	0	0	0	0	0	0	0,00	0,00
proporzionale alla deformata 1° modo di vibrazione														
	0%	-	-	VNR	VNR	0,00	0	0	0	0	0	0	0,00	0,00
	100%	-	-	VNR	VNR	0,00	0	0	0	0	0	0	0,00	0,00
Pilastrata: Pilastrata38														
sisma in +X														
proporzionale alle masse														
Piano terra ingresso	0%	-	-	VNR	VNR	0,00	0	0	0	0	0	0	0,00	0,00
	100%	-	-	VNR	VNR	0,00	0	0	0	0	0	0	0,00	0,00
proporzionale alla deformata 1° modo di vibrazione														
	0%	-19.343	4.291	2,99	18,29	1,00	57826	78479	147360	147360	0	0	2,50	2,50
	100%	-85.759	-2.995	0,67	26,20	1,00	57826	78479	147360	147360	0	0	2,50	2,50
sisma in -X														
proporzionale alle masse														
	0%	-	-	VNR	VNR	0,00	0	0	0	0	0	0	0,00	0,00
	100%	-	-	VNR	VNR	0,00	0	0	0	0	0	0	0,00	0,00
proporzionale alla deformata 1° modo di vibrazione														
	0%	-	-	VNR	VNR	0,00	0	0	0	0	0	0	0,00	0,00
	100%	-	-	VNR	VNR	0,00	0	0	0	0	0	0	0,00	0,00
sisma in +Y														
proporzionale alle masse														
	0%	231	3.314	NS	23,68	1,02	57826	78479	150688	150688	0	0	2,50	2,50
	100%	-15.000	3.096	3,86	25,35	1,08	57826	78479	158879	158879	0	0	2,50	2,50
proporzionale alla deformata 1° modo di vibrazione														
	0%	-	-	VNR	VNR	0,00	0	0	0	0	0	0	0,00	0,00
	100%	-	-	VNR	VNR	0,00	0	0	0	0	0	0	0,00	0,00
sisma in -Y														
proporzionale alle masse														
	0%	-	-	VNR	VNR	0,00	0	0	0	0	0	0	0,00	0,00
	100%	-	-	VNR	VNR	0,00	0	0	0	0	0	0	0,00	0,00
proporzionale alla deformata 1° modo di vibrazione														
	0%	-	-	VNR	VNR	0,00	0	0	0	0	0	0	0,00	0,00
	100%	-	-	VNR	VNR	0,00	0	0	0	0	0	0	0,00	0,00
sisma in +X														
proporzionale alle masse														
Piano rialzato	0%	-	-	VNR	VNR	0,00	0	0	0	0	0	0	0,00	0,00
	100%	-	-	VNR	VNR	0,00	0	0	0	0	0	0	0,00	0,00
proporzionale alla deformata 1° modo di vibrazione														
	0%	-40.439	-898	1,26	56,82	1,00	51023	51023	110520	110520	0	0	2,50	2,50
	100%	524	1.422	97,37	35,88	1,00	51023	51023	110520	110520	0	0	2,50	2,50
sisma in -X														
proporzionale alle masse														
	0%	-	-	VNR	VNR	0,00	0	0	0	0	0	0	0,00	0,00
	100%	-	-	VNR	VNR	0,00	0	0	0	0	0	0	0,00	0,00
proporzionale alla deformata 1° modo di vibrazione														
	0%	-	-	VNR	VNR	0,00	0	0	0	0	0	0	0,00	0,00
	100%	-	-	VNR	VNR	0,00	0	0	0	0	0	0	0,00	0,00
sisma in +Y														
proporzionale alle masse														
	0%	-11.029	-1.249	4,63	40,85	1,04	51023	51023	114529	114529	0	0	2,50	2,50
	100%	-908	1.324	56,19	38,54	1,05	51023	51023	115701	115701	0	0	2,50	2,50
proporzionale alla deformata 1° modo di vibrazione														
	0%	-	-	VNR	VNR	0,00	0	0	0	0	0	0	0,00	0,00
	100%	-	-	VNR	VNR	0,00	0	0	0	0	0	0	0,00	0,00
sisma in -Y														
proporzionale alle masse														
	0%	-	-	VNR	VNR	0,00	0	0	0	0	0	0	0,00	0,00
	100%	-	-	VNR	VNR	0,00	0	0	0	0	0	0	0,00	0,00
proporzionale alla deformata 1° modo di vibrazione														
	0%	-	-	VNR	VNR	0,00	0	0	0	0	0	0	0,00	0,00
	100%	-	-	VNR	VNR	0,00	0	0	0	0	0	0	0,00	0,00
sisma in +X														
proporzionale alle masse														
Piano primo	0%	-	-	VNR	VNR	0,00	0	0	0	0	0	0	0,00	0,00
	100%	-	-	VNR	VNR	0,00	0	0	0	0	0	0	0,00	0,00
proporzionale alla deformata 1° modo di vibrazione														
	0%	-7.988	-121	7,24	NS	1,00	57826	57826	110520	110520	0	0	2,50	2,50
	100%	-118.886	12	0,49	NS	1,44	57826	57826	159340	159340	0	0	2,50	2,50
sisma in -X														
proporzionale alle masse														
	0%	-	-	VNR	VNR	0,00	0	0	0	0	0	0	0,00	0,00
	100%	-	-	VNR	VNR	0,00	0	0	0	0	0	0	0,00	0,00
proporzionale alla deformata 1° modo di vibrazione														
	0%	-	-	VNR	VNR	0,00	0	0	0	0	0	0	0,00	0,00
	100%	-	-	VNR	VNR	0,00	0	0	0	0	0	0	0,00	0,00
sisma in +Y														
proporzionale alle masse														

Lv	%L_{LI}	$V_{Ed,3}$	$V_{Ed,2}$	$CS^{(3)}$	$CS^{(2)}$	α_C	$V_{Rsd,s}{}^{(3)}$	$V_{Rsd,s}{}^{(2)}$	$V_{Rcd}{}^{(3)}$	$V_{Rcd}{}^{(2)}$	$V_{fd}{}^{(3)}$	$V_{fd}{}^{(2)}$	$Ctg\Theta^{(3)}$	$Ctg\Theta^{(2)}$
	[%]	[N]	[N]				[N]	[N]	[N]	[N]	[N]	[N]		
	0%	-319	1.323	NS	43,71	1,05	57826	57826	115705	115705	0	0	2,50	2,50
	100%	-7.884	-1.639	7,33	35,28	1,06	57826	57826	117018	117018	0	0	2,50	2,50
proporzionale alla deformata 1° modo di vibrazione														
	0%	-	-	VNR	VNR	0,00	0	0	0	0	0	0	0,00	0,00
	100%	-	-	VNR	VNR	0,00	0	0	0	0	0	0	0,00	0,00
sisma in -Y														
proporzionale alle masse														
	0%	-	-	VNR	VNR	0,00	0	0	0	0	0	0	0,00	0,00
	100%	-	-	VNR	VNR	0,00	0	0	0	0	0	0	0,00	0,00
proporzionale alla deformata 1° modo di vibrazione														
	0%	-	-	VNR	VNR	0,00	0	0	0	0	0	0	0,00	0,00
	100%	-	-	VNR	VNR	0,00	0	0	0	0	0	0	0,00	0,00
sisma in +X														
proporzionale alle masse														
Estradosso travi gronda	0%	-	-	VNR	VNR	0,00	0	0	0	0	0	0	0,00	0,00
	100%	-	-	VNR	VNR	0,00	0	0	0	0	0	0	0,00	0,00
proporzionale alla deformata 1° modo di vibrazione														
	0%	-22.808	-399	2,38	NS	1,08	54212	54212	119483	119483	0	0	2,50	2,50
	100%	-54.929	-4.661	0,99	11,63	1,48	54212	54212	163544	163544	0	0	2,50	2,50
sisma in -X														
proporzionale alle masse														
	0%	-	-	VNR	VNR	0,00	0	0	0	0	0	0	0,00	0,00
	100%	-	-	VNR	VNR	0,00	0	0	0	0	0	0	0,00	0,00
proporzionale alla deformata 1° modo di vibrazione														
	0%	-	-	VNR	VNR	0,00	0	0	0	0	0	0	0,00	0,00
	100%	-	-	VNR	VNR	0,00	0	0	0	0	0	0	0,00	0,00
sisma in +Y														
proporzionale alle masse														
	0%	-3.559	1.120	15,23	48,40	1,01	54212	54212	111632	111632	0	0	2,50	2,50
	100%	-12.874	-2.359	4,21	22,98	1,10	54212	54212	121854	121854	0	0	2,50	2,50
proporzionale alla deformata 1° modo di vibrazione														
	0%	-	-	VNR	VNR	0,00	0	0	0	0	0	0	0,00	0,00
	100%	-	-	VNR	VNR	0,00	0	0	0	0	0	0	0,00	0,00
sisma in -Y														
proporzionale alle masse														
	0%	-	-	VNR	VNR	0,00	0	0	0	0	0	0	0,00	0,00
	100%	-	-	VNR	VNR	0,00	0	0	0	0	0	0	0,00	0,00
proporzionale alla deformata 1° modo di vibrazione														
	0%	-	-	VNR	VNR	0,00	0	0	0	0	0	0	0,00	0,00
	100%	-	-	VNR	VNR	0,00	0	0	0	0	0	0	0,00	0,00
Pilastrata: Pilastrata39														
sisma in +X														
proporzionale alle masse														
Piano terra ingresso	0%	-	-	VNR	VNR	0,00	0	0	0	0	0	0	0,00	0,00
	100%	-	-	VNR	VNR	0,00	0	0	0	0	0	0	0,00	0,00
proporzionale alla deformata 1° modo di vibrazione														
	0%	-124.362	-355	0,46	NS	1,67	57826	78479	245403	245403	0	0	2,50	2,50
	100%	27.457	-964	2,11	81,41	1,30	57826	78479	191185	191185	0	0	2,50	2,50
sisma in -X														
proporzionale alle masse														
	0%	-	-	VNR	VNR	0,00	0	0	0	0	0	0	0,00	0,00
	100%	-	-	VNR	VNR	0,00	0	0	0	0	0	0	0,00	0,00
proporzionale alla deformata 1° modo di vibrazione														
	0%	-	-	VNR	VNR	0,00	0	0	0	0	0	0	0,00	0,00
	100%	-	-	VNR	VNR	0,00	0	0	0	0	0	0	0,00	0,00
sisma in +Y														
proporzionale alle masse														
	0%	-8.931	-573	6,47	NS	1,08	57826	78479	158914	158914	0	0	2,50	2,50
	100%	31.295	-885	1,85	88,68	1,08	57826	78479	159434	159434	0	0	2,50	2,50
proporzionale alla deformata 1° modo di vibrazione														
	0%	-	-	VNR	VNR	0,00	0	0	0	0	0	0	0,00	0,00
	100%	-	-	VNR	VNR	0,00	0	0	0	0	0	0	0,00	0,00
sisma in -Y														
proporzionale alle masse														
	0%	-	-	VNR	VNR	0,00	0	0	0	0	0	0	0,00	0,00
	100%	-	-	VNR	VNR	0,00	0	0	0	0	0	0	0,00	0,00
proporzionale alla deformata 1° modo di vibrazione														
	0%	-	-	VNR	VNR	0,00	0	0	0	0	0	0	0,00	0,00
	100%	-	-	VNR	VNR	0,00	0	0	0	0	0	0	0,00	0,00
sisma in +X														
proporzionale alle masse														
Piano rialzato	0%	-	-	VNR	VNR	0,00	0	0	0	0	0	0	0,00	0,00
	100%	-	-	VNR	VNR	0,00	0	0	0	0	0	0	0,00	0,00
proporzionale alla deformata 1° modo di vibrazione														
	0%	-64.404	2.333	0,79	21,87	1,28	51023	51023	141474	141474	0	0	2,50	2,50
	100%	-21.637	1.327	2,36	38,45	1,08	51023	51023	119438	119438	0	0	2,50	2,50
sisma in -X														
proporzionale alle masse														
	0%	-	-	VNR	VNR	0,00	0	0	0	0	0	0	0,00	0,00
	100%	-	-	VNR	VNR	0,00	0	0	0	0	0	0	0,00	0,00
proporzionale alla deformata 1° modo di vibrazione														
	0%	-	-	VNR	VNR	0,00	0	0	0	0	0	0	0,00	0,00
	100%	-	-	VNR	VNR	0,00	0	0	0	0	0	0	0,00	0,00
sisma in +Y														
proporzionale alle masse														

Lv	%L_{LI}	$V_{Ed,3}$	$V_{Ed,2}$	$CS^{(3)}$	$CS^{(2)}$	α_C	$V_{Rsd,s}{}^{(3)}$	$V_{Rsd,s}{}^{(2)}$	$V_{Rcd}{}^{(3)}$	$V_{Rcd}{}^{(2)}$	$V_{fd}{}^{(3)}$	$V_{fd}{}^{(2)}$	$Ctg\Theta^{(3)}$	$Ctg\Theta^{(2)}$
	[%]	[N]	[N]				[N]	[N]	[N]	[N]	[N]	[N]		
	0%	12.225	2.747	4,17	18,57	1,00	51023	51023	110520	110520	0	0	2,50	2,50
	100%	1.007	978	50,67	52,17	1,01	51023	51023	111257	111257	0	0	2,50	2,50
proporzionale alla deformata 1° modo di vibrazione														
	0%	-	-	VNR	VNR	0,00	0	0	0	0	0	0	0,00	0,00
	100%	-	-	VNR	VNR	0,00	0	0	0	0	0	0	0,00	0,00
sisma in -Y														
proporzionale alle masse														
	0%	-	-	VNR	VNR	0,00	0	0	0	0	0	0	0,00	0,00
	100%	-	-	VNR	VNR	0,00	0	0	0	0	0	0	0,00	0,00
proporzionale alla deformata 1° modo di vibrazione														
	0%	-	-	VNR	VNR	0,00	0	0	0	0	0	0	0,00	0,00
	100%	-	-	VNR	VNR	0,00	0	0	0	0	0	0	0,00	0,00
sisma in +X														
proporzionale alle masse														
Piano primo	0%	-	-	VNR	VNR	0,00	0	0	0	0	0	0	0,00	0,00
	100%	-	-	VNR	VNR	0,00	0	0	0	0	0	0	0,00	0,00
proporzionale alla deformata 1° modo di vibrazione														
	0%	-8.375	946	6,90	61,13	1,02	57826	57826	112311	112311	0	0	2,50	2,50
	100%	1.164	62	49,68	NS	1,00	57826	57826	110520	110520	0	0	2,50	2,50
sisma in -X														
proporzionale alle masse														
	0%	-	-	VNR	VNR	0,00	0	0	0	0	0	0	0,00	0,00
	100%	-	-	VNR	VNR	0,00	0	0	0	0	0	0	0,00	0,00
proporzionale alla deformata 1° modo di vibrazione														
	0%	-	-	VNR	VNR	0,00	0	0	0	0	0	0	0,00	0,00
	100%	-	-	VNR	VNR	0,00	0	0	0	0	0	0	0,00	0,00
sisma in +Y														
proporzionale alle masse														
	0%	1.416	1.277	40,84	45,28	1,01	57826	57826	111923	111923	0	0	2,50	2,50
	100%	14.130	-693	4,09	83,44	1,08	57826	57826	119183	119183	0	0	2,50	2,50
proporzionale alla deformata 1° modo di vibrazione														
	0%	-	-	VNR	VNR	0,00	0	0	0	0	0	0	0,00	0,00
	100%	-	-	VNR	VNR	0,00	0	0	0	0	0	0	0,00	0,00
sisma in -Y														
proporzionale alle masse														
	0%	-	-	VNR	VNR	0,00	0	0	0	0	0	0	0,00	0,00
	100%	-	-	VNR	VNR	0,00	0	0	0	0	0	0	0,00	0,00
proporzionale alla deformata 1° modo di vibrazione														
	0%	-	-	VNR	VNR	0,00	0	0	0	0	0	0	0,00	0,00
	100%	-	-	VNR	VNR	0,00	0	0	0	0	0	0	0,00	0,00
sisma in +X														
proporzionale alle masse														
Estradosso travi gronda	0%	-	-	VNR	VNR	0,00	0	0	0	0	0	0	0,00	0,00
	100%	-	-	VNR	VNR	0,00	0	0	0	0	0	0	0,00	0,00
proporzionale alla deformata 1° modo di vibrazione														
	0%	-9.139	783	5,93	69,24	1,00	54212	54212	110520	110520	0	0	2,50	2,50
	100%	1.872	-1.829	28,96	29,64	1,00	54212	54212	110520	110520	0	0	2,50	2,50
sisma in -X														
proporzionale alle masse														
	0%	-	-	VNR	VNR	0,00	0	0	0	0	0	0	0,00	0,00
	100%	-	-	VNR	VNR	0,00	0	0	0	0	0	0	0,00	0,00
proporzionale alla deformata 1° modo di vibrazione														
	0%	-	-	VNR	VNR	0,00	0	0	0	0	0	0	0,00	0,00
	100%	-	-	VNR	VNR	0,00	0	0	0	0	0	0	0,00	0,00
sisma in +Y														
proporzionale alle masse														
	0%	3.395	-54	15,97	NS	1,00	54212	54212	110520	110520	0	0	2,50	2,50
	100%	7.151	-2.544	7,58	21,31	1,02	54212	54212	112366	112366	0	0	2,50	2,50
proporzionale alla deformata 1° modo di vibrazione														
	0%	-	-	VNR	VNR	0,00	0	0	0	0	0	0	0,00	0,00
	100%	-	-	VNR	VNR	0,00	0	0	0	0	0	0	0,00	0,00
sisma in -Y														
proporzionale alle masse														
	0%	-	-	VNR	VNR	0,00	0	0	0	0	0	0	0,00	0,00
	100%	-	-	VNR	VNR	0,00	0	0	0	0	0	0	0,00	0,00
proporzionale alla deformata 1° modo di vibrazione														
	0%	-	-	VNR	VNR	0,00	0	0	0	0	0	0	0,00	0,00
	100%	-	-	VNR	VNR	0,00	0	0	0	0	0	0	0,00	0,00
Pilastrata: Pilastrata40														
sisma in +X														
proporzionale alle masse														
Piano terra ingresso	0%	-	-	VNR	VNR	0,00	0	0	0	0	0	0	0,00	0,00
	100%	-	-	VNR	VNR	0,00	0	0	0	0	0	0	0,00	0,00
proporzionale alla deformata 1° modo di vibrazione														
	0%	-37.838	-496	1,53	NS	1,08	57826	78479	159166	159166	0	0	2,50	2,50
	100%	-37.838	-496	1,53	NS	1,08	57826	78479	158666	158666	0	0	2,50	2,50
sisma in -X														
proporzionale alle masse														
	0%	-	-	VNR	VNR	0,00	0	0	0	0	0	0	0,00	0,00
	100%	-	-	VNR	VNR	0,00	0	0	0	0	0	0	0,00	0,00
proporzionale alla deformata 1° modo di vibrazione														
	0%	-	-	VNR	VNR	0,00	0	0	0	0	0	0	0,00	0,00
	100%	-	-	VNR	VNR	0,00	0	0	0	0	0	0	0,00	0,00
sisma in +Y														
proporzionale alle masse														

Lv	%L_{LI}	$V_{Ed,3}$	$V_{Ed,2}$	$CS^{(3)}$	$CS^{(2)}$	α_C	$V_{Rsd,s}{}^{(3)}$	$V_{Rsd,s}{}^{(2)}$	$V_{Rcd}{}^{(3)}$	$V_{Rcd}{}^{(2)}$	$V_{fd}{}^{(3)}$	$V_{fd}{}^{(2)}$	$Ctg\Theta^{(3)}$	$Ctg\Theta^{(2)}$
	[%]	[N]	[N]				[N]	[N]	[N]	[N]	[N]	[N]		
	0%	-11.373	22.799	5,08	3,44	1,22	57826	78479	179087	179087	0	0	2,50	2,50
	100%	-11.373	22.799	5,08	3,44	1,21	57826	78479	178031	178031	0	0	2,50	2,50
proporzionale alla deformata 1° modo di vibrazione														
	0%	-	-	VNR	VNR	0,00	0	0	0	0	0	0	0,00	0,00
	100%	-	-	VNR	VNR	0,00	0	0	0	0	0	0	0,00	0,00
sisma in -Y														
proporzionale alle masse														
	0%	-	-	VNR	VNR	0,00	0	0	0	0	0	0	0,00	0,00
	100%	-	-	VNR	VNR	0,00	0	0	0	0	0	0	0,00	0,00
proporzionale alla deformata 1° modo di vibrazione														
	0%	-	-	VNR	VNR	0,00	0	0	0	0	0	0	0,00	0,00
	100%	-	-	VNR	VNR	0,00	0	0	0	0	0	0	0,00	0,00
sisma in +X														
proporzionale alle masse														
Piano primo	0%	-	-	VNR	VNR	0,00	0	0	0	0	0	0	0,00	0,00
	100%	-	-	VNR	VNR	0,00	0	0	0	0	0	0	0,00	0,00
proporzionale alla deformata 1° modo di vibrazione														
	0%	-10.942	287	5,28	NS	1,01	57826	57826	112122	112122	0	0	2,50	2,50
	100%	-10.942	287	5,28	NS	1,01	57826	57826	111488	111488	0	0	2,50	2,50
sisma in -X														
proporzionale alle masse														
	0%	-	-	VNR	VNR	0,00	0	0	0	0	0	0	0,00	0,00
	100%	-	-	VNR	VNR	0,00	0	0	0	0	0	0	0,00	0,00
proporzionale alla deformata 1° modo di vibrazione														
	0%	-	-	VNR	VNR	0,00	0	0	0	0	0	0	0,00	0,00
	100%	-	-	VNR	VNR	0,00	0	0	0	0	0	0	0,00	0,00
sisma in +Y														
proporzionale alle masse														
	0%	-4.540	753	12,74	76,79	1,12	57826	57826	123760	123760	0	0	2,50	2,50
	100%	-4.540	753	12,74	76,79	1,11	57826	57826	123048	123048	0	0	2,50	2,50
proporzionale alla deformata 1° modo di vibrazione														
	0%	-	-	VNR	VNR	0,00	0	0	0	0	0	0	0,00	0,00
	100%	-	-	VNR	VNR	0,00	0	0	0	0	0	0	0,00	0,00
sisma in -Y														
proporzionale alle masse														
	0%	-	-	VNR	VNR	0,00	0	0	0	0	0	0	0,00	0,00
	100%	-	-	VNR	VNR	0,00	0	0	0	0	0	0	0,00	0,00
proporzionale alla deformata 1° modo di vibrazione														
	0%	-	-	VNR	VNR	0,00	0	0	0	0	0	0	0,00	0,00
	100%	-	-	VNR	VNR	0,00	0	0	0	0	0	0	0,00	0,00
sisma in +X														
proporzionale alle masse														
Estradosso travi gronda	0%	-	-	VNR	VNR	0,00	0	0	0	0	0	0	0,00	0,00
	100%	-	-	VNR	VNR	0,00	0	0	0	0	0	0	0,00	0,00
proporzionale alla deformata 1° modo di vibrazione														
	0%	-10.364	1.174	5,23	46,18	1,01	54212	54212	111275	111275	0	0	2,50	2,50
	100%	-10.364	1.174	5,23	46,18	1,00	54212	54212	110694	110694	0	0	2,50	2,50
sisma in -X														
proporzionale alle masse														
	0%	-	-	VNR	VNR	0,00	0	0	0	0	0	0	0,00	0,00
	100%	-	-	VNR	VNR	0,00	0	0	0	0	0	0	0,00	0,00
proporzionale alla deformata 1° modo di vibrazione														
	0%	-	-	VNR	VNR	0,00	0	0	0	0	0	0	0,00	0,00
	100%	-	-	VNR	VNR	0,00	0	0	0	0	0	0	0,00	0,00
sisma in +Y														
proporzionale alle masse														
	0%	-1.169	3.948	46,37	13,73	1,00	54212	54212	110520	110520	0	0	2,50	2,50
	100%	-1.169	3.948	46,37	13,73	1,00	54212	54212	110520	110520	0	0	2,50	2,50
proporzionale alla deformata 1° modo di vibrazione														
	0%	-	-	VNR	VNR	0,00	0	0	0	0	0	0	0,00	0,00
	100%	-	-	VNR	VNR	0,00	0	0	0	0	0	0	0,00	0,00
sisma in -Y														
proporzionale alle masse														
	0%	-	-	VNR	VNR	0,00	0	0	0	0	0	0	0,00	0,00
	100%	-	-	VNR	VNR	0,00	0	0	0	0	0	0	0,00	0,00
proporzionale alla deformata 1° modo di vibrazione														
	0%	-	-	VNR	VNR	0,00	0	0	0	0	0	0	0,00	0,00
	100%	-	-	VNR	VNR	0,00	0	0	0	0	0	0	0,00	0,00
Pilastrata: Pilastrata41														
sisma in +X														
proporzionale alle masse														
Piano terra ingresso	0%	-	-	VNR	VNR	0,00	0	0	0	0	0	0	0,00	0,00
	100%	-	-	VNR	VNR	0,00	0	0	0	0	0	0	0,00	0,00
proporzionale alla deformata 1° modo di vibrazione														
	0%	-82.541	-142	0,70	NS	1,64	57826	57826	181033	181033	0	0	2,50	2,50
	100%	7.957	12	7,27	NS	1,20	57826	57826	132613	132613	0	0	2,50	2,50
sisma in -X														
proporzionale alle masse														
	0%	-	-	VNR	VNR	0,00	0	0	0	0	0	0	0,00	0,00
	100%	-	-	VNR	VNR	0,00	0	0	0	0	0	0	0,00	0,00
proporzionale alla deformata 1° modo di vibrazione														
	0%	-	-	VNR	VNR	0,00	0	0	0	0	0	0	0,00	0,00
	100%	-	-	VNR	VNR	0,00	0	0	0	0	0	0	0,00	0,00
sisma in +Y														
proporzionale alle masse														

Lv	%L_{LI}	$V_{Ed,3}$	$V_{Ed,2}$	$CS^{(3)}$	$CS^{(2)}$	α_C	$V_{Rsd,s}{}^{(3)}$	$V_{Rsd,s}{}^{(2)}$	$V_{Rcd}{}^{(3)}$	$V_{Rcd}{}^{(2)}$	$V_{fd}{}^{(3)}$	$V_{fd}{}^{(2)}$	$Ctg\Theta^{(3)}$	$Ctg\Theta^{(2)}$
	[%]	[N]	[N]				[N]	[N]	[N]	[N]	[N]	[N]		
	0%	-8.460	4.401	6,84	13,14	1,05	57826	57826	116198	116198	0	0	2,50	2,50
	100%	788	5.393	73,38	10,72	1,02	57826	57826	112508	112508	0	0	2,50	2,50
proporzionale alla deformata 1° modo di vibrazione														
	0%	-	-	VNR	VNR	0,00	0	0	0	0	0	0	0,00	0,00
	100%	-	-	VNR	VNR	0,00	0	0	0	0	0	0	0,00	0,00
sisma in -Y														
proporzionale alle masse														
	0%	-	-	VNR	VNR	0,00	0	0	0	0	0	0	0,00	0,00
	100%	-	-	VNR	VNR	0,00	0	0	0	0	0	0	0,00	0,00
proporzionale alla deformata 1° modo di vibrazione														
	0%	-	-	VNR	VNR	0,00	0	0	0	0	0	0	0,00	0,00
	100%	-	-	VNR	VNR	0,00	0	0	0	0	0	0	0,00	0,00
sisma in +X														
proporzionale alle masse														
Piano rialzato	0%	-	-	VNR	VNR	0,00	0	0	0	0	0	0	0,00	0,00
	100%	-	-	VNR	VNR	0,00	0	0	0	0	0	0	0,00	0,00
proporzionale alla deformata 1° modo di vibrazione														
	0%	-52.556	1.666	0,97	30,63	1,27	51023	51023	140375	140375	0	0	2,50	2,50
	100%	-16.111	1.076	3,17	47,42	1,11	51023	51023	122530	122530	0	0	2,50	2,50
sisma in -X														
proporzionale alle masse														
	0%	-	-	VNR	VNR	0,00	0	0	0	0	0	0	0,00	0,00
	100%	-	-	VNR	VNR	0,00	0	0	0	0	0	0	0,00	0,00
proporzionale alla deformata 1° modo di vibrazione														
	0%	-	-	VNR	VNR	0,00	0	0	0	0	0	0	0,00	0,00
	100%	-	-	VNR	VNR	0,00	0	0	0	0	0	0	0,00	0,00
sisma in +Y														
proporzionale alle masse														
	0%	-6.138	7.539	8,31	6,77	1,01	51023	51023	112013	112013	0	0	2,50	2,50
	100%	-1.454	2.393	35,09	21,32	1,01	51023	51023	111475	111475	0	0	2,50	2,50
proporzionale alla deformata 1° modo di vibrazione														
	0%	-	-	VNR	VNR	0,00	0	0	0	0	0	0	0,00	0,00
	100%	-	-	VNR	VNR	0,00	0	0	0	0	0	0	0,00	0,00
sisma in -Y														
proporzionale alle masse														
	0%	-	-	VNR	VNR	0,00	0	0	0	0	0	0	0,00	0,00
	100%	-	-	VNR	VNR	0,00	0	0	0	0	0	0	0,00	0,00
proporzionale alla deformata 1° modo di vibrazione														
	0%	-	-	VNR	VNR	0,00	0	0	0	0	0	0	0,00	0,00
	100%	-	-	VNR	VNR	0,00	0	0	0	0	0	0	0,00	0,00
sisma in +X														
proporzionale alle masse														
Piano primo	0%	-	-	VNR	VNR	0,00	0	0	0	0	0	0	0,00	0,00
	100%	-	-	VNR	VNR	0,00	0	0	0	0	0	0	0,00	0,00
proporzionale alla deformata 1° modo di vibrazione														
	0%	-9.796	307	5,90	NS	1,06	57826	57826	116900	116900	0	0	2,50	2,50
	100%	1.180	2.176	49,01	26,57	1,00	57826	57826	110520	110520	0	0	2,50	2,50
sisma in -X														
proporzionale alle masse														
	0%	-	-	VNR	VNR	0,00	0	0	0	0	0	0	0,00	0,00
	100%	-	-	VNR	VNR	0,00	0	0	0	0	0	0	0,00	0,00
proporzionale alla deformata 1° modo di vibrazione														
	0%	-	-	VNR	VNR	0,00	0	0	0	0	0	0	0,00	0,00
	100%	-	-	VNR	VNR	0,00	0	0	0	0	0	0	0,00	0,00
sisma in +Y														
proporzionale alle masse														
	0%	-851	1.559	67,95	37,09	1,01	57826	57826	111264	111264	0	0	2,50	2,50
	100%	-410	2.849	NS	20,30	1,00	57826	57826	110520	110520	0	0	2,50	2,50
proporzionale alla deformata 1° modo di vibrazione														
	0%	-	-	VNR	VNR	0,00	0	0	0	0	0	0	0,00	0,00
	100%	-	-	VNR	VNR	0,00	0	0	0	0	0	0	0,00	0,00
sisma in -Y														
proporzionale alle masse														
	0%	-	-	VNR	VNR	0,00	0	0	0	0	0	0	0,00	0,00
	100%	-	-	VNR	VNR	0,00	0	0	0	0	0	0	0,00	0,00
proporzionale alla deformata 1° modo di vibrazione														
	0%	-	-	VNR	VNR	0,00	0	0	0	0	0	0	0,00	0,00
	100%	-	-	VNR	VNR	0,00	0	0	0	0	0	0	0,00	0,00
sisma in +X														
proporzionale alle masse														
Estradosso travi gronda	0%	-	-	VNR	VNR	0,00	0	0	0	0	0	0	0,00	0,00
	100%	-	-	VNR	VNR	0,00	0	0	0	0	0	0	0,00	0,00
proporzionale alla deformata 1° modo di vibrazione														
	0%	-18.627	1.148	2,91	47,22	1,00	54212	54212	110520	110520	0	0	2,50	2,50
	100%	-6.813	2.190	7,96	24,75	1,00	54212	54212	110520	110520	0	0	2,50	2,50
sisma in -X														
proporzionale alle masse														
	0%	-	-	VNR	VNR	0,00	0	0	0	0	0	0	0,00	0,00
	100%	-	-	VNR	VNR	0,00	0	0	0	0	0	0	0,00	0,00
proporzionale alla deformata 1° modo di vibrazione														
	0%	-	-	VNR	VNR	0,00	0	0	0	0	0	0	0,00	0,00
	100%	-	-	VNR	VNR	0,00	0	0	0	0	0	0	0,00	0,00
sisma in +Y														
proporzionale alle masse														
	0%	-6.420	7.543	8,44	7,19	1,00	54212	54212	111001	111001	0	0	2,50	2,50

Lv	%L_{LI}	$V_{Ed,3}$	$V_{Ed,2}$	$CS^{(3)}$	$CS^{(2)}$	α_C	$V_{Rsd,s}^{(3)}$	$V_{Rsd,s}^{(2)}$	$V_{Rcd}^{(3)}$	$V_{Rcd}^{(2)}$	$V_{fd}^{(3)}$	$V_{fd}^{(2)}$	$Ctg\Theta^{(3)}$	$Ctg\Theta^{(2)}$
	[%]	[N]	[N]				[N]	[N]	[N]	[N]	[N]	[N]		
	100%	-1.550	1.294	34,98	41,89	1,00	54212	54212	110520	110520	0	0	2,50	2,50
proporzionale alla deformata 1° modo di vibrazione														
	0%	-	-	VNR	VNR	0,00	0	0	0	0	0	0	0,00	0,00
	100%	-	-	VNR	VNR	0,00	0	0	0	0	0	0	0,00	0,00
sisma in -Y														
proporzionale alle masse														
	0%	-	-	VNR	VNR	0,00	0	0	0	0	0	0	0,00	0,00
	100%	-	-	VNR	VNR	0,00	0	0	0	0	0	0	0,00	0,00
proporzionale alla deformata 1° modo di vibrazione														
	0%	-	-	VNR	VNR	0,00	0	0	0	0	0	0	0,00	0,00
	100%	-	-	VNR	VNR	0,00	0	0	0	0	0	0	0,00	0,00

LEGENDA:

Lv Livello o piano di appartenenza dell'elemento strutturale.
%L_{LI} Posizione della sezione per la quale vengono forniti i valori di verifica, valutata come % della lunghezza libera d'inflessione (L_{LI}), a partire dall'estremo iniziale.
V_{Ed} Taglio di progetto.
CS Coefficiente di sicurezza, con riferimento alla direzione positiva e negativa del sisma. ([NS] = Non Significativo per valori di CS >= 100). Per ulteriori dettagli sulla verifica si rimanda alle tabelle relative alle Verifiche a Taglio.
α_C Coefficiente maggiorativo per compressione
$V_{Rsd,s}$ Resistenza a taglio trazione delle staffe.
V_{Rcd} Resistenza a taglio compressione del calcestruzzo.
V_{fd} Resistenza a taglio dovuta al rinforzo FRP.
$Ctg\Theta$ Cotangente dell'angolo Θ utilizzata nella verifica.

Pareti - VERIFICHE PRESSOFLESSIONE RETTA ALLO SLU (Elevazione)

Dir	Pos	Nodo	N_{Ed}	M_{Ed}	A_s	CS	Nodo	N_{Ed}	M_{Ed}	A_s	CS	Nodo	N_{Ed}	M_{Ed}	A_s	CS
			[N]	[N·m]	[cm^2/cm]			[N]	[N·m]	[cm^2/cm]			[N]	[N·m]	[cm^2/cm]	
Estradosso travi gronda						**Parete1-P1**					**Parete 1-P1**					
P	A	00105	-104.923	779	0,13404	NS	00136	-7.300	6.429	0,13404	21,86	00216	10.602	530	0,13404	NS
	P		-186.543	-14.682	0,13404	11,15		75.774	-22.256	0,13404	5,83		109.996	-806	0,13404	NS
S	A		-10.858	995	0,10681	NS		-680.757	21.610	0,11812	9,40		-25.217	1.261	0,16211	NS
	P		-458.965	-22.960	0,06158	5,45		-600.951	-39.524	0,11812	4,92		-524.779	-4.009	0,16211	58,56
P	A	00217	-608.958	23.073	0,23457	13,80	00774	-183.786	6.942	0,13404	23,52	00775	48.353	2.391	0,13404	55,75
	P		23.565	-1.139	0,23457	NS		0	0	0,13404	-		79.716	-2.212	0,13404	58,42
S	A		-20.190	1.009	0,19562	NS		-933.701	17.733	0,06158	9,70		-657.491	11.976	0,06158	12,05
	P		-51.021	-2.367	0,19562	85,88		0	0	0,06158	-		-35.618	-623	0,06158	NS
P	A	00776	143.830	1.718	0,13404	70,34	00777	15.831	792	0,13404	NS	00778	63.559	1.094	0,13404	NS
	P		33.007	-1.650	0,13404	81,97		121.876	-1.349	0,13404	91,70		163.790	-2.503	0,13404	47,25
S	A		-467.339	16.385	0,06158	7,46		-405.472	16.930	0,06158	6,74		-359.256	17.377	0,06158	6,28
	P		-6.094	-305	0,06158	NS		-79.244	-3.962	0,06158	18,23		-31.491	-1.449	0,06158	46,12
P	A	00779	34.838	3.288	0,13404	41,07	00780	2.473	4.329	0,13404	32,16	00974	135.393	512	0,13404	NS
	P		-45.251	-1.287	0,13404	NS		-44.172	-3.824	0,13404	38,00		131.809	-890	0,13404	NS
S	A		-368.613	14.634	0,06158	7,55		-532.010	7.176	0,06158	18,60		125.762	422	0,06158	NS
	P		-249.988	-5.094	0,06158	18,74		-440.126	-3.595	0,06158	34,01		-46.842	-2.342	0,06158	30,69
P	A	00975	17.208	860	0,13404	NS	00976	129.951	906	0,13404	NS	01203	27.731	1.278	0,13404	NS
	P		89.358	-649	0,13404	NS		-27.238	-6.880	0,13404	20,80		20.520	-726	0,13404	NS
S	A		-29.266	1.805	0,06158	38,55		-1.035	557	0,06158	NS		-273.645	3.430	0,06158	28,00
	P		-512.028	-6.221	0,06158	21,07		-426.740	-13.002	0,06158	9,06		-35.510	-1.776	0,06158	36,66
P	A	01204	94.119	4.706	0,13404	27,06	01205	187.578	1.896	0,13404	60,72	01206	167.243	2.727	0,13404	43,19
	P		85.511	-216	0,13404	NS		23.545	-1.177	0,13404	NS		123.017	-6.151	0,13404	20,09
S	A		-94.015	1.652	0,06158	47,23		-53.327	2.487	0,06158	29,25		-36.276	1.814	0,06158	38,86
	P		-35.033	-1.752	0,06158	40,15		-720.714	-1.321	0,06158	NS		-173.667	-6.150	0,06158	14,38
P	A	01207	178.835	528	0,23457	NS	01208	91.550	1.479	0,23457	NS	01209	7.032	1.197	0,23457	NS
	P		102.580	-4.521	0,23457	50,54		123.260	-3.552	0,23457	63,56		-141.164	-2.982	0,23457	87,16
S	A		-9.001	450	0,06158	NS		-75.269	1.279	0,06158	56,70		-97.152	4.858	0,06158	15,39
	P		-105.573	-5.228	0,06158	15,22		-501.183	-15.265	0,06158	8,30		-1.106.185	-12.668	0,06158	14,74
P	A	01210	49.716	2.206	0,13404	60,35	01211	11.717	586	0,13404	NS	01212	111.748	5.318	0,13404	23,51
	P		-121.677	-5.834	0,13404	26,62		40.462	-9.658	0,13404	13,91		-143.618	-9.831	0,13404	16,09
S	A		-23.435	1.171	0,06158	55,90		-134.614	3.106	0,06158	25,84		-146.696	7.335	0,06158	10,95
	P		-718.866	-17.590	0,06158	8,59		-527.426	-23.584	0,06158	5,50		-602.096	-24.362	0,06158	5,62
P	A	02153	23.895	1.195	0,13404	NS	02154	-89.159	3.747	0,23457	67,57	02155	-17.281	662	0,13404	NS
	P		79.297	-2.471	0,13404	52,31		-167.658	-506	0,23457	NS		48.790	-2.343	0,13404	56,86
S	A		-15.887	543	0,16211	NS		-25.730	489	0,19562	NS		-173.801	1.125	0,11812	NS
	P		-447.06	-3.077	0,16211	72,27		-931.44	-12.781	0,19562	24,00		-569.15	-15.280	0,11812	12,55

Dir	Pos	Nodo	N_{Ed} [N]	M_{Ed} [N·m]	A_s [cm²/cm]	CS	Nodo	N_{Ed} [N]	M_{Ed} [N·m]	A_s [cm²/cm]	CS	Nodo	N_{Ed} [N]	M_{Ed} [N·m]	A_s [cm²/cm]	CS
			0					3					0			
P	A	02156	55.998	1.823	0,13404	72,56	02157	50.064	2.011	0,13404	66,18	02158	45.264	1.300	0,13404	NS
	P		-44.929	-1.673	0,13404	86,91		33.250	-1.169	0,13404	NS		62.851	-811	0,13404	NS
S	A		5.915	644	0,06158	96,05		20.014	525	0,06158	NS		-131.621	1.692	0,06158	46,26
	P		-150.934	-3.931	0,06158	20,97		-257.556	-4.462	0,06158	21,39		-10.978	-109	0,06158	NS
P	A	02159	67.813	639	0,13404	NS	02160	42.800	1.273	0,13404	NS	02161	49.797	1.210	0,13404	NS
	P		-72.753	-221	0,13404	NS		-53.227	-600	0,13404	NS		39.782	-478	0,13404	NS
S	A		-150.325	2.008	0,06158	40,04		-8.535	368	0,06158	NS		-22.245	1.112	0,06158	58,77
	P		-620.747	-387	0,06158	NS		-504.428	-4.813	0,06158	26,16		-534.789	-19.698	0,06158	6,63
P	A	02162	60.946	2.717	0,13404	48,45	02163	12.467	553	0,13404	NS	02164	52.557	1.041	0,13404	NS
	P		12.245	-464	0,13404	NS		60.765	-1.696	0,13404	77,62		50.553	-2.528	0,13404	52,62
S	A		-145.576	801	0,06158	99,33		-148.185	686	0,06158	NS		-26.142	1.307	0,06158	49,80
	P		-37.537	-1.155	0,06158	56,64		-252.455	-5.337	0,06158	17,80		-444.083	-7.815	0,06158	15,19
P	A	02165	21.998	908	0,13404	NS										
	P		-72.779	-422	0,13404	NS										
S	A		-18.338	917	0,06158	67,91										
	P		-693.479	-14.760	0,06158	9,88										
Estradosso travi gronda						**Parete2-P2**						**Parete 2-P2**				
P	A	00093	4.088	204	0,10053	NS	00132	-317.057	9.167	0,16211	22,77	00222	-12.244	39	0,14577	NS
	P		-80.274	-18.444	0,12566	7,67		-78.602	-4.504	0,15739	38,52		9.928	-4.961	0,12566	26,16
S	A		-9.142	130	0,14200	NS		-746.424	37.321	0,19562	7,75		187.252	3.934	0,16211	36,55
	P		255.592	-13.557	0,16211	9,95		65.365	-4.544	0,19562	41,63		-210.128	-5.917	0,16211	32,98
P	A	00223	-205.639	4.764	0,20106	49,11	00674	34.169	415	0,10053	NS	00675	19.913	936	0,10053	NS
	P		17.275	-864	0,18096	NS		24.209	-6.812	0,08042	12,01		-102.144	-5.537	0,08042	17,76
S	A		-122.198	6.110	0,16211	30,10		0	0	0,06158	-		-24.358	209	0,06158	NS
	P		51.195	-1.694	0,16211	95,32		-112.314	-5.616	0,06158	12,92		-193.143	-3.568	0,06158	24,41
P	A	00676	6.732	52	0,10053	NS	00677	6.673	339	0,10053	NS	00678	5.949	238	0,10053	NS
	P		-99.845	-3.667	0,08042	26,72		-111.259	-2.318	0,15739	76,52		70.997	-1.741	0,15739	88,51
S	A		-81.142	1.442	0,06158	52,97		-108.491	3.806	0,06158	20,09		-168.069	5.786	0,06158	14,59
	P		-294.965	-4.531	0,06158	22,96		-505.429	-4.127	0,06158	30,73		-551.095	-4.905	0,06158	27,01
P	A	00679	27.971	1.399	0,10053	72,80	00680	-197.088	3.106	0,16211	62,29	00939	125.443	1.036	0,10053	85,96
	P		29.011	-1.451	0,15739	NS		-54.682	-3.355	0,15739	50,79		-163.543	-5.103	0,08042	20,83
S	A		-248.561	6.997	0,06158	13,56		-430.314	5.991	0,19562	40,01		93.029	225	0,06158	NS
	P		-658.649	-7.595	0,06158	19,05		-1.165.646	-4.417	0,06158	47,15		-193.108	-1.458	0,06158	59,77
P	A	00940	209.718	1.330	0,10053	58,67	00941	74.673	677	0,10053	NS	01193	28.816	478	0,10053	NS
	P		-201.489	-4.814	0,08042	23,10		-190.917	-6.027	0,08042	18,22		11.096	-5.030	0,08042	16,61
S	A		38.129	1.561	0,06158	35,38		86.437	1.921	0,06158	24,94		57.747	137	0,06158	NS
	P		-479.016	-3.312	0,06158	36,73		-189.648	-5.723	0,06158	14,70		-79.978	-1.483	0,06158	47,60
P	A	01194	72.309	261	0,10053	NS	01195	13.489	659	0,10053	NS	01196	136.399	438	0,10053	NS
	P		-105.436	-4.014	0,08042	24,60		-107.281	-3.239	0,12566	44,74		148.315	-1.889	0,08042	34,70
S	A		-100.755	2.093	0,06158	37,72		-47.543	2.011	0,06158	34,46		-38.818	1.968	0,06158	35,98
	P		-299.107	-3.087	0,06158	33,88		-277.568	-3.828	0,06158	25,91		-538.909	-4.526	0,06158	29,67
P	A	01197	-5.371	55	0,20106	NS	01198	49.303	634	0,20106	NS	01199	-167.695	1.081	0,20106	NS
	P		-106.374	-1.030	0,18096	NS		33.756	-1.345	0,18096	NS		-68.616	-1.665	0,18096	NS
S	A		-21.797	1.090	0,06158	62,93		-53.098	2.632	0,06158	26,54		-125.210	6.260	0,06158	13,12
	P		-798.626	-3.860	0,06158	42,11		-924.126	-4.682	0,06158	36,69		-1.439.478	-4.289	0,06158	49,87
P	A	01200	88.292	2.604	0,10053	36,08	01201	68.361	2.332	0,10053	41,40	01202	-3.900	3.673	0,10053	28,86
	P		28.158	-4.788	0,08042	16,98		23.968	-373	0,08042	NS		96.779	-3.962	0,08042	18,25
S	A		-87.992	2.089	0,06158	36,99		-49.718	2.522	0,06158	27,24		-109.810	3.736	0,06158	20,48
	P		-392.029	-7.697	0,06158	15,11		-145.624	-6.613	0,06158	12,28		-145.684	-6.868	0,06158	11,82
P	A	02140	22.776	796	0,10053	NS	02141	-111.960	1.827	0,20106	NS	02142	-102.609	3.247	0,16211	55,84

Dir	Pos	Nodo	N_{Ed} [N]	M_{Ed} [N·m]	A_s [cm²/cm]	CS	Nodo	N_{Ed} [N]	M_{Ed} [N·m]	A_s [cm²/cm]	CS	Nodo	N_{Ed} [N]	M_{Ed} [N·m]	A_s [cm²/cm]	CS
	P		-82.659	-5.356	0,08042	17,88		10.070	-503	0,18096	NS		-17.844	-834	0,15739	NS
S	A		87.276	599	0,16211	NS		-118.683	5.934	0,16211	30,32		-288.965	6.667	0,19562	35,23
	P		-187.008	-2.546	0,16211	74,47		-784.857	-11.472	0,16211	22,65		-588.025	-11.497	0,19562	23,66
P	A	02143	136.064	216	0,10053	NS	02144	0	0	0,10053	-	02145	16.477	710	0,10053	NS
	P		-110.920	-9.078	0,08042	10,95		-163.584	-6.156	0,08042	17,27		-107.931	-4.422	0,08042	22,40
S	A		-5.424	48	0,14200	NS		0	0	0,06158	-		-148.153	1.174	0,06158	68,17
	P		-147.458	-4.356	0,16211	42,02		-249.384	-4.881	0,06158	19,00		-139.815	-1.980	0,06158	39,89
P	A	02146	13.616	431	0,10053	NS	02147	22.691	1.026	0,10053	99,92	02148	-40.392	2.165	0,10053	51,15
	P		-93.510	-2.187	0,08042	44,44		35.635	-957	0,08042	83,93		25.824	-1.291	0,08042	63,20
S	A		-178.907	3.519	0,06158	23,88		-177.017	5.038	0,06158	16,70		-153.389	4.827	0,06158	17,07
	P		-328.857	-2.606	0,06158	39,63		-323.246	-3.432	0,06158	29,99		-196.556	-4.062	0,06158	21,66
P	A	02149	25.852	325	0,10053	NS	02150	57.892	867	0,10053	NS	02151	-220	300	0,10053	NS
	P		-144.297	-4.781	0,08042	21,71		-96.407	-3.157	0,08042	30,90		-84.311	-1.073	0,08042	89,46
S	A		45.241	409	0,06158	NS		-125.708	3.690	0,06158	21,15		-95.903	4.258	0,06158	17,39
	P		-349.658	-3.163	0,06158	33,06		-311.492	-3.633	0,06158	28,08		-353.269	-3.452	0,06158	31,06
P	A	02152	-42.988	1.243	0,10053	89,35										
	P		16.776	-839	0,08042	98,69										
S	A		-74.152	2.602	0,06158	27,27										
	P		-294.508	-6.413	0,06158	15,52										
Estradosso travi gronda							**Parete3-P3**					**Parete 3-P3**				
P	A	00092	864	43	0,07697	NS	00131	-149.603	14.632	0,15394	12,24	00228	22.757	147	0,12221	NS
	P		-93.089	-31.641	0,12221	4,41		-85.742	-1.494	0,13352	NS		23.226	-9.795	0,12221	12,71
S	A		0	0	0,13352	-		-364.337	18.217	0,15708	11,51		-268.596	1.123	0,15708	NS
	P		253.346	-16.913	0,15708	7,69		-110.405	-5.218	0,15708	33,97		200.104	-3.571	0,15708	38,36
P	A	00229	-178.583	8.929	0,21101	26,96	00667	1.334	89	0,07697	NS	00668	16.371	797	0,07697	99,52
	P		-200.696	-2.353	0,21101	NS		11.189	-14.623	0,07697	5,47		-112.564	-11.432	0,07697	8,41
S	A		-359.305	17.965	0,15708	11,63		0	0	0,05655	-		-11.305	385	0,05655	NS
	P		-1.309.226	-4.371	0,15708	69,26		-118.464	-5.614	0,05655	12,23		-198.496	-3.414	0,05655	24,28
P	A	00669	36.403	97	0,07697	NS	00670	3.804	75	0,12221	NS	00671	4.174	37	0,07697	NS
	P		-112.981	-7.725	0,07697	12,45		-127.125	-4.655	0,13352	33,39		-114.373	-1.803	0,13352	85,16
S	A		-123.169	774	0,05655	99,08		-154.229	2.399	0,05655	32,34		-225.737	2.970	0,05655	29,30
	P		-311.489	-5.166	0,05655	19,56		-529.533	-5.134	0,05655	24,32		-553.752	-6.671	0,05655	19,18
P	A	00672	34.150	1.707	0,15394	90,99	00673	-198.189	4.992	0,15394	37,10	00900	125.418	1.027	0,07697	63,30
	P		11.744	-151	0,13352	NS		-44.915	-3.615	0,13352	40,07		-159.714	-9.937	0,07697	10,29
S	A		-312.561	2.679	0,05655	37,77		-62.014	3.101	0,05655	20,44		-215.047	828	0,15708	NS
	P		-657.886	-9.159	0,05655	15,58		-1.029.851	-5.215	0,05655	33,29		-327.532	-1.202	0,15708	NS
P	A	00901	190.652	1.151	0,07697	49,03	00902	81.388	612	0,07697	NS	01223	13.392	489	0,07697	NS
	P		-203.903	-12.258	0,07697	8,81		-197.624	-15.124	0,07697	7,09		26.469	-9.785	0,07697	7,97
S	A		-205.739	1.268	0,05655	64,49		85.913	1.098	0,05655	39,16		-201.686	1.053	0,05655	77,32
	P		-491.828	-2.732	0,05655	43,12		-195.329	-4.907	0,05655	16,29		-575.483	-1.867	0,05655	68,57
P	A	01224	11.408	570	0,07697	NS	01225	16.656	833	0,07697	95,19	01226	8.147	279	0,07697	NS
	P		-98.234	-8.580	0,07697	10,99		-104.628	-6.766	0,12221	20,83		179.405	-4.007	0,07697	14,45
S	A		-120.092	2.413	0,05655	31,63		-47.829	2.039	0,05655	32,79		-46.987	1.895	0,05655	35,24
	P		-34.504	-1.725	0,05655	37,74		-304.320	-3.621	0,05655	27,66		-554.318	-4.828	0,05655	27,14
P	A	01227	-5.296	54	0,21101	NS	01228	118.836	1.968	0,21101	NS	01229	-192.987	1.792	0,21101	NS
	P		-106.647	-1.938	0,21101	NS		173.743	-5.778	0,21101	33,80		-52.889	-1.799	0,21101	NS
S	A		-104.823	1.693	0,05655	43,92		-69.886	3.260	0,05655	20,54		-186.613	9.331	0,05655	9,11
	P		-811.712	-4.725	0,05655	33,59		-946.534	-5.968	0,05655	28,28		-1.452.817	-5.848	0,05655	35,84
P	A	01230	-6.210	3.391	0,21101	64,45	01231	21.153	4.774	0,07697	16,48	01232	-4.271	9.501	0,07697	8,63

Dir	Pos	Nodo	N_{Ed} [N]	M_{Ed} [N·m]	A_s [cm²/cm]	CS	Nodo	N_{Ed} [N]	M_{Ed} [N·m]	A_s [cm²/cm]	CS	Nodo	N_{Ed} [N]	M_{Ed} [N·m]	A_s [cm²/cm]	CS
	P		28.318	-5.254	0,21101	40,76		15.999	-800	0,07697	99,21		82.071	-4.020	0,07697	17,59
S	A		110.760	3.318	0,05655	13,86		128.206	2.434	0,05655	16,47		154.758	5.151	0,05655	7,18
	P		-386.440	-9.902	0,05655	11,16		-114.303	-5.311	0,05655	13,56		-185.843	-9.035	0,05655	9,05
P	A	02179	-261	350	0,07697	NS	02180	-115.598	1.301	0,21101	NS	02181	-106.398	7.295	0,15394	23,78
	P		-74.213	-9.591	0,07697	9,50		4.940	-247	0,21101	NS		17.805	-890	0,13352	NS
S	A		-211.479	497	0,15708	NS		-151.032	7.552	0,15708	23,71		68.067	4.727	0,15708	31,94
	P		-513.751	-1.235	0,15708	NS		-779.709	-13.488	0,15708	18,86		-557.214	-12.970	0,15708	17,76
P	A	02182	7.548	361	0,07697	NS	02183	8.681	135	0,07697	NS	02184	31.515	1.066	0,07697	72,55
	P		-120.890	-18.025	0,07697	5,39		-169.588	-13.490	0,07697	7,68		-112.410	-9.190	0,07697	10,46
S	A		-5.087	254	0,13352	NS		0	0	0,05655	-		-186.395	1.134	0,05655	70,80
	P		-129.177	-3.891	0,15708	45,16		-230.267	-4.463	0,05655	19,14		-257.270	-3.110	0,05655	28,76
P	A	02185	21.591	824	0,07697	95,46	02186	25.398	1.137	0,07697	68,73	02187	-42.278	4.618	0,07697	18,84
	P		-102.040	-4.722	0,07697	20,07		38.229	-919	0,07697	83,23		50.848	-1.554	0,07697	48,14
S	A		-220.238	2.262	0,05655	37,42		-38.020	1.762	0,05655	34,77		24.184	2.517	0,05655	22,80
	P		-345.306	-4.141	0,05655	24,31		-78.518	-2.141	0,05655	31,09		-261.084	-5.586	0,05655	16,94
P	A	02188	7.520	376	0,07697	NS	02189	85.136	1.024	0,07697	68,62	02190	70.457	605	0,07697	NS
	P		-142.391	-10.050	0,07697	9,95		-99.129	-6.693	0,07697	14,10		-83.807	-2.563	0,07697	36,05
S	A		-204.249	1.155	0,05655	70,23		-150.674	3.176	0,05655	24,06		-97.400	3.366	0,05655	20,60
	P		-437.784	-2.762	0,05655	40,11		-331.974	-4.100	0,05655	24,33		-367.564	-5.198	0,05655	20,03
P	A	02191	-44.110	1.246	0,07697	70,00										
	P		27.471	-1.374	0,07697	56,68										
S	A		-78.418	3.921	0,05655	16,97										
	P		-302.727	-8.733	0,05655	10,95										
Estradosso travi gronda						**Parete4-P4**						**Parete 4-P4**				
P	A	00090	-15.865	793	0,07697	NS	00129	-242.758	7.284	0,13352	23,38	00234	-17.922	285	0,12221	NS
	P		-92.779	-15.388	0,12221	9,06		41.596	-2.079	0,13352	64,28		-94.598	-2.543	0,12221	54,98
S	A		-42.354	2.118	0,13352	68,25		-1.106.930	5.172	0,15708	55,61		-25.692	1.285	0,15708	NS
	P		244.537	-8.937	0,15708	14,68		101.346	-5.144	0,15708	29,13		-288.372	-2.321	0,15708	86,19
P	A	00235	-79.459	4.020	0,21101	56,69	00688	32.835	93	0,07697	NS	00689	8.359	417	0,07697	NS
	P		0	0	0,17750	-		8.247	-5.702	0,07697	14,10		-106.728	-4.203	0,07697	22,70
S	A		-421.314	20.465	0,15708	10,59		0	0	0,05655	-		-11.377	178	0,05655	NS
	P		-1.585.141	-6.980	0,15708	45,72		-72.768	-3.338	0,05655	18,86		-203.916	-3.172	0,05655	26,41
P	A	00690	2.696	135	0,07697	NS	00691	10.262	513	0,12221	NS	00692	153.767	151	0,07697	NS
	P		-104.339	-2.662	0,07697	35,72		-114.246	-1.618	0,12221	87,95		54.522	-439	0,07697	NS
S	A		-131.303	344	0,05655	NS		-175.695	1.291	0,05655	62,41		-254.219	1.284	0,05655	73,00
	P		-313.273	-4.993	0,05655	20,28		-532.995	-5.102	0,05655	24,60		-567.193	-6.831	0,05655	19,41
P	A	00693	31.081	1.554	0,13352	86,87	00694	-176.879	3.112	0,13352	52,02	00887	122.983	452	0,07697	NS
	P		12.160	-154	0,13352	NS		-47.245	-3.497	0,13352	41,51		-154.524	-1.973	0,07697	51,48
S	A		-340.724	351	0,05655	NS		0	0	0,05655	-		-47.370	2.348	0,15708	70,39
	P		-670.294	-10.025	0,05655	14,37		-1.042.463	-5.547	0,05655	31,55		105.211	-59	0,15708	NS
P	A	00888	25.510	1.121	0,07697	69,66	00889	1.376	705	0,07697	NS	01213	6.025	301	0,07697	NS
	P		-200.945	-3.188	0,07697	33,75		-194.789	-4.584	0,07697	23,30		38.251	-2.417	0,07697	31,62
S	A		-504.258	3.500	0,05655	34,12		-73.478	3.661	0,05655	17,52		-226.393	1.454	0,05655	58,27
	P		-508.964	-1.149	0,05655	NS		-272.522	-2.293	0,05655	39,26		-545.067	-665	0,05655	NS
P	A	01214	9.192	460	0,07697	NS	01215	26.190	903	0,07697	86,37	01216	13.479	674	0,07697	NS
	P		-90.526	-2.432	0,07697	38,36		-99.611	-2.090	0,07697	45,20		-92.583	-1.413	0,07697	66,22
S	A		-134.980	2.499	0,05655	31,32		-50.277	2.099	0,05655	32,01		-46.442	1.868	0,05655	35,69
	P		-320.645	-2.225	0,05655	45,93		-313.349	-3.637	0,05655	27,85		-541.335	-5.507	0,05655	23,51
P	A	01217	13.343	434	0,21101	NS	01218	26.287	947	0,21101	NS	01219	42.550	2.127	0,21101	99,75
	P		249.824	-1.082	0,17750	NS		-28.703	-1.478	0,17750	NS		-56.445	-1.834	0,17750	NS
S	A		-98.944	320	0,05655	NS		-20.664	897	0,05655	67,55		-65.073	3.254	0,05655	21,25
	P		-806.37	-5.868	0,05655	26,96		-963.41	-7.577	0,05655	22,49		-1.510.7	-7.532	0,05655	28,27

Dir	Pos	Nodo	N_{Ed} [N]	M_{Ed} [N·m]	A_s [cm²/cm]	CS	Nodo	N_{Ed} [N]	M_{Ed} [N·m]	A_s [cm²/cm]	CS	Nodo	N_{Ed} [N]	M_{Ed} [N·m]	A_s [cm²/cm]	CS
			6					5					76			
P	A	01220	56.166	2.414	0,21101	87,20	01221	51.045	2.551	0,07697	29,30	01222	56.340	2.584	0,07697	28,67
	P		12.130	-5.297	0,17750	34,40		12.814	-641	0,07697	NS		74.659	-4.036	0,07697	17,76
S	A		-32.427	1.590	0,05655	40,78		-24.682	1.234	0,05655	48,91		-51.140	2.557	0,05655	25,17
	P		-375.263	-11.123	0,05655	9,81		-115.128	-5.362	0,05655	13,47		-198.660	-8.928	0,05655	9,37
P	A	02166	15.685	522	0,07697	NS	02167	26.422	1.044	0,21101	NS	02168	-94.287	3.365	0,13352	44,94
	P		-66.627	-2.000	0,07697	45,08		15.588	-779	0,17750	NS		2.212	-64	0,13352	NS
S	A		-231.460	1.094	0,15708	NS		-125.490	6.251	0,15708	28,14		-63.917	106	0,15708	NS
	P		98.522	-475	0,15708	NS		-826.500	-14.775	0,15708	17,54		-551.152	-14.519	0,15708	15,84
P	A	02169	0	0	0,07697	-	02170	-81	113	0,07697	NS	02171	6.081	162	0,07697	NS
	P		-120.483	-7.384	0,07697	13,16		-167.405	-4.499	0,07697	22,95		-105.030	-3.086	0,07697	30,83
S	A		-14.323	716	0,13352	NS		-9.064	286	0,05655	NS		-190.781	980	0,05655	82,84
	P		-121.167	-3.400	0,15708	51,45		-170.253	-3.073	0,05655	25,34		-168.193	-2.683	0,05655	29,16
P	A	02172	28.606	1.254	0,07697	61,98	02173	29.735	1.406	0,07697	55,18	02174	-34.008	1.684	0,07697	51,00
	P		-93.275	-1.456	0,07697	64,30		39.714	-908	0,07697	83,97		55.452	-1.823	0,07697	40,70
S	A		-243.036	1.397	0,05655	62,92		-248.471	741	0,05655	NS		-13.378	669	0,05655	93,19
	P		-344.320	-3.489	0,05655	28,90		-115.376	-2.992	0,05655	23,97		-266.083	-6.034	0,05655	15,78
P	A	02175	4.255	180	0,07697	NS	02176	35.112	530	0,07697	NS	02177	9.401	394	0,07697	NS
	P		-138.556	-2.894	0,07697	34,39		-93.025	-2.073	0,07697	45,16		-84.844	-727	0,07697	NS
S	A		-218.746	1.419	0,05655	58,62		-171.749	2.586	0,05655	30,67		-93.870	1.880	0,05655	36,71
	P		-360.685	-1.224	0,05655	82,76		-348.601	-4.091	0,05655	24,93		-382.719	-6.038	0,05655	17,59
P	A	02178	-46.373	819	0,07697	NS										
	P		13.485	-191	0,07697	NS										
S	A		-37.021	1.760	0,05655	34,81										
	P		-345.098	-10.139	0,05655	9,98										
Estradosso travi gronda						**Parete5-P5**						**Parete 5-P5**				
P	A	00088	-9.487	244	0,10053	NS	00127	-341.218	12.833	0,14577	15,19	00240	-312.718	15.777	0,10053	9,25
	P		-94.253	-13.110	0,12566	10,92		-97.237	-13.096	0,12566	10,97		-47.106	-1.320	0,12566	NS
S	A		-111.846	5.546	0,13854	28,60		-1.067.283	12.431	0,16211	23,28		-601.910	14.504	0,16211	16,82
	P		235.619	-8.958	0,13854	12,67		-628.237	-31.410	0,16211	7,86		-217.657	-1.897	0,16211	NS
P	A	00241	176.676	9.543	0,20106	19,36	00681	26.647	130	0,10053	NS	00682	9.150	425	0,10053	NS
	P		-582.906	-12.170	0,21447	24,16		1.481	-3.978	0,08042	21,31		-112.624	-2.828	0,08042	35,24
S	A		-763.964	29.280	0,19562	10,09		-15.974	476	0,06158	NS		0	0	0,06158	-
	P		-215.288	-8.640	0,19562	26,60		-82.901	-3.278	0,06158	21,31		-240.802	-3.817	0,06158	24,62
P	A	00683	15.808	790	0,10053	NS	00684	5.432	272	0,10053	NS	00685	-101.092	665	0,10053	NS
	P		-108.263	-1.543	0,08042	64,22		-119.831	-622	0,08042	NS		121.448	-240	0,08042	NS
S	A		-135.980	1.506	0,06158	55,45		-158.655	2.792	0,06158	30,97		-219.014	3.220	0,06158	29,28
	P		-362.201	-4.364	0,06158	25,79		-79.869	-3.993	0,06158	19,08		-104.037	-5.202	0,06158	15,26
P	A	00686	32.759	1.638	0,10053	61,79	00687	-179.036	3.094	0,14577	56,39	00926	30.307	3.684	0,10053	27,56
	P		1.905	-12	0,08042	NS		-64.421	-2.549	0,12566	54,69		40.727	-1.626	0,08042	48,98
S	A		-277.116	2.771	0,06158	36,72		-411.125	822	0,16211	NS		-254.498	8.720	0,06158	10,81
	P		-129.469	-6.473	0,06158	12,77		-191.858	-9.593	0,16211	19,63		-311.938	-1.129	0,06158	90,06
P	A	00927	160.235	988	0,10053	85,59	00928	75.871	1.102	0,10053	86,72	01341	31.155	332	0,10053	NS
	P		-193.699	-1.583	0,08042	69,62		-192.766	-2.706	0,08042	40,68		27.920	-1.352	0,08042	60,14
S	A		-128.885	6.440	0,06158	11,87		-158.292	7.915	0,06158	10,12		-407.356	7.638	0,06158	14,83
	P		-531.573	-335	0,06158	NS		-251.491	-2.195	0,06158	41,98		-359.077	-3.140	0,06158	34,14
P	A	01342	4.842	178	0,10053	NS	01343	83.483	1.452	0,10053	65,13	01344	8.081	202	0,10053	NS
	P		34.426	-1.408	0,08042	57,14		-90.984	-930	0,12566	NS		38.000	-1.266	0,08042	63,18
S	A		-96.891	3.303	0,06158	23,74		-52.853	2.611	0,06158	27,83		-50.528	2.558	0,06158	28,29
	P		-155.010	-3.455	0,06158	24,89		-132.571	-5.774	0,06158	14,39		-173.651	-8.683	0,06158	10,18
P	A	01345	39.132	939	0,20106	NS	01346	-98.837	843	0,20106	NS	01347	139.449	3.947	0,20106	48,04
	P		-12.188	-432	0,21447	NS		-35.593	-1.030	0,21447	NS		41.578	-2.106	0,21447	NS
S	A		-35.929	1.796	0,06158	39,21		-17.670	870	0,06158	78,23		-45.999	2.169	0,06158	33,09
	P		-147.229	-7.361	0,06158	11,55		-182.220	-9.111	0,06158	9,83		-180.249	-8.988	0,06158	9,93

Dir	Pos	Nodo	N_{Ed} [N]	M_{Ed} [N·m]	A_s [cm²/cm]	CS	Nodo	N_{Ed} [N]	M_{Ed} [N·m]	A_s [cm²/cm]	CS	Nodo	N_{Ed} [N]	M_{Ed} [N·m]	A_s [cm²/cm]	CS
P	A	01348	71.920	3.596	0,10053	26,72	01349	48.621	2.431	0,10053	40,78	01350	75.029	3.751	0,10053	25,51
	P		137	-5.926	0,21447	37,19		36.805	-740	0,08042	NS		104.751	-3.822	0,08042	18,64
S	A		-125.729	4.252	0,06158	19,33		-83.351	3.061	0,06158	23,70		140.293	1.639	0,06158	26,67
	P		-330.703	-16.083	0,06158	6,75		-203.429	-10.171	0,06158	8,67		-139.419	-8.211	0,06158	9,80
P	A	02389	-61.263	6.974	0,10053	16,27	02390	80.164	2.562	0,20106	77,02	02391	2.043	4.299	0,14577	35,18
	P		-64.530	-1.109	0,08042	84,24		-77.986	-2.344	0,21447	98,68		-39.899	-1.996	0,12566	68,26
S	A		-257.197	8.402	0,16211	23,94		-109.862	2.088	0,19562	NS		67.910	1.072	0,16211	NS
	P		-319.313	-242	0,16211	NS		-787.748	-13.293	0,19562	22,13		-296.328	-10.699	0,16211	19,27
P	A	02392	-2.557	151	0,10053	NS	02393	21.414	327	0,10053	NS	02394	0	0	0,10053	-
	P		-121.206	-5.595	0,08042	18,01		-164.613	-2.929	0,08042	36,34		-105.930	-1.904	0,08042	51,90
S	A		-79.538	3.920	0,13854	38,53		-51.620	2.276	0,06158	29,84		-184.812	1.751	0,06158	49,16
	P		-130.738	-3.319	0,13854	47,51		-171.366	-2.158	0,06158	38,72		-57.350	-2.337	0,06158	29,70
P	A	02395	26.106	1.177	0,10053	86,75	02396	29.089	1.072	0,10053	94,88	02397	-48.115	2.323	0,10053	48,11
	P		173.299	-3.258	0,08042	19,11		56.987	-1.270	0,08042	61,06		-33.283	-1.664	0,08042	53,67
S	A		-195.278	2.830	0,06158	30,88		-188.796	3.278	0,06158	26,57		-172.766	1.952	0,06158	45,24
	P		-143.275	-7.164	0,06158	11,26		-180.244	-9.012	0,06158	9,54		-167.913	-8.396	0,06158	10,44
P	A	02398	105.187	526	0,10053	NS	02399	19.970	585	0,10053	NS	02400	-78.378	414	0,10053	NS
	P		59.891	-1.908	0,08042	40,43		-90.059	-1.036	0,08042	93,37		67.109	-113	0,08042	NS
S	A		-191.828	1.880	0,06158	45,37		-130.034	3.832	0,06158	20,75		-100.453	4.273	0,06158	17,66
	P		-392.464	-681	0,06158	NS		-159.472	-7.760	0,06158	10,74		-187.499	-9.375	0,06158	9,26
P	A	02401	25.670	1.267	0,10053	80,63										
	P		14.947	-163	0,08042	NS										
S	A		-69.272	2.541	0,06158	27,91										
	P		-213.903	-10.086	0,06158	8,90										
Estradosso travi gronda						**Parete7-P6**						**Parete 7-P6**				
P	A	00283	-134.625	535	0,08042	NS	00284	437.651	21.977	0,08042	1,25	00285	24.298	1.018	0,08042	80,35
	P		72.454	-3.293	0,08042	22,92		31.874	-20.881	0,08042	3,87		7.705	-701	0,08042	NS
S	A		-803.845	18.113	0,13404	13,07		-574.426	27.766	0,13404	7,48		-945.904	18.301	0,17928	15,89
	P		-690.216	-34.511	0,13404	6,52		-465.198	-25.362	0,13404	7,66		-641.391	-16.538	0,17928	15,73
P	A	01040	186.840	3.969	0,08042	15,24	01041	267.535	1.901	0,08042	26,23	01042	144.326	1.053	0,08042	62,74
	P		230.612	-4.527	0,08042	12,09		-50.212	-4.229	0,08042	21,65		80.115	-2.620	0,08042	28,43
S	A		-260.737	4.584	0,13404	37,77		-501.755	9.466	0,13404	21,10		-301.910	439	0,13404	NS
	P		-579.672	-27.874	0,13404	7,64		-524.201	-16.365	0,13404	12,37		-524.853	-8.207	0,13404	24,44
P	A	01043	148.988	4.919	0,08042	13,30	01314	-156	3.470	0,08042	24,50	01315	141.766	7.102	0,08042	9,35
	P		-25.782	-39	0,08042	NS		118.393	-4.020	0,08042	17,28		116.541	-4.108	0,08042	16,97
S	A		-234.914	11.018	0,13404	14,74		-474.829	2.390	0,13404	78,21		-600.611	7.547	0,13404	27,78
	P		-383.892	-9.680	0,13404	18,73		-481.929	-18.439	0,13404	10,18		0	0	0,13404	-
P	A	01316	220.266	10.954	0,08042	5,12	01317	187.578	9.233	0,08042	6,54	01318	266.865	11.178	0,08042	4,47
	P		82.260	-4.183	0,08042	17,74		8.107	-433	0,08042	NS		233.727	-10.764	0,08042	5,05
S	A		-531.085	8.276	0,13404	24,22		-385.746	10.153	0,13404	17,61		-1.007.968	29.272	0,13404	8,16
	P		-488.577	-888	0,13404	NS		0	0	0,13404	-		-338.409	-12.722	0,13404	13,05
P	A	01319	1.470.679	75.341	0,48255	4,02	01320	62.279	3.114	0,08042	24,67	02356	42.996	1.374	0,08042	57,75
	P		42.179	-5.645	0,48255	86,48		114.424	-6.811	0,08042	10,28		17.667	-814	0,08042	NS
S	A		-2.147.252	61.924	0,23457	6,47		-399.507	6.100	0,13404	30,37		-177.033	6.290	0,13404	24,53
	P		-919.921	-21.463	0,23457	15,58		-139.904	-6.995	0,13404	21,76		-594.961	-27.785	0,13404	7,43
P	A	02357	93.465	2.139	0,08042	34,00	02358	-42.462	2.207	0,48255	NS	02359	88.191	1.917	0,08042	38,30
	P		35.094	-4.523	0,08042	17,77		228.464	-8.757	0,48255	53,01		-5.071	-2.705	0,08042	31,66
S	A		-586.908	16.561	0,13404	12,40		-1.058.576	14.672	0,23457	24,32		-520.543	2.333	0,13404	85,00
	P		-728.746	-22.283	0,13404	9,91		-1.847.323	-31.202	0,23457	12,93		-802.485	-6.384	0,13404	35,91
P	A	02360	1.646	52	0,08042	NS	02361	41.171	1.977	0,08042	40,27	02362	30.026	1.466	0,08042	55,28
	P		-9.754	-175	0,08042	NS		71.952	-2.532	0,08042	29,85		46.748	-1.847	0,08042	42,70
S	A		-367.985	3.065	0,13404	58,88		-772.678	16.491	0,13404	13,76		-657.602	13.545	0,13404	15,98
	P		-336.716	-7.503	0,13404	23,52		-415.370	-6.788	0,13404	27,39		-623.421	-12.674	0,13404	16,78
P	A	02785	89.008	30.398	0,48255	15,86										
	P		1.354.591	-87.699	0,48255	3,63										

Dir	Pos	Nodo	N_{Ed} [N]	M_{Ed} [N·m]	A_s [cm²/cm]	CS	Nodo	N_{Ed} [N]	M_{Ed} [N·m]	A_s [cm²/cm]	CS	Nodo	N_{Ed} [N]	M_{Ed} [N·m]	A_s [cm²/cm]	CS
S	A		-2.153.896	85.258	0,23457	4,73										
	P		-2.657.711	-135.981	0,23457	2,87										
Estradosso travi gronda						**Parete32-P10**							**Parete 32-P10**			
P	A	00140	35.506	13.863	0,10053	7,27	00245	57.573	762	0,14577	NS	00246	0	0	0,20106	-
	P		-36.995	-5.020	0,10053	21,97		14.134	-707	0,14577	NS		-707.450	-20.444	0,20106	14,43
S	A		-383.734	22.396	0,10179	6,74		-57.821	2.891	0,15708	58,97		-24.836	1.242	0,15708	NS
	P		-458.733	-19.045	0,10179	8,42		-58.923	-2.946	0,15708	57,91		-1.634.760	-4.286	0,15708	73,69
P	A	00292	-210.994	26.010	0,10053	5,11	00723	0	0	0,10053	-	00724	37.166	704	0,10053	NS
	P		-79.074	-771	0,10053	NS		-193.709	-9.034	0,10053	14,45		-70.811	-4.321	0,10053	26,54
S	A		-599.144	34.970	0,10179	5,21		0	0	0,05655	-		0	0	0,05655	-
	P		0	0	0,10179	-		-587.680	-8.654	0,05655	15,29		-264.208	-7.622	0,05655	12,46
P	A	00725	47.094	820	0,10053	NS	00726	52.491	682	0,10053	NS	00727	70.667	2.299	0,10053	41,86
	P		55.974	-1.107	0,10053	88,71		65.630	-3.281	0,10053	29,53		62.052	-404	0,10053	NS
S	A		-31.730	1.587	0,05655	40,81		-27.410	1.371	0,05655	44,69		-45.113	2.229	0,05655	29,83
	P		-274.258	-7.579	0,05655	12,71		-222.873	-10.707	0,05655	8,10		-186.178	-8.798	0,05655	9,65
P	A	00728	-39.295	862	0,10053	NS	00729	-35.793	3.097	0,10053	35,57	00913	149.505	1.132	0,10053	75,92
	P		88.504	-1.552	0,10053	60,51		46.396	-1.719	0,10053	57,83		32.664	-599	0,10053	NS
S	A		-104.008	3.130	0,05655	23,71		-237.983	3.492	0,05655	26,24		-79.253	1.890	0,05655	37,56
	P		-164.284	-7.019	0,05655	11,70		-271.163	-3.883	0,05655	24,70		-12.017	-357	0,05655	NS
P	A	00914	50.738	1.059	0,10053	93,34	00915	40.589	3.889	0,10053	25,76	01331	55.049	1.176	0,10053	83,59
	P		313.663	-834	0,10053	77,27		-84.692	-495	0,10053	NS		100.130	-1.193	0,10053	77,48
S	A		-514.756	4.293	0,05655	29,42		-287.908	8.753	0,05655	11,20		-184.067	1.662	0,05655	48,06
	P		-41.212	-1.623	0,05655	40,68		-4.917	-1.131	0,05655	54,13		-278.261	-1.959	0,05655	47,00
P	A	01332	178.205	1.996	0,10053	41,17	01333	69.156	435	0,14577	NS	01334	4.182	209	0,10053	NS
	P		52.680	-832	0,10053	NS		-39.525	-513	0,14577	NS		23.514	-1.176	0,10053	87,10
S	A		-67.006	799	0,05655	86,85		-39.153	1.958	0,05655	33,57		-80.069	4.003	0,05655	17,76
	P		-18.282	-420	0,05655	NS		-118.234	-3.199	0,05655	23,78		-63.949	-3.197	0,05655	21,57
P	A	01335	44.664	1.498	0,20106	NS	01336	72.922	1.445	0,20106	NS	01337	-107.157	1.516	0,20106	NS
	P		-86.284	-460	0,20106	NS		38.293	-1.791	0,20106	NS		3.645	-182	0,20106	NS
S	A		-81.300	3.930	0,05655	18,13		-265.156	8.151	0,05655	11,32		-643.666	6.550	0,05655	21,07
	P		-13.200	-660	0,05655	94,42		-21.252	-783	0,05655	77,24		-30.233	-1.216	0,05655	50,49
P	A	01338	-88.580	3.217	0,20106	68,12	01339	26.124	4.178	0,10053	24,43	01340	-46.491	2.608	0,10053	42,76
	P		47.548	-2.339	0,20106	86,18		-9.295	-353	0,10053	NS		87.503	-3.703	0,10053	25,40
S	A		-382.725	12.327	0,05655	8,93		-279.015	13.567	0,05655	6,90		-316.571	11.769	0,05655	8,20
	P		-475.504	-5.761	0,05655	21,09		-91.540	-4.576	0,05655	15,14		-107.366	-5.368	0,05655	12,94
P	A	02376	68.238	2.570	0,10053	37,57	02377	12.475	614	0,20106	NS	02378	76.042	1.846	0,10053	51,76
	P		13.562	-678	0,10053	NS		-86.980	-2.750	0,20106	79,60		-21.843	-266	0,10053	NS
S	A		-374.974	2.673	0,15708	78,94		-546.916	8.801	0,15708	25,84		-317.454	7.953	0,05655	12,36
	P		-44.775	-707	0,15708	NS		-1.092.282	-776	0,15708	NS		2.275	-1.230	0,05655	46,12
P	A	02379	-67.377	3.698	0,10053	30,90	02380	85.370	1.073	0,10053	87,95	02381	41.078	213	0,10053	NS
	P		23.693	-1.221	0,10053	83,83		48.679	-424	0,10053	NS		49.651	-638	0,10053	NS
S	A		-304.375	7.489	0,05655	13,37		-241.968	3.946	0,05655	22,63		-8.830	442	0,05655	NS
	P		-2.940	-1.263	0,05655	48,28		9.111	-802	0,05655	70,43		-66.437	-2.474	0,05655	26,58
P	A	02382	27.167	430	0,10053	NS	02383	33.301	743	0,10053	NS	02384	39.256	1.208	0,10053	83,05
	P		15.275	-198	0,10053	NS		28.118	-648	0,10053	NS		24.378	-615	0,10053	NS
S	A		-381.016	1.097	0,05655	96,67		-321.463	3.741	0,05655	26,54		-274.790	10.762	0,05655	8,70
	P		-147.098	-1.478	0,05655	51,45		-63.740	-1.841	0,05655	35,80		-26.246	-1.312	0,05655	46,65
P	A	02385	-1.186	316	0,10053	NS	02386	8.093	192	0,10053	NS	02387	40.951	407	0,10053	NS
	P		17.323	-692	0,10053	NS		-55.085	-318	0,10053	NS		5.171	-206	0,10053	NS
S	A		-76.908	2.401	0,05655	27,46		-172.404	4.261	0,05655	18,86		-322.785	6.139	0,05655	16,18
	P		18.560	-511	0,05655	NS		626	-460	0,05655	NS		-458.490	-2.822	0,05655	41,20
P	A	02388	38.827	945	0,10053	NS										
	P		15.998	-402	0,10053	NS										
S	A		-401.027	9.105	0,05655	11,82										
	P		-446.328	-3.640	0,05655	31,10										
Estradosso travi gronda						**Parete33-P11**							**Parete 33-P11**			

Dir	Pos	Nodo	N_{Ed} [N]	M_{Ed} [N·m]	A_s [cm²/cm]	CS	Nodo	N_{Ed} [N]	M_{Ed} [N·m]	A_s [cm²/cm]	CS	Nodo	N_{Ed} [N]	M_{Ed} [N·m]	A_s [cm²/cm]	CS
P	A	00112	48.464	2.423	0,07697	30,99	00154	-121.448	144	0,15394	NS	00251	-62.091	4.424	0,12221	30,65
	P		3.812	-474	0,07697	NS		-165.439	-8.367	0,15394	21,65		3.645	-779	0,12221	NS
S	A		240.467	994	0,15708	NS		76.971	150	0,15708	NS		-194.207	5.280	0,15708	35,61
	P		-59.122	-2.956	0,15708	57,73		-485.337	-10.687	0,13352	18,42		-75.234	-3.762	0,15708	45,92
P	A	00252	45.821	2.291	0,21101	92,48	00702	28.973	30	0,07697	NS	00703	45.972	1.053	0,07697	71,63
	P		-142.592	-3.010	0,21101	78,45		16.824	-690	0,07697	NS		50.221	-978	0,07697	76,54
S	A		56.758	2.807	0,15708	53,86		-162.197	1.020	0,05655	72,67		0	0	0,05655	-
	P		-227.137	-5.129	0,15708	36,62		-91.939	-4.295	0,05655	15,11		-173.031	-7.610	0,05655	10,44
P	A	00704	-606	30	0,07697	NS	00705	0	0	0,15394	-	00706	230.370	115	0,15394	NS
	P		82.500	-4.125	0,07697	17,12		21.883	-1.094	0,15394	NS		33.793	-1.690	0,15394	91,98
S	A		-51.285	2.564	0,05655	26,25		-27.386	1.369	0,05655	44,32		-22.489	1.124	0,05655	53,60
	P		-211.347	-10.565	0,05655	8,35		-251.524	-12.576	0,05655	7,15		-282.998	-14.146	0,05655	6,66
P	A	00707	5.860	161	0,15394	NS	00708	0	0	0,15394	-	01125	66.208	3.310	0,07697	21,98
	P		-25.088	-1.501	0,15394	NS		-53.936	-2.677	0,15394	62,31		-12.893	-832	0,07697	99,94
S	A		-19.311	966	0,05655	62,29		-1.957	98	0,05655	NS		-410.343	1.184	0,05655	92,60
	P		-328.061	-14.622	0,05655	6,85		-261.720	-9.380	0,05655	9,46		-136.959	-3.436	0,05655	21,74
P	A	01126	59.252	2.963	0,07697	24,87	01127	39.002	1.950	0,07697	39,15	01361	31.040	1.552	0,07697	49,86
	P		8.459	-763	0,07697	NS		12.359	-836	0,07697	95,51		4.009	-209	0,07697	NS
S	A		-497.715	657	0,05655	NS		-208.097	1.140	0,05655	71,02		-34.689	360	0,05655	NS
	P		-165.582	-4.088	0,05655	18,71		-70.776	-3.539	0,05655	17,80		-78.817	-3.783	0,05655	17,33
P	A	01362	45.572	1.470	0,07697	51,33	01363	-98.915	92	0,07697	NS	01364	3.071	154	0,07697	NS
	P		7.674	-274	0,07697	NS		71.219	-1.202	0,07697	59,99		62.675	-3.134	0,07697	23,37
S	A		-151.496	404	0,05655	NS		-12.135	607	0,05655	NS		-97.787	4.889	0,05655	15,02
	P		-121.285	-6.064	0,05655	12,61		-156.912	-7.846	0,05655	10,34		-170.801	-8.540	0,05655	9,71
P	A	01365	0	0	0,21101	-	01366	53.589	37	0,21101	NS	01367	0	0	0,21101	-
	P		16.081	-804	0,21101	NS		18.458	-923	0,21101	NS		17.236	-1.075	0,21101	NS
S	A		-40.024	2.001	0,05655	32,90		-62.941	3.147	0,05655	20,98		-33.419	451	0,05655	NS
	P		-159.423	-7.971	0,05655	10,22		-153.617	-7.681	0,05655	10,14		-180.522	-8.592	0,05655	9,80
P	A	01368	54.923	138	0,21101	NS	01369	78.766	540	0,07697	NS	01370	206.397	714	0,07697	76,14
	P		70.976	-2.842	0,21101	73,39		-35.056	-2.181	0,07697	39,44		-1.221	-503	0,07697	NS
S	A		83.425	623	0,05655	79,55		-194.772	2.597	0,05655	31,52		-76.083	556	0,05655	NS
	P		-116.514	-5.825	0,05655	13,02		-123.668	-6.183	0,05655	11,74		-137.659	-6.512	0,05655	11,54
P	A	02415	20.267	1.013	0,07697	77,76	02416	12.271	613	0,21101	NS	02417	0	0	0,15394	-
	P		5.289	-140	0,07697	NS		-74.402	-1.564	0,21101	NS		-63.042	-3.219	0,15394	52,17
S	A		-119.009	832	0,15708	NS		24.872	1.126	0,15708	NS		0	0	0,15708	-
	P		-104.298	-3.999	0,15708	44,12		-163.008	-6.274	0,15708	28,75		-342.772	-12.323	0,13352	14,57
P	A	02418	30.635	1.532	0,07697	50,56	02419	31.096	1.264	0,07697	61,20	02420	23.345	759	0,07697	NS
	P		17.376	-749	0,07697	NS		16.132	-565	0,07697	NS		5.340	-244	0,07697	NS
S	A		-203.140	728	0,15708	NS		-228.531	931	0,05655	91,43		-33.867	1.410	0,05655	42,53
	P		-114.891	-4.818	0,15708	36,13		-137.134	-6.370	0,05655	11,49		-198.758	-9.770	0,05655	8,35
P	A	02421	30.453	151	0,07697	NS	02422	49.031	401	0,07697	NS	02423	6.019	263	0,07697	NS
	P		40.829	-2.041	0,07697	37,28		65.899	-3.295	0,07697	22,10		-25.342	-1.348	0,07697	62,89
S	A		-59.502	2.975	0,05655	21,26		-51.652	2.583	0,05655	24,28		-11.678	584	0,05655	NS
	P		-234.056	-11.701	0,05655	7,35		-241.988	-11.559	0,05655	7,57		-211.973	-9.960	0,05655	8,56
P	A	02424	52.199	997	0,07697	74,85	02425	13.914	647	0,07697	NS	02426	42.954	306	0,07697	NS
	P		12.206	-574	0,07697	NS		40.921	-1.731	0,07697	43,95		38.205	-1.910	0,07697	40,02
S	A		-434.652	1.010	0,05655	NS		-28.208	1.410	0,05655	42,56		-38.341	1.917	0,05655	32,03
	P		-144.910	-7.008	0,05655	10,46		-191.215	-9.511	0,05655	8,55		-174.189	-8.709	0,05655	9,09
P	A	02427	19.424	144	0,07697	NS										
	P		-35.958	-1.798	0,07697	47,92										
S	A		-22.345	1.117	0,05655	52,97										
	P		-133.156	-6.658	0,05655	11,07										
Estradosso travi gronda							**Parete34-P12**					**Parete 34-P12**				
P	A	00079	-120.365	19.219	0,12566	7,63	00119	44.186	2.188	0,12566	57,27	00257	54.130	4.565	0,12566	27,17
	P		0	0	0,10053	-		-143.994	-16.375	0,14577	10,38		2.013	-481	0,10053	NS
S	A		219.223	14.264	0,15708	9,43		98.485	6.475	0,11812	17,07		-152.516	7.033	0,15708	25,97

Dir	Pos	Nodo	N_{Ed} [N]	M_{Ed} [N·m]	A_s [cm²/cm]	CS	Nodo	N_{Ed} [N]	M_{Ed} [N·m]	A_s [cm²/cm]	CS	Nodo	N_{Ed} [N]	M_{Ed} [N·m]	A_s [cm²/cm]	CS
	P		-101.395	-1.409	0,13352	NS		-518.567	-21.570	0,11310	8,54		-22.069	-684	0,15708	NS
P	A	00258	-39.027	1.687	0,15739	99,80	00716	-27.728	6.445	0,08042	13,75	00717	-132.147	4.149	0,08042	24,63
	P		-163.823	-8.191	0,17750	25,00		80.384	-753	0,10053	NS		17.912	-882	0,10053	NS
S	A		-290.194	4.421	0,15708	45,30		-173.789	5.883	0,05655	12,92		-196.516	3.260	0,05655	25,37
	P		-318.471	-15.924	0,15708	12,80		0	0	0,05655	-		-197.441	-1.993	0,05655	41,56
P	A	00718	-126.310	1.142	0,08042	88,81	00719	3.910	11	0,12566	NS	00720	109.589	1.867	0,08042	37,83
	P		31.902	-690	0,10053	NS		-132.566	-1.433	0,10053	85,65		-122.584	-3.950	0,10053	30,72
S	A		-55.797	2.790	0,05655	24,34		-38.702	1.935	0,05655	32,28		-23.295	1.165	0,05655	52,00
	P		-187.181	-7.857	0,05655	10,83		-275.356	-12.765	0,05655	7,31		-318.950	-15.947	0,05655	6,21
P	A	00721	30.828	554	0,08042	NS	00722	2.896	44	0,12566	NS	01105	-155.129	4.950	0,08042	21,25
	P		-122.680	-7.190	0,10053	16,88		-182.843	-11.526	0,14577	15,18		17.372	-1.102	0,10053	93,64
S	A		-23.591	1.180	0,05655	53,99		-11.309	313	0,11812	NS		-191.386	5.200	0,15708	34,98
	P		-380.438	-19.022	0,05655	5,77		-465.628	-21.436	0,11310	8,04		-60.696	-2.001	0,05655	32,34
P	A	01106	-205.518	5.554	0,08042	20,11	01107	-199.647	7.502	0,08042	14,79	01351	57.154	4.188	0,08042	18,51
	P		213.393	-1.518	0,10053	51,10		-937	-1.448	0,10053	72,91		21.430	-456	0,10053	NS
S	A		-231.014	4.878	0,05655	17,51		-288.522	6.633	0,05655	13,83		-22.573	981	0,05655	58,95
	P		-80.138	-2.426	0,05655	27,10		74.820	-645	0,05655	68,58		-50.056	-951	0,05655	64,61
P	A	01352	-86.162	2.391	0,08042	40,25	01353	166.114	2.118	0,08042	29,85	01354	37.227	174	0,08042	NS
	P		78.152	-1.102	0,10053	86,43		-2.430	-122	0,10053	NS		-98.740	-1.250	0,10053	94,65
S	A		-177.288	2.035	0,05655	41,17		-62.234	3.112	0,05655	21,25		-107.372	5.369	0,05655	13,91
	P		-99.209	-4.233	0,05655	17,39		-137.701	-6.885	0,05655	11,04		-191.370	-9.569	0,05655	8,95
P	A	01355	8.772	440	0,15739	NS	01356	33.108	1.623	0,15739	98,00	01357	52.072	863	0,15739	NS
	P		-121.469	-3.215	0,17750	61,99		-127.320	-4.701	0,17750	42,56		-212.521	-5.266	0,17750	40,06
S	A		-130.933	6.547	0,05655	11,88		-176.111	8.806	0,05655	9,18		-275.114	10.716	0,05655	9,00
	P		-219.991	-11.000	0,05655	8,12		-237.477	-11.874	0,05655	7,48		-273.762	-13.688	0,05655	7,03
P	A	01358	42.157	2.450	0,08042	32,44	01359	85.139	3.872	0,08042	19,07	01360	26.268	854	0,08042	95,47
	P		-20.224	-4.810	0,10053	22,48		9.472	-8.422	0,10053	12,38		-12.103	-14.634	0,10053	7,32
S	A		-48.681	1.136	0,05655	58,95		-95.747	620	0,05655	NS		-21.139	516	0,05655	NS
	P		-215.996	-10.800	0,05655	8,22		-261.708	-13.085	0,05655	6,97		146.398	-7.082	0,05655	5,83
P	A	02402	-57.642	4.414	0,08042	20,96	02403	46.270	1.177	0,15739	NS	02404	16.025	801	0,12566	NS
	P		25.686	-721	0,10053	NS		-132.601	-5.077	0,17750	39,54		-101.431	-11.719	0,14577	14,04
S	A		-151.062	2.888	0,15708	63,19		-141.882	5.560	0,15708	31,97		-4.845	101	0,11812	NS
	P		-12.743	-263	0,15708	NS		-255.048	-12.752	0,15708	15,08		-403.936	-19.444	0,11310	8,58
P	A	02405	-139.002	9.270	0,08042	11,12	02406	-177.059	6.108	0,08042	17,69	02407	-120.912	2.515	0,08042	40,06
	P		-188	-495	0,10053	NS		-1.102	-380	0,10053	NS		1.473	-66	0,10053	NS
S	A		-215.652	7.440	0,15708	25,13		-321.980	4.782	0,05655	20,35		-89.805	4.006	0,05655	16,91
	P		0	0	0,13352	-		0	0	0,05655	-		-174.404	-6.717	0,05655	11,73
P	A	02408	31.863	321	0,08042	NS	02409	50.469	475	0,08042	NS	02410	32.308	336	0,08042	NS
	P		-95.871	-1.327	0,10053	88,87		-82.547	-5.064	0,10053	22,95		-47.274	-9.181	0,10053	12,16
S	A		-93.363	4.668	0,05655	14,60		-64.354	2.627	0,05655	24,64		-6.061	303	0,05655	NS
	P		-251.309	-11.477	0,05655	7,73		-302.442	-15.122	0,05655	6,32		-312.485	-15.624	0,05655	6,48
P	A	02411	-139.308	3.637	0,08042	28,36	02412	-99.049	543	0,08042	NS	02413	67.020	707	0,08042	NS
	P		28.249	-403	0,10053	NS		13.513	-606	0,10053	NS		-94.153	-3.000	0,10053	39,24
S	A		-59.967	2.852	0,05655	21,76		-112.619	5.631	0,05655	12,65		-121.251	6.063	0,05655	11,93
	P		-158.512	-4.376	0,05655	17,14		-174.023	-8.431	0,05655	9,40		-222.003	-11.100	0,05655	7,70
P	A	02414	120.895	3.900	0,08042	17,73										
	P		-59.347	-6.155	0,10053	18,39										
S	A		-113.837	3.856	0,05655	18,42										
	P		-243.083	-12.154	0,05655	7,23										
Estradosso travi gronda							**Parete35-P13**					**Parete 35-P13**				
P	A	00113	-12.020	407	0,07697	NS	00155	-90.039	7.562	0,12221	18,41	00263	-17.436	1.407	0,07697	59,52
	P		15.202	-1.011	0,07697	78,60		-252.15	-7.194	0,12221	22,25		10.803	-1.064	0,07697	75,24

Dir	Pos	Nodo	N_{Ed} [N]	M_{Ed} [N·m]	A_s [cm²/cm]	CS	Nodo	N_{Ed} [N]	M_{Ed} [N·m]	A_s [cm²/cm]	CS	Nodo	N_{Ed} [N]	M_{Ed} [N·m]	A_s [cm²/cm]	CS
								6								
S	A		231.925	211	0,15708	NS		-155.045	6.850	0,15708	26,72		0	0	0,15708	-
	P		-201.429	-5.388	0,15708	35,07		-970.022	-8.933	0,15708	30,89		-268.114	-2.717	0,15708	72,67
P	A	00264	-66.927	3.406	0,15394	49,46	00709	7.774	311	0,07697	NS	00710	39.889	999	0,07697	76,34
	P		-65.232	-2.878	0,15394	58,46		12.952	-579	0,07697	NS		25.254	-282	0,07697	NS
S	A		-323.840	12.514	0,15708	16,34		-65.873	2.288	0,05655	26,91		-82.265	3.990	0,05655	17,02
	P		-226.712	-4.000	0,15708	48,04		-164.974	-7.113	0,05655	10,48		-194.763	-9.181	0,05655	9,00
P	A	00711	33.129	628	0,07697	NS	00712	-7.121	643	0,07697	NS	00713	-6.431	322	0,07697	NS
	P		25.572	-1.151	0,07697	67,86		2.684	-139	0,07697	NS		100.077	-570	0,07697	NS
S	A		-91.661	4.381	0,05655	16,57		-99.370	4.969	0,05655	14,22		-111.426	5.571	0,05655	13,50
	P		-210.446	-10.270	0,05655	8,58		-227.581	-11.229	0,05655	7,78		-229.528	-11.099	0,05655	8,16
P	A	00714	-19.229	961	0,07697	87,34	00715	-53.299	3.344	0,12221	40,21	01165	-179.610	739	0,07697	NS
	P		102.944	-5.147	0,07697	13,20		-35.004	-1.923	0,12221	68,68		3.167	-1.041	0,07697	77,83
S	A		-111.983	5.599	0,05655	13,44		-114.412	5.584	0,15708	30,93		-120.369	376	0,15708	NS
	P		-247.701	-9.814	0,05655	9,46		-391.558	-7.710	0,15708	26,98		-199.378	-5.558	0,15708	33,22
P	A	01166	202.503	447	0,07697	NS	01167	-10.063	631	0,07697	NS	01321	23.122	545	0,07697	NS
	P		142.023	-186	0,07697	NS		-42.420	-2.037	0,07697	42,72		46.093	-349	0,07697	NS
S	A		-146.979	253	0,05655	NS		0	0	0,05655	-		-24.269	873	0,05655	66,74
	P		-249.891	-5.007	0,05655	17,42		-117.867	-2.889	0,05655	24,07		-127.632	-6.212	0,05655	11,57
P	A	01322	7.086	345	0,07697	NS	01323	73.848	184	0,07697	NS	01324	2.058	103	0,07697	NS
	P		145.483	-236	0,07697	NS		0	0	0,07697	-		185.028	-194	0,07697	NS
S	A		-80.512	3.215	0,05655	22,13		-110.985	5.170	0,05655	14,53		-162.455	8.123	0,05655	10,08
	P		-149.790	-7.490	0,05655	10,71		-164.110	-8.206	0,05655	10,00		-171.057	-8.553	0,05655	9,70
P	A	01325	27.816	222	0,15394	NS	01326	-10.541	835	0,15394	NS	01327	333.048	7.351	0,15394	15,84
	P		-4.619	-300	0,15394	NS		142.417	-592	0,15394	NS		48.865	-1.310	0,15394	NS
S	A		-199.416	9.971	0,05655	8,69		-242.611	12.131	0,05655	7,60		-304.993	13.588	0,05655	7,38
	P		-156.384	-7.816	0,05655	10,37		-157.787	-7.577	0,05655	10,72		-188.763	-6.399	0,05655	13,33
P	A	01328	49.096	4.701	0,15394	32,64	01329	-12.527	626	0,07697	NS	01330	120.136	2.365	0,07697	27,78
	P		-6.354	-304	0,15394	NS		8.524	-2.833	0,07697	28,35		36.972	-1.849	0,07697	41,44
S	A		-193.461	9.591	0,05655	8,95		-120.895	6.045	0,05655	11,94		-133.009	7.835	0,05655	9,56
	P		-38.502	-1.856	0,05655	35,38		-118.265	-5.896	0,05655	12,19		-158.841	-5.958	0,05655	13,13
P	A	02363	-90.542	718	0,07697	NS	02364	-25.343	1.988	0,15394	82,02	02365	-22.096	1.556	0,12221	83,80
	P		162.950	-951	0,07697	63,17		65.477	-3.274	0,15394	46,22		26.949	-2.974	0,12221	41,71
S	A		-48.051	1.490	0,15708	NS		-245.699	11.892	0,15708	16,12		-480.681	11.740	0,15708	19,09
	P		-147.182	-6.888	0,15708	26,42		-163.127	-4.790	0,15708	37,80		-275.619	-6.715	0,15708	29,55
P	A	02366	66.857	625	0,07697	NS	02367	6.289	344	0,07697	NS	02368	10.108	498	0,07697	NS
	P		169.366	-231	0,07697	NS		89.492	-343	0,07697	NS		6.504	-325	0,07697	NS
S	A		-105.877	1.169	0,15708	NS		-121.132	2.210	0,05655	32,36		-103.408	5.042	0,05655	13,85
	P		-193.428	-5.982	0,15708	30,79		-227.103	-6.863	0,05655	12,43		-203.484	-9.943	0,05655	8,34
P	A	02369	156.984	1.575	0,07697	38,64	02370	50.288	1.097	0,07697	68,26	02371	-24.379	1.219	0,07697	69,44
	P		26.473	-1.082	0,07697	72,07		44.144	-1.099	0,07697	68,84		-16.462	-1.184	0,07697	70,59
S	A		-127.784	6.389	0,05655	11,43		-431.603	10.606	0,05655	10,58		-101.126	5.056	0,05655	14,61
	P		-209.241	-10.326	0,05655	8,10		-246.805	-10.231	0,05655	8,69		-224.506	-7.819	0,05655	11,50
P	A	02372	6.645	341	0,07697	NS	02373	8.319	396	0,07697	NS	02374	89.663	219	0,07697	NS
	P		35.975	-1.000	0,07697	76,75		13.952	-717	0,07697	NS		163.603	-7.304	0,07697	8,21
S	A		-101.190	3.988	0,05655	17,10		-127.720	6.368	0,05655	11,60		-171.555	8.578	0,05655	9,28
	P		-187.237	-9.070	0,05655	8,76		-189.598	-9.380	0,05655	8,74		-177.007	-8.802	0,05655	9,13
P	A	02375	-15.352	886	0,07697	94,16										
	P		84.289	-1.885	0,07697	37,35										
S	A		-186.108	9.305	0,05655	8,72										
	P		-149.529	-6.708	0,05655	11,39										
Estradosso travi gronda							**Parete36-P14**					**Parete 36-P14**				
P	A	00114	-123.011	230	0,12221	NS	00156	-139.829	8.437	0,13352	18,62	00269	107.425	4.425	0,12221	25,66
	P		29.754	-1.468	0,12221	84,27		-152.614	-12.431	0,12221	11,85		8.092	-227	0,12221	NS
S	A		-414.96	2.185	0,16211	98,97		-240.19	11.962	0,16211	16,63		-223.85	4.271	0,19562	52,97

Dir	Pos	Nodo	N_{Ed} [N]	M_{Ed} [N·m]	A_s [cm²/cm]	CS	Nodo	N_{Ed} [N]	M_{Ed} [N·m]	A_s [cm²/cm]	CS	Nodo	N_{Ed} [N]	M_{Ed} [N·m]	A_s [cm²/cm]	CS
	P		2 -290.610	-4.354	0,15394	44,22		6 -325.028	-9.757	0,15394	20,66		7 442.437	-2.017	0,17750	60,32
P	A	00270	-40.485	7.585	0,13854	19,70	00695	9.937	381	0,07697	NS	00696	13.299	658	0,07697	NS
	P		-774.605	-6.363	0,13854	37,47		53.360	-128	0,07697	NS		10.993	-498	0,07697	NS
S	A		-228.150	11.408	0,14200	15,53		-145.435	1.649	0,06158	46,85		-62.304	3.045	0,06158	23,22
	P		-1.714.191	-13.399	0,15394	23,73		-238.297	-7.457	0,07697	14,06		-244.833	-9.528	0,07697	11,54
P	A	00697	54.400	363	0,07697	NS	00698	0	0	0,07697	-	00699	66.536	1.620	0,07697	44,91
	P		7.139	-594	0,07697	NS		-136.583	-604	0,07697	NS		-118.013	-761	0,07697	NS
S	A		-96.235	4.354	0,06158	17,99		-120.956	6.048	0,06158	13,49		-151.806	7.590	0,06158	11,28
	P		-224.776	-11.064	0,07697	10,00		-226.849	-11.176	0,07697	9,92		-223.265	-11.123	0,07697	9,93
P	A	00700	25.610	1.280	0,13352	NS	00701	-42.593	1.925	0,13352	75,09	01145	-188.828	1.267	0,07697	83,67
	P		-116.625	-896	0,12221	NS		-47.563	-2.620	0,12221	51,04		68.770	-1.415	0,07697	51,19
S	A		-167.573	8.379	0,06158	10,46		-189.664	9.483	0,06158	9,09		-601.558	3.790	0,19562	68,28
	P		-207.946	-9.727	0,07697	11,15		-279.594	-6.941	0,07697	16,32		-82.560	-3.674	0,07697	23,92
P	A	01146	171.395	1.113	0,07697	52,99	01147	22.230	3.968	0,07697	19,80	01298	164.284	1.082	0,07697	55,35
	P		-18.603	-1.068	0,07697	78,52		-10.122	-1.013	0,07697	81,76		13.404	-660	0,07697	NS
S	A		-522.901	3.222	0,06158	39,51		-292.500	7.808	0,06158	12,52		-69.320	3.140	0,06158	21,75
	P		-132.875	-3.266	0,07697	28,55		-94.092	-3.446	0,07697	25,45		-124.030	-6.178	0,07697	14,75
P	A	01299	88.200	1.853	0,07697	37,72	01300	216.352	4.526	0,07697	11,72	01301	126.237	1.336	0,07697	48,57
	P		11.951	-593	0,07697	NS		8.493	-432	0,07697	NS		194.266	-1.870	0,07697	29,92
S	A		-207.749	2.282	0,06158	40,68		-86.643	4.219	0,06158	18,27		-130.539	6.527	0,06158	12,69
	P		-153.825	-7.691	0,07697	13,19		-201.341	-9.998	0,07697	10,76		-244.602	-12.207	0,07697	9,27
P	A	01302	184.114	5.778	0,13854	20,80	01303	-15.554	778	0,13854	NS	01304	-9.785	489	0,13854	NS
	P		-237.774	-1.428	0,13854	NS		99.045	-2.090	0,13854	62,81		-38.355	-2.369	0,13854	62,96
S	A		-160.729	8.036	0,06158	10,79		-176.993	8.850	0,06158	9,69		-202.457	10.123	0,06158	9,10
	P		-274.080	-13.151	0,07697	8,89		-293.404	-13.261	0,07697	8,76		-196.055	-8.583	0,07697	12,46
P	A	01305	33.507	342	0,13854	NS	01306	227.026	937	0,07697	55,11	01307	31.455	2.419	0,07697	31,97
	P		13.234	-6.393	0,13854	22,28		13.025	-2.862	0,07697	27,86		142.049	-1.855	0,07697	33,87
S	A		-139.097	6.138	0,14200	26,91		-98.267	4.913	0,06158	15,00		-115.096	4.788	0,06158	16,10
	P		-291.375	-14.309	0,07697	8,34		-216.642	-8.702	0,07697	12,03		269.154	-2.024	0,07697	20,90
P	A	02321	182.813	1.531	0,07697	37,53	02322	-25.720	1.286	0,13854	NS	02323	-48.028	2.426	0,13352	59,89
	P		12.960	-400	0,07697	NS		-250.728	-3.212	0,13854	54,93		-63.451	-3.691	0,12221	36,78
S	A		-185.096	5.322	0,19562	41,82		-171.624	8.581	0,14200	19,43		-167.495	7.652	0,16211	24,79
	P		-163.939	-6.139	0,17750	32,84		-379.490	-14.090	0,15394	14,55		-274.283	-5.421	0,15394	35,99
P	A	02324	159.643	331	0,07697	NS	02325	41.432	1.318	0,07697	57,69	02326	13.130	655	0,07697	NS
	P		71.497	-889	0,07697	81,04		92.023	-501	0,07697	NS		0	0	0,07697	-
S	A		-229.420	3.432	0,16211	56,46		-270.588	4.951	0,06158	19,44		-83.123	4.061	0,06158	17,95
	P		-299.368	-4.835	0,15394	40,24		-294.450	-5.671	0,07697	20,24		-258.463	-9.800	0,07697	11,35
P	A	02327	22.317	1.013	0,07697	77,55	02328	43.992	1.075	0,07697	70,39	02329	-34.874	1.745	0,07697	49,29
	P		-116.503	-446	0,07697	NS		-18.561	-1.233	0,07697	68,01		-29.213	-2.144	0,07697	39,77
S	A		-117.516	5.876	0,06158	13,16		-138.329	6.916	0,06158	11,64		-120.898	5.715	0,06158	14,27
	P		-233.364	-11.424	0,07697	9,45		-226.498	-11.078	0,07697	9,71		-203.766	-8.291	0,07697	13,01
P	A	02330	-175.382	705	0,07697	NS	02331	33.322	760	0,07697	NS	02332	-3.767	188	0,07697	NS
	P		484	-207	0,07697	NS		11.047	-471	0,07697	NS		-134.233	-860	0,07697	NS
S	A		-82.561	2.561	0,06158	27,42		-102.831	5.139	0,06158	14,69		-140.915	7.046	0,06158	11,39
	P		-221.959	-8.675	0,07697	11,98		-240.415	-10.628	0,07697	10,25		-249.496	-12.192	0,07697	9,01
P	A	02333	-28.121	1.410	0,07697	60,38										
	P		-38.868	-2.655	0,07697	32,59										
S	A		-151.042	7.246	0,06158	11,14										
	P		-263.076	-11.600	0,07697	9,55										

Dir	Pos	Nodo	N_{Ed} [N]	M_{Ed} [N·m]	A_s [cm²/cm]	CS	Nodo	N_{Ed} [N]	M_{Ed} [N·m]	A_s [cm²/cm]	CS	Nodo	N_{Ed} [N]	M_{Ed} [N·m]	A_s [cm²/cm]	CS
Estradosso travi gronda						**ParetеP15-41**						**Parete P15-41**				
P	A	00111	-429.846	27.016	0,14577	7,62	00139	97.188	4.869	0,14577	28,52	00278	484	13	0,10053	NS
	P		-5.151	-373	0,12221	NS		75.978	-14.379	0,15394	10,43		174.670	-4.499	0,12221	23,29
S	A		-647.469	32.368	0,15739	7,42		82.292	39.740	0,27803	6,77		678.686	10.444	0,21101	12,40
	P		0	0	0,11812	-		-711.932	-22.554	0,19059	12,54		-33.649	-933	0,19059	NS
P	A	00279	12.248	295	0,14577	NS	00870	-83.195	6.369	0,10053	18,26	00871	-68.982	4.019	0,10053	28,48
	P		-292.866	-14.643	0,13854	12,42		18.069	-903	0,07697	87,54		40.694	-2.053	0,07697	37,07
S	A		179.314	14.412	0,15394	9,47		-341.765	17.088	0,07697	7,33		-110.378	5.484	0,07697	17,48
	P		-432.718	-21.636	0,13352	9,00		0	0	0,05655	-		0	0	0,05655	-
P	A	00872	-42.788	3.475	0,10053	31,95	00873	-44.956	2.393	0,10053	46,52	00874	59.588	1.226	0,14577	NS
	P		49.313	-2.008	0,12221	60,32		107.844	-812	0,07697	82,93		-17.079	-1.227	0,15394	NS
S	A		-92.137	4.201	0,07697	21,56		-62.047	2.609	0,07697	34,33		-79.722	970	0,07697	94,70
	P		-79.448	-3.972	0,05655	17,14		-116.458	-5.823	0,05655	13,03		-98.885	-4.944	0,05655	14,88
P	A	00875	7.226	84	0,10053	NS	00876	21.359	846	0,14577	NS	01085	-129.892	7.526	0,10053	16,25
	P		131.397	-3.242	0,15394	44,02		92.715	-4.970	0,15394	29,73		24.714	-961	0,07697	81,43
S	A		14.528	1.686	0,07697	47,18		28.304	5.454	0,27803	50,24		-457.527	14.967	0,07697	9,31
	P		-146.062	-7.303	0,05655	10,91		-173.014	-8.641	0,05655	9,63		0	0	0,05655	-
P	A	01086	-158.545	3.284	0,10053	38,36	01087	-48.236	2.412	0,10053	46,33	01288	66.319	4.250	0,14577	33,61
	P		33.263	-1.335	0,07697	57,74		49.498	-2.350	0,07697	31,91		-1.915	-8.361	0,07697	9,77
S	A		-333.922	16.696	0,07697	7,14		-291.033	14.552	0,07697	7,86		86.521	16.238	0,27803	16,24
	P		-148.520	-511	0,05655	NS		-121.230	-1.160	0,05655	61,90		-379.042	-18.952	0,05655	5,57
P	A	01289	47.545	5.353	0,10053	18,55	01290	-5.713	7.199	0,10053	14,75	01291	-730.984	2.447	0,14577	98,29
	P		-34.768	-1.738	0,07697	49,47		-75.305	-3.765	0,07697	24,24		-5.934	-300	0,13854	NS
S	A		195.968	10.248	0,07697	4,94		360.501	7.850	0,07697	4,31		-1.766.131	5.171	0,15394	53,86
	P		-263.104	-13.155	0,05655	6,84		-283.755	-14.188	0,05655	6,88		-361.918	-18.096	0,05655	5,58
P	A	01292	17.245	880	0,10053	NS	01293	-256.887	1.750	0,10053	79,14	01294	-231.802	3.032	0,10053	44,70
	P		9.992	-58	0,13854	NS		10.602	-530	0,07697	NS		-4.694	-65	0,12221	NS
S	A		-41.669	2.807	0,07697	30,96		-766.642	3.814	0,07697	45,24		-520.693	3.629	0,07697	40,44
	P		-292.724	-14.636	0,05655	6,75		-187.222	-9.361	0,05655	9,09		-50.297	-2.038	0,05655	32,97
P	A	01295	-148.621	1.942	0,10053	64,21	01296	-92.144	1.924	0,10053	61,03	01297	-16.407	820	0,10053	NS
	P		16.603	-422	0,07697	NS		34.830	-451	0,07697	NS		10.601	-313	0,12221	NS
S	A		-320.059	3.201	0,07697	38,29		-41.154	2.058	0,07697	42,21		-82.182	4.109	0,07697	19,79
	P		-15.248	-251	0,05655	NS		-7.401	-381	0,05655	NS		-24.042	-484	0,19059	NS
P	A	02308	-103.388	7.722	0,10053	15,39	02309	52.096	2.588	0,14577	55,92	02310	-427.130	1.916	0,14577	NS
	P		49.867	-85	0,07697	NS		49.217	-6.714	0,15394	22,85		-130.810	-2.435	0,13854	66,16
S	A		-372.901	15.883	0,15739	13,24		27.235	19.183	0,27803	14,54		153.323	6.774	0,15394	20,08
	P		0	0	0,11812	-		-257.685	-10.088	0,19059	22,55		-334.247	-16.712	0,13352	10,67
P	A	02311	38.971	1.766	0,10053	56,86	02312	-128.520	1.878	0,10053	65,03	02313	-91.504	2.183	0,10053	53,77
	P		25.511	-1.105	0,12221	NS		8.213	-411	0,07697	NS		16.314	-371	0,07697	NS
S	A		-116.456	5.823	0,21101	38,92		-143.624	7.181	0,07697	13,01		-60.523	2.810	0,07697	30,11
	P		0	0	0,19059	-		-31.391	-648	0,05655	89,35		0	0	0,05655	-
P	A	02314	-140.161	1.476	0,10053	83,74	02315	-143.396	764	0,10053	NS	02316	-129.588	2.235	0,10053	54,70
	P		16.058	-455	0,07697	NS		0	0	0,07697	-		-4.735	-237	0,07697	NS
S	A		-6.309	2.374	0,07697	32,95		-18.536	4.656	0,07697	17,11		33.286	8.498	0,07697	9,07
	P		-115.039	-5.406	0,05655	13,24		-217.942	-10.897	0,05655	7,79		-253.107	-12.655	0,05655	7,40
P	A	02317	-111.771	3.382	0,10053	35,48	02318	-66.061	1.970	0,10053	57,90	02319	-25.197	397	0,10053	NS
	P		16.692	-715	0,07697	NS		25.498	-910	0,07697	85,83		46.847	-294	0,07697	NS
S	A		-201.697	7.940	0,07697	13,10		-72.304	2.504	0,07697	34,71		-10.230	3.632	0,07697	21,72
	P		0	0	0,05655	-		-89.483	-2.801	0,05655	24,39		-177.024	-8.851	0,05655	9,02
P	A	02320	26.797	1.339	0,10053	76,15										
	P		17.626	-2.537	0,07697	31,19										
S	A		-5.485	9.468	0,07697	8,30										

Dir	Pos	Nodo	N_{Ed} [N]	M_{Ed} [N·m]	A_s [cm²/cm]	CS	Nodo	N_{Ed} [N]	M_{Ed} [N·m]	A_s [cm²/cm]	CS	Nodo	N_{Ed} [N]	M_{Ed} [N·m]	A_s [cm²/cm]	CS
	P		-177.993	-8.900	0,05655	9,02										
Estradosso travi gronda						**Parete38-39**						**Parete 38-39**				
P	A	00108	10.792	1.034	0,17928	NS	00109	83.065	4.639	0,17928	37,68	00160	-110.072	19.202	0,13404	8,01
	P		-31.043	-637	0,17928	NS		477.210	-1.113	0,17928	NS		154.657	-6.674	0,13404	17,90
S	A		390.543	2.382	0,15739	47,21		1.140.712	565	0,28149	NS		-911.121	23.400	0,28149	16,61
	P		-178.602	-7.032	0,15739	26,50		-647.785	-3.766	0,28149	98,36		-408.570	-20.428	0,28149	16,31
P	A	00186	-163.822	3.034	0,17928	68,11	00188	-500.710	13.743	0,13404	14,79	00191	0	0	0,17928	-
	P		-504.663	-4.922	0,17928	50,74		0	0	0,13404	-		-66.625	-8.998	0,17928	21,58
S	A		-1.697.542	11.651	0,18096	29,55		-1.437.614	18.914	0,28149	22,82		-251.345	3.398	0,28149	93,40
	P		0	0	0,18096	-		0	0	0,28149	-		-206.515	-4.422	0,28149	70,49
P	A	00846	21.902	414	0,13404	NS	00847	-73.884	292	0,13404	NS	00848	73.336	474	0,13404	NS
	P		21.661	-72	0,13404	NS		94.581	-3.261	0,13404	39,03		49.059	-2.453	0,13404	54,30
S	A		-17.970	898	0,08042	88,11		-61.808	3.090	0,08042	29,12		-76.834	3.842	0,08042	24,73
	P		-138.564	-6.906	0,08042	13,74		-187.685	-9.186	0,08042	11,58		-217.633	-9.555	0,08042	11,85
P	A	00849	-27.048	1.261	0,13404	NS	00850	-23.484	1.215	0,13404	NS	00851	-64.815	2.800	0,13404	52,84
	P		-757	-21	0,13404	NS		30.372	-1.519	0,13404	89,31		38.036	-748	0,13404	NS
S	A		-88.958	4.448	0,08042	21,72		-95.345	4.767	0,08042	20,44		-99.013	4.565	0,08042	20,76
	P		-265.169	-8.530	0,08042	13,99		-324.300	-5.467	0,08042	23,21		-491.911	-1.208	0,08042	NS
P	A	00852	-180.272	4.927	0,17928	42,37	00856	21.862	264	0,17928	NS	00857	13.883	319	0,13404	NS
	P		32.901	-1.645	0,17928	NS		11.271	-490	0,17928	NS		-3.846	-192	0,13404	NS
S	A		-1.781.383	16.215	0,18096	21,24		-41.192	1.582	0,28149	NS		-102.249	4.631	0,08042	20,64
	P		-9.216	-459	0,18096	NS		-577.711	-2.524	0,28149	NS		-62.922	-3.090	0,08042	29,27
P	A	00858	-59.408	584	0,13404	NS	00859	-22.279	1.160	0,13404	NS	00860	-26.319	1.384	0,13404	NS
	P		-5.658	-283	0,13404	NS		-3.921	-196	0,13404	NS		-6.692	-335	0,13404	NS
S	A		-110.438	5.391	0,08042	18,43		-148.842	7.427	0,08042	14,05		-167.642	8.382	0,08042	12,74
	P		-91.871	-4.594	0,08042	21,11		-111.523	-5.576	0,08042	17,85		-120.986	-6.049	0,08042	16,66
P	A	00861	-82.856	4.220	0,13404	35,62	00862	-269.584	4.519	0,13404	38,57	01019	-11.343	1.454	0,17928	NS
	P		4.843	-691	0,13404	NS		13.793	-442	0,13404	NS		-102.893	-4.726	0,17928	42,07
S	A		-185.970	9.018	0,08042	12,11		-1.297.096	16.935	0,28149	25,14		-99.551	4.947	0,28149	59,71
	P		-124.130	-6.167	0,08042	16,40		-237.696	-6.817	0,28149	46,54		-803.965	-8.012	0,28149	47,44
P	A	01020	-85.505	5.382	0,13404	27,99	01021	34.511	1.725	0,13404	78,33	01022	-35.439	1.112	0,13404	NS
	P		177.437	-702	0,13404	NS		479	-1.531	0,13404	91,11		62.738	-1.181	0,13404	NS
S	A		-193.413	3.968	0,08042	26,91		-162.237	2.457	0,08042	43,19		-151.832	3.221	0,08042	32,52
	P		-202.259	-6.644	0,08042	16,24		-188.024	-6.672	0,08042	16,40		-192.190	-7.636	0,08042	14,40
P	A	01023	-27.463	1.003	0,13404	NS	01024	-179.374	435	0,13404	NS	01308	160.617	8.030	0,13404	14,78
	P		12.024	-1.091	0,13404	NS		46.075	-155	0,13404	NS		105.641	-7.514	0,13404	16,75
S	A		-119.280	2.697	0,08042	37,28		143.092	1.539	0,08042	39,97		-1.025.843	17.890	0,28149	22,16
	P		-224.706	-8.429	0,08042	13,54		-243.158	-7.398	0,08042	15,12		-131.672	-11.728	0,28149	25,19
P	A	01309	11.045	8.755	0,13404	15,78	01310	-1.014	3.748	0,13404	37,27	01311	156.772	2.337	0,13404	50,99
	P		0	0	0,13404	-		209.411	-1.599	0,13404	70,23		7.271	-364	0,13404	NS
S	A		-553.388	7.185	0,08042	20,72		-298.408	13.352	0,08042	8,86		-131.188	6.559	0,08042	15,01
	P		-209.737	-1.549	0,08042	68,35		-264.509	-4.670	0,08042	24,42		-149.754	-2.272	0,08042	44,40
P	A	01312	71.998	2.856	0,13404	45,59	01313	-37.554	14.870	0,13404	9,71	02334	38.473	790	0,17928	NS
	P		64.854	-3.209	0,13404	40,86		46.628	-617	0,13404	NS		24.328	-2.170	0,17928	84,06
S	A		223.222	2.804	0,08042	18,78		-788.775	17.772	0,08042	10,17		-61.100	1.617	0,28149	NS
	P		-3.706	-180	0,08042	NS		-26.278	-1.294	0,08042	68,34		-592.278	-4.171	0,28149	86,43
P	A	02335	-182.137	12.046	0,13404	13,54	02336	-175.077	2.528	0,17928	82,32	02337	74.964	1.471	0,13404	88,26
	P		0	0	0,13404	-		-33.247	-566	0,17928	NS		27.553	-681	0,13404	NS
S	A		-1.042.930	22.301	0,28149	18,15		-1.261.103	14.282	0,18096	22,44		179.367	2.080	0,15739	65,50
	P		-284.548	-1.173	0,28149	NS		0	0	0,18096	-		-174.072	-8.651	0,15739	21,04
P	A	02338	9.619	855	0,13404	NS	02339	-106.534	246	0,13404	NS	02340	-91.529	479	0,13404	NS
	P		14.998	-698	0,13404	NS		59.842	-1.590	0,13404	82,89		9.885	-326	0,13404	NS

Dir	Pos	Nodo	N_{Ed} [N]	M_{Ed} [N·m]	A_s [cm²/cm]	CS	Nodo	N_{Ed} [N]	M_{Ed} [N·m]	A_s [cm²/cm]	CS	Nodo	N_{Ed} [N]	M_{Ed} [N·m]	A_s [cm²/cm]	CS
S	A		-80.143	3.774	0,08042	24,16		-96.334	4.787	0,08042	19,73		-106.586	5.329	0,08042	18,01
	P		-211.418	-8.770	0,08042	12,34		-221.622	-9.240	0,08042	11,98		-256.525	-7.709	0,08042	14,97
P	A	02341	-56.401	622	0,13404	NS	02342	38.297	1.619	0,13404	83,14	02343	2.285	678	0,13404	NS
	P		4.359	-218	0,13404	NS		69.425	-781	0,13404	NS		28.319	-951	0,13404	NS
S	A		-552.118	10.600	0,08042	14,30		-578.938	20.121	0,08042	7,86		-107.972	5.261	0,08042	18,83
	P		-293.235	-3.853	0,08042	31,01		-13.039	-652	0,08042	NS		-218.082	-9.467	0,08042	11,97
P	A	02344	-82.468	338	0,13404	NS	02345	-13.100	655	0,13404	NS	02346	-26.125	1.473	0,13404	97,05
	P		35.874	-1.568	0,13404	86,02		30.215	-1.035	0,13404	NS		16.224	-684	0,13404	NS
S	A		-114.687	5.734	0,08042	17,43		-116.085	5.804	0,08042	17,25		-108.835	4.566	0,08042	21,72
	P		-196.154	-8.982	0,08042	12,30		-173.529	-7.061	0,08042	15,23		-121.533	-2.512	0,08042	40,13
P	A	02347	-17.854	1.233	0,13404	NS	02348	18.344	1.128	0,13404	NS	02349	13.699	519	0,13404	NS
	P		5.460	-232	0,13404	NS		3.308	-161	0,13404	NS		-9.938	-905	0,13404	NS
S	A		-135.834	4.822	0,08042	21,29		-132.231	6.524	0,08042	15,67		-142.097	7.003	0,08042	14,78
	P		-190.137	-8.885	0,08042	12,35		-170.666	-8.472	0,08042	12,65		-140.598	-7.022	0,08042	14,71
P	A	02350	15.180	787	0,13404	NS	02351	-32.046	2.241	0,13404	64,13	02352	-5.097	840	0,13404	NS
	P		-22.752	-1.411	0,13404	NS		29.038	-1.090	0,13404	NS		7.371	-368	0,13404	NS
S	A		-252.021	11.409	0,08042	10,31		-284.176	13.050	0,08042	9,09		-119.700	4.988	0,08042	19,27
	P		-85.243	-3.629	0,08042	26,48		-195.842	-1.799	0,08042	59,66		-131.942	-6.229	0,08042	15,69
P	A	02353	-63.556	502	0,13404	NS	02354	-17.564	1.021	0,13404	NS	02355	-59.536	4.700	0,13404	31,34
	P		-14.034	-702	0,13404	NS		9.616	-300	0,13404	NS		1.525	-948	0,13404	NS
S	A		-141.090	7.043	0,08042	14,27		-154.778	7.665	0,08042	13,72		-664.503	20.771	0,08042	7,94
	P		-133.197	-6.660	0,08042	14,94		-126.548	-6.278	0,08042	16,16		-119.713	-5.350	0,08042	18,29
Estradosso travi gronda						**Parete1-P8**						**Parete 1-P8**				
P	A	00105	-417.649	40.042	0,06158	2,99	00136	-19.852	6.089	0,10681	18,80	00206	-24.608	1.248	0,06158	55,25
	P		25.111	-1.238	0,08042	66,01		-231.707	-11.912	0,12566	13,50		60.381	-1.926	0,08042	40,02
S	A		-837.829	50.669	0,07697	3,65		-565.102	28.255	0,12221	6,90		-376.106	12.454	0,07697	10,12
	P		-248.913	-3.984	0,10053	34,51		-388.534	-19.427	0,14577	10,09		-467.658	-375	0,10053	NS
P	A	00288	-196.340	3.695	0,46370	NS	00289	46.986	780	0,26264	NS	00342	-260.290	17.171	0,46370	28,86
	P		102.267	-4.915	0,28149	56,21		-15.398	-2.172	0,28149	NS		0	0	0,28149	-
S	A		-407.419	3.324	0,47909	NS		352.961	1.427	0,47909	NS		-789.451	18.758	0,47909	31,39
	P		281.478	-1.567	0,50266	NS		-87.466	-4.373	0,50266	NS		0	0	0,50266	-
P	A	00343	-626.183	1.976	0,26264	NS	00774	-109.047	717	0,06158	NS	00775	45.837	1.729	0,06158	34,54
	P		-86.818	-4.523	0,28149	66,43		-9.027	-5.381	0,08042	16,01		-9.527	-9.410	0,08042	9,16
S	A		482.620	729	0,47909	NS		-765.079	4.423	0,07697	40,04		-438.229	2.719	0,07697	49,62
	P		-406.932	-7.162	0,50266	79,00		-307.376	-7.462	0,10053	19,41		-658.085	-9.915	0,10053	18,37
P	A	00776	144.183	1.424	0,06158	32,86	00777	207.119	3.362	0,06158	11,46	00778	29.525	1.476	0,06158	41,90
	P		-81.578	-4.129	0,08042	23,16		19.255	-287	0,08042	NS		197.603	-4.689	0,08042	12,59
S	A		-384.432	2.872	0,07697	44,62		-436.146	12.220	0,07697	10,98		-322.933	14.195	0,07697	8,46
	P		-453.404	-13.755	0,10053	11,61		-504.492	-9.034	0,10053	18,27		-434.754	-19.700	0,10053	7,98
P	A	00779	-52.858	2.962	0,06158	24,53	00780	-111.998	6.613	0,10681	19,11	01069	3.180	4.424	0,46370	NS
	P		16.458	-823	0,08042	NS		-24.673	-1.332	0,08042	66,22		121.452	-3.497	0,28149	78,29
S	A		-313.911	15.497	0,07697	7,69		-471.798	20.010	0,07697	6,87		-279.759	7.091	0,47909	72,72
	P		-436.076	-17.359	0,10053	9,08		-641.198	-14.959	0,10053	11,94		-159.553	-1.882	0,50266	NS
P	A	01070	79.619	2.015	0,06158	27,44	01071	-62.109	3.812	0,06158	19,38	01072	-31.696	2.361	0,06158	29,60
	P		31.028	-12	0,08042	NS		8.729	-404	0,08042	NS		0	0	0,08042	-
S	A		-254.928	10.169	0,07697	10,72		-303.950	12.289	0,07697	9,60		-413.971	12.468	0,07697	10,82
	P		-60.132	-1.460	0,10053	73,75		0	0	0,10053	-		-498.341	-944	0,10053	NS
P	A	01073	-16.787	6.610	0,06158	10,28	01074	-152.182	14.479	0,06158	5,91	01241	347.943	3.453	0,46370	NS
	P		20.937	-453	0,08042	NS		40.768	-2.038	0,08042	39,07		111.840	-3.495	0,28149	78,70
S	A		-532.805	16.059	0,07697	9,33		-690.993	24.322	0,07697	6,95		-641.024	7.311	0,47909	76,53
	P		-12.393	-251	0,10053	NS		-91.536	-640	0,10053	NS		-63.694	-3.176	0,50266	NS
P	A	01242	-18.370	2.211	0,06158	30,82	01243	73.970	1.632	0,06158	34,32	01244	75.385	957	0,06158	58,35
	P		32.410	-1.588	0,08042	50,84		48.619	-2.431	0,08042	32,34		9.553	-478	0,08042	NS
S	A		-121.26	4.227	0,07697	21,76		-47.932	2.308	0,07697	36,32		-68.144	3.407	0,07697	26,52

Dir	Pos	Nodo	N_{Ed} [N]	M_{Ed} [N·m]	A_s [cm²/cm]	CS	Nodo	N_{Ed} [N]	M_{Ed} [N·m]	A_s [cm²/cm]	CS	Nodo	N_{Ed} [N]	M_{Ed} [N·m]	A_s [cm²/cm]	CS
	P		-62.134	-2.691	0,10053	40,22		-17.274	-264	0,10053	NS		-102.935	-4.800	0,10053	24,76
P	A	01245	-302.096	624	0,06158	NS	01246	59.360	337	0,26264	NS	01247	152.114	1.739	0,26264	NS
	P		-1.594	-81	0,08042	NS		115.158	-808	0,08042	86,53		-158.036	-1.615	0,28149	NS
S	A		-62.267	3.113	0,07697	27,50		-86.684	4.334	0,47909	NS		-300.323	6.794	0,47909	76,22
	P		-176.725	-8.836	0,10053	14,08		-230.835	-11.542	0,10053	11,12		-270.843	-11.132	0,50266	48,30
P	A	01248	0	0	0,26264	-	01249	53.395	1.338	0,26264	NS	01250	16.815	841	0,06158	75,56
	P		-30.474	-3.143	0,28149	93,30		300.347	-674	0,08042	67,88		26.717	-1.336	0,08042	61,00
S	A		523.688	731	0,47909	NS		-97.750	3.463	0,47909	NS		-114.047	5.702	0,07697	15,05
	P		-165.395	-6.155	0,50266	85,25		-110.005	-5.500	0,10053	20,00		-141.533	-7.066	0,10053	16,03
P	A	01251	26.053	1.303	0,06158	47,84	01252	43.542	2.177	0,06158	27,57	01253	45.852	2.293	0,06158	26,05
	P		50.797	-1.248	0,08042	62,76		109.809	-3.354	0,08042	21,04		83.193	-3.576	0,08042	20,72
S	A		-121.452	5.779	0,07697	15,66		-219.021	10.175	0,07697	10,36		-219.005	10.950	0,07697	9,68
	P		-98.756	-4.938	0,10053	22,58		-108.474	-5.424	0,10053	21,21		-144.470	-7.224	0,10053	16,65
P	A	01254	-197.624	9.881	0,06158	9,26	02219	121.848	5.393	0,46370	84,71	02220	13.761	755	0,26264	NS
	P		8.146	-1.772	0,08042	47,35		10.651	-49	0,28149	NS		-130.906	-2.301	0,28149	NS
S	A		-427.319	21.366	0,07697	6,20		-471.821	11.614	0,47909	46,71		-201.942	1.097	0,47909	NS
	P		-66.911	-2.480	0,10053	44,32		-78.321	-294	0,50266	NS		-177.326	-7.361	0,50266	72,13
P	A	02221	-179.274	9.100	0,10681	14,83	02222	-54.734	5.353	0,06158	13,62	02223	-70.681	4.017	0,06158	18,67
	P		-9.846	-1.228	0,08042	70,27		16.711	-828	0,08042	NS		9.096	-436	0,08042	NS
S	A		-437.082	19.299	0,07697	6,91		-687.010	17.085	0,07697	9,67		-474.379	15.986	0,07697	8,70
	P		-459.677	-7.443	0,10053	21,36		-257.429	-3.034	0,10053	44,60		-468	-380	0,10053	NS
P	A	02224	15.016	589	0,06158	NS	02225	12.325	968	0,06158	66,21	02226	-58.600	3.069	0,06158	23,92
	P		20.531	-430	0,08042	NS		24.668	-452	0,08042	NS		13.148	-171	0,08042	NS
S	A		-262.738	11.074	0,07697	10,09		-282.814	12.501	0,07697	9,11		-309.161	14.574	0,07697	8,10
	P		-99.362	-4.346	0,10053	26,34		-104.531	-5.219	0,10053	21,99		-154.487	-7.724	0,10053	15,78
P	A	02227	-111.047	5.847	0,06158	13,73	02228	-101.994	922	0,06158	85,76	02229	-59.133	617	0,06158	NS
	P		28.360	-1.042	0,08042	77,97		16.686	-658	0,08042	NS		-13.695	-668	0,08042	NS
S	A		-320.651	15.512	0,07697	7,73		-416.047	10.563	0,07697	12,39		-208.132	10.407	0,07697	9,93
	P		-152.486	-7.624	0,10053	16,00		17.611	-136	0,10053	NS		-113.888	-5.685	0,10053	20,23
P	A	02230	70.661	1.449	0,06158	38,96	02231	-11.092	1.219	0,06158	55,13	02232	-156.986	1.609	0,06158	53,61
	P		6.124	-305	0,08042	NS		20.205	-803	0,08042	NS		25.712	-772	0,08042	NS
S	A		-253.626	12.201	0,07697	9,00		-251.230	12.101	0,07697	9,15		-321.890	10.427	0,07697	11,40
	P		-128.861	-6.443	0,10053	18,24		-165.244	-8.262	0,10053	14,94		0	0	0,10053	-
P	A	02233	-78.989	1.172	0,06158	64,93	02234	48.643	1.923	0,06158	30,87	02235	18.411	618	0,06158	NS
	P		15.615	-466	0,08042	NS		1.294	-65	0,08042	NS		13.788	-558	0,08042	NS
S	A		-302.553	7.219	0,07697	15,80		-213.921	10.567	0,07697	9,66		-240.063	11.585	0,07697	9,23
	P		-90.490	-3.847	0,10053	28,74		-159.740	-7.987	0,10053	14,89		-138.601	-6.930	0,10053	16,98
P	A	02236	15.034	752	0,06158	84,82	02237	-75.049	2.184	0,46370	NS	02238	-69.719	1.210	0,06158	61,85
	P		82.099	-215	0,08042	NS		23.826	-562	0,08042	NS		14.162	-383	0,08042	NS
S	A		-184.284	8.796	0,07697	11,66		-295.938	7.440	0,47909	60,89		-112.259	4.739	0,07697	18,81
	P		-128.185	-6.409	0,10053	18,59		-43.192	-1.366	0,10053	74,05		-112.355	-4.956	0,10053	22,82
P	A	02239	-114.155	516	0,06158	NS	02240	37.147	943	0,26264	NS					
	P		20.095	-606	0,08042	NS		24.067	-379	0,28149	NS					
S	A		-180.479	9.024	0,07697	10,82		-233.065	8.997	0,47909	56,55					
	P		-197.093	-9.855	0,10053	12,55		-145.937	-7.297	0,50266	71,43					
Estradosso travi gronda							**Parete6-7-19**					**Parete 6-7**				
P	A	00087	-144.287	17.894	0,13404	8,85	00209	4.286	255	0,13404	NS	00210	-214.539	37.707	0,33510	9,85
	P		64.134	-51.129	0,23457	4,56		38.054	-1.843	0,13404	73,03		1.228.928	-5.529	0,33510	33,32
S	A		-352.339	17.609	0,17750	13,01		105.802	2.892	0,21101	70,57		-1.246.159	22.823	0,47909	26,64

Dir	Pos	Nodo	N_{Ed} [N]	M_{Ed} [N·m]	A_s [cm²/cm]	CS	Nodo	N_{Ed} [N]	M_{Ed} [N·m]	A_s [cm²/cm]	CS	Nodo	N_{Ed} [N]	M_{Ed} [N·m]	A_s [cm²/cm]	CS
	P		-1.345.928	-61.499	0,21101	5,71		-346.696	-3.834	0,21101	68,37		-134.117	-6.543	0,47909	74,83
P	A	00781	20.891	1.045	0,13404	NS	00782	35.569	538	0,13404	NS	00783	34.117	373	0,13404	NS
	P		-231.458	-17.597	0,13404	9,63		-34.914	-9.519	0,13404	15,14		22.328	-5.406	0,13404	25,28
S	A		-117.872	2.438	0,07697	39,72		0	0	0,07697	-		0	0	0,07697	-
	P		-503.924	-25.196	0,07697	5,78		-342.832	-17.094	0,07697	7,35		-359.770	-12.877	0,07697	9,93
P	A	00784	3.272	164	0,13404	NS	00785	-61.775	3.302	0,13404	44,70	00786	-70.496	7.868	0,33510	44,85
	P		-45.727	-178	0,13404	NS		504	-66	0,13404	NS		140.054	-3.931	0,33510	82,88
S	A		-334.817	3.022	0,07697	40,06		-304.779	8.657	0,07697	13,40		-378.443	15.481	0,47909	34,26
	P		-596.886	-10.857	0,07697	14,10		-677.649	-8.392	0,07697	19,16		-116.189	-5.809	0,47909	85,53
P	A	00787	-81.384	14.136	0,33510	25,06	01269	63.320	8.095	0,13404	16,22	01270	-39.985	2.142	0,13404	67,58
	P		46.576	-3.197	0,33510	NS		89.177	-4.431	0,13404	28,88		-38.317	-4.287	0,13404	33,71
S	A		-482.995	23.241	0,47909	22,88		-584.112	14.708	0,07697	10,25		13.440	4.438	0,07697	16,85
	P		-3.849.534	-14.957	0,47909	34,84		-55.281	-1.118	0,07697	75,30		-438.744	-2.503	0,07697	53,05
P	A	01271	47.115	1.012	0,13404	NS	01272	2.584	698	0,13404	NS	01273	-27.809	1.601	0,13404	89,44
	P		-31.902	-2.462	0,13404	58,36		87.077	-2.396	0,13404	53,53		13.006	-553	0,13404	NS
S	A		6.039	1.912	0,07697	39,48		-36.326	1.816	0,07697	44,23		-187.059	3.856	0,07697	25,75
	P		-392.759	-4.329	0,07697	29,30		-296.830	-6.667	0,07697	17,11		-193.428	-3.225	0,07697	31,04
P	A	01274	-20.284	3.216	0,13404	44,21	01275	-14.460	2.487	0,13404	56,87	01276	247.402	3.159	0,13404	33,98
	P		19.340	-881	0,13404	NS		8.933	-447	0,13404	NS		24.341	-1.062	0,13404	NS
S	A		-298.630	1.619	0,07697	70,73		-89.734	2.605	0,07697	34,47		-140.566	5.456	0,07697	18,29
	P		-305.080	-4.703	0,07697	24,52		-370.940	-4.494	0,07697	28,01		-289.614	-1.218	0,07697	97,65
P	A	01277	195.900	2.049	0,33510	NS	01782	99.121	4.514	0,13404	28,06	01783	93.748	4.342	0,13404	29,33
	P		78.016	-872	0,33510	NS		162.310	-4.903	0,13404	24,16		150.160	-7.398	0,13404	16,22
S	A		-624.752	1.885	0,47909	NS		-672.019	31.535	0,07697	5,10		-679.268	16.040	0,07697	10,16
	P		-4.690.954	-5.160	0,47909	88,23		-204.339	-5.513	0,07697	18,83		-175.613	-8.754	0,07697	11,59
P	A	02263	9.413	4.632	0,13404	29,87	02264	57.365	1.459	0,13404	90,58	02265	-131.708	16.427	0,33510	21,96
	P		102.684	-2.234	0,13404	56,49		32.719	-1.164	0,13404	NS		152.176	-9.290	0,33510	34,90
S	A		-474.085	16.781	0,21101	16,32		62.201	1.166	0,21101	NS		-488.537	20.777	0,47909	25,91
	P		-459.995	-8.662	0,21101	31,41		-722.692	-3.520	0,21101	87,15		-97.527	-4.032	0,47909	NS
P	A	02266	7.580	56	0,13404	NS	02267	33.543	972	0,13404	NS	02268	37.607	1.352	0,13404	99,64
	P		22.395	-18.780	0,23457	12,69		-27.381	-9.232	0,13404	15,50		-24.526	-5.159	0,13404	27,67
S	A		-190.001	2.167	0,17750	96,14		-169.034	2.877	0,07697	34,80		5.670	522	0,07697	NS
	P		-506.712	-22.765	0,21101	12,33		-457.856	-11.389	0,07697	12,00		-385.041	-10.418	0,07697	12,19
P	A	02269	56.132	808	0,13404	NS	02270	-43.478	4.426	0,13404	32,81	02271	-34.982	7.356	0,13404	19,59
	P		18.030	-1.137	0,13404	NS		41.505	-1.338	0,13404	NS		780.747	-1.791	0,13404	20,94
S	A		-293.057	1.859	0,07697	61,26		-279.037	9.465	0,07697	11,60		-357.295	8.437	0,07697	14,20
	P		-467.526	-9.561	0,07697	14,20		-119.846	-5.992	0,07697	14,89		-154.371	-2.523	0,07697	37,20
P	A	02786	-483.385	31.551	0,13404	6,37										
	P		-104.540	-21.660	0,13404	7,07										
S	A		-971.624	48.571	0,21101	6,70										
	P		-1.111.079	-29.250	0,21101	11,53										
Estradosso travi gronda							**Parete6-7-19**					**Parete 7-19**				
P	A	00084	0	0	0,13404	-	00124	-409.972	30.474	0,53617	19,71	00183	-805.465	44.457	0,13404	5,33
	P		54.604	-215.471	0,33510	1,54		-330.758	-16.356	0,53617	36,10		-353.998	-17.700	0,13404	10,45
S	A		0	0	0,07697	-		170.968	48.275	0,47909	9,02		-1.388.792	67.944	0,21101	5,02
	P		151.114	-100.570	0,21101	1,93		-1.473.560	-48.113	0,27803	9,21		-931.317	-46.566	0,13854	5,62
P	A	00209	23.977	1.364	0,13404	NS	00809	35.564	1.503	0,13404	89,75	00810	0	0	0,13404	-
	P		7.490	-3.822	0,13404	36,27		96.301	-50.054	0,33510	6,54		-106.352	-24.914	0,13404	6,15
S	A		-70.938	3.254	0,21101	69,75		0	0	0,07697	-		0	0	0,07697	-
	P		-141.662	-6.897	0,21101	34,22		-452.582	-22.621	0,21101	11,45		-345.128	-16.308	0,07697	7,73
P	A	00811	-105.704	5.072	0,13404	30,22	00843	-234.733	5.578	0,13404	30,45	00844	-324.049	7.043	0,53617	83,72
	P		78.446	-3.944	0,13404	32,80		57.643	-3.246	0,13404	40,70		7.150	-338	0,53617	NS

Dir	Pos	Nodo	N_{Ed} [N]	M_{Ed} [N·m]	A_s [cm²/cm]	CS	Nodo	N_{Ed} [N]	M_{Ed} [N·m]	A_s [cm²/cm]	CS	Nodo	N_{Ed} [N]	M_{Ed} [N·m]	A_s [cm²/cm]	CS
S	A		4.301	5.831	0,07697	12,94		-591.190	26.108	0,21101	10,50		-735.332	9.673	0,47909	54,67
	P		-355.110	-17.679	0,07697	6,89		-587.059	-29.096	0,13854	7,17		-680.881	-9.647	0,27803	37,51
P	A	00845	-600.095	13.558	0,53617	46,05	01269	-116.882	7.653	0,13404	20,21	01270	-17.310	866	0,13404	NS
	P		70.337	-8.409	0,53617	64,11		-61.916	-3.743	0,13404	39,43		-44.002	-4.648	0,13404	31,25
S	A		-559.372	27.932	0,47909	18,22		-408.454	13.561	0,07697	9,52		-114.723	5.736	0,07697	15,94
	P		-551.307	-27.735	0,27803	12,12		-650.876	-8.237	0,07697	19,16		-360.089	-8.722	0,07697	14,09
P	A	01271	30.483	610	0,13404	NS	01272	23.047	438	0,13404	NS	01273	-26.913	1.354	0,13404	NS
	P		-35.113	-2.421	0,13404	59,53		14.856	-743	0,13404	NS		15.289	-697	0,13404	NS
S	A		7.915	1.530	0,07697	49,10		-164.459	3.168	0,07697	30,69		-185.064	3.984	0,07697	24,99
	P		-233.289	-7.067	0,07697	15,07		-220.251	-7.431	0,07697	14,05		-182.611	-5.348	0,07697	18,56
P	A	01274	-17.878	3.377	0,13404	42,02	01275	-11.641	2.717	0,13404	51,92	01278	65.013	15.590	0,53617	34,62
	P		22.642	-876	0,13404	NS		10.449	-374	0,13404	NS		26.817	-2.368	0,53617	NS
S	A		-206.302	7.604	0,07697	13,59		-107.414	1.631	0,07697	58,55		309.234	23.023	0,47909	18,85
	P		-246.134	-5.476	0,07697	19,81		-110.080	-5.206	0,07697	18,40		-622.661	-19.760	0,27803	17,80
P	A	01279	50.580	5.347	0,13404	24,88	01280	8.840	2.121	0,13404	65,25	01281	-7.540	944	0,13404	NS
	P		21.836	-3.907	0,13404	35,00		25.915	-920	0,13404	NS		23.300	-276	0,13404	NS
S	A		213.988	13.251	0,07697	3,63		167.764	9.414	0,07697	5,97		150.722	7.176	0,07697	8,23
	P		-215.429	-8.369	0,07697	12,45		-182.347	-5.132	0,07697	19,86		-94.114	-754	0,07697	NS
P	A	01282	46.604	1.330	0,13404	NS	01283	73.457	1.051	0,13404	NS	01284	34.306	626	0,13404	NS
	P		68.057	-1.227	0,13404	NS		9.795	-471	0,13404	NS		22.778	-1.097	0,13404	NS
S	A		123.736	5.059	0,07697	12,89		107.504	4.696	0,07697	14,34		105.476	3.541	0,07697	19,10
	P		-57.607	-408	0,07697	NS		-94.322	-1.496	0,07697	62,70		-199.420	-1.314	0,07697	81,75
P	A	01285	-1.193	308	0,13404	NS	01286	-5.404	579	0,13404	NS	01287	-3.720	557	0,13404	NS
	P		26.385	-661	0,13404	NS		14.169	-664	0,13404	NS		55.076	-1.205	0,13404	NS
S	A		93.764	2.429	0,07697	28,47		72.450	2.482	0,07697	29,00		73.630	1.862	0,07697	38,57
	P		-60.187	-1.631	0,07697	54,76		-68.615	-2.577	0,07697	35,08		-51.762	-1.568	0,07697	56,26
P	A	01772	112.623	5.725	0,13404	21,82	01773	19.133	840	0,13404	NS	01774	33.448	387	0,13404	NS
	P		-87.276	-4.531	0,13404	33,30		-213.297	-11.799	0,13404	14,16		96.974	-2.501	0,13404	50,76
S	A		33.090	26.461	0,07697	2,91		12.309	7.073	0,07697	10,78		-285.628	8.392	0,07697	13,55
	P		-489.287	-21.788	0,07697	6,61		-376.920	-18.806	0,07697	6,72		-247.572	-10.305	0,07697	10,57
P	A	01775	-47.275	1.509	0,13404	96,55	01776	14.784	739	0,13404	NS	01777	-11.449	867	0,13404	NS
	P		-5.080	-254	0,13404	NS		-134.762	-2.147	0,13404	73,14		-113.895	-1.112	0,13404	NS
S	A		-255.936	11.097	0,07697	9,79		-137.907	5.820	0,07697	15,92		-150.315	5.003	0,07697	18,66
	P		-169.303	-8.465	0,07697	11,51		-57.536	-2.883	0,07697	28,51		-346.252	-2.167	0,07697	54,68
P	A	01778	-18.199	930	0,13404	NS	01779	66.910	229	0,13404	NS	01780	111.333	5.851	0,13404	21,38
	P		-101.109	-581	0,13404	NS		80.228	-2.202	0,13404	58,65		193.026	-9.611	0,13404	11,91
S	A		-6.151	2.864	0,07697	25,79		-265.328	5.045	0,07697	21,28		-493.792	9.068	0,07697	15,30
	P		-178.693	-5.775	0,07697	16,69		-302.492	-13.091	0,07697	8,57		-204.780	-7.559	0,07697	13,54
P	A	01781	-225.724	24.125	0,13404	6,99	02272	0	0	0,13404	-	02273	-268.499	9.353	0,53617	62,28
	P		-207.625	-27.301	0,13404	6,09		-95.958	-73.095	0,33510	4,74		11.282	-6.104	0,53617	89,56
S	A		-627.356	29.691	0,07697	5,23		74.476	799	0,07697	85,55		68.088	25.225	0,47909	18,21
	P		-596.566	-32.427	0,07697	4,69		-542.667	-27.008	0,21101	9,91		-675.805	-25.849	0,27803	13,77
P	A	02274	-5.013	152	0,13404	NS	02275	77.768	2.452	0,13404	52,79	02276	-60.827	3.051	0,13404	48,32
	P		14.109	-712	0,13404	NS		-10.111	-1.293	0,13404	NS		-53.108	-3.461	0,13404	42,32
S	A		56.941	1.443	0,21101	NS		-584.728	13.810	0,21101	20,77		-346.691	12.885	0,07697	9,36
	P		-100.214	-1.528	0,21101	NS		-668.260	-2.825	0,21101	NS		-525.841	-13.234	0,07697	10,79
P	A	02277	21.750	1.146	0,13404	NS	02278	-9.387	371	0,13404	NS	02279	-16.845	1.190	0,13404	NS
	P		-45.557	-2.308	0,13404	63,03		-29.500	-595	0,13404	NS		16.561	-619	0,13404	NS
S	A		-117.278	5.822	0,07697	15,66		12.897	1.966	0,07697	37,86		-164.879	4.796	0,07697	20,67
	P		-218.586	-8.359	0,07697	12,47		-257.698	-2.436	0,07697	45,00		-298.284	-3.091	0,07697	37,61
P	A	02280	-9.775	950	0,13404	NS	02281	23.449	1.467	0,13404	93,06	02282	-396	522	0,13404	NS
	P		12.548	-232	0,13404	NS		-65.254	-1.667	0,13404	88,82		-44.927	-1.289	0,13404	NS
S	A		52.675	1.353	0,07697	55,10		-184.068	5.475	0,07697	18,04		10.339	2.975	0,07697	25,08
	P		-82.448	-3.130	0,07697	29,47		-374.488	-9.219	0,07697	13,35		-222.585	-2.155	0,07697	48,69

Dir	Pos	Nodo	N_{Ed} [N]	M_{Ed} [N·m]	A_s [cm²/cm]	CS	Nodo	N_{Ed} [N]	M_{Ed} [N·m]	A_s [cm²/cm]	CS	Nodo	N_{Ed} [N]	M_{Ed} [N·m]	A_s [cm²/cm]	CS
P	A	02283	12.055	256	0,13404	NS	02284	-12.472	639	0,13404	NS	02285	-12.206	668	0,13404	NS
	P		10.790	-86	0,13404	NS		1.949	-439	0,13404	NS		-93.267	-1.268	0,13404	NS
S	A		26.467	2.486	0,07697	29,67		-149.900	3.302	0,07697	29,71		-2.210	3.226	0,07697	23,27
	P		-224.140	-1.683	0,07697	63,20		-72.745	-3.281	0,07697	26,83		-136.931	-1.689	0,07697	54,85
P	A	02286	206	15	0,13404	NS	02287	3.180	99	0,13404	NS	02288	-1.926	337	0,13404	NS
	P		-68.894	-1.790	0,13404	82,96		-43.073	-799	0,13404	NS		-17.031	-852	0,13404	NS
S	A		4.779	3.670	0,07697	20,48		16.728	3.553	0,07697	20,99		42.580	3.371	0,07697	21,44
	P		-86.633	-1.958	0,07697	44,50		-60.141	-2.078	0,07697	40,73		-65.450	-3.272	0,07697	26,40
P	A	02289	-11.194	422	0,13404	NS	02290	22.195	1.071	0,13404	NS	02291	1.047	49	0,13404	NS
	P		10.606	-550	0,13404	NS		-106.751	-2.614	0,13404	58,67		-70.793	-1.858	0,13404	80,05
S	A		82.200	3.480	0,07697	19,50		-169.785	6.841	0,07697	14,42		-216.705	7.406	0,07697	14,17
	P		-95.467	-3.463	0,07697	26,31		-101.019	-3.947	0,07697	22,74		-127.579	-6.349	0,07697	14,72
P	A	02292	2.946	173	0,13404	NS	02293	-15.853	791	0,13404	NS	02294	-33.907	1.989	0,13404	72,37
	P		-14.425	-766	0,13404	NS		11.109	-616	0,13404	NS		-152.558	-3.287	0,13404	48,46
S	A		24.789	4.395	0,07697	16,83		67.429	4.433	0,07697	15,58		-176.811	8.037	0,07697	12,41
	P		-111.153	-5.097	0,07697	18,00		-120.921	-5.602	0,07697	16,73		-170.691	-7.820	0,07697	12,65
P	A	02295	-65.828	855	0,13404	NS	02296	16.119	801	0,13404	NS	02297	-28.004	1.088	0,13404	NS
	P		-112.998	-4.435	0,13404	34,77		-67.236	-1.012	0,13404	NS		19.617	-970	0,13404	NS
S	A		-261.010	10.519	0,07697	10,55		7.554	5.269	0,07697	14,29		29.091	5.450	0,07697	13,33
	P		-195.729	-8.803	0,07697	11,65		-218.549	-8.519	0,07697	12,29		-179.850	-7.856	0,07697	12,72
P	A	02298	-9.462	1.446	0,13404	97,41	02299	19.212	707	0,13404	NS	02300	20.304	995	0,13404	NS
	P		6.032	-280	0,13404	NS		-168.351	-10.292	0,13404	15,68		-116.340	-3.949	0,13404	39,16
S	A		97.546	6.153	0,07697	10,54		26.135	7.547	0,07697	10,34		6.071	5.570	0,07697	13,61
	P		-154.779	-4.909	0,07697	19,93		-322.741	-7.254	0,07697	16,98		-338.266	-5.339	0,07697	22,54
P	A	02301	-71.636	1.413	0,13404	NS	02302	-13.013	3.469	0,13404	40,72	02303	63.807	1.789	0,13404	73,36
	P		-6.385	-371	0,13404	NS		24.431	-1.242	0,13404	NS		-188.668	-28.721	0,13404	5,71
S	A		-1.748	5.680	0,07697	13,03		33.818	7.623	0,07697	9,17		43.831	8.291	0,07697	9,13
	P		-392.316	-5.527	0,07697	22,49		-277.963	-2.582	0,07697	42,76		-468.906	-17.745	0,07697	7,97
P	A	02304	0	0	0,13404	-	02305	110.228	4.517	0,13404	27,73	02306	-128.874	4.090	0,53617	NS
	P		-144.976	-12.379	0,13404	12,79		61.461	-1.564	0,13404	84,12		66.891	-2.476	0,53617	NS
S	A		13.284	3.891	0,07697	19,81		-744.334	13.815	0,07697	12,17		-13.552	7.787	0,47909	60,76
	P		-252.212	-9.769	0,07697	11,42		-429.308	-16.716	0,07697	7,90		-334.957	-9.268	0,27803	34,26
P	A	02307	-54.735	7.431	0,53617	74,71	02786	23.536	51.108	0,13404	2,67	02787	-259.757	21.770	0,13404	7,95
	P		32.335	-1.450	0,53617	NS		285.347	-15.435	0,13404	6,63		-266.211	-38.131	0,13404	4,56
S	A		51.907	13.060	0,47909	35,69		-1.105.298	70.472	0,21101	4,86		-707.040	26.101	0,07697	6,16
	P		-431.441	-10.926	0,27803	30,17		-1.043.102	-47.517	0,21101	7,10		-1.075.689	-38.193	0,07697	5,12
Estradosso travi gronda						**ParetteP9-32**						**Parete P9-32**				
P	A	00140	-46.181	2.309	0,10681	51,05	00201	161.906	3.510	0,06158	12,66	00290	-324.153	10.299	0,46370	48,59
	P		-79.444	-3.955	0,12221	34,85		7.170	-318	0,07697	NS		49.708	-2.427	0,27803	NS
S	A		-498.467	24.923	0,12221	7,50		-158.904	4.340	0,07697	23,54		-643.612	5.549	0,47909	NS
	P		-226.154	-11.308	0,14577	15,57		-217.204	-1.627	0,10053	82,03		178.331	-2.517	0,50266	NS
P	A	00291	142.381	1.047	0,26264	NS	00292	-293.932	25.960	0,06158	4,01	00346	497.864	22.566	0,46370	18,15
	P		168.245	-5.792	0,21101	33,84		50.008	-2.479	0,07697	30,22		0	0	0,27803	-
S	A		340.789	3.439	0,47909	NS		-557.019	32.311	0,07697	4,73		671.618	25.060	0,47909	16,09
	P		-136.428	-6.821	0,14577	23,27		-309.825	-6.813	0,10053	21,30		0	0	0,50266	-
P	A	00347	-1.199.720	4.411	0,26264	88,39	00723	0	0	0,06158	-	00724	19.514	973	0,06158	64,92
	P		-315.920	-15.494	0,21101	16,69		60.069	-2.812	0,07697	26,16		-22.349	-2.444	0,07697	34,53
S	A		319.708	8.470	0,47909	53,00		-477.140	1.817	0,07697	78,62		-434.016	2.187	0,07697	62,87
	P		-259.969	-8.403	0,50266	65,12		-528.048	-9.107	0,10053	18,81		-203.447	-5.186	0,10053	25,40
P	A	00725	114.865	1.266	0,06158	39,99	00726	52.454	2.563	0,06158	22,96	00727	14.082	979	0,06158	65,24
	P		-19.942	-2.913	0,07697	28,86		-5.832	-1.002	0,07697	82,05		24.492	-3.700	0,07697	21,15

Dir	Pos	Nodo	N_{Ed} [N]	M_{Ed} [N·m]	A_s [cm²/cm]	CS	Nodo	N_{Ed} [N]	M_{Ed} [N·m]	A_s [cm²/cm]	CS	Nodo	N_{Ed} [N]	M_{Ed} [N·m]	A_s [cm²/cm]	CS
S	A		-376.600	2.041	0,07697	63,78		-301.518	13.050	0,07697	9,24		-299.294	14.275	0,07697	8,43
	P		-346.673	-7.799	0,10053	19,19		-252.446	-6.677	0,10053	20,66		-321.096	-14.215	0,10053	10,31
P	A	00728	-61.792	3.397	0,06158	21,73	00729	-74.649	5.423	0,06158	13,92	01180	-19.212	12.796	0,06158	5,33
	P		20.922	-1.159	0,07697	67,93		-17.672	-909	0,07697	92,12		3.539	-177	0,07697	NS
S	A		-269.221	13.402	0,07697	8,69		-381.344	19.061	0,07697	6,71		-623.442	19.302	0,07697	8,34
	P		-217.265	-10.688	0,10053	12,49		-345.184	-7.674	0,10053	19,11		-6.119	-1.193	0,10053	89,09
P	A	01181	28.420	4.493	0,06158	13,80	01182	-26.958	4.003	0,06158	17,30	01183	89.844	7.229	0,06158	7,46
	P		31.118	-1.500	0,07697	51,58		0	0	0,07697	-		0	0	0,07697	-
S	A		-318.769	11.038	0,07697	10,85		-289.347	9.280	0,07697	12,83		-171.241	7.010	0,07697	14,80
	P		-612	-233	0,10053	NS		-533.657	-1.346	0,10053	NS		3.346	-150	0,10053	NS
P	A	01184	-164.126	3.483	0,06158	25,03	01185	-40.753	8.461	0,46370	56,02	01255	-169.269	8.463	0,06158	10,38
	P		16.377	-578	0,07697	NS		342.315	-3.882	0,27803	62,22		31.525	-1.571	0,07697	49,22
S	A		-479.537	3.494	0,07697	39,06		-287.030	3.820	0,47909	NS		-429.528	21.476	0,07697	6,19
	P		-55.943	-1.643	0,10053	64,53		-491.457	-4.596	0,50266	NS		-61.411	-3.071	0,10053	35,63
P	A	01256	45.900	2.295	0,06158	26,02	01257	13.813	205	0,06158	NS	01258	66.216	2.183	0,06158	26,13
	P		65.828	-1.076	0,07697	67,66		-7.702	-1.893	0,07697	43,58		225.455	-725	0,07697	71,44
S	A		-236.131	11.807	0,07697	9,23		-143.829	7.191	0,07697	13,29		-117.153	3.602	0,07697	25,07
	P		-81.838	-4.092	0,10053	27,58		-149.351	-7.468	0,10053	16,09		-87.217	-4.361	0,10053	25,31
P	A	01259	18.920	946	0,10681	NS	01260	109.955	1.790	0,30788	NS	01261	30.525	1.526	0,26264	NS
	P		262.837	-1.373	0,12221	67,91		279.399	-5.089	0,07697	8,84		-115.963	-16.526	0,21101	14,09
S	A		-183.480	3.288	0,07697	30,33		381.449	2.125	0,47909	NS		417.421	3.577	0,47909	NS
	P		-60.623	-3.031	0,10053	35,54		-60.210	-3.011	0,10053	34,75		-187.119	-9.352	0,10053	13,11
P	A	01262	-733.512	877	0,26264	NS	01263	51.005	2.476	0,06158	23,84	01264	27.552	1.345	0,06158	46,18
	P		-47.271	-2.496	0,21101	89,74		-26.164	-1.308	0,07697	64,89		35.952	-1.601	0,07697	47,93
S	A		-679.598	6.025	0,47909	93,48		-216.210	8.209	0,07697	12,72		-167.116	8.356	0,07697	12,00
	P		-300.942	-13.325	0,50266	40,44		-292.227	-14.611	0,10053	9,43		-239.259	-11.963	0,10053	11,14
P	A	01265	154.802	4.348	0,06158	10,44	01266	-108.841	2.830	0,06158	28,26	01267	-46.728	4.372	0,06158	16,43
	P		46.912	-2.346	0,07697	32,11		19.881	-994	0,07697	79,32		50.465	-2.511	0,07697	29,81
S	A		-78.144	3.907	0,07697	22,63		-56.380	2.819	0,07697	31,51		-137.686	6.119	0,07697	15,54
	P		-126.876	-5.004	0,10053	23,71		0	0	0,10053	-		-81.625	-3.301	0,10053	33,86
P	A	01268	423.650	6.907	0,46370	60,68	02241	-89.607	4.430	0,06158	17,49	02242	-149.136	7.457	0,10681	17,58
	P		158.163	-7.653	0,27803	34,69		8.342	-267	0,07697	NS		-23.900	-1.233	0,07697	68,57
S	A		-722.180	7.897	0,47909	71,57		-411.345	11.178	0,07697	12,04		-347.678	17.384	0,12221	9,72
	P		-83.029	-2.814	0,50266	NS		-1.089	-1.387	0,10053	76,15		-85.746	-4.287	0,10053	26,53
P	A	02243	20.972	1.049	0,26264	NS	02244	134.487	11.964	0,46370	38,04	02245	-124.276	5.481	0,46370	79,73
	P		-169.321	-5.663	0,21101	42,33		0	0	0,27803	-		25.245	-429	0,07697	NS
S	A		182.468	3.584	0,47909	NS		-319.986	9.976	0,47909	52,08		-207.429	3.180	0,47909	NS
	P		-1.145.482	-11.160	0,50266	56,33		-290.396	-241	0,50266	NS		-66.633	-1.579	0,10053	66,49
P	A	02246	-81.007	3.169	0,06158	24,09	02247	-114.036	1.722	0,06158	46,85	02248	13.475	627	0,06158	NS
	P		14.533	-449	0,07697	NS		11.136	-468	0,07697	NS		20.973	-710	0,07697	NS
S	A		-277.360	5.914	0,07697	18,70		-218.706	10.935	0,07697	9,51		-302.797	13.230	0,07697	8,57
	P		-48.250	-1.012	0,10053	NS		-151.698	-7.438	0,10053	16,02		-189.984	-9.499	0,10053	12,90
P	A	02249	71.683	1.806	0,26264	NS	02250	-135.939	2.607	0,06158	32,04	02251	-74.800	1.678	0,06158	45,00
	P		0	0	0,07697	-		27.258	-967	0,07697	80,51		9.419	-358	0,07697	NS
S	A		-410.176	8.005	0,47909	57,21		-220.738	6.305	0,07697	16,56		-252.750	12.637	0,07697	8,57
	P		-116.429	-5.821	0,10053	19,18		-89.236	-1.277	0,10053	87,14		-96.931	-4.736	0,10053	23,66
P	A	02252	-36.581	831	0,06158	84,91	02253	17.164	944	0,06158	67,24	02254	78.980	2.145	0,06158	25,80
	P		593	-29	0,07697	NS		12.070	-136	0,07697	NS		28.219	-749	0,07697	NS
S	A		-294.744	14.636	0,07697	7,79		-322.977	12.104	0,07697	9,72		-200.203	7.455	0,07697	14,42
	P		-130.319	-6.516	0,10053	17,90		-96.604	-4.830	0,10053	23,26		17.134	-225	0,10053	NS

Dir	Pos	Nodo	N_{Ed} [N]	M_{Ed} [N·m]	A_s [cm²/cm]	CS	Nodo	N_{Ed} [N]	M_{Ed} [N·m]	A_s [cm²/cm]	CS	Nodo	N_{Ed} [N]	M_{Ed} [N·m]	A_s [cm²/cm]	CS
P	A	02255	-85.891	1.272	0,06158	60,50	02256	-40.935	738	0,06158	96,40	02257	48.401	855	0,06158	69,41
	P		7.656	-345	0,07697	NS		233	-517	0,07697	NS		2.873	-221	0,07697	NS
S	A		-249.593	12.479	0,07697	8,84		-290.100	13.400	0,07697	8,59		-279.790	12.888	0,07697	8,92
	P		-69.571	-2.940	0,10053	37,72		-101.631	-5.082	0,10053	22,56		-134.158	-6.708	0,10053	17,88
P	A	02258	7.677	878	0,06158	73,71	02259	442	653	0,06158	NS	02260	18.793	344	0,06158	NS
	P		6.232	-466	0,07697	NS		-29.922	-960	0,07697	88,89		-10.168	-534	0,07697	NS
S	A		-247.182	11.631	0,07697	9,77		-345.004	10.483	0,07697	11,78		-314.306	11.215	0,07697	10,64
	P		-159.551	-7.978	0,10053	15,81		-75.687	-2.098	0,10053	53,67		-69.267	-2.995	0,10053	37,24
P	A	02261	24.608	749	0,06158	83,47	02262	-73.195	4.328	0,06158	17,40					
	P		0	0	0,07697	-		6.984	-302	0,07697	NS					
S	A		-274.689	12.997	0,07697	8,80		-290.595	13.278	0,07697	8,98					
	P		-92.809	-4.638	0,10053	24,74		-197.321	-9.866	0,10053	13,27					
Estradosso travi gronda							**Parete24-31**					**Parete 24-31**				
P	A	00104	0	0	0,13404	-	00116	-2.275	105	0,17928	NS	00135	-142.693	130.479	0,53617	4,11
	P		50.847	-194.915	0,30159	1,54		-149.154	-2.862	0,15708	63,71		-369.759	-33.801	0,23457	8,58
S	A		0	0	0,07697	-		146.286	30.357	0,17750	5,43		-1.559.568	66.114	0,47909	8,38
	P		24.659	-114.078	0,21447	1,90		0	0	0,13697	-		-801.323	-40.064	0,28149	9,49
P	A	00142	-310.911	253.753	0,53617	2,15	00172	-550.073	41.266	0,13404	5,08	00812	0	0	0,13404	-
	P		7.985	-411	0,23457	NS		-19.718	-3.211	0,14577	47,98		24.799	-44.858	0,30159	6,77
S	A		72.824	86.557	0,47909	5,24		-945.158	47.243	0,07697	4,20		0	0	0,07697	-
	P		-388.557	-19.428	0,28149	16,29		-1.090.946	-45.852	0,12566	5,32		-566.325	-29.127	0,08042	5,37
P	A	00813	233.326	8.496	0,13404	12,85	00814	-117.930	20.305	0,13404	7,62	00853	-83.591	5.425	0,13404	27,73
	P		-42.871	-9.224	0,10053	12,04		0	0	0,10053	-		-27.435	-9.246	0,14577	16,77
S	A		0	0	0,07697	-		-470.737	18.870	0,07697	7,51		-767.974	7.550	0,07697	22,64
	P		-469.238	-11.741	0,08042	12,34		0	0	0,08042	-		19.075	-22.225	0,12566	5,41
P	A	00854	-63.809	14.131	0,13404	10,46	00855	-95.829	37.843	0,53617	14,08	00863	-49.891	3.673	0,13404	39,76
	P		10.427	-334	0,23457	NS		-112.168	-5.536	0,23457	46,32		-48.977	-195	0,15708	NS
S	A		-213.301	3.567	0,07697	28,64		-822.765	23.145	0,47909	22,84		-230.232	10.324	0,07697	10,48
	P		6.049	-5.231	0,28149	52,52		-577.910	-9.539	0,28149	36,30		-157.424	-3.604	0,13697	44,17
P	A	00864	-123.645	8.175	0,13404	19,02	00865	-137.798	15.241	0,13404	10,32	00866	-189.440	25.444	0,53617	19,49
	P		5.476	-189	0,10053	NS		-21.495	-1.147	0,10053	94,42		-72.150	-960	0,10053	NS
S	A		-235.367	11.768	0,07697	9,52		-204.253	10.213	0,07697	10,58		-139.482	6.974	0,47909	63,99
	P		-85.888	-4.294	0,08042	22,40		-77.202	-3.860	0,08042	24,63		-80.473	-4.024	0,08042	22,93
P	A	00867	-182.655	32.877	0,53617	15,08	00868	-236.459	51.504	0,53617	10,52	00869	-455.395	84.415	0,53617	6,56
	P		-82.031	-1.789	0,10053	64,91		-73.971	-1.270	0,23457	NS		-150.082	-3.188	0,23457	81,98
S	A		-27.998	8.101	0,47909	54,24		-40.246	13.419	0,47909	35,70		-135.053	20.795	0,47909	22,88
	P		-54.048	-2.702	0,08042	32,28		-47.858	-2.393	0,28149	NS		-35.299	-1.765	0,28149	NS
P	A	00992	-153.566	2.689	0,13404	59,23	00993	-129.888	2.362	0,13404	66,16	00994	-121.895	2.313	0,13404	67,12
	P		23.444	-646	0,10053	NS		-14.307	-468	0,10053	NS		-3.479	-410	0,10053	NS
S	A		17.085	7.966	0,07697	9,94		-172.006	7.124	0,07697	14,58		-215.530	7.552	0,07697	13,98
	P		-132.840	-5.237	0,08042	19,53		-157.181	-5.135	0,08042	20,53		-205.649	-9.672	0,08042	11,15
P	A	00995	-108.658	2.538	0,13404	60,50	00996	38.574	1.727	0,13404	77,92	00997	12.338	562	0,13404	NS
	P		13.318	-203	0,10053	NS		-113.480	-920	0,10053	NS		-35.398	-2.442	0,10053	45,07
S	A		-196.509	6.414	0,07697	15,99		-302.826	3.374	0,07697	34,48		-442.644	8.759	0,07697	15,34
	P		-186.675	-9.343	0,08042	11,21		-282.920	-11.264	0,08042	10,41		-341.503	-14.829	0,08042	8,44
P	A	00998	6.767	241	0,13404	NS	00999	77.452	2.516	0,13404	51,47	01233	58.221	43.729	0,53617	11,12
	P		-108.600	-9.877	0,10053	12,11		-121.822	-15.293	0,10053	7,93		63.538	-1.961	0,10053	49,53
S	A		-444.717	10.062	0,07697	13,44		17.902	14.375	0,07697	5,50		189.785	37.049	0,47909	11,39
	P		-301.025	-15.049	0,08042	8,01		-367.595	-14.585	0,08042	9,07		-310.273	-2.777	0,08042	41,71
P	A	01234	26.092	20.564	0,13404	6,62	01235	10.068	1.995	0,13404	69,29	01236	1.561	7.561	0,13404	18,43

Dir	Pos	Nodo	N_{Ed} [N]	M_{Ed} [N·m]	A_s [cm²/cm]	CS	Nodo	N_{Ed} [N]	M_{Ed} [N·m]	A_s [cm²/cm]	CS	Nodo	N_{Ed} [N]	M_{Ed} [N·m]	A_s [cm²/cm]	CS
	P		15.265	-758	0,10053	NS		17.501	-676	0,10053	NS		15.426	-757	0,10053	NS
S	A		123.289	18.367	0,07697	3,55		128.392	15.874	0,07697	4,07		73.197	5.842	0,07697	11,62
	P		-239.887	-6.805	0,08042	17,06		-99.786	-4.731	0,08042	20,71		-89.428	-4.249	0,08042	21,82
P	A	01237	6.016	5.795	0,13404	23,95	01238	39.878	1.996	0,13404	67,31	01239	-7.583	9.032	0,13404	15,56
	P		48.792	-2.440	0,10053	40,62		48.950	-2.022	0,10053	49,00		43.632	-2.132	0,10053	46,80
S	A		68.955	1.969	0,07697	34,62		69.224	2.192	0,07697	31,37		-52.945	1.625	0,07697	51,81
	P		-231.747	-6.802	0,08042	16,30		-234.224	-7.957	0,08042	14,05		-136.778	-5.437	0,08042	18,14
P	A	01240	-16.534	18.212	0,13404	7,78	02192	5.631	194	0,17928	NS	02193	-201.069	96.223	0,53617	5,61
	P		149.155	-4.545	0,10053	18,92		-131.524	-2.653	0,15708	67,85		57.935	-1.568	0,23457	NS
S	A		-379.102	10.491	0,07697	12,07		63.539	12.460	0,17750	14,08		13.506	33.115	0,47909	14,16
	P		-425.242	-19.022	0,08042	7,14		-138.358	-6.133	0,13697	26,17		-163.540	-8.169	0,28149	36,34
P	A	02194	-72.728	56.098	0,53617	9,47	02195	36.674	240	0,13404	NS	02196	74.506	3.354	0,13404	38,73
	P		-72.348	-5.278	0,23457	47,61		-33.916	-63.938	0,30159	4,85		-94.925	-22.103	0,10053	5,33
S	A		-843.303	27.119	0,47909	19,87		0	0	0,07697	-		-51.656	2.029	0,07697	41,97
	P		-3.218	-12.141	0,28149	23,15		-625.511	-22.733	0,21447	12,34		-340.506	-13.762	0,08042	9,14
P	A	02197	-69.840	3.483	0,13404	42,66	02198	-49.066	5.947	0,13404	24,53	02199	-42.037	7.058	0,13404	20,54
	P		58.167	-2.521	0,10053	38,83		42.751	-1.820	0,10053	54,88		100.804	-3.483	0,10053	26,50
S	A		0	0	0,07697	-		-533.993	10.438	0,07697	14,32		-469.620	2.531	0,07697	53,48
	P		-9.289	-6.329	0,08042	13,62		-537.965	-14.558	0,08042	10,52		-389.100	-11.410	0,08042	11,29
P	A	02200	-26.076	21.484	0,13404	6,65	02201	32.306	1.291	0,13404	NS	02202	-59.271	6.338	0,13404	23,22
	P		51.584	-2.240	0,10053	44,08		-97.733	-3.335	0,10053	35,44		16.303	-388	0,10053	NS
S	A		-90.285	2.199	0,07697	40,05		-259.239	4.232	0,07697	26,45		-193.327	2.039	0,07697	52,29
	P		12.552	-8.619	0,08042	9,07		-310.572	-12.114	0,08042	10,07		-256.489	-6.966	0,08042	16,97
P	A	02203	-37.884	8.789	0,13404	16,43	02204	-13.032	11.506	0,13404	12,27	02205	-102.934	1.618	0,13404	94,45
	P		33.651	-1.208	0,10053	83,70		48.025	-1.275	0,10053	77,82		7.545	-302	0,10053	NS
S	A		-50.427	1.640	0,07697	53,67		-41.060	853	0,07697	NS		-164.740	7.398	0,07697	13,38
	P		-261.347	-8.204	0,08042	14,49		-291.553	-7.608	0,08042	16,13		-266.837	-12.149	0,08042	9,52
P	A	02206	-84.885	5.509	0,13404	27,32	02207	-51.957	10.875	0,13404	13,45	02208	-22.255	14.358	0,13404	9,92
	P		7.550	-325	0,10053	NS		-20.814	-1.158	0,10053	93,41		-4.381	-304	0,10053	NS
S	A		-205.506	8.963	0,07697	11,76		-184.035	8.041	0,07697	13,11		-117.505	4.942	0,07697	19,58
	P		-256.654	-12.798	0,08042	9,02		-124.320	-6.216	0,08042	16,28		-122.285	-5.856	0,08042	17,23
P	A	02209	-12.458	7.631	0,13404	18,50	02210	-115.440	4.886	0,13404	31,60	02211	-86.538	11.225	0,13404	13,42
	P		24.521	-451	0,10053	NS		1.112	-97	0,10053	NS		-7.848	-392	0,10053	NS
S	A		41.624	2.609	0,07697	28,05		-188.630	9.428	0,07697	10,91		-195.250	9.399	0,07697	11,02
	P		-229.279	-9.786	0,08042	11,44		-256.539	-12.745	0,08042	9,03		-162.641	-8.132	0,08042	12,65
P	A	02212	-53.433	18.572	0,13404	7,89	02213	-11.064	22.148	0,13404	6,37	02214	-137.263	2.633	0,13404	59,69
	P		9.951	-387	0,10053	NS		9.877	-516	0,10053	NS		5.262	-264	0,10053	NS
S	A		-145.129	6.893	0,07697	14,15		13.831	2.863	0,07697	27,82		-203.279	10.164	0,07697	10,62
	P		-81.198	-4.060	0,08042	22,85		-148.128	-7.225	0,08042	14,43		-178.273	-8.911	0,08042	12,14
P	A	02215	-118.885	9.753	0,13404	15,88	02216	-122.104	19.984	0,53617	24,71	02217	-97.923	32.451	0,53617	15,19
	P		-31.820	-353	0,10053	NS		0	0	0,10053	-		3.346	-71	0,10053	NS
S	A		-220.520	11.026	0,07697	9,72		-158.335	7.917	0,47909	56,31		-19.639	7.499	0,47909	58,25
	P		-172.975	-8.649	0,08042	12,09		-132.655	-6.633	0,08042	14,74		-95.630	-4.766	0,08042	19,00
P	A	02218	-36.278	44.493	0,53617	11,02										
	P		25.695	-942	0,10053	NS										
S	A		22.427	10.349	0,47909	42,01										
	P		-110.822	-3.930	0,08042	23,58										
Piano primo						**Parete1-P1**						**Parete 1-P1**				
P	A	00002	0	0	0,07697	-	00105	38.960	1.948	0,07697	39,19	00215	0	0	0,12221	-
	P		-200.014	-33.937	0,07697	3,17		2.849	-17.663	0,07697	4,59		99.100	-2.926	0,12221	39,18
S	A		0	0	0,06158	-		6.990	418	0,06158	NS		-33.931	1.697	0,12315	75,78
	P		-638.554	-37.138	0,06158	3,76		-1.045.610	-54.137	0,06158	3,42		-260.881	-9.632	0,11812	15,86
P	A	00216	-19.298	2.257	0,21101	97,57	00788	195.188	4.251	0,07697	13,13	00789	255.664	6.858	0,07697	6,98
	P		77.291	-602	0,17750	NS		111.483	-2.556	0,07697	26,15		204.833	-6.633	0,07697	8,23
S	A		-194.46	7.725	0,13854	21,91		-726.60	34.426	0,06158	4,30		-455.05	21.900	0,06158	5,30

Dir	Pos	Nodo	N_{Ed} [N]	M_{Ed} [N·m]	A_s [cm²/cm]	CS	Nodo	N_{Ed} [N]	M_{Ed} [N·m]	A_s [cm²/cm]	CS	Nodo	N_{Ed} [N]	M_{Ed} [N·m]	A_s [cm²/cm]	CS
	P		5 -565.371	-1.949	0,13854	NS		8 0	0	0,06158	-		8 0	0	0,06158	-
P	A	00790	149.762	408	0,07697	NS	00791	-151.801	244	0,07697	NS	00792	189.662	1.137	0,07697	49,76
	P		326.901	-2.653	0,07697	14,52		383.601	-7.162	0,07697	4,33		199.794	-6.347	0,07697	8,70
S	A		-466.333	23.316	0,06158	5,05		-314.016	14.527	0,06158	6,70		-423.927	16.772	0,06158	6,72
	P		0	0	0,06158	-		0	0	0,06158	-		0	0	0,06158	-
P	A	00793	352.640	13.096	0,07697	2,68	00794	140.271	5.057	0,07697	12,47	00964	0	0	0,07697	-
	P		225.381	-2.511	0,07697	20,65		292.658	-1.063	0,07697	40,45		-32.053	-7.343	0,07697	11,66
S	A		-608.621	18.125	0,06158	7,50		-206.247	7.865	0,06158	10,95		-11.884	35	0,06158	NS
	P		0	0	0,06158	-		0	0	0,06158	-		-520.486	-20.028	0,06158	6,21
P	A	00965	4.643	94	0,07697	NS	00966	0	0	0,07697	-	00967	55.463	311	0,12221	NS
	P		98.795	-7.041	0,07697	9,73		-27.424	-4.608	0,07697	18,45		60.105	-2.742	0,12221	43,67
S	A		-151.459	1.709	0,06158	46,55		179.953	242	0,06158	NS		-61.684	1.732	0,12315	73,76
	P		-324.484	-14.325	0,06158	7,11		-289.292	-12.275	0,06158	8,42		-230.268	-7.165	0,11812	20,15
P	A	00968	29.193	1.135	0,07697	68,39	00969	155.602	2.298	0,07697	26,55	00970	121.360	1.015	0,07697	64,55
	P		95.562	-1.109	0,07697	62,17		248.110	-3.027	0,07697	16,14		106.971	-341	0,07697	NS
S	A		-93.445	1.824	0,06158	40,75		-258.029	4.084	0,06158	23,44		-228.124	6.174	0,06158	15,46
	P		-315.452	-2.591	0,06158	39,77		-33.345	-1.667	0,06158	39,88		-25.343	-604	0,06158	NS
P	A	00971	34.048	1.665	0,21101	NS	00972	8.263	638	0,21101	NS	00973	6.001	883	0,21101	NS
	P		158.317	-1.584	0,17750	NS		283.346	-2.547	0,17750	57,69		224.847	-3.163	0,17750	48,86
S	A		-167.688	7.917	0,06158	10,67		-168.670	7.811	0,06158	10,69		-172.926	6.981	0,06158	11,67
	P		-209.628	-4.034	0,06158	22,29		-90.080	-3.393	0,06158	21,60		-375.888	-11.070	0,06158	9,70
P	A	00974	80.290	3.739	0,21101	55,46	00975	33.006	1.619	0,07697	47,65	00976	22.876	1.065	0,07697	73,69
	P		92.248	-3.635	0,17750	47,26		81.728	-7.178	0,07697	9,86		-265.227	-16.139	0,07697	7,18
S	A		-102.075	4.522	0,06158	17,49		-143.905	5.112	0,06158	16,54		-117.118	2.076	0,06158	37,69
	P		-496.023	-13.533	0,06158	9,54		-303.583	-15.179	0,06158	6,93		-637.107	-31.855	0,06158	4,48
P	A	01942	21.408	557	0,12221	NS	01943	-8.298	1.520	0,21101	NS	01944	11.343	449	0,07697	NS
	P		2.074	-2.174	0,12221	58,55		44.773	-2.014	0,17750	88,37		4.331	-5.567	0,07697	14,53
S	A		-42.196	2.080	0,12315	60,77		-160.992	6.521	0,13854	24,15		-172.743	5.842	0,06158	14,07
	P		-247.373	-9.074	0,11812	16,29		-424.546	-13.819	0,13854	13,82		-625.406	-16.013	0,06158	8,63
P	A	01945	45.804	2.320	0,07697	32,52	01946	40.624	1.860	0,07697	40,94	01947	16.900	250	0,07697	NS
	P		28.026	-6.926	0,07697	11,23		39.124	-308	0,07697	NS		7.534	-203	0,07697	NS
S	A		-369.791	11.759	0,06158	8,95		-180.567	3.092	0,06158	26,12		-369.474	13.838	0,06158	7,49
	P		-511.194	-12.225	0,06158	10,03		-276.550	-11.423	0,06158	8,16		0	0	0,06158	-
P	A	01948	42.674	822	0,07697	92,29	01949	48.513	1.189	0,07697	63,14	01950	46.394	1.965	0,07697	38,36
	P		32.329	-570	0,07697	NS		7.871	-394	0,07697	NS		145.212	-853	0,07697	73,12
S	A		-423.715	9.603	0,06158	11,46		-151.684	7.584	0,06158	10,07		-147.813	5.934	0,06158	13,14
	P		0	0	0,06158	-		0	0	0,06158	-		-389.073	-17.886	0,06158	6,09
P	A	01951	12.522	779	0,07697	NS	01952	13.601	609	0,07697	NS	01953	19.746	819	0,07697	96,31
	P		39.786	-484	0,07697	NS		30.977	-1.537	0,07697	50,37		34.847	-1.232	0,07697	62,42
S	A		-95.466	1.773	0,06158	39,27		-147.759	4.933	0,06158	15,78		-146.212	6.813	0,06158	11,40
	P		-196.905	-5.024	0,06158	16,50		-367.181	-1.057	0,06158	NS		-229.489	-3.450	0,06158	25,64
P	A	01954	8.718	1.303	0,07697	61,62										
	P		20.325	-671	0,07697	NS										
S	A		-122.636	5.892	0,06158	12,31										
	P		-416.178	-12.500	0,06158	8,81										
Piano primo						**Parete2-P2**						**Parete 2-P2**				
P	A	00009	56.364	2.636	0,08042	29,44	00093	-281.705	6.809	0,13697	26,26	00221	-14.370	718	0,08042	NS
	P		-300.250	-12.166	0,08042	10,18		3.238	-351	0,13697	NS		-336.158	-4.375	0,08042	29,34
S	A		-101.760	5.088	0,10681	24,58		-414.959	6.396	0,11812	27,59		-95.965	4.798	0,10681	25,91
	P		379.914	-7.657	0,10179	7,45		5.379	-4.943	0,11812	24,82		-259.628	-11.357	0,10179	12,36
P	A	00222	32.011	1.601	0,15739	99,44	00822	28.365	1.418	0,08042	57,30	00823	0	0	0,08042	-
	P		-96.301	-4.815	0,15739	36,50		-58.175	-4.555	0,08042	20,33		-259.438	-2.743	0,08042	43,25
S	A		-317.415	6.552	0,13854	28,21		-28.608	1.430	0,06158	40,21		-7.855	393	0,06158	NS

Dir	Pos	Nodo	N_{Ed} [N]	M_{Ed} [N·m]	A_s [cm²/cm]	CS	Nodo	N_{Ed} [N]	M_{Ed} [N·m]	A_s [cm²/cm]	CS	Nodo	N_{Ed} [N]	M_{Ed} [N·m]	A_s [cm²/cm]	CS
	P		-293.515	-12.413	0,13352	14,25		-154.321	-7.716	0,05655	8,93		-126.378	-5.852	0,05655	12,24
P	A	00824	19.626	818	0,08042	NS	00825	1.809	90	0,08042	NS	00826	225.782	4.080	0,08042	13,57
	P		96.265	-1.260	0,08042	57,43		-277.937	-409	0,08042	NS		3.617	-171	0,08042	NS
S	A		-162.944	841	0,06158	98,25		-153.065	4.965	0,06158	16,24		-194.529	7.709	0,06158	11,25
	P		-167.544	-1.922	0,05655	40,65		-45.277	-2.264	0,05655	27,10		-15.115	-756	0,05655	76,94
P	A	00827	-286.265	2.219	0,08042	55,00	00828	-12.082	3.524	0,13697	40,90	00929	-20.451	1.023	0,08042	85,72
	P		62.551	-509	0,08042	NS		19.874	-994	0,13697	NS		-28.355	-2.041	0,08042	43,44
S	A		-226.591	9.697	0,06158	9,38		-325.670	11.124	0,11812	14,02		-128.662	6.433	0,06158	12,39
	P		-24.304	-1.215	0,05655	48,87		-7.665	-383	0,11812	NS		-300.739	-12.921	0,05655	7,50
P	A	00930	-41.532	2.077	0,08042	43,54	00931	-31.826	1.591	0,08042	56,02	00932	83.340	1.657	0,08042	44,70
	P		-21.901	-2.532	0,08042	34,69		-52.124	-2.705	0,08042	33,94		191.630	-4.889	0,08042	12,24
S	A		-199.083	9.954	0,06158	9,21		-184.020	9.201	0,06158	9,76		-66.299	3.315	0,06158	20,07
	P		-300.393	-13.104	0,05655	7,61		-316.272	-11.278	0,05655	9,02		-231.804	-8.551	0,05655	9,71
P	A	00933	33.070	1.194	0,08042	67,53	00934	63.758	3.188	0,08042	24,04	00935	198.361	75	0,08042	NS
	P		32.015	-1.242	0,08042	65,04		223.643	-789	0,08042	70,52		-306.282	-628	0,08042	NS
S	A		-28.062	1.302	0,06158	50,81		-20.700	884	0,06158	73,75		-279.637	4.120	0,06158	24,77
	P		-264.675	-4.588	0,05655	20,02		-50.391	-2.229	0,05655	28,69		-120.082	-6.004	0,05655	12,71
P	A	00936	53.554	1.724	0,08042	45,22	00937	-241.860	503	0,15739	NS	00938	39.324	976	0,15739	NS
	P		-2.500	-132	0,08042	NS		124.903	-2.258	0,15739	65,14		-16.600	-830	0,15739	NS
S	A		-281.012	6.313	0,06158	16,19		-261.835	7.872	0,06158	12,22		-274.855	7.823	0,06158	12,55
	P		-157.017	-7.851	0,05655	10,34		-167.097	-8.355	0,05655	9,44		-265.332	-11.758	0,05655	7,82
P	A	00939	-18.735	3.721	0,08042	23,50	00940	-11.056	4.068	0,08042	21,24	00941	-38.182	5.896	0,08042	15,26
	P		113.810	-304	0,08042	NS		0	0	0,08042	-		52.336	-2.617	0,08042	29,86
S	A		-202.948	9.235	0,06158	9,63		-219.502	8.179	0,06158	10,86		-257.005	8.406	0,06158	10,99
	P		-42.102	-2.105	0,05655	29,82		-362.157	-1.501	0,05655	67,96		-459.434	-4.250	0,05655	26,56
P	A	01884	139.342	644	0,08042	NS	01885	-30.112	1.569	0,15739	NS	01886	-282.193	4.262	0,13697	41,97
	P		164.923	-2.792	0,08042	22,69		-289.768	-525	0,15739	NS		180.115	-1.732	0,13697	68,76
S	A		-123.495	6.175	0,10681	19,64		-265.645	8.533	0,13854	20,90		-298.341	10.817	0,11812	14,65
	P		-274.062	-9.582	0,10179	14,14		-90.321	-4.516	0,13352	33,38		-16.976	-849	0,11812	NS
P	A	01887	68.841	744	0,08042	NS	01888	10.437	359	0,08042	NS	01889	5.405	139	0,08042	NS
	P		-270.452	-5.239	0,08042	22,91		-357.333	-2.985	0,08042	43,90		-292.485	-2.083	0,08042	58,98
S	A		-41.262	2.063	0,10681	53,53		-87.740	4.387	0,06158	16,14		29.579	228	0,06158	NS
	P		-230.053	-10.922	0,10179	11,88		-231.374	-10.611	0,05655	7,95		-237.638	-3.578	0,05655	23,68
P	A	01890	9.107	455	0,08042	NS	01891	-2.827	765	0,08042	NS	01892	-39.448	2.464	0,08042	36,58
	P		-278.784	-562	0,08042	NS		28.560	-100	0,08042	NS		80.626	-847	0,08042	87,90
S	A		-223.512	4.456	0,06158	19,79		-201.431	8.443	0,06158	10,13		-225.252	9.251	0,06158	9,77
	P		-57.022	-2.851	0,05655	21,51		-40.640	-2.011	0,05655	29,55		-22.672	-1.134	0,05655	51,92
P	A	01893	8.481	418	0,08042	NS	01894	22.822	461	0,08042	NS	01895	4.297	215	0,08042	NS
	P		-351.661	-2.164	0,08042	60,23		-296.598	-1.242	0,08042	99,35		23.565	-269	0,08042	NS
S	A		-85.781	4.020	0,06158	17,43		-272.652	1.996	0,06158	47,82		-241.715	6.295	0,06158	14,54
	P		-304.303	-5.893	0,05655	15,83		-41.288	-1.746	0,05655	34,49		-63.153	-3.116	0,05655	20,27
P	A	01896	-24.496	1.550	0,08042	56,90										
	P		20.226	-153	0,08042	NS										
S	A		-210.829	8.523	0,06158	10,12										
	P		-65.001	-3.225	0,05655	19,25										
Piano primo						**Parete3-P3**						**Parete 3-P3**				
P	A	00011	-85.556	4.278	0,08042	22,48	00092	-503.038	6.859	0,12566	28,46	00227	-30.683	1.534	0,08042	58,01
	P		-308.533	-10.072	0,07697	12,05		-278.916	-2.683	0,13352	65,18		-27.174	-1.398	0,07697	60,83
S	A		-249.894	12.495	0,10681	11,54		-430.536	8.205	0,11812	21,76		-265.243	13.262	0,10681	11,02
	P		352.709	-8.293	0,10681	7,92		5.336	-6.774	0,12315	18,87		-269.292	-11.391	0,10681	12,87
P	A	00228	-1.157.8	1.313	0,15739	NS	00815	7.080	354	0,08042	NS	00816	0	0	0,08042	-

Dir	Pos	Nodo	N_{Ed} [N]	M_{Ed} [N·m]	A_s [cm²/cm]	CS	Nodo	N_{Ed} [N]	M_{Ed} [N·m]	A_s [cm²/cm]	CS	Nodo	N_{Ed} [N]	M_{Ed} [N·m]	A_s [cm²/cm]	CS
	P		27 -172.195	-8.631	0,17750	23,84		-83.388	-4.510	0,07697	20,48		-271.414	-3.725	0,07697	31,32
S	A		-348.105	6.498	0,13854	29,06		-146.506	7.325	0,06158	9,99		-57.150	2.854	0,06158	23,71
	P		-393.228	-16.578	0,13854	11,73		-172.068	-8.603	0,06158	8,89		-150.769	-6.901	0,06158	11,58
P	A	00817	62.773	401	0,08042	NS	00818	43.501	1.582	0,08042	50,13	00819	37.896	1.752	0,08042	45,68
	P		-285.489	-3.661	0,07697	32,36		-289.636	-3.617	0,07697	32,89		-289.834	-3.512	0,07697	33,89
S	A		-125.569	1.333	0,06158	58,30		-182.999	4.836	0,06158	17,46		-210.460	7.963	0,06158	11,15
	P		-33.607	-1.553	0,06158	42,31		-50.070	-2.504	0,06158	26,80		-104.055	-5.203	0,06158	14,40
P	A	00820	-16.204	1.465	0,08042	59,45	00821	-11.751	3.237	0,12566	40,95	00890	-77.250	3.863	0,08042	24,61
	P		-297.894	-3.201	0,13352	55,12		-358.460	-2.968	0,13352	62,29		-46.257	-2.940	0,07697	29,76
S	A		-232.506	9.865	0,06158	9,30		-318.473	11.303	0,11812	13,74		-252.828	12.641	0,06158	7,80
	P		-151.525	-7.576	0,12315	18,92		-248.861	-9.727	0,12315	15,57		-310.044	-13.591	0,06158	7,80
P	A	00891	-33.434	2.895	0,08042	30,87	00892	-86.619	4.366	0,08042	22,05	00893	92.964	527	0,08042	NS
	P		-30.830	-2.462	0,07697	34,72		-57.988	-2.974	0,07697	29,93		-66.218	-2.145	0,07697	42,01
S	A		-272.536	13.627	0,06158	7,42		-309.534	14.254	0,06158	7,43		-160.155	7.889	0,06158	9,99
	P		-314.872	-12.922	0,06158	8,25		-340.604	-10.760	0,06158	10,21		-245.188	-8.585	0,06158	10,46
P	A	00894	14.844	59	0,08042	NS	00895	240.883	1.006	0,08042	53,04	00896	99.267	1.760	0,08042	40,88
	P		-294.765	-2.916	0,07697	41,03		-307.337	-3.278	0,07697	36,98		-298.739	-3.574	0,07697	33,61
S	A		-117.601	3.498	0,06158	22,26		-45.583	2.274	0,06158	30,09		-303.359	4.210	0,06158	24,96
	P		-289.299	-4.518	0,06158	22,14		-113.319	-2.199	0,06158	35,14		-109.822	-5.030	0,06158	15,93
P	A	00897	52.321	969	0,08042	80,61	00898	150.775	500	0,15739	NS	00899	24.369	456	0,15739	NS
	P		-302.247	-3.945	0,17750	55,51		-301.725	-4.182	0,17750	53,14		-376.750	-4.711	0,17750	49,16
S	A		-307.821	6.332	0,06158	16,69		-289.261	8.240	0,06158	12,10		-308.320	8.211	0,06158	12,48
	P		-145.689	-7.284	0,06158	11,64		-227.233	-11.362	0,06158	8,07		-371.955	-16.936	0,06158	6,52
P	A	00900	-28.274	4.159	0,08042	21,32	00901	-20.209	4.209	0,08042	20,82	00902	-32.879	4.968	0,08042	17,97
	P		-212.536	-5.426	0,17750	38,54		-198.914	-5.173	0,07697	20,75		-38.382	-3.347	0,07697	25,83
S	A		-216.346	10.798	0,06158	8,41		-233.657	9.503	0,06158	9,57		-265.522	9.159	0,06158	10,23
	P		-197.167	-9.858	0,06158	8,96		-112.632	-5.632	0,06158	13,36		-147.455	-6.122	0,06158	12,81
P	A	01845	-12.459	654	0,08042	NS	01846	-35.445	1.507	0,15739	NS	01847	-44.947	3.083	0,12566	44,41
	P		-255.602	-1.569	0,07697	73,08		-300.846	-4.915	0,17750	45,19		-279.152	-3.077	0,13352	56,85
S	A		-227.493	11.270	0,10681	11,94		-256.712	9.017	0,13854	19,65		-296.087	11.203	0,11812	14,12
	P		-291.786	-9.451	0,10681	15,11		-249.699	-12.492	0,13854	14,11		-186.783	-8.388	0,12315	17,80
P	A	01848	79.462	653	0,08042	NS	01849	5.163	291	0,08042	NS	01850	8.640	402	0,08042	NS
	P		-279.839	-4.596	0,07697	25,62		-355.617	-2.984	0,07697	42,69		-296.972	-3.455	0,07697	34,71
S	A		-203.814	10.191	0,06158	8,40		-199.175	9.959	0,06158	8,56		-63.457	2.498	0,06158	26,86
	P		-240.652	-11.499	0,10681	11,80		-250.642	-11.016	0,06158	8,34		-267.435	-3.497	0,06158	26,77
P	A	01851	0	0	0,08042	-	01852	-4.027	954	0,08042	89,66	01853	-39.101	2.426	0,08042	37,14
	P		-283.577	-3.570	0,07697	33,11		-269.698	-3.717	0,07697	31,32		-233.693	-4.091	0,07697	27,33
S	A		-241.803	4.443	0,06158	20,37		-214.342	8.995	0,06158	9,69		-238.498	9.825	0,06158	9,37
	P		-83.953	-3.807	0,06158	18,38		-145.988	-7.299	0,06158	10,73		-165.616	-7.662	0,06158	10,79
P	A	01854	44.513	532	0,08042	NS	01855	10.065	223	0,08042	NS	01856	33.302	1.085	0,08042	74,29
	P		-347.584	-2.664	0,07697	47,43		-293.022	-3.372	0,07697	35,41		-284.930	-3.769	0,07697	31,41
S	A		-142.964	7.147	0,06158	10,84		-291.782	1.827	0,06158	53,54		-265.061	6.343	0,06158	14,89
	P		-326.669	-5.845	0,06158	17,30		-95.070	-2.737	0,06158	26,43		-128.703	-6.399	0,06158	12,00
P	A	01857	-24.306	1.709	0,08042	51,59										
	P		-247.178	-4.315	0,07697	26,31										
S	A		-229.745	9.377	0,06158	9,45										
	P		-161.459	-7.316	0,06158	10,90										
Piano primo						**Parete4-P4**						**Parete 4-P4**				
P	A	00013	-67.533	3.377	0,07697	26,74	00090	-285.57	8.587	0,13854	21,05	00233	-36.536	2.109	0,07697	40,90

Dir	Pos	Nodo	N_{Ed} [N]	M_{Ed} [N·m]	A_s [cm²/cm]	CS	Nodo	N_{Ed} [N]	M_{Ed} [N·m]	A_s [cm²/cm]	CS	Nodo	N_{Ed} [N]	M_{Ed} [N·m]	A_s [cm²/cm]	CS
	P		-310.140	-11.613	0,08042	10,77		7 -81.154	-3.934	0,12566	35,99		-155.486	-5.689	0,08042	18,50
S	A		-235.364	11.768	0,10681	12,09		-406.887	8.461	0,11812	20,74		-276.560	13.477	0,11812	11,79
	P		350.017	-7.295	0,10681	9,06		-297.889	-7.019	0,11812	23,04		-280.351	-10.914	0,10681	13,57
P	A	00234	94.371	4.719	0,17750	36,35	00836	25.652	1.080	0,07697	72,31	00837	0	0	0,07697	-
	P		-168.089	-8.376	0,15739	22,09		-86.412	-3.708	0,08042	25,96		59.291	-2.068	0,08042	37,34
S	A		-407.098	7.011	0,13854	27,99		-142.909	7.145	0,06158	10,18		-62.081	3.084	0,06158	22,14
	P		-396.920	-15.322	0,13854	12,72		-177.589	-8.879	0,06158	8,70		-171.333	-7.069	0,06158	11,68
P	A	00838	15.518	646	0,07697	NS	00839	-284.631	680	0,07697	NS	00840	-283.189	1.730	0,07697	68,30
	P		24.872	-1.197	0,08042	68,30		12.017	-407	0,08042	NS		1.540	-65	0,08042	NS
S	A		-161.713	1.873	0,06158	44,02		-200.549	4.869	0,06158	17,81		-223.348	8.047	0,06158	11,23
	P		-221.288	-1.776	0,06158	50,76		-48.772	-2.439	0,06158	27,43		-103.872	-4.974	0,06158	15,05
P	A	00841	-290.030	3.115	0,13854	57,91	00842	-367.783	5.006	0,13854	38,17	00877	-92.321	4.616	0,07697	20,26
	P		14.289	-492	0,08042	NS		4.581	-529	0,12566	NS		-41.313	-4.442	0,08042	20,35
S	A		-241.924	10.206	0,11812	14,65		-330.949	11.329	0,11812	13,84		-250.917	12.546	0,06158	7,84
	P		-148.276	-7.245	0,06158	11,14		-279.639	-7.951	0,11812	18,90		-312.472	-13.749	0,06158	7,73
P	A	00878	-20.679	2.982	0,07697	28,22	00879	-79.485	4.599	0,07697	19,97	00880	132.841	3.000	0,07697	21,35
	P		-39.562	-2.185	0,08042	41,26		-60.321	-3.118	0,08042	29,78		53.137	-837	0,08042	93,20
S	A		-264.136	13.207	0,06158	7,58		-311.921	13.252	0,06158	8,01		-192.863	9.072	0,06158	9,15
	P		-335.060	-11.864	0,06158	9,20		-361.080	-9.778	0,06158	11,50		-262.187	-8.112	0,06158	11,33
P	A	00881	28.056	367	0,07697	NS	00882	224.076	1.118	0,07697	46,54	00883	76.708	2.273	0,07697	31,41
	P		49.350	-194	0,08042	NS		116.645	-347	0,08042	NS		146.851	-740	0,08042	88,78
S	A		-76.223	3.201	0,06158	22,62		-53.050	2.640	0,06158	26,27		-118.055	3.267	0,06158	24,85
	P		-308.778	-4.030	0,06158	25,44		-154.659	-1.180	0,06158	70,00		-117.615	-4.886	0,06158	16,60
P	A	00884	184.295	1.672	0,17750	95,54	00885	74.272	2.832	0,17750	61,49	00886	70.379	3.519	0,17750	49,62
	P		30.605	-489	0,08042	NS		270.563	-1.084	0,15739	NS		-7.351	-472	0,15739	NS
S	A		-316.047	6.800	0,06158	15,69		-298.822	8.403	0,06158	12,01		-328.667	8.325	0,06158	12,62
	P		-118.665	-5.921	0,06158	13,73		-195.102	-9.520	0,06158	9,20		-359.026	-15.663	0,06158	6,95
P	A	00887	-35.168	4.441	0,17750	42,25	00888	-29.332	4.707	0,07697	18,12	00889	-17.004	4.623	0,07697	18,10
	P		-78.532	-3.928	0,08042	24,24		-35.574	-4.152	0,08042	21,59		36.126	-1.806	0,08042	44,43
S	A		-233.538	11.344	0,06158	8,21		-244.813	10.095	0,06158	9,16		-278.003	8.886	0,06158	10,74
	P		-185.819	-8.959	0,06158	9,70		-104.993	-5.248	0,06158	14,16		-139.392	-3.827	0,06158	20,26
P	A	01832	-4.618	1.439	0,07697	57,03	01833	-40.307	1.691	0,17750	NS	01834	-284.626	5.171	0,13854	34,93
	P		-37.398	-1.257	0,08042	71,52		-25.934	-2.512	0,15739	66,36		-5.756	-813	0,12566	NS
S	A		-231.645	11.150	0,11812	13,14		-305.701	9.650	0,13854	19,01		-307.258	11.343	0,11812	14,07
	P		-319.497	-8.237	0,10681	17,77		-236.887	-11.834	0,13854	14,76		-202.005	-7.302	0,11812	20,02
P	A	01835	87.415	906	0,07697	77,26	01836	1.709	301	0,07697	NS	01837	7.972	370	0,07697	NS
	P		-280.551	-4.474	0,08042	27,11		-354.024	-1.909	0,08042	68,40		-294.731	-895	0,08042	NS
S	A		-200.092	10.005	0,06158	8,50		-196.060	9.803	0,06158	8,65		-76.198	3.237	0,06158	21,23
	P		-241.742	-11.561	0,06158	7,82		-267.937	-10.529	0,06158	8,94		-287.783	-3.189	0,06158	30,16
P	A	01838	-276.661	633	0,07697	NS	01839	-262.235	2.122	0,07697	54,42	01840	-226.424	3.687	0,07697	30,08
	P		9.705	-371	0,08042	NS		4.549	-184	0,08042	NS		69.747	-1.351	0,08042	56,13
S	A		-253.928	4.545	0,06158	20,25		-225.821	9.293	0,06158	9,54		-250.303	10.191	0,06158	9,18
	P		-107.209	-4.008	0,06158	18,21		-132.171	-6.344	0,06158	12,05		-161.738	-6.481	0,06158	12,67
P	A	01841	17.046	505	0,07697	NS	01842	41.864	128	0,07697	NS	01843	-276.694	1.269	0,07697	92,45
	P		18.150	-591	0,08042	NS		44.651	-1.592	0,08042	49,70		93.610	-812	0,08042	89,52
S	A		-146.248	7.311	0,06158	10,64		-74.848	1.578	0,06158	44,11		-275.466	6.733	0,06158	14,21
	P		-344.280	-5.343	0,06158	19,33		-148.372	-2.051	0,06158	38,61		-120.085	-5.707	0,06158	13,24
P	A	01844	-26.953	1.731	0,07697	49,08										
	P		-32.569	-1.888	0,08042	47,28										
S	A		-242.194	9.626	0,06158	9,36										

Dir	Pos	Nodo	N_{Ed} [N]	M_{Ed} [N·m]	A_s [cm²/cm]	CS	Nodo	N_{Ed} [N]	M_{Ed} [N·m]	A_s [cm²/cm]	CS	Nodo	N_{Ed} [N]	M_{Ed} [N·m]	A_s [cm²/cm]	CS
	P		-135.047	-5.952	0,06158	12,81										
Piano primo						**Parete5-P5**						**Parete 5-P5**				
P	A	00015	-41.176	151	0,07697	NS	00088	-292.009	10.184	0,13854	17,84	00239	-189.055	9.696	0,07697	10,94
	P		-322.375	-11.022	0,07697	11,17		-106.244	-4.805	0,13854	32,86		-326.944	-2.911	0,07697	42,49
S	A		-74.418	3.721	0,10179	31,29		-393.112	8.117	0,11812	21,41		-363.014	14.677	0,11310	11,23
	P		346.577	-6.911	0,10179	8,88		-98.439	-4.922	0,11812	27,66		-272.224	-6.048	0,11310	25,36
P	A	00240	199.239	2.118	0,17750	74,55	00829	14.277	571	0,07697	NS	00830	7.439	142	0,07697	NS
	P		0	0	0,17750	-		-101.493	-3.192	0,07697	29,67		36.459	-1.109	0,07697	69,15
S	A		-494.140	4.760	0,15708	47,45		-31.742	1.587	0,10179	62,46		-36.990	1.850	0,05655	32,33
	P		-7.925	-396	0,15708	NS		-177.104	-8.386	0,10179	14,07		-190.609	-6.644	0,05655	12,03
P	A	00831	48.409	545	0,07697	NS	00832	-290.653	1.512	0,07697	78,76	00833	222.860	3.866	0,07697	13,50
	P		48.111	-450	0,07697	NS		31.716	-827	0,07697	93,52		13.037	-591	0,07697	NS
S	A		-31.828	1.509	0,05655	39,95		-187.473	5.242	0,05655	15,24		-207.145	8.072	0,05655	10,30
	P		-232.373	-1.138	0,05655	75,99		-35.004	-1.782	0,05655	33,62		-133.153	-4.725	0,05655	15,56
P	A	00834	-291.726	4.218	0,13854	43,07	00835	-370.810	6.417	0,13854	29,87	00916	-21.435	1.072	0,07697	78,62
	P		91.682	-890	0,13854	NS		13.092	-655	0,13854	NS		-62.120	-4.716	0,07697	18,99
S	A		-224.967	9.484	0,11812	15,62		-316.757	10.393	0,11812	14,93		-158.760	7.938	0,05655	10,25
	P		-202.914	-6.960	0,11812	20,87		-443.897	-5.806	0,11812	29,46		-315.429	-13.218	0,05655	7,68
P	A	00917	14.873	2.808	0,07697	28,32	00918	-36.226	3.103	0,07697	27,77	00919	71.198	796	0,07697	90,58
	P		-37.583	-1.763	0,07697	48,99		-63.817	-3.275	0,07697	27,42		14.130	-707	0,07697	NS
S	A		-207.770	10.183	0,05655	8,62		-287.197	10.963	0,05655	8,93		-282.983	8.554	0,05655	10,38
	P		-379.490	-8.967	0,05655	12,23		-395.794	-7.087	0,05655	15,76		-244.282	-5.743	0,05655	14,59
P	A	00920	17.965	385	0,07697	NS	00921	-287.464	838	0,07697	NS	00922	-284.623	1.408	0,07697	84,01
	P		24.218	-505	0,07697	NS		339.370	-1.094	0,07697	33,70		131.642	-237	0,07697	NS
S	A		-132.158	2.158	0,05655	34,55		-312.863	1.898	0,05655	51,56		-330.271	4.371	0,05655	23,66
	P		-318.418	-2.659	0,05655	37,08		-16.482	-792	0,05655	74,93		-24.887	-1.087	0,05655	58,73
P	A	00923	-288.405	2.171	0,17750	NS	00924	-290.604	2.587	0,17750	85,43	00925	-363.172	2.489	0,17750	92,49
	P		169.050	-1.867	0,17750	86,65		181.445	-992	0,17750	NS		0	0	0,17750	-
S	A		-353.550	6.005	0,05655	17,28		-343.423	7.207	0,05655	14,07		-477.477	6.101	0,05655	19,33
	P		-40.147	-1.953	0,05655	32,37		-16.140	-499	0,05655	NS		-4.489	-178	0,05655	NS
P	A	00926	-41.581	3.655	0,17750	51,74	00927	-21.485	4.421	0,07697	19,06	00928	-208.117	7.496	0,07697	14,48
	P		174.357	-891	0,17750	NS		348.496	-1.900	0,07697	18,77		24.952	-907	0,07697	86,16
S	A		-261.442	8.771	0,05655	10,37		-215.937	9.988	0,05655	8,33		-266.266	8.200	0,05655	10,80
	P		-61.633	-2.117	0,05655	30,66		-59.064	-1.895	0,05655	33,07		-142.772	-2.457	0,05655	29,53
P	A	01871	-10.719	1.048	0,07697	79,07	01872	-293.170	2.048	0,17750	NS	01873	-290.447	6.564	0,13854	27,65
	P		24.079	-1.204	0,07697	65,04		14.592	-649	0,17750	NS		23.199	-509	0,13854	NS
S	A		-256.729	11.676	0,11310	12,42		-378.888	6.785	0,15708	31,17		-301.511	10.427	0,11812	15,25
	P		-327.728	-5.778	0,11310	26,65		-12.471	-624	0,15708	NS		-256.409	-7.391	0,11812	20,73
P	A	01874	28.166	292	0,07697	NS	01875	16.433	377	0,07697	NS	01876	6.434	108	0,07697	NS
	P		-291.720	-4.015	0,07697	29,70		-361.796	-1.530	0,07697	83,72		-285.079	-313	0,07697	NS
S	A		-102.072	5.104	0,10179	22,17		-131.397	6.447	0,05655	11,05		-109.834	1.801	0,05655	37,73
	P		-235.814	-11.350	0,10179	11,49		-301.558	-8.592	0,05655	10,85		-308.256	-2.329	0,05655	40,21
P	A	01877	-278.864	1.401	0,07697	83,90	01878	-264.173	3.051	0,07697	37,93	01879	-229.457	4.972	0,07697	22,38
	P		18.353	-404	0,07697	NS		4.681	-225	0,07697	NS		56.143	-769	0,07697	96,34
S	A		-252.769	4.757	0,05655	18,23		-219.770	8.947	0,05655	9,25		-238.670	8.979	0,05655	9,70
	P		-169.947	-3.011	0,05655	25,24		-165.504	-4.441	0,05655	17,04		-144.394	-4.010	0,05655	18,67
P	A	01880	8.757	349	0,07697	NS	01881	-280.728	703	0,07697	NS	01882	-275.159	2.072	0,07697	56,53
	P		30.587	-1.381	0,07697	56,06		39.991	-756	0,07697	NS		-400	-180	0,07697	NS
S	A		-191.159	5.890	0,05655	13,31		-309.588	2.358	0,05655	40,21		-291.897	6.336	0,05655	14,62

Dir	Pos	Nodo	N_{Ed} [N]	M_{Ed} [N·m]	A_s [cm²/cm]	CS	Nodo	N_{Ed} [N]	M_{Ed} [N·m]	A_s [cm²/cm]	CS	Nodo	N_{Ed} [N]	M_{Ed} [N·m]	A_s [cm²/cm]	CS
	P		-366.179	-3.752	0,05655	26,87		-134.435	-1.201	0,05655	60,10		-91.542	-3.059	0,05655	21,79
P	A	01883	-240.764	3.140	0,07697	35,89										
	P		33.512	-889	0,07697	86,69										
S	A		-271.786	8.427	0,05655	10,50										
	P		-52.294	-1.790	0,05655	33,46										
Piano primo						**Parete7-P6**						**Parete 7-P6**				
P	A	00185	-81.156	2.307	0,08042	41,44	00282	249.807	5.313	0,08042	9,82	00283	44.826	2.120	0,12566	59,07
	P		264.184	-12.902	0,07697	3,62		205.983	-673	0,07697	80,91		-359.544	-16.450	0,12221	10,56
S	A		-416.083	20.804	0,10681	7,60		-166.446	7.200	0,06158	12,15		-638.560	8.971	0,10681	21,33
	P		-580.578	-29.022	0,10179	5,97		-24.762	-668	0,10179	NS		-112.320	-3.905	0,10179	31,08
P	A	00284	140	17	0,08042	NS	00958	312.085	12.444	0,08042	3,53	00959	158.359	6.945	0,08042	9,24
	P		286.839	-23.340	0,07697	1,88		0	0	0,07697	-		0	0	0,07697	-
S	A		0	0	0,06158	-		-858.828	27.019	0,06158	5,98		-290.333	13.331	0,06158	7,23
	P		-440.330	-41.932	0,05655	2,66		-861.391	-496	0,05655	NS		0	0	0,05655	-
P	A	00960	197.088	2.895	0,08042	20,42	00961	287.551	1.160	0,08042	40,70	01032	59.634	2.647	0,08042	29,16
	P		359.136	-3.591	0,07697	9,55		98.885	-1.707	0,07697	40,12		-1.636	-107	0,07697	NS
S	A		-433.843	21.672	0,06158	5,28		-660.141	32.439	0,06158	4,35		-287.903	9.866	0,06158	9,42
	P		0	0	0,05655	-		0	0	0,05655	-		-864.699	-771	0,05655	NS
P	A	01033	-86.871	852	0,08042	NS	01034	92.578	932	0,08042	78,17	01035	-79.223	838	0,12566	NS
	P		36.408	-1.546	0,07697	49,62		167.022	-4.363	0,07697	13,65		92.307	-2.296	0,12221	50,30
S	A		-342.541	8.577	0,06158	11,71		-261.137	4.676	0,06158	19,71		-247.823	6.161	0,06158	15,21
	P		-274.119	-5.755	0,05655	15,06		-92.976	-3.490	0,05655	18,69		-1.105.967	-531	0,05655	NS
P	A	01036	94.890	3.667	0,08042	19,78	01037	136.092	5.634	0,08042	11,92	01038	37.855	1.755	0,08042	45,59
	P		244.728	-5.890	0,07697	8,37		140.017	-2.919	0,07697	21,61		29.726	-1.319	0,07697	58,81
S	A		-149.739	6.827	0,06158	12,50		-96.592	4.787	0,06158	16,37		-104.239	4.189	0,06158	18,30
	P		-102.874	-2.614	0,05655	28,34		-53.952	-1.148	0,05655	58,92		-225.619	-7.738	0,05655	11,29
P	A	01039	98.177	3.833	0,12566	30,85	01040	233.648	4.614	0,08042	11,77	01041	128.683	380	0,08042	NS
	P		17.536	-3.270	0,12221	38,31		51.228	-10.616	0,07697	7,04		168.774	-5.212	0,07697	11,38
S	A		-91.108	4.680	0,06158	15,06		-260.342	7.039	0,06158	13,56		-149.295	2.562	0,06158	31,85
	P		-1.110.816	-15.795	0,10179	13,67		-573.343	-16.416	0,05655	7,88		-516.717	-11.310	0,05655	10,88
P	A	01042	26.493	1.258	0,08042	64,78	01043	31.675	1.173	0,08042	68,92	02004	147.797	1.197	0,08042	54,78
	P		76.716	-2.358	0,07697	30,28		123.149	-4.257	0,07697	15,34		49.996	-1.852	0,07697	40,44
S	A		-184.735	1.779	0,06158	47,09		-177.745	5.042	0,06158	16,21		-196.557	6.972	0,06158	12,51
	P		-276.678	-10.066	0,05655	9,00		-339.040	-16.899	0,05655	5,76		-84.262	-2.457	0,05655	27,46
P	A	02005	82.124	1.319	0,08042	56,28	02006	79.858	1.923	0,08042	38,75	02007	142.877	4.829	0,08042	13,72
	P		2.111	-3.013	0,07697	26,95		23.561	-433	0,07697	NS		0	0	0,07697	-
S	A		-376.205	5.115	0,06158	21,66		-237.626	1.829	0,06158	48,92		-187.963	8.471	0,06158	9,68
	P		-765.245	-20.894	0,05655	7,23		-522.424	-3.985	0,05655	30,16		0	0	0,05655	-
P	A	02008	-85.486	1.649	0,08042	58,29	02009	50.137	2.016	0,08042	38,90	02010	-34.782	375	0,08042	NS
	P		2.504	-113	0,07697	NS		29.680	-515	0,07697	NS		108.756	-2.437	0,07697	27,57
S	A		-358.325	10.856	0,06158	9,45		-402.631	11.868	0,06158	9,19		-211.522	3.596	0,06158	23,75
	P		0	0	0,05655	-		-469.273	-1.556	0,05655	72,26		-282.618	-8.845	0,05655	10,12
P	A	02011	40.073	1.707	0,08042	46,71	02012	42.890	1.475	0,08042	53,80					
	P		95.110	-2.533	0,07697	27,24		22.812	-489	0,07697	NS					
S	A		-205.526	5.805	0,06158	14,89		-126.846	3.320	0,06158	22,99					
	P		-377.329	-5.884	0,05655	17,56		-560.521	-11.451	0,05655	11,00					
Piano primo						**Parete10-11**						**Parete 10-11**				
P	A	00097	96.194	3.798	0,06158	13,97	00100	-209.001	7.539	0,06158	12,34	00179	-571	18.648	0,06158	3,53
	P		5.161	-10.352	0,06158	6,28		-56.308	-7.195	0,06158	10,16		150.566	-16.570	0,06158	2,77
S	A		-298.881	12.438	0,04524	7,07		-848.275	27.387	0,04524	5,51		-934.011	37.440	0,09048	5,47
	P		-706.720	-16.170	0,04524	8,44		-657.112	-14.006	0,04524	9,36		-658.359	-32.907	0,09048	5,39
P	A	00180	-58.383	20.737	0,06158	3,54	00295	4.690	196	0,10681	NS	00296	48.659	879	0,10681	NS
	P		275.181	-13.834	0,06158	2,13		74.457	-1.940	0,10681	52,66		52.460	-2.626	0,10681	40,00
S	A		-920.808	35.551	0,09048	5,73		-335.706	7.720	0,09048	17,94		-190.981	3.129	0,04524	23,67
	P		-730.141	-36.506	0,09048	5,07		-21.686	-1.084	0,09048	90,44		-59.380	-2.736	0,04524	20,77

Dir	Pos	Nodo	N_{Ed} [N]	M_{Ed} [N·m]	A_s [cm²/cm]	CS	Nodo	N_{Ed} [N]	M_{Ed} [N·m]	A_s [cm²/cm]	CS	Nodo	N_{Ed} [N]	M_{Ed} [N·m]	A_s [cm²/cm]	CS
P	A	00367	-42.927	3.675	0,06158	19,42	00368	-121.531	6.077	0,06158	13,44	00369	-246.991	12.350	0,10681	11,64
	P		117.172	-7.190	0,06158	7,00		34.001	-4.011	0,06158	15,27		-59.407	-2.970	0,10681	40,26
S	A		-468.799	21.321	0,04524	5,12		-497.067	24.853	0,04524	4,38		-548.530	27.427	0,04524	4,16
	P		-501.491	-18.872	0,04524	6,00		-519.529	-19.547	0,04524	5,71		-437.462	-16.269	0,04524	6,19
P	A	00370	-201.560	10.078	0,10681	13,69	00371	-243.786	12.189	0,10681	11,76	00372	-150.245	9.989	0,06158	8,55
	P		-46.398	-2.320	0,10681	50,82		56.925	-2.806	0,10681	37,22		71.568	-7.404	0,06158	7,61
S	A		-623.139	31.157	0,04524	3,96		-615.602	30.780	0,04524	4,00		-618.826	27.290	0,04524	4,55
	P		-219.291	-10.965	0,04524	6,72		-200.548	-10.027	0,04524	7,16		-606.086	-18.774	0,04524	6,54
P	A	00665	114.655	4.175	0,06158	12,13	00666	-42.084	8.036	0,06158	8,87	01044	36.474	851	0,06158	71,58
	P		109.206	-5.324	0,06158	9,65		46.967	-4.347	0,06158	13,70		34.743	-1.477	0,06158	41,40
S	A		-513.987	25.698	0,04524	4,25		-524.617	25.589	0,09048	6,06		-252.258	6.434	0,04524	11,94
	P		-758.811	-22.618	0,04524	6,03		-672.881	-23.031	0,09048	7,47		-51.312	-2.566	0,04524	19,68
P	A	01045	0	0	0,06158	-	01046	16.205	680	0,06158	93,56	01047	8.472	211	0,06158	NS
	P		26.538	-1.296	0,06158	48,01		40.056	-1.709	0,06158	35,38		12.267	-268	0,06158	NS
S	A		-117.744	5.208	0,04524	11,08		-93.373	2.226	0,04524	24,18		-136.753	1.872	0,04524	31,81
	P		-64.300	-3.215	0,04524	15,75		-68.810	-3.440	0,04524	14,70		-69.647	-3.482	0,04524	14,56
P	A	01048	70.460	2.651	0,06158	21,30	01049	127.405	2.386	0,06158	20,51	01050	138.341	2.349	0,06158	20,23
	P		60.187	-2.787	0,06158	20,74		83.369	-1.532	0,06158	35,75		152.404	-2.003	0,06158	22,80
S	A		-241.830	8.318	0,04524	8,89		-298.077	2.075	0,04524	39,86		-194.836	6.852	0,04524	10,50
	P		-71.641	-3.448	0,04524	14,97		-68.376	-3.060	0,04524	17,24		-298.756	-3.067	0,04524	27,82
P	A	01051	116.519	3.685	0,06158	13,67	01052	15.897	793	0,06158	80,24	01053	121.284	5.516	0,06158	9,02
	P		23.774	-955	0,06158	65,57		80.623	-4.031	0,06158	13,67		68.721	-3.436	0,06158	16,50
S	A		-464.770	11.569	0,04524	9,40		-68.396	2.377	0,04524	24,40		-119.627	5.981	0,04524	10,82
	P		-517.518	-4.693	0,04524	24,54		-533.773	-1.181	0,04524	99,18		-36.754	-1.017	0,04524	52,93
P	A	01054	86.965	4.047	0,06158	13,41	01055	187.299	6.440	0,06158	6,38	01796	0	0	0,06158	-
	P		21.283	-856	0,06158	73,53		0	0	0,06158	-		-64.048	-176	0,06158	NS
S	A		-129.099	4.914	0,04524	13,42		-432.001	7.363	0,04524	13,74		-166.212	8.180	0,04524	8,66
	P		-51.826	-1.324	0,04524	42,14		-325.653	-1.684	0,04524	52,15		-73.876	-3.660	0,04524	16,04
P	A	01797	44.484	2.224	0,06158	26,92	01798	-54.026	2.701	0,06158	26,96	01799	-186.109	9.305	0,06158	9,68
	P		27.802	-1.390	0,06158	44,65		76.626	-2.247	0,06158	24,76		-35.638	-1.782	0,06158	39,51
S	A		-354.062	17.703	0,04524	5,17		-461.885	23.094	0,04524	4,57		-586.938	29.347	0,04524	4,03
	P		-731.458	-36.573	0,04524	3,71		-133.574	-6.679	0,04524	9,52		-179.570	-8.979	0,04524	7,50
P	A	01800	114.567	1.456	0,10681	66,59	01801	131.025	4.401	0,06158	11,02	01802	88.311	3.632	0,06158	14,90
	P		474.877	-793	0,10681	62,66		4.767	-229	0,06158	NS		27.310	-1.366	0,06158	45,50
S	A		-118.456	5.923	0,04524	10,40		-175.841	8.792	0,04524	8,20		-289.977	14.499	0,04524	5,73
	P		-39.736	-1.987	0,04524	25,77		-74.190	-3.710	0,04524	15,84		-160.532	-6.983	0,04524	9,50
P	A	01803	-119.386	5.969	0,06158	13,63	02013	36.056	1.803	0,06158	33,83	02014	-42.354	2.456	0,06158	29,02
	P		-37.709	-2.008	0,06158	35,19		-64.706	-191	0,06158	NS		56.174	-3.418	0,06158	17,07
S	A		-385.115	19.256	0,04524	4,86		-151.896	3.521	0,04524	18,58		-404.227	7.944	0,09048	18,52
	P		-768.275	-24.056	0,04524	5,72		-72.207	-3.460	0,04524	15,88		-333.167	-5.922	0,09048	23,33
P	A	02015	9.637	421	0,06158	NS	02016	4.926	70	0,10681	NS	02017	7.010	176	0,06158	NS
	P		52.385	-3.114	0,06158	18,89		245.523	-4.837	0,10681	16,49		175.497	-982	0,06158	43,39
S	A		-367.981	14.349	0,09048	9,94		-97.921	4.707	0,04524	12,36		-161.134	8.056	0,04524	8,05
	P		-124.766	-1.673	0,09048	66,64		-45.931	-2.297	0,04524	22,34		-70.261	-3.513	0,04524	15,05
P	A	02018	4.218	34	0,06158	NS	02019	-32.310	1.616	0,06158	43,31	02020	20.233	772	0,06158	81,64
	P		55.915	-2.287	0,06158	25,53		-19.396	-970	0,06158	70,40		15.433	-533	0,06158	NS
S	A		-284.069	14.203	0,04524	5,64		-415.378	20.769	0,04524	4,69		-372.102	17.646	0,04524	5,51
	P		-388.771	-11.097	0,04524	8,42		-716.156	-18.358	0,04524	7,20		-544.455	-9.613	0,04524	12,31
P	A	02021	22.837	151	0,06158	NS	02022	-79.639	3.982	0,06158	19,13	02023	42.399	2.058	0,06158	29,22
	P		7.600	-311	0,06158	NS		77.644	-3.007	0,06158	18,46		-44.050	-2.421	0,06158	29,53
S	A		-233.586	11.356	0,04524	6,36		-393.836	19.692	0,04524	4,74		-569.117	26.933	0,04524	4,50
	P		-91.978	-4.599	0,04524	11,67		-134.536	-6.727	0,04524	8,93		-416.441	-14.562	0,04524	7,06
P	A	02024	13.184	508	0,06158	NS	02025	-31.137	1.557	0,06158	44,84	02026	-133.944	6.697	0,06158	12,43
	P		52.885	-225	0,06158	NS		41.476	-2.003	0,06158	30,09		40.636	-1.862	0,06158	32,42

Dir	Pos	Nodo	N_{Ed} [N]	M_{Ed} [N·m]	A_s [cm²/cm]	CS	Nodo	N_{Ed} [N]	M_{Ed} [N·m]	A_s [cm²/cm]	CS	Nodo	N_{Ed} [N]	M_{Ed} [N·m]	A_s [cm²/cm]	CS
S	A		-150.923	7.116	0,04524	8,65		-350.183	17.509	0,04524	4,99		-475.374	23.769	0,04524	4,37
	P		-80.260	-3.882	0,04524	13,46		-114.199	-5.710	0,04524	9,96		-369.263	-12.574	0,04524	7,22
P	A	02027	23.635	1.134	0,06158	55,23	02028	7.691	1.014	0,06158	63,84	02029	-90.317	4.516	0,06158	17,18
	P		58.559	-1.516	0,06158	38,29		67.535	-1.312	0,06158	43,31		40.181	-1.336	0,06158	45,25
S	A		-377.378	18.570	0,04524	5,27		-292.915	13.080	0,04524	6,22		-492.061	24.603	0,04524	4,31
	P		-91.069	-3.965	0,04524	15,38		-302.363	-9.761	0,04524	8,46		-678.771	-17.295	0,04524	7,37
P	A	02030	-74.246	4.742	0,06158	15,91	02839	40.520	900	0,06158	67,14	02840	45.641	1.508	0,06158	39,60
	P		-14.533	-1.349	0,06158	50,14		-34.798	-1.970	0,06158	35,68		-35.559	-511	0,06158	NS
S	A		-706.916	30.134	0,04524	4,53		-429.567	9.914	0,04524	10,53		-657.192	14.838	0,04524	8,62
	P		-476.525	-15.208	0,04524	7,24		-941.560	-18.902	0,04524	8,44		-931.761	-14.507	0,04524	10,72
Piano primo						**Parete32-P10**						**Parete 32-P10**				
P	A	00244	-78.684	3.862	0,12566	36,58	00245	6.852	343	0,21447	NS	00292	60.101	11.232	0,08042	6,87
	P		7.528	-101	0,12566	NS		-59.933	-6.700	0,21447	34,18		17.522	-876	0,08042	94,39
S	A		-488.555	17.482	0,11812	10,60		-446.359	1.644	0,13854	NS		-669.368	34.577	0,06158	4,31
	P		-157.992	-3.344	0,10681	39,59		-169.647	-8.475	0,13854	19,59		-182.595	-3.893	0,06158	23,01
P	A	00293	-368.629	53.385	0,08042	2,48	00795	231.700	2.524	0,08042	21,62	00796	184.981	3.113	0,08042	19,50
	P		0	0	0,08042	-		233.796	-6.365	0,08042	8,53		110.388	-5.522	0,08042	12,77
S	A		-1.357.903	67.895	0,06158	2,98		-732.131	402	0,06158	NS		0	0	0,06158	-
	P		0	0	0,06158	-		-550.493	-16.509	0,06158	7,80		-322.588	-13.821	0,06158	7,19
P	A	00797	272.649	6.929	0,08042	7,10	00798	180.392	3.387	0,08042	18,10	00799	181.033	6.315	0,08042	9,70
	P		-137.500	-434	0,08042	NS		304.426	-7.387	0,08042	6,09		-109.962	-490	0,08042	NS
S	A		0	0	0,06158	-		0	0	0,06158	-		0	0	0,06158	-
	P		-328.849	-14.763	0,06158	6,80		-384.662	-19.187	0,06158	5,52		-314.689	-15.733	0,06158	6,28
P	A	00800	94.259	4.713	0,08042	15,41	00801	1.206	60	0,08042	NS	00903	-226.662	16.446	0,08042	6,96
	P		187.024	-6.275	0,08042	9,63		76.522	-3.888	0,08042	19,28		0	0	0,08042	-
S	A		0	0	0,06158	-		0	0	0,06158	-		-809.970	30.582	0,06158	5,09
	P		-283.556	-14.178	0,06158	6,76		-343.309	-15.035	0,06158	6,88		0	0	0,06158	-
P	A	00904	115.329	7.527	0,08042	9,28	00905	-184.677	10.335	0,08042	10,55	00906	153.000	1.494	0,12566	74,37
	P		0	0	0,08042	-		0	0	0,08042	-		24.132	-934	0,12566	NS
S	A		-545.722	21.644	0,06158	5,96		-503.223	18.752	0,06158	6,79		-399.205	17.022	0,11812	9,76
	P		-82.819	-178	0,06158	NS		-554	-28	0,06158	NS		-127.481	-5.060	0,10681	23,75
P	A	00907	155.648	6.017	0,08042	10,73	00908	98.538	395	0,08042	NS	00909	120.636	647	0,08042	NS
	P		22.977	-510	0,08042	NS		351.813	-800	0,08042	48,45		45.161	-1.447	0,08042	54,63
S	A		-385.865	6.830	0,06158	16,39		-19.228	470	0,06158	NS		-96.841	3.537	0,06158	22,17
	P		-157.847	-1.014	0,06158	81,65		-280.560	-9.368	0,06158	10,53		-273.923	-12.867	0,06158	7,88
P	A	00910	0	0	0,21447	-	00911	122.159	1.676	0,21447	NS	00912	44.738	1.385	0,21447	NS
	P		170.601	-4.747	0,21447	41,97		-227.422	-900	0,21447	NS		-308.626	-1.096	0,21447	NS
S	A		-39.975	1.723	0,06158	39,35		-58.727	2.392	0,06158	28,93		-391.369	5.906	0,06158	18,53
	P		-239.609	-11.980	0,06158	7,83		-223.320	-11.166	0,06158	8,12		-149.858	-7.493	0,06158	10,48
P	A	00913	32.231	2.049	0,21447	NS	00914	55.921	4.468	0,08042	17,38	00915	-135.173	10.744	0,08042	9,55
	P		44.395	-2.139	0,21447	NS		72.116	-1.528	0,08042	49,45		22.693	-984	0,08042	83,31
S	A		-332.194	8.656	0,06158	12,57		-212.231	9.827	0,06158	9,24		-385.437	19.271	0,06158	5,84
	P		-92.655	-3.316	0,06158	23,48		-264.466	-7.965	0,06158	12,25		-258.447	-6.480	0,06158	14,88
P	A	01858	-38.205	3.565	0,12566	38,15	01859	22.465	419	0,21447	NS	01860	19.787	4.033	0,08042	20,43
	P		14.715	-736	0,12566	NS		-232.105	-1.152	0,21447	NS		10.538	-319	0,08042	NS
S	A		-388.691	18.535	0,11812	8,94		-390.007	8.819	0,13854	21,17		-397.159	8.474	0,06158	13,02
	P		-19.030	-180	0,10681	NS		-157.132	-6.005	0,13854	26,16		-344.354	-12.728	0,06158	8,14
P	A	01861	43.204	8.206	0,08042	9,67	01862	47.704	2.175	0,08042	36,20	01863	3.628	97	0,08042	NS
	P		32.514	-1.683	0,08042	47,97		39.020	-1.896	0,08042	42,13		36.033	-796	0,08042	NS
S	A		-850.185	22.115	0,06158	7,19		-498.636	20.590	0,06158	5,86		-338.203	2.475	0,06158	40,27
	P		-284.651	-6.085	0,06158	15,48		0	0	0,06158	-		-285.366	-8.118	0,06158	11,45
P	A	01864	7.024	294	0,08042	NS	01865	4.793	240	0,08042	NS	01866	63.400	446	0,08042	NS

Dir	Pos	Nodo	N_{Ed} [N]	M_{Ed} [N·m]	A_s [cm²/cm]	CS	Nodo	N_{Ed} [N]	M_{Ed} [N·m]	A_s [cm²/cm]	CS	Nodo	N_{Ed} [N]	M_{Ed} [N·m]	A_s [cm²/cm]	CS
	P		43.422	-1.003	0,08042	79,05		12.160	-572	0,08042	NS		29.052	-1.160	0,08042	69,96
S	A		0	0	0,06158	-		-245.068	291	0,06158	NS		-242.844	11.025	0,06158	8,19
	P		-341.317	-9.852	0,06158	10,11		-299.887	-14.305	0,06158	6,67		-304.664	-11.688	0,06158	8,40
P	A	01867	36.082	441	0,08042	NS	01868	35.291	1.107	0,08042	72,60	01869	60.102	647	0,08042	NS
	P		41.916	-1.528	0,08042	52,01		31.965	-1.287	0,08042	62,78		16.829	-738	0,08042	NS
S	A		-328.731	12.306	0,06158	8,11		-319.770	1.201	0,06158	83,33		-233.297	1.792	0,06158	49,66
	P		-65.895	-2.663	0,06158	24,72		-114.628	-2.437	0,06158	30,20		-154.934	-7.736	0,06158	10,19
P	A	01870	21.512	833	0,08042	98,65										
	P		8.443	-845	0,08042	99,25										
S	A		-307.758	7.723	0,06158	12,50										
	P		-230.006	-10.186	0,06158	8,50										
Piano primo						**Parete33-P11**						**Parete 33-P11**				
P	A	00031	-235.324	756	0,07697	NS	00112	-218.879	744	0,15394	NS	00250	-105.297	6.568	0,07697	14,49
	P		0	0	0,07697	-		-146.746	-4.382	0,15394	40,79		6.918	-349	0,07697	NS
S	A		-217.986	10.899	0,10681	12,85		4.060	1.123	0,12315	NS		-362.786	15.839	0,10681	10,00
	P		-28.999	-1.450	0,10681	79,76		-321.744	-5.481	0,11812	30,07		-77.541	-1.436	0,10681	84,95
P	A	00251	7.932	1.700	0,17750	NS	01115	-36.527	1.826	0,07697	47,21	01116	-63.107	3.464	0,07697	25,90
	P		-92.826	-1.279	0,17750	NS		-7.859	-397	0,07697	NS		686	-733	0,07697	NS
S	A		-238.543	275	0,13854	NS		-293.046	14.652	0,06158	6,88		-326.240	16.019	0,06158	6,74
	P		-222.268	-8.131	0,13854	21,25		-97.515	-4.721	0,06158	16,00		-125.244	-5.740	0,06158	14,31
P	A	01117	-46.092	3.302	0,07697	26,50	01118	-105.392	935	0,07697	NS	01119	-270.807	789	0,07697	NS
	P		5.898	-413	0,07697	NS		-10.230	-415	0,07697	NS		21.025	-134	0,07697	NS
S	A		-350.458	15.483	0,06158	7,17		-358.502	10.599	0,06158	9,88		-321.714	6.445	0,06158	16,18
	P		-133.833	-4.981	0,06158	16,71		-19.014	-832	0,06158	73,13		-57.343	-1.496	0,06158	46,82
P	A	01120	-281.663	726	0,07697	NS	01121	-261.367	663	0,07697	NS	01122	-259.401	601	0,17750	NS
	P		71.836	-2.086	0,07697	34,54		68.338	-1.601	0,07697	45,28		1.156	-96	0,17750	NS
S	A		-96.770	3.054	0,06158	24,61		-111.560	3.395	0,06158	23,67		-138.836	3.220	0,06158	26,06
	P		-255.413	-2.940	0,06158	32,57		-222.949	-5.911	0,06158	16,04		-189.166	-8.055	0,06158	11,23
P	A	01123	-251.180	564	0,17750	NS	01124	-294.078	636	0,17750	NS	01125	8.249	2.282	0,17750	80,05
	P		300	-951	0,17750	NS		-11.180	-541	0,17750	NS		-19.336	-2.566	0,17750	72,58
S	A		-130.807	2.875	0,06158	27,59		-235.160	2.284	0,06158	40,80		-72.510	761	0,06158	94,44
	P		-185.178	-9.066	0,06158	9,53		-213.195	-9.316	0,06158	9,70		-175.513	-8.585	0,06158	9,94
P	A	01126	-159.063	357	0,07697	NS	01127	201.477	411	0,07697	NS	01128	-295.205	452	0,15394	NS
	P		-18.999	-1.728	0,07697	48,58		-29.344	-3.044	0,07697	28,02		-34.173	-2.227	0,15394	73,76
S	A		-139.633	271	0,06158	NS		-397.174	847	0,06158	NS		-38.559	878	0,06158	69,64
	P		-186.447	-8.055	0,06158	10,45		-194.005	-8.290	0,06158	10,17		-384.360	-7.142	0,06158	14,81
P	A	01129	15.738	714	0,15394	NS	01130	17.361	700	0,07697	NS	01131	-220.490	611	0,07697	NS
	P		21.402	-984	0,15394	NS		13.686	-684	0,07697	NS		6.020	-200	0,07697	NS
S	A		-25.413	644	0,06158	NS		-17.404	870	0,06158	72,95		-17.098	855	0,06158	73,28
	P		-236.657	-8.575	0,06158	10,74		-201.904	-7.806	0,06158	11,22		-143.962	-5.964	0,06158	13,29
P	A	01132	-218.010	659	0,07697	NS	01133	14.775	712	0,07697	NS	01134	-33.378	675	0,07697	NS
	P		36.398	-1.216	0,07697	63,07		105.060	-947	0,07697	71,48		5.822	-274	0,07697	NS
S	A		-197.465	3.769	0,06158	23,09		-150.194	6.694	0,06158	11,93		-144.250	7.213	0,06158	10,13
	P		-147.131	-2.893	0,06158	27,81		26.034	-32	0,06158	NS		-14.115	-294	0,06158	NS
P	A	02079	-25.697	1.213	0,07697	69,92	02080	-240.411	718	0,17750	NS	02081	-225.524	459	0,15394	NS
	P		27.049	-764	0,07697	NS		-22.705	-1.581	0,17750	NS		-47.378	-2.747	0,15394	60,39
S	A		-361.680	12.165	0,10681	12,50		-145.414	2.082	0,13854	78,28		-44.457	1.350	0,12315	96,91
	P		-66.448	-2.964	0,10681	38,52		-189.596	-9.135	0,13854	18,46		-261.599	-8.521	0,11812	18,04
P	A	02082	-214.106	683	0,07697	NS	02083	-290.235	710	0,07697	NS	02084	-239.442	707	0,07697	NS
	P		87.869	-558	0,07697	NS		88.357	-248	0,07697	NS		11.149	-312	0,07697	NS
S	A		-231.71	11.586	0,10681	11,67		-245.05	12.211	0,06158	7,46		-269.97	5.441	0,06158	17,24

Dir	Pos	Nodo	N_{Ed} [N]	M_{Ed} [N·m]	A_s [cm²/cm]	CS	Nodo	N_{Ed} [N]	M_{Ed} [N·m]	A_s [cm²/cm]	CS	Nodo	N_{Ed} [N]	M_{Ed} [N·m]	A_s [cm²/cm]	CS
	P		6 -42.125	-1.614	0,10681	68,60		9 -76.054	-3.449	0,06158	20,05		9 -234.424	-1.242	0,06158	71,86
P	A	02085	15.725	740	0,07697	NS	02086	15.246	981	0,07697	80,99	02087	-182.732	429	0,07697	NS
	P		14.521	-212	0,07697	NS		23.229	-667	0,07697	NS		-29.441	-1.739	0,07697	49,04
S	A		-52.423	2.626	0,06158	24,99		-40.411	2.022	0,06158	31,82		-38.957	737	0,06158	89,34
	P		-216.210	-5.552	0,06158	15,67		-202.017	-8.266	0,06158	10,34		-191.248	-8.597	0,06158	9,97
P	A	02088	-300.884	798	0,07697	NS	02089	45.406	1.114	0,07697	67,78	02090	37.668	529	0,07697	NS
	P		8.759	-427	0,07697	NS		30.082	-139	0,07697	NS		-2.579	-223	0,07697	NS
S	A		-329.365	8.901	0,06158	11,42		-83.349	3.272	0,06158	21,61		-78.640	3.309	0,06158	21,23
	P		-97.999	-2.393	0,06158	29,98		-249.400	-3.697	0,06158	24,96		-200.727	-7.583	0,06158	11,36
P	A	02091	-1.929	909	0,07697	89,92										
	P		-25.536	-2.032	0,07697	41,73										
S	A		-73.766	2.160	0,06158	31,67										
	P		-175.765	-8.221	0,06158	9,94										
Piano primo						**Parete34-P12**						**Parete 34-P12**				
P	A	00033	-321.949	10.274	0,07697	11,98	00079	-53.184	1.321	0,13352	NS	00256	-301.014	3.016	0,07697	39,92
	P		5.066	-221	0,07697	NS		-37.784	-2.028	0,07697	42,59		-8.964	-544	0,07697	NS
S	A		289.217	10.349	0,10681	7,16		6.220	7.714	0,11812	15,89		-321.878	14.247	0,12315	11,64
	P		-141.217	-4.117	0,10681	31,62		-413.312	-10.479	0,10681	15,74		-109.379	-1.993	0,12315	69,59
P	A	00257	-19.688	480	0,15394	NS	01095	-75.304	4.253	0,07697	21,46	01096	-43.121	3.861	0,07697	22,56
	P		84.694	-2.219	0,15394	67,05		-32.384	-1.677	0,07697	51,10		-15.897	-996	0,07697	83,86
S	A		-337.887	1.922	0,13854	97,55		-362.620	17.749	0,06158	6,34		-372.570	17.087	0,06158	6,66
	P		-325.153	-9.815	0,13854	18,94		-185.254	-4.763	0,06158	18,88		-230.605	-4.840	0,06158	19,79
P	A	01097	-84.516	5.334	0,07697	17,34	01098	-27.647	2.714	0,12221	48,30	01099	-298.676	2.531	0,07697	47,45
	P		-17.598	-773	0,07697	NS		2.893	-139	0,07697	NS		28.130	-247	0,07697	NS
S	A		-380.256	15.799	0,06158	7,27		-298.053	12.741	0,06158	7,55		-323.872	7.773	0,06158	13,42
	P		-221.916	-4.603	0,06158	20,57		-39.508	-1.190	0,06158	52,57		-103.203	-1.325	0,06158	57,25
P	A	01100	209.778	3.541	0,07697	15,22	01101	-317.734	2.141	0,07697	57,23	01102	-333.300	1.908	0,07697	65,25
	P		6.199	-322	0,07697	NS		114.527	-730	0,07697	91,03		121.741	-1.171	0,07697	55,91
S	A		-130.565	3.049	0,06158	26,06		-162.895	3.998	0,06158	21,77		-185.103	4.457	0,06158	19,58
	P		-300.013	-998	0,06158	NS		-295.964	-4.992	0,06158	20,87		-285.819	-8.375	0,06158	11,97
P	A	01103	-319.127	1.554	0,07697	78,98	01104	-406.836	1.419	0,15394	NS	01105	217.000	3.133	0,07697	16,90
	P		-14.798	-571	0,07697	NS		26.181	-245	0,15394	NS		-19.300	-3.877	0,07697	21,66
S	A		-185.791	4.497	0,06158	19,19		-313.042	3.708	0,06158	27,74		-141.764	3.400	0,06158	23,91
	P		-268.114	-10.704	0,06158	9,05		-314.822	-10.819	0,06158	9,53		-233.308	-11.464	0,06158	8,13
P	A	01106	-4.616	1.877	0,07697	43,72	01107	36.159	1.808	0,07697	42,43	01108	53.155	2.658	0,13352	49,72
	P		68.694	-3.651	0,07697	19,85		-34.259	-4.864	0,07697	17,67		-14.126	-3.078	0,13352	45,77
S	A		-94.172	2.820	0,06158	25,77		-421.781	7.086	0,06158	15,99		-216.855	2.875	0,11812	49,29
	P		-257.907	-11.497	0,06158	8,17		-295.934	-12.057	0,06158	8,08		-346.023	-13.532	0,06158	7,51
P	A	01109	38.655	1.341	0,07697	56,97	01110	-275.338	1.709	0,07697	68,53	01111	-290.885	2.273	0,07697	52,41
	P		-18.943	-1.202	0,07697	69,83		145.563	-103	0,07697	NS		43.144	-2.006	0,07697	37,79
S	A		-119.433	4.231	0,06158	18,21		-106.854	4.600	0,06158	16,39		-85.441	4.051	0,06158	17,73
	P		-273.938	-12.098	0,06158	8,02		-269.823	-8.962	0,06158	10,77		-257.219	-5.058	0,06158	18,61
P	A	01112	-294.755	2.684	0,07697	44,56	01113	-288.098	3.153	0,07697	37,66	01114	-129.541	4.389	0,07697	22,41
	P		84.923	-441	0,07697	NS		1.734	-71	0,07697	NS		25.343	-1.267	0,07697	61,66
S	A		-263.430	4.806	0,06158	19,90		-212.079	9.983	0,06158	8,81		-243.389	12.169	0,06158	7,08
	P		-70.076	-397	0,06158	NS		-78.082	-1.784	0,06158	39,53		-39.648	-1.827	0,06158	32,58
P	A	02066	-258.069	2.406	0,07697	47,77	02067	-322.388	1.134	0,15394	NS	02068	181.563	1.577	0,13352	73,20
	P		120.662	-505	0,07697	NS		-26.325	-2.154	0,15394	75,77		-47.071	-3.211	0,07697	27,28
S	A		-342.431	13.311	0,12315	12,44		-225.850	4.089	0,13854	42,38		-162.217	2.176	0,11812	64,84
	P		-107.398	-3.329	0,12315	40,71		-264.752	-11.343	0,13854	15,71		-314.979	-13.007	0,10681	11,48
P	A	02069	-295.499	4.612	0,07697	25,95	02070	-369.416	3.119	0,07697	41,38	02071	-308.785	2.819	0,07697	43,07

Dir	Pos	Nodo	N_{Ed} [N]	M_{Ed} [N·m]	A_s [cm²/cm]	CS	Nodo	N_{Ed} [N]	M_{Ed} [N·m]	A_s [cm²/cm]	CS	Nodo	N_{Ed} [N]	M_{Ed} [N·m]	A_s [cm²/cm]	CS
	P		87.755	-326	0,07697	NS		49.612	-216	0,07697	NS		491	-13	0,07697	NS
S	A		-304.967	15.035	0,10681	9,57		-297.222	14.471	0,06158	6,76		-303.556	7.171	0,06158	13,71
	P		-98.070	-4.163	0,06158	17,28		-171.326	-3.128	0,06158	26,10		-148.506	-867	0,06158	90,38
P	A	02072	-291.908	2.155	0,07697	55,34	02073	-264.931	1.542	0,07697	75,11	02074	-28.196	1.744	0,07697	48,83
	P		8.814	-187	0,07697	NS		-10.065	-755	0,07697	NS		-41.532	-2.635	0,07697	32,98
S	A		-128.505	4.077	0,06158	18,62		-115.112	4.647	0,06158	16,01		-110.786	2.766	0,06158	27,32
	P		-283.734	-4.965	0,06158	19,34		-248.094	-10.722	0,06158	8,55		-269.860	-12.110	0,06158	7,94
P	A	02075	-359.376	2.573	0,07697	49,66	02076	-304.642	2.394	0,07697	50,49	02077	-303.592	1.876	0,07697	64,36
	P		10.885	-585	0,07697	NS		15.157	-304	0,07697	NS		101.193	-697	0,07697	97,77
S	A		-356.198	9.881	0,06158	10,60		-160.752	3.165	0,06158	25,50		-147.850	4.486	0,06158	17,63
	P		-194.414	-1.659	0,06158	50,62		-305.915	-1.781	0,06158	55,83		-269.265	-8.002	0,06158	11,85
P	A	02078	-18.371	1.342	0,07697	62,49										
	P		-23.223	-1.995	0,07697	42,34										
S	A		-139.689	4.223	0,06158	18,12										
	P		-239.755	-11.140	0,06158	8,04										
Piano primo						**Parete35-P13**						**Parete 35-P13**				
P	A	00035	-334.745	1.754	0,07697	71,07	00113	-77.249	3.485	0,12221	39,47	00262	-47.774	2.403	0,07697	36,49
	P		-2.297	-65	0,07697	NS		-133.733	-7.684	0,12221	18,85		-16.114	-771	0,07697	NS
S	A		-260.319	13.016	0,10681	11,18		-305.583	3.333	0,11812	48,81		-291.682	12.278	0,12315	13,20
	P		-202.764	-5.762	0,10681	23,97		-376.287	-9.569	0,11812	17,94		-192.302	-4.000	0,12315	37,33
P	A	00263	-2.811	2.352	0,15394	68,11	01155	-80.430	4.486	0,07697	20,50	01156	-76.593	4.256	0,07697	21,49
	P		36.486	-1.784	0,15394	86,90		-40.243	-2.639	0,07697	32,86		-38.388	-1.937	0,07697	44,65
S	A		-327.892	2.733	0,13854	68,15		-334.754	16.554	0,06158	6,40		-376.252	15.345	0,06158	7,45
	P		-347.193	-10.033	0,13854	18,81		-269.560	-6.564	0,06158	14,88		-322.967	-5.107	0,06158	21,07
P	A	01157	-68.831	3.696	0,07697	24,47	01158	-80.198	1.200	0,07697	76,60	01159	-336.130	869	0,07697	NS
	P		-46.684	-1.547	0,07697	56,58		12.981	-471	0,07697	NS		11.202	-177	0,07697	NS
S	A		-417.279	13.298	0,06158	8,98		-349.856	9.675	0,06158	10,62		-362.700	5.213	0,06158	20,97
	P		-310.477	-4.566	0,06158	23,22		-120.318	-2.603	0,06158	28,09		-195.774	-1.699	0,06158	51,77
P	A	01160	-369.478	791	0,07697	NS	01161	-352.640	710	0,07697	NS	01162	223.343	1.998	0,07697	26,09
	P		5.726	-298	0,07697	NS		140.904	-1.982	0,07697	31,77		166.460	-374	0,07697	NS
S	A		-217.765	2.454	0,06158	37,03		-227.441	3.729	0,06158	25,58		-225.140	4.598	0,06158	20,68
	P		-327.131	-1.799	0,06158	58,31		-322.454	-5.318	0,06158	20,22		-305.315	-8.380	0,06158	12,57
P	A	01163	184.627	1.461	0,07697	39,17	01164	-22.320	201	0,15394	NS	01165	-55.555	2.048	0,07697	43,33
	P		-15.560	-718	0,07697	NS		65.172	-573	0,15394	NS		-37.243	-3.448	0,07697	25,03
S	A		-223.362	5.088	0,06158	17,93		-309.482	4.461	0,06158	22,99		-172.567	5.283	0,06158	16,15
	P		-291.247	-10.447	0,06158	9,57		-337.604	-10.936	0,06158	9,70		-258.459	-12.445	0,06158	7,75
P	A	01166	-22.754	2.165	0,07697	38,99	01167	-33.039	649	0,07697	NS	01168	45.559	1.698	0,12221	71,64
	P		-26.803	-3.060	0,07697	27,76		217.521	-199	0,07697	NS		-48.054	-2.366	0,12221	56,54
S	A		-137.450	5.655	0,06158	13,83		-176.253	3.517	0,06158	23,31		-347.167	3.728	0,11812	42,46
	P		-249.723	-12.463	0,06158	7,44		-262.339	-10.556	0,06158	8,82		-442.498	-8.389	0,11812	20,29
P	A	01169	-322.501	757	0,07697	NS	01170	-325.848	768	0,07697	NS	01171	-318.361	799	0,07697	NS
	P		47.928	-1.322	0,07697	56,85		207.828	-88	0,07697	NS		71.219	-496	0,07697	NS
S	A		-231.319	4.829	0,06158	18,91		-215.861	4.697	0,06158	19,02		-177.580	3.937	0,06158	21,25
	P		-334.787	-9.180	0,06158	11,39		-319.616	-7.718	0,06158	13,30		-297.447	-5.122	0,06158	19,35
P	A	01172	-312.749	847	0,07697	NS	01173	-289.181	886	0,07697	NS	01174	-53.497	954	0,07697	92,73
	P		14.002	-168	0,07697	NS		431	-14	0,07697	NS		6.175	-281	0,07697	NS
S	A		-276.488	2.978	0,06158	32,62		-206.861	7.864	0,06158	11,06		-173.188	8.659	0,06158	8,73
	P		-295.006	-1.452	0,06158	68,55		-166.734	-2.147	0,06158	38,10		-81.432	-3.368	0,06158	18,88
P	A	02105	156.522	732	0,07697	83,27	02106	109.283	728	0,15394	NS	02107	-54.473	1.286	0,12221	NS
	P		9.168	-153	0,07697	NS		-31.993	-2.362	0,15394	69,40		-45.727	-2.668	0,12221	50,03
S	A		-315.883	10.411	0,12315	15,58		-240.338	4.927	0,13854	35,54		-267.814	3.613	0,11812	42,74

Dir	Pos	Nodo	N_{Ed} [N]	M_{Ed} [N·m]	A_s [cm²/cm]	CS	Nodo	N_{Ed} [N]	M_{Ed} [N·m]	A_s [cm²/cm]	CS	Nodo	N_{Ed} [N]	M_{Ed} [N·m]	A_s [cm²/cm]	CS
	P		-209.033	-4.104	0,12315	36,21		-282.334	-12.096	0,13854	14,92		-354.781	-9.472	0,11812	17,46
P	A	02108	-304.273	1.121	0,07697	NS	02109	-408.103	831	0,07697	NS	02110	-334.320	907	0,07697	NS
	P		10.854	-297	0,07697	NS		19.437	-840	0,07697	93,94		0	0	0,07697	-
S	A		-249.334	12.450	0,10681	11,00		-300.121	12.277	0,06158	7,98		-350.380	4.009	0,06158	25,93
	P		-159.728	-5.732	0,10681	21,89		-257.739	-3.759	0,06158	24,61		-237.955	-1.065	0,06158	84,17
P	A	02111	-319.794	778	0,07697	NS	02112	-306.691	675	0,07697	NS	02113	-36.245	1.575	0,07697	54,73
	P		10.553	-33	0,07697	NS		-8.450	-515	0,07697	NS		-37.793	-2.178	0,07697	39,67
S	A		-222.682	3.677	0,06158	23,90		-206.396	4.989	0,06158	17,24		-197.806	4.389	0,06158	19,73
	P		-319.847	-5.181	0,06158	19,37		-290.511	-9.499	0,06158	10,19		-269.604	-11.180	0,06158	8,57
P	A	02114	-387.710	906	0,07697	NS	02115	28.248	838	0,07697	92,76	02116	72.158	447	0,07697	NS
	P		11.245	-568	0,07697	NS		511	-11	0,07697	NS		-4.259	-248	0,07697	NS
S	A		-411.919	6.515	0,06158	17,15		-240.752	2.679	0,06158	34,09		-217.537	4.445	0,06158	19,86
	P		-279.941	-1.951	0,06158	48,74		-339.736	-2.509	0,06158	41,43		-302.211	-7.756	0,06158	12,79
P	A	02117	-35.721	1.087	0,07697	79,26										
	P		-40.515	-2.154	0,07697	40,28										
S	A		-186.769	4.886	0,06158	16,98										
	P		-248.403	-11.207	0,06158	8,11										
Piano primo						**Parete36-P14**						**Parete 36-P14**				
P	A	00037	-348.054	2.130	0,07697	59,32	00114	-60.782	2.785	0,13352	52,75	00268	-195.429	7.165	0,07697	14,92
	P		-61.870	-246	0,07697	NS		-162.410	-7.261	0,13352	22,04		-3.750	-155	0,07697	NS
S	A		-303.619	12.437	0,10681	12,14		-263.249	2.371	0,11812	66,36		-400.297	9.528	0,13854	20,50
	P		-174.379	-3.344	0,10681	40,21		-492.153	-7.801	0,11812	23,85		687.382	-951	0,13854	57,17
P	A	00269	-34.414	3.615	0,13352	39,70	01135	-130.258	8.332	0,07697	11,82	01136	-88.499	4.982	0,07697	18,67
	P		-164.050	-2.076	0,13352	77,17		-47.725	-3.517	0,07697	24,93		-18.697	-1.237	0,07697	67,83
S	A		-2.184.492	3.251	0,11812	92,65		-373.259	14.260	0,06158	7,99		-460.995	10.964	0,06158	11,39
	P		-453.102	-7.058	0,12315	26,38		-256.696	-6.279	0,06158	15,79		-312.168	-3.173	0,06158	33,47
P	A	01137	-96.417	4.659	0,07697	20,19	01138	-7.943	2.750	0,12221	46,76	01139	-366.054	1.907	0,07697	67,47
	P		-32.248	-938	0,07697	91,37		254.362	-2.512	0,12221	37,55		7.207	-622	0,07697	NS
S	A		-487.085	9.757	0,06158	13,12		-385.257	7.025	0,13854	26,26		-189.447	2.679	0,06158	32,63
	P		232.218	-1.607	0,06158	21,86		-91.620	-622	0,13854	NS		-218.015	-3.003	0,06158	30,34
P	A	01140	169.838	8.492	0,07697	6,97	01141	208.426	752	0,07697	71,90	01142	139.348	155	0,07697	NS
	P		250.368	-3.119	0,07697	15,57		117.585	-2.204	0,07697	29,96		8.183	-409	0,07697	NS
S	A		-201.574	3.480	0,06158	25,54		-220.072	4.032	0,06158	23,42		-236.229	4.199	0,06158	22,98
	P		-54.843	-1.778	0,06158	39,23		-379.582	-5.760	0,06158	19,92		-361.546	-8.199	0,06158	13,72
P	A	01143	146.690	747	0,07697	83,25	01144	57.356	2.043	0,13352	64,40	01145	-14.469	4.310	0,07697	19,34
	P		114.089	-2.305	0,07697	28,85		-554.451	-1.111	0,13352	NS		-53.826	-3.625	0,07697	24,41
S	A		-231.486	4.211	0,06158	21,91		-358.691	3.095	0,11812	53,42		-158.544	3.061	0,06158	27,19
	P		-356.888	-9.723	0,06158	11,13		-333.663	-8.741	0,12315	19,12		-237.664	-11.939	0,06158	7,83
P	A	01146	146.664	1.533	0,07697	40,57	01147	49.394	1.082	0,07697	69,29	01148	-16.804	806	0,13352	NS
	P		-20.387	-3.412	0,07697	24,65		193.381	-1.467	0,07697	38,23		-52.573	-2.270	0,13352	64,26
S	A		-98.817	3.713	0,06158	19,65		-47.198	2.311	0,06158	28,44		-316.561	3.064	0,11812	50,45
	P		-261.753	-12.941	0,06158	7,27		-319.884	-10.446	0,06158	9,67		-515.540	-7.544	0,11812	23,78
P	A	01149	-11.049	495	0,07697	NS	01150	-326.998	588	0,07697	NS	01151	-323.155	801	0,07697	NS
	P		35.634	-1.388	0,07697	55,34		127.851	-2.433	0,07697	26,59		83.025	-1.213	0,07697	58,17
S	A		-187.072	4.388	0,06158	19,54		-168.462	4.782	0,06158	17,48		-125.325	4.395	0,06158	17,64
	P		-411.722	-8.399	0,06158	13,61		-401.753	-7.273	0,06158	15,59		-390.580	-5.289	0,06158	21,09
P	A	01152	-326.950	1.232	0,07697	NS	01153	-311.982	1.550	0,07697	78,60	01154	-89.820	1.672	0,07697	55,73
	P		58.614	-261	0,07697	NS		85.599	-364	0,07697	NS		11.352	-40	0,07697	NS
S	A		-135.587	3.323	0,06158	23,90		-299.994	5.025	0,06158	19,74		-182.504	9.033	0,06158	8,53

Dir	Pos	Nodo	N_{Ed} [N]	M_{Ed} [N·m]	A_s [cm²/cm]	CS	Nodo	N_{Ed} [N]	M_{Ed} [N·m]	A_s [cm²/cm]	CS	Nodo	N_{Ed} [N]	M_{Ed} [N·m]	A_s [cm²/cm]	CS
	P		-384.947	-2.395	0,06158	46,50		-138.449	-1.017	0,06158	77,07		-45.542	-2.039	0,06158	28,98
P	A	02092	-310.483	3.706	0,07697	32,82	02093	-106.582	870	0,13352	NS	02094	-37.592	1.221	0,13352	NS
	P		131.698	-469	0,07697	NS		-55.028	-1.749	0,13352	83,58		-56.892	-3.240	0,13352	45,19
S	A		-449.545	6.995	0,13854	27,73		-264.059	3.127	0,11812	50,36		-228.966	2.729	0,11812	54,76
	P		296.817	-1.373	0,13854	71,27		-292.152	-9.902	0,12315	16,77		-428.373	-8.324	0,11812	20,99
P	A	02095	-322.615	1.867	0,07697	65,98	02096	-432.522	1.875	0,07697	73,05	02097	-354.235	1.589	0,07697	79,99
	P		10.744	-406	0,07697	NS		15.652	-618	0,07697	NS		2.391	-19	0,07697	NS
S	A		-254.869	12.084	0,10681	11,40		-388.064	8.548	0,06158	12,79		-218.217	2.531	0,06158	34,51
	P		-136.053	-4.406	0,10681	27,81		-240.912	-2.633	0,06158	34,43		38.970	-563	0,06158	95,42
P	A	02098	-333.826	954	0,07697	NS	02099	-316.196	331	0,07697	NS	02100	-25.471	1.560	0,07697	54,37
	P		8.459	-162	0,07697	NS		-17.023	-924	0,07697	90,52		-53.030	-2.921	0,07697	30,26
S	A		-185.702	4.114	0,06158	20,27		-169.812	4.595	0,06158	17,77		-159.964	3.183	0,06158	25,70
	P		-394.493	-5.441	0,06158	20,23		-368.834	-8.806	0,06158	12,17		-338.734	-10.176	0,06158	10,30
P	A	02101	-432.869	2.254	0,07697	60,77	02102	28.805	998	0,07697	77,81	02103	-361.312	562	0,07697	NS
	P		11.374	-570	0,07697	NS		0	0	0,07697	-		33.603	-995	0,07697	77,41
S	A		-461.558	4.364	0,06158	26,97		-219.161	3.464	0,06158	25,54		-200.444	4.395	0,06158	19,61
	P		87.635	-811	0,06158	57,77		-401.868	-3.300	0,06158	33,85		-369.848	-7.500	0,06158	14,38
P	A	02104	90.727	1.202	0,07697	57,88										
	P		-53.319	-1.937	0,07697	45,65										
S	A		-177.894	3.994	0,06158	20,45										
	P		-318.847	-10.269	0,06158	9,72										
Piano primo						**ParetteP15-41**						**Parete P15-41**				
P	A	00111	74.140	3.703	0,10179	26,21	00276	41.264	2.212	0,05655	24,94	00277	16.708	822	0,05655	71,04
	P		-76.686	-15.328	0,10681	7,95		32.309	-1.726	0,06158	35,62		-310.497	-563	0,06158	NS
S	A		40.016	7.748	0,13352	17,27		-145.681	7.284	0,05655	10,94		-125.626	6.268	0,05655	12,29
	P		-352.887	-12.553	0,11812	13,45		0	0	0,05655	-		-123.704	-2.333	0,05655	32,92
P	A	00278	-622.071	9.549	0,15708	25,08	01075	5.380	258	0,05655	NS	01076	11.462	554	0,05655	NS
	P		-169.542	-15.268	0,13854	10,88		-299.287	-607	0,06158	NS		-277.055	-217	0,06158	NS
S	A		50.155	16.171	0,13352	8,20		-155.796	7.112	0,05655	10,73		-172.496	7.839	0,05655	9,89
	P		-473.181	-21.047	0,11310	8,50		-133.876	-583	0,05655	NS		-139.022	-425	0,05655	NS
P	A	01077	20.357	657	0,05655	88,18	01078	16.214	787	0,05655	74,30	01079	28.408	177	0,05655	NS
	P		420	-22	0,06158	NS		55.053	-759	0,06158	77,01		11.174	-534	0,06158	NS
S	A		-156.122	7.798	0,05655	9,76		-97.137	4.554	0,05655	15,50		-88.888	4.307	0,05655	16,14
	P		-263.560	-286	0,05655	NS		-329.735	-22	0,05655	NS		-57.935	-1.898	0,05655	34,49
P	A	01080	136.393	429	0,05655	99,42	01081	1.142	57	0,05655	NS	01082	6.099	156	0,05655	NS
	P		13.923	-685	0,06158	93,32		172.873	-2.865	0,06158	14,99		-82.867	-1.442	0,06158	53,13
S	A		-81.887	4.094	0,05655	16,52		-68.526	3.426	0,05655	20,31		-69.751	3.488	0,05655	20,00
	P		-106.487	-5.323	0,05655	13,32		-204.999	-10.136	0,05655	8,62		-155.367	-7.768	0,05655	10,42
P	A	01083	89.068	2.175	0,05655	22,46	01084	24.659	968	0,10179	NS	01085	189.657	651	0,05655	54,65
	P		-97.771	-2.228	0,06158	35,26		-62.125	-4.471	0,10681	26,83		6.981	-3.048	0,06158	21,26
S	A		-55.318	2.766	0,05655	24,53		-61.553	2.815	0,13352	52,22		29.038	4.146	0,05655	13,69
	P		-174.496	-8.725	0,05655	9,56		-199.437	-9.972	0,11812	14,96		-377.682	-14.353	0,05655	7,62
P	A	01086	-178.580	1.470	0,05655	57,13	01087	-234.008	5.114	0,15708	37,32	01088	-738.159	3.816	0,15708	65,89
	P		176.444	-643	0,06158	66,08		78.773	-693	0,06158	79,96		-28.115	-1.544	0,13854	95,71
S	A		-136.066	3.280	0,05655	22,40		179.181	2.778	0,05655	11,67		-504.141	5.226	0,13352	35,72
	P		-264.169	-12.492	0,05655	7,21		-317.033	-12.585	0,05655	7,73		-485.542	-16.660	0,05655	6,79
P	A	01089	19.388	921	0,15708	NS	01090	129.495	2.010	0,05655	21,66	01091	8.621	452	0,05655	NS
	P		-25.574	-1.278	0,13854	NS		-13.920	-1.094	0,06158	61,77		144.214	-1.182	0,06158	39,52
S	A		-260.867	7.985	0,05655	11,45		-187.038	8.082	0,05655	10,52		-154.103	7.359	0,05655	10,98
	P		-368.812	-17.425	0,05655	6,03		-310.724	-15.527	0,05655	6,50		-256.502	-12.208	0,05655	7,70
P	A	01092	14.176	668	0,05655	87,87	01093	10.351	499	0,05655	NS	01094	68.744	1.007	0,05655	51,19
	P		69.610	-3.573	0,06158	15,83		40.068	-1.245	0,06158	48,56		-351.789	-442	0,06158	NS

Dir	Pos	Nodo	N_{Ed} [N]	M_{Ed} [N·m]	A_s [cm²/cm]	CS	Nodo	N_{Ed} [N]	M_{Ed} [N·m]	A_s [cm²/cm]	CS	Nodo	N_{Ed} [N]	M_{Ed} [N·m]	A_s [cm²/cm]	CS
S	A		-126.368	6.076	0,05655	12,70		-96.655	4.707	0,05655	15,57		-160.959	4.206	0,05655	19,42
	P		-187.317	-9.005	0,05655	9,45		-144.819	-5.258	0,05655	15,13		-309.804	-495	0,05655	NS
P	A	02053	150.844	2.257	0,05655	18,04	02054	14.081	703	0,10179	NS	02055	-505.452	3.158	0,15708	71,78
	P		-542	-12	0,06158	NS		-102.132	-5.843	0,10681	21,42		-66.773	-4.116	0,13854	37,13
S	A		-126.979	5.477	0,05655	13,45		8.197	5.744	0,13352	24,02		-323.960	6.346	0,13352	27,64
	P		0	0	0,05655	-		-308.752	-12.892	0,11812	12,66		-384.599	-15.349	0,11310	10,61
P	A	02056	72.664	794	0,05655	64,26	02057	1.696	33	0,05655	NS	02058	2.076	97	0,05655	NS
	P		-320.846	-545	0,06158	NS		-299.447	-519	0,06158	NS		10.352	-465	0,06158	NS
S	A		-142.294	5.221	0,05655	14,63		-166.848	4.280	0,05655	18,05		-128.091	5.360	0,05655	13,52
	P		-138.410	-151	0,05655	NS		0	0	0,05655	-		-134.233	-5.905	0,05655	12,40
P	A	02059	23.327	913	0,05655	63,01	02060	48.791	736	0,05655	73,60	02061	-3.284	1.737	0,05655	35,13
	P		-262.382	-699	0,06158	NS		146.590	-374	0,06158	NS		-52.260	-3.293	0,06158	22,04
S	A		-151.196	6.589	0,05655	11,45		-166.133	6.886	0,05655	11,19		-162.657	6.556	0,05655	11,75
	P		-223.470	-10.633	0,05655	7,98		-291.167	-13.754	0,05655	6,78		-258.735	-10.871	0,05655	8,23
P	A	02062	1.794	67	0,05655	NS	02063	93.527	4.350	0,05655	11,10	02064	370	245	0,05655	NS
	P		-257.699	-469	0,06158	NS		-187.588	-742	0,06158	NS		-166.370	-1.214	0,06158	72,06
S	A		-121.509	4.775	0,05655	14,87		-119.549	5.807	0,05655	12,21		-117.524	5.502	0,05655	12,89
	P		-107.730	-2.010	0,05655	34,43		-146.284	-6.948	0,05655	10,71		-206.472	-10.324	0,05655	7,99
P	A	02065	-20.544	1.527	0,05655	41,43										
	P		-30.130	-2.110	0,06158	33,02										
S	A		-99.301	4.126	0,05655	16,73										
	P		-213.061	-8.954	0,05655	9,36										
Piano primo						**Parete38-39**						**Parete 38-39**				
P	A	00108	-84.578	2.430	0,15739	71,72	00109	-550.038	3.853	0,13697	55,09	00191	-5.708	3.134	0,13697	45,72
	P		-143.116	-3.642	0,15739	49,91		-176.227	-7.890	0,13697	20,95		-3.795	-5.330	0,13697	26,84
S	A		-219.631	2.488	0,13854	69,28		164.014	2.438	0,19562	74,19		-219.316	2.377	0,19562	96,91
	P		-419.718	-7.317	0,12315	24,93		-512.796	-8.571	0,19562	31,19		-224.244	-7.041	0,19562	32,80
P	A	00286	23.083	1.767	0,08042	46,38	00287	-4.038	245	0,08042	NS	01006	-10.648	527	0,08042	NS
	P		27.779	-1.294	0,08042	62,85		-203.695	-141	0,08042	NS		-4.554	-226	0,08042	NS
S	A		-173.924	7.790	0,06158	10,86		-172.932	7.415	0,06158	11,40		-218.677	6.696	0,06158	12,97
	P		-68.278	-1.589	0,06158	44,55		-180.951	-1.187	0,06158	72,13		-192.974	-1.224	0,06158	68,25
P	A	01007	-37.447	1.895	0,08042	47,44	01008	-21.022	1.077	0,08042	81,47	01009	-2.769	145	0,08042	NS
	P		-17.008	-862	0,08042	NS		-9.768	-498	0,08042	NS		-234.697	-258	0,08042	NS
S	A		-248.199	7.435	0,06158	11,87		-276.724	6.358	0,06158	14,24		-279.036	7.009	0,06158	12,92
	P		-225.404	-1.787	0,06158	47,77		-244.807	-1.709	0,06158	50,57		-238.363	-1.631	0,06158	52,30
P	A	01010	2.190	75	0,08042	NS	01011	74.668	248	0,08042	NS	01012	45.690	2.285	0,08042	34,58
	P		-203.571	-275	0,08042	NS		20.652	-781	0,08042	NS		75.120	-177	0,08042	NS
S	A		-261.112	6.702	0,06158	13,32		-231.113	6.763	0,06158	12,99		-187.847	4.242	0,06158	20,32
	P		-224.541	-1.284	0,06158	65,90		-196.113	-1.309	0,06158	63,61		-98.644	-144	0,06158	NS
P	A	01013	-211.826	241	0,08042	NS	01014	19.899	673	0,08042	NS	01015	-287.192	546	0,08042	NS
	P		158.425	-153	0,08042	NS		161.023	-1.036	0,08042	61,62		229.189	-731	0,08042	75,12
S	A		-191.616	4.946	0,06158	17,44		-212.414	6.033	0,06158	14,61		-231.820	6.651	0,06158	13,75
	P		-149.017	-4.227	0,06158	19,10		-153.227	-7.357	0,06158	10,94		-198.393	-9.639	0,06158	9,04
P	A	01016	-368.000	899	0,08042	NS	01017	-24.624	817	0,08042	NS	01018	-545.482	1.574	0,13697	NS
	P		-2.470	-193	0,08042	NS		-22.258	-1.152	0,08042	76,32		-42.627	-1.130	0,13697	NS
S	A		-295.499	6.728	0,06158	14,62		-316.059	5.769	0,06158	17,26		-526.690	3.528	0,19562	73,73
	P		-245.661	-11.218	0,06158	8,20		-287.919	-11.200	0,06158	8,57		-501.453	-7.688	0,19562	33,42
P	A	01019	-16.283	5.637	0,13697	25,66	01020	166.920	4.966	0,08042	12,71	01021	-2.884	1.344	0,08042	63,50
	P		45.024	-6.135	0,13697	22,28		28.371	-2.530	0,08042	32,12		94.470	-3.151	0,08042	23,04
S	A		-262.69	1.453	0,19562	NS		-199.71	5.275	0,06158	17,40		-161.39	6.120	0,06158	14,19

Dir	Pos	Nodo	N_{Ed} [N]	M_{Ed} [N·m]	A_s [cm²/cm]	CS	Nodo	N_{Ed} [N]	M_{Ed} [N·m]	A_s [cm²/cm]	CS	Nodo	N_{Ed} [N]	M_{Ed} [N·m]	A_s [cm²/cm]	CS
	P		8 -361.517	-2.700	0,19562	89,38		0 -222.466	-9.830	0,06158	9,64		5 -223.736	-11.187	0,06158	8,48
P	A	01022	-12.816	2.770	0,08042	31,29	01023	-23.441	1.833	0,08042	48,03	01024	-17.115	2.171	0,15739	76,23
	P		207.352	-1.849	0,08042	31,25		-21.205	-2.086	0,08042	42,06		-12.967	-2.413	0,15739	68,37
S	A		-119.375	4.909	0,06158	16,02		-121.475	5.300	0,06158	15,40		-128.864	4.259	0,06158	18,70
	P		-213.116	-10.643	0,06158	8,53		-234.653	-11.132	0,06158	8,65		-230.686	-11.214	0,06158	8,28
P	A	01025	4.238	510	0,15739	NS	01026	9.778	1.172	0,15739	NS	01027	926	293	0,08042	NS
	P		-32.602	-1.743	0,15739	96,14		-13.182	-703	0,15739	NS		-15.247	-762	0,08042	NS
S	A		-234.034	5.524	0,06158	15,44		-141.552	6.313	0,06158	12,37		-137.075	6.041	0,06158	13,03
	P		-398.332	-10.204	0,06158	10,41		-286.301	-11.710	0,06158	8,27		-287.286	-10.712	0,06158	9,16
P	A	01028	-207.804	280	0,08042	NS	01029	152.718	2.352	0,08042	27,62	01030	39.216	486	0,08042	NS
	P		97.897	-475	0,08042	NS		138.338	-1.653	0,08042	40,45		63.069	-290	0,08042	NS
S	A		-130.428	5.917	0,06158	13,12		-131.920	5.833	0,06158	13,53		-124.865	5.206	0,06158	14,90
	P		-311.070	-9.355	0,06158	10,79		-308.443	-7.140	0,06158	14,24		-322.967	-4.225	0,06158	24,41
P	A	01031	-4.761	234	0,08042	NS	01982	641	29	0,08042	NS	01983	-365.466	2.050	0,13697	92,37
	P		123.015	-252	0,08042	NS		203.104	-3.783	0,08042	15,42		-8.492	-1.918	0,13697	74,89
S	A		-115.084	3.622	0,06158	21,46		-208.225	5.081	0,06158	17,14		-396.228	4.071	0,19562	60,42
	P		-65.094	-853	0,06158	83,51		-76.336	-2.475	0,06158	28,25		-390.211	-8.680	0,19562	28,25
P	A	01984	-16.021	1.753	0,15739	94,35	01985	-7.029	374	0,08042	NS	01986	-7.425	391	0,08042	NS
	P		-46.791	-2.571	0,15739	65,87		141.486	-365	0,08042	NS		-212.165	-172	0,08042	NS
S	A		-177.191	4.697	0,13854	33,93		-218.853	4.577	0,06158	19,51		-166.974	3.221	0,06158	24,70
	P		-282.358	-11.356	0,12315	13,86		-642.982	-724	0,06158	NS		-316.835	-525	0,06158	NS
P	A	01987	3.288	173	0,08042	NS	01988	8.343	477	0,08042	NS	01989	-14.869	1.145	0,08042	75,93
	P		16.495	-394	0,08042	NS		28.899	-1.094	0,08042	74,22		138.226	-3.135	0,08042	21,32
S	A		-143.494	5.634	0,06158	13,60		-140.311	6.276	0,06158	12,15		-143.361	6.185	0,06158	12,32
	P		-281.486	-5.823	0,06158	16,23		-264.645	-9.553	0,06158	9,67		-247.903	-11.497	0,06158	7,81
P	A	01990	-25.708	1.379	0,08042	64,07	01991	-12.150	626	0,08042	NS	01992	518	210	0,08042	NS
	P		-36.722	-2.229	0,08042	40,28		-2.339	-126	0,08042	NS		-739	-125	0,08042	NS
S	A		-145.795	4.745	0,06158	16,11		-189.117	4.210	0,06158	18,82		-161.693	6.318	0,06158	11,96
	P		-237.412	-11.346	0,06158	7,78		-283.085	-3.083	0,06158	29,62		-240.965	-8.018	0,06158	10,71
P	A	01993	-10.154	1.591	0,08042	54,23	01994	-40.583	2.779	0,08042	32,49	01995	-1.143	59	0,08042	NS
	P		-27.741	-1.439	0,08042	61,59		-50.775	-3.019	0,08042	30,34		-214.534	-201	0,08042	NS
S	A		-148.727	6.603	0,06158	11,29		-143.970	5.179	0,06158	14,55		-279.815	3.572	0,06158	25,37
	P		-230.407	-10.028	0,06158	8,49		-215.712	-10.508	0,06158	8,06		-775.319	-517	0,06158	NS
P	A	01996	-207.121	184	0,08042	NS	01997	-5.281	446	0,08042	NS	01998	-28.033	2.017	0,08042	43,94
	P		1.367	-62	0,08042	NS		-9.474	-520	0,08042	NS		-33.764	-1.859	0,08042	48,08
S	A		-203.823	5.281	0,06158	15,28		-184.281	6.519	0,06158	12,03		-171.371	6.316	0,06158	12,30
	P		-247.783	-6.001	0,06158	14,40		-223.704	-9.223	0,06158	9,05		-219.587	-9.984	0,06158	8,41
P	A	01999	-48.737	3.416	0,08042	26,74	02000	-209.640	132	0,08042	NS	02001	-213.440	341	0,08042	NS
	P		-45.155	-3.172	0,08042	28,65		17.428	-225	0,08042	NS		6.032	-64	0,08042	NS
S	A		-143.768	4.581	0,06158	16,87		-216.944	4.008	0,06158	21,34		-213.044	5.940	0,06158	14,32
	P		-201.477	-9.963	0,06158	8,51		-220.445	-2.906	0,06158	29,58		-216.128	-7.424	0,06158	11,51
P	A	02002	-10.487	641	0,08042	NS	02003	-9.468	1.486	0,08042	58,03					
	P		19.136	-482	0,08042	NS		-17.586	-1.620	0,08042	53,89					
S	A		-231.982	6.813	0,06158	12,81		-265.451	5.853	0,06158	15,33					
	P		-235.948	-10.049	0,06158	8,74		-273.667	-10.097	0,06158	8,99					
Piano primo						**Parete1-P8**						**Parete 1-P8**				
P	A	00002	-276.933	37.078	0,10053	3,80	00105	-110.822	17.246	0,10053	6,95	00205	-40.324	3.933	0,10053	28,15
	P		-205.224	-1.385	0,07697	78,12		-103.171	-1.748	0,07697	54,31		74.352	-1.083	0,07697	66,19
S	A		-806.214	41.423	0,10053	4,64		-915.713	46.713	0,10053	4,40		-917.358	13.632	0,10053	14,91
	P		-6.415	-1.343	0,08042	57,88		-48.092	-2.405	0,08042	35,99		-145.468	-2.188	0,08042	44,19

Dir	Pos	Nodo	N_{Ed} [N]	M_{Ed} [N·m]	A_s [cm²/cm]	CS	Nodo	N_{Ed} [N]	M_{Ed} [N·m]	A_s [cm²/cm]	CS	Nodo	N_{Ed} [N]	M_{Ed} [N·m]	A_s [cm²/cm]	CS
P	A	00206	0	0	0,10053	-	00288	70.982	1.167	0,23457	NS	00294	-957	6.238	0,50266	80,94
	P		87.548	-2.732	0,07697	25,62		-75.935	-5.504	0,27803	53,67		58.049	-1.225	0,27803	NS
S	A		-192.895	9.621	0,10053	13,55		-249.652	3.188	0,14577	55,94		-309.587	7.236	0,10053	20,06
	P		-140.073	-7.004	0,08042	14,74		-299.772	-12.545	0,32673	28,24		143.053	-2.757	0,08042	24,03
P	A	00341	162.593	21.886	0,50266	22,32	00342	94.020	4.660	0,23457	49,28	00788	74.938	2.352	0,10053	40,70
	P		0	0	0,27803	-		-543.414	-6.916	0,27803	50,88		256.726	-9.473	0,07697	5,05
S	A		501.534	17.516	0,30159	13,98		164.220	5.646	0,50266	86,57		-319.658	6.764	0,10053	20,31
	P		-13.285	-269	0,28149	NS		-391.405	-8.865	0,28149	38,39		-676.276	-30.588	0,08042	5,28
P	A	00789	103.690	3.415	0,10053	26,92	00790	390.317	2.762	0,10053	19,65	00791	300.790	8.935	0,10053	7,39
	P		341.728	-6.469	0,07697	5,66		218.292	-3.668	0,07697	14,41		-156.455	-229	0,07697	NS
S	A		0	0	0,10053	-		0	0	0,10053	-		0	0	0,10053	-
	P		-393.467	-19.656	0,08042	6,42		-358.909	-17.751	0,08042	6,90		-479.956	-11.767	0,08042	11,59
P	A	00792	185.521	1.526	0,10053	53,20	00793	227.592	6.744	0,10053	11,22	00794	4.016	201	0,10053	NS
	P		366.244	-1.652	0,07697	20,23		126.821	-2.493	0,07697	26,01		80.462	-1.841	0,07697	38,52
S	A		0	0	0,10053	-		0	0	0,10053	-		-576.137	10.255	0,10053	16,47
	P		-461.861	-23.067	0,08042	5,90		-700.746	-13.670	0,08042	12,05		-1.063.086	-22.052	0,08042	9,14
P	A	01056	-106.724	10.473	0,10053	11,39	01057	131.270	8.688	0,10053	10,17	01058	70.918	3.613	0,10053	26,63
	P		0	0	0,07697	-		0	0	0,07697	-		0	0	0,07697	-
S	A		-678.962	23.118	0,10053	7,66		-645.798	18.627	0,10053	9,29		-713.776	12.020	0,10053	15,02
	P		-9.395	-54	0,08042	NS		-187.024	-4.933	0,08042	19,86		-32.764	-1.538	0,08042	50,99
P	A	01059	83.392	4.102	0,10053	23,06	01060	96.044	4.538	0,10053	20,48	01061	-115.228	6.326	0,50266	81,48
	P		0	0	0,07697	-		37.716	-297	0,07697	NS		0	0	0,27803	-
S	A		-160.376	6.990	0,10053	17,24		-202.359	7.424	0,10053	17,72		-412.588	6.684	0,30159	53,02
	P		-92.779	-4.639	0,08042	19,68		-115.525	-3.725	0,08042	26,86		-77.218	-3.861	0,28149	75,54
P	A	01062	106.040	4.942	0,50266	NS	01063	-114.265	2.743	0,10053	43,86	01064	98.710	2.747	0,10053	33,70
	P		76.555	-1.368	0,27803	NS		209.648	-3.987	0,27803	64,61		9.317	-466	0,07697	NS
S	A		-2.067.833	15.750	0,30159	29,35		-134.083	5.540	0,10053	21,22		-112.310	5.194	0,10053	22,27
	P		-148.774	-7.426	0,28149	39,88		-68.981	-3.252	0,08042	27,26		-140.346	-5.863	0,08042	16,87
P	A	01065	26.880	551	0,10053	NS	01066	176.798	4.151	0,10053	19,84	01067	0	0	0,10053	-
	P		160.934	-3.862	0,07697	15,63		114.463	-5.723	0,07697	11,61		-43.157	-2.158	0,07697	40,36
S	A		-93.033	4.652	0,10053	24,58		-63.821	3.772	0,10053	28,71		-107.735	5.387	0,10053	20,80
	P		-190.680	-9.530	0,08042	11,19		-259.006	-12.950	0,08042	8,74		-270.492	-13.525	0,08042	8,33
P	A	01068	34.489	1.748	0,23457	NS	01069	4.310	216	0,23457	NS	01070	132.199	834	0,10053	NS
	P		-500.213	-4.153	0,27803	83,62		-81.893	-14.298	0,27803	20,71		206.440	-2.925	0,07697	18,60
S	A		-341.861	5.679	0,50266	91,91		-119.260	1.512	0,10053	72,53		-137.959	5.189	0,10053	22,76
	P		-291.910	-13.045	0,28149	24,15		-331.792	-12.141	0,28149	25,15		-168.390	-8.361	0,08042	12,16
P	A	01071	78.375	1.558	0,10053	61,13	01072	0	0	0,10053	-	01073	-122.318	6.106	0,10053	19,87
	P		76.099	-3.766	0,07697	18,98		-14.992	-2.865	0,07697	29,12		19.038	-1.074	0,07697	73,54
S	A		-169.129	7.706	0,10053	16,53		-213.606	9.576	0,10053	13,46		-366.791	18.148	0,10053	8,08
	P		-149.254	-7.463	0,08042	13,99		-137.173	-6.858	0,08042	14,39		-135.549	-5.344	0,08042	18,15
P	A	01074	-244.784	14.116	0,10053	9,70	02031	-70.777	8.934	0,50266	57,25	02032	28.957	1.053	0,23457	NS
	P		-111.258	-1.156	0,07697	83,00		0	0	0,27803	-		-335.205	-5.277	0,27803	62,17
S	A		-546.507	27.322	0,10053	6,14		-1.412.317	12.584	0,30159	35,07		-227.459	2.669	0,50266	NS
	P		-70.223	-1.486	0,08042	59,33		-175.053	-4.762	0,28149	63,50		-296.815	-9.689	0,28149	33,17
P	A	02033	-16.734	4.668	0,10053	23,06	02034	3.534	11.368	0,10053	9,24	02035	112.935	1.184	0,10053	76,66
	P		-109.378	-1.251	0,07697	76,53		31.034	-1.419	0,07697	54,53		13.279	-437	0,07697	NS
S	A		-557.961	20.286	0,10053	8,20		-527.472	19.569	0,10053	8,22		-549.669	17.165	0,10053	9,43
	P		-154.776	-7.739	0,08042	12,49		-455.125	-15.420	0,08042	8,62		-260.310	-6.412	0,08042	16,65
P	A	02036	4.422	177	0,10053	NS	02037	12.123	473	0,10053	NS	02038	13.585	679	0,10053	NS
	P		1.694	-22	0,07697	NS		-149.636	-253	0,07697	NS		26.067	-1.069	0,07697	73,03

Dir	Pos	Nodo	N_{Ed} [N]	M_{Ed} [N·m]	A_s [cm²/cm]	CS	Nodo	N_{Ed} [N]	M_{Ed} [N·m]	A_s [cm²/cm]	CS	Nodo	N_{Ed} [N]	M_{Ed} [N·m]	A_s [cm²/cm]	CS
S	A		-660.906	952	0,10053	NS		0	0	0,10053	-		-306.941	5.804	0,10053	23,00
	P		-359.016	-7.192	0,08042	16,52		-191.771	-5.644	0,08042	17,28		-158.535	-7.927	0,08042	11,89
P	A	02039	18.875	2.035	0,10053	50,62	02040	31.994	767	0,10053	NS	02041	29.048	1.301	0,10053	78,15
	P		-111.988	-1.000	0,07697	96,03		16.399	-524	0,07697	NS		26.333	-553	0,07697	NS
S	A		-409.835	19.178	0,10053	7,70		-888.556	8.322	0,10053	23,45		-288.184	4.634	0,10053	27,85
	P		-142.803	-6.128	0,08042	15,30		-168.839	-4.091	0,08042	23,03		-42.914	-2.132	0,08042	36,18
P	A	02042	11.062	544	0,10053	NS	02043	2.009	303	0,10053	NS	02044	-198.413	1.738	0,10053	75,41
	P		-140.824	-530	0,07697	NS		34.684	-1.184	0,07697	64,94		48.201	-1.254	0,07697	59,90
S	A		-278.362	8.865	0,10053	14,49		-304.525	13.536	0,10053	9,84		-93.567	4.142	0,10053	26,13
	P		-96.138	-4.807	0,08042	17,61		-155.928	-7.185	0,08042	13,08		-273.287	-1.820	0,08042	61,04
P	A	02045	-168.703	1.126	0,10053	NS	02046	11.967	94	0,10053	NS	02047	17.219	825	0,10053	NS
	P		15.541	-352	0,07697	NS		4.236	-57	0,07697	NS		-134.147	-1.114	0,07697	88,86
S	A		-42.351	2.110	0,10053	46,78		-163.023	8.146	0,10053	13,94		-238.579	10.284	0,10053	12,06
	P		-24.462	-981	0,08042	77,31		-108.077	-5.404	0,08042	15,92		-169.003	-8.450	0,08042	11,21
P	A	02048	9.645	1.323	0,10053	78,77	02049	-162.678	2.888	0,10053	43,80	02050	-152.856	968	0,10053	NS
	P		-79.358	-1.882	0,07697	48,78		9.102	-339	0,07697	NS		24.489	-671	0,07697	NS
S	A		-247.144	10.494	0,10053	12,21		-130.767	3.710	0,10053	30,33		-44.315	2.216	0,10053	46,09
	P		-168.810	-8.441	0,08042	11,58		-184.373	-5.799	0,08042	17,08		-108.955	-5.220	0,08042	17,26
P	A	02051	16.577	650	0,10053	NS	02052	25.807	1.107	0,10053	92,24					
	P		-179.388	-674	0,07697	NS		-157.352	-2.236	0,07697	45,61					
S	A		-82.938	4.147	0,10053	25,66		-230.353	7.041	0,10053	17,32					
	P		-202.336	-10.117	0,08042	10,03		-214.659	-10.705	0,08042	9,31					
Piano primo						**Parete6-7-19**						**Parete 6-7**				
P	A	00006	-145.866	8.353	0,12566	17,96	00087	-109.276	42.174	0,18096	4,77	00099	167.544	8.399	0,08042	7,50
	P		69.823	-70.007	0,23457	3,32		3.272	-164	0,14577	NS		205.875	-7.681	0,10053	10,23
S	A		-604.643	27.248	0,08042	5,80		-1.431.327	61.942	0,18096	5,39		-561.817	20.928	0,18096	12,04
	P		2.389	-45.012	0,12221	2,73		-34.521	-1.726	0,17750	NS		-585.152	-28.515	0,17750	8,82
P	A	00185	62.981	3.102	0,12566	39,61	00284	180.842	9.599	0,12566	11,20	00802	23.403	659	0,12566	NS
	P		-13.986	-1.974	0,10053	54,35		-71.470	-395	0,10053	NS		63.593	-14.436	0,23457	16,14
S	A		-587	10.933	0,08042	7,07		-824.173	29.390	0,08042	5,89		-244.853	11.252	0,08042	9,91
	P		-458.774	-7.031	0,07697	18,85		-18.756	-2.487	0,07697	29,36		-576.602	-28.830	0,07697	5,18
P	A	00803	1.501	75	0,08042	NS	00804	178.164	6.521	0,08042	9,45	00805	-7.808	1.478	0,08042	58,20
	P		13.185	-7.239	0,10053	14,33		53.977	-5.884	0,10053	16,73		15.341	-285	0,10053	NS
S	A		0	0	0,08042	-		-7.298	61	0,08042	NS		-316.887	1.893	0,08042	63,68
	P		-395.723	-19.782	0,07697	6,50		-162.403	-7.921	0,07697	12,49		-92.460	-4.623	0,07697	19,06
P	A	00806	-30.378	3.379	0,08042	26,32	00807	-50.194	7.660	0,08042	11,95	00808	-335.446	16.772	0,18096	13,57
	P		88.931	-3.066	0,10053	30,62		143.200	-4.711	0,10053	18,42		21.762	-1.088	0,10053	94,31
S	A		-336.902	15.658	0,08042	7,89		-522.466	26.123	0,08042	5,62		-724.856	36.243	0,18096	7,05
	P		-50.465	-2.523	0,07697	32,92		-27.159	-1.358	0,07697	59,18		-36.214	-1.811	0,07697	44,65
P	A	00958	158.494	5.210	0,08042	12,33	00959	248.410	1.935	0,08042	27,09	00960	199.918	5.990	0,08042	9,81
	P		35.988	-363	0,10053	NS		3.349	-152	0,10053	NS		64.004	-6.120	0,10053	15,87
S	A		-418.682	9.620	0,08042	13,31		-6.245	7.203	0,08042	10,54		9.521	14.655	0,08042	5,09
	P		-635.224	-25.303	0,07697	5,95		-547.824	-13.017	0,07697	10,86		-288.209	-14.254	0,07697	7,70
P	A	00961	94.446	4.909	0,08042	14,79	00962	200.078	2.806	0,12566	37,41	00963	117.931	5.854	0,08042	11,88
	P		71.329	-1.754	0,10053	54,81		-38.753	-5.763	0,23457	42,64		-48.057	-6.729	0,10053	16,60
S	A		2.269	15.935	0,08042	4,75		-240.716	10.828	0,08042	10,17		-643.412	16.314	0,08042	9,67
	P		-308.814	-9.622	0,07697	11,70		-452.926	-11.619	0,07697	11,49		-214.258	-10.199	0,07697	10,00
P	A	01319	71.099	3.166	0,08042	23,90	01320	172.260	6.696	0,08042	9,32	01784	-34.348	4.030	0,18096	47,47
	P		322.598	-5.092	0,10053	12,41		0	0	0,10053	-		42.649	-2.113	0,10053	47,28
S	A		-538.711	14.275	0,08042	10,11		-411.264	9.700	0,08042	13,16		-803.241	29.609	0,18096	8,89
	P		-275.79	-13.477	0,07697	8,03		-187.33	-7.819	0,07697	12,24		-217.80	-10.890	0,07697	9,73

Dir	Pos	Nodo	N_{Ed} [N]	M_{Ed} [N·m]	A_s [cm²/cm]	CS	Nodo	N_{Ed} [N]	M_{Ed} [N·m]	A_s [cm²/cm]	CS	Nodo	N_{Ed} [N]	M_{Ed} [N·m]	A_s [cm²/cm]	CS
			6					5					8			
P	A	01785	133.638	7.070	0,08042	9,54	01933	48.800	1.304	0,12566	95,63	01934	-39.697	3.709	0,08042	24,31
	P		65.497	-525	0,10053	NS		-71.636	-4.026	0,10053	28,51		0	0	0,10053	-
S	A		-654.326	24.943	0,08042	6,46		-362.610	11.000	0,08042	11,23		-675.447	8.175	0,08042	19,84
	P		-180.197	-2.946	0,07697	33,88		-205.307	-7.119	0,07697	14,06		-202.371	-3.793	0,07697	26,73
P	A	01935	-76.177	17.356	0,18096	11,35	01936	66.783	3.131	0,12566	39,08	01937	82.851	2.829	0,08042	26,20
	P		34.987	-1.749	0,14577	84,01		20.557	-23.951	0,23457	9,95		-33.821	-8.555	0,10053	12,84
S	A		-720.327	36.011	0,18096	7,53		-185.942	8.719	0,08042	11,86		-121.049	3.702	0,08042	25,17
	P		-83.636	-3.382	0,17750	56,17		-421.277	-18.280	0,07697	7,11		-431.704	-10.338	0,07697	12,51
P	A	01938	84.378	171	0,08042	NS	01939	-30.704	874	0,08042	NS	01940	-47.146	3.401	0,08042	26,80
	P		-23.199	-1.671	0,10053	64,92		54.442	-2.444	0,10053	40,25		6.159	-301	0,10053	NS
S	A		801	2.638	0,08042	29,24		-393.907	3.729	0,08042	34,03		-521.244	18.401	0,08042	7,71
	P		-330.440	-13.390	0,07697	8,70		-405.661	-11.931	0,07697	10,47		-136.455	-4.218	0,07697	21,30
P	A	01941	-46.279	8.207	0,08042	11,09										
	P		65.775	-2.569	0,10053	37,71										
S	A		-579.514	21.155	0,08042	7,16										
	P		-68.863	-1.303	0,07697	64,46										
Piano primo						**Parete6-7-19**						**Parete 7-19**				
P	A	00055	0	0	0,08042	-	00084	-606.722	206.310	0,28149	1,64	00099	-42.189	32.618	0,08042	2,77
	P		-245.562	-189.537	0,30159	1,70		-166.914	-9.355	0,10053	13,59		-278.745	-13.937	0,10053	10,14
S	A		0	0	0,08042	-		-115.747	74.896	0,18096	2,59		-1.113.601	55.680	0,18096	5,60
	P		62.847	-94.711	0,15394	1,52		-705.458	-7.166	0,12221	29,28		-927.343	-46.367	0,17750	6,33
P	A	00184	-160.636	14.788	0,08042	7,16	00185	140.780	7.052	0,12566	15,98	00208	-214.352	13.974	0,08042	8,08
	P		-243.614	-8.291	0,10053	16,51		1.601	-72	0,10053	NS		-106.146	-5.275	0,10053	22,61
S	A		-447.452	22.373	0,08042	6,05		-575	3.794	0,08042	18,43		-1.099.522	24.470	0,08042	8,02
	P		-583.142	-12.632	0,07697	11,76		-268.892	-13.445	0,07697	7,54		-573.311	-19.910	0,07697	7,13
P	A	00284	-218.986	21.977	0,12566	7,24	00942	102.977	5.082	0,08042	14,07	00943	50.804	2.551	0,08042	30,71
	P		0	0	0,10053	-		-95.514	-4.776	0,10053	24,68		-57.324	-2.866	0,10053	39,40
S	A		-676.382	33.819	0,08042	4,58		-331.128	15.201	0,08042	7,12		-383.254	13.452	0,08042	8,48
	P		0	0	0,07697	-		-301.773	-15.089	0,07697	6,70		-299.923	-12.696	0,07697	7,88
P	A	00944	6.627	136	0,08042	NS	00945	955	48	0,08042	NS	00946	6.493	30	0,08042	NS
	P		24.843	-1.058	0,10053	96,61		-24.250	-1.450	0,10053	74,92		-26.908	-1.493	0,10053	73,01
S	A		-781.452	6.992	0,08042	22,73		-963.309	5.352	0,08042	33,01		-11.904	1.426	0,08042	47,13
	P		-251.708	-12.539	0,07697	7,46		-208.476	-10.424	0,07697	8,49		-151.938	-7.597	0,07697	10,79
P	A	00947	1.497	75	0,08042	NS	00948	7.933	191	0,08042	NS	00949	13.016	609	0,08042	NS
	P		-271.447	-2.929	0,10053	47,92		-24.021	-1.283	0,10053	84,64		-331.489	-4.368	0,10053	33,85
S	A		-5.214	2.251	0,08042	29,93		-6.740	2.677	0,08042	25,70		-373.566	4.624	0,08042	25,51
	P		-146.775	-7.339	0,07697	11,22		-96.663	-4.833	0,07697	15,94		-99.761	-4.110	0,07697	19,30
P	A	00950	43.454	2.092	0,08042	37,90	00951	133.298	6.458	0,08042	10,46	00952	4.673	156	0,08042	NS
	P		-361.731	-16.452	0,10053	9,22		-408.349	-12.521	0,30159	26,74		-266.767	-51.346	0,30159	6,31
S	A		7.096	6.663	0,08042	10,85		13.089	18.883	0,08042	3,98		0	0	0,08042	-
	P		-377.805	-8.039	0,07697	14,74		-376.652	-4.326	0,07697	28,19		51.365	-17.899	0,07697	3,74
P	A	00953	128.177	4.108	0,08042	16,61	00954	37.377	1.073	0,08042	74,63	00955	69.438	4.544	0,08042	16,70
	P		-304.959	-35.695	0,30159	9,16		-361.321	-13.971	0,10053	10,85		-240.327	-17.226	0,10053	7,92
S	A		0	0	0,08042	-		-259.618	394	0,08042	NS		-322.388	15.847	0,08042	7,52
	P		-367.443	-18.340	0,07697	6,70		-428.163	-21.383	0,07697	6,13		-570.310	-28.467	0,07697	5,14
P	A	00956	-464.041	33.723	0,08042	4,29	00957	-668.968	68.393	0,28149	5,00	00958	136.448	8.187	0,08042	8,20
	P		68.217	-1.624	0,10053	59,47		0	0	0,10053	-		1.453	-115	0,10053	NS
S	A		-508.139	25.407	0,08042	5,64		-746.015	37.301	0,18096	6,75		-416.428	15.471	0,08042	7,95
	P		0	0	0,07697	-		-629.657	-2.043	0,07697	74,53		-1.071.957	-23.333	0,07697	8,07
P	A	00959	27.204	1.025	0,08042	79,40	00960	281.685	423	0,08042	NS	00961	55.042	2.752	0,08042	28,26
	P		219.925	-1.973	0,10053	38,87		167.794	-7.083	0,10053	11,79		139.530	-2.073	0,10053	42,09
S	A		2.058	4.247	0,08042	16,40		1.154	5.642	0,08042	12,19		6.170	6.744	0,08042	10,12

Dir	Pos	Nodo	N_{Ed} [N]	M_{Ed} [N·m]	A_s [cm²/cm]	CS	Nodo	N_{Ed} [N]	M_{Ed} [N·m]	A_s [cm²/cm]	CS	Nodo	N_{Ed} [N]	M_{Ed} [N·m]	A_s [cm²/cm]	CS
	P		-424.764	-17.939	0,07697	6,75		-481.084	-23.217	0,07697	5,47		-308.312	-15.293	0,07697	6,90
P	A	01319	-26.953	7.018	0,08042	12,61	01320	188.718	9.437	0,08042	6,38	01786	78.150	3.908	0,08042	19,13
	P		-7.478	-2.643	0,10053	40,28		13.646	-572	0,10053	NS		95.786	-4.776	0,10053	19,47
S	A		-414.184	20.702	0,08042	6,12		-426.560	15.065	0,08042	8,36		-439.806	12.153	0,08042	11,00
	P		-216.877	-10.844	0,07697	9,07		-190.439	-6.840	0,07697	13,52		-247.554	-12.378	0,07697	8,57
P	A	01787	216.148	6.177	0,08042	9,17	01788	71.355	3.558	0,08042	21,26	01789	15.711	414	0,08042	NS
	P		5.371	-8.482	0,10053	12,35		11.839	-591	0,10053	NS		58.288	-2.914	0,10053	33,58
S	A		-610.589	8.028	0,08042	19,01		-188.017	6.125	0,08042	15,52		-140.532	7.027	0,08042	12,76
	P		-209.771	-10.381	0,07697	9,62		-227.868	-9.224	0,07697	10,48		-134.771	-6.723	0,07697	12,70
P	A	01790	1.134	1.253	0,08042	67,72	01791	-9.837	2.142	0,08042	40,27	01792	-1.823	566	0,08042	NS
	P		4.030	-514	0,10053	NS		-20.748	-1.043	0,10053	NS		68.104	-2.485	0,10053	38,88
S	A		-204.190	10.200	0,08042	9,58		-216.908	10.845	0,08042	9,27		-240.011	12.001	0,08042	8,74
	P		-143.085	-7.140	0,07697	12,08		-155.651	-7.406	0,07697	12,03		-161.530	-8.077	0,07697	11,30
P	A	01793	-25.753	1.850	0,08042	47,74	01794	-224.056	12.131	0,08042	9,41	01795	-226.890	14.417	0,08042	7,94
	P		-64.640	-3.232	0,10053	35,23		-85.039	-4.798	0,10053	24,28		-53.778	-8.142	0,10053	13,81
S	A		-283.193	14.160	0,08042	7,85		-399.960	19.995	0,08042	6,39		-568.640	20.671	0,08042	7,26
	P		-262.261	-13.113	0,07697	8,01		-324.593	-16.293	0,07697	7,05		-549.048	-18.152	0,07697	7,97
P	A	01897	142.381	345	0,08042	NS	01898	-461.412	72.373	0,28149	4,52	01899	-209.629	10.481	0,08042	10,71
	P		-320.256	-71.688	0,30159	4,58		-48.391	-3.274	0,10053	34,13		-104.340	-5.217	0,10053	22,81
S	A		0	0	0,08042	-		-684.934	34.246	0,18096	7,28		-615.691	25.898	0,08042	5,85
	P		-587.852	-27.936	0,15394	7,83		-559.154	-8.007	0,07697	18,16		-380.800	-19.040	0,07697	6,30
P	A	01900	31.151	1.399	0,12566	90,76	01901	15.477	712	0,08042	NS	01902	-105.067	443	0,08042	NS
	P		-31.867	-2.055	0,10053	53,34		-1.000	-50	0,10053	NS		-10.979	-800	0,10053	NS
S	A		-3.815	3.858	0,08042	17,68		-434	2.855	0,08042	22,89		-2.417	3.455	0,08042	19,02
	P		-284.822	-13.547	0,07697	7,47		-331.006	-11.657	0,07697	8,98		-112.623	-5.392	0,07697	14,21
P	A	01903	29.036	705	0,08042	NS	01904	-102.525	5.127	0,08042	19,18	01905	-95.288	6.366	0,08042	15,30
	P		-16.480	-1.455	0,10053	73,96		16.717	-1.580	0,10053	65,40		-35.679	-1.820	0,10053	60,51
S	A		-321.535	9.421	0,08042	11,40		-416.692	16.961	0,08042	7,20		-571.552	22.909	0,08042	6,29
	P		-66.655	-3.333	0,07697	21,29		-151.780	-7.589	0,07697	11,19		-378.814	-16.024	0,07697	7,32
P	A	01906	3.494	56	0,08042	NS	01907	14.620	579	0,08042	NS	01908	-117.772	303	0,08042	NS
	P		-50.644	-2.532	0,10053	44,26		-80.681	-4.034	0,10053	28,74		-90.949	-4.547	0,10053	25,79
S	A		-5.453	2.364	0,08042	27,49		-216.445	9.172	0,08042	10,12		-283.894	14.191	0,08042	7,23
	P		-159.649	-7.982	0,07697	10,23		-150.968	-7.548	0,07697	10,71		-165.226	-8.261	0,07697	10,15
P	A	01909	-36.532	2.141	0,08042	41,92	01910	0	0	0,08042	-	01911	0	0	0,08042	-
	P		-42.525	-2.170	0,10053	51,15		-25.849	-1.523	0,10053	71,49		-60.341	-3.017	0,10053	37,56
S	A		-416.230	19.175	0,08042	6,32		-6.506	2.051	0,08042	32,02		-8.539	2.527	0,08042	26,09
	P		-273.559	-13.679	0,07697	7,29		-177.893	-8.855	0,07697	9,55		-207.903	-10.395	0,07697	8,51
P	A	01912	5.712	234	0,08042	NS	01913	-138.139	528	0,08042	NS	01914	-16.455	831	0,08042	NS
	P		-78.639	-3.932	0,10053	29,42		-52.378	-2.626	0,10053	42,75		-102.169	-131	0,10053	NS
S	A		-220.191	10.580	0,08042	8,91		-271.060	13.189	0,08042	7,73		-276.219	11.571	0,08042	9,03
	P		-211.749	-10.587	0,07697	8,47		-213.935	-10.409	0,07697	8,76		-204.360	-7.376	0,07697	12,44
P	A	01915	10.578	344	0,08042	NS	01916	2.465	18	0,08042	NS	01917	7.375	313	0,08042	NS
	P		-242.304	-3.353	0,10053	40,76		-46.923	-2.346	0,10053	47,56		-60.481	-3.024	0,10053	37,48
S	A		-6.379	2.812	0,08042	23,76		-135.635	6.030	0,08042	13,93		-210.762	10.530	0,08042	8,99
	P		-233.166	-11.071	0,07697	8,39		-256.471	-12.824	0,07697	7,50		-243.586	-12.179	0,07697	7,84
P	A	01918	-153.924	1.417	0,08042	74,14	01919	33.996	209	0,08042	NS	01920	11.700	134	0,08042	NS
	P		-45.427	-2.307	0,10053	48,29		-298.110	-5.392	0,10053	26,65		-272.062	-6.609	0,10053	21,25
S	A		-271.709	11.378	0,08042	9,12		-1.769	3.642	0,08042	18,68		-3.104	4.092	0,08042	16,62
	P		-225.492	-9.367	0,07697	10,07		-261.321	-8.255	0,07697	11,91		-293.863	-13.869	0,07697	7,37

Dir	Pos	Nodo	N_{Ed} [N]	M_{Ed} [N·m]	A_s [cm²/cm]	CS	Nodo	N_{Ed} [N]	M_{Ed} [N·m]	A_s [cm²/cm]	CS	Nodo	N_{Ed} [N]	M_{Ed} [N·m]	A_s [cm²/cm]	CS
P	A	01921	1.044	36	0,08042	NS	01922	-203.871	3.448	0,08042	32,34	01923	-173.840	2.592	0,08042	41,53
	P		-43.099	-2.437	0,10053	45,59		-71.418	-3.890	0,10053	29,50		-47.644	-2.800	0,10053	39,88
S	A		-140.277	7.014	0,08042	12,31		-226.215	10.629	0,08042	9,27		-254.711	12.721	0,08042	8,19
	P		-299.714	-14.974	0,07697	6,91		-260.223	-12.965	0,07697	7,67		-216.876	-10.826	0,07697	8,85
P	A	01924	26.459	1.376	0,08042	59,23	01925	3.392	93	0,08042	NS	01926	-268.115	3.339	0,08042	35,87
	P		-331.909	-14.795	0,10053	10,00		-299.642	-7.450	0,10053	19,32		-58.202	-3.223	0,10053	35,07
S	A		11.187	6.122	0,08042	11,27		-3.667	3.248	0,08042	21,71		-198.016	9.537	0,08042	10,10
	P		-333.106	-11.117	0,07697	9,90		-364.602	-16.387	0,07697	6,94		-338.127	-16.426	0,07697	6,74
P	A	01927	-231.326	10.981	0,08042	10,48	01928	56.382	2.178	0,08042	35,64	01929	23.017	232	0,08042	NS
	P		-119.165	-7.129	0,10053	16,96		-373.928	-32.214	0,30159	10,31		-328.164	-21.855	0,10053	6,75
S	A		-290.510	14.526	0,08042	7,53		20.414	4.485	0,08042	16,19		10.225	3.007	0,08042	24,40
	P		-282.275	-13.832	0,07697	7,58		-324.478	-9.302	0,07697	12,24		-370.125	-17.226	0,07697	6,91
P	A	01930	45.374	641	0,08042	NS	01931	-350.515	15.850	0,08042	8,22	01932	-283.650	29.578	0,08042	4,12
	P		-337.084	-2.720	0,10053	54,62		-44.368	-5.496	0,10053	20,24		-127.645	-8.909	0,10053	13,70
S	A		-417.737	3.489	0,08042	36,62		-359.103	17.049	0,08042	7,09		-491.054	20.672	0,08042	6,66
	P		-484.744	-19.030	0,07697	6,97		-507.989	-15.883	0,07697	8,56		-385.884	-12.403	0,07697	9,77
Piano primo						**ParetteP9-32**						**Parete P9-32**				
P	A	00200	204.186	6.998	0,07697	7,81	00201	53.400	3.596	0,07697	20,70	00202	250.808	8.378	0,07697	5,79
	P		159.322	-2.771	0,07697	21,85		-28.345	-2.523	0,07697	33,76		158.440	-2.543	0,07697	23,85
S	A		-273.958	12.858	0,07697	8,42		-279.935	10.763	0,07697	10,68		-476.182	20.557	0,07697	6,36
	P		-132.866	-6.603	0,08042	14,17		-154.633	-7.728	0,08042	13,24		-460.996	-1.733	0,08042	76,24
P	A	00290	7.882	153	0,27803	NS	00292	-39.113	15.361	0,07697	5,64	00293	-292.515	37.359	0,07697	3,19
	P		-39.717	-9.550	0,27803	30,47		-76.306	-2.834	0,07697	32,26		-151.325	-1.209	0,07697	83,67
S	A		-245.734	3.085	0,47909	NS		-872.775	41.769	0,07697	4,34		-752.759	44.295	0,07697	3,74
	P		-418.513	-18.905	0,28149	17,68		-7.083	-5.069	0,08042	16,07		10.583	-2.671	0,08042	28,21
P	A	00344	157.750	38.136	0,47909	12,32	00345	-423.713	10.146	0,47909	53,64	00346	172.487	8.671	0,27803	30,40
	P		178.407	-8.874	0,47909	52,64		129.382	-6.461	0,47909	73,28		-158.701	-7.534	0,27803	40,65
S	A		578.504	37.647	0,47909	11,02		-592.308	14.263	0,47909	37,00		95.997	15.625	0,47909	30,35
	P		-122.573	-6.070	0,28149	50,33		-131.054	-6.536	0,28149	46,01		-714.866	-9.931	0,28149	38,47
P	A	00795	108.878	4.559	0,07697	14,73	00796	259.768	418	0,07697	NS	00797	152.269	3.923	0,07697	15,67
	P		30.369	-1.156	0,07697	67,00		191.971	-8.491	0,07697	6,62		268.925	-2.153	0,07697	21,42
S	A		-398.970	848	0,07697	NS		0	0	0,07697	-		0	0	0,07697	-
	P		-708.121	-27.345	0,08042	5,94		-457.246	-22.479	0,08042	5,93		-502.356	-24.452	0,08042	5,68
P	A	00798	315.322	8.264	0,07697	4,84	00799	271.042	5.811	0,07697	7,89	00800	192.067	2.301	0,07697	24,44
	P		-121.534	-281	0,07697	NS		234.153	-4.341	0,07697	11,68		87.523	-1.830	0,07697	38,23
S	A		0	0	0,07697	-		0	0	0,07697	-		0	0	0,07697	-
	P		-332.204	-14.093	0,08042	8,43		-337.338	-16.319	0,08042	7,28		-411.076	-13.113	0,08042	9,81
P	A	00801	173.454	4.349	0,07697	13,49	01175	198.723	9.932	0,47909	46,77	01176	59.356	2.965	0,07697	24,85
	P		126.878	-993	0,07697	65,26		251.081	-5.413	0,47909	84,57		316.720	-3.186	0,07697	12,51
S	A		-519.803	6.428	0,07697	21,61		-336.485	16.820	0,47909	30,15		-489.497	7.266	0,07697	19,41
	P		-623.095	-13.837	0,08042	11,13		-258.299	-5.694	0,28149	55,37		-162.459	-8.119	0,08042	12,71
P	A	01177	104.683	5.232	0,07697	12,94	01178	307.088	7.036	0,07697	5,84	01179	113.757	14.220	0,07697	4,68
	P		0	0	0,07697	-		-164.687	-43	0,07697	NS		0	0	0,07697	-
S	A		-160.438	8.022	0,07697	11,47		-398.132	15.343	0,07697	7,91		-490.138	18.831	0,07697	7,12
	P		-123.879	-2.493	0,08042	36,42		-137.926	-4.021	0,08042	22,76		0	0	0,08042	-
P	A	01180	-146.403	14.330	0,07697	7,02	01181	-122.587	6.136	0,07697	15,88	01182	37.607	4.505	0,07697	16,99
	P		107.364	-1.641	0,07697	41,05		78.672	-1.489	0,07697	47,79		201.195	-5.930	0,07697	9,28
S	A		-605.346	30.265	0,07697	5,06		-476.122	20.492	0,07697	6,64		-369.868	15.488	0,07697	8,17
	P		-1.952	-1.590	0,08042	50,63		-62.660	-3.068	0,08042	28,32		-117.34	-5.867	0,08042	16,63

Dir	Pos	Nodo	N_{Ed} [N]	M_{Ed} [N·m]	A_s [cm²/cm]	CS	Nodo	N_{Ed} [N]	M_{Ed} [N·m]	A_s [cm²/cm]	CS	Nodo	N_{Ed} [N]	M_{Ed} [N·m]	A_s [cm²/cm]	CS
													4			
P	A	01183	1.874	3.650	0,07697	22,25	01184	59.034	88	0,07697	NS	01185	8.324	416	0,27803	NS
	P		15.084	-3.424	0,07697	23,21		229.992	-6.260	0,07697	8,19		-33.730	-17.260	0,27803	16,81
S	A		-261.864	13.092	0,07697	8,53		-301.235	6.006	0,07697	19,20		-361.287	2.062	0,47909	NS
	P		-149.872	-7.494	0,08042	13,44		-267.509	-12.269	0,08042	9,33		-570.937	-17.200	0,28149	20,62
P	A	01186	0	0	0,27803	-	01187	75.561	1.314	0,07697	54,45	01188	86.496	870	0,07697	80,62
	P		-111.758	-5.651	0,27803	53,13		-85.026	-4.251	0,07697	21,77		17.200	-743	0,07697	NS
S	A		-665.732	901	0,47909	NS		-98.873	627	0,07697	NS		-110.695	5.163	0,07697	17,67
	P		-460.478	-18.825	0,28149	17,63		-366.138	-18.307	0,08042	6,82		-264.098	-13.180	0,08042	8,69
P	A	01189	141.302	2.500	0,07697	25,17	01190	118.277	5.194	0,07697	12,70	01191	121.983	5.734	0,47909	82,74
	P		89.613	-4.481	0,07697	15,56		3.452	-76	0,07697	NS		5.103	-124	0,47909	NS
S	A		-115.944	5.795	0,07697	15,79		-301.630	10.659	0,07697	10,92		-214.882	9.983	0,47909	49,92
	P		-184.416	-7.624	0,08042	13,63		0	0	0,08042	-		0	0	0,28149	-
P	A	01192	134.149	7.648	0,47909	61,82	02118	-16.303	8.450	0,07697	9,89	02119	-83.747	6.029	0,07697	15,32
	P		86.437	-4.270	0,47909	NS		48.654	-2.602	0,07697	28,86		99.606	-2.039	0,07697	33,55
S	A		-209.888	8.979	0,47909	53,95		-533.176	15.578	0,07697	8,94		-480.685	16.268	0,07697	8,31
	P		-62.174	-2.073	0,28149	NS		-622.285	-5.478	0,08042	27,89		-89.733	-3.250	0,08042	27,36
P	A	02120	107.769	1.934	0,27803	NS	02121	-123.780	16.651	0,47909	30,39	02122	-252.231	5.629	0,07697	20,30
	P		-133.278	-8.386	0,27803	36,13		0	0	0,47909	-		18.736	-191	0,47909	NS
S	A		0	0	0,47909	-		-480.847	10.336	0,47909	49,64		-301.518	9.176	0,07697	11,88
	P		-500.718	-13.948	0,28149	24,56		-224.547	-4.100	0,28149	74,60		-48.238	-1.382	0,28149	NS
P	A	02123	65.015	3.207	0,07697	22,75	02124	-231.595	431	0,07697	NS	02125	26.153	994	0,07697	78,53
	P		39.437	-475	0,47909	NS		24.550	-1.229	0,07697	63,66		-238.324	-1.705	0,07697	65,91
S	A		-439.589	8.236	0,07697	15,55		-112.814	3.875	0,07697	22,26		-273.085	5.480	0,07697	19,23
	P		0	0	0,28149	-		-166.517	-7.032	0,08042	13,76		-278.266	-13.913	0,08042	7,87
P	A	02126	49.437	705	0,27803	NS	02127	-229.936	2.008	0,07697	55,44	02128	34.381	1.576	0,07697	48,82
	P		-206.499	-4.707	0,27803	66,36		16.878	-397	0,07697	NS		14.553	-503	0,07697	NS
S	A		-431.328	2.743	0,47909	NS		-104.776	3.357	0,07697	24,75		-189.733	5.397	0,07697	17,13
	P		-309.270	-14.598	0,28149	21,68		21.949	-35	0,08042	NS		-88.111	-4.262	0,08042	19,42
P	A	02129	5.336	144	0,07697	NS	02130	5.828	408	0,07697	NS	02131	-203.372	611	0,07697	NS
	P		-182.836	-599	0,07697	NS		-141.895	-2.171	0,07697	46,04		26.359	-1.318	0,07697	59,19
S	A		-354.875	6.494	0,07697	17,49		-363.355	6.972	0,07697	16,53		-422.636	10.660	0,07697	11,62
	P		-152.595	-7.630	0,08042	11,94		-211.632	-10.108	0,08042	9,83		-207.551	-3.712	0,08042	26,95
P	A	02132	19.478	884	0,07697	89,25	02133	15.096	727	0,07697	NS	02134	19.055	933	0,07697	84,64
	P		37.464	-28	0,07697	NS		-145.182	-78	0,07697	NS		-140.809	-973	0,07697	NS
S	A		-334.941	3.715	0,07697	29,93		-387.042	5.379	0,07697	21,83		-335.260	8.301	0,07697	13,50
	P		-16.555	-406	0,08042	NS		-41.164	-2.041	0,08042	37,42		-110.495	-5.525	0,08042	15,67
P	A	02135	27.554	2.325	0,07697	33,49	02136	23.144	568	0,07697	NS	02137	19.522	870	0,07697	90,68
	P		91.078	-1.144	0,07697	60,79		15.491	-546	0,07697	NS		-134.395	-36	0,07697	NS
S	A		-317.289	12.302	0,07697	9,15		-246.678	5.103	0,07697	19,72		0	0	0,07697	-
	P		-130.441	-6.522	0,08042	14,12		-560.746	-8.388	0,08042	17,05		-467.286	-8.399	0,08042	15,66
P	A	02138	21.564	999	0,07697	78,73	02139	65.453	1.485	0,07697	49,06					
	P		-127.383	-503	0,07697	NS		-108.731	-1.031	0,07697	92,79					
S	A		-415.456	903	0,07697	NS		-343.469	10.572	0,07697	10,81					
	P		-162.276	-5.715	0,08042	16,35		-110.858	-5.543	0,08042	15,85					
Piano primo						**Parete24-31**						**Parete 24-31**				
P	A	00104	-291.458	136.808	0,19562	1,69	00116	-127.048	6.188	0,13854	25,94	00177	-211.216	14.438	0,06158	6,46
	P		0	0	0,05655	-		-190.902	-1.156	0,11812	NS		75.843	-7.202	0,05655	7,03
S	A		-1.688.0	82.890	0,13854	3,58		-71.671	34.356	0,19562	6,15		-941.17	15.880	0,10681	13,71

Dir	Pos	Nodo	N_{Ed} [N]	M_{Ed} [N·m]	A_s [cm²/cm]	CS	Nodo	N_{Ed} [N]	M_{Ed} [N·m]	A_s [cm²/cm]	CS	Nodo	N_{Ed} [N]	M_{Ed} [N·m]	A_s [cm²/cm]	CS
	P		100	0	0,11310	-		0	0	0,15708	-		-485.623	-23.585	0,10179	7,00
P	A	00211	25.662	1.283	0,06158	48,59	00212	63.978	3.157	0,06158	18,17	00977	19.887	855	0,06158	73,82
	P		-138.310	-7.529	0,05655	10,45		-195.279	-32.086	0,10179	4,11		-215.689	-23.654	0,10179	5,68
S	A		-157.513	7.241	0,06158	11,92		-55.171	1.567	0,06158	46,57		-92.124	4.253	0,06158	16,66
	P		-169.886	-8.205	0,05655	10,09		-471.153	-23.554	0,05655	5,14		-406.510	-20.250	0,05655	5,24
P	A	00978	11.665	583	0,06158	NS	00979	4.723	214	0,06158	NS	00980	13.493	679	0,06158	94,15
	P		-226.303	-16.935	0,05655	5,32		-224.937	-15.583	0,05655	5,77		-220.404	-9.500	0,05655	9,41
S	A		-104.013	5.043	0,06158	13,79		-149.660	7.261	0,06158	10,14		-167.448	7.065	0,06158	10,66
	P		-303.829	-13.763	0,05655	6,57		-355.337	-10.207	0,05655	9,31		-228.975	-7.981	0,05655	9,79
P	A	00981	10.501	501	0,06158	NS	00982	8.002	399	0,06158	NS	00983	5.941	288	0,06158	NS
	P		-196.397	-8.025	0,05655	10,75		-184.679	-8.084	0,05655	10,48		-172.666	-7.084	0,05655	11,74
S	A		-155.955	7.081	0,06158	10,41		-163.818	8.001	0,06158	9,45		-163.537	7.552	0,06158	10,28
	P		-186.438	-7.057	0,05655	10,29		-188.832	-8.116	0,05655	9,09		-163.469	-7.291	0,05655	9,94
P	A	00984	29.547	1.222	0,06158	50,62	00985	25.175	1.256	0,06158	49,69	00986	40.779	600	0,06158	NS
	P		-154.112	-7.302	0,05655	11,06		-136.977	-6.176	0,05655	12,72		-143.436	-4.863	0,05655	16,32
S	A		-156.480	6.826	0,06158	11,69		-104.502	1.339	0,06158	59,32		-164.500	6.960	0,06158	12,00
	P		-164.183	-7.934	0,05655	9,54		-154.601	-3.575	0,05655	22,61		-132.412	-6.025	0,05655	12,32
P	A	00987	62.096	460	0,06158	NS	00988	2.993	223	0,06158	NS	00989	-15.082	754	0,06158	89,78
	P		-144.833	-3.427	0,05655	23,21		-145.814	-1.863	0,05655	42,78		-153.888	-1.175	0,05655	68,73
S	A		-194.009	8.731	0,06158	10,08		-213.389	10.666	0,06158	8,40		-233.916	11.696	0,06158	7,96
	P		-156.875	-6.985	0,05655	11,18		-169.767	-8.391	0,05655	9,40		-173.261	-8.612	0,05655	9,31
P	A	00990	-23.694	1.232	0,13854	NS	00991	-39.109	2.516	0,13854	59,29	00992	-120.412	4.516	0,13854	35,35
	P		-8.767	-1.004	0,11812	NS		-10.515	-911	0,11812	NS		0	0	0,11812	-
S	A		-257.041	12.277	0,06158	7,77		-346.730	10.912	0,06158	9,37		16.878	8.489	0,06158	7,48
	P		-178.027	-7.143	0,05655	11,20		-201.050	-4.328	0,05655	18,14		-135.897	-4.373	0,05655	17,92
P	A	00993	-131.594	2.643	0,06158	31,39	00994	-131.072	2.964	0,06158	27,97	00995	-128.976	3.536	0,06158	23,36
	P		40.227	-712	0,05655	77,62		28.419	-788	0,05655	72,15		16.614	-583	0,05655	NS
S	A		-215.481	10.771	0,06158	8,32		-197.438	9.865	0,06158	8,62		-241.273	12.061	0,06158	7,58
	P		-190.105	-8.039	0,05655	10,10		-217.198	-7.816	0,05655	10,55		-284.787	-12.306	0,05655	7,47
P	A	00996	-131.692	1.630	0,06158	50,89	00997	59.992	1.316	0,06158	43,95	00998	42.004	2.152	0,06158	27,98
	P		38.377	-1.198	0,05655	46,37		-131.726	-1.464	0,05655	53,16		-13.889	-644	0,05655	96,96
S	A		-281.489	12.729	0,06158	7,62		-327.749	14.664	0,06158	7,02		-478.271	17.484	0,06158	7,02
	P		-287.179	-14.359	0,05655	6,46		-296.629	-14.831	0,05655	6,34		-305.365	-15.268	0,05655	6,30
P	A	00999	-121.335	4.757	0,19562	45,05	01000	-266.430	35.619	0,19562	6,44	01001	-170.994	9.695	0,19562	22,65
	P		88.617	-4.202	0,05655	11,67		16.121	-806	0,05655	72,60		252.750	-6.344	0,05655	4,35
S	A		-673.426	20.400	0,06158	7,13		-655.015	32.747	0,06158	4,36		-270.521	6.336	0,06158	15,92
	P		-376.885	-14.070	0,05655	7,52		-343.697	-1.723	0,05655	58,57		-307.508	-11.052	0,05655	9,10
P	A	01002	-292.781	23.690	0,10681	6,28	01003	-230.812	5.440	0,06158	17,61	01004	17.716	879	0,06158	72,09
	P		63.998	-3.200	0,05655	16,32		90.309	-2.224	0,05655	21,90		-222.998	-5.807	0,05655	15,45
S	A		-583.542	29.156	0,06158	4,57		-345.344	15.345	0,06158	6,90		-5.392	2.697	0,06158	23,07
	P		-336.652	-16.833	0,10179	8,43		-209.305	-10.465	0,05655	7,97		-219.161	-9.403	0,05655	9,04
P	A	01005	86.922	2.013	0,06158	26,99	01955	37.274	1.124	0,06158	54,10	01956	-52.774	2.977	0,13854	50,71
	P		-216.736	-14.243	0,10179	9,44		-145.976	-6.925	0,05655	11,51		-150.267	-1.728	0,11812	82,69
S	A		-46.459	719	0,06158	99,84		-144.828	3.132	0,06158	25,63		-34.761	12.645	0,19562	15,93
	P		-399.745	-12.725	0,05655	8,82		-159.170	-5.412	0,05655	14,23		-142.317	-2.493	0,15708	70,75
P	A	01957	-204.320	45.514	0,19562	4,90	01958	86.570	1.124	0,06158	48,39	01959	3.604	102	0,06158	NS
	P		2.405	-120	0,05655	NS		-211.17	-19.745	0,10179	6,78		-225.77	-15.987	0,10179	8,48

Dir	Pos	Nodo	N_{Ed} [N]	M_{Ed} [N·m]	A_s [cm²/cm]	CS	Nodo	N_{Ed} [N]	M_{Ed} [N·m]	A_s [cm²/cm]	CS	Nodo	N_{Ed} [N]	M_{Ed} [N·m]	A_s [cm²/cm]	CS
								3					9			
S	A		-810.190	36.628	0,13854	6,41		-45.593	1.965	0,06158	33,81		-105.522	2.177	0,06158	32,78
	P		-286.929	-6.707	0,11310	22,60		-359.978	-14.980	0,05655	6,81		-365.314	-12.226	0,05655	8,16
P	A	01960	15.921	293	0,06158	NS	01961	-195.322	11.023	0,06158	8,28	01962	-201.738	6.139	0,06158	15,00
	P		-212.890	-2.944	0,05655	30,03		86.672	-1.926	0,05655	25,53		0	0	0,05655	-
S	A		-338.165	4.614	0,06158	21,89		-324.353	15.137	0,06158	6,50		-483.818	18.638	0,06158	6,57
	P		-160.164	-7.274	0,05655	10,04		-257.149	-11.556	0,05655	7,33		-330.817	-14.114	0,10179	10,11
P	A	01963	-144.471	13.724	0,06158	6,17	01964	2.465	72	0,06158	NS	01965	23.300	766	0,06158	81,79
	P		-24.388	-2.720	0,05655	23,45		-213.685	-8.464	0,05655	10,46		5.813	-262	0,05655	NS
S	A		-482.907	22.065	0,06158	5,59		12.401	981	0,06158	53,30		-227.179	7.581	0,06158	11,05
	P		-282.413	-14.112	0,05655	6,62		-170.585	-2.942	0,05655	24,19		-189.983	-8.079	0,05655	9,14
P	A	01966	-169.460	5.444	0,06158	16,14	01967	-144.473	5.131	0,06158	16,49	01968	-8.878	591	0,06158	NS
	P		1.629	-71	0,05655	NS		-1.354	-887	0,05655	68,46		-209.309	-8.836	0,05655	9,95
S	A		-289.100	13.936	0,06158	6,71		-366.819	15.467	0,06158	6,84		-150.965	3.839	0,06158	19,08
	P		-259.369	-11.676	0,05655	7,24		-273.585	-13.581	0,05655	6,55		-198.203	-3.121	0,05655	23,80
P	A	01969	4.546	148	0,06158	NS	01970	-3.162	908	0,06158	72,87	01971	-147.949	2.385	0,06158	35,68
	P		-187.036	-4.179	0,05655	20,35		8.023	-366	0,05655	NS		3.908	-165	0,05655	NS
S	A		-178.728	6.228	0,06158	12,34		-223.359	10.981	0,06158	7,62		-298.862	13.181	0,06158	7,22
	P		-172.901	-5.641	0,05655	12,58		-200.644	-10.024	0,05655	7,54		-224.925	-11.246	0,05655	7,16
P	A	01972	-130.967	1.899	0,06158	43,65	01973	-12.301	513	0,06158	NS	01974	7.851	383	0,06158	NS
	P		12.001	-555	0,05655	NS		-180.291	-6.304	0,05655	13,35		-166.017	-2.922	0,05655	28,17
S	A		-262.299	11.132	0,06158	8,31		-179.945	3.659	0,06158	21,33		-192.434	8.998	0,06158	8,91
	P		-228.887	-11.137	0,05655	7,46		-174.797	-3.269	0,05655	22,11		-169.509	-7.942	0,05655	9,08
P	A	01975	-19.776	989	0,06158	69,09	01976	-45.287	2.270	0,06158	31,58	01977	-3.095	360	0,06158	NS
	P		-142.837	-470	0,05655	NS		-12	-585	0,05655	NS		-156.566	-6.803	0,05655	11,92
S	A		-246.640	11.785	0,06158	7,49		-239.394	10.351	0,06158	8,57		-164.697	2.243	0,06158	35,54
	P		-197.021	-9.851	0,05655	7,79		-187.441	-8.129	0,05655	9,46		-167.970	-3.774	0,05655	19,87
P	A	01978	8.753	388	0,06158	NS	01979	-3.555	316	0,06158	NS	01980	-26.599	1.338	0,06158	51,74
	P		-156.658	-4.440	0,05655	18,26		-155.283	-2.180	0,05655	37,12		-150.424	-497	0,05655	NS
S	A		-169.379	7.370	0,06158	10,92		-218.131	10.679	0,06158	8,16		-250.667	11.814	0,06158	7,75
	P		-143.778	-6.419	0,05655	11,22		-176.235	-8.756	0,05655	8,75		-183.591	-8.512	0,05655	9,14
P	A	01981	-39.746	2.172	0,06158	32,67										
	P		11.877	-172	0,05655	NS										
S	A		-205.074	9.324	0,06158	9,22										
	P		-132.636	-4.060	0,05655	17,59										
Piano rialzato						**Parete1-P1**						**Parete 1-P1**				
P	A	00002	-1.490	157	0,07697	NS	00203	94.763	4.788	0,12221	24,06	00214	236.088	1.038	0,07697	48,59
	P		-37.169	-17.294	0,07697	4,99		218.347	-7.807	0,12221	12,69		39.983	-1.816	0,07697	41,98
S	A		0	0	0,05655	-		-525.046	26.252	0,10179	6,23		-118.464	5.888	0,05655	12,93
	P		-1.574.800	-78.739	0,05655	2,64		3.930	-80	0,10179	NS		-200.225	-1.424	0,05655	60,93
P	A	00215	-173.590	7.187	0,07697	14,48	00964	0	0	0,07697	-	00965	186.059	2.808	0,07697	20,31
	P		-22.800	-829	0,07697	NS		77.042	-9.392	0,07697	7,60		180.830	-3.457	0,07697	16,70
S	A		-527.480	12.179	0,05655	10,50		-406.417	3.068	0,05655	33,69		-281.524	7.464	0,05655	11,99
	P		-738.341	-25.467	0,05655	5,94		-554.396	-27.720	0,05655	4,38		-252.642	-12.629	0,05655	6,80
P	A	00966	124.255	6.209	0,07697	10,49	01395	48.320	2.411	0,12221	50,29	01396	58.449	2.017	0,12221	59,45
	P		157.293	-206	0,07697	NS		-17.052	-859	0,12221	NS		-44.443	-2.379	0,12221	56,04
S	A		-297.740	10.690	0,05655	8,96		-431.168	6.761	0,10179	22,66		-340.867	9.501	0,10179	14,55
	P		-361.524	-11.581	0,05655	8,97		-707.214	-126	0,10179	NS		-126.232	-3.175	0,10179	34,89

Dir	Pos	Nodo	N_{Ed} [N]	M_{Ed} [N·m]	A_s [cm²/cm]	CS	Nodo	N_{Ed} [N]	M_{Ed} [N·m]	A_s [cm²/cm]	CS	Nodo	N_{Ed} [N]	M_{Ed} [N·m]	A_s [cm²/cm]	CS
P	A	01397	54.758	2.659	0,12221	45,28	01696	132.805	2.770	0,07697	23,12	01697	30.161	1.404	0,07697	55,19
	P		2.862	-81	0,12221	NS		137.071	-883	0,07697	71,92		45.493	-2.043	0,07697	36,95
S	A		-377.562	18.847	0,10179	7,48		-449.827	7.014	0,05655	16,88		-608.894	6.401	0,05655	20,00
	P		-6.276	-26	0,10179	NS		-209.814	-2.031	0,05655	43,34		-505.876	-13.844	0,05655	8,38
P	A	01698	9.176	5.384	0,12221	23,46	01699	291.852	10.062	0,12221	8,89	02665	92.849	1.307	0,07697	52,99
	P		719.453	-5.312	0,12221	6,29		66.611	-3.326	0,12221	35,74		42.502	-1.169	0,07697	64,93
S	A		-338.182	15.258	0,10179	9,20		-740.503	37.023	0,10179	5,08		-451.713	7.127	0,05655	15,72
	P		0	0	0,10179	-		0	0	0,10179	-		-644.047	-160	0,05655	NS
P	A	02666	-64.501	2.712	0,07697	33,15	02667	110.947	720	0,12221	NS	02668	136.556	980	0,12221	NS
	P		49.531	-2.125	0,07697	35,28		87.068	-1.040	0,12221	NS		51.973	-1.476	0,12221	81,83
S	A		-478.094	7.006	0,05655	16,34		-470.028	6.965	0,10179	22,23		-368.341	15.903	0,10179	8,89
	P		-270.519	-12.944	0,05655	6,83		-417.427	-15.722	0,10179	9,44		-4.102	-51	0,10179	NS
P	A	02669	54.540	736	0,12221	NS	02670	30.101	510	0,12221	NS	02671	-12.830	950	0,12221	NS
	P		-55.714	-2.954	0,12221	45,62		-61.034	-3.593	0,12221	37,70		-57.379	-1.333	0,12221	NS
S	A		-420.938	9.808	0,10179	15,08		-369.998	7.981	0,10179	17,87		-376.558	7.728	0,10179	18,63
	P		-233.893	-3.812	0,10179	32,59		-373.710	-18.686	0,10179	7,66		-388.886	-15.340	0,10179	9,49
Piano rialzato						**Parete2-P2**						**Parete 2-P2**				
P	A	00009	-309.348	7.514	0,04524	11,89	00218	-417.524	2.487	0,04524	41,39	00220	-552.172	2.255	0,04524	52,89
	P		15.094	-1.401	0,04524	33,54		317.245	-1.837	0,04524	2,98		0	0	0,04524	-
S	A		-169.498	6.191	0,05655	13,37		-81.863	4.093	0,05655	16,09		-36.095	1.806	0,05655	36,16
	P		-362.707	-2.164	0,05655	49,68		-82.830	-1.734	0,05655	38,06		-128.061	-1.798	0,05655	43,02
P	A	00221	-162.347	4.500	0,04524	15,63	00929	-313.865	4.763	0,04524	18,87	00930	1.108	2.345	0,04524	20,82
	P		-197.278	-1.526	0,04524	49,07		31.460	-1.248	0,04524	35,92		67.783	-1.386	0,04524	28,86
S	A		-464.858	5.451	0,05655	22,05		93.602	2.330	0,05655	20,71		-64.241	3.212	0,05655	21,49
	P		-610.756	-2.158	0,05655	63,71		-191.245	-3.197	0,05655	26,78		-241.793	-4.911	0,05655	18,76
P	A	00931	134.633	1.606	0,04524	19,40	01379	-483.136	2.245	0,04524	49,44	01380	66.383	2.080	0,09048	41,61
	P		-85.292	-735	0,04524	81,93		-3.460	-459	0,04524	NS		-13.198	-860	0,09048	NS
S	A		-166.685	4.716	0,05655	17,47		-132.235	3.854	0,05655	18,50		-144.722	3.960	0,05655	17,97
	P		-368.955	-4.985	0,05655	21,73		-113.205	-1.846	0,05655	37,28		-72.115	-1.294	0,05655	47,65
P	A	01381	-409.036	2.952	0,09048	50,03	01684	-580.834	2.242	0,04524	54,69	01685	-818.506	2.117	0,09048	91,60
	P		-18.809	-690	0,09048	NS		6.944	-52	0,04524	NS		77.726	-897	0,09048	94,86
S	A		-107.427	4.019	0,05655	16,44		-77.482	3.800	0,05655	18,62		-479.427	5.274	0,05655	21,39
	P		-71.982	-1.195	0,05655	51,39		-477.249	-1.707	0,05655	71,31		-638.118	-2.085	0,05655	62,96
P	A	01686	-498.111	5.035	0,09048	31,52	01687	-466.474	4.277	0,09048	36,20	02644	-537.040	2.343	0,04524	50,14
	P		0	0	0,09048	-		21.546	-140	0,09048	NS		-22.679	-450	0,04524	NS
S	A		-140.945	5.092	0,05655	13,63		-92.737	4.452	0,05655	15,07		-154.724	4.130	0,05655	18,27
	P		0	0	0,05655	-		-117.448	-110	0,05655	NS		-166.044	-939	0,05655	81,93
P	A	02645	130.289	732	0,04524	43,34	02646	-405.727	4.438	0,09048	33,19	02647	-421.812	3.650	0,04524	28,34
	P		-91.689	-749	0,04524	81,49		-64.545	-628	0,09048	NS		-9.158	-408	0,04524	NS
S	A		-321.505	4.473	0,05655	21,48		-82.402	3.154	0,05655	19,99		-89.486	3.676	0,05655	17,60
	P		-510.493	-2.258	0,05655	52,94		0	0	0,05655	-		-100.556	-669	0,05655	98,94
P	A	02648	-402.557	3.177	0,09048	46,24	02649	-355.949	3.311	0,04524	28,76	02650	-425.911	2.433	0,09048	61,56
	P		-31.875	-639	0,09048	NS		-68.745	-2.121	0,04524	27,37		-67.554	-1.020	0,09048	NS
S	A		-107.532	2.747	0,05655	24,16		-62.592	2.248	0,05655	27,22		-186.555	3.592	0,05655	21,36
	P		-72.643	-574	0,05655	NS		-251.802	-1.700	0,05655	50,50		-366.356	-1.934	0,05655	51,58
Piano rialzato						**Parete3-P3**						**Parete 3-P3**				
P	A	00011	-318.406	7.050	0,04524	12,83	00224	-418.905	2.764	0,04524	37,30	00226	246.882	1.377	0,04524	11,41
	P		-32.910	-2.216	0,04524	24,06		339.032	-1.588	0,04524	1,41		43.658	-1.431	0,04524	30,20
S	A		-236.913	7.021	0,05655	13,03		-169.953	4.640	0,05655	16,68		-53.138	1.824	0,05655	37,04
	P		-11.283	-2.625	0,05655	23,65		-114.309	-3.384	0,05655	20,72		-276.087	-1.344	0,05655	71,82
P	A	00227	-178.239	7.465	0,04524	9,70	00890	-34.099	2.569	0,04524	20,82	00891	3.002	1.818	0,04524	26,71

Dir	Pos	Nodo	N_{Ed} [N]	M_{Ed} [N·m]	A_s [cm²/cm]	CS	Nodo	N_{Ed} [N]	M_{Ed} [N·m]	A_s [cm²/cm]	CS	Nodo	N_{Ed} [N]	M_{Ed} [N·m]	A_s [cm²/cm]	CS
	P		-200.281	-1.633	0,04524	46,10		18.109	-700	0,04524	66,51		-15.565	-99	0,04524	NS
S	A		-516.527	5.974	0,05655	21,18		-148.037	7.402	0,05655	10,81		-140.509	6.774	0,05655	11,66
	P		-622.254	-2.436	0,05655	56,96		-223.852	-3.711	0,05655	24,20		-278.223	-4.918	0,05655	19,68
P	A	00892	-55.881	3.926	0,04524	14,35	01427	-485.160	2.528	0,04524	44,00	01428	-421.344	2.992	0,09048	49,88
	P		-93.239	-903	0,04524	67,88		-4.601	-410	0,04524	NS		-46.187	-662	0,09048	NS
S	A		-243.396	7.880	0,05655	11,72		-173.240	3.849	0,05655	19,91		-180.709	3.771	0,05655	20,10
	P		-392.716	-5.151	0,05655	21,60		-239.880	-1.576	0,05655	54,11		-159.470	-1.761	0,05655	41,49
P	A	01429	-410.969	3.179	0,09048	46,53	01680	185.418	498	0,04524	48,99	01681	-820.731	1.915	0,09048	NS
	P		-22.233	-488	0,09048	NS		6.329	-276	0,04524	NS		126.452	-1.018	0,09048	77,33
S	A		-166.801	4.716	0,05655	15,65		-118.701	5.311	0,05655	14,34		-513.650	7.921	0,05655	14,76
	P		-130.484	-2.075	0,05655	33,29		-498.185	-1.642	0,05655	75,68		-651.851	-2.203	0,05655	60,30
P	A	01682	-495.157	4.806	0,09048	32,95	01683	-465.031	4.232	0,09048	36,54	02637	-538.317	2.429	0,04524	48,42
	P		0	0	0,09048	-		7.446	-182	0,09048	NS		-22.294	-479	0,04524	NS
S	A		-206.303	7.391	0,05655	10,55		-162.908	7.050	0,05655	10,81		-190.479	4.936	0,05655	16,23
	P		0	0	0,05655	-		-141.413	-529	0,05655	NS		-482.927	-1.166	0,05655	NS
P	A	02638	-70.291	1.277	0,04524	45,62	02639	-407.665	4.233	0,09048	34,85	02640	-423.118	3.710	0,04524	27,93
	P		-95.141	-813	0,04524	75,68		-70.306	-898	0,09048	NS		1.768	-175	0,04524	NS
S	A		-367.299	6.342	0,05655	16,07		-160.790	6.442	0,05655	11,38		-154.797	6.136	0,05655	11,94
	P		-527.426	-2.447	0,05655	49,69		0	0	0,05655	-		-134.814	-1.023	0,05655	69,03
P	A	02641	-404.548	3.260	0,09048	45,13	02642	-58.085	3.435	0,04524	16,49	02643	-429.434	2.476	0,09048	60,69
	P		-59.516	-624	0,09048	NS		-73.330	-2.348	0,04524	24,98		-68.392	-1.110	0,09048	93,86
S	A		-162.056	3.928	0,05655	18,71		-111.319	5.030	0,05655	13,43		-233.415	4.128	0,05655	20,06
	P		-324.960	-544	0,05655	NS		-281.031	-1.996	0,05655	44,88		-392.554	-1.927	0,05655	53,47
Piano rialzato						**Parete4-P4**						**Parete 4-P4**				
P	A	00013	-317.341	7.271	0,04524	12,42	00230	-420.654	3.006	0,04524	34,37	00232	-543.816	3.018	0,04524	39,20
	P		-7.554	-1.264	0,04524	39,55		0	0	0,04524	-		-10.985	-101	0,04524	NS
S	A		-229.125	5.483	0,05655	16,50		-308.402	5.058	0,05655	18,83		-470.618	2.941	0,05655	41,11
	P		-374.609	-1.426	0,05655	76,44		-129.849	-3.377	0,05655	21,37		-326.129	-1.101	0,05655	93,44
P	A	00233	-165.777	6.842	0,04524	10,34	00877	6.832	3.686	0,04524	13,04	00878	-14.279	2.607	0,04524	19,51
	P		-201.861	-1.806	0,04524	41,79		20.064	-1.120	0,04524	41,35		100.489	-72	0,04524	NS
S	A		-474.112	5.220	0,05655	23,25		-153.786	7.686	0,05655	10,50		-140.559	6.776	0,05655	11,66
	P		-626.958	-2.245	0,05655	62,06		-250.560	-3.429	0,05655	27,20		-300.496	-4.420	0,05655	22,55
P	A	00879	-73.550	3.520	0,04524	16,67	01411	-478.498	3.021	0,04524	36,55	01412	-417.569	3.248	0,09048	45,80
	P		-98.736	-869	0,04524	71,33		-4.216	-373	0,04524	NS		-45.478	-629	0,09048	NS
S	A		-294.647	7.394	0,05655	13,38		-171.409	3.730	0,05655	20,49		-181.532	3.683	0,05655	20,63
	P		-410.050	-4.627	0,05655	24,52		-285.900	-1.349	0,05655	67,63		-198.145	-1.813	0,05655	43,10
P	A	01413	-410.405	3.439	0,09048	43,00	01692	-572.936	3.176	0,04524	38,32	01693	-811.408	3.192	0,09048	60,52
	P		-15.726	-265	0,09048	NS		7.373	-319	0,04524	NS		-99.739	-1.359	0,09048	79,61
S	A		-178.796	4.266	0,05655	17,68		-115.545	4.991	0,05655	15,18		-470.579	7.519	0,05655	14,86
	P		-156.308	-2.126	0,05655	34,11		-508.160	-1.432	0,05655	87,64		-652.401	-2.018	0,05655	65,85
P	A	01694	-496.638	5.291	0,09048	29,96	01695	-467.095	4.598	0,09048	33,69	02658	-530.397	3.172	0,04524	36,79
	P		0	0	0,09048	-		5.213	-356	0,09048	NS		-21.528	-452	0,04524	NS
S	A		-209.493	6.966	0,05655	11,25		-184.958	6.101	0,05655	12,97		-181.504	4.654	0,05655	16,97
	P		0	0	0,05655	-		-149.958	-439	0,05655	NS		-494.926	-975	0,05655	NS
P	A	02659	-569.667	3.001	0,04524	40,44	02660	-408.149	4.750	0,09048	31,07	02661	-423.977	4.061	0,04524	25,54
	P		-96.364	-736	0,04524	83,75		-73.340	-944	0,09048	NS		9.253	-74	0,04524	NS
S	A		-341.809	5.771	0,05655	17,10		-162.524	6.303	0,05655	11,67		-167.458	5.698	0,05655	13,15
	P		-534.870	-2.268	0,05655	54,00		0	0	0,05655	-		-149.191	-944	0,05655	76,84

Dir	Pos	Nodo	N_{Ed} [N]	M_{Ed} [N·m]	A_s [cm²/cm]	CS	Nodo	N_{Ed} [N]	M_{Ed} [N·m]	A_s [cm²/cm]	CS	Nodo	N_{Ed} [N]	M_{Ed} [N·m]	A_s [cm²/cm]	CS
P	A	02662	-402.938	3.717	0,09048	39,53	02663	-57.880	3.335	0,04524	16,97	02664	-423.984	3.309	0,09048	45,19
	P		-59.220	-655	0,09048	NS		-78.911	-2.344	0,04524	25,33		-69.421	-1.054	0,09048	98,95
S	A		-169.145	3.936	0,05655	18,91		-116.945	5.071	0,05655	13,48		-229.216	3.855	0,05655	21,35
	P		-161.252	-458	0,05655	NS		-303.261	-1.683	0,05655	54,96		-408.225	-1.657	0,05655	63,40
Piano rialzato						**Parete5-P5**						**Parete 5-P5**				
P	A	00015	-329.000	8.401	0,04524	10,93	00236	-424.969	2.776	0,04524	37,41	00238	-544.631	2.361	0,04524	50,15
	P		-3.491	-1.843	0,04524	26,83		0	0	0,04524	-		178.723	-3.672	0,04524	6,90
S	A		-341.058	3.358	0,05655	31,21		-326.909	4.401	0,05655	22,19		-477.079	2.493	0,05655	48,82
	P		-772.559	-1.687	0,05655	91,73		-158.166	-2.343	0,05655	32,40		-55.224	-1.574	0,05655	43,10
P	A	00239	-46.029	1.055	0,04524	52,19	00916	-326.079	5.365	0,04524	17,05	00917	-40.134	2.973	0,04524	18,25
	P		-237.447	-2.031	0,04524	39,43		-41.120	-3.359	0,04524	16,20		-37.730	-358	0,04524	NS
S	A		-277.938	2.727	0,10179	52,07		-104.469	4.050	0,05655	18,34		-123.033	2.536	0,05655	30,25
	P		-668.666	-2.126	0,05655	68,87		-279.642	-3.194	0,05655	30,36		-320.696	-3.575	0,05655	28,60
P	A	00918	126.601	1.475	0,04524	21,85	01636	-478.922	2.384	0,04524	46,33	01637	-419.380	2.799	0,09048	53,24
	P		27.707	-1.155	0,04524	39,25		88.650	-2.462	0,04524	15,13		-50.129	-712	0,09048	NS
S	A		-236.738	2.905	0,05655	31,49		-432.864	2.861	0,05655	38,42		-367.699	3.528	0,05655	28,33
	P		-429.047	-4.299	0,05655	26,94		-221.049	-1.601	0,05655	51,89		-162.226	-1.943	0,05655	37,88
P	A	01638	-413.861	3.236	0,09048	45,83	01688	-572.984	2.158	0,04524	56,41	01689	-808.382	1.699	0,09048	NS
	P		-17.486	-398	0,09048	NS		6.249	-45	0,04524	NS		61.864	-747	0,09048	NS
S	A		-346.703	4.003	0,05655	24,25		-65.636	1.465	0,05655	47,22		-316.930	717	0,05655	NS
	P		-155.851	-2.006	0,05655	36,15		-529.658	-1.437	0,05655	89,12		-695.994	-1.962	0,05655	70,11
P	A	01690	-501.901	5.500	0,09048	28,94	01691	-472.488	4.653	0,09048	33,43	02651	70.709	2.586	0,04524	15,32
	P		-730	-410	0,09048	NS		6.552	-343	0,09048	NS		-23.424	-426	0,04524	NS
S	A		-213.715	3.097	0,05655	25,48		-355.014	4.348	0,05655	23,21		-367.143	1.863	0,05655	55,21
	P		-274.942	-484	0,05655	NS		-187.998	-1.399	0,05655	56,83		-263.403	-817	0,05655	NS
P	A	02652	-563.448	1.151	0,04524	NS	02653	-413.307	4.931	0,09048	30,06	02654	-428.456	3.981	0,04524	26,20
	P		-111.926	-593	0,04524	NS		-84.575	-793	0,09048	NS		-20.583	-185	0,04524	NS
S	A		-33.693	514	0,05655	NS		-129.871	3.167	0,05655	21,86		-351.779	3.934	0,05655	25,07
	P		-566.654	-2.237	0,05655	56,51		0	0	0,05655	-		-171.201	-1.486	0,05655	50,77
P	A	02655	-405.994	3.444	0,09048	42,77	02656	-364.356	3.712	0,04524	25,94	02657	-424.406	2.488	0,09048	60,13
	P		-65.046	-817	0,09048	NS		-91.942	-2.518	0,04524	24,26		-76.474	-1.000	0,09048	NS
S	A		-351.750	3.504	0,05655	27,96		-67.504	1.569	0,05655	39,41		-402.617	1.426	0,05655	73,30
	P		-150.524	-1.336	0,05655	53,96		-324.813	-1.263	0,05655	75,40		-430.777	-1.555	0,05655	69,44
Piano rialzato						**Parete7-P6**						**Parete 7-P6**				
P	A	00017	-127.415	1.372	0,13404	NS	00185	10.332	5.625	0,13404	24,57	00281	101.606	4.842	0,19562	39,03
	P		38.119	-36.088	0,13404	3,73		164.837	-8.345	0,13404	14,15		-846.631	-6.404	0,19562	47,42
S	A		-591.740	2.386	0,07697	62,43		-454.204	20.613	0,07697	6,36		-295.823	9.373	0,13854	18,87
	P		-718.226	-45.409	0,08042	3,65		-963.781	-47.233	0,08042	3,99		-1.706.722	-2.252	0,13697	NS
P	A	00282	107.841	1.954	0,13404	64,26	01032	112.258	5.560	0,13404	22,48	01033	54.513	1.121	0,13404	NS
	P		308	-17	0,13404	NS		18.428	-940	0,13404	NS		95.042	-1.497	0,13404	84,96
S	A		-192.965	7.108	0,07697	14,99		-451.088	18.165	0,07697	7,07		-183.015	4.731	0,07697	20,07
	P		-147.773	-3.101	0,08042	33,61		-306.163	-3.940	0,08042	28,85		-183.635	-3.908	0,08042	25,21
P	A	01034	45.887	2.128	0,13404	62,79	01035	56.383	1.520	0,13404	86,98	01581	41.679	2.084	0,13404	64,38
	P		77.456	-1.203	0,13404	NS		142.255	-600	0,13404	NS		84.392	-1.116	0,13404	NS
S	A		-260.478	6.329	0,07697	16,79		-197.305	5.678	0,07697	17,87		-274.876	5.089	0,07697	23,01
	P		-67.532	-1.531	0,08042	55,37		-127.611	-658	0,08042	NS		-329.930	-909	0,08042	NS
P	A	01582	53.836	2.692	0,13404	49,25	01583	12.686	575	0,13404	NS	01584	9.178	418	0,13404	NS
	P		-15.203	-1.416	0,13404	99,99		-88.109	-2.457	0,13404	61,45		-82.729	-8.578	0,13404	17,52
S	A		-177.122	3.121	0,07697	31,44		-376.872	1.835	0,07697	65,95		-814.852	1.956	0,07697	87,00
	P		-49.848	-2.492	0,08042	34,13		-107.70	-5.385	0,08042	16,71		-389.28	-14.574	0,08042	8,57

Dir	Pos	Nodo	N_{Ed} [N]	M_{Ed} [N·m]	A_s [cm²/cm]	CS	Nodo	N_{Ed} [N]	M_{Ed} [N·m]	A_s [cm²/cm]	CS	Nodo	N_{Ed} [N]	M_{Ed} [N·m]	A_s [cm²/cm]	CS
								4					8			
P	A	01700	589.946	29.537	0,13404	2,12	01701	40.929	18.766	0,13404	7,15	01735	44.529	454	0,19562	NS
	P		-53.052	-1.069	0,13404	NS		823.483	-6.046	0,13404	5,28		-76.339	-3.435	0,19562	61,72
S	A		-966.956	46.808	0,07697	4,00		-535.056	18.156	0,07697	7,81		-287.222	5.516	0,13854	31,00
	P		-31.677	-3.588	0,08042	22,79		-1.375	-1.987	0,08042	38,96		-32.687	-609	0,08042	NS
P	A	01736	367.742	3.335	0,13404	27,46	02743	-22.700	1.322	0,19562	NS	02744	155.837	1.247	0,13404	95,63
	P		276.228	-1.527	0,13404	67,84		-50.214	-1.602	0,19562	NS		98.923	-427	0,13404	NS
S	A		-238.037	6.513	0,07697	17,25		-271.514	6.201	0,13854	27,45		-236.105	5.922	0,07697	18,02
	P		-684.242	-1.915	0,08042	88,54		-183.479	-1.537	0,08042	65,65		-160.053	-333	0,08042	NS
P	A	02745	5.634	249	0,13404	NS	02746	43.085	2.091	0,13404	64,08	02747	28.158	1.408	0,13404	96,54
	P		181.532	-8.261	0,13404	14,03		11.724	-3.558	0,13404	38,80		-22.556	-727	0,13404	NS
S	A		-363.339	11.281	0,07697	10,44		-779.491	5.652	0,07697	29,45		-507.394	3.768	0,07697	36,19
	P		-584.901	-11.276	0,08042	13,13		-714.073	-6.902	0,08042	23,54		-168.480	-8.424	0,08042	11,52
P	A	02748	60.310	1.321	0,13404	99,73	02749	50.063	1.524	0,13404	87,31					
	P		86.427	-668	0,13404	NS		0	0	0,13404	-					
S	A		-251.642	3.873	0,07697	26,69		-249.729	3.783	0,07697	27,69					
	P		-224.832	-6.145	0,08042	16,83		-289.436	-1.647	0,08042	68,79					
Piano rialzato						**ParetеP7-13**						**Parete P7-13**				
P	A	00029	0	0	0,06158	-	00102	-125.155	17.663	0,10681	7,25	00272	-711.625	813	0,13854	NS
	P		-98.435	-31.503	0,10681	3,95		-20.279	-1.178	0,06158	58,04		-17.273	-2.342	0,13854	62,50
S	A		0	0	0,04524	-		40.041	7.981	0,04524	5,47		-129.167	4.800	0,10179	25,74
	P		-5.651	-16.107	0,04524	3,09		-336.052	-5.623	0,04524	16,49		97.120	-609	0,10179	NS
P	A	00273	-39.672	1.767	0,06158	40,14	01548	54.377	2.687	0,06158	21,80	01549	190.463	1.737	0,06158	23,40
	P		-54.612	-3.007	0,06158	24,24		-93.368	-4.587	0,06158	17,00		-88.961	-3.022	0,06158	25,61
S	A		-607.334	15.939	0,10179	11,49		-506	4.023	0,04524	12,19		-138.616	2.746	0,04524	24,48
	P		-273.902	-2.389	0,10179	59,48		-56.787	-2.395	0,04524	23,57		-135.135	-1.890	0,04524	35,33
P	A	01550	5.987	407	0,13854	NS	01716	81.491	4.075	0,06158	13,50	01717	1.928	96	0,06158	NS
	P		-89.034	-1.899	0,06158	40,74		-99.806	-8.331	0,06158	9,46		-101.377	-5.869	0,06158	13,46
S	A		-135.762	3.239	0,10179	38,33		0	0	0,04524	-		0	0	0,04524	-
	P		-149.812	-417	0,04524	NS		-141.883	-6.609	0,04524	10,24		-193.184	-9.659	0,04524	7,70
P	A	01718	47.380	2.369	0,06158	25,11	01719	108.695	2.405	0,06158	21,38	01720	-113.890	2.072	0,06158	38,92
	P		-91.789	-3.260	0,06158	23,85		58.076	-775	0,06158	74,98		117.433	-113	0,06158	NS
S	A		-84.395	80	0,04524	NS		-94.090	2.782	0,04524	22,06		-135.267	4.720	0,04524	14,15
	P		-93.971	-4.699	0,04524	13,06		-43.941	-2.155	0,04524	25,42		0	0	0,04524	-
P	A	01721	-110.506	4.727	0,06158	16,97	01722	-1.912	3.854	0,06158	17,12	01723	88.842	2.597	0,06158	20,80
	P		4.229	-82	0,06158	NS		19	-21	0,06158	NS		26.226	-222	0,06158	NS
S	A		-130.621	6.531	0,04524	10,13		-219.930	7.592	0,04524	10,25		-139.288	5.812	0,04524	11,58
	P		-422.803	-20	0,04524	NS		-301.526	-198	0,04524	NS		0	0	0,04524	-
P	A	01724	44.618	926	0,06158	64,65	01725	122.999	2.474	0,10681	38,73	01726	17.053	308	0,06158	NS
	P		45.527	-976	0,06158	61,24		39.821	-1.991	0,10681	53,58		60.779	-673	0,06158	85,74
S	A		-236.490	9.243	0,04524	8,25		-129.793	6.490	0,10179	17,59		-109.722	5.486	0,04524	11,56
	P		-74.702	-519	0,04524	NS		-190.292	-1.257	0,10179	97,06		-44.986	-1.317	0,04524	41,69
P	A	01727	120.396	858	0,06158	58,17	01728	78.287	2.710	0,06158	20,45	01729	242.349	10.376	0,06158	3,26
	P		-42.491	-1.425	0,06158	50,05		36.408	-1.820	0,06158	33,48		-38.693	-3.206	0,06158	22,08
S	A		-68.656	3.433	0,04524	16,90		-56.055	2.521	0,04524	22,36		-58.950	2.549	0,04524	22,26
	P		-47.836	-2.392	0,04524	23,12		-24.899	-1.149	0,04524	45,47		-23.695	-876	0,04524	59,45
P	A	01730	84.158	3.726	0,13854	35,75	02722	71.276	435	0,06158	NS	02723	-64.325	6.237	0,06158	11,89
	P		42.147	-2.772	0,13854	50,03		-95.630	-10.361	0,06158	7,55		23.445	-357	0,06158	NS
S	A		-66.284	3.311	0,10179	32,54		-1.090	650	0,04524	75,54		-153.049	6.812	0,04524	10,14
	P		-22.687	-748	0,10179	NS		-337.965	-11.929	0,04524	7,79		-378.365	-1.023	0,04524	95,81
P	A	02724	50.706	632	0,06158	93,47	02725	-2.360	646	0,13854	NS	02726	-73	315	0,06158	NS
	P		50.552	-854	0,06158	69,14		144.035	-2.847	0,13854	44,05		-71.718	-3.238	0,06158	23,20
S	A		-221.503	8.714	0,10179	15,54		-92.374	2.981	0,10179	39,84		-87.485	1.547	0,04524	36,91
	P		-129.132	-2.315	0,10179	53,35		-65.020	-2.859	0,10179	40,30		-78.206	-1.624	0,04524	34,42
P	A	02727	29.909	450	0,06158	NS	02728	37.256	634	0,06158	95,88	02729	112	788	0,06158	83,34
	P		-51.739	-2.781	0,06158	26,07		-41.375	-739	0,06158	96,31		42.428	-165	0,06158	NS
S	A		-68.962	1.846	0,04524	29,45		-80.304	4.000	0,04524	13,89		-142.678	5.683	0,04524	11,16

Dir	Pos	Nodo	N_{Ed} [N]	M_{Ed} [N·m]	A_s [cm²/cm]	CS	Nodo	N_{Ed} [N]	M_{Ed} [N·m]	A_s [cm²/cm]	CS	Nodo	N_{Ed} [N]	M_{Ed} [N·m]	A_s [cm²/cm]	CS
	P		-248.187	-4.498	0,04524	17,29		-40.975	-1.861	0,04524	27,07		-204.043	-709	0,04524	NS
P	A	02730	68.569	536	0,06158	NS	02731	14.757	216	0,06158	NS	02732	-35.844	1.532	0,06158	45,97
	P		-84.075	-5.197	0,06158	14,77		-65.906	-1.989	0,06158	37,39		1.931	-46	0,06158	NS
S	A		3.860	587	0,04524	76,96		-90.093	1.945	0,04524	29,31		-112.184	3.952	0,04524	15,35
	P		-98.125	-3.489	0,04524	16,81		-61.623	-3.060	0,04524	17,41		-243.217	-489	0,04524	NS
Piano rialzato						**Parete32-P10**						**Parete 32-P10**				
P	A	00199	295.191	10.545	0,14577	10,72	00243	208.743	7.154	0,10053	10,93	00244	-126.492	6.215	0,10053	19,61
	P		16.661	-17.423	0,14577	8,57		135.706	-6.785	0,10053	12,93		-188.560	-20.805	0,10053	6,24
S	A		8.679	1.246	0,05655	39,54		-42.669	2.133	0,05655	31,02		-534.365	21.276	0,05655	6,05
	P		-680.745	-34.033	0,05655	3,97		-150.761	-7.399	0,05655	10,86		-480.935	-23.577	0,05655	5,18
P	A	00293	-325.101	16.277	0,10053	9,05	00903	40.912	7.166	0,10053	13,97	00904	191.641	4.259	0,10053	18,88
	P		-3.801	-144	0,10053	NS		0	0	0,10053	-		194.967	-2.752	0,10053	29,06
S	A		-784.890	39.037	0,05655	3,78		-391.583	19.886	0,05655	5,08		-152.546	7.449	0,05655	9,76
	P		0	0	0,05655	-		-671.537	-6.730	0,05655	19,93		-494.400	-15.130	0,05655	7,67
P	A	00905	0	0	0,10053	-	01492	254.269	8.738	0,10053	8,26	01493	116.451	1.265	0,10053	71,33
	P		80.112	-4.000	0,10053	23,76		167.922	-11.613	0,10053	7,19		96.508	-5.419	0,10053	17,14
S	A		-244.280	6.915	0,05655	12,87		7.669	1.109	0,05655	44,58		-173.716	1.373	0,05655	52,94
	P		-436.889	-11.909	0,05655	9,52		-576.432	-25.046	0,05655	4,93		-658.553	-27.285	0,05655	4,84
P	A	01625	99.297	2.925	0,10053	31,63	01626	130.446	5.083	0,10053	17,40	01627	120.036	902	0,10053	99,57
	P		91.362	-4.526	0,10053	20,67		3.383	-94	0,10053	NS		53.931	-1.228	0,10053	80,16
S	A		-362.834	2.094	0,05655	47,20		-149.086	2.056	0,10179	55,27		-2.169	671	0,10179	NS
	P		-535.207	-10.229	0,05655	11,73		-514.700	-14.838	0,10179	10,77		-639.709	-25.833	0,10179	6,67
P	A	01745	162.818	195	0,10053	NS	01746	13.259	619	0,10053	NS	02764	48.175	680	0,10053	NS
	P		51.848	-1.816	0,10053	54,36		111.569	-2.940	0,10053	30,92		64.042	-1.234	0,10053	78,70
S	A		-46.628	625	0,05655	NS		-421.561	14.668	0,05655	7,23		-311.329	3.172	0,05655	29,82
	P		-359.639	-14.432	0,05655	7,42		-486.218	-13.851	0,05655	8,23		-452.984	-14.344	0,05655	7,83
P	A	02765	53.463	3.477	0,10053	28,33	02766	123.558	6.126	0,10053	14,58	02767	31.464	562	0,10053	NS
	P		-30.346	-1.778	0,10053	61,55		26.959	-167	0,10053	NS		9.989	-1.752	0,10053	59,47
S	A		-167.370	8.376	0,05655	8,98		-285.297	9.229	0,10179	14,20		-2.594	914	0,10179	NS
	P		-488.123	-13.478	0,05655	8,60		-738.883	-15.248	0,10179	12,12		-623.582	-24.748	0,10179	6,94
P	A	02768	-47.895	2.554	0,10053	43,73	02769	-32.757	2.383	0,10053	46,05	02770	24.927	1.119	0,10053	91,34
	P		10.132	-540	0,10053	NS		28.608	-25	0,10053	NS		-19.462	-2.644	0,10053	40,85
S	A		-11.018	490	0,10179	NS		-280.058	11.488	0,10179	11,37		-278.524	9.485	0,05655	9,03
	P		-693.342	-19.437	0,10179	9,23		-602.544	-13.592	0,10179	12,53		-477.025	-15.753	0,05655	7,02
Piano rialzato						**Parete10-11**						**Parete 10-11**				
P	A	00023	-7.802	95	0,14577	NS	00025	-10.556	62	0,15708	NS	00295	459.978	13.185	0,10053	3,43
	P		-100.309	-5.015	0,14577	32,79		-183.302	-9.165	0,15708	20,36		14.617	-244	0,10053	NS
S	A		-151.947	2.360	0,10179	53,58		-924.152	2.330	0,10179	90,78		-93.273	4.282	0,05655	17,01
	P		-320.691	-16.035	0,10179	9,23		-378.564	-18.928	0,10179	8,00		-27.457	-1.373	0,05655	46,76
P	A	00296	26.681	1.334	0,10053	76,45	00741	10.153	508	0,10053	NS	00742	250.634	6.786	0,10053	10,71
	P		276.797	-5.076	0,10053	13,64		207.481	-8.964	0,10053	8,74		-54.102	-2.705	0,10053	41,59
S	A		-140.521	1.269	0,05655	62,26		-559.085	5.377	0,05655	23,93		-404.269	5.979	0,05655	18,08
	P		-65.668	-3.254	0,05655	21,27		-258.510	-12.926	0,05655	7,07		-221.677	-11.084	0,05655	7,66
P	A	00743	13.690	674	0,10053	NS	00744	87.824	2.810	0,10053	33,45	00745	85.595	650	0,10053	NS
	P		-50.816	-2.541	0,10053	44,12		100.144	-2.561	0,10053	36,08		118.426	-3.554	0,10053	25,32
S	A		-295.480	7.243	0,05655	12,94		-203.308	5.838	0,05655	13,96		-377.300	8.786	0,05655	11,91
	P		-206.898	-10.345	0,05655	7,96		-186.854	-9.343	0,05655	8,50		-182.417	-9.121	0,05655	8,74
P	A	00746	3.259	163	0,10053	NS	01044	109.757	4.424	0,10053	20,60	01045	105.154	1.497	0,10053	61,28
	P		15.266	-763	0,10053	NS		-78.520	-163	0,10053	NS		-98.975	-173	0,10053	NS
S	A		-409.565	3.397	0,05655	32,57		-192.173	8.514	0,05655	9,46		-593.845	12.886	0,05655	9,99
	P		-178.736	-8.937	0,05655	9,09		-53.278	-2.662	0,05655	23,43		-67.179	-3.162	0,05655	19,79
P	A	01046	18.317	831	0,10053	NS	01047	102.732	1.927	0,10053	47,78	01048	46.233	2.267	0,10053	43,86
	P		27.413	-838	0,10053	NS		14.734	-884	0,10053	NS		-90.774	-211	0,10053	NS
S	A		-146.245	2.513	0,05655	28,75		-103.979	3.491	0,05655	19,09		-443.494	2.644	0,05655	41,81

Dir	Pos	Nodo	N_{Ed} [N]	M_{Ed} [N·m]	A_s [cm²/cm]	CS	Nodo	N_{Ed} [N]	M_{Ed} [N·m]	A_s [cm²/cm]	CS	Nodo	N_{Ed} [N]	M_{Ed} [N·m]	A_s [cm²/cm]	CS
	P		-70.539	-3.518	0,05655	17,72		-70.621	-3.538	0,05655	17,60		-77.296	-3.796	0,05655	16,76
P	A	01049	18.051	487	0,10053	NS	01676	17.393	870	0,15708	NS	01677	14.974	205	0,10053	NS
	P		-74.959	-234	0,10053	NS		-22.487	-918	0,15708	NS		47.429	-1.164	0,10053	85,32
S	A		-456.278	10.967	0,05655	10,34		-151.087	1.349	0,10179	85,73		-174.206	795	0,05655	NS
	P		-134.122	-4.002	0,05655	18,09		-240.494	-12.025	0,10179	10,57		-139.527	-6.961	0,05655	10,93
P	A	01678	117.916	1.237	0,10053	72,79	01679	6.836	329	0,14577	NS	02627	13.512	676	0,15708	NS
	P		19.047	-952	0,10053	NS		-11.971	-1.457	0,14577	NS		-19.271	-964	0,15708	NS
S	A		-21.861	588	0,05655	NS		-61.079	827	0,10179	NS		-62.887	2.057	0,10179	53,18
	P		-32.772	-1.639	0,05655	39,60		-128.859	-6.289	0,10179	18,32		-256.315	-12.816	0,10179	10,48
P	A	02628	370.207	717	0,10053	79,49	02629	147.274	3.707	0,10053	23,26	02630	20.523	94	0,14577	NS
	P		-67	-558	0,10053	NS		84.387	-2.987	0,10053	31,62		-5.645	-282	0,14577	NS
S	A		-75.261	2.248	0,05655	28,99		-38.710	1.487	0,05655	40,75		-30.795	1.361	0,10179	77,18
	P		-127.060	-5.788	0,05655	12,43		-48.168	-2.408	0,05655	25,68		-161.395	-8.012	0,10179	15,22
P	A	02631	979	20	0,10053	NS	02632	74.093	2.714	0,10053	35,29	02633	41.634	1.083	0,10053	92,42
	P		20.232	-992	0,10053	NS		295.097	-8.472	0,10053	7,89		7.573	-195	0,10053	NS
S	A		-816.557	2.714	0,05655	56,51		-179.890	5.224	0,05655	14,89		-245.068	5.628	0,05655	15,30
	P		-131.699	-6.585	0,05655	10,93		-104.483	-3.892	0,05655	17,46		-109.256	-5.129	0,05655	13,35
P	A	02634	37.295	1.445	0,10053	69,61	02635	0	0	0,10053	-	02636	78.304	1.766	0,10053	53,92
	P		-5.320	-266	0,10053	NS		194.236	-1.630	0,10053	49,13		-2.767	-961	0,10053	NS
S	A		-227.587	5.094	0,05655	16,59		-254.766	3.693	0,05655	23,47		-123.542	2.915	0,05655	24,19
	P		-173.290	-8.664	0,05655	8,94		-76.007	-3.176	0,05655	19,95		-154.150	-7.536	0,05655	9,89
Piano rialzato						**Parete33-P11**						**Parete 33-P11**				
P	A	00031	-47.316	4.412	0,04524	12,52	00247	186.795	503	0,04524	48,18	00249	-10.316	469	0,04524	NS
	P		-28.925	-1.818	0,04524	29,03		-7.099	-526	0,04524	94,88		275.540	-3.767	0,04524	3,08
S	A		-336.048	5.329	0,05655	19,55		-198.683	9.931	0,05655	8,18		-519.630	7.103	0,05655	17,86
	P		-204.267	-1.440	0,05655	60,61		-167.326	-3.143	0,05655	24,54		-85.731	-3.543	0,05655	20,27
P	A	00250	-188.424	3.400	0,04524	21,68	01115	-4.807	3.171	0,04524	15,65	01116	-35.415	4.344	0,04524	12,35
	P		-142.871	-2.851	0,04524	23,77		2.946	-1.684	0,04524	28,84		15.282	-994	0,04524	47,22
S	A		-639.435	5.744	0,05655	24,49		-243.105	10.670	0,05655	8,65		-266.599	13.202	0,05655	7,22
	P		-360.070	-3.096	0,05655	34,62		-85.873	-3.760	0,05655	19,11		-84.435	-3.661	0,05655	19,57
P	A	01117	-93.374	3.682	0,04524	16,64	01668	-14.229	780	0,04524	65,23	01669	-46.110	1.127	0,09048	89,86
	P		-1.161	-1.404	0,04524	34,99		63.995	-3.027	0,04524	13,39		85.899	-1.147	0,09048	73,23
S	A		-391.241	11.731	0,05655	9,47		-439.818	8.101	0,05655	13,67		-333.425	8.406	0,05655	11,37
	P		-138.236	-2.587	0,05655	30,43		-139.360	-2.635	0,05655	27,46		-129.958	-2.291	0,05655	30,25
P	A	01670	-17.994	497	0,09048	NS	01741	-1.718	182	0,04524	NS	01742	46.732	238	0,09048	NS
	P		13.417	-625	0,09048	NS		32.672	-282	0,04524	NS		-2.229	-289	0,09048	NS
S	A		-243.788	10.150	0,05655	8,27		-516.961	7.491	0,05655	16,89		-652.347	6.684	0,05655	19,94
	P		-145.358	-3.063	0,05655	23,23		-141.273	-3.790	0,05655	20,87		-402.962	-3.502	0,05655	29,64
P	A	01743	-16.939	1.528	0,09048	63,77	01744	-342.047	327	0,09048	NS	02757	-27.061	796	0,04524	65,98
	P		-4.169	-300	0,09048	NS		-2.873	-82	0,09048	NS		92.291	-64	0,04524	NS
S	A		-347.431	8.782	0,05655	10,96		-232.260	10.882	0,05655	7,84		-496.478	7.227	0,05655	16,46
	P		-226.982	-3.416	0,05655	23,66		-181.135	-3.561	0,05655	22,10		-167.127	-2.906	0,05655	26,60
P	A	02758	-82.059	1.593	0,04524	37,53	02759	-38.078	2.203	0,09048	45,47	02760	-12.377	667	0,04524	75,91
	P		-23.244	-1.562	0,04524	33,33		-26.995	-1.097	0,09048	90,00		-16.434	-171	0,04524	NS
S	A		-535.840	7.205	0,05655	17,04		-297.248	8.881	0,05655	10,26		-235.731	10.763	0,05655	7,80
	P		-273.055	-3.118	0,05655	28,90		-142.999	-3.759	0,05655	18,93		-155.844	-3.532	0,05655	20,82
P	A	02761	-45.637	1.979	0,09048	51,14	02762	-51.685	3.434	0,04524	16,25	02763	-69.427	2.439	0,09048	42,76
	P		-32.688	-1.105	0,09048	90,06		-33.918	-1.807	0,04524	29,59		-1.636	-221	0,09048	NS
S	A		-278.755	9.849	0,05655	9,01		-255.166	10.656	0,05655	8,11		-377.215	9.234	0,05655	10,97
	P		-130.020	-2.648	0,05655	26,23		-96.242	-1.860	0,05655	35,31		-175.119	-2.094	0,05655	36,03
Piano rialzato						**Parete34-P12**						**Parete 34-P12**				
P	A	00033	-14.464	1.780	0,04524	28,59	00253	302.746	1.898	0,04524	4,01	00255	0	0	0,04524	-
	P		-299.919	-3.194	0,04524	27,59		-14.513	-963	0,04524	52,87		-8.223	-407	0,04524	NS
S	A		-21.744	5.797	0,05655	10,94		-269.122	5.481	0,05655	16,47		-600.573	4.404	0,05655	30,96
	P		-299.005	-2.344	0,05655	42,42		-323.106	-3.396	0,05655	28,62		-274.585	-2.858	0,05655	33,71
P	A	00256	-101.33	1.442	0,04524	43,22	01095	17.540	721	0,04524	64,74	01096	-11.987	2.018	0,04524	25,05

Dir	Pos	Nodo	N_{Ed} [N]	M_{Ed} [N·m]	A_s [cm²/cm]	CS	Nodo	N_{Ed} [N]	M_{Ed} [N·m]	A_s [cm²/cm]	CS	Nodo	N_{Ed} [N]	M_{Ed} [N·m]	A_s [cm²/cm]	CS
	P		6 -220.086	-1.756	0,04524	44,33		-19.578	-1.628	0,04524	31,67		-11.589	-2.414	0,04524	20,92
S	A		-734.736	3.650	0,05655	41,34		-257.819	5.527	0,05655	17,04		-333.960	7.955	0,05655	13,06
	P		-52.055	-1.198	0,05655	56,30		-166.119	-3.999	0,05655	20,59		-149.146	-3.554	0,05655	22,54
P	A	01097	-119.744	2.856	0,04524	22,67	01652	-11.232	809	0,04524	62,34	01653	-52.089	1.478	0,09048	69,04
	P		88.536	-1.631	0,04524	22,84		20.246	-517	0,04524	89,48		51.856	-1.581	0,09048	55,96
S	A		-468.260	8.499	0,05655	14,19		-521.031	4.863	0,05655	24,76		-417.271	3.979	0,05655	26,63
	P		-252.560	-2.335	0,05655	40,05		-267.797	-2.938	0,05655	30,24		-390.151	-2.827	0,05655	36,29
P	A	01654	-13.915	695	0,09048	NS	01751	12.683	375	0,04524	NS	01752	-21.647	3.044	0,09048	32,21
	P		-405.631	-791	0,09048	NS		85.527	-502	0,04524	74,98		112.649	-498	0,09048	NS
S	A		-337.535	4.500	0,05655	21,31		-599.533	4.390	0,05655	31,03		-755.074	4.400	0,05655	32,57
	P		-350.416	-3.194	0,05655	30,54		-327.775	-2.746	0,05655	37,55		-592.427	-1.767	0,05655	71,16
P	A	01753	0	0	0,09048	-	01754	22.247	174	0,09048	NS	02778	-27.415	777	0,04524	67,73
	P		-27.309	-1.794	0,09048	55,08		-421.904	-1.735	0,09048	86,06		-17.424	-553	0,04524	92,75
S	A		-413.088	1.157	0,05655	90,31		-315.213	2.355	0,05655	40,72		-577.965	4.139	0,05655	31,00
	P		-398.022	-4.279	0,05655	23,98		-338.371	-4.771	0,05655	20,72		-317.386	-2.670	0,05655	36,08
P	A	02779	-109.309	1.185	0,04524	53,48	02780	-74.401	1.029	0,09048	NS	02781	-21.762	270	0,04524	NS
	P		51.484	-1.033	0,04524	40,82		-392.662	-1.637	0,09048	88,99		-401.179	-1.287	0,04524	78,38
S	A		-620.931	4.722	0,05655	28,01		-357.093	1.278	0,05655	77,17		-324.222	4.002	0,05655	23,79
	P		-195.637	-1.553	0,05655	51,38		-212.925	-3.747	0,05655	21,39		-342.434	-3.729	0,05655	26,15
P	A	02782	-60.781	1.290	0,09048	79,97	02783	-74.961	3.581	0,04524	16,44	02784	-82.148	1.866	0,09048	56,76
	P		-49.703	-707	0,09048	NS		-63.295	-1.477	0,04524	38,82		-30.534	-1.156	0,09048	85,80
S	A		-363.513	4.286	0,05655	23,21		-319.740	5.107	0,05655	18,51		-464.051	4.942	0,05655	22,63
	P		-226.190	-2.693	0,05655	30,41		-161.425	-3.155	0,05655	23,49		-285.245	-2.305	0,05655	38,79
Piano rialzato						**Parete35-P13**						**Parete 35-P13**				
P	A	00035	-73.984	3.014	0,05655	23,32	00259	-8.064	503	0,05655	NS	00261	-15.364	330	0,05655	NS
	P		-102.668	-666	0,05655	NS		392.860	-107	0,05655	68,65		230.593	-3.524	0,05655	8,56
S	A		-409.731	4.183	0,05655	27,11		-305.411	8.055	0,05655	11,77		-282.499	5.333	0,05655	18,25
	P		-341.772	-953	0,05655	NS		-356.551	-1.645	0,05655	61,57		-356.406	-2.337	0,05655	45,68
P	A	00262	-241.976	2.231	0,05655	41,31	01155	-32.783	5.433	0,05655	11,94	01156	-55.608	4.142	0,05655	16,39
	P		-236.017	-1.723	0,05655	53,03		-28.712	-2.995	0,05655	21,49		-18.462	-2.057	0,05655	30,63
S	A		-757.222	5.836	0,05655	26,26		-294.354	12.142	0,05655	8,14		-327.663	13.218	0,05655	7,80
	P		-63.703	-2.515	0,05655	27,42		-240.883	-4.712	0,05655	19,52		-242.043	-4.256	0,05655	21,65
P	A	01157	-128.520	4.160	0,05655	18,61	01609	45.685	1.168	0,05655	46,72	01610	-53.623	1.177	0,05655	57,44
	P		-96.663	-1.442	0,05655	50,82		-4.469	-361	0,05655	NS		-26.990	-1.197	0,05655	53,59
S	A		-483.582	11.170	0,05655	10,97		-546.002	6.298	0,05655	19,59		-449.498	6.478	0,05655	16,97
	P		-334.958	-3.660	0,05655	28,43		-693.985	-4.047	0,05655	34,58		-327.818	-1.826	0,05655	51,89
P	A	01611	-19.959	550	0,05655	NS	01747	10.814	257	0,05655	NS	01748	53.936	476	0,05655	NS
	P		-20.329	-679	0,05655	93,20		185.468	-5.914	0,05655	6,11		50.817	-577	0,05655	93,40
S	A		-372.577	7.490	0,05655	13,38		-614.537	6.539	0,05655	21,09		-772.442	6.287	0,05655	23,05
	P		-342.329	-1.911	0,05655	50,45		-394.177	-2.573	0,05655	43,32		-631.583	-2.071	0,05655	62,78
P	A	01749	-23.992	1.392	0,05655	45,78	01750	-491.696	814	0,05655	NS	02771	-30.154	906	0,05655	71,20
	P		-19.308	-134	0,05655	NS		10.786	-319	0,05655	NS		97.365	-3.078	0,05655	15,51
S	A		-462.316	7.797	0,05655	14,10		-347.625	9.353	0,05655	10,67		-597.353	5.943	0,05655	21,95
	P		-406.144	-2.767	0,05655	37,22		-362.610	-2.508	0,05655	40,56		-390.896	-2.095	0,05655	50,38
P	A	02772	-112.888	1.591	0,05655	47,39	02773	-62.709	3.388	0,05655	20,31	02774	-22.053	861	0,05655	73,72
	P		-88.248	-917	0,05655	78,66		-105.651	-663	0,05655	NS		-25.390	-375	0,05655	NS
S	A		-641.860	6.783	0,05655	19,82		-386.933	9.286	0,05655	10,99		-359.209	8.642	0,05655	11,50
	P		-497.19	-2.035	0,05655	57,84		-329.45	-3.351	0,05655	28,30		-348.84	-2.319	0,05655	42,30

Dir	Pos	Nodo	N_{Ed} [N]	M_{Ed} [N·m]	A_s [cm²/cm]	CS	Nodo	N_{Ed} [N]	M_{Ed} [N·m]	A_s [cm²/cm]	CS	Nodo	N_{Ed} [N]	M_{Ed} [N·m]	A_s [cm²/cm]	CS
			9					9					1			
P	A	02775	-70.202	2.050	0,05655	34,04	02776	-87.209	4.421	0,05655	16,29	02777	-91.706	2.250	0,05655	32,28
	P		-68.678	-893	0,05655	77,94		-102.037	-1.401	0,05655	52,78		-50.273	-1.159	0,05655	57,97
S	A		-392.845	8.170	0,05655	12,61		-319.268	11.487	0,05655	8,22		-485.252	7.922	0,05655	14,43
	P		-328.341	-2.288	0,05655	41,48		-249.330	-3.708	0,05655	23,04		-363.925	-2.434	0,05655	40,79
Piano rialzato						**Parete36-P14**						**Parete 36-P14**				
P	A	00037	-87.204	2.186	0,05655	32,95	00265	-11.962	685	0,05655	90,71	00267	258.462	3.434	0,05655	7,71
	P		-33.208	-1.413	0,05655	45,95		401.514	-342	0,05655	17,84		-7.696	-365	0,05655	NS
S	A		-317.434	2.983	0,05655	34,13		-355.581	7.864	0,05655	12,88		-675.665	5.147	0,05655	28,10
	P		-24.534	-1.157	0,05655	55,15		-342.553	-1.873	0,05655	53,21		-340.936	-2.685	0,05655	39,02
P	A	00268	-226.166	1.732	0,05655	52,04	01135	-59.119	9.077	0,05655	7,53	01136	-84.507	3.831	0,05655	18,71
	P		-263.420	-1.972	0,05655	48,13		-10.942	-5.387	0,05655	11,51		-6.720	-1.443	0,05655	42,58
S	A		-826.003	4.189	0,05655	38,23		-337.909	10.834	0,05655	9,64		-403.352	10.342	0,05655	10,89
	P		-83.790	-2.912	0,05655	24,58		-216.158	-5.063	0,05655	17,54		-216.787	-3.411	0,05655	26,07
P	A	01137	-150.664	3.317	0,05655	24,21	01564	-9.597	750	0,05655	82,49	01565	-57.015	1.275	0,05655	53,41
	P		-80.744	-1.981	0,05655	35,93		-6.915	-285	0,05655	NS		-28.544	-1.362	0,05655	47,23
S	A		-558.344	8.303	0,05655	15,84		-607.263	5.751	0,05655	22,68		-514.366	5.743	0,05655	20,52
	P		120.817	-2.099	0,05655	21,27		-337.924	-2.693	0,05655	36,29		-306.930	-1.846	0,05655	49,88
P	A	01566	-19.957	727	0,05655	86,97	01737	94.685	3.573	0,05655	13,46	01738	217	740	0,05655	81,81
	P		-23.237	-878	0,05655	72,44		7.106	-249	0,05655	NS		-15.348	-1.056	0,05655	59,27
S	A		-432.779	6.807	0,05655	15,87		-672.914	5.539	0,05655	26,06		-836.508	5.115	0,05655	29,54
	P		-324.302	-1.941	0,05655	48,65		-382.711	-2.657	0,05655	41,42		-628.735	-2.059	0,05655	62,87
P	A	01739	-28.641	711	0,05655	90,45	01740	-506.079	655	0,05655	NS	02750	-30.324	725	0,05655	89,02
	P		0	0	0,05655	-		15.519	-216	0,05655	NS		-18.331	-719	0,05655	87,63
S	A		-500.217	6.894	0,05655	16,60		-395.286	8.212	0,05655	12,89		-657.226	5.197	0,05655	26,36
	P		-400.392	-2.354	0,05655	43,41		-353.217	-2.252	0,05655	44,67		-376.999	-2.268	0,05655	45,71
P	A	02751	-134.662	1.189	0,05655	65,83	02752	-91.841	2.784	0,05655	26,09	02753	-24.117	919	0,05655	69,35
	P		-82.504	-688	0,05655	NS		-98.635	-874	0,05655	84,11		-26.733	-505	0,05655	NS
S	A		-704.597	5.325	0,05655	26,55		-441.979	7.954	0,05655	13,68		-413.845	7.600	0,05655	13,99
	P		-66.852	-1.672	0,05655	37,67		-315.442	-2.969	0,05655	31,31		-334.581	-2.208	0,05655	43,67
P	A	02754	-76.534	1.895	0,05655	37,26	02755	-113.593	3.885	0,05655	19,43	02756	-97.692	1.859	0,05655	39,48
	P		-69.637	-1.215	0,05655	57,38		-95.757	-2.120	0,05655	34,50		-45.509	-1.092	0,05655	60,94
S	A		-458.389	6.953	0,05655	16,02		-393.704	9.156	0,05655	11,34		-550.831	6.462	0,05655	18,90
	P		-308.016	-2.179	0,05655	42,48		-226.884	-3.228	0,05655	25,58		-345.462	-2.437	0,05655	39,77
Piano rialzato						**ParetteP15-41**						**Parete P15-41**				
P	A	00066	-354.893	18.649	0,07697	6,83	00275	20.086	588	0,07697	NS	00276	-211.134	380	0,07697	NS
	P		-61.483	-5.007	0,10179	22,91		-185.093	-5.179	0,13352	31,37		48.999	-1.380	0,05655	39,24
S	A		-558.285	27.858	0,05655	4,72		331.962	8.166	0,11310	9,17		-131.906	6.595	0,05655	11,81
	P		-192.186	-7.562	0,05655	11,33		-134.606	-4.159	0,10179	29,88		-18.337	-356	0,05655	NS
P	A	00277	174.844	3.251	0,07697	17,98	01075	66.861	470	0,07697	NS	01076	7.914	105	0,07697	NS
	P		205.935	-196	0,05655	NS		-288.434	-795	0,05655	NS		-300.075	-776	0,05655	NS
S	A		-110.177	5.240	0,05655	14,32		-150.037	6.790	0,05655	11,14		-153.601	6.718	0,05655	11,17
	P		-136.365	-6.486	0,05655	12,10		-207.126	-3.609	0,05655	23,03		0	0	0,05655	-
P	A	01077	58.930	556	0,07697	NS	01593	-17.676	2.099	0,07697	39,91	01594	-88.220	5.024	0,07697	18,51
	P		0	0	0,05655	-		87.732	-4.300	0,05655	11,41		-4.591	-1.598	0,05655	38,30
S	A		-144.876	7.244	0,05655	10,32		-393.570	14.336	0,05655	7,77		-325.877	15.666	0,05655	6,57
	P		0	0	0,05655	-		-150.649	-761	0,05655	NS		-155.171	-4.211	0,05655	19,21
P	A	01595	-84.604	4.828	0,07697	19,16	01712	-113.529	5.676	0,07697	16,96	01713	-222.599	1.307	0,07697	84,41
	P		156.984	-1.157	0,05655	34,55		205.686	-3.774	0,05655	8,89		13.082	-654	0,05655	90,01
S	A		-339.282	16.005	0,05655	6,53		-325.965	16.298	0,05655	6,31		-199.948	9.997	0,05655	8,67

Dir	Pos	Nodo	N_{Ed} [N]	M_{Ed} [N·m]	A_s [cm²/cm]	CS	Nodo	N_{Ed} [N]	M_{Ed} [N·m]	A_s [cm²/cm]	CS	Nodo	N_{Ed} [N]	M_{Ed} [N·m]	A_s [cm²/cm]	CS
	P		-200.686	-3.131	0,05655	27,73		-212.929	-2.000	0,05655	44,20		-133.137	-413	0,05655	NS
P	A	01714	169.824	4.592	0,07697	12,87	01715	118.428	1.909	0,13352	64,77	02715	-62.744	3.616	0,07697	24,80
	P		-265.729	-1.481	0,05655	64,32		1.849	-1.393	0,13352	99,61		105.745	-3.790	0,05655	12,32
S	A		-156.474	6.562	0,05655	12,36		-155.875	7.793	0,05655	9,06		-319.172	15.480	0,05655	6,59
	P		-48.079	-1.926	0,05655	34,73		-167.840	-5.656	0,10179	20,86		-177.348	-2.225	0,05655	37,65
P	A	02716	69.710	840	0,07697	86,03	02717	130.305	2.712	0,07697	23,72	02718	154.584	2.454	0,07697	24,95
	P		25.222	-420	0,05655	NS		-279.208	-939	0,05655	NS		-220.124	-2.879	0,13352	57,93
S	A		-186.335	9.317	0,05655	8,80		-142.011	7.098	0,05655	10,57		-236.548	11.065	0,11310	12,86
	P		-132.276	-486	0,05655	NS		-117.751	-1.001	0,05655	71,79		-78.693	-2.422	0,10179	45,62
P	A	02719	-7.858	884	0,07697	93,32	02720	9.623	449	0,07697	NS	02721	-17.524	996	0,07697	84,12
	P		23.476	-1.100	0,05655	52,30		-296.251	-649	0,05655	NS		21.769	-286	0,05655	NS
S	A		-270.169	12.848	0,05655	7,01		-167.847	8.242	0,05655	9,32		-229.641	10.660	0,05655	8,06
	P		-142.389	-2.405	0,05655	30,58		-140.962	-980	0,05655	74,82		-141.446	-1.395	0,05655	53,41
Piano rialzato						**Parete38-39**						**Parete 38-39**				
P	A	00069	-3.301	201	0,05655	NS	00076	-197.203	1.350	0,13352	NS	00192	-11.327	1.986	0,13352	70,76
	P		-342.227	-1.474	0,05655	71,21		55.373	-2.084	0,13352	63,26		-22.706	-1.373	0,13352	NS
S	A		-209.470	10.473	0,07697	10,38		1.538.054	2.598	0,21101	6,39		-384.922	16.854	0,21101	15,38
	P		-304.006	-4.631	0,07697	26,08		-105.557	-2.486	0,21101	93,07		-373.286	-5.180	0,21101	49,76
P	A	00197	-236.749	15.968	0,05655	5,73	00286	45.294	1.048	0,05655	52,10	00287	-211.532	133	0,05655	NS
	P		-128.746	-9.506	0,05655	8,15		9.219	-461	0,05655	NS		96.804	-1.200	0,05655	39,85
S	A		-454.937	22.451	0,07697	5,89		-163.362	7.477	0,07697	13,20		-182.425	7.052	0,07697	14,38
	P		-244.279	-11.124	0,07697	9,50		-86.656	-1.375	0,07697	64,50		-177.345	-624	0,07697	NS
P	A	00763	-99.676	5.267	0,13352	28,85	00764	-40.077	2.169	0,05655	30,36	00765	-76.940	6.229	0,05655	11,35
	P		-34.997	-1.902	0,13352	75,51		114.842	-1.141	0,05655	39,83		-36.099	-2.753	0,05655	23,73
S	A		-357.477	14.293	0,21101	18,01		-318.827	14.534	0,07697	7,82		-339.738	16.727	0,07697	6,93
	P		-296.208	-7.287	0,21101	34,26		-196.631	-5.426	0,07697	18,06		-206.505	-6.824	0,07697	14,50
P	A	00766	-31.088	5.542	0,05655	11,67	00767	-56.816	3.975	0,05655	17,12	00768	36.145	1.541	0,05655	36,23
	P		-44.648	-1.386	0,05655	47,93		-41.588	-2.417	0,05655	27,33		18.266	-471	0,05655	NS
S	A		-344.802	15.048	0,07697	7,73		-330.970	12.661	0,07697	9,09		-371.134	17.032	0,07697	7,43
	P		-224.241	-5.288	0,07697	19,10		-257.513	-5.366	0,07697	19,71		-259.790	-5.296	0,07697	21,24
P	A	01006	719	26	0,05655	NS	01007	-13.132	703	0,05655	88,68	01008	-27.874	1.361	0,05655	47,20
	P		97.501	-421	0,05655	NS		-6.936	-378	0,05655	NS		-11.803	-586	0,05655	NS
S	A		-263.225	5.880	0,07697	18,40		-272.649	6.058	0,07697	17,65		-291.646	6.471	0,07697	16,72
	P		-237.419	-929	0,07697	NS		-251.146	-1.005	0,07697	NS		-256.758	-1.486	0,07697	69,81
P	A	01009	-3.158	143	0,05655	NS	01010	6.148	61	0,05655	NS	01011	139.619	677	0,05655	62,28
	P		-221.414	-231	0,05655	NS		7.750	-249	0,05655	NS		116.888	-990	0,05655	45,65
S	A		-277.168	5.811	0,07697	18,24		-294.262	5.867	0,07697	18,54		-256.612	6.009	0,07697	17,68
	P		-219.462	-1.154	0,07697	85,45		-451.168	-1.120	0,07697	NS		-118.054	-3.153	0,07697	28,02
P	A	01731	18.174	908	0,13352	NS	01732	3.852	440	0,13352	NS	01733	-189.075	88	0,10179	NS
	P		118.870	-1.016	0,13352	NS		-69.871	-662	0,13352	NS		5.951	-550	0,10179	NS
S	A		-141.793	7.090	0,21101	31,43		-147.511	7.376	0,21101	31,50		-153.207	7.646	0,07697	12,77
	P		-65.943	-1.931	0,21101	NS		-62.758	-751	0,21101	NS		-180.826	-2.342	0,07697	43,21
P	A	01734	14.793	615	0,10179	NS	02733	31.500	916	0,13352	NS	02734	73.518	668	0,13352	NS
	P		34.284	-478	0,10179	NS		48.347	-1.728	0,13352	76,84		90.367	-935	0,13352	NS
S	A		-165.321	7.017	0,07697	13,35		-224.662	11.085	0,21101	21,47		-188.081	8.682	0,21101	26,96
	P		-174.722	-4.017	0,07697	23,61		-98.892	-3.658	0,21101	60,63		-117.188	-1.780	0,21101	NS
P	A	02735	5.387	250	0,05655	NS	02736	68.776	176	0,10179	NS	02737	-53.852	3.525	0,05655	19,19
	P		8.809	-410	0,05655	NS		-266.955	-735	0,10179	NS		-26.749	-1.465	0,05655	43,74
S	A		-190.123	8.193	0,07697	12,17		-226.363	11.318	0,07697	9,11		-347.238	15.061	0,07697	7,86
	P		-210.23	-2.128	0,07697	48,08		-257.66	-4.068	0,07697	26,32		-211.51	-5.047	0,07697	20,03

Dir	Pos	Nodo	N_{Ed} [N]	M_{Ed} [N·m]	A_s [cm²/cm]	CS	Nodo	N_{Ed} [N]	M_{Ed} [N·m]	A_s [cm²/cm]	CS	Nodo	N_{Ed} [N]	M_{Ed} [N·m]	A_s [cm²/cm]	CS
			3					6					9			
P	A	02738	-23.792	1.171	0,05655	54,41	02739	-52.326	3.382	0,05655	19,94	02740	-17.376	2.479	0,05655	25,36
	P		-16.745	-832	0,05655	75,48		-35.882	-1.442	0,05655	45,29		-21.987	-710	0,05655	89,45
S	A		-243.757	8.668	0,07697	12,02		-271.477	11.012	0,07697	9,68		-295.209	13.743	0,07697	8,01
	P		-245.274	-2.252	0,07697	46,35		-251.853	-3.094	0,07697	33,65		-225.883	-4.144	0,07697	24,41
P	A	02741	-9.196	513	0,05655	NS	02742	73.379	536	0,05655	94,98					
	P		-240.732	-286	0,05655	NS		41.742	-313	0,05655	NS					
S	A		-292.695	8.675	0,07697	12,53		-264.735	11.368	0,07697	9,38					
	P		-236.029	-2.237	0,07697	45,37		-198.154	-3.205	0,07697	30,59					
Piano rialzato						**Parete1-P8**						**Parete 1-P8**				
P	A	00002	38.259	9.804	0,13404	13,73	00203	197.232	7.364	0,13404	15,47	00204	27.059	1.109	0,13404	NS
	P		-895	-179	0,13404	NS		151.200	-7.045	0,13404	17,02		196.423	-3.786	0,13404	30,11
S	A		-797.125	33.107	0,07697	5,10		1.508	46	0,07697	NS		-116.341	4.000	0,07697	24,16
	P		-935.435	-9.961	0,07697	18,28		-377.151	-18.791	0,07697	6,27		-202.508	-10.125	0,07697	10,65
P	A	00205	0	0	0,13404	-	00294	0	0	0,17928	-	00341	-166.726	12.264	0,13404	13,14
	P		170.763	-7.053	0,13404	16,64		-264.473	-10.150	0,17928	21,63		-453.526	-10.984	0,13404	17,97
S	A		-52.447	2.622	0,07697	30,00		-733.529	4.133	0,07697	41,50		-354.447	17.709	0,13854	10,69
	P		-163.798	-8.174	0,07697	11,40		-388.275	-14.226	0,07697	9,24		-584.402	-17.979	0,12221	11,23
P	A	01056	19.300	5.462	0,13404	25,10	01057	53.479	360	0,13404	NS	01058	-17.763	1.141	0,13404	NS
	P		108.519	-5.088	0,13404	24,66		161.495	-8.554	0,13404	13,86		187.915	-3.311	0,13404	34,76
S	A		-296.817	14.836	0,07697	7,18		-157.115	7.856	0,07697	11,16		-135.729	6.786	0,07697	12,64
	P		-492.509	-7.834	0,07697	16,71		-336.190	-13.719	0,07697	8,07		-247.298	-9.261	0,07697	10,82
P	A	01059	478.574	575	0,13404	NS	01060	253	13	0,13404	NS	01061	-175.244	1.344	0,13404	NS
	P		-170.365	-5.580	0,13404	28,96		558.912	-5.884	0,13404	11,31		277.275	-12.953	0,13404	7,98
S	A		-50.868	2.543	0,07697	31,93		-706.856	95	0,07697	NS		-123.846	2.578	0,07697	34,49
	P		-185.299	-9.262	0,07697	10,66		-265.619	-10.604	0,07697	10,48		-504.603	-16.232	0,07697	8,45
P	A	01473	483.739	2.201	0,13404	34,72	01474	-46.322	2.493	0,13404	58,40	01475	-47.379	2.620	0,13404	55,61
	P		-201.539	-3.274	0,13404	50,57		-190.560	-2.306	0,13404	71,20		-195.416	-2.047	0,13404	80,49
S	A		-189.372	6.915	0,07697	14,14		-1.128.439	10.669	0,07697	18,30		-1.046.656	12.285	0,07697	15,15
	P		-119.990	-6.000	0,07697	14,80		-76.203	-3.810	0,07697	20,68		-198.308	-2.042	0,07697	45,17
P	A	01476	-22.571	1.829	0,13404	77,93	01477	9.083	361	0,13404	NS	01478	-20.659	1.089	0,13404	NS
	P		-197.284	-1.855	0,13404	88,97		-206.028	-1.581	0,13404	NS		-211.474	-1.186	0,13404	NS
S	A		-23.313	1.166	0,07697	58,30		-348.396	3.029	0,07697	36,08		-8.291	36	0,07697	NS
	P		-742.524	-4.807	0,07697	32,45		-936.163	-5.102	0,07697	34,14		-475.111	-7.106	0,07697	17,54
P	A	01479	4.943	246	0,13404	NS	01698	6.322	369	0,13404	NS	01699	525.625	12.467	0,13404	5,69
	P		-219.050	-1.088	0,13404	NS		111.282	-5.549	0,13404	22,54		187.140	-4.201	0,13404	27,42
S	A		-1.373	38	0,07697	NS		-386.167	99	0,07697	NS		0	0	0,07697	-
	P		-423.454	-18.281	0,07697	6,49		-609.524	-26.194	0,07697	5,59		-350.906	-16.728	0,07697	6,89
P	A	01704	30.866	1.006	0,13404	NS	01705	4.476	1.524	0,13404	91,18	02678	-2.141	327	0,13404	NS
	P		-300.022	-4.687	0,13404	38,01		-385.016	-6.007	0,13404	31,44		-249.221	-3.622	0,13404	47,39
S	A		24.316	450	0,07697	NS		-120.296	1.081	0,13854	NS		-327.125	1.970	0,07697	59,20
	P		-132.527	-6.584	0,07697	15,00		-311.643	-11.919	0,07697	9,46		-122.971	-5.531	0,07697	16,34
P	A	02679	22.350	1.097	0,13404	NS	02680	90.202	4.985	0,13404	25,64	02681	73.493	2.405	0,13404	54,07
	P		-297.946	-7.775	0,13404	22,88		-209.064	-825	0,13404	NS		40.904	-1.664	0,13404	80,71
S	A		-79.739	2.350	0,13854	62,33		-316.932	10.553	0,07697	10,18		323	34	0,07697	NS
	P		-406.934	-13.149	0,12221	13,07		-523.703	-16.607	0,07697	8,01		-423.749	-20.268	0,07697	5,96
P	A	02682	-9.281	546	0,13404	NS	02683	-21.451	1.293	0,13404	NS	02684	19.042	362	0,13404	NS
	P		-216.183	-1.186	0,13404	NS		-201.913	-796	0,13404	NS		-199.759	-1.561	0,13404	NS
S	A		-94.828	219	0,07697	NS		-240.114	10.857	0,07697	8,86		-108.958	5.448	0,07697	14,46
	P		-511.95	-10.646	0,07697	12,20		-477.31	-11.634	0,07697	10,83		-321.69	-8.570	0,07697	12,39

Dir	Pos	Nodo	N_{Ed} [N]	M_{Ed} [N·m]	A_s [cm²/cm]	CS	Nodo	N_{Ed} [N]	M_{Ed} [N·m]	A_s [cm²/cm]	CS	Nodo	N_{Ed} [N]	M_{Ed} [N·m]	A_s [cm²/cm]	CS
			2					5					2			
P	A	02685	-30.557	1.106	0,13404	NS	02686	-17.827	372	0,13404	NS	02687	8.204	408	0,13404	NS
	P		-190.066	-2.368	0,13404	69,29		-29.515	-2.338	0,13404	61,33		-182.543	-3.840	0,13404	42,49
S	A		-39.518	1.987	0,07697	36,35		-26.871	1.344	0,07697	53,27		0	0	0,07697	-
	P		-212.137	-4.272	0,07697	22,17		-176.622	-7.571	0,07697	12,03		-207.968	-6.530	0,07697	14,80
Piano rialzato						**Parete6-7-19**						**Parete 6-7**				
P	A	00006	-120.144	46.823	0,17928	4,29	00017	-649.452	32.473	0,17928	8,21	00185	339.350	10.677	0,13404	8,93
	P		-62.683	-6.637	0,13404	22,26		-1.166	-1.225	0,17928	NS		134.462	-9.013	0,13404	13,54
S	A		-1.384.219	69.211	0,10053	3,54		-1.027.756	51.388	0,10053	4,09		-425.981	16.535	0,10053	9,14
	P		-629.829	-9.450	0,08042	17,47		-11.936	-6.854	0,08042	11,19		-406.045	-22.796	0,08042	5,66
P	A	00207	88.014	4.338	0,13404	29,54	00962	-48.743	1.270	0,13404	NS	00963	215.257	10.659	0,13404	10,46
	P		211.644	-6.999	0,13404	16,00		14.280	-687	0,13404	NS		-26.860	-6.160	0,13404	23,22
S	A		-86.723	4.339	0,10053	25,93		-859.349	22.117	0,10053	9,00		-617.807	25.379	0,10053	6,83
	P		0	0	0,08042	-		-288.727	-7.830	0,08042	14,84		-318.914	-12.880	0,08042	9,18
P	A	01533	-26.080	1.304	0,13404	NS	01534	-74.587	3.326	0,13404	44,88	01700	-15.351	11.625	0,13404	12,18
	P		18.878	-938	0,13404	NS		49.257	-2.357	0,13404	56,49		135.457	-15.887	0,13404	7,68
S	A		-350.966	17.548	0,10053	7,97		-321.071	11.794	0,10053	11,74		-480.086	23.257	0,10053	6,76
	P		-542.093	-9.843	0,08042	14,63		-256.718	-803	0,08042	NS		-673.733	-32.536	0,12566	6,22
P	A	01701	115.808	11.422	0,13404	10,90	01702	-93.675	13.925	0,13404	10,89	01703	-79.529	10.942	0,17928	17,88
	P		29.623	-13.906	0,13404	9,76		70.947	-4.238	0,13404	30,76		59.149	-1.808	0,13404	72,94
S	A		-486.567	11.257	0,10053	13,95		-741.156	37.058	0,10053	5,10		-427.418	21.371	0,10053	7,24
	P		-596.442	-25.969	0,08042	5,83		-275.587	-8.288	0,08042	13,98		-252.929	-6.950	0,08042	16,23
P	A	02672	-83.276	4.910	0,13404	30,63	02673	-12.300	3.096	0,13404	45,60	02674	-83.924	17.252	0,13404	8,72
	P		140.630	-3.647	0,17928	45,87		-26.666	-1.471	0,13404	97,25		29.206	-1.448	0,13404	93,78
S	A		-494.417	24.551	0,10053	6,42		-629.810	13.575	0,10053	12,77		-699.367	34.938	0,10053	5,28
	P		-427.318	-19.641	0,08042	6,61		-447.324	-4.573	0,08042	29,16		-270.240	-9.381	0,08042	12,24
P	A	02675	-69.252	6.348	0,17928	30,61	02676	-82.374	4.549	0,13404	33,03	02677	-69.798	5.431	0,13404	27,36
	P		227.083	-2.718	0,13404	40,46		36.317	-1.754	0,13404	76,89		60.569	-1.862	0,13404	70,72
S	A		-295.346	12.976	0,10053	10,55		-306.257	13.497	0,10053	10,07		-675.659	15.088	0,10053	11,85
	P		-77.991	-737	0,08042	NS		-9.165	-1.440	0,08042	53,65		-8.618	-1.081	0,08042	71,59
Piano rialzato						**Parete6-7-19**						**Parete 7-19**				
P	A	00017	-539.470	26.973	0,17928	9,42	00055	-602.661	126.893	0,26808	2,63	00185	139.674	6.967	0,13404	17,42
	P		16.308	-656	0,17928	NS		118.052	-15.500	0,13404	8,01		161.686	-11.215	0,13404	10,57
S	A		-927.548	46.377	0,10053	4,17		-2.767.482	124.404	0,10053	1,98		-8.754	2.919	0,10053	30,95
	P		-4.095	-2.375	0,08042	28,42		-595.792	-29.355	0,08042	5,23		-320.686	-23.307	0,08042	4,73
P	A	00194	-522.522	33.952	0,26808	9,89	00942	-120.696	1.406	0,13404	NS	00943	82.516	2.742	0,13404	46,99
	P		74.053	-19.708	0,19059	9,51		5.820	-4.084	0,13404	33,99		-32.725	-4.011	0,13404	35,86
S	A		-1.371.578	59.186	0,10053	4,15		-634.740	10.025	0,10053	16,35		-805.945	6.331	0,10053	28,55
	P		-639.783	-35.272	0,12566	5,64		-278.354	-11.609	0,12566	12,43		-215.579	-8.863	0,12566	15,12
P	A	00944	29.456	1.415	0,13404	95,95	00945	12.907	273	0,13404	NS	00946	16.009	177	0,13404	NS
	P		-13.965	-2.768	0,13404	51,07		-488	-4.507	0,13404	30,98		-24.448	-2.965	0,13404	48,14
S	A		-973.618	6.063	0,10053	32,42		-10.624	1.604	0,10053	51,68		-12.450	1.404	0,10053	60,08
	P		-251.761	-9.539	0,12566	14,42		-253.893	-12.695	0,12566	11,01		-153.429	-6.588	0,12566	19,46
P	A	00947	27.678	1.383	0,13404	98,33	00948	17.619	494	0,13404	NS	00949	66.295	2.626	0,13404	49,86
	P		-48.710	-2.175	0,13404	67,06		-25.497	-2.366	0,13404	60,40		-32.441	-2.898	0,13404	49,62
S	A		-9.344	2.198	0,10053	38,85		-8.965	2.440	0,10053	35,69		-526.837	5.250	0,10053	29,22
	P		-123.877	-5.697	0,08042	14,02		-239.742	-7.502	0,08042	12,88		-288.642	-3.419	0,08042	30,56
P	A	00950	113.504	5.261	0,13404	23,73	00951	-77.051	4.187	0,26808	67,70	01516	-484.916	21.476	0,26808	15,09
	P		-45.354	-3.289	0,13404	44,23		-384.538	-5.521	0,13404	34,32		51.160	-7.261	0,13404	18,30
S	A		-288.354	9.515	0,10053	13,46		-641.850	11.326	0,10053	15,35		-717.212	8.396	0,10053	21,28
	P		-1.005.203	-2.297	0,08042	82,60		-9.622	-7.372	0,08042	10,32		-556.851	-19.292	0,08042	7,43
P	A	01517	-402.884	16.939	0,13404	11,28	01518	-363.454	7.546	0,13404	24,67	01519	-98.732	8.294	0,13404	18,37
	P		9.751	-483	0,13404	NS		30.545	-1.054	0,13404	NS		0	0	0,13404	-
S	A		-458.902	22.817	0,10053	6,46		-388.035	18.744	0,10053	7,26		-409.459	20.315	0,10053	6,72

Dir	Pos	Nodo	N_{Ed} [N]	M_{Ed} [N·m]	A_s [cm²/cm]	CS	Nodo	N_{Ed} [N]	M_{Ed} [N·m]	A_s [cm²/cm]	CS	Nodo	N_{Ed} [N]	M_{Ed} [N·m]	A_s [cm²/cm]	CS
	P		-23.017	-2.739	0,08042	26,20		-21.907	-1.616	0,08042	42,60		-20.932	-1.691	0,08042	39,37
P	A	01520	-113.724	6.815	0,13404	22,64	01521	-125.631	6.278	0,13404	24,82	01522	-150.223	7.511	0,13404	21,17
	P		1.262	-59	0,13404	NS		36.469	-1.108	0,13404	NS		777	-39	0,13404	NS
S	A		-378.309	18.919	0,10053	6,89		-382.019	17.972	0,10053	7,16		-396.215	19.811	0,10053	6,45
	P		-18.679	-632	0,08042	NS		-1.617.816	-305	0,12566	NS		-1.730.937	-941	0,12566	NS
P	A	01523	-97.703	6.585	0,13404	23,12	01524	-157.941	7.886	0,13404	20,29	01525	-125.769	6.288	0,13404	24,78
	P		1.677	-81	0,13404	NS		-171.382	-367	0,13404	NS		-137.955	-452	0,13404	NS
S	A		-378.451	18.934	0,10053	6,59		-426.575	19.629	0,10053	6,68		-430.862	21.543	0,10053	6,10
	P		-1.679.178	-1.856	0,12566	NS		-1.197.181	-357	0,12566	NS		-1.199.182	-4.074	0,12566	55,85
P	A	01700	462.127	8.279	0,13404	9,57	01701	85.034	8.701	0,13404	14,77	01710	-574.602	41.653	0,26808	7,96
	P		26.670	-12.074	0,13404	11,27		149.180	-2.209	0,13404	54,38		0	0	0,13404	-
S	A		-429.413	18.531	0,10053	7,78		-4.143	365	0,10053	NS		1.090	18.571	0,10053	5,17
	P		-657.216	-23.141	0,12566	8,38		-412.119	-16.787	0,08042	7,22		0	0	0,08042	-
P	A	01711	-592.573	57.705	0,26808	5,77	02700	-514.494	34.429	0,26808	9,73	02701	-509.414	46.161	0,26808	7,07
	P		0	0	0,13404	-		111.582	-2.559	0,19059	71,35		0	0	0,13404	-
S	A		-50.696	29.899	0,10053	3,45		-628.161	26.978	0,10053	6,31		-634.836	30.795	0,10053	5,59
	P		0	0	0,08042	-		0	0	0,08042	-		0	0	0,08042	-
P	A	02702	29.750	563	0,13404	NS	02703	-116.712	7.599	0,13404	20,35	02704	-74.716	4.211	0,13404	35,44
	P		-1.403	-264	0,13404	NS		34.764	-145	0,13404	NS		1.936	-62	0,13404	NS
S	A		-13.991	1.395	0,10053	61,38		-394.521	19.723	0,10053	6,78		-354.248	17.460	0,10053	7,12
	P		-300.107	-9.571	0,08042	10,69		-350.871	-9.300	0,08042	11,65		0	0	0,12566	-
P	A	02705	-139.446	429	0,13404	NS	02706	-18.765	2.510	0,13404	56,59	02707	-64.058	4.183	0,13404	35,35
	P		19.999	-2.319	0,13404	59,07		1.648	-31	0,13404	NS		0	0	0,13404	-
S	A		-166.766	2.982	0,10053	33,59		-200.993	8.022	0,10053	12,69		-296.771	14.485	0,10053	8,00
	P		-351.423	-5.725	0,12566	26,00		-233.747	-183	0,12566	NS		-1.624.009	-265	0,12566	NS
P	A	02708	-31.924	909	0,13404	NS	02709	-21.788	2.487	0,13404	57,26	02710	-52.108	3.760	0,13404	38,91
	P		13.937	-524	0,13404	NS		21.487	-146	0,13404	NS		10.008	-36	0,13404	NS
S	A		-158.642	1.690	0,10053	57,73		-234.231	8.883	0,10053	12,45		-323.642	15.530	0,10053	8,11
	P		-170.341	-8.035	0,12566	15,49		-54.534	-1.460	0,12566	77,30		-19.043	-1.232	0,08042	53,81
P	A	02711	12.294	520	0,13404	NS	02712	-368.777	7.466	0,13404	25,03	02713	-442.732	22.548	0,13404	8,70
	P		-1.803	-777	0,13404	NS		22.901	-666	0,13404	NS		5.106	-61	0,13404	NS
S	A		-236.017	4.842	0,10053	23,70		-318.541	12.071	0,10053	10,60		-511.971	14.581	0,10053	10,61
	P		-84.543	-3.787	0,08042	19,74		-23.587	-1.633	0,08042	42,60		-716.733	-2.592	0,08042	61,74
P	A	02714	-419.007	14.616	0,13404	13,21										
	P		55.077	-2.350	0,13404	56,35										
S	A		-385.417	9.946	0,10053	14,11										
	P		-27.535	-5.288	0,08042	14,05										
Piano rialzato						**Parete24-31**						**Parete 24-31**				
P	A	00075	84.719	3.697	0,07697	19,04	00166	-73.149	3.626	0,12221	37,79	00211	11.642	582	0,07697	NS
	P		-201.985	-212.594	0,30159	1,50		-157.176	-13.805	0,14577	12,44		-137.898	-7.129	0,10053	17,30
S	A		0	0	0,10179	-		43.970	13.175	0,10179	7,34		-133.372	6.098	0,05655	12,80
	P		205.527	-119.146	0,19562	1,42		-307.467	-15.373	0,06158	6,60		-150.321	-7.484	0,06158	11,41
P	A	00212	25.178	1.259	0,07697	62,08	00977	45.085	2.254	0,07697	33,52	00978	7.159	345	0,07697	NS
	P		-184.552	-24.969	0,10053	5,18		-221.736	-27.699	0,10053	4,84		-249.387	-20.754	0,10053	6,63
S	A		-19.245	315	0,05655	NS		-80.019	3.448	0,05655	18,67		-105.173	4.197	0,05655	15,35
	P		-385.565	-19.278	0,06158	5,82		-391.746	-17.805	0,06158	6,15		-366.120	-13.245	0,06158	7,79
P	A	00979	9.383	348	0,07697	NS	00980	3.610	123	0,07697	NS	00981	371	236	0,07697	NS
	P		-242.076	-13.136	0,10053	10,40		-236.477	-11.387	0,10053	11,94		-205.372	-8.374	0,10053	15,76
S	A		9.723	3.568	0,05655	13,31		-148.455	5.955	0,05655	11,33		-134.868	6.183	0,05655	10,61
	P		-215.022	-8.447	0,06158	9,72		-248.579	-7.014	0,06158	12,21		-205.853	-6.995	0,06158	11,44

Dir	Pos	Nodo	N_{Ed} [N]	M_{Ed} [N·m]	A_s [cm²/cm]	CS	Nodo	N_{Ed} [N]	M_{Ed} [N·m]	A_s [cm²/cm]	CS	Nodo	N_{Ed} [N]	M_{Ed} [N·m]	A_s [cm²/cm]	CS
P	A	00982	11.256	553	0,07697	NS	00983	-8.963	309	0,07697	NS	00984	57.983	2.649	0,07697	27,88
	P		-191.362	-7.585	0,10053	17,16		-178.966	-8.130	0,10053	15,82		-154.940	-7.856	0,10053	15,98
S	A		-142.053	5.821	0,05655	11,59		-152.887	5.563	0,05655	12,76		-175.277	5.380	0,05655	14,37
	P		-155.133	-6.106	0,06158	12,17		-175.111	-7.356	0,06158	10,74		-160.691	-7.727	0,06158	10,42
P	A	01448	-105.697	6.928	0,07697	13,75	01449	-76.256	3.813	0,07697	23,97	01450	-74.896	3.745	0,07697	24,36
	P		-166.113	-8.056	0,10053	15,76		-184.374	-8.032	0,10053	16,10		-198.821	-6.479	0,10053	20,24
S	A		-323.254	16.159	0,05655	6,04		-302.757	15.138	0,05655	5,99		-315.052	15.753	0,05655	5,71
	P		-330.278	-16.514	0,06158	6,27		-331.657	-16.583	0,06158	6,00		-357.179	-16.304	0,06158	6,15
P	A	01451	-59.738	3.812	0,07697	23,42	01452	-32.405	3.296	0,07697	26,00	01453	-53.668	4.264	0,07697	20,75
	P		-215.929	-6.787	0,10053	19,64		-254.297	-9.202	0,10053	15,01		-269.408	-7.522	0,10053	18,62
S	A		-274.760	13.738	0,05655	6,12		-284.195	13.437	0,05655	6,35		-323.006	15.138	0,05655	6,01
	P		-334.024	-16.694	0,06158	5,79		-364.053	-18.203	0,06158	5,52		-405.090	-15.774	0,06158	6,74
P	A	01454	-26.419	3.790	0,07697	22,40	01455	146.639	5.555	0,07697	11,22	01706	2.251	2.673	0,12221	47,60
	P		-291.638	-11.854	0,10053	12,05		-347.395	-13.654	0,30159	24,14		-112.545	-10.397	0,10053	11,55
S	A		-265.716	13.291	0,05655	6,45		13.696	17.032	0,05655	3,08		-289.383	13.263	0,05655	7,01
	P		-556.752	-13.235	0,06158	9,57		-1.072.471	-4.663	0,06158	38,69		-257.894	-12.895	0,06158	7,29
P	A	01707	27.657	1.383	0,07697	56,28	01708	19.614	981	0,07697	80,43	01709	180.394	9.020	0,12221	11,53
	P		-125.397	-9.128	0,10053	13,34		-167.447	-44.928	0,30159	7,02		35.460	-66.271	0,30159	4,55
S	A		-211.698	10.230	0,05655	8,63		-74.044	1.064	0,05655	62,98		-76.929	941	0,05655	65,03
	P		-206.203	-10.310	0,06158	8,98		-567.438	-28.372	0,06158	4,73		-705.252	-35.263	0,06158	4,05
P	A	02688	73.495	2.189	0,12221	53,89	02689	29.711	1.463	0,07697	53,03	02690	27.255	1.118	0,07697	69,65
	P		-145.211	-11.583	0,14577	14,69		-143.195	-8.615	0,10053	14,39		-189.236	-37.390	0,30159	8,48
S	A		-302.601	13.877	0,05655	6,79		-189.257	9.199	0,05655	8,71		-109.134	3.166	0,05655	21,70
	P		-282.636	-14.132	0,06158	6,85		-193.146	-9.627	0,06158	8,91		-500.740	-25.037	0,06158	4,93
P	A	02691	58.309	2.530	0,07697	29,18	02692	21.311	1.743	0,07697	45,12	02693	31.651	1.107	0,07697	69,82
	P		-212.241	-66.014	0,30159	4,83		-284.282	-21.070	0,10053	6,74		-237.225	-28.732	0,10053	4,73
S	A		-77.439	2.725	0,10179	40,24		-254.789	9.625	0,05655	8,90		49.212	4.296	0,05655	10,54
	P		-741.173	-34.598	0,19562	7,86		-437.803	-11.095	0,06158	10,25		-479.016	-17.402	0,06158	6,79
P	A	02694	16.860	572	0,07697	NS	02695	0	0	0,07697	-	02696	12.869	507	0,07697	NS
	P		-259.594	-14.210	0,10053	9,77		-231.230	-7.663	0,10053	17,65		-220.030	-10.124	0,10053	13,22
S	A		-202.087	9.579	0,05655	7,94		-255.789	12.789	0,05655	6,43		-172.271	8.594	0,05655	8,19
	P		-371.048	-11.890	0,06158	8,64		-301.291	-15.003	0,06158	6,20		-240.590	-9.269	0,06158	9,10
P	A	02697	3.950	27	0,07697	NS	02698	63.636	868	0,07697	84,22	02699	22.938	1.007	0,07697	77,91
	P		-197.209	-7.878	0,10053	16,62		-165.248	-8.578	0,10053	14,79		-166.265	-8.203	0,10053	15,48
S	A		-219.290	10.879	0,05655	7,18		-267.493	13.375	0,05655	6,55		-183.508	9.057	0,05655	8,42
	P		-242.069	-11.619	0,06158	7,42		-278.807	-13.940	0,06158	6,76		-189.418	-9.416	0,06158	8,72
Piano terra ingresso						**Parete1-P1**						**Parete 1-P1**				
P	A	00001	0	0	0,24630	-	00203	27.904	91	0,20106	NS	00213	-383.159	2.142	0,40212	NS
	P		-292.478	-51.770	0,24630	5,62		195.061	-9.753	0,20106	18,70		83.984	-4.199	0,40212	95,52
S	A		-1.528	76	0,07697	NS		-435.563	21.750	0,07697	5,79		-3.407.295	742	0,17750	NS
	P		-1.204.268	-66.233	0,07697	3,23		2.065	-72	0,07697	NS		-718.753	-15.452	0,17750	16,95
P	A	00214	10.171	520	0,20106	NS	01387	42.857	559	0,20106	NS	01388	158.412	91	0,20106	NS
	P		128.977	-6.449	0,20106	29,62		-241.776	-17.174	0,20106	13,90		-102.293	-13.170	0,20106	16,77
S	A		-125.943	6.297	0,07697	15,11		-233.844	11.692	0,07697	9,25		-362.500	13.957	0,07697	8,81
	P		0	0	0,07697	-		-834.175	-32.533	0,07697	5,47		-591.770	-26.545	0,07697	5,69
P	A	01389	-192.470	633	0,40212	NS	01390	20.719	877	0,40212	NS	01391	810	712	0,40212	NS
	P		-216.948	-14.180	0,40212	31,01		-61.793	-2.388	0,40212	NS		-392.858	-836	0,40212	NS
S	A		-255.08	12.754	0,17750	16,40		-97.752	4.888	0,17750	38,83		-161.62	8.081	0,17750	24,49

Dir	Pos	Nodo	N_{Ed} [N]	M_{Ed} [N·m]	A_s [cm²/cm]	CS	Nodo	N_{Ed} [N]	M_{Ed} [N·m]	A_s [cm²/cm]	CS	Nodo	N_{Ed} [N]	M_{Ed} [N·m]	A_s [cm²/cm]	CS
	P		3 -601.879	-23.980	0,17750	10,52		-596.856	-21.842	0,17750	11,56		5 -526.616	-18.271	0,17750	13,35
P	A	01392	19.025	90	0,20106	NS	01393	17.547	928	0,20106	NS	01394	107.539	266	0,20106	NS
	P		-61.373	-3.163	0,20106	68,17		185.727	-231	0,20106	NS		-11.612	-608	0,20106	NS
S	A		-261.988	9.873	0,07697	11,35		-142.921	7.146	0,07697	13,37		-194.776	9.739	0,07697	10,97
	P		-516.526	-10.390	0,07697	13,85		-572.383	-6.089	0,07697	24,54		-490.471	-1.729	0,07697	83,30
P	A	01395	-381.288	203	0,20106	NS	01396	-324.335	133	0,20106	NS	01397	21.597	1.029	0,20106	NS
	P		-53.357	-2.689	0,20106	79,78		-23.826	-1.244	0,20106	NS		8.719	-380	0,20106	NS
S	A		-464.658	6.326	0,07697	20,87		-455.350	8.015	0,07697	15,87		-335.654	14.451	0,07697	7,63
	P		-392.128	-349	0,07697	NS		-841.356	-151	0,07697	NS		-9.347	-15	0,07697	NS
P	A	01398	100.178	4.943	0,20106	39,39	01399	249.868	4.394	0,20106	39,89	01400	-230.276	255	0,20106	NS
	P		158.921	-7.946	0,20106	23,55		165.366	-8.268	0,20106	22,53		172.448	-8.622	0,20106	21,50
S	A		-390.802	19.474	0,07697	6,15		-400.604	20.030	0,07697	6,06		-249.675	12.484	0,07697	8,15
	P		8.181	-20	0,07697	NS		0	0	0,07697	-		0	0	0,07697	-
P	A	01401	54.344	3.788	0,20106	52,97	01402	85.862	2.691	0,20106	73,06	02437	-27.284	1.364	0,40212	NS
	P		155.175	-5.207	0,20106	36,02		56.782	-2.672	0,20106	74,97		-117.743	-6.308	0,40212	67,70
S	A		-181.139	9.057	0,07697	10,52		-98.158	4.908	0,07697	17,49		-234.199	11.710	0,17750	17,37
	P		0	0	0,07697	-		-840.023	-6.766	0,07697	25,70		-541.033	-24.030	0,17750	10,07
P	A	02438	14.902	456	0,20106	NS	02439	25.737	1.006	0,20106	NS	02440	10.273	140	0,20106	NS
	P		22.458	-1.072	0,20106	NS		2.724	-136	0,20106	NS		-163.655	-9.127	0,20106	25,06
S	A		-138.737	4.799	0,07697	19,55		-308.237	15.412	0,07697	7,01		-50.895	2.545	0,07697	31,91
	P		-243.663	-135	0,07697	NS		-262.102	-426	0,07697	NS		-935.127	-27.504	0,07697	6,70
P	A	02441	15.198	217	0,20106	NS	02442	30.344	951	0,20106	NS	02443	18.178	1.005	0,20106	NS
	P		17.694	-3.991	0,20106	51,46		14.086	-704	0,20106	NS		33.184	-305	0,20106	NS
S	A		-246.672	12.334	0,07697	8,40		-256.473	12.824	0,07697	7,87		-333.648	15.236	0,07697	7,21
	P		-607.140	-22.694	0,07697	6,52		-578.755	-4.924	0,07697	28,59		0	0	0,07697	-
P	A	02444	48.356	545	0,40212	NS	02445	32.348	1.580	0,20106	NS					
	P		-51.939	-4.057	0,40212	NS		-50.811	-2.643	0,20106	81,07					
S	A		-255.792	11.397	0,17750	18,05		-203.177	9.052	0,07697	10,84					
	P		-492.663	-18.525	0,17750	12,71		-559.438	-4.146	0,07697	34,41					
Piano terra ingresso						**Parete2-P2**						**Parete 2-P2**				
P	A	00008	-127.031	6.324	0,17750	31,65	00218	-416.405	4.043	0,10053	39,28	00219	-651.756	1.111	0,23457	NS
	P		-68.610	-2.340	0,17750	82,31		6.396	-343	0,10053	NS		6.175	-308	0,23457	NS
S	A		-344.180	10.617	0,10179	13,75		-207.640	4.642	0,05655	17,65		-71.383	3.210	0,11310	38,12
	P		-229.526	-4.634	0,10179	28,36		-86.379	-786	0,05655	84,06		-1.181	-59	0,11310	NS
P	A	00220	-540.777	2.307	0,10053	75,48	01371	-8.976	905	0,10053	NS	01372	464.552	633	0,10053	70,47
	P		414.028	-1.635	0,10053	31,34		11.913	-596	0,10053	NS		11.175	-559	0,10053	NS
S	A		-216.367	2.154	0,05655	41,26		-143.781	7.189	0,05655	11,05		-112.975	4.740	0,05655	15,91
	P		-117.354	-1.582	0,05655	48,01		-278.892	-2.989	0,05655	32,42		-359.831	-1.796	0,05655	59,69
P	A	01373	-1.587	769	0,23457	NS	01374	-632.444	834	0,23457	NS	01375	-573.154	1.083	0,23457	NS
	P		13.837	-692	0,23457	NS		45.548	-24	0,23457	NS		7.463	-179	0,23457	NS
S	A		-96.787	4.499	0,05655	15,58		-45.654	2.177	0,11310	54,86		-405.875	2.454	0,05655	44,09
	P		-432.251	-1.010	0,05655	NS		-523.624	-800	0,11310	NS		-490.301	-859	0,05655	NS
P	A	01376	-531.472	1.390	0,10053	NS	01377	-550.588	1.843	0,10053	95,14	01378	-533.434	2.111	0,10053	82,07
	P		405.433	-143	0,10053	NS		0	0	0,10053	-		165.041	-1.254	0,10053	66,89
S	A		-400.178	3.058	0,05655	36,70		-422.149	3.511	0,05655	31,70		-419.053	3.199	0,05655	35,82
	P		-75.844	-997	0,05655	70,75		-81.935	-1.854	0,05655	36,49		-102.915	-1.958	0,05655	37,85
P	A	01379	-498.877	2.377	0,10053	71,09	01380	-466.721	2.610	0,10053	63,24	01381	-419.647	2.976	0,10053	53,50
	P		-11.635	-536	0,10053	NS		-32.040	-763	0,10053	NS		-16.207	-510	0,10053	NS
S	A		-108.143	3.746	0,05655	18,10		-161.347	2.882	0,05655	25,31		-132.438	3.774	0,05655	18,29
	P		-98.279	-1.629	0,05655	40,82		-92.268	-1.547	0,05655	41,29		-76.019	-1.302	0,05655	47,33
P	A	01382	-401.97	2.488	0,10053	63,11	01383	-408.74	1.912	0,10053	82,57	01384	-378.85	1.322	0,14577	NS

Dir	Pos	Nodo	N_{Ed} [N]	M_{Ed} [N·m]	A_s [cm²/cm]	CS	Nodo	N_{Ed} [N]	M_{Ed} [N·m]	A_s [cm²/cm]	CS	Nodo	N_{Ed} [N]	M_{Ed} [N·m]	A_s [cm²/cm]	CS
	P		66.354	-700	0,10053	NS		258.445	-947	0,10053	75,64		68.124	-133	0,14577	NS
S	A		-99.891	4.823	0,05655	13,97		-141.838	6.170	0,05655	12,00		-187.811	7.558	0,05655	10,40
	P		-85.347	-1.796	0,05655	36,47		-39.330	-1.582	0,05655	38,30		-193.248	-1.642	0,05655	48,27
P	A	01385	-403.212	701	0,10053	NS	01386	-6.317	767	0,17750	NS	02428	-580.016	830	0,23457	NS
	P		431.968	-1.027	0,10053	47,59		-15.049	-702	0,17750	NS		7.464	-373	0,23457	NS
S	A		-223.997	9.608	0,05655	8,84		-359.643	9.750	0,05655	10,18		-70.332	3.449	0,11310	34,75
	P		-238.240	-2.104	0,05655	41,23		-231.383	-2.633	0,05655	31,47		-473.428	-597	0,11310	NS
P	A	02429	-517.580	2.212	0,10053	77,45	02430	-415.761	2.816	0,10053	56,37	02431	-20.982	797	0,17750	NS
	P		-659	-72	0,10053	NS		-6.436	-303	0,10053	NS		-45.996	-1.135	0,17750	NS
S	A		-77.135	2.975	0,05655	22,19		-103.368	4.428	0,05655	15,15		-235.249	11.131	0,05655	7,66
	P		-101.450	-1.953	0,05655	35,43		-78.431	-1.484	0,05655	42,98		-255.969	-2.788	0,05655	31,54
P	A	02432	-43.569	258	0,10053	NS	02433	-452.445	1.331	0,10053	NS	02434	-434.379	2.346	0,10053	68,64
	P		-40.938	-554	0,10053	NS		26.647	-120	0,10053	NS		-9.646	-413	0,10053	NS
S	A		-141.282	6.106	0,05655	11,95		-162.803	4.795	0,05655	15,28		-132.057	4.637	0,05655	14,78
	P		-300.171	-1.844	0,05655	50,72		-104.753	-866	0,05655	75,86		-82.913	-1.821	0,05655	34,08
P	A	02435	-514.545	913	0,10053	NS	02436	67.614	1.149	0,10053	84,11					
	P		73.942	-135	0,10053	NS		-2.089	-163	0,10053	NS					
S	A		-61.657	2.387	0,05655	25,46		-105.206	2.960	0,05655	22,64					
	P		-411.290	-1.137	0,05655	93,00		-92.851	-1.842	0,05655	35,51					
Piano terra ingresso						**Parete3-P3**						**Parete 3-P3**				
P	A	00010	-217.099	1.277	0,17750	NS	00224	-418.149	4.004	0,10053	39,71	00225	-642.836	1.583	0,23457	NS
	P		-82.606	-806	0,17750	NS		3.241	-182	0,10053	NS		-12.025	-703	0,23457	NS
S	A		-347.140	1.354	0,10179	NS		-163.895	5.874	0,05655	12,98		-461.437	1.921	0,11310	89,52
	P		-242.837	-2.264	0,10179	58,55		-122.076	-1.454	0,05655	48,67		-118.722	-4.264	0,11310	30,14
P	A	00226	-541.002	2.386	0,10053	72,99	01419	-110.703	652	0,10053	NS	01420	-473.948	1.272	0,10053	NS
	P		615.774	-333	0,10053	74,20		-58.113	-671	0,10053	NS		-30.123	-1.040	0,10053	NS
S	A		-447.372	2.824	0,05655	41,80		-332.498	2.619	0,05655	39,59		-365.266	2.908	0,05655	37,09
	P		-252.910	-1.056	0,05655	88,57		-194.570	-3.188	0,05655	26,98		-176.167	-3.707	0,05655	22,56
P	A	01421	-533.972	1.543	0,23457	NS	01422	-623.852	1.592	0,23457	NS	01423	-564.261	1.762	0,23457	NS
	P		-14.155	-663	0,23457	NS		1.996	-120	0,23457	NS		261	-82	0,23457	NS
S	A		-402.190	2.764	0,05655	39,55		-450.460	3.099	0,11310	55,22		-427.717	4.035	0,05655	27,49
	P		-161.946	-3.880	0,05655	20,27		-121.076	-5.269	0,11310	24,53		-138.647	-5.755	0,05655	12,86
P	A	01424	-525.289	1.971	0,10053	87,39	01425	-543.398	2.226	0,10053	78,36	01426	108.823	2.464	0,10053	37,04
	P		23.705	-226	0,10053	NS		111.989	-2.749	0,10053	33,05		6.240	-281	0,10053	NS
S	A		-419.719	4.243	0,05655	27,02		-441.490	4.309	0,05655	26,38		-435.818	3.652	0,05655	31,94
	P		-165.401	-5.890	0,05655	13,96		-191.547	-4.989	0,05655	16,42		-226.725	-3.376	0,05655	26,71
P	A	01427	-495.892	2.526	0,10053	66,76	01428	-465.637	2.726	0,10053	60,50	01429	-421.092	3.125	0,10053	51,00
	P		54.296	-861	0,10053	NS		-28.474	-785	0,10053	NS		-18.558	-108	0,10053	NS
S	A		-145.223	3.881	0,05655	18,71		-207.980	4.562	0,05655	17,32		-193.370	5.153	0,05655	14,93
	P		-210.178	-1.389	0,05655	58,36		-186.882	-1.781	0,05655	42,83		-140.805	-2.190	0,05655	32,01
P	A	01430	-404.740	2.803	0,10053	56,15	01431	-411.584	2.381	0,10053	66,45	01432	-384.223	1.936	0,14577	NS
	P		69.673	-1.087	0,10053	88,68		271.705	-332	0,10053	NS		10.227	-100	0,14577	NS
S	A		-278.856	5.443	0,05655	16,65		-300.046	5.448	0,05655	17,34		-281.985	5.269	0,05655	17,22
	P		-124.741	-4.178	0,05655	16,91		-147.050	-4.959	0,05655	15,07		-164.155	-5.421	0,05655	13,92
P	A	01433	-411.086	1.487	0,10053	NS	01434	-10.233	931	0,17750	NS	02455	-573.178	1.550	0,23457	NS
	P		448.249	-362	0,10053	NS		-16.245	-661	0,17750	NS		-4.445	-331	0,23457	NS
S	A		-316.929	4.468	0,05655	21,64		-351.879	3.351	0,05655	29,26		-421.965	2.923	0,11310	56,36
	P		-192.224	-5.201	0,05655	15,51		-245.863	-4.158	0,05655	20,32		-139.047	-4.565	0,11310	28,21
P	A	02456	-513.61	2.440	0,10053	70,00	02457	-417.45	3.076	0,10053	51,67	02458	-11.317	746	0,17750	NS

Dir	Pos	Nodo	N_{Ed} [N]	M_{Ed} [N·m]	A_s [cm²/cm]	CS	Nodo	N_{Ed} [N]	M_{Ed} [N·m]	A_s [cm²/cm]	CS	Nodo	N_{Ed} [N]	M_{Ed} [N·m]	A_s [cm²/cm]	CS
	P		2271	-88	0,10053	NS		8-4.083	-254	0,10053	NS		-46.213	-800	0,17750	NS
S	A		-98.163	2.988	0,05655	23,00		-177.434	4.910	0,05655	15,63		-338.315	2.802	0,05655	35,24
	P		-221.605	-2.595	0,05655	32,69		-127.729	-2.961	0,05655	23,73		-218.840	-3.630	0,05655	22,98
P	A	02459	-435.248	1.219	0,10053	NS	02460	-453.439	1.946	0,10053	83,97	02461	-435.234	2.707	0,10053	59,53
	P		-16.509	-1.013	0,10053	NS		-1.556	-104	0,10053	NS		-5.597	-314	0,10053	NS
S	A		-340.744	3.407	0,05655	28,97		-347.158	4.771	0,05655	20,32		-192.356	4.187	0,05655	18,24
	P		-189.538	-4.498	0,05655	17,63		-181.338	-5.443	0,05655	13,90		-155.430	-3.715	0,05655	19,26
P	A	02462	-510.377	1.633	0,10053	NS	02463	-496.742	2.302	0,10053	73,30					
	P		-7.759	-405	0,10053	NS		227.856	-183	0,10053	NS					
S	A		-390.429	3.907	0,05655	26,41		-398.732	4.472	0,05655	23,42					
	P		-166.341	-5.385	0,05655	13,83		-190.653	-4.919	0,05655	15,89					
Piano terra ingresso						**Parete4-P4**						**Parete 4-P4**				
P	A	00012	-213.681	3.251	0,17750	64,98	00230	-419.959	4.396	0,10053	36,23	00231	-236.958	795	0,23457	NS
	P		-463.235	-1.122	0,17750	NS		1.773	-114	0,10053	NS		-13.637	-718	0,23457	NS
S	A		-347.501	1.382	0,10179	NS		-184.969	5.193	0,05655	15,21		-487.033	1.892	0,11310	92,55
	P		-284.368	-2.192	0,10179	62,90		-139.255	-1.420	0,05655	51,44		-141.672	-4.171	0,11310	31,51
P	A	00232	0	0	0,10053	-	01403	58.998	1.765	0,10053	55,40	01404	-98.954	706	0,10053	NS
	P		-5.355	-181	0,10053	NS		-72.077	-572	0,10053	NS		-41.851	-928	0,10053	NS
S	A		-449.109	2.831	0,05655	41,78		-338.264	2.632	0,05655	39,68		-376.591	2.913	0,05655	37,52
	P		-299.164	-921	0,05655	NS		-227.047	-3.051	0,05655	29,57		-205.513	-3.659	0,05655	23,89
P	A	01405	-132.532	682	0,23457	NS	01406	-608.072	765	0,23457	NS	01407	-549.118	1.256	0,23457	NS
	P		-20.171	-850	0,23457	NS		12.537	-627	0,23457	NS		0	0	0,23457	-
S	A		-418.287	2.790	0,05655	39,90		-474.596	3.049	0,11310	57,10		-445.551	3.993	0,05655	28,33
	P		-189.798	-4.004	0,05655	20,54		-143.200	-5.426	0,11310	24,35		-166.364	-5.754	0,05655	13,49
P	A	01408	-517.458	1.789	0,10053	95,76	01409	140.421	1.459	0,10053	59,73	01410	-519.839	2.708	0,10053	63,36
	P		81.530	-336	0,10053	NS		-2.950	-38	0,10053	NS		171.070	-410	0,10053	NS
S	A		-432.744	4.215	0,05655	27,58		-451.317	4.292	0,05655	26,77		-440.703	3.671	0,05655	31,94
	P		-199.338	-5.772	0,05655	15,01		-231.338	-4.833	0,05655	18,02		-271.147	-3.230	0,05655	29,69
P	A	01411	-489.739	3.077	0,10053	54,57	01412	-461.640	3.196	0,10053	51,45	01413	-420.328	3.475	0,10053	45,84
	P		-10.158	-531	0,10053	NS		-26.622	-750	0,10053	NS		-18.887	-95	0,10053	NS
S	A		-143.072	3.801	0,05655	19,04		-208.813	4.620	0,05655	17,13		-205.740	4.708	0,05655	16,69
	P		-251.417	-1.237	0,05655	69,85		-222.978	-1.685	0,05655	48,08		-169.184	-2.198	0,05655	33,60
P	A	01414	-406.829	2.988	0,10053	52,74	01415	-412.357	2.433	0,10053	65,08	01416	-386.683	1.887	0,14577	NS
	P		71.787	-1.055	0,10053	91,06		274.212	-405	0,10053	NS		406	-20	0,14577	NS
S	A		-293.836	5.379	0,05655	17,21		-311.612	5.405	0,05655	17,76		-289.780	5.256	0,05655	17,46
	P		-144.441	-4.214	0,05655	17,38		-172.217	-5.018	0,05655	15,55		-190.965	-5.468	0,05655	14,45
P	A	01417	-411.870	1.288	0,10053	NS	01418	-11.730	1.027	0,17750	NS	02446	-86.971	504	0,23457	NS
	P		455.115	-197	0,10053	NS		-20.299	-609	0,17750	NS		-5.577	-483	0,23457	NS
S	A		-322.500	4.475	0,05655	21,77		-351.984	3.385	0,05655	28,98		-442.194	2.918	0,11310	57,30
	P		-226.865	-5.031	0,05655	16,93		-289.496	-3.920	0,05655	23,00		-164.798	-4.569	0,11310	28,91
P	A	02447	-506.171	2.865	0,10053	59,30	02448	-417.956	3.306	0,10053	48,09	02449	-17.866	896	0,17750	NS
	P		142.377	-528	0,10053	NS		-2.969	-144	0,10053	NS		40.887	-1.677	0,17750	NS
S	A		-95.358	2.665	0,05655	25,65		-194.792	4.380	0,05655	18,05		-340.878	2.817	0,05655	35,17
	P		-265.600	-2.430	0,05655	37,24		-150.634	-2.981	0,05655	24,58		-257.070	-3.437	0,05655	25,72
P	A	02450	-50.808	795	0,10053	NS	02451	-451.837	1.828	0,10053	89,30	02452	-433.622	2.886	0,10053	55,78
	P		-18.852	-1.035	0,10053	NS		1.265	-11	0,10053	NS		-3.304	-210	0,10053	NS
S	A		-347.851	3.418	0,05655	29,15		-357.072	4.746	0,05655	20,70		-203.686	3.902	0,05655	19,96
	P		-221.932	-4.415	0,05655	18,92		-214.199	-5.414	0,05655	14,77		-186.265	-3.713	0,05655	20,37
P	A	02453	-500.11	1.231	0,10053	NS	02454	-491.01	2.333	0,10053	72,02					

Dir	Pos	Nodo	N_{Ed} [N]	M_{Ed} [N·m]	A_s [cm²/cm]	CS	Nodo	N_{Ed} [N]	M_{Ed} [N·m]	A_s [cm²/cm]	CS	Nodo	N_{Ed} [N]	M_{Ed} [N·m]	A_s [cm²/cm]	CS
	P		2 -7.406	-376	0,10053	NS		4 93.055	-414	0,10053	NS					
S	A		-404.640	3.869	0,05655	27,14		-408.520	4.452	0,05655	23,80					
	P		-195.963	-5.320	0,05655	14,74		-228.632	-4.840	0,05655	17,17					
Piano terra ingresso						**Parete5-P5**						**Parete 5-P5**				
P	A	00014	-112.517	3.340	0,17750	59,36	00236	-424.016	4.412	0,10053	36,21	00237	-51.523	5.983	0,23457	41,51
	P		-421.753	-1.801	0,17750	NS		1.298	-83	0,10053	NS		33.393	-1.670	0,23457	NS
S	A		-379.248	7.978	0,10179	18,83		-211.763	4.792	0,05655	17,22		-142.346	8.726	0,11310	15,13
	P		-297.963	-2.436	0,10179	57,47		-162.498	-1.836	0,05655	41,46		0	0	0,11310	-
P	A	00238	-532.768	2.398	0,10053	72,19	01628	-64.038	2.004	0,10053	56,80	01629	-46.088	1.801	0,10053	61,90
	P		64.582	-2.353	0,10053	41,24		-105.452	-627	0,10053	NS		14.050	-702	0,10053	NS
S	A		-454.164	2.436	0,05655	48,82		-96.339	4.804	0,05655	15,24		-179.323	5.123	0,05655	16,41
	P		-326.882	-7.233	0,05655	14,24		-343.089	-1.688	0,05655	62,24		-425.644	-867	0,05655	NS
P	A	01630	153.784	1.282	0,23457	NS	01631	-629.576	1.572	0,23457	NS	01632	-561.963	1.656	0,23457	NS
	P		-146.678	-472	0,23457	NS		142.642	-2.473	0,23457	90,30		-39	-60	0,23457	NS
S	A		-172.695	4.451	0,05655	18,01		-144.517	3.129	0,11310	42,32		-110.816	4.868	0,05655	14,48
	P		-42.601	-1.837	0,05655	34,36		-573.881	-256	0,11310	NS		-549.956	-330	0,05655	NS
P	A	01633	-520.938	1.781	0,10053	96,41	01634	-536.869	2.170	0,14577	NS	01635	-521.327	2.343	0,10053	73,29
	P		171.181	-1.057	0,10053	78,59		8.059	-65	0,14577	NS		277.005	-10.960	0,10053	6,32
S	A		-438.591	3.084	0,05655	37,94		-452.523	3.388	0,05655	33,97		-445.047	3.108	0,05655	37,90
	P		-163.466	-905	0,05655	90,62		-174.141	-1.902	0,05655	41,93		-203.116	-1.967	0,05655	44,29
P	A	01636	50.436	1.506	0,10053	65,67	01637	-463.746	2.835	0,10053	58,09	01638	-423.315	3.267	0,10053	48,88
	P		-11.359	-512	0,10053	NS		-27.761	-877	0,10053	NS		-21.174	-168	0,10053	NS
S	A		-420.701	2.815	0,05655	38,37		-395.588	3.256	0,05655	31,66		-350.216	3.805	0,05655	25,55
	P		-197.232	-1.542	0,05655	51,60		-188.322	-1.717	0,05655	44,62		-163.684	-1.944	0,05655	37,68
P	A	01639	-410.065	2.790	0,10053	56,65	01640	-414.299	2.213	0,10053	71,66	01641	-384.053	1.614	0,14577	NS
	P		70.855	-1.000	0,10053	96,23		243.161	-299	0,10053	NS		-1.210	-57	0,14577	NS
S	A		-313.156	4.554	0,05655	20,89		-205.200	4.671	0,05655	17,63		-287.284	5.381	0,05655	17,01
	P		-166.267	-2.394	0,05655	31,82		-182.838	-1.992	0,05655	39,89		-204.067	-1.086	0,05655	74,38
P	A	01642	-408.177	989	0,10053	NS	01643	-26.400	1.082	0,17750	NS	02600	-574.361	1.714	0,23457	NS
	P		323.062	-214	0,10053	NS		-14.567	-562	0,17750	NS		5.893	-43	0,23457	NS
S	A		-268.774	7.316	0,05655	12,40		-408.678	6.771	0,05655	15,55		-151.957	3.923	0,11310	33,31
	P		-307.089	-1.050	0,05655	91,06		-299.893	-1.417	0,05655	64,63		-102.166	-1.364	0,11310	91,10
P	A	02601	205.551	2.157	0,10053	36,44	02602	-421.418	3.113	0,10053	51,22	02603	-23.672	1.375	0,17750	NS
	P		-83	-22	0,10053	NS		-5.010	-148	0,10053	NS		-68.644	-685	0,17750	NS
S	A		-252.936	7.350	0,05655	12,10		-334.400	4.087	0,05655	23,75		-246.782	8.818	0,05655	9,82
	P		-203.544	-1.879	0,05655	43,94		-161.327	-2.183	0,05655	34,25		-319.615	-1.546	0,05655	62,05
P	A	02604	-23.814	615	0,10053	NS	02605	-449.705	1.653	0,10053	98,58	02606	-436.122	2.622	0,10053	61,49
	P		-48.561	-311	0,10053	NS		78.574	-1.402	0,10053	67,92		-5.799	-149	0,10053	NS
S	A		-102.343	3.971	0,05655	17,10		-142.030	2.924	0,05655	24,17		-129.783	2.719	0,05655	25,15
	P		-364.457	-911	0,05655	NS		-199.907	-1.112	0,05655	70,32		-174.988	-2.291	0,05655	32,42
P	A	02607	-508.183	1.362	0,10053	NS	02608	-493.563	2.137	0,10053	78,79					
	P		97.044	-1.609	0,10053	57,69		56.123	-138	0,10053	NS					
S	A		-414.785	2.399	0,05655	44,35		-416.151	3.543	0,05655	30,20					
	P		-264.710	-987	0,05655	88,56		-188.605	-2.003	0,05655	38,96					
Piano terra ingresso						**Parete7-P6**						**Parete 7-P6**				
P	A	00016	-141.565	5.757	0,20106	39,24	00017	-9.083	1.489	0,20106	NS	00280	-1.489.499	335	0,60319	NS
	P		-290.827	-40.370	0,20106	6,07		605.948	-30.296	0,20106	4,25		-344.697	-6.657	0,60319	99,20

Dir	Pos	Nodo	N_{Ed} [N]	M_{Ed} [N·m]	A_s [cm²/cm]	CS	Nodo	N_{Ed} [N]	M_{Ed} [N·m]	A_s [cm²/cm]	CS	Nodo	N_{Ed} [N]	M_{Ed} [N·m]	A_s [cm²/cm]	CS
S	A		-67.711	3.386	0,07697	26,67		-365.687	9.507	0,07697	12,63		-157.728	7.886	0,27803	36,97
	P		-1.105.674	-58.447	0,07697	3,52		-524.105	-42.907	0,07697	3,25		-823.572	-13.069	0,27803	28,36
P	A	00281	-133.827	6.210	0,20106	36,22	01526	516.073	15.897	0,20106	8,84	01527	67.225	12.818	0,20106	15,52
	P		27.246	-342	0,20106	NS		0	0	0,20106	-		447.684	-251	0,20106	NS
S	A		-302.356	7.605	0,07697	15,85		-926.458	30.684	0,07697	5,91		-568.702	28.433	0,07697	5,13
	P		-232.941	-8.909	0,07697	12,54		-9.795	-1.628	0,07697	45,17		-6.681	-791	0,07697	94,23
P	A	01528	90.791	7.634	0,20106	25,67	01529	187.860	7.396	0,20106	24,79	01530	174.956	4.978	0,20106	37,16
	P		113.640	-5.682	0,20106	33,96		43.078	-2.154	0,20106	93,84		45.441	-2.272	0,20106	88,82
S	A		-319.251	15.963	0,07697	7,05		-149.124	7.456	0,07697	12,62		-408.349	7.576	0,07697	16,87
	P		-3.532	-566	0,07697	NS		-228.603	-770	0,07697	NS		-27.527	-1.681	0,07697	46,93
P	A	01572	-143.054	4.729	0,20106	47,82	01573	-150.143	1.794	0,20106	NS	01574	-156.076	1.017	0,20106	NS
	P		-216.708	-21.688	0,20106	10,86		-217.400	-10.870	0,20106	21,68		-49.834	-12.714	0,20106	16,84
S	A		-207.508	10.375	0,07697	10,11		-244.199	12.210	0,07697	8,92		-414.181	20.709	0,07697	6,50
	P		-728.077	-31.597	0,07697	5,30		-712.654	-19.359	0,07697	8,53		-513.635	-22.010	0,07697	6,67
P	A	01575	-154.800	391	0,60319	NS	01576	19.719	996	0,60319	NS	01577	-139.975	437	0,60319	NS
	P		-132.748	-9.258	0,60319	68,40		-81.153	-4.218	0,60319	NS		4.872	-786	0,60319	NS
S	A		-194.699	9.735	0,27803	31,29		-226.423	11.321	0,27803	27,05		-234.876	11.744	0,27803	26,39
	P		-633.643	-17.388	0,27803	20,65		-716.057	-14.575	0,27803	25,08		-470.220	-15.455	0,27803	21,98
P	A	01578	-143.912	381	0,20106	NS	01579	19.622	568	0,20106	NS	01580	-230.323	152	0,20106	NS
	P		-30.653	-1.756	0,20106	NS		-90.655	-154	0,20106	NS		264.672	-13.158	0,20106	13,17
S	A		-264.400	12.248	0,07697	9,21		-122.857	6.143	0,07697	15,12		-354.499	9.213	0,07697	13,01
	P		-386.738	-10.067	0,07697	12,75		-437.899	-4.867	0,07697	27,34		-371.374	-1.956	0,07697	62,36
P	A	01581	-48.959	2.695	0,20106	79,40	01582	0	0	0,20106	-	01583	18.160	300	0,20106	NS
	P		-486.375	-2.203	0,20106	NS		-49.877	-1.980	0,20106	NS		-59.221	-3.266	0,20106	65,93
S	A		-292.550	6.553	0,07697	17,50		-301.462	5.489	0,07697	20,74		-360.298	356	0,07697	NS
	P		-72.052	-3.594	0,07697	23,98		-229.725	-5.655	0,07697	18,51		-376.622	-11.049	0,07697	10,85
P	A	01584	149.603	2.114	0,20106	89,06	02564	-506.740	438	0,60319	NS	02565	86.405	782	0,20106	NS
	P		-126.586	-6.403	0,20106	34,98		-116.965	-5.347	0,60319	NS		-53.329	-398	0,20106	NS
S	A		-1.023.577	1.837	0,07697	NS		-317.346	15.867	0,27803	19,80		-1.148.705	9.032	0,07697	22,73
	P		-524.982	-16.096	0,07697	8,55		-643.238	-16.417	0,27803	21,57		-112.312	-1.392	0,07697	66,07
P	A	02566	232.476	218	0,20106	NS	02567	-137.202	2.028	0,20106	NS	02568	-145.099	990	0,20106	NS
	P		195.191	-3.216	0,20106	56,72		-87.585	-9.298	0,20106	23,55		33.747	-3.556	0,20106	57,18
S	A		-571.873	3.630	0,07697	39,60		-33.912	1.696	0,07697	48,33		-242.931	12.147	0,07697	8,73
	P		-14.862	-1.444	0,07697	50,70		-722.295	-16.340	0,07697	10,19		-545.566	-14.540	0,07697	9,89
P	A	02569	-140.129	481	0,20106	NS	02570	-114.179	68	0,20106	NS	02571	21.159	865	0,60319	NS
	P		26.109	-1.301	0,20106	NS		111.886	-5.574	0,20106	34,66		-18.230	-1.800	0,60319	NS
S	A		-328.530	11.963	0,07697	9,40		-432.545	4.167	0,07697	30,02		-248.534	12.421	0,27803	24,85
	P		-460.758	-1.398	0,07697	92,26		-558.753	-2.004	0,07697	70,10		-443.801	-15.169	0,27803	21,97
P	A	02572	22.268	1.121	0,20106	NS										
	P		-41.196	-2.482	0,20106	85,83										
S	A		-252.027	6.669	0,07697	15,84										
	P		-446.777	-2.842	0,07697	45,81										
	ERRORE: L'armatura superiore è maggiore del massimo consentitoL'armatura inferiore è maggiore del massimo consentito															
Piano terra ingresso						**ParetеP7-13**						**Parete P7-13**				
P	A	00028	-186.243	9.312	0,17928	22,50	00029	-141.995	26.368	0,13404	5,99	00271	-221.084	11.054	0,23457	24,45
	P		-146.876	-17.559	0,17928	11,65		6.595	-137	0,13404	NS		-149.522	-4.244	0,26808	69,44
S	A		-340.286	17.014	0,05655	6,15		-463.896	16.347	0,05655	7,15		-450.917	22.546	0,11812	7,70
	P		-405.255	-20.263	0,05655	5,57		0	0	0,05655	-		-300.469	-15.023	0,11812	10,30

Dir	Pos	Nodo	N_{Ed} [N]	M_{Ed} [N·m]	A_s [cm²/cm]	CS	Nodo	N_{Ed} [N]	M_{Ed} [N·m]	A_s [cm²/cm]	CS	Nodo	N_{Ed} [N]	M_{Ed} [N·m]	A_s [cm²/cm]	CS
P	A	00272	-88.730	3.875	0,13404	38,98	01540	-121.231	6.062	0,13404	25,61	01541	-121.183	6.059	0,13404	25,62
	P		-127.800	-145	0,13404	NS		-174.873	-6.835	0,13404	23,73		-168.368	-8.736	0,13404	18,47
S	A		-249.552	3.362	0,05655	27,70		-388.287	19.414	0,05655	5,55		-370.121	18.506	0,05655	5,86
	P		-530.978	-1.072	0,05655	NS		-300.735	-15.037	0,05655	6,43		-338.305	-16.136	0,05655	6,47
P	A	01542	-69.827	3.491	0,13404	42,57	01543	73.523	3.676	0,17928	47,88	01544	-6.187	309	0,17928	NS
	P		-162.487	-10.474	0,13404	15,33		-150.982	-7.499	0,17928	27,34		-141.602	-4.470	0,17928	45,59
S	A		-338.508	16.925	0,05655	6,17		-239.963	11.998	0,05655	7,32		-210.674	10.534	0,05655	7,92
	P		-352.838	-17.572	0,05655	6,05		-269.136	-13.457	0,05655	6,80		-199.445	-9.682	0,05655	8,46
P	A	01545	19.110	1.549	0,13404	88,48	01546	-139.985	3.973	0,13404	39,69	01547	-140.542	7.610	0,13404	20,73
	P		217.522	-3.415	0,13404	32,57		84.320	-4.215	0,13404	30,51		2.521	-126	0,13404	NS
S	A		-192.012	9.601	0,05655	8,50		-150.075	7.504	0,05655	10,00		-198.866	7.786	0,05655	10,61
	P		-169.569	-4.561	0,05655	17,26		0	0	0,05655	-		0	0	0,05655	-
P	A	01548	-135.792	5.024	0,13404	31,27	01549	177.123	10.012	0,13404	11,64	01550	96.117	2.312	0,13404	54,96
	P		-25.066	-890	0,13404	NS		2.285	-201	0,13404	NS		-104.299	-726	0,13404	NS
S	A		-663.329	13.565	0,05655	10,18		-151.919	4.074	0,05655	18,91		-127.800	3.712	0,05655	20,83
	P		-104.559	-1.366	0,05655	50,62		-46.207	-344	0,05655	NS		6.370	-229	0,05655	NS
P	A	01551	76.462	2.420	0,13404	53,57	01552	25.096	617	0,13404	NS	01553	-11.822	591	0,13404	NS
	P		-205.221	-276	0,13404	NS		-11.787	-794	0,13404	NS		-150.699	-2.325	0,13404	68,40
S	A		-107.202	4.489	0,05655	14,88		-160.351	7.935	0,05655	9,93		-229.768	11.488	0,05655	7,59
	P		-271.007	-2.107	0,05655	41,81		-88.980	-3.760	0,05655	18,48		-133.870	-6.655	0,05655	11,24
P	A	01554	-32.101	1.605	0,13404	89,55	01555	-28.096	1.604	0,23457	NS	02546	-49.058	2.453	0,13404	59,49
	P		-153.154	-3.846	0,13404	41,43		-142.873	-5.673	0,26808	51,80		-153.652	-9.186	0,13404	17,36
S	A		-321.816	16.091	0,05655	6,36		-366.905	18.345	0,11812	8,89		-295.290	14.764	0,05655	6,50
	P		-193.922	-9.696	0,05655	8,86		-236.190	-11.810	0,11812	12,40		-302.655	-15.133	0,05655	6,40
P	A	02547	-136.829	8.612	0,13404	18,26	02548	-42.937	1.752	0,13404	82,82	02549	-79.448	3.972	0,23457	63,45
	P		17.086	-274	0,13404	NS		-142.331	-395	0,13404	NS		-162.002	-5.676	0,26808	52,21
S	A		-546.783	13.633	0,05655	9,18		-181.071	4.113	0,05655	18,81		-374.071	18.704	0,11812	8,79
	P		0	0	0,05655	-		-182.116	-2.230	0,05655	34,74		-265.635	-13.282	0,11812	11,34
P	A	02550	-10.363	518	0,13404	NS	02551	14.622	103	0,13404	NS	02552	28.884	799	0,13404	NS
	P		-164.902	-5.990	0,13404	26,86		-151.108	-1.604	0,13404	99,19		0	0	0,13404	-
S	A		-324.729	16.236	0,05655	5,97		-209.682	10.483	0,05655	7,79		-122.176	5.328	0,05655	13,10
	P		-262.611	-13.131	0,05655	6,77		-127.789	-5.763	0,05655	12,33		-110.708	-2.485	0,05655	27,48
P	A	02553	40.707	453	0,13404	NS	02554	-118.729	2.055	0,13404	75,38					
	P		-153.744	-4.118	0,13404	38,71		25.436	-566	0,13404	NS					
S	A		-247.614	12.381	0,05655	7,00		-142.753	6.585	0,05655	11,04					
	P		-190.745	-9.130	0,05655	8,68		-124.448	-1.346	0,05655	52,22					
Piano terra ingresso							**Parete10-11**					**Parete 10-11**				
P	A	00022	-101.492	4.391	0,20106	50,28	00023	-6.897	345	0,10053	NS	00024	34.230	1.743	0,17750	NS
	P		0	0	0,20106	-		-76.550	-4.623	0,10053	24,97		-80.160	-1.253	0,17750	NS
S	A		-230.642	4.457	0,11310	31,61		-267.177	1.435	0,05655	66,48		-50.542	2.668	0,11310	44,08
	P		-66.284	-2.333	0,11310	51,30		-273.184	-7.513	0,05655	12,80		-208.671	-1.003	0,11310	NS
P	A	00025	-263.353	1.377	0,10053	NS	00730	-46.044	1.692	0,20106	NS	00731	13.420	527	0,10053	NS
	P		-89.441	-4.648	0,10053	25,19		8.001	-602	0,20106	NS		268.689	-125	0,10053	NS
S	A		-1.071.054	4.106	0,05655	44,42		-154.507	3.291	0,05655	24,56		-147.767	3.227	0,05655	24,77
	P		-362.205	-6.979	0,05655	15,40		-53.065	-2.076	0,05655	32,54		-85.617	-1.966	0,05655	36,53
P	A	00732	45.396	898	0,10053	NS	00733	3.140	463	0,10053	NS	00734	14.711	596	0,10053	NS
	P		329.657	-147	0,10053	NS		160.028	-424	0,10053	NS		86.105	-3.463	0,10053	27,21
S	A		-155.75	2.238	0,05655	36,19		-33.671	1.684	0,05655	38,61		-96.392	682	0,05655	NS

Dir	Pos	Nodo	N_{Ed} [N]	M_{Ed} [N·m]	A_s [cm²/cm]	CS	Nodo	N_{Ed} [N]	M_{Ed} [N·m]	A_s [cm²/cm]	CS	Nodo	N_{Ed} [N]	M_{Ed} [N·m]	A_s [cm²/cm]	CS
	P		9 -108.905	-1.418	0,05655	52,79		-90.133	-1.250	0,05655	57,92		-108.494	-1.424	0,05655	52,53
P	A	00735	-42.321	270	0,17750	NS	00736	24.341	1.217	0,17750	NS	00737	14.532	726	0,17750	NS
	P		-177.969	-308	0,17750	NS		-167.817	-273	0,17750	NS		-163.905	-243	0,17750	NS
S	A		-5.177	161	0,05655	NS		-198.984	592	0,05655	NS		-164.769	1.158	0,05655	66,38
	P		-217.031	-123	0,05655	NS		-28.562	-981	0,05655	57,91		-60.191	-2.999	0,05655	21,07
P	A	00738	50.866	528	0,17750	NS	00739	-14.920	43	0,17750	NS	00740	27.366	1.211	0,10053	84,18
	P		374.826	-5.497	0,17750	24,56		139.134	-1.316	0,17750	NS		-11.893	-561	0,10053	NS
S	A		-128.279	1.263	0,05655	58,46		-155.031	1.152	0,05655	65,97		-610.326	1.714	0,05655	76,08
	P		-112.988	-5.649	0,05655	12,71		-163.242	-8.162	0,05655	9,44		-289.414	-9.125	0,05655	10,00
P	A	00741	-71.513	3.316	0,10053	34,62	00742	7.454	1.603	0,10053	65,21	00743	156.561	2.952	0,10053	28,80
	P		407.352	-4.512	0,10053	11,55		-34.218	-2.611	0,10053	42,11		-29.601	-1.480	0,10053	73,87
S	A		-319.828	4.194	0,05655	24,35		-349.450	3.823	0,05655	26,31		-401.328	3.837	0,05655	27,52
	P		-252.311	-12.367	0,05655	7,56		-189.756	-9.488	0,05655	8,44		-196.198	-9.810	0,05655	8,09
P	A	00744	222.299	1.519	0,10053	50,29	00745	105.725	2.603	0,10053	35,21	00746	259.658	2.542	0,10053	28,12
	P		-29.954	-1.498	0,10053	73,00		-4.351	-1.398	0,10053	75,87		-11.815	-1.604	0,10053	66,71
S	A		-292.144	4.047	0,05655	22,65		-153.809	3.164	0,05655	23,72		-357.222	2.446	0,05655	42,35
	P		-200.320	-8.838	0,05655	9,03		-177.935	-7.886	0,05655	9,92		-158.494	-7.415	0,05655	10,53
P	A	00747	-2.229	539	0,10053	NS	00748	387.415	7.428	0,10053	7,37	00749	-55.104	2.524	0,20106	85,11
	P		-23.588	-920	0,10053	NS		350.435	-1.946	0,10053	30,62		16.498	-687	0,20106	NS
S	A		-853.908	1.786	0,05655	87,21		-48.686	2.313	0,05655	27,28		-110.793	951	0,05655	74,31
	P		-219.472	-4.918	0,05655	16,71		-134.006	-5.941	0,05655	12,50		-124.750	-5.805	0,05655	12,49
P	A	00750	-8.872	497	0,20106	NS	00751	-36.130	1.320	0,20106	NS	01804	75.306	560	0,17750	NS
	P		418.500	-1.126	0,20106	NS		-8.665	-826	0,20106	NS		-174.441	-280	0,17750	NS
S	A		-91.933	562	0,05655	NS		-486.632	1.207	0,05655	94,83		-178.889	270	0,11310	NS
	P		-135.707	-4.459	0,05655	16,63		-21.465	-845	0,05655	64,98		-46.971	-832	0,11310	NS
P	A	01805	-156.031	1.013	0,10053	NS	01806	-45.419	1.061	0,10053	NS	01807	-64.531	2.082	0,20106	NS
	P		-29.995	-2.457	0,10053	44,51		-19.927	-2.220	0,10053	48,69		77.910	-491	0,20106	NS
S	A		-535.638	2.474	0,05655	50,01		-863.161	3.466	0,05655	45,89		-401.435	2.061	0,11310	78,82
	P		-242.807	-9.032	0,05655	9,65		-187.652	-4.779	0,05655	16,83		-38.090	-1.838	0,11310	63,09
P	A	01808	65.584	27	0,10053	NS	01809	18.278	380	0,10053	NS	01810	6.039	1.540	0,10053	67,97
	P		12.009	-501	0,10053	NS		120.709	-905	0,10053	99,09		-38.184	-2.966	0,10053	37,24
S	A		-296.775	840	0,05655	NS		-133.641	1.105	0,05655	64,63		-492.598	2.137	0,05655	54,84
	P		-67.946	-2.057	0,05655	30,81		-134.439	-6.094	0,05655	11,74		-131.964	-6.083	0,05655	11,74
P	A	01811	-5.887	473	0,10053	NS	01812	-11.582	530	0,10053	NS	01813	-13.370	482	0,10053	NS
	P		559	-356	0,10053	NS		-24.438	-1.440	0,10053	75,45		32.129	-359	0,10053	NS
S	A		-132.768	871	0,05655	82,12		-124.701	955	0,05655	72,76		-329.931	3.050	0,05655	32,33
	P		-148.671	-4.637	0,05655	15,88		-165.082	-7.743	0,05655	9,66		-137.133	-2.016	0,05655	36,58
P	A	01814	-12.881	682	0,10053	NS	01815	-11.242	648	0,10053	NS	01816	138.204	761	0,10053	NS
	P		6.301	-176	0,10053	NS		-25.297	-1.265	0,10053	85,99		112.431	-1.880	0,10053	48,29
S	A		-480.561	2.345	0,05655	48,90		-738.219	3.404	0,05655	42,14		-102.029	1.193	0,05655	56,61
	P		-155.079	-7.404	0,05655	9,91		-200.947	-10.047	0,05655	7,87		-112.581	-4.974	0,05655	13,86
P	A	01817	-23.690	949	0,10053	NS										
	P		5.893	-287	0,10053	NS										
S	A		-635.905	2.479	0,05655	53,89										
	P		-190.502	-9.074	0,05655	8,68										
Piano terra ingresso						**Parete32-P10**						**Parete 32-P10**				
P	A	00007	-484.933	82.767	0,25761	3,95	00199	177.535	8.749	0,20106	21,11	00242	-262.575	10.999	0,40212	40,51
	P		3.912	-15	0,24630	NS		195.434	-17.246	0,20106	10,57		-539.819	-1.531	0,40212	NS
S	A		-4.194.982	223.143	0,07697	0,67		7.446	1.022	0,07697	67,24		-1.109.820	27.241	0,17750	10,94
	P		-49.570	-2.479	0,07697	35,48		-976.374	-48.813	0,07697	3,75		-164.120	-300	0,17750	NS
P	A	00243	134.029	1.633	0,20106	NS	01487	73.167	3.340	0,25761	76,50	01488	159.337	4.794	0,20106	39,02
	P		30.217	-1.584	0,20106	NS		312.128	-16.577	0,20106	10,08		408.589	-3.019	0,20106	51,20
S	A		-131.60	2.583	0,07697	37,13		-1.095.3	2.957	0,07697	66,59		0	0	0,07697	-

Dir	Pos	Nodo	N_{Ed} [N]	M_{Ed} [N·m]	A_s [cm²/cm]	CS	Nodo	N_{Ed} [N]	M_{Ed} [N·m]	A_s [cm²/cm]	CS	Nodo	N_{Ed} [N]	M_{Ed} [N·m]	A_s [cm²/cm]	CS
	P		1 -195.585	-9.779	0,07697	10,65		51 -114.097	-5.705	0,07697	15,44		-151.516	-7.576	0,07697	12,05
P	A	01489	204.561	10.140	0,20106	17,87	01490	111.866	5.593	0,20106	34,54	01491	217.203	3.313	0,20106	54,19
	P		-188.864	-633	0,20106	NS		246.438	-5.417	0,20106	32,44		-160.561	-92	0,20106	NS
S	A		7.500	201	0,07697	NS		9.605	570	0,07697	NS		12.349	1.156	0,07697	58,56
	P		-226.904	-11.345	0,07697	8,70		-653.787	-27.277	0,07697	5,54		-267.870	-13.298	0,07697	7,83
P	A	01617	-392.045	25.538	0,20106	10,09	01618	-210.531	22.263	0,20106	10,54	01619	-296.706	24.311	0,40212	18,51
	P		57.023	-1.859	0,20106	NS		0	0	0,20106	-		66.418	-34	0,40212	NS
S	A		-1.693.604	70.978	0,07697	3,37		-1.047.685	46.450	0,07697	4,22		-1.008.396	38.684	0,17750	7,56
	P		-135.086	-6.754	0,07697	14,13		-212.532	-7.272	0,07697	14,27		-122.756	-6.130	0,17750	31,29
P	A	01620	-104.444	4.771	0,40212	89,15	01621	-360.262	437	0,40212	NS	01622	-119.035	6.283	0,20106	35,49
	P		61.569	-3.003	0,40212	NS		-242.241	-1.238	0,40212	NS		25.272	-1.005	0,20106	NS
S	A		-892.005	39.497	0,17750	7,17		-685.844	33.829	0,17750	7,75		-597.273	25.580	0,07697	6,00
	P		-65.270	-2.175	0,17750	85,49		-86.056	-2.932	0,17750	64,15		-115.192	-5.464	0,07697	17,05
P	A	01623	368.336	3.184	0,20106	50,20	01624	4.073	204	0,20106	NS	01625	-71.695	3.619	0,20106	59,94
	P		31.600	-1.501	0,20106	NS		228.034	-392	0,20106	NS		4.203	-29	0,20106	NS
S	A		-593.243	12.339	0,07697	12,30		-637.742	5.175	0,07697	31,16		-886	104	0,07697	NS
	P		-92.800	-4.640	0,07697	19,19		-211.628	-9.898	0,07697	11,01		-614.389	-9.561	0,07697	15,66
P	A	01626	26.381	1.319	0,20106	NS	01627	3.771	172	0,20106	NS	02591	-164.518	11.822	0,40212	36,63
	P		-243.907	-44	0,20106	NS		43.211	-897	0,20106	NS		-4.469	-685	0,40212	NS
S	A		-14.988	414	0,07697	NS		-7.103	709	0,07697	95,07		-851.682	39.334	0,17750	6,99
	P		-160.803	-8.040	0,07697	11,15		-572.925	-20.115	0,07697	6,91		-130.853	-3.562	0,17750	53,32
P	A	02592	49.710	1.964	0,20106	NS	02593	5.864	241	0,20106	NS	02594	-244.697	12.388	0,25761	23,88
	P		12.031	-184	0,20106	NS		-39.128	-1.948	0,20106	NS		8.091	-57	0,20106	NS
S	A		-674.391	1.712	0,07697	93,19		1.808	900	0,07697	75,12		-2.038.934	72.575	0,07697	3,41
	P		-537.529	-3.982	0,07697	36,18		-554.298	-14.002	0,07697	9,87		-61.073	-3.054	0,07697	27,10
P	A	02595	23.622	6.612	0,20106	30,95	02596	59.717	498	0,20106	NS	02597	51.392	985	0,20106	NS
	P		16.135	-292	0,20106	NS		-258.259	-221	0,20106	NS		559	-217	0,20106	NS
S	A		-1.031.315	42.232	0,07697	4,49		-863.827	11.995	0,07697	14,23		-101	485	0,07697	NS
	P		-188.272	-9.414	0,07697	10,19		-166.840	-8.342	0,07697	10,70		-251.720	-11.066	0,07697	8,98
P	A	02598	-57.343	4.622	0,40212	90,72	02599	-77.694	4.058	0,20106	53,64					
	P		45.260	-703	0,40212	NS		26.856	-505	0,20106	NS					
S	A		-717.743	30.896	0,17750	8,45		-791.852	8.999	0,07697	18,64					
	P		-154.455	-5.460	0,17750	35,30		-127.494	-6.096	0,07697	14,48					

ERRORE: Coefficiente di sicurezza (allo SLU per Momento positivo) inferiore a 1

Piano terra ingresso							**Parete33-P11**					**Parete 33-P11**				
P	A	00030	-47.276	3.908	0,17928	49,05	00247	160	309	0,13404	NS	00248	47.942	2.397	0,23457	98,26
	P		-118.643	-2.889	0,17928	69,52		-7.210	-323	0,13404	NS		-245.690	-420	0,23457	NS
S	A		-182.785	9.091	0,10179	13,84		-199.681	9.980	0,05655	8,11		-350.586	2.754	0,11812	59,15
	P		-323.932	-5.201	0,10179	27,65		-166.865	-3.196	0,05655	24,00		-57.300	-1.689	0,11812	74,17
P	A	00249	-449.700	333	0,13404	NS	01660	-64.322	2.297	0,13404	64,40	01661	-103.765	1.618	0,13404	94,56
	P		1.948	-85	0,13404	NS		-32.852	-1.457	0,13404	98,75		20.928	-251	0,13404	NS
S	A		-492.426	6.096	0,05655	20,27		-245.201	8.430	0,05655	10,98		-370.545	6.314	0,05655	17,19
	P		-82.370	-2.832	0,05655	25,21		-205.340	-4.394	0,05655	19,89		-109.647	-4.479	0,05655	16,74
P	A	01662	-78.226	1.197	0,13404	NS	01663	9.818	491	0,23457	NS	01664	-501.883	237	0,23457	NS
	P		5.627	-334	0,13404	NS		181.330	-325	0,23457	NS		186.456	-357	0,23457	NS
S	A		-475.577	4.674	0,05655	25,30		-591.259	3.651	0,05655	35,78		-552.648	4.449	0,05655	28,35
	P		-60.424	-3.033	0,05655	21,50		-13.459	-673	0,05655	85,67		-10.425	-521	0,05655	NS
P	A	01665	-459.155	245	0,13404	NS	01666	-484.427	277	0,13404	NS	01667	-5.183	266	0,13404	NS
	P		299.346	-1.318	0,13404	76,25		205.553	-378	0,13404	NS		95.937	-2.422	0,13404	52,47
S	A		-501.60	4.860	0,05655	25,66		-528.52	5.318	0,05655	23,37		-491.91	5.485	0,05655	22,52

Dir	Pos	Nodo	N_{Ed} [N]	M_{Ed} [N·m]	A_s [cm²/cm]	CS	Nodo	N_{Ed} [N]	M_{Ed} [N·m]	A_s [cm²/cm]	CS	Nodo	N_{Ed} [N]	M_{Ed} [N·m]	A_s [cm²/cm]	CS
	P		2 -109.783	-940	0,05655	79,75		0 -16.936	-813	0,05655	72,74		3 -62.776	-2.225	0,05655	30,94
P	A	01668	-13.110	777	0,13404	NS	01669	-28.540	1.071	0,13404	NS	01670	-16.550	726	0,13404	NS
	P		0	0	0,13404	-		-24.144	-260	0,13404	NS		-7.228	-408	0,13404	NS
S	A		-427.140	7.056	0,05655	15,41		-362.110	7.751	0,05655	12,74		-245.182	9.649	0,05655	8,68
	P		-130.595	-2.352	0,05655	30,11		-157.792	-3.157	0,05655	22,97		-151.853	-2.917	0,05655	24,56
P	A	01671	8.210	580	0,13404	NS	01672	-320.224	260	0,13404	NS	01673	7.296	360	0,13404	NS
	P		33.997	-209	0,13404	NS		-948	-126	0,13404	NS		-1.266	-39	0,13404	NS
S	A		-179.309	8.967	0,05655	8,68		-190.644	9.167	0,05655	8,78		-152.199	7.610	0,05655	9,72
	P		-180.014	-2.940	0,05655	26,51		-198.002	-3.137	0,05655	25,95		-242.284	-3.359	0,05655	25,51
P	A	01674	-3.792	705	0,13404	NS	01675	-12.980	1.679	0,17928	NS	02618	19.916	943	0,23457	NS
	P		234.964	-711	0,13404	NS		-24.579	-1.073	0,17928	NS		109.380	-31	0,23457	NS
S	A		-185.771	8.673	0,05655	9,22		-166.924	8.299	0,10179	14,57		-531.375	3.475	0,11812	52,78
	P		-257.803	-3.641	0,05655	24,52		-337.460	-3.497	0,10179	40,82		-88.173	-1.014	0,11812	NS
P	A	02619	-422.519	316	0,13404	NS	02620	-326.635	309	0,13404	NS	02621	-37.400	2.159	0,13404	66,89
	P		2.084	-44	0,13404	NS		-3.654	-140	0,13404	NS		-44.964	-1.495	0,13404	97,26
S	A		-458.817	6.200	0,05655	18,53		-213.957	9.747	0,05655	8,37		-206.221	8.387	0,05655	9,76
	P		-90.266	-2.690	0,05655	25,20		-159.114	-2.953	0,05655	25,20		-276.204	-4.024	0,05655	22,59
P	A	02622	-36.632	1.531	0,13404	94,25	02623	-364.046	233	0,13404	NS	02624	-351.387	299	0,13404	NS
	P		-2.005	-305	0,13404	NS		-895	-256	0,13404	NS		-7.215	-353	0,13404	NS
S	A		-272.229	7.336	0,05655	12,30		-279.846	8.106	0,05655	10,91		-275.864	8.670	0,05655	10,06
	P		-194.973	-4.250	0,05655	18,88		-192.854	-3.542	0,05655	21,80		-157.041	-2.928	0,05655	24,53
P	A	02625	-29.201	259	0,13404	NS	02626	59.615	759	0,13404	NS					
	P		-18.347	-363	0,13404	NS		-5.291	-327	0,13404	NS					
S	A		-441.925	5.204	0,05655	21,07		-426.582	6.073	0,05655	17,82					
	P		-81.270	-3.374	0,05655	18,80		-111.954	-2.964	0,05655	22,92					
Piano terra ingresso						**Parete34-P12**						**Parete 34-P12**				
P	A	00032	-142.251	8.115	0,17750	24,90	00253	0	0	0,10053	-	00254	-659.876	3.742	0,23457	86,59
	P		-181.494	-2.547	0,17750	81,30		-386.329	-1.484	0,10053	NS		17.923	-897	0,23457	NS
S	A		-274.425	13.721	0,10179	9,99		-269.782	3.629	0,05655	24,80		-481.303	3.844	0,11310	45,38
	P		-419.622	-3.983	0,10179	39,02		-316.115	-4.411	0,05655	21,75		-43.463	-2.094	0,11310	56,71
P	A	00255	0	0	0,10053	-	01644	-69.033	4.629	0,10053	24,73	01645	446.529	2.202	0,10053	21,33
	P		472.655	-269	0,10053	NS		-107.830	-673	0,10053	NS		-35.525	-981	0,10053	NS
S	A		-577.619	3.940	0,05655	33,95		-300.302	12.804	0,05655	7,78		-420.852	9.958	0,05655	11,53
	P		-242.250	-2.610	0,05655	35,32		-310.963	-3.467	0,05655	29,12		-229.283	-3.306	0,05655	27,38
P	A	01646	-544.691	2.991	0,23457	NS	01647	-640.935	2.282	0,23457	NS	01648	-595.545	1.634	0,23457	NS
	P		219.962	-526	0,23457	NS		127.770	-2.987	0,23457	75,40		17.703	-872	0,23457	NS
S	A		-536.114	7.213	0,05655	17,42		-661.023	5.141	0,11310	38,09		-624.885	5.592	0,05655	24,03
	P		-157.233	-3.202	0,05655	24,35		-59.399	-2.147	0,11310	56,47		-59.407	-2.741	0,05655	23,23
P	A	01649	-463.282	869	0,10053	NS	01650	282.533	695	0,10053	98,53	01651	380.033	5.908	0,10053	9,43
	P		399.878	-1.537	0,10053	34,55		-11.381	-72	0,10053	NS		116.772	-913	0,10053	98,84
S	A		-580.550	5.026	0,05655	26,68		-612.729	4.590	0,05655	29,20		-80.307	2.107	0,05655	33,75
	P		-120.837	-3.506	0,05655	21,80		-124.643	-3.300	0,05655	22,19		-208.357	-2.926	0,05655	30,01
P	A	01652	51.476	1.012	0,10053	97,54	01653	-36.289	1.379	0,10053	79,92	01654	-19.828	520	0,10053	NS
	P		-538.114	-198	0,10053	NS		-488.662	-339	0,10053	NS		-415.779	-698	0,10053	NS
S	A		-514.468	4.281	0,05655	27,86		-451.948	4.293	0,05655	25,62		-345.333	4.514	0,05655	21,39
	P		-1.004.924	-33.656	0,05655	5,04		-257.891	-2.560	0,05655	33,42		-249.238	-2.628	0,05655	32,06
P	A	01655	41.824	263	0,10053	NS	01656	244.631	196	0,10053	NS	01657	17.034	853	0,14577	NS
	P		-372.560	-323	0,10053	NS		28.238	-308	0,10053	NS		-2.795	-114	0,14577	NS
S	A		-235.339	6.413	0,05655	13,27		-254.877	8.020	0,05655	11,07		-194.138	9.031	0,05655	8,80

Dir	Pos	Nodo	N_{Ed} [N]	M_{Ed} [N·m]	A_s [cm²/cm]	CS	Nodo	N_{Ed} [N]	M_{Ed} [N·m]	A_s [cm²/cm]	CS	Nodo	N_{Ed} [N]	M_{Ed} [N·m]	A_s [cm²/cm]	CS
	P		-314.590	-3.087	0,05655	30,86		-289.406	-2.512	0,05655	37,09		-335.499	-2.515	0,05655	38,83
P	A	01658	-6.748	1.058	0,10053	NS	01659	-21.534	2.636	0,17750	70,76	02609	-586.858	2.711	0,23457	NS
	P		445.788	-238	0,10053	NS		-36.654	-1.192	0,17750	NS		132.850	-2.233	0,23457	NS
S	A		-241.934	11.114	0,05655	7,85		-231.917	11.458	0,05655	7,23		-596.584	5.274	0,11310	35,25
	P		-354.178	-2.653	0,05655	38,29		-438.768	-2.589	0,05655	42,13		-97.982	-3.557	0,11310	34,71
P	A	02610	-938	73	0,10053	NS	02611	-2.951	108	0,10053	NS	02612	-68.882	3.430	0,17750	56,16
	P		164.021	-1.040	0,10053	80,81		-399.348	-633	0,10053	NS		-90.708	-1.176	0,17750	NS
S	A		-543.100	4.148	0,05655	30,13		-301.274	5.350	0,05655	17,34		-272.988	12.030	0,05655	7,49
	P		-821.472	-31.032	0,05655	4,99		-336.956	-3.049	0,05655	31,92		-371.572	-2.986	0,05655	34,36
P	A	02613	-44.797	2.438	0,10053	45,65	02614	-364.280	696	0,10053	NS	02615	-3.212	252	0,10053	NS
	P		-17.406	-1.002	0,10053	NS		1.278	-185	0,10053	NS		-6.639	-190	0,10053	NS
S	A		-328.838	10.323	0,05655	9,41		-363.511	7.753	0,05655	12,79		-371.049	5.305	0,05655	18,72
	P		-297.417	-2.920	0,05655	31,89		-296.803	-2.638	0,05655	34,38		-259.450	-2.423	0,05655	35,12
P	A	02616	-439.595	1.258	0,10053	NS	02617	101.069	808	0,10053	NS					
	P		77.395	-501	0,10053	NS		22.395	-494	0,10053	NS					
S	A		-511.329	6.452	0,05655	18,31		-508.770	4.964	0,05655	23,83					
	P		-190.455	-2.877	0,05655	27,01		-234.859	-2.519	0,05655	33,32					
Piano terra ingresso							**Parete35-P13**					**Parete 35-P13**				
P	A	00034	-87.177	813	0,16211	NS	00259	-7.823	787	0,10053	NS	00260	-710.524	4.858	0,23457	67,82
	P		-445.452	-1.897	0,15708	NS		-9.372	-415	0,10053	NS		28.682	-612	0,23457	NS
S	A		-280.208	3.093	0,10179	44,53		-293.181	9.479	0,05655	9,80		-3.645.398	5.155	0,11310	43,01
	P		-422.320	-1.770	0,10179	87,94		-355.445	-2.235	0,05655	45,09		-79.636	-2.251	0,11310	54,90
P	A	00261	-6.949	330	0,10053	NS	01601	-117.361	914	0,10053	NS	01602	-518.571	1.416	0,10053	NS
	P		433.048	-148	0,10053	NS		19.194	-690	0,10053	NS		-119.097	-456	0,10053	NS
S	A		-599.338	5.088	0,05655	26,77		-361.258	2.721	0,05655	39,45		-341.508	2.423	0,05655	43,28
	P		-327.640	-2.195	0,05655	46,97		-362.577	-3.001	0,05655	35,83		-447.400	-2.119	0,05655	55,73
P	A	01603	-589.000	2.847	0,23457	NS	01604	-689.973	2.160	0,23457	NS	01605	-631.570	1.536	0,23457	NS
	P		-153.432	-429	0,10053	NS		-22.759	-295	0,23457	NS		-190.451	-82	0,23457	NS
S	A		-331.406	2.498	0,05655	40,22		-310.355	3.036	0,11310	50,53		-300.695	3.611	0,05655	26,30
	P		-488.040	-1.722	0,05655	69,64		-540.090	-2.464	0,11310	73,85		-509.491	-3.408	0,05655	35,49
P	A	01606	366.838	519	0,10053	NS	01607	247.738	1.263	0,10053	57,84	01608	58.565	1.403	0,10053	69,74
	P		-6.148	-244	0,10053	NS		-1.483	-68	0,10053	NS		293.890	-218	0,10053	NS
S	A		-331.147	3.774	0,05655	27,43		-345.287	3.540	0,05655	28,72		-599.558	3.855	0,05655	35,34
	P		-501.361	-3.136	0,05655	39,76		-523.048	-2.652	0,05655	46,61		-306.839	-1.671	0,05655	60,12
P	A	01609	-14.475	1.077	0,10053	99,72	01610	-32.584	1.183	0,10053	92,73	01611	-22.262	863	0,10053	NS
	P		-4.818	-250	0,10053	NS		-12.353	-534	0,10053	NS		-10.049	-511	0,10053	NS
S	A		-537.849	5.531	0,05655	22,07		-477.679	5.754	0,05655	19,66		-375.734	6.949	0,05655	14,43
	P		-326.893	-2.034	0,05655	47,22		-340.609	-1.828	0,05655	52,56		-347.026	-1.882	0,05655	51,35
P	A	01612	-425.095	633	0,10053	NS	01613	-437.190	585	0,10053	NS	01614	-425.164	436	0,14577	NS
	P		54.640	-235	0,10053	NS		21.761	-230	0,10053	NS		-10.254	-78	0,14577	NS
S	A		-274.064	7.520	0,05655	12,01		-300.555	6.292	0,05655	15,00		-222.545	5.650	0,05655	14,71
	P		-376.660	-1.419	0,05655	72,87		-392.406	-2.764	0,05655	38,35		-367.680	-3.615	0,05655	28,12
P	A	01615	8.555	553	0,10053	NS	01616	-11.162	1.033	0,16211	NS	02582	-633.068	2.770	0,23457	NS
	P		-2.425	-418	0,10053	NS		-35.551	-529	0,15708	NS		-257.766	-476	0,23457	NS
S	A		-293.880	4.278	0,05655	21,95		-274.226	3.597	0,05655	24,55		-318.071	2.658	0,11310	57,04
	P		-397.735	-3.610	0,05655	29,65		-430.528	-2.983	0,10179	50,99		-510.371	-2.061	0,11310	85,17
P	A	02583	-576.241	546	0,10053	NS	02584	-443.818	677	0,10053	NS	02585	-70.114	1.020	0,16211	NS
	P		78.099	-411	0,10053	NS		-5.551	-124	0,10053	NS		-103.07	-670	0,15708	NS

Dir	Pos	Nodo	N_{Ed} [N]	M_{Ed} [N·m]	A_s [cm²/cm]	CS	Nodo	N_{Ed} [N]	M_{Ed} [N·m]	A_s [cm²/cm]	CS	Nodo	N_{Ed} [N]	M_{Ed} [N·m]	A_s [cm²/cm]	CS
													1			
S	A		-567.878	4.695	0,05655	27,25		-335.608	7.218	0,05655	13,45		-319.446	2.974	0,05655	32,30
	P		-321.865	-1.684	0,05655	57,99		-351.840	-1.571	0,05655	63,07		-414.489	-2.539	0,10179	59,93
P	A	02586	-46.087	776	0,10053	NS	02587	31.217	1.162	0,10053	87,28	02588	-470.313	643	0,10053	NS
	P		-61.953	-938	0,10053	NS		-4.890	-372	0,10053	NS		-6.907	-297	0,10053	NS
S	A		-358.445	2.678	0,05655	37,67		-416.028	3.692	0,05655	28,61		-405.955	5.654	0,05655	18,31
	P		-419.604	-2.850	0,05655	38,07		-431.669	-3.431	0,05655	31,36		-354.006	-1.352	0,05655	71,76
P	A	02589	86.745	1.878	0,10053	50,13	02590	46.061	1.669	0,10053	59,60					
	P		-31.740	-981	0,10053	NS		-7.476	-518	0,10053	NS					
S	A		-333.522	3.179	0,05655	30,20		-353.626	3.390	0,05655	29,24					
	P		-473.472	-3.279	0,05655	34,60		-481.073	-2.555	0,05655	44,98					
Piano terra ingresso							**Parete36-P14**					**Parete 36-P14**				
P	A	00036	-498.886	2.157	0,15708	NS	00265	-8.946	598	0,10053	NS	00266	-244.109	5.182	0,23457	52,69
	P		-209.856	-558	0,14577	NS		-11.010	-397	0,10053	NS		-66.243	-2.193	0,23457	NS
S	A		-337.246	6.378	0,10179	22,63		-348.088	8.387	0,05655	11,93		-643.248	5.292	0,10179	34,53
	P		-485.730	-2.131	0,10179	76,41		-342.050	-2.122	0,05655	46,79		-133.536	-2.395	0,10179	49,98
P	A	00267	222.178	3.521	0,10053	21,70	01556	-135.227	2.833	0,10053	43,43	01557	-141.548	2.277	0,10053	54,39
	P		1.039	-128	0,10053	NS		-135.911	-837	0,10053	NS		-77.553	-502	0,10053	NS
S	A		-100.717	4.942	0,05655	14,93		-407.584	6.781	0,05655	16,69		-530.329	5.420	0,05655	23,64
	P		-310.925	-2.496	0,05655	40,45		-341.920	-3.796	0,05655	27,63		-308.149	-2.410	0,05655	41,76
P	A	01558	-629.451	1.807	0,23457	NS	01559	-712.414	1.624	0,23457	NS	01560	-670.363	1.544	0,23457	NS
	P		-28.842	-502	0,10053	NS		-188.305	-417	0,23457	NS		179.509	-8.975	0,23457	24,34
S	A		-565.698	4.143	0,05655	31,21		-752.145	2.996	0,05655	50,03		-711.463	3.478	0,05655	41,42
	P		-247.306	-1.888	0,05655	47,55		-140.829	-2.641	0,05655	28,86		-145.128	-2.466	0,05655	30,49
P	A	01561	216.917	815	0,10053	94,59	01562	341.970	504	0,10053	NS	01563	74.133	577	0,10053	NS
	P		0	0	0,10053	-		370.178	-216	0,10053	NS		-4.605	-235	0,10053	NS
S	A		-240.370	5.901	0,05655	15,58		-698.582	3.942	0,05655	36,37		-42.530	2.107	0,05655	31,41
	P		-214.737	-2.600	0,05655	34,09		-220.643	-2.338	0,05655	36,66		-287.595	-2.323	0,05655	42,18
P	A	01564	-12.956	826	0,10053	NS	01565	-34.141	1.035	0,10053	NS	01566	-22.817	791	0,10053	NS
	P		-4.611	-238	0,10053	NS		-14.109	-697	0,10053	NS		-13.635	-762	0,10053	NS
S	A		-597.036	5.036	0,05655	25,60		-536.535	5.365	0,05655	22,43		-434.171	6.326	0,05655	17,06
	P		-451.884	-3.819	0,05655	29,22		-323.331	-2.103	0,05655	44,69		-329.693	-2.020	0,05655	46,94
P	A	01567	-447.995	1.036	0,10053	NS	01568	-470.259	1.214	0,10053	NS	01569	-438.982	1.397	0,10053	NS
	P		46.329	-50	0,10053	NS		254.088	-238	0,10053	NS		-8.864	-214	0,10053	NS
S	A		-323.197	7.862	0,05655	12,32		-351.605	7.417	0,05655	13,64		-269.261	7.886	0,05655	11,34
	P		-355.203	-1.794	0,05655	56,26		-371.438	-1.763	0,05655	58,79		-413.613	-1.834	0,05655	58,70
P	A	01570	-483.137	1.589	0,10053	NS	01571	-14.168	1.478	0,15708	NS	02555	-664.672	1.578	0,23457	NS
	P		288.935	-2.786	0,10053	24,28		-53.899	-638	0,14577	NS		-254.155	-609	0,23457	NS
S	A		-341.615	7.202	0,05655	13,86		-326.230	7.160	0,05655	13,21		-596.110	3.109	0,10179	56,30
	P		-418.384	-1.794	0,05655	61,02		-505.929	-1.776	0,05655	65,81		-193.699	-2.005	0,10179	62,37
P	A	02556	-643.706	889	0,10053	NS	02557	-469.860	962	0,10053	NS	02558	-83.702	2.240	0,15708	77,49
	P		102.306	-465	0,10053	NS		-4.126	-161	0,10053	NS		-111.603	-934	0,10053	NS
S	A		-625.730	4.547	0,05655	29,57		-389.814	6.987	0,05655	14,91		-368.894	6.564	0,05655	15,59
	P		-209.642	-2.163	0,05655	38,48		-336.025	-1.761	0,05655	55,31		-436.802	-2.026	0,05655	54,70
P	A	02559	-67.460	1.641	0,10053	69,63	02560	-532.472	1.386	0,10053	NS	02561	-507.665	1.071	0,10053	NS
	P		-38.651	-1.030	0,10053	NS		-366	-317	0,10053	NS		-6.069	-180	0,10053	NS
S	A		-442.794	5.340	0,05655	20,83		-467.908	5.298	0,05655	21,20		-461.734	5.749	0,05655	19,28
	P		-367.488	-1.898	0,05655	53,66		-366.288	-1.893	0,05655	52,68		-336.646	-1.757	0,05655	54,22

Dir	Pos	Nodo	N_{Ed} [N]	M_{Ed} [N·m]	A_s [cm²/cm]	CS	Nodo	N_{Ed} [N]	M_{Ed} [N·m]	A_s [cm²/cm]	CS	Nodo	N_{Ed} [N]	M_{Ed} [N·m]	A_s [cm²/cm]	CS
P	A	02562	-605.372	1.538	0,10053	NS	02563	-603.036	1.223	0,10053	NS					
	P		-7.574	-338	0,10053	NS		52.594	-366	0,10053	NS					
S	A		-277.428	4.031	0,05655	22,16		-596.246	4.344	0,05655	29,60					
	P		-266.939	-2.071	0,05655	42,50		-303.189	-1.919	0,05655	48,31					
Piano terra ingresso						**ParetеP15-41**						**Parete P15-41**				
P	A	00065	-392.875	17.772	0,17750	13,14	00066	0	0	0,10053	-	00274	-54.229	2.711	0,23457	91,73
	P		-57.096	-3.566	0,15708	47,79		-300.853	-12.412	0,10053	11,62		-440.028	-15.978	0,23457	18,64
S	A		-477.412	23.865	0,05655	5,10		0	0	0,05655	-		-263.974	13.199	0,10179	10,15
	P		-161.067	-5.501	0,05655	14,85		-218.700	-8.673	0,05655	10,28		-125.384	-4.997	0,10179	23,23
P	A	00275	-489.470	3.651	0,10053	45,97	01585	-73.676	3.684	0,10053	31,23	01586	-90.079	6.356	0,10053	18,44
	P		-187.177	-2.181	0,10053	59,48		-381.063	-7.118	0,10053	21,69		-35.676	-2.830	0,10053	38,91
S	A		-39.382	11.899	0,10179	9,40		-285.121	14.256	0,05655	6,63		-342.987	17.157	0,05655	6,12
	P		-348.996	-1.223	0,05655	86,68		-237.674	-6.886	0,05655	12,85		-173.297	-7.158	0,05655	11,63
P	A	01587	-121.991	6.096	0,10053	19,90	01588	-337.418	5.131	0,17750	44,18	01589	-294.156	2.784	0,17750	79,46
	P		-3.029	-2.743	0,10053	38,60		130.500	-1.484	0,15708	98,43		8.620	-978	0,15708	NS
S	A		-410.999	18.063	0,05655	6,29		-341.398	16.858	0,05655	5,85		-249.005	12.292	0,05655	7,10
	P		-143.855	-6.279	0,05655	12,65		-95.839	-4.788	0,05655	13,96		-88.010	-3.578	0,05655	18,52
P	A	01590	338.173	3.051	0,10053	20,06	01591	-19.786	145	0,10053	NS	01592	11.186	454	0,10053	NS
	P		145.229	-1.839	0,10053	47,03		-4.692	-1.128	0,10053	94,02		-1.593	-2.565	0,10053	41,19
S	A		-279.631	9.505	0,05655	9,76		-269.797	6.580	0,05655	13,72		-168.141	1.887	0,05655	41,60
	P		-101.953	-3.135	0,05655	22,25		-67.098	-2.175	0,05655	29,40		-139.015	-6.172	0,05655	12,10
P	A	01593	-7.639	3.800	0,10053	28,02	01594	6.803	3.325	0,10053	31,46	01595	-34.443	4.749	0,10053	23,16
	P		-276.600	-1.416	0,10053	99,70		-23.102	-2.372	0,10053	45,73		-14.706	-2.735	0,10053	39,26
S	A		-4.212	2.792	0,05655	20,09		-249.044	6.769	0,05655	13,20		-258.915	6.718	0,05655	14,04
	P		-307.669	-5.452	0,05655	17,53		-191.008	-2.491	0,05655	32,86		-201.794	-2.957	0,05655	29,41
P	A	01596	-25.173	333	0,10053	NS	01597	-13.548	1.191	0,10053	90,04	01598	183.688	220	0,14577	NS
	P		-609.315	-637	0,10053	NS		-441.098	-857	0,10053	NS		-413.677	-882	0,14577	NS
S	A		-473.831	8.479	0,05655	13,23		-195.012	9.455	0,05655	8,75		-184.986	9.119	0,05655	8,84
	P		-387.274	-2.992	0,05655	33,91		-278.713	-2.878	0,05655	32,49		-343.354	-3.141	0,05655	32,14
P	A	01599	262.124	444	0,10053	NS	01600	6.331	185	0,23457	NS	02573	-375.014	7.287	0,17750	31,75
	P		-384.828	-1.363	0,10053	NS		-452.592	-4.484	0,23457	66,77		4.148	-2.185	0,15708	74,35
S	A		-201.263	10.063	0,05655	8,36		-206.165	10.308	0,05655	7,76		-371.303	18.089	0,05655	5,73
	P		-249.770	-3.562	0,05655	25,39		-353.124	-4.632	0,05655	21,34		-116.859	-5.559	0,05655	12,75
P	A	02574	15.146	734	0,10053	NS	02575	-34.138	1.957	0,10053	56,17	02576	-47.485	2.374	0,23457	NS
	P		-319.856	-3.876	0,10053	37,84		-75.489	-463	0,10053	NS		-409.006	-7.077	0,23457	41,53
S	A		-12.597	2.830	0,05655	20,28		-334.392	10.431	0,05655	9,22		-245.122	12.256	0,10179	10,72
	P		-193.016	-7.229	0,05655	11,21		-259.919	-3.877	0,05655	22,35		-294.666	-5.332	0,10179	25,83
P	A	02577	-8.842	442	0,10053	NS	02578	54.786	386	0,10053	NS	02579	2.079	1.113	0,10053	94,50
	P		-373.045	-1.873	0,10053	81,90		-335.853	-667	0,10053	NS		-24.701	-834	0,10053	NS
S	A		-266.747	13.337	0,05655	6,68		-216.355	9.829	0,05655	8,25		-246.266	9.335	0,05655	9,01
	P		-221.145	-4.870	0,05655	17,08		-274.572	-3.232	0,05655	27,41		-207.808	-2.970	0,05655	26,64
P	A	02580	-305.046	1.062	0,10053	NS	02581	6.121	1.305	0,10053	80,18					
	P		46.422	-1.425	0,10053	69,77		-343.712	-1.472	0,10053	NS					
S	A		-253.579	11.647	0,05655	7,37		-238.202	7.557	0,05655	11,15					
	P		-143.073	-3.973	0,05655	17,99		-184.308	-3.163	0,05655	24,42					
Piano terra ingresso						**Parete38-39**						**Parete 38-39**				
P	A	00068	-82.485	4.641	0,30159	69,00	00069	-26.681	1.366	0,10053	79,73	00076	-235.046	7.204	0,10053	18,88
	P		-127.34	-3.829	0,26808	76,32		-37.736	-1.342	0,13404	NS		-181.03	-6.516	0,13404	24,98

Dir	Pos	Nodo	N_{Ed} [N]	M_{Ed} [N·m]	A_s [cm²/cm]	CS	Nodo	N_{Ed} [N]	M_{Ed} [N·m]	A_s [cm²/cm]	CS	Nodo	N_{Ed} [N]	M_{Ed} [N·m]	A_s [cm²/cm]	CS
			7										8			
S	A		-258.171	12.620	0,11812	11,72		-246.133	6.269	0,05655	14,79		-140.353	3.916	0,05655	19,00
	P		-367.983	-4.956	0,11812	32,64		-298.460	-2.056	0,05655	48,35		-762.066	-1.417	0,05655	NS
P	A	00187	11.037	350	0,23457	NS	00192	-38.554	2.270	0,10053	48,68	00197	-249.108	13.620	0,10053	10,12
	P		-432.281	-3.911	0,23457	75,90		-127.770	-1.284	0,13404	NS		-139.898	-8.733	0,13404	18,04
S	A		-502.357	1.290	0,10179	NS		-367.516	8.685	0,05655	11,52		-437.765	19.582	0,10179	7,90
	P		-2.714.294	-4.177	0,10179	63,31		-237.902	-2.588	0,05655	32,27		-214.836	-9.941	0,10179	12,73
P	A	00752	-350.584	2.468	0,30159	NS	00753	355.996	703	0,10053	83,81	00754	323.414	2.452	0,10053	25,77
	P		-119.156	-1.006	0,26808	NS		-77.552	-895	0,13404	NS		-35.612	-1.393	0,13404	NS
S	A		-222.299	8.879	0,11812	16,46		-204.693	8.448	0,05655	9,75		-255.287	6.430	0,05655	13,92
	P		-391.948	-3.888	0,11812	43,13		-338.273	-3.303	0,05655	30,13		-318.441	-2.445	0,05655	39,91
P	A	00755	-38.550	1.559	0,10053	70,86	00756	-60.659	1.183	0,10053	95,84	00757	-207.203	1.380	0,23457	NS
	P		102.690	-1.183	0,13404	NS		-406.073	-1.608	0,13404	NS		-424.522	-2.521	0,23457	NS
S	A		-366.629	4.084	0,05655	25,10		-467.561	3.795	0,05655	30,53		-148.264	2.946	0,05655	25,28
	P		-265.127	-735	0,05655	NS		-309.123	-1.839	0,05655	52,22		-166.626	-1.392	0,10179	88,10
P	A	00758	-4.596	625	0,23457	NS	00759	157.568	372	0,23457	NS	00760	235.952	403	0,23457	NS
	P		104.309	-5.215	0,23457	43,76		-443.431	-1.399	0,23457	NS		-420.777	-772	0,13404	NS
S	A		-650.978	3.177	0,10179	56,25		-156.464	7.823	0,05655	9,31		-484.850	6.728	0,05655	17,30
	P		-46.171	-1.244	0,10179	83,19		-271.624	-2.566	0,10179	51,85		-165.870	-2.598	0,05655	29,26
P	A	00761	-52.561	426	0,10053	NS	00762	-63.663	2.701	0,10053	42,12	00763	1.578	10.071	0,10053	10,45
	P		424.993	-715	0,13404	NS		-39.761	-901	0,13404	NS		31.928	-5.185	0,13404	26,12
S	A		-541.628	7.538	0,05655	16,04		-575.465	6.450	0,05655	19,11		-304.739	14.129	0,10179	9,93
	P		-303.869	-2.783	0,05655	32,88		-551.144	-2.437	0,05655	49,41		-322.189	-5.951	0,10179	23,94
P	A	00764	561.641	1.050	0,10053	30,47	00765	145.029	2.227	0,10053	38,85	00766	326.323	3.766	0,10053	16,68
	P		-3.641	-738	0,13404	NS		-11.737	-1.794	0,13404	78,65		-43.674	-2.021	0,13404	71,84
S	A		-267.643	12.087	0,05655	7,03		-290.711	12.181	0,05655	7,14		-339.385	11.055	0,05655	8,40
	P		-182.089	-4.013	0,05655	18,43		-199.910	-4.674	0,05655	16,11		-229.975	-4.712	0,05655	16,73
P	A	00767	21.702	3.697	0,10053	27,76	00768	24.610	594	0,10053	NS	00769	-11.616	678	0,10053	NS
	P		876.698	-1.757	0,13404	13,19		-6.124	-949	0,13404	NS		1.230	-1.951	0,13404	71,43
S	A		-309.988	10.149	0,05655	8,87		-305.735	15.102	0,05655	6,33		-326.532	11.088	0,05655	8,31
	P		-252.179	-4.935	0,05655	16,74		-194.017	-6.341	0,05655	12,81		-397.545	-4.287	0,05655	23,58
P	A	00770	-275.886	457	0,10053	NS	00771	370.832	2.038	0,30159	NS	00772	-311.641	1.237	0,30159	NS
	P		124.541	-2.358	0,13404	52,33		-12.613	-643	0,26808	NS		328.467	-1.096	0,26808	NS
S	A		-196.999	9.850	0,05655	8,09		-263.145	10.190	0,05655	8,56		-228.701	9.749	0,05655	8,62
	P		-336.262	-3.527	0,05655	27,66		-387.145	-3.147	0,05655	32,73		-383.421	-2.560	0,05655	40,51
P	A	00773	-330.528	2.111	0,30159	NS	01818	-109.612	427	0,23457	NS	01819	-103.136	5.913	0,10053	20,11
	P		-27.256	-1.611	0,26808	NS		93.683	-3.152	0,23457	72,85		-65.559	-2.519	0,13404	58,75
S	A		-195.322	9.743	0,11812	14,12		-594.923	2.762	0,10179	62,85		-388.277	11.381	0,05655	9,20
	P		-501.620	-2.701	0,11812	65,21		-98.411	-1.472	0,10179	75,66		-361.302	-2.721	0,05655	37,24
P	A	01820	162.182	3.067	0,10053	27,48	01821	-338.041	2.533	0,30159	NS	01822	-349.180	1.473	0,30159	NS
	P		9.343	-1.350	0,13404	NS		-61.618	-1.612	0,26808	NS		-30.153	-1.494	0,13404	96,04
S	A		-317.378	13.633	0,05655	6,87		-207.542	10.044	0,11812	13,94		-176.056	8.803	0,05655	8,36
	P		-298.177	-4.598	0,05655	19,83		-449.053	-3.160	0,11812	53,97		-381.998	-2.615	0,05655	38,23
P	A	01823	-283.232	619	0,30159	NS	01824	-41.653	3.976	0,10053	27,89	01825	-25.376	954	0,10053	NS
	P		-29.567	-1.595	0,13404	89,90		-73.390	-3.980	0,13404	37,44		-13.828	-728	0,13404	NS
S	A		-214.501	10.562	0,05655	7,39		-289.673	11.981	0,05655	7,30		-291.660	10.273	0,05655	8,43
	P		-342.691	-2.746	0,05655	34,40		-280.729	-4.394	0,05655	19,63		-320.240	-2.020	0,05655	44,70
P	A	01826	-40.953	2.055	0,10053	53,92	01827	-9.838	1.452	0,10053	73,52	01828	-19.074	1.045	0,10053	NS
	P		-30.633	-1.539	0,13404	93,25		-308.15	-656	0,13404	NS		-12.481	-590	0,13404	NS

Dir	Pos	Nodo	N_{Ed} [N]	M_{Ed} [N·m]	A_s [cm²/cm]	CS	Nodo	N_{Ed} [N]	M_{Ed} [N·m]	A_s [cm²/cm]	CS	Nodo	N_{Ed} [N]	M_{Ed} [N·m]	A_s [cm²/cm]	CS
								1								
S	A		-327.053	11.256	0,05655	7,99		-404.087	5.972	0,05655	17,29		-387.128	9.424	0,05655	10,37
	P		-279.476	-3.106	0,05655	26,99		-265.620	-1.971	0,05655	43,49		-270.888	-2.561	0,05655	32,41
P	A	01829	-25.953	1.591	0,10053	68,41	01830	143.654	579	0,10053	NS	01831	-62.037	2.697	0,10053	42,10
	P		-33.720	-2.037	0,13404	70,64		-412.857	-968	0,13404	NS		-16.956	-710	0,13404	NS
S	A		-357.227	10.500	0,05655	8,96		-509.558	5.709	0,05655	20,14		-405.326	8.713	0,05655	11,68
	P		-229.051	-3.078	0,05655	25,24		-220.871	-1.929	0,05655	40,82		-312.914	-2.369	0,05655	38,05
Piano terra ingresso							**Parete1-P8**					**Parete 1-P8**				
P	A	00001	-446.157	58.356	0,20106	4,53	00203	141.036	6.774	0,20106	27,96	00204	0	0	0,20106	-
	P		-29.217	-267	0,20106	NS		190.397	-9.374	0,20106	19,52		-207.641	-3.376	0,20106	69,43
S	A		-1.506.518	79.087	0,12221	3,26		-1.697	179	0,07697	NS		-324.449	9.840	0,07697	12,54
	P		0	0	0,07697	-		-585.142	-29.140	0,07697	4,85		-161.351	-8.068	0,07697	12,70
P	A	00302	-203.712	10.186	0,60319	63,07	01398	119.463	5.973	0,20106	32,18	01399	115.433	5.772	0,20106	33,39
	P		-113.172	-5.659	0,60319	NS		140.699	-3.903	0,20106	48,55		-247.838	-1.023	0,20106	NS
S	A		-499.402	24.970	0,15394	8,63		2.727	80	0,07697	NS		0	0	0,07697	-
	P		-369.584	-18.479	0,15394	10,79		-350.657	-15.342	0,07697	7,34		-322.342	-16.117	0,07697	6,81
P	A	01400	231.545	11.278	0,20106	15,75	01401	87.768	3.638	0,20106	53,96	01402	93.233	4.156	0,20106	47,07
	P		-266.753	-889	0,20106	NS		409.999	-1.390	0,20106	NS		-338.849	-3.293	0,20106	76,23
S	A		-869.673	13.869	0,07697	12,31		-714.267	5.272	0,07697	29,59		-868.648	19.575	0,07697	8,73
	P		-290.541	-11.050	0,07697	9,47		-153.678	-7.684	0,07697	11,44		-46.669	-2.417	0,07697	30,32
P	A	01461	-214.666	19.356	0,20106	12,15	01462	-209.028	10.462	0,20106	22,42	01463	-115.381	12.274	0,20106	18,13
	P		42.597	-1.457	0,20106	NS		66.976	-3.338	0,20106	59,62		355.187	-414	0,20106	NS
S	A		-941.754	36.818	0,07697	4,99		-837.037	28.926	0,07697	5,97		-640.055	32.002	0,07697	4,90
	P		-123.115	-6.156	0,07697	14,50		-137.722	-6.886	0,07697	13,06		-210.629	-10.531	0,07697	9,89
P	A	01464	-196.516	12.791	0,20106	18,21	01465	-133.599	6.687	0,20106	33,63	01466	-144.784	7.239	0,60319	87,69
	P		-35.805	-1.790	0,20106	NS		-96.205	-4.810	0,20106	45,75		-102.353	-5.118	0,60319	NS
S	A		-618.383	24.410	0,07697	6,23		-570.540	24.079	0,07697	6,10		-490.505	24.525	0,07697	5,73
	P		-237.211	-11.861	0,07697	8,87		-341.776	-17.089	0,07697	6,95		-342.918	-17.146	0,07697	7,13
P	A	01467	-108.947	5.447	0,60319	NS	01468	-24.099	1.205	0,60319	NS	01469	-141.058	137	0,60319	NS
	P		-67.011	-3.351	0,60319	NS		-4.558	-228	0,60319	NS		-21.149	-1.057	0,60319	NS
S	A		-484.368	24.218	0,07697	5,77		-425.024	21.251	0,07697	6,13		-326.980	16.349	0,07697	7,20
	P		-355.062	-17.753	0,07697	6,96		-306.759	-15.338	0,07697	7,52		-271.775	-13.589	0,07697	8,15
P	A	01470	-18.059	903	0,60319	NS	01471	115.541	514	0,60319	NS	01472	16.563	1.136	0,20106	NS
	P		-158.672	-904	0,60319	NS		-156.667	-1.610	0,60319	NS		186.003	-4.240	0,20106	43,29
S	A		-260.998	13.050	0,07697	8,59		-201.333	10.067	0,07697	10,23		-158.328	7.737	0,07697	13,19
	P		-234.506	-11.725	0,07697	9,27		-221.378	-11.069	0,07697	9,54		-214.234	-10.712	0,07697	10,20
P	A	01473	55.620	2.106	0,20106	95,18	01474	-34.055	2.198	0,20106	96,50	01475	-48.506	2.296	0,20106	93,17
	P		-210.210	-2.988	0,20106	78,56		-197.063	-2.641	0,20106	88,22		-198.605	-2.187	0,20106	NS
S	A		-98.518	2.883	0,07697	30,16		-141.535	3.945	0,07697	22,27		-45.305	2.265	0,07697	31,57
	P		-67.224	-3.361	0,07697	24,65		-39.045	-1.952	0,07697	38,14		-219.165	-2.095	0,07697	44,95
P	A	01476	-27.264	1.361	0,20106	NS	01477	-13.902	883	0,20106	NS	01478	19.887	991	0,20106	NS
	P		-212.745	-1.787	0,20106	NS		-221.205	-1.419	0,20106	NS		-223.543	-1.297	0,20106	NS
S	A		-315.794	2.411	0,07697	43,58		-384.914	941	0,07697	NS		0	0	0,07697	-
	P		-309.777	-2.792	0,07697	37,35		-357.970	-2.206	0,07697	49,60		-458.745	-9.084	0,07697	13,42
P	A	01479	6.277	295	0,20106	NS	02481	-83.282	4.164	0,60319	NS	02482	112.080	1.406	0,20106	NS
	P		-226.385	-1.061	0,20106	NS		-46.600	-2.330	0,60319	NS		-197.597	-2.554	0,20106	91,27
S	A		975	21	0,07697	NS		-451.687	22.584	0,15394	9,22		-150.492	6.449	0,07697	14,60
	P		-451.55	-13.836	0,07697	8,78		-326.35	-16.318	0,15394	11,79		-172.83	-8.641	0,07697	11,23

Dir	Pos	Nodo	N_{Ed} [N]	M_{Ed} [N·m]	A_s [cm²/cm]	CS	Nodo	N_{Ed} [N]	M_{Ed} [N·m]	A_s [cm²/cm]	CS	Nodo	N_{Ed} [N]	M_{Ed} [N·m]	A_s [cm²/cm]	CS
			6					8					0			
P	A	02483	9.147	457	0,20106	NS	02484	-137.768	12.483	0,20106	18,06	02485	-52.334	6.377	0,20106	33,63
	P		32.108	-1.553	0,20106	NS		19.318	-656	0,20106	NS		6.342	-173	0,20106	NS
S	A		1.467	62	0,07697	NS		-1.092.313	36.590	0,07697	5,26		-686.428	25.233	0,07697	5,99
	P		-367.694	-12.006	0,07697	9,43		-18.052	-903	0,07697	78,97		-127.289	-6.364	0,07697	12,97
P	A	02486	22.862	1.143	0,20106	NS	02487	52.978	998	0,20106	NS	02488	25.180	1.259	0,20106	NS
	P		-259.001	-875	0,20106	NS		-231.527	-1.131	0,20106	NS		37.119	-916	0,20106	NS
S	A		-575.176	11.954	0,07697	11,43		0	0	0,07697	-		-472.176	21.037	0,07697	5,96
	P		-123.265	-6.163	0,07697	12,97		-182.194	-9.109	0,07697	9,55		-104.125	-5.206	0,07697	15,07
P	A	02489	26.779	1.339	0,20106	NS	02490	-34.019	1.701	0,20106	NS	02491	-19.240	1.376	0,20106	NS
	P		-228.256	-1.146	0,20106	NS		73.125	-207	0,20106	NS		-216.394	-819	0,20106	NS
S	A		-347.805	13.845	0,07697	7,83		-471.862	22.111	0,07697	5,86		-339.612	16.951	0,07697	6,45
	P		-26.493	-1.325	0,07697	50,48		-220.306	-11.015	0,07697	8,88		-122.390	-6.120	0,07697	13,30
P	A	02492	-43.390	2.441	0,20106	87,37	02493	-48.913	2.446	0,60319	NS	02494	-7.163	2.267	0,60319	NS
	P		-204.356	-1.730	0,20106	NS		-16.409	-820	0,60319	NS		-188.151	-1.407	0,60319	NS
S	A		-230.109	8.537	0,07697	11,13		-381.764	19.088	0,07697	6,30		-239.957	12.069	0,07697	8,50
	P		-15.051	-748	0,07697	89,64		-269.113	-13.456	0,07697	7,87		-178.113	-8.906	0,07697	10,62
	ERRORE: L'armatura superiore è maggiore del massimo consentitoL'armatura inferiore è maggiore del massimo consentito															
Piano terra ingresso						**Parete6-7-19**						**Parete 6-7**				
P	A	00005	-352.598	17.630	0,40212	25,92	00016	-239.766	23.914	0,20106	9,97	00017	-141.275	26.847	0,20106	8,41
	P		-159.078	-7.954	0,40212	54,36		45.100	-630	0,20106	NS		144.372	-5.409	0,20106	34,94
S	A		-575.816	28.791	0,14577	7,54		-828.827	41.435	0,15708	6,09		-523.267	26.124	0,10053	6,18
	P		-376.493	-18.825	0,14577	10,23		0	0	0,14577	-		-19.400	-6.875	0,10053	14,16
P	A	00207	-59.658	7.054	0,20106	30,53	01526	15.198	440	0,20106	NS	01527	86.386	4.319	0,20106	45,49
	P		50.281	-2.480	0,20106	81,11		125.904	-6.679	0,20106	28,65		-8.854	-8.366	0,20106	24,96
S	A		4.270	3.175	0,10053	31,37		0	0	0,10053	-		0	0	0,10053	-
	P		-213.237	-7.643	0,10053	16,72		-362.900	-14.231	0,10053	9,94		-377.704	-18.632	0,10053	7,59
P	A	01528	87.953	4.094	0,20106	47,95	01529	84.012	1.131	0,20106	NS	01530	584	24	0,20106	NS
	P		-133.257	-748	0,20106	NS		34.100	-1.468	0,20106	NS		203.839	-3.704	0,20106	48,93
S	A		-505.205	6.221	0,10053	25,06		-480.852	2.276	0,10053	66,75		-496.307	13.995	0,15708	14,91
	P		-228.794	-11.440	0,10053	10,59		-163.804	-8.190	0,10053	13,65		-37.614	-1.064	0,14577	NS
P	A	01531	-237.696	11.889	0,40212	37,21	01532	-216.418	12.562	0,40212	35,00	01533	73.289	3.376	0,20106	58,71
	P		-36.721	-816	0,40212	NS		91.118	-312	0,40212	NS		47.020	-1.725	0,20106	NS
S	A		-537.865	26.893	0,10053	6,23		-688.188	31.780	0,10053	5,79		-436.578	15.473	0,10053	9,73
	P		-150.921	-7.546	0,10053	15,76		-38.595	-1.930	0,10053	53,75		-347.670	-8.943	0,10053	15,59
P	A	01534	-76.281	2.869	0,20106	75,83	01535	30.472	1.220	0,20106	NS	01536	66.756	3.338	0,20106	59,63
	P		8.116	-375	0,20106	NS		27.822	-1.321	0,20106	NS		19.187	-481	0,20106	NS
S	A		-302.551	10.040	0,10053	13,54		-238.174	8.927	0,10053	14,60		-259.974	12.997	0,10053	10,29
	P		-7.730	-289	0,10053	NS		-98.679	-4.934	0,10053	22,77		-80.145	-4.007	0,10053	27,58
P	A	01537	-102.671	5.134	0,40212	82,81	01538	-135.953	6.798	0,40212	63,16	01539	-69.920	3.496	0,40212	NS
	P		-23.149	-701	0,40212	NS		-43.178	-627	0,40212	NS		-42.333	-2.117	0,40212	NS
S	A		-285.307	14.265	0,10053	9,39		-369.356	18.468	0,10053	7,86		-475.467	23.773	0,10053	6,50
	P		-79.505	-3.975	0,10053	27,04		-78.642	-3.932	0,10053	27,46		-198.927	-9.946	0,10053	12,03
P	A	02539	-73.546	7.057	0,40212	59,71	02540	-31.647	1.674	0,20106	NS	02541	-68.316	2.636	0,20106	82,13
	P		33.152	-1.658	0,40212	NS		64.413	-3.063	0,20106	65,09		56.720	-2.701	0,20106	74,19
S	A		-636.628	25.856	0,10053	6,67		-448.581	9.451	0,10053	16,06		-304.880	10.452	0,10053	13,18
	P		-54.874	-355	0,10053	NS		-501.723	-8.703	0,10053	18,19		-57.590	-2.922	0,10053	36,26
P	A	02542	-164.329	8.216	0,40212	52,70	02543	-916	3.696	0,40212	NS	02544	31.343	915	0,40212	NS
	P		-40.376	-2.019	0,40212	NS		-75.773	-394	0,40212	NS		86.110	-3.857	0,40212	NS
S	A		-519.163	25.958	0,10053	6,23		-482.322	21.160	0,10053	7,28		-368.522	8.769	0,10053	16,06
	P		-204.842	-10.242	0,10053	11,94		-110.807	-5.540	0,10053	19,29		-203.787	-10.189	0,10053	11,76
P	A	02545	39.814	1.383	0,20106	NS										

Dir	Pos	Nodo	N_{Ed} [N]	M_{Ed} [N·m]	A_s [cm²/cm]	CS	Nodo	N_{Ed} [N]	M_{Ed} [N·m]	A_s [cm²/cm]	CS	Nodo	N_{Ed} [N]	M_{Ed} [N·m]	A_s [cm²/cm]	CS
	P		25.174	-809	0,20106	NS										
S	A		-351.060	9.269	0,10053	15,12										
	P		-368.680	-13.495	0,10053	10,55										
Piano terra ingresso							**Parete6-7-19**					**Parete 7-19**				
P	A	00016	-478.660	39.839	0,20106	6,74	00017	-186.568	8.598	0,20106	26,95	00054	-259.258	12.963	0,33510	29,09
	P		0	0	0,20106	-		-90.030	-250	0,20106	NS		-519.277	-15.603	0,33510	26,27
S	A		-863.364	43.079	0,15708	5,85		-568.283	14.611	0,10053	10,80		-507.312	25.366	0,14577	8,06
	P		-74.399	-3.720	0,14577	40,01		-1.955.088	-40.251	0,10053	6,38		0	0	0,14577	-
P	A	00194	-565.238	19.048	0,20106	14,66	01501	-148.059	12.053	0,20106	18,81	01502	-51.179	9.619	0,20106	22,28
	P		-189.519	-27.837	0,20106	8,34		164.066	-505	0,20106	NS		157.799	-262	0,20106	NS
S	A		-12.130	6.736	0,10053	15,36		-635.548	24.467	0,10053	7,08		-524.003	21.550	0,10053	7,43
	P		-724.937	-35.935	0,10053	5,32		-157.437	-7.872	0,10053	14,49		-232.908	-11.645	0,10053	10,61
P	A	01503	-125.834	11.390	0,20106	19,66	01504	-116.541	6.787	0,20106	32,81	01505	-34.016	3.848	0,20106	55,11
	P		-93.083	-4.654	0,20106	47,20		-97.376	-4.869	0,20106	45,23		-97.573	-4.879	0,20106	45,15
S	A		-499.136	17.903	0,10053	9,04		-466.873	15.691	0,10053	9,74		-376.905	17.619	0,10053	8,25
	P		-323.145	-16.157	0,10053	8,66		-348.136	-17.407	0,10053	7,93		-347.564	-17.378	0,10053	8,16
P	A	01506	-88.030	5.985	0,20106	36,60	01507	-90.120	4.508	0,20106	48,64	01508	-63.455	4.049	0,20106	53,32
	P		-156.901	-7.845	0,20106	29,05		-113.672	-5.684	0,20106	39,12		-120.520	-6.026	0,20106	37,04
S	A		-385.667	17.215	0,10053	8,51		-384.583	16.856	0,10053	8,55		-373.683	18.677	0,10053	7,92
	P		-362.471	-18.124	0,10053	7,92		-367.592	-18.380	0,10053	7,73		-389.651	-19.483	0,10053	7,70
P	A	01509	-120.649	6.040	0,20106	36,96	01510	-136.405	6.820	0,33510	52,98	01511	-909.104	15.547	0,33510	29,04
	P		-137.642	-6.882	0,20106	32,75		-480.274	-9.319	0,33510	43,46		-553.345	-5.823	0,33510	71,13
S	A		-417.545	20.001	0,10053	7,51		-438.702	21.935	0,10053	6,99		-375.020	18.700	0,10053	7,46
	P		-413.644	-20.682	0,10053	7,24		-428.331	-21.417	0,10053	7,10		0	0	0,10053	-
P	A	01512	94.773	610	0,33510	NS	01513	-521.005	2.529	0,33510	NS	01514	-501.554	6.825	0,20106	39,77
	P		-787	-16.178	0,33510	21,26		-66.145	-2.811	0,33510	NS		-38.429	-6.404	0,20106	33,20
S	A		-349.145	14.245	0,10053	9,94		-414.046	7.881	0,10053	18,97		-10.184	1.292	0,10053	77,71
	P		-337.445	-16.872	0,10053	8,30		-325.019	-16.251	0,10053	8,51		-289.476	-14.474	0,10053	9,43
P	A	01515	-552.383	11.157	0,20106	24,89	01516	-483.811	22.555	0,20106	11,94	01517	-429.628	12.790	0,20106	20,52
	P		-71.551	-13.066	0,20106	16,60		-27.767	-1.358	0,20106	NS		-23.252	-2.333	0,20106	90,29
S	A		-24.465	1.416	0,10053	73,36		-855.295	24.598	0,10053	8,00		-376.785	15.745	0,10053	8,79
	P		-534.438	-20.020	0,10053	8,42		-282.369	-12.041	0,10053	10,88		-156.359	-4.532	0,10053	24,33
P	A	01518	-385.551	8.028	0,20106	32,01	01519	-129.942	6.497	0,20106	34,54	01520	-100.008	5.000	0,20106	44,11
	P		0	0	0,20106	-		0	0	0,20106	-		0	0	0,20106	-
S	A		-354.478	17.724	0,10053	7,44		-349.127	17.456	0,10053	7,37		-341.634	17.082	0,10053	7,30
	P		-31.260	-1.050	0,10053	86,06		-25.180	-1.830	0,10053	47,54		-20.219	-799	0,10053	NS
P	A	01521	-104.216	5.211	0,20106	42,43	01522	-129.079	6.454	0,20106	34,76	01523	-102.793	5.140	0,20106	42,99
	P		0	0	0,20106	-		223	-11	0,20106	NS		2.036	-101	0,20106	NS
S	A		-334.418	16.721	0,10053	7,19		-335.107	16.755	0,10053	6,95		-344.783	17.239	0,10053	6,76
	P		-1.826.638	-479	0,10053	NS		-1.848.989	-572	0,10053	NS		-1.820.186	-1.464	0,10053	NS
P	A	01524	-124.460	6.250	0,20106	35,80	01525	-149.678	10.718	0,20106	21,17	01526	0	0	0,20106	-
	P		428	-18	0,20106	NS		-144.717	-170	0,20106	NS		-56.230	-11.177	0,20106	19,23
S	A		-355.357	16.553	0,10053	7,08		-357.029	16.126	0,10053	7,19		0	0	0,10053	-
	P		-2.042.816	-2.256	0,10053	NS		-2.714.766	-2.370	0,10053	NS		-1.168.759	-30.040	0,10053	7,13
P	A	01527	371.181	4.664	0,20106	34,19	01528	73.552	3.678	0,20106	53,89	01529	373.338	1.645	0,20106	96,78
	P		-45.196	-8.620	0,20106	24,77		-120.531	-586	0,20106	NS		-17.811	-891	0,20106	NS
S	A		0	0	0,10053	-		-478.644	8.587	0,10053	17,02		-461.293	6.901	0,10053	21,05
	P		-374.28	-18.672	0,10053	7,19		-243.54	-12.177	0,10053	9,58		-240.38	-12.019	0,10053	9,77

Dir	Pos	Nodo	N_{Ed} [N]	M_{Ed} [N·m]	A_s [cm²/cm]	CS	Nodo	N_{Ed} [N]	M_{Ed} [N·m]	A_s [cm²/cm]	CS	Nodo	N_{Ed} [N]	M_{Ed} [N·m]	A_s [cm²/cm]	CS
			9					1					5			
P	A	01530	38.517	5.689	0,20106	35,63	02517	-113.615	5.681	0,33510	63,10	02518	-518.486	15.190	0,20106	18,01
	P		-137.556	-1.442	0,20106	NS		-825.714	-10.747	0,33510	41,27		-21.881	-2.848	0,20106	73,91
S	A		-483.336	18.386	0,15708	11,13		0	0	0,14577	-		-11.065	3.797	0,10053	26,21
	P		-63.658	-3.183	0,14577	44,02		-400.588	-20.029	0,10053	7,24		-282.325	-13.426	0,10053	10,02
P	A	02519	-13.433	1.822	0,20106	NS	02520	-133.972	8.351	0,20106	26,94	02521	-82.882	7.317	0,20106	29,84
	P		-128.607	-491	0,20106	NS		-1.067	-47	0,20106	NS		-3.560	-37	0,20106	NS
S	A		-455.538	5.130	0,10053	27,21		-641.290	24.037	0,15708	9,20		-486.164	19.326	0,10053	7,63
	P		-1.759.332	-10.361	0,10053	23,68		-39.659	-1.983	0,10053	47,71		-110.604	-5.530	0,10053	18,06
P	A	02522	-10.734	2.080	0,20106	NS	02523	-55.546	6.412	0,20106	33,51	02524	-112.322	6.220	0,20106	35,72
	P		-174.138	-300	0,20106	NS		-160.040	-368	0,20106	NS		-210.476	-95	0,20106	NS
S	A		-403.390	10.664	0,10053	12,21		-382.832	10.393	0,10053	11,56		-378.175	16.539	0,10053	7,95
	P		-209.507	-9.097	0,10053	11,61		-222.352	-3.621	0,10053	27,56		-126.706	-6.335	0,10053	15,69
P	A	02525	-135.649	7.822	0,20106	28,79	02526	-94.987	5.044	0,20106	43,60	02527	-142.969	7.148	0,20106	31,63
	P		41.984	-1.255	0,20106	NS		-37.940	-1.897	0,20106	NS		22.530	-443	0,20106	NS
S	A		-298.402	14.919	0,10053	7,61		-380.719	17.025	0,10053	7,93		-326.029	16.301	0,10053	7,52
	P		-57.834	-1.573	0,10053	52,46		-256.285	-12.814	0,10053	9,31		-97.517	-4.871	0,10053	19,13
P	A	02528	-116.331	5.817	0,20106	38,28	02529	-105.634	5.292	0,20106	41,82	02530	-119.109	5.955	0,20106	37,45
	P		0	0	0,20106	-		-32.587	-1.629	0,20106	NS		30.014	-1.060	0,20106	NS
S	A		-329.991	16.500	0,10053	7,11		-343.734	16.873	0,10053	7,61		-330.295	16.515	0,10053	7,47
	P		-1.873.476	-665	0,10053	NS		-221.743	-11.087	0,10053	10,18		-58.830	-2.819	0,10053	31,35
P	A	02531	-80.218	4.012	0,20106	54,35	02532	-121.180	6.059	0,20106	36,85	02533	-113.263	5.663	0,20106	39,25
	P		-74.859	-3.743	0,20106	58,07		-15.541	-777	0,20106	NS		1.486	-10	0,20106	NS
S	A		-347.075	17.118	0,10053	7,78		-327.164	16.358	0,10053	7,77		-341.055	17.053	0,10053	7,51
	P		-313.475	-15.674	0,10053	8,22		-195.236	-9.762	0,10053	11,30		-42.538	-1.700	0,10053	52,65
P	A	02534	-70.137	3.507	0,20106	61,80	02535	-147.050	7.637	0,20106	29,67	02536	-16.900	4.342	0,33510	79,69
	P		-46.184	-2.309	0,20106	92,52		17.910	-890	0,20106	NS		-472.666	-4.808	0,33510	84,05
S	A		-335.919	16.796	0,10053	7,84		-315.128	15.756	0,10053	8,16		-384.325	18.751	0,10053	7,58
	P		-279.293	-13.965	0,10053	8,92		-195.568	-8.757	0,10053	12,93		-370.057	-18.503	0,10053	7,59
P	A	02537	-137	2.111	0,33510	NS	02538	-467.544	11.229	0,20106	23,80					
	P		-35.449	-1.772	0,33510	NS		-774	-2.176	0,20106	95,47					
S	A		-332.124	13.983	0,10053	9,69		-427.464	10.120	0,10053	14,67					
	P		-292.488	-14.624	0,10053	8,92		-220.364	-11.003	0,10053	11,11					
Piano terra ingresso						**ParetteP9-32**						**Parete P9-32**				
P	A	00007	-467.072	56.545	0,24630	5,50	00199	197.352	5.631	0,20106	32,34	00200	29.441	422	0,20106	NS
	P		-110.672	-3.683	0,20106	60,29		135.341	-5.178	0,20106	36,72		326.900	-6.959	0,20106	23,74
S	A		-1.460.188	76.102	0,12221	3,39		3.859	1.850	0,07697	35,94		228	94	0,07697	NS
	P		-123.296	-6.165	0,08042	15,32		-366.736	-18.266	0,08042	6,45		-211.216	-6.492	0,08042	15,54
P	A	00202	22.297	8.292	0,20106	24,70	00293	47.079	8.312	0,20106	24,25	00303	-276.938	13.847	0,60319	47,07
	P		225.013	-7.431	0,20106	24,02		143.341	-703	0,20106	NS		-55.537	-2.777	0,60319	NS
S	A		-427.856	15.848	0,07697	7,70		-1.000.387	34.567	0,07697	5,46		-564.129	28.206	0,21101	9,83
	P		-502.127	-9.871	0,08042	13,62		-16.022	-2.083	0,08042	37,51		-241.711	-12.086	0,18096	17,26
P	A	00344	178.692	9.606	0,20106	19,21	00345	0	0	0,20106	-	01175	119.676	8.346	0,20106	23,03
	P		-630.558	-29.165	0,20106	9,83		-161.492	-18.979	0,20106	12,04		-306.054	-26.860	0,20106	9,19
S	A		-611.564	19.117	0,21101	15,15		-879.703	2.509	0,07697	72,45		-338.795	16.653	0,21101	15,14
	P		-573.841	-14.479	0,15739	16,37		77.284	-9.292	0,08042	7,54		-739.561	-24.017	0,15739	10,40
P	A	01176	25.235	1.256	0,20106	NS	01177	68.802	2.794	0,20106	71,13	01178	0	0	0,20106	-

Dir	Pos	Nodo	N_{Ed} [N]	M_{Ed} [N·m]	A_s [cm²/cm]	CS	Nodo	N_{Ed} [N]	M_{Ed} [N·m]	A_s [cm²/cm]	CS	Nodo	N_{Ed} [N]	M_{Ed} [N·m]	A_s [cm²/cm]	CS
	P		-23.599	-8.687	0,20106	24,26		-9.808	-10.388	0,20106	20,11		154.068	-6.465	0,20106	29,04
S	A		-128.734	3.945	0,07697	23,80		-214.360	7.691	0,07697	12,39		-299.290	11.389	0,07697	9,28
	P		-332.798	-15.595	0,08042	7,92		-231.717	-11.574	0,08042	8,73		-344.722	-10.789	0,08042	10,65
P	A	01179	94.424	16.739	0,20106	11,68	01480	-176.599	8.830	0,60319	72,36	01481	-124.602	6.230	0,60319	NS
	P		100.131	-3.098	0,20106	62,85		-28.299	-1.415	0,60319	NS		62.518	-3.126	0,60319	NS
S	A		-652.859	32.640	0,07697	4,64		-529.180	26.459	0,21101	10,45		-511.606	25.580	0,07697	5,48
	P		-524.459	-4.389	0,08042	31,88		-273.911	-13.696	0,18096	15,75		-288.595	-14.430	0,08042	8,02
P	A	01482	-162.009	8.960	0,20106	25,51	01483	-92.798	9.732	0,20106	22,57	01484	-164.189	8.210	0,20106	27,87
	P		-56.927	-2.846	0,20106	75,55		-65.648	-3.282	0,20106	65,85		9.119	-450	0,20106	NS
S	A		-567.973	23.306	0,07697	6,39		-553.264	27.663	0,07697	5,21		-687.463	25.350	0,07697	6,26
	P		-332.532	-16.627	0,08042	7,41		-277.399	-13.870	0,08042	8,16		-293.231	-14.662	0,08042	7,82
P	A	01485	-267.090	19.373	0,20106	12,49	01486	-126.927	16.098	0,20106	13,92	01487	107.842	3.464	0,24630	69,17
	P		116.879	-71	0,20106	NS		57.659	-24	0,20106	NS		-34.640	-2.825	0,20106	75,13
S	A		-764.938	27.606	0,07697	6,13		-877.988	34.594	0,07697	5,13		-800.709	20.904	0,12221	9,79
	P		-209.591	-10.480	0,08042	10,13		-215.570	-10.779	0,08042	9,66		-161.453	-8.073	0,08042	11,40
P	A	01488	216.979	4.997	0,20106	35,93	01489	188.865	9.617	0,20106	19,05	01490	317.599	6.317	0,20106	26,35
	P		-220.983	-1.303	0,20106	NS		-196.647	-661	0,20106	NS		265.718	-2.323	0,20106	74,58
S	A		-687.792	3.966	0,07697	38,29		-792.171	16.118	0,07697	10,13		3.110	1.180	0,07697	56,30
	P		-295.310	-14.766	0,08042	7,32		-264.365	-13.218	0,08042	7,91		-394.348	-19.558	0,08042	6,19
P	A	01491	202.113	10.014	0,20106	18,12	01492	211.140	9.971	0,20106	18,08	01493	5.899	274	0,20106	NS
	P		-166.282	-656	0,20106	NS		352.608	-9.641	0,20106	16,79		-131.518	-10.560	0,20106	21,27
S	A		5.419	1.445	0,07697	45,29		-5.597	1.248	0,07697	55,03		-3.027	408	0,07697	NS
	P		-242.841	-12.142	0,08042	8,34		-471.381	-17.867	0,08042	7,37		-477.691	-23.893	0,08042	5,66
P	A	01494	2.843	141	0,20106	NS	01495	2.632	132	0,20106	NS	01496	-4.568	464	0,20106	NS
	P		-619.025	-14.745	0,20106	19,36		-354.146	-8.722	0,20106	29,01		112.827	-5.601	0,20106	34,47
S	A		0	0	0,21101	-		0	0	0,07697	-		-210.638	6.322	0,07697	16,47
	P		-515.647	-14.644	0,15739	14,53		-177.885	-8.894	0,08042	11,34		-208.447	-10.422	0,08042	10,30
P	A	01497	31.891	1.449	0,60319	NS	01498	164.746	8.001	0,60319	74,37	01499	133.875	2.089	0,60319	NS
	P		-309.632	-3.533	0,20106	70,21		-280.462	-1.675	0,60319	NS		13.745	-687	0,60319	NS
S	A		-248.523	12.400	0,07697	8,68		-302.584	15.129	0,07697	7,66		-377.396	18.870	0,07697	6,60
	P		-151.644	-7.582	0,08042	13,02		-119.550	-4.840	0,08042	19,79		-108.317	-5.416	0,08042	17,26
P	A	01500	-72.152	3.608	0,60319	NS	02495	-96.902	9.391	0,24630	28,31	02496	24.721	10.450	0,20106	19,57
	P		-17.889	-894	0,60319	NS		0	0	0,20106	-		-163.902	-846	0,20106	NS
S	A		-475.366	23.768	0,21101	11,08		-1.027.402	34.774	0,12221	6,48		-486.172	13.392	0,07697	9,70
	P		-181.179	-9.059	0,18096	21,72		-140.729	-7.036	0,08042	12,94		-525.078	-13.267	0,08042	10,40
P	A	02497	32.916	367	0,20106	NS	02498	-143.893	7.195	0,60319	88,22	02499	-95.158	4.758	0,60319	NS
	P		-442.051	-20.075	0,20106	13,15		-37.222	-1.861	0,60319	NS		39.255	-448	0,60319	NS
S	A		-266.058	1.860	0,21101	NS		-505.826	25.291	0,21101	10,61		-488.665	24.433	0,07697	5,37
	P		-585.638	-15.879	0,15739	14,34		-221.943	-11.097	0,18096	18,34		-253.965	-12.698	0,08042	8,29
P	A	02500	-41.270	2.926	0,60319	NS	02501	-25.986	2.938	0,60319	NS	02502	-30.530	1.323	0,20106	NS
	P		14.732	-696	0,60319	NS		-289.085	-3.074	0,20106	79,80		-295.624	-6.025	0,20106	40,76
S	A		-374.030	18.691	0,07697	6,28		-278.468	12.789	0,07697	8,30		0	0	0,07697	-
	P		-217.511	-10.854	0,08042	9,30		-211.627	-9.762	0,08042	10,35		-182.864	-9.143	0,08042	10,53
P	A	02503	17.231	289	0,20106	NS	02504	-35.693	1.785	0,20106	NS	02505	-5.813	2.019	0,20106	NS
	P		-264.405	-11.482	0,20106	21,04		4.578	-79	0,20106	NS		-272.408	-1.584	0,20106	NS
S	A		0	0	0,07697	-		-464.026	21.111	0,07697	5,91		-343.868	16.366	0,07697	6,61
	P		-346.110	-12.795	0,08042	9,10		-228.031	-11.402	0,08042	8,63		-168.821	-8.441	0,08042	10,57
P	A	02506	-43.687	2.473	0,20106	86,25	02507	-6.385	54	0,20106	NS	02508	-67.474	3.374	0,20106	64,14
	P		-260.45	-3.555	0,20106	67,83		-234.96	-5.910	0,20106	40,25		107.978	-80	0,20106	NS

Dir	Pos	Nodo	N_{Ed} [N]	M_{Ed} [N·m]	A_s [cm²/cm]	CS	Nodo	N_{Ed} [N]	M_{Ed} [N·m]	A_s [cm²/cm]	CS	Nodo	N_{Ed} [N]	M_{Ed} [N·m]	A_s [cm²/cm]	CS
			4					6								
S	A		-285.315	6.470	0,07697	15,66		-26.533	286	0,07697	NS		-582.066	26.096	0,07697	5,39
	P		-140.692	-7.035	0,08042	12,24		-247.228	-7.451	0,08042	13,61		-242.821	-12.141	0,08042	8,40
P	A	02509	7.708	67	0,20106	NS	02510	-944	318	0,20106	NS	02511	19.393	710	0,20106	NS
	P		44.303	-639	0,20106	NS		-244.740	-1.925	0,20106	NS		-225.426	-3.070	0,20106	77,09
S	A		-406.123	20.222	0,07697	5,69		-378.984	12.340	0,07697	8,99		-56.179	1.256	0,07697	55,74
	P		-173.763	-8.688	0,08042	10,23		-114.954	-5.748	0,08042	14,00		-363.695	-3.032	0,08042	37,31
P	A	02512	27.799	1.224	0,20106	NS	02513	-30.501	3.848	0,20106	54,99	02514	17.469	831	0,20106	NS
	P		-205.988	-3.518	0,20106	66,55		-245.317	-469	0,20106	NS		-227.669	-1.018	0,20106	NS
S	A		-190.971	4.985	0,07697	17,94		-635.088	20.782	0,07697	6,90		-564.571	9.807	0,07697	13,72
	P		-314.602	-9.144	0,08042	11,90		-249.390	-12.469	0,08042	7,98		-198.585	-9.529	0,08042	9,67
P	A	02515	38.265	1.657	0,20106	NS	02516	21.676	615	0,20106	NS					
	P		-204.668	-1.474	0,20106	NS		-187.946	-1.936	0,20106	NS					
S	A		-219	780	0,07697	80,31		-317.127	3.317	0,07697	31,53					
	P		-235.618	-9.713	0,08042	9,97		-485.246	-10.793	0,08042	11,95					
	ERRORE: L'armatura superiore è maggiore del massimo consentitoL'armatura inferiore è maggiore del massimo consentito															
Piano terra ingresso						**Parete24-31**						**Parete 24-31**				
P	A	00074	-6.146	2.525	0,33510	NS	00075	-466.105	147.417	0,21101	1,88	00166	-56.184	2.805	0,13404	52,36
	P		-293.912	-20.573	0,28149	15,91		0	0	0,20106	-		-94.805	-4.627	0,20106	47,43
S	A		-135.333	6.550	0,13854	23,06		-165.784	28.532	0,06158	2,90		-36.961	16.982	0,06158	4,00
	P		-539.599	-26.974	0,15394	8,04		0	0	0,07697	-		-354.286	-11.477	0,07697	10,83
P	A	00334	-2.167.607	6.123	0,33510	84,82	01435	-258.681	1.012	0,33510	NS	01436	2.227	1.074	0,13404	NS
	P		-140.499	-28.593	0,33510	12,66		-60.168	-6.673	0,20106	32,30		-95.260	-4.765	0,20106	46,07
S	A		0	0	0,13854	-		-133.959	3.943	0,13854	39,27		-123.864	5.087	0,06158	15,10
	P		-17.799	-6.203	0,13854	22,06		-422.393	-18.949	0,07697	6,86		-385.891	-13.797	0,07697	9,11
P	A	01437	9.072	1.709	0,13404	80,96	01438	-12.483	2.686	0,13404	52,57	01439	-12.987	2.294	0,13404	61,59
	P		-30.509	-3.653	0,20106	57,85		-264.059	-3.548	0,20106	67,79		-253.739	-5.334	0,20106	44,85
S	A		-160.440	6.779	0,06158	12,79		-199.325	7.209	0,06158	11,98		-187.252	8.076	0,06158	10,50
	P		-270.799	-12.720	0,07697	9,15		-232.469	-8.903	0,07697	11,93		-217.279	-5.809	0,07697	17,95
P	A	01440	-23.835	2.693	0,13404	52,98	01441	-36.996	3.063	0,13404	47,13	01442	-61.333	3.378	0,33510	NS
	P		-235.061	-9.859	0,20106	24,03		-200.607	-15.409	0,20106	15,10		-177.119	-21.106	0,33510	17,37
S	A		-205.198	9.530	0,06158	9,71		-237.807	9.937	0,06158	9,20		-247.617	10.970	0,13854	15,47
	P		-185.756	-6.313	0,07697	16,73		-159.419	-5.900	0,07697	16,43		-130.871	-6.282	0,13854	24,63
P	A	01443	127.280	1.693	0,33510	NS	01444	89.642	2.193	0,33510	NS	01445	150.493	6.646	0,33510	48,70
	P		-136.407	-17.074	0,33510	21,16		-139.767	-11.794	0,20106	19,15		-121.619	-10.124	0,20106	22,08
S	A		-304.369	11.921	0,13854	14,40		-252.178	12.489	0,06158	7,36		-271.168	13.456	0,06158	7,00
	P		-5.417.437	-15.463	0,13854	3,91		-141.706	-7.085	0,07697	13,16		-166.090	-8.304	0,07697	11,59
P	A	01446	-18.959	948	0,13404	NS	01447	32.445	1.389	0,13404	97,45	01448	-86.677	5.603	0,13404	26,92
	P		-145.860	-7.900	0,20106	28,59		-159.110	-8.737	0,20106	26,04		-153.345	-6.744	0,20106	33,63
S	A		-266.166	13.039	0,06158	7,32		-321.687	14.349	0,06158	7,05		-292.124	14.604	0,06158	6,69
	P		-206.546	-10.327	0,07697	10,00		-297.482	-13.144	0,07697	8,63		-291.275	-14.490	0,07697	7,80
P	A	01449	-77.109	3.855	0,13404	38,80	01450	-64.332	3.217	0,13404	45,99	01451	-58.926	2.946	0,13404	49,97
	P		-176.248	-6.900	0,20106	33,28		-205.090	-5.498	0,20106	42,42		-228.530	-4.845	0,20106	48,73
S	A		-264.704	13.235	0,06158	6,82		-253.347	12.667	0,06158	6,71		-244.313	12.216	0,06158	6,75
	P		-288.595	-14.430	0,07697	7,54		-282.749	-14.137	0,07697	7,37		-321.246	-13.507	0,07697	7,98
P	A	01452	-42.130	3.334	0,13404	43,51	01453	382.295	5.571	0,13404	16,11	01454	368.989	18.147	0,13404	5,04
	P		-240.353	-5.992	0,20106	39,65		-32.780	-2.821	0,20106	75,00		-274.457	-3.921	0,20106	61,66
S	A		-246.506	11.830	0,06158	7,00		-254.806	12.413	0,06158	6,87		-246.212	12.261	0,06158	7,15

Dir	Pos	Nodo	N_{Ed} [N]	M_{Ed} [N·m]	A_s [cm²/cm]	CS	Nodo	N_{Ed} [N]	M_{Ed} [N·m]	A_s [cm²/cm]	CS	Nodo	N_{Ed} [N]	M_{Ed} [N·m]	A_s [cm²/cm]	CS
	P		-281.272	-13.424	0,07697	7,66		-342.841	-8.439	0,07697	13,26		-557.896	-5.297	0,07697	26,63
P	A	01455	132.246	5.707	0,13404	21,44	01456	-615.056	47.463	0,13404	4,61	01457	-447.232	27.749	0,13404	7,11
	P		78.795	-718	0,20106	NS		0	0	0,20106	-		0	0	0,20106	-
S	A		-290.081	12.177	0,06158	7,93		-616.987	30.799	0,06158	4,41		-47.342	9.638	0,06158	6,82
	P		3.312	-5.367	0,07697	13,80		0	0	0,07697	-		0	0	0,07697	-
P	A	01458	-472.968	18.661	0,33510	20,97	01459	-419.313	8.831	0,33510	43,77	01460	-437.374	3.948	0,33510	NS
	P		102.785	-3.478	0,20106	55,90		215.073	-2.189	0,20106	82,12		-117.091	-4.820	0,28149	63,19
S	A		-198.870	9.943	0,06158	8,45		-151.066	7.553	0,06158	10,40		-108.748	4.307	0,13854	33,72
	P		-140.962	-3.336	0,07697	27,62		-426.664	-6.353	0,07697	20,29		-370.661	-16.417	0,15394	11,82
P	A	02464	-54.697	2.705	0,33510	NS	02465	-46.134	2.626	0,13404	55,43	02466	-394.799	50.658	0,21101	5,29
	P		-156.922	-19.756	0,33510	18,42		-145.942	-8.167	0,20106	27,66		0	0	0,20106	-
S	A		-269.655	11.052	0,13854	15,19		-298.342	13.795	0,06158	7,13		-626.453	28.171	0,06158	4,89
	P		-126.571	-6.310	0,13854	23,71		-287.414	-13.187	0,07697	8,53		0	0	0,07697	-
P	A	02467	9.054	1.750	0,33510	NS	02468	-370.602	2.407	0,33510	NS	02469	-394.178	12.800	0,33510	30,02
	P		-167.234	-5.841	0,28149	53,26		-17.910	-1.807	0,20106	NS		-7.228	-426	0,20106	NS
S	A		-112.263	4.360	0,13854	33,73		-150.702	6.564	0,06158	11,37		-203.112	10.056	0,06158	8,08
	P		-432.073	-18.650	0,15394	10,88		-352.321	-13.741	0,07697	8,44		-546.026	-3.824	0,07697	36,35
P	A	02470	-327.624	20.873	0,13404	8,72	02471	-329.547	2.901	0,13404	62,82	02472	-298.985	7.819	0,13404	22,81
	P		69.139	-1.290	0,20106	NS		-58.416	-3.053	0,20106	70,37		-88.835	-5.732	0,20106	38,15
S	A		-283.603	12.973	0,06158	7,09		-184.567	8.825	0,06158	8,73		-223.314	10.745	0,06158	7,52
	P		-44.762	-6.213	0,07697	12,34		-270.790	-8.459	0,07697	12,26		-269.997	-6.667	0,07697	15,35
P	A	02473	-28.674	1.653	0,13404	86,70	02474	-32.937	1.665	0,13404	86,39	02475	-46.603	2.472	0,13404	58,91
	P		-254.903	-4.221	0,20106	56,71		-80.602	-4.406	0,20106	49,40		-64.986	-4.197	0,20106	51,40
S	A		-198.759	8.496	0,06158	9,58		-207.824	10.357	0,06158	7,60		-234.914	11.349	0,06158	7,11
	P		-227.962	-8.894	0,07697	11,33		-195.707	-9.430	0,07697	9,84		-240.692	-11.200	0,07697	8,66
P	A	02476	-31.464	1.658	0,13404	86,63	02477	-44.451	2.395	0,13404	60,69	02478	-39.000	2.242	0,33510	NS
	P		-215.383	-6.605	0,20106	35,50		-201.081	-4.486	0,20106	51,88		-188.513	-13.169	0,20106	17,63
S	A		-218.205	10.555	0,06158	7,73		-230.044	11.316	0,06158	7,20		-241.184	11.006	0,06158	7,89
	P		-183.173	-8.784	0,07697	10,54		-211.102	-10.520	0,07697	8,99		-151.334	-7.336	0,07697	12,37
P	A	02479	-27.910	1.459	0,33510	NS	02480	-55.523	2.877	0,13404	51,02					
	P		-176.029	-8.109	0,20106	28,44		-170.023	-6.787	0,20106	33,72					
S	A		-248.913	12.212	0,06158	7,19		-261.495	12.948	0,06158	6,94					
	P		-185.719	-9.273	0,07697	10,27		-256.995	-12.822	0,07697	8,17					

LEGENDA:

Dir Direzione [P] = principale - [S] = secondaria.
Pos Posizione [A] = anteriore - [P] = posteriore.
A_s Area delle armature esecutive per unità di lunghezza.
CS Coefficiente di sicurezza ([NS] = Non Significativo per valori di CS >= 100; [VNR]= Verifica Non Richiesta).
N_{Ed}, M_{Ed} Sollecitazioni di progetto (N_{Ed} > 0: compressione).

Pareti - VERIFICHE A TAGLIO PER PRESSOFLESSIONE RETTA ALLO SLU (Elevazione)

Id_{Nd}	$V_{Ed,2}$ [N]	CS	V_{Rcd} [N]	$V_{Rsd,s}$ [N]	N_{Ed} [N]	$V_{Rsd,p}$ [N]	V_{R1} [N]	V_{fd} [N]	Ctgϴ	A_{sw} [cm²/cm]
Estradosso travi gronda			**Parete1-P1**				**Parete 1-P1**			
00105	13.780	29,77	768.041	410.188	11.101	0	0	0	2,50	0,1068
00136	23.358	17,09	766.319	399.254	45.118	0	0	0	2,50	0,1181
00216	81.750	2,49	766.319	203.490	253.791	0	0	0	2,50	0,1621
00217	5.711	NS	766.319	677.345	17.802	0	0	0	2,50	0,1956
00774	3.366	NS	766.319	555.998	10.099	0	0	0	2,50	0,0616
00775	12.479	44,56	766.319	555.998	7.313	0	0	0	2,50	0,0616
00776	16.857	32,98	766.683	555.998	2.345	0	0	0	2,50	0,0616
00777	22.411	24,81	766.828	555.998	3.279	0	0	0	2,50	0,0616
00778	13.287	41,85	766.899	555.998	3.741	0	0	0	2,50	0,0616
00779	9.708	57,27	767.568	555.998	8.052	0	0	0	2,50	0,0616
00780	6.648	83,63	766.319	555.998	5.493	0	0	0	2,50	0,0616

Id_{Nd}	$V_{Ed,2}$	CS	V_{Rcd}	$V_{Rsd,s}$	N_{Ed}	$V_{Rsd,p}$	V_{R1}	V_{fd}	CtgΘ	A_{sw}
	[N]		[N]	[N]	[N]	[N]	[N]	[N]		[cm²/cm]
00974	1.232	NS	766.319	293.629	94.126	0	0	0	2,50	0,0616
00975	29.893	18,60	766.319	555.998	7.832	0	0	0	2,50	0,0616
00976	24.622	22,58	766.464	555.998	935	0	0	0	2,50	0,0616
01203	78.708	7,06	766.319	555.998	64.936	0	0	0	2,50	0,0616
01204	23.569	23,59	766.319	555.998	17.830	0	0	0	2,50	0,0616
01205	17.302	32,14	766.319	555.998	120	0	0	0	2,50	0,0616
01206	10.505	52,92	766.558	555.998	1.542	0	0	0	2,50	0,0616
01207	19.848	28,01	767.247	555.998	5.981	0	0	0	2,50	0,0616
01208	32.151	17,29	770.240	555.998	25.272	0	0	0	2,50	0,0616
01209	31.796	17,49	777.018	555.998	68.953	0	0	0	2,50	0,0616
01210	6.487	46,62	766.319	302.433	71.853	0	0	0	2,50	0,0616
01211	27.571	20,17	766.319	555.998	75.586	0	0	0	2,50	0,0616
01212	22.334	24,90	766.319	555.998	45.845	0	0	0	2,50	0,0616
02153	60.384	12,69	766.319	2.326.218	112.294	0	0	0	2,50	0,1621
02154	29.584	25,90	766.319	2.911.889	11.439	0	0	0	2,50	0,1956
02155	4.620	NS	766.319	1.551.743	13.416	0	0	0	2,50	0,1181
02156	3.728	NS	766.319	555.998	5.926	0	0	0	2,50	0,0616
02157	7.726	71,96	766.319	555.998	20.014	0	0	0	2,50	0,0616
02158	26.693	20,83	766.319	555.998	10.917	0	0	0	2,50	0,0616
02159	33.394	16,65	766.850	555.998	3.421	0	0	0	2,50	0,0616
02160	24.948	22,29	768.129	555.998	11.662	0	0	0	2,50	0,0616
02161	16.233	34,25	766.319	555.998	11.764	0	0	0	2,50	0,0616
02162	51.731	10,75	766.319	555.998	30.904	0	0	0	2,50	0,0616
02163	32.368	17,18	766.319	555.998	1.216	0	0	0	2,50	0,0616
02164	36.367	15,29	767.293	555.998	6.280	0	0	0	2,50	0,0616
02165	55.589	10,00	767.418	555.998	7.085	0	0	0	2,50	0,0616
Estradosso travi gronda			**Parete2-P2**				**Parete 2-P2**			
00093	70.195	2,11	766.319	147.968	255.592	0	0	0	2,50	0,1420
00132	1.392	NS	766.319	586.661	52.226	0	0	0	2,50	0,1956
00222	87.796	2,47	766.319	216.696	188.429	0	0	0	2,50	0,1621
00223	22.198	11,67	766.319	258.957	51.195	0	0	0	2,50	0,1621
00674	111.354	4,99	766.319	555.998	88.573	0	0	0	2,50	0,0616
00675	27.270	20,39	766.319	555.998	23.148	0	0	0	2,50	0,0616
00676	14.101	39,43	766.319	555.998	4.461	0	0	0	2,50	0,0616
00677	14.544	38,23	766.962	555.998	4.143	0	0	0	2,50	0,0616
00678	21.908	25,38	768.474	555.998	13.890	0	0	0	2,50	0,0616
00679	32.519	17,10	769.942	555.998	23.348	0	0	0	2,50	0,0616
00680	51.469	14,98	770.811	1.736.145	28.949	0	0	0	2,50	0,1956
00939	24.933	9,02	766.319	224.955	93.668	0	0	0	2,50	0,0616
00940	17.702	30,31	766.319	536.629	38.251	0	0	0	2,50	0,0616
00941	12.343	45,05	766.319	555.998	86.419	0	0	0	2,50	0,0616
01193	63.150	8,80	766.319	555.998	57.989	0	0	0	2,50	0,0616
01194	13.789	40,32	766.319	555.998	8.907	0	0	0	2,50	0,0616
01195	2.541	NS	766.492	555.998	1.115	0	0	0	2,50	0,0616
01196	1.759	NS	766.537	555.998	1.407	0	0	0	2,50	0,0616
01197	5.290	NS	767.047	555.998	4.693	0	0	0	2,50	0,0616
01198	18.755	29,65	768.459	555.998	13.794	0	0	0	2,50	0,0616
01199	14.109	39,41	772.986	555.998	42.963	0	0	0	2,50	0,0616
01200	19.586	18,18	766.319	356.139	92.419	0	0	0	2,50	0,0616
01201	9.152	60,75	766.319	555.998	113.004	0	0	0	2,50	0,0616
01202	6.663	76,18	766.319	507.574	137.287	0	0	0	2,50	0,0616
02140	59.021	12,98	766.319	2.326.218	87.805	0	0	0	2,50	0,1621
02141	19.957	38,40	766.319	2.326.218	22.884	0	0	0	2,50	0,1621
02142	20.517	37,35	766.319	2.916.291	54.933	0	0	0	2,50	0,1956
02143	69.660	11,00	766.319	2.149.196	138.089	0	0	0	2,50	0,1420
02144	43.247	12,86	766.319	555.998	66.886	0	0	0	2,50	0,0616
02145	24.008	23,16	766.319	555.998	17.739	0	0	0	2,50	0,0616
02146	16.224	34,27	766.945	555.998	4.034	0	0	0	2,50	0,0616
02147	23.361	23,80	768.638	555.998	14.944	0	0	0	2,50	0,0616
02148	21.284	26,12	766.319	555.998	16.546	0	0	0	2,50	0,0616
02149	26.657	20,86	766.319	555.998	45.341	0	0	0	2,50	0,0616
02150	895	NS	766.319	555.998	3.457	0	0	0	2,50	0,0616
02151	4.023	NS	767.457	555.998	7.336	0	0	0	2,50	0,0616
02152	12.114	45,90	767.485	555.998	7.516	0	0	0	2,50	0,0616
Estradosso travi gronda			**Parete3-P3**				**Parete 3-P3**			
00092	69.910	1,85	766.319	129.398	252.624	0	0	0	2,50	0,1335
00131	1.907	91,22	766.319	173.965	76.251	0	0	0	2,50	0,1571
00228	90.038	1,69	766.319	151.954	201.003	0	0	0	2,50	0,1571
00229	17.307	9,75	766.319	168.683	73.338	0	0	0	2,50	0,1571
00667	110.137	4,24	766.319	467.484	87.388	0	0	0	2,50	0,0565
00668	26.510	17,63	766.319	467.484	22.751	0	0	0	2,50	0,0565
00669	13.074	35,76	766.319	467.484	3.491	0	0	0	2,50	0,0565
00670	13.642	34,27	767.112	467.484	5.109	0	0	0	2,50	0,0565
00671	21.899	21,35	768.614	467.484	14.787	0	0	0	2,50	0,0565
00672	32.134	14,55	770.039	467.484	23.972	0	0	0	2,50	0,0565
00673	46.184	10,12	770.143	467.484	24.644	0	0	0	2,50	0,0565
00900	23.967	31,97	766.319	1.918.106	98.164	0	0	0	2,50	0,1571
00901	16.553	27,71	766.319	458.680	38.473	0	0	0	2,50	0,0565
00902	11.746	39,80	766.319	467.484	85.913	0	0	0	2,50	0,0565
01223	66.314	7,05	766.319	467.484	61.049	0	0	0	2,50	0,0565
01224	14.901	31,37	766.319	467.484	10.130	0	0	0	2,50	0,0565

Id_{Nd}	$V_{Ed,2}$	CS	V_{Rcd}	$V_{Rsd,s}$	N_{Ed}	$V_{Rsd,p}$	V_{R1}	V_{fd}	CtgΘ	A_{sw}
	[N]		[N]	[N]	[N]	[N]	[N]	[N]		[cm²/cm]
01225	3.489	NS	766.421	467.484	659	0	0	0	2,50	0,0565
01226	2.445	NS	766.520	467.484	1.295	0	0	0	2,50	0,0565
01227	6.878	67,97	767.070	467.484	4.841	0	0	0	2,50	0,0565
01228	20.439	22,87	768.653	467.484	15.042	0	0	0	2,50	0,0565
01229	11.581	40,36	773.189	467.484	44.271	0	0	0	2,50	0,0565
01230	19.651	12,77	766.319	250.898	110.760	0	0	0	2,50	0,0565
01231	7.536	62,03	766.319	467.484	128.206	0	0	0	2,50	0,0565
01232	5.505	73,72	766.319	405.854	154.758	0	0	0	2,50	0,0565
02179	60.863	12,59	766.319	2.237.704	93.054	0	0	0	2,50	0,1571
02180	18.224	42,05	766.319	2.237.704	32.918	0	0	0	2,50	0,1571
02181	15.965	48,00	766.319	2.235.943	68.067	0	0	0	2,50	0,1571
02182	69.033	11,10	766.319	2.030.256	137.561	0	0	0	2,50	0,1335
02183	42.462	11,01	766.319	467.484	67.237	0	0	0	2,50	0,0565
02184	22.212	21,05	766.319	467.484	17.725	0	0	0	2,50	0,0565
02185	14.475	32,30	767.031	467.484	4.591	0	0	0	2,50	0,0565
02186	21.657	21,59	768.650	467.484	15.020	0	0	0	2,50	0,0565
02187	17.534	26,66	766.319	467.484	24.184	0	0	0	2,50	0,0565
02188	29.102	16,06	766.319	467.484	46.205	0	0	0	2,50	0,0565
02189	1.529	NS	766.319	467.484	2.144	0	0	0	2,50	0,0565
02190	6.471	72,24	767.647	467.484	8.560	0	0	0	2,50	0,0565
02191	13.903	33,63	767.003	467.484	4.407	0	0	0	2,50	0,0565
Estradosso travi gronda			**Parete4-P4**				**Parete 4-P4**			
00090	68.725	3,73	766.319	256.180	244.055	0	0	0	2,50	0,1335
00129	3.496	54,80	766.319	191.574	101.346	0	0	0	2,50	0,1571
00234	93.214	1,60	766.319	149.313	213.887	0	0	0	2,50	0,1571
00235	12.647	16,96	766.319	214.465	84.602	0	0	0	2,50	0,1571
00688	105.638	4,43	766.319	467.484	85.165	0	0	0	2,50	0,0565
00689	24.144	19,36	766.319	467.484	22.792	0	0	0	2,50	0,0565
00690	10.998	42,50	766.319	467.484	3.150	0	0	0	2,50	0,0565
00691	10.946	42,71	767.051	467.484	4.720	0	0	0	2,50	0,0565
00692	19.408	24,09	768.409	467.484	13.470	0	0	0	2,50	0,0565
00693	28.942	16,15	769.711	467.484	21.859	0	0	0	2,50	0,0565
00694	38.258	12,22	769.169	467.484	18.368	0	0	0	2,50	0,0565
00887	24.164	31,71	766.319	1.922.509	105.211	0	0	0	2,50	0,1571
00888	15.560	29,93	766.319	465.724	38.788	0	0	0	2,50	0,0565
00889	10.708	43,66	766.319	467.484	84.047	0	0	0	2,50	0,0565
01213	70.104	6,67	766.319	467.484	63.295	0	0	0	2,50	0,0565
01214	16.218	28,82	766.319	467.484	11.046	0	0	0	2,50	0,0565
01215	5.273	88,66	766.476	467.484	1.012	0	0	0	2,50	0,0565
01216	3.331	NS	766.602	467.484	1.824	0	0	0	2,50	0,0565
01217	8.287	56,41	767.190	467.484	5.615	0	0	0	2,50	0,0565
01218	22.152	21,10	768.920	467.484	16.760	0	0	0	2,50	0,0565
01219	10.721	43,61	773.673	467.484	47.391	0	0	0	2,50	0,0565
01220	17.651	12,57	766.319	221.843	120.184	0	0	0	2,50	0,0565
01221	2.911	NS	766.319	467.484	124.243	0	0	0	2,50	0,0565
01222	3.360	NS	766.319	377.680	155.377	0	0	0	2,50	0,0565
02166	63.636	12,04	766.319	2.237.704	98.777	0	0	0	2,50	0,1571
02167	17.185	44,59	766.319	2.237.704	38.506	0	0	0	2,50	0,1571
02168	11.195	68,45	766.319	2.237.704	71.361	0	0	0	2,50	0,1571
02169	66.440	11,53	766.319	2.030.256	133.800	0	0	0	2,50	0,1335
02170	39.253	11,91	766.319	467.484	66.611	0	0	0	2,50	0,0565
02171	18.315	25,52	766.319	467.484	17.814	0	0	0	2,50	0,0565
02172	10.439	44,78	767.024	467.484	4.541	0	0	0	2,50	0,0565
02173	17.625	26,52	768.531	467.484	14.253	0	0	0	2,50	0,0565
02174	13.475	34,69	766.319	467.484	27.608	0	0	0	2,50	0,0565
02175	32.834	14,24	766.319	467.484	46.766	0	0	0	2,50	0,0565
02176	4.838	96,63	766.319	467.484	3.200	0	0	0	2,50	0,0565
02177	9.705	48,17	767.641	467.484	8.522	0	0	0	2,50	0,0565
02178	16.920	27,63	766.697	467.484	2.438	0	0	0	2,50	0,0565
Estradosso travi gronda			**Parete5-P5**				**Parete 5-P5**			
00088	66.650	3,06	766.319	204.159	235.619	0	0	0	2,50	0,1385
00127	5.985	53,42	766.319	319.707	89.157	0	0	0	2,50	0,1621
00240	86.804	2,85	766.319	247.511	170.771	0	0	0	2,50	0,1621
00241	28.886	17,84	766.319	515.345	53.323	0	0	0	2,50	0,1956
00681	102.139	5,44	766.319	555.998	80.995	0	0	0	2,50	0,0616
00682	24.585	22,62	766.319	555.998	21.053	0	0	0	2,50	0,0616
00683	11.919	46,65	766.319	555.998	3.032	0	0	0	2,50	0,0616
00684	11.894	46,75	767.037	555.998	4.630	0	0	0	2,50	0,0616
00685	18.902	29,42	768.310	555.998	12.834	0	0	0	2,50	0,0616
00686	27.230	20,42	769.526	555.998	20.669	0	0	0	2,50	0,0616
00687	36.108	21,30	769.131	2.326.218	18.121	0	0	0	2,50	0,1621
00926	29.118	9,87	766.319	287.465	86.915	0	0	0	2,50	0,0616
00927	18.429	30,17	766.319	555.998	38.632	0	0	0	2,50	0,0616
00928	11.213	49,59	766.319	555.998	82.070	0	0	0	2,50	0,0616
01341	58.266	9,54	766.319	555.998	57.631	0	0	0	2,50	0,0616
01342	14.514	38,31	766.319	555.998	10.082	0	0	0	2,50	0,0616
01343	3.308	NS	766.355	555.998	230	0	0	0	2,50	0,0616
01344	2.327	NS	766.476	555.998	1.015	0	0	0	2,50	0,0616
01345	5.808	95,73	766.894	555.998	3.703	0	0	0	2,50	0,0616
01346	16.193	34,34	768.130	555.998	11.671	0	0	0	2,50	0,0616
01347	6.775	82,06	770.972	555.998	29.984	0	0	0	2,50	0,0616

Id_{Nd}	$V_{Ed,2}$	CS	V_{Rcd}	$V_{Rsd,s}$	N_{Ed}	$V_{Rsd,p}$	V_{R1}	V_{fd}	CtgΘ	A_{sw}
	[N]		[N]	[N]	[N]	[N]	[N]	[N]		[cm²/cm]
01348	26.908	12,52	766.319	336.770	72.957	0	0	0	2,50	0,0616
01349	14.258	39,00	766.319	555.998	94.500	0	0	0	2,50	0,0616
01350	8.292	62,70	766.319	519.900	128.594	0	0	0	2,50	0,0616
02389	58.313	13,14	766.319	2.326.218	79.818	0	0	0	2,50	0,1621
02390	19.079	40,17	766.319	2.916.291	23.017	0	0	0	2,50	0,1956
02391	10.666	71,84	766.319	2.326.218	66.630	0	0	0	2,50	0,1621
02392	64.476	11,89	766.319	1.911.322	128.597	0	0	0	2,50	0,1385
02393	39.262	14,16	766.319	555.998	62.580	0	0	0	2,50	0,0616
02394	20.213	27,51	766.319	555.998	16.544	0	0	0	2,50	0,0616
02395	12.441	44,69	766.890	555.998	3.678	0	0	0	2,50	0,0616
02396	17.650	31,50	768.188	555.998	12.043	0	0	0	2,50	0,0616
02397	12.887	43,14	766.319	555.998	23.606	0	0	0	2,50	0,0616
02398	26.915	20,66	766.319	555.998	42.538	0	0	0	2,50	0,0616
02399	1.810	NS	766.319	555.998	2.181	0	0	0	2,50	0,0616
02400	5.450	NS	767.402	555.998	6.980	0	0	0	2,50	0,0616
02401	8.273	67,21	766.518	555.998	1.285	0	0	0	2,50	0,0616
Estradosso travi gronda			**Parete7-P6**				**Parete 7-P6**			
00283	63.004	12,16	766.319	1.188.434	158.108	0	0	0	2,50	0,1340
00284	21.540	35,69	768.760	1.826.750	15.728	0	0	0	2,50	0,1340
00285	31.119	24,94	775.975	920.585	62.227	0	0	0	2,50	0,1793
01040	39.787	19,26	766.319	1.832.032	8.507	0	0	0	2,50	0,1340
01041	25.615	30,04	769.573	1.832.032	20.969	0	0	0	2,50	0,1340
01042	22.438	34,17	766.728	1.832.032	2.637	0	0	0	2,50	0,1340
01043	30.309	25,34	767.966	1.832.032	10.615	0	0	0	2,50	0,1340
01314	146.828	5,26	771.618	1.832.032	34.148	0	0	0	2,50	0,1340
01315	65.572	11,69	766.319	1.541.489	125.378	0	0	0	2,50	0,1340
01316	37.019	20,70	766.319	1.832.032	122.054	0	0	0	2,50	0,1340
01317	7.338	NS	766.319	1.832.032	60.035	0	0	0	2,50	0,1340
01318	6.585	NS	766.319	1.740.467	47.374	0	0	0	2,50	0,1340
01319	31.054	24,68	766.319	2.067.654	7.475	0	0	0	2,50	0,2346
01320	18.248	42,09	768.121	1.832.032	11.610	0	0	0	2,50	0,1340
02356	60.212	12,73	766.319	1.832.032	70.479	0	0	0	2,50	0,1340
02357	45.761	16,78	767.991	1.505.391	10.773	0	0	0	2,50	0,1340
02358	27.349	28,02	766.319	2.521.078	16.521	0	0	0	2,50	0,2346
02359	27.784	27,58	766.319	1.832.032	65	0	0	0	2,50	0,1340
02360	24.868	30,82	766.319	1.832.032	4.836	0	0	0	2,50	0,1340
02361	21.266	36,04	766.319	1.832.032	33.122	0	0	0	2,50	0,1340
02362	7.466	NS	766.319	1.832.032	30.062	0	0	0	2,50	0,1340
02785	42.443	14,88	766.319	631.665	15.947	0	0	0	2,50	0,2346
Estradosso travi gronda			**Parete32-P10**				**Parete 32-P10**			
00140	16.707	26,28	766.319	439.113	21.111	0	0	0	2,50	0,1018
00245	53.722	3,37	766.319	181.009	153.422	0	0	0	2,50	0,1571
00246	12.423	20,88	767.923	259.367	10.338	0	0	0	2,50	0,1571
00292	9.712	70,24	769.063	682.113	17.686	0	0	0	2,50	0,1018
00723	4.415	NS	766.319	467.484	1.396	0	0	0	2,50	0,0565
00724	9.305	50,24	766.319	467.484	1.579	0	0	0	2,50	0,0565
00725	11.719	39,89	766.858	467.484	3.473	0	0	0	2,50	0,0565
00726	16.162	28,92	766.850	467.484	3.420	0	0	0	2,50	0,0565
00727	10.215	45,76	766.770	467.484	2.906	0	0	0	2,50	0,0565
00728	8.111	57,63	767.439	467.484	7.220	0	0	0	2,50	0,0565
00729	5.688	82,19	766.319	467.484	932	0	0	0	2,50	0,0565
00913	2.336	NS	766.319	315.169	73.177	0	0	0	2,50	0,0565
00914	21.528	21,71	766.319	467.484	3.754	0	0	0	2,50	0,0565
00915	19.461	24,02	767.067	467.484	4.820	0	0	0	2,50	0,0565
01331	48.208	9,70	766.319	467.484	40.948	0	0	0	2,50	0,0565
01332	15.500	30,16	766.319	467.484	11.535	0	0	0	2,50	0,0565
01333	11.204	41,72	766.319	467.484	381	0	0	0	2,50	0,0565
01334	7.155	65,34	766.420	467.484	650	0	0	0	2,50	0,0565
01335	13.125	35,62	766.825	467.484	3.264	0	0	0	2,50	0,0565
01336	20.589	22,71	768.730	467.484	15.538	0	0	0	2,50	0,0565
01337	23.595	19,81	772.938	467.484	42.653	0	0	0	2,50	0,0565
01338	8.375	19,55	766.319	163.734	25.077	0	0	0	2,50	0,0565
01339	15.834	29,53	766.319	467.484	38.707	0	0	0	2,50	0,0565
01340	14.606	32,01	766.319	467.484	20.290	0	0	0	2,50	0,0565
02376	38.798	19,75	766.319	2.237.704	67.386	0	0	0	2,50	0,1571
02377	23.557	32,55	766.710	2.237.704	2.519	0	0	0	2,50	0,1571
02378	3.360	NS	766.319	467.484	2.275	0	0	0	2,50	0,0565
02379	2.504	NS	766.592	467.484	1.761	0	0	0	2,50	0,0565
02380	4.892	95,56	766.319	467.484	9.111	0	0	0	2,50	0,0565
02381	17.738	26,35	766.319	467.484	5.782	0	0	0	2,50	0,0565
02382	23.262	20,10	766.758	467.484	2.828	0	0	0	2,50	0,0565
02383	18.261	25,60	767.638	467.484	8.501	0	0	0	2,50	0,0565
02384	12.108	38,61	766.319	467.484	3.189	0	0	0	2,50	0,0565
02385	31.753	14,72	766.319	467.484	18.484	0	0	0	2,50	0,0565
02386	20.875	22,39	766.319	467.484	510	0	0	0	2,50	0,0565
02387	23.834	19,61	766.950	467.484	4.067	0	0	0	2,50	0,0565
02388	37.301	12,53	767.335	467.484	6.550	0	0	0	2,50	0,0565
Estradosso travi gronda			**Parete33-P11**				**Parete 33-P11**			
00112	58.118	3,40	766.319	197.737	240.467	0	0	0	2,50	0,1571
00154	10.366	31,34	766.319	324.854	75.071	0	0	0	2,50	0,1571
00251	67.858	2,11	766.319	143.150	129.725	0	0	0	2,50	0,1571

Id_{Nd}	$V_{Ed,2}$	CS	V_{Rcd}	$V_{Rsd,s}$	N_{Ed}	$V_{Rsd,p}$	V_{R1}	V_{fd}	CtgΘ	A_{sw}
	[N]		[N]	[N]	[N]	[N]	[N]	[N]		[cm²/cm]
00252	19.295	14,63	766.319	282.259	56.758	0	0	0	2,50	0,1571
00702	101.984	4,58	766.319	467.484	78.855	0	0	0	2,50	0,0565
00703	26.288	17,78	766.319	467.484	19.840	0	0	0	2,50	0,0565
00704	14.929	31,31	766.319	467.484	4.157	0	0	0	2,50	0,0565
00705	16.713	27,97	766.940	467.484	4.000	0	0	0	2,50	0,0565
00706	22.877	20,43	768.426	467.484	13.576	0	0	0	2,50	0,0565
00707	32.188	14,52	769.684	467.484	21.684	0	0	0	2,50	0,0565
00708	46.687	10,01	770.052	467.484	24.057	0	0	0	2,50	0,0565
01125	23.263	10,63	766.319	247.376	65.236	0	0	0	2,50	0,0565
01126	21.985	20,34	766.319	447.234	33.435	0	0	0	2,50	0,0565
01127	19.202	24,35	766.319	467.484	79.367	0	0	0	2,50	0,0565
01361	44.837	10,43	766.319	467.484	42.079	0	0	0	2,50	0,0565
01362	8.935	52,32	766.319	467.484	5.122	0	0	0	2,50	0,0565
01363	401	NS	766.468	467.484	957	0	0	0	2,50	0,0565
01364	800	NS	766.500	467.484	1.166	0	0	0	2,50	0,0565
01365	2.888	NS	766.851	467.484	3.430	0	0	0	2,50	0,0565
01366	13.085	35,73	767.740	467.484	9.158	0	0	0	2,50	0,0565
01367	5.852	79,88	770.614	467.484	27.677	0	0	0	2,50	0,0565
01368	18.991	9,69	766.319	183.984	83.425	0	0	0	2,50	0,0565
01369	15.572	30,02	766.319	467.484	104.167	0	0	0	2,50	0,0565
01370	13.799	23,73	766.319	327.495	140.630	0	0	0	2,50	0,0565
02415	44.473	17,23	766.319	2.237.704	61.380	0	0	0	2,50	0,1571
02416	12.980	59,04	766.319	2.237.704	24.872	0	0	0	2,50	0,1571
02417	15.888	48,23	766.319	2.030.256	63.702	0	0	0	2,50	0,1571
02418	61.475	12,47	766.319	2.237.704	126.578	0	0	0	2,50	0,1571
02419	40.118	11,65	766.319	467.484	57.892	0	0	0	2,50	0,0565
02420	25.713	18,18	766.319	467.484	14.267	0	0	0	2,50	0,0565
02421	19.920	23,47	766.902	467.484	3.755	0	0	0	2,50	0,0565
02422	24.978	18,72	768.211	467.484	12.196	0	0	0	2,50	0,0565
02423	20.215	23,13	766.319	467.484	19.510	0	0	0	2,50	0,0565
02424	15.577	30,01	766.319	467.484	36.302	0	0	0	2,50	0,0565
02425	5.950	78,57	766.319	467.484	2.725	0	0	0	2,50	0,0565
02426	2.312	NS	767.356	467.484	6.680	0	0	0	2,50	0,0565
02427	3.508	NS	766.779	467.484	2.962	0	0	0	2,50	0,0565
Estradosso travi gronda			**Parete34-P12**				**Parete 34-P12**			
00079	61.363	3,74	766.319	229.767	219.021	0	0	0	2,50	0,1571
00119	1.647	68,55	766.319	112.878	73.756	0	0	0	2,50	0,1181
00257	97.043	1,58	766.319	153.715	221.513	0	0	0	2,50	0,1571
00258	19.124	16,28	766.319	311.313	69.440	0	0	0	2,50	0,1571
00716	94.680	4,94	766.319	467.484	75.505	0	0	0	2,50	0,0565
00717	20.791	22,48	766.319	467.484	19.933	0	0	0	2,50	0,0565
00718	8.088	57,80	766.319	467.484	1.585	0	0	0	2,50	0,0565
00719	7.601	61,51	767.102	467.484	5.044	0	0	0	2,50	0,0565
00720	16.532	28,28	768.277	467.484	12.618	0	0	0	2,50	0,0565
00721	25.344	18,45	769.592	467.484	21.095	0	0	0	2,50	0,0565
00722	33.538	22,93	768.999	1.507.487	17.271	0	0	0	2,50	0,1181
01105	23.474	32,65	766.319	1.077.018	110.349	0	0	0	2,50	0,1571
01106	8.838	49,81	766.319	440.191	35.664	0	0	0	2,50	0,0565
01107	7.520	62,17	766.319	467.484	74.547	0	0	0	2,50	0,0565
01351	72.373	6,46	766.319	467.484	68.023	0	0	0	2,50	0,0565
01352	18.353	25,47	766.319	467.484	13.398	0	0	0	2,50	0,0565
01353	6.757	69,18	766.319	467.484	180	0	0	0	2,50	0,0565
01354	4.246	NS	766.519	467.484	1.286	0	0	0	2,50	0,0565
01355	9.966	46,91	767.032	467.484	4.597	0	0	0	2,50	0,0565
01356	22.897	20,42	768.978	467.484	17.137	0	0	0	2,50	0,0565
01357	13.214	35,38	773.597	467.484	46.904	0	0	0	2,50	0,0565
01358	21.685	8,48	766.319	183.984	103.947	0	0	0	2,50	0,0565
01359	4.369	NS	766.319	467.484	116.415	0	0	0	2,50	0,0565
01360	1.667	NS	766.319	419.941	112.818	0	0	0	2,50	0,0565
02402	66.198	11,58	766.319	2.237.704	101.396	0	0	0	2,50	0,1571
02403	21.338	35,91	766.319	2.237.704	31.404	0	0	0	2,50	0,1571
02404	9.276	82,61	766.319	1.507.487	67.655	0	0	0	2,50	0,1181
02405	60.143	12,74	766.319	2.030.256	120.776	0	0	0	2,50	0,1571
02406	35.734	13,08	766.319	467.484	62.256	0	0	0	2,50	0,0565
02407	13.702	34,12	766.319	467.484	17.255	0	0	0	2,50	0,0565
02408	5.551	84,21	767.021	467.484	4.523	0	0	0	2,50	0,0565
02409	12.888	36,27	768.485	467.484	13.958	0	0	0	2,50	0,0565
02410	9.481	49,31	766.319	467.484	27.039	0	0	0	2,50	0,0565
02411	35.870	13,03	766.319	467.484	46.157	0	0	0	2,50	0,0565
02412	8.701	53,73	766.319	467.484	3.278	0	0	0	2,50	0,0565
02413	12.984	36,00	767.561	467.484	8.003	0	0	0	2,50	0,0565
02414	20.605	22,69	766.836	467.484	3.334	0	0	0	2,50	0,0565
Estradosso travi gronda			**Parete35-P13**				**Parete 35-P13**			
00113	84.529	2,87	766.319	242.639	326.665	0	0	0	2,50	0,1571
00155	14.830	14,05	766.319	208.302	131.795	0	0	0	2,50	0,1571
00263	105.275	2,15	766.319	225.911	217.133	0	0	0	2,50	0,1571
00264	19.842	7,21	766.319	143.150	106.183	0	0	0	2,50	0,1571
00709	139.784	3,34	766.319	467.484	110.194	0	0	0	2,50	0,0565
00710	34.188	13,67	766.319	467.484	27.991	0	0	0	2,50	0,0565
00711	17.811	26,25	766.319	467.484	4.968	0	0	0	2,50	0,0565
00712	19.135	24,43	767.251	467.484	6.006	0	0	0	2,50	0,0565

Id_{Nd}	$V_{Ed,2}$	CS	V_{Rcd}	$V_{Rsd,s}$	N_{Ed}	$V_{Rsd,p}$	V_{R1}	V_{fd}	CtgΘ	A_{sw}
	[N]		[N]	[N]	[N]	[N]	[N]	[N]		[cm^2/cm]
00713	27.616	16,93	769.103	467.484	17.941	0	0	0	2,50	0,0565
00714	38.605	12,11	770.488	467.484	26.867	0	0	0	2,50	0,0565
00715	47.997	16,04	769.723	2.237.704	21.937	0	0	0	2,50	0,1571
01165	32.458	23,61	766.319	1.955.965	108.810	0	0	0	2,50	0,1571
01166	25.948	16,56	766.319	429.626	48.868	0	0	0	2,50	0,0565
01167	20.746	21,64	766.319	448.995	110.148	0	0	0	2,50	0,0565
01321	72.848	6,42	766.319	467.484	68.842	0	0	0	2,50	0,0565
01322	15.545	30,07	766.319	467.484	10.345	0	0	0	2,50	0,0565
01323	2.127	NS	766.474	467.484	997	0	0	0	2,50	0,0565
01324	1.748	NS	766.557	467.484	1.537	0	0	0	2,50	0,0565
01325	5.372	87,03	767.062	467.484	4.786	0	0	0	2,50	0,0565
01326	19.107	24,47	768.499	467.484	14.049	0	0	0	2,50	0,0565
01327	2.682	NS	771.825	467.484	35.482	0	0	0	2,50	0,0565
01328	26.104	3,44	766.319	89.778	129.194	0	0	0	2,50	0,0565
01329	16.125	28,99	766.319	467.484	141.352	0	0	0	2,50	0,0565
01330	13.296	20,92	766.319	278.191	198.946	0	0	0	2,50	0,0565
02363	70.053	10,94	766.319	2.237.704	101.818	0	0	0	2,50	0,1571
02364	14.612	52,44	766.319	2.237.704	48.187	0	0	0	2,50	0,1571
02365	12.439	61,60	766.319	2.237.704	98.777	0	0	0	2,50	0,1571
02366	86.067	8,90	766.319	2.237.704	175.180	0	0	0	2,50	0,1571
02367	54.265	8,61	766.319	467.484	83.156	0	0	0	2,50	0,0565
02368	31.260	14,95	766.319	467.484	21.185	0	0	0	2,50	0,0565
02369	21.990	21,26	767.122	467.484	5.175	0	0	0	2,50	0,0565
02370	28.204	16,58	768.667	467.484	15.130	0	0	0	2,50	0,0565
02371	19.027	24,57	766.319	467.484	36.626	0	0	0	2,50	0,0565
02372	29.587	15,80	766.319	467.484	54.744	0	0	0	2,50	0,0565
02373	2.926	NS	766.319	467.484	4.314	0	0	0	2,50	0,0565
02374	3.740	NS	767.586	467.484	8.163	0	0	0	2,50	0,0565
02375	6.237	74,96	766.319	467.484	630	0	0	0	2,50	0,0565
Estradosso travi gronda			**Parete36-P14**				**Parete 36-P14**			
00114	99.072	4,02	766.319	398.346	324.271	0	0	0	2,50	0,1621
00156	4.683	58,18	766.319	272.444	215.080	0	0	0	2,50	0,1621
00269	166.966	3,21	766.319	535.450	472.544	0	0	0	2,50	0,1956
00270	22.800	7,85	766.319	179.063	229.248	0	0	0	2,50	0,1420
00695	139.228	4,97	766.319	691.530	120.172	0	0	0	2,50	0,0616
00696	24.443	28,29	766.319	691.530	34.388	0	0	0	2,50	0,0616
00697	5.362	NS	766.319	691.530	2.971	0	0	0	2,50	0,0616
00698	3.700	NS	767.359	691.530	6.702	0	0	0	2,50	0,0616
00699	20.172	34,28	769.063	691.530	17.683	0	0	0	2,50	0,0616
00700	34.264	20,18	770.703	691.530	28.255	0	0	0	2,50	0,0616
00701	30.498	22,67	767.129	691.530	5.222	0	0	0	2,50	0,0616
01145	21.600	35,48	766.319	1.511.579	228.988	0	0	0	2,50	0,1956
01146	2.809	NS	766.319	661.596	48.886	0	0	0	2,50	0,0616
01147	2.463	NS	766.319	691.530	80.230	0	0	0	2,50	0,0616
01298	145.881	4,74	766.319	691.530	117.774	0	0	0	2,50	0,0616
01299	32.664	21,17	766.319	691.530	23.037	0	0	0	2,50	0,0616
01300	17.986	38,45	766.942	691.530	4.018	0	0	0	2,50	0,0616
01301	10.506	65,82	767.176	691.530	5.524	0	0	0	2,50	0,0616
01302	23.231	29,77	768.637	691.530	14.938	0	0	0	2,50	0,0616
01303	52.003	13,30	772.917	691.530	42.520	0	0	0	2,50	0,0616
01304	19.038	36,32	784.139	691.530	114.838	0	0	0	2,50	0,0616
01305	7.289	NS	766.319	849.347	300.455	0	0	0	2,50	0,1420
01306	32.062	18,00	766.319	577.074	267.165	0	0	0	2,50	0,0616
01307	14.566	28,86	766.319	420.357	228.518	0	0	0	2,50	0,0616
02321	116.874	6,56	766.319	2.633.526	214.776	0	0	0	2,50	0,1956
02322	20.772	36,89	766.319	1.994.519	107.403	0	0	0	2,50	0,1420
02323	964	NS	766.319	2.245.498	127.046	0	0	0	2,50	0,1621
02324	90.814	8,44	766.319	2.254.302	184.374	0	0	0	2,50	0,1621
02325	47.298	14,62	766.319	691.530	102.269	0	0	0	2,50	0,0616
02326	8.728	79,23	766.319	691.530	28.987	0	0	0	2,50	0,0616
02327	4.685	NS	767.341	691.530	6.588	0	0	0	2,50	0,0616
02328	10.833	63,84	769.918	691.530	23.192	0	0	0	2,50	0,0616
02329	4.477	NS	766.319	691.530	63.350	0	0	0	2,50	0,0616
02330	74.886	9,23	766.319	691.530	80.805	0	0	0	2,50	0,0616
02331	26.652	25,95	766.319	691.530	3.319	0	0	0	2,50	0,0616
02332	36.527	18,93	768.801	691.530	15.993	0	0	0	2,50	0,0616
02333	55.050	12,56	766.319	691.530	3.331	0	0	0	2,50	0,0616
Estradosso travi gronda			**ParetP15-41**				**Parete P15-41**			
00111	52.431	2,42	766.319	126.937	2.611	0	0	0	2,50	0,1574
00139	62.888	12,19	766.319	1.113.053	90.060	0	0	0	2,50	0,2780
00278	163.202	4,01	766.319	655.045	678.686	0	0	0	2,50	0,2110
00279	54.917	4,11	766.319	225.880	189.865	0	0	0	2,50	0,1539
00870	4.679	NS	766.319	647.274	21.273	0	0	0	2,50	0,0770
00871	14.016	46,18	766.319	647.274	518	0	0	0	2,50	0,0770
00872	34.721	18,64	766.319	647.274	5.632	0	0	0	2,50	0,0770
00873	23.773	27,23	766.319	647.274	2.989	0	0	0	2,50	0,0770
00874	24.325	26,61	766.319	647.274	4.896	0	0	0	2,50	0,0770
00875	17.570	36,84	766.319	647.274	15.372	0	0	0	2,50	0,0770
00876	22.780	33,64	766.319	2.417.493	29.654	0	0	0	2,50	0,2780
01085	49.364	12,42	766.741	612.937	2.718	0	0	0	2,50	0,0770
01086	95.028	6,77	766.319	643.752	99.801	0	0	0	2,50	0,0770

Id_{Nd}	$V_{Ed,2}$	CS	V_{Rcd}	$V_{Rsd,s}$	N_{Ed}	$V_{Rsd,p}$	V_{R1}	V_{fd}	CtgΘ	A_{sw}
	[N]		[N]	[N]	[N]	[N]	[N]	[N]		[cm²/cm]
01087	62.412	8,21	766.319	512.567	252.037	0	0	0	2,50	0,0770
01288	64.856	11,82	766.319	1.979.917	96.111	0	0	0	2,50	0,2780
01289	105.220	5,80	766.319	610.295	195.968	0	0	0	2,50	0,0770
01290	61.337	2,61	766.319	160.393	360.501	0	0	0	2,50	0,0770
01291	111.157	7,09	787.782	1.324.935	138.318	0	0	0	2,50	0,1539
01292	54.650	11,84	773.227	647.274	44.520	0	0	0	2,50	0,0770
01293	38.956	16,62	771.876	647.274	35.811	0	0	0	2,50	0,0770
01294	37.853	17,10	768.398	647.274	13.400	0	0	0	2,50	0,0770
01295	23.236	27,86	766.319	647.274	5.662	0	0	0	2,50	0,0770
01296	35.183	18,40	767.238	647.274	5.925	0	0	0	2,50	0,0770
01297	248.361	3,09	766.319	1.712.964	198.359	0	0	0	2,50	0,0770
02308	24.864	30,82	766.319	1.897.491	9.864	0	0	0	2,50	0,1574
02309	6.881	NS	766.319	3.580.912	27.235	0	0	0	2,50	0,2780
02310	29.149	26,29	766.319	1.834.434	160.805	0	0	0	2,50	0,1539
02311	155.567	4,93	766.319	2.655.393	354.095	0	0	0	2,50	0,2110
02312	106.348	6,09	766.319	647.274	118.876	0	0	0	2,50	0,0770
02313	76.801	8,43	766.319	647.274	17.000	0	0	0	2,50	0,0770
02314	67.260	9,62	767.369	647.274	6.765	0	0	0	2,50	0,0770
02315	78.033	8,29	769.424	647.274	20.011	0	0	0	2,50	0,0770
02316	50.716	12,76	766.319	647.274	35.105	0	0	0	2,50	0,0770
02317	31.798	20,36	766.319	647.274	53.811	0	0	0	2,50	0,0770
02318	58.370	11,09	766.319	647.274	6.205	0	0	0	2,50	0,0770
02319	51.743	12,51	768.041	647.274	11.096	0	0	0	2,50	0,0770
02320	62.275	10,39	767.296	647.274	6.294	0	0	0	2,50	0,0770
Estradosso travi gronda			**Parete38-39**				**Parete 38-39**			
00108	100.023	2,38	766.319	238.489	415.204	0	0	0	2,50	0,1574
00109	92.177	4,95	766.319	455.833	1.143.757	0	0	0	2,50	0,2815
00160	77.093	9,94	766.319	2.477.311	359.255	0	0	0	2,50	0,2815
00186	63.681	7,61	766.319	484.341	259.448	0	0	0	2,50	0,1810
00188	117.742	3,80	766.319	447.028	334.874	0	0	0	2,50	0,2815
00191	102.527	7,47	766.319	3.628.920	330.363	0	0	0	2,50	0,2815
00846	211.283	3,63	766.319	887.915	93.401	0	0	0	2,50	0,0804
00847	54.290	14,12	766.319	887.915	18.577	0	0	0	2,50	0,0804
00848	28.512	26,88	766.319	887.915	5.037	0	0	0	2,50	0,0804
00849	32.403	23,70	767.972	887.915	10.651	0	0	0	2,50	0,0804
00850	40.351	19,10	770.618	887.915	27.704	0	0	0	2,50	0,0804
00851	53.495	14,42	771.167	887.915	31.240	0	0	0	2,50	0,0804
00852	62.950	12,41	780.957	2.658.135	94.333	0	0	0	2,50	0,1810
00856	302.808	2,53	766.319	4.217.050	318.619	0	0	0	2,50	0,2815
00857	107.773	7,11	766.319	887.915	66.313	0	0	0	2,50	0,0804
00858	72.574	10,56	766.319	887.915	2.242	0	0	0	2,50	0,0804
00859	52.412	14,66	768.248	887.915	12.432	0	0	0	2,50	0,0804
00860	70.189	10,98	770.820	887.915	29.006	0	0	0	2,50	0,0804
00861	107.142	7,24	775.668	887.915	60.251	0	0	0	2,50	0,0804
00862	70.753	11,19	792.013	4.428.355	165.587	0	0	0	2,50	0,2815
01019	99.563	7,70	766.319	3.746.898	426.978	0	0	0	2,50	0,2815
01020	76.008	10,08	766.319	887.915	28.069	0	0	0	2,50	0,0804
01021	55.846	13,73	766.967	887.915	4.175	0	0	0	2,50	0,0804
01022	12.083	63,42	766.319	887.915	24.453	0	0	0	2,50	0,0804
01023	20.788	36,86	766.319	887.915	47.774	0	0	0	2,50	0,0804
01024	35.215	21,76	766.319	887.915	152.555	0	0	0	2,50	0,0804
01308	142.981	5,36	766.319	3.611.311	518.675	0	0	0	2,50	0,2815
01309	89.015	6,75	766.319	600.893	287.061	0	0	0	2,50	0,0804
01310	50.413	9,56	766.319	482.035	266.992	0	0	0	2,50	0,0804
01311	10.970	69,86	766.319	768.176	203.162	0	0	0	2,50	0,0804
01312	41.810	18,33	766.319	870.306	231.134	0	0	0	2,50	0,0804
01313	51.454	8,20	766.319	422.165	327.534	0	0	0	2,50	0,0804
02334	179.618	4,27	766.319	4.040.963	402.051	0	0	0	2,50	0,2815
02335	2.880	NS	766.319	4.187.996	160.187	0	0	0	2,50	0,2815
02336	3.037	NS	766.319	2.506.700	115.922	0	0	0	2,50	0,1810
02337	88.856	8,62	766.319	2.243.239	191.055	0	0	0	2,50	0,1574
02338	76.007	10,08	766.319	887.915	91.480	0	0	0	2,50	0,0804
02339	55.110	13,91	766.319	887.915	28.817	0	0	0	2,50	0,0804
02340	39.758	19,29	766.852	887.915	3.433	0	0	0	2,50	0,0804
02341	35.628	21,55	767.789	887.915	9.475	0	0	0	2,50	0,0804
02342	6.739	NS	766.319	887.915	64.924	0	0	0	2,50	0,0804
02343	17.854	42,92	766.319	887.915	79.069	0	0	0	2,50	0,0804
02344	5.716	NS	766.319	887.915	15.054	0	0	0	2,50	0,0804
02345	4.676	NS	768.146	887.915	11.772	0	0	0	2,50	0,0804
02346	5.954	NS	766.319	887.915	27.042	0	0	0	2,50	0,0804
02347	21.783	35,18	766.319	887.915	98.834	0	0	0	2,50	0,0804
02348	55.590	13,79	766.319	887.915	63.756	0	0	0	2,50	0,0804
02349	62.176	12,33	766.549	887.915	1.485	0	0	0	2,50	0,0804
02350	46.644	16,47	768.294	887.915	12.730	0	0	0	2,50	0,0804
02351	27.951	27,42	766.319	887.915	90.772	0	0	0	2,50	0,0804
02352	156.015	4,91	766.319	887.915	139.700	0	0	0	2,50	0,0804
02353	101.051	7,58	766.319	887.915	15.193	0	0	0	2,50	0,0804
02354	96.630	7,96	769.086	887.915	17.834	0	0	0	2,50	0,0804
02355	115.909	6,61	766.319	887.915	10.909	0	0	0	2,50	0,0804
Estradosso travi gronda			**Parete1-P8**				**Parete 1-P8**			
00105	5.091	98,57	767.048	501.848	4.700	0	0	0	2,50	0,0770

Id_{Nd}	$V_{Ed,2}$	CS	V_{Rcd}	$V_{Rsd,s}$	N_{Ed}	$V_{Rsd,p}$	V_{R1}	V_{fd}	CtgΘ	A_{sw}
	[N]		[N]	[N]	[N]	[N]	[N]	[N]		[cm^2/cm]
00136	2.183	NS	766.319	629.314	134.328	0	0	0	2,50	0,1222
00206	43.743	17,62	770.878	822.326	29.380	0	0	0	2,50	0,0770
00288	63.650	12,04	766.319	7.032.455	281.478	0	0	0	2,50	0,4791
00289	43.724	17,53	766.319	6.380.933	352.961	0	0	0	2,50	0,4791
00342	125.467	6,11	766.319	1.837.010	716.781	0	0	0	2,50	0,4791
00343	50.521	15,17	766.319	2.593.303	490.841	0	0	0	2,50	0,4791
00774	6.589	NS	766.410	1.034.511	586	0	0	0	2,50	0,0770
00775	9.969	76,92	766.888	1.034.511	3.668	0	0	0	2,50	0,0770
00776	11.236	68,27	767.145	1.034.511	5.326	0	0	0	2,50	0,0770
00777	10.741	71,42	767.112	1.034.511	5.113	0	0	0	2,50	0,0770
00778	13.523	56,69	766.585	1.034.511	1.716	0	0	0	2,50	0,0770
00779	5.831	NS	766.319	1.034.511	8.668	0	0	0	2,50	0,0770
00780	19.652	38,99	766.319	1.034.511	41.915	0	0	0	2,50	0,0770
01069	19.460	39,38	766.319	7.868.868	335.584	0	0	0	2,50	0,4791
01070	39.691	19,31	766.319	861.946	30.547	0	0	0	2,50	0,0770
01071	36.768	20,84	766.319	1.034.511	46.412	0	0	0	2,50	0,0770
01072	15.188	50,46	766.319	1.034.511	9.697	0	0	0	2,50	0,0770
01073	13.610	56,45	768.242	1.034.511	12.393	0	0	0	2,50	0,0770
01074	9.085	84,48	767.477	1.034.511	7.462	0	0	0	2,50	0,0770
01241	180.165	4,25	766.319	6.944.412	239.136	0	0	0	2,50	0,4791
01242	52.302	14,65	766.319	1.034.511	36.890	0	0	0	2,50	0,0770
01243	43.393	17,68	767.127	1.034.511	5.210	0	0	0	2,50	0,0770
01244	26.620	28,84	767.712	1.034.511	8.977	0	0	0	2,50	0,0770
01245	47.269	16,30	770.250	1.034.511	25.331	0	0	0	2,50	0,0770
01246	81.060	9,58	776.356	4.574.950	64.684	0	0	0	2,50	0,4791
01247	11.139	72,00	802.067	7.340.607	230.377	0	0	0	2,50	0,4791
01248	89.482	8,56	766.319	7.178.607	523.688	0	0	0	2,50	0,4791
01249	118.668	6,46	766.319	3.983.298	314.729	0	0	0	2,50	0,4791
01250	45.753	16,75	766.319	858.424	296.705	0	0	0	2,50	0,0770
01251	41.828	18,32	766.319	877.793	152.662	0	0	0	2,50	0,0770
01252	21.873	35,04	766.319	1.034.511	133.512	0	0	0	2,50	0,0770
01253	842	NS	766.319	1.034.511	95.958	0	0	0	2,50	0,0770
01254	11.793	64,98	766.319	1.034.511	108.886	0	0	0	2,50	0,0770
02219	132.556	5,78	766.319	7.358.216	274.919	0	0	0	2,50	0,4791
02220	24.938	30,73	766.319	7.507.890	200.107	0	0	0	2,50	0,4791
02221	17.381	44,09	766.319	1.034.511	78.998	0	0	0	2,50	0,0770
02222	8.901	86,15	766.782	1.034.511	2.985	0	0	0	2,50	0,0770
02223	6.346	NS	766.392	1.034.511	468	0	0	0	2,50	0,0770
02224	3.396	NS	766.319	1.034.511	1.142	0	0	0	2,50	0,0770
02225	2.503	NS	766.745	1.034.511	2.744	0	0	0	2,50	0,0770
02226	2.342	NS	766.319	1.034.511	7.571	0	0	0	2,50	0,0770
02227	17.862	42,90	766.319	1.034.511	64.792	0	0	0	2,50	0,0770
02228	10.838	70,71	766.319	1.034.511	17.611	0	0	0	2,50	0,0770
02229	26.376	29,05	766.319	1.034.511	2.518	0	0	0	2,50	0,0770
02230	23.779	32,26	767.152	1.034.511	5.369	0	0	0	2,50	0,0770
02231	23.483	32,63	766.319	1.034.511	40.508	0	0	0	2,50	0,0770
02232	14.445	53,05	766.319	1.034.511	55.741	0	0	0	2,50	0,0770
02233	56.706	13,51	766.319	1.034.511	26.972	0	0	0	2,50	0,0770
02234	64.768	11,85	767.736	1.034.511	9.131	0	0	0	2,50	0,0770
02235	44.428	17,28	767.893	1.034.511	10.145	0	0	0	2,50	0,0770
02236	21.111	36,30	766.319	1.025.707	109.018	0	0	0	2,50	0,0770
02237	105.832	7,24	766.319	4.557.342	85.422	0	0	0	2,50	0,4791
02238	75.361	10,17	766.319	1.034.511	1.097	0	0	0	2,50	0,0770
02239	83.737	9,18	768.682	1.034.511	15.231	0	0	0	2,50	0,0770
02240	103.570	7,40	766.319	8.115.390	15.826	0	0	0	2,50	0,4791
Estradosso travi gronda				**Parete6-7-19**			**Parete 6-7**			
00087	59.916	5,94	767.247	355.787	5.978	0	0	0	2,50	0,1775
00209	4.732	NS	766.319	731.823	105.802	0	0	0	2,50	0,2110
00210	62.966	12,17	766.319	2.303.975	77.884	0	0	0	2,50	0,4791
00781	48.743	15,72	766.319	827.063	26.993	0	0	0	2,50	0,0770
00782	30.096	25,48	766.761	827.063	2.850	0	0	0	2,50	0,0770
00783	25.593	29,94	766.319	827.063	8.399	0	0	0	2,50	0,0770
00784	28.702	26,70	766.474	827.063	1.001	0	0	0	2,50	0,0770
00785	22.598	33,97	767.730	827.063	9.095	0	0	0	2,50	0,0770
00786	12.439	61,61	766.319	7.773.235	23.144	0	0	0	2,50	0,4791
00787	23.933	32,02	766.319	6.550.312	38.637	0	0	0	2,50	0,4791
01269	45.824	16,72	766.319	827.063	7.056	0	0	0	2,50	0,0770
01270	48.111	15,93	766.319	827.063	13.440	0	0	0	2,50	0,0770
01271	49.950	15,34	766.319	827.063	6.039	0	0	0	2,50	0,0770
01272	46.003	16,66	766.319	827.063	6.991	0	0	0	2,50	0,0770
01273	40.813	18,78	766.319	827.063	7.872	0	0	0	2,50	0,0770
01274	30.599	21,85	766.319	668.585	16.365	0	0	0	2,50	0,0770
01275	23.438	32,66	766.319	765.432	44.160	0	0	0	2,50	0,0770
01276	2.189	NS	766.319	827.063	57.411	0	0	0	2,50	0,0770
01277	82.258	9,41	773.951	7.907.942	49.185	0	0	0	2,50	0,4791
01782	52.870	14,49	766.319	827.063	2.218	0	0	0	2,50	0,0770
01783	60.050	12,76	766.319	827.063	9.128	0	0	0	2,50	0,0770
02263	50.232	15,26	766.319	3.058.812	11.321	0	0	0	2,50	0,2110
02264	13.499	56,77	766.319	3.086.106	65.508	0	0	0	2,50	0,2110
02265	41.646	18,40	766.319	6.939.464	17.661	0	0	0	2,50	0,4791
02266	54.016	14,19	766.319	2.892.319	13.086	0	0	0	2,50	0,1775

Id_{Nd}	$V_{Ed,2}$	CS	V_{Rcd}	$V_{Rsd,s}$	N_{Ed}	$V_{Rsd,p}$	V_{R1}	V_{fd}	CtgΘ	A_{sw}
	[N]		[N]	[N]	[N]	[N]	[N]	[N]		[cm²/cm]
02267	51.783	14,80	766.319	827.063	14.048	0	0	0	2,50	0,0770
02268	48.042	15,95	766.319	827.063	5.578	0	0	0	2,50	0,0770
02269	42.043	18,23	766.319	827.063	2.122	0	0	0	2,50	0,0770
02270	34.738	22,06	766.319	827.063	7.300	0	0	0	2,50	0,0770
02271	29.780	19,94	766.319	593.748	27.619	0	0	0	2,50	0,0770
02786	47.026	16,30	766.319	931.682	15.435	0	0	0	2,50	0,2110
Estradosso travi gronda			**Parete6-7-19**				**Parete 7-19**			
00084	165.146	3,51	766.319	579.144	150.962	0	0	0	2,50	0,0770
00124	72.978	10,50	766.319	3.078.211	171.639	0	0	0	2,50	0,4791
00183	63.792	7,47	767.437	476.795	7.203	0	0	0	2,50	0,2110
00209	8.689	88,20	766.319	1.929.215	53.664	0	0	0	2,50	0,2110
00809	156.148	4,91	766.319	2.007.209	117.678	0	0	0	2,50	0,0770
00810	70.924	10,80	766.319	827.063	21.656	0	0	0	2,50	0,0770
00811	54.226	10,82	766.319	586.704	4.301	0	0	0	2,50	0,0770
00843	73.658	10,47	770.835	2.191.002	29.102	0	0	0	2,50	0,2110
00844	98.381	7,87	773.860	6.137.722	48.596	0	0	0	2,50	0,4791
00845	182.935	4,33	792.403	5.607.700	168.095	0	0	0	2,50	0,4791
01269	37.772	20,29	766.319	827.063	2.498	0	0	0	2,50	0,0770
01270	48.288	15,87	766.319	827.063	10.915	0	0	0	2,50	0,0770
01271	49.513	15,48	766.319	827.063	7.915	0	0	0	2,50	0,0770
01272	45.267	16,93	766.319	827.063	8.923	0	0	0	2,50	0,0770
01273	40.592	18,88	766.319	827.063	14.369	0	0	0	2,50	0,0770
01274	31.047	24,68	766.319	827.063	27.643	0	0	0	2,50	0,0770
01275	24.199	31,67	766.319	827.063	48.138	0	0	0	2,50	0,0770
01278	7.454	NS	766.319	4.791.537	259.086	0	0	0	2,50	0,4791
01279	21.117	25,78	766.319	544.443	213.988	0	0	0	2,50	0,0770
01280	15.794	40,05	766.319	632.487	167.764	0	0	0	2,50	0,0770
01281	3.618	NS	766.319	827.063	150.722	0	0	0	2,50	0,0770
01282	2.015	NS	766.319	746.943	123.736	0	0	0	2,50	0,0770
01283	7.201	NS	766.319	776.878	110.668	0	0	0	2,50	0,0770
01284	7.742	98,98	766.319	827.063	108.575	0	0	0	2,50	0,0770
01285	6.126	NS	766.319	794.487	96.628	0	0	0	2,50	0,0770
01286	4.898	NS	766.319	827.063	74.522	0	0	0	2,50	0,0770
01287	2.094	NS	766.319	827.063	70.457	0	0	0	2,50	0,0770
01772	68.703	9,85	766.319	676.508	33.090	0	0	0	2,50	0,0770
01773	30.588	24,94	766.319	762.791	12.309	0	0	0	2,50	0,0770
01774	25.062	28,29	767.696	709.085	8.876	0	0	0	2,50	0,0770
01775	13.198	58,16	767.653	827.063	8.596	0	0	0	2,50	0,0770
01776	1.170	NS	767.509	760.150	7.667	0	0	0	2,50	0,0770
01777	8.842	84,08	767.581	743.422	8.131	0	0	0	2,50	0,0770
01778	20.316	37,77	767.273	827.063	6.151	0	0	0	2,50	0,0770
01779	29.360	24,75	767.140	726.693	5.289	0	0	0	2,50	0,0770
01780	34.511	22,21	766.542	827.063	1.440	0	0	0	2,50	0,0770
01781	33.527	18,58	766.733	622.802	2.667	0	0	0	2,50	0,0770
02272	118.128	6,49	766.319	1.729.872	105.384	0	0	0	2,50	0,0770
02273	64.272	11,92	766.319	5.446.581	68.465	0	0	0	2,50	0,4791
02274	14.781	51,85	766.319	3.187.356	56.941	0	0	0	2,50	0,2110
02275	35.366	21,68	766.679	3.187.356	2.317	0	0	0	2,50	0,2110
02276	38.734	19,78	766.319	827.063	1.060	0	0	0	2,50	0,0770
02277	43.423	17,65	766.319	827.063	6.614	0	0	0	2,50	0,0770
02278	42.167	18,17	766.319	827.063	12.897	0	0	0	2,50	0,0770
02279	31.262	24,51	766.319	827.063	28.729	0	0	0	2,50	0,0770
02280	18.387	41,68	766.319	827.063	54.310	0	0	0	2,50	0,0770
02281	35.095	21,84	766.319	827.063	441	0	0	0	2,50	0,0770
02282	35.101	21,83	766.319	827.063	10.339	0	0	0	2,50	0,0770
02283	30.954	24,76	766.319	827.063	26.467	0	0	0	2,50	0,0770
02284	21.812	35,13	766.319	827.063	56.877	0	0	0	2,50	0,0770
02285	21.074	36,38	766.662	827.063	2.210	0	0	0	2,50	0,0770
02286	22.718	33,73	766.319	827.063	4.779	0	0	0	2,50	0,0770
02287	22.626	33,87	766.319	827.063	18.696	0	0	0	2,50	0,0770
02288	20.575	37,25	766.319	827.063	44.683	0	0	0	2,50	0,0770
02289	14.307	53,56	766.319	827.063	84.783	0	0	0	2,50	0,0770
02290	4.855	NS	766.319	827.063	2.514	0	0	0	2,50	0,0770
02291	4.163	NS	766.319	827.063	10.359	0	0	0	2,50	0,0770
02292	8.276	92,60	766.319	827.063	24.789	0	0	0	2,50	0,0770
02293	12.622	60,71	766.319	827.063	67.429	0	0	0	2,50	0,0770
02294	16.777	45,68	766.319	827.063	4.149	0	0	0	2,50	0,0770
02295	22.017	34,81	766.319	827.063	10.546	0	0	0	2,50	0,0770
02296	20.214	37,91	766.319	827.063	9.875	0	0	0	2,50	0,0770
02297	4.840	NS	766.319	827.063	30.312	0	0	0	2,50	0,0770
02298	7.382	NS	766.319	827.063	97.546	0	0	0	2,50	0,0770
02299	46.135	16,61	766.319	827.063	26.135	0	0	0	2,50	0,0770
02300	59.579	12,86	766.319	827.063	8.742	0	0	0	2,50	0,0770
02301	47.340	16,19	766.376	827.063	370	0	0	0	2,50	0,0770
02302	9.132	83,92	766.319	772.476	33.870	0	0	0	2,50	0,0770
02303	88.036	8,70	766.319	827.063	43.831	0	0	0	2,50	0,0770
02304	88.725	8,64	766.319	827.063	16.093	0	0	0	2,50	0,0770
02305	82.705	8,40	766.738	694.998	2.698	0	0	0	2,50	0,0770
02306	82.578	9,30	768.362	6.137.722	13.166	0	0	0	2,50	0,4791
02307	40.827	18,77	766.319	5.796.994	52.687	0	0	0	2,50	0,4791
02786	29.647	14,85	766.531	440.399	1.367	0	0	0	2,50	0,2110

Id_{Nd}	$V_{Ed,2}$	CS	V_{Rcd}	$V_{Rsd,s}$	N_{Ed}	$V_{Rsd,p}$	V_{R1}	V_{fd}	CtgΘ	A_{sw}
	[N]		[N]	[N]	[N]	[N]	[N]	[N]		[cm²/cm]
02787	32.047	10,42	767.068	334.019	4.829	0	0	0	2,50	0,0770
Estradosso travi gronda			**Parete P9-32**				**Parete P9-32**			
00140	4.134	NS	766.319	552.716	119.189	0	0	0	2,50	0,1222
00201	22.739	33,71	766.475	1.034.511	1.004	0	0	0	2,50	0,0770
00290	81.854	9,36	766.319	7.477.955	178.331	0	0	0	2,50	0,4791
00291	62.237	12,31	766.319	3.792.586	340.789	0	0	0	2,50	0,4791
00292	6.281	47,66	766.319	299.348	3.507	0	0	0	2,50	0,0770
00346	155.377	4,93	766.319	2.404.890	671.618	0	0	0	2,50	0,4791
00347	21.203	36,14	766.319	2.565.129	326.881	0	0	0	2,50	0,4791
00723	10.538	72,72	766.319	1.034.511	1.479	0	0	0	2,50	0,0770
00724	10.065	76,16	766.601	1.034.511	1.817	0	0	0	2,50	0,0770
00725	9.330	82,18	766.710	1.034.511	2.517	0	0	0	2,50	0,0770
00726	11.277	68,00	766.882	1.034.511	3.631	0	0	0	2,50	0,0770
00727	8.208	93,44	766.896	1.034.511	3.715	0	0	0	2,50	0,0770
00728	7.133	NS	766.319	1.034.511	6.729	0	0	0	2,50	0,0770
00729	14.459	53,00	766.319	1.034.511	25.051	0	0	0	2,50	0,0770
01180	6.650	NS	767.268	1.034.511	6.119	0	0	0	2,50	0,0770
01181	11.865	64,59	766.414	1.034.511	612	0	0	0	2,50	0,0770
01182	24.740	31,08	769.022	1.034.511	17.418	0	0	0	2,50	0,0770
01183	18.376	41,70	766.319	1.034.511	3.346	0	0	0	2,50	0,0770
01184	59.254	12,93	766.319	1.022.185	87.939	0	0	0	2,50	0,0770
01185	26.111	29,35	766.319	7.798.433	327.969	0	0	0	2,50	0,4791
01255	1.594	NS	766.319	1.020.424	80.281	0	0	0	2,50	0,0770
01256	7.136	NS	766.319	1.034.511	93.910	0	0	0	2,50	0,0770
01257	25.237	30,36	766.319	1.034.511	145.793	0	0	0	2,50	0,0770
01258	45.151	16,97	766.319	902.446	164.694	0	0	0	2,50	0,0770
01259	43.089	17,78	766.319	840.815	211.526	0	0	0	2,50	0,0770
01260	114.574	6,69	766.319	3.855.635	381.449	0	0	0	2,50	0,4791
01261	18.337	41,79	766.319	3.946.320	417.421	0	0	0	2,50	0,4791
01262	91.214	8,70	793.502	7.446.260	175.178	0	0	0	2,50	0,4791
01263	60.621	12,75	772.768	1.034.511	41.563	0	0	0	2,50	0,0770
01264	44.362	17,40	771.918	1.034.511	36.084	0	0	0	2,50	0,0770
01265	43.842	17,52	768.121	1.034.511	11.614	0	0	0	2,50	0,0770
01266	28.874	26,54	766.319	1.034.511	10.097	0	0	0	2,50	0,0770
01267	45.017	17,02	766.319	1.034.511	8.089	0	0	0	2,50	0,0770
01268	245.887	3,12	766.319	6.812.347	293.722	0	0	0	2,50	0,4791
02241	10.354	74,03	766.488	1.034.511	1.089	0	0	0	2,50	0,0770
02242	10.556	72,60	766.319	1.432.809	73.406	0	0	0	2,50	0,1222
02243	4.095	NS	766.319	7.497.325	178.734	0	0	0	2,50	0,4791
02244	155.529	4,93	766.319	7.261.368	318.929	0	0	0	2,50	0,4791
02245	103.575	7,40	766.319	4.416.472	125.863	0	0	0	2,50	0,4791
02246	85.928	8,92	766.319	1.034.511	22.255	0	0	0	2,50	0,0770
02247	76.403	10,04	767.407	1.034.511	7.013	0	0	0	2,50	0,0770
02248	86.168	8,93	769.164	1.034.511	18.338	0	0	0	2,50	0,0770
02249	58.335	13,14	766.319	4.389.179	69.834	0	0	0	2,50	0,4791
02250	48.863	15,68	766.319	1.034.511	59.115	0	0	0	2,50	0,0770
02251	65.357	11,73	766.319	1.034.511	6.843	0	0	0	2,50	0,0770
02252	59.252	12,97	768.633	1.034.511	14.915	0	0	0	2,50	0,0770
02253	48.936	15,66	766.319	1.034.511	19.594	0	0	0	2,50	0,0770
02254	1.891	NS	766.319	1.034.511	13.270	0	0	0	2,50	0,0770
02255	20.385	37,59	766.319	1.034.511	14.724	0	0	0	2,50	0,0770
02256	27.296	28,10	767.050	1.034.511	4.710	0	0	0	2,50	0,0770
02257	19.464	39,37	766.319	1.034.511	5.191	0	0	0	2,50	0,0770
02258	14.553	52,66	766.319	1.034.511	70.079	0	0	0	2,50	0,0770
02259	7.680	99,78	766.319	1.034.511	4.348	0	0	0	2,50	0,0770
02260	2.989	NS	766.319	1.034.511	34	0	0	0	2,50	0,0770
02261	1.792	NS	766.471	1.034.511	977	0	0	0	2,50	0,0770
02262	8.334	91,95	766.319	1.034.511	27.864	0	0	0	2,50	0,0770
Estradosso travi gronda			**Parete 24-31**				**Parete 24-31**			
00104	75.549	5,23	766.319	394.744	24.659	0	0	0	2,50	0,0770
00116	27.086	6,85	766.319	185.537	151.486	0	0	0	2,50	0,1775
00135	40.800	18,87	769.900	2.119.909	23.075	0	0	0	2,50	0,4791
00142	83.434	9,18	766.319	1.977.279	72.824	0	0	0	2,50	0,4791
00172	41.677	13,25	773.682	552.320	47.447	0	0	0	2,50	0,0770
00812	61.809	12,40	766.319	857.489	49.559	0	0	0	2,50	0,0770
00813	44.543	17,20	766.319	857.489	43	0	0	0	2,50	0,0770
00814	68.296	11,36	775.541	857.489	59.431	0	0	0	2,50	0,0770
00853	41.698	18,38	766.319	835.820	19.075	0	0	0	2,50	0,0770
00854	32.466	23,60	766.319	2.627.709	5.266	0	0	0	2,50	0,0770
00855	24.930	30,88	769.887	5.549.203	22.992	0	0	0	2,50	0,4791
00863	93.726	8,18	766.319	1.355.362	41.159	0	0	0	2,50	0,0770
00864	26.137	29,32	766.319	857.489	5.373	0	0	0	2,50	0,0770
00865	20.101	38,13	766.469	857.489	967	0	0	0	2,50	0,0770
00866	31.407	24,46	768.252	4.397.928	12.458	0	0	0	2,50	0,4791
00867	42.815	18,00	770.664	4.397.928	27.998	0	0	0	2,50	0,4791
00868	69.832	11,06	772.564	6.168.148	40.246	0	0	0	2,50	0,4791
00869	163.029	4,83	787.332	5.483.170	135.420	0	0	0	2,50	0,4791
00992	37.612	20,37	766.319	831.956	17.432	0	0	0	2,50	0,0770
00993	4.246	NS	766.319	857.489	1.610	0	0	0	2,50	0,0770
00994	7.467	NS	767.031	857.489	4.588	0	0	0	2,50	0,0770
00995	3.287	NS	767.601	857.489	8.259	0	0	0	2,50	0,0770

Id_{Nd}	$V_{Ed,2}$	CS	V_{Rcd}	$V_{Rsd,s}$	N_{Ed}	$V_{Rsd,p}$	V_{R1}	V_{fd}	CtgΘ	A_{sw}
	[N]		[N]	[N]	[N]	[N]	[N]	[N]		[cm²/cm]
00996	5.055	NS	767.477	857.489	7.461	0	0	0	2,50	0,0770
00997	15.362	49,88	766.319	857.489	7.226	0	0	0	2,50	0,0770
00998	22.565	33,96	766.319	857.489	4.037	0	0	0	2,50	0,0770
00999	52.394	14,63	766.319	857.489	17.630	0	0	0	2,50	0,0770
01233	6.399	NS	766.319	3.796.592	179.070	0	0	0	2,50	0,4791
01234	12.382	61,89	766.319	799.380	119.051	0	0	0	2,50	0,0770
01235	8.370	91,56	766.319	854.848	128.392	0	0	0	2,50	0,0770
01236	6.899	NS	766.319	857.489	73.197	0	0	0	2,50	0,0770
01237	2.474	NS	766.319	857.489	68.955	0	0	0	2,50	0,0770
01238	9.185	83,43	766.319	857.489	69.224	0	0	0	2,50	0,0770
01239	6.629	NS	766.319	857.489	39.669	0	0	0	2,50	0,0770
01240	29.200	25,21	767.783	735.989	9.438	0	0	0	2,50	0,0770
02192	26.318	29,12	766.319	2.240.471	65.886	0	0	0	2,50	0,1775
02193	52.246	14,67	766.319	5.329.094	10.787	0	0	0	2,50	0,4791
02194	29.578	25,94	767.315	5.402.170	6.422	0	0	0	2,50	0,4791
02195	50.572	15,15	766.319	2.037.635	23.794	0	0	0	2,50	0,0770
02196	45.647	16,79	766.319	857.489	14.658	0	0	0	2,50	0,0770
02197	49.282	15,58	767.588	857.489	8.175	0	0	0	2,50	0,0770
02198	26.264	29,31	769.818	857.489	22.547	0	0	0	2,50	0,0770
02199	33.979	22,55	766.319	857.489	2.165	0	0	0	2,50	0,0770
02200	29.644	25,84	766.319	765.924	10.377	0	0	0	2,50	0,0770
02201	21.561	35,54	766.319	857.489	2.080	0	0	0	2,50	0,0770
02202	24.984	30,77	768.672	857.489	15.166	0	0	0	2,50	0,0770
02203	23.198	33,10	767.817	857.489	9.655	0	0	0	2,50	0,0770
02204	18.343	41,78	766.319	857.489	16.677	0	0	0	2,50	0,0770
02205	1.987	NS	766.643	857.489	2.087	0	0	0	2,50	0,0770
02206	2.078	NS	767.461	857.489	7.358	0	0	0	2,50	0,0770
02207	3.944	NS	768.699	857.489	15.338	0	0	0	2,50	0,0770
02208	8.129	94,31	766.639	857.489	2.062	0	0	0	2,50	0,0770
02209	9.662	79,31	766.319	857.489	41.624	0	0	0	2,50	0,0770
02210	13.644	56,17	766.416	857.489	623	0	0	0	2,50	0,0770
02211	21.066	36,46	768.131	857.489	11.675	0	0	0	2,50	0,0770
02212	17.743	43,35	769.100	857.489	17.924	0	0	0	2,50	0,0770
02213	2.727	NS	766.319	857.489	13.831	0	0	0	2,50	0,0770
02214	23.489	32,62	766.319	857.489	14.562	0	0	0	2,50	0,0770
02215	31.133	24,62	766.614	857.489	1.903	0	0	0	2,50	0,0770
02216	40.727	18,86	768.184	4.397.928	12.020	0	0	0	2,50	0,4791
02217	48.443	15,88	769.366	4.397.928	19.639	0	0	0	2,50	0,4791
02218	23.681	32,36	766.319	4.274.668	20.241	0	0	0	2,50	0,4791
Piano primo			**Parete1-P1**				**Parete 1-P1**			
00002	13.956	30,31	767.720	423.052	9.031	0	0	0	2,50	0,0616
00105	11.517	2,79	766.319	32.139	7.016	0	0	0	2,50	0,0616
00215	139.283	1,84	766.319	256.859	470.623	0	0	0	2,50	0,1232
00216	9.113	19,60	766.646	178.626	2.108	0	0	0	2,50	0,1385
00788	12.621	44,05	766.319	555.998	2.453	0	0	0	2,50	0,0616
00789	1.280	NS	766.319	555.998	7.246	0	0	0	2,50	0,0616
00790	8.730	63,69	766.319	555.998	4.462	0	0	0	2,50	0,0616
00791	18.515	30,03	766.319	555.998	3.939	0	0	0	2,50	0,0616
00792	13.736	40,48	766.319	555.998	4.905	0	0	0	2,50	0,0616
00793	9.947	55,90	766.857	555.998	3.468	0	0	0	2,50	0,0616
00794	9.020	61,64	766.319	555.998	8.676	0	0	0	2,50	0,0616
00964	30.895	18,00	768.197	555.998	12.103	0	0	0	2,50	0,0616
00965	50.628	10,98	769.130	555.998	18.118	0	0	0	2,50	0,0616
00966	46.521	11,95	766.319	555.998	179.997	0	0	0	2,50	0,0616
00967	153.676	4,99	766.319	1.525.565	103.313	0	0	0	2,50	0,1232
00968	30.071	18,49	766.319	555.998	21.391	0	0	0	2,50	0,0616
00969	19.828	28,04	766.643	555.998	2.091	0	0	0	2,50	0,0616
00970	9.942	55,93	766.836	555.998	3.335	0	0	0	2,50	0,0616
00971	16.027	34,69	767.434	555.998	7.188	0	0	0	2,50	0,0616
00972	26.796	20,75	769.806	555.998	22.472	0	0	0	2,50	0,0616
00973	33.592	15,50	776.886	520.781	68.097	0	0	0	2,50	0,0616
00974	3.859	NS	766.319	417.770	40.147	0	0	0	2,50	0,0616
00975	22.573	24,63	766.319	555.998	16.122	0	0	0	2,50	0,0616
00976	16.210	34,30	766.319	555.998	1.807	0	0	0	2,50	0,0616
01942	88.769	8,63	766.319	1.314.261	218.250	0	0	0	2,50	0,1232
01943	30.346	25,25	766.319	1.805.670	1.264	0	0	0	2,50	0,1385
01944	4.310	NS	767.674	555.998	8.735	0	0	0	2,50	0,0616
01945	11.878	46,81	766.319	555.998	7.323	0	0	0	2,50	0,0616
01946	2.408	NS	766.319	555.998	26.852	0	0	0	2,50	0,0616
01947	19.640	28,31	766.319	555.998	19.329	0	0	0	2,50	0,0616
01948	30.960	17,96	766.319	555.998	1.381	0	0	0	2,50	0,0616
01949	24.709	22,50	767.471	555.998	7.423	0	0	0	2,50	0,0616
01950	12.150	45,76	767.470	555.998	7.415	0	0	0	2,50	0,0616
01951	57.367	9,69	766.319	555.998	48.581	0	0	0	2,50	0,0616
01952	33.553	16,57	766.319	555.998	4.031	0	0	0	2,50	0,0616
01953	31.465	17,67	766.860	555.998	3.485	0	0	0	2,50	0,0616
01954	48.080	11,56	768.771	555.998	15.805	0	0	0	2,50	0,0616
Piano primo			**Parete2-P2**				**Parete 2-P2**			
00009	87.950	2,66	766.319	234.207	379.914	0	0	0	2,50	0,1068
00093	6.384	10,82	766.319	69.091	5.379	0	0	0	2,50	0,1181
00221	129.862	0,68	766.319	88.935	393.205	0	0	0	2,50	0,1068

Id_{Nd}	$V_{Ed,2}$	CS	V_{Rcd}	$V_{Rsd,s}$	N_{Ed}	$V_{Rsd,p}$	V_{R1}	V_{fd}	CtgΘ	A_{sw}
	[N]		[N]	[N]	[N]	[N]	[N]	[N]		[cm²/cm]
00222	27.566	9,73	766.319	268.195	14.665	0	0	0	2,50	0,1385
00822	218.051	2,35	766.319	511.741	96.435	0	0	0	2,50	0,0616
00823	43.964	11,64	766.319	511.741	32.186	0	0	0	2,50	0,0616
00824	17.765	28,81	766.319	511.741	10.311	0	0	0	2,50	0,0616
00825	13.386	38,23	766.400	511.741	521	0	0	0	2,50	0,0616
00826	17.045	30,02	767.786	511.741	9.453	0	0	0	2,50	0,0616
00827	31.371	16,31	768.929	511.741	16.818	0	0	0	2,50	0,0616
00828	71.176	10,86	773.155	1.551.743	44.053	0	0	0	2,50	0,1181
00929	56.698	9,03	766.319	511.741	83.534	0	0	0	2,50	0,0616
00930	3.449	NS	766.319	511.741	4.792	0	0	0	2,50	0,0616
00931	21.698	23,59	766.319	511.741	139.413	0	0	0	2,50	0,0616
00932	133.238	3,84	766.319	511.741	97.153	0	0	0	2,50	0,0616
00933	22.031	23,23	766.319	511.741	14.575	0	0	0	2,50	0,0616
00934	5.166	99,05	766.582	511.741	1.693	0	0	0	2,50	0,0616
00935	813	NS	766.593	511.741	1.767	0	0	0	2,50	0,0616
00936	1.959	NS	766.943	511.741	4.022	0	0	0	2,50	0,0616
00937	14.245	35,92	768.043	511.741	11.108	0	0	0	2,50	0,0616
00938	21.957	23,31	773.599	511.741	46.916	0	0	0	2,50	0,0616
00939	16.542	19,07	766.319	315.404	42.831	0	0	0	2,50	0,0616
00940	8.157	57,01	766.319	465.078	40.081	0	0	0	2,50	0,0616
00941	6.969	73,44	766.319	511.741	71.979	0	0	0	2,50	0,0616
01884	83.865	9,14	766.319	1.097.033	185.386	0	0	0	2,50	0,1068
01885	25.495	30,06	766.319	1.867.065	4.659	0	0	0	2,50	0,1385
01886	30.924	24,78	766.319	1.551.743	4.888	0	0	0	2,50	0,1181
01887	75.233	10,19	766.319	1.237.903	199.381	0	0	0	2,50	0,1068
01888	42.439	12,06	766.319	511.741	85.147	0	0	0	2,50	0,0616
01889	29.370	17,42	766.319	511.741	29.579	0	0	0	2,50	0,0616
01890	15.364	33,31	766.395	511.741	491	0	0	0	2,50	0,0616
01891	20.052	25,52	768.463	511.741	13.816	0	0	0	2,50	0,0616
01892	26.116	19,59	768.185	511.741	12.025	0	0	0	2,50	0,0616
01893	42.093	12,16	766.319	511.741	63.929	0	0	0	2,50	0,0616
01894	1.663	NS	766.319	511.741	7.769	0	0	0	2,50	0,0616
01895	674	NS	767.266	511.741	6.101	0	0	0	2,50	0,0616
01896	12.080	42,36	769.729	511.741	21.977	0	0	0	2,50	0,0616
	ERRORE: Armatura a taglio insufficiente									
Piano primo			**Parete3-P3**				**Parete 3-P3**			
00011	83.431	3,78	766.319	315.442	352.563	0	0	0	2,50	0,1068
00092	6.092	20,34	766.319	123.913	2.636	0	0	0	2,50	0,1181
00227	129.708	0,75	766.319	97.094	397.677	0	0	0	2,50	0,1068
00228	26.189	12,00	766.319	314.213	17.355	0	0	0	2,50	0,1385
00815	204.458	2,72	766.319	555.998	90.125	0	0	0	2,50	0,0616
00816	42.010	13,23	766.319	555.998	30.112	0	0	0	2,50	0,0616
00817	16.573	33,55	766.319	555.998	9.154	0	0	0	2,50	0,0616
00818	12.330	45,09	766.532	555.998	1.373	0	0	0	2,50	0,0616
00819	16.412	33,88	767.856	555.998	9.908	0	0	0	2,50	0,0616
00820	30.358	25,33	768.994	1.098.128	17.238	0	0	0	2,50	0,0616
00821	70.621	10,95	773.136	1.596.000	43.933	0	0	0	2,50	0,1181
00890	50.042	11,11	766.319	555.998	76.573	0	0	0	2,50	0,0616
00891	1.888	NS	766.334	555.998	97	0	0	0	2,50	0,0616
00892	24.437	22,75	766.319	555.998	140.992	0	0	0	2,50	0,0616
00893	133.661	4,16	766.319	555.998	97.990	0	0	0	2,50	0,0616
00894	22.382	24,84	766.319	555.998	15.382	0	0	0	2,50	0,0616
00895	5.449	NS	766.441	555.998	789	0	0	0	2,50	0,0616
00896	989	NS	766.593	555.998	1.764	0	0	0	2,50	0,0616
00897	3.020	NS	766.833	555.998	3.310	0	0	0	2,50	0,0616
00898	15.028	37,00	768.075	555.998	11.316	0	0	0	2,50	0,0616
00899	23.186	23,98	773.776	555.998	48.054	0	0	0	2,50	0,0616
00900	16.163	22,31	766.319	360.542	45.569	0	0	0	2,50	0,0616
00901	7.513	67,80	766.319	509.335	41.796	0	0	0	2,50	0,0616
00902	7.095	78,36	766.319	555.998	72.371	0	0	0	2,50	0,0616
01845	83.248	9,21	766.319	1.141.290	186.968	0	0	0	2,50	0,1068
01846	26.032	29,44	766.319	1.911.322	5.689	0	0	0	2,50	0,1385
01847	29.739	25,77	766.319	1.596.000	4.567	0	0	0	2,50	0,1181
01848	71.967	10,65	766.319	910.274	185.722	0	0	0	2,50	0,0616
01849	41.293	13,46	766.319	555.998	80.985	0	0	0	2,50	0,0616
01850	27.385	20,30	766.319	555.998	28.574	0	0	0	2,50	0,0616
01851	13.585	40,93	766.432	555.998	729	0	0	0	2,50	0,0616
01852	18.681	29,76	768.507	555.998	14.102	0	0	0	2,50	0,0616
01853	24.567	22,63	768.182	555.998	12.007	0	0	0	2,50	0,0616
01854	41.933	13,26	766.319	555.998	62.722	0	0	0	2,50	0,0616
01855	2.940	NS	766.319	555.998	7.606	0	0	0	2,50	0,0616
01856	860	NS	767.012	555.998	4.465	0	0	0	2,50	0,0616
01857	14.209	39,13	769.748	555.998	22.096	0	0	0	2,50	0,0616
	ERRORE: Armatura a taglio insufficiente									
Piano primo			**Parete4-P4**				**Parete 4-P4**			
00013	82.852	5,41	766.319	448.388	349.905	0	0	0	2,50	0,1068
00090	6.561	14,29	766.319	93.743	6.401	0	0	0	2,50	0,1181
00233	131.338	1,40	766.319	183.462	403.330	0	0	0	2,50	0,1181
00234	24.096	13,08	766.319	315.094	22.718	0	0	0	2,50	0,1385
00836	202.613	2,74	766.319	555.998	88.897	0	0	0	2,50	0,0616
00837	41.123	13,52	766.319	555.998	30.035	0	0	0	2,50	0,0616

Id_{Nd}	$V_{Ed,2}$	CS	V_{Rcd}	$V_{Rsd,s}$	N_{Ed}	$V_{Rsd,p}$	V_{R1}	V_{fd}	CtgΘ	A_{sw}
	[N]		[N]	[N]	[N]	[N]	[N]	[N]		[cm²/cm]
00838	15.700	35,41	766.319	555.998	8.722	0	0	0	2,50	0,0616
00839	11.196	49,66	766.568	555.998	1.607	0	0	0	2,50	0,0616
00840	15.524	35,82	767.830	555.998	9.739	0	0	0	2,50	0,0616
00841	29.026	26,49	768.940	1.053.871	16.894	0	0	0	2,50	0,1181
00842	67.894	11,38	772.888	1.551.743	42.333	0	0	0	2,50	0,1181
00877	49.903	11,14	766.319	555.998	76.209	0	0	0	2,50	0,0616
00878	1.710	NS	766.319	555.998	490	0	0	0	2,50	0,0616
00879	24.213	22,96	766.319	555.998	143.628	0	0	0	2,50	0,0616
00880	135.187	4,11	766.319	555.998	99.396	0	0	0	2,50	0,0616
00881	22.979	24,20	766.319	555.998	15.979	0	0	0	2,50	0,0616
00882	6.012	92,47	766.403	555.998	543	0	0	0	2,50	0,0616
00883	1.418	NS	766.513	555.998	1.252	0	0	0	2,50	0,0616
00884	3.733	NS	766.825	555.998	3.258	0	0	0	2,50	0,0616
00885	15.703	35,41	768.146	555.998	11.777	0	0	0	2,50	0,0616
00886	23.103	24,07	773.948	555.998	49.163	0	0	0	2,50	0,0616
00887	15.705	22,90	766.319	359.661	50.359	0	0	0	2,50	0,0616
00888	6.517	81,13	766.319	528.705	42.781	0	0	0	2,50	0,0616
00889	6.126	90,77	766.319	555.998	70.999	0	0	0	2,50	0,0616
01832	84.464	9,07	766.319	1.240.865	189.473	0	0	0	2,50	0,1181
01833	25.786	29,72	766.319	1.911.322	8.162	0	0	0	2,50	0,1385
01834	28.417	26,97	766.319	1.551.743	4.527	0	0	0	2,50	0,1181
01835	71.213	7,31	766.319	520.781	184.694	0	0	0	2,50	0,0616
01836	40.306	13,79	766.319	555.998	80.943	0	0	0	2,50	0,0616
01837	25.919	21,45	766.319	555.998	28.546	0	0	0	2,50	0,0616
01838	12.043	46,17	766.440	555.998	781	0	0	0	2,50	0,0616
01839	17.177	32,37	768.488	555.998	13.977	0	0	0	2,50	0,0616
01840	22.958	24,22	768.056	555.998	11.194	0	0	0	2,50	0,0616
01841	43.330	12,83	766.319	555.998	63.043	0	0	0	2,50	0,0616
01842	4.283	NS	766.319	555.998	7.605	0	0	0	2,50	0,0616
01843	2.151	NS	767.245	555.998	5.968	0	0	0	2,50	0,0616
01844	15.666	35,49	769.667	555.998	21.573	0	0	0	2,50	0,0616
Piano primo				**Parete5-P5**			**Parete 5-P5**			
00015	82.747	2,93	766.319	242.776	346.577	0	0	0	2,50	0,1018
00088	5.746	18,00	766.319	103.428	8.432	0	0	0	2,50	0,1181
00239	136.178	1,43	766.319	194.523	413.775	0	0	0	2,50	0,1131
00240	33.508	8,92	766.319	298.987	12.116	0	0	0	2,50	0,1571
00829	200.234	3,83	766.319	1.264.081	87.204	0	0	0	2,50	0,1018
00830	40.367	11,58	766.319	467.484	29.800	0	0	0	2,50	0,0565
00831	14.551	32,13	766.319	467.484	8.053	0	0	0	2,50	0,0565
00832	9.702	48,19	766.628	467.484	1.989	0	0	0	2,50	0,0565
00833	14.118	33,11	767.796	467.484	9.520	0	0	0	2,50	0,0565
00834	26.863	28,62	768.885	1.551.743	16.539	0	0	0	2,50	0,1181
00835	63.861	12,10	772.522	1.551.743	39.976	0	0	0	2,50	0,1181
00916	48.471	9,64	766.319	467.484	76.945	0	0	0	2,50	0,0565
00917	1.667	NS	766.319	467.484	3.239	0	0	0	2,50	0,0565
00918	22.715	20,58	766.319	467.484	150.391	0	0	0	2,50	0,0565
00919	137.729	3,39	766.319	467.484	102.221	0	0	0	2,50	0,0565
00920	23.932	19,53	766.319	467.484	17.031	0	0	0	2,50	0,0565
00921	5.368	87,09	766.319	467.484	42	0	0	0	2,50	0,0565
00922	1.687	NS	766.521	467.484	1.302	0	0	0	2,50	0,0565
00923	4.239	NS	766.726	467.484	2.623	0	0	0	2,50	0,0565
00924	15.135	30,89	768.048	467.484	11.144	0	0	0	2,50	0,0565
00925	22.428	20,84	773.368	467.484	45.428	0	0	0	2,50	0,0565
00926	22.164	14,10	766.319	312.528	33.527	0	0	0	2,50	0,0565
00927	10.057	42,98	766.319	432.267	36.878	0	0	0	2,50	0,0565
00928	7.280	64,22	766.319	467.484	67.464	0	0	0	2,50	0,0565
01871	87.393	8,77	766.319	1.243.121	194.215	0	0	0	2,50	0,1131
01872	28.950	26,47	766.319	2.183.998	2.834	0	0	0	2,50	0,1571
01873	26.112	29,35	766.319	1.551.743	5.000	0	0	0	2,50	0,1181
01874	70.861	10,81	766.319	1.228.863	183.604	0	0	0	2,50	0,1018
01875	39.799	11,75	766.319	467.484	81.675	0	0	0	2,50	0,0565
01876	24.399	19,16	766.319	467.484	28.708	0	0	0	2,50	0,0565
01877	9.916	47,14	766.425	467.484	682	0	0	0	2,50	0,0565
01878	14.634	31,94	768.413	467.484	13.492	0	0	0	2,50	0,0565
01879	20.308	23,02	767.985	467.484	10.740	0	0	0	2,50	0,0565
01880	45.191	10,34	766.319	467.484	64.158	0	0	0	2,50	0,0565
01881	5.817	80,37	766.319	467.484	7.778	0	0	0	2,50	0,0565
01882	3.311	NS	767.179	467.484	5.541	0	0	0	2,50	0,0565
01883	15.172	30,81	769.516	467.484	20.605	0	0	0	2,50	0,0565
Piano primo				**Parete7-P6**			**Parete 7-P6**			
00185	25.651	29,87	766.319	913.903	31.923	0	0	0	2,50	0,1068
00282	5.974	65,82	766.548	393.224	1.479	0	0	0	2,50	0,0616
00283	27.850	24,22	788.786	674.424	144.789	0	0	0	2,50	0,1068
00284	23.582	21,70	768.747	511.741	15.648	0	0	0	2,50	0,0616
00958	20.000	25,59	769.205	511.741	18.598	0	0	0	2,50	0,0616
00959	9.854	51,93	766.319	511.741	2.411	0	0	0	2,50	0,0616
00960	1.804	NS	766.319	511.741	20.243	0	0	0	2,50	0,0616
00961	15.774	32,44	766.319	511.741	33.161	0	0	0	2,50	0,0616
01032	31.584	16,20	766.319	511.741	18.700	0	0	0	2,50	0,0616
01033	30.483	16,79	766.319	511.741	10.518	0	0	0	2,50	0,0616
01034	24.414	20,96	766.319	511.741	10.405	0	0	0	2,50	0,0616

Id_{Nd}	$V_{Ed,2}$	CS	V_{Rcd}	$V_{Rsd,s}$	N_{Ed}	$V_{Rsd,p}$	V_{R1}	V_{fd}	CtgΘ	A_{sw}
	[N]		[N]	[N]	[N]	[N]	[N]	[N]		[cm²/cm]
01035	16.037	31,91	766.319	511.741	4.340	0	0	0	2,50	0,0616
01036	5.062	NS	766.319	511.741	2.047	0	0	0	2,50	0,0616
01037	5.677	90,15	766.824	511.741	3.258	0	0	0	2,50	0,0616
01038	14.086	36,33	768.096	511.741	11.451	0	0	0	2,50	0,0616
01039	66.023	11,79	778.113	910.039	76.007	0	0	0	2,50	0,0616
01040	43.887	11,66	766.319	511.741	33.807	0	0	0	2,50	0,0616
01041	8.474	60,39	771.189	511.741	31.387	0	0	0	2,50	0,0616
01042	19.389	26,39	768.300	511.741	12.765	0	0	0	2,50	0,0616
01043	26.963	18,98	768.491	511.741	13.999	0	0	0	2,50	0,0616
02004	14.307	35,77	766.319	511.741	1.672	0	0	0	2,50	0,0616
02005	34.244	14,94	773.924	511.741	49.012	0	0	0	2,50	0,0616
02006	22.060	23,20	768.902	511.741	16.647	0	0	0	2,50	0,0616
02007	25.050	20,43	766.319	511.741	26.113	0	0	0	2,50	0,0616
02008	22.483	22,76	766.319	511.741	18.716	0	0	0	2,50	0,0616
02009	2.481	NS	766.319	511.741	3.530	0	0	0	2,50	0,0616
02010	18.130	28,23	769.789	511.741	22.363	0	0	0	2,50	0,0616
02011	16.024	31,94	766.319	511.741	2.902	0	0	0	2,50	0,0616
02012	16.836	30,40	769.206	511.741	18.606	0	0	0	2,50	0,0616
Piano primo			**Parete10-11**				**Parete 10-11**			
00097	31.780	8,44	768.568	268.335	14.493	0	0	0	2,50	0,0452
00100	19.195	13,98	766.319	268.335	9.367	0	0	0	2,50	0,0452
00179	9.313	55,45	766.319	516.421	67.355	0	0	0	2,50	0,0905
00180	5.834	70,40	766.319	410.769	37.611	0	0	0	2,50	0,0905
00295	9.306	82,35	766.319	777.029	912	0	0	0	2,50	0,0905
00296	10.701	1,38	766.319	14.770	1.676	0	0	0	2,50	0,0452
00367	15.590	17,21	768.896	268.335	16.610	0	0	0	2,50	0,0452
00368	774	NS	768.493	268.335	14.012	0	0	0	2,50	0,0452
00369	3.488	76,93	767.591	268.335	8.197	0	0	0	2,50	0,0452
00370	4.443	60,39	767.183	268.335	5.568	0	0	0	2,50	0,0452
00371	7.738	34,68	767.489	268.335	7.538	0	0	0	2,50	0,0452
00372	17.503	15,33	767.899	268.335	10.183	0	0	0	2,50	0,0452
00665	100.361	2,67	773.822	268.335	48.354	0	0	0	2,50	0,0452
00666	92.708	8,32	771.378	1.064.932	32.606	0	0	0	2,50	0,0905
01044	16.957	15,82	766.319	268.335	7.940	0	0	0	2,50	0,0452
01045	12.072	22,23	766.319	268.335	12.693	0	0	0	2,50	0,0452
01046	5.757	46,61	766.319	268.335	16.840	0	0	0	2,50	0,0452
01047	6.928	38,73	766.319	268.335	20.576	0	0	0	2,50	0,0452
01048	15.245	17,60	766.319	268.335	13.529	0	0	0	2,50	0,0452
01049	15.558	17,25	766.319	268.335	7.279	0	0	0	2,50	0,0452
01050	41.978	6,39	766.319	268.335	141.805	0	0	0	2,50	0,0452
01051	6.326	42,42	766.319	268.335	50.596	0	0	0	2,50	0,0452
01052	194	NS	766.319	268.335	36.566	0	0	0	2,50	0,0452
01053	5.737	46,77	766.319	268.335	39.842	0	0	0	2,50	0,0452
01054	17.486	15,35	766.319	268.335	73.822	0	0	0	2,50	0,0452
01055	68.176	3,94	766.319	268.335	219.782	0	0	0	2,50	0,0452
01796	6.853	39,16	766.319	268.335	3.131	0	0	0	2,50	0,0452
01797	10.048	26,71	766.589	268.335	1.741	0	0	0	2,50	0,0452
01798	14.620	18,35	767.720	268.335	9.026	0	0	0	2,50	0,0452
01799	30.048	8,93	771.758	268.335	35.051	0	0	0	2,50	0,0452
01800	8.198	32,73	766.319	268.335	1.138	0	0	0	2,50	0,0452
01801	8.883	30,21	766.786	268.335	3.012	0	0	0	2,50	0,0452
01802	14.984	17,91	767.489	268.335	7.541	0	0	0	2,50	0,0452
01803	41.328	6,49	773.297	268.335	44.967	0	0	0	2,50	0,0452
02013	11.658	23,02	766.319	268.335	1.357	0	0	0	2,50	0,0452
02014	19.687	38,92	766.319	1.064.932	15.589	0	0	0	2,50	0,0905
02015	16.873	45,42	766.319	1.064.932	56.463	0	0	0	2,50	0,0905
02016	12.074	22,22	766.319	268.335	1.464	0	0	0	2,50	0,0452
02017	14.289	18,78	766.319	268.335	3.980	0	0	0	2,50	0,0452
02018	17.901	14,99	767.802	268.335	9.558	0	0	0	2,50	0,0452
02019	15.088	17,78	770.365	268.335	26.072	0	0	0	2,50	0,0452
02020	9.838	27,28	766.319	268.335	25.024	0	0	0	2,50	0,0452
02021	6.738	39,82	766.630	268.335	2.004	0	0	0	2,50	0,0452
02022	3.729	71,95	769.230	268.335	18.762	0	0	0	2,50	0,0452
02023	6.985	38,41	766.319	268.335	3.938	0	0	0	2,50	0,0452
02024	6.204	43,25	766.319	268.335	9.126	0	0	0	2,50	0,0452
02025	7.509	35,74	768.015	268.335	10.931	0	0	0	2,50	0,0452
02026	7.081	37,89	768.382	268.335	13.298	0	0	0	2,50	0,0452
02027	4.001	67,06	766.319	268.335	17.568	0	0	0	2,50	0,0452
02028	14.095	19,04	766.489	268.335	1.097	0	0	0	2,50	0,0452
02029	20.000	13,42	768.860	268.335	16.372	0	0	0	2,50	0,0452
02030	15.899	16,88	766.522	268.335	1.306	0	0	0	2,50	0,0452
02839	26.026	10,31	774.284	268.335	51.331	0	0	0	2,50	0,0452
02840	22.259	11,11	770.442	247.205	26.568	0	0	0	2,50	0,0452
Piano primo			**Parete32-P10**				**Parete 32-P10**			
00244	102.775	1,37	766.319	141.201	343.441	0	0	0	2,50	0,1181
00245	11.334	16,77	767.525	190.072	7.773	0	0	0	2,50	0,1385
00292	10.510	8,92	766.319	93.770	1.279	0	0	0	2,50	0,0616
00293	13.542	26,10	768.656	353.498	15.063	0	0	0	2,50	0,0616
00795	9.929	56,00	766.491	555.998	1.106	0	0	0	2,50	0,0616
00796	2.064	NS	766.319	555.998	2.701	0	0	0	2,50	0,0616
00797	3.078	NS	766.319	555.998	4.320	0	0	0	2,50	0,0616

Id_{Nd}	$V_{Ed,2}$	CS	V_{Rcd}	$V_{Rsd,s}$	N_{Ed}	$V_{Rsd,p}$	V_{R1}	V_{fd}	CtgΘ	A_{sw}
	[N]		[N]	[N]	[N]	[N]	[N]	[N]		[cm²/cm]
00798	10.506	52,92	766.319	555.998	4.128	0	0	0	2,50	0,0616
00799	8.025	69,28	766.319	555.998	4.900	0	0	0	2,50	0,0616
00800	5.134	NS	766.423	555.998	668	0	0	0	2,50	0,0616
00801	6.097	91,19	766.319	555.998	6.656	0	0	0	2,50	0,0616
00903	30.941	17,97	768.149	555.998	11.795	0	0	0	2,50	0,0616
00904	43.144	12,89	768.758	555.998	15.715	0	0	0	2,50	0,0616
00905	36.823	15,10	766.319	555.998	133.027	0	0	0	2,50	0,0616
00906	112.645	6,80	766.319	1.416.951	73.237	0	0	0	2,50	0,1181
00907	21.064	26,40	766.319	555.998	14.055	0	0	0	2,50	0,0616
00908	13.570	40,97	766.746	555.998	2.753	0	0	0	2,50	0,0616
00909	6.640	83,74	766.806	555.998	3.137	0	0	0	2,50	0,0616
00910	9.715	57,23	767.236	555.998	5.912	0	0	0	2,50	0,0616
00911	17.661	31,48	768.668	555.998	15.139	0	0	0	2,50	0,0616
00912	21.727	20,73	773.311	450.346	45.058	0	0	0	2,50	0,0616
00913	4.132	97,69	766.319	403.683	18.144	0	0	0	2,50	0,0616
00914	16.627	33,44	766.319	555.998	5.560	0	0	0	2,50	0,0616
00915	13.904	39,99	767.012	555.998	4.464	0	0	0	2,50	0,0616
01858	64.131	11,95	766.319	1.214.451	159.451	0	0	0	2,50	0,1181
01859	21.441	35,75	766.562	1.832.083	1.569	0	0	0	2,50	0,1385
01860	1.025	NS	767.392	555.998	6.917	0	0	0	2,50	0,0616
01861	12.162	45,72	766.319	555.998	128	0	0	0	2,50	0,0616
01862	6.444	86,28	766.319	555.998	18.217	0	0	0	2,50	0,0616
01863	9.860	56,39	766.319	555.998	14.213	0	0	0	2,50	0,0616
01864	18.513	30,03	766.319	555.998	1.492	0	0	0	2,50	0,0616
01865	14.247	39,03	767.007	555.998	4.433	0	0	0	2,50	0,0616
01866	5.360	NS	767.221	555.998	5.814	0	0	0	2,50	0,0616
01867	38.311	14,51	766.319	555.998	35.480	0	0	0	2,50	0,0616
01868	21.252	26,16	766.319	555.998	2.868	0	0	0	2,50	0,0616
01869	19.259	28,87	766.680	555.998	2.328	0	0	0	2,50	0,0616
01870	29.699	18,72	767.973	555.998	10.662	0	0	0	2,50	0,0616
Piano primo			**Parete33-P11**				**Parete 33-P11**			
00031	72.660	4,75	766.319	345.377	315.818	0	0	0	2,50	0,1068
00112	810	NS	766.319	164.413	3.592	0	0	0	2,50	0,1232
00250	97.434	1,76	766.319	171.931	294.405	0	0	0	2,50	0,1068
00251	24.524	8,97	766.319	220.007	13.096	0	0	0	2,50	0,1385
01115	46.375	11,99	766.319	555.998	67.111	0	0	0	2,50	0,0616
01116	1.532	NS	766.319	555.998	168	0	0	0	2,50	0,0616
01117	19.548	28,44	766.319	555.998	101.260	0	0	0	2,50	0,0616
01118	101.413	5,48	766.319	555.998	71.921	0	0	0	2,50	0,0616
01119	15.329	36,27	766.319	555.998	9.088	0	0	0	2,50	0,0616
01120	2.066	NS	766.619	555.998	1.931	0	0	0	2,50	0,0616
01121	916	NS	766.693	555.998	2.409	0	0	0	2,50	0,0616
01122	1.293	NS	766.890	555.998	3.677	0	0	0	2,50	0,0616
01123	8.831	62,96	767.405	555.998	6.998	0	0	0	2,50	0,0616
01124	14.106	39,42	771.356	555.998	32.459	0	0	0	2,50	0,0616
01125	14.381	24,64	766.319	354.379	32.453	0	0	0	2,50	0,0616
01126	11.497	45,91	766.319	527.824	34.012	0	0	0	2,50	0,0616
01127	11.943	46,55	766.319	555.998	67.674	0	0	0	2,50	0,0616
01128	65.739	8,46	772.593	555.998	40.432	0	0	0	2,50	0,0616
01129	30.442	18,26	768.530	555.998	14.249	0	0	0	2,50	0,0616
01130	17.986	30,91	767.611	555.998	8.327	0	0	0	2,50	0,0616
01131	14.391	38,63	766.319	555.998	453	0	0	0	2,50	0,0616
01132	18.556	29,96	766.319	555.998	9.991	0	0	0	2,50	0,0616
01133	39.246	14,17	766.319	555.998	26.034	0	0	0	2,50	0,0616
01134	183.345	3,03	766.319	555.998	82.438	0	0	0	2,50	0,0616
02079	62.125	12,34	766.319	1.185.312	139.225	0	0	0	2,50	0,1068
02080	18.184	42,14	766.319	1.911.322	4.254	0	0	0	2,50	0,1385
02081	28.300	27,08	766.319	1.596.000	7.663	0	0	0	2,50	0,1232
02082	63.944	11,98	766.319	1.317.377	163.840	0	0	0	2,50	0,1068
02083	38.561	14,42	766.319	555.998	68.174	0	0	0	2,50	0,0616
02084	30.175	18,43	766.319	555.998	23.801	0	0	0	2,50	0,0616
02085	19.272	28,85	766.358	555.998	252	0	0	0	2,50	0,0616
02086	22.534	24,67	768.016	555.998	10.938	0	0	0	2,50	0,0616
02087	26.589	20,91	767.764	555.998	9.310	0	0	0	2,50	0,0616
02088	27.725	20,05	766.319	555.998	49.897	0	0	0	2,50	0,0616
02089	4.392	NS	766.319	555.998	6.204	0	0	0	2,50	0,0616
02090	6.173	90,07	767.107	555.998	5.081	0	0	0	2,50	0,0616
02091	3.005	NS	768.412	555.998	13.487	0	0	0	2,50	0,0616
Piano primo			**Parete34-P12**				**Parete 34-P12**			
00033	69.522	4,84	766.319	336.573	289.490	0	0	0	2,50	0,1068
00079	4.638	31,02	766.319	143.843	1.766	0	0	0	2,50	0,1181
00256	150.579	1,64	766.319	246.529	472.115	0	0	0	2,50	0,1232
00257	29.662	7,54	766.319	223.528	10.271	0	0	0	2,50	0,1385
01095	34.019	16,34	766.319	555.998	55.004	0	0	0	2,50	0,0616
01096	19.318	28,78	767.470	555.998	7.421	0	0	0	2,50	0,0616
01097	36.602	15,19	766.319	555.998	170.248	0	0	0	2,50	0,0616
01098	157.528	3,31	766.319	520.781	113.454	0	0	0	2,50	0,0616
01099	27.318	20,35	766.319	555.998	19.262	0	0	0	2,50	0,0616
01100	9.752	57,02	766.490	555.998	1.102	0	0	0	2,50	0,0616
01101	3.294	NS	766.676	555.998	2.298	0	0	0	2,50	0,0616
01102	6.598	84,27	767.013	555.998	4.473	0	0	0	2,50	0,0616

Id_{Nd}	$V_{Ed,2}$	CS	V_{Rcd}	$V_{Rsd,s}$	N_{Ed}	$V_{Rsd,p}$	V_{R1}	V_{fd}	CtgΘ	A_{sw}
	[N]		[N]	[N]	[N]	[N]	[N]	[N]		[cm²/cm]
01103	19.300	28,81	768.687	555.998	15.258	0	0	0	2,50	0,0616
01104	27.996	19,86	775.248	555.998	57.546	0	0	0	2,50	0,0616
01105	17.780	19,29	766.319	342.933	42.401	0	0	0	2,50	0,0616
01106	2.703	NS	766.319	520.781	38.029	0	0	0	2,50	0,0616
01107	4.925	NS	766.319	555.998	63.786	0	0	0	2,50	0,0616
01108	58.254	13,25	771.658	1.053.871	34.405	0	0	0	2,50	0,1181
01109	23.217	23,95	768.692	555.998	15.293	0	0	0	2,50	0,0616
01110	10.379	53,57	767.419	555.998	7.091	0	0	0	2,50	0,0616
01111	5.760	96,53	766.379	555.998	387	0	0	0	2,50	0,0616
01112	11.721	47,44	766.319	555.998	8.534	0	0	0	2,50	0,0616
01113	35.212	15,79	766.319	555.998	27.299	0	0	0	2,50	0,0616
01114	173.835	3,20	766.319	555.998	77.013	0	0	0	2,50	0,0616
02066	95.437	8,03	766.319	1.376.127	221.159	0	0	0	2,50	0,1232
02067	31.597	24,25	766.319	1.911.322	2.995	0	0	0	2,50	0,1385
02068	23.715	32,31	766.319	1.452.169	2.866	0	0	0	2,50	0,1181
02069	62.682	12,23	766.319	936.688	153.486	0	0	0	2,50	0,1068
02070	36.800	15,11	766.319	555.998	74.363	0	0	0	2,50	0,0616
02071	18.931	29,37	766.319	555.998	29.236	0	0	0	2,50	0,0616
02072	3.940	NS	766.361	555.998	272	0	0	0	2,50	0,0616
02073	9.563	58,14	768.436	555.998	13.642	0	0	0	2,50	0,0616
02074	17.885	31,09	768.226	555.998	12.291	0	0	0	2,50	0,0616
02075	50.041	11,11	766.319	555.998	66.696	0	0	0	2,50	0,0616
02076	11.096	50,11	766.319	555.998	7.478	0	0	0	2,50	0,0616
02077	8.765	63,43	767.232	555.998	5.882	0	0	0	2,50	0,0616
02078	23.390	23,77	769.873	555.998	22.902	0	0	0	2,50	0,0616
Piano primo			**Parete35-P13**				**Parete 35-P13**			
00035	103.905	1,76	766.319	183.377	439.068	0	0	0	2,50	0,1068
00113	3.309	41,36	766.319	136.885	5.274	0	0	0	2,50	0,1181
00262	152.665	1,63	766.319	249.170	470.699	0	0	0	2,50	0,1232
00263	34.433	6,85	766.319	235.854	21.176	0	0	0	2,50	0,1385
01155	61.952	8,97	766.319	555.998	91.717	0	0	0	2,50	0,0616
01156	3.087	NS	766.806	555.998	3.138	0	0	0	2,50	0,0616
01157	32.956	16,87	766.319	555.998	161.340	0	0	0	2,50	0,0616
01158	160.320	3,25	766.319	520.781	116.676	0	0	0	2,50	0,0616
01159	25.560	21,75	766.319	555.998	17.025	0	0	0	2,50	0,0616
01160	4.943	NS	766.636	555.998	2.046	0	0	0	2,50	0,0616
01161	380	NS	766.681	555.998	2.335	0	0	0	2,50	0,0616
01162	1.199	NS	766.852	555.998	3.433	0	0	0	2,50	0,0616
01163	15.425	36,05	768.218	555.998	12.237	0	0	0	2,50	0,0616
01164	23.997	23,17	774.621	555.998	53.502	0	0	0	2,50	0,0616
01165	21.088	15,39	766.319	324.444	51.378	0	0	0	2,50	0,0616
01166	12.830	38,53	766.319	494.368	50.026	0	0	0	2,50	0,0616
01167	12.715	43,73	766.319	555.998	92.625	0	0	0	2,50	0,0616
01168	89.423	8,67	775.038	1.551.743	56.192	0	0	0	2,50	0,1181
01169	39.799	13,97	769.558	555.998	20.877	0	0	0	2,50	0,0616
01170	22.146	25,11	768.193	555.998	12.075	0	0	0	2,50	0,0616
01171	18.307	30,37	766.400	555.998	520	0	0	0	2,50	0,0616
01172	23.076	24,09	766.319	555.998	13.164	0	0	0	2,50	0,0616
01173	54.222	10,25	766.319	555.998	37.619	0	0	0	2,50	0,0616
01174	256.938	2,03	766.319	520.781	115.701	0	0	0	2,50	0,0616
02105	97.779	7,84	766.319	1.358.518	221.984	0	0	0	2,50	0,1232
02106	29.413	26,05	766.319	1.911.322	6.710	0	0	0	2,50	0,1385
02107	37.967	20,18	766.319	1.551.743	8.488	0	0	0	2,50	0,1181
02108	90.595	8,46	766.319	1.220.529	229.905	0	0	0	2,50	0,1068
02109	53.622	10,37	766.319	555.998	98.830	0	0	0	2,50	0,0616
02110	38.674	14,38	766.319	555.998	35.422	0	0	0	2,50	0,0616
02111	21.919	25,37	766.391	555.998	462	0	0	0	2,50	0,0616
02112	27.213	20,43	768.884	555.998	16.531	0	0	0	2,50	0,0616
02113	33.618	16,54	768.507	555.998	14.100	0	0	0	2,50	0,0616
02114	47.231	11,77	766.319	555.998	75.984	0	0	0	2,50	0,0616
02115	734	NS	766.319	555.998	7.865	0	0	0	2,50	0,0616
02116	3.607	NS	767.449	555.998	7.280	0	0	0	2,50	0,0616
02117	10.347	53,73	770.371	555.998	26.112	0	0	0	2,50	0,0616
Piano primo			**Parete36-P14**				**Parete 36-P14**			
00037	108.171	2,09	766.319	225.638	430.708	0	0	0	2,50	0,1068
00114	11.679	12,17	766.319	142.167	23.176	0	0	0	2,50	0,1181
00268	178.300	1,72	766.319	306.289	687.382	0	0	0	2,50	0,1385
00269	6.767	12,98	766.319	87.815	75.604	0	0	0	2,50	0,1181
01135	49.095	11,33	766.319	555.998	80.711	0	0	0	2,50	0,0616
01136	29.265	19,00	769.321	555.998	19.347	0	0	0	2,50	0,0616
01137	67.398	7,99	766.319	538.389	232.218	0	0	0	2,50	0,0616
01138	213.637	3,59	766.319	1.876.104	159.413	0	0	0	2,50	0,1385
01139	36.510	15,23	766.319	555.998	25.012	0	0	0	2,50	0,0616
01140	12.584	44,18	766.852	555.998	3.437	0	0	0	2,50	0,0616
01141	3.631	NS	766.853	555.998	3.440	0	0	0	2,50	0,0616
01142	7.981	69,66	767.690	555.998	8.834	0	0	0	2,50	0,0616
01143	29.325	18,96	770.090	555.998	24.303	0	0	0	2,50	0,0616
01144	36.362	21,47	780.754	1.596.000	93.023	0	0	0	2,50	0,1181
01145	5.366	54,72	766.319	293.629	129.626	0	0	0	2,50	0,0616
01146	10.287	47,63	766.319	489.965	59.060	0	0	0	2,50	0,0616
01147	3.895	NS	766.319	555.998	75.040	0	0	0	2,50	0,0616

Id_{Nd}	$V_{Ed,2}$	CS	V_{Rcd}	$V_{Rsd,s}$	N_{Ed}	$V_{Rsd,p}$	V_{R1}	V_{fd}	CtgΘ	A_{sw}
	[N]		[N]	[N]	[N]	[N]	[N]	[N]		[cm²/cm]
01148	85.540	9,06	774.662	1.551.743	53.769	0	0	0	2,50	0,1181
01149	38.302	14,52	769.677	555.998	21.637	0	0	0	2,50	0,0616
01150	18.427	30,17	768.040	555.998	11.094	0	0	0	2,50	0,0616
01151	12.435	44,71	766.319	555.998	374	0	0	0	2,50	0,0616
01152	19.913	27,92	766.319	555.998	14.520	0	0	0	2,50	0,0616
01153	54.272	10,24	766.319	555.998	41.182	0	0	0	2,50	0,0616
01154	261.173	1,99	766.319	520.781	119.170	0	0	0	2,50	0,0616
02092	153.844	4,98	766.319	1.523.930	321.938	0	0	0	2,50	0,1385
02093	31.083	24,65	766.319	1.596.000	33.361	0	0	0	2,50	0,1181
02094	37.897	20,22	766.319	1.551.743	10.327	0	0	0	2,50	0,1181
02095	94.420	8,12	766.319	1.246.942	228.794	0	0	0	2,50	0,1068
02096	55.586	10,00	766.319	555.998	107.847	0	0	0	2,50	0,0616
02097	32.634	17,04	766.319	555.998	42.503	0	0	0	2,50	0,0616
02098	11.981	46,41	766.445	555.998	811	0	0	0	2,50	0,0616
02099	20.486	27,14	769.438	555.998	20.103	0	0	0	2,50	0,0616
02100	30.630	18,15	768.134	555.998	11.700	0	0	0	2,50	0,0616
02101	69.445	8,01	766.319	555.998	95.515	0	0	0	2,50	0,0616
02102	11.994	46,36	766.319	555.998	10.372	0	0	0	2,50	0,0616
02103	9.607	57,87	767.719	555.998	9.022	0	0	0	2,50	0,0616
02104	33.884	16,41	771.201	555.998	31.463	0	0	0	2,50	0,0616
Piano primo			**Parete P15-41**				**Parete P15-41**			
00111	41.321	3,97	766.319	164.124	41.566	0	0	0	2,50	0,1335
00276	14.538	16,05	766.319	233.289	8.682	0	0	0	2,50	0,0565
00277	8.347	3,90	767.156	32.550	5.392	0	0	0	2,50	0,0565
00278	20.605	7,57	766.319	155.965	53.049	0	0	0	2,50	0,1335
01075	34.973	13,37	766.319	467.484	10.154	0	0	0	2,50	0,0565
01076	38.925	12,01	766.319	467.484	15.752	0	0	0	2,50	0,0565
01077	33.597	13,91	766.319	467.484	8.105	0	0	0	2,50	0,0565
01078	19.440	24,05	766.443	467.484	797	0	0	0	2,50	0,0565
01079	17.218	27,15	766.719	467.484	2.579	0	0	0	2,50	0,0565
01080	25.636	18,24	766.319	467.484	10.333	0	0	0	2,50	0,0565
01081	14.457	32,34	766.319	467.484	8.163	0	0	0	2,50	0,0565
01082	12.390	37,73	766.319	467.484	11.925	0	0	0	2,50	0,0565
01083	10.126	46,17	766.319	467.484	11.590	0	0	0	2,50	0,0565
01084	2.357	NS	766.319	1.687.276	9.650	0	0	0	2,50	0,1335
01085	39.084	10,16	766.319	397.050	30.889	0	0	0	2,50	0,0565
01086	70.215	6,66	766.319	467.484	83.954	0	0	0	2,50	0,0565
01087	52.956	8,50	766.319	449.876	179.181	0	0	0	2,50	0,0565
01088	119.698	6,60	789.523	1.145.146	149.540	0	0	0	2,50	0,1335
01089	42.987	10,88	771.197	467.484	31.435	0	0	0	2,50	0,0565
01090	23.926	19,54	770.180	467.484	24.884	0	0	0	2,50	0,0565
01091	21.475	21,77	768.605	467.484	14.732	0	0	0	2,50	0,0565
01092	10.898	42,90	766.875	467.484	3.583	0	0	0	2,50	0,0565
01093	16.722	27,96	768.111	467.484	11.552	0	0	0	2,50	0,0565
01094	901	NS	766.319	467.484	10.639	0	0	0	2,50	0,0565
02053	23.940	19,53	766.344	467.484	161	0	0	0	2,50	0,0565
02054	12.790	59,91	766.319	1.687.276	8.035	0	0	0	2,50	0,1335
02055	28.552	26,84	766.319	1.634.215	52.498	0	0	0	2,50	0,1335
02056	23.033	20,30	767.345	467.484	6.615	0	0	0	2,50	0,0565
02057	39.660	11,79	766.319	467.484	5.813	0	0	0	2,50	0,0565
02058	35.390	13,21	766.665	467.484	2.231	0	0	0	2,50	0,0565
02059	38.343	12,19	767.189	467.484	5.604	0	0	0	2,50	0,0565
02060	45.664	10,24	768.676	467.484	15.189	0	0	0	2,50	0,0565
02061	38.842	12,04	767.265	467.484	6.100	0	0	0	2,50	0,0565
02062	38.260	12,22	766.319	467.484	2.112	0	0	0	2,50	0,0565
02063	37.560	12,45	766.319	467.484	1.164	0	0	0	2,50	0,0565
02064	31.540	14,82	767.177	467.484	5.533	0	0	0	2,50	0,0565
02065	30.593	15,28	769.260	467.484	18.953	0	0	0	2,50	0,0565
Piano primo			**Parete 38-39**				**Parete 38-39**			
00108	29.414	6,34	766.319	186.605	58.163	0	0	0	2,50	0,1385
00109	117.997	2,02	766.319	238.889	164.014	0	0	0	2,50	0,1956
00191	82.573	9,28	766.319	2.159.117	247.682	0	0	0	2,50	0,1956
00286	37.913	8,16	766.319	309.476	4.597	0	0	0	2,50	0,0616
00287	6.557	43,97	766.319	288.346	3.440	0	0	0	2,50	0,0616
01006	11.091	50,13	766.319	555.998	9.811	0	0	0	2,50	0,0616
01007	2.499	NS	766.319	555.998	14.698	0	0	0	2,50	0,0616
01008	12.562	44,26	766.319	555.998	38.511	0	0	0	2,50	0,0616
01009	37.074	15,00	766.319	555.998	54.589	0	0	0	2,50	0,0616
01010	58.983	9,43	766.319	555.998	55.891	0	0	0	2,50	0,0616
01011	62.338	8,92	766.319	555.998	24.604	0	0	0	2,50	0,0616
01012	23.132	24,04	766.319	555.998	15.728	0	0	0	2,50	0,0616
01013	23.802	23,36	766.319	555.998	7.735	0	0	0	2,50	0,0616
01014	30.960	17,96	767.296	555.998	6.299	0	0	0	2,50	0,0616
01015	30.005	18,53	767.953	555.998	10.532	0	0	0	2,50	0,0616
01016	48.012	11,58	770.103	555.998	24.387	0	0	0	2,50	0,0616
01017	88.498	6,28	774.654	555.998	53.716	0	0	0	2,50	0,0616
01018	98.678	8,04	793.865	2.916.291	177.518	0	0	0	2,50	0,1956
01019	160.533	4,77	766.319	2.378.345	437.972	0	0	0	2,50	0,1956
01020	67.429	7,67	766.319	517.259	95.565	0	0	0	2,50	0,0616
01021	44.104	12,61	766.319	555.998	68.746	0	0	0	2,50	0,0616
01022	8.369	66,43	766.319	555.998	27.291	0	0	0	2,50	0,0616

Id_{Nd}	$V_{Ed,2}$	CS	V_{Rcd}	$V_{Rsd,s}$	N_{Ed}	$V_{Rsd,p}$	V_{R1}	V_{fd}	CtgΘ	A_{sw}
	[N]		[N]	[N]	[N]	[N]	[N]	[N]		[cm²/cm]
01023	16.331	34,05	766.319	555.998	64.907	0	0	0	2,50	0,0616
01024	33.834	16,17	766.319	547.194	131.408	0	0	0	2,50	0,0616
01025	73.009	7,62	775.005	555.998	55.979	0	0	0	2,50	0,0616
01026	31.858	17,45	769.736	555.998	22.018	0	0	0	2,50	0,0616
01027	16.393	33,92	768.218	555.998	12.241	0	0	0	2,50	0,0616
01028	5.844	95,15	766.975	555.998	4.228	0	0	0	2,50	0,0616
01029	2.879	NS	766.536	555.998	1.402	0	0	0	2,50	0,0616
01030	2.166	NS	766.347	555.998	179	0	0	0	2,50	0,0616
01031	2.826	NS	766.425	555.998	681	0	0	0	2,50	0,0616
01982	42.128	13,20	766.319	555.998	6.297	0	0	0	2,50	0,0616
01983	20.112	38,10	766.319	2.678.574	124.011	0	0	0	2,50	0,1956
01984	20.609	37,18	766.319	1.758.181	40.291	0	0	0	2,50	0,1385
01985	5.181	NS	766.319	555.998	3.782	0	0	0	2,50	0,0616
01986	3.004	NS	766.319	555.998	8.796	0	0	0	2,50	0,0616
01987	3.594	NS	766.319	555.998	379	0	0	0	2,50	0,0616
01988	4.365	NS	767.505	555.998	7.644	0	0	0	2,50	0,0616
01989	14.755	37,68	769.260	555.998	18.955	0	0	0	2,50	0,0616
01990	20.929	26,57	766.558	555.998	1.542	0	0	0	2,50	0,0616
01991	18.476	30,09	766.319	555.998	15.016	0	0	0	2,50	0,0616
01992	20.549	27,06	767.751	555.998	9.227	0	0	0	2,50	0,0616
01993	14.275	38,95	770.418	555.998	26.413	0	0	0	2,50	0,0616
01994	2.267	NS	770.364	555.998	26.071	0	0	0	2,50	0,0616
01995	38.539	14,43	766.319	555.998	35.515	0	0	0	2,50	0,0616
01996	42.471	13,09	766.319	555.998	1.841	0	0	0	2,50	0,0616
01997	42.123	13,20	769.680	555.998	21.658	0	0	0	2,50	0,0616
01998	35.522	15,65	772.269	555.998	38.346	0	0	0	2,50	0,0616
01999	22.232	25,01	769.379	555.998	19.720	0	0	0	2,50	0,0616
02000	48.388	11,49	766.319	555.998	11.568	0	0	0	2,50	0,0616
02001	46.733	11,90	767.511	555.998	7.679	0	0	0	2,50	0,0616
02002	62.688	8,87	770.240	555.998	25.270	0	0	0	2,50	0,0616
02003	108.985	5,10	772.466	555.998	39.613	0	0	0	2,50	0,0616
Piano primo			**Parete1-P8**				**Parete 1-P8**			
00002	10.284	74,61	767.303	1.011.230	6.341	0	0	0	2,50	0,1005
00105	6.215	91,16	767.608	566.611	8.306	0	0	0	2,50	0,1005
00205	4.045	NS	769.521	1.064.937	20.633	0	0	0	2,50	0,1005
00206	35.980	18,00	766.319	647.611	53.826	0	0	0	2,50	0,1005
00288	43.297	17,70	766.319	2.621.014	127.247	0	0	0	2,50	0,1458
00294	47.991	11,88	766.319	570.133	143.053	0	0	0	2,50	0,1005
00341	72.671	9,47	766.319	688.322	501.534	0	0	0	2,50	0,3016
00342	28.624	26,77	766.319	1.767.401	166.381	0	0	0	2,50	0,5027
00788	8.093	94,78	767.029	1.064.937	4.576	0	0	0	2,50	0,1005
00789	5.093	NS	766.319	1.064.937	27	0	0	0	2,50	0,1005
00790	2.086	NS	766.941	1.064.937	4.007	0	0	0	2,50	0,1005
00791	3.410	NS	766.492	1.064.937	1.114	0	0	0	2,50	0,1005
00792	1.815	NS	766.319	1.064.937	1.610	0	0	0	2,50	0,1005
00793	2.147	NS	766.487	1.064.937	1.085	0	0	0	2,50	0,1005
00794	4.733	NS	766.319	1.064.937	629	0	0	0	2,50	0,1005
01056	14.171	54,18	767.825	1.064.937	9.703	0	0	0	2,50	0,1005
01057	11.438	67,13	767.910	1.064.937	10.253	0	0	0	2,50	0,1005
01058	10.523	72,87	766.808	1.064.937	3.153	0	0	0	2,50	0,1005
01059	4.763	NS	766.560	1.064.937	1.551	0	0	0	2,50	0,1005
01060	21.015	36,52	767.460	1.064.937	7.354	0	0	0	2,50	0,1005
01061	45.347	16,90	766.319	4.594.811	149.374	0	0	0	2,50	0,3016
01062	132.986	5,76	766.319	3.636.898	159.668	0	0	0	2,50	0,3016
01063	30.485	25,14	766.319	1.064.937	22.791	0	0	0	2,50	0,1005
01064	22.564	33,96	766.339	1.064.937	132	0	0	0	2,50	0,1005
01065	14.229	53,88	766.673	1.064.937	2.284	0	0	0	2,50	0,1005
01066	26.892	28,55	767.844	1.064.937	9.831	0	0	0	2,50	0,1005
01067	45.471	16,97	771.485	1.064.937	33.292	0	0	0	2,50	0,1005
01068	42.474	18,64	791.534	5.565.596	162.494	0	0	0	2,50	0,5027
01069	72.369	10,59	766.319	2.559.581	264.470	0	0	0	2,50	0,1005
01070	46.374	16,52	766.319	836.024	62.835	0	0	0	2,50	0,1005
01071	21.141	36,25	766.319	1.038.524	33.992	0	0	0	2,50	0,1005
01072	10.575	72,54	767.068	1.064.937	4.826	0	0	0	2,50	0,1005
01073	8.464	90,54	766.319	1.064.937	2.007	0	0	0	2,50	0,1005
01074	6.077	NS	767.197	1.064.937	5.661	0	0	0	2,50	0,1005
02031	65.019	11,79	766.319	3.980.268	166.484	0	0	0	2,50	0,3016
02032	8.457	90,62	766.319	5.926.575	67.401	0	0	0	2,50	0,5027
02033	4.295	NS	767.639	1.064.937	8.508	0	0	0	2,50	0,1005
02034	10.949	70,09	767.411	1.064.937	7.038	0	0	0	2,50	0,1005
02035	13.240	57,95	767.317	1.064.937	6.430	0	0	0	2,50	0,1005
02036	13.873	55,27	766.703	1.064.937	2.475	0	0	0	2,50	0,1005
02037	12.385	61,91	766.804	1.064.937	3.125	0	0	0	2,50	0,1005
02038	7.419	NS	767.147	1.064.937	5.335	0	0	0	2,50	0,1005
02039	2.178	NS	767.154	1.064.937	5.381	0	0	0	2,50	0,1005
02040	19.190	39,93	766.319	1.064.937	2.025	0	0	0	2,50	0,1005
02041	26.728	28,67	766.411	1.064.937	592	0	0	0	2,50	0,1005
02042	24.950	30,78	767.948	1.064.937	10.498	0	0	0	2,50	0,1005
02043	17.951	42,83	768.922	1.064.937	16.772	0	0	0	2,50	0,1005
02044	11.487	66,71	766.319	1.064.937	15.255	0	0	0	2,50	0,1005
02045	34.588	22,16	766.319	1.064.937	12.941	0	0	0	2,50	0,1005

Id_{Nd}	$V_{Ed,2}$	CS	V_{Rcd}	$V_{Rsd,s}$	N_{Ed}	$V_{Rsd,p}$	V_{R1}	V_{fd}	CtgΘ	A_{sw}
	[N]		[N]	[N]	[N]	[N]	[N]	[N]		[cm²/cm]
02046	42.040	18,25	767.327	1.064.937	6.497	0	0	0	2,50	0,1005
02047	35.882	21,46	769.876	1.064.937	22.926	0	0	0	2,50	0,1005
02048	20.052	38,31	768.176	1.064.937	11.965	0	0	0	2,50	0,1005
02049	49.594	15,45	766.319	1.064.937	47.258	0	0	0	2,50	0,1005
02050	40.205	19,06	766.319	1.064.937	1.238	0	0	0	2,50	0,1005
02051	46.326	16,58	767.915	1.064.937	10.288	0	0	0	2,50	0,1005
02052	76.035	10,13	770.578	1.064.937	27.446	0	0	0	2,50	0,1005
Piano primo			**Parete6-7-19**				**Parete 6-7**			
00006	52.402	7,70	766.319	403.526	2.389	0	0	0	2,50	0,0804
00087	59.693	3,02	766.429	180.100	712	0	0	0	2,50	0,1810
00099	46.833	12,31	770.127	576.296	24.544	0	0	0	2,50	0,1810
00185	17.729	38,53	766.396	683.163	499	0	0	0	2,50	0,0804
00284	36.768	20,92	769.229	857.489	18.756	0	0	0	2,50	0,0804
00802	40.454	18,94	766.319	857.489	28.563	0	0	0	2,50	0,0804
00803	22.338	34,31	766.319	857.489	3.871	0	0	0	2,50	0,0804
00804	21.129	36,27	766.319	857.489	10.635	0	0	0	2,50	0,0804
00805	25.282	30,31	766.319	857.489	2.170	0	0	0	2,50	0,0804
00806	22.086	34,74	767.161	857.489	5.426	0	0	0	2,50	0,0804
00807	28.510	26,88	766.319	857.489	4.574	0	0	0	2,50	0,0804
00808	44.699	17,22	769.701	1.742.599	21.795	0	0	0	2,50	0,1810
00958	36.845	20,86	768.722	857.489	15.484	0	0	0	2,50	0,0804
00959	33.259	23,07	767.319	857.489	6.442	0	0	0	2,50	0,0804
00960	29.613	25,88	766.319	856.608	9.384	0	0	0	2,50	0,0804
00961	28.665	26,73	766.319	857.489	2.269	0	0	0	2,50	0,0804
00962	43.794	17,50	766.319	857.489	11.900	0	0	0	2,50	0,0804
00963	25.809	29,69	766.319	857.489	4.798	0	0	0	2,50	0,0804
01319	35.838	21,41	767.313	857.489	6.409	0	0	0	2,50	0,0804
01320	40.614	18,91	767.839	857.489	9.793	0	0	0	2,50	0,0804
01784	56.953	13,50	768.745	1.742.599	15.635	0	0	0	2,50	0,1810
01785	49.912	15,35	766.326	857.489	48	0	0	0	2,50	0,0804
01933	26.871	28,52	766.319	857.489	6.992	0	0	0	2,50	0,0804
01934	48.230	15,93	768.395	816.989	13.376	0	0	0	2,50	0,0804
01935	51.626	14,89	768.932	2.627.709	16.839	0	0	0	2,50	0,1810
01936	41.812	18,33	766.319	857.489	14.939	0	0	0	2,50	0,0804
01937	34.932	21,94	766.319	857.489	10.439	0	0	0	2,50	0,0804
01938	36.219	21,16	766.319	857.489	743	0	0	0	2,50	0,0804
01939	39.006	19,65	766.601	857.489	1.820	0	0	0	2,50	0,0804
01940	47.321	16,22	767.356	857.489	6.686	0	0	0	2,50	0,0804
01941	49.612	15,48	768.003	857.489	10.850	0	0	0	2,50	0,0804
Piano primo			**Parete6-7-19**				**Parete 7-19**			
00055	92.688	7,43	766.319	689.053	63.244	0	0	0	2,50	0,0804
00084	164.357	4,32	784.280	709.310	115.747	0	0	0	2,50	0,1810
00099	25.865	7,68	766.411	198.589	595	0	0	0	2,50	0,1810
00184	65.167	11,43	770.843	744.793	29.156	0	0	0	2,50	0,0804
00185	23.131	33,13	766.408	857.489	575	0	0	0	2,50	0,0804
00208	32.074	18,64	767.359	597.761	6.704	0	0	0	2,50	0,0804
00284	31.382	24,45	767.277	857.489	6.172	0	0	0	2,50	0,0804
00942	27.304	28,10	767.097	857.489	5.013	0	0	0	2,50	0,0804
00943	20.830	36,85	767.665	857.489	8.672	0	0	0	2,50	0,0804
00944	15.663	48,98	767.235	857.489	5.906	0	0	0	2,50	0,0804
00945	8.619	89,05	767.485	857.489	7.517	0	0	0	2,50	0,0804
00946	783	NS	767.655	857.489	8.610	0	0	0	2,50	0,0804
00947	5.191	NS	767.065	857.489	4.806	0	0	0	2,50	0,0804
00948	13.918	55,13	767.365	857.489	6.740	0	0	0	2,50	0,0804
00949	21.279	36,08	767.762	857.489	9.300	0	0	0	2,50	0,0804
00950	24.778	30,93	766.319	857.489	7.096	0	0	0	2,50	0,0804
00951	49.358	15,53	766.319	825.793	13.089	0	0	0	2,50	0,0804
00952	78.744	9,73	766.319	818.750	51.365	0	0	0	2,50	0,0804
00953	45.929	16,68	766.319	857.489	7.842	0	0	0	2,50	0,0804
00954	36.009	21,30	766.991	857.489	4.331	0	0	0	2,50	0,0804
00955	39.674	19,32	766.319	857.489	433	0	0	0	2,50	0,0804
00956	83.854	9,20	771.227	857.489	31.628	0	0	0	2,50	0,0804
00957	177.290	4,41	782.135	1.742.599	101.923	0	0	0	2,50	0,1810
00958	32.888	23,32	766.886	857.489	3.656	0	0	0	2,50	0,0804
00959	31.249	24,52	766.319	857.489	1.958	0	0	0	2,50	0,0804
00960	29.031	26,40	766.319	857.489	1.061	0	0	0	2,50	0,0804
00961	29.215	26,23	766.319	857.489	6.188	0	0	0	2,50	0,0804
01319	31.346	15,00	767.896	470.098	10.163	0	0	0	2,50	0,0804
01320	33.838	21,70	767.904	734.228	10.216	0	0	0	2,50	0,0804
01786	32.751	17,10	766.725	559.902	2.615	0	0	0	2,50	0,0804
01787	33.715	22,75	767.005	857.489	4.422	0	0	0	2,50	0,0804
01788	29.377	24,78	767.705	728.065	8.935	0	0	0	2,50	0,0804
01789	20.880	36,78	767.939	857.489	10.438	0	0	0	2,50	0,0804
01790	10.137	73,12	768.186	741.272	12.030	0	0	0	2,50	0,0804
01791	1.324	NS	768.085	784.413	11.381	0	0	0	2,50	0,0804
01792	10.923	70,32	768.131	857.489	11.677	0	0	0	2,50	0,0804
01793	21.614	35,56	768.601	787.054	14.706	0	0	0	2,50	0,0804
01794	32.088	23,94	768.325	818.750	12.926	0	0	0	2,50	0,0804
01795	76.730	10,02	769.129	818.750	18.106	0	0	0	2,50	0,0804
01897	70.508	10,87	766.319	1.530.749	48.792	0	0	0	2,50	0,0804
01898	113.752	6,87	781.724	1.696.816	99.274	0	0	0	2,50	0,1810

Id_{Nd}	$V_{Ed,2}$	CS	V_{Rcd}	$V_{Rsd,s}$	N_{Ed}	$V_{Rsd,p}$	V_{R1}	V_{fd}	CtgΘ	A_{sw}
	[N]		[N]	[N]	[N]	[N]	[N]	[N]		[cm²/cm]
01899	33.073	17,78	767.948	588.076	10.498	0	0	0	2,50	0,0804
01900	26.975	28,43	766.923	857.489	3.890	0	0	0	2,50	0,0804
01901	27.420	27,95	766.386	857.489	434	0	0	0	2,50	0,0804
01902	32.107	23,88	766.694	857.489	2.417	0	0	0	2,50	0,0804
01903	34.915	21,98	767.393	857.489	6.922	0	0	0	2,50	0,0804
01904	36.123	21,26	767.994	857.489	10.794	0	0	0	2,50	0,0804
01905	35.235	21,77	767.204	857.489	5.705	0	0	0	2,50	0,0804
01906	21.042	36,46	767.165	857.489	5.453	0	0	0	2,50	0,0804
01907	24.829	30,91	767.542	857.489	7.883	0	0	0	2,50	0,0804
01908	27.607	27,82	768.147	857.489	11.780	0	0	0	2,50	0,0804
01909	30.573	25,13	768.167	857.489	11.909	0	0	0	2,50	0,0804
01910	7.728	99,29	767.302	857.489	6.333	0	0	0	2,50	0,0804
01911	11.062	69,39	767.596	857.489	8.229	0	0	0	2,50	0,0804
01912	13.281	57,85	768.253	857.489	12.463	0	0	0	2,50	0,0804
01913	16.767	45,85	768.694	857.489	15.306	0	0	0	2,50	0,0804
01914	21.514	35,72	768.536	857.489	14.291	0	0	0	2,50	0,0804
01915	3.781	NS	767.279	857.489	6.189	0	0	0	2,50	0,0804
01916	4.581	NS	767.993	857.489	10.790	0	0	0	2,50	0,0804
01917	2.759	NS	769.030	857.489	17.473	0	0	0	2,50	0,0804
01918	3.367	NS	769.311	857.489	19.281	0	0	0	2,50	0,0804
01919	18.523	41,39	766.593	857.489	1.769	0	0	0	2,50	0,0804
01920	22.451	34,15	766.801	857.489	3.104	0	0	0	2,50	0,0804
01921	26.026	29,54	768.721	857.489	15.483	0	0	0	2,50	0,0804
01922	21.108	36,51	770.539	857.489	27.198	0	0	0	2,50	0,0804
01923	11.277	68,28	770.052	857.489	24.056	0	0	0	2,50	0,0804
01924	35.555	21,55	766.319	857.489	11.187	0	0	0	2,50	0,0804
01925	47.721	16,07	766.888	857.489	3.667	0	0	0	2,50	0,0804
01926	50.613	15,22	770.098	857.489	24.354	0	0	0	2,50	0,0804
01927	39.209	19,71	772.937	857.489	42.649	0	0	0	2,50	0,0804
01928	54.883	13,96	766.319	857.489	20.414	0	0	0	2,50	0,0804
01929	59.206	12,94	766.319	857.489	10.225	0	0	0	2,50	0,0804
01930	60.984	12,60	768.215	857.489	12.222	0	0	0	2,50	0,0804
01931	75.749	10,18	771.058	857.489	30.541	0	0	0	2,50	0,0804
01932	74.997	10,32	774.139	857.489	50.395	0	0	0	2,50	0,0804
Piano primo			**ParetP9-32**				**Parete P9-32**			
00200	2.257	NS	768.384	857.489	13.308	0	0	0	2,50	0,0770
00201	18.840	40,67	766.319	794.978	20.183	0	0	0	2,50	0,0770
00202	10.416	73,66	767.281	857.489	6.200	0	0	0	2,50	0,0770
00290	55.165	13,89	766.319	5.475.246	159.486	0	0	0	2,50	0,4791
00292	6.522	26,18	767.418	170.750	7.083	0	0	0	2,50	0,0770
00293	12.486	46,68	766.319	582.793	10.583	0	0	0	2,50	0,0770
00344	98.632	7,77	766.319	1.291.420	578.504	0	0	0	2,50	0,4791
00345	75.798	10,11	766.319	6.106.518	95.173	0	0	0	2,50	0,4791
00346	24.463	31,33	766.319	1.203.376	95.997	0	0	0	2,50	0,4791
00795	4.937	NS	766.319	857.489	166	0	0	0	2,50	0,0770
00796	3.430	NS	766.828	857.489	3.280	0	0	0	2,50	0,0770
00797	4.812	NS	766.319	857.489	1.308	0	0	0	2,50	0,0770
00798	986	NS	766.319	857.489	798	0	0	0	2,50	0,0770
00799	1.482	NS	766.319	857.489	1.811	0	0	0	2,50	0,0770
00800	1.865	NS	766.319	857.489	3.258	0	0	0	2,50	0,0770
00801	6.397	NS	766.319	857.489	2.464	0	0	0	2,50	0,0770
01175	33.373	22,96	766.319	5.753.463	181.825	0	0	0	2,50	0,4791
01176	35.877	21,36	766.319	857.489	28.348	0	0	0	2,50	0,0770
01177	6.139	NS	767.746	857.489	9.199	0	0	0	2,50	0,0770
01178	7.403	NS	767.204	857.489	5.702	0	0	0	2,50	0,0770
01179	15.178	50,56	767.417	857.489	7.075	0	0	0	2,50	0,0770
01180	5.281	NS	766.622	857.489	1.952	0	0	0	2,50	0,0770
01181	10.640	72,11	767.281	857.489	6.199	0	0	0	2,50	0,0770
01182	18.984	40,37	766.319	857.489	7.164	0	0	0	2,50	0,0770
01183	10.523	72,82	766.319	857.489	3.734	0	0	0	2,50	0,0770
01184	39.395	19,45	766.319	812.587	57.328	0	0	0	2,50	0,0770
01185	14.861	51,56	766.319	5.974.453	207.968	0	0	0	2,50	0,4791
01186	97.135	8,15	791.767	5.217.279	163.996	0	0	0	2,50	0,4791
01187	38.937	19,78	770.317	857.489	25.766	0	0	0	2,50	0,0770
01188	25.491	30,18	769.278	857.489	19.071	0	0	0	2,50	0,0770
01189	25.438	30,16	767.317	857.489	6.432	0	0	0	2,50	0,0770
01190	18.066	42,42	766.319	857.489	5.812	0	0	0	2,50	0,0770
01191	30.941	24,77	766.319	6.168.148	12.658	0	0	0	2,50	0,4791
01192	198.916	3,85	766.319	4.512.931	220.461	0	0	0	2,50	0,4791
02118	9.637	79,57	766.770	857.489	2.904	0	0	0	2,50	0,0770
02119	5.879	NS	767.068	857.489	4.830	0	0	0	2,50	0,0770
02120	38.828	19,74	766.319	5.534.235	52.726	0	0	0	2,50	0,4791
02121	82.820	9,25	766.319	4.996.290	234.271	0	0	0	2,50	0,4791
02122	55.359	13,84	766.319	2.398.796	74.935	0	0	0	2,50	0,0770
02123	50.091	15,30	766.319	2.627.709	13.643	0	0	0	2,50	0,0770
02124	44.374	17,28	766.936	857.489	3.975	0	0	0	2,50	0,0770
02125	54.729	14,06	769.313	857.489	19.294	0	0	0	2,50	0,0770
02126	52.294	14,69	768.319	6.106.518	12.888	0	0	0	2,50	0,4791
02127	23.596	32,48	766.319	857.489	28.539	0	0	0	2,50	0,0770
02128	39.924	19,19	766.319	857.489	4.872	0	0	0	2,50	0,0770
02129	40.535	18,96	768.515	857.489	14.151	0	0	0	2,50	0,0770

Id_{Nd}	$V_{Ed,2}$	CS	V_{Rcd}	$V_{Rsd,s}$	N_{Ed}	$V_{Rsd,p}$	V_{R1}	V_{fd}	CtgΘ	A_{sw}
	[N]		[N]	[N]	[N]	[N]	[N]	[N]		[cm²/cm]
02130	41.574	18,54	770.771	857.489	28.691	0	0	0	2,50	0,0770
02131	12.572	60,95	766.319	857.489	959	0	0	0	2,50	0,0770
02132	20.295	37,76	766.319	857.489	6.141	0	0	0	2,50	0,0770
02133	24.663	31,10	767.013	857.489	4.472	0	0	0	2,50	0,0770
02134	18.683	41,13	768.441	857.489	13.675	0	0	0	2,50	0,0770
02135	7.385	NS	768.284	857.489	12.663	0	0	0	2,50	0,0770
02136	10.082	76,03	766.513	857.489	1.252	0	0	0	2,50	0,0770
02137	10.903	70,29	766.376	857.489	365	0	0	0	2,50	0,0770
02138	8.531	89,90	766.918	857.489	3.858	0	0	0	2,50	0,0770
02139	3.199	NS	767.181	857.489	5.556	0	0	0	2,50	0,0770
Piano primo			**Parete24-31**				**Parete 24-31**			
00104	75.060	2,05	771.244	153.558	31.737	0	0	0	2,50	0,1385
00116	11.542	24,86	777.902	286.987	74.646	0	0	0	2,50	0,1956
00177	34.787	16,86	766.319	586.381	16.157	0	0	0	2,50	0,1068
00211	7.749	31,16	766.319	241.448	1.624	0	0	0	2,50	0,0616
00212	20.015	10,48	766.319	209.752	4.358	0	0	0	2,50	0,0616
00977	34.922	14,65	766.319	511.741	16.438	0	0	0	2,50	0,0616
00978	22.880	22,37	766.319	511.741	20.577	0	0	0	2,50	0,0616
00979	9.805	52,19	766.319	511.741	33.339	0	0	0	2,50	0,0616
00980	2.917	NS	766.319	511.741	9.485	0	0	0	2,50	0,0616
00981	12.271	41,70	766.319	511.741	12.625	0	0	0	2,50	0,0616
00982	14.273	35,85	766.319	511.741	10.190	0	0	0	2,50	0,0616
00983	16.890	30,30	766.319	511.741	1.710	0	0	0	2,50	0,0616
00984	14.430	35,46	766.319	511.741	2.826	0	0	0	2,50	0,0616
00985	7.453	68,66	766.319	511.741	4.962	0	0	0	2,50	0,0616
00986	7.578	67,53	766.491	511.741	1.106	0	0	0	2,50	0,0616
00987	7.943	64,42	766.319	511.741	2.262	0	0	0	2,50	0,0616
00988	9.464	54,07	766.319	511.741	258	0	0	0	2,50	0,0616
00989	11.129	45,98	766.923	511.741	3.892	0	0	0	2,50	0,0616
00990	19.376	26,41	767.993	511.741	10.789	0	0	0	2,50	0,0616
00991	77.050	6,64	772.080	511.741	37.128	0	0	0	2,50	0,0616
00992	28.599	17,37	766.319	496.774	17.426	0	0	0	2,50	0,0616
00993	2.236	NS	766.767	511.741	2.884	0	0	0	2,50	0,0616
00994	6.876	74,42	767.513	511.741	7.695	0	0	0	2,50	0,0616
00995	3.235	NS	767.135	511.741	5.260	0	0	0	2,50	0,0616
00996	4.284	NS	767.018	511.741	4.503	0	0	0	2,50	0,0616
00997	12.423	41,19	768.219	511.741	12.246	0	0	0	2,50	0,0616
00998	23.294	21,97	766.319	511.741	3.472	0	0	0	2,50	0,0616
00999	53.575	9,55	768.181	511.741	12.001	0	0	0	2,50	0,0616
01000	64.603	7,92	772.718	511.741	41.240	0	0	0	2,50	0,0616
01001	64.752	7,09	766.319	458.915	26.483	0	0	0	2,50	0,0616
01002	17.289	44,52	769.740	910.039	22.046	0	0	0	2,50	0,0616
01003	17.780	28,78	767.842	511.741	9.815	0	0	0	2,50	0,0616
01004	16.147	31,69	767.159	511.741	5.415	0	0	0	2,50	0,0616
01005	11.592	44,14	766.319	511.741	8.247	0	0	0	2,50	0,0616
01955	9.253	55,31	766.319	511.741	519	0	0	0	2,50	0,0616
01956	20.738	37,22	771.920	2.576.998	36.093	0	0	0	2,50	0,1956
01957	57.439	13,40	769.488	1.687.276	20.423	0	0	0	2,50	0,1385
01958	22.358	22,89	766.319	511.741	3.919	0	0	0	2,50	0,0616
01959	25.675	19,93	766.319	511.741	16.346	0	0	0	2,50	0,0616
01960	21.189	24,15	766.319	511.741	935	0	0	0	2,50	0,0616
01961	20.016	25,57	768.225	511.741	12.285	0	0	0	2,50	0,0616
01962	25.033	28,62	766.319	716.344	15.817	0	0	0	2,50	0,0616
01963	41.409	12,36	767.415	511.741	7.063	0	0	0	2,50	0,0616
01964	11.239	45,53	766.319	511.741	12.401	0	0	0	2,50	0,0616
01965	9.746	52,51	766.677	511.741	2.305	0	0	0	2,50	0,0616
01966	9.406	54,40	767.133	511.741	5.243	0	0	0	2,50	0,0616
01967	11.530	44,38	767.666	511.741	8.682	0	0	0	2,50	0,0616
01968	2.360	NS	766.319	511.741	10.883	0	0	0	2,50	0,0616
01969	3.162	NS	766.319	511.741	3.222	0	0	0	2,50	0,0616
01970	2.668	NS	766.971	511.741	4.203	0	0	0	2,50	0,0616
01971	2.433	NS	767.617	511.741	8.365	0	0	0	2,50	0,0616
01972	1.535	NS	767.594	511.741	8.218	0	0	0	2,50	0,0616
01973	12.534	40,83	766.319	511.741	5.213	0	0	0	2,50	0,0616
01974	11.685	43,79	766.416	511.741	625	0	0	0	2,50	0,0616
01975	11.551	44,30	767.347	511.741	6.622	0	0	0	2,50	0,0616
01976	10.014	51,10	768.218	511.741	12.236	0	0	0	2,50	0,0616
01977	12.484	40,99	766.319	511.741	3.334	0	0	0	2,50	0,0616
01978	12.331	41,50	766.319	511.741	1.329	0	0	0	2,50	0,0616
01979	13.179	38,83	766.603	511.741	1.832	0	0	0	2,50	0,0616
01980	16.560	30,90	767.484	511.741	7.510	0	0	0	2,50	0,0616
01981	16.770	30,51	768.926	511.741	16.801	0	0	0	2,50	0,0616
Piano rialzato			**Parete1-P1**				**Parete 1-P1**			
00002	17.478	25,44	769.011	444.593	17.350	0	0	0	2,50	0,0565
00203	2.107	NS	766.319	1.264.081	3.968	0	0	0	2,50	0,1018
00214	13.793	33,89	768.514	467.484	14.145	0	0	0	2,50	0,0565
00215	29.805	0,91	771.779	27.267	35.185	0	0	0	2,50	0,0565
00964	23.882	19,57	768.017	467.484	10.940	0	0	0	2,50	0,0565
00965	39.712	11,77	766.319	467.484	17.776	0	0	0	2,50	0,0565
00966	32.481	14,39	766.319	467.484	91.901	0	0	0	2,50	0,0565
01395	31.376	24,42	766.319	1.264.081	384	0	0	0	2,50	0,1018

Id_{Nd}	$V_{Ed,2}$	CS	V_{Rcd}	$V_{Rsd,s}$	N_{Ed}	$V_{Rsd,p}$	V_{R1}	V_{fd}	CtgΘ	A_{sw}
	[N]		[N]	[N]	[N]	[N]	[N]	[N]		[cm²/cm]
01396	25.529	30,14	769.421	1.264.081	19.989	0	0	0	2,50	0,1018
01397	7.759	98,92	767.507	1.264.081	7.654	0	0	0	2,50	0,1018
01696	12.954	36,09	766.319	467.484	23.050	0	0	0	2,50	0,0565
01697	124.816	3,75	781.129	467.484	95.445	0	0	0	2,50	0,0565
01698	9.470	81,03	767.376	1.193.646	6.809	0	0	0	2,50	0,1018
01699	6.647	NS	766.319	1.264.081	3.077	0	0	0	2,50	0,1018
02665	50.195	9,31	771.333	467.484	32.310	0	0	0	2,50	0,0565
02666	44.874	10,42	771.912	467.484	36.047	0	0	0	2,50	0,0565
02667	12.117	63,47	769.087	1.264.081	17.836	0	0	0	2,50	0,1018
02668	2.516	NS	766.818	1.264.081	3.216	0	0	0	2,50	0,1018
02669	3.929	NS	769.210	1.264.081	18.634	0	0	0	2,50	0,1018
02670	8.352	92,14	769.516	1.264.081	20.602	0	0	0	2,50	0,1018
02671	41.480	18,61	771.945	1.264.081	36.259	0	0	0	2,50	0,1018
	ERRORE: Armatura a taglio insufficiente									
Piano rialzato			**Parete2-P2**				**Parete 2-P2**			
00009	11.724	15,02	767.696	176.061	8.873	0	0	0	2,50	0,0565
00218	28.020	16,68	768.451	467.484	13.739	0	0	0	2,50	0,0565
00220	9.435	49,55	767.791	467.484	9.489	0	0	0	2,50	0,0565
00221	39.550	1,18	772.335	46.637	38.772	0	0	0	2,50	0,0565
00929	36.671	12,75	766.319	467.484	93.602	0	0	0	2,50	0,0565
00930	1.048	NS	766.319	467.484	23.594	0	0	0	2,50	0,0565
00931	15.516	30,13	766.319	467.484	79.195	0	0	0	2,50	0,0565
01379	16.433	28,45	766.319	467.484	695	0	0	0	2,50	0,0565
01380	364	NS	771.336	467.484	32.335	0	0	0	2,50	0,0565
01381	28.206	16,57	769.625	467.484	21.308	0	0	0	2,50	0,0565
01684	11.586	40,35	766.319	467.484	21.091	0	0	0	2,50	0,0565
01685	111.892	4,18	779.158	467.484	82.742	0	0	0	2,50	0,0565
01686	108.092	4,32	774.139	467.484	50.395	0	0	0	2,50	0,0565
01687	36.657	12,75	766.396	467.484	498	0	0	0	2,50	0,0565
02644	41.245	11,33	770.779	467.484	28.740	0	0	0	2,50	0,0565
02645	42.439	11,02	772.180	467.484	37.770	0	0	0	2,50	0,0565
02646	59.011	7,92	770.704	467.484	28.262	0	0	0	2,50	0,0565
02647	48.951	9,55	771.110	467.484	30.874	0	0	0	2,50	0,0565
02648	24.792	18,86	772.627	467.484	40.654	0	0	0	2,50	0,0565
02649	32.269	14,49	769.961	467.484	23.468	0	0	0	2,50	0,0565
02650	26.144	17,88	772.827	467.484	41.942	0	0	0	2,50	0,0565
Piano rialzato			**Parete3-P3**				**Parete 3-P3**			
00011	13.144	12,99	768.070	170.778	11.283	0	0	0	2,50	0,0565
00224	26.455	17,67	768.323	467.484	12.912	0	0	0	2,50	0,0565
00226	9.467	49,38	767.744	467.484	9.186	0	0	0	2,50	0,0565
00227	38.831	1,09	772.336	42.234	38.779	0	0	0	2,50	0,0565
00890	31.912	14,65	766.319	467.484	85.807	0	0	0	2,50	0,0565
00891	3.866	NS	766.319	467.484	33.498	0	0	0	2,50	0,0565
00892	17.037	27,44	766.319	467.484	79.172	0	0	0	2,50	0,0565
01427	16.677	28,03	766.319	467.484	501	0	0	0	2,50	0,0565
01428	1.207	NS	771.181	467.484	31.336	0	0	0	2,50	0,0565
01429	26.590	17,58	769.495	467.484	20.467	0	0	0	2,50	0,0565
01680	11.730	39,85	766.319	467.484	21.352	0	0	0	2,50	0,0565
01681	112.422	4,16	779.213	467.484	83.096	0	0	0	2,50	0,0565
01682	102.626	4,56	773.750	467.484	47.892	0	0	0	2,50	0,0565
01683	34.831	13,42	766.375	467.484	362	0	0	0	2,50	0,0565
02637	41.315	11,32	770.780	467.484	28.748	0	0	0	2,50	0,0565
02638	42.655	10,96	772.181	467.484	37.781	0	0	0	2,50	0,0565
02639	56.713	8,24	770.696	467.484	28.205	0	0	0	2,50	0,0565
02640	46.651	10,02	770.848	467.484	29.186	0	0	0	2,50	0,0565
02641	23.919	19,54	772.441	467.484	39.454	0	0	0	2,50	0,0565
02642	31.403	14,89	770.036	467.484	23.952	0	0	0	2,50	0,0565
02643	26.601	17,57	772.794	467.484	41.727	0	0	0	2,50	0,0565
Piano rialzato			**Parete4-P4**				**Parete 4-P4**			
00013	13.216	13,59	768.172	179.582	11.940	0	0	0	2,50	0,0565
00230	26.475	17,66	768.360	467.484	13.154	0	0	0	2,50	0,0565
00232	9.441	49,51	767.699	467.484	8.891	0	0	0	2,50	0,0565
00233	37.874	1,14	771.838	43.115	35.570	0	0	0	2,50	0,0565
00877	31.724	14,74	766.319	467.484	85.329	0	0	0	2,50	0,0565
00878	3.890	NS	766.319	467.484	34.221	0	0	0	2,50	0,0565
00879	17.171	27,23	766.319	467.484	81.448	0	0	0	2,50	0,0565
01411	16.520	28,30	766.319	467.484	345	0	0	0	2,50	0,0565
01412	1.076	NS	771.137	467.484	31.053	0	0	0	2,50	0,0565
01413	26.624	17,56	769.487	467.484	20.414	0	0	0	2,50	0,0565
01692	11.848	39,46	766.319	467.484	21.339	0	0	0	2,50	0,0565
01693	111.768	4,18	779.223	467.484	83.160	0	0	0	2,50	0,0565
01694	102.345	4,57	773.747	467.484	47.870	0	0	0	2,50	0,0565
01695	34.699	13,47	766.404	467.484	546	0	0	0	2,50	0,0565
02658	41.153	11,36	770.748	467.484	28.545	0	0	0	2,50	0,0565
02659	42.519	10,99	772.000	467.484	36.608	0	0	0	2,50	0,0565
02660	56.482	8,28	770.690	467.484	28.172	0	0	0	2,50	0,0565
02661	46.667	10,02	770.821	467.484	29.013	0	0	0	2,50	0,0565
02662	24.076	19,42	772.422	467.484	39.328	0	0	0	2,50	0,0565
02663	31.188	14,99	770.003	467.484	23.743	0	0	0	2,50	0,0565
02664	26.473	17,66	772.743	467.484	41.401	0	0	0	2,50	0,0565
Piano rialzato			**Parete5-P5**				**Parete 5-P5**			

Id_{Nd}	$V_{Ed,2}$	CS	V_{Rcd}	$V_{Rsd,s}$	N_{Ed}	$V_{Rsd,p}$	V_{R1}	V_{fd}	CtgΘ	A_{sw}
	[N]		[N]	[N]	[N]	[N]	[N]	[N]		[cm²/cm]
00015	13.494	12,39	768.073	167.256	11.301	0	0	0	2,50	0,0565
00236	27.426	17,05	768.371	467.484	13.225	0	0	0	2,50	0,0565
00238	9.274	50,41	767.693	467.484	8.857	0	0	0	2,50	0,0565
00239	36.706	11,09	770.552	407.076	27.278	0	0	0	2,50	0,1018
00916	30.304	15,43	766.319	467.484	85.762	0	0	0	2,50	0,0565
00917	5.036	92,82	766.319	467.484	36.442	0	0	0	2,50	0,0565
00918	17.159	27,24	766.319	467.484	86.729	0	0	0	2,50	0,0565
01636	15.248	30,66	766.319	467.484	378	0	0	0	2,50	0,0565
01637	1.132	NS	770.689	467.484	28.162	0	0	0	2,50	0,0565
01638	28.253	16,55	769.438	467.484	20.099	0	0	0	2,50	0,0565
01688	11.734	39,84	766.319	467.484	20.544	0	0	0	2,50	0,0565
01689	109.345	4,28	779.179	467.484	82.877	0	0	0	2,50	0,0565
01690	102.069	4,58	773.791	467.484	48.154	0	0	0	2,50	0,0565
01691	35.250	13,26	766.385	467.484	422	0	0	0	2,50	0,0565
02651	40.534	11,53	770.687	467.484	28.150	0	0	0	2,50	0,0565
02652	41.410	11,29	771.519	467.484	33.511	0	0	0	2,50	0,0565
02653	57.169	8,18	770.533	467.484	27.157	0	0	0	2,50	0,0565
02654	47.909	9,76	770.763	467.484	28.642	0	0	0	2,50	0,0565
02655	25.972	18,00	772.301	467.484	38.553	0	0	0	2,50	0,0565
02656	32.470	14,40	769.753	467.484	22.129	0	0	0	2,50	0,0565
02657	24.263	19,27	772.554	467.484	40.181	0	0	0	2,50	0,0565
Piano rialzato			**Parete7-P6**				**Parete 7-P6**			
00017	10.483	71,30	768.658	747.435	15.076	0	0	0	2,50	0,0770
00185	26.367	24,24	766.319	639.141	12.228	0	0	0	2,50	0,0770
00281	64.907	4,60	766.319	298.621	204.345	0	0	0	2,50	0,1385
00282	2.312	NS	766.319	287.848	629	0	0	0	2,50	0,0770
01032	32.959	23,25	766.319	857.489	13.893	0	0	0	2,50	0,0770
01033	31.977	23,96	766.319	857.489	13.136	0	0	0	2,50	0,0770
01034	28.823	26,59	766.319	857.489	12.824	0	0	0	2,50	0,0770
01035	20.054	38,22	766.380	857.489	392	0	0	0	2,50	0,0770
01581	25.766	29,74	766.319	857.489	66.030	0	0	0	2,50	0,0770
01582	2.028	NS	767.137	857.489	5.272	0	0	0	2,50	0,0770
01583	8.024	95,62	767.281	857.489	6.197	0	0	0	2,50	0,0770
01584	12.880	59,67	768.500	857.489	14.056	0	0	0	2,50	0,0770
01700	13.011	59,27	771.234	857.489	31.677	0	0	0	2,50	0,0770
01701	17.600	23,36	766.532	411.108	1.375	0	0	0	2,50	0,0770
01735	75.386	10,17	766.319	1.188.314	44.830	0	0	0	2,50	0,1385
01736	5.565	NS	768.844	857.489	16.272	0	0	0	2,50	0,0770
02743	34.185	22,42	766.319	1.153.097	81.957	0	0	0	2,50	0,1385
02744	23.005	33,31	766.319	857.489	9.380	0	0	0	2,50	0,0770
02745	27.424	27,94	766.319	795.858	4.353	0	0	0	2,50	0,0770
02746	18.725	41,07	768.981	857.489	17.154	0	0	0	2,50	0,0770
02747	16.643	46,06	766.537	857.489	1.406	0	0	0	2,50	0,0770
02748	28.389	26,99	766.319	857.489	7.579	0	0	0	2,50	0,0770
02749	29.605	25,88	766.319	857.489	18.602	0	0	0	2,50	0,0770
Piano rialzato			**ParetеP7-13**				**Parete P7-13**			
00029	9.128	23,90	766.646	218.151	2.108	0	0	0	2,50	0,0452
00102	26.297	10,20	766.319	268.335	39.596	0	0	0	2,50	0,0452
00272	32.233	5,26	766.319	169.700	127.412	0	0	0	2,50	0,1018
00273	11.036	19,61	766.319	216.363	42.224	0	0	0	2,50	0,1018
01548	10.884	24,65	766.397	268.335	506	0	0	0	2,50	0,0452
01549	16.215	16,55	766.319	268.335	6.941	0	0	0	2,50	0,0452
01550	26.172	29,28	766.319	766.208	26.408	0	0	0	2,50	0,1018
01716	6.033	44,47	766.319	268.335	1.702	0	0	0	2,50	0,0452
01717	3.452	77,73	766.482	268.335	1.048	0	0	0	2,50	0,0452
01718	5.598	47,94	766.821	268.335	3.234	0	0	0	2,50	0,0452
01719	6.489	41,35	767.209	268.335	5.737	0	0	0	2,50	0,0452
01720	21.536	12,46	768.821	268.335	16.123	0	0	0	2,50	0,0452
01721	15.888	16,89	771.048	268.335	30.477	0	0	0	2,50	0,0452
01722	19.227	13,96	766.319	268.335	52.566	0	0	0	2,50	0,0452
01723	8.133	32,99	766.319	268.335	76.029	0	0	0	2,50	0,0452
01724	43.987	6,10	766.319	268.335	186.493	0	0	0	2,50	0,0452
01725	86.055	9,07	780.502	1.264.081	91.402	0	0	0	2,50	0,1018
01726	19.412	13,82	768.895	268.335	16.599	0	0	0	2,50	0,0452
01727	8.880	30,22	766.934	268.335	3.964	0	0	0	2,50	0,0452
01728	6.281	42,72	766.319	268.335	2.929	0	0	0	2,50	0,0452
01729	4.582	58,56	766.319	268.335	5.576	0	0	0	2,50	0,0452
01730	49.334	15,53	766.319	1.193.646	38.130	0	0	0	2,50	0,1018
02722	8.612	31,16	766.319	268.335	17	0	0	0	2,50	0,0452
02723	22.354	12,00	766.319	268.335	19.108	0	0	0	2,50	0,0452
02724	16.593	46,18	766.319	1.008.755	22.920	0	0	0	2,50	0,1018
02725	19.511	39,28	766.319	1.017.559	65.506	0	0	0	2,50	0,1018
02726	6.509	41,23	766.319	268.335	13.920	0	0	0	2,50	0,0452
02727	7.108	37,75	766.319	268.335	102	0	0	0	2,50	0,0452
02728	14.702	18,25	767.533	268.335	7.827	0	0	0	2,50	0,0452
02729	13.103	20,48	766.363	268.335	283	0	0	0	2,50	0,0452
02730	5.191	51,69	766.319	268.335	3.391	0	0	0	2,50	0,0452
02731	4.746	56,54	767.061	268.335	4.780	0	0	0	2,50	0,0452
02732	13.574	19,77	767.884	268.335	10.088	0	0	0	2,50	0,0452
Piano rialzato			**Parete32-P10**				**Parete 32-P10**			
00199	545	NS	766.319	460.441	7.337	0	0	0	2,50	0,0565

Id_{Nd}	$V_{Ed,2}$	CS	V_{Rcd}	$V_{Rsd,s}$	N_{Ed}	$V_{Rsd,p}$	V_{R1}	V_{fd}	CtgΘ	A_{sw}
	[N]		[N]	[N]	[N]	[N]	[N]	[N]		[cm²/cm]
00243	10.333	45,24	768.179	467.484	11.984	0	0	0	2,50	0,0565
00244	24.367	2,71	771.314	66.006	32.191	0	0	0	2,50	0,0565
00293	17.611	24,29	768.427	427.865	13.585	0	0	0	2,50	0,0565
00903	25.002	18,70	768.142	467.484	11.749	0	0	0	2,50	0,0565
00904	34.751	13,45	766.319	467.484	11.260	0	0	0	2,50	0,0565
00905	26.367	17,73	766.319	467.484	65.057	0	0	0	2,50	0,0565
01492	6.345	73,67	766.319	467.484	7.669	0	0	0	2,50	0,0565
01493	9.265	50,46	766.384	467.484	416	0	0	0	2,50	0,0565
01625	21.939	21,31	766.319	467.484	1.669	0	0	0	2,50	0,0565
01626	16.703	46,01	768.549	1.264.081	14.373	0	0	0	2,50	0,1018
01627	2.585	NS	766.658	1.264.081	2.184	0	0	0	2,50	0,1018
01745	8.863	52,74	766.319	467.484	15.749	0	0	0	2,50	0,0565
01746	94.807	4,93	777.375	467.484	71.253	0	0	0	2,50	0,0565
02764	37.386	12,50	770.084	467.484	24.264	0	0	0	2,50	0,0565
02765	32.219	14,51	770.902	467.484	29.534	0	0	0	2,50	0,0565
02766	14.178	54,21	768.560	1.264.081	14.444	0	0	0	2,50	0,1018
02767	4.874	NS	766.722	1.264.081	2.594	0	0	0	2,50	0,1018
02768	693	NS	768.029	1.264.081	11.018	0	0	0	2,50	0,1018
02769	12.022	63,92	768.369	1.264.081	13.213	0	0	0	2,50	0,1018
02770	27.846	16,79	770.528	467.484	27.122	0	0	0	2,50	0,0565
Piano rialzato			**Parete10-11**				**Parete 10-11**			
00023	59.847	6,22	766.319	372.200	257.839	0	0	0	2,50	0,1018
00025	58.756	5,95	766.319	349.309	251.807	0	0	0	2,50	0,1018
00295	10.541	16,37	766.319	172.539	3.370	0	0	0	2,50	0,0565
00296	12.430	15,51	766.319	192.789	2.798	0	0	0	2,50	0,0565
00741	62.873	7,44	766.319	467.484	60.748	0	0	0	2,50	0,0565
00742	19.535	23,93	766.855	467.484	3.453	0	0	0	2,50	0,0565
00743	5.463	85,58	766.656	467.484	2.171	0	0	0	2,50	0,0565
00744	3.737	NS	766.319	467.484	2.773	0	0	0	2,50	0,0565
00745	21.486	21,76	766.319	467.484	11.929	0	0	0	2,50	0,0565
00746	82.103	5,69	766.319	467.484	39.662	0	0	0	2,50	0,0565
01044	18.593	25,14	766.319	467.484	9.531	0	0	0	2,50	0,0565
01045	13.076	35,75	766.319	467.484	18.223	0	0	0	2,50	0,0565
01046	5.225	89,47	766.319	467.484	14.962	0	0	0	2,50	0,0565
01047	7.056	66,25	766.319	467.484	13.648	0	0	0	2,50	0,0565
01048	18.101	25,83	766.319	467.484	19.687	0	0	0	2,50	0,0565
01049	19.848	23,55	766.319	467.484	3.733	0	0	0	2,50	0,0565
01676	151.853	5,05	766.319	1.264.081	61.452	0	0	0	2,50	0,1018
01677	21.923	21,32	766.319	467.484	5.784	0	0	0	2,50	0,0565
01678	17.497	26,72	767.330	467.484	6.514	0	0	0	2,50	0,0565
01679	118.468	6,47	766.319	1.264.081	45.159	0	0	0	2,50	0,1018
02627	42.793	17,91	766.319	1.158.429	124.481	0	0	0	2,50	0,1018
02628	32.072	14,58	766.319	467.484	17.598	0	0	0	2,50	0,0565
02629	29.206	16,01	766.319	467.484	27.524	0	0	0	2,50	0,0565
02630	39.560	19,37	766.319	1.193.646	147.073	0	0	0	2,50	0,1018
02631	13.909	33,61	766.319	467.484	42.748	0	0	0	2,50	0,0565
02632	22.616	20,67	766.319	467.484	19.864	0	0	0	2,50	0,0565
02633	1.413	NS	766.319	467.484	21.839	0	0	0	2,50	0,0565
02634	473	NS	766.319	467.484	10.204	0	0	0	2,50	0,0565
02635	4.144	NS	766.319	467.484	20.855	0	0	0	2,50	0,0565
02636	18.530	25,23	766.319	467.484	36.863	0	0	0	2,50	0,0565
Piano rialzato			**Parete33-P11**				**Parete 33-P11**			
00031	9.985	18,25	767.373	182.224	6.791	0	0	0	2,50	0,0565
00247	23.448	19,94	767.846	467.484	9.839	0	0	0	2,50	0,0565
00249	7.554	61,89	767.657	467.484	8.621	0	0	0	2,50	0,0565
00250	34.957	2,34	773.197	81.854	44.328	0	0	0	2,50	0,0565
01115	29.882	15,64	766.319	467.484	76.507	0	0	0	2,50	0,0565
01116	1.232	NS	766.319	467.484	17.113	0	0	0	2,50	0,0565
01117	13.258	35,26	766.319	467.484	55.121	0	0	0	2,50	0,0565
01668	12.837	36,42	766.319	467.484	1.447	0	0	0	2,50	0,0565
01669	644	NS	770.538	467.484	27.192	0	0	0	2,50	0,0565
01670	24.217	19,30	769.005	467.484	17.309	0	0	0	2,50	0,0565
01741	8.741	53,48	766.319	467.484	16.569	0	0	0	2,50	0,0565
01742	92.800	5,04	776.579	467.484	66.122	0	0	0	2,50	0,0565
01743	89.747	5,21	772.742	467.484	41.396	0	0	0	2,50	0,0565
01744	31.498	14,84	766.319	467.484	753	0	0	0	2,50	0,0565
02757	33.324	14,03	769.962	467.484	23.477	0	0	0	2,50	0,0565
02758	34.109	13,71	771.802	467.484	35.337	0	0	0	2,50	0,0565
02759	49.929	9,36	770.022	467.484	23.863	0	0	0	2,50	0,0565
02760	40.763	11,47	770.293	467.484	25.610	0	0	0	2,50	0,0565
02761	21.015	22,25	771.493	467.484	33.343	0	0	0	2,50	0,0565
02762	28.499	16,40	769.459	467.484	20.236	0	0	0	2,50	0,0565
02763	20.416	22,90	771.792	467.484	35.269	0	0	0	2,50	0,0565
Piano rialzato			**Parete34-P12**				**Parete 34-P12**			
00033	17.592	13,56	769.693	238.571	21.744	0	0	0	2,50	0,0565
00253	22.265	21,00	767.592	467.484	8.201	0	0	0	2,50	0,0565
00255	11.459	40,80	768.405	467.484	13.445	0	0	0	2,50	0,0565
00256	45.433	1,90	774.396	86.256	52.055	0	0	0	2,50	0,0565
01095	19.124	24,44	766.319	467.484	64.473	0	0	0	2,50	0,0565
01096	18.258	25,60	766.319	467.484	28.770	0	0	0	2,50	0,0565
01097	25.953	18,01	766.319	467.484	89.236	0	0	0	2,50	0,0565

Id_{Nd}	$V_{Ed,2}$	CS	V_{Rcd}	$V_{Rsd,s}$	N_{Ed}	$V_{Rsd,p}$	V_{R1}	V_{fd}	CtgΘ	A_{sw}
	[N]		[N]	[N]	[N]	[N]	[N]	[N]		[cm²/cm]
01652	21.294	21,95	766.319	467.484	1.235	0	0	0	2,50	0,0565
01653	5.642	82,86	771.523	467.484	33.538	0	0	0	2,50	0,0565
01654	22.685	20,61	769.303	467.484	19.233	0	0	0	2,50	0,0565
01751	12.855	36,37	766.319	467.484	24.353	0	0	0	2,50	0,0565
01752	135.756	3,44	781.794	467.484	99.725	0	0	0	2,50	0,0565
01753	92.100	5,08	772.883	467.484	42.300	0	0	0	2,50	0,0565
01754	33.055	14,14	766.319	467.484	3.142	0	0	0	2,50	0,0565
02778	49.705	9,41	771.720	467.484	34.804	0	0	0	2,50	0,0565
02779	49.240	9,49	773.614	467.484	47.015	0	0	0	2,50	0,0565
02780	54.613	8,56	771.374	467.484	32.580	0	0	0	2,50	0,0565
02781	41.391	11,29	770.430	467.484	26.492	0	0	0	2,50	0,0565
02782	22.105	21,15	772.363	467.484	38.950	0	0	0	2,50	0,0565
02783	33.849	13,81	770.940	467.484	29.783	0	0	0	2,50	0,0565
02784	31.686	14,75	773.818	467.484	48.328	0	0	0	2,50	0,0565
Piano rialzato			**Parete35-P13**				**Parete 35-P13**			
00035	17.523	11,76	768.830	205.995	16.182	0	0	0	2,50	0,0565
00259	31.100	15,03	768.711	467.484	15.416	0	0	0	2,50	0,0565
00261	11.999	38,96	768.285	467.484	12.669	0	0	0	2,50	0,0565
00262	53.548	2,15	776.864	115.311	67.956	0	0	0	2,50	0,0565
01155	39.829	11,74	766.319	467.484	103.565	0	0	0	2,50	0,0565
01156	4.491	NS	766.319	467.484	36.333	0	0	0	2,50	0,0565
01157	20.730	22,55	766.319	467.484	86.358	0	0	0	2,50	0,0565
01609	23.085	20,25	766.319	467.484	764	0	0	0	2,50	0,0565
01610	4.479	NS	772.656	467.484	40.838	0	0	0	2,50	0,0565
01611	30.361	15,40	770.359	467.484	26.038	0	0	0	2,50	0,0565
01747	14.459	32,33	766.319	467.484	28.261	0	0	0	2,50	0,0565
01748	146.128	3,20	782.602	467.484	104.935	0	0	0	2,50	0,0565
01749	127.772	3,66	775.504	467.484	59.194	0	0	0	2,50	0,0565
01750	42.856	10,91	766.319	467.484	435	0	0	0	2,50	0,0565
02771	53.295	8,77	772.140	467.484	37.515	0	0	0	2,50	0,0565
02772	55.709	8,39	774.767	467.484	54.441	0	0	0	2,50	0,0565
02773	70.414	6,64	772.152	467.484	37.593	0	0	0	2,50	0,0565
02774	56.117	8,33	772.064	467.484	37.025	0	0	0	2,50	0,0565
02775	27.040	17,29	774.193	467.484	50.746	0	0	0	2,50	0,0565
02776	38.259	12,22	771.540	467.484	33.644	0	0	0	2,50	0,0565
02777	36.775	12,71	774.900	467.484	55.300	0	0	0	2,50	0,0565
Piano rialzato			**Parete36-P14**				**Parete 36-P14**			
00037	25.204	8,10	770.260	204.234	25.396	0	0	0	2,50	0,0565
00265	27.183	17,20	768.604	467.484	14.723	0	0	0	2,50	0,0565
00267	17.774	26,30	769.167	467.484	18.353	0	0	0	2,50	0,0565
00268	57.821	5,19	780.526	300.202	91.559	0	0	0	2,50	0,0565
01135	30.870	15,14	766.319	467.484	97.347	0	0	0	2,50	0,0565
01136	22.985	20,34	766.319	467.484	45.000	0	0	0	2,50	0,0565
01137	44.355	10,54	766.319	467.484	130.777	0	0	0	2,50	0,0565
01564	38.303	12,20	766.344	467.484	161	0	0	0	2,50	0,0565
01565	18.775	24,90	773.978	467.484	49.360	0	0	0	2,50	0,0565
01566	22.320	20,94	770.922	467.484	29.664	0	0	0	2,50	0,0565
01737	20.190	23,15	766.319	467.484	39.944	0	0	0	2,50	0,0565
01738	206.440	2,26	789.546	467.484	149.687	0	0	0	2,50	0,0565
01739	130.744	3,58	775.509	467.484	59.226	0	0	0	2,50	0,0565
01740	42.450	11,01	766.319	467.484	1.525	0	0	0	2,50	0,0565
02750	75.126	6,22	774.341	467.484	51.696	0	0	0	2,50	0,0565
02751	75.610	6,18	777.619	467.484	72.823	0	0	0	2,50	0,0565
02752	72.582	6,44	773.437	467.484	45.874	0	0	0	2,50	0,0565
02753	53.136	8,80	772.393	467.484	39.146	0	0	0	2,50	0,0565
02754	21.275	21,97	775.530	467.484	59.361	0	0	0	2,50	0,0565
02755	38.213	12,23	773.262	467.484	44.742	0	0	0	2,50	0,0565
02756	59.447	7,86	777.638	467.484	72.944	0	0	0	2,50	0,0565
Piano rialzato			**ParetеP15-41**				**Parete P15-41**			
00066	1.894	NS	766.319	223.604	8.715	0	0	0	2,50	0,0565
00275	123.646	1,95	766.319	241.101	331.962	0	0	0	2,50	0,1131
00276	11.214	22,69	766.319	254.419	1.773	0	0	0	2,50	0,0565
00277	9.411	4,11	766.449	38.713	835	0	0	0	2,50	0,0565
01075	34.689	13,48	766.319	467.484	5.238	0	0	0	2,50	0,0565
01076	37.110	12,60	766.319	467.484	19.965	0	0	0	2,50	0,0565
01077	27.383	17,07	766.319	467.484	747	0	0	0	2,50	0,0565
01593	5.723	81,69	767.167	467.484	5.465	0	0	0	2,50	0,0565
01594	21.119	22,14	766.319	467.484	22.562	0	0	0	2,50	0,0565
01595	47.418	9,86	766.319	467.484	83.088	0	0	0	2,50	0,0565
01712	5.509	84,86	766.371	467.484	337	0	0	0	2,50	0,0565
01713	6.775	69,00	766.319	467.484	4.633	0	0	0	2,50	0,0565
01714	12.020	38,89	772.444	467.484	39.473	0	0	0	2,50	0,0565
01715	172.702	4,44	766.319	865.783	66.148	0	0	0	2,50	0,0565
02715	5.382	86,85	766.319	467.484	12.096	0	0	0	2,50	0,0565
02716	10.381	45,03	766.319	467.484	6.168	0	0	0	2,50	0,0565
02717	39.972	11,70	766.319	467.484	27.211	0	0	0	2,50	0,0565
02718	72.512	10,57	766.319	1.274.731	146.834	0	0	0	2,50	0,1131
02719	49.971	9,36	766.319	467.484	65.020	0	0	0	2,50	0,0565
02720	47.167	9,91	766.319	467.484	21.281	0	0	0	2,50	0,0565
02721	18.404	25,40	766.319	467.484	23.792	0	0	0	2,50	0,0565
Piano rialzato			**Parete38-39**				**Parete 38-39**			

Id_{Nd}	$V_{Ed,2}$	CS	V_{Rcd}	$V_{Rsd,s}$	N_{Ed}	$V_{Rsd,p}$	V_{R1}	V_{fd}	CtgΘ	A_{sw}
	[N]		[N]	[N]	[N]	[N]	[N]	[N]		[cm²/cm]
00069	40.450	0,42	766.319	17.063	209.715	0	0	0	2,50	0,0770
00076	22.276	9,49	766.319	211.486	1.538.054	0	0	0	2,50	0,2110
00192	155.114	4,94	766.319	3.116.921	255.001	0	0	0	2,50	0,2110
00197	32.529	15,38	766.319	500.422	780	0	0	0	2,50	0,0770
00286	41.391	14,07	766.319	582.302	14.721	0	0	0	2,50	0,0770
00287	8.437	67,25	766.319	567.335	4.245	0	0	0	2,50	0,0770
00763	313.548	2,44	766.319	2.992.780	310.510	0	0	0	2,50	0,2110
00764	85.567	8,96	766.319	827.063	2.927	0	0	0	2,50	0,0770
00765	39.878	19,27	768.611	827.063	14.774	0	0	0	2,50	0,0770
00766	16.906	45,33	766.319	827.063	587	0	0	0	2,50	0,0770
00767	2.504	NS	769.395	827.063	19.824	0	0	0	2,50	0,0770
00768	83.863	9,14	766.319	827.063	25.992	0	0	0	2,50	0,0770
01006	12.363	61,99	766.319	827.063	13.734	0	0	0	2,50	0,0770
01007	4.760	NS	766.319	827.063	19.719	0	0	0	2,50	0,0770
01008	7.450	NS	766.319	827.063	39.792	0	0	0	2,50	0,0770
01009	31.576	24,27	766.319	827.063	42.807	0	0	0	2,50	0,0770
01010	69.247	11,07	766.319	827.063	68.196	0	0	0	2,50	0,0770
01011	75.046	10,21	766.319	827.063	19.388	0	0	0	2,50	0,0770
01731	394.048	1,94	766.319	2.659.095	335.542	0	0	0	2,50	0,2110
01732	68.715	11,20	769.564	3.187.356	20.912	0	0	0	2,50	0,2110
01733	16.496	46,49	766.943	827.063	4.022	0	0	0	2,50	0,0770
01734	101.341	7,56	766.319	827.063	38.754	0	0	0	2,50	0,0770
02733	181.985	4,21	766.319	2.623.878	477.338	0	0	0	2,50	0,2110
02734	134.823	5,68	766.319	3.187.356	96.930	0	0	0	2,50	0,2110
02735	26.288	29,15	766.319	827.063	27.256	0	0	0	2,50	0,0770
02736	36.514	19,52	766.319	712.606	119.692	0	0	0	2,50	0,0770
02737	11.579	66,18	766.319	827.063	34.940	0	0	0	2,50	0,0770
02738	16.792	45,64	766.319	827.063	21.562	0	0	0	2,50	0,0770
02739	1.184	NS	766.319	827.063	18.854	0	0	0	2,50	0,0770
02740	15.982	47,95	766.319	827.063	38.464	0	0	0	2,50	0,0770
02741	10.567	72,52	766.319	827.063	63.585	0	0	0	2,50	0,0770
02742	55.135	13,90	766.319	827.063	152.724	0	0	0	2,50	0,0770
	ERRORE: Armatura a taglio insufficiente									
Piano rialzato			**Parete1-P8**				**Parete 1-P8**			
00002	3.679	NS	768.849	827.063	16.305	0	0	0	2,50	0,0770
00203	4.192	NS	766.319	827.063	1.881	0	0	0	2,50	0,0770
00204	6.254	NS	767.162	827.063	5.436	0	0	0	2,50	0,0770
00205	1.333	NS	766.364	827.063	288	0	0	0	2,50	0,0770
00294	30.689	24,97	766.319	824.422	56.225	0	0	0	2,50	0,0770
00341	11.672	25,23	766.319	294.523	24.604	0	0	0	2,50	0,1385
01056	10.856	70,73	767.831	827.063	9.744	0	0	0	2,50	0,0770
01057	11.346	67,65	767.498	827.063	7.599	0	0	0	2,50	0,0770
01058	11.125	69,03	768.003	827.063	10.850	0	0	0	2,50	0,0770
01059	8.960	85,52	766.319	827.063	2.696	0	0	0	2,50	0,0770
01060	6.949	83,55	766.319	580.541	44.458	0	0	0	2,50	0,0770
01061	59.093	8,59	766.319	507.465	156.091	0	0	0	2,50	0,0770
01473	30.120	25,45	766.576	827.063	1.659	0	0	0	2,50	0,0770
01474	36.883	20,86	769.364	827.063	19.621	0	0	0	2,50	0,0770
01475	30.090	25,53	768.087	827.063	11.391	0	0	0	2,50	0,0770
01476	25.121	30,59	768.339	827.063	13.015	0	0	0	2,50	0,0770
01477	17.837	42,97	766.422	827.063	662	0	0	0	2,50	0,0770
01478	15.217	50,39	766.751	827.063	2.783	0	0	0	2,50	0,0770
01479	9.015	85,02	766.532	827.063	1.373	0	0	0	2,50	0,0770
01698	594	NS	767.254	827.063	6.029	0	0	0	2,50	0,0770
01699	2.255	NS	767.417	789.204	7.077	0	0	0	2,50	0,0770
01704	7.034	NS	766.319	827.063	24.316	0	0	0	2,50	0,0770
01705	63.046	12,50	788.022	945.703	139.867	0	0	0	2,50	0,1385
02678	46.122	16,68	769.458	827.063	20.231	0	0	0	2,50	0,0770
02679	34.851	21,99	766.319	1.767.490	15.341	0	0	0	2,50	0,1385
02680	5.864	NS	767.458	827.063	7.343	0	0	0	2,50	0,0770
02681	6.997	NS	766.319	827.063	360	0	0	0	2,50	0,0770
02682	10.435	73,51	767.096	827.063	5.010	0	0	0	2,50	0,0770
02683	9.369	81,97	767.942	827.063	10.463	0	0	0	2,50	0,0770
02684	17.767	43,21	767.783	827.063	9.435	0	0	0	2,50	0,0770
02685	25.652	29,97	768.893	827.063	16.587	0	0	0	2,50	0,0770
02686	20.262	37,94	768.812	827.063	16.069	0	0	0	2,50	0,0770
02687	44.399	17,36	770.748	827.063	28.541	0	0	0	2,50	0,0770
Piano rialzato			**Parete6-7-19**				**Parete 6-7**			
00006	52.072	4,30	766.898	224.122	3.729	0	0	0	2,50	0,1005
00017	25.893	29,67	768.148	1.002.426	11.788	0	0	0	2,50	0,1005
00185	17.647	43,44	766.613	829.861	1.896	0	0	0	2,50	0,1005
00207	17.142	44,73	766.866	1.064.937	3.526	0	0	0	2,50	0,1005
00962	44.238	17,36	767.962	1.064.937	10.586	0	0	0	2,50	0,1005
00963	24.713	31,01	766.319	1.064.937	1.858	0	0	0	2,50	0,1005
01533	31.525	24,37	768.182	1.064.937	12.005	0	0	0	2,50	0,1005
01534	27.416	27,98	767.011	1.064.937	4.459	0	0	0	2,50	0,1005
01700	25.443	30,26	769.809	1.462.355	22.490	0	0	0	2,50	0,1005
01701	22.845	33,64	768.480	1.064.937	13.925	0	0	0	2,50	0,1005
01702	36.797	20,91	769.439	1.064.937	20.104	0	0	0	2,50	0,1005
01703	25.117	30,54	766.959	1.064.937	4.126	0	0	0	2,50	0,1005
02672	28.763	26,72	768.405	1.064.937	13.442	0	0	0	2,50	0,1005

Id_{Nd}	$V_{Ed,2}$	CS	V_{Rcd}	$V_{Rsd,s}$	N_{Ed}	$V_{Rsd,p}$	V_{R1}	V_{fd}	CtgΘ	A_{sw}
	[N]		[N]	[N]	[N]	[N]	[N]	[N]		[cm²/cm]
02673	25.941	29,58	767.243	1.064.937	5.953	0	0	0	2,50	0,1005
02674	41.702	18,42	768.251	1.064.937	12.448	0	0	0	2,50	0,1005
02675	25.990	29,52	767.305	1.064.937	6.353	0	0	0	2,50	0,1005
02676	32.525	23,60	767.739	1.064.937	9.152	0	0	0	2,50	0,1005
02677	35.339	21,72	767.656	1.064.937	8.618	0	0	0	2,50	0,1005
Piano rialzato			**Parete6-7-19**				**Parete 7-19**			
00017	20.486	37,44	766.954	1.020.915	4.095	0	0	0	2,50	0,1005
00055	94.761	7,20	776.418	681.948	65.085	0	0	0	2,50	0,1005
00185	23.551	32,60	767.680	1.064.937	8.771	0	0	0	2,50	0,1005
00194	46.497	15,36	768.191	713.985	12.062	0	0	0	2,50	0,1005
00942	27.267	28,14	767.335	1.463.235	6.545	0	0	0	2,50	0,1005
00943	21.644	35,48	767.882	1.463.235	10.073	0	0	0	2,50	0,1005
00944	17.930	42,82	767.700	1.463.235	8.899	0	0	0	2,50	0,1005
00945	10.562	72,71	767.945	1.463.235	10.477	0	0	0	2,50	0,1005
00946	3.326	NS	768.225	1.463.235	12.282	0	0	0	2,50	0,1005
00947	3.142	NS	767.664	1.064.937	8.665	0	0	0	2,50	0,1005
00948	10.959	70,05	767.710	1.064.937	8.965	0	0	0	2,50	0,1005
00949	17.220	44,60	767.947	1.064.937	10.491	0	0	0	2,50	0,1005
00950	25.129	30,54	767.355	1.064.937	6.676	0	0	0	2,50	0,1005
00951	53.598	14,33	767.838	1.064.937	9.790	0	0	0	2,50	0,1005
01516	52.925	14,53	768.970	1.064.937	17.088	0	0	0	2,50	0,1005
01517	39.313	19,58	769.888	1.064.937	23.000	0	0	0	2,50	0,1005
01518	28.556	26,96	769.729	1.064.937	21.977	0	0	0	2,50	0,1005
01519	15.503	49,64	769.575	1.064.937	20.981	0	0	0	2,50	0,1005
01520	6.439	NS	769.224	1.064.937	18.723	0	0	0	2,50	0,1005
01521	1.086	NS	768.251	1.463.235	12.451	0	0	0	2,50	0,1005
01522	8.282	92,81	768.734	1.463.235	15.560	0	0	0	2,50	0,1005
01523	14.588	52,66	768.192	1.463.235	12.068	0	0	0	2,50	0,1005
01524	20.653	37,20	768.296	1.463.235	12.742	0	0	0	2,50	0,1005
01525	26.176	29,33	767.720	1.463.235	9.029	0	0	0	2,50	0,1005
01700	24.125	31,76	766.319	917.366	4.076	0	0	0	2,50	0,1005
01701	25.550	30,03	767.203	1.064.937	5.695	0	0	0	2,50	0,1005
01710	45.664	16,78	766.319	994.502	1.090	0	0	0	2,50	0,1005
01711	87.911	8,81	774.186	886.209	50.696	0	0	0	2,50	0,1005
02700	69.570	11,06	769.486	1.064.937	20.410	0	0	0	2,50	0,1005
02701	75.943	10,19	773.590	1.064.937	46.856	0	0	0	2,50	0,1005
02702	32.629	23,55	768.501	1.064.937	14.064	0	0	0	2,50	0,1005
02703	28.073	27,33	767.298	1.064.937	6.312	0	0	0	2,50	0,1005
02704	24.725	31,06	767.879	1.463.235	10.051	0	0	0	2,50	0,1005
02705	28.365	27,06	767.549	1.463.235	7.926	0	0	0	2,50	0,1005
02706	19.427	39,53	768.046	1.463.235	11.132	0	0	0	2,50	0,1005
02707	7.605	NS	768.434	1.463.235	13.631	0	0	0	2,50	0,1005
02708	12.384	62,03	768.188	1.463.235	12.047	0	0	0	2,50	0,1005
02709	948	NS	767.966	1.463.235	10.615	0	0	0	2,50	0,1005
02710	14.984	51,34	769.284	1.064.937	19.107	0	0	0	2,50	0,1005
02711	9.082	84,63	768.604	1.064.937	14.727	0	0	0	2,50	0,1005
02712	25.638	30,03	769.987	1.064.937	23.641	0	0	0	2,50	0,1005
02713	56.773	13,57	770.198	1.064.937	24.998	0	0	0	2,50	0,1005
02714	50.663	15,21	770.602	1.064.937	27.599	0	0	0	2,50	0,1005
Piano rialzato			**Parete24-31**				**Parete 24-31**			
00075	120.549	6,36	766.319	782.740	206.817	0	0	0	2,50	0,1018
00166	16.161	24,60	766.319	397.626	47.754	0	0	0	2,50	0,1018
00211	8.273	33,02	766.319	273.143	2.416	0	0	0	2,50	0,0565
00212	25.590	10,09	766.319	258.176	11.886	0	0	0	2,50	0,0565
00977	36.018	14,21	766.319	511.741	19.692	0	0	0	2,50	0,0565
00978	24.462	20,92	766.319	511.741	34.611	0	0	0	2,50	0,0565
00979	4.390	NS	766.319	511.741	9.671	0	0	0	2,50	0,0565
00980	4.321	NS	766.319	511.741	12.553	0	0	0	2,50	0,0565
00981	12.567	40,72	766.319	511.741	12.928	0	0	0	2,50	0,0565
00982	17.489	29,26	766.319	511.741	4.725	0	0	0	2,50	0,0565
00983	17.444	29,34	766.319	511.741	3.597	0	0	0	2,50	0,0565
00984	14.568	35,13	766.319	511.741	2.834	0	0	0	2,50	0,0565
01448	9.869	51,85	766.399	511.741	516	0	0	0	2,50	0,0565
01449	12.149	42,12	766.848	511.741	3.412	0	0	0	2,50	0,0565
01450	16.703	30,64	767.085	511.741	4.936	0	0	0	2,50	0,0565
01451	17.588	29,10	766.342	511.741	146	0	0	0	2,50	0,0565
01452	16.028	31,93	767.200	511.741	5.678	0	0	0	2,50	0,0565
01453	11.023	46,43	767.449	511.741	7.280	0	0	0	2,50	0,0565
01454	15.695	32,60	766.319	511.741	6.304	0	0	0	2,50	0,0565
01455	46.585	10,99	766.319	511.741	9.499	0	0	0	2,50	0,0565
01706	32.341	15,82	766.319	511.741	14.721	0	0	0	2,50	0,0565
01707	7.932	64,52	766.413	511.741	607	0	0	0	2,50	0,0565
01708	37.708	13,57	766.331	511.741	79	0	0	0	2,50	0,0565
01709	182.282	2,81	766.319	511.741	79.198	0	0	0	2,50	0,0565
02688	16.433	31,14	766.319	511.741	26.668	0	0	0	2,50	0,0565
02689	15.895	32,20	766.319	511.741	6.263	0	0	0	2,50	0,0565
02690	52.339	9,78	766.319	511.741	20.044	0	0	0	2,50	0,0565
02691	73.600	10,41	766.319	2.062.012	111.278	0	0	0	2,50	0,1018
02692	22.346	22,90	766.319	511.741	41.444	0	0	0	2,50	0,0565
02693	32.105	15,94	766.319	511.741	49.212	0	0	0	2,50	0,0565
02694	4.788	NS	766.319	511.741	18.863	0	0	0	2,50	0,0565

Id_{Nd}	$V_{Ed,2}$	CS	V_{Rcd}	$V_{Rsd,s}$	N_{Ed}	$V_{Rsd,p}$	V_{R1}	V_{fd}	CtgΘ	A_{sw}
	[N]		[N]	[N]	[N]	[N]	[N]	[N]		[cm²/cm]
02695	12.072	42,39	766.319	511.741	3.748	0	0	0	2,50	0,0565
02696	15.798	32,39	766.319	511.741	11.315	0	0	0	2,50	0,0565
02697	17.622	29,04	766.319	511.741	4.020	0	0	0	2,50	0,0565
02698	13.673	37,43	766.319	511.741	7.078	0	0	0	2,50	0,0565
02699	18.806	27,21	766.319	511.741	6.111	0	0	0	2,50	0,0565
Piano terra ingresso			**Parete1-P1**				**Parete 1-P1**			
00001	29.809	8,99	782.692	267.987	105.513	0	0	0	2,50	0,0770
00203	1.038	NS	766.319	827.063	2.409	0	0	0	2,50	0,0770
00213	27.250	23,59	780.677	642.717	92.531	0	0	0	2,50	0,1775
00214	10.850	70,70	767.074	827.063	4.867	0	0	0	2,50	0,0770
01387	18.972	41,06	778.946	800.650	81.376	0	0	0	2,50	0,0770
01388	2.794	NS	777.658	827.063	73.076	0	0	0	2,50	0,0770
01389	3.718	NS	775.185	1.769.674	57.139	0	0	0	2,50	0,1775
01390	14.797	51,94	768.552	1.998.587	14.391	0	0	0	2,50	0,1775
01391	6.053	NS	767.447	2.597.283	7.268	0	0	0	2,50	0,1775
01392	7.873	97,37	766.599	827.063	1.804	0	0	0	2,50	0,0770
01393	11.472	66,89	767.339	827.063	6.576	0	0	0	2,50	0,0770
01394	4.134	NS	769.322	827.063	19.356	0	0	0	2,50	0,0770
01395	22.291	34,40	766.724	827.063	2.608	0	0	0	2,50	0,0770
01396	21.266	36,18	769.346	827.063	19.508	0	0	0	2,50	0,0770
01397	9.273	82,83	768.085	827.063	11.383	0	0	0	2,50	0,0770
01398	7.909	96,89	766.319	827.063	9.975	0	0	0	2,50	0,0770
01399	5.506	NS	766.319	827.063	7.687	0	0	0	2,50	0,0770
01400	11.920	64,29	766.319	827.063	6.657	0	0	0	2,50	0,0770
01401	11.465	66,97	767.823	827.063	9.691	0	0	0	2,50	0,0770
01402	38.159	20,27	773.497	827.063	46.259	0	0	0	2,50	0,0770
02437	11.920	64,81	772.574	1.998.587	40.310	0	0	0	2,50	0,1775
02438	13.460	56,94	766.452	827.063	858	0	0	0	2,50	0,0770
02439	6.251	NS	766.558	827.063	1.540	0	0	0	2,50	0,0770
02440	35.497	21,89	777.045	827.063	69.122	0	0	0	2,50	0,0770
02441	35.058	22,06	773.532	827.063	46.482	0	0	0	2,50	0,0770
02442	21.676	35,36	766.358	827.063	252	0	0	0	2,50	0,0770
02443	11.632	65,91	766.709	827.063	2.517	0	0	0	2,50	0,0770
02444	7.215	NS	769.239	2.597.283	18.817	0	0	0	2,50	0,1775
02445	21.202	36,15	766.431	827.063	721	0	0	0	2,50	0,0770
Piano terra ingresso			**Parete2-P2**				**Parete 2-P2**			
00008	48.853	13,98	787.641	682.994	137.406	0	0	0	2,50	0,1018
00218	23.591	19,82	767.138	467.484	5.277	0	0	0	2,50	0,0565
00219	55.672	5,72	794.462	318.665	181.364	0	0	0	2,50	0,1131
00220	6.915	67,60	767.261	467.484	6.070	0	0	0	2,50	0,0565
01371	14.961	31,25	783.263	467.484	109.196	0	0	0	2,50	0,0565
01372	6.833	68,42	781.291	467.484	96.485	0	0	0	2,50	0,0565
01373	17.712	14,46	786.022	256.180	126.973	0	0	0	2,50	0,0565
01374	40.412	19,14	773.314	1.216.708	45.080	0	0	0	2,50	0,1131
01375	9.430	49,57	768.213	467.484	12.206	0	0	0	2,50	0,0565
01376	1.672	NS	766.501	467.484	1.174	0	0	0	2,50	0,0565
01377	74	NS	767.182	467.484	5.562	0	0	0	2,50	0,0565
01378	507	NS	767.614	467.484	8.347	0	0	0	2,50	0,0565
01379	4.608	NS	767.856	467.484	9.905	0	0	0	2,50	0,0565
01380	4.618	NS	770.954	467.484	29.872	0	0	0	2,50	0,0565
01381	26.131	17,89	769.671	467.484	21.605	0	0	0	2,50	0,0565
01382	15.229	30,70	766.489	467.484	1.096	0	0	0	2,50	0,0565
01383	10.969	42,62	766.319	467.484	5.551	0	0	0	2,50	0,0565
01384	9.065	51,57	766.319	467.484	8.114	0	0	0	2,50	0,0565
01385	2.304	NS	766.724	467.484	2.609	0	0	0	2,50	0,0565
01386	40.486	11,55	772.071	467.484	37.067	0	0	0	2,50	0,0565
02428	36.870	21,13	778.889	1.287.143	81.005	0	0	0	2,50	0,1131
02429	3.205	NS	766.319	467.484	441	0	0	0	2,50	0,0565
02430	22.259	21,00	767.475	467.484	7.453	0	0	0	2,50	0,0565
02431	39.139	11,94	779.762	467.484	86.631	0	0	0	2,50	0,0565
02432	19.600	23,85	774.945	467.484	55.587	0	0	0	2,50	0,0565
02433	9.845	47,48	766.407	467.484	565	0	0	0	2,50	0,0565
02434	21.323	21,92	767.813	467.484	9.627	0	0	0	2,50	0,0565
02435	25.365	18,43	770.360	467.484	26.044	0	0	0	2,50	0,0565
02436	2.586	NS	766.867	467.484	3.534	0	0	0	2,50	0,0565
Piano terra ingresso			**Parete3-P3**				**Parete 3-P3**			
00010	51.020	13,39	788.635	682.994	143.816	0	0	0	2,50	0,1018
00224	22.275	20,99	767.106	467.484	5.074	0	0	0	2,50	0,0565
00225	55.248	6,07	794.071	335.393	178.847	0	0	0	2,50	0,1131
00226	7.120	65,66	767.210	467.484	5.741	0	0	0	2,50	0,0565
01419	15.120	30,92	783.682	467.484	111.897	0	0	0	2,50	0,0565
01420	7.074	66,09	781.395	467.484	97.156	0	0	0	2,50	0,0565
01421	17.873	14,33	785.860	256.180	125.930	0	0	0	2,50	0,0565
01422	40.049	19,31	773.180	1.216.708	44.217	0	0	0	2,50	0,1131
01423	9.102	51,36	768.128	467.484	11.658	0	0	0	2,50	0,0565
01424	1.911	NS	766.440	467.484	779	0	0	0	2,50	0,0565
01425	560	NS	767.005	467.484	4.423	0	0	0	2,50	0,0565
01426	245	NS	767.374	467.484	6.802	0	0	0	2,50	0,0565
01427	5.348	87,42	767.851	467.484	9.874	0	0	0	2,50	0,0565
01428	3.668	NS	770.795	467.484	28.844	0	0	0	2,50	0,0565
01429	24.463	19,11	769.533	467.484	20.712	0	0	0	2,50	0,0565

Id_{Nd}	$V_{Ed,2}$	CS	V_{Rcd}	$V_{Rsd,s}$	N_{Ed}	$V_{Rsd,p}$	V_{R1}	V_{fd}	CtgΘ	A_{sw}
	[N]		[N]	[N]	[N]	[N]	[N]	[N]		[cm²/cm]
01430	14.187	32,95	766.476	467.484	1.014	0	0	0	2,50	0,0565
01431	10.302	45,38	766.319	467.484	5.284	0	0	0	2,50	0,0565
01432	8.128	57,51	766.319	467.484	7.481	0	0	0	2,50	0,0565
01433	1.242	NS	766.891	467.484	3.690	0	0	0	2,50	0,0565
01434	42.984	10,88	772.434	467.484	39.407	0	0	0	2,50	0,0565
02455	36.691	21,22	778.749	1.287.143	80.108	0	0	0	2,50	0,1131
02456	3.707	NS	766.319	467.484	349	0	0	0	2,50	0,0565
02457	20.790	22,49	767.416	467.484	7.070	0	0	0	2,50	0,0565
02458	40.859	11,44	780.291	467.484	90.043	0	0	0	2,50	0,0565
02459	20.756	22,52	775.131	467.484	56.791	0	0	0	2,50	0,0565
02460	8.387	55,74	766.443	467.484	797	0	0	0	2,50	0,0565
02461	19.694	23,74	767.755	467.484	9.252	0	0	0	2,50	0,0565
02462	24.712	18,92	770.389	467.484	26.227	0	0	0	2,50	0,0565
02463	1.620	NS	766.843	467.484	3.376	0	0	0	2,50	0,0565
Piano terra ingresso			**Parete4-P4**				**Parete 4-P4**			
00012	50.733	13,46	788.673	682.994	144.057	0	0	0	2,50	0,1018
00230	22.218	21,04	767.142	467.484	5.302	0	0	0	2,50	0,0565
00231	54.168	5,88	793.456	318.665	174.884	0	0	0	2,50	0,1131
00232	7.237	64,60	767.169	467.484	5.477	0	0	0	2,50	0,0565
01403	14.560	32,11	783.618	467.484	111.485	0	0	0	2,50	0,0565
01404	7.349	63,61	781.213	467.484	95.987	0	0	0	2,50	0,0565
01405	17.935	13,30	785.531	238.571	123.809	0	0	0	2,50	0,0565
01406	39.327	19,66	773.016	1.216.708	43.160	0	0	0	2,50	0,1131
01407	9.034	51,75	768.036	467.484	11.066	0	0	0	2,50	0,0565
01408	1.870	NS	766.395	467.484	490	0	0	0	2,50	0,0565
01409	533	NS	766.950	467.484	4.068	0	0	0	2,50	0,0565
01410	222	NS	767.143	467.484	5.313	0	0	0	2,50	0,0565
01411	5.473	85,42	767.892	467.484	10.135	0	0	0	2,50	0,0565
01412	3.702	NS	770.737	467.484	28.469	0	0	0	2,50	0,0565
01413	24.425	19,14	769.486	467.484	20.407	0	0	0	2,50	0,0565
01414	14.203	32,92	766.558	467.484	1.541	0	0	0	2,50	0,0565
01415	10.360	45,12	766.319	467.484	4.836	0	0	0	2,50	0,0565
01416	8.190	57,08	766.319	467.484	6.944	0	0	0	2,50	0,0565
01417	1.348	NS	766.925	467.484	3.902	0	0	0	2,50	0,0565
01418	42.629	10,97	772.460	467.484	39.574	0	0	0	2,50	0,0565
02446	36.211	21,50	778.502	1.287.143	78.516	0	0	0	2,50	0,1131
02447	3.775	NS	766.319	467.484	318	0	0	0	2,50	0,0565
02448	20.690	22,59	767.413	467.484	7.048	0	0	0	2,50	0,0565
02449	40.323	11,59	780.286	467.484	90.011	0	0	0	2,50	0,0565
02450	20.122	23,23	775.061	467.484	56.337	0	0	0	2,50	0,0565
02451	8.430	55,45	766.461	467.484	914	0	0	0	2,50	0,0565
02452	19.295	24,23	767.765	467.484	9.317	0	0	0	2,50	0,0565
02453	24.564	19,03	770.319	467.484	25.780	0	0	0	2,50	0,0565
02454	1.647	NS	766.793	467.484	3.054	0	0	0	2,50	0,0565
Piano terra ingresso			**Parete5-P5**				**Parete 5-P5**			
00014	52.254	13,07	789.097	682.994	146.792	0	0	0	2,50	0,1018
00236	23.275	20,09	767.118	467.484	5.150	0	0	0	2,50	0,0565
00237	60.783	7,13	796.376	433.121	193.702	0	0	0	2,50	0,1131
00238	7.031	66,49	767.196	467.484	5.650	0	0	0	2,50	0,0565
01628	15.489	30,18	783.942	467.484	113.570	0	0	0	2,50	0,0565
01629	7.348	63,62	781.687	467.484	99.036	0	0	0	2,50	0,0565
01630	19.098	15,26	787.165	291.398	134.340	0	0	0	2,50	0,0565
01631	44.523	17,38	773.762	1.251.925	47.969	0	0	0	2,50	0,1131
01632	10.593	44,13	768.175	467.484	11.958	0	0	0	2,50	0,0565
01633	1.601	NS	766.387	467.484	436	0	0	0	2,50	0,0565
01634	287	NS	767.009	467.484	4.450	0	0	0	2,50	0,0565
01635	351	NS	767.240	467.484	5.937	0	0	0	2,50	0,0565
01636	4.348	NS	767.942	467.484	10.459	0	0	0	2,50	0,0565
01637	5.508	84,87	770.721	467.484	28.369	0	0	0	2,50	0,0565
01638	26.268	17,80	769.453	467.484	20.194	0	0	0	2,50	0,0565
01639	15.457	30,24	766.599	467.484	1.805	0	0	0	2,50	0,0565
01640	11.384	41,06	766.319	467.484	4.830	0	0	0	2,50	0,0565
01641	9.223	50,69	766.319	467.484	6.855	0	0	0	2,50	0,0565
01642	1.601	NS	766.992	467.484	4.334	0	0	0	2,50	0,0565
01643	43.895	10,65	772.703	467.484	41.142	0	0	0	2,50	0,0565
02600	40.374	19,31	779.815	1.356.697	86.974	0	0	0	2,50	0,1131
02601	3.251	NS	766.319	467.484	377	0	0	0	2,50	0,0565
02602	22.071	21,18	767.404	467.484	6.993	0	0	0	2,50	0,0565
02603	41.698	11,21	780.582	467.484	91.918	0	0	0	2,50	0,0565
02604	20.404	22,91	775.456	467.484	58.885	0	0	0	2,50	0,0565
02605	10.123	46,18	766.521	467.484	1.304	0	0	0	2,50	0,0565
02606	21.341	21,91	767.773	467.484	9.368	0	0	0	2,50	0,0565
02607	27.514	16,99	770.647	467.484	27.893	0	0	0	2,50	0,0565
02608	3.086	NS	766.822	467.484	3.240	0	0	0	2,50	0,0565
Piano terra ingresso			**Parete7-P6**				**Parete 7-P6**			
00016	9.949	3,22	776.565	32.030	66.032	0	0	0	2,50	0,0770
00017	10.689	72,04	769.991	789.204	23.661	0	0	0	2,50	0,0770
00280	17.117	44,77	766.319	1.479.676	52.452	0	0	0	2,50	0,2780
00281	14.780	19,44	775.215	287.356	57.332	0	0	0	2,50	0,0770
01526	4.595	NS	767.839	827.063	9.795	0	0	0	2,50	0,0770
01527	1.900	NS	767.179	827.063	5.543	0	0	0	2,50	0,0770

Id_{Nd}	$V_{Ed,2}$	CS	V_{Rcd}	$V_{Rsd,s}$	N_{Ed}	$V_{Rsd,p}$	V_{R1}	V_{fd}	CtgΘ	A_{sw}
	[N]		[N]	[N]	[N]	[N]	[N]	[N]		[cm²/cm]
01528	5.485	NS	766.867	827.063	3.532	0	0	0	2,50	0,0770
01529	5.293	NS	768.296	827.063	12.739	0	0	0	2,50	0,0770
01530	12.189	36,22	770.590	441.432	27.527	0	0	0	2,50	0,0770
01572	5.511	38,89	773.186	214.280	44.252	0	0	0	2,50	0,0770
01573	4.844	NS	770.272	827.063	25.478	0	0	0	2,50	0,0770
01574	2.147	73,55	768.317	157.932	12.874	0	0	0	2,50	0,0770
01575	8.853	86,59	766.554	3.240.546	1.512	0	0	0	2,50	0,2780
01576	15.225	50,33	766.319	3.487.068	9.663	0	0	0	2,50	0,2780
01577	5.282	NS	766.319	4.367.502	879	0	0	0	2,50	0,2780
01578	4.407	NS	766.319	827.063	348	0	0	0	2,50	0,0770
01579	10.627	72,20	767.220	827.063	5.805	0	0	0	2,50	0,0770
01580	45.134	17,17	775.159	827.063	56.966	0	0	0	2,50	0,0770
01581	35.360	16,42	766.319	580.541	55.464	0	0	0	2,50	0,0770
01582	1.463	NS	767.685	827.063	8.804	0	0	0	2,50	0,0770
01583	5.667	NS	767.982	827.063	10.719	0	0	0	2,50	0,0770
01584	10.668	72,05	768.586	827.063	14.609	0	0	0	2,50	0,0770
02564	3.514	NS	766.319	3.487.068	10.693	0	0	0	2,50	0,2780
02565	21.491	35,80	769.423	827.063	20.003	0	0	0	2,50	0,0770
02566	7.977	96,35	768.625	827.063	14.862	0	0	0	2,50	0,0770
02567	4.945	NS	772.945	518.911	42.700	0	0	0	2,50	0,0770
02568	2.014	NS	769.226	776.878	18.733	0	0	0	2,50	0,0770
02569	8.390	91,42	767.083	827.063	4.926	0	0	0	2,50	0,0770
02570	6.689	NS	768.336	827.063	13.000	0	0	0	2,50	0,0770
02571	4.789	NS	766.484	4.367.502	1.061	0	0	0	2,50	0,2780
02572	13.760	55,80	767.799	827.063	9.540	0	0	0	2,50	0,0770
Piano terra ingresso			**ParetеP7-13**				**Parete P7-13**			
00028	9.699	12,71	772.874	123.234	42.246	0	0	0	2,50	0,0565
00029	12.059	38,77	768.156	467.484	11.840	0	0	0	2,50	0,0565
00271	9.743	32,76	766.319	319.135	21.625	0	0	0	2,50	0,1181
00272	16.328	0,43	774.662	7.017	53.765	0	0	0	2,50	0,0565
01540	4.410	62,09	766.942	273.789	4.014	0	0	0	2,50	0,0565
01541	4.938	94,68	767.977	467.484	10.682	0	0	0	2,50	0,0565
01542	4.549	NS	771.099	467.484	30.803	0	0	0	2,50	0,0565
01543	4.393	NS	766.526	467.484	1.337	0	0	0	2,50	0,0565
01544	4.944	94,56	766.319	467.484	578	0	0	0	2,50	0,0565
01545	5.795	80,67	766.319	467.484	715	0	0	0	2,50	0,0565
01546	6.842	68,33	766.494	467.484	1.131	0	0	0	2,50	0,0565
01547	9.555	48,92	767.069	467.484	4.836	0	0	0	2,50	0,0565
01548	10.727	43,58	767.784	467.484	9.441	0	0	0	2,50	0,0565
01549	14.806	31,57	767.153	467.484	5.377	0	0	0	2,50	0,0565
01550	19.985	23,39	766.319	467.484	7.663	0	0	0	2,50	0,0565
01551	34.200	13,67	770.892	467.484	29.471	0	0	0	2,50	0,0565
01552	5.270	88,70	767.064	467.484	4.803	0	0	0	2,50	0,0565
01553	2.489	NS	766.360	467.484	263	0	0	0	2,50	0,0565
01554	2.566	NS	766.319	467.484	1.633	0	0	0	2,50	0,0565
01555	9.121	84,01	766.319	1.375.656	5.560	0	0	0	2,50	0,1181
02546	794	NS	769.603	467.484	21.163	0	0	0	2,50	0,0565
02547	10.742	43,52	767.190	467.484	5.616	0	0	0	2,50	0,0565
02548	13.467	34,71	770.623	467.484	27.740	0	0	0	2,50	0,0565
02549	3.911	NS	766.319	1.199.570	11.295	0	0	0	2,50	0,1181
02550	2.151	NS	766.701	467.484	2.460	0	0	0	2,50	0,0565
02551	2.008	NS	766.383	467.484	415	0	0	0	2,50	0,0565
02552	5.841	80,04	768.036	467.484	11.064	0	0	0	2,50	0,0565
02553	6.363	73,47	766.801	467.484	3.105	0	0	0	2,50	0,0565
02554	8.143	57,41	766.845	467.484	3.387	0	0	0	2,50	0,0565
	ERRORE: Armatura a taglio insufficiente									
Piano terra ingresso			**Parete10-11**				**Parete 10-11**			
00022	5.962	50,49	771.026	301.056	30.337	0	0	0	2,50	0,1131
00023	3.909	NS	781.766	467.484	99.547	0	0	0	2,50	0,0565
00024	7.653	43,94	771.688	336.273	34.599	0	0	0	2,50	0,1131
00025	716	NS	777.011	467.484	68.904	0	0	0	2,50	0,0565
00730	390	NS	769.871	238.571	22.889	0	0	0	2,50	0,0565
00731	283	NS	769.902	467.484	23.092	0	0	0	2,50	0,0565
00732	851	NS	770.487	467.484	26.863	0	0	0	2,50	0,0565
00733	495	NS	771.016	467.484	30.270	0	0	0	2,50	0,0565
00734	775	NS	770.227	467.484	25.184	0	0	0	2,50	0,0565
00735	1.218	NS	770.868	326.615	29.314	0	0	0	2,50	0,0565
00736	2.801	NS	766.662	361.832	2.213	0	0	0	2,50	0,0565
00737	8.014	58,33	766.568	467.484	1.605	0	0	0	2,50	0,0565
00738	13.161	35,52	767.075	467.484	4.873	0	0	0	2,50	0,0565
00739	26.143	17,88	768.841	467.484	16.253	0	0	0	2,50	0,0565
00740	84.690	5,52	775.717	467.484	60.565	0	0	0	2,50	0,0565
00741	87.668	4,93	766.319	432.267	90.313	0	0	0	2,50	0,0565
00742	7.582	61,66	767.337	467.484	6.560	0	0	0	2,50	0,0565
00743	2.838	NS	766.497	467.484	1.150	0	0	0	2,50	0,0565
00744	1.953	NS	766.871	467.484	3.555	0	0	0	2,50	0,0565
00745	15.911	29,38	766.411	467.484	593	0	0	0	2,50	0,0565
00746	57.492	8,13	766.319	467.484	50.857	0	0	0	2,50	0,0565
00747	82.058	5,70	775.933	467.484	61.958	0	0	0	2,50	0,0565
00748	27.731	16,86	770.286	467.484	25.565	0	0	0	2,50	0,0565
00749	13.609	34,35	767.003	467.484	4.408	0	0	0	2,50	0,0565

Id_{Nd}	$V_{Ed,2}$	CS	V_{Rcd}	$V_{Rsd,s}$	N_{Ed}	$V_{Rsd,p}$	V_{R1}	V_{fd}	CtgΘ	A_{sw}
	[N]		[N]	[N]	[N]	[N]	[N]	[N]		[cm²/cm]
00750	6.908	67,67	766.473	467.484	993	0	0	0	2,50	0,0565
00751	2.057	NS	767.185	397.050	5.581	0	0	0	2,50	0,0565
01804	1.115	NS	768.555	1.287.143	14.410	0	0	0	2,50	0,1131
01805	23.858	19,59	772.703	467.484	41.139	0	0	0	2,50	0,0565
01806	17.368	26,92	772.419	467.484	39.313	0	0	0	2,50	0,0565
01807	3.340	NS	769.301	1.146.273	19.216	0	0	0	2,50	0,1131
01808	2.207	NS	767.689	467.484	8.830	0	0	0	2,50	0,0565
01809	14.093	33,17	767.690	467.484	8.834	0	0	0	2,50	0,0565
01810	20.277	23,06	770.912	467.484	29.599	0	0	0	2,50	0,0565
01811	1.481	NS	768.310	467.484	12.833	0	0	0	2,50	0,0565
01812	3.793	NS	769.378	467.484	19.717	0	0	0	2,50	0,0565
01813	2.930	NS	769.209	467.484	18.625	0	0	0	2,50	0,0565
01814	5.482	85,28	768.512	467.484	14.130	0	0	0	2,50	0,0565
01815	3.941	NS	769.145	467.484	18.212	0	0	0	2,50	0,0565
01816	9.096	51,39	767.570	467.484	8.063	0	0	0	2,50	0,0565
01817	20.600	22,69	769.962	467.484	23.480	0	0	0	2,50	0,0565
Piano terra ingresso			**Parete32-P10**				**Parete 32-P10**			
00007	21.461	10,23	777.177	219.563	69.971	0	0	0	2,50	0,0770
00199	1.265	NS	766.319	827.063	4.818	0	0	0	2,50	0,0770
00242	24.116	21,54	779.696	519.457	86.206	0	0	0	2,50	0,1775
00243	7.224	NS	767.215	827.063	5.772	0	0	0	2,50	0,0770
01487	26.648	28,93	771.024	785.682	30.323	0	0	0	2,50	0,0770
01488	6.996	NS	766.964	827.063	4.154	0	0	0	2,50	0,0770
01489	7.420	NS	766.319	827.063	8.963	0	0	0	2,50	0,0770
01490	2.752	NS	766.319	827.063	9.654	0	0	0	2,50	0,0770
01491	4.566	NS	766.319	827.063	12.429	0	0	0	2,50	0,0770
01617	16.980	44,04	775.692	747.824	60.403	0	0	0	2,50	0,0770
01618	3.633	NS	775.701	721.411	60.462	0	0	0	2,50	0,0770
01619	2.634	NS	774.142	1.672.826	50.414	0	0	0	2,50	0,1775
01620	13.172	58,36	768.718	1.980.978	15.461	0	0	0	2,50	0,1775
01621	4.517	NS	767.655	2.597.283	8.607	0	0	0	2,50	0,1775
01622	6.315	NS	766.853	827.063	3.440	0	0	0	2,50	0,0770
01623	8.287	92,62	767.530	827.063	7.802	0	0	0	2,50	0,0770
01624	2.436	NS	768.933	827.063	16.848	0	0	0	2,50	0,0770
01625	14.329	53,49	766.456	827.063	886	0	0	0	2,50	0,0770
01626	13.228	58,11	768.649	827.063	15.017	0	0	0	2,50	0,0770
01627	3.664	NS	767.423	827.063	7.116	0	0	0	2,50	0,0770
02591	10.183	75,81	772.040	1.944.880	36.871	0	0	0	2,50	0,1775
02592	8.667	88,43	766.358	827.063	249	0	0	0	2,50	0,0770
02593	2.317	NS	766.319	827.063	1.628	0	0	0	2,50	0,0770
02594	27.021	28,33	773.682	765.432	47.451	0	0	0	2,50	0,0770
02595	27.423	28,14	771.772	827.063	35.141	0	0	0	2,50	0,0770
02596	14.498	52,86	766.319	827.063	1.249	0	0	0	2,50	0,0770
02597	5.106	NS	766.331	827.063	77	0	0	0	2,50	0,0770
02598	4.819	NS	768.739	2.597.283	15.596	0	0	0	2,50	0,1775
02599	12.145	63,10	766.343	827.063	153	0	0	0	2,50	0,0770
Piano terra ingresso			**Parete33-P11**				**Parete 33-P11**			
00030	34.972	18,02	781.285	630.168	96.447	0	0	0	2,50	0,1018
00247	20.342	22,98	766.824	467.484	3.252	0	0	0	2,50	0,0565
00248	43.671	7,31	789.348	319.135	148.410	0	0	0	2,50	0,1181
00249	4.822	96,94	767.338	467.484	6.570	0	0	0	2,50	0,0565
01660	12.423	37,63	779.238	467.484	83.258	0	0	0	2,50	0,0565
01661	4.569	NS	778.443	467.484	78.132	0	0	0	2,50	0,0565
01662	13.146	14,13	782.254	185.745	102.692	0	0	0	2,50	0,0565
01663	31.349	7,05	772.214	220.963	37.992	0	0	0	2,50	0,0565
01664	7.384	63,31	768.200	467.484	12.123	0	0	0	2,50	0,0565
01665	1.580	NS	766.672	467.484	2.276	0	0	0	2,50	0,0565
01666	642	NS	767.531	467.484	7.810	0	0	0	2,50	0,0565
01667	1.072	NS	767.628	467.484	8.435	0	0	0	2,50	0,0565
01668	1.968	NS	767.417	467.484	7.078	0	0	0	2,50	0,0565
01669	5.242	89,18	770.338	467.484	25.900	0	0	0	2,50	0,0565
01670	22.841	20,47	769.242	467.484	18.835	0	0	0	2,50	0,0565
01671	13.356	35,00	766.319	467.484	1.468	0	0	0	2,50	0,0565
01672	9.763	47,88	766.319	467.484	6.544	0	0	0	2,50	0,0565
01673	8.776	53,27	766.319	467.484	9.486	0	0	0	2,50	0,0565
01674	3.465	NS	766.319	467.484	186	0	0	0	2,50	0,0565
01675	27.683	27,82	770.054	1.264.081	24.072	0	0	0	2,50	0,1018
02618	28.395	27,35	776.482	1.340.439	65.494	0	0	0	2,50	0,1181
02619	1.383	NS	766.319	467.484	651	0	0	0	2,50	0,0565
02620	19.593	23,86	767.256	467.484	6.037	0	0	0	2,50	0,0565
02621	28.589	16,35	776.048	467.484	62.699	0	0	0	2,50	0,0565
02622	14.782	31,63	772.883	467.484	42.299	0	0	0	2,50	0,0565
02623	9.815	47,63	766.319	467.484	683	0	0	0	2,50	0,0565
02624	19.871	23,53	767.485	467.484	7.511	0	0	0	2,50	0,0565
02625	20.425	22,89	769.488	467.484	20.423	0	0	0	2,50	0,0565
02626	3.413	NS	766.755	467.484	2.807	0	0	0	2,50	0,0565
Piano terra ingresso			**Parete34-P12**				**Parete 34-P12**			
00032	52.488	13,01	788.164	682.994	140.778	0	0	0	2,50	0,1018
00253	19.614	23,83	766.620	467.484	1.942	0	0	0	2,50	0,0565
00254	57.066	5,43	795.993	309.860	191.232	0	0	0	2,50	0,1131
00255	7.727	60,50	767.580	467.484	8.126	0	0	0	2,50	0,0565

Id_{Nd}	$V_{Ed,2}$	CS	V_{Rcd}	$V_{Rsd,s}$	N_{Ed}	$V_{Rsd,p}$	V_{R1}	V_{fd}	CtgΘ	A_{sw}
	[N]		[N]	[N]	[N]	[N]	[N]	[N]		[cm²/cm]
01644	19.133	24,43	783.894	467.484	113.259	0	0	0	2,50	0,0565
01645	3.903	NS	782.317	467.484	103.096	0	0	0	2,50	0,0565
01646	14.975	15,93	786.761	238.571	131.739	0	0	0	2,50	0,0565
01647	40.005	19,34	773.529	1.216.708	46.462	0	0	0	2,50	0,1131
01648	6.973	67,04	768.720	467.484	15.476	0	0	0	2,50	0,0565
01649	2.978	NS	766.938	467.484	3.991	0	0	0	2,50	0,0565
01650	2.119	NS	767.940	467.484	10.443	0	0	0	2,50	0,0565
01651	477	NS	768.589	467.484	14.627	0	0	0	2,50	0,0565
01652	7.623	61,32	767.602	467.484	8.271	0	0	0	2,50	0,0565
01653	837	NS	769.970	467.484	23.528	0	0	0	2,50	0,0565
01654	20.922	22,34	769.745	467.484	22.080	0	0	0	2,50	0,0565
01655	11.034	42,37	766.319	467.484	4.547	0	0	0	2,50	0,0565
01656	7.525	62,12	766.319	467.484	9.342	0	0	0	2,50	0,0565
01657	5.038	92,79	766.319	467.484	12.015	0	0	0	2,50	0,0565
01658	1.528	NS	766.576	467.484	1.654	0	0	0	2,50	0,0565
01659	46.160	10,13	772.026	467.484	36.779	0	0	0	2,50	0,0565
02609	35.321	22,06	779.348	1.287.143	83.963	0	0	0	2,50	0,1131
02610	3.310	NS	766.319	467.484	400	0	0	0	2,50	0,0565
02611	18.002	25,97	767.322	467.484	6.465	0	0	0	2,50	0,0565
02612	44.926	10,41	780.129	467.484	89.001	0	0	0	2,50	0,0565
02613	27.386	17,07	775.249	467.484	57.548	0	0	0	2,50	0,0565
02614	3.911	NS	766.319	467.484	621	0	0	0	2,50	0,0565
02615	17.522	26,68	767.614	467.484	8.345	0	0	0	2,50	0,0565
02616	20.618	22,67	770.604	467.484	27.617	0	0	0	2,50	0,0565
02617	1.801	NS	766.826	467.484	3.270	0	0	0	2,50	0,0565
Piano terra ingresso			**Parete35-P13**				**Parete 35-P13**			
00034	58.790	11,92	791.406	700.602	161.671	0	0	0	2,50	0,1018
00259	25.952	18,01	767.202	467.484	5.692	0	0	0	2,50	0,0565
00260	63.973	5,53	798.851	353.882	209.654	0	0	0	2,50	0,1131
00261	8.722	53,60	767.462	467.484	7.366	0	0	0	2,50	0,0565
01601	19.180	24,37	786.121	467.484	127.610	0	0	0	2,50	0,0565
01602	6.722	69,55	783.889	467.484	113.230	0	0	0	2,50	0,0565
01603	19.252	13,31	788.997	256.180	146.147	0	0	0	2,50	0,0565
01604	45.903	16,87	774.326	1.251.925	51.601	0	0	0	2,50	0,1131
01605	9.689	48,25	768.650	467.484	15.021	0	0	0	2,50	0,0565
01606	2.325	NS	766.679	467.484	2.323	0	0	0	2,50	0,0565
01607	1.118	NS	767.723	467.484	9.046	0	0	0	2,50	0,0565
01608	525	NS	768.259	467.484	12.504	0	0	0	2,50	0,0565
01609	7.942	58,86	768.044	467.484	11.117	0	0	0	2,50	0,0565
01610	2.090	NS	772.087	467.484	37.170	0	0	0	2,50	0,0565
01611	27.884	16,77	770.468	467.484	26.741	0	0	0	2,50	0,0565
01612	15.470	30,22	766.319	467.484	148	0	0	0	2,50	0,0565
01613	10.490	44,57	766.319	467.484	7.504	0	0	0	2,50	0,0565
01614	7.865	59,44	766.319	467.484	10.463	0	0	0	2,50	0,0565
01615	683	NS	766.764	467.484	2.869	0	0	0	2,50	0,0565
01616	50.362	15,35	773.064	865.783	43.466	0	0	0	2,50	0,0565
02582	41.479	18,82	780.757	1.304.752	93.048	0	0	0	2,50	0,1131
02583	4.932	94,79	766.319	467.484	374	0	0	0	2,50	0,0565
02584	23.859	19,59	767.715	467.484	8.994	0	0	0	2,50	0,0565
02585	48.402	16,16	782.083	865.783	101.588	0	0	0	2,50	0,0565
02586	26.600	17,57	776.403	467.484	64.985	0	0	0	2,50	0,0565
02587	7.799	59,94	766.374	467.484	356	0	0	0	2,50	0,0565
02588	22.241	21,02	768.098	467.484	11.467	0	0	0	2,50	0,0565
02589	26.685	17,52	771.055	467.484	30.523	0	0	0	2,50	0,0565
02590	301	NS	766.962	467.484	4.142	0	0	0	2,50	0,0565
Piano terra ingresso			**Parete36-P14**				**Parete 36-P14**			
00036	68.411	11,27	795.324	771.037	186.922	0	0	0	2,50	0,1018
00265	21.676	21,57	767.216	467.484	5.781	0	0	0	2,50	0,0565
00266	58.270	5,38	796.487	313.211	194.418	0	0	0	2,50	0,1018
00267	13.706	34,11	767.532	467.484	7.817	0	0	0	2,50	0,0565
01556	23.791	19,65	788.320	467.484	141.786	0	0	0	2,50	0,0565
01557	4.087	NS	785.224	467.484	121.832	0	0	0	2,50	0,0565
01558	15.709	21,91	788.134	344.224	140.587	0	0	0	2,50	0,0565
01559	39.253	7,40	773.030	290.517	43.249	0	0	0	2,50	0,0565
01560	3.682	NS	768.562	467.484	14.453	0	0	0	2,50	0,0565
01561	5.334	87,64	766.752	467.484	2.789	0	0	0	2,50	0,0565
01562	6.840	68,34	767.926	467.484	10.354	0	0	0	2,50	0,0565
01563	1.557	NS	769.495	467.484	20.469	0	0	0	2,50	0,0565
01564	19.987	23,39	768.183	467.484	12.011	0	0	0	2,50	0,0565
01565	10.594	44,13	773.177	467.484	44.195	0	0	0	2,50	0,0565
01566	19.093	24,48	771.088	467.484	30.734	0	0	0	2,50	0,0565
01567	8.453	55,30	766.319	467.484	2.628	0	0	0	2,50	0,0565
01568	4.174	NS	766.319	467.484	8.961	0	0	0	2,50	0,0565
01569	753	NS	766.319	467.484	9.590	0	0	0	2,50	0,0565
01570	7.136	65,51	767.178	467.484	5.537	0	0	0	2,50	0,0565
01571	63.641	7,35	774.121	467.484	50.281	0	0	0	2,50	0,0565
02555	35.131	22,19	779.602	1.176.037	85.599	0	0	0	2,50	0,1018
02556	11.907	39,26	766.381	467.484	399	0	0	0	2,50	0,0565
02557	16.880	27,70	767.871	467.484	10.003	0	0	0	2,50	0,0565
02558	59.359	7,88	784.131	467.484	114.788	0	0	0	2,50	0,0565
02559	38.886	12,02	777.076	467.484	69.322	0	0	0	2,50	0,0565

Id_{Nd}	$V_{Ed,2}$	CS	V_{Rcd}	$V_{Rsd,s}$	N_{Ed}	$V_{Rsd,p}$	V_{R1}	V_{fd}	CtgΘ	A_{sw}
	[N]		[N]	[N]	[N]	[N]	[N]	[N]		[cm²/cm]
02560	5.169	90,45	766.319	467.484	110	0	0	0	2,50	0,0565
02561	11.954	39,11	768.313	467.484	12.852	0	0	0	2,50	0,0565
02562	15.225	30,71	771.117	467.484	30.921	0	0	0	2,50	0,0565
02563	11.385	41,06	766.977	467.484	4.243	0	0	0	2,50	0,0565
Piano terra ingresso			**ParoteP15-41**				**Parete P15-41**			
00065	56.241	1,25	790.553	70.408	156.176	0	0	0	2,50	0,0565
00066	7.450	62,75	770.286	467.484	25.568	0	0	0	2,50	0,0565
00274	44.733	10,35	786.693	462.885	131.299	0	0	0	2,50	0,1018
00275	8.108	52,38	772.849	424.685	42.083	0	0	0	2,50	0,1018
01585	13.322	35,09	780.984	467.484	94.507	0	0	0	2,50	0,0565
01586	9.071	51,54	778.058	467.484	75.653	0	0	0	2,50	0,0565
01587	19.545	23,92	784.240	467.484	115.488	0	0	0	2,50	0,0565
01588	49.501	9,44	771.560	467.484	33.773	0	0	0	2,50	0,0565
01589	16.748	27,91	767.250	467.484	6.002	0	0	0	2,50	0,0565
01590	2.185	NS	766.319	467.484	2.862	0	0	0	2,50	0,0565
01591	1.317	NS	766.319	467.484	1.639	0	0	0	2,50	0,0565
01592	9.627	48,56	766.319	467.484	545	0	0	0	2,50	0,0565
01593	1.222	NS	766.884	467.484	3.639	0	0	0	2,50	0,0565
01594	18.057	25,89	766.319	467.484	16.660	0	0	0	2,50	0,0565
01595	30.514	15,32	766.319	467.484	77.630	0	0	0	2,50	0,0565
01596	70.775	6,61	777.711	467.484	73.418	0	0	0	2,50	0,0565
01597	18.226	25,65	768.957	467.484	16.998	0	0	0	2,50	0,0565
01598	12.443	37,57	767.144	467.484	5.314	0	0	0	2,50	0,0565
01599	4.432	NS	766.609	467.484	1.870	0	0	0	2,50	0,0565
01600	34.203	11,61	771.884	397.050	35.863	0	0	0	2,50	0,0565
02573	41.358	11,30	778.386	467.484	77.768	0	0	0	2,50	0,0565
02574	5.599	83,49	768.022	467.484	10.976	0	0	0	2,50	0,0565
02575	28.925	16,16	768.537	467.484	14.292	0	0	0	2,50	0,0565
02576	34.067	22,84	777.980	1.193.646	75.150	0	0	0	2,50	0,1018
02577	10.672	43,80	772.237	467.484	38.135	0	0	0	2,50	0,0565
02578	18.382	25,43	767.317	467.484	6.431	0	0	0	2,50	0,0565
02579	28.694	16,29	769.633	467.484	21.355	0	0	0	2,50	0,0565
02580	28.668	16,31	770.313	467.484	25.737	0	0	0	2,50	0,0565
02581	5.588	83,66	768.105	467.484	11.512	0	0	0	2,50	0,0565
Piano terra ingresso			**Parete38-39**				**Parete 38-39**			
00068	18.681	21,80	775.191	407.178	57.178	0	0	0	2,50	0,1181
00069	9.569	48,86	777.584	467.484	72.599	0	0	0	2,50	0,0565
00076	210.184	2,22	790.277	467.484	154.396	0	0	0	2,50	0,0565
00187	22.872	15,23	781.077	348.429	95.108	0	0	0	2,50	0,1018
00192	121.931	3,83	766.319	467.484	111.299	0	0	0	2,50	0,0565
00197	24.898	30,78	766.319	767.516	21.223	0	0	0	2,50	0,1018
00752	10.549	73,44	774.688	1.375.656	53.931	0	0	0	2,50	0,1181
00753	8.233	56,78	774.650	467.484	53.687	0	0	0	2,50	0,0565
00754	8.786	53,21	775.566	467.484	59.589	0	0	0	2,50	0,0565
00755	9.217	50,72	777.483	467.484	71.945	0	0	0	2,50	0,0565
00756	3.800	NS	777.570	467.484	72.507	0	0	0	2,50	0,0565
00757	3.516	NS	777.609	619.261	72.758	0	0	0	2,50	0,0565
00758	8.441	91,04	768.462	1.087.994	13.810	0	0	0	2,50	0,1018
00759	21.653	35,50	768.700	865.783	15.344	0	0	0	2,50	0,0565
00760	39.638	11,79	770.190	467.484	24.946	0	0	0	2,50	0,0565
00761	80.197	5,83	776.017	467.484	62.496	0	0	0	2,50	0,0565
00762	207.646	2,25	811.143	467.484	288.869	0	0	0	2,50	0,0565
00763	299.454	1,55	766.319	462.885	574.251	0	0	0	2,50	0,1018
00764	63.570	7,35	766.319	467.484	60.913	0	0	0	2,50	0,0565
00765	27.669	16,90	766.319	467.484	11.609	0	0	0	2,50	0,0565
00766	18.877	24,77	769.173	467.484	18.391	0	0	0	2,50	0,0565
00767	2.723	NS	768.477	467.484	13.910	0	0	0	2,50	0,0565
00768	47.063	9,93	766.319	467.484	35.716	0	0	0	2,50	0,0565
00769	85.645	5,46	775.422	467.484	58.664	0	0	0	2,50	0,0565
00770	30.939	15,11	769.658	467.484	21.520	0	0	0	2,50	0,0565
00771	14.686	31,83	766.650	467.484	2.131	0	0	0	2,50	0,0565
00772	5.926	78,89	766.329	467.484	67	0	0	0	2,50	0,0565
00773	16.195	47,45	768.385	1.393.265	13.314	0	0	0	2,50	0,1181
01818	4.526	NS	773.281	1.087.994	44.866	0	0	0	2,50	0,1018
01819	27.051	17,28	766.319	467.484	46.801	0	0	0	2,50	0,0565
01820	32.140	14,55	771.495	467.484	33.358	0	0	0	2,50	0,0565
01821	19.067	40,49	771.998	1.270.004	36.595	0	0	0	2,50	0,1181
01822	13.190	35,44	770.604	467.484	27.615	0	0	0	2,50	0,0565
01823	14.275	32,75	768.841	467.484	16.252	0	0	0	2,50	0,0565
01824	39.084	11,96	772.190	467.484	37.834	0	0	0	2,50	0,0565
01825	9.072	51,53	771.939	467.484	36.219	0	0	0	2,50	0,0565
01826	11.162	41,88	772.222	467.484	38.039	0	0	0	2,50	0,0565
01827	17.510	26,70	774.363	467.484	51.842	0	0	0	2,50	0,0565
01828	12.035	38,84	772.702	467.484	41.136	0	0	0	2,50	0,0565
01829	7.502	62,32	773.915	467.484	48.955	0	0	0	2,50	0,0565
01830	21.030	22,23	770.727	467.484	28.407	0	0	0	2,50	0,0565
01831	71.609	6,53	778.581	467.484	79.019	0	0	0	2,50	0,0565
Piano terra ingresso			**Parete1-P8**				**Parete 1-P8**			
00001	17.677	32,46	781.646	573.839	98.775	0	0	0	2,50	0,1222
00203	4.297	NS	766.582	827.063	1.697	0	0	0	2,50	0,0770
00204	10.721	71,48	766.319	797.128	2.005	0	0	0	2,50	0,0770

Id_{Nd}	$V_{Ed,2}$ [N]	CS	V_{Rcd} [N]	$V_{Rsd,s}$ [N]	N_{Ed} [N]	$V_{Rsd,p}$ [N]	V_{R1} [N]	V_{fd} [N]	CtgΘ	A_{sw} [cm²/cm]
00302	34.866	14,61	766.319	509.560	99.061	0	0	0	2,50	0,1539
01398	5.832	NS	766.319	827.063	3.409	0	0	0	2,50	0,0770
01399	1.529	NS	766.319	827.063	1.179	0	0	0	2,50	0,0770
01400	5.924	NS	766.714	827.063	2.543	0	0	0	2,50	0,0770
01401	4.349	NS	768.114	827.063	11.567	0	0	0	2,50	0,0770
01402	24.609	26,10	773.561	642.172	46.669	0	0	0	2,50	0,0770
01461	6.659	NS	776.681	827.063	66.776	0	0	0	2,50	0,0770
01462	6.798	NS	774.431	827.063	52.281	0	0	0	2,50	0,0770
01463	1.268	NS	772.929	827.063	42.600	0	0	0	2,50	0,0770
01464	1.369	NS	769.037	827.063	17.516	0	0	0	2,50	0,0770
01465	4.101	NS	769.359	827.063	19.592	0	0	0	2,50	0,0770
01466	8.103	75,99	766.319	615.758	17.144	0	0	0	2,50	0,0770
01467	7.219	26,75	766.319	193.150	28.685	0	0	0	2,50	0,0770
01468	33.558	9,17	766.319	307.606	50.468	0	0	0	2,50	0,0770
01469	19.195	39,92	766.319	827.063	11.666	0	0	0	2,50	0,0770
01470	8.953	85,59	766.319	827.063	3.908	0	0	0	2,50	0,0770
01471	14.373	53,32	766.319	827.063	4.693	0	0	0	2,50	0,0770
01472	7.454	NS	767.811	827.063	9.618	0	0	0	2,50	0,0770
01473	26.927	28,52	767.988	827.063	10.756	0	0	0	2,50	0,0770
01474	33.144	23,18	768.146	827.063	11.775	0	0	0	2,50	0,0770
01475	31.784	24,19	768.935	827.063	16.861	0	0	0	2,50	0,0770
01476	26.096	29,43	768.046	827.063	11.130	0	0	0	2,50	0,0770
01477	23.478	32,67	766.956	827.063	4.104	0	0	0	2,50	0,0770
01478	14.628	52,47	767.489	827.063	7.537	0	0	0	2,50	0,0770
01479	10.831	70,75	766.319	827.063	1.130	0	0	0	2,50	0,0770
02481	36.457	21,02	766.319	1.830.213	36.442	0	0	0	2,50	0,1539
02482	23.206	33,04	766.806	827.063	3.138	0	0	0	2,50	0,0770
02483	8.102	94,59	766.319	827.063	1.778	0	0	0	2,50	0,0770
02484	19.423	39,94	775.802	827.063	61.116	0	0	0	2,50	0,0770
02485	19.828	38,92	771.791	827.063	35.267	0	0	0	2,50	0,0770
02486	16.457	46,59	766.683	827.063	2.346	0	0	0	2,50	0,0770
02487	14.630	52,38	766.345	827.063	167	0	0	0	2,50	0,0770
02488	19.278	39,84	767.929	827.063	10.373	0	0	0	2,50	0,0770
02489	27.129	28,25	766.419	827.063	646	0	0	0	2,50	0,0770
02490	14.880	51,50	766.319	827.063	1.064	0	0	0	2,50	0,0770
02491	32.228	23,78	766.319	827.063	1.351	0	0	0	2,50	0,0770
02492	35.262	21,77	767.539	827.063	7.860	0	0	0	2,50	0,0770
02493	30.653	25,00	766.319	827.063	7.910	0	0	0	2,50	0,0770
02494	27.873	27,49	766.319	827.063	1.170	0	0	0	2,50	0,0770
Piano terra ingresso			**Parete6-7-19**				**Parete 6-7**			
00005	9.910	54,67	770.247	541.816	25.311	0	0	0	2,50	0,1458
00016	16.314	47,94	782.141	1.372.151	101.965	0	0	0	2,50	0,1571
00017	26.864	28,64	769.334	1.241.959	19.431	0	0	0	2,50	0,1005
00207	17.718	43,25	766.319	1.241.959	4.270	0	0	0	2,50	0,1005
01526	21.755	35,29	767.784	1.241.959	9.440	0	0	0	2,50	0,1005
01527	15.890	48,33	767.990	1.241.959	10.768	0	0	0	2,50	0,1005
01528	17.367	44,23	768.056	1.241.959	11.194	0	0	0	2,50	0,1005
01529	14.883	51,69	769.299	1.241.959	19.206	0	0	0	2,50	0,1005
01530	26.581	29,05	772.156	2.138.130	37.614	0	0	0	2,50	0,1571
01531	6.325	NS	770.931	872.176	29.720	0	0	0	2,50	0,1005
01532	4.809	NS	774.944	1.241.959	55.586	0	0	0	2,50	0,1005
01533	30.197	25,41	767.171	1.241.959	5.491	0	0	0	2,50	0,1005
01534	26.549	28,91	767.508	1.241.959	7.661	0	0	0	2,50	0,1005
01535	14.647	52,32	766.319	1.241.959	1.679	0	0	0	2,50	0,1005
01536	10.985	69,76	766.319	1.241.959	7.104	0	0	0	2,50	0,1005
01537	13.540	56,60	766.319	1.241.959	6.920	0	0	0	2,50	0,1005
01538	9.307	82,33	766.319	1.241.959	6.258	0	0	0	2,50	0,1005
01539	3.849	NS	767.332	1.206.742	6.529	0	0	0	2,50	0,1005
02539	10.423	74,34	774.834	1.241.959	54.874	0	0	0	2,50	0,1005
02540	27.564	27,85	767.560	1.241.959	7.998	0	0	0	2,50	0,1005
02541	21.529	35,61	766.730	1.241.959	2.647	0	0	0	2,50	0,1005
02542	7.309	NS	769.292	958.459	19.161	0	0	0	2,50	0,1005
02543	6.666	NS	769.489	1.241.959	20.431	0	0	0	2,50	0,1005
02544	19.448	39,41	766.510	1.241.959	1.232	0	0	0	2,50	0,1005
02545	25.926	29,58	766.834	1.241.959	3.320	0	0	0	2,50	0,1005
Piano terra ingresso			**Parete6-7-19**				**Parete 7-19**			
00016	19.476	35,01	766.319	681.891	50.579	0	0	0	2,50	0,1571
00017	20.577	37,27	766.880	1.020.089	3.618	0	0	0	2,50	0,1005
00054	45.480	13,21	793.141	600.805	172.850	0	0	0	2,50	0,1458
00194	40.197	13,35	768.201	536.731	12.130	0	0	0	2,50	0,1005
01501	5.664	NS	766.319	942.611	5.804	0	0	0	2,50	0,1005
01502	8.481	90,76	769.720	1.162.720	21.917	0	0	0	2,50	0,1005
01503	8.715	88,59	772.032	1.206.742	36.816	0	0	0	2,50	0,1005
01504	11.777	65,73	774.064	1.241.959	49.914	0	0	0	2,50	0,1005
01505	9.237	83,93	775.272	1.241.959	57.700	0	0	0	2,50	0,1005
01506	10.281	75,34	774.591	1.241.959	53.310	0	0	0	2,50	0,1005
01507	13.230	58,73	776.920	1.241.959	68.315	0	0	0	2,50	0,1005
01508	8.294	93,75	777.597	1.241.959	72.682	0	0	0	2,50	0,1005
01509	9.308	83,52	777.443	1.065.872	71.687	0	0	0	2,50	0,1005
01510	2.474	NS	783.840	853.687	112.914	0	0	0	2,50	0,1005
01511	37.364	20,73	774.489	1.047.383	52.653	0	0	0	2,50	0,1005

Id_{Nd}	$V_{Ed,2}$	CS	V_{Rcd}	$V_{Rsd,s}$	N_{Ed}	$V_{Rsd,p}$	V_{R1}	V_{fd}	CtgΘ	A_{sw}
	[N]		[N]	[N]	[N]	[N]	[N]	[N]		[cm²/cm]
01512	3.675	NS	769.027	1.241.959	17.452	0	0	0	2,50	0,1005
01513	16.804	45,71	768.077	1.241.959	11.327	0	0	0	2,50	0,1005
01514	22.098	34,75	767.899	1.241.959	10.184	0	0	0	2,50	0,1005
01515	32.346	23,81	770.115	1.241.959	24.465	0	0	0	2,50	0,1005
01516	49.371	15,56	768.438	1.218.187	13.658	0	0	0	2,50	0,1005
01517	37.254	20,65	769.168	1.241.959	18.360	0	0	0	2,50	0,1005
01518	25.462	30,29	771.179	1.241.959	31.322	0	0	0	2,50	0,1005
01519	13.809	55,78	770.235	1.241.959	25.234	0	0	0	2,50	0,1005
01520	4.999	NS	769.461	1.241.959	20.251	0	0	0	2,50	0,1005
01521	760	NS	769.126	1.241.959	18.092	0	0	0	2,50	0,1005
01522	9.171	83,89	769.295	1.241.959	19.178	0	0	0	2,50	0,1005
01523	16.545	46,46	768.646	1.241.959	14.993	0	0	0	2,50	0,1005
01524	20.602	37,31	768.728	1.241.959	15.522	0	0	0	2,50	0,1005
01525	25.974	29,58	768.392	1.241.959	13.361	0	0	0	2,50	0,1005
01526	21.027	36,46	766.695	1.241.959	2.422	0	0	0	2,50	0,1005
01527	18.037	42,50	766.622	1.241.959	1.955	0	0	0	2,50	0,1005
01528	18.232	42,03	766.319	1.241.959	2.214	0	0	0	2,50	0,1005
01529	17.294	44,31	766.319	994.557	6.361	0	0	0	2,50	0,1005
01530	26.235	29,21	766.319	1.556.162	14.398	0	0	0	2,50	0,1571
02517	27.676	28,27	782.389	1.208.844	103.564	0	0	0	2,50	0,1458
02518	39.734	19,33	768.036	1.241.959	11.065	0	0	0	2,50	0,1005
02519	24.117	31,83	767.542	1.241.959	7.879	0	0	0	2,50	0,1005
02520	12.906	59,38	766.319	1.317.223	22.482	0	0	0	2,50	0,1571
02521	7.548	NS	766.483	1.145.111	1.055	0	0	0	2,50	0,1005
02522	19.204	39,96	767.420	1.241.959	7.096	0	0	0	2,50	0,1005
02523	27.659	27,77	768.197	1.241.959	12.101	0	0	0	2,50	0,1005
02524	4.663	NS	769.052	1.241.959	17.615	0	0	0	2,50	0,1005
02525	12.217	62,91	768.603	1.241.959	14.719	0	0	0	2,50	0,1005
02526	16.823	45,89	772.028	1.241.959	36.792	0	0	0	2,50	0,1005
02527	3.212	NS	769.768	1.241.959	22.230	0	0	0	2,50	0,1005
02528	8.173	94,15	769.443	1.241.959	20.135	0	0	0	2,50	0,1005
02529	16.548	46,67	772.258	1.241.959	38.276	0	0	0	2,50	0,1005
02530	6.655	NS	770.124	1.241.959	24.520	0	0	0	2,50	0,1005
02531	21.217	36,51	774.636	1.241.959	53.601	0	0	0	2,50	0,1005
02532	16.530	46,65	771.177	1.241.959	31.309	0	0	0	2,50	0,1005
02533	12.469	61,80	770.520	1.241.959	27.071	0	0	0	2,50	0,1005
02534	18.246	42,36	772.837	1.241.959	42.007	0	0	0	2,50	0,1005
02535	25.623	30,05	769.939	1.241.959	23.328	0	0	0	2,50	0,1005
02536	3.984	NS	774.087	1.241.959	50.061	0	0	0	2,50	0,1005
02537	20.839	36,89	768.784	1.241.959	15.884	0	0	0	2,50	0,1005
02538	35.414	21,72	769.185	1.241.959	18.472	0	0	0	2,50	0,1005
Piano terra ingresso			**Parete P9-32**				**Parete P9-32**			
00007	15.671	40,58	777.830	635.961	74.184	0	0	0	2,50	0,1222
00199	3.053	NS	766.319	857.489	3.837	0	0	0	2,50	0,0770
00200	3.141	NS	766.440	857.489	783	0	0	0	2,50	0,0770
00202	8.096	94,83	767.665	857.489	8.678	0	0	0	2,50	0,0770
00293	6.903	NS	768.791	750.956	15.933	0	0	0	2,50	0,0770
00303	26.148	26,59	766.319	695.245	71.088	0	0	0	2,50	0,2110
00344	5.015	54,25	776.138	272.091	63.275	0	0	0	2,50	0,2110
00345	43.378	17,67	766.319	781.772	77.284	0	0	0	2,50	0,0770
01175	40.664	18,84	766.319	2.481.982	164.176	0	0	0	2,50	0,2110
01176	21.802	35,15	766.319	857.489	12.524	0	0	0	2,50	0,0770
01177	6.625	NS	767.588	857.489	8.180	0	0	0	2,50	0,0770
01178	5.694	NS	767.400	857.489	6.964	0	0	0	2,50	0,0770
01179	10.642	72,05	766.705	857.489	2.490	0	0	0	2,50	0,0770
01480	15.266	50,20	766.319	2.130.354	16.012	0	0	0	2,50	0,2110
01481	6.949	93,00	768.903	646.185	16.652	0	0	0	2,50	0,0770
01482	7.653	NS	768.014	787.054	10.924	0	0	0	2,50	0,0770
01483	1.964	NS	771.944	857.489	36.253	0	0	0	2,50	0,0770
01484	5.066	NS	772.989	857.489	42.987	0	0	0	2,50	0,0770
01485	6.470	NS	771.814	857.489	35.413	0	0	0	2,50	0,0770
01486	7.102	NS	775.558	725.424	59.538	0	0	0	2,50	0,0770
01487	18.118	42,52	770.312	962.602	25.732	0	0	0	2,50	0,1222
01488	5.378	NS	767.600	857.489	8.254	0	0	0	2,50	0,0770
01489	7.446	NS	766.319	857.489	4.469	0	0	0	2,50	0,0770
01490	2.098	NS	766.319	857.489	2.098	0	0	0	2,50	0,0770
01491	5.736	NS	766.319	857.489	5.419	0	0	0	2,50	0,0770
01492	1.697	NS	767.074	857.489	4.863	0	0	0	2,50	0,0770
01493	728	NS	766.808	857.489	3.154	0	0	0	2,50	0,0770
01494	112.879	7,01	791.798	2.010.949	164.199	0	0	0	2,50	0,2110
01495	26.072	29,49	768.796	857.489	15.963	0	0	0	2,50	0,0770
01496	16.502	46,55	768.096	857.489	11.449	0	0	0	2,50	0,0770
01497	17.403	44,06	766.754	857.489	2.805	0	0	0	2,50	0,0770
01498	12.475	61,43	766.319	857.489	5.584	0	0	0	2,50	0,0770
01499	12.922	59,31	766.435	857.489	748	0	0	0	2,50	0,0770
01500	45.114	16,99	766.319	2.244.811	42.455	0	0	0	2,50	0,2110
02495	15.699	49,25	773.178	1.220.570	44.202	0	0	0	2,50	0,1222
02496	2.522	NS	767.124	857.489	5.188	0	0	0	2,50	0,0770
02497	41.855	18,33	767.121	2.486.384	5.170	0	0	0	2,50	0,2110
02498	32.130	23,85	766.319	2.077.528	35.494	0	0	0	2,50	0,2110
02499	33.103	21,65	766.319	716.619	13.830	0	0	0	2,50	0,0770

Id_{Nd}	$V_{Ed,2}$	CS	V_{Rcd}	$V_{Rsd,s}$	N_{Ed}	$V_{Rsd,p}$	V_{R1}	V_{fd}	CtgΘ	A_{sw}
	[N]		[N]	[N]	[N]	[N]	[N]	[N]		[cm²/cm]
02500	32.720	23,42	766.319	857.489	4.402	0	0	0	2,50	0,0770
02501	31.607	24,26	766.642	857.489	2.084	0	0	0	2,50	0,0770
02502	40.095	19,17	768.427	857.489	13.582	0	0	0	2,50	0,0770
02503	44.765	17,24	771.679	857.489	34.540	0	0	0	2,50	0,0770
02504	25.205	30,40	766.319	857.489	2.582	0	0	0	2,50	0,0770
02505	34.453	22,24	766.319	857.489	938	0	0	0	2,50	0,0770
02506	34.038	22,55	767.602	857.489	8.268	0	0	0	2,50	0,0770
02507	27.647	27,87	770.459	857.489	26.681	0	0	0	2,50	0,0770
02508	16.531	46,57	769.869	857.489	22.878	0	0	0	2,50	0,0770
02509	23.425	32,73	766.699	857.489	2.446	0	0	0	2,50	0,0770
02510	25.677	29,85	766.582	857.489	1.696	0	0	0	2,50	0,0770
02511	20.159	38,08	767.729	857.489	9.085	0	0	0	2,50	0,0770
02512	10.491	73,26	768.504	857.489	14.078	0	0	0	2,50	0,0770
02513	19.094	40,27	768.979	857.489	17.143	0	0	0	2,50	0,0770
02514	14.153	54,14	766.319	857.489	887	0	0	0	2,50	0,0770
02515	12.505	61,28	766.355	857.489	234	0	0	0	2,50	0,0770
02516	7.060	NS	767.255	857.489	6.033	0	0	0	2,50	0,0770
Piano terra ingresso			**Parete24-31**				**Parete 24-31**			
00074	26.602	18,36	782.859	488.485	106.590	0	0	0	2,50	0,1385
00075	90.694	7,62	791.936	691.530	165.089	0	0	0	2,50	0,0616
00166	12.730	51,07	772.260	650.150	38.284	0	0	0	2,50	0,0616
00334	7.593	56,92	769.838	432.191	22.680	0	0	0	2,50	0,1385
01435	1.743	NS	773.955	946.584	49.208	0	0	0	2,50	0,1385
01436	2.846	NS	776.922	691.530	68.328	0	0	0	2,50	0,0616
01437	5.988	NS	774.038	691.530	49.745	0	0	0	2,50	0,0616
01438	8.368	82,64	774.015	691.530	49.594	0	0	0	2,50	0,0616
01439	5.331	NS	773.633	691.530	47.134	0	0	0	2,50	0,0616
01440	3.280	NS	771.331	691.530	32.298	0	0	0	2,50	0,0616
01441	7.043	98,19	770.936	691.530	29.752	0	0	0	2,50	0,0616
01442	4.300	NS	770.306	1.506.322	25.697	0	0	0	2,50	0,1385
01443	5.279	NS	766.713	1.594.365	2.542	0	0	0	2,50	0,1385
01444	5.739	NS	766.319	691.530	5.469	0	0	0	2,50	0,0616
01445	9.374	73,77	766.319	691.530	6.567	0	0	0	2,50	0,0616
01446	12.564	55,04	766.352	691.530	212	0	0	0	2,50	0,0616
01447	32.357	21,37	768.164	691.530	11.888	0	0	0	2,50	0,0616
01448	2.599	NS	766.570	691.530	1.618	0	0	0	2,50	0,0616
01449	12.020	57,53	766.319	691.530	3.537	0	0	0	2,50	0,0616
01450	19.888	34,77	767.482	691.530	7.497	0	0	0	2,50	0,0616
01451	18.904	36,58	767.294	691.530	6.283	0	0	0	2,50	0,0616
01452	14.755	46,87	766.971	691.530	4.201	0	0	0	2,50	0,0616
01453	11.303	61,18	768.856	691.530	16.348	0	0	0	2,50	0,0616
01454	15.611	44,30	766.319	691.530	5.631	0	0	0	2,50	0,0616
01455	28.707	24,09	766.319	691.530	7.236	0	0	0	2,50	0,0616
01456	129.048	5,36	783.942	691.530	113.568	0	0	0	2,50	0,0616
01457	49.863	13,87	773.697	691.530	47.548	0	0	0	2,50	0,0616
01458	27.302	25,33	769.354	691.530	19.560	0	0	0	2,50	0,0616
01459	10.568	65,44	768.320	691.530	12.892	0	0	0	2,50	0,0616
01460	16.599	46,48	771.534	1.756.311	33.611	0	0	0	2,50	0,1385
02464	7.693	99,94	768.825	1.435.887	16.151	0	0	0	2,50	0,1385
02465	18.328	37,73	769.428	691.530	20.037	0	0	0	2,50	0,0616
02466	69.408	9,96	780.671	691.530	92.491	0	0	0	2,50	0,0616
02467	14.023	55,34	775.954	1.553.811	62.093	0	0	0	2,50	0,1385
02468	6.370	NS	770.288	691.530	25.580	0	0	0	2,50	0,0616
02469	29.207	23,68	769.682	691.530	21.670	0	0	0	2,50	0,0616
02470	35.892	19,27	773.265	691.530	44.762	0	0	0	2,50	0,0616
02471	10.663	64,86	771.292	691.530	32.050	0	0	0	2,50	0,0616
02472	3.301	NS	770.002	691.530	23.737	0	0	0	2,50	0,0616
02473	9.309	74,29	772.187	691.530	37.814	0	0	0	2,50	0,0616
02474	3.384	NS	770.306	691.530	25.695	0	0	0	2,50	0,0616
02475	15.258	45,32	768.809	691.530	16.046	0	0	0	2,50	0,0616
02476	2.036	NS	768.908	691.530	16.686	0	0	0	2,50	0,0616
02477	14.925	46,33	768.540	691.530	14.311	0	0	0	2,50	0,0616
02478	5.053	NS	768.810	691.530	16.054	0	0	0	2,50	0,0616
02479	11.866	58,28	767.108	691.530	5.086	0	0	0	2,50	0,0616
02480	20.885	33,11	767.715	691.530	8.995	0	0	0	2,50	0,0616

LEGENDA:

Id_{Nd} Identificativo del nodo.
$V_{Ed,2}$ Taglio di progetto in direzione 2.
CS Coefficienti di sicurezza relativi alle sollecitazioni "$V_{Ed,2}$" ([NS] = Non Significativo per valori di CS >= 100).
V_{Rcd} Resistenza a taglio compressione del calcestruzzo.
$V_{Rsd,s}$ Resistenza a taglio trazione delle staffe.
N_{Ed} Sforzo Normale utilizzato per il calcolo di α_C.
$V_{Rsd,p}$ Resistenza a taglio trazione dei ferri piegati.
V_{R1} Resistenza a taglio in assenza di armatura incrociata.
V_{fd} Resistenza a taglio dovuta al rinforzo FRP.
CtgΘ Cotangente dell'angolo Θ utilizzata nella verifica.
A_{sw} Area delle staffe per unità di lunghezza.

PIANI - VERIFICHE REGOLARITÀ (Elevazione)

REGOLARITÁ DELLA STRUTTURA IN PIANTA

	La configurazione in pianta è compatta e approssimativamente simmetrica rispetto a due direzioni ortogonali, in relazione alla distribuzione di masse e rigidezze	NO
	Il rapporto tra i lati di un rettangolo in cui l'edificio risulta inscritto è inferiore a 4	SI
	Almeno una dimensione di eventuali rientri o sporgenze non supera il 25% della dimensione totale dell'edificio nella corrispondente direzione	SI
	I solai possono essere considerati infinitamente rigidi nel loro piano rispetto agli elementi verticali e sufficientemente resistenti	NO
	La struttura non è regolare in pianta.	
REGOLARITÁ DELLA STRUTTURA IN ALTEZZA		
	Tutti i sistemi resistenti verticali dell'edificio (quali telai e pareti) si estendono per tutta l'altezza dell'edificio	NO
	Massa e rigidezza rimangono costanti o variano gradualmente, senza bruschi cambiamenti, dalla base alla cima dell'edificio (le variazioni di massa da un piano all'altro non superano il 25%, la rigidezza non si abbassa da un piano al sovrastante più del 30% e non aumenta più del 10%); ai fini della rigidezza si possono considerare regolari in altezza strutture dotate di pareti o nuclei in c.a. di sezione costante sull'altezza o di telai controventati in acciaio, ai quali sia affidata almeno il 50% dell'azione sismica alla base	NO
	Il rapporto tra resistenza effettiva e resistenza richiesta dal calcolo nelle strutture intelaiate progettate in Classe di Duttilità Bassa non è significativamente diverso per piani diversi (il rapporto fra la resistenza effettiva e quella richiesta calcolata ad un generico piano non deve differire più del 20% dall'analogo rapporto determinato per un altro piano); può fare eccezione l'ultimo piano di strutture intelaiate di almeno tre piani	NO
	Eventuali restringimenti della sezione orizzontale dell'edificio avvengono in modo graduale da un piano al successivo, rispettando i seguenti limiti: ad ogni piano il rientro non supera il 30% della dimensione corrispondente al primo piano, né il 20% della dimensione corrispondente al piano immediatamente sottostante. Fa eccezione l'ultimo piano di edifici di almeno quattro piani per il quale non sono previste limitazioni di restringimento	NO
	La struttura non è regolare in altezza.	

Piani - Verifiche Regolarità

Id_{Piano}	Q_{Lv}	H_{Lv}	Rd_{Tmp}	Ir_{Tmp}	M_{SLU}	K_{SLU}		R_{eff}		R_{ric}	
						X	Y	X	Y	X	Y
	[m]	[m]			[N·s²/m]	[N/cm]	[N/cm]	[N]	[N]	[N]	[N]
Estradosso travi colmo	11,15	2,80	NO	NO	131.334	23.362.367	11.276.091	377.163	307.713	91.813	95.822
Estradosso travi gronda	7,40	3,75	NO	NO	359.389	6.389.849	5.336.413	1.345.098	1.382.838	889.980	343.753
Piano primo	3,80	3,60	NO	NO	834.713	7.599.418	7.941.676	2.722.120	2.545.233	1.258.842	404.242
Piano rialzato	2,75	1,05	NO	NO	591.113	14.529.964	13.091.086	11.474.326	9.114.441	853.912	436.926
Piano terra ingresso	0,00	2,75	NO	NO	331.264	18.021.277	19.245.716	3.161.771	3.502.630	1.109.397	714.353

LEGENDA:

Id_{Piano} Identificativo del livello o piano.
Q_{Lv} Quota del livello o piano.
H_{Lv} Altezza del livello o piano.
Rd_{Tmp} Per i piani con riduzione dei tamponamenti, sono state incrementate le azioni di calcolo per gli elementi verticali (pilastri e pareti) di un fattore 1,4: [SI] = Piano con riduzione dei tamponamenti - [NO] = Piano senza riduzione dei tamponamenti.
Ir_{Tmp} Per piani con distribuzione dei tamponamenti in pianta fortemente irregolare, l'eccentricità accidentale è stata incrementata di un fattore pari a 2: [SI] = Distribuzione tamponamenti irregolare fortemente - [NO] = Distribuzione tamponamenti regolare.
M_{SLU} Massa eccitabile della struttura allo S.L. Ultimo, nelle direzioni X, Y, Z.
K_{SLU} Valori delle Rigidezze di Piano, valutate allo SLU, riferite agli assi X ed Y del riferimento globale.
R_{eff} Valori delle Resistenze Effettive di Piano, valutate allo SLU, relative al sistema di riferimento globale X, Y, Z.
R_{ric} Valori delle Resistenze Richieste di Piano, valutate allo SLU, relative al sistema di riferimento globale X, Y, Z.

PIANI - VERIFICHE AGLI SPOSTAMENTI

Piani - Verifiche

Id_{Piano}	Q_{Lv}	H_{Lv}	$\delta_{d,X}$	$\delta_{d,Y}$	$C_{lg}T_{mp}$	δ_{lim}	δ_{lim}- $\delta_{d,X}$	δ_{lim}- $\delta_{d,Y}$	Note
	[m]	[m]	[cm]	[cm]		[cm]	[cm]	[cm]	
Estradosso travi colmo	11,15	2,80	0,0058	0,0632	R	1,4000	1,3942	1,3368	Verificato
Estradosso travi gronda	7,40	3,75	0,2856	0,5166	R	1,8750	1,5894	1,3584	Verificato
Piano primo	3,80	3,60	0,6037	0,5900	R	1,8000	1,1963	1,2100	Verificato
Piano rialzato	2,75	1,05	0,4398	0,5773	R	0,5250	0,0852	-0,0523	Non verificato
Piano terra ingresso	0,00	2,75	0,3712	0,4404	R	1,3750	1,0038	0,9346	Verificato

LEGENDA:

Id_{Piano} Identificativo del livello o piano.
Q_{Lv} Quota del livello o piano.
H_{Lv} Altezza del livello o piano.
$C_{lg}T_{mp}$ Tipo di collegamento delle tamponature alla struttura: [R] = Rigido - [E] = Elastico.
δ_{lim} Valore limite dello spostamento differenziale indicato dalla normativa.
$\delta_{d,X}$, $\delta_{d,Y}$ Componenti dello spostamento differenziale rispetto al piano inferiore.

PIANI - VERIFICHE ALLO SLO (Elevazione)

Piani - Verifiche allo SLO

Id_{Piano}	Q_{Lv}	H_{Lv}	$\delta_{amm,SLO}$	$\delta_{d,SLO}$		$\Delta\delta_{SLO}$		$C_{lg}T_{mp}$	Note
				X	Y	X	Y		
	[m]	[m]	[cm]	[cm]	[cm]	[cm]	[cm]		
Estradosso travi colmo	11,15	2,80	0,9333	0,0430	0,0596	0,8903	0,8737	R	Verificato
Estradosso travi gronda	7,40	3,75	1,2500	0,3361	0,2718	0,9139	0,9782	R	Verificato
Piano primo	3,80	3,60	1,2000	0,4013	0,4214	0,7987	0,7786	R	Verificato
Piano rialzato	2,75	1,05	0,3500	0,1734	0,2306	0,1766	0,1194	R	Verificato
Piano terra ingresso	0,00	2,75	0,9167	0,1940	0,1816	0,7226	0,7351	R	Verificato

LEGENDA:

Id_{Piano} Identificativo del livello o piano.
Q_{Lv} Quota del livello o piano.
H_{Lv} Altezza del livello o piano.
$\delta_{amm,SLO}$ Spostamento Differenziale ammissibile per SLO.
$\delta_{d,SLO}$ Spostamento Differenziale di progetto allo SLO.
$\Delta\delta_{SLO}$ Differenza fra spostamento limite e quello di calcolo nelle direzioni X e Y.
$C_{lg}T_{mp}$ Tipo di Collegamento delle Tamponature alla struttura.

TRAVI (CA) - VERIFICHE PRESSOFLESSIONE RETTA ALLO SLU (Fondazione)

Travi (CA) - Verifiche pressoflessione retta allo SLU

Id_{Tr}	$\%L_{LI}$	$N_{Ed,s}$	$M_{Ed,3,s}$	$N_{Ed,i}$	$M_{Ed,3,i}$	$A_{s,s}$	$A_{s,i}$	CS_s	CS_i	R_f
	[%]	[N]	[N·m]	[N]	[N·m]	[cm²]	[cm²]			

Id_{Tr}	$\%L_{LI}$	$N_{Ed,s}$	$M_{Ed,3,s}$	$N_{Ed,i}$	$M_{Ed,3,i}$	$A_{s,s}$	$A_{s,i}$	CS_s	CS_i	R_f
	[%]	[N]	[N·m]	[N]	[N·m]	[cm²]	[cm²]			
Fondazione						**Travata: Trave3f-1-P1-4f**				
Trave 3f-1	0%	-	-	-	-	29,12	29,12	-	-	NO
	37,5%	-	2.446	-88	3.482	29,12	29,12	NS	NS	NO
	62,5%	-	9.758	-88	13.692	29,12	29,12	86,08	61,34	NO
	62,5%	-	21.887	-3.540	30.725	29,12	29,12	38,38	27,30	NO
	100%	-	38.788	-3.540	54.247	29,12	29,12	21,65	15,46	NO
Trave 1-P1	0%	-	445.031	-	82.408	29,12	29,12	1,89	10,19	NO
	25%	-	401.755	-	21.784	29,12	29,12	2,09	38,56	NO
	50%	-	397.413	-	19.372	29,12	29,12	2,11	43,36	NO
	75%	-	374.227	-	37.262	29,12	29,12	2,24	22,54	NO
	100%	-	250.066	-	247.223	58,25	58,25	6,64	6,71	NO
Trave P1-4f	0%	37.363	209.290	-2.694	327.358	58,25	58,25	7,99	5,07	NO
	25%	37.363	161.547	-2.694	228.313	29,12	29,12	5,28	3,67	NO
	62,5%	37.363	124.667	-2.694	154.282	29,12	29,12	6,85	5,44	NO
	75%	37.363	98.945	-2.694	106.876	29,12	29,12	8,63	7,85	NO
	100%	37.363	84.653	-2.694	87.672	29,12	29,12	10,08	9,57	NO
Fondazione						**Travata: Trave5f-2-P2-6f**				
Trave 5f-2	0%	26.563	97.924	28.390	94.988	29,12	29,12	8,68	8,95	NO
	25%	26.563	107.026	28.390	104.737	29,12	29,12	7,94	8,12	NO
	62,5%	26.563	121.045	28.390	127.152	29,12	29,12	7,02	6,69	NO
	87,5%	26.563	139.672	28.390	161.548	58,25	58,25	11,95	10,34	NO
	87,5%	26.563	162.597	28.390	207.235	58,25	58,25	10,27	8,06	NO
Trave 2-P2	0%	-	202.259	-	96.832	58,25	58,25	8,21	17,14	NO
	25%	-	215.667	-	27.878	29,12	29,12	3,89	30,13	NO
	50%	-	315.564	-	24.287	29,12	29,12	2,66	34,58	NO
	75%	-	328.969	-	15.183	29,12	29,12	2,55	55,32	NO
	100%	-	208.407	-	184.031	58,25	58,25	7,96	9,02	NO
Trave P2-6f	0%	44.060	194.233	-3.114	275.570	58,25	58,25	8,63	6,02	NO
	25%	44.060	159.282	-3.114	199.820	29,12	29,12	5,37	4,20	NO
	62,5%	44.060	130.663	-3.114	142.334	29,12	29,12	6,55	5,89	NO
	75%	30.011	109.122	-3.114	104.599	29,12	29,12	7,80	8,02	NO
	100%	30.011	95.817	-3.114	88.070	29,12	29,12	8,88	9,52	NO
Fondazione						**Travata: Trave7f-3-P3-8f**				
Trave 7f-3	0%	22.428	95.381	21.865	106.433	29,12	29,12	8,89	7,97	NO
	25%	22.428	104.471	21.865	117.324	29,12	29,12	8,12	7,23	NO
	62,5%	22.428	118.460	21.865	140.639	29,12	29,12	7,16	6,03	NO
	87,5%	22.428	137.041	21.865	175.722	58,25	58,25	12,17	9,49	NO
	87,5%	22.428	159.893	21.865	221.907	58,25	58,25	10,43	7,51	NO
Trave 3-P3	0%	-	199.863	-	111.136	58,25	58,25	8,30	14,93	NO
	25%	-	213.909	-	29.646	29,12	29,12	3,93	28,33	NO
	50%	-	316.527	-	24.876	29,12	29,12	2,65	33,77	NO
	75%	-	324.573	-	16.365	29,12	29,12	2,59	51,33	NO
	100%	-	203.040	-	187.990	58,25	58,25	8,17	8,83	NO
Trave P3-8f	0%	29.714	188.073	-3.336	279.144	58,25	58,25	8,88	5,94	NO
	25%	29.714	155.578	-3.336	202.264	29,12	29,12	5,47	4,15	NO
	62,5%	29.714	128.846	-3.336	143.942	29,12	29,12	6,60	5,83	NO
	75%	29.714	108.562	-3.336	105.670	29,12	29,12	7,84	7,94	NO
	100%	29.714	95.386	-3.336	88.913	29,12	29,12	8,92	9,43	NO
Fondazione						**Travata: Trave9f-4-P4-10f**				
Trave 9f-4	0%	22.206	96.404	21.527	104.346	29,12	29,12	8,80	8,12	NO
	25%	22.206	105.540	21.527	115.022	29,12	29,12	8,03	7,37	NO
	62,5%	22.206	119.568	21.527	137.916	29,12	29,12	7,09	6,15	NO
	87,5%	22.206	138.169	21.527	172.372	58,25	58,25	12,07	9,67	NO
	87,5%	22.206	161.019	21.527	217.738	58,25	58,25	10,36	7,66	NO
Trave 4-P4	0%	-	200.832	-	117.072	58,25	58,25	8,26	14,18	NO
	25%	-	215.181	-	29.504	29,12	29,12	3,90	28,47	NO
	50%	-	323.504	-	26.179	29,12	29,12	2,60	32,08	NO
	75%	-	310.467	-	17.167	29,12	29,12	2,71	48,93	NO
	100%	-	203.544	-	192.255	58,25	58,25	8,15	8,63	NO
Trave P4-10f	0%	29.623	188.241	-4.183	284.218	58,25	58,25	8,87	5,83	NO
	25%	29.623	155.783	-4.183	205.837	29,12	29,12	5,46	4,07	NO
	62,5%	29.623	129.070	-4.183	146.394	29,12	29,12	6,59	5,73	NO
	75%	29.623	108.788	-4.183	107.392	29,12	29,12	7,82	7,81	NO
	100%	29.623	95.604	-4.183	90.301	29,12	29,12	8,90	9,28	NO
Fondazione						**Travata: Trave11f-5-P5-12f**				
Trave 11f-5	0%	21.359	98.479	23.594	106.576	29,12	29,12	8,61	7,96	NO
	25%	21.359	107.719	23.594	117.619	29,12	29,12	7,87	7,21	NO
	62,5%	21.359	121.858	23.594	141.452	29,12	29,12	6,96	6,00	NO
	87,5%	21.359	140.565	23.594	177.403	58,25	58,25	11,86	9,40	NO
	87,5%	21.359	163.501	23.594	224.804	58,25	58,25	10,20	7,42	NO
Trave 5-P5	0%	-	203.631	-	123.263	58,25	58,25	8,15	13,47	NO
	25%	-	219.104	-	31.141	29,12	29,12	3,83	26,97	NO
	50%	-	299.376	-	27.155	29,12	29,12	2,81	30,93	NO
	75%	-	314.390	-	16.096	29,12	29,12	2,67	52,18	NO
	100%	-	193.670	-	194.875	58,25	58,25	8,57	8,52	NO
Trave P5-12f	0%	63.386	175.884	-27.868	281.082	58,25	58,25	9,57	5,87	NO
	25%	63.386	141.194	-27.868	199.880	29,12	29,12	6,11	4,15	NO
	62,5%	63.386	113.041	-27.868	138.604	29,12	29,12	7,63	5,99	NO
	75%	63.386	92.203	-27.868	98.803	29,12	29,12	9,36	8,40	NO
	100%	63.386	79.441	-27.868	82.000	29,12	29,12	10,86	10,12	NO
Fondazione						**Travata: Trave13f-7-P6-14f**				
Trave 13f-7	0%	-	-	-	-	14,80	14,80	-	-	NO
	25%	67	3.524	-59	5.196	14,80	14,80	89,17	60,47	NO
	50%	2.827	14.440	-2.456	21.780	14,80	14,80	21,81	14,40	NO
	75%	2.827	32.400	-2.456	48.351	39,05	29,59	24,97	12,73	NO
	100%	2.827	56.212	-2.456	83.718	39,05	29,59	14,39	7,35	NO

Id_{Tr}	$\%L_{LI}$	$N_{Ed,s}$	$M_{Ed,3,s}$	$N_{Ed,i}$	$M_{Ed,3,i}$	$A_{s,s}$	$A_{s,i}$	CS_s	CS_i	R_f
	[%]	[N]	[N·m]	[N]	[N·m]	[cm²]	[cm²]			
Trave 7-P6	0%	-2.523.352	163.661	-61.130	137.511	40,18	32,67	1,05	4,82	NO
	25%	-	148.801	-	15.391	24,25	29,59	3,41	40,02	NO
	50%	-	153.221	-	-	24,25	14,80	3,31	-	NO
	75%	-	170.991	-	136.638	24,25	14,80	2,97	2,30	NO
	100%	-	140.973	-	244.616	39,05	29,59	5,73	2,52	NO
Trave P6-14f	0%	89.194	118.353	-66.861	394.889	39,05	29,59	7,02	1,52	NO
	25%	58.281	73.276	-66.861	268.043	14,80	29,59	4,50	2,23	NO
	62,5%	58.281	42.453	-66.861	170.307	14,80	14,80	7,76	1,74	NO
	75%	12.251	24.640	-66.861	102.732	14,80	14,80	12,88	2,89	NO
	100%	12.251	19.878	-66.861	66.269	14,80	14,80	15,97	4,48	NO
Fondazione						**Travata: Trave17f-P7-13-18f**				
Trave 17f-P7	0%	62.793	18.484	-3.814	34.359	24,03	24,03	38,74	20,14	NO
	25%	62.793	36.459	-3.814	56.669	24,03	24,03	19,64	12,21	NO
	62,5%	87.309	63.774	-3.814	90.867	24,03	24,03	11,37	7,62	NO
	75%	87.309	101.447	-3.814	135.920	24,03	24,03	7,14	5,09	NO
	100%	87.309	147.057	-3.814	190.777	48,07	48,07	9,53	7,17	NO
Trave P7-13	0%	-	165.328	-	98.417	48,07	48,07	8,29	13,92	NO
	25%	-	320.820	-	60.785	24,03	24,03	2,16	11,41	NO
	50%	-	398.784	-	849	24,03	24,03	1,74	NS	NO
	75%	-	376.897	-	3.799	24,03	24,03	1,84	NS	NO
	100%	-	75.652	-	17.691	48,07	48,07	18,11	77,44	NO
Trave 13-18f	0%	3.173	43.562	-3.651	94.638	48,07	48,07	31,48	14,46	NO
	25%	3.173	24.382	-3.651	53.745	48,07	48,07	56,24	25,47	NO
	62,5%	83	10.497	-3.651	23.587	24,03	24,03	66,05	29,34	NO
	87,5%	83	2.646	-94	5.848	24,03	24,03	NS	NS	NO
	87,5%	-	-	-	-	24,03	24,03	-	-	NO
Fondazione						**Travata: Trave27f-32-P10-28f**				
Trave 27f-32	0%	-	-	-	-	29,12	29,12	-	-	NO
	37,5%	101	2.148	-	4.625	29,12	29,12	NS	NS	NO
	62,5%	101	8.469	-	18.406	29,12	29,12	99,18	45,63	NO
	62,5%	4.074	18.656	-	41.201	29,12	29,12	45,10	20,39	NO
	100%	4.074	33.358	-	72.870	29,12	29,12	25,22	11,53	NO
Trave 32-P10	0%	-	436.058	-	144.202	29,12	29,12	1,93	5,82	NO
	25%	-	397.317	-	14.284	29,12	29,12	2,11	58,80	NO
	50%	-	391.200	-	15.927	29,12	29,12	2,15	52,74	NO
	75%	-	368.507	-	42.398	29,12	29,12	2,28	19,81	NO
	100%	-	244.579	-	257.113	58,25	58,25	6,79	6,46	NO
Trave P10-28f	0%	53.245	206.126	-2.366	342.323	58,25	58,25	8,14	4,85	NO
	25%	38.062	157.295	-2.366	237.977	29,12	29,12	5,43	3,53	NO
	62,5%	38.062	120.982	-2.366	160.102	29,12	29,12	7,06	5,24	NO
	75%	38.062	95.710	-2.366	110.320	29,12	29,12	8,92	7,61	NO
	100%	38.062	81.704	-2.366	90.215	29,12	29,12	10,45	9,30	NO
Fondazione						**Travata: Trave15f-10-11-16f**				
Trave 15f-10	0%	3.230	12.245	20.251	28.441	14,80	14,80	25,74	11,24	NO
	25%	3.230	13.048	20.251	36.957	14,80	14,80	24,16	8,65	NO
	62,5%	26.174	21.187	2.282	60.878	14,80	14,80	15,16	5,17	NO
	87,5%	26.174	35.470	2.282	99.952	29,59	29,59	17,57	6,17	NO
	100%	26.174	54.906	2.282	152.771	29,59	29,59	11,35	4,04	NO
Trave 10-11	0%	-	99.420	-	95.805	29,59	29,59	6,20	6,44	NO
	25%	-	129.893	-	467	14,80	14,80	2,42	NS	NO
	50%	-	163.032	-	-	14,80	14,80	1,93	-	NO
	75%	-	136.594	-	3.471	14,80	14,80	2,30	90,57	NO
	100%	-	94.567	-	101.455	29,59	29,59	6,52	6,08	NO
Trave 11-16f	0%	40.476	50.947	36.307	168.480	29,59	29,59	12,31	3,72	NO
	25%	40.476	33.192	36.307	112.982	29,59	29,59	18,89	5,54	NO
	62,5%	40.476	20.063	36.307	71.910	14,80	14,80	16,20	4,50	NO
	87,5%	40.476	11.584	36.307	46.148	14,80	14,80	28,06	7,02	NO
	87,5%	3.612	8.557	36.307	36.561	14,80	14,80	36,85	8,86	NO
Fondazione						**Travata: Trave29f-33-P11-30f**				
Trave 29f-33	0%	26.891	100.183	27.821	91.795	29,12	29,12	8,48	9,26	NO
	25%	26.891	109.498	27.821	101.142	29,12	29,12	7,76	8,40	NO
	62,5%	26.891	123.917	27.821	122.663	29,12	29,12	6,86	6,93	NO
	87,5%	26.891	143.133	27.821	155.691	58,25	58,25	11,66	10,72	NO
	87,5%	26.891	166.837	27.821	199.554	58,25	58,25	10,01	8,37	NO
Trave 33-P11	0%	-	206.726	-	91.522	58,25	58,25	8,03	18,14	NO
	25%	-	222.668	-	19.530	29,12	29,12	3,77	43,01	NO
	50%	-	286.575	-	25.951	29,12	29,12	2,93	32,37	NO
	75%	-	311.407	-	18.982	29,12	29,12	2,70	44,25	NO
	100%	-	214.436	-	180.220	58,25	58,25	7,74	9,21	NO
Trave P11-30f	0%	45.278	199.859	-3.761	270.886	58,25	58,25	8,39	6,12	NO
	25%	45.278	163.104	-3.761	196.429	29,12	29,12	5,25	4,27	NO
	62,5%	45.278	133.126	-3.761	139.915	29,12	29,12	6,43	5,99	NO
	75%	45.278	110.615	-3.761	102.845	29,12	29,12	7,74	8,15	NO
	100%	45.278	96.226	-3.761	86.695	29,12	29,12	8,90	9,67	NO
Fondazione						**Travata: Trave31f-34-P12-32f**				
Trave 31f-34	0%	24.101	95.592	21.066	105.663	29,12	29,12	8,88	8,02	NO
	25%	24.101	104.835	21.066	116.425	29,12	29,12	8,09	7,28	NO
	62,5%	24.101	118.973	21.066	139.622	29,12	29,12	7,13	6,07	NO
	87,5%	24.101	137.698	21.066	174.595	58,25	58,25	12,12	9,55	NO
	87,5%	24.101	160.689	21.066	220.677	58,25	58,25	10,38	7,56	NO
Trave 34-P12	0%	-	200.983	-	107.219	58,25	58,25	8,26	15,48	NO
	25%	-	216.574	-	28.998	29,12	29,12	3,88	28,97	NO
	50%	-	308.407	-	29.362	29,12	29,12	2,72	28,61	NO
	75%	-	316.141	-	21.090	29,12	29,12	2,66	39,83	NO
	100%	-	213.297	-	187.068	58,25	58,25	7,78	8,87	NO
Trave P12-32f	0%	45.718	195.958	-4.824	278.447	58,25	58,25	8,55	5,95	NO

Id_{Tr}	$\%L_{LI}$	$N_{Ed,s}$	$M_{Ed,3,s}$	$N_{Ed,i}$	$M_{Ed,3,i}$	$A_{s,s}$	$A_{s,i}$	CS_s	CS_i	R_f
	[%]	[N]	[N·m]	[N]	[N·m]	[cm²]	[cm²]			
	25%	45.718	161.071	-4.824	201.465	29,12	29,12	5,32	4,16	NO
	62,5%	45.718	132.418	-4.824	143.107	29,12	29,12	6,47	5,86	NO
	75%	45.718	110.682	-4.824	104.871	29,12	29,12	7,74	7,99	NO
	100%	30.670	96.241	-4.824	88.233	29,12	29,12	8,84	9,50	NO
Fondazione						**Travata: Trave33f-35-P13-34f**				
Trave 33f-35	0%	23.037	97.995	21.506	106.326	29,12	29,12	8,66	7,97	NO
	25%	23.037	107.365	21.506	117.258	29,12	29,12	7,90	7,23	NO
	62,5%	23.037	121.661	21.506	140.910	29,12	29,12	6,97	6,02	NO
	87,5%	23.037	140.558	21.506	176.613	58,25	58,25	11,87	9,44	NO
	87,5%	23.037	163.725	21.506	223.697	58,25	58,25	10,19	7,45	NO
Trave 35-P13	0%	-	200.590	-	119.209	58,25	58,25	8,27	13,92	NO
	25%	-	213.935	-	33.861	29,12	29,12	3,93	24,81	NO
	50%	-	310.472	-	33.096	29,12	29,12	2,71	25,38	NO
	75%	-	314.801	-	21.862	29,12	29,12	2,67	38,42	NO
	100%	-	217.573	-	195.880	58,25	58,25	7,63	8,47	NO
Trave P13-34f	0%	46.093	199.532	-5.798	288.099	58,25	58,25	8,40	5,75	NO
	25%	46.093	164.518	-5.798	208.271	29,12	29,12	5,21	4,02	NO
	62,5%	46.093	135.679	-5.798	147.788	29,12	29,12	6,31	5,67	NO
	75%	31.850	113.078	-5.798	108.173	29,12	29,12	7,53	7,75	NO
	100%	31.850	99.450	-5.798	90.916	29,12	29,12	8,56	9,22	NO
Fondazione						**Travata: Trave35f-36-P14-36f**				
Trave 35f-36	0%	22.063	101.462	21.881	109.443	29,12	29,12	8,36	7,75	NO
	25%	22.063	111.052	21.881	120.822	29,12	29,12	7,64	7,02	NO
	62,5%	22.063	125.659	21.881	145.480	29,12	29,12	6,75	5,83	NO
	87,5%	22.063	144.939	21.881	182.739	58,25	58,25	11,51	9,13	NO
	87,5%	22.063	168.543	21.881	231.917	58,25	58,25	9,89	7,19	NO
Trave 36-P14	0%	-	206.027	-	130.814	58,25	58,25	8,06	12,69	NO
	25%	-	227.691	-	37.885	29,12	29,12	3,69	22,17	NO
	50%	-	261.597	-	35.348	29,12	29,12	3,21	23,76	NO
	75%	-	261.030	-	21.224	29,12	29,12	3,22	39,58	NO
	100%	-	150.403	-	164.022	58,25	58,25	11,04	10,12	NO
Trave P14-36f	0%	46.243	131.814	-53.170	241.347	58,25	58,25	12,72	6,80	NO
	25%	46.243	98.651	-53.170	158.539	29,12	29,12	8,68	5,18	NO
	62,5%	46.243	72.504	-53.170	96.943	29,12	29,12	11,81	8,47	NO
	75%	46.243	54.343	1.975	60.735	29,12	29,12	15,76	13,84	NO
	100%	46.243	45.123	1.975	47.807	29,12	29,12	18,98	17,58	NO
Fondazione						**Travata: Trave25f-P15-41-26f**				
Trave 25f-P15	0%	12.244	11.744	-4.615	5.250	29,12	29,12	71,90	NS	NO
	25%	27.663	14.505	-4.615	13.433	29,12	29,12	58,60	62,40	NO
	62,5%	27.663	33.456	-4.615	37.173	29,12	29,12	25,40	22,55	NO
	75%	27.663	62.112	-38.789	74.566	29,12	29,12	13,68	11,08	NO
	100%	27.663	99.243	-38.789	130.920	58,25	58,25	16,82	12,57	NO
Trave P15-41	0%	-	113.082	-	66.027	58,25	58,25	14,68	25,14	NO
	25%	-	266.122	-	42.531	29,12	29,12	3,16	19,75	NO
	50%	-	347.176	-	24.136	29,12	29,12	2,42	34,80	NO
	75%	-	328.879	-	13.987	29,12	29,12	2,55	60,05	NO
	100%	-	79.446	-	64.837	58,25	58,25	20,89	25,60	NO
Trave 41-26f	0%	3.811	41.859	-4.386	118.464	58,25	58,25	39,68	14,00	NO
	25%	3.811	23.370	-4.386	67.121	58,25	58,25	71,08	24,70	NO
	62,5%	92	10.263	-104	29.693	29,12	29,12	81,85	28,29	NO
	87,5%	92	2.592	-104	7.529	29,12	29,12	NS	NS	NO
	87,5%	-	-	-	-	29,12	29,12	-	-	NO
Fondazione						**Travata: Trave23f-38-39-24f**				
Trave 23f-38	0%	-1.124	27.208	22.335	32.755	29,12	29,12	30,86	25,89	NO
	25%	9.182	29.754	22.335	43.021	29,12	29,12	28,34	19,71	NO
	62,5%	9.182	42.853	22.335	73.676	29,12	29,12	19,68	11,51	NO
	87,5%	9.182	63.034	22.335	123.823	58,25	58,25	26,38	13,47	NO
	87,5%	9.182	90.167	-14.642	189.702	58,25	58,25	18,44	8,72	NO
Trave 38-39	0%	-	149.696	-	118.241	58,25	58,25	11,09	14,04	NO
	25%	-	286.799	-	10.263	29,12	29,12	2,93	81,84	NO
	50%	-	388.016	-	-	29,12	29,12	2,16	-	NO
	75%	-	331.377	-	5.117	29,12	29,12	2,53	NS	NO
	100%	-	128.655	-	120.894	58,25	58,25	12,90	13,73	NO
Trave 39-24f	0%	13.636	76.794	-12.208	166.247	58,25	58,25	21,68	9,96	NO
	25%	13.636	52.986	14.815	90.640	58,25	58,25	31,42	18,37	NO
	62,5%	13.636	35.260	14.815	34.964	29,12	29,12	23,96	24,18	NO
	87,5%	-5.763	29.635	14.815	1.471	29,12	29,12	28,27	NS	NO
	100%	-5.763	28.864	-	-	29,12	29,12	29,03	-	NO
Fondazione						**Travata: Trave1f-1-P8**				
Trave 1f-1	0%	-	-	-	-	29,12	29,12	-	-	NO
	37,5%	92	2.793	-58	3.399	29,12	29,12	NS	NS	NO
	62,5%	92	11.141	-2.233	13.556	29,12	29,12	75,40	61,90	NO
	62,5%	92	24.797	-2.233	31.003	29,12	29,12	33,87	27,07	NO
	100%	3.799	44.560	-2.233	54.717	29,12	29,12	18,88	15,34	NO
Trave 1-P8	0%	-	305.808	-	81.107	29,12	29,12	2,75	10,36	NO
	25%	-	406.610	-	4.566	29,12	29,12	2,07	NS	NO
	50%	-	752.421	-	15.122	29,12	29,12	1,12	55,54	NO
	75%	-	672.054	-	-	29,12	29,12	1,25	-	NO
	100%	-	87.909	-	210.170	29,12	29,12	9,55	4,00	NO
Fondazione						**Travata: Trave2f-6-7-19-20f**				
Trave 2f-6	0%	-	-	-	-	24,03	24,03	-	-	NO
	37,5%	54	2.746	-1.859	5.244	24,03	24,03	NS	NS	NO
	37,5%	3.164	13.853	-1.859	22.946	24,03	24,03	50,13	30,19	NO
	62,5%	3.164	32.614	-1.859	51.969	24,03	24,03	21,29	13,33	NO
	100%	3.164	58.722	-1.859	91.916	24,03	24,03	11,83	7,54	NO
Trave 6-7	0%	-	112.479	-	30.562	24,03	24,03	6,16	22,69	NO

Travi (CA) - Verifiche pressoflessione retta allo SLU

Id_{Tr}	$\%L_{LI}$	$N_{Ed,s}$	$M_{Ed,3,s}$	$N_{Ed,i}$	$M_{Ed,3,i}$	$A_{s,s}$	$A_{s,i}$	CS_s	CS_i	R_f
	[%]	[N]	[N·m]	[N]	[N·m]	[cm^2]	[cm^2]			
	25%	-	108.302	-	12.851	24,03	24,03	6,40	53,95	NO
	50%	-	276.430	-	10.460	24,03	24,03	2,51	66,29	NO
	75%	-	418.561	-	30.861	24,03	24,03	1,66	22,47	NO
	100%	-	479.633	-	127.464	48,07	48,07	2,86	10,75	NO
Trave 7-19	0%	-	146.707	-	82.989	48,07	48,07	9,34	16,51	NO
	25%	-	181.387	-	-	24,03	24,03	3,82	-	NO
	50%	-	275.139	-	12.403	24,03	24,03	2,52	55,90	NO
	75%	-	264.443	-	3.121	24,03	24,03	2,62	NS	NO
	100%	-	74.077	-	326.814	24,03	24,03	9,36	2,12	NO
Trave 19-20f	0%	1.859	30.779	-3.164	194.862	24,03	24,03	22,55	3,55	NO
	37,5%	1.859	17.042	-3.164	109.965	24,03	24,03	40,72	6,29	NO
	37,5%	1.859	7.186	-3.164	48.583	24,03	24,03	96,58	14,25	NO
	62,5%	36	1.489	-3.164	11.314	24,03	24,03	NS	61,18	NO
	100%	-	-	-	-	24,03	24,03	-	-	NO
Fondazione						**Travata: TraveP9-32-37f**				
Trave P9-32	0%	-	203.379	-	169.556	29,12	29,12	4,13	4,95	NO
	25%	-	260.641	-	-	29,12	29,12	3,22	-	NO
	50%	-	303.207	-	7.860	29,12	29,12	2,77	NS	NO
	75%	-	512.822	-	23.236	29,12	29,12	1,64	36,15	NO
	100%	-	603.408	-	64.162	29,12	29,12	1,39	13,09	NO
Trave 32-37f	0%	58	21.625	-3.799	97.800	29,12	29,12	38,84	8,57	NO
	37,5%	58	12.312	-3.799	55.490	29,12	29,12	68,22	15,11	NO
	62,5%	58	5.530	-3.799	24.325	29,12	29,12	NS	34,47	NO
	62,5%	58	1.383	-92	5.872	29,12	29,12	NS	NS	NO
	100%	-3.799	1.507	2.233	890	29,12	29,12	NS	NS	NO
Fondazione						**Travata: Trave19f-24-31-22f**				
Trave 19f-24	0%	144.517	43.447	-13.628	28.746	24,03	24,03	17,16	23,95	NO
	25%	144.517	52.388	-13.628	36.095	24,03	24,03	14,23	19,07	NO
	62,5%	144.517	69.395	-13.628	58.427	24,03	24,03	10,74	11,78	NO
	87,5%	144.517	94.478	-13.628	95.204	48,07	48,07	15,05	14,34	NO
	100%	144.517	127.644	-13.628	145.891	48,07	48,07	11,14	9,36	NO
Trave 24-31	0%	-	206.214	-	101.956	48,07	48,07	6,64	13,44	NO
	25%	-	253.719	-	-	24,03	24,03	2,73	-	NO
	50%	-	316.681	-	-	24,03	24,03	2,19	-	NO
	75%	-	367.791	-	-	24,03	24,03	1,89	-	NO
	100%	-	65.017	-	213.656	48,07	48,07	21,07	6,41	NO
Trave 31-22f	0%	88.288	30.253	-113.569	195.649	48,07	48,07	46,33	6,79	NO
	25%	46.477	15.219	-113.569	108.796	48,07	48,07	91,11	12,22	NO
	62,5%	7.232	11.451	-113.569	45.404	24,03	24,03	60,78	14,37	NO
	87,5%	7.232	11.006	-32.718	10.050	24,03	24,03	63,23	67,81	NO
	100%	7.232	9.897	88.288	8.014	24,03	24,03	70,32	90,49	NO

LEGENDA:

Id_{Tr} Identificativo della trave. L'eventuale lettera tra parentesi distingue i diversi tratti della travata al livello considerato.
$\%L_{LI}$ Posizione della sezione per la quale vengono forniti i valori di verifica, valutata come % della lunghezza libera d'inflessione (L_{LI}), a partire dall'estremo iniziale.
R_f [SI] = nodo con presenza di rinforzo; [NO] = nodo senza rinforzo.
$N_{Ed,s}$, $M_{Ed,3,s}$ Sollecitazioni di progetto per armatura superiore.
$N_{Ed,i}$, $M_{Ed,3,i}$ Sollecitazioni di progetto per armatura inferiore.
$A_{s,s}$, $A_{s,i}$ Armatura a flessione superiore e inferiore.
CS_{sup}, CS_{inf} Coefficiente di sicurezza relativo alle sollecitazioni che tendono le fibre superiori e inferiori ([NS] = Non Significativo per valori di CS >= 100; [VNR]= Verifica Non Richiesta).

TRAVI (CA) - VERIFICHE A TAGLIO PER PRESSOFLESSIONE RETTA ALLO SLU (Fondazione)

Travi (CA) - Verifiche a taglio per pressoflessione retta allo SLU

Id_{Tr}	$\%L_{LI}$	+/-	$V_{Ed,2}$	CS	V_{Rcd}	$V_{Rsd,s}$	N_{Ed}	$V_{Rsd,p}$	V_{R1}	V_{fd}	Ctg Θ	A_{sw}	$A_{sw,p}$	$A_{s,Dg}$	R_f
	[%]		[N]		[N]	[N]	[N]	[N]	[N]	[N]		[cm^2/cm]	[cm^2]	[cm^2]	
Fondazione									**Travata: Trave3f-1-P1-4f**						
Trave 3f-1	0%	+	-	-	2.994.556	2.017.588	0	0	0	0	2,50	0,3016	0,0000	0,0000	NO
		-	-	-	2.994.556	2.017.588	0	0	0	0	2,50	0,3016	0,0000	0,0000	NO
	37,5%	+	21.917	92,06	2.994.556	2.017.588	0	0	0	0	2,50	0,3016	0,0000	0,0000	NO
		-	-	-	2.994.556	2.017.588	0	0	0	0	2,50	0,3016	0,0000	0,0000	NO
	62,5%	+	43.797	46,07	2.994.556	2.017.588	0	0	0	0	2,50	0,3016	0,0000	0,0000	NO
		-	-	-	2.994.556	2.017.588	0	0	0	0	2,50	0,3016	0,0000	0,0000	NO
	62,5%	+	65.634	30,74	2.994.556	2.017.588	0	0	0	0	2,50	0,3016	0,0000	0,0000	NO
		-	-	-	2.994.556	2.017.588	0	0	0	0	2,50	0,3016	0,0000	0,0000	NO
	100%	+	87.431	23,08	2.994.556	2.017.588	0	0	0	0	2,50	0,3016	0,0000	0,0000	NO
		-	-	-	2.994.556	2.017.588	0	0	0	0	2,50	0,3016	0,0000	0,0000	NO
Trave 1-P1	0%	+	-	-	2.994.556	1.834.171	0	0	0	0	2,50	0,2742	0,0000	0,0000	NO
		-	-43.308	42,35	2.994.556	1.834.171	0	0	0	0	2,50	0,2742	0,0000	0,0000	NO
	25%	+	97.016	18,91	2.994.5	1.834.1	0	0	0	0	2,50	0,2742	0,0000	0,0000	NO

Id_{Tr}	$\%L_{LI}$	+/-	$V_{Ed,2}$	CS	V_{Rcd}	$V_{Rsd,s}$	N_{Ed}	$V_{Rsd,p}$	V_{R1}	V_{fd}	Ctg Θ	A_{sw}	$A_{sw,p}$	$A_{s,Dg}$	R_f
	[%]		[N]		[N]	[N]	[N]	[N]	[N]	[N]		[cm²/cm]	[cm²]	[cm²]	
		-	-	-	56 2.994.556	71 1.834.171	0	0	0	0	2,50	0,2742	0,0000	0,0000	NO
	50%	+	80.896	22,67	2.994.556	1.834.171	0	0	0	0	2,50	0,2742	0,0000	0,0000	NO
		-	-	-	2.994.556	1.834.171	0	0	0	0	2,50	0,2742	0,0000	0,0000	NO
	75%	+	54.867	33,43	2.994.556	1.834.171	0	0	0	0	2,50	0,2742	0,0000	0,0000	NO
		-	-	-	2.994.556	1.834.171	0	0	0	0	2,50	0,2742	0,0000	0,0000	NO
	100%	+	7.040	NS	2.994.556	1.834.171	0	0	0	0	2,50	0,2742	0,0000	0,0000	NO
		-	-	-	2.994.556	1.834.171	0	0	0	0	2,50	0,2742	0,0000	0,0000	NO
Trave P1-4f	0%	+	-	-	2.994.652	2.017.588	653	0	0	0	2,50	0,3016	0,0000	0,0000	NO
		-	-95.980	21,02	2.994.652	2.017.588	653	0	0	0	2,50	0,3016	0,0000	0,0000	NO
	25%	+	-	-	2.994.652	2.017.588	653	0	0	0	2,50	0,3016	0,0000	0,0000	NO
		-	-64.404	31,33	2.994.652	2.017.588	653	0	0	0	2,50	0,3016	0,0000	0,0000	NO
	62,5%	+	-	-	2.994.652	2.017.588	653	0	0	0	2,50	0,3016	0,0000	0,0000	NO
		-	-33.121	60,92	2.994.652	2.017.588	653	0	0	0	2,50	0,3016	0,0000	0,0000	NO
	75%	+	1.520	NS	2.994.652	2.017.588	653	0	0	0	2,50	0,3016	0,0000	0,0000	NO
		-	-2.465	NS	2.994.652	2.017.588	653	0	0	0	2,50	0,3016	0,0000	0,0000	NO
	100%	+	28.670	70,37	2.994.652	2.017.588	653	0	0	0	2,50	0,3016	0,0000	0,0000	NO
		-	-	-	2.994.652	2.017.588	653	0	0	0	2,50	0,3016	0,0000	0,0000	NO
Fondazione									**Travata: Trave5f-2-P2-6f**						
Trave 5f-2	0%	+	-	-	2.994.652	2.241.764	653	0	0	0	2,50	0,3351	0,0000	0,0000	NO
		-	-18.370	NS	2.994.652	2.241.764	653	0	0	0	2,50	0,3351	0,0000	0,0000	NO
	25%	+	22.216	NS	2.994.652	2.241.764	653	0	0	0	2,50	0,3351	0,0000	0,0000	NO
		-	-	-	2.994.652	2.241.764	653	0	0	0	2,50	0,3351	0,0000	0,0000	NO
	62,5%	+	61.592	36,40	2.994.652	2.241.764	653	0	0	0	2,50	0,3351	0,0000	0,0000	NO
		-	-	-	2.994.652	2.241.764	653	0	0	0	2,50	0,3351	0,0000	0,0000	NO
	87,5%	+	100.783	22,24	2.994.652	2.241.764	653	0	0	0	2,50	0,3351	0,0000	0,0000	NO
		-	-	-	2.994.652	2.241.764	653	0	0	0	2,50	0,3351	0,0000	0,0000	NO
	87,5%	+	139.786	16,04	2.994.652	2.241.764	653	0	0	0	2,50	0,3351	0,0000	0,0000	NO
		-	-	-	2.994.652	2.241.764	653	0	0	0	2,50	0,3351	0,0000	0,0000	NO
Trave 2-P2	0%	+	-	-	2.994.556	1.834.171	0	0	0	0	2,50	0,2742	0,0000	0,0000	NO
		-	-107.134	17,12	2.994.556	1.834.171	0	0	0	0	2,50	0,2742	0,0000	0,0000	NO
	25%	+	107.658	17,04	2.994.556	1.834.171	0	0	0	0	2,50	0,2742	0,0000	0,0000	NO
		-	-	-	2.994.556	1.834.171	0	0	0	0	2,50	0,2742	0,0000	0,0000	NO
	50%	+	110.181	16,65	2.994.556	1.834.171	0	0	0	0	2,50	0,2742	0,0000	0,0000	NO
		-	-	-	2.994.556	1.834.171	0	0	0	0	2,50	0,2742	0,0000	0,0000	NO
	75%	+	78.358	23,41	2.994.556	1.834.171	0	0	0	0	2,50	0,2742	0,0000	0,0000	NO
		-	-	-	2.994.556	1.834.171	0	0	0	0	2,50	0,2742	0,0000	0,0000	NO
	100%	+	13.458	NS	2.994.556	1.834.171	0	0	0	0	2,50	0,2742	0,0000	0,0000	NO
		-	-	-	2.994.556	1.834.171	0	0	0	0	2,50	0,2742	0,0000	0,0000	NO
Trave P2-6f	0%	+	-	-	2.994.556	2.017.588	0	0	0	0	2,50	0,3016	0,0000	0,0000	NO
		-	-151.337	13,33	2.994.556	2.017.588	0	0	0	0	2,50	0,3016	0,0000	0,0000	NO
	25%	+	-	-	2.994.556	2.017.588	0	0	0	0	2,50	0,3016	0,0000	0,0000	NO
		-	-106.103	19,02	2.994.556	2.017.588	0	0	0	0	2,50	0,3016	0,0000	0,0000	NO

Id_{Tr}	$\%L_{LI}$	+/-	$V_{Ed,2}$	CS	V_{Rcd}	$V_{Rsd,s}$	N_{Ed}	$V_{Rsd,p}$	V_{R1}	V_{fd}	Ctg Θ	A_{sw}	$A_{sw,p}$	$A_{s,Dg}$	R_f
	[%]		[N]		[N]	[N]	[N]	[N]	[N]	[N]		[cm²/cm]	[cm²]	[cm²]	
	62,5%	+	-	-	2.994.556	2.017.588	0	0	0	0	2,50	0,3016	0,0000	0,0000	NO
		-	-61.693	32,70	2.994.556	2.017.588	0	0	0	0	2,50	0,3016	0,0000	0,0000	NO
	75%	+	-	-	2.994.556	2.017.588	0	0	0	0	2,50	0,3016	0,0000	0,0000	NO
		-	-18.091	NS	2.994.556	2.017.588	0	0	0	0	2,50	0,3016	0,0000	0,0000	NO
	100%	+	24.740	81,55	2.994.556	2.017.588	0	0	0	0	2,50	0,3016	0,0000	0,0000	NO
		-	-	-	2.994.556	2.017.588	0	0	0	0	2,50	0,3016	0,0000	0,0000	NO
Fondazione									**Travata: Trave7f-3-P3-8f**						
Trave 7f-3	0%	+	-	-	2.994.556	2.241.764	0	0	0	0	2,50	0,3351	0,0000	0,0000	NO
		-	-13.914	NS	2.994.556	2.241.764	0	0	0	0	2,50	0,3351	0,0000	0,0000	NO
	25%	+	26.288	85,28	2.994.556	2.241.764	0	0	0	0	2,50	0,3351	0,0000	0,0000	NO
		-	-	-	2.994.556	2.241.764	0	0	0	0	2,50	0,3351	0,0000	0,0000	NO
	62,5%	+	65.480	34,24	2.994.556	2.241.764	0	0	0	0	2,50	0,3351	0,0000	0,0000	NO
		-	-	-	2.994.556	2.241.764	0	0	0	0	2,50	0,3351	0,0000	0,0000	NO
	87,5%	+	104.489	21,45	2.994.556	2.241.764	0	0	0	0	2,50	0,3351	0,0000	0,0000	NO
		-	-	-	2.994.556	2.241.764	0	0	0	0	2,50	0,3351	0,0000	0,0000	NO
	87,5%	+	143.319	15,64	2.994.556	2.241.764	0	0	0	0	2,50	0,3351	0,0000	0,0000	NO
		-	-	-	2.994.556	2.241.764	0	0	0	0	2,50	0,3351	0,0000	0,0000	NO
Trave 3-P3	0%	+	-	-	2.994.556	1.834.171	0	0	0	0	2,50	0,2742	0,0000	0,0000	NO
		-	-108.017	16,98	2.994.556	1.834.171	0	0	0	0	2,50	0,2742	0,0000	0,0000	NO
	25%	+	106.031	17,30	2.994.556	1.834.171	0	0	0	0	2,50	0,2742	0,0000	0,0000	NO
		-	-	-	2.994.556	1.834.171	0	0	0	0	2,50	0,2742	0,0000	0,0000	NO
	50%	+	107.391	17,08	2.994.556	1.834.171	0	0	0	0	2,50	0,2742	0,0000	0,0000	NO
		-	-	-	2.994.556	1.834.171	0	0	0	0	2,50	0,2742	0,0000	0,0000	NO
	75%	+	76.076	24,11	2.994.556	1.834.171	0	0	0	0	2,50	0,2742	0,0000	0,0000	NO
		-	-	-	2.994.556	1.834.171	0	0	0	0	2,50	0,2742	0,0000	0,0000	NO
	100%	+	12.609	NS	2.994.556	1.834.171	0	0	0	0	2,50	0,2742	0,0000	0,0000	NO
		-	-	-	2.994.556	1.834.171	0	0	0	0	2,50	0,2742	0,0000	0,0000	NO
Trave P3-8f	0%	+	-	-	2.994.556	2.017.588	0	0	0	0	2,50	0,3016	0,0000	0,0000	NO
		-	-150.080	13,44	2.994.556	2.017.588	0	0	0	0	2,50	0,3016	0,0000	0,0000	NO
	25%	+	-	-	2.994.556	2.017.588	0	0	0	0	2,50	0,3016	0,0000	0,0000	NO
		-	-105.126	19,19	2.994.556	2.017.588	0	0	0	0	2,50	0,3016	0,0000	0,0000	NO
	62,5%	+	-	-	2.994.556	2.017.588	0	0	0	0	2,50	0,3016	0,0000	0,0000	NO
		-	-60.996	33,08	2.994.556	2.017.588	0	0	0	0	2,50	0,3016	0,0000	0,0000	NO
	75%	+	-	-	2.994.556	2.017.588	0	0	0	0	2,50	0,3016	0,0000	0,0000	NO
		-	-17.679	NS	2.994.556	2.017.588	0	0	0	0	2,50	0,3016	0,0000	0,0000	NO
	100%	+	24.861	81,15	2.994.556	2.017.588	0	0	0	0	2,50	0,3016	0,0000	0,0000	NO
		-	-	-	2.994.556	2.017.588	0	0	0	0	2,50	0,3016	0,0000	0,0000	NO
Fondazione									**Travata: Trave9f-4-P4-10f**						
Trave 9f-4	0%	+	-	-	2.994.556	2.241.764	0	0	0	0	2,50	0,3351	0,0000	0,0000	NO
		-	-13.844	NS	2.994.556	2.241.764	0	0	0	0	2,50	0,3351	0,0000	0,0000	NO
	25%	+	26.376	84,99	2.994.556	2.241.764	0	0	0	0	2,50	0,3351	0,0000	0,0000	NO
		-	-	-	2.994.556	2.241.764	0	0	0	0	2,50	0,3351	0,0000	0,0000	NO
	62,5%	+	65.528	34,21	2.994.556	2.241.764	0	0	0	0	2,50	0,3351	0,0000	0,0000	NO

Id_{Tr}	$\%L_{LI}$	+/-	$V_{Ed,2}$	CS	V_{Rcd}	$V_{Rsd,s}$	N_{Ed}	$V_{Rsd,p}$	V_{R1}	V_{fd}	Ctg Θ	A_{sw}	$A_{sw,p}$	$A_{s,Dg}$	R_f
	[%]		[N]		[N]	[N]	[N]	[N]	[N]	[N]		[cm²/cm]	[cm²]	[cm²]	
		-	-	-	2.994.556	2.241.764	0	0	0	0	2,50	0,3351	0,0000	0,0000	NO
	87,5%	+	104.492	21,45	2.994.556	2.241.764	0	0	0	0	2,50	0,3351	0,0000	0,0000	NO
		-	-	-	2.994.556	2.241.764	0	0	0	0	2,50	0,3351	0,0000	0,0000	NO
	87,5%	+	143.269	15,65	2.994.556	2.241.764	0	0	0	0	2,50	0,3351	0,0000	0,0000	NO
		-	-	-	2.994.556	2.241.764	0	0	0	0	2,50	0,3351	0,0000	0,0000	NO
Trave 4-P4	0%	+	-	-	2.994.556	1.834.171	0	0	0	0	2,50	0,2742	0,0000	0,0000	NO
		-	-108.610	16,89	2.994.556	1.834.171	0	0	0	0	2,50	0,2742	0,0000	0,0000	NO
	25%	+	104.811	17,50	2.994.556	1.834.171	0	0	0	0	2,50	0,2742	0,0000	0,0000	NO
		-	-	-	2.994.556	1.834.171	0	0	0	0	2,50	0,2742	0,0000	0,0000	NO
	50%	+	105.562	17,38	2.994.556	1.834.171	0	0	0	0	2,50	0,2742	0,0000	0,0000	NO
		-	-	-	2.994.556	1.834.171	0	0	0	0	2,50	0,2742	0,0000	0,0000	NO
	75%	+	74.493	24,62	2.994.556	1.834.171	0	0	0	0	2,50	0,2742	0,0000	0,0000	NO
		-	-	-	2.994.556	1.834.171	0	0	0	0	2,50	0,2742	0,0000	0,0000	NO
	100%	+	12.260	NS	2.994.556	1.834.171	0	0	0	0	2,50	0,2742	0,0000	0,0000	NO
		-	-	-	2.994.556	1.834.171	0	0	0	0	2,50	0,2742	0,0000	0,0000	NO
Trave P4-10f	0%	+	-	-	2.994.556	2.017.588	0	0	0	0	2,50	0,3016	0,0000	0,0000	NO
		-	-147.975	13,63	2.994.556	2.017.588	0	0	0	0	2,50	0,3016	0,0000	0,0000	NO
	25%	+	-	-	2.994.556	2.017.588	0	0	0	0	2,50	0,3016	0,0000	0,0000	NO
		-	-103.451	19,50	2.994.556	2.017.588	0	0	0	0	2,50	0,3016	0,0000	0,0000	NO
	62,5%	+	-	-	2.994.556	2.017.588	0	0	0	0	2,50	0,3016	0,0000	0,0000	NO
		-	-59.765	33,76	2.994.556	2.017.588	0	0	0	0	2,50	0,3016	0,0000	0,0000	NO
	75%	+	-	-	2.994.556	2.017.588	0	0	0	0	2,50	0,3016	0,0000	0,0000	NO
		-	-16.898	NS	2.994.556	2.017.588	0	0	0	0	2,50	0,3016	0,0000	0,0000	NO
	100%	+	25.179	80,13	2.994.556	2.017.588	0	0	0	0	2,50	0,3016	0,0000	0,0000	NO
		-	-	-	2.994.556	2.017.588	0	0	0	0	2,50	0,3016	0,0000	0,0000	NO
Fondazione									**Travata: Trave11f-5-P5-12f**						
Trave 11f-5	0%	+	-	-	2.994.556	2.241.764	0	0	0	0	2,50	0,3351	0,0000	0,0000	NO
		-	-13.639	NS	2.994.556	2.241.764	0	0	0	0	2,50	0,3351	0,0000	0,0000	NO
	25%	+	27.124	82,65	2.994.556	2.241.764	0	0	0	0	2,50	0,3351	0,0000	0,0000	NO
		-	-	-	2.994.556	2.241.764	0	0	0	0	2,50	0,3351	0,0000	0,0000	NO
	62,5%	+	66.688	33,62	2.994.556	2.241.764	0	0	0	0	2,50	0,3351	0,0000	0,0000	NO
		-	-	-	2.994.556	2.241.764	0	0	0	0	2,50	0,3351	0,0000	0,0000	NO
	87,5%	+	106.050	21,14	2.994.556	2.241.764	0	0	0	0	2,50	0,3351	0,0000	0,0000	NO
		-	-	-	2.994.556	2.241.764	0	0	0	0	2,50	0,3351	0,0000	0,0000	NO
	87,5%	+	145.209	15,44	2.994.556	2.241.764	0	0	0	0	2,50	0,3351	0,0000	0,0000	NO
		-	-	-	2.994.556	2.241.764	0	0	0	0	2,50	0,3351	0,0000	0,0000	NO
Trave 5-P5	0%	+	-	-	2.994.556	1.834.171	0	0	0	0	2,50	0,2742	0,0000	0,0000	NO
		-	-107.436	17,07	2.994.556	1.834.171	0	0	0	0	2,50	0,2742	0,0000	0,0000	NO
	25%	+	107.668	17,04	2.994.556	1.834.171	0	0	0	0	2,50	0,2742	0,0000	0,0000	NO
		-	-	-	2.994.556	1.834.171	0	0	0	0	2,50	0,2742	0,0000	0,0000	NO
	50%	+	109.920	16,69	2.994.556	1.834.171	0	0	0	0	2,50	0,2742	0,0000	0,0000	NO
		-	-	-	2.994.556	1.834.171	0	0	0	0	2,50	0,2742	0,0000	0,0000	NO
	75%	+	78.941	23,23	2.994.5	1.834.1	0	0	0	0	2,50	0,2742	0,0000	0,0000	NO

Id_{Tr}	$\%L_{LI}$	+/-	$V_{Ed,2}$	CS	V_{Rcd}	$V_{Rsd,s}$	N_{Ed}	$V_{Rsd,p}$	V_{R1}	V_{fd}	Ctg Θ	A_{sw}	$A_{sw,p}$	$A_{s,Dg}$	R_f
	[%]		[N]		[N]	[N]	[N]	[N]	[N]	[N]		[cm²/cm]	[cm²]	[cm²]	
		-	-	-	56 2.994.556	71 1.834.171	0	0	0	0	2,50	0,2742	0,0000	0,0000	NO
	100%	+	15.208	NS	2.994.556	1.834.171	0	0	0	0	2,50	0,2742	0,0000	0,0000	NO
		-	-	-	2.994.556	1.834.171	0	0	0	0	2,50	0,2742	0,0000	0,0000	NO
Trave P5-12f	0%	+	-	-	2.994.556	2.017.588	0	0	0	0	2,50	0,3016	0,0000	0,0000	NO
		-	-149.690	13,48	2.994.556	2.017.588	0	0	0	0	2,50	0,3016	0,0000	0,0000	NO
	25%	+	-	-	2.994.556	2.017.588	0	0	0	0	2,50	0,3016	0,0000	0,0000	NO
		-	-105.707	19,09	2.994.556	2.017.588	0	0	0	0	2,50	0,3016	0,0000	0,0000	NO
	62,5%	+	-	-	2.994.556	2.017.588	0	0	0	0	2,50	0,3016	0,0000	0,0000	NO
		-	-62.698	32,18	2.994.556	2.017.588	0	0	0	0	2,50	0,3016	0,0000	0,0000	NO
	75%	+	-	-	2.994.556	2.017.588	0	0	0	0	2,50	0,3016	0,0000	0,0000	NO
		-	-20.671	97,60	2.994.556	2.017.588	0	0	0	0	2,50	0,3016	0,0000	0,0000	NO
	100%	+	21.112	95,57	2.994.556	2.017.588	0	0	0	0	2,50	0,3016	0,0000	0,0000	NO
		-	-	-	2.994.556	2.017.588	0	0	0	0	2,50	0,3016	0,0000	0,0000	NO
Fondazione									**Travata: Trave13f-7-P6-14f**						
Trave 13f-7	0%	+	-	-	1.472.612	1.240.219	0	0	0	0	2,50	0,2513	0,0000	0,0000	NO
		-	-	-	1.472.612	1.240.219	0	0	0	0	2,50	0,2513	0,0000	0,0000	NO
	25%	+	15.067	82,31	1.472.612	1.240.219	0	0	0	0	2,50	0,2513	0,0000	0,0000	NO
		-	-	-	1.472.612	1.240.219	0	0	0	0	2,50	0,2513	0,0000	0,0000	NO
	50%	+	30.165	41,11	1.472.612	1.240.219	0	0	0	0	2,50	0,2513	0,0000	0,0000	NO
		-	-	-	1.472.612	1.240.219	0	0	0	0	2,50	0,2513	0,0000	0,0000	NO
	75%	+	45.293	27,38	1.472.612	1.240.219	0	0	0	0	2,50	0,2513	0,0000	0,0000	NO
		-	-	-	1.472.612	1.240.219	0	0	0	0	2,50	0,2513	0,0000	0,0000	NO
	100%	+	60.442	20,52	1.472.612	1.240.219	0	0	0	0	2,50	0,2513	0,0000	0,0000	NO
		-	-	-	1.472.612	1.240.219	0	0	0	0	2,50	0,2513	0,0000	0,0000	NO
Trave 7-P6	0%	+	-	-	1.472.612	901.977	0	0	0	0	2,50	0,1828	0,0000	0,0000	NO
		-	-50.045	18,02	1.472.612	901.977	0	0	0	0	2,50	0,1828	0,0000	0,0000	NO
	25%	+	-	-	1.472.612	901.977	0	0	0	0	2,50	0,1828	0,0000	0,0000	NO
		-	-29.740	30,33	1.472.612	901.977	0	0	0	0	2,50	0,1828	0,0000	0,0000	NO
	50%	+	-	-	1.472.612	901.977	0	0	0	0	2,50	0,1828	0,0000	0,0000	NO
		-	-15.274	59,05	1.472.612	901.977	0	0	0	0	2,50	0,1828	0,0000	0,0000	NO
	75%	+	-	-	1.472.612	901.977	0	0	0	0	2,50	0,1828	0,0000	0,0000	NO
		-	-8.581	NS	1.472.612	901.977	0	0	0	0	2,50	0,1828	0,0000	0,0000	NO
	100%	+	-	-	1.472.612	901.977	0	0	0	0	2,50	0,1828	0,0000	0,0000	NO
		-	-1.300	NS	1.472.612	901.977	0	0	0	0	2,50	0,1828	0,0000	0,0000	NO
Trave P6-14f	0%	+	-	-	1.473.667	1.240.219	7.279	0	0	0	2,50	0,2513	0,0000	0,0000	NO
		-	-27.542	45,03	1.473.667	1.240.219	7.279	0	0	0	2,50	0,2513	0,0000	0,0000	NO
	25%	+	-	-	1.473.667	1.240.219	7.279	0	0	0	2,50	0,2513	0,0000	0,0000	NO
		-	-11.294	NS	1.473.667	1.240.219	7.279	0	0	0	2,50	0,2513	0,0000	0,0000	NO
	62,5%	+	9.462	NS	1.473.667	1.240.219	7.279	0	0	0	2,50	0,2513	0,0000	0,0000	NO
		-	-	-	1.473.667	1.240.219	7.279	0	0	0	2,50	0,2513	0,0000	0,0000	NO
	75%	+	28.264	43,88	1.473.667	1.240.219	7.279	0	0	0	2,50	0,2513	0,0000	0,0000	NO
		-	-	-	1.473.667	1.240.219	7.279	0	0	0	2,50	0,2513	0,0000	0,0000	NO

Id_{Tr}	$\%L_{LI}$	+/-	$V_{Ed,2}$	CS	V_{Rcd}	$V_{Rsd,s}$	N_{Ed}	$V_{Rsd,p}$	V_{R1}	V_{fd}	Ctg Θ	A_{sw}	$A_{sw,p}$	$A_{s,Dg}$	R_f
	[%]		[N]		[N]	[N]	[N]	[N]	[N]	[N]		[cm²/cm]	[cm²]	[cm²]	
	100%	+	47.594	26,06	1.473.667	1.240.219	7.279	0	0	0	2,50	0,2513	0,0000	0,0000	NO
		-	-	-	1.473.667	1.240.219	7.279	0	0	0	2,50	0,2513	0,0000	0,0000	NO
Fondazione									**Travata: Trave17f-P7-13-18f**						
Trave 17f-P7	0%	+	-	-	2.496.714	1.921.597	7.743	0	0	0	2,50	0,2872	0,0000	0,0000	NO
		-	-73.377	26,19	2.496.714	1.921.597	7.743	0	0	0	2,50	0,2872	0,0000	0,0000	NO
	25%	+	-	-	2.496.714	1.921.597	7.743	0	0	0	2,50	0,2872	0,0000	0,0000	NO
		-	-49.731	38,64	2.496.714	1.921.597	7.743	0	0	0	2,50	0,2872	0,0000	0,0000	NO
	62,5%	+	-	-	2.496.714	1.921.597	7.743	0	0	0	2,50	0,2872	0,0000	0,0000	NO
		-	-26.572	72,32	2.496.714	1.921.597	7.743	0	0	0	2,50	0,2872	0,0000	0,0000	NO
	75%	+	503	NS	2.496.714	1.921.597	7.743	0	0	0	2,50	0,2872	0,0000	0,0000	NO
		-	-3.967	NS	2.496.714	1.921.597	7.743	0	0	0	2,50	0,2872	0,0000	0,0000	NO
	100%	+	19.347	99,32	2.496.714	1.921.597	7.743	0	0	0	2,50	0,2872	0,0000	0,0000	NO
		-	-	-	2.496.714	1.921.597	7.743	0	0	0	2,50	0,2872	0,0000	0,0000	NO
Trave P7-13	0%	+	-	-	2.495.572	1.681.397	0	0	0	0	2,50	0,2513	0,0000	0,0000	NO
		-	-19.230	87,44	2.495.572	1.681.397	0	0	0	0	2,50	0,2513	0,0000	0,0000	NO
	25%	+	66.734	25,20	2.495.572	1.681.397	0	0	0	0	2,50	0,2513	0,0000	0,0000	NO
		-	-	-	2.495.572	1.681.397	0	0	0	0	2,50	0,2513	0,0000	0,0000	NO
	50%	+	64.936	25,89	2.495.572	1.681.397	0	0	0	0	2,50	0,2513	0,0000	0,0000	NO
		-	-	-	2.495.572	1.681.397	0	0	0	0	2,50	0,2513	0,0000	0,0000	NO
	75%	+	64.234	26,18	2.495.572	1.681.397	0	0	0	0	2,50	0,2513	0,0000	0,0000	NO
		-	-	-	2.495.572	1.681.397	0	0	0	0	2,50	0,2513	0,0000	0,0000	NO
	100%	+	67.992	24,73	2.495.572	1.681.397	0	0	0	0	2,50	0,2513	0,0000	0,0000	NO
		-	-	-	2.495.572	1.681.397	0	0	0	0	2,50	0,2513	0,0000	0,0000	NO
Trave 13-18f	0%	+	-	-	2.495.572	1.921.597	0	0	0	0	2,50	0,2872	0,0000	0,0000	NO
		-	-56.497	34,01	2.495.572	1.921.597	0	0	0	0	2,50	0,2872	0,0000	0,0000	NO
	25%	+	-	-	2.495.572	1.921.597	0	0	0	0	2,50	0,2872	0,0000	0,0000	NO
		-	-42.305	45,42	2.495.572	1.921.597	0	0	0	0	2,50	0,2872	0,0000	0,0000	NO
	62,5%	+	-	-	2.495.572	1.921.597	0	0	0	0	2,50	0,2872	0,0000	0,0000	NO
		-	-28.160	68,24	2.495.572	1.921.597	0	0	0	0	2,50	0,2872	0,0000	0,0000	NO
	87,5%	+	-	-	2.495.572	1.921.597	0	0	0	0	2,50	0,2872	0,0000	0,0000	NO
		-	-14.058	NS	2.495.572	1.921.597	0	0	0	0	2,50	0,2872	0,0000	0,0000	NO
	87,5%	+	-	-	2.495.572	1.921.597	0	0	0	0	2,50	0,2872	0,0000	0,0000	NO
		-	-6	NS	2.495.572	1.921.597	0	0	0	0	2,50	0,2872	0,0000	0,0000	NO
Fondazione									**Travata: Trave27f-32-P10-28f**						
Trave 27f-32	0%	+	-	-	2.994.556	2.017.588	0	0	0	0	2,50	0,3016	0,0000	0,0000	NO
		-	-	-	2.994.556	2.017.588	0	0	0	0	2,50	0,3016	0,0000	0,0000	NO
	37,5%	+	17.166	NS	2.994.556	2.017.588	0	0	0	0	2,50	0,3016	0,0000	0,0000	NO
		-	-	-	2.994.556	2.017.588	0	0	0	0	2,50	0,3016	0,0000	0,0000	NO
	62,5%	+	34.354	58,73	2.994.556	2.017.588	0	0	0	0	2,50	0,3016	0,0000	0,0000	NO
		-	-	-	2.994.556	2.017.588	0	0	0	0	2,50	0,3016	0,0000	0,0000	NO
	62,5%	+	51.555	39,13	2.994.556	2.017.588	0	0	0	0	2,50	0,3016	0,0000	0,0000	NO
		-	-	-	2.994.556	2.017.588	0	0	0	0	2,50	0,3016	0,0000	0,0000	NO
	100%	+	68.777	29,34	2.994.556	2.017.588	0	0	0	0	2,50	0,3016	0,0000	0,0000	NO

Id_{Tr}	$\%L_{LI}$	+/-	$V_{Ed,2}$	CS	V_{Rcd}	$V_{Rsd,s}$	N_{Ed}	$V_{Rsd,p}$	V_{R1}	V_{fd}	Ctg Θ	A_{sw}	$A_{sw,p}$	$A_{s,Dg}$	R_f
	[%]		[N]		[N]	[N]	[N]	[N]	[N]	[N]		[cm²/cm]	[cm²]	[cm²]	
		-	-	-	2.994.556	2.017.588	0	0	0	0	2,50	0,3016	0,0000	0,0000	NO
Trave 32-P10	0%	+	-	-	2.994.556	1.834.171	0	0	0	0	2,50	0,2742	0,0000	0,0000	NO
		-	-29.980	61,18	2.994.556	1.834.171	0	0	0	0	2,50	0,2742	0,0000	0,0000	NO
	25%	+	87.075	21,06	2.994.556	1.834.171	0	0	0	0	2,50	0,2742	0,0000	0,0000	NO
		-	-	-	2.994.556	1.834.171	0	0	0	0	2,50	0,2742	0,0000	0,0000	NO
	50%	+	75.218	24,38	2.994.556	1.834.171	0	0	0	0	2,50	0,2742	0,0000	0,0000	NO
		-	-	-	2.994.556	1.834.171	0	0	0	0	2,50	0,2742	0,0000	0,0000	NO
	75%	+	51.848	35,38	2.994.556	1.834.171	0	0	0	0	2,50	0,2742	0,0000	0,0000	NO
		-	-	-	2.994.556	1.834.171	0	0	0	0	2,50	0,2742	0,0000	0,0000	NO
	100%	+	7.979	NS	2.994.556	1.834.171	0	0	0	0	2,50	0,2742	0,0000	0,0000	NO
		-	-	-	2.994.556	1.834.171	0	0	0	0	2,50	0,2742	0,0000	0,0000	NO
Trave P10-28f	0%	+	-	-	2.994.667	2.017.588	755	0	0	0	2,50	0,3016	0,0000	0,0000	NO
		-	-85.723	23,54	2.994.667	2.017.588	755	0	0	0	2,50	0,3016	0,0000	0,0000	NO
	25%	+	-	-	2.994.667	2.017.588	755	0	0	0	2,50	0,3016	0,0000	0,0000	NO
		-	-57.665	34,99	2.994.667	2.017.588	755	0	0	0	2,50	0,3016	0,0000	0,0000	NO
	62,5%	+	-	-	2.994.667	2.017.588	755	0	0	0	2,50	0,3016	0,0000	0,0000	NO
		-	-29.664	68,01	2.994.667	2.017.588	755	0	0	0	2,50	0,3016	0,0000	0,0000	NO
	75%	+	1.736	NS	2.994.667	2.017.588	755	0	0	0	2,50	0,3016	0,0000	0,0000	NO
		-	-2.098	NS	2.994.667	2.017.588	755	0	0	0	2,50	0,3016	0,0000	0,0000	NO
	100%	+	26.276	76,78	2.994.667	2.017.588	755	0	0	0	2,50	0,3016	0,0000	0,0000	NO
		-	-	-	2.994.667	2.017.588	755	0	0	0	2,50	0,3016	0,0000	0,0000	NO
Fondazione									**Travata: Trave15f-10-11-16f**						
Trave 15f-10	0%	+	-	-	1.473.573	1.102.934	1.861	0	0	0	2,50	0,2234	0,0000	0,0000	NO
		-	-17.865	61,74	1.473.573	1.102.934	1.861	0	0	0	2,50	0,2234	0,0000	0,0000	NO
	25%	+	-	-	1.473.573	1.102.934	1.861	0	0	0	2,50	0,2234	0,0000	0,0000	NO
		-	-1.886	NS	1.473.573	1.102.934	1.861	0	0	0	2,50	0,2234	0,0000	0,0000	NO
	62,5%	+	16.865	65,40	1.473.573	1.102.934	1.861	0	0	0	2,50	0,2234	0,0000	0,0000	NO
		-	-	-	1.473.573	1.102.934	1.861	0	0	0	2,50	0,2234	0,0000	0,0000	NO
	87,5%	+	34.060	32,38	1.473.573	1.102.934	1.861	0	0	0	2,50	0,2234	0,0000	0,0000	NO
		-	-	-	1.473.573	1.102.934	1.861	0	0	0	2,50	0,2234	0,0000	0,0000	NO
	100%	+	51.166	21,56	1.473.573	1.102.934	1.861	0	0	0	2,50	0,2234	0,0000	0,0000	NO
		-	-	-	1.473.573	1.102.934	1.861	0	0	0	2,50	0,2234	0,0000	0,0000	NO
Trave 10-11	0%	+	-	-	1.473.303	902.401	0	0	0	0	2,50	0,1828	0,0000	0,0000	NO
		-	-46.344	19,47	1.473.303	902.401	0	0	0	0	2,50	0,1828	0,0000	0,0000	NO
	25%	+	21.079	42,81	1.473.303	902.401	0	0	0	0	2,50	0,1828	0,0000	0,0000	NO
		-	-	-	1.473.303	902.401	0	0	0	0	2,50	0,1828	0,0000	0,0000	NO
	50%	+	228	NS	1.473.303	902.401	0	0	0	0	2,50	0,1828	0,0000	0,0000	NO
		-	-148	NS	1.473.303	902.401	0	0	0	0	2,50	0,1828	0,0000	0,0000	NO
	75%	+	-	-	1.473.303	902.401	0	0	0	0	2,50	0,1828	0,0000	0,0000	NO
		-	-20.557	43,90	1.473.303	902.401	0	0	0	0	2,50	0,1828	0,0000	0,0000	NO
	100%	+	46.434	19,43	1.473.303	902.401	0	0	0	0	2,50	0,1828	0,0000	0,0000	NO
		-	-	-	1.473.303	902.401	0	0	0	0	2,50	0,1828	0,0000	0,0000	NO
Trave 11-16f	0%	+	-	-	1.473.6	1.102.9	2.105	0	0	0	2,50	0,2234	0,0000	0,0000	NO

Id_{Tr}	$\%L_{LI}$	+/-	$V_{Ed,2}$	CS	V_{Rcd}	$V_{Rsd,s}$	N_{Ed}	$V_{Rsd,p}$	V_{R1}	V_{fd}	Ctg Θ	A_{sw}	$A_{sw,p}$	$A_{s,Dg}$	R_f
	[%]		[N]		[N]	[N]	[N]	[N]	[N]	[N]		[cm²/cm]	[cm²]	[cm²]	
		-	-46.432	23,75	1.473.608	1.102.934	2.105	0	0	0	2,50	0,2234	0,0000	0,0000	NO
	25%	+	-	-	1.473.608	1.102.934	2.105	0	0	0	2,50	0,2234	0,0000	0,0000	NO
		-	-30.838	35,77	1.473.608	1.102.934	2.105	0	0	0	2,50	0,2234	0,0000	0,0000	NO
	62,5%	+	-	-	1.473.608	1.102.934	2.105	0	0	0	2,50	0,2234	0,0000	0,0000	NO
		-	-15.243	72,36	1.473.608	1.102.934	2.105	0	0	0	2,50	0,2234	0,0000	0,0000	NO
	87,5%	+	2.260	NS	1.473.608	1.102.934	2.105	0	0	0	2,50	0,2234	0,0000	0,0000	NO
		-	-139	NS	1.473.608	1.102.934	2.105	0	0	0	2,50	0,2234	0,0000	0,0000	NO
	87,5%	+	16.041	68,76	1.473.608	1.102.934	2.105	0	0	0	2,50	0,2234	0,0000	0,0000	NO
		-	-	-	1.473.608	1.102.934	2.105	0	0	0	2,50	0,2234	0,0000	0,0000	NO
Fondazione									**Travata: Trave29f-33-P11-30f**						
Trave 29f-33	0%	+	-	-	2.994.667	2.241.764	755	0	0	0	2,50	0,3351	0,0000	0,0000	NO
		-	-20.063	NS	2.994.667	2.241.764	755	0	0	0	2,50	0,3351	0,0000	0,0000	NO
	25%	+	11.876	NS	2.994.667	2.241.764	755	0	0	0	2,50	0,3351	0,0000	0,0000	NO
		-	-	-	2.994.667	2.241.764	755	0	0	0	2,50	0,3351	0,0000	0,0000	NO
	62,5%	+	43.406	51,65	2.994.667	2.241.764	755	0	0	0	2,50	0,3351	0,0000	0,0000	NO
		-	-	-	2.994.667	2.241.764	755	0	0	0	2,50	0,3351	0,0000	0,0000	NO
	87,5%	+	74.850	29,95	2.994.667	2.241.764	755	0	0	0	2,50	0,3351	0,0000	0,0000	NO
		-	-	-	2.994.667	2.241.764	755	0	0	0	2,50	0,3351	0,0000	0,0000	NO
	87,5%	+	106.206	21,11	2.994.667	2.241.764	755	0	0	0	2,50	0,3351	0,0000	0,0000	NO
		-	-	-	2.994.667	2.241.764	755	0	0	0	2,50	0,3351	0,0000	0,0000	NO
Trave 33-P11	0%	+	-	-	2.994.556	1.834.171	0	0	0	0	2,50	0,2742	0,0000	0,0000	NO
		-	-84.039	21,83	2.994.556	1.834.171	0	0	0	0	2,50	0,2742	0,0000	0,0000	NO
	25%	+	91.163	20,12	2.994.556	1.834.171	0	0	0	0	2,50	0,2742	0,0000	0,0000	NO
		-	-	-	2.994.556	1.834.171	0	0	0	0	2,50	0,2742	0,0000	0,0000	NO
	50%	+	95.818	19,14	2.994.556	1.834.171	0	0	0	0	2,50	0,2742	0,0000	0,0000	NO
		-	-	-	2.994.556	1.834.171	0	0	0	0	2,50	0,2742	0,0000	0,0000	NO
	75%	+	68.793	26,66	2.994.556	1.834.171	0	0	0	0	2,50	0,2742	0,0000	0,0000	NO
		-	-	-	2.994.556	1.834.171	0	0	0	0	2,50	0,2742	0,0000	0,0000	NO
	100%	+	12.698	NS	2.994.556	1.834.171	0	0	0	0	2,50	0,2742	0,0000	0,0000	NO
		-	-	-	2.994.556	1.834.171	0	0	0	0	2,50	0,2742	0,0000	0,0000	NO
Trave P11-30f	0%	+	-	-	2.994.556	2.017.588	0	0	0	0	2,50	0,3016	0,0000	0,0000	NO
		-	-129.125	15,63	2.994.556	2.017.588	0	0	0	0	2,50	0,3016	0,0000	0,0000	NO
	25%	+	-	-	2.994.556	2.017.588	0	0	0	0	2,50	0,3016	0,0000	0,0000	NO
		-	-89.492	22,54	2.994.556	2.017.588	0	0	0	0	2,50	0,3016	0,0000	0,0000	NO
	62,5%	+	-	-	2.994.556	2.017.588	0	0	0	0	2,50	0,3016	0,0000	0,0000	NO
		-	-50.279	40,13	2.994.556	2.017.588	0	0	0	0	2,50	0,3016	0,0000	0,0000	NO
	75%	+	-	-	2.994.556	2.017.588	0	0	0	0	2,50	0,3016	0,0000	0,0000	NO
		-	-11.475	NS	2.994.556	2.017.588	0	0	0	0	2,50	0,3016	0,0000	0,0000	NO
	100%	+	26.960	74,84	2.994.556	2.017.588	0	0	0	0	2,50	0,3016	0,0000	0,0000	NO
		-	-	-	2.994.556	2.017.588	0	0	0	0	2,50	0,3016	0,0000	0,0000	NO
Fondazione									**Travata: Trave31f-34-P12-32f**						
Trave 31f-34	0%	+	-	-	2.994.556	2.241.764	0	0	0	0	2,50	0,3351	0,0000	0,0000	NO
		-	-16.513	NS	2.994.5	2.241.7	0	0	0	0	2,50	0,3351	0,0000	0,0000	NO

Id_{Tr}	$\%L_{LI}$	+/-	$V_{Ed,2}$	CS	V_{Rcd}	$V_{Rsd,s}$	N_{Ed}	$V_{Rsd,p}$	V_{R1}	V_{fd}	Ctg Θ	A_{sw}	$A_{sw,p}$	$A_{s,Dg}$	R_f
	[%]		[N]		[N]	[N]	[N]	[N]	[N]	[N]		[cm²/cm]	[cm²]	[cm²]	
					56	64									
	25%	+	24.384	91,94	2.994.556	2.241.764	0	0	0	0	2,50	0,3351	0,0000	0,0000	NO
		-	-	-	2.994.556	2.241.764	0	0	0	0	2,50	0,3351	0,0000	0,0000	NO
	62,5%	+	64.366	34,83	2.994.556	2.241.764	0	0	0	0	2,50	0,3351	0,0000	0,0000	NO
		-	-	-	2.994.556	2.241.764	0	0	0	0	2,50	0,3351	0,0000	0,0000	NO
	87,5%	+	104.210	21,51	2.994.556	2.241.764	0	0	0	0	2,50	0,3351	0,0000	0,0000	NO
		-	-	-	2.994.556	2.241.764	0	0	0	0	2,50	0,3351	0,0000	0,0000	NO
	87,5%	+	143.922	15,58	2.994.556	2.241.764	0	0	0	0	2,50	0,3351	0,0000	0,0000	NO
		-	-	-	2.994.556	2.241.764	0	0	0	0	2,50	0,3351	0,0000	0,0000	NO
Trave 34-P12	0%	+	-	-	2.994.556	1.834.171	0	0	0	0	2,50	0,2742	0,0000	0,0000	NO
		-	-110.266	16,63	2.994.556	1.834.171	0	0	0	0	2,50	0,2742	0,0000	0,0000	NO
	25%	+	110.789	16,56	2.994.556	1.834.171	0	0	0	0	2,50	0,2742	0,0000	0,0000	NO
		-	-	-	2.994.556	1.834.171	0	0	0	0	2,50	0,2742	0,0000	0,0000	NO
	50%	+	118.728	15,45	2.994.556	1.834.171	0	0	0	0	2,50	0,2742	0,0000	0,0000	NO
		-	-	-	2.994.556	1.834.171	0	0	0	0	2,50	0,2742	0,0000	0,0000	NO
	75%	+	87.356	21,00	2.994.556	1.834.171	0	0	0	0	2,50	0,2742	0,0000	0,0000	NO
		-	-	-	2.994.556	1.834.171	0	0	0	0	2,50	0,2742	0,0000	0,0000	NO
	100%	+	15.559	NS	2.994.556	1.834.171	0	0	0	0	2,50	0,2742	0,0000	0,0000	NO
		-	-	-	2.994.556	1.834.171	0	0	0	0	2,50	0,2742	0,0000	0,0000	NO
Trave P12-32f	0%	+	-	-	2.994.556	2.017.588	0	0	0	0	2,50	0,3016	0,0000	0,0000	NO
		-	-160.497	12,57	2.994.556	2.017.588	0	0	0	0	2,50	0,3016	0,0000	0,0000	NO
	25%	+	-	-	2.994.556	2.017.588	0	0	0	0	2,50	0,3016	0,0000	0,0000	NO
		-	-112.411	17,95	2.994.556	2.017.588	0	0	0	0	2,50	0,3016	0,0000	0,0000	NO
	62,5%	+	-	-	2.994.556	2.017.588	0	0	0	0	2,50	0,3016	0,0000	0,0000	NO
		-	-65.051	31,02	2.994.556	2.017.588	0	0	0	0	2,50	0,3016	0,0000	0,0000	NO
	75%	+	-	-	2.994.556	2.017.588	0	0	0	0	2,50	0,3016	0,0000	0,0000	NO
		-	-18.397	NS	2.994.556	2.017.588	0	0	0	0	2,50	0,3016	0,0000	0,0000	NO
	100%	+	27.581	73,15	2.994.556	2.017.588	0	0	0	0	2,50	0,3016	0,0000	0,0000	NO
		-	-	-	2.994.556	2.017.588	0	0	0	0	2,50	0,3016	0,0000	0,0000	NO
Fondazione									**Travata: Trave33f-35-P13-34f**						
Trave 33f-35	0%	+	-	-	2.994.556	2.241.764	0	0	0	0	2,50	0,3351	0,0000	0,0000	NO
		-	-16.215	NS	2.994.556	2.241.764	0	0	0	0	2,50	0,3351	0,0000	0,0000	NO
	25%	+	29.202	76,77	2.994.556	2.241.764	0	0	0	0	2,50	0,3351	0,0000	0,0000	NO
		-	-	-	2.994.556	2.241.764	0	0	0	0	2,50	0,3351	0,0000	0,0000	NO
	62,5%	+	73.353	30,56	2.994.556	2.241.764	0	0	0	0	2,50	0,3351	0,0000	0,0000	NO
		-	-	-	2.994.556	2.241.764	0	0	0	0	2,50	0,3351	0,0000	0,0000	NO
	87,5%	+	117.353	19,10	2.994.556	2.241.764	0	0	0	0	2,50	0,3351	0,0000	0,0000	NO
		-	-	-	2.994.556	2.241.764	0	0	0	0	2,50	0,3351	0,0000	0,0000	NO
	87,5%	+	161.194	13,91	2.994.556	2.241.764	0	0	0	0	2,50	0,3351	0,0000	0,0000	NO
		-	-	-	2.994.556	2.241.764	0	0	0	0	2,50	0,3351	0,0000	0,0000	NO
Trave 35-P13	0%	+	-	-	2.994.556	1.834.171	0	0	0	0	2,50	0,2742	0,0000	0,0000	NO
		-	-120.536	15,22	2.994.556	1.834.171	0	0	0	0	2,50	0,2742	0,0000	0,0000	NO
	25%	+	122.968	14,92	2.994.556	1.834.171	0	0	0	0	2,50	0,2742	0,0000	0,0000	NO

Id_{Tr}	$\%L_{LI}$	+/-	$V_{Ed,2}$	CS	V_{Rcd}	$V_{Rsd,s}$	N_{Ed}	$V_{Rsd,p}$	V_{R1}	V_{fd}	Ctg Θ	A_{sw}	$A_{sw,p}$	$A_{s,Dg}$	R_f
	[%]		[N]		[N]	[N]	[N]	[N]	[N]	[N]		[cm²/cm]	[cm²]	[cm²]	
		-	-	-	2.994.556	1.834.171	0	0	0	0	2,50	0,2742	0,0000	0,0000	NO
	50%	+	126.482	14,50	2.994.556	1.834.171	0	0	0	0	2,50	0,2742	0,0000	0,0000	NO
		-	-	-	2.994.556	1.834.171	0	0	0	0	2,50	0,2742	0,0000	0,0000	NO
	75%	+	90.571	20,25	2.994.556	1.834.171	0	0	0	0	2,50	0,2742	0,0000	0,0000	NO
		-	-	-	2.994.556	1.834.171	0	0	0	0	2,50	0,2742	0,0000	0,0000	NO
	100%	+	14.935	NS	2.994.556	1.834.171	0	0	0	0	2,50	0,2742	0,0000	0,0000	NO
		-	-	-	2.994.556	1.834.171	0	0	0	0	2,50	0,2742	0,0000	0,0000	NO
Trave P13-34f	0%	+	-	-	2.994.556	2.017.588	0	0	0	0	2,50	0,3016	0,0000	0,0000	NO
		-	-175.983	11,46	2.994.556	2.017.588	0	0	0	0	2,50	0,3016	0,0000	0,0000	NO
	25%	+	-	-	2.994.556	2.017.588	0	0	0	0	2,50	0,3016	0,0000	0,0000	NO
		-	-123.530	16,33	2.994.556	2.017.588	0	0	0	0	2,50	0,3016	0,0000	0,0000	NO
	62,5%	+	-	-	2.994.556	2.017.588	0	0	0	0	2,50	0,3016	0,0000	0,0000	NO
		-	-71.920	28,05	2.994.556	2.017.588	0	0	0	0	2,50	0,3016	0,0000	0,0000	NO
	75%	+	-	-	2.994.556	2.017.588	0	0	0	0	2,50	0,3016	0,0000	0,0000	NO
		-	-21.144	95,42	2.994.556	2.017.588	0	0	0	0	2,50	0,3016	0,0000	0,0000	NO
	100%	+	28.845	69,95	2.994.556	2.017.588	0	0	0	0	2,50	0,3016	0,0000	0,0000	NO
		-	-	-	2.994.556	2.017.588	0	0	0	0	2,50	0,3016	0,0000	0,0000	NO
Fondazione									**Travata: Trave35f-36-P14-36f**						
Trave 35f-36	0%	+	-	-	2.994.556	2.241.764	0	0	0	0	2,50	0,3351	0,0000	0,0000	NO
		-	-15.299	NS	2.994.556	2.241.764	0	0	0	0	2,50	0,3351	0,0000	0,0000	NO
	25%	+	35.252	63,59	2.994.556	2.241.764	0	0	0	0	2,50	0,3351	0,0000	0,0000	NO
		-	-	-	2.994.556	2.241.764	0	0	0	0	2,50	0,3351	0,0000	0,0000	NO
	62,5%	+	84.115	26,65	2.994.556	2.241.764	0	0	0	0	2,50	0,3351	0,0000	0,0000	NO
		-	-	-	2.994.556	2.241.764	0	0	0	0	2,50	0,3351	0,0000	0,0000	NO
	87,5%	+	132.761	16,89	2.994.556	2.241.764	0	0	0	0	2,50	0,3351	0,0000	0,0000	NO
		-	-	-	2.994.556	2.241.764	0	0	0	0	2,50	0,3351	0,0000	0,0000	NO
	87,5%	+	181.177	12,37	2.994.556	2.241.764	0	0	0	0	2,50	0,3351	0,0000	0,0000	NO
		-	-	-	2.994.556	2.241.764	0	0	0	0	2,50	0,3351	0,0000	0,0000	NO
Trave 36-P14	0%	+	-	-	2.994.556	1.834.171	0	0	0	0	2,50	0,2742	0,0000	0,0000	NO
		-	-135.576	13,53	2.994.556	1.834.171	0	0	0	0	2,50	0,2742	0,0000	0,0000	NO
	25%	+	131.483	13,95	2.994.556	1.834.171	0	0	0	0	2,50	0,2742	0,0000	0,0000	NO
		-	-	-	2.994.556	1.834.171	0	0	0	0	2,50	0,2742	0,0000	0,0000	NO
	50%	+	132.824	13,81	2.994.556	1.834.171	0	0	0	0	2,50	0,2742	0,0000	0,0000	NO
		-	-	-	2.994.556	1.834.171	0	0	0	0	2,50	0,2742	0,0000	0,0000	NO
	75%	+	94.953	19,32	2.994.556	1.834.171	0	0	0	0	2,50	0,2742	0,0000	0,0000	NO
		-	-	-	2.994.556	1.834.171	0	0	0	0	2,50	0,2742	0,0000	0,0000	NO
	100%	+	12.501	NS	2.994.556	1.834.171	0	0	0	0	2,50	0,2742	0,0000	0,0000	NO
		-	-	-	2.994.556	1.834.171	0	0	0	0	2,50	0,2742	0,0000	0,0000	NO
Trave P14-36f	0%	+	-	-	2.994.571	2.017.588	107	0	0	0	2,50	0,3016	0,0000	0,0000	NO
		-	-183.492	11,00	2.994.571	2.017.588	107	0	0	0	2,50	0,3016	0,0000	0,0000	NO
	25%	+	-	-	2.994.571	2.017.588	107	0	0	0	2,50	0,3016	0,0000	0,0000	NO
		-	-127.351	15,84	2.994.571	2.017.588	107	0	0	0	2,50	0,3016	0,0000	0,0000	NO
	62,5%	+	-	-	2.994.5	2.017.5	107	0	0	0	2,50	0,3016	0,0000	0,0000	NO

Id_{Tr}	$\%L_{LI}$	+/-	$V_{Ed,2}$	CS	V_{Rcd}	$V_{Rsd,s}$	N_{Ed}	$V_{Rsd,p}$	V_{R1}	V_{fd}	Ctg Θ	A_{sw}	$A_{sw,p}$	$A_{s,Dg}$	R_f
	[%]		[N]		[N]	[N]	[N]	[N]	[N]	[N]		[cm^2/cm]	[cm^2]	[cm^2]	
		-	-72.140	27,97	2.994.571	2.017.588	107	0	0	0	2,50	0,3016	0,0000	0,0000	NO
	75%	+	-	-	2.994.571	2.017.588	107	0	0	0	2,50	0,3016	0,0000	0,0000	NO
		-	-17.807	NS	2.994.571	2.017.588	107	0	0	0	2,50	0,3016	0,0000	0,0000	NO
	100%	+	35.706	56,51	2.994.571	2.017.588	107	0	0	0	2,50	0,3016	0,0000	0,0000	NO
		-	-	-	2.994.571	2.017.588	107	0	0	0	2,50	0,3016	0,0000	0,0000	NO
Fondazione									**Travata: Trave25f-P15-41-26f**						
Trave 25f-P15	0%	+	-	-	2.995.563	2.017.588	6.837	0	0	0	2,50	0,3016	0,0000	0,0000	NO
		-	-20.503	98,40	2.995.563	2.017.588	6.837	0	0	0	2,50	0,3016	0,0000	0,0000	NO
	25%	+	9.270	NS	2.995.563	2.017.588	6.837	0	0	0	2,50	0,3016	0,0000	0,0000	NO
		-	-	-	2.995.563	2.017.588	6.837	0	0	0	2,50	0,3016	0,0000	0,0000	NO
	62,5%	+	40.078	50,34	2.995.563	2.017.588	6.837	0	0	0	2,50	0,3016	0,0000	0,0000	NO
		-	-	-	2.995.563	2.017.588	6.837	0	0	0	2,50	0,3016	0,0000	0,0000	NO
	75%	+	71.933	28,05	2.995.563	2.017.588	6.837	0	0	0	2,50	0,3016	0,0000	0,0000	NO
		-	-	-	2.995.563	2.017.588	6.837	0	0	0	2,50	0,3016	0,0000	0,0000	NO
	100%	+	104.847	19,24	2.995.563	2.017.588	6.837	0	0	0	2,50	0,3016	0,0000	0,0000	NO
		-	-	-	2.995.563	2.017.588	6.837	0	0	0	2,50	0,3016	0,0000	0,0000	NO
Trave P15-41	0%	+	-	-	2.994.556	1.834.171	0	0	0	0	2,50	0,2742	0,0000	0,0000	NO
		-	-16.767	NS	2.994.556	1.834.171	0	0	0	0	2,50	0,2742	0,0000	0,0000	NO
	25%	+	123.487	14,85	2.994.556	1.834.171	0	0	0	0	2,50	0,2742	0,0000	0,0000	NO
		-	-	-	2.994.556	1.834.171	0	0	0	0	2,50	0,2742	0,0000	0,0000	NO
	50%	+	84.331	21,75	2.994.556	1.834.171	0	0	0	0	2,50	0,2742	0,0000	0,0000	NO
		-	-	-	2.994.556	1.834.171	0	0	0	0	2,50	0,2742	0,0000	0,0000	NO
	75%	+	67.775	27,06	2.994.556	1.834.171	0	0	0	0	2,50	0,2742	0,0000	0,0000	NO
		-	-	-	2.994.556	1.834.171	0	0	0	0	2,50	0,2742	0,0000	0,0000	NO
	100%	+	73.299	25,02	2.994.556	1.834.171	0	0	0	0	2,50	0,2742	0,0000	0,0000	NO
		-	-	-	2.994.556	1.834.171	0	0	0	0	2,50	0,2742	0,0000	0,0000	NO
Trave 41-26f	0%	+	-	-	2.994.556	2.241.764	0	0	0	0	2,50	0,3351	0,0000	0,0000	NO
		-	-135.161	16,59	2.994.556	2.241.764	0	0	0	0	2,50	0,3351	0,0000	0,0000	NO
	25%	+	-	-	2.994.556	2.241.764	0	0	0	0	2,50	0,3351	0,0000	0,0000	NO
		-	-101.769	22,03	2.994.556	2.241.764	0	0	0	0	2,50	0,3351	0,0000	0,0000	NO
	62,5%	+	-	-	2.994.556	2.241.764	0	0	0	0	2,50	0,3351	0,0000	0,0000	NO
		-	-68.108	32,91	2.994.556	2.241.764	0	0	0	0	2,50	0,3351	0,0000	0,0000	NO
	87,5%	+	-	-	2.994.556	2.241.764	0	0	0	0	2,50	0,3351	0,0000	0,0000	NO
		-	-34.188	65,57	2.994.556	2.241.764	0	0	0	0	2,50	0,3351	0,0000	0,0000	NO
	87,5%	+	2	NS	2.994.556	2.241.764	0	0	0	0	2,50	0,3351	0,0000	0,0000	NO
		-	-	-	2.994.556	2.241.764	0	0	0	0	2,50	0,3351	0,0000	0,0000	NO
Fondazione									**Travata: Trave23f-38-39-24f**						
Trave 23f-38	0%	+	-	-	2.994.556	2.241.764	0	0	0	0	2,50	0,3351	0,0000	0,0000	NO
		-	-31.234	71,77	2.994.556	2.241.764	0	0	0	0	2,50	0,3351	0,0000	0,0000	NO
	25%	+	453	NS	2.994.556	2.241.764	0	0	0	0	2,50	0,3351	0,0000	0,0000	NO
		-	-3.651	NS	2.994.556	2.241.764	0	0	0	0	2,50	0,3351	0,0000	0,0000	NO
	62,5%	+	30.486	73,53	2.994.556	2.241.764	0	0	0	0	2,50	0,3351	0,0000	0,0000	NO
		-	-	-	2.994.5	2.241.7	0	0	0	0	2,50	0,3351	0,0000	0,0000	NO

Id_{Tr}	$\%L_{LI}$	+/-	$V_{Ed,2}$	CS	V_{Rcd}	$V_{Rsd,s}$	N_{Ed}	$V_{Rsd,p}$	V_{R1}	V_{fd}	Ctg Θ	A_{sw}	$A_{sw,p}$	$A_{s,Dg}$	R_f
	[%]		[N]		[N]	[N]	[N]	[N]	[N]	[N]		[cm^2/cm]	[cm^2]	[cm^2]	
					56	64									
	87,5%	+	61.400	36,51	2.994.556	2.241.764	0	0	0	0	2,50	0,3351	0,0000	0,0000	NO
		-	-	-	2.994.556	2.241.764	0	0	0	0	2,50	0,3351	0,0000	0,0000	NO
	87,5%	+	92.375	24,27	2.994.556	2.241.764	0	0	0	0	2,50	0,3351	0,0000	0,0000	NO
		-	-	-	2.994.556	2.241.764	0	0	0	0	2,50	0,3351	0,0000	0,0000	NO
Trave 38-39	0%	+	-	-	2.994.556	1.834.171	0	0	0	0	2,50	0,2742	0,0000	0,0000	NO
		-	-86.848	21,12	2.994.556	1.834.171	0	0	0	0	2,50	0,2742	0,0000	0,0000	NO
	25%	+	55.905	32,81	2.994.556	1.834.171	0	0	0	0	2,50	0,2742	0,0000	0,0000	NO
		-	-	-	2.994.556	1.834.171	0	0	0	0	2,50	0,2742	0,0000	0,0000	NO
	50%	+	15.117	NS	2.994.556	1.834.171	0	0	0	0	2,50	0,2742	0,0000	0,0000	NO
		-	-	-	2.994.556	1.834.171	0	0	0	0	2,50	0,2742	0,0000	0,0000	NO
	75%	+	-	-	2.994.556	1.834.171	0	0	0	0	2,50	0,2742	0,0000	0,0000	NO
		-	-47.496	38,62	2.994.556	1.834.171	0	0	0	0	2,50	0,2742	0,0000	0,0000	NO
	100%	+	104.012	17,63	2.994.556	1.834.171	0	0	0	0	2,50	0,2742	0,0000	0,0000	NO
		-	-	-	2.994.556	1.834.171	0	0	0	0	2,50	0,2742	0,0000	0,0000	NO
Trave 39-24f	0%	+	-	-	2.994.556	2.241.764	0	0	0	0	2,50	0,3351	0,0000	0,0000	NO
		-	-126.993	17,65	2.994.556	2.241.764	0	0	0	0	2,50	0,3351	0,0000	0,0000	NO
	25%	+	-	-	2.994.556	2.241.764	0	0	0	0	2,50	0,3351	0,0000	0,0000	NO
		-	-88.511	25,33	2.994.556	2.241.764	0	0	0	0	2,50	0,3351	0,0000	0,0000	NO
	62,5%	+	-	-	2.994.556	2.241.764	0	0	0	0	2,50	0,3351	0,0000	0,0000	NO
		-	-49.787	45,03	2.994.556	2.241.764	0	0	0	0	2,50	0,3351	0,0000	0,0000	NO
	87,5%	+	-	-	2.994.556	2.241.764	0	0	0	0	2,50	0,3351	0,0000	0,0000	NO
		-	-10.812	NS	2.994.556	2.241.764	0	0	0	0	2,50	0,3351	0,0000	0,0000	NO
	100%	+	28.437	78,83	2.994.556	2.241.764	0	0	0	0	2,50	0,3351	0,0000	0,0000	NO
		-	-	-	2.994.556	2.241.764	0	0	0	0	2,50	0,3351	0,0000	0,0000	NO
Fondazione									**Travata: Trave1f-1-P8**						
Trave 1f-1	0%	+	-	-	2.994.556	2.017.588	0	0	0	0	2,50	0,3016	0,0000	0,0000	NO
		-	-	-	2.994.556	2.017.588	0	0	0	0	2,50	0,3016	0,0000	0,0000	NO
	37,5%	+	22.346	90,29	2.994.556	2.017.588	0	0	0	0	2,50	0,3016	0,0000	0,0000	NO
		-	-	-	2.994.556	2.017.588	0	0	0	0	2,50	0,3016	0,0000	0,0000	NO
	62,5%	+	44.586	45,25	2.994.556	2.017.588	0	0	0	0	2,50	0,3016	0,0000	0,0000	NO
		-	-	-	2.994.556	2.017.588	0	0	0	0	2,50	0,3016	0,0000	0,0000	NO
	62,5%	+	66.708	30,25	2.994.556	2.017.588	0	0	0	0	2,50	0,3016	0,0000	0,0000	NO
		-	-	-	2.994.556	2.017.588	0	0	0	0	2,50	0,3016	0,0000	0,0000	NO
	100%	+	88.724	22,74	2.994.556	2.017.588	0	0	0	0	2,50	0,3016	0,0000	0,0000	NO
		-	-	-	2.994.556	2.017.588	0	0	0	0	2,50	0,3016	0,0000	0,0000	NO
Trave 1-P8	0%	+	-	-	2.994.556	1.834.171	0	0	0	0	2,50	0,2742	0,0000	0,0000	NO
		-	-60.936	30,10	2.994.556	1.834.171	0	0	0	0	2,50	0,2742	0,0000	0,0000	NO
	25%	+	48.088	38,14	2.994.556	1.834.171	0	0	0	0	2,50	0,2742	0,0000	0,0000	NO
		-	-	-	2.994.556	1.834.171	0	0	0	0	2,50	0,2742	0,0000	0,0000	NO
	50%	+	40.239	45,58	2.994.556	1.834.171	0	0	0	0	2,50	0,2742	0,0000	0,0000	NO
		-	-	-	2.994.556	1.834.171	0	0	0	0	2,50	0,2742	0,0000	0,0000	NO
	75%	+	28.128	65,21	2.994.556	1.834.171	0	0	0	0	2,50	0,2742	0,0000	0,0000	NO

Id_{Tr}	$\%L_{LI}$	+/-	$V_{Ed,2}$	CS	V_{Rcd}	$V_{Rsd,s}$	N_{Ed}	$V_{Rsd,p}$	V_{R1}	V_{fd}	Ctg Θ	A_{sw}	$A_{sw,p}$	$A_{s,Dg}$	R_f
	[%]		[N]		[N]	[N]	[N]	[N]	[N]	[N]		[cm^2/cm]	[cm^2]	[cm^2]	
		-	-	-	2.994.556	1.834.171	0	0	0	0	2,50	0,2742	0,0000	0,0000	NO
	100%	+	57.503	31,90	2.994.556	1.834.171	0	0	0	0	2,50	0,2742	0,0000	0,0000	NO
		-	-	-	2.994.556	1.834.171	0	0	0	0	2,50	0,2742	0,0000	0,0000	NO
Fondazione									**Travata: Trave2f-6-7-19-20f**						
Trave 2f-6	0%	+	-	-	2.495.572	1.921.597	0	0	0	0	2,50	0,2872	0,0000	0,0000	NO
		-	-	-	2.495.572	1.921.597	0	0	0	0	2,50	0,2872	0,0000	0,0000	NO
	37,5%	+	7.575	NS	2.495.572	1.921.597	0	0	0	0	2,50	0,2872	0,0000	0,0000	NO
		-	-	-	2.495.572	1.921.597	0	0	0	0	2,50	0,2872	0,0000	0,0000	NO
	37,5%	+	15.374	NS	2.495.572	1.921.597	0	0	0	0	2,50	0,2872	0,0000	0,0000	NO
		-	-	-	2.495.572	1.921.597	0	0	0	0	2,50	0,2872	0,0000	0,0000	NO
	62,5%	+	23.400	82,12	2.495.572	1.921.597	0	0	0	0	2,50	0,2872	0,0000	0,0000	NO
		-	-	-	2.495.572	1.921.597	0	0	0	0	2,50	0,2872	0,0000	0,0000	NO
	100%	+	31.651	60,71	2.495.572	1.921.597	0	0	0	0	2,50	0,2872	0,0000	0,0000	NO
		-	-	-	2.495.572	1.921.597	0	0	0	0	2,50	0,2872	0,0000	0,0000	NO
Trave 6-7	0%	+	-	-	2.495.572	1.681.397	0	0	0	0	2,50	0,2513	0,0000	0,0000	NO
		-	-17.587	95,60	2.495.572	1.681.397	0	0	0	0	2,50	0,2513	0,0000	0,0000	NO
	25%	+	20.605	81,60	2.495.572	1.681.397	0	0	0	0	2,50	0,2513	0,0000	0,0000	NO
		-	-	-	2.495.572	1.681.397	0	0	0	0	2,50	0,2513	0,0000	0,0000	NO
	50%	+	38.276	43,93	2.495.572	1.681.397	0	0	0	0	2,50	0,2513	0,0000	0,0000	NO
		-	-	-	2.495.572	1.681.397	0	0	0	0	2,50	0,2513	0,0000	0,0000	NO
	75%	+	46.628	36,06	2.495.572	1.681.397	0	0	0	0	2,50	0,2513	0,0000	0,0000	NO
		-	-	-	2.495.572	1.681.397	0	0	0	0	2,50	0,2513	0,0000	0,0000	NO
	100%	+	89.880	18,71	2.495.572	1.681.397	0	0	0	0	2,50	0,2513	0,0000	0,0000	NO
		-	-	-	2.495.572	1.681.397	0	0	0	0	2,50	0,2513	0,0000	0,0000	NO
Trave 7-19	0%	+	2.153	NS	2.495.572	1.681.397	0	0	0	0	2,50	0,2513	0,0000	0,0000	NO
		-	-10.331	NS	2.495.572	1.681.397	0	0	0	0	2,50	0,2513	0,0000	0,0000	NO
	25%	+	53.371	31,50	2.495.572	1.681.397	0	0	0	0	2,50	0,2513	0,0000	0,0000	NO
		-	-	-	2.495.572	1.681.397	0	0	0	0	2,50	0,2513	0,0000	0,0000	NO
	50%	+	13.293	NS	2.495.572	1.681.397	0	0	0	0	2,50	0,2513	0,0000	0,0000	NO
		-	-	-	2.495.572	1.681.397	0	0	0	0	2,50	0,2513	0,0000	0,0000	NO
	75%	+	-	-	2.495.572	1.681.397	0	0	0	0	2,50	0,2513	0,0000	0,0000	NO
		-	-35.622	47,20	2.495.572	1.681.397	0	0	0	0	2,50	0,2513	0,0000	0,0000	NO
	100%	+	177.820	9,46	2.495.572	1.681.397	0	0	0	0	2,50	0,2513	0,0000	0,0000	NO
		-	-	-	2.495.572	1.681.397	0	0	0	0	2,50	0,2513	0,0000	0,0000	NO
Trave 19-20f	0%	+	-	-	2.495.572	1.921.597	0	0	0	0	2,50	0,2872	0,0000	0,0000	NO
		-	-171.916	11,18	2.495.572	1.921.597	0	0	0	0	2,50	0,2872	0,0000	0,0000	NO
	37,5%	+	-	-	2.495.572	1.921.597	0	0	0	0	2,50	0,2872	0,0000	0,0000	NO
		-	-129.520	14,84	2.495.572	1.921.597	0	0	0	0	2,50	0,2872	0,0000	0,0000	NO
	37,5%	+	-	-	2.495.572	1.921.597	0	0	0	0	2,50	0,2872	0,0000	0,0000	NO
		-	-86.738	22,15	2.495.572	1.921.597	0	0	0	0	2,50	0,2872	0,0000	0,0000	NO
	62,5%	+	-	-	2.495.572	1.921.597	0	0	0	0	2,50	0,2872	0,0000	0,0000	NO
		-	-43.576	44,10	2.495.572	1.921.597	0	0	0	0	2,50	0,2872	0,0000	0,0000	NO
	100%	+	-	-	2.495.5	1.921.5	0	0	0	0	2,50	0,2872	0,0000	0,0000	NO

Id_{Tr}	$\%L_{LI}$	+/-	$V_{Ed,2}$	CS	V_{Rcd}	$V_{Rsd,s}$	N_{Ed}	$V_{Rsd,p}$	V_{R1}	V_{fd}	Ctg Θ	A_{sw}	$A_{sw,p}$	$A_{s,Dg}$	R_f
	[%]		[N]		[N]	[N]	[N]	[N]	[N]	[N]		[cm²/cm]	[cm²]	[cm²]	
		-	-37	NS	2.994.572	1.834.197	0	0	0	0	2,50	0,2872	0,0000	0,0000	NO
Fondazione									**Travata: TraveP9-32-37f**						
Trave P9-32	0%	+	-	-	2.994.556	1.834.171	0	0	0	0	2,50	0,2742	0,0000	0,0000	NO
		-	-106.420	17,24	2.994.556	1.834.171	0	0	0	0	2,50	0,2742	0,0000	0,0000	NO
	25%	+	81.125	22,61	2.994.556	1.834.171	0	0	0	0	2,50	0,2742	0,0000	0,0000	NO
		-	-	-	2.994.556	1.834.171	0	0	0	0	2,50	0,2742	0,0000	0,0000	NO
	50%	+	74.308	24,68	2.994.556	1.834.171	0	0	0	0	2,50	0,2742	0,0000	0,0000	NO
		-	-	-	2.994.556	1.834.171	0	0	0	0	2,50	0,2742	0,0000	0,0000	NO
	75%	+	59.948	30,60	2.994.556	1.834.171	0	0	0	0	2,50	0,2742	0,0000	0,0000	NO
		-	-	-	2.994.556	1.834.171	0	0	0	0	2,50	0,2742	0,0000	0,0000	NO
	100%	+	53.461	34,31	2.994.556	1.834.171	0	0	0	0	2,50	0,2742	0,0000	0,0000	NO
		-	-	-	2.994.556	1.834.171	0	0	0	0	2,50	0,2742	0,0000	0,0000	NO
Trave 32-37f	0%	+	-	-	2.994.556	2.017.588	0	0	0	0	2,50	0,3016	0,0000	0,0000	NO
		-	-65.621	30,75	2.994.556	2.017.588	0	0	0	0	2,50	0,3016	0,0000	0,0000	NO
	37,5%	+	-	-	2.994.556	2.017.588	0	0	0	0	2,50	0,3016	0,0000	0,0000	NO
		-	-48.931	41,23	2.994.556	2.017.588	0	0	0	0	2,50	0,3016	0,0000	0,0000	NO
	62,5%	+	-	-	2.994.556	2.017.588	0	0	0	0	2,50	0,3016	0,0000	0,0000	NO
		-	-32.436	62,20	2.994.556	2.017.588	0	0	0	0	2,50	0,3016	0,0000	0,0000	NO
	62,5%	+	-	-	2.994.556	2.017.588	0	0	0	0	2,50	0,3016	0,0000	0,0000	NO
		-	-16.122	NS	2.994.556	2.017.588	0	0	0	0	2,50	0,3016	0,0000	0,0000	NO
	100%	+	1	NS	2.994.556	2.017.588	0	0	0	0	2,50	0,3016	0,0000	0,0000	NO
		-	-	-	2.994.556	2.017.588	0	0	0	0	2,50	0,3016	0,0000	0,0000	NO
Fondazione									**Travata: Trave19f-24-31-22f**						
Trave 19f-24	0%	+	-	-	2.497.110	1.921.597	10.431	0	0	0	2,50	0,2872	0,0000	0,0000	NO
		-	-34.421	55,83	2.497.110	1.921.597	10.431	0	0	0	2,50	0,2872	0,0000	0,0000	NO
	25%	+	8.818	NS	2.497.110	1.921.597	10.431	0	0	0	2,50	0,2872	0,0000	0,0000	NO
		-	-208	NS	2.497.110	1.921.597	10.431	0	0	0	2,50	0,2872	0,0000	0,0000	NO
	62,5%	+	50.388	38,14	2.497.110	1.921.597	10.431	0	0	0	2,50	0,2872	0,0000	0,0000	NO
		-	-	-	2.497.110	1.921.597	10.431	0	0	0	2,50	0,2872	0,0000	0,0000	NO
	87,5%	+	91.406	21,02	2.497.110	1.921.597	10.431	0	0	0	2,50	0,2872	0,0000	0,0000	NO
		-	-	-	2.497.110	1.921.597	10.431	0	0	0	2,50	0,2872	0,0000	0,0000	NO
	100%	+	131.833	14,58	2.497.110	1.921.597	10.431	0	0	0	2,50	0,2872	0,0000	0,0000	NO
		-	-	-	2.497.110	1.921.597	10.431	0	0	0	2,50	0,2872	0,0000	0,0000	NO
Trave 24-31	0%	+	-	-	2.495.572	1.681.397	0	0	0	0	2,50	0,2513	0,0000	0,0000	NO
		-	-121.911	13,79	2.495.572	1.681.397	0	0	0	0	2,50	0,2513	0,0000	0,0000	NO
	25%	+	-	-	2.495.572	1.681.397	0	0	0	0	2,50	0,2513	0,0000	0,0000	NO
		-	-57.511	29,24	2.495.572	1.681.397	0	0	0	0	2,50	0,2513	0,0000	0,0000	NO
	50%	+	-	-	2.495.572	1.681.397	0	0	0	0	2,50	0,2513	0,0000	0,0000	NO
		-	-8.723	NS	2.495.572	1.681.397	0	0	0	0	2,50	0,2513	0,0000	0,0000	NO
	75%	+	16.045	NS	2.495.572	1.681.397	0	0	0	0	2,50	0,2513	0,0000	0,0000	NO
		-	-	-	2.495.572	1.681.397	0	0	0	0	2,50	0,2513	0,0000	0,0000	NO
	100%	+	35.698	47,10	2.495.572	1.681.397	0	0	0	0	2,50	0,2513	0,0000	0,0000	NO
		-	-	-	2.495.5	1.681.3	0	0	0	0	2,50	0,2513	0,0000	0,0000	NO

Travi (CA) - Verifiche a taglio per pressoflessione retta allo SLU

Id_{Tr}	$\%L_{LI}$	+/-	$V_{Ed,2}$	CS	V_{Rcd}	$V_{Rsd,s}$	N_{Ed}	$V_{Rsd,p}$	V_{R1}	V_{fd}	Ctg Θ	A_{sw}	$A_{sw,p}$	$A_{s,Dg}$	R_f
	[%]		[N]		[N]	[N]	[N]	[N]	[N]	[N]		[cm²/cm]	[cm²]	[cm²]	
					72	97									
Trave 31-22f	0%	+	-	-	2.496.886	1.921.597	8.910	0	0	0	2,50	0,2872	0,0000	0,0000	NO
		-	-29.371	65,42	2.496.886	1.921.597	8.910	0	0	0	2,50	0,2872	0,0000	0,0000	NO
	25%	+	-	-	2.496.886	1.921.597	8.910	0	0	0	2,50	0,2872	0,0000	0,0000	NO
		-	-16.783	NS	2.496.886	1.921.597	8.910	0	0	0	2,50	0,2872	0,0000	0,0000	NO
	62,5%	+	912	NS	2.496.886	1.921.597	8.910	0	0	0	2,50	0,2872	0,0000	0,0000	NO
		-	-4.501	NS	2.496.886	1.921.597	8.910	0	0	0	2,50	0,2872	0,0000	0,0000	NO
	87,5%	+	10.169	NS	2.496.886	1.921.597	8.910	0	0	0	2,50	0,2872	0,0000	0,0000	NO
		-	-	-	2.496.886	1.921.597	8.910	0	0	0	2,50	0,2872	0,0000	0,0000	NO
	100%	+	19.623	97,93	2.496.886	1.921.597	8.910	0	0	0	2,50	0,2872	0,0000	0,0000	NO
		-	-	-	2.496.886	1.921.597	8.910	0	0	0	2,50	0,2872	0,0000	0,0000	NO

LEGENDA:

Id_{Tr} Identificativo della trave. L'eventuale lettera tra parentesi distingue i diversi tratti della travata al livello considerato.
$\%L_{LI}$ Posizione della sezione per la quale vengono forniti i valori di verifica, valutata come % della lunghezza libera d'inflessione (L_{LI}), a partire dall'estremo iniziale.
+/- [+] = sollecitazione massima; [-] = sollecitazione minima.
$V_{Ed,2}$ Taglio di progetto in direzione 2.
CS Coefficiente di sicurezza ([NS] = Non Significativo per valori di CS >= 100; [VNR]= Verifica Non Richiesta).
V_{Rcd} Resistenza a taglio compressione del calcestruzzo.
$V_{Rsd,s}$ Resistenza a taglio trazione delle staffe.
N_{Ed} Sforzo Normale medio nella sezione di verifica.
$V_{Rsd,p}$ Resistenza a taglio trazione dei ferri piegati.
V_{R1} Resistenza a taglio in assenza di armatura incrociata.
V_{fd} Resistenza a taglio dovuta al rinforzo FRP.
CtgΘ Cotangente dell'angolo Θ utilizzata nella verifica.
A_{sw} Area delle staffe per unità di lunghezza.
$A_{sw,p}$ Area dei ferri piegati.
$A_{s,Dg}$ Area di ferri incrociati nelle zone critiche.
R_f [SI] = nodo con presenza di rinforzo; [NO] = nodo senza rinforzo.

PLINTI - SOLLECITAZIONI E VERIFICHE ALLO SLD (Fondazione)

Plinti - Sollecitazioni e verifiche allo SLD

$Id_{Pil/Pln}$	Lv	N_{Ed}	$M_{Ed,X}$	$M_{Ed,Y}$	$V_{Ed,X}$	$V_{Ed,Y}$	$A_{s,s,A}$	$A_{s,s,B}$	$A_{s,i,A}$	$A_{s,i,B}$	$A_{s,pz,A}$	$A_{s,pz,B}$	$CS_{s,A}$	$CS_{sup,B}$	$CS_{inf,A}$	$CS_{inf,B}$	$CS_{pz,A}$	$CS_{pz,B}$
		[N]	[N·m]	[N·m]	[N]	[N]	[cm²]	[cm²]	[cm²]	[cm²]	[cm²]	[cm²]						
008	Fondazione	294.492	20.439	35.453	38.558	38.850	4,71	4,71	4,71	4,7124	4,52	4,52	3,75	2,16	3,75	2,16	2,19	2,19
009	Fondazione	216.627	16.068	22.088	27.794	29.440	4,71	4,71	4,71	4,7124	4,52	4,52	4,77	3,47	4,77	3,47	2,68	2,68
012	Fondazione	193.632	15.035	19.958	22.457	33.851	4,71	4,71	4,71	4,7124	4,52	4,52	5,10	3,84	5,10	3,84	4,77	4,77
014	Fondazione	424.290	63.023	92.694	53.649	38.943	10,18	10,18	10,18	10,17873	4,52	4,52	4,41	3,00	4,41	3,00	0,78	0,78
015	Fondazione	1.201.940	180.856	183.166	48.824	46.736	16,08	16,08	16,08	16,08496	4,52	4,52	2,79	2,75	2,79	2,75	0,26	0,26
016	Fondazione	1.426.703	208.948	246.040	94.456	97.732	16,08	16,08	16,08	16,08496	4,52	4,52	2,52	2,14	2,52	2,14	0,22	0,22
017	Fondazione	1.735.046	271.054	330.196	133.819	153.313	20,11	20,11	20,11	20,1062	4,52	4,52	2,32	1,91	2,32	1,91	0,16	0,16
018	Fondazione	1.763.236	273.888	335.383	135.126	153.272	20,11	20,11	20,11	20,1062	4,52	4,52	2,30	1,88	2,30	1,88	0,16	0,16
020	Fondazione	454.573	65.384	60.063	29.947	29.622	10,18	10,18	10,18	10,17873	4,52	4,52	3,59	3,90	3,59	3,90	0,70	0,70
021	Fondazione	356.476	40.196	32.791	25.705	27.179	10,18	10,18	10,18	10,17873	4,52	4,52	5,45	6,70	5,45	6,70	1,01	1,01
022	Fondazione	761.081	122.340	82.554	60.523	82.947	10,18	13,57	10,18	13,57164	4,52	4,52	2,27	4,47	2,27	4,47	0,43	0,43
023	Fondazione	1.261.078	196.078	185.153	108.987	106.454	16,08	16,08	16,08	16,08496	4,52	4,52	2,34	2,48	2,34	2,48	0,23	0,23
025	Fondazione	538.583	58.930	75.127	28.796	23.116	10,18	10,18	10,18	10,17873	4,52	4,52	3,98	3,12	3,98	3,12	0,66	0,66
026	Fondazione	1.018.711	110.342	102.430	43.790	42.513	10,18	10,18	10,18	10,17873	4,52	4,52	3,18	3,43	3,18	3,43	0,52	0,52
027	Fondazione	498.966	52.884	49.600	35.012	32.676	10,18	10,18	10,18	10,17873	4,52	4,52	4,15	4,43	4,15	4,43	0,72	0,72
028	Fondazione	245.106	24.452	20.372	11.576	16.137	4,71	4,71	4,71	4,7124	4,52	4,52	3,13	3,76	3,13	3,76	1,68	1,68
029	Fondazione	253.311	37.894	31.984	21.183	26.655	10,18	10,18	10,18	10,17873	4,52	4,52	5,79	6,86	5,79	6,86	1,35	1,35
030	Fondazione	527.013	62.311	58.222	25.241	31.335	10,18	10,18	10,18	10,17873	4,52	4,52	3,76	4,03	3,76	4,03	0,61	0,61
037	Fondazione	469.873	80.991	84.761	28.355	47.130	10,18	10,18	10,18	10,17873	4,52	4,52	3,43	3,28	3,43	3,28	0,70	0,70
040	Fondazione	485.3	50.57	62.37	37.83	36.23	10,18	10,18	10,18	10,17	4,52	4,52	4,64	3,76	4,64	3,76	0,70	0,70

$Id_{Pil/Pln}$	Lv	N_{Ed}	$M_{Ed,X}$	$M_{Ed,Y}$	$V_{Ed,X}$	$V_{Ed,Y}$	$A_{s,s,A}$	$A_{s,s,B}$	$A_{s,i,A}$	$A_{s,i,B}$	$A_{s,pz,A}$	$A_{s,pz,B}$	$CS_{s,A}$	$CS_{sup,B}$	$CS_{inf,A}$	$CS_{inf,B}$	$CS_{pz,A}$	$CS_{pz,B}$
		[N]	[N·m]	[N·m]	[N]	[N]	[cm^2]	[cm^2]	[cm^2]	[cm^2]	[cm^2]	[cm^2]						
		44	3	7	8	1				873								

LEGENDA:

$Id_{Pil/Pln}$ Identificativo della pilastrata cui il plinto è collegato.
Lv Livello o piano di appartenenza dell'elemento strutturale.
N_{Ed}, $M_{Ed,x}$, $M_{Ed,y}$, $V_{Ed,x}$, $V_{Ed,y}$ Sollecitazioni di progetto.
$A_{s,s,A/B}$ Armatura superiore esecutiva nella direzione A/B.
$A_{s,i,A/B}$ Armatura inferiore esecutiva nella direzione A/B.
$A_{s,pz,A/B}$ Armatura a punzonamento esecutiva in direzione A/B.
$CS_{sup,A/B}$ Coefficiente di sicurezza relativo all'armatura superiore nella direzioni A/B ([NS] = Non Significativo - Per valori di CS >= 100).
$CS_{inf,A/B}$ Coefficiente di sicurezza relativo all'armatura inferiore nella direzione A/B ([NS] = Non Significativo per valori di CS >= 100).
$CS_{pz,A/B}$ Coefficiente di sicurezza relativo all'armatura a punzonamento nella direzione A/B ([NS] = Non Significativo per valori di CS >= 100).

VERIFICHE CARICO LIMITE FONDAZIONI DIRETTE (Fondazione)

Verifiche Carico Limite fondazioni dirette

Id_{Fnd}	CS	L_X	L_Y	Rtz	$Z_{P.cmp}$	Z_{Fld}	Cmp T	C. Terzaghi						Q_{Ed}	$Q_{d,Rd}$	R_f
								per N_q	per N_c	per N_γ	N_q	N_c	N_γ			
		[m]	[m]	[°]	[m]	[m]								[N/mm²]	[N/mm²]	
Plinto 26	3,97	2,10	2,10	0,00	2,00	-	NON Coesivo	1,73	0,00	0,54	23,18	35,49	30,21	0,188	0,748	NO
Plinto 25	3,25	2,10	2,10	0,00	2,00	-	NON Coesivo	1,84	0,00	0,59	23,18	35,49	30,21	0,246	0,799	NO
Plinto 14	5,31	2,40	2,40	0,00	2,00	-	NON Coesivo	1,62	0,00	0,51	23,18	35,49	30,21	0,134	0,710	NO
Plinto 27	5,26	1,90	1,90	0,00	2,00	-	NON Coesivo	1,66	0,00	0,52	23,18	35,49	30,21	0,134	0,703	NO
Plinto 15	6,45	2,70	2,70	0,00	2,00	-	NON Coesivo	1,66	0,00	0,48	23,18	35,49	30,21	0,115	0,743	NO
Plinto 16	5,31	2,90	2,90	0,00	2,00	-	NON Coesivo	1,57	0,00	0,46	23,18	35,49	30,21	0,133	0,708	NO
Plinto 17	5,05	3,10	3,10	0,00	2,00	-	NON Coesivo	1,51	0,00	0,45	23,18	35,49	30,21	0,136	0,689	NO
Plinto 18	5,02	3,10	3,10	0,00	2,00	-	NON Coesivo	1,54	0,00	0,46	23,18	35,49	30,21	0,140	0,705	NO
Plinto 8	1,19	1,50	1,50	0,00	2,00	-	NON Coesivo	1,40	0,00	0,86	23,18	35,49	30,21	0,435	0,519	NO
Plinto 9	3,37	1,50	1,50	0,00	2,00	-	NON Coesivo	1,41	0,00	0,55	23,18	35,49	30,21	0,166	0,559	NO
Plinto 12	0,38	1,50	1,50	0,00	2,00	-	NON Coesivo	1,01	0,00	0,52	23,18	35,49	30,21	0,992	0,373	NO
Plinto 23	5,71	2,70	2,70	0,00	2,00	-	NON Coesivo	1,65	0,00	0,47	23,18	35,49	30,21	0,129	0,735	NO
Plinto 37	5,26	2,40	2,40	0,00	2,00	-	NON Coesivo	1,62	0,00	0,55	23,18	35,49	30,21	0,135	0,710	NO
Plinto 28	5,22	1,50	1,50	0,00	2,00	-	NON Coesivo	1,76	0,00	0,55	23,18	35,49	30,21	0,139	0,723	NO
Plinto 29	7,02	1,90	1,90	0,00	2,00	-	NON Coesivo	1,70	0,00	0,52	23,18	35,49	30,21	0,103	0,721	NO
Plinto 30	8,85	2,10	2,10	0,00	2,00	-	NON Coesivo	1,67	0,00	0,51	23,18	35,49	30,21	0,081	0,717	NO
Plinto 40	6,56	2,10	2,10	0,00	2,00	-	NON Coesivo	1,74	0,00	0,55	23,18	35,49	30,21	0,114	0,746	NO
Plinto 20	4,60	2,10	2,10	0,00	2,00	-	NON Coesivo	1,87	0,00	0,56	23,18	35,49	30,21	0,175	0,808	NO
Plinto 21	6,06	1,80	1,95	0,00	2,00	-	NON Coesivo	1,57	0,00	0,48	23,18	35,49	30,21	0,109	0,662	NO
Plinto 22	4,98	2,10	2,65	0,00	2,00	-	NON Coesivo	1,46	0,00	0,53	23,18	35,49	30,21	0,129	0,642	NO
Trave P1-4f	2,65	0,50	2,10	0,00	2,00	-	NON Coesivo	1,32	0,00	0,95	64,20	75,31	109,41	1,098	2,911	NO
Trave P2-6f	4,18	0,50	2,10	0,00	2,00	-	NON Coesivo	1,36	0,00	0,94	64,20	75,31	109,41	0,706	2,947	NO
Trave P3-8f	4,07	0,50	2,10	0,00	2,00	-	NON Coesivo	1,36	0,00	0,94	64,20	75,31	109,41	0,723	2,946	NO
Trave P4-10f	3,57	0,50	2,10	0,00	2,00	-	NON Coesivo	1,22	0,00	1,00	64,20	75,31	109,41	0,790	2,822	NO
Trave P5-12f	3,52	0,50	2,10	0,00	2,00	-	NON Coesivo	1,34	0,00	0,94	64,20	75,31	109,41	0,833	2,933	NO
Trave P10-28f	2,62	0,50	2,10	0,00	2,00	-	NON Coesivo	1,32	0,00	0,95	64,20	75,31	109,41	1,113	2,915	NO
Trave P11-30f	4,23	0,50	2,10	0,00	2,00	-	NON Coesivo	1,36	0,00	0,94	64,20	75,31	109,41	0,697	2,947	NO
Trave P12-32f	4,02	0,50	2,10	0,00	2,00	-	NON Coesivo	1,36	0,00	0,94	64,20	75,31	109,41	0,733	2,944	NO
Trave P14-36f	3,30	0,50	2,10	0,00	2,00	-	NON Coesivo	1,34	0,00	0,95	64,20	75,31	109,41	0,886	2,927	NO
Trave P6-14f	2,73	0,50	1,50	0,00	2,00	-	NON Coesivo	1,50	0,00	0,88	64,20	75,31	109,41	1,013	2,763	NO
Trave 25f-P15	6,25	0,51	2,10	0,00	2,00	-	NON Coesivo	1,38	0,00	0,93	64,20	75,31	109,41	0,474	2,963	NO
Trave 17f-P7	6,72	0,51	1,80	0,00	2,00	-	NON	1,43	0,00	0,90	64,20	75,31	109,4	0,422	2,838	NO

Id_{Fnd}	CS	L_X	L_Y	Rtz	$Z_{P.cmp}$	Z_{Fld}	Cmp T	C. Terzaghi						Q_{Ed}	$Q_{d,Rd}$	R_f
								per N_q	per N_c	per N_γ	N_q	N_c	N_γ			
		[m]	[m]	[°]	[m]	[m]								[N/mm²]	[N/mm²]	
Trave 11f-5	3,44	0,50	2,10	0,00	2,00	-	Coesivo NON Coesivo	1,39	0,00	0,93	64,20	75,31	1 109,41	0,863	2,973	NO
Trave 7f-3	2,98	0,50	2,10	0,00	2,00	-	NON Coesivo	1,36	0,00	0,94	64,20	75,31	109,41	0,988	2,949	NO
Trave 9f-4	3,30	0,50	2,10	0,00	2,00	-	NON Coesivo	1,38	0,00	0,93	64,20	75,31	109,41	0,900	2,966	NO
Trave 5f-2	3,10	0,50	2,10	0,00	2,00	-	NON Coesivo	1,37	0,00	0,94	64,20	75,31	109,41	0,952	2,952	NO
Trave 29f-33	3,08	0,50	2,10	0,00	2,00	-	NON Coesivo	1,36	0,00	0,94	64,20	75,31	109,41	0,956	2,948	NO
Trave 31f-34	3,14	0,50	2,10	0,00	2,00	-	NON Coesivo	1,37	0,00	0,93	64,20	75,31	109,41	0,941	2,956	NO
Trave 33f-35	3,40	0,50	2,10	0,00	2,00	-	NON Coesivo	1,39	0,00	0,93	64,20	75,31	109,41	0,874	2,972	NO
Trave 35f-36	3,46	0,50	2,10	0,00	2,00	-	NON Coesivo	1,39	0,00	0,92	64,20	75,31	109,41	0,860	2,976	NO

LEGENDA:

Id_{Fnd} Descrizione dell'oggetto di fondazione al quale è riferita la verifica.
CS Coefficiente di sicurezza ([NS] = Non Significativo per valori di CS >= 100; [VNR]= Verifica Non Richiesta).
$L_{X/Y}$ Dimensioni dell'elemento di fondazione.
Rtz Angolo compreso tra l'asse X e il lato più lungo del minimo rettangolo che delimita il poligono della platea.
$Z_{P.cmp}$ Profondità di posa dell'elemento di fondazione dal piano campagna.
Z_{Fld} Profondità della falda dal piano campagna.
Cmp T Classificazione del comportamento del terreno ai fini del calcolo.
C. Terzaghi Coefficienti correttivi per la formula di Terzaghi.
Q_{Ed} Carico di progetto sul terreno.
$Q_{d,Rd}$ Resistenza di progetto del terreno.
R_f [SI] = nodo con presenza di rinforzo; [NO] = nodo senza rinforzo.

I Progettisti

Ing. Marcello Boccio

Ing. Stefano Marinozzi

PILASTRI - VERIFICHE DI ROTAZIONE ALLA CORDA (Elevazione) ..... pag. 2
PILASTRI - VERIFICHE A TAGLIO PER ANALISI NON LINEARE (Elevazione) ..... pag. 11
Pareti - VERIFICHE PRESSOFLESSIONE RETTA ALLO SLU (Elevazione) ..... pag. 69
Pareti - VERIFICHE A TAGLIO PER PRESSOFLESSIONE RETTA ALLO SLU (Elevazione) ..... pag. 145
PIANI - VERIFICHE REGOLARITÀ (Elevazione) ..... pag. 180
PIANI - VERIFICHE AGLI SPOSTAMENTI ..... pag. 180
PIANI - VERIFICHE ALLO SLO (Elevazione) ..... pag. 181
TRAVI (CA) - VERIFICHE PRESSOFLESSIONE RETTA ALLO SLU (Fondazione) ..... pag. 181
TRAVI (CA) - VERIFICHE A TAGLIO PER PRESSOFLESSIONE RETTA ALLO SLU (Fondazione) ..... pag. 185
PLINTI - SOLLECITAZIONI E VERIFICHE ALLO SLD (Fondazione) ..... pag. 199
VERIFICHE CARICO LIMITE FONDAZIONI DIRETTE (Fondazione) ..... pag. 199

COMUNE DI TERNI
Direzione Lavori Pubblici e Manutenzioni - Patrimonio

Palazzo Spada - P.zza M. Ridolfi, 1
05100 Terni
Tel. +39 0744.549.501 Fax +39 0744.428708
renato.pierdonati@comune.terni.it

LAVORI DI RESTAURO, ADEGUAMENTO SISMICO, ADEGUAMENTO ALLE NORME DI PREVENZIONE INCENDI E ABBATTIMENTO BARRIERE ARCHITETTONICHE DELL'EDIFICIO SCOLASTICO "G. MATTEOTTI" VIA MARIE CURIE N. 4

DEFINITIVO

PROGETTO

Doc.
R2.1ST

EDIFICIO 2
RELAZIONE TECNICA DI CALCOLO
E DEI MATERIALI

Scala

Responsabile del Procedimento: Geom. S. Fredduzzi

Data: Marzo 2015

Progettisti:

Architettonico:	Arch. M. Finotto
Strutture:	Ing. M.Boccio
	Ing. S. Marinozzi
Impianti:	Per.Ind. T. Mococci
	Per.Ind. G. Rubeca
Sicurezza:	Geom. F. Formichetti

Collaboratori:

Geom. G. Poddi - Geom. M. D'Amato
Geom. F. Ottaviani - Per.Ind. E. Lenticchia
Geom. F. Ribeca - Geom. M. Ciuffetti
Geom. R. Sabatini - Geom. G. Severoni

Comune di Terni
Provincia di TR

RELAZIONE TECNICA
RELAZIONE DI CALCOLO
E DEI MATERIALI

OGGETTO: Edificio 2

COMMITTENTE: Comune di Terni

I Progettisti

Ing. Marcello Boccio

Ing. Stefano Marinozzi

1 - DESCRIZIONE GENERALE DELL'OPERA

$Cancellare$NOTA: LA PRESENTE SEZIONE DEVE ESSERE COMPILATA DAL TECNICO.QUANTO SEGUE É RIPORTATO SOLO A TITOLO DI ESEMPIOL'edificio oggetto della relazione di calcolo si sviluppa per quattro piani fuori terra; la distribuzione planimetrica prevede al piano terreno negozi e locali ad essi afferenti, nei piani superiori sono allocati due alloggi per piano dotati di balconi; l'ingresso principale al piano terreno conduce a una scala realizzata con travi a ginocchio che porta ai piani superiori. L'edificio non è cantinato e ha un tetto piano. La geometria si ripete per tutti i piani.... $Cancellare$

Vengono riportate di seguito due viste assonometriche contrapposte, allo scopo di consentire una migliore comprensione della struttura oggetto della presente relazione:

Vista Anteriore

La direzione di visualizzazione (bisettrice del cono ottico), relativamente al sistema di riferimento globale 0,X,Y, Z, ha versore (1;1;-1)

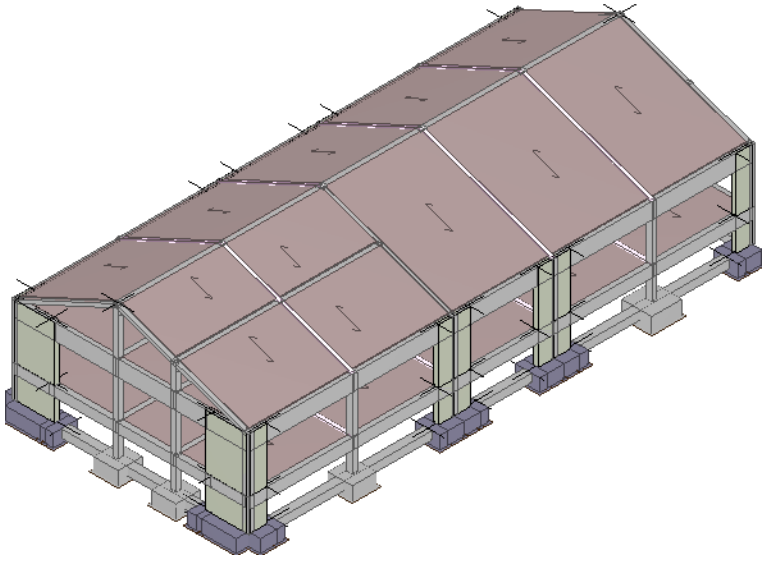

Vista Posteriore

La direzione di visualizzazione (bisettrice del cono ottico), relativamente al sistema di riferimento globale 0,X,Y, Z, ha versore (-1;-1;-1)

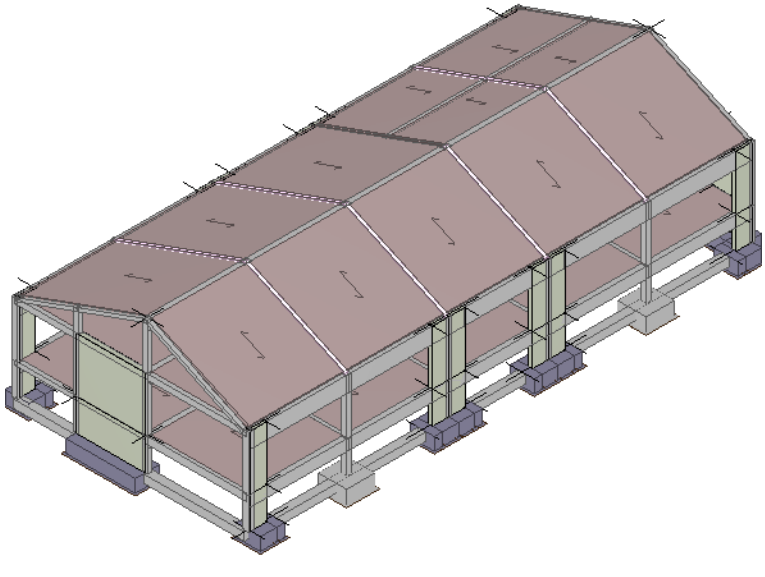

2 - NORMATIVA DI RIFERIMENTO

Le fasi di analisi e verifica della struttura sono state condotte in accordo alle seguenti disposizioni normative, per quanto applicabili in relazione al criterio di calcolo adottato dal progettista, evidenziato nel prosieguo della presente relazione:

Legge 5 novembre 1971 n. 1086 (G. U. 21 dicembre 1971 n. 321)
"Norme per la disciplina delle opere di conglomerato cementizio armato, normale e precompresso ed a struttura metallica"

Legge 2 febbraio 1974 n. 64 (G. U. 21 marzo 1974 n. 76)
"Provvedimenti per le costruzioni con particolari prescrizioni per le zone sismiche"
Indicazioni progettive per le nuove costruzioni in zone sismiche a cura del Ministero per la Ricerca scientifica - Roma 1981.

D. M. Infrastrutture Trasporti 14 gennaio 2008 (G.U. 4 febbraio 2008 n. 29 - Suppl. Ord.)
"Norme tecniche per le Costruzioni"

Inoltre, in mancanza di specifiche indicazioni, ad integrazione della norma precedente e per quanto con esse non in contrasto, sono state utilizzate le indicazioni contenute nella:

Circolare 2 febbraio 2009 n. 617 del Ministero delle Infrastrutture e dei Trasporti (G.U. 26 febbraio 2009 n. 27 – Suppl. Ord.)
"Istruzioni per l'applicazione delle 'Norme Tecniche delle Costruzioni' di cui al D.M. 14 gennaio 2008".

Eurocodice 6 – "Progettazione delle strutture di muratura" - ENV 1996-1-1.

3 - MATERIALI IMPIEGATI E RESISTENZE DI CALCOLO

Per la realizzazione dell'opera in oggetto saranno impiegati i seguenti materiali:

LIVELLO DI CONOSCENZA E FATTORE DI CONFIDENZA

Livello di Conoscenza e Fattore di Confidenza

LC	FC
LC2	1,2

LEGENDA:

LC [LC1] = Conoscenza Limitata - [LC2] = Conoscenza Adeguata - [LC3] = Conoscenza Accurata.
FC Fattore di confidenza applicato alle proprietà dei materiali.

MATERIALI CALCESTRUZZO ARMATO

Caratteristiche calcestruzzo armato

N_{id}	γ_k	$\alpha_{T,i}$	E	G	C_{Erid}	Stz	R_{ck}	R_{cm}	$\%R_{ck}$	γ_c	f_{cd}	f_{ctd}	f_{cfm}	n	n Ac
	[N/m³]	[1/°C]	[N/mm²]	[N/mm²]	[%]		[N/mm²]	[N/mm²]			[N/mm²]	[N/mm²]	[N/mm²]		
Cls stato di fatto - (Cls sf)															
001	25.000	0,000010	20.000	8.696	60	F	-	19,44	1,00	1,50	8,96	1,12	1,92	15	002
Cls C25/30_B450C - (C25/30)															
003	25.000	0,000010	31.447	13.103	60	F/P	30,00	-	0,85	1,50	11,76	1,49	2,56	15	004
Cls C28/35_B450C - (C28/35)															
005	25.000	0,000010	32.588	13.578	60	P	35,00	-	0,85	1,50	16,46	1,98	3,40	15	004

LEGENDA:

N_{id} Numero identificativo del materiale, nella relativa tabella dei materiali.
γ_k Peso specifico.
$\alpha_{T,i}$ Coefficiente di dilatazione termica.
E Modulo elastico normale.
G Modulo elastico tangenziale.
C_{Erid} Coefficiente di riduzione del Modulo elastico normale per Analisi Sismica [$E_{sisma} = E \cdot c_{Erid}$].
Stz Tipo di situazione: [F] = di Fatto (Esistente); [P] = di Progetto (Nuovo).
R_{ck} Resistenza caratteristica cubica.
R_{cm} Resistenza media cubica.

Caratteristiche calcestruzzo armato

N_{id}	γ_k	$\alpha_{T,i}$	E	G	C_{Erid}	Stz	R_{ck}	R_{cm}	$\%R_{ck}$	γ_c	f_{cd}	f_{ctd}	f_{cfm}	n	n Ac
	[N/m³]	[1/°C]	[N/mm²]	[N/mm²]	[%]		[N/mm²]	[N/mm²]			[N/mm²]	[N/mm²]	[N/mm²]		

$\%R_{ck}$ Percentuale di riduzione della R_{ck}
γ_c Coefficiente parziale di sicurezza del materiale.
f_{cd} Resistenza di calcolo a compressione.
f_{ctd} Resistenza di calcolo a trazione.
f_{cfm} Resistenza media a trazione per flessione.
n Ac Identificativo, nella relativa tabella materiali, dell'acciaio utilizzato: [-] = parametro NON significativo per il materiale.

MATERIALI ACCIAIO

Caratteristiche acciaio

N_{id}	γ_k	$\alpha_{T,i}$	E	G	Stz	$f_{yk,1}$/ $f_{yk,2}$	$f_{tk,1}$/ $f_{tk,2}$	$f_{yd,1}$/ $f_{yd,2}$	f_{td}	γ_s	γ_{M1}	γ_{M2}	$\gamma_{M3,SLV}$	$\gamma_{M3,SLE}$	γ_{M7}
	[N/m³]	[1/°C]	[N/mm²]	[N/mm²]		[N/mm²]	[N/mm²]	[N/mm²]	[N/mm²]						
Acciaio Aq42 - (Aq42)															
002	78.500	0,000010	210.000	80.769	-	434,00 -	-	314,49 -	-	1,15	-	-	-	-	-
Acciaio B450C - (B450C)															
004	78.500	0,000010	210.000	80.769	-	450,00 -	-	326,09 -	-	1,15	-	-	-	-	-

LEGENDA:

N_{id} Numero identificativo del materiale, nella relativa tabella dei materiali.
γ_k Peso specifico.
$\alpha_{T,i}$ Coefficiente di dilatazione termica.
E Modulo elastico normale.
G Modulo elastico tangenziale.
Stz Tipo di situazione: [F] = di Fatto (Esistente); [P] = di Progetto (Nuovo).
$f_{tk,1}$ Resistenza caratteristica a Rottura (per profili <= 40 mm).
$f_{tk,2}$ Resistenza caratteristica a Rottura (per profili 40 mm < t <= 80 mm).
f_{td} Resistenza di calcolo a Rottura (Bulloni).
γ_s Coefficiente parziale di sicurezza allo SLV del materiale.
γ_{M1} Coefficiente parziale di sicurezza per instabilità.
γ_{M2} Coefficiente parziale di sicurezza per sezioni tese indebolite.
$\gamma_{M3,SLV}$ Coefficiente parziale di sicurezza per scorrimento allo SLV (Bulloni).
$\gamma_{M3,SLE}$ Coefficiente parziale di sicurezza per scorrimento allo SLE (Bulloni).
γ_{M7} Coefficiente parziale di sicurezza precarico bulloni ad alta resistenza (Bulloni): [-] = parametro NON significativo per il materiale.
$f_{yk,1}$ Resistenza caratteristica allo snervamento (per profili con t <= 40 mm).
$f_{yk,2}$ Resistenza caratteristica allo snervamento (per profili con 40 mm < t <= 80 mm).
$f_{yd,1}$ Resistenza di calcolo (per profili con t <= 40 mm).
$f_{yd,2}$ Resistenza di calcolo (per profili con 40 mm < t <= 80 mm).
NOTE [-] = Parametro non significativo per il materiale.

MATERIALI CARATTERISTICHE NON LINEARI

Materiali Caratteristiche non lineari

N_{id}	Fase Elastica				Fase Plastica				Punto di Rottura			
	σ_{Cmp}	ε_{Cmp}	σ_{Trz}	ε_{Trz}	σ_{Cmp}	ε_{Cmp}	σ_{Trz}	ε_{Trz}	σ_{Cmp}	ε_{Cmp}	σ_{Trz}	ε_{Trz}
	[N/mm²]	[‰]	[N/mm²]	[‰]	[N/mm²]	[‰]	[N/mm²]	[‰]	[N/mm²]	[‰]	[N/mm²]	[‰]
Cls stato di fatto - (Cls sf)												
001	11,39	0,00	0,00	0,00	18,98	2,00	0,00	0,10	3,80	3,50	0,00	3,50

Materiali Caratteristiche non lineari

N_{id}	Fase Elastica				Fase Plastica				Punto di Rottura			
	σ_{Cmp} [N/mm²]	ε_{Cmp} [‰]	σ_{Trz} [N/mm²]	ε_{Trz} [‰]	σ_{Cmp} [N/mm²]	ε_{Cmp} [‰]	σ_{Trz} [N/mm²]	ε_{Trz} [‰]	σ_{Cmp} [N/mm²]	ε_{Cmp} [‰]	σ_{Trz} [N/mm²]	ε_{Trz} [‰]
Acciaio Aq42 - (Aq42)												
002	377,39	1,86	377,39	1,86	434,00	10,00	434,00	10,00	434,00	10,00	434,00	10,00
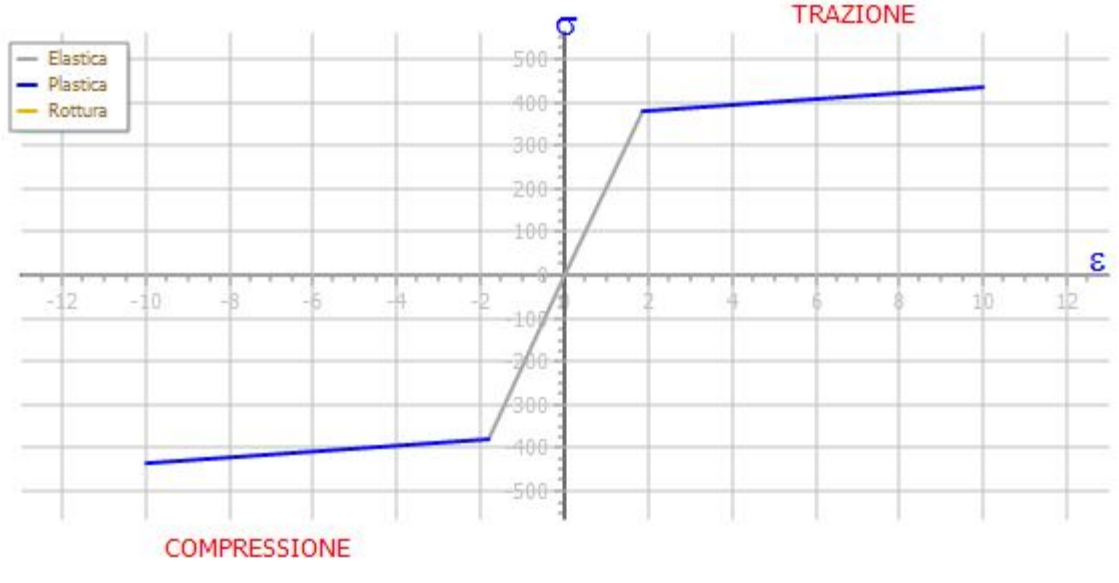												
Cls C25/30_B450C - (C25/30)												
003	14,94	0,00	0,00	0,00	24,90	2,00	0,00	0,10	4,98	3,50	0,00	3,50

Materiali Caratteristiche non lineari

N_{id}	Fase Elastica				Fase Plastica				Punto di Rottura			
	σ_{Cmp} [N/mm²]	ε_{Cmp} [‰]	σ_{Trz} [N/mm²]	ε_{Trz} [‰]	σ_{Cmp} [N/mm²]	ε_{Cmp} [‰]	σ_{Trz} [N/mm²]	ε_{Trz} [‰]	σ_{Cmp} [N/mm²]	ε_{Cmp} [‰]	σ_{Trz} [N/mm²]	ε_{Trz} [‰]
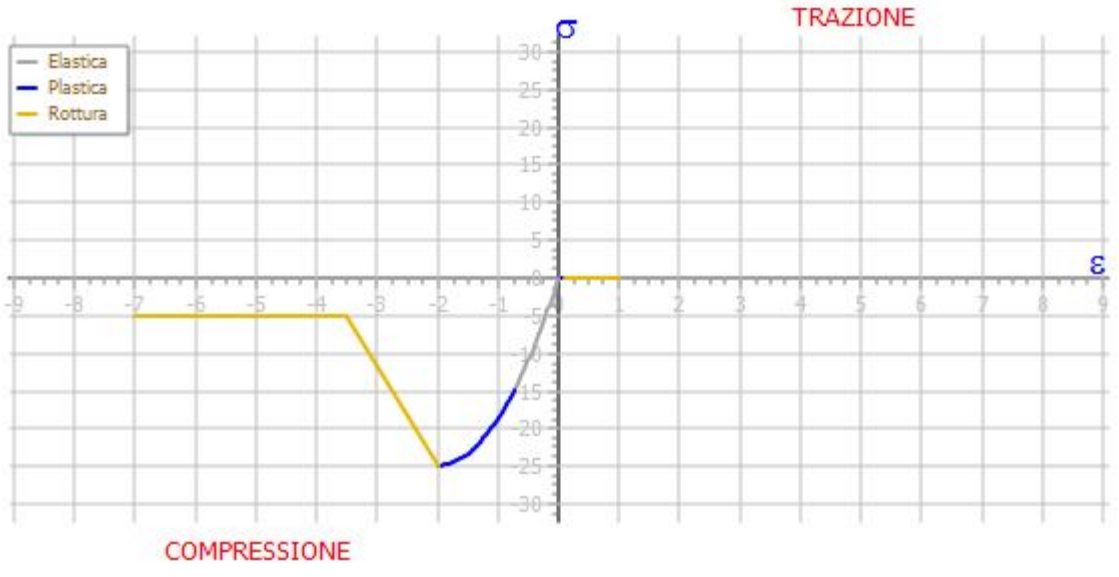												
Acciaio B450C - (B450C)												
004	391,30	1,86	391,30	1,86	450,00	10,00	450,00	10,00	450,00	10,00	450,00	10,00
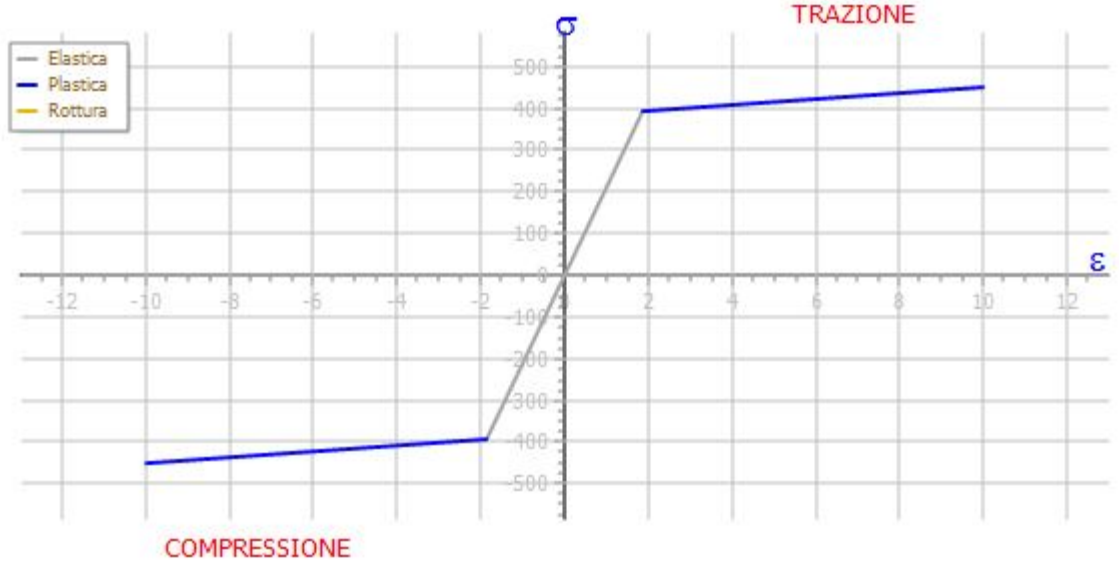												
Cls C28/35_B450C - (C28/35)												
005	17,43	0,00	0,00	0,00	29,05	2,00	0,00	0,10	5,81	3,50	0,00	3,50

Materiali Caratteristiche non lineari

N_{id}	Fase Elastica				Fase Plastica				Punto di Rottura			
	σ_{Cmp}	ε_{Cmp}	σ_{Trz}	ε_{Trz}	σ_{Cmp}	ε_{Cmp}	σ_{Trz}	ε_{Trz}	σ_{Cmp}	ε_{Cmp}	σ_{Trz}	ε_{Trz}
	[N/mm²]	[‰]	[N/mm²]	[‰]	[N/mm²]	[‰]	[N/mm²]	[‰]	[N/mm²]	[‰]	[N/mm²]	[‰]

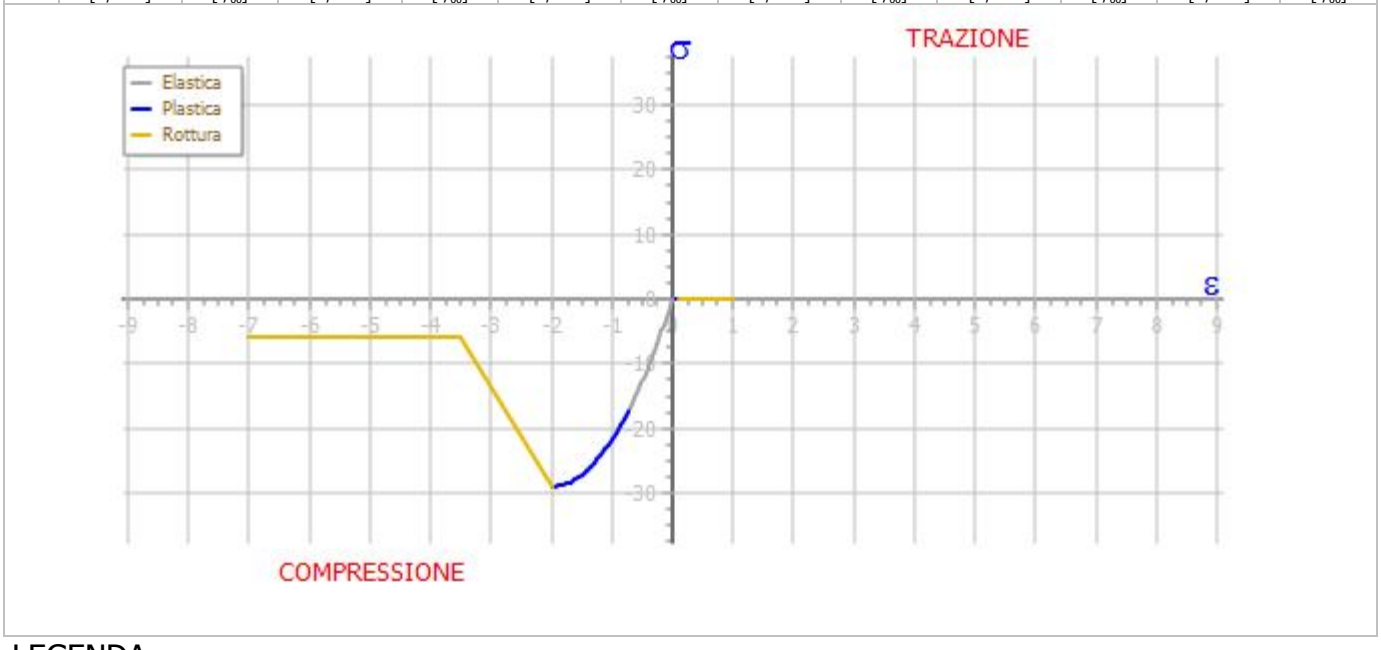

LEGENDA:

N_{id}	Numero identificativo del materiale, nella relativa tabella dei materiali.
σ_{Cmp}	Tensione massima per Compressione.
ε_{Cmp}	Deformazione relativa alla tensione massima per compressione.
σ_{Trz}	Tensione massima per Trazione.
ε_{Trz}	Deformazione relativa alla tensione massima per trazione.

I valori dei parametri caratteristici dei suddetti materiali sono riportati anche nei **tabulati di calcolo**, nella relativa sezione.

Tutti i materiali impiegati dovranno essere comunque verificati con opportune prove di laboratorio secondo le prescrizioni della vigente Normativa.

I diagrammi costitutivi degli elementi in calcestruzzo sono stati adottati in conformità alle indicazioni riportate al punto 4.1.2.1.2.2 del D.M. 14 gennaio 2008; in particolare per le verifiche effettuate a pressoflessione retta e pressoflessione deviata è adottato il modello riportato in fig. (a).

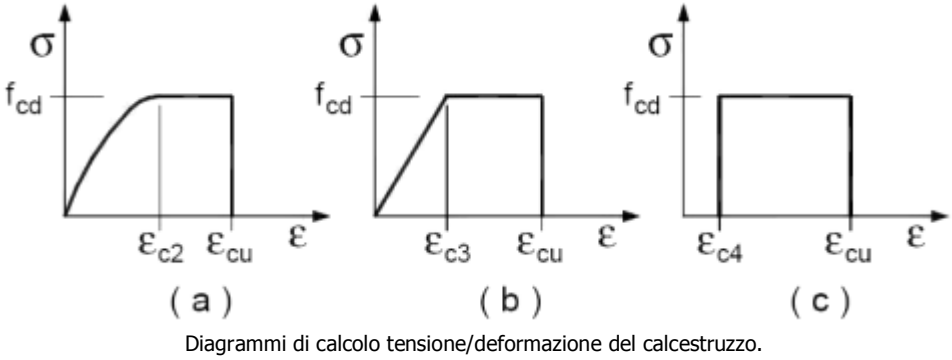

Diagrammi di calcolo tensione/deformazione del calcestruzzo.

I valori di deformazione assunti sono:

ε_{c2} = 0,0020;

ε_{cu2} = 0,0035.

Il comportamento non lineare del materiale calcestruzzo è definito attraverso una curva analitica uniassiale deformazioni-sforzi (ε-σ) comprendente sia la parte di compressione che quella di trazione. Nella schematizzazione a fibre della sezione, questo tipo di comportamento è utilizzato per simulare il comportamento a presso-flessione del calcestruzzo. Nella figura seguente è rappresentata una delle possibili curve uniassiali.

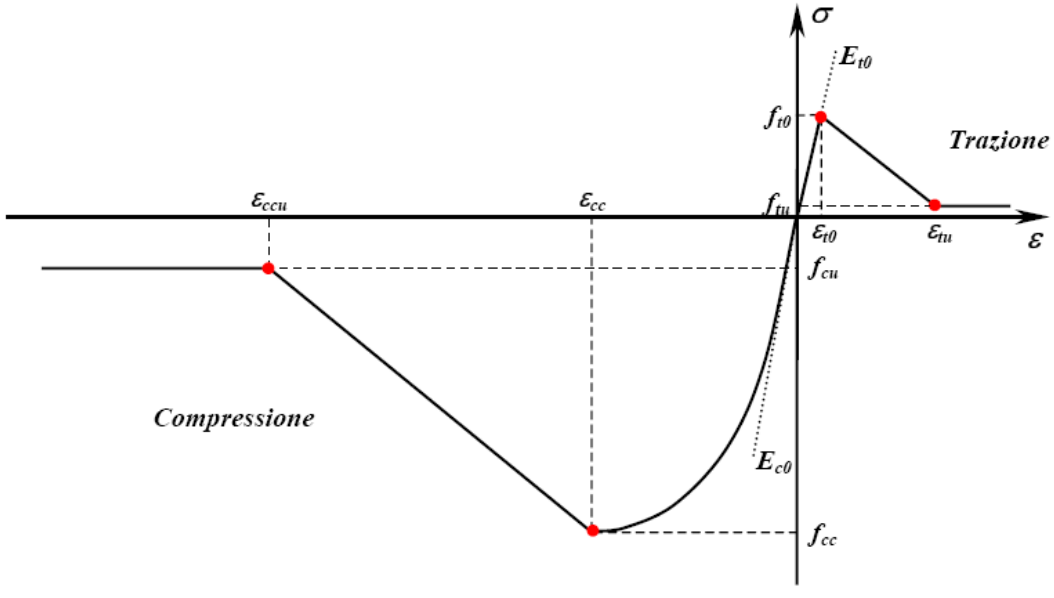

È possibile portare in conto anche l'effetto di confinamento causato dall'armatura trasversale (staffe). La figura seguente mostra la relazione tipica tra la curva del calcestruzzo non confinato (verde) e confinato (rosso).

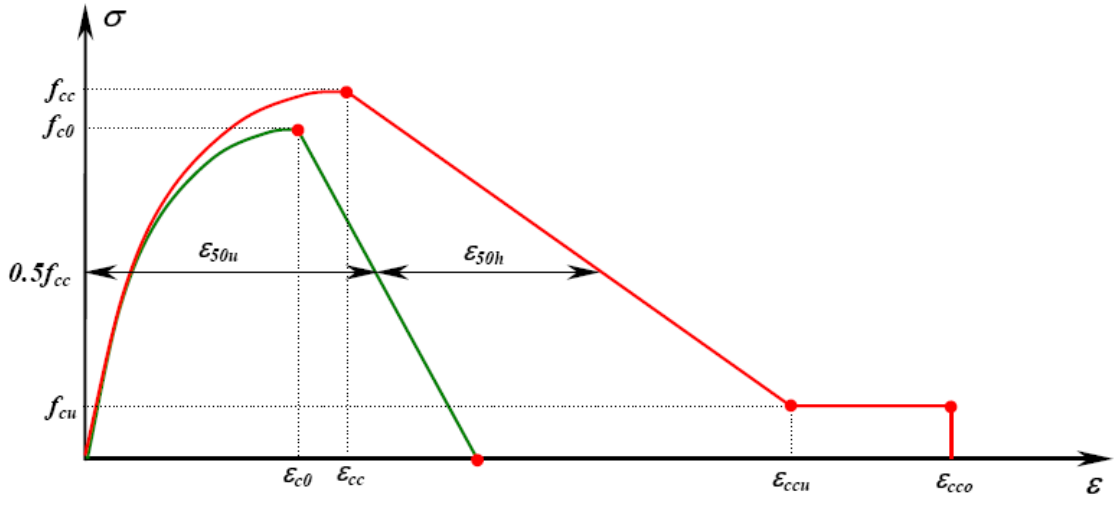

Le espressioni analitiche dei tratti in compressione sono riassunte di seguito. Il valore di E_{c0} è assegnato esplicitamente ed è pari al modulo elastico del calcestruzzo. Il modello parametrico del materiale permette di assegnare esplicitamente sia la curva del calcestruzzo non confinato sia di quello confinato, attribuendo gli opportuni valori alle coordinate dei punti (ε_{cc} ; f_{cc}) e (ε_{cu} ; f_{cu}).

Tratto

crescente ($\varepsilon<\varepsilon_{cc}$)	decrescente ($\varepsilon_{cc}\leq\varepsilon<\varepsilon_{ccu}$)	costante ($\varepsilon_{ccu}\leq\varepsilon<\varepsilon_{cco}$)	nullo ($\varepsilon\geq\varepsilon_{cco}$)
$\sigma = E_{c0}\cdot\varepsilon\left[1-\frac{1}{n}\left(\frac{\varepsilon}{\varepsilon_{cc}}\right)^{n-1}\right]$	$\sigma = f_{cc}+E_{cd}\cdot(\varepsilon-\varepsilon_{cc})$	$\sigma = f_{cu}$	$\sigma = 0$

$n = \frac{E_{c0}}{E_{c0} - \frac{f_{cc}}{\varepsilon_{cc}}}$	$E_{cd} = \frac{f_{cu} - f_{cc}}{\varepsilon_{ccu} - \varepsilon_{cc}}$		

A seconda della quantità e geometria dell'armatura trasversale di contenimento la resistenza a compressione f_{cc} e la corrispondente deformazione ε_{cc} subiscono un incremento rispetto ai valori f_{c0} e ε_{c0}. Tale incremento è minore nel calcestruzzo ad alta resistenza. Risultano inoltre incrementate le caratteristiche di duttilità, evidenziate da una minore pendenza del tratto discendente. Convenzionalmente la pendenza del tratto post-picco è di solito determinata in riferimento alla deformazione ε_{50u} del materiale non confinato e all'incremento di deformazione ε_{50h} del materiale confinato in corrispondenza del 50% della resistenza di picco.

I valori f_{cc}, ε_{cc} possono essere ottenuti applicando un coefficiente di amplificazione K ai valori f_{c0}, ε_{c0}:

$$f_{cc} = K \cdot f_{c0} \qquad \varepsilon_{cc} = K \cdot \varepsilon_{c0} \qquad K = 1 + \rho_s \frac{f_{yh}}{f_{c0}}$$

dove ρ_s è il rapporto tra il volume di una staffa e il volume di calcestruzzo da essa racchiuso, misurato sulla superficie esterna della staffa, e f_{yh} è la resistenza a snervamento della staffa. Per il calcestruzzo non confinato risulta ρ_s=0, per cui K=1 e f_{cc}= f_{c0} e ε_{cc}=ε_{c0}. Per quanto riguarda invece la deformazione ε_{c0}, per essa è di solito assunto il valore 0.002 per qualunque tipo di calcestruzzo.

Di solito al calcestruzzo non confinato si attribuisce una resistenza residua nulla (f_{cu}=0), come rappresentato in figura. Nel caso di calcestruzzo confinato si assegna invece di norma una resistenza residua non nulla (valore tipico: f_{cu}=0.2f_{cc}). Il software, a vantaggio di sicurezza, assegna, comunque, anche per un calcestruzzo confinato una resistenza residua nulla.

Il parametro $\varepsilon_{cc0}/\varepsilon_{cc}$ consente di definire il valore di cutoff ε_{cco} di deformazione. Per default, assegnando $\varepsilon_{cc0}/\varepsilon_{cc}$=0 il materiale conserva la resistenza residua f_{cu} per qualunque valore $\varepsilon \geq \varepsilon_{ccu}$. Viceversa, se $\varepsilon \geq \varepsilon_{cco}$ la resistenza residua è soppressa. Ad esempio, se ε_{cc}=0 e $\varepsilon_{cc0}/\varepsilon_{cc}$=10 il calcestruzzo (supposto ovviamente confinato) non collabora a compressione per deformazioni maggiori o uguali al 2%.

I diagrammi costitutivi dell'acciaio sono stati adottati in conformità alle indicazioni riportate al punto 4.1.2.1.2.3 del D.M. 14 gennaio 2008; in particolare è adottato il modello elastico perfettamente plastico rappresentato in fig. (b).

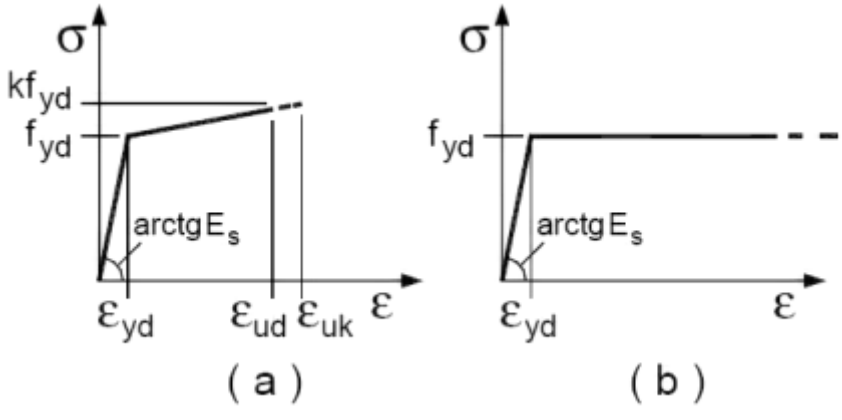

La resistenza di calcolo è data da f_{yk}/γ_f. Il coefficiente di sicurezza γ_f si assume pari a 1.15.

Il comportamento non lineare del materiale acciaio per cemento armato, nel caso di sezione schematizzata a fibre, è definito attraverso una curva bilineare uniassiale deformazioni-sforzi (ε-σ) simmetrica per trazione e compressione.

Per il calcolo della capacità di **elementi/meccanismi duttili** o **fragili** si impiegano le proprietà dei materiali esistenti (resistenze medie ottenute dalle prove in situ e da informazioni aggiuntive) divise per i

fattori di confidenza in relazione al livello di conoscenza raggiunto.
Per il calcolo della capacità di resistenza degli **elementi fragili primari**, le resistenze dei materiali (resistenze medie ottenute dalle prove in situ e da informazioni aggiuntive) si dividono per i corrispondenti coefficienti parziali e per i fattori di confidenza in relazione al livello di conoscenza raggiunto.
Per i materiali nuovi o aggiunti si impiegano le proprietà nominali.
Il comportamento non lineare dell'eventuale materiale betoncino armato è definito attraverso una curva analitica uniassiale deformazioni-sforzi (ε-σ) comprendente la sola parte a compressione.
Il comportamento non lineare dell'eventuale materiale composito fibrorinforzato è definito attraverso una curva analitica uniassiale deformazioni-sforzi (ε-σ) comprendente la sola parte a trazione.

4 - LIVELLI DI CONOSCENZA E FATTORI DI CONFIDENZA

Sulla base delle informazioni acquisite:

- sulla GEOMETRIA (§ C8.A.1.A.1 - Circolare 02-02-2009 n. 617);
- sui DETTAGLI COSTRUTTIVI (§ C8.A.1.A.2 - Circolare 02-02-2009 n. 617);
- sulle PROPRIETA' DEI MATERIALI (§ C8.A.1.A.3 - Circolare 02-02-2009 n. 617).

con riferimento alla Tabella C8A.1.1 (Circolare 02-02-2009 n. 617) sono stati acquisiti il **LIVELLO DI CONOSCENZA** (LC - § C8.A.1.A.4 - Circolare 02-02-2009 n. 617) ed il **FATTORE DI CONFIDENZA** (FC - § C8.A.1.A.4 - Circolare 02-02-2009 n. 617) seguenti:

Livello di conoscenza e fattore di confidenza

Livello di conoscenza	Fattore di confidenza
LC2	**1.20**

LEGENDA: Livello di conoscenza e fattore di confidenza
Livello di conoscenza [LC1] = Conoscenza Limitata - [LC2] = Conoscenza Adeguata - [LC3] = Conoscenza Accurata.
Fattore di confidenza Fattore di confidenza applicato alle proprietà dei materiali.

4.1 Procedure per la valutazione della sicurezza e la redazione dei progetti

Per edifici esistenti l'analisi storico-critica ed il rilievo geometrico-strutturale devono evidenziare i seguenti aspetti:

- la costruzione riflette lo stato delle conoscenze al tempo della sua realizzazione;
- possono essere insiti e non palesi difetti di impostazione e di realizzazione;
- la costruzione può essere stata soggetta ad azioni, anche eccezionali, i cui effetti non siano completamente manifesti;
- le strutture possono presentare degrado e/o modificazioni significative rispetto alla situazione originaria.

Nella definizione dei modelli strutturali, si dovrà, inoltre, tenere conto che:

- la geometria e i dettagli costruttivi sono definiti e la loro conoscenza dipende solo dalla documentazione disponibile e dal livello di approfondimento delle indagini conoscitive;
- la conoscenza delle proprietà meccaniche dei materiali non risente delle incertezze legate alla produzione e posa in opera ma solo della omogeneità dei materiali stessi all'interno della costruzione, del livello di approfondimento delle indagini conoscitive e dell'affidabilità delle stesse;
- i carichi permanenti sono definiti e la loro conoscenza dipende dal livello di approfondimento delle indagini conoscitive.

- **Analisi storico-critica**

Ai fini di una corretta individuazione del sistema strutturale esistente e del suo stato di sollecitazione è stato importante ricostruire il processo di realizzazione e le successive modificazioni subite nel tempo dal

manufatto, nonché gli eventi che lo hanno interessato. Viene di seguito indicata la documentazione reperita e vengono esplicitate le informazioni desunte da ciascuno dei documenti esaminati.

- **Rilievo geometrico-strutturale**

Il rilievo geometrico-strutturale è stato riferito sia alla geometria complessiva dell'organismo che a quella degli elementi costruttivi, comprendendo i rapporti con le eventuali strutture in aderenza. Nel rilievo sono state rappresentate le modificazioni intervenute nel tempo, come desunte dall'analisi storico-critica.
Il rilievo ha avuto come fine l'individuazione dell'organismo resistente della costruzione, tenendo anche presente la qualità e lo stato di conservazione dei materiali e degli elementi costitutivi.
Sono stati rilevati anche gli eventuali dissesti, in atto o stabilizzati, ponendo particolare attenzione all'individuazione dei quadri fessurativi e dei meccanismi di danno.

- **Caratterizzazione meccanica dei materiali**

Per conseguire un' adeguata conoscenza delle caratteristiche dei materiali e del loro degrado, ci si è basati sulla documentazione disponibile (progetto esecutivo), su verifiche visive in situ e su indagini sperimentali. Il numero di prove e dei riscontri effettuati per analogia ha permesso di attribuire un livello di conoscenza LC2 alla caratterizzazione dei materiali. I valori delle resistenze meccaniche dei medesimi sono stati valutati sulla base delle prove effettuate sulla struttura dalla soc. Istedil di Perugia e prescindono dalle classi discretizzate previste dalle norme per le nuovce costruzioni. Si riportano di seguito i valori numerici delle prove effettuate (prelievo di campioni di cls ed acciasio, prove pacometriche.

EDIFICIO 2

CONTR.	ZONA	Peso (g)	h/Ø (mm)	kN	N/mm²	
7	Pilastro n° 105	2026,6	106/104	159,2	18,75	Piano Rialzato
8	Pilastro n° 62	2016,0	105/104	184,7	21,76	
21	Pilastro n° 59	1997,3	105/104	151,9	17,89	
22	Pillastro n° 107	1975,6	102/104	164,4	19,36	

Media valori EDIFICIO 1 19,44 N/mm²

Ferri

CONTR.	ZONA	Diametro (Ø)	Snervam. (N/mm²)	Rottura (N/mm²)
7	Pilastro n° 105	14 (liscio)	402	564
8	Pilastro n° 62	14 (liscio)	466	570

5 - TERRENO DI FONDAZIONE

Le indagini effettuate, mirate alla valutazione della velocità delle onde di taglio (V_{S30}) e/o del numero di colpi dello Standard Penetration Test (NSPT), permettono di classificare il profilo stratigrafico, ai fini della determinazione dell'azione sismica, di categoria **C [C - Depositi di terreni a grana grossa mediamente addensati o terreni a grana fina mediamente consistenti]**.

Tutti i parametri che caratterizzano i terreni di fondazione sono riportati nei tabulati di calcolo, nella relativa sezione. Per ulteriori dettagli si rimanda alle relazioni geologica e geotecnica.

6 - ANALISI DEI CARICHI

Un'accurata valutazione dei carichi è un requisito imprescindibile di una corretta progettazione, in particolare per le costruzioni realizzate in zona sismica.
Essa, infatti, è fondamentale ai fini della determinazione delle forze sismiche, in quanto incide sulla valutazione delle masse e dei periodi propri della struttura dai quali dipendono i valori delle accelerazioni (ordinate degli spettri di progetto).

La valutazione dei carichi e dei sovraccarichi è stata effettuata in accordo con le disposizioni del **Decreto Ministero Infrastrutture Trasporti 14 gennaio 2008** (G. U. 4 febbraio 2008, n. 29 - Suppl.Ord.) "Norme tecniche per le Costruzioni"
La valutazione dei carichi permanenti è effettuata sulle dimensioni definitive.

Le analisi effettuate, corredate da dettagliate descrizioni, oltre che nei tabulati di calcolo nella relativa sezione, sono di seguito riportate:

ANALISI CARICHI

Analisi carichi

N_{id}	T. C.	Descrizione del Carico	Tipologie di Carico	Peso Proprio		Permanente NON Strutturale		Sovraccarico Accidentale		Carico Neve
				Descrizione	PP	Descrizione	PNS	Descrizione	SA	
										[N/mm^2]
001	S	Doppia fodera 30cm (12+8)	Carico Permanente	Fodera esterna (12 cm) e fodera interna (8 cm)	1.600	Intonaco interno, intonaco esterno, isolante poliuretano espanso	740		0	0
002	S	Latcem copertura H 20 cm	Scuole	Solaio di tipo tradizionale latero-cementizio di spessore 20 cm no caldana	2.000	Guaina	300	Copertura non praticabile	500	600
003	S	Latcem sottotetto H 20 cm no caldana	Abitazioni	Solaio di tipo tradizionale latero-cementizio di spessore 20 cm no caldana	2.000	Intonaco	180	Sottotetto praticabile sola manutenzione	500	0
004	S	Latcem calpestio 24+2	Scuole	Solaio di tipo tradizionale latero-cementizio di spessore 26 cm (24+2)	2.900	Pavimento, allettamento, tramezzi	3.050	Scuole (Cat. C1 – Tab. 3.1.II - DM 14.01.2008)	3.000	0

LEGENDA:

N_{id} Numero identificativo dell'analisi di carico.
T. C. Identificativo del tipo di carico: [S] = Superficiale - [L] = Lineare - [C] = Concentrato.
PP, PNS, SA Valori rispettivamente, del Peso Proprio, del Sovraccarico Permanente NON strutturale, del Sovraccarico Accidentale. Secondo il tipo di carico indicato nella colonna "T.C." ("S" - "L" - "C"), i valori riportati nelle colonne "PP", "PNS" e "SA", sono espressi in [N/m^2] per carichi Superficiali, [N/m] per carichi Lineari, [N] per carichi Concentrati.

7 - VALUTAZIONE DELL'AZIONE SISMICA

L'azione sismica è stata valutata in conformità alle indicazioni riportate al capitolo 3.2 del D.M. 14 gennaio 2008 "Norme tecniche per le Costruzioni".

In particolare il procedimento per la definizione degli spettri di progetto per i vari Stati Limite per cui sono state effettuate le verifiche è stato il seguente:

- definizione della Vita Nominale e della Classe d'Uso della struttura, il cui uso combinato ha portato alla definizione del Periodo di Riferimento dell'azione sismica.
- Individuazione, tramite latitudine e longitudine, dei parametri sismici di base a_g, F_0 e T^*_c per tutti e quattro gli Stati Limite previsti (SLO, SLD, SLV e SLC); l'individuazione è stata effettuata interpolando tra i 4 punti più vicini al punto di riferimento dell'edificio.
- Determinazione dei coefficienti di amplificazione stratigrafica e topografica.
- Calcolo del periodo T_c corrispondente all'inizio del tratto a velocità costante dello Spettro.

I dati così calcolati sono stati utilizzati per determinare gli Spettri di Progetto nelle verifiche agli Stati Limite considerate.

Si riportano di seguito le coordinate geografiche del sito rispetto al Datum ED50:

Latitudine	Longitudine	Altitudine
[°]	[°]	[m]
42.5496	12.6586	150

7.1 Spettri di Progetto per S.L.U. e S.L.D.

L'edificio è stato progettato per una Vita Nominale pari a **50** e per Classe d'Uso pari a **3**.
In base alle indagini geognostiche effettuate si è classificato il suolo di fondazione di categoria **C**, cui corrispondono i seguenti valori per i parametri necessari alla costruzione degli spettri di risposta orizzontale e verticale:

Parametri di pericolosità sismica

Stato Limite	a_g	F_O	T^*_c	C_C	T_C	T_C	T_D	S_S
	[g]		[s]		[s]	[s]	[s]	[s]
SLO	0.0675	2.495	0.278	1.60	0.148	0.445	1.870	1.50
SLD	0.0825	2.495	0.290	1.58	0.153	0.458	1.930	1.50
SLV	0.1889	2.465	0.327	1.52	0.166	0.497	2.356	1.42
SLC	0.2337	2.490	0.339	1.50	0.169	0.508	2.535	1.35

Per la definizione degli spettri di risposta, oltre all'accelerazione a_g al suolo (dipendente dalla classificazione sismica del Comune) occorre determinare il Fattore di Struttura q.

Il Fattore di struttura q è un fattore riduttivo delle forze elastiche introdotto per tenere conto delle capacità dissipative della struttura che dipende dal sistema costruttivo adottato, dalla Classe di Duttilità e dalla regolarità in altezza.
Si è inoltre assunto il Coefficiente di Amplificazione Topografica S_T pari a **1,00**.

Tali succitate caratteristiche sono riportate negli allegati tabulati di calcolo al punto "DATI GENERALI ANALISI SISMICA".

Per la struttura in esame sono stati determinati i seguenti valori:

<u>Stato Limite Ultimo</u>

Verifica meccanismi "Duttili"
Fattore di Struttura q per sisma orizzontale in direzione X: **1,50**
Fattore di Struttura q per sisma orizzontale in direzione Y: **1,50**
Fattore di Struttura q per sisma verticale: **1,50**

Verifica meccanismi "Fragili"
Il fattore di struttura utilizzato per la verifica di tali meccanismi è pari a **1,50**.

Gli spettri utilizzati sono riportati nella successiva figura.

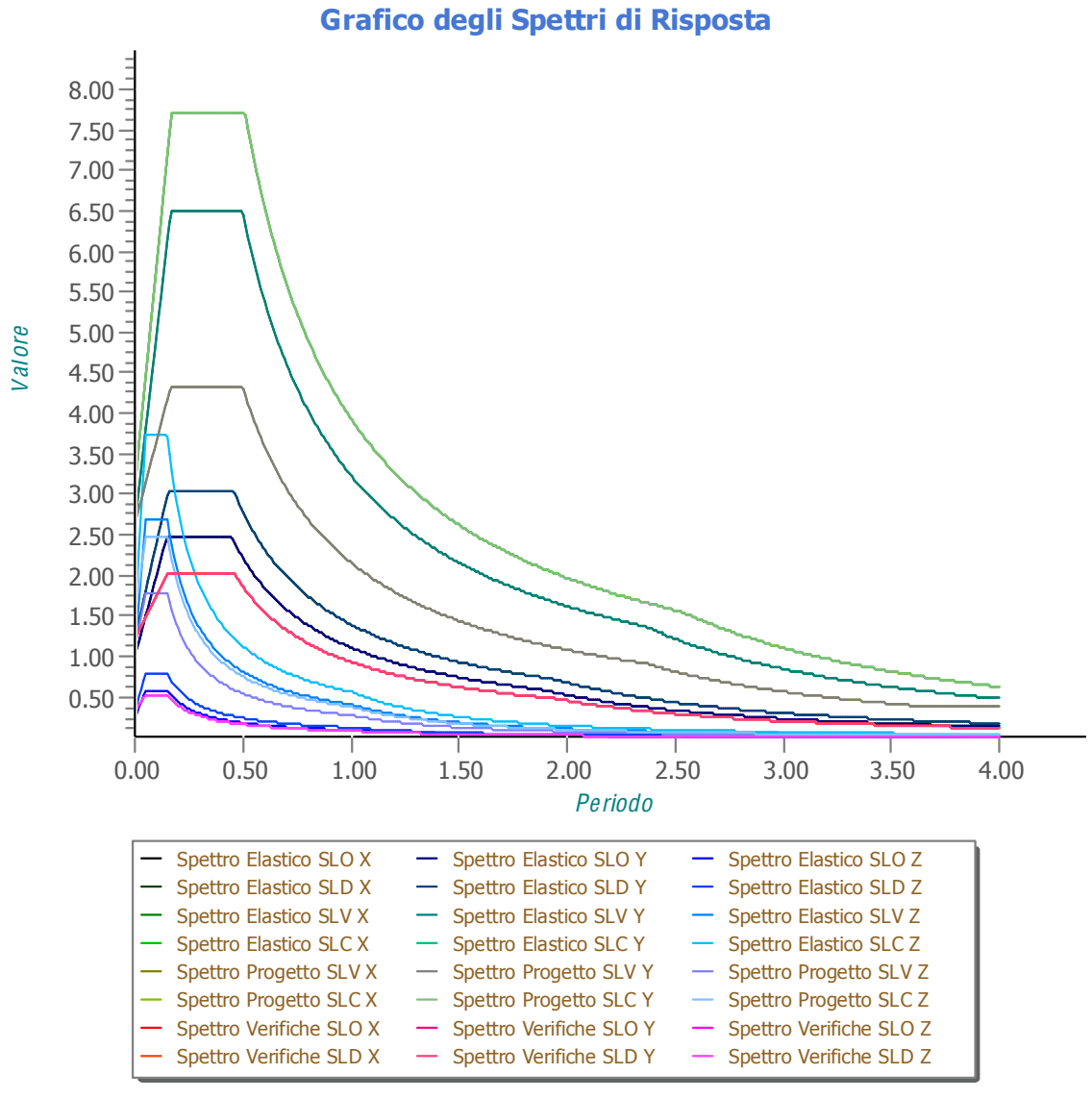

7.2 Metodo di Analisi

Il calcolo delle azioni sismiche è stato eseguito in analisi dinamica modale, considerando il comportamento della struttura in regime elastico lineare.
Il numero di modi di vibrazione considerato (9) ha consentito, nelle varie condizioni, di mobilitare le seguenti percentuali delle masse della struttura:

Stato Limite	Direzione Sisma	%
salvaguardia della vita	X	98.4
salvaguardia della vita	Y	97.2
salvaguardia della vita	Z	100.0

Per valutare la risposta massima complessiva di una generica caratteristica E, conseguente alla sovrapposizione dei modi, si è utilizzata una tecnica di combinazione probabilistica definita CQC (Complete Quadratic Combination - Combinazione Quadratica Completa):

$$E = \sqrt{\sum_{i,j=1,n} \rho_{ij} \cdot E_i \cdot E_j} \qquad \text{con} \qquad \rho_{ij} = \frac{8 \cdot \xi^2 \cdot (1+\beta_{ij}) \cdot \beta_{1j}^{\frac{3}{2}}}{(1-\beta_{ij}^2)^2 + 4 \cdot \xi^2 \cdot \beta_{ij} \cdot (1+\beta_{ij}^2)} \qquad \beta_{ij} = \frac{\omega_i}{\omega_j}$$

dove:

- n è il numero di modi di vibrazione considerati
- ξ è il coefficiente di smorzamento viscoso equivalente espresso in percentuale;
- β_{ij} è il rapporto tra le frequenze di ciascuna coppia i-j di modi di vibrazione.

Le sollecitazioni derivanti da tali azioni sono state composte poi con quelle derivanti da carichi verticali, orizzontali non sismici secondo le varie combinazioni di carico probabilistiche. Il calcolo è stato effettuato mediante un programma agli elementi finiti le cui caratteristiche verranno descritte nel seguito.

Il calcolo degli effetti dell'azione sismica è stato eseguito con riferimento alla struttura spaziale, tenendo cioè conto degli elementi interagenti fra loro secondo l'effettiva realizzazione escludendo i tamponamenti. Non ci sono approssimazioni su tetti inclinati, piani sfalsati o scale, solette, pareti irrigidenti e nuclei.

Si è tenuto conto delle deformabilità taglianti e flessionali degli elementi monodimensionali; muri, pareti, setti, solette sono stati correttamente schematizzati tramite elementi finiti a tre/quattro nodi con comportamento a guscio (sia a piastra che a lastra).

Sono stati considerati sei gradi di libertà per nodo; in ogni nodo della struttura sono state applicate le forze sismiche derivanti dalle masse circostanti.

Le sollecitazioni derivanti da tali forze sono state poi combinate con quelle derivanti dagli altri carichi come prima specificato.

7.3 Valutazione degli spostamenti

Gli spostamenti d_E della struttura sotto l'azione sismica di progetto allo SLV si ottengono moltiplicando per il fattore $_d$ i valori d_{Ee} ottenuti dall'analisi lineare, dinamica o statica, secondo l'espressione seguente:

$$d_E = \pm \mu_d \cdot d_{Ee}$$

dove

$\mu_d = q$ se $T_1 \geq T_C$

$\mu_d = 1+(q-1)\cdot T_C/T_1$ se $T_1 < T_C$

In ogni caso $\mu_d \leq 5q - 4$.

7.4 Combinazione delle componenti dell'azione sismica

Le azioni orizzontali dovute al sisma sulla struttura vengono convenzionalmente determinate come agenti separatamente in due direzioni tra loro ortogonali prefissate. In generale, però, le componenti orizzontali del sisma devono essere considerate come agenti simultaneamente. A tale scopo, la combinazione delle componenti orizzontali dell'azione sismica è stata tenuta in conto come segue:

- gli effetti delle azioni dovuti alla combinazione delle componenti orizzontali dell'azione sismica sono stati valutati mediante le seguenti combinazioni:

$$E_{EdX} \pm 0.30E_{EdY} \qquad\qquad E_{EdY} \pm 0.30E_{EdX}$$

dove:

- E_{EdX} rappresenta gli effetti dell'azione dovuti all'applicazione dell'azione sismica lungo l'asse orizzontale X scelto della struttura;
- E_{EdY} rappresenta gli effetti dell'azione dovuti all'applicazione dell'azione sismica lungo l'asse orizzontale Y scelto della struttura.

L'azione sismica verticale deve essere considerata in presenza di: elementi pressoché orizzontali con luce superiore a 20 m, elementi pressoché orizzontali precompressi, elementi a sbalzo pressoché orizzontali con luce maggiore di 5 m, travi che sostengono colonne, strutture isolate.

La combinazione della componente verticale del sisma, qualora portata in conto, con quelle orizzontali è stata tenuta in conto come segue:

- gli effetti delle azioni dovuti alla combinazione delle componenti orizzontali e verticali del sisma sono stati valutati mediante le seguenti combinazioni:

$E_{EdX} \pm 0.30E_{EdY} \pm 0.30E_{EdZ}$ $E_{EdY} \pm 0.30E_{EdX} \pm 0.30E_{EdZ}$ $E_{EdZ} \pm 0.30E_{EdX} \pm 0.30E_{EdY}$

dove:

E_{EdX} e E_{EdY} sono gli effetti dell'azione sismica nelle direzioni orizzontali prima definite;
E_{EdZ} rappresenta gli effetti dell'azione dovuti all'applicazione della componente verticale dell'azione sismica di progetto.

7.5 Eccentricità accidentali

Per valutare le eccentricità accidentali, previste in aggiunta all'eccentricità effettiva sono state considerate condizioni di carico aggiuntive ottenute applicando l'azione sismica nelle posizioni del centro di massa di ogni piano ottenute traslando gli stessi, in ogni direzione considerata, di una distanza pari a +/- 5% della dimensione massima del piano in direzione perpendicolare all'azione sismica.

8 - ANALISI STATICA NON LINEARE (PushOver)

Il calcolo è stato eseguito in Analisi Statica Non Lineare mediante un programma agli elementi finiti le cui caratteristiche verranno descritte nel seguito.

Il calcolo degli effetti dell'azione sismica è stato eseguito con riferimento alla struttura spaziale, tenendo cioè conto degli elementi interagenti fra loro secondo l'effettiva realizzazione. Non ci sono approssimazioni su tetti inclinati, piani sfalsati o scale, solette, pareti irrigidenti e nuclei.

Si è tenuto conto delle deformabilità assiali, taglianti e flessionali degli elementi monodimensionali; pareti, setti, muri, solette sono stati correttamente schematizzati tramite elementi finiti a tre/quattro nodi con comportamento sia a piastra che a lastra.

Sono stati considerati sei gradi di libertà per nodo; in ogni nodo della struttura sono state applicate le forze sismiche derivanti dalle masse circostanti.

Il calcolo in Analisi Statica Non Lineare viene svolto nei seguenti passi:

1) Definizione di un legame costitutivo non lineare per i materiali, come sopra esposto.
2) Definizione dei carichi agenti sulla struttura; tali carichi sono costituiti dai carichi verticali, combinati secondo le indicazioni del punto 2.5.3, relazione [2.5.5], oppure del punto 3.2.4, relazione [3.2.16] del D.M. 14.01.2008, e da una distribuzione di forze orizzontali come rappresentativa del sisma.
3) Definizione di un Punto di Controllo per l'Analisi; tale punto di controllo può essere scelto automaticamente tra i nodi strutturali dell'ultimo piano, con le coordinate più prossime (eventualmente coincidenti) a quelle del baricentro delle masse di tale impalcato, oppure manualmente dall'utente.
4) Soluzione del sistema tridimensionale dell'edificio soggetto ai carichi definiti al punto 2); tale soluzione viene perseguita per 4 direzioni del sisma (+X, -X, +Y e –Y) e per due distribuzioni di forze orizzontali (forze proporzionali alle masse e forze proporzionali al I Modo di vibrazione per la direzione considerata) per un totale di 8 Analisi Statiche Non Lineari. Alle 4 direzioni del sisma possono essere considerati anche i contributi dovuti alle eccentricità accidentali.
5) Per ognuna delle varie Analisi effettuate al punto 4 viene costruita la Curva di Capacità dell'Edificio, mettendo in ascissa il taglio alla base e sulle ordinate lo spostamento del Punto di Controllo; da tale Curva sono ricavate le caratteristiche di un Sistema a 1 Grado di Libertà equivalente e in particolare le grandezze Forza allo Snervamento e spostamento corrispondente imponendo l'uguaglianza tra l'area sottesa dalla curva e la bilineare equivalente. Definite quindi la rigidezza secante e la massa equivalente, si ricava il periodo del sistema a 1 Grado di Libertà; con tale Periodo sono calcolate le domande di spostamento allo SLU (SLV) e allo SLE (SLD), trasformate infine nelle domande del sistema reale.

Per quanto esposto al punto 4) è necessario preventivamente effettuare un calcolo in analisi

dinamica modale, considerando il comportamento della struttura in regime elastico lineare.

9 - AZIONI SULLA STRUTTURA

I calcoli e le verifiche sono condotti con il metodo semiprobabilistico degli stati limite secondo le indicazioni del D.M. 14 gennaio 2008.
I carichi agenti sui solai, derivanti dall'analisi dei carichi, vengono ripartiti dal programma di calcolo in modo automatico sulle membrature (travi, pilastri, pareti, solette, platee, ecc.).

I carichi dovuti ai tamponamenti, sia sulle travi di fondazione che su quelle di piano, sono schematizzati come carichi lineari agenti esclusivamente sulle aste.
Su tutti gli elementi strutturali è inoltre possibile applicare direttamente ulteriori azioni concentrate e/o distribuite (variabili con legge lineare ed agenti lungo tutta l'asta o su tratti limitati di essa).

Le azioni introdotte direttamente sono combinate con le altre (carichi permanenti, accidentali e sisma) mediante le combinazioni di carico di seguito descritte; da esse si ottengono i valori probabilistici da impiegare successivamente nelle verifiche.

9.1 Stato Limite di Salvaguardia della Vita

Le azioni sulla costruzione sono state cumulate in modo da determinare condizioni di carico tali da risultare più sfavorevoli ai fini delle singole verifiche, tenendo conto della probabilità ridotta di intervento simultaneo di tutte le azioni con i rispettivi valori più sfavorevoli, come consentito dalle norme vigenti.
Per gli stati limite ultimi sono state adottate le combinazioni del tipo:

$$\gamma_{G1} \cdot G_1 + \gamma_{G2} \cdot G_2 + \gamma_P \cdot P + \gamma_{Q1} \cdot Q_{k1} + \gamma_{Q2} \cdot \psi_{02} \cdot Q_{k2} + \gamma_{Q3} \cdot \psi_{03} \cdot Q_{k3} + \ldots\ldots \quad (1)$$

dove:

- G_1 rappresenta il peso proprio di tutti gli elementi strutturali; peso proprio del terreno, quando pertinente; forze indotte dal terreno (esclusi gli effetti di carichi variabili applicati al terreno); forze risultanti dalla pressione dell'acqua (quando si configurino costanti nel tempo);
- G_2 rappresenta il peso proprio di tutti gli elementi non strutturali;
- P rappresenta l'azione di pretensione e/o precompressione;
- Q azioni sulla struttura o sull'elemento strutturale con valori istantanei che possono risultare sensibilmente diversi fra loro nel tempo:
  - di lunga durata: agiscono con un'intensità significativa, anche non continuativamente, per un tempo non trascurabile rispetto alla vita nominale della struttura;
  - di breve durata: azioni che agiscono per un periodo di tempo breve rispetto alla vita nominale della struttura;
- Q_{ki} rappresenta il valore caratteristico della i-esima azione variabile;
- $\gamma_g, \gamma_q, \gamma_p$ coefficienti parziali come definiti nella tabella 2.6.I del DM 14 gennaio 2008;
- ψ_{0i} sono i coefficienti di combinazione per tenere conto della ridotta probabilità di concomitanza delle azioni variabili con i rispettivi valori caratteristici.

Le 26 combinazioni risultanti sono state costruite a partire dalle sollecitazioni caratteristiche calcolate per ogni condizione di carico elementare: ciascuna condizione di carico accidentale, a rotazione, è stata considerata sollecitazione di base (Q_{k1} nella formula precedente).
I coefficienti relativi a tali combinazioni di carico sono riportati negli allegati tabulati di calcolo.

In zona sismica, oltre alle sollecitazioni derivanti dalle generiche condizioni di carico statiche, devono essere considerate anche le sollecitazioni derivanti dal sisma. L'azione sismica è stata combinata con le altre azioni secondo la seguente relazione:

$$G_1 + G_2 + P + E + \sum_i \psi_{2i} \cdot Q_{ki}$$

dove:

- E rappresenta l'azione sismica per lo stato limite in esame;
- G_1 rappresenta peso proprio di tutti gli elementi strutturali;

G_2 rappresenta il peso proprio di tutti gli elementi non strutturali;
P rappresenta l'azione di pretensione e/o precompressione;
ψ_{2i} coefficiente di combinazione delle azioni variabili Q_i;
Q_{ki} valore caratteristico dell'azione variabile Q_i.

Gli effetti dell'azione sismica sono valutati tenendo conto delle masse associate ai seguenti carichi gravitazionali:

$$G_K + \sum_i (\psi_{2i} \cdot Q_{ki}) .$$

I valori dei coefficienti ψ_{2i} sono riportati nella seguente tabella:

Categoria/Azione	ψ_{2i}
Categoria A – Ambienti ad uso residenziale	0,3
Categoria B – Uffici	0,3
Categoria C – Ambienti suscettibili di affollamento	0,6
Categoria D – Ambienti ad uso commerciale	0,6
Categoria E – Biblioteche, archivi, magazzini e ambienti ad uso industriale	0,8
Categoria F – Rimesse e parcheggi (per autoveicoli di peso $\leq$ 30 kN)	0,6
Categoria G – Rimesse e parcheggi (per autoveicoli di peso > 30 kN)	0,3
Categoria H – Coperture	0,0
Vento	0,0
Neve (a quota $\leq$ 1000 m s.l.m.)	0,0
Neve (a quota > 1000 m s.l.m.)	0,2
Variazioni termiche	0,0

In zona sismica, oltre alle sollecitazioni derivanti dalle generiche condizioni di carico statiche, devono essere considerate anche le sollecitazioni derivanti dal sisma. L'azione sismica è stata combinata con le altre azioni secondo la seguente relazione:

$$G_1 + G_2 + P + E + \sum_i \psi_{2i} \cdot Q_{ki}$$

dove:
E rappresenta l'azione sismica per lo stato limite in esame;
G_1 rappresenta peso proprio di tutti gli elementi strutturali;
G_2 rappresenta il peso proprio di tutti gli elementi non strutturali;
P rappresenta l'azione di pretensione e/o precompressione;
ψ_{2i} coefficiente di combinazione delle azioni variabili Q_i;
Q_{ki} valore caratteristico dell'azione variabile Q_i.

Gli effetti dell'azione sismica sono valutati tenendo conto delle masse associate ai seguenti carichi gravitazionali:

$$G_K + \sum_i (\psi_{2i} \cdot Q_{ki}) .$$

I valori dei coefficienti ψ_{2i} sono riportati nella seguente tabella:

Categoria/Azione	ψ_{2i}
Categoria A – Ambienti ad uso residenziale	0,3
Categoria B – Uffici	0,3
Categoria C – Ambienti suscettibili di affollamento	0,6
Categoria D – Ambienti ad uso commerciale	0,6
Categoria E – Biblioteche, archivi, magazzini e ambienti ad uso industriale	0,8
Categoria F – Rimesse e parcheggi (per autoveicoli di peso $\leq$ 30 kN)	0,6

Categoria G – Rimesse e parcheggi (per autoveicoli di peso > 30 kN)	0,3
Categoria H – Coperture	0,0
Vento	0,0
Neve (a quota $\leq$ 1000 m s.l.m.)	0,0
Neve (a quota > 1000 m s.l.m.)	0,2
Variazioni termiche	0,0

Le verifiche strutturali e geotecniche delle fondazionii, sono state effettuate con l'**Approccio 2** come definito al p. 2.6.1 del DM 14/01/2008, attraverso la combinazione **A1+M1+R3**. Le azioni sono state amplificate tramite i coefficienti della colonna A1 (STR) definiti nella tabella 6.2.I del DM 14/01/2008.
I valori di resistenza del terreno sono stati ridotti tramite i coefficienti della colonna M1 definiti nella 6.2.II del DM 14/01/2008.
I valori calcolati delle resistenze totali dell'elemento strutturale sono stati divisi per i coefficienti R3 della tabella 6.4.I del DM 14/01/2008 per le fondazioni superficiali.

Si è quindi provveduto a progettare le armature di ogni elemento strutturale per ciascuno dei valori ottenuti secondo le modalità precedentemente illustrate. Nella sezione relativa alle verifiche dei "Tabulati di calcolo" in allegato sono riportati, per brevità, i valori della sollecitazione relativi alla combinazione cui corrisponde il minimo valore del coefficiente di sicurezza.

9.2 Stato Limite di Danno

L'azione sismica, ottenuta dallo spettro di progetto per lo Stato Limite di Danno, è stata combinata con le altre azioni mediante una relazione del tutto analoga alla precedente:

$$G_1 + G_2 + P + E + \sum_i \psi_{2i} \cdot Q_{ki}$$

dove:
- E rappresenta l'azione sismica per lo stato limite in esame;
- G_1 rappresenta peso proprio di tutti gli elementi strutturali;
- G_2 rappresenta il peso proprio di tutti gli elementi non strutturali
- P rappresenta l'azione di pretensione e/o precompressione;
- ψ_{2i} coefficiente di combinazione delle azioni variabili Q_i;
- Q_{ki} valore caratteristico dell'azione variabile Q_i.

Gli effetti dell'azione sismica sono valutati tenendo conto delle masse associate ai seguenti carichi gravitazionali:

$$G_K + \sum_i (\psi_{2i} \cdot Q_{ki})$$

I valori dei coefficienti ψ_{2i} sono riportati nella tabella di cui allo SLV.
$BLK_NRM_ANSM_ST_DN$

9.3 Stato Limite di Danno

L'azione sismica, ottenuta dallo spettro di progetto per lo Stato Limite di Danno, è stata combinata con le altre azioni mediante una relazione del tutto analoga alla precedente:

$$G_1 + G_2 + P + E + \sum_i \psi_{2i} \cdot Q_{ki}$$

dove:
- E rappresenta l'azione sismica per lo stato limite in esame;
- G_1 rappresenta peso proprio di tutti gli elementi strutturali;
- G_2 rappresenta il peso proprio di tutti gli elementi non strutturali
- P rappresenta l'azione di pretensione e/o precompressione;

ψ_{2i} coefficiente di combinazione delle azioni variabili Q_i;
Q_{ki} valore caratteristico dell'azione variabile Q_i.

Gli effetti dell'azione sismica sono valutati tenendo conto delle masse associate ai seguenti carichi gravitazionali:

$$G_K + \sum_i (\psi_{2i} \cdot Q_{ki})$$

I valori dei coefficienti ψ_{2i} sono riportati nella tabella di cui allo SLV.

9.4 Stati Limite di Esercizio

Allo Stato Limite di Esercizio le sollecitazioni con cui sono state semiprogettate le aste in c.a. sono state ricavate applicando le formule riportate nel D.M. 14 gennaio 2008 - Norme tecniche per le costruzioni - al punto 2.5.3. Per le verifiche agli stati limite di esercizio, a seconda dei casi, si fa riferimento alle seguenti combinazioni di carico:

rara	frequente	quasi permanente
$\sum_{j\geq 1} G_{kj} + P + Q_{k1} + \sum_{i>1} \psi_{0i} \cdot Q_{ki}$	$\sum_{j\geq 1} G_{kj} + P + \psi_{11} \cdot Q_{k1} + \sum_{i>1} \psi_{2i} \cdot Q_{ki}$	$\sum_{j\geq 1} G_{kj} + P + \sum_{i>1} \psi_{2i} \cdot Q_{ki}$

dove:

G_{kj} valore caratteristico della j-esima azione permanente;
P_{kh} valore caratteristico della h-esima deformazione impressa;
Q_{kl} valore caratteristico dell'azione variabile di base di ogni combinazione;
Q_{ki} valore caratteristico della i-esima azione variabile;
ψ_{0i} coefficiente atto a definire i valori delle azioni ammissibili di durata breve ma ancora significativi nei riguardi della possibile concomitanza con altre azioni variabili;
ψ_{1i} coefficiente atto a definire i valori delle azioni ammissibili ai frattili di ordine 0,95 delle distribuzioni dei valori istantanei;
ψ_{2i} coefficiente atto a definire i valori quasi permanenti delle azioni ammissibili ai valori medi delle distribuzioni dei valori istantanei.

Ai coefficienti ψ_{0i}, ψ_{1i}, ψ_{2i} sono attribuiti i seguenti valori:

Azione	ψ_{0i}	ψ_{1i}	ψ_{2i}
Categoria A – Ambienti ad uso residenziale	0,7	0,5	0,3
Categoria B – Uffici	0,7	0,5	0,3
Categoria C – Ambienti suscettibili di affollamento	0,7	0,7	0,6
Categoria D – Ambienti ad uso commerciale	0,7	0,7	0,6
Categoria E – Biblioteche, archivi, magazzini e ambienti ad uso industriale	1,0	0,9	0,8
Categoria F – Rimesse e parcheggi (per autoveicoli di peso $\leq$ 30 kN)	0,7	0,7	0,6
Categoria G – Rimesse e parcheggi (per autoveicoli di peso > 30 kN)	0,7	0,5	0,3
Categoria H – Coperture	0,0	0,0	0,0
Vento	0,6	0,2	0,0
Neve (a quota $\leq$ 1000 m s.l.m.)	0,5	0,2	0,0
Neve (a quota > 1000 m s.l.m.)	0,7	0,5	0,2
Variazioni termiche	0,6	0,5	0,0

In maniera analoga a quanto illustrato nel caso dello SLU le combinazioni risultanti sono state costruite a partire dalle sollecitazioni caratteristiche calcolate per ogni condizione di carico; a turno ogni condizione di carico accidentale è stata considerata sollecitazione di base (Q_{k1} nella formula (1)), con ciò dando origine a tanti valori combinati. Per ognuna delle combinazioni ottenute, in funzione dell'elemento (trave, pilastro, etc...) sono state effettuate le verifiche allo SLE (tensioni, deformazioni e fessurazione).
Negli allegati tabulati di calcolo sono riportanti i coefficienti relativi alle combinazioni di calcolo generate relativamente alle combinazioni di azioni "Quasi Permanente" (1), "Frequente" (4) e "Rara" (3).
Nelle sezioni relative alle verifiche allo SLE dei citati tabulati, inoltre, sono riportati i valori delle

sollecitazioni relativi alle combinazioni che hanno originato i risultati più gravosi.

10 - CODICE DI CALCOLO IMPIEGATO

10.1 Denominazione

Nome del Software	**EdiLus**
Versione	30.00a
Caratteristiche del Software	Software per il calcolo di strutture agli elementi finiti per Windows
Numero di serie	12113371
Intestatario Licenza	Comune di TERNI
Produzione e Distribuzione	**ACCA software S.p.A.** Via Michelangelo Cianciulli 83048 Montella (AV) Tel. 0827/69504 r.a. - Fax 0827/601235 e-mail: info@acca.it - Internet: www.acca.it

10.2 Sintesi delle funzionalità generali

Il pacchetto consente di modellare la struttura, di effettuare il dimensionamento e le verifiche di tutti gli elementi strutturali e di generare gli elaborati grafici esecutivi.

È una procedura integrata dotata di tutte le funzionalità necessarie per consentire il calcolo completo di una struttura mediante il metodo degli elementi finiti (FEM); la modellazione della struttura è realizzata tramite elementi Beam (travi e pilastri) e Shell (platee, pareti, solette, setti, travi-parete).

L'input della struttura avviene per oggetti (travi, pilastri, solai, solette, pareti, etc.) in un ambiente grafico integrato; il modello di calcolo agli elementi finiti, che può essere visualizzato in qualsiasi momento in una apposita finestra, viene generato dinamicamente dal software.

Apposite funzioni consentono la creazione e la manutenzione di archivi Sezioni, Materiali e Carichi; tali archivi sono generali, nel senso che sono creati una tantum e sono pronti per ogni calcolo, potendoli comunque integrare/modificare in ogni momento.

L'utente non può modificare il codice ma soltanto eseguire delle scelte come:

- definire i vincoli di estremità per ciascuna asta (vincoli interni) e gli eventuali vincoli nei nodi (vincoli esterni);
- modificare i parametri necessari alla definizione dell'azione sismica;
- definire condizioni di carico;
- definire gli impalcati come rigidi o meno.

Il programma è dotato di un manuale tecnico ed operativo. L'assistenza è effettuata direttamente dalla casa produttrice, mediante linea telefonica o e-mail.

Il calcolo si basa sul solutore agli elementi finiti MICROSAP prodotto dalla società TESYS srl. La scelta di tale codice è motivata dall'elevata affidabilità dimostrata e dall'ampia documentazione a disposizione, dalla quale risulta la sostanziale uniformità dei risultati ottenuti su strutture standard con i risultati internazionalmente accettati ed utilizzati come riferimento.

Tutti i risultati del calcolo sono forniti, oltre che in formato numerico, anche in formato grafico permettendo così di evidenziare agevolmente eventuali incongruenze.

Il programma consente la stampa di tutti i dati di input, dei dati del modello strutturale utilizzato, dei risultati del calcolo e delle verifiche dei diagrammi delle sollecitazioni e delle deformate.

10.3 Sistemi di Riferimento

10.3.1 Riferimento globale

Il sistema di riferimento globale, rispetto al quale va riferita l'intera struttura, è costituito da una terna di assi cartesiani sinistrorsa O,X,Y,Z (X,Y, e Z sono disposti e orientati rispettivamente secondo il pollice, l'indice ed il medio della mano destra, una volta posizionati questi ultimi a 90° tra loro).

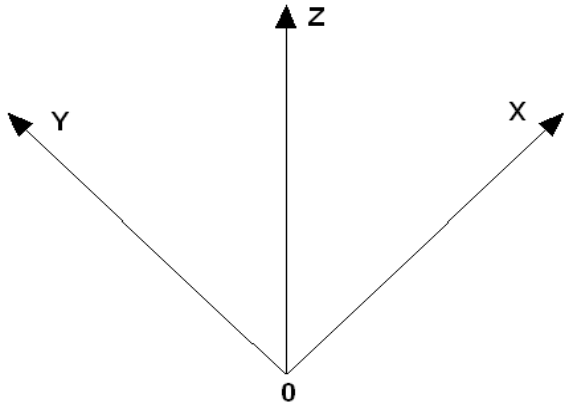

10.3.2 Riferimento locale per travi

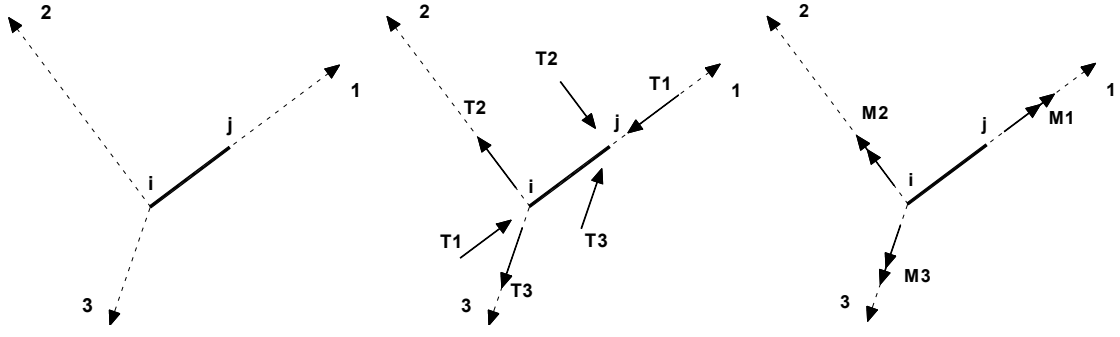

L'elemento Trave è un classico elemento strutturale in grado di ricevere Carichi distribuiti e Carichi Nodali applicati ai due nodi di estremità; per effetto di tali carichi nascono, negli estremi, sollecitazioni di taglio, sforzo normale, momenti flettenti e torcenti.

Definiti i e j i nodi iniziale e finale della Trave, viene individuato un sistema di assi cartesiani 1-2-3 locale all'elemento, con origine nel Nodo i così composto:

- asse 1 orientato dal nodo i al nodo j;
- assi 2 e 3 appartenenti alla sezione dell'elemento e coincidenti con gli assi principali d'inerzia della sezione stessa.

Le sollecitazioni verranno fornite in riferimento a tale sistema di riferimento:

1. Sollecitazione di Trazione o Compressione T1 (agente nella direzione i-j);
2. Sollecitazioni taglianti T2 e T3, agenti nei due piani 1-2 e 1-3, rispettivamente secondo l'asse 2 e l'asse 3;
3. Sollecitazioni che inducono flessione nei piani 1-3 e 1-2 (M2 e M3);
4. Sollecitazione torcente M1.

10.3.3 Riferimento locale per pilastri

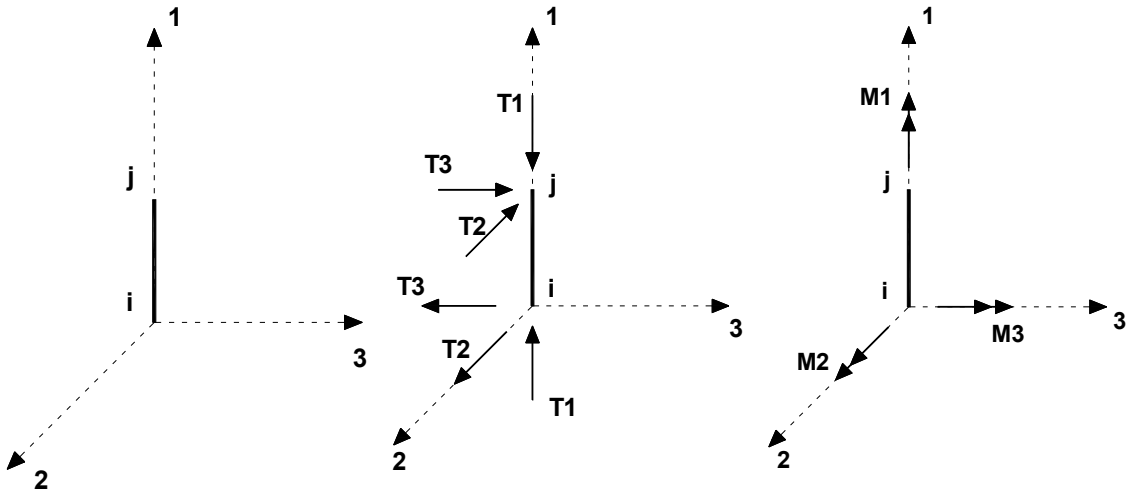

Definiti i e j come i due nodi iniziale e finale del pilastro, viene individuato un sistema di assi cartesiani 1-2-3 locale all'elemento, con origine nel Nodo i così composto:

- asse 1 orientato dal nodo i al nodo j;
- asse 2 perpendicolare all' asse 1, parallelo e discorde all'asse globale Y;
- asse 3 che completa la terna destrorsa, parallelo e concorde all'asse globale X.

Tale sistema di riferimento è valido per Pilastri con angolo di rotazione pari a '0' gradi; una rotazione del pilastro nel piano X,Y ha l'effetto di ruotare anche tale sistema (ad es. una rotazione di '90' gradi porterebbe l'asse 2 a essere parallelo e concorde all'asse X, mentre l'asse 3 sarebbe parallelo e concorde all'asse globale Y). La rotazione non ha alcun effetto sull'asse 1 che coinciderà sempre e comunque con l'asse globale Z.

Per quanto riguarda le sollecitazioni si ha:

- una forza di trazione o compressione T1, agente lungo l'asse locale 1;
- due forze taglianti T2 e T3 agenti lungo i due assi locali 2 e 3;
- due vettori momento (flettente) M2 e M3 agenti lungo i due assi locali 2 e 3;
- un vettore momento (torcente) M1 agente lungo l'asse locale nel piano 1.

10.3.4 Riferimento locale per pareti

Una parete è costituita da una sequenza di setti; ciascun setto è caratterizzato da un sistema di riferimento locale 1-2-3 così individuato:

- asse 1, coincidente con l'asse globale Z;
- asse 2, parallelo e discorde alla linea d'asse della traccia del setto in pianta;
- asse 3, ortogonale al piano della parete, che completa la terna levogira.

Su ciascun setto l'utente ha la possibilità di applicare uno o più carichi uniformemente distribuiti comunque orientati nello spazio; le componenti di tali carichi possono essere fornite, a discrezione dell'utente, rispetto al riferimento globale X,Y,Z oppure rispetto al riferimento locale 1,2,3 appena definito.

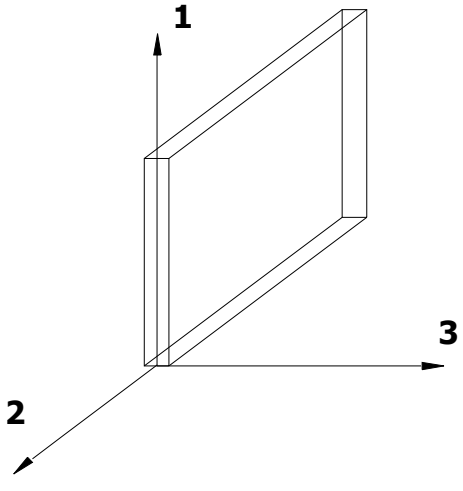

Si rende necessario, a questo punto, meglio precisare le modalità con cui EdiLus restituisce i risultati di calcolo.

Nel modello di calcolo agli elementi finiti ciascun setto è discretizzato in una serie di elementi tipo "shell" interconnessi; il solutore agli elementi finiti integrato nel programma EdiLus, definisce un riferimento locale per ciascun elemento shell e restituisce i valori delle tensioni esclusivamente rispetto a tali riferimenti.

Il software EdiLus provvede ad omogeneizzare tutti i valori riferendoli alla terna 1-2-3. Tale operazione consente, in fase di input, di ridurre al mimino gli errori dovuti alla complessità d'immissione dei dati stessi ed allo stesso tempo di restituire all'utente dei risultati facilmente interpretabili.

Tutti i dati cioè, sia in fase di input che in fase di output, sono organizzati secondo un criterio razionale vicino al modo di operare del tecnico e svincolato dal procedimento seguito dall'elaboratore elettronico.

In tal modo ad esempio, il significato dei valori delle tensioni può essere compreso con immediatezza non solo dal progettista che ha operato con il programma ma anche da un tecnico terzo non coinvolto nell'elaborazione; entrambi, così, potranno controllare con facilità dal tabulato di calcolo, la congruità dei valori riportati.

Un'ultima notazione deve essere riservata alla modalità con cui il programma fornisce le armature delle pareti, con riferimento alla faccia anteriore e posteriore.

La faccia anteriore è quella di normale uscente concorde all'asse 3 come prima definito o, identicamente, quella posta alla destra dell'osservatore che percorresse il bordo superiore della parete concordemente al verso di tracciamento.

10.3.5 Riferimento locale per solette

In maniera analoga a quanto avviene per i setti, ciascuna soletta è caratterizzata da un sistema di riferimento locale 1,2,3 così definito:

- asse 1, coincidente con la direzione principale di armatura;
- asse 2, coincidente con la direzione secondaria di armatura;
- asse 3, ortogonale al piano della parete, che completa la terna levogira.

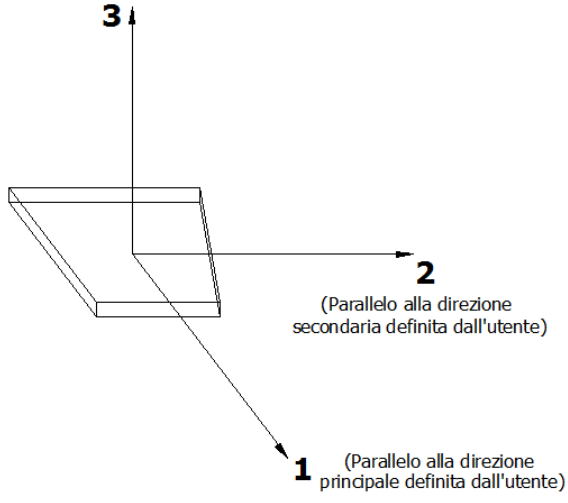

10.3.6 Riferimento locale per platee

Anche per le platee, analogamente a quanto descritto per le solette, è definito un sistema di riferimento locale 1,2,3:

- asse 1, coincidente con la direzione principale di armatura;
- asse 2, coincidente con la direzione secondaria di armatura;
- asse 3, ortogonale al piano della parete, che completa la terna levogira.

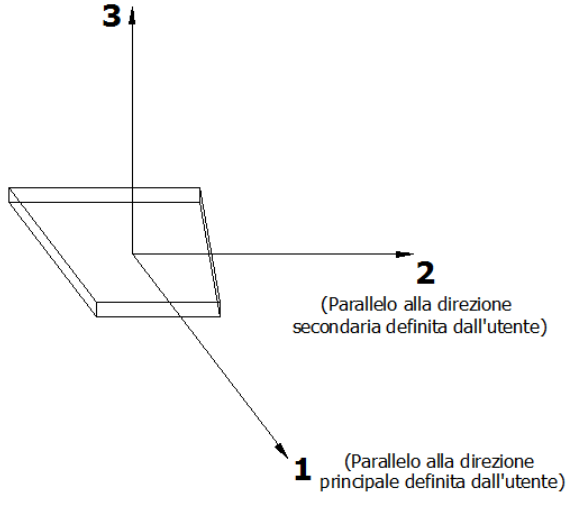

10.4 Modello di Calcolo

Il modello della struttura viene creato automaticamente dal codice di calcolo, individuando i vari

elementi strutturali e fornendo le loro caratteristiche geometriche e meccaniche.

Viene definita un'opportuna numerazione degli elementi (nodi, aste, shell) costituenti il modello, al fine di individuare celermente ed univocamente ciascun elemento nei tabulati di calcolo.

Qui di seguito è fornita una rappresentazione grafica dettagliata della discretizzazione operata con evidenziazione dei nodi e degli elementi.

Vista Anteriore

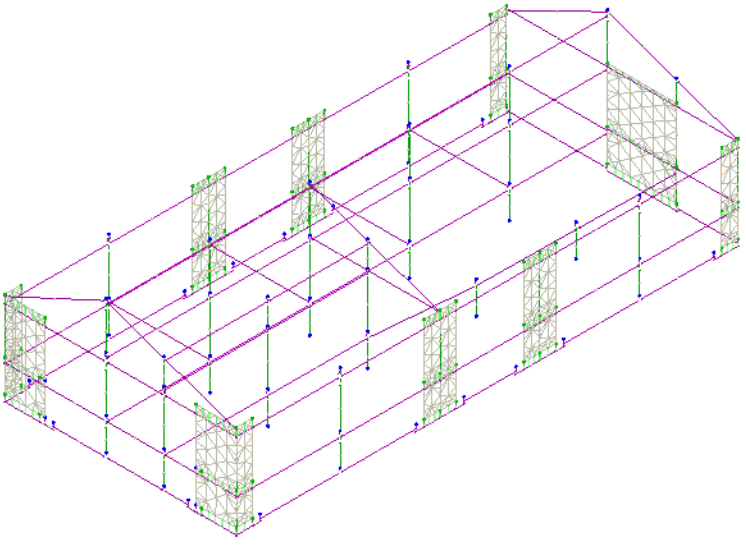

Vista Posteriore

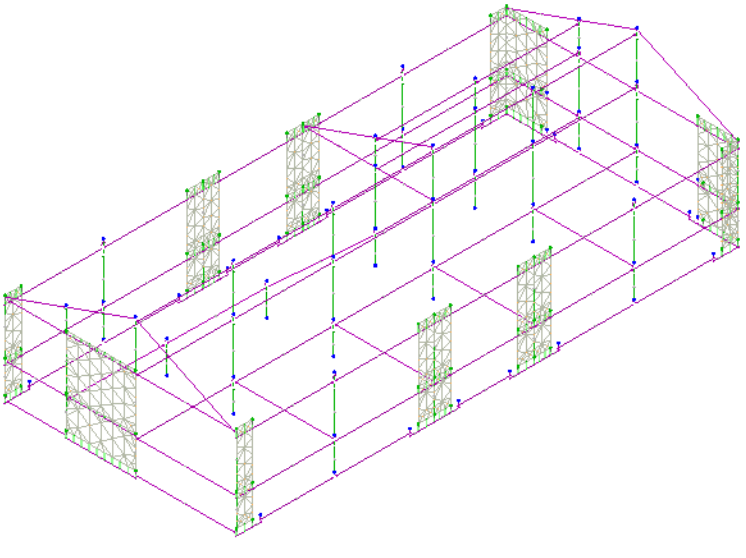

Dalle illustrazioni precedenti si evince come le aste, sia travi che pilastri, siano schematizzate con un tratto flessibile centrale e da due tratti (braccetti) rigidi alle estremità. I nodi vengono posizionati sull'asse verticale dei pilastri, in corrispondenza dell'estradosso della trave più alta che in esso si collega. Tramite i braccetti i tratti flessibili sono quindi collegati ad esso.

In questa maniera il nodo risulta perfettamente aderente alla realtà poiché vengono presi in conto tutti gli eventuali disassamenti degli elementi con gli effetti che si possono determinare, quali momenti flettenti/torcenti aggiuntivi.

Le sollecitazioni vengono determinate, com'è corretto, solo per il tratto flessibile. Sui tratti rigidi, infatti, essendo (teoricamente) nulle le deformazioni le sollecitazioni risultano indeterminate.

Questa schematizzazione dei nodi viene automaticamente realizzata dal programma anche quando il nodo sia determinato dall'incontro di più travi senza il pilastro, o all'attacco di travi/pilastri con elementi shell.

Per gli elementi monodimensionali (beam) in c.a., il comportamento non lineare del materiale è schematizzato con un modello a **plasticità diffusa**, utilizzando una modellazione a fibre per descrivere il comportamento flessionale mentre, per descrive il comportamento tangenziale (taglio e torsione) vengono definiti dei diagrammi forza-spostamento per il taglio e momento-rotazione per la torsione.
Per portare in conto la non linearità di materiale è necessario definire compiutamente le caratteristiche degli elementi strutturali facendo intervenire anche le armature. Per gli elementi beam, essendo in genere le armature variabili lungo l'asse dell'elemento, è necessario considerare, nella costruzione della matrice di rigidezza, che il beam ha una sezione variabile (non costante). Non potendo portare in conto con continuità tale variabilità di sezione, si scelgono un certo numero di sezioni nelle quali si definiscono le caratteristiche non lineari. Tra due successive sezioni i dati sono poi ricavati per interpolazione. In linea generale, la caratterizzazione non lineare dell'elemento avviene nel seguente modo:

- Suddivisione dell'elemento in 3 tratti, un tratto centrale e due tratti laterali; la somma della lunghezza dei tre tratti è pari a quella totale dell'elemento.
- Per ognuno dei tre tratti, vengono definite le caratteristiche delle due sezioni di estremità. Il SAP provvede a definire, in funzione del grado di precisione richiesta, nuove sezioni (dette sezioni di integrazione) tra queste di estremità. In tali sezioni di integrazione i dati sono ricavati per interpolazione.
- Per ogni sezione di estremità occorre definire il comportamento lineare/non lineare del materiale. Per la definizione non lineare si hanno a disposizione due strade:
  - *Comportamento a Fibre*: si definisce la curva caratteristica dei materiali (calcestruzzo e acciaio) costituenti l'elemento e la geometria della sezione (inclusi i dati delle armature). La sezione, a tale scopo, viene suddivisa in fibre (meshata nel suo piano). Questo modello permette di riprodurre esattamente l'interazione tra le componenti di *azione normale* (N) e *momento biassiale* (Mx, My). Nel riprodurre tale comportamento è possibile portare in conto anche il contributo del confinamento. Questo metodo rappresenta la schematizzazione più rigorosa ma anche la più onerosa per il tempo di calcolo richiesto.
  - Per quanto riguarda, invece, il *comportamento a taglio e torsione*, si fa ricorso alla definizione di specifici legami costitutivi relativi al comportamento che si vuole analizzare. Si introducono pertanto i diagrammi *Momento-Rotazione* per il comportamento torsionale o *Forza-Spostamento* per quello tagliante che descrivono il comportamento dell'elemento in funzione dello stato deformativo.

Per gli elementi bidimensionali (shell) sia in c.a. che in muratura, la non linearità del materiale (sia con riferimento al comportamento membranale che flessionale) viene descritta tramite una stratificazione che opera lungo lo spessore dello shell. Con riferimento ad esempio ad una parete in c.a., lo shell viene descritto come formato dai seguenti strati:

- Uno strato di c.a. di spessore pari al copriferro.
- Uno strato di armature verticali (l'armatura ha spessore nullo).
- Uno strato di armature orizzontali (l'armatura ha spessore nullo).
- Uno strato di c.a. di spessore pari al totale dell'elemento meno 2 volte il copriferro.
- Uno strato di armature orizzontali (l'armatura ha spessore nullo).
- Uno strato di armature verticali (l'armatura ha spessore nullo).
- Uno strato di c.a. di spessore pari al copriferro.

Ognuno degli strati che costituiscono la shell può essere di materiale a comportamento lineare (basta definire E e G) o non lineare (definizione dal legame costitutivo del materiale). Nel caso di strato di spessore non nullo a comportamento non lineare il SAP provvede poi a suddividere ulteriormente lo strato in sottostrati per poter seguire più fedelmente il comportamento non lineare.

Gli elementi di fondazione (travi, platee, plinti, plinti su pali e pali) sono modellati assumendo un comportamento elastico-lineare sia a trazione che a compressione.
Gli elementi in acciaio per carpenterie metalliche e gli elementi in materiale generico sono modellati assumendo un comportamento elastico-lineare sia a trazione che a compressione.

10.5 Verifica della sicurezza

La verifica degli elementi allo SLU avviene col seguente procedimento:

- si costruiscono le combinazioni non sismiche in base al D.M. 14.01.2008, ottenendo un insieme di sollecitazioni;
- si combinano tali sollecitazioni con quelle dovute all'azione del sisma secondo quanto indicato nel § 2.5.3, relazione (2.5.5) del D.M. 14/01/2008.
- per sollecitazioni semplici (flessione retta, taglio, etc.) si individuano i valori minimo e massimo con cui progettare o verificare l'elemento considerato; per sollecitazioni composte (pressoflessione retta/deviata) vengono eseguite le verifiche per tutte le possibili combinazioni e solo a seguito di ciò si individua quella che ha originato il minimo coefficiente di sicurezza.

Per quanto attiene agli elementi esistenti (di *Fatto*), ai fini delle verifiche di sicurezza, gli elementi strutturali vengono distinti in **duttili** e **fragili**. La classificazione degli elementi/meccanismi nelle due categorie è di seguito riportata:

- **duttili**: travi, pilastri e pareti/setti inflesse con e senza sforzo normale;
- **fragili**: meccanismi di taglio in travi, pilastri, pareti/setti e nodi.

Nel caso di uso del fattore di struttura, tutti gli elementi strutturali "duttili" devono soddisfare la condizione che la sollecitazione indotta dall'azione sismica, ridotta del fattore di struttura q, sia inferiore o uguale alla corrispondente resistenza. Tutti gli elementi strutturali "fragili" devono, invece, soddisfare la condizione che la sollecitazione indotta dall'azione sismica, ridotta per q = 1.5, sia inferiore o uguale alla corrispondente resistenza.
Per gli elementi fragili, la resistenza a taglio si valuta come nel caso di situazioni non sismiche.
Per i nodi, la verifica di resistenza viene eseguita secondo quanto indicato nel § C8.7.2.5 della succitata Circolare verificando sia la resistenza a trazione diagonale [relazione (8.7.2.2)] che quella a compressione diagonale [relazione (8.7.2.3)].

Per quanto concerne gli elementi strutturali di nuova realizzazione (di *Progetto*), la progettazione e verifica di tali elementi segue le stesse regole previste per le strutture di nuova edificazione.

Relativamente alla verifica e/o il progetto degli elementi in c.a. illustriamo, in dettaglio, il procedimento seguito quando si è in presenza di pressoflessione deviata (pilastri e trave di sezione generica):

- per tutte le terne Mx, My, N, individuate secondo la modalità precedentemente illustrata, si calcola il coefficiente di sicurezza in base alla formula 4.1.10 del D.M. 14 gennaio 2008, effettuando due verifiche a pressoflessione retta con la seguente formula:

$$\left(\frac{M_{Ex}}{M_{Rx}}\right)^{\alpha} + \left(\frac{M_{Ey}}{M_{Ry}}\right)^{\alpha} \leq 1$$

  dove:

  M_{Ex}, M_{Ey} sono i valori di calcolo delle due componenti di flessione retta dell'azione attorno agli assi di flessione X ed Y del sistema di riferimento locale;

  M_{Rx}, M_{Ry} sono i valori di calcolo dei momenti resistenti di pressoflessione retta corrispondenti allo sforzo assiale N_{Ed} valutati separatamente attorno agli assi di flessione.

  L'esponente α può dedursi in funzione della geometria della sezione, della percentuale meccanica dell'armatura e della sollecitazione di sforzo normale agente.

- se per almeno una di queste terne la relazione 4.1.10 non è rispettata, si incrementa l'armatura variando il diametro delle barre utilizzate e/o il numero delle stesse in maniera iterativa fino a quando la suddetta relazione è rispettata per tutte le terne considerate.

Sempre quanto concerne il progetto degli elementi in c.a. illustriamo in dettaglio il procedimento seguito per le travi verificate/semiprogettate a pressoflessione retta:

- per tutte le coppie Mx, N, individuate secondo la modalità precedentemente illustrata, si calcola il coefficiente di sicurezza in base all'armatura adottata;
- se per almeno una di queste coppie esso è inferiore all'unità, si incrementa l'armatura variando il diametro delle barre utilizzate e/o il numero delle stesse in maniera iterativa fino a quando il coefficiente di sicurezza risulta maggiore o al più uguale all'unità per tutte le coppie considerate.

Nei tabulati di calcolo, per brevità, non potendo riportare una così grossa mole di dati, si riporta la terna Mx, My, N, o la coppia Mx, N che ha dato luogo al minimo coefficiente di sicurezza.

Una volta semiprogettate le armature allo SLU, si procede alla verifica delle sezioni allo Stato Limite di Esercizio con le sollecitazioni derivanti dalle combinazioni rare, frequenti e quasi permanenti; se necessario, le armature vengono integrate per far rientrare le tensioni entro i massimi valori previsti.

Successivamente si procede alle verifiche alla deformazione, quando richiesto, ed alla fessurazione che, come è noto, sono tese ad assicurare la durabilità dell'opera nel tempo.

Nel caso di analisi statica non lineare, la verifica globale di sicurezza consiste (come indicato nel § C7.3.4.1 della Circolare n.617 del 02/02/2009) nel confronto tra la capacità di spostamento ultimo della costruzione e la domanda di spostamento ottenute applicando il procedimento illustrato al § 7.3.4.1 del DM 14/01/2008.
Per quanto riguarda la verifica allo SLV (SLU), si controlla che la domanda di spostamento – calcolata secondo la relazione (C7.3.7) oppure C7.3.8 del § C7.3.4.1 della Circolare – sia inferiore alla capacità di spostamento dell'edificio (calcolata secondo le indicazioni del § C7.3.4.1), letta in corrispondenza del massimo spostamento offerto dalla Curva di Capacità. Se tale verifica (Domanda $\leq$ Capacità) risulta soddisfatta per tutte le 8 Analisi effettuate, l'edificio è verificato allo SLU.
Per quanto riguarda le verifiche allo SLD (SLE), oltre alla condizione che la capacità di spostamento sia maggiore o uguale alla domanda di spostamento allo SLD, deve essere ulteriormente soddisfatta la verifica relativa agli spostamenti di interpiano; la struttura viene di nuovo analizzata, stavolta sotto l'azione di forze orizzontali tali da provocare uno spostamento del Punto di Controllo pari alla domanda di spostamento allo SLD; con gli spostamenti nodali calcolati in corrispondenza di tale sistema di forze orizzontali sono calcolati gli spostamenti di interpiano ed effettuata la relativa verifica.

Per quanto riguarda la verifica degli elementi in c.a. in analisi statica NON lineare, gli elementi ed i meccanismi resistenti vengono classificati in:
- **duttili:** travi, pilastri e pareti/setti inflesse con e senza sforzo normale;
- **fragili:** meccanismi di taglio in travi, pilastri, pareti/setti e nodi.

La verifica degli elementi "duttili" viene eseguita confrontando gli effetti indotti dalle azioni sismiche in termini di deformazioni con i rispettivi limiti di deformazione. La verifica degli elementi "fragili" viene eseguita confrontando gli effetti indotti dalle azioni sismiche in termini di forze con le rispettive resistenze. Per il calcolo della capacità di elementi/meccanismi duttili o fragili si impiegano le proprietà caratteristiche/nominali dei materiali. Per il calcolo della capacità di resistenza degli elementi fragili, le resistenze nominali dei materiali sono ridotti per i corrispondenti coefficienti parziali di sicurezza.

Per gli elementi duttili, la capacità deformativa è definita con riferimento alla rotazione ("rotazione rispetto alla corda") θ della sezione d'estremità rispetto alla congiungente quest'ultima con la sezione di momento nullo a distanza pari alla luce di taglio $L_V = M/V$. Tale rotazione è anche pari allo spostamento relativo delle due sezioni diviso per la luce di taglio.
Allo SLV, la capacità di rotazione totale rispetto alla corda, può essere assunta pari a 3/4 del valore ultimo θ_u, calcolata secondo la relazione (C8A.6.5) del § C8A.6 della Circolare n.617 del 02/02/2009.
Allo SLD, la capacità di rotazione totale rispetto alla corda, è calcolata secondo le relazioni (8.7.2.1a e 8.7.2.1b) del § C8.7.2.5 della succitata Circolare.

Per gli elementi fragili, la resistenza a taglio si valuta come nel caso di situazioni non sismiche, considerando comunque un contributo del conglomerato al massimo pari a quello relativo agli elementi senza armature trasversali resistenti.
Per i nodi, la verifica di resistenza viene eseguita secondo quanto indicato nel § C8.7.2.5 della succitata Circolare. Viene verificata sia la resistenza a trazione diagonale che quella a compressione diagonale.

Gli elementi di fondazione (travi, platee, plinti, plinti su pali e pali) sono verificati assumendo implicitamente un comportamento lineare (come indicato al § 7.2.5 del DM 14/01/2008). In particolare, le verifiche vengono condotte con riferimento alle sollecitazioni dell'Analisi Non Lineare (sollecitazioni ottenute in corrispondenza della domanda di spostamento).

11 - TABULATI DI CALCOLO

Per quanto non espressamente sopra riportato, ed in particolar modo per ciò che concerne i dati numerici di calcolo, si rimanda all'allegato "Tabulati di calcolo" costituente parte integrante della presente relazione.

I progettisti

Ing. Marcello Boccio

Ing. Stefano Marinozzi

INDICE

Tomo 1 di 2

INFORMAZIONI GENERALI ..... pag.
LIVELLO DI CONOSCENZA E FATTORE DI CONFIDENZA ..... pag.
MATERIALI CALCESTRUZZO ARMATO ..... pag.
MATERIALI ACCIAIO ..... pag.
MATERIALI CARATTERISTICHE NON LINEARI ..... pag.
TERRENI ..... pag.
STRATIGRAFIE ..... pag.
SEZIONI ASTE ..... pag.
ANALISI CARICHI ..... pag.
DATI GENERALI ANALISI SISMICA NON LINEARE ..... pag.
..... pag.
PRINCIPALI ELEMENTI ANALISI SISMICA ..... pag.
RIEPILOGO MODI DI VIBRAZIONE ..... pag.
CURVA DI CAPACITA' ..... pag.
LIVELLI O PIANI ..... pag.
NODI ..... pag.
TRAVI IN ELEVAZIONE ..... pag.
TRAVI DI FONDAZIONE ..... pag.
PILASTRI E PILASTRI-PARETE ..... pag.
PARETI ..... pag.
PLINTI ..... pag.
SOLAI E BALCONI ..... pag.
NODI - VERIFICA DI CONFINAMENTO (Elevazione) ..... pag.
TRAVI - VERIFICHE PRESSOFLESSIONE RETTA E DEVIATA ALLO STATO LIMITE DI ESERCIZIO (Elevazione) ..... pag.
TRAVI - VERIFICHE DI ROTAZIONE ALLA CORDA (Elevazione) ..... pag.
TRAVI - VERIFICHE A TAGLIO PER ANALISI NON LINEARE (Elevazione) ..... pag.
PILASTRI - VERIFICHE PRESSOFLESSIONE DEVIATA ALLO STATO LIMITE DI ESERCIZIO (Elevazione) ..... pag.
PILASTRI - VERIFICHE DI ROTAZIONE ALLA CORDA (Elevazione) ..... pag.
PILASTRI - VERIFICHE A TAGLIO PER ANALISI NON LINEARE (Elevazione) ..... pag.
Pareti - VERIFICHE PRESSOFLESSIONE RETTA ALLO STATO LIMITE ULTIMO (Elevazione) ..... pag.
Pareti - VERIFICHE A TAGLIO PER PRESSOFLESSIONE RETTA ALLO STATO LIMITE ULTIMO (Elevazione) ..... pag.
Pareti - VERIFICHE A PRESSOFLESSIONE RETTA ALLO STATO LIMITE DI ESERCIZIO (Elevazione) ..... pag.

Tomo 2 di 2

Pareti - VERIFICHE A PRESSOFLESSIONE RETTA ALLO STATO LIMITE DI ESERCIZIO (Elevazione) ..... pag.
PIANI - VERIFICHE REGOLARITÀ (Elevazione) ..... pag.
PIANI - VERIFICHE AGLI SPOSTAMENTI ..... pag.
PIANI - VERIFICHE ALLO SLO (Elevazione) ..... pag.
PIANI - EFFETTI DEL SECONDO ORDINE (Elevazione) ..... pag.
NODI - VERIFICA DI CONFINAMENTO (Fondazione) ..... pag.
TRAVI - VERIFICHE PRESSOFLESSIONE RETTA ALLO STATO LIMITE ULTIMO (Fondazione) ..... pag.
TRAVI - VERIFICHE A TAGLIO PER PRESSOFLESSIONE RETTA ALLO STATO LIMITE ULTIMO (Fondazione) ..... pag.
TRAVI - VERIFICHE PRESSOFLESSIONE RETTA E DEVIATA ALLO STATO LIMITE DI ESERCIZIO (Fondazione) ..... pag.
PLINTI - SOLLECITAZIONI E VERIFICHE ALLO STATO LIMITE ULTIMO (Fondazione) ..... pag.
VERIFICHE CARICO LIMITE FONDAZIONI DIRETTE (Fondazione) ..... pag.

ACCELERAZIONI SISMICHE DI COLLASSO SU BEAM E SHELL.....pag.
ACCELERAZIONI SISMICHE DI COLLASSO PER CARICO LIMITE .....pag.

COMUNE DI TERNI
Direzione Lavori Pubblici e Manutenzioni - Patrimonio

Palazzo Spada - P.zza M. Ridolfi, 1
05100 Terni
Tel. +39 0744.549.501 Fax +39 0744.428708
renato.pierdonati@comune.terni.it

LAVORI DI RESTAURO, ADEGUAMENTO SISMICO, ADEGUAMENTO ALLE NORME DI PREVENZIONE INCENDI E ABBATTIMENTO BARRIERE ARCHITETTONICHE DELL'EDIFICIO SCOLASTICO "G. MATTEOTTI" VIA MARIE CURIE N. 4

DEFINITIVO

PROGETTO

Doc.
R2.2ST

EDIFICIO 2
RELAZIONE GEOTECNICA
E DELLE FONDAZIONI

Scala

Responsabile del Procedimento: Geom. S. Fredduzzi

Data: Marzo 2015

Progettisti:

Architettonico:	Arch. M. Finotto
Strutture:	Ing. M.Boccio
	Ing. S. Marinozzi
Impianti:	Per.Ind. T. Mococci
	Per.Ind. G. Rubeca
Sicurezza:	Geom. F. Formichetti

Collaboratori:

Geom. G. Poddi - Geom. M. D'Amato
Geom. F. Ottaviani - Per.Ind. E. Lenticchia
Geom. F. Ribeca - Geom. M. Ciuffetti
Geom. R. Sabatini - Geom. G. Severoni

Comune di Terni
Provincia di TR

RELAZIONE GEOTECNICA E DELLE FONDAZIONI

OGGETTO: Edificio 2

COMMITTENTE: Comune di Terni

I Progettisti

Ing. Marcello Boccio

Ing. Stefano Marinozzi

1 - DESCRIZIONE GENERALE DELL'OPERA

La presente relazione geotecnica riguarda le indagini, la caratterizzazione e modellazione geotecnica del "volume significativo" per l'opera in esame e valuta l'interazione opera / terreno ai fini del dimensionamento delle relative fondazioni.
Questa relazione è stata redatta sulla base dei dati risultanti dalle prove di campagna e/o di laboratorio.

2 - NORMATIVA DI RIFERIMENTO

Le fasi di analisi e verifica della struttura sono state condotte in accordo alle seguenti disposizioni normative, per quanto applicabili in relazione al criterio di calcolo adottato dal progettista, evidenziato nel prosieguo della presente relazione:

Legge 5 novembre 1971 n. 1086 (G. U. 21 dicembre 1971 n. 321)
"Norme per la disciplina delle opere di conglomerato cementizio armato, normale e precompresso ed a struttura metallica"

Legge 2 febbraio 1974 n. 64 (G. U. 21 marzo 1974 n. 76)
"Provvedimenti per le costruzioni con particolari prescrizioni per le zone sismiche"
Indicazioni progettuali per le nuove costruzioni in zone sismiche a cura del Ministero per la Ricerca scientifica - Roma 1981.

D. M. Infrastrutture Trasporti 14 gennaio 2008 (G.U. 4 febbraio 2008 n. 29 - Suppl. Ord.)
"Norme tecniche per le Costruzioni"

Inoltre, in mancanza di specifiche indicazioni, ad integrazione della norma precedente e per quanto con esse non in contrasto, sono state utilizzate le indicazioni contenute nella:

Circolare 2 febbraio 2009 n. 617 del Ministero delle Infrastrutture e dei Trasporti (G.U. 26 febbraio 2009 n. 27 – Suppl. Ord.)
"Istruzioni per l'applicazione delle 'Norme Tecniche delle Costruzioni' di cui al D.M. 14 gennaio 2008";

Eurocodice 7 – "Progettazione geotecnica" - ENV 1997-1 per quanto non in contrasto con le disposizioni del D.M. 2008 "Norme Tecniche per le Costruzioni"

3 - INDAGINI GEOGNOSTICHE E CARATTERIZZAZIONE GEOTECNICA

Sulla base di quanto dettagliato nella relazione geologica dell'area di sito, si è proceduto alla progettazione della campagna di indagini geognostiche finalizzate alla determinazione delle caratteristiche geotecniche dei terreni interessati dal "volume significativo" dell'opera in esame.

3.1 Prove effettuate e Caratterizzazione geotecnica

Al fine della determinazione delle caratteristiche geotecniche dei terreni coinvolti nel "volume significativo" dell'opera in esame, sono state condotte delle prove geotecniche, riassunte nella relazione geologica.

Le indagini realizzate hanno permesso di ricostruire le seguenti stratigrafie per ognuna delle quali sono state definite le proprietà geotecniche dei singoli terreni coinvolti.

TERRENI

Terreni

N_{TRN}	γ_T	K			ϕ	c_u	c'	E_d	E_{cu}	A_{S-B}
		K_X	K_Y	K_Z						
	[N/m³]	[N/cm³]	[N/cm³]	[N/cm³]	[°]	[N/mm²]	[N/mm²]	[N/mm²]	[N/mm²]	
T001	24.000	100	100	1000	40	0,000	0,000	25.000	0	0,000
Terreno di riporto										

Terreni

N_{TRN}	γ_T	K			ϕ	c_u	c'	E_d	E_{cu}	A_{S-B}
		K_X	K_Y	K_Z						
	[N/m³]	[N/cm³]	[N/cm³]	[N/cm³]	[°]	[N/mm²]	[N/mm²]	[N/mm²]	[N/mm²]	
T002	18.000	60	60	300	24	0,000	0,000	12	0	0,000
Ghiaia mediamente addensata										
T003	21.000	60	60	300	35	0,000	0,000	12	0	0,000
Sabbie limose										
T004	18.000	60	60	300	24	0,000	0,000	12	0	0,000

LEGENDA:

N_{TRN} Numero identificativo del terreno.
γ_T Peso specifico del terreno.
K Valori della costante di sottofondo del terreno nelle direzioni degli assi del riferimento globale X (K_X), Y (K_Y), e Z (K_Z).
ϕ Angolo di attrito del terreno.
c_u Coesione non drenata.
c' Coesione efficace.
E_d Modulo edometrico.
E_{cu} Modulo elastico in condizione non drenate.
A_{S-B} Parametro "A" di Skempton-Bjerrum per pressioni interstiziali.

STRATIGRAFIE

Stratigrafie

N_{TRN}	Q_i	Q_f	Cmp. S.	Add	ΔEd
	[m]	[m]			
[S002]-Edificio 2					
T002	1,50	-0,50	incoerente	sciolto	nulla
T003	-0,50	-4,50	incoerente	denso	nulla
T004	-4,50	INF	incoerente	sciolto	nulla

LEGENDA:

N_{TRN} Numero identificativo della stratigrafia.
Q_i Quota iniziale dello strato (riferito alla quota iniziale della stratigrafia).
Q_f Quota finale dello strato (riferito alla quota iniziale della stratigrafia). INF = infinito (profondità dello strato finale.
Cmp. S. Comportamento dello strato.
Add Addensamento dello strato.
ΔEd Variazione con la profondità del modulo edometrico.

3.2 Idrogeologia

La falda acquifera si trova a profondità di 5 metri dal piano campagna.

3.3 Problematiche riscontrate

Durante l'esecuzione delle prove e dall'elaborazione dei dati non sono emerse problematiche rilevanti alla realizzazione delle opere di fondazione.

4 - MODELLAZIONE GEOTECNICA E PERICOLOSITA' SISMICA DEL SITO E PERICOLOSITA' SISMICA DEL SITO

Le indagini effettuate, permettono di classificare il profilo stratigrafico, ai fini della determinazione dell'azione sismica, di categoria:
C [C - Depositi di terreni a grana grossa mediamente addensati o terreni a grana fina mediamente consistenti], basandosi sulla valutazione della velocità delle onde di taglio (V_{S30}) e/o del numero di colpi dello Standard Penetration Test (N_{SPT}) e/o della resistenza non drenata equivalente ($c_{u,30}$).
Tutti i parametri che caratterizzano i terreni di fondazione sono riportati nei seguenti paragrafi.

4.1 Modellazione geotecnica

Ai fini del calcolo strutturale, il terreno sottostante l'opera viene modellato secondo lo schema di Winkler, cioè un sistema costituito da un letto di molle elastiche mutuamente indipendenti. Ciò consente di ricavare le rigidezze offerte dai manufatti di fondazione, siano queste profonde o superficiali, che sono state introdotte direttamente nel modello strutturale per tener conto dell'interazione opera / terreno.

5 - SCELTA TIPOLOGICA DELLE OPERE DI FONDAZIONE

La tipologia delle opere di fondazione sono consone alle caratteristiche meccaniche del terreno definite in base ai risultati delle indagini geognostiche.
Nel caso in esame, la struttura di fondazione è costituita da:

- fondazioni dirette
  esistente: plinti
  progetto: schematizzazione a travi rovesce

6 - VERIFICHE DI SICUREZZA

Nelle verifiche allo stato limite ultimo deve essere rispettata la condizione:

$$E_d \leq R_d$$

dove:

E_d è il valore di progetto dell'azione o dell'effetto dell'azione;
R_d è il valore di progetto della resistenza del sistema geotecnico.

Le verifiche strutturali e geotecniche delle fondazionii, sono state effettuate con l'**Approccio 2** come definito al p. 2.6.1 del DM 14/01/2008, attraverso la combinazione **A1+M1+R3**. Le azioni sono state amplificate tramite i coefficienti della colonna A1 (STR) definiti nella tabella 6.2.I del DM 14/01/2008.

Tabella 6.2.I – Coefficienti parziali per le azioni o per l'effetto delle azioni [DM 14/01/2008]

CARICHI	EFFETTO	Coefficiente parziale γ_F (o γ_E)	A1 (STR)	A2 (GEO)
Permanenti	Favorevole	γ_{G1}	0,90	1,00
	Sfavorevole		1,10	1,00
Permanenti non strutturali	Favorevole	γ_{G2}	0,00	0,00
	Sfavorevole		1,50	1,30
Variabili	Favorevole	γ_{Qi}	0,00	0,00
	Sfavorevole		1,50	1,30

I valori di resistenza del terreno sono stati ridotti tramite i coefficienti della colonna M1 definiti nella 6.2.II del DM 14/01/2008.

Tabella 6.2.II – Coefficienti parziali per i parametri geotecnici del terreno [EN 1997-1:2005 (EC7)]

PARAMETRO GEOTECNICO	Grandezza alla quale applicare il coefficiente parziale	Coefficiente parziale γ_M	M1	M2
Angolo di attrito	$\tan\varphi_k$	$\gamma_{\varphi'}$	1,00	1,25
Coesione efficace	c'_k	$\gamma_{c'}$	1,00	1,25
Coesione non drenata	c_{uk}	γ_{cu}	1,00	1,40
Peso dell'unità di volume	γ	γ_γ	1,00	1,00

I valori calcolati delle resistenze totali dell'elemento strutturale sono stati divisi per i coefficienti R3 della tabella 6.4.I del DM 14/01/2008 per le fondazioni superficiali.

Per le varie tipologie di fondazioni sono di seguito elencate le metodologie ed i modelli usati per il calcolo del carico limite ed i risultati di tale calcolo.

6.1 Carico limite fondazioni dirette

La formula del carico limite esprime l'equilibrio fra il carico applicato alla fondazione e la resistenza limite del terreno. Il carico limite è dato dalla seguente espressione:

$$q_{lim} = c \cdot N_c \cdot s_c \cdot d_c \cdot i_c \cdot g_c \cdot b_c \cdot \Psi_c + q \cdot N_q \cdot s_q \cdot d_q \cdot i_q \cdot g_q \cdot b_q \cdot \Psi_q + \frac{B'}{2} \cdot \gamma_f \cdot N_\gamma \cdot s_\gamma \cdot d_\gamma \cdot i_\gamma \cdot g_\gamma \cdot b_\gamma \cdot \Psi_\gamma \cdot r_\gamma$$

in cui:

c = coesione del terreno al disotto del piano di posa della fondazione;

q = $\gamma \times D$ = pressione geostatica in corrispondenza del piano di posa della fondazione;

γ = peso unità di volume del terreno al di sopra del piano di posa della fondazione;

D = profondità del piano di posa della fondazione;

B' = larghezza ridotta della suola di fondazione (vedi **NB**);

L = lunghezza della fondazione;

γ_f = peso unità di volume del terreno al disotto del piano di posa della fondazione;

N_c, N_q, N_γ = fattori di capacità portante;

s, d, i, g, b, ψ , r = coefficienti correttivi.

NB: Se la risultante dei carichi verticali è eccentrica, B e L saranno ridotte rispettivamente di:

$$B' = B - 2 \cdot e_B \quad \text{ed} \quad L' = L - 2 \cdot e_L$$

dove:

e_B = eccentricità parallela al lato di dimensione B;

e_L = eccentricità parallela al lato di dimensione L;

con B' ≤ L'.

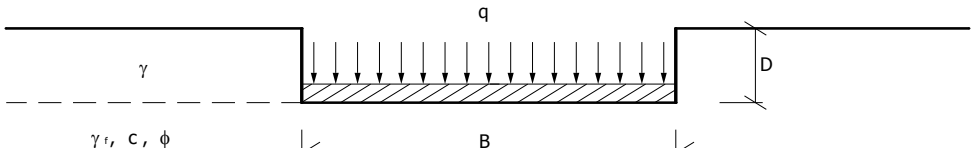

Calcolo dei fattori N_c, N_q, N_γ

Terreni puramente coesivi (c≠0, ϕ=0)	**Terreni dotati di attrito e coesione** (c≠0, ϕ≠0)
$N_c = 2 + \pi$	$N_c = (N_q - 1) \cdot \cot\phi$
$N_q = 1$	$N_q = K_p \cdot e^{\pi \cdot \tan\phi}$
$N_\gamma = 0$ se $\omega = 0$ $N_\gamma = -2 \cdot \sin\omega$ se $\omega \neq 0$	$N_\gamma = 2 \cdot (N_q + 1) \cdot \tan\phi$

dove:

$k_p = \tan^2\left(45 + \frac{\phi}{2}\right)$ è il coefficiente di spinta passiva di Rankine;

ϕ = angolo di attrito del terreno al disotto del piano di posa della fondazione;

ω = angolo di inclinazione del piano campagna.

Calcolo dei fattori di forma s_c, s_q, s_γ

Terreni puramente coesivi (c≠0, ϕ=0)	**Terreni dotati di attrito e coesione** (c≠0, ϕ≠0)
$s_c = 1 + \frac{B'}{(2+\pi) \cdot L'}$	$s_c = 1 + \frac{N_q}{N_c} \cdot \frac{B'}{L'}$

$s_q = 1$	$s_q = 1 + \frac{B'}{L'} \cdot \tan\phi$
$s_\gamma = 1 - 0.40 \cdot \frac{B'}{L'}$	$s_\gamma = 1 - 0.40 \cdot \frac{B'}{L'}$

con B'/L'<1.

Calcolo dei fattori di profondità del piano di posa d_c, d_q, d_γ

Si definisce il seguente parametro:

$$K = \frac{D}{B'} \qquad \text{se} \qquad \frac{D}{B'} \le 1;$$

$$K = \text{arctg}\left(\frac{D}{B'}\right) \qquad \text{se} \qquad \frac{D}{B'} > 1.$$

Terreni puramente coesivi (c≠0, ϕ=0)	**Terreni dotati di attrito e coesione** (c≠0, ϕ≠0)
$d_c = 1 + 0.4 \cdot k$	$d_c = d_q - \frac{1 - d_q}{N_c \cdot \tan\phi}$
$d_q = 1$	$d_q = 1 + 2 \cdot \tan\phi \cdot (1 - \sin\phi)^2 \cdot K$
$d_\gamma = 1$	$d_\gamma = 1$

Calcolo dei fattori di inclinazione del carico i_c, i_q, i_γ

Si definisce il seguente parametro:

$m = m_B = \frac{2 + B/L}{1 + B/L}$ se la forza H è parallela alla direzione trasversale della fondazione

$m = m_L = \frac{2 + L/B}{1 + L/B}$ se la forza H è parallela alla direzione longitudinale della fondazione

$m = m_\theta = m_L \cdot \cos^2\theta + m_B \cdot \text{sen}^2\theta$ se la forza H forma un angolo θ con la direzione longitudinale della fondazione

Terreni coesivi (c≠0, ϕ=0)	**Terreni incoerenti** (c=0, ϕ≠0)	**Terreni dotati di attrito e coesione** (c≠0, ϕ≠0)
$i_c = 1 - \frac{m \cdot H}{c \cdot N_c \cdot B \cdot L}$	$i_c = 0$	$i_c = i_q - \frac{1 - i_q}{N_c \cdot \tan\phi}$
$i_q = 1$	$i_q = \left(1 - \frac{H}{V}\right)^m$	$i_q = \left(1 - \frac{H}{V + B \cdot L \cdot c \cdot \cot\phi}\right)^m$
$i_\gamma = 0$	$i_\gamma = \left(1 - \frac{H}{V}\right)^{m+1}$	$i_\gamma = \left(1 - \frac{H}{V + B \cdot L \cdot c \cdot \cot\phi}\right)^{m+1}$

dove:

H = componente orizzontale dei carichi agente sul piano di posa della fondazione;
V = componente verticale dei carichi agente sul piano di posa della fondazione.

Calcolo dei fattori di inclinazione del piano di campagna b_c, b_q, b_γ

Indicando con ω la pendenza del piano campagna, si ha:

Terreni puramente coesivi (c≠0, ϕ=0)	**Terreni dotati di attrito e coesione** (c≠0, ϕ≠0)
$b_c = 1 - \frac{2 \cdot \omega}{(2 + \pi)}$	$b_c = b_q - \frac{1 - b_q}{N_c \cdot \tan\phi}$
$b_q = (1 - \tan\omega)^2 \cdot \cos\omega$	$b_q = (1 - \tan\omega)^2 \cdot \cos\omega$

$b_\gamma = \frac{b_q}{\cos\omega}$	$b_\gamma = \frac{b_q}{\cos\omega}$

Per poter applicare tali coefficienti correttivi deve essere verificata la seguente condizione:

$$\omega < \phi; \qquad \omega < 45°.$$

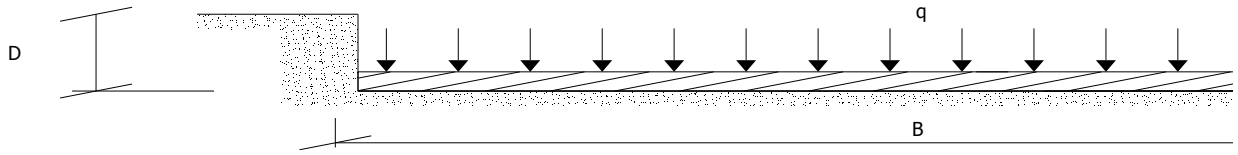

Calcolo dei fattori di inclinazione del piano di posa g_c, g_q, g_γ

Indicando con ε la pendenza del piano di posa della fondazione, si ha:

Terreni puramente coesivi ($c\neq0$, $\phi=0$)	**Terreni dotati di attrito e coesione** ($c\neq0$, $\phi\neq0$)
$g_c = 1 - \frac{2\cdot\varepsilon}{(2+\pi)}$	$g_c = g_q - \frac{1-g_q}{N_c\cdot\tan\phi}$
$g_q = 1$	$g_q = (1-\varepsilon\cdot\tan\phi)^2$
$g_\gamma = 1$	$g_\gamma = g_q$

Per poter applicare tali coefficienti correttivi deve essere verificata la seguente condizione:

$$\varepsilon < 45°$$

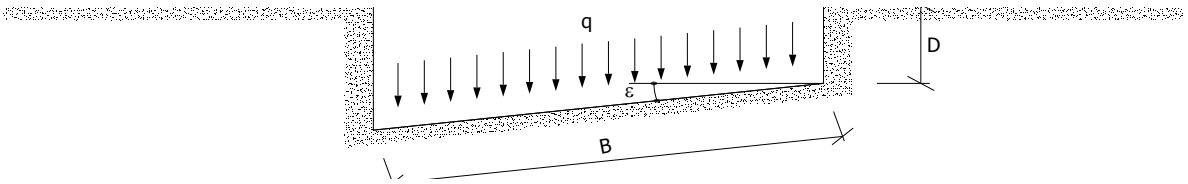

Calcolo dei fattori di riduzione per rottura a punzonamento ψ_c, ψ_q, ψ_γ

Si definisce l'*indice di rigidezza* del terreno come:

$$I_r = \frac{G}{c + \sigma\cdot\tan\phi}$$

dove:

$G = \frac{E}{2\cdot(1+\nu)}$ = modulo d'elasticità tangenziale del terreno;

E= modulo elastico del terreno (nei calcoli è utilizzato il modulo edometrico);

ν = modulo di Poisson. Sia in condizioni non drenate che drenate è assunto pari a 0.5, a vantaggio di sicurezza;

σ= tensione litostatica alla profondità D+B/2.

La rottura a punzonamento si verifica quando i coefficienti di punzonamento ψ_c, ψ_q, ψ_γ sono inferiori all'unità; ciò accade quando l'indice di rigidezza I_r si mantiene inferiore al valore critico:

$$I_r < I_{r,crit} = \frac{1}{2}\cdot e^{\left[\left(3.3-0.45\cdot\frac{B}{L}\right)\cdot\cot\left(45-\frac{\phi}{2}\right)\right]}.$$

Terreni puramente coesivi ($c\neq0$, $\phi=0$)	**Terreni dotati di attrito e coesione** ($c\neq0$, $\phi\neq0$)
$\psi_c = 0.32 + 0.12\cdot\frac{B'}{L'} + 0.6\cdot\mathrm{Log}(I_r)$	$\psi_c = \psi_q - \frac{1-\psi_q}{N_c\cdot\tan\phi}$
$\psi_q = 1$	$\psi_q = e^{\left\{\left(0,6\cdot\frac{B'}{L'}-4,4\right)\cdot\tan\phi+\frac{3,07\cdot\sin\phi\cdot\mathrm{Log}(2\cdot I_r)}{1+\sin\phi}\right\}}$

$\psi_\gamma = 1$	$\psi_\gamma = \psi_q$

Correzione per fondazione tipo piastra

Bowles, al fine di limitare il contributo del termine "$B \cdot N_\gamma$", che per valori elevati di B porterebbe ad ottenere valori del carico limite prossimi a quelli di una fondazione profonda, propone il seguente fattore di riduzione $\mathbf{r_\gamma}$:

$$r_\gamma = 1 - 0{,}25 \cdot \mathrm{Log}\left(\frac{B}{2}\right) \quad \text{con } B \geq 2 \text{ m}$$

Nella tabella sottostante sono riportati una serie di valori del coefficiente r_γ al variare della larghezza dell'elemento di fondazione.

B [m]	2	2.5	3	3.5	4	5	10	20	100
$\mathbf{r_\gamma}$	1,00	0,97	0,95	0,93	0,92	0,90	0,82	0,75	0,57

Questo coefficiente assume particolare importanza per fondazioni larghe con rapporto D/B basso, caso nel quale il termine "$B \cdot N_\gamma$" è predominante.

Calcolo del carico limite in condizioni non drenate

L'espressione generale del carico limite, valutato in termini di *tensioni totale*, diventa:

$$q_{lim} = c_u \cdot (2 + \pi) \cdot s_c \cdot d_c \cdot i_c \cdot g_c \cdot b_c + q + \frac{B'}{2} \cdot \gamma_{sat} \cdot B' \cdot N_\gamma \cdot s_\gamma \cdot r_\gamma$$

dove:

c_u = coesione non drenata;

γ_{sat} = peso unità di volume del terreno in condizioni di saturazione.

N.B: Nel calcolo in condizioni non drenate (situazione molto rara per un terreno incoerente) si assume, sempre e comunque, che l'angolo di attrito ϕ sia nullo (ϕ=0).

6.2 Fattori correttivi al carico limite in presenza di sisma

L'azione del sisma si traduce in accelerazioni nel sottosuolo (**effetto cinematico**) e nella fondazione, per l'azione delle forze d'inerzia generate nella struttura in elevazione (**effetto inerziale**).
Nell'analisi pseudo-statica, modellando l'azione sismica attraverso la sola componente orizzontale, tali effetti possono essere portati in conto mediante l'introduzione di coefficienti sismici rispettivamente denominati $\mathbf{K_{hi}}$ e $\mathbf{K_{hk}}$, il primo definito dal rapporto tra le componenti orizzontale e verticale dei carichi trasmessi in fondazione ed il secondo funzione dell'accelerazione massima attesa al sito.
La formula generale del carico limite si modifica nel seguente modo:

$$q_{lim} = c \cdot N_c \cdot s_c \cdot d_c \cdot i_c \cdot g_c \cdot b_c \cdot \Psi_c \cdot z_c + q \cdot N_q \cdot s_q \cdot d_q \cdot i_q \cdot g_q \cdot b_q \cdot \Psi_q \cdot z_q + \frac{B'}{2} \cdot \gamma_f \cdot N_\gamma \cdot s_\gamma \cdot d_\gamma \cdot i_\gamma \cdot g_\gamma \cdot b_\gamma \cdot \Psi_\gamma \cdot r_\gamma \cdot z_\gamma \cdot c_\gamma$$

in cui, oltre ai termini già precedentemente indicati, si sono introdotti i seguenti termini:

z_c, z_q, z_γ = coefficienti correttivi dovuti all'effetto inerziale;
c_γ = coefficiente correttivo dovuto all'effetto cinematico.

Calcolo del fattore correttivo dovuto all'effetto cinematico c_γ

L'effetto cinematico modifica il solo coefficiente $N\gamma$ in funzione del coefficiente sismico K_{hk} che è pari a:

$$K_{hk} = \beta_s \cdot \frac{S_S \cdot S_T \cdot a_g}{g}$$

dove:

β_s = coefficiente di riduzione dell'accelerazione massima attesa al sito;
g = accelerazione di gravità;
S_S = coefficiente di amplificazione stratigrafica;
S_T = coefficiente di amplificazione topografica;
a_g = accelerazione orizzontale massima attesa su sito di riferimento rigido.

I valori di $\beta_s$sono riportati nella seguente tabella:

	CATEGORIA DI SOTTOSUOLO	
	A	B,C,D,E
	β_s	β_s
$0,2 < a_g(g) \le 0,4$	0,30	0,28
$0,1 < a_g(g) \le 0,2$	0,27	0,24
$a_g(g) \le 0,1$	0,20	0,20

Il fattore correttivo dovuto all'effetto cinematico $\mathbf{c_\gamma}$ è stato, pertanto, determinato con la seguente relazione:

Terreni puramente coesivi ($c\neq0$, $\phi=0$)	**Terreni dotati di attrito e coesione** ($c\neq0$, $\phi\neq0$)
$c_\gamma = 1$	$c_\gamma = \left(1 - \frac{K_{hk}}{\tan\phi}\right)^{0.45}$ se $\frac{K_{hk}}{\tan\phi} < 1$, altrimenti $c_\gamma = 0$

Calcolo dei fattori correttivi dovuti all'effetto inerziale z_c, z_q, z_γ

L'effetto inerziale produce variazioni di tutti i coefficienti di capacità portante del carico limite in funzione del coefficiente sismico K_{hi}.

Tali effetti correttivi vengono valutati con la teoria di **Paolucci - Pecker** attraverso le seguenti relazioni:

Terreni puramente coesivi ($c\neq0$, $\phi=0$)	**Terreni dotati di attrito e coesione** ($c\neq0$, $\phi\neq0$)		
$z_c = z_q = z_\gamma = 1$	$z_c = 1 - 0.32 \cdot K_{hi}$	se $z_c > 0$	altrimenti $z_c = 0$
	$z_\gamma = z_q = \left(1 - \frac{K_{hi}}{\tan\phi}\right)^{0.35}$	se $\frac{K_{hk}}{\tan\phi} < 1$	altrimenti $z_\gamma = z_q = 0$

dove:

K_{hi} è ricavato dallo spettro di progetto allo SLV attraverso la relazione:

$$K_{hi} = \frac{S_S \cdot S_T \cdot a_g}{g}$$

i cui termini sono stati precedentemente precisati.

Si fa notare che il coefficiente sismico K_{hi} coincide con l'ordinata dello spettro di progetto allo SLU per T =0 ed è indipendente dalle combinazioni di carico.

6.3 Fattori correttivi al carico limite in presenza di sisma

L'azione del sisma si traduce in accelerazioni nel sottosuolo (**effetto cinematico**) e nella fondazione, per l'azione delle forze d'inerzia generate nella struttura in elevazione (**effetto inerziale**).
Nell'analisi pseudo-statica, modellando l'azione sismica attraverso la sola componente orizzontale, tali effetti possono essere portati in conto mediante l'introduzione di coefficienti sismici rispettivamente denominati $\mathbf{K_{hi}}$ e $\mathbf{K_{hk}}$, il primo definito dal rapporto tra le componenti orizzontale e verticale dei carichi trasmessi in fondazione ed il secondo funzione dell'accelerazione massima attesa al sito.
La formula generale del carico limite si modifica nel seguente modo:

$$q_{lim} = c \cdot N_c \cdot s_c \cdot d_c \cdot i_c \cdot g_c \cdot b_c \cdot \Psi_c \cdot z_c + q \cdot N_q \cdot s_q \cdot d_q \cdot i_q \cdot g_q \cdot b_q \cdot \Psi_q \cdot z_q + \frac{B'}{2} \cdot \gamma_f \cdot N_\gamma \cdot s_\gamma \cdot d_\gamma \cdot i_\gamma \cdot g_\gamma \cdot b_\gamma \cdot \Psi_\gamma \cdot r_\gamma \cdot z_\gamma \cdot c_\gamma$$

in cui, oltre ai termini già precedentemente indicati, si sono introdotti i seguenti termini:

z_c, z_q, z_γ = coefficienti correttivi dovuti all'effetto inerziale;
c_γ = coefficiente correttivo dovuto all'effetto cinematico.

Calcolo del fattore correttivo dovuto all'effetto cinematico c_γ

L'effetto cinematico modifica il solo coefficiente N_γ in funzione del coefficiente sismico K_{hk} che è pari a:

$$K_{hk} = \beta_s \cdot \frac{S_S \cdot S_T \cdot a_g}{g}$$

dove:

β_s = coefficiente di riduzione dell'accelerazione massima attesa al sito;
g = accelerazione di gravità;
S_S = coefficiente di amplificazione stratigrafica;
S_T = coefficiente di amplificazione topografica;
a_g = accelerazione orizzontale massima attesa su sito di riferimento rigido.

I valori di $\beta_s$sono riportati nella seguente tabella:

	CATEGORIA DI SOTTOSUOLO	
	A	**B,C,D,E**
	β_s	β_s
$0,2 < a_g(g) \leq 0,4$	0,30	0,28
$0,1 < a_g(g) \leq 0,2$	0,27	0,24
$a_g(g) \leq 0,1$	0,20	0,20

Il fattore correttivo dovuto all'effetto cinematico $\mathbf{c_\gamma}$ è stato, pertanto, determinato con la seguente relazione:

Terreni puramente coesivi ($c\neq0$, $\phi=0$)	**Terreni dotati di attrito e coesione** ($c\neq0$, $\phi\neq0$)
$c_\gamma = 1$	$c_\gamma = \left(1 - \frac{K_{hk}}{\tan\phi}\right)^{0.45}$ se $\frac{K_{hk}}{\tan\phi} < 1$, altrimenti $c_\gamma = 0$

Calcolo dei fattori correttivi dovuti all'effetto inerziale z_c, z_q, z_γ

L'effetto inerziale produce variazioni di tutti i coefficienti di capacità portante del carico limite in funzione del coefficiente sismico K_{hi}.

Tali effetti correttivi vengono valutati con la teoria di **Paolucci - Pecker** attraverso le seguenti relazioni:

Terreni puramente coesivi ($c\neq0$, $\phi=0$)	**Terreni dotati di attrito e coesione** ($c\neq0$, $\phi\neq0$)		
$z_c = z_q = z_\gamma = 1$	$z_c = 1 - 0.32 \cdot K_{hi}$	se $z_c > 0$	altrimenti $z_c = 0$
	$z_\gamma = z_q = \left(1 - \frac{K_{hi}}{\tan\phi}\right)^{0.35}$	se $\frac{K_{hk}}{\tan\phi} < 1$	altrimenti $z_\gamma = z_q = 0$

dove:

K_{hi} è ricavato dallo spettro di progetto allo SLU attraverso la relazione:

$$K_{hi} = \frac{S_S \cdot S_T \cdot a_g}{g}$$

i cui termini sono stati precedentemente precisati.

Si fa notare che il coefficiente sismico K_{hi} coincide con l'ordinata dello spettro di progetto allo SLV per T = 0 ed è indipendente dalle combinazioni di carico.

Verifiche nei confronti degli stati limite ultimi (SLU)

Di seguito si riporta una tabella riepilogativa relativa alla verifica dello stato limite di collasso per carico limite dell'insieme fondazione-terreno.
Si precisa che il valore relativo alla colonna $Q_{d,Rd}$, di cui nella tabella seguente, è da intendersi come il valore di progetto della resistenza R_d, ossia il rapporto fra il carico limite q_{lim} (calcolato come sopra esposto) ed il valore del coefficiente parziale di sicurezza γ_R relativo alla capacità portante del complesso terreno-fondazione, in relazione all'approccio utilizzato. Nel caso in esame il coefficiente parziale di sicurezza γ_R, come indicato nella tabella 6.4.I del DM 14/01/2008 è stato assunto pari a:

Tabella 6.4.I – Coefficienti parziali γ_R per le verifiche agli stati limiti ultimi di fondazioni superficiali [DM 14/01/2008]

Verifica	Coefficiente parziale γ_R (R3)
Capacità portante	2,3

Si precisa che, nella sottostante tabella:

- la coppia Q_{Ed} e $Q_{d,Rd}$ è relativa alla combinazione di carico, fra tutte quelle esaminate, che da luogo al minimo coefficiente di sicurezza (CS);
- nelle colonne "***per N_q, per N_c*** e ***per N_γ***", relative ai "***Coef. Cor. Terzaghi***", viene riportato il prodotto tra i vari coefficienti correttivi presenti nell'espressione generale del carico limite. Ad esempio si è posto:

$$\text{Coef. Cor. Terzaghi per } N_q = s_q \cdot d_q \cdot i_q \cdot g_q \cdot b_q \cdot \psi_q \cdot z_q$$
$$\text{Coef. Cor. Terzaghi per } N_c = s_c \cdot d_c \cdot i_c \cdot g_c \cdot b_c \cdot \psi_c \cdot z_c$$
$$\text{Coef. Cor. Terzaghi per } N_\gamma = s_\gamma \cdot d_\gamma \cdot i_\gamma \cdot g_\gamma \cdot b_\gamma \cdot \Psi_\gamma \cdot r_\gamma \cdot z_\gamma \cdot c_\gamma$$

VERIFICHE CARICO LIMITE FONDAZIONI DIRETTE

Verifiche Carico Limite fondazioni dirette

Id_{Fnd}	CS	L_X	L_Y	Rtz	$Z_{P.cmp}$	Z_{Fld}	Cmp T	C. Terzaghi						Q_{Ed}	$Q_{d,Rd}$	R_f
								per N_q	per N_c	per N_γ	N_q	N_c	N_γ			
		[m]	[m]	[°]	[m]	[m]								[N/mm²]	[N/mm²]	
Plinto 17	4,00	1,60	1,60	0,00	2,20	5,00	NON Coesivo	1,17	0,00	0,30	22,92	35,21	29,79	0,141	0,564	NO
Plinto 18	4,04	1,60	1,60	0,00	2,20	5,00	NON Coesivo	1,14	0,00	0,29	22,92	35,21	29,79	0,137	0,552	NO
Plinto 13	3,49	1,60	1,60	0,00	2,20	5,00	NON Coesivo	1,27	0,00	0,34	22,92	35,21	29,79	0,176	0,616	NO
Plinto 11	3,96	2,15	2,15	0,00	2,40	5,00	NON Coesivo	1,14	0,00	0,29	17,14	28,68	20,42	0,112	0,442	NO
Plinto 14	4,27	2,15	2,15	0,00	2,40	5,00	NON Coesivo	1,37	0,00	0,38	17,14	28,68	20,42	0,127	0,540	NO
Plinto 8	3,49	2,40	2,40	0,00	2,50	5,00	NON Coesivo	1,12	0,00	0,28	15,70	26,98	18,20	0,117	0,409	NO
Plinto 9	3,61	2,40	2,40	0,00	2,50	5,00	NON Coesivo	1,06	0,00	0,27	15,70	26,98	18,20	0,108	0,390	NO
Plinto 10	3,79	2,40	2,40	0,00	2,50	5,00	NON Coesivo	1,03	0,00	0,25	15,70	26,98	18,20	0,099	0,376	NO
Plinto 20	6,59	2,15	2,15	0,00	2,00	-	NON Coesivo	1,55	0,00	0,54	23,18	35,49	30,21	0,100	0,662	NO
Plinto 23	4,80	1,80	1,80	0,00	2,00	-	NON Coesivo	1,55	0,00	0,56	23,18	35,49	30,21	0,133	0,640	NO
Plinto 2	3,59	2,05	2,05	0,00	2,00	-	NON Coesivo	1,28	0,00	0,43	23,18	35,49	30,21	0,148	0,530	NO
Plinto 5	4,45	2,05	2,05	0,00	2,00	-	NON Coesivo	1,32	0,00	0,44	23,18	35,49	30,21	0,124	0,550	NO
Plinto 15	4,75	1,80	1,80	0,00	2,00	-	NON Coesivo	1,39	0,00	0,39	23,18	35,49	30,21	0,120	0,569	NO
Plinto 12	3,96	1,80	1,80	0,00	2,00	-	NON Coesivo	1,21	0,00	0,32	23,18	35,49	30,21	0,125	0,493	NO
Trave 3c-24	2,75	2,15	1,80	0,00	-	-	-	-	-	-	-	-	-	0,182	0,500	NO
Trave P8-3c	0,38	0,35	1,80	0,00	-	-	-	-	-	-	-	-	-	1,325	0,500	NO
	ERRORE: Il Carico Limite è inferiore al Carico Massimo di Progetto.															
Trave 7-16	2,14	4,30	1,80	0,00	-	-	-	-	-	-	-	-	-	0,234	0,500	NO
Trave P6-6	1,01	1,00	1,80	0,00	-	-	-	-	-	-	-	-	-	0,496	0,500	NO
Trave P1-1d	1,94	0,50	1,80	0,00	-	-	-	-	-	-	-	-	-	0,258	0,500	NO
Trave P14-24	1,02	1,00	1,80	0,00	-	-	-	-	-	-	-	-	-	0,491	0,500	NO
Trave P9-9d	2,50	0,50	1,80	0,00	-	-	-	-	-	-	-	-	-	0,200	0,500	NO
Trave 6-1c	2,48	2,15	1,80	0,00	-	-	-	-	-	-	-	-	-	0,201	0,500	NO

Verifiche Carico Limite fondazioni dirette

Id_{Fnd}	CS	L_X	L_Y	Rtz	$Z_{P.cmp}$	Z_{Fld}	Cmp T	C. Terzaghi						Q_{Ed}	$Q_{d,Rd}$	R_f
								per N_q	per N_c	per N_γ	N_q	N_c	N_γ			
		[m]	[m]	[°]	[m]	[m]								[N/mm²]	[N/mm²]	
Trave P2-3	1,11	1,00	1,80	0,00	-	-	-	-	-	-	-	-	-	0,451	0,500	NO
Trave P5-5d	1,39	0,50	1,80	0,00	-	-	-	-	-	-	-	-	-	0,360	0,500	NO
Trave P13-13d	1,42	0,50	1,80	0,00	-	-	-	-	-	-	-	-	-	0,352	0,500	NO
Trave P10-21	1,17	1,00	1,80	0,00	-	-	-	-	-	-	-	-	-	0,427	0,500	NO
Trave P12-22	1,42	1,00	1,80	0,00	-	-	-	-	-	-	-	-	-	0,352	0,500	NO
Trave P11-11d	1,45	0,50	1,80	0,00	-	-	-	-	-	-	-	-	-	0,344	0,500	NO
Trave P4-4	1,26	1,00	1,80	0,00	-	-	-	-	-	-	-	-	-	0,398	0,500	NO
Trave P3-3d	1,40	0,50	1,80	0,00	-	-	-	-	-	-	-	-	-	0,356	0,500	NO
Trave 1-P1	1,54	1,00	1,80	0,00	-	-	-	-	-	-	-	-	-	0,325	0,500	NO
Trave 2d-P2	1,09	0,50	1,80	0,00	-	-	-	-	-	-	-	-	-	0,459	0,500	NO
Trave 3-P3	1,19	1,00	1,80	0,00	-	-	-	-	-	-	-	-	-	0,419	0,500	NO
Trave 4d-P4	1,13	0,50	1,80	0,00	-	-	-	-	-	-	-	-	-	0,444	0,500	NO
Trave 4-P5	1,09	1,00	1,80	0,00	-	-	-	-	-	-	-	-	-	0,461	0,500	NO
Trave 6d-P6	1,39	0,50	1,80	0,00	-	-	-	-	-	-	-	-	-	0,361	0,500	NO
Trave 14d-P14	1,40	0,50	1,80	0,00	-	-	-	-	-	-	-	-	-	0,357	0,500	NO
Trave 22-P13	1,13	1,00	1,80	0,00	-	-	-	-	-	-	-	-	-	0,442	0,500	NO
Trave 12d-P12	1,17	0,50	1,80	0,00	-	-	-	-	-	-	-	-	-	0,427	0,500	NO
Trave 21-P11	1,29	1,00	1,80	0,00	-	-	-	-	-	-	-	-	-	0,387	0,500	NO
Trave 10d-P10	1,10	0,50	1,80	0,00	-	-	-	-	-	-	-	-	-	0,456	0,500	NO
Trave 19-P9	2,10	1,00	1,80	0,00	-	-	-	-	-	-	-	-	-	0,238	0,500	NO

LEGENDA:

Id_{Fnd} Descrizione dell'oggetto di fondazione al quale è riferita la verifica.
CS Coefficiente di sicurezza ([NS] = Non Significativo per valori di CS >= 100; [VNR]= Verifica Non Richiesta).
$L_{X/Y}$ Dimensioni dell'elemento di fondazione.
Rtz Angolo compreso tra l'asse X e il lato più lungo del minimo rettangolo che delimita il poligono della platea.
$Z_{P.cmp}$ Profondità di posa dell'elemento di fondazione dal piano campagna.
Z_{Fld} Profondità della falda dal piano campagna.
Cmp T Classificazione del comportamento del terreno ai fini del calcolo.
C. Terzaghi Coefficienti correttivi per la formula di Terzaghi.
Q_{Ed} Carico di progetto sul terreno.
$Q_{d,Rd}$ Resistenza di progetto del terreno.
R_f [SI] = nodo con presenza di rinforzo; [NO] = nodo senza rinforzo.

I progettisti

Ing Marcello Boccio

Ing. Stefano Marinozzi

COMUNE DI TERNI
Direzione Lavori Pubblici e Manutenzioni - Patrimonio

Palazzo Spada - P.zza M. Ridolfi, 1
05100 Terni
Tel. +39 0744.549.501 Fax +39 0744.428708
renato.pierdonati@comune.terni.it

LAVORI DI RESTAURO, ADEGUAMENTO SISMICO, ADEGUAMENTO ALLE NORME DI PREVENZIONE INCENDI E ABBATTIMENTO BARRIERE ARCHITETTONICHE DELL'EDIFICIO SCOLASTICO "G. MATTEOTTI" VIA MARIE CURIE N. 4

DEFINITIVO

PROGETTO

Doc.
R2.3ST

EDIFICIO 2
TABULATO DI CALCOLO 1

Scala

Responsabile del Procedimento: Geom. S. Fredduzzi

Data: Marzo 2015

Progettisti:

Architettonico:	Arch. M. Finotto
Strutture:	Ing. M.Boccio
	Ing. S. Marinozzi
Impianti:	Per.Ind. T. Mococci
	Per.Ind. G. Rubeca
Sicurezza:	Geom. F. Formichetti

Collaboratori:

Geom. G. Poddi - Geom. M. D'Amato
Geom. F. Ottaviani - Per.Ind. E. Lenticchia
Geom. F. Ribeca - Geom. M. Ciuffetti
Geom. R. Sabatini - Geom. G. Severoni

Comune di Terni
Provincia di TR

TABULATI DI CALCOLO
(Tomo 1 di 2)

OGGETTO: Edificio B

COMMITTENTE: Comune di Terni

I Progettisti

Ing. Marcello Boccio

Ing. Stefano Marinozzi

INFORMAZIONI GENERALI

Edificio	Cemento Armato
Costruzione	Esistente
Situazione	di Progetto
Intervento	Adeguamento
Comune	Terni
Provincia	TR
Oggetto	
Parte d'opera	Edificio 2
Normativa di riferimento	
Zona sismica	-
Analisi sismica	PushOver

LIVELLO DI CONOSCENZA E FATTORE DI CONFIDENZA

Livello di Conoscenza e Fattore di Confidenza

LC	FC
LC2	1,2

LEGENDA:

LC [LC1] = Conoscenza Limitata - [LC2] = Conoscenza Adeguata - [LC3] = Conoscenza Accurata.
FC Fattore di confidenza applicato alle proprietà dei materiali.

MATERIALI CALCESTRUZZO ARMATO

Caratteristiche calcestruzzo armato

N_{id}	γ_k	$\alpha_{T,i}$	E	G	C_{Erid}	Stz	R_{ck}	R_{cm}	$\%R_{ck}$	γ_c	f_{cd}	f_{ctd}	f_{cfm}	n	n Ac
	[N/m³]	[1/°C]	[N/mm²]	[N/mm²]	[%]		[N/mm²]	[N/mm²]			[N/mm²]	[N/mm²]	[N/mm²]		
Cls stato di fatto - (Cls sf)															
001	25.000	0,000010	20.000	8.696	60	F	-	19,44	1,00	1,50	8,96	1,12	1,92	15	002
Cls C25/30_B450C - (C25/30)															
003	25.000	0,000010	31.447	13.103	60	F/P	30,00	-	0,85	1,50	11,76	1,49	2,56	15	004
Cls C28/35_B450C - (C28/35)															
005	25.000	0,000010	32.588	13.578	60	P	35,00	-	0,85	1,50	16,46	1,98	3,40	15	004

LEGENDA:

N_{id} Numero identificativo del materiale, nella relativa tabella dei materiali.
γ_k Peso specifico.
$\alpha_{T,i}$ Coefficiente di dilatazione termica.
E Modulo elastico normale.
G Modulo elastico tangenziale.
C_{Erid} Coefficiente di riduzione del Modulo elastico normale per Analisi Sismica [$E_{sisma} = E \cdot c_{Erid}$].
Stz Tipo di situazione: [F] = di Fatto (Esistente); [P] = di Progetto (Nuovo).
R_{ck} Resistenza caratteristica cubica.
R_{cm} Resistenza media cubica.
$\%R_{ck}$ Percentuale di riduzione della R_{ck}
γ_c Coefficiente parziale di sicurezza del materiale.
f_{cd} Resistenza di calcolo a compressione.
f_{ctd} Resistenza di calcolo a trazione.
f_{cfm} Resistenza media a trazione per flessione.
n Ac Identificativo, nella relativa tabella materiali, dell'acciaio utilizzato: [-] = parametro NON significativo per il materiale.

MATERIALI ACCIAIO

Caratteristiche acciaio

N_{id}	γ_k	$\alpha_{T,i}$	E	G	Stz	$f_{yk,1}$/ $f_{yk,2}$	$f_{tk,1}$/ $f_{tk,2}$	$f_{yd,1}$/ $f_{yd,2}$	f_{td}	γ_s	γ_{M1}	γ_{M2}	$\gamma_{M3,SLV}$	$\gamma_{M3,SLE}$	γ_{M7}
	[N/m³]	[1/°C]	[N/mm²]	[N/mm²]		[N/mm²]	[N/mm²]	[N/mm²]	[N/mm²]						
Acciaio Aq42 - (Aq42)															
002	78.500	0,000010	210.000	80.769	-	434,00 -	-	314,49 -	-	1,15	-	-	-	-	-
Acciaio B450C - (B450C)															
004	78.500	0,000010	210.000	80.769	-	450,00 -	-	326,09 -	-	1,15	-	-	-	-	-

LEGENDA:

N_{id} Numero identificativo del materiale, nella relativa tabella dei materiali.
γ_k Peso specifico.
$\alpha_{T,i}$ Coefficiente di dilatazione termica.
E Modulo elastico normale.
G Modulo elastico tangenziale.
Stz Tipo di situazione: [F] = di Fatto (Esistente); [P] = di Progetto (Nuovo).
$f_{tk,1}$ Resistenza caratteristica a Rottura (per profili <= 40 mm).
$f_{tk,2}$ Resistenza caratteristica a Rottura (per profili 40 mm < t <= 80 mm).
f_{td} Resistenza di calcolo a Rottura (Bulloni).
γ_s Coefficiente parziale di sicurezza allo SLV del materiale.
γ_{M1} Coefficiente parziale di sicurezza per instabilità.
γ_{M2} Coefficiente parziale di sicurezza per sezioni tese indebolite.
$\gamma_{M3,SLV}$ Coefficiente parziale di sicurezza per scorrimento allo SLV (Bulloni).
$\gamma_{M3,SLE}$ Coefficiente parziale di sicurezza per scorrimento allo SLE (Bulloni).
γ_{M7} Coefficiente parziale di sicurezza precarico bulloni ad alta resistenza (Bulloni): [-] = parametro NON significativo per il materiale.
$f_{yk,1}$ Resistenza caratteristica allo snervamento (per profili con t <= 40 mm).
$f_{yk,2}$ Resistenza caratteristica allo snervamento (per profili con 40 mm < t <= 80 mm).
$f_{yd,1}$ Resistenza di calcolo (per profili con t <= 40 mm).
$f_{yd,2}$ Resistenza di calcolo (per profili con 40 mm < t <= 80 mm).

Caratteristiche acciaio

N_{id}	γ_k	$\alpha_{T,i}$	E	G	Stz	$f_{yk,1}$/ $f_{yk,2}$	$f_{tk,1}$/ $f_{tk,2}$	$f_{yd,1}$/ $f_{yd,2}$	f_{td}	γ_s	γ_{M1}	γ_{M2}	$\gamma_{M3,SLV}$	$\gamma_{M3,SLE}$	γ_{M7}
	[N/m^3]	[1/°C]	[N/mm^2]	[N/mm^2]		[N/mm^2]	[N/mm^2]	[N/mm^2]	[N/mm^2]						

NOTE [-] = Parametro non significativo per il materiale.

MATERIALI CARATTERISTICHE NON LINEARI

Materiali Caratteristiche non lineari

N_{id}	Fase Elastica				Fase Plastica				Punto di Rottura			
	σ_{Cmp}	ε_{Cmp}	σ_{Trz}	ε_{Trz}	σ_{Cmp}	ε_{Cmp}	σ_{Trz}	ε_{Trz}	σ_{Cmp}	ε_{Cmp}	σ_{Trz}	ε_{Trz}
	[N/mm^2]	[‰]	[N/mm^2]	[‰]	[N/mm^2]	[‰]	[N/mm^2]	[‰]	[N/mm^2]	[‰]	[N/mm^2]	[‰]
Cls stato di fatto - (Cls sf)												
001	11,39	0,00	0,00	0,00	18,98	2,00	0,00	0,10	3,80	3,50	0,00	3,50

Acciaio Aq42 - (Aq42)												
002	377,39	1,86	377,39	1,86	434,00	10,00	434,00	10,00	434,00	10,00	434,00	10,00

Cls C25/30_B450C - (C25/30)												
003	14,94	0,00	0,00	0,00	24,90	2,00	0,00	0,10	4,98	3,50	0,00	3,50

N_{id}	Fase Elastica				Fase Plastica				Punto di Rottura			
	σ_{Cmp} [N/mm²]	ε_{Cmp} [‰]	σ_{Trz} [N/mm²]	ε_{Trz} [‰]	σ_{Cmp} [N/mm²]	ε_{Cmp} [‰]	σ_{Trz} [N/mm²]	ε_{Trz} [‰]	σ_{Cmp} [N/mm²]	ε_{Cmp} [‰]	σ_{Trz} [N/mm²]	ε_{Trz} [‰]

Acciaio B450C - (B450C)												
004	391,30	1,86	391,30	1,86	450,00	10,00	450,00	10,00	450,00	10,00	450,00	10,00

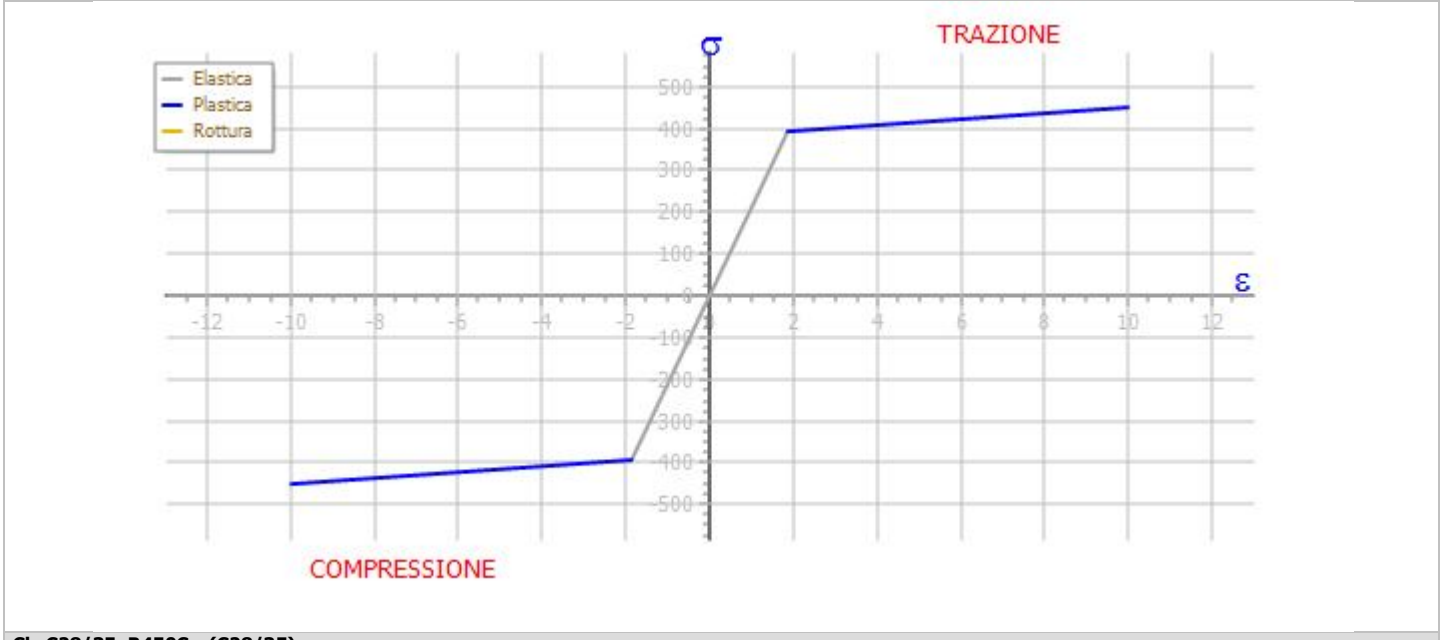

Cls C28/35_B450C - (C28/35)												
005	17,43	0,00	0,00	0,00	29,05	2,00	0,00	0,10	5,81	3,50	0,00	3,50

Materiali Caratteristiche non lineari

N_{id}	Fase Elastica				Fase Plastica				Punto di Rottura			
	σ_{Cmp} [N/mm²]	ε_{Cmp} [‰]	σ_{Trz} [N/mm²]	ε_{Trz} [‰]	σ_{Cmp} [N/mm²]	ε_{Cmp} [‰]	σ_{Trz} [N/mm²]	ε_{Trz} [‰]	σ_{Cmp} [N/mm²]	ε_{Cmp} [‰]	σ_{Trz} [N/mm²]	ε_{Trz} [‰]

LEGENDA:

N_{id}	Numero identificativo del materiale, nella relativa tabella dei materiali.
σ_{Cmp}	Tensione massima per Compressione.
ε_{Cmp}	Deformazione relativa alla tensione massima per compressione.
σ_{Trz}	Tensione massima per Trazione.
ε_{Trz}	Deformazione relativa alla tensione massima per trazione.

TERRENI

Terreni

N_{TRN}	γ_T	K			ϕ	c_u	c'	E_d	E_{cu}	A_{S-B}
		K_X	K_Y	K_Z						
	[N/m³]	[N/cm³]	[N/cm³]	[N/cm³]	[°]	[N/mm²]	[N/mm²]	[N/mm²]	[N/mm²]	
Calcare scarsamente fratturato										
T001	24.000	100	100	1000	40	0,000	0,000	25.000	0	0,000
Terreno di riporto										
T002	18.000	60	60	300	24	0,000	0,000	12	0	0,000
Ghiaia mediamente addensata										
T003	21.000	60	60	300	35	0,000	0,000	12	0	0,000
Sabbie limose										
T004	18.000	60	60	300	24	0,000	0,000	12	0	0,000
Sabbia argillosa mediamente consolidata										
T005	18.000	60	60	200	32	0,000	0,000	60	0	0,000

LEGENDA:

N_{TRN}	Numero identificativo del terreno.
γ_T	Peso specifico del terreno.
K	Valori della costante di sottofondo del terreno nelle direzioni degli assi del riferimento globale X (K_X), Y (K_Y), e Z (K_Z).
ϕ	Angolo di attrito del terreno.
c_u	Coesione non drenata.
c'	Coesione efficace.
E_d	Modulo edometrico.
E_{cu}	Modulo elastico in condizione non drenate.
A_{S-B}	Parametro "A" di Skempton-Bjerrum per pressioni interstiziali.

STRATIGRAFIE

Stratigrafie

N_{TRN}	Q_i	Q_f	Cmp. S.	Add	ΔEd
	[m]	[m]			
[S002]-Edificio 2					
T002	1,50	-0,50	incoerente	sciolto	nulla
T003	-0,50	-4,50	incoerente	denso	nulla
T004	-4,50	INF	incoerente	sciolto	nulla

LEGENDA:

N_{TRN}	Numero identificativo della stratigrafia.
Q_i	Quota iniziale dello strato (riferito alla quota iniziale della stratigrafia).
Q_f	Quota finale dello strato (riferito alla quota iniziale della stratigrafia). INF = infinito (profondità dello strato finale.
Cmp. S.	Comportamento dello strato.
Add	Addensamento dello strato.
ΔEd	Variazione con la profondità del modulo edometrico.

SEZIONI ASTE

Sezioni aste

N_{id}	Tp	Label	Dimensioni										v	A	Area per Taglio		Inerzia				$\Delta\Theta I_{pr}$
			B	H	Sp_w	L_w	$Sp_{f,0}$	$L_{f,0}$	$Sp_{f,1}$	$L_{f,1}$	$L_{f,2}$	$L_{f,3}$			$A_{X,T}$	$A_{Y,T}$	I_X	I_T	I_Y	I_{XY}	
			[cm]	[cm]	[cm]	[cm]	[cm]	[cm]	[cm]	[cm]	[cm]	[cm]		[cm^2]	[cm^2]	[cm^2]	[cm^4]	[cm^4]	[cm^4]	[cm^4]	[°]
001		30x65	30	65	-	-	-	-	-	-	-	-	4	1.950	1.625	1.625	686.563	413595	146.250	0	0,00
002		30x55	30	55	-	-	-	-	-	-	-	-	4	1.650	1.375	1.375	415.938	323631	123.750	0	0,00
003		25x20	25	20	-	-	-	-	-	-	-	-	4	500	417	417	16.667	34210	26.042	0	0,00
004		20x20	20	20	-	-	-	-	-	-	-	-	4	400	333	333	13.333	22496	13.333	0	0,00
005		25x100	25	100	-	-	-	-	-	-	-	-	4	2.500	2.083	2.083	2.083.333	520833	130.208	0	0,00
006		30x60	30	60	-	-	-	-	-	-	-	-	4	1.800	1.500	1.500	540.000	370980	135.000	0	0,00
007		30x50	30	50	-	-	-	-	-	-	-	-	4	1.500	1.250	1.250	312.500	279270	112.500	0	0,00
008		25x35	25	35	-	-	-	-	-	-	-	-	4	875	729	729	89.323	101664	45.573	0	0,00
009		30x70	30	70	-	-	-	-	-	-	-	-	4	2.100	1.750	1.750	857.500	458010	157.500	0	0,00
010		35x60	35	60	-	-	-	-	-	-	-	-	4	2.100	1.750	1.750	630.000	540299	214.375	0	0,00
011		20x45	20	45	-	-	-	-	-	-	-	-	4	900	750	750	151.875	86040	30.000	0	0,00
012		25x26	25	26	-	-	-	-	-	-	-	-	4	650	542	542	36.617	59191	33.854	0	0,00
013		50x50	50	50	-	-	-	-	-	-	-	-	4	2.500	2.083	2.083	520.833	878750	520.833	0	0,00
014		150x80	150	80	-	-	-	-	-	-	-	-	4	12.000	10.000	10.000	6.400.000	16949760	22.500.000	0	0,00
015		30x30	30	30	-	-	-	-	-	-	-	-	4	900	750	750	67.500	113886	67.500	0	0,00
016		30x40	30	40	-	-	-	-	-	-	-	-	4	1.200	1.000	1.000	160.000	193644	90.000	0	0,00
017		35x40	35	40	-	-	-	-	-	-	-	-	4	1.400	1.167	1.167	186.667	272367	142.917	0	0,00
018		30x35	30	35	-	-	-	-	-	-	-	-	4	1.050	875	875	107.188	152948	78.750	0	0,00
019		35x35	35	35	-	-	-	-	-	-	-	-	4	1.225	1.021	1.021	125.052	210988	125.052	0	0,00

LEGENDA:

N_{id} Numero identificativo della sezione.
Tp Tipo di sezione.
Label Identificativo della sezione come indicato nelle carpenterie.
B Base/Diametro/Raggio.
H Altezza/Lato/Altezza di colmo.
Sp_w Spessore anima.
L_w Lunghezza anima.
$Sp_{f,0}$ Spessore ala 0.
$L_{f,0}$ Lunghezza ala 0.
$Sp_{f,1}$ Spessore ala 1.
$L_{f,1}$ Lunghezza ala 1.
$L_{f,2}$ Lunghezza ala 2.
$L_{f,3}$ Lunghezza ala 3.
v Nel caso di sezioni poligonali, indica il numero dei vertici della sezione.
A Area della sezione.
$\Delta\Theta I_{pr}$ Rotazione degli assi principali d'inerzia rispetto agli assi X, Y, espresse in gradi sessadecimali.
Inerzia Inerzie della sezione rispetto agli assi.

ANALISI CARICHI

Analisi carichi

N_{id}	T. C.	Descrizione del Carico	Tipologie di Carico	Peso Proprio		Permanente NON Strutturale		Sovraccarico Accidentale		Carico Neve
				Descrizione	PP	Descrizione	PNS	Descrizione	SA	
										[N/mm^2]
001	S	Doppia fodera 30cm (12+8)	Carico Permanente	Fodera esterna (12 cm) e fodera interna (8 cm)	1.600	Intonaco interno, intonaco esterno, isolante poliuretano espanso	740		0	0
002	S	Latcem copertura H 20 cm	Scuole	Solaio di tipo tradizionale latero-cementizio di spessore 20 cm no caldana	2.000	Guaina	300	Copertura non praticabile	500	600
003	S	Latcem sottotetto H 20 cm no caldana	Abitazioni	Solaio di tipo tradizionale latero-cementizio di spessore 20 cm no caldana	2.000	Intonaco	180	Sottotetto praticabile sola manutenzione	500	0
004	S	Latcem calpestio 24+2	Scuole	Solaio di tipo tradizionale latero-cementizio di spessore 26 cm (24+2)	2.900	Pavimento, allettamento, tramezzi	3.050	Scuole (Cat. C1 – Tab. 3.1.II - DM 14.01.2008)	3.000	0

LEGENDA:

N_{id} Numero identificativo dell'analisi di carico.
T. C. Identificativo del tipo di carico: [S] = Superficiale - [L] = Lineare - [C] = Concentrato.
PP, PNS, SA Valori rispettivamente, del Peso Proprio, del Sovraccarico Permanente NON strutturale, del Sovraccarico Accidentale. Secondo il tipo di carico indicato nella colonna "T.C." ("S" - "L" - "C"), i valori riportati nelle colonne "PP", "PNS" e "SA", sono espressi in [N/m^2] per carichi Superficiali, [N/m] per carichi Lineari, [N] per carichi Concentrati.

DATI GENERALI ANALISI SISMICA NON LINEARE

Dati generali analisi sismica non lineare

Ang	NV	MP	C.S.T.	ξ
[°]				
0	9	caOld	C	5

LEGENDA:

Ang Direzione di una componente dell'azione sismica rispetto all'asse X (sistema di riferimento globale); la seconda componente dell'azione sismica e' assunta con direzione ruotata di 90 gradi rispetto alla prima.
NV Nel caso di analisi dinamica, indica il numero di modi di vibrazione considerati.
MP Tipo di struttura sismo-resistente prevalente: [ca] = calcestruzzo armato - [caOld] = calcestruzzo armato esistente - [muOld] = muratura esistente - [muNew] = muratura nuova - [muArm] = muratura armata - [ac] = acciaio.
C.S.T. Categoria di sottosuolo: [A] = Ammassi rocciosi affioranti o terreni molto rigidi - [B] = Rocce tenere e depositi di terreni a grana grossa molto addensati o terreni a grana fina molto consistenti - [C] = Depositi di terreni a grana grossa mediamente addensati o terreni a grana fina mediamente consistenti - [D] = Depositi di terreni a grana grossa scarsamente addensati o di terreni a grana fina scarsamente consistenti - [E] = Terreni dei sottosuoli di tipo C o D per spessore non superiore a 20 m - [S1] = Depositi di terreni caratterizzati da valori di $V_{s,30}$ inferiori a 100 m/s (ovvero $10 < c_{u,30} < 20$ kPa), che includono uno strato di almeno 8 m di terreni a grana fina di bassa consistenza, oppure che includono almeno 3 m di torba o di argille altamente organiche - [S2] = Depositi di terreni suscettibili di liquefazione, di argille sensitive o qualsiasi altra categoria di sottosuolo non classificabile nei tipi precedenti.
ξ Coefficiente viscoso equivalente.

Dati generali analisi sismica non lineare

Ang	NV	MP	C.S.T.	ξ
[°]				

NOTE [-] = Parametro non significativo per il tipo di calcolo effettuato.

Stato Limite	T_r	a_g/g	Amplif. Stratigrafica		F_0	T^*_C	T_B	T_C	T_D
			S_S	C_C					
	[t]					[s]	[s]	[s]	[s]
SLO	45	0,0675	1,500	1,602	2,495	0,278	0,148	0,445	1,870
SLD	75	0,0825	1,500	1,579	2,495	0,290	0,153	0,458	1,930
SLV	712	0,1889	1,421	1,518	2,465	0,327	0,166	0,497	2,356
SLC	1462	0,2337	1,351	1,501	2,490	0,339	0,169	0,508	2,535

LEGENDA:

T_r Periodo di ritorno dell'azione sismica. [t] = anni.
a_g/g Coefficiente di accelerazione al suolo.
S_S Coefficienti di Amplificazione Stratigrafica allo SLO/SLD/SLV/SLC.
C_C Coefficienti di Amplificazione di Tc allo SLO/SLD/SLV/SLC.
F_0 Valore massimo del fattore di amplificazione dello spettro in accelerazione orizzontale.
T^*_C Periodo di inizio del tratto a velocità costante dello spettro in accelerazione orizzontale.
T_B Periodo di inizio del tratto accelerazione costante dello spettro di progetto.
T_C Periodo di inizio del tratto a velocità costante dello spettro di progetto.
T_D Periodo di inizio del tratto a spostamento costante dello spettro di progetto.

Cl Ed	V_N	V_R	Lat.	Long.	Q_g	CTop	CATop
	[t]	[t]	[°ssdc]	[°ssdc]	[m]		
3	50	75	42.5496	12.6586	150	T1	1,00

LEGENDA:

Cl Ed Classe dell'edificio.
Lat. Latitudine geografica del sito.
Long. Longitudine geografica del sito.
Q_g Altitudine geografica del sito.
CTop Categoria topografica. (Vedi NOTE)
CATop Coefficiente di amplificazione topografica.
NOTE [-] = Parametro non significativo per il tipo di calcolo effettuato.
Categoria topografica.
T1: Superficie pianeggiante, pendii e rilievi isolati con inclinazione media i <= 15°.
T2: Pendii con inclinazione media i > 15°.
T3: Rilievi con larghezza in cresta molto minore che alla base e inclinazione media 15° <= i <= 30°.
T4: Rilievi con larghezza in cresta molto minore che alla base e inclinazione media i > 30°.

PRINCIPALI ELEMENTI ANALISI SISMICA

Dir	M_{Str}	M_{SLU}	$M_{Ecc,SLU}$	M_{SLD}	$M_{Ecc,SLD}$	$\%T.M_{Ecc}$	$\Sigma V_{Ed,SLU}$
	[N·s²/m]	[N·s²/m]	[N·s²/m]	[N·s²/m]	[N·s²/m]	[%]	[N]
X	1.239.626	901.607	887.347	901.607	887.347	98,4	3.246.720
Y	1.239.626	901.607	876.573	901.607	876.573	97,2	3.302.014
Z	1.239.626	0	0	0	0	100,0	0

LEGENDA:

Dir Direzione del sisma.
M_{Str} Massa complessiva della struttura.
M_{SLU} Massa eccitabile allo SLU.
$M_{Ecc,SLU}$ Massa Eccitata dal sisma allo SLU.
M_{SLD} Massa eccitabile della struttura allo SLD, nelle direzioni X, Y, Z.
$M_{Ecc,SLD}$ Massa Eccitata dal sisma allo SLD.
$\%T.M_{Ecc}$ Percentuale Totale di Masse Eccitate dal sisma.
$\Sigma V_{Ed,SLU}$ Tagliante totale, alla base, per sisma allo SLU.

RIEPILOGO MODI DI VIBRAZIONE<u>MODI DI VIBRAZIONE N.9</u>

Sptr	T	$a_{g,O}$	$a_{g,V}$	Γ	CM	%M.M	M_{Ecc}
	[s]	[m/s²]	[m/s²]			[%]	[N·s²/m]
Modo Vibrazione n. 1							
SLU-X	0,157	4,237	0,000	843,267	0,5250	78,9	711.099
SLU-Y	0,157	4,237	0,000	-82,341	-0,0513	0,8	6.780
SLU-Z	0,000	0,000	1,088	0,000	0,0000	0,0	0
SLD-X	0,157	3,016	0,000	843,267	0,5250	78,9	711.099
SLD-Y	0,157	3,016	0,000	-82,341	-0,0513	0,8	6.780
SLD-Z	0,000	0,000	0,314	0,000	0,0000	0,0	0
Elast-X	-	3,016	0,000	-	-	-	-
Elast-Y	-	3,016	0,000	-	-	-	-
Elast-Z	-	0,000	1,088	-	-	-	-
Modo Vibrazione n. 2							
SLU-X	0,167	4,309	0,000	-81,088	-0,0573	0,7	6.575
SLU-Y	0,167	4,309	0,000	-830,139	-0,5864	76,4	689.130
SLU-Z	0,000	0,000	1,088	0,000	0,0000	0,0	0
SLD-X	0,167	3,027	0,000	-81,088	-0,0573	0,7	6.575
SLD-Y	0,167	3,027	0,000	-830,139	-0,5864	76,4	689.130
SLD-Z	0,000	0,000	0,314	0,000	0,0000	0,0	0
Elast-X	-	3,027	0,000	-	-	-	-
Elast-Y	-	3,027	0,000	-	-	-	-

Sptr	T	$a_{g,O}$	$a_{g,V}$	Γ	CM	%M.M	M_{Ecc}
Elast-Z	-	0,000	1,088	-	-	-	-
Modo Vibrazione n. 3							
SLU-X	0,046	3,100	0,000	48,043	0,0025	0,3	2.308
SLU-Y	0,046	3,100	0,000	409,742	0,0216	18,6	167.888
SLU-Z	0,000	0,000	1,088	0,000	0,0000	0,0	0
SLD-X	0,046	1,754	0,000	48,043	0,0025	0,3	2.308
SLD-Y	0,046	1,754	0,000	409,742	0,0216	18,6	167.888
SLD-Z	0,000	0,000	0,314	0,000	0,0000	0,0	0
Elast-X	-	1,754	0,000	-	-	-	-
Elast-Y	-	1,754	0,000	-	-	-	-
Elast-Z	-	0,000	1,088	-	-	-	-
Modo Vibrazione n. 4							
SLU-X	0,045	3,089	0,000	-408,489	-0,0205	18,5	166.863
SLU-Y	0,045	3,089	0,000	46,700	0,0023	0,2	2.181
SLU-Z	0,000	0,000	1,088	0,000	0,0000	0,0	0
SLD-X	0,045	1,742	0,000	-408,489	-0,0205	18,5	166.863
SLD-Y	0,045	1,742	0,000	46,700	0,0023	0,2	2.181
SLD-Z	0,000	0,000	0,314	0,000	0,0000	0,0	0
Elast-X	-	1,742	0,000	-	-	-	-
Elast-Y	-	1,742	0,000	-	-	-	-
Elast-Z	-	0,000	1,088	-	-	-	-
Modo Vibrazione n. 5							
SLU-X	0,105	3,705	0,000	17,825	0,0050	0,0	318
SLU-Y	0,105	3,705	0,000	75,148	0,0209	0,6	5.647
SLU-Z	0,000	0,000	1,088	0,000	0,0000	0,0	0
SLD-X	0,105	2,457	0,000	17,825	0,0050	0,0	318
SLD-Y	0,105	2,457	0,000	75,148	0,0209	0,6	5.647
SLD-Z	0,000	0,000	0,314	0,000	0,0000	0,0	0
Elast-X	-	2,457	0,000	-	-	-	-
Elast-Y	-	2,457	0,000	-	-	-	-
Elast-Z	-	0,000	1,088	-	-	-	-
Modo Vibrazione n. 6							
SLU-X	0,042	3,064	0,000	-6,232	-0,0003	0,0	39
SLU-Y	0,042	3,064	0,000	55,749	0,0025	0,3	3.108
SLU-Z	0,000	0,000	1,088	0,000	0,0000	0,0	0
SLD-X	0,042	1,713	0,000	-6,232	-0,0003	0,0	39
SLD-Y	0,042	1,713	0,000	55,749	0,0025	0,3	3.108
SLD-Z	0,000	0,000	0,314	0,000	0,0000	0,0	0
Elast-X	-	1,713	0,000	-	-	-	-
Elast-Y	-	1,713	0,000	-	-	-	-
Elast-Z	-	0,000	1,088	-	-	-	-
Modo Vibrazione n. 7							
SLU-X	0,040	3,040	0,000	12,009	0,0005	0,0	144
SLU-Y	0,040	3,040	0,000	26,984	0,0011	0,1	728
SLU-Z	0,000	0,000	1,088	0,000	0,0000	0,0	0
SLD-X	0,040	1,686	0,000	12,009	0,0005	0,0	144
SLD-Y	0,040	1,686	0,000	26,984	0,0011	0,1	728
SLD-Z	0,000	0,000	0,314	0,000	0,0000	0,0	0
Elast-X	-	1,686	0,000	-	-	-	-
Elast-Y	-	1,686	0,000	-	-	-	-
Elast-Z	-	0,000	1,088	-	-	-	-
Modo Vibrazione n. 8							
SLU-X	0,035	2,987	0,000	0,436	0,0000	0,0	0
SLU-Y	0,035	2,987	0,000	24,769	0,0007	0,1	613
SLU-Z	0,000	0,000	1,088	0,000	0,0000	0,0	0
SLD-X	0,035	1,624	0,000	0,436	0,0000	0,0	0
SLD-Y	0,035	1,624	0,000	24,769	0,0007	0,1	613
SLD-Z	0,000	0,000	0,314	0,000	0,0000	0,0	0
Elast-X	-	1,624	0,000	-	-	-	-
Elast-Y	-	1,624	0,000	-	-	-	-
Elast-Z	-	0,000	1,088	-	-	-	-
Modo Vibrazione n. 9							
SLU-X	0,067	3,315	0,000	-1,125	-0,0001	0,0	1
SLU-Y	0,067	3,315	0,000	-22,305	-0,0025	0,1	498
SLU-Z	0,000	0,000	1,088	0,000	0,0000	0,0	0
SLD-X	0,067	2,005	0,000	-1,125	-0,0001	0,0	1
SLD-Y	0,067	2,005	0,000	-22,305	-0,0025	0,1	498
SLD-Z	0,000	0,000	0,314	0,000	0,0000	0,0	0
Elast-X	-	2,005	0,000	-	-	-	-
Elast-Y	-	2,005	0,000	-	-	-	-
Elast-Z	-	0,000	1,088	-	-	-	-

LEGENDA:

Sptr Spettro di risposta considerato.
T Periodo del Modo di vibrazione.
$a_{g,O}$ Valore dell'Accelerazione Spettrale Orizzontale, riferita al corrispondente periodo.
$a_{g,V}$ Valore dell'Accelerazione Spettrale Verticale, riferita al corrispondente periodo.
Γ Coefficiente di partecipazione.
CM Coefficiente modale del modo di vibrazione.
%M.M Percentuale di mobilitazione delle masse nel modo di vibrazione.
M_{Ecc} Massa Eccitata nel modo di vibrazione.
SLU-X Spettro di progetto allo S.L. Ultimo per sisma in direzione X.
SLU-Y Spettro di progetto allo S.L. Ultimo per sisma in direzione Y.
SLU-Z Spettro di progetto allo S.L. Ultimo per sisma in direzione Z.
SLD-X Spettro di progetto allo S.L. di Danno per sisma in direzione X.
SLD-Y Spettro di progetto allo S.L. di Danno per sisma in direzione Y.
SLD-Z Spettro di progetto allo S.L. di Danno per sisma in direzione Z.
Elast-X Spettro Elastico per sisma in direzione X.

Sptr	T	$a_{g,O}$	$a_{g,V}$	Γ	CM	%M.M	M_{Ecc}
Elast-Y	Spettro Elastico per sisma in direzione Y.						
Elast-Z	Spettro Elastico per sisma in direzione Z.						

CURVA DI CAPACITA'

Curva di capacità

Γ	K_{St} op	M_{Eq}	K_{sec}		$(d, F)_{Snv,Blt}$				A_{Snv}		T		PGA			α_u/α_1	q*	Pnt Cntr		
			SLV	SLD	F_{SLV}	F_{SLD}	δ_{SLV}	δ_{SLD}	SLV	SLD	SLV	SLD	SLV	SLD	SLD_{piani}			X	Y	Z
		[N·s²/m]	[N/cm]	[N/cm]	[N]	[N]	[cm]	[cm]	[N·m]	[N·m]	[s]	[s]						[m]	[m]	[m]
Direzione sisma in +X - proporzionale alle masse																				
1,000	3	901.607	6.080.730	6.080.730	6.311.518	6.311.518	1,038	1,038	49.968	49.968	0,242	0,242	0,365	0,361	0,309	1,12	0,93	0,00	6,27	8,30

Punti della curva di capacità (Forza / Spostamento).

Punto	Forza [N]	Spostamento [cm]	Punto	Forza [N]	Spostamento [cm]	Punto	Forza [N]	Spostamento [cm]
0	0	0,0000	1	94.952	0,0066	2	531.507	0,0435
3	1.196.295	0,1121	4	1.801.229	0,2037	5	2.478.038	0,3155
6	3.144.409	0,4558	7	3.737.731	0,6073	8	4.426.629	0,7561
9	5.103.912	0,9398	10	5.792.004	1,1198	11	6.467.200	1,3107

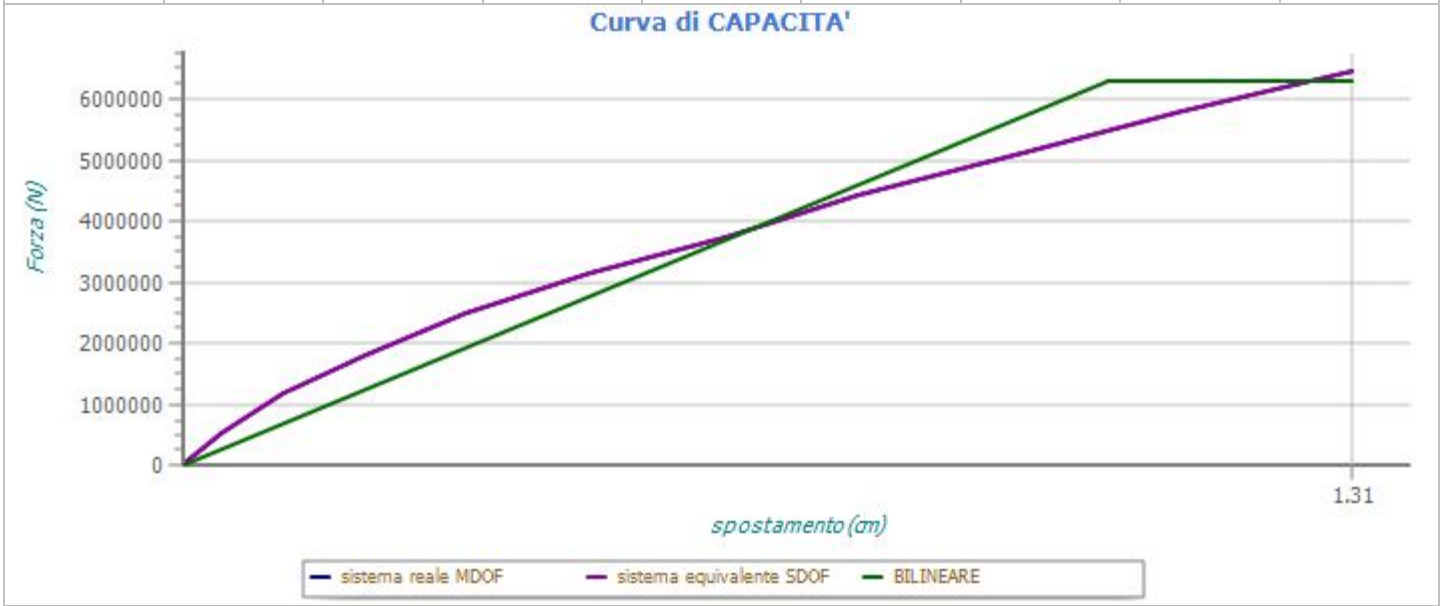

CAPACITA' DI SPOSTAMENTO DELL'EDIFICIO ALLO SLV (cm): 1,311	**CAPACITA' DI SPOSTAMENTO DELL'EDIFICIO ALLO SLD (cm): 1,311**
Domanda spostamento allo SLV (cm): 0,962	**Domanda spostamento allo SLD (cm): 0,449**
Verifica allo SLV: Verificata	**Verifica allo SLD: Verificata**

Direzione sisma in +X - proporzionale alla deformata 1° modo di vibrazione

Γ	K_{St} op	M_{Eq}	K_{sec}		$(d, F)_{Snv,Blt}$				A_{Snv}		T		PGA			α_u/α_1	q*	Pnt Cntr		
			SLV	SLD	F_{SLV}	F_{SLD}	δ_{SLV}	δ_{SLD}	SLV	SLD	SLV	SLD	SLV	SLD	SLD_{piani}			X	Y	Z
		[N·s²/m]	[N/cm]	[N/cm]	[N]	[N]	[cm]	[cm]	[N·m]	[N·m]	[s]	[s]						[m]	[m]	[m]
1,287	3	561.285	4.411.111	4.411.111	4.432.150	4.432.150	1,005	1,005	34.132	34.132	0,224	0,224	0,413	0,409	0,386	1,37	0,82	0,00	6,27	8,30

Punti della curva di capacità (Forza / Spostamento).

Punto	Forza [N]	Spostamento [cm]	Punto	Forza [N]	Spostamento [cm]	Punto	Forza [N]	Spostamento [cm]
0	0	0,0000	1	59.111	0,0051	2	348.329	0,0346
3	795.793	0,0861	4	1.196.964	0,1614	5	1.617.851	0,2449
6	2.029.618	0,3502	7	2.502.509	0,4774	8	2.911.367	0,6037
9	3.339.059	0,7399	10	3.811.950	0,8907	11	4.284.840	1,0478
12	4.757.731	1,2092	13	5.164.489	1,3803	14	5.637.380	1,5447
15	5.873.825	1,6372						

Γ	K_{Stop}	M_{Eq}	K_{sec}		$(d, F)_{Snv,Blt}$				A_{Snv}		T		PGA			α_u/α_1	q*	Pnt Cntr		
			SLV	SLD	F_{SLV}	F_{SLD}	δ_{SLV}	δ_{SLD}	SLV	SLD	SLV	SLD	SLV	SLD	SLD_{piani}			X	Y	Z
		[N·s²/m]	[N/cm]	[N/cm]	[N]	[N]	[cm]	[cm]	[N·m]	[N·m]	[s]	[s]						[m]	[m]	[m]

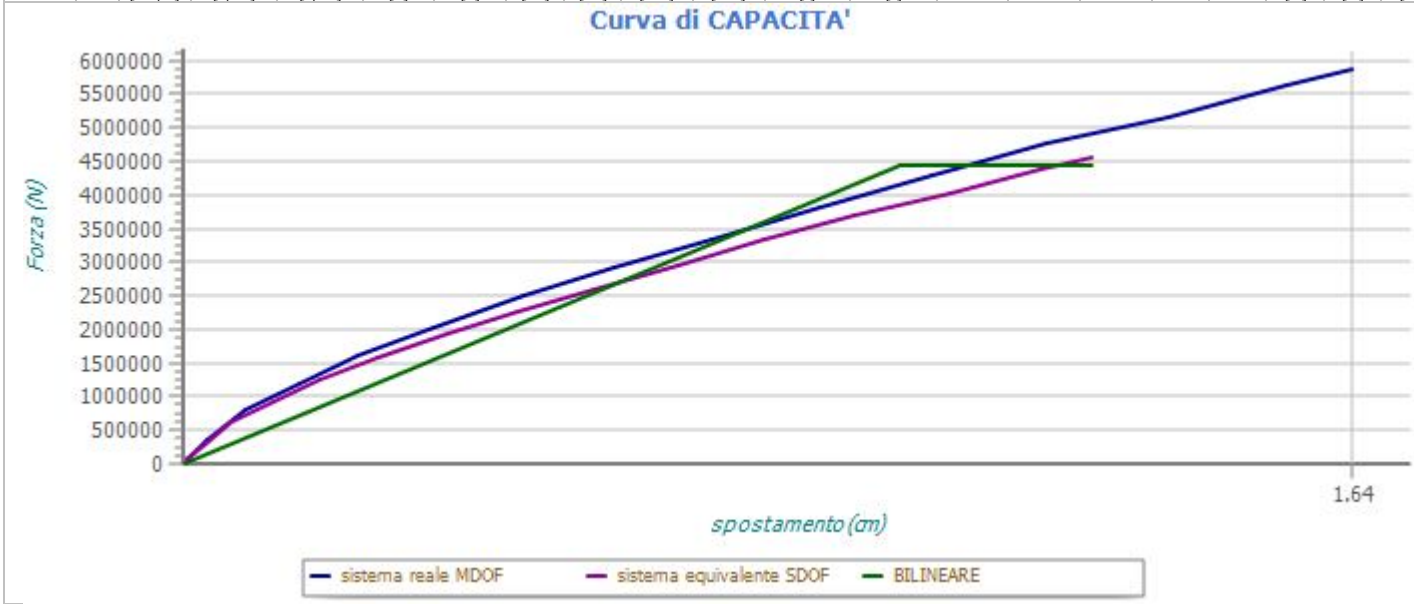

CAPACITA' DI SPOSTAMENTO DELL'EDIFICIO ALLO SLV (cm): 1,637	CAPACITA' DI SPOSTAMENTO DELL'EDIFICIO ALLO SLD (cm): 1,637
Domanda spostamento allo SLV (cm): 1,063	Domanda spostamento allo SLD (cm): 0,496
Verifica allo SLV: Verificata	Verifica allo SLD: Verificata

Direzione sisma in -X - proporzionale alle masse

1,000	3	901.607	5.971.079	5.971.079	6.489.501	6.489.501	1,087	1,087	54.011	54.011	0,244	0,244	0,377	0,372	0,314	1,13	0,90	0,00	6,27	8,30

Punti della curva di capacità (Forza / Spostamento).

Punto	Forza [N]	Spostamento [cm]	Punto	Forza [N]	Spostamento [cm]	Punto	Forza [N]	Spostamento [cm]
0	0	0,0000	1	94.952	0,0078	2	559.530	0,0457
3	1.241.115	0,1167	4	1.818.903	0,2186	5	2.485.495	0,3430
6	3.171.998	0,4755	7	3.848.315	0,6299	8	4.533.869	0,7954
9	5.223.268	0,9665	10	5.982.885	1,1612	11	6.742.502	1,3757

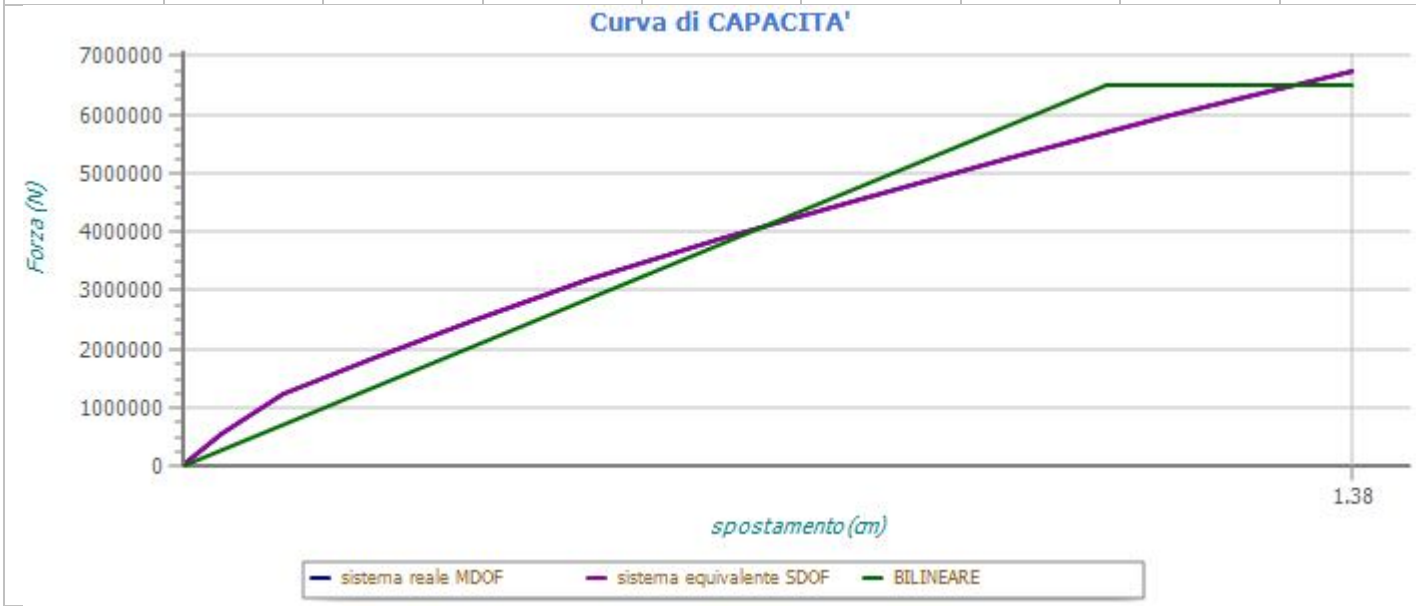

CAPACITA' DI SPOSTAMENTO DELL'EDIFICIO ALLO SLV (cm): 1,376	CAPACITA' DI SPOSTAMENTO DELL'EDIFICIO ALLO SLD (cm): 1,376
Domanda spostamento allo SLV (cm): 0,980	Domanda spostamento allo SLD (cm): 0,457
Verifica allo SLV: Verificata	Verifica allo SLD: Verificata

Direzione sisma in -X - proporzionale alla deformata 1° modo di vibrazione

1,287	3	561.285	4.329.227	4.329.227	4.502.261	4.502.261	1,040	1,040	33.467	33.467	0,226	0,226	0,403	0,398	0,376	1,39	0,81	0,00	6,27	8,30

Punti della curva di capacità (Forza / Spostamento).

Punto	Forza [N]	Spostamento [cm]	Punto	Forza [N]	Spostamento [cm]	Punto	Forza [N]	Spostamento [cm]
0	0	0,0000	1	59.111	0,0063	2	348.329	0,0367
3	766.605	0,0933	4	1.178.929	0,1679	5	1.603.552	0,2530
6	2.018.444	0,3590	7	2.431.842	0,4751	8	2.904.732	0,6120
9	3.329.169	0,7508	10	3.754.954	0,8877	11	4.227.844	1,0411
12	4.700.735	1,1998	13	5.173.626	1,3636	14	5.646.517	1,5348
15	5.882.962	1,6254						

Γ	K_{Stop}	M_{Eq}	K_{sec}		$(d, F)_{Snv,Blt}$				A_{Snv}		T		PGA			α_u/α_1	q*	Pnt Cntr		
			SLV	SLD	F_{SLV}	F_{SLD}	δ_{SLV}	δ_{SLD}	SLV	SLD	SLV	SLD	SLV	SLD	SLD_{piani}			X	Y	Z
		[N·s²/m]	[N/cm]	[N/cm]	[N]	[N]	[cm]	[cm]	[N·m]	[N·m]	[s]	[s]						[m]	[m]	[m]

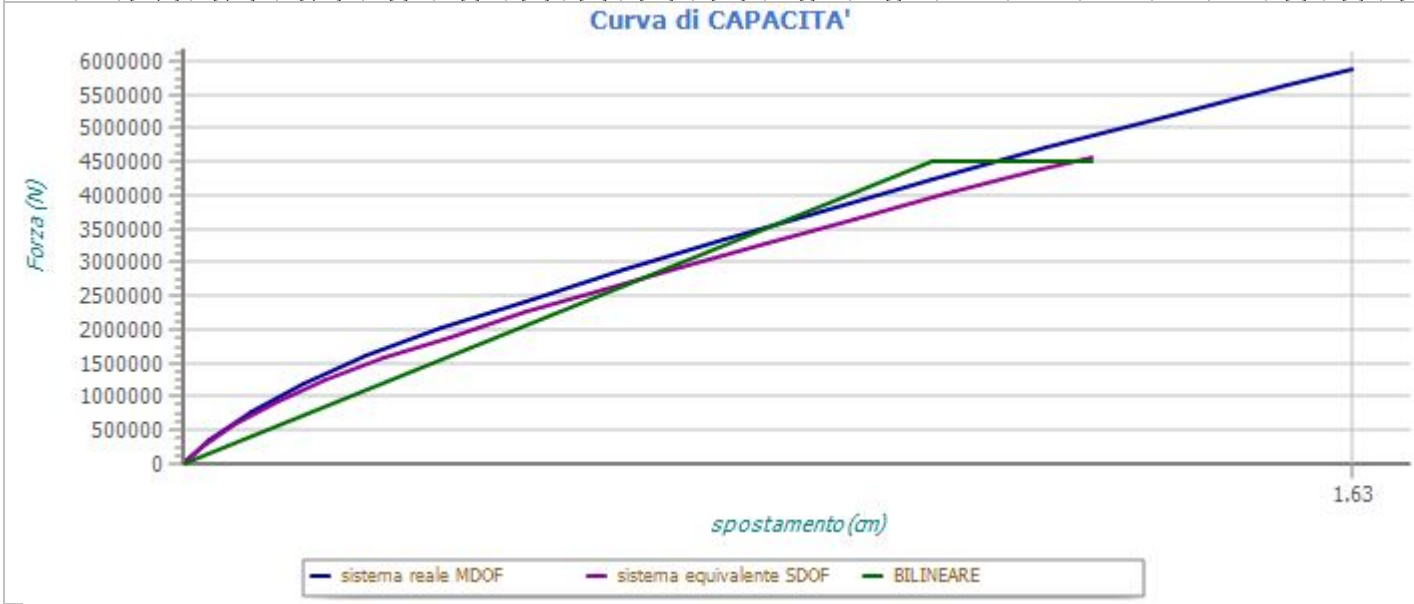

CAPACITA' DI SPOSTAMENTO DELL'EDIFICIO ALLO SLV (cm): 1,625	**CAPACITA' DI SPOSTAMENTO DELL'EDIFICIO ALLO SLD (cm): 1,625**
Domanda spostamento allo SLV (cm): 1,083	**Domanda spostamento allo SLD (cm): 0,505**
Verifica allo SLV: Verificata	**Verifica allo SLD: Verificata**

Direzione sisma in +Y - proporzionale alle masse

1,000	2	901.607	5.582.358	5.582.358	6.736.101	6.736.101	1,207	1,207	63.718	63.718	0,253	0,253	0,397	0,392	0,373	1,49	0,87	0,00	6,27	8,30

Punti della curva di capacità (Forza / Spostamento).

Punto	Forza [N]	Spostamento [cm]	Punto	Forza [N]	Spostamento [cm]	Punto	Forza [N]	Spostamento [cm]
0	0	0,0000	1	94.952	0,0088	2	559.530	0,0589
3	1.130.982	0,1488	4	1.790.862	0,2608	5	2.550.479	0,3883
6	3.211.580	0,5312	7	3.971.197	0,6964	8	4.730.813	0,8767
9	5.490.430	1,0671	10	6.250.047	1,2661	11	7.009.663	1,4728
12	7.048.844	1,5493						

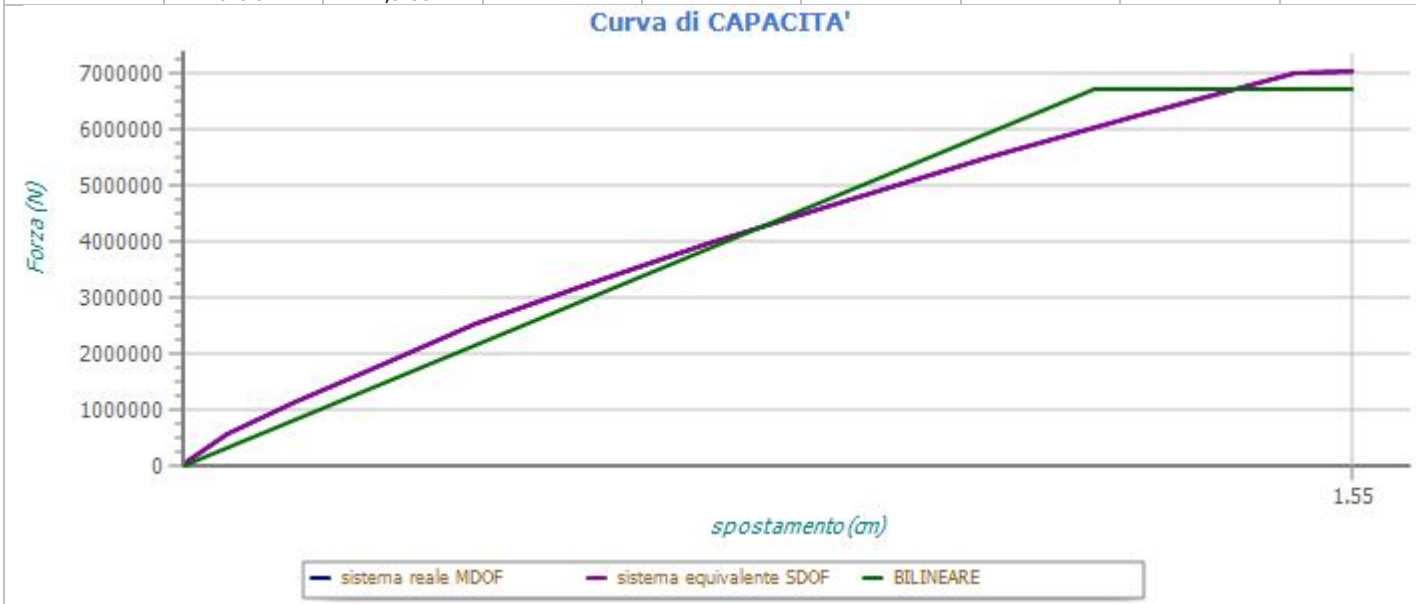

CAPACITA' DI SPOSTAMENTO DELL'EDIFICIO ALLO SLV (cm): 1,549	**CAPACITA' DI SPOSTAMENTO DELL'EDIFICIO ALLO SLD (cm): 1,549**
Domanda spostamento allo SLV (cm): 1,048	**Domanda spostamento allo SLD (cm): 0,489**
Verifica allo SLV: Verificata	**Verifica allo SLD: Verificata**

Direzione sisma in +Y - proporzionale alla deformata 1° modo di vibrazione

1,472	3	482.190	3.927.194	3.927.194	3.906.135	3.906.135	0,995	0,995	29.336	29.336	0,220	0,220	0,420	0,415	0,397	1,31	0,80	0,00	6,27	8,30

Punti della curva di capacità (Forza / Spostamento).

Punto	Forza [N]	Spostamento [cm]	Punto	Forza [N]	Spostamento [cm]	Punto	Forza [N]	Spostamento [cm]
0	0	0,0000	1	50.782	0,0059	2	299.244	0,0420
3	643.488	0,1077	4	1.049.741	0,1828	5	1.391.791	0,2682
6	1.798.043	0,3673	7	2.204.295	0,4779	8	2.610.548	0,5967
9	3.016.800	0,7224	10	3.423.052	0,8541	11	3.829.304	0,9907
12	4.235.556	1,1341	13	4.641.809	1,2830	14	5.048.061	1,4365
15	5.454.313	1,5940	16	5.860.565	1,7554	17	6.063.691	1,8376

Γ	K_{Stop}	M_{Eq}	K_{sec}		$(d, F)_{Snv,Blt}$				A_{Snv}		T		PGA			α_u/α_1	q*	Pnt Cntr		
			SLV	SLD	F_{SLV}	F_{SLD}	δ_{SLV}	δ_{SLD}	SLV	SLD	SLV	SLD	SLV	SLD	SLD_{piani}			X	Y	Z
		[N·s²/m]	[N/cm]	[N/cm]	[N]	[N]	[cm]	[cm]	[N·m]	[N·m]	[s]	[s]						[m]	[m]	[m]

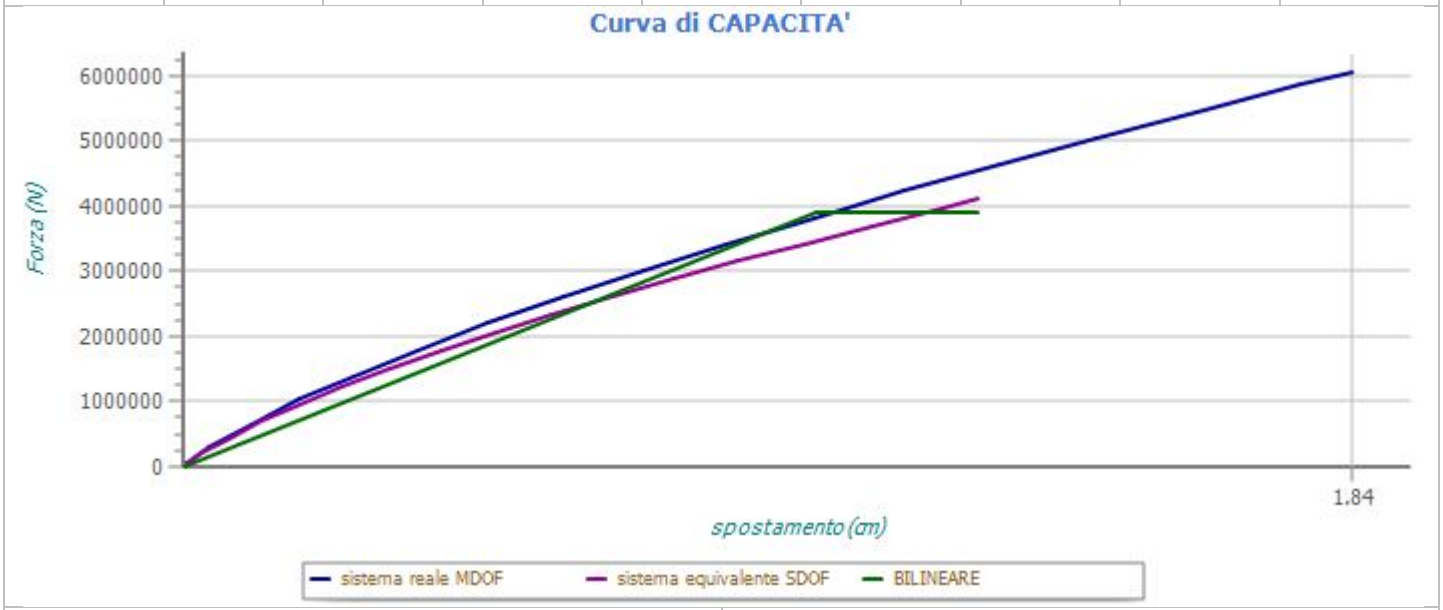

CAPACITA' DI SPOSTAMENTO DELL'EDIFICIO ALLO SLV (cm): 1,838	CAPACITA' DI SPOSTAMENTO DELL'EDIFICIO ALLO SLD (cm): 1,838
Domanda spostamento allo SLV (cm): 1,173	Domanda spostamento allo SLD (cm): 0,547
Verifica allo SLV: Verificata	Verifica allo SLD: Verificata

Direzione sisma in -Y - proporzionale alle masse

1,000	2	901.607	3.710.124	3.710.124	5.833.977	5.833.977	1,572	1,572	69.265	69.265	0,310	0,310	0,336	0,332	0,313	1,32	1,00	0,00	6,27	8,30

Punti della curva di capacità (Forza / Spostamento).

Punto	Forza [N]	Spostamento [cm]	Punto	Forza [N]	Spostamento [cm]	Punto	Forza [N]	Spostamento [cm]
0	0	0,0000	1	94.952	0,0116	2	478.943	0,0752
3	1.017.788	0,2082	4	1.672.234	0,3896	5	2.431.850	0,5894
6	3.095.326	0,8046	7	3.854.942	1,0495	8	4.614.559	1,3154
9	5.374.175	1,5967	10	5.969.312	1,8616	11	6.096.017	1,9735

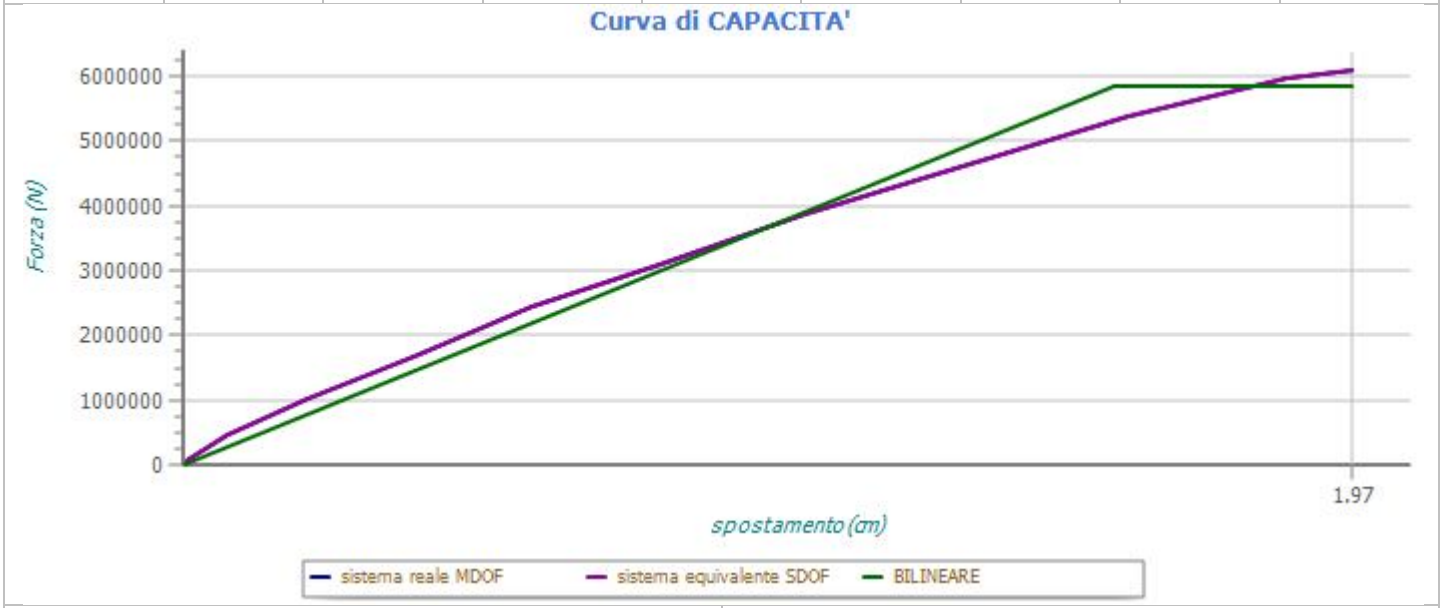

CAPACITA' DI SPOSTAMENTO DELL'EDIFICIO ALLO SLV (cm): 1,973	CAPACITA' DI SPOSTAMENTO DELL'EDIFICIO ALLO SLD (cm): 1,973
Domanda spostamento allo SLV (cm): 1,578	Domanda spostamento allo SLD (cm): 0,736
Verifica allo SLV: Verificata	Verifica allo SLD: Verificata

Direzione sisma in -Y - proporzionale alla deformata 1° modo di vibrazione

1,472	8	482.190	2.572.491	2.572.491	3.479.239	3.479.239	1,352	1,352	34.788	34.788	0,272	0,272	0,370	0,365	0,351	1,20	0,90	0,00	6,27	8,30

Punti della curva di capacità (Forza / Spostamento).

Punto	Forza [N]	Spostamento [cm]	Punto	Forza [N]	Spostamento [cm]	Punto	Forza [N]	Spostamento [cm]
0	0	0,0000	1	45.365	0,0090	2	248.233	0,0432
3	591.110	0,1338	4	919.732	0,2565	5	1.267.159	0,3939
6	1.673.412	0,5545	7	2.028.368	0,7123	8	2.434.620	0,8863
9	2.840.873	1,0717	10	3.247.125	1,2655	11	3.653.377	1,4694
12	4.059.629	1,6828	13	4.465.881	1,9048	14	4.872.134	2,1355

Curva di capacità

Γ	K_{Stop}	M_{Eq}	K_{sec}		$(d, F)_{Snv,Blt}$				A_{Snv}		T		PGA			α_u/α_1	q*	Pnt Cntr		
			SLV	SLD	F_{SLV}	F_{SLD}	δ_{SLV}	δ_{SLD}	SLV	SLD	SLV	SLD	SLV	SLD	SLD_{piani}			X	Y	Z
		[N·s²/m]	[N/cm]	[N/cm]	[N]	[N]	[cm]	[cm]	[N·m]	[N·m]	[s]	[s]						[m]	[m]	[m]
15		5.278.386		2,3723		16			5.349.855		2,4673									

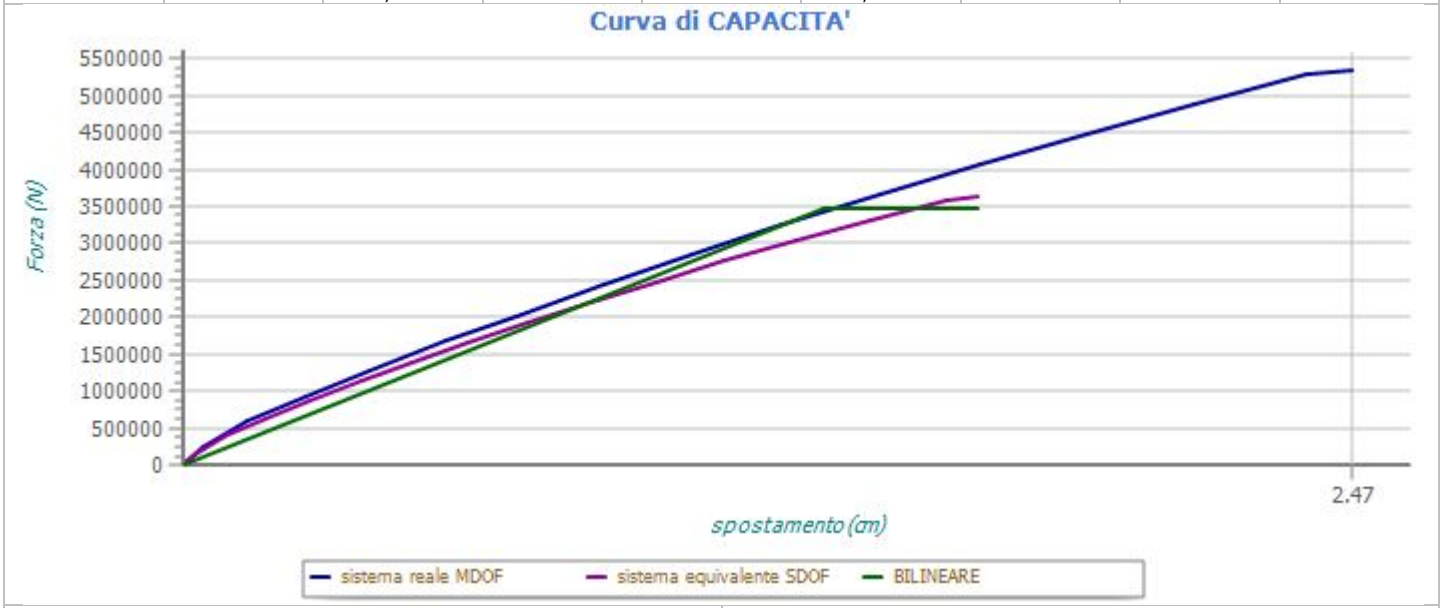

CAPACITA' DI SPOSTAMENTO DELL'EDIFICIO ALLO SLV (cm): 2,467	**CAPACITA' DI SPOSTAMENTO DELL'EDIFICIO ALLO SLD (cm): 2,467**
Domanda spostamento allo SLV (cm): 1,791	**Domanda spostamento allo SLD (cm): 0,835**
Verifica allo SLV: Verificata	**Verifica allo SLD: Verificata**

Legenda dei valori assunti dal parametro KStop

Valore	Descrizione
1	Raggiunto spostamento assegnato del punto di controllo
2	Raggiunta ampiezza minima del substep
3	Raggiunto massimo numero di tentativi di soluzione del substep
4	Raggiunto massimo numero di iterazioni cumulative
5	Raggiunta condizione di instabilità nella struttura
6	Richiesta di interruzione attraverso il file .ABT
7	Raggiunto valore limite assegnato del Parametro di Rigidezza
8	Raggiunto valore limite di Lambda dopo il superamento di LambdaMax
9	Raggiunta iterazione prossima alla condizione di singolarità o instabilità

LEGENDA:

Γ Coefficiente di partecipazione.
K_{Stop} Codice di conclusione dell'analisi.
M_{Eq} Massa del sistema SDOF.
K_{sec} Rigidezza secante allo snervamento del sistema SDOF.
$(d, F)_{Snv,Blt}$ Valori allo snervamento, di forze e spostamento, della bilatera equivalente.
A_{Snv} Area sottesa allo snervamento.
T Periodo del sistema SDOF.
PGA Accelerazione di picco al suolo: [SLV] = Stato limite salvaguardia della vita; [SLD] = Stato limite di danno (relativo al massimo valore della forza); [SLD_{piani}] = Stato limite di danno (relativo al superamento dello spostamento differenziale ammissibile fra due piani consecutivi).
α_u/α_1 Rapporto α_u/α_1
q* Rapporto tra la forza di risposta elastica e la forza di snervamento del sistema equivalente (SDOF).
Pnt Cntr Coordinate del punto di controllo.

LIVELLI O PIANI

Livelli o piani

Id Lv	Descrizione	Z_{Lv}	H_{Lv}	$Q_{ex,lv}$	PR	Rid Tmp	Massa del piano			$Crd_{G,s}$		$Crd_{G,SLU}$		$Crd_{G,SLD}$		$Crd_{R,SLU}$	
							$M_{L,St}$	$M_{L,SLU}$	$M_{L,SLD}$	X	Y	X	Y	X	Y	X	Y
		[m]	[m]	[m]			[N·s²/m]	[N·s²/m]	[N·s²/m]	[m]	[m]	[m]	[m]	[m]	[m]	[m]	[m]
01	Piano copertura	5,40	2,90	8,30	NO	NO	116.586	94.416	94416	16,68	7,04	16,74	7,04	16,74	7,04	12,42	7,04
02	Piano terra	2,00	3,40	5,40	NO	NO	316.938	282.625	282625	15,73	7,21	15,81	7,21	15,81	7,21	16,41	6,88
03	Piano interrato	0,00	2,00	2,00	NO	NO	565.097	509.815	509815	15,71	7,21	15,74	7,21	15,74	7,21	18,16	7,24
04	Fondazione	0,00		0,00	NO	NO	241.003	241.003	241003	16,32	7,31	16,32	7,31	16,32	7,31	0,00	0,00

LEGENDA:

Id_{Lv} Numero identificativo del livello o piano.
Z_{Lv} Quota di calpestio del livello o piano, relativa al sistema di riferimento globale X, Y, Z.
H_{Lv} Altezza del livello o piano.
$Q_{ex,lv}$ Quota dell'estradosso dell'impalcato del livello o piano.
PR Indica se l'impalcato (orizzontale) è considerato rigido nel calcolo: [S] = Piano Rigido - [N] = Piano non Rigido.
In alternativa vedere tabella "Solai e Balconi" in quanto il comportamento rigido potrebbe essere stato assegnato ai singoli solai del livello.
Rid Tmp Indica i piani che presentano significativa riduzione dei tamponamenti. [S] = Piano con riduzione dei tamponamenti - [N] = Piano senza riduzione dei tamponamenti.
$M_{L,St}$ Massa del piano valutata in condizioni statiche.
$M_{L,SLU}$ Massa del piano valutata per SLU.
$M_{L,SLD}$ Massa del piano valutata per SLD.
$Crd_{G,s}$ Coordinate del baricentro delle masse, valutate in condizioni statiche.
$Crd_{G,SLU}$ Coordinate del baricentro delle masse, valutate per SLU.

Livelli o piani

Id Lv	Descrizione	Z_{Lv}	H_{Lv}	$Q_{ex,lv}$	PR	Rid Tmp	Massa del piano			$Crd_{G,s}$		$Crd_{G,SLU}$		$Crd_{G,SLD}$		$Crd_{R,SLU}$	
							$M_{L,St}$	$M_{L,SLU}$	$M_{L,SLD}$	X	Y	X	Y	X	Y	X	Y
		[m]	[m]	[m]			[N·s²/m]	[N·s²/m]	[N·s²/m]	[m]	[m]	[m]	[m]	[m]	[m]	[m]	[m]

$Crd_{G,SLD}$ Coordinate del baricentro delle masse, valutate per SLD.
$Crd_{R,SLU}$ Coordinate del baricentro delle rigidezze, valutate per SLU.

NODI

Nodi

Id_{Nd}	X	Y	Z	Vincolo Esterno							Cedimenti Impressi						Cl c Fnd
				V. ex	$R_{S,X}$	$R_{S,Y}$	$R_{S,Z}$	$R_{\Theta,X}$	$R_{\Theta,Y}$	$R_{\Theta,Z}$	S_X	S_Y	S_Z	Θ_X	Θ_Y	Θ_Z	
	[m]	[m]	[m]		[N/cm]	[N/cm]	[N/cm]	[N·m/rad]	[N·m/rad]	[N·m/rad]	[cm]	[cm]	[cm]	[rad]	[rad]	[rad]	
00001	0,00	0,00	0,00	Winkler	infinita	infinita	-	-	-	infinita	-	-	-	-	-	-	NO
00002	0,00	0,00	2,00	nessuno	-	-	-	-	-	-	-	-	-	-	-	-	NO
00003	6,10	0,00	0,00	Plinto	1.077.000	1.077.000	8.405.000	2,9435 E+08	2,9435 E+08	1,1695 E+08	-	-	-	-	-	-	NO
00004	6,10	0,00	2,00	nessuno	-	-	-	-	-	-	-	-	-	-	-	-	NO
00005	12,30	0,00	0,00	Winkler	infinita	infinita	-	-	-	infinita	-	-	-	-	-	-	NO
00006	12,30	0,00	2,00	nessuno	-	-	-	-	-	-	-	-	-	-	-	-	NO
00007	18,50	0,00	0,00	Winkler	infinita	infinita	-	-	-	infinita	-	-	-	-	-	-	NO
00008	18,50	0,00	2,00	nessuno	-	-	-	-	-	-	-	-	-	-	-	-	NO
00009	24,70	0,00	0,00	Plinto	1.077.000	1.077.000	8.405.000	2,9435 E+08	2,9435 E+08	1,1695 E+08	-	-	-	-	-	-	NO
00010	24,70	0,00	2,00	nessuno	-	-	-	-	-	-	-	-	-	-	-	-	NO
00011	0,00	14,36	0,00	Winkler	infinita	infinita	-	-	-	infinita	-	-	-	-	-	-	NO
00012	0,00	14,36	2,00	nessuno	-	-	-	-	-	-	-	-	-	-	-	-	NO
00013	6,10	14,36	0,00	Plinto	1.192.500	1.192.500	9.245.000	3,5613 E+08	3,5613 E+08	1,4378 E+08	-	-	-	-	-	-	NO
00014	6,10	14,36	2,00	nessuno	-	-	-	-	-	-	-	-	-	-	-	-	NO
00015	12,30	14,36	0,00	Winkler	infinita	infinita	-	-	-	infinita	-	-	-	-	-	-	NO
00016	12,30	14,36	2,00	nessuno	-	-	-	-	-	-	-	-	-	-	-	-	NO
00017	18,50	14,36	0,00	Winkler	infinita	infinita	-	-	-	infinita	-	-	-	-	-	-	NO
00018	18,50	14,36	2,00	nessuno	-	-	-	-	-	-	-	-	-	-	-	-	NO
00019	24,70	14,36	0,00	Plinto	882.000	882.000	6.480.000	1,7496 E+08	1,7496 E+08	7,1496 E+07	-	-	-	-	-	-	NO
00020	24,70	14,36	2,00	nessuno	-	-	-	-	-	-	-	-	-	-	-	-	NO
00021	31,15	14,36	0,00	Winkler	infinita	infinita	-	-	-	infinita	-	-	-	-	-	-	NO
00022	0,00	10,57	0,00	Winkler	infinita	infinita	-	-	-	infinita	-	-	-	-	-	-	NO
00023	0,00	10,57	2,00	nessuno	-	-	-	-	-	-	-	-	-	-	-	-	NO
00024	6,10	10,42	0,00	Plinto	690.000	690.000	7.680.000	1,6384 E+08	1,6384 E+08	4,3046 E+07	-	-	-	-	-	-	NO
00025	6,10	10,42	2,00	nessuno	-	-	-	-	-	-	-	-	-	-	-	-	NO
00026	12,30	10,42	0,00	Plinto	690.000	690.000	7.680.000	1,6384 E+08	1,6384 E+08	4,3046 E+07	-	-	-	-	-	-	NO
00027	12,30	10,42	2,00	nessuno	-	-	-	-	-	-	-	-	-	-	-	-	NO
00028	18,50	9,87	0,00	Plinto	690.000	690.000	7.680.000	1,6384 E+08	1,6384 E+08	4,3046 E+07	-	-	-	-	-	-	NO
00029	18,50	9,87	2,00	nessuno	-	-	-	-	-	-	-	-	-	-	-	-	NO
00030	24,70	9,87	0,00	Plinto	1.192.500	1.192.500	13.867.500	5,3419 E+08	5,3419 E+08	1,4378 E+08	-	-	-	-	-	-	NO
00031	24,70	9,87	2,00	nessuno	-	-	-	-	-	-	-	-	-	-	-	-	NO
00032	31,15	9,87	0,00	Plinto	882.000	882.000	6.480.000	1,7496 E+08	1,7496 E+08	7,1496 E+07	-	-	-	-	-	-	NO
00033	31,15	9,87	2,00	nessuno	-	-	-	-	-	-	-	-	-	-	-	-	NO
00034	0,00	6,27	0,00	Winkler	infinita	infinita	-	-	-	infinita	-	-	-	-	-	-	NO
00035	0,00	6,27	2,00	nessuno	-	-	-	-	-	-	-	-	-	-	-	-	NO
00036	31,15	6,27	0,00	Plinto	882.000	882.000	6.480.000	1,7496 E+08	1,7496 E+08	7,1496 E+07	-	-	-	-	-	-	NO
00037	31,15	6,27	2,00	nessuno	-	-	-	-	-	-	-	-	-	-	-	-	NO

Id_{Nd}	X	Y	Z	Vincolo Esterno							Cedimenti Impressi						Cl c Fnd
				V. ex	$R_{S,X}$	$R_{S,Y}$	$R_{S,Z}$	$R_{\Theta,X}$	$R_{\Theta,Y}$	$R_{\Theta,Z}$	S_X	S_Y	S_Z	Θ_X	Θ_Y	Θ_Z	
	[m]	[m]	[m]		[N/cm]	[N/cm]	[N/cm]	[N·m/rad]	[N·m/rad]	[N·m/rad]	[cm]	[cm]	[cm]	[rad]	[rad]	[rad]	
00038	18,50	6,27	0,00	Plinto	1.476.000	1.476.000	17.280.000	8,2944 E+08	8,2944 E+08	2,2669 E+08	-	-	-	-	-	-	NO
00039	18,50	6,27	2,00	nessuno	-	-	-	-	-	-	-	-	-	-	-	-	NO
00040	6,10	6,27	0,00	Plinto	1.476.000	1.476.000	17.280.000	8,2944 E+08	8,2944 E+08	2,2669 E+08	-	-	-	-	-	-	NO
00041	6,10	6,27	2,00	nessuno	-	-	-	-	-	-	-	-	-	-	-	-	NO
00042	12,30	6,27	0,00	Plinto	1.476.000	1.476.000	17.280.000	8,2944 E+08	8,2944 E+08	2,2669 E+08	-	-	-	-	-	-	NO
00043	12,30	6,27	2,00	nessuno	-	-	-	-	-	-	-	-	-	-	-	-	NO
00044	24,70	6,27	0,00	Plinto	1.192.500	1.192.500	13.867.500	5,3419 E+08	5,3419 E+08	1,4378 E+08	-	-	-	-	-	-	NO
00045	24,70	6,27	2,00	nessuno	-	-	-	-	-	-	-	-	-	-	-	-	NO
00046	31,15	0,00	0,00	Winkler	infinita	infinita	-	-	-	infinita	-	-	-	-	-	-	NO
00047	31,15	0,00	2,00	nessuno	-	-	-	-	-	-	-	-	-	-	-	-	NO
00048	0,00	6,27	5,40	nessuno	-	-	-	-	-	-	-	-	-	-	-	-	NO
00049	0,00	10,57	5,40	nessuno	-	-	-	-	-	-	-	-	-	-	-	-	NO
00050	0,00	14,36	5,40	nessuno	-	-	-	-	-	-	-	-	-	-	-	-	NO
00051	24,70	0,00	5,40	nessuno	-	-	-	-	-	-	-	-	-	-	-	-	NO
00052	24,70	6,27	5,40	nessuno	-	-	-	-	-	-	-	-	-	-	-	-	NO
00053	18,50	0,00	5,40	nessuno	-	-	-	-	-	-	-	-	-	-	-	-	NO
00054	18,50	6,27	5,40	nessuno	-	-	-	-	-	-	-	-	-	-	-	-	NO
00055	12,30	0,00	5,40	nessuno	-	-	-	-	-	-	-	-	-	-	-	-	NO
00056	12,30	6,27	5,40	nessuno	-	-	-	-	-	-	-	-	-	-	-	-	NO
00057	6,10	0,00	5,40	nessuno	-	-	-	-	-	-	-	-	-	-	-	-	NO
00058	6,10	6,27	5,40	nessuno	-	-	-	-	-	-	-	-	-	-	-	-	NO
00059	0,00	0,00	5,40	nessuno	-	-	-	-	-	-	-	-	-	-	-	-	NO
00060	31,15	0,00	5,40	nessuno	-	-	-	-	-	-	-	-	-	-	-	-	NO
00061	31,15	6,27	5,40	nessuno	-	-	-	-	-	-	-	-	-	-	-	-	NO
00062	31,15	9,87	5,40	nessuno	-	-	-	-	-	-	-	-	-	-	-	-	NO
00063	6,10	14,36	5,40	nessuno	-	-	-	-	-	-	-	-	-	-	-	-	NO
00064	12,30	14,36	5,40	nessuno	-	-	-	-	-	-	-	-	-	-	-	-	NO
00065	18,50	14,36	5,40	nessuno	-	-	-	-	-	-	-	-	-	-	-	-	NO
00066	24,70	14,36	5,40	nessuno	-	-	-	-	-	-	-	-	-	-	-	-	NO
00067	18,50	9,87	5,40	nessuno	-	-	-	-	-	-	-	-	-	-	-	-	NO
00068	24,70	9,87	5,40	nessuno	-	-	-	-	-	-	-	-	-	-	-	-	NO
00069	0,00	6,27	8,30	nessuno	-	-	-	-	-	-	-	-	-	-	-	-	NO
00070	0,00	10,57	6,76	nessuno	-	-	-	-	-	-	-	-	-	-	-	-	NO
00071	24,70	6,27	8,30	nessuno	-	-	-	-	-	-	-	-	-	-	-	-	NO
00072	18,50	6,27	8,30	nessuno	-	-	-	-	-	-	-	-	-	-	-	-	NO
00073	6,10	6,27	8,30	nessuno	-	-	-	-	-	-	-	-	-	-	-	-	NO
00074	31,15	6,27	8,30	nessuno	-	-	-	-	-	-	-	-	-	-	-	-	NO
00075	18,50	9,87	7,00	nessuno	-	-	-	-	-	-	-	-	-	-	-	-	NO
00076	24,70	9,87	7,00	nessuno	-	-	-	-	-	-	-	-	-	-	-	-	NO
00077	31,15	9,87	7,00	nessuno	-	-	-	-	-	-	-	-	-	-	-	-	NO
00078	12,30	6,27	8,30	nessuno	-	-	-	-	-	-	-	-	-	-	-	-	NO
00079	31,1	2,15	2,00	nessuno	-	-	-	-	-	-	-	-	-	-	-	-	NO

Id_{Nd}	X	Y	Z	Vincolo Esterno							Cedimenti Impressi						Cl c Fnd
				V. ex	$R_{S,X}$	$R_{S,Y}$	$R_{S,Z}$	$R_{\Theta,X}$	$R_{\Theta,Y}$	$R_{\Theta,Z}$	S_X	S_Y	S_Z	Θ_X	Θ_Y	Θ_Z	
	[m]	[m]	[m]		[N/cm]	[N/cm]	[N/cm]	[N·m/rad]	[N·m/rad]	[N·m/rad]	[cm]	[cm]	[cm]	[rad]	[rad]	[rad]	
90008	5 31,15	2,15	0,00	Winkler	infinita	infinita	-	-	-	infinita	-	-	-	-	-	-	NO
00081	31,15	12,21	2,00	nessuno	-	-	-	-	-	-	-	-	-	-	-	-	NO
00082	31,15	12,21	0,00	Winkler	infinita	infinita	-	-	-	infinita	-	-	-	-	-	-	NO
00083	1,00	0,00	2,00	nessuno	-	-	-	-	-	-	-	-	-	-	-	-	NO
00084	1,00	0,00	5,40	nessuno	-	-	-	-	-	-	-	-	-	-	-	-	NO
00085	30,15	0,00	2,00	nessuno	-	-	-	-	-	-	-	-	-	-	-	-	NO
00086	30,15	0,00	0,00	Winkler	infinita	infinita	-	-	-	infinita	-	-	-	-	-	-	NO
00087	30,15	0,00	5,40	nessuno	-	-	-	-	-	-	-	-	-	-	-	-	NO
00088	30,15	14,36	2,00	nessuno	-	-	-	-	-	-	-	-	-	-	-	-	NO
00089	¢0,15	14,36	0,00	Winkler	infinita	infinita	-	-	-	infinita	-	-	-	-	-	-	NO
00090	30,15	14,36	5,40	nessuno	-	-	-	-	-	-	-	-	-	-	-	-	NO
00091	1,00	14,36	2,00	nessuno	-	-	-	-	-	-	-	-	-	-	-	-	NO
00092	1,00	14,36	0,00	Winkler	infinita	infinita	-	-	-	infinita	-	-	-	-	-	-	NO
00093	1,00	14,36	5,40	nessuno	-	-	-	-	-	-	-	-	-	-	-	-	NO
00094	11,30	14,36	2,00	nessuno	-	-	-	-	-	-	-	-	-	-	-	-	NO
00095	11,30	14,36	0,00	Winkler	infinita	infinita	-	-	-	infinita	-	-	-	-	-	-	NO
00096	11,30	14,36	5,40	nessuno	-	-	-	-	-	-	-	-	-	-	-	-	NO
00097	19,50	14,36	2,00	nessuno	-	-	-	-	-	-	-	-	-	-	-	-	NO
00098	19,50	14,36	0,00	Winkler	infinita	infinita	-	-	-	infinita	-	-	-	-	-	-	NO
00099	19,50	14,36	5,40	nessuno	-	-	-	-	-	-	-	-	-	-	-	-	NO
00100	19,50	0,00	2,00	nessuno	-	-	-	-	-	-	-	-	-	-	-	-	NO
00101	19,50	0,00	0,00	Winkler	infinita	infinita	-	-	-	infinita	-	-	-	-	-	-	NO
00102	19,50	0,00	5,40	nessuno	-	-	-	-	-	-	-	-	-	-	-	-	NO
00103	11,30	0,00	2,00	nessuno	-	-	-	-	-	-	-	-	-	-	-	-	NO
00104	11,30	0,00	0,00	Winkler	infinita	infinita	-	-	-	infinita	-	-	-	-	-	-	NO
00105	11,30	0,00	5,40	nessuno	-	-	-	-	-	-	-	-	-	-	-	-	NO
00106	31,15	2,50	0,00	Winkler	infinita	infinita	-	-	-	infinita	-	-	-	-	-	-	NO
00107	31,15	2,50	2,00	nessuno	-	-	-	-	-	-	-	-	-	-	-	-	NO
00108	31,15	2,50	5,40	nessuno	-	-	-	-	-	-	-	-	-	-	-	-	NO
00109	31,15	14,36	5,40	nessuno	-	-	-	-	-	-	-	-	-	-	-	-	NO
00110	31,15	14,36	2,00	nessuno	-	-	-	-	-	-	-	-	-	-	-	-	NO
00111	31,15	11,86	2,00	nessuno	-	-	-	-	-	-	-	-	-	-	-	-	NO
00112	31,15	11,86	5,40	nessuno	-	-	-	-	-	-	-	-	-	-	-	-	NO
00113	31,15	11,86	0,00	Winkler	infinita	infinita	-	-	-	infinita	-	-	-	-	-	-	NO
00114	17,50	14,36	0,00	Winkler	infinita	infinita	-	-	-	infinita	-	-	-	-	-	-	NO
00115	17,50	14,36	2,00	nessuno	-	-	-	-	-	-	-	-	-	-	-	-	NO
00116	17,50	14,36	5,40	nessuno	-	-	-	-	-	-	-	-	-	-	-	-	NO
00117	13,30	14,36	0,00	Winkler	infinita	infinita	-	-	-	infinita	-	-	-	-	-	-	NO
00118	13,30	14,36	2,00	nessuno	-	-	-	-	-	-	-	-	-	-	-	-	NO
00119	13,30	14,36	5,40	nessuno	-	-	-	-	-	-	-	-	-	-	-	-	NO
00120	13,30	0,00	0,00	Winkler	infinita	infinita	-	-	-	infinita	-	-	-	-	-	-	NO

Id_{Nd}	X	Y	Z	Vincolo Esterno							Cedimenti Impressi						Cl c Fnd
				V. ex	$R_{S,X}$	$R_{S,Y}$	$R_{S,Z}$	$R_{\Theta,X}$	$R_{\Theta,Y}$	$R_{\Theta,Z}$	S_X	S_Y	S_Z	Θ_X	Θ_Y	Θ_Z	
	[m]	[m]	[m]		[N/cm]	[N/cm]	[N/cm]	[N·m/rad]	[N·m/rad]	[N·m/rad]	[cm]	[cm]	[cm]	[rad]	[rad]	[rad]	
00121	13,30	0,00	2,00	nessuno	-	-	-	-	-	-	-	-	-	-	-	-	NO
00122	13,30	0,00	5,40	nessuno	-	-	-	-	-	-	-	-	-	-	-	-	NO
00123	17,50	0,00	0,00	Winkler	infinita	infinita	-	-	-	infinita	-	-	-	-	-	-	NO
00124	17,50	0,00	2,00	nessuno	-	-	-	-	-	-	-	-	-	-	-	-	NO
00125	17,50	0,00	5,40	nessuno	-	-	-	-	-	-	-	-	-	-	-	-	NO
00126	1,00	0,00	0,00	Winkler	infinita	infinita	-	-	-	infinita	-	-	-	-	-	-	NO
00127	1,50	0,00	0,00	nessuno	-	-	-	-	-	-	-	-	-	-	-	-	NO
00128	10,80	0,00	0,00	nessuno	-	-	-	-	-	-	-	-	-	-	-	-	NO
00129	13,80	0,00	0,00	nessuno	-	-	-	-	-	-	-	-	-	-	-	-	NO
00130	17,00	0,00	0,00	nessuno	-	-	-	-	-	-	-	-	-	-	-	-	NO
00131	20,00	0,00	0,00	nessuno	-	-	-	-	-	-	-	-	-	-	-	-	NO
00132	29,65	0,00	0,00	nessuno	-	-	-	-	-	-	-	-	-	-	-	-	NO
00133	31,15	3,00	0,00	nessuno	-	-	-	-	-	-	-	-	-	-	-	-	NO
00134	31,15	11,36	0,00	nessuno	-	-	-	-	-	-	-	-	-	-	-	-	NO
00135	29,65	14,36	0,00	nessuno	-	-	-	-	-	-	-	-	-	-	-	-	NO
00136	20,00	14,36	0,00	nessuno	-	-	-	-	-	-	-	-	-	-	-	-	NO
00137	17,00	14,36	0,00	nessuno	-	-	-	-	-	-	-	-	-	-	-	-	NO
00138	13,80	14,36	0,00	nessuno	-	-	-	-	-	-	-	-	-	-	-	-	NO
00139	10,80	14,36	0,00	nessuno	-	-	-	-	-	-	-	-	-	-	-	-	NO
00140	1,50	14,36	0,00	nessuno	-	-	-	-	-	-	-	-	-	-	-	-	NO
00141	30,65	14,36	1,65	nessuno	-	-	-	-	-	-	-	-	-	-	-	-	NO
00142	18,00	14,36	1,65	nessuno	-	-	-	-	-	-	-	-	-	-	-	-	NO
00143	11,80	14,36	1,65	nessuno	-	-	-	-	-	-	-	-	-	-	-	-	NO
00144	0,00	6,75	1,87	nessuno	-	-	-	-	-	-	-	-	-	-	-	-	NO
00145	0,00	7,23	1,87	nessuno	-	-	-	-	-	-	-	-	-	-	-	-	NO
00146	0,00	7,70	1,87	nessuno	-	-	-	-	-	-	-	-	-	-	-	-	NO
00147	0,00	8,18	1,87	nessuno	-	-	-	-	-	-	-	-	-	-	-	-	NO
00148	0,00	8,66	1,87	nessuno	-	-	-	-	-	-	-	-	-	-	-	-	NO
00149	0,00	9,14	1,87	nessuno	-	-	-	-	-	-	-	-	-	-	-	-	NO
00150	0,00	9,61	1,87	nessuno	-	-	-	-	-	-	-	-	-	-	-	-	NO
00151	0,00	10,09	1,87	nessuno	-	-	-	-	-	-	-	-	-	-	-	-	NO
00152	31,15	0,43	1,70	nessuno	-	-	-	-	-	-	-	-	-	-	-	-	NO
00153	31,15	0,86	1,70	nessuno	-	-	-	-	-	-	-	-	-	-	-	-	NO
00154	31,15	1,29	1,70	nessuno	-	-	-	-	-	-	-	-	-	-	-	-	NO
00155	31,15	1,72	1,70	nessuno	-	-	-	-	-	-	-	-	-	-	-	-	NO
00156	0,50	0,00	1,65	nessuno	-	-	-	-	-	-	-	-	-	-	-	-	NO
00157	31,15	12,64	1,70	nessuno	-	-	-	-	-	-	-	-	-	-	-	-	NO
00158	31,15	13,07	1,70	nessuno	-	-	-	-	-	-	-	-	-	-	-	-	NO
00159	31,15	13,50	1,70	nessuno	-	-	-	-	-	-	-	-	-	-	-	-	NO
00160	31,15	13,93	1,70	nessuno	-	-	-	-	-	-	-	-	-	-	-	-	NO
00161	0,00	6,75	5,23	nessuno	-	-	-	-	-	-	-	-	-	-	-	-	NO
0016	0,00	7,23	5,23	nessuno	-	-	-	-	-	-	-	-	-	-	-	-	NO

Id_{Nd}	X	Y	Z	Vincolo Esterno							Cedimenti Impressi						Cl c Fnd
				V. ex	$R_{S,X}$	$R_{S,Y}$	$R_{S,Z}$	$R_{\Theta,X}$	$R_{\Theta,Y}$	$R_{\Theta,Z}$	S_X	S_Y	S_Z	Θ_X	Θ_Y	Θ_Z	
	[m]	[m]	[m]		[N/cm]	[N/cm]	[N/cm]	[N·m/rad]	[N·m/rad]	[N·m/rad]	[cm]	[cm]	[cm]	[rad]	[rad]	[rad]	
20016	3	0,00	7,70	5,23	nessuno	-	-	-	-	-	-	-	-	-	-	-	-	NO
00164		0,00	8,18	5,23	nessuno	-	-	-	-	-	-	-	-	-	-	-	-	NO
00165		0,00	8,66	5,23	nessuno	-	-	-	-	-	-	-	-	-	-	-	-	NO
00166		0,00	9,14	5,23	nessuno	-	-	-	-	-	-	-	-	-	-	-	-	NO
00167		0,00	9,61	5,23	nessuno	-	-	-	-	-	-	-	-	-	-	-	-	NO
00168		0,00	10,09	5,23	nessuno	-	-	-	-	-	-	-	-	-	-	-	-	NO
00169		0,50	0,00	4,90	nessuno	-	-	-	-	-	-	-	-	-	-	-	-	NO
00170		0,33	14,36	4,90	nessuno	-	-	-	-	-	-	-	-	-	-	-	-	NO
00171		0,67	14,36	4,90	nessuno	-	-	-	-	-	-	-	-	-	-	-	-	NO
00172		31,15	12,28	4,90	nessuno	-	-	-	-	-	-	-	-	-	-	-	-	NO
00173		31,15	12,70	4,90	nessuno	-	-	-	-	-	-	-	-	-	-	-	-	NO
00174		31,15	13,11	4,90	nessuno	-	-	-	-	-	-	-	-	-	-	-	-	NO
00175		31,15	13,53	4,90	nessuno	-	-	-	-	-	-	-	-	-	-	-	-	NO
00176		31,15	13,95	4,90	nessuno	-	-	-	-	-	-	-	-	-	-	-	-	NO
00177		11,80	14,36	4,90	nessuno	-	-	-	-	-	-	-	-	-	-	-	-	NO
00178		30,65	0,00	1,65	nessuno	-	-	-	-	-	-	-	-	-	-	-	-	NO
00179		12,63	0,00	4,90	nessuno	-	-	-	-	-	-	-	-	-	-	-	-	NO
00180		12,97	0,00	4,90	nessuno	-	-	-	-	-	-	-	-	-	-	-	-	NO
00181		11,80	0,00	1,65	nessuno	-	-	-	-	-	-	-	-	-	-	-	-	NO
00182		18,00	0,00	1,65	nessuno	-	-	-	-	-	-	-	-	-	-	-	-	NO
00183		18,83	0,00	4,90	nessuno	-	-	-	-	-	-	-	-	-	-	-	-	NO
00184		19,17	0,00	4,90	nessuno	-	-	-	-	-	-	-	-	-	-	-	-	NO
00185		18,83	14,36	4,90	nessuno	-	-	-	-	-	-	-	-	-	-	-	-	NO
00186		19,17	14,36	4,90	nessuno	-	-	-	-	-	-	-	-	-	-	-	-	NO
00187		31,15	0,42	4,90	nessuno	-	-	-	-	-	-	-	-	-	-	-	-	NO
00188		31,15	0,83	4,90	nessuno	-	-	-	-	-	-	-	-	-	-	-	-	NO
00189		31,15	1,25	4,90	nessuno	-	-	-	-	-	-	-	-	-	-	-	-	NO
00190		31,15	1,67	4,90	nessuno	-	-	-	-	-	-	-	-	-	-	-	-	NO
00191		31,15	2,08	4,90	nessuno	-	-	-	-	-	-	-	-	-	-	-	-	NO
00192		12,63	14,36	4,90	nessuno	-	-	-	-	-	-	-	-	-	-	-	-	NO
00193		12,97	14,36	4,90	nessuno	-	-	-	-	-	-	-	-	-	-	-	-	NO
00194		18,00	0,00	-0,40	Winkler	infinita	infinita	-	-	-	infinita	-	-	-	-	-	-	NO
00195		11,80	14,36	-0,40	Winkler	infinita	infinita	-	-	-	infinita	-	-	-	-	-	-	NO
00196		18,00	14,36	-0,40	Winkler	infinita	infinita	-	-	-	infinita	-	-	-	-	-	-	NO
00197		18,83	14,36	-0,40	Winkler	infinita	infinita	-	-	-	infinita	-	-	-	-	-	-	NO
00198		19,17	14,36	-0,40	Winkler	infinita	infinita	-	-	-	infinita	-	-	-	-	-	-	NO
00199		0,33	14,36	-0,40	Winkler	infinita	infinita	-	-	-	infinita	-	-	-	-	-	-	NO
00200		0,67	14,36	-0,40	Winkler	infinita	infinita	-	-	-	infinita	-	-	-	-	-	-	NO
00201		12,63	14,36	-0,40	Winkler	infinita	infinita	-	-	-	infinita	-	-	-	-	-	-	NO
00202		12,97	14,36	-0,40	Winkler	infinita	infinita	-	-	-	infinita	-	-	-	-	-	-	NO
00203		12,63	0,00	-0,40	Winkler	infinita	infinita	-	-	-	infinita	-	-	-	-	-	-	NO

Id_{Nd}	X	Y	Z	Vincolo Esterno							Cedimenti Impressi						Cl c Fnd
				V. ex	$R_{S,X}$	$R_{S,Y}$	$R_{S,Z}$	$R_{\Theta,X}$	$R_{\Theta,Y}$	$R_{\Theta,Z}$	S_X	S_Y	S_Z	Θ_X	Θ_Y	Θ_Z	
	[m]	[m]	[m]		[N/cm]	[N/cm]	[N/cm]	[N·m/rad]	[N·m/rad]	[N·m/rad]	[cm]	[cm]	[cm]	[rad]	[rad]	[rad]	
00204	12,97	0,00	-0,40	Winkler	infinita	infinita	-	-	-	infinita	-	-	-	-	-	-	NO
00205	0,50	0,00	-0,40	Winkler	infinita	infinita	-	-	-	infinita	-	-	-	-	-	-	NO
00206	18,83	0,00	-0,40	Winkler	infinita	infinita	-	-	-	infinita	-	-	-	-	-	-	NO
00207	19,17	0,00	-0,40	Winkler	infinita	infinita	-	-	-	infinita	-	-	-	-	-	-	NO
00208	12,63	14,36	1,65	nessuno	-	-	-	-	-	-	-	-	-	-	-	-	NO
00209	12,97	14,36	1,65	nessuno	-	-	-	-	-	-	-	-	-	-	-	-	NO
00210	12,63	0,00	1,65	nessuno	-	-	-	-	-	-	-	-	-	-	-	-	NO
00211	12,97	0,00	1,65	nessuno	-	-	-	-	-	-	-	-	-	-	-	-	NO
00212	31,15	12,64	-0,40	Winkler	infinita	infinita	-	-	-	infinita	-	-	-	-	-	-	NO
00213	31,15	13,07	-0,40	Winkler	infinita	infinita	-	-	-	infinita	-	-	-	-	-	-	NO
00214	31,15	13,50	-0,40	Winkler	infinita	infinita	-	-	-	infinita	-	-	-	-	-	-	NO
00215	31,15	13,93	-0,40	Winkler	infinita	infinita	-	-	-	infinita	-	-	-	-	-	-	NO
00216	0,33	14,36	1,65	nessuno	-	-	-	-	-	-	-	-	-	-	-	-	NO
00217	0,67	14,36	1,65	nessuno	-	-	-	-	-	-	-	-	-	-	-	-	NO
00218	18,83	14,36	1,65	nessuno	-	-	-	-	-	-	-	-	-	-	-	-	NO
00219	19,17	14,36	1,65	nessuno	-	-	-	-	-	-	-	-	-	-	-	-	NO
00220	18,83	0,00	1,65	nessuno	-	-	-	-	-	-	-	-	-	-	-	-	NO
00221	19,17	0,00	1,65	nessuno	-	-	-	-	-	-	-	-	-	-	-	-	NO
00222	31,15	0,43	-0,40	Winkler	infinita	infinita	-	-	-	infinita	-	-	-	-	-	-	NO
00223	31,15	0,86	-0,40	Winkler	infinita	infinita	-	-	-	infinita	-	-	-	-	-	-	NO
00224	31,15	1,29	-0,40	Winkler	infinita	infinita	-	-	-	infinita	-	-	-	-	-	-	NO
00225	31,15	1,72	-0,40	Winkler	infinita	infinita	-	-	-	infinita	-	-	-	-	-	-	NO
00226	11,80	0,00	-0,40	Winkler	infinita	infinita	-	-	-	infinita	-	-	-	-	-	-	NO
00227	30,65	0,00	-0,40	Winkler	infinita	infinita	-	-	-	infinita	-	-	-	-	-	-	NO
00228	0,00	6,75	-0,40	Winkler	infinita	infinita	-	-	-	infinita	-	-	-	-	-	-	NO
00229	0,00	7,23	-0,40	Winkler	infinita	infinita	-	-	-	infinita	-	-	-	-	-	-	NO
00230	0,00	7,70	-0,40	Winkler	infinita	infinita	-	-	-	infinita	-	-	-	-	-	-	NO
00231	0,00	8,18	-0,40	Winkler	infinita	infinita	-	-	-	infinita	-	-	-	-	-	-	NO
00232	0,00	8,66	-0,40	Winkler	infinita	infinita	-	-	-	infinita	-	-	-	-	-	-	NO
00233	0,00	9,14	-0,40	Winkler	infinita	infinita	-	-	-	infinita	-	-	-	-	-	-	NO
00234	0,00	9,61	-0,40	Winkler	infinita	infinita	-	-	-	infinita	-	-	-	-	-	-	NO
00235	0,00	10,09	-0,40	Winkler	infinita	infinita	-	-	-	infinita	-	-	-	-	-	-	NO
00236	30,65	14,36	-0,40	Winkler	infinita	infinita	-	-	-	infinita	-	-	-	-	-	-	NO
00237	12,30	0,00	2,49	nessuno	-	-	-	-	-	-	-	-	-	-	-	-	NO
00238	12,30	0,00	2,97	nessuno	-	-	-	-	-	-	-	-	-	-	-	-	NO
00239	12,30	0,00	3,46	nessuno	-	-	-	-	-	-	-	-	-	-	-	-	NO
00240	12,30	0,00	3,94	nessuno	-	-	-	-	-	-	-	-	-	-	-	-	NO
00241	12,30	0,00	4,43	nessuno	-	-	-	-	-	-	-	-	-	-	-	-	NO
00242	12,30	0,00	4,91	nessuno	-	-	-	-	-	-	-	-	-	-	-	-	NO
00243	0,00	0,00	2,49	nessuno	-	-	-	-	-	-	-	-	-	-	-	-	NO
00244	0,00	0,00	2,97	nessuno	-	-	-	-	-	-	-	-	-	-	-	-	NO
0024	0,00	0,00	3,46	nessuno	-	-	-	-	-	-	-	-	-	-	-	-	NO

Id_{Nd}	X	Y	Z	Vincolo Esterno							Cedimenti Impressi						Cl c Fnd
				V. ex	$R_{S,X}$	$R_{S,Y}$	$R_{S,Z}$	$R_{\Theta,X}$	$R_{\Theta,Y}$	$R_{\Theta,Z}$	S_X	S_Y	S_Z	Θ_X	Θ_Y	Θ_Z	
	[m]	[m]	[m]		[N/cm]	[N/cm]	[N/cm]	[N·m/rad]	[N·m/rad]	[N·m/rad]	[cm]	[cm]	[cm]	[rad]	[rad]	[rad]	
500246	0,00	0,00	3,94	nessuno	-	-	-	-	-	-	-	-	-	-	-	-	NO
00247	0,00	0,00	4,43	nessuno	-	-	-	-	-	-	-	-	-	-	-	-	NO
00248	0,00	0,00	4,91	nessuno	-	-	-	-	-	-	-	-	-	-	-	-	NO
00249	18,00	0,00	0,00	Winkler	infinita	infinita	-	-	-	infinita	-	-	-	-	-	-	NO
00250	18,50	0,00	0,40	nessuno	-	-	-	-	-	-	-	-	-	-	-	-	NO
00251	18,50	0,00	0,80	nessuno	-	-	-	-	-	-	-	-	-	-	-	-	NO
00252	18,50	0,00	1,20	nessuno	-	-	-	-	-	-	-	-	-	-	-	-	NO
00253	18,50	0,00	1,60	nessuno	-	-	-	-	-	-	-	-	-	-	-	-	NO
00254	18,00	0,00	2,00	nessuno	-	-	-	-	-	-	-	-	-	-	-	-	NO
00255	17,50	0,00	1,60	nessuno	-	-	-	-	-	-	-	-	-	-	-	-	NO
00256	17,50	0,00	1,20	nessuno	-	-	-	-	-	-	-	-	-	-	-	-	NO
00257	17,50	0,00	0,80	nessuno	-	-	-	-	-	-	-	-	-	-	-	-	NO
00258	17,50	0,00	0,40	nessuno	-	-	-	-	-	-	-	-	-	-	-	-	NO
00259	18,50	0,00	2,49	nessuno	-	-	-	-	-	-	-	-	-	-	-	-	NO
00260	18,50	0,00	2,97	nessuno	-	-	-	-	-	-	-	-	-	-	-	-	NO
00261	18,50	0,00	3,46	nessuno	-	-	-	-	-	-	-	-	-	-	-	-	NO
00262	18,50	0,00	3,94	nessuno	-	-	-	-	-	-	-	-	-	-	-	-	NO
00263	18,50	0,00	4,43	nessuno	-	-	-	-	-	-	-	-	-	-	-	-	NO
00264	18,50	0,00	4,91	nessuno	-	-	-	-	-	-	-	-	-	-	-	-	NO
00265	0,00	10,57	2,49	nessuno	-	-	-	-	-	-	-	-	-	-	-	-	NO
00266	0,00	10,57	2,97	nessuno	-	-	-	-	-	-	-	-	-	-	-	-	NO
00267	0,00	10,57	3,46	nessuno	-	-	-	-	-	-	-	-	-	-	-	-	NO
00268	0,00	10,57	3,94	nessuno	-	-	-	-	-	-	-	-	-	-	-	-	NO
00269	0,00	10,57	4,43	nessuno	-	-	-	-	-	-	-	-	-	-	-	-	NO
00270	0,00	10,57	4,91	nessuno	-	-	-	-	-	-	-	-	-	-	-	-	NO
00271	0,00	6,27	2,49	nessuno	-	-	-	-	-	-	-	-	-	-	-	-	NO
00272	0,00	6,27	2,97	nessuno	-	-	-	-	-	-	-	-	-	-	-	-	NO
00273	0,00	6,27	3,46	nessuno	-	-	-	-	-	-	-	-	-	-	-	-	NO
00274	0,00	6,27	3,94	nessuno	-	-	-	-	-	-	-	-	-	-	-	-	NO
00275	0,00	6,27	4,43	nessuno	-	-	-	-	-	-	-	-	-	-	-	-	NO
00276	0,00	6,27	4,91	nessuno	-	-	-	-	-	-	-	-	-	-	-	-	NO
00277	0,00	14,36	2,49	nessuno	-	-	-	-	-	-	-	-	-	-	-	-	NO
00278	0,00	14,36	2,97	nessuno	-	-	-	-	-	-	-	-	-	-	-	-	NO
00279	0,00	14,36	3,46	nessuno	-	-	-	-	-	-	-	-	-	-	-	-	NO
00280	0,00	14,36	3,94	nessuno	-	-	-	-	-	-	-	-	-	-	-	-	NO
00281	0,00	14,36	4,43	nessuno	-	-	-	-	-	-	-	-	-	-	-	-	NO
00282	0,00	14,36	4,91	nessuno	-	-	-	-	-	-	-	-	-	-	-	-	NO
00283	12,30	14,36	2,49	nessuno	-	-	-	-	-	-	-	-	-	-	-	-	NO
00284	12,30	14,36	2,97	nessuno	-	-	-	-	-	-	-	-	-	-	-	-	NO
00285	12,30	14,36	3,46	nessuno	-	-	-	-	-	-	-	-	-	-	-	-	NO
00286	12,30	14,36	3,94	nessuno	-	-	-	-	-	-	-	-	-	-	-	-	NO

Id_{Nd}	X	Y	Z	Vincolo Esterno							Cedimenti Impressi						Cl c Fnd
				V. ex	$R_{S,X}$	$R_{S,Y}$	$R_{S,Z}$	$R_{\Theta,X}$	$R_{\Theta,Y}$	$R_{\Theta,Z}$	S_X	S_Y	S_Z	Θ_X	Θ_Y	Θ_Z	
	[m]	[m]	[m]		[N/cm]	[N/cm]	[N/cm]	[N·m/rad]	[N·m/rad]	[N·m/rad]	[cm]	[cm]	[cm]	[rad]	[rad]	[rad]	
00287	12,30	14,36	4,43	nessuno	-	-	-	-	-	-	-	-	-	-	-	-	NO
00288	12,30	14,36	4,91	nessuno	-	-	-	-	-	-	-	-	-	-	-	-	NO
00289	31,15	14,36	2,49	nessuno	-	-	-	-	-	-	-	-	-	-	-	-	NO
00290	31,15	14,36	2,97	nessuno	-	-	-	-	-	-	-	-	-	-	-	-	NO
00291	31,15	14,36	3,46	nessuno	-	-	-	-	-	-	-	-	-	-	-	-	NO
00292	31,15	14,36	3,94	nessuno	-	-	-	-	-	-	-	-	-	-	-	-	NO
00293	31,15	14,36	4,43	nessuno	-	-	-	-	-	-	-	-	-	-	-	-	NO
00294	31,15	14,36	4,91	nessuno	-	-	-	-	-	-	-	-	-	-	-	-	NO
00295	18,50	14,36	2,49	nessuno	-	-	-	-	-	-	-	-	-	-	-	-	NO
00296	18,50	14,36	2,97	nessuno	-	-	-	-	-	-	-	-	-	-	-	-	NO
00297	18,50	14,36	3,46	nessuno	-	-	-	-	-	-	-	-	-	-	-	-	NO
00298	18,50	14,36	3,94	nessuno	-	-	-	-	-	-	-	-	-	-	-	-	NO
00299	18,50	14,36	4,43	nessuno	-	-	-	-	-	-	-	-	-	-	-	-	NO
00300	18,50	14,36	4,91	nessuno	-	-	-	-	-	-	-	-	-	-	-	-	NO
00301	18,83	0,00	2,00	nessuno	-	-	-	-	-	-	-	-	-	-	-	-	NO
00302	19,17	0,00	2,00	nessuno	-	-	-	-	-	-	-	-	-	-	-	-	NO
00303	19,50	0,00	2,49	nessuno	-	-	-	-	-	-	-	-	-	-	-	-	NO
00304	19,50	0,00	2,97	nessuno	-	-	-	-	-	-	-	-	-	-	-	-	NO
00305	19,50	0,00	3,46	nessuno	-	-	-	-	-	-	-	-	-	-	-	-	NO
00306	19,50	0,00	3,94	nessuno	-	-	-	-	-	-	-	-	-	-	-	-	NO
00307	19,50	0,00	4,43	nessuno	-	-	-	-	-	-	-	-	-	-	-	-	NO
00308	19,50	0,00	4,91	nessuno	-	-	-	-	-	-	-	-	-	-	-	-	NO
00309	19,17	0,00	5,40	nessuno	-	-	-	-	-	-	-	-	-	-	-	-	NO
00310	18,83	0,00	5,40	nessuno	-	-	-	-	-	-	-	-	-	-	-	-	NO
00311	18,83	14,36	2,00	nessuno	-	-	-	-	-	-	-	-	-	-	-	-	NO
00312	19,17	14,36	2,00	nessuno	-	-	-	-	-	-	-	-	-	-	-	-	NO
00313	19,50	14,36	2,49	nessuno	-	-	-	-	-	-	-	-	-	-	-	-	NO
00314	19,50	14,36	2,97	nessuno	-	-	-	-	-	-	-	-	-	-	-	-	NO
00315	19,50	14,36	3,46	nessuno	-	-	-	-	-	-	-	-	-	-	-	-	NO
00316	19,50	14,36	3,94	nessuno	-	-	-	-	-	-	-	-	-	-	-	-	NO
00317	19,50	14,36	4,43	nessuno	-	-	-	-	-	-	-	-	-	-	-	-	NO
00318	19,50	14,36	4,91	nessuno	-	-	-	-	-	-	-	-	-	-	-	-	NO
00319	19,17	14,36	5,40	nessuno	-	-	-	-	-	-	-	-	-	-	-	-	NO
00320	18,83	14,36	5,40	nessuno	-	-	-	-	-	-	-	-	-	-	-	-	NO
00321	11,80	14,36	2,00	nessuno	-	-	-	-	-	-	-	-	-	-	-	-	NO
00322	11,80	14,36	5,40	nessuno	-	-	-	-	-	-	-	-	-	-	-	-	NO
00323	11,30	14,36	4,91	nessuno	-	-	-	-	-	-	-	-	-	-	-	-	NO
00324	11,30	14,36	4,43	nessuno	-	-	-	-	-	-	-	-	-	-	-	-	NO
00325	11,30	14,36	3,94	nessuno	-	-	-	-	-	-	-	-	-	-	-	-	NO
00326	11,30	14,36	3,46	nessuno	-	-	-	-	-	-	-	-	-	-	-	-	NO
00327	11,30	14,36	2,97	nessuno	-	-	-	-	-	-	-	-	-	-	-	-	NO
0032	11,3	14,3	2,49	nessuno	-	-	-	-	-	-	-	-	-	-	-	-	NO

Id_{Nd}	X	Y	Z	Vincolo Esterno							Cedimenti Impressi						Cl c Fnd
				V. ex	$R_{S,X}$	$R_{S,Y}$	$R_{S,Z}$	$R_{\Theta,X}$	$R_{\Theta,Y}$	$R_{\Theta,Z}$	S_X	S_Y	S_Z	Θ_X	Θ_Y	Θ_Z	
	[m]	[m]	[m]		[N/cm]	[N/cm]	[N/cm]	[N·m/rad]	[N·m/rad]	[N·m/rad]	[cm]	[cm]	[cm]	[rad]	[rad]	[rad]	
8	0	6															
00329	11,80	0,00	2,00	nessuno	-	-	-	-	-	-	-	-	-	-	-	-	NO
00330	11,80	0,00	5,40	nessuno	-	-	-	-	-	-	-	-	-	-	-	-	NO
00331	11,30	0,00	4,91	nessuno	-	-	-	-	-	-	-	-	-	-	-	-	NO
00332	11,30	0,00	4,43	nessuno	-	-	-	-	-	-	-	-	-	-	-	-	NO
00333	11,30	0,00	3,94	nessuno	-	-	-	-	-	-	-	-	-	-	-	-	NO
00334	11,30	0,00	3,46	nessuno	-	-	-	-	-	-	-	-	-	-	-	-	NO
00335	11,30	0,00	2,97	nessuno	-	-	-	-	-	-	-	-	-	-	-	-	NO
00336	11,30	0,00	2,49	nessuno	-	-	-	-	-	-	-	-	-	-	-	-	NO
00337	12,63	0,00	2,00	nessuno	-	-	-	-	-	-	-	-	-	-	-	-	NO
00338	12,97	0,00	2,00	nessuno	-	-	-	-	-	-	-	-	-	-	-	-	NO
00339	13,30	0,00	2,49	nessuno	-	-	-	-	-	-	-	-	-	-	-	-	NO
00340	13,30	0,00	2,97	nessuno	-	-	-	-	-	-	-	-	-	-	-	-	NO
00341	13,30	0,00	3,46	nessuno	-	-	-	-	-	-	-	-	-	-	-	-	NO
00342	13,30	0,00	3,94	nessuno	-	-	-	-	-	-	-	-	-	-	-	-	NO
00343	13,30	0,00	4,43	nessuno	-	-	-	-	-	-	-	-	-	-	-	-	NO
00344	13,30	0,00	4,91	nessuno	-	-	-	-	-	-	-	-	-	-	-	-	NO
00345	12,97	0,00	5,40	nessuno	-	-	-	-	-	-	-	-	-	-	-	-	NO
00346	12,63	0,00	5,40	nessuno	-	-	-	-	-	-	-	-	-	-	-	-	NO
00347	12,63	14,36	2,00	nessuno	-	-	-	-	-	-	-	-	-	-	-	-	NO
00348	12,97	14,36	2,00	nessuno	-	-	-	-	-	-	-	-	-	-	-	-	NO
00349	13,30	14,36	2,49	nessuno	-	-	-	-	-	-	-	-	-	-	-	-	NO
00350	13,30	14,36	2,97	nessuno	-	-	-	-	-	-	-	-	-	-	-	-	NO
00351	13,30	14,36	3,46	nessuno	-	-	-	-	-	-	-	-	-	-	-	-	NO
00352	13,30	14,36	3,94	nessuno	-	-	-	-	-	-	-	-	-	-	-	-	NO
00353	13,30	14,36	4,43	nessuno	-	-	-	-	-	-	-	-	-	-	-	-	NO
00354	13,30	14,36	4,91	nessuno	-	-	-	-	-	-	-	-	-	-	-	-	NO
00355	12,97	14,36	5,40	nessuno	-	-	-	-	-	-	-	-	-	-	-	-	NO
00356	12,63	14,36	5,40	nessuno	-	-	-	-	-	-	-	-	-	-	-	-	NO
00357	18,00	14,36	2,00	nessuno	-	-	-	-	-	-	-	-	-	-	-	-	NO
00358	18,00	14,36	5,40	nessuno	-	-	-	-	-	-	-	-	-	-	-	-	NO
00359	17,50	14,36	4,91	nessuno	-	-	-	-	-	-	-	-	-	-	-	-	NO
00360	17,50	14,36	4,43	nessuno	-	-	-	-	-	-	-	-	-	-	-	-	NO
00361	17,50	14,36	3,94	nessuno	-	-	-	-	-	-	-	-	-	-	-	-	NO
00362	17,50	14,36	3,46	nessuno	-	-	-	-	-	-	-	-	-	-	-	-	NO
00363	17,50	14,36	2,97	nessuno	-	-	-	-	-	-	-	-	-	-	-	-	NO
00364	17,50	14,36	2,49	nessuno	-	-	-	-	-	-	-	-	-	-	-	-	NO
00365	31,15	12,64	2,00	nessuno	-	-	-	-	-	-	-	-	-	-	-	-	NO
00366	31,15	13,07	2,00	nessuno	-	-	-	-	-	-	-	-	-	-	-	-	NO
00367	31,15	13,50	2,00	nessuno	-	-	-	-	-	-	-	-	-	-	-	-	NO
00368	31,15	13,93	2,00	nessuno	-	-	-	-	-	-	-	-	-	-	-	-	NO
00369	31,15	13,95	5,40	nessuno	-	-	-	-	-	-	-	-	-	-	-	-	NO

Id_{Nd}	X	Y	Z	Vincolo Esterno							Cedimenti Impressi						Cl c Fnd
				V. ex	$R_{S,X}$	$R_{S,Y}$	$R_{S,Z}$	$R_{\Theta,X}$	$R_{\Theta,Y}$	$R_{\Theta,Z}$	S_X	S_Y	S_Z	Θ_X	Θ_Y	Θ_Z	
	[m]	[m]	[m]		[N/cm]	[N/cm]	[N/cm]	[N·m/rad]	[N·m/rad]	[N·m/rad]	[cm]	[cm]	[cm]	[rad]	[rad]	[rad]	
00370	31,15	13,53	5,40	nessuno	-	-	-	-	-	-	-	-	-	-	-	-	NO
00371	31,15	13,11	5,40	nessuno	-	-	-	-	-	-	-	-	-	-	-	-	NO
00372	31,15	12,70	5,40	nessuno	-	-	-	-	-	-	-	-	-	-	-	-	NO
00373	31,15	12,28	5,40	nessuno	-	-	-	-	-	-	-	-	-	-	-	-	NO
00374	31,15	11,86	4,91	nessuno	-	-	-	-	-	-	-	-	-	-	-	-	NO
00375	31,15	11,86	4,43	nessuno	-	-	-	-	-	-	-	-	-	-	-	-	NO
00376	31,15	11,86	3,94	nessuno	-	-	-	-	-	-	-	-	-	-	-	-	NO
00377	31,15	11,86	3,46	nessuno	-	-	-	-	-	-	-	-	-	-	-	-	NO
00378	31,15	11,86	2,97	nessuno	-	-	-	-	-	-	-	-	-	-	-	-	NO
00379	31,15	11,86	2,49	nessuno	-	-	-	-	-	-	-	-	-	-	-	-	NO
00380	31,15	0,43	2,00	nessuno	-	-	-	-	-	-	-	-	-	-	-	-	NO
00381	31,15	0,86	2,00	nessuno	-	-	-	-	-	-	-	-	-	-	-	-	NO
00382	31,15	1,29	2,00	nessuno	-	-	-	-	-	-	-	-	-	-	-	-	NO
00383	31,15	1,72	2,00	nessuno	-	-	-	-	-	-	-	-	-	-	-	-	NO
00384	31,15	2,50	2,49	nessuno	-	-	-	-	-	-	-	-	-	-	-	-	NO
00385	31,15	2,50	2,97	nessuno	-	-	-	-	-	-	-	-	-	-	-	-	NO
00386	31,15	2,50	3,46	nessuno	-	-	-	-	-	-	-	-	-	-	-	-	NO
00387	31,15	2,50	3,94	nessuno	-	-	-	-	-	-	-	-	-	-	-	-	NO
00388	31,15	2,50	4,43	nessuno	-	-	-	-	-	-	-	-	-	-	-	-	NO
00389	31,15	2,50	4,91	nessuno	-	-	-	-	-	-	-	-	-	-	-	-	NO
00390	31,15	2,08	5,40	nessuno	-	-	-	-	-	-	-	-	-	-	-	-	NO
00391	31,15	1,67	5,40	nessuno	-	-	-	-	-	-	-	-	-	-	-	-	NO
00392	31,15	1,25	5,40	nessuno	-	-	-	-	-	-	-	-	-	-	-	-	NO
00393	31,15	0,83	5,40	nessuno	-	-	-	-	-	-	-	-	-	-	-	-	NO
00394	31,15	0,42	5,40	nessuno	-	-	-	-	-	-	-	-	-	-	-	-	NO
00395	31,15	0,00	4,91	nessuno	-	-	-	-	-	-	-	-	-	-	-	-	NO
00396	31,15	0,00	4,43	nessuno	-	-	-	-	-	-	-	-	-	-	-	-	NO
00397	31,15	0,00	3,94	nessuno	-	-	-	-	-	-	-	-	-	-	-	-	NO
00398	31,15	0,00	3,46	nessuno	-	-	-	-	-	-	-	-	-	-	-	-	NO
00399	31,15	0,00	2,97	nessuno	-	-	-	-	-	-	-	-	-	-	-	-	NO
00400	31,15	0,00	2,49	nessuno	-	-	-	-	-	-	-	-	-	-	-	-	NO
00401	0,00	6,75	2,00	nessuno	-	-	-	-	-	-	-	-	-	-	-	-	NO
00402	0,00	7,23	2,00	nessuno	-	-	-	-	-	-	-	-	-	-	-	-	NO
00403	0,00	7,70	2,00	nessuno	-	-	-	-	-	-	-	-	-	-	-	-	NO
00404	0,00	8,18	2,00	nessuno	-	-	-	-	-	-	-	-	-	-	-	-	NO
00405	0,00	8,66	2,00	nessuno	-	-	-	-	-	-	-	-	-	-	-	-	NO
00406	0,00	9,14	2,00	nessuno	-	-	-	-	-	-	-	-	-	-	-	-	NO
00407	0,00	9,61	2,00	nessuno	-	-	-	-	-	-	-	-	-	-	-	-	NO
00408	0,00	10,09	2,00	nessuno	-	-	-	-	-	-	-	-	-	-	-	-	NO
00409	0,00	10,09	5,40	nessuno	-	-	-	-	-	-	-	-	-	-	-	-	NO
00410	0,00	9,61	5,40	nessuno	-	-	-	-	-	-	-	-	-	-	-	-	NO
0041	0,00	9,14	5,40	nessuno	-	-	-	-	-	-	-	-	-	-	-	-	NO

Id_{Nd}	X	Y	Z	Vincolo Esterno							Cedimenti Impressi						Cl c Fnd
				V. ex	$R_{S,X}$	$R_{S,Y}$	$R_{S,Z}$	$R_{\Theta,X}$	$R_{\Theta,Y}$	$R_{\Theta,Z}$	S_X	S_Y	S_Z	Θ_X	Θ_Y	Θ_Z	
	[m]	[m]	[m]		[N/cm]	[N/cm]	[N/cm]	[N·m/rad]	[N·m/rad]	[N·m/rad]	[cm]	[cm]	[cm]	[rad]	[rad]	[rad]	
100412	0,00	8,66	5,40	nessuno	-	-	-	-	-	-	-	-	-	-	-	-	NO
00413	0,00	8,18	5,40	nessuno	-	-	-	-	-	-	-	-	-	-	-	-	NO
00414	0,00	7,70	5,40	nessuno	-	-	-	-	-	-	-	-	-	-	-	-	NO
00415	0,00	7,23	5,40	nessuno	-	-	-	-	-	-	-	-	-	-	-	-	NO
00416	0,00	6,75	5,40	nessuno	-	-	-	-	-	-	-	-	-	-	-	-	NO
00417	0,50	0,00	2,00	nessuno	-	-	-	-	-	-	-	-	-	-	-	-	NO
00418	1,00	0,00	2,49	nessuno	-	-	-	-	-	-	-	-	-	-	-	-	NO
00419	1,00	0,00	2,97	nessuno	-	-	-	-	-	-	-	-	-	-	-	-	NO
00420	1,00	0,00	3,46	nessuno	-	-	-	-	-	-	-	-	-	-	-	-	NO
00421	1,00	0,00	3,94	nessuno	-	-	-	-	-	-	-	-	-	-	-	-	NO
00422	1,00	0,00	4,43	nessuno	-	-	-	-	-	-	-	-	-	-	-	-	NO
00423	1,00	0,00	4,91	nessuno	-	-	-	-	-	-	-	-	-	-	-	-	NO
00424	0,50	0,00	5,40	nessuno	-	-	-	-	-	-	-	-	-	-	-	-	NO
00425	0,33	14,36	2,00	nessuno	-	-	-	-	-	-	-	-	-	-	-	-	NO
00426	0,67	14,36	2,00	nessuno	-	-	-	-	-	-	-	-	-	-	-	-	NO
00427	1,00	14,36	2,49	nessuno	-	-	-	-	-	-	-	-	-	-	-	-	NO
00428	1,00	14,36	2,97	nessuno	-	-	-	-	-	-	-	-	-	-	-	-	NO
00429	1,00	14,36	3,46	nessuno	-	-	-	-	-	-	-	-	-	-	-	-	NO
00430	1,00	14,36	3,94	nessuno	-	-	-	-	-	-	-	-	-	-	-	-	NO
00431	1,00	14,36	4,43	nessuno	-	-	-	-	-	-	-	-	-	-	-	-	NO
00432	1,00	14,36	4,91	nessuno	-	-	-	-	-	-	-	-	-	-	-	-	NO
00433	0,67	14,36	5,40	nessuno	-	-	-	-	-	-	-	-	-	-	-	-	NO
00434	0,33	14,36	5,40	nessuno	-	-	-	-	-	-	-	-	-	-	-	-	NO
00435	30,65	14,36	2,00	nessuno	-	-	-	-	-	-	-	-	-	-	-	-	NO
00436	30,65	14,36	5,40	nessuno	-	-	-	-	-	-	-	-	-	-	-	-	NO
00437	30,15	14,36	4,91	nessuno	-	-	-	-	-	-	-	-	-	-	-	-	NO
00438	30,15	14,36	4,43	nessuno	-	-	-	-	-	-	-	-	-	-	-	-	NO
00439	30,15	14,36	3,94	nessuno	-	-	-	-	-	-	-	-	-	-	-	-	NO
00440	30,15	14,36	3,46	nessuno	-	-	-	-	-	-	-	-	-	-	-	-	NO
00441	30,15	14,36	2,97	nessuno	-	-	-	-	-	-	-	-	-	-	-	-	NO
00442	30,15	14,36	2,49	nessuno	-	-	-	-	-	-	-	-	-	-	-	-	NO
00443	30,65	0,00	2,00	nessuno	-	-	-	-	-	-	-	-	-	-	-	-	NO
00444	30,65	0,00	5,40	nessuno	-	-	-	-	-	-	-	-	-	-	-	-	NO
00445	30,15	0,00	4,91	nessuno	-	-	-	-	-	-	-	-	-	-	-	-	NO
00446	30,15	0,00	4,43	nessuno	-	-	-	-	-	-	-	-	-	-	-	-	NO
00447	30,15	0,00	3,94	nessuno	-	-	-	-	-	-	-	-	-	-	-	-	NO
00448	30,15	0,00	3,46	nessuno	-	-	-	-	-	-	-	-	-	-	-	-	NO
00449	30,15	0,00	2,97	nessuno	-	-	-	-	-	-	-	-	-	-	-	-	NO
00450	30,15	0,00	2,49	nessuno	-	-	-	-	-	-	-	-	-	-	-	-	NO
00451	18,00	0,00	5,40	nessuno	-	-	-	-	-	-	-	-	-	-	-	-	NO
00452	17,50	0,00	4,91	nessuno	-	-	-	-	-	-	-	-	-	-	-	-	NO

Id_{Nd}	X	Y	Z	Vincolo Esterno							Cedimenti Impressi						Cl c Fnd
				V. ex	$R_{S,X}$	$R_{S,Y}$	$R_{S,Z}$	$R_{\Theta,X}$	$R_{\Theta,Y}$	$R_{\Theta,Z}$	S_X	S_Y	S_Z	Θ_X	Θ_Y	Θ_Z	
	[m]	[m]	[m]		[N/cm]	[N/cm]	[N/cm]	[N·m/rad]	[N·m/rad]	[N·m/rad]	[cm]	[cm]	[cm]	[rad]	[rad]	[rad]	
00453	17,50	0,00	4,43	nessuno	-	-	-	-	-	-	-	-	-	-	-	-	NO
00454	17,50	0,00	3,94	nessuno	-	-	-	-	-	-	-	-	-	-	-	-	NO
00455	17,50	0,00	3,46	nessuno	-	-	-	-	-	-	-	-	-	-	-	-	NO
00456	17,50	0,00	2,97	nessuno	-	-	-	-	-	-	-	-	-	-	-	-	NO
00457	17,50	0,00	2,49	nessuno	-	-	-	-	-	-	-	-	-	-	-	-	NO
00458	18,83	0,00	0,00	Winkler	infinita	infinita	-	-	-	infinita	-	-	-	-	-	-	NO
00459	19,17	0,00	0,00	Winkler	infinita	infinita	-	-	-	infinita	-	-	-	-	-	-	NO
00460	19,50	0,00	0,40	nessuno	-	-	-	-	-	-	-	-	-	-	-	-	NO
00461	19,50	0,00	0,80	nessuno	-	-	-	-	-	-	-	-	-	-	-	-	NO
00462	19,50	0,00	1,20	nessuno	-	-	-	-	-	-	-	-	-	-	-	-	NO
00463	19,50	0,00	1,60	nessuno	-	-	-	-	-	-	-	-	-	-	-	-	NO
00464	18,83	14,36	0,00	Winkler	infinita	infinita	-	-	-	infinita	-	-	-	-	-	-	NO
00465	19,17	14,36	0,00	Winkler	infinita	infinita	-	-	-	infinita	-	-	-	-	-	-	NO
00466	19,50	14,36	0,40	nessuno	-	-	-	-	-	-	-	-	-	-	-	-	NO
00467	19,50	14,36	0,80	nessuno	-	-	-	-	-	-	-	-	-	-	-	-	NO
00468	19,50	14,36	1,20	nessuno	-	-	-	-	-	-	-	-	-	-	-	-	NO
00469	19,50	14,36	1,60	nessuno	-	-	-	-	-	-	-	-	-	-	-	-	NO
00470	18,50	14,36	1,60	nessuno	-	-	-	-	-	-	-	-	-	-	-	-	NO
00471	18,50	14,36	1,20	nessuno	-	-	-	-	-	-	-	-	-	-	-	-	NO
00472	18,50	14,36	0,80	nessuno	-	-	-	-	-	-	-	-	-	-	-	-	NO
00473	18,50	14,36	0,40	nessuno	-	-	-	-	-	-	-	-	-	-	-	-	NO
00474	11,80	14,36	0,00	Winkler	infinita	infinita	-	-	-	infinita	-	-	-	-	-	-	NO
00475	12,30	14,36	0,40	nessuno	-	-	-	-	-	-	-	-	-	-	-	-	NO
00476	12,30	14,36	0,80	nessuno	-	-	-	-	-	-	-	-	-	-	-	-	NO
00477	12,30	14,36	1,20	nessuno	-	-	-	-	-	-	-	-	-	-	-	-	NO
00478	12,30	14,36	1,60	nessuno	-	-	-	-	-	-	-	-	-	-	-	-	NO
00479	11,30	14,36	1,60	nessuno	-	-	-	-	-	-	-	-	-	-	-	-	NO
00480	11,30	14,36	1,20	nessuno	-	-	-	-	-	-	-	-	-	-	-	-	NO
00481	11,30	14,36	0,80	nessuno	-	-	-	-	-	-	-	-	-	-	-	-	NO
00482	11,30	14,36	0,40	nessuno	-	-	-	-	-	-	-	-	-	-	-	-	NO
00483	11,80	0,00	0,00	Winkler	infinita	infinita	-	-	-	infinita	-	-	-	-	-	-	NO
00484	12,30	0,00	0,40	nessuno	-	-	-	-	-	-	-	-	-	-	-	-	NO
00485	12,30	0,00	0,80	nessuno	-	-	-	-	-	-	-	-	-	-	-	-	NO
00486	12,30	0,00	1,20	nessuno	-	-	-	-	-	-	-	-	-	-	-	-	NO
00487	12,30	0,00	1,60	nessuno	-	-	-	-	-	-	-	-	-	-	-	-	NO
00488	11,30	0,00	1,60	nessuno	-	-	-	-	-	-	-	-	-	-	-	-	NO
00489	11,30	0,00	1,20	nessuno	-	-	-	-	-	-	-	-	-	-	-	-	NO
00490	11,30	0,00	0,80	nessuno	-	-	-	-	-	-	-	-	-	-	-	-	NO
00491	11,30	0,00	0,40	nessuno	-	-	-	-	-	-	-	-	-	-	-	-	NO
00492	12,63	0,00	0,00	Winkler	infinita	infinita	-	-	-	infinita	-	-	-	-	-	-	NO
00493	12,97	0,00	0,00	Winkler	infinita	infinita	-	-	-	infinita	-	-	-	-	-	-	NO
0049	13,3	0,00	0,40	nessuno	-	-	-	-	-	-	-	-	-	-	-	-	NO

Id_{Nd}	X	Y	Z	Vincolo Esterno							Cedimenti Impressi						Cl c Fnd
				V. ex	$R_{S,X}$	$R_{S,Y}$	$R_{S,Z}$	$R_{\Theta,X}$	$R_{\Theta,Y}$	$R_{\Theta,Z}$	S_X	S_Y	S_Z	Θ_X	Θ_Y	Θ_Z	
	[m]	[m]	[m]		[N/cm]	[N/cm]	[N/cm]	[N·m/rad]	[N·m/rad]	[N·m/rad]	[cm]	[cm]	[cm]	[rad]	[rad]	[rad]	
4	0																
00495	13,30	0,00	0,80	nessuno	-	-	-	-	-	-	-	-	-	-	-	-	NO
00496	13,30	0,00	1,20	nessuno	-	-	-	-	-	-	-	-	-	-	-	-	NO
00497	13,30	0,00	1,60	nessuno	-	-	-	-	-	-	-	-	-	-	-	-	NO
00498	12,63	14,36	0,00	Winkler	infinita	infinita	-	-	-	infinita	-	-	-	-	-	-	NO
00499	12,97	14,36	0,00	Winkler	infinita	infinita	-	-	-	infinita	-	-	-	-	-	-	NO
00500	13,30	14,36	0,40	nessuno	-	-	-	-	-	-	-	-	-	-	-	-	NO
00501	13,30	14,36	0,80	nessuno	-	-	-	-	-	-	-	-	-	-	-	-	NO
00502	13,30	14,36	1,20	nessuno	-	-	-	-	-	-	-	-	-	-	-	-	NO
00503	13,30	14,36	1,60	nessuno	-	-	-	-	-	-	-	-	-	-	-	-	NO
00504	18,00	14,36	0,00	Winkler	infinita	infinita	-	-	-	infinita	-	-	-	-	-	-	NO
00505	17,50	14,36	1,60	nessuno	-	-	-	-	-	-	-	-	-	-	-	-	NO
00506	17,50	14,36	1,20	nessuno	-	-	-	-	-	-	-	-	-	-	-	-	NO
00507	17,50	14,36	0,80	nessuno	-	-	-	-	-	-	-	-	-	-	-	-	NO
00508	17,50	14,36	0,40	nessuno	-	-	-	-	-	-	-	-	-	-	-	-	NO
00509	31,15	12,64	0,00	Winkler	infinita	infinita	-	-	-	infinita	-	-	-	-	-	-	NO
00510	31,15	13,07	0,00	Winkler	infinita	infinita	-	-	-	infinita	-	-	-	-	-	-	NO
00511	31,15	13,50	0,00	Winkler	infinita	infinita	-	-	-	infinita	-	-	-	-	-	-	NO
00512	31,15	13,93	0,00	Winkler	infinita	infinita	-	-	-	infinita	-	-	-	-	-	-	NO
00513	31,15	14,36	0,40	nessuno	-	-	-	-	-	-	-	-	-	-	-	-	NO
00514	31,15	14,36	0,80	nessuno	-	-	-	-	-	-	-	-	-	-	-	-	NO
00515	31,15	14,36	1,20	nessuno	-	-	-	-	-	-	-	-	-	-	-	-	NO
00516	31,15	14,36	1,60	nessuno	-	-	-	-	-	-	-	-	-	-	-	-	NO
00517	31,15	11,86	1,60	nessuno	-	-	-	-	-	-	-	-	-	-	-	-	NO
00518	31,15	11,86	1,20	nessuno	-	-	-	-	-	-	-	-	-	-	-	-	NO
00519	31,15	11,86	0,80	nessuno	-	-	-	-	-	-	-	-	-	-	-	-	NO
00520	31,15	11,86	0,40	nessuno	-	-	-	-	-	-	-	-	-	-	-	-	NO
00521	31,15	0,43	0,00	Winkler	infinita	infinita	-	-	-	infinita	-	-	-	-	-	-	NO
00522	31,15	0,86	0,00	Winkler	infinita	infinita	-	-	-	infinita	-	-	-	-	-	-	NO
00523	31,15	1,29	0,00	Winkler	infinita	infinita	-	-	-	infinita	-	-	-	-	-	-	NO
00524	31,15	1,72	0,00	Winkler	infinita	infinita	-	-	-	infinita	-	-	-	-	-	-	NO
00525	31,15	2,50	0,40	nessuno	-	-	-	-	-	-	-	-	-	-	-	-	NO
00526	31,15	2,50	0,80	nessuno	-	-	-	-	-	-	-	-	-	-	-	-	NO
00527	31,15	2,50	1,20	nessuno	-	-	-	-	-	-	-	-	-	-	-	-	NO
00528	31,15	2,50	1,60	nessuno	-	-	-	-	-	-	-	-	-	-	-	-	NO
00529	31,15	0,00	1,60	nessuno	-	-	-	-	-	-	-	-	-	-	-	-	NO
00530	31,15	0,00	1,20	nessuno	-	-	-	-	-	-	-	-	-	-	-	-	NO
00531	31,15	0,00	0,80	nessuno	-	-	-	-	-	-	-	-	-	-	-	-	NO
00532	31,15	0,00	0,40	nessuno	-	-	-	-	-	-	-	-	-	-	-	-	NO
00533	0,00	6,75	0,00	Winkler	infinita	infinita	-	-	-	infinita	-	-	-	-	-	-	NO
00534	0,00	7,23	0,00	Winkler	infinita	infinita	-	-	-	infinita	-	-	-	-	-	-	NO
00535	0,00	7,70	0,00	Winkler	infinita	infinita	-	-	-	infinita	-	-	-	-	-	-	NO

Id_{Nd}	X	Y	Z	Vincolo Esterno							Cedimenti Impressi						Cl c Fnd
				V. ex	$R_{S,X}$	$R_{S,Y}$	$R_{S,Z}$	$R_{\Theta,X}$	$R_{\Theta,Y}$	$R_{\Theta,Z}$	S_X	S_Y	S_Z	Θ_X	Θ_Y	Θ_Z	
	[m]	[m]	[m]		[N/cm]	[N/cm]	[N/cm]	[N·m/rad]	[N·m/rad]	[N·m/rad]	[cm]	[cm]	[cm]	[rad]	[rad]	[rad]	
00536	0,00	8,18	0,00	Winkler	infinita	infinita	-	-	-	infinita	-	-	-	-	-	-	NO
00537	0,00	8,66	0,00	Winkler	infinita	infinita	-	-	-	infinita	-	-	-	-	-	-	NO
00538	0,00	9,14	0,00	Winkler	infinita	infinita	-	-	-	infinita	-	-	-	-	-	-	NO
00539	0,00	9,61	0,00	Winkler	infinita	infinita	-	-	-	infinita	-	-	-	-	-	-	NO
00540	0,00	10,09	0,00	Winkler	infinita	infinita	-	-	-	infinita	-	-	-	-	-	-	NO
00541	0,00	10,57	0,40	nessuno	-	-	-	-	-	-	-	-	-	-	-	-	NO
00542	0,00	10,57	0,80	nessuno	-	-	-	-	-	-	-	-	-	-	-	-	NO
00543	0,00	10,57	1,20	nessuno	-	-	-	-	-	-	-	-	-	-	-	-	NO
00544	0,00	10,57	1,60	nessuno	-	-	-	-	-	-	-	-	-	-	-	-	NO
00545	0,00	6,27	1,60	nessuno	-	-	-	-	-	-	-	-	-	-	-	-	NO
00546	0,00	6,27	1,20	nessuno	-	-	-	-	-	-	-	-	-	-	-	-	NO
00547	0,00	6,27	0,80	nessuno	-	-	-	-	-	-	-	-	-	-	-	-	NO
00548	0,00	6,27	0,40	nessuno	-	-	-	-	-	-	-	-	-	-	-	-	NO
00549	0,50	0,00	0,00	Winkler	infinita	infinita	-	-	-	infinita	-	-	-	-	-	-	NO
00550	1,00	0,00	0,40	nessuno	-	-	-	-	-	-	-	-	-	-	-	-	NO
00551	1,00	0,00	0,80	nessuno	-	-	-	-	-	-	-	-	-	-	-	-	NO
00552	1,00	0,00	1,20	nessuno	-	-	-	-	-	-	-	-	-	-	-	-	NO
00553	1,00	0,00	1,60	nessuno	-	-	-	-	-	-	-	-	-	-	-	-	NO
00554	0,00	0,00	1,60	nessuno	-	-	-	-	-	-	-	-	-	-	-	-	NO
00555	0,00	0,00	1,20	nessuno	-	-	-	-	-	-	-	-	-	-	-	-	NO
00556	0,00	0,00	0,80	nessuno	-	-	-	-	-	-	-	-	-	-	-	-	NO
00557	0,00	0,00	0,40	nessuno	-	-	-	-	-	-	-	-	-	-	-	-	NO
00558	0,33	14,36	0,00	Winkler	infinita	infinita	-	-	-	infinita	-	-	-	-	-	-	NO
00559	0,67	14,36	0,00	Winkler	infinita	infinita	-	-	-	infinita	-	-	-	-	-	-	NO
00560	1,00	14,36	0,40	nessuno	-	-	-	-	-	-	-	-	-	-	-	-	NO
00561	1,00	14,36	0,80	nessuno	-	-	-	-	-	-	-	-	-	-	-	-	NO
00562	1,00	14,36	1,20	nessuno	-	-	-	-	-	-	-	-	-	-	-	-	NO
00563	1,00	14,36	1,60	nessuno	-	-	-	-	-	-	-	-	-	-	-	-	NO
00564	0,00	14,36	1,60	nessuno	-	-	-	-	-	-	-	-	-	-	-	-	NO
00565	0,00	14,36	1,20	nessuno	-	-	-	-	-	-	-	-	-	-	-	-	NO
00566	0,00	14,36	0,80	nessuno	-	-	-	-	-	-	-	-	-	-	-	-	NO
00567	0,00	14,36	0,40	nessuno	-	-	-	-	-	-	-	-	-	-	-	-	NO
00568	30,65	14,36	0,00	Winkler	infinita	infinita	-	-	-	infinita	-	-	-	-	-	-	NO
00569	30,15	14,36	1,60	nessuno	-	-	-	-	-	-	-	-	-	-	-	-	NO
00570	30,15	14,36	1,20	nessuno	-	-	-	-	-	-	-	-	-	-	-	-	NO
00571	30,15	14,36	0,80	nessuno	-	-	-	-	-	-	-	-	-	-	-	-	NO
00572	30,15	14,36	0,40	nessuno	-	-	-	-	-	-	-	-	-	-	-	-	NO
00573	30,65	0,00	0,00	Winkler	infinita	infinita	-	-	-	infinita	-	-	-	-	-	-	NO
00574	30,15	0,00	1,60	nessuno	-	-	-	-	-	-	-	-	-	-	-	-	NO
00575	30,15	0,00	1,20	nessuno	-	-	-	-	-	-	-	-	-	-	-	-	NO
00576	30,15	0,00	0,80	nessuno	-	-	-	-	-	-	-	-	-	-	-	-	NO
00577	30,1	0,00	0,40	nessuno	-	-	-	-	-	-	-	-	-	-	-	-	NO

Id_{Nd}	X	Y	Z	Vincolo Esterno							Cedimenti Impressi						Cl c Fn d
				V. ex	$R_{S,X}$	$R_{S,Y}$	$R_{S,Z}$	$R_{\Theta,X}$	$R_{\Theta,Y}$	$R_{\Theta,Z}$	S_X	S_Y	S_Z	Θ_X	Θ_Y	Θ_Z	
	[m]	[m]	[m]		[N/cm]	[N/cm]	[N/cm]	[N·m/rad]	[N·m/rad]	[N·m/rad]	[cm]	[cm]	[cm]	[rad]	[rad]	[rad]	
700578	530,65	0,00	4,90	nessuno	-	-	-	-	-	-	-	-	-	-	-	-	NO
00579	18,00	14,36	4,90	nessuno	-	-	-	-	-	-	-	-	-	-	-	-	NO
00580	30,65	14,36	4,90	nessuno	-	-	-	-	-	-	-	-	-	-	-	-	NO
00581	18,00	0,00	4,90	nessuno	-	-	-	-	-	-	-	-	-	-	-	-	NO
00582	11,80	0,00	4,90	nessuno	-	-	-	-	-	-	-	-	-	-	-	-	NO
00583	18,25	0,00	0,25	nessuno	-	-	-	-	-	-	-	-	-	-	-	-	NO
00584	18,25	0,00	1,75	nessuno	-	-	-	-	-	-	-	-	-	-	-	-	NO
00585	17,75	0,00	1,75	nessuno	-	-	-	-	-	-	-	-	-	-	-	-	NO
00586	17,75	0,00	0,25	nessuno	-	-	-	-	-	-	-	-	-	-	-	-	NO
00587	18,00	0,00	0,50	nessuno	-	-	-	-	-	-	-	-	-	-	-	-	NO
00588	18,00	0,00	1,50	nessuno	-	-	-	-	-	-	-	-	-	-	-	-	NO
00589	19,27	0,00	2,23	nessuno	-	-	-	-	-	-	-	-	-	-	-	-	NO
00590	19,27	0,00	5,17	nessuno	-	-	-	-	-	-	-	-	-	-	-	-	NO
00591	18,73	0,00	5,17	nessuno	-	-	-	-	-	-	-	-	-	-	-	-	NO
00592	18,73	0,00	2,23	nessuno	-	-	-	-	-	-	-	-	-	-	-	-	NO
00593	19,00	0,00	2,43	nessuno	-	-	-	-	-	-	-	-	-	-	-	-	NO
00594	19,00	0,00	3,28	nessuno	-	-	-	-	-	-	-	-	-	-	-	-	NO
00595	19,00	0,00	4,13	nessuno	-	-	-	-	-	-	-	-	-	-	-	-	NO
00596	19,00	0,00	4,98	nessuno	-	-	-	-	-	-	-	-	-	-	-	-	NO
00597	19,27	14,36	2,23	nessuno	-	-	-	-	-	-	-	-	-	-	-	-	NO
00598	19,27	14,36	5,17	nessuno	-	-	-	-	-	-	-	-	-	-	-	-	NO
00599	18,73	14,36	5,17	nessuno	-	-	-	-	-	-	-	-	-	-	-	-	NO
00600	18,73	14,36	2,23	nessuno	-	-	-	-	-	-	-	-	-	-	-	-	NO
00601	19,00	14,36	2,43	nessuno	-	-	-	-	-	-	-	-	-	-	-	-	NO
00602	19,00	14,36	3,28	nessuno	-	-	-	-	-	-	-	-	-	-	-	-	NO
00603	19,00	14,36	4,13	nessuno	-	-	-	-	-	-	-	-	-	-	-	-	NO
00604	19,00	14,36	4,98	nessuno	-	-	-	-	-	-	-	-	-	-	-	-	NO
00605	12,02	14,36	2,28	nessuno	-	-	-	-	-	-	-	-	-	-	-	-	NO
00606	12,02	14,36	5,12	nessuno	-	-	-	-	-	-	-	-	-	-	-	-	NO
00607	11,58	14,36	5,12	nessuno	-	-	-	-	-	-	-	-	-	-	-	-	NO
00608	11,58	14,36	2,28	nessuno	-	-	-	-	-	-	-	-	-	-	-	-	NO
00609	11,80	14,36	2,43	nessuno	-	-	-	-	-	-	-	-	-	-	-	-	NO
00610	11,80	14,36	3,28	nessuno	-	-	-	-	-	-	-	-	-	-	-	-	NO
00611	11,80	14,36	4,13	nessuno	-	-	-	-	-	-	-	-	-	-	-	-	NO
00612	11,80	14,36	4,98	nessuno	-	-	-	-	-	-	-	-	-	-	-	-	NO
00613	12,02	0,00	2,28	nessuno	-	-	-	-	-	-	-	-	-	-	-	-	NO
00614	12,02	0,00	5,12	nessuno	-	-	-	-	-	-	-	-	-	-	-	-	NO
00615	11,58	0,00	5,12	nessuno	-	-	-	-	-	-	-	-	-	-	-	-	NO
00616	11,58	0,00	2,28	nessuno	-	-	-	-	-	-	-	-	-	-	-	-	NO
00617	11,80	0,00	2,43	nessuno	-	-	-	-	-	-	-	-	-	-	-	-	NO
00618	11,80	0,00	3,28	nessuno	-	-	-	-	-	-	-	-	-	-	-	-	NO

Id_{Nd}	X	Y	Z	Vincolo Esterno							Cedimenti Impressi						Cl c Fnd
				V. ex	$R_{S,X}$	$R_{S,Y}$	$R_{S,Z}$	$R_{\Theta,X}$	$R_{\Theta,Y}$	$R_{\Theta,Z}$	S_X	S_Y	S_Z	Θ_X	Θ_Y	Θ_Z	
	[m]	[m]	[m]		[N/cm]	[N/cm]	[N/cm]	[N·m/rad]	[N·m/rad]	[N·m/rad]	[cm]	[cm]	[cm]	[rad]	[rad]	[rad]	
00619	11,80	0,00	4,13	nessuno	-	-	-	-	-	-	-	-	-	-	-	-	NO
00620	11,80	0,00	4,98	nessuno	-	-	-	-	-	-	-	-	-	-	-	-	NO
00621	13,07	0,00	2,23	nessuno	-	-	-	-	-	-	-	-	-	-	-	-	NO
00622	13,07	0,00	5,17	nessuno	-	-	-	-	-	-	-	-	-	-	-	-	NO
00623	12,53	0,00	5,17	nessuno	-	-	-	-	-	-	-	-	-	-	-	-	NO
00624	12,53	0,00	2,23	nessuno	-	-	-	-	-	-	-	-	-	-	-	-	NO
00625	12,80	0,00	2,43	nessuno	-	-	-	-	-	-	-	-	-	-	-	-	NO
00626	12,80	0,00	3,28	nessuno	-	-	-	-	-	-	-	-	-	-	-	-	NO
00627	12,80	0,00	4,13	nessuno	-	-	-	-	-	-	-	-	-	-	-	-	NO
00628	12,80	0,00	4,98	nessuno	-	-	-	-	-	-	-	-	-	-	-	-	NO
00629	13,07	14,36	2,23	nessuno	-	-	-	-	-	-	-	-	-	-	-	-	NO
00630	13,07	14,36	5,17	nessuno	-	-	-	-	-	-	-	-	-	-	-	-	NO
00631	12,53	14,36	5,17	nessuno	-	-	-	-	-	-	-	-	-	-	-	-	NO
00632	12,53	14,36	2,23	nessuno	-	-	-	-	-	-	-	-	-	-	-	-	NO
00633	12,80	14,36	2,43	nessuno	-	-	-	-	-	-	-	-	-	-	-	-	NO
00634	12,80	14,36	3,28	nessuno	-	-	-	-	-	-	-	-	-	-	-	-	NO
00635	12,80	14,36	4,13	nessuno	-	-	-	-	-	-	-	-	-	-	-	-	NO
00636	12,80	14,36	4,98	nessuno	-	-	-	-	-	-	-	-	-	-	-	-	NO
00637	18,22	14,36	2,28	nessuno	-	-	-	-	-	-	-	-	-	-	-	-	NO
00638	18,22	14,36	5,12	nessuno	-	-	-	-	-	-	-	-	-	-	-	-	NO
00639	17,78	14,36	5,12	nessuno	-	-	-	-	-	-	-	-	-	-	-	-	NO
00640	17,78	14,36	2,28	nessuno	-	-	-	-	-	-	-	-	-	-	-	-	NO
00641	18,00	14,36	2,43	nessuno	-	-	-	-	-	-	-	-	-	-	-	-	NO
00642	18,00	14,36	3,28	nessuno	-	-	-	-	-	-	-	-	-	-	-	-	NO
00643	18,00	14,36	4,13	nessuno	-	-	-	-	-	-	-	-	-	-	-	-	NO
00644	18,00	14,36	4,98	nessuno	-	-	-	-	-	-	-	-	-	-	-	-	NO
00645	31,15	14,11	2,26	nessuno	-	-	-	-	-	-	-	-	-	-	-	-	NO
00646	31,15	14,11	5,14	nessuno	-	-	-	-	-	-	-	-	-	-	-	-	NO
00647	31,15	12,12	5,14	nessuno	-	-	-	-	-	-	-	-	-	-	-	-	NO
00648	31,15	12,10	2,23	nessuno	-	-	-	-	-	-	-	-	-	-	-	-	NO
00649	31,15	12,49	2,43	nessuno	-	-	-	-	-	-	-	-	-	-	-	-	NO
00650	31,15	12,49	3,28	nessuno	-	-	-	-	-	-	-	-	-	-	-	-	NO
00651	31,15	12,49	4,13	nessuno	-	-	-	-	-	-	-	-	-	-	-	-	NO
00652	31,15	12,49	4,98	nessuno	-	-	-	-	-	-	-	-	-	-	-	-	NO
00653	31,15	13,11	2,85	nessuno	-	-	-	-	-	-	-	-	-	-	-	-	NO
00654	31,15	13,11	3,70	nessuno	-	-	-	-	-	-	-	-	-	-	-	-	NO
00655	31,15	13,11	4,55	nessuno	-	-	-	-	-	-	-	-	-	-	-	-	NO
00656	31,15	13,74	2,43	nessuno	-	-	-	-	-	-	-	-	-	-	-	-	NO
00657	31,15	13,74	3,28	nessuno	-	-	-	-	-	-	-	-	-	-	-	-	NO
00658	31,15	13,74	4,13	nessuno	-	-	-	-	-	-	-	-	-	-	-	-	NO
00659	31,15	13,74	4,98	nessuno	-	-	-	-	-	-	-	-	-	-	-	-	NO
00660	31,1	2,26	2,24	nessuno	-	-	-	-	-	-	-	-	-	-	-	-	NO

Id_{Nd}	X	Y	Z	Vincolo Esterno							Cedimenti Impressi						Cl c Fnd
				V. ex	$R_{S,X}$	$R_{S,Y}$	$R_{S,Z}$	$R_{\Theta,X}$	$R_{\Theta,Y}$	$R_{\Theta,Z}$	S_X	S_Y	S_Z	Θ_X	Θ_Y	Θ_Z	
	[m]	[m]	[m]		[N/cm]	[N/cm]	[N/cm]	[N·m/rad]	[N·m/rad]	[N·m/rad]	[cm]	[cm]	[cm]	[rad]	[rad]	[rad]	
00061	5	2,24	5,14	nessuno	-	-	-	-	-	-	-	-	-	-	-	-	NO
00062	31,15	0,26	5,14	nessuno	-	-	-	-	-	-	-	-	-	-	-	-	NO
00063	31,15	0,26	2,26	nessuno	-	-	-	-	-	-	-	-	-	-	-	-	NO
00064	31,15	0,63	2,43	nessuno	-	-	-	-	-	-	-	-	-	-	-	-	NO
00065	31,15	0,63	3,28	nessuno	-	-	-	-	-	-	-	-	-	-	-	-	NO
00066	31,15	0,63	4,13	nessuno	-	-	-	-	-	-	-	-	-	-	-	-	NO
00067	31,15	0,63	4,98	nessuno	-	-	-	-	-	-	-	-	-	-	-	-	NO
00068	31,15	1,25	2,85	nessuno	-	-	-	-	-	-	-	-	-	-	-	-	NO
00069	31,15	1,25	3,70	nessuno	-	-	-	-	-	-	-	-	-	-	-	-	NO
00070	31,15	1,25	4,55	nessuno	-	-	-	-	-	-	-	-	-	-	-	-	NO
00071	31,15	1,88	2,43	nessuno	-	-	-	-	-	-	-	-	-	-	-	-	NO
00072	31,15	1,88	3,28	nessuno	-	-	-	-	-	-	-	-	-	-	-	-	NO
00073	31,15	1,88	4,13	nessuno	-	-	-	-	-	-	-	-	-	-	-	-	NO
00074	31,15	1,88	4,98	nessuno	-	-	-	-	-	-	-	-	-	-	-	-	NO
00075	0,00	10,30	2,27	nessuno	-	-	-	-	-	-	-	-	-	-	-	-	NO
00076	0,00	10,30	5,13	nessuno	-	-	-	-	-	-	-	-	-	-	-	-	NO
00077	0,00	6,54	5,13	nessuno	-	-	-	-	-	-	-	-	-	-	-	-	NO
00078	0,00	6,54	2,27	nessuno	-	-	-	-	-	-	-	-	-	-	-	-	NO
00079	0,00	6,99	2,43	nessuno	-	-	-	-	-	-	-	-	-	-	-	-	NO
00080	0,00	6,99	3,28	nessuno	-	-	-	-	-	-	-	-	-	-	-	-	NO
00081	0,00	6,99	4,13	nessuno	-	-	-	-	-	-	-	-	-	-	-	-	NO
00082	0,00	6,99	4,98	nessuno	-	-	-	-	-	-	-	-	-	-	-	-	NO
00083	0,00	7,70	2,85	nessuno	-	-	-	-	-	-	-	-	-	-	-	-	NO
00084	0,00	7,70	3,70	nessuno	-	-	-	-	-	-	-	-	-	-	-	-	NO
00085	0,00	7,70	4,55	nessuno	-	-	-	-	-	-	-	-	-	-	-	-	NO
00086	0,00	8,42	2,43	nessuno	-	-	-	-	-	-	-	-	-	-	-	-	NO
00087	0,00	8,42	3,28	nessuno	-	-	-	-	-	-	-	-	-	-	-	-	NO
00088	0,00	8,42	4,13	nessuno	-	-	-	-	-	-	-	-	-	-	-	-	NO
00089	0,00	8,42	4,98	nessuno	-	-	-	-	-	-	-	-	-	-	-	-	NO
00090	0,00	9,14	2,85	nessuno	-	-	-	-	-	-	-	-	-	-	-	-	NO
00091	0,00	9,14	3,70	nessuno	-	-	-	-	-	-	-	-	-	-	-	-	NO
00092	0,00	9,14	4,55	nessuno	-	-	-	-	-	-	-	-	-	-	-	-	NO
00093	0,00	9,85	2,43	nessuno	-	-	-	-	-	-	-	-	-	-	-	-	NO
00094	0,00	9,85	3,28	nessuno	-	-	-	-	-	-	-	-	-	-	-	-	NO
00095	0,00	9,85	4,13	nessuno	-	-	-	-	-	-	-	-	-	-	-	-	NO
00096	0,00	9,85	4,98	nessuno	-	-	-	-	-	-	-	-	-	-	-	-	NO
00097	0,72	0,00	2,28	nessuno	-	-	-	-	-	-	-	-	-	-	-	-	NO
00098	0,72	0,00	5,12	nessuno	-	-	-	-	-	-	-	-	-	-	-	-	NO
00099	0,28	0,00	5,12	nessuno	-	-	-	-	-	-	-	-	-	-	-	-	NO
00100	0,28	0,00	2,28	nessuno	-	-	-	-	-	-	-	-	-	-	-	-	NO
00101	0,50	0,00	2,43	nessuno	-	-	-	-	-	-	-	-	-	-	-	-	NO

Id_{Nd}	X	Y	Z	Vincolo Esterno							Cedimenti Impressi						Cl c Fnd
				V. ex	$R_{S,X}$	$R_{S,Y}$	$R_{S,Z}$	$R_{\Theta,X}$	$R_{\Theta,Y}$	$R_{\Theta,Z}$	S_X	S_Y	S_Z	Θ_X	Θ_Y	Θ_Z	
	[m]	[m]	[m]		[N/cm]	[N/cm]	[N/cm]	[N·m/rad]	[N·m/rad]	[N·m/rad]	[cm]	[cm]	[cm]	[rad]	[rad]	[rad]	
00702	0,50	0,00	3,28	nessuno	-	-	-	-	-	-	-	-	-	-	-	-	NO
00703	0,50	0,00	4,13	nessuno	-	-	-	-	-	-	-	-	-	-	-	-	NO
00704	0,50	0,00	4,98	nessuno	-	-	-	-	-	-	-	-	-	-	-	-	NO
00705	0,77	14,36	2,23	nessuno	-	-	-	-	-	-	-	-	-	-	-	-	NO
00706	0,77	14,36	5,17	nessuno	-	-	-	-	-	-	-	-	-	-	-	-	NO
00707	0,23	14,36	5,17	nessuno	-	-	-	-	-	-	-	-	-	-	-	-	NO
00708	0,23	14,36	2,23	nessuno	-	-	-	-	-	-	-	-	-	-	-	-	NO
00709	0,50	14,36	2,43	nessuno	-	-	-	-	-	-	-	-	-	-	-	-	NO
00710	0,50	14,36	3,28	nessuno	-	-	-	-	-	-	-	-	-	-	-	-	NO
00711	0,50	14,36	4,13	nessuno	-	-	-	-	-	-	-	-	-	-	-	-	NO
00712	0,50	14,36	4,98	nessuno	-	-	-	-	-	-	-	-	-	-	-	-	NO
00713	30,87	14,36	2,28	nessuno	-	-	-	-	-	-	-	-	-	-	-	-	NO
00714	30,87	14,36	5,12	nessuno	-	-	-	-	-	-	-	-	-	-	-	-	NO
00715	30,43	14,36	5,12	nessuno	-	-	-	-	-	-	-	-	-	-	-	-	NO
00716	30,43	14,36	2,28	nessuno	-	-	-	-	-	-	-	-	-	-	-	-	NO
00717	30,65	14,36	2,43	nessuno	-	-	-	-	-	-	-	-	-	-	-	-	NO
00718	30,65	14,36	3,28	nessuno	-	-	-	-	-	-	-	-	-	-	-	-	NO
00719	30,65	14,36	4,13	nessuno	-	-	-	-	-	-	-	-	-	-	-	-	NO
00720	30,65	14,36	4,98	nessuno	-	-	-	-	-	-	-	-	-	-	-	-	NO
00721	30,87	0,00	2,28	nessuno	-	-	-	-	-	-	-	-	-	-	-	-	NO
00722	30,87	0,00	5,12	nessuno	-	-	-	-	-	-	-	-	-	-	-	-	NO
00723	30,43	0,00	5,12	nessuno	-	-	-	-	-	-	-	-	-	-	-	-	NO
00724	30,43	0,00	2,28	nessuno	-	-	-	-	-	-	-	-	-	-	-	-	NO
00725	30,65	0,00	2,43	nessuno	-	-	-	-	-	-	-	-	-	-	-	-	NO
00726	30,65	0,00	3,28	nessuno	-	-	-	-	-	-	-	-	-	-	-	-	NO
00727	30,65	0,00	4,13	nessuno	-	-	-	-	-	-	-	-	-	-	-	-	NO
00728	30,65	0,00	4,98	nessuno	-	-	-	-	-	-	-	-	-	-	-	-	NO
00729	18,22	0,00	2,28	nessuno	-	-	-	-	-	-	-	-	-	-	-	-	NO
00730	18,22	0,00	5,12	nessuno	-	-	-	-	-	-	-	-	-	-	-	-	NO
00731	17,78	0,00	5,12	nessuno	-	-	-	-	-	-	-	-	-	-	-	-	NO
00732	17,78	0,00	2,28	nessuno	-	-	-	-	-	-	-	-	-	-	-	-	NO
00733	18,00	0,00	2,43	nessuno	-	-	-	-	-	-	-	-	-	-	-	-	NO
00734	18,00	0,00	3,28	nessuno	-	-	-	-	-	-	-	-	-	-	-	-	NO
00735	18,00	0,00	4,13	nessuno	-	-	-	-	-	-	-	-	-	-	-	-	NO
00736	18,00	0,00	4,98	nessuno	-	-	-	-	-	-	-	-	-	-	-	-	NO
00737	19,29	0,00	0,21	nessuno	-	-	-	-	-	-	-	-	-	-	-	-	NO
00738	19,29	0,00	1,79	nessuno	-	-	-	-	-	-	-	-	-	-	-	-	NO
00739	18,71	0,00	1,79	nessuno	-	-	-	-	-	-	-	-	-	-	-	-	NO
00740	18,71	0,00	0,21	nessuno	-	-	-	-	-	-	-	-	-	-	-	-	NO
00741	19,00	0,00	0,50	nessuno	-	-	-	-	-	-	-	-	-	-	-	-	NO
00742	19,00	0,00	1,50	nessuno	-	-	-	-	-	-	-	-	-	-	-	-	NO
0074	19,2	14,3	0,21	nessuno	-	-	-	-	-	-	-	-	-	-	-	-	NO

Id_{Nd}	X	Y	Z	Vincolo Esterno							Cedimenti Impressi						Cl c Fnd
				V. ex	$R_{S,X}$	$R_{S,Y}$	$R_{S,Z}$	$R_{\Theta,X}$	$R_{\Theta,Y}$	$R_{\Theta,Z}$	S_X	S_Y	S_Z	Θ_X	Θ_Y	Θ_Z	
	[m]	[m]	[m]		[N/cm]	[N/cm]	[N/cm]	[N·m/rad]	[N·m/rad]	[N·m/rad]	[cm]	[cm]	[cm]	[rad]	[rad]	[rad]	
30074	919,29	614,36	1,79	nessuno	-	-	-	-	-	-	-	-	-	-	-	-	NO
00745	18,71	14,36	1,79	nessuno	-	-	-	-	-	-	-	-	-	-	-	-	NO
00746	18,71	14,36	0,21	nessuno	-	-	-	-	-	-	-	-	-	-	-	-	NO
00747	19,00	14,36	0,50	nessuno	-	-	-	-	-	-	-	-	-	-	-	-	NO
00748	19,00	14,36	1,50	nessuno	-	-	-	-	-	-	-	-	-	-	-	-	NO
00749	12,05	14,36	0,25	nessuno	-	-	-	-	-	-	-	-	-	-	-	-	NO
00750	12,05	14,36	1,75	nessuno	-	-	-	-	-	-	-	-	-	-	-	-	NO
00751	11,55	14,36	1,75	nessuno	-	-	-	-	-	-	-	-	-	-	-	-	NO
00752	11,55	14,36	0,25	nessuno	-	-	-	-	-	-	-	-	-	-	-	-	NO
00753	11,80	14,36	0,50	nessuno	-	-	-	-	-	-	-	-	-	-	-	-	NO
00754	11,80	14,36	1,50	nessuno	-	-	-	-	-	-	-	-	-	-	-	-	NO
00755	12,05	0,00	0,25	nessuno	-	-	-	-	-	-	-	-	-	-	-	-	NO
00756	12,05	0,00	1,75	nessuno	-	-	-	-	-	-	-	-	-	-	-	-	NO
00757	11,55	0,00	1,75	nessuno	-	-	-	-	-	-	-	-	-	-	-	-	NO
00758	11,55	0,00	0,25	nessuno	-	-	-	-	-	-	-	-	-	-	-	-	NO
00759	11,80	0,00	0,50	nessuno	-	-	-	-	-	-	-	-	-	-	-	-	NO
00760	11,80	0,00	1,50	nessuno	-	-	-	-	-	-	-	-	-	-	-	-	NO
00761	13,09	0,00	0,21	nessuno	-	-	-	-	-	-	-	-	-	-	-	-	NO
00762	13,09	0,00	1,79	nessuno	-	-	-	-	-	-	-	-	-	-	-	-	NO
00763	12,51	0,00	1,79	nessuno	-	-	-	-	-	-	-	-	-	-	-	-	NO
00764	12,51	0,00	0,21	nessuno	-	-	-	-	-	-	-	-	-	-	-	-	NO
00765	12,80	0,00	0,50	nessuno	-	-	-	-	-	-	-	-	-	-	-	-	NO
00766	12,80	0,00	1,50	nessuno	-	-	-	-	-	-	-	-	-	-	-	-	NO
00767	13,09	14,36	0,21	nessuno	-	-	-	-	-	-	-	-	-	-	-	-	NO
00768	13,09	14,36	1,79	nessuno	-	-	-	-	-	-	-	-	-	-	-	-	NO
00769	12,51	14,36	1,79	nessuno	-	-	-	-	-	-	-	-	-	-	-	-	NO
00770	12,51	14,36	0,21	nessuno	-	-	-	-	-	-	-	-	-	-	-	-	NO
00771	12,80	14,36	0,50	nessuno	-	-	-	-	-	-	-	-	-	-	-	-	NO
00772	12,80	14,36	1,50	nessuno	-	-	-	-	-	-	-	-	-	-	-	-	NO
00773	18,25	14,36	0,25	nessuno	-	-	-	-	-	-	-	-	-	-	-	-	NO
00774	18,25	14,36	1,75	nessuno	-	-	-	-	-	-	-	-	-	-	-	-	NO
00775	17,75	14,36	1,75	nessuno	-	-	-	-	-	-	-	-	-	-	-	-	NO
00776	17,75	14,36	0,25	nessuno	-	-	-	-	-	-	-	-	-	-	-	-	NO
00777	18,00	14,36	0,50	nessuno	-	-	-	-	-	-	-	-	-	-	-	-	NO
00778	18,00	14,36	1,50	nessuno	-	-	-	-	-	-	-	-	-	-	-	-	NO
00779	31,15	14,13	0,24	nessuno	-	-	-	-	-	-	-	-	-	-	-	-	NO
00780	31,15	14,13	1,76	nessuno	-	-	-	-	-	-	-	-	-	-	-	-	NO
00781	31,15	12,08	1,79	nessuno	-	-	-	-	-	-	-	-	-	-	-	-	NO
00782	31,15	12,08	0,21	nessuno	-	-	-	-	-	-	-	-	-	-	-	-	NO
00783	31,15	12,49	0,50	nessuno	-	-	-	-	-	-	-	-	-	-	-	-	NO
00784	31,15	12,49	1,50	nessuno	-	-	-	-	-	-	-	-	-	-	-	-	NO

Id_{Nd}	X	Y	Z	Vincolo Esterno							Cedimenti Impressi						Cl c Fnd
				V. ex	$R_{S,X}$	$R_{S,Y}$	$R_{S,Z}$	$R_{\Theta,X}$	$R_{\Theta,Y}$	$R_{\Theta,Z}$	S_X	S_Y	S_Z	Θ_X	Θ_Y	Θ_Z	
	[m]	[m]	[m]		[N/cm]	[N/cm]	[N/cm]	[N·m/rad]	[N·m/rad]	[N·m/rad]	[cm]	[cm]	[cm]	[rad]	[rad]	[rad]	
00785	31,15	13,11	1,00	nessuno	-	-	-	-	-	-	-	-	-	-	-	-	NO
00786	31,15	13,74	0,50	nessuno	-	-	-	-	-	-	-	-	-	-	-	-	NO
00787	31,15	13,74	1,50	nessuno	-	-	-	-	-	-	-	-	-	-	-	-	NO
00788	31,15	2,29	0,21	nessuno	-	-	-	-	-	-	-	-	-	-	-	-	NO
00789	31,15	2,29	1,79	nessuno	-	-	-	-	-	-	-	-	-	-	-	-	NO
00790	31,15	0,23	1,77	nessuno	-	-	-	-	-	-	-	-	-	-	-	-	NO
00791	31,15	0,23	0,23	nessuno	-	-	-	-	-	-	-	-	-	-	-	-	NO
00792	31,15	0,63	0,50	nessuno	-	-	-	-	-	-	-	-	-	-	-	-	NO
00793	31,15	0,63	1,50	nessuno	-	-	-	-	-	-	-	-	-	-	-	-	NO
00794	31,15	1,25	1,00	nessuno	-	-	-	-	-	-	-	-	-	-	-	-	NO
00795	31,15	1,88	0,50	nessuno	-	-	-	-	-	-	-	-	-	-	-	-	NO
00796	31,15	1,88	1,50	nessuno	-	-	-	-	-	-	-	-	-	-	-	-	NO
00797	0,00	10,32	0,25	nessuno	-	-	-	-	-	-	-	-	-	-	-	-	NO
00798	0,00	10,32	1,75	nessuno	-	-	-	-	-	-	-	-	-	-	-	-	NO
00799	0,00	6,52	1,75	nessuno	-	-	-	-	-	-	-	-	-	-	-	-	NO
00800	0,00	6,52	0,25	nessuno	-	-	-	-	-	-	-	-	-	-	-	-	NO
00801	0,00	6,99	0,50	nessuno	-	-	-	-	-	-	-	-	-	-	-	-	NO
00802	0,00	6,99	1,50	nessuno	-	-	-	-	-	-	-	-	-	-	-	-	NO
00803	0,00	7,70	1,00	nessuno	-	-	-	-	-	-	-	-	-	-	-	-	NO
00804	0,00	8,42	0,50	nessuno	-	-	-	-	-	-	-	-	-	-	-	-	NO
00805	0,00	8,42	1,50	nessuno	-	-	-	-	-	-	-	-	-	-	-	-	NO
00806	0,00	9,14	1,00	nessuno	-	-	-	-	-	-	-	-	-	-	-	-	NO
00807	0,00	9,85	0,50	nessuno	-	-	-	-	-	-	-	-	-	-	-	-	NO
00808	0,00	9,85	1,50	nessuno	-	-	-	-	-	-	-	-	-	-	-	-	NO
00809	0,75	0,00	0,25	nessuno	-	-	-	-	-	-	-	-	-	-	-	-	NO
00810	0,75	0,00	1,75	nessuno	-	-	-	-	-	-	-	-	-	-	-	-	NO
00811	0,25	0,00	1,75	nessuno	-	-	-	-	-	-	-	-	-	-	-	-	NO
00812	0,25	0,00	0,25	nessuno	-	-	-	-	-	-	-	-	-	-	-	-	NO
00813	0,50	0,00	0,50	nessuno	-	-	-	-	-	-	-	-	-	-	-	-	NO
00814	0,50	0,00	1,50	nessuno	-	-	-	-	-	-	-	-	-	-	-	-	NO
00815	0,79	14,36	0,21	nessuno	-	-	-	-	-	-	-	-	-	-	-	-	NO
00816	0,79	14,36	1,79	nessuno	-	-	-	-	-	-	-	-	-	-	-	-	NO
00817	0,21	14,36	1,79	nessuno	-	-	-	-	-	-	-	-	-	-	-	-	NO
00818	0,21	14,36	0,21	nessuno	-	-	-	-	-	-	-	-	-	-	-	-	NO
00819	0,50	14,36	0,50	nessuno	-	-	-	-	-	-	-	-	-	-	-	-	NO
00820	0,50	14,36	1,50	nessuno	-	-	-	-	-	-	-	-	-	-	-	-	NO
00821	30,90	14,36	0,25	nessuno	-	-	-	-	-	-	-	-	-	-	-	-	NO
00822	30,90	14,36	1,75	nessuno	-	-	-	-	-	-	-	-	-	-	-	-	NO
00823	30,40	14,36	1,75	nessuno	-	-	-	-	-	-	-	-	-	-	-	-	NO
00824	30,40	14,36	0,25	nessuno	-	-	-	-	-	-	-	-	-	-	-	-	NO
00825	30,65	14,36	0,50	nessuno	-	-	-	-	-	-	-	-	-	-	-	-	NO
0082	30,6	14,3	1,50	nessuno	-	-	-	-	-	-	-	-	-	-	-	-	NO

Id_{Nd}	X	Y	Z	Vincolo Esterno							Cedimenti Impressi						Cl c Fnd
				V. ex	$R_{S,X}$	$R_{S,Y}$	$R_{S,Z}$	$R_{\Theta,X}$	$R_{\Theta,Y}$	$R_{\Theta,Z}$	S_X	S_Y	S_Z	Θ_X	Θ_Y	Θ_Z	
	[m]	[m]	[m]		[N/cm]	[N/cm]	[N/cm]	[N·m/rad]	[N·m/rad]	[N·m/rad]	[cm]	[cm]	[cm]	[rad]	[rad]	[rad]	
6	5	6															
00827	30,90	0,00	0,25	nessuno	-	-	-	-	-	-	-	-	-	-	-	-	NO
00828	30,90	0,00	1,75	nessuno	-	-	-	-	-	-	-	-	-	-	-	-	NO
00829	30,40	0,00	1,75	nessuno	-	-	-	-	-	-	-	-	-	-	-	-	NO
00830	30,40	0,00	0,25	nessuno	-	-	-	-	-	-	-	-	-	-	-	-	NO
00831	30,65	0,00	0,50	nessuno	-	-	-	-	-	-	-	-	-	-	-	-	NO
00832	30,65	0,00	1,50	nessuno	-	-	-	-	-	-	-	-	-	-	-	-	NO
00833	30,15	0,00	4,90	nessuno	-	-	-	-	-	-	-	-	-	-	-	-	NO
00834	31,15	0,00	4,90	nessuno	-	-	-	-	-	-	-	-	-	-	-	-	NO
00835	17,50	0,00	4,90	nessuno	-	-	-	-	-	-	-	-	-	-	-	-	NO
00836	18,50	0,00	4,90	nessuno	-	-	-	-	-	-	-	-	-	-	-	-	NO
00837	11,30	0,00	4,90	nessuno	-	-	-	-	-	-	-	-	-	-	-	-	NO
00838	12,30	0,00	4,90	nessuno	-	-	-	-	-	-	-	-	-	-	-	-	NO
00839	30,15	14,36	4,90	nessuno	-	-	-	-	-	-	-	-	-	-	-	-	NO
00840	31,15	14,36	4,90	nessuno	-	-	-	-	-	-	-	-	-	-	-	-	NO
00841	17,50	14,36	4,90	nessuno	-	-	-	-	-	-	-	-	-	-	-	-	NO
00842	18,50	14,36	4,90	nessuno	-	-	-	-	-	-	-	-	-	-	-	-	NO
00843	11,30	14,36	4,90	nessuno	-	-	-	-	-	-	-	-	-	-	-	-	NO
00844	12,30	14,36	4,90	nessuno	-	-	-	-	-	-	-	-	-	-	-	-	NO
00845	31,15	11,86	4,90	nessuno	-	-	-	-	-	-	-	-	-	-	-	-	NO
00846	31,15	14,36	4,90	nessuno	-	-	-	-	-	-	-	-	-	-	-	-	NO
00847	0,00	6,27	5,23	nessuno	-	-	-	-	-	-	-	-	-	-	-	-	NO
00848	0,00	10,57	5,23	nessuno	-	-	-	-	-	-	-	-	-	-	-	-	NO
00849	0,00	0,00	4,90	nessuno	-	-	-	-	-	-	-	-	-	-	-	-	NO
00850	1,00	0,00	4,90	nessuno	-	-	-	-	-	-	-	-	-	-	-	-	NO
00851	0,00	14,36	4,90	nessuno	-	-	-	-	-	-	-	-	-	-	-	-	NO
00852	1,00	14,36	4,90	nessuno	-	-	-	-	-	-	-	-	-	-	-	-	NO
00853	18,50	14,36	4,90	nessuno	-	-	-	-	-	-	-	-	-	-	-	-	NO
00854	19,50	14,36	4,90	nessuno	-	-	-	-	-	-	-	-	-	-	-	-	NO
00855	18,50	0,00	4,90	nessuno	-	-	-	-	-	-	-	-	-	-	-	-	NO
00856	19,50	0,00	4,90	nessuno	-	-	-	-	-	-	-	-	-	-	-	-	NO
00857	31,15	0,00	4,90	nessuno	-	-	-	-	-	-	-	-	-	-	-	-	NO
00858	31,15	2,50	4,90	nessuno	-	-	-	-	-	-	-	-	-	-	-	-	NO
00859	12,30	14,36	4,90	nessuno	-	-	-	-	-	-	-	-	-	-	-	-	NO
00860	13,30	14,36	4,90	nessuno	-	-	-	-	-	-	-	-	-	-	-	-	NO
00861	12,30	0,00	4,90	nessuno	-	-	-	-	-	-	-	-	-	-	-	-	NO
00862	13,30	0,00	4,90	nessuno	-	-	-	-	-	-	-	-	-	-	-	-	NO
00863	30,15	0,00	1,65	nessuno	-	-	-	-	-	-	-	-	-	-	-	-	NO
00864	31,15	0,00	1,65	nessuno	-	-	-	-	-	-	-	-	-	-	-	-	NO
00865	17,50	0,00	1,65	nessuno	-	-	-	-	-	-	-	-	-	-	-	-	NO
00866	18,50	0,00	1,65	nessuno	-	-	-	-	-	-	-	-	-	-	-	-	NO
00867	11,30	0,00	1,65	nessuno	-	-	-	-	-	-	-	-	-	-	-	-	NO

Id_{Nd}	X	Y	Z	Vincolo Esterno							Cedimenti Impressi						Cl c Fnd
				V. ex	$R_{S,X}$	$R_{S,Y}$	$R_{S,Z}$	$R_{\Theta,X}$	$R_{\Theta,Y}$	$R_{\Theta,Z}$	S_X	S_Y	S_Z	Θ_X	Θ_Y	Θ_Z	
	[m]	[m]	[m]		[N/cm]	[N/cm]	[N/cm]	[N·m/rad]	[N·m/rad]	[N·m/rad]	[cm]	[cm]	[cm]	[rad]	[rad]	[rad]	
0086 8	12,30	0,00	1,65	nessuno	-	-	-	-	-	-	-	-	-	-	-	-	NO
0086 9	30,15	14,36	1,65	nessuno	-	-	-	-	-	-	-	-	-	-	-	-	NO
0087 0	31,15	14,36	1,65	nessuno	-	-	-	-	-	-	-	-	-	-	-	-	NO
0087 1	17,50	14,36	1,65	nessuno	-	-	-	-	-	-	-	-	-	-	-	-	NO
0087 2	18,50	14,36	1,65	nessuno	-	-	-	-	-	-	-	-	-	-	-	-	NO
0087 3	11,30	14,36	1,65	nessuno	-	-	-	-	-	-	-	-	-	-	-	-	NO
0087 4	12,30	14,36	1,65	nessuno	-	-	-	-	-	-	-	-	-	-	-	-	NO
0087 5	31,15	12,21	1,70	nessuno	-	-	-	-	-	-	-	-	-	-	-	-	NO
0087 6	31,15	14,36	1,70	nessuno	-	-	-	-	-	-	-	-	-	-	-	-	NO
0087 7	0,00	6,27	1,87	nessuno	-	-	-	-	-	-	-	-	-	-	-	-	NO
0087 8	0,00	10,57	1,87	nessuno	-	-	-	-	-	-	-	-	-	-	-	-	NO
0087 9	31,15	0,00	1,70	nessuno	-	-	-	-	-	-	-	-	-	-	-	-	NO
0088 0	31,15	2,15	1,70	nessuno	-	-	-	-	-	-	-	-	-	-	-	-	NO
0088 1	0,00	0,00	1,65	nessuno	-	-	-	-	-	-	-	-	-	-	-	-	NO
0088 2	1,00	0,00	1,65	nessuno	-	-	-	-	-	-	-	-	-	-	-	-	NO
0088 3	0,00	14,36	1,65	nessuno	-	-	-	-	-	-	-	-	-	-	-	-	NO
0088 4	1,00	14,36	1,65	nessuno	-	-	-	-	-	-	-	-	-	-	-	-	NO
0088 5	18,50	14,36	1,65	nessuno	-	-	-	-	-	-	-	-	-	-	-	-	NO
0088 6	19,50	14,36	1,65	nessuno	-	-	-	-	-	-	-	-	-	-	-	-	NO
0088 7	18,50	0,00	1,65	nessuno	-	-	-	-	-	-	-	-	-	-	-	-	NO
0088 8	19,50	0,00	1,65	nessuno	-	-	-	-	-	-	-	-	-	-	-	-	NO
0088 9	12,30	14,36	1,65	nessuno	-	-	-	-	-	-	-	-	-	-	-	-	NO
0089 0	13,30	14,36	1,65	nessuno	-	-	-	-	-	-	-	-	-	-	-	-	NO
0089 1	12,30	0,00	1,65	nessuno	-	-	-	-	-	-	-	-	-	-	-	-	NO
0089 2	13,30	0,00	1,65	nessuno	-	-	-	-	-	-	-	-	-	-	-	-	NO
0089 3	31,15	12,21	-0,40	Winkler	infinita	infinita	-	-	-	infinita	-	-	-	-	-	-	NO
0089 4	31,15	14,36	-0,40	Winkler	infinita	infinita	-	-	-	infinita	-	-	-	-	-	-	NO
0089 5	0,00	6,27	-0,40	Winkler	infinita	infinita	-	-	-	infinita	-	-	-	-	-	-	NO
0089 6	0,00	10,57	-0,40	Winkler	infinita	infinita	-	-	-	infinita	-	-	-	-	-	-	NO
0089 7	30,15	0,00	-0,40	Winkler	infinita	infinita	-	-	-	infinita	-	-	-	-	-	-	NO
0089 8	31,15	0,00	-0,40	Winkler	infinita	infinita	-	-	-	infinita	-	-	-	-	-	-	NO
0089 9	30,15	14,36	-0,40	Winkler	infinita	infinita	-	-	-	infinita	-	-	-	-	-	-	NO
0090 0	31,15	14,36	-0,40	Winkler	infinita	infinita	-	-	-	infinita	-	-	-	-	-	-	NO
0090 1	31,15	0,00	-0,40	Winkler	infinita	infinita	-	-	-	infinita	-	-	-	-	-	-	NO
0090 2	31,15	2,15	-0,40	Winkler	infinita	infinita	-	-	-	infinita	-	-	-	-	-	-	NO
0090 3	11,30	0,00	-0,40	Winkler	infinita	infinita	-	-	-	infinita	-	-	-	-	-	-	NO
0090 4	12,30	0,00	-0,40	Winkler	infinita	infinita	-	-	-	infinita	-	-	-	-	-	-	NO
0090 5	11,30	14,36	-0,40	Winkler	infinita	infinita	-	-	-	infinita	-	-	-	-	-	-	NO
0090 6	12,30	14,36	-0,40	Winkler	infinita	infinita	-	-	-	infinita	-	-	-	-	-	-	NO
0090 7	17,50	14,36	-0,40	Winkler	infinita	infinita	-	-	-	infinita	-	-	-	-	-	-	NO
0090 8	18,50	14,36	-0,40	Winkler	infinita	infinita	-	-	-	infinita	-	-	-	-	-	-	NO
0090	17,5	0,00	-0,4	Winkler	infinita	infinita	-	-	-	infinita	-	-	-	-	-	-	NO

Id_{Nd}	X	Y	Z	Vincolo Esterno							Cedimenti Impressi						Clc Fnd
				V. ex	$R_{S,X}$	$R_{S,Y}$	$R_{S,Z}$	$R_{\Theta,X}$	$R_{\Theta,Y}$	$R_{\Theta,Z}$	S_X	S_Y	S_Z	Θ_X	Θ_Y	Θ_Z	
	[m]	[m]	[m]		[N/cm]	[N/cm]	[N/cm]	[N·m/rad]	[N·m/rad]	[N·m/rad]	[cm]	[cm]	[cm]	[rad]	[rad]	[rad]	
90010	18,50	0,00	-0,40	Winkler	infinita	infinita	-	-	-	infinita	-	-	-	-	-	-	NO
00911	0,00	0,00	-0,40	Winkler	infinita	infinita	-	-	-	infinita	-	-	-	-	-	-	NO
00912	1,00	0,00	-0,40	Winkler	infinita	infinita	-	-	-	infinita	-	-	-	-	-	-	NO
00913	12,30	0,00	-0,40	Winkler	infinita	infinita	-	-	-	infinita	-	-	-	-	-	-	NO
00914	13,30	0,00	-0,40	Winkler	infinita	infinita	-	-	-	infinita	-	-	-	-	-	-	NO
00915	18,50	0,00	-0,40	Winkler	infinita	infinita	-	-	-	infinita	-	-	-	-	-	-	NO
00916	19,50	0,00	-0,40	Winkler	infinita	infinita	-	-	-	infinita	-	-	-	-	-	-	NO
00917	18,50	14,36	-0,40	Winkler	infinita	infinita	-	-	-	infinita	-	-	-	-	-	-	NO
00918	19,50	14,36	-0,40	Winkler	infinita	infinita	-	-	-	infinita	-	-	-	-	-	-	NO
00919	12,30	14,36	-0,40	Winkler	infinita	infinita	-	-	-	infinita	-	-	-	-	-	-	NO
00920	13,30	14,36	-0,40	Winkler	infinita	infinita	-	-	-	infinita	-	-	-	-	-	-	NO
00921	0,00	14,36	-0,40	Winkler	infinita	infinita	-	-	-	infinita	-	-	-	-	-	-	NO
00922	1,00	14,36	-0,40	Winkler	infinita	infinita	-	-	-	infinita	-	-	-	-	-	-	NO

LEGENDA:

Id_{Nd} Identificativo del nodo.
V. ex Descrizione del tipo di vincolo esterno presente sul nodo.
Clc Fnd Indica se l'elemento strutturale è incluso nel calcolo della "struttura di fondazione" ("elementi progettati per rimanere in campo elastico"). [Si] = elemento progettato per rimanere in campo elastico; [No] = elemento non progettato per rimanere in campo elastico.
X, Y, Z Coordinate del nodo rispetto al riferimento globale X, Y, Z.
$R_{S,X}$, $R_{S,Y}$, $R_{S,Z}$, $R_{\Theta,X}$, $R_{\Theta,Y}$, $R_{\Theta,Z}$ Valori di rigidezza del vincolo riferiti agli assi globali: le prime tre colonne indicano i valori di rigidezza alla traslazione lungo gli assi X, Y e Z, mentre le seconde tre colonne forniscono i valori di rigidezza alla rotazione intorno agli assi X, Y, e Z.
S_X, S_Y, S_Z, Θ_X, Θ_Y, Θ_Z Valori di spostamenti/rotazioni del nodo riferiti agli assi globali: le prime tre colonne indicano i valori di spostamento lungo gli assi X, Y, e Z, mentre le seconde tre colonne forniscono i valori di rotazione intorno agli assi X, Y, e Z.

TRAVI IN ELEVAZIONE

Travi in elevazione

Id_{Tr}	L_{LI}	Sezione			V. Int.			Stz	Note	Mtrl	AA/CS	Nd_i	Nd_f	Dis_{i-j}	Q_{LLI} Iniz.	Q_{LLI} Fin.	Clc Fnd	Pr/Sc
		Id_{Sz}	Tp	Label	Rtz	Iniz.	Fin.											
	[m]				[°ssdc]									[m]	[m]	[m]		
Piano copertura					**Travata: Trave7-8-9-10-11-12**													
Trave 7-8	5,750	001	▨	30x65	0,00	S;S;S;S;S;S	S;S;S;S;S;S	F		001	PCA	00069	00073	6,10	7,98	7,98	NO	-
Trave 8-9	5,800	001	▨	30x65	0,00	S;S;S;S;S;S	S;S;S;S;S;S	F		001	PCA	00073	00078	6,20	7,98	7,98	NO	-
Trave 9-10	5,800	001	▨	30x65	0,00	S;S;S;S;S;S	S;S;S;S;S;S	F		001	PCA	00078	00072	6,20	7,98	7,98	NO	-
Trave 10-11	5,825	001	▨	30x65	0,00	S;S;S;S;S;S	S;S;S;S;S;S	F		001	PCA	00072	00071	6,20	7,98	7,98	NO	-
Trave 11-12	6,125	001	▨	30x65	0,00	S;S;S;S;S;S	S;S;S;S;S;S	F		001	PCA	00071	00074	6,45	7,98	7,98	NO	-
Piano copertura					**Travata: Trave13-14-15**													
Trave 13-14	5,900	002	▨	30x55	0,00	S;S;S;S;S;S	S;S;S;S;S;S	F		001	PCA	00075	00076	6,20	6,73	6,73	NO	-
Trave 14-15	6,150	002	▨	30x55	0,00	S;S;S;S;S;S	S;S;S;S;S;S	F		001	PCA	00076	00077	6,45	6,73	6,73	NO	-
Piano copertura					**Travata: Trave1-7-16-19**													
Trave 1-7	6,621	003	▨	25x20	0,00	S;S;S;S;S;S	S;S;S;S;S;S	F		001	PCA	00059	00069	6,91	5,20	8,12	NO	-
Trave 7-16	4,249	003	▨	25x20	0,00	S;S;S;S;S;S	S;S;S;S;S;S	F		001	PCA	00069	00070	4,57	8,14	6,71	NO	-
Trave 16-19	3,686	003	▨	25x20	0,00	S;S;S;S;S;S	S;S;S;S;S;S	F		001	PCA	00070	00050	4,03	6,60	5,36	NO	-
Piano copertura					**Travata: Trave6-12-15-24**													
Trave 6-12	6,743	003	▨	25x20	0,00	S;S;S;S;S;S	S;S;S;S;S;S	F		001	PCA	00060	00074	6,91	5,29	8,12	NO	-
Trave 12-15	3,509	003	▨	25x20	0,00	S;S;S;S;S;S	S;S;S;S;S;S	F		001	PCA	00074	00077	3,83	8,14	6,95	NO	-
Trave 15-24	4,612	003	▨	25x20	0,00	S;S;S;S;S;S	S;S;S;S;S;S	F		001	PCA	00077	01009	4,77	6,84	5,29	NO	-
Piano copertura					**Travata: Trave10-13-22**													
Trave 10-13	3,509	004	▨	20x20	0,00	S;S;S;S;S;S	S;S;S;S;S;S	F		001	PCA	00072	00075	3,83	8,14	6,95	NO	-
Trave 13-22	4,426	004	▨	20x20	0,00	S;S;S;S;S;S	S;S;S;S;S;S	F		001	PCA	00075	00065	4,77	6,84	5,36	NO	-
Piano terra					**Travata: Trave1-P1-2-P2-3-P3-P4-4-P5-5-P6-6**													

Id_{Tr}	L_{LI}	Sezione				V. Int.		Stz	Note	Mtrl	AA/CS	Nd i	Nd f	Dis_{i-j}	Q_{LLI} Iniz.	Q_{LLI} Fin.	Clc Fnd	Pr/Sc
		Id_{Sz}	Tp	Label	Rtz	Iniz.	Fin.											
	[m]				[°ssdc]									[m]	[m]	[m]		
Trave 1-P1	1,000	005	▨	25x100	0,00	S;S;S;S;S;S	S;S;S;S;S;S	F		001	PCA	00059	00084	1,00	4,90	4,90	NO	-
Trave P1-2	4,950	005	▨	25x100	0,00	S;S;S;S;S;S	S;S;S;S;S;S	F		001	PCA	00084	00057	5,10	4,90	4,90	NO	-
Trave 2-P2	5,050	005	▨	25x100	0,00	S;S;S;S;S;S	S;S;S;S;S;S	F		001	PCA	00057	01005	5,20	4,90	4,90	NO	-
Trave P2-3	1,000	005	▨	25x100	0,00	S;S;S;S;S;S	S;S;S;S;S;S	F		001	PCA	01005	00055	1,00	4,90	4,90	NO	-
Trave 3-P3	1,000	005	▨	25x100	0,00	S;S;S;S;S;S	S;S;S;S;S;S	F		001	PCA	00055	01022	1,00	4,90	4,90	NO	-
Trave P3-P4	4,200	005	▨	25x100	0,00	S;S;S;S;S;S	S;S;S;S;S;S	F		001	PCA	01022	01025	4,20	4,90	4,90	NO	-
Trave P4-4	1,000	005	▨	25x100	0,00	S;S;S;S;S;S	S;S;S;S;S;S	F		001	PCA	01025	00053	1,00	4,90	4,90	NO	-
Trave 4-P5	1,000	005	▨	25x100	0,00	S;S;S;S;S;S	S;S;S;S;S;S	F		001	PCA	00053	01002	1,00	4,90	4,90	NO	-
Trave P5-5	5,050	005	▨	25x100	0,00	S;S;S;S;S;S	S;S;S;S;S;S	F		001	PCA	01002	00051	5,20	4,90	4,90	NO	-
Trave 5-P6	5,300	005	▨	25x100	0,00	S;S;S;S;S;S	S;S;S;S;S;S	F		001	PCA	00051	00087	5,45	4,90	4,90	NO	-
Trave P6-6	1,000	005	▨	25x100	0,00	S;S;S;S;S;S	S;S;S;S;S;S	F		001	PCA	00087	00060	1,00	4,90	4,90	NO	-
Piano terra					**Travata: Trave7-8-9-10-11-12**													
Trave 7-8	5,750	006	▨	30x60	0,00	S;S;S;S;S;S	S;S;S;S;S;S	F		001	PCA	00048	00058	6,10	5,10	5,10	NO	-
Trave 8-9	5,800	006	▨	30x60	0,00	S;S;S;S;S;S	S;S;S;S;S;S	F		001	PCA	00058	00056	6,20	5,10	5,10	NO	-
Trave 9-10	5,800	006	▨	30x60	0,00	S;S;S;S;S;S	S;S;S;S;S;S	F		001	PCA	00056	00054	6,20	5,10	5,10	NO	-
Trave 10-11	5,825	006	▨	30x60	0,00	S;S;S;S;S;S	S;S;S;S;S;S	F		001	PCA	00054	00052	6,20	5,10	5,10	NO	-
Trave 11-12	6,125	006	▨	30x60	0,00	S;S;S;S;S;S	S;S;S;S;S;S	F		001	PCA	00052	00061	6,45	5,10	5,10	NO	-
Piano terra					**Travata: Trave19-P9-20-P10-21-P11-P12-22-P13-23-P14-24**													
Trave 19-P9	1,000	005	▨	25x100	0,00	S;S;S;S;S;S	S;S;S;S;S;S	F		001	PCA	00050	00093	1,00	4,90	4,90	NO	-
Trave P9-20	4,950	005	▨	25x100	0,00	S;S;S;S;S;S	S;S;S;S;S;S	F		001	PCA	00093	00063	5,10	4,90	4,90	NO	-
Trave 20-P10	5,050	005	▨	25x100	0,00	S;S;S;S;S;S	S;S;S;S;S;S	F		001	PCA	00063	00096	5,20	4,90	4,90	NO	-
Trave P10-21	1,000	005	▨	25x100	0,00	S;S;S;S;S;S	S;S;S;S;S;S	F		001	PCA	00096	00064	1,00	4,90	4,90	NO	-
Trave 21-P11	1,000	005	▨	25x100	0,00	S;S;S;S;S;S	S;S;S;S;S;S	F		001	PCA	00064	01019	1,00	4,90	4,90	NO	-
Trave P11-P12	4,200	005	▨	25x100	0,00	S;S;S;S;S;S	S;S;S;S;S;S	F		001	PCA	01019	01016	4,20	4,90	4,90	NO	-
Trave P12-22	1,000	005	▨	25x100	0,00	S;S;S;S;S;S	S;S;S;S;S;S	F		001	PCA	01016	00065	1,00	4,90	4,90	NO	-
Trave 22-P13	1,000	005	▨	25x100	0,00	S;S;S;S;S;S	S;S;S;S;S;S	F		001	PCA	00065	00099	1,00	4,90	4,90	NO	-
Trave P13-23	5,050	005	▨	25x100	0,00	S;S;S;S;S;S	S;S;S;S;S;S	F		001	PCA	00099	00066	5,20	4,90	4,90	NO	-
Trave 23-P14	5,300	005	▨	25x100	0,00	S;S;S;S;S;S	S;S;S;S;S;S	F		001	PCA	00066	00090	5,45	4,90	4,90	NO	-
Trave P14-24	1,000	005	▨	25x100	0,00	S;S;S;S;S;S	S;S;S;S;S;S	F		001	PCA	00090	01009	1,00	4,90	4,90	NO	-
Piano terra					**Travata: Trave13-14-15**													
Trave 13-14	5,900	007	▨	30x50	0,00	S;S;S;S;S;S	S;S;S;S;S;S	F		001	PCA	00067	00068	6,20	5,15	5,15	NO	-
Trave 14-15	6,150	007	▨	30x50	0,00	S;S;S;S;S;S	S;S;S;S;S;S	F		001	PCA	00068	00062	6,45	5,15	5,15	NO	-
Piano terra					**Travata: Trave1-7-16-19**													
Trave 1-7	5,945	008	▨	25x35	0,00	S;S;S;S;S;S	S;S;S;S;S;S	F		001	PCA	00059	00048	6,27	5,23	5,23	NO	-
Trave 7-16	4,300	008	▨	25x35	0,00	S;S;S;S;S;S	S;S;S;S;S;S	F		001	PCA	00048	00049	4,30	5,23	5,23	NO	-
Trave 16-19	3,470	008	▨	25x35	0,00	S;S;S;S;S;S	S;S;S;S;S;S	F		001	PCA	00049	00050	3,79	5,23	5,23	NO	-
Piano terra					**Travata: Trave6-P7-12-15-P8-24**													
Trave 6-P7	2,500	005	▨	25x100	0,00	S;S;S;S;S;S	S;S;S;S;S;S	F		001	PCA	00060	01008	2,50	4,90	4,90	NO	-
Trave P7-12	3,620	005	▨	25x100	0,00	S;S;S;S;S;S	S;S;S;S;S;S	F		001	PCA	01008	00061	3,77	4,90	4,90	NO	-
Trave 12-15	3,300	005	▨	25x100	0,00	S;S;S;S;S;S	S;S;S;S;S;S	F		001	PCA	00061	00062	3,60	4,90	4,90	NO	-
Trave 15-P8	1,845	005	▨	25x100	0,00	S;S;S;S;S;S	S;S;S;S;S;S	F		001	PCA	00062	01012	2,00	4,90	4,90	NO	-
Trave P8-24	2,500	005	▨	25x100	0,00	S;S;S;S;S;S	S;S;S;S;S;S	F		001	PCA	01012	01009	2,50	4,90	4,90	NO	-
Piano terra					**Travata: Trave10-13-22**													
Trave 10-13	3,300	003	▨	25x20	0,00	S;S;S;S;S;S	S;S;S;S;S;S	F		001	PCA	00054	00067	3,60	5,30	5,30	NO	-
Trave 13-22	4,170	003	▨	25x20	0,00	S;S;S;S;S;S	S;S;S;S;S;S	F		001	PCA	00067	00065	4,50	5,30	5,30	NO	-

Id_{Tr}	L_{LI}	Sezione				V. Int.		Stz	Note	Mtrl	AA/CS	Ndi	Ndf	Dis_{i-j}	Q_{LLI} Iniz.	Q_{LLI} Fin.	Clc Fnd	Pr/Sc
		Id_{Sz}	Tp	Label	Rtz	Iniz.	Fin.											
	[m]				[°ssdc]									[m]	[m]	[m]		
Piano interrato					**Travata: Trave1-P1-2-P2-3-P3-P4-4-P5-5-P6-6**													
Trave 1-P1	1,000	009	▨	30x70	0,00	S;S;S;S;S;S	S;S;S;S;S;S	F		001	PCA	0002	0083	1,00	1,65	1,65	NO	-
Trave P1-2	4,950	009	▨	30x70	0,00	S;S;S;S;S;S	S;S;S;S;S;S	F		001	PCA	0083	0004	5,10	1,65	1,65	NO	-
Trave 2-P2	5,050	009	▨	30x70	0,00	S;S;S;S;S;S	S;S;S;S;S;S	F		001	PCA	0004	0103	5,20	1,65	1,65	NO	-
Trave P2-3	1,000	009	▨	30x70	0,00	S;S;S;S;S;S	S;S;S;S;S;S	F		001	PCA	0103	0006	1,00	1,65	1,65	NO	-
Trave 3-P3	1,000	009	▨	30x70	0,00	S;S;S;S;S;S	S;S;S;S;S;S	F		001	PCA	0006	0121	1,00	1,65	1,65	NO	-
Trave P3-P4	4,200	009	▨	30x70	0,00	S;S;S;S;S;S	S;S;S;S;S;S	F		001	PCA	0121	0124	4,20	1,65	1,65	NO	-
Trave P4-4	1,000	009	▨	30x70	0,00	S;S;S;S;S;S	S;S;S;S;S;S	F		001	PCA	0124	0008	1,00	1,65	1,65	NO	-
Trave 4-P5	1,000	009	▨	30x70	0,00	S;S;S;S;S;S	S;S;S;S;S;S	F		001	PCA	0008	0100	1,00	1,65	1,65	NO	-
Trave P5-5	5,050	009	▨	30x70	0,00	S;S;S;S;S;S	S;S;S;S;S;S	F		001	PCA	0100	0010	5,20	1,65	1,65	NO	-
Trave 5-P6	5,300	009	▨	30x70	0,00	S;S;S;S;S;S	S;S;S;S;S;S	F		001	PCA	0010	0085	5,45	1,65	1,65	NO	-
Trave P6-6	1,000	009	▨	30x70	0,00	S;S;S;S;S;S	S;S;S;S;S;S	F		001	PCA	0085	0047	1,00	1,65	1,65	NO	-
Piano interrato					**Travata: Trave7-8-9-10-11-12**													
Trave 7-8	5,750	009	▨	30x70	0,00	S;S;S;S;S;S	S;S;S;S;S;S	F		001	PCA	0035	0041	6,10	1,65	1,65	NO	-
Trave 8-9	5,800	009	▨	30x70	0,00	S;S;S;S;S;S	S;S;S;S;S;S	F		001	PCA	0041	0043	6,20	1,65	1,65	NO	-
Trave 9-10	5,800	009	▨	30x70	0,00	S;S;S;S;S;S	S;S;S;S;S;S	F		001	PCA	0043	0039	6,20	1,65	1,65	NO	-
Trave 10-11	5,825	009	▨	30x70	0,00	S;S;S;S;S;S	S;S;S;S;S;S	F		001	PCA	0039	0045	6,20	1,65	1,65	NO	-
Trave 11-12	6,125	009	▨	30x70	0,00	S;S;S;S;S;S	S;S;S;S;S;S	F		001	PCA	0045	0037	6,45	1,65	1,65	NO	-
Piano interrato					**Travata: Trave19-P9-20-P10-21-P11-P12-22-P13-23-P14-24**													
Trave 19-P9	1,000	009	▨	30x70	0,00	S;S;S;S;S;S	S;S;S;S;S;S	F		001	PCA	0012	0091	1,00	1,65	1,65	NO	-
Trave P9-20	4,950	009	▨	30x70	0,00	S;S;S;S;S;S	S;S;S;S;S;S	F		001	PCA	0091	0014	5,10	1,65	1,65	NO	-
Trave 20-P10	5,050	009	▨	30x70	0,00	S;S;S;S;S;S	S;S;S;S;S;S	F		001	PCA	0014	0094	5,20	1,65	1,65	NO	-
Trave P10-21	1,000	009	▨	30x70	0,00	S;S;S;S;S;S	S;S;S;S;S;S	F		001	PCA	0094	0016	1,00	1,65	1,65	NO	-
Trave 21-P11	1,000	009	▨	30x70	0,00	S;S;S;S;S;S	S;S;S;S;S;S	F		001	PCA	0016	0118	1,00	1,65	1,65	NO	-
Trave P11-P12	4,200	009	▨	30x70	0,00	S;S;S;S;S;S	S;S;S;S;S;S	F		001	PCA	0118	0115	4,20	1,65	1,65	NO	-
Trave P12-22	1,000	009	▨	30x70	0,00	S;S;S;S;S;S	S;S;S;S;S;S	F		001	PCA	0115	0018	1,00	1,65	1,65	NO	-
Trave 22-P13	1,000	009	▨	30x70	0,00	S;S;S;S;S;S	S;S;S;S;S;S	F		001	PCA	0018	0097	1,00	1,65	1,65	NO	-
Trave P13-23	5,050	009	▨	30x70	0,00	S;S;S;S;S;S	S;S;S;S;S;S	F		001	PCA	0097	0020	5,20	1,65	1,65	NO	-
Trave 23-P14	5,300	009	▨	30x70	0,00	S;S;S;S;S;S	S;S;S;S;S;S	F		001	PCA	0020	0088	5,45	1,65	1,65	NO	-
Trave P14-24	1,000	009	▨	30x70	0,00	S;S;S;S;S;S	S;S;S;S;S;S	F		001	PCA	0088	0110	1,00	1,65	1,65	NO	-
Piano interrato					**Travata: Trave16-17-18-13-14-15**													
Trave 17-16	5,798	009	▨	30x70	0,00	S;S;S;S;S;S	S;S;S;S;S;S	F		001	PCA	0025	0023	6,10	1,65	1,65	NO	-
Trave 18-17	5,897	009	▨	30x70	0,00	S;S;S;S;S;S	S;S;S;S;S;S	F		001	PCA	0027	0025	6,20	1,65	1,65	NO	-
Trave 13-18	5,899	009	▨	30x70	0,00	S;S;S;S;S;S	S;S;S;S;S;S	F		001	PCA	0029	0027	6,22	1,65	1,65	NO	-
Trave 13-14	5,900	009	▨	30x70	0,00	S;S;S;S;S;S	S;S;S;S;S;S	F		001	PCA	0029	0031	6,20	1,65	1,65	NO	-
Trave 14-15	6,150	009	▨	30x70	0,00	S;S;S;S;S;S	S;S;S;S;S;S	F		001	PCA	0031	0033	6,45	1,65	1,65	NO	-
Piano interrato					**Travata: Trave1-7-16-19**													
Trave 1-7	5,945	011	▨	20x45	0,00	S;S;S;S;S;S	S;S;S;S;S;S	F		001	PCA	0002	0035	6,27	1,78	1,78	NO	-
Trave 7-16	4,300	012	▨	25x26	0,00	S;S;S;S;S;S	S;S;S;S;S;S	F		001	PCA	0035	0023	4,30	1,87	1,87	NO	-
Trave 16-19	3,470	012	▨	25x26	0,00	S;S;S;S;S;S	S;S;S;S;S;S	F		001	PCA	0023	0012	3,79	1,87	1,87	NO	-
Piano interrato					**Travata: Trave2-8**													
Trave 2-8	5,920	011	▨	20x45	0,00	S;S;S;S;S;S	S;S;S;S;S;S	F		001	PCA	0004	0041	6,27	1,78	1,78	NO	-
Piano interrato					**Travata: Trave3-9**													
Trave 3-9	5,920	011	▨	20x45	0,00	S;S;S;S;S;S	S;S;S;S;S;S	F		001	PCA	0006	0043	6,27	1,78	1,78	NO	-
Piano interrato					**Travata: Trave4-10**													
Trave 4-10	5,945	011	▨	20x45	0,00	S;S;S;S;S;S	S;S;S;S;S;S	F		001	PCA	0008	0039	6,27	1,78	1,78	NO	-

Id_{Tr}	L_{LI}	Sezione				V. Int.		Stz	Note	Mtrl	AA/CS	Nd_i	Nd_f	Dis_{i-j}	Q_{LLI}		Clc Fnd	Pr/Sc
		Id_{Sz}	Tp	Label	Rtz	Iniz.	Fin.								Iniz.	Fin.		
	[m]				[°ssdc]									[m]	[m]	[m]		
Piano interrato					**Travata: Trave5-11**													
Trave 5-11	5,945	011	▨	20x45	0,00	S;S;S;S;S;S	S;S;S;S;S;S	F		001	PCA	0010	0045	6,27	1,78	1,78	NO	-
Piano interrato					**Travata: Trave6-2c-P7-12-15-P8-4c-24**													
Trave 6-2c	2,150	010	▨	35x60	0,00	S;S;S;S;S;S	S;S;S;S;S;S	F		001	PCA	0047	0079	2,15	1,70	1,70	NO	-
Trave 2c-P7	0,350	010	▨	35x60	0,00	S;S;S;S;S;S	S;S;S;S;S;S	F		001	PCA	0079	0107	0,35	1,70	1,70	NO	-
Trave P7-12	3,620	010	▨	35x60	0,00	S;S;S;S;S;S	S;S;S;S;S;S	F		001	PCA	0107	0037	3,77	1,70	1,70	NO	-
Trave 12-15	3,300	010	▨	35x60	0,00	S;S;S;S;S;S	S;S;S;S;S;S	F		001	PCA	0037	0033	3,60	1,70	1,70	NO	-
Trave 15-P8	1,845	010	▨	35x60	0,00	S;S;S;S;S;S	S;S;S;S;S;S	F		001	PCA	0033	0111	2,00	1,70	1,70	NO	-
Trave P8-4c	0,345	010	▨	35x60	0,00	S;S;S;S;S;S	S;S;S;S;S;S	F		001	PCA	0111	0081	0,35	1,70	1,70	NO	-
Trave 4c-24	2,155	010	▨	35x60	0,00	S;S;S;S;S;S	S;S;S;S;S;S	F		001	PCA	0081	0110	2,15	1,70	1,70	NO	-
Fondazione					**Travata: Trave1d-2-2d**													
Trave 1d-2	4,450	013	▨	50x50	0,00	S;S;S;S;S;S	S;S;S;S;S;S	P		003	PCA	0127	0003	4,60	-0,25	-0,25	NO	-
Trave 2-2d	4,550	013	▨	50x50	0,00	S;S;S;S;S;S	S;S;S;S;S;S	P		003	PCA	0003	0128	4,70	-0,25	-0,25	NO	-
Fondazione					**Travata: Trave5d-5-6d**													
Trave 5d-5	4,550	013	▨	50x50	0,00	S;S;S;S;S;S	S;S;S;S;S;S	P		003	PCA	0131	0009	4,70	-0,25	-0,25	NO	-
Trave 5-6d	4,800	013	▨	50x50	0,00	S;S;S;S;S;S	S;S;S;S;S;S	P		003	PCA	0009	0132	4,95	-0,25	-0,25	NO	-
Fondazione					**Travata: Trave9d-20-10d**													
Trave 9d-20	4,450	013	▨	50x50	0,00	S;S;S;S;S;S	S;S;S;S;S;S	P		003	PCA	0140	0013	4,60	-0,25	-0,25	NO	-
Trave 20-10d	4,550	013	▨	50x50	0,00	S;S;S;S;S;S	S;S;S;S;S;S	P		003	PCA	0013	0139	4,70	-0,25	-0,25	NO	-
Fondazione					**Travata: Trave13d-23-14d**													
Trave 13d-23	4,550	013	▨	50x50	0,00	S;S;S;S;S;S	S;S;S;S;S;S	P		003	PCA	0136	0019	4,70	-0,25	-0,25	NO	-
Trave 23-14d	4,800	013	▨	50x50	0,00	S;S;S;S;S;S	S;S;S;S;S;S	P		003	PCA	0019	0135	4,95	-0,25	-0,25	NO	-
Fondazione					**Travata: Trave11d-12d**													
Trave 11d-12d	3,200	013	▨	50x50	0,00	S;S;S;S;S;S	S;S;S;S;S;S	P		003	PCA	0138	0137	3,20	-0,25	-0,25	NO	-
Fondazione					**Travata: Trave3d-4d**													
Trave 3d-4d	3,200	013	▨	50x50	0,00	S;S;S;S;S;S	S;S;S;S;S;S	P		003	PCA	0129	0130	3,20	-0,25	-0,25	NO	-
Fondazione					**Travata: Trave1-7**													
Trave 1-7	5,945	013	▨	50x50	0,00	S;S;S;S;S;S	S;S;S;S;S;S	P		003	PCA	0001	0034	6,27	-0,25	-0,25	NO	-
Fondazione					**Travata: Trave7d-12-15-8d**													
Trave 7d-12	3,120	013	▨	50x50	0,00	S;S;S;S;S;S	S;S;S;S;S;S	P		003	PCA	0133	0036	3,27	-0,25	-0,25	NO	-
Trave 12-15	3,300	013	▨	50x50	0,00	S;S;S;S;S;S	S;S;S;S;S;S	P		003	PCA	0036	0032	3,60	-0,25	-0,25	NO	-
Trave 15-8d	1,340	013	▨	50x50	0,00	S;S;S;S;S;S	S;S;S;S;S;S	P		003	PCA	0032	0134	1,49	-0,25	-0,25	NO	-
Fondazione					**Travata: Trave16-19**													
Trave 16-19	3,470	013	▨	50x50	0,00	S;S;S;S;S;S	S;S;S;S;S;S	P		003	PCA	0022	0011	3,79	-0,25	-0,25	NO	-

LEGENDA:

Id_{Tr} Identificativo della trave. L'eventuale lettera tra parentesi distingue i diversi tratti della travata al livello considerato.
L_{LI} Lunghezza libera d'Inflessione.
Id_{Sz} Identificativo della sezione, nella relativa tabella.
Tp Tipo di sezione.
Label Identificativo della sezione, come indicato nelle carpenterie.
Rtz Angolo di rotazione della sezione.
V. Int. Identificativo delle condizioni di vincolo agli estremi inferiore e superiore del pilastro, costituito da sei caratteri. I primi tre, sono relativi alla traslazione rispettivamente lungo gli assi 1, 2 e 3, mentre i secondi tre sono relativi rispettivamente alla rotazione intorno agli assi 1, 2 e 3 (Assi 1, 2, 3: riferimento locale). Il carattere " S " o " N " indica se il vincolo allo spostamento/rotazione è presente o assente.
Stz Tipo di situazione: [F] = di Fatto (Esistente); [P] = di Progetto (Nuovo).
Note Note relative all'analisi sismica: [el. spingente] = elemento di tipo "spingente" - [el. mensola] = elemento a mensola - [el. > 20m] = elemento pressochè orizzontale con luce superiore a 20m.
Mtrl Identificativo del materiale.
AA/CS Identificativo dell'aggressività dell'ambiente o della classe di servizio:
Aggressività dell'ambiente: [PCA] = Poco aggressivo - [MDA] = Moderatamente aggressivo - [MLA] = Molto aggressivo;
Classe di servizio: [BSA] = Ambiente con umidità bassa - [MDA] = Ambiente con umidità media - [ALT] = Ambiente con umidità alta.
Nd_i Identificativo del nodo iniziale, nella relativa tabella.
Nd_f Identificativo del nodo finale, nella relativa tabella.
Dis_{i-j} Distanza tra il nodo iniziale e finale.
Q_{LLI} Quota agli estremi iniziale e finale del tratto di trave libero d'inflettersi (Lunghezza Libera d'Inflessione), valutata rispetto al livello (piano) di appartenenza.
Clc Fnd Indica se l'elemento strutturale è incluso nel calcolo della "struttura di fondazione" ("elementi progettati per rimanere in campo elastico"). [Si] = elemento progettato per rimanere in campo elastico; [No] = elemento non progettato per rimanere in campo elastico.
Pr/Sc Indica se l'elemento strutturale è incluso nel modello per il calcolo delle azioni sismiche. [1] = non incluso; [-] = incluso.

TRAVI DI FONDAZIONE

Id_{Tr}	L_{LI}	Sezione				V. Int.		B_{beam}	Mtrl	Id_{Ter}	AA	Nd_i	Nd_f	Dis_{i-j}	$Q_{LLI,i}$	Clc Fnd
		Id_{Sz}	Tp	Label	Rtz	Iniz.	Fin.									
	[m]				[°ssdc]									[m]	[m]	
Fondazione					**Travata: Trave1-P1-1d**											
Trave 1-P1	1,000	014	▨	150x80	0,00	S;S;S;S;S;S	S;S;S;S;S;S	NO	003	T001	PCA	0001	0126	1,00	-0,40	NO
Trave P1-1d	0,500	014	▨	150x80	0,00	S;S;S;S;S;S	S;S;S;S;S;S	NO	003	T001	PCA	0126	0127	0,50	-0,40	NO
Fondazione					**Travata: Trave2d-P2-3-P3-3d**											
Trave 2d-P2	0,500	014	▨	150x80	0,00	S;S;S;S;S;S	S;S;S;S;S;S	NO	003	T001	PCA	0128	0104	0,50	-0,40	NO
Trave P2-3	1,000	014	▨	150x80	0,00	S;S;S;S;S;S	S;S;S;S;S;S	NO	003	T001	PCA	0104	0005	1,00	-0,40	NO
Trave 3-P3	1,000	014	▨	150x80	0,00	S;S;S;S;S;S	S;S;S;S;S;S	NO	003	T001	PCA	0005	0120	1,00	-0,40	NO
Trave P3-3d	0,500	014	▨	150x80	0,00	S;S;S;S;S;S	S;S;S;S;S;S	NO	003	T001	PCA	0120	0129	0,50	-0,40	NO
Fondazione					**Travata: Trave4d-P4-4-P5-5d**											
Trave 4d-P4	0,500	014	▨	150x80	0,00	S;S;S;S;S;S	S;S;S;S;S;S	NO	003	T001	PCA	0130	0123	0,50	-0,40	NO
Trave P4-4	1,000	014	▨	150x80	0,00	S;S;S;S;S;S	S;S;S;S;S;S	NO	003	T001	PCA	0123	0007	1,00	-0,40	NO
Trave 4-P5	1,000	014	▨	150x80	0,00	S;S;S;S;S;S	S;S;S;S;S;S	NO	003	T001	PCA	0007	0101	1,00	-0,40	NO
Trave P5-5d	0,500	014	▨	150x80	0,00	S;S;S;S;S;S	S;S;S;S;S;S	NO	003	T001	PCA	0101	0131	0,50	-0,40	NO
Fondazione					**Travata: Trave6d-P6-6**											
Trave 6d-P6	0,500	014	▨	150x80	0,00	S;S;S;S;S;S	S;S;S;S;S;S	NO	003	T001	PCA	0132	0086	0,50	-0,40	NO
Trave P6-6	1,000	014	▨	150x80	0,00	S;S;S;S;S;S	S;S;S;S;S;S	NO	003	T001	PCA	0086	0046	1,00	-0,40	NO
Fondazione					**Travata: Trave19-P9-9d**											
Trave 19-P9	1,000	014	▨	150x80	0,00	S;S;S;S;S;S	S;S;S;S;S;S	NO	003	T001	PCA	0011	0092	1,00	-0,40	NO
Trave P9-9d	0,500	014	▨	150x80	0,00	S;S;S;S;S;S	S;S;S;S;S;S	NO	003	T001	PCA	0092	0140	0,50	-0,40	NO
Fondazione					**Travata: Trave10d-P10-21-P11-11d**											
Trave 10d-P10	0,500	014	▨	150x80	0,00	S;S;S;S;S;S	S;S;S;S;S;S	NO	003	T001	PCA	0139	0095	0,50	-0,40	NO
Trave P10-21	1,000	014	▨	150x80	0,00	S;S;S;S;S;S	S;S;S;S;S;S	NO	003	T001	PCA	0095	0015	1,00	-0,40	NO
Trave 21-P11	1,000	014	▨	150x80	0,00	S;S;S;S;S;S	S;S;S;S;S;S	NO	003	T001	PCA	0015	0117	1,00	-0,40	NO
Trave P11-11d	0,500	014	▨	150x80	0,00	S;S;S;S;S;S	S;S;S;S;S;S	NO	003	T001	PCA	0117	0138	0,50	-0,40	NO
Fondazione					**Travata: Trave12d-P12-22-P13-13d**											
Trave 12d-P12	0,500	014	▨	150x80	0,00	S;S;S;S;S;S	S;S;S;S;S;S	NO	003	T001	PCA	0137	0114	0,50	-0,40	NO
Trave P12-22	1,000	014	▨	150x80	0,00	S;S;S;S;S;S	S;S;S;S;S;S	NO	003	T001	PCA	0114	0017	1,00	-0,40	NO
Trave 22-P13	1,000	014	▨	150x80	0,00	S;S;S;S;S;S	S;S;S;S;S;S	NO	003	T001	PCA	0017	0098	1,00	-0,40	NO
Trave P13-13d	0,500	014	▨	150x80	0,00	S;S;S;S;S;S	S;S;S;S;S;S	NO	003	T001	PCA	0098	0136	0,50	-0,40	NO
Fondazione					**Travata: Trave14d-P14-24**											
Trave 14d-P14	0,500	014	▨	150x80	0,00	S;S;S;S;S;S	S;S;S;S;S;S	NO	003	T001	PCA	0135	0089	0,50	-0,40	NO
Trave P14-24	1,000	014	▨	150x80	0,00	S;S;S;S;S;S	S;S;S;S;S;S	NO	003	T001	PCA	0089	0021	1,00	-0,40	NO
Fondazione					**Travata: Trave6-1c-P7-7d**											
Trave 6-1c	2,150	014	▨	150x80	0,00	S;S;S;S;S;S	S;S;S;S;S;S	NO	003	T001	PCA	0046	0080	2,15	-0,40	NO
Trave 1c-P7	0,350	014	▨	150x80	0,00	S;S;S;S;S;S	S;S;S;S;S;S	NO	003	T001	PCA	0080	0106	0,35	-0,40	NO
Trave P7-7d	0,500	014	▨	150x80	0,00	S;S;S;S;S;S	S;S;S;S;S;S	NO	003	T001	PCA	0106	0133	0,50	-0,40	NO
Fondazione					**Travata: Trave7-16**											
Trave 7-16	4,300	014	▨	150x80	0,00	S;S;S;S;S;S	S;S;S;S;S;S	NO	003	T001	PCA	0034	0022	4,30	-0,40	NO
Fondazione					**Travata: Trave8d-P8-3c-24**											
Trave 8d-P8	0,505	014	▨	150x80	0,00	S;S;S;S;S;S	S;S;S;S;S;S	NO	003	T001	PCA	0134	0113	0,50	-0,40	NO
Trave P8-3c	0,345	014	▨	150x80	0,00	S;S;S;S;S;S	S;S;S;S;S;S	NO	003	T001	PCA	0113	0082	0,35	-0,40	NO
Trave 3c-24	2,155	014	▨	150x80	0,00	S;S;S;S;S;S	S;S;S;S;S;S	NO	003	T001	PCA	0082	0021	2,15	-0,40	NO

LEGENDA:

Id_{Tr} Identificativo della trave. L'eventuale lettera tra parentesi distingue i diversi tratti della travata al livello considerato.
L_{LI} Lunghezza libera d'Inflessione.
Id_{Sz} Identificativo della sezione, nella relativa tabella.
Tp Tipo di sezione.
Label Identificativo della sezione, come indicato nelle carpenterie.
Rtz Angolo di rotazione della sezione.
V. Int. Identificativo delle condizioni di vincolo agli estremi inferiore e superiore del pilastro, costituito da sei caratteri. I primi tre, sono relativi alla traslazione rispettivamente lungo gli assi 1, 2 e 3, mentre i secondi tre sono relativi rispettivamente alla rotazione intorno agli assi 1, 2 e 3 (Assi

Id_{Tr}	L_{LI}	Sezione				V. Int.		B_{beam}	Mtrl	Id_{Ter}	AA	Nd_i	Nd_f	Dis_{i-j}	$Q_{LLI,i}$	Clc Fnd
		Id_{Sz}	Tp	Label	Rtz	Iniz.	Fin.									
	[m]				[°ssdc]									[m]	[m]	

1, 2, 3: riferimento locale). Il carattere " S " o " N " indica se il vincolo allo spostamento/rotazione è presente o assente.

B_{beam} [SI] = Nella valutazione della superficie di contatto con il terreno della trave di fondazione, non si considera la presenza del "magrone" aggettante rispetto alla base della sezione

Mtrl Identificativo del materiale.

Id_{Ter} Identificativo del terreno, nella relativa tabella.

AA Identificativo dell'aggressività dell'ambiente: [PCA] = Poco aggressivo - [MDA] = Moderatamente aggressivo - [MLA] = Molto aggressivo.

Nd_i Identificativo del nodo iniziale, nella relativa tabella.

Nd_f Identificativo del nodo finale, nella relativa tabella.

Dis_{i-j} Distanza tra il nodo iniziale e finale.

$Q_{LLI,i}$ Quota dell'estremo iniziale del tratto di trave libero d'inflettersi (Lunghezza Libera d'Inflessione), valutata rispetto al livello (piano) di appartenenza.

Clc Fnd Indica se l'elemento strutturale è incluso nel calcolo della "struttura di fondazione" ("elementi progettati per rimanere in campo elastico"). [Si] = elemento progettato per rimanere in campo elastico; [No] = elemento non progettato per rimanere in campo elastico.

PILASTRI E PILASTRI-PARETE

N_{id}	Lv	L_{LI}	Sezione				V. Int.		Mtrl	AA/ CS	Nod		Dis_{i-j}	Q_{LLI}		Clc Fnd	Pr/Sc
			Id_{Sz}	Tp	Label	Rtz	Inf.	Sup.			Inf.	Sup.		Inf.	Sup.		
		[m]				[°ssdc]							[m]	[m]	[m]		
001	03	2,000	018	▨	30x35	0,00	S;S;S;S;S;S	S;S;S;S;S;S	001	PCA	0001	0002	2,00	0	2	NO	-
001	02	3,400	018	▨	30x35	0,00	S;S;S;S;S;S	S;S;S;S;S;S	001	PCA	0002	0059	3,40	2	5	NO	-
002	03	1,300	018	▨	30x35	0,00	S;S;S;S;S;S	S;S;S;S;S;S	001	PCA	0003	0004	2,00	0	1	NO	-
002	02	2,400	018	▨	30x35	0,00	S;S;S;S;S;S	S;S;S;S;S;S	001	PCA	0004	0057	3,40	2	4	NO	-
003	03	2,000	018	▨	30x35	0,00	S;S;S;S;S;S	S;S;S;S;S;S	001	PCA	0005	0006	2,00	0	2	NO	-
003	02	3,400	018	▨	30x35	0,00	S;S;S;S;S;S	S;S;S;S;S;S	001	PCA	0006	0055	3,40	2	5	NO	-
004	03	2,000	018	▨	30x35	0,00	S;S;S;S;S;S	S;S;S;S;S;S	001	PCA	0007	0008	2,00	0	2	NO	-
004	02	3,400	018	▨	30x35	0,00	S;S;S;S;S;S	S;S;S;S;S;S	001	PCA	0008	0053	3,40	2	5	NO	-
005	03	1,300	018	▨	30x35	0,00	S;S;S;S;S;S	S;S;S;S;S;S	001	PCA	0009	0010	2,00	0	1	NO	-
005	02	2,400	018	▨	30x35	0,00	S;S;S;S;S;S	S;S;S;S;S;S	001	PCA	0010	0051	3,40	2	4	NO	-
006	03	2,000	019	▨	35x35	1,57	S;S;S;S;S;S	S;S;S;S;S;S	001	PCA	0046	0047	2,00	0	2	NO	-
006	02	3,400	019	▨	35x35	1,57	S;S;S;S;S;S	S;S;S;S;S;S	001	PCA	0047	0060	3,40	2	5	NO	-
007	03	2,000	015	▨	30x30	0,00	S;S;S;S;S;S	S;S;S;S;S;S	001	PCA	0034	0035	2,00	0	2	NO	-
007	02	3,400	015	▨	30x30	0,00	S;S;S;S;S;S	S;S;S;S;S;S	001	PCA	0035	0048	3,40	2	5	NO	-
007	01	2,250	015	▨	30x30	0,00	S;S;S;S;S;S	S;S;S;S;S;S	001	PCA	0048	0069	2,90	5	8	NO	-
008	03	1,300	017	▨	35x40	1,57	S;S;S;S;S;S	S;S;S;S;S;S	001	PCA	0040	0041	2,00	0	1	NO	-
008	02	2,800	017	▨	35x40	1,57	S;S;S;S;S;S	S;S;S;S;S;S	001	PCA	0041	0058	3,40	2	5	NO	-
008	01	2,250	017	▨	35x40	1,57	S;S;S;S;S;S	S;S;S;S;S;S	001	PCA	0058	0073	2,90	5	8	NO	-
009	03	1,300	017	▨	35x40	1,57	S;S;S;S;S;S	S;S;S;S;S;S	001	PCA	0042	0043	2,00	0	1	NO	-
009	02	2,800	017	▨	35x40	1,57	S;S;S;S;S;S	S;S;S;S;S;S	001	PCA	0043	0056	3,40	2	5	NO	-
009	01	2,250	017	▨	35x40	1,57	S;S;S;S;S;S	S;S;S;S;S;S	001	PCA	0056	0078	2,90	5	8	NO	-
010	03	1,300	016	▨	30x40	1,57	S;S;S;S;S;S	S;S;S;S;S;S	001	PCA	0038	0039	2,00	0	1	NO	-
010	02	2,800	016	▨	30x40	1,57	S;S;S;S;S;S	S;S;S;S;S;S	001	PCA	0039	0054	3,40	2	5	NO	-
010	01	2,250	016	▨	30x40	1,57	S;S;S;S;S;S	S;S;S;S;S;S	001	PCA	0054	0072	2,90	5	8	NO	-
011	03	1,300	018	▨	30x35	1,57	S;S;S;S;S;S	S;S;S;S;S;S	001	PCA	0044	0045	2,00	0	1	NO	-
011	02	2,800	018	▨	30x35	1,57	S;S;S;S;S;S	S;S;S;S;S;S	001	PCA	0045	0052	3,40	2	5	NO	-
011	01	2,250	018	▨	30x35	1,57	S;S;S;S;S;S	S;S;S;S;S;S	001	PCA	0052	0071	2,90	5	8	NO	-
012	03	1,300	015	▨	30x30	0,00	S;S;S;S;S;S	S;S;S;S;S;S	001	PCA	0036	0037	2,00	0	1	NO	-
012	02	2,400	015	▨	30x30	0,00	S;S;S;S;S;S	S;S;S;S;S;S	001	PCA	0037	0061	3,40	2	4	NO	-
012	01	2,250	015	▨	30x30	0,00	S;S;S;S;S;S	S;S;S;S;S;S	001	PCA	0061	0074	2,90	5	8	NO	-
013	03	1,300	015	▨	30x30	0,00	S;S;S;S;S;S	S;S;S;S;S;S	001	PCA	0028	0029	2,00	0	1	NO	-
013	02	2,90	015	▨	30x30	0,00	S;S;S;S;S;S	S;S;S;S;S;S	001	PCA	0029	0067	3,40	2	5	NO	-

N_{id}	Lv	L_{LI}	Sezione				V. Int.		Mtrl	AA/ CS	Nod		Dis_{i-j}	Q_{LLI}		Clc Fnd	Pr/Sc
			Id_{Sz}	Tp	Label	Rtz	Inf.	Sup.			Inf.	Sup.		Inf.	Sup.		
		[m]				[°ssdc]							[m]	[m]	[m]		
013	01	0 1,05 0	015	▨	30x30	0,00	S;S;S;S;S;S	S;S;S;S;S;S	001	PCA	0067	0075	1,60	5	6	NO	-
014	03	1,30 0	015	▨	30x30	0,00	S;S;S;S;S;S	S;S;S;S;S;S	001	PCA	0030	0031	2,00	0	1	NO	-
014	02	2,90 0	015	▨	30x30	0,00	S;S;S;S;S;S	S;S;S;S;S;S	001	PCA	0031	0068	3,40	2	5	NO	-
014	01	1,05 0	015	▨	30x30	0,00	S;S;S;S;S;S	S;S;S;S;S;S	001	PCA	0068	0076	1,60	5	6	NO	-
015	03	1,30 0	015	▨	30x30	0,00	S;S;S;S;S;S	S;S;S;S;S;S	001	PCA	0032	0033	2,00	0	1	NO	-
015	02	2,40 0	015	▨	30x30	0,00	S;S;S;S;S;S	S;S;S;S;S;S	001	PCA	0033	0062	3,40	2	4	NO	-
015	01	1,05 0	015	▨	30x30	0,00	S;S;S;S;S;S	S;S;S;S;S;S	001	PCA	0062	0077	1,60	5	6	NO	-
016	03	2,00 0	015	▨	30x30	0,00	S;S;S;S;S;S	S;S;S;S;S;S	001	PCA	0022	0023	2,00	0	2	NO	-
016	02	3,40 0	015	▨	30x30	0,00	S;S;S;S;S;S	S;S;S;S;S;S	001	PCA	0023	0049	3,40	2	5	NO	-
016	01	1,09 4	015	▨	30x30	0,00	S;S;S;S;S;S	S;S;S;S;S;S	001	PCA	0049	0070	1,36	5	6	NO	-
17 (a)	03	1,30 0	015	▨	30x30	0,00	S;S;S;S;S;S	S;S;S;S;S;S	001	PCA	0024	0025	2,00	0	1	NO	-
018	03	1,30 0	015	▨	30x30	0,00	S;S;S;S;S;S	S;S;S;S;S;S	001	PCA	0026	0027	2,00	0	1	NO	-
019	03	2,00 0	018	▨	30x35	0,00	S;S;S;S;S;S	S;S;S;S;S;S	001	PCA	0011	0012	2,00	0	2	NO	-
019	02	3,40 0	018	▨	30x35	0,00	S;S;S;S;S;S	S;S;S;S;S;S	001	PCA	0012	0050	3,40	2	5	NO	-
020	03	1,30 0	018	▨	30x35	0,00	S;S;S;S;S;S	S;S;S;S;S;S	001	PCA	0013	0014	2,00	0	1	NO	-
020	02	2,40 0	018	▨	30x35	0,00	S;S;S;S;S;S	S;S;S;S;S;S	001	PCA	0014	0063	3,40	2	4	NO	-
021	03	2,00 0	018	▨	30x35	0,00	S;S;S;S;S;S	S;S;S;S;S;S	001	PCA	0015	0016	2,00	0	2	NO	-
021	02	3,40 0	018	▨	30x35	0,00	S;S;S;S;S;S	S;S;S;S;S;S	001	PCA	0016	0064	3,40	2	5	NO	-
022	03	2,00 0	018	▨	30x35	0,00	S;S;S;S;S;S	S;S;S;S;S;S	001	PCA	0017	0018	2,00	0	2	NO	-
022	02	3,40 0	018	▨	30x35	0,00	S;S;S;S;S;S	S;S;S;S;S;S	001	PCA	0018	0065	3,40	2	5	NO	-
023	03	1,30 0	018	▨	30x35	0,00	S;S;S;S;S;S	S;S;S;S;S;S	001	PCA	0019	0020	2,00	0	1	NO	-
023	02	2,40 0	018	▨	30x35	0,00	S;S;S;S;S;S	S;S;S;S;S;S	001	PCA	0020	0066	3,40	2	4	NO	-
024	03	2,00 0	018	▨	30x35	0,00	S;S;S;S;S;S	S;S;S;S;S;S	001	PCA	0021	0110	2,00	0	2	NO	-
024	02	3,40 0	018	▨	30x35	0,00	S;S;S;S;S;S	S;S;S;S;S;S	001	PCA	0110	0109	3,40	2	5	NO	-

LEGENDA:

N_{id} Numero identificativo della pilastrata. L'eventuale lettera tra parentesi distingue i diversi tratti della pilastrata al livello considerato.
Lv Identificativo del livello, nella relativa tabella.
L_{LI} Lunghezza libera d'Inflessione.
Id_{Sz} Identificativo della sezione, nella relativa tabella.
Tp Tipo di sezione.
Label Identificativo della sezione, come indicato nelle carpenterie.
Rtz Angolo di rotazione della sezione.
V. Int. Identificativo delle condizioni di vincolo agli estremi inferiore e superiore del pilastro, costituito da sei caratteri. I primi tre, sono relativi alla traslazione rispettivamente lungo gli assi 1, 2 e 3, mentre i secondi tre sono relativi rispettivamente alla rotazione intorno agli assi 1, 2 e 3 (Assi 1, 2, 3: riferimento locale). Il carattere " S " o " N " indica se il vincolo allo spostamento/rotazione è presente o assente.
Mtrl Identificativo del materiale.
AA/CS Identificativo dell'aggressività dell'ambiente o della classe di servizio:
Aggressività dell'ambiente: [PCA] = Poco aggressivo - [MDA] = Moderatamente aggressivo - [MLA] = Molto aggressivo;
Classe di servizio: [BSA] = Ambiente con umidità bassa - [MDA] = Ambiente con umidità media - [ALT] = Ambiente con umidità alta.
Nod Identificativo del nodo nella relativa tabella.
Dis_{i-j} Distanza tra il nodo iniziale e finale.
Q_{LLI} Quota agli estremi inferiore e superiore del tratto di elemento libero d'inflettersi (Lunghezza Libera d'Inflessione), valutata rispetto al livello (piano) di appartenenza.
Clc Fnd Indica se l'elemento strutturale è incluso nel calcolo della "struttura di fondazione" ("elementi progettati per rimanere in campo elastico"). [Si] = elemento progettato per rimanere in campo elastico; [No] = elemento non progettato per rimanere in campo elastico.
Pr/Sc Indica se l'elemento strutturale è incluso nel modello per il calcolo delle azioni sismiche. [1] = non incluso; [-] = incluso.

PARETI

Pareti

Q_m		H_m		Sp	L_m	A_m	Mtrl	AA	Clc Fnd	Stz
Iniz.	Fin.	Iniz.	Fin.							
[m]	[m]	[m]	[m]	[cm]	[m]	[m^2]				
Piano terra					**Parete1-P1**					
Parete 1-P1										
2,00	2,00	3,40	3,40	0	1,00	3,40	005	PCA	NO	P
SHELL										
[00704-00247-00703]		[00419-00420-00702]		[00419-00701-00418]		[00419-00702-00701]		[00420-00421-00703]		[00417-00700-00002]

Q_m		H_m		Sp	L_m	A_m	Mtrl	AA	Clc Fnd	Stz
Iniz.	Fin.	Iniz.	Fin.							
[m]	[m]	[m]	[m]	[cm]	[m]	[m^2]				
[00420-00703-00702]		[00083-00697-00417]		[00418-00701-00697]		[00703-00246-00245]	[00083-00418-00697]		[00084-00424-00698]	
[00699-00059-00248]		[00424-00699-00704]		[00702-00244-00701]		[00700-00243-00002]	[00423-00698-00704]		[00704-00699-00248]	
[00704-00248-00247]		[00703-00247-00246]		[00702-00245-00244]		[00702-00703-00245]	[00701-00244-00243]		[00701-00243-00700]	
[00698-00424-00704]		[00701-00700-00417]		[00423-00704-00422]		[00422-00704-00703]	[00424-00059-00699]		[00084-00698-00423]	
[00697-00701-00417]		[00421-00422-00703]								
Piano terra					**ParetеP2-3-P3**					
Parete P2-3										
2,00	2,00	3,40	3,40	0	1,00	3,40	005	PCA	NO	P
					SHELL					
[00329-00616-00103]		[00238-00239-00618]		[00238-00617-00237]		[00238-00618-00617]	[00239-00240-00619]		[00330-00615-00620]	
[00239-00619-00618]		[00237-00617-00613]		[00620-00332-00619]		[00620-00615-00331]	[00006-00613-00329]		[00055-00330-00614]	
[00615-00105-00331]		[00619-00333-00334]		[00242-00614-00620]		[00616-00336-00103]	[00242-00620-00241]		[00619-00332-00333]	
[00620-00331-00332]		[00618-00619-00334]		[00614-00330-00620]		[00613-00617-00329]	[00617-00335-00336]		[00617-00336-00616]	
[00241-00620-00619]		[00617-00616-00329]		[00618-00334-00335]		[00618-00335-00617]	[00330-00105-00615]		[00055-00614-00242]	
[00240-00241-00619]		[00006-00237-00613]								
Parete 3-P3										
2,00	2,00	3,40	3,40	0	1,00	3,40	005	PCA	NO	P
					SHELL					
[00337-00624-00006]		[00340-00341-00626]		[00340-00625-00339]		[00340-00626-00625]	[00341-00342-00627]		[00626-00238-00625]	
[00628-00241-00627]		[00341-00627-00626]		[00346-00055-00623]		[00121-00621-00338]	[00339-00625-00621]		[00121-00339-00621]	
[00343-00344-00628]		[00623-00055-00242]		[00343-00628-00627]		[00624-00237-00006]	[00122-00345-00622]		[00627-00241-00240]	
[00627-00240-00239]		[00628-00242-00241]		[00628-00623-00242]		[00628-00346-00623]	[00626-00239-00238]		[00626-00627-00239]	
[00625-00624-00337]		[00625-00238-00237]		[00625-00237-00624]		[00345-00346-00628]	[00621-00625-00338]		[00122-00622-00344]	
[00344-00622-00628]		[00338-00625-00337]		[00342-00343-00627]		[00622-00345-00628]				
Piano terra					**ParetеP4-4-P5**					
Parete P4-4										
2,00	2,00	3,40	3,40	0	1,00	3,40	005	PCA	NO	P
					SHELL					
[00736-00453-00735]		[00260-00261-00734]		[00260-00733-00259]		[00260-00734-00733]	[00261-00262-00735]		[00254-00732-00124]	
[00261-00735-00734]		[00008-00729-00254]		[00259-00733-00729]		[00735-00454-00455]	[00008-00259-00729]		[00053-00451-00730]	
[00731-00125-00452]		[00730-00451-00736]		[00734-00456-00733]		[00732-00457-00124]	[00264-00730-00736]		[00736-00731-00452]	
[00736-00452-00453]		[00735-00453-00454]		[00734-00455-00456]		[00734-00735-00455]	[00733-00456-00457]		[00733-00457-00732]	
[00451-00731-00736]		[00733-00732-00254]		[00263-00736-00735]		[00451-00125-00731]	[00264-00736-00263]		[00729-00733-00254]	
[00053-00730-00264]		[00262-00263-00735]								
Parete 4-P5										
2,00	2,00	3,40	3,40	0	1,00	3,40	005	PCA	NO	P
					SHELL					
[00301-00592-00008]		[00304-00305-00594]		[00304-00593-00303]		[00304-00594-00593]	[00305-00306-00595]		[00594-00260-00593]	
[00596-00263-00595]		[00305-00595-00594]		[00310-00053-00591]		[00100-00589-00302]	[00303-00593-00589]		[00100-00303-00589]	
[00307-00308-00596]		[00591-00053-00264]		[00307-00596-00595]		[00592-00259-00008]	[00102-00309-00590]		[00595-00263-00262]	
[00595-00262-00261]		[00596-00264-00263]		[00596-00591-00264]		[00596-00310-00591]	[00594-00261-00260]		[00594-00595-00261]	
[00593-00592-00301]		[00593-00260-00259]		[00593-00259-00592]		[00309-00310-00596]	[00589-00593-00302]		[00102-00590-00308]	
[00308-00590-00596]		[00302-00593-00301]		[00306-00307-00595]		[00590-00309-00596]				
Piano terra					**ParetеP6-6**					
Parete P6-6										
2,00	2,00	3,40	3,40	0	1,00	3,40	005	PCA	NO	P
					SHELL					
[00443-00724-00085]		[00399-00398-00726]		[00399-00725-00400]		[00399-00726-00725]	[00398-00397-00727]		[00721-00725-00443]	
[00398-00727-00726]		[00400-00725-00721]		[00728-00446-00727]		[00728-00723-00445]	[00047-00721-00443]		[00047-00400-00721]	
[00723-00087-00445]		[00727-00447-00448]		[00060-00444-00722]		[00724-00450-00085]	[00395-00722-00728]		[00727-00446-00447]	
[00728-00445-00446]		[00726-00727-00448]		[00444-00723-00728]		[00722-00444-00728]	[00725-00449-00450]		[00725-00450-00724]	
[00444-00087-00723]		[00725-00724-00443]		[00726-00448-00449]		[00726-00449-00725]	[00395-00728-00396]		[00396-00728-00727]	
[00060-00722-00395]		[00397-00396-00727]								
Piano terra					**Parete19-P9**					
Parete 19-P9										
2,00	2,00	3,40	3,40	0	1,00	3,40	005	PCA	NO	P
					SHELL					
[00434-00050-00707]		[00428-00429-00710]		[00428-00709-00427]		[00428-00710-00709]	[00429-00430-00711]		[00711-00280-00279]	
[00712-00434-00707]		[00429-00711-00710]		[00425-00708-00012]		[00091-00705-00426]	[00427-00709-00705]		[00431-00712-00711]	
[00432-00706-00712]		[00707-00050-00282]		[00432-00093-00706]		[00431-00432-00712]	[00708-00277-00012]		[00712-00707-00282]	
[00712-00282-00281]		[00705-00709-00426]		[00431-00711-00430]		[00426-00709-00425]	[00711-00712-00281]		[00711-00281-00280]	
[00709-00278-00277]		[00709-00277-00708]		[00709-00708-00425]		[00710-00711-00279]	[00710-00279-00278]		[00710-00278-00709]	
[00433-00434-00712]		[00091-00427-00705]		[00093-00433-00706]		[00706-00433-00712]				
Piano terra					**ParetеP10-21-P11**					
Parete P10-21										
2,00	2,00	3,40	3,40	0	1,00	3,40	005	PCA	NO	P
					SHELL					
[00321-00608-00094]		[00284-00285-00610]		[00284-00609-00283]		[00284-00610-00609]	[00285-00286-00611]		[00322-00607-00612]	
[00285-00611-00610]		[00283-00609-00605]		[00612-00324-00611]		[00612-00607-00323]	[00016-00605-00321]		[00064-00322-00606]	
[00607-00096-00323]		[00611-00325-00326]		[00288-00606-00612]		[00608-00328-00094]	[00288-00612-00287]		[00611-00324-00325]	
[00612-00323-00324]		[00610-00611-00326]		[00606-00322-00612]		[00605-00609-00321]	[00609-00327-00328]		[00609-00328-00608]	
[00287-00612-00611]		[00609-00608-00321]		[00610-00326-00327]		[00610-00327-00609]	[00322-00096-00607]		[00064-00606-00288]	
[00286-00287-00611]		[00016-00283-00605]								
Parete 21-P11										
2,00	2,00	3,40	3,40	0	1,00	3,40	005	PCA	NO	P
					SHELL					
[00347-00632-00016]		[00350-00351-00634]		[00350-00633-00349]		[00350-00634-00633]	[00351-00352-00635]		[00634-00284-00633]	
[00636-00287-00635]		[00351-00635-00634]		[00356-00064-00631]		[00118-00629-00348]	[00349-00633-00629]		[00118-00349-00629]	
[00353-00354-00636]		[00631-00064-00288]		[00353-00636-00635]		[00632-00283-00016]	[00119-00355-00630]		[00635-00287-00286]	
[00635-00286-00285]		[00636-00288-00287]		[00636-00631-00288]		[00636-00356-00631]	[00634-00285-00284]		[00634-00635-00285]	
[00633-00632-00347]		[00633-00284-00283]		[00633-00283-00632]		[00355-00356-00636]	[00629-00633-00348]		[00119-00630-00354]	
[00354-00630-00636]		[00348-00633-00347]		[00352-00353-00635]		[00630-00355-00636]				
Piano terra					**ParetеP12-22-P13**					
Parete P12-22										

Q_m		H_m		Sp	L_m	A_m	Mtrl	AA	Clc Fnd	Stz
Iniz.	Fin.	Iniz.	Fin.							
[m]	[m]	[m]	[m]	[cm]	[m]	[m²]				
2,00	2,00	3,40	3,40	0	1,00	3,40	005	PCA	NO	P
SHELL										
[00644-00360-00643]		[00296-00297-00642]		[00296-00641-00295]		[00296-00642-00641]		[00297-00298-00643]		[00357-00640-00115]
[00297-00643-00642]		[00018-00637-00357]		[00295-00641-00637]		[00643-00361-00362]		[00018-00295-00637]		[00065-00358-00638]
[00639-00116-00359]		[00638-00358-00644]		[00642-00363-00641]		[00640-00364-00115]		[00300-00638-00644]		[00644-00639-00359]
[00644-00359-00360]		[00643-00360-00361]		[00642-00362-00363]		[00642-00643-00362]		[00641-00363-00364]		[00641-00364-00640]
[00358-00639-00644]		[00641-00640-00357]		[00299-00644-00643]		[00358-00116-00639]		[00300-00644-00299]		[00637-00641-00357]
[00065-00638-00300]		[00298-00299-00643]								
Parete 22-P13										
2,00	2,00	3,40	3,40	0	1,00	3,40	005	PCA	NO	P
SHELL										
[00311-00600-00018]		[00314-00315-00602]		[00314-00601-00313]		[00314-00602-00601]		[00315-00316-00603]		[00602-00296-00601]
[00604-00299-00603]		[00315-00603-00602]		[00320-00065-00599]		[00097-00597-00312]		[00313-00601-00597]		[00097-00313-00597]
[00317-00318-00604]		[00599-00065-00300]		[00317-00604-00603]		[00600-00295-00018]		[00099-00319-00598]		[00603-00299-00298]
[00603-00298-00297]		[00604-00300-00299]		[00604-00599-00300]		[00604-00320-00599]		[00602-00297-00296]		[00602-00603-00297]
[00601-00600-00311]		[00601-00296-00295]		[00601-00295-00600]		[00319-00320-00604]		[00597-00601-00312]		[00099-00598-00318]
[00318-00598-00604]		[00312-00601-00311]		[00316-00317-00603]		[00598-00319-00604]				
Piano terra					**Parete P14-24**					
Parete P14-24										
2,00	2,00	3,40	3,40	0	1,00	3,40	005	PCA	NO	P
SHELL										
[00435-00716-00088]		[00290-00291-00718]		[00290-00717-00289]		[00290-00718-00717]		[00291-00292-00719]		[00713-00717-00435]
[00291-00719-00718]		[00289-00717-00713]		[00720-00438-00719]		[00720-00715-00437]		[00110-00713-00435]		[00110-00289-00713]
[00715-00090-00437]		[00719-00439-00440]		[00109-00436-00714]		[00716-00442-00088]		[00294-00714-00720]		[00719-00438-00439]
[00720-00437-00438]		[00718-00719-00440]		[00436-00715-00720]		[00714-00436-00720]		[00717-00441-00442]		[00717-00442-00716]
[00436-00090-00715]		[00717-00716-00435]		[00718-00440-00441]		[00718-00441-00717]		[00294-00720-00293]		[00293-00720-00719]
[00109-00714-00294]		[00292-00293-00719]								
Piano terra					**Parete 6-P7**					
Parete 6-P7										
2,00	2,00	3,40	3,40	0	2,50	8,50	005	PCA	NO	P
SHELL										
[00666-00398-00665]		[00387-00673-00386]		[00387-00388-00673]		[00386-00672-00385]		[00386-00673-00672]		[00380-00663-00047]
[00385-00671-00384]		[00385-00672-00671]		[00664-00665-00399]		[00666-00397-00398]		[00388-00674-00673]		[00108-00661-00389]
[00662-00060-00395]		[00108-00390-00661]		[00381-00664-00380]		[00663-00400-00047]		[00107-00660-00079]		[00394-00060-00662]
[00389-00661-00674]		[00667-00662-00395]		[00667-00395-00396]		[00667-00394-00662]		[00669-00666-00665]		[00665-00398-00399]
[00664-00663-00380]		[00664-00399-00400]		[00664-00400-00663]		[00666-00667-00396]		[00107-00384-00660]		[00666-00396-00397]
[00384-00671-00660]		[00393-00394-00667]		[00388-00389-00674]		[00668-00669-00665]		[00670-00666-00669]		[00668-00665-00664]
[00382-00668-00664]		[00670-00667-00666]		[00382-00664-00381]		[00079-00671-00383]		[00392-00393-00667]		[00392-00667-00670]
[00660-00671-00079]		[00661-00390-00674]		[00673-00669-00672]		[00672-00669-00668]		[00390-00391-00674]		[00674-00392-00670]
[00674-00391-00392]		[00671-00672-00668]		[00671-00668-00382]		[00671-00382-00383]		[00673-00670-00669]		[00674-00670-00673]
Piano terra					**Parete 7-16**					
Parete 7-16										
2,00	2,00	3,40	3,40	0	4,30	14,62	005	PCA	NO	P
SHELL										
[00402-00679-00401]		[00678-00271-00035]		[00049-00676-00270]		[00049-00409-00676]		[00270-00676-00696]		[00679-00680-00272]
[00416-00048-00677]		[00270-00696-00269]		[00265-00693-00675]		[00265-00266-00693]		[00267-00268-00694]		[00267-00694-00266]
[00266-00694-00693]		[00677-00048-00276]		[00269-00696-00695]		[00682-00416-00677]		[00401-00678-00035]		[00682-00275-00681]
[00681-00275-00274]		[00682-00677-00276]		[00681-00274-00273]		[00679-00678-00401]		[00679-00271-00678]		[00680-00273-00272]
[00680-00681-00273]		[00679-00272-00271]		[00268-00695-00694]		[00415-00416-00682]		[00682-00276-00275]		[00676-00409-00696]
[00403-00679-00402]		[00023-00675-00408]		[00684-00685-00681]		[00023-00265-00675]		[00269-00695-00268]		[00414-00415-00682]
[00406-00686-00405]		[00683-00680-00679]		[00683-00679-00403]		[00684-00680-00683]		[00685-00682-00681]		[00685-00414-00682]
[00684-00681-00680]		[00675-00693-00408]		[00693-00694-00690]		[00688-00685-00684]		[00412-00413-00689]		[00693-00406-00407]
[00405-00686-00404]		[00689-00414-00685]		[00689-00413-00414]		[00689-00685-00688]		[00686-00683-00403]		[00686-00403-00404]
[00687-00684-00683]		[00687-00688-00684]		[00687-00683-00686]		[00693-00690-00406]		[00411-00412-00689]		[00694-00691-00690]
[00694-00695-00691]		[00696-00692-00695]		[00691-00688-00687]		[00696-00410-00411]		[00692-00688-00691]		[00690-00686-00406]
[00690-00687-00686]		[00690-00691-00687]		[00692-00411-00689]		[00692-00689-00688]		[00695-00692-00691]		[00696-00411-00692]
[00408-00693-00407]		[00409-00410-00696]								
Piano terra					**Parete P8-24**					
Parete P8-24										
2,00	2,00	3,40	3,40	0	2,50	8,50	005	PCA	NO	P
SHELL										
[00652-00647-00374]		[00648-00379-00111]		[00292-00658-00291]		[00292-00293-00658]		[00291-00657-00290]		[00373-00112-00647]
[00652-00374-00375]		[00291-00658-00657]		[00290-00656-00289]		[00290-00657-00656]		[00293-00659-00658]		[00293-00294-00659]
[00109-00646-00294]		[00647-00112-00374]		[00109-00369-00646]		[00650-00651-00377]		[00081-00648-00111]		[00649-00648-00081]
[00110-00645-00368]		[00372-00373-00652]		[00652-00373-00647]		[00294-00646-00659]		[00649-00378-00379]		[00649-00379-00648]
[00365-00649-00081]		[00651-00375-00376]		[00651-00652-00375]		[00651-00376-00377]		[00650-00377-00378]		[00650-00378-00649]
[00371-00652-00655]		[00646-00369-00659]		[00369-00370-00659]		[00366-00649-00365]		[00656-00657-00653]		[00653-00650-00649]
[00653-00649-00366]		[00654-00650-00653]		[00654-00651-00650]		[00110-00289-00645]		[00655-00651-00654]		[00655-00652-00651]
[00658-00654-00657]		[00656-00366-00367]		[00371-00372-00652]		[00656-00653-00366]		[00645-00656-00368]		[00659-00371-00655]
[00659-00370-00371]		[00289-00656-00645]		[00657-00654-00653]		[00368-00656-00367]		[00658-00655-00654]		[00658-00659-00655]
Piano interrato					**Parete 1-P1**					
Parete 1-P1										
0,00	0,00	2,00	2,00	0	1,00	2,00	005	PCA	NO	P
SHELL										
[00549-00812-00001]		[00126-00550-00809]		[00126-00809-00549]		[00550-00813-00809]		[00550-00551-00813]		[00551-00552-00814]
[00551-00814-00813]		[00552-00553-00814]		[00553-00083-00810]		[00811-00002-00554]		[00812-00557-00001]		[00809-00813-00812]
[00809-00812-00549]		[00814-00555-00556]		[00553-00810-00814]		[00814-00811-00554]		[00814-00554-00555]		[00813-00556-00557]
[00813-00557-00812]		[00813-00814-00556]		[00810-00811-00814]		[00417-00002-00811]		[00083-00417-00810]		[00810-00417-00811]
Piano interrato					**Parete P2-3-P3**					
Parete P2-3										
0,00	0,00	2,00	2,00	0	1,00	2,00	005	PCA	NO	P
SHELL										
[00483-00758-00104]		[00005-00484-00755]		[00005-00755-00483]		[00484-00759-00755]		[00484-00485-00759]		[00485-00486-00760]
[00485-00760-00759]		[00486-00487-00760]		[00487-00006-00756]		[00757-00103-00488]		[00758-00491-00104]		[00755-00759-00758]

Q_m		H_m		Sp	L_m	A_m	Mtrl	AA	Clc Fnd	Stz
Iniz.	Fin.	Iniz.	Fin.							
[m]	[m]	[m]	[m]	[cm]	[m]	[m^2]				
[00755-00758-00483] [00759-00491-00758]		[00760-00489-00490] [00759-00760-00490]		[00487-00756-00760] [00756-00757-00760]		[00760-00757-00488] [00329-00103-00757]	[00760-00488-00489] [00006-00329-00756]		[00759-00490-00491] [00756-00329-00757]	
Parete 3-P3										
0,00	0,00	2,00	2,00	0	1,00	2,00	005	PCA	NO	P
SHELL										
[00765-00484-00764] [00497-00762-00766] [00337-00006-00763] [00766-00487-00486] [00121-00762-00497]		[00495-00765-00494] [00497-00766-00496] [00764-00484-00005] [00766-00763-00487] [00338-00337-00766]		[00492-00764-00005] [00493-00765-00492] [00121-00338-00762] [00766-00486-00485]		[00495-00496-00766] [00494-00761-00120] [00765-00485-00484] [00766-00485-00765]	[00495-00766-00765] [00120-00761-00493] [00766-00337-00763] [00762-00338-00766]		[00494-00765-00761] [00763-00006-00487] [00765-00764-00492] [00761-00765-00493]	
Piano interrato					**ParetеP4-4-P5**					
Parete P4-4										
0,00	0,00	2,00	2,00	0	1,00	2,00	005	PCA	NO	P
SHELL										
[00249-00586-00123] [00583-00587-00586] [00586-00258-00123] [00587-00258-00586]		[00007-00250-00583] [00251-00252-00588] [00588-00255-00256] [00587-00588-00257]		[00007-00583-00249] [00251-00588-00587] [00588-00585-00255] [00584-00585-00588]		[00250-00587-00583] [00585-00124-00255] [00583-00586-00249] [00254-00124-00585]	[00588-00256-00257] [00252-00253-00588] [00253-00584-00588] [00008-00254-00584]		[00250-00251-00587] [00253-00008-00584] [00587-00257-00258] [00584-00254-00585]	
Parete 4-P5										
0,00	0,00	2,00	2,00	0	1,00	2,00	005	PCA	NO	P
SHELL										
[00741-00250-00740] [00463-00738-00742] [00740-00250-00007] [00742-00253-00252] [00100-00738-00463]		[00461-00741-00460] [00463-00742-00462] [00101-00737-00459] [00742-00739-00253] [00302-00301-00742]		[00458-00740-00007] [00459-00741-00458] [00100-00302-00738] [00742-00252-00251]		[00461-00462-00742] [00460-00737-00101] [00741-00251-00250] [00742-00251-00741]	[00461-00742-00741] [00739-00008-00253] [00741-00740-00458] [00738-00302-00742]		[00460-00741-00737] [00301-00008-00739] [00742-00301-00739] [00737-00741-00459]	
Piano interrato					**ParetеP6-6**					
Parete P6-6										
0,00	0,00	2,00	2,00	0	1,00	2,00	005	PCA	NO	P
SHELL										
[00573-00830-00086] [00530-00529-00832] [00827-00830-00573] [00831-00577-00830]		[00046-00532-00827] [00529-00047-00828] [00832-00575-00576] [00831-00832-00576]		[00046-00827-00573] [00529-00828-00832] [00531-00530-00832] [00828-00443-00829]		[00532-00831-00827] [00829-00085-00574] [00832-00829-00574] [00443-00085-00829]	[00532-00531-00831] [00830-00577-00086] [00832-00574-00575] [00047-00443-00828]		[00531-00832-00831] [00827-00831-00830] [00831-00576-00577] [00828-00829-00832]	
Piano interrato					**Parete19-P9**					
Parete 19-P9										
0,00	0,00	2,00	2,00	0	1,00	2,00	005	PCA	NO	P
SHELL										
[00819-00567-00818] [00563-00820-00562] [00425-00012-00817] [00820-00564-00565] [00091-00816-00563]		[00561-00819-00560] [00563-00816-00820] [00818-00567-00011] [00820-00817-00564] [00426-00425-00820]		[00558-00818-00011] [00559-00819-00558] [00092-00815-00559] [00820-00425-00817]		[00561-00562-00820] [00091-00426-00816] [00819-00566-00567] [00820-00565-00566]	[00561-00820-00819] [00816-00426-00820] [00560-00815-00092] [00820-00566-00819]		[00560-00819-00815] [00817-00012-00564] [00819-00818-00558] [00815-00819-00559]	
Piano interrato					**ParetеP10-21-P11**					
Parete P10-21										
0,00	0,00	2,00	2,00	0	1,00	2,00	005	PCA	NO	P
SHELL										
[00474-00752-00095] [00476-00754-00753] [00749-00752-00474] [00753-00482-00752]		[00015-00475-00749] [00477-00478-00754] [00754-00480-00481] [00753-00754-00481]		[00015-00749-00474] [00478-00016-00750] [00478-00750-00754] [00750-00751-00754]		[00475-00753-00749] [00751-00094-00479] [00754-00751-00479] [00321-00094-00751]	[00475-00476-00753] [00752-00482-00095] [00754-00479-00480] [00016-00321-00750]		[00476-00477-00754] [00749-00753-00752] [00753-00481-00482] [00750-00321-00751]	
Parete 21-P11										
0,00	0,00	2,00	2,00	0	1,00	2,00	005	PCA	NO	P
SHELL										
[00771-00475-00770] [00503-00768-00772] [00347-00016-00769] [00772-00478-00477] [00118-00768-00503]		[00501-00771-00500] [00503-00772-00502] [00770-00475-00015] [00772-00769-00478] [00348-00347-00772]		[00498-00770-00015] [00499-00771-00498] [00118-00348-00768] [00772-00477-00476]		[00501-00502-00772] [00500-00767-00117] [00771-00476-00475] [00772-00476-00771]	[00501-00772-00771] [00117-00767-00499] [00772-00347-00769] [00768-00348-00772]		[00500-00771-00767] [00769-00016-00478] [00771-00770-00498] [00767-00771-00499]	
Piano interrato					**ParetеP12-22-P13**					
Parete P12-22										
0,00	0,00	2,00	2,00	0	1,00	2,00	005	PCA	NO	P
SHELL										
[00504-00776-00114] [00773-00777-00776] [00776-00508-00114] [00777-00508-00776]		[00017-00473-00773] [00472-00471-00778] [00778-00505-00506] [00777-00778-00507]		[00017-00773-00504] [00472-00778-00777] [00778-00775-00505] [00774-00775-00778]		[00473-00777-00773] [00775-00115-00505] [00773-00776-00504] [00357-00115-00775]	[00778-00506-00507] [00471-00470-00778] [00470-00774-00778] [00018-00357-00774]		[00473-00472-00777] [00470-00018-00774] [00777-00507-00508] [00774-00357-00775]	
Parete 22-P13										
0,00	0,00	2,00	2,00	0	1,00	2,00	005	PCA	NO	P
SHELL										
[00747-00473-00746] [00469-00744-00748] [00311-00018-00745] [00748-00470-00471] [00097-00744-00469]		[00467-00747-00466] [00469-00748-00468] [00746-00473-00017] [00748-00745-00470] [00312-00311-00748]		[00464-00746-00017] [00465-00747-00464] [00097-00312-00744] [00748-00471-00472]		[00467-00468-00748] [00466-00743-00098] [00747-00472-00473] [00748-00472-00747]	[00467-00748-00747] [00098-00743-00465] [00748-00311-00745] [00744-00312-00748]		[00466-00747-00743] [00745-00018-00470] [00747-00746-00464] [00743-00747-00465]	
Piano interrato					**ParetеP14-24**					
Parete P14-24										
0,00	0,00	2,00	2,00	0	1,00	2,00	005	PCA	NO	P
SHELL										
[00568-00824-00089] [00515-00516-00826] [00821-00824-00568] [00825-00572-00824]		[00021-00513-00821] [00516-00110-00822] [00826-00570-00571] [00825-00826-00571]		[00021-00821-00568] [00516-00822-00826] [00514-00515-00826] [00822-00435-00823]		[00513-00825-00821] [00823-00088-00569] [00826-00823-00569] [00435-00088-00823]	[00513-00514-00825] [00824-00572-00089] [00826-00569-00570] [00110-00435-00822]		[00514-00826-00825] [00821-00825-00824] [00825-00571-00572] [00822-00823-00826]	
Piano interrato					**Parete6-P7**					

Q_m Iniz.	Q_m Fin.	H_m Iniz.	H_m Fin.	Sp	L_m	A_m	Mtrl	AA	Clc Fnd	Stz
[m]	[m]	[m]	[m]	[cm]	[m]	[m²]				
Parete 6-P7										
0,00	0,00	2,00	2,00	0	2,50	5,00	005	PCA	NO	P
SHELL										
[00792-00532-00791]		[00526-00795-00525]		[00526-00527-00796]		[00792-00531-00532]		[00526-00796-00795]		[00525-00788-00106]
[00525-00795-00788]		[00107-00789-00528]		[00521-00791-00046]		[00107-00079-00789]		[00790-00047-00529]		[00380-00047-00790]
[00528-00789-00796]		[00791-00532-00046]		[00381-00380-00793]		[00792-00791-00521]		[00528-00796-00527]		[00793-00529-00530]
[00793-00790-00529]		[00793-00380-00790]		[00793-00531-00792]		[00793-00530-00531]		[00788-00795-00080]		[00522-00792-00521]
[00382-00793-00794]		[00106-00788-00080]		[00794-00793-00792]		[00382-00381-00793]		[00080-00795-00524]		[00789-00079-00796]
[00523-00792-00522]		[00523-00794-00792]		[00079-00383-00796]		[00795-00796-00794]		[00795-00523-00524]		[00795-00794-00523]
[00796-00382-00794]		[00796-00383-00382]								
Piano interrato					**Parete7-16**					
Parete 7-16										
0,00	0,00	2,00	2,00	0	4,30	8,60	005	PCA	NO	P
SHELL										
[00542-00797-00541]		[00542-00807-00797]		[00542-00543-00808]		[00542-00808-00807]		[00541-00797-00022]		[00544-00798-00543]
[00801-00800-00533]		[00800-00547-00548]		[00533-00800-00034]		[00799-00035-00545]		[00799-00545-00546]		[00401-00035-00799]
[00543-00798-00808]		[00800-00548-00034]		[00023-00408-00798]		[00402-00401-00802]		[00798-00408-00808]		[00801-00547-00800]
[00802-00547-00801]		[00802-00546-00547]		[00802-00799-00546]		[00802-00401-00799]		[00534-00801-00533]		[00535-00803-00801]
[00797-00807-00540]		[00535-00801-00534]		[00022-00797-00540]		[00403-00402-00802]		[00803-00802-00801]		[00803-00403-00802]
[00023-00798-00544]		[00540-00807-00539]		[00804-00805-00803]		[00808-00407-00406]		[00808-00406-00806]		[00805-00403-00803]
[00805-00404-00403]		[00537-00804-00536]		[00804-00803-00535]		[00804-00535-00536]		[00408-00407-00808]		[00405-00404-00805]
[00807-00806-00538]		[00538-00806-00804]		[00807-00538-00539]		[00406-00405-00805]		[00806-00406-00805]		[00538-00804-00537]
[00806-00805-00804]		[00808-00806-00807]								
Piano interrato					**ParetеP8-24**					
Parete P8-24										
0,00	0,00	2,00	2,00	0	2,50	5,00	005	PCA	NO	P
SHELL										
[00783-00520-00782]		[00514-00786-00513]		[00514-00515-00787]		[00783-00519-00520]		[00514-00787-00786]		[00513-00779-00021]
[00513-00786-00779]		[00516-00780-00787]		[00082-00782-00113]		[00516-00787-00515]		[00781-00111-00517]		[00081-00111-00781]
[00782-00520-00113]		[00365-00081-00784]		[00779-00786-00512]		[00783-00782-00082]		[00110-00368-00780]		[00784-00517-00518]
[00784-00781-00517]		[00784-00081-00781]		[00784-00519-00783]		[00784-00518-00519]		[00509-00783-00082]		[00366-00365-00784]
[00780-00368-00787]		[00785-00783-00510]		[00110-00780-00516]		[00021-00779-00512]		[00512-00786-00511]		[00510-00783-00509]
[00785-00784-00783]		[00368-00367-00787]		[00785-00366-00784]		[00786-00787-00785]		[00786-00510-00511]		[00786-00785-00510]
[00787-00366-00785]		[00787-00367-00366]								

LEGENDA:

Q_m Quota dell'elemento nel punto iniziale e finale, valutata, rispetto al piano di appartenenza, negli estremi inferiori della parete.
H_m Altezza dell'elemento nel punto iniziale e finale, valutata rispetto alla base inferiore.
Sp Spessore dell'elemento.
L_m Lunghezza dell'elemento.
A_m Area dell'elemento.
Mtrl Identificativo del materiale.
AA Identificativo dell'aggressività dell'ambiente: [PCA] = Poco aggressivo - [MDA] = Moderatamente aggressivo - [MLA] = Molto aggressivo.
Clc Fnd Indica se l'elemento strutturale è incluso nel calcolo della "struttura di fondazione" ("elementi progettati per rimanere in campo elastico"). [Si] = elemento progettato per rimanere in campo elastico; [No] = elemento non progettato per rimanere in campo elastico.
Stz Tipo di situazione: [F] = di Fatto (Esistente); [P] = di Progetto (Nuovo).
Shell Shell in cui risulta suddiviso l'elemento.

PLINTI

N_{id}	Lv	Dimensioni Lng	Dimensioni Lrg	Dimensioni H_{pln}	Rtz	Mtrl	Id_{Ter}	$Q_{b,pil}$	PP
		[m]	[m]	[m]	[°ssdc]			[m]	[N]
02	Fondazione	1,75	1,75	0,85	0,00	003		0,00	65.078
05	Fondazione	1,75	1,75	0,85	0,00	003		0,00	65.078
08	Fondazione	2,10	2,10	1,00	0,00	001		0,00	110.250
09	Fondazione	2,10	2,10	1,00	0,00	001		0,00	110.250
10	Fondazione	2,10	2,10	1,00	0,00	001		0,00	110.250
11	Fondazione	1,85	1,85	0,90	0,00	001		0,00	77.006
12	Fondazione	1,50	1,50	0,80	0,00	003		0,00	45.000
13	Fondazione	1,30	1,30	0,70	0,00	001		0,00	29.575
14	Fondazione	1,85	1,85	0,90	0,00	001		0,00	77.006
15	Fondazione	1,50	1,50	0,80	0,00	003		0,00	45.000
17	Fondazione	1,30	1,30	0,70	0,00	001		0,00	29.575
18	Fondazione	1,30	1,30	0,70	0,00	001		0,00	29.575
20	Fondazione	1,85	1,85	0,90	0,00	003		0,00	77.006
23	Fondazione	1,50	1,50	0,80	0,00	003		0,00	45.000

LEGENDA:

N_{id} Numero identificativo del plinto.
Lv Livello o piano di appartenenza dell'elemento strutturale.
Rtz Rotazione valutata rispetto al riferimento x, y della sezione del pilastro concorrente nel plinto (Vedi tabella sezioni).
Mtrl Identificativo del materiale.
Id_{Ter} Identificativo del terreno, nella relativa tabella.
$Q_{b,pil}$ Quota dell'estremo inferiore del pilastro.
PP Peso proprio del plinto.
Lng, Lrg, H_{pln} Dimensioni del plinto.

SOLAI E BALCONI

Id_{Elm}	Vertici del solaio	A_{El}	Sp	Tipologia	B_{tr}	TA	B_{pg}	$Sp_{s,sup}$	$Sp_{s,inf}$	Rpt n	Rpt b	PR	I
		[m²]	[cm]		[cm]		[cm]	[cm]	[cm]		[cm]		

Id_{Elm}	Vertici del solaio	A_{El}	Sp	Tipologia	B_{tr}	TA	B_{pg}	$Sp_{s,sup}$	$Sp_{s,inf}$	Rpt		PR	I
										n	b		
		[m^2]	[cm]		[cm]		[cm]	[cm]	[cm]		[cm]		
Piano copertura													
001	9-21-P10-20-8	50,04	20	Solaio latero cementizio gettato in opera	10	NO	40	4	-	0	0	SI	I
002	14-23-P13-22-13	27,07	20	Solaio latero cementizio gettato in opera	10	NO	40	4	-	0	0	SI	I
003	11-14-13-10	21,27	20	Solaio latero cementizio gettato in opera	10	NO	40	4	-	0	0	SI	I
004	9-3-P3-P4-4-10	39,95	20	Solaio latero cementizio gettato in opera	10	NO	40	4	-	0	0	SI	I
005	8-2-P2-3-9	39,95	20	Solaio latero cementizio gettato in opera	10	NO	40	4	-	0	0	SI	I
006	7-1-P1-2-8	39,12	20	Solaio latero cementizio gettato in opera	10	NO	40	4	-	0	0	SI	I
007	10-4-P5-5-11	39,95	20	Solaio latero cementizio gettato in opera	10	NO	40	4	-	0	0	SI	I
008	11-5-P6-6-12	41,45	20	Solaio latero cementizio gettato in opera	10	NO	40	4	-	0	0	SI	I
009	10-13-22-P12-P11-21-9	50,04	20	Solaio latero cementizio gettato in opera	10	NO	40	4	-	0	0	SI	I
010	8-20-P9-19-16-7	49,00	20	Solaio latero cementizio gettato in opera	10	NO	40	4	-	0	0	SI	I
011	15-24-P14-23-14	28,09	20	Solaio latero cementizio gettato in opera	10	NO	40	4	-	0	0	SI	I
012	12-15-14-11	22,07	20	Solaio latero cementizio gettato in opera	10	NO	40	4	-	0	0	SI	I
Piano terra													
013	10-9-3-P3-P4-4	35,97	20	Solaio latero cementizio gettato in opera	10	NO	40	4	-	0	0	SI	O
014	21-P10-20-8-9	46,92	20	Solaio latero cementizio gettato in opera	10	NO	40	4	-	0	0	SI	O
015	23-P13-22-13-14	25,22	20	Solaio latero cementizio gettato in opera	10	NO	40	4	-	0	0	SI	O
016	14-13-10-11	19,72	20	Solaio latero cementizio gettato in opera	10	NO	40	4	-	0	0	SI	O
017	20-P9-19-16-7-8	45,94	20	Solaio latero cementizio gettato in opera	10	NO	40	4	-	0	0	SI	O
018	22-P12-P11-21-9-10-13	46,73	20	Solaio latero cementizio gettato in opera	10	NO	40	4	-	0	0	SI	O
019	9-8-2-P2-3	35,97	20	Solaio latero cementizio gettato in opera	10	NO	40	4	-	0	0	SI	O
020	8-7-1-P1-2	35,22	20	Solaio latero cementizio gettato in opera	10	NO	40	4	-	0	0	SI	O
021	11-10-4-P5-5	35,97	20	Solaio latero cementizio gettato in opera	10	NO	40	4	-	0	0	SI	O
022	5-P6-6-P7-12-11	37,32	20	Solaio latero cementizio gettato in opera	10	NO	40	4	-	0	0	SI	O
023	11-12-15-14	20,54	20	Solaio latero cementizio gettato in opera	10	NO	40	4	-	0	0	SI	O
024	14-15-P8-24-P14-23	26,27	20	Solaio latero cementizio gettato in opera	10	NO	40	4	-	0	0	SI	O
Piano interrato													
025	8-7-1-P1-2	35,22	20	Solaio latero cementizio gettato in opera	10	NO	40	4	-	0	0	SI	O
026	9-8-2-P2-3	35,82	20	Solaio latero cementizio gettato in opera	10	NO	40	4	-	0	0	SI	O
027	10-9-3-P3-P4-4	35,82	20	Solaio latero cementizio gettato in opera	10	NO	40	4	-	0	0	SI	O
028	11-10-4-P5-5	35,82	20	Solaio latero cementizio gettato in opera	10	NO	40	4	-	0	0	SI	O
029	5-P6-6-2c-P7-12-11	36,86	20	Solaio latero cementizio gettato in opera	10	NO	40	4	-	0	0	SI	O
030	20-P9-19-16-17	20,75	20	Solaio latero cementizio gettato in opera	10	NO	40	4	-	0	0	SI	O
031	17-16-7-8	23,28	20	Solaio latero cementizio gettato in opera	10	NO	40	4	-	0	0	SI	O
032	21-P10-20-17-18	21,64	20	Solaio latero cementizio gettato in opera	10	NO	40	4	-	0	0	SI	O
033	22-P12-P11-21-18-13	23,52	20	Solaio latero cementizio gettato in opera	10	NO	40	4	-	0	0	SI	O
034	23-P13-22-13-14	25,17	20	Solaio latero cementizio gettato in opera	10	NO	40	4	-	0	0	SI	O
035	14-15-P8-4c-24-P14-23	25,90	20	Solaio latero cementizio gettato in opera	10	NO	40	4	-	0	0	SI	O
036	18-17-8-9	23,33	20	Solaio latero cementizio gettato in opera	10	NO	40	4	-	0	0	SI	O
037	13-18-9-10	21,45	20	Solaio latero cementizio gettato in opera	10	NO	40	4	-	0	0	SI	O
038	14-13-10-11	19,80	20	Solaio latero cementizio gettato in opera	10	NO	40	4	-	0	0	SI	O
039	11-12-15-14	20,38	20	Solaio latero cementizio gettato in opera	10	NO	40	4	-	0	0	SI	O
Fondazione													
Piano copertura													
Piano terra													
Piano interrato													
Fondazione													

LEGENDA:

Id_{Elm} Identificativo dell'elemento strutturale.
A_{El} Superficie elemento.
Sp Spessore dell'elemento.
B_{tr} Larghezza dell'anima del travetto.
TA [SI] = Solaio realizzato con travetti accoppiati.
B_{pg} Larghezza della Pignatta.
$Sp_{s,sup}$ Spessore della soletta superiore.
$Sp_{s,inf}$ Spessore della soletta inferiore.
PR Indica se l'impalcato (orizzontale) è considerato rigido nel calcolo: [S] = Piano Rigido - [N] = Piano non Rigido.
In alternativa vedere tabella "Solai e Balconi" in quanto il comportamento rigido potrebbe essere stato assegnato ai singoli solai del livello.
I [O]: Solaio orizzontale; [I]: Solaio inclinato.
Rpt/n Numero di rompitratta.
Rpt/b Larghezza rompitratta.

NODI - VERIFICA DI CONFINAMENTO (Elevazione)

Dati generali di verifica

Id_{Nd}	Pos	Stato	$Id_{Pil,sup}$	σ_{cR}	σ_{tR}	f_{yk}	f_{fk}	$N_{d,max}$	$A_{S,st}$	CS		Rf
										η	ξ	
				[N/mm^2]	[N/mm^2]	[N/mm^2]	[N/mm^2]	[N]				
Nodo 4	E	NC	Pilastro 2	0,00	0,00	434,00	-	212.507	-	0,00	0,00	NO
Nodo 10	E	NC	Pilastro 5	0,00	0,00	434,00	-	204.534	-	0,00	0,00	NO
Nodo 14	E	NC	Pilastro 20	0,00	0,00	434,00	-	219.690	-	0,00	0,00	NO
Nodo 20	E	NC	Pilastro 23	0,00	0,00	434,00	-	180.964	-	0,00	0,00	NO
Nodo 25	I	NC	-	0,00	0,00	434,00	-	0	-	0,00	0,00	NO
Nodo 27	I	NC	-	0,00	0,00	434,00	-	0	-	0,00	0,00	NO
Nodo 29	I	NC	Pilastro 13	0,00	0,00	434,00	-	115.485	-	0,00	0,00	NO
Nodo 31	I	NC	Pilastro 14	0,00	0,00	434,00	-	215.541	-	0,00	0,00	NO
Nodo 33	E	NC	Pilastro 15	0,00	0,00	434,00	-	144.365	-	0,00	0,00	NO
Nodo 37	E	NC	Pilastro 12	0,00	0,00	434,00	-	0	-	0,00	0,00	NO
Nodo 39	I	NC	Pilastro 10	0,00	0,00	434,00	-	28.013	-	0,00	0,00	NO
Nodo 41	I	NC	Pilastro 8	0,00	0,00	434,00	-	257.148	-	0,00	0,00	NO
Nodo 43	I	NC	Pilastro 9	0,00	0,00	434,00	-	55.599	-	0,00	0,00	NO

Dati generali di verifica

Id_{Nd}	Pos	Stato	$Id_{Pil,sup}$	σ_{cR}	σ_{tR}	f_{yk}	f_{fk}	$N_{d,max}$	$A_{S,st}$	CS		Rf
										η	ξ	
				[N/mm²]	[N/mm²]	[N/mm²]	[N/mm²]	[N]				
Nodo 45	I	NC	Pilastro 11	0,00	0,00	434,00	-	152.827	-	0,00	0,00	NO
Nodo 51	E	NC	-	0,00	0,00	434,00	-	0	-	0,00	0,00	NO
Nodo 52	I	NC	Pilastro 11	0,00	0,00	434,00	-	46.805	-	0,00	0,00	NO
Nodo 54	I	NC	Pilastro 10	0,00	0,00	434,00	-	0	-	0,00	0,00	NO
Nodo 56	I	NC	Pilastro 9	0,00	0,00	434,00	-	0	-	0,00	0,00	NO
Nodo 57	E	NC	-	0,00	0,00	434,00	-	0	-	0,00	0,00	NO
Nodo 58	I	NC	Pilastro 8	0,00	0,00	434,00	-	111.861	-	0,00	0,00	NO
Nodo 61	E	NC	Pilastro 12	0,00	0,00	434,00	-	0	-	0,00	0,00	NO
Nodo 62	E	NC	Pilastro 15	0,00	0,00	434,00	-	64.171	-	0,00	0,00	NO
Nodo 63	E	NC	-	0,00	0,00	434,00	-	0	-	0,00	0,00	NO
Nodo 66	E	NC	-	0,00	0,00	434,00	-	0	-	0,00	0,00	NO
Nodo 67	E	NC	Pilastro 13	0,00	0,00	434,00	-	68.667	-	0,00	0,00	NO
Nodo 68	I	NC	Pilastro 14	0,00	0,00	434,00	-	123.577	-	0,00	0,00	NO
Nodo 69	E	NC	-	0,00	0,00	434,00	-	0	-	0,00	0,00	NO
Nodo 70	E	NC	-	0,00	0,00	434,00	-	0	-	0,00	0,00	NO
Nodo 71	I	NC	-	0,00	0,00	434,00	-	0	-	0,00	0,00	NO
Nodo 72	I	NC	-	0,00	0,00	434,00	-	0	-	0,00	0,00	NO
Nodo 73	I	NC	-	0,00	0,00	434,00	-	0	-	0,00	0,00	NO
Nodo 74	E	NC	-	0,00	0,00	434,00	-	0	-	0,00	0,00	NO
Nodo 75	E	NC	-	0,00	0,00	434,00	-	0	-	0,00	0,00	NO
Nodo 76	I	NC	-	0,00	0,00	434,00	-	0	-	0,00	0,00	NO
Nodo 77	E	NC	-	0,00	0,00	434,00	-	0	-	0,00	0,00	NO
Nodo 78	I	NC	-	0,00	0,00	434,00	-	0	-	0,00	0,00	NO

Dati indicati per direzione

Id_{Nd}	Dir	ID_{tr}	b_j	h_{jw}	A_{sup}/M^+	A_i/M^-	Or_{Vid}	$V_{c,\eta}$	$V_{c,\xi}$	σ_η	σ_ξ	$V_{jsd,sup}$	$V_{jsd,inf}$	V_{jsr}	h_{jc}
			[cm]	[cm]	[cm²;N·m]	[cm²;N·m]		[N]	[N]	[N/mm²]	[N/mm²]	[N]	[N]	[N]	[cm]
Nodo 4	1	Trave 2-8	30	41	0,00	0,00	A	0	0	0,00	0,00	-	-	-	31
	2	Trave 2-P2	35	66	0,00	0,00	A	0	0	0,00	0,00	-	-	-	26
		Trave P1-2	35	66	0,00	0,00	A	0	0	0,00	0,00	-	-	-	26
Nodo 10	1	Trave 5-11	30	41	0,00	0,00	A	0	0	0,00	0,00	-	-	-	31
	2	Trave 5-P6	35	66	0,00	0,00	A	0	0	0,00	0,00	-	-	-	26
		Trave P5-5	35	66	0,00	0,00	A	0	0	0,00	0,00	-	-	-	26
Nodo 14	1	Trave 20-P10	35	66	0,00	0,00	A	0	0	0,00	0,00	-	-	-	26
		Trave P9-20	35	66	0,00	0,00	A	0	0	0,00	0,00	-	-	-	26
Nodo 20	1	Trave 23-P14	35	66	0,00	0,00	A	0	0	0,00	0,00	-	-	-	26
		Trave P13-23	35	66	0,00	0,00	A	0	0	0,00	0,00	-	-	-	26
Nodo 25	1	Trave 18-17	30	66	0,00	0,00	A	0	0	0,00	0,00	-	-	-	26
		Trave 17-16	30	66	0,00	0,00	A	0	0	0,00	0,00	-	-	-	26
Nodo 27	1	Trave 18-17	30	66	0,00	0,00	A	0	0	0,00	0,00	-	-	-	26
Nodo 29	1	Trave 13-14	30	66	0,00	0,00	A	0	0	0,00	0,00	-	-	-	26
Nodo 31	1	Trave 14-15	30	66	0,00	0,00	A	0	0	0,00	0,00	-	-	-	26
		Trave 13-14	30	66	0,00	0,00	A	0	0	0,00	0,00	-	-	-	26
Nodo 33	1	Trave 12-15	35	56	0,00	0,00	A	0	0	0,00	0,00	-	-	-	26
		Trave 15-P8	35	56	0,00	0,00	A	0	0	0,00	0,00	-	-	-	26
	2	Trave 14-15	30	66	0,00	0,00	A	0	0	0,00	0,00	-	-	-	26
Nodo 37	1	Trave P7-12	35	56	0,00	0,00	A	0	0	0,00	0,00	-	-	-	26
		Trave 12-15	35	56	0,00	0,00	A	0	0	0,00	0,00	-	-	-	26
	2	Trave 11-12	30	66	0,00	0,00	A	0	0	0,00	0,00	-	-	-	26
Nodo 39	1	Trave 10-11	30	66	0,00	0,00	A	0	0	0,00	0,00	-	-	-	36
		Trave 9-10	30	66	0,00	0,00	A	0	0	0,00	0,00	-	-	-	36
	2	Trave 4-10	35	41	0,00	0,00	A	0	0	0,00	0,00	-	-	-	26
Nodo 41	1	Trave 8-9	35	66	0,00	0,00	A	0	0	0,00	0,00	-	-	-	36
		Trave 7-8	35	66	0,00	0,00	A	0	0	0,00	0,00	-	-	-	36
	2	Trave 2-8	38	41	0,00	0,00	A	0	0	0,00	0,00	-	-	-	31
Nodo 43	1	Trave 9-10	35	66	0,00	0,00	A	0	0	0,00	0,00	-	-	-	36
		Trave 8-9	35	66	0,00	0,00	A	0	0	0,00	0,00	-	-	-	36
	2	Trave 3-9	38	41	0,00	0,00	A	0	0	0,00	0,00	-	-	-	31
Nodo 45	1	Trave 11-12	30	66	0,00	0,00	A	0	0	0,00	0,00	-	-	-	31
		Trave 10-11	30	66	0,00	0,00	A	0	0	0,00	0,00	-	-	-	31
	2	Trave 5-11	35	41	0,00	0,00	A	0	0	0,00	0,00	-	-	-	26
Nodo 51	1	Trave 5-P6	35	96	0,00	0,00	A	0	0	0,00	0,00	-	-	-	26
		Trave P5-5	35	96	0,00	0,00	A	0	0	0,00	0,00	-	-	-	26
Nodo 52	1	Trave 11-12	30	56	0,00	0,00	A	0	0	0,00	0,00	-	-	-	31
		Trave 10-11	30	56	0,00	0,00	A	0	0	0,00	0,00	-	-	-	31
Nodo 54	1	Trave 10-11	30	56	0,00	0,00	A	0	0	0,00	0,00	-	-	-	36
		Trave 9-10	30	56	0,00	0,00	A	0	0	0,00	0,00	-	-	-	36
	2	Trave 10-13	40	16	0,00	0,00	A	0	0	0,00	0,00	-	-	-	26
Nodo 56	1	Trave 9-10	35	56	0,00	0,00	A	0	0	0,00	0,00	-	-	-	36
		Trave 8-9	35	56	0,00	0,00	A	0	0	0,00	0,00	-	-	-	36
Nodo 57	1	Trave 2-P2	35	96	0,00	0,00	A	0	0	0,00	0,00	-	-	-	26
		Trave P1-2	35	96	0,00	0,00	A	0	0	0,00	0,00	-	-	-	26
Nodo 58	1	Trave 8-9	35	56	0,00	0,00	A	0	0	0,00	0,00	-	-	-	36
		Trave 7-8	35	56	0,00	0,00	A	0	0	0,00	0,00	-	-	-	36
Nodo 61	1	Trave P7-12	30	96	0,00	0,00	A	0	0	0,00	0,00	-	-	-	26
		Trave 12-15	30	96	0,00	0,00	A	0	0	0,00	0,00	-	-	-	26
	2	Trave 11-12	30	56	0,00	0,00	A	0	0	0,00	0,00	-	-	-	26
Nodo 62	1	Trave 12-15	30	96	0,00	0,00	A	0	0	0,00	0,00	-	-	-	26
		Trave 15-P8	30	96	0,00	0,00	A	0	0	0,00	0,00	-	-	-	26
	2	Trave 14-15	30	46	0,00	0,00	A	0	0	0,00	0,00	-	-	-	26
Nodo 63	1	Trave 20-P10	35	96	0,00	0,00	A	0	0	0,00	0,00	-	-	-	26
		Trave P9-20	35	96	0,00	0,00	A	0	0	0,00	0,00	-	-	-	26

Id_{Nd}		Pos	Stato	$Id_{Pil,sup}$			σ_{cR}	σ_{tR}		f_{yk}	f_{fk}		$N_{d,max}$	$A_{S,st}$		CS		Rf
																η	ξ	
							[N/mm²]	[N/mm²]		[N/mm²]	[N/mm²]		[N]					
Nodo 66	1	Trave 23-P14		35	96	0,00	0,00	A		0	0	0,00	0,00	-	-	-		26
		Trave P13-23		35	96	0,00	0,00	A		0	0	0,00	0,00	-	-	-		26
Nodo 67	1	Trave 10-13		30	16	0,00	0,00	A		0	0	0,00	0,00	-	-	-		26
		Trave 13-22		30	16	0,00	0,00	A		0	0	0,00	0,00	-	-	-		26
	2	Trave 13-14		30	46	0,00	0,00	A		0	0	0,00	0,00	-	-	-		26
Nodo 68	1	Trave 14-15		30	46	0,00	0,00	A		0	0	0,00	0,00	-	-	-		26
		Trave 13-14		30	46	0,00	0,00	A		0	0	0,00	0,00	-	-	-		26
Nodo 69	1	Trave 1-7		30	16	0,00	0,00	A		0	0	0,00	0,00	-	-	-		24
		Trave 7-16		30	16	0,00	0,00	A		0	0	0,00	0,00	-	-	-		24
	2	Trave 7-8		30	61	0,00	0,00	A		0	0	0,00	0,00	-	-	-		26
Nodo 70	1	Trave 7-16		30	16	0,00	0,00	A		0	0	0,00	0,00	-	-	-		24
		Trave 16-19		30	16	0,00	0,00	A		0	0	0,00	0,00	-	-	-		24
Nodo 71	1	Trave 11-12		30	61	0,00	0,00	A		0	0	0,00	0,00	-	-	-		31
		Trave 10-11		30	61	0,00	0,00	A		0	0	0,00	0,00	-	-	-		31
Nodo 72	1	Trave 10-11		30	61	0,00	0,00	A		0	0	0,00	0,00	-	-	-		36
		Trave 9-10		30	61	0,00	0,00	A		0	0	0,00	0,00	-	-	-		36
	2	Trave 10-13		34	16	0,00	0,00	A		0	0	0,00	0,00	-	-	-		24
Nodo 73	1	Trave 8-9		35	61	0,00	0,00	A		0	0	0,00	0,00	-	-	-		36
		Trave 7-8		35	61	0,00	0,00	A		0	0	0,00	0,00	-	-	-		36
Nodo 74	1	Trave 6-12		30	16	0,00	0,00	A		0	0	0,00	0,00	-	-	-		24
		Trave 12-15		30	16	0,00	0,00	A		0	0	0,00	0,00	-	-	-		24
	2	Trave 11-12		30	61	0,00	0,00	A		0	0	0,00	0,00	-	-	-		26
Nodo 75	1	Trave 10-13		30	16	0,00	0,00	A		0	0	0,00	0,00	-	-	-		24
		Trave 13-22		30	16	0,00	0,00	A		0	0	0,00	0,00	-	-	-		24
	2	Trave 13-14		30	51	0,00	0,00	A		0	0	0,00	0,00	-	-	-		26
Nodo 76	1	Trave 14-15		30	51	0,00	0,00	A		0	0	0,00	0,00	-	-	-		26
		Trave 13-14		30	51	0,00	0,00	A		0	0	0,00	0,00	-	-	-		26
Nodo 77	1	Trave 12-15		30	16	0,00	0,00	A		0	0	0,00	0,00	-	-	-		24
		Trave 15-24		30	16	0,00	0,00	A		0	0	0,00	0,00	-	-	-		24
	2	Trave 14-15		30	51	0,00	0,00	A		0	0	0,00	0,00	-	-	-		26
Nodo 78	1	Trave 9-10		35	61	0,00	0,00	A		0	0	0,00	0,00	-	-	-		36
		Trave 8-9		35	61	0,00	0,00	A		0	0	0,00	0,00	-	-	-		36

LEGENDA:

Dir Direzione di verifica.
ID_{tr} Identificativo delle travi che definiscono la direzione.
b_j Larghezza effettiva del nodo relativo alla trave esaminata.
h_{jw} Distanza tra le armature superiori ed inferiori della trave.
A_{sup}/M^+ Se Or. V_{jd}= A -> Armatura superiore a flessione; se Or. V_{jd}= M -> Massimo momento di calcolo nella sezione della trave a contatto con il nodo.
A_i/M^- Se Or. V_{jd}= A -> Armatura inferiore a flessione; se Or. V_{jd}= M -> Minimo momento di calcolo nella sezione della trave a contatto con il nodo.
Or_{Vjd} Origine del taglio nel nodo per la direzione considerata: [A] = taglio derivante dalle armature delle travi concorrenti nel nodo; [M] = taglio derivante dai momenti agenti agli estremi delle travi concorrenti nel nodo.
V_{jsr} Forza orizzontale resistente del rinforzo e delle staffe; [-] = rinforzo non presente.
h_{jc} Distanza, tra le giaciture più esterne delle armature del pilastro, nella direzione in esame.
ID_{rf} Identificativo dell'intervento
Pos Posizione del nodo: [I] = interno; [E] = esterno
C/NC Identificativo dello stato del nodo ([NC] = Non Confinato; [C] = Confinato).
$Id_{pil,sup}$ Identificativo del pilastro al di sopra del nodo.
σ_{cR} Resistenza di calcolo a compressione del calcestruzzo per la verifica del nodo.
σ_{tR} Resistenza di calcolo a trazione del calcestruzzo per la verifica del nodo.
f_{yk} Resistenza caratteristica allo snervamento delle staffe nel nodo.
f_{fk} Resistenza caratteristica ultima del rinforzo in FRP; [-] = rinforzo non presente.
$N_{Ed,max}$ Sforzo normale massimo nel pilastro al di sopra del nodo.
A_{sw} Staffe nel nodo (numero di staffe/diametro in mm/passo in cm/numero di bracci; [-] = assenza di staffe nel nodo).
CS Coefficiente di sicurezza: [η] = a compressione; [ξ] = a trazione; [f] = relativo al rinforzo e alle staffe ([NS] = Non Significativo per valori di CS >= 100).
R_f [SI] = nodo con presenza di rinforzo; [NO] = nodo senza rinforzo.
V_c Tagli nel pilastro al di sopra del nodo impiegato per la verifica: [η] = tensione principale di compressione; [ξ] = tensione principale di trazione
σ Tensioni principali di progetto: [η] = compressione; [ξ] = trazione; [-] = rinforzo presente.
V_{jsd} Forze orizzontali di progetto del rinforzo e delle staffe superiori e inferiori; [-] = rinforzo non presente.

TRAVI - VERIFICHE PRESSOFLESSIONE RETTA E DEVIATA ALLO STATO LIMITE DI ESERCIZIO (Elevazione)

%LLI Tp_{rnf}	Trazione calcestruzzo Trazione calcestruzzo rinforzo					Compressione calcestruzzo Compressione calcestruzzo rinforzo					Trazione acciaio Trazione acciaio/FRP rinforzo				
	Id_{Cmb}	σ_{ct}	N_{Ed}	$M_{Ed,3}$	$M_{Ed,2}$	Id_{Cmb}	σ_{cc}	N_{Ed}	$M_{Ed,3}$	$M_{Ed,2}$	Id_{Cmb}	σ_{at}	N_{Ed}	$M_{Ed,3}$	$M_{Ed,2}$
[%]		[N/mm²]	[N]	[N·m]	[N·m]		[N/mm²]	[N]	[N·m]	[N·m]		[N/mm²]	[N]	[N·m]	[N·m]
Piano copertura											**Travata: Trave7-8-9-10-11-12**				
Trave: Trave 7-8				**FRC=0,09 cm**				**AA= PCA**							
CA=FRQ	**ε_{sm}=2,33742E-04**			**A_e=250,0 cm²**			**S_m=123 mm**			**W_k=0,03 mm**			**$\sigma_{ct,f}$=1,78 N/mm²**		
CA=QPR	**ε_{sm}=2,23397E-04**			**A_e=250,0 cm²**			**S_m=123 mm**			**W_k=0,03 mm**			**$\sigma_{ct,f}$=1,73 N/mm²**		
0%	RAR	2,045	-97.604	54.160	-	RAR	-1,487	-97.604	54.160	-	RAR	77,575	-97.604	54.160	-
25%	RAR	1,276	-97.604	-28.602	-	RAR	-0,550	-97.604	-28.602	-	RAR	17,730	-97.604	-28.602	-
50%	RAR	2,021	-97.604	-50.151	-	RAR	-1,544	-97.604	-50.151	-	RAR	73,966	-97.604	-50.151	-
75%	RAR	0,800	-97.604	-10.485	-	RAR	0,000	-	-	-	RAR	11,412	-97.604	-10.485	-
100%	RAR	2,532	-97.604	90.395	-	RAR	-2,644	-97.604	90.395	-	RAR	57,863	-97.604	90.395	-
Trave: Trave 8-9				**FRC=0,07 cm**				**AA= PCA**							
CA=FRQ	**ε_{sm}=1,50983E-04**			**A_e=250,0 cm²**			**S_m=106 mm**			**W_k=0,02 mm**			**$\sigma_{ct,f}$=2,03 N/mm²**		
CA=QPR	**ε_{sm}=1,43834E-04**			**A_e=250,0 cm²**			**S_m=106 mm**			**W_k=0,02 mm**			**$\sigma_{ct,f}$=1,97 N/mm²**		
0%	RAR	1,715	-15.213	67.303	-	RAR	-2,159	-15.213	67.303	-	RAR	42,771	-15.213	67.303	-
25%	RAR	0,715	-15.213	-18.992	-	RAR	-0,679	-15.213	-18.992	-	RAR	9,647	-15.213	-18.992	-
50%	RAR	1,430	-15.213	-43.005	-	RAR	-1,584	-15.213	-43.005	-	RAR	19,125	-15.213	-43.005	-
75%	RAR	0,217	-15.213	-4.725	-	RAR	-0,114	-15.213	-4.725	-	RAR	3,000	-15.213	-4.725	-

%LLI Tp_{rnf}	Trazione calcestruzzo Trazione calcestruzzo rinforzo					Compressione calcestruzzo Compressione calcestruzzo rinforzo					Trazione acciaio Trazione acciaio/FRP rinforzo				
	Id_{Cmb}	σ_{ct}	N_{Ed}	$M_{Ed,3}$	$M_{Ed,2}$	Id_{Cmb}	σ_{cc}	N_{Ed}	$M_{Ed,3}$	$M_{Ed,2}$	Id_{Cmb}	σ_{at}	N_{Ed}	$M_{Ed,3}$	$M_{Ed,2}$
[%]		[N/mm²]	[N]	[N·m]	[N·m]		[N/mm²]	[N]	[N·m]	[N·m]		[N/mm²]	[N]	[N·m]	[N·m]
100%	RAR	2,340	-15.213	95.829	-	RAR	-3,375	-15.213	95.829	-	RAR	51,771	-15.213	95.829	-
Trave: Trave 9-10				**FRC=0,06 cm**				**AA= PCA**							
CA=FRQ	**ε_{sm}=1,30193E-04**			**A_e=250,0 cm²**			**S_m=109 mm**			**W_k=0,01 mm**			**$\sigma_{ct,f}$=1,69 N/mm²**		
CA=QPR	**ε_{sm}=1,22852E-04**			**A_e=250,0 cm²**			**S_m=109 mm**			**W_k=0,01 mm**			**$\sigma_{ct,f}$=1,63 N/mm²**		
0%	RAR	2,048	642	86.134	-	RAR	-3,122	642	86.134	-	RAR	45,081	642	86.134	-
25%	RAR	0,277	642	-8.822	-	RAR	-0,342	642	-8.822	-	RAR	3,673	642	-8.822	-
50%	RAR	1,312	642	-41.498	-	RAR	-1,596	642	-41.498	-	RAR	17,437	642	-41.498	-
75%	RAR	0,401	642	-11.882	-	RAR	-0,471	642	-11.882	-	RAR	5,343	642	-11.882	-
100%	RAR	1,965	642	80.011	-	RAR	-2,665	642	80.011	-	RAR	48,305	642	80.011	-
Trave: Trave 10-11				**FRC=0,05 cm**				**AA= PCA**							
CA=FRQ	**ε_{sm}=1,30817E-04**			**A_e=250,0 cm²**			**S_m=109 mm**			**W_k=0,01 mm**			**$\sigma_{ct,f}$=1,69 N/mm²**		
CA=QPR	**ε_{sm}=1,244E-04**			**A_e=250,0 cm²**			**S_m=109 mm**			**W_k=0,01 mm**			**$\sigma_{ct,f}$=1,64 N/mm²**		
0%	RAR	1,931	1.266	78.716	-	RAR	-2,630	1.266	78.716	-	RAR	47,530	1.266	78.716	-
25%	RAR	0,039	-70	1.017	-	RAR	-0,036	680	1.050	-	RAR	0,535	-70	1.017	-
50%	RAR	0,969	1.266	-30.769	-	RAR	-1,187	1.266	-30.769	-	RAR	12,877	1.266	-30.769	-
75%	RAR	0,540	1.266	-16.064	-	RAR	-0,639	1.266	-16.064	-	RAR	7,196	1.266	-16.064	-
100%	RAR	1,065	1.266	44.942	-	RAR	-1,508	1.266	44.942	-	RAR	13,989	1.266	44.942	-
Trave: Trave 11-12				**FRC=0,08 cm**				**AA= PCA**							
CA=FRQ	**ε_{sm}=1,31333E-04**			**A_e=250,0 cm²**			**S_m=106 mm**			**W_k=0,01 mm**			**$\sigma_{ct,f}$=1,78 N/mm²**		
CA=QPR	**ε_{sm}=1,24077E-04**			**A_e=250,0 cm²**			**S_m=106 mm**			**W_k=0,01 mm**			**$\sigma_{ct,f}$=1,71 N/mm²**		
0%	RAR	2,070	-83.589	73.271	-	RAR	-2,126	-83.589	73.271	-	RAR	47,409	-83.589	73.271	-
25%	RAR	0,721	-83.589	-10.022	-	RAR	-0,033	-70.751	-9.009	-	RAR	10,246	-83.589	-10.022	-
50%	RAR	1,705	-83.589	-42.123	-	RAR	-1,280	-83.589	-42.123	-	RAR	62,534	-83.589	-42.123	-
75%	RAR	1,049	-83.589	-23.037	-	RAR	-0,422	-83.589	-23.037	-	RAR	14,598	-83.589	-23.037	-
100%	RAR	1,715	-83.589	47.243	-	RAR	-1,398	-83.589	47.243	-	RAR	51,050	-83.589	47.243	-
Piano copertura									**Travata: Trave13-14-15**						
Trave: Trave 13-14				**FRC=0,08 cm**				**AA= PCA**							
CA=FRQ	**ε_{sm}=1,85002E-04**			**A_e=263,0 cm²**			**S_m=133 mm**			**W_k=0,02 mm**			**$\sigma_{ct,f}$=1,79 N/mm²**		
CA=QPR	**ε_{sm}=1,75969E-04**			**A_e=263,0 cm²**			**S_m=133 mm**			**W_k=0,02 mm**			**$\sigma_{ct,f}$=1,73 N/mm²**		
0%	RAR	2,047	-31.322	44.668	-	RAR	-2,362	-31.322	44.668	-	RAR	67,687	-31.322	44.668	-
25%	RAR	0,654	-31.322	-10.855	-	RAR	-0,387	-31.322	-10.855	-	RAR	8,813	-31.322	-10.855	-
50%	RAR	1,479	-31.322	-28.104	-	RAR	-1,368	-31.322	-28.104	-	RAR	19,465	-31.322	-28.104	-
75%	RAR	0,496	-31.322	-7.070	-	RAR	-0,220	-31.322	-7.070	-	RAR	6,761	-31.322	-7.070	-
100%	RAR	2,150	-31.322	52.234	-	RAR	-2,762	-31.322	52.234	-	RAR	53,669	-31.322	52.234	-
Trave: Trave 14-15				**FRC=0,10 cm**				**AA= PCA**							
CA=FRQ	**ε_{sm}=2,21475E-04**			**A_e=263,0 cm²**			**S_m=133 mm**			**W_k=0,03 mm**			**$\sigma_{ct,f}$=2,01 N/mm²**		
CA=QPR	**ε_{sm}=2,1145E-04**			**A_e=263,0 cm²**			**S_m=133 mm**			**W_k=0,03 mm**			**$\sigma_{ct,f}$=1,95 N/mm²**		
0%	RAR	2,441	-38.500	54.985	-	RAR	-3,023	-38.500	54.985	-	RAR	68,097	-38.500	54.985	-
25%	RAR	0,611	-38.500	-8.710	-	RAR	-0,271	-38.500	-8.710	-	RAR	8,323	-38.500	-8.710	-
50%	RAR	1,644	-38.500	-30.817	-	RAR	-1,800	-38.500	-30.817	-	RAR	63,125	-38.500	-30.817	-
75%	RAR	0,713	-38.500	-11.334	-	RAR	-0,374	-38.500	-11.334	-	RAR	9,652	-38.500	-11.334	-
100%	RAR	2,298	-38.500	49.742	-	RAR	-2,603	-38.500	49.742	-	RAR	76,342	-38.500	49.742	-
Piano copertura									**Travata: Trave1-7-16-19**						
Trave: Trave 1-7				**FRC=0,17 cm**				**AA= PCA**							
CA=FRQ	**ε_{sm}=3,59629E-04**			**A_e=200,0 cm²**			**S_m=269 mm**			**W_k=0,10 mm**			**$\sigma_{ct,f}$=2,15 N/mm²**		
CA=QPR	**ε_{sm}=3,55151E-04**			**A_e=200,0 cm²**			**S_m=269 mm**			**W_k=0,10 mm**			**$\sigma_{ct,f}$=2,13 N/mm²**		
0%	RAR	2,257	1.362	4.517	-	RAR	-3,965	1.362	4.517	-	RAR	131,626	1.362	4.517	-
25%	RAR	0,314	341	-633	-	RAR	-0,326	341	-633	-	RAR	3,170	341	-633	-
50%	RAR	1,185	-685	-2.322	-	RAR	-1,160	-685	-2.322	-	RAR	12,140	-685	-2.322	-
75%	RAR	0,309	-1.709	-553	-	RAR	-0,249	-1.709	-553	-	RAR	3,300	-1.709	-553	-
100%	RAR	2,157	-2.734	4.674	-	RAR	-3,149	-2.734	4.674	-	RAR	74,691	-2.734	4.674	-
Trave: Trave 7-16				**FRC=0,03 cm**				**AA= PCA**							
CA=FRQ	**ε_{sm}=0E+00**			**A_e=0,0 cm²**			**S_m=0 mm**			**W_k=0,00 mm**			**$\sigma_{ct,f}$=0,00 N/mm²**		
CA=QPR	**ε_{sm}=0E+00**			**A_e=0,0 cm²**			**S_m=0 mm**			**W_k=0,00 mm**			**$\sigma_{ct,f}$=0,00 N/mm²**		
0%	RAR	0,731	923	1.653	-	RAR	-0,822	923	1.653	-	RAR	7,245	923	1.653	-
25%	RAR	0,181	1.427	-408	-	RAR	-0,231	1.427	-408	-	RAR	1,724	1.427	-408	-
50%	RAR	0,458	1.930	-974	-	RAR	-0,526	1.930	-974	-	RAR	4,507	1.930	-974	-
75%	RAR	0,000	-	-	-	RAR	-0,066	2.433	-45	-	RAR	0,000	-	-	-
100%	RAR	1,025	2.936	2.376	-	RAR	-1,208	2.936	2.376	-	RAR	10,012	2.936	2.376	-
Trave: Trave 16-19				**FRC=0,02 cm**				**AA= PCA**							
CA=FRQ	**ε_{sm}=0E+00**			**A_e=0,0 cm²**			**S_m=0 mm**			**W_k=0,00 mm**			**$\sigma_{ct,f}$=0,00 N/mm²**		
CA=QPR	**ε_{sm}=0E+00**			**A_e=0,0 cm²**			**S_m=0 mm**			**W_k=0,00 mm**			**$\sigma_{ct,f}$=0,00 N/mm²**		
0%	RAR	0,753	-2.306	1.582	-	RAR	-0,733	-2.306	1.582	-	RAR	7,729	-2.306	1.582	-
25%	RAR	0,121	-1.868	-174	-	RAR	-0,055	-1.868	-174	-	RAR	1,390	-1.868	-174	-
50%	RAR	0,431	-1.430	-804	-	RAR	-0,381	-1.430	-804	-	RAR	4,519	-1.430	-804	-
75%	RAR	0,174	-993	-310	-	RAR	-0,139	-993	-310	-	RAR	1,860	-1.057	-307	-
100%	RAR	0,670	-557	1.307	-	RAR	-0,650	-557	1.307	-	RAR	6,879	-557	1.307	-
Piano copertura									**Travata: Trave6-12-15-24**						
Trave: Trave 6-12				**FRC=0,18 cm**				**AA= PCA**							
CA=FRQ	**ε_{sm}=3,70392E-04**			**A_e=200,0 cm²**			**S_m=269 mm**			**W_k=0,10 mm**			**$\sigma_{ct,f}$=2,29 N/mm²**		
CA=QPR	**ε_{sm}=3,66208E-04**			**A_e=200,0 cm²**			**S_m=269 mm**			**W_k=0,10 mm**			**$\sigma_{ct,f}$=2,27 N/mm²**		
0%	RAR	2,404	5.089	4.939	-	RAR	-4,359	5.089	4.939	-	RAR	135,964	5.089	4.939	-
25%	RAR	0,202	4.105	-544	-	RAR	-0,347	4.105	-544	-	RAR	1,717	4.105	-544	-
50%	RAR	1,159	3.109	-2.404	-	RAR	-1,269	3.109	-2.404	-	RAR	11,560	3.109	-2.404	-
75%	RAR	0,283	2.115	-635	-	RAR	-0,358	2.115	-635	-	RAR	2,712	2.115	-635	-
100%	RAR	2,132	1.120	4.759	-	RAR	-3,265	1.120	4.759	-	RAR	71,909	1.120	4.759	-
Trave: Trave 12-15				**FRC=0,02 cm**				**AA= PCA**							
CA=FRQ	**ε_{sm}=0E+00**			**A_e=0,0 cm²**			**S_m=0 mm**			**W_k=0,00 mm**			**$\sigma_{ct,f}$=0,00 N/mm²**		
CA=QPR	**ε_{sm}=0E+00**			**A_e=0,0 cm²**			**S_m=0 mm**			**W_k=0,00 mm**			**$\sigma_{ct,f}$=0,00 N/mm²**		
0%	RAR	0,881	-170	1.943	-	RAR	-0,945	-170	1.943	-	RAR	8,829	-170	1.943	-
25%	RAR	0,048	210	103	-	RAR	-0,056	210	103	-	RAR	0,475	210	103	-
50%	RAR	0,354	669	-725	-	RAR	-0,378	669	-725	-	RAR	3,557	669	-725	-
75%	RAR	0,250	1.037	-532	-	RAR	-0,287	1.037	-532	-	RAR	2,466	1.037	-532	-
100%	RAR	0,283	1.504	682	-	RAR	-0,358	1.504	682	-	RAR	2,709	1.504	682	-

%LLI Tp_{rnf}	Trazione calcestruzzo Trazione calcestruzzo rinforzo					Compressione calcestruzzo Compressione calcestruzzo rinforzo					Trazione acciaio Trazione acciaio/FRP rinforzo				
	Id_{Cmb}	σ_{ct}	N_{Ed}	$M_{Ed,3}$	$M_{Ed,2}$	Id_{Cmb}	σ_{cc}	N_{Ed}	$M_{Ed,3}$	$M_{Ed,2}$	Id_{Cmb}	σ_{at}	N_{Ed}	$M_{Ed,3}$	$M_{Ed,2}$
[%]		[N/mm²]	[N]	[N·m]	[N·m]		[N/mm²]	[N]	[N·m]	[N·m]		[N/mm²]	[N]	[N·m]	[N·m]
Trave: Trave 15-24				**FRC=0,04 cm**				**AA= PCA**							
CA=FRQ	**ε_{sm}=0E+00**			**A_e=0,0 cm²**			**S_m=0 mm**			**W_k=0,00 mm**			**$\sigma_{ct,f}$=0,00 N/mm²**		
CA=QPR	**ε_{sm}=0E+00**			**A_e=0,0 cm²**			**S_m=0 mm**			**W_k=0,00 mm**			**$\sigma_{ct,f}$=0,00 N/mm²**		
0%	RAR	0,934	2.673	2.165	-	RAR	-1,101	2.673	2.165	-	RAR	9,124	2.673	2.165	-
25%	RAR	0,130	3.217	-370	-	RAR	-0,243	3.217	-370	-	RAR	1,056	3.217	-370	-
50%	RAR	0,510	3.761	-1.142	-	RAR	-0,643	3.761	-1.142	-	RAR	4,888	3.761	-1.142	-
75%	RAR	0,004	4.049	-149	-	RAR	-0,154	4.304	-155	-	RAR	0,000	-	-	-
100%	RAR	1,224	4.840	2.593	-	RAR	-1,395	4.840	2.593	-	RAR	12,076	4.840	2.593	-
Piano copertura									**Travata: Trave10-13-22**						
Trave: Trave 10-13				**FRC=0,03 cm**				**AA= PCA**							
CA=FRQ	**ε_{sm}=0E+00**			**A_e=0,0 cm²**			**S_m=0 mm**			**W_k=0,00 mm**			**$\sigma_{ct,f}$=0,00 N/mm²**		
CA=QPR	**ε_{sm}=0E+00**			**A_e=0,0 cm²**			**S_m=0 mm**			**W_k=0,00 mm**			**$\sigma_{ct,f}$=0,00 N/mm²**		
0%	RAR	1,342	-7.534	1.946	-	RAR	-1,020	-7.534	1.946	-	RAR	14,466	-7.534	1.946	-
25%	RAR	0,242	-7.170	146	-	RAR	0,000	-	-	-	RAR	3,203	-7.170	146	-
50%	RAR	0,615	-6.808	-773	-	RAR	-0,334	-6.569	-781	-	RAR	6,970	-6.808	-773	-
75%	RAR	0,626	-6.445	-805	-	RAR	-0,351	-6.445	-805	-	RAR	7,051	-6.445	-805	-
100%	RAR	0,180	-5.827	139	-	RAR	0,000	-	-	-	RAR	2,355	-5.827	139	-
Trave: Trave 13-22				**FRC=0,03 cm**				**AA= PCA**							
CA=FRQ	**ε_{sm}=0E+00**			**A_e=0,0 cm²**			**S_m=0 mm**			**W_k=0,00 mm**			**$\sigma_{ct,f}$=0,00 N/mm²**		
CA=QPR	**ε_{sm}=0E+00**			**A_e=0,0 cm²**			**S_m=0 mm**			**W_k=0,00 mm**			**$\sigma_{ct,f}$=0,00 N/mm²**		
0%	RAR	0,775	3.853	1.660	-	RAR	-0,918	3.853	1.660	-	RAR	7,556	3.853	1.660	-
25%	RAR	0,109	4.317	-332	-	RAR	-0,299	4.577	-331	-	RAR	0,672	4.317	-332	-
50%	RAR	0,432	4.779	-880	-	RAR	-0,636	4.779	-880	-	RAR	3,917	4.779	-880	-
75%	RAR	0,000	-	-	-	RAR	-0,134	5.480	28	-	RAR	0,000	-	-	-
100%	RAR	1,301	5.707	2.343	-	RAR	-1,544	5.707	2.343	-	RAR	12,680	5.707	2.343	-
Piano terra									**Travata: Trave1-P1-2-P2-3-P3-P4-4-P5-5-P6-6**						
Trave: Trave 1-P1				**FRC=0,00 cm**				**AA= PCA**							
CA=FRQ	**ε_{sm}=0E+00**			**A_e=0,0 cm²**			**S_m=0 mm**			**W_k=0,00 mm**			**$\sigma_{ct,f}$=0,00 N/mm²**		
CA=QPR	**ε_{sm}=0E+00**			**A_e=0,0 cm²**			**S_m=0 mm**			**W_k=0,00 mm**			**$\sigma_{ct,f}$=0,00 N/mm²**		
0%	RAR	0,028	30.451	-6.828	-	RAR	-0,233	30.451	-6.828	-	RAR	0,299	30.451	-6.828	-
25%	RAR	0,000	-	-	-	RAR	-0,204	30.451	4.596	-	RAR	0,000	-	-	-
50%	RAR	0,210	30.451	17.847	-	RAR	-0,474	30.451	17.847	-	RAR	2,816	30.451	17.847	-
75%	RAR	0,000	-	-	-	RAR	-0,574	80.916	13.730	-	RAR	0,000	-	-	-
100%	RAR	0,068	80.916	20.162	-	RAR	-0,705	80.916	20.162	-	RAR	0,647	80.916	20.162	-
Trave: Trave P1-2				**FRC=-0,05 cm**				**AA= PCA**							
CA=FRQ	**ε_{sm}=0E+00**			**A_e=0,0 cm²**			**S_m=0 mm**			**W_k=0,00 mm**			**$\sigma_{ct,f}$=0,00 N/mm²**		
CA=QPR	**ε_{sm}=0E+00**			**A_e=0,0 cm²**			**S_m=0 mm**			**W_k=0,00 mm**			**$\sigma_{ct,f}$=0,00 N/mm²**		
0%	RAR	1,639	-38.054	80.932	-	RAR	-1,897	-38.054	80.932	-	RAR	126,846	-38.054	80.932	-
25%	RAR	0,270	-38.054	6.204	-	RAR	0,000	-	-	-	RAR	3,924	-38.054	6.204	-
50%	RAR	0,744	-38.579	-31.833	-	RAR	-0,520	-38.579	-31.833	-	RAR	10,545	-38.579	-31.833	-
75%	RAR	0,787	-38.054	-31.345	-	RAR	-0,501	-38.054	-31.345	-	RAR	11,176	-38.054	-31.345	-
100%	RAR	0,277	-38.579	8.116	-	RAR	-0,024	-38.579	8.116	-	RAR	4,005	-38.579	8.116	-
Trave: Trave 2-P2				**FRC=-0,06 cm**				**AA= PCA**							
CA=FRQ	**ε_{sm}=3,34361E-04**			**A_e=204,0 cm²**			**S_m=128 mm**			**W_k=0,04 mm**			**$\sigma_{ct,f}$=1,64 N/mm²**		
CA=QPR	**ε_{sm}=3,27741E-04**			**A_e=204,0 cm²**			**S_m=128 mm**			**W_k=0,04 mm**			**$\sigma_{ct,f}$=1,62 N/mm²**		
0%	RAR	0,215	-32.824	5.982	-	RAR	0,000	-	-	-	RAR	3,126	-32.824	5.982	-
25%	RAR	0,730	-32.742	-33.143	-	RAR	-0,531	-32.742	-33.143	-	RAR	10,328	-32.742	-33.143	-
50%	RAR	0,725	-32.824	-31.966	-	RAR	-0,544	-32.824	-31.966	-	RAR	10,261	-32.824	-31.966	-
75%	RAR	0,311	-32.742	9.154	-	RAR	-0,052	-32.742	9.154	-	RAR	4,493	-32.742	9.154	-
100%	RAR	1,798	-32.824	88.699	-	RAR	-2,383	-32.824	88.699	-	RAR	100,460	-32.824	88.699	-
Trave: Trave P2-3				**FRC=0,00 cm**				**AA= PCA**							
CA=FRQ	**ε_{sm}=0E+00**			**A_e=0,0 cm²**			**S_m=0 mm**			**W_k=0,00 mm**			**$\sigma_{ct,f}$=0,00 N/mm²**		
CA=QPR	**ε_{sm}=0E+00**			**A_e=0,0 cm²**			**S_m=0 mm**			**W_k=0,00 mm**			**$\sigma_{ct,f}$=0,00 N/mm²**		
0%	RAR	0,000	-	-	-	RAR	-0,791	103.166	19.691	-	RAR	0,000	-	-	-
25%	RAR	0,000	-	-	-	RAR	-0,737	103.166	17.781	-	RAR	0,000	-	-	-
50%	RAR	0,000	-	-	-	RAR	-0,676	103.166	17.311	-	RAR	0,000	-	-	-
75%	RAR	0,000	-	-	-	RAR	-0,493	72.882	13.071	-	RAR	0,000	-	-	-
100%	RAR	0,000	-	-	-	RAR	-0,329	72.882	4.240	-	RAR	0,000	-	-	-
Trave: Trave 3-P3				**FRC=0,00 cm**				**AA= PCA**							
CA=FRQ	**ε_{sm}=0E+00**			**A_e=0,0 cm²**			**S_m=0 mm**			**W_k=0,00 mm**			**$\sigma_{ct,f}$=0,00 N/mm²**		
CA=QPR	**ε_{sm}=0E+00**			**A_e=0,0 cm²**			**S_m=0 mm**			**W_k=0,00 mm**			**$\sigma_{ct,f}$=0,00 N/mm²**		
0%	RAR	0,000	-	-	-	RAR	-0,317	53.221	7.234	-	RAR	0,000	-	-	-
25%	RAR	0,000	-	-	-	RAR	-0,381	53.221	10.677	-	RAR	0,000	-	-	-
50%	RAR	0,000	-	-	-	RAR	-0,393	58.840	10.258	-	RAR	0,000	-	-	-
75%	RAR	0,000	-	-	-	RAR	-0,438	57.426	11.264	-	RAR	0,000	-	-	-
100%	RAR	0,000	-	-	-	RAR	-0,377	57.426	7.938	-	RAR	0,000	-	-	-
Trave: Trave P3-P4				**FRC=0,01 cm**				**AA= PCA**							
CA=FRQ	**ε_{sm}=0E+00**			**A_e=0,0 cm²**			**S_m=0 mm**			**W_k=0,00 mm**			**$\sigma_{ct,f}$=0,00 N/mm²**		
CA=QPR	**ε_{sm}=0E+00**			**A_e=0,0 cm²**			**S_m=0 mm**			**W_k=0,00 mm**			**$\sigma_{ct,f}$=0,00 N/mm²**		
0%	RAR	0,749	-5.396	39.573	-	RAR	-0,757	-5.396	39.573	-	RAR	10,495	-5.396	39.573	-
25%	RAR	0,087	-5.396	-3.525	-	RAR	-0,053	-5.396	-3.525	-	RAR	1,230	-5.396	-3.525	-
50%	RAR	0,383	-5.396	-19.194	-	RAR	-0,379	-5.396	-19.194	-	RAR	5,368	-5.396	-19.194	-
75%	RAR	0,160	-5.396	-7.436	-	RAR	-0,135	-5.396	-7.436	-	RAR	2,263	-5.396	-7.436	-
100%	RAR	0,622	-5.396	31.747	-	RAR	-0,583	-5.396	31.747	-	RAR	8,740	-5.396	31.747	-
Trave: Trave P4-4				**FRC=0,00 cm**				**AA= PCA**							
CA=FRQ	**ε_{sm}=0E+00**			**A_e=0,0 cm²**			**S_m=0 mm**			**W_k=0,00 mm**			**$\sigma_{ct,f}$=0,00 N/mm²**		
CA=QPR	**ε_{sm}=0E+00**			**A_e=0,0 cm²**			**S_m=0 mm**			**W_k=0,00 mm**			**$\sigma_{ct,f}$=0,00 N/mm²**		
0%	RAR	0,000	-	-	-	RAR	-0,306	49.515	5.923	-	RAR	0,000	-	-	-
25%	RAR	0,000	-	-	-	RAR	-0,348	49.515	8.260	-	RAR	0,000	-	-	-
50%	RAR	0,020	49.515	12.213	-	RAR	-0,397	49.515	12.213	-	RAR	0,097	48.399	11.949	-
75%	RAR	0,000	-	-	-	RAR	-0,356	53.511	9.259	-	RAR	0,000	-	-	-
100%	RAR	0,000	-	-	-	RAR	-0,356	53.511	9.260	-	RAR	0,000	-	-	-
Trave: Trave 4-P5				**FRC=0,00 cm**				**AA= PCA**							
CA=FRQ	**ε_{sm}=0E+00**			**A_e=0,0 cm²**			**S_m=0 mm**			**W_k=0,00 mm**			**$\sigma_{ct,f}$=0,00 N/mm²**		

%LLI Tp_{rnf}	Trazione calcestruzzo Trazione calcestruzzo rinforzo					Compressione calcestruzzo Compressione calcestruzzo rinforzo					Trazione acciaio Trazione acciaio/FRP rinforzo				
	Id_{Cmb}	σ_{ct}	N_{Ed}	$M_{Ed,3}$	$M_{Ed,2}$	Id_{Cmb}	σ_{cc}	N_{Ed}	$M_{Ed,3}$	$M_{Ed,2}$	Id_{Cmb}	σ_{at}	N_{Ed}	$M_{Ed,3}$	$M_{Ed,2}$
[%]		[N/mm²]	[N]	[N·m]	[N·m]		[N/mm²]	[N]	[N·m]	[N·m]		[N/mm²]	[N]	[N·m]	[N·m]
CA=QPR	**ε_{sm}=0E+00**			**A_e=0,0 cm²**			**S_m=0 mm**			**W_k=0,00 mm**			**$\sigma_{ct,f}$=0,00 N/mm²**		
0%	RAR	0,000	-	-	-	RAR	-0,326	69.187	4.757	-	RAR	0,000	-	-	-
25%	RAR	0,014	68.598	16.039	-	RAR	-0,537	69.187	16.118	-	RAR	0,000	-	-	-
50%	RAR	0,000	-	-	-	RAR	-0,656	98.794	17.039	-	RAR	0,000	-	-	-
75%	RAR	0,000	-	-	-	RAR	-0,842	116.778	20.521	-	RAR	0,000	-	-	-
100%	RAR	0,000	-	-	-	RAR	-0,851	116.746	20.165	-	RAR	0,000	-	-	-
Trave: Trave P5-5				**FRC=-0,06 cm**				**AA= PCA**							
CA=FRQ	**ε_{sm}=7,57428E-04**			**A_e=204,0 cm²**			**S_m=174 mm**			**W_k=0,13 mm**			**$\sigma_{ct,f}$=1,82 N/mm²**		
CA=QPR	**ε_{sm}=7,44003E-04**			**A_e=204,0 cm²**			**S_m=174 mm**			**W_k=0,13 mm**			**$\sigma_{ct,f}$=1,79 N/mm²**		
0%	RAR	1,982	-23.844	94.411	-	RAR	-2,941	-23.844	94.411	-	RAR	214,163	-23.844	94.411	-
25%	RAR	0,354	-23.844	12.800	-	RAR	-0,154	-23.844	12.800	-	RAR	5,067	-23.844	12.800	-
50%	RAR	0,666	-23.913	-30.546	-	RAR	-0,547	-23.913	-30.546	-	RAR	9,392	-23.913	-30.546	-
75%	RAR	0,787	-23.844	-33.950	-	RAR	-0,608	-23.844	-33.950	-	RAR	11,126	-23.844	-33.950	-
100%	RAR	0,137	-23.913	3.181	-	RAR	0,000	-	-	-	RAR	2,003	-23.913	3.181	-
Trave: Trave 5-P6				**FRC=-0,06 cm**				**AA= PCA**							
CA=FRQ	**ε_{sm}=4,79696E-04**			**A_e=204,0 cm²**			**S_m=143 mm**			**W_k=0,07 mm**			**$\sigma_{ct,f}$=1,67 N/mm²**		
CA=QPR	**ε_{sm}=4,70882E-04**			**A_e=204,0 cm²**			**S_m=143 mm**			**W_k=0,07 mm**			**$\sigma_{ct,f}$=1,65 N/mm²**		
0%	RAR	0,398	-43.409	14.158	-	RAR	-0,128	-43.409	14.158	-	RAR	5,706	-43.409	14.158	-
25%	RAR	0,808	-42.812	-33.462	-	RAR	-0,513	-42.812	-33.462	-	RAR	11,478	-42.812	-33.462	-
50%	RAR	0,850	-43.409	-36.488	-	RAR	-0,599	-43.409	-36.488	-	RAR	12,042	-43.409	-36.488	-
75%	RAR	0,255	-42.812	4.649	-	RAR	0,000	-	-	-	RAR	3,733	-42.812	4.649	-
100%	RAR	1,823	-42.812	87.859	-	RAR	-2,205	-42.812	87.859	-	RAR	138,974	-42.812	87.859	-
Trave: Trave P6-6				**FRC=0,01 cm**				**AA= PCA**							
CA=FRQ	**ε_{sm}=0E+00**			**A_e=0,0 cm²**			**S_m=0 mm**			**W_k=0,00 mm**			**$\sigma_{ct,f}$=0,00 N/mm²**		
CA=QPR	**ε_{sm}=0E+00**			**A_e=0,0 cm²**			**S_m=0 mm**			**W_k=0,00 mm**			**$\sigma_{ct,f}$=0,00 N/mm²**		
0%	RAR	0,041	89.270	20.317	-	RAR	-0,738	89.270	20.317	-	RAR	0,230	89.270	20.317	-
25%	RAR	0,000	-	-	-	RAR	-0,639	89.270	15.445	-	RAR	0,000	-	-	-
50%	RAR	0,000	-	-	-	RAR	-0,566	89.270	11.860	-	RAR	0,000	-	-	-
75%	RAR	0,000	-	-	-	RAR	-0,318	43.440	7.876	-	RAR	0,000	-	-	-
100%	RAR	0,000	-	-	-	RAR	-0,224	43.440	-3.694	-	RAR	0,000	-	-	-
Piano terra										**Travata: Trave7-8-9-10-11-12**					
Trave: Trave 7-8				**FRC=0,07 cm**				**AA= PCA**							
CA=FRQ	**ε_{sm}=2,11579E-04**			**A_e=250,0 cm²**			**S_m=123 mm**			**W_k=0,03 mm**			**$\sigma_{ct,f}$=1,86 N/mm²**		
CA=QPR	**ε_{sm}=2,0287E-04**			**A_e=250,0 cm²**			**S_m=123 mm**			**W_k=0,02 mm**			**$\sigma_{ct,f}$=1,81 N/mm²**		
0%	RAR	2,014	-51.307	51.632	-	RAR	-2,029	-51.307	51.632	-	RAR	68,117	-51.307	51.632	-
25%	RAR	0,812	-51.307	-16.784	-	RAR	-0,421	-51.307	-16.784	-	RAR	11,154	-51.307	-16.784	-
50%	RAR	1,599	-51.307	-37.221	-	RAR	-1,587	-51.307	-37.221	-	RAR	53,100	-51.307	-37.221	-
75%	RAR	0,630	-51.307	-9.691	-	RAR	-0,209	-48.126	-9.676	-	RAR	8,765	-51.307	-9.691	-
100%	RAR	1,995	-51.307	65.821	-	RAR	-2,399	-51.307	65.821	-	RAR	43,122	-51.307	65.821	-
Trave: Trave 8-9				**FRC=0,06 cm**				**AA= PCA**							
CA=FRQ	**ε_{sm}=1,23198E-04**			**A_e=250,0 cm²**			**S_m=106 mm**			**W_k=0,01 mm**			**$\sigma_{ct,f}$=1,85 N/mm²**		
CA=QPR	**ε_{sm}=1,17407E-04**			**A_e=250,0 cm²**			**S_m=106 mm**			**W_k=0,01 mm**			**$\sigma_{ct,f}$=1,79 N/mm²**		
0%	RAR	1,593	-5.383	56.102	-	RAR	-1,940	-5.383	56.102	-	RAR	20,946	-5.383	56.102	-
25%	RAR	0,532	-5.383	-12.904	-	RAR	-0,566	-5.383	-12.904	-	RAR	7,063	-5.383	-12.904	-
50%	RAR	1,231	-5.383	-33.101	-	RAR	-1,453	-5.383	-33.101	-	RAR	16,223	-5.383	-33.101	-
75%	RAR	0,189	-5.383	-4.480	-	RAR	-0,175	-5.383	-4.480	-	RAR	2,527	-5.383	-4.480	-
100%	RAR	1,999	-5.383	72.953	-	RAR	-3,008	-5.383	72.953	-	RAR	42,333	-5.383	72.953	-
Trave: Trave 9-10				**FRC=0,06 cm**				**AA= PCA**							
CA=FRQ	**ε_{sm}=1,181E-04**			**A_e=250,0 cm²**			**S_m=109 mm**			**W_k=0,01 mm**			**$\sigma_{ct,f}$=1,65 N/mm²**		
CA=QPR	**ε_{sm}=1,11961E-04**			**A_e=250,0 cm²**			**S_m=109 mm**			**W_k=0,01 mm**			**$\sigma_{ct,f}$=1,60 N/mm²**		
0%	RAR	1,801	-2.361	66.110	-	RAR	-2,743	-2.361	66.110	-	RAR	38,114	-2.361	66.110	-
25%	RAR	0,293	-2.361	-7.748	-	RAR	-0,335	-2.361	-7.748	-	RAR	3,876	-2.361	-7.748	-
50%	RAR	1,205	-2.361	-32.791	-	RAR	-1,453	-2.361	-32.791	-	RAR	15,859	-2.361	-32.791	-
75%	RAR	0,365	-2.361	-9.018	-	RAR	-0,402	-2.361	-9.018	-	RAR	4,833	-2.361	-9.018	-
100%	RAR	1,790	-2.361	63.569	-	RAR	-2,409	-2.361	63.569	-	RAR	42,354	-2.361	63.569	-
Trave: Trave 10-11				**FRC=0,04 cm**				**AA= PCA**							
CA=FRQ	**ε_{sm}=0E+00**			**A_e=0,0 cm²**			**S_m=0 mm**			**W_k=0,00 mm**			**$\sigma_{ct,f}$=0,00 N/mm²**		
CA=QPR	**ε_{sm}=0E+00**			**A_e=0,0 cm²**			**S_m=0 mm**			**W_k=0,00 mm**			**$\sigma_{ct,f}$=0,00 N/mm²**		
0%	RAR	1,581	6.319	57.384	-	RAR	-2,033	6.319	57.384	-	RAR	20,691	6.319	57.384	-
25%	RAR	0,018	6.319	-1.315	-	RAR	-0,089	6.319	-1.315	-	RAR	0,180	6.319	-1.315	-
50%	RAR	0,830	6.319	-23.626	-	RAR	-1,085	6.319	-23.626	-	RAR	10,856	6.319	-23.626	-
75%	RAR	0,343	6.319	-9.544	-	RAR	-0,469	6.319	-9.544	-	RAR	4,470	6.319	-9.544	-
100%	RAR	1,083	6.319	40.926	-	RAR	-1,613	6.319	40.926	-	RAR	13,989	6.319	40.926	-
Trave: Trave 11-12				**FRC=0,07 cm**				**AA= PCA**							
CA=FRQ	**ε_{sm}=1,29116E-04**			**A_e=250,0 cm²**			**S_m=114 mm**			**W_k=0,01 mm**			**$\sigma_{ct,f}$=1,60 N/mm²**		
CA=QPR	**ε_{sm}=0E+00**			**A_e=0,0 cm²**			**S_m=0 mm**			**W_k=0,00 mm**			**$\sigma_{ct,f}$=0,00 N/mm²**		
0%	RAR	1,583	-39.368	52.422	-	RAR	-1,870	-39.368	52.422	-	RAR	20,862	-39.368	52.422	-
25%	RAR	0,558	-39.368	-9.328	-	RAR	-0,254	-36.205	-9.401	-	RAR	7,703	-39.368	-9.328	-
50%	RAR	1,310	-39.368	-30.841	-	RAR	-1,191	-39.368	-30.841	-	RAR	17,558	-39.368	-30.841	-
75%	RAR	0,597	-39.368	-12.120	-	RAR	-0,293	-39.368	-12.120	-	RAR	8,213	-39.368	-12.120	-
100%	RAR	1,722	-39.368	46.834	-	RAR	-2,013	-39.368	46.834	-	RAR	46,245	-39.368	46.834	-
Piano terra										**Travata: Trave19-P9-20-P10-21-P11-P12-22-P13-23-P14-24**					
Trave: Trave 19-P9				**FRC=0,01 cm**				**AA= PCA**							
CA=FRQ	**ε_{sm}=0E+00**			**A_e=0,0 cm²**			**S_m=0 mm**			**W_k=0,00 mm**			**$\sigma_{ct,f}$=0,00 N/mm²**		
CA=QPR	**ε_{sm}=0E+00**			**A_e=0,0 cm²**			**S_m=0 mm**			**W_k=0,00 mm**			**$\sigma_{ct,f}$=0,00 N/mm²**		
0%	RAR	0,010	20.941	-4.210	-	RAR	-0,152	21.054	-4.221	-	RAR	0,066	20.941	-4.210	-
25%	RAR	0,061	21.054	7.647	-	RAR	-0,232	21.054	7.647	-	RAR	0,770	21.054	7.647	-
50%	RAR	0,000	-	-	-	RAR	-0,410	58.147	9.733	-	RAR	0,000	-	-	-
75%	RAR	0,000	-	-	-	RAR	-0,602	85.265	14.356	-	RAR	0,000	-	-	-
100%	RAR	0,000	-	-	-	RAR	-0,635	85.265	15.939	-	RAR	0,000	-	-	-
Trave: Trave P9-20				**FRC=-0,05 cm**				**AA= PCA**							
CA=FRQ	**ε_{sm}=0E+00**			**A_e=0,0 cm²**			**S_m=0 mm**			**W_k=0,00 mm**			**$\sigma_{ct,f}$=0,00 N/mm²**		
CA=QPR	**ε_{sm}=0E+00**			**A_e=0,0 cm²**			**S_m=0 mm**			**W_k=0,00 mm**			**$\sigma_{ct,f}$=0,00 N/mm²**		
0%	RAR	1,704	-43.606	83.399	-	RAR	-1,927	-43.606	83.399	-	RAR	133,182	-43.606	83.399	-

%LLI Tp_{rnf}	Trazione calcestruzzo Trazione calcestruzzo rinforzo					Compressione calcestruzzo Compressione calcestruzzo rinforzo					Trazione acciaio Trazione acciaio/FRP rinforzo				
	Id_{Cmb}	σ_{ct}	N_{Ed}	$M_{Ed,3}$	$M_{Ed,2}$	Id_{Cmb}	σ_{cc}	N_{Ed}	$M_{Ed,3}$	$M_{Ed,2}$	Id_{Cmb}	σ_{at}	N_{Ed}	$M_{Ed,3}$	$M_{Ed,2}$
[%]		[N/mm²]	[N]	[N·m]	[N·m]		[N/mm²]	[N]	[N·m]	[N·m]		[N/mm²]	[N]	[N·m]	[N·m]
25%	RAR	0,167	-42.814	444	-	RAR	0,000	-	-	-	RAR	2,503	-42.814	444	-
50%	RAR	0,879	-43.606	-37.999	-	RAR	-0,629	-43.606	-37.999	-	RAR	12,452	-43.606	-37.999	-
75%	RAR	0,780	-43.606	-29.983	-	RAR	-0,457	-42.814	-30.057	-	RAR	11,097	-43.606	-29.983	-
100%	RAR	0,564	-43.606	23.850	-	RAR	-0,321	-43.606	23.850	-	RAR	8,031	-43.606	23.850	-
Trave: Trave 20-P10				**FRC=-0,05 cm**				**AA= PCA**							
CA=FRQ	**ε_{sm}=1,89021E-03**			**A_e=204,0 cm²**			**S_m=292 mm**			**W_k=0,55 mm**			**$\sigma_{ct,f}$=1,98 N/mm²**		
CA=QPR	**ε_{sm}=1,85272E-03**			**A_e=204,0 cm²**			**S_m=292 mm**			**W_k=0,54 mm**			**$\sigma_{ct,f}$=1,94 N/mm²**		
0%	RAR	0,477	-35.714	21.507	-	RAR	-0,297	-35.714	21.507	-	RAR	6,782	-35.714	21.507	-
25%	RAR	0,720	-35.714	-32.017	-	RAR	-0,499	-35.342	-31.970	-	RAR	10,200	-35.714	-32.017	-
50%	RAR	0,847	-35.714	-37.852	-	RAR	-0,655	-35.714	-37.852	-	RAR	11,976	-35.714	-37.852	-
75%	RAR	0,222	-35.342	4.412	-	RAR	0,000	-	-	-	RAR	3,250	-35.342	4.412	-
100%	RAR	2,176	-35.714	93.536	-	RAR	-4,341	-35.714	93.536	-	RAR	522,198	-35.714	93.536	-
Trave: Trave P10-21				**FRC=0,00 cm**				**AA= PCA**							
CA=FRQ	**ε_{sm}=0E+00**			**A_e=0,0 cm²**			**S_m=0 mm**			**W_k=0,00 mm**			**$\sigma_{ct,f}$=0,00 N/mm²**		
CA=QPR	**ε_{sm}=0E+00**			**A_e=0,0 cm²**			**S_m=0 mm**			**W_k=0,00 mm**			**$\sigma_{ct,f}$=0,00 N/mm²**		
0%	RAR	0,000	-	-	-	RAR	-0,831	110.662	20.281	-	RAR	0,000	-	-	-
25%	RAR	0,000	-	-	-	RAR	-0,789	110.662	18.991	-	RAR	0,000	-	-	-
50%	RAR	0,000	-	-	-	RAR	-0,742	110.662	19.480	-	RAR	0,000	-	-	-
75%	RAR	0,000	-	-	-	RAR	-0,565	83.901	14.890	-	RAR	0,000	-	-	-
100%	RAR	0,000	-	-	-	RAR	-0,424	83.901	7.303	-	RAR	0,000	-	-	-
Trave: Trave 21-P11				**FRC=0,00 cm**				**AA= PCA**							
CA=FRQ	**ε_{sm}=0E+00**			**A_e=0,0 cm²**			**S_m=0 mm**			**W_k=0,00 mm**			**$\sigma_{ct,f}$=0,00 N/mm²**		
CA=QPR	**ε_{sm}=0E+00**			**A_e=0,0 cm²**			**S_m=0 mm**			**W_k=0,00 mm**			**$\sigma_{ct,f}$=0,00 N/mm²**		
0%	RAR	0,000	-	-	-	RAR	-0,417	65.281	10.359	-	RAR	0,000	-	-	-
25%	RAR	0,000	-	-	-	RAR	-0,453	65.281	12.282	-	RAR	0,000	-	-	-
50%	RAR	0,000	-	-	-	RAR	-0,451	67.616	11.787	-	RAR	0,000	-	-	-
75%	RAR	0,000	-	-	-	RAR	-0,493	64.109	12.764	-	RAR	0,000	-	-	-
100%	RAR	0,000	-	-	-	RAR	-0,412	64.109	8.437	-	RAR	0,000	-	-	-
Trave: Trave P11-P12				**FRC=0,01 cm**				**AA= PCA**							
CA=FRQ	**ε_{sm}=0E+00**			**A_e=0,0 cm²**			**S_m=0 mm**			**W_k=0,00 mm**			**$\sigma_{ct,f}$=0,00 N/mm²**		
CA=QPR	**ε_{sm}=0E+00**			**A_e=0,0 cm²**			**S_m=0 mm**			**W_k=0,00 mm**			**$\sigma_{ct,f}$=0,00 N/mm²**		
0%	RAR	0,939	-12.975	47.156	-	RAR	-0,933	-12.975	47.156	-	RAR	13,173	-12.975	47.156	-
25%	RAR	0,143	-12.975	-5.028	-	RAR	-0,057	-12.975	-5.028	-	RAR	2,047	-12.975	-5.028	-
50%	RAR	0,506	-12.975	-24.224	-	RAR	-0,456	-12.975	-24.224	-	RAR	7,116	-12.975	-24.224	-
75%	RAR	0,245	-12.975	-10.437	-	RAR	-0,169	-12.975	-10.437	-	RAR	3,475	-12.975	-10.437	-
100%	RAR	0,760	-12.975	36.333	-	RAR	-0,622	-12.975	36.333	-	RAR	10,723	-12.975	36.333	-
Trave: Trave P12-22				**FRC=0,00 cm**				**AA= PCA**							
CA=FRQ	**ε_{sm}=0E+00**			**A_e=0,0 cm²**			**S_m=0 mm**			**W_k=0,00 mm**			**$\sigma_{ct,f}$=0,00 N/mm²**		
CA=QPR	**ε_{sm}=0E+00**			**A_e=0,0 cm²**			**S_m=0 mm**			**W_k=0,00 mm**			**$\sigma_{ct,f}$=0,00 N/mm²**		
0%	RAR	0,000	-	-	-	RAR	-0,319	51.451	6.208	-	RAR	0,000	-	-	-
25%	RAR	0,000	-	-	-	RAR	-0,360	51.451	8.505	-	RAR	0,000	-	-	-
50%	RAR	0,021	51.451	12.733	-	RAR	-0,413	51.451	12.733	-	RAR	0,111	50.524	12.519	-
75%	RAR	0,000	-	-	-	RAR	-0,359	54.419	9.284	-	RAR	0,000	-	-	-
100%	RAR	0,000	-	-	-	RAR	-0,359	54.419	9.271	-	RAR	0,000	-	-	-
Trave: Trave 22-P13				**FRC=0,00 cm**				**AA= PCA**							
CA=FRQ	**ε_{sm}=0E+00**			**A_e=0,0 cm²**			**S_m=0 mm**			**W_k=0,00 mm**			**$\sigma_{ct,f}$=0,00 N/mm²**		
CA=QPR	**ε_{sm}=0E+00**			**A_e=0,0 cm²**			**S_m=0 mm**			**W_k=0,00 mm**			**$\sigma_{ct,f}$=0,00 N/mm²**		
0%	RAR	0,000	-	-	-	RAR	-0,331	65.782	5.680	-	RAR	0,000	-	-	-
25%	RAR	0,003	65.288	14.587	-	RAR	-0,498	65.782	14.641	-	RAR	0,000	-	-	-
50%	RAR	0,000	-	-	-	RAR	-0,587	88.290	15.244	-	RAR	0,000	-	-	-
75%	RAR	0,000	-	-	-	RAR	-0,738	102.501	17.933	-	RAR	0,000	-	-	-
100%	RAR	0,000	-	-	-	RAR	-0,747	102.501	17.682	-	RAR	0,000	-	-	-
Trave: Trave P13-23				**FRC=-0,05 cm**				**AA= PCA**							
CA=FRQ	**ε_{sm}=0E+00**			**A_e=0,0 cm²**			**S_m=0 mm**			**W_k=0,00 mm**			**$\sigma_{ct,f}$=0,00 N/mm²**		
CA=QPR	**ε_{sm}=0E+00**			**A_e=0,0 cm²**			**S_m=0 mm**			**W_k=0,00 mm**			**$\sigma_{ct,f}$=0,00 N/mm²**		
0%	RAR	1,688	-17.751	80.872	-	RAR	-2,535	-17.751	80.872	-	RAR	181,104	-17.751	80.872	-
25%	RAR	0,356	-17.751	13.943	-	RAR	-0,198	-17.751	13.943	-	RAR	5,063	-17.751	13.943	-
50%	RAR	0,508	-17.663	-23.406	-	RAR	-0,422	-17.663	-23.406	-	RAR	7,160	-17.663	-23.406	-
75%	RAR	0,685	-17.751	-30.094	-	RAR	-0,552	-17.751	-30.094	-	RAR	9,671	-17.751	-30.094	-
100%	RAR	0,198	-17.751	-7.200	-	RAR	-0,058	-17.751	-7.200	-	RAR	2,848	-17.751	-7.200	-
Trave: Trave 23-P14				**FRC=-0,06 cm**				**AA= PCA**							
CA=FRQ	**ε_{sm}=0E+00**			**A_e=0,0 cm²**			**S_m=0 mm**			**W_k=0,00 mm**			**$\sigma_{ct,f}$=0,00 N/mm²**		
CA=QPR	**ε_{sm}=0E+00**			**A_e=0,0 cm²**			**S_m=0 mm**			**W_k=0,00 mm**			**$\sigma_{ct,f}$=0,00 N/mm²**		
0%	RAR	0,214	-37.260	5.077	-	RAR	0,000	-	-	-	RAR	3,121	-37.260	5.077	-
25%	RAR	0,703	-36.928	-29.135	-	RAR	-0,448	-36.928	-29.135	-	RAR	9,974	-36.928	-29.135	-
50%	RAR	0,682	-37.260	-28.817	-	RAR	-0,462	-37.260	-28.817	-	RAR	9,675	-37.260	-28.817	-
75%	RAR	0,249	-36.928	5.418	-	RAR	0,000	-	-	-	RAR	3,632	-36.928	5.418	-
100%	RAR	1,550	-36.928	72.164	-	RAR	-1,196	-36.928	72.164	-	RAR	21,907	-36.928	72.164	-
Trave: Trave P14-24				**FRC=0,01 cm**				**AA= PCA**							
CA=FRQ	**ε_{sm}=0E+00**			**A_e=0,0 cm²**			**S_m=0 mm**			**W_k=0,00 mm**			**$\sigma_{ct,f}$=0,00 N/mm²**		
CA=QPR	**ε_{sm}=0E+00**			**A_e=0,0 cm²**			**S_m=0 mm**			**W_k=0,00 mm**			**$\sigma_{ct,f}$=0,00 N/mm²**		
0%	RAR	0,035	72.223	16.523	-	RAR	-0,599	72.223	16.523	-	RAR	0,208	72.223	16.523	-
25%	RAR	0,000	-	-	-	RAR	-0,515	72.223	12.395	-	RAR	0,000	-	-	-
50%	RAR	0,000	-	-	-	RAR	-0,451	72.223	9.246	-	RAR	0,000	-	-	-
75%	RAR	0,000	-	-	-	RAR	-0,245	33.619	6.029	-	RAR	0,000	-	-	-
100%	RAR	0,000	-	-	-	RAR	-0,189	33.619	-3.714	-	RAR	0,000	-	-	-
Piano terra										**Travata: Trave13-14-15**					
Trave: Trave 13-14				**FRC=0,08 cm**				**AA= PCA**							
CA=FRQ	**ε_{sm}=2,16709E-04**			**A_e=245,0 cm²**			**S_m=120 mm**			**W_k=0,03 mm**			**$\sigma_{ct,f}$=2,22 N/mm²**		
CA=QPR	**ε_{sm}=2,06222E-04**			**A_e=245,0 cm²**			**S_m=120 mm**			**W_k=0,02 mm**			**$\sigma_{ct,f}$=2,14 N/mm²**		
0%	RAR	1,862	-32.288	32.364	-	RAR	-2,062	-32.288	32.364	-	RAR	63,522	-32.288	32.364	-
25%	RAR	0,773	-32.288	-10.600	-	RAR	-0,461	-32.288	-10.600	-	RAR	10,385	-32.288	-10.600	-
50%	RAR	1,512	-32.288	-23.043	-	RAR	-1,335	-32.288	-23.043	-	RAR	19,894	-32.288	-23.043	-
75%	RAR	0,474	-32.288	-4.955	-	RAR	-0,150	-29.923	-4.918	-	RAR	6,506	-32.288	-4.955	-

%LLI Tp_{rnf}	Trazione calcestruzzo Trazione calcestruzzo rinforzo					Compressione calcestruzzo Compressione calcestruzzo rinforzo					Trazione acciaio Trazione acciaio/FRP rinforzo				
	Id_{Cmb}	σ_{ct}	N_{Ed}	$M_{Ed,3}$	$M_{Ed,2}$	Id_{Cmb}	σ_{cc}	N_{Ed}	$M_{Ed,3}$	$M_{Ed,2}$	Id_{Cmb}	σ_{at}	N_{Ed}	$M_{Ed,3}$	$M_{Ed,2}$
[%]		[N/mm²]	[N]	[N·m]	[N·m]		[N/mm²]	[N]	[N·m]	[N·m]		[N/mm²]	[N]	[N·m]	[N·m]
100%	RAR	2,385	-32.288	43.658	-	RAR	-2,963	-32.288	43.658	-	RAR	69,037	-32.288	43.658	-
Trave: Trave 14-15				**FRC=0,09 cm**				**AA= PCA**							
CA=FRQ	**ε_{sm}=3,00006E-04**			**A_e=245,0 cm²**			**S_m=137 mm**			**W_k=0,04 mm**			**$\sigma_{ct,f}$=2,22 N/mm²**		
CA=QPR	**ε_{sm}=2,88184E-04**			**A_e=245,0 cm²**			**S_m=137 mm**			**W_k=0,04 mm**			**$\sigma_{ct,f}$=2,16 N/mm²**		
0%	RAR	2,218	-24.732	43.708	-	RAR	-2,889	-24.732	43.708	-	RAR	57,748	-24.732	43.708	-
25%	RAR	0,536	-24.732	-6.812	-	RAR	-0,312	-22.331	-6.696	-	RAR	7,216	-24.732	-6.812	-
50%	RAR	1,532	-24.732	-24.164	-	RAR	-1,453	-24.732	-24.164	-	RAR	20,060	-24.732	-24.164	-
75%	RAR	0,605	-24.732	-8.348	-	RAR	-0,367	-24.732	-8.348	-	RAR	8,119	-24.732	-8.348	-
100%	RAR	2,398	-24.732	40.635	-	RAR	-2,931	-24.732	40.635	-	RAR	94,268	-24.732	40.635	-
Piano terra										**Travata: Trave1-7-16-19**					
Trave: Trave 1-7				**FRC=0,10 cm**				**AA= PCA**							
CA=FRQ	**ε_{sm}=2,67691E-04**			**A_e=199,0 cm²**			**S_m=145 mm**			**W_k=0,04 mm**			**$\sigma_{ct,f}$=2,30 N/mm²**		
CA=QPR	**ε_{sm}=2,66991E-04**			**A_e=199,0 cm²**			**S_m=145 mm**			**W_k=0,04 mm**			**$\sigma_{ct,f}$=2,29 N/mm²**		
0%	RAR	1,752	-8.764	12.697	-	RAR	-2,203	-8.764	12.697	-	RAR	58,693	-8.764	12.697	-
25%	RAR	0,242	-8.588	-1.149	-	RAR	-0,088	-8.545	-1.148	-	RAR	3,181	-8.588	-1.149	-
50%	RAR	1,184	-8.764	-7.738	-	RAR	-1,141	-8.764	-7.738	-	RAR	14,594	-8.764	-7.738	-
75%	RAR	0,556	-8.764	-3.405	-	RAR	-0,422	-8.764	-3.405	-	RAR	7,007	-8.764	-3.405	-
100%	RAR	2,302	-8.764	15.635	-	RAR	-3,116	-8.764	15.635	-	RAR	86,513	-8.764	15.635	-
Trave: Trave 7-16				**FRC=0,00 cm**				**AA= PCA**							
CA=FRQ	**ε_{sm}=0E+00**			**A_e=0,0 cm²**			**S_m=0 mm**			**W_k=0,00 mm**			**$\sigma_{ct,f}$=0,00 N/mm²**		
CA=QPR	**ε_{sm}=0E+00**			**A_e=0,0 cm²**			**S_m=0 mm**			**W_k=0,00 mm**			**$\sigma_{ct,f}$=0,00 N/mm²**		
0%	RAR	0,061	25.711	2.229	-	RAR	-0,607	25.838	2.223	-	RAR	0,011	25.711	2.229	-
25%	RAR	0,031	1.483	272	-	RAR	-0,059	1.526	270	-	RAR	0,340	1.483	272	-
50%	RAR	0,013	-1.159	-5	-	RAR	0,000	-	-	-	RAR	0,192	-1.159	-5	-
75%	RAR	0,007	-558	7	-	RAR	0,000	-	-	-	RAR	0,102	-558	7	-
100%	RAR	0,093	10.524	1.337	-	RAR	-0,322	10.524	1.337	-	RAR	0,831	10.524	1.337	-
Trave: Trave 16-19				**FRC=0,01 cm**				**AA= PCA**							
CA=FRQ	**ε_{sm}=0E+00**			**A_e=0,0 cm²**			**S_m=0 mm**			**W_k=0,00 mm**			**$\sigma_{ct,f}$=0,00 N/mm²**		
CA=QPR	**ε_{sm}=0E+00**			**A_e=0,0 cm²**			**S_m=0 mm**			**W_k=0,00 mm**			**$\sigma_{ct,f}$=0,00 N/mm²**		
0%	RAR	0,812	-2.348	5.287	-	RAR	-0,830	-2.348	5.287	-	RAR	9,939	-2.348	5.287	-
25%	RAR	0,064	-2.317	233	-	RAR	-0,014	-2.281	234	-	RAR	0,854	-2.317	233	-
50%	RAR	0,297	-2.431	-1.744	-	RAR	-0,270	-2.348	-1.749	-	RAR	3,684	-2.431	-1.744	-
75%	RAR	0,206	-2.348	-1.184	-	RAR	-0,169	-2.348	-1.184	-	RAR	2,581	-2.348	-1.184	-
100%	RAR	0,241	-2.437	1.430	-	RAR	-0,201	-2.437	1.430	-	RAR	3,017	-2.437	1.430	-
Piano terra										**Travata: Trave6-P7-12-15-P8-24**					
Trave: Trave 6-P7				**FRC=-0,01 cm**				**AA= PCA**							
CA=FRQ	**ε_{sm}=0E+00**			**A_e=0,0 cm²**			**S_m=0 mm**			**W_k=0,00 mm**			**$\sigma_{ct,f}$=0,00 N/mm²**		
CA=QPR	**ε_{sm}=0E+00**			**A_e=0,0 cm²**			**S_m=0 mm**			**W_k=0,00 mm**			**$\sigma_{ct,f}$=0,00 N/mm²**		
0%	RAR	0,010	10.070	2.310	-	RAR	-0,092	10.388	2.338	-	RAR	0,103	10.070	2.310	-
25%	RAR	0,039	15.175	4.636	-	RAR	-0,161	15.175	4.636	-	RAR	0,496	15.175	4.636	-
50%	RAR	0,069	21.279	7.161	-	RAR	-0,241	21.279	7.161	-	RAR	0,890	21.279	7.161	-
75%	RAR	0,033	48.726	10.468	-	RAR	-0,419	48.726	10.468	-	RAR	0,287	48.726	10.468	-
100%	RAR	0,056	61.383	13.651	-	RAR	-0,543	61.383	13.651	-	RAR	0,565	61.383	13.651	-
Trave: Trave P7-12				**FRC=-0,02 cm**				**AA= PCA**							
CA=FRQ	**ε_{sm}=0E+00**			**A_e=0,0 cm²**			**S_m=0 mm**			**W_k=0,00 mm**			**$\sigma_{ct,f}$=0,00 N/mm²**		
CA=QPR	**ε_{sm}=0E+00**			**A_e=0,0 cm²**			**S_m=0 mm**			**W_k=0,00 mm**			**$\sigma_{ct,f}$=0,00 N/mm²**		
0%	RAR	0,951	728	43.792	-	RAR	-0,939	728	43.792	-	RAR	13,384	728	43.792	-
25%	RAR	0,358	728	16.209	-	RAR	-0,353	728	16.209	-	RAR	5,044	728	16.209	-
50%	RAR	0,086	7	-3.885	-	RAR	-0,087	7	-3.885	-	RAR	1,206	7	-3.885	-
75%	RAR	0,332	728	-14.851	-	RAR	-0,326	728	-14.851	-	RAR	4,678	728	-14.851	-
100%	RAR	0,371	728	-16.720	-	RAR	-0,359	728	-16.720	-	RAR	5,222	728	-16.720	-
Trave: Trave 12-15				**FRC=0,00 cm**				**AA= PCA**							
CA=FRQ	**ε_{sm}=0E+00**			**A_e=0,0 cm²**			**S_m=0 mm**			**W_k=0,00 mm**			**$\sigma_{ct,f}$=0,00 N/mm²**		
CA=QPR	**ε_{sm}=0E+00**			**A_e=0,0 cm²**			**S_m=0 mm**			**W_k=0,00 mm**			**$\sigma_{ct,f}$=0,00 N/mm²**		
0%	RAR	0,810	-80.782	23.855	-	RAR	-0,224	-79.319	24.059	-	RAR	11,679	-80.782	23.855	-
25%	RAR	0,330	-80.782	-666	-	RAR	0,000	-	-	-	RAR	4,939	-80.782	-666	-
50%	RAR	0,700	-80.782	-17.168	-	RAR	-0,077	-74.790	-16.275	-	RAR	10,138	-80.782	-17.168	-
75%	RAR	0,923	-80.782	-26.125	-	RAR	-0,282	-79.319	-25.879	-	RAR	13,278	-80.782	-26.125	-
100%	RAR	0,936	-80.782	-28.014	-	RAR	-0,285	-79.319	-27.755	-	RAR	13,479	-80.782	-28.014	-
Trave: Trave 15-P8				**FRC=-0,02 cm**				**AA= PCA**							
CA=FRQ	**ε_{sm}=0E+00**			**A_e=0,0 cm²**			**S_m=0 mm**			**W_k=0,00 mm**			**$\sigma_{ct,f}$=0,00 N/mm²**		
CA=QPR	**ε_{sm}=0E+00**			**A_e=0,0 cm²**			**S_m=0 mm**			**W_k=0,00 mm**			**$\sigma_{ct,f}$=0,00 N/mm²**		
0%	RAR	1,334	-13.935	-56.132	-	RAR	-1,195	-13.935	-56.132	-	RAR	18,832	-13.935	-56.132	-
25%	RAR	0,734	-13.935	-29.831	-	RAR	-0,610	-13.935	-29.831	-	RAR	10,390	-13.935	-29.831	-
50%	RAR	0,090	-13.943	-1.631	-	RAR	0,000	-	-	-	RAR	1,311	-13.943	-1.631	-
75%	RAR	0,694	-13.935	28.467	-	RAR	-0,574	-13.935	28.467	-	RAR	9,824	-13.935	28.467	-
100%	RAR	1,410	-13.935	60.303	-	RAR	-1,275	-13.935	60.303	-	RAR	19,902	-13.935	60.303	-
Trave: Trave P8-24				**FRC=0,01 cm**				**AA= PCA**							
CA=FRQ	**ε_{sm}=0E+00**			**A_e=0,0 cm²**			**S_m=0 mm**			**W_k=0,00 mm**			**$\sigma_{ct,f}$=0,00 N/mm²**		
CA=QPR	**ε_{sm}=0E+00**			**A_e=0,0 cm²**			**S_m=0 mm**			**W_k=0,00 mm**			**$\sigma_{ct,f}$=0,00 N/mm²**		
0%	RAR	0,030	79.167	15.407	-	RAR	-0,656	79.167	15.407	-	RAR	0,133	79.167	15.407	-
25%	RAR	0,047	65.780	13.812	-	RAR	-0,568	65.780	13.812	-	RAR	0,422	65.780	13.812	-
50%	RAR	0,000	-	-	-	RAR	-0,371	47.847	8.291	-	RAR	0,000	-	-	-
75%	RAR	0,046	17.027	5.166	-	RAR	-0,182	17.027	5.166	-	RAR	0,579	17.027	5.166	-
100%	RAR	0,004	9.315	1.869	-	RAR	-0,080	9.576	1.896	-	RAR	0,027	9.315	1.869	-
Piano terra										**Travata: Trave10-13-22**					
Trave: Trave 10-13				**FRC=0,02 cm**				**AA= PCA**							
CA=FRQ	**ε_{sm}=0E+00**			**A_e=0,0 cm²**			**S_m=0 mm**			**W_k=0,00 mm**			**$\sigma_{ct,f}$=0,00 N/mm²**		
CA=QPR	**ε_{sm}=0E+00**			**A_e=0,0 cm²**			**S_m=0 mm**			**W_k=0,00 mm**			**$\sigma_{ct,f}$=0,00 N/mm²**		
0%	RAR	1,354	-4.268	2.532	-	RAR	-1,203	-4.268	2.532	-	RAR	14,168	-4.268	2.532	-
25%	RAR	0,298	-4.268	441	-	RAR	-0,148	-4.268	441	-	RAR	3,399	-4.268	441	-
50%	RAR	0,434	-4.028	-719	-	RAR	-0,292	-4.028	-719	-	RAR	4,774	-4.268	-708	-
75%	RAR	0,538	-4.268	-917	-	RAR	-0,388	-4.268	-917	-	RAR	5,850	-4.268	-917	-
100%	RAR	0,169	-4.268	-186	-	RAR	-0,019	-4.268	-186	-	RAR	2,085	-4.268	-186	-

%LLI Tp_{rnf}	Trazione calcestruzzo Trazione calcestruzzo rinforzo					Compressione calcestruzzo Compressione calcestruzzo rinforzo					Trazione acciaio Trazione acciaio/FRP rinforzo				
	Id_{Cmb}	σ_{ct}	N_{Ed}	$M_{Ed,3}$	$M_{Ed,2}$	Id_{Cmb}	σ_{cc}	N_{Ed}	$M_{Ed,3}$	$M_{Ed,2}$	Id_{Cmb}	σ_{at}	N_{Ed}	$M_{Ed,3}$	$M_{Ed,2}$
[%]		[N/mm²]	[N]	[N·m]	[N·m]		[N/mm²]	[N]	[N·m]	[N·m]		[N/mm²]	[N]	[N·m]	[N·m]
Trave: Trave 13-22				**FRC=0,03 cm**					**AA= PCA**						
CA=FRQ	**ε_{sm}=0E+00**			**A_e=0,0 cm²**			**S_m=0 mm**			**W_k=0,00 mm**			**$\sigma_{ct,f}$=0,00 N/mm²**		
CA=QPR	**ε_{sm}=0E+00**			**A_e=0,0 cm²**			**S_m=0 mm**			**W_k=0,00 mm**			**$\sigma_{ct,f}$=0,00 N/mm²**		
0%	RAR	0,822	515	1.645	-	RAR	-0,840	515	1.645	-	RAR	8,336	515	1.645	-
25%	RAR	0,204	515	-422	-	RAR	-0,227	655	-426	-	RAR	2,037	515	-422	-
50%	RAR	0,470	515	-949	-	RAR	-0,488	515	-949	-	RAR	4,752	515	-949	-
75%	RAR	0,038	655	98	-	RAR	-0,061	655	98	-	RAR	0,332	655	98	-
100%	RAR	1,314	515	2.621	-	RAR	-1,333	515	2.621	-	RAR	13,363	515	2.621	-
Piano interrato										**Travata: Trave1-P1-2-P2-3-P3-P4-4-P5-5-P6-6**					
Trave: Trave 1-P1				**FRC=0,00 cm**					**AA= PCA**						
CA=FRQ	**ε_{sm}=0E+00**			**A_e=0,0 cm²**			**S_m=0 mm**			**W_k=0,00 mm**			**$\sigma_{ct,f}$=0,00 N/mm²**		
CA=QPR	**ε_{sm}=0E+00**			**A_e=0,0 cm²**			**S_m=0 mm**			**W_k=0,00 mm**			**$\sigma_{ct,f}$=0,00 N/mm²**		
0%	RAR	0,000	-	-	-	RAR	-0,241	32.657	-3.873	-	RAR	0,000	-	-	-
25%	RAR	0,000	-	-	-	RAR	-0,250	32.657	3.484	-	RAR	0,000	-	-	-
50%	RAR	0,222	32.657	13.019	-	RAR	-0,567	32.657	13.019	-	RAR	2,780	32.657	13.019	-
75%	RAR	0,000	-	-	-	RAR	-0,946	117.437	13.877	-	RAR	0,000	-	-	-
100%	RAR	0,118	117.437	21.962	-	RAR	-1,214	117.437	21.962	-	RAR	0,829	117.437	21.962	-
Trave: Trave P1-2				**FRC=-0,04 cm**					**AA= PCA**						
CA=FRQ	**ε_{sm}=2,4414E-04**			**A_e=246,0 cm²**			**S_m=118 mm**			**W_k=0,03 mm**			**$\sigma_{ct,f}$=1,94 N/mm²**		
CA=QPR	**ε_{sm}=2,35649E-04**			**A_e=246,0 cm²**			**S_m=118 mm**			**W_k=0,03 mm**			**$\sigma_{ct,f}$=1,89 N/mm²**		
0%	RAR	2,102	-28.472	79.670	-	RAR	-2,310	-28.472	79.670	-	RAR	75,079	-28.472	79.670	-
25%	RAR	0,337	-28.472	-7.292	-	RAR	-0,128	-28.472	-7.292	-	RAR	4,730	-28.472	-7.292	-
50%	RAR	1,295	-28.472	-39.619	-	RAR	-1,233	-28.472	-39.619	-	RAR	17,651	-28.472	-39.619	-
75%	RAR	0,640	-28.472	-17.304	-	RAR	-0,429	-28.472	-17.304	-	RAR	8,854	-28.472	-17.304	-
100%	RAR	1,675	-28.472	59.650	-	RAR	-2,106	-28.472	59.650	-	RAR	51,532	-28.472	59.650	-
Trave: Trave 2-P2				**FRC=-0,05 cm**					**AA= PCA**						
CA=FRQ	**ε_{sm}=5,30904E-04**			**A_e=246,0 cm²**			**S_m=145 mm**			**W_k=0,08 mm**			**$\sigma_{ct,f}$=2,57 N/mm²**		
CA=QPR	**ε_{sm}=5,13523E-04**			**A_e=246,0 cm²**			**S_m=145 mm**			**W_k=0,07 mm**			**$\sigma_{ct,f}$=2,51 N/mm²**		
0%	RAR	1,681	-27.092	62.579	-	RAR	-2,003	-27.092	62.579	-	RAR	52,824	-27.092	62.579	-
25%	RAR	0,637	-27.092	-17.620	-	RAR	-0,487	-27.092	-17.620	-	RAR	8,770	-27.092	-17.620	-
50%	RAR	1,329	-27.092	-40.948	-	RAR	-1,284	-27.092	-40.948	-	RAR	18,094	-27.092	-40.948	-
75%	RAR	0,334	-27.092	-7.400	-	RAR	-0,138	-27.092	-7.400	-	RAR	4,685	-27.092	-7.400	-
100%	RAR	2,795	-27.092	83.022	-	RAR	-3,945	-27.092	83.022	-	RAR	150,296	-27.092	83.022	-
Trave: Trave P2-3				**FRC=0,00 cm**					**AA= PCA**						
CA=FRQ	**ε_{sm}=0E+00**			**A_e=0,0 cm²**			**S_m=0 mm**			**W_k=0,00 mm**			**$\sigma_{ct,f}$=0,00 N/mm²**		
CA=QPR	**ε_{sm}=0E+00**			**A_e=0,0 cm²**			**S_m=0 mm**			**W_k=0,00 mm**			**$\sigma_{ct,f}$=0,00 N/mm²**		
0%	RAR	0,083	127.134	21.030	-	RAR	-1,259	127.134	21.030	-	RAR	0,300	118.024	19.578	-
25%	RAR	0,000	-	-	-	RAR	-1,042	127.134	15.566	-	RAR	0,000	-	-	-
50%	RAR	0,000	-	-	-	RAR	-0,851	127.134	12.062	-	RAR	0,000	-	-	-
75%	RAR	0,000	-	-	-	RAR	-0,533	70.455	8.722	-	RAR	0,000	-	-	-
100%	RAR	0,000	-	-	-	RAR	-0,443	70.455	5.750	-	RAR	0,000	-	-	-
Trave: Trave 3-P3				**FRC=0,00 cm**					**AA= PCA**						
CA=FRQ	**ε_{sm}=0E+00**			**A_e=0,0 cm²**			**S_m=0 mm**			**W_k=0,00 mm**			**$\sigma_{ct,f}$=0,00 N/mm²**		
CA=QPR	**ε_{sm}=0E+00**			**A_e=0,0 cm²**			**S_m=0 mm**			**W_k=0,00 mm**			**$\sigma_{ct,f}$=0,00 N/mm²**		
0%	RAR	0,000	-	-	-	RAR	-0,435	54.889	7.467	-	RAR	0,000	-	-	-
25%	RAR	0,000	-	-	-	RAR	-0,417	54.889	6.856	-	RAR	0,000	-	-	-
50%	RAR	0,000	-	-	-	RAR	-0,463	61.170	7.592	-	RAR	0,000	-	-	-
75%	RAR	0,000	-	-	-	RAR	-0,674	81.672	10.138	-	RAR	0,000	-	-	-
100%	RAR	0,000	-	-	-	RAR	-0,703	81.672	10.415	-	RAR	0,000	-	-	-
Trave: Trave P3-P4				**FRC=0,02 cm**					**AA= PCA**						
CA=FRQ	**ε_{sm}=1,24645E-03**			**A_e=246,0 cm²**			**S_m=338 mm**			**W_k=0,42 mm**			**$\sigma_{ct,f}$=1,73 N/mm²**		
CA=QPR	**ε_{sm}=1,1976E-03**			**A_e=246,0 cm²**			**S_m=338 mm**			**W_k=0,40 mm**			**$\sigma_{ct,f}$=1,68 N/mm²**		
0%	RAR	1,621	-28.623	52.084	-	RAR	-1,937	-28.623	52.084	-	RAR	68,239	-28.623	52.084	-
25%	RAR	0,371	-28.623	-8.404	-	RAR	-0,166	-28.623	-8.404	-	RAR	5,184	-28.623	-8.404	-
50%	RAR	0,998	-28.623	-29.558	-	RAR	-0,888	-28.623	-29.558	-	RAR	13,639	-28.623	-29.558	-
75%	RAR	0,458	-28.623	-11.367	-	RAR	-0,267	-28.623	-11.367	-	RAR	6,368	-28.623	-11.367	-
100%	RAR	1,877	-28.623	46.155	-	RAR	-3,834	-28.623	46.155	-	RAR	383,569	-28.623	46.155	-
Trave: Trave P4-4				**FRC=0,00 cm**					**AA= PCA**						
CA=FRQ	**ε_{sm}=0E+00**			**A_e=0,0 cm²**			**S_m=0 mm**			**W_k=0,00 mm**			**$\sigma_{ct,f}$=0,00 N/mm²**		
CA=QPR	**ε_{sm}=0E+00**			**A_e=0,0 cm²**			**S_m=0 mm**			**W_k=0,00 mm**			**$\sigma_{ct,f}$=0,00 N/mm²**		
0%	RAR	0,005	69.766	10.188	-	RAR	-0,645	69.766	10.188	-	RAR	0,000	-	-	-
25%	RAR	0,000	-	-	-	RAR	-0,567	69.766	8.415	-	RAR	0,000	-	-	-
50%	RAR	0,000	-	-	-	RAR	-0,526	69.766	8.582	-	RAR	0,000	-	-	-
75%	RAR	0,000	-	-	-	RAR	-0,387	51.707	6.268	-	RAR	0,000	-	-	-
100%	RAR	0,000	-	-	-	RAR	-0,404	51.707	6.833	-	RAR	0,000	-	-	-
Trave: Trave 4-P5				**FRC=0,00 cm**					**AA= PCA**						
CA=FRQ	**ε_{sm}=0E+00**			**A_e=0,0 cm²**			**S_m=0 mm**			**W_k=0,00 mm**			**$\sigma_{ct,f}$=0,00 N/mm²**		
CA=QPR	**ε_{sm}=0E+00**			**A_e=0,0 cm²**			**S_m=0 mm**			**W_k=0,00 mm**			**$\sigma_{ct,f}$=0,00 N/mm²**		
0%	RAR	0,000	-	-	-	RAR	-0,424	63.627	5.991	-	RAR	0,000	-	-	-
25%	RAR	0,000	-	-	-	RAR	-0,519	63.627	9.138	-	RAR	0,000	-	-	-
50%	RAR	0,000	-	-	-	RAR	-0,714	95.043	11.593	-	RAR	0,000	-	-	-
75%	RAR	0,000	-	-	-	RAR	-1,167	147.030	16.857	-	RAR	0,000	-	-	-
100%	RAR	0,000	-	-	-	RAR	-1,326	147.030	20.525	-	RAR	0,000	-	-	-
Trave: Trave P5-5				**FRC=-0,05 cm**					**AA= PCA**						
CA=FRQ	**ε_{sm}=2,37988E-03**			**A_e=246,0 cm²**			**S_m=338 mm**			**W_k=0,80 mm**			**$\sigma_{ct,f}$=2,80 N/mm²**		
CA=QPR	**ε_{sm}=2,30742E-03**			**A_e=246,0 cm²**			**S_m=338 mm**			**W_k=0,78 mm**			**$\sigma_{ct,f}$=2,73 N/mm²**		
0%	RAR	3,043	-17.966	86.799	-	RAR	-5,401	-17.966	86.799	-	RAR	641,173	-17.966	86.799	-
25%	RAR	0,225	-17.966	-5.000	-	RAR	-0,094	-17.966	-5.000	-	RAR	3,144	-17.966	-5.000	-
50%	RAR	1,260	-17.966	-39.931	-	RAR	-1,288	-17.966	-39.931	-	RAR	17,105	-17.966	-39.931	-
75%	RAR	0,617	-17.966	-17.991	-	RAR	-0,495	-17.966	-17.991	-	RAR	8,471	-17.966	-17.991	-
100%	RAR	1,663	-17.966	60.818	-	RAR	-2,215	-17.966	60.818	-	RAR	50,521	-17.966	60.818	-
Trave: Trave 5-P6				**FRC=-0,05 cm**					**AA= PCA**						
CA=FRQ	**ε_{sm}=7,5156E-04**			**A_e=246,0 cm²**			**S_m=162 mm**			**W_k=0,12 mm**			**$\sigma_{ct,f}$=2,63 N/mm²**		
CA=QPR	**ε_{sm}=7,27651E-04**			**A_e=246,0 cm²**			**S_m=162 mm**			**W_k=0,12 mm**			**$\sigma_{ct,f}$=2,56 N/mm²**		

%LLI Tp_{rnf}	Trazione calcestruzzo Trazione calcestruzzo rinforzo					Compressione calcestruzzo Compressione calcestruzzo rinforzo					Trazione acciaio Trazione acciaio/FRP rinforzo				
	Id_{Cmb}	σ_{ct}	N_{Ed}	$M_{Ed,3}$	$M_{Ed,2}$	Id_{Cmb}	σ_{cc}	N_{Ed}	$M_{Ed,3}$	$M_{Ed,2}$	Id_{Cmb}	σ_{at}	N_{Ed}	$M_{Ed,3}$	$M_{Ed,2}$
[%]		[N/mm²]	[N]	[N·m]	[N·m]		[N/mm²]	[N]	[N·m]	[N·m]		[N/mm²]	[N]	[N·m]	[N·m]
0%	RAR	1,922	-33.946	69.674	-	RAR	-2,381	-33.946	69.674	-	RAR	58,118	-33.946	69.674	-
25%	RAR	0,711	-33.946	-19.353	-	RAR	-0,459	-33.946	-19.353	-	RAR	9,847	-33.946	-19.353	-
50%	RAR	1,469	-33.946	-45.736	-	RAR	-1,384	-33.946	-45.736	-	RAR	20,034	-33.946	-45.736	-
75%	RAR	0,418	-33.946	-9.477	-	RAR	-0,174	-33.946	-9.477	-	RAR	5,849	-33.946	-9.477	-
100%	RAR	2,857	-33.946	89.431	-	RAR	-3,378	-33.946	89.431	-	RAR	206,686	-33.946	89.431	-
Trave: Trave P6-6				**FRC=0,01 cm**				**AA= PCA**							
CA=FRQ	**ε_{sm}=0E+00**			**A_e=0,0 cm²**			**S_m=0 mm**			**W_k=0,00 mm**			**$\sigma_{ct,f}$=0,00 N/mm²**		
CA=QPR	**ε_{sm}=0E+00**			**A_e=0,0 cm²**			**S_m=0 mm**			**W_k=0,00 mm**			**$\sigma_{ct,f}$=0,00 N/mm²**		
0%	RAR	0,106	130.573	23.800	-	RAR	-1,306	130.573	23.800	-	RAR	0,599	130.573	23.800	-
25%	RAR	0,000	-	-	-	RAR	-1,050	130.573	15.905	-	RAR	0,000	-	-	-
50%	RAR	0,000	-	-	-	RAR	-0,854	130.573	9.866	-	RAR	0,000	-	-	-
75%	RAR	0,000	-	-	-	RAR	-0,374	46.104	5.722	-	RAR	0,000	-	-	-
100%	RAR	0,000	-	-	-	RAR	-0,223	46.104	-1.273	-	RAR	0,000	-	-	-
Piano interrato										**Travata: Trave7-8-9-10-11-12**					
Trave: Trave 7-8				**FRC=0,10 cm**				**AA= PCA**							
CA=FRQ	**ε_{sm}=3,63899E-04**			**A_e=250,0 cm²**			**S_m=123 mm**			**W_k=0,04 mm**			**$\sigma_{ct,f}$=2,55 N/mm²**		
CA=QPR	**ε_{sm}=3,48592E-04**			**A_e=250,0 cm²**			**S_m=123 mm**			**W_k=0,04 mm**			**$\sigma_{ct,f}$=2,46 N/mm²**		
0%	RAR	2,781	-111.217	97.324	-	RAR	-2,520	-111.217	97.324	-	RAR	87,511	-111.217	97.324	-
25%	RAR	1,684	-111.217	-46.760	-	RAR	-0,937	-111.217	-46.760	-	RAR	70,549	-111.217	-46.760	-
50%	RAR	2,807	-111.217	-84.227	-	RAR	-2,656	-111.217	-84.227	-	RAR	104,570	-111.217	-84.227	-
75%	RAR	0,928	-111.217	-15.242	-	RAR	-0,054	-100.837	-14.116	-	RAR	13,215	-111.217	-15.242	-
100%	RAR	4,072	-111.217	160.039	-	RAR	-4,664	-111.217	160.039	-	RAR	105,827	-111.217	160.039	-
Trave: Trave 8-9				**FRC=0,08 cm**				**AA= PCA**							
CA=FRQ	**ε_{sm}=3,05584E-04**			**A_e=250,0 cm²**			**S_m=109 mm**			**W_k=0,03 mm**			**$\sigma_{ct,f}$=3,12 N/mm²**		
CA=QPR	**ε_{sm}=2,93307E-04**			**A_e=250,0 cm²**			**S_m=109 mm**			**W_k=0,03 mm**			**$\sigma_{ct,f}$=3,02 N/mm²**		
0%	RAR	2,992	-10.360	135.449	-	RAR	-3,933	-10.360	135.449	-	RAR	76,982	-10.360	135.449	-
25%	RAR	0,719	-10.360	-22.654	-	RAR	-0,732	-10.360	-22.654	-	RAR	9,747	-10.360	-22.654	-
50%	RAR	2,075	-10.360	-72.983	-	RAR	-2,898	-10.360	-72.983	-	RAR	70,526	-10.360	-72.983	-
75%	RAR	0,480	-10.360	-15.704	-	RAR	-0,481	-10.360	-15.704	-	RAR	6,516	-10.360	-15.704	-
100%	RAR	3,437	-10.360	149.014	-	RAR	-4,897	-10.360	149.014	-	RAR	86,406	-10.360	149.014	-
Trave: Trave 9-10				**FRC=0,07 cm**				**AA= PCA**							
CA=FRQ	**ε_{sm}=2,30058E-04**			**A_e=250,0 cm²**			**S_m=106 mm**			**W_k=0,02 mm**			**$\sigma_{ct,f}$=2,70 N/mm²**		
CA=QPR	**ε_{sm}=2,20098E-04**			**A_e=250,0 cm²**			**S_m=106 mm**			**W_k=0,02 mm**			**$\sigma_{ct,f}$=2,61 N/mm²**		
0%	RAR	2,972	6.393	141.850	-	RAR	-4,540	6.393	141.850	-	RAR	67,810	6.393	141.850	-
25%	RAR	0,434	6.393	-16.526	-	RAR	-0,578	6.393	-16.526	-	RAR	5,780	6.393	-16.526	-
50%	RAR	1,895	6.393	-69.029	-	RAR	-2,832	6.393	-69.029	-	RAR	63,154	6.393	-69.029	-
75%	RAR	0,476	6.393	-16.876	-	RAR	-0,605	6.393	-16.876	-	RAR	6,360	6.393	-16.876	-
100%	RAR	2,781	6.393	138.726	-	RAR	-3,940	6.393	138.726	-	RAR	64,719	6.393	138.726	-
Trave: Trave 10-11				**FRC=0,07 cm**				**AA= PCA**							
CA=FRQ	**ε_{sm}=2,78921E-04**			**A_e=250,0 cm²**			**S_m=109 mm**			**W_k=0,03 mm**			**$\sigma_{ct,f}$=2,85 N/mm²**		
CA=QPR	**ε_{sm}=2,67435E-04**			**A_e=250,0 cm²**			**S_m=109 mm**			**W_k=0,03 mm**			**$\sigma_{ct,f}$=2,75 N/mm²**		
0%	RAR	3,133	3	143.653	-	RAR	-4,227	3	143.653	-	RAR	80,208	3	143.653	-
25%	RAR	0,389	3	-13.984	-	RAR	-0,467	3	-13.984	-	RAR	5,227	3	-13.984	-
50%	RAR	1,912	3	-68.668	-	RAR	-2,782	3	-68.668	-	RAR	64,213	3	-68.668	-
75%	RAR	0,608	3	-20.398	-	RAR	-0,699	3	-20.398	-	RAR	8,180	3	-20.398	-
100%	RAR	2,762	3	130.828	-	RAR	-4,155	3	130.828	-	RAR	63,143	3	130.828	-
Trave: Trave 11-12				**FRC=0,13 cm**				**AA= PCA**							
CA=FRQ	**ε_{sm}=4,14271E-04**			**A_e=250,0 cm²**			**S_m=123 mm**			**W_k=0,05 mm**			**$\sigma_{ct,f}$=2,81 N/mm²**		
CA=QPR	**ε_{sm}=3,97271E-04**			**A_e=250,0 cm²**			**S_m=123 mm**			**W_k=0,05 mm**			**$\sigma_{ct,f}$=2,71 N/mm²**		
0%	RAR	4,191	-131.122	175.659	-	RAR	-4,800	-131.122	175.659	-	RAR	98,724	-131.122	175.659	-
25%	RAR	1,001	-131.122	-14.867	-	RAR	0,000	-	-	-	RAR	14,336	-131.122	-14.867	-
50%	RAR	3,094	-131.122	-91.565	-	RAR	-2,800	-131.122	-91.565	-	RAR	116,190	-131.122	-91.565	-
75%	RAR	1,967	-131.122	-54.426	-	RAR	-1,084	-131.122	-54.426	-	RAR	82,563	-131.122	-54.426	-
100%	RAR	2,974	-131.122	96.535	-	RAR	-2,717	-131.122	96.535	-	RAR	91,337	-131.122	96.535	-
Piano interrato										**Travata: Trave19-P9-20-P10-21-P11-P12-22-P13-23-P14-24**					
Trave: Trave 19-P9				**FRC=0,00 cm**				**AA= PCA**							
CA=FRQ	**ε_{sm}=0E+00**			**A_e=0,0 cm²**			**S_m=0 mm**			**W_k=0,00 mm**			**$\sigma_{ct,f}$=0,00 N/mm²**		
CA=QPR	**ε_{sm}=0E+00**			**A_e=0,0 cm²**			**S_m=0 mm**			**W_k=0,00 mm**			**$\sigma_{ct,f}$=0,00 N/mm²**		
0%	RAR	0,000	-	-	-	RAR	-0,100	13.813	-1.558	-	RAR	0,000	-	-	-
25%	RAR	0,041	13.813	3.582	-	RAR	-0,176	13.813	3.582	-	RAR	0,466	13.813	3.582	-
50%	RAR	0,000	-	-	-	RAR	-0,408	49.952	6.064	-	RAR	0,000	-	-	-
75%	RAR	0,000	-	-	-	RAR	-0,753	96.519	10.664	-	RAR	0,000	-	-	-
100%	RAR	0,001	91.397	13.794	-	RAR	-0,881	96.519	14.530	-	RAR	0,000	-	-	-
Trave: Trave P9-20				**FRC=-0,04 cm**				**AA= PCA**							
CA=FRQ	**ε_{sm}=2,90651E-04**			**A_e=246,0 cm²**			**S_m=137 mm**			**W_k=0,04 mm**			**$\sigma_{ct,f}$=1,66 N/mm²**		
CA=QPR	**ε_{sm}=2,81848E-04**			**A_e=246,0 cm²**			**S_m=137 mm**			**W_k=0,04 mm**			**$\sigma_{ct,f}$=1,62 N/mm²**		
0%	RAR	1,786	-18.516	60.132	-	RAR	-2,049	-18.516	60.132	-	RAR	92,086	-18.516	60.132	-
25%	RAR	0,153	-18.516	-2.512	-	RAR	-0,010	-17.264	-2.431	-	RAR	2,185	-18.516	-2.512	-
50%	RAR	0,887	-18.516	-27.294	-	RAR	-0,854	-18.516	-27.294	-	RAR	12,090	-18.516	-27.294	-
75%	RAR	0,517	-18.516	-14.106	-	RAR	-0,401	-18.516	-14.106	-	RAR	7,108	-18.516	-14.106	-
100%	RAR	1,102	-18.516	37.152	-	RAR	-1,160	-18.516	37.152	-	RAR	14,950	-18.516	37.152	-
Trave: Trave 20-P10				**FRC=-0,04 cm**				**AA= PCA**							
CA=FRQ	**ε_{sm}=3,22003E-04**			**A_e=246,0 cm²**			**S_m=139 mm**			**W_k=0,04 mm**			**$\sigma_{ct,f}$=1,87 N/mm²**		
CA=QPR	**ε_{sm}=3,12107E-04**			**A_e=246,0 cm²**			**S_m=139 mm**			**W_k=0,04 mm**			**$\sigma_{ct,f}$=1,83 N/mm²**		

%LLI Tp_{rnf}	Trazione calcestruzzo Trazione calcestruzzo rinforzo					Compressione calcestruzzo Compressione calcestruzzo rinforzo					Trazione acciaio Trazione acciaio/FRP rinforzo				
	Id_{Cmb}	σ_{ct}	N_{Ed}	$M_{Ed,3}$	$M_{Ed,2}$	Id_{Cmb}	σ_{cc}	N_{Ed}	$M_{Ed,3}$	$M_{Ed,2}$	Id_{Cmb}	σ_{at}	N_{Ed}	$M_{Ed,3}$	$M_{Ed,2}$
[%]		[N/mm²]	[N]	[N·m]	[N·m]		[N/mm²]	[N]	[N·m]	[N·m]		[N/mm²]	[N]	[N·m]	[N·m]
0%	RAR	1,133	-21.036	41.212	-	RAR	-1,221	-21.036	41.212	-	RAR	15,341	-21.036	41.212	-
25%	RAR	0,507	-21.036	-13.807	-	RAR	-0,350	-21.036	-13.807	-	RAR	7,006	-21.036	-13.807	-
50%	RAR	1,005	-21.036	-28.951	-	RAR	-0,923	-21.036	-28.951	-	RAR	13,721	-21.036	-28.951	-
75%	RAR	0,221	-21.036	-4.115	-	RAR	-0,053	-21.036	-4.115	-	RAR	3,127	-21.036	-4.115	-
100%	RAR	2,010	-21.036	60.816	-	RAR	-2,773	-21.036	60.816	-	RAR	99,708	-21.036	60.816	-
Trave: Trave P10-21				**FRC=0,00 cm**				**AA= PCA**							
CA=FRQ	**ε_{sm}=0E+00**			**A_e=0,0 cm²**			**S_m=0 mm**			**W_k=0,00 mm**			**$\sigma_{ct,f}$=0,00 N/mm²**		
CA=QPR	**ε_{sm}=0E+00**			**A_e=0,0 cm²**			**S_m=0 mm**			**W_k=0,00 mm**			**$\sigma_{ct,f}$=0,00 N/mm²**		
0%	RAR	0,085	91.908	15.347	-	RAR	-0,937	91.908	15.347	-	RAR	0,553	91.908	15.347	-
25%	RAR	0,000	-	-	-	RAR	-0,773	91.908	11.357	-	RAR	0,000	-	-	-
50%	RAR	0,000	-	-	-	RAR	-0,627	91.908	8.746	-	RAR	0,000	-	-	-
75%	RAR	0,000	-	-	-	RAR	-0,393	50.634	6.373	-	RAR	0,000	-	-	-
100%	RAR	0,000	-	-	-	RAR	-0,329	50.634	4.270	-	RAR	0,000	-	-	-
Trave: Trave 21-P11				**FRC=0,00 cm**				**AA= PCA**							
CA=FRQ	**ε_{sm}=0E+00**			**A_e=0,0 cm²**			**S_m=0 mm**			**W_k=0,00 mm**			**$\sigma_{ct,f}$=0,00 N/mm²**		
CA=QPR	**ε_{sm}=0E+00**			**A_e=0,0 cm²**			**S_m=0 mm**			**W_k=0,00 mm**			**$\sigma_{ct,f}$=0,00 N/mm²**		
0%	RAR	0,000	-	-	-	RAR	-0,321	39.599	5.437	-	RAR	0,000	-	-	-
25%	RAR	0,000	-	-	-	RAR	-0,310	39.599	5.069	-	RAR	0,000	-	-	-
50%	RAR	0,000	-	-	-	RAR	-0,346	44.483	5.614	-	RAR	0,000	-	-	-
75%	RAR	0,000	-	-	-	RAR	-0,508	60.048	7.512	-	RAR	0,000	-	-	-
100%	RAR	0,000	-	-	-	RAR	-0,516	60.048	7.751	-	RAR	0,000	-	-	-
Trave: Trave P11-P12				**FRC=0,01 cm**				**AA= PCA**							
CA=FRQ	**ε_{sm}=0E+00**			**A_e=0,0 cm²**			**S_m=0 mm**			**W_k=0,00 mm**			**$\sigma_{ct,f}$=0,00 N/mm²**		
CA=QPR	**ε_{sm}=0E+00**			**A_e=0,0 cm²**			**S_m=0 mm**			**W_k=0,00 mm**			**$\sigma_{ct,f}$=0,00 N/mm²**		
0%	RAR	1,124	-21.589	38.522	-	RAR	-0,954	-21.589	38.522	-	RAR	15,403	-21.589	38.522	-
25%	RAR	0,272	-21.589	-6.094	-	RAR	-0,116	-21.589	-6.094	-	RAR	3,812	-21.589	-6.094	-
50%	RAR	0,742	-21.589	-21.943	-	RAR	-0,658	-21.589	-21.943	-	RAR	10,147	-21.589	-21.943	-
75%	RAR	0,346	-21.589	-8.572	-	RAR	-0,201	-21.589	-8.572	-	RAR	4,803	-21.589	-8.572	-
100%	RAR	1,403	-21.589	34.476	-	RAR	-1,204	-21.589	34.476	-	RAR	19,216	-21.589	34.476	-
Trave: Trave P12-22				**FRC=0,00 cm**				**AA= PCA**							
CA=FRQ	**ε_{sm}=0E+00**			**A_e=0,0 cm²**			**S_m=0 mm**			**W_k=0,00 mm**			**$\sigma_{ct,f}$=0,00 N/mm²**		
CA=QPR	**ε_{sm}=0E+00**			**A_e=0,0 cm²**			**S_m=0 mm**			**W_k=0,00 mm**			**$\sigma_{ct,f}$=0,00 N/mm²**		
0%	RAR	0,004	48.032	7.013	-	RAR	-0,480	51.977	7.575	-	RAR	0,000	-	-	-
25%	RAR	0,000	-	-	-	RAR	-0,425	51.977	6.329	-	RAR	0,000	-	-	-
50%	RAR	0,000	-	-	-	RAR	-0,396	51.977	6.538	-	RAR	0,000	-	-	-
75%	RAR	0,000	-	-	-	RAR	-0,297	39.453	4.830	-	RAR	0,000	-	-	-
100%	RAR	0,000	-	-	-	RAR	-0,316	39.453	5.485	-	RAR	0,000	-	-	-
Trave: Trave 22-P13				**FRC=0,00 cm**				**AA= PCA**							
CA=FRQ	**ε_{sm}=0E+00**			**A_e=0,0 cm²**			**S_m=0 mm**			**W_k=0,00 mm**			**$\sigma_{ct,f}$=0,00 N/mm²**		
CA=QPR	**ε_{sm}=0E+00**			**A_e=0,0 cm²**			**S_m=0 mm**			**W_k=0,00 mm**			**$\sigma_{ct,f}$=0,00 N/mm²**		
0%	RAR	0,000	-	-	-	RAR	-0,332	50.284	4.609	-	RAR	0,000	-	-	-
25%	RAR	0,000	-	-	-	RAR	-0,414	50.284	7.333	-	RAR	0,000	-	-	-
50%	RAR	0,000	-	-	-	RAR	-0,574	76.397	9.340	-	RAR	0,000	-	-	-
75%	RAR	0,000	-	-	-	RAR	-0,944	119.178	13.624	-	RAR	0,000	-	-	-
100%	RAR	0,000	-	-	-	RAR	-1,078	119.178	16.721	-	RAR	0,000	-	-	-
Trave: Trave P13-23				**FRC=-0,05 cm**				**AA= PCA**							
CA=FRQ	**ε_{sm}=1,87347E-03**			**A_e=246,0 cm²**			**S_m=337 mm**			**W_k=0,63 mm**			**$\sigma_{ct,f}$=2,43 N/mm²**		
CA=QPR	**ε_{sm}=1,81927E-03**			**A_e=246,0 cm²**			**S_m=337 mm**			**W_k=0,61 mm**			**$\sigma_{ct,f}$=2,37 N/mm²**		
0%	RAR	2,621	-14.784	70.541	-	RAR	-5,269	-14.784	70.541	-	RAR	522,430	-14.784	70.541	-
25%	RAR	0,134	-14.784	-2.406	-	RAR	-0,019	-14.784	-2.406	-	RAR	1,904	-14.784	-2.406	-
50%	RAR	0,986	-14.784	-31.141	-	RAR	-1,001	-14.784	-31.141	-	RAR	13,390	-14.784	-31.141	-
75%	RAR	0,507	-14.784	-15.661	-	RAR	-0,425	-14.784	-15.661	-	RAR	6,952	-14.784	-15.661	-
100%	RAR	1,134	-14.784	44.029	-	RAR	-1,345	-14.784	44.029	-	RAR	15,270	-14.784	44.029	-
Trave: Trave 23-P14				**FRC=-0,05 cm**				**AA= PCA**							
CA=FRQ	**ε_{sm}=3,57252E-04**			**A_e=246,0 cm²**			**S_m=134 mm**			**W_k=0,05 mm**			**$\sigma_{ct,f}$=2,03 N/mm²**		
CA=QPR	**ε_{sm}=3,46034E-04**			**A_e=246,0 cm²**			**S_m=134 mm**			**W_k=0,05 mm**			**$\sigma_{ct,f}$=1,99 N/mm²**		
0%	RAR	1,333	-27.406	51.134	-	RAR	-1,488	-27.406	51.134	-	RAR	18,019	-27.406	51.134	-
25%	RAR	0,626	-27.406	-16.623	-	RAR	-0,449	-27.406	-16.623	-	RAR	8,643	-27.406	-16.623	-
50%	RAR	1,150	-27.406	-35.676	-	RAR	-1,076	-27.406	-35.676	-	RAR	15,686	-27.406	-35.676	-
75%	RAR	0,290	-27.406	-6.027	-	RAR	-0,086	-27.406	-6.027	-	RAR	4,087	-27.406	-6.027	-
100%	RAR	2,193	-27.406	72.328	-	RAR	-2,582	-27.406	72.328	-	RAR	106,054	-27.406	72.328	-
Trave: Trave P14-24				**FRC=0,00 cm**				**AA= PCA**							
CA=FRQ	**ε_{sm}=0E+00**			**A_e=0,0 cm²**			**S_m=0 mm**			**W_k=0,00 mm**			**$\sigma_{ct,f}$=0,00 N/mm²**		
CA=QPR	**ε_{sm}=0E+00**			**A_e=0,0 cm²**			**S_m=0 mm**			**W_k=0,00 mm**			**$\sigma_{ct,f}$=0,00 N/mm²**		
0%	RAR	0,089	104.847	19.268	-	RAR	-1,054	104.847	19.268	-	RAR	0,538	104.847	19.268	-
25%	RAR	0,000	-	-	-	RAR	-0,843	104.847	12.779	-	RAR	0,000	-	-	-
50%	RAR	0,000	-	-	-	RAR	-0,679	104.847	7.719	-	RAR	0,000	-	-	-
75%	RAR	0,000	-	-	-	RAR	-0,287	35.293	4.388	-	RAR	0,000	-	-	-
100%	RAR	0,000	-	-	-	RAR	-0,181	35.293	-1.377	-	RAR	0,000	-	-	-
Piano interrato									**Travata: Trave16-17-18-13-14-15**						
Trave: Trave 17-16				**FRC=0,09 cm**				**AA= PCA**							
CA=FRQ	**ε_{sm}=3,0219E-04**			**A_e=250,0 cm²**			**S_m=123 mm**			**W_k=0,04 mm**			**$\sigma_{ct,f}$=2,14 N/mm²**		
CA=QPR	**ε_{sm}=2,89349E-04**			**A_e=250,0 cm²**			**S_m=123 mm**			**W_k=0,04 mm**			**$\sigma_{ct,f}$=2,07 N/mm²**		
0%	RAR	3,065	-88.454	129.764	-	RAR	-3,599	-88.454	129.764	-	RAR	72,003	-88.454	129.764	-
25%	RAR	0,729	-88.454	-11.815	-	RAR	-0,028	-88.454	-11.815	-	RAR	10,387	-88.454	-11.815	-
50%	RAR	2,263	-88.454	-68.092	-	RAR	-2,159	-88.454	-68.092	-	RAR	84,181	-88.454	-68.092	-
75%	RAR	1,389	-88.454	-39.063	-	RAR	-0,801	-88.454	-39.063	-	RAR	19,266	-88.454	-39.063	-
100%	RAR	2,348	-88.454	75.266	-	RAR	-2,123	-88.454	75.266	-	RAR	90,069	-88.454	75.266	-
Trave: Trave 18-17				**FRC=0,07 cm**				**AA= PCA**							
CA=FRQ	**ε_{sm}=2,09148E-04**			**A_e=250,0 cm²**			**S_m=109 mm**			**W_k=0,02 mm**			**$\sigma_{ct,f}$=2,25 N/mm²**		
CA=QPR	**ε_{sm}=1,99944E-04**			**A_e=250,0 cm²**			**S_m=109 mm**			**W_k=0,02 mm**			**$\sigma_{ct,f}$=2,18 N/mm²**		
0%	RAR	2,637	-15.141	122.250	-	RAR	-3,796	-15.141	122.250	-	RAR	60,558	-15.141	122.250	-
25%	RAR	0,423	-15.141	-12.932	-	RAR	-0,369	-15.141	-12.932	-	RAR	5,777	-15.141	-12.932	-
50%	RAR	1,730	-15.141	-59.870	-	RAR	-2,338	-15.141	-59.870	-	RAR	59,337	-15.141	-59.870	-

%LLI Tp_{rnf}	Trazione calcestruzzo Trazione calcestruzzo rinforzo					Compressione calcestruzzo Compressione calcestruzzo rinforzo					Trazione acciaio Trazione acciaio/FRP rinforzo				
	Id_{Cmb}	σ_{ct}	N_{Ed}	$M_{Ed,3}$	$M_{Ed,2}$	Id_{Cmb}	σ_{cc}	N_{Ed}	$M_{Ed,3}$	$M_{Ed,2}$	Id_{Cmb}	σ_{at}	N_{Ed}	$M_{Ed,3}$	$M_{Ed,2}$
[%]		[N/mm²]	[N]	[N·m]	[N·m]		[N/mm²]	[N]	[N·m]	[N·m]		[N/mm²]	[N]	[N·m]	[N·m]
75%	RAR	0,618	-15.141	-18.566	-	RAR	-0,572	-15.141	-18.566	-	RAR	8,413	-15.141	-18.566	-
100%	RAR	2,476	-15.141	110.987	-	RAR	-3,189	-15.141	110.987	-	RAR	63,966	-15.141	110.987	-
Trave: Trave 13-18				**FRC=0,07 cm**				**AA= PCA**							
CA=FRQ	**ε_{sm}=2,06045E-04**			**A_e=250,0 cm²**			**S_m=109 mm**			**W_k=0,02 mm**			**$\sigma_{ct,f}$=2,24 N/mm²**		
CA=QPR	**ε_{sm}=1,96815E-04**			**A_e=250,0 cm²**			**S_m=109 mm**			**W_k=0,02 mm**			**$\sigma_{ct,f}$=2,16 N/mm²**		
0%	RAR	2,462	-6.811	111.734	-	RAR	-3,254	-6.811	111.734	-	RAR	63,291	-6.811	111.734	-
25%	RAR	0,563	-6.811	-17.939	-	RAR	-0,586	-6.811	-17.939	-	RAR	7,629	-6.811	-17.939	-
50%	RAR	1,687	-6.811	-59.567	-	RAR	-2,375	-6.811	-59.567	-	RAR	57,195	-6.811	-59.567	-
75%	RAR	0,394	-6.811	-13.153	-	RAR	-0,411	-6.811	-13.153	-	RAR	5,341	-6.811	-13.153	-
100%	RAR	2,587	-6.811	121.307	-	RAR	-3,814	-6.811	121.307	-	RAR	59,246	-6.811	121.307	-
Trave: Trave 13-14				**FRC=0,07 cm**				**AA= PCA**							
CA=FRQ	**ε_{sm}=2,23137E-04**			**A_e=250,0 cm²**			**S_m=109 mm**			**W_k=0,02 mm**			**$\sigma_{ct,f}$=2,38 N/mm²**		
CA=QPR	**ε_{sm}=2,13632E-04**			**A_e=250,0 cm²**			**S_m=109 mm**			**W_k=0,02 mm**			**$\sigma_{ct,f}$=2,30 N/mm²**		
0%	RAR	2,617	-5.716	119.011	-	RAR	-3,472	-5.716	119.011	-	RAR	67,187	-5.716	119.011	-
25%	RAR	0,427	-5.716	-14.484	-	RAR	-0,460	-5.716	-14.484	-	RAR	5,770	-5.716	-14.484	-
50%	RAR	1,684	-5.716	-59.633	-	RAR	-2,384	-5.716	-59.633	-	RAR	57,024	-5.716	-59.633	-
75%	RAR	0,514	-5.716	-16.432	-	RAR	-0,539	-5.716	-16.432	-	RAR	6,955	-5.716	-16.432	-
100%	RAR	2,452	-5.716	115.110	-	RAR	-3,624	-5.716	115.110	-	RAR	56,146	-5.716	115.110	-
Trave: Trave 14-15				**FRC=0,11 cm**				**AA= PCA**							
CA=FRQ	**ε_{sm}=3,24461E-04**			**A_e=250,0 cm²**			**S_m=123 mm**			**W_k=0,04 mm**			**$\sigma_{ct,f}$=2,32 N/mm²**		
CA=QPR	**ε_{sm}=3,10784E-04**			**A_e=250,0 cm²**			**S_m=123 mm**			**W_k=0,04 mm**			**$\sigma_{ct,f}$=2,24 N/mm²**		
0%	RAR	3,512	-102.878	148.397	-	RAR	-4,105	-102.878	148.397	-	RAR	82,532	-102.878	148.397	-
25%	RAR	0,794	-102.878	-11.954	-	RAR	0,000	-	-	-	RAR	11,364	-102.878	-11.954	-
50%	RAR	2,552	-102.878	-76.310	-	RAR	-2,388	-102.878	-76.310	-	RAR	95,259	-102.878	-76.310	-
75%	RAR	1,595	-102.878	-44.677	-	RAR	-0,909	-102.878	-44.677	-	RAR	22,137	-102.878	-44.677	-
100%	RAR	2,516	-102.878	82.943	-	RAR	-2,411	-102.878	82.943	-	RAR	76,722	-102.878	82.943	-
Piano interrato									**Travata: Trave1-7-16-19**						
Trave: Trave 1-7				**FRC=0,12 cm**				**AA= PCA**							
CA=FRQ	**ε_{sm}=4,88241E-04**			**A_e=162,0 cm²**			**S_m=145 mm**			**W_k=0,07 mm**			**$\sigma_{ct,f}$=3,18 N/mm²**		
CA=QPR	**ε_{sm}=4,86492E-04**			**A_e=162,0 cm²**			**S_m=145 mm**			**W_k=0,07 mm**			**$\sigma_{ct,f}$=3,17 N/mm²**		
0%	RAR	3,027	-12.723	28.809	-	RAR	-3,881	-12.723	28.809	-	RAR	108,117	-12.723	28.809	-
25%	RAR	0,600	-12.723	-4.479	-	RAR	-0,393	-12.723	-4.479	-	RAR	7,932	-12.723	-4.479	-
50%	RAR	1,846	-12.723	-15.698	-	RAR	-2,370	-12.723	-15.698	-	RAR	77,602	-12.723	-15.698	-
75%	RAR	0,639	-12.723	-4.844	-	RAR	-0,435	-12.723	-4.844	-	RAR	8,428	-12.723	-4.844	-
100%	RAR	3,203	-12.723	28.078	-	RAR	-4,376	-12.723	28.078	-	RAR	131,604	-12.723	28.078	-
Trave: Trave 7-16				**FRC=0,00 cm**				**AA= PCA**							
CA=FRQ	**ε_{sm}=0E+00**			**A_e=0,0 cm²**			**S_m=0 mm**			**W_k=0,00 mm**			**$\sigma_{ct,f}$=0,00 N/mm²**		
CA=QPR	**ε_{sm}=0E+00**			**A_e=0,0 cm²**			**S_m=0 mm**			**W_k=0,00 mm**			**$\sigma_{ct,f}$=0,00 N/mm²**		
0%	RAR	0,160	21.815	1.586	-	RAR	-0,753	22.487	1.573	-	RAR	0,705	21.815	1.586	-
25%	RAR	0,000	-	-	-	RAR	-0,024	914	40	-	RAR	0,000	-	-	-
50%	RAR	0,000	-	-	-	RAR	-0,005	207	7	-	RAR	0,000	-	-	-
75%	RAR	0,002	282	-19	-	RAR	-0,010	351	-18	-	RAR	0,004	282	-19	-
100%	RAR	0,000	-	-	-	RAR	-0,110	6.011	100	-	RAR	0,000	-	-	-
Trave: Trave 16-19				**FRC=0,01 cm**				**AA= PCA**							
CA=FRQ	**ε_{sm}=0E+00**			**A_e=0,0 cm²**			**S_m=0 mm**			**W_k=0,00 mm**			**$\sigma_{ct,f}$=0,00 N/mm²**		
CA=QPR	**ε_{sm}=0E+00**			**A_e=0,0 cm²**			**S_m=0 mm**			**W_k=0,00 mm**			**$\sigma_{ct,f}$=0,00 N/mm²**		
0%	RAR	0,894	-1.967	3.031	-	RAR	-0,841	-1.967	3.031	-	RAR	10,169	-1.967	3.031	-
25%	RAR	0,033	-1.967	-21	-	RAR	0,000	-	-	-	RAR	0,465	-1.967	-21	-
50%	RAR	0,393	-1.967	-1.282	-	RAR	-0,340	-1.967	-1.282	-	RAR	4,531	-1.967	-1.282	-
75%	RAR	0,241	-1.967	-749	-	RAR	-0,188	-1.967	-749	-	RAR	2,812	-1.967	-749	-
100%	RAR	0,477	-1.967	1.574	-	RAR	-0,424	-1.967	1.574	-	RAR	5,472	-1.967	1.574	-
Piano interrato									**Travata: Trave2-8**						
Trave: Trave 2-8				**FRC=0,04 cm**				**AA= PCA**							
CA=FRQ	**ε_{sm}=0E+00**			**A_e=0,0 cm²**			**S_m=0 mm**			**W_k=0,00 mm**			**$\sigma_{ct,f}$=0,00 N/mm²**		
CA=QPR	**ε_{sm}=0E+00**			**A_e=0,0 cm²**			**S_m=0 mm**			**W_k=0,00 mm**			**$\sigma_{ct,f}$=0,00 N/mm²**		
0%	RAR	0,936	-9.070	8.438	-	RAR	-0,866	-9.070	8.438	-	RAR	12,113	-9.070	8.438	-
25%	RAR	0,348	-9.070	-2.442	-	RAR	-0,194	-9.070	-2.442	-	RAR	4,635	-9.070	-2.442	-
50%	RAR	0,718	-9.070	-5.745	-	RAR	-0,618	-9.070	-5.745	-	RAR	9,346	-9.070	-5.745	-
75%	RAR	0,244	-9.070	-1.469	-	RAR	-0,082	-9.070	-1.469	-	RAR	3,309	-9.070	-1.469	-
100%	RAR	1,227	-9.070	10.388	-	RAR	-1,190	-9.070	10.388	-	RAR	15,818	-9.070	10.388	-
Piano interrato									**Travata: Trave3-9**						
Trave: Trave 3-9				**FRC=0,04 cm**				**AA= PCA**							
CA=FRQ	**ε_{sm}=0E+00**			**A_e=0,0 cm²**			**S_m=0 mm**			**W_k=0,00 mm**			**$\sigma_{ct,f}$=0,00 N/mm²**		
CA=QPR	**ε_{sm}=0E+00**			**A_e=0,0 cm²**			**S_m=0 mm**			**W_k=0,00 mm**			**$\sigma_{ct,f}$=0,00 N/mm²**		
0%	RAR	1,228	-7.539	11.471	-	RAR	-1,223	-7.539	11.471	-	RAR	15,790	-7.539	11.471	-
25%	RAR	0,165	-7.539	-867	-	RAR	-0,028	-7.098	-838	-	RAR	2,269	-7.539	-867	-
50%	RAR	0,691	-7.539	-5.633	-	RAR	-0,619	-7.539	-5.633	-	RAR	8,964	-7.539	-5.633	-
75%	RAR	0,373	-7.539	-2.814	-	RAR	-0,251	-7.539	-2.814	-	RAR	4,920	-7.539	-2.814	-
100%	RAR	0,904	-7.539	7.580	-	RAR	-0,859	-7.539	7.580	-	RAR	11,678	-7.539	7.580	-
Piano interrato									**Travata: Trave4-10**						
Trave: Trave 4-10				**FRC=0,04 cm**				**AA= PCA**							
CA=FRQ	**ε_{sm}=0E+00**			**A_e=0,0 cm²**			**S_m=0 mm**			**W_k=0,00 mm**			**$\sigma_{ct,f}$=0,00 N/mm²**		
CA=QPR	**ε_{sm}=0E+00**			**A_e=0,0 cm²**			**S_m=0 mm**			**W_k=0,00 mm**			**$\sigma_{ct,f}$=0,00 N/mm²**		
0%	RAR	1,251	-8.019	11.663	-	RAR	-1,240	-8.019	11.663	-	RAR	16,105	-8.019	11.663	-
25%	RAR	0,167	-8.019	-845	-	RAR	-0,021	-7.573	-814	-	RAR	2,308	-8.019	-845	-
50%	RAR	0,704	-8.019	-5.706	-	RAR	-0,624	-8.019	-5.706	-	RAR	9,137	-8.019	-5.706	-
75%	RAR	0,389	-8.019	-2.926	-	RAR	-0,260	-8.019	-2.926	-	RAR	5,142	-8.019	-2.926	-
100%	RAR	0,900	-8.019	7.495	-	RAR	-0,844	-8.019	7.495	-	RAR	11,631	-8.019	7.495	-
Piano interrato									**Travata: Trave5-11**						

%LLI Tp_{rnf}	Trazione calcestruzzo Trazione calcestruzzo rinforzo					Compressione calcestruzzo Compressione calcestruzzo rinforzo					Trazione acciaio Trazione acciaio/FRP rinforzo				
	Id_{Cmb}	σ_{ct}	N_{Ed}	$M_{Ed,3}$	$M_{Ed,2}$	Id_{Cmb}	σ_{cc}	N_{Ed}	$M_{Ed,3}$	$M_{Ed,2}$	Id_{Cmb}	σ_{at}	N_{Ed}	$M_{Ed,3}$	$M_{Ed,2}$
[%]		[N/mm²]	[N]	[N·m]	[N·m]		[N/mm²]	[N]	[N·m]	[N·m]		[N/mm²]	[N]	[N·m]	[N·m]
Trave: Trave 5-11				**FRC=0,05 cm**					**AA= PCA**						
CA=FRQ	**ε_{sm}=0E+00**			**A_e=0,0 cm²**			**S_m=0 mm**			**W_k=0,00 mm**			**$\sigma_{ct,f}$=0,00 N/mm²**		
CA=QPR	**ε_{sm}=0E+00**			**A_e=0,0 cm²**			**S_m=0 mm**			**W_k=0,00 mm**			**$\sigma_{ct,f}$=0,00 N/mm²**		
0%	RAR	1,066	-10.178	9.618	-	RAR	-0,989	-10.178	9.618	-	RAR	13,784	-10.178	9.618	-
25%	RAR	0,306	-10.178	-1.948	-	RAR	-0,126	-10.178	-1.948	-	RAR	4,122	-10.178	-1.948	-
50%	RAR	0,743	-10.178	-5.872	-	RAR	-0,623	-10.178	-5.872	-	RAR	9,687	-10.178	-5.872	-
75%	RAR	0,327	-10.178	-2.149	-	RAR	-0,149	-10.178	-2.149	-	RAR	4,395	-10.178	-2.149	-
100%	RAR	1,109	-10.178	9.212	-	RAR	-1,034	-10.178	9.212	-	RAR	14,343	-10.178	9.212	-
Piano interrato										**Travata: Trave6-2c-P7-12-15-P8-4c-24**					
Trave: Trave 6-2c				**FRC=0,00 cm**					**AA= PCA**						
CA=FRQ	**ε_{sm}=0E+00**			**A_e=0,0 cm²**			**S_m=0 mm**			**W_k=0,00 mm**			**$\sigma_{ct,f}$=0,00 N/mm²**		
CA=QPR	**ε_{sm}=0E+00**			**A_e=0,0 cm²**			**S_m=0 mm**			**W_k=0,00 mm**			**$\sigma_{ct,f}$=0,00 N/mm²**		
0%	RAR	0,024	-5.248	-38	-	RAR	0,000	-	-	-	RAR	0,355	-5.248	-38	-
25%	RAR	0,040	-3.472	-626	-	RAR	-0,007	-3.472	-626	-	RAR	0,563	-3.472	-626	-
50%	RAR	0,002	207	94	-	RAR	-0,006	316	104	-	RAR	0,030	207	94	-
75%	RAR	0,014	9.548	1.576	-	RAR	-0,104	9.548	1.576	-	RAR	0,113	9.548	1.576	-
100%	RAR	0,049	26.299	4.481	-	RAR	-0,299	26.299	4.481	-	RAR	0,460	26.299	4.481	-
Trave: Trave 2c-P7				**FRC=0,00 cm**					**AA= PCA**						
CA=FRQ	**ε_{sm}=0E+00**			**A_e=0,0 cm²**			**S_m=0 mm**			**W_k=0,00 mm**			**$\sigma_{ct,f}$=0,00 N/mm²**		
CA=QPR	**ε_{sm}=0E+00**			**A_e=0,0 cm²**			**S_m=0 mm**			**W_k=0,00 mm**			**$\sigma_{ct,f}$=0,00 N/mm²**		
0%	RAR	0,000	-	-	-	RAR	-0,421	54.031	4.524	-	RAR	0,000	-	-	-
25%	RAR	0,000	-	-	-	RAR	-0,444	54.031	5.081	-	RAR	0,000	-	-	-
62,5%	RAR	0,000	-	-	-	RAR	-0,469	54.031	5.684	-	RAR	0,000	-	-	-
87,5%	RAR	0,000	-	-	-	RAR	-0,496	54.031	6.338	-	RAR	0,000	-	-	-
100%	RAR	0,023	54.031	7.042	-	RAR	-0,525	54.031	7.042	-	RAR	0,000	-	-	-
Trave: Trave P7-12				**FRC=-0,03 cm**					**AA= PCA**						
CA=FRQ	**ε_{sm}=0E+00**			**A_e=0,0 cm²**			**S_m=0 mm**			**W_k=0,00 mm**			**$\sigma_{ct,f}$=0,00 N/mm²**		
CA=QPR	**ε_{sm}=0E+00**			**A_e=0,0 cm²**			**S_m=0 mm**			**W_k=0,00 mm**			**$\sigma_{ct,f}$=0,00 N/mm²**		
0%	RAR	1,016	-4.160	28.214	-	RAR	-0,948	-4.160	28.214	-	RAR	13,655	-4.160	28.214	-
25%	RAR	0,258	-4.160	5.800	-	RAR	-0,193	-4.160	5.800	-	RAR	3,500	-4.160	5.800	-
50%	RAR	0,268	-4.160	-6.848	-	RAR	-0,265	-4.160	-6.848	-	RAR	3,585	-4.160	-6.848	-
75%	RAR	0,408	-4.160	-9.727	-	RAR	-0,358	-4.160	-9.727	-	RAR	5,500	-4.160	-9.727	-
100%	RAR	0,135	-4.160	-2.842	-	RAR	-0,086	-4.160	-2.842	-	RAR	1,853	-4.160	-2.842	-
Trave: Trave 12-15				**FRC=0,01 cm**					**AA= PCA**						
CA=FRQ	**ε_{sm}=0E+00**			**A_e=0,0 cm²**			**S_m=0 mm**			**W_k=0,00 mm**			**$\sigma_{ct,f}$=0,00 N/mm²**		
CA=QPR	**ε_{sm}=0E+00**			**A_e=0,0 cm²**			**S_m=0 mm**			**W_k=0,00 mm**			**$\sigma_{ct,f}$=0,00 N/mm²**		
0%	RAR	0,508	-26.071	11.350	-	RAR	-0,342	-24.994	11.332	-	RAR	6,935	-26.071	11.350	-
25%	RAR	0,170	-26.071	-1.212	-	RAR	0,000	-	-	-	RAR	2,467	-26.071	-1.212	-
50%	RAR	0,419	-26.071	-7.093	-	RAR	-0,193	-26.071	-7.093	-	RAR	5,788	-26.071	-7.093	-
75%	RAR	0,385	-26.071	-6.289	-	RAR	-0,157	-26.071	-6.289	-	RAR	5,334	-26.071	-6.289	-
100%	RAR	0,171	-24.391	1.564	-	RAR	0,000	-	-	-	RAR	2,462	-24.391	1.564	-
Trave: Trave 15-P8				**FRC=-0,02 cm**					**AA= PCA**						
CA=FRQ	**ε_{sm}=0E+00**			**A_e=0,0 cm²**			**S_m=0 mm**			**W_k=0,00 mm**			**$\sigma_{ct,f}$=0,00 N/mm²**		
CA=QPR	**ε_{sm}=0E+00**			**A_e=0,0 cm²**			**S_m=0 mm**			**W_k=0,00 mm**			**$\sigma_{ct,f}$=0,00 N/mm²**		
0%	RAR	0,773	8.063	-19.128	-	RAR	-0,774	8.063	-19.128	-	RAR	10,341	8.063	-19.128	-
25%	RAR	0,449	8.063	-11.198	-	RAR	-0,495	8.063	-11.198	-	RAR	5,968	8.063	-11.198	-
50%	RAR	0,000	-	-	-	RAR	-0,069	8.063	-729	-	RAR	0,000	-	-	-
75%	RAR	0,495	8.063	12.276	-	RAR	-0,539	8.063	12.276	-	RAR	6,595	8.063	12.276	-
100%	RAR	1,087	8.063	27.823	-	RAR	-1,202	8.063	27.823	-	RAR	14,464	8.063	27.823	-
Trave: Trave P8-4c				**FRC=0,00 cm**					**AA= PCA**						
CA=FRQ	**ε_{sm}=0E+00**			**A_e=0,0 cm²**			**S_m=0 mm**			**W_k=0,00 mm**			**$\sigma_{ct,f}$=0,00 N/mm²**		
CA=QPR	**ε_{sm}=0E+00**			**A_e=0,0 cm²**			**S_m=0 mm**			**W_k=0,00 mm**			**$\sigma_{ct,f}$=0,00 N/mm²**		
0%	RAR	0,046	61.320	7.877	-	RAR	-0,618	61.320	7.877	-	RAR	0,154	61.320	7.877	-
25%	RAR	0,017	61.320	7.157	-	RAR	-0,587	61.320	7.157	-	RAR	0,000	-	-	-
62,5%	RAR	0,000	-	-	-	RAR	-0,557	61.320	6.483	-	RAR	0,000	-	-	-
87,5%	RAR	0,000	-	-	-	RAR	-0,530	61.320	5.856	-	RAR	0,000	-	-	-
87,5%	RAR	0,000	-	-	-	RAR	-0,505	61.320	5.275	-	RAR	0,000	-	-	-
Trave: Trave 4c-24				**FRC=0,00 cm**					**AA= PCA**						
CA=FRQ	**ε_{sm}=0E+00**			**A_e=0,0 cm²**			**S_m=0 mm**			**W_k=0,00 mm**			**$\sigma_{ct,f}$=0,00 N/mm²**		
CA=QPR	**ε_{sm}=0E+00**			**A_e=0,0 cm²**			**S_m=0 mm**			**W_k=0,00 mm**			**$\sigma_{ct,f}$=0,00 N/mm²**		
0%	RAR	0,077	30.164	5.191	-	RAR	-0,361	30.164	5.191	-	RAR	0,795	30.164	5.191	-
25%	RAR	0,025	11.811	1.962	-	RAR	-0,137	11.811	1.962	-	RAR	0,248	11.811	1.962	-
50%	RAR	0,004	1.350	261	-	RAR	-0,017	1.350	261	-	RAR	0,048	1.350	261	-
75%	RAR	0,033	-2.386	-514	-	RAR	-0,010	-2.386	-514	-	RAR	0,455	-2.386	-514	-
100%	RAR	0,021	-4.020	-77	-	RAR	0,000	-	-	-	RAR	0,314	-4.020	-77	-
Fondazione										**Travata: Trave1d-2-2d**					
Trave: Trave 1d-2				**FRC=-0,04 cm**					**AA= PCA**						
CA=FRQ	**ε_{sm}=0E+00**			**A_e=0,0 cm²**			**S_m=0 mm**			**W_k=0,00 mm**			**$\sigma_{ct,f}$=0,00 N/mm²**		
CA=QPR	**ε_{sm}=0E+00**			**A_e=0,0 cm²**			**S_m=0 mm**			**W_k=0,00 mm**			**$\sigma_{ct,f}$=0,00 N/mm²**		
0%	RAR	1,345	-2.784	33.849	-	RAR	-1,325	-2.784	33.849	-	RAR	17,357	-2.784	33.849	-
25%	RAR	0,457	-2.784	11.321	-	RAR	-0,436	-2.784	11.321	-	RAR	5,906	-2.784	11.321	-
50%	RAR	0,152	-2.429	-3.626	-	RAR	-0,134	-2.429	-3.626	-	RAR	1,976	-2.429	-3.626	-
75%	RAR	0,425	-2.784	-10.530	-	RAR	-0,405	-2.784	-10.530	-	RAR	5,504	-2.784	-10.530	-
100%	RAR	0,399	-2.784	-9.851	-	RAR	-0,378	-2.784	-9.851	-	RAR	5,159	-2.784	-9.851	-
Trave: Trave 2-2d				**FRC=-0,03 cm**					**AA= PCA**						
CA=FRQ	**ε_{sm}=0E+00**			**A_e=0,0 cm²**			**S_m=0 mm**			**W_k=0,00 mm**			**$\sigma_{ct,f}$=0,00 N/mm²**		
CA=QPR	**ε_{sm}=0E+00**			**A_e=0,0 cm²**			**S_m=0 mm**			**W_k=0,00 mm**			**$\sigma_{ct,f}$=0,00 N/mm²**		
0%	RAR	0,255	-4.873	-6.012	-	RAR	-0,219	-4.873	-6.012	-	RAR	3,322	-4.873	-6.012	-
25%	RAR	0,413	-4.873	-10.029	-	RAR	-0,378	-4.873	-10.029	-	RAR	5,364	-4.873	-10.029	-
50%	RAR	0,253	-4.873	-5.958	-	RAR	-0,219	-4.306	-5.938	-	RAR	3,295	-4.873	-5.958	-
75%	RAR	0,262	-4.873	6.198	-	RAR	-0,227	-4.873	6.198	-	RAR	3,417	-4.873	6.198	-
100%	RAR	1,061	-4.873	26.443	-	RAR	-1,025	-4.873	26.443	-	RAR	13,707	-4.873	26.443	-
Fondazione										**Travata: Trave5d-5-6d**					
Trave: Trave 5d-5				**FRC=-0,04 cm**					**AA= PCA**						

%LLI Tp_{rnf}	Trazione calcestruzzo Trazione calcestruzzo rinforzo					Compressione calcestruzzo Compressione calcestruzzo rinforzo					Trazione acciaio Trazione acciaio/FRP rinforzo				
	Id_{Cmb}	σ_{ct}	N_{Ed}	$M_{Ed,3}$	$M_{Ed,2}$	Id_{Cmb}	σ_{cc}	N_{Ed}	$M_{Ed,3}$	$M_{Ed,2}$	Id_{Cmb}	σ_{at}	N_{Ed}	$M_{Ed,3}$	$M_{Ed,2}$
[%]		[N/mm²]	[N]	[N·m]	[N·m]		[N/mm²]	[N]	[N·m]	[N·m]		[N/mm²]	[N]	[N·m]	[N·m]
CA=FRQ	**ε_{sm}=0E+00**			**A_e=0,0 cm²**			**S_m=0 mm**			**W_k=0,00 mm**			**$\sigma_{ct,f}$=0,00 N/mm²**		
CA=QPR	**ε_{sm}=0E+00**			**A_e=0,0 cm²**			**S_m=0 mm**			**W_k=0,00 mm**			**$\sigma_{ct,f}$=0,00 N/mm²**		
0%	RAR	1,135	1.160	28.881	-	RAR	-1,143	1.160	28.881	-	RAR	14,616	1.160	28.881	-
25%	RAR	0,301	1.160	7.748	-	RAR	-0,310	1.160	7.748	-	RAR	3,875	1.160	7.748	-
50%	RAR	0,205	1.224	-5.320	-	RAR	-0,214	1.224	-5.320	-	RAR	2,637	1.224	-5.320	-
75%	RAR	0,400	1.160	-10.258	-	RAR	-0,409	1.160	-10.258	-	RAR	5,151	1.160	-10.258	-
100%	RAR	0,277	1.160	-7.131	-	RAR	-0,285	1.160	-7.131	-	RAR	3,561	1.160	-7.131	-
Trave: Trave 5-6d				**FRC=-0,04 cm**				**AA= PCA**							
CA=FRQ	**ε_{sm}=0E+00**			**A_e=0,0 cm²**			**S_m=0 mm**			**W_k=0,00 mm**			**$\sigma_{ct,f}$=0,00 N/mm²**		
CA=QPR	**ε_{sm}=0E+00**			**A_e=0,0 cm²**			**S_m=0 mm**			**W_k=0,00 mm**			**$\sigma_{ct,f}$=0,00 N/mm²**		
0%	RAR	0,213	-1.092	-5.305	-	RAR	-0,205	-1.092	-5.305	-	RAR	2,756	-1.092	-5.305	-
25%	RAR	0,406	-1.092	-10.198	-	RAR	-0,398	-1.092	-10.198	-	RAR	5,243	-1.092	-10.198	-
50%	RAR	0,244	-964	-6.107	-	RAR	-0,238	-857	-6.111	-	RAR	3,157	-964	-6.107	-
75%	RAR	0,281	-1.092	7.017	-	RAR	-0,273	-1.092	7.017	-	RAR	3,626	-1.092	7.017	-
100%	RAR	1,153	-1.092	29.126	-	RAR	-1,145	-1.092	29.126	-	RAR	14,864	-1.092	29.126	-
Fondazione									**Travata: Trave9d-20-10d**						
Trave: Trave 9d-20				**FRC=-0,03 cm**				**AA= PCA**							
CA=FRQ	**ε_{sm}=0E+00**			**A_e=0,0 cm²**			**S_m=0 mm**			**W_k=0,00 mm**			**$\sigma_{ct,f}$=0,00 N/mm²**		
CA=QPR	**ε_{sm}=0E+00**			**A_e=0,0 cm²**			**S_m=0 mm**			**W_k=0,00 mm**			**$\sigma_{ct,f}$=0,00 N/mm²**		
0%	RAR	1,171	-1.324	29.573	-	RAR	-1,161	-1.324	29.573	-	RAR	15,104	-1.324	29.573	-
25%	RAR	0,357	-1.324	8.918	-	RAR	-0,347	-1.324	8.918	-	RAR	4,605	-1.324	8.918	-
50%	RAR	0,167	-1.061	-4.124	-	RAR	-0,159	-1.061	-4.124	-	RAR	2,154	-1.061	-4.124	-
75%	RAR	0,367	-1.324	-9.186	-	RAR	-0,357	-1.324	-9.186	-	RAR	4,741	-1.324	-9.186	-
100%	RAR	0,267	-1.324	-6.636	-	RAR	-0,257	-1.324	-6.636	-	RAR	3,445	-1.324	-6.636	-
Trave: Trave 20-10d				**FRC=-0,03 cm**				**AA= PCA**							
CA=FRQ	**ε_{sm}=0E+00**			**A_e=0,0 cm²**			**S_m=0 mm**			**W_k=0,00 mm**			**$\sigma_{ct,f}$=0,00 N/mm²**		
CA=QPR	**ε_{sm}=0E+00**			**A_e=0,0 cm²**			**S_m=0 mm**			**W_k=0,00 mm**			**$\sigma_{ct,f}$=0,00 N/mm²**		
0%	RAR	0,134	-3.266	-3.090	-	RAR	-0,110	-3.266	-3.090	-	RAR	1,749	-3.266	-3.090	-
25%	RAR	0,348	-3.266	-8.526	-	RAR	-0,324	-3.266	-8.526	-	RAR	4,512	-3.266	-8.526	-
50%	RAR	0,244	-3.266	-5.875	-	RAR	-0,221	-2.802	-5.858	-	RAR	3,165	-3.266	-5.875	-
75%	RAR	0,204	-3.266	4.864	-	RAR	-0,180	-3.266	4.864	-	RAR	2,651	-3.266	4.864	-
100%	RAR	0,946	-3.266	23.689	-	RAR	-0,922	-3.266	23.689	-	RAR	12,219	-3.266	23.689	-
Fondazione									**Travata: Trave13d-23-14d**						
Trave: Trave 13d-23				**FRC=-0,04 cm**				**AA= PCA**							
CA=FRQ	**ε_{sm}=0E+00**			**A_e=0,0 cm²**			**S_m=0 mm**			**W_k=0,00 mm**			**$\sigma_{ct,f}$=0,00 N/mm²**		
CA=QPR	**ε_{sm}=0E+00**			**A_e=0,0 cm²**			**S_m=0 mm**			**W_k=0,00 mm**			**$\sigma_{ct,f}$=0,00 N/mm²**		
0%	RAR	1,123	1.829	28.632	-	RAR	-1,136	1.829	28.632	-	RAR	14,453	1.829	28.632	-
25%	RAR	0,293	1.829	7.586	-	RAR	-0,306	1.829	7.586	-	RAR	3,756	1.829	7.586	-
50%	RAR	0,206	1.825	-5.391	-	RAR	-0,219	1.825	-5.391	-	RAR	2,640	1.825	-5.391	-
75%	RAR	0,397	1.829	-10.246	-	RAR	-0,411	1.829	-10.246	-	RAR	5,108	1.829	-10.246	-
100%	RAR	0,271	1.829	-7.033	-	RAR	-0,284	1.829	-7.033	-	RAR	3,475	1.829	-7.033	-
Trave: Trave 23-14d				**FRC=-0,04 cm**				**AA= PCA**							
CA=FRQ	**ε_{sm}=0E+00**			**A_e=0,0 cm²**			**S_m=0 mm**			**W_k=0,00 mm**			**$\sigma_{ct,f}$=0,00 N/mm²**		
CA=QPR	**ε_{sm}=0E+00**			**A_e=0,0 cm²**			**S_m=0 mm**			**W_k=0,00 mm**			**$\sigma_{ct,f}$=0,00 N/mm²**		
0%	RAR	0,214	-17	-5.422	-	RAR	-0,214	-17	-5.422	-	RAR	2,757	-17	-5.422	-
25%	RAR	0,408	-17	-10.342	-	RAR	-0,408	-17	-10.342	-	RAR	5,258	-17	-10.342	-
50%	RAR	0,247	55	-6.269	-	RAR	-0,247	117	-6.264	-	RAR	3,183	55	-6.269	-
75%	RAR	0,269	-17	6.822	-	RAR	-0,269	-17	6.822	-	RAR	3,468	-17	6.822	-
100%	RAR	1,140	-17	28.906	-	RAR	-1,140	-17	28.906	-	RAR	14,693	-17	28.906	-
Fondazione									**Travata: Trave11d-12d**						
Trave: Trave 11d-12d				**FRC=0,00 cm**				**AA= PCA**							
CA=FRQ	**ε_{sm}=0E+00**			**A_e=0,0 cm²**			**S_m=0 mm**			**W_k=0,00 mm**			**$\sigma_{ct,f}$=0,00 N/mm²**		
CA=QPR	**ε_{sm}=0E+00**			**A_e=0,0 cm²**			**S_m=0 mm**			**W_k=0,00 mm**			**$\sigma_{ct,f}$=0,00 N/mm²**		
0%	RAR	0,352	-6.682	8.298	-	RAR	-0,303	-6.682	8.298	-	RAR	4,583	-6.682	8.298	-
25%	RAR	0,076	-6.682	1.310	-	RAR	-0,027	-6.682	1.310	-	RAR	1,031	-6.682	1.310	-
50%	RAR	0,092	-5.889	-1.796	-	RAR	-0,049	-5.889	-1.796	-	RAR	1,235	-5.889	-1.796	-
75%	RAR	0,051	-6.682	-665	-	RAR	-0,006	-5.889	-687	-	RAR	0,703	-6.682	-665	-
100%	RAR	0,197	-6.531	4.394	-	RAR	-0,153	-5.889	4.420	-	RAR	2,590	-6.531	4.394	-
Fondazione									**Travata: Trave3d-4d**						
Trave: Trave 3d-4d				**FRC=0,00 cm**				**AA= PCA**							
CA=FRQ	**ε_{sm}=0E+00**			**A_e=0,0 cm²**			**S_m=0 mm**			**W_k=0,00 mm**			**$\sigma_{ct,f}$=0,00 N/mm²**		
CA=QPR	**ε_{sm}=0E+00**			**A_e=0,0 cm²**			**S_m=0 mm**			**W_k=0,00 mm**			**$\sigma_{ct,f}$=0,00 N/mm²**		
0%	RAR	0,388	-7.994	9.092	-	RAR	-0,329	-7.994	9.092	-	RAR	5,058	-7.994	9.092	-
25%	RAR	0,100	-7.994	1.805	-	RAR	-0,042	-7.994	1.805	-	RAR	1,354	-7.994	1.805	-
50%	RAR	0,090	-7.046	-1.625	-	RAR	-0,038	-7.046	-1.625	-	RAR	1,211	-7.046	-1.625	-
75%	RAR	0,060	-7.994	-772	-	RAR	-0,006	-7.046	-809	-	RAR	0,829	-7.994	-772	-
100%	RAR	0,185	-7.750	3.978	-	RAR	-0,132	-7.046	4.005	-	RAR	2,445	-7.750	3.978	-
Fondazione									**Travata: Trave1-7**						
Trave: Trave 1-7				**FRC=0,02 cm**				**AA= PCA**							
CA=FRQ	**ε_{sm}=0E+00**			**A_e=0,0 cm²**			**S_m=0 mm**			**W_k=0,00 mm**			**$\sigma_{ct,f}$=0,00 N/mm²**		
CA=QPR	**ε_{sm}=0E+00**			**A_e=0,0 cm²**			**S_m=0 mm**			**W_k=0,00 mm**			**$\sigma_{ct,f}$=0,00 N/mm²**		
0%	RAR	0,698	8.637	18.488	-	RAR	-0,761	8.637	18.488	-	RAR	8,925	8.637	18.488	-
25%	RAR	0,085	8.561	-2.958	-	RAR	-0,148	8.561	-2.958	-	RAR	1,036	8.561	-2.958	-
50%	RAR	0,379	8.671	-10.406	-	RAR	-0,442	8.671	-10.406	-	RAR	4,815	8.671	-10.406	-
75%	RAR	0,132	8.637	-4.139	-	RAR	-0,195	8.637	-4.139	-	RAR	1,632	8.637	-4.139	-
100%	RAR	0,606	8.561	16.161	-	RAR	-0,669	8.561	16.161	-	RAR	7,747	8.561	16.161	-
Fondazione									**Travata: Trave7d-12-15-8d**						
Trave: Trave 7d-12				**FRC=-0,02 cm**				**AA= PCA**							
CA=FRQ	**ε_{sm}=0E+00**			**A_e=0,0 cm²**			**S_m=0 mm**			**W_k=0,00 mm**			**$\sigma_{ct,f}$=0,00 N/mm²**		
CA=QPR	**ε_{sm}=0E+00**			**A_e=0,0 cm²**			**S_m=0 mm**			**W_k=0,00 mm**			**$\sigma_{ct,f}$=0,00 N/mm²**		
0%	RAR	0,869	3.648	22.379	-	RAR	-0,896	3.648	22.379	-	RAR	11,176	3.648	22.379	-
25%	RAR	0,344	3.648	9.071	-	RAR	-0,371	3.648	9.071	-	RAR	4,411	3.648	9.071	-
50%	RAR	0,011	3.340	-579	-	RAR	-0,035	3.340	-579	-	RAR	0,112	3.340	-579	-
75%	RAR	0,229	3.648	-6.139	-	RAR	-0,255	3.648	-6.139	-	RAR	2,921	3.648	-6.139	-

%LLI / Tp_{rnf}	Trazione calcestruzzo / Trazione calcestruzzo rinforzo					Compressione calcestruzzo / Compressione calcestruzzo rinforzo					Trazione acciaio / Trazione acciaio/FRP rinforzo				
	Id_{Cmb}	σ_{ct}	N_{Ed}	$M_{Ed,3}$	$M_{Ed,2}$	Id_{Cmb}	σ_{cc}	N_{Ed}	$M_{Ed,3}$	$M_{Ed,2}$	Id_{Cmb}	σ_{at}	N_{Ed}	$M_{Ed,3}$	$M_{Ed,2}$
[%]		[N/mm²]	[N]	[N·m]	[N·m]		[N/mm²]	[N]	[N·m]	[N·m]		[N/mm²]	[N]	[N·m]	[N·m]
100%	RAR	0,304	3.648	-8.039	-	RAR	-0,330	3.648	-8.039	-	RAR	3,887	3.648	-8.039	-
Trave: Trave 12-15				**FRC=0,01 cm**				**AA= PCA**							
CA=FRQ	**ε_{sm}=0E+00**			**A_e=0,0 cm²**			**S_m=0 mm**			**W_k=0,00 mm**			**$\sigma_{ct,f}$=0,00 N/mm²**		
CA=QPR	**ε_{sm}=0E+00**			**A_e=0,0 cm²**			**S_m=0 mm**			**W_k=0,00 mm**			**$\sigma_{ct,f}$=0,00 N/mm²**		
0%	RAR	0,127	-2.080	3.023	-	RAR	-0,112	-2.080	3.023	-	RAR	1,650	-2.080	3.023	-
25%	RAR	0,227	-2.167	-5.560	-	RAR	-0,211	-2.167	-5.560	-	RAR	2,944	-2.167	-5.560	-
50%	RAR	0,388	-2.167	-9.637	-	RAR	-0,372	-2.167	-9.637	-	RAR	5,017	-2.167	-9.637	-
75%	RAR	0,381	-2.167	-9.464	-	RAR	-0,365	-2.167	-9.464	-	RAR	4,929	-2.167	-9.464	-
100%	RAR	0,206	-2.167	-5.033	-	RAR	-0,191	-2.167	-5.033	-	RAR	2,677	-2.167	-5.033	-
Trave: Trave 15-8d				**FRC=-0,01 cm**				**AA= PCA**							
CA=FRQ	**ε_{sm}=0E+00**			**A_e=0,0 cm²**			**S_m=0 mm**			**W_k=0,00 mm**			**$\sigma_{ct,f}$=0,00 N/mm²**		
CA=QPR	**ε_{sm}=0E+00**			**A_e=0,0 cm²**			**S_m=0 mm**			**W_k=0,00 mm**			**$\sigma_{ct,f}$=0,00 N/mm²**		
0%	RAR	0,848	8.808	-22.309	-	RAR	-0,912	8.808	-22.309	-	RAR	10,858	8.808	-22.309	-
25%	RAR	0,244	8.808	-6.991	-	RAR	-0,308	8.808	-6.991	-	RAR	3,072	8.808	-6.991	-
50%	RAR	0,324	8.808	9.029	-	RAR	-0,388	8.808	9.029	-	RAR	4,108	8.808	9.029	-
75%	RAR	0,983	8.808	25.747	-	RAR	-1,048	8.808	25.747	-	RAR	12,606	8.808	25.747	-
100%	RAR	1,670	8.808	43.167	-	RAR	-1,735	8.808	43.167	-	RAR	21,460	8.808	43.167	-
Fondazione									**Travata: Trave16-19**						
Trave: Trave 16-19				**FRC=0,00 cm**				**AA= PCA**							
CA=FRQ	**ε_{sm}=0E+00**			**A_e=0,0 cm²**			**S_m=0 mm**			**W_k=0,00 mm**			**$\sigma_{ct,f}$=0,00 N/mm²**		
CA=QPR	**ε_{sm}=0E+00**			**A_e=0,0 cm²**			**S_m=0 mm**			**W_k=0,00 mm**			**$\sigma_{ct,f}$=0,00 N/mm²**		
0%	RAR	0,660	-2.382	16.865	-	RAR	-0,651	-2.382	16.865	-	RAR	8,503	-2.382	16.865	-
25%	RAR	0,189	-2.382	4.678	-	RAR	-0,174	-2.382	4.678	-	RAR	2,452	-2.382	4.678	-
50%	RAR	0,121	-1.580	-2.917	-	RAR	-0,109	-1.580	-2.917	-	RAR	1,568	-1.580	-2.917	-
75%	RAR	0,229	-2.382	-5.586	-	RAR	-0,212	-2.382	-5.586	-	RAR	2,968	-2.382	-5.586	-
100%	RAR	0,153	-2.382	-3.663	-	RAR	-0,136	-2.382	-3.663	-	RAR	1,991	-2.382	-3.663	-

LEGENDA:

- **σ_{ct}** Tensione massima di trazione nel calcestruzzo della Trave/Rinforzo.
- **σ_{cc}** Tensione massima di compressione nel calcestruzzo della Trave/Rinforzo.
- **Id_{Cmb}** Identificativo della Combinazione di Azione: [QPR] = Quasi Permanente - [FRQ] = Frequente - [RAR] = Rara.
- **σ_{at}** Tensione massima di trazione nell'acciaio della Trave/Rinforzo o nel FRP.
- **$\sigma_{ct,f}$** Tensione massima di trazione nel calcestruzzo per la fessurazione, calcolata nell'ipotesi di calcestruzzo resistente a trazione.
- **Id_{Tr}** Identificativo della trave. L'eventuale lettera tra parentesi distingue i diversi tratti della travata al livello considerato.
- **$\%L_{LI}$** Posizione della sezione per la quale vengono forniti i valori di verifica, valutata come % della lunghezza libera d'inflessione (L_{LI}), a partire dall'estremo iniziale.
- **Tp_{rnf}** Indica il tipo di rinforzo presente nella sezione di verifica: [Cls] = rinforzo in Calcestruzzo; [FRP] = rinforzo in FRP;
- **FRC** Spostamento massimo (freccia) dell'elemento.
- **AA** Identificativo dell'aggressività dell'ambiente: [PCA] = Poco aggressivo - [MDA] = Moderatamente aggressivo - [MLA] = Molto aggressivo.
- **ε_{sm}** Deformazione media nel calcestruzzo.
- **A_e** Area efficace del calcestruzzo teso.
- **s_m** Distanza media tra le fessure.
- **w_k** Apertura massima delle fessure.
- **N_{Ed}, $M_{Ed,3}$, $M_{Ed,2}$** Sollecitazioni di progetto.

TRAVI - VERIFICHE DI ROTAZIONE ALLA CORDA (Elevazione)

Verifiche di Rotazione alla corda

Id_{Tr}	$\%L_{LI}$	$L_{v,SLV}$	$L_{v,SLD}$	L_{pl}	ϕ_u	ϕ_y	SLV			SLD		
							Θ_c	Θ_d	CS	Θ_c	Θ_d	CS
	[%]	[m]	[m]	[m]	[rad/m]	[rad/m]	[rad]	[rad]		[rad]	[rad]	
Piano copertura							**Travata: Trave7-8-9-10-11-12**					
sisma in +X												
proporzionale alle masse												
Trave 7-8	0%	0,31	0,35	0,46	0,0333	0,0042	0,006454	0,000985	6,55	0,006191	0,000904	6,85
Trave 7-8	100%	1,05	1,05	0,54	0,0100	0,0052	0,003575	0,000024	NS	0,005224	0,000002	NS
proporzionale alla deformata 1° modo di vibrazione												
Trave 7-8	0%	0,32	0,35	0,46	0,0333	0,0042	0,006454	0,000975	6,62	0,006166	0,000905	6,82
Trave 7-8	100%	1,05	1,05	0,54	0,0100	0,0052	0,003571	0,000037	97,64	0,005216	0,000010	NS
sisma in -X												
proporzionale alle masse												
Trave 7-8	0%	0,28	0,36	0,46	0,0327	0,0042	0,006309	0,000924	6,83	0,006073	0,000828	7,33
Trave 7-8	100%	1,09	1,07	0,54	0,0099	0,0052	0,003586	0,000029	NS	0,005257	0,000035	NS
proporzionale alla deformata 1° modo di vibrazione												
Trave 7-8	0%	0,24	0,34	0,46	0,0327	0,0042	0,006377	0,000972	6,56	0,006260	0,000852	7,34
Trave 7-8	100%	1,10	1,08	0,54	0,0099	0,0052	0,003592	0,000039	93,30	0,005254	0,000041	NS
sisma in +Y												
proporzionale alle masse												
Trave 7-8	0%	0,45	0,49	0,48	0,0316	0,0043	0,005928	0,000791	7,49	0,005345	0,000702	7,62
Trave 7-8	100%	1,05	1,04	0,54	0,0098	0,0053	0,003545	0,000100	35,38	0,005273	0,000059	89,90
proporzionale alla deformata 1° modo di vibrazione												
Trave 7-8	0%	0,45	0,49	0,48	0,0316	0,0043	0,005926	0,000815	7,27	0,005353	0,000709	7,55
Trave 7-8	100%	1,05	1,04	0,54	0,0098	0,0053	0,003546	0,000110	32,26	0,005272	0,000063	83,17
sisma in -Y												
proporzionale alle masse												
Trave 7-8	0%	0,21	0,22	0,45	0,0331	0,0042	0,007314	0,001056	6,93	0,008078	0,001065	7,58
Trave 7-8	100%	1,08	1,08	0,54	0,0100	0,0052	0,003597	0,000017	NS	0,005262	0,000016	NS
proporzionale alla deformata 1° modo di vibrazione												
Trave 7-8	0%	0,21	0,22	0,45	0,0331	0,0042	0,007296	0,001059	6,89	0,008061	0,001063	7,58
Trave 7-8	100%	1,08	1,08	0,54	0,0100	0,0052	0,003596	0,000018	NS	0,005268	0,000014	NS
sisma in +X												
proporzionale alle masse												
Trave 8-9	0%	0,97	0,96	0,53	0,0147	0,0055	0,004436	0,000024	NS	0,005329	0,000002	NS
Trave 8-9	100%	0,94	0,95	0,53	0,0094	0,0061	0,003438	0,000043	79,71	0,005604	0,000032	NS

Id_{Tr}	$\%L_{LI}$	$L_{v,SLV}$	$L_{v,SLD}$	L_{pl}	ϕ_u	ϕ_y	SLV			SLD		
							Θ_c	Θ_d	CS	Θ_c	Θ_d	CS
	[%]	[m]	[m]	[m]	[rad/m]	[rad/m]	[rad]	[rad]		[rad]	[rad]	
proporzionale alla deformata 1° modo di vibrazione												
Trave 8-9	0%	0,98	0,96	0,53	0,0147	0,0055	0,004443	0,000037	NS	0,005323	0,000010	NS
Trave 8-9	100%	0,93	0,94	0,53	0,0094	0,0061	0,003435	0,000052	65,84	0,005602	0,000038	NS
sisma in -X												
proporzionale alle masse												
Trave 8-9	0%	0,91	0,92	0,52	0,0147	0,0055	0,004379	0,000029	NS	0,005307	0,000035	NS
Trave 8-9	100%	0,99	0,98	0,53	0,0094	0,0061	0,003468	0,000010	NS	0,005632	0,000008	NS
proporzionale alla deformata 1° modo di vibrazione												
Trave 8-9	0%	0,90	0,91	0,52	0,0147	0,0055	0,004370	0,000039	NS	0,005306	0,000041	NS
Trave 8-9	100%	1,00	0,98	0,53	0,0094	0,0061	0,003471	0,000002	NS	0,005631	0,000003	NS
sisma in +Y												
proporzionale alle masse												
Trave 8-9	0%	0,93	0,93	0,53	0,0145	0,0055	0,004365	0,000100	43,56	0,005313	0,000059	90,58
Trave 8-9	100%	0,96	0,96	0,53	0,0093	0,0063	0,003452	0,000007	NS	0,005733	0,000006	NS
proporzionale alla deformata 1° modo di vibrazione												
Trave 8-9	0%	0,93	0,93	0,53	0,0145	0,0055	0,004362	0,000110	39,68	0,005313	0,000063	83,80
Trave 8-9	100%	0,96	0,96	0,53	0,0093	0,0063	0,003453	0,000012	NS	0,005749	0,000004	NS
sisma in -Y												
proporzionale alle masse												
Trave 8-9	0%	0,93	0,94	0,53	0,0146	0,0056	0,004384	0,000017	NS	0,005391	0,000016	NS
Trave 8-9	100%	0,98	0,97	0,53	0,0094	0,0061	0,003453	0,000014	NS	0,005647	0,000015	NS
proporzionale alla deformata 1° modo di vibrazione												
Trave 8-9	0%	0,93	0,94	0,53	0,0146	0,0056	0,004384	0,000018	NS	0,005397	0,000014	NS
Trave 8-9	100%	0,98	0,97	0,53	0,0094	0,0061	0,003452	0,000015	NS	0,005637	0,000016	NS
sisma in +X												
proporzionale alle masse												
Trave 9-10	0%	1,01	1,00	0,53	0,0095	0,0060	0,003482	0,000043	80,73	0,005606	0,000032	NS
Trave 9-10	100%	0,87	0,88	0,52	0,0148	0,0054	0,004348	0,000110	39,66	0,005274	0,000109	48,25
proporzionale alla deformata 1° modo di vibrazione												
Trave 9-10	0%	1,02	1,00	0,53	0,0095	0,0060	0,003486	0,000052	66,82	0,005609	0,000038	NS
Trave 9-10	100%	0,86	0,88	0,52	0,0148	0,0054	0,004340	0,000115	37,88	0,005274	0,000113	46,47
sisma in -X												
proporzionale alle masse												
Trave 9-10	0%	0,95	0,96	0,53	0,0095	0,0060	0,003454	0,000010	NS	0,005569	0,000008	NS
Trave 9-10	100%	0,93	0,92	0,53	0,0149	0,0054	0,004425	0,000072	61,15	0,005255	0,000084	62,82
proporzionale alla deformata 1° modo di vibrazione												
Trave 9-10	0%	0,94	0,95	0,53	0,0095	0,0060	0,003451	0,000002	NS	0,005566	0,000003	NS
Trave 9-10	100%	0,94	0,92	0,53	0,0149	0,0053	0,004433	0,000064	69,41	0,005250	0,000078	67,41
sisma in +Y												
proporzionale alle masse												
Trave 9-10	0%	0,98	0,98	0,53	0,0094	0,0062	0,003461	0,000007	NS	0,005705	0,000006	NS
Trave 9-10	100%	0,91	0,90	0,52	0,0146	0,0057	0,004356	0,000110	39,78	0,005410	0,000106	51,16
proporzionale alla deformata 1° modo di vibrazione												
Trave 9-10	0%	0,98	0,98	0,53	0,0094	0,0063	0,003462	0,000012	NS	0,005727	0,000004	NS
Trave 9-10	100%	0,91	0,90	0,52	0,0146	0,0057	0,004356	0,000105	41,50	0,005427	0,000106	51,41
sisma in -Y												
proporzionale alle masse												
Trave 9-10	0%	0,96	0,97	0,53	0,0094	0,0060	0,003447	0,000014	NS	0,005615	0,000015	NS
Trave 9-10	100%	0,92	0,91	0,52	0,0146	0,0055	0,004372	0,000105	41,68	0,005339	0,000100	53,26
proporzionale alla deformata 1° modo di vibrazione												
Trave 9-10	0%	0,96	0,97	0,53	0,0094	0,0060	0,003446	0,000015	NS	0,005616	0,000016	NS
Trave 9-10	100%	0,93	0,91	0,52	0,0146	0,0055	0,004370	0,000105	41,69	0,005340	0,000102	52,43
sisma in +X												
proporzionale alle masse												
Trave 10-11	0%	1,09	1,08	0,54	0,0145	0,0057	0,004561	0,000110	41,61	0,005539	0,000109	50,67
Trave 10-11	100%	0,92	0,93	0,52	0,0094	0,0064	0,003430	0,000017	NS	0,005740	0,000016	NS
proporzionale alla deformata 1° modo di vibrazione												
Trave 10-11	0%	1,10	1,09	0,54	0,0145	0,0057	0,004567	0,000115	39,86	0,005545	0,000113	48,86
Trave 10-11	100%	0,90	0,92	0,52	0,0093	0,0064	0,003424	0,000022	NS	0,005736	0,000020	NS
sisma in -X												
proporzionale alle masse												
Trave 10-11	0%	1,03	1,04	0,54	0,0146	0,0056	0,004512	0,000072	62,34	0,005446	0,000084	65,10
Trave 10-11	100%	0,99	0,98	0,53	0,0094	0,0064	0,003479	0,000045	76,94	0,005792	0,000025	NS
proporzionale alla deformata 1° modo di vibrazione												
Trave 10-11	0%	1,02	1,04	0,53	0,0146	0,0056	0,004504	0,000064	70,50	0,005443	0,000078	69,88
Trave 10-11	100%	1,00	0,98	0,53	0,0094	0,0063	0,003480	0,000055	63,71	0,005762	0,000031	NS
sisma in +Y												
proporzionale alle masse												
Trave 10-11	0%	1,08	1,07	0,54	0,0141	0,0058	0,004470	0,000109	40,82	0,005568	0,000106	52,66
Trave 10-11	100%	0,91	0,93	0,52	0,0092	0,0059	0,003375	0,000082	41,02	0,005520	0,000036	NS
proporzionale alla deformata 1° modo di vibrazione												
Trave 10-11	0%	1,07	1,07	0,54	0,0142	0,0058	0,004474	0,000105	42,63	0,005581	0,000106	52,88
Trave 10-11	100%	0,91	0,93	0,52	0,0092	0,0059	0,003373	0,000083	40,81	0,005513	0,000037	NS
sisma in -Y												
proporzionale alle masse												
Trave 10-11	0%	1,05	1,05	0,54	0,0143	0,0057	0,004460	0,000105	42,51	0,005486	0,000100	54,72
Trave 10-11	100%	0,98	0,96	0,53	0,0093	0,0061	0,003427	0,000036	94,23	0,005627	0,000009	NS
proporzionale alla deformata 1° modo di vibrazione												
Trave 10-11	0%	1,03	1,05	0,54	0,0143	0,0057	0,004459	0,000105	42,52	0,005479	0,000102	53,79
Trave 10-11	100%	0,97	0,97	0,53	0,0093	0,0060	0,003426	0,000044	78,62	0,005613	0,000013	NS
sisma in +X												
proporzionale alle masse												
Trave 11-12	0%	1,16	1,15	0,55	0,0100	0,0052	0,003643	0,000017	NS	0,005304	0,000016	NS
Trave 11-12	100%	0,24	0,30	0,46	0,0146	0,0042	0,004522	0,001204	3,76	0,006681	0,001102	6,06
proporzionale alla deformata 1° modo di vibrazione												

Id_{Tr}	$\%L_{LI}$	$L_{v,SLV}$	$L_{v,SLD}$	L_{pl}	ϕ_u	ϕ_y	SLV			SLD		
							Θ_c	Θ_d	CS	Θ_c	Θ_d	CS
	[%]	[m]	[m]	[m]	[rad/m]	[rad/m]	[rad]	[rad]		[rad]	[rad]	
Trave 11-12	0%	1,16	1,15	0,55	0,0100	0,0052	0,003647	0,000022	NS	0,005311	0,000020	NS
Trave 11-12	100%	0,22	0,28	0,45	0,0146	0,0042	0,004625	0,001248	3,71	0,006902	0,001130	6,11
sisma in -X												
proporzionale alle masse												
Trave 11-12	0%	1,11	1,12	0,54	0,0100	0,0052	0,003618	0,000045	80,01	0,005281	0,000025	NS
Trave 11-12	100%	0,37	0,36	0,47	0,0146	0,0042	0,004231	0,001009	4,19	0,006033	0,001012	5,96
proporzionale alla deformata 1° modo di vibrazione												
Trave 11-12	0%	1,10	1,12	0,54	0,0100	0,0052	0,003614	0,000055	66,16	0,005279	0,000031	NS
Trave 11-12	100%	0,39	0,37	0,47	0,0146	0,0043	0,004210	0,000975	4,32	0,006000	0,001002	5,99
sisma in +Y												
proporzionale alle masse												
Trave 11-12	0%	1,16	1,14	0,55	0,0098	0,0054	0,003622	0,000082	44,02	0,005421	0,000036	NS
Trave 11-12	100%	0,21	0,29	0,45	0,0142	0,0038	0,004512	0,001216	3,71	0,006669	0,001124	5,93
proporzionale alla deformata 1° modo di vibrazione												
Trave 11-12	0%	1,16	1,14	0,55	0,0098	0,0055	0,003623	0,000083	43,82	0,005433	0,000037	NS
Trave 11-12	100%	0,21	0,30	0,45	0,0142	0,0039	0,004463	0,001208	3,70	0,006581	0,001123	5,86
sisma in -Y												
proporzionale alle masse												
Trave 11-12	0%	1,10	1,11	0,54	0,0098	0,0054	0,003598	0,000036	98,97	0,005377	0,000009	NS
Trave 11-12	100%	0,43	0,40	0,48	0,0143	0,0046	0,004093	0,000889	4,61	0,005880	0,000936	6,29
proporzionale alla deformata 1° modo di vibrazione												
Trave 11-12	0%	1,10	1,11	0,54	0,0098	0,0054	0,003601	0,000044	82,68	0,005394	0,000013	NS
Trave 11-12	100%	0,43	0,40	0,48	0,0143	0,0047	0,004105	0,000885	4,64	0,005913	0,000937	6,31
Piano copertura							**Travata: Trave13-14-15**					
sisma in +X												
proporzionale alle masse												
Trave 13-14	0%	0,86	0,81	0,48	0,0296	0,0055	0,006643	0,000338	19,65	0,004980	0,000426	11,70
Trave 13-14	100%	0,94	0,97	0,48	0,0139	0,0061	0,004079	0,000087	46,77	0,005374	0,000053	NS
proporzionale alla deformata 1° modo di vibrazione												
Trave 13-14	0%	0,87	0,82	0,48	0,0295	0,0055	0,006671	0,000306	21,79	0,005003	0,000403	12,42
Trave 13-14	100%	0,93	0,96	0,48	0,0138	0,0061	0,004064	0,000103	39,49	0,005366	0,000067	80,49
sisma in -X												
proporzionale alle masse												
Trave 13-14	0%	0,70	0,72	0,46	0,0301	0,0053	0,006274	0,000628	9,99	0,004915	0,000577	8,52
Trave 13-14	100%	1,05	1,03	0,50	0,0140	0,0062	0,004199	0,000113	37,06	0,005446	0,000070	77,91
proporzionale alla deformata 1° modo di vibrazione												
Trave 13-14	0%	0,68	0,71	0,46	0,0301	0,0053	0,006231	0,000653	9,54	0,004918	0,000592	8,31
Trave 13-14	100%	1,05	1,04	0,50	0,0140	0,0061	0,004207	0,000130	32,42	0,005450	0,000084	64,66
sisma in +Y												
proporzionale alle masse												
Trave 13-14	0%	0,75	0,75	0,47	0,0304	0,0052	0,006487	0,000548	11,84	0,004877	0,000532	9,17
Trave 13-14	100%	0,98	1,00	0,49	0,0140	0,0061	0,004150	0,000057	72,37	0,005400	0,000016	NS
proporzionale alla deformata 1° modo di vibrazione												
Trave 13-14	0%	0,75	0,75	0,47	0,0305	0,0052	0,006489	0,000552	11,76	0,004867	0,000535	9,11
Trave 13-14	100%	0,98	1,00	0,49	0,0140	0,0061	0,004150	0,000067	61,54	0,005400	0,000019	NS
sisma in -Y												
proporzionale alle masse												
Trave 13-14	0%	0,79	0,77	0,47	0,0299	0,0054	0,006528	0,000462	14,12	0,004944	0,000495	10,00
Trave 13-14	100%	0,97	0,99	0,49	0,0139	0,0061	0,004125	0,000039	NS	0,005397	0,000010	NS
proporzionale alla deformata 1° modo di vibrazione												
Trave 13-14	0%	0,80	0,77	0,47	0,0298	0,0054	0,006531	0,000457	14,28	0,004945	0,000492	10,06
Trave 13-14	100%	0,97	0,99	0,49	0,0139	0,0061	0,004122	0,000035	NS	0,005396	0,000011	NS
sisma in +X												
proporzionale alle masse												
Trave 14-15	0%	1,07	1,05	0,50	0,0171	0,0057	0,004790	0,000087	54,93	0,005252	0,000053	98,65
Trave 14-15	100%	0,72	0,75	0,46	0,0304	0,0052	0,006398	0,000764	8,37	0,004888	0,000699	6,99
proporzionale alla deformata 1° modo di vibrazione												
Trave 14-15	0%	1,07	1,06	0,50	0,0171	0,0057	0,004805	0,000103	46,69	0,005248	0,000067	78,74
Trave 14-15	100%	0,70	0,74	0,46	0,0305	0,0052	0,006349	0,000801	7,93	0,004890	0,000718	6,81
sisma in -X												
proporzionale alle masse												
Trave 14-15	0%	0,96	0,99	0,49	0,0169	0,0058	0,004634	0,000113	40,91	0,005208	0,000070	74,50
Trave 14-15	100%	0,88	0,84	0,48	0,0299	0,0054	0,006740	0,000461	14,61	0,004940	0,000546	9,05
proporzionale alla deformata 1° modo di vibrazione												
Trave 14-15	0%	0,95	0,98	0,49	0,0169	0,0058	0,004610	0,000130	35,53	0,005202	0,000084	61,71
Trave 14-15	100%	0,90	0,85	0,48	0,0297	0,0054	0,006767	0,000404	16,74	0,004971	0,000517	9,62
sisma in +Y												
proporzionale alle masse												
Trave 14-15	0%	0,88	0,96	0,48	0,0171	0,0058	0,004560	0,000057	79,54	0,005189	0,000016	NS
Trave 14-15	100%	0,93	0,86	0,48	0,0303	0,0053	0,006925	0,000753	9,20	0,004904	0,000662	7,40
proporzionale alla deformata 1° modo di vibrazione												
Trave 14-15	0%	0,87	0,96	0,48	0,0171	0,0058	0,004547	0,000067	67,44	0,005186	0,000019	NS
Trave 14-15	100%	0,94	0,86	0,48	0,0303	0,0053	0,006945	0,000766	9,07	0,004904	0,000669	7,33
sisma in -Y												
proporzionale alle masse												
Trave 14-15	0%	1,03	1,04	0,49	0,0170	0,0058	0,004743	0,000039	NS	0,005287	0,000010	NS
Trave 14-15	100%	0,79	0,78	0,47	0,0301	0,0052	0,006535	0,000633	10,32	0,004885	0,000609	8,02
proporzionale alla deformata 1° modo di vibrazione												
Trave 14-15	0%	1,03	1,04	0,49	0,0170	0,0058	0,004737	0,000035	NS	0,005297	0,000011	NS
Trave 14-15	100%	0,80	0,78	0,47	0,0300	0,0052	0,006546	0,000624	10,49	0,004885	0,000605	8,07
Piano copertura							**Travata: Trave1-7-16-19**					
sisma in +X												
proporzionale alle masse												
Trave 1-7	0%	1,06	1,07	0,39	0,1026	0,0138	0,018422	0,000141	NS	0,008460	0,000102	82,57
Trave 1-7	100%	1,15	1,14	0,40	0,0744	0,0156	0,014575	0,000007	NS	0,009689	0,000022	NS

Id_{Tr}	$\%L_{LI}$	$L_{v,SLV}$	$L_{v,SLD}$	L_{pl}	ϕ_u	ϕ_y	SLV			SLD		
							Θ_c	Θ_d	CS	Θ_c	Θ_d	CS
	[%]	[m]	[m]	[m]	[rad/m]	[rad/m]	[rad]	[rad]		[rad]	[rad]	
proporzionale alla deformata 1° modo di vibrazione												
Trave 1-7	0%	1,05	1,06	0,39	0,1027	0,0139	0,018393	0,000183	NS	0,008516	0,000120	71,09
Trave 1-7	100%	1,15	1,14	0,40	0,0745	0,0155	0,014611	0,000023	NS	0,009643	0,000020	NS
sisma in -X												
proporzionale alle masse												
Trave 1-7	0%	1,02	1,03	0,39	0,1053	0,0131	0,018443	0,000439	42,05	0,007955	0,000346	23,00
Trave 1-7	100%	1,18	1,17	0,40	0,0764	0,0143	0,015020	0,000005	NS	0,009188	0,000012	NS
proporzionale alla deformata 1° modo di vibrazione												
Trave 1-7	0%	1,02	1,03	0,39	0,1052	0,0131	0,018447	0,000426	43,25	0,007958	0,000342	23,26
Trave 1-7	100%	1,18	1,17	0,40	0,0763	0,0143	0,015001	0,000002	NS	0,009189	0,000010	NS
sisma in +Y												
proporzionale alle masse												
Trave 1-7	0%	0,95	0,98	0,38	0,1142	0,0108	0,019105	0,002028	9,42	0,006724	0,001153	5,83
Trave 1-7	100%	1,24	1,20	0,41	0,0833	0,0119	0,016250	0,000796	20,40	0,008050	0,000376	21,38
proporzionale alla deformata 1° modo di vibrazione												
Trave 1-7	0%	0,92	0,98	0,38	0,1156	0,0137	0,019305	0,002579	7,49	0,008022	0,001403	5,72
Trave 1-7	100%	1,24	1,22	0,41	0,0845	0,0116	0,016435	0,001008	16,30	0,007889	0,000469	16,82
sisma in -Y												
proporzionale alle masse												
Trave 1-7	0%	1,61	1,32	0,45	0,0751	0,0131	0,016499	0,002080	7,93	0,009142	0,001029	8,88
Trave 1-7	100%	1,08	1,10	0,39	0,0546	0,0153	0,011023	0,000458	24,06	0,009341	0,000249	37,54
proporzionale alla deformata 1° modo di vibrazione												
Trave 1-7	0%	1,72	1,39	0,46	0,0688	0,0131	0,015780	0,002564	6,15	0,009413	0,001268	7,42
Trave 1-7	100%	1,04	1,11	0,39	0,0485	0,0152	0,009988	0,000572	17,46	0,009398	0,000325	28,88
sisma in +X												
proporzionale alle masse												
Trave 7-16	0%	0,81	0,72	0,37	0,0775	0,0149	0,012609	0,000007	NS	0,007432	0,000022	NS
Trave 7-16	100%	0,55	0,71	0,34	0,0770	0,0164	0,011076	0,000227	48,82	0,007952	0,000048	NS
proporzionale alla deformata 1° modo di vibrazione												
Trave 7-16	0%	0,82	0,73	0,37	0,0776	0,0145	0,012664	0,000023	NS	0,007348	0,000020	NS
Trave 7-16	100%	0,51	0,69	0,34	0,0772	0,0164	0,010821	0,000252	42,88	0,007892	0,000064	NS
sisma in -X												
proporzionale alle masse												
Trave 7-16	0%	0,62	0,59	0,35	0,0768	0,0167	0,011303	0,000005	NS	0,007520	0,000012	NS
Trave 7-16	100%	0,82	0,85	0,37	0,0764	0,0162	0,012856	0,000087	NS	0,008560	0,000126	68,07
proporzionale alla deformata 1° modo di vibrazione												
Trave 7-16	0%	0,62	0,59	0,35	0,0767	0,0165	0,011302	0,000002	NS	0,007487	0,000010	NS
Trave 7-16	100%	0,81	0,85	0,37	0,0762	0,0163	0,012831	0,000082	NS	0,008607	0,000122	70,46
sisma in +Y												
proporzionale alle masse												
Trave 7-16	0%	1,23	1,03	0,41	0,0743	0,0152	0,014568	0,000796	18,29	0,008988	0,000376	23,87
Trave 7-16	100%	1,69	0,04	0,46	0,1050	0,0149	0,024419	0,001008	24,23	0,013316	0,000501	26,60
proporzionale alla deformata 1° modo di vibrazione												
Trave 7-16	0%	1,29	1,08	0,42	0,0727	0,0159	0,014679	0,001008	14,56	0,009525	0,000469	20,31
Trave 7-16	100%	3,56	0,18	0,64	0,1040	0,0152	0,029142	0,001133	25,73	0,006461	0,000569	11,35
sisma in -Y												
proporzionale alle masse												
Trave 7-16	0%	3,59	26,32	0,64	0,0885	0,0187	0,104557	0,000458	NS	0,168180	0,000249	NS
Trave 7-16	100%	1,70	1,45	0,46	0,0553	0,0186	0,013825	0,002538	5,45	0,013137	0,001287	10,21
proporzionale alla deformata 1° modo di vibrazione												
Trave 7-16	0%	3,30	16,16	0,62	0,0869	0,0178	0,069049	0,000572	NS	0,099452	0,000325	NS
Trave 7-16	100%	1,74	1,51	0,46	0,0531	0,0188	0,013629	0,002740	4,97	0,013558	0,001490	9,10
sisma in +X												
proporzionale alle masse												
Trave 16-19	0%	0,60	0,62	0,35	0,0759	0,0144	0,011027	0,000227	48,61	0,006853	0,000048	NS
Trave 16-19	100%	0,69	0,64	0,36	0,1056	0,0155	0,015563	0,000033	NS	0,007343	0,000027	NS
proporzionale alla deformata 1° modo di vibrazione												
Trave 16-19	0%	0,61	0,62	0,35	0,0758	0,0144	0,011038	0,000252	43,74	0,006850	0,000064	NS
Trave 16-19	100%	0,69	0,64	0,36	0,1055	0,0162	0,015590	0,000065	NS	0,007583	0,000020	NS
sisma in -X												
proporzionale alle masse												
Trave 16-19	0%	0,67	0,66	0,35	0,0787	0,0144	0,011917	0,000087	NS	0,007054	0,000126	56,09
Trave 16-19	100%	0,52	0,52	0,34	0,1093	0,0130	0,014013	0,000080	NS	0,006076	0,000029	NS
proporzionale alla deformata 1° modo di vibrazione												
Trave 16-19	0%	0,67	0,66	0,35	0,0786	0,0148	0,011877	0,000082	NS	0,007165	0,000122	58,65
Trave 16-19	100%	0,53	0,53	0,34	0,1091	0,0130	0,014118	0,000061	NS	0,006101	0,000015	NS
sisma in +Y												
proporzionale alle masse												
Trave 16-19	0%	0,93	0,76	0,38	0,0713	0,0146	0,012298	0,001008	12,20	0,007490	0,000501	14,96
Trave 16-19	100%	0,89	0,77	0,38	0,0993	0,0132	0,016275	0,000094	NS	0,007001	0,000028	NS
proporzionale alla deformata 1° modo di vibrazione												
Trave 16-19	0%	0,98	0,77	0,38	0,0688	0,0145	0,012130	0,001133	10,71	0,007528	0,000569	13,22
Trave 16-19	100%	1,07	0,85	0,39	0,0955	0,0132	0,016846	0,000083	NS	0,007297	0,000103	70,73
sisma in -Y												
proporzionale alle masse												
Trave 16-19	0%	0,82	0,78	0,37	0,0847	0,0113	0,013602	0,002538	5,36	0,006273	0,001287	4,87
Trave 16-19	100%	0,51	0,13	0,34	0,1172	0,0129	0,015082	0,001337	11,28	0,006710	0,000689	9,75
proporzionale alla deformata 1° modo di vibrazione												
Trave 16-19	0%	0,88	0,78	0,37	0,0853	0,0113	0,014066	0,002740	5,13	0,006303	0,001490	4,23
Trave 16-19	100%	1,51	0,02	0,44	0,1177	0,0136	0,029982	0,001888	15,88	0,021065	0,000930	22,65
Piano copertura							**Travata: Trave6-12-15-24**					
sisma in +X												
proporzionale alle masse												
Trave 6-12	0%	1,06	1,11	0,39	0,1034	0,0131	0,018597	0,000334	55,71	0,008289	0,000038	NS
Trave 6-12	100%	1,17	1,14	0,40	0,0750	0,0148	0,014680	0,000086	NS	0,009282	0,000114	81,27

Id_{Tr}	$\%L_{LI}$	$L_{v,SLV}$	$L_{v,SLD}$	L_{pl}	ϕ_u	ϕ_y	SLV			SLD		
							Θ_c	Θ_d	CS	Θ_c	Θ_d	CS
	[%]	[m]	[m]	[m]	[rad/m]	[rad/m]	[rad]	[rad]		[rad]	[rad]	
proporzionale alla deformata 1° modo di vibrazione												
Trave 6-12	0%	1,05	1,10	0,39	0,1037	0,0131	0,018557	0,000413	44,93	0,008276	0,000059	NS
Trave 6-12	100%	1,17	1,14	0,40	0,0751	0,0146	0,014721	0,000076	NS	0,009187	0,000110	83,66
sisma in -X												
proporzionale alle masse												
Trave 6-12	0%	1,11	1,12	0,40	0,1019	0,0137	0,018723	0,000020	NS	0,008626	0,000062	NS
Trave 6-12	100%	1,13	1,13	0,40	0,0739	0,0157	0,014438	0,000110	NS	0,009730	0,000123	79,00
proporzionale alla deformata 1° modo di vibrazione												
Trave 6-12	0%	1,10	1,12	0,40	0,1020	0,0139	0,018693	0,000046	NS	0,008739	0,000039	NS
Trave 6-12	100%	1,14	1,13	0,40	0,0739	0,0157	0,014471	0,000094	NS	0,009707	0,000121	80,33
sisma in +Y												
proporzionale alle masse												
Trave 6-12	0%	0,97	1,05	0,38	0,1050	0,0131	0,018164	0,001289	14,09	0,008036	0,000582	13,81
Trave 6-12	100%	1,20	1,17	0,41	0,0761	0,0138	0,014956	0,000011	NS	0,008869	0,000064	NS
proporzionale alla deformata 1° modo di vibrazione												
Trave 6-12	0%	0,97	1,04	0,38	0,1054	0,0131	0,018169	0,001471	12,35	0,008016	0,000650	12,32
Trave 6-12	100%	1,20	1,17	0,41	0,0765	0,0136	0,014999	0,000022	NS	0,008756	0,000088	99,57
sisma in -Y												
proporzionale alle masse												
Trave 6-12	0%	1,30	1,21	0,42	0,0966	0,0145	0,019080	0,001384	13,79	0,009473	0,000725	13,06
Trave 6-12	100%	1,04	1,10	0,39	0,0701	0,0156	0,013385	0,000183	73,30	0,009461	0,000143	66,18
proporzionale alla deformata 1° modo di vibrazione												
Trave 6-12	0%	1,33	1,22	0,42	0,0955	0,0149	0,019079	0,001575	12,12	0,009698	0,000812	11,94
Trave 6-12	100%	1,04	1,09	0,39	0,0693	0,0155	0,013212	0,000166	79,42	0,009402	0,000121	77,52
sisma in +X												
proporzionale alle masse												
Trave 12-15	0%	0,77	0,73	0,36	0,0773	0,0157	0,012465	0,000086	NS	0,007793	0,000114	68,24
Trave 12-15	100%	0,22	0,35	0,31	0,0769	0,0198	0,008109	0,000123	65,91	0,007421	0,000047	NS
proporzionale alla deformata 1° modo di vibrazione												
Trave 12-15	0%	0,78	0,74	0,36	0,0774	0,0154	0,012529	0,000076	NS	0,007706	0,000110	70,18
Trave 12-15	100%	0,18	0,32	0,30	0,0768	0,0198	0,008007	0,000150	53,55	0,007342	0,000057	NS
sisma in -X												
proporzionale alle masse												
Trave 12-15	0%	0,82	0,75	0,37	0,0772	0,0155	0,012739	0,000110	NS	0,007803	0,000123	63,36
Trave 12-15	100%	0,01	0,30	0,29	0,0768	0,0199	0,007745	0,000150	51,55	0,007309	0,000055	NS
proporzionale alla deformata 1° modo di vibrazione												
Trave 12-15	0%	0,84	0,76	0,37	0,0774	0,0152	0,012856	0,000094	NS	0,007755	0,000121	64,18
Trave 12-15	100%	0,08	0,26	0,29	0,1083	0,0199	0,010115	0,000189	53,50	0,007238	0,000068	NS
sisma in +Y												
proporzionale alle masse												
Trave 12-15	0%	1,63	0,33	0,45	0,1013	0,0187	0,019551	0,000011	NS	0,007098	0,000064	NS
Trave 12-15	100%	1,18	0,89	0,40	0,0682	0,0191	0,013236	0,000657	20,15	0,009998	0,000295	33,93
proporzionale alla deformata 1° modo di vibrazione												
Trave 12-15	0%	2,81	0,30	0,57	0,1004	0,0190	0,024299	0,000022	NS	0,007104	0,000088	80,79
Trave 12-15	100%	1,22	0,92	0,41	0,0672	0,0191	0,013301	0,000724	18,37	0,010213	0,000322	31,77
sisma in -Y												
proporzionale alle masse												
Trave 12-15	0%	0,93	0,86	0,38	0,0780	0,0145	0,013536	0,000183	74,13	0,007868	0,000143	55,04
Trave 12-15	100%	0,62	0,03	0,35	0,1083	0,0134	0,019365	0,000693	27,93	0,014958	0,000338	44,27
proporzionale alla deformata 1° modo di vibrazione												
Trave 12-15	0%	0,94	0,86	0,38	0,0781	0,0145	0,013572	0,000166	81,58	0,007894	0,000121	65,08
Trave 12-15	100%	0,77	0,07	0,36	0,1084	0,0132	0,017691	0,000773	22,90	0,008931	0,000372	23,98
sisma in +X												
proporzionale alle masse												
Trave 15-24	0%	0,81	0,77	0,37	0,0774	0,0141	0,012685	0,000123	NS	0,007360	0,000047	NS
Trave 15-24	100%	0,69	0,76	0,36	0,1074	0,0136	0,015928	0,000341	46,73	0,007121	0,000081	88,17
proporzionale alla deformata 1° modo di vibrazione												
Trave 15-24	0%	0,82	0,77	0,37	0,0776	0,0137	0,012747	0,000150	85,24	0,007191	0,000057	NS
Trave 15-24	100%	0,67	0,76	0,35	0,1076	0,0136	0,015749	0,000433	36,38	0,007102	0,000100	70,97
sisma in -X												
proporzionale alle masse												
Trave 15-24	0%	0,75	0,75	0,36	0,0762	0,0167	0,012309	0,000150	81,94	0,008290	0,000055	NS
Trave 15-24	100%	0,78	0,78	0,36	0,1057	0,0148	0,016526	0,000123	NS	0,007668	0,000030	NS
proporzionale alla deformata 1° modo di vibrazione												
Trave 15-24	0%	0,76	0,75	0,36	0,0762	0,0167	0,012346	0,000189	65,31	0,008283	0,000068	NS
Trave 15-24	100%	0,77	0,78	0,36	0,1057	0,0150	0,016437	0,000189	87,14	0,007721	0,000055	NS
sisma in +Y												
proporzionale alle masse												
Trave 15-24	0%	0,64	0,70	0,35	0,0734	0,0161	0,011218	0,000657	17,08	0,007810	0,000295	26,50
Trave 15-24	100%	0,99	0,88	0,38	0,1016	0,0152	0,017536	0,001190	14,74	0,008300	0,000585	14,20
proporzionale alla deformata 1° modo di vibrazione												
Trave 15-24	0%	0,61	0,69	0,35	0,0726	0,0161	0,010921	0,000724	15,08	0,007760	0,000322	24,14
Trave 15-24	100%	1,02	0,90	0,39	0,1007	0,0158	0,017642	0,001353	13,04	0,008598	0,000651	13,20
sisma in -Y												
proporzionale alle masse												
Trave 15-24	0%	0,92	0,83	0,38	0,0781	0,0143	0,013399	0,000693	19,32	0,007673	0,000338	22,71
Trave 15-24	100%	0,45	0,63	0,33	0,1085	0,0137	0,013263	0,001630	8,14	0,006658	0,000746	8,93
proporzionale alla deformata 1° modo di vibrazione												
Trave 15-24	0%	0,94	0,84	0,38	0,0783	0,0140	0,013537	0,000773	17,52	0,007596	0,000372	20,39
Trave 15-24	100%	0,41	0,60	0,33	0,1087	0,0138	0,012551	0,001877	6,69	0,006592	0,000864	7,63
Piano copertura							**Travata: Trave10-13-22**					
sisma in +X												
proporzionale alle masse												
Trave 10-13	0%	0,61	0,54	0,35	0,1041	0,0115	0,014334	0,000363	39,48	0,005671	0,000340	16,66
Trave 10-13	100%	0,42	0,52	0,33	0,0849	0,0150	0,010306	0,000201	51,22	0,006692	0,000111	60,30

Id_{Tr}	$\%L_{LI}$	$L_{v,SLV}$	$L_{v,SLD}$	L_{pl}	ϕ_u	ϕ_y	SLV			SLD		
							Θ_c	Θ_d	CS	Θ_c	Θ_d	CS
	[%]	[m]	[m]	[m]	[rad/m]	[rad/m]	[rad]	[rad]		[rad]	[rad]	
proporzionale alla deformata 1° modo di vibrazione												
Trave 10-13	0%	0,63	0,56	0,35	0,1042	0,0114	0,014530	0,000378	38,43	0,005669	0,000345	16,45
Trave 10-13	100%	0,37	0,50	0,32	0,0850	0,0150	0,009719	0,000229	42,46	0,006639	0,000123	54,11
sisma in -X												
proporzionale alle masse												
Trave 10-13	0%	0,59	0,53	0,34	0,1041	0,0114	0,014123	0,000403	35,08	0,005606	0,000364	15,39
Trave 10-13	100%	0,43	0,53	0,33	0,0849	0,0150	0,010443	0,000203	51,48	0,006721	0,000118	56,95
proporzionale alla deformata 1° modo di vibrazione												
Trave 10-13	0%	0,61	0,54	0,35	0,1042	0,0113	0,014294	0,000414	34,54	0,005595	0,000368	15,19
Trave 10-13	100%	0,40	0,52	0,32	0,0850	0,0150	0,010062	0,000229	43,89	0,006684	0,000127	52,63
sisma in +Y												
proporzionale alle masse												
Trave 10-13	0%	0,90	0,71	0,38	0,0979	0,0151	0,016022	0,000449	35,72	0,007467	0,000084	89,15
Trave 10-13	100%	0,22	0,37	0,31	0,0814	0,0150	0,008227	0,000166	49,41	0,006252	0,000108	57,72
proporzionale alla deformata 1° modo di vibrazione												
Trave 10-13	0%	1,01	0,78	0,39	0,0952	0,0157	0,016449	0,000712	23,09	0,008029	0,000226	35,50
Trave 10-13	100%	1,10	0,24	0,40	0,0799	0,0150	0,013614	0,000242	56,28	0,006163	0,000140	44,02
sisma in -Y												
proporzionale alle masse												
Trave 10-13	0%	0,14	0,34	0,30	0,1055	0,0141	0,009813	0,001183	8,29	0,005962	0,000763	7,82
Trave 10-13	100%	0,75	0,70	0,36	0,0856	0,0129	0,013274	0,000071	NS	0,006619	0,000012	NS
proporzionale alla deformata 1° modo di vibrazione												
Trave 10-13	0%	0,03	0,27	0,29	0,1056	0,0112	0,009433	0,001480	6,37	0,005288	0,000904	5,85
Trave 10-13	100%	0,80	0,74	0,36	0,0857	0,0128	0,013605	0,000164	82,71	0,006714	0,000055	NS
sisma in +X												
proporzionale alle masse												
Trave 13-22	0%	0,63	0,69	0,35	0,0811	0,0162	0,012107	0,000201	60,17	0,007813	0,000111	70,41
Trave 13-22	100%	0,92	0,85	0,38	0,0960	0,0162	0,016244	0,000236	68,78	0,008543	0,000147	58,17
proporzionale alla deformata 1° modo di vibrazione												
Trave 13-22	0%	0,63	0,69	0,35	0,0809	0,0162	0,012063	0,000229	52,70	0,007789	0,000123	63,48
Trave 13-22	100%	0,95	0,86	0,38	0,0955	0,0166	0,016351	0,000258	63,49	0,008754	0,000157	55,69
sisma in -X												
proporzionale alle masse												
Trave 13-22	0%	0,61	0,68	0,35	0,0806	0,0161	0,011826	0,000203	58,29	0,007709	0,000118	65,33
Trave 13-22	100%	1,00	0,88	0,38	0,0947	0,0164	0,016553	0,000397	41,74	0,008743	0,000206	42,44
proporzionale alla deformata 1° modo di vibrazione												
Trave 13-22	0%	0,60	0,67	0,34	0,0803	0,0161	0,011711	0,000229	51,08	0,007688	0,000127	60,55
Trave 13-22	100%	1,03	0,89	0,39	0,0940	0,0168	0,016677	0,000439	37,99	0,009036	0,000234	38,69
sisma in +Y												
proporzionale alle masse												
Trave 13-22	0%	0,38	0,67	0,32	0,0744	0,0163	0,009236	0,000166	55,47	0,007749	0,000108	71,55
Trave 13-22	100%	1,37	1,08	0,42	0,0844	0,0208	0,017314	0,001540	11,24	0,011960	0,000740	16,17
proporzionale alla deformata 1° modo di vibrazione												
Trave 13-22	0%	0,21	0,60	0,31	0,0715	0,0163	0,007940	0,000242	32,82	0,007442	0,000140	53,16
Trave 13-22	100%	1,50	1,16	0,44	0,0794	0,0224	0,017291	0,002008	8,61	0,013351	0,000947	14,10
sisma in -Y												
proporzionale alle masse												
Trave 13-22	0%	0,94	0,89	0,38	0,0871	0,0117	0,014781	0,000071	NS	0,006783	0,000012	NS
Trave 13-22	100%	0,16	0,41	0,30	0,1063	0,0141	0,009997	0,002755	3,63	0,006109	0,001261	4,84
proporzionale alla deformata 1° modo di vibrazione												
Trave 13-22	0%	0,95	0,90	0,38	0,0876	0,0113	0,014922	0,000164	90,72	0,006678	0,000055	NS
Trave 13-22	100%	0,00	0,37	0,29	0,1075	0,0141	0,009661	0,003354	2,88	0,006011	0,001563	3,85
Piano terra							**Travata: Trave1-P1-2-P2-3-P3-P4-4-P5-5-P6-6**					
sisma in +X												
proporzionale alle masse												
Trave P1-2	0%	0,15	0,30	0,46	0,0805	0,0026	0,013290	0,000224	59,24	0,008523	0,000210	40,61
Trave P1-2	100%	1,05	0,97	0,55	0,0162	0,0031	0,005069	0,000071	71,06	0,004801	0,000034	NS
proporzionale alla deformata 1° modo di vibrazione												
Trave P1-2	0%	0,01	0,21	0,45	0,0797	0,0026	0,014314	0,000231	62,00	0,011299	0,000228	49,55
Trave P1-2	100%	1,10	0,99	0,56	0,0161	0,0032	0,005079	0,000088	57,74	0,004813	0,000041	NS
sisma in -X												
proporzionale alle masse												
Trave P1-2	0%	1,13	0,95	0,56	0,0756	0,0028	0,017695	0,000164	NS	0,004652	0,000062	74,72
Trave P1-2	100%	0,24	0,58	0,47	0,0154	0,0031	0,004319	0,000129	33,61	0,005729	0,000074	77,24
proporzionale alla deformata 1° modo di vibrazione												
Trave P1-2	0%	1,22	1,00	0,57	0,0738	0,0028	0,017820	0,000208	85,76	0,004616	0,000085	54,30
Trave P1-2	100%	0,22	0,50	0,47	0,1010	0,0031	0,014611	0,000145	NS	0,006201	0,000081	76,09
sisma in +Y												
proporzionale alle masse												
Trave P1-2	0%	0,59	0,63	0,51	0,0820	0,0026	0,014082	0,000205	68,73	0,005331	0,000131	40,66
Trave P1-2	100%	0,80	0,82	0,53	0,0168	0,0030	0,004923	0,000012	NS	0,004952	0,000001	NS
proporzionale alla deformata 1° modo di vibrazione												
Trave P1-2	0%	0,58	0,62	0,51	0,0821	0,0026	0,014018	0,000228	61,56	0,005383	0,000144	37,35
Trave P1-2	100%	0,80	0,82	0,53	0,0168	0,0030	0,004920	0,000016	NS	0,004959	0,000000	NS
sisma in -Y												
proporzionale alle masse												
Trave P1-2	0%	0,63	0,64	0,51	0,0804	0,0026	0,014439	0,000061	NS	0,005301	0,000073	72,17
Trave P1-2	100%	0,89	0,87	0,54	0,0164	0,0031	0,004938	0,000006	NS	0,004910	0,000001	NS
proporzionale alla deformata 1° modo di vibrazione												
Trave P1-2	0%	0,60	0,62	0,51	0,0804	0,0026	0,014081	0,000062	NS	0,005368	0,000077	69,36
Trave P1-2	100%	0,91	0,88	0,54	0,0164	0,0031	0,004954	0,000005	NS	0,004898	0,000002	NS
sisma in +X												
proporzionale alle masse												
Trave 2-P2	0%	1,15	0,33	0,56	0,0888	0,0031	0,022235	0,000071	NS	0,007958	0,000034	NS
Trave 2-P2	100%	1,44	1,19	0,59	0,0202	0,0033	0,006349	0,000249	25,49	0,004720	0,000118	40,11

Id_{Tr}	$\%L_{LI}$	$L_{v,SLV}$	$L_{v,SLD}$	L_{pl}	ϕ_u	ϕ_y	SLV			SLD		
							Θ_c	Θ_d	CS	Θ_c	Θ_d	CS
	[%]	[m]	[m]	[m]	[rad/m]	[rad/m]	[rad]	[rad]		[rad]	[rad]	
proporzionale alla deformata 1° modo di vibrazione												
Trave 2-P2	0%	2,33	0,18	0,68	0,0863	0,0031	0,030545	0,000088	NS	0,012648	0,000041	NS
Trave 2-P2	100%	1,53	1,25	0,60	0,0191	0,0033	0,006180	0,000307	20,11	0,004754	0,000143	33,17
sisma in -X												
proporzionale alle masse												
Trave 2-P2	0%	1,10	1,01	0,56	0,0199	0,0030	0,005873	0,000129	45,70	0,004713	0,000074	63,54
Trave 2-P2	100%	0,06	0,32	0,45	0,0264	0,0029	0,006746	0,000294	22,91	0,008150	0,000222	36,74
proporzionale alla deformata 1° modo di vibrazione												
Trave 2-P2	0%	1,14	1,03	0,56	0,0197	0,0031	0,005882	0,000145	40,52	0,004716	0,000081	57,87
Trave 2-P2	100%	0,12	0,25	0,46	0,1039	0,0029	0,016467	0,000315	52,22	0,009697	0,000237	40,84
sisma in +Y												
proporzionale alle masse												
Trave 2-P2	0%	0,92	0,88	0,54	0,0200	0,0031	0,005671	0,000012	NS	0,004913	0,000001	NS
Trave 2-P2	100%	0,65	0,72	0,51	0,0261	0,0029	0,006198	0,000037	NS	0,005136	0,000050	NS
proporzionale alla deformata 1° modo di vibrazione												
Trave 2-P2	0%	0,94	0,88	0,54	0,0199	0,0032	0,005697	0,000016	NS	0,004910	0,000000	NS
Trave 2-P2	100%	0,61	0,70	0,51	0,0261	0,0029	0,006045	0,000047	NS	0,005192	0,000055	94,87
sisma in -Y												
proporzionale alle masse												
Trave 2-P2	0%	0,75	0,77	0,52	0,0199	0,0031	0,005426	0,000006	NS	0,005093	0,000001	NS
Trave 2-P2	100%	0,89	0,86	0,54	0,0259	0,0029	0,006743	0,000004	NS	0,004827	0,000019	NS
proporzionale alla deformata 1° modo di vibrazione												
Trave 2-P2	0%	0,73	0,75	0,52	0,0198	0,0031	0,005353	0,000005	NS	0,005124	0,000002	NS
Trave 2-P2	100%	0,93	0,88	0,54	0,0257	0,0029	0,006769	0,000011	NS	0,004804	0,000009	NS
sisma in +X												
proporzionale alle masse												
Trave P3-P4	0%	12,60	2,58	1,71	0,0769	0,0035	0,061235	0,000201	NS	0,005615	0,000158	35,51
Trave P3-P4	100%	1,43	1,20	0,59	0,0549	0,0030	0,014492	0,000294	49,27	0,004592	0,000157	29,20
proporzionale alla deformata 1° modo di vibrazione												
Trave P3-P4	0%	6,03	4,54	1,05	0,0732	0,0035	0,037229	0,000228	NS	0,007508	0,000174	43,19
Trave P3-P4	100%	1,51	1,25	0,60	0,0464	0,0031	0,012710	0,000353	36,01	0,004616	0,000183	25,17
sisma in -X												
proporzionale alle masse												
Trave P3-P4	0%	1,48	1,25	0,60	0,0236	0,0033	0,007210	0,000327	22,05	0,004730	0,000178	26,62
Trave P3-P4	100%	7,68	3,46	1,22	0,0523	0,0038	0,030570	0,000207	NS	0,006842	0,000161	42,56
proporzionale alla deformata 1° modo di vibrazione												
Trave P3-P4	0%	1,55	1,30	0,60	0,0218	0,0034	0,006856	0,000387	17,72	0,004762	0,000206	23,13
Trave P3-P4	100%	5,05	7,21	0,95	0,0442	0,0038	0,023038	0,000226	NS	0,011219	0,000175	64,07
sisma in +Y												
proporzionale alle masse												
Trave P3-P4	0%	0,62	0,65	0,51	0,0416	0,0026	0,008468	0,000042	NS	0,005267	0,000019	NS
Trave P3-P4	100%	0,55	0,61	0,50	0,0756	0,0024	0,012694	0,000079	NS	0,005351	0,000036	NS
proporzionale alla deformata 1° modo di vibrazione												
Trave P3-P4	0%	0,64	0,67	0,51	0,0416	0,0026	0,008597	0,000035	NS	0,005177	0,000014	NS
Trave P3-P4	100%	0,51	0,58	0,50	0,0755	0,0026	0,012023	0,000090	NS	0,005584	0,000043	NS
sisma in -Y												
proporzionale alle masse												
Trave P3-P4	0%	0,21	0,40	0,47	0,0396	0,0028	0,007800	0,000088	88,71	0,006974	0,000061	NS
Trave P3-P4	100%	0,84	0,78	0,53	0,0728	0,0026	0,015214	0,000024	NS	0,004859	0,000012	NS
proporzionale alla deformata 1° modo di vibrazione												
Trave P3-P4	0%	0,03	0,31	0,45	0,0923	0,0028	0,014274	0,000106	NS	0,008346	0,000074	NS
Trave P3-P4	100%	0,90	0,82	0,54	0,0721	0,0026	0,015516	0,000042	NS	0,004795	0,000024	NS
sisma in +X												
proporzionale alle masse												
Trave P5-5	0%	0,17	0,35	0,47	0,0880	0,0025	0,013729	0,000247	55,66	0,007549	0,000198	38,21
Trave P5-5	100%	1,09	1,01	0,56	0,0199	0,0030	0,005860	0,000106	55,09	0,004711	0,000059	79,69
proporzionale alla deformata 1° modo di vibrazione												
Trave P5-5	0%	0,04	0,28	0,45	0,0876	0,0025	0,014032	0,000271	51,87	0,008808	0,000213	41,37
Trave P5-5	100%	1,13	1,03	0,56	0,0198	0,0031	0,005875	0,000126	46,47	0,004714	0,000068	69,12
sisma in -X												
proporzionale alle masse												
Trave P5-5	0%	1,41	1,15	0,59	0,0700	0,0028	0,017898	0,000262	68,44	0,004490	0,000128	35,02
Trave P5-5	100%	1,19	0,33	0,57	0,0873	0,0032	0,022155	0,000081	NS	0,008020	0,000037	NS
proporzionale alla deformata 1° modo di vibrazione												
Trave P5-5	0%	1,49	1,21	0,60	0,0665	0,0028	0,017456	0,000320	54,62	0,004487	0,000155	29,00
Trave P5-5	100%	2,35	0,05	0,68	0,0850	0,0032	0,045029	0,000102	NS	0,042234	0,000045	NS
sisma in +Y												
proporzionale alle masse												
Trave P5-5	0%	0,62	0,66	0,51	0,0855	0,0025	0,014990	0,000004	NS	0,005191	0,000029	NS
Trave P5-5	100%	0,96	0,90	0,54	0,0194	0,0032	0,005602	0,000040	NS	0,004925	0,000014	NS
proporzionale alla deformata 1° modo di vibrazione												
Trave P5-5	0%	0,64	0,68	0,51	0,0851	0,0026	0,015216	0,000011	NS	0,005141	0,000022	NS
Trave P5-5	100%	0,95	0,90	0,54	0,0193	0,0032	0,005576	0,000045	NS	0,004930	0,000017	NS
sisma in -Y												
proporzionale alle masse												
Trave P5-5	0%	0,59	0,65	0,51	0,0890	0,0025	0,015121	0,000113	NS	0,005214	0,000089	58,33
Trave P5-5	100%	0,88	0,87	0,54	0,0205	0,0030	0,005699	0,000011	NS	0,004885	0,000005	NS
proporzionale alla deformata 1° modo di vibrazione												
Trave P5-5	0%	0,54	0,61	0,50	0,0893	0,0025	0,014289	0,000136	NS	0,005364	0,000104	51,60
Trave P5-5	100%	0,91	0,88	0,54	0,0206	0,0030	0,005747	0,000006	NS	0,004850	0,000007	NS
sisma in +X												
proporzionale alle masse												
Trave 5-P6	0%	0,00	0,56	0,45	0,0147	0,0031	0,004229	0,000106	39,75	0,005849	0,000059	98,94
Trave 5-P6	100%	1,26	1,06	0,57	0,0644	0,0028	0,015912	0,000184	86,34	0,004571	0,000064	71,87
proporzionale alla deformata 1° modo di vibrazione												

Id_{Tr}	$\%L_{LI}$	$L_{v,SLV}$	$L_{v,SLD}$	L_{pl}	ϕ_u	ϕ_y	SLV			SLD		
							Θ_c	Θ_d	CS	Θ_c	Θ_d	CS
	[%]	[m]	[m]	[m]	[rad/m]	[rad/m]	[rad]	[rad]		[rad]	[rad]	
Trave 5-P6	0%	0,39	0,47	0,49	0,0991	0,0031	0,014897	0,000126	NS	0,006363	0,000068	93,29
Trave 5-P6	100%	1,35	1,11	0,58	0,0617	0,0029	0,015736	0,000240	65,69	0,004569	0,000091	50,22
sisma in -X												
proporzionale alle masse												
Trave 5-P6	0%	1,12	1,03	0,56	0,0161	0,0032	0,005092	0,000081	62,93	0,004762	0,000037	NS
Trave 5-P6	100%	0,22	0,36	0,47	0,0726	0,0026	0,011955	0,000240	49,85	0,007450	0,000246	30,28
proporzionale alla deformata 1° modo di vibrazione												
Trave 5-P6	0%	1,17	1,05	0,57	0,0159	0,0032	0,005097	0,000102	50,08	0,004772	0,000045	NS
Trave 5-P6	100%	0,11	0,31	0,46	0,0713	0,0026	0,012047	0,000243	49,56	0,008323	0,000253	32,95
sisma in +Y												
proporzionale alle masse												
Trave 5-P6	0%	0,67	0,77	0,52	0,0165	0,0031	0,004670	0,000040	NS	0,005086	0,000014	NS
Trave 5-P6	100%	0,84	0,80	0,53	0,0732	0,0026	0,015248	0,000233	65,33	0,004850	0,000161	30,09
proporzionale alla deformata 1° modo di vibrazione												
Trave 5-P6	0%	0,72	0,79	0,52	0,0167	0,0030	0,004785	0,000045	NS	0,005026	0,000017	NS
Trave 5-P6	100%	0,76	0,75	0,52	0,0742	0,0026	0,014774	0,000298	49,57	0,004942	0,000198	24,92
sisma in -Y												
proporzionale alle masse												
Trave 5-P6	0%	0,97	0,93	0,55	0,0165	0,0031	0,005032	0,000011	NS	0,004813	0,000005	NS
Trave 5-P6	100%	0,51	0,61	0,50	0,0733	0,0026	0,011678	0,000198	58,93	0,005408	0,000142	38,19
proporzionale alla deformata 1° modo di vibrazione												
Trave 5-P6	0%	0,97	0,93	0,55	0,0165	0,0031	0,005034	0,000006	NS	0,004819	0,000007	NS
Trave 5-P6	100%	0,51	0,62	0,50	0,0733	0,0026	0,011656	0,000196	59,33	0,005375	0,000142	37,96
Piano terra							**Travata: Trave7-8-9-10-11-12**					
sisma in +X												
proporzionale alle masse												
Trave 7-8	0%	0,06	0,30	0,43	0,0902	0,0048	0,012426	0,001230	10,11	0,006506	0,000848	7,67
Trave 7-8	100%	1,23	1,14	0,55	0,0097	0,0062	0,003625	0,000337	10,77	0,005743	0,000259	22,21
proporzionale alla deformata 1° modo di vibrazione												
Trave 7-8	0%	0,29	0,20	0,45	0,0892	0,0044	0,013766	0,001422	9,68	0,008340	0,000952	8,76
Trave 7-8	100%	1,26	1,17	0,55	0,0097	0,0063	0,003654	0,000389	9,40	0,005836	0,000290	20,13
sisma in -X												
proporzionale alle masse												
Trave 7-8	0%	0,92	0,83	0,52	0,0301	0,0049	0,007140	0,000062	NS	0,004937	0,000255	19,34
Trave 7-8	100%	0,77	0,85	0,50	0,0097	0,0061	0,003338	0,000380	8,79	0,005451	0,000236	23,07
proporzionale alla deformata 1° modo di vibrazione												
Trave 7-8	0%	0,98	0,86	0,52	0,0297	0,0051	0,007207	0,000056	NS	0,004993	0,000197	25,28
Trave 7-8	100%	0,71	0,82	0,49	0,0097	0,0061	0,003299	0,000446	7,40	0,005442	0,000276	19,70
sisma in +Y												
proporzionale alle masse												
Trave 7-8	0%	0,81	0,77	0,50	0,0314	0,0047	0,007047	0,000757	9,32	0,004842	0,000583	8,30
Trave 7-8	100%	0,81	0,90	0,50	0,0098	0,0061	0,003392	0,000126	26,85	0,005475	0,000067	81,27
proporzionale alla deformata 1° modo di vibrazione												
Trave 7-8	0%	0,81	0,76	0,50	0,0316	0,0047	0,007098	0,000819	8,67	0,004829	0,000624	7,74
Trave 7-8	100%	0,79	0,89	0,50	0,0098	0,0061	0,003384	0,000148	22,92	0,005471	0,000077	71,51
sisma in -Y												
proporzionale alle masse												
Trave 7-8	0%	0,29	0,42	0,45	0,0305	0,0048	0,005712	0,000555	10,29	0,005616	0,000594	9,45
Trave 7-8	100%	1,14	1,08	0,54	0,0097	0,0061	0,003566	0,000105	34,12	0,005664	0,000043	NS
proporzionale alla deformata 1° modo di vibrazione												
Trave 7-8	0%	0,28	0,40	0,45	0,0304	0,0048	0,005744	0,000523	10,98	0,005712	0,000595	9,61
Trave 7-8	100%	1,14	1,09	0,54	0,0097	0,0062	0,003571	0,000121	29,43	0,005684	0,000050	NS
sisma in +X												
proporzionale alle masse												
Trave 8-9	0%	0,63	0,74	0,49	0,0144	0,0060	0,003959	0,000337	11,76	0,005411	0,000259	20,93
Trave 8-9	100%	1,19	1,12	0,54	0,0093	0,0069	0,003568	0,000337	10,57	0,006112	0,000234	26,11
proporzionale alla deformata 1° modo di vibrazione												
Trave 8-9	0%	0,55	0,70	0,48	0,0144	0,0060	0,003838	0,000389	9,87	0,005421	0,000290	18,70
Trave 8-9	100%	1,23	1,15	0,55	0,0093	0,0069	0,003586	0,000390	9,18	0,006168	0,000270	22,87
sisma in -X												
proporzionale alle masse												
Trave 8-9	0%	1,20	1,11	0,54	0,0144	0,0062	0,004581	0,000380	12,07	0,005707	0,000236	24,16
Trave 8-9	100%	0,62	0,78	0,49	0,0093	0,0067	0,003237	0,000363	8,92	0,005719	0,000243	23,58
proporzionale alla deformata 1° modo di vibrazione												
Trave 8-9	0%	1,24	1,14	0,55	0,0142	0,0062	0,004598	0,000446	10,31	0,005759	0,000276	20,84
Trave 8-9	100%	0,53	0,73	0,48	0,0092	0,0067	0,003184	0,000417	7,63	0,005712	0,000276	20,68
sisma in +Y												
proporzionale alle masse												
Trave 8-9	0%	0,89	0,92	0,51	0,0150	0,0060	0,004367	0,000126	34,58	0,005463	0,000067	81,10
Trave 8-9	100%	0,97	0,97	0,52	0,0095	0,0065	0,003443	0,000005	NS	0,005712	0,000003	NS
proporzionale alla deformata 1° modo di vibrazione												
Trave 8-9	0%	0,88	0,92	0,51	0,0150	0,0060	0,004361	0,000148	29,56	0,005461	0,000076	71,39
Trave 8-9	100%	0,97	0,97	0,52	0,0095	0,0064	0,003441	0,000008	NS	0,005667	0,000001	NS
sisma in -Y												
proporzionale alle masse												
Trave 8-9	0%	1,01	0,98	0,52	0,0146	0,0061	0,004436	0,000104	42,47	0,005561	0,000043	NS
Trave 8-9	100%	0,94	0,96	0,52	0,0094	0,0067	0,003422	0,000033	NS	0,005843	0,000011	NS
proporzionale alla deformata 1° modo di vibrazione												
Trave 8-9	0%	1,02	0,98	0,53	0,0146	0,0061	0,004442	0,000121	36,62	0,005563	0,000050	NS
Trave 8-9	100%	0,94	0,96	0,52	0,0094	0,0067	0,003419	0,000042	81,92	0,005842	0,000013	NS
sisma in +X												
proporzionale alle masse												
Trave 9-10	0%	0,69	0,81	0,49	0,0094	0,0066	0,003287	0,000337	9,74	0,005695	0,000234	24,33
Trave 9-10	100%	1,12	1,05	0,54	0,0147	0,0060	0,004546	0,000237	19,18	0,005555	0,000125	44,57
proporzionale alla deformata 1° modo di vibrazione												

Id_{Tr}	$\%L_{LI}$	$L_{v,SLV}$	$L_{v,SLD}$	L_{pl}	ϕ_u	ϕ_y	SLV			SLD		
							Θ_c	Θ_d	CS	Θ_c	Θ_d	CS
	[%]	[m]	[m]	[m]	[rad/m]	[rad/m]	[rad]	[rad]		[rad]	[rad]	
Trave 9-10	0%	0,62	0,78	0,49	0,0094	0,0066	0,003246	0,000390	8,31	0,005683	0,000270	21,07
Trave 9-10	100%	1,16	1,07	0,54	0,0146	0,0060	0,004567	0,000289	15,78	0,005605	0,000156	35,93
sisma in -X												
proporzionale alle masse												
Trave 9-10	0%	1,20	1,13	0,54	0,0093	0,0069	0,003569	0,000363	9,83	0,006125	0,000243	25,26
Trave 9-10	100%	0,59	0,72	0,48	0,0144	0,0060	0,003903	0,000381	10,25	0,005399	0,000281	19,22
proporzionale alla deformata 1° modo di vibrazione												
Trave 9-10	0%	1,24	1,15	0,55	0,0093	0,0069	0,003586	0,000417	8,59	0,006182	0,000276	22,39
Trave 9-10	100%	0,51	0,69	0,47	0,0144	0,0060	0,003770	0,000430	8,77	0,005411	0,000308	17,57
sisma in +Y												
proporzionale alle masse												
Trave 9-10	0%	0,96	0,97	0,52	0,0095	0,0066	0,003449	0,000005	NS	0,005813	0,000003	NS
Trave 9-10	100%	0,91	0,91	0,51	0,0149	0,0059	0,004369	0,000074	59,08	0,005416	0,000078	69,00
proporzionale alla deformata 1° modo di vibrazione												
Trave 9-10	0%	0,96	0,97	0,52	0,0095	0,0066	0,003449	0,000008	NS	0,005812	0,000001	NS
Trave 9-10	100%	0,91	0,91	0,51	0,0149	0,0059	0,004369	0,000073	59,68	0,005406	0,000077	69,96
sisma in -Y												
proporzionale alle masse												
Trave 9-10	0%	0,98	0,97	0,52	0,0095	0,0066	0,003452	0,000033	NS	0,005801	0,000011	NS
Trave 9-10	100%	0,90	0,91	0,51	0,0149	0,0060	0,004359	0,000102	42,63	0,005454	0,000081	67,51
proporzionale alla deformata 1° modo di vibrazione												
Trave 9-10	0%	0,98	0,97	0,52	0,0095	0,0066	0,003451	0,000042	82,59	0,005794	0,000013	NS
Trave 9-10	100%	0,90	0,91	0,51	0,0149	0,0060	0,004357	0,000109	39,85	0,005456	0,000082	66,81
sisma in +X												
proporzionale alle masse												
Trave 10-11	0%	0,69	0,84	0,49	0,0146	0,0062	0,004081	0,000237	17,22	0,005502	0,000125	44,15
Trave 10-11	100%	1,20	1,12	0,54	0,0094	0,0070	0,003586	0,000289	12,42	0,006154	0,000191	32,21
proporzionale alla deformata 1° modo di vibrazione												
Trave 10-11	0%	0,59	0,80	0,48	0,0146	0,0062	0,003948	0,000289	13,64	0,005488	0,000156	35,18
Trave 10-11	100%	1,24	1,15	0,55	0,0094	0,0070	0,003606	0,000337	10,71	0,006187	0,000220	28,08
sisma in -X												
proporzionale alle masse												
Trave 10-11	0%	1,32	1,23	0,56	0,0141	0,0065	0,004700	0,000381	12,35	0,006055	0,000281	21,56
Trave 10-11	100%	0,56	0,71	0,48	0,0092	0,0072	0,003227	0,000197	16,38	0,005900	0,000143	41,22
proporzionale alla deformata 1° modo di vibrazione												
Trave 10-11	0%	1,36	1,26	0,56	0,0140	0,0065	0,004717	0,000430	10,97	0,006113	0,000308	19,85
Trave 10-11	100%	0,47	0,67	0,47	0,0092	0,0072	0,003188	0,000225	14,17	0,005902	0,000159	37,11
sisma in +Y												
proporzionale alle masse												
Trave 10-11	0%	1,03	1,05	0,53	0,0148	0,0061	0,004521	0,000074	61,11	0,005629	0,000079	71,70
Trave 10-11	100%	0,95	0,95	0,52	0,0095	0,0069	0,003441	0,000009	NS	0,005904	0,000002	NS
proporzionale alla deformata 1° modo di vibrazione												
Trave 10-11	0%	1,03	1,04	0,53	0,0148	0,0061	0,004518	0,000073	61,68	0,005613	0,000077	72,62
Trave 10-11	100%	0,95	0,95	0,52	0,0095	0,0068	0,003440	0,000010	NS	0,005884	0,000003	NS
sisma in -Y												
proporzionale alle masse												
Trave 10-11	0%	1,06	1,05	0,53	0,0148	0,0061	0,004538	0,000102	44,39	0,005618	0,000081	69,55
Trave 10-11	100%	0,90	0,94	0,51	0,0095	0,0071	0,003433	0,000059	58,32	0,005999	0,000018	NS
proporzionale alla deformata 1° modo di vibrazione												
Trave 10-11	0%	1,06	1,05	0,53	0,0148	0,0061	0,004539	0,000109	41,53	0,005604	0,000082	68,64
Trave 10-11	100%	0,90	0,94	0,51	0,0095	0,0071	0,003437	0,000068	50,19	0,006022	0,000020	NS
sisma in +X												
proporzionale alle masse												
Trave 11-12	0%	0,82	0,91	0,51	0,0096	0,0060	0,003364	0,000289	11,66	0,005469	0,000191	28,63
Trave 11-12	100%	1,05	0,91	0,53	0,0139	0,0058	0,004274	0,000048	88,86	0,005339	0,000186	28,66
proporzionale alla deformata 1° modo di vibrazione												
Trave 11-12	0%	0,75	0,89	0,50	0,0096	0,0060	0,003317	0,000337	9,85	0,005454	0,000220	24,75
Trave 11-12	100%	1,12	0,95	0,54	0,0137	0,0060	0,004315	0,000162	26,65	0,005453	0,000121	44,98
sisma in -X												
proporzionale alle masse												
Trave 11-12	0%	1,27	1,18	0,55	0,0097	0,0061	0,003661	0,000197	18,58	0,005760	0,000143	40,24
Trave 11-12	100%	0,07	0,36	0,43	0,0142	0,0055	0,004013	0,001213	3,31	0,006144	0,000743	8,27
proporzionale alla deformata 1° modo di vibrazione												
Trave 11-12	0%	1,30	1,20	0,55	0,0097	0,0062	0,003689	0,000225	16,40	0,005822	0,000159	36,60
Trave 11-12	100%	0,03	0,26	0,43	0,1060	0,0038	0,014341	0,001479	9,70	0,006875	0,000871	7,89
sisma in +Y												
proporzionale alle masse												
Trave 11-12	0%	1,02	1,05	0,53	0,0098	0,0060	0,003521	0,000009	NS	0,005550	0,000002	NS
Trave 11-12	100%	0,70	0,67	0,49	0,0142	0,0054	0,004004	0,000590	6,78	0,005203	0,000525	9,91
proporzionale alla deformata 1° modo di vibrazione												
Trave 11-12	0%	1,02	1,05	0,53	0,0098	0,0060	0,003520	0,000010	NS	0,005538	0,000003	NS
Trave 11-12	100%	0,69	0,66	0,49	0,0142	0,0054	0,003996	0,000609	6,57	0,005202	0,000535	9,73
sisma in -Y												
proporzionale alle masse												
Trave 11-12	0%	1,00	1,04	0,52	0,0098	0,0060	0,003507	0,000059	59,54	0,005533	0,000018	NS
Trave 11-12	100%	0,75	0,71	0,50	0,0142	0,0054	0,004053	0,000574	7,07	0,005168	0,000519	9,95
proporzionale alla deformata 1° modo di vibrazione												
Trave 11-12	0%	1,00	1,04	0,52	0,0098	0,0059	0,003504	0,000069	51,14	0,005509	0,000020	NS
Trave 11-12	100%	0,74	0,71	0,50	0,0143	0,0054	0,004043	0,000601	6,73	0,005146	0,000532	9,68
Piano terra							**Travata: Trave19-P9-20-P10-21-P11-P12-22-P13-23-P14-24**					
sisma in +X												
proporzionale alle masse												
Trave P9-20	0%	0,11	0,26	0,46	0,0800	0,0026	0,013592	0,000289	47,06	0,009403	0,000263	35,74
Trave P9-20	100%	1,06	0,99	0,55	0,0161	0,0031	0,005039	0,000103	49,04	0,004760	0,000071	66,64
proporzionale alla deformata 1° modo di vibrazione												

Id_{Tr}	$\%L_{LI}$	$L_{v,SLV}$	$L_{v,SLD}$	L_{pl}	ϕ_u	ϕ_y	SLV			SLD		
							Θ_c	Θ_d	CS	Θ_c	Θ_d	CS
	[%]	[m]	[m]	[m]	[rad/m]	[rad/m]	[rad]	[rad]		[rad]	[rad]	
Trave P9-20	0%	0,08	0,19	0,46	0,0571	0,0026	0,012310	0,000305	40,31	0,012163	0,000283	42,96
Trave P9-20	100%	1,10	1,01	0,56	0,0160	0,0031	0,005047	0,000116	43,48	0,004763	0,000076	62,61
sisma in -X												
proporzionale alle masse												
Trave P9-20	0%	1,09	0,91	0,56	0,0751	0,0028	0,017330	0,000157	NS	0,004695	0,000046	NS
Trave P9-20	100%	0,35	0,60	0,48	0,0153	0,0031	0,004294	0,000120	35,84	0,005634	0,000069	81,19
proporzionale alla deformata 1° modo di vibrazione												
Trave P9-20	0%	1,18	0,97	0,57	0,0730	0,0028	0,017419	0,000205	84,91	0,004654	0,000071	65,86
Trave P9-20	100%	0,04	0,54	0,45	0,0146	0,0031	0,004267	0,000132	32,41	0,005944	0,000077	76,72
sisma in +Y												
proporzionale alle masse												
Trave P9-20	0%	0,65	0,65	0,51	0,0807	0,0026	0,014696	0,000148	99,28	0,005252	0,000120	43,82
Trave P9-20	100%	0,83	0,84	0,53	0,0165	0,0031	0,004891	0,000021	NS	0,004935	0,000020	NS
proporzionale alla deformata 1° modo di vibrazione												
Trave P9-20	0%	0,63	0,64	0,51	0,0808	0,0027	0,014463	0,000158	91,77	0,005322	0,000127	42,07
Trave P9-20	100%	0,84	0,85	0,53	0,0165	0,0031	0,004901	0,000026	NS	0,004924	0,000023	NS
sisma in -Y												
proporzionale alle masse												
Trave P9-20	0%	0,77	0,73	0,53	0,0800	0,0026	0,015853	0,000073	NS	0,004986	0,000078	64,31
Trave P9-20	100%	0,75	0,80	0,52	0,0163	0,0031	0,004764	0,000015	NS	0,005038	0,000003	NS
proporzionale alla deformata 1° modo di vibrazione												
Trave P9-20	0%	0,79	0,74	0,53	0,0800	0,0026	0,016032	0,000067	NS	0,004963	0,000077	64,51
Trave P9-20	100%	0,72	0,78	0,52	0,0163	0,0031	0,004720	0,000029	NS	0,005078	0,000003	NS
sisma in +X												
proporzionale alle masse												
Trave 20-P10	0%	0,72	0,30	0,52	0,0957	0,0033	0,019688	0,000103	NS	0,008640	0,000071	NS
Trave 20-P10	100%	1,27	1,04	0,58	0,0715	0,0026	0,017557	0,000300	58,54	0,004442	0,000150	29,68
proporzionale alla deformata 1° modo di vibrazione												
Trave 20-P10	0%	1,47	0,08	0,60	0,0933	0,0033	0,034935	0,000116	NS	0,027152	0,000076	NS
Trave 20-P10	100%	1,36	1,10	0,58	0,0652	0,0026	0,016564	0,000368	45,03	0,004425	0,000180	24,56
sisma in -X												
proporzionale alle masse												
Trave 20-P10	0%	1,09	1,01	0,56	0,0138	0,0031	0,004578	0,000120	38,21	0,004739	0,000069	68,29
Trave 20-P10	100%	0,07	0,29	0,46	0,1065	0,0023	0,016155	0,000400	40,39	0,008568	0,000292	29,37
proporzionale alla deformata 1° modo di vibrazione												
Trave 20-P10	0%	1,11	1,03	0,56	0,0137	0,0031	0,004588	0,000132	34,85	0,004736	0,000077	61,13
Trave 20-P10	100%	0,01	0,24	0,45	0,1053	0,0023	0,016640	0,000430	38,72	0,010121	0,000315	32,12
sisma in +Y												
proporzionale alle masse												
Trave 20-P10	0%	0,90	0,86	0,54	0,0136	0,0032	0,004451	0,000021	NS	0,004979	0,000020	NS
Trave 20-P10	100%	0,58	0,62	0,51	0,1020	0,0023	0,016885	0,000068	NS	0,005258	0,000065	81,01
proporzionale alla deformata 1° modo di vibrazione												
Trave 20-P10	0%	0,89	0,86	0,54	0,0136	0,0032	0,004438	0,000026	NS	0,004992	0,000023	NS
Trave 20-P10	100%	0,61	0,63	0,51	0,1016	0,0023	0,017260	0,000046	NS	0,005213	0,000054	96,13
sisma in -Y												
proporzionale alle masse												
Trave 20-P10	0%	0,92	0,88	0,54	0,0137	0,0032	0,004462	0,000015	NS	0,004936	0,000003	NS
Trave 20-P10	100%	0,50	0,58	0,50	0,1026	0,0023	0,015251	0,000179	85,25	0,005478	0,000123	44,54
proporzionale alla deformata 1° modo di vibrazione												
Trave 20-P10	0%	0,93	0,89	0,54	0,0137	0,0032	0,004465	0,000029	NS	0,004917	0,000003	NS
Trave 20-P10	100%	0,48	0,55	0,50	0,1025	0,0023	0,015255	0,000200	76,25	0,005610	0,000141	39,79
sisma in +X												
proporzionale alle masse												
Trave P11-P12	0%	30,40	1,49	3,49	0,0890	0,0030	0,143663	0,000311	NS	0,004528	0,000214	21,13
Trave P11-P12	100%	1,32	1,09	0,58	0,0770	0,0027	0,019057	0,000294	64,88	0,004472	0,000153	29,14
proporzionale alla deformata 1° modo di vibrazione												
Trave P11-P12	0%	12,85	2,38	1,73	0,0849	0,0029	0,068739	0,000356	NS	0,004866	0,000240	20,27
Trave P11-P12	100%	1,40	1,14	0,59	0,0732	0,0028	0,018601	0,000356	52,23	0,004470	0,000182	24,56
sisma in -X												
proporzionale alle masse												
Trave P11-P12	0%	1,45	1,23	0,59	0,0178	0,0033	0,005794	0,000384	15,11	0,004751	0,000219	21,67
Trave P11-P12	100%	10,74	3,17	1,52	0,0224	0,0042	0,016392	0,000225	72,71	0,007021	0,000192	36,50
proporzionale alla deformata 1° modo di vibrazione												
Trave P11-P12	0%	1,52	1,28	0,60	0,0167	0,0034	0,005586	0,000450	12,40	0,004787	0,000250	19,12
Trave P11-P12	100%	6,05	5,62	1,05	0,0207	0,0042	0,012989	0,000242	53,75	0,010147	0,000203	49,95
sisma in +Y												
proporzionale alle masse												
Trave P11-P12	0%	0,65	0,67	0,51	0,0275	0,0027	0,006476	0,000042	NS	0,005235	0,000029	NS
Trave P11-P12	100%	0,54	0,55	0,50	0,0940	0,0023	0,015207	0,000052	NS	0,005596	0,000044	NS
proporzionale alla deformata 1° modo di vibrazione												
Trave P11-P12	0%	0,59	0,63	0,51	0,0275	0,0028	0,006259	0,000069	90,51	0,005412	0,000042	NS
Trave P11-P12	100%	0,61	0,59	0,51	0,0940	0,0023	0,016234	0,000029	NS	0,005383	0,000033	NS
sisma in -Y												
proporzionale alle masse												
Trave P11-P12	0%	0,90	0,83	0,54	0,0253	0,0029	0,006679	0,000106	62,81	0,004884	0,000046	NS
Trave P11-P12	100%	0,21	0,31	0,47	0,0917	0,0025	0,014581	0,000145	NS	0,008204	0,000106	77,49
proporzionale alla deformata 1° modo di vibrazione												
Trave P11-P12	0%	0,95	0,87	0,54	0,0248	0,0029	0,006662	0,000132	50,53	0,004838	0,000064	75,77
Trave P11-P12	100%	0,02	0,25	0,45	0,0349	0,0025	0,008523	0,000159	53,52	0,009744	0,000116	83,85
sisma in +X												
proporzionale alle masse												
Trave P13-23	0%	0,43	0,10	0,49	0,0595	0,0025	0,018133	0,000305	59,39	0,022274	0,000221	NS
Trave P13-23	100%	1,16	1,05	0,56	0,0203	0,0030	0,006022	0,000082	73,39	0,004658	0,000043	NS
proporzionale alla deformata 1° modo di vibrazione												
Trave P13-23	0%	0,73	0,01	0,52	0,0584	0,0025	0,104165	0,000344	NS	0,189607	0,000245	NS

Id_{Tr}	$\%L_{LI}$	$L_{v,SLV}$	$L_{v,SLD}$	L_{pl}	ϕ_u	ϕ_y	SLV			SLD		
							Θ_c	Θ_d	CS	Θ_c	Θ_d	CS
	[%]	[m]	[m]	[m]	[rad/m]	[rad/m]	[rad]	[rad]		[rad]	[rad]	
Trave P13-23	100%	1,21	1,08	0,57	0,0202	0,0030	0,006049	0,000098	61,75	0,004658	0,000049	95,71
sisma in -X												
proporzionale alle masse												
Trave P13-23	0%	1,67	1,37	0,62	0,0648	0,0029	0,017769	0,000340	52,32	0,004498	0,000179	25,15
Trave P13-23	100%	8,18	0,40	1,27	0,0839	0,0033	0,050627	0,000056	NS	0,007122	0,000019	NS
proporzionale alla deformata 1° modo di vibrazione												
Trave P13-23	0%	1,76	1,45	0,62	0,0604	0,0030	0,017003	0,000410	41,49	0,004530	0,000210	21,54
Trave P13-23	100%	63,45	0,87	6,79	0,0811	0,0058	0,245168	0,000071	NS	0,006094	0,000024	NS
sisma in +Y												
proporzionale alle masse												
Trave P13-23	0%	0,76	0,78	0,52	0,0886	0,0025	0,017181	0,000034	NS	0,004834	0,000030	NS
Trave P13-23	100%	0,81	0,81	0,53	0,0204	0,0031	0,005576	0,000005	NS	0,005029	0,000009	NS
proporzionale alla deformata 1° modo di vibrazione												
Trave P13-23	0%	0,69	0,73	0,52	0,0892	0,0025	0,016510	0,000061	NS	0,004947	0,000043	NS
Trave P13-23	100%	0,84	0,83	0,53	0,0205	0,0031	0,005659	0,000013	NS	0,004958	0,000013	NS
sisma in -Y												
proporzionale alle masse												
Trave P13-23	0%	0,69	0,80	0,52	0,0865	0,0027	0,015933	0,000083	NS	0,004854	0,000048	NS
Trave P13-23	100%	0,93	0,86	0,54	0,0197	0,0033	0,005645	0,000087	64,85	0,005015	0,000037	NS
proporzionale alla deformata 1° modo di vibrazione												
Trave P13-23	0%	0,75	0,82	0,52	0,0857	0,0027	0,016587	0,000103	NS	0,004796	0,000060	80,09
Trave P13-23	100%	0,90	0,85	0,54	0,0195	0,0033	0,005575	0,000097	57,39	0,005053	0,000041	NS
sisma in +X												
proporzionale alle masse												
Trave 23-P14	0%	0,97	0,39	0,55	0,0993	0,0032	0,022428	0,000082	NS	0,007254	0,000043	NS
Trave 23-P14	100%	1,46	1,18	0,59	0,0814	0,0027	0,020849	0,000252	82,81	0,004439	0,000107	41,56
proporzionale alla deformata 1° modo di vibrazione												
Trave 23-P14	0%	2,31	0,16	0,68	0,0972	0,0032	0,034138	0,000098	NS	0,013837	0,000049	NS
Trave 23-P14	100%	1,58	1,26	0,61	0,0781	0,0028	0,020668	0,000320	64,57	0,004453	0,000140	31,71
sisma in -X												
proporzionale alle masse												
Trave 23-P14	0%	1,20	1,08	0,57	0,0137	0,0032	0,004654	0,000056	83,53	0,004755	0,000019	NS
Trave 23-P14	100%	0,27	0,07	0,48	0,0374	0,0024	0,019534	0,000279	70,05	0,030735	0,000279	NS
proporzionale alla deformata 1° modo di vibrazione												
Trave 23-P14	0%	1,25	1,11	0,57	0,0136	0,0033	0,004667	0,000071	65,61	0,004762	0,000024	NS
Trave 23-P14	100%	0,55	0,02	0,50	0,0365	0,0024	0,058960	0,000292	NS	0,108692	0,000289	NS
sisma in +Y												
proporzionale alle masse												
Trave 23-P14	0%	1,02	0,97	0,55	0,0140	0,0031	0,004582	0,000005	NS	0,004762	0,000009	NS
Trave 23-P14	100%	0,29	0,45	0,48	0,0944	0,0024	0,014140	0,000212	66,74	0,006319	0,000156	40,52
proporzionale alla deformata 1° modo di vibrazione												
Trave 23-P14	0%	1,01	0,96	0,55	0,0140	0,0031	0,004581	0,000013	NS	0,004766	0,000013	NS
Trave 23-P14	100%	0,30	0,47	0,48	0,0945	0,0024	0,014106	0,000207	68,16	0,006176	0,000150	41,09
sisma in -Y												
proporzionale alle masse												
Trave 23-P14	0%	0,76	0,80	0,52	0,0141	0,0031	0,004399	0,000087	50,55	0,005010	0,000037	NS
Trave 23-P14	100%	0,64	0,66	0,51	0,0948	0,0024	0,016810	0,000353	47,66	0,005137	0,000226	22,72
proporzionale alla deformata 1° modo di vibrazione												
Trave 23-P14	0%	0,79	0,84	0,53	0,0142	0,0030	0,004431	0,000097	45,61	0,004911	0,000041	NS
Trave 23-P14	100%	0,53	0,57	0,50	0,0953	0,0023	0,015077	0,000426	35,41	0,005497	0,000276	19,88
Piano terra							**Travata: Trave13-14-15**					
sisma in +X												
proporzionale alle masse												
Trave 13-14	0%	0,17	0,46	0,38	0,0328	0,0060	0,005164	0,001347	3,83	0,005226	0,000938	5,57
Trave 13-14	100%	1,23	1,14	0,49	0,0200	0,0063	0,005412	0,000368	14,69	0,005498	0,000220	24,99
proporzionale alla deformata 1° modo di vibrazione												
Trave 13-14	0%	0,07	0,38	0,37	0,0332	0,0060	0,005280	0,001490	3,54	0,005529	0,001042	5,31
Trave 13-14	100%	1,26	1,17	0,49	0,0199	0,0063	0,005456	0,000421	12,97	0,005552	0,000267	20,81
sisma in -X												
proporzionale alle masse												
Trave 13-14	0%	0,95	0,85	0,46	0,0326	0,0059	0,007152	0,000196	36,47	0,005019	0,000395	12,70
Trave 13-14	100%	0,83	0,92	0,45	0,0200	0,0063	0,004853	0,000349	13,92	0,005244	0,000200	26,19
proporzionale alla deformata 1° modo di vibrazione												
Trave 13-14	0%	0,99	0,88	0,46	0,0324	0,0060	0,007213	0,000111	64,71	0,005059	0,000350	14,47
Trave 13-14	100%	0,80	0,90	0,44	0,0199	0,0063	0,004784	0,000396	12,09	0,005224	0,000241	21,68
sisma in +Y												
proporzionale alle masse												
Trave 13-14	0%	0,71	0,72	0,43	0,0334	0,0057	0,006620	0,000679	9,75	0,004890	0,000629	7,78
Trave 13-14	100%	1,01	1,02	0,46	0,0203	0,0063	0,005172	0,000056	92,11	0,005352	0,000010	NS
proporzionale alla deformata 1° modo di vibrazione												
Trave 13-14	0%	0,70	0,71	0,43	0,0335	0,0057	0,006603	0,000699	9,44	0,004876	0,000643	7,59
Trave 13-14	100%	1,01	1,03	0,46	0,0203	0,0062	0,005171	0,000060	86,33	0,005291	0,000009	NS
sisma in -Y												
proporzionale alle masse												
Trave 13-14	0%	0,75	0,74	0,44	0,0331	0,0059	0,006691	0,000591	11,33	0,004963	0,000592	8,38
Trave 13-14	100%	1,01	1,02	0,46	0,0201	0,0063	0,005146	0,000029	NS	0,005351	0,000003	NS
proporzionale alla deformata 1° modo di vibrazione												
Trave 13-14	0%	0,75	0,74	0,44	0,0331	0,0059	0,006710	0,000585	11,46	0,004956	0,000592	8,37
Trave 13-14	100%	1,00	1,02	0,46	0,0201	0,0063	0,005139	0,000043	NS	0,005348	0,000002	NS
sisma in +X												
proporzionale alle masse												
Trave 14-15	0%	0,77	0,91	0,44	0,0160	0,0068	0,004183	0,000368	11,36	0,005465	0,000220	24,85
Trave 14-15	100%	1,16	1,04	0,48	0,0428	0,0059	0,009611	0,000238	40,37	0,005190	0,000041	NS
proporzionale alla deformata 1° modo di vibrazione												
Trave 14-15	0%	0,69	0,87	0,43	0,0159	0,0068	0,004056	0,000421	9,64	0,005431	0,000267	20,36

Id_{Tr}	$\%L_{LI}$	$L_{v,SLV}$	$L_{v,SLD}$	L_{pl}	ϕ_u	ϕ_y	SLV			SLD		
							Θ_c	Θ_d	CS	Θ_c	Θ_d	CS
	[%]	[m]	[m]	[m]	[rad/m]	[rad/m]	[rad]	[rad]		[rad]	[rad]	
Trave 14-15	100%	1,22	1,08	0,49	0,0414	0,0061	0,009517	0,000378	25,18	0,005288	0,000037	NS
sisma in -X												
proporzionale alle masse												
Trave 14-15	0%	1,22	1,13	0,49	0,0167	0,0066	0,004793	0,000349	13,74	0,005630	0,000200	28,12
Trave 14-15	100%	0,45	0,72	0,41	0,0485	0,0057	0,007235	0,001180	6,13	0,004882	0,000735	6,64
proporzionale alla deformata 1° modo di vibrazione												
Trave 14-15	0%	1,26	1,16	0,49	0,0168	0,0065	0,004855	0,000396	12,27	0,005644	0,000241	23,42
Trave 14-15	100%	0,27	0,64	0,39	0,0494	0,0057	0,006716	0,001474	4,56	0,004897	0,000875	5,60
sisma in +Y												
proporzionale alle masse												
Trave 14-15	0%	0,91	0,99	0,45	0,0167	0,0068	0,004461	0,000056	79,42	0,005561	0,000010	NS
Trave 14-15	100%	0,96	0,90	0,46	0,0476	0,0055	0,009776	0,000661	14,78	0,004879	0,000564	8,65
proporzionale alla deformata 1° modo di vibrazione												
Trave 14-15	0%	0,90	0,98	0,45	0,0167	0,0068	0,004451	0,000060	74,29	0,005556	0,000009	NS
Trave 14-15	100%	0,96	0,90	0,46	0,0477	0,0055	0,009814	0,000688	14,26	0,004863	0,000581	8,36
sisma in -Y												
proporzionale alle masse												
Trave 14-15	0%	1,05	1,05	0,47	0,0166	0,0067	0,004584	0,000029	NS	0,005603	0,000003	NS
Trave 14-15	100%	0,85	0,86	0,45	0,0467	0,0057	0,009210	0,000529	17,39	0,004928	0,000436	11,30
proporzionale alla deformata 1° modo di vibrazione												
Trave 14-15	0%	1,06	1,05	0,47	0,0166	0,0066	0,004587	0,000043	NS	0,005531	0,000002	NS
Trave 14-15	100%	0,83	0,85	0,45	0,0469	0,0057	0,009179	0,000581	15,80	0,004923	0,000462	10,66
Piano terra							**Travata: Trave1-7-16-19**					
sisma in +X												
proporzionale alle masse												
Trave 1-7	0%	1,18	1,16	0,43	0,0516	0,0087	0,010817	0,000141	76,81	0,006447	0,000102	62,93
Trave 1-7	100%	0,82	0,83	0,40	0,0513	0,0082	0,009227	0,000113	81,37	0,005538	0,000136	40,75
proporzionale alla deformata 1° modo di vibrazione												
Trave 1-7	0%	1,17	1,15	0,43	0,0519	0,0087	0,010827	0,000183	59,02	0,006453	0,000120	53,88
Trave 1-7	100%	0,81	0,83	0,40	0,0516	0,0082	0,009264	0,000115	80,33	0,005541	0,000125	44,20
sisma in -X												
proporzionale alle masse												
Trave 1-7	0%	1,01	1,04	0,42	0,0531	0,0087	0,010430	0,000439	23,78	0,006179	0,000346	17,87
Trave 1-7	100%	0,86	0,85	0,40	0,0528	0,0080	0,009613	0,000207	46,43	0,005492	0,000233	23,60
proporzionale alla deformata 1° modo di vibrazione												
Trave 1-7	0%	1,02	1,04	0,42	0,0530	0,0087	0,010428	0,000426	24,45	0,006185	0,000342	18,08
Trave 1-7	100%	0,86	0,85	0,40	0,0526	0,0081	0,009599	0,000191	50,26	0,005505	0,000229	24,02
sisma in +Y												
proporzionale alle masse												
Trave 1-7	0%	1,13	0,33	0,43	0,0958	0,0079	0,017886	0,002028	8,82	0,005330	0,001153	4,62
Trave 1-7	100%	1,27	1,08	0,44	0,0478	0,0085	0,010231	0,000862	11,87	0,006140	0,000324	18,97
proporzionale alla deformata 1° modo di vibrazione												
Trave 1-7	0%	2,75	0,08	0,59	0,0959	0,0077	0,028943	0,002579	11,22	0,011443	0,001403	8,16
Trave 1-7	100%	1,35	1,12	0,45	0,0460	0,0087	0,010152	0,001184	8,57	0,006352	0,000454	13,99
sisma in -Y												
proporzionale alle masse												
Trave 1-7	0%	1,90	1,65	0,50	0,0411	0,0093	0,011027	0,002080	5,30	0,008148	0,001029	7,92
Trave 1-7	100%	0,89	0,18	0,40	0,0980	0,0082	0,017383	0,002325	7,48	0,006801	0,001309	5,20
proporzionale alla deformata 1° modo di vibrazione												
Trave 1-7	0%	1,99	1,71	0,51	0,0381	0,0096	0,010620	0,002564	4,14	0,008482	0,001268	6,69
Trave 1-7	100%	1,54	0,05	0,47	0,0953	0,0084	0,026083	0,002703	9,65	0,017688	0,001522	11,62
sisma in +X												
proporzionale alle masse												
Trave 16-19	0%	0,12	0,42	0,33	0,0669	0,0080	0,007391	0,000004	NS	0,005154	0,000001	NS
Trave 16-19	100%	0,88	0,74	0,40	0,0799	0,0079	0,013794	0,000033	NS	0,005261	0,000027	NS
proporzionale alla deformata 1° modo di vibrazione												
Trave 16-19	0%	0,09	0,39	0,32	0,0681	0,0080	0,007451	0,000002	NS	0,005197	0,000003	NS
Trave 16-19	100%	0,88	0,76	0,40	0,0799	0,0080	0,013854	0,000065	NS	0,005311	0,000020	NS
sisma in -X												
proporzionale alle masse												
Trave 16-19	0%	0,67	0,71	0,38	0,0669	0,0083	0,010665	0,000017	NS	0,005365	0,000024	NS
Trave 16-19	100%	0,25	0,15	0,34	0,0797	0,0099	0,009772	0,000080	NS	0,007692	0,000029	NS
proporzionale alla deformata 1° modo di vibrazione												
Trave 16-19	0%	0,65	0,70	0,38	0,0669	0,0083	0,010550	0,000026	NS	0,005366	0,000023	NS
Trave 16-19	100%	0,36	0,23	0,35	0,0797	0,0091	0,009372	0,000061	NS	0,006202	0,000015	NS
sisma in +Y												
proporzionale alle masse												
Trave 16-19	0%	45,66	1,54	4,88	0,1066	0,0067	0,233862	0,001004	NS	0,006082	0,000560	10,86
Trave 16-19	100%	1,09	1,00	0,42	0,0773	0,0078	0,014693	0,000094	NS	0,005668	0,000028	NS
proporzionale alla deformata 1° modo di vibrazione												
Trave 16-19	0%	7,35	3,31	1,05	0,1041	0,0068	0,052381	0,001177	44,50	0,009918	0,000649	15,27
Trave 16-19	100%	1,18	1,07	0,43	0,0741	0,0080	0,014624	0,000083	NS	0,005907	0,000103	57,25
sisma in -Y												
proporzionale alle masse												
Trave 16-19	0%	1,51	1,37	0,47	0,0310	0,0098	0,007982	0,001520	5,25	0,007632	0,000765	9,97
Trave 16-19	100%	1,94	2,20	0,51	0,0626	0,0083	0,016409	0,001337	12,27	0,008819	0,000689	12,81
proporzionale alla deformata 1° modo di vibrazione												
Trave 16-19	0%	1,52	1,40	0,47	0,0288	0,0102	0,007638	0,001776	4,30	0,007928	0,000896	8,85
Trave 16-19	100%	1,92	2,14	0,51	0,0583	0,0081	0,015287	0,001888	8,10	0,008485	0,000930	9,12
Piano terra							**Travata: Trave6-P7-12-15-P8-24**					
sisma in +X												
proporzionale alle masse												
Trave P7-12	0%	0,24	0,64	0,41	0,1076	0,0025	0,013300	0,000061	NS	0,005172	0,000044	NS
Trave P7-12	100%	0,72	0,33	0,46	0,0560	0,0026	0,012227	0,000037	NS	0,007772	0,000047	NS
proporzionale alla deformata 1° modo di vibrazione												

Id_{Tr}	$\%L_{LI}$	$L_{v,SLV}$	$L_{v,SLD}$	L_{pl}	ϕ_u	ϕ_y	SLV			SLD		
							Θ_c	Θ_d	CS	Θ_c	Θ_d	CS
	[%]	[m]	[m]	[m]	[rad/m]	[rad/m]	[rad]	[rad]		[rad]	[rad]	
Trave P7-12	0%	0,11	0,59	0,40	0,1083	0,0025	0,013159	0,000067	NS	0,005408	0,000049	NS
Trave P7-12	100%	0,75	0,37	0,46	0,0553	0,0026	0,012007	0,000036	NS	0,007182	0,000049	NS
sisma in -X												
proporzionale alle masse												
Trave P7-12	0%	1,20	1,14	0,50	0,0918	0,0026	0,019887	0,000071	NS	0,004308	0,000027	NS
Trave P7-12	100%	8,07	3,22	1,19	0,1084	0,0051	0,060982	0,000127	NS	0,008021	0,000075	NS
proporzionale alla deformata 1° modo di vibrazione												
Trave P7-12	0%	1,07	1,09	0,49	0,0969	0,0026	0,019992	0,000109	NS	0,004313	0,000040	NS
Trave P7-12	100%	1,49	2,06	0,53	0,1136	0,0054	0,026995	0,000144	NS	0,006620	0,000080	82,45
sisma in +Y												
proporzionale alle masse												
Trave P7-12	0%	4,50	21,05	0,83	0,0773	0,0024	0,037740	0,000364	NS	0,018824	0,000394	47,74
Trave P7-12	100%	1,06	0,89	0,49	0,0512	0,0026	0,011453	0,000290	39,51	0,004550	0,000136	33,46
proporzionale alla deformata 1° modo di vibrazione												
Trave P7-12	0%	4,10	92,80	0,79	0,0758	0,0025	0,065756	0,000325	NS	0,078891	0,000415	NS
Trave P7-12	100%	1,09	0,92	0,49	0,0497	0,0026	0,011260	0,000305	36,87	0,004519	0,000144	31,49
sisma in -Y												
proporzionale alle masse												
Trave P7-12	0%	1,86	1,75	0,57	0,0154	0,0030	0,005255	0,000769	6,84	0,004517	0,000375	12,03
Trave P7-12	100%	1,76	1,93	0,56	0,0183	0,0036	0,005979	0,000074	80,33	0,005011	0,000054	92,95
proporzionale alla deformata 1° modo di vibrazione												
Trave P7-12	0%	1,87	1,77	0,57	0,0137	0,0030	0,004853	0,000863	5,63	0,004515	0,000418	10,79
Trave P7-12	100%	1,75	1,91	0,56	0,0161	0,0037	0,005461	0,000079	69,17	0,005127	0,000052	98,32
sisma in +X												
proporzionale alle masse												
Trave 12-15	0%	0,75	0,62	0,46	0,0608	0,0025	0,011894	0,000037	NS	0,005251	0,000047	NS
Trave 12-15	100%	0,08	0,13	0,39	0,1235	0,0027	0,020443	0,000101	NS	0,017206	0,000109	NS
proporzionale alla deformata 1° modo di vibrazione												
Trave 12-15	0%	0,78	0,64	0,46	0,0602	0,0026	0,011977	0,000036	NS	0,005194	0,000049	NS
Trave 12-15	100%	0,42	0,08	0,43	0,1210	0,0027	0,026097	0,000100	NS	0,027009	0,000112	NS
sisma in -X												
proporzionale alle masse												
Trave 12-15	0%	0,61	0,58	0,45	0,0631	0,0023	0,011264	0,000127	88,38	0,005392	0,000075	71,77
Trave 12-15	100%	0,00	0,12	0,38	0,1242	0,0027	0,020634	0,000214	96,31	0,017899	0,000147	NS
proporzionale alla deformata 1° modo di vibrazione												
Trave 12-15	0%	0,61	0,59	0,45	0,0631	0,0024	0,011306	0,000144	78,34	0,005352	0,000080	66,65
Trave 12-15	100%	0,04	0,09	0,39	0,1239	0,0024	0,022967	0,000233	98,59	0,022360	0,000152	NS
sisma in +Y												
proporzionale alle masse												
Trave 12-15	0%	1,96	5,96	0,58	0,0758	0,0032	0,022122	0,000290	76,31	0,008310	0,000136	61,12
Trave 12-15	100%	1,50	1,16	0,53	0,0264	0,0032	0,007389	0,000096	77,22	0,004584	0,000090	50,85
proporzionale alla deformata 1° modo di vibrazione												
Trave 12-15	0%	1,92	4,23	0,58	0,0724	0,0032	0,020223	0,000305	66,23	0,006585	0,000144	45,88
Trave 12-15	100%	1,52	1,22	0,54	0,0250	0,0032	0,007101	0,000102	69,36	0,004593	0,000095	48,47
sisma in -Y												
proporzionale alle masse												
Trave 12-15	0%	1,30	1,06	0,51	0,0391	0,0029	0,009718	0,000074	NS	0,004504	0,000054	83,55
Trave 12-15	100%	2,56	7,41	0,64	0,1027	0,0024	0,032011	0,000114	NS	0,007841	0,000073	NS
proporzionale alla deformata 1° modo di vibrazione												
Trave 12-15	0%	1,35	1,10	0,52	0,0367	0,0031	0,009328	0,000079	NS	0,004561	0,000052	87,47
Trave 12-15	100%	2,35	5,21	0,62	0,0994	0,0025	0,029184	0,000169	NS	0,006274	0,000065	97,15
sisma in +X												
proporzionale alle masse												
Trave 15-P8	0%	0,23	3,10	0,41	0,1300	0,0029	0,015577	0,000101	NS	0,005312	0,000109	48,75
Trave 15-P8	100%	0,28	0,71	0,41	0,1216	0,0027	0,014744	0,000107	NS	0,004995	0,000099	50,36
proporzionale alla deformata 1° modo di vibrazione												
Trave 15-P8	0%	0,03	113,30	0,39	0,1307	0,0029	0,068768	0,000100	NS	0,112780	0,000112	NS
Trave 15-P8	100%	0,19	0,63	0,40	0,1227	0,0027	0,014720	0,000110	NS	0,005264	0,000105	49,96
sisma in -X												
proporzionale alle masse												
Trave 15-P8	0%	1,05	1,06	0,49	0,0975	0,0025	0,019961	0,000214	93,17	0,004313	0,000147	29,39
Trave 15-P8	100%	0,83	0,83	0,47	0,0922	0,0026	0,017386	0,000222	78,42	0,004650	0,000125	37,14
proporzionale alla deformata 1° modo di vibrazione												
Trave 15-P8	0%	1,10	1,08	0,49	0,1029	0,0024	0,021353	0,000233	91,66	0,004243	0,000152	28,00
Trave 15-P8	100%	0,81	0,82	0,46	0,0972	0,0025	0,017986	0,000262	68,72	0,004662	0,000139	33,47
sisma in +Y												
proporzionale alle masse												
Trave 15-P8	0%	0,65	0,77	0,45	0,0145	0,0048	0,004252	0,000096	44,44	0,005635	0,000090	62,51
Trave 15-P8	100%	1,19	1,06	0,50	0,0141	0,0035	0,004489	0,000531	8,45	0,004796	0,000209	22,90
proporzionale alla deformata 1° modo di vibrazione												
Trave 15-P8	0%	0,64	0,77	0,45	0,0129	0,0045	0,003988	0,000102	38,95	0,005522	0,000095	58,27
Trave 15-P8	100%	1,19	1,07	0,50	0,0127	0,0036	0,004209	0,000595	7,07	0,004841	0,000234	20,72
sisma in -Y												
proporzionale alle masse												
Trave 15-P8	0%	0,73	0,63	0,46	0,0687	0,0025	0,012964	0,000114	NS	0,005187	0,000073	70,88
Trave 15-P8	100%	1,14	1,30	0,50	0,0722	0,0024	0,015662	0,000102	NS	0,004111	0,000208	19,78
proporzionale alla deformata 1° modo di vibrazione												
Trave 15-P8	0%	0,75	0,66	0,46	0,0642	0,0025	0,012415	0,000169	73,44	0,005105	0,000065	79,06
Trave 15-P8	100%	1,11	1,27	0,50	0,0678	0,0024	0,014672	0,000023	NS	0,004156	0,000197	21,14
Piano terra							**Travata: Trave10-13-22**					
sisma in +X												
proporzionale alle masse												
Trave 10-13	0%	0,64	0,60	0,35	0,1091	0,0124	0,015272	0,000047	NS	0,006100	0,000032	NS
Trave 10-13	100%	0,31	0,39	0,31	0,1093	0,0137	0,010481	0,000124	84,80	0,005951	0,000083	71,74
proporzionale alla deformata 1° modo di vibrazione												

Id_{Tr}	$\%L_{LI}$	$L_{v,SLV}$	$L_{v,SLD}$	L_{pl}	ϕ_u	ϕ_y	SLV			SLD		
							Θ_c	Θ_d	CS	Θ_c	Θ_d	CS
	[%]	[m]	[m]	[m]	[rad/m]	[rad/m]	[rad]	[rad]		[rad]	[rad]	
Trave 10-13	0%	0,66	0,61	0,35	0,1090	0,0124	0,015433	0,000042	NS	0,006137	0,000032	NS
Trave 10-13	100%	0,26	0,38	0,31	0,1096	0,0137	0,010371	0,000135	76,85	0,005923	0,000086	69,06
sisma in -X												
proporzionale alle masse												
Trave 10-13	0%	0,63	0,60	0,35	0,1096	0,0122	0,015237	0,000006	NS	0,006013	0,000003	NS
Trave 10-13	100%	0,34	0,41	0,32	0,1097	0,0137	0,011136	0,000134	83,30	0,005968	0,000084	71,42
proporzionale alla deformata 1° modo di vibrazione												
Trave 10-13	0%	0,64	0,60	0,35	0,1096	0,0122	0,015351	0,000006	NS	0,006031	0,000001	NS
Trave 10-13	100%	0,32	0,40	0,32	0,1098	0,0137	0,010621	0,000147	72,40	0,005955	0,000088	67,94
sisma in +Y												
proporzionale alle masse												
Trave 10-13	0%	1,74	0,08	0,46	0,1058	0,0134	0,022487	0,001437	15,65	0,008293	0,000654	12,68
Trave 10-13	100%	0,88	0,71	0,37	0,1072	0,0124	0,017110	0,000656	26,10	0,006450	0,000288	22,37
proporzionale alla deformata 1° modo di vibrazione												
Trave 10-13	0%	14,44	0,33	1,73	0,1049	0,0131	0,077375	0,001986	38,96	0,005689	0,000900	6,32
Trave 10-13	100%	0,98	0,79	0,38	0,1051	0,0126	0,017582	0,001006	17,48	0,006806	0,000438	15,55
sisma in -Y												
proporzionale alle masse												
Trave 10-13	0%	1,20	0,99	0,40	0,0944	0,0140	0,017594	0,001810	9,72	0,008165	0,000858	9,51
Trave 10-13	100%	4,13	2,44	0,70	0,0943	0,0177	0,033548	0,001213	27,65	0,018249	0,000594	30,72
proporzionale alla deformata 1° modo di vibrazione												
Trave 10-13	0%	1,28	1,07	0,41	0,0896	0,0142	0,017322	0,002432	7,12	0,008643	0,001159	7,46
Trave 10-13	100%	2,86	17,36	0,57	0,0892	0,0167	0,068736	0,001655	41,52	0,100338	0,000795	NS
sisma in +X												
proporzionale alle masse												
Trave 13-22	0%	0,52	0,59	0,34	0,1052	0,0138	0,013632	0,000124	NS	0,006524	0,000083	78,65
Trave 13-22	100%	0,86	0,80	0,37	0,1053	0,0139	0,016954	0,000236	71,79	0,007377	0,000147	50,23
proporzionale alla deformata 1° modo di vibrazione												
Trave 13-22	0%	0,50	0,58	0,33	0,1052	0,0138	0,013352	0,000135	98,93	0,006490	0,000086	75,67
Trave 13-22	100%	0,88	0,81	0,37	0,1048	0,0141	0,017072	0,000258	66,29	0,007497	0,000157	47,69
sisma in -X												
proporzionale alle masse												
Trave 13-22	0%	0,49	0,58	0,33	0,1043	0,0137	0,013168	0,000134	98,50	0,006472	0,000084	77,45
Trave 13-22	100%	0,93	0,83	0,38	0,1040	0,0139	0,017238	0,000397	43,47	0,007465	0,000206	36,24
proporzionale alla deformata 1° modo di vibrazione												
Trave 13-22	0%	0,46	0,57	0,33	0,1040	0,0137	0,012789	0,000147	87,18	0,006435	0,000088	73,42
Trave 13-22	100%	0,95	0,84	0,38	0,1035	0,0141	0,017363	0,000439	39,55	0,007629	0,000234	32,67
sisma in +Y												
proporzionale alle masse												
Trave 13-22	0%	1,06	0,26	0,39	0,0977	0,0138	0,016256	0,000656	24,80	0,005851	0,000288	20,29
Trave 13-22	100%	1,20	0,98	0,40	0,0979	0,0139	0,018172	0,001540	11,80	0,008139	0,000740	11,00
proporzionale alla deformata 1° modo di vibrazione												
Trave 13-22	0%	3,19	0,10	0,60	0,0943	0,0137	0,025740	0,001006	25,60	0,007539	0,000438	17,22
Trave 13-22	100%	1,29	1,05	0,41	0,0950	0,0141	0,018284	0,002008	9,11	0,008490	0,000947	8,96
sisma in -Y												
proporzionale alle masse												
Trave 13-22	0%	1,07	0,90	0,39	0,1052	0,0122	0,018379	0,001213	15,15	0,007042	0,000594	11,85
Trave 13-22	100%	1,42	0,12	0,43	0,1037	0,0130	0,019802	0,002755	7,19	0,006800	0,001261	5,39
proporzionale alla deformata 1° modo di vibrazione												
Trave 13-22	0%	1,16	0,96	0,40	0,1033	0,0124	0,018678	0,001655	11,28	0,007346	0,000795	9,24
Trave 13-22	100%	3,42	0,21	0,63	0,1029	0,0133	0,028402	0,003354	8,47	0,005884	0,001563	3,77
Piano interrato							**Travata: Trave1-P1-2-P2-3-P3-P4-4-P5-5-P6-6**					
sisma in +X												
proporzionale alle masse												
Trave P1-2	0%	2,55	0,33	0,67	0,0724	0,0040	0,023285	0,001593	14,62	0,006562	0,000901	7,28
Trave P1-2	100%	1,20	1,12	0,54	0,0141	0,0048	0,004495	0,000489	9,19	0,005095	0,000303	16,82
proporzionale alla deformata 1° modo di vibrazione												
Trave P1-2	0%	2,85	0,42	0,70	0,0727	0,0039	0,024085	0,001721	14,00	0,005766	0,000959	6,02
Trave P1-2	100%	1,19	1,12	0,54	0,0142	0,0048	0,004508	0,000455	9,91	0,005100	0,000287	17,79
sisma in -X												
proporzionale alle masse												
Trave P1-2	0%	1,46	1,16	0,57	0,0289	0,0049	0,008047	0,000996	8,08	0,005171	0,000441	11,71
Trave P1-2	100%	1,51	0,23	0,57	0,0941	0,0047	0,024842	0,000600	41,42	0,008294	0,000352	23,54
proporzionale alla deformata 1° modo di vibrazione												
Trave P1-2	0%	1,46	1,16	0,57	0,0285	0,0050	0,007974	0,001011	7,89	0,005245	0,000446	11,75
Trave P1-2	100%	1,47	0,22	0,57	0,0938	0,0047	0,024630	0,000562	43,84	0,008484	0,000333	25,45
sisma in +Y												
proporzionale alle masse												
Trave P1-2	0%	0,62	0,70	0,48	0,0554	0,0042	0,010011	0,000328	30,52	0,004922	0,000206	23,92
Trave P1-2	100%	0,85	0,84	0,50	0,0152	0,0045	0,004363	0,000023	NS	0,004918	0,000016	NS
proporzionale alla deformata 1° modo di vibrazione												
Trave P1-2	0%	0,62	0,69	0,48	0,0558	0,0042	0,010063	0,000354	28,46	0,004939	0,000215	22,92
Trave P1-2	100%	0,84	0,83	0,50	0,0153	0,0045	0,004365	0,000000	NS	0,004902	0,000005	NS
sisma in -Y												
proporzionale alle masse												
Trave P1-2	0%	0,53	0,63	0,47	0,0549	0,0042	0,009194	0,000310	29,69	0,005031	0,000242	20,81
Trave P1-2	100%	0,92	0,88	0,51	0,0150	0,0046	0,004406	0,000067	65,98	0,004951	0,000044	NS
proporzionale alla deformata 1° modo di vibrazione												
Trave P1-2	0%	0,47	0,60	0,47	0,0548	0,0042	0,008490	0,000354	24,00	0,005097	0,000267	19,09
Trave P1-2	100%	0,95	0,90	0,51	0,0150	0,0046	0,004421	0,000086	51,71	0,004950	0,000055	89,29
sisma in +X												
proporzionale alle masse												
Trave 2-P2	0%	1,53	0,19	0,57	0,0833	0,0046	0,023024	0,000489	47,06	0,009406	0,000303	31,06
Trave 2-P2	100%	1,42	1,15	0,56	0,0217	0,0046	0,006350	0,000958	6,63	0,004975	0,000437	11,39
proporzionale alla deformata 1° modo di vibrazione												

Id_{Tr}	$\%L_{LI}$	$L_{v,SLV}$	$L_{v,SLD}$	L_{pl}	ϕ_u	ϕ_y	SLV			SLD		
							Θ_c	Θ_d	CS	Θ_c	Θ_d	CS
	[%]	[m]	[m]	[m]	[rad/m]	[rad/m]	[rad]	[rad]		[rad]	[rad]	
Trave 2-P2	0%	1,46	0,19	0,57	0,0822	0,0046	0,022544	0,000455	49,53	0,009656	0,000287	33,68
Trave 2-P2	100%	1,43	1,15	0,56	0,0214	0,0046	0,006302	0,000981	6,42	0,005025	0,000442	11,38
sisma in -X												
proporzionale alle masse												
Trave 2-P2	0%	1,30	1,16	0,55	0,0171	0,0048	0,005224	0,000600	8,71	0,005134	0,000352	14,57
Trave 2-P2	100%	1,18	0,11	0,54	0,0948	0,0034	0,026368	0,001564	16,86	0,014806	0,000798	18,55
proporzionale alla deformata 1° modo di vibrazione												
Trave 2-P2	0%	1,30	1,16	0,55	0,0172	0,0049	0,005233	0,000562	9,31	0,005149	0,000333	15,45
Trave 2-P2	100%	1,22	0,13	0,54	0,0953	0,0034	0,025819	0,001646	15,69	0,012854	0,000854	15,05
sisma in +Y												
proporzionale alle masse												
Trave 2-P2	0%	0,85	0,84	0,50	0,0189	0,0046	0,005018	0,000023	NS	0,004981	0,000016	NS
Trave 2-P2	100%	0,73	0,75	0,49	0,0351	0,0039	0,007475	0,000135	55,18	0,004738	0,000121	39,02
proporzionale alla deformata 1° modo di vibrazione												
Trave 2-P2	0%	0,86	0,85	0,51	0,0190	0,0046	0,005058	0,000000	NS	0,004951	0,000005	NS
Trave 2-P2	100%	0,71	0,74	0,49	0,0355	0,0039	0,007431	0,000172	43,16	0,004753	0,000137	34,69
sisma in -Y												
proporzionale alle masse												
Trave 2-P2	0%	0,78	0,80	0,50	0,0189	0,0046	0,004907	0,000067	73,48	0,004965	0,000044	NS
Trave 2-P2	100%	0,82	0,80	0,50	0,0349	0,0039	0,007761	0,000005	NS	0,004699	0,000055	86,22
proporzionale alla deformata 1° modo di vibrazione												
Trave 2-P2	0%	0,76	0,79	0,50	0,0187	0,0046	0,004850	0,000086	56,72	0,004972	0,000055	89,68
Trave 2-P2	100%	0,85	0,81	0,50	0,0344	0,0040	0,007749	0,000029	NS	0,004702	0,000036	NS
sisma in +X												
proporzionale alle masse												
Trave P3-P4	0%	46,70	1,90	5,09	0,0713	0,0040	0,164655	0,001443	NS	0,005168	0,000735	7,04
Trave P3-P4	100%	1,07	0,97	0,53	0,0369	0,0033	0,008841	0,000966	9,15	0,004324	0,000459	9,43
proporzionale alla deformata 1° modo di vibrazione												
Trave P3-P4	0%	25,62	2,06	2,98	0,0706	0,0039	0,096310	0,001538	62,63	0,005272	0,000780	6,76
Trave P3-P4	100%	1,06	0,97	0,52	0,0370	0,0033	0,008805	0,000983	8,96	0,004329	0,000464	9,34
sisma in -X												
proporzionale alle masse												
Trave P3-P4	0%	1,45	1,21	0,56	0,0184	0,0050	0,005665	0,000980	5,78	0,005253	0,000467	11,24
Trave P3-P4	100%	8,96	1,81	1,32	0,0392	0,0038	0,024091	0,001502	16,04	0,004939	0,000751	6,57
proporzionale alla deformata 1° modo di vibrazione												
Trave P3-P4	0%	1,45	1,22	0,56	0,0184	0,0051	0,005668	0,000979	5,79	0,005296	0,000478	11,09
Trave P3-P4	100%	8,71	2,07	1,29	0,0392	0,0037	0,023761	0,001579	15,05	0,005145	0,000802	6,42
sisma in +Y												
proporzionale alle masse												
Trave P3-P4	0%	0,69	0,68	0,49	0,0305	0,0043	0,006615	0,000062	NS	0,004966	0,000063	78,74
Trave P3-P4	100%	0,51	0,53	0,47	0,1012	0,0032	0,014967	0,000094	NS	0,004980	0,000078	63,82
proporzionale alla deformata 1° modo di vibrazione												
Trave P3-P4	0%	0,71	0,69	0,49	0,0307	0,0042	0,006735	0,000037	NS	0,004921	0,000053	92,74
Trave P3-P4	100%	0,48	0,51	0,47	0,1024	0,0032	0,014492	0,000121	NS	0,005040	0,000091	55,13
sisma in -Y												
proporzionale alle masse												
Trave P3-P4	0%	0,48	0,58	0,47	0,0303	0,0042	0,005694	0,000200	28,50	0,005170	0,000144	35,96
Trave P3-P4	100%	0,63	0,59	0,48	0,0992	0,0032	0,016662	0,000042	NS	0,004774	0,000006	NS
proporzionale alla deformata 1° modo di vibrazione												
Trave P3-P4	0%	0,40	0,54	0,46	0,0298	0,0042	0,005565	0,000234	23,73	0,005272	0,000163	32,26
Trave P3-P4	100%	0,66	0,60	0,49	0,0964	0,0032	0,016669	0,000073	NS	0,004736	0,000012	NS
sisma in +X												
proporzionale alle masse												
Trave P5-5	0%	1,65	0,04	0,58	0,0212	0,0031	0,021045	0,001463	14,38	0,033382	0,000771	43,27
Trave P5-5	100%	1,24	1,16	0,54	0,0140	0,0049	0,004513	0,000632	7,14	0,005162	0,000404	12,77
proporzionale alla deformata 1° modo di vibrazione												
Trave P5-5	0%	1,82	0,07	0,60	0,0210	0,0031	0,014767	0,001555	9,50	0,020535	0,000819	25,07
Trave P5-5	100%	1,23	1,16	0,54	0,0141	0,0049	0,004527	0,000594	7,62	0,005183	0,000388	13,36
sisma in -X												
proporzionale alle masse												
Trave P5-5	0%	1,28	1,03	0,55	0,0800	0,0032	0,018632	0,001032	18,05	0,004223	0,000469	9,01
Trave P5-5	100%	1,48	0,12	0,57	0,0885	0,0049	0,025985	0,000642	40,49	0,013617	0,000374	36,43
proporzionale alla deformata 1° modo di vibrazione												
Trave P5-5	0%	1,29	1,05	0,55	0,0797	0,0032	0,018634	0,001040	17,91	0,004241	0,000477	8,89
Trave P5-5	100%	1,42	0,22	0,56	0,0884	0,0049	0,023169	0,000609	38,06	0,008712	0,000362	24,06
sisma in +Y												
proporzionale alle masse												
Trave P5-5	0%	0,68	0,68	0,49	0,1034	0,0031	0,017953	0,000083	NS	0,004514	0,000087	52,18
Trave P5-5	100%	0,83	0,84	0,50	0,0145	0,0049	0,004233	0,000083	50,98	0,005098	0,000044	NS
proporzionale alla deformata 1° modo di vibrazione												
Trave P5-5	0%	0,69	0,69	0,49	0,1034	0,0031	0,018092	0,000066	NS	0,004500	0,000079	57,32
Trave P5-5	100%	0,82	0,84	0,50	0,0145	0,0049	0,004224	0,000091	46,35	0,005100	0,000048	NS
sisma in -Y												
proporzionale alle masse												
Trave P5-5	0%	0,58	0,63	0,48	0,1043	0,0031	0,016543	0,000233	70,94	0,004619	0,000170	27,11
Trave P5-5	100%	0,95	0,91	0,51	0,0147	0,0048	0,004374	0,000126	34,63	0,005019	0,000064	78,33
proporzionale alla deformata 1° modo di vibrazione												
Trave P5-5	0%	0,56	0,62	0,48	0,1042	0,0031	0,016217	0,000269	60,20	0,004645	0,000191	24,27
Trave P5-5	100%	0,97	0,92	0,52	0,0147	0,0047	0,004384	0,000145	30,33	0,005009	0,000075	66,63
sisma in +X												
proporzionale alle masse												
Trave 5-P6	0%	1,11	0,29	0,53	0,0923	0,0047	0,021323	0,000632	33,73	0,007257	0,000404	17,95
Trave 5-P6	100%	1,44	1,15	0,56	0,0724	0,0039	0,017847	0,001006	17,73	0,004615	0,000415	11,12
proporzionale alla deformata 1° modo di vibrazione												
Trave 5-P6	0%	1,14	0,30	0,53	0,0917	0,0047	0,021278	0,000594	35,82	0,007086	0,000388	18,27

Id_{Tr}	$\%L_{LI}$	$L_{v,SLV}$	$L_{v,SLD}$	L_{pl}	ϕ_u	ϕ_y	SLV			SLD		
							Θ_c	Θ_d	CS	Θ_c	Θ_d	CS
	[%]	[m]	[m]	[m]	[rad/m]	[rad/m]	[rad]	[rad]		[rad]	[rad]	
Trave 5-P6	100%	1,46	1,15	0,56	0,0717	0,0040	0,017751	0,001033	17,18	0,004652	0,000423	11,00
sisma in -X												
proporzionale alle masse												
Trave 5-P6	0%	1,33	1,21	0,55	0,0143	0,0048	0,004644	0,000642	7,24	0,005142	0,000374	13,76
Trave 5-P6	100%	2,07	0,11	0,63	0,0319	0,0035	0,014553	0,001698	8,57	0,013975	0,000936	14,93
proporzionale alla deformata 1° modo di vibrazione												
Trave 5-P6	0%	1,31	1,21	0,55	0,0144	0,0048	0,004656	0,000609	7,65	0,005153	0,000362	14,23
Trave 5-P6	100%	2,27	0,07	0,65	0,0325	0,0043	0,019105	0,001816	10,52	0,022616	0,000996	22,72
sisma in +Y												
proporzionale alle masse												
Trave 5-P6	0%	0,92	0,92	0,51	0,0158	0,0043	0,004516	0,000083	54,38	0,004794	0,000044	NS
Trave 5-P6	100%	0,49	0,60	0,47	0,0921	0,0035	0,013341	0,000827	16,13	0,004848	0,000533	9,09
proporzionale alla deformata 1° modo di vibrazione												
Trave 5-P6	0%	0,94	0,93	0,51	0,0158	0,0043	0,004538	0,000091	49,80	0,004785	0,000048	99,20
Trave 5-P6	100%	0,46	0,58	0,47	0,0922	0,0035	0,012778	0,000851	15,02	0,004900	0,000552	8,88
sisma in -Y												
proporzionale alle masse												
Trave 5-P6	0%	0,87	0,88	0,51	0,0148	0,0047	0,004312	0,000126	34,14	0,005009	0,000064	78,19
Trave 5-P6	100%	0,80	0,78	0,50	0,0882	0,0035	0,016807	0,000004	NS	0,004532	0,000092	49,36
proporzionale alla deformata 1° modo di vibrazione												
Trave 5-P6	0%	0,85	0,87	0,50	0,0147	0,0047	0,004269	0,000145	29,53	0,005012	0,000075	66,67
Trave 5-P6	100%	0,83	0,79	0,50	0,0877	0,0035	0,017047	0,000060	NS	0,004529	0,000064	70,91
Piano interrato							**Travata: Trave7-8-9-10-11-12**					
sisma in +X												
proporzionale alle masse												
Trave 7-8	0%	0,61	0,10	0,50	0,0851	0,0048	0,019625	0,002028	9,68	0,015628	0,001438	10,87
Trave 7-8	100%	1,24	1,14	0,56	0,0103	0,0056	0,003827	0,001035	3,70	0,005587	0,000582	9,60
proporzionale alla deformata 1° modo di vibrazione												
Trave 7-8	0%	0,60	0,07	0,50	0,0850	0,0044	0,023058	0,002108	10,94	0,022725	0,001487	15,28
Trave 7-8	100%	1,23	1,13	0,56	0,0104	0,0056	0,003842	0,000995	3,86	0,005595	0,000558	10,04
sisma in -X												
proporzionale alle masse												
Trave 7-8	0%	0,89	0,74	0,53	0,0205	0,0042	0,005488	0,000265	20,73	0,004898	0,000634	7,73
Trave 7-8	100%	0,62	0,81	0,50	0,0124	0,0047	0,003689	0,001070	3,45	0,005056	0,000597	8,47
proporzionale alla deformata 1° modo di vibrazione												
Trave 7-8	0%	0,89	0,74	0,53	0,0204	0,0042	0,005468	0,000246	22,19	0,004922	0,000621	7,92
Trave 7-8	100%	0,63	0,82	0,50	0,0124	0,0047	0,003695	0,001026	3,60	0,005052	0,000573	8,82
sisma in +Y												
proporzionale alle masse												
Trave 7-8	0%	0,56	0,49	0,50	0,0209	0,0039	0,005036	0,001561	3,23	0,005400	0,001390	3,88
Trave 7-8	100%	0,93	0,96	0,53	0,0126	0,0047	0,004013	0,000097	41,48	0,005027	0,000043	NS
proporzionale alla deformata 1° modo di vibrazione												
Trave 7-8	0%	0,54	0,47	0,49	0,0209	0,0039	0,005031	0,001592	3,16	0,005478	0,001434	3,82
Trave 7-8	100%	0,92	0,96	0,53	0,0126	0,0047	0,004014	0,000089	44,98	0,005027	0,000041	NS
sisma in -Y												
proporzionale alle masse												
Trave 7-8	0%	0,29	0,42	0,47	0,0185	0,0042	0,004624	0,000861	5,37	0,005904	0,000901	6,55
Trave 7-8	100%	1,07	1,04	0,55	0,0116	0,0050	0,003952	0,000100	39,68	0,005200	0,000043	NS
proporzionale alla deformata 1° modo di vibrazione												
Trave 7-8	0%	0,26	0,40	0,47	0,0183	0,0042	0,004632	0,000864	5,36	0,005973	0,000895	6,67
Trave 7-8	100%	1,08	1,05	0,55	0,0116	0,0050	0,003949	0,000114	34,53	0,005213	0,000046	NS
sisma in +X												
proporzionale alle masse												
Trave 8-9	0%	0,05	0,57	0,45	0,0125	0,0050	0,003598	0,001035	3,48	0,005523	0,000582	9,49
Trave 8-9	100%	1,31	1,20	0,57	0,0101	0,0057	0,003839	0,000988	3,89	0,005689	0,000554	10,27
proporzionale alla deformata 1° modo di vibrazione												
Trave 8-9	0%	0,09	0,60	0,45	0,0127	0,0050	0,003591	0,000995	3,61	0,005465	0,000558	9,80
Trave 8-9	100%	1,30	1,19	0,57	0,0102	0,0057	0,003851	0,000947	4,07	0,005703	0,000532	10,72
sisma in -X												
proporzionale alle masse												
Trave 8-9	0%	1,34	1,21	0,57	0,0123	0,0055	0,004338	0,001070	4,06	0,005607	0,000597	9,39
Trave 8-9	100%	0,00	0,56	0,44	0,0100	0,0053	0,003336	0,001040	3,21	0,005637	0,000593	9,50
proporzionale alla deformata 1° modo di vibrazione												
Trave 8-9	0%	1,33	1,20	0,57	0,0124	0,0055	0,004353	0,001026	4,24	0,005607	0,000573	9,79
Trave 8-9	100%	0,06	0,58	0,45	0,0100	0,0053	0,003325	0,000999	3,33	0,005585	0,000572	9,76
sisma in +Y												
proporzionale alle masse												
Trave 8-9	0%	0,92	0,94	0,53	0,0142	0,0050	0,004339	0,000097	44,87	0,005205	0,000043	NS
Trave 8-9	100%	0,96	0,95	0,54	0,0112	0,0052	0,003799	0,000002	NS	0,005281	0,000011	NS
proporzionale alla deformata 1° modo di vibrazione												
Trave 8-9	0%	0,92	0,94	0,53	0,0142	0,0050	0,004343	0,000089	48,68	0,005205	0,000041	NS
Trave 8-9	100%	0,96	0,95	0,54	0,0112	0,0052	0,003797	0,000005	NS	0,005278	0,000012	NS
sisma in -Y												
proporzionale alle masse												
Trave 8-9	0%	0,99	0,97	0,54	0,0139	0,0051	0,004355	0,000100	43,75	0,005249	0,000043	NS
Trave 8-9	100%	0,94	0,95	0,54	0,0110	0,0053	0,003760	0,000024	NS	0,005320	0,000015	NS
proporzionale alla deformata 1° modo di vibrazione												
Trave 8-9	0%	1,00	0,97	0,54	0,0139	0,0051	0,004355	0,000114	38,10	0,005254	0,000046	NS
Trave 8-9	100%	0,94	0,95	0,53	0,0110	0,0053	0,003755	0,000031	NS	0,005320	0,000015	NS
sisma in +X												
proporzionale alle masse												
Trave 9-10	0%	0,07	0,58	0,45	0,0085	0,0056	0,003179	0,000988	3,22	0,005711	0,000554	10,31
Trave 9-10	100%	1,33	1,22	0,57	0,0102	0,0058	0,003868	0,000931	4,15	0,005769	0,000529	10,90
proporzionale alla deformata 1° modo di vibrazione												
Trave 9-10	0%	0,15	0,61	0,46	0,0086	0,0056	0,003171	0,000947	3,35	0,005663	0,000532	10,65

Id_{Tr}	$\%L_{LI}$	$L_{v,SLV}$	$L_{v,SLD}$	L_{pl}	ϕ_u	ϕ_y	SLV			SLD		
							Θ_c	Θ_d	CS	Θ_c	Θ_d	CS
	[%]	[m]	[m]	[m]	[rad/m]	[rad/m]	[rad]	[rad]		[rad]	[rad]	
Trave 9-10	100%	1,32	1,21	0,57	0,0102	0,0058	0,003880	0,000893	4,35	0,005784	0,000510	11,34
sisma in -X												
proporzionale alle masse												
Trave 9-10	0%	1,34	1,22	0,58	0,0084	0,0062	0,003506	0,001040	3,37	0,006009	0,000593	10,13
Trave 9-10	100%	0,01	0,56	0,44	0,0100	0,0054	0,003348	0,000931	3,60	0,005680	0,000539	10,55
proporzionale alla deformata 1° modo di vibrazione												
Trave 9-10	0%	1,34	1,21	0,57	0,0084	0,0062	0,003510	0,000999	3,51	0,006007	0,000572	10,50
Trave 9-10	100%	0,07	0,58	0,45	0,0101	0,0054	0,003335	0,000894	3,73	0,005626	0,000518	10,85
sisma in +Y												
proporzionale alle masse												
Trave 9-10	0%	0,96	0,96	0,54	0,0092	0,0056	0,003433	0,000002	NS	0,005501	0,000011	NS
Trave 9-10	100%	0,97	0,97	0,54	0,0111	0,0054	0,003802	0,000008	NS	0,005397	0,000001	NS
proporzionale alla deformata 1° modo di vibrazione												
Trave 9-10	0%	0,96	0,96	0,54	0,0092	0,0056	0,003434	0,000005	NS	0,005501	0,000012	NS
Trave 9-10	100%	0,97	0,97	0,54	0,0111	0,0054	0,003802	0,000006	NS	0,005394	0,000001	NS
sisma in -Y												
proporzionale alle masse												
Trave 9-10	0%	0,97	0,96	0,54	0,0092	0,0056	0,003438	0,000025	NS	0,005501	0,000015	NS
Trave 9-10	100%	0,96	0,97	0,54	0,0111	0,0054	0,003802	0,000004	NS	0,005391	0,000002	NS
proporzionale alla deformata 1° modo di vibrazione												
Trave 9-10	0%	0,97	0,96	0,54	0,0092	0,0056	0,003438	0,000031	NS	0,005503	0,000015	NS
Trave 9-10	100%	0,96	0,97	0,54	0,0111	0,0054	0,003799	0,000011	NS	0,005394	0,000002	NS
sisma in +X												
proporzionale alle masse												
Trave 10-11	0%	0,17	0,62	0,46	0,0129	0,0051	0,003615	0,000931	3,88	0,005442	0,000529	10,28
Trave 10-11	100%	1,31	1,19	0,57	0,0086	0,0059	0,003523	0,000880	4,00	0,005825	0,000521	11,19
proporzionale alla deformata 1° modo di vibrazione												
Trave 10-11	0%	0,25	0,64	0,47	0,0132	0,0051	0,003643	0,000893	4,08	0,005406	0,000510	10,60
Trave 10-11	100%	1,30	1,19	0,57	0,0087	0,0059	0,003530	0,000847	4,17	0,005839	0,000501	11,66
sisma in -X												
proporzionale alle masse												
Trave 10-11	0%	1,36	1,22	0,58	0,0125	0,0055	0,004387	0,000931	4,71	0,005586	0,000539	10,37
Trave 10-11	100%	0,19	0,61	0,46	0,0085	0,0057	0,003164	0,000790	4,01	0,005675	0,000458	12,39
proporzionale alla deformata 1° modo di vibrazione												
Trave 10-11	0%	1,35	1,21	0,58	0,0126	0,0055	0,004403	0,000894	4,93	0,005593	0,000518	10,79
Trave 10-11	100%	0,21	0,63	0,46	0,0085	0,0057	0,003152	0,000761	4,14	0,005647	0,000442	12,79
sisma in +Y												
proporzionale alle masse												
Trave 10-11	0%	0,97	0,97	0,54	0,0140	0,0051	0,004352	0,000008	NS	0,005238	0,000001	NS
Trave 10-11	100%	0,97	0,97	0,54	0,0091	0,0057	0,003438	0,000029	NS	0,005540	0,000027	NS
proporzionale alla deformata 1° modo di vibrazione												
Trave 10-11	0%	0,97	0,97	0,54	0,0140	0,0051	0,004353	0,000006	NS	0,005238	0,000001	NS
Trave 10-11	100%	0,97	0,97	0,54	0,0091	0,0057	0,003438	0,000029	NS	0,005538	0,000027	NS
sisma in -Y												
proporzionale alle masse												
Trave 10-11	0%	0,97	0,97	0,54	0,0141	0,0051	0,004363	0,000004	NS	0,005238	0,000002	NS
Trave 10-11	100%	0,96	0,97	0,54	0,0092	0,0057	0,003437	0,000013	NS	0,005528	0,000025	NS
proporzionale alla deformata 1° modo di vibrazione												
Trave 10-11	0%	0,97	0,97	0,54	0,0141	0,0051	0,004362	0,000011	NS	0,005235	0,000002	NS
Trave 10-11	100%	0,96	0,97	0,54	0,0091	0,0057	0,003436	0,000009	NS	0,005528	0,000025	NS
sisma in +X												
proporzionale alle masse												
Trave 11-12	0%	0,72	0,89	0,51	0,0096	0,0050	0,003353	0,000880	3,81	0,005169	0,000521	9,93
Trave 11-12	100%	1,07	0,89	0,55	0,0138	0,0047	0,004387	0,000201	21,81	0,005034	0,000377	13,35
proporzionale alla deformata 1° modo di vibrazione												
Trave 11-12	0%	0,73	0,90	0,51	0,0096	0,0050	0,003363	0,000847	3,97	0,005168	0,000501	10,32
Trave 11-12	100%	1,06	0,88	0,55	0,0138	0,0047	0,004379	0,000160	27,29	0,005068	0,000390	12,99
sisma in -X												
proporzionale alle masse												
Trave 11-12	0%	1,22	1,15	0,56	0,0090	0,0057	0,003534	0,000790	4,48	0,005641	0,000458	12,31
Trave 11-12	100%	0,27	0,20	0,47	0,0994	0,0044	0,015777	0,002833	5,57	0,009328	0,001769	5,27
proporzionale alla deformata 1° modo di vibrazione												
Trave 11-12	0%	1,21	1,15	0,56	0,0090	0,0057	0,003540	0,000761	4,65	0,005652	0,000442	12,80
Trave 11-12	100%	0,25	0,22	0,47	0,1000	0,0044	0,015464	0,002769	5,59	0,008703	0,001748	4,98
sisma in +Y												
proporzionale alle masse												
Trave 11-12	0%	1,05	1,06	0,55	0,0098	0,0049	0,003578	0,000029	NS	0,005196	0,000027	NS
Trave 11-12	100%	0,57	0,61	0,50	0,0143	0,0044	0,003978	0,001213	3,28	0,005203	0,001057	4,92
proporzionale alla deformata 1° modo di vibrazione												
Trave 11-12	0%	1,05	1,06	0,55	0,0098	0,0049	0,003576	0,000029	NS	0,005176	0,000027	NS
Trave 11-12	100%	0,58	0,62	0,50	0,0143	0,0044	0,003996	0,001176	3,40	0,005198	0,001048	4,96
sisma in -Y												
proporzionale alle masse												
Trave 11-12	0%	1,04	1,05	0,54	0,0098	0,0049	0,003579	0,000013	NS	0,005183	0,000025	NS
Trave 11-12	100%	0,57	0,61	0,50	0,0143	0,0044	0,003992	0,001262	3,16	0,005201	0,001087	4,79
proporzionale alla deformata 1° modo di vibrazione												
Trave 11-12	0%	1,04	1,05	0,54	0,0098	0,0049	0,003578	0,000009	NS	0,005185	0,000025	NS
Trave 11-12	100%	0,57	0,61	0,50	0,0143	0,0044	0,003996	0,001240	3,22	0,005202	0,001086	4,79
Piano interrato							**Travata: Trave19-P9-20-P10-21-P11-P12-22-P13-23-P14-24**					
sisma in +X												
proporzionale alle masse												
Trave P9-20	0%	5,73	0,91	0,97	0,0581	0,0039	0,026368	0,001447	18,23	0,004586	0,000860	5,33
Trave P9-20	100%	1,27	1,16	0,52	0,0175	0,0044	0,005146	0,000389	13,24	0,004842	0,000267	18,17
proporzionale alla deformata 1° modo di vibrazione												
Trave P9-20	0%	6,78	0,99	1,08	0,0585	0,0039	0,029334	0,001548	18,95	0,004556	0,000925	4,93

Id_{Tr}	$\%L_{LI}$	$L_{v,SLV}$	$L_{v,SLD}$	L_{pl}	ϕ_u	ϕ_y	SLV			SLD		
							Θ_c	Θ_d	CS	Θ_c	Θ_d	CS
	[%]	[m]	[m]	[m]	[rad/m]	[rad/m]	[rad]	[rad]		[rad]	[rad]	
Trave P9-20	100%	1,26	1,16	0,52	0,0177	0,0044	0,005176	0,000368	14,06	0,004848	0,000254	19,08
sisma in -X												
proporzionale alle masse												
Trave P9-20	0%	1,65	1,31	0,56	0,0580	0,0046	0,014971	0,001086	13,79	0,005027	0,000518	9,70
Trave P9-20	100%	8,06	0,42	1,20	0,0891	0,0045	0,050036	0,000526	95,18	0,005875	0,000310	18,97
proporzionale alla deformata 1° modo di vibrazione												
Trave P9-20	0%	1,66	1,31	0,56	0,0576	0,0046	0,014909	0,001099	13,57	0,005063	0,000520	9,74
Trave P9-20	100%	7,89	0,37	1,19	0,0888	0,0045	0,049327	0,000490	NS	0,006228	0,000291	21,39
sisma in +Y												
proporzionale alle masse												
Trave P9-20	0%	0,65	0,71	0,46	0,0774	0,0038	0,013321	0,000167	79,85	0,004702	0,000119	39,50
Trave P9-20	100%	0,86	0,84	0,48	0,0182	0,0045	0,004822	0,000034	NS	0,004849	0,000017	NS
proporzionale alla deformata 1° modo di vibrazione												
Trave P9-20	0%	0,60	0,68	0,46	0,0773	0,0038	0,012770	0,000205	62,32	0,004741	0,000140	33,93
Trave P9-20	100%	0,89	0,85	0,49	0,0182	0,0044	0,004851	0,000055	88,10	0,004834	0,000029	NS
sisma in -Y												
proporzionale alle masse												
Trave P9-20	0%	0,90	0,81	0,49	0,0757	0,0039	0,015091	0,000056	NS	0,004621	0,000022	NS
Trave P9-20	100%	0,68	0,76	0,47	0,0178	0,0045	0,004492	0,000079	56,82	0,004920	0,000038	NS
proporzionale alla deformata 1° modo di vibrazione												
Trave P9-20	0%	0,95	0,84	0,49	0,0752	0,0040	0,015341	0,000106	NS	0,004630	0,000001	NS
Trave P9-20	100%	0,61	0,74	0,46	0,0176	0,0045	0,004346	0,000108	40,39	0,004943	0,000056	87,89
sisma in +X												
proporzionale alle masse												
Trave 20-P10	0%	4,77	0,36	0,88	0,0909	0,0048	0,037435	0,000389	96,35	0,006405	0,000267	24,03
Trave 20-P10	100%	1,59	1,28	0,56	0,0198	0,0049	0,006023	0,000952	6,32	0,005176	0,000452	11,46
proporzionale alla deformata 1° modo di vibrazione												
Trave 20-P10	0%	5,01	0,34	0,90	0,0904	0,0048	0,038298	0,000368	NS	0,006622	0,000254	26,06
Trave 20-P10	100%	1,60	1,28	0,56	0,0196	0,0050	0,005995	0,000973	6,16	0,005234	0,000454	11,53
sisma in -X												
proporzionale alle masse												
Trave 20-P10	0%	1,41	1,24	0,54	0,0138	0,0050	0,004528	0,000526	8,61	0,005219	0,000310	16,86
Trave 20-P10	100%	2,60	0,40	0,66	0,0973	0,0033	0,029856	0,001513	19,74	0,005673	0,000782	7,25
proporzionale alla deformata 1° modo di vibrazione												
Trave 20-P10	0%	1,40	1,24	0,54	0,0139	0,0050	0,004541	0,000490	9,28	0,005233	0,000291	17,98
Trave 20-P10	100%	2,70	0,44	0,67	0,0977	0,0032	0,030330	0,001596	19,01	0,005332	0,000833	6,40
sisma in +Y												
proporzionale alle masse												
Trave 20-P10	0%	0,84	0,85	0,48	0,0151	0,0048	0,004265	0,000034	NS	0,005000	0,000017	NS
Trave 20-P10	100%	0,77	0,77	0,47	0,0323	0,0041	0,007000	0,000071	98,14	0,004738	0,000084	56,24
proporzionale alla deformata 1° modo di vibrazione												
Trave 20-P10	0%	0,82	0,83	0,48	0,0150	0,0048	0,004230	0,000055	76,82	0,005005	0,000029	NS
Trave 20-P10	100%	0,80	0,78	0,48	0,0320	0,0041	0,007042	0,000038	NS	0,004723	0,000066	71,55
sisma in -Y												
proporzionale alle masse												
Trave 20-P10	0%	0,98	0,92	0,50	0,0149	0,0048	0,004372	0,000079	55,30	0,004976	0,000038	NS
Trave 20-P10	100%	0,54	0,67	0,45	0,0319	0,0041	0,006081	0,000269	22,61	0,004858	0,000174	27,95
proporzionale alla deformata 1° modo di vibrazione												
Trave 20-P10	0%	1,02	0,94	0,50	0,0150	0,0047	0,004406	0,000108	40,94	0,004951	0,000056	88,03
Trave 20-P10	100%	0,45	0,63	0,44	0,0321	0,0041	0,005619	0,000334	16,85	0,004929	0,000204	24,15
sisma in +X												
proporzionale alle masse												
Trave P11-P12	0%	6,43	8,35	1,04	0,0357	0,0051	0,022817	0,001216	18,76	0,016345	0,000695	23,53
Trave P11-P12	100%	1,19	1,04	0,52	0,0360	0,0034	0,008731	0,000976	8,95	0,004310	0,000469	9,18
proporzionale alla deformata 1° modo di vibrazione												
Trave P11-P12	0%	6,11	9,82	1,01	0,0353	0,0049	0,023193	0,001323	17,53	0,018236	0,000735	24,81
Trave P11-P12	100%	1,16	1,05	0,51	0,0362	0,0034	0,008713	0,000994	8,76	0,004303	0,000470	9,16
sisma in -X												
proporzionale alle masse												
Trave P11-P12	0%	1,59	1,35	0,56	0,0379	0,0048	0,010192	0,000937	10,88	0,005176	0,000472	10,97
Trave P11-P12	100%	4,28	8,68	0,83	0,0376	0,0037	0,019016	0,001483	12,83	0,012794	0,000755	16,95
proporzionale alla deformata 1° modo di vibrazione												
Trave P11-P12	0%	1,60	1,35	0,56	0,0373	0,0048	0,010075	0,000950	10,61	0,005216	0,000476	10,97
Trave P11-P12	100%	4,20	10,74	0,82	0,0369	0,0037	0,019876	0,001556	12,77	0,015240	0,000800	19,05
sisma in +Y												
proporzionale alle masse												
Trave P11-P12	0%	0,64	0,68	0,46	0,0684	0,0040	0,011934	0,000083	NS	0,004827	0,000057	84,08
Trave P11-P12	100%	0,53	0,51	0,45	0,1060	0,0032	0,015807	0,000035	NS	0,004987	0,000050	98,94
proporzionale alla deformata 1° modo di vibrazione												
Trave P11-P12	0%	0,58	0,65	0,46	0,0680	0,0040	0,011334	0,000114	99,82	0,004875	0,000074	66,11
Trave P11-P12	100%	0,57	0,54	0,46	0,1042	0,0032	0,016292	0,000000	NS	0,004899	0,000032	NS
sisma in -Y												
proporzionale alle masse												
Trave P11-P12	0%	0,91	0,80	0,49	0,0671	0,0040	0,013585	0,000108	NS	0,004692	0,000034	NS
Trave P11-P12	100%	0,24	0,40	0,42	0,1047	0,0033	0,013505	0,000199	67,82	0,005635	0,000138	40,71
proporzionale alla deformata 1° modo di vibrazione												
Trave P11-P12	0%	0,96	0,83	0,49	0,0667	0,0041	0,013842	0,000147	94,43	0,004688	0,000054	87,35
Trave P11-P12	100%	0,12	0,36	0,41	0,1041	0,0033	0,013334	0,000245	54,51	0,006018	0,000163	37,02
sisma in +X												
proporzionale alle masse												
Trave P13-23	0%	2,19	0,16	0,62	0,0497	0,0032	0,017497	0,001447	12,09	0,010386	0,000749	13,87
Trave P13-23	100%	1,30	1,18	0,53	0,0120	0,0050	0,004056	0,000440	9,22	0,005175	0,000288	17,96
proporzionale alla deformata 1° modo di vibrazione												
Trave P13-23	0%	2,48	0,25	0,65	0,0500	0,0037	0,016826	0,001545	10,89	0,007642	0,000795	9,62
Trave P13-23	100%	1,30	1,18	0,53	0,0121	0,0050	0,004076	0,000417	9,78	0,005194	0,000276	18,80

Id_{Tr}	$\%L_{LI}$	$L_{v,SLV}$	$L_{v,SLD}$	L_{pl}	ϕ_u	ϕ_y	SLV			SLD		
							Θ_c	Θ_d	CS	Θ_c	Θ_d	CS
	[%]	[m]	[m]	[m]	[rad/m]	[rad/m]	[rad]	[rad]		[rad]	[rad]	
sisma in -X												
proporzionale alle masse												
Trave P13-23	0%	1,42	1,13	0,54	0,0602	0,0035	0,014589	0,001043	13,99	0,004332	0,000498	8,71
Trave P13-23	100%	2,91	0,16	0,69	0,0913	0,0053	0,031550	0,000434	72,62	0,010910	0,000280	38,90
proporzionale alla deformata 1° modo di vibrazione												
Trave P13-23	0%	1,43	1,14	0,54	0,0602	0,0035	0,014588	0,001042	13,99	0,004346	0,000500	8,68
Trave P13-23	100%	2,83	0,14	0,68	0,0915	0,0053	0,031882	0,000413	77,27	0,012108	0,000268	45,19
sisma in +Y												
proporzionale alle masse												
Trave P13-23	0%	0,63	0,66	0,46	0,1031	0,0032	0,016909	0,000113	NS	0,004550	0,000083	54,88
Trave P13-23	100%	0,91	0,88	0,49	0,0122	0,0051	0,003824	0,000051	74,56	0,005122	0,000013	NS
proporzionale alla deformata 1° modo di vibrazione												
Trave P13-23	0%	0,61	0,65	0,46	0,1030	0,0032	0,016635	0,000143	NS	0,004571	0,000099	46,38
Trave P13-23	100%	0,93	0,89	0,49	0,0122	0,0051	0,003834	0,000068	56,08	0,005116	0,000022	NS
sisma in -Y												
proporzionale alle masse												
Trave P13-23	0%	0,77	0,73	0,47	0,0998	0,0033	0,018074	0,000049	NS	0,004454	0,000000	NS
Trave P13-23	100%	0,69	0,78	0,47	0,0120	0,0053	0,003646	0,000157	23,18	0,005220	0,000091	57,62
proporzionale alla deformata 1° modo di vibrazione												
Trave P13-23	0%	0,79	0,74	0,48	0,0992	0,0033	0,018226	0,000080	NS	0,004441	0,000014	NS
Trave P13-23	100%	0,66	0,76	0,46	0,0119	0,0053	0,003611	0,000165	21,91	0,005227	0,000097	53,97
sisma in +X												
proporzionale alle masse												
Trave 23-P14	0%	2,36	0,03	0,63	0,0944	0,0050	0,048562	0,000440	NS	0,048023	0,000288	NS
Trave 23-P14	100%	1,61	1,27	0,56	0,0376	0,0046	0,010130	0,000988	10,25	0,005008	0,000421	11,88
proporzionale alla deformata 1° modo di vibrazione												
Trave 23-P14	0%	2,39	0,18	0,64	0,0937	0,0050	0,029378	0,000417	70,45	0,009774	0,000276	35,37
Trave 23-P14	100%	1,62	1,28	0,56	0,0368	0,0047	0,009957	0,001010	9,86	0,005064	0,000427	11,85
sisma in -X												
proporzionale alle masse												
Trave 23-P14	0%	1,36	1,24	0,53	0,0121	0,0049	0,004120	0,000434	9,48	0,005160	0,000280	18,40
Trave 23-P14	100%	3,12	0,38	0,71	0,0725	0,0037	0,024627	0,001593	15,46	0,005952	0,000905	6,58
proporzionale alla deformata 1° modo di vibrazione												
Trave 23-P14	0%	1,35	1,23	0,53	0,0121	0,0049	0,004126	0,000413	10,00	0,005162	0,000268	19,27
Trave 23-P14	100%	3,41	0,45	0,74	0,0730	0,0037	0,025541	0,001687	15,14	0,005429	0,000960	5,65
sisma in +Y												
proporzionale alle masse												
Trave 23-P14	0%	0,92	0,92	0,49	0,0123	0,0050	0,003850	0,000051	75,07	0,005054	0,000013	NS
Trave 23-P14	100%	0,77	0,76	0,48	0,0654	0,0039	0,012470	0,000039	NS	0,004689	0,000109	43,21
proporzionale alla deformata 1° modo di vibrazione												
Trave 23-P14	0%	0,90	0,91	0,49	0,0123	0,0050	0,003824	0,000068	55,93	0,005054	0,000022	NS
Trave 23-P14	100%	0,81	0,78	0,48	0,0650	0,0040	0,012657	0,000007	NS	0,004692	0,000086	54,87
sisma in -Y												
proporzionale alle masse												
Trave 23-P14	0%	1,02	0,98	0,50	0,0130	0,0044	0,004021	0,000157	25,57	0,004799	0,000091	52,98
Trave 23-P14	100%	0,13	0,41	0,41	0,0703	0,0039	0,009678	0,001088	8,89	0,005715	0,000644	8,87
proporzionale alla deformata 1° modo di vibrazione												
Trave 23-P14	0%	1,04	0,99	0,50	0,0130	0,0044	0,004034	0,000165	24,48	0,004791	0,000097	49,47
Trave 23-P14	100%	0,08	0,38	0,41	0,0701	0,0039	0,009720	0,001117	8,70	0,005986	0,000669	8,95
Piano interrato							**Travata: Trave16-17-18-13-14-15**					
sisma in +X												
proporzionale alle masse												
Trave 17-16	0%	1,17	1,13	0,56	0,0094	0,0053	0,003585	0,000484	7,41	0,005438	0,000311	17,49
Trave 17-16	100%	0,32	0,14	0,47	0,0866	0,0039	0,015792	0,001833	8,61	0,012024	0,001296	9,28
proporzionale alla deformata 1° modo di vibrazione												
Trave 17-16	0%	1,16	1,13	0,56	0,0094	0,0053	0,003588	0,000459	7,82	0,005426	0,000293	18,50
Trave 17-16	100%	0,31	0,13	0,47	0,0866	0,0037	0,016170	0,001868	8,66	0,012791	0,001334	9,59
sisma in -X												
proporzionale alle masse												
Trave 17-16	0%	0,79	0,89	0,52	0,0098	0,0049	0,003417	0,000486	7,03	0,005150	0,000291	17,72
Trave 17-16	100%	0,85	0,70	0,53	0,0307	0,0041	0,007293	0,000263	27,70	0,004937	0,000636	7,76
proporzionale alla deformata 1° modo di vibrazione												
Trave 17-16	0%	0,80	0,90	0,52	0,0097	0,0049	0,003419	0,000455	7,52	0,005150	0,000273	18,86
Trave 17-16	100%	0,85	0,70	0,53	0,0305	0,0042	0,007261	0,000257	28,23	0,004947	0,000627	7,88
sisma in +Y												
proporzionale alle masse												
Trave 17-16	0%	1,11	1,07	0,55	0,0097	0,0051	0,003597	0,000113	31,77	0,005296	0,000052	NS
Trave 17-16	100%	0,35	0,44	0,48	0,0303	0,0040	0,005964	0,000698	8,54	0,005675	0,000757	7,50
proporzionale alla deformata 1° modo di vibrazione												
Trave 17-16	0%	1,12	1,08	0,55	0,0097	0,0051	0,003599	0,000122	29,55	0,005314	0,000054	97,73
Trave 17-16	100%	0,31	0,43	0,47	0,0301	0,0040	0,005938	0,000706	8,41	0,005719	0,000736	7,77
sisma in -Y												
proporzionale alle masse												
Trave 17-16	0%	0,86	0,96	0,53	0,0101	0,0049	0,003513	0,000220	15,99	0,005134	0,000109	46,92
Trave 17-16	100%	0,64	0,51	0,50	0,0340	0,0038	0,007265	0,001457	4,99	0,005281	0,001318	4,01
proporzionale alla deformata 1° modo di vibrazione												
Trave 17-16	0%	0,84	0,95	0,53	0,0101	0,0049	0,003501	0,000209	16,78	0,005129	0,000109	46,94
Trave 17-16	100%	0,65	0,52	0,51	0,0338	0,0038	0,007262	0,001445	5,02	0,005236	0,001324	3,96
sisma in +X												
proporzionale alle masse												
Trave 18-17	0%	1,23	1,14	0,56	0,0091	0,0056	0,003554	0,000471	7,55	0,005622	0,000306	18,37
Trave 18-17	100%	0,57	0,76	0,50	0,0139	0,0050	0,003857	0,000484	7,98	0,005237	0,000311	16,85
proporzionale alla deformata 1° modo di vibrazione												
Trave 18-17	0%	1,22	1,13	0,56	0,0091	0,0056	0,003552	0,000446	7,96	0,005617	0,000291	19,29
Trave 18-17	100%	0,60	0,77	0,50	0,0139	0,0050	0,003914	0,000459	8,53	0,005226	0,000293	17,82

Id_{Tr}	$\%L_{LI}$	$L_{v,SLV}$	$L_{v,SLD}$	L_{pl}	ϕ_u	ϕ_y	SLV			SLD		
							Θ_c	Θ_d	CS	Θ_c	Θ_d	CS
	[%]	[m]	[m]	[m]	[rad/m]	[rad/m]	[rad]	[rad]		[rad]	[rad]	
sisma in -X												
proporzionale alle masse												
Trave 18-17	0%	0,61	0,79	0,50	0,0091	0,0055	0,003248	0,000458	7,09	0,005451	0,000298	18,31
Trave 18-17	100%	1,22	1,12	0,56	0,0138	0,0051	0,004545	0,000486	9,35	0,005310	0,000291	18,26
proporzionale alla deformata 1° modo di vibrazione												
Trave 18-17	0%	0,64	0,81	0,50	0,0091	0,0055	0,003267	0,000433	7,54	0,005447	0,000283	19,26
Trave 18-17	100%	1,20	1,11	0,56	0,0139	0,0051	0,004543	0,000455	9,99	0,005299	0,000273	19,40
sisma in +Y												
proporzionale alle masse												
Trave 18-17	0%	1,02	0,99	0,54	0,0091	0,0055	0,003452	0,000059	58,79	0,005474	0,000026	NS
Trave 18-17	100%	1,00	0,98	0,54	0,0140	0,0050	0,004373	0,000113	38,60	0,005198	0,000052	NS
proporzionale alla deformata 1° modo di vibrazione												
Trave 18-17	0%	1,02	0,99	0,54	0,0091	0,0055	0,003450	0,000058	59,78	0,005474	0,000027	NS
Trave 18-17	100%	1,00	0,98	0,54	0,0140	0,0050	0,004374	0,000122	35,91	0,005198	0,000054	95,57
sisma in -Y												
proporzionale alle masse												
Trave 18-17	0%	0,94	0,96	0,53	0,0095	0,0055	0,003481	0,000081	42,98	0,005458	0,000034	NS
Trave 18-17	100%	0,90	0,93	0,53	0,0148	0,0050	0,004435	0,000220	20,17	0,005189	0,000109	47,42
proporzionale alla deformata 1° modo di vibrazione												
Trave 18-17	0%	0,93	0,96	0,53	0,0095	0,0055	0,003479	0,000092	37,69	0,005458	0,000038	NS
Trave 18-17	100%	0,90	0,93	0,53	0,0148	0,0050	0,004439	0,000209	21,27	0,005189	0,000109	47,49
sisma in +X												
proporzionale alle masse												
Trave 13-18	0%	1,25	1,14	0,57	0,0135	0,0052	0,004512	0,000570	7,91	0,005397	0,000335	16,12
Trave 13-18	100%	0,56	0,77	0,50	0,0089	0,0056	0,003199	0,000474	6,74	0,005468	0,000313	17,47
proporzionale alla deformata 1° modo di vibrazione												
Trave 13-18	0%	1,25	1,13	0,57	0,0135	0,0053	0,004509	0,000549	8,21	0,005409	0,000326	16,61
Trave 13-18	100%	0,59	0,78	0,50	0,0089	0,0056	0,003218	0,000450	7,15	0,005463	0,000298	18,33
sisma in -X												
proporzionale alle masse												
Trave 13-18	0%	0,49	0,72	0,49	0,0140	0,0050	0,003740	0,000570	6,57	0,005281	0,000358	14,75
Trave 13-18	100%	1,23	1,14	0,56	0,0091	0,0055	0,003559	0,000434	8,21	0,005561	0,000280	19,86
proporzionale alla deformata 1° modo di vibrazione												
Trave 13-18	0%	0,51	0,73	0,49	0,0141	0,0050	0,003795	0,000549	6,91	0,005269	0,000346	15,22
Trave 13-18	100%	1,22	1,13	0,56	0,0091	0,0055	0,003556	0,000410	8,67	0,005551	0,000266	20,88
sisma in +Y												
proporzionale alle masse												
Trave 13-18	0%	0,87	0,91	0,53	0,0143	0,0050	0,004303	0,000171	25,15	0,005202	0,000093	56,01
Trave 13-18	100%	1,06	1,02	0,55	0,0092	0,0055	0,003495	0,000139	25,20	0,005488	0,000061	90,10
proporzionale alla deformata 1° modo di vibrazione												
Trave 13-18	0%	0,88	0,92	0,53	0,0143	0,0050	0,004318	0,000151	28,54	0,005203	0,000084	61,65
Trave 13-18	100%	1,05	1,01	0,55	0,0093	0,0056	0,003490	0,000119	29,39	0,005490	0,000052	NS
sisma in -Y												
proporzionale alle masse												
Trave 13-18	0%	1,03	0,99	0,54	0,0143	0,0050	0,004458	0,000135	33,07	0,005206	0,000053	98,85
Trave 13-18	100%	0,90	0,94	0,53	0,0093	0,0056	0,003420	0,000184	18,62	0,005462	0,000095	57,76
proporzionale alla deformata 1° modo di vibrazione												
Trave 13-18	0%	1,02	0,99	0,54	0,0143	0,0050	0,004449	0,000114	38,90	0,005205	0,000044	NS
Trave 13-18	100%	0,91	0,95	0,53	0,0093	0,0056	0,003429	0,000156	22,04	0,005465	0,000084	64,95
sisma in +X												
proporzionale alle masse												
Trave 13-14	0%	0,38	0,71	0,48	0,0133	0,0051	0,003632	0,000592	6,13	0,005304	0,000348	15,26
Trave 13-14	100%	1,33	1,19	0,57	0,0088	0,0058	0,003558	0,000735	4,84	0,005783	0,000434	13,34
proporzionale alla deformata 1° modo di vibrazione												
Trave 13-14	0%	0,41	0,72	0,48	0,0133	0,0051	0,003645	0,000571	6,39	0,005297	0,000338	15,66
Trave 13-14	100%	1,33	1,19	0,57	0,0088	0,0059	0,003558	0,000715	4,97	0,005788	0,000418	13,85
sisma in -X												
proporzionale alle masse												
Trave 13-14	0%	1,29	1,17	0,57	0,0137	0,0051	0,004570	0,000568	8,05	0,005348	0,000355	15,06
Trave 13-14	100%	0,34	0,67	0,47	0,0090	0,0057	0,003189	0,000688	4,64	0,005582	0,000396	14,09
proporzionale alla deformata 1° modo di vibrazione												
Trave 13-14	0%	1,28	1,17	0,57	0,0137	0,0051	0,004569	0,000547	8,35	0,005346	0,000343	15,60
Trave 13-14	100%	0,37	0,69	0,48	0,0091	0,0057	0,003189	0,000666	4,79	0,005567	0,000383	14,53
sisma in +Y												
proporzionale alle masse												
Trave 13-14	0%	0,95	0,97	0,54	0,0145	0,0051	0,004415	0,000073	60,89	0,005229	0,000023	NS
Trave 13-14	100%	0,97	0,97	0,54	0,0093	0,0055	0,003461	0,000011	NS	0,005439	0,000005	NS
proporzionale alla deformata 1° modo di vibrazione												
Trave 13-14	0%	0,95	0,97	0,54	0,0144	0,0051	0,004409	0,000071	61,87	0,005229	0,000024	NS
Trave 13-14	100%	0,97	0,97	0,54	0,0093	0,0055	0,003461	0,000001	NS	0,005438	0,000010	NS
sisma in -Y												
proporzionale alle masse												
Trave 13-14	0%	1,05	1,01	0,55	0,0140	0,0052	0,004431	0,000136	32,54	0,005304	0,000070	75,90
Trave 13-14	100%	0,95	0,96	0,54	0,0091	0,0057	0,003428	0,000019	NS	0,005521	0,000001	NS
proporzionale alla deformata 1° modo di vibrazione												
Trave 13-14	0%	1,05	1,02	0,55	0,0140	0,0052	0,004438	0,000141	31,39	0,005290	0,000073	72,82
Trave 13-14	100%	0,94	0,96	0,53	0,0091	0,0057	0,003425	0,000036	95,85	0,005520	0,000004	NS
sisma in +X												
proporzionale alle masse												
Trave 14-15	0%	0,62	0,87	0,50	0,0094	0,0050	0,003247	0,000735	4,42	0,005181	0,000434	11,95
Trave 14-15	100%	1,18	0,96	0,56	0,0134	0,0049	0,004374	0,000400	10,95	0,005127	0,000173	29,59
proporzionale alla deformata 1° modo di vibrazione												
Trave 14-15	0%	0,64	0,88	0,50	0,0094	0,0050	0,003269	0,000715	4,57	0,005180	0,000418	12,39
Trave 14-15	100%	1,17	0,95	0,56	0,0134	0,0049	0,004372	0,000368	11,89	0,005158	0,000183	28,20
sisma in -X												

Id_{Tr}	$\%L_{LI}$	$L_{v,SLV}$	$L_{v,SLD}$	L_{pl}	ϕ_u	ϕ_y	SLV			SLD		
							Θ_c	Θ_d	CS	Θ_c	Θ_d	CS
	[%]	[m]	[m]	[m]	[rad/m]	[rad/m]	[rad]	[rad]		[rad]	[rad]	
proporzionale alle masse												
Trave 14-15	0%	1,25	1,19	0,57	0,0091	0,0056	0,003598	0,000688	5,23	0,005634	0,000396	14,22
Trave 14-15	100%	0,34	0,18	0,47	0,1007	0,0037	0,016409	0,002680	6,12	0,009796	0,001594	6,15
proporzionale alla deformata 1° modo di vibrazione												
Trave 14-15	0%	1,25	1,19	0,57	0,0092	0,0056	0,003602	0,000666	5,41	0,005646	0,000383	14,74
Trave 14-15	100%	0,30	0,20	0,47	0,1010	0,0035	0,015964	0,002622	6,09	0,008989	0,001568	5,73
sisma in +Y												
proporzionale alle masse												
Trave 14-15	0%	1,04	1,06	0,54	0,0100	0,0048	0,003602	0,000011	NS	0,005129	0,000005	NS
Trave 14-15	100%	0,61	0,62	0,50	0,0146	0,0042	0,004095	0,001209	3,39	0,005092	0,001014	5,02
proporzionale alla deformata 1° modo di vibrazione												
Trave 14-15	0%	1,04	1,06	0,54	0,0100	0,0047	0,003595	0,000001	NS	0,005085	0,000010	NS
Trave 14-15	100%	0,62	0,62	0,50	0,0146	0,0045	0,004107	0,001193	3,44	0,005205	0,001015	5,13
sisma in -Y												
proporzionale alle masse												
Trave 14-15	0%	1,11	1,09	0,55	0,0099	0,0050	0,003627	0,000019	NS	0,005243	0,000001	NS
Trave 14-15	100%	0,49	0,62	0,49	0,0143	0,0045	0,003808	0,001104	3,45	0,005209	0,000855	6,09
proporzionale alla deformata 1° modo di vibrazione												
Trave 14-15	0%	1,11	1,09	0,55	0,0098	0,0050	0,003619	0,000036	NS	0,005242	0,000004	NS
Trave 14-15	100%	0,49	0,62	0,49	0,0143	0,0045	0,003810	0,001094	3,48	0,005218	0,000859	6,08
Piano interrato							**Travata: Trave1-7-16-19**					
sisma in +X												
proporzionale alle masse												
Trave 1-7	0%	0,97	0,96	0,45	0,0403	0,0069	0,008496	0,000357	23,79	0,005445	0,000260	20,93
Trave 1-7	100%	0,90	0,91	0,44	0,0403	0,0067	0,008250	0,000219	37,60	0,005323	0,000236	22,59
proporzionale alla deformata 1° modo di vibrazione												
Trave 1-7	0%	0,94	0,95	0,45	0,0410	0,0068	0,008523	0,000494	17,26	0,005403	0,000326	16,55
Trave 1-7	100%	0,90	0,92	0,44	0,0410	0,0067	0,008373	0,000245	34,19	0,005294	0,000244	21,70
sisma in -X												
proporzionale alle masse												
Trave 1-7	0%	0,90	0,94	0,44	0,0405	0,0069	0,008323	0,000314	26,48	0,005442	0,000216	25,21
Trave 1-7	100%	0,95	0,94	0,45	0,0404	0,0067	0,008444	0,000307	27,54	0,005310	0,000294	18,04
proporzionale alla deformata 1° modo di vibrazione												
Trave 1-7	0%	0,91	0,94	0,44	0,0402	0,0069	0,008297	0,000278	29,85	0,005442	0,000211	25,73
Trave 1-7	100%	0,96	0,94	0,45	0,0402	0,0067	0,008416	0,000297	28,34	0,005325	0,000289	18,42
sisma in +Y												
proporzionale alle masse												
Trave 1-7	0%	0,37	0,51	0,39	0,0925	0,0069	0,010942	0,002499	4,38	0,005236	0,001240	4,22
Trave 1-7	100%	1,40	1,17	0,49	0,0358	0,0070	0,008750	0,001121	7,80	0,005804	0,000401	14,47
proporzionale alla deformata 1° modo di vibrazione												
Trave 1-7	0%	0,33	0,50	0,39	0,0931	0,0066	0,010907	0,002571	4,24	0,005155	0,001322	3,90
Trave 1-7	100%	1,38	1,17	0,49	0,0364	0,0070	0,008849	0,001060	8,35	0,005815	0,000371	15,67
sisma in -Y												
proporzionale alle masse												
Trave 1-7	0%	1,61	1,35	0,51	0,0285	0,0078	0,007772	0,002352	3,30	0,006624	0,001021	6,49
Trave 1-7	100%	1,28	0,23	0,48	0,0894	0,0072	0,019384	0,002761	7,02	0,006729	0,001421	4,74
proporzionale alla deformata 1° modo di vibrazione												
Trave 1-7	0%	1,63	1,38	0,52	0,0275	0,0080	0,007633	0,002546	3,00	0,006812	0,001123	6,06
Trave 1-7	100%	1,67	0,18	0,52	0,0877	0,0068	0,021560	0,003068	7,03	0,007628	0,001559	4,89
sisma in +X												
proporzionale alle masse												
Trave 16-19	0%	0,16	0,44	0,33	0,0972	0,0105	0,009951	0,000035	NS	0,005524	0,000031	NS
Trave 16-19	100%	0,77	0,62	0,39	0,0966	0,0105	0,015523	0,000018	NS	0,005825	0,000044	NS
proporzionale alla deformata 1° modo di vibrazione												
Trave 16-19	0%	0,17	0,43	0,33	0,0981	0,0104	0,010033	0,000042	NS	0,005504	0,000039	NS
Trave 16-19	100%	0,77	0,62	0,39	0,0968	0,0105	0,015506	0,000030	NS	0,005841	0,000047	NS
sisma in -X												
proporzionale alle masse												
Trave 16-19	0%	0,80	0,74	0,40	0,0967	0,0104	0,015871	0,000001	NS	0,006109	0,000000	NS
Trave 16-19	100%	0,07	0,18	0,32	0,0965	0,0121	0,010139	0,000145	69,81	0,006651	0,000125	53,15
proporzionale alla deformata 1° modo di vibrazione												
Trave 16-19	0%	0,81	0,75	0,40	0,0965	0,0106	0,015945	0,000011	NS	0,006162	0,000006	NS
Trave 16-19	100%	0,14	0,16	0,33	0,0963	0,0121	0,010381	0,000146	71,27	0,006915	0,000127	54,62
sisma in +Y												
proporzionale alle masse												
Trave 16-19	0%	2,42	7,07	0,56	0,0728	0,0124	0,031124	0,001762	17,67	0,032416	0,000834	38,88
Trave 16-19	100%	1,42	1,19	0,46	0,0729	0,0116	0,015778	0,002293	6,88	0,008036	0,001009	7,96
proporzionale alla deformata 1° modo di vibrazione												
Trave 16-19	0%	2,37	5,51	0,55	0,0718	0,0123	0,027431	0,001976	13,88	0,025852	0,000934	27,69
Trave 16-19	100%	1,43	1,21	0,46	0,0718	0,0117	0,015643	0,002402	6,51	0,008133	0,001075	7,56
sisma in -Y												
proporzionale alle masse												
Trave 16-19	0%	1,39	1,23	0,45	0,0744	0,0110	0,015951	0,002099	7,60	0,007822	0,001011	7,74
Trave 16-19	100%	2,36	3,57	0,55	0,0743	0,0110	0,023503	0,003545	6,63	0,016176	0,001646	9,83
proporzionale alla deformata 1° modo di vibrazione												
Trave 16-19	0%	1,39	1,24	0,45	0,0745	0,0109	0,015987	0,002109	7,58	0,007823	0,001041	7,51
Trave 16-19	100%	2,36	3,46	0,55	0,0745	0,0109	0,023299	0,003816	6,11	0,015636	0,001781	8,78
Piano interrato							**Travata: Trave2-8**					
sisma in +X												
proporzionale alle masse												
Trave 2-8	0%	0,96	0,97	0,43	0,0434	0,0070	0,008763	0,000117	74,92	0,005431	0,000079	68,47
Trave 2-8	100%	0,87	0,89	0,42	0,0434	0,0068	0,008420	0,000104	80,99	0,005230	0,000096	54,68
proporzionale alla deformata 1° modo di vibrazione												
Trave 2-8	0%	0,96	0,97	0,43	0,0434	0,0070	0,008753	0,000124	70,67	0,005427	0,000083	65,56
Trave 2-8	100%	0,87	0,89	0,42	0,0434	0,0068	0,008433	0,000098	85,72	0,005241	0,000096	54,53

Id_{Tr}	$\%L_{LI}$	$L_{v,SLV}$	$L_{v,SLD}$	L_{pl}	ϕ_u	ϕ_y	SLV			SLD		
							Θ_c	Θ_d	CS	Θ_c	Θ_d	CS
	[%]	[m]	[m]	[m]	[rad/m]	[rad/m]	[rad]	[rad]		[rad]	[rad]	
sisma in -X												
proporzionale alle masse												
Trave 2-8	0%	0,98	0,99	0,43	0,0434	0,0070	0,008820	0,000090	97,56	0,005457	0,000053	NS
Trave 2-8	100%	0,85	0,86	0,42	0,0434	0,0067	0,008356	0,000145	57,43	0,005178	0,000131	39,47
proporzionale alla deformata 1° modo di vibrazione												
Trave 2-8	0%	0,98	0,99	0,43	0,0434	0,0069	0,008811	0,000091	96,59	0,005409	0,000053	NS
Trave 2-8	100%	0,85	0,86	0,42	0,0434	0,0068	0,008364	0,000141	59,39	0,005203	0,000129	40,33
sisma in +Y												
proporzionale alle masse												
Trave 2-8	0%	9,66	2,66	1,30	0,0871	0,0064	0,052887	0,002451	21,58	0,008212	0,001133	7,25
Trave 2-8	100%	2,02	1,66	0,53	0,0299	0,0078	0,008724	0,002197	3,97	0,007239	0,000988	7,33
proporzionale alla deformata 1° modo di vibrazione												
Trave 2-8	0%	11,89	2,21	1,52	0,0879	0,0064	0,061610	0,002283	26,98	0,007333	0,001084	6,77
Trave 2-8	100%	2,00	1,64	0,53	0,0304	0,0078	0,008793	0,002068	4,25	0,007177	0,000944	7,60
sisma in -Y												
proporzionale alle masse												
Trave 2-8	0%	2,20	1,83	0,55	0,0270	0,0082	0,008489	0,002697	3,15	0,007901	0,001257	6,29
Trave 2-8	100%	6,17	8,00	0,95	0,0883	0,0059	0,044995	0,003406	13,21	0,017859	0,001629	10,96
proporzionale alla deformata 1° modo di vibrazione												
Trave 2-8	0%	2,19	1,82	0,55	0,0272	0,0082	0,008519	0,002662	3,20	0,007931	0,001259	6,30
Trave 2-8	100%	6,29	7,72	0,96	0,0887	0,0059	0,045351	0,003380	13,42	0,017296	0,001633	10,59
Piano interrato							**Travata: Trave3-9**					
sisma in +X												
proporzionale alle masse												
Trave 3-9	0%	0,93	0,94	0,42	0,0438	0,0070	0,008719	0,000219	39,85	0,005385	0,000146	36,95
Trave 3-9	100%	0,86	0,87	0,42	0,0438	0,0066	0,008437	0,000102	82,74	0,005144	0,000093	55,28
proporzionale alla deformata 1° modo di vibrazione												
Trave 3-9	0%	0,91	0,94	0,42	0,0439	0,0070	0,008681	0,000241	35,95	0,005373	0,000155	34,75
Trave 3-9	100%	0,86	0,87	0,42	0,0439	0,0066	0,008476	0,000098	86,68	0,005131	0,000091	56,50
sisma in -X												
proporzionale alle masse												
Trave 3-9	0%	0,93	0,96	0,42	0,0439	0,0070	0,008750	0,000202	43,40	0,005401	0,000128	42,10
Trave 3-9	100%	0,84	0,85	0,42	0,0439	0,0066	0,008403	0,000135	62,19	0,005122	0,000118	43,55
proporzionale alla deformata 1° modo di vibrazione												
Trave 3-9	0%	0,91	0,95	0,42	0,0440	0,0070	0,008707	0,000223	39,01	0,005392	0,000135	39,80
Trave 3-9	100%	0,86	0,86	0,42	0,0440	0,0066	0,008456	0,000130	65,09	0,005113	0,000115	44,32
sisma in +Y												
proporzionale alle masse												
Trave 3-9	0%	11,46	1,79	1,48	0,0852	0,0070	0,057534	0,001790	32,14	0,006944	0,000840	8,27
Trave 3-9	100%	2,06	1,66	0,54	0,0290	0,0080	0,008594	0,002202	3,90	0,007392	0,000999	7,40
proporzionale alla deformata 1° modo di vibrazione												
Trave 3-9	0%	16,13	1,57	1,94	0,0871	0,0069	0,076434	0,001782	42,88	0,006407	0,000879	7,29
Trave 3-9	100%	2,01	1,63	0,53	0,0299	0,0080	0,008691	0,002035	4,27	0,007266	0,000934	7,78
sisma in -Y												
proporzionale alle masse												
Trave 3-9	0%	2,05	1,71	0,54	0,0305	0,0079	0,008971	0,002094	4,29	0,007431	0,000956	7,77
Trave 3-9	100%	9,15	3,71	1,25	0,0941	0,0057	0,056004	0,003244	17,27	0,009335	0,001550	6,02
proporzionale alla deformata 1° modo di vibrazione												
Trave 3-9	0%	2,07	1,72	0,54	0,0301	0,0080	0,008921	0,002125	4,20	0,007524	0,001007	7,47
Trave 3-9	100%	9,06	3,90	1,24	0,0937	0,0057	0,055562	0,003140	17,70	0,009740	0,001516	6,43
Piano interrato							**Travata: Trave4-10**					
sisma in +X												
proporzionale alle masse												
Trave 4-10	0%	0,94	0,96	0,43	0,0439	0,0069	0,008789	0,000205	42,96	0,005385	0,000134	40,06
Trave 4-10	100%	0,84	0,86	0,41	0,0439	0,0066	0,008383	0,000142	58,89	0,005116	0,000120	42,58
proporzionale alla deformata 1° modo di vibrazione												
Trave 4-10	0%	0,93	0,95	0,42	0,0440	0,0069	0,008761	0,000220	39,80	0,005375	0,000141	38,08
Trave 4-10	100%	0,85	0,86	0,42	0,0440	0,0066	0,008425	0,000137	61,39	0,005132	0,000119	43,05
sisma in -X												
proporzionale alle masse												
Trave 4-10	0%	0,93	0,96	0,42	0,0442	0,0069	0,008793	0,000234	37,54	0,005383	0,000146	36,95
Trave 4-10	100%	0,83	0,84	0,41	0,0441	0,0065	0,008381	0,000161	52,20	0,005070	0,000137	36,98
proporzionale alla deformata 1° modo di vibrazione												
Trave 4-10	0%	0,91	0,95	0,42	0,0444	0,0069	0,008754	0,000262	33,41	0,005370	0,000157	34,10
Trave 4-10	100%	0,84	0,85	0,41	0,0443	0,0065	0,008436	0,000159	52,91	0,005073	0,000134	37,86
sisma in +Y												
proporzionale alle masse												
Trave 4-10	0%	15,89	1,42	1,92	0,0867	0,0070	0,074993	0,001775	42,26	0,006167	0,000821	7,51
Trave 4-10	100%	2,02	1,63	0,53	0,0298	0,0080	0,008680	0,002086	4,16	0,007262	0,000944	7,69
proporzionale alla deformata 1° modo di vibrazione												
Trave 4-10	0%	38,23	1,21	4,15	0,0883	0,0068	0,162915	0,001702	95,72	0,005718	0,000846	6,76
Trave 4-10	100%	1,97	1,59	0,53	0,0308	0,0079	0,008800	0,001892	4,65	0,007112	0,000863	8,24
sisma in -Y												
proporzionale alle masse												
Trave 4-10	0%	2,02	1,68	0,53	0,0311	0,0079	0,009040	0,001963	4,60	0,007326	0,000891	8,22
Trave 4-10	100%	11,55	2,90	1,49	0,0954	0,0057	0,066288	0,003083	21,50	0,007873	0,001490	5,28
proporzionale alla deformata 1° modo di vibrazione												
Trave 4-10	0%	2,02	1,69	0,53	0,0311	0,0080	0,009054	0,001947	4,65	0,007402	0,000924	8,01
Trave 4-10	100%	12,49	2,87	1,58	0,0954	0,0057	0,070306	0,002914	24,12	0,007873	0,001423	5,53
Piano interrato							**Travata: Trave5-11**					
sisma in +X												
proporzionale alle masse												
Trave 5-11	0%	1,00	0,99	0,43	0,0434	0,0070	0,008883	0,000100	89,26	0,005453	0,000073	74,90
Trave 5-11	100%	0,83	0,86	0,41	0,0435	0,0069	0,008317	0,000151	54,95	0,005239	0,000125	41,86
proporzionale alla deformata 1° modo di vibrazione												

Id_{Tr}	$\%L_{LI}$	$L_{v,SLV}$	$L_{v,SLD}$	L_{pl}	ϕ_u	ϕ_y	SLV			SLD		
							Θ_c	Θ_d	CS	Θ_c	Θ_d	CS
	[%]	[m]	[m]	[m]	[rad/m]	[rad/m]	[rad]	[rad]		[rad]	[rad]	
Trave 5-11	0%	1,00	0,99	0,43	0,0434	0,0068	0,008881	0,000092	97,06	0,005389	0,000070	77,47
Trave 5-11	100%	0,83	0,86	0,41	0,0434	0,0069	0,008296	0,000147	56,27	0,005241	0,000125	41,97
sisma in -X												
proporzionale alle masse												
Trave 5-11	0%	0,99	1,00	0,43	0,0435	0,0068	0,008880	0,000100	89,16	0,005361	0,000073	73,63
Trave 5-11	100%	0,83	0,85	0,41	0,0435	0,0069	0,008293	0,000167	49,63	0,005231	0,000139	37,51
proporzionale alla deformata 1° modo di vibrazione												
Trave 5-11	0%	1,00	1,00	0,43	0,0435	0,0068	0,008887	0,000098	90,82	0,005384	0,000072	74,70
Trave 5-11	100%	0,82	0,85	0,41	0,0435	0,0069	0,008292	0,000164	50,46	0,005237	0,000135	38,82
sisma in +Y												
proporzionale alle masse												
Trave 5-11	0%	17,22	1,71	2,05	0,0893	0,0064	0,083276	0,002306	36,12	0,006312	0,001085	5,82
Trave 5-11	100%	1,95	1,59	0,53	0,0316	0,0076	0,008936	0,001921	4,65	0,006969	0,000865	8,05
proporzionale alla deformata 1° modo di vibrazione												
Trave 5-11	0%	100,06	1,13	10,34	0,0907	0,0064	0,415727	0,002021	NS	0,005368	0,000978	5,49
Trave 5-11	100%	1,89	1,55	0,52	0,0327	0,0076	0,009053	0,001709	5,30	0,006862	0,000778	8,82
sisma in -Y												
proporzionale alle masse												
Trave 5-11	0%	2,11	1,74	0,54	0,0290	0,0081	0,008758	0,002240	3,91	0,007626	0,001032	7,39
Trave 5-11	100%	8,94	3,34	1,23	0,0920	0,0060	0,053622	0,002755	19,47	0,009007	0,001333	6,76
proporzionale alla deformata 1° modo di vibrazione												
Trave 5-11	0%	2,06	1,71	0,54	0,0300	0,0081	0,008891	0,002044	4,35	0,007546	0,000965	7,82
Trave 5-11	100%	11,88	2,66	1,52	0,0938	0,0060	0,066331	0,002546	26,05	0,007727	0,001251	6,18
Piano interrato							**Travata: Trave6-2c-P7-12-15-P8-4c-24**					
sisma in +X												
proporzionale alle masse												
Trave 2c-P7	0%	3,08	1,34	0,69	0,0288	0,0078	0,009835	0,000039	NS	0,006854	0,000019	NS
Trave 2c-P7	100%	33,68	1,21	3,75	0,0288	0,0074	0,041143	0,000012	NS	0,006385	0,000005	NS
proporzionale alla deformata 1° modo di vibrazione												
Trave 2c-P7	0%	3,79	1,30	0,76	0,0288	0,0079	0,010548	0,000045	NS	0,006844	0,000020	NS
Trave 2c-P7	100%	2,03	1,19	0,58	0,0289	0,0074	0,008554	0,000019	NS	0,006368	0,000003	NS
sisma in -X												
proporzionale alle masse												
Trave 2c-P7	0%	0,03	0,36	0,38	0,1133	0,0078	0,013461	0,000150	89,56	0,006637	0,000066	NS
Trave 2c-P7	100%	0,30	0,56	0,41	0,0323	0,0057	0,005398	0,000157	34,48	0,005334	0,000080	66,92
proporzionale alla deformata 1° modo di vibrazione												
Trave 2c-P7	0%	0,05	0,26	0,39	0,1137	0,0078	0,014039	0,000153	91,71	0,007618	0,000073	NS
Trave 2c-P7	100%	0,28	0,48	0,41	0,0326	0,0066	0,005562	0,000159	35,06	0,005805	0,000086	67,42
sisma in +Y												
proporzionale alle masse												
Trave 2c-P7	0%	0,12	0,11	0,39	0,0377	0,0033	0,009630	0,001462	6,59	0,012508	0,000685	18,27
Trave 2c-P7	100%	0,23	0,23	0,40	0,1192	0,0032	0,015288	0,000999	15,31	0,007111	0,000606	11,73
proporzionale alla deformata 1° modo di vibrazione												
Trave 2c-P7	0%	0,12	0,13	0,39	0,0373	0,0037	0,008730	0,001473	5,93	0,010864	0,000695	15,64
Trave 2c-P7	100%	0,23	0,27	0,40	0,1187	0,0032	0,014902	0,001050	14,19	0,006475	0,000651	9,95
sisma in -Y												
proporzionale alle masse												
Trave 2c-P7	0%	3,06	2,43	0,69	0,0149	0,0076	0,006784	0,000887	7,64	0,009105	0,000434	20,97
Trave 2c-P7	100%	3,01	2,30	0,68	0,0149	0,0072	0,006555	0,000704	9,31	0,008433	0,000334	25,23
proporzionale alla deformata 1° modo di vibrazione												
Trave 2c-P7	0%	10,30	14,16	1,41	0,0154	0,0077	0,024521	0,000811	30,23	0,038920	0,000396	98,31
Trave 2c-P7	100%	18,47	110,03	2,23	0,0154	0,0073	0,143892	0,000636	NS	0,270846	0,000301	NS
sisma in +X												
proporzionale alle masse												
Trave P7-12	0%	0,76	0,76	0,46	0,0841	0,0047	0,015096	0,000012	NS	0,004736	0,000005	NS
Trave P7-12	100%	0,23	0,20	0,40	0,0319	0,0071	0,006842	0,000005	NS	0,008665	0,000005	NS
proporzionale alla deformata 1° modo di vibrazione												
Trave P7-12	0%	0,79	0,77	0,46	0,0838	0,0048	0,015269	0,000019	NS	0,004779	0,000003	NS
Trave P7-12	100%	0,20	0,19	0,40	0,0318	0,0081	0,006929	0,000004	NS	0,009110	0,000005	NS
sisma in -X												
proporzionale alle masse												
Trave P7-12	0%	0,52	0,65	0,43	0,0865	0,0045	0,012733	0,000157	81,34	0,004752	0,000080	59,62
Trave P7-12	100%	0,40	0,24	0,42	0,0338	0,0044	0,006728	0,000004	NS	0,007271	0,000001	NS
proporzionale alla deformata 1° modo di vibrazione												
Trave P7-12	0%	0,51	0,63	0,43	0,0866	0,0045	0,012638	0,000159	79,65	0,004787	0,000086	55,60
Trave P7-12	100%	0,42	0,28	0,42	0,0339	0,0043	0,006373	0,000004	NS	0,006491	0,000000	NS
sisma in +Y												
proporzionale alle masse												
Trave P7-12	0%	3,15	6,95	0,70	0,0564	0,0046	0,022441	0,000999	22,47	0,012767	0,000606	21,06
Trave P7-12	100%	1,23	1,09	0,50	0,0264	0,0049	0,006750	0,000412	16,39	0,004908	0,000264	18,59
proporzionale alla deformata 1° modo di vibrazione												
Trave P7-12	0%	3,24	7,42	0,70	0,0574	0,0045	0,023269	0,001050	22,16	0,013328	0,000651	20,49
Trave P7-12	100%	1,20	1,06	0,50	0,0269	0,0050	0,006812	0,000352	19,33	0,004933	0,000226	21,85
sisma in -Y												
proporzionale alle masse												
Trave P7-12	0%	1,59	1,38	0,54	0,0580	0,0054	0,014520	0,000704	20,63	0,005442	0,000334	16,28
Trave P7-12	100%	2,24	3,42	0,60	0,0829	0,0044	0,024181	0,000489	49,41	0,007301	0,000295	24,74
proporzionale alla deformata 1° modo di vibrazione												
Trave P7-12	0%	1,57	1,35	0,54	0,0603	0,0054	0,014941	0,000636	23,48	0,005399	0,000301	17,92
Trave P7-12	100%	2,32	3,92	0,61	0,0857	0,0045	0,025685	0,000441	58,29	0,008133	0,000266	30,52
sisma in +X												
proporzionale alle masse												
Trave 12-15	0%	0,64	0,63	0,44	0,0332	0,0052	0,006574	0,000005	NS	0,005036	0,000005	NS
Trave 12-15	100%	0,37	0,39	0,42	0,0564	0,0052	0,008221	0,000065	NS	0,005743	0,000069	83,15
proporzionale alla deformata 1° modo di vibrazione												

Id_{Tr}	$\%L_{LI}$	$L_{v,SLV}$	$L_{v,SLD}$	L_{pl}	ϕ_u	ϕ_y	SLV			SLD		
							Θ_c	Θ_d	CS	Θ_c	Θ_d	CS
	[%]	[m]	[m]	[m]	[rad/m]	[rad/m]	[rad]	[rad]		[rad]	[rad]	
Trave 12-15	0%	0,65	0,63	0,45	0,0331	0,0053	0,006608	0,000004	NS	0,005060	0,000005	NS
Trave 12-15	100%	0,38	0,38	0,42	0,0561	0,0052	0,008236	0,000066	NS	0,005815	0,000070	83,64
sisma in -X												
proporzionale alle masse												
Trave 12-15	0%	0,65	0,62	0,45	0,0332	0,0050	0,006610	0,000004	NS	0,004966	0,000001	NS
Trave 12-15	100%	0,30	0,35	0,41	0,0568	0,0050	0,008306	0,000078	NS	0,005959	0,000078	76,64
proporzionale alla deformata 1° modo di vibrazione												
Trave 12-15	0%	0,66	0,63	0,45	0,0332	0,0049	0,006650	0,000004	NS	0,004939	0,000000	NS
Trave 12-15	100%	0,28	0,34	0,41	0,0570	0,0050	0,008338	0,000071	NS	0,006046	0,000075	80,55
sisma in +Y												
proporzionale alle masse												
Trave 12-15	0%	3,49	15,00	0,73	0,1007	0,0042	0,042968	0,000412	NS	0,022793	0,000264	86,32
Trave 12-15	100%	1,16	1,03	0,50	0,0425	0,0050	0,009778	0,000122	80,07	0,004903	0,000108	45,43
proporzionale alla deformata 1° modo di vibrazione												
Trave 12-15	0%	3,72	102,61	0,75	0,1009	0,0041	0,103572	0,000352	NS	0,141607	0,000226	NS
Trave 12-15	100%	1,15	1,01	0,50	0,0428	0,0050	0,009812	0,000113	86,50	0,004876	0,000086	56,97
sisma in -Y												
proporzionale alle masse												
Trave 12-15	0%	1,43	1,24	0,52	0,0232	0,0061	0,006493	0,000489	13,27	0,005667	0,000295	19,20
Trave 12-15	100%	2,18	3,76	0,60	0,0914	0,0047	0,026517	0,000166	NS	0,008186	0,000209	39,23
proporzionale alla deformata 1° modo di vibrazione												
Trave 12-15	0%	1,41	1,22	0,52	0,0236	0,0063	0,006577	0,000441	14,93	0,005791	0,000266	21,73
Trave 12-15	100%	2,30	4,43	0,61	0,0922	0,0049	0,027909	0,000136	NS	0,009581	0,000179	53,41
sisma in +X												
proporzionale alle masse												
Trave 15-P8	0%	3,11	11,34	0,69	0,1110	0,0060	0,044815	0,000065	NS	0,025010	0,000069	NS
Trave 15-P8	100%	0,67	0,63	0,45	0,0703	0,0052	0,012252	0,000024	NS	0,005037	0,000038	NS
proporzionale alla deformata 1° modo di vibrazione												
Trave 15-P8	0%	2,33	5,58	0,61	0,1104	0,0059	0,034546	0,000066	NS	0,013438	0,000070	NS
Trave 15-P8	100%	0,69	0,64	0,45	0,0693	0,0053	0,012243	0,000021	NS	0,005044	0,000037	NS
sisma in -X												
proporzionale alle masse												
Trave 15-P8	0%	0,60	5,32	0,44	0,1165	0,0036	0,019887	0,000078	NS	0,008385	0,000078	NS
Trave 15-P8	100%	0,43	0,55	0,42	0,0794	0,0048	0,010504	0,000165	63,53	0,005043	0,000101	50,04
proporzionale alla deformata 1° modo di vibrazione												
Trave 15-P8	0%	0,79	4,46	0,46	0,1164	0,0036	0,022099	0,000071	NS	0,007409	0,000075	98,71
Trave 15-P8	100%	0,44	0,54	0,43	0,0794	0,0049	0,010780	0,000168	64,11	0,005076	0,000105	48,47
sisma in +Y												
proporzionale alle masse												
Trave 15-P8	0%	0,89	0,95	0,47	0,0651	0,0045	0,012788	0,000122	NS	0,004624	0,000108	42,85
Trave 15-P8	100%	0,95	0,89	0,48	0,0249	0,0057	0,005997	0,000461	13,00	0,005153	0,000199	25,89
proporzionale alla deformata 1° modo di vibrazione												
Trave 15-P8	0%	0,90	0,96	0,47	0,0696	0,0046	0,013632	0,000113	NS	0,004681	0,000086	54,69
Trave 15-P8	100%	0,94	0,89	0,48	0,0272	0,0057	0,006396	0,000418	15,31	0,005172	0,000181	28,64
sisma in -Y												
proporzionale alle masse												
Trave 15-P8	0%	0,82	0,78	0,46	0,0275	0,0051	0,006170	0,000166	37,13	0,004910	0,000209	23,53
Trave 15-P8	100%	1,06	1,10	0,49	0,0710	0,0040	0,014782	0,001180	12,53	0,004429	0,000595	7,45
proporzionale alla deformata 1° modo di vibrazione												
Trave 15-P8	0%	0,82	0,77	0,46	0,0275	0,0051	0,006177	0,000136	45,49	0,004915	0,000179	27,39
Trave 15-P8	100%	1,03	1,12	0,48	0,0742	0,0039	0,015198	0,001340	11,34	0,004415	0,000622	7,10
sisma in +X												
proporzionale alle masse												
Trave P8-4c	0%	36,94	1,02	4,08	0,0527	0,0080	0,089321	0,000024	NS	0,006348	0,000038	NS
Trave P8-4c	100%	3,91	1,00	0,77	0,0524	0,0064	0,018800	0,000004	NS	0,005555	0,000016	NS
proporzionale alla deformata 1° modo di vibrazione												
Trave P8-4c	0%	1,92	1,05	0,57	0,0527	0,0079	0,014111	0,000021	NS	0,006377	0,000037	NS
Trave P8-4c	100%	3,15	1,07	0,70	0,0522	0,0062	0,016999	0,000008	NS	0,005564	0,000015	NS
sisma in -X												
proporzionale alle masse												
Trave P8-4c	0%	0,25	0,43	0,41	0,0671	0,0045	0,009035	0,000165	54,65	0,005355	0,000101	53,13
Trave P8-4c	100%	0,12	0,20	0,39	0,1185	0,0092	0,015280	0,000162	94,51	0,009099	0,000089	NS
proporzionale alla deformata 1° modo di vibrazione												
Trave P8-4c	0%	0,25	0,43	0,41	0,0677	0,0050	0,009133	0,000168	54,32	0,005510	0,000105	52,61
Trave P8-4c	100%	0,12	0,21	0,39	0,1186	0,0092	0,015243	0,000164	92,85	0,009012	0,000093	96,86
sisma in +Y												
proporzionale alle masse												
Trave P8-4c	0%	4,00	2,67	0,78	0,0169	0,0076	0,008122	0,000461	17,61	0,009677	0,000199	48,62
Trave P8-4c	100%	4,24	2,79	0,80	0,0169	0,0084	0,008513	0,000689	12,36	0,010816	0,000324	33,37
proporzionale alla deformata 1° modo di vibrazione												
Trave P8-4c	0%	15,59	7,83	1,94	0,0181	0,0077	0,020834	0,000418	49,88	0,022631	0,000181	NS
Trave P8-4c	100%	10,14	14,95	1,39	0,0181	0,0089	0,029575	0,000627	47,18	0,047177	0,000295	NS
sisma in -Y												
proporzionale alle masse												
Trave P8-4c	0%	0,28	0,30	0,41	0,1267	0,0032	0,015620	0,001180	13,24	0,005991	0,000595	10,08
Trave P8-4c	100%	0,06	0,06	0,39	0,0809	0,0033	0,018458	0,001644	11,23	0,021901	0,000786	27,86
proporzionale alla deformata 1° modo di vibrazione												
Trave P8-4c	0%	0,25	0,28	0,41	0,1247	0,0032	0,015479	0,001340	11,55	0,006269	0,000622	10,08
Trave P8-4c	100%	0,08	0,06	0,39	0,0782	0,0041	0,017453	0,001677	10,41	0,020492	0,000808	25,35
Fondazione							**Travata: Trave1d-2-2d**					
sisma in +X												
proporzionale alle masse												
Trave 1d-2	0%	12,55	1,08	1,58	0,0767	0,0064	0,054770	0,000495	NS	0,005364	0,000237	22,67
Trave 1d-2	100%	1,19	0,99	0,45	0,0770	0,0061	0,015455	0,000059	NS	0,005111	0,000037	NS
proporzionale alla deformata 1° modo di vibrazione												

Id_{Tr}	$\%L_{LI}$	$L_{v,SLV}$	$L_{v,SLD}$	L_{pl}	ϕ_u	ϕ_y	SLV			SLD		
							Θ_c	Θ_d	CS	Θ_c	Θ_d	CS
	[%]	[m]	[m]	[m]	[rad/m]	[rad/m]	[rad]	[rad]		[rad]	[rad]	
Trave 1d-2	0%	5,25	0,19	0,85	0,0770	0,0065	0,031488	0,000411	76,54	0,007710	0,000191	40,28
Trave 1d-2	100%	1,15	0,97	0,44	0,0782	0,0061	0,015445	0,000057	NS	0,005085	0,000037	NS
sisma in -X												
proporzionale alle masse												
Trave 1d-2	0%	1,84	1,62	0,51	0,0694	0,0058	0,016917	0,000838	20,19	0,005804	0,000540	10,75
Trave 1d-2	100%	3,80	24,40	0,71	0,0693	0,0079	0,053056	0,000049	NS	0,066658	0,000023	NS
proporzionale alla deformata 1° modo di vibrazione												
Trave 1d-2	0%	1,81	1,59	0,51	0,0705	0,0058	0,017043	0,000806	21,15	0,005762	0,000515	11,19
Trave 1d-2	100%	4,14	400,51	0,74	0,0703	0,0079	0,551428	0,000044	NS	1,060718	0,000022	NS
sisma in +Y												
proporzionale alle masse												
Trave 1d-2	0%	0,87	0,91	0,42	0,0823	0,0056	0,014534	0,000037	NS	0,004809	0,000059	81,03
Trave 1d-2	100%	0,54	0,52	0,38	0,0821	0,0075	0,011917	0,000001	NS	0,005459	0,000002	NS
proporzionale alla deformata 1° modo di vibrazione												
Trave 1d-2	0%	0,89	0,93	0,42	0,0821	0,0056	0,014615	0,000040	NS	0,004825	0,000065	74,28
Trave 1d-2	100%	0,51	0,49	0,38	0,0820	0,0077	0,011624	0,000001	NS	0,005552	0,000002	NS
sisma in -Y												
proporzionale alle masse												
Trave 1d-2	0%	1,00	0,95	0,43	0,0831	0,0054	0,015418	0,000134	NS	0,004759	0,000103	46,41
Trave 1d-2	100%	0,55	0,56	0,38	0,0831	0,0063	0,012109	0,000009	NS	0,005045	0,000006	NS
proporzionale alla deformata 1° modo di vibrazione												
Trave 1d-2	0%	0,96	0,93	0,42	0,0832	0,0054	0,015247	0,000124	NS	0,004731	0,000096	49,21
Trave 1d-2	100%	0,60	0,59	0,39	0,0832	0,0060	0,012582	0,000011	NS	0,004910	0,000007	NS
sisma in +X												
proporzionale alle masse												
Trave 2-2d	0%	7,86	0,89	1,11	0,0693	0,0069	0,034963	0,000059	NS	0,005352	0,000037	NS
Trave 2-2d	100%	1,46	1,25	0,47	0,0696	0,0072	0,015407	0,000177	87,06	0,006040	0,000124	48,82
proporzionale alla deformata 1° modo di vibrazione												
Trave 2-2d	0%	4,46	0,63	0,77	0,0710	0,0064	0,025361	0,000057	NS	0,005040	0,000037	NS
Trave 2-2d	100%	1,42	1,22	0,47	0,0713	0,0070	0,015568	0,000173	90,23	0,005895	0,000121	48,71
sisma in -X												
proporzionale alle masse												
Trave 2-2d	0%	1,20	1,03	0,45	0,0783	0,0059	0,015711	0,000049	NS	0,005032	0,000023	NS
Trave 2-2d	100%	4,92	0,75	0,82	0,0775	0,0065	0,029215	0,000373	78,32	0,005087	0,000213	23,91
proporzionale alla deformata 1° modo di vibrazione												
Trave 2-2d	0%	1,18	1,02	0,45	0,0788	0,0059	0,015681	0,000044	NS	0,005022	0,000022	NS
Trave 2-2d	100%	3,58	0,62	0,69	0,0777	0,0065	0,024628	0,000342	71,97	0,005078	0,000197	25,82
sisma in +Y												
proporzionale alle masse												
Trave 2-2d	0%	0,69	0,67	0,40	0,0823	0,0062	0,013264	0,000001	NS	0,004955	0,000002	NS
Trave 2-2d	100%	0,71	0,76	0,40	0,0825	0,0058	0,013443	0,000015	NS	0,004811	0,000002	NS
proporzionale alla deformata 1° modo di vibrazione												
Trave 2-2d	0%	0,72	0,69	0,40	0,0824	0,0061	0,013500	0,000001	NS	0,004908	0,000002	NS
Trave 2-2d	100%	0,66	0,73	0,39	0,0826	0,0058	0,013008	0,000029	NS	0,004798	0,000009	NS
sisma in -Y												
proporzionale alle masse												
Trave 2-2d	0%	0,41	0,54	0,37	0,0830	0,0062	0,010331	0,000009	NS	0,005026	0,000006	NS
Trave 2-2d	100%	0,98	0,89	0,43	0,0821	0,0055	0,015135	0,000068	NS	0,004770	0,000039	NS
proporzionale alla deformata 1° modo di vibrazione												
Trave 2-2d	0%	0,37	0,52	0,36	0,0829	0,0062	0,009556	0,000011	NS	0,005080	0,000007	NS
Trave 2-2d	100%	0,99	0,91	0,43	0,0820	0,0056	0,015235	0,000079	NS	0,004799	0,000049	97,86
Fondazione							**Travata: Trave5d-5-6d**					
sisma in +X												
proporzionale alle masse												
Trave 5d-5	0%	4,15	0,91	0,74	0,0781	0,0065	0,026856	0,000371	72,44	0,005186	0,000212	24,51
Trave 5d-5	100%	1,20	1,04	0,45	0,0788	0,0058	0,015837	0,000063	NS	0,005001	0,000034	NS
proporzionale alla deformata 1° modo di vibrazione												
Trave 5d-5	0%	3,48	0,76	0,68	0,0780	0,0064	0,024369	0,000341	71,36	0,005068	0,000196	25,85
Trave 5d-5	100%	1,19	1,04	0,45	0,0790	0,0058	0,015782	0,000057	NS	0,005004	0,000032	NS
sisma in -X												
proporzionale alle masse												
Trave 5d-5	0%	1,45	1,25	0,47	0,0710	0,0067	0,015632	0,000198	79,00	0,005750	0,000131	43,98
Trave 5d-5	100%	10,30	1,12	1,36	0,0706	0,0079	0,042819	0,000065	NS	0,006138	0,000036	NS
proporzionale alla deformata 1° modo di vibrazione												
Trave 5d-5	0%	1,41	1,24	0,47	0,0726	0,0066	0,015755	0,000189	83,26	0,005699	0,000129	44,10
Trave 5d-5	100%	5,45	0,85	0,87	0,0719	0,0079	0,028564	0,000060	NS	0,005720	0,000035	NS
sisma in +Y												
proporzionale alle masse												
Trave 5d-5	0%	0,84	0,83	0,41	0,0811	0,0059	0,014113	0,000013	NS	0,004879	0,000015	NS
Trave 5d-5	100%	0,67	0,66	0,40	0,0809	0,0067	0,012936	0,000014	NS	0,005141	0,000006	NS
proporzionale alla deformata 1° modo di vibrazione												
Trave 5d-5	0%	0,85	0,84	0,41	0,0811	0,0059	0,014222	0,000018	NS	0,004877	0,000020	NS
Trave 5d-5	100%	0,64	0,64	0,39	0,0810	0,0067	0,012679	0,000011	NS	0,005139	0,000005	NS
sisma in -Y												
proporzionale alle masse												
Trave 5d-5	0%	0,52	0,67	0,38	0,0832	0,0058	0,011770	0,000051	NS	0,004823	0,000019	NS
Trave 5d-5	100%	0,78	0,72	0,41	0,0825	0,0057	0,013963	0,000001	NS	0,004774	0,000001	NS
proporzionale alla deformata 1° modo di vibrazione												
Trave 5d-5	0%	0,48	0,64	0,38	0,0831	0,0058	0,011252	0,000063	NS	0,004825	0,000026	NS
Trave 5d-5	100%	0,81	0,74	0,41	0,0825	0,0057	0,014111	0,000001	NS	0,004770	0,000002	NS
sisma in +X												
proporzionale alle masse												
Trave 5-6d	0%	6,07	0,68	0,94	0,0706	0,0074	0,029974	0,000063	NS	0,005404	0,000034	NS
Trave 5-6d	100%	1,56	1,33	0,48	0,0711	0,0064	0,016088	0,000300	53,62	0,005710	0,000183	31,25
proporzionale alla deformata 1° modo di vibrazione												

Id_{Tr}	$\%L_{LI}$	$L_{v,SLV}$	$L_{v,SLD}$	L_{pl}	ϕ_u	ϕ_y	SLV			SLD		
							Θ_c	Θ_d	CS	Θ_c	Θ_d	CS
	[%]	[m]	[m]	[m]	[rad/m]	[rad/m]	[rad]	[rad]		[rad]	[rad]	
Trave 5-6d	0%	3,67	0,50	0,69	0,0716	0,0074	0,022913	0,000057	NS	0,005467	0,000032	NS
Trave 5-6d	100%	1,51	1,29	0,48	0,0721	0,0064	0,016071	0,000269	59,64	0,005654	0,000169	33,51
sisma in -X												
proporzionale alle masse												
Trave 5-6d	0%	1,18	1,02	0,45	0,0790	0,0058	0,015727	0,000065	NS	0,005004	0,000036	NS
Trave 5-6d	100%	2,03	0,37	0,53	0,0774	0,0061	0,019210	0,000370	51,88	0,005474	0,000204	26,79
proporzionale alla deformata 1° modo di vibrazione												
Trave 5-6d	0%	1,14	1,00	0,44	0,0797	0,0058	0,015671	0,000060	NS	0,004977	0,000035	NS
Trave 5-6d	100%	1,35	0,07	0,46	0,0783	0,0061	0,021960	0,000322	68,23	0,016229	0,000180	90,07
sisma in +Y												
proporzionale alle masse												
Trave 5-6d	0%	0,82	0,73	0,41	0,0800	0,0065	0,013863	0,000014	NS	0,005061	0,000006	NS
Trave 5-6d	100%	0,21	0,56	0,35	0,0829	0,0059	0,009193	0,000210	43,77	0,004914	0,000098	50,09
proporzionale alla deformata 1° modo di vibrazione												
Trave 5-6d	0%	0,82	0,73	0,41	0,0804	0,0064	0,013915	0,000011	NS	0,005034	0,000005	NS
Trave 5-6d	100%	0,29	0,59	0,36	0,0824	0,0059	0,009263	0,000194	47,85	0,004874	0,000090	54,34
sisma in -Y												
proporzionale alle masse												
Trave 5-6d	0%	0,50	0,60	0,38	0,0828	0,0063	0,011453	0,000001	NS	0,005033	0,000001	NS
Trave 5-6d	100%	1,27	1,07	0,46	0,0819	0,0054	0,016725	0,000323	51,70	0,004844	0,000164	29,61
proporzionale alla deformata 1° modo di vibrazione												
Trave 5-6d	0%	0,52	0,61	0,38	0,0825	0,0063	0,011711	0,000001	NS	0,005017	0,000002	NS
Trave 5-6d	100%	1,22	1,05	0,45	0,0819	0,0054	0,016450	0,000285	57,62	0,004837	0,000149	32,47
Fondazione							**Travata: Trave9d-20-10d**					
sisma in +X												
proporzionale alle masse												
Trave 9d-20	0%	22,71	1,47	2,60	0,0756	0,0065	0,087727	0,000526	NS	0,006002	0,000264	22,76
Trave 9d-20	100%	1,18	1,02	0,45	0,0759	0,0063	0,015209	0,000024	NS	0,005250	0,000022	NS
proporzionale alla deformata 1° modo di vibrazione												
Trave 9d-20	0%	7,28	0,86	1,06	0,0762	0,0065	0,036712	0,000442	83,09	0,005169	0,000214	24,11
Trave 9d-20	100%	1,14	0,95	0,44	0,0773	0,0063	0,015218	0,000028	NS	0,005171	0,000023	NS
sisma in -X												
proporzionale alle masse												
Trave 9d-20	0%	1,81	1,59	0,51	0,0706	0,0058	0,017068	0,000800	21,33	0,005730	0,000503	11,38
Trave 9d-20	100%	4,18	69,49	0,75	0,0704	0,0080	0,114997	0,000021	NS	0,187595	0,000012	NS
proporzionale alla deformata 1° modo di vibrazione												
Trave 9d-20	0%	1,79	1,57	0,51	0,0715	0,0058	0,017151	0,000761	22,54	0,005687	0,000480	11,84
Trave 9d-20	100%	4,68	14,47	0,80	0,0712	0,0080	0,043542	0,000019	NS	0,041063	0,000012	NS
sisma in +Y												
proporzionale alle masse												
Trave 9d-20	0%	0,95	0,93	0,42	0,0826	0,0055	0,015059	0,000090	NS	0,004765	0,000074	64,71
Trave 9d-20	100%	0,54	0,55	0,38	0,0827	0,0068	0,011971	0,000005	NS	0,005232	0,000003	NS
proporzionale alla deformata 1° modo di vibrazione												
Trave 9d-20	0%	0,90	0,90	0,42	0,0828	0,0055	0,014803	0,000072	NS	0,004761	0,000063	75,33
Trave 9d-20	100%	0,58	0,58	0,39	0,0827	0,0064	0,012389	0,000006	NS	0,005052	0,000003	NS
sisma in -Y												
proporzionale alle masse												
Trave 9d-20	0%	1,15	1,03	0,44	0,0812	0,0056	0,015956	0,000168	95,06	0,004901	0,000118	41,38
Trave 9d-20	100%	0,31	0,40	0,36	0,0822	0,0082	0,009604	0,000002	NS	0,005916	0,000003	NS
proporzionale alla deformata 1° modo di vibrazione												
Trave 9d-20	0%	1,19	1,07	0,45	0,0809	0,0056	0,016141	0,000193	83,62	0,004933	0,000133	37,05
Trave 9d-20	100%	0,04	0,37	0,33	0,0809	0,0079	0,009042	0,000001	NS	0,005966	0,000002	NS
sisma in +X												
proporzionale alle masse												
Trave 20-10d	0%	3,61	0,46	0,69	0,0705	0,0066	0,022567	0,000024	NS	0,005289	0,000022	NS
Trave 20-10d	100%	1,46	1,22	0,47	0,0706	0,0071	0,015553	0,000173	90,02	0,005933	0,000117	50,91
proporzionale alla deformata 1° modo di vibrazione												
Trave 20-10d	0%	2,65	0,33	0,59	0,0720	0,0062	0,020194	0,000028	NS	0,005726	0,000023	NS
Trave 20-10d	100%	1,41	1,20	0,47	0,0722	0,0069	0,015678	0,000170	92,25	0,005790	0,000114	50,79
sisma in -X												
proporzionale alle masse												
Trave 20-10d	0%	1,18	1,02	0,45	0,0777	0,0060	0,015529	0,000021	NS	0,005100	0,000012	NS
Trave 20-10d	100%	5,61	0,57	0,89	0,0768	0,0066	0,031312	0,000384	81,56	0,005154	0,000218	23,68
proporzionale alla deformata 1° modo di vibrazione												
Trave 20-10d	0%	1,16	1,02	0,44	0,0782	0,0060	0,015533	0,000019	NS	0,005100	0,000012	NS
Trave 20-10d	100%	4,05	0,76	0,73	0,0775	0,0066	0,026212	0,000351	74,76	0,005134	0,000203	25,33
sisma in +Y												
proporzionale alle masse												
Trave 20-10d	0%	0,63	0,66	0,39	0,0825	0,0060	0,012767	0,000005	NS	0,004888	0,000003	NS
Trave 20-10d	100%	0,83	0,79	0,41	0,0824	0,0059	0,014306	0,000028	NS	0,004873	0,000013	NS
proporzionale alla deformata 1° modo di vibrazione												
Trave 20-10d	0%	0,59	0,64	0,39	0,0825	0,0060	0,012381	0,000006	NS	0,004893	0,000003	NS
Trave 20-10d	100%	0,87	0,82	0,41	0,0823	0,0059	0,014497	0,000040	NS	0,004882	0,000021	NS
sisma in -Y												
proporzionale alle masse												
Trave 20-10d	0%	0,79	0,75	0,41	0,0822	0,0060	0,013967	0,000002	NS	0,004888	0,000003	NS
Trave 20-10d	100%	0,47	0,61	0,38	0,0827	0,0059	0,011108	0,000072	NS	0,004877	0,000034	NS
proporzionale alla deformata 1° modo di vibrazione												
Trave 20-10d	0%	0,81	0,77	0,41	0,0822	0,0060	0,014123	0,000001	NS	0,004881	0,000002	NS
Trave 20-10d	100%	0,41	0,58	0,37	0,0827	0,0058	0,010253	0,000083	NS	0,004880	0,000043	NS
Fondazione							**Travata: Trave13d-23-14d**					
sisma in +X												
proporzionale alle masse												
Trave 13d-23	0%	4,26	0,92	0,75	0,0776	0,0066	0,027036	0,000366	73,82	0,005256	0,000208	25,29
Trave 13d-23	100%	1,20	1,03	0,45	0,0784	0,0059	0,015747	0,000062	NS	0,005045	0,000040	NS

Id_{Tr}	$\%L_{LI}$	$L_{v,SLV}$	$L_{v,SLD}$	L_{pl}	ϕ_u	ϕ_y	SLV			SLD		
							Θ_c	Θ_d	CS	Θ_c	Θ_d	CS
	[%]	[m]	[m]	[m]	[rad/m]	[rad/m]	[rad]	[rad]		[rad]	[rad]	
proporzionale alla deformata 1° modo di vibrazione												
Trave 13d-23	0%	3,48	0,72	0,68	0,0775	0,0066	0,024221	0,000337	71,91	0,005093	0,000192	26,55
Trave 13d-23	100%	1,18	1,03	0,45	0,0788	0,0059	0,015726	0,000060	NS	0,005051	0,000039	NS
sisma in -X												
proporzionale alle masse												
Trave 13d-23	0%	1,42	1,24	0,47	0,0719	0,0066	0,015673	0,000179	87,63	0,005696	0,000116	49,25
Trave 13d-23	100%	6,60	0,98	0,99	0,0715	0,0077	0,032045	0,000060	NS	0,005847	0,000041	NS
proporzionale alla deformata 1° modo di vibrazione												
Trave 13d-23	0%	1,39	1,21	0,47	0,0730	0,0065	0,015719	0,000171	92,11	0,005616	0,000113	49,51
Trave 13d-23	100%	4,37	0,86	0,77	0,0725	0,0077	0,025444	0,000059	NS	0,005676	0,000040	NS
sisma in +Y												
proporzionale alle masse												
Trave 13d-23	0%	0,73	0,78	0,40	0,0827	0,0058	0,013571	0,000018	NS	0,004815	0,000001	NS
Trave 13d-23	100%	0,69	0,66	0,40	0,0825	0,0061	0,013282	0,000003	NS	0,004923	0,000000	NS
proporzionale alla deformata 1° modo di vibrazione												
Trave 13d-23	0%	0,67	0,75	0,40	0,0828	0,0058	0,013123	0,000030	NS	0,004808	0,000006	NS
Trave 13d-23	100%	0,72	0,68	0,40	0,0826	0,0060	0,013484	0,000001	NS	0,004889	0,000002	NS
sisma in -Y												
proporzionale alle masse												
Trave 13d-23	0%	0,94	0,91	0,42	0,0797	0,0058	0,014534	0,000023	NS	0,004914	0,000033	NS
Trave 13d-23	100%	0,61	0,56	0,39	0,0798	0,0072	0,012320	0,000011	NS	0,005341	0,000007	NS
proporzionale alla deformata 1° modo di vibrazione												
Trave 13d-23	0%	0,94	0,92	0,42	0,0796	0,0058	0,014557	0,000025	NS	0,004900	0,000034	NS
Trave 13d-23	100%	0,56	0,54	0,38	0,0797	0,0070	0,011781	0,000004	NS	0,005290	0,000003	NS
sisma in +X												
proporzionale alle masse												
Trave 23-14d	0%	4,38	0,62	0,77	0,0717	0,0075	0,025167	0,000062	NS	0,005415	0,000040	NS
Trave 23-14d	100%	1,51	1,28	0,48	0,0720	0,0063	0,016043	0,000265	60,47	0,005581	0,000152	36,62
proporzionale alla deformata 1° modo di vibrazione												
Trave 23-14d	0%	3,03	0,42	0,63	0,0722	0,0069	0,021240	0,000060	NS	0,005499	0,000039	NS
Trave 23-14d	100%	1,47	1,25	0,47	0,0727	0,0063	0,015988	0,000237	67,46	0,005558	0,000138	40,25
sisma in -X												
proporzionale alle masse												
Trave 23-14d	0%	1,18	1,02	0,45	0,0783	0,0060	0,015635	0,000060	NS	0,005077	0,000041	NS
Trave 23-14d	100%	2,37	0,41	0,57	0,0769	0,0074	0,020139	0,000382	52,75	0,005661	0,000211	26,83
proporzionale alla deformata 1° modo di vibrazione												
Trave 23-14d	0%	1,16	1,00	0,44	0,0790	0,0060	0,015626	0,000059	NS	0,005042	0,000040	NS
Trave 23-14d	100%	1,64	0,00	0,49	0,0776	0,0075	4,979071	0,000336	NS	9,928762	0,000189	NS
sisma in +Y												
proporzionale alle masse												
Trave 23-14d	0%	0,56	0,64	0,38	0,0830	0,0062	0,012181	0,000003	NS	0,004969	0,000000	NS
Trave 23-14d	100%	1,20	1,04	0,45	0,0824	0,0053	0,016440	0,000280	58,77	0,004775	0,000137	34,84
proporzionale alla deformata 1° modo di vibrazione												
Trave 23-14d	0%	0,59	0,64	0,39	0,0827	0,0062	0,012446	0,000001	NS	0,004968	0,000002	NS
Trave 23-14d	100%	1,14	1,01	0,44	0,0823	0,0054	0,016122	0,000241	66,82	0,004780	0,000121	39,48
sisma in -Y												
proporzionale alle masse												
Trave 23-14d	0%	0,88	0,77	0,42	0,0796	0,0064	0,014148	0,000011	NS	0,005044	0,000007	NS
Trave 23-14d	100%	0,41	0,44	0,37	0,0799	0,0059	0,010094	0,000270	37,34	0,005172	0,000134	38,71
proporzionale alla deformata 1° modo di vibrazione												
Trave 23-14d	0%	0,88	0,78	0,42	0,0800	0,0063	0,014237	0,000004	NS	0,005033	0,000003	NS
Trave 23-14d	100%	0,21	0,47	0,35	0,0804	0,0058	0,009038	0,000253	35,71	0,005051	0,000125	40,31
Fondazione							**Travata: Trave11d-12d**					
sisma in +X												
proporzionale alle masse												
Trave 11d-12d	0%	2,11	2,53	0,54	0,0651	0,0066	0,017802	0,000290	61,40	0,008076	0,000163	49,47
Trave 11d-12d	100%	1,31	1,20	0,46	0,0652	0,0065	0,013897	0,000159	87,35	0,005554	0,000109	50,90
proporzionale alla deformata 1° modo di vibrazione												
Trave 11d-12d	0%	2,12	2,62	0,54	0,0662	0,0065	0,018200	0,000267	68,29	0,008257	0,000151	54,51
Trave 11d-12d	100%	1,30	1,20	0,46	0,0664	0,0064	0,014078	0,000158	89,30	0,005534	0,000108	51,08
sisma in -X												
proporzionale alle masse												
Trave 11d-12d	0%	1,32	1,22	0,46	0,0649	0,0064	0,013889	0,000175	79,41	0,005563	0,000124	44,99
Trave 11d-12d	100%	2,06	2,46	0,53	0,0647	0,0065	0,017501	0,000286	61,12	0,007924	0,000162	48,88
proporzionale alla deformata 1° modo di vibrazione												
Trave 11d-12d	0%	1,32	1,22	0,46	0,0661	0,0064	0,014104	0,000178	79,10	0,005538	0,000122	45,50
Trave 11d-12d	100%	2,08	2,54	0,54	0,0661	0,0065	0,017950	0,000261	68,73	0,008071	0,000150	53,67
sisma in +Y												
proporzionale alle masse												
Trave 11d-12d	0%	0,09	0,43	0,34	0,0852	0,0055	0,009253	0,000005	NS	0,005083	0,000010	NS
Trave 11d-12d	100%	0,76	0,63	0,40	0,0833	0,0055	0,013904	0,000036	NS	0,004737	0,000019	NS
proporzionale alla deformata 1° modo di vibrazione												
Trave 11d-12d	0%	0,01	0,29	0,33	0,0853	0,0056	0,009517	0,000015	NS	0,005905	0,000003	NS
Trave 11d-12d	100%	0,81	0,70	0,41	0,0828	0,0056	0,014179	0,000047	NS	0,004739	0,000025	NS
sisma in -Y												
proporzionale alle masse												
Trave 11d-12d	0%	0,94	0,85	0,42	0,0810	0,0058	0,014751	0,000059	NS	0,004842	0,000052	93,63
Trave 11d-12d	100%	3,59	0,92	0,69	0,0801	0,0084	0,025323	0,000053	NS	0,006038	0,000032	NS
proporzionale alla deformata 1° modo di vibrazione												
Trave 11d-12d	0%	0,97	0,90	0,43	0,0805	0,0059	0,014866	0,000062	NS	0,004940	0,000058	85,16
Trave 11d-12d	100%	6,55	1,52	0,98	0,0801	0,0079	0,036313	0,000059	NS	0,006998	0,000038	NS
Fondazione							**Travata: Trave3d-4d**					
sisma in +X												
proporzionale alle masse												
Trave 3d-4d	0%	2,09	2,48	0,54	0,0651	0,0066	0,017695	0,000285	61,98	0,007973	0,000162	49,13

Id_{Tr}	$\%L_{LI}$	$L_{v,SLV}$	$L_{v,SLD}$	L_{pl}	ϕ_u	ϕ_y	SLV			SLD		
							Θ_c	Θ_d	CS	Θ_c	Θ_d	CS
	[%]	[m]	[m]	[m]	[rad/m]	[rad/m]	[rad]	[rad]		[rad]	[rad]	
Trave 3d-4d	100%	1,32	1,22	0,46	0,0651	0,0064	0,013915	0,000164	84,61	0,005561	0,000117	47,64
proporzionale alla deformata 1° modo di vibrazione												
Trave 3d-4d	0%	2,11	2,57	0,54	0,0661	0,0065	0,018083	0,000261	69,23	0,008137	0,000150	54,25
Trave 3d-4d	100%	1,30	1,21	0,46	0,0663	0,0064	0,014086	0,000163	86,26	0,005543	0,000115	48,02
sisma in -X												
proporzionale alle masse												
Trave 3d-4d	0%	1,33	1,23	0,46	0,0644	0,0064	0,013838	0,000189	73,29	0,005571	0,000129	43,35
Trave 3d-4d	100%	2,03	2,43	0,53	0,0644	0,0065	0,017294	0,000289	59,79	0,007855	0,000162	48,36
proporzionale alla deformata 1° modo di vibrazione												
Trave 3d-4d	0%	1,32	1,23	0,46	0,0658	0,0064	0,014078	0,000183	76,81	0,005559	0,000130	42,91
Trave 3d-4d	100%	2,07	2,48	0,53	0,0658	0,0065	0,017780	0,000265	67,22	0,007961	0,000150	53,21
sisma in +Y												
proporzionale alle masse												
Trave 3d-4d	0%	0,66	0,59	0,39	0,0833	0,0057	0,013135	0,000016	NS	0,004827	0,000018	NS
Trave 3d-4d	100%	0,17	0,44	0,35	0,0848	0,0065	0,009422	0,000013	NS	0,005334	0,000002	NS
proporzionale alla deformata 1° modo di vibrazione												
Trave 3d-4d	0%	0,74	0,65	0,40	0,0830	0,0057	0,013736	0,000024	NS	0,004771	0,000024	NS
Trave 3d-4d	100%	0,06	0,29	0,33	0,0848	0,0066	0,009620	0,000022	NS	0,006153	0,000006	NS
sisma in -Y												
proporzionale alle masse												
Trave 3d-4d	0%	4,10	0,00	0,74	0,0804	0,0057	0,365824	0,000025	NS	0,681486	0,000002	NS
Trave 3d-4d	100%	0,95	0,83	0,42	0,0818	0,0057	0,014935	0,000072	NS	0,004818	0,000044	NS
proporzionale alla deformata 1° modo di vibrazione												
Trave 3d-4d	0%	16,75	0,42	2,00	0,0800	0,0072	0,071348	0,000038	NS	0,005578	0,000010	NS
Trave 3d-4d	100%	1,01	0,88	0,43	0,0809	0,0058	0,015148	0,000079	NS	0,004895	0,000051	95,82
Fondazione							**Travata: Trave1-7**					
sisma in +X												
proporzionale alle masse												
Trave 1-7	0%	1,02	0,99	0,43	0,0794	0,0061	0,015005	0,000038	NS	0,005095	0,000023	NS
Trave 1-7	100%	0,76	0,81	0,40	0,0796	0,0066	0,013413	0,000022	NS	0,005168	0,000038	NS
proporzionale alla deformata 1° modo di vibrazione												
Trave 1-7	0%	1,02	0,98	0,43	0,0795	0,0060	0,015030	0,000022	NS	0,005064	0,000018	NS
Trave 1-7	100%	0,79	0,83	0,41	0,0797	0,0067	0,013636	0,000020	NS	0,005214	0,000036	NS
sisma in -X												
proporzionale alle masse												
Trave 1-7	0%	0,83	0,91	0,41	0,0800	0,0060	0,013947	0,000061	NS	0,004965	0,000053	93,72
Trave 1-7	100%	1,01	0,94	0,43	0,0797	0,0060	0,014976	0,000082	NS	0,005017	0,000076	66,14
proporzionale alla deformata 1° modo di vibrazione												
Trave 1-7	0%	0,84	0,93	0,41	0,0802	0,0059	0,014057	0,000068	NS	0,004977	0,000058	85,58
Trave 1-7	100%	1,01	0,94	0,43	0,0798	0,0060	0,014962	0,000080	NS	0,004998	0,000074	67,39
sisma in +Y												
proporzionale alle masse												
Trave 1-7	0%	7,73	1,37	1,10	0,0678	0,0080	0,033964	0,000564	60,18	0,006714	0,000353	19,04
Trave 1-7	100%	1,65	1,40	0,49	0,0685	0,0063	0,015924	0,000282	56,48	0,005761	0,000123	46,69
proporzionale alla deformata 1° modo di vibrazione												
Trave 1-7	0%	4,00	0,97	0,73	0,0702	0,0062	0,023773	0,000457	52,07	0,005122	0,000302	16,96
Trave 1-7	100%	1,60	1,37	0,49	0,0708	0,0062	0,016189	0,000272	59,47	0,005639	0,000122	46,19
sisma in -Y												
proporzionale alle masse												
Trave 1-7	0%	2,26	1,91	0,55	0,0519	0,0060	0,014382	0,001409	10,21	0,006430	0,000665	9,67
Trave 1-7	100%	4,98	20,31	0,83	0,0518	0,0067	0,040928	0,001374	29,78	0,047698	0,000748	63,76
proporzionale alla deformata 1° modo di vibrazione												
Trave 1-7	0%	2,23	1,89	0,55	0,0514	0,0062	0,014182	0,001248	11,36	0,006522	0,000603	10,82
Trave 1-7	100%	5,11	23,25	0,84	0,0513	0,0067	0,044368	0,001406	31,55	0,054382	0,000761	71,45
Fondazione							**Travata: Trave7d-12-15-8d**					
sisma in +X												
proporzionale alle masse												
Trave 7d-12	0%	0,79	0,79	0,41	0,0797	0,0066	0,013595	0,000007	NS	0,005129	0,000004	NS
Trave 7d-12	100%	0,08	0,06	0,34	0,0797	0,0068	0,015179	0,000014	NS	0,018097	0,000013	NS
proporzionale alla deformata 1° modo di vibrazione												
Trave 7d-12	0%	0,78	0,79	0,41	0,0801	0,0066	0,013591	0,000007	NS	0,005131	0,000004	NS
Trave 7d-12	100%	0,01	0,06	0,33	0,0799	0,0068	0,015538	0,000013	NS	0,019019	0,000012	NS
sisma in -X												
proporzionale alle masse												
Trave 7d-12	0%	0,74	0,72	0,40	0,0826	0,0063	0,013702	0,000010	NS	0,005007	0,000006	NS
Trave 7d-12	100%	0,31	0,30	0,36	0,0832	0,0081	0,009973	0,000017	NS	0,006454	0,000015	NS
proporzionale alla deformata 1° modo di vibrazione												
Trave 7d-12	0%	0,73	0,75	0,40	0,0826	0,0063	0,013630	0,000009	NS	0,005025	0,000006	NS
Trave 7d-12	100%	0,24	0,28	0,35	0,0832	0,0082	0,009929	0,000018	NS	0,006642	0,000016	NS
sisma in +Y												
proporzionale alle masse												
Trave 7d-12	0%	7,13	1,15	1,04	0,0824	0,0058	0,039565	0,000033	NS	0,005144	0,000016	NS
Trave 7d-12	100%	1,07	0,84	0,44	0,0826	0,0055	0,015728	0,000102	NS	0,004713	0,000057	82,20
proporzionale alla deformata 1° modo di vibrazione												
Trave 7d-12	0%	39,18	0,80	4,25	0,0828	0,0059	0,156914	0,000029	NS	0,004856	0,000015	NS
Trave 7d-12	100%	1,05	0,82	0,43	0,0829	0,0055	0,015646	0,000090	NS	0,004715	0,000051	93,01
sisma in -Y												
proporzionale alle masse												
Trave 7d-12	0%	1,18	1,03	0,45	0,0683	0,0069	0,013858	0,000004	NS	0,005507	0,000003	NS
Trave 7d-12	100%	2,48	4,43	0,58	0,0680	0,0079	0,022401	0,000029	NS	0,014179	0,000022	NS
proporzionale alla deformata 1° modo di vibrazione												
Trave 7d-12	0%	1,15	1,01	0,44	0,0696	0,0072	0,014015	0,000004	NS	0,005662	0,000003	NS
Trave 7d-12	100%	2,67	5,73	0,60	0,0695	0,0086	0,025589	0,000022	NS	0,018962	0,000018	NS
sisma in +X												
proporzionale alle masse												

Id_{Tr}	$\%L_{LI}$	$L_{v,SLV}$	$L_{v,SLD}$	L_{pl}	ϕ_u	ϕ_y	SLV			SLD		
							Θ_c	Θ_d	CS	Θ_c	Θ_d	CS
	[%]	[m]	[m]	[m]	[rad/m]	[rad/m]	[rad]	[rad]		[rad]	[rad]	
Trave 12-15	0%	0,47	0,47	0,37	0,0800	0,0089	0,010938	0,000014	NS	0,005940	0,000013	NS
Trave 12-15	100%	0,30	0,38	0,36	0,0799	0,0114	0,009537	0,000036	NS	0,006819	0,000035	NS
proporzionale alla deformata 1° modo di vibrazione												
Trave 12-15	0%	0,49	0,47	0,38	0,0803	0,0091	0,011238	0,000013	NS	0,006012	0,000012	NS
Trave 12-15	100%	0,31	0,38	0,36	0,0802	0,0110	0,009578	0,000034	NS	0,006707	0,000034	NS
sisma in -X												
proporzionale alle masse												
Trave 12-15	0%	0,49	0,41	0,38	0,0825	0,0074	0,011582	0,000017	NS	0,005653	0,000015	NS
Trave 12-15	100%	0,23	0,32	0,35	0,0830	0,0112	0,009824	0,000042	NS	0,007027	0,000040	NS
proporzionale alla deformata 1° modo di vibrazione												
Trave 12-15	0%	0,51	0,44	0,38	0,0824	0,0071	0,011745	0,000018	NS	0,005515	0,000016	NS
Trave 12-15	100%	0,21	0,30	0,35	0,0830	0,0112	0,009838	0,000043	NS	0,007129	0,000041	NS
sisma in +Y												
proporzionale alle masse												
Trave 12-15	0%	35,38	2,53	3,87	0,0748	0,0105	0,123606	0,000102	NS	0,011895	0,000057	NS
Trave 12-15	100%	0,83	0,79	0,41	0,0759	0,0072	0,013337	0,000070	NS	0,005393	0,000035	NS
proporzionale alla deformata 1° modo di vibrazione												
Trave 12-15	0%	23,96	1,93	2,72	0,0757	0,0102	0,088936	0,000090	NS	0,009727	0,000051	NS
Trave 12-15	100%	0,85	0,78	0,41	0,0763	0,0070	0,013480	0,000060	NS	0,005276	0,000035	NS
sisma in -Y												
proporzionale alle masse												
Trave 12-15	0%	1,04	0,86	0,43	0,0756	0,0069	0,014424	0,000029	NS	0,005313	0,000022	NS
Trave 12-15	100%	8,66	4,04	1,19	0,0755	0,0096	0,044482	0,000091	NS	0,015677	0,000067	NS
proporzionale alla deformata 1° modo di vibrazione												
Trave 12-15	0%	1,02	0,86	0,43	0,0761	0,0070	0,014400	0,000022	NS	0,005357	0,000018	NS
Trave 12-15	100%	9,92	2,90	1,32	0,0758	0,0092	0,046928	0,000093	NS	0,011731	0,000066	NS
sisma in +X												
proporzionale alle masse												
Trave 15-8d	0%	0,72	0,76	0,40	0,0787	0,0062	0,013003	0,000036	NS	0,004984	0,000035	NS
Trave 15-8d	100%	0,64	0,64	0,39	0,0788	0,0060	0,012348	0,000002	NS	0,004880	0,000001	NS
proporzionale alla deformata 1° modo di vibrazione												
Trave 15-8d	0%	0,75	0,77	0,40	0,0791	0,0062	0,013223	0,000034	NS	0,004978	0,000034	NS
Trave 15-8d	100%	0,65	0,64	0,39	0,0791	0,0059	0,012438	0,000002	NS	0,004875	0,000001	NS
sisma in -X												
proporzionale alle masse												
Trave 15-8d	0%	0,74	0,73	0,40	0,0817	0,0060	0,013506	0,000042	NS	0,004873	0,000040	NS
Trave 15-8d	100%	0,63	0,62	0,39	0,0816	0,0063	0,012634	0,000017	NS	0,004994	0,000012	NS
proporzionale alla deformata 1° modo di vibrazione												
Trave 15-8d	0%	0,74	0,73	0,40	0,0815	0,0058	0,013483	0,000043	NS	0,004813	0,000041	NS
Trave 15-8d	100%	0,62	0,61	0,39	0,0817	0,0061	0,012584	0,000016	NS	0,004956	0,000012	NS
sisma in +Y												
proporzionale alle masse												
Trave 15-8d	0%	0,66	0,69	0,39	0,0696	0,0064	0,011286	0,000070	NS	0,005046	0,000035	NS
Trave 15-8d	100%	0,67	0,63	0,40	0,0694	0,0062	0,011279	0,000018	NS	0,004966	0,000012	NS
proporzionale alla deformata 1° modo di vibrazione												
Trave 15-8d	0%	0,67	0,70	0,40	0,0709	0,0066	0,011527	0,000060	NS	0,005118	0,000035	NS
Trave 15-8d	100%	0,66	0,63	0,39	0,0709	0,0063	0,011429	0,000015	NS	0,005000	0,000010	NS
sisma in -Y												
proporzionale alle masse												
Trave 15-8d	0%	0,65	0,60	0,39	0,0842	0,0053	0,013175	0,000091	NS	0,004670	0,000067	69,46
Trave 15-8d	100%	0,66	0,58	0,39	0,0842	0,0054	0,013234	0,000021	NS	0,004732	0,000011	NS
proporzionale alla deformata 1° modo di vibrazione												
Trave 15-8d	0%	0,65	0,60	0,39	0,0846	0,0053	0,013259	0,000093	NS	0,004689	0,000066	70,92
Trave 15-8d	100%	0,66	0,60	0,39	0,0846	0,0054	0,013319	0,000020	NS	0,004708	0,000011	NS
Fondazione							**Travata: Trave16-19**					
sisma in +X												
proporzionale alle masse												
Trave 16-19	0%	0,94	0,32	0,44	0,0819	0,0062	0,015708	0,000004	NS	0,005919	0,000004	NS
Trave 16-19	100%	0,79	0,53	0,43	0,0801	0,0068	0,014047	0,000089	NS	0,005309	0,000061	87,25
proporzionale alla deformata 1° modo di vibrazione												
Trave 16-19	0%	0,52	0,35	0,40	0,0824	0,0062	0,012182	0,000000	NS	0,005659	0,000002	NS
Trave 16-19	100%	0,73	0,50	0,42	0,0804	0,0068	0,013662	0,000085	NS	0,005359	0,000054	99,62
sisma in -X												
proporzionale alle masse												
Trave 16-19	0%	1,13	1,03	0,46	0,0744	0,0060	0,015072	0,000025	NS	0,005146	0,000009	NS
Trave 16-19	100%	5,51	1,66	0,90	0,0798	0,0076	0,033335	0,000107	NS	0,007195	0,000056	NS
proporzionale alla deformata 1° modo di vibrazione												
Trave 16-19	0%	1,12	1,02	0,46	0,0745	0,0060	0,015042	0,000025	NS	0,005125	0,000010	NS
Trave 16-19	100%	4,40	1,59	0,79	0,0800	0,0076	0,029424	0,000101	NS	0,006985	0,000052	NS
sisma in +Y												
proporzionale alle masse												
Trave 16-19	0%	2,02	2,23	0,55	0,0442	0,0066	0,012698	0,001009	12,59	0,007576	0,000534	14,18
Trave 16-19	100%	1,50	1,40	0,50	0,0394	0,0066	0,009813	0,000484	20,27	0,006036	0,000264	22,87
proporzionale alla deformata 1° modo di vibrazione												
Trave 16-19	0%	2,07	2,29	0,55	0,0431	0,0067	0,012600	0,001020	12,35	0,007753	0,000539	14,38
Trave 16-19	100%	1,47	1,38	0,49	0,0385	0,0070	0,009569	0,000323	29,62	0,006231	0,000186	33,55
sisma in -Y												
proporzionale alle masse												
Trave 16-19	0%	1,49	1,37	0,49	0,0542	0,0065	0,012794	0,000314	40,73	0,005911	0,000156	37,78
Trave 16-19	100%	2,09	2,48	0,55	0,0584	0,0065	0,016494	0,000402	40,99	0,008016	0,000237	33,84
proporzionale alla deformata 1° modo di vibrazione												
Trave 16-19	0%	1,51	1,37	0,50	0,0568	0,0064	0,013366	0,000319	41,95	0,005852	0,000163	35,90
Trave 16-19	100%	2,10	2,53	0,56	0,0614	0,0065	0,017267	0,000292	59,21	0,008081	0,000189	42,79

LEGENDA:

Id_{Tr}	$\%L_{LI}$	$L_{v,SLV}$	$L_{v,SLD}$	L_{pl}	ϕ_u	ϕ_y	SLV			SLD		
							Θ_c	Θ_d	CS	Θ_c	Θ_d	CS
	[%]	[m]	[m]	[m]	[rad/m]	[rad/m]	[rad]	[rad]		[rad]	[rad]	

Id_{Tr} Identificativo della trave. L'eventuale lettera tra parentesi distingue i diversi tratti della travata al livello considerato.
$\%L_{LI}$ Posizione della sezione per la quale vengono forniti i valori di verifica, valutata come % della lunghezza libera d'inflessione (L_{LI}), a partire dall'estremo iniziale.
$L_{v,SLV}$ Luce di Taglio allo SLV
$L_{v,SLD}$ Luce di Taglio allo SLD
L_{pl} Lunghezza della cerniera plastica.
ϕ_u Curvatura allo SLU.
ϕ_y Curvatura allo snervamento.
Θ_c Capacità di rotazione alla corda.
Θ_d Domanda di Rotazione alla Corda.
CS Coefficiente di sicurezza ([NS] = Non Significativo per valori di CS >= 100; [VNR]= Verifica Non Richiesta).

TRAVI - VERIFICHE A TAGLIO PER ANALISI NON LINEARE (Elevazione)

Travi - Verifiche a Taglio per Analisi Non Lineare

Id_{Tr}	$\%L_{LI}$	$V_{Ed,3}$	$V_{Ed,2}$	$CS^{(3)}$	$CS^{(2)}$	α_C	$V_{Rsd,s}{}^{(3)}$	$V_{Rsd,s}{}^{(2)}$	$V_{Rcd}{}^{(3)}$	$V_{Rcd}{}^{(2)}$	$V_{fd}{}^{(3)}$	$V_{fd}{}^{(2)}$	$Ctg\Theta^{(3)}$	$Ctg\Theta^{(2)}$
	[%]	[N]	[N]				[N]	[N]	[N]	[N]	[N]	[N]		
Piano copertura								**Travata: Trave7-8-9-10-11-12**						
sisma in +X														
proporzionale alle masse														
Trave 7-8	0%	44	58.616	NS	2,10	1,00	53340	123364	257303	257303	0	0	2,50	2,50
	100%	44	-82.568	NS	1,49	1,00	53340	123364	257303	257303	0	0	2,50	2,50
proporzionale alla deformata 1° modo di vibrazione														
	0%	36	58.858	NS	2,10	1,00	53340	123364	257303	257303	0	0	2,50	2,50
	100%	36	-82.326	NS	1,50	1,00	53340	123364	257303	257303	0	0	2,50	2,50
sisma in -X														
proporzionale alle masse														
	0%	144	57.541	NS	2,14	1,00	53340	123364	257303	257303	0	0	2,50	2,50
	100%	144	-83.643	NS	1,47	1,00	53340	123364	257303	257303	0	0	2,50	2,50
proporzionale alla deformata 1° modo di vibrazione														
	0%	141	56.858	NS	2,17	1,00	53340	123364	257303	257303	0	0	2,50	2,50
	100%	141	-84.326	NS	1,46	1,00	53340	123364	257303	257303	0	0	2,50	2,50
sisma in +Y														
proporzionale alle masse														
	0%	-2	60.698	NS	2,03	1,00	53340	123364	257303	257303	0	0	2,50	2,50
	100%	-2	-80.486	NS	1,53	1,00	53340	123364	257303	257303	0	0	2,50	2,50
proporzionale alla deformata 1° modo di vibrazione														
	0%	-16	60.566	NS	2,04	1,00	53340	123364	257303	257303	0	0	2,50	2,50
	100%	-16	-80.618	NS	1,53	1,00	53340	123364	257303	257303	0	0	2,50	2,50
sisma in -Y														
proporzionale alle masse														
	0%	-241	56.772	NS	2,17	1,00	53340	123364	257303	257303	0	0	2,50	2,50
	100%	-241	-84.412	NS	1,46	1,00	53340	123364	257303	257303	0	0	2,50	2,50
proporzionale alla deformata 1° modo di vibrazione														
	0%	-349	56.683	NS	2,18	1,00	53340	123364	257303	257303	0	0	2,50	2,50
	100%	-349	-84.501	NS	1,46	1,00	53340	123364	257303	257303	0	0	2,50	2,50
sisma in +X														
proporzionale alle masse														
Trave 8-9	0%	-85	71.755	NS	1,72	1,02	53340	123364	262255	262255	0	0	2,50	2,50
	100%	-85	-70.658	NS	1,75	1,02	53340	123364	262253	262253	0	0	2,50	2,50
proporzionale alla deformata 1° modo di vibrazione														
	0%	-54	72.031	NS	1,71	1,02	53340	123364	262248	262248	0	0	2,50	2,50
	100%	-54	-70.382	NS	1,75	1,02	53340	123364	262235	262235	0	0	2,50	2,50
sisma in -X														
proporzionale alle masse														
	0%	-136	69.748	NS	1,77	1,02	53340	123364	262055	262055	0	0	2,50	2,50
	100%	-136	-72.665	NS	1,70	1,02	53340	123364	262069	262069	0	0	2,50	2,50
proporzionale alla deformata 1° modo di vibrazione														
	0%	-167	69.476	NS	1,78	1,02	53340	123364	262063	262063	0	0	2,50	2,50
	100%	-167	-72.937	NS	1,69	1,02	53340	123364	262089	262089	0	0	2,50	2,50
sisma in +Y														
proporzionale alle masse														
	0%	312	70.594	NS	1,75	1,02	53340	123364	263106	263106	0	0	2,50	2,50
	100%	312	-71.820	NS	1,72	1,02	53340	123364	263105	263105	0	0	2,50	2,50
proporzionale alla deformata 1° modo di vibrazione														
	0%	268	70.575	NS	1,75	1,02	53340	123364	263185	263185	0	0	2,50	2,50
	100%	268	-71.838	NS	1,72	1,02	53340	123364	263183	263183	0	0	2,50	2,50
sisma in -Y														
proporzionale alle masse														
	0%	-1.270	70.318	42,00	1,75	1,02	53340	123364	262883	262883	0	0	2,50	2,50
	100%	-1.270	-72.095	42,00	1,71	1,02	53340	123364	262872	262872	0	0	2,50	2,50
proporzionale alla deformata 1° modo di vibrazione														
	0%	-1.455	70.263	36,66	1,76	1,02	53340	123364	262870	262870	0	0	2,50	2,50
	100%	-1.455	-72.150	36,66	1,71	1,02	53340	123364	262901	262901	0	0	2,50	2,50
sisma in +X														
proporzionale alle masse														
Trave 9-10	0%	-300	73.675	NS	1,67	1,02	53340	123364	261724	261724	0	0	2,50	2,50
	100%	-300	-68.738	NS	1,79	1,02	53340	123364	261721	261721	0	0	2,50	2,50
proporzionale alla deformata 1° modo di vibrazione														
	0%	-268	73.975	NS	1,67	1,02	53340	123364	261753	261753	0	0	2,50	2,50
	100%	-268	-68.438	NS	1,80	1,02	53340	123364	261699	261699	0	0	2,50	2,50
sisma in -X														
proporzionale alle masse														
	0%	-66	71.459	NS	1,73	1,02	53340	123364	261248	261248	0	0	2,50	2,50
	100%	-66	-70.954	NS	1,74	1,02	53340	123364	261258	261258	0	0	2,50	2,50

Id_{Tr}	$\%L_{LI}$ [%]	$V_{Ed,3}$ [N]	$V_{Ed,2}$ [N]	$CS^{(3)}$	$CS^{(2)}$	α_C	$V_{Rsd,s}{}^{(3)}$ [N]	$V_{Rsd,s}{}^{(2)}$ [N]	$V_{Rcd}{}^{(3)}$ [N]	$V_{Rcd}{}^{(2)}$ [N]	$V_{fd}{}^{(3)}$ [N]	$V_{fd}{}^{(2)}$ [N]	$Ctg\Theta^{(3)}$	$Ctg\Theta^{(2)}$
proporzionale alla deformata 1° modo di vibrazione														
	0%	-47	71.175	NS	1,73	1,02	53340	123364	261230	261230	0	0	2,50	2,50
	100%	-47	-71.239	NS	1,73	1,02	53340	123364	261242	261242	0	0	2,50	2,50
sisma in +Y														
proporzionale alle masse														
	0%	1.099	72.511	48,54	1,70	1,02	53340	123364	262911	262911	0	0	2,50	2,50
	100%	1.099	-69.902	48,54	1,76	1,02	53340	123364	262888	262888	0	0	2,50	2,50
proporzionale alla deformata 1° modo di vibrazione														
	0%	1.001	72.472	53,29	1,70	1,02	53340	123364	263003	263003	0	0	2,50	2,50
	100%	1.001	-69.941	53,29	1,76	1,02	53340	123364	262992	262992	0	0	2,50	2,50
sisma in -Y														
proporzionale alle masse														
	0%	-2.570	71.937	20,75	1,71	1,02	53340	123364	262720	262720	0	0	2,50	2,50
	100%	-2.570	-70.476	20,75	1,75	1,02	53340	123364	262739	262739	0	0	2,50	2,50
proporzionale alla deformata 1° modo di vibrazione														
	0%	-2.650	71.880	20,13	1,72	1,02	53340	123364	262801	262801	0	0	2,50	2,50
	100%	-2.650	-70.533	20,13	1,75	1,02	53340	123364	262865	262865	0	0	2,50	2,50
sisma in +X														
proporzionale alle masse														
Trave 10-11	0%	379	55.801	NS	2,21	1,02	53340	123364	263063	263063	0	0	2,50	2,50
	100%	379	-50.917	NS	2,42	1,02	53340	123364	263061	263061	0	0	2,50	2,50
proporzionale alla deformata 1° modo di vibrazione														
	0%	492	56.083	NS	2,20	1,02	53340	123364	263128	263128	0	0	2,50	2,50
	100%	492	-50.635	NS	2,44	1,02	53340	123364	263123	263123	0	0	2,50	2,50
sisma in -X														
proporzionale alle masse														
	0%	-331	53.904	NS	2,29	1,02	53340	123364	262545	262545	0	0	2,50	2,50
	100%	-331	-52.814	NS	2,34	1,02	53340	123364	262609	262609	0	0	2,50	2,50
proporzionale alla deformata 1° modo di vibrazione														
	0%	-406	53.666	NS	2,30	1,02	53340	123364	262527	262527	0	0	2,50	2,50
	100%	-406	-53.051	NS	2,33	1,02	53340	123364	262567	262567	0	0	2,50	2,50
sisma in +Y														
proporzionale alle masse														
	0%	4.478	55.696	11,91	2,21	1,03	53340	123364	265341	265341	0	0	2,50	2,50
	100%	4.478	-51.021	11,91	2,42	1,03	53340	123364	265149	265149	0	0	2,50	2,50
proporzionale alla deformata 1° modo di vibrazione														
	0%	4.339	55.680	12,29	2,22	1,03	53340	123364	265112	265112	0	0	2,50	2,50
	100%	4.339	-51.037	12,29	2,42	1,03	53340	123364	265110	265110	0	0	2,50	2,50
sisma in -Y														
proporzionale alle masse														
	0%	-3.920	54.196	13,61	2,28	1,03	53340	123364	264420	264420	0	0	2,50	2,50
	100%	-3.920	-52.521	13,61	2,35	1,03	53340	123364	264278	264278	0	0	2,50	2,50
proporzionale alla deformata 1° modo di vibrazione														
	0%	-3.911	54.228	13,64	2,27	1,03	53340	123364	264152	264152	0	0	2,50	2,50
	100%	-3.911	-52.489	13,64	2,35	1,03	53340	123364	264150	264150	0	0	2,50	2,50
sisma in +X														
proporzionale alle masse														
Trave 11-12	0%	122	66.938	NS	1,84	1,00	53340	123364	257303	257303	0	0	2,50	2,50
	100%	122	-45.276	NS	2,72	1,00	53340	123364	257303	257303	0	0	2,50	2,50
proporzionale alla deformata 1° modo di vibrazione														
	0%	122	67.305	NS	1,83	1,00	53340	123364	257303	257303	0	0	2,50	2,50
	100%	122	-44.908	NS	2,75	1,00	53340	123364	257303	257303	0	0	2,50	2,50
sisma in -X														
proporzionale alle masse														
	0%	-112	65.013	NS	1,90	1,00	53340	123364	257303	257303	0	0	2,50	2,50
	100%	-112	-47.201	NS	2,61	1,00	53340	123364	257303	257303	0	0	2,50	2,50
proporzionale alla deformata 1° modo di vibrazione														
	0%	-153	64.719	NS	1,91	1,00	53340	123364	257303	257303	0	0	2,50	2,50
	100%	-153	-47.494	NS	2,60	1,00	53340	123364	257303	257303	0	0	2,50	2,50
sisma in +Y														
proporzionale alle masse														
	0%	2.802	67.311	19,04	1,83	1,00	53340	123364	257653	257653	0	0	2,50	2,50
	100%	2.802	-44.903	19,04	2,75	1,00	53340	123364	257707	257707	0	0	2,50	2,50
proporzionale alla deformata 1° modo di vibrazione														
	0%	2.747	67.298	19,42	1,83	1,00	53340	123364	257723	257723	0	0	2,50	2,50
	100%	2.747	-44.916	19,42	2,75	1,00	53340	123364	257704	257704	0	0	2,50	2,50
sisma in -Y														
proporzionale alle masse														
	0%	-1.904	64.365	28,01	1,92	1,00	53340	123364	257303	257303	0	0	2,50	2,50
	100%	-1.904	-47.849	28,01	2,58	1,00	53340	123364	257303	257303	0	0	2,50	2,50
proporzionale alla deformata 1° modo di vibrazione														
	0%	-1.838	64.321	29,02	1,92	1,00	53340	123364	257303	257303	0	0	2,50	2,50
	100%	-1.838	-47.892	29,02	2,58	1,00	53340	123364	257303	257303	0	0	2,50	2,50
Piano copertura								**Travata: Trave13-14-15**						
sisma in +X														
proporzionale alle masse														
Trave 13-14	0%	-170	42.694	NS	3,43	1,01	75404	146540	216388	216388	0	0	2,50	2,50
	100%	-170	-44.505	NS	3,29	1,01	75404	146540	216376	216376	0	0	2,50	2,50
proporzionale alla deformata 1° modo di vibrazione														
	0%	-215	43.019	NS	3,41	1,01	75404	146540	216522	216522	0	0	2,50	2,50
	100%	-215	-44.179	NS	3,32	1,01	75404	146540	216486	216486	0	0	2,50	2,50
sisma in -X														
proporzionale alle masse														
	0%	73	39.925	NS	3,67	1,00	75404	146540	215861	215861	0	0	2,50	2,50
	100%	73	-47.273	NS	3,10	1,00	75404	146540	215876	215876	0	0	2,50	2,50
proporzionale alla deformata 1° modo di vibrazione														

Id_{Tr}	$\%L_{LI}$	$V_{Ed,3}$	$V_{Ed,2}$	$CS^{(3)}$	$CS^{(2)}$	α_C	$V_{Rsd,s}{}^{(3)}$	$V_{Rsd,s}{}^{(2)}$	$V_{Rcd}{}^{(3)}$	$V_{Rcd}{}^{(2)}$	$V_{fd}{}^{(3)}$	$V_{fd}{}^{(2)}$	$Ctg\Theta^{(3)}$	$Ctg\Theta^{(2)}$
	[%]	[N]	[N]				[N]	[N]	[N]	[N]	[N]	[N]		
	0%	109	39.701	NS	3,69	1,00	75404	146540	215833	215833	0	0	2,50	2,50
	100%	109	-47.497	NS	3,09	1,00	75404	146540	215852	215852	0	0	2,50	2,50
sisma in +Y														
proporzionale alle masse														
	0%	-36	41.218	NS	3,56	1,00	75404	146540	215435	215435	0	0	2,50	2,50
	100%	-36	-45.980	NS	3,19	1,00	75404	146540	215439	215439	0	0	2,50	2,50
proporzionale alla deformata 1° modo di vibrazione														
	0%	-38	41.223	NS	3,55	1,00	75404	146540	215377	215377	0	0	2,50	2,50
	100%	-38	-45.976	NS	3,19	1,00	75404	146540	215380	215380	0	0	2,50	2,50
sisma in -Y														
proporzionale alle masse														
	0%	-45	41.709	NS	3,51	1,01	75404	146540	216065	216065	0	0	2,50	2,50
	100%	-45	-45.489	NS	3,22	1,01	75404	146540	216025	216025	0	0	2,50	2,50
proporzionale alla deformata 1° modo di vibrazione														
	0%	-34	41.746	NS	3,51	1,01	75404	146540	216114	216114	0	0	2,50	2,50
	100%	-34	-45.452	NS	3,22	1,01	75404	146540	216088	216088	0	0	2,50	2,50
sisma in +X														
proporzionale alle masse														
Trave 14-15	0%	-161	49.031	NS	2,99	1,00	75404	146540	215427	215427	0	0	2,50	2,50
	100%	-161	-41.863	NS	3,50	1,00	75404	146540	215429	215429	0	0	2,50	2,50
proporzionale alla deformata 1° modo di vibrazione														
	0%	-197	49.331	NS	2,97	1,00	75404	146540	215341	215341	0	0	2,50	2,50
	100%	-197	-41.562	NS	3,53	1,00	75404	146540	215326	215326	0	0	2,50	2,50
sisma in -X														
proporzionale alle masse														
	0%	47	46.306	NS	3,16	1,01	75404	146540	216060	216060	0	0	2,50	2,50
	100%	47	-44.588	NS	3,29	1,01	75404	146540	216093	216093	0	0	2,50	2,50
proporzionale alla deformata 1° modo di vibrazione														
	0%	88	45.952	NS	3,19	1,01	75404	146540	216291	216291	0	0	2,50	2,50
	100%	88	-44.941	NS	3,26	1,01	75404	146540	216325	216325	0	0	2,50	2,50
sisma in +Y														
proporzionale alle masse														
	0%	-24	44.875	NS	3,27	1,00	75404	146540	215538	215538	0	0	2,50	2,50
	100%	-24	-46.018	NS	3,18	1,00	75404	146540	215603	215603	0	0	2,50	2,50
proporzionale alla deformata 1° modo di vibrazione														
	0%	-24	44.692	NS	3,28	1,00	75404	146540	215551	215551	0	0	2,50	2,50
	100%	-24	-46.201	NS	3,17	1,00	75404	146540	215599	215599	0	0	2,50	2,50
sisma in -Y														
proporzionale alle masse														
	0%	90	48.029	NS	3,05	1,00	75404	146540	215840	215840	0	0	2,50	2,50
	100%	90	-42.865	NS	3,42	1,00	75404	146540	215851	215851	0	0	2,50	2,50
proporzionale alla deformata 1° modo di vibrazione														
	0%	108	47.921	NS	3,06	1,00	75404	146540	215894	215894	0	0	2,50	2,50
	100%	108	-42.972	NS	3,41	1,00	75404	146540	215905	215905	0	0	2,50	2,50
Piano copertura								**Travata: Trave1-7-16-19**						
sisma in +X														
proporzionale alle masse														
Trave 1-7	0%	319	3.858	NS	8,71	1,03	43615	33612	60282	60282	0	0	2,50	2,50
	100%	319	-4.016	NS	8,37	1,03	43615	33612	59945	59945	0	0	2,50	2,50
proporzionale alla deformata 1° modo di vibrazione														
	0%	352	3.843	NS	8,75	1,03	43615	33612	60247	60247	0	0	2,50	2,50
	100%	352	-4.031	NS	8,34	1,03	43615	33612	59916	59916	0	0	2,50	2,50
sisma in -X														
proporzionale alle masse														
	0%	134	3.786	NS	8,88	1,02	43615	33612	59715	59715	0	0	2,50	2,50
	100%	134	-4.088	NS	8,22	1,02	43615	33612	59382	59382	0	0	2,50	2,50
proporzionale alla deformata 1° modo di vibrazione														
	0%	125	3.788	NS	8,87	1,02	43615	33612	59740	59740	0	0	2,50	2,50
	100%	125	-4.086	NS	8,23	1,02	43615	33612	59407	59407	0	0	2,50	2,50
sisma in +Y														
proporzionale alle masse														
	0%	60	3.675	NS	9,15	1,00	43615	33612	58421	58421	0	0	2,50	2,50
	100%	60	-4.199	NS	8,00	1,00	43615	33612	58421	58421	0	0	2,50	2,50
proporzionale alla deformata 1° modo di vibrazione														
	0%	61	3.645	NS	9,22	1,00	43615	33612	58421	58421	0	0	2,50	2,50
	100%	61	-4.229	NS	7,95	1,00	43615	33612	58421	58421	0	0	2,50	2,50
sisma in -Y														
proporzionale alle masse														
	0%	326	4.478	NS	7,51	1,14	43615	33612	66872	66872	0	0	2,50	2,50
	100%	326	-3.396	NS	9,90	1,14	43615	33612	66465	66465	0	0	2,50	2,50
proporzionale alla deformata 1° modo di vibrazione														
	0%	309	4.635	NS	7,25	1,18	43615	33612	68707	68707	0	0	2,50	2,50
	100%	309	-3.239	NS	10,38	1,17	43615	33612	68360	68360	0	0	2,50	2,50
sisma in +X														
proporzionale alle masse														
Trave 7-16	0%	-182	2.891	NS	11,63	1,01	43615	33612	59086	59086	0	0	2,50	2,50
	100%	-182	-2.412	NS	13,94	1,01	43615	33612	59234	59234	0	0	2,50	2,50
proporzionale alla deformata 1° modo di vibrazione														
	0%	-150	2.938	NS	11,44	1,01	43615	33612	59075	59075	0	0	2,50	2,50
	100%	-150	-2.365	NS	14,21	1,01	43615	33612	59165	59165	0	0	2,50	2,50
sisma in -X														
proporzionale alle masse														
	0%	-344	2.471	NS	13,60	1,01	43615	33612	59296	59296	0	0	2,50	2,50
	100%	-344	-2.831	NS	11,87	1,02	43615	33612	59403	59403	0	0	2,50	2,50
proporzionale alla deformata 1° modo di vibrazione														
	0%	-397	2.475	NS	13,58	1,02	43615	33612	59315	59315	0	0	2,50	2,50

Id_{Tr}	$\%L_{LI}$	$V_{Ed,3}$	$V_{Ed,2}$	$CS^{(3)}$	$CS^{(2)}$	α_C	$V_{Rsd,s}{}^{(3)}$	$V_{Rsd,s}{}^{(2)}$	$V_{Rcd}{}^{(3)}$	$V_{Rcd}{}^{(2)}$	$V_{fd}{}^{(3)}$	$V_{fd}{}^{(2)}$	$Ctg\Theta^{(3)}$	$Ctg\Theta^{(2)}$
	[%]	[N]	[N]				[N]	[N]	[N]	[N]	[N]	[N]		
	100%	-397	-2.827	NS	11,89	1,02	43615	33612	59433	59433	0	0	2,50	2,50
sisma in +Y														
proporzionale alle masse														
	0%	-199	4.326	NS	7,77	1,03	43615	33612	59970	59970	0	0	2,50	2,50
	100%	-199	-976	NS	34,44	1,03	43615	33612	60347	60347	0	0	2,50	2,50
proporzionale alla deformata 1° modo di vibrazione														
	0%	-211	4.632	NS	7,26	1,03	43615	33612	60423	60423	0	0	2,50	2,50
	100%	-211	-670	NS	50,17	1,04	43615	33612	60704	60704	0	0	2,50	2,50
sisma in -Y														
proporzionale alle masse														
	0%	-433	-2.080	NS	16,16	1,13	43615	33612	66192	66192	0	0	2,50	2,50
	100%	-433	-7.382	NS	4,55	1,13	43615	33612	66268	66268	0	0	2,50	2,50
proporzionale alla deformata 1° modo di vibrazione														
	0%	-457	-2.581	95,44	13,02	1,14	43615	33612	66758	66758	0	0	2,50	2,50
	100%	-457	-7.883	95,44	4,26	1,14	43615	33612	66890	66890	0	0	2,50	2,50
sisma in +X														
proporzionale alle masse														
Trave 16-19	0%	-2	2.215	NS	15,17	1,02	43615	33612	59519	59519	0	0	2,50	2,50
	100%	-2	-2.384	NS	14,10	1,02	43615	33612	59653	59653	0	0	2,50	2,50
proporzionale alla deformata 1° modo di vibrazione														
	0%	-9	2.212	NS	15,20	1,02	43615	33612	59552	59552	0	0	2,50	2,50
	100%	-9	-2.387	NS	14,08	1,02	43615	33612	59676	59676	0	0	2,50	2,50
sisma in -X														
proporzionale alle masse														
	0%	-36	2.443	NS	13,76	1,01	43615	33612	58759	58759	0	0	2,50	2,50
	100%	-36	-2.157	NS	15,58	1,01	43615	33612	58902	58902	0	0	2,50	2,50
proporzionale alla deformata 1° modo di vibrazione														
	0%	-63	2.429	NS	13,84	1,01	43615	33612	58789	58789	0	0	2,50	2,50
	100%	-63	-2.171	NS	15,48	1,01	43615	33612	58926	58926	0	0	2,50	2,50
sisma in +Y														
proporzionale alle masse														
	0%	1	2.345	NS	14,33	1,04	43615	33612	60836	60836	0	0	2,50	2,50
	100%	1	-2.254	NS	14,91	1,04	43615	33612	60968	60968	0	0	2,50	2,50
proporzionale alla deformata 1° modo di vibrazione														
	0%	11	2.147	NS	15,66	1,05	43615	33612	61604	61604	0	0	2,50	2,50
	100%	11	-2.452	NS	13,71	1,06	43615	33612	61821	61821	0	0	2,50	2,50
sisma in -Y														
proporzionale alle masse														
	0%	-3	3.234	NS	10,39	1,00	43615	33612	58421	58421	0	0	2,50	2,50
	100%	-3	-1.366	NS	24,61	1,00	43615	33612	58421	58421	0	0	2,50	2,50
proporzionale alla deformata 1° modo di vibrazione														
	0%	-7	3.582	NS	9,38	1,00	43615	33612	58421	58421	0	0	2,50	2,50
	100%	-7	-1.017	NS	33,05	1,00	43615	33612	58421	58421	0	0	2,50	2,50
Piano copertura								**Travata: Trave6-12-15-24**						
sisma in +X														
proporzionale alle masse														
Trave 6-12	0%	-150	3.948	NS	8,51	1,03	43615	33612	60111	60111	0	0	2,50	2,50
	100%	-150	-4.150	NS	8,10	1,02	43615	33612	59786	59786	0	0	2,50	2,50
proporzionale alla deformata 1° modo di vibrazione														
	0%	-144	3.930	NS	8,55	1,03	43615	33612	60051	60051	0	0	2,50	2,50
	100%	-144	-4.169	NS	8,06	1,02	43615	33612	59737	59737	0	0	2,50	2,50
sisma in -X														
proporzionale alle masse														
	0%	-295	4.023	NS	8,35	1,03	43615	33612	60416	60416	0	0	2,50	2,50
	100%	-295	-4.075	NS	8,25	1,03	43615	33612	60093	60093	0	0	2,50	2,50
proporzionale alla deformata 1° modo di vibrazione														
	0%	-318	4.006	NS	8,39	1,03	43615	33612	60396	60396	0	0	2,50	2,50
	100%	-318	-4.092	NS	8,21	1,03	43615	33612	60075	60075	0	0	2,50	2,50
sisma in +Y														
proporzionale alle masse														
	0%	-4	3.839	NS	8,76	1,02	43615	33612	59772	59772	0	0	2,50	2,50
	100%	-4	-4.259	NS	7,89	1,02	43615	33612	59460	59460	0	0	2,50	2,50
proporzionale alla deformata 1° modo di vibrazione														
	0%	-35	3.832	NS	8,77	1,02	43615	33612	59689	59689	0	0	2,50	2,50
	100%	-35	-4.266	NS	7,88	1,02	43615	33612	59366	59366	0	0	2,50	2,50
sisma in -Y														
proporzionale alle masse														
	0%	-443	4.279	98,45	7,86	1,05	43615	33612	61561	61561	0	0	2,50	2,50
	100%	-443	-3.819	98,45	8,80	1,05	43615	33612	61208	61208	0	0	2,50	2,50
proporzionale alla deformata 1° modo di vibrazione														
	0%	-443	4.314	98,45	7,79	1,06	43615	33612	61800	61800	0	0	2,50	2,50
	100%	-443	-3.785	98,45	8,88	1,05	43615	33612	61449	61449	0	0	2,50	2,50
sisma in +X														
proporzionale alle masse														
Trave 12-15	0%	652	2.670	66,89	12,59	1,01	43615	33612	59145	59145	0	0	2,50	2,50
	100%	652	-1.703	66,89	19,74	1,01	43615	33612	59258	59258	0	0	2,50	2,50
proporzionale alla deformata 1° modo di vibrazione														
	0%	642	2.730	67,94	12,31	1,01	43615	33612	59106	59106	0	0	2,50	2,50
	100%	642	-1.643	67,94	20,46	1,01	43615	33612	59279	59279	0	0	2,50	2,50
sisma in -X														
proporzionale alle masse														
	0%	611	2.876	71,38	11,69	1,01	43615	33612	59162	59162	0	0	2,50	2,50
	100%	611	-1.497	71,38	22,45	1,01	43615	33612	59278	59278	0	0	2,50	2,50
proporzionale alla deformata 1° modo di vibrazione														
	0%	569	2.942	76,65	11,42	1,01	43615	33612	59129	59129	0	0	2,50	2,50
	100%	569	-1.431	76,65	23,49	1,01	43615	33612	59237	59237	0	0	2,50	2,50

Id_{Tr}	$\%L_{LI}$ [%]	$V_{Ed,3}$ [N]	$V_{Ed,2}$ [N]	$CS^{(3)}$	$CS^{(2)}$	α_C	$V_{Rsd,s}{}^{(3)}$ [N]	$V_{Rsd,s}{}^{(2)}$ [N]	$V_{Rcd}{}^{(3)}$ [N]	$V_{Rcd}{}^{(2)}$ [N]	$V_{fd}{}^{(3)}$ [N]	$V_{fd}{}^{(2)}$ [N]	$Ctg\Theta^{(3)}$	$Ctg\Theta^{(2)}$
sisma in +Y														
proporzionale alle masse														
	0%	1.702	620	25,63	54,21	1,05	43615	33612	61614	61614	0	0	2,50	2,50
	100%	1.702	-3.754	25,63	8,95	1,06	43615	33612	61774	61774	0	0	2,50	2,50
proporzionale alla deformata 1° modo di vibrazione														
	0%	1.736	445	25,12	75,53	1,06	43615	33612	61922	61922	0	0	2,50	2,50
	100%	1.736	-3.929	25,12	8,55	1,06	43615	33612	62085	62085	0	0	2,50	2,50
sisma in -Y														
proporzionale alle masse														
	0%	-178	3.288	NS	10,22	1,01	43615	33612	58956	58956	0	0	2,50	2,50
	100%	-178	-1.085	NS	30,98	1,01	43615	33612	59233	59233	0	0	2,50	2,50
proporzionale alla deformata 1° modo di vibrazione														
	0%	-165	3.319	NS	10,13	1,01	43615	33612	58934	58934	0	0	2,50	2,50
	100%	-165	-1.054	NS	31,89	1,01	43615	33612	59192	59192	0	0	2,50	2,50
sisma in +X														
proporzionale alle masse														
Trave 15-24	0%	-8	2.995	NS	11,22	1,01	43615	33612	59119	59119	0	0	2,50	2,50
	100%	-8	-2.753	NS	12,21	1,01	43615	33612	59286	59286	0	0	2,50	2,50
proporzionale alla deformata 1° modo di vibrazione														
	0%	-48	3.034	NS	11,08	1,01	43615	33612	59066	59066	0	0	2,50	2,50
	100%	-48	-2.715	NS	12,38	1,01	43615	33612	59228	59228	0	0	2,50	2,50
sisma in -X														
proporzionale alle masse														
	0%	309	2.856	NS	11,77	1,02	43615	33612	59453	59453	0	0	2,50	2,50
	100%	309	-2.893	NS	11,62	1,02	43615	33612	59627	59627	0	0	2,50	2,50
proporzionale alla deformata 1° modo di vibrazione														
	0%	356	2.874	NS	11,70	1,02	43615	33612	59455	59455	0	0	2,50	2,50
	100%	356	-2.875	NS	11,69	1,02	43615	33612	59621	59621	0	0	2,50	2,50
sisma in +Y														
proporzionale alle masse														
	0%	170	2.541	NS	13,23	1,03	43615	33612	60218	60218	0	0	2,50	2,50
	100%	170	-3.208	NS	10,48	1,04	43615	33612	60477	60477	0	0	2,50	2,50
proporzionale alla deformata 1° modo di vibrazione														
	0%	155	2.477	NS	13,57	1,03	43615	33612	60450	60450	0	0	2,50	2,50
	100%	155	-3.271	NS	10,28	1,04	43615	33612	60682	60682	0	0	2,50	2,50
sisma in -Y														
proporzionale alle masse														
	0%	306	3.314	NS	10,14	1,01	43615	33612	58942	58942	0	0	2,50	2,50
	100%	306	-2.435	NS	13,80	1,01	43615	33612	59048	59048	0	0	2,50	2,50
proporzionale alla deformata 1° modo di vibrazione														
	0%	317	3.363	NS	9,99	1,01	43615	33612	58882	58882	0	0	2,50	2,50
	100%	317	-2.386	NS	14,09	1,01	43615	33612	59025	59025	0	0	2,50	2,50
Piano copertura								**Travata: Trave10-13-22**						
sisma in +X														
proporzionale alle masse														
Trave 10-13	0%	-68	1.991	NS	16,88	1,00	33612	33612	46736	46736	0	0	2,50	2,50
	100%	-68	-1.704	NS	19,73	1,00	33612	33612	46799	46799	0	0	2,50	2,50
proporzionale alla deformata 1° modo di vibrazione														
	0%	-63	2.045	NS	16,44	1,00	33612	33612	46736	46736	0	0	2,50	2,50
	100%	-63	-1.650	NS	20,37	1,00	33612	33612	46750	46750	0	0	2,50	2,50
sisma in -X														
proporzionale alle masse														
	0%	-59	1.973	NS	17,04	1,00	33612	33612	46736	46736	0	0	2,50	2,50
	100%	-59	-1.722	NS	19,52	1,00	33612	33612	46770	46770	0	0	2,50	2,50
proporzionale alla deformata 1° modo di vibrazione														
	0%	-59	2.008	NS	16,74	1,00	33612	33612	46736	46736	0	0	2,50	2,50
	100%	-59	-1.687	NS	19,92	1,00	33612	33612	46758	46758	0	0	2,50	2,50
sisma in +Y														
proporzionale alle masse														
	0%	111	2.584	NS	13,01	1,03	33612	33612	47912	47912	0	0	2,50	2,50
	100%	111	-1.111	NS	30,25	1,03	33612	33612	48025	48025	0	0	2,50	2,50
proporzionale alla deformata 1° modo di vibrazione														
	0%	101	2.942	NS	11,42	1,04	33612	33612	48445	48445	0	0	2,50	2,50
	100%	101	-753	NS	44,64	1,04	33612	33612	48575	48575	0	0	2,50	2,50
sisma in -Y														
proporzionale alle masse														
	0%	-161	1.398	NS	24,04	1,00	33612	33612	46736	46736	0	0	2,50	2,50
	100%	-161	-2.297	NS	14,63	1,00	33612	33612	46736	46736	0	0	2,50	2,50
proporzionale alla deformata 1° modo di vibrazione														
	0%	-173	1.265	NS	26,57	1,00	33612	33612	46736	46736	0	0	2,50	2,50
	100%	-173	-2.430	NS	13,83	1,00	33612	33612	46736	46736	0	0	2,50	2,50
sisma in +X														
proporzionale alle masse														
Trave 13-22	0%	-215	2.102	NS	15,99	1,03	33612	33612	48147	48147	0	0	2,50	2,50
	100%	-215	-2.566	NS	13,10	1,03	33612	33612	48284	48284	0	0	2,50	2,50
proporzionale alla deformata 1° modo di vibrazione														
	0%	-238	2.066	NS	16,27	1,03	33612	33612	48218	48218	0	0	2,50	2,50
	100%	-238	-2.601	NS	12,92	1,04	33612	33612	48403	48403	0	0	2,50	2,50
sisma in -X														
proporzionale alle masse														
	0%	-26	1.993	NS	16,87	1,03	33612	33612	48349	48349	0	0	2,50	2,50
	100%	-26	-2.674	NS	12,57	1,04	33612	33612	48554	48554	0	0	2,50	2,50
proporzionale alla deformata 1° modo di vibrazione														
	0%	-1	1.948	NS	17,25	1,04	33612	33612	48458	48458	0	0	2,50	2,50
	100%	-1	-2.719	NS	12,36	1,04	33612	33612	48701	48701	0	0	2,50	2,50
sisma in +Y														

Id_{Tr}	$\%L_{LI}$ [%]	$V_{Ed,3}$ [N]	$V_{Ed,2}$ [N]	$CS^{(3)}$	$CS^{(2)}$	α_C	$V_{Rsd,s}{}^{(3)}$ [N]	$V_{Rsd,s}{}^{(2)}$ [N]	$V_{Rcd}{}^{(3)}$ [N]	$V_{Rcd}{}^{(2)}$ [N]	$V_{fd}{}^{(3)}$ [N]	$V_{fd}{}^{(2)}$ [N]	$Ctg\Theta^{(3)}$	$Ctg\Theta^{(2)}$
proporzionale alle masse														
	0%	-128	1.469	NS	22,88	1,08	33612	33612	50655	50655	0	0	2,50	2,50
	100%	-128	-3.198	NS	10,51	1,09	33612	33612	50781	50781	0	0	2,50	2,50
proporzionale alla deformata 1° modo di vibrazione														
	0%	-135	1.218	NS	27,60	1,11	33612	33612	51779	51779	0	0	2,50	2,50
	100%	-135	-3.449	NS	9,75	1,11	33612	33612	51926	51926	0	0	2,50	2,50
sisma in -Y														
proporzionale alle masse														
	0%	-9	2.913	NS	11,54	1,00	33612	33612	46736	46736	0	0	2,50	2,50
	100%	-9	-1.754	NS	19,16	1,00	33612	33612	46736	46736	0	0	2,50	2,50
proporzionale alla deformata 1° modo di vibrazione														
	0%	-19	2.986	NS	11,26	1,00	33612	33612	46736	46736	0	0	2,50	2,50
	100%	-19	-1.682	NS	19,98	1,00	33612	33612	46736	46736	0	0	2,50	2,50
Piano terra								**Travata: Trave1-P1-2-P2-3-P3-P4-4-P5-5-P6-6**						
sisma in +X														
proporzionale alle masse														
Trave 1-P1	0%	-9.381	-4.490	4,64	43,10	1,00	43489	193541	336395	336395	0	0	2,50	2,50
	100%	-23.510	-77.977	1,85	2,48	1,01	43489	193541	338577	338577	0	0	2,50	2,50
proporzionale alla deformata 1° modo di vibrazione														
	0%	-11.348	-6.895	3,83	28,07	1,00	43489	193541	336395	336395	0	0	2,50	2,50
	100%	-28.863	-95.534	1,51	2,03	1,01	43489	193541	338559	338559	0	0	2,50	2,50
sisma in -X														
proporzionale alle masse														
	0%	23.623	-109.628	1,84	1,77	1,01	43489	193541	341033	341033	0	0	2,50	2,50
	100%	36.407	-110.745	1,19	1,75	1,04	43489	193541	349602	349602	0	0	2,50	2,50
proporzionale alla deformata 1° modo di vibrazione														
	0%	25.527	-127.480	1,70	1,52	1,02	43489	193541	341487	341487	0	0	2,50	2,50
	100%	42.728	-132.206	1,02	1,46	1,05	43489	193541	351694	351694	0	0	2,50	2,50
sisma in +Y														
proporzionale alle masse														
	0%	8.554	2.393	5,08	80,88	1,01	43489	193541	339037	339037	0	0	2,50	2,50
	100%	-9.381	-37.399	4,64	5,18	1,01	43489	193541	340186	340186	0	0	2,50	2,50
proporzionale alla deformata 1° modo di vibrazione														
	0%	6.570	6.914	6,62	27,99	1,01	43489	193541	339062	339062	0	0	2,50	2,50
	100%	-12.751	-38.478	3,41	5,03	1,01	43489	193541	340188	340188	0	0	2,50	2,50
sisma in -Y														
proporzionale alle masse														
	0%	31.482	-50.332	1,38	3,85	1,02	43489	193541	342494	342494	0	0	2,50	2,50
	100%	15.100	-5.361	2,88	36,10	1,02	43489	193541	342959	342959	0	0	2,50	2,50
proporzionale alla deformata 1° modo di vibrazione														
	0%	34.509	-50.959	1,26	3,80	1,02	43489	193541	342708	342708	0	0	2,50	2,50
	100%	17.174	-3.638	2,53	53,20	1,02	43489	193541	342762	342762	0	0	2,50	2,50
sisma in +X														
proporzionale alle masse														
Trave P1-2	0%	-341	40.929	NS	4,73	1,01	43489	193541	338895	338895	0	0	2,50	2,50
	100%	-341	-68.006	NS	2,85	1,01	43489	193541	339419	339419	0	0	2,50	2,50
proporzionale alla deformata 1° modo di vibrazione														
	0%	-490	38.532	88,75	5,02	1,01	43489	193541	339606	339606	0	0	2,50	2,50
	100%	-490	-70.402	88,75	2,75	1,01	43489	193541	340043	340043	0	0	2,50	2,50
sisma in -X														
proporzionale alle masse														
	0%	-240	69.255	NS	2,79	1,02	43489	193541	343474	343474	0	0	2,50	2,50
	100%	-240	-39.680	NS	4,88	1,02	43489	193541	342501	342501	0	0	2,50	2,50
proporzionale alla deformata 1° modo di vibrazione														
	0%	-275	74.367	NS	2,60	1,03	43489	193541	345241	345241	0	0	2,50	2,50
	100%	-275	-34.568	NS	5,60	1,03	43489	193541	345202	345202	0	0	2,50	2,50
sisma in +Y														
proporzionale alle masse														
	0%	848	51.077	51,28	3,79	1,00	43489	193541	337502	337502	0	0	2,50	2,50
	100%	848	-57.858	51,28	3,35	1,00	43489	193541	337426	337426	0	0	2,50	2,50
proporzionale alla deformata 1° modo di vibrazione														
	0%	885	51.132	49,14	3,79	1,00	43489	193541	337409	337409	0	0	2,50	2,50
	100%	885	-57.803	49,14	3,35	1,00	43489	193541	337323	337323	0	0	2,50	2,50
sisma in -Y														
proporzionale alle masse														
	0%	251	50.282	NS	3,85	1,01	43489	193541	338959	338959	0	0	2,50	2,50
	100%	251	-58.653	NS	3,30	1,01	43489	193541	338937	338937	0	0	2,50	2,50
proporzionale alla deformata 1° modo di vibrazione														
	0%	315	49.590	NS	3,90	1,01	43489	193541	338961	338961	0	0	2,50	2,50
	100%	315	-59.345	NS	3,26	1,01	43489	193541	338961	338961	0	0	2,50	2,50
sisma in +X														
proporzionale alle masse														
Trave 2-P2	0%	-79	25.256	NS	7,66	1,04	43489	193541	350200	350200	0	0	2,50	2,50
	100%	-79	-85.884	NS	2,25	1,04	43489	193541	350168	350168	0	0	2,50	2,50
proporzionale alla deformata 1° modo di vibrazione														
	0%	-98	18.339	NS	10,55	1,05	43489	193541	353499	353499	0	0	2,50	2,50
	100%	-98	-92.801	NS	2,09	1,05	43489	193541	352982	352982	0	0	2,50	2,50
sisma in -X														
proporzionale alle masse														
	0%	-207	71.010	NS	2,73	1,01	43489	193541	339670	339670	0	0	2,50	2,50
	100%	-207	-40.130	NS	4,82	1,01	43489	193541	339102	339102	0	0	2,50	2,50
proporzionale alla deformata 1° modo di vibrazione														
	0%	-211	72.865	NS	2,66	1,01	43489	193541	340091	340091	0	0	2,50	2,50
	100%	-211	-38.275	NS	5,06	1,01	43489	193541	340066	340066	0	0	2,50	2,50
sisma in +Y														
proporzionale alle masse														

Id_{Tr}	$\%L_{LI}$	$V_{Ed,3}$	$V_{Ed,2}$	$CS^{(3)}$	$CS^{(2)}$	α_C	$V_{Rsd,s}{}^{(3)}$	$V_{Rsd,s}{}^{(2)}$	$V_{Rcd}{}^{(3)}$	$V_{Rcd}{}^{(2)}$	$V_{fd}{}^{(3)}$	$V_{fd}{}^{(2)}$	$Ctg\Theta^{(3)}$	$Ctg\Theta^{(2)}$
	[%]	[N]	[N]				[N]	[N]	[N]	[N]	[N]	[N]		
	0%	1.349	59.945	32,24	3,23	1,01	43489	193541	339588	339588	0	0	2,50	2,50
	100%	1.349	-51.196	32,24	3,78	1,01	43489	193541	339447	339447	0	0	2,50	2,50
proporzionale alla deformata 1° modo di vibrazione														
	0%	1.496	60.815	29,07	3,18	1,01	43489	193541	339599	339599	0	0	2,50	2,50
	100%	1.496	-50.325	29,07	3,85	1,01	43489	193541	339536	339536	0	0	2,50	2,50
sisma in -Y														
proporzionale alle masse														
	0%	87	53.296	NS	3,63	1,01	43489	193541	339686	339686	0	0	2,50	2,50
	100%	87	-57.844	NS	3,35	1,01	43489	193541	339743	339743	0	0	2,50	2,50
proporzionale alla deformata 1° modo di vibrazione														
	0%	26	52.233	NS	3,71	1,01	43489	193541	340003	340003	0	0	2,50	2,50
	100%	26	-58.907	NS	3,29	1,01	43489	193541	340083	340083	0	0	2,50	2,50
sisma in +X														
proporzionale alle masse														
Trave P2-3	0%	-43.836	108.622	0,99	1,78	1,07	43489	193541	359901	359901	0	0	2,50	2,50
	100%	-20.771	214.959	2,09	0,90	1,02	43489	193541	344064	344064	0	0	2,50	2,50
proporzionale alla deformata 1° modo di vibrazione														
	0%	-52.912	132.937	0,82	1,46	1,08	43489	193541	362746	362746	0	0	2,50	2,50
	100%	-25.755	245.052	1,69	0,79	1,03	43489	193541	345083	345083	0	0	2,50	2,50
sisma in -X														
proporzionale alle masse														
	0%	29.120	59.384	1,49	3,26	1,01	43489	193541	338997	338997	0	0	2,50	2,50
	100%	23.003	-45.227	1,89	4,28	1,01	43489	193541	338114	338114	0	0	2,50	2,50
proporzionale alla deformata 1° modo di vibrazione														
	0%	32.612	67.154	1,33	2,88	1,01	43489	193541	338119	338119	0	0	2,50	2,50
	100%	24.506	-52.781	1,77	3,67	1,00	43489	193541	337828	337828	0	0	2,50	2,50
sisma in +Y														
proporzionale alle masse														
	0%	7.157	4.283	6,08	45,19	1,02	43489	193541	344648	344648	0	0	2,50	2,50
	100%	3.238	18.780	13,43	10,31	1,02	43489	193541	343781	343781	0	0	2,50	2,50
proporzionale alla deformata 1° modo di vibrazione														
	0%	11.803	1.297	3,68	NS	1,03	43489	193541	345049	345049	0	0	2,50	2,50
	100%	6.569	15.287	6,62	12,66	1,02	43489	193541	344467	344467	0	0	2,50	2,50
sisma in -Y														
proporzionale alle masse														
	0%	-9.187	-583	4,73	NS	1,03	43489	193541	347000	347000	0	0	2,50	2,50
	100%	-1.138	45.022	38,22	4,30	1,02	43489	193541	344084	344084	0	0	2,50	2,50
proporzionale alla deformata 1° modo di vibrazione														
	0%	-12.565	67	3,46	NS	1,03	43489	193541	347805	347805	0	0	2,50	2,50
	100%	-3.907	54.011	11,13	3,58	1,02	43489	193541	344364	344364	0	0	2,50	2,50
sisma in +X														
proporzionale alle masse														
Trave 3-P3	0%	-15.043	82.490	2,89	2,35	1,00	43489	193541	337931	337931	0	0	2,50	2,50
	100%	-28.810	-78.414	1,51	2,47	1,01	43489	193541	338538	338538	0	0	2,50	2,50
proporzionale alla deformata 1° modo di vibrazione														
	0%	-17.492	95.622	2,49	2,02	1,00	43489	193541	337784	337784	0	0	2,50	2,50
	100%	-33.697	-95.700	1,29	2,02	1,01	43489	193541	338679	338679	0	0	2,50	2,50
sisma in -X														
proporzionale alle masse														
	0%	13.015	-295.198	3,34	0,66	1,02	43489	193541	341747	341747	0	0	2,50	2,50
	100%	48.473	-71.221	0,90	2,72	1,09	43489	193541	365808	365808	0	0	2,50	2,50
proporzionale alla deformata 1° modo di vibrazione														
	0%	15.762	-330.877	2,76	0,58	1,02	43489	193541	342130	342130	0	0	2,50	2,50
	100%	56.245	-100.494	0,77	1,93	1,10	43489	193541	369586	369586	0	0	2,50	2,50
sisma in +Y														
proporzionale alle masse														
	0%	4.355	19.570	9,99	9,89	1,02	43489	193541	343270	343270	0	0	2,50	2,50
	100%	-6.010	11.759	7,24	16,46	1,02	43489	193541	341531	341531	0	0	2,50	2,50
proporzionale alla deformata 1° modo di vibrazione														
	0%	9.991	19.989	4,35	9,68	1,02	43489	193541	343791	343791	0	0	2,50	2,50
	100%	-3.971	10.880	10,95	17,79	1,02	43489	193541	342025	342025	0	0	2,50	2,50
sisma in -Y														
proporzionale alle masse														
	0%	-4.225	41.329	10,29	4,68	1,02	43489	193541	343236	343236	0	0	2,50	2,50
	100%	-5.003	27.830	8,69	6,95	1,01	43489	193541	340665	340665	0	0	2,50	2,50
proporzionale alla deformata 1° modo di vibrazione														
	0%	-5.822	52.629	7,47	3,68	1,02	43489	193541	343229	343229	0	0	2,50	2,50
	100%	-8.474	28.987	5,13	6,68	1,01	43489	193541	340607	340607	0	0	2,50	2,50
sisma in +X														
proporzionale alle masse														
Trave P3-P4	0%	-488	-6.273	89,12	30,85	1,05	43489	193541	353417	353417	0	0	2,50	2,50
	100%	-488	-98.704	89,12	1,96	1,05	43489	193541	353473	353473	0	0	2,50	2,50
proporzionale alla deformata 1° modo di vibrazione														
	0%	-585	-16.203	74,34	11,94	1,06	43489	193541	356951	356951	0	0	2,50	2,50
	100%	-585	-108.634	74,34	1,78	1,06	43489	193541	356925	356925	0	0	2,50	2,50
sisma in -X														
proporzionale alle masse														
	0%	470	103.824	92,53	1,86	1,05	43489	193541	354416	354416	0	0	2,50	2,50
	100%	470	11.392	92,53	16,99	1,05	43489	193541	354626	354626	0	0	2,50	2,50
proporzionale alla deformata 1° modo di vibrazione														
	0%	629	113.377	69,14	1,71	1,06	43489	193541	357868	357868	0	0	2,50	2,50
	100%	629	20.945	69,14	9,24	1,06	43489	193541	357982	357982	0	0	2,50	2,50
sisma in +Y														
proporzionale alle masse														
	0%	-85	47.008	NS	4,12	1,00	43489	193541	337003	337003	0	0	2,50	2,50
	100%	-85	-45.423	NS	4,26	1,00	43489	193541	336793	336793	0	0	2,50	2,50

Id_{Tr}	$\%L_{LI}$ [%]	$V_{Ed,3}$ [N]	$V_{Ed,2}$ [N]	$CS^{(3)}$	$CS^{(2)}$	α_C	$V_{Rsd,s}{}^{(3)}$ [N]	$V_{Rsd,s}{}^{(2)}$ [N]	$V_{Rcd}{}^{(3)}$ [N]	$V_{Rcd}{}^{(2)}$ [N]	$V_{fd}{}^{(3)}$ [N]	$V_{fd}{}^{(2)}$ [N]	$Ctg\Theta^{(3)}$	$Ctg\Theta^{(2)}$
proporzionale alla deformata 1° modo di vibrazione														
	0%	-63	48.115	NS	4,02	1,00	43489	193541	337006	337006	0	0	2,50	2,50
	100%	-63	-44.316	NS	4,37	1,00	43489	193541	336910	336910	0	0	2,50	2,50
sisma in -Y														
proporzionale alle masse														
	0%	-149	36.479	NS	5,31	1,01	43489	193541	338166	338166	0	0	2,50	2,50
	100%	-149	-55.953	NS	3,46	1,01	43489	193541	338877	338877	0	0	2,50	2,50
proporzionale alla deformata 1° modo di vibrazione														
	0%	-241	32.983	NS	5,87	1,01	43489	193541	339153	339153	0	0	2,50	2,50
	100%	-241	-59.449	NS	3,26	1,01	43489	193541	339470	339470	0	0	2,50	2,50
sisma in +X														
proporzionale alle masse														
Trave P4-4	0%	-40.483	150.317	1,07	1,29	1,08	43489	193541	362914	362914	0	0	2,50	2,50
	100%	-14.368	268.813	3,03	0,72	1,02	43489	193541	343136	343136	0	0	2,50	2,50
proporzionale alla deformata 1° modo di vibrazione														
	0%	-47.552	183.500	0,91	1,05	1,09	43489	193541	366384	366384	0	0	2,50	2,50
	100%	-17.336	311.054	2,51	0,62	1,02	43489	193541	343897	343897	0	0	2,50	2,50
sisma in -X														
proporzionale alle masse														
	0%	21.273	55.305	2,04	3,50	1,00	43489	193541	337096	337096	0	0	2,50	2,50
	100%	12.865	-75.467	3,38	2,56	1,00	43489	193541	337461	337461	0	0	2,50	2,50
proporzionale alla deformata 1° modo di vibrazione														
	0%	25.185	66.001	1,73	2,93	1,00	43489	193541	336936	336936	0	0	2,50	2,50
	100%	13.865	-86.492	3,14	2,24	1,00	43489	193541	337319	337319	0	0	2,50	2,50
sisma in +Y														
proporzionale alle masse														
	0%	-8.928	-12.550	4,87	15,42	1,01	43489	193541	340392	340392	0	0	2,50	2,50
	100%	-21.212	-38.646	2,05	5,01	1,02	43489	193541	343341	343341	0	0	2,50	2,50
proporzionale alla deformata 1° modo di vibrazione														
	0%	-4.954	-17.496	8,78	11,06	1,01	43489	193541	340794	340794	0	0	2,50	2,50
	100%	-18.330	-42.853	2,37	4,52	1,02	43489	193541	343757	343757	0	0	2,50	2,50
sisma in -Y														
proporzionale alle masse														
	0%	-6.390	3.818	6,81	50,69	1,03	43489	193541	345466	345466	0	0	2,50	2,50
	100%	3.983	48.097	10,92	4,02	1,02	43489	193541	342731	342731	0	0	2,50	2,50
proporzionale alla deformata 1° modo di vibrazione														
	0%	-9.813	6.110	4,43	31,68	1,03	43489	193541	346832	346832	0	0	2,50	2,50
	100%	1.632	62.606	26,65	3,09	1,02	43489	193541	343235	343235	0	0	2,50	2,50
sisma in +X														
proporzionale alle masse														
Trave 4-P5	0%	-29.608	48.880	1,47	3,96	1,00	43489	193541	337919	337919	0	0	2,50	2,50
	100%	-39.309	-70.508	1,11	2,74	1,01	43489	193541	340311	340311	0	0	2,50	2,50
proporzionale alla deformata 1° modo di vibrazione														
	0%	-33.212	57.616	1,31	3,36	1,00	43489	193541	337817	337817	0	0	2,50	2,50
	100%	-44.689	-82.927	0,97	2,33	1,01	43489	193541	340001	340001	0	0	2,50	2,50
sisma in -X														
proporzionale alle masse														
	0%	26.321	-218.384	1,65	0,89	1,02	43489	193541	342755	342755	0	0	2,50	2,50
	100%	50.478	-38.623	0,86	5,01	1,07	43489	193541	360451	360451	0	0	2,50	2,50
proporzionale alla deformata 1° modo di vibrazione														
	0%	31.770	-242.212	1,37	0,80	1,02	43489	193541	343532	343532	0	0	2,50	2,50
	100%	59.719	-59.178	0,73	3,27	1,08	43489	193541	363108	363108	0	0	2,50	2,50
sisma in +Y														
proporzionale alle masse														
	0%	-23.842	-54.326	1,82	3,56	1,02	43489	193541	343678	343678	0	0	2,50	2,50
	100%	-20.715	-9.359	2,10	20,68	1,03	43489	193541	346666	346666	0	0	2,50	2,50
proporzionale alla deformata 1° modo di vibrazione														
	0%	-21.498	-55.878	2,02	3,46	1,02	43489	193541	344231	344231	0	0	2,50	2,50
	100%	-18.405	-6.876	2,36	28,15	1,03	43489	193541	346991	346991	0	0	2,50	2,50
sisma in -Y														
proporzionale alle masse														
	0%	-2.841	38.043	15,31	5,09	1,02	43489	193541	342927	342927	0	0	2,50	2,50
	100%	-12.953	6.761	3,36	28,63	1,02	43489	193541	342117	342117	0	0	2,50	2,50
proporzionale alla deformata 1° modo di vibrazione														
	0%	-6.910	49.728	6,29	3,89	1,02	43489	193541	342805	342805	0	0	2,50	2,50
	100%	-18.634	5.600	2,33	34,56	1,02	43489	193541	341768	341768	0	0	2,50	2,50
sisma in +X														
proporzionale alle masse														
Trave P5-5	0%	-173	41.728	NS	4,64	1,01	43489	193541	338998	338998	0	0	2,50	2,50
	100%	-173	-69.407	NS	2,79	1,01	43489	193541	339619	339619	0	0	2,50	2,50
proporzionale alla deformata 1° modo di vibrazione														
	0%	-190	39.285	NS	4,93	1,01	43489	193541	339281	339281	0	0	2,50	2,50
	100%	-190	-71.851	NS	2,69	1,01	43489	193541	340039	340039	0	0	2,50	2,50
sisma in -X														
proporzionale alle masse														
	0%	338	85.527	NS	2,26	1,05	43489	193541	352221	352221	0	0	2,50	2,50
	100%	338	-25.608	NS	7,56	1,05	43489	193541	352188	352188	0	0	2,50	2,50
proporzionale alla deformata 1° modo di vibrazione														
	0%	353	91.976	NS	2,10	1,06	43489	193541	354908	354908	0	0	2,50	2,50
	100%	353	-19.159	NS	10,10	1,06	43489	193541	355189	355189	0	0	2,50	2,50
sisma in +Y														
proporzionale alle masse														
	0%	-2.146	50.254	20,27	3,85	1,01	43489	193541	340804	340804	0	0	2,50	2,50
	100%	-2.146	-60.881	20,27	3,18	1,01	43489	193541	341062	341062	0	0	2,50	2,50
proporzionale alla deformata 1° modo di vibrazione														
	0%	-2.178	50.654	19,97	3,82	1,01	43489	193541	341045	341045	0	0	2,50	2,50

Id_{Tr}	$\%L_{LI}$	$V_{Ed,3}$	$V_{Ed,2}$	$CS^{(3)}$	$CS^{(2)}$	α_C	$V_{Rsd,s}{}^{(3)}$	$V_{Rsd,s}{}^{(2)}$	$V_{Rcd}{}^{(3)}$	$V_{Rcd}{}^{(2)}$	$V_{fd}{}^{(3)}$	$V_{fd}{}^{(2)}$	$Ctg\Theta^{(3)}$	$Ctg\Theta^{(2)}$
	[%]	[N]	[N]				[N]	[N]	[N]	[N]	[N]	[N]		
	100%	-2.178	-60.481	19,97	3,20	1,01	43489	193541	341189	341189	0	0	2,50	2,50
sisma in -Y														
proporzionale alle masse														
	0%	1.014	50.980	42,89	3,80	1,01	43489	193541	338323	338323	0	0	2,50	2,50
	100%	1.014	-60.155	42,89	3,22	1,01	43489	193541	338335	338335	0	0	2,50	2,50
proporzionale alla deformata 1° modo di vibrazione														
	0%	1.035	49.874	42,02	3,88	1,01	43489	193541	338107	338107	0	0	2,50	2,50
	100%	1.035	-61.262	42,02	3,16	1,01	43489	193541	338192	338192	0	0	2,50	2,50
sisma in +X														
proporzionale alle masse														
Trave 5-P6	0%	106	40.265	NS	4,81	1,03	43489	193541	345489	345489	0	0	2,50	2,50
	100%	106	-76.378	NS	2,53	1,03	43489	193541	345493	345493	0	0	2,50	2,50
proporzionale alla deformata 1° modo di vibrazione														
	0%	131	34.824	NS	5,56	1,03	43489	193541	347676	347676	0	0	2,50	2,50
	100%	131	-81.818	NS	2,37	1,03	43489	193541	347670	347670	0	0	2,50	2,50
sisma in -X														
proporzionale alle masse														
	0%	557	72.103	78,08	2,68	1,01	43489	193541	339988	339988	0	0	2,50	2,50
	100%	557	-44.540	78,08	4,35	1,01	43489	193541	339095	339095	0	0	2,50	2,50
proporzionale alla deformata 1° modo di vibrazione														
	0%	677	74.300	64,24	2,60	1,01	43489	193541	340691	340691	0	0	2,50	2,50
	100%	677	-42.343	64,24	4,57	1,01	43489	193541	340049	340049	0	0	2,50	2,50
sisma in +Y														
proporzionale alle masse														
	0%	-1.203	55.535	36,15	3,49	1,01	43489	193541	338584	338584	0	0	2,50	2,50
	100%	-1.203	-61.107	36,15	3,17	1,01	43489	193541	338581	338581	0	0	2,50	2,50
proporzionale alla deformata 1° modo di vibrazione														
	0%	-1.092	57.604	39,83	3,36	1,00	43489	193541	337887	337887	0	0	2,50	2,50
	100%	-1.092	-59.039	39,83	3,28	1,00	43489	193541	337829	337829	0	0	2,50	2,50
sisma in -Y														
proporzionale alle masse														
	0%	874	65.506	49,76	2,95	1,01	43489	193541	338606	338606	0	0	2,50	2,50
	100%	874	-51.136	49,76	3,78	1,01	43489	193541	338520	338520	0	0	2,50	2,50
proporzionale alla deformata 1° modo di vibrazione														
	0%	874	65.426	49,76	2,96	1,01	43489	193541	338545	338545	0	0	2,50	2,50
	100%	874	-51.216	49,76	3,78	1,01	43489	193541	338502	338502	0	0	2,50	2,50
sisma in +X														
proporzionale alle masse														
Trave P6-6	0%	-46.748	103.383	0,93	1,87	1,05	43489	193541	353933	353933	0	0	2,50	2,50
	100%	-33.649	128.391	1,29	1,51	1,02	43489	193541	343970	343970	0	0	2,50	2,50
proporzionale alla deformata 1° modo di vibrazione														
	0%	-56.439	121.288	0,77	1,60	1,06	43489	193541	356662	356662	0	0	2,50	2,50
	100%	-40.334	144.178	1,08	1,34	1,03	43489	193541	345573	345573	0	0	2,50	2,50
sisma in -X														
proporzionale alle masse														
	0%	37.591	122.404	1,16	1,58	1,01	43489	193541	339885	339885	0	0	2,50	2,50
	100%	21.636	40.643	2,01	4,76	1,00	43489	193541	336395	336395	0	0	2,50	2,50
proporzionale alla deformata 1° modo di vibrazione														
	0%	45.259	146.667	0,96	1,32	1,01	43489	193541	339787	339787	0	0	2,50	2,50
	100%	25.608	55.188	1,70	3,51	1,00	43489	193541	336395	336395	0	0	2,50	2,50
sisma in +Y														
proporzionale alle masse														
	0%	-2.138	-243	20,34	NS	1,02	43489	193541	343327	343327	0	0	2,50	2,50
	100%	545	-13.941	79,80	13,88	1,02	43489	193541	343139	343139	0	0	2,50	2,50
proporzionale alla deformata 1° modo di vibrazione														
	0%	9.595	-5.243	4,53	36,91	1,02	43489	193541	341917	341917	0	0	2,50	2,50
	100%	10.986	-39.770	3,96	4,87	1,02	43489	193541	343199	343199	0	0	2,50	2,50
sisma in -Y														
proporzionale alle masse														
	0%	13.683	50.231	3,18	3,85	1,02	43489	193541	341456	341456	0	0	2,50	2,50
	100%	15.718	29.272	2,77	6,61	1,01	43489	193541	339863	339863	0	0	2,50	2,50
proporzionale alla deformata 1° modo di vibrazione														
	0%	9.022	51.273	4,82	3,77	1,01	43489	193541	341254	341254	0	0	2,50	2,50
	100%	11.219	32.035	3,88	6,04	1,01	43489	193541	339200	339200	0	0	2,50	2,50
Piano terra								**Travata: Trave7-8-9-10-11-12**						
sisma in +X														
proporzionale alle masse														
Trave 7-8	0%	-121	42.493	NS	2,67	1,01	53340	113360	237857	237857	0	0	2,50	2,50
	100%	-121	-76.497	NS	1,48	1,01	53340	113360	237776	237776	0	0	2,50	2,50
proporzionale alla deformata 1° modo di vibrazione														
	0%	-169	39.991	NS	2,83	1,01	53340	113360	239250	239250	0	0	2,50	2,50
	100%	-169	-78.999	NS	1,43	1,01	53340	113360	237877	237877	0	0	2,50	2,50
sisma in -X														
proporzionale alle masse														
	0%	402	61.756	NS	1,84	1,01	53340	113360	237975	237975	0	0	2,50	2,50
	100%	402	-57.234	NS	1,98	1,01	53340	113360	237891	237891	0	0	2,50	2,50
proporzionale alla deformata 1° modo di vibrazione														
	0%	509	63.498	NS	1,79	1,01	53340	113360	238522	238522	0	0	2,50	2,50
	100%	509	-55.492	NS	2,04	1,01	53340	113360	238400	238400	0	0	2,50	2,50
sisma in +Y														
proporzionale alle masse														
	0%	177	59.435	NS	1,91	1,00	53340	113360	236521	236521	0	0	2,50	2,50
	100%	177	-59.555	NS	1,90	1,00	53340	113360	236443	236443	0	0	2,50	2,50
proporzionale alla deformata 1° modo di vibrazione														
	0%	177	59.808	NS	1,90	1,00	53340	113360	236439	236439	0	0	2,50	2,50
	100%	177	-59.182	NS	1,92	1,00	53340	113360	236439	236439	0	0	2,50	2,50

Id_{Tr}	$\%L_{LI}$ [%]	$V_{Ed,3}$ [N]	$V_{Ed,2}$ [N]	$CS^{(3)}$	$CS^{(2)}$	α_C	$V_{Rsd,s}{}^{(3)}$ [N]	$V_{Rsd,s}{}^{(2)}$ [N]	$V_{Rcd}{}^{(3)}$ [N]	$V_{Rcd}{}^{(2)}$ [N]	$V_{fd}{}^{(3)}$ [N]	$V_{fd}{}^{(2)}$ [N]	$Ctg\Theta^{(3)}$	$Ctg\Theta^{(2)}$
sisma in -Y														
proporzionale alle masse														
	0%	38	47.839	NS	2,37	1,00	53340	113360	237520	237520	0	0	2,50	2,50
	100%	38	-71.151	NS	1,59	1,01	53340	113360	237664	237664	0	0	2,50	2,50
proporzionale alla deformata 1° modo di vibrazione														
	0%	81	47.667	NS	2,38	1,01	53340	113360	237649	237649	0	0	2,50	2,50
	100%	81	-71.324	NS	1,59	1,01	53340	113360	237796	237796	0	0	2,50	2,50
sisma in +X														
proporzionale alle masse														
Trave 8-9	0%	13	51.461	NS	2,20	1,03	53340	113360	242686	242686	0	0	2,50	2,50
	100%	13	-68.565	NS	1,65	1,03	53340	113360	242684	242684	0	0	2,50	2,50
proporzionale alla deformata 1° modo di vibrazione														
	0%	25	49.770	NS	2,28	1,03	53340	113360	242976	242976	0	0	2,50	2,50
	100%	25	-70.256	NS	1,61	1,03	53340	113360	243156	243156	0	0	2,50	2,50
sisma in -X														
proporzionale alle masse														
	0%	-99	68.928	NS	1,64	1,03	53340	113360	243126	243126	0	0	2,50	2,50
	100%	-99	-51.098	NS	2,22	1,03	53340	113360	242934	242934	0	0	2,50	2,50
proporzionale alla deformata 1° modo di vibrazione														
	0%	-119	70.792	NS	1,60	1,03	53340	113360	243777	243777	0	0	2,50	2,50
	100%	-119	-49.234	NS	2,30	1,03	53340	113360	243570	243570	0	0	2,50	2,50
sisma in +Y														
proporzionale alle masse														
	0%	37	58.724	NS	1,93	1,01	53340	113360	239896	239896	0	0	2,50	2,50
	100%	37	-61.303	NS	1,85	1,01	53340	113360	239932	239932	0	0	2,50	2,50
proporzionale alla deformata 1° modo di vibrazione														
	0%	12	58.557	NS	1,94	1,01	53340	113360	239761	239761	0	0	2,50	2,50
	100%	12	-61.470	NS	1,84	1,01	53340	113360	239788	239788	0	0	2,50	2,50
sisma in -Y														
proporzionale alle masse														
	0%	-147	61.126	NS	1,85	1,02	53340	113360	241680	241680	0	0	2,50	2,50
	100%	-147	-58.900	NS	1,92	1,02	53340	113360	241647	241647	0	0	2,50	2,50
proporzionale alla deformata 1° modo di vibrazione														
	0%	-158	61.341	NS	1,85	1,02	53340	113360	241726	241726	0	0	2,50	2,50
	100%	-158	-58.686	NS	1,93	1,02	53340	113360	241700	241700	0	0	2,50	2,50
sisma in +X														
proporzionale alle masse														
Trave 9-10	0%	-79	53.584	NS	2,12	1,02	53340	113360	241488	241488	0	0	2,50	2,50
	100%	-79	-66.442	NS	1,71	1,02	53340	113360	241489	241489	0	0	2,50	2,50
proporzionale alla deformata 1° modo di vibrazione														
	0%	-78	51.939	NS	2,18	1,02	53340	113360	241809	241809	0	0	2,50	2,50
	100%	-78	-68.087	NS	1,66	1,02	53340	113360	241971	241971	0	0	2,50	2,50
sisma in -X														
proporzionale alle masse														
	0%	15	69.273	NS	1,64	1,03	53340	113360	242884	242884	0	0	2,50	2,50
	100%	15	-50.754	NS	2,23	1,03	53340	113360	242732	242732	0	0	2,50	2,50
proporzionale alla deformata 1° modo di vibrazione														
	0%	26	70.829	NS	1,60	1,03	53340	113360	243363	243363	0	0	2,50	2,50
	100%	26	-49.198	NS	2,30	1,03	53340	113360	243179	243179	0	0	2,50	2,50
sisma in +Y														
proporzionale alle masse														
	0%	122	60.797	NS	1,86	1,02	53340	113360	240230	240230	0	0	2,50	2,50
	100%	122	-59.229	NS	1,91	1,02	53340	113360	240235	240235	0	0	2,50	2,50
proporzionale alla deformata 1° modo di vibrazione														
	0%	105	60.785	NS	1,86	1,02	53340	113360	240210	240210	0	0	2,50	2,50
	100%	105	-59.241	NS	1,91	1,02	53340	113360	240210	240210	0	0	2,50	2,50
sisma in -Y														
proporzionale alle masse														
	0%	-348	61.230	NS	1,85	1,02	53340	113360	240341	240341	0	0	2,50	2,50
	100%	-348	-58.796	NS	1,93	1,02	53340	113360	240357	240357	0	0	2,50	2,50
proporzionale alla deformata 1° modo di vibrazione														
	0%	-353	61.309	NS	1,85	1,02	53340	113360	240349	240349	0	0	2,50	2,50
	100%	-353	-58.717	NS	1,93	1,02	53340	113360	240371	240371	0	0	2,50	2,50
sisma in +X														
proporzionale alle masse														
Trave 10-11	0%	40	39.084	NS	2,90	1,02	53340	113360	241806	241806	0	0	2,50	2,50
	100%	40	-50.785	NS	2,23	1,02	53340	113360	241811	241811	0	0	2,50	2,50
proporzionale alla deformata 1° modo di vibrazione														
	0%	46	37.570	NS	3,02	1,02	53340	113360	241910	241910	0	0	2,50	2,50
	100%	46	-52.299	NS	2,17	1,02	53340	113360	242144	242144	0	0	2,50	2,50
sisma in -X														
proporzionale alle masse														
	0%	-69	53.697	NS	2,11	1,03	53340	113360	244339	244339	0	0	2,50	2,50
	100%	-69	-36.172	NS	3,13	1,03	53340	113360	244056	244056	0	0	2,50	2,50
proporzionale alla deformata 1° modo di vibrazione														
	0%	-74	55.059	NS	2,06	1,04	53340	113360	244977	244977	0	0	2,50	2,50
	100%	-74	-34.810	NS	3,26	1,03	53340	113360	244694	244694	0	0	2,50	2,50
sisma in +Y														
proporzionale alle masse														
	0%	597	45.965	89,35	2,47	1,02	53340	113360	240661	240661	0	0	2,50	2,50
	100%	597	-43.904	89,35	2,58	1,02	53340	113360	240713	240713	0	0	2,50	2,50
proporzionale alla deformata 1° modo di vibrazione														
	0%	571	45.932	93,42	2,47	1,02	53340	113360	240649	240649	0	0	2,50	2,50
	100%	571	-43.937	93,42	2,58	1,02	53340	113360	240683	240683	0	0	2,50	2,50
sisma in -Y														
proporzionale alle masse														

Id_{Tr}	$\%L_{LI}$	$V_{Ed,3}$	$V_{Ed,2}$	$CS^{(3)}$	$CS^{(2)}$	α_C	$V_{Rsd,s}{}^{(3)}$	$V_{Rsd,s}{}^{(2)}$	$V_{Rcd}{}^{(3)}$	$V_{Rcd}{}^{(2)}$	$V_{fd}{}^{(3)}$	$V_{fd}{}^{(2)}$	$Ctg\Theta^{(3)}$	$Ctg\Theta^{(2)}$
	[%]	[N]	[N]				[N]	[N]	[N]	[N]	[N]	[N]		
	0%	-428	46.765	NS	2,42	1,02	53340	113360	240729	240729	0	0	2,50	2,50
	100%	-428	-43.104	NS	2,63	1,02	53340	113360	240873	240873	0	0	2,50	2,50
proporzionale alla deformata 1° modo di vibrazione														
	0%	-404	46.855	NS	2,42	1,02	53340	113360	240706	240706	0	0	2,50	2,50
	100%	-404	-43.015	NS	2,64	1,02	53340	113360	240709	240709	0	0	2,50	2,50
sisma in +X														
proporzionale alle masse														
Trave 11-12	0%	109	44.761	NS	2,53	1,01	53340	113360	238636	238636	0	0	2,50	2,50
	100%	109	-49.737	NS	2,28	1,01	53340	113360	238620	238620	0	0	2,50	2,50
proporzionale alla deformata 1° modo di vibrazione														
	0%	158	42.985	NS	2,64	1,01	53340	113360	239217	239217	0	0	2,50	2,50
	100%	158	-51.513	NS	2,20	1,01	53340	113360	239601	239601	0	0	2,50	2,50
sisma in -X														
proporzionale alle masse														
	0%	-6	59.262	NS	1,91	1,00	53340	113360	237417	237417	0	0	2,50	2,50
	100%	-6	-35.236	NS	3,22	1,00	53340	113360	236913	236913	0	0	2,50	2,50
proporzionale alla deformata 1° modo di vibrazione														
	0%	-36	60.937	NS	1,86	1,00	53340	113360	237490	237490	0	0	2,50	2,50
	100%	-36	-33.561	NS	3,38	1,00	53340	113360	236995	236995	0	0	2,50	2,50
sisma in +Y														
proporzionale alle masse														
	0%	756	50.742	70,56	2,23	1,00	53340	113360	236755	236755	0	0	2,50	2,50
	100%	756	-43.755	70,56	2,59	1,00	53340	113360	236801	236801	0	0	2,50	2,50
proporzionale alla deformata 1° modo di vibrazione														
	0%	773	50.826	69,00	2,23	1,00	53340	113360	236682	236682	0	0	2,50	2,50
	100%	773	-43.672	69,00	2,60	1,00	53340	113360	236687	236687	0	0	2,50	2,50
sisma in -Y														
proporzionale alle masse														
	0%	-387	49.982	NS	2,27	1,00	53340	113360	236736	236736	0	0	2,50	2,50
	100%	-387	-44.515	NS	2,55	1,00	53340	113360	236698	236698	0	0	2,50	2,50
proporzionale alla deformata 1° modo di vibrazione														
	0%	-416	50.067	NS	2,26	1,00	53340	113360	236629	236629	0	0	2,50	2,50
	100%	-416	-44.430	NS	2,55	1,00	53340	113360	236621	236621	0	0	2,50	2,50
Piano terra								**Travata: Trave19-P9-20-P10-21-P11-P12-22-P13-23-P14-24**						
sisma in +X														
proporzionale alle masse														
Trave 19-P9	0%	22.251	22.369	1,95	8,65	1,00	43489	193541	336395	336395	0	0	2,50	2,50
	100%	29.626	-75.680	1,47	2,56	1,01	43489	193541	339491	339491	0	0	2,50	2,50
proporzionale alla deformata 1° modo di vibrazione														
	0%	26.747	26.162	1,63	7,40	1,00	43489	193541	336395	336395	0	0	2,50	2,50
	100%	34.838	-92.184	1,25	2,10	1,01	43489	193541	339309	339309	0	0	2,50	2,50
sisma in -X														
proporzionale alle masse														
	0%	-20.709	-101.183	2,10	1,91	1,01	43489	193541	339904	339904	0	0	2,50	2,50
	100%	-25.759	-80.799	1,69	2,40	1,05	43489	193541	351943	351943	0	0	2,50	2,50
proporzionale alla deformata 1° modo di vibrazione														
	0%	-25.128	-119.382	1,73	1,62	1,01	43489	193541	340510	340510	0	0	2,50	2,50
	100%	-32.160	-99.886	1,35	1,94	1,05	43489	193541	354656	354656	0	0	2,50	2,50
sisma in +Y														
proporzionale alle masse														
	0%	-19.014	-43.083	2,29	4,49	1,01	43489	193541	339088	339088	0	0	2,50	2,50
	100%	-10.053	-17.927	4,33	10,80	1,02	43489	193541	342889	342889	0	0	2,50	2,50
proporzionale alla deformata 1° modo di vibrazione														
	0%	-22.233	-46.283	1,96	4,18	1,01	43489	193541	339198	339198	0	0	2,50	2,50
	100%	-13.571	-16.287	3,20	11,88	1,02	43489	193541	342779	342779	0	0	2,50	2,50
sisma in -Y														
proporzionale alle masse														
	0%	18.275	-27.585	2,38	7,02	1,01	43489	193541	339852	339852	0	0	2,50	2,50
	100%	15.965	-14.238	2,72	13,59	1,03	43489	193541	344847	344847	0	0	2,50	2,50
proporzionale alla deformata 1° modo di vibrazione														
	0%	20.627	-21.802	2,11	8,88	1,01	43489	193541	340054	340054	0	0	2,50	2,50
	100%	19.428	-16.057	2,24	12,05	1,03	43489	193541	345146	345146	0	0	2,50	2,50
sisma in +X														
proporzionale alle masse														
Trave P9-20	0%	321	47.998	NS	4,03	1,01	43489	193541	339370	339370	0	0	2,50	2,50
	100%	321	-82.274	NS	2,35	1,01	43489	193541	339968	339968	0	0	2,50	2,50
proporzionale alla deformata 1° modo di vibrazione														
	0%	384	45.567	NS	4,25	1,01	43489	193541	340421	340421	0	0	2,50	2,50
	100%	384	-84.705	NS	2,28	1,01	43489	193541	340413	340413	0	0	2,50	2,50
sisma in -X														
proporzionale alle masse														
	0%	49	79.833	NS	2,42	1,02	43489	193541	344020	344020	0	0	2,50	2,50
	100%	49	-50.439	NS	3,84	1,02	43489	193541	342789	342789	0	0	2,50	2,50
proporzionale alla deformata 1° modo di vibrazione														
	0%	54	85.094	NS	2,27	1,03	43489	193541	346027	346027	0	0	2,50	2,50
	100%	54	-45.179	NS	4,28	1,03	43489	193541	346040	346040	0	0	2,50	2,50
sisma in +Y														
proporzionale alle masse														
	0%	-622	61.586	69,92	3,14	1,01	43489	193541	338649	338649	0	0	2,50	2,50
	100%	-622	-68.686	69,92	2,82	1,01	43489	193541	338573	338573	0	0	2,50	2,50
proporzionale alla deformata 1° modo di vibrazione														
	0%	-690	61.046	63,03	3,17	1,01	43489	193541	338615	338615	0	0	2,50	2,50
	100%	-690	-69.227	63,03	2,80	1,01	43489	193541	338585	338585	0	0	2,50	2,50
sisma in -Y														
proporzionale alle masse														
	0%	214	65.495	NS	2,96	1,01	43489	193541	339333	339333	0	0	2,50	2,50

Id_{Tr}	$\%L_{LI}$	$V_{Ed,3}$	$V_{Ed,2}$	$CS^{(3)}$	$CS^{(2)}$	α_C	$V_{Rsd,s}{}^{(3)}$	$V_{Rsd,s}{}^{(2)}$	$V_{Rcd}{}^{(3)}$	$V_{Rcd}{}^{(2)}$	$V_{fd}{}^{(3)}$	$V_{fd}{}^{(2)}$	$Ctg\Theta^{(3)}$	$Ctg\Theta^{(2)}$
	[%]	[N]	[N]				[N]	[N]	[N]	[N]	[N]	[N]		
	100%	214	-64.778	NS	2,99	1,01	43489	193541	339167	339167	0	0	2,50	2,50
proporzionale alla deformata 1° modo di vibrazione														
	0%	319	66.467	NS	2,91	1,01	43489	193541	339350	339350	0	0	2,50	2,50
	100%	319	-63.805	NS	3,03	1,01	43489	193541	339232	339232	0	0	2,50	2,50
sisma in +X														
proporzionale alle masse														
Trave 20-P10	0%	157	37.092	NS	5,22	1,05	43489	193541	354636	354636	0	0	2,50	2,50
	100%	157	-95.818	NS	2,02	1,05	43489	193541	354645	354645	0	0	2,50	2,50
proporzionale alla deformata 1° modo di vibrazione														
	0%	201	29.956	NS	6,46	1,06	43489	193541	358252	358252	0	0	2,50	2,50
	100%	201	-102.954	NS	1,88	1,06	43489	193541	358252	358252	0	0	2,50	2,50
sisma in -X														
proporzionale alle masse														
	0%	33	84.559	NS	2,29	1,01	43489	193541	338849	338849	0	0	2,50	2,50
	100%	33	-48.351	NS	4,00	1,00	43489	193541	337457	337457	0	0	2,50	2,50
proporzionale alla deformata 1° modo di vibrazione														
	0%	4	86.252	NS	2,24	1,01	43489	193541	339050	339050	0	0	2,50	2,50
	100%	4	-46.658	NS	4,15	1,00	43489	193541	337962	337962	0	0	2,50	2,50
sisma in +Y														
proporzionale alle masse														
	0%	-489	72.486	88,93	2,67	1,01	43489	193541	339530	339530	0	0	2,50	2,50
	100%	-489	-60.424	88,93	3,20	1,01	43489	193541	339487	339487	0	0	2,50	2,50
proporzionale alla deformata 1° modo di vibrazione														
	0%	-453	71.850	96,00	2,69	1,01	43489	193541	339679	339679	0	0	2,50	2,50
	100%	-453	-61.061	96,00	3,17	1,01	43489	193541	339648	339648	0	0	2,50	2,50
sisma in -Y														
proporzionale alle masse														
	0%	-262	74.131	NS	2,61	1,01	43489	193541	339336	339336	0	0	2,50	2,50
	100%	-262	-58.779	NS	3,29	1,01	43489	193541	339220	339220	0	0	2,50	2,50
proporzionale alla deformata 1° modo di vibrazione														
	0%	-311	74.594	NS	2,59	1,01	43489	193541	339316	339316	0	0	2,50	2,50
	100%	-311	-58.316	NS	3,32	1,01	43489	193541	339237	339237	0	0	2,50	2,50
sisma in +X														
proporzionale alle masse														
Trave P10-21	0%	34.322	122.165	1,27	1,58	1,08	43489	193541	362900	362900	0	0	2,50	2,50
	100%	20.939	223.097	2,08	0,87	1,03	43489	193541	346762	346762	0	0	2,50	2,50
proporzionale alla deformata 1° modo di vibrazione														
	0%	41.354	149.167	1,05	1,30	1,09	43489	193541	366507	366507	0	0	2,50	2,50
	100%	25.825	258.730	1,68	0,75	1,04	43489	193541	348285	348285	0	0	2,50	2,50
sisma in -X														
proporzionale alle masse														
	0%	-24.110	57.625	1,80	3,36	1,01	43489	193541	338451	338451	0	0	2,50	2,50
	100%	-22.149	-56.797	1,96	3,41	1,00	43489	193541	337819	337819	0	0	2,50	2,50
proporzionale alla deformata 1° modo di vibrazione														
	0%	-26.689	66.335	1,63	2,92	1,00	43489	193541	337367	337367	0	0	2,50	2,50
	100%	-23.375	-63.952	1,86	3,03	1,00	43489	193541	337023	337023	0	0	2,50	2,50
sisma in +Y														
proporzionale alle masse														
	0%	-13.574	3.762	3,20	51,45	1,03	43489	193541	345037	345037	0	0	2,50	2,50
	100%	-17.299	24.241	2,51	7,98	1,02	43489	193541	343795	343795	0	0	2,50	2,50
proporzionale alla deformata 1° modo di vibrazione														
	0%	-11.831	3.229	3,68	59,94	1,03	43489	193541	345350	345350	0	0	2,50	2,50
	100%	-15.829	30.153	2,75	6,42	1,02	43489	193541	343974	343974	0	0	2,50	2,50
sisma in -Y														
proporzionale alle masse														
	0%	-8.879	4.844	4,90	39,95	1,02	43489	193541	342913	342913	0	0	2,50	2,50
	100%	-4.840	-20.300	8,99	9,53	1,02	43489	193541	343388	343388	0	0	2,50	2,50
proporzionale alla deformata 1° modo di vibrazione														
	0%	-10.490	10.184	4,15	19,00	1,02	43489	193541	342680	342680	0	0	2,50	2,50
	100%	-5.994	-21.433	7,26	9,03	1,02	43489	193541	342931	342931	0	0	2,50	2,50
sisma in +X														
proporzionale alle masse														
Trave 21-P11	0%	19.167	91.396	2,27	2,12	1,01	43489	193541	338296	338296	0	0	2,50	2,50
	100%	25.910	-72.064	1,68	2,69	1,01	43489	193541	338256	338256	0	0	2,50	2,50
proporzionale alla deformata 1° modo di vibrazione														
	0%	22.039	107.357	1,97	1,80	1,00	43489	193541	338012	338012	0	0	2,50	2,50
	100%	30.531	-91.646	1,42	2,11	1,01	43489	193541	338350	338350	0	0	2,50	2,50
sisma in -X														
proporzionale alle masse														
	0%	-10.195	-309.040	4,27	0,63	1,02	43489	193541	343958	343958	0	0	2,50	2,50
	100%	-32.777	-96.746	1,33	2,00	1,10	43489	193541	370793	370793	0	0	2,50	2,50
proporzionale alla deformata 1° modo di vibrazione														
	0%	-13.118	-348.518	3,32	0,56	1,02	43489	193541	344434	344434	0	0	2,50	2,50
	100%	-37.951	-130.205	1,15	1,49	1,11	43489	193541	375073	375073	0	0	2,50	2,50
sisma in +Y														
proporzionale alle masse														
	0%	-11.312	7.936	3,84	24,39	1,02	43489	193541	343733	343733	0	0	2,50	2,50
	100%	-7.084	25.085	6,14	7,72	1,02	43489	193541	343640	343640	0	0	2,50	2,50
proporzionale alla deformata 1° modo di vibrazione														
	0%	-10.327	14.080	4,21	13,75	1,02	43489	193541	343731	343731	0	0	2,50	2,50
	100%	-4.798	24.254	9,06	7,98	1,02	43489	193541	343270	343270	0	0	2,50	2,50
sisma in -Y														
proporzionale alle masse														
	0%	-989	-46.917	43,97	4,13	1,02	43489	193541	344045	344045	0	0	2,50	2,50
	100%	-4.057	3.896	10,72	49,68	1,03	43489	193541	347780	347780	0	0	2,50	2,50
proporzionale alla deformata 1° modo di vibrazione														

Id_{Tr}	$\%L_{LI}$	$V_{Ed,3}$	$V_{Ed,2}$	$CS^{(3)}$	$CS^{(2)}$	α_C	$V_{Rsd,s}{}^{(3)}$	$V_{Rsd,s}{}^{(2)}$	$V_{Rcd}{}^{(3)}$	$V_{Rcd}{}^{(2)}$	$V_{fd}{}^{(3)}$	$V_{fd}{}^{(2)}$	$Ctg\Theta^{(3)}$	$Ctg\Theta^{(2)}$
	[%]	[N]	[N]				[N]	[N]	[N]	[N]	[N]	[N]		
	0%	-4	-62.410	NS	3,10	1,02	43489	193541	343507	343507	0	0	2,50	2,50
	100%	-4.877	-5.007	8,92	38,65	1,04	43489	193541	348792	348792	0	0	2,50	2,50
sisma in +X														
proporzionale alle masse														
Trave P11-P12	0%	154	2.594	NS	74,61	1,05	43489	193541	353356	353356	0	0	2,50	2,50
	100%	154	-107.943	NS	1,79	1,05	43489	193541	353328	353328	0	0	2,50	2,50
proporzionale alla deformata 1° modo di vibrazione														
	0%	174	-7.660	NS	25,27	1,06	43489	193541	357035	357035	0	0	2,50	2,50
	100%	174	-118.197	NS	1,64	1,06	43489	193541	356930	356930	0	0	2,50	2,50
sisma in -X														
proporzionale alle masse														
	0%	-203	119.395	NS	1,62	1,06	43489	193541	356497	356497	0	0	2,50	2,50
	100%	-203	8.858	NS	21,85	1,06	43489	193541	356595	356595	0	0	2,50	2,50
proporzionale alla deformata 1° modo di vibrazione														
	0%	-272	129.438	NS	1,50	1,07	43489	193541	360189	360189	0	0	2,50	2,50
	100%	-272	18.901	NS	10,24	1,07	43489	193541	360253	360253	0	0	2,50	2,50
sisma in +Y														
proporzionale alle masse														
	0%	-14	57.225	NS	3,38	1,00	43489	193541	337611	337611	0	0	2,50	2,50
	100%	-14	-53.312	NS	3,63	1,00	43489	193541	337702	337702	0	0	2,50	2,50
proporzionale alla deformata 1° modo di vibrazione														
	0%	18	54.881	NS	3,53	1,00	43489	193541	337595	337595	0	0	2,50	2,50
	100%	18	-55.656	NS	3,48	1,00	43489	193541	337686	337686	0	0	2,50	2,50
sisma in -Y														
proporzionale alle masse														
	0%	53	68.508	NS	2,83	1,01	43489	193541	340598	340598	0	0	2,50	2,50
	100%	53	-42.029	NS	4,60	1,01	43489	193541	339734	339734	0	0	2,50	2,50
proporzionale alla deformata 1° modo di vibrazione														
	0%	41	71.727	NS	2,70	1,02	43489	193541	341443	341443	0	0	2,50	2,50
	100%	41	-38.810	NS	4,99	1,01	43489	193541	341426	341426	0	0	2,50	2,50
sisma in +X														
proporzionale alle masse														
Trave P12-22	0%	38.559	134.193	1,13	1,44	1,08	43489	193541	364699	364699	0	0	2,50	2,50
	100%	24.771	256.227	1,76	0,76	1,03	43489	193541	346769	346769	0	0	2,50	2,50
proporzionale alla deformata 1° modo di vibrazione														
	0%	45.566	165.177	0,95	1,17	1,10	43489	193541	368581	368581	0	0	2,50	2,50
	100%	29.107	297.585	1,49	0,65	1,04	43489	193541	348272	348272	0	0	2,50	2,50
sisma in -X														
proporzionale alle masse														
	0%	-17.411	75.143	2,50	2,58	1,00	43489	193541	336395	336395	0	0	2,50	2,50
	100%	-8.806	-52.415	4,94	3,69	1,00	43489	193541	336395	336395	0	0	2,50	2,50
proporzionale alla deformata 1° modo di vibrazione														
	0%	-20.354	88.191	2,14	2,19	1,00	43489	193541	336395	336395	0	0	2,50	2,50
	100%	-9.855	-59.858	4,41	3,23	1,00	43489	193541	336395	336395	0	0	2,50	2,50
sisma in +Y														
proporzionale alle masse														
	0%	-2.194	-3.963	19,82	48,84	1,02	43489	193541	342432	342432	0	0	2,50	2,50
	100%	-5.378	23.511	8,09	8,23	1,02	43489	193541	341604	341604	0	0	2,50	2,50
proporzionale alla deformata 1° modo di vibrazione														
	0%	845	-4.415	51,47	43,84	1,02	43489	193541	343128	343128	0	0	2,50	2,50
	100%	-2.442	32.406	17,81	5,97	1,02	43489	193541	341961	341961	0	0	2,50	2,50
sisma in -Y														
proporzionale alle masse														
	0%	1.458	-9.992	29,83	19,37	1,01	43489	193541	341063	341063	0	0	2,50	2,50
	100%	13.660	-56.279	3,18	3,44	1,02	43489	193541	344142	344142	0	0	2,50	2,50
proporzionale alla deformata 1° modo di vibrazione														
	0%	121	-6.453	NS	29,99	1,01	43489	193541	340589	340589	0	0	2,50	2,50
	100%	13.224	-61.091	3,29	3,17	1,02	43489	193541	343608	343608	0	0	2,50	2,50
sisma in +X														
proporzionale alle masse														
Trave 22-P13	0%	17.359	93.818	2,51	2,06	1,01	43489	193541	338494	338494	0	0	2,50	2,50
	100%	30.210	-53.219	1,44	3,64	1,00	43489	193541	338010	338010	0	0	2,50	2,50
proporzionale alla deformata 1° modo di vibrazione														
	0%	19.871	111.389	2,19	1,74	1,01	43489	193541	338202	338202	0	0	2,50	2,50
	100%	34.870	-66.141	1,25	2,93	1,00	43489	193541	337592	337592	0	0	2,50	2,50
sisma in -X														
proporzionale alle masse														
	0%	-17.028	-273.763	2,55	0,71	1,01	43489	193541	340484	340484	0	0	2,50	2,50
	100%	-42.838	-74.920	1,02	2,58	1,08	43489	193541	364147	364147	0	0	2,50	2,50
proporzionale alla deformata 1° modo di vibrazione														
	0%	-20.551	-308.211	2,12	0,63	1,01	43489	193541	340921	340921	0	0	2,50	2,50
	100%	-50.466	-101.603	0,86	1,90	1,09	43489	193541	367708	367708	0	0	2,50	2,50
sisma in +Y														
proporzionale alle masse														
	0%	-16.200	-6.227	2,68	31,08	1,02	43489	193541	342325	342325	0	0	2,50	2,50
	100%	-7.598	19.648	5,72	9,85	1,02	43489	193541	342780	342780	0	0	2,50	2,50
proporzionale alla deformata 1° modo di vibrazione														
	0%	-17.053	-429	2,55	NS	1,02	43489	193541	342115	342115	0	0	2,50	2,50
	100%	-5.771	18.946	7,54	10,22	1,02	43489	193541	342313	342313	0	0	2,50	2,50
sisma in -Y														
proporzionale alle masse														
	0%	3.768	-9.540	11,54	20,29	1,02	43489	193541	344272	344272	0	0	2,50	2,50
	100%	5.651	-941	7,70	NS	1,02	43489	193541	344133	344133	0	0	2,50	2,50
proporzionale alla deformata 1° modo di vibrazione														
	0%	4.734	-19.270	9,19	10,04	1,02	43489	193541	343961	343961	0	0	2,50	2,50
	100%	5.787	-7.695	7,51	25,15	1,02	43489	193541	344549	344549	0	0	2,50	2,50

Id_{Tr}	$\%L_{LI}$ [%]	$V_{Ed,3}$ [N]	$V_{Ed,2}$ [N]	$CS^{(3)}$	$CS^{(2)}$	α_C	$V_{Rsd,s}{}^{(3)}$ [N]	$V_{Rsd,s}{}^{(2)}$ [N]	$V_{Rcd}{}^{(3)}$ [N]	$V_{Rcd}{}^{(2)}$ [N]	$V_{fd}{}^{(3)}$ [N]	$V_{fd}{}^{(2)}$ [N]	$Ctg\Theta^{(3)}$	$Ctg\Theta^{(2)}$
sisma in +X														
proporzionale alle masse														
Trave P13-23	0%	240	27.121	NS	7,14	1,01	43489	193541	339421	339421	0	0	2,50	2,50
	100%	240	-59.475	NS	3,25	1,01	43489	193541	338832	338832	0	0	2,50	2,50
proporzionale alla deformata 1° modo di vibrazione														
	0%	265	24.488	NS	7,90	1,01	43489	193541	340166	340166	0	0	2,50	2,50
	100%	265	-62.108	NS	3,12	1,01	43489	193541	339115	339115	0	0	2,50	2,50
sisma in -X														
proporzionale alle masse														
	0%	-390	80.380	NS	2,41	1,06	43489	193541	356321	356321	0	0	2,50	2,50
	100%	-390	-6.216	NS	31,14	1,06	43489	193541	356713	356713	0	0	2,50	2,50
proporzionale alla deformata 1° modo di vibrazione														
	0%	-442	87.654	98,39	2,21	1,07	43489	193541	359936	359936	0	0	2,50	2,50
	100%	-442	1.058	98,39	NS	1,07	43489	193541	360506	360506	0	0	2,50	2,50
sisma in +Y														
proporzionale alle masse														
	0%	-591	42.680	73,59	4,53	1,01	43489	193541	338568	338568	0	0	2,50	2,50
	100%	-591	-43.916	73,59	4,41	1,01	43489	193541	338642	338642	0	0	2,50	2,50
proporzionale alla deformata 1° modo di vibrazione														
	0%	-613	41.428	70,94	4,67	1,01	43489	193541	338197	338197	0	0	2,50	2,50
	100%	-613	-45.168	70,94	4,28	1,01	43489	193541	338275	338275	0	0	2,50	2,50
sisma in -Y														
proporzionale alle masse														
	0%	1.525	40.242	28,52	4,81	1,01	43489	193541	340099	340099	0	0	2,50	2,50
	100%	1.525	-46.354	28,52	4,18	1,01	43489	193541	340314	340314	0	0	2,50	2,50
proporzionale alla deformata 1° modo di vibrazione														
	0%	1.604	41.526	27,11	4,66	1,01	43489	193541	340667	340667	0	0	2,50	2,50
	100%	1.604	-45.070	27,11	4,29	1,01	43489	193541	340712	340712	0	0	2,50	2,50
sisma in +X														
proporzionale alle masse														
Trave 23-P14	0%	94	22.485	NS	8,61	1,04	43489	193541	349183	349183	0	0	2,50	2,50
	100%	94	-68.402	NS	2,83	1,04	43489	193541	349180	349180	0	0	2,50	2,50
proporzionale alla deformata 1° modo di vibrazione														
	0%	123	16.037	NS	12,07	1,05	43489	193541	352322	352322	0	0	2,50	2,50
	100%	123	-74.850	NS	2,59	1,05	43489	193541	352298	352298	0	0	2,50	2,50
sisma in -X														
proporzionale alle masse														
	0%	-447	61.261	97,29	3,16	1,01	43489	193541	338991	338991	0	0	2,50	2,50
	100%	-447	-29.626	97,29	6,53	1,01	43489	193541	339573	339573	0	0	2,50	2,50
proporzionale alla deformata 1° modo di vibrazione														
	0%	-579	63.571	75,11	3,04	1,01	43489	193541	339579	339579	0	0	2,50	2,50
	100%	-579	-27.316	75,11	7,09	1,01	43489	193541	340251	340251	0	0	2,50	2,50
sisma in +Y														
proporzionale alle masse														
	0%	-399	53.880	NS	3,59	1,00	43489	193541	337496	337496	0	0	2,50	2,50
	100%	-399	-37.007	NS	5,23	1,00	43489	193541	337288	337288	0	0	2,50	2,50
proporzionale alla deformata 1° modo di vibrazione														
	0%	-373	53.576	NS	3,61	1,00	43489	193541	337400	337400	0	0	2,50	2,50
	100%	-373	-37.311	NS	5,19	1,00	43489	193541	337195	337195	0	0	2,50	2,50
sisma in -Y														
proporzionale alle masse														
	0%	627	46.630	69,36	4,15	1,00	43489	193541	337084	337084	0	0	2,50	2,50
	100%	627	-44.257	69,36	4,37	1,00	43489	193541	336970	336970	0	0	2,50	2,50
proporzionale alla deformata 1° modo di vibrazione														
	0%	578	48.373	75,24	4,00	1,00	43489	193541	336432	336432	0	0	2,50	2,50
	100%	578	-42.514	75,24	4,55	1,00	43489	193541	336478	336478	0	0	2,50	2,50
sisma in +X														
proporzionale alle masse														
Trave P14-24	0%	37.593	118.511	1,16	1,63	1,06	43489	193541	355340	355340	0	0	2,50	2,50
	100%	24.481	155.608	1,78	1,24	1,02	43489	193541	343597	343597	0	0	2,50	2,50
proporzionale alla deformata 1° modo di vibrazione														
	0%	45.552	141.977	0,95	1,36	1,07	43489	193541	358892	358892	0	0	2,50	2,50
	100%	29.861	182.020	1,46	1,06	1,03	43489	193541	345408	345408	0	0	2,50	2,50
sisma in -X														
proporzionale alle masse														
	0%	-28.361	93.184	1,53	2,08	1,00	43489	193541	337708	337708	0	0	2,50	2,50
	100%	-14.446	9.072	3,01	21,33	1,00	43489	193541	336395	336395	0	0	2,50	2,50
proporzionale alla deformata 1° modo di vibrazione														
	0%	-35.541	119.935	1,22	1,61	1,00	43489	193541	337455	337455	0	0	2,50	2,50
	100%	-17.310	17.957	2,51	10,78	1,00	43489	193541	336395	336395	0	0	2,50	2,50
sisma in +Y														
proporzionale alle masse														
	0%	-11.638	29.888	3,74	6,48	1,01	43489	193541	339042	339042	0	0	2,50	2,50
	100%	-10.510	540	4,14	NS	1,01	43489	193541	338114	338114	0	0	2,50	2,50
proporzionale alla deformata 1° modo di vibrazione														
	0%	-7.445	29.259	5,84	6,61	1,01	43489	193541	338759	338759	0	0	2,50	2,50
	100%	-5.480	3.962	7,94	48,85	1,00	43489	193541	337407	337407	0	0	2,50	2,50
sisma in -Y														
proporzionale alle masse														
	0%	-15.128	-10.924	2,87	17,72	1,01	43489	193541	340405	340405	0	0	2,50	2,50
	100%	-16.722	-29.180	2,60	6,63	1,02	43489	193541	341756	341756	0	0	2,50	2,50
proporzionale alla deformata 1° modo di vibrazione														
	0%	-20.000	-12.033	2,17	16,08	1,01	43489	193541	340390	340390	0	0	2,50	2,50
	100%	-21.095	-47.787	2,06	4,05	1,02	43489	193541	342250	342250	0	0	2,50	2,50
Piano terra								**Travata: Trave13-14-15**						
sisma in +X														

Id_{Tr}	$\%L_{LI}$	$V_{Ed,3}$	$V_{Ed,2}$	$CS^{(3)}$	$CS^{(2)}$	α_C	$V_{Rsd,s}{}^{(3)}$	$V_{Rsd,s}{}^{(2)}$	$V_{Rcd}{}^{(3)}$	$V_{Rcd}{}^{(2)}$	$V_{fd}{}^{(3)}$	$V_{fd}{}^{(2)}$	$Ctg\Theta^{(3)}$	$Ctg\Theta^{(2)}$
	[%]	[N]	[N]				[N]	[N]	[N]	[N]	[N]	[N]		
proporzionale alle masse														
Trave 13-14	0%	9	28.438	NS	3,29	1,01	53485	93499	196392	196392	0	0	2,50	2,50
	100%	9	-45.961	NS	2,03	1,01	53485	93499	196527	196527	0	0	2,50	2,50
proporzionale alla deformata 1° modo di vibrazione														
	0%	6	27.333	NS	3,42	1,01	53485	93499	196042	196042	0	0	2,50	2,50
	100%	6	-47.066	NS	1,99	1,01	53485	93499	196618	196618	0	0	2,50	2,50
sisma in -X														
proporzionale alle masse														
	0%	58	38.306	NS	2,44	1,01	53485	93499	196609	196609	0	0	2,50	2,50
	100%	58	-36.093	NS	2,59	1,01	53485	93499	196542	196542	0	0	2,50	2,50
proporzionale alla deformata 1° modo di vibrazione														
	0%	59	38.974	NS	2,40	1,01	53485	93499	196812	196812	0	0	2,50	2,50
	100%	59	-35.425	NS	2,64	1,01	53485	93499	196753	196753	0	0	2,50	2,50
sisma in +Y														
proporzionale alle masse														
	0%	-9	34.507	NS	2,71	1,00	53485	93499	195760	195760	0	0	2,50	2,50
	100%	-9	-39.892	NS	2,34	1,00	53485	93499	195737	195737	0	0	2,50	2,50
proporzionale alla deformata 1° modo di vibrazione														
	0%	-32	34.421	NS	2,72	1,00	53485	93499	195683	195683	0	0	2,50	2,50
	100%	-32	-39.978	NS	2,34	1,00	53485	93499	195679	195679	0	0	2,50	2,50
sisma in -Y														
proporzionale alle masse														
	0%	133	34.853	NS	2,68	1,01	53485	93499	196088	196088	0	0	2,50	2,50
	100%	133	-39.546	NS	2,36	1,01	53485	93499	196079	196079	0	0	2,50	2,50
proporzionale alla deformata 1° modo di vibrazione														
	0%	157	34.963	NS	2,67	1,01	53485	93499	196070	196070	0	0	2,50	2,50
	100%	157	-39.436	NS	2,37	1,01	53485	93499	196056	196056	0	0	2,50	2,50
sisma in +X														
proporzionale alle masse														
Trave 14-15	0%	-176	35.192	NS	2,66	1,02	53485	93499	199288	199288	0	0	2,50	2,50
	100%	-176	-42.359	NS	2,21	1,02	53485	93499	199286	199286	0	0	2,50	2,50
proporzionale alla deformata 1° modo di vibrazione														
	0%	-215	33.816	NS	2,76	1,03	53485	93499	200079	200079	0	0	2,50	2,50
	100%	-215	-43.736	NS	2,14	1,03	53485	93499	200200	200200	0	0	2,50	2,50
sisma in -X														
proporzionale alle masse														
	0%	-48	45.486	NS	2,06	1,01	53485	93499	196437	196437	0	0	2,50	2,50
	100%	-48	-32.066	NS	2,92	1,01	53485	93499	196286	196286	0	0	2,50	2,50
proporzionale alla deformata 1° modo di vibrazione														
	0%	-25	47.140	NS	1,98	1,01	53485	93499	196098	196098	0	0	2,50	2,50
	100%	-25	-30.412	NS	3,07	1,00	53485	93499	195847	195847	0	0	2,50	2,50
sisma in +Y														
proporzionale alle masse														
	0%	-97	38.321	NS	2,44	1,01	53485	93499	196645	196645	0	0	2,50	2,50
	100%	-97	-39.230	NS	2,38	1,01	53485	93499	196709	196709	0	0	2,50	2,50
proporzionale alla deformata 1° modo di vibrazione														
	0%	-71	38.195	NS	2,45	1,01	53485	93499	196592	196592	0	0	2,50	2,50
	100%	-71	-39.357	NS	2,38	1,01	53485	93499	196636	196636	0	0	2,50	2,50
sisma in -Y														
proporzionale alle masse														
	0%	-78	40.620	NS	2,30	1,01	53485	93499	197147	197147	0	0	2,50	2,50
	100%	-78	-36.932	NS	2,53	1,01	53485	93499	197151	197151	0	0	2,50	2,50
proporzionale alla deformata 1° modo di vibrazione														
	0%	-102	40.852	NS	2,29	1,01	53485	93499	197023	197023	0	0	2,50	2,50
	100%	-102	-36.700	NS	2,55	1,01	53485	93499	197019	197019	0	0	2,50	2,50
Piano terra								**Travata: Trave1-7-16-19**						
sisma in +X														
proporzionale alle masse														
Trave 1-7	0%	114	11.150	NS	5,71	1,01	43660	63666	112298	112298	0	0	2,50	2,50
	100%	114	-18.269	NS	3,48	1,01	43660	63666	112304	112304	0	0	2,50	2,50
proporzionale alla deformata 1° modo di vibrazione														
	0%	131	11.126	NS	5,72	1,01	43660	63666	112215	112215	0	0	2,50	2,50
	100%	131	-18.292	NS	3,48	1,01	43660	63666	112212	112212	0	0	2,50	2,50
sisma in -X														
proporzionale alle masse														
	0%	-8	10.488	NS	6,07	1,01	43660	63666	111810	111810	0	0	2,50	2,50
	100%	-8	-18.931	NS	3,36	1,01	43660	63666	111820	111820	0	0	2,50	2,50
proporzionale alla deformata 1° modo di vibrazione														
	0%	-11	10.496	NS	6,07	1,01	43660	63666	111850	111850	0	0	2,50	2,50
	100%	-11	-18.923	NS	3,36	1,01	43660	63666	111863	111863	0	0	2,50	2,50
sisma in +Y														
proporzionale alle masse														
	0%	124	5.184	NS	12,28	1,04	43660	63666	114652	114652	0	0	2,50	2,50
	100%	124	-24.234	NS	2,63	1,03	43660	63666	113594	113594	0	0	2,50	2,50
proporzionale alla deformata 1° modo di vibrazione														
	0%	153	3.845	NS	16,56	1,04	43660	63666	114579	114579	0	0	2,50	2,50
	100%	153	-25.574	NS	2,49	1,03	43660	63666	114337	114337	0	0	2,50	2,50
sisma in -Y														
proporzionale alle masse														
	0%	-17	19.184	NS	3,32	1,05	43660	63666	116720	116720	0	0	2,50	2,50
	100%	-17	-10.235	NS	6,22	1,06	43660	63666	117361	117361	0	0	2,50	2,50
proporzionale alla deformata 1° modo di vibrazione														
	0%	-27	20.653	NS	3,08	1,07	43660	63666	118466	118466	0	0	2,50	2,50
	100%	-27	-8.765	NS	7,26	1,07	43660	63666	118795	118795	0	0	2,50	2,50
sisma in +X														
proporzionale alle masse														

Id_{Tr}	$\%L_{LI}$	$V_{Ed,3}$	$V_{Ed,2}$	$CS^{(3)}$	$CS^{(2)}$	α_C	$V_{Rsd,s}{}^{(3)}$	$V_{Rsd,s}{}^{(2)}$	$V_{Rcd}{}^{(3)}$	$V_{Rcd}{}^{(2)}$	$V_{fd}{}^{(3)}$	$V_{fd}{}^{(2)}$	$Ctg\Theta^{(3)}$	$Ctg\Theta^{(2)}$
	[%]	[N]	[N]				[N]	[N]	[N]	[N]	[N]	[N]		
Trave 7-16	0%	3.027	12.678	14,42	5,02	1,03	43660	63666	113936	113936	0	0	2,50	2,50
	100%	-4.105	-3.086	10,64	20,63	1,01	43660	63666	111319	111319	0	0	2,50	2,50
proporzionale alla deformata 1° modo di vibrazione														
	0%	7.821	16.053	5,58	3,97	1,04	43660	63666	114550	114550	0	0	2,50	2,50
	100%	-5.787	-3.385	7,54	18,81	1,01	43660	63666	111451	111451	0	0	2,50	2,50
sisma in -X														
proporzionale alle masse														
	0%	-25.682	10.638	1,70	5,98	1,05	43660	63666	115908	115908	0	0	2,50	2,50
	100%	5.016	-9.446	8,70	6,74	1,02	43660	63666	112831	112831	0	0	2,50	2,50
proporzionale alla deformata 1° modo di vibrazione														
	0%	-29.749	12.727	1,47	5,00	1,05	43660	63666	116210	116210	0	0	2,50	2,50
	100%	7.155	-10.792	6,10	5,90	1,02	43660	63666	112886	112886	0	0	2,50	2,50
sisma in +Y														
proporzionale alle masse														
	0%	-13.452	-133.137	3,25	0,48	1,07	43660	63666	118343	118343	0	0	2,50	2,50
	100%	685	13.242	63,74	4,81	1,00	43660	63666	110659	110659	0	0	2,50	2,50
proporzionale alla deformata 1° modo di vibrazione														
	0%	-13.754	-146.705	3,17	0,43	1,08	43660	63666	119039	119039	0	0	2,50	2,50
	100%	592	14.723	73,75	4,32	1,00	43660	63666	110659	110659	0	0	2,50	2,50
sisma in -Y														
proporzionale alle masse														
	0%	-2.458	9.049	17,76	7,04	1,00	43660	63666	110659	110659	0	0	2,50	2,50
	100%	2.258	-15.164	19,34	4,20	1,19	43660	63666	131669	131669	0	0	2,50	2,50
proporzionale alla deformata 1° modo di vibrazione														
	0%	-2.610	10.043	16,73	6,34	1,00	43660	63666	110659	110659	0	0	2,50	2,50
	100%	2.641	-13.353	16,53	4,77	1,21	43660	63666	134235	134235	0	0	2,50	2,50
sisma in +X														
proporzionale alle masse														
Trave 16-19	0%	-123	5.103	NS	12,48	1,01	43660	63666	111476	111476	0	0	2,50	2,50
	100%	-123	-6.535	NS	9,74	1,01	43660	63666	111640	111640	0	0	2,50	2,50
proporzionale alla deformata 1° modo di vibrazione														
	0%	-215	4.865	NS	13,09	1,00	43660	63666	111094	111094	0	0	2,50	2,50
	100%	-215	-6.773	NS	9,40	1,01	43660	63666	111612	111612	0	0	2,50	2,50
sisma in -X														
proporzionale alle masse														
	0%	380	7.819	NS	8,14	1,01	43660	63666	111479	111479	0	0	2,50	2,50
	100%	380	-3.819	NS	16,67	1,01	43660	63666	111688	111688	0	0	2,50	2,50
proporzionale alla deformata 1° modo di vibrazione														
	0%	460	7.651	94,91	8,32	1,01	43660	63666	111503	111503	0	0	2,50	2,50
	100%	460	-3.987	94,91	15,97	1,01	43660	63666	111697	111697	0	0	2,50	2,50
sisma in +Y														
proporzionale alle masse														
	0%	97	213	NS	NS	1,02	43660	63666	112600	112600	0	0	2,50	2,50
	100%	97	-11.425	NS	5,57	1,02	43660	63666	112496	112496	0	0	2,50	2,50
proporzionale alla deformata 1° modo di vibrazione														
	0%	104	-1.817	NS	35,04	1,03	43660	63666	113672	113672	0	0	2,50	2,50
	100%	104	-13.455	NS	4,73	1,03	43660	63666	113617	113617	0	0	2,50	2,50
sisma in -Y														
proporzionale alle masse														
	0%	-16	36.975	NS	1,72	1,16	43660	63666	128593	128593	0	0	2,50	2,50
	100%	-16	25.337	NS	2,51	1,16	43660	63666	128644	128644	0	0	2,50	2,50
proporzionale alla deformata 1° modo di vibrazione														
	0%	-31	41.677	NS	1,53	1,18	43660	63666	130784	130784	0	0	2,50	2,50
	100%	-31	30.040	NS	2,12	1,18	43660	63666	131017	131017	0	0	2,50	2,50
Piano terra								**Travata: Trave6-P7-12-15-P8-24**						
sisma in +X														
proporzionale alle masse														
Trave 6-P7	0%	18.427	55.019	2,38	3,52	1,01	43815	193867	339319	339319	0	0	2,50	2,50
	100%	-2.253	-4.016	19,45	48,27	1,00	43815	193867	338435	338435	0	0	2,50	2,50
proporzionale alla deformata 1° modo di vibrazione														
	0%	24.444	68.923	1,79	2,81	1,01	43815	193867	339720	339720	0	0	2,50	2,50
	100%	-2.393	-4.071	18,31	47,62	1,00	43815	193867	337807	337807	0	0	2,50	2,50
sisma in -X														
proporzionale alle masse														
	0%	-29.267	-78.277	1,50	2,48	1,02	43815	193867	342082	342082	0	0	2,50	2,50
	100%	-2.929	8.401	14,96	23,08	1,03	43815	193867	347396	347396	0	0	2,50	2,50
proporzionale alla deformata 1° modo di vibrazione														
	0%	-37.511	-73.188	1,17	2,65	1,02	43815	193867	342771	342771	0	0	2,50	2,50
	100%	-3.496	11.157	12,53	17,38	1,02	43815	193867	344609	344609	0	0	2,50	2,50
sisma in +Y														
proporzionale alle masse														
	0%	2.700	-111.245	16,23	1,74	1,01	43815	193867	341011	341011	0	0	2,50	2,50
	100%	-657	22.388	66,69	8,66	1,00	43815	193867	336961	336961	0	0	2,50	2,50
proporzionale alla deformata 1° modo di vibrazione														
	0%	2.702	-150.107	16,22	1,29	1,01	43815	193867	339780	339780	0	0	2,50	2,50
	100%	-510	25.580	85,91	7,58	1,00	43815	193867	336961	336961	0	0	2,50	2,50
sisma in -Y														
proporzionale alle masse														
	0%	-1.482	-196.664	29,56	0,99	1,02	43815	193867	342920	342920	0	0	2,50	2,50
	100%	-2.758	-161.295	15,89	1,20	1,28	43815	193867	431504	431504	0	0	2,50	2,50
proporzionale alla deformata 1° modo di vibrazione														
	0%	-1.225	-220.688	35,77	0,88	1,02	43815	193867	344583	344583	0	0	2,50	2,50
	100%	-3.345	-170.490	13,10	1,14	1,31	43815	193867	441228	441228	0	0	2,50	2,50
sisma in +X														
proporzionale alle masse														
Trave P7-12	0%	-320	14.369	NS	13,49	1,00	43815	193867	337549	337549	0	0	2,50	2,50

Id_{Tr}	$\%L_{LI}$	$V_{Ed,3}$	$V_{Ed,2}$	$CS^{(3)}$	$CS^{(2)}$	α_C	$V_{Rsd,s}{}^{(3)}$	$V_{Rsd,s}{}^{(2)}$	$V_{Rcd}{}^{(3)}$	$V_{Rcd}{}^{(2)}$	$V_{fd}{}^{(3)}$	$V_{fd}{}^{(2)}$	$Ctg\Theta^{(3)}$	$Ctg\Theta^{(2)}$
	[%]	[N]	[N]				[N]	[N]	[N]	[N]	[N]	[N]		
	100%	-320	-23.424	NS	8,28	1,00	43815	193867	338066	338066	0	0	2,50	2,50
proporzionale alla deformata 1° modo di vibrazione														
	0%	-464	11.737	94,43	16,52	1,00	43815	193867	337290	337290	0	0	2,50	2,50
	100%	-464	-26.056	94,43	7,44	1,00	43815	193867	338278	338278	0	0	2,50	2,50
sisma in -X														
proporzionale alle masse														
	0%	-144	35.225	NS	5,50	1,02	43815	193867	343644	343644	0	0	2,50	2,50
	100%	-144	-2.568	NS	75,49	1,02	43815	193867	343700	343700	0	0	2,50	2,50
proporzionale alla deformata 1° modo di vibrazione														
	0%	-92	29.653	NS	6,54	1,01	43815	193867	341617	341617	0	0	2,50	2,50
	100%	-92	-8.140	NS	23,82	1,01	43815	193867	341490	341490	0	0	2,50	2,50
sisma in +Y														
proporzionale alle masse														
	0%	197	-11.752	NS	16,50	1,01	43815	193867	339630	339630	0	0	2,50	2,50
	100%	197	-49.545	NS	3,91	1,01	43815	193867	339659	339659	0	0	2,50	2,50
proporzionale alla deformata 1° modo di vibrazione														
	0%	207	-13.929	NS	13,92	1,01	43815	193867	340145	340145	0	0	2,50	2,50
	100%	207	-51.722	NS	3,75	1,01	43815	193867	340212	340212	0	0	2,50	2,50
sisma in -Y														
proporzionale alle masse														
	0%	-479	181.438	91,47	1,07	1,20	43815	193867	405014	405014	0	0	2,50	2,50
	100%	-479	143.645	91,47	1,35	1,20	43815	193867	405105	405105	0	0	2,50	2,50
proporzionale alla deformata 1° modo di vibrazione														
	0%	-480	198.370	91,28	0,98	1,22	43815	193867	412660	412660	0	0	2,50	2,50
	100%	-480	160.577	91,28	1,21	1,22	43815	193867	412326	412326	0	0	2,50	2,50
sisma in +X														
proporzionale alle masse														
Trave 12-15	0%	-56	25.786	NS	7,52	1,00	43815	193867	337900	337900	0	0	2,50	2,50
	100%	-56	-10.706	NS	18,11	1,00	43815	193867	337258	337258	0	0	2,50	2,50
proporzionale alla deformata 1° modo di vibrazione														
	0%	-93	27.112	NS	7,15	1,00	43815	193867	338117	338117	0	0	2,50	2,50
	100%	-93	-9.380	NS	20,67	1,00	43815	193867	338292	338292	0	0	2,50	2,50
sisma in -X														
proporzionale alle masse														
	0%	-27	24.489	NS	7,92	1,00	43815	193867	337080	337080	0	0	2,50	2,50
	100%	-27	-12.003	NS	16,15	1,00	43815	193867	336967	336967	0	0	2,50	2,50
proporzionale alla deformata 1° modo di vibrazione														
	0%	-6	24.962	NS	7,77	1,00	43815	193867	337053	337053	0	0	2,50	2,50
	100%	-6	-11.530	NS	16,81	1,00	43815	193867	337061	337061	0	0	2,50	2,50
sisma in +Y														
proporzionale alle masse														
	0%	-268	-42.534	NS	4,56	1,06	43815	193867	356975	356975	0	0	2,50	2,50
	100%	-268	-79.025	NS	2,45	1,06	43815	193867	356803	356803	0	0	2,50	2,50
proporzionale alla deformata 1° modo di vibrazione														
	0%	-328	-49.488	NS	3,92	1,07	43815	193867	358873	358873	0	0	2,50	2,50
	100%	-328	-85.980	NS	2,25	1,06	43815	193867	358835	358835	0	0	2,50	2,50
sisma in -Y														
proporzionale alle masse														
	0%	-31	53.673	NS	3,61	1,03	43815	193867	347046	347046	0	0	2,50	2,50
	100%	-31	17.181	NS	11,28	1,03	43815	193867	346290	346290	0	0	2,50	2,50
proporzionale alla deformata 1° modo di vibrazione														
	0%	47	56.807	NS	3,41	1,03	43815	193867	348638	348638	0	0	2,50	2,50
	100%	47	20.316	NS	9,54	1,03	43815	193867	347782	347782	0	0	2,50	2,50
sisma in +X														
proporzionale alle masse														
Trave 15-P8	0%	269	5.212	NS	37,20	1,00	43815	193867	337167	337167	0	0	2,50	2,50
	100%	269	-10.737	NS	18,06	1,00	43815	193867	337199	337199	0	0	2,50	2,50
proporzionale alla deformata 1° modo di vibrazione														
	0%	437	9.755	NS	19,87	1,00	43815	193867	336985	336985	0	0	2,50	2,50
	100%	437	-6.193	NS	31,30	1,00	43815	193867	336961	336961	0	0	2,50	2,50
sisma in -X														
proporzionale alle masse														
	0%	167	-44.331	NS	4,37	1,03	43815	193867	346258	346258	0	0	2,50	2,50
	100%	167	-60.280	NS	3,22	1,03	43815	193867	346170	346170	0	0	2,50	2,50
proporzionale alla deformata 1° modo di vibrazione														
	0%	-34	-37.426	NS	5,18	1,02	43815	193867	344635	344635	0	0	2,50	2,50
	100%	-34	-53.375	NS	3,63	1,02	43815	193867	344541	344541	0	0	2,50	2,50
sisma in +Y														
proporzionale alle masse														
	0%	756	-232.567	57,96	0,83	1,22	43815	193867	410360	410360	0	0	2,50	2,50
	100%	756	-248.516	57,96	0,78	1,22	43815	193867	411234	411234	0	0	2,50	2,50
proporzionale alla deformata 1° modo di vibrazione														
	0%	753	-256.663	58,19	0,76	1,24	43815	193867	418659	418659	0	0	2,50	2,50
	100%	753	-272.612	58,19	0,71	1,24	43815	193867	418897	418897	0	0	2,50	2,50
sisma in -Y														
proporzionale alle masse														
	0%	166	74.667	NS	2,60	1,02	43815	193867	342376	342376	0	0	2,50	2,50
	100%	166	58.718	NS	3,30	1,02	43815	193867	342168	342168	0	0	2,50	2,50
proporzionale alla deformata 1° modo di vibrazione														
	0%	116	81.837	NS	2,37	1,02	43815	193867	343632	343632	0	0	2,50	2,50
	100%	116	65.888	NS	2,94	1,02	43815	193867	343464	343464	0	0	2,50	2,50
sisma in +X														
proporzionale alle masse														
Trave P8-24	0%	3.946	3.973	11,10	48,80	1,00	43815	193867	337659	337659	0	0	2,50	2,50
	100%	-14.931	-51.253	2,93	3,78	1,01	43815	193867	338893	338893	0	0	2,50	2,50
proporzionale alla deformata 1° modo di vibrazione														

Id_{Tr}	$\%L_{LI}$	$V_{Ed,3}$	$V_{Ed,2}$	$CS^{(3)}$	$CS^{(2)}$	α_C	$V_{Rsd,s}{}^{(3)}$	$V_{Rsd,s}{}^{(2)}$	$V_{Rcd}{}^{(3)}$	$V_{Rcd}{}^{(2)}$	$V_{fd}{}^{(3)}$	$V_{fd}{}^{(2)}$	$Ctg\Theta^{(3)}$	$Ctg\Theta^{(2)}$
	[%]	[N]	[N]				[N]	[N]	[N]	[N]	[N]	[N]		
	0%	4.325	3.034	10,13	63,90	1,00	43815	193867	336981	336981	0	0	2,50	2,50
	100%	-20.270	-62.719	2,16	3,09	1,01	43815	193867	339430	339430	0	0	2,50	2,50
sisma in -X														
proporzionale alle masse														
	0%	3.551	220	12,34	NS	1,04	43815	193867	350157	350157	0	0	2,50	2,50
	100%	29.157	71.751	1,50	2,70	1,01	43815	193867	341699	341699	0	0	2,50	2,50
proporzionale alla deformata 1° modo di vibrazione														
	0%	3.824	-1.998	11,46	97,03	1,03	43815	193867	348014	348014	0	0	2,50	2,50
	100%	37.709	68.370	1,16	2,84	1,02	43815	193867	342551	342551	0	0	2,50	2,50
sisma in +Y														
proporzionale alle masse														
	0%	5.474	122.989	8,00	1,58	1,28	43815	193867	431643	431643	0	0	2,50	2,50
	100%	4.584	217.552	9,56	0,89	1,03	43815	193867	345388	345388	0	0	2,50	2,50
proporzionale alla deformata 1° modo di vibrazione														
	0%	5.870	127.396	7,46	1,52	1,31	43815	193867	441040	441040	0	0	2,50	2,50
	100%	4.550	245.214	9,63	0,79	1,03	43815	193867	347466	347466	0	0	2,50	2,50
sisma in -Y														
proporzionale alle masse														
	0%	566	-9.001	77,41	21,54	1,00	43815	193867	336961	336961	0	0	2,50	2,50
	100%	-267	110.426	NS	1,76	1,00	43815	193867	338610	338610	0	0	2,50	2,50
proporzionale alla deformata 1° modo di vibrazione														
	0%	572	-7.117	76,60	27,24	1,00	43815	193867	336961	336961	0	0	2,50	2,50
	100%	-196	141.343	NS	1,37	1,00	43815	193867	338305	338305	0	0	2,50	2,50
Piano terra								**Travata: Trave10-13-22**						
sisma in +X														
proporzionale alle masse														
Trave 10-13	0%	62	2.506	NS	17,88	1,01	58153	44816	58925	58925	0	0	2,50	2,50
	100%	62	-1.887	NS	23,75	1,01	58153	44816	58885	58885	0	0	2,50	2,50
proporzionale alla deformata 1° modo di vibrazione														
	0%	66	2.573	NS	17,42	1,01	58153	44816	58949	58949	0	0	2,50	2,50
	100%	66	-1.820	NS	24,62	1,01	58153	44816	58826	58826	0	0	2,50	2,50
sisma in -X														
proporzionale alle masse														
	0%	57	2.475	NS	18,11	1,01	58153	44816	58843	58843	0	0	2,50	2,50
	100%	57	-1.917	NS	23,38	1,01	58153	44816	58809	58809	0	0	2,50	2,50
proporzionale alla deformata 1° modo di vibrazione														
	0%	56	2.505	NS	17,89	1,01	58153	44816	58839	58839	0	0	2,50	2,50
	100%	56	-1.888	NS	23,74	1,01	58153	44816	58802	58802	0	0	2,50	2,50
sisma in +Y														
proporzionale alle masse														
	0%	85	793	NS	56,51	1,02	58153	44816	59607	59607	0	0	2,50	2,50
	100%	85	-3.600	NS	12,45	1,02	58153	44816	59318	59318	0	0	2,50	2,50
proporzionale alla deformata 1° modo di vibrazione														
	0%	85	174	NS	NS	1,02	58153	44816	59800	59800	0	0	2,50	2,50
	100%	85	-4.219	NS	10,62	1,02	58153	44816	59758	59758	0	0	2,50	2,50
sisma in -Y														
proporzionale alle masse														
	0%	-34	5.336	NS	8,40	1,06	58153	44816	62051	62051	0	0	2,50	2,50
	100%	-34	943	NS	47,52	1,06	58153	44816	62085	62085	0	0	2,50	2,50
proporzionale alla deformata 1° modo di vibrazione														
	0%	-23	6.307	NS	7,11	1,08	58153	44816	63165	63165	0	0	2,50	2,50
	100%	-23	1.914	NS	23,41	1,08	58153	44816	63260	63260	0	0	2,50	2,50
sisma in +X														
proporzionale alle masse														
Trave 13-22	0%	-194	2.436	NS	18,40	1,02	58153	44816	59730	59730	0	0	2,50	2,50
	100%	-194	-3.115	NS	14,39	1,02	58153	44816	59720	59720	0	0	2,50	2,50
proporzionale alla deformata 1° modo di vibrazione														
	0%	-228	2.381	NS	18,82	1,02	58153	44816	59732	59732	0	0	2,50	2,50
	100%	-228	-3.171	NS	14,13	1,02	58153	44816	59805	59805	0	0	2,50	2,50
sisma in -X														
proporzionale alle masse														
	0%	77	2.315	NS	19,36	1,03	58153	44816	59921	59921	0	0	2,50	2,50
	100%	77	-3.236	NS	13,85	1,03	58153	44816	59990	59990	0	0	2,50	2,50
proporzionale alla deformata 1° modo di vibrazione														
	0%	111	2.257	NS	19,86	1,03	58153	44816	59978	59978	0	0	2,50	2,50
	100%	111	-3.295	NS	13,60	1,03	58153	44816	60087	60087	0	0	2,50	2,50
sisma in +Y														
proporzionale alle masse														
	0%	-16	1.195	NS	37,50	1,05	58153	44816	61330	61330	0	0	2,50	2,50
	100%	-16	-4.357	NS	10,29	1,05	58153	44816	61282	61282	0	0	2,50	2,50
proporzionale alla deformata 1° modo di vibrazione														
	0%	-14	705	NS	63,57	1,06	58153	44816	62068	62068	0	0	2,50	2,50
	100%	-14	-4.846	NS	9,25	1,06	58153	44816	61919	61919	0	0	2,50	2,50
sisma in -Y														
proporzionale alle masse														
	0%	-29	4.328	NS	10,35	1,02	58153	44816	59734	59734	0	0	2,50	2,50
	100%	-29	-1.224	NS	36,61	1,03	58153	44816	60034	60034	0	0	2,50	2,50
proporzionale alla deformata 1° modo di vibrazione														
	0%	-14	4.757	NS	9,42	1,03	58153	44816	60132	60132	0	0	2,50	2,50
	100%	-14	-794	NS	56,44	1,03	58153	44816	60204	60204	0	0	2,50	2,50
Piano interrato								**Travata: Trave1-P1-2-P2-3-P3-P4-4-P5-5-P6-6**						
sisma in +X														
proporzionale alle masse														
Trave 1-P1	0%	18.609	-8.764	2,87	15,23	1,00	53467	133495	279148	279148	0	0	2,50	2,50
	100%	2.075	29.335	25,77	4,55	1,00	53467	133495	278433	278433	0	0	2,50	2,50
proporzionale alla deformata 1° modo di vibrazione														

Id_{Tr}	$\%L_{LI}$	$V_{Ed,3}$	$V_{Ed,2}$	$CS^{(3)}$	$CS^{(2)}$	α_C	$V_{Rsd,s}{}^{(3)}$	$V_{Rsd,s}{}^{(2)}$	$V_{Rcd}{}^{(3)}$	$V_{Rcd}{}^{(2)}$	$V_{fd}{}^{(3)}$	$V_{fd}{}^{(2)}$	$Ctg\Theta^{(3)}$	$Ctg\Theta^{(2)}$
	[%]	[N]	[N]				[N]	[N]	[N]	[N]	[N]	[N]		
	0%	21.763	-6.471	2,46	20,63	1,00	53467	133495	279599	279599	0	0	2,50	2,50
	100%	4.071	31.061	13,13	4,30	1,00	53467	133495	278433	278433	0	0	2,50	2,50
sisma in -X														
proporzionale alle masse														
	0%	17.687	-214.542	3,02	0,62	1,08	53467	133495	301928	301928	0	0	2,50	2,50
	100%	4.343	-138.486	12,31	0,96	1,18	53467	133495	327657	327657	0	0	2,50	2,50
proporzionale alla deformata 1° modo di vibrazione														
	0%	15.985	-217.231	3,34	0,61	1,10	53467	133495	306291	306291	0	0	2,50	2,50
	100%	3.264	-113.528	16,38	1,18	1,18	53467	133495	329374	329374	0	0	2,50	2,50
sisma in +Y														
proporzionale alle masse														
	0%	3.295	-50.517	16,23	2,64	1,01	53467	133495	282540	282540	0	0	2,50	2,50
	100%	-2.048	-45.941	26,11	2,91	1,04	53467	133495	288359	288359	0	0	2,50	2,50
proporzionale alla deformata 1° modo di vibrazione														
	0%	3.664	-46.392	14,59	2,88	1,01	53467	133495	282187	282187	0	0	2,50	2,50
	100%	511	-48.577	NS	2,75	1,03	53467	133495	287702	287702	0	0	2,50	2,50
sisma in -Y														
proporzionale alle masse														
	0%	45.090	-43.497	1,19	3,07	1,02	53467	133495	283633	283633	0	0	2,50	2,50
	100%	11.144	-33.975	4,80	3,93	1,04	53467	133495	288427	288427	0	0	2,50	2,50
proporzionale alla deformata 1° modo di vibrazione														
	0%	46.604	-45.873	1,15	2,91	1,02	53467	133495	283667	283667	0	0	2,50	2,50
	100%	9.247	-28.781	5,78	4,64	1,03	53467	133495	287871	287871	0	0	2,50	2,50
sisma in +X														
proporzionale alle masse														
Trave P1-2	0%	-51	31.990	NS	4,17	1,03	53467	133495	286819	286819	0	0	2,50	2,50
	100%	-51	-126.005	NS	1,06	1,03	53467	133495	286856	286856	0	0	2,50	2,50
proporzionale alla deformata 1° modo di vibrazione														
	0%	-39	30.772	NS	4,34	1,03	53467	133495	286432	286432	0	0	2,50	2,50
	100%	-39	-127.223	NS	1,05	1,03	53467	133495	286222	286222	0	0	2,50	2,50
sisma in -X														
proporzionale alle masse														
	0%	-7	126.331	NS	1,06	1,08	53467	133495	300983	300983	0	0	2,50	2,50
	100%	-7	-31.665	NS	4,22	1,08	53467	133495	301662	301662	0	0	2,50	2,50
proporzionale alla deformata 1° modo di vibrazione														
	0%	-15	126.218	NS	1,06	1,08	53467	133495	301527	301527	0	0	2,50	2,50
	100%	-15	-31.778	NS	4,20	1,09	53467	133495	302168	302168	0	0	2,50	2,50
sisma in +Y														
proporzionale alle masse														
	0%	82	73.677	NS	1,81	1,01	53467	133495	281138	281138	0	0	2,50	2,50
	100%	82	-84.318	NS	1,58	1,01	53467	133495	281083	281083	0	0	2,50	2,50
proporzionale alla deformata 1° modo di vibrazione														
	0%	199	74.021	NS	1,80	1,01	53467	133495	280618	280618	0	0	2,50	2,50
	100%	199	-83.975	NS	1,59	1,01	53467	133495	280607	280607	0	0	2,50	2,50
sisma in -Y														
proporzionale alle masse														
	0%	1	70.125	NS	1,90	1,01	53467	133495	281858	281858	0	0	2,50	2,50
	100%	1	-87.870	NS	1,52	1,01	53467	133495	281986	281986	0	0	2,50	2,50
proporzionale alla deformata 1° modo di vibrazione														
	0%	-117	68.301	NS	1,95	1,01	53467	133495	282009	282009	0	0	2,50	2,50
	100%	-117	-89.694	NS	1,49	1,01	53467	133495	282153	282153	0	0	2,50	2,50
sisma in +X														
proporzionale alle masse														
Trave 2-P2	0%	-103	34.476	NS	3,87	1,09	53467	133495	302990	302990	0	0	2,50	2,50
	100%	-103	-126.719	NS	1,05	1,09	53467	133495	302887	302887	0	0	2,50	2,50
proporzionale alla deformata 1° modo di vibrazione														
	0%	-117	33.925	NS	3,94	1,09	53467	133495	304764	304764	0	0	2,50	2,50
	100%	-117	-127.269	NS	1,05	1,09	53467	133495	303603	303603	0	0	2,50	2,50
sisma in -X														
proporzionale alle masse														
	0%	-66	121.410	NS	1,10	1,04	53467	133495	289480	289480	0	0	2,50	2,50
	100%	-66	-39.784	NS	3,36	1,04	53467	133495	290378	290378	0	0	2,50	2,50
proporzionale alla deformata 1° modo di vibrazione														
	0%	-74	121.526	NS	1,10	1,04	53467	133495	289225	289225	0	0	2,50	2,50
	100%	-74	-39.669	NS	3,37	1,04	53467	133495	289963	289963	0	0	2,50	2,50
sisma in +Y														
proporzionale alle masse														
	0%	359	83.248	NS	1,60	1,02	53467	133495	283099	283099	0	0	2,50	2,50
	100%	359	-77.947	NS	1,71	1,02	53467	133495	283065	283065	0	0	2,50	2,50
proporzionale alla deformata 1° modo di vibrazione														
	0%	314	84.255	NS	1,58	1,02	53467	133495	282782	282782	0	0	2,50	2,50
	100%	314	-76.940	NS	1,74	1,02	53467	133495	282741	282741	0	0	2,50	2,50
sisma in -Y														
proporzionale alle masse														
	0%	-125	79.515	NS	1,68	1,02	53467	133495	283189	283189	0	0	2,50	2,50
	100%	-125	-81.679	NS	1,63	1,02	53467	133495	283231	283231	0	0	2,50	2,50
proporzionale alla deformata 1° modo di vibrazione														
	0%	-57	78.448	NS	1,70	1,02	53467	133495	283653	283653	0	0	2,50	2,50
	100%	-57	-82.746	NS	1,61	1,02	53467	133495	283725	283725	0	0	2,50	2,50
sisma in +X														
proporzionale alle masse														
Trave P2-3	0%	-2.228	32.058	24,00	4,16	1,18	53467	133495	329935	329935	0	0	2,50	2,50
	100%	-5.286	101.206	10,11	1,32	1,14	53467	133495	318709	318709	0	0	2,50	2,50
proporzionale alla deformata 1° modo di vibrazione														
	0%	-1.396	5.725	38,30	23,32	1,19	53467	133495	332349	332349	0	0	2,50	2,50
	100%	-6.092	92.986	8,78	1,44	1,16	53467	133495	323994	323994	0	0	2,50	2,50

Id_{Tr}	$\%L_{LI}$ [%]	$V_{Ed,3}$ [N]	$V_{Ed,2}$ [N]	$CS^{(3)}$	$CS^{(2)}$	α_C	$V_{Rsd,s}{}^{(3)}$ [N]	$V_{Rsd,s}{}^{(2)}$ [N]	$V_{Rcd}{}^{(3)}$ [N]	$V_{Rcd}{}^{(2)}$ [N]	$V_{fd}{}^{(3)}$ [N]	$V_{fd}{}^{(2)}$ [N]	$Ctg\Theta^{(3)}$	$Ctg\Theta^{(2)}$
sisma in -X														
proporzionale alle masse														
	0%	-1.437	-70.664	37,21	1,89	1,02	53467	133495	284603	284603	0	0	2,50	2,50
	100%	-6.000	-73.531	8,91	1,82	1,07	53467	133495	298656	298656	0	0	2,50	2,50
proporzionale alla deformata 1° modo di vibrazione														
	0%	-1.533	-94.702	34,88	1,41	1,03	53467	133495	286889	286889	0	0	2,50	2,50
	100%	-6.038	-100.910	8,86	1,32	1,09	53467	133495	304270	304270	0	0	2,50	2,50
sisma in +Y														
proporzionale alle masse														
	0%	4.474	15.435	11,95	8,65	1,06	53467	133495	293780	293780	0	0	2,50	2,50
	100%	3.734	11.432	14,32	11,68	1,05	53467	133495	291092	291092	0	0	2,50	2,50
proporzionale alla deformata 1° modo di vibrazione														
	0%	2.397	13.137	22,31	10,16	1,05	53467	133495	292958	292958	0	0	2,50	2,50
	100%	1.650	8.462	32,40	15,78	1,04	53467	133495	290821	290821	0	0	2,50	2,50
sisma in -Y														
proporzionale alle masse														
	0%	-6.159	28.863	8,68	4,63	1,06	53467	133495	294403	294403	0	0	2,50	2,50
	100%	-29.198	15.555	1,83	8,58	1,04	53467	133495	288901	288901	0	0	2,50	2,50
proporzionale alla deformata 1° modo di vibrazione														
	0%	-6.388	27.696	8,37	4,82	1,06	53467	133495	295413	295413	0	0	2,50	2,50
	100%	-28.998	16.984	1,84	7,86	1,04	53467	133495	289911	289911	0	0	2,50	2,50
sisma in +X														
proporzionale alle masse														
Trave 3-P3	0%	8.393	81.468	6,37	1,64	1,07	53467	133495	298858	298858	0	0	2,50	2,50
	100%	1.103	71.209	48,47	1,87	1,01	53467	133495	280009	280009	0	0	2,50	2,50
proporzionale alla deformata 1° modo di vibrazione														
	0%	7.078	108.576	7,55	1,23	1,09	53467	133495	304273	304273	0	0	2,50	2,50
	100%	727	89.682	73,54	1,49	1,01	53467	133495	281472	281472	0	0	2,50	2,50
sisma in -X														
proporzionale alle masse														
	0%	6.974	-129.354	7,67	1,03	1,15	53467	133495	318841	318841	0	0	2,50	2,50
	100%	825	-38.664	64,81	3,45	1,22	53467	133495	340728	340728	0	0	2,50	2,50
proporzionale alla deformata 1° modo di vibrazione														
	0%	7.611	-125.701	7,02	1,06	1,18	53467	133495	327161	327161	0	0	2,50	2,50
	100%	719	10.744	74,36	12,43	1,23	53467	133495	342492	342492	0	0	2,50	2,50
sisma in +Y														
proporzionale alle masse														
	0%	504	6.120	NS	21,81	1,04	53467	133495	289203	289203	0	0	2,50	2,50
	100%	896	-4.832	59,67	27,63	1,05	53467	133495	291664	291664	0	0	2,50	2,50
proporzionale alla deformata 1° modo di vibrazione														
	0%	214	7.811	NS	17,09	1,04	53467	133495	289782	289782	0	0	2,50	2,50
	100%	2.645	-1.562	20,21	85,46	1,05	53467	133495	291712	291712	0	0	2,50	2,50
sisma in -Y														
proporzionale alle masse														
	0%	32.591	-4.113	1,64	32,46	1,03	53467	133495	286078	286078	0	0	2,50	2,50
	100%	620	-434	86,24	NS	1,03	53467	133495	287621	287621	0	0	2,50	2,50
proporzionale alla deformata 1° modo di vibrazione														
	0%	31.713	-3.346	1,69	39,90	1,03	53467	133495	286713	286713	0	0	2,50	2,50
	100%	1.090	4.298	49,05	31,06	1,03	53467	133495	287432	287432	0	0	2,50	2,50
sisma in +X														
proporzionale alle masse														
Trave P3-P4	0%	18	-3.059	NS	43,64	1,11	53467	133495	310315	310315	0	0	2,50	2,50
	100%	18	-137.119	NS	0,97	1,11	53467	133495	308951	308951	0	0	2,50	2,50
proporzionale alla deformata 1° modo di vibrazione														
	0%	27	-5.872	NS	22,73	1,12	53467	133495	311152	311152	0	0	2,50	2,50
	100%	27	-139.932	NS	0,95	1,11	53467	133495	308901	308901	0	0	2,50	2,50
sisma in -X														
proporzionale alle masse														
	0%	14	147.858	NS	0,90	1,10	53467	133495	306848	306848	0	0	2,50	2,50
	100%	14	13.798	NS	9,67	1,10	53467	133495	307159	307159	0	0	2,50	2,50
proporzionale alla deformata 1° modo di vibrazione														
	0%	8	148.559	NS	0,90	1,10	53467	133495	306872	306872	0	0	2,50	2,50
	100%	8	14.499	NS	9,21	1,10	53467	133495	307189	307189	0	0	2,50	2,50
sisma in +Y														
proporzionale alle masse														
	0%	30	70.939	NS	1,88	1,01	53467	133495	282428	282428	0	0	2,50	2,50
	100%	30	-63.120	NS	2,11	1,01	53467	133495	282366	282366	0	0	2,50	2,50
proporzionale alla deformata 1° modo di vibrazione														
	0%	73	72.198	NS	1,85	1,01	53467	133495	282194	282194	0	0	2,50	2,50
	100%	73	-61.862	NS	2,16	1,01	53467	133495	282066	282066	0	0	2,50	2,50
sisma in -Y														
proporzionale alle masse														
	0%	34	63.663	NS	2,10	1,02	53467	133495	282666	282666	0	0	2,50	2,50
	100%	34	-70.397	NS	1,90	1,02	53467	133495	282889	282889	0	0	2,50	2,50
proporzionale alla deformata 1° modo di vibrazione														
	0%	-24	61.276	NS	2,18	1,02	53467	133495	283366	283366	0	0	2,50	2,50
	100%	-24	-72.784	NS	1,83	1,02	53467	133495	283669	283669	0	0	2,50	2,50
sisma in +X														
proporzionale alle masse														
Trave P4-4	0%	-694	26.985	77,04	4,95	1,18	53467	133495	329781	329781	0	0	2,50	2,50
	100%	-3.537	94.970	15,12	1,41	1,14	53467	133495	318801	318801	0	0	2,50	2,50
proporzionale alla deformata 1° modo di vibrazione														
	0%	-115	-3.362	NS	39,71	1,19	53467	133495	332573	332573	0	0	2,50	2,50
	100%	-3.998	89.175	13,37	1,50	1,17	53467	133495	324864	324864	0	0	2,50	2,50
sisma in -X														
proporzionale alle masse														

Id_{Tr}	$\%L_{LI}$	$V_{Ed,3}$	$V_{Ed,2}$	$CS^{(3)}$	$CS^{(2)}$	α_C	$V_{Rsd,s}{}^{(3)}$	$V_{Rsd,s}{}^{(2)}$	$V_{Rcd}{}^{(3)}$	$V_{Rcd}{}^{(2)}$	$V_{fd}{}^{(3)}$	$V_{fd}{}^{(2)}$	$Ctg\Theta^{(3)}$	$Ctg\Theta^{(2)}$
	[%]	[N]	[N]				[N]	[N]	[N]	[N]	[N]	[N]		
	0%	-511	-63.074	NS	2,12	1,01	53467	133495	282521	282521	0	0	2,50	2,50
	100%	-6.812	-65.394	7,85	2,04	1,06	53467	133495	294490	294490	0	0	2,50	2,50
proporzionale alla deformata 1° modo di vibrazione														
	0%	-827	-81.225	64,65	1,64	1,02	53467	133495	283866	283866	0	0	2,50	2,50
	100%	-6.423	-87.739	8,32	1,52	1,07	53467	133495	299192	299192	0	0	2,50	2,50
sisma in +Y														
proporzionale alle masse														
	0%	283	2.466	NS	54,13	1,04	53467	133495	288886	288886	0	0	2,50	2,50
	100%	-320	-9.836	NS	13,57	1,04	53467	133495	288899	288899	0	0	2,50	2,50
proporzionale alla deformata 1° modo di vibrazione														
	0%	-559	-707	95,65	NS	1,03	53467	133495	288132	288132	0	0	2,50	2,50
	100%	-1.031	-14.332	51,86	9,31	1,04	53467	133495	288681	288681	0	0	2,50	2,50
sisma in -Y														
proporzionale alle masse														
	0%	-4.015	17.645	13,32	7,57	1,04	53467	133495	289554	289554	0	0	2,50	2,50
	100%	-26.024	1.183	2,05	NS	1,03	53467	133495	286395	286395	0	0	2,50	2,50
proporzionale alla deformata 1° modo di vibrazione														
	0%	-4.560	16.551	11,73	8,07	1,05	53467	133495	291093	291093	0	0	2,50	2,50
	100%	-25.328	2.632	2,11	50,72	1,03	53467	133495	287897	287897	0	0	2,50	2,50
sisma in +X														
proporzionale alle masse														
Trave 4-P5	0%	8.867	77.413	6,03	1,72	1,08	53467	133495	299322	299322	0	0	2,50	2,50
	100%	1.952	83.538	27,39	1,60	1,01	53467	133495	280934	280934	0	0	2,50	2,50
proporzionale alla deformata 1° modo di vibrazione														
	0%	8.336	106.224	6,41	1,26	1,10	53467	133495	305081	305081	0	0	2,50	2,50
	100%	2.104	106.863	25,41	1,25	1,02	53467	133495	282766	282766	0	0	2,50	2,50
sisma in -X														
proporzionale alle masse														
	0%	6.646	-112.984	8,04	1,18	1,12	53467	133495	312511	312511	0	0	2,50	2,50
	100%	1.402	-37.267	38,14	3,58	1,19	53467	133495	331520	331520	0	0	2,50	2,50
proporzionale alla deformata 1° modo di vibrazione														
	0%	7.162	-108.952	7,47	1,23	1,15	53467	133495	318989	318989	0	0	2,50	2,50
	100%	1.671	-2.130	32,00	62,67	1,20	53467	133495	333011	333011	0	0	2,50	2,50
sisma in +Y														
proporzionale alle masse														
	0%	-6.333	-7.972	8,44	16,75	1,04	53467	133495	289751	289751	0	0	2,50	2,50
	100%	-4.725	-7.466	11,32	17,88	1,06	53467	133495	293932	293932	0	0	2,50	2,50
proporzionale alla deformata 1° modo di vibrazione														
	0%	-3.082	-9.621	17,35	13,88	1,04	53467	133495	289787	289787	0	0	2,50	2,50
	100%	-2.036	-6.537	26,26	20,42	1,06	53467	133495	293782	293782	0	0	2,50	2,50
sisma in -Y														
proporzionale alle masse														
	0%	32.393	-18.382	1,65	7,26	1,03	53467	133495	286006	286006	0	0	2,50	2,50
	100%	3.372	-6.861	15,86	19,46	1,04	53467	133495	290477	290477	0	0	2,50	2,50
proporzionale alla deformata 1° modo di vibrazione														
	0%	31.261	-16.905	1,71	7,90	1,03	53467	133495	286945	286945	0	0	2,50	2,50
	100%	3.429	-2.480	15,59	53,83	1,04	53467	133495	290493	290493	0	0	2,50	2,50
sisma in +X														
proporzionale alle masse														
Trave P5-5	0%	40	37.851	NS	3,53	1,03	53467	133495	287661	287661	0	0	2,50	2,50
	100%	40	-123.336	NS	1,08	1,03	53467	133495	287662	287662	0	0	2,50	2,50
proporzionale alla deformata 1° modo di vibrazione														
	0%	47	36.847	NS	3,62	1,04	53467	133495	288192	288192	0	0	2,50	2,50
	100%	47	-124.340	NS	1,07	1,03	53467	133495	287096	287096	0	0	2,50	2,50
sisma in -X														
proporzionale alle masse														
	0%	193	123.071	NS	1,08	1,12	53467	133495	311008	311008	0	0	2,50	2,50
	100%	193	-38.117	NS	3,50	1,12	53467	133495	310797	310797	0	0	2,50	2,50
proporzionale alla deformata 1° modo di vibrazione														
	0%	188	122.825	NS	1,09	1,12	53467	133495	311291	311291	0	0	2,50	2,50
	100%	188	-38.362	NS	3,48	1,12	53467	133495	311036	311036	0	0	2,50	2,50
sisma in +Y														
proporzionale alle masse														
	0%	-540	77.181	99,01	1,73	1,02	53467	133495	284689	284689	0	0	2,50	2,50
	100%	-540	-84.007	99,01	1,59	1,02	53467	133495	284690	284690	0	0	2,50	2,50
proporzionale alla deformata 1° modo di vibrazione														
	0%	-470	77.660	NS	1,72	1,02	53467	133495	284640	284640	0	0	2,50	2,50
	100%	-470	-83.528	NS	1,60	1,02	53467	133495	284625	284625	0	0	2,50	2,50
sisma in -Y														
proporzionale alle masse														
	0%	351	72.013	NS	1,85	1,02	53467	133495	283699	283699	0	0	2,50	2,50
	100%	351	-89.174	NS	1,50	1,02	53467	133495	283808	283808	0	0	2,50	2,50
proporzionale alla deformata 1° modo di vibrazione														
	0%	277	71.298	NS	1,87	1,02	53467	133495	283757	283757	0	0	2,50	2,50
	100%	277	-89.890	NS	1,49	1,02	53467	133495	283857	283857	0	0	2,50	2,50
sisma in +X														
proporzionale alle masse														
Trave 5-P6	0%	-4	41.069	NS	3,25	1,09	53467	133495	302511	302511	0	0	2,50	2,50
	100%	-4	-128.105	NS	1,04	1,09	53467	133495	302472	302472	0	0	2,50	2,50
proporzionale alla deformata 1° modo di vibrazione														
	0%	-2	40.359	NS	3,31	1,09	53467	133495	303535	303535	0	0	2,50	2,50
	100%	-2	-128.815	NS	1,04	1,09	53467	133495	303404	303404	0	0	2,50	2,50
sisma in -X														
proporzionale alle masse														
	0%	53	132.293	NS	1,01	1,03	53467	133495	285994	285994	0	0	2,50	2,50
	100%	53	-36.881	NS	3,62	1,03	53467	133495	286280	286280	0	0	2,50	2,50

Id_{Tr}	$\%L_{LI}$ [%]	$V_{Ed,3}$ [N]	$V_{Ed,2}$ [N]	$CS^{(3)}$	$CS^{(2)}$	α_C	$V_{Rsd,s}{}^{(3)}$ [N]	$V_{Rsd,s}{}^{(2)}$ [N]	$V_{Rcd}{}^{(3)}$ [N]	$V_{Rcd}{}^{(2)}$ [N]	$V_{fd}{}^{(3)}$ [N]	$V_{fd}{}^{(2)}$ [N]	$Ctg\Theta^{(3)}$	$Ctg\Theta^{(2)}$
proporzionale alla deformata 1° modo di vibrazione														
	0%	64	133.099	NS	1,00	1,03	53467	133495	285475	285475	0	0	2,50	2,50
	100%	64	-36.075	NS	3,70	1,03	53467	133495	285677	285677	0	0	2,50	2,50
sisma in +Y														
proporzionale alle masse														
	0%	-98	93.936	NS	1,42	1,00	53467	133495	278567	278567	0	0	2,50	2,50
	100%	-98	-75.239	NS	1,77	1,00	53467	133495	278632	278632	0	0	2,50	2,50
proporzionale alla deformata 1° modo di vibrazione														
	0%	-175	94.907	NS	1,41	1,00	53467	133495	278459	278459	0	0	2,50	2,50
	100%	-175	-74.267	NS	1,80	1,00	53467	133495	278488	278488	0	0	2,50	2,50
sisma in -Y														
proporzionale alle masse														
	0%	168	86.196	NS	1,55	1,02	53467	133495	283174	283174	0	0	2,50	2,50
	100%	168	-82.979	NS	1,61	1,02	53467	133495	283227	283227	0	0	2,50	2,50
proporzionale alla deformata 1° modo di vibrazione														
	0%	235	84.857	NS	1,57	1,02	53467	133495	283765	283765	0	0	2,50	2,50
	100%	235	-84.317	NS	1,58	1,02	53467	133495	283803	283803	0	0	2,50	2,50
sisma in +X														
proporzionale alle masse														
Trave P6-6	0%	2.118	78.928	25,24	1,69	1,19	53467	133495	330522	330522	0	0	2,50	2,50
	100%	-19	134.795	NS	0,99	1,12	53467	133495	312895	312895	0	0	2,50	2,50
proporzionale alla deformata 1° modo di vibrazione														
	0%	2.103	56.904	25,42	2,35	1,20	53467	133495	332934	332934	0	0	2,50	2,50
	100%	-2.070	141.009	25,83	0,95	1,14	53467	133495	317796	317796	0	0	2,50	2,50
sisma in -X														
proporzionale alle masse														
	0%	-1.005	-19.192	53,20	6,96	1,00	53467	133495	278433	278433	0	0	2,50	2,50
	100%	-12.096	46.320	4,42	2,88	1,00	53467	133495	278433	278433	0	0	2,50	2,50
proporzionale alla deformata 1° modo di vibrazione														
	0%	-2.300	-23.757	23,25	5,62	1,00	53467	133495	278433	278433	0	0	2,50	2,50
	100%	-15.145	43.256	3,53	3,09	1,00	53467	133495	278433	278433	0	0	2,50	2,50
sisma in +Y														
proporzionale alle masse														
	0%	9.960	-48.705	5,37	2,74	1,04	53467	133495	288765	288765	0	0	2,50	2,50
	100%	17.848	-63.553	3,00	2,10	1,06	53467	133495	294381	294381	0	0	2,50	2,50
proporzionale alla deformata 1° modo di vibrazione														
	0%	6.921	-42.383	7,73	3,15	1,03	53467	133495	287846	287846	0	0	2,50	2,50
	100%	15.475	-57.379	3,46	2,33	1,05	53467	133495	292728	292728	0	0	2,50	2,50
sisma in -Y														
proporzionale alle masse														
	0%	-10.783	52.000	4,96	2,57	1,06	53467	133495	294857	294857	0	0	2,50	2,50
	100%	-37.414	111.366	1,43	1,20	1,02	53467	133495	285192	285192	0	0	2,50	2,50
proporzionale alla deformata 1° modo di vibrazione														
	0%	-8.413	53.526	6,36	2,49	1,06	53467	133495	296051	296051	0	0	2,50	2,50
	100%	-39.789	109.916	1,34	1,21	1,03	53467	133495	285724	285724	0	0	2,50	2,50
Piano interrato								**Travata: Trave7-8-9-10-11-12**						
sisma in +X														
proporzionale alle masse														
Trave 7-8	0%	25	82.966	NS	1,61	1,06	53340	133367	294995	294995	0	0	2,50	2,50
	100%	25	-176.918	NS	0,75	1,06	53340	133367	294333	294333	0	0	2,50	2,50
proporzionale alla deformata 1° modo di vibrazione														
	0%	36	83.402	NS	1,60	1,06	53340	133367	295264	295264	0	0	2,50	2,50
	100%	36	-176.482	NS	0,76	1,05	53340	133367	293176	293176	0	0	2,50	2,50
sisma in -X														
proporzionale alle masse														
	0%	93	138.348	NS	0,96	1,00	53340	133367	278168	278168	0	0	2,50	2,50
	100%	93	-121.536	NS	1,10	1,00	53340	133367	278168	278168	0	0	2,50	2,50
proporzionale alla deformata 1° modo di vibrazione														
	0%	79	138.109	NS	0,97	1,00	53340	133367	278168	278168	0	0	2,50	2,50
	100%	79	-121.775	NS	1,10	1,00	53340	133367	278168	278168	0	0	2,50	2,50
sisma in +Y														
proporzionale alle masse														
	0%	-58	118.896	NS	1,12	1,00	53340	133367	278168	278168	0	0	2,50	2,50
	100%	-58	-140.988	NS	0,95	1,00	53340	133367	278168	278168	0	0	2,50	2,50
proporzionale alla deformata 1° modo di vibrazione														
	0%	-31	118.545	NS	1,13	1,00	53340	133367	278168	278168	0	0	2,50	2,50
	100%	-31	-141.340	NS	0,94	1,00	53340	133367	278168	278168	0	0	2,50	2,50
sisma in -Y														
proporzionale alle masse														
	0%	181	106.788	NS	1,25	1,01	53340	133367	281852	281852	0	0	2,50	2,50
	100%	181	-153.097	NS	0,87	1,01	53340	133367	282145	282145	0	0	2,50	2,50
proporzionale alla deformata 1° modo di vibrazione														
	0%	160	105.891	NS	1,26	1,01	53340	133367	282316	282316	0	0	2,50	2,50
	100%	160	-153.993	NS	0,87	1,02	53340	133367	282462	282462	0	0	2,50	2,50
sisma in +X														
proporzionale alle masse														
Trave 8-9	0%	17	93.339	NS	1,43	1,07	53340	133367	296305	296305	0	0	2,50	2,50
	100%	17	-167.114	NS	0,80	1,07	53340	133367	296303	296303	0	0	2,50	2,50
proporzionale alla deformata 1° modo di vibrazione														
	0%	21	94.628	NS	1,41	1,06	53340	133367	295499	295499	0	0	2,50	2,50
	100%	21	-165.825	NS	0,80	1,06	53340	133367	295487	295487	0	0	2,50	2,50
sisma in -X														
proporzionale alle masse														
	0%	-12	169.412	NS	0,79	1,07	53340	133367	298066	298066	0	0	2,50	2,50
	100%	-12	-91.042	NS	1,46	1,07	53340	133367	298093	298093	0	0	2,50	2,50
proporzionale alla deformata 1° modo di vibrazione														

Id_{Tr}	$\%L_{LI}$ [%]	$V_{Ed,3}$ [N]	$V_{Ed,2}$ [N]	$CS^{(3)}$	$CS^{(2)}$	α_C	$V_{Rsd,s}{}^{(3)}$ [N]	$V_{Rsd,s}{}^{(2)}$ [N]	$V_{Rcd}{}^{(3)}$ [N]	$V_{Rcd}{}^{(2)}$ [N]	$V_{fd}{}^{(3)}$ [N]	$V_{fd}{}^{(2)}$ [N]	$Ctg\Theta^{(3)}$	$Ctg\Theta^{(2)}$
	0%	-15	167.842	NS	0,79	1,07	53340	133367	297325	297325	0	0	2,50	2,50
	100%	-15	-92.611	NS	1,44	1,07	53340	133367	297343	297343	0	0	2,50	2,50
sisma in +Y														
proporzionale alle masse														
	0%	11	129.124	NS	1,03	1,03	53340	133367	285781	285781	0	0	2,50	2,50
	100%	11	-131.329	NS	1,02	1,03	53340	133367	285798	285798	0	0	2,50	2,50
proporzionale alla deformata 1° modo di vibrazione														
	0%	-5	129.325	NS	1,03	1,03	53340	133367	285784	285784	0	0	2,50	2,50
	100%	-5	-131.128	NS	1,02	1,03	53340	133367	285793	285793	0	0	2,50	2,50
sisma in -Y														
proporzionale alle masse														
	0%	-58	132.038	NS	1,01	1,03	53340	133367	287433	287433	0	0	2,50	2,50
	100%	-58	-128.415	NS	1,04	1,03	53340	133367	287409	287409	0	0	2,50	2,50
proporzionale alla deformata 1° modo di vibrazione														
	0%	-56	132.303	NS	1,01	1,03	53340	133367	287575	287575	0	0	2,50	2,50
	100%	-56	-128.150	NS	1,04	1,03	53340	133367	287557	287557	0	0	2,50	2,50
sisma in +X														
proporzionale alle masse														
Trave 9-10	0%	2	91.850	NS	1,45	1,06	53340	133367	295948	295948	0	0	2,50	2,50
	100%	2	-161.559	NS	0,83	1,06	53340	133367	295946	295946	0	0	2,50	2,50
proporzionale alla deformata 1° modo di vibrazione														
	0%	1	93.108	NS	1,43	1,06	53340	133367	294475	294475	0	0	2,50	2,50
	100%	1	-160.301	NS	0,83	1,06	53340	133367	295160	295160	0	0	2,50	2,50
sisma in -X														
proporzionale alle masse														
	0%	-13	165.919	NS	0,80	1,07	53340	133367	297707	297707	0	0	2,50	2,50
	100%	-13	-87.490	NS	1,52	1,07	53340	133367	297710	297710	0	0	2,50	2,50
proporzionale alla deformata 1° modo di vibrazione														
	0%	1	164.396	NS	0,81	1,07	53340	133367	296986	296986	0	0	2,50	2,50
	100%	1	-89.013	NS	1,50	1,07	53340	133367	296989	296989	0	0	2,50	2,50
sisma in +Y														
proporzionale alle masse														
	0%	1	127.861	NS	1,04	1,03	53340	133367	286590	286590	0	0	2,50	2,50
	100%	1	-125.548	NS	1,06	1,03	53340	133367	286593	286593	0	0	2,50	2,50
proporzionale alla deformata 1° modo di vibrazione														
	0%	-3	127.927	NS	1,04	1,03	53340	133367	286540	286540	0	0	2,50	2,50
	100%	-3	-125.482	NS	1,06	1,03	53340	133367	286539	286539	0	0	2,50	2,50
sisma in -Y														
proporzionale alle masse														
	0%	-52	128.270	NS	1,04	1,03	53340	133367	286403	286403	0	0	2,50	2,50
	100%	-52	-125.139	NS	1,07	1,03	53340	133367	286396	286396	0	0	2,50	2,50
proporzionale alla deformata 1° modo di vibrazione														
	0%	-58	128.405	NS	1,04	1,03	53340	133367	286483	286483	0	0	2,50	2,50
	100%	-58	-125.004	NS	1,07	1,03	53340	133367	286478	286478	0	0	2,50	2,50
sisma in +X														
proporzionale alle masse														
Trave 10-11	0%	-12	91.768	NS	1,45	1,06	53340	133367	293843	293843	0	0	2,50	2,50
	100%	-12	-156.534	NS	0,85	1,06	53340	133367	293821	293821	0	0	2,50	2,50
proporzionale alla deformata 1° modo di vibrazione														
	0%	-15	92.804	NS	1,44	1,05	53340	133367	292036	292036	0	0	2,50	2,50
	100%	-15	-155.498	NS	0,86	1,05	53340	133367	293157	293157	0	0	2,50	2,50
sisma in -X														
proporzionale alle masse														
	0%	27	158.844	NS	0,84	1,07	53340	133367	296733	296733	0	0	2,50	2,50
	100%	27	-89.458	NS	1,49	1,06	53340	133367	295747	295747	0	0	2,50	2,50
proporzionale alla deformata 1° modo di vibrazione														
	0%	13	157.478	NS	0,85	1,06	53340	133367	296018	296018	0	0	2,50	2,50
	100%	13	-90.825	NS	1,47	1,06	53340	133367	295724	295724	0	0	2,50	2,50
sisma in +Y														
proporzionale alle masse														
	0%	-18	124.017	NS	1,08	1,03	53340	133367	286824	286824	0	0	2,50	2,50
	100%	-18	-124.285	NS	1,07	1,03	53340	133367	286827	286827	0	0	2,50	2,50
proporzionale alla deformata 1° modo di vibrazione														
	0%	-8	124.050	NS	1,08	1,03	53340	133367	286805	286805	0	0	2,50	2,50
	100%	-8	-124.252	NS	1,07	1,03	53340	133367	286806	286806	0	0	2,50	2,50
sisma in -Y														
proporzionale alle masse														
	0%	32	124.402	NS	1,07	1,03	53340	133367	286583	286583	0	0	2,50	2,50
	100%	32	-123.900	NS	1,08	1,03	53340	133367	286576	286576	0	0	2,50	2,50
proporzionale alla deformata 1° modo di vibrazione														
	0%	11	124.506	NS	1,07	1,03	53340	133367	286666	286666	0	0	2,50	2,50
	100%	11	-123.796	NS	1,08	1,03	53340	133367	286662	286662	0	0	2,50	2,50
sisma in +X														
proporzionale alle masse														
Trave 11-12	0%	159	120.237	NS	1,11	1,01	53340	133367	280689	280689	0	0	2,50	2,50
	100%	159	-139.914	NS	0,95	1,01	53340	133367	280684	280684	0	0	2,50	2,50
proporzionale alla deformata 1° modo di vibrazione														
	0%	168	120.837	NS	1,10	1,01	53340	133367	280602	280602	0	0	2,50	2,50
	100%	168	-139.315	NS	0,96	1,01	53340	133367	280762	280762	0	0	2,50	2,50
sisma in -X														
proporzionale alle masse														
	0%	-64	168.702	NS	0,79	1,04	53340	133367	289290	289290	0	0	2,50	2,50
	100%	-64	-91.449	NS	1,46	1,04	53340	133367	290545	290545	0	0	2,50	2,50
proporzionale alla deformata 1° modo di vibrazione														
	0%	-56	167.747	NS	0,80	1,04	53340	133367	288755	288755	0	0	2,50	2,50
	100%	-56	-92.405	NS	1,44	1,04	53340	133367	289528	289528	0	0	2,50	2,50

Id_{Tr}	$\%L_{LI}$ [%]	$V_{Ed,3}$ [N]	$V_{Ed,2}$ [N]	$CS^{(3)}$	$CS^{(2)}$	α_C	$V_{Rsd,s}{}^{(3)}$ [N]	$V_{Rsd,s}{}^{(2)}$ [N]	$V_{Rcd}{}^{(3)}$ [N]	$V_{Rcd}{}^{(2)}$ [N]	$V_{fd}{}^{(3)}$ [N]	$V_{fd}{}^{(2)}$ [N]	$Ctg\Theta^{(3)}$	$Ctg\Theta^{(2)}$
sisma in +Y														
proporzionale alle masse														
	0%	341	144.495	NS	0,92	1,00	53340	133367	278286	278286	0	0	2,50	2,50
	100%	341	-115.657	NS	1,15	1,00	53340	133367	278227	278227	0	0	2,50	2,50
proporzionale alla deformata 1° modo di vibrazione														
	0%	317	144.227	NS	0,92	1,00	53340	133367	278366	278366	0	0	2,50	2,50
	100%	317	-115.925	NS	1,15	1,00	53340	133367	278335	278335	0	0	2,50	2,50
sisma in -Y														
proporzionale alle masse														
	0%	-306	144.190	NS	0,92	1,00	53340	133367	278168	278168	0	0	2,50	2,50
	100%	-306	-115.961	NS	1,15	1,00	53340	133367	278168	278168	0	0	2,50	2,50
proporzionale alla deformata 1° modo di vibrazione														
	0%	-285	144.179	NS	0,93	1,00	53340	133367	278168	278168	0	0	2,50	2,50
	100%	-285	-115.972	NS	1,15	1,00	53340	133367	278168	278168	0	0	2,50	2,50
Piano interrato								**Travata: Trave19-P9-20-P10-21-P11-P12-22-P13-23-P14-24**						
sisma in +X														
proporzionale alle masse														
Trave 19-P9	0%	-4.776	-11.176	11,20	11,95	1,00	53472	133499	278443	278443	0	0	2,50	2,50
	100%	-771	59.455	69,35	2,25	1,00	53472	133499	278443	278443	0	0	2,50	2,50
proporzionale alla deformata 1° modo di vibrazione														
	0%	-5.979	-19.182	8,94	6,96	1,00	53472	133499	278457	278457	0	0	2,50	2,50
	100%	-1.220	65.780	43,83	2,03	1,00	53472	133499	278443	278443	0	0	2,50	2,50
sisma in -X														
proporzionale alle masse														
	0%	-1.572	-198.849	34,02	0,67	1,06	53472	133499	295442	295442	0	0	2,50	2,50
	100%	214	-99.972	NS	1,34	1,18	53472	133499	329864	329864	0	0	2,50	2,50
proporzionale alla deformata 1° modo di vibrazione														
	0%	-1.789	-204.380	29,89	0,65	1,08	53472	133499	299639	299639	0	0	2,50	2,50
	100%	388	-78.492	NS	1,70	1,19	53472	133499	331198	331198	0	0	2,50	2,50
sisma in +Y														
proporzionale alle masse														
	0%	-25.359	-42.803	2,11	3,12	1,01	53472	133499	282453	282453	0	0	2,50	2,50
	100%	-5.442	-6.937	9,83	19,24	1,03	53472	133499	287481	287481	0	0	2,50	2,50
proporzionale alla deformata 1° modo di vibrazione														
	0%	-23.064	-40.428	2,32	3,30	1,01	53472	133499	281701	281701	0	0	2,50	2,50
	100%	-2.316	-8.070	23,09	16,54	1,03	53472	133499	286908	286908	0	0	2,50	2,50
sisma in -Y														
proporzionale alle masse														
	0%	4.897	-42.018	10,92	3,18	1,01	53472	133499	282192	282192	0	0	2,50	2,50
	100%	-973	-18.171	54,96	7,35	1,05	53472	133499	292606	292606	0	0	2,50	2,50
proporzionale alla deformata 1° modo di vibrazione														
	0%	1.791	-49.439	29,86	2,70	1,02	53472	133499	283026	283026	0	0	2,50	2,50
	100%	-4.804	-19.899	11,13	6,71	1,06	53472	133499	293960	293960	0	0	2,50	2,50
sisma in +X														
proporzionale alle masse														
Trave P9-20	0%	38	14.267	NS	9,36	1,02	53472	133499	283854	283854	0	0	2,50	2,50
	100%	38	-97.067	NS	1,38	1,02	53472	133499	283860	283860	0	0	2,50	2,50
proporzionale alla deformata 1° modo di vibrazione														
	0%	48	12.836	NS	10,40	1,02	53472	133499	283440	283440	0	0	2,50	2,50
	100%	48	-98.498	NS	1,36	1,02	53472	133499	283263	283263	0	0	2,50	2,50
sisma in -X														
proporzionale alle masse														
	0%	-50	103.295	NS	1,29	1,10	53472	133499	305229	305229	0	0	2,50	2,50
	100%	-50	-8.039	NS	16,61	1,10	53472	133499	305751	305751	0	0	2,50	2,50
proporzionale alla deformata 1° modo di vibrazione														
	0%	-79	103.251	NS	1,29	1,10	53472	133499	305779	305779	0	0	2,50	2,50
	100%	-79	-8.084	NS	16,51	1,10	53472	133499	306215	306215	0	0	2,50	2,50
sisma in +Y														
proporzionale alle masse														
	0%	-216	52.100	NS	2,56	1,01	53472	133499	281207	281207	0	0	2,50	2,50
	100%	-216	-59.234	NS	2,25	1,01	53472	133499	281282	281282	0	0	2,50	2,50
proporzionale alla deformata 1° modo di vibrazione														
	0%	-136	50.861	NS	2,62	1,01	53472	133499	281285	281285	0	0	2,50	2,50
	100%	-136	-60.473	NS	2,21	1,01	53472	133499	281373	281373	0	0	2,50	2,50
sisma in -Y														
proporzionale alle masse														
	0%	-9	59.225	NS	2,25	1,02	53472	133499	283157	283157	0	0	2,50	2,50
	100%	-9	-52.109	NS	2,56	1,02	53472	133499	282972	282972	0	0	2,50	2,50
proporzionale alla deformata 1° modo di vibrazione														
	0%	-144	61.245	NS	2,18	1,02	53472	133499	283771	283771	0	0	2,50	2,50
	100%	-144	-50.090	NS	2,67	1,02	53472	133499	283554	283554	0	0	2,50	2,50
sisma in +X														
proporzionale alle masse														
Trave 20-P10	0%	82	12.955	NS	10,30	1,09	53472	133499	304097	304097	0	0	2,50	2,50
	100%	82	-101.901	NS	1,31	1,09	53472	133499	303767	303767	0	0	2,50	2,50
proporzionale alla deformata 1° modo di vibrazione														
	0%	105	12.325	NS	10,83	1,10	53472	133499	305064	305064	0	0	2,50	2,50
	100%	105	-102.531	NS	1,30	1,09	53472	133499	304342	304342	0	0	2,50	2,50
sisma in -X														
proporzionale alle masse														
	0%	13	94.311	NS	1,42	1,04	53472	133499	288771	288771	0	0	2,50	2,50
	100%	13	-20.546	NS	6,50	1,04	53472	133499	289205	289205	0	0	2,50	2,50
proporzionale alla deformata 1° modo di vibrazione														
	0%	26	94.556	NS	1,41	1,04	53472	133499	288364	288364	0	0	2,50	2,50
	100%	26	-20.300	NS	6,58	1,04	53472	133499	288830	288830	0	0	2,50	2,50
sisma in +Y														

Id_{Tr}	$\%L_{LI}$	$V_{Ed,3}$	$V_{Ed,2}$	$CS^{(3)}$	$CS^{(2)}$	α_C	$V_{Rsd,s}{}^{(3)}$	$V_{Rsd,s}{}^{(2)}$	$V_{Rcd}{}^{(3)}$	$V_{Rcd}{}^{(2)}$	$V_{fd}{}^{(3)}$	$V_{fd}{}^{(2)}$	$Ctg\Theta^{(3)}$	$Ctg\Theta^{(2)}$
	[%]	[N]	[N]				[N]	[N]	[N]	[N]	[N]	[N]		
proporzionale alle masse														
	0%	206	58.505	NS	2,28	1,01	53472	133499	281822	281822	0	0	2,50	2,50
	100%	206	-56.351	NS	2,37	1,01	53472	133499	281852	281852	0	0	2,50	2,50
proporzionale alla deformata 1° modo di vibrazione														
	0%	104	57.561	NS	2,32	1,01	53472	133499	282123	282123	0	0	2,50	2,50
	100%	104	-57.295	NS	2,33	1,01	53472	133499	282167	282167	0	0	2,50	2,50
sisma in -Y														
proporzionale alle masse														
	0%	-294	64.613	NS	2,07	1,01	53472	133499	282480	282480	0	0	2,50	2,50
	100%	-294	-50.243	NS	2,66	1,01	53472	133499	282251	282251	0	0	2,50	2,50
proporzionale alla deformata 1° modo di vibrazione														
	0%	-157	66.462	NS	2,01	1,01	53472	133499	282309	282309	0	0	2,50	2,50
	100%	-157	-48.394	NS	2,76	1,01	53472	133499	282052	282052	0	0	2,50	2,50
sisma in +X														
proporzionale alle masse														
Trave P10-21	0%	1.969	27.516	27,16	4,85	1,17	53472	133499	326228	326228	0	0	2,50	2,50
	100%	2.257	99.047	23,69	1,35	1,13	53472	133499	315915	315915	0	0	2,50	2,50
proporzionale alla deformata 1° modo di vibrazione														
	0%	1.339	9.640	39,93	13,85	1,18	53472	133499	328276	328276	0	0	2,50	2,50
	100%	3.140	88.651	17,03	1,51	1,15	53472	133499	320269	320269	0	0	2,50	2,50
sisma in -X														
proporzionale alle masse														
	0%	321	-78.586	NS	1,70	1,02	53472	133499	284292	284292	0	0	2,50	2,50
	100%	129	-80.749	NS	1,65	1,07	53472	133499	298895	298895	0	0	2,50	2,50
proporzionale alla deformata 1° modo di vibrazione														
	0%	438	-99.669	NS	1,34	1,03	53472	133499	285907	285907	0	0	2,50	2,50
	100%	-545	-105.119	98,11	1,27	1,09	53472	133499	303803	303803	0	0	2,50	2,50
sisma in +Y														
proporzionale alle masse														
	0%	4.454	17.761	12,01	7,52	1,04	53472	133499	288493	288493	0	0	2,50	2,50
	100%	4.508	5.062	11,86	26,37	1,02	53472	133499	285058	285058	0	0	2,50	2,50
proporzionale alla deformata 1° modo di vibrazione														
	0%	3.817	19.521	14,01	6,84	1,04	53472	133499	289224	289224	0	0	2,50	2,50
	100%	5.327	5.591	10,04	23,88	1,03	53472	133499	285778	285778	0	0	2,50	2,50
sisma in -Y														
proporzionale alle masse														
	0%	-7.297	6.927	7,33	19,27	1,03	53472	133499	287588	287588	0	0	2,50	2,50
	100%	-7.034	-378	7,60	NS	1,03	53472	133499	286926	286926	0	0	2,50	2,50
proporzionale alla deformata 1° modo di vibrazione														
	0%	-4.555	-1.347	11,74	99,11	1,03	53472	133499	286963	286963	0	0	2,50	2,50
	100%	-5.520	-5.107	9,69	26,14	1,03	53472	133499	287821	287821	0	0	2,50	2,50
sisma in +X														
proporzionale alle masse														
Trave 21-P11	0%	-639	87.528	83,68	1,53	1,07	53472	133499	296592	296592	0	0	2,50	2,50
	100%	300	77.699	NS	1,72	1,00	53472	133499	278443	278443	0	0	2,50	2,50
proporzionale alla deformata 1° modo di vibrazione														
	0%	1.222	112.793	43,76	1,18	1,08	53472	133499	301577	301577	0	0	2,50	2,50
	100%	180	95.840	NS	1,39	1,00	53472	133499	278443	278443	0	0	2,50	2,50
sisma in -X														
proporzionale alle masse														
	0%	-3.121	-130.720	17,13	1,02	1,15	53472	133499	319528	319528	0	0	2,50	2,50
	100%	-847	-38.384	63,13	3,48	1,22	53472	133499	340273	340273	0	0	2,50	2,50
proporzionale alla deformata 1° modo di vibrazione														
	0%	-3.680	-128.563	14,53	1,04	1,17	53472	133499	326104	326104	0	0	2,50	2,50
	100%	-626	-8.864	85,42	15,06	1,23	53472	133499	342249	342249	0	0	2,50	2,50
sisma in +Y														
proporzionale alle masse														
	0%	413	-3.928	NS	33,99	1,02	53472	133499	284565	284565	0	0	2,50	2,50
	100%	1.791	314	29,86	NS	1,03	53472	133499	287028	287028	0	0	2,50	2,50
proporzionale alla deformata 1° modo di vibrazione														
	0%	5.990	-2.173	8,93	61,44	1,02	53472	133499	285298	285298	0	0	2,50	2,50
	100%	4.101	2.890	13,04	46,19	1,03	53472	133499	286835	286835	0	0	2,50	2,50
sisma in -Y														
proporzionale alle masse														
	0%	-6.948	-6.690	7,70	19,96	1,04	53472	133499	288797	288797	0	0	2,50	2,50
	100%	-5.674	-2.827	9,42	47,22	1,05	53472	133499	292569	292569	0	0	2,50	2,50
proporzionale alla deformata 1° modo di vibrazione														
	0%	-10.026	-8.056	5,33	16,57	1,04	53472	133499	290514	290514	0	0	2,50	2,50
	100%	-6.006	2.001	8,90	66,72	1,06	53472	133499	294047	294047	0	0	2,50	2,50
sisma in +X														
proporzionale alle masse														
Trave P11-P12	0%	15	-26.059	NS	5,12	1,11	53472	133499	310019	310019	0	0	2,50	2,50
	100%	15	-126.748	NS	1,05	1,11	53472	133499	309793	309793	0	0	2,50	2,50
proporzionale alla deformata 1° modo di vibrazione														
	0%	6	-28.945	NS	4,61	1,11	53472	133499	310351	310351	0	0	2,50	2,50
	100%	6	-129.633	NS	1,03	1,11	53472	133499	309592	309592	0	0	2,50	2,50
sisma in -X														
proporzionale alle masse														
	0%	-52	131.946	NS	1,01	1,11	53472	133499	308219	308219	0	0	2,50	2,50
	100%	-52	31.257	NS	4,27	1,11	53472	133499	308457	308457	0	0	2,50	2,50
proporzionale alla deformata 1° modo di vibrazione														
	0%	-6	133.305	NS	1,00	1,11	53472	133499	308669	308669	0	0	2,50	2,50
	100%	-6	32.616	NS	4,09	1,11	53472	133499	308964	308964	0	0	2,50	2,50
sisma in +Y														
proporzionale alle masse														
	0%	-19	51.497	NS	2,59	1,01	53472	133499	281055	281055	0	0	2,50	2,50

Id_{Tr}	$\%L_{LI}$	$V_{Ed,3}$	$V_{Ed,2}$	$CS^{(3)}$	$CS^{(2)}$	α_C	$V_{Rsd,s}{}^{(3)}$	$V_{Rsd,s}{}^{(2)}$	$V_{Rcd}{}^{(3)}$	$V_{Rcd}{}^{(2)}$	$V_{fd}{}^{(3)}$	$V_{fd}{}^{(2)}$	$Ctg\Theta^{(3)}$	$Ctg\Theta^{(2)}$
	[%]	[N]	[N]				[N]	[N]	[N]	[N]	[N]	[N]		
	100%	-19	-49.191	NS	2,71	1,01	53472	133499	281146	281146	0	0	2,50	2,50
proporzionale alla deformata 1° modo di vibrazione														
	0%	-40	49.812	NS	2,68	1,01	53472	133499	281447	281447	0	0	2,50	2,50
	100%	-40	-50.877	NS	2,62	1,01	53472	133499	281618	281618	0	0	2,50	2,50
sisma in -Y														
proporzionale alle masse														
	0%	-108	60.868	NS	2,19	1,02	53472	133499	282662	282662	0	0	2,50	2,50
	100%	-108	-39.820	NS	3,35	1,01	53472	133499	281475	281475	0	0	2,50	2,50
proporzionale alla deformata 1° modo di vibrazione														
	0%	-100	64.387	NS	2,07	1,02	53472	133499	283092	283092	0	0	2,50	2,50
	100%	-100	-36.301	NS	3,68	1,01	53472	133499	281625	281625	0	0	2,50	2,50
sisma in +X														
proporzionale alle masse														
Trave P12-22	0%	48	24.708	NS	5,40	1,18	53472	133499	328972	328972	0	0	2,50	2,50
	100%	125	98.293	NS	1,36	1,14	53472	133499	318364	318364	0	0	2,50	2,50
proporzionale alla deformata 1° modo di vibrazione														
	0%	-1.145	-7.382	46,70	18,08	1,19	53472	133499	331665	331665	0	0	2,50	2,50
	100%	409	90.538	NS	1,47	1,16	53472	133499	324271	324271	0	0	2,50	2,50
sisma in -X														
proporzionale alle masse														
	0%	-617	-65.168	86,66	2,05	1,01	53472	133499	281071	281071	0	0	2,50	2,50
	100%	2.514	-69.529	21,27	1,92	1,06	53472	133499	294326	294326	0	0	2,50	2,50
proporzionale alla deformata 1° modo di vibrazione														
	0%	-100	-85.440	NS	1,56	1,02	53472	133499	282660	282660	0	0	2,50	2,50
	100%	1.364	-94.846	39,20	1,41	1,08	53472	133499	299583	299583	0	0	2,50	2,50
sisma in +Y														
proporzionale alle masse														
	0%	-375	8.068	NS	16,55	1,02	53472	133499	284840	284840	0	0	2,50	2,50
	100%	2.008	-4.911	26,63	27,18	1,02	53472	133499	283518	283518	0	0	2,50	2,50
proporzionale alla deformata 1° modo di vibrazione														
	0%	117	10.008	NS	13,34	1,03	53472	133499	285777	285777	0	0	2,50	2,50
	100%	2.524	-5.571	21,19	23,96	1,02	53472	133499	284190	284190	0	0	2,50	2,50
sisma in -Y														
proporzionale alle masse														
	0%	-375	-9.503	NS	14,05	1,02	53472	133499	284739	284739	0	0	2,50	2,50
	100%	-933	-23.493	57,31	5,68	1,03	53472	133499	287103	287103	0	0	2,50	2,50
proporzionale alla deformata 1° modo di vibrazione														
	0%	-687	-18.036	77,83	7,40	1,02	53472	133499	283992	283992	0	0	2,50	2,50
	100%	-1.602	-26.730	33,38	4,99	1,03	53472	133499	287128	287128	0	0	2,50	2,50
sisma in +X														
proporzionale alle masse														
Trave 22-P13	0%	-1.192	78.883	44,86	1,69	1,07	53472	133499	298785	298785	0	0	2,50	2,50
	100%	-751	80.939	71,20	1,65	1,00	53472	133499	278801	278801	0	0	2,50	2,50
proporzionale alla deformata 1° modo di vibrazione														
	0%	129	108.617	NS	1,23	1,09	53472	133499	304678	304678	0	0	2,50	2,50
	100%	-899	103.922	59,48	1,28	1,01	53472	133499	281530	281530	0	0	2,50	2,50
sisma in -X														
proporzionale alle masse														
	0%	-1.583	-114.690	33,78	1,16	1,12	53472	133499	312105	312105	0	0	2,50	2,50
	100%	-1.166	-33.100	45,86	4,03	1,18	53472	133499	329852	329852	0	0	2,50	2,50
proporzionale alla deformata 1° modo di vibrazione														
	0%	-2.035	-107.776	26,28	1,24	1,14	53472	133499	318350	318350	0	0	2,50	2,50
	100%	-829	2.565	64,50	52,05	1,19	53472	133499	330854	330854	0	0	2,50	2,50
sisma in +Y														
proporzionale alle masse														
	0%	-3.020	-14.706	17,71	9,08	1,02	53472	133499	284686	284686	0	0	2,50	2,50
	100%	-4.030	-3.518	13,27	37,95	1,04	53472	133499	289064	289064	0	0	2,50	2,50
proporzionale alla deformata 1° modo di vibrazione														
	0%	2.138	-14.516	25,01	9,20	1,02	53472	133499	285150	285150	0	0	2,50	2,50
	100%	255	-3.362	NS	39,71	1,04	53472	133499	288997	288997	0	0	2,50	2,50
sisma in -Y														
proporzionale alle masse														
	0%	1.103	-16.456	48,48	8,11	1,04	53472	133499	289651	289651	0	0	2,50	2,50
	100%	2.186	-2.827	24,46	47,22	1,05	53472	133499	293086	293086	0	0	2,50	2,50
proporzionale alla deformata 1° modo di vibrazione														
	0%	-3.375	-17.157	15,84	7,78	1,04	53472	133499	290399	290399	0	0	2,50	2,50
	100%	95	1.194	NS	NS	1,05	53472	133499	293612	293612	0	0	2,50	2,50
sisma in +X														
proporzionale alle masse														
Trave P13-23	0%	3	26.129	NS	5,11	1,02	53472	133499	284659	284659	0	0	2,50	2,50
	100%	3	-100.334	NS	1,33	1,02	53472	133499	284700	284700	0	0	2,50	2,50
proporzionale alla deformata 1° modo di vibrazione														
	0%	4	24.808	NS	5,38	1,02	53472	133499	284524	284524	0	0	2,50	2,50
	100%	4	-101.656	NS	1,31	1,02	53472	133499	283972	283972	0	0	2,50	2,50
sisma in -X														
proporzionale alle masse														
	0%	-84	105.532	NS	1,27	1,12	53472	133499	310855	310855	0	0	2,50	2,50
	100%	-84	-20.931	NS	6,38	1,12	53472	133499	311230	311230	0	0	2,50	2,50
proporzionale alla deformata 1° modo di vibrazione														
	0%	-109	105.143	NS	1,27	1,12	53472	133499	310904	310904	0	0	2,50	2,50
	100%	-109	-21.321	NS	6,26	1,12	53472	133499	310879	310879	0	0	2,50	2,50
sisma in +Y														
proporzionale alle masse														
	0%	-328	58.193	NS	2,29	1,02	53472	133499	283115	283115	0	0	2,50	2,50
	100%	-328	-68.271	NS	1,96	1,02	53472	133499	283180	283180	0	0	2,50	2,50
proporzionale alla deformata 1° modo di vibrazione														

Id_{Tr}	$\%L_{LI}$ [%]	$V_{Ed,3}$ [N]	$V_{Ed,2}$ [N]	$CS^{(3)}$	$CS^{(2)}$	α_C	$V_{Rsd,s}{}^{(3)}$ [N]	$V_{Rsd,s}{}^{(2)}$ [N]	$V_{Rcd}{}^{(3)}$ [N]	$V_{Rcd}{}^{(2)}$ [N]	$V_{fd}{}^{(3)}$ [N]	$V_{fd}{}^{(2)}$ [N]	$Ctg\Theta^{(3)}$	$Ctg\Theta^{(2)}$
	0%	-238	57.551	NS	2,32	1,02	53472	133499	283163	283163	0	0	2,50	2,50
	100%	-238	-68.912	NS	1,94	1,02	53472	133499	283216	283216	0	0	2,50	2,50
sisma in -Y														
proporzionale alle masse														
	0%	468	64.617	NS	2,07	1,02	53472	133499	284997	284997	0	0	2,50	2,50
	100%	468	-61.846	NS	2,16	1,02	53472	133499	284863	284863	0	0	2,50	2,50
proporzionale alla deformata 1° modo di vibrazione														
	0%	377	65.653	NS	2,03	1,02	53472	133499	285340	285340	0	0	2,50	2,50
	100%	377	-60.811	NS	2,20	1,02	53472	133499	285224	285224	0	0	2,50	2,50
sisma in +X														
proporzionale alle masse														
Trave 23-P14	0%	42	22.866	NS	5,84	1,09	53472	133499	302942	302942	0	0	2,50	2,50
	100%	42	-109.864	NS	1,22	1,09	53472	133499	302889	302889	0	0	2,50	2,50
proporzionale alla deformata 1° modo di vibrazione														
	0%	45	22.155	NS	6,03	1,09	53472	133499	304282	304282	0	0	2,50	2,50
	100%	45	-110.575	NS	1,21	1,09	53472	133499	303620	303620	0	0	2,50	2,50
sisma in -X														
proporzionale alle masse														
	0%	-33	108.530	NS	1,23	1,02	53472	133499	283935	283935	0	0	2,50	2,50
	100%	-33	-24.200	NS	5,52	1,02	53472	133499	284305	284305	0	0	2,50	2,50
proporzionale alla deformata 1° modo di vibrazione														
	0%	-53	109.368	NS	1,22	1,02	53472	133499	283576	283576	0	0	2,50	2,50
	100%	-53	-23.361	NS	5,71	1,02	53472	133499	283810	283810	0	0	2,50	2,50
sisma in +Y														
proporzionale alle masse														
	0%	25	69.045	NS	1,93	1,01	53472	133499	282052	282052	0	0	2,50	2,50
	100%	25	-63.685	NS	2,10	1,01	53472	133499	282063	282063	0	0	2,50	2,50
proporzionale alla deformata 1° modo di vibrazione														
	0%	-43	67.898	NS	1,97	1,01	53472	133499	282469	282469	0	0	2,50	2,50
	100%	-43	-64.832	NS	2,06	1,01	53472	133499	282489	282489	0	0	2,50	2,50
sisma in -Y														
proporzionale alle masse														
	0%	23	80.849	NS	1,65	1,00	53472	133499	278443	278443	0	0	2,50	2,50
	100%	23	-51.881	NS	2,57	1,00	53472	133499	278443	278443	0	0	2,50	2,50
proporzionale alla deformata 1° modo di vibrazione														
	0%	58	81.912	NS	1,63	1,00	53472	133499	278443	278443	0	0	2,50	2,50
	100%	58	-50.818	NS	2,63	1,00	53472	133499	278443	278443	0	0	2,50	2,50
sisma in +X														
proporzionale alle masse														
Trave P14-24	0%	-1.435	83.073	37,26	1,61	1,18	53472	133499	328368	328368	0	0	2,50	2,50
	100%	-550	143.373	97,22	0,93	1,12	53472	133499	310820	310820	0	0	2,50	2,50
proporzionale alla deformata 1° modo di vibrazione														
	0%	-1.019	64.405	52,47	2,07	1,19	53472	133499	330549	330549	0	0	2,50	2,50
	100%	1.501	148.897	35,62	0,90	1,13	53472	133499	315047	315047	0	0	2,50	2,50
sisma in -X														
proporzionale alle masse														
	0%	1.622	-28.573	32,97	4,67	1,00	53472	133499	278443	278443	0	0	2,50	2,50
	100%	12.776	48.397	4,19	2,76	1,00	53472	133499	278443	278443	0	0	2,50	2,50
proporzionale alla deformata 1° modo di vibrazione														
	0%	2.203	-33.862	24,27	3,94	1,00	53472	133499	278443	278443	0	0	2,50	2,50
	100%	16.451	48.076	3,25	2,78	1,00	53472	133499	278443	278443	0	0	2,50	2,50
sisma in +Y														
proporzionale alle masse														
	0%	12.794	43.070	4,18	3,10	1,04	53472	133499	290802	290802	0	0	2,50	2,50
	100%	36.158	91.475	1,48	1,46	1,02	53472	133499	282675	282675	0	0	2,50	2,50
proporzionale alla deformata 1° modo di vibrazione														
	0%	10.520	45.474	5,08	2,94	1,05	53472	133499	291549	291549	0	0	2,50	2,50
	100%	37.062	90.385	1,44	1,48	1,02	53472	133499	283280	283280	0	0	2,50	2,50
sisma in -Y														
proporzionale alle masse														
	0%	-8.364	-43.999	6,39	3,03	1,01	53472	133499	282600	282600	0	0	2,50	2,50
	100%	-22.942	-96.041	2,33	1,39	1,03	53472	133499	287874	287874	0	0	2,50	2,50
proporzionale alla deformata 1° modo di vibrazione														
	0%	-5.096	-40.439	10,49	3,30	1,01	53472	133499	282123	282123	0	0	2,50	2,50
	100%	-16.529	-90.042	3,24	1,48	1,03	53472	133499	286756	286756	0	0	2,50	2,50
Piano interrato								**Travata: Trave16-17-18-13-14-15**						
sisma in +X														
proporzionale alle masse														
Trave 17-16	0%	-451	135.078	NS	0,99	1,02	53340	133367	283344	283344	0	0	2,50	2,50
	100%	-451	-72.175	NS	1,85	1,02	53340	133367	284758	284758	0	0	2,50	2,50
proporzionale alla deformata 1° modo di vibrazione														
	0%	-465	134.784	NS	0,99	1,02	53340	133367	282750	282750	0	0	2,50	2,50
	100%	-465	-72.470	NS	1,84	1,02	53340	133367	284670	284670	0	0	2,50	2,50
sisma in -X														
proporzionale alle masse														
	0%	-748	101.939	71,31	1,31	1,00	53340	133367	278898	278898	0	0	2,50	2,50
	100%	-748	-105.315	71,31	1,27	1,00	53340	133367	279036	279036	0	0	2,50	2,50
proporzionale alla deformata 1° modo di vibrazione														
	0%	-721	102.173	73,98	1,31	1,00	53340	133367	279153	279153	0	0	2,50	2,50
	100%	-721	-105.080	73,98	1,27	1,00	53340	133367	279269	279269	0	0	2,50	2,50
sisma in +Y														
proporzionale alle masse														
	0%	-773	121.850	69,00	1,09	1,01	53340	133367	279677	279677	0	0	2,50	2,50
	100%	-773	-85.404	69,00	1,56	1,00	53340	133367	279538	279538	0	0	2,50	2,50
proporzionale alla deformata 1° modo di vibrazione														
	0%	-754	122.958	70,74	1,08	1,01	53340	133367	279943	279943	0	0	2,50	2,50

Id_{Tr}	$\%L_{LI}$	$V_{Ed,3}$	$V_{Ed,2}$	$CS^{(3)}$	$CS^{(2)}$	α_C	$V_{Rsd,s}{}^{(3)}$	$V_{Rsd,s}{}^{(2)}$	$V_{Rcd}{}^{(3)}$	$V_{Rcd}{}^{(2)}$	$V_{fd}{}^{(3)}$	$V_{fd}{}^{(2)}$	$Ctg\Theta^{(3)}$	$Ctg\Theta^{(2)}$
	[%]	[N]	[N]				[N]	[N]	[N]	[N]	[N]	[N]		
	100%	-754	-84.296	70,74	1,58	1,01	53340	133367	279747	279747	0	0	2,50	2,50
sisma in -Y														
proporzionale alle masse														
	0%	-459	108.805	NS	1,23	1,00	53340	133367	278168	278168	0	0	2,50	2,50
	100%	-459	-98.449	NS	1,35	1,00	53340	133367	278168	278168	0	0	2,50	2,50
proporzionale alla deformata 1° modo di vibrazione														
	0%	-513	108.243	NS	1,23	1,00	53340	133367	278168	278168	0	0	2,50	2,50
	100%	-513	-99.011	NS	1,35	1,00	53340	133367	278168	278168	0	0	2,50	2,50
sisma in +X														
proporzionale alle masse														
Trave 18-17	0%	-189	122.350	NS	1,09	1,03	53340	133367	287761	287761	0	0	2,50	2,50
	100%	-189	-88.448	NS	1,51	1,03	53340	133367	287740	287740	0	0	2,50	2,50
proporzionale alla deformata 1° modo di vibrazione														
	0%	-208	121.406	NS	1,10	1,03	53340	133367	287507	287507	0	0	2,50	2,50
	100%	-208	-89.392	NS	1,49	1,03	53340	133367	287307	287307	0	0	2,50	2,50
sisma in -X														
proporzionale alle masse														
	0%	-474	89.534	NS	1,49	1,03	53340	133367	287634	287634	0	0	2,50	2,50
	100%	-474	-121.263	NS	1,10	1,03	53340	133367	287873	287873	0	0	2,50	2,50
proporzionale alla deformata 1° modo di vibrazione														
	0%	-431	90.674	NS	1,47	1,03	53340	133367	287325	287325	0	0	2,50	2,50
	100%	-431	-120.123	NS	1,11	1,03	53340	133367	287567	287567	0	0	2,50	2,50
sisma in +Y														
proporzionale alle masse														
	0%	-351	105.971	NS	1,26	1,03	53340	133367	286868	286868	0	0	2,50	2,50
	100%	-351	-104.826	NS	1,27	1,03	53340	133367	286935	286935	0	0	2,50	2,50
proporzionale alla deformata 1° modo di vibrazione														
	0%	-358	105.721	NS	1,26	1,03	53340	133367	286939	286939	0	0	2,50	2,50
	100%	-358	-105.076	NS	1,27	1,03	53340	133367	287032	287032	0	0	2,50	2,50
sisma in -Y														
proporzionale alle masse														
	0%	-362	106.374	NS	1,25	1,02	53340	133367	282349	282349	0	0	2,50	2,50
	100%	-362	-104.423	NS	1,28	1,02	53340	133367	282392	282392	0	0	2,50	2,50
proporzionale alla deformata 1° modo di vibrazione														
	0%	-324	106.123	NS	1,26	1,02	53340	133367	282373	282373	0	0	2,50	2,50
	100%	-324	-104.674	NS	1,27	1,02	53340	133367	282434	282434	0	0	2,50	2,50
sisma in +X														
proporzionale alle masse														
Trave 13-18	0%	-59	122.950	NS	1,08	1,04	53340	133367	289909	289909	0	0	2,50	2,50
	100%	-59	-87.301	NS	1,53	1,04	53340	133367	289900	289900	0	0	2,50	2,50
proporzionale alla deformata 1° modo di vibrazione														
	0%	-53	122.171	NS	1,09	1,04	53340	133367	289822	289822	0	0	2,50	2,50
	100%	-53	-88.080	NS	1,51	1,04	53340	133367	289627	289627	0	0	2,50	2,50
sisma in -X														
proporzionale alle masse														
	0%	33	86.292	NS	1,55	1,03	53340	133367	286867	286867	0	0	2,50	2,50
	100%	33	-123.959	NS	1,08	1,03	53340	133367	287176	287176	0	0	2,50	2,50
proporzionale alla deformata 1° modo di vibrazione														
	0%	21	87.307	NS	1,53	1,03	53340	133367	286602	286602	0	0	2,50	2,50
	100%	21	-122.944	NS	1,08	1,03	53340	133367	286851	286851	0	0	2,50	2,50
sisma in +Y														
proporzionale alle masse														
	0%	23	100.029	NS	1,33	1,03	53340	133367	285237	285237	0	0	2,50	2,50
	100%	23	-110.222	NS	1,21	1,03	53340	133367	285304	285304	0	0	2,50	2,50
proporzionale alla deformata 1° modo di vibrazione														
	0%	7	100.744	NS	1,32	1,03	53340	133367	285234	285234	0	0	2,50	2,50
	100%	7	-109.507	NS	1,22	1,03	53340	133367	285269	285269	0	0	2,50	2,50
sisma in -Y														
proporzionale alle masse														
	0%	29	108.653	NS	1,23	1,03	53340	133367	285337	285337	0	0	2,50	2,50
	100%	29	-101.598	NS	1,31	1,03	53340	133367	285261	285261	0	0	2,50	2,50
proporzionale alla deformata 1° modo di vibrazione														
	0%	43	107.848	NS	1,24	1,03	53340	133367	285234	285234	0	0	2,50	2,50
	100%	43	-102.403	NS	1,30	1,03	53340	133367	285199	285199	0	0	2,50	2,50
sisma in +X														
proporzionale alle masse														
Trave 13-14	0%	138	81.246	NS	1,64	1,05	53340	133367	291399	291399	0	0	2,50	2,50
	100%	138	-129.684	NS	1,03	1,05	53340	133367	291536	291536	0	0	2,50	2,50
proporzionale alla deformata 1° modo di vibrazione														
	0%	126	81.990	NS	1,63	1,05	53340	133367	290907	290907	0	0	2,50	2,50
	100%	126	-128.939	NS	1,03	1,05	53340	133367	291294	291294	0	0	2,50	2,50
sisma in -X														
proporzionale alle masse														
	0%	23	129.164	NS	1,03	1,04	53340	133367	288992	288992	0	0	2,50	2,50
	100%	23	-81.765	NS	1,63	1,04	53340	133367	288414	288414	0	0	2,50	2,50
proporzionale alla deformata 1° modo di vibrazione														
	0%	27	128.220	NS	1,04	1,04	53340	133367	288784	288784	0	0	2,50	2,50
	100%	27	-82.710	NS	1,61	1,04	53340	133367	287906	287906	0	0	2,50	2,50
sisma in +Y														
proporzionale alle masse														
	0%	-73	104.924	NS	1,27	1,02	53340	133367	284442	284442	0	0	2,50	2,50
	100%	-73	-106.006	NS	1,26	1,02	53340	133367	284460	284460	0	0	2,50	2,50
proporzionale alla deformata 1° modo di vibrazione														
	0%	-53	104.788	NS	1,27	1,02	53340	133367	284637	284637	0	0	2,50	2,50
	100%	-53	-106.142	NS	1,26	1,02	53340	133367	284649	284649	0	0	2,50	2,50
sisma in -Y														

Id_{Tr}	$\%L_{LI}$ [%]	$V_{Ed,3}$ [N]	$V_{Ed,2}$ [N]	$CS^{(3)}$	$CS^{(2)}$	α_C	$V_{Rsd,s}{}^{(3)}$ [N]	$V_{Rsd,s}{}^{(2)}$ [N]	$V_{Rcd}{}^{(3)}$ [N]	$V_{Rcd}{}^{(2)}$ [N]	$V_{fd}{}^{(3)}$ [N]	$V_{fd}{}^{(2)}$ [N]	$Ctg\Theta^{(3)}$	$Ctg\Theta^{(2)}$
proporzionale alle masse														
	0%	182	108.248	NS	1,23	1,03	53340	133367	286952	286952	0	0	2,50	2,50
	100%	182	-102.682	NS	1,30	1,03	53340	133367	286809	286809	0	0	2,50	2,50
proporzionale alla deformata 1° modo di vibrazione														
	0%	156	108.520	NS	1,23	1,03	53340	133367	286772	286772	0	0	2,50	2,50
	100%	156	-102.410	NS	1,30	1,03	53340	133367	286722	286722	0	0	2,50	2,50
sisma in +X														
proporzionale alle masse														
Trave 14-15	0%	-358	96.035	NS	1,39	1,02	53340	133367	283566	283566	0	0	2,50	2,50
	100%	-358	-123.063	NS	1,08	1,02	53340	133367	283592	283592	0	0	2,50	2,50
proporzionale alla deformata 1° modo di vibrazione														
	0%	-353	96.635	NS	1,38	1,02	53340	133367	283029	283029	0	0	2,50	2,50
	100%	-353	-122.464	NS	1,09	1,02	53340	133367	283502	283502	0	0	2,50	2,50
sisma in -X														
proporzionale alle masse														
	0%	10	143.807	NS	0,93	1,03	53340	133367	286618	286618	0	0	2,50	2,50
	100%	10	-75.292	NS	1,77	1,04	53340	133367	288169	288169	0	0	2,50	2,50
proporzionale alla deformata 1° modo di vibrazione														
	0%	6	143.147	NS	0,93	1,03	53340	133367	286269	286269	0	0	2,50	2,50
	100%	6	-75.951	NS	1,76	1,03	53340	133367	287705	287705	0	0	2,50	2,50
sisma in +Y														
proporzionale alle masse														
	0%	186	120.326	NS	1,11	1,00	53340	133367	278168	278168	0	0	2,50	2,50
	100%	186	-98.772	NS	1,35	1,00	53340	133367	278168	278168	0	0	2,50	2,50
proporzionale alla deformata 1° modo di vibrazione														
	0%	146	120.320	NS	1,11	1,00	53340	133367	278168	278168	0	0	2,50	2,50
	100%	146	-98.779	NS	1,35	1,00	53340	133367	278168	278168	0	0	2,50	2,50
sisma in -Y														
proporzionale alle masse														
	0%	-486	125.266	NS	1,06	1,00	53340	133367	278168	278168	0	0	2,50	2,50
	100%	-486	-93.833	NS	1,42	1,00	53340	133367	278168	278168	0	0	2,50	2,50
proporzionale alla deformata 1° modo di vibrazione														
	0%	-441	125.147	NS	1,07	1,00	53340	133367	278302	278302	0	0	2,50	2,50
	100%	-441	-93.951	NS	1,42	1,00	53340	133367	278168	278168	0	0	2,50	2,50
Piano interrato								**Travata: Trave1-7-16-19**						
sisma in +X														
proporzionale alle masse														
Trave 1-7	0%	-5	29.872	NS	2,80	1,02	33535	83552	118289	118289	0	0	2,50	2,50
	100%	-5	-28.815	NS	2,90	1,02	33535	83552	118290	118290	0	0	2,50	2,50
proporzionale alla deformata 1° modo di vibrazione														
	0%	-7	29.650	NS	2,82	1,02	33535	83552	117994	117994	0	0	2,50	2,50
	100%	-7	-29.037	NS	2,88	1,02	33535	83552	117987	117987	0	0	2,50	2,50
sisma in -X														
proporzionale alle masse														
	0%	52	28.970	NS	2,88	1,02	33535	83552	118214	118214	0	0	2,50	2,50
	100%	52	-29.717	NS	2,81	1,02	33535	83552	118230	118230	0	0	2,50	2,50
proporzionale alla deformata 1° modo di vibrazione														
	0%	54	28.988	NS	2,88	1,02	33535	83552	118318	118318	0	0	2,50	2,50
	100%	54	-29.699	NS	2,81	1,02	33535	83552	118327	118327	0	0	2,50	2,50
sisma in +Y														
proporzionale alle masse														
	0%	63	18.554	NS	4,50	1,04	33535	83552	121141	121141	0	0	2,50	2,50
	100%	63	-40.133	NS	2,08	1,04	33535	83552	120582	120582	0	0	2,50	2,50
proporzionale alla deformata 1° modo di vibrazione														
	0%	60	18.851	NS	4,43	1,04	33535	83552	120807	120807	0	0	2,50	2,50
	100%	60	-39.835	NS	2,10	1,03	33535	83552	120225	120225	0	0	2,50	2,50
sisma in -Y														
proporzionale alle masse														
	0%	-12	44.539	NS	1,88	1,08	33535	83552	125804	125804	0	0	2,50	2,50
	100%	-12	-14.148	NS	5,91	1,09	33535	83552	126433	126433	0	0	2,50	2,50
proporzionale alla deformata 1° modo di vibrazione														
	0%	-2	45.588	NS	1,83	1,09	33535	83552	126748	126748	0	0	2,50	2,50
	100%	-2	-13.099	NS	6,38	1,10	33535	83552	127313	127313	0	0	2,50	2,50
sisma in +X														
proporzionale alle masse														
Trave 7-16	0%	-5.030	9.444	11,54	6,43	1,06	58051	60718	84030	84030	0	0	2,50	2,50
	100%	993	-184	58,46	NS	1,01	58051	60718	79944	79944	0	0	2,50	2,50
proporzionale alla deformata 1° modo di vibrazione														
	0%	-4.125	11.435	14,07	5,31	1,07	58051	60718	84408	84408	0	0	2,50	2,50
	100%	-229	976	NS	62,21	1,01	58051	60718	79748	79748	0	0	2,50	2,50
sisma in -X														
proporzionale alle masse														
	0%	-37.311	7.296	1,56	8,32	1,09	58051	60718	86423	86423	0	0	2,50	2,50
	100%	29.416	1.081	1,97	56,17	1,05	58051	60718	82947	82947	0	0	2,50	2,50
proporzionale alla deformata 1° modo di vibrazione														
	0%	-37.406	6.621	1,55	9,17	1,09	58051	60718	86408	86408	0	0	2,50	2,50
	100%	29.671	1.810	1,96	33,55	1,05	58051	60718	82975	82975	0	0	2,50	2,50
sisma in +Y														
proporzionale alle masse														
	0%	-25.469	-32.655	2,28	1,86	1,06	58051	60718	84055	84055	0	0	2,50	2,50
	100%	10.683	-10.125	5,43	6,00	1,05	58051	60718	83075	83075	0	0	2,50	2,50
proporzionale alla deformata 1° modo di vibrazione														
	0%	-25.940	-32.707	2,24	1,86	1,07	58051	60718	84630	84630	0	0	2,50	2,50
	100%	10.556	-15.936	5,50	3,81	1,08	58051	60718	85473	85473	0	0	2,50	2,50
sisma in -Y														
proporzionale alle masse														

Id_{Tr}	$\%L_{LI}$	$V_{Ed,3}$	$V_{Ed,2}$	$CS^{(3)}$	$CS^{(2)}$	α_C	$V_{Rsd,s}{}^{(3)}$	$V_{Rsd,s}{}^{(2)}$	$V_{Rcd}{}^{(3)}$	$V_{Rcd}{}^{(2)}$	$V_{fd}{}^{(3)}$	$V_{fd}{}^{(2)}$	$Ctg\Theta^{(3)}$	$Ctg\Theta^{(2)}$
	[%]	[N]	[N]				[N]	[N]	[N]	[N]	[N]	[N]		
	0%	-12.983	17.215	4,47	3,53	1,09	58051	60718	86173	86173	0	0	2,50	2,50
	100%	23.679	54.339	2,45	1,12	1,03	58051	60718	81662	81662	0	0	2,50	2,50
proporzionale alla deformata 1° modo di vibrazione														
	0%	-12.972	24.737	4,48	2,45	1,13	58051	60718	89112	89112	0	0	2,50	2,50
	100%	23.854	55.654	2,43	1,09	1,04	58051	60718	82226	82226	0	0	2,50	2,50
sisma in +X														
proporzionale alle masse														
Trave 16-19	0%	13	2.875	NS	22,63	1,01	62197	65055	79995	79995	0	0	2,50	2,50
	100%	13	-4.866	NS	13,37	1,01	62197	65055	80158	80158	0	0	2,50	2,50
proporzionale alla deformata 1° modo di vibrazione														
	0%	13	2.856	NS	22,78	1,01	62197	65055	79758	79758	0	0	2,50	2,50
	100%	13	-4.885	NS	13,32	1,01	62197	65055	80127	80127	0	0	2,50	2,50
sisma in -X														
proporzionale alle masse														
	0%	-233	5.120	NS	12,71	1,01	62197	65055	80149	80149	0	0	2,50	2,50
	100%	-233	-2.622	NS	24,81	1,01	62197	65055	80187	80187	0	0	2,50	2,50
proporzionale alla deformata 1° modo di vibrazione														
	0%	-223	5.203	NS	12,50	1,01	62197	65055	80207	80207	0	0	2,50	2,50
	100%	-223	-2.538	NS	25,63	1,01	62197	65055	80263	80263	0	0	2,50	2,50
sisma in +Y														
proporzionale alle masse														
	0%	-16	-6.215	NS	10,47	1,11	62197	65055	87600	87600	0	0	2,50	2,50
	100%	-16	-13.956	NS	4,66	1,11	62197	65055	87568	87568	0	0	2,50	2,50
proporzionale alla deformata 1° modo di vibrazione														
	0%	-57	-6.914	NS	9,41	1,11	62197	65055	87976	87976	0	0	2,50	2,50
	100%	-57	-14.655	NS	4,44	1,11	62197	65055	87957	87957	0	0	2,50	2,50
sisma in -Y														
proporzionale alle masse														
	0%	-295	17.009	NS	3,82	1,10	62197	65055	87058	87058	0	0	2,50	2,50
	100%	-295	9.268	NS	7,02	1,10	62197	65055	87075	87075	0	0	2,50	2,50
proporzionale alla deformata 1° modo di vibrazione														
	0%	-327	17.373	NS	3,74	1,10	62197	65055	86997	86997	0	0	2,50	2,50
	100%	-327	9.632	NS	6,75	1,10	62197	65055	87007	87007	0	0	2,50	2,50
Piano interrato								**Travata: Trave2-8**						
sisma in +X														
proporzionale alle masse														
Trave 2-8	0%	7	9.751	NS	8,57	1,01	33589	83607	117093	117093	0	0	2,50	2,50
	100%	7	-9.311	NS	8,98	1,01	33589	83607	117093	117093	0	0	2,50	2,50
proporzionale alla deformata 1° modo di vibrazione														
	0%	5	9.739	NS	8,58	1,01	33589	83607	117086	117086	0	0	2,50	2,50
	100%	5	-9.323	NS	8,97	1,01	33589	83607	117079	117079	0	0	2,50	2,50
sisma in -X														
proporzionale alle masse														
	0%	-22	9.823	NS	8,51	1,01	33589	83607	117067	117067	0	0	2,50	2,50
	100%	-22	-9.239	NS	9,05	1,01	33589	83607	117064	117064	0	0	2,50	2,50
proporzionale alla deformata 1° modo di vibrazione														
	0%	-22	9.820	NS	8,51	1,01	33589	83607	117067	117067	0	0	2,50	2,50
	100%	-22	-9.242	NS	9,05	1,01	33589	83607	117063	117063	0	0	2,50	2,50
sisma in +Y														
proporzionale alle masse														
	0%	14	-3.061	NS	27,31	1,07	33589	83607	124840	124840	0	0	2,50	2,50
	100%	14	-22.123	NS	3,78	1,07	33589	83607	124709	124709	0	0	2,50	2,50
proporzionale alla deformata 1° modo di vibrazione														
	0%	16	-2.290	NS	36,51	1,07	33589	83607	124347	124347	0	0	2,50	2,50
	100%	16	-21.352	NS	3,92	1,07	33589	83607	124265	124265	0	0	2,50	2,50
sisma in -Y														
proporzionale alle masse														
	0%	2	24.910	NS	3,36	1,09	33589	83607	127280	127280	0	0	2,50	2,50
	100%	2	5.848	NS	14,30	1,10	33589	83607	127383	127383	0	0	2,50	2,50
proporzionale alla deformata 1° modo di vibrazione														
	0%	1	24.730	NS	3,38	1,09	33589	83607	127139	127139	0	0	2,50	2,50
	100%	1	5.668	NS	14,75	1,09	33589	83607	127205	127205	0	0	2,50	2,50
Piano interrato								**Travata: Trave3-9**						
sisma in +X														
proporzionale alle masse														
Trave 3-9	0%	-15	9.694	NS	8,62	1,01	33589	83607	116920	116920	0	0	2,50	2,50
	100%	-15	-9.368	NS	8,92	1,01	33589	83607	116921	116921	0	0	2,50	2,50
proporzionale alla deformata 1° modo di vibrazione														
	0%	-17	9.641	NS	8,67	1,01	33589	83607	116872	116872	0	0	2,50	2,50
	100%	-17	-9.420	NS	8,88	1,01	33589	83607	116868	116868	0	0	2,50	2,50
sisma in -X														
proporzionale alle masse														
	0%	13	9.729	NS	8,59	1,01	33589	83607	116878	116878	0	0	2,50	2,50
	100%	13	-9.332	NS	8,96	1,01	33589	83607	116878	116878	0	0	2,50	2,50
proporzionale alla deformata 1° modo di vibrazione														
	0%	12	9.649	NS	8,66	1,00	33589	83607	116828	116828	0	0	2,50	2,50
	100%	12	-9.413	NS	8,88	1,01	33589	83607	116846	116846	0	0	2,50	2,50
sisma in +Y														
proporzionale alle masse														
	0%	-2	-2.224	NS	37,59	1,08	33589	83607	125924	125924	0	0	2,50	2,50
	100%	-2	-21.286	NS	3,93	1,08	33589	83607	125427	125427	0	0	2,50	2,50
proporzionale alla deformata 1° modo di vibrazione														
	0%	-2	-1.468	NS	56,95	1,07	33589	83607	124838	124838	0	0	2,50	2,50
	100%	-2	-20.530	NS	4,07	1,07	33589	83607	124699	124699	0	0	2,50	2,50
sisma in -Y														
proporzionale alle masse														

Id_{Tr}	$\%L_{LI}$ [%]	$V_{Ed,3}$ [N]	$V_{Ed,2}$ [N]	$CS^{(3)}$	$CS^{(2)}$	α_C	$V_{Rsd,s}{}^{(3)}$ [N]	$V_{Rsd,s}{}^{(2)}$ [N]	$V_{Rcd}{}^{(3)}$ [N]	$V_{Rcd}{}^{(2)}$ [N]	$V_{fd}{}^{(3)}$ [N]	$V_{fd}{}^{(2)}$ [N]	$Ctg\Theta^{(3)}$	$Ctg\Theta^{(2)}$
	0%	1	22.291	NS	3,75	1,07	33589	83607	124225	124225	0	0	2,50	2,50
	100%	1	3.229	NS	25,89	1,07	33589	83607	124536	124536	0	0	2,50	2,50
proporzionale alla deformata 1° modo di vibrazione														
	0%	-1	22.314	NS	3,75	1,07	33589	83607	124545	124545	0	0	2,50	2,50
	100%	-1	3.252	NS	25,71	1,07	33589	83607	124755	124755	0	0	2,50	2,50
Piano interrato								**Travata: Trave4-10**						
sisma in +X														
proporzionale alle masse														
Trave 4-10	0%	-15	9.814	NS	8,52	1,01	33589	83607	116879	116879	0	0	2,50	2,50
	100%	-15	-9.328	NS	8,96	1,01	33589	83607	116880	116880	0	0	2,50	2,50
proporzionale alla deformata 1° modo di vibrazione														
	0%	-17	9.765	NS	8,56	1,01	33589	83607	116840	116840	0	0	2,50	2,50
	100%	-17	-9.378	NS	8,92	1,01	33589	83607	116844	116844	0	0	2,50	2,50
sisma in -X														
proporzionale alle masse														
	0%	23	9.799	NS	8,53	1,00	33589	83607	116777	116777	0	0	2,50	2,50
	100%	23	-9.344	NS	8,95	1,00	33589	83607	116793	116793	0	0	2,50	2,50
proporzionale alla deformata 1° modo di vibrazione														
	0%	16	9.726	NS	8,60	1,00	33589	83607	116700	116700	0	0	2,50	2,50
	100%	16	-9.417	NS	8,88	1,00	33589	83607	116727	116727	0	0	2,50	2,50
sisma in +Y														
proporzionale alle masse														
	0%	4	-1.494	NS	55,96	1,08	33589	83607	125069	125069	0	0	2,50	2,50
	100%	4	-20.637	NS	4,05	1,07	33589	83607	124804	124804	0	0	2,50	2,50
proporzionale alla deformata 1° modo di vibrazione														
	0%	4	-557	NS	NS	1,07	33589	83607	124092	124092	0	0	2,50	2,50
	100%	4	-19.700	NS	4,24	1,07	33589	83607	123942	123942	0	0	2,50	2,50
sisma in -Y														
proporzionale alle masse														
	0%	-8	21.497	NS	3,89	1,06	33589	83607	123738	123738	0	0	2,50	2,50
	100%	-8	2.355	NS	35,50	1,07	33589	83607	123929	123929	0	0	2,50	2,50
proporzionale alla deformata 1° modo di vibrazione														
	0%	-7	21.251	NS	3,93	1,06	33589	83607	123753	123753	0	0	2,50	2,50
	100%	-7	2.108	NS	39,66	1,07	33589	83607	123924	123924	0	0	2,50	2,50
Piano interrato								**Travata: Trave5-11**						
sisma in +X														
proporzionale alle masse														
Trave 5-11	0%	-2	9.948	NS	8,40	1,01	33589	83607	117054	117054	0	0	2,50	2,50
	100%	-2	-9.195	NS	9,09	1,01	33589	83607	117053	117053	0	0	2,50	2,50
proporzionale alla deformata 1° modo di vibrazione														
	0%	3	9.983	NS	8,37	1,01	33589	83607	117083	117083	0	0	2,50	2,50
	100%	3	-9.160	NS	9,13	1,01	33589	83607	117060	117060	0	0	2,50	2,50
sisma in -X														
proporzionale alle masse														
	0%	-1	9.964	NS	8,39	1,01	33589	83607	117028	117028	0	0	2,50	2,50
	100%	-1	-9.178	NS	9,11	1,01	33589	83607	117026	117026	0	0	2,50	2,50
proporzionale alla deformata 1° modo di vibrazione														
	0%	2	9.974	NS	8,38	1,01	33589	83607	117035	117035	0	0	2,50	2,50
	100%	2	-9.169	NS	9,12	1,01	33589	83607	117026	117026	0	0	2,50	2,50
sisma in +Y														
proporzionale alle masse														
	0%	-45	-1.467	NS	56,99	1,06	33589	83607	123483	123483	0	0	2,50	2,50
	100%	-45	-20.610	NS	4,06	1,06	33589	83607	123357	123357	0	0	2,50	2,50
proporzionale alla deformata 1° modo di vibrazione														
	0%	-47	-214	NS	NS	1,06	33589	83607	122699	122699	0	0	2,50	2,50
	100%	-47	-19.357	NS	4,32	1,05	33589	83607	122609	122609	0	0	2,50	2,50
sisma in -Y														
proporzionale alle masse														
	0%	32	22.333	NS	3,74	1,08	33589	83607	125417	125417	0	0	2,50	2,50
	100%	32	3.190	NS	26,21	1,08	33589	83607	125549	125549	0	0	2,50	2,50
proporzionale alla deformata 1° modo di vibrazione														
	0%	35	21.303	NS	3,92	1,07	33589	83607	124597	124597	0	0	2,50	2,50
	100%	35	2.160	NS	38,71	1,07	33589	83607	124675	124675	0	0	2,50	2,50
Piano interrato								**Travata: Trave6-2c-P7-12-15-P8-4c-24**						
sisma in +X														
proporzionale alle masse														
Trave 6-2c	0%	62.099	-29.678	1,02	3,83	1,01	63561	113578	279219	279219	0	0	2,50	2,50
	100%	2.645	-4.571	24,03	24,85	1,02	63561	113578	281976	281976	0	0	2,50	2,50
proporzionale alla deformata 1° modo di vibrazione														
	0%	62.032	-33.373	1,02	3,40	1,01	63561	113578	279332	279332	0	0	2,50	2,50
	100%	151	-5.235	NS	21,70	1,02	63561	113578	282031	282031	0	0	2,50	2,50
sisma in -X														
proporzionale alle masse														
	0%	-41.534	53.367	1,53	2,13	1,03	63561	113578	284346	284346	0	0	2,50	2,50
	100%	-12.962	-10.624	4,90	10,69	1,00	63561	113578	277116	277116	0	0	2,50	2,50
proporzionale alla deformata 1° modo di vibrazione														
	0%	-33.920	64.220	1,87	1,77	1,03	63561	113578	283688	283688	0	0	2,50	2,50
	100%	-9.057	-13.801	7,02	8,23	1,00	63561	113578	276869	276869	0	0	2,50	2,50
sisma in +Y														
proporzionale alle masse														
	0%	46.086	-124.121	1,38	0,92	1,00	63561	113578	276603	276603	0	0	2,50	2,50
	100%	-1.912	17.128	33,24	6,63	1,02	63561	113578	281657	281657	0	0	2,50	2,50
proporzionale alla deformata 1° modo di vibrazione														
	0%	44.500	-114.931	1,43	0,99	1,00	63561	113578	276946	276946	0	0	2,50	2,50
	100%	-1.444	14.976	44,02	7,58	1,02	63561	113578	282430	282430	0	0	2,50	2,50
sisma in -Y														

Id_{Tr}	$\%L_{LI}$	$V_{Ed,3}$	$V_{Ed,2}$	$CS^{(3)}$	$CS^{(2)}$	α_C	$V_{Rsd,s}{}^{(3)}$	$V_{Rsd,s}{}^{(2)}$	$V_{Rcd}{}^{(3)}$	$V_{Rcd}{}^{(2)}$	$V_{fd}{}^{(3)}$	$V_{fd}{}^{(2)}$	$Ctg\Theta^{(3)}$	$Ctg\Theta^{(2)}$
	[%]	[N]	[N]				[N]	[N]	[N]	[N]	[N]	[N]		
proporzionale alle masse														
	0%	-8.584	480	7,40	NS	1,09	63561	113578	300633	300633	0	0	2,50	2,50
	100%	-6.698	66.011	9,49	1,72	1,15	63561	113578	316493	316493	0	0	2,50	2,50
proporzionale alla deformata 1° modo di vibrazione														
	0%	-6.883	4.216	9,23	26,94	1,10	63561	113578	303696	303696	0	0	2,50	2,50
	100%	-7.908	74.035	8,04	1,53	1,15	63561	113578	316494	316494	0	0	2,50	2,50
sisma in +X														
proporzionale alle masse														
Trave 2c-P7	0%	-18.487	2.342	3,44	48,50	1,03	63561	113578	283603	283603	0	0	2,50	2,50
	100%	-18.487	208	3,44	NS	1,03	63561	113578	283468	283468	0	0	2,50	2,50
proporzionale alla deformata 1° modo di vibrazione														
	0%	-20.097	-1.727	3,16	65,77	1,03	63561	113578	283595	283595	0	0	2,50	2,50
	100%	-20.097	-3.862	3,16	29,41	1,03	63561	113578	283377	283377	0	0	2,50	2,50
sisma in -X														
proporzionale alle masse														
	0%	-7.531	-8.676	8,44	13,09	1,01	63561	113578	278248	278248	0	0	2,50	2,50
	100%	-7.531	-10.811	8,44	10,51	1,01	63561	113578	278623	278623	0	0	2,50	2,50
proporzionale alla deformata 1° modo di vibrazione														
	0%	-4.700	-9.852	13,52	11,53	1,01	63561	113578	277917	277917	0	0	2,50	2,50
	100%	-4.700	-11.987	13,52	9,48	1,01	63561	113578	278243	278243	0	0	2,50	2,50
sisma in +Y														
proporzionale alle masse														
	0%	-5.698	69.536	11,15	1,63	1,00	63561	113578	276376	276376	0	0	2,50	2,50
	100%	-5.698	67.401	11,15	1,69	1,00	63561	113578	276376	276376	0	0	2,50	2,50
proporzionale alla deformata 1° modo di vibrazione														
	0%	-5.941	74.159	10,70	1,53	1,00	63561	113578	276376	276376	0	0	2,50	2,50
	100%	-5.941	72.024	10,70	1,58	1,00	63561	113578	276376	276376	0	0	2,50	2,50
sisma in -Y														
proporzionale alle masse														
	0%	-10.938	-15.262	5,81	7,44	1,18	63561	113578	325573	325573	0	0	2,50	2,50
	100%	-10.938	-17.397	5,81	6,53	1,18	63561	113578	325565	325565	0	0	2,50	2,50
proporzionale alla deformata 1° modo di vibrazione														
	0%	-11.608	4.669	5,48	24,33	1,17	63561	113578	322934	322934	0	0	2,50	2,50
	100%	-11.608	2.534	5,48	44,82	1,17	63561	113578	322936	322936	0	0	2,50	2,50
sisma in +X														
proporzionale alle masse														
Trave P7-12	0%	-1.357	25.483	46,84	4,46	1,01	63561	113578	278933	278933	0	0	2,50	2,50
	100%	-1.357	-16.925	46,84	6,71	1,01	63561	113578	279088	279088	0	0	2,50	2,50
proporzionale alla deformata 1° modo di vibrazione														
	0%	-1.427	25.955	44,54	4,38	1,01	63561	113578	279231	279231	0	0	2,50	2,50
	100%	-1.427	-16.453	44,54	6,90	1,01	63561	113578	279299	279299	0	0	2,50	2,50
sisma in -X														
proporzionale alle masse														
	0%	-6	22.033	NS	5,15	1,00	63561	113578	276563	276563	0	0	2,50	2,50
	100%	-6	-20.375	NS	5,57	1,00	63561	113578	276826	276826	0	0	2,50	2,50
proporzionale alla deformata 1° modo di vibrazione														
	0%	-41	21.842	NS	5,20	1,00	63561	113578	276492	276492	0	0	2,50	2,50
	100%	-41	-20.566	NS	5,52	1,00	63561	113578	276737	276737	0	0	2,50	2,50
sisma in +Y														
proporzionale alle masse														
	0%	-617	-32.045	NS	3,54	1,04	63561	113578	287750	287750	0	0	2,50	2,50
	100%	-617	-74.453	NS	1,53	1,04	63561	113578	287664	287664	0	0	2,50	2,50
proporzionale alla deformata 1° modo di vibrazione														
	0%	-591	-31.333	NS	3,62	1,04	63561	113578	286756	286756	0	0	2,50	2,50
	100%	-591	-73.741	NS	1,54	1,04	63561	113578	286682	286682	0	0	2,50	2,50
sisma in -Y														
proporzionale alle masse														
	0%	-634	84.787	NS	1,34	1,11	63561	113578	307339	307339	0	0	2,50	2,50
	100%	-634	42.379	NS	2,68	1,11	63561	113578	307420	307420	0	0	2,50	2,50
proporzionale alla deformata 1° modo di vibrazione														
	0%	-622	79.486	NS	1,43	1,10	63561	113578	304543	304543	0	0	2,50	2,50
	100%	-622	37.078	NS	3,06	1,10	63561	113578	304648	304648	0	0	2,50	2,50
sisma in +X														
proporzionale alle masse														
Trave 12-15	0%	-331	17.750	NS	6,40	1,00	63561	113578	277564	277564	0	0	2,50	2,50
	100%	-331	-13.960	NS	8,14	1,00	63561	113578	277584	277584	0	0	2,50	2,50
proporzionale alla deformata 1° modo di vibrazione														
	0%	-411	17.927	NS	6,34	1,00	63561	113578	277602	277602	0	0	2,50	2,50
	100%	-411	-13.783	NS	8,24	1,00	63561	113578	277718	277718	0	0	2,50	2,50
sisma in -X														
proporzionale alle masse														
	0%	165	18.260	NS	6,22	1,00	63561	113578	277507	277507	0	0	2,50	2,50
	100%	165	-13.450	NS	8,44	1,00	63561	113578	277353	277353	0	0	2,50	2,50
proporzionale alla deformata 1° modo di vibrazione														
	0%	184	18.440	NS	6,16	1,00	63561	113578	277538	277538	0	0	2,50	2,50
	100%	184	-13.270	NS	8,56	1,00	63561	113578	277275	277275	0	0	2,50	2,50
sisma in +Y														
proporzionale alle masse														
	0%	-720	-11.395	88,28	9,97	1,03	63561	113578	285395	285395	0	0	2,50	2,50
	100%	-720	-43.105	88,28	2,63	1,03	63561	113578	285257	285257	0	0	2,50	2,50
proporzionale alla deformata 1° modo di vibrazione														
	0%	-727	-9.962	87,43	11,40	1,03	63561	113578	285130	285130	0	0	2,50	2,50
	100%	-727	-41.672	87,43	2,73	1,03	63561	113578	285035	285035	0	0	2,50	2,50
sisma in -Y														
proporzionale alle masse														
	0%	437	52.892	NS	2,15	1,07	63561	113578	294586	294586	0	0	2,50	2,50

Id_{Tr}	$\%L_{LI}$	$V_{Ed,3}$	$V_{Ed,2}$	$CS^{(3)}$	$CS^{(2)}$	α_C	$V_{Rsd,s}{}^{(3)}$	$V_{Rsd,s}{}^{(2)}$	$V_{Rcd}{}^{(3)}$	$V_{Rcd}{}^{(2)}$	$V_{fd}{}^{(3)}$	$V_{fd}{}^{(2)}$	$Ctg\Theta^{(3)}$	$Ctg\Theta^{(2)}$
	[%]	[N]	[N]				[N]	[N]	[N]	[N]	[N]	[N]		
	100%	437	21.182	NS	5,36	1,06	63561	113578	293805	293805	0	0	2,50	2,50
proporzionale alla deformata 1° modo di vibrazione														
	0%	441	50.654	NS	2,24	1,06	63561	113578	293468	293468	0	0	2,50	2,50
	100%	441	18.944	NS	6,00	1,06	63561	113578	293229	293229	0	0	2,50	2,50
sisma in +X														
proporzionale alle masse														
Trave 15-P8	0%	5.174	-2.881	12,28	39,42	1,02	63561	113578	280913	280913	0	0	2,50	2,50
	100%	5.174	-24.496	12,28	4,64	1,02	63561	113578	280866	280866	0	0	2,50	2,50
proporzionale alla deformata 1° modo di vibrazione														
	0%	5.564	-4.363	11,42	26,03	1,02	63561	113578	281379	281379	0	0	2,50	2,50
	100%	5.564	-25.977	11,42	4,37	1,02	63561	113578	281342	281342	0	0	2,50	2,50
sisma in -X														
proporzionale alle masse														
	0%	-336	5.425	NS	20,94	1,00	63561	113578	276987	276987	0	0	2,50	2,50
	100%	-336	-16.189	NS	7,02	1,00	63561	113578	276893	276893	0	0	2,50	2,50
proporzionale alla deformata 1° modo di vibrazione														
	0%	-333	4.837	NS	23,48	1,00	63561	113578	277051	277051	0	0	2,50	2,50
	100%	-333	-16.778	NS	6,77	1,00	63561	113578	276902	276902	0	0	2,50	2,50
sisma in +Y														
proporzionale alle masse														
	0%	2.461	-134.039	25,83	0,85	1,15	63561	113578	317504	317504	0	0	2,50	2,50
	100%	2.461	-155.654	25,83	0,73	1,15	63561	113578	317957	317957	0	0	2,50	2,50
proporzionale alla deformata 1° modo di vibrazione														
	0%	2.515	-119.388	25,27	0,95	1,13	63561	113578	313410	313410	0	0	2,50	2,50
	100%	2.515	-141.002	25,27	0,81	1,13	63561	113578	313529	313529	0	0	2,50	2,50
sisma in -Y														
proporzionale alle masse														
	0%	1.945	137.542	32,68	0,83	1,07	63561	113578	296634	296634	0	0	2,50	2,50
	100%	1.945	115.928	32,68	0,98	1,08	63561	113578	299098	299098	0	0	2,50	2,50
proporzionale alla deformata 1° modo di vibrazione														
	0%	1.597	136.172	39,80	0,83	1,07	63561	113578	296626	296626	0	0	2,50	2,50
	100%	1.597	114.558	39,80	0,99	1,07	63561	113578	297011	297011	0	0	2,50	2,50
sisma in +X														
proporzionale alle masse														
Trave P8-4c	0%	31.756	197	2,00	NS	1,03	63561	113578	284793	284793	0	0	2,50	2,50
	100%	31.756	-1.907	2,00	59,56	1,03	63561	113578	284927	284927	0	0	2,50	2,50
proporzionale alla deformata 1° modo di vibrazione														
	0%	34.355	4.337	1,85	26,19	1,03	63561	113578	284776	284776	0	0	2,50	2,50
	100%	34.355	2.233	1,85	50,86	1,03	63561	113578	285039	285039	0	0	2,50	2,50
sisma in -X														
proporzionale alle masse														
	0%	8.132	9.331	7,82	12,17	1,01	63561	113578	278216	278216	0	0	2,50	2,50
	100%	8.132	7.227	7,82	15,72	1,00	63561	113578	277657	277657	0	0	2,50	2,50
proporzionale alla deformata 1° modo di vibrazione														
	0%	5.212	10.811	12,20	10,51	1,01	63561	113578	277967	277967	0	0	2,50	2,50
	100%	5.212	8.707	12,20	13,04	1,00	63561	113578	277602	277602	0	0	2,50	2,50
sisma in +Y														
proporzionale alle masse														
	0%	10.933	16.061	5,81	7,07	1,22	63561	113578	337077	337077	0	0	2,50	2,50
	100%	10.933	13.957	5,81	8,14	1,22	63561	113578	337070	337070	0	0	2,50	2,50
proporzionale alla deformata 1° modo di vibrazione														
	0%	12.615	-3.618	5,04	31,39	1,20	63561	113578	331985	331985	0	0	2,50	2,50
	100%	12.615	-5.722	5,04	19,85	1,20	63561	113578	331983	331983	0	0	2,50	2,50
sisma in -Y														
proporzionale alle masse														
	0%	6.428	-53.288	9,89	2,13	1,00	63561	113578	276376	276376	0	0	2,50	2,50
	100%	6.428	-55.393	9,89	2,05	1,00	63561	113578	276376	276376	0	0	2,50	2,50
proporzionale alla deformata 1° modo di vibrazione														
	0%	6.186	-54.757	10,27	2,07	1,00	63561	113578	276376	276376	0	0	2,50	2,50
	100%	6.186	-56.861	10,27	2,00	1,00	63561	113578	276376	276376	0	0	2,50	2,50
sisma in +X														
proporzionale alle masse														
Trave 4c-24	0%	6.690	4.767	9,50	23,83	1,02	63561	113578	283101	283101	0	0	2,50	2,50
	100%	-53.167	29.332	1,20	3,87	1,01	63561	113578	279531	279531	0	0	2,50	2,50
proporzionale alla deformata 1° modo di vibrazione														
	0%	7.944	7.899	8,00	14,38	1,02	63561	113578	283007	283007	0	0	2,50	2,50
	100%	-55.397	30.681	1,15	3,70	1,01	63561	113578	279721	279721	0	0	2,50	2,50
sisma in -X														
proporzionale alle masse														
	0%	10.591	6.895	6,00	16,47	1,00	63561	113578	276850	276850	0	0	2,50	2,50
	100%	42.261	-56.311	1,50	2,02	1,03	63561	113578	283953	283953	0	0	2,50	2,50
proporzionale alla deformata 1° modo di vibrazione														
	0%	8.146	10.535	7,80	10,78	1,00	63561	113578	276940	276940	0	0	2,50	2,50
	100%	35.059	-65.750	1,81	1,73	1,03	63561	113578	283706	283706	0	0	2,50	2,50
sisma in +Y														
proporzionale alle masse														
	0%	2.267	-15.950	28,04	7,12	1,18	63561	113578	325954	325954	0	0	2,50	2,50
	100%	10.920	-6.245	5,82	18,19	1,07	63561	113578	296436	296436	0	0	2,50	2,50
proporzionale alla deformata 1° modo di vibrazione														
	0%	5.249	-27.697	12,11	4,10	1,17	63561	113578	323753	323753	0	0	2,50	2,50
	100%	9.487	-8.162	6,70	13,92	1,08	63561	113578	299001	299001	0	0	2,50	2,50
sisma in -Y														
proporzionale alle masse														
	0%	1.046	-23.367	60,77	4,86	1,02	63561	113578	282361	282361	0	0	2,50	2,50
	100%	-35.703	147.659	1,78	0,77	1,01	63561	113578	278703	278703	0	0	2,50	2,50
proporzionale alla deformata 1° modo di vibrazione														

Id_{Tr}	$\%L_{LI}$	$V_{Ed,3}$	$V_{Ed,2}$	$CS^{(3)}$	$CS^{(2)}$	α_C	$V_{Rsd,s}{}^{(3)}$	$V_{Rsd,s}{}^{(2)}$	$V_{Rcd}{}^{(3)}$	$V_{Rcd}{}^{(2)}$	$V_{fd}{}^{(3)}$	$V_{fd}{}^{(2)}$	$Ctg\Theta^{(3)}$	$Ctg\Theta^{(2)}$
	[%]	[N]	[N]				[N]	[N]	[N]	[N]	[N]	[N]		
	0%	166	-22.446	NS	5,06	1,03	63561	113578	284278	284278	0	0	2,50	2,50
	100%	-33.338	148.407	1,91	0,77	1,01	63561	113578	278532	278532	0	0	2,50	2,50
Fondazione								**Travata: Trave1d-2-2d**						
sisma in +X														
proporzionale alle masse														
Trave 1d-2	0%	-282	1.809	NS	NS	1,02	373995	373995	520165	520165	0	0	2,50	2,50
	100%	-282	-26.003	NS	14,38	1,02	373995	373995	519674	519674	0	0	2,50	2,50
proporzionale alla deformata 1° modo di vibrazione														
	0%	-246	3.382	NS	NS	1,02	373995	373995	519741	519741	0	0	2,50	2,50
	100%	-246	-24.430	NS	15,31	1,02	373995	373995	518055	518055	0	0	2,50	2,50
sisma in -X														
proporzionale alle masse														
	0%	-150	36.423	NS	10,27	1,04	373995	373995	530437	530437	0	0	2,50	2,50
	100%	-150	8.611	NS	43,43	1,04	373995	373995	530581	530581	0	0	2,50	2,50
proporzionale alla deformata 1° modo di vibrazione														
	0%	-170	35.125	NS	10,65	1,04	373995	373995	528895	528895	0	0	2,50	2,50
	100%	-170	7.313	NS	51,14	1,04	373995	373995	529119	529119	0	0	2,50	2,50
sisma in +Y														
proporzionale alle masse														
	0%	87	15.409	NS	24,27	1,01	373995	373995	512645	512645	0	0	2,50	2,50
	100%	87	-12.403	NS	30,15	1,01	373995	373995	512890	512890	0	0	2,50	2,50
proporzionale alla deformata 1° modo di vibrazione														
	0%	93	15.614	NS	23,95	1,01	373995	373995	512908	512908	0	0	2,50	2,50
	100%	93	-12.198	NS	30,66	1,01	373995	373995	513138	513138	0	0	2,50	2,50
sisma in -Y														
proporzionale alle masse														
	0%	-659	16.074	NS	23,27	1,01	373995	373995	511707	511707	0	0	2,50	2,50
	100%	-659	-11.738	NS	31,86	1,01	373995	373995	511636	511636	0	0	2,50	2,50
proporzionale alla deformata 1° modo di vibrazione														
	0%	-569	15.665	NS	23,87	1,01	373995	373995	511503	511503	0	0	2,50	2,50
	100%	-569	-12.146	NS	30,79	1,01	373995	373995	511553	511553	0	0	2,50	2,50
sisma in +X														
proporzionale alle masse														
Trave 2-2d	0%	183	2.075	NS	NS	1,04	373995	373995	530655	530655	0	0	2,50	2,50
	100%	183	-26.363	NS	14,19	1,04	373995	373995	530186	530186	0	0	2,50	2,50
proporzionale alla deformata 1° modo di vibrazione														
	0%	150	3.135	NS	NS	1,04	373995	373995	528124	528124	0	0	2,50	2,50
	100%	150	-25.303	NS	14,78	1,04	373995	373995	527605	527605	0	0	2,50	2,50
sisma in -X														
proporzionale alle masse														
	0%	104	24.831	NS	15,06	1,02	373995	373995	517947	517947	0	0	2,50	2,50
	100%	104	-3.607	NS	NS	1,02	373995	373995	519079	519079	0	0	2,50	2,50
proporzionale alla deformata 1° modo di vibrazione														
	0%	88	24.082	NS	15,53	1,02	373995	373995	517345	517345	0	0	2,50	2,50
	100%	88	-4.356	NS	85,86	1,02	373995	373995	518749	518749	0	0	2,50	2,50
sisma in +Y														
proporzionale alle masse														
	0%	1.291	14.151	NS	26,43	1,01	373995	373995	512665	512665	0	0	2,50	2,50
	100%	1.291	-14.287	NS	26,18	1,01	373995	373995	512423	512423	0	0	2,50	2,50
proporzionale alla deformata 1° modo di vibrazione														
	0%	1.065	14.564	NS	25,68	1,01	373995	373995	512594	512594	0	0	2,50	2,50
	100%	1.065	-13.874	NS	26,96	1,01	373995	373995	512292	512292	0	0	2,50	2,50
sisma in -Y														
proporzionale alle masse														
	0%	-94	11.551	NS	32,38	1,01	373995	373995	511720	511720	0	0	2,50	2,50
	100%	-94	-16.887	NS	22,15	1,01	373995	373995	512982	512982	0	0	2,50	2,50
proporzionale alla deformata 1° modo di vibrazione														
	0%	-62	11.254	NS	33,23	1,01	373995	373995	511889	511889	0	0	2,50	2,50
	100%	-62	-17.184	NS	21,76	1,01	373995	373995	513066	513066	0	0	2,50	2,50
Fondazione								**Travata: Trave5d-5-6d**						
sisma in +X														
proporzionale alle masse														
Trave 5d-5	0%	-76	4.042	NS	92,53	1,02	373995	373995	518203	518203	0	0	2,50	2,50
	100%	-76	-24.394	NS	15,33	1,02	373995	373995	517288	517288	0	0	2,50	2,50
proporzionale alla deformata 1° modo di vibrazione														
	0%	-50	4.353	NS	85,92	1,02	373995	373995	518341	518341	0	0	2,50	2,50
	100%	-50	-24.084	NS	15,53	1,02	373995	373995	516982	516982	0	0	2,50	2,50
sisma in -X														
proporzionale alle masse														
	0%	-67	26.794	NS	13,96	1,04	373995	373995	528053	528053	0	0	2,50	2,50
	100%	-67	-1.643	NS	NS	1,04	373995	373995	528755	528755	0	0	2,50	2,50
proporzionale alla deformata 1° modo di vibrazione														
	0%	-63	25.732	NS	14,53	1,03	373995	373995	525856	525856	0	0	2,50	2,50
	100%	-63	-2.705	NS	NS	1,04	373995	373995	526822	526822	0	0	2,50	2,50
sisma in +Y														
proporzionale alle masse														
	0%	-1.351	15.083	NS	24,80	1,01	373995	373995	514295	514295	0	0	2,50	2,50
	100%	-1.351	-13.354	NS	28,01	1,01	373995	373995	514463	514463	0	0	2,50	2,50
proporzionale alla deformata 1° modo di vibrazione														
	0%	-1.127	15.295	NS	24,45	1,01	373995	373995	514287	514287	0	0	2,50	2,50
	100%	-1.127	-13.142	NS	28,46	1,01	373995	373995	514345	514345	0	0	2,50	2,50
sisma in -Y														
proporzionale alle masse														
	0%	446	13.017	NS	28,73	1,01	373995	373995	511529	511529	0	0	2,50	2,50
	100%	446	-15.419	NS	24,26	1,01	373995	373995	512412	512412	0	0	2,50	2,50
proporzionale alla deformata 1° modo di vibrazione														

Id_{Tr}	$\%L_{LI}$	$V_{Ed,3}$	$V_{Ed,2}$	$CS^{(3)}$	$CS^{(2)}$	α_C	$V_{Rsd,s}{}^{(3)}$	$V_{Rsd,s}{}^{(2)}$	$V_{Rcd}{}^{(3)}$	$V_{Rcd}{}^{(2)}$	$V_{fd}{}^{(3)}$	$V_{fd}{}^{(2)}$	$Ctg\Theta^{(3)}$	$Ctg\Theta^{(2)}$
	[%]	[N]	[N]				[N]	[N]	[N]	[N]	[N]	[N]		
	0%	355	12.735	NS	29,37	1,01	373995	373995	511707	511707	0	0	2,50	2,50
	100%	355	-15.702	NS	23,82	1,01	373995	373995	512448	512448	0	0	2,50	2,50
sisma in +X														
proporzionale alle masse														
Trave 5-6d	0%	75	2.615	NS	NS	1,04	373995	373995	528677	528677	0	0	2,50	2,50
	100%	75	-27.386	NS	13,66	1,04	373995	373995	527945	527945	0	0	2,50	2,50
proporzionale alla deformata 1° modo di vibrazione														
	0%	96	3.669	NS	NS	1,04	373995	373995	527233	527233	0	0	2,50	2,50
	100%	96	-26.331	NS	14,20	1,03	373995	373995	526506	526506	0	0	2,50	2,50
sisma in -X														
proporzionale alle masse														
	0%	144	23.842	NS	15,69	1,02	373995	373995	517038	517038	0	0	2,50	2,50
	100%	144	-6.159	NS	60,72	1,02	373995	373995	519194	519194	0	0	2,50	2,50
proporzionale alla deformata 1° modo di vibrazione														
	0%	157	22.871	NS	16,35	1,01	373995	373995	516108	516108	0	0	2,50	2,50
	100%	157	-7.130	NS	52,45	1,02	373995	373995	518008	518008	0	0	2,50	2,50
sisma in +Y														
proporzionale alle masse														
	0%	-54	18.466	NS	20,25	1,01	373995	373995	515641	515641	0	0	2,50	2,50
	100%	-54	-11.535	NS	32,42	1,01	373995	373995	511882	511882	0	0	2,50	2,50
proporzionale alla deformata 1° modo di vibrazione														
	0%	-27	17.836	NS	20,97	1,01	373995	373995	515156	515156	0	0	2,50	2,50
	100%	-27	-12.165	NS	30,74	1,01	373995	373995	512609	512609	0	0	2,50	2,50
sisma in -Y														
proporzionale alle masse														
	0%	709	11.004	NS	33,99	1,01	373995	373995	512025	512025	0	0	2,50	2,50
	100%	709	-18.997	NS	19,69	1,01	373995	373995	513205	513205	0	0	2,50	2,50
proporzionale alla deformata 1° modo di vibrazione														
	0%	551	11.477	NS	32,59	1,01	373995	373995	512407	512407	0	0	2,50	2,50
	100%	551	-18.523	NS	20,19	1,01	373995	373995	513235	513235	0	0	2,50	2,50
Fondazione								**Travata: Trave9d-20-10d**						
sisma in +X														
proporzionale alle masse														
Trave 9d-20	0%	46	1.116	NS	NS	1,03	373995	373995	521572	521572	0	0	2,50	2,50
	100%	46	-26.696	NS	14,01	1,02	373995	373995	521255	521255	0	0	2,50	2,50
proporzionale alla deformata 1° modo di vibrazione														
	0%	26	2.773	NS	NS	1,02	373995	373995	520822	520822	0	0	2,50	2,50
	100%	26	-25.039	NS	14,94	1,02	373995	373995	519320	519320	0	0	2,50	2,50
sisma in -X														
proporzionale alle masse														
	0%	-127	34.832	NS	10,74	1,04	373995	373995	528695	528695	0	0	2,50	2,50
	100%	-127	7.021	NS	53,27	1,04	373995	373995	528959	528959	0	0	2,50	2,50
proporzionale alla deformata 1° modo di vibrazione														
	0%	-117	33.552	NS	11,15	1,04	373995	373995	527401	527401	0	0	2,50	2,50
	100%	-117	5.741	NS	65,14	1,04	373995	373995	527819	527819	0	0	2,50	2,50
sisma in +Y														
proporzionale alle masse														
	0%	-329	15.872	NS	23,56	1,01	373995	373995	512239	512239	0	0	2,50	2,50
	100%	-329	-11.940	NS	31,32	1,01	373995	373995	512235	512235	0	0	2,50	2,50
proporzionale alla deformata 1° modo di vibrazione														
	0%	-334	15.395	NS	24,29	1,01	373995	373995	512091	512091	0	0	2,50	2,50
	100%	-334	-12.417	NS	30,12	1,01	373995	373995	512123	512123	0	0	2,50	2,50
sisma in -Y														
proporzionale alle masse														
	0%	-74	18.409	NS	20,32	1,01	373995	373995	514145	514145	0	0	2,50	2,50
	100%	-74	-9.402	NS	39,78	1,01	373995	373995	512784	512784	0	0	2,50	2,50
proporzionale alla deformata 1° modo di vibrazione														
	0%	68	19.107	NS	19,57	1,01	373995	373995	514554	514554	0	0	2,50	2,50
	100%	68	-8.705	NS	42,96	1,01	373995	373995	514477	514477	0	0	2,50	2,50
sisma in +X														
proporzionale alle masse														
Trave 20-10d	0%	79	3.492	NS	NS	1,04	373995	373995	528800	528800	0	0	2,50	2,50
	100%	79	-24.946	NS	14,99	1,04	373995	373995	528753	528753	0	0	2,50	2,50
proporzionale alla deformata 1° modo di vibrazione														
	0%	95	4.189	NS	89,28	1,04	373995	373995	526707	526707	0	0	2,50	2,50
	100%	95	-24.249	NS	15,42	1,03	373995	373995	526416	526416	0	0	2,50	2,50
sisma in -X														
proporzionale alle masse														
	0%	28	25.066	NS	14,92	1,02	373995	373995	518712	518712	0	0	2,50	2,50
	100%	28	-3.372	NS	NS	1,02	373995	373995	519920	519920	0	0	2,50	2,50
proporzionale alla deformata 1° modo di vibrazione														
	0%	20	24.297	NS	15,39	1,02	373995	373995	518132	518132	0	0	2,50	2,50
	100%	20	-4.141	NS	90,32	1,02	373995	373995	519013	519013	0	0	2,50	2,50
sisma in +Y														
proporzionale alle masse														
	0%	1.655	13.086	NS	28,58	1,01	373995	373995	512446	512446	0	0	2,50	2,50
	100%	1.655	-15.352	NS	24,36	1,01	373995	373995	512498	512498	0	0	2,50	2,50
proporzionale alla deformata 1° modo di vibrazione														
	0%	1.402	12.875	NS	29,05	1,01	373995	373995	512421	512421	0	0	2,50	2,50
	100%	1.402	-15.563	NS	24,03	1,01	373995	373995	512640	512640	0	0	2,50	2,50
sisma in -Y														
proporzionale alle masse														
	0%	-1.768	15.827	NS	23,63	1,01	373995	373995	512757	512757	0	0	2,50	2,50
	100%	-1.768	-12.612	NS	29,65	1,01	373995	373995	512196	512196	0	0	2,50	2,50
proporzionale alla deformata 1° modo di vibrazione														
	0%	-1.588	16.111	NS	23,21	1,01	373995	373995	512806	512806	0	0	2,50	2,50

Id_{Tr}	$\%L_{LI}$	$V_{Ed,3}$	$V_{Ed,2}$	$CS^{(3)}$	$CS^{(2)}$	α_C	$V_{Rsd,s}{}^{(3)}$	$V_{Rsd,s}{}^{(2)}$	$V_{Rcd}{}^{(3)}$	$V_{Rcd}{}^{(2)}$	$V_{fd}{}^{(3)}$	$V_{fd}{}^{(2)}$	$Ctg\Theta^{(3)}$	$Ctg\Theta^{(2)}$
	[%]	[N]	[N]				[N]	[N]	[N]	[N]	[N]	[N]		
	100%	-1.588	-12.327	NS	30,34	1,01	373995	373995	512226	512226	0	0	2,50	2,50
Fondazione								**Travata: Trave13d-23-14d**						
sisma in +X														
proporzionale alle masse														
Trave 13d-23	0%	-80	4.011	NS	93,24	1,02	373995	373995	518878	518878	0	0	2,50	2,50
	100%	-80	-24.426	NS	15,31	1,02	373995	373995	517839	517839	0	0	2,50	2,50
proporzionale alla deformata 1° modo di vibrazione														
	0%	-76	4.357	NS	85,84	1,02	373995	373995	519005	519005	0	0	2,50	2,50
	100%	-76	-24.080	NS	15,53	1,02	373995	373995	517324	517324	0	0	2,50	2,50
sisma in -X														
proporzionale alle masse														
	0%	-70	26.055	NS	14,35	1,04	373995	373995	526764	526764	0	0	2,50	2,50
	100%	-70	-2.381	NS	NS	1,04	373995	373995	527424	527424	0	0	2,50	2,50
proporzionale alla deformata 1° modo di vibrazione														
	0%	-102	25.231	NS	14,82	1,03	373995	373995	525180	525180	0	0	2,50	2,50
	100%	-102	-3.206	NS	NS	1,03	373995	373995	525996	525996	0	0	2,50	2,50
sisma in +Y														
proporzionale alle masse														
	0%	-1.358	14.278	NS	26,19	1,01	373995	373995	512125	512125	0	0	2,50	2,50
	100%	-1.358	-14.159	NS	26,41	1,01	373995	373995	512369	512369	0	0	2,50	2,50
proporzionale alla deformata 1° modo di vibrazione														
	0%	-1.290	13.946	NS	26,82	1,01	373995	373995	512014	512014	0	0	2,50	2,50
	100%	-1.290	-14.491	NS	25,81	1,01	373995	373995	512302	512302	0	0	2,50	2,50
sisma in -Y														
proporzionale alle masse														
	0%	1.682	15.935	NS	23,47	1,01	373995	373995	516140	516140	0	0	2,50	2,50
	100%	1.682	-12.502	NS	29,91	1,01	373995	373995	515947	515947	0	0	2,50	2,50
proporzionale alla deformata 1° modo di vibrazione														
	0%	1.486	16.240	NS	23,03	1,01	373995	373995	516270	516270	0	0	2,50	2,50
	100%	1.486	-12.197	NS	30,66	1,01	373995	373995	516121	516121	0	0	2,50	2,50
sisma in +X														
proporzionale alle masse														
Trave 23-14d	0%	141	3.424	NS	NS	1,04	373995	373995	527051	527051	0	0	2,50	2,50
	100%	141	-26.576	NS	14,07	1,04	373995	373995	526719	526719	0	0	2,50	2,50
proporzionale alla deformata 1° modo di vibrazione														
	0%	121	4.209	NS	88,86	1,03	373995	373995	526333	526333	0	0	2,50	2,50
	100%	121	-25.792	NS	14,50	1,03	373995	373995	525641	525641	0	0	2,50	2,50
sisma in -X														
proporzionale alle masse														
	0%	9	24.194	NS	15,46	1,02	373995	373995	517897	517897	0	0	2,50	2,50
	100%	9	-5.806	NS	64,42	1,02	373995	373995	519845	519845	0	0	2,50	2,50
proporzionale alla deformata 1° modo di vibrazione														
	0%	33	23.316	NS	16,04	1,02	373995	373995	517049	517049	0	0	2,50	2,50
	100%	33	-6.685	NS	55,95	1,02	373995	373995	518881	518881	0	0	2,50	2,50
sisma in +Y														
proporzionale alle masse														
	0%	405	11.729	NS	31,89	1,01	373995	373995	511809	511809	0	0	2,50	2,50
	100%	405	-18.272	NS	20,47	1,01	373995	373995	512586	512586	0	0	2,50	2,50
proporzionale alla deformata 1° modo di vibrazione														
	0%	540	12.233	NS	30,57	1,01	373995	373995	512231	512231	0	0	2,50	2,50
	100%	540	-17.768	NS	21,05	1,01	373995	373995	512697	512697	0	0	2,50	2,50
sisma in -Y														
proporzionale alle masse														
	0%	-414	19.592	NS	19,09	1,01	373995	373995	516264	516264	0	0	2,50	2,50
	100%	-414	-10.409	NS	35,93	1,01	373995	373995	515837	515837	0	0	2,50	2,50
proporzionale alla deformata 1° modo di vibrazione														
	0%	-362	19.186	NS	19,49	1,01	373995	373995	515749	515749	0	0	2,50	2,50
	100%	-362	-10.815	NS	34,58	1,01	373995	373995	515116	515116	0	0	2,50	2,50
Fondazione								**Travata: Trave11d-12d**						
sisma in +X														
proporzionale alle masse														
Trave 11d-12d	0%	63	-27.610	NS	13,55	1,06	373995	373995	536869	536869	0	0	2,50	2,50
	100%	63	-47.610	NS	7,86	1,05	373995	373995	536797	536797	0	0	2,50	2,50
proporzionale alla deformata 1° modo di vibrazione														
	0%	31	-25.583	NS	14,62	1,05	373995	373995	535178	535178	0	0	2,50	2,50
	100%	31	-45.583	NS	8,20	1,05	373995	373995	534933	534933	0	0	2,50	2,50
sisma in -X														
proporzionale alle masse														
	0%	108	48.891	NS	7,65	1,06	373995	373995	537197	537197	0	0	2,50	2,50
	100%	108	28.891	NS	12,95	1,06	373995	373995	537480	537480	0	0	2,50	2,50
proporzionale alla deformata 1° modo di vibrazione														
	0%	105	46.592	NS	8,03	1,05	373995	373995	535327	535327	0	0	2,50	2,50
	100%	105	26.592	NS	14,06	1,05	373995	373995	535387	535387	0	0	2,50	2,50
sisma in +Y														
proporzionale alle masse														
	0%	29	6.304	NS	59,33	1,00	373995	373995	508963	508963	0	0	2,50	2,50
	100%	29	-13.696	NS	27,31	1,00	373995	373995	511361	511361	0	0	2,50	2,50
proporzionale alla deformata 1° modo di vibrazione														
	0%	-249	4.269	NS	87,61	1,00	373995	373995	508867	508867	0	0	2,50	2,50
	100%	-249	-15.731	NS	23,77	1,01	373995	373995	512036	512036	0	0	2,50	2,50
sisma in -Y														
proporzionale alle masse														
	0%	349	17.888	NS	20,91	1,01	373995	373995	514367	514367	0	0	2,50	2,50
	100%	349	-2.112	NS	NS	1,01	373995	373995	515504	515504	0	0	2,50	2,50
proporzionale alla deformata 1° modo di vibrazione														
	0%	289	18.600	NS	20,11	1,01	373995	373995	514984	514984	0	0	2,50	2,50

Id_{Tr}	$\%L_{LI}$	$V_{Ed,3}$	$V_{Ed,2}$	$CS^{(3)}$	$CS^{(2)}$	α_C	$V_{Rsd,s}{}^{(3)}$	$V_{Rsd,s}{}^{(2)}$	$V_{Rcd}{}^{(3)}$	$V_{Rcd}{}^{(2)}$	$V_{fd}{}^{(3)}$	$V_{fd}{}^{(2)}$	$Ctg\Theta^{(3)}$	$Ctg\Theta^{(2)}$
	[%]	[N]	[N]				[N]	[N]	[N]	[N]	[N]	[N]		
	100%	289	-1.400	NS	NS	1,01	373995	373995	515584	515584	0	0	2,50	2,50
Fondazione								**Travata: Trave3d-4d**						
sisma in +X														
proporzionale alle masse														
Trave 3d-4d	0%	-38	-27.990	NS	13,36	1,06	373995	373995	536955	536955	0	0	2,50	2,50
	100%	-38	-47.990	NS	7,79	1,06	373995	373995	536905	536905	0	0	2,50	2,50
proporzionale alla deformata 1° modo di vibrazione														
	0%	-15	-25.921	NS	14,43	1,05	373995	373995	535324	535324	0	0	2,50	2,50
	100%	-15	-45.921	NS	8,14	1,05	373995	373995	535073	535073	0	0	2,50	2,50
sisma in -X														
proporzionale alle masse														
	0%	-44	50.071	NS	7,47	1,06	373995	373995	537984	537984	0	0	2,50	2,50
	100%	-44	30.071	NS	12,44	1,06	373995	373995	538010	538010	0	0	2,50	2,50
proporzionale alla deformata 1° modo di vibrazione														
	0%	-62	47.302	NS	7,91	1,05	373995	373995	535779	535779	0	0	2,50	2,50
	100%	-62	27.302	NS	13,70	1,05	373995	373995	535838	535838	0	0	2,50	2,50
sisma in +Y														
proporzionale alle masse														
	0%	-322	12.627	NS	29,62	1,00	373995	373995	511356	511356	0	0	2,50	2,50
	100%	-322	-7.373	NS	50,72	1,00	373995	373995	509476	509476	0	0	2,50	2,50
proporzionale alla deformata 1° modo di vibrazione														
	0%	-129	13.908	NS	26,89	1,01	373995	373995	511774	511774	0	0	2,50	2,50
	100%	-129	-6.092	NS	61,39	1,00	373995	373995	509486	509486	0	0	2,50	2,50
sisma in -Y														
proporzionale alle masse														
	0%	308	1.757	NS	NS	1,01	373995	373995	515232	515232	0	0	2,50	2,50
	100%	308	-18.243	NS	20,50	1,01	373995	373995	513312	513312	0	0	2,50	2,50
proporzionale alla deformata 1° modo di vibrazione														
	0%	397	576	NS	NS	1,01	373995	373995	515648	515648	0	0	2,50	2,50
	100%	397	-19.424	NS	19,25	1,01	373995	373995	514550	514550	0	0	2,50	2,50
Fondazione								**Travata: Trave1-7**						
sisma in +X														
proporzionale alle masse														
Trave 1-7	0%	-641	19.747	NS	18,94	1,02	373995	373995	516492	516492	0	0	2,50	2,50
	100%	-641	-17.407	NS	21,49	1,01	373995	373995	516273	516273	0	0	2,50	2,50
proporzionale alla deformata 1° modo di vibrazione														
	0%	-553	19.676	NS	19,01	1,01	373995	373995	516304	516304	0	0	2,50	2,50
	100%	-553	-17.478	NS	21,40	1,01	373995	373995	516063	516063	0	0	2,50	2,50
sisma in -X														
proporzionale alle masse														
	0%	633	17.710	NS	21,12	1,01	373995	373995	515705	515705	0	0	2,50	2,50
	100%	633	-19.445	NS	19,23	1,01	373995	373995	516088	516088	0	0	2,50	2,50
proporzionale alla deformata 1° modo di vibrazione														
	0%	482	17.806	NS	21,00	1,01	373995	373995	515438	515438	0	0	2,50	2,50
	100%	482	-19.349	NS	19,33	1,01	373995	373995	515989	515989	0	0	2,50	2,50
sisma in +Y														
proporzionale alle masse														
	0%	76	3.981	NS	93,94	1,05	373995	373995	532752	532752	0	0	2,50	2,50
	100%	76	-33.174	NS	11,27	1,04	373995	373995	531711	531711	0	0	2,50	2,50
proporzionale alla deformata 1° modo di vibrazione														
	0%	83	5.976	NS	62,58	1,04	373995	373995	529237	529237	0	0	2,50	2,50
	100%	83	-31.178	NS	12,00	1,04	373995	373995	528399	528399	0	0	2,50	2,50
sisma in -Y														
proporzionale alle masse														
	0%	74	57.008	NS	6,56	1,10	373995	373995	559598	559598	0	0	2,50	2,50
	100%	74	19.854	NS	18,84	1,10	373995	373995	559866	559866	0	0	2,50	2,50
proporzionale alla deformata 1° modo di vibrazione														
	0%	80	56.606	NS	6,61	1,10	373995	373995	560649	560649	0	0	2,50	2,50
	100%	80	19.451	NS	19,23	1,10	373995	373995	560835	560835	0	0	2,50	2,50
Fondazione								**Travata: Trave7d-12-15-8d**						
sisma in +X														
proporzionale alle masse														
Trave 7d-12	0%	-8.154	13.243	45,87	28,24	1,01	373995	373995	516108	516108	0	0	2,50	2,50
	100%	-8.154	-6.257	45,87	59,77	1,01	373995	373995	516160	516160	0	0	2,50	2,50
proporzionale alla deformata 1° modo di vibrazione														
	0%	-7.797	12.875	47,97	29,05	1,01	373995	373995	515544	515544	0	0	2,50	2,50
	100%	-7.797	-6.625	47,97	56,45	1,01	373995	373995	515788	515788	0	0	2,50	2,50
sisma in -X														
proporzionale alle masse														
	0%	118	13.325	NS	28,07	1,01	373995	373995	512245	512245	0	0	2,50	2,50
	100%	118	-6.175	NS	60,57	1,01	373995	373995	511505	511505	0	0	2,50	2,50
proporzionale alla deformata 1° modo di vibrazione														
	0%	-437	13.316	NS	28,09	1,01	373995	373995	512320	512320	0	0	2,50	2,50
	100%	-437	-6.183	NS	60,49	1,01	373995	373995	511566	511566	0	0	2,50	2,50
sisma in +Y														
proporzionale alle masse														
	0%	-2.050	-1.553	NS	NS	1,01	373995	373995	512519	512519	0	0	2,50	2,50
	100%	-2.050	-21.053	NS	17,76	1,01	373995	373995	512294	512294	0	0	2,50	2,50
proporzionale alla deformata 1° modo di vibrazione														
	0%	-2.434	-244	NS	NS	1,01	373995	373995	512031	512031	0	0	2,50	2,50
	100%	-2.434	-19.744	NS	18,94	1,01	373995	373995	511892	511892	0	0	2,50	2,50
sisma in -Y														
proporzionale alle masse														
	0%	-3.848	32.262	97,19	11,59	1,05	373995	373995	532062	532062	0	0	2,50	2,50
	100%	-3.848	12.762	97,19	29,31	1,05	373995	373995	532450	532450	0	0	2,50	2,50
proporzionale alla deformata 1° modo di vibrazione														

Id_{Tr}	$\%L_{LI}$	$V_{Ed,3}$	$V_{Ed,2}$	$CS^{(3)}$	$CS^{(2)}$	α_C	$V_{Rsd,s}{}^{(3)}$	$V_{Rsd,s}{}^{(2)}$	$V_{Rcd}{}^{(3)}$	$V_{Rcd}{}^{(2)}$	$V_{fd}{}^{(3)}$	$V_{fd}{}^{(2)}$	$Ctg\Theta^{(3)}$	$Ctg\Theta^{(2)}$
	[%]	[N]	[N]				[N]	[N]	[N]	[N]	[N]	[N]		
	0%	-4.057	30.070	92,19	12,44	1,04	373995	373995	530071	530071	0	0	2,50	2,50
	100%	-4.057	10.570	92,19	35,38	1,04	373995	373995	530331	530331	0	0	2,50	2,50
sisma in +X														
proporzionale alle masse														
Trave 12-15	0%	147	11.002	NS	33,99	1,01	373995	373995	515659	515659	0	0	2,50	2,50
	100%	147	-9.623	NS	38,86	1,01	373995	373995	515872	515872	0	0	2,50	2,50
proporzionale alla deformata 1° modo di vibrazione														
	0%	146	11.084	NS	33,74	1,01	373995	373995	515269	515269	0	0	2,50	2,50
	100%	146	-9.541	NS	39,20	1,01	373995	373995	515474	515474	0	0	2,50	2,50
sisma in -X														
proporzionale alle masse														
	0%	338	11.624	NS	32,17	1,01	373995	373995	512379	512379	0	0	2,50	2,50
	100%	338	-9.001	NS	41,55	1,01	373995	373995	511819	511819	0	0	2,50	2,50
proporzionale alla deformata 1° modo di vibrazione														
	0%	311	11.865	NS	31,52	1,01	373995	373995	512573	512573	0	0	2,50	2,50
	100%	311	-8.760	NS	42,69	1,01	373995	373995	511767	511767	0	0	2,50	2,50
sisma in +Y														
proporzionale alle masse														
	0%	723	460	NS	NS	1,03	373995	373995	522674	522674	0	0	2,50	2,50
	100%	723	-20.165	NS	18,55	1,02	373995	373995	521276	521276	0	0	2,50	2,50
proporzionale alla deformata 1° modo di vibrazione														
	0%	971	630	NS	NS	1,02	373995	373995	521550	521550	0	0	2,50	2,50
	100%	971	-19.995	NS	18,70	1,02	373995	373995	520726	520726	0	0	2,50	2,50
sisma in -Y														
proporzionale alle masse														
	0%	1.126	22.601	NS	16,55	1,03	373995	373995	521670	521670	0	0	2,50	2,50
	100%	1.126	1.976	NS	NS	1,03	373995	373995	521834	521834	0	0	2,50	2,50
proporzionale alla deformata 1° modo di vibrazione														
	0%	964	22.327	NS	16,75	1,02	373995	373995	520973	520973	0	0	2,50	2,50
	100%	964	1.702	NS	NS	1,02	373995	373995	521315	521315	0	0	2,50	2,50
sisma in +X														
proporzionale alle masse														
Trave 15-8d	0%	32.054	-14.845	11,67	25,19	1,02	373995	373995	517380	517380	0	0	2,50	2,50
	100%	32.054	-23.220	11,67	16,11	1,02	373995	373995	517338	517338	0	0	2,50	2,50
proporzionale alla deformata 1° modo di vibrazione														
	0%	30.353	-13.892	12,32	26,92	1,02	373995	373995	516957	516957	0	0	2,50	2,50
	100%	30.353	-22.267	12,32	16,80	1,02	373995	373995	516883	516883	0	0	2,50	2,50
sisma in -X														
proporzionale alle masse														
	0%	-2.240	-18.882	NS	19,81	1,01	373995	373995	513447	513447	0	0	2,50	2,50
	100%	-2.240	-27.257	NS	13,72	1,01	373995	373995	513535	513535	0	0	2,50	2,50
proporzionale alla deformata 1° modo di vibrazione														
	0%	566	-19.703	NS	18,98	1,01	373995	373995	513695	513695	0	0	2,50	2,50
	100%	566	-28.078	NS	13,32	1,01	373995	373995	513492	513492	0	0	2,50	2,50
sisma in +Y														
proporzionale alle masse														
	0%	10.519	-61.014	35,55	6,13	1,04	373995	373995	530115	530115	0	0	2,50	2,50
	100%	10.519	-69.389	35,55	5,39	1,04	373995	373995	530471	530471	0	0	2,50	2,50
proporzionale alla deformata 1° modo di vibrazione														
	0%	10.684	-53.306	35,01	7,02	1,04	373995	373995	528221	528221	0	0	2,50	2,50
	100%	10.684	-61.681	35,01	6,06	1,04	373995	373995	528317	528317	0	0	2,50	2,50
sisma in -Y														
proporzionale alle masse														
	0%	5.924	53.367	63,13	7,01	1,00	373995	373995	510263	510263	0	0	2,50	2,50
	100%	5.924	44.992	63,13	8,31	1,00	373995	373995	510230	510230	0	0	2,50	2,50
proporzionale alla deformata 1° modo di vibrazione														
	0%	7.161	46.811	52,23	7,99	1,00	373995	373995	509682	509682	0	0	2,50	2,50
	100%	7.161	38.436	52,23	9,73	1,00	373995	373995	509792	509792	0	0	2,50	2,50
Fondazione								**Travata: Trave16-19**						
sisma in +X														
proporzionale alle masse														
Trave 16-19	0%	3.001	5.587	NS	66,91	1,01	373847	373847	515225	515225	0	0	2,50	2,50
	100%	3.001	-16.099	NS	23,22	1,01	373847	373847	515033	515033	0	0	2,50	2,50
proporzionale alla deformata 1° modo di vibrazione														
	0%	2.640	5.887	NS	63,50	1,01	373847	373847	514421	514421	0	0	2,50	2,50
	100%	2.640	-15.799	NS	23,66	1,01	373847	373847	514604	514604	0	0	2,50	2,50
sisma in -X														
proporzionale alle masse														
	0%	-2.337	20.046	NS	18,65	1,01	373847	373847	514730	514730	0	0	2,50	2,50
	100%	-2.337	-1.640	NS	NS	1,01	373847	373847	515342	515342	0	0	2,50	2,50
proporzionale alla deformata 1° modo di vibrazione														
	0%	-1.958	19.750	NS	18,93	1,01	373847	373847	514592	514592	0	0	2,50	2,50
	100%	-1.958	-1.936	NS	NS	1,01	373847	373847	515083	515083	0	0	2,50	2,50
sisma in +Y														
proporzionale alle masse														
	0%	-182	-74.949	NS	4,99	1,14	373847	373847	581764	581764	0	0	2,50	2,50
	100%	-182	-96.635	NS	3,87	1,14	373847	373847	581705	581705	0	0	2,50	2,50
proporzionale alla deformata 1° modo di vibrazione														
	0%	-256	-73.254	NS	5,10	1,15	373847	373847	583522	583522	0	0	2,50	2,50
	100%	-256	-94.940	NS	3,94	1,15	373847	373847	583469	583469	0	0	2,50	2,50
sisma in -Y														
proporzionale alle masse														
	0%	-282	60.601	NS	6,17	1,08	373847	373847	546889	546889	0	0	2,50	2,50
	100%	-282	38.915	NS	9,61	1,08	373847	373847	547344	547344	0	0	2,50	2,50
proporzionale alla deformata 1° modo di vibrazione														
	0%	-245	55.940	NS	6,68	1,07	373847	373847	542209	542209	0	0	2,50	2,50

Travi - Verifiche a Taglio per Analisi Non Lineare

Id_{Tr}	$\%L_{LI}$	$V_{Ed,3}$	$V_{Ed,2}$	$CS^{(3)}$	$CS^{(2)}$	α_C	$V_{Rsd,s}{}^{(3)}$	$V_{Rsd,s}{}^{(2)}$	$V_{Rcd}{}^{(3)}$	$V_{Rcd}{}^{(2)}$	$V_{fd}{}^{(3)}$	$V_{fd}{}^{(2)}$	$Ctg\Theta^{(3)}$	$Ctg\Theta^{(2)}$
	[%]	[N]	[N]				[N]	[N]	[N]	[N]	[N]	[N]		
	100%	-245	34.254	NS	10,91	1,07	373847	373847	542372	542372	0	0	2,50	2,50

LEGENDA:

Id_{Tr} Identificativo della trave. L'eventuale lettera tra parentesi distingue i diversi tratti della travata al livello considerato.
$\%L_{LI}$ Posizione della sezione per la quale vengono forniti i valori di verifica, valutata come % della lunghezza libera d'inflessione (L_{LI}), a partire dall'estremo iniziale.
V_{Ed} Taglio di progetto.
CS Coefficiente di sicurezza, con riferimento alla direzione positiva e negativa del sisma. ([NS] = Non Significativo per valori di CS >= 100). Per ulteriori dettagli sulla verifica si rimanda alle tabelle relative alle Verifiche a Taglio.
α_C Coefficiente maggiorativo per compressione
$V_{Rsd,s}$ Resistenza a taglio trazione delle staffe.
V_{Rcd} Resistenza a taglio compressione del calcestruzzo.
V_{fd} Resistenza a taglio dovuta al rinforzo FRP.
$Ctg\Theta$ Cotangente dell'angolo Θ utilizzata nella verifica.

PILASTRI - VERIFICHE PRESSOFLESSIONE DEVIATA ALLO STATO LIMITE DI ESERCIZIO (Elevazione)

Pilastri - Verifiche pressoflessione deviata allo stato limite di esercizio

Lv / Tp_{rnf}	Trazione calcestruzzo / Trazione calcestruzzo rinforzo					Compressione calcestruzzo / Compressione calcestruzzo rinforzo					Trazione acciaio / Trazione acciaio/FRP rinforzo				
	Id_{Cmb}	σ_{ct}	N_{Ed}	$M_{Ed,3}$	$M_{Ed,2}$	Id_{Cmb}	σ_{cc}	N_{Ed}	$M_{Ed,3}$	$M_{Ed,2}$	Id_{Cmb}	σ_{at}	N_{Ed}	$M_{Ed,3}$	$M_{Ed,2}$
		[N/mm²]	[N]	[N·m]	[N·m]		[N/mm²]	[N]	[N·m]	[N·m]		[N/mm²]	[N]	[N·m]	[N·m]
Pilastrata: Pilastrata1															
Piano interrato				**AA= PCA**											
CA=FR Q	**ε_{sm}=0E+00**			**A_e=0,0 cm²**			**S_m=0 mm**			**W_k=0,00 mm**			**$\sigma_{ct,f}$=0,00 N/mm²**		
CA=QPR	**ε_{sm}=0E+00**			**A_e=0,0 cm²**			**S_m=0 mm**			**W_k=0,00 mm**			**$\sigma_{ct,f}$=0,00 N/mm²**		
	FRQ	0,527	37.548	-5.848	354	RAR	-1,171	39.703	-5.917	409	FRQ	5,451	37.548	-5.848	354
Piano terra				**AA= PCA**											
CA=FR Q	**ε_{sm}=0E+00**			**A_e=0,0 cm²**			**S_m=0 mm**			**W_k=0,00 mm**			**$\sigma_{ct,f}$=0,00 N/mm²**		
CA=QPR	**ε_{sm}=0E+00**			**A_e=0,0 cm²**			**S_m=0 mm**			**W_k=0,00 mm**			**$\sigma_{ct,f}$=0,00 N/mm²**		
	RAR	0,926	-13.720	-3.569	2.328	RAR	-1,436	65.262	4.601	-2.005	RAR	11,355	-13.720	-3.569	2.328
Pilastrata: Pilastrata2															
Piano interrato				**AA= PCA**											
CA=FR Q	**ε_{sm}=0E+00**			**A_e=0,0 cm²**			**S_m=0 mm**			**W_k=0,00 mm**			**$\sigma_{ct,f}$=0,00 N/mm²**		
CA=QPR	**ε_{sm}=0E+00**			**A_e=0,0 cm²**			**S_m=0 mm**			**W_k=0,00 mm**			**$\sigma_{ct,f}$=0,00 N/mm²**		
	RAR	0,000	-	-	-	RAR	-3,650	354.786	-4.194	1.429	RAR	0,000	-	-	-
Piano terra				**AA= PCA**											
CA=FR Q	**ε_{sm}=0E+00**			**A_e=0,0 cm²**			**S_m=0 mm**			**W_k=0,00 mm**			**$\sigma_{ct,f}$=0,00 N/mm²**		
CA=QPR	**ε_{sm}=0E+00**			**A_e=0,0 cm²**			**S_m=0 mm**			**W_k=0,00 mm**			**$\sigma_{ct,f}$=0,00 N/mm²**		
	RAR	0,000	-	-	-	RAR	-2,050	166.922	4.447	690	RAR	0,000	-	-	-
Pilastrata: Pilastrata3															
Piano interrato				**AA= PCA**											
CA=FR Q	**ε_{sm}=0E+00**			**A_e=0,0 cm²**			**S_m=0 mm**			**W_k=0,00 mm**			**$\sigma_{ct,f}$=0,00 N/mm²**		
CA=QPR	**ε_{sm}=0E+00**			**A_e=0,0 cm²**			**S_m=0 mm**			**W_k=0,00 mm**			**$\sigma_{ct,f}$=0,00 N/mm²**		
	RAR	0,000	-	-	-	RAR	-0,720	51.848	-1.927	-286	RAR	0,000	-	-	-
Piano terra				**AA= PCA**											
CA=FR Q	**ε_{sm}=0E+00**			**A_e=0,0 cm²**			**S_m=0 mm**			**W_k=0,00 mm**			**$\sigma_{ct,f}$=0,00 N/mm²**		
CA=QPR	**ε_{sm}=0E+00**			**A_e=0,0 cm²**			**S_m=0 mm**			**W_k=0,00 mm**			**$\sigma_{ct,f}$=0,00 N/mm²**		
	RAR	0,210	39.040	3.302	-593	RAR	-0,844	39.040	3.302	-593	RAR	1,568	39.040	3.302	-593
Pilastrata: Pilastrata4															
Piano interrato				**AA= PCA**											
CA=FR Q	**ε_{sm}=0E+00**			**A_e=0,0 cm²**			**S_m=0 mm**			**W_k=0,00 mm**			**$\sigma_{ct,f}$=0,00 N/mm²**		
CA=QPR	**ε_{sm}=0E+00**			**A_e=0,0 cm²**			**S_m=0 mm**			**W_k=0,00 mm**			**$\sigma_{ct,f}$=0,00 N/mm²**		
	RAR	0,000	-	-	-	RAR	-0,663	49.484	-1.634	295	RAR	0,000	-	-	-
Piano terra				**AA= PCA**											
CA=FR Q	**ε_{sm}=0E+00**			**A_e=0,0 cm²**			**S_m=0 mm**			**W_k=0,00 mm**			**$\sigma_{ct,f}$=0,00 N/mm²**		
CA=QPR	**ε_{sm}=0E+00**			**A_e=0,0 cm²**			**S_m=0 mm**			**W_k=0,00 mm**			**$\sigma_{ct,f}$=0,00 N/mm²**		
	RAR	0,225	35.226	2.949	810	RAR	-0,797	35.226	2.949	810	RAR	1,829	35.226	2.949	810
Pilastrata: Pilastrata5															
Piano interrato				**AA= PCA**											
CA=FR Q	**ε_{sm}=0E+00**			**A_e=0,0 cm²**			**S_m=0 mm**			**W_k=0,00 mm**			**$\sigma_{ct,f}$=0,00 N/mm²**		
CA=QPR	**ε_{sm}=0E+00**			**A_e=0,0 cm²**			**S_m=0 mm**			**W_k=0,00 mm**			**$\sigma_{ct,f}$=0,00 N/mm²**		
	RAR	0,000	-	-	-	RAR	-3,794	358.479	-4.824	1.635	RAR	0,000	-	-	-
Piano terra				**AA= PCA**											
CA=FR Q	**ε_{sm}=0E+00**			**A_e=0,0 cm²**			**S_m=0 mm**			**W_k=0,00 mm**			**$\sigma_{ct,f}$=0,00 N/mm²**		

Lv Tp_{rnf}	Trazione calcestruzzo Trazione calcestruzzo rinforzo					Compressione calcestruzzo Compressione calcestruzzo rinforzo					Trazione acciaio Trazione acciaio/FRP rinforzo				
	$Id_{Cm\,b}$	σ_{ct}	N_{Ed}	$M_{Ed,3}$	$M_{Ed,2}$	$Id_{Cm\,b}$	σ_{cc}	N_{Ed}	$M_{Ed,3}$	$M_{Ed,2}$	$Id_{Cm\,b}$	σ_{at}	N_{Ed}	$M_{Ed,3}$	$M_{Ed,2}$
		[N/mm²]	[N]	[N·m]	[N·m]		[N/mm²]	[N]	[N·m]	[N·m]		[N/mm²]	[N]	[N·m]	[N·m]
CA=QPR	**ε_{sm}=0E+00**												**$\sigma_{ct,f}$=0,00 N/mm²**		
	RAR	0,000	-	-	-	RAR	-2,023	164.412	4.336	748	RAR	0,000	-	-	-
Pilastrata: Pilastrata6															
Piano interrato				**AA= PCA**											
CA=FRQ	**ε_{sm}=0E+00**			**A_e=0,0 cm²**			**S_m=0 mm**			**W_k=0,00 mm**			**$\sigma_{ct,f}$=0,00 N/mm²**		
CA=QPR	**ε_{sm}=0E+00**			**A_e=0,0 cm²**			**S_m=0 mm**			**W_k=0,00 mm**			**$\sigma_{ct,f}$=0,00 N/mm²**		
	RAR	0,003	28.455	-1.367	-457	RAR	-0,426	28.455	-1.367	-457	RAR	0,000	-	-	-
Piano terra				**AA= PCA**											
CA=FRQ	**ε_{sm}=0E+00**			**A_e=0,0 cm²**			**S_m=0 mm**			**W_k=0,00 mm**			**$\sigma_{ct,f}$=0,00 N/mm²**		
CA=QPR	**ε_{sm}=0E+00**			**A_e=0,0 cm²**			**S_m=0 mm**			**W_k=0,00 mm**			**$\sigma_{ct,f}$=0,00 N/mm²**		
	RAR	0,340	9.343	-2.816	-667	RAR	-0,734	53.355	2.361	-515	RAR	3,901	9.343	-2.816	-667
Pilastrata: Pilastrata7															
Piano interrato				**AA= PCA**											
CA=FRQ	**ε_{sm}=1,51393E-04**			**A_e=57,0 cm²**			**S_m=145 mm**			**W_k=0,02 mm**			**$\sigma_{ct,f}$=2,41 N/mm²**		
CA=QPR	**ε_{sm}=1,51967E-04**			**A_e=57,0 cm²**			**S_m=145 mm**			**W_k=0,02 mm**			**$\sigma_{ct,f}$=2,41 N/mm²**		
	RAR	2,700	82.569	5.307	14.153	RAR	-6,034	82.569	5.307	14.153	RAR	84,095	82.569	5.307	14.153
Piano terra				**AA= PCA**											
CA=FRQ	**ε_{sm}=3,55001E-04**			**A_e=104,0 cm²**			**S_m=138 mm**			**W_k=0,05 mm**			**$\sigma_{ct,f}$=3,16 N/mm²**		
CA=QPR	**ε_{sm}=3,55447E-04**			**A_e=103,0 cm²**			**S_m=138 mm**			**W_k=0,05 mm**			**$\sigma_{ct,f}$=3,16 N/mm²**		
	RAR	3,488	-18.892	-4.450	-13.868	RAR	-5,886	-18.892	-4.450	-13.868	RAR	195,662	-18.892	-4.450	-13.868
Piano copertura				**AA= PCA**											
CA=FRQ	**ε_{sm}=4,53534E-04**			**A_e=114,0 cm²**			**S_m=145 mm**			**W_k=0,07 mm**			**$\sigma_{ct,f}$=2,71 N/mm²**		
CA=QPR	**ε_{sm}=4,40142E-04**			**A_e=114,0 cm²**			**S_m=145 mm**			**W_k=0,06 mm**			**$\sigma_{ct,f}$=2,66 N/mm²**		
	RAR	3,094	19.782	698	17.536	RAR	-5,569	26.306	-2.097	-15.824	RAR	164,736	19.782	698	17.536
Pilastrata: Pilastrata8															
Piano interrato				**AA= PCA**											
CA=FRQ	**ε_{sm}=0E+00**			**A_e=0,0 cm²**			**S_m=0 mm**			**W_k=0,00 mm**			**$\sigma_{ct,f}$=0,00 N/mm²**		
CA=QPR	**ε_{sm}=0E+00**			**A_e=0,0 cm²**			**S_m=0 mm**			**W_k=0,00 mm**			**$\sigma_{ct,f}$=0,00 N/mm²**		
	RAR	0,000	-	-	-	RAR	-4,511	560.360	4.377	-5.808	RAR	0,000	-	-	-
Piano terra				**AA= PCA**											
CA=FRQ	**ε_{sm}=0E+00**			**A_e=0,0 cm²**			**S_m=0 mm**			**W_k=0,00 mm**			**$\sigma_{ct,f}$=0,00 N/mm²**		
CA=QPR	**ε_{sm}=0E+00**			**A_e=0,0 cm²**			**S_m=0 mm**			**W_k=0,00 mm**			**$\sigma_{ct,f}$=0,00 N/mm²**		
	RAR	0,000	-	-	-	RAR	-1,566	236.927	53	-28	RAR	0,000	-	-	-
Piano copertura				**AA= PCA**											
CA=FRQ	**ε_{sm}=0E+00**			**A_e=0,0 cm²**			**S_m=0 mm**			**W_k=0,00 mm**			**$\sigma_{ct,f}$=0,00 N/mm²**		
CA=QPR	**ε_{sm}=0E+00**			**A_e=0,0 cm²**			**S_m=0 mm**			**W_k=0,00 mm**			**$\sigma_{ct,f}$=0,00 N/mm²**		
	RAR	0,079	65.189	3.478	1.828	RAR	-1,037	76.136	3.714	1.894	RAR	0,000	-	-	-
Pilastrata: Pilastrata9															
Piano interrato				**AA= PCA**											
CA=FRQ	**ε_{sm}=0E+00**			**A_e=0,0 cm²**			**S_m=0 mm**			**W_k=0,00 mm**			**$\sigma_{ct,f}$=0,00 N/mm²**		
CA=QPR	**ε_{sm}=0E+00**			**A_e=0,0 cm²**			**S_m=0 mm**			**W_k=0,00 mm**			**$\sigma_{ct,f}$=0,00 N/mm²**		
	RAR	0,000	-	-	-	RAR	-2,649	353.892	342	-3.876	RAR	0,000	-	-	-
Piano terra				**AA= PCA**											
CA=FRQ	**ε_{sm}=0E+00**			**A_e=0,0 cm²**			**S_m=0 mm**			**W_k=0,00 mm**			**$\sigma_{ct,f}$=0,00 N/mm²**		
CA=QPR	**ε_{sm}=0E+00**			**A_e=0,0 cm²**			**S_m=0 mm**			**W_k=0,00 mm**			**$\sigma_{ct,f}$=0,00 N/mm²**		
	RAR	0,245	32.364	3.448	1.380	RAR	-0,703	41.654	3.246	1.275	RAR	2,460	32.364	3.448	1.380
Piano copertura				**AA= PCA**											
CA=FRQ	**ε_{sm}=0E+00**			**A_e=0,0 cm²**			**S_m=0 mm**			**W_k=0,00 mm**			**$\sigma_{ct,f}$=0,00 N/mm²**		
CA=QPR	**ε_{sm}=0E+00**			**A_e=0,0 cm²**			**S_m=0 mm**			**W_k=0,00 mm**			**$\sigma_{ct,f}$=0,00 N/mm²**		
	RAR	1,579	-133.182	-2.821	4.264	RAR	0,000	-	-	-	RAR	21,735	-133.182	-2.821	4.264
Pilastrata: Pilastrata10															
Piano interrato				**AA= PCA**											
CA=FRQ	**ε_{sm}=0E+00**			**A_e=0,0 cm²**			**S_m=0 mm**			**W_k=0,00 mm**			**$\sigma_{ct,f}$=0,00 N/mm²**		
CA=QPR	**ε_{sm}=0E+00**			**A_e=0,0 cm²**			**S_m=0 mm**			**W_k=0,00 mm**			**$\sigma_{ct,f}$=0,00 N/mm²**		
	RAR	0,000	-	-	-	RAR	-3,206	327.166	2.541	-3.903	RAR	0,000	-	-	-
Piano terra				**AA= PCA**											
CA=FRQ	**ε_{sm}=0E+00**			**A_e=0,0 cm²**			**S_m=0 mm**			**W_k=0,00 mm**			**$\sigma_{ct,f}$=0,00 N/mm²**		

Lv Tp_{rnf}	Trazione calcestruzzo Trazione calcestruzzo rinforzo					Compressione calcestruzzo Compressione calcestruzzo rinforzo					Trazione acciaio Trazione acciaio/FRP rinforzo				
	Id_{Cmb}	σ_{ct}	N_{Ed}	$M_{Ed,3}$	$M_{Ed,2}$	Id_{Cmb}	σ_{cc}	N_{Ed}	$M_{Ed,3}$	$M_{Ed,2}$	Id_{Cmb}	σ_{at}	N_{Ed}	$M_{Ed,3}$	$M_{Ed,2}$
		[N/mm²]	[N]	[N·m]	[N·m]		[N/mm²]	[N]	[N·m]	[N·m]		[N/mm²]	[N]	[N·m]	[N·m]
CA=QPR															
	RAR	0,279	7.137	-2.693	385	RAR	-0,465	15.387	-2.803	417	RAR	3,290	7.137	-2.693	385
Piano copertura				**AA= PCA**											
CA=FRQ	**ε_{sm}=0E+00**			**A_e=0,0 cm²**			**S_m=0 mm**			**W_k=0,00 mm**			**$\sigma_{ct,f}$=0,00 N/mm²**		
CA=QPR	**ε_{sm}=0E+00**			**A_e=0,0 cm²**			**S_m=0 mm**			**W_k=0,00 mm**			**$\sigma_{ct,f}$=0,00 N/mm²**		
	RAR	1,781	-125.330	-2.310	4.201	RAR	0,000	-	-	-	RAR	218,168	-125.330	-2.310	4.201
Pilastrata: Pilastrata11															
Piano interrato				**AA= PCA**											
CA=FRQ	**ε_{sm}=0E+00**			**A_e=0,0 cm²**			**S_m=0 mm**			**W_k=0,00 mm**			**$\sigma_{ct,f}$=0,00 N/mm²**		
CA=QPR	**ε_{sm}=0E+00**			**A_e=0,0 cm²**			**S_m=0 mm**			**W_k=0,00 mm**			**$\sigma_{ct,f}$=0,00 N/mm²**		
	RAR	0,000	-	-	-	RAR	-4,927	473.415	1.830	-4.045	RAR	0,000	-	-	-
Piano terra				**AA= PCA**											
CA=FRQ	**ε_{sm}=0E+00**			**A_e=0,0 cm²**			**S_m=0 mm**			**W_k=0,00 mm**			**$\sigma_{ct,f}$=0,00 N/mm²**		
CA=QPR	**ε_{sm}=0E+00**			**A_e=0,0 cm²**			**S_m=0 mm**			**W_k=0,00 mm**			**$\sigma_{ct,f}$=0,00 N/mm²**		
	RAR	0,000	-	-	-	RAR	-1,536	156.820	699	653	RAR	0,000	-	-	-
Piano copertura				**AA= PCA**											
CA=FRQ	**ε_{sm}=0E+00**			**A_e=0,0 cm²**			**S_m=0 mm**			**W_k=0,00 mm**			**$\sigma_{ct,f}$=0,00 N/mm²**		
CA=QPR	**ε_{sm}=0E+00**			**A_e=0,0 cm²**			**S_m=0 mm**			**W_k=0,00 mm**			**$\sigma_{ct,f}$=0,00 N/mm²**		
	RAR	0,099	30.900	-950	1.498	RAR	-0,680	36.985	-965	1.492	FRQ	0,367	25.905	-792	1.315
Pilastrata: Pilastrata12															
Piano interrato				**AA= PCA**											
CA=FRQ	**ε_{sm}=2,90872E-04**			**A_e=98,0 cm²**			**S_m=134 mm**			**W_k=0,04 mm**			**$\sigma_{ct,f}$=3,06 N/mm²**		
CA=QPR	**ε_{sm}=2,9415E-04**			**A_e=98,0 cm²**			**S_m=134 mm**			**W_k=0,04 mm**			**$\sigma_{ct,f}$=3,06 N/mm²**		
	RAR	3,541	146.356	-2.763	-25.011	RAR	-8,391	146.356	-2.763	-25.011	RAR	116,378	146.356	-2.763	-25.011
Piano terra				**AA= PCA**											
CA=FRQ	**ε_{sm}=7,66297E-04**			**A_e=112,0 cm²**			**S_m=144 mm**			**W_k=0,11 mm**			**$\sigma_{ct,f}$=3,37 N/mm²**		
CA=QPR	**ε_{sm}=7,59768E-04**			**A_e=112,0 cm²**			**S_m=144 mm**			**W_k=0,11 mm**			**$\sigma_{ct,f}$=3,34 N/mm²**		
	RAR	3,726	-20.607	1.738	17.935	RAR	-5,682	-20.607	1.738	17.935	RAR	221,616	-20.607	1.738	17.935
Piano copertura				**AA= PCA**											
CA=FRQ	**ε_{sm}=5,28985E-04**			**A_e=112,0 cm²**			**S_m=144 mm**			**W_k=0,08 mm**			**$\sigma_{ct,f}$=3,25 N/mm²**		
CA=QPR	**ε_{sm}=5,22571E-04**			**A_e=112,0 cm²**			**S_m=144 mm**			**W_k=0,08 mm**			**$\sigma_{ct,f}$=3,21 N/mm²**		
	RAR	3,876	-118.500	-105	-15.050	RAR	-2,295	-118.500	-105	-15.050	RAR	309,384	-123.066	-149	-14.648
Pilastrata: Pilastrata13															
Piano interrato				**AA= PCA**											
CA=FRQ	**ε_{sm}=0E+00**			**A_e=0,0 cm²**			**S_m=0 mm**			**W_k=0,00 mm**			**$\sigma_{ct,f}$=0,00 N/mm²**		
CA=QPR	**ε_{sm}=0E+00**			**A_e=0,0 cm²**			**S_m=0 mm**			**W_k=0,00 mm**			**$\sigma_{ct,f}$=0,00 N/mm²**		
	RAR	0,000	-	-	-	RAR	-4,455	360.845	-4.131	1.003	RAR	0,000	-	-	-
Piano terra				**AA= PCA**											
CA=FRQ	**ε_{sm}=0E+00**			**A_e=0,0 cm²**			**S_m=0 mm**			**W_k=0,00 mm**			**$\sigma_{ct,f}$=0,00 N/mm²**		
CA=QPR	**ε_{sm}=0E+00**			**A_e=0,0 cm²**			**S_m=0 mm**			**W_k=0,00 mm**			**$\sigma_{ct,f}$=0,00 N/mm²**		
	RAR	0,389	98.475	44	7.337	RAR	-2,374	98.475	44	7.337	FRQ	1,434	90.736	54	6.864
Piano copertura				**AA= PCA**											
CA=FRQ	**ε_{sm}=1,68744E-04**			**A_e=34,0 cm²**			**S_m=121 mm**			**W_k=0,02 mm**			**$\sigma_{ct,f}$=3,39 N/mm²**		
CA=QPR	**ε_{sm}=1,66229E-04**			**A_e=34,0 cm²**			**S_m=121 mm**			**W_k=0,02 mm**			**$\sigma_{ct,f}$=3,32 N/mm²**		
	RAR	3,682	58.334	2.296	-20.518	RAR	-7,805	58.334	2.296	-20.518	RAR	202,555	54.456	2.289	-20.265
Pilastrata: Pilastrata14															
Piano interrato				**AA= PCA**											
CA=FRQ	**ε_{sm}=0E+00**			**A_e=0,0 cm²**			**S_m=0 mm**			**W_k=0,00 mm**			**$\sigma_{ct,f}$=0,00 N/mm²**		
CA=QPR	**ε_{sm}=0E+00**			**A_e=0,0 cm²**			**S_m=0 mm**			**W_k=0,00 mm**			**$\sigma_{ct,f}$=0,00 N/mm²**		
	RAR	0,000	-	-	-	RAR	-4,929	486.263	263	-654	RAR	0,000	-	-	-
Piano terra				**AA= PCA**											
CA=FRQ	**ε_{sm}=0E+00**			**A_e=0,0 cm²**			**S_m=0 mm**			**W_k=0,00 mm**			**$\sigma_{ct,f}$=0,00 N/mm²**		
CA=QPR	**ε_{sm}=0E+00**			**A_e=0,0 cm²**			**S_m=0 mm**			**W_k=0,00 mm**			**$\sigma_{ct,f}$=0,00 N/mm²**		
	RAR	0,000	-	-	-	RAR	-2,443	215.385	304	-1.152	RAR	0,000	-	-	-
Piano copertura				**AA= PCA**											
CA=FRQ	**ε_{sm}=0E+00**			**A_e=0,0 cm²**			**S_m=0 mm**			**W_k=0,00 mm**			**$\sigma_{ct,f}$=0,00 N/mm²**		
CA=QP	**ε_{sm}=0E+00**			**A_e=0,0 cm²**			**S_m=0 mm**			**W_k=0,00 mm**			**$\sigma_{ct,f}$=0,00 N/mm²**		

Lv Tp_{rnf}	Trazione calcestruzzo Trazione calcestruzzo rinforzo					Compressione calcestruzzo Compressione calcestruzzo rinforzo					Trazione acciaio Trazione acciaio/FRP rinforzo				
	Id_{Cmb}	σ_{ct}	N_{Ed}	$M_{Ed,3}$	$M_{Ed,2}$	Id_{Cmb}	σ_{cc}	N_{Ed}	$M_{Ed,3}$	$M_{Ed,2}$	Id_{Cmb}	σ_{at}	N_{Ed}	$M_{Ed,3}$	$M_{Ed,2}$
		[N/mm²]	[N]	[N·m]	[N·m]		[N/mm²]	[N]	[N·m]	[N·m]		[N/mm²]	[N]	[N·m]	[N·m]
R															
	RAR	0,000	-	-	-	RAR	-1,270	119.429	-45	-312	RAR	0,000	-	-	-
Pilastrata: Pilastrata15															
Piano interrato				**AA= PCA**											
CA=FR															
Q	**ε_{sm}=2,06795E-04**			**A_e=56,0 cm²**		**S_m=144 mm**				**W_k=0,03 mm**			**$\sigma_{ct,f}$=3,08 N/mm²**		
CA=QP	**ε_{sm}=2,06717E-04**			**A_e=56,0 cm²**		**S_m=144 mm**				**W_k=0,03 mm**			**$\sigma_{ct,f}$=3,09 N/mm²**		
R															
	RAR	3,513	168.345	5.535	-23.282	RAR	-8,612	168.345	5.535	-23.282	RAR	93,746	168.345	5.535	-23.282
Piano terra				**AA= PCA**											
CA=FR															
Q	**ε_{sm}=1,13294E-04**			**A_e=44,0 cm²**		**S_m=136 mm**				**W_k=0,02 mm**			**$\sigma_{ct,f}$=1,95 N/mm²**		
CA=QP	**ε_{sm}=1,11669E-04**			**A_e=44,0 cm²**		**S_m=136 mm**				**W_k=0,02 mm**			**$\sigma_{ct,f}$=1,92 N/mm²**		
R															
	RAR	2,135	56.331	-2.151	12.291	RAR	-4,908	56.331	-2.151	12.291	RAR	94,271	56.331	-2.151	12.291
Piano copertura				**AA= PCA**											
CA=FR															
Q	**ε_{sm}=6,02821E-04**			**A_e=112,0 cm²**		**S_m=155 mm**				**W_k=0,09 mm**			**$\sigma_{ct,f}$=2,98 N/mm²**		
CA=QP	**ε_{sm}=5,83725E-04**			**A_e=112,0 cm²**		**S_m=155 mm**				**W_k=0,09 mm**			**$\sigma_{ct,f}$=2,92 N/mm²**		
R															
	RAR	3,585	58.899	-1.051	-21.275	RAR	-7,513	58.899	-1.051	-21.275	RAR	202,610	58.899	-1.051	-21.275
Pilastrata: Pilastrata16															
Piano interrato				**AA= PCA**											
CA=FR															
Q	**ε_{sm}=9,22801E-05**			**A_e=38,0 cm²**		**S_m=119 mm**				**W_k=0,01 mm**			**$\sigma_{ct,f}$=1,96 N/mm²**		
CA=QP	**ε_{sm}=9,23228E-05**			**A_e=38,0 cm²**		**S_m=119 mm**				**W_k=0,01 mm**			**$\sigma_{ct,f}$=1,96 N/mm²**		
R															
	RAR	2,226	32.424	-1.616	12.583	RAR	-4,347	32.424	-1.616	12.583	RAR	101,613	32.424	-1.616	12.583
Piano terra				**AA= PCA**											
CA=FR															
Q	**ε_{sm}=3,78252E-05**			**A_e=22,0 cm²**		**S_m=98 mm**				**W_k=0,00 mm**			**$\sigma_{ct,f}$=1,78 N/mm²**		
CA=QP	**ε_{sm}=3,79108E-05**			**A_e=22,0 cm²**		**S_m=98 mm**				**W_k=0,00 mm**			**$\sigma_{ct,f}$=1,78 N/mm²**		
R															
	RAR	2,019	-19.210	1.407	-8.814	RAR	-2,974	-19.210	1.407	-8.814	RAR	123,704	-19.210	1.407	-8.814
Piano copertura				**AA= PCA**											
CA=FR															
Q	**ε_{sm}=0E+00**			**A_e=0,0 cm²**		**S_m=0 mm**				**W_k=0,00 mm**			**$\sigma_{ct,f}$=0,00 N/mm²**		
CA=QP	**ε_{sm}=0E+00**			**A_e=0,0 cm²**		**S_m=0 mm**				**W_k=0,00 mm**			**$\sigma_{ct,f}$=0,00 N/mm²**		
R															
	RAR	0,354	9.647	-1.887	-616	RAR	-0,543	9.647	-1.887	-616	RAR	3,784	9.647	-1.887	-616
Pilastrata: Pilastrata17															
Piano interrato				**AA= PCA**											
CA=FR															
Q	**ε_{sm}=0E+00**			**A_e=0,0 cm²**		**S_m=0 mm**				**W_k=0,00 mm**			**$\sigma_{ct,f}$=0,00 N/mm²**		
CA=QP	**ε_{sm}=0E+00**			**A_e=0,0 cm²**		**S_m=0 mm**				**W_k=0,00 mm**			**$\sigma_{ct,f}$=0,00 N/mm²**		
R															
	RAR	0,000	-	-	-	RAR	-4,729	261.093	-8.217	2.991	RAR	0,000	-	-	-
Pilastrata: Pilastrata18															
Piano interrato				**AA= PCA**											
CA=FR															
Q	**ε_{sm}=0E+00**			**A_e=0,0 cm²**		**S_m=0 mm**				**W_k=0,00 mm**			**$\sigma_{ct,f}$=0,00 N/mm²**		
CA=QP	**ε_{sm}=0E+00**			**A_e=0,0 cm²**		**S_m=0 mm**				**W_k=0,00 mm**			**$\sigma_{ct,f}$=0,00 N/mm²**		
R															
	RAR	0,000	-	-	-	RAR	-3,640	259.192	4.055	1.439	RAR	0,000	-	-	-
Pilastrata: Pilastrata19															
Piano interrato				**AA= PCA**											
CA=FR															
Q	**ε_{sm}=0E+00**			**A_e=0,0 cm²**		**S_m=0 mm**				**W_k=0,00 mm**			**$\sigma_{ct,f}$=0,00 N/mm²**		
CA=QP	**ε_{sm}=0E+00**			**A_e=0,0 cm²**		**S_m=0 mm**				**W_k=0,00 mm**			**$\sigma_{ct,f}$=0,00 N/mm²**		
R															
	RAR	0,000	-	-	-	RAR	-0,371	26.419	741	393	RAR	0,000	-	-	-
Piano terra				**AA= PCA**											
CA=FR															
Q	**ε_{sm}=0E+00**			**A_e=0,0 cm²**		**S_m=0 mm**				**W_k=0,00 mm**			**$\sigma_{ct,f}$=0,00 N/mm²**		
CA=QP	**ε_{sm}=0E+00**			**A_e=0,0 cm²**		**S_m=0 mm**				**W_k=0,00 mm**			**$\sigma_{ct,f}$=0,00 N/mm²**		
R															
	RAR	0,556	-22.147	-396	2.221	RAR	-0,743	60.568	-130	-1.609	RAR	7,086	-22.147	-396	2.221
Pilastrata: Pilastrata20															
Piano interrato				**AA= PCA**											
CA=FR															
Q	**ε_{sm}=0E+00**			**A_e=0,0 cm²**		**S_m=0 mm**				**W_k=0,00 mm**			**$\sigma_{ct,f}$=0,00 N/mm²**		
CA=QP	**ε_{sm}=0E+00**			**A_e=0,0 cm²**		**S_m=0 mm**				**W_k=0,00 mm**			**$\sigma_{ct,f}$=0,00 N/mm²**		
R															
	RAR	0,000	-	-	-	RAR	-3,167	319.346	-1.572	-1.453	RAR	0,000	-	-	-
Piano terra				**AA= PCA**											
CA=FR															
Q	**ε_{sm}=0E+00**			**A_e=0,0 cm²**		**S_m=0 mm**				**W_k=0,00 mm**			**$\sigma_{ct,f}$=0,00 N/mm²**		
CA=QP	**ε_{sm}=0E+00**			**A_e=0,0 cm²**		**S_m=0 mm**				**W_k=0,00 mm**			**$\sigma_{ct,f}$=0,00 N/mm²**		
R															
	RAR	0,000	-	-	-	RAR	-2,200	194.452	3.201	-707	RAR	0,000	-	-	-
Pilastrata: Pilastrata21															
Piano interrato				**AA= PCA**											
CA=FR	**ε_{sm}=0E+00**			**A_e=0,0 cm²**		**S_m=0 mm**				**W_k=0,00 mm**			**$\sigma_{ct,f}$=0,00 N/mm²**		

Lv Tp_{rnf}	Trazione calcestruzzo Trazione calcestruzzo rinforzo					Compressione calcestruzzo Compressione calcestruzzo rinforzo					Trazione acciaio Trazione acciaio/FRP rinforzo				
	Id_{Cmb}	σ_{ct}	N_{Ed}	$M_{Ed,3}$	$M_{Ed,2}$	Id_{Cmb}	σ_{cc}	N_{Ed}	$M_{Ed,3}$	$M_{Ed,2}$	Id_{Cmb}	σ_{at}	N_{Ed}	$M_{Ed,3}$	$M_{Ed,2}$
		[N/mm²]	[N]	[N·m]	[N·m]		[N/mm²]	[N]	[N·m]	[N·m]		[N/mm²]	[N]	[N·m]	[N·m]
Q CA=QPR	**ε_{sm}=0E+00**			**A_e=0,0 cm²**			**S_m=0 mm**			**W_k=0,00 mm**			**$\sigma_{ct,f}$=0,00 N/mm²**		
	RAR	0,000	-	-	-	RAR	-0,516	47.387	749	-211	RAR	0,000	-	-	-
Piano terra CA=FR				**AA= PCA**											
Q	**ε_{sm}=0E+00**			**A_e=0,0 cm²**			**S_m=0 mm**			**W_k=0,00 mm**			**$\sigma_{ct,f}$=0,00 N/mm²**		
CA=QPR	**ε_{sm}=0E+00**			**A_e=0,0 cm²**			**S_m=0 mm**			**W_k=0,00 mm**			**$\sigma_{ct,f}$=0,00 N/mm²**		
	RAR	0,143	33.278	-2.486	-564	RAR	-0,684	33.278	-2.486	-564	RAR	0,905	33.278	-2.486	-564
Pilastrata: Pilastrata22															
Piano interrato CA=FR				**AA= PCA**											
Q	**ε_{sm}=0E+00**			**A_e=0,0 cm²**			**S_m=0 mm**			**W_k=0,00 mm**			**$\sigma_{ct,f}$=0,00 N/mm²**		
CA=QPR	**ε_{sm}=0E+00**			**A_e=0,0 cm²**			**S_m=0 mm**			**W_k=0,00 mm**			**$\sigma_{ct,f}$=0,00 N/mm²**		
	RAR	0,000	-	-	-	RAR	-0,482	42.448	726	280	RAR	0,000	-	-	-
Piano terra CA=FR				**AA= PCA**											
Q	**ε_{sm}=0E+00**			**A_e=0,0 cm²**			**S_m=0 mm**			**W_k=0,00 mm**			**$\sigma_{ct,f}$=0,00 N/mm²**		
CA=QPR	**ε_{sm}=0E+00**			**A_e=0,0 cm²**			**S_m=0 mm**			**W_k=0,00 mm**			**$\sigma_{ct,f}$=0,00 N/mm²**		
	RAR	0,032	28.803	-1.374	570	RAR	-0,500	28.803	-1.374	570	RAR	0,000	-	-	-
Pilastrata: Pilastrata23															
Piano interrato CA=FR				**AA= PCA**											
Q	**ε_{sm}=0E+00**			**A_e=0,0 cm²**			**S_m=0 mm**			**W_k=0,00 mm**			**$\sigma_{ct,f}$=0,00 N/mm²**		
CA=QPR	**ε_{sm}=0E+00**			**A_e=0,0 cm²**			**S_m=0 mm**			**W_k=0,00 mm**			**$\sigma_{ct,f}$=0,00 N/mm²**		
	RAR	0,000	-	-	-	RAR	-2,695	270.425	1.353	1.293	RAR	0,000	-	-	-
Piano terra CA=FR				**AA= PCA**											
Q	**ε_{sm}=0E+00**			**A_e=0,0 cm²**			**S_m=0 mm**			**W_k=0,00 mm**			**$\sigma_{ct,f}$=0,00 N/mm²**		
CA=QPR	**ε_{sm}=0E+00**			**A_e=0,0 cm²**			**S_m=0 mm**			**W_k=0,00 mm**			**$\sigma_{ct,f}$=0,00 N/mm²**		
	RAR	0,000	-	-	-	RAR	-1,531	120.872	-2.941	672	RAR	0,000	-	-	-
Pilastrata: Pilastrata24															
Piano interrato CA=FR				**AA= PCA**											
Q	**ε_{sm}=0E+00**			**A_e=0,0 cm²**			**S_m=0 mm**			**W_k=0,00 mm**			**$\sigma_{ct,f}$=0,00 N/mm²**		
CA=QPR	**ε_{sm}=0E+00**			**A_e=0,0 cm²**			**S_m=0 mm**			**W_k=0,00 mm**			**$\sigma_{ct,f}$=0,00 N/mm²**		
	RAR	0,039	15.265	-320	-826	RAR	-0,287	15.265	-320	-826	RAR	0,050	15.265	-320	-826
Piano terra CA=FR				**AA= PCA**											
Q	**ε_{sm}=0E+00**			**A_e=0,0 cm²**			**S_m=0 mm**			**W_k=0,00 mm**			**$\sigma_{ct,f}$=0,00 N/mm²**		
CA=QPR	**ε_{sm}=0E+00**			**A_e=0,0 cm²**			**S_m=0 mm**			**W_k=0,00 mm**			**$\sigma_{ct,f}$=0,00 N/mm²**		
	RAR	0,285	3.375	-514	-1.676	RAR	-0,507	34.295	-243	1.349	RAR	3,246	3.375	-514	-1.676

LEGENDA:

Id_{Cmb}	Identificativo della Combinazione di Azione: [QPR] = Quasi Permanente - [FRQ] = Frequente - [RAR] = Rara.
σ_{ct}	Tensione massima di trazione nel calcestruzzo della Trave/Rinforzo.
σ_{cc}	Tensione massima di compressione nel calcestruzzo della Trave/Rinforzo.
$\sigma_{ct,f}$	Tensione massima di trazione nel calcestruzzo per la fessurazione, calcolata nell'ipotesi di calcestruzzo resistente a trazione.
Lv	Livello o piano di appartenenza dell'elemento strutturale.
Tp_{rnf}	Indica il tipo di rinforzo presente nella sezione di verifica: [Cls] = rinforzo in Calcestruzzo; [FRP] = rinforzo in FRP.
AA	Identificativo dell'aggressività dell'ambiente: [PCA] = Poco aggressivo - [MDA] = Moderatamente aggressivo - [MLA] = Molto aggressivo.
ε_{sm}	Deformazione media nel calcestruzzo.
A_e	Area efficace del calcestruzzo teso.
s_m	Distanza media tra le fessure.
w_k	Apertura massima delle fessure.
N_{Ed}, $M_{Ed,3}$, $M_{Ed,2}$	Sollecitazioni di progetto.

PILASTRI - VERIFICHE DI ROTAZIONE ALLA CORDA (Elevazione)

Verifiche di Rotazione alla corda

Lv	$\%L_{LI}$	$L_{v,SLV}$	$L_{v,SLD}$	L_{pl}	ϕ_u	ϕ_y	SLV			SLD		
							Θ_c	Θ_d	CS	Θ_c	Θ_d	CS
	[%]	[m]	[m]	[m]	[rad/m]	[rad/m]	[rad]	[rad]		[rad]	[rad]	
Pilastrata: Pilastrata2												
sisma in +X												
proporzionale alle masse												
Piano interrato	0%	0,66	0,67	0,51	0,0642	0,0075	0,011931	0,002538	4,70	0,006081	0,001123	5,41
Piano interrato	100%	0,63	0,62	0,50	0,0641	0,0073	0,011626	0,002538	4,58	0,006048	0,001123	5,38
proporzionale alla deformata 1° modo di vibrazione												
Piano interrato	0%	0,67	0,67	0,51	0,0653	0,0072	0,012146	0,002282	5,32	0,005990	0,001028	5,83
Piano interrato	100%	0,63	0,62	0,50	0,0659	0,0072	0,011846	0,002282	5,19	0,005989	0,001028	5,82
sisma in -X												
proporzionale alle masse												
Piano interrato	0%	0,67	0,68	0,51	0,0533	0,0077	0,010296	0,002585	3,98	0,006169	0,001170	5,27
Piano interrato	100%	0,62	0,61	0,50	0,0543	0,0078	0,010089	0,002585	3,90	0,006235	0,001170	5,33

Lv	%L_{LI}	$L_{v,SLV}$	$L_{v,SLD}$	L_{pl}	ϕ_u	ϕ_y	SLV			SLD		
							Θ_c	Θ_d	CS	Θ_c	Θ_d	CS
	[%]	[m]	[m]	[m]	[rad/m]	[rad/m]	[rad]	[rad]		[rad]	[rad]	
proporzionale alla deformata 1° modo di vibrazione												
Piano interrato	0%	0,67	0,68	0,51	0,0546	0,0078	0,010520	0,002336	4,50	0,006213	0,001073	5,79
Piano interrato	100%	0,62	0,61	0,50	0,0554	0,0077	0,010249	0,002336	4,39	0,006202	0,001073	5,78
sisma in +Y												
proporzionale alle masse												
Piano interrato	0%	1,24	1,37	0,52	0,0384	0,0072	0,009631	0,001884	5,11	0,006433	0,000809	7,95
Piano interrato	100%	0,06	0,12	0,40	0,0394	0,0134	0,007656	0,001884	4,06	0,010037	0,000809	12,41
proporzionale alla deformata 1° modo di vibrazione												
Piano interrato	0%	1,34	1,52	0,53	0,0399	0,0072	0,010329	0,001698	6,08	0,006700	0,000742	9,03
Piano interrato	100%	0,04	0,26	0,40	0,0408	0,0155	0,006596	0,001698	3,88	0,008089	0,000742	10,90
sisma in -Y												
proporzionale alle masse												
Piano interrato	0%	0,90	0,94	0,49	0,0276	0,0083	0,006515	0,002574	2,53	0,006160	0,001165	5,29
Piano interrato	100%	0,39	0,34	0,44	0,0277	0,0128	0,005197	0,002574	2,02	0,007127	0,001165	6,12
proporzionale alla deformata 1° modo di vibrazione												
Piano interrato	0%	0,95	0,98	0,49	0,0280	0,0084	0,006720	0,002422	2,77	0,006313	0,001117	5,65
Piano interrato	100%	0,35	0,31	0,43	0,0280	0,0137	0,005275	0,002422	2,18	0,007454	0,001117	6,67
sisma in +X												
proporzionale alle masse												
Piano terra	0%	1,17	1,14	0,56	0,0908	0,0062	0,020899	0,002365	8,84	0,005829	0,001098	5,31
Piano terra	100%	1,23	1,25	0,56	0,0918	0,0062	0,021585	0,002365	9,13	0,005945	0,001098	5,41
proporzionale alla deformata 1° modo di vibrazione												
Piano terra	0%	1,18	1,15	0,56	0,0929	0,0061	0,021375	0,002927	7,30	0,005799	0,001348	4,30
Piano terra	100%	1,22	1,23	0,56	0,0940	0,0061	0,021982	0,002927	7,51	0,005895	0,001348	4,37
sisma in -X												
proporzionale alle masse												
Piano terra	0%	1,16	1,15	0,56	0,0764	0,0070	0,017818	0,002384	7,47	0,006262	0,001104	5,67
Piano terra	100%	1,24	1,24	0,57	0,0775	0,0068	0,018575	0,002384	7,79	0,006322	0,001104	5,73
proporzionale alla deformata 1° modo di vibrazione												
Piano terra	0%	1,17	1,16	0,56	0,0779	0,0067	0,018186	0,002947	6,17	0,006158	0,001358	4,54
Piano terra	100%	1,23	1,23	0,56	0,0789	0,0067	0,018803	0,002947	6,38	0,006209	0,001358	4,57
sisma in +Y												
proporzionale alle masse												
Piano terra	0%	1,27	1,24	0,53	0,0679	0,0055	0,015590	0,001511	10,32	0,005136	0,000655	7,84
Piano terra	100%	1,15	1,16	0,51	0,0688	0,0053	0,015150	0,001511	10,03	0,004929	0,000655	7,52
proporzionale alla deformata 1° modo di vibrazione												
Piano terra	0%	1,04	1,10	0,50	0,0701	0,0048	0,014734	0,001791	8,23	0,004568	0,000784	5,82
Piano terra	100%	1,37	1,36	0,54	0,0714	0,0051	0,016806	0,001791	9,39	0,005039	0,000784	6,42
sisma in -Y												
proporzionale alle masse												
Piano terra	0%	1,30	1,25	0,53	0,0471	0,0129	0,012009	0,002803	4,28	0,009613	0,001355	7,10
Piano terra	100%	1,12	1,20	0,51	0,0484	0,0133	0,011727	0,002803	4,18	0,009611	0,001355	7,10
proporzionale alla deformata 1° modo di vibrazione												
Piano terra	0%	1,91	1,69	0,59	0,0484	0,0095	0,014108	0,003344	4,22	0,008762	0,001596	5,49
Piano terra	100%	0,48	0,69	0,45	0,0499	0,0154	0,008431	0,003344	2,52	0,008680	0,001596	5,44
Pilastrata: Pilastrata5												
sisma in +X												
proporzionale alle masse												
Piano interrato	0%	0,68	0,69	0,51	0,0601	0,0074	0,011399	0,002480	4,60	0,006061	0,001077	5,63
Piano interrato	100%	0,62	0,60	0,50	0,0606	0,0075	0,011033	0,002480	4,45	0,006139	0,001077	5,70
proporzionale alla deformata 1° modo di vibrazione												
Piano interrato	0%	0,68	0,69	0,51	0,0616	0,0073	0,011638	0,002223	5,24	0,006007	0,000980	6,13
Piano interrato	100%	0,62	0,60	0,50	0,0619	0,0074	0,011187	0,002223	5,03	0,006086	0,000980	6,21
sisma in -X												
proporzionale alle masse												
Piano interrato	0%	0,68	0,68	0,51	0,0617	0,0073	0,011640	0,002536	4,59	0,006017	0,001145	5,26
Piano interrato	100%	0,62	0,61	0,50	0,0627	0,0074	0,011315	0,002536	4,46	0,006085	0,001145	5,32
proporzionale alla deformata 1° modo di vibrazione												
Piano interrato	0%	0,68	0,68	0,51	0,0634	0,0072	0,011918	0,002286	5,21	0,005980	0,001046	5,72
Piano interrato	100%	0,62	0,61	0,50	0,0639	0,0073	0,011475	0,002286	5,02	0,006050	0,001046	5,78
sisma in +Y												
proporzionale alle masse												
Piano interrato	0%	1,22	1,39	0,52	0,0425	0,0069	0,010427	0,001780	5,86	0,006276	0,000770	8,15
Piano interrato	100%	0,08	0,14	0,41	0,0436	0,0154	0,007713	0,001780	4,33	0,009699	0,000770	12,60
proporzionale alla deformata 1° modo di vibrazione												
Piano interrato	0%	1,32	1,54	0,53	0,0431	0,0069	0,010960	0,001511	7,25	0,006553	0,000665	9,85
Piano interrato	100%	0,02	0,29	0,40	0,0444	0,0123	0,006763	0,001511	4,47	0,007107	0,000665	10,68
sisma in -Y												
proporzionale alle masse												
Piano interrato	0%	0,91	0,94	0,49	0,0291	0,0082	0,006803	0,002113	3,22	0,006108	0,000949	6,44
Piano interrato	100%	0,36	0,34	0,44	0,0290	0,0130	0,005320	0,002113	2,52	0,007167	0,000949	7,55
proporzionale alla deformata 1° modo di vibrazione												
Piano interrato	0%	0,96	1,00	0,49	0,0293	0,0083	0,006998	0,001842	3,80	0,006264	0,000844	7,42
Piano interrato	100%	0,33	0,29	0,43	0,0295	0,0154	0,005504	0,001842	2,99	0,007972	0,000844	9,45
sisma in +X												
proporzionale alle masse												
Piano terra	0%	1,14	1,12	0,56	0,0867	0,0065	0,019856	0,002340	8,49	0,005958	0,001086	5,49
Piano terra	100%	1,26	1,26	0,57	0,0878	0,0065	0,020917	0,002340	8,94	0,006145	0,001086	5,66
proporzionale alla deformata 1° modo di vibrazione												
Piano terra	0%	1,16	1,14	0,56	0,0885	0,0064	0,020378	0,002898	7,03	0,005924	0,001334	4,44
Piano terra	100%	1,23	1,25	0,56	0,0896	0,0064	0,021139	0,002898	7,29	0,006069	0,001334	4,55
sisma in -X												
proporzionale alle masse												
Piano terra	0%	1,16	1,11	0,56	0,0905	0,0062	0,020716	0,002427	8,54	0,005806	0,001128	5,15
Piano terra	100%	1,24	1,27	0,57	0,0916	0,0062	0,021612	0,002427	8,91	0,005974	0,001128	5,29

Lv	%L_{LI}	$L_{v,SLV}$	$L_{v,SLD}$	L_{pl}	ϕ_u	ϕ_y	SLV			SLD		
							Θ_c	Θ_d	CS	Θ_c	Θ_d	CS
	[%]	[m]	[m]	[m]	[rad/m]	[rad/m]	[rad]	[rad]		[rad]	[rad]	
proporzionale alla deformata 1° modo di vibrazione												
Piano terra	0%	1,17	1,14	0,56	0,0921	0,0061	0,021137	0,002988	7,07	0,005787	0,001381	4,19
Piano terra	100%	1,23	1,25	0,56	0,0932	0,0061	0,021901	0,002988	7,33	0,005925	0,001381	4,29
sisma in +Y												
proporzionale alle masse												
Piano terra	0%	1,22	1,19	0,52	0,0755	0,0048	0,016822	0,001493	11,26	0,004645	0,000601	7,73
Piano terra	100%	1,29	1,26	0,53	0,0766	0,0047	0,017404	0,001493	11,65	0,004661	0,000601	7,76
proporzionale alla deformata 1° modo di vibrazione												
Piano terra	0%	0,99	1,05	0,50	0,0769	0,0046	0,015663	0,001724	9,08	0,004392	0,000700	6,27
Piano terra	100%	1,47	1,39	0,55	0,0783	0,0045	0,018761	0,001724	10,88	0,004701	0,000700	6,71
sisma in -Y												
proporzionale alle masse												
Piano terra	0%	1,07	1,09	0,51	0,0552	0,0098	0,012407	0,002387	5,20	0,007287	0,001118	6,52
Piano terra	100%	1,27	1,32	0,53	0,0566	0,0086	0,013587	0,002387	5,69	0,007186	0,001118	6,43
proporzionale alla deformata 1° modo di vibrazione												
Piano terra	0%	1,47	1,41	0,55	0,0560	0,0076	0,014120	0,002753	5,13	0,006757	0,001285	5,26
Piano terra	100%	0,92	0,96	0,49	0,0570	0,0082	0,011848	0,002753	4,30	0,006124	0,001285	4,77
Pilastrata: Pilastrata7												
sisma in +X												
proporzionale alle masse												
Piano copertura	0%	1,16	1,16	0,55	0,1022	0,0053	0,022971	0,000306	75,01	0,005329	0,000282	18,87
Piano copertura	100%	1,06	1,14	0,54	0,1037	0,0051	0,022432	0,000306	73,25	0,005177	0,000282	18,33
proporzionale alla deformata 1° modo di vibrazione												
Piano copertura	0%	1,21	1,16	0,55	0,1043	0,0052	0,023776	0,000304	78,21	0,005230	0,000283	18,47
Piano copertura	100%	1,13	1,13	0,55	0,1047	0,0049	0,023174	0,000304	76,23	0,005067	0,000283	17,89
sisma in -X												
proporzionale alle masse												
Piano copertura	0%	0,95	1,02	0,53	0,0827	0,0095	0,017651	0,000323	54,66	0,007373	0,000275	26,78
Piano copertura	100%	1,30	1,23	0,56	0,0841	0,0067	0,020193	0,000323	62,54	0,006203	0,000275	22,53
proporzionale alla deformata 1° modo di vibrazione												
Piano copertura	0%	0,90	1,00	0,52	0,0855	0,0096	0,017762	0,000339	52,39	0,007369	0,000283	26,08
Piano copertura	100%	1,36	1,25	0,57	0,0868	0,0068	0,021139	0,000339	62,34	0,006296	0,000283	22,28
sisma in +Y												
proporzionale alle masse												
Piano copertura	0%	0,01	0,35	0,38	0,0139	0,0098	0,003328	0,000320	10,41	0,005867	0,000149	39,38
Piano copertura	100%	2,23	1,90	0,60	0,0138	0,0092	0,005743	0,000320	17,97	0,009033	0,000149	60,63
proporzionale alla deformata 1° modo di vibrazione												
Piano copertura	0%	0,19	0,20	0,40	0,0116	0,0097	0,003510	0,000409	8,58	0,006634	0,000186	35,65
Piano copertura	100%	2,44	2,05	0,63	0,0148	0,0091	0,006272	0,000409	15,32	0,009428	0,000186	50,67
sisma in -Y												
proporzionale alle masse												
Piano copertura	0%	1,88	1,81	0,57	0,1245	0,0049	0,031619	0,000222	NS	0,005490	0,000114	48,03
Piano copertura	100%	0,39	0,41	0,42	0,1259	0,0052	0,014862	0,000222	67,00	0,004349	0,000114	38,05
proporzionale alla deformata 1° modo di vibrazione												
Piano copertura	0%	1,91	1,90	0,57	0,1291	0,0050	0,033085	0,000276	NS	0,005678	0,000146	38,77
Piano copertura	100%	0,34	0,37	0,42	0,1305	0,0050	0,015249	0,000276	55,20	0,004391	0,000146	29,98
Pilastrata: Pilastrata8												
sisma in +X												
proporzionale alle masse												
Piano interrato	0%	0,71	0,76	0,55	0,0251	0,0068	0,006262	0,001967	3,18	0,006339	0,000813	7,80
Piano interrato	100%	0,59	0,50	0,54	0,0252	0,0069	0,006092	0,001967	3,10	0,006861	0,000813	8,44
proporzionale alla deformata 1° modo di vibrazione												
Piano interrato	0%	0,72	0,78	0,55	0,0252	0,0070	0,006296	0,001732	3,64	0,006396	0,000736	8,69
Piano interrato	100%	0,57	0,48	0,53	0,0252	0,0069	0,006068	0,001732	3,50	0,006919	0,000736	9,40
sisma in -X												
proporzionale alle masse												
Piano interrato	0%	0,71	0,75	0,55	0,0238	0,0070	0,006044	0,002020	2,99	0,006401	0,000872	7,34
Piano interrato	100%	0,58	0,52	0,53	0,0238	0,0071	0,005847	0,002020	2,90	0,006860	0,000872	7,86
proporzionale alla deformata 1° modo di vibrazione												
Piano interrato	0%	0,72	0,77	0,55	0,0239	0,0070	0,006077	0,001797	3,38	0,006395	0,000795	8,04
Piano interrato	100%	0,57	0,51	0,53	0,0239	0,0070	0,005833	0,001797	3,25	0,006848	0,000795	8,61
sisma in +Y												
proporzionale alle masse												
Piano interrato	0%	0,98	1,00	0,50	0,0368	0,0068	0,008333	0,001930	4,32	0,005497	0,000833	6,60
Piano interrato	100%	0,31	0,27	0,43	0,0373	0,0123	0,006299	0,001930	3,26	0,007208	0,000833	8,65
proporzionale alla deformata 1° modo di vibrazione												
Piano interrato	0%	1,04	1,05	0,50	0,0376	0,0068	0,008693	0,001733	5,02	0,005587	0,000766	7,30
Piano interrato	100%	0,25	0,23	0,43	0,0382	0,0113	0,006492	0,001733	3,75	0,007244	0,000766	9,46
sisma in -Y												
proporzionale alle masse												
Piano interrato	0%	1,56	1,66	0,56	0,0299	0,0080	0,008818	0,002327	3,79	0,007589	0,001038	7,31
Piano interrato	100%	0,27	0,40	0,43	0,0304	0,0070	0,005116	0,002327	2,20	0,005238	0,001038	5,05
proporzionale alla deformata 1° modo di vibrazione												
Piano interrato	0%	1,91	1,97	0,59	0,0289	0,0083	0,009473	0,002171	4,36	0,008646	0,000991	8,72
Piano interrato	100%	0,61	0,70	0,46	0,0294	0,0088	0,005944	0,002171	2,74	0,005929	0,000991	5,98
sisma in +X												
proporzionale alle masse												
Piano terra	0%	1,31	1,22	0,61	0,0770	0,0057	0,019602	0,001988	9,86	0,005921	0,000900	6,58
Piano terra	100%	1,49	1,48	0,63	0,0790	0,0055	0,021206	0,001988	10,67	0,006053	0,000900	6,73
proporzionale alla deformata 1° modo di vibrazione												
Piano terra	0%	1,34	1,33	0,61	0,0776	0,0054	0,019949	0,002470	8,08	0,005849	0,001112	5,26
Piano terra	100%	1,45	1,44	0,62	0,0795	0,0053	0,021109	0,002470	8,55	0,005911	0,001112	5,31
sisma in -X												
proporzionale alle masse												
Piano terra	0%	1,31	1,25	0,61	0,0713	0,0059	0,018291	0,002023	9,04	0,006077	0,000936	6,49

Lv	$\%L_{LI}$	$L_{v,SLV}$	$L_{v,SLD}$	L_{pl}	ϕ_u	ϕ_y	SLV			SLD		
							Θ_c	Θ_d	CS	Θ_c	Θ_d	CS
	[%]	[m]	[m]	[m]	[rad/m]	[rad/m]	[rad]	[rad]		[rad]	[rad]	
Piano terra	100%	1,49	1,50	0,63	0,0733	0,0056	0,019799	0,002023	9,79	0,006190	0,000936	6,61
proporzionale alla deformata 1° modo di vibrazione												
Piano terra	0%	1,34	1,32	0,61	0,0717	0,0056	0,018584	0,002504	7,42	0,005973	0,001151	5,19
Piano terra	100%	1,45	1,45	0,62	0,0736	0,0055	0,019655	0,002504	7,85	0,006025	0,001151	5,24
sisma in +Y												
proporzionale alle masse												
Piano terra	0%	11,82	23,74	1,58	0,0808	0,0093	0,091245	0,001760	51,83	0,077026	0,000805	95,68
Piano terra	100%	9,21	26,04	1,32	0,0825	0,0084	0,083385	0,001760	47,37	0,075880	0,000805	94,25
proporzionale alla deformata 1° modo di vibrazione												
Piano terra	0%	1,15	1,14	0,52	0,0833	0,0085	0,018306	0,002137	8,57	0,006701	0,000972	6,90
Piano terra	100%	1,57	1,57	0,56	0,0850	0,0070	0,021255	0,002137	9,95	0,006713	0,000972	6,91
sisma in -Y												
proporzionale alle masse												
Piano terra	0%	1,72	13,90	0,57	0,0637	0,0069	0,030858	0,002904	10,63	0,034596	0,001379	25,08
Piano terra	100%	4,36	16,69	0,84	0,0647	0,0120	0,055188	0,002904	19,00	0,070568	0,001379	51,15
proporzionale alla deformata 1° modo di vibrazione												
Piano terra	0%	1,07	0,95	0,51	0,0615	0,0099	0,013471	0,003480	3,87	0,006988	0,001639	4,26
Piano terra	100%	1,67	1,85	0,57	0,0624	0,0120	0,017517	0,003480	5,03	0,011305	0,001639	6,90
sisma in +X												
proporzionale alle masse												
Piano copertura	0%	1,56	1,53	0,63	0,1111	0,0038	0,029517	0,000001	NS	0,004971	0,000005	NS
Piano copertura	100%	0,69	0,77	0,55	0,1132	0,0039	0,020480	0,000001	NS	0,005035	0,000005	NS
proporzionale alla deformata 1° modo di vibrazione												
Piano copertura	0%	1,60	1,57	0,64	0,1123	0,0039	0,030142	0,000003	NS	0,005024	0,000003	NS
Piano copertura	100%	0,67	0,75	0,54	0,1144	0,0039	0,020289	0,000003	NS	0,005059	0,000003	NS
sisma in -X												
proporzionale alle masse												
Piano copertura	0%	1,66	1,73	0,64	0,1038	0,0041	0,028539	0,000040	NS	0,005346	0,000026	NS
Piano copertura	100%	0,54	0,41	0,53	0,1058	0,0039	0,016913	0,000040	NS	0,006349	0,000026	NS
proporzionale alla deformata 1° modo di vibrazione												
Piano copertura	0%	1,65	1,73	0,64	0,1042	0,0044	0,028591	0,000044	NS	0,005520	0,000028	NS
Piano copertura	100%	0,54	0,44	0,53	0,1061	0,0039	0,016845	0,000044	NS	0,006152	0,000028	NS
sisma in +Y												
proporzionale alle masse												
Piano copertura	0%	8,88	3,13	1,29	0,1133	0,0040	0,068526	0,000277	NS	0,006395	0,000101	63,25
Piano copertura	100%	6,53	0,79	1,05	0,1153	0,0038	0,055898	0,000277	NS	0,003883	0,000101	38,41
proporzionale alla deformata 1° modo di vibrazione												
Piano copertura	0%	15,32	5,03	1,93	0,1153	0,0038	0,105173	0,000410	NS	0,008460	0,000164	51,70
Piano copertura	100%	12,97	2,67	1,70	0,1173	0,0038	0,092842	0,000410	NS	0,005685	0,000164	34,74
sisma in -Y												
proporzionale alle masse												
Piano copertura	0%	4,55	12,26	0,86	0,0918	0,0057	0,046276	0,000381	NS	0,025811	0,000236	NS
Piano copertura	100%	2,34	10,34	0,63	0,0943	0,0044	0,033318	0,000381	87,37	0,017423	0,000236	73,73
proporzionale alla deformata 1° modo di vibrazione												
Piano copertura	0%	4,35	7,53	0,84	0,0888	0,0057	0,039712	0,000492	80,68	0,016667	0,000286	58,20
Piano copertura	100%	2,10	5,40	0,61	0,0911	0,0046	0,027856	0,000492	56,60	0,010542	0,000286	36,81
Pilastrata: Pilastrata9												
sisma in +X												
proporzionale alle masse												
Piano interrato	0%	0,71	0,74	0,55	0,0255	0,0067	0,006314	0,001992	3,17	0,006303	0,000824	7,65
Piano interrato	100%	0,59	0,52	0,54	0,0256	0,0068	0,006131	0,001992	3,08	0,006745	0,000824	8,18
proporzionale alla deformata 1° modo di vibrazione												
Piano interrato	0%	0,71	0,76	0,55	0,0256	0,0069	0,006340	0,001757	3,61	0,006353	0,000746	8,51
Piano interrato	100%	0,58	0,49	0,53	0,0256	0,0068	0,006154	0,001757	3,50	0,006865	0,000746	9,20
sisma in -X												
proporzionale alle masse												
Piano interrato	0%	0,70	0,75	0,55	0,0251	0,0070	0,006228	0,002040	3,05	0,006437	0,000874	7,36
Piano interrato	100%	0,59	0,52	0,54	0,0253	0,0068	0,006051	0,002040	2,97	0,006724	0,000874	7,69
proporzionale alla deformata 1° modo di vibrazione												
Piano interrato	0%	0,72	0,77	0,55	0,0251	0,0069	0,006269	0,001814	3,46	0,006390	0,000795	8,04
Piano interrato	100%	0,58	0,50	0,53	0,0253	0,0069	0,006059	0,001814	3,34	0,006836	0,000795	8,60
sisma in +Y												
proporzionale alle masse												
Piano interrato	0%	1,01	1,01	0,50	0,0361	0,0069	0,008269	0,001898	4,36	0,005561	0,000825	6,74
Piano interrato	100%	0,29	0,25	0,43	0,0367	0,0094	0,006225	0,001898	3,28	0,006591	0,000825	7,99
proporzionale alla deformata 1° modo di vibrazione												
Piano interrato	0%	1,08	1,08	0,51	0,0366	0,0070	0,008621	0,001662	5,19	0,005743	0,000740	7,76
Piano interrato	100%	0,22	0,20	0,42	0,0372	0,0077	0,006449	0,001662	3,88	0,006673	0,000740	9,02
sisma in -Y												
proporzionale alle masse												
Piano interrato	0%	1,61	1,70	0,56	0,0337	0,0077	0,009761	0,002205	4,43	0,007447	0,000984	7,57
Piano interrato	100%	0,32	0,44	0,43	0,0343	0,0058	0,005466	0,002205	2,48	0,004759	0,000984	4,84
proporzionale alla deformata 1° modo di vibrazione												
Piano interrato	0%	1,98	2,03	0,60	0,0330	0,0080	0,010605	0,002006	5,29	0,008521	0,000916	9,30
Piano interrato	100%	0,68	0,75	0,47	0,0336	0,0079	0,006783	0,002006	3,38	0,005636	0,000916	6,15
sisma in +X												
proporzionale alle masse												
Piano terra	0%	1,32	1,26	0,61	0,0778	0,0056	0,019858	0,001986	10,00	0,005930	0,000904	6,56
Piano terra	100%	1,48	1,47	0,63	0,0798	0,0054	0,021347	0,001986	10,75	0,006017	0,000904	6,65
proporzionale alla deformata 1° modo di vibrazione												
Piano terra	0%	1,35	1,33	0,61	0,0785	0,0054	0,020197	0,002467	8,19	0,005843	0,001116	5,24
Piano terra	100%	1,45	1,44	0,62	0,0806	0,0053	0,021326	0,002467	8,64	0,005902	0,001116	5,29
sisma in -X												
proporzionale alle masse												
Piano terra	0%	1,32	1,26	0,61	0,0741	0,0057	0,019004	0,002029	9,36	0,005986	0,000936	6,40

Lv	$\%L_{LI}$	$L_{v,SLV}$	$L_{v,SLD}$	L_{pl}	ϕ_u	ϕ_y	SLV			SLD		
							Θ_c	Θ_d	CS	Θ_c	Θ_d	CS
	[%]	[m]	[m]	[m]	[rad/m]	[rad/m]	[rad]	[rad]		[rad]	[rad]	
Piano terra	100%	1,48	1,49	0,62	0,0767	0,0055	0,020579	0,002029	10,14	0,006095	0,000936	6,51
proporzionale alla deformata 1° modo di vibrazione												
Piano terra	0%	1,35	1,33	0,61	0,0751	0,0055	0,019415	0,002514	7,72	0,005907	0,001152	5,13
Piano terra	100%	1,45	1,45	0,62	0,0768	0,0054	0,020439	0,002514	8,13	0,005976	0,001152	5,19
sisma in +Y												
proporzionale alle masse												
Piano terra	0%	6,90	10,91	1,09	0,0780	0,0120	0,056672	0,001776	31,91	0,047052	0,000807	58,30
Piano terra	100%	4,49	8,12	0,85	0,0804	0,0098	0,041956	0,001776	23,62	0,029584	0,000807	36,66
proporzionale alla deformata 1° modo di vibrazione												
Piano terra	0%	1,37	1,22	0,54	0,0793	0,0101	0,018843	0,002121	8,89	0,007865	0,000961	8,19
Piano terra	100%	1,43	1,58	0,54	0,0812	0,0102	0,020125	0,002121	9,49	0,009010	0,000961	9,38
sisma in -Y												
proporzionale alle masse												
Piano terra	0%	3,57	21,44	0,76	0,0687	0,0068	0,046662	0,002733	17,07	0,051470	0,001290	39,91
Piano terra	100%	6,23	18,64	1,02	0,0700	0,0111	0,063851	0,002733	23,36	0,072347	0,001290	56,09
proporzionale alla deformata 1° modo di vibrazione												
Piano terra	0%	1,12	0,95	0,51	0,0671	0,0093	0,014771	0,003242	4,56	0,006654	0,001521	4,38
Piano terra	100%	1,63	1,85	0,56	0,0683	0,0129	0,018908	0,003242	5,83	0,012018	0,001521	7,90
sisma in +X												
proporzionale alle masse												
Piano copertura	0%	1,65	1,68	0,64	0,1107	0,0039	0,030164	0,000012	NS	0,005162	0,000005	NS
Piano copertura	100%	0,59	0,60	0,54	0,1127	0,0039	0,018596	0,000012	NS	0,005387	0,000005	NS
proporzionale alla deformata 1° modo di vibrazione												
Piano copertura	0%	1,67	1,71	0,64	0,1119	0,0040	0,030634	0,000014	NS	0,005195	0,000006	NS
Piano copertura	100%	0,58	0,60	0,54	0,1139	0,0039	0,018636	0,000014	NS	0,005394	0,000006	NS
sisma in -X												
proporzionale alle masse												
Piano copertura	0%	1,55	1,56	0,63	0,1066	0,0038	0,028311	0,000024	NS	0,004981	0,000013	NS
Piano copertura	100%	0,71	0,75	0,55	0,1086	0,0039	0,020202	0,000024	NS	0,005061	0,000013	NS
proporzionale alla deformata 1° modo di vibrazione												
Piano copertura	0%	1,57	1,58	0,63	0,1071	0,0038	0,028606	0,000028	NS	0,004989	0,000015	NS
Piano copertura	100%	0,69	0,72	0,55	0,1091	0,0039	0,019942	0,000028	NS	0,005094	0,000015	NS
sisma in +Y												
proporzionale alle masse												
Piano copertura	0%	4,20	2,26	0,82	0,1096	0,0041	0,041761	0,000264	NS	0,005403	0,000085	63,46
Piano copertura	100%	1,94	0,04	0,59	0,1115	0,0039	0,037059	0,000264	NS	0,019908	0,000085	NS
proporzionale alla deformata 1° modo di vibrazione												
Piano copertura	0%	5,19	3,19	0,92	0,1106	0,0042	0,047914	0,000398	NS	0,006762	0,000149	45,28
Piano copertura	100%	2,93	0,93	0,69	0,1125	0,0039	0,035170	0,000398	88,41	0,003947	0,000149	26,43
sisma in -Y												
proporzionale alle masse												
Piano copertura	0%	8,48	2,98	1,25	0,0968	0,0055	0,056786	0,000429	NS	0,008034	0,000265	30,36
Piano copertura	100%	6,24	5,40	1,02	0,0993	0,0049	0,049946	0,000429	NS	0,011207	0,000265	42,35
proporzionale alla deformata 1° modo di vibrazione												
Piano copertura	0%	6,74	11,20	1,07	0,0941	0,0055	0,055224	0,000550	NS	0,022801	0,000319	71,42
Piano copertura	100%	4,51	13,85	0,85	0,0961	0,0059	0,049634	0,000550	90,23	0,029726	0,000319	93,12
Pilastrata: Pilastrata10												
sisma in +X												
proporzionale alle masse												
Piano interrato	0%	0,70	0,73	0,55	0,0257	0,0078	0,006375	0,002043	3,12	0,006757	0,000851	7,94
Piano interrato	100%	0,60	0,52	0,54	0,0259	0,0074	0,006193	0,002043	3,03	0,006944	0,000851	8,16
proporzionale alla deformata 1° modo di vibrazione												
Piano interrato	0%	0,71	0,75	0,55	0,0258	0,0075	0,006386	0,001804	3,54	0,006634	0,000770	8,62
Piano interrato	100%	0,59	0,50	0,53	0,0259	0,0074	0,006204	0,001804	3,44	0,007034	0,000770	9,13
sisma in -X												
proporzionale alle masse												
Piano interrato	0%	0,69	0,73	0,54	0,0258	0,0075	0,006330	0,002111	3,00	0,006659	0,000908	7,33
Piano interrato	100%	0,60	0,55	0,54	0,0264	0,0076	0,006247	0,002111	2,96	0,006934	0,000908	7,63
proporzionale alla deformata 1° modo di vibrazione												
Piano interrato	0%	0,70	0,74	0,55	0,0263	0,0074	0,006446	0,001882	3,43	0,006594	0,000826	7,98
Piano interrato	100%	0,59	0,53	0,53	0,0265	0,0073	0,006250	0,001882	3,32	0,006878	0,000826	8,32
sisma in +Y												
proporzionale alle masse												
Piano interrato	0%	0,92	0,94	0,48	0,0398	0,0075	0,008559	0,001942	4,41	0,005650	0,000854	6,61
Piano interrato	100%	0,37	0,34	0,43	0,0401	0,0127	0,006324	0,001942	3,26	0,006799	0,000854	7,96
proporzionale alla deformata 1° modo di vibrazione												
Piano interrato	0%	0,97	0,96	0,49	0,0401	0,0077	0,008802	0,001663	5,29	0,005767	0,000753	7,66
Piano interrato	100%	0,32	0,32	0,42	0,0410	0,0100	0,006303	0,001663	3,79	0,006053	0,000753	8,04
sisma in -Y												
proporzionale alle masse												
Piano interrato	0%	1,55	1,63	0,55	0,0406	0,0085	0,011137	0,002084	5,34	0,007807	0,000922	8,47
Piano interrato	100%	0,27	0,43	0,42	0,0417	0,0052	0,005992	0,002084	2,88	0,004351	0,000922	4,72
proporzionale alla deformata 1° modo di vibrazione												
Piano interrato	0%	1,95	2,10	0,59	0,0410	0,0089	0,012703	0,001841	6,90	0,009415	0,000837	11,25
Piano interrato	100%	0,65	0,82	0,46	0,0417	0,0078	0,007816	0,001841	4,25	0,005560	0,000837	6,65
sisma in +X												
proporzionale alle masse												
Piano terra	0%	1,31	1,27	0,61	0,0753	0,0061	0,019258	0,002004	9,61	0,006214	0,000927	6,71
Piano terra	100%	1,49	1,49	0,62	0,0770	0,0059	0,020739	0,002004	10,35	0,006349	0,000927	6,85
proporzionale alla deformata 1° modo di vibrazione												
Piano terra	0%	1,34	1,32	0,61	0,0758	0,0058	0,019526	0,002485	7,86	0,006129	0,001139	5,38
Piano terra	100%	1,46	1,45	0,62	0,0776	0,0058	0,020667	0,002485	8,32	0,006227	0,001139	5,47
sisma in -X												
proporzionale alle masse												
Piano terra	0%	1,33	1,30	0,61	0,0761	0,0060	0,019562	0,002032	9,63	0,006211	0,000931	6,67

Lv	$\%L_{LI}$	$L_{v,SLV}$	$L_{v,SLD}$	L_{pl}	ϕ_u	ϕ_y	SLV			SLD		
							Θ_c	Θ_d	CS	Θ_c	Θ_d	CS
	[%]	[m]	[m]	[m]	[rad/m]	[rad/m]	[rad]	[rad]		[rad]	[rad]	
Piano terra	100%	1,46	1,45	0,62	0,0781	0,0059	0,020827	0,002032	10,25	0,006281	0,000931	6,75
proporzionale alla deformata 1° modo di vibrazione												
Piano terra	0%	1,35	1,34	0,61	0,0770	0,0058	0,019895	0,002518	7,90	0,006133	0,001148	5,34
Piano terra	100%	1,44	1,43	0,62	0,0788	0,0057	0,020882	0,002518	8,29	0,006179	0,001148	5,38
sisma in +Y												
proporzionale alle masse												
Piano terra	0%	3,05	5,65	0,70	0,0837	0,0099	0,033685	0,001796	18,76	0,021887	0,000809	27,06
Piano terra	100%	5,56	8,45	0,95	0,0849	0,0104	0,048594	0,001796	27,06	0,032600	0,000809	40,30
proporzionale alla deformata 1° modo di vibrazione												
Piano terra	0%	1,44	1,53	0,54	0,0837	0,0088	0,020231	0,002114	9,57	0,007816	0,000950	8,22
Piano terra	100%	1,19	1,27	0,51	0,0855	0,0086	0,018894	0,002114	8,94	0,006988	0,000950	7,35
sisma in -Y												
proporzionale alle masse												
Piano terra	0%	0,92	1,72	0,48	0,0814	0,0064	0,016567	0,002603	6,36	0,006464	0,001222	5,29
Piano terra	100%	3,51	4,40	0,74	0,0814	0,0089	0,032085	0,002603	12,32	0,016094	0,001222	13,17
proporzionale alla deformata 1° modo di vibrazione												
Piano terra	0%	1,10	0,93	0,50	0,0807	0,0102	0,017132	0,003061	5,60	0,006955	0,001427	4,87
Piano terra	100%	1,62	1,81	0,55	0,0821	0,0073	0,020836	0,003061	6,81	0,007415	0,001427	5,20
sisma in +X												
proporzionale alle masse												
Piano copertura	0%	3,70	1,01	0,85	0,1040	0,0047	0,039812	0,000038	NS	0,005311	0,000031	NS
Piano copertura	100%	1,47	3,98	0,62	0,1057	0,0041	0,028828	0,000038	NS	0,007819	0,000031	NS
proporzionale alla deformata 1° modo di vibrazione												
Piano copertura	0%	2,70	5,24	0,75	0,1048	0,0047	0,037514	0,000040	NS	0,010752	0,000032	NS
Piano copertura	100%	0,52	8,71	0,53	0,1065	0,0042	0,020769	0,000040	NS	0,014565	0,000032	NS
sisma in -X												
proporzionale alle masse												
Piano copertura	0%	1,38	1,36	0,61	0,1051	0,0041	0,026661	0,000012	NS	0,005075	0,000019	NS
Piano copertura	100%	0,89	1,00	0,56	0,1069	0,0041	0,022310	0,000012	NS	0,004995	0,000019	NS
proporzionale alla deformata 1° modo di vibrazione												
Piano copertura	0%	1,40	1,36	0,62	0,1059	0,0041	0,026986	0,000009	NS	0,005057	0,000018	NS
Piano copertura	100%	0,86	0,94	0,56	0,1077	0,0041	0,022086	0,000009	NS	0,004990	0,000018	NS
sisma in +Y												
proporzionale alle masse												
Piano copertura	0%	2,27	1,71	0,62	0,1105	0,0045	0,030825	0,000209	NS	0,005059	0,000054	94,39
Piano copertura	100%	0,05	0,54	0,40	0,1121	0,0046	0,012662	0,000209	60,72	0,004049	0,000054	75,54
proporzionale alla deformata 1° modo di vibrazione												
Piano copertura	0%	2,48	1,98	0,64	0,1112	0,0046	0,032410	0,000309	NS	0,005472	0,000104	52,44
Piano copertura	100%	0,25	0,25	0,42	0,1129	0,0046	0,013686	0,000309	44,25	0,004838	0,000104	46,36
sisma in -Y												
proporzionale alle masse												
Piano copertura	0%	1,67	0,01	0,56	0,1090	0,0046	0,054041	0,000485	NS	0,059611	0,000292	NS
Piano copertura	100%	4,03	2,35	0,79	0,1106	0,0047	0,040948	0,000485	84,45	0,006084	0,000292	20,86
proporzionale alla deformata 1° modo di vibrazione												
Piano copertura	0%	4,29	0,44	0,82	0,1092	0,0049	0,040783	0,000601	67,83	0,004241	0,000346	12,26
Piano copertura	100%	6,65	2,75	1,06	0,1108	0,0048	0,054880	0,000601	91,28	0,006779	0,000346	19,60
Pilastrata: Pilastrata11												
sisma in +X												
proporzionale alle masse												
Piano interrato	0%	0,70	0,72	0,53	0,0308	0,0087	0,007059	0,002084	3,39	0,006895	0,000869	7,94
Piano interrato	100%	0,60	0,54	0,52	0,0311	0,0087	0,006811	0,002084	3,27	0,007008	0,000869	8,07
proporzionale alla deformata 1° modo di vibrazione												
Piano interrato	0%	0,70	0,74	0,53	0,0311	0,0086	0,007128	0,001841	3,87	0,006841	0,000788	8,68
Piano interrato	100%	0,59	0,53	0,52	0,0312	0,0087	0,006787	0,001841	3,69	0,007003	0,000788	8,88
sisma in -X												
proporzionale alle masse												
Piano interrato	0%	0,68	0,71	0,53	0,0327	0,0084	0,007310	0,002188	3,34	0,006766	0,000946	7,15
Piano interrato	100%	0,61	0,57	0,52	0,0331	0,0088	0,007121	0,002188	3,25	0,006976	0,000946	7,37
proporzionale alla deformata 1° modo di vibrazione												
Piano interrato	0%	0,69	0,71	0,53	0,0331	0,0084	0,007409	0,001951	3,80	0,006752	0,000862	7,83
Piano interrato	100%	0,61	0,56	0,52	0,0336	0,0084	0,007155	0,001951	3,67	0,006835	0,000862	7,93
sisma in +Y												
proporzionale alle masse												
Piano interrato	0%	0,87	0,88	0,48	0,0364	0,0084	0,007844	0,001914	4,10	0,005970	0,000844	7,07
Piano interrato	100%	0,41	0,39	0,43	0,0363	0,0150	0,006052	0,001914	3,16	0,007526	0,000844	8,91
proporzionale alla deformata 1° modo di vibrazione												
Piano interrato	0%	0,91	0,90	0,48	0,0368	0,0086	0,008059	0,001613	5,00	0,006122	0,000734	8,35
Piano interrato	100%	0,38	0,37	0,43	0,0372	0,0142	0,006087	0,001613	3,77	0,007239	0,000734	9,87
sisma in -Y												
proporzionale alle masse												
Piano interrato	0%	1,34	1,49	0,52	0,0384	0,0096	0,010198	0,001961	5,20	0,008226	0,000864	9,52
Piano interrato	100%	0,06	0,21	0,40	0,0396	0,0050	0,006113	0,001961	3,12	0,005369	0,000864	6,21
proporzionale alla deformata 1° modo di vibrazione												
Piano interrato	0%	1,58	1,79	0,55	0,0390	0,0099	0,011268	0,001687	6,68	0,009359	0,000765	12,24
Piano interrato	100%	0,30	0,51	0,42	0,0400	0,0057	0,005838	0,001687	3,46	0,004473	0,000765	5,85
sisma in +X												
proporzionale alle masse												
Piano terra	0%	1,32	1,27	0,59	0,0788	0,0068	0,019765	0,001992	9,92	0,006519	0,000912	7,14
Piano terra	100%	1,48	1,47	0,61	0,0803	0,0066	0,021079	0,001992	10,58	0,006684	0,000912	7,33
proporzionale alla deformata 1° modo di vibrazione												
Piano terra	0%	1,35	1,33	0,59	0,0792	0,0066	0,020017	0,002474	8,09	0,006437	0,001125	5,72
Piano terra	100%	1,45	1,46	0,60	0,0809	0,0065	0,021044	0,002474	8,51	0,006558	0,001125	5,83
sisma in -X												
proporzionale alle masse												
Piano terra	0%	1,33	1,31	0,59	0,0795	0,0067	0,019976	0,002075	9,63	0,006475	0,000962	6,73

Lv	$\%L_{LI}$	$L_{v,SLV}$	$L_{v,SLD}$	L_{pl}	ϕ_u	ϕ_y	SLV			SLD		
							Θ_c	Θ_d	CS	Θ_c	Θ_d	CS
	[%]	[m]	[m]	[m]	[rad/m]	[rad/m]	[rad]	[rad]		[rad]	[rad]	
Piano terra	100%	1,47	1,46	0,60	0,0814	0,0065	0,021283	0,002075	10,26	0,006588	0,000962	6,85
proporzionale alla deformata 1° modo di vibrazione												
Piano terra	0%	1,35	1,35	0,59	0,0807	0,0065	0,020366	0,002565	7,94	0,006410	0,001182	5,43
Piano terra	100%	1,45	1,44	0,60	0,0823	0,0064	0,021350	0,002565	8,32	0,006477	0,001182	5,48
sisma in +Y												
proporzionale alle masse												
Piano terra	0%	0,76	0,71	0,47	0,0857	0,0102	0,015407	0,001846	8,35	0,006393	0,000823	7,77
Piano terra	100%	1,95	1,92	0,59	0,0861	0,0071	0,023390	0,001846	12,67	0,007477	0,000823	9,08
proporzionale alla deformata 1° modo di vibrazione												
Piano terra	0%	1,38	1,36	0,53	0,0853	0,0070	0,019830	0,002144	9,25	0,006164	0,000950	6,49
Piano terra	100%	1,37	1,31	0,53	0,0865	0,0068	0,019932	0,002144	9,30	0,005935	0,000950	6,25
sisma in -Y												
proporzionale alle masse												
Piano terra	0%	0,10	0,95	0,40	0,0857	0,0089	0,010868	0,002434	4,47	0,006388	0,001123	5,69
Piano terra	100%	2,79	3,43	0,67	0,0859	0,0075	0,028801	0,002434	11,83	0,011418	0,001123	10,17
proporzionale alla deformata 1° modo di vibrazione												
Piano terra	0%	1,23	1,08	0,51	0,0854	0,0074	0,018776	0,002827	6,64	0,005867	0,001297	4,52
Piano terra	100%	1,50	1,66	0,54	0,0874	0,0068	0,021196	0,002827	7,50	0,006648	0,001297	5,13
sisma in +X												
proporzionale alle masse												
Piano copertura	0%	1,57	1,57	0,62	0,1049	0,0000	0,027066	0,000007	NS	0,002170	0,000000	NS
Piano copertura	100%	0,67	0,67	0,53	0,1064	0,0000	0,018692	0,000007	NS	0,003345	0,000000	NS
proporzionale alla deformata 1° modo di vibrazione												
Piano copertura	0%	1,58	1,59	0,62	0,1057	0,0000	0,027321	0,000009	NS	0,002159	0,000001	NS
Piano copertura	100%	0,66	0,66	0,52	0,1072	0,0000	0,018636	0,000009	NS	0,003371	0,000001	NS
sisma in -X												
proporzionale alle masse												
Piano copertura	0%	1,86	1,75	0,64	0,1063	0,0000	0,029373	0,000014	NS	0,002080	0,000010	NS
Piano copertura	100%	0,38	0,49	0,50	0,1079	0,0000	0,015445	0,000014	NS	0,004094	0,000010	NS
proporzionale alla deformata 1° modo di vibrazione												
Piano copertura	0%	1,89	1,79	0,65	0,1074	0,0000	0,029843	0,000017	NS	0,002064	0,000010	NS
Piano copertura	100%	0,36	0,46	0,49	0,1089	0,0000	0,015579	0,000017	NS	0,004245	0,000010	NS
sisma in +Y												
proporzionale alle masse												
Piano copertura	0%	2,35	1,86	0,63	0,1113	0,0000	0,031001	0,000231	NS	0,001615	0,000084	19,22
Piano copertura	100%	0,10	0,38	0,40	0,1128	0,0000	0,012694	0,000231	55,01	0,002825	0,000084	33,63
proporzionale alla deformata 1° modo di vibrazione												
Piano copertura	0%	2,68	2,18	0,66	0,1119	0,0000	0,033097	0,000314	NS	0,001569	0,000127	12,39
Piano copertura	100%	0,43	0,06	0,43	0,1135	0,0000	0,017490	0,000314	55,69	0,010430	0,000127	82,41
sisma in -Y												
proporzionale alle masse												
Piano copertura	0%	12,93	1,26	1,68	0,1109	0,0000	0,088157	0,000441	NS	0,001764	0,000250	7,06
Piano copertura	100%	15,32	3,65	1,92	0,1124	0,0000	0,102037	0,000441	NS	0,001460	0,000250	5,85
proporzionale alla deformata 1° modo di vibrazione												
Piano copertura	0%	40,72	2,94	4,46	0,1122	0,0000	0,237277	0,000538	NS	0,001499	0,000299	5,02
Piano copertura	100%	38,72	5,34	4,26	0,1137	0,0000	0,229633	0,000538	NS	0,001410	0,000299	4,72
Pilastrata: Pilastrata12												
sisma in +X												
proporzionale alle masse												
Piano interrato	0%	0,65	0,62	0,51	0,0444	0,0089	0,008816	0,002451	3,60	0,006644	0,001280	5,19
Piano interrato	100%	0,65	0,68	0,51	0,0449	0,0088	0,008876	0,002451	3,62	0,006640	0,001280	5,19
proporzionale alla deformata 1° modo di vibrazione												
Piano interrato	0%	0,65	0,62	0,51	0,0437	0,0088	0,008704	0,002205	3,95	0,006634	0,001186	5,59
Piano interrato	100%	0,65	0,68	0,51	0,0448	0,0088	0,008871	0,002205	4,02	0,006644	0,001186	5,60
sisma in -X												
proporzionale alle masse												
Piano interrato	0%	15,51	0,09	1,99	0,0623	0,0093	0,057419	0,001460	39,32	0,016049	0,000393	40,87
Piano interrato	100%	14,60	1,39	1,90	0,0639	0,0108	0,051800	0,001460	35,47	0,009109	0,000393	23,20
proporzionale alla deformata 1° modo di vibrazione												
Piano interrato	0%	3,06	0,06	0,75	0,0626	0,0099	0,028416	0,001203	23,62	0,022286	0,000279	79,86
Piano interrato	100%	4,56	1,24	0,90	0,0646	0,0107	0,026074	0,001203	21,67	0,008652	0,000279	31,00
sisma in +Y												
proporzionale alle masse												
Piano interrato	0%	0,66	0,69	0,46	0,0478	0,0095	0,008779	0,002741	3,20	0,006083	0,001194	5,10
Piano interrato	100%	0,57	0,59	0,45	0,0537	0,0099	0,008983	0,002741	3,28	0,006061	0,001194	5,08
proporzionale alla deformata 1° modo di vibrazione												
Piano interrato	0%	0,68	0,69	0,46	0,0506	0,0093	0,009262	0,002310	4,01	0,005993	0,001036	5,79
Piano interrato	100%	0,61	0,59	0,45	0,0527	0,0096	0,009064	0,002310	3,92	0,005928	0,001036	5,72
sisma in -Y												
proporzionale alle masse												
Piano interrato	0%	0,65	0,70	0,45	0,0626	0,0093	0,010883	0,002918	3,73	0,006015	0,001295	4,65
Piano interrato	100%	0,59	0,58	0,45	0,0631	0,0093	0,010360	0,002918	3,55	0,005801	0,001295	4,48
proporzionale alla deformata 1° modo di vibrazione												
Piano interrato	0%	0,68	0,70	0,46	0,0643	0,0088	0,011344	0,002491	4,55	0,005812	0,001135	5,12
Piano interrato	100%	0,61	0,59	0,45	0,0662	0,0092	0,010982	0,002491	4,41	0,005763	0,001135	5,08
sisma in +X												
proporzionale alle masse												
Piano terra	0%	1,19	1,22	0,56	0,0768	0,0075	0,018183	0,002375	7,66	0,006711	0,001190	5,64
Piano terra	100%	1,21	1,17	0,56	0,0779	0,0075	0,018475	0,002375	7,78	0,006590	0,001190	5,54
proporzionale alla deformata 1° modo di vibrazione												
Piano terra	0%	1,20	1,23	0,56	0,0769	0,0074	0,018245	0,002902	6,29	0,006629	0,001418	4,67
Piano terra	100%	1,19	1,17	0,56	0,0780	0,0074	0,018394	0,002902	6,34	0,006515	0,001418	4,59
sisma in -X												
proporzionale alle masse												
Piano terra	0%	42,40	1,77	4,68	0,0905	0,0089	0,184824	0,001964	94,11	0,008866	0,000848	10,45

Lv	$\%L_{LI}$	$L_{v,SLV}$	$L_{v,SLD}$	L_{pl}	ϕ_u	ϕ_y	SLV			SLD		
							Θ_c	Θ_d	CS	Θ_c	Θ_d	CS
	[%]	[m]	[m]	[m]	[rad/m]	[rad/m]	[rad]	[rad]		[rad]	[rad]	
Piano terra	100%	31,01	0,69	3,54	0,0906	0,0072	0,142295	0,001964	72,45	0,005956	0,000848	7,02
proporzionale alla deformata 1° modo di vibrazione												
Piano terra	0%	0,22	2,11	0,46	0,0911	0,0089	0,014397	0,002432	5,92	0,009775	0,001055	9,27
Piano terra	100%	1,90	0,41	0,63	0,0921	0,0068	0,025591	0,002432	10,52	0,006333	0,001055	6,00
sisma in +Y												
proporzionale alle masse												
Piano terra	0%	1,14	1,09	0,50	0,0840	0,0079	0,018005	0,002616	6,88	0,006168	0,001167	5,29
Piano terra	100%	1,25	1,26	0,51	0,0850	0,0078	0,019021	0,002616	7,27	0,006440	0,001167	5,52
proporzionale alla deformata 1° modo di vibrazione												
Piano terra	0%	1,15	1,13	0,50	0,0845	0,0079	0,018219	0,003005	6,06	0,006233	0,001338	4,66
Piano terra	100%	1,24	1,25	0,51	0,0860	0,0077	0,019127	0,003005	6,36	0,006367	0,001338	4,76
sisma in -Y												
proporzionale alle masse												
Piano terra	0%	1,16	1,10	0,51	0,0904	0,0076	0,019362	0,003045	6,36	0,006028	0,001402	4,30
Piano terra	100%	1,24	1,24	0,51	0,0917	0,0074	0,020247	0,003045	6,65	0,006211	0,001402	4,43
proporzionale alla deformata 1° modo di vibrazione												
Piano terra	0%	1,16	1,16	0,51	0,0933	0,0076	0,020003	0,003524	5,68	0,006121	0,001621	3,78
Piano terra	100%	1,23	1,22	0,51	0,0948	0,0074	0,020791	0,003524	5,90	0,006134	0,001621	3,78
sisma in +X												
proporzionale alle masse												
Piano copertura	0%	0,86	0,96	0,53	0,1015	0,0068	0,020262	0,000378	53,54	0,005941	0,000340	17,47
Piano copertura	100%	1,38	1,29	0,58	0,1028	0,0058	0,025078	0,000378	66,27	0,005758	0,000340	16,93
proporzionale alla deformata 1° modo di vibrazione												
Piano copertura	0%	0,87	0,94	0,53	0,1023	0,0050	0,020426	0,000393	51,99	0,005031	0,000349	14,43
Piano copertura	100%	1,44	1,32	0,58	0,1042	0,0055	0,025801	0,000393	65,67	0,005620	0,000349	16,11
sisma in -X												
proporzionale alle masse												
Piano copertura	0%	1,16	1,09	0,56	0,1080	0,0055	0,024403	0,000313	78,08	0,005381	0,000313	17,18
Piano copertura	100%	1,13	1,16	0,55	0,1090	0,0052	0,024278	0,000313	77,68	0,005263	0,000313	16,80
proporzionale alla deformata 1° modo di vibrazione												
Piano copertura	0%	1,22	1,11	0,56	0,1103	0,0054	0,025374	0,000302	84,05	0,005365	0,000311	17,24
Piano copertura	100%	1,07	1,14	0,55	0,1120	0,0050	0,024371	0,000302	80,73	0,005170	0,000311	16,61
sisma in +Y												
proporzionale alle masse												
Piano copertura	0%	1,24	1,14	0,51	0,0980	0,0069	0,021416	0,000200	NS	0,005669	0,000118	47,93
Piano copertura	100%	0,97	1,06	0,49	0,0994	0,0067	0,019648	0,000200	98,31	0,005435	0,000118	45,95
proporzionale alla deformata 1° modo di vibrazione												
Piano copertura	0%	1,21	1,13	0,51	0,0979	0,0072	0,021186	0,000232	91,29	0,005866	0,000134	43,63
Piano copertura	100%	1,02	1,08	0,49	0,0991	0,0070	0,019978	0,000232	86,08	0,005637	0,000134	41,92
sisma in -Y												
proporzionale alle masse												
Piano copertura	0%	1,62	2,19	0,55	0,0827	0,0086	0,021652	0,000186	NS	0,009427	0,000078	NS
Piano copertura	100%	0,61	0,06	0,45	0,0836	0,0068	0,016804	0,000186	90,37	0,011880	0,000078	NS
proporzionale alla deformata 1° modo di vibrazione												
Piano copertura	0%	1,42	1,72	0,53	0,0825	0,0091	0,020124	0,000220	91,40	0,008535	0,000098	87,44
Piano copertura	100%	0,78	0,45	0,47	0,0834	0,0067	0,015014	0,000220	68,19	0,004852	0,000098	49,70
Pilastrata: Pilastrata13												
sisma in +X												
proporzionale alle masse												
Piano interrato	0%	0,67	0,67	0,49	0,0359	0,0095	0,007496	0,002136	3,51	0,006809	0,000896	7,60
Piano interrato	100%	0,63	0,59	0,48	0,0362	0,0097	0,007358	0,002136	3,45	0,006869	0,000896	7,67
proporzionale alla deformata 1° modo di vibrazione												
Piano interrato	0%	0,67	0,67	0,49	0,0357	0,0095	0,007472	0,001892	3,95	0,006814	0,000814	8,37
Piano interrato	100%	0,62	0,59	0,48	0,0358	0,0097	0,007283	0,001892	3,85	0,006874	0,000814	8,45
sisma in -X												
proporzionale alle masse												
Piano interrato	0%	0,67	0,67	0,49	0,0349	0,0095	0,007326	0,002211	3,31	0,006783	0,000958	7,08
Piano interrato	100%	0,63	0,60	0,48	0,0352	0,0096	0,007210	0,002211	3,26	0,006822	0,000958	7,12
proporzionale alla deformata 1° modo di vibrazione												
Piano interrato	0%	0,67	0,68	0,49	0,0349	0,0096	0,007332	0,001976	3,71	0,006830	0,000875	7,80
Piano interrato	100%	0,63	0,60	0,48	0,0351	0,0095	0,007188	0,001976	3,64	0,006765	0,000875	7,73
sisma in +Y												
proporzionale alle masse												
Piano interrato	0%	2,30	3,87	0,60	0,0377	0,0122	0,016298	0,001675	9,73	0,019329	0,000727	26,59
Piano interrato	100%	1,04	2,57	0,47	0,0387	0,0113	0,011589	0,001675	6,92	0,013157	0,000727	18,10
proporzionale alla deformata 1° modo di vibrazione												
Piano interrato	0%	3,66	30,26	0,73	0,0385	0,0138	0,079810	0,001426	55,96	0,143366	0,000634	NS
Piano interrato	100%	2,38	28,97	0,61	0,0390	0,0125	0,069243	0,001426	48,55	0,124481	0,000634	NS
sisma in -Y												
proporzionale alle masse												
Piano interrato	0%	1,60	1,40	0,53	0,0331	0,0128	0,009418	0,002048	4,60	0,009874	0,000937	10,54
Piano interrato	100%	0,31	0,11	0,40	0,0336	0,0067	0,006678	0,002048	3,26	0,007979	0,000937	8,51
proporzionale alla deformata 1° modo di vibrazione												
Piano interrato	0%	1,92	1,55	0,56	0,0328	0,0138	0,010131	0,001817	5,57	0,011165	0,000855	13,06
Piano interrato	100%	0,64	0,28	0,43	0,0333	0,0097	0,006346	0,001817	3,49	0,005950	0,000855	6,96
sisma in +X												
proporzionale alle masse												
Piano terra	0%	1,65	2,64	0,58	0,0778	0,0088	0,022087	0,001755	12,59	0,011016	0,000759	14,52
Piano terra	100%	1,25	0,18	0,54	0,0792	0,0092	0,019819	0,001755	11,29	0,009826	0,000759	12,95
proporzionale alla deformata 1° modo di vibrazione												
Piano terra	0%	1,60	1,91	0,58	0,0765	0,0079	0,020423	0,002206	9,26	0,008311	0,000953	8,72
Piano terra	100%	1,28	0,78	0,55	0,0786	0,0080	0,018330	0,002206	8,31	0,006267	0,000953	6,58
sisma in -X												
proporzionale alle masse												
Piano terra	0%	1,38	1,32	0,56	0,0782	0,0077	0,019123	0,002079	9,20	0,006915	0,001031	6,71

Lv	$\%L_{LI}$	$L_{v,SLV}$	$L_{v,SLD}$	L_{pl}	ϕ_u	ϕ_y	SLV			SLD		
							Θ_c	Θ_d	CS	Θ_c	Θ_d	CS
	[%]	[m]	[m]	[m]	[rad/m]	[rad/m]	[rad]	[rad]		[rad]	[rad]	
Piano terra	100%	1,51	1,57	0,57	0,0800	0,0076	0,020410	0,002079	9,82	0,007307	0,001031	7,09
proporzionale alla deformata 1° modo di vibrazione												
Piano terra	0%	1,40	1,35	0,56	0,0783	0,0075	0,019275	0,002545	7,57	0,006822	0,001239	5,51
Piano terra	100%	1,49	1,54	0,57	0,0800	0,0074	0,020259	0,002545	7,96	0,007132	0,001239	5,76
sisma in +Y												
proporzionale alle masse												
Piano terra	0%	2,89	7,56	0,66	0,0828	0,0134	0,038913	0,001918	20,28	0,037419	0,000867	43,14
Piano terra	100%	5,69	10,07	0,94	0,0844	0,0091	0,049157	0,001918	25,63	0,033512	0,000867	38,63
proporzionale alla deformata 1° modo di vibrazione												
Piano terra	0%	0,63	0,26	0,43	0,0840	0,0115	0,013589	0,002279	5,96	0,006529	0,001029	6,34
Piano terra	100%	2,22	2,53	0,59	0,0854	0,0083	0,024717	0,002279	10,85	0,009967	0,001029	9,68
sisma in -Y												
proporzionale alle masse												
Piano terra	0%	0,48	0,66	0,42	0,0750	0,0143	0,011090	0,002678	4,14	0,007776	0,001254	6,20
Piano terra	100%	2,39	2,14	0,61	0,0762	0,0096	0,022679	0,002678	8,47	0,010103	0,001254	8,06
proporzionale alla deformata 1° modo di vibrazione												
Piano terra	0%	1,16	1,18	0,48	0,0736	0,0111	0,016021	0,003173	5,05	0,008050	0,001480	5,44
Piano terra	100%	1,71	1,68	0,54	0,0754	0,0090	0,019199	0,003173	6,05	0,008203	0,001480	5,54
sisma in +X												
proporzionale alle masse												
Piano copertura	0%	0,61	0,57	0,48	0,0885	0,0072	0,014832	0,000194	76,37	0,005961	0,000251	23,77
Piano copertura	100%	0,44	0,48	0,46	0,0892	0,0072	0,012559	0,000194	64,66	0,006131	0,000251	24,45
proporzionale alla deformata 1° modo di vibrazione												
Piano copertura	0%	0,62	0,59	0,48	0,0880	0,0072	0,014903	0,000176	84,75	0,005955	0,000238	25,01
Piano copertura	100%	0,43	0,46	0,46	0,0887	0,0072	0,012495	0,000176	71,05	0,006162	0,000238	25,88
sisma in -X												
proporzionale alle masse												
Piano copertura	0%	0,48	0,51	0,47	0,0921	0,0072	0,013149	0,000352	37,35	0,006052	0,000327	18,53
Piano copertura	100%	0,57	0,54	0,48	0,0927	0,0072	0,014918	0,000352	42,37	0,005995	0,000327	18,36
proporzionale alla deformata 1° modo di vibrazione												
Piano copertura	0%	0,46	0,50	0,47	0,0921	0,0072	0,012925	0,000365	35,45	0,006068	0,000333	18,21
Piano copertura	100%	0,59	0,55	0,48	0,0929	0,0072	0,015160	0,000365	41,58	0,005986	0,000333	17,97
sisma in +Y												
proporzionale alle masse												
Piano copertura	0%	1,26	1,24	0,49	0,0963	0,0074	0,020723	0,000122	NS	0,006076	0,000020	NS
Piano copertura	100%	0,23	0,17	0,39	0,0969	0,0069	0,011924	0,000122	97,42	0,006246	0,000020	NS
proporzionale alla deformata 1° modo di vibrazione												
Piano copertura	0%	1,24	1,26	0,49	0,0975	0,0074	0,020825	0,000204	NS	0,006147	0,000055	NS
Piano copertura	100%	0,19	0,21	0,39	0,0982	0,0068	0,011734	0,000204	57,54	0,005756	0,000055	NS
sisma in -Y												
proporzionale alle masse												
Piano copertura	0%	1,78	1,90	0,55	0,0869	0,0080	0,022279	0,000452	49,33	0,008064	0,000237	33,97
Piano copertura	100%	0,74	0,87	0,44	0,0875	0,0077	0,015133	0,000452	33,51	0,005556	0,000237	23,41
proporzionale alla deformata 1° modo di vibrazione												
Piano copertura	0%	1,73	1,81	0,54	0,0857	0,0082	0,021690	0,000569	38,11	0,007938	0,000289	27,44
Piano copertura	100%	0,69	0,76	0,44	0,0864	0,0080	0,014436	0,000569	25,37	0,005465	0,000289	18,90
Pilastrata: Pilastrata14												
sisma in +X												
proporzionale alle masse												
Piano interrato	0%	0,68	0,69	0,49	0,0262	0,0104	0,006074	0,002224	2,73	0,007197	0,000948	7,59
Piano interrato	100%	0,62	0,57	0,48	0,0264	0,0103	0,005895	0,002224	2,65	0,007075	0,000948	7,47
proporzionale alla deformata 1° modo di vibrazione												
Piano interrato	0%	0,69	0,71	0,49	0,0260	0,0104	0,006045	0,001969	3,07	0,007208	0,000864	8,34
Piano interrato	100%	0,61	0,57	0,48	0,0263	0,0102	0,005859	0,001969	2,98	0,007060	0,000864	8,17
sisma in -X												
proporzionale alle masse												
Piano interrato	0%	0,68	0,69	0,49	0,0261	0,0103	0,006027	0,002312	2,61	0,007129	0,001029	6,93
Piano interrato	100%	0,62	0,57	0,48	0,0262	0,0107	0,005880	0,002312	2,54	0,007210	0,001029	7,01
proporzionale alla deformata 1° modo di vibrazione												
Piano interrato	0%	0,68	0,69	0,49	0,0259	0,0105	0,006013	0,002065	2,91	0,007204	0,000940	7,67
Piano interrato	100%	0,61	0,59	0,48	0,0260	0,0103	0,005837	0,002065	2,83	0,007069	0,000940	7,52
sisma in +Y												
proporzionale alle masse												
Piano interrato	0%	1,41	1,52	0,51	0,0280	0,0132	0,008392	0,001696	4,95	0,010617	0,000752	14,13
Piano interrato	100%	0,14	0,22	0,38	0,0286	0,0047	0,004850	0,001696	2,86	0,005147	0,000752	6,85
proporzionale alla deformata 1° modo di vibrazione												
Piano interrato	0%	1,69	1,83	0,54	0,0286	0,0146	0,009674	0,001415	6,84	0,013026	0,000645	20,18
Piano interrato	100%	0,41	0,53	0,41	0,0290	0,0083	0,004785	0,001415	3,38	0,005305	0,000645	8,22
sisma in -Y												
proporzionale alle masse												
Piano interrato	0%	1,48	1,52	0,52	0,0249	0,0159	0,008157	0,001906	4,28	0,012464	0,000866	14,40
Piano interrato	100%	0,20	0,23	0,39	0,0253	0,0070	0,004577	0,001906	2,40	0,005605	0,000866	6,47
proporzionale alla deformata 1° modo di vibrazione												
Piano interrato	0%	1,81	1,86	0,55	0,0246	0,0171	0,009342	0,001636	5,71	0,015178	0,000764	19,86
Piano interrato	100%	0,53	0,56	0,42	0,0249	0,0094	0,004833	0,001636	2,95	0,005710	0,000764	7,47
sisma in +X												
proporzionale alle masse												
Piano terra	0%	1,40	1,27	0,56	0,0573	0,0101	0,014677	0,001923	7,63	0,008221	0,000882	9,32
Piano terra	100%	1,50	1,46	0,57	0,0585	0,0096	0,015495	0,001923	8,06	0,008459	0,000882	9,59
proporzionale alla deformata 1° modo di vibrazione												
Piano terra	0%	1,42	1,32	0,56	0,0570	0,0089	0,014643	0,002390	6,13	0,007664	0,001087	7,05
Piano terra	100%	1,47	1,43	0,57	0,0582	0,0087	0,015183	0,002390	6,35	0,007771	0,001087	7,15
sisma in -X												
proporzionale alle masse												
Piano terra	0%	1,40	1,31	0,56	0,0556	0,0098	0,014323	0,001988	7,20	0,008155	0,000930	8,77

Lv	$\%L_{LI}$	$L_{v,SLV}$	$L_{v,SLD}$	L_{pl}	ϕ_u	ϕ_y	SLV			SLD		
							Θ_c	Θ_d	CS	Θ_c	Θ_d	CS
	[%]	[m]	[m]	[m]	[rad/m]	[rad/m]	[rad]	[rad]		[rad]	[rad]	
Piano terra	100%	1,48	1,46	0,57	0,0578	0,0095	0,015245	0,001988	7,67	0,008318	0,000930	8,94
proporzionale alla deformata 1° modo di vibrazione												
Piano terra	0%	1,42	1,39	0,56	0,0565	0,0090	0,014630	0,002461	5,94	0,007827	0,001139	6,87
Piano terra	100%	1,47	1,43	0,57	0,0576	0,0088	0,015054	0,002461	6,12	0,007796	0,001139	6,85
sisma in +Y												
proporzionale alle masse												
Piano terra	0%	0,17	0,10	0,38	0,0638	0,0046	0,009725	0,001919	5,07	0,008071	0,000875	9,23
Piano terra	100%	3,00	2,80	0,67	0,0646	0,0128	0,023223	0,001919	12,10	0,015698	0,000875	17,95
proporzionale alla deformata 1° modo di vibrazione												
Piano terra	0%	0,92	0,87	0,46	0,0650	0,0150	0,013085	0,002225	5,88	0,008911	0,001013	8,79
Piano terra	100%	1,95	2,01	0,56	0,0656	0,0100	0,018401	0,002225	8,27	0,010029	0,001013	9,90
sisma in -Y												
proporzionale alle masse												
Piano terra	0%	0,45	0,38	0,41	0,0544	0,0080	0,007756	0,002477	3,13	0,005234	0,001146	4,57
Piano terra	100%	2,40	2,52	0,61	0,0550	0,0166	0,019390	0,002477	7,83	0,018382	0,001146	16,03
proporzionale alla deformata 1° modo di vibrazione												
Piano terra	0%	1,11	1,07	0,48	0,0527	0,0148	0,011954	0,002889	4,14	0,009702	0,001341	7,24
Piano terra	100%	1,76	1,82	0,54	0,0540	0,0131	0,015299	0,002889	5,30	0,011806	0,001341	8,80
sisma in +X												
proporzionale alle masse												
Piano copertura	0%	1,06	0,93	0,52	0,0773	0,0137	0,017132	0,000043	NS	0,009193	0,000020	NS
Piano copertura	100%	0,01	0,07	0,42	0,0778	0,0032	0,017106	0,000043	NS	0,018548	0,000020	NS
proporzionale alla deformata 1° modo di vibrazione												
Piano copertura	0%	1,08	0,97	0,53	0,0768	0,0124	0,017155	0,000051	NS	0,008654	0,000027	NS
Piano copertura	100%	0,04	0,04	0,42	0,0777	0,0032	0,023848	0,000051	NS	0,031936	0,000027	NS
sisma in -X												
proporzionale alle masse												
Piano copertura	0%	1,31	1,40	0,55	0,0763	0,0157	0,019238	0,000055	NS	0,012167	0,000034	NS
Piano copertura	100%	0,30	0,39	0,45	0,0775	0,0056	0,011085	0,000055	NS	0,006008	0,000034	NS
proporzionale alla deformata 1° modo di vibrazione												
Piano copertura	0%	1,38	1,38	0,56	0,0761	0,0139	0,019291	0,000062	NS	0,010948	0,000040	NS
Piano copertura	100%	0,35	0,37	0,45	0,0773	0,0064	0,011250	0,000062	NS	0,006389	0,000040	NS
sisma in +Y												
proporzionale alle masse												
Piano copertura	0%	1,45	1,38	0,51	0,0844	0,0084	0,019573	0,000064	NS	0,007006	0,000038	NS
Piano copertura	100%	0,39	0,42	0,41	0,0855	0,0160	0,010909	0,000064	NS	0,007679	0,000038	NS
proporzionale alla deformata 1° modo di vibrazione												
Piano copertura	0%	1,49	1,48	0,52	0,0864	0,0077	0,020244	0,000155	NS	0,006835	0,000005	NS
Piano copertura	100%	0,42	0,49	0,41	0,0868	0,0116	0,011008	0,000155	71,04	0,006374	0,000005	NS
sisma in -Y												
proporzionale alle masse												
Piano copertura	0%	2,00	2,32	0,57	0,0717	0,0115	0,020891	0,000667	31,34	0,012439	0,000381	32,65
Piano copertura	100%	0,97	1,35	0,46	0,0730	0,0140	0,015629	0,000667	23,45	0,010449	0,000381	27,43
proporzionale alla deformata 1° modo di vibrazione												
Piano copertura	0%	1,99	2,03	0,57	0,0711	0,0098	0,019835	0,000784	25,30	0,009878	0,000434	22,76
Piano copertura	100%	0,93	1,09	0,46	0,0718	0,0151	0,014810	0,000784	18,89	0,009946	0,000434	22,92
Pilastrata: Pilastrata15												
sisma in +X												
proporzionale alle masse												
Piano interrato	0%	0,66	0,63	0,49	0,0450	0,0089	0,008826	0,002459	3,59	0,006553	0,001262	5,19
Piano interrato	100%	0,64	0,67	0,48	0,0455	0,0090	0,008787	0,002459	3,57	0,006585	0,001262	5,22
proporzionale alla deformata 1° modo di vibrazione												
Piano interrato	0%	0,66	0,63	0,49	0,0445	0,0089	0,008747	0,002204	3,97	0,006567	0,001163	5,64
Piano interrato	100%	0,64	0,67	0,48	0,0450	0,0091	0,008715	0,002204	3,95	0,006631	0,001163	5,70
sisma in -X												
proporzionale alle masse												
Piano interrato	0%	3,33	0,57	0,75	0,0598	0,0095	0,020173	0,001539	13,11	0,006771	0,000532	12,72
Piano interrato	100%	2,10	1,88	0,63	0,0617	0,0111	0,018912	0,001539	12,29	0,010809	0,000532	20,30
proporzionale alla deformata 1° modo di vibrazione												
Piano interrato	0%	56,26	0,20	6,05	0,0592	0,0104	0,144469	0,001304	NS	0,009541	0,000425	22,43
Piano interrato	100%	58,90	1,51	6,31	0,0605	0,0111	0,152377	0,001304	NS	0,009554	0,000425	22,46
sisma in +Y												
proporzionale alle masse												
Piano interrato	0%	0,64	0,66	0,43	0,1035	0,0079	0,016279	0,002938	5,54	0,005293	0,001293	4,09
Piano interrato	100%	0,63	0,61	0,43	0,1030	0,0084	0,016165	0,002938	5,50	0,005407	0,001293	4,18
proporzionale alla deformata 1° modo di vibrazione												
Piano interrato	0%	0,67	0,66	0,43	0,1023	0,0077	0,016464	0,002479	6,64	0,005205	0,001123	4,63
Piano interrato	100%	0,65	0,62	0,43	0,1030	0,0080	0,016331	0,002479	6,59	0,005263	0,001123	4,68
sisma in -Y												
proporzionale alle masse												
Piano interrato	0%	0,69	0,67	0,44	0,0307	0,0103	0,006160	0,003052	2,02	0,006258	0,001321	4,74
Piano interrato	100%	0,41	0,61	0,41	0,0661	0,0103	0,008820	0,003052	2,89	0,006137	0,001321	4,65
proporzionale alla deformata 1° modo di vibrazione												
Piano interrato	0%	0,69	0,68	0,44	0,0297	0,0101	0,006011	0,002618	2,30	0,006166	0,001164	5,30
Piano interrato	100%	0,54	0,60	0,42	0,0438	0,0106	0,007392	0,002618	2,82	0,006218	0,001164	5,34
sisma in +X												
proporzionale alle masse												
Piano terra	0%	1,19	1,22	0,54	0,0732	0,0078	0,017022	0,002300	7,40	0,006784	0,001129	6,01
Piano terra	100%	1,21	1,18	0,54	0,0745	0,0077	0,017334	0,002300	7,54	0,006658	0,001129	5,90
proporzionale alla deformata 1° modo di vibrazione												
Piano terra	0%	1,20	1,23	0,54	0,0721	0,0075	0,016824	0,002817	5,97	0,006636	0,001353	4,91
Piano terra	100%	1,19	1,17	0,54	0,0733	0,0075	0,016989	0,002817	6,03	0,006514	0,001353	4,82
sisma in -X												
proporzionale alle masse												
Piano terra	0%	5,63	1,84	0,98	0,0867	0,0098	0,039290	0,001981	19,84	0,009602	0,000858	11,20

Lv	$\%L_{LI}$	$L_{v,SLV}$	$L_{v,SLD}$	L_{pl}	ϕ_u	ϕ_y	SLV			SLD		
							Θ_c	Θ_d	CS	Θ_c	Θ_d	CS
	[%]	[m]	[m]	[m]	[rad/m]	[rad/m]	[rad]	[rad]		[rad]	[rad]	
Piano terra	100%	7,21	0,62	1,14	0,0859	0,0089	0,043694	0,001981	22,06	0,006554	0,000858	7,64
proporzionale alla deformata 1° modo di vibrazione												
Piano terra	0%	0,51	2,33	0,47	0,0836	0,0098	0,014914	0,002440	6,11	0,011080	0,001060	10,45
Piano terra	100%	1,79	0,30	0,60	0,0844	0,0081	0,022707	0,002440	9,31	0,007355	0,001060	6,94
sisma in +Y												
proporzionale alle masse												
Piano terra	0%	1,19	1,17	0,49	0,1212	0,0066	0,024972	0,002543	9,82	0,005489	0,001152	4,77
Piano terra	100%	1,20	1,21	0,49	0,1230	0,0065	0,025433	0,002543	10,00	0,005491	0,001152	4,77
proporzionale alla deformata 1° modo di vibrazione												
Piano terra	0%	1,21	1,19	0,49	0,1267	0,0065	0,026175	0,002929	8,94	0,005467	0,001322	4,13
Piano terra	100%	1,21	1,21	0,49	0,1289	0,0064	0,026621	0,002929	9,09	0,005452	0,001322	4,12
sisma in -Y												
proporzionale alle masse												
Piano terra	0%	1,17	1,14	0,49	0,0625	0,0085	0,013653	0,003055	4,47	0,006503	0,001345	4,84
Piano terra	100%	1,21	1,21	0,49	0,0636	0,0083	0,014069	0,003055	4,61	0,006580	0,001345	4,89
proporzionale alla deformata 1° modo di vibrazione												
Piano terra	0%	1,18	1,16	0,49	0,0608	0,0086	0,013385	0,003553	3,77	0,006591	0,001567	4,21
Piano terra	100%	1,20	1,21	0,49	0,0618	0,0084	0,013694	0,003553	3,85	0,006597	0,001567	4,21
sisma in +X												
proporzionale alle masse												
Piano copertura	0%	0,40	0,45	0,46	0,0904	0,0073	0,012666	0,000437	29,00	0,006246	0,000396	15,77
Piano copertura	100%	0,65	0,60	0,48	0,0910	0,0072	0,015651	0,000437	35,83	0,005920	0,000396	14,95
proporzionale alla deformata 1° modo di vibrazione												
Piano copertura	0%	0,37	0,44	0,46	0,0908	0,0073	0,012668	0,000457	27,70	0,006292	0,000406	15,48
Piano copertura	100%	0,68	0,61	0,49	0,0912	0,0072	0,016095	0,000457	35,20	0,005907	0,000406	14,54
sisma in -X												
proporzionale alle masse												
Piano copertura	0%	0,58	0,54	0,48	0,0882	0,0071	0,014429	0,000261	55,29	0,005970	0,000312	19,12
Piano copertura	100%	0,47	0,51	0,47	0,0889	0,0073	0,012551	0,000261	48,09	0,006106	0,000312	19,55
proporzionale alla deformata 1° modo di vibrazione												
Piano copertura	0%	0,61	0,56	0,48	0,0878	0,0071	0,014694	0,000228	64,51	0,005942	0,000297	20,01
Piano copertura	100%	0,44	0,49	0,46	0,0886	0,0074	0,012485	0,000228	54,82	0,006153	0,000297	20,73
sisma in +Y												
proporzionale alle masse												
Piano copertura	0%	0,82	0,88	0,45	0,0883	0,0079	0,015950	0,000563	28,32	0,005618	0,000224	25,09
Piano copertura	100%	0,22	0,16	0,39	0,0890	0,0074	0,011303	0,000563	20,07	0,006707	0,000224	29,95
proporzionale alla deformata 1° modo di vibrazione												
Piano copertura	0%	0,80	0,86	0,45	0,0886	0,0078	0,015856	0,000640	24,79	0,005562	0,000253	21,98
Piano copertura	100%	0,24	0,18	0,39	0,0893	0,0074	0,011192	0,000640	17,50	0,006343	0,000253	25,06
sisma in -Y												
proporzionale alle masse												
Piano copertura	0%	0,93	0,78	0,46	0,0869	0,0081	0,016449	0,000514	31,97	0,005544	0,000317	17,50
Piano copertura	100%	0,10	0,25	0,38	0,0879	0,0072	0,010395	0,000514	20,21	0,005522	0,000317	17,43
proporzionale alla deformata 1° modo di vibrazione												
Piano copertura	0%	0,93	0,80	0,46	0,0862	0,0081	0,016351	0,000567	28,83	0,005566	0,000344	16,18
Piano copertura	100%	0,11	0,24	0,38	0,0870	0,0072	0,010341	0,000567	18,24	0,005545	0,000344	16,12
Pilastrata: Pilastrata16												
sisma in +X												
proporzionale alle masse												
Piano copertura	0%	1,22	1,18	0,56	0,0928	0,0073	0,021774	0,000116	NS	0,006497	0,000047	NS
Piano copertura	100%	0,12	0,05	0,45	0,0928	0,0088	0,021925	0,000116	NS	0,024863	0,000047	NS
proporzionale alla deformata 1° modo di vibrazione												
Piano copertura	0%	1,24	1,21	0,56	0,0925	0,0072	0,021840	0,000158	NS	0,006499	0,000064	NS
Piano copertura	100%	0,13	0,08	0,45	0,0926	0,0077	0,018652	0,000158	NS	0,018063	0,000064	NS
sisma in -X												
proporzionale alle masse												
Piano copertura	0%	1,36	1,39	0,58	0,0918	0,0070	0,022637	0,000165	NS	0,006699	0,000083	80,92
Piano copertura	100%	0,27	0,31	0,47	0,0925	0,0080	0,013581	0,000165	82,46	0,007414	0,000083	89,56
proporzionale alla deformata 1° modo di vibrazione												
Piano copertura	0%	1,35	1,38	0,58	0,0919	0,0070	0,022547	0,000207	NS	0,006636	0,000101	65,41
Piano copertura	100%	0,26	0,29	0,47	0,0925	0,0076	0,013621	0,000207	65,81	0,007462	0,000101	73,55
sisma in +Y												
proporzionale alle masse												
Piano copertura	0%	1,04	1,04	0,49	0,0941	0,0067	0,019126	0,000399	47,93	0,005429	0,000182	29,78
Piano copertura	100%	0,05	0,02	0,39	0,0942	0,0064	0,024612	0,000399	61,68	0,031895	0,000182	NS
proporzionale alla deformata 1° modo di vibrazione												
Piano copertura	0%	1,02	1,03	0,49	0,0947	0,0067	0,019118	0,000441	43,38	0,005401	0,000209	25,87
Piano copertura	100%	0,07	0,04	0,40	0,0950	0,0063	0,017475	0,000441	39,65	0,017350	0,000209	83,10
sisma in -Y												
proporzionale alle masse												
Piano copertura	0%	0,90	0,87	0,48	0,0800	0,0072	0,015467	0,001750	8,84	0,005385	0,000879	6,12
Piano copertura	100%	0,22	0,22	0,41	0,0871	0,0076	0,011154	0,001750	6,37	0,005955	0,000879	6,77
proporzionale alla deformata 1° modo di vibrazione												
Piano copertura	0%	0,78	0,88	0,47	0,0905	0,0072	0,016291	0,002072	7,86	0,005395	0,001009	5,34
Piano copertura	100%	0,25	0,21	0,41	0,0867	0,0075	0,011171	0,002072	5,39	0,005944	0,001009	5,89
Pilastrata: Pilastrata17												
sisma in +X												
proporzionale alle masse												
Piano interrato (a)	0%	0,67	0,67	0,46	0,0472	0,0088	0,009021	0,002240	4,03	0,006419	0,000928	6,92
Piano interrato (a)	100%	0,63	0,60	0,46	0,0478	0,0090	0,008934	0,002240	3,99	0,006480	0,000928	6,99
proporzionale alla deformata 1° modo di vibrazione												
Piano interrato (a)	0%	0,67	0,67	0,46	0,0467	0,0087	0,008945	0,001990	4,50	0,006393	0,000843	7,58
Piano interrato (a)	100%	0,63	0,59	0,46	0,0474	0,0089	0,008850	0,001990	4,45	0,006451	0,000843	7,65
sisma in -X												
proporzionale alle masse												

Lv	$\%L_{LI}$	$L_{v,SLV}$	$L_{v,SLD}$	L_{pl}	ϕ_u	ϕ_y	SLV			SLD		
							Θ_c	Θ_d	CS	Θ_c	Θ_d	CS
	[%]	[m]	[m]	[m]	[rad/m]	[rad/m]	[rad]	[rad]		[rad]	[rad]	
Piano interrato (a)	0%	0,66	0,67	0,46	0,0467	0,0087	0,008904	0,002326	3,83	0,006382	0,001017	6,28
Piano interrato (a)	100%	0,63	0,62	0,46	0,0475	0,0088	0,008874	0,002326	3,82	0,006428	0,001017	6,32
proporzionale alla deformata 1° modo di vibrazione												
Piano interrato (a)	0%	0,66	0,67	0,46	0,0469	0,0089	0,008977	0,002088	4,30	0,006476	0,000930	6,96
Piano interrato (a)	100%	0,63	0,62	0,46	0,0478	0,0088	0,008914	0,002088	4,27	0,006410	0,000930	6,89
sisma in +Y												
proporzionale alle masse												
Piano interrato (a)	0%	2,75	22,06	0,62	0,0460	0,0107	0,050641	0,001725	29,36	0,081821	0,000728	NS
Piano interrato (a)	100%	1,47	20,89	0,49	0,0470	0,0141	0,057657	0,001725	33,43	0,101786	0,000728	NS
proporzionale alla deformata 1° modo di vibrazione												
Piano interrato (a)	0%	3,35	16,09	0,68	0,0459	0,0111	0,041927	0,001548	27,09	0,062529	0,000663	94,26
Piano interrato (a)	100%	2,07	17,37	0,55	0,0468	0,0152	0,053347	0,001548	34,47	0,091521	0,000663	NS
sisma in -Y												
proporzionale alle masse												
Piano interrato (a)	0%	1,26	1,14	0,47	0,0489	0,0092	0,011014	0,002414	4,56	0,006767	0,001098	6,16
Piano interrato (a)	100%	0,03	0,13	0,35	0,0494	0,0125	0,007341	0,002414	3,04	0,008227	0,001098	7,49
proporzionale alla deformata 1° modo di vibrazione												
Piano interrato (a)	0%	1,26	1,15	0,47	0,0490	0,0091	0,011055	0,002296	4,81	0,006755	0,001065	6,34
Piano interrato (a)	100%	0,03	0,14	0,35	0,0497	0,0146	0,007363	0,002296	3,21	0,008577	0,001065	8,05
Pilastrata: Pilastrata18												
sisma in +X												
proporzionale alle masse												
Piano interrato	0%	0,66	0,67	0,47	0,0500	0,0085	0,009432	0,002255	4,18	0,006305	0,000934	6,75
Piano interrato	100%	0,63	0,61	0,46	0,0506	0,0086	0,009354	0,002255	4,15	0,006360	0,000934	6,81
proporzionale alla deformata 1° modo di vibrazione												
Piano interrato	0%	0,67	0,67	0,47	0,0490	0,0084	0,009278	0,002005	4,63	0,006270	0,000847	7,40
Piano interrato	100%	0,63	0,60	0,46	0,0499	0,0085	0,009237	0,002005	4,61	0,006323	0,000847	7,47
sisma in -X												
proporzionale alle masse												
Piano interrato	0%	0,66	0,67	0,46	0,0484	0,0086	0,009168	0,002336	3,92	0,006335	0,001012	6,26
Piano interrato	100%	0,63	0,62	0,46	0,0492	0,0087	0,009128	0,002336	3,91	0,006395	0,001012	6,32
proporzionale alla deformata 1° modo di vibrazione												
Piano interrato	0%	0,66	0,67	0,47	0,0485	0,0088	0,009206	0,002095	4,39	0,006433	0,000924	6,97
Piano interrato	100%	0,63	0,61	0,46	0,0493	0,0087	0,009145	0,002095	4,36	0,006387	0,000924	6,92
sisma in +Y												
proporzionale alle masse												
Piano interrato	0%	1,52	1,31	0,50	0,0478	0,0098	0,011720	0,001789	6,55	0,007575	0,000789	9,60
Piano interrato	100%	0,23	0,05	0,37	0,0493	0,0089	0,011336	0,001789	6,34	0,015194	0,000789	19,25
proporzionale alla deformata 1° modo di vibrazione												
Piano interrato	0%	1,53	1,28	0,50	0,0484	0,0099	0,011851	0,001584	7,48	0,007584	0,000716	10,60
Piano interrato	100%	0,24	0,04	0,37	0,0495	0,0085	0,013154	0,001584	8,30	0,018691	0,000716	26,12
sisma in -Y												
proporzionale alle masse												
Piano interrato	0%	2,46	3,24	0,59	0,0493	0,0101	0,017248	0,002144	8,04	0,014053	0,000951	14,77
Piano interrato	100%	1,17	2,04	0,46	0,0509	0,0124	0,013157	0,002144	6,14	0,012007	0,000951	12,62
proporzionale alla deformata 1° modo di vibrazione												
Piano interrato	0%	2,62	3,49	0,61	0,0496	0,0101	0,018061	0,001983	9,11	0,014851	0,000896	16,58
Piano interrato	100%	1,32	2,35	0,48	0,0508	0,0136	0,014485	0,001983	7,31	0,014376	0,000896	16,05
Pilastrata: Pilastrata20												
sisma in +X												
proporzionale alle masse												
Piano interrato	0%	0,65	0,67	0,51	0,0692	0,0069	0,012550	0,002614	4,80	0,005871	0,001144	5,13
Piano interrato	100%	0,64	0,62	0,50	0,0700	0,0070	0,012562	0,002614	4,81	0,005909	0,001144	5,17
proporzionale alla deformata 1° modo di vibrazione												
Piano interrato	0%	0,66	0,67	0,51	0,0715	0,0069	0,012968	0,002349	5,52	0,005852	0,001048	5,58
Piano interrato	100%	0,63	0,62	0,50	0,0731	0,0068	0,012997	0,002349	5,53	0,005829	0,001048	5,56
sisma in -X												
proporzionale alle masse												
Piano interrato	0%	0,67	0,67	0,51	0,0538	0,0073	0,010334	0,002656	3,89	0,006030	0,001222	4,93
Piano interrato	100%	0,62	0,62	0,50	0,0569	0,0074	0,010436	0,002656	3,93	0,006071	0,001222	4,97
proporzionale alla deformata 1° modo di vibrazione												
Piano interrato	0%	0,66	0,67	0,51	0,0580	0,0072	0,010959	0,002401	4,56	0,005976	0,001125	5,31
Piano interrato	100%	0,63	0,62	0,50	0,0593	0,0072	0,010844	0,002401	4,52	0,006015	0,001125	5,35
sisma in +Y												
proporzionale alle masse												
Piano interrato	0%	1,59	1,63	0,56	0,0590	0,0076	0,015431	0,001838	8,39	0,007215	0,000794	9,08
Piano interrato	100%	0,29	0,38	0,43	0,0602	0,0098	0,008461	0,001838	4,60	0,006126	0,000794	7,71
proporzionale alla deformata 1° modo di vibrazione												
Piano interrato	0%	2,12	2,12	0,61	0,0618	0,0077	0,018386	0,001627	11,30	0,008480	0,000723	11,72
Piano interrato	100%	0,81	0,88	0,48	0,0625	0,0155	0,012648	0,001627	7,78	0,009482	0,000723	13,11
sisma in -Y												
proporzionale alle masse												
Piano interrato	0%	1,58	1,59	0,56	0,0492	0,0082	0,013174	0,002371	5,56	0,007555	0,001075	7,03
Piano interrato	100%	0,28	0,32	0,43	0,0502	0,0128	0,007561	0,002371	3,19	0,007151	0,001075	6,65
proporzionale alla deformata 1° modo di vibrazione												
Piano interrato	0%	2,03	1,93	0,60	0,0512	0,0082	0,015243	0,002198	6,94	0,008437	0,001022	8,25
Piano interrato	100%	0,73	0,65	0,47	0,0520	0,0129	0,009988	0,002198	4,54	0,007497	0,001022	7,33
sisma in +X												
proporzionale alle masse												
Piano terra	0%	1,18	1,18	0,56	0,0956	0,0061	0,021979	0,002362	9,30	0,005792	0,001079	5,37
Piano terra	100%	1,22	1,21	0,56	0,0971	0,0061	0,022653	0,002362	9,59	0,005856	0,001079	5,43
proporzionale alla deformata 1° modo di vibrazione												
Piano terra	0%	1,18	1,19	0,56	0,0993	0,0060	0,022805	0,002933	7,78	0,005747	0,001333	4,31
Piano terra	100%	1,21	1,21	0,56	0,1009	0,0060	0,023399	0,002933	7,98	0,005804	0,001333	4,35
sisma in -X												

Lv	%L_{LI}	$L_{v,SLV}$	$L_{v,SLD}$	L_{pl}	ϕ_u	ϕ_y	SLV			SLD		
							Θ_c	Θ_d	CS	Θ_c	Θ_d	CS
	[%]	[m]	[m]	[m]	[rad/m]	[rad/m]	[rad]	[rad]		[rad]	[rad]	
proporzionale alle masse												
Piano terra	0%	1,17	1,16	0,56	0,0770	0,0069	0,017995	0,002413	7,46	0,006224	0,001138	5,47
Piano terra	100%	1,23	1,22	0,56	0,0781	0,0068	0,018617	0,002413	7,72	0,006276	0,001138	5,52
proporzionale alla deformata 1° modo di vibrazione												
Piano terra	0%	1,18	1,18	0,56	0,0786	0,0066	0,018425	0,002989	6,16	0,006093	0,001394	4,37
Piano terra	100%	1,22	1,21	0,56	0,0801	0,0066	0,018982	0,002989	6,35	0,006140	0,001394	4,40
sisma in +Y												
proporzionale alle masse												
Piano terra	0%	0,43	0,15	0,44	0,0846	0,0144	0,012388	0,002056	6,03	0,009275	0,000946	9,80
Piano terra	100%	2,86	2,49	0,68	0,0860	0,0068	0,028113	0,002056	13,68	0,008475	0,000946	8,95
proporzionale alla deformata 1° modo di vibrazione												
Piano terra	0%	0,77	0,65	0,48	0,0881	0,0069	0,015906	0,002440	6,52	0,005115	0,001114	4,59
Piano terra	100%	1,62	1,65	0,56	0,0896	0,0063	0,022498	0,002440	9,22	0,006300	0,001114	5,66
sisma in -Y												
proporzionale alle masse												
Piano terra	0%	5,13	2,31	0,91	0,0713	0,0113	0,031115	0,002898	10,74	0,012406	0,001364	9,10
Piano terra	100%	2,84	0,07	0,68	0,0728	0,0112	0,024956	0,002898	8,61	0,012861	0,001364	9,43
proporzionale alla deformata 1° modo di vibrazione												
Piano terra	0%	0,99	0,23	0,50	0,0731	0,0095	0,015213	0,003425	4,44	0,006701	0,001601	4,19
Piano terra	100%	1,36	2,17	0,54	0,0745	0,0089	0,018950	0,003425	5,53	0,009674	0,001601	6,04
Pilastrata: Pilastrata23												
sisma in +X												
proporzionale alle masse												
Piano interrato	0%	0,65	0,67	0,51	0,0654	0,0070	0,012017	0,002595	4,63	0,005912	0,001135	5,21
Piano interrato	100%	0,64	0,62	0,51	0,0667	0,0071	0,012096	0,002595	4,66	0,005947	0,001135	5,24
proporzionale alla deformata 1° modo di vibrazione												
Piano interrato	0%	0,66	0,66	0,51	0,0674	0,0069	0,012376	0,002328	5,32	0,005859	0,001037	5,65
Piano interrato	100%	0,63	0,62	0,50	0,0683	0,0069	0,012265	0,002328	5,27	0,005886	0,001037	5,68
sisma in -X												
proporzionale alle masse												
Piano interrato	0%	0,64	0,67	0,50	0,0686	0,0069	0,012322	0,002682	4,59	0,005853	0,001228	4,77
Piano interrato	100%	0,64	0,63	0,51	0,0668	0,0069	0,012120	0,002682	4,52	0,005876	0,001228	4,79
proporzionale alla deformata 1° modo di vibrazione												
Piano interrato	0%	0,65	0,67	0,51	0,0706	0,0069	0,012800	0,002421	5,29	0,005860	0,001127	5,20
Piano interrato	100%	0,64	0,62	0,51	0,0709	0,0068	0,012694	0,002421	5,24	0,005842	0,001127	5,18
sisma in +Y												
proporzionale alle masse												
Piano interrato	0%	1,45	1,49	0,54	0,0525	0,0084	0,013469	0,001737	7,75	0,007491	0,000760	9,86
Piano interrato	100%	0,15	0,24	0,41	0,0533	0,0032	0,007669	0,001737	4,41	0,004971	0,000760	6,54
proporzionale alla deformata 1° modo di vibrazione												
Piano interrato	0%	1,87	1,86	0,59	0,0529	0,0089	0,015284	0,001455	10,51	0,008825	0,000652	13,53
Piano interrato	100%	0,58	0,61	0,46	0,0537	0,0112	0,009262	0,001455	6,37	0,006772	0,000652	10,38
sisma in -Y												
proporzionale alle masse												
Piano interrato	0%	1,42	1,47	0,54	0,0738	0,0071	0,017847	0,001985	8,99	0,006541	0,000896	7,30
Piano interrato	100%	0,10	0,20	0,41	0,0748	0,0121	0,010255	0,001985	5,17	0,007670	0,000896	8,56
proporzionale alla deformata 1° modo di vibrazione												
Piano interrato	0%	1,55	1,59	0,55	0,0764	0,0070	0,019155	0,001728	11,09	0,006756	0,000804	8,40
Piano interrato	100%	0,24	0,30	0,42	0,0762	0,0079	0,010104	0,001728	5,85	0,005783	0,000804	7,19
sisma in +X												
proporzionale alle masse												
Piano terra	0%	1,17	1,16	0,56	0,0938	0,0062	0,021546	0,002367	9,10	0,005859	0,001093	5,36
Piano terra	100%	1,23	1,24	0,56	0,0953	0,0062	0,022345	0,002367	9,44	0,005972	0,001093	5,47
proporzionale alla deformata 1° modo di vibrazione												
Piano terra	0%	1,18	1,17	0,56	0,0960	0,0061	0,022042	0,002936	7,51	0,005803	0,001346	4,31
Piano terra	100%	1,22	1,22	0,56	0,0974	0,0061	0,022718	0,002936	7,74	0,005878	0,001346	4,37
sisma in -X												
proporzionale alle masse												
Piano terra	0%	1,17	1,15	0,56	0,1002	0,0059	0,022891	0,002454	9,33	0,005681	0,001164	4,88
Piano terra	100%	1,22	1,23	0,56	0,1017	0,0059	0,023646	0,002454	9,64	0,005767	0,001164	4,95
proporzionale alla deformata 1° modo di vibrazione												
Piano terra	0%	1,18	1,16	0,56	0,1025	0,0059	0,023461	0,003030	7,74	0,005652	0,001421	3,98
Piano terra	100%	1,21	1,23	0,56	0,1041	0,0059	0,024090	0,003030	7,95	0,005735	0,001421	4,03
sisma in +Y												
proporzionale alle masse												
Piano terra	0%	18,11	1,99	2,21	0,0789	0,0156	0,073110	0,001900	38,48	0,014863	0,000876	16,97
Piano terra	100%	21,91	4,49	2,59	0,0811	0,0074	0,096741	0,001900	50,92	0,013864	0,000876	15,83
proporzionale alla deformata 1° modo di vibrazione												
Piano terra	0%	0,80	0,69	0,48	0,0802	0,0116	0,015026	0,002136	7,03	0,007065	0,000982	7,20
Piano terra	100%	1,60	1,71	0,56	0,0816	0,0074	0,020764	0,002136	9,72	0,007256	0,000982	7,39
sisma in -Y												
proporzionale alle masse												
Piano terra	0%	1,17	1,17	0,52	0,1109	0,0045	0,023613	0,002045	11,55	0,004477	0,000859	5,21
Piano terra	100%	1,29	1,37	0,53	0,1125	0,0045	0,025000	0,002045	12,22	0,004698	0,000859	5,47
proporzionale alla deformata 1° modo di vibrazione												
Piano terra	0%	0,85	0,98	0,48	0,1139	0,0045	0,021074	0,002382	8,85	0,004295	0,001014	4,23
Piano terra	100%	1,57	1,59	0,56	0,1156	0,0045	0,027867	0,002382	11,70	0,004948	0,001014	4,88

LEGENDA:

Lv Livello o piano di appartenenza dell'elemento strutturale.

%L_{LI} Posizione della sezione per la quale vengono forniti i valori di verifica, valutata come % della lunghezza libera d'inflessione (L_{LI}), a partire dall'estremo iniziale.

$L_{v,SLV}$ Luce di Taglio allo SLV

$L_{v,SLD}$ Luce di Taglio allo SLD

L_{pl} Lunghezza della cerniera plastica.

Lv	%L_{LI}	$L_{v,SLV}$	$L_{v,SLD}$	L_{pl}	ϕ_u	ϕ_y	SLV			SLD		
							Θ_c	Θ_d	CS	Θ_c	Θ_d	CS
	[%]	[m]	[m]	[m]	[rad/m]	[rad/m]	[rad]	[rad]		[rad]	[rad]	

ϕ_u Curvatura allo SLU.
ϕ_y Curvatura allo snervamento.
Θ_c Capacità di rotazione alla corda.
Θ_d Domanda di Rotazione alla Corda.
CS Coefficiente di sicurezza ([NS] = Non Significativo per valori di CS >= 100; [VNR]= Verifica Non Richiesta).
$L_{v,SLV}$ Luce di Taglio allo SLV

PILASTRI - VERIFICHE A TAGLIO PER ANALISI NON LINEARE (Elevazione)

Pilastri - Verifiche a Taglio per Analisi Non Lineare

Lv	%L_{LI}	$V_{Ed,3}$	$V_{Ed,2}$	$CS^{(3)}$	$CS^{(2)}$	α_C	$V_{Rsd,s}{}^{(3)}$	$V_{Rsd,s}{}^{(2)}$	$V_{Rcd}{}^{(3)}$	$V_{Rcd}{}^{(2)}$	$V_{fd}{}^{(3)}$	$V_{fd}{}^{(2)}$	$Ctg\Theta^{(3)}$	$Ctg\Theta^{(2)}$
	[%]	[N]	[N]				[N]	[N]	[N]	[N]	[N]	[N]		
Pilastrata: Pilastrata1														
sisma in +X														
proporzionale alle masse														
Piano interrato	0%	-10.816	-1.750	6,91	50,30	1,00	74693	88030	136315	136315	0	0	2,50	2,50
	100%	-33.690	-7.094	2,22	12,41	1,00	74693	88030	136730	136730	0	0	2,50	2,50
proporzionale alla deformata 1° modo di vibrazione														
	0%	-5.726	-1.966	13,04	44,78	1,00	74693	88030	136315	136315	0	0	2,50	2,50
	100%	-20.400	-4.133	3,66	21,30	1,00	74693	88030	136315	136315	0	0	2,50	2,50
sisma in -X														
proporzionale alle masse														
	0%	96.482	-7.351	0,77	11,98	1,26	74693	88030	171159	171159	0	0	2,50	2,50
	100%	2.235	-5.562	33,42	15,83	1,01	74693	88030	137130	137130	0	0	2,50	2,50
proporzionale alla deformata 1° modo di vibrazione														
	0%	72.197	-7.819	1,03	11,26	1,26	74693	88030	171916	171916	0	0	2,50	2,50
	100%	3.021	-6.735	24,72	13,07	1,04	74693	88030	142085	142085	0	0	2,50	2,50
sisma in +Y														
proporzionale alle masse														
	0%	10.273	11.134	7,27	7,91	1,00	74693	88030	136315	136315	0	0	2,50	2,50
	100%	1.890	3.206	39,52	27,46	1,00	74693	88030	136315	136315	0	0	2,50	2,50
proporzionale alla deformata 1° modo di vibrazione														
	0%	12.781	8.804	5,84	10,00	1,00	74693	88030	136315	136315	0	0	2,50	2,50
	100%	3.296	3.078	22,66	28,60	1,00	74693	88030	136315	136315	0	0	2,50	2,50
sisma in -Y														
proporzionale alle masse														
	0%	-98	-18.963	NS	4,64	1,03	74693	88030	140490	140490	0	0	2,50	2,50
	100%	-15.195	-25.513	4,92	3,45	1,09	74693	88030	148594	148594	0	0	2,50	2,50
proporzionale alla deformata 1° modo di vibrazione														
	0%	-531	-16.110	NS	5,46	1,03	74693	88030	140302	140302	0	0	2,50	2,50
	100%	-13.827	-24.700	5,40	3,56	1,09	74693	88030	148781	148781	0	0	2,50	2,50
sisma in +X														
proporzionale alle masse														
Piano terra	0%	4.790	-5.638	15,59	15,61	1,02	74693	88030	139194	139194	0	0	2,50	2,50
	100%	-25.237	-2.638	2,96	33,37	1,20	74693	88030	163566	163566	0	0	2,50	2,50
proporzionale alla deformata 1° modo di vibrazione														
	0%	-542	-5.692	NS	15,47	1,00	74693	88030	136315	136315	0	0	2,50	2,50
	100%	-40.380	-3.453	1,85	25,49	1,23	74693	88030	167881	167881	0	0	2,50	2,50
sisma in -X														
proporzionale alle masse														
	0%	60.139	-8.327	1,24	10,57	1,13	74693	88030	153811	153811	0	0	2,50	2,50
	100%	16.649	-3.943	4,49	22,33	1,00	74693	88030	136315	136315	0	0	2,50	2,50
proporzionale alla deformata 1° modo di vibrazione														
	0%	83.469	-6.814	0,89	12,92	1,19	74693	88030	161724	161724	0	0	2,50	2,50
	100%	20.965	-4.091	3,56	21,52	1,00	74693	88030	136315	136315	0	0	2,50	2,50
sisma in +Y														
proporzionale alle masse														
	0%	5.466	-720	13,67	NS	1,00	74693	88030	136315	136315	0	0	2,50	2,50
	100%	226	-3.797	NS	23,18	1,00	74693	88030	136315	136315	0	0	2,50	2,50
proporzionale alla deformata 1° modo di vibrazione														
	0%	5.362	-135	13,93	NS	1,00	74693	88030	136315	136315	0	0	2,50	2,50
	100%	-98	-3.848	NS	22,88	1,00	74693	88030	136315	136315	0	0	2,50	2,50
sisma in -Y														
proporzionale alle masse														
	0%	9.041	-21.970	8,26	4,01	1,11	74693	88030	151329	151329	0	0	2,50	2,50
	100%	-2.217	-11.368	33,69	7,74	1,10	74693	88030	149419	149419	0	0	2,50	2,50
proporzionale alla deformata 1° modo di vibrazione														
	0%	8.736	-23.371	8,55	3,77	1,12	74693	88030	152573	152573	0	0	2,50	2,50
	100%	-3.824	-15.083	19,53	5,84	1,12	74693	88030	152147	152147	0	0	2,50	2,50
Pilastrata: Pilastrata2														
sisma in +X														
proporzionale alle masse														
Piano interrato	0%	-101.474	-6.466	0,74	13,61	1,11	74693	88030	151447	151447	0	0	2,50	2,50
	100%	-101.474	-6.466	0,74	13,61	1,11	74693	88030	151457	151457	0	0	2,50	2,50
proporzionale alla deformata 1° modo di vibrazione														
	0%	-93.198	-6.773	0,80	13,00	1,10	74693	88030	150604	150604	0	0	2,50	2,50
	100%	-93.198	-6.773	0,80	13,00	1,10	74693	88030	150200	150200	0	0	2,50	2,50
sisma in -X														
proporzionale alle masse														
	0%	111.783	-7.614	0,67	11,56	1,17	74693	88030	160007	160007	0	0	2,50	2,50
	100%	111.783	-7.614	0,67	11,56	1,17	74693	88030	159216	159216	0	0	2,50	2,50
proporzionale alla deformata 1° modo di vibrazione														
	0%	103.026	-7.554	0,72	11,65	1,17	74693	88030	158911	158911	0	0	2,50	2,50
	100%	103.026	-7.554	0,72	11,65	1,16	74693	88030	158288	158288	0	0	2,50	2,50
sisma in +Y														

Lv	%L_{LI}	$V_{Ed,3}$	$V_{Ed,2}$	$CS^{(3)}$	$CS^{(2)}$	α_C	$V_{Rsd,s}{}^{(3)}$	$V_{Rsd,s}{}^{(2)}$	$V_{Rcd}{}^{(3)}$	$V_{Rcd}{}^{(2)}$	$V_{fd}{}^{(3)}$	$V_{fd}{}^{(2)}$	$Ctg\Theta^{(3)}$	$Ctg\Theta^{(2)}$
	[%]	[N]	[N]				[N]	[N]	[N]	[N]	[N]	[N]		
proporzionale alle masse														
	0%	4.053	32.722	18,43	2,69	1,11	74693	88030	151022	151022	0	0	2,50	2,50
	100%	4.053	32.722	18,43	2,69	1,10	74693	88030	150272	150272	0	0	2,50	2,50
proporzionale alla deformata 1° modo di vibrazione														
	0%	6.940	26.836	10,76	3,28	1,10	74693	88030	149913	149913	0	0	2,50	2,50
	100%	6.940	26.836	10,76	3,28	1,10	74693	88030	149300	149300	0	0	2,50	2,50
sisma in -Y														
proporzionale alle masse														
	0%	-8.444	-77.136	8,85	1,14	1,21	74693	88030	165376	165376	0	0	2,50	2,50
	100%	-8.444	-77.136	8,85	1,14	1,21	74693	88030	165027	165027	0	0	2,50	2,50
proporzionale alla deformata 1° modo di vibrazione														
	0%	-12.180	-68.237	6,13	1,29	1,21	74693	88030	164394	164394	0	0	2,50	2,50
	100%	-12.180	-68.237	6,13	1,29	1,20	74693	88030	164222	164222	0	0	2,50	2,50
sisma in +X														
proporzionale alle masse														
Piano terra	0%	-21.689	-3.750	3,44	23,47	1,00	74693	88030	136315	136315	0	0	2,50	2,50
	100%	-21.689	-3.750	3,44	23,47	1,00	74693	88030	136315	136315	0	0	2,50	2,50
proporzionale alla deformata 1° modo di vibrazione														
	0%	-27.144	-3.941	2,75	22,34	1,00	74693	88030	136315	136315	0	0	2,50	2,50
	100%	-27.144	-3.941	2,75	22,34	1,00	74693	88030	136315	136315	0	0	2,50	2,50
sisma in -X														
proporzionale alle masse														
	0%	27.844	-2.550	2,68	34,52	1,05	74693	88030	143115	143115	0	0	2,50	2,50
	100%	27.844	-2.550	2,68	34,52	1,05	74693	88030	142463	142463	0	0	2,50	2,50
proporzionale alla deformata 1° modo di vibrazione														
	0%	33.475	-2.647	2,23	33,26	1,04	74693	88030	142219	142219	0	0	2,50	2,50
	100%	33.475	-2.647	2,23	33,26	1,04	74693	88030	141567	141567	0	0	2,50	2,50
sisma in +Y														
proporzionale alle masse														
	0%	-4	-7.676	NS	11,47	1,00	74693	88030	136315	136315	0	0	2,50	2,50
	100%	-4	-7.676	NS	11,47	1,00	74693	88030	136315	136315	0	0	2,50	2,50
proporzionale alla deformata 1° modo di vibrazione														
	0%	330	-6.713	NS	13,11	1,00	74693	88030	136315	136315	0	0	2,50	2,50
	100%	330	-6.713	NS	13,11	1,00	74693	88030	136315	136315	0	0	2,50	2,50
sisma in -Y														
proporzionale alle masse														
	0%	-4.234	-3.314	17,64	26,56	1,07	74693	88030	145704	145704	0	0	2,50	2,50
	100%	-4.234	-3.314	17,64	26,56	1,06	74693	88030	145071	145071	0	0	2,50	2,50
proporzionale alla deformata 1° modo di vibrazione														
	0%	-4.882	-7.240	15,30	12,16	1,06	74693	88030	145052	145052	0	0	2,50	2,50
	100%	-4.882	-7.240	15,30	12,16	1,06	74693	88030	144376	144376	0	0	2,50	2,50
Pilastrata: Pilastrata3														
sisma in +X														
proporzionale alle masse														
Piano interrato	0%	-60.560	-409	1,23	NS	1,00	74693	88030	136315	136315	0	0	2,50	2,50
	100%	-43.343	-60	1,72	NS	1,01	74693	88030	138240	138240	0	0	2,50	2,50
proporzionale alla deformata 1° modo di vibrazione														
	0%	-43.240	-196	1,73	NS	1,00	74693	88030	136315	136315	0	0	2,50	2,50
	100%	-34.687	-526	2,15	NS	1,01	74693	88030	137109	137109	0	0	2,50	2,50
sisma in -X														
proporzionale alle masse														
	0%	65.540	427	1,14	NS	1,00	74693	88030	136315	136315	0	0	2,50	2,50
	100%	43.889	723	1,70	NS	1,02	74693	88030	139616	139616	0	0	2,50	2,50
proporzionale alla deformata 1° modo di vibrazione														
	0%	47.965	802	1,56	NS	1,00	74693	88030	136315	136315	0	0	2,50	2,50
	100%	34.817	1.367	2,15	64,40	1,02	74693	88030	139046	139046	0	0	2,50	2,50
sisma in +Y														
proporzionale alle masse														
	0%	1.754	2.185	42,58	40,29	1,02	74693	88030	138905	138905	0	0	2,50	2,50
	100%	611	2.326	NS	37,85	1,00	74693	88030	136759	136759	0	0	2,50	2,50
proporzionale alla deformata 1° modo di vibrazione														
	0%	2.827	586	26,42	NS	1,02	74693	88030	138799	138799	0	0	2,50	2,50
	100%	2.323	588	32,15	NS	1,00	74693	88030	136413	136413	0	0	2,50	2,50
sisma in -Y														
proporzionale alle masse														
	0%	-4.875	-3.959	15,32	22,24	1,05	74693	88030	142581	142581	0	0	2,50	2,50
	100%	-7.940	-7.310	9,41	12,04	1,04	74693	88030	142039	142039	0	0	2,50	2,50
proporzionale alla deformata 1° modo di vibrazione														
	0%	-5.731	-2.599	13,03	33,87	1,05	74693	88030	142548	142548	0	0	2,50	2,50
	100%	-8.337	-7.174	8,96	12,27	1,04	74693	88030	141705	141705	0	0	2,50	2,50
sisma in +X														
proporzionale alle masse														
Piano terra	0%	-31.547	1.044	2,37	84,32	1,03	74693	88030	140808	140808	0	0	2,50	2,50
	100%	-29.879	1.234	2,50	71,34	1,00	74693	88030	136315	136315	0	0	2,50	2,50
proporzionale alla deformata 1° modo di vibrazione														
	0%	-42.374	1.655	1,76	53,19	1,01	74693	88030	137363	137363	0	0	2,50	2,50
	100%	-38.786	623	1,93	NS	1,00	74693	88030	136315	136315	0	0	2,50	2,50
sisma in -X														
proporzionale alle masse														
	0%	33.432	1.264	2,23	69,64	1,04	74693	88030	142445	142445	0	0	2,50	2,50
	100%	26.098	4.482	2,86	19,64	1,00	74693	88030	136315	136315	0	0	2,50	2,50
proporzionale alla deformata 1° modo di vibrazione														
	0%	46.808	1.625	1,60	54,17	1,02	74693	88030	139638	139638	0	0	2,50	2,50
	100%	34.642	3.850	2,16	22,86	1,00	74693	88030	136315	136315	0	0	2,50	2,50
sisma in +Y														
proporzionale alle masse														

Lv	%L_{LI}	$V_{Ed,3}$	$V_{Ed,2}$	$CS^{(3)}$	$CS^{(2)}$	α_C	$V_{Rsd,s}{}^{(3)}$	$V_{Rsd,s}{}^{(2)}$	$V_{Rcd}{}^{(3)}$	$V_{Rcd}{}^{(2)}$	$V_{fd}{}^{(3)}$	$V_{fd}{}^{(2)}$	$Ctg\Theta^{(3)}$	$Ctg\Theta^{(2)}$
	[%]	[N]	[N]				[N]	[N]	[N]	[N]	[N]	[N]		
	0%	-4.858	2.571	15,38	34,24	1,01	74693	88030	137052	137052	0	0	2,50	2,50
	100%	-272	-1.866	NS	47,18	1,00	74693	88030	136315	136315	0	0	2,50	2,50
proporzionale alla deformata 1° modo di vibrazione														
	0%	-1.957	1.875	38,17	46,95	1,00	74693	88030	136411	136411	0	0	2,50	2,50
	100%	-57	-2.007	NS	43,86	1,00	74693	88030	136315	136315	0	0	2,50	2,50
sisma in -Y														
proporzionale alle masse														
	0%	-4.969	-6.880	15,03	12,80	1,05	74693	88030	142730	142730	0	0	2,50	2,50
	100%	-3.066	401	24,36	NS	1,02	74693	88030	138843	138843	0	0	2,50	2,50
proporzionale alla deformata 1° modo di vibrazione														
	0%	-7.246	-7.779	10,31	11,32	1,05	74693	88030	142932	142932	0	0	2,50	2,50
	100%	-4.115	-503	18,15	NS	1,02	74693	88030	138779	138779	0	0	2,50	2,50
Pilastrata: Pilastrata4														
sisma in +X														
proporzionale alle masse														
Piano interrato	0%	-65.639	-239	1,14	NS	1,00	74693	88030	136315	136315	0	0	2,50	2,50
	100%	-43.319	820	1,72	NS	1,02	74693	88030	139179	139179	0	0	2,50	2,50
proporzionale alla deformata 1° modo di vibrazione														
	0%	-47.232	-431	1,58	NS	1,00	74693	88030	136315	136315	0	0	2,50	2,50
	100%	-34.417	495	2,17	NS	1,01	74693	88030	138106	138106	0	0	2,50	2,50
sisma in -X														
proporzionale alle masse														
	0%	60.493	-385	1,23	NS	1,00	74693	88030	136315	136315	0	0	2,50	2,50
	100%	46.082	995	1,62	88,47	1,01	74693	88030	137835	137835	0	0	2,50	2,50
proporzionale alla deformata 1° modo di vibrazione														
	0%	44.114	-700	1,69	NS	1,00	74693	88030	136315	136315	0	0	2,50	2,50
	100%	38.766	993	1,93	88,65	1,01	74693	88030	137319	137319	0	0	2,50	2,50
sisma in +Y														
proporzionale alle masse														
	0%	3.550	1.144	21,04	76,95	1,01	74693	88030	138141	138141	0	0	2,50	2,50
	100%	1.798	1.060	41,54	83,05	1,00	74693	88030	136324	136324	0	0	2,50	2,50
proporzionale alla deformata 1° modo di vibrazione														
	0%	4.778	300	15,63	NS	1,01	74693	88030	137703	137703	0	0	2,50	2,50
	100%	2.903	771	25,73	NS	1,00	74693	88030	136315	136315	0	0	2,50	2,50
sisma in -Y														
proporzionale alle masse														
	0%	-5.065	-3.145	14,75	27,99	1,04	74693	88030	142165	142165	0	0	2,50	2,50
	100%	-7.659	-6.839	9,75	12,87	1,04	74693	88030	141733	141733	0	0	2,50	2,50
proporzionale alla deformata 1° modo di vibrazione														
	0%	-5.163	-1.425	14,47	61,78	1,04	74693	88030	142118	142118	0	0	2,50	2,50
	100%	-7.516	-6.289	9,94	14,00	1,04	74693	88030	141240	141240	0	0	2,50	2,50
sisma in +X														
proporzionale alle masse														
Piano terra	0%	-30.138	837	2,48	NS	1,04	74693	88030	141481	141481	0	0	2,50	2,50
	100%	-29.180	-174	2,56	NS	1,00	74693	88030	136315	136315	0	0	2,50	2,50
proporzionale alla deformata 1° modo di vibrazione														
	0%	-40.265	1.289	1,86	68,29	1,02	74693	88030	138556	138556	0	0	2,50	2,50
	100%	-37.330	-1.181	2,00	74,54	1,00	74693	88030	136315	136315	0	0	2,50	2,50
sisma in -X														
proporzionale alle masse														
	0%	30.901	1.101	2,42	79,95	1,03	74693	88030	140978	140978	0	0	2,50	2,50
	100%	26.022	2.676	2,87	32,90	1,00	74693	88030	136315	136315	0	0	2,50	2,50
proporzionale alla deformata 1° modo di vibrazione														
	0%	42.778	1.422	1,75	61,91	1,01	74693	88030	138163	138163	0	0	2,50	2,50
	100%	34.346	1.801	2,17	48,88	1,00	74693	88030	136315	136315	0	0	2,50	2,50
sisma in +Y														
proporzionale alle masse														
	0%	-2.783	1.147	26,84	76,75	1,00	74693	88030	136315	136315	0	0	2,50	2,50
	100%	-1.595	-3.315	46,83	26,56	1,00	74693	88030	136315	136315	0	0	2,50	2,50
proporzionale alla deformata 1° modo di vibrazione														
	0%	-2.652	1.764	28,16	49,90	1,00	74693	88030	136315	136315	0	0	2,50	2,50
	100%	-480	-3.035	NS	29,00	1,00	74693	88030	136315	136315	0	0	2,50	2,50
sisma in -Y														
proporzionale alle masse														
	0%	-1.891	-6.685	39,50	13,17	1,04	74693	88030	142313	142313	0	0	2,50	2,50
	100%	-1.737	368	43,00	NS	1,02	74693	88030	138726	138726	0	0	2,50	2,50
proporzionale alla deformata 1° modo di vibrazione														
	0%	-5.028	-7.331	14,86	12,01	1,05	74693	88030	142510	142510	0	0	2,50	2,50
	100%	-3.517	-387	21,24	NS	1,02	74693	88030	138874	138874	0	0	2,50	2,50
Pilastrata: Pilastrata5														
sisma in +X														
proporzionale alle masse														
Piano interrato	0%	-100.840	-5.955	0,74	14,78	1,13	74693	88030	154461	154461	0	0	2,50	2,50
	100%	-100.840	-5.955	0,74	14,78	1,13	74693	88030	154082	154082	0	0	2,50	2,50
proporzionale alla deformata 1° modo di vibrazione														
	0%	-92.389	-5.777	0,81	15,24	1,13	74693	88030	153359	153359	0	0	2,50	2,50
	100%	-92.389	-5.777	0,81	15,24	1,12	74693	88030	153105	153105	0	0	2,50	2,50
sisma in -X														
proporzionale alle masse														
	0%	101.235	-6.477	0,74	13,59	1,12	74693	88030	153240	153240	0	0	2,50	2,50
	100%	101.235	-6.477	0,74	13,59	1,12	74693	88030	152506	152506	0	0	2,50	2,50
proporzionale alla deformata 1° modo di vibrazione														
	0%	92.342	-6.538	0,81	13,46	1,12	74693	88030	152021	152021	0	0	2,50	2,50
	100%	92.342	-6.538	0,81	13,46	1,11	74693	88030	151625	151625	0	0	2,50	2,50
sisma in +Y														
proporzionale alle masse														

Lv	%L_{LI}	$V_{Ed,3}$	$V_{Ed,2}$	$CS^{(3)}$	$CS^{(2)}$	α_C	$V_{Rsd,s}{}^{(3)}$	$V_{Rsd,s}{}^{(2)}$	$V_{Rcd}{}^{(3)}$	$V_{Rcd}{}^{(2)}$	$V_{fd}{}^{(3)}$	$V_{fd}{}^{(2)}$	$Ctg\Theta^{(3)}$	$Ctg\Theta^{(2)}$
	[%]	[N]	[N]				[N]	[N]	[N]	[N]	[N]	[N]		
	0%	-1.002	30.232	74,54	2,91	1,09	74693	88030	148225	148225	0	0	2,50	2,50
	100%	-1.002	30.232	74,54	2,91	1,08	74693	88030	147569	147569	0	0	2,50	2,50
proporzionale alla deformata 1° modo di vibrazione														
	0%	1.337	23.961	55,87	3,67	1,08	74693	88030	147859	147859	0	0	2,50	2,50
	100%	1.337	23.961	55,87	3,67	1,08	74693	88030	147151	147151	0	0	2,50	2,50
sisma in -Y														
proporzionale alle masse														
	0%	-7.990	-63.854	9,35	1,38	1,18	74693	88030	161135	161135	0	0	2,50	2,50
	100%	-7.990	-63.854	9,35	1,38	1,19	74693	88030	161617	161617	0	0	2,50	2,50
proporzionale alla deformata 1° modo di vibrazione														
	0%	-9.891	-53.563	7,55	1,64	1,18	74693	88030	160655	160655	0	0	2,50	2,50
	100%	-9.891	-53.563	7,55	1,64	1,18	74693	88030	160299	160299	0	0	2,50	2,50
sisma in +X														
proporzionale alle masse														
Piano terra	0%	-22.316	-4.194	3,35	20,99	1,00	74693	88030	136834	136834	0	0	2,50	2,50
	100%	-22.316	-4.194	3,35	20,99	1,00	74693	88030	136315	136315	0	0	2,50	2,50
proporzionale alla deformata 1° modo di vibrazione														
	0%	-27.851	-4.495	2,68	19,58	1,00	74693	88030	136315	136315	0	0	2,50	2,50
	100%	-27.851	-4.495	2,68	19,58	1,00	74693	88030	136315	136315	0	0	2,50	2,50
sisma in -X														
proporzionale alle masse														
	0%	21.671	-3.606	3,45	24,41	1,00	74693	88030	136315	136315	0	0	2,50	2,50
	100%	21.671	-3.606	3,45	24,41	1,00	74693	88030	136315	136315	0	0	2,50	2,50
proporzionale alla deformata 1° modo di vibrazione														
	0%	27.227	-3.764	2,74	23,39	1,00	74693	88030	136315	136315	0	0	2,50	2,50
	100%	27.227	-3.764	2,74	23,39	1,00	74693	88030	136315	136315	0	0	2,50	2,50
sisma in +Y														
proporzionale alle masse														
	0%	-1.037	-5.787	72,03	15,21	1,00	74693	88030	136315	136315	0	0	2,50	2,50
	100%	-1.037	-5.787	72,03	15,21	1,00	74693	88030	136315	136315	0	0	2,50	2,50
proporzionale alla deformata 1° modo di vibrazione														
	0%	-653	-5.067	NS	17,37	1,00	74693	88030	136315	136315	0	0	2,50	2,50
	100%	-653	-5.067	NS	17,37	1,00	74693	88030	136315	136315	0	0	2,50	2,50
sisma in -Y														
proporzionale alle masse														
	0%	-2.492	-6.508	29,97	13,53	1,04	74693	88030	141468	141468	0	0	2,50	2,50
	100%	-2.492	-6.508	29,97	13,53	1,03	74693	88030	140565	140565	0	0	2,50	2,50
proporzionale alla deformata 1° modo di vibrazione														
	0%	-3.484	-8.969	21,44	9,81	1,03	74693	88030	140966	140966	0	0	2,50	2,50
	100%	-3.484	-8.969	21,44	9,81	1,03	74693	88030	140339	140339	0	0	2,50	2,50
Pilastrata: Pilastrata6														
sisma in +X														
proporzionale alle masse														
Piano interrato	0%	28	-91.550	NS	0,96	1,16	88030	88030	186735	186735	0	0	2,50	2,50
	100%	-20.237	-5.653	4,35	15,57	1,02	88030	88030	164210	164210	0	0	2,50	2,50
proporzionale alla deformata 1° modo di vibrazione														
	0%	-376	-75.769	NS	1,16	1,15	88030	88030	184903	184903	0	0	2,50	2,50
	100%	-21.134	-4.500	4,17	19,56	1,04	88030	88030	166988	166988	0	0	2,50	2,50
sisma in -X														
proporzionale alle masse														
	0%	13.042	15.458	6,75	5,69	1,00	88030	88030	160657	160657	0	0	2,50	2,50
	100%	5.439	33.732	16,18	2,61	1,01	88030	88030	162058	162058	0	0	2,50	2,50
proporzionale alla deformata 1° modo di vibrazione														
	0%	9.570	9.809	9,20	8,97	1,00	88030	88030	160657	160657	0	0	2,50	2,50
	100%	7.660	22.367	11,49	3,94	1,00	88030	88030	160657	160657	0	0	2,50	2,50
sisma in +Y														
proporzionale alle masse														
	0%	-12.230	-17.301	7,20	5,09	1,00	88030	88030	160657	160657	0	0	2,50	2,50
	100%	-82.756	-14.377	1,06	6,12	1,00	88030	88030	160657	160657	0	0	2,50	2,50
proporzionale alla deformata 1° modo di vibrazione														
	0%	-8.482	-14.827	10,38	5,94	1,00	88030	88030	160657	160657	0	0	2,50	2,50
	100%	-60.108	-15.094	1,46	5,83	1,00	88030	88030	160657	160657	0	0	2,50	2,50
sisma in -Y														
proporzionale alle masse														
	0%	118.188	955	0,74	92,18	1,22	88030	88030	196584	196584	0	0	2,50	2,50
	100%	-5.596	21.864	15,73	4,03	1,05	88030	88030	168574	168574	0	0	2,50	2,50
proporzionale alla deformata 1° modo di vibrazione														
	0%	86.265	1.234	1,02	71,34	1,22	88030	88030	196622	196622	0	0	2,50	2,50
	100%	-5.947	18.839	14,80	4,67	1,09	88030	88030	175536	175536	0	0	2,50	2,50
sisma in +X														
proporzionale alle masse														
Piano terra	0%	9.329	-57.568	9,44	1,53	1,10	88030	88030	176773	176773	0	0	2,50	2,50
	100%	2.477	-11.001	35,54	8,00	1,00	88030	88030	160657	160657	0	0	2,50	2,50
proporzionale alla deformata 1° modo di vibrazione														
	0%	8.135	-77.707	10,82	1,13	1,14	88030	88030	183046	183046	0	0	2,50	2,50
	100%	3.158	-13.809	27,88	6,37	1,00	88030	88030	160657	160657	0	0	2,50	2,50
sisma in -X														
proporzionale alle masse														
	0%	25.806	-13.590	3,41	6,48	1,04	88030	88030	167488	167488	0	0	2,50	2,50
	100%	-1.463	20.849	60,17	4,22	1,07	88030	88030	172658	172658	0	0	2,50	2,50
proporzionale alla deformata 1° modo di vibrazione														
	0%	23.530	-6.561	3,74	13,42	1,00	88030	88030	161337	161337	0	0	2,50	2,50
	100%	-1.968	35.071	44,73	2,51	1,10	88030	88030	176113	176113	0	0	2,50	2,50
sisma in +Y														
proporzionale alle masse														
	0%	31.075	-37.371	2,83	2,36	1,04	88030	88030	166700	166700	0	0	2,50	2,50

Lv	%L_{LI}	$V_{Ed,3}$	$V_{Ed,2}$	$CS^{(3)}$	$CS^{(2)}$	α_C	$V_{Rsd,s}{}^{(3)}$	$V_{Rsd,s}{}^{(2)}$	$V_{Rcd}{}^{(3)}$	$V_{Rcd}{}^{(2)}$	$V_{fd}{}^{(3)}$	$V_{fd}{}^{(2)}$	$Ctg\Theta^{(3)}$	$Ctg\Theta^{(2)}$
	[%]	[N]	[N]				[N]	[N]	[N]	[N]	[N]	[N]		
	100%	-74.733	1.366	1,18	64,44	1,11	88030	88030	177901	177901	0	0	2,50	2,50
proporzionale alla deformata 1° modo di vibrazione														
	0%	18.621	-32.833	4,73	2,68	1,00	88030	88030	160657	160657	0	0	2,50	2,50
	100%	-88.335	2.737	1,00	32,16	1,12	88030	88030	180314	180314	0	0	2,50	2,50
sisma in -Y														
proporzionale alle masse														
	0%	72.150	-4.972	1,22	17,71	1,10	88030	88030	177165	177165	0	0	2,50	2,50
	100%	-639	1.507	NS	58,41	1,00	88030	88030	160657	160657	0	0	2,50	2,50
proporzionale alla deformata 1° modo di vibrazione														
	0%	97.662	-6.084	0,90	14,47	1,15	88030	88030	185554	185554	0	0	2,50	2,50
	100%	287	1.320	NS	66,69	1,00	88030	88030	160657	160657	0	0	2,50	2,50
Pilastrata: Pilastrata7														
sisma in +X														
proporzionale alle masse														
Piano interrato	0%	364	1.022	NS	NS	1,01	132787	132787	118388	118388	0	0	2,50	2,50
	100%	7.844	28.848	15,95	4,34	1,07	132787	132787	125102	125102	0	0	2,50	2,50
proporzionale alla deformata 1° modo di vibrazione														
	0%	1.061	1.293	NS	91,53	1,01	132787	132787	118349	118349	0	0	2,50	2,50
	100%	6.335	28.632	19,64	4,35	1,07	132787	132787	124448	124448	0	0	2,50	2,50
sisma in -X														
proporzionale alle masse														
	0%	8.119	-1.536	15,02	79,41	1,04	132787	132787	121971	121971	0	0	2,50	2,50
	100%	44.454	47.425	2,99	2,80	1,16	132787	132787	135690	135690	0	0	2,50	2,50
proporzionale alla deformata 1° modo di vibrazione														
	0%	7.399	-1.594	16,47	76,47	1,04	132787	132787	121888	121888	0	0	2,50	2,50
	100%	45.391	48.834	2,93	2,72	1,16	132787	132787	135300	135300	0	0	2,50	2,50
sisma in +Y														
proporzionale alle masse														
	0%	4.426	9.564	26,40	12,22	1,00	132787	132787	116841	116841	0	0	2,50	2,50
	100%	24.486	137.320	4,86	0,78	1,02	132787	106761	118963	137584	0	0	2,50	2,01
proporzionale alla deformata 1° modo di vibrazione														
	0%	3.629	11.593	32,20	10,08	1,00	132787	132787	116841	116841	0	0	2,50	2,50
	100%	25.282	122.944	4,62	1,00	1,00	132787	123226	116841	123168	0	0	2,50	2,32
sisma in -Y														
proporzionale alle masse														
	0%	4.490	-150.513	29,57	0,88	1,75	132787	132787	204947	204947	0	0	2,50	2,50
	100%	17.880	45.732	7,43	2,90	1,31	132787	132787	153356	153356	0	0	2,50	2,50
proporzionale alla deformata 1° modo di vibrazione														
	0%	3.432	-122.026	38,69	1,09	1,81	132787	132787	211900	211900	0	0	2,50	2,50
	100%	18.201	67.638	7,30	1,96	1,47	132787	132787	171242	171242	0	0	2,50	2,50
sisma in +X														
proporzionale alle masse														
Piano terra	0%	1.783	8.729	65,53	13,39	1,00	132787	132787	116841	116841	0	0	2,50	2,50
	100%	-110	7.785	NS	15,20	1,01	132787	132787	118311	118311	0	0	2,50	2,50
proporzionale alla deformata 1° modo di vibrazione														
	0%	-1.038	7.820	NS	14,94	1,00	132787	132787	116841	116841	0	0	2,50	2,50
	100%	-2.879	7.648	41,03	15,45	1,01	132787	132787	118134	118134	0	0	2,50	2,50
sisma in -X														
proporzionale alle masse														
	0%	34.134	5.058	3,61	24,33	1,05	132787	132787	123064	123064	0	0	2,50	2,50
	100%	19.905	10.859	6,29	11,52	1,07	132787	132787	125141	125141	0	0	2,50	2,50
proporzionale alla deformata 1° modo di vibrazione														
	0%	34.502	5.202	3,57	23,70	1,06	132787	132787	123281	123281	0	0	2,50	2,50
	100%	22.914	9.989	5,45	12,51	1,07	132787	132787	124955	124955	0	0	2,50	2,50
sisma in +Y														
proporzionale alle masse														
	0%	20.500	-1.258	5,70	92,88	1,00	132787	132787	116841	116841	0	0	2,50	2,50
	100%	12.856	153.980	10,33	0,86	1,47	132787	132787	172248	172248	0	0	2,50	2,50
proporzionale alla deformata 1° modo di vibrazione														
	0%	18.800	4.034	6,21	28,96	1,00	132787	132787	116841	116841	0	0	2,50	2,50
	100%	12.011	179.025	11,06	0,72	1,50	132787	128007	174818	179463	0	0	2,50	2,41
sisma in -Y														
proporzionale alle masse														
	0%	13.329	-56.358	9,96	2,36	1,17	132787	132787	136663	136663	0	0	2,50	2,50
	100%	6.240	-10.105	18,72	11,56	1,00	132787	132787	116841	116841	0	0	2,50	2,50
proporzionale alla deformata 1° modo di vibrazione														
	0%	13.244	-99.222	10,03	1,34	1,30	132787	132787	151975	151975	0	0	2,50	2,50
	100%	6.582	-12.239	17,75	9,55	1,00	132787	132787	116841	116841	0	0	2,50	2,50
sisma in +X														
proporzionale alle masse														
Piano copertura	0%	8.138	345	14,36	NS	1,00	132787	132787	116841	116841	0	0	2,50	2,50
	100%	8.138	345	14,36	NS	1,00	132787	132787	116841	116841	0	0	2,50	2,50
proporzionale alla deformata 1° modo di vibrazione														
	0%	7.964	256	14,67	NS	1,00	132787	132787	116841	116841	0	0	2,50	2,50
	100%	7.964	256	14,67	NS	1,00	132787	132787	116841	116841	0	0	2,50	2,50
sisma in -X														
proporzionale alle masse														
	0%	10.165	1.498	11,85	80,38	1,03	132787	132787	120415	120415	0	0	2,50	2,50
	100%	10.165	1.498	11,78	79,95	1,02	132787	132787	119762	119762	0	0	2,50	2,50
proporzionale alla deformata 1° modo di vibrazione														
	0%	8.902	1.316	13,38	90,54	1,02	132787	132787	119146	119146	0	0	2,50	2,50
	100%	8.902	1.316	13,32	90,11	1,01	132787	132787	118583	118583	0	0	2,50	2,50
sisma in +Y														
proporzionale alle masse														
	0%	19.257	5.750	6,90	23,09	1,88	132787	132787	219779	219779	0	0	2,50	2,50
	100%	19.257	5.750	6,90	23,09	1,88	132787	132787	219279	219279	0	0	2,50	2,50

Lv	%L_{LI}	$V_{Ed,3}$	$V_{Ed,2}$	$CS^{(3)}$	$CS^{(2)}$	α_C	$V_{Rsd,s}{}^{(3)}$	$V_{Rsd,s}{}^{(2)}$	$V_{Rcd}{}^{(3)}$	$V_{Rcd}{}^{(2)}$	$V_{fd}{}^{(3)}$	$V_{fd}{}^{(2)}$	$Ctg\Theta^{(3)}$	$Ctg\Theta^{(2)}$
	[%]	[N]	[N]				[N]	[N]	[N]	[N]	[N]	[N]		
proporzionale alla deformata 1° modo di vibrazione														
	0%	18.980	6.076	7,00	21,85	1,96	132787	132787	229092	229092	0	0	2,50	2,50
	100%	18.980	6.076	7,00	21,85	1,96	132787	132787	228592	228592	0	0	2,50	2,50
sisma in -Y														
proporzionale alle masse														
	0%	6.008	3.663	19,45	31,90	1,00	132787	132787	116841	116841	0	0	2,50	2,50
	100%	6.008	3.663	19,45	31,90	1,00	132787	132787	116841	116841	0	0	2,50	2,50
proporzionale alla deformata 1° modo di vibrazione														
	0%	5.980	4.071	19,54	28,70	1,00	132787	132787	116841	116841	0	0	2,50	2,50
	100%	5.980	4.071	19,54	28,70	1,00	132787	132787	116841	116841	0	0	2,50	2,50
Pilastrata: Pilastrata8														
sisma in +X														
proporzionale alle masse														
Piano interrato	0%	-6.654	-149.408	13,23	0,68	1,21	88030	101368	222822	222822	0	0	2,50	2,50
	100%	-6.654	-149.408	13,23	0,68	1,21	88030	101368	222372	222372	0	0	2,50	2,50
proporzionale alla deformata 1° modo di vibrazione														
	0%	-6.832	-136.662	12,88	0,74	1,21	88030	101368	222586	222586	0	0	2,50	2,50
	100%	-6.832	-136.662	12,88	0,74	1,21	88030	101368	222532	222532	0	0	2,50	2,50
sisma in -X														
proporzionale alle masse														
	0%	-6.308	158.852	13,96	0,64	1,24	88030	101368	227686	227686	0	0	2,50	2,50
	100%	-6.308	158.852	13,96	0,64	1,24	88030	101368	227821	227821	0	0	2,50	2,50
proporzionale alla deformata 1° modo di vibrazione														
	0%	-6.459	145.231	13,63	0,70	1,24	88030	101368	227464	227464	0	0	2,50	2,50
	100%	-6.459	145.231	13,63	0,70	1,24	88030	101368	227619	227619	0	0	2,50	2,50
sisma in +Y														
proporzionale alle masse														
	0%	-83.094	10.744	1,06	9,43	1,22	88030	101368	223997	223997	0	0	2,50	2,50
	100%	-83.094	10.744	1,06	9,43	1,22	88030	101368	223459	223459	0	0	2,50	2,50
proporzionale alla deformata 1° modo di vibrazione														
	0%	-70.832	10.820	1,24	9,37	1,22	88030	101368	223098	223098	0	0	2,50	2,50
	100%	-70.832	10.820	1,24	9,37	1,21	88030	101368	222470	222470	0	0	2,50	2,50
sisma in -Y														
proporzionale alle masse														
	0%	53.409	-8.257	1,65	12,28	1,27	88030	101368	233289	233289	0	0	2,50	2,50
	100%	53.409	-8.257	1,65	12,28	1,27	88030	101368	232496	232496	0	0	2,50	2,50
proporzionale alla deformata 1° modo di vibrazione														
	0%	40.398	-9.107	2,18	11,13	1,28	88030	101368	234965	234965	0	0	2,50	2,50
	100%	40.398	-9.107	2,18	11,13	1,27	88030	101368	234096	234096	0	0	2,50	2,50
sisma in +X														
proporzionale alle masse														
Piano terra	0%	-1.068	-25.903	82,43	3,91	1,05	88030	101368	193592	193592	0	0	2,50	2,50
	100%	-1.068	-25.903	82,43	3,91	1,05	88030	101368	192597	192597	0	0	2,50	2,50
proporzionale alla deformata 1° modo di vibrazione														
	0%	-1.056	-31.696	83,36	3,20	1,05	88030	101368	193284	193284	0	0	2,50	2,50
	100%	-1.056	-31.696	83,36	3,20	1,05	88030	101368	192325	192325	0	0	2,50	2,50
sisma in -X														
proporzionale alle masse														
	0%	-876	28.737	NS	3,53	1,07	88030	101368	196548	196548	0	0	2,50	2,50
	100%	-876	28.737	NS	3,53	1,06	88030	101368	195454	195454	0	0	2,50	2,50
proporzionale alla deformata 1° modo di vibrazione														
	0%	-756	34.605	NS	2,93	1,07	88030	101368	196334	196334	0	0	2,50	2,50
	100%	-756	34.605	NS	2,93	1,06	88030	101368	195326	195326	0	0	2,50	2,50
sisma in +Y														
proporzionale alle masse														
	0%	636	6.170	NS	16,43	1,06	88030	101368	194021	194021	0	0	2,50	2,50
	100%	636	6.170	NS	16,43	1,05	88030	101368	193163	193163	0	0	2,50	2,50
proporzionale alla deformata 1° modo di vibrazione														
	0%	-4.051	6.669	21,73	15,20	1,05	88030	101368	192752	192752	0	0	2,50	2,50
	100%	-4.051	6.669	21,73	15,20	1,05	88030	101368	191920	191920	0	0	2,50	2,50
sisma in -Y														
proporzionale alle masse														
	0%	3.350	-3.814	26,28	26,58	1,11	88030	101368	203721	203721	0	0	2,50	2,50
	100%	3.350	-3.814	26,28	26,58	1,11	88030	101368	203124	203124	0	0	2,50	2,50
proporzionale alla deformata 1° modo di vibrazione														
	0%	10.811	-3.822	8,14	26,52	1,12	88030	101368	205230	205230	0	0	2,50	2,50
	100%	10.811	-3.822	8,14	26,52	1,11	88030	101368	204617	204617	0	0	2,50	2,50
sisma in +X														
proporzionale alle masse														
Piano copertura	0%	1.505	1.700	58,49	59,63	1,00	88030	101368	183607	183607	0	0	2,50	2,50
	100%	1.505	1.700	58,49	59,63	1,00	88030	101368	183607	183607	0	0	2,50	2,50
proporzionale alla deformata 1° modo di vibrazione														
	0%	1.563	1.881	56,32	53,89	1,00	88030	101368	183607	183607	0	0	2,50	2,50
	100%	1.563	1.881	56,32	53,89	1,00	88030	101368	183607	183607	0	0	2,50	2,50
sisma in -X														
proporzionale alle masse														
	0%	1.245	-1.509	70,71	67,18	1,00	88030	101368	183607	183607	0	0	2,50	2,50
	100%	1.245	-1.509	70,71	67,18	1,00	88030	101368	183607	183607	0	0	2,50	2,50
proporzionale alla deformata 1° modo di vibrazione														
	0%	1.266	-1.808	69,53	56,07	1,00	88030	101368	183607	183607	0	0	2,50	2,50
	100%	1.266	-1.808	69,53	56,07	1,00	88030	101368	183607	183607	0	0	2,50	2,50
sisma in +Y														
proporzionale alle masse														
	0%	399	1.126	NS	90,02	1,00	88030	101368	183607	183607	0	0	2,50	2,50
	100%	399	1.126	NS	90,02	1,00	88030	101368	183607	183607	0	0	2,50	2,50
proporzionale alla deformata 1° modo di vibrazione														

Lv	%L_{LI}	$V_{Ed,3}$	$V_{Ed,2}$	$CS^{(3)}$	$CS^{(2)}$	α_C	$V_{Rsd,s}{}^{(3)}$	$V_{Rsd,s}{}^{(2)}$	$V_{Rcd}{}^{(3)}$	$V_{Rcd}{}^{(2)}$	$V_{fd}{}^{(3)}$	$V_{fd}{}^{(2)}$	$Ctg\Theta^{(3)}$	$Ctg\Theta^{(2)}$
	[%]	[N]	[N]				[N]	[N]	[N]	[N]	[N]	[N]		
	0%	319	1.227	NS	82,61	1,00	88030	101368	183607	183607	0	0	2,50	2,50
	100%	319	1.227	NS	82,61	1,00	88030	101368	183607	183607	0	0	2,50	2,50
sisma in -Y														
proporzionale alle masse														
	0%	-3.738	54	23,55	NS	1,03	88030	101368	188727	188727	0	0	2,50	2,50
	100%	-3.738	54	23,55	NS	1,02	88030	101368	187626	187626	0	0	2,50	2,50
proporzionale alla deformata 1° modo di vibrazione														
	0%	-5.255	-114	16,75	NS	1,04	88030	101368	190120	190120	0	0	2,50	2,50
	100%	-5.255	-114	16,75	NS	1,03	88030	101368	189039	189039	0	0	2,50	2,50
Pilastrata: Pilastrata9														
sisma in +X														
proporzionale alle masse														
Piano interrato	0%	-6.200	-150.482	14,20	0,67	1,21	88030	101368	221340	221340	0	0	2,50	2,50
	100%	-6.200	-150.482	14,20	0,67	1,20	88030	101368	220889	220889	0	0	2,50	2,50
proporzionale alla deformata 1° modo di vibrazione														
	0%	-6.280	-138.320	14,02	0,73	1,20	88030	101368	221043	221043	0	0	2,50	2,50
	100%	-6.280	-138.320	14,02	0,73	1,20	88030	101368	220982	220982	0	0	2,50	2,50
sisma in -X														
proporzionale alle masse														
	0%	-5.828	154.662	15,10	0,66	1,21	88030	101368	223079	223079	0	0	2,50	2,50
	100%	-5.828	154.662	15,10	0,66	1,21	88030	101368	222213	222213	0	0	2,50	2,50
proporzionale alla deformata 1° modo di vibrazione														
	0%	-5.951	141.584	14,79	0,72	1,21	88030	101368	222829	222829	0	0	2,50	2,50
	100%	-5.951	141.584	14,79	0,72	1,21	88030	101368	222239	222239	0	0	2,50	2,50
sisma in +Y														
proporzionale alle masse														
	0%	-79.999	-532	1,10	NS	1,22	88030	101368	224815	224815	0	0	2,50	2,50
	100%	-79.999	-532	1,10	NS	1,22	88030	101368	224062	224062	0	0	2,50	2,50
proporzionale alla deformata 1° modo di vibrazione														
	0%	-66.512	-116	1,32	NS	1,22	88030	101368	224252	224252	0	0	2,50	2,50
	100%	-66.512	-116	1,32	NS	1,22	88030	101368	223592	223592	0	0	2,50	2,50
sisma in -Y														
proporzionale alle masse														
	0%	47.905	-486	1,84	NS	1,24	88030	101368	227697	227697	0	0	2,50	2,50
	100%	47.905	-486	1,84	NS	1,24	88030	101368	226895	226895	0	0	2,50	2,50
proporzionale alla deformata 1° modo di vibrazione														
	0%	35.384	-114	2,49	NS	1,25	88030	101368	228632	228632	0	0	2,50	2,50
	100%	35.384	-114	2,49	NS	1,24	88030	101368	227821	227821	0	0	2,50	2,50
sisma in +X														
proporzionale alle masse														
Piano terra	0%	-875	-25.776	NS	3,93	1,05	88030	101368	193165	193165	0	0	2,50	2,50
	100%	-875	-25.776	NS	3,93	1,05	88030	101368	192218	192218	0	0	2,50	2,50
proporzionale alla deformata 1° modo di vibrazione														
	0%	-809	-31.426	NS	3,23	1,05	88030	101368	192834	192834	0	0	2,50	2,50
	100%	-809	-31.426	NS	3,23	1,04	88030	101368	191834	191834	0	0	2,50	2,50
sisma in -X														
proporzionale alle masse														
	0%	-766	27.671	NS	3,66	1,06	88030	101368	195036	195036	0	0	2,50	2,50
	100%	-766	27.671	NS	3,66	1,06	88030	101368	193746	193746	0	0	2,50	2,50
proporzionale alla deformata 1° modo di vibrazione														
	0%	-699	33.288	NS	3,05	1,06	88030	101368	194529	194529	0	0	2,50	2,50
	100%	-699	33.288	NS	3,05	1,05	88030	101368	193689	193689	0	0	2,50	2,50
sisma in +Y														
proporzionale alle masse														
	0%	1.205	-81	73,05	NS	1,06	88030	101368	195473	195473	0	0	2,50	2,50
	100%	1.205	-81	73,05	NS	1,06	88030	101368	194228	194228	0	0	2,50	2,50
proporzionale alla deformata 1° modo di vibrazione														
	0%	-3.422	-106	25,72	NS	1,06	88030	101368	194793	194793	0	0	2,50	2,50
	100%	-3.422	-106	25,72	NS	1,06	88030	101368	193837	193837	0	0	2,50	2,50
sisma in -Y														
proporzionale alle masse														
	0%	2.024	278	43,49	NS	1,09	88030	101368	200644	200644	0	0	2,50	2,50
	100%	2.024	278	43,49	NS	1,09	88030	101368	199850	199850	0	0	2,50	2,50
proporzionale alla deformata 1° modo di vibrazione														
	0%	8.698	625	10,12	NS	1,10	88030	101368	201586	201586	0	0	2,50	2,50
	100%	8.698	625	10,12	NS	1,09	88030	101368	200909	200909	0	0	2,50	2,50
sisma in +X														
proporzionale alle masse														
Piano copertura	0%	1.964	1.484	44,82	68,31	1,00	88030	101368	183607	183607	0	0	2,50	2,50
	100%	1.964	1.484	44,82	68,31	1,00	88030	101368	183607	183607	0	0	2,50	2,50
proporzionale alla deformata 1° modo di vibrazione														
	0%	2.016	1.688	43,67	60,05	1,00	88030	101368	183607	183607	0	0	2,50	2,50
	100%	2.016	1.688	43,67	60,05	1,00	88030	101368	183607	183607	0	0	2,50	2,50
sisma in -X														
proporzionale alle masse														
	0%	1.804	-1.765	48,80	57,43	1,00	88030	101368	183607	183607	0	0	2,50	2,50
	100%	1.804	-1.765	48,80	57,43	1,00	88030	101368	183607	183607	0	0	2,50	2,50
proporzionale alla deformata 1° modo di vibrazione														
	0%	1.816	-1.983	48,47	51,12	1,00	88030	101368	183607	183607	0	0	2,50	2,50
	100%	1.816	-1.983	48,47	51,12	1,00	88030	101368	183607	183607	0	0	2,50	2,50
sisma in +Y														
proporzionale alle masse														
	0%	1.053	-32	83,60	NS	1,00	88030	101368	183607	183607	0	0	2,50	2,50
	100%	1.053	-32	83,60	NS	1,00	88030	101368	183607	183607	0	0	2,50	2,50
proporzionale alla deformata 1° modo di vibrazione														
	0%	1.220	-38	72,16	NS	1,00	88030	101368	183607	183607	0	0	2,50	2,50

Lv	%L_{LI}	$V_{Ed,3}$	$V_{Ed,2}$	$CS^{(3)}$	$CS^{(2)}$	α_C	$V_{Rsd,s}{}^{(3)}$	$V_{Rsd,s}{}^{(2)}$	$V_{Rcd}{}^{(3)}$	$V_{Rcd}{}^{(2)}$	$V_{fd}{}^{(3)}$	$V_{fd}{}^{(2)}$	$Ctg\Theta^{(3)}$	$Ctg\Theta^{(2)}$
	[%]	[N]	[N]				[N]	[N]	[N]	[N]	[N]	[N]		
	100%	1.220	-38	72,16	NS	1,00	88030	101368	183607	183607	0	0	2,50	2,50
sisma in -Y														
proporzionale alle masse														
	0%	-1.469	502	59,93	NS	1,02	88030	101368	186504	186504	0	0	2,50	2,50
	100%	-1.469	502	59,93	NS	1,01	88030	101368	185424	185424	0	0	2,50	2,50
proporzionale alla deformata 1° modo di vibrazione														
	0%	-2.638	586	33,37	NS	1,02	88030	101368	187686	187686	0	0	2,50	2,50
	100%	-2.638	586	33,37	NS	1,02	88030	101368	186789	186789	0	0	2,50	2,50
Pilastrata: Pilastrata10														
sisma in +X														
proporzionale alle masse														
Piano interrato	0%	-6.122	-144.074	12,20	0,70	1,23	74693	101368	191188	191188	0	0	2,50	2,50
	100%	-6.122	-144.074	12,20	0,70	1,22	74693	101368	190808	190808	0	0	2,50	2,50
proporzionale alla deformata 1° modo di vibrazione														
	0%	-6.262	-132.455	11,93	0,77	1,23	74693	101368	190954	190954	0	0	2,50	2,50
	100%	-6.262	-132.455	11,93	0,77	1,22	74693	101368	190756	190756	0	0	2,50	2,50
sisma in -X														
proporzionale alle masse														
	0%	-5.858	147.637	12,75	0,69	1,23	74693	101368	190864	190864	0	0	2,50	2,50
	100%	-5.858	147.637	12,75	0,69	1,22	74693	101368	189670	189670	0	0	2,50	2,50
proporzionale alla deformata 1° modo di vibrazione														
	0%	-5.941	135.418	12,57	0,75	1,22	74693	101368	189899	189899	0	0	2,50	2,50
	100%	-5.941	135.418	12,57	0,75	1,22	74693	101368	189506	189506	0	0	2,50	2,50
sisma in +Y														
proporzionale alle masse														
	0%	-62.969	691	1,19	NS	1,24	74693	101368	192785	192785	0	0	2,50	2,50
	100%	-62.969	691	1,19	NS	1,24	74693	101368	192523	192523	0	0	2,50	2,50
proporzionale alla deformata 1° modo di vibrazione														
	0%	-52.362	1.039	1,43	97,56	1,24	74693	101368	192526	192526	0	0	2,50	2,50
	100%	-52.362	1.039	1,43	97,56	1,23	74693	101368	191669	191669	0	0	2,50	2,50
sisma in -Y														
proporzionale alle masse														
	0%	31.690	1.214	2,36	83,50	1,23	74693	101368	192042	192042	0	0	2,50	2,50
	100%	31.690	1.214	2,36	83,50	1,23	74693	101368	191046	191046	0	0	2,50	2,50
proporzionale alla deformata 1° modo di vibrazione														
	0%	22.344	1.511	3,34	67,09	1,23	74693	101368	191657	191657	0	0	2,50	2,50
	100%	22.344	1.511	3,34	67,09	1,23	74693	101368	191097	191097	0	0	2,50	2,50
sisma in +X														
proporzionale alle masse														
Piano terra	0%	-203	-24.990	NS	4,06	1,05	74693	101368	164062	164062	0	0	2,50	2,50
	100%	-203	-24.990	NS	4,06	1,05	74693	101368	163254	163254	0	0	2,50	2,50
proporzionale alla deformata 1° modo di vibrazione														
	0%	-136	-30.511	NS	3,32	1,05	74693	101368	163842	163842	0	0	2,50	2,50
	100%	-136	-30.511	NS	3,32	1,05	74693	101368	163003	163003	0	0	2,50	2,50
sisma in -X														
proporzionale alle masse														
	0%	-167	24.269	NS	4,18	1,05	74693	101368	163680	163680	0	0	2,50	2,50
	100%	-167	24.269	NS	4,18	1,04	74693	101368	162777	162777	0	0	2,50	2,50
proporzionale alla deformata 1° modo di vibrazione														
	0%	-131	29.464	NS	3,44	1,05	74693	101368	163269	163269	0	0	2,50	2,50
	100%	-131	29.464	NS	3,44	1,04	74693	101368	162437	162437	0	0	2,50	2,50
sisma in +Y														
proporzionale alle masse														
	0%	-835	-2.473	89,45	40,99	1,06	74693	101368	164661	164661	0	0	2,50	2,50
	100%	-835	-2.473	89,45	40,99	1,05	74693	101368	164056	164056	0	0	2,50	2,50
proporzionale alla deformata 1° modo di vibrazione														
	0%	-4.192	-2.472	17,82	41,01	1,06	74693	101368	164656	164656	0	0	2,50	2,50
	100%	-4.192	-2.472	17,82	41,01	1,05	74693	101368	163793	163793	0	0	2,50	2,50
sisma in -Y														
proporzionale alle masse														
	0%	2.928	-1.144	25,51	88,61	1,06	74693	101368	165813	165813	0	0	2,50	2,50
	100%	2.928	-1.144	25,51	88,61	1,06	74693	101368	165813	165813	0	0	2,50	2,50
proporzionale alla deformata 1° modo di vibrazione														
	0%	7.711	-822	9,69	NS	1,07	74693	101368	166153	166153	0	0	2,50	2,50
	100%	7.711	-822	9,69	NS	1,06	74693	101368	165462	165462	0	0	2,50	2,50
sisma in +X														
proporzionale alle masse														
Piano copertura	0%	1.757	281	42,51	NS	1,00	74693	101368	155788	155788	0	0	2,50	2,50
	100%	1.757	281	42,51	NS	1,00	74693	101368	155788	155788	0	0	2,50	2,50
proporzionale alla deformata 1° modo di vibrazione														
	0%	1.800	526	41,50	NS	1,00	74693	101368	155788	155788	0	0	2,50	2,50
	100%	1.800	526	41,50	NS	1,00	74693	101368	155788	155788	0	0	2,50	2,50
sisma in -X														
proporzionale alle masse														
	0%	1.829	-2.577	40,84	39,34	1,00	74693	101368	155788	155788	0	0	2,50	2,50
	100%	1.829	-2.577	40,84	39,34	1,00	74693	101368	155788	155788	0	0	2,50	2,50
proporzionale alla deformata 1° modo di vibrazione														
	0%	1.893	-2.784	39,46	36,41	1,00	74693	101368	155788	155788	0	0	2,50	2,50
	100%	1.893	-2.784	39,46	36,41	1,00	74693	101368	155788	155788	0	0	2,50	2,50
sisma in +Y														
proporzionale alle masse														
	0%	1.687	-1.217	44,28	83,29	1,00	74693	101368	155788	155788	0	0	2,50	2,50
	100%	1.687	-1.217	44,28	83,29	1,00	74693	101368	155788	155788	0	0	2,50	2,50
proporzionale alla deformata 1° modo di vibrazione														
	0%	2.108	-1.295	35,43	78,28	1,00	74693	101368	155788	155788	0	0	2,50	2,50
	100%	2.108	-1.295	35,43	78,28	1,00	74693	101368	155788	155788	0	0	2,50	2,50

Lv	$\%L_{LI}$ [%]	$V_{Ed,3}$ [N]	$V_{Ed,2}$ [N]	$CS^{(3)}$	$CS^{(2)}$	α_C	$V_{Rsd,s}{}^{(3)}$ [N]	$V_{Rsd,s}{}^{(2)}$ [N]	$V_{Rcd}{}^{(3)}$ [N]	$V_{Rcd}{}^{(2)}$ [N]	$V_{fd}{}^{(3)}$ [N]	$V_{fd}{}^{(2)}$ [N]	$Ctg\Theta^{(3)}$	$Ctg\Theta^{(2)}$
sisma in -Y														
proporzionale alle masse														
	0%	1.186	-937	62,98	NS	1,00	74693	101368	155788	155788	0	0	2,50	2,50
	100%	1.186	-937	62,98	NS	1,00	74693	101368	155788	155788	0	0	2,50	2,50
proporzionale alla deformata 1° modo di vibrazione														
	0%	882	-1.116	84,69	90,83	1,00	74693	101368	155788	155788	0	0	2,50	2,50
	100%	882	-1.116	84,69	90,83	1,00	74693	101368	155788	155788	0	0	2,50	2,50
Pilastrata: Pilastrata11														
sisma in +X														
proporzionale alle masse														
Piano interrato	0%	-5.671	-113.515	13,17	0,78	1,26	74693	88030	172196	172196	0	0	2,50	2,50
	100%	-5.671	-113.515	13,17	0,78	1,26	74693	88030	171782	171782	0	0	2,50	2,50
proporzionale alla deformata 1° modo di vibrazione														
	0%	-5.701	-104.488	13,10	0,84	1,26	74693	88030	171800	171800	0	0	2,50	2,50
	100%	-5.701	-104.488	13,10	0,84	1,26	74693	88030	171693	171693	0	0	2,50	2,50
sisma in -X														
proporzionale alle masse														
	0%	-5.557	117.900	13,44	0,75	1,25	74693	88030	170106	170106	0	0	2,50	2,50
	100%	-5.557	117.900	13,44	0,75	1,24	74693	88030	169616	169616	0	0	2,50	2,50
proporzionale alla deformata 1° modo di vibrazione														
	0%	-5.522	108.856	13,53	0,81	1,24	74693	88030	169623	169623	0	0	2,50	2,50
	100%	-5.522	108.856	13,53	0,81	1,24	74693	88030	169202	169202	0	0	2,50	2,50
sisma in +Y														
proporzionale alle masse														
	0%	-58.353	2.149	1,28	40,96	1,26	74693	88030	171641	171641	0	0	2,50	2,50
	100%	-58.353	2.149	1,28	40,96	1,26	74693	88030	171812	171812	0	0	2,50	2,50
proporzionale alla deformata 1° modo di vibrazione														
	0%	-48.937	2.503	1,53	35,17	1,26	74693	88030	171314	171314	0	0	2,50	2,50
	100%	-48.937	2.503	1,53	35,17	1,25	74693	88030	170896	170896	0	0	2,50	2,50
sisma in -Y														
proporzionale alle masse														
	0%	31.824	1.605	2,35	54,85	1,25	74693	88030	169819	169819	0	0	2,50	2,50
	100%	31.824	1.605	2,35	54,85	1,24	74693	88030	168811	168811	0	0	2,50	2,50
proporzionale alla deformata 1° modo di vibrazione														
	0%	23.362	2.376	3,20	37,05	1,24	74693	88030	169345	169345	0	0	2,50	2,50
	100%	23.362	2.376	3,20	37,05	1,24	74693	88030	168476	168476	0	0	2,50	2,50
sisma in +X														
proporzionale alle masse														
Piano terra	0%	-500	-17.625	NS	4,99	1,05	74693	88030	142991	142991	0	0	2,50	2,50
	100%	-500	-17.625	NS	4,99	1,04	74693	88030	142290	142290	0	0	2,50	2,50
proporzionale alla deformata 1° modo di vibrazione														
	0%	-458	-21.605	NS	4,07	1,05	74693	88030	142769	142769	0	0	2,50	2,50
	100%	-458	-21.605	NS	4,07	1,04	74693	88030	142031	142031	0	0	2,50	2,50
sisma in -X														
proporzionale alle masse														
	0%	-314	18.854	NS	4,67	1,05	74693	88030	142665	142665	0	0	2,50	2,50
	100%	-314	18.854	NS	4,67	1,04	74693	88030	141790	141790	0	0	2,50	2,50
proporzionale alla deformata 1° modo di vibrazione														
	0%	-330	22.628	NS	3,89	1,04	74693	88030	142131	142131	0	0	2,50	2,50
	100%	-330	22.628	NS	3,89	1,04	74693	88030	141406	141406	0	0	2,50	2,50
sisma in +Y														
proporzionale alle masse														
	0%	-4.029	-139	18,54	NS	1,04	74693	88030	142074	142074	0	0	2,50	2,50
	100%	-4.029	-139	18,54	NS	1,04	74693	88030	141904	141904	0	0	2,50	2,50
proporzionale alla deformata 1° modo di vibrazione														
	0%	-6.518	-189	11,46	NS	1,04	74693	88030	142244	142244	0	0	2,50	2,50
	100%	-6.518	-189	11,46	NS	1,04	74693	88030	141724	141724	0	0	2,50	2,50
sisma in -Y														
proporzionale alle masse														
	0%	3.046	196	24,52	NS	1,04	74693	88030	142066	142066	0	0	2,50	2,50
	100%	3.046	196	24,52	NS	1,04	74693	88030	141986	141986	0	0	2,50	2,50
proporzionale alla deformata 1° modo di vibrazione														
	0%	6.553	271	11,40	NS	1,04	74693	88030	142216	142216	0	0	2,50	2,50
	100%	6.553	271	11,40	NS	1,04	74693	88030	141292	141292	0	0	2,50	2,50
sisma in +X														
proporzionale alle masse														
Piano copertura	0%	1.083	1.016	68,97	86,64	1,00	74693	88030	136315	136315	0	0	2,50	2,50
	100%	1.083	1.016	68,97	86,64	1,00	74693	88030	136315	136315	0	0	2,50	2,50
proporzionale alla deformata 1° modo di vibrazione														
	0%	1.128	1.166	66,22	75,50	1,00	74693	88030	136315	136315	0	0	2,50	2,50
	100%	1.128	1.166	66,22	75,50	1,00	74693	88030	136315	136315	0	0	2,50	2,50
sisma in -X														
proporzionale alle masse														
	0%	1.100	-486	67,90	NS	1,00	74693	88030	136315	136315	0	0	2,50	2,50
	100%	1.100	-486	67,90	NS	1,00	74693	88030	136315	136315	0	0	2,50	2,50
proporzionale alla deformata 1° modo di vibrazione														
	0%	1.169	-541	63,89	NS	1,00	74693	88030	136315	136315	0	0	2,50	2,50
	100%	1.169	-541	63,89	NS	1,00	74693	88030	136315	136315	0	0	2,50	2,50
sisma in +Y														
proporzionale alle masse														
	0%	1.325	-212	56,37	NS	1,00	74693	88030	136315	136315	0	0	2,50	2,50
	100%	1.325	-212	56,37	NS	1,00	74693	88030	136315	136315	0	0	2,50	2,50
proporzionale alla deformata 1° modo di vibrazione														
	0%	1.450	-227	51,51	NS	1,00	74693	88030	136315	136315	0	0	2,50	2,50
	100%	1.450	-227	51,51	NS	1,00	74693	88030	136315	136315	0	0	2,50	2,50
sisma in -Y														

Lv	%L_{LI} [%]	$V_{Ed,3}$ [N]	$V_{Ed,2}$ [N]	$CS^{(3)}$	$CS^{(2)}$	α_C	$V_{Rsd,s}{}^{(3)}$ [N]	$V_{Rsd,s}{}^{(2)}$ [N]	$V_{Rcd}{}^{(3)}$ [N]	$V_{Rcd}{}^{(2)}$ [N]	$V_{fd}{}^{(3)}$ [N]	$V_{fd}{}^{(2)}$ [N]	$Ctg\Theta^{(3)}$	$Ctg\Theta^{(2)}$
proporzionale alle masse														
	0%	180	142	NS	NS	1,00	74693	88030	136315	136315	0	0	2,50	2,50
	100%	180	142	NS	NS	1,00	74693	88030	136315	136315	0	0	2,50	2,50
proporzionale alla deformata 1° modo di vibrazione														
	0%	-83	109	NS	NS	1,00	74693	88030	136315	136315	0	0	2,50	2,50
	100%	-83	109	NS	NS	1,00	74693	88030	136315	136315	0	0	2,50	2,50
Pilastrata: Pilastrata12														
sisma in +X														
proporzionale alle masse														
Piano interrato	0%	-91.772	-1.235	0,81	60,48	1,21	74693	74693	141708	141708	0	0	2,50	2,50
	100%	-91.772	-1.235	0,81	60,48	1,21	74693	74693	141435	141435	0	0	2,50	2,50
proporzionale alla deformata 1° modo di vibrazione														
	0%	-86.358	-1.351	0,86	55,29	1,22	74693	74693	142120	142120	0	0	2,50	2,50
	100%	-86.358	-1.351	0,86	55,29	1,21	74693	74693	141458	141458	0	0	2,50	2,50
sisma in -X														
proporzionale alle masse														
	0%	1.174	-1.966	63,62	37,99	1,13	74693	74693	131749	131749	0	0	2,50	2,50
	100%	1.174	-1.966	63,62	37,99	1,12	74693	74693	130881	130881	0	0	2,50	2,50
proporzionale alla deformata 1° modo di vibrazione														
	0%	-4.466	-1.927	16,72	38,76	1,13	74693	74693	131632	131632	0	0	2,50	2,50
	100%	-4.466	-1.927	16,72	38,76	1,12	74693	74693	130519	130519	0	0	2,50	2,50
sisma in +Y														
proporzionale alle masse														
	0%	-35.910	86.957	2,08	0,86	1,20	74693	74693	139915	139915	0	0	2,50	2,50
	100%	-35.910	86.957	2,08	0,86	1,17	74693	74693	136972	136972	0	0	2,50	2,50
proporzionale alla deformata 1° modo di vibrazione														
	0%	-38.320	78.777	1,95	0,95	1,19	74693	74693	138632	138632	0	0	2,50	2,50
	100%	-38.320	78.777	1,95	0,95	1,18	74693	74693	137673	137673	0	0	2,50	2,50
sisma in -Y														
proporzionale alle masse														
	0%	-33.688	-79.072	2,22	0,94	1,13	74693	74693	131607	131607	0	0	2,50	2,50
	100%	-33.688	-79.072	2,22	0,94	1,12	74693	74693	131341	131341	0	0	2,50	2,50
proporzionale alla deformata 1° modo di vibrazione														
	0%	-35.013	-71.092	2,13	1,05	1,12	74693	74693	130650	130650	0	0	2,50	2,50
	100%	-35.013	-71.092	2,13	1,05	1,11	74693	74693	129642	129642	0	0	2,50	2,50
sisma in +X														
proporzionale alle masse														
Piano terra	0%	-23.902	-845	3,12	88,39	1,06	74693	74693	124417	124417	0	0	2,50	2,50
	100%	-23.902	-845	3,12	88,39	1,06	74693	74693	123896	123896	0	0	2,50	2,50
proporzionale alla deformata 1° modo di vibrazione														
	0%	-27.794	-857	2,69	87,16	1,06	74693	74693	124390	124390	0	0	2,50	2,50
	100%	-27.794	-857	2,69	87,16	1,06	74693	74693	123874	123874	0	0	2,50	2,50
sisma in -X														
proporzionale alle masse														
	0%	-101	-2.076	NS	35,98	1,01	74693	74693	118435	118435	0	0	2,50	2,50
	100%	-101	-2.076	NS	35,98	1,01	74693	74693	118402	118402	0	0	2,50	2,50
proporzionale alla deformata 1° modo di vibrazione														
	0%	3.200	-2.330	23,34	32,06	1,01	74693	74693	118196	118196	0	0	2,50	2,50
	100%	3.200	-2.330	23,34	32,06	1,01	74693	74693	117771	117771	0	0	2,50	2,50
sisma in +Y														
proporzionale alle masse														
	0%	-11.809	23.467	6,33	3,18	1,04	74693	74693	121197	121197	0	0	2,50	2,50
	100%	-11.809	23.467	6,33	3,18	1,03	74693	74693	120734	120734	0	0	2,50	2,50
proporzionale alla deformata 1° modo di vibrazione														
	0%	-11.610	26.271	6,43	2,84	1,04	74693	74693	120966	120966	0	0	2,50	2,50
	100%	-11.610	26.271	6,43	2,84	1,03	74693	74693	120346	120346	0	0	2,50	2,50
sisma in -Y														
proporzionale alle masse														
	0%	-10.552	-23.380	7,08	3,19	1,01	74693	74693	118470	118470	0	0	2,50	2,50
	100%	-10.552	-23.380	7,08	3,19	1,01	74693	74693	117953	117953	0	0	2,50	2,50
proporzionale alla deformata 1° modo di vibrazione														
	0%	-10.027	-25.744	7,45	2,90	1,00	74693	74693	117315	117315	0	0	2,50	2,50
	100%	-10.027	-25.744	7,45	2,90	1,00	74693	74693	116841	116841	0	0	2,50	2,50
sisma in +X														
proporzionale alle masse														
Piano copertura	0%	-6.009	389	12,43	NS	1,00	74693	74693	116841	116841	0	0	2,50	2,50
	100%	-6.009	389	12,43	NS	1,00	74693	74693	116841	116841	0	0	2,50	2,50
proporzionale alla deformata 1° modo di vibrazione														
	0%	-5.452	291	13,70	NS	1,00	74693	74693	116841	116841	0	0	2,50	2,50
	100%	-5.452	291	13,70	NS	1,00	74693	74693	116841	116841	0	0	2,50	2,50
sisma in -X														
proporzionale alle masse														
	0%	-8.046	29	9,28	NS	1,00	74693	74693	116841	116841	0	0	2,50	2,50
	100%	-8.046	29	9,28	NS	1,00	74693	74693	116841	116841	0	0	2,50	2,50
proporzionale alla deformata 1° modo di vibrazione														
	0%	-8.518	-71	8,77	NS	1,00	74693	74693	116841	116841	0	0	2,50	2,50
	100%	-8.518	-71	8,77	NS	1,00	74693	74693	116841	116841	0	0	2,50	2,50
sisma in +Y														
proporzionale alle masse														
	0%	-9.535	3.299	7,83	22,64	1,00	74693	74693	116841	116841	0	0	2,50	2,50
	100%	-9.535	3.299	7,83	22,64	1,00	74693	74693	116841	116841	0	0	2,50	2,50
proporzionale alla deformata 1° modo di vibrazione														
	0%	-9.672	3.822	7,72	19,54	1,00	74693	74693	116841	116841	0	0	2,50	2,50
	100%	-9.672	3.822	7,72	19,54	1,00	74693	74693	116841	116841	0	0	2,50	2,50
sisma in -Y														
proporzionale alle masse														

Lv	%L_{LI}	$V_{Ed,3}$	$V_{Ed,2}$	$CS^{(3)}$	$CS^{(2)}$	α_C	$V_{Rsd,s}{}^{(3)}$	$V_{Rsd,s}{}^{(2)}$	$V_{Rcd}{}^{(3)}$	$V_{Rcd}{}^{(2)}$	$V_{fd}{}^{(3)}$	$V_{fd}{}^{(2)}$	$Ctg\Theta^{(3)}$	$Ctg\Theta^{(2)}$
	[%]	[N]	[N]				[N]	[N]	[N]	[N]	[N]	[N]		
	0%	-12.389	-1.969	6,03	37,93	1,04	74693	74693	121753	121753	0	0	2,50	2,50
	100%	-12.389	-1.969	6,03	37,93	1,04	74693	74693	121377	121377	0	0	2,50	2,50
proporzionale alla deformata 1° modo di vibrazione														
	0%	-12.521	-2.621	5,97	28,50	1,04	74693	74693	121837	121837	0	0	2,50	2,50
	100%	-12.521	-2.621	5,97	28,50	1,04	74693	74693	121438	121438	0	0	2,50	2,50
Pilastrata: Pilastrata13														
sisma in +X														
proporzionale alle masse														
Piano interrato	0%	-83.511	-9.057	0,89	8,25	1,26	74693	74693	147616	147616	0	0	2,50	2,50
	100%	-83.511	-9.057	0,89	8,25	1,26	74693	74693	147334	147334	0	0	2,50	2,50
proporzionale alla deformata 1° modo di vibrazione														
	0%	-77.550	-9.175	0,96	8,14	1,26	74693	74693	147768	147768	0	0	2,50	2,50
	100%	-77.550	-9.175	0,96	8,14	1,26	74693	74693	147639	147639	0	0	2,50	2,50
sisma in -X														
proporzionale alle masse														
	0%	87.395	-3.275	0,85	22,81	1,27	74693	74693	148450	148450	0	0	2,50	2,50
	100%	87.395	-3.275	0,85	22,81	1,27	74693	74693	148199	148199	0	0	2,50	2,50
proporzionale alla deformata 1° modo di vibrazione														
	0%	80.991	-3.508	0,92	21,29	1,27	74693	74693	148495	148495	0	0	2,50	2,50
	100%	80.991	-3.508	0,92	21,29	1,27	74693	74693	148265	148265	0	0	2,50	2,50
sisma in +Y														
proporzionale alle masse														
	0%	1.665	13.033	44,86	5,73	1,25	74693	74693	146112	146112	0	0	2,50	2,50
	100%	1.665	13.033	44,86	5,73	1,24	74693	74693	145322	145322	0	0	2,50	2,50
proporzionale alla deformata 1° modo di vibrazione														
	0%	671	6.867	NS	10,88	1,25	74693	74693	145529	145529	0	0	2,50	2,50
	100%	671	6.867	NS	10,88	1,24	74693	74693	145113	145113	0	0	2,50	2,50
sisma in -Y														
proporzionale alle masse														
	0%	755	-23.900	98,93	3,13	1,28	74693	74693	150139	150139	0	0	2,50	2,50
	100%	755	-23.900	98,93	3,13	1,28	74693	74693	149644	149644	0	0	2,50	2,50
proporzionale alla deformata 1° modo di vibrazione														
	0%	2.810	-17.570	26,58	4,25	1,29	74693	74693	150513	150513	0	0	2,50	2,50
	100%	2.810	-17.570	26,58	4,25	1,28	74693	74693	149964	149964	0	0	2,50	2,50
sisma in +X														
proporzionale alle masse														
Piano terra	0%	-8.895	-435	8,40	NS	1,08	74693	74693	126083	126083	0	0	2,50	2,50
	100%	-8.895	-435	8,40	NS	1,07	74693	74693	125556	125556	0	0	2,50	2,50
proporzionale alla deformata 1° modo di vibrazione														
	0%	-11.587	-284	6,45	NS	1,08	74693	74693	126602	126602	0	0	2,50	2,50
	100%	-11.587	-284	6,45	NS	1,08	74693	74693	125794	125794	0	0	2,50	2,50
sisma in -X														
proporzionale alle masse														
	0%	14.817	42	5,04	NS	1,08	74693	74693	125950	125950	0	0	2,50	2,50
	100%	14.817	42	5,04	NS	1,07	74693	74693	125269	125269	0	0	2,50	2,50
proporzionale alla deformata 1° modo di vibrazione														
	0%	16.818	143	4,44	NS	1,08	74693	74693	125912	125912	0	0	2,50	2,50
	100%	16.818	143	4,44	NS	1,07	74693	74693	125254	125254	0	0	2,50	2,50
sisma in +Y														
proporzionale alle masse														
	0%	5.211	1.428	14,33	52,31	1,06	74693	74693	124202	124202	0	0	2,50	2,50
	100%	5.211	1.428	14,33	52,31	1,06	74693	74693	123614	123614	0	0	2,50	2,50
proporzionale alla deformata 1° modo di vibrazione														
	0%	5.067	4.759	14,74	15,70	1,06	74693	74693	123763	123763	0	0	2,50	2,50
	100%	5.067	4.759	14,74	15,70	1,06	74693	74693	123284	123284	0	0	2,50	2,50
sisma in -Y														
proporzionale alle masse														
	0%	5.396	-5.623	13,84	13,28	1,09	74693	74693	127195	127195	0	0	2,50	2,50
	100%	5.396	-5.623	13,84	13,28	1,08	74693	74693	126745	126745	0	0	2,50	2,50
proporzionale alla deformata 1° modo di vibrazione														
	0%	5.426	-9.648	13,77	7,74	1,09	74693	74693	127771	127771	0	0	2,50	2,50
	100%	5.426	-9.648	13,77	7,74	1,09	74693	74693	127030	127030	0	0	2,50	2,50
sisma in +X														
proporzionale alle masse														
Piano copertura	0%	43.665	-2.512	1,71	29,73	1,05	74693	74693	122165	122165	0	0	2,50	2,50
	100%	43.665	-2.512	1,71	29,73	1,04	74693	74693	121944	121944	0	0	2,50	2,50
proporzionale alla deformata 1° modo di vibrazione														
	0%	45.129	-2.898	1,66	25,77	1,05	74693	74693	122361	122361	0	0	2,50	2,50
	100%	45.129	-2.898	1,66	25,77	1,05	74693	74693	122108	122108	0	0	2,50	2,50
sisma in -X														
proporzionale alle masse														
	0%	32.607	-2.896	2,29	25,79	1,04	74693	74693	120939	120939	0	0	2,50	2,50
	100%	32.607	-2.896	2,29	25,79	1,03	74693	74693	120740	120740	0	0	2,50	2,50
proporzionale alla deformata 1° modo di vibrazione														
	0%	31.910	-3.217	2,34	23,22	1,04	74693	74693	120940	120940	0	0	2,50	2,50
	100%	31.910	-3.217	2,34	23,22	1,03	74693	74693	120670	120670	0	0	2,50	2,50
sisma in +Y														
proporzionale alle masse														
	0%	35.604	-5.426	2,10	13,77	1,02	74693	74693	119546	119546	0	0	2,50	2,50
	100%	35.604	-5.426	2,10	13,77	1,02	74693	74693	119373	119373	0	0	2,50	2,50
proporzionale alla deformata 1° modo di vibrazione														
	0%	35.297	-7.341	2,12	10,17	1,02	74693	74693	119181	119181	0	0	2,50	2,50
	100%	35.297	-7.341	2,12	10,17	1,02	74693	74693	118937	118937	0	0	2,50	2,50
sisma in -Y														
proporzionale alle masse														
	0%	39.148	5.524	1,91	13,52	1,05	74693	74693	122752	122752	0	0	2,50	2,50

Lv	%L_{LI}	$V_{Ed,3}$	$V_{Ed,2}$	$CS^{(3)}$	$CS^{(2)}$	α_C	$V_{Rsd,s}{}^{(3)}$	$V_{Rsd,s}{}^{(2)}$	$V_{Rcd}{}^{(3)}$	$V_{Rcd}{}^{(2)}$	$V_{fd}{}^{(3)}$	$V_{fd}{}^{(2)}$	$Ctg\Theta^{(3)}$	$Ctg\Theta^{(2)}$
	[%]	[N]	[N]				[N]	[N]	[N]	[N]	[N]	[N]		
	100%	39.148	5.524	1,91	13,52	1,05	74693	74693	122510	122510	0	0	2,50	2,50
proporzionale alla deformata 1° modo di vibrazione														
	0%	39.404	7.545	1,90	9,90	1,05	74693	74693	123159	123159	0	0	2,50	2,50
	100%	39.404	7.545	1,90	9,90	1,05	74693	74693	122909	122909	0	0	2,50	2,50
Pilastrata: Pilastrata14														
sisma in +X														
proporzionale alle masse														
Piano interrato	0%	-94.152	-1.357	0,79	55,04	1,36	74693	74693	158940	158940	0	0	2,50	2,50
	100%	-94.152	-1.357	0,79	55,04	1,36	74693	74693	158671	158671	0	0	2,50	2,50
proporzionale alla deformata 1° modo di vibrazione														
	0%	-87.197	-1.365	0,86	54,72	1,36	74693	74693	159365	159365	0	0	2,50	2,50
	100%	-87.197	-1.365	0,86	54,72	1,36	74693	74693	158791	158791	0	0	2,50	2,50
sisma in -X														
proporzionale alle masse														
	0%	98.420	-765	0,76	97,64	1,36	74693	74693	159131	159131	0	0	2,50	2,50
	100%	98.420	-765	0,76	97,64	1,36	74693	74693	159030	159030	0	0	2,50	2,50
proporzionale alla deformata 1° modo di vibrazione														
	0%	91.237	-866	0,82	86,25	1,36	74693	74693	159478	159478	0	0	2,50	2,50
	100%	91.237	-866	0,82	86,25	1,36	74693	74693	159225	159225	0	0	2,50	2,50
sisma in +Y														
proporzionale alle masse														
	0%	-2.912	26.200	25,65	2,85	1,34	74693	74693	156317	156317	0	0	2,50	2,50
	100%	-2.912	26.200	25,65	2,85	1,33	74693	74693	155447	155447	0	0	2,50	2,50
proporzionale alla deformata 1° modo di vibrazione														
	0%	-3.512	18.105	21,27	4,13	1,33	74693	74693	155467	155467	0	0	2,50	2,50
	100%	-3.512	18.105	21,27	4,13	1,33	74693	74693	154879	154879	0	0	2,50	2,50
sisma in -Y														
proporzionale alle masse														
	0%	7.597	-27.405	9,83	2,73	1,38	74693	74693	161185	161185	0	0	2,50	2,50
	100%	7.597	-27.405	9,83	2,73	1,37	74693	74693	160532	160532	0	0	2,50	2,50
proporzionale alla deformata 1° modo di vibrazione														
	0%	9.479	-18.797	7,88	3,97	1,38	74693	74693	161652	161652	0	0	2,50	2,50
	100%	9.479	-18.797	7,88	3,97	1,38	74693	74693	161122	161122	0	0	2,50	2,50
sisma in +X														
proporzionale alle masse														
Piano terra	0%	-16.496	915	4,53	81,63	1,16	74693	74693	135419	135419	0	0	2,50	2,50
	100%	-16.496	915	4,53	81,63	1,15	74693	74693	134737	134737	0	0	2,50	2,50
proporzionale alla deformata 1° modo di vibrazione														
	0%	-19.669	914	3,80	81,72	1,16	74693	74693	135575	135575	0	0	2,50	2,50
	100%	-19.669	914	3,80	81,72	1,15	74693	74693	134923	134923	0	0	2,50	2,50
sisma in -X														
proporzionale alle masse														
	0%	17.534	1.072	4,26	69,68	1,17	74693	74693	136319	136319	0	0	2,50	2,50
	100%	17.534	1.072	4,26	69,68	1,16	74693	74693	135122	135122	0	0	2,50	2,50
proporzionale alla deformata 1° modo di vibrazione														
	0%	20.373	1.117	3,67	66,87	1,16	74693	74693	135842	135842	0	0	2,50	2,50
	100%	20.373	1.117	3,67	66,87	1,16	74693	74693	135219	135219	0	0	2,50	2,50
sisma in +Y														
proporzionale alle masse														
	0%	-548	4.329	NS	17,25	1,13	74693	74693	132100	132100	0	0	2,50	2,50
	100%	-548	4.329	NS	17,25	1,13	74693	74693	131713	131713	0	0	2,50	2,50
proporzionale alla deformata 1° modo di vibrazione														
	0%	-848	7.696	88,08	9,71	1,13	74693	74693	131523	131523	0	0	2,50	2,50
	100%	-848	7.696	88,08	9,71	1,12	74693	74693	131251	131251	0	0	2,50	2,50
sisma in -Y														
proporzionale alle masse														
	0%	1.718	-6.380	43,48	11,71	1,17	74693	74693	137030	137030	0	0	2,50	2,50
	100%	1.718	-6.380	43,48	11,71	1,17	74693	74693	136661	136661	0	0	2,50	2,50
proporzionale alla deformata 1° modo di vibrazione														
	0%	2.246	-10.662	33,26	7,01	1,18	74693	74693	137790	137790	0	0	2,50	2,50
	100%	2.246	-10.662	33,26	7,01	1,17	74693	74693	137273	137273	0	0	2,50	2,50
sisma in +X														
proporzionale alle masse														
Piano copertura	0%	8.799	-2.598	8,49	28,75	1,08	74693	74693	126301	126301	0	0	2,50	2,50
	100%	8.799	-2.598	8,49	28,75	1,08	74693	74693	126075	126075	0	0	2,50	2,50
proporzionale alla deformata 1° modo di vibrazione														
	0%	9.336	-2.649	8,00	28,20	1,08	74693	74693	126509	126509	0	0	2,50	2,50
	100%	9.336	-2.649	8,00	28,20	1,08	74693	74693	126147	126147	0	0	2,50	2,50
sisma in -X														
proporzionale alle masse														
	0%	-6.142	-2.969	12,16	25,16	1,08	74693	74693	126689	126689	0	0	2,50	2,50
	100%	-6.142	-2.969	12,16	25,16	1,08	74693	74693	126209	126209	0	0	2,50	2,50
proporzionale alla deformata 1° modo di vibrazione														
	0%	-6.371	-3.064	11,72	24,38	1,08	74693	74693	126753	126753	0	0	2,50	2,50
	100%	-6.371	-3.064	11,72	24,38	1,08	74693	74693	126285	126285	0	0	2,50	2,50
sisma in +Y														
proporzionale alle masse														
	0%	-4.604	-8.048	16,22	9,28	1,06	74693	74693	123609	123609	0	0	2,50	2,50
	100%	-4.604	-8.048	16,22	9,28	1,05	74693	74693	123244	123244	0	0	2,50	2,50
proporzionale alla deformata 1° modo di vibrazione														
	0%	-4.810	-9.115	15,53	8,19	1,05	74693	74693	122895	122895	0	0	2,50	2,50
	100%	-4.810	-9.115	15,53	8,19	1,05	74693	74693	122777	122777	0	0	2,50	2,50
sisma in -Y														
proporzionale alle masse														
	0%	4.720	6.395	15,82	11,68	1,10	74693	74693	128540	128540	0	0	2,50	2,50
	100%	4.720	6.395	15,82	11,68	1,10	74693	74693	128031	128031	0	0	2,50	2,50

Lv	%L_{LI}	$V_{Ed,3}$	$V_{Ed,2}$	$CS^{(3)}$	$CS^{(2)}$	α_C	$V_{Rsd,s}{}^{(3)}$	$V_{Rsd,s}{}^{(2)}$	$V_{Rcd}{}^{(3)}$	$V_{Rcd}{}^{(2)}$	$V_{fd}{}^{(3)}$	$V_{fd}{}^{(2)}$	$Ctg\Theta^{(3)}$	$Ctg\Theta^{(2)}$
	[%]	[N]	[N]				[N]	[N]	[N]	[N]	[N]	[N]		
proporzionale alla deformata 1° modo di vibrazione														
	0%	4.415	8.311	16,92	8,99	1,10	74693	74693	128832	128832	0	0	2,50	2,50
	100%	4.415	8.311	16,92	8,99	1,10	74693	74693	128538	128538	0	0	2,50	2,50
Pilastrata: Pilastrata15														
sisma in +X														
proporzionale alle masse														
Piano interrato	0%	-89.081	3.482	0,84	21,45	1,21	74693	74693	141334	141334	0	0	2,50	2,50
	100%	-89.081	3.482	0,84	21,45	1,21	74693	74693	141082	141082	0	0	2,50	2,50
proporzionale alla deformata 1° modo di vibrazione														
	0%	-83.529	3.639	0,89	20,53	1,21	74693	74693	141625	141625	0	0	2,50	2,50
	100%	-83.529	3.639	0,89	20,53	1,21	74693	74693	141336	141336	0	0	2,50	2,50
sisma in -X														
proporzionale alle masse														
	0%	6.482	4.975	11,52	15,01	1,14	74693	74693	133223	133223	0	0	2,50	2,50
	100%	6.482	4.975	11,52	15,01	1,13	74693	74693	132138	132138	0	0	2,50	2,50
proporzionale alla deformata 1° modo di vibrazione														
	0%	-308	4.581	NS	16,30	1,14	74693	74693	133552	133552	0	0	2,50	2,50
	100%	-308	4.581	NS	16,30	1,14	74693	74693	132787	132787	0	0	2,50	2,50
sisma in +Y														
proporzionale alle masse														
	0%	-25.149	48.554	2,97	1,54	1,00	74693	74693	116841	116841	0	0	2,50	2,50
	100%	-25.149	48.554	2,97	1,54	1,00	74693	74693	116841	116841	0	0	2,50	2,50
proporzionale alla deformata 1° modo di vibrazione														
	0%	-25.277	46.512	2,95	1,61	1,00	74693	74693	116841	116841	0	0	2,50	2,50
	100%	-25.277	46.512	2,95	1,61	1,00	74693	74693	116841	116841	0	0	2,50	2,50
sisma in -Y														
proporzionale alle masse														
	0%	-21.274	-102.078	3,51	0,73	1,31	74693	74693	152821	152821	0	0	2,50	2,50
	100%	-21.274	-102.078	3,51	0,73	1,11	74693	74693	129684	129684	0	0	2,50	2,50
proporzionale alla deformata 1° modo di vibrazione														
	0%	-24.573	-97.911	3,04	0,76	1,32	74693	74693	154019	154019	0	0	2,50	2,50
	100%	-24.573	-97.911	3,04	0,76	1,22	74693	74693	142033	142033	0	0	2,50	2,50
sisma in +X														
proporzionale alle masse														
Piano terra	0%	-22.210	979	3,36	76,30	1,09	74693	74693	127921	127921	0	0	2,50	2,50
	100%	-22.210	979	3,36	76,30	1,09	74693	74693	127401	127401	0	0	2,50	2,50
proporzionale alla deformata 1° modo di vibrazione														
	0%	-25.698	829	2,91	90,10	1,10	74693	74693	128393	128393	0	0	2,50	2,50
	100%	-25.698	829	2,91	90,10	1,09	74693	74693	127874	127874	0	0	2,50	2,50
sisma in -X														
proporzionale alle masse														
	0%	898	2.898	83,18	25,77	1,05	74693	74693	122808	122808	0	0	2,50	2,50
	100%	898	2.898	83,18	25,77	1,05	74693	74693	123095	123095	0	0	2,50	2,50
proporzionale alla deformata 1° modo di vibrazione														
	0%	6.066	3.384	12,31	22,07	1,06	74693	74693	123912	123912	0	0	2,50	2,50
	100%	6.066	3.384	12,31	22,07	1,06	74693	74693	123623	123623	0	0	2,50	2,50
sisma in +Y														
proporzionale alle masse														
	0%	-6.615	12.167	11,29	6,14	1,00	74693	74693	116841	116841	0	0	2,50	2,50
	100%	-6.615	12.167	11,29	6,14	1,00	74693	74693	116841	116841	0	0	2,50	2,50
proporzionale alla deformata 1° modo di vibrazione														
	0%	-6.251	12.907	11,95	5,79	1,00	74693	74693	116841	116841	0	0	2,50	2,50
	100%	-6.251	12.907	11,95	5,79	1,00	74693	74693	116841	116841	0	0	2,50	2,50
sisma in -Y														
proporzionale alle masse														
	0%	-9.555	-32.442	7,82	2,30	1,14	74693	74693	132707	132707	0	0	2,50	2,50
	100%	-9.555	-32.442	7,82	2,30	1,13	74693	74693	132195	132195	0	0	2,50	2,50
proporzionale alla deformata 1° modo di vibrazione														
	0%	-8.628	-36.057	8,66	2,07	1,14	74693	74693	133544	133544	0	0	2,50	2,50
	100%	-8.628	-36.057	8,66	2,07	1,14	74693	74693	133085	133085	0	0	2,50	2,50
sisma in +X														
proporzionale alle masse														
Piano copertura	0%	-31.390	-1.309	2,38	57,06	1,04	74693	74693	121537	121537	0	0	2,50	2,50
	100%	-31.390	-1.309	2,38	57,06	1,04	74693	74693	121306	121306	0	0	2,50	2,50
proporzionale alla deformata 1° modo di vibrazione														
	0%	-29.770	-1.684	2,51	44,35	1,04	74693	74693	121397	121397	0	0	2,50	2,50
	100%	-29.770	-1.684	2,51	44,35	1,04	74693	74693	121262	121262	0	0	2,50	2,50
sisma in -X														
proporzionale alle masse														
	0%	-45.424	-1.409	1,64	53,01	1,05	74693	74693	122296	122296	0	0	2,50	2,50
	100%	-45.424	-1.409	1,64	53,01	1,04	74693	74693	122044	122044	0	0	2,50	2,50
proporzionale alla deformata 1° modo di vibrazione														
	0%	-48.251	-1.760	1,55	42,44	1,05	74693	74693	122412	122412	0	0	2,50	2,50
	100%	-48.251	-1.760	1,55	42,44	1,05	74693	74693	122150	122150	0	0	2,50	2,50
sisma in +Y														
proporzionale alle masse														
	0%	-44.962	13.564	1,66	5,51	1,05	74693	74693	122249	122249	0	0	2,50	2,50
	100%	-44.962	13.564	1,66	5,51	1,04	74693	74693	122016	122016	0	0	2,50	2,50
proporzionale alla deformata 1° modo di vibrazione														
	0%	-45.533	15.294	1,64	4,88	1,05	74693	74693	122140	122140	0	0	2,50	2,50
	100%	-45.533	15.294	1,64	4,88	1,04	74693	74693	121909	121909	0	0	2,50	2,50
sisma in -Y														
proporzionale alle masse														
	0%	-37.800	-11.474	1,98	6,51	1,05	74693	74693	122731	122731	0	0	2,50	2,50
	100%	-37.800	-11.474	1,98	6,51	1,05	74693	74693	122398	122398	0	0	2,50	2,50
proporzionale alla deformata 1° modo di vibrazione														

Lv	%L_{LI}	$V_{Ed,3}$	$V_{Ed,2}$	$CS^{(3)}$	$CS^{(2)}$	α_C	$V_{Rsd,s}{}^{(3)}$	$V_{Rsd,s}{}^{(2)}$	$V_{Rcd}{}^{(3)}$	$V_{Rcd}{}^{(2)}$	$V_{fd}{}^{(3)}$	$V_{fd}{}^{(2)}$	$Ctg\Theta^{(3)}$	$Ctg\Theta^{(2)}$
	[%]	[N]	[N]				[N]	[N]	[N]	[N]	[N]	[N]		
	0%	-38.538	-12.955	1,94	5,77	1,05	74693	74693	122970	122970	0	0	2,50	2,50
	100%	-38.538	-12.955	1,94	5,77	1,05	74693	74693	122692	122692	0	0	2,50	2,50
Pilastrata: Pilastrata16														
sisma in +X														
proporzionale alle masse														
Piano interrato	0%	-662	736	NS	NS	1,01	74693	74693	118335	118335	0	0	2,50	2,50
	100%	2.129	-7.105	35,08	10,51	1,03	74693	74693	120326	120326	0	0	2,50	2,50
proporzionale alla deformata 1° modo di vibrazione														
	0%	-502	466	NS	NS	1,02	74693	74693	118653	118653	0	0	2,50	2,50
	100%	1.709	-7.254	43,71	10,30	1,03	74693	74693	120211	120211	0	0	2,50	2,50
sisma in -X														
proporzionale alle masse														
	0%	6.593	3.189	11,33	23,42	1,01	74693	74693	118475	118475	0	0	2,50	2,50
	100%	33.292	-23.900	2,24	3,13	1,08	74693	74693	126534	126534	0	0	2,50	2,50
proporzionale alla deformata 1° modo di vibrazione														
	0%	5.739	3.048	13,01	24,51	1,01	74693	74693	118489	118489	0	0	2,50	2,50
	100%	34.038	-24.251	2,19	3,08	1,08	74693	74693	126132	126132	0	0	2,50	2,50
sisma in +Y														
proporzionale alle masse														
	0%	4.498	148.068	16,61	0,50	1,62	74693	74693	189623	189623	0	0	2,50	2,50
	100%	14.119	-26.396	5,29	2,83	1,18	74693	74693	137978	137978	0	0	2,50	2,50
proporzionale alla deformata 1° modo di vibrazione														
	0%	3.068	118.010	24,35	0,63	1,67	74693	74693	195016	195016	0	0	2,50	2,50
	100%	14.741	-43.546	5,07	1,72	1,33	74693	74693	154959	154959	0	0	2,50	2,50
sisma in -Y														
proporzionale alle masse														
	0%	2.617	-6.440	28,54	11,60	1,00	74693	74693	116841	116841	0	0	2,50	2,50
	100%	17.064	-84.990	4,38	0,88	1,00	74693	74693	116841	116841	0	0	2,50	2,50
proporzionale alla deformata 1° modo di vibrazione														
	0%	2.986	-8.725	25,01	8,56	1,00	74693	74693	116841	116841	0	0	2,50	2,50
	100%	16.470	-73.377	4,54	1,02	1,00	74693	74693	116841	116841	0	0	2,50	2,50
sisma in +X														
proporzionale alle masse														
Piano terra	0%	-1.184	-377	63,09	NS	1,00	74693	74693	116841	116841	0	0	2,50	2,50
	100%	-2.145	227	34,82	NS	1,00	74693	74693	117136	117136	0	0	2,50	2,50
proporzionale alla deformata 1° modo di vibrazione														
	0%	-2.680	-218	27,87	NS	1,00	74693	74693	116841	116841	0	0	2,50	2,50
	100%	-3.773	1.135	19,80	65,81	1,00	74693	74693	117073	117073	0	0	2,50	2,50
sisma in -X														
proporzionale alle masse														
	0%	27.152	5.110	2,75	14,62	1,02	74693	74693	119390	119390	0	0	2,50	2,50
	100%	5.549	-6.909	13,46	10,81	1,01	74693	74693	117936	117936	0	0	2,50	2,50
proporzionale alla deformata 1° modo di vibrazione														
	0%	26.928	4.267	2,77	17,50	1,02	74693	74693	119222	119222	0	0	2,50	2,50
	100%	7.342	-6.818	10,17	10,96	1,01	74693	74693	117880	117880	0	0	2,50	2,50
sisma in +Y														
proporzionale alle masse														
	0%	10.066	32.971	7,42	2,27	1,09	74693	74693	126809	126809	0	0	2,50	2,50
	100%	1.704	15.924	43,83	4,69	1,00	74693	74693	116841	116841	0	0	2,50	2,50
proporzionale alla deformata 1° modo di vibrazione														
	0%	8.868	74.330	8,42	1,00	1,21	74693	74693	140924	140924	0	0	2,50	2,50
	100%	1.910	20.102	39,11	3,72	1,00	74693	74693	116841	116841	0	0	2,50	2,50
sisma in -Y														
proporzionale alle masse														
	0%	16.865	15.274	4,43	4,89	1,00	74693	74693	116841	116841	0	0	2,50	2,50
	100%	4.294	-115.530	17,39	0,65	1,01	74693	74693	117434	117434	0	0	2,50	2,50
proporzionale alla deformata 1° modo di vibrazione														
	0%	15.902	5.816	4,70	12,84	1,00	74693	74693	116841	116841	0	0	2,50	2,50
	100%	4.536	-111.961	16,47	0,67	1,00	74693	74693	117284	117284	0	0	2,50	2,50
sisma in +X														
proporzionale alle masse														
Piano copertura	0%	7.341	-2.001	10,17	37,33	1,01	74693	74693	117515	117515	0	0	2,50	2,50
	100%	7.341	-2.001	10,17	37,33	1,01	74693	74693	117508	117508	0	0	2,50	2,50
proporzionale alla deformata 1° modo di vibrazione														
	0%	9.858	-2.440	7,58	30,61	1,01	74693	74693	117634	117634	0	0	2,50	2,50
	100%	9.858	-2.440	7,58	30,61	1,01	74693	74693	117588	117588	0	0	2,50	2,50
sisma in -X														
proporzionale alle masse														
	0%	-8.528	2.348	8,76	31,81	1,01	74693	74693	117888	117888	0	0	2,50	2,50
	100%	-8.528	2.348	8,76	31,81	1,01	74693	74693	117616	117616	0	0	2,50	2,50
proporzionale alla deformata 1° modo di vibrazione														
	0%	-10.978	2.309	6,80	32,35	1,01	74693	74693	117870	117870	0	0	2,50	2,50
	100%	-10.978	2.309	6,80	32,35	1,01	74693	74693	117642	117642	0	0	2,50	2,50
sisma in +Y														
proporzionale alle masse														
	0%	-539	-14.459	NS	5,17	1,00	74693	74693	117000	117000	0	0	2,50	2,50
	100%	-539	-14.459	NS	5,17	1,00	74693	74693	116937	116937	0	0	2,50	2,50
proporzionale alla deformata 1° modo di vibrazione														
	0%	-484	-16.741	NS	4,46	1,00	74693	74693	116841	116841	0	0	2,50	2,50
	100%	-484	-16.741	NS	4,46	1,00	74693	74693	116841	116841	0	0	2,50	2,50
sisma in -Y														
proporzionale alle masse														
	0%	-2.610	46.775	28,62	1,60	1,05	74693	74693	122955	122955	0	0	2,50	2,50
	100%	-2.610	46.775	28,62	1,60	1,03	74693	74693	119857	119857	0	0	2,50	2,50
proporzionale alla deformata 1° modo di vibrazione														
	0%	-3.035	47.580	24,61	1,57	1,01	74693	74693	118439	118439	0	0	2,50	2,50

Lv	%L_{LI}	$V_{Ed,3}$	$V_{Ed,2}$	$CS^{(3)}$	$CS^{(2)}$	α_C	$V_{Rsd,s}{}^{(3)}$	$V_{Rsd,s}{}^{(2)}$	$V_{Rcd}{}^{(3)}$	$V_{Rcd}{}^{(2)}$	$V_{fd}{}^{(3)}$	$V_{fd}{}^{(2)}$	$Ctg\Theta^{(3)}$	$Ctg\Theta^{(2)}$
	[%]	[N]	[N]				[N]	[N]	[N]	[N]	[N]	[N]		
	100%	-3.035	47.580	24,61	1,57	1,03	74693	74693	120028	120028	0	0	2,50	2,50
Pilastrata: Pilastrata17														
sisma in +X														
proporzionale alle masse														
Piano interrato (a)	0%	-74.054	-9.273	1,01	8,05	1,20	74693	74693	140234	140234	0	0	2,50	2,50
	100%	-74.054	-9.273	1,01	8,05	1,20	74693	74693	139931	139931	0	0	2,50	2,50
proporzionale alla deformata 1° modo di vibrazione														
	0%	-69.587	-9.343	1,07	7,99	1,20	74693	74693	140475	140475	0	0	2,50	2,50
	100%	-69.587	-9.343	1,07	7,99	1,20	74693	74693	140133	140133	0	0	2,50	2,50
sisma in -X														
proporzionale alle masse														
	0%	76.705	-7.567	0,97	9,87	1,20	74693	74693	140489	140489	0	0	2,50	2,50
	100%	76.705	-7.567	0,97	9,87	1,20	74693	74693	140093	140093	0	0	2,50	2,50
proporzionale alla deformata 1° modo di vibrazione														
	0%	71.755	-7.576	1,04	9,86	1,20	74693	74693	140356	140356	0	0	2,50	2,50
	100%	71.755	-7.576	1,04	9,86	1,20	74693	74693	139952	139952	0	0	2,50	2,50
sisma in +Y														
proporzionale alle masse														
	0%	-4.996	9.661	14,95	7,73	1,21	74693	74693	140822	140822	0	0	2,50	2,50
	100%	-4.996	9.661	14,95	7,73	1,20	74693	74693	140296	140296	0	0	2,50	2,50
proporzionale alla deformata 1° modo di vibrazione														
	0%	-6.728	7.211	11,10	10,36	1,21	74693	74693	140898	140898	0	0	2,50	2,50
	100%	-6.728	7.211	11,10	10,36	1,20	74693	74693	140436	140436	0	0	2,50	2,50
sisma in -Y														
proporzionale alle masse														
	0%	15.992	-29.437	4,67	2,54	1,19	74693	74693	139418	139418	0	0	2,50	2,50
	100%	15.992	-29.437	4,67	2,54	1,19	74693	74693	139194	139194	0	0	2,50	2,50
proporzionale alla deformata 1° modo di vibrazione														
	0%	17.897	-28.460	4,17	2,62	1,19	74693	74693	139353	139353	0	0	2,50	2,50
	100%	17.897	-28.460	4,17	2,62	1,19	74693	74693	139025	139025	0	0	2,50	2,50
Pilastrata: Pilastrata18														
sisma in +X														
proporzionale alle masse														
Piano interrato	0%	-73.363	1.547	0,95	45,26	1,19	70024	70024	138901	138901	0	0	2,50	2,50
	100%	-73.363	1.547	0,95	45,26	1,19	70024	70024	138633	138633	0	0	2,50	2,50
proporzionale alla deformata 1° modo di vibrazione														
	0%	-68.872	1.761	1,02	39,76	1,19	70024	70024	139363	139363	0	0	2,50	2,50
	100%	-68.872	1.761	1,02	39,76	1,19	70024	70024	138933	138933	0	0	2,50	2,50
sisma in -X														
proporzionale alle masse														
	0%	76.112	7.392	0,92	9,47	1,19	70024	70024	139622	139622	0	0	2,50	2,50
	100%	76.112	7.392	0,92	9,47	1,19	70024	70024	139278	139278	0	0	2,50	2,50
proporzionale alla deformata 1° modo di vibrazione														
	0%	71.182	7.239	0,98	9,67	1,19	70024	70024	139606	139606	0	0	2,50	2,50
	100%	71.182	7.239	0,98	9,67	1,19	70024	70024	139216	139216	0	0	2,50	2,50
sisma in +Y														
proporzionale alle masse														
	0%	2.497	19.766	28,04	3,54	1,20	70024	70024	139930	139930	0	0	2,50	2,50
	100%	2.497	19.766	28,04	3,54	1,19	70024	70024	139242	139242	0	0	2,50	2,50
proporzionale alla deformata 1° modo di vibrazione														
	0%	1.152	18.198	60,78	3,85	1,20	70024	70024	139658	139658	0	0	2,50	2,50
	100%	1.152	18.198	60,78	3,85	1,19	70024	70024	139149	139149	0	0	2,50	2,50
sisma in -Y														
proporzionale alle masse														
	0%	1.977	-12.023	35,42	5,82	1,19	70024	70024	139218	139218	0	0	2,50	2,50
	100%	1.977	-12.023	35,42	5,82	1,19	70024	70024	138537	138537	0	0	2,50	2,50
proporzionale alla deformata 1° modo di vibrazione														
	0%	4.100	-10.678	17,08	6,56	1,19	70024	70024	139072	139072	0	0	2,50	2,50
	100%	4.100	-10.678	17,08	6,56	1,19	70024	70024	138578	138578	0	0	2,50	2,50
Pilastrata: Pilastrata19														
sisma in +X														
proporzionale alle masse														
Piano interrato	0%	-8.888	287	8,40	NS	1,00	74693	88030	136315	136315	0	0	2,50	2,50
	100%	-31.423	2.020	2,38	43,58	1,00	74693	88030	136315	136315	0	0	2,50	2,50
proporzionale alla deformata 1° modo di vibrazione														
	0%	-3.227	738	23,15	NS	1,00	74693	88030	136315	136315	0	0	2,50	2,50
	100%	-20.386	1.327	3,66	66,34	1,00	74693	88030	136315	136315	0	0	2,50	2,50
sisma in -X														
proporzionale alle masse														
	0%	88.846	-1.152	0,84	76,41	1,24	74693	88030	168784	168784	0	0	2,50	2,50
	100%	-1.071	-476	69,74	NS	1,00	74693	88030	136841	136841	0	0	2,50	2,50
proporzionale alla deformata 1° modo di vibrazione														
	0%	66.632	-1.234	1,12	71,34	1,25	74693	88030	170063	170063	0	0	2,50	2,50
	100%	768	-195	97,26	NS	1,04	74693	88030	141753	141753	0	0	2,50	2,50
sisma in +Y														
proporzionale alle masse														
	0%	1.418	13.037	52,67	6,75	1,00	74693	88030	136315	136315	0	0	2,50	2,50
	100%	-9.128	11.628	8,18	7,57	1,02	74693	88030	138551	138551	0	0	2,50	2,50
proporzionale alla deformata 1° modo di vibrazione														
	0%	771	10.193	96,88	8,64	1,00	74693	88030	136315	136315	0	0	2,50	2,50
	100%	-7.487	10.527	9,98	8,36	1,01	74693	88030	138304	138304	0	0	2,50	2,50
sisma in -Y														
proporzionale alle masse														
	0%	10.782	-18.652	6,93	4,72	1,07	74693	88030	146270	146270	0	0	2,50	2,50
	100%	-2.903	-10.811	25,73	8,14	1,05	74693	88030	142776	142776	0	0	2,50	2,50
proporzionale alla deformata 1° modo di vibrazione														

Lv	%L_{LI}	$V_{Ed,3}$	$V_{Ed,2}$	$CS^{(3)}$	$CS^{(2)}$	α_C	$V_{Rsd,s}{}^{(3)}$	$V_{Rsd,s}{}^{(2)}$	$V_{Rcd}{}^{(3)}$	$V_{Rcd}{}^{(2)}$	$V_{fd}{}^{(3)}$	$V_{fd}{}^{(2)}$	$Ctg\Theta^{(3)}$	$Ctg\Theta^{(2)}$
	[%]	[N]	[N]				[N]	[N]	[N]	[N]	[N]	[N]		
	0%	11.122	-13.590	6,72	6,48	1,08	74693	88030	146899	146899	0	0	2,50	2,50
	100%	-1.881	-8.624	39,71	10,21	1,05	74693	88030	142570	142570	0	0	2,50	2,50
sisma in +X														
proporzionale alle masse														
Piano terra	0%	6.615	858	11,29	NS	1,01	74693	88030	138178	138178	0	0	2,50	2,50
	100%	-22.868	-1.157	3,27	76,08	1,18	74693	88030	161281	161281	0	0	2,50	2,50
proporzionale alla deformata 1° modo di vibrazione														
	0%	-598	791	NS	NS	1,00	74693	88030	136315	136315	0	0	2,50	2,50
	100%	-35.598	-411	2,10	NS	1,22	74693	88030	165916	165916	0	0	2,50	2,50
sisma in -X														
proporzionale alle masse														
	0%	55.866	2	1,34	NS	1,13	74693	88030	153609	153609	0	0	2,50	2,50
	100%	10.286	490	7,26	NS	1,00	74693	88030	136315	136315	0	0	2,50	2,50
proporzionale alla deformata 1° modo di vibrazione														
	0%	78.353	-390	0,95	NS	1,19	74693	88030	161721	161721	0	0	2,50	2,50
	100%	13.471	516	5,54	NS	1,00	74693	88030	136315	136315	0	0	2,50	2,50
sisma in +Y														
proporzionale alle masse														
	0%	9.074	11.122	8,23	7,91	1,04	74693	88030	142064	142064	0	0	2,50	2,50
	100%	1.664	1.740	44,89	50,59	1,00	74693	88030	136315	136315	0	0	2,50	2,50
proporzionale alla deformata 1° modo di vibrazione														
	0%	9.033	12.078	8,27	7,29	1,04	74693	88030	141696	141696	0	0	2,50	2,50
	100%	1.727	2.896	43,25	30,40	1,00	74693	88030	136315	136315	0	0	2,50	2,50
sisma in -Y														
proporzionale alle masse														
	0%	11.984	-7.657	6,23	11,50	1,09	74693	88030	147989	147989	0	0	2,50	2,50
	100%	3.060	-2.885	24,41	30,51	1,00	74693	88030	136315	136315	0	0	2,50	2,50
proporzionale alla deformata 1° modo di vibrazione														
	0%	16.615	-11.802	4,50	7,46	1,09	74693	88030	148671	148671	0	0	2,50	2,50
	100%	3.775	-4.440	19,79	19,83	1,00	74693	88030	136315	136315	0	0	2,50	2,50
Pilastrata: Pilastrata20														
sisma in +X														
proporzionale alle masse														
Piano interrato	0%	-79.016	-1.548	0,95	56,87	1,10	74693	88030	150252	150252	0	0	2,50	2,50
	100%	-79.016	-1.548	0,95	56,87	1,10	74693	88030	149790	149790	0	0	2,50	2,50
proporzionale alla deformata 1° modo di vibrazione														
	0%	-75.117	-1.637	0,99	53,78	1,09	74693	88030	148997	148997	0	0	2,50	2,50
	100%	-75.117	-1.637	0,99	53,78	1,09	74693	88030	148155	148155	0	0	2,50	2,50
sisma in -X														
proporzionale alle masse														
	0%	92.814	-447	0,80	NS	1,17	74693	88030	159790	159790	0	0	2,50	2,50
	100%	92.814	-447	0,80	NS	1,16	74693	88030	157690	157690	0	0	2,50	2,50
proporzionale alla deformata 1° modo di vibrazione														
	0%	86.122	-350	0,87	NS	1,15	74693	88030	156933	156933	0	0	2,50	2,50
	100%	86.122	-350	0,87	NS	1,15	74693	88030	156085	156085	0	0	2,50	2,50
sisma in +Y														
proporzionale alle masse														
	0%	-1.567	24.159	47,67	3,64	1,12	74693	88030	153153	153153	0	0	2,50	2,50
	100%	-1.567	24.159	47,67	3,64	1,12	74693	88030	152438	152438	0	0	2,50	2,50
proporzionale alla deformata 1° modo di vibrazione														
	0%	-4.059	15.090	18,40	5,83	1,11	74693	88030	151523	151523	0	0	2,50	2,50
	100%	-4.059	15.090	18,40	5,83	1,11	74693	88030	151150	151150	0	0	2,50	2,50
sisma in -Y														
proporzionale alle masse														
	0%	13.978	-31.549	5,34	2,79	1,16	74693	88030	158754	158754	0	0	2,50	2,50
	100%	13.978	-31.549	5,34	2,79	1,16	74693	88030	158306	158306	0	0	2,50	2,50
proporzionale alla deformata 1° modo di vibrazione														
	0%	17.413	-21.629	4,29	4,07	1,16	74693	88030	157857	157857	0	0	2,50	2,50
	100%	17.413	-21.629	4,29	4,07	1,16	74693	88030	157530	157530	0	0	2,50	2,50
sisma in +X														
proporzionale alle masse														
Piano terra	0%	-18.054	3.141	4,14	28,03	1,01	74693	88030	137760	137760	0	0	2,50	2,50
	100%	-18.054	3.141	4,14	28,03	1,01	74693	88030	137154	137154	0	0	2,50	2,50
proporzionale alla deformata 1° modo di vibrazione														
	0%	-21.241	3.467	3,52	25,39	1,00	74693	88030	136315	136315	0	0	2,50	2,50
	100%	-21.241	3.467	3,52	25,39	1,00	74693	88030	136315	136315	0	0	2,50	2,50
sisma in -X														
proporzionale alle masse														
	0%	25.435	1.182	2,94	74,48	1,07	74693	88030	146212	146212	0	0	2,50	2,50
	100%	25.435	1.182	2,94	74,48	1,07	74693	88030	145654	145654	0	0	2,50	2,50
proporzionale alla deformata 1° modo di vibrazione														
	0%	29.286	1.330	2,55	66,19	1,07	74693	88030	145394	145394	0	0	2,50	2,50
	100%	29.286	1.330	2,55	66,19	1,06	74693	88030	144697	144697	0	0	2,50	2,50
sisma in +Y														
proporzionale alle masse														
	0%	1.600	4.490	46,68	19,61	1,03	74693	88030	140414	140414	0	0	2,50	2,50
	100%	1.600	4.490	46,68	19,61	1,03	74693	88030	139795	139795	0	0	2,50	2,50
proporzionale alla deformata 1° modo di vibrazione														
	0%	757	8.432	98,67	10,44	1,02	74693	88030	138914	138914	0	0	2,50	2,50
	100%	757	8.432	98,67	10,44	1,01	74693	88030	138278	138278	0	0	2,50	2,50
sisma in -Y														
proporzionale alle masse														
	0%	7.108	1.564	10,51	56,29	1,07	74693	88030	146515	146515	0	0	2,50	2,50
	100%	7.108	1.564	10,51	56,29	1,07	74693	88030	145793	145793	0	0	2,50	2,50
proporzionale alla deformata 1° modo di vibrazione														
	0%	9.012	-2.341	8,29	37,60	1,07	74693	88030	145642	145642	0	0	2,50	2,50

Lv	%L_{LI}	$V_{Ed,3}$	$V_{Ed,2}$	$CS^{(3)}$	$CS^{(2)}$	α_C	$V_{Rsd,s}{}^{(3)}$	$V_{Rsd,s}{}^{(2)}$	$V_{Rcd}{}^{(3)}$	$V_{Rcd}{}^{(2)}$	$V_{fd}{}^{(3)}$	$V_{fd}{}^{(2)}$	$Ctg\Theta^{(3)}$	$Ctg\Theta^{(2)}$
	[%]	[N]	[N]				[N]	[N]	[N]	[N]	[N]	[N]		
	100%	9.012	-2.341	8,29	37,60	1,06	74693	88030	144958	144958	0	0	2,50	2,50
Pilastrata: Pilastrata21														
sisma in +X														
proporzionale alle masse														
Piano interrato	0%	-61.293	-296	1,22	NS	1,00	74693	88030	136315	136315	0	0	2,50	2,50
	100%	-46.770	1.176	1,60	74,86	1,01	74693	88030	137022	137022	0	0	2,50	2,50
proporzionale alla deformata 1° modo di vibrazione														
	0%	-44.593	-684	1,67	NS	1,00	74693	88030	136315	136315	0	0	2,50	2,50
	100%	-37.970	586	1,97	NS	1,00	74693	88030	136315	136315	0	0	2,50	2,50
sisma in -X														
proporzionale alle masse														
	0%	71.966	205	1,04	NS	1,00	74693	88030	136315	136315	0	0	2,50	2,50
	100%	44.295	-31	1,69	NS	1,02	74693	88030	138641	138641	0	0	2,50	2,50
proporzionale alla deformata 1° modo di vibrazione														
	0%	54.648	94	1,37	NS	1,00	74693	88030	136315	136315	0	0	2,50	2,50
	100%	38.461	-178	1,94	NS	1,01	74693	88030	137532	137532	0	0	2,50	2,50
sisma in +Y														
proporzionale alle masse														
	0%	-4.060	1.708	18,40	51,54	1,03	74693	88030	140616	140616	0	0	2,50	2,50
	100%	-5.593	1.285	13,35	68,51	1,02	74693	88030	139677	139677	0	0	2,50	2,50
proporzionale alla deformata 1° modo di vibrazione														
	0%	-4.316	-111	17,31	NS	1,03	74693	88030	140695	140695	0	0	2,50	2,50
	100%	-6.239	101	11,97	NS	1,03	74693	88030	140141	140141	0	0	2,50	2,50
sisma in -Y														
proporzionale alle masse														
	0%	6.824	-1.060	10,95	83,05	1,02	74693	88030	139076	139076	0	0	2,50	2,50
	100%	5.172	-1.283	14,44	68,61	1,02	74693	88030	138681	138681	0	0	2,50	2,50
proporzionale alla deformata 1° modo di vibrazione														
	0%	8.397	-107	8,90	NS	1,02	74693	88030	138534	138534	0	0	2,50	2,50
	100%	8.107	-673	9,21	NS	1,02	74693	88030	139162	139162	0	0	2,50	2,50
sisma in +X														
proporzionale alle masse														
Piano terra	0%	-27.554	-995	2,71	88,47	1,02	74693	88030	139533	139533	0	0	2,50	2,50
	100%	-27.645	694	2,70	NS	1,00	74693	88030	136315	136315	0	0	2,50	2,50
proporzionale alla deformata 1° modo di vibrazione														
	0%	-37.338	-1.109	2,00	79,38	1,00	74693	88030	136315	136315	0	0	2,50	2,50
	100%	-35.748	1.622	2,09	54,27	1,00	74693	88030	136315	136315	0	0	2,50	2,50
sisma in -X														
proporzionale alle masse														
	0%	32.284	-640	2,31	NS	1,04	74693	88030	141395	141395	0	0	2,50	2,50
	100%	23.406	-3.896	3,19	22,59	1,00	74693	88030	136315	136315	0	0	2,50	2,50
proporzionale alla deformata 1° modo di vibrazione														
	0%	42.927	-824	1,74	NS	1,01	74693	88030	138209	138209	0	0	2,50	2,50
	100%	30.756	-3.696	2,43	23,82	1,00	74693	88030	136315	136315	0	0	2,50	2,50
sisma in +Y														
proporzionale alle masse														
	0%	4.480	1.314	16,67	66,99	1,03	74693	88030	139986	139986	0	0	2,50	2,50
	100%	2.347	-803	31,82	NS	1,01	74693	88030	137863	137863	0	0	2,50	2,50
proporzionale alla deformata 1° modo di vibrazione														
	0%	3.439	3.561	21,72	24,72	1,03	74693	88030	140310	140310	0	0	2,50	2,50
	100%	1.005	458	74,32	NS	1,01	74693	88030	137920	137920	0	0	2,50	2,50
sisma in -Y														
proporzionale alle masse														
	0%	5.741	-2.067	13,01	42,59	1,02	74693	88030	138970	138970	0	0	2,50	2,50
	100%	1.881	1.290	39,71	68,24	1,00	74693	88030	136626	136626	0	0	2,50	2,50
proporzionale alla deformata 1° modo di vibrazione														
	0%	10.287	-3.572	7,26	24,64	1,02	74693	88030	139003	139003	0	0	2,50	2,50
	100%	1.745	473	42,80	NS	1,00	74693	88030	136315	136315	0	0	2,50	2,50
Pilastrata: Pilastrata22														
sisma in +X														
proporzionale alle masse														
Piano interrato	0%	-64.648	95	1,16	NS	1,00	74693	88030	136315	136315	0	0	2,50	2,50
	100%	-42.803	-183	1,75	NS	1,02	74693	88030	138466	138466	0	0	2,50	2,50
proporzionale alla deformata 1° modo di vibrazione														
	0%	-45.194	268	1,65	NS	1,00	74693	88030	136315	136315	0	0	2,50	2,50
	100%	-33.387	201	2,24	NS	1,01	74693	88030	137471	137471	0	0	2,50	2,50
sisma in -X														
proporzionale alle masse														
	0%	60.143	64	1,24	NS	1,00	74693	88030	136315	136315	0	0	2,50	2,50
	100%	45.906	-421	1,63	NS	1,00	74693	88030	136315	136315	0	0	2,50	2,50
proporzionale alla deformata 1° modo di vibrazione														
	0%	44.426	264	1,68	NS	1,00	74693	88030	136315	136315	0	0	2,50	2,50
	100%	38.981	-7	1,92	NS	1,00	74693	88030	136315	136315	0	0	2,50	2,50
sisma in +Y														
proporzionale alle masse														
	0%	-3.990	1.285	18,72	68,51	1,04	74693	88030	141167	141167	0	0	2,50	2,50
	100%	-5.443	726	13,72	NS	1,03	74693	88030	140141	140141	0	0	2,50	2,50
proporzionale alla deformata 1° modo di vibrazione														
	0%	-3.824	-678	19,53	NS	1,04	74693	88030	141416	141416	0	0	2,50	2,50
	100%	-6.121	-779	12,20	NS	1,04	74693	88030	141103	141103	0	0	2,50	2,50
sisma in -Y														
proporzionale alle masse														
	0%	9.539	-2.666	7,83	33,02	1,00	74693	88030	136315	136315	0	0	2,50	2,50
	100%	4.028	-786	18,54	NS	1,00	74693	88030	136315	136315	0	0	2,50	2,50
proporzionale alla deformata 1° modo di vibrazione														
	0%	10.630	-2.242	7,03	39,26	1,00	74693	88030	136315	136315	0	0	2,50	2,50

Lv	%L_{LI}	$V_{Ed,3}$	$V_{Ed,2}$	$CS^{(3)}$	$CS^{(2)}$	α_C	$V_{Rsd,s}{}^{(3)}$	$V_{Rsd,s}{}^{(2)}$	$V_{Rcd}{}^{(3)}$	$V_{Rcd}{}^{(2)}$	$V_{fd}{}^{(3)}$	$V_{fd}{}^{(2)}$	$Ctg\Theta^{(3)}$	$Ctg\Theta^{(2)}$
	[%]	[N]	[N]				[N]	[N]	[N]	[N]	[N]	[N]		
	100%	6.386	-535	11,70	NS	1,00	74693	88030	136315	136315	0	0	2,50	2,50
sisma in +X														
proporzionale alle masse														
Piano terra	0%	-29.542	-625	2,53	NS	1,04	74693	88030	141190	141190	0	0	2,50	2,50
	100%	-26.190	1.802	2,85	48,85	1,00	74693	88030	136315	136315	0	0	2,50	2,50
proporzionale alla deformata 1° modo di vibrazione														
	0%	-39.440	-623	1,89	NS	1,01	74693	88030	137852	137852	0	0	2,50	2,50
	100%	-34.073	2.800	2,19	31,44	1,00	74693	88030	136315	136315	0	0	2,50	2,50
sisma in -X														
proporzionale alle masse														
	0%	28.432	-954	2,63	92,27	1,02	74693	88030	139583	139583	0	0	2,50	2,50
	100%	24.376	-2.424	3,06	36,32	1,00	74693	88030	136315	136315	0	0	2,50	2,50
proporzionale alla deformata 1° modo di vibrazione														
	0%	38.764	-1.071	1,93	82,19	1,00	74693	88030	136315	136315	0	0	2,50	2,50
	100%	32.461	-2.288	2,30	38,47	1,00	74693	88030	136315	136315	0	0	2,50	2,50
sisma in +Y														
proporzionale alle masse														
	0%	5.040	1.535	14,82	57,35	1,03	74693	88030	140404	140404	0	0	2,50	2,50
	100%	2.202	324	33,92	NS	1,02	74693	88030	138978	138978	0	0	2,50	2,50
proporzionale alla deformata 1° modo di vibrazione														
	0%	3.027	3.498	24,68	25,17	1,04	74693	88030	141239	141239	0	0	2,50	2,50
	100%	1.168	1.757	63,95	50,10	1,02	74693	88030	139147	139147	0	0	2,50	2,50
sisma in -Y														
proporzionale alle masse														
	0%	2.013	-2.300	37,11	38,27	1,00	74693	88030	136315	136315	0	0	2,50	2,50
	100%	-262	3.038	NS	28,98	1,00	74693	88030	136315	136315	0	0	2,50	2,50
proporzionale alla deformata 1° modo di vibrazione														
	0%	4.337	-2.811	17,22	31,32	1,00	74693	88030	136315	136315	0	0	2,50	2,50
	100%	160	2.725	NS	32,30	1,00	74693	88030	136315	136315	0	0	2,50	2,50
Pilastrata: Pilastrata23														
sisma in +X														
proporzionale alle masse														
Piano interrato	0%	-81.837	-970	0,91	90,75	1,12	74693	88030	152375	152375	0	0	2,50	2,50
	100%	-81.837	-970	0,91	90,75	1,11	74693	88030	151598	151598	0	0	2,50	2,50
proporzionale alla deformata 1° modo di vibrazione														
	0%	-77.760	-1.155	0,96	76,22	1,11	74693	88030	151205	151205	0	0	2,50	2,50
	100%	-77.760	-1.155	0,96	76,22	1,11	74693	88030	150719	150719	0	0	2,50	2,50
sisma in -X														
proporzionale alle masse														
	0%	81.568	-789	0,92	NS	1,10	74693	88030	150585	150585	0	0	2,50	2,50
	100%	81.568	-789	0,92	NS	1,11	74693	88030	151592	151592	0	0	2,50	2,50
proporzionale alla deformata 1° modo di vibrazione														
	0%	76.501	-1.039	0,98	84,73	1,10	74693	88030	149469	149469	0	0	2,50	2,50
	100%	76.501	-1.039	0,98	84,73	1,10	74693	88030	149327	149327	0	0	2,50	2,50
sisma in +Y														
proporzionale alle masse														
	0%	-3.322	27.509	22,48	3,20	1,15	74693	88030	157280	157280	0	0	2,50	2,50
	100%	-3.322	27.509	22,48	3,20	1,15	74693	88030	156737	156737	0	0	2,50	2,50
proporzionale alla deformata 1° modo di vibrazione														
	0%	-4.791	17.764	15,59	4,96	1,15	74693	88030	156994	156994	0	0	2,50	2,50
	100%	-4.791	17.764	15,59	4,96	1,15	74693	88030	156458	156458	0	0	2,50	2,50
sisma in -Y														
proporzionale alle masse														
	0%	10.035	-23.088	7,44	3,81	1,07	74693	88030	145318	145318	0	0	2,50	2,50
	100%	10.035	-23.088	7,44	3,81	1,06	74693	88030	144809	144809	0	0	2,50	2,50
proporzionale alla deformata 1° modo di vibrazione														
	0%	13.204	-17.689	5,66	4,98	1,06	74693	88030	144070	144070	0	0	2,50	2,50
	100%	13.204	-17.689	5,66	4,98	1,06	74693	88030	144183	144183	0	0	2,50	2,50
sisma in +X														
proporzionale alle masse														
Piano terra	0%	-18.683	2.488	4,00	35,38	1,02	74693	88030	138514	138514	0	0	2,50	2,50
	100%	-18.683	2.488	4,00	35,38	1,01	74693	88030	137907	137907	0	0	2,50	2,50
proporzionale alla deformata 1° modo di vibrazione														
	0%	-22.447	2.779	3,33	31,68	1,01	74693	88030	137627	137627	0	0	2,50	2,50
	100%	-22.447	2.779	3,33	31,68	1,01	74693	88030	137008	137008	0	0	2,50	2,50
sisma in -X														
proporzionale alle masse														
	0%	17.085	2.279	4,37	38,63	1,00	74693	88030	136315	136315	0	0	2,50	2,50
	100%	17.085	2.279	4,37	38,63	1,00	74693	88030	136315	136315	0	0	2,50	2,50
proporzionale alla deformata 1° modo di vibrazione														
	0%	20.793	2.553	3,59	34,48	1,00	74693	88030	136315	136315	0	0	2,50	2,50
	100%	20.793	2.553	3,59	34,48	1,00	74693	88030	136315	136315	0	0	2,50	2,50
sisma in +Y														
proporzionale alle masse														
	0%	1.269	327	58,86	NS	1,05	74693	88030	142930	142930	0	0	2,50	2,50
	100%	1.269	327	58,86	NS	1,04	74693	88030	141939	141939	0	0	2,50	2,50
proporzionale alla deformata 1° modo di vibrazione														
	0%	166	4.247	NS	20,73	1,04	74693	88030	142322	142322	0	0	2,50	2,50
	100%	166	4.247	NS	20,73	1,04	74693	88030	141710	141710	0	0	2,50	2,50
sisma in -Y														
proporzionale alle masse														
	0%	778	5.190	96,01	16,96	1,00	74693	88030	136315	136315	0	0	2,50	2,50
	100%	778	5.190	96,01	16,96	1,00	74693	88030	136315	136315	0	0	2,50	2,50
proporzionale alla deformata 1° modo di vibrazione														
	0%	1.398	4.168	53,43	21,12	1,00	74693	88030	136315	136315	0	0	2,50	2,50
	100%	1.398	4.168	53,43	21,12	1,00	74693	88030	136315	136315	0	0	2,50	2,50

Lv	%L_{LI} [%]	$V_{Ed,3}$ [N]	$V_{Ed,2}$ [N]	$CS^{(3)}$	$CS^{(2)}$	α_C	$V_{Rsd,s}{}^{(3)}$ [N]	$V_{Rsd,s}{}^{(2)}$ [N]	$V_{Rcd}{}^{(3)}$ [N]	$V_{Rcd}{}^{(2)}$ [N]	$V_{fd}{}^{(3)}$ [N]	$V_{fd}{}^{(2)}$ [N]	$Ctg\Theta^{(3)}$	$Ctg\Theta^{(2)}$
Pilastrata: Pilastrata24														
sisma in +X														
proporzionale alle masse														
Piano interrato	0%	-80.644	-483	0,93	NS	1,15	74693	88030	156666	156666	0	0	2,50	2,50
	100%	-5.670	-15.244	13,17	5,77	1,00	74693	88030	136315	136315	0	0	2,50	2,50
proporzionale alla deformata 1° modo di vibrazione														
	0%	-66.579	-1.008	1,12	87,33	1,14	74693	88030	155086	155086	0	0	2,50	2,50
	100%	-4.650	-16.189	16,06	5,44	1,02	74693	88030	138939	138939	0	0	2,50	2,50
sisma in -X														
proporzionale alle masse														
	0%	15.884	12.522	4,70	7,03	1,00	74693	88030	136315	136315	0	0	2,50	2,50
	100%	32.926	5.720	2,27	15,39	1,00	74693	88030	136315	136315	0	0	2,50	2,50
proporzionale alla deformata 1° modo di vibrazione														
	0%	10.853	9.516	6,88	9,25	1,00	74693	88030	136315	136315	0	0	2,50	2,50
	100%	23.841	7.385	3,13	11,92	1,00	74693	88030	136315	136315	0	0	2,50	2,50
sisma in +Y														
proporzionale alle masse														
	0%	1.860	111.779	40,16	0,79	1,23	74693	88030	167008	167008	0	0	2,50	2,50
	100%	18.887	-4.714	3,95	18,67	1,05	74693	88030	142476	142476	0	0	2,50	2,50
proporzionale alla deformata 1° modo di vibrazione														
	0%	2.665	82.846	28,03	1,06	1,23	74693	88030	167092	167092	0	0	2,50	2,50
	100%	17.229	-4.782	4,34	18,41	1,09	74693	88030	148837	148837	0	0	2,50	2,50
sisma in -Y														
proporzionale alle masse														
	0%	-14.868	-14.076	5,02	6,25	1,00	74693	88030	136315	136315	0	0	2,50	2,50
	100%	-15.629	-79.794	4,78	1,10	1,00	74693	88030	136315	136315	0	0	2,50	2,50
proporzionale alla deformata 1° modo di vibrazione														
	0%	-11.428	-7.972	6,54	11,04	1,00	74693	88030	136315	136315	0	0	2,50	2,50
	100%	-15.379	-59.520	4,86	1,48	1,00	74693	88030	136315	136315	0	0	2,50	2,50
sisma in +X														
proporzionale alle masse														
Piano terra	0%	-48.978	9.087	1,53	9,69	1,09	74693	88030	148936	148936	0	0	2,50	2,50
	100%	-10.951	1.983	6,82	44,39	1,00	74693	88030	136315	136315	0	0	2,50	2,50
proporzionale alla deformata 1° modo di vibrazione														
	0%	-65.257	8.625	1,14	10,21	1,13	74693	88030	153517	153517	0	0	2,50	2,50
	100%	-13.695	2.667	5,45	33,01	1,00	74693	88030	136315	136315	0	0	2,50	2,50
sisma in -X														
proporzionale alle masse														
	0%	-12.211	24.026	6,12	3,66	1,03	74693	88030	140840	140840	0	0	2,50	2,50
	100%	18.640	-682	4,01	NS	1,05	74693	88030	142993	142993	0	0	2,50	2,50
proporzionale alla deformata 1° modo di vibrazione														
	0%	-5.779	23.125	12,92	3,81	1,00	74693	88030	136315	136315	0	0	2,50	2,50
	100%	30.829	-1.239	2,42	71,05	1,07	74693	88030	145300	145300	0	0	2,50	2,50
sisma in +Y														
proporzionale alle masse														
	0%	-3.770	54.277	19,81	1,62	1,09	74693	88030	148452	148452	0	0	2,50	2,50
	100%	2.359	-1.775	31,66	49,59	1,00	74693	88030	136315	136315	0	0	2,50	2,50
proporzionale alla deformata 1° modo di vibrazione														
	0%	-3.822	77.002	19,54	1,14	1,14	74693	88030	155889	155889	0	0	2,50	2,50
	100%	2.863	-997	26,09	88,29	1,00	74693	88030	136315	136315	0	0	2,50	2,50
sisma in -Y														
proporzionale alle masse														
	0%	-21.240	22.495	3,52	3,91	1,00	74693	88030	136315	136315	0	0	2,50	2,50
	100%	2.520	-70.520	29,64	1,25	1,11	74693	88030	150838	150838	0	0	2,50	2,50
proporzionale alla deformata 1° modo di vibrazione														
	0%	-16.722	11.142	4,47	7,90	1,00	74693	88030	136315	136315	0	0	2,50	2,50
	100%	3.045	-83.522	24,53	1,05	1,11	74693	88030	151637	151637	0	0	2,50	2,50

LEGENDA:

Lv Livello o piano di appartenenza dell'elemento strutturale.

%L_{LI} Posizione della sezione per la quale vengono forniti i valori di verifica, valutata come % della lunghezza libera d'inflessione (L_{LI}), a partire dall'estremo iniziale.

V_{Ed} Taglio di progetto.

CS Coefficiente di sicurezza, con riferimento alla direzione positiva e negativa del sisma. ([NS] = Non Significativo per valori di CS >= 100). Per ulteriori dettagli sulla verifica si rimanda alle tabelle relative alle Verifiche a Taglio.

α_C Coefficiente maggiorativo per compressione

$V_{Rsd,s}$ Resistenza a taglio trazione delle staffe.

V_{Rcd} Resistenza a taglio compressione del calcestruzzo.

V_{fd} Resistenza a taglio dovuta al rinforzo FRP.

$Ctg\Theta$ Cotangente dell'angolo Θ utilizzata nella verifica.

Pareti - VERIFICHE PRESSOFLESSIONE RETTA ALLO STATO LIMITE ULTIMO (Elevazione)

Dir	Pos	Nodo	N_{Ed} [N]	M_{Ed} [N·m]	A_s [cm^2/cm]	CS	Nodo	N_{Ed} [N]	M_{Ed} [N·m]	A_s [cm^2/cm]	CS	Nodo	N_{Ed} [N]	M_{Ed} [N·m]	A_s [cm^2/cm]	CS
Piano terra						**Parete1-P1**						**Parete 1-P1**				
P	A	00002	19.065	953	0,08042	86,53	00059	-371	14.190	0,16085	11,76	00083	40.734	2.037	0,08042	39,11
	P		-282.768	-29.616	0,08042	4,11		128.251	-6.413	0,16085	23,42		-242.487	-10.882	0,08042	10,70
S	A		0	0	0,08042	-		-713.855	33.189	0,18096	8,24		320.062	2.084	0,16085	60,07
	P		-765.903	-38.293	0,08042	4,66		-252.343	-12.617	0,21447	19,71		-409.766	-20.488	0,16085	10,70
P	A	00084	-746.478	14.432	0,16085	17,10	00243	58.743	2.314	0,08042	33,40	00244	45.233	2.155	0,08042	36,69

Dir	Pos	Nodo	N_{Ed} [N]	M_{Ed} [N·m]	A_s [cm²/cm]	CS	Nodo	N_{Ed} [N]	M_{Ed} [N·m]	A_s [cm²/cm]	CS	Nodo	N_{Ed} [N]	M_{Ed} [N·m]	A_s [cm²/cm]	CS
	P		382	-19	0,08042	NS		-320.898	-9.449	0,08042	13,38		-267.912	-6.541	0,08042	18,30
S	A		-417.282	20.864	0,16085	10,55		0	0	0,08042	-		0	0	0,08042	-
	P		-274.399	-442	0,16085	NS		-467.579	-23.379	0,08042	5,98		-361.765	-16.345	0,08042	7,82
P	A	00245	29.918	1.435	0,08042	56,48	00246	-94.771	1.104	0,08042	88,22	00247	-51.767	5.058	0,08042	18,14
	P		78.832	-2.121	0,08042	35,20		35.587	-117	0,08042	NS		28.196	-1.410	0,08042	57,66
S	A		-430.851	602	0,08042	NS		-445.682	8.137	0,08042	16,75		-374.551	18.032	0,08042	7,21
	P		-269.143	-5.098	0,08042	22,76		-529.183	-2.305	0,08042	63,56		0	0	0,08042	-
P	A	00248	79.994	9.891	0,16085	15,82	00417	63.033	3.126	0,08042	24,55	00418	0	0	0,08042	-
	P		26.063	-1.303	0,16085	NS		-151.514	-7.560	0,08042	13,85		308.675	-7.819	0,16085	16,20
S	A		-479.497	23.668	0,08042	6,02		7.523	2.977	0,08042	28,21		0	0	0,08042	-
	P		0	0	0,21447	-		-565.190	-22.116	0,08042	7,08		-319.413	-15.970	0,08042	7,41
P	A	00419	18.389	468	0,08042	NS	00420	192.341	463	0,08042	NS	00421	30.059	1.457	0,08042	55,63
	P		-37.223	-6.116	0,08042	14,69		-158.418	-2.257	0,08042	46,79		44.751	-87	0,08042	NS
S	A		-129.067	1.187	0,08042	85,79		-137.218	1.011	0,08042	NS		-133.836	7.986	0,08042	12,32
	P		-232.145	-10.639	0,08042	10,82		-272.066	-6.137	0,08042	19,59		-87.630	-4.238	0,08042	21,79
P	A	00422	-295.173	4.825	0,08042	25,53	00423	-548.926	7.431	0,16085	31,82	00424	-87.622	11.528	0,08042	8,36
	P		22.250	-1.112	0,08042	73,77		63.615	-2.372	0,16085	66,84		50.167	-2.310	0,08042	33,94
S	A		-272.896	13.645	0,08042	8,82		-350.028	17.501	0,16085	11,52		-456.089	22.804	0,08042	6,15
	P		-18.640	-488	0,08042	NS		-3.879	-185	0,08042	NS		-83.924	-2.616	0,08042	35,51
P	A	00697	38.003	1.328	0,08042	60,23	00698	-328.845	7.834	0,08042	16,27	00699	-35.281	10.711	0,08042	8,36
	P		14.637	-7.792	0,08042	10,66		1.127	-56	0,08042	NS		79.010	-2.960	0,08042	25,21
S	A		-14.976	703	0,08042	NS		-392.546	19.627	0,08042	6,63		-511.761	22.468	0,08042	6,68
	P		-419.864	-20.993	0,08042	6,37		-42.696	-194	0,08042	NS		-190.523	-3.108	0,08042	35,31
P	A	00700	29.715	1.486	0,08042	54,58	00701	25.380	298	0,08042	NS	00702	16.443	700	0,08042	NS
	P		-258.394	-12.162	0,08042	9,74		-189.109	-9.768	0,08042	11,22		-160.403	-4.101	0,08042	25,81
S	A		0	0	0,08042	-		18.225	47	0,08042	NS		0	0	0,08042	-
	P		-555.152	-25.030	0,08042	6,10		-432.886	-21.217	0,08042	6,36		-278.521	-9.212	0,08042	12,48
P	A	00703	-176.498	2.356	0,08042	45,82	00704	-143.307	7.786	0,08042	13,31					
	P		43.389	-709	0,08042	NS		8.343	-417	0,08042	NS					
S	A		-282.352	12.056	0,08042	9,64		-404.306	20.214	0,08042	6,56					
	P		-51.109	-210	0,08042	NS		-215.795	-218	0,08042	NS					
Piano terra							**ParetteP2-3-P3**					**Parete P2-3**				
P	A	00006	-34.743	1.737	0,08042	51,53	00055	162.751	8.434	0,08042	7,55	00103	-226.195	4.430	0,08042	25,81
	P		-248.212	-12.411	0,08042	9,44		222.144	-7.967	0,08042	7,01		30.576	-1.303	0,08042	62,15
S	A		-147.641	7.382	0,10053	16,52		-517.706	25.873	0,23457	11,62		-685.820	2.827	0,10053	67,38
	P		-462.150	-23.107	0,10053	7,00		-328.174	-16.409	0,23457	16,88		-231.048	-11.552	0,10053	11,72
P	A	00105	-102.816	8.875	0,16085	20,30	00237	1.807	90	0,08042	NS	00238	776	39	0,08042	NS
	P		-462.803	-11.363	0,18096	21,63		-295.953	-2.012	0,08042	61,28		-257.699	-3.749	0,08042	31,58
S	A		-218.037	10.902	0,18096	19,75		-88.624	4.431	0,10053	24,83		-23.887	1.194	0,10053	84,77
	P		-2.600.658	-31.113	0,18096	11,38		-357.820	-17.891	0,10053	8,08		-283.656	-14.183	0,10053	9,50
P	A	00239	932	31	0,08042	NS	00240	5.017	249	0,08042	NS	00241	9.355	53	0,08042	NS
	P		-248.014	-5.782	0,08042	20,26		-235.288	-7.346	0,08042	15,72		-234.598	-9.445	0,08042	12,22
S	A		-13.527	623	0,10053	NS		0	0	0,10053	-		0	0	0,10053	-
	P		-216.210	-10.810	0,10053	11,67		-180.125	-8.823	0,10053	13,69		-169.877	-6.969	0,10053	17,36
P	A	00242	52.326	594	0,08042	NS	00329	-345.392	1.506	0,08042	85,99	00330	0	0	0,08042	-
	P		-228.780	-11.773	0,08042	9,74		-93.659	-4.683	0,08042	20,76		-103.684	-11.671	0,08042	8,44
S	A		-32.470	945	0,10053	NS		-123.984	6.199	0,10053	19,61		-56.624	2.831	0,10053	39,86
	P		-255.155	-12.260	0,10053	10,82		-410.630	-20.532	0,10053	7,70		-509.462	-10.075	0,10053	16,90
P	A	00331	8.501	414	0,16085	NS	00332	101.999	520	0,08042	NS	00333	6.414	349	0,08042	NS

Dir	Pos	Nodo	N_{Ed} [N]	M_{Ed} [N·m]	A_s [cm²/cm]	CS	Nodo	N_{Ed} [N]	M_{Ed} [N·m]	A_s [cm²/cm]	CS	Nodo	N_{Ed} [N]	M_{Ed} [N·m]	A_s [cm²/cm]	CS
	P		-512.544	-10.307	0,18096	24,42		-284.161	-9.380	0,08042	12,98		-263.936	-7.413	0,08042	16,08
S	A		-81.798	4.090	0,10053	26,26		-142.341	2.227	0,10053	55,67		0	0	0,10053	-
	P		-2.630.716	-23.071	0,10053	11,51		-1.089.106	-11.639	0,10053	19,64		-297.668	-9.369	0,10053	15,02
P	A	00334	2.795	140	0,08042	NS	00335	141.031	203	0,08042	NS	00336	13.054	550	0,08042	NS
	P		-249.322	-5.856	0,08042	20,03		-214.319	-3.744	0,08042	30,14		106.469	-1.566	0,08042	45,35
S	A		-12.287	614	0,10053	NS		-24.949	1.175	0,10053	92,50		-38.142	1.719	0,10053	59,48
	P		-251.518	-11.992	0,10053	11,51		-267.401	-13.370	0,10053	10,47		-258.853	-12.943	0,10053	10,10
P	A	00613	98.228	536	0,08042	NS	00614	24.460	1.206	0,08042	67,78	00615	-9.635	1.434	0,16085	NS
	P		-35.983	-1.799	0,08042	49,85		-195.001	-12.501	0,08042	8,83		-336.815	-10.875	0,18096	21,16
S	A		-98.415	4.921	0,10053	22,97		-66.312	3.316	0,23457	74,33		-71.071	3.554	0,10053	30,29
	P		-387.250	-19.363	0,10053	7,74		-553.537	-15.262	0,23457	20,19		-1.492.309	-14.014	0,10053	17,81
P	A	00616	106.703	926	0,08042	76,68	00617	15.816	791	0,08042	NS	00618	5.778	62	0,08042	NS
	P		-40.373	-2.019	0,08042	44,71		-257.290	-1.876	0,08042	63,08		-241.699	-4.948	0,08042	23,51
S	A		-38.313	1.708	0,10053	61,13		-55.447	2.611	0,10053	40,48		-25.326	1.079	0,10053	94,71
	P		-335.710	-16.786	0,10053	8,50		-345.375	-17.269	0,10053	8,28		-244.879	-12.244	0,10053	10,67
P	A	00619	9.362	72	0,08042	NS	00620	18.968	411	0,08042	NS					
	P		-254.959	-8.041	0,08042	14,68		-206.913	-11.153	0,08042	10,03					
S	A		-14.343	226	0,10053	NS		-56.226	2.703	0,10053	39,51					
	P		-241.587	-9.196	0,10053	14,20		-693.549	-16.651	0,10053	11,13					
Piano terra							**PareteP2-3-P3**					**Parete 3-P3**				
P	A	00006	-24.939	1.234	0,08042	71,53	00055	222.406	11.285	0,08042	4,94	00121	-317.302	5.777	0,08042	21,81
	P		-183.181	-9.159	0,08042	11,88		228.563	-17.795	0,08042	3,09		-53.929	-2.696	0,08042	34,13
S	A		-160.192	8.010	0,10053	15,76		-631.120	31.528	0,23457	9,95		-87.352	4.368	0,18096	45,46
	P		-467.868	-23.393	0,10053	7,06		-692.802	-34.640	0,23457	9,25		-357.636	-17.882	0,18096	13,03
P	A	00122	127.291	6.365	0,18096	26,83	00237	1.912	96	0,08042	NS	00238	822	12	0,08042	NS
	P		-257.538	-11.630	0,18096	18,95		-294.528	-2.127	0,08042	57,87		-262.372	-3.751	0,08042	31,72
S	A		-217.652	10.450	0,18096	19,93		-85.746	4.287	0,10053	25,70		-39.729	1.986	0,10053	51,97
	P		-2.933.359	-37.021	0,18096	8,83		-358.543	-17.927	0,10053	8,10		-279.296	-13.965	0,10053	9,61
P	A	00239	279	10	0,08042	NS	00240	1.055	53	0,08042	NS	00241	16.008	455	0,08042	NS
	P		-239.623	-5.778	0,08042	20,09		-242.744	-7.345	0,08042	15,86		-218.000	-9.442	0,08042	12,00
S	A		-440.391	368	0,10053	NS		0	0	0,10053	-		-22.372	110	0,10053	NS
	P		-216.288	-10.814	0,10053	11,68		-185.425	-9.271	0,10053	13,12		-353.682	-9.329	0,10053	15,48
P	A	00242	26.138	129	0,08042	NS	00337	-57.187	2.859	0,08042	32,33	00338	-35.286	1.764	0,08042	50,78
	P		-239.482	-11.417	0,08042	10,17		-108.932	-5.447	0,08042	18,21		-123.416	-6.171	0,08042	16,38
S	A		-25.880	1.267	0,10053	81,32		-179.791	8.990	0,10053	14,33		-175.517	8.776	0,10053	14,61
	P		-298.165	-14.139	0,10053	9,77		-396.194	-19.810	0,10053	7,89		-397.408	-19.870	0,10053	7,87
P	A	00339	-3.657	983	0,08042	86,92	00340	113.058	1.088	0,08042	64,48	00341	246.109	2.676	0,08042	19,68
	P		-52.357	-1.439	0,08042	63,81		-239.415	-3.710	0,08042	31,28		-215.697	-5.851	0,08042	19,31
S	A		-96.211	4.811	0,10053	22,89		-79.012	3.797	0,10053	30,48		-47.895	2.238	0,10053	49,92
	P		-310.676	-15.534	0,10053	8,86		-225.603	-11.280	0,10053	11,94		-142.493	-7.125	0,10053	17,40
P	A	00342	10.797	540	0,08042	NS	00343	-4.499	697	0,08042	NS	00344	67.313	1.736	0,18096	NS
	P		-194.604	-7.448	0,08042	14,81		-167.945	-9.471	0,18096	21,89		-251.965	-10.943	0,18096	20,07
S	A		-47.998	1.855	0,10053	58,60		-54.862	2.574	0,10053	43,76		-114.190	4.588	0,10053	24,53
	P		-339.003	-9.519	0,10053	15,35		-1.127.153	-13.518	0,10053	17,14		-2.781.442	-25.364	0,10053	10,23
P	A	00345	3.128	2.867	0,18096	65,18	00346	297.862	1.226	0,08042	37,41	00621	78.830	704	0,08042	NS
	P		-100.104	-12.795	0,18096	15,64		-96.410	-12.531	0,08042	7,79		-63.064	-3.153	0,08042	29,56
S	A		-115.992	4.796	0,10053	25,13		-448.418	7.417	0,10053	21,18		-138.618	6.931	0,10053	17,03
	P		-172.284	-8.605	0,10053	14,85		-240.316	-9.793	0,10053	13,36		-354.237	-17.712	0,10053	8,22
P	A	00622	162.817	8.047	0,18096	20,64	00623	5.931	549	0,08042	NS	00624	154.831	271	0,08042	NS
	P		-190.319	-11.005	0,18096	19,24		-173.092	-13.331	0,08042	8,06		-45.043	-2.252	0,08042	40,35
S	A		-113.46	4.915	0,10053	23,15		-49.851	2.493	0,10053	44,92		-146.50	7.325	0,10053	16,29

Dir	Pos	Nodo	N_{Ed} [N]	M_{Ed} [N·m]	A_s [cm²/cm]	CS	Nodo	N_{Ed} [N]	M_{Ed} [N·m]	A_s [cm²/cm]	CS	Nodo	N_{Ed} [N]	M_{Ed} [N·m]	A_s [cm²/cm]	CS
	P		8 -1.642.602	-14.574	0,10053	17,70		-525.290	-11.653	0,10053	14,78		8 -401.572	-20.079	0,10053	7,56
P	A	00625	16.633	273	0,08042	NS	00626	5.071	67	0,08042	NS	00627	92.679	904	0,08042	80,60
	P		-273.516	-1.601	0,08042	75,21		-238.733	-4.934	0,08042	23,50		-211.709	-8.064	0,08042	13,95
S	A		-126.411	6.321	0,10053	18,24		-39.519	1.805	0,10053	57,95		-21.661	782	0,10053	NS
	P		-350.814	-17.541	0,10053	8,21		-214.202	-10.710	0,10053	11,88		-120.272	-6.013	0,10053	19,16
P	A	00628	46.003	1.526	0,08042	51,73										
	P		-146.840	-11.203	0,08042	9,29										
S	A		-72.231	2.291	0,10053	47,71										
	P		-827.417	-18.640	0,10053	10,70										
Piano terra						**ParetеP4-4-P5**						**Parete P4-4**				
P	A	00008	-849	42	0,08042	NS	00053	90.960	4.547	0,08042	16,07	00124	-246.077	6.050	0,08042	19,32
	P		-216.906	-10.845	0,08042	10,43		230.997	-10.058	0,16085	13,60		13.003	-627	0,08042	NS
S	A		-108.524	5.426	0,08042	18,27		-300.976	14.996	0,28149	21,48		-707.091	3.794	0,16085	66,98
	P		-451.834	-22.592	0,08042	6,32		-331.732	-16.587	0,28149	19,65		-278.363	-13.918	0,16085	14,56
P	A	00125	-207.529	10.868	0,21447	22,82	00254	-34.523	902	0,08042	99,24	00259	21.515	91	0,08042	NS
	P		-1.193.709	-14.589	0,21447	24,18		-90.075	-4.504	0,08042	21,48		-297.010	-3.039	0,08042	40,60
S	A		-344.857	16.841	0,18096	13,74		-99.382	4.969	0,08042	19,71		-77.651	3.883	0,08042	22,77
	P		-2.452.129	-24.232	0,18096	14,99		-401.439	-20.072	0,08042	6,80		-349.061	-17.453	0,08042	7,07
P	A	00260	1.635	43	0,08042	NS	00261	666	20	0,08042	NS	00262	7.558	329	0,08042	NS
	P		-249.565	-4.365	0,08042	26,88		-224.586	-5.934	0,08042	19,23		-230.556	-7.136	0,08042	16,10
S	A		-29.393	1.470	0,08042	55,14		-33.666	1.059	0,08042	77,28		-20.788	1.039	0,08042	76,45
	P		-272.675	-13.634	0,08042	8,26		-197.477	-9.873	0,08042	10,45		-162.855	-7.669	0,08042	12,78
P	A	00263	21.227	522	0,08042	NS	00264	35.089	873	0,08042	92,05	00451	126.483	1.121	0,08042	61,03
	P		-199.927	-8.785	0,08042	12,63		-217.072	-10.444	0,08042	10,84		-67.412	-10.704	0,08042	8,76
S	A		-24.463	1.223	0,08042	66,61		-44.409	2.203	0,08042	38,65		-40.673	1.732	0,08042	52,13
	P		-397.824	-7.288	0,08042	17,76		-195.268	-9.359	0,08042	11,19		-74.823	-3.741	0,08042	25,33
P	A	00452	0	0	0,21447	-	00453	222.855	1.227	0,21447	NS	00454	8.274	398	0,08042	NS
	P		-182.139	-9.415	0,21447	25,99		-132.034	-8.681	0,21447	27,45		-165.348	-7.222	0,08042	14,75
S	A		-145.254	7.263	0,08042	13,34		-61.870	3.094	0,08042	30,08		-23.945	1.197	0,08042	70,97
	P		-2.433.025	-18.165	0,08042	14,04		-1.001.003	-10.465	0,08042	19,18		-386.521	-9.255	0,08042	14,22
P	A	00455	255.130	364	0,08042	NS	00456	49.175	649	0,08042	NS	00457	18.486	1.426	0,08042	57,91
	P		-192.661	-6.010	0,08042	18,31		-226.999	-4.308	0,08042	26,57		-65.777	-2.379	0,08042	39,33
S	A		-12.022	601	0,08042	NS		-32.727	1.629	0,08042	54,79		-27.843	1.392	0,08042	58,20
	P		-230.347	-10.888	0,08042	10,55		-256.847	-12.842	0,08042	9,21		-274.514	-13.726	0,08042	8,23
P	A	00729	91.189	696	0,08042	NS	00730	0	0	0,08042	-	00731	-53.948	1.696	0,21447	NS
	P		-302.231	-2.627	0,08042	47,23		-146.703	-11.116	0,08042	9,36		-144.646	-9.685	0,21447	24,77
S	A		-77.355	3.868	0,08042	23,22		-52.647	2.632	0,28149	NS		-121.644	5.719	0,18096	34,32
	P		-377.538	-18.877	0,08042	6,80		-537.214	-14.523	0,28149	24,63		-1.285.728	-9.984	0,18096	31,92
P	A	00732	154.048	665	0,08042	97,38	00733	15.077	754	0,08042	NS	00734	21.859	426	0,08042	NS
	P		-27.977	-1.399	0,08042	63,36		-265.640	-2.809	0,08042	42,51		-223.135	-5.279	0,08042	21,59
S	A		-29.501	1.475	0,08042	56,13		-49.049	2.381	0,08042	35,65		-32.818	1.233	0,08042	67,29
	P		-338.712	-16.936	0,08042	7,24		-339.842	-16.992	0,08042	7,20		-228.837	-11.442	0,08042	9,48
P	A	00735	6.913	41	0,08042	NS	00736	0	0	0,08042	-					
	P		-188.534	-7.665	0,08042	14,29		-127.285	-9.971	0,08042	10,19					
S	A		-42.863	2.114	0,08042	39,97		-62.295	3.115	0,08042	28,36					
	P		-209.417	-7.537	0,08042	14,08		-688.779	-14.451	0,08042	11,46					
Piano terra						**ParetеP4-4-P5**						**Parete 4-P5**				
P	A	00008	-27.923	1.454	0,08042	60,95	00053	203.866	10.559	0,08042	5,52	00100	-269.131	3.052	0,16085	65,99
	P		-195.713	-9.786	0,08042	11,28		258.348	-11.327	0,16085	11,76		17.609	-1.457	0,16085	NS
S	A		-133.397	6.670	0,08042	15,35		-722.688	36.082	0,28149	10,25		-834.763	2.115	0,16085	NS

Dir	Pos	Nodo	N_{Ed} [N]	M_{Ed} [N·m]	A_s [cm²/cm]	CS	Nodo	N_{Ed} [N]	M_{Ed} [N·m]	A_s [cm²/cm]	CS	Nodo	N_{Ed} [N]	M_{Ed} [N·m]	A_s [cm²/cm]	CS
	P		-453.093	-22.655	0,08042	6,31		-514.089	-25.704	0,28149	13,47		-301.601	-15.080	0,16085	13,63
P	A	00102	-64.443	3.222	0,16085	54,36	00259	11.783	46	0,08042	NS	00260	3.190	68	0,08042	NS
	P		-1.109.692	-15.850	0,16085	18,40		-294.398	-3.135	0,08042	39,26		-244.841	-4.347	0,08042	26,86
S	A		-157.771	7.889	0,18096	25,33		-78.979	3.949	0,08042	22,31		-47.054	2.183	0,08042	38,20
	P		-3.018.224	-40.876	0,16085	7,77		-348.110	-17.406	0,08042	7,05		-268.259	-13.413	0,08042	8,35
P	A	00261	9.153	141	0,08042	NS	00262	4.403	200	0,08042	NS	00263	87.332	672	0,08042	NS
	P		-237.194	-5.931	0,08042	19,52		-219.573	-7.136	0,08042	15,91		-224.822	-8.785	0,08042	13,00
S	A		-18.333	667	0,08042	NS		-24.050	697	0,08042	NS		-13.342	330	0,08042	NS
	P		-198.413	-9.921	0,08042	10,39		-161.848	-8.092	0,08042	12,06		-317.861	-9.204	0,08042	12,93
P	A	00264	19.269	523	0,08042	NS	00301	8.359	2.021	0,08042	41,50	00302	-41.181	2.953	0,08042	30,60
	P		-204.863	-10.466	0,08042	10,66		-127.847	-6.392	0,08042	15,90		-113.651	-5.683	0,08042	17,56
S	A		-31.539	1.577	0,08042	52,29		-155.321	7.766	0,08042	13,55		-135.680	6.784	0,08042	15,13
	P		-331.019	-13.045	0,08042	9,28		-398.256	-19.913	0,08042	6,84		-377.472	-18.874	0,08042	7,08
P	A	00303	12.859	526	0,16085	NS	00304	168.398	1.427	0,08042	44,08	00305	156.494	758	0,08042	84,99
	P		134.634	-2.664	0,16085	56,05		-199.475	-4.403	0,08042	25,19		-246.753	-6.070	0,08042	19,27
S	A		-50.809	2.540	0,16085	64,69		-24.985	1.249	0,08042	70,64		-145.274	1.123	0,08042	92,51
	P		-273.055	-13.653	0,08042	8,19		-219.500	-10.975	0,08042	10,34		-139.772	-6.989	0,08042	14,77
P	A	00306	9.814	491	0,08042	NS	00307	149.934	1.028	0,08042	63,55	00308	-157.197	246	0,16085	NS
	P		-268.321	-7.241	0,08042	16,54		-298.907	-8.839	0,08042	13,99		-584.376	-9.809	0,16085	24,53
S	A		-236.908	774	0,08042	NS		-20.106	927	0,08042	94,49		-43.648	2.182	0,08042	37,20
	P		-434.763	-10.614	0,08042	12,94		-1.132.617	-13.982	0,08042	15,14		-2.829.789	-25.747	0,08042	9,22
P	A	00309	59.156	914	0,16085	NS	00310	0	0	0,08042	-	00589	75.163	731	0,08042	NS
	P		-196.856	-12.440	0,16085	15,45		-73.209	-9.165	0,08042	10,32		-32.058	-1.603	0,08042	55,63
S	A		-97.467	4.873	0,08042	20,05		-15.933	4.846	0,08042	16,65		-76.450	3.823	0,08042	23,34
	P		-915.466	-10.092	0,08042	19,12		-244.112	-6.761	0,08042	16,31		-328.792	-16.440	0,08042	7,40
P	A	00590	-8.712	436	0,16085	NS	00591	0	0	0,08042	-	00592	7.764	544	0,08042	NS
	P		-389.756	-9.932	0,16085	21,81		-182.582	-11.941	0,08042	9,11		-45.628	-2.281	0,08042	39,86
S	A		-50.768	2.538	0,18096	73,07		-41.796	2.090	0,28149	NS		-114.144	5.707	0,08042	16,56
	P		-1.667.370	-15.883	0,08042	16,74		-511.180	-13.437	0,28149	26,38		-388.076	-19.404	0,08042	6,68
P	A	00593	19.347	341	0,08042	NS	00594	7.007	94	0,08042	NS	00595	17.738	521	0,08042	NS
	P		-251.832	-2.760	0,08042	42,62		-231.194	-5.311	0,08042	21,65		-252.515	-7.720	0,08042	15,25
S	A		-83.840	4.192	0,08042	21,11		-21.918	728	0,08042	NS		-14.112	424	0,08042	NS
	P		-330.668	-16.533	0,08042	7,28		-203.296	-10.165	0,08042	10,28		-106.955	-5.335	0,08042	17,30
P	A	00596	33.674	1.044	0,08042	77,16										
	P		-206.723	-10.167	0,08042	11,00										
S	A		-48.151	1.423	0,08042	59,09										
	P		-838.685	-17.268	0,08042	10,34										
Piano terra						**ParetеP6-6**						**Parete P6-6**				
P	A	00047	-20.418	2.828	0,10053	38,24	00060	-9.138	462	0,10053	NS	00085	52.289	2.614	0,10053	37,73
	P		-251.013	-34.952	0,10053	3,95		159.577	-7.990	0,10053	10,59		-249.615	-9.347	0,10053	14,74
S	A		-156.441	5.195	0,08042	19,43		-512.246	23.120	0,08042	6,24		-29.371	1.469	0,16085	NS
	P		-1.077.813	-59.185	0,08042	3,43		-881.234	-36.193	0,08042	5,08		-229.499	-11.475	0,16085	17,11
P	A	00087	82.665	3.996	0,18096	44,18	00395	51.686	2.536	0,10053	38,94	00396	324.117	7.599	0,10053	8,30
	P		-431.369	-23.304	0,18096	10,40		12.522	-615	0,10053	NS		230.362	-2.089	0,10053	36,07
S	A		-213.456	10.673	0,16085	18,21		-673.062	10.221	0,08042	15,87		-462.647	12.264	0,08042	11,33
	P		-620.828	-28.980	0,16085	8,45		-548.451	-3.287	0,08042	45,07		-274.651	-1.341	0,08042	86,09
P	A	00397	74.581	3.729	0,10053	25,67	00398	193.029	2.799	0,10053	28,66	00399	244.976	6.652	0,10053	11,04
	P		108.504	-4.738	0,10053	19,27		201.644	-2.834	0,10053	27,91		185.517	-2.905	0,10053	27,96
S	A		-154.964	7.747	0,08042	12,60		-406.196	13.939	0,08042	9,42		-286.263	14.305	0,08042	8,11
	P		0	0	0,08042	-		-21.324	-158	0,08042	NS		10.724	-884	0,08042	87,66
P	A	00400	66.582	1.689	0,10053	57,30	00443	0	0	0,10053	-	00444	136.825	1.509	0,10053	58,05
	P		2.692	-164	0,10053	NS		-257.06	-12.853	0,10053	10,79		-133.57	-16.239	0,10053	7,56

Dir	Pos	Nodo	N_{Ed} [N]	M_{Ed} [N·m]	A_s [cm²/cm]	CS	Nodo	N_{Ed} [N]	M_{Ed} [N·m]	A_s [cm²/cm]	CS	Nodo	N_{Ed} [N]	M_{Ed} [N·m]	A_s [cm²/cm]	CS
								3					6			
S	A		-474.212	21.960	0,08042	6,32		22.214	81	0,08042	NS		-204.504	2.708	0,08042	40,07
	P		-2.061	-1.500	0,08042	52,29		-547.366	-24.851	0,08042	6,08		-612.623	-29.765	0,08042	5,34
P	A	00445	80.162	2.333	0,18096	75,82	00446	-30.137	1.507	0,10053	72,60	00447	203.089	2.740	0,10053	28,80
	P		33.707	-1.340	0,18096	NS		-322.631	-549	0,10053	NS		46.631	-2.332	0,10053	42,63
S	A		-220.356	11.018	0,08042	9,52		-174.163	8.708	0,08042	12,36		-177.697	8.572	0,08042	12,16
	P		-406.453	-18.922	0,08042	6,79		-315.859	-3.449	0,08042	36,48		0	0	0,08042	-
P	A	00448	222.884	433	0,10053	NS	00449	35.588	687	0,10053	NS	00450	151.105	1.778	0,10053	48,21
	P		46.122	-1.788	0,10053	55,63		49.481	-1.604	0,10053	61,72		350.066	-1.486	0,18096	95,41
S	A		-37.151	1.500	0,08042	59,87		-36.378	1.226	0,08042	73,19		-27.379	412	0,08042	NS
	P		-129.070	-2.492	0,08042	40,86		-101.524	-4.965	0,08042	19,78		-133.642	-6.682	0,08042	14,05
P	A	00721	52.163	2.422	0,10053	40,74	00722	0	0	0,10053	-	00723	-32.394	2.487	0,18096	76,99
	P		-973	-2.125	0,10053	49,70		-71.264	-2.886	0,10053	39,76		-25.340	-4.826	0,18096	39,48
S	A		-187.703	4.560	0,08042	22,89		-277.217	3.012	0,08042	39,09		-47.877	2.394	0,08042	35,26
	P		-609.032	-20.190	0,08042	7,76		-574.841	-13.206	0,08042	11,70		-450.295	-24.067	0,08042	5,64
P	A	00724	10.073	422	0,10053	NS	00725	29.893	1.031	0,10053	98,52	00726	28.395	948	0,10053	NS
	P		61.544	-1.546	0,10053	63,04		69.742	-2.494	0,10053	38,64		36.190	-840	0,10053	NS
S	A		-25.593	1.168	0,08042	70,31		-118.105	4.851	0,08042	19,18		-283.966	8.788	0,08042	13,01
	P		-287.070	-14.353	0,08042	8,08		-321.706	-9.333	0,08042	12,78		-3.551	-346	0,08042	NS
P	A	00727	89.522	2.455	0,10053	38,20	00728	14.507	140	0,10053	NS					
	P		60.048	-1.260	0,10053	77,50		85.413	-1.234	0,10053	76,42					
S	A		-349.305	4.617	0,08042	26,67		-30.757	1.538	0,08042	53,66					
	P		3.312	-142	0,08042	NS		-404.297	-11.948	0,08042	10,92					
Piano terra						**Parete19-P9**						**Parete 19-P9**				
P	A	00012	-178.067	12.724	0,08042	8,50	00050	85.843	4.292	0,16085	36,27	00091	-439.242	2.283	0,16085	97,61
	P		-245.684	-12.956	0,08042	9,02		-102.605	-11.857	0,16085	15,19		40.986	-2.049	0,16085	78,81
S	A		-450.986	22.549	0,10053	7,23		-257.330	8.688	0,23457	31,62		-3.979	199	0,10053	NS
	P		-486.793	-18.387	0,10053	9,11		-757.556	-30.074	0,23457	11,12		-16.959	-848	0,10053	NS
P	A	00093	-398.230	19.914	0,16085	10,93	00277	-349.427	625	0,08042	NS	00278	12.627	591	0,08042	NS
	P		-253.348	-12.667	0,16085	15,74		17.093	-965	0,08042	85,72		27.068	-1.300	0,08042	62,63
S	A		-725.545	29.848	0,18096	8,89		-204.808	10.246	0,10053	12,43		-269.893	10.839	0,10053	12,59
	P		-459.168	-22.958	0,10053	7,19		-445.326	-6.415	0,10053	24,59		-165.771	-6.625	0,10053	18,59
P	A	00279	23.565	1.194	0,08042	68,60	00280	-54.544	716	0,08042	NS	00281	68.538	735	0,08042	NS
	P		2.763	-240	0,08042	NS		7.691	-369	0,08042	NS		165.778	-1.079	0,08042	58,63
S	A		-259.458	12.972	0,10053	10,43		-282.546	14.127	0,10053	9,64		-290.770	14.539	0,10053	9,62
	P		-214.657	-10.733	0,10053	12,07		-257.009	-12.850	0,10053	10,34		-285.621	-14.281	0,10053	9,75
P	A	00282	147.355	958	0,16085	NS	00425	-29.931	2.816	0,08042	31,56	00426	23.950	2.828	0,08042	28,94
	P		-13.893	-695	0,16085	NS		37.737	-1.938	0,08042	41,30		28.337	-1.417	0,08042	57,36
S	A		-253.869	12.693	0,10053	10,45		-273.254	13.663	0,10053	10,30		-104.313	5.216	0,10053	22,82
	P		-287.623	-14.381	0,10053	9,52		-304.439	-11.467	0,10053	12,62		-105.732	-5.287	0,10053	22,55
P	A	00427	218.241	845	0,16085	NS	00428	32.955	995	0,08042	81,07	00429	13.771	571	0,08042	NS
	P		8.445	-422	0,16085	NS		1.247	-62	0,08042	NS		888	-44	0,08042	NS
S	A		-51.568	2.578	0,10053	40,68		-88.060	4.393	0,10053	26,62		-229.287	11.464	0,10053	11,79
	P		-25.382	-1.254	0,10053	80,94		-224.833	-194	0,10053	NS		-150.678	-6.360	0,10053	19,66
P	A	00430	-15.273	1.298	0,08042	67,02	00431	-20.041	1.002	0,08042	87,42	00432	-8.747	439	0,16085	NS
	P		-20.511	-1.026	0,08042	85,48		-24.064	-1.203	0,08042	73,24		21.381	-1.065	0,16085	NS
S	A		-339.200	16.960	0,10053	8,55		-489.835	24.492	0,10053	6,86		-676.736	29.550	0,10053	6,18
	P		-254.033	-12.702	0,10053	10,57		-376.161	-18.808	0,10053	8,18		-427.140	-21.357	0,10053	7,18
P	A	00433	-204.570	10.228	0,08042	10,91	00434	-119.945	9.053	0,08042	11,11	00705	12.668	1.001	0,08042	83,24
	P		-114.034	-5.702	0,08042	17,51		-140.197	-7.010	0,08042	14,73		10.974	-498	0,08042	NS
S	A		-504.131	25.207	0,10053	6,73		-427.950	21.397	0,10053	7,28		-63.772	3.189	0,10053	34,43
	P		-365.582	-18.279	0,10053	8,34		-364.425	-18.221	0,10053	8,11		-45.159	-1.522	0,10053	70,54

Dir	Pos	Nodo	N_{Ed} [N]	M_{Ed} [N·m]	A_s [cm²/cm]	CS	Nodo	N_{Ed} [N]	M_{Ed} [N·m]	A_s [cm²/cm]	CS	Nodo	N_{Ed} [N]	M_{Ed} [N·m]	A_s [cm²/cm]	CS
P	A	00706	-122.008	9.315	0,16085	19,60	00707	97.767	3.002	0,16085	51,35	00708	-10.263	1.991	0,08042	43,36
	P		-95.073	-4.754	0,16085	37,68		-63.377	-3.169	0,16085	55,23		13.926	-1.400	0,08042	59,40
S	A		-540.215	27.010	0,10053	6,44		-338.162	14.344	0,23457	19,87		-230.366	11.518	0,10053	11,74
	P		-387.617	-19.381	0,10053	8,01		-306.346	-15.317	0,23457	18,34		-309.546	-13.355	0,10053	10,89
P	A	00709	-179.109	777	0,08042	NS	00710	13.656	614	0,08042	NS	00711	-206.151	706	0,08042	NS
	P		38.251	-378	0,08042	NS		26.151	-1.038	0,08042	78,61		5.949	-297	0,08042	NS
S	A		-176.567	5.820	0,10053	21,07		-234.972	11.711	0,10053	11,09		-356.519	17.826	0,10053	8,20
	P		-198.017	-5.757	0,10053	21,78		-158.752	-7.724	0,10053	15,55		-299.501	-14.975	0,10053	9,27
P	A	00712	-146.766	497	0,08042	NS										
	P		94.696	-757	0,08042	95,85										
S	A		-408.500	20.425	0,10053	7,49										
	P		-333.143	-16.657	0,10053	8,62										
Piano terra						**ParetеP10-21-P11**						**Parete P10-21**				
P	A	00016	-73.768	3.688	0,08042	25,65	00064	210.798	6.482	0,08042	8,84	00094	8.501	431	0,08042	NS
	P		217	-3.364	0,08042	25,25		-30.896	-4.906	0,08042	18,14		-70.677	-3.545	0,08042	26,57
S	A		-273.691	13.685	0,08042	8,80		-165.282	8.264	0,18096	24,76		-205.422	10.056	0,16085	19,22
	P		-330.036	-16.502	0,08042	7,73		-278.938	-12.085	0,18096	18,13		-383.602	-17.845	0,16085	12,10
P	A	00096	-498.568	7.546	0,16085	30,51	00283	9.093	455	0,08042	NS	00284	-232.642	93	0,08042	NS
	P		-61.532	-4.669	0,16085	37,43		-290.626	-1.663	0,08042	73,70		9.494	-461	0,08042	NS
S	A		-2.458.477	18.500	0,16085	18,51		-176.781	8.839	0,08042	11,61		-151.028	5.005	0,08042	19,81
	P		-231.362	-10.622	0,16085	18,51		-234.273	-11.714	0,08042	9,39		-166.507	-7.125	0,08042	14,20
P	A	00285	69.555	1.571	0,08042	48,30	00286	-227.288	3.798	0,08042	30,14	00287	-227.368	5.924	0,08042	19,33
	P		12.916	-612	0,08042	NS		1.296	-210	0,08042	NS		-8.244	-673	0,08042	NS
S	A		-123.958	1.906	0,08042	50,17		-120.777	4.891	0,08042	19,35		-100.232	4.426	0,08042	21,07
	P		-160.457	-6.340	0,08042	15,83		-154.203	-6.912	0,08042	14,32		-151.465	-5.061	0,08042	19,74
P	A	00288	-200.885	8.218	0,08042	13,52	00321	-72.721	3.715	0,08042	25,43	00322	-100.580	8.945	0,08042	10,97
	P		29.801	-1.336	0,08042	60,69		-60.600	-5.442	0,08042	17,07		36.888	-748	0,08042	NS
S	A		-239.230	8.509	0,08042	13,10		-284.894	14.137	0,08042	8,62		-496.508	6.151	0,08042	24,11
	P		-91.585	-3.808	0,08042	24,27		-344.563	-17.228	0,08042	7,51		-104.593	-419	0,08042	NS
P	A	00323	-544.297	7.134	0,16085	33,06	00324	-289.507	5.897	0,08042	20,76	00325	127.571	3.842	0,08042	17,77
	P		54.960	-1.106	0,16085	NS		139.660	-1.052	0,08042	63,40		88.359	-1.097	0,08042	66,94
S	A		-2.452.280	15.196	0,16085	21,99		-996.590	8.074	0,08042	24,81		-275.951	4.764	0,08042	25,34
	P		-211.082	-6.734	0,16085	27,53		-132.334	-6.463	0,08042	15,82		-145.303	-6.969	0,08042	14,91
P	A	00326	39.346	1.851	0,08042	43,12	00327	147.257	288	0,08042	NS	00328	2.167	406	0,08042	NS
	P		192.663	-1.923	0,08042	31,06		91.966	-768	0,08042	94,98		-11.120	-1.854	0,08042	46,62
S	A		-194.589	1.920	0,08042	57,42		-301.506	5.862	0,08042	21,15		-156.858	7.840	0,08042	12,65
	P		-146.831	-7.087	0,08042	14,69		-172.419	-6.154	0,08042	17,46		-236.800	-10.942	0,08042	10,01
P	A	00605	54.292	1.015	0,08042	76,69	00606	-173.482	9.115	0,08042	11,80	00607	-354.340	7.609	0,16085	27,89
	P		-303.226	-2.711	0,08042	45,80		-25.573	-1.365	0,08042	64,71		-20.989	-1.289	0,16085	NS
S	A		-219.507	10.975	0,08042	9,98		-497.017	11.679	0,18096	21,44		-1.408.427	10.398	0,16085	29,47
	P		-280.309	-14.015	0,08042	8,37		-132.364	-3.969	0,18096	51,47		-185.078	-7.416	0,16085	24,82
P	A	00608	-9.498	582	0,08042	NS	00609	11.449	287	0,08042	NS	00610	-244.808	1.295	0,08042	90,13
	P		-167.161	-2.655	0,08042	40,20		-269.037	-1.956	0,08042	61,27		23.624	-911	0,08042	89,89
S	A		-210.615	10.452	0,08042	10,31		-187.965	9.006	0,08042	11,56		-94.410	1.374	0,08042	67,20
	P		-285.211	-14.255	0,08042	8,23		-243.576	-11.953	0,08042	9,31		-160.910	-6.729	0,08042	15,00
P	A	00611	-254.981	4.518	0,08042	26,13	00612	-204.269	7.752	0,08042	14,39					
	P		2.433	-429	0,08042	NS		19.400	-951	0,08042	86,72					
S	A		-80.783	3.616	0,08042	25,07		-708.272	10.451	0,08042	15,99					
	P		-140.32	-6.752	0,08042	14,57		-119.69	-5.195	0,08042	18,35					

Dir	Pos	Nodo	N_{Ed} [N]	M_{Ed} [N·m]	A_s [cm²/cm]	CS	Nodo	N_{Ed} [N]	M_{Ed} [N·m]	A_s [cm²/cm]	CS	Nodo	N_{Ed} [N]	M_{Ed} [N·m]	A_s [cm²/cm]	CS
			2					0								
Piano terra						**ParetеP10-21-P11**						**Parete 21-P11**				
P	A	00016	18.760	1.004	0,08042	82,18	00064	227.329	12.475	0,08042	4,42	00118	28.619	1.431	0,08042	56,77
	P		287.137	-7.008	0,08042	6,75		83.776	-4.427	0,08042	16,72		-305.776	-5.659	0,08042	22,00
S	A		-278.258	9.948	0,08042	12,16		-421.971	21.099	0,18096	11,43		-46.404	2.320	0,16085	74,49
	P		-284.719	-13.940	0,08042	8,74		-485.177	-24.244	0,18096	10,27		-1.518.209	-2.524	0,16085	NS
P	A	00119	-303.286	10.358	0,21447	25,07	00283	16.431	566	0,08042	NS	00284	-233.638	93	0,08042	NS
	P		-126.814	-10.153	0,18096	20,06		-283.762	-1.597	0,08042	76,20		5.498	-258	0,08042	NS
S	A		-2.749.987	24.906	0,18096	13,24		-197.985	7.894	0,08042	13,39		-142.600	4.298	0,08042	22,79
	P		-351.643	-9.036	0,16085	23,47		-233.528	-11.448	0,08042	9,63		-156.165	-6.326	0,08042	15,76
P	A	00285	-233.754	2.171	0,08042	53,12	00286	-235.302	3.798	0,08042	30,41	00287	-209.787	5.933	0,08042	18,92
	P		12.891	-592	0,08042	NS		6.929	-332	0,08042	NS		-4.805	-677	0,08042	NS
S	A		-135.887	2.524	0,08042	38,51		-129.912	3.274	0,08042	29,32		-119.940	5.533	0,08042	17,31
	P		-149.983	-6.592	0,08042	15,02		-152.867	-6.332	0,08042	15,63		-143.627	-5.821	0,08042	16,98
P	A	00288	-212.018	7.957	0,08042	14,14	00347	-93.710	5.327	0,08042	18,25	00348	-18.810	940	0,08042	92,97
	P		-18.759	-1.005	0,08042	86,97		-64.420	-5.223	0,08042	17,88		-282.765	-3.249	0,08042	37,42
S	A		-237.905	11.283	0,08042	9,87		-267.169	13.358	0,08042	8,95		-188.475	9.424	0,08042	11,62
	P		-106.752	-4.412	0,08042	21,40		-276.608	-13.830	0,08042	8,73		-150.582	-7.529	0,08042	13,89
P	A	00349	13.150	658	0,08042	NS	00350	10.302	262	0,08042	NS	00351	-201.801	2.217	0,08042	50,16
	P		-121.944	-1.852	0,08042	54,46		58.439	-454	0,08042	NS		7.439	-295	0,08042	NS
S	A		-57.384	2.869	0,08042	30,07		-59.801	2.018	0,08042	45,98		-244.512	2.067	0,08042	56,46
	P		-41.615	-2.081	0,08042	40,47		-64.774	-3.239	0,08042	28,85		-97.845	-4.843	0,08042	20,18
P	A	00352	52.219	2.817	0,08042	27,74	00353	-165.887	5.975	0,21447	40,57	00354	-285.465	7.507	0,21447	34,30
	P		10.021	-529	0,08042	NS		121.303	-718	0,18096	NS		-36.746	-642	0,18096	NS
S	A		-360.872	5.935	0,08042	22,15		-214.791	6.010	0,08042	18,78		-2.558.107	17.966	0,08042	13,94
	P		-120.716	-6.047	0,08042	16,65		-172.388	-7.314	0,08042	14,69		-358.876	-3.100	0,08042	40,05
P	A	00355	-145.991	10.661	0,21447	22,50	00356	-87.361	9.496	0,08042	10,15	00629	-606	30	0,08042	NS
	P		18.056	-865	0,18096	NS		310.043	-1.441	0,08042	30,73		-206.142	-2.829	0,08042	39,50
S	A		-282.173	6.143	0,08042	19,78		-134.837	4.325	0,08042	22,85		-124.264	6.213	0,08042	15,60
	P		0	0	0,08042	-		-436.570	-4.488	0,08042	30,58		-102.050	-5.103	0,08042	18,43
P	A	00630	-213.743	7.560	0,21447	32,87	00631	-148.972	9.825	0,08042	10,62	00632	3.821	1.310	0,08042	64,49
	P		-27.957	-1.958	0,18096	97,51		0	0	0,08042	-		-303.320	-2.998	0,08042	41,43
S	A		-1.521.728	11.482	0,18096	26,15		-423.499	8.903	0,18096	27,10		-203.948	9.715	0,08042	11,12
	P		-288.434	-3.022	0,08042	38,72		-136.298	-2.801	0,18096	73,13		-237.332	-11.853	0,08042	9,47
P	A	00633	13.281	478	0,08042	NS	00634	-228.021	1.302	0,08042	88,00	00635	-203.816	4.546	0,08042	24,52
	P		-270.199	-2.030	0,08042	59,10		12.366	-441	0,08042	NS		2.269	-118	0,08042	NS
S	A		-154.255	7.475	0,08042	13,40		-106.208	1.858	0,08042	50,73		-172.672	4.422	0,08042	23,30
	P		-193.375	-9.538	0,08042	11,03		-130.907	-5.454	0,08042	17,87		-161.673	-6.111	0,08042	16,63
P	A	00636	-142.288	7.824	0,08042	13,23										
	P		45.008	-1.347	0,08042	58,72										
S	A		-828.853	14.216	0,08042	12,62										
	P		-170.462	-3.535	0,08042	28,82										
Piano terra						**ParetеP12-22-P13**						**Parete P12-22**				
P	A	00018	-51.263	2.563	0,08042	35,77	00065	211.061	7.406	0,08042	7,74	00115	-18.777	939	0,08042	93,13
	P		-296.233	-4.473	0,08042	27,57		-25.223	-3.452	0,08042	25,57		-241.171	-3.400	0,08042	34,19
S	A		-293.331	14.667	0,08042	8,38		-199.960	9.998	0,21447	24,39		-274.354	13.718	0,16085	14,73
	P		-149.928	-7.496	0,08042	13,94		-297.519	-10.750	0,21447	23,84		-207.919	-10.396	0,16085	18,62

Dir	Pos	Nodo	N_{Ed} [N]	M_{Ed} [N·m]	A_s [cm²/cm]	CS	Nodo	N_{Ed} [N]	M_{Ed} [N·m]	A_s [cm²/cm]	CS	Nodo	N_{Ed} [N]	M_{Ed} [N·m]	A_s [cm²/cm]	CS
P	A	00116	-246.143	4.400	0,16085	45,11	00295	19.940	997	0,08042	82,62	00296	20.861	732	0,08042	NS
	P		-82.166	-5.854	0,16085	30,31		-257.646	-2.022	0,08042	58,53		-222.974	-854	0,08042	NS
S	A		-2.526.378	14.643	0,16085	23,13		-202.991	10.147	0,08042	10,47		-173.157	6.355	0,08042	15,99
	P		-267.594	-8.208	0,16085	24,51		-84.015	-4.201	0,08042	21,61		-192.452	-4.052	0,08042	25,69
P	A	00297	120.053	1.385	0,08042	49,98	00298	-199.659	1.726	0,08042	64,27	00299	-180.490	3.186	0,08042	34,05
	P		24.033	-75	0,08042	NS		3.882	-221	0,08042	NS		-16.802	-917	0,08042	95,02
S	A		-30.739	819	0,08042	NS		-490.535	3.449	0,08042	40,99		-276.179	3.494	0,08042	33,04
	P		-176.287	-5.902	0,08042	17,30		-164.365	-7.039	0,08042	14,23		-155.941	-6.339	0,08042	15,77
P	A	00300	-180.383	4.581	0,08042	23,67	00357	-97.444	4.872	0,08042	20,05	00358	-71.152	5.202	0,08042	18,12
	P		-19.241	-1.403	0,08042	62,35		-282.255	-3.128	0,08042	38,84		0	0	0,08042	-
S	A		-189.107	6.755	0,08042	15,53		-308.909	15.445	0,08042	8,09		-509.626	4.300	0,08042	34,86
	P		-130.357	-5.703	0,08042	17,06		-170.715	-8.536	0,08042	12,56		-117.073	-2.280	0,08042	43,97
P	A	00359	-241.539	4.127	0,16085	47,95	00360	-156.550	3.111	0,08042	33,86	00361	56.079	2.142	0,08042	36,25
	P		0	0	0,16085	-		152.375	-1.426	0,08042	45,59		25.965	-1.265	0,08042	64,48
S	A		-2.508.251	13.116	0,08042	19,24		-1.021.458	6.358	0,08042	31,85		-362.362	4.207	0,08042	31,30
	P		-187.610	-7.207	0,08042	14,20		-144.887	-6.922	0,08042	15,00		-162.425	-7.602	0,08042	13,96
P	A	00362	140.593	367	0,08042	NS	00363	5.997	300	0,08042	NS	00364	-1.856	610	0,08042	NS
	P		25.099	-1.171	0,08042	69,77		141.734	-782	0,08042	84,92		117.175	-3.099	0,08042	22,47
S	A		-42.193	2.098	0,08042	43,14		-201.247	6.375	0,08042	17,43		-208.612	10.431	0,08042	10,16
	P		-180.921	-6.322	0,08042	17,16		-226.057	-3.898	0,08042	29,33		-145.211	-7.261	0,08042	13,47
P	A	00637	36.510	1.035	0,08042	77,47	00638	102.420	3.768	0,08042	18,99	00639	-178.682	4.375	0,16085	43,40
	P		-277.817	-2.754	0,08042	43,92		-24.247	-1.277	0,08042	69,02		-41.160	-2.519	0,16085	68,34
S	A		-247.662	12.383	0,08042	9,14		-436.301	10.626	0,21447	26,06		-1.429.735	9.229	0,16085	33,37
	P		-127.445	-6.372	0,08042	15,32		-140.471	-5.566	0,21447	43,01		-166.521	-6.052	0,16085	30,07
P	A	00640	61.390	568	0,08042	NS	00641	11.711	526	0,08042	NS	00642	11.381	487	0,08042	NS
	P		-195.039	-2.520	0,08042	43,78		-246.235	-2.180	0,08042	53,64		13.488	-394	0,08042	NS
S	A		-247.232	12.362	0,08042	9,07		-220.439	10.668	0,08042	10,17		-197.210	2.746	0,08042	38,53
	P		-160.290	-8.015	0,08042	12,60		-126.329	-6.316	0,08042	15,25		-193.250	-5.613	0,08042	18,76
P	A	00643	-185.025	2.186	0,08042	49,87	00644	-131.263	4.260	0,08042	23,96					
	P		1.748	-227	0,08042	NS		-3.910	-1.158	0,08042	73,83					
S	A		-230.315	1.622	0,08042	67,93		-732.009	9.702	0,08042	17,55					
	P		-156.744	-7.219	0,08042	13,95		-135.916	-6.132	0,08042	16,00					
Piano terra						**ParetеP12-22-P13**						**Parete 22-P13**				
P	A	00018	39.966	1.977	0,08042	40,33	00065	239.050	11.833	0,08042	4,53	00097	30.064	1.062	0,08042	76,30
	P		-298.454	-4.580	0,08042	26,98		102.529	-5.427	0,08042	13,18		69.013	-3.349	0,08042	22,67
S	A		-288.885	12.460	0,08042	9,82		-413.682	20.684	0,21447	13,01		-34.148	1.707	0,16085	NS
	P		-97.604	-4.880	0,08042	20,02		-596.447	-29.822	0,21447	9,78		-883.203	-1.059	0,16085	NS
P	A	00099	-1.144.909	9.764	0,16085	30,16	00295	14.084	690	0,08042	NS	00296	28.520	1.426	0,08042	56,98
	P		-113.333	-7.133	0,16085	25,44		-255.864	-1.987	0,08042	59,45		-215.156	-846	0,08042	NS
S	A		-2.736.052	24.526	0,16085	13,31		-219.044	9.618	0,08042	11,21		-160.503	6.198	0,08042	16,15
	P		-229.388	-10.150	0,16085	19,34		-83.668	-4.183	0,08042	21,58		-166.681	-4.237	0,08042	23,80
P	A	00297	107.565	1.445	0,08042	49,07	00298	-195.233	1.726	0,08042	63,95	00299	-190.295	3.165	0,08042	34,67
	P		6.420	-289	0,08042	NS		5.649	-279	0,08042	NS		-1.697	-1.020	0,08042	83,55
S	A		-24.955	1.125	0,08042	73,20		-411.148	3.527	0,08042	37,26		-349.349	5.708	0,08042	21,89
	P		-157.039	-6.317	0,08042	15,76		-158.155	-6.841	0,08042	14,50		-152.637	-6.670	0,08042	14,96
P	A	00300	-171.347	4.399	0,08042	24,38	00311	-118.195	5.910	0,08042	16,99	00312	-31.903	1.595	0,08042	55,89
	P		-21.849	-1.369	0,08042	64,16		-311.607	-3.356	0,08042	37,32		-216.831	-3.186	0,08042	35,51

Dir	Pos	Nodo	N_{Ed} [N]	M_{Ed} [N·m]	A_s [cm²/cm]	CS	Nodo	N_{Ed} [N]	M_{Ed} [N·m]	A_s [cm²/cm]	CS	Nodo	N_{Ed} [N]	M_{Ed} [N·m]	A_s [cm²/cm]	CS
S	A		-183.136	8.516	0,08042	12,20		-298.403	14.920	0,08042	8,28		-217.422	10.871	0,08042	10,41
	P		-147.390	-6.149	0,08042	16,14		-136.433	-6.822	0,08042	15,06		-41.236	-2.062	0,08042	43,83
P	A	00313	25.160	187	0,08042	NS	00314	5.583	161	0,08042	NS	00315	32.859	927	0,08042	87,03
	P		97.511	-2.248	0,08042	32,12		24.086	-750	0,08042	NS		179.647	-571	0,08042	NS
S	A		-68.876	3.444	0,08042	25,27		-71.109	2.649	0,08042	35,58		-223.181	1.904	0,08042	59,84
	P		-34.217	-1.711	0,08042	48,22		-51.448	-2.482	0,08042	36,95		-85.413	-4.087	0,08042	23,52
P	A	00316	128.890	3.991	0,08042	17,06	00317	-227.723	3.255	0,08042	35,19	00318	-464.547	4.535	0,16085	49,84
	P		26.419	-1.170	0,08042	69,70		105.523	-885	0,08042	80,35		-6.943	-427	0,16085	NS
S	A		-321.851	5.366	0,08042	23,59		-994.527	8.596	0,08042	23,28		-2.553.257	16.257	0,08042	15,35
	P		-113.419	-5.560	0,08042	17,95		-164.546	-7.745	0,08042	13,74		-185.395	-8.390	0,08042	12,02
P	A	00319	-150.076	6.690	0,16085	27,83	00320	89.471	4.465	0,08042	16,41	00597	-11.538	577	0,08042	NS
	P		35.611	-1.948	0,16085	83,27		328.624	-2.893	0,08042	14,46		-85.136	-2.871	0,08042	33,46
S	A		-90.178	2.779	0,08042	34,82		-168.500	1.331	0,08042	76,65		-142.099	7.105	0,08042	13,92
	P		-120.453	-6.006	0,08042	16,76		-387.456	-8.309	0,08042	15,64		-12.781	-639	0,08042	NS
P	A	00598	-307.902	5.005	0,16085	41,23	00599	-143.078	5.717	0,08042	18,13	00600	-6.598	1.322	0,08042	64,92
	P		-24.991	-1.750	0,16085	97,19		5.180	-469	0,08042	NS		-273.815	-3.040	0,08042	39,62
S	A		-1.505.047	9.973	0,08042	23,21		-376.632	6.872	0,21447	39,21		-228.982	11.446	0,08042	9,70
	P		-79.629	-3.919	0,08042	22,96		-160.811	-4.916	0,21447	49,22		-84.324	-4.216	0,08042	21,90
P	A	00601	7.130	356	0,08042	NS	00602	5.243	213	0,08042	NS	00603	-204.567	2.228	0,08042	50,08
	P		-228.822	-2.336	0,08042	49,10		13.748	-133	0,08042	NS		99.771	-835	0,08042	86,13
S	A		-176.175	8.706	0,08042	11,74		-119.270	2.814	0,08042	33,84		-760.231	3.406	0,08042	50,73
	P		-52.236	-2.612	0,08042	32,95		-127.933	-4.929	0,08042	19,55		-159.705	-6.483	0,08042	15,54
P	A	00604	-160.355	4.634	0,08042	22,84										
	P		31.135	-951	0,08042	85,03										
S	A		-806.734	13.423	0,08042	13,14										
	P		-168.474	-4.977	0,08042	20,25										
Piano terra						**ParetеP14-24**						**Parete P14-24**				
P	A	00088	-258.139	10.194	0,16085	19,46	00090	-254.363	12.798	0,16085	15,59	00109	114.332	5.682	0,08042	12,32
	P		58.741	-2.797	0,08042	27,64		-840.944	-2.454	0,16085	NS		-4.087	-208	0,08042	NS
S	A		-248.688	12.434	0,16085	15,99		-419.089	20.954	0,16085	10,52		-1.087.168	38.914	0,08042	5,19
	P		-28.994	-1.450	0,16085	NS		-120.309	-6.015	0,16085	30,32		-430.342	-16.265	0,08042	8,25
P	A	00110	-266.468	37.197	0,08042	3,21	00289	3.475	143	0,08042	NS	00290	129.880	2.973	0,08042	22,85
	P		-20.338	-1.397	0,08042	62,73		154.922	-4.355	0,08042	14,85		243.911	-6.233	0,08042	8,50
S	A		-936.206	52.747	0,08042	3,63		-2.766	1.037	0,08042	77,37		9.727	362	0,08042	NS
	P		-90.486	-4.524	0,08042	20,61		-441.424	-22.071	0,08042	6,18		-225.492	-11.204	0,08042	9,78
P	A	00291	105.284	3.633	0,08042	19,60	00292	99.608	4.765	0,08042	15,10	00293	221.543	2.125	0,08042	26,31
	P		25.200	-3.122	0,08042	26,16		58.445	-2.922	0,08042	26,46		278.730	-10.087	0,08042	4,80
S	A		0	0	0,08042	-		0	0	0,08042	-		-185.292	269	0,08042	NS
	P		-334.454	-11.809	0,08042	10,48		-218.687	-8.866	0,08042	12,14		-384.563	-11.169	0,08042	11,72
P	A	00294	7.107	329	0,08042	NS	00435	-222.744	11.137	0,08042	10,23	00436	-91.667	13.839	0,08042	7,01
	P		142.919	-2.676	0,08042	24,76		0	0	0,08042	-		133.037	-275	0,08042	NS
S	A		-72.671	2.312	0,08042	38,90		-529.652	22.604	0,08042	6,61		-527.131	26.357	0,08042	5,77
	P		-560.313	-8.998	0,08042	16,83		20.120	-159	0,08042	NS		-163.260	-3.540	0,08042	30,01
P	A	00437	32.901	806	0,16085	NS	00438	12.573	629	0,08042	NS	00439	21.605	1.080	0,08042	76,05
	P		51.837	-2.539	0,16085	63,06		37.851	-1.223	0,08042	65,42		40.268	-1.151	0,08042	69,25
S	A		-231.731	10.358	0,08042	10,45		-39.613	92	0,08042	NS		-19.331	37	0,08042	NS
	P		-170.282	-8.514	0,08042	11,78		-223.266	-11.163	0,08042	10,21		-215.357	-10.768	0,08042	10,20
P	A	00440	176.675	4.547	0,08042	13,59	00441	55.021	1.933	0,08042	40,23	00442	-34.708	1.735	0,16085	98,72
	P		-12.047	-866	0,08042	99,97		118.553	-690	0,08042	NS		86.396	-1.274	0,16085	NS
S	A		-113.196	1.605	0,08042	62,14		-94.959	3.021	0,08042	32,24		-155.265	7.763	0,08042	12,63

Dir	Pos	Nodo	N_{Ed} [N]	M_{Ed} [N·m]	A_s [cm²/cm]	CS	Nodo	N_{Ed} [N]	M_{Ed} [N·m]	A_s [cm²/cm]	CS	Nodo	N_{Ed} [N]	M_{Ed} [N·m]	A_s [cm²/cm]	CS
	P		-115.953	-5.303	0,08042	18,88		-55.738	-2.374	0,08042	38,86		-8.472	-201	0,08042	NS
P	A	00713	-43.171	2.066	0,08042	43,85	00714	-56.652	3.455	0,08042	26,74	00715	-18.924	1.868	0,08042	46,82
	P		84.348	-2.092	0,08042	35,33		0	0	0,08042	-		-30.729	-2.063	0,08042	43,13
S	A		-594.566	16.874	0,08042	9,25		-533.683	10.848	0,08042	14,09		-300.646	14.993	0,08042	7,93
	P		-129.885	-2.096	0,08042	46,78		-222.665	-2.815	0,08042	40,45		-72.752	-3.638	0,08042	24,61
P	A	00716	-30.931	2.247	0,08042	39,61	00717	43.878	1.826	0,08042	43,38	00718	17.714	864	0,08042	95,71
	P		100.568	-1.171	0,08042	61,34		21.574	-528	0,08042	NS		40.322	-1.468	0,08042	54,28
S	A		-310.225	15.511	0,08042	7,72		-318.262	9.497	0,08042	12,66		-2.177	103	0,08042	NS
	P		0	0	0,08042	-		-98.453	-2.762	0,08042	33,29		-194.289	-6.152	0,08042	16,98
P	A	00719	65.385	1.876	0,08042	40,73	00720	66.647	1.499	0,08042	50,88					
	P		85.553	-1.022	0,08042	72,21		78.632	-253	0,08042	NS					
S	A		0	0	0,08042	-		-298.589	8.605	0,08042	13,84					
	P		-101.079	-3.593	0,08042	25,84		-77.234	-3.862	0,08042	23,45					
Piano terra						**Parete6-P7**						**Parete 6-P7**				
P	A	00047	28.629	977	0,08042	83,13	00060	-39.726	12.081	0,16085	14,23	00079	18.587	914	0,16085	NS
	P		-344.761	-44.648	0,08042	2,90		-279.335	-13.967	0,16085	14,51		-117.576	-5.116	0,16085	35,58
S	A		-263.164	13.190	0,08042	8,65		-224.488	11.224	0,16085	17,02		-156.796	1.233	0,08042	85,45
	P		-998.293	-52.260	0,08042	3,74		-769.825	-38.491	0,16085	6,65		-248.088	-8.005	0,08042	14,64
P	A	00107	0	0	0,16085	-	00108	-244.886	5.870	0,08042	19,89	00380	0	0	0,08042	-
	P		58.987	-11.703	0,16085	13,60		-56.240	-2.813	0,08042	32,83		-63.839	-9.806	0,08042	9,52
S	A		0	0	0,16085	-		-347.070	17.354	0,18096	13,08		-213.361	7.864	0,08042	13,48
	P		122.247	-10.186	0,08042	6,77		-318.322	-9.560	0,08042	13,22		-636.403	-17.468	0,08042	9,04
P	A	00381	116.920	2.977	0,08042	23,40	00382	58.146	2.312	0,08042	33,46	00383	100.214	447	0,08042	NS
	P		212.885	-5.209	0,08042	10,95		104.161	-1.747	0,08042	40,82		20.818	-3.620	0,08042	22,72
S	A		-168.935	5.462	0,08042	18,22		-86.282	1.044	0,08042	85,53		-148.149	643	0,08042	NS
	P		-466.266	-12.514	0,08042	10,96		-311.675	-12.741	0,08042	9,29		-201.536	-10.077	0,08042	10,64
P	A	00384	63.646	719	0,16085	NS	00385	113.369	235	0,08042	NS	00386	-3.742	187	0,08042	NS
	P		85.806	-2.625	0,16085	59,31		-29.759	-1.797	0,08042	49,47		16.583	-820	0,08042	NS
S	A		59.164	199	0,08042	NS		-80.953	2.698	0,08042	35,41		-206.708	10.335	0,08042	10,82
	P		-148.208	-7.411	0,08042	13,10		-366.027	-5.338	0,08042	24,75		-33.493	-1.666	0,08042	53,65
P	A	00387	81.852	1.414	0,08042	52,51	00388	-57.632	2.882	0,08042	32,10	00389	-235.374	3.125	0,16085	63,07
	P		301.027	-2.841	0,08042	16,00		63.928	-234	0,08042	NS		36.794	-503	0,16085	NS
S	A		-281.743	14.087	0,08042	8,62		-332.910	16.645	0,08042	7,69		-322.212	16.111	0,08042	7,35
	P		-55.141	-2.757	0,08042	33,44		-118.489	-5.924	0,08042	16,95		-265.555	-7.836	0,08042	14,18
P	A	00390	-94.827	4.741	0,08042	20,53	00391	446.449	2.832	0,08042	9,30	00392	15.832	2.801	0,08042	29,60
	P		-25.616	-1.281	0,08042	68,96		39.586	-107	0,08042	NS		46.343	-2.317	0,08042	34,06
S	A		-292.657	14.633	0,08042	8,40		-247.636	12.382	0,08042	9,46		-286.510	14.326	0,08042	8,52
	P		-192.014	-9.601	0,08042	11,45		-246.689	-12.332	0,08042	9,49		-313.576	-14.771	0,08042	8,50
P	A	00393	104.520	4.463	0,08042	15,97	00394	-1.314	7.566	0,08042	11,25	00395	-46.516	3.915	0,16085	44,14
	P		45.645	-2.642	0,08042	29,90		-139.814	-6.991	0,08042	14,76		-52.537	-5.837	0,16085	29,74
S	A		-294.865	14.743	0,08042	8,35		-267.583	13.379	0,08042	8,94		-809.836	11.468	0,08042	15,34
	P		-384.005	-19.200	0,08042	7,00		-546.848	-24.059	0,08042	6,42		-440.972	-22.048	0,08042	6,11
P	A	00396	-55.688	2.774	0,08042	33,25	00397	-112.167	1.224	0,08042	81,41	00398	243.042	2.335	0,08042	22,73
	P		139.333	-3.334	0,08042	20,01		159.662	-8.843	0,08042	7,24		214.672	-6.045	0,08042	9,40
S	A		-452.680	14.001	0,08042	9,78		-271.725	12.894	0,08042	8,81		-321.513	9.368	0,08042	12,80
	P		-259.369	-12.968	0,08042	8,69		-406.705	-12.367	0,08042	10,56		-11.691	-797	0,08042	NS
P	A	00399	268.233	2.015	0,08042	24,69	00400	21.654	968	0,08042	84,90	00660	0	0	0,16085	-
	P		175.863	-1.782	0,08042	34,74		109.917	-2.838	0,08042	24,87		-19.629	-4.703	0,16085	36,01
S	A		-268.689	11.825	0,08042	9,61		-437.301	21.700	0,08042	6,24		-43.392	557	0,08042	NS
	P		-17.385	-1.075	0,08042	75,42		-483.185	-5.758	0,08042	24,49		-223.744	-9.051	0,08042	12,08
P	A	00661	-147.732	4.229	0,08042	24,64	00662	-23.692	6.521	0,08042	13,51	00663	50.500	2.592	0,08042	30,23
	P		40.120	-1.181	0,08042	67,54		-211.965	-10.598	0,08042	10,62		45.001	-7.880	0,08042	10,04

Dir	Pos	Nodo	N_{Ed} [N]	M_{Ed} [N·m]	A_s [cm²/cm]	CS	Nodo	N_{Ed} [N]	M_{Ed} [N·m]	A_s [cm²/cm]	CS	Nodo	N_{Ed} [N]	M_{Ed} [N·m]	A_s [cm²/cm]	CS
S	A		-307.747	15.387	0,18096	14,05		-103.550	5.177	0,08042	18,00		-253.796	11.594	0,08042	9,64
	P		-195.741	-8.960	0,08042	11,59		-459.720	-22.986	0,08042	6,03		-650.977	-18.719	0,08042	8,55
P	A	00664	8.296	384	0,08042	NS	00665	-1.561	15	0,08042	NS	00666	-76.128	1.620	0,08042	58,61
	P		-10.609	-3.276	0,08042	26,36		-135.306	-1.060	0,08042	96,78		40.295	-1.995	0,08042	39,95
S	A		-235.184	7.921	0,08042	13,64		-142.112	1.623	0,08042	58,99		-363.792	7.997	0,08042	15,54
	P		-459.866	-8.380	0,08042	16,27		-230.771	-3.448	0,08042	31,09		-304.633	-10.078	0,08042	11,59
P	A	00667	-14.541	3.934	0,08042	22,08	00668	39.367	430	0,08042	NS	00669	-77.329	502	0,08042	NS
	P		-46.774	-2.339	0,08042	38,95		-111.689	-1.870	0,08042	53,23		8.013	-401	0,08042	NS
S	A		-114.730	5.737	0,08042	16,26		-54.551	1.715	0,08042	49,52		-85.352	4.268	0,08042	20,74
	P		-396.471	-17.389	0,08042	7,44		-666.311	-3.907	0,08042	41,13		-197.061	-8.145	0,08042	12,65
P	A	00670	-40.650	2.448	0,08042	36,88	00671	67.625	1.239	0,08042	61,45	00672	24.913	796	0,08042	NS
	P		8.320	-416	0,08042	NS		-92.546	-2.412	0,08042	40,24		-67.510	-980	0,08042	95,69
S	A		-177.936	8.897	0,08042	11,39		-156.444	947	0,08042	NS		-121.160	6.057	0,08042	15,73
	P		-251.222	-12.561	0,08042	8,82		-172.769	-7.398	0,08042	13,76		-51.609	-2.035	0,08042	42,37
P	A	00673	-64.854	1.318	0,08042	70,90	00674	-50.648	2.938	0,08042	31,18					
	P		10.809	-540	0,08042	NS		19.588	-623	0,08042	NS					
S	A		-207.503	10.375	0,08042	10,23		-266.431	13.322	0,08042	8,43					
	P		-150.284	-7.193	0,08042	13,73		-266.359	-12.860	0,08042	8,73					
Piano terra						**Parete7-16**						**Parete 7-16**				
P	A	00023	89.158	86.038	0,16085	1,80	00035	-79.991	134.224	0,21447	1,71	00048	-17.755	2.328	0,16085	72,64
	P		-11.191	-559	0,08042	NS		0	0	0,08042	-		-228.459	-78.548	0,28149	4,01
S	A		68.621	41.671	0,16085	3,70		229.882	63.488	0,16085	2,10		-397.067	7.408	0,18096	30,57
	P		-209.741	-10.485	0,08042	10,35		0	0	0,08042	-		-2.357.568	-30.643	0,21447	11,94
P	A	00049	-22.129	1.088	0,08042	80,77	00265	126.713	17.056	0,16085	8,81	00266	25.664	10.290	0,08042	7,93
	P		-71.370	-3.617	0,08042	26,07		37.803	-952	0,08042	84,02		11.831	-468	0,08042	NS
S	A		-393.920	10.117	0,16085	21,46		-401.945	20.093	0,08042	6,58		-308.877	15.441	0,08042	8,09
	P		-417.881	-19.005	0,16085	11,58		-134.967	-6.747	0,08042	14,55		-60.701	-3.020	0,08042	30,76
P	A	00267	19.104	6.541	0,08042	12,61	00268	-6.628	4.442	0,08042	19,32	00269	-21.997	2.198	0,08042	39,97
	P		6.295	-166	0,08042	NS		124.571	-1.235	0,08042	55,58		3.449	-420	0,08042	NS
S	A		-140.139	6.999	0,08042	14,35		-115.637	5.781	0,08042	17,31		-156.771	7.837	0,08042	13,45
	P		-103.416	-2.315	0,08042	41,34		-116.821	-1.329	0,08042	75,37		-140.831	-6.002	0,08042	17,21
P	A	00270	-33.351	1.667	0,08042	53,57	00271	107.415	30.331	0,21447	6,81	00272	-66.974	16.399	0,08042	5,71
	P		-57.412	-3.379	0,08042	27,37		64.522	-3.225	0,08042	23,72		0	0	0,08042	-
S	A		-205.510	10.273	0,08042	10,30		-498.121	24.901	0,16085	8,73		-344.106	17.175	0,08042	7,35
	P		-235.827	-11.708	0,08042	9,37		-58.961	-2.947	0,08042	29,20		-24.627	-980	0,08042	86,74
P	A	00273	-97.945	6.169	0,08042	15,84	00274	9.540	529	0,08042	NS	00275	-10.297	515	0,08042	NS
	P		14.352	-40	0,08042	NS		119.615	-4.386	0,08042	15,80		-151.852	-11.063	0,08042	9,47
S	A		-92.217	4.610	0,08042	20,21		-122.678	6.133	0,08042	15,70		-163.474	8.172	0,08042	12,28
	P		0	0	0,08042	-		-253.736	-9.240	0,08042	12,25		-383.867	-19.171	0,08042	6,70
P	A	00276	65.817	1.327	0,16085	NS	00401	-150.886	802	0,08042	NS	00402	0	0	0,08042	-
	P		-357.472	-25.134	0,28149	13,05		86.472	-4.412	0,08042	16,69		-172.897	-6.008	0,08042	17,88
S	A		-226.582	10.644	0,18096	19,26		-1.001.196	8.871	0,08042	22,10		-313.130	13.193	0,08042	9,04
	P		-499.185	-24.954	0,21447	10,89		-11.487	-14.043	0,08042	5,83		-244.882	-12.241	0,08042	9,03
P	A	00403	-38.081	4.298	0,08042	20,93	00404	-58.099	2.904	0,08042	31,87	00405	-35.775	1.788	0,08042	50,12
	P		-53.360	-2.667	0,08042	34,46		-123.697	-3.983	0,08042	25,38		-113.799	-4.601	0,08042	21,69
S	A		-304.181	15.153	0,08042	7,69		-218.393	10.917	0,08042	9,62		-177.182	8.857	0,08042	11,24
	P		-233.557	-11.675	0,08042	9,21		-215.353	-10.765	0,08042	9,72		-212.570	-10.626	0,08042	9,80
P	A	00406	-18.160	1.869	0,08042	46,73	00407	4.926	246	0,08042	NS	00408	11.589	138	0,16085	NS
	P		-81.836	-3.140	0,08042	30,46		-69.300	-10.707	0,08042	8,78		-64.794	-9.674	0,08042	9,65
S	A		-199.608	9.517	0,08042	10,85		-231.378	5.301	0,08042	20,55		-694.724	6.856	0,08042	24,30
	P		-232.453	-11.620	0,08042	9,25		-264.116	-13.203	0,08042	8,57		-466.078	-22.936	0,08042	6,11

Dir	Pos	Nodo	N_{Ed} [N]	M_{Ed} [N·m]	A_s [cm²/cm]	CS	Nodo	N_{Ed} [N]	M_{Ed} [N·m]	A_s [cm²/cm]	CS	Nodo	N_{Ed} [N]	M_{Ed} [N·m]	A_s [cm²/cm]	CS
P	A	00409	216.782	1.027	0,08042	55,01	00410	2.904	1.023	0,08042	82,68	00411	279.829	365	0,08042	NS
	P		-16.203	-2.133	0,08042	40,83		-1.368	-1.090	0,08042	78,12		85.032	-1.398	0,08042	52,81
S	A		-200.633	7.383	0,08042	15,04		-118.663	5.238	0,08042	19,17		-94.697	4.506	0,08042	20,50
	P		-188.957	-8.732	0,08042	12,54		-79.566	-3.878	0,08042	24,58		-108.535	-4.468	0,08042	21,08
P	A	00412	-8.562	428	0,08042	NS	00413	140.002	2.584	0,08042	25,78	00414	92.112	1.299	0,08042	56,12
	P		116.186	-2.829	0,08042	24,65		78.739	-2.776	0,08042	26,89		-5.207	-2.277	0,08042	37,61
S	A		-53.874	2.693	0,08042	32,21		-33.597	1.620	0,08042	51,80		-78.982	3.357	0,08042	26,73
	P		-127.258	-4.439	0,08042	21,70		-183.504	-2.403	0,08042	43,03		-188.708	-3.204	0,08042	32,44
P	A	00415	51.628	1.921	0,08042	40,70	00416	30.185	484	0,08042	NS	00675	15.408	23.971	0,16085	6,87
	P		40.220	-2.539	0,08042	31,38		11.307	-12.250	0,28149	22,99		-10.915	-546	0,08042	NS
S	A		-105.881	2.479	0,08042	37,91		0	0	0,08042	-		-426.460	20.561	0,08042	6,59
	P		-176.328	-6.788	0,08042	15,19		-267.589	-8.069	0,21447	30,07		-185.701	-9.283	0,08042	11,31
P	A	00676	-16.555	517	0,08042	NS	00677	76.544	1.289	0,16085	NS	00678	-130.920	43.086	0,21447	5,45
	P		-67.528	-3.400	0,08042	27,58		-124.324	-31.406	0,28149	9,66		7.509	-1.914	0,08042	43,87
S	A		-227.123	9.927	0,16085	19,75		-184.401	6.907	0,18096	29,11		-589.717	28.832	0,16085	7,92
	P		-256.540	-11.882	0,16085	16,81		-541.091	-23.927	0,21447	11,61		-128.480	-6.057	0,08042	16,06
P	A	00679	-154.767	14.737	0,08042	7,13	00680	-99.520	7.977	0,08042	12,28	00681	2.235	96	0,08042	NS
	P		40.316	-1.828	0,08042	43,60		581	-10	0,08042	NS		-97.495	-4.157	0,08042	23,49
S	A		-417.671	13.738	0,08042	9,68		-223.136	5.838	0,08042	18,42		-115.872	5.792	0,08042	16,05
	P		-136.143	-6.805	0,08042	14,26		8.043	-1.461	0,08042	53,02		-245.621	-8.531	0,08042	12,86
P	A	00682	44.471	702	0,08042	NS	00683	-119.284	6.101	0,08042	16,47	00684	-78.882	2.717	0,08042	35,06
	P		-35.637	-12.106	0,08042	7,40		3.017	-64	0,08042	NS		664	-13	0,08042	NS
S	A		-137.932	5.220	0,08042	18,28		-224.978	5.933	0,08042	17,98		-100.178	4.677	0,08042	19,29
	P		-372.254	-11.889	0,08042	10,55		16.059	-4.209	0,08042	17,90		-97.715	-4.010	0,08042	22,42
P	A	00685	6.460	306	0,08042	NS	00686	-110.091	520	0,08042	NS	00687	-80.322	3.387	0,08042	28,18
	P		-34.441	-4.159	0,08042	21,51		-19.367	-968	0,08042	90,37		11.876	-102	0,08042	NS
S	A		-113.527	5.144	0,08042	18,07		-199.939	8.217	0,08042	12,55		-57.247	2.817	0,08042	30,09
	P		-225.389	-8.357	0,08042	12,86		-155.010	-7.749	0,08042	12,56		-85.760	-3.346	0,08042	26,44
P	A	00688	-42.762	1.220	0,08042	74,24	00689	-6.572	561	0,08042	NS	00690	-70.634	3.811	0,08042	24,71
	P		-10.831	-1.279	0,08042	67,53		-31.238	-1.566	0,08042	56,86		11.569	-592	0,08042	NS
S	A		-103.602	5.159	0,08042	17,71		-93.750	3.965	0,08042	22,95		-212.812	4.179	0,08042	25,24
	P		-100.707	-5.032	0,08042	18,08		-141.786	-3.431	0,08042	28,34		9.713	-3.343	0,08042	22,90
P	A	00691	-42.156	3.297	0,08042	27,44	00692	-17.411	1.206	0,08042	72,33	00693	-46.471	6.481	0,08042	14,05
	P		7.140	-586	0,08042	NS		-15.935	-841	0,08042	NS		93.715	-2.450	0,08042	29,66
S	A		-95.731	4.565	0,08042	19,84		-109.409	5.216	0,08042	17,86		-345.874	7.895	0,08042	15,74
	P		-50.351	-2.144	0,08042	39,49		-90.625	-4.291	0,08042	21,14		-157.365	-7.867	0,08042	12,73
P	A	00694	-16.963	5.997	0,08042	14,54	00695	-18.256	2.879	0,08042	30,34	00696	-3.520	971	0,08042	88,02
	P		0	0	0,08042	-		11.175	-322	0,08042	NS		-9.517	-528	0,08042	NS
S	A		-164.451	6.975	0,08042	14,52		-117.616	5.880	0,08042	16,25		-145.202	6.347	0,08042	15,70
	P		7.719	-1.119	0,08042	70,47		-93.413	-2.301	0,08042	40,15		-152.300	-6.787	0,08042	14,82
Piano terra						**ParetеP8-24**						**Parete P8-24**				
P	A	00081	20.198	484	0,16085	NS	00109	-13.052	12.410	0,08042	6,99	00110	30.043	1.068	0,08042	75,85
	P		-101.976	-5.672	0,16085	31,74		-183.942	-9.197	0,08042	11,84		-357.420	-43.035	0,08042	3,05
S	A		-48.035	2.402	0,08042	38,00		-176.001	8.800	0,16085	21,06		-269.138	13.386	0,08042	8,60
	P		-376.896	-8.268	0,08042	16,15		-763.803	-38.190	0,16085	6,70		-1.031.518	-52.440	0,08042	3,79
P	A	00111	0	0	0,16085	-	00112	-366.949	3.195	0,16085	66,92	00289	163.544	3.542	0,08042	17,94
	P		-280.600	-23.791	0,16085	8,53		-83.307	-5.914	0,16085	30,03		133.921	-3.167	0,08042	21,29
S	A		-1.148	57	0,16085	NS		-320.093	16.005	0,21447	16,36		-446.218	22.229	0,08042	6,14
	P		-545.702	-27.285	0,16085	8,65		-456.596	-10.180	0,18096	24,16		-458.210	-6.771	0,08042	20,37
P	A	00290	235.496	3.603	0,08042	15,01	00291	252.409	3.823	0,08042	13,56	00292	318.271	2.490	0,08042	17,34
	P		122.908	-2.091	0,08042	32,94		197.087	-7.101	0,08042	8,33		155.261	-8.431	0,08042	7,66
S	A		-266.551	11.669	0,08042	9,73		-270.620	9.548	0,08042	11,90		-265.606	12.863	0,08042	8,79

Dir	Pos	Nodo	N_{Ed} [N]	M_{Ed} [N·m]	A_s [cm²/cm]	CS	Nodo	N_{Ed} [N]	M_{Ed} [N·m]	A_s [cm²/cm]	CS	Nodo	N_{Ed} [N]	M_{Ed} [N·m]	A_s [cm²/cm]	CS
	P		-9.737	-399	0,08042	NS		-6.314	-171	0,08042	NS		-354.751	-9.524	0,08042	13,06
P	A	00293	-22.452	2.702	0,08042	32,54	00294	-15.590	3.346	0,08042	26,00	00365	89.117	353	0,08042	NS
	P		148.509	-4.907	0,08042	13,35		-20.343	-4.424	0,08042	19,81		34.965	-4.236	0,08042	18,98
S	A		-451.178	11.600	0,08042	11,82		-916.922	12.329	0,08042	15,16		-54.665	1.343	0,08042	68,59
	P		-220.235	-10.555	0,08042	10,22		-403.847	-20.182	0,08042	6,48		-212.493	-10.625	0,08042	10,60
P	A	00366	129.116	392	0,08042	NS	00367	86.366	2.024	0,08042	36,40	00368	0	0	0,08042	-
	P		157.556	-4.331	0,08042	14,85		138.865	-3.994	0,08042	16,72		-72.741	-9.333	0,08042	10,12
S	A		-79.713	1.253	0,08042	70,73		-177.585	5.500	0,08042	18,35		-241.197	7.287	0,08042	15,07
	P		-298.058	-13.471	0,08042	8,67		-353.300	-9.143	0,08042	13,49		-595.945	-17.843	0,08042	8,61
P	A	00369	13.713	7.094	0,08042	11,73	00370	14.005	3.969	0,08042	20,95	00371	18.123	2.765	0,08042	29,88
	P		-137.722	-6.886	0,08042	14,95		93.862	-3.129	0,08042	23,23		38.166	-1.908	0,08042	41,91
S	A		-263.494	13.175	0,08042	9,04		-284.920	14.246	0,08042	8,55		-283.396	14.170	0,08042	8,59
	P		-593.186	-24.444	0,08042	6,54		-395.070	-19.753	0,08042	6,87		-338.933	-14.839	0,08042	8,67
P	A	00372	389.927	4.486	0,08042	7,53	00373	-90.926	4.546	0,08042	21,30	00374	-371.355	3.055	0,16085	70,18
	P		29.704	-1.233	0,08042	65,79		-39.413	-1.984	0,08042	45,42		98.865	-470	0,16085	NS
S	A		-244.298	12.215	0,08042	9,34		-279.083	13.954	0,08042	8,68		-304.937	15.247	0,21447	16,39
	P		-254.595	-12.727	0,08042	9,07		-244.309	-9.976	0,08042	11,70		-365.605	-13.447	0,18096	16,68
P	A	00375	-58.595	2.930	0,08042	31,62	00376	-22.965	2.133	0,08042	41,25	00377	-5.962	329	0,08042	NS
	P		102.979	-629	0,08042	NS		101.818	-615	0,08042	NS		40.610	-699	0,08042	NS
S	A		-330.213	16.511	0,08042	7,54		-274.897	13.745	0,08042	8,57		-198.206	9.740	0,08042	11,37
	P		-168.436	-8.422	0,08042	12,32		-80.387	-4.019	0,08042	23,07		-44.647	-2.217	0,08042	40,97
P	A	00378	17.742	887	0,08042	93,18	00379	60.338	1.336	0,16085	NS	00645	49.223	2.494	0,08042	31,49
	P		-106.188	-1.660	0,08042	59,54		13.400	-2.456	0,16085	67,23		-49.044	-8.496	0,08042	10,76
S	A		-98.547	1.233	0,08042	79,32		61.032	262	0,08042	NS		-281.419	12.422	0,08042	9,30
	P		-134.224	-4.659	0,08042	22,00		-212.620	-10.632	0,08042	9,83		-638.011	-19.306	0,08042	8,23
P	A	00646	-4.131	6.133	0,08042	13,94	00647	-222.454	3.392	0,16085	57,62	00648	0	0	0,16085	-
	P		-176.903	-8.845	0,08042	12,21		76.291	-1.683	0,16085	93,26		-89.118	-5.034	0,16085	35,43
S	A		-85.139	4.257	0,08042	21,45		-283.210	14.161	0,21447	17,59		-46.569	470	0,08042	NS
	P		-435.165	-21.758	0,08042	6,25		-265.118	-11.083	0,18096	19,26		-330.521	-11.614	0,08042	10,49
P	A	00649	52.791	1.675	0,08042	46,61	00650	32.111	706	0,08042	NS	00651	-114.146	1.330	0,08042	75,08
	P		-148.805	-2.187	0,08042	47,72		28.788	-757	0,08042	NS		12.079	-590	0,08042	NS
S	A		-124.380	2.200	0,08042	43,12		-97.903	4.873	0,08042	18,84		-202.211	10.111	0,08042	10,37
	P		-197.757	-8.439	0,08042	12,37		-70.108	-3.237	0,08042	27,25		-193.987	-9.470	0,08042	10,96
P	A	00652	-84.342	2.683	0,08042	35,78	00653	28.655	143	0,08042	NS	00654	-91.759	574	0,08042	NS
	P		33.567	-428	0,08042	NS		-130.408	-1.585	0,08042	64,33		11.111	-519	0,08042	NS
S	A		-269.563	13.478	0,08042	8,29		-75.244	1.947	0,08042	44,94		-57.843	2.892	0,08042	29,27
	P		-284.998	-13.179	0,08042	8,63		-683.033	-3.169	0,08042	51,26		-206.635	-8.853	0,08042	11,75
P	A	00655	-47.156	2.303	0,08042	39,57	00656	6.858	303	0,08042	NS	00657	7.724	324	0,08042	NS
	P		7.536	-377	0,08042	NS		-1.572	-2.554	0,08042	33,36		-116.423	-722	0,08042	NS
S	A		-172.086	8.604	0,08042	11,65		-269.713	8.746	0,08042	12,88		-266.184	2.751	0,08042	40,63
	P		-249.544	-12.477	0,08042	8,83		-337.035	-7.217	0,08042	16,80		-240.995	-2.784	0,08042	38,99
P	A	00658	-59.714	1.604	0,08042	57,86	00659	922	3.713	0,08042	22,86					
	P		38.011	-1.891	0,08042	42,31		-32.160	-1.825	0,08042	48,86					
S	A		-145.416	5.064	0,08042	19,02		-96.431	4.822	0,08042	18,86					
	P		-280.467	-8.925	0,08042	12,74		-391.726	-16.353	0,08042	7,87					
Piano interrato						**Parete1-P1**						**Parete 1-P1**				
P	A	00001	-229.716	11.486	0,08042	9,99	00002	-276.229	31.831	0,08042	3,79	00083	-191.117	15.759	0,08042	6,97
	P		-175.935	-21.127	0,08042	5,11		86.280	-2.247	0,08042	32,79		-193.833	-8.178	0,08042	13,47
S	A		-468.086	23.404	0,08042	6,19		-715.881	25.176	0,08042	6,73		-515.276	20.646	0,08042	7,29

Dir	Pos	Nodo	N_{Ed} [N]	M_{Ed} [N·m]	A_s [cm²/cm]	CS	Nodo	N_{Ed} [N]	M_{Ed} [N·m]	A_s [cm²/cm]	CS	Nodo	N_{Ed} [N]	M_{Ed} [N·m]	A_s [cm²/cm]	CS
	P		-635.189	-31.759	0,08042	5,18		-24.998	-1.212	0,08042	69,76		-588.360	-8.711	0,08042	18,28
P	A	00126	-133.408	6.670	0,08042	15,35	00417	-260.301	13.300	0,08042	8,93	00549	-151.703	7.585	0,08042	13,81
	P		-414.789	-21.040	0,08042	6,57		118.366	-2.809	0,08042	24,73		-295.527	-17.155	0,08042	7,18
S	A		-499.881	24.994	0,08042	5,95		-533.150	19.352	0,08042	7,67		-492.620	24.631	0,08042	6,00
	P		-1.024.365	-48.019	0,08042	4,22		-24.013	-3.596	0,08042	23,28		-820.351	-41.000	0,08042	4,48
P	A	00550	26.587	1.275	0,08042	63,93	00551	-21.878	1.094	0,08042	80,30	00552	190.780	4.154	0,08042	14,43
	P		-593.225	-6.771	0,08042	23,60		-96.810	-4.997	0,08042	19,53		0	0	0,08042	-
S	A		-415.665	20.783	0,08042	6,49		-358.005	17.900	0,08042	7,33		-351.960	16.345	0,08042	7,98
	P		-909.566	-38.404	0,08042	4,92		-671.179	-18.382	0,08042	9,16		-771.293	-5.790	0,08042	30,90
P	A	00553	-596.486	7.919	0,08042	20,23	00554	-197.805	13.361	0,08042	8,28	00555	-146.974	5.989	0,08042	17,39
	P		-2.832	-2.272	0,08042	37,57		29.779	-547	0,08042	NS		212.030	-3.763	0,08042	15,19
S	A		-572.827	11.919	0,08042	12,80		-366.350	16.567	0,08042	7,77		-521.105	7.176	0,08042	21,08
	P		-45.876	-503	0,08042	NS		-6.246	-142	0,08042	NS		-316.637	-2.748	0,08042	45,81
P	A	00556	-39.770	1.988	0,08042	45,35	00557	23.952	1.198	0,08042	68,34	00809	-51.439	2.572	0,08042	35,65
	P		73.085	-2.167	0,08042	34,79		-144.296	-7.738	0,08042	13,41		-152.644	-8.950	0,08042	11,72
S	A		-228.556	11.428	0,08042	9,75		-344.096	17.205	0,08042	7,52		-444.065	22.203	0,08042	6,23
	P		-387.495	-15.680	0,08042	8,40		-439.571	-21.979	0,08042	6,43		-794.704	-38.321	0,08042	4,64
P	A	00810	-411.556	9.176	0,08042	15,02	00811	-233.813	15.409	0,08042	7,48	00812	-33.648	1.682	0,08042	53,12
	P		-80.857	-1.088	0,08042	87,79		22.914	-893	0,08042	91,80		-254.251	-10.378	0,08042	11,37
S	A		-485.814	16.804	0,08042	8,53		-443.766	17.359	0,08042	7,97		-399.372	19.969	0,08042	6,83
	P		-248.563	-3.466	0,08042	32,76		-31.650	-1.185	0,08042	72,29		-573.095	-28.655	0,08042	5,50
P	A	00813	45.643	416	0,08042	NS	00814	-320.665	8.151	0,08042	15,51					
	P		-359.807	-5.006	0,08042	26,24		-19.447	-1.858	0,08042	47,10					
S	A		-382.050	19.103	0,08042	6,87		-482.387	11.728	0,08042	12,11					
	P		-552.756	-27.443	0,08042	5,54		0	0	0,08042	-					
Piano interrato						**ParetеP2-3-P3**						**Parete P2-3**				
P	A	00005	300.273	891	0,10053	74,19	00006	-318.681	11.286	0,10053	12,96	00103	-165.776	8.115	0,10053	15,64
	P		-71.117	-3.522	0,08042	26,77		-12.181	-1.052	0,08042	82,29		-126.827	-5.463	0,08042	18,58
S	A		-179.827	7.994	0,08042	13,08		-342.120	15.195	0,08042	8,20		-436.879	6.796	0,08042	20,74
	P		-318.781	-10.366	0,08042	11,81		-83.249	-2.726	0,08042	33,49		-401.011	-3.552	0,08042	38,44
P	A	00104	-79.405	9.378	0,18096	21,06	00329	-286.485	6.105	0,10053	23,30	00483	-27.067	3.612	0,10053	30,17
	P		-97.152	-6.584	0,18096	30,34		4.728	-4.415	0,08042	19,11		-42.831	-4.961	0,08042	18,26
S	A		-298.893	14.726	0,16085	13,39		-272.256	4.674	0,08042	25,11		-241.454	10.630	0,08042	10,52
	P		-238.451	-11.875	0,16085	15,96		-268.496	-1.142	0,08042	NS		-236.274	-11.812	0,08042	9,41
P	A	00484	-378.955	1.710	0,10053	89,94	00485	64.327	2.217	0,10053	43,78	00486	-400.191	4.432	0,10053	35,28
	P		-25.799	-1.505	0,08042	58,69		4.804	-28	0,08042	NS		-39.291	-472	0,08042	NS
S	A		-160.812	7.998	0,08042	12,17		-190.487	5.613	0,08042	17,65		-131.423	4.455	0,08042	20,62
	P		-274.237	-10.085	0,08042	11,10		-315.519	-6.280	0,08042	18,33		-332.212	-3.507	0,08042	33,55
P	A	00487	-317.583	5.888	0,10053	24,82	00488	-771.921	5.328	0,10053	36,99	00489	248.054	3.230	0,10053	22,60
	P		-219	-1.569	0,08042	54,18		12.706	-885	0,08042	94,10		150.783	-3.229	0,08042	20,20
S	A		-267.754	6.323	0,08042	17,27		-370.741	6.451	0,08042	19,24		-197.497	7.727	0,08042	14,32
	P		-75.830	-946	0,08042	89,16		-522.430	-3.270	0,08042	43,68		-104.389	-4.177	0,08042	23,60
P	A	00490	-420.083	3.268	0,10053	48,60	00491	-530.098	1.910	0,18096	NS	00755	-37.799	2.090	0,10053	52,83
	P		154.357	-570	0,08042	NS		6.819	-96	0,18096	NS		-29.279	-2.098	0,08042	42,33
S	A		-174.115	8.519	0,08042	12,23		-280.088	10.627	0,08042	10,61		-189.492	8.659	0,08042	11,74
	P		-108.507	-5.232	0,08042	18,28		-126.778	-6.339	0,08042	14,66		-227.228	-10.286	0,08042	10,36
P	A	00756	-297.35	6.715	0,10053	21,39	00757	-541.35	5.334	0,10053	32,45	00758	-45.447	2.590	0,18096	74,57

Dir	Pos	Nodo	N_{Ed} [N]	M_{Ed} [N·m]	A_s [cm²/cm]	CS	Nodo	N_{Ed} [N]	M_{Ed} [N·m]	A_s [cm²/cm]	CS	Nodo	N_{Ed} [N]	M_{Ed} [N·m]	A_s [cm²/cm]	CS
	P		620.134	-1.156	0,08042	71,22		0 -45.732	-1.561	0,08042	58,25		90.217	-1.229	0,18096	NS
S	A		-295.775	6.736	0,08042	16,93		-250.282	6.918	0,08042	15,66		-257.550	11.262	0,08042	9,70
	P		-102.590	-345	0,08042	NS		-464.895	-5.141	0,08042	26,32		-171.060	-8.449	0,08042	11,61
P	A	00759	-429.257	2.279	0,10053	70,18	00760	-407.614	5.170	0,10053	30,42					
	P		39.172	-408	0,08042	NS		16.175	-515	0,08042	NS					
S	A		-188.472	8.674	0,08042	11,66		-146.933	5.613	0,08042	16,81					
	P		-203.786	-9.213	0,08042	11,19		-289.384	-3.515	0,08042	32,06					
Piano interrato						**ParetеP2-3-P3**						**Parete 3-P3**				
P	A	00005	-70.468	5.141	0,10053	22,30	00006	-301.421	11.303	0,10053	12,75	00120	-30.460	1.762	0,20106	NS
	P		-99.692	-8.382	0,08042	11,69		-4.841	-4.081	0,08042	20,98		-340.486	-1.604	0,21447	NS
S	A		-174.389	8.570	0,08042	12,56		-311.673	15.125	0,08042	8,09		-142.084	7.071	0,16085	25,42
	P		-298.203	-14.331	0,08042	8,62		-87.816	-4.578	0,08042	20,42		-682.154	-4.132	0,16085	59,54
P	A	00121	-127.949	4.367	0,10053	27,95	00337	-310.158	7.099	0,10053	20,46	00338	13.415	3.777	0,10053	27,46
	P		-198.585	-1.941	0,08042	57,09		-55.721	-2.651	0,08042	34,80		-63.913	-3.403	0,08042	27,43
S	A		-246.517	7.547	0,08042	15,50		-260.553	7.279	0,08042	15,85		-201.649	5.310	0,08042	20,24
	P		-488.876	-3.293	0,08042	44,75		-123.609	-806	0,08042	NS		-296.598	-6.669	0,08042	17,94
P	A	00484	-378.340	1.719	0,10053	89,38	00485	145.177	2.726	0,10053	31,73	00486	-396.679	4.439	0,10053	35,13
	P		-4.112	-1.281	0,08042	66,73		3.380	-29	0,08042	NS		-14.256	-2.122	0,08042	40,93
S	A		-153.652	7.683	0,08042	12,53		-172.336	6.012	0,08042	16,04		-169.107	4.482	0,08042	21,58
	P		-295.748	-9.826	0,08042	11,66		-366.860	-7.401	0,08042	16,39		-288.019	-4.867	0,08042	23,01
P	A	00487	-332.425	5.860	0,10053	25,25	00492	-27.226	2.221	0,10053	49,09	00493	-29.047	1.578	0,20106	NS
	P		27.719	-544	0,08042	NS		-98.628	-6.238	0,08042	15,69		-249.542	-3.166	0,21447	79,97
S	A		-243.687	6.944	0,08042	15,28		-147.548	7.377	0,08042	13,55		-151.333	7.057	0,08042	14,11
	P		-112.954	-935	0,08042	95,39		-412.965	-10.521	0,08042	12,72		-549.114	-7.958	0,08042	18,79
P	A	00494	-500.131	1.941	0,20106	NS	00495	111.027	2.579	0,10053	35,28	00496	-394.296	4.546	0,10053	34,24
	P		132.330	-224	0,21447	NS		-16.413	-619	0,08042	NS		371.194	-784	0,08042	46,31
S	A		-97.325	4.720	0,08042	18,70		-104.067	4.849	0,08042	19,58		-98.529	4.860	0,08042	19,54
	P		-721.158	-5.779	0,08042	28,44		-445.915	-5.664	0,08042	24,45		-467.310	-4.014	0,08042	35,34
P	A	00497	-643.622	5.296	0,10053	34,76	00761	-458.791	1.195	0,20106	NS	00762	-498.666	4.844	0,10053	34,74
	P		9.741	-987	0,08042	84,82		87.270	-2.346	0,21447	89,50		-71.094	-1.487	0,08042	63,40
S	A		-389.062	6.240	0,08042	20,26		-125.035	5.807	0,08042	15,91		-278.195	8.262	0,08042	13,77
	P		-480.917	-3.008	0,08042	45,81		-634.884	-5.951	0,08042	26,15		-381.796	-4.823	0,08042	26,30
P	A	00763	-314.474	7.383	0,10053	19,74	00764	-28.630	1.803	0,10053	60,59	00765	-399.248	2.178	0,10053	71,75
	P		12.450	-1.046	0,08042	79,71		-76.719	-4.098	0,08042	23,18		-24.562	-564	0,08042	NS
S	A		-247.288	9.314	0,08042	11,67		-146.562	7.328	0,08042	13,30		-127.728	6.376	0,08042	14,40
	P		-130.802	-2.008	0,08042	46,62		-355.417	-10.958	0,08042	11,33		-465.399	-7.349	0,08042	18,33
P	A	00766	-375.194	5.299	0,10053	28,93										
	P		15.228	-593	0,08042	NS										
S	A		-185.932	4.468	0,08042	22,07										
	P		-341.853	-2.553	0,08042	46,44										
Piano interrato						**ParetеP4-4-P5**						**Parete P4-4**				
P	A	00007	-38.639	5.083	0,10053	21,74	00008	-279.493	9.405	0,10053	15,05	00123	-99.042	4.884	0,18096	40,96
	P		-96.918	-7.258	0,10053	16,27		22.004	-1.207	0,10053	85,03		-1.210.153	-913	0,18096	NS
S	A		-167.684	8.362	0,08042	12,30		-310.533	13.310	0,08042	9,14		-330.348	9.854	0,16085	20,26
	P		-247.816	-11.786	0,08042	9,60		-93.588	-3.740	0,08042	25,04		-121.469	-6.054	0,16085	28,57
P	A	00124	-147.306	6.417	0,10053	19,42	00249	-38.395	3.192	0,10053	34,61	00250	-349.340	1.679	0,10053	89,56
	P		-67.710	-3.522	0,10053	32,45		-38.411	-1.964	0,10053	56,25		-342	-335	0,10053	NS

Dir	Pos	Nodo	N_{Ed} [N]	M_{Ed} [N·m]	A_s [cm²/cm]	CS	Nodo	N_{Ed} [N]	M_{Ed} [N·m]	A_s [cm²/cm]	CS	Nodo	N_{Ed} [N]	M_{Ed} [N·m]	A_s [cm²/cm]	CS
S	A		-274.308	8.016	0,08042	15,03		-201.284	8.780	0,08042	12,12		-150.617	7.073	0,08042	13,45
	P		-272.751	-3.316	0,08042	36,28		-201.560	-8.965	0,08042	11,87		-242.809	-9.300	0,08042	11,51
P	A	00251	56.839	2.327	0,10053	42,14	00252	-377.750	3.702	0,10053	41,60	00253	-310.932	4.831	0,10053	30,13
	P		3.475	-95	0,10053	NS		5.116	-25	0,10053	NS		12.474	-267	0,10053	NS
S	A		-181.888	4.855	0,08042	19,98		-118.005	3.533	0,08042	25,51		-258.683	5.840	0,08042	18,51
	P		-291.135	-5.839	0,08042	19,01		-315.500	-3.530	0,08042	32,74		-70.209	-938	0,08042	89,19
P	A	00254	-307.210	4.435	0,10053	32,71	00255	50.509	2.623	0,10053	37,69	00256	-425.462	3.708	0,10053	43,14
	P		6.402	-3.334	0,10053	31,39		10.907	-1.015	0,10053	NS		346.178	-10.884	0,10053	5,53
S	A		-616.029	6.149	0,08042	26,41		-274.228	5.977	0,08042	18,75		-131.108	5.674	0,08042	17,99
	P		-244.448	-2.682	0,08042	43,51		-438.519	-3.698	0,08042	35,89		-149.239	-7.108	0,08042	14,69
P	A	00257	-403.960	2.851	0,10053	55,16	00258	-584.977	1.912	0,18096	NS	00583	-23.575	1.292	0,10053	84,03
	P		239.061	-1.081	0,10053	68,63		5.499	-427	0,18096	NS		-19.553	-1.236	0,10053	87,37
S	A		-140.142	6.994	0,08042	14,24		-297.716	8.735	0,08042	13,01		-174.094	7.656	0,08042	12,92
	P		-68.925	-3.047	0,08042	29,65		-64.923	-3.246	0,08042	25,73		-188.666	-9.286	0,08042	10,85
P	A	00584	-305.541	5.391	0,10053	26,87	00585	-467.110	4.059	0,10053	40,68	00586	-39.219	2.086	0,18096	92,22
	P		16.531	-1.001	0,10053	NS		-38.361	-1.231	0,10053	89,76		226	-187	0,18096	NS
S	A		-284.148	6.052	0,08042	18,57		-470.964	7.632	0,08042	17,83		-257.586	9.280	0,08042	11,63
	P		-90.755	-1.311	0,08042	66,68		-397.089	-5.432	0,08042	23,37		-123.326	-5.971	0,08042	15,17
P	A	00587	-399.948	2.114	0,10053	74,15	00588	-389.408	4.181	0,10053	37,18					
	P		9.787	-323	0,10053	NS		-17.691	-360	0,10053	NS					
S	A		-173.997	7.241	0,08042	13,57		-109.352	4.054	0,08042	22,10					
	P		-174.032	-7.745	0,08042	12,68		-263.165	-3.645	0,08042	30,04					
Piano interrato						**ParetеP4-4-P5**						**Parete 4-P5**				
P	A	00007	-342.522	821	0,10053	NS	00008	-39.304	7.318	0,10053	15,11	00100	-142.821	6.184	0,10053	20,05
	P		231.732	-1.592	0,10053	47,20		28.278	-2.526	0,10053	40,29		-211.334	-6.005	0,10053	22,12
S	A		-137.956	5.670	0,08042	18,16		-299.085	14.858	0,08042	8,05		-320.682	6.830	0,08042	18,51
	P		-310.409	-8.275	0,08042	15,12		-49.220	-2.711	0,08042	32,20		-535.514	-3.425	0,08042	44,68
P	A	00101	-45.229	4.783	0,23457	51,75	00250	-346.670	1.678	0,10053	89,46	00251	194.301	3.269	0,10053	24,49
	P		-297.698	-9.290	0,23457	30,13		10.452	-392	0,10053	NS		3.126	-29	0,10053	NS
S	A		-172.144	8.606	0,16085	21,42		-138.073	6.518	0,08042	14,49		-167.929	4.532	0,08042	21,12
	P		-640.673	-7.176	0,16085	33,76		-273.359	-8.919	0,08042	12,54		-355.827	-6.433	0,08042	18,62
P	A	00252	-50.598	3.007	0,10053	37,26	00253	-71.321	3.837	0,10053	29,91	00301	-249.993	5.686	0,10053	24,23
	P		4.452	-69	0,10053	NS		17.043	-237	0,10053	NS		-46.015	-4.474	0,10053	24,92
S	A		-175.651	3.658	0,08042	26,54		-242.021	5.741	0,08042	18,36		-246.870	4.710	0,08042	23,68
	P		-271.818	-4.754	0,08042	23,02		-258.463	-1.638	0,08042	65,64		-257.219	-2.020	0,08042	55,88
P	A	00302	3.676	3.682	0,10053	28,52	00458	-42.005	3.448	0,10053	32,18	00459	167.359	3.415	0,23457	64,44
	P		-71.487	-4.397	0,10053	26,10		-124.144	-3.950	0,10053	30,79		209.492	-1.504	0,23457	NS
S	A		-225.194	5.038	0,08042	22,67		-156.173	6.784	0,08042	14,96		-158.527	5.426	0,08042	18,84
	P		-312.906	-7.254	0,08042	17,29		-371.303	-11.125	0,08042	11,59		-465.722	-6.866	0,08042	20,55
P	A	00460	-410.117	1.829	0,23457	NS	00461	96.158	1.962	0,10053	47,35	00462	-400.094	3.800	0,10053	41,26
	P		43.501	-1.409	0,23457	NS		-16.668	-726	0,10053	NS		231.422	-6.308	0,10053	11,92
S	A		-86.381	4.180	0,08042	21,19		-83.083	4.116	0,08042	22,39		-93.251	4.592	0,08042	20,52
	P		-91.832	-4.033	0,08042	22,14		-450.103	-5.002	0,08042	27,77		-135.928	-3.243	0,08042	30,76
P	A	00463	91.449	2.158	0,10053	43,34	00737	-380.871	1.211	0,23457	NS	00738	-544.727	3.907	0,10053	44,69
	P		-44.522	-881	0,10053	NS		-113.211	-134	0,23457	NS		-79.731	-1.502	0,10053	77,15
S	A		-274.077	5.316	0,08042	21,00		-126.897	5.016	0,08042	18,61		-336.762	6.909	0,08042	17,58
	P		-528.205	-3.347	0,08042	42,82		-606.880	-5.370	0,08042	28,53		-405.913	-5.479	0,08042	23,74
P	A	00739	-288.79	6.073	0,10053	23,50	00740	-3.969	1.049	0,10053	NS	00741	-363.06	1.987	0,10053	76,58

Dir	Pos	Nodo	N_{Ed} [N]	M_{Ed} [N·m]	A_s [cm²/cm]	CS	Nodo	N_{Ed} [N]	M_{Ed} [N·m]	A_s [cm²/cm]	CS	Nodo	N_{Ed} [N]	M_{Ed} [N·m]	A_s [cm²/cm]	CS
	P		6 6.033	-587	0,10053	NS		-65.417	-3.815	0,10053	29,88		8 100.565	-2.006	0,10053	46,03
S	A		-240.68 2	7.682	0,08042	14,05		-127.19 2	6.026	0,08042	15,85		-133.72 8	6.203	0,08042	15,12
	P		-111.55 0	-466	0,08042	NS		-335.52 4	-9.239	0,08042	13,23		-451.41 9	-6.353	0,08042	21,12
P	A	00742	-358.67 1	4.366	0,10053	34,72										
	P		-39.188	-746	0,10053	NS										
S	A		-205.72 1	4.485	0,08042	22,39										
	P		-334.01 9	-2.976	0,08042	39,26										
Piano interrato						**ParetеP6-6**						**Parete P6-6**				
P	A	00046	-172.90 8	2.122	0,10053	60,28	00047	0	0	0,10053	-	00085	-204.19 6	17.266	0,10053	7,64
	P		-282.50 1	-48.581	0,10053	2,92		158.241	-7.829	0,10053	10,83		-56.513	-4.157	0,10053	27,14
S	A		-24.740	1.237	0,08042	71,31		-282.06 3	7.795	0,08042	14,78		-530.59 0	20.638	0,08042	7,39
	P		-1.418.0 50	-79.192	0,08042	2,93		-690.08 8	-25.580	0,08042	6,42		-559.14 7	-27.536	0,08042	5,66
P	A	00086	26.689	881	0,20106	NS	00443	82.188	119	0,10053	NS	00529	31.920	9.348	0,10053	10,84
	P		-369.67 8	-18.340	0,20106	13,90		9.628	-5.847	0,10053	17,83		57.721	-1.069	0,10053	91,59
S	A		-8.122	406	0,16085	NS		-438.99 0	13.531	0,08042	10,08		-522.44 7	26.099	0,08042	5,48
	P		-1.060.6 90	-38.777	0,16085	7,27		-375.51 6	-18.773	0,08042	6,84		0	0	0,08042	-
P	A	00530	176.336	10.069	0,10053	8,19	00531	-211.38 5	757	0,10053	NS	00532	236.220	2.466	0,10053	30,24
	P		100.987	-1.859	0,10053	49,63		159.013	-7.951	0,10053	10,65		157.791	-1.026	0,10053	82,69
S	A		-428.15 9	21.386	0,08042	6,19		-343.75 2	17.188	0,08042	7,04		-144.30 9	7.215	0,08042	13,31
	P		0	0	0,08042	-		0	0	0,08042	-		-771.69 2	-8.186	0,08042	20,92
P	A	00573	-296.71 7	435	0,20106	NS	00574	-614.17 6	21	0,10053	NS	00575	57.606	2.876	0,10053	34,06
	P		-319.41 6	-21.226	0,20106	11,71		12.759	-1.111	0,10053	93,44		30.617	-1.531	0,10053	66,29
S	A		-99.149	4.957	0,08042	19,75		-586.45 6	9.398	0,08042	16,06		-157.73 8	7.887	0,08042	13,38
	P		-1.085.5 18	-45.497	0,08042	4,57		-60.711	-1.349	0,08042	62,79		-627.06 4	-3.195	0,08042	51,21
P	A	00576	-402.15 9	646	0,10053	NS	00577	-414.10 7	805	0,20106	NS	00827	-231.61 0	822	0,10053	NS
	P		-132.61 8	-6.718	0,10053	18,26		50.432	-2.673	0,20106	75,27		-141.43 4	-8.854	0,10053	13,99
S	A		-159.85 8	7.968	0,08042	12,82		-104.85 3	3.762	0,08042	24,37		-106.18 1	5.309	0,08042	17,32
	P		-577.83 2	-15.667	0,08042	9,86		-837.33 9	-35.347	0,08042	5,05		-887.96 1	-29.597	0,08042	6,20
P	A	00828	7.268	2.992	0,10053	34,94	00829	-48.095	2.170	0,10053	51,50	00830	-69.673	961	0,20106	NS
	P		114.358	-1.439	0,10053	62,90		-62.287	-667	0,10053	NS		-158.84 8	-10.765	0,20106	21,19
S	A		-431.18 3	15.143	0,08042	8,75		-568.41 5	13.512	0,08042	11,02		-179.66 4	8.786	0,08042	11,55
	P		-408.25 1	-10.344	0,08042	12,54		-255.50 0	-12.733	0,08042	8,64		-827.27 4	-38.039	0,08042	4,67
P	A	00831	-306.43 6	834	0,20106	NS	00832	43.891	1.036	0,10053	96,26					
	P		-21.256	-1.968	0,20106	NS		115.458	-4.809	0,10053	18,80					
S	A		-179.73 6	8.423	0,08042	11,88		-549.99 8	12.191	0,08042	11,93					
	P		-694.20 5	-19.873	0,08042	8,18		-18.760	-42	0,08042	NS					
Piano interrato						**Parete19-P9**						**Parete 19-P9**				
P	A	00011	-291.05 8	14.553	0,10053	9,83	00012	-2.488	3.361	0,10053	31,48	00091	-186.59 4	5.491	0,10053	23,61
	P		-439.05 3	-21.953	0,10053	7,36		2.069	-3.536	0,10053	29,75		-118.07 3	-9.859	0,10053	12,25
S	A		-527.74 1	26.387	0,08042	5,76		-329.21 2	10.149	0,08042	12,56		-451.30 8	5.548	0,08042	25,73
	P		-808.89 3	-40.445	0,08042	4,52		-387.47 5	-17.133	0,08042	7,87		-320.11 8	-12.828	0,08042	9,85
P	A	00092	-340.18 7	17.009	0,10053	8,80	00425	-7.311	5.917	0,10053	17,99	00426	-81.098	3.533	0,10053	32,84
	P		-321.19 6	-16.060	0,18096	14,07		-65.058	-4.653	0,10053	24,49		-12.822	-3.036	0,10053	35,30
S	A		-748.67 1	37.434	0,08042	4,72		-215.36 0	9.707	0,08042	11,64		-277.45 2	5.351	0,08042	22,60
	P		-790.52 1	-39.526	0,08042	4,58		-308.84 3	-13.090	0,08042	9,54		-258.12 9	-9.738	0,08042	12,16
P	A	00558	-182.40 6	9.120	0,10053	14,16	00559	-241.76 0	12.088	0,10053	11,31	00560	-75.317	392	0,10053	NS

Dir	Pos	Nodo	N_{Ed} [N]	M_{Ed} [N·m]	A_s [cm²/cm]	CS	Nodo	N_{Ed} [N]	M_{Ed} [N·m]	A_s [cm²/cm]	CS	Nodo	N_{Ed} [N]	M_{Ed} [N·m]	A_s [cm²/cm]	CS
	P		-310.530	-15.527	0,10053	9,37		-252.458	-12.623	0,10053	10,94		-36.835	-1.842	0,18096	NS
S	A		-556.009	27.800	0,08042	5,59		-645.915	32.296	0,08042	5,13		-574.349	28.717	0,08042	5,37
	P		-776.856	-38.843	0,08042	4,62		-783.128	-39.156	0,08042	4,60		-632.412	-31.621	0,08042	5,08
P	A	00561	-28.247	5.065	0,10053	21,55	00562	72.902	1.662	0,10053	57,74	00563	-33.746	2.290	0,10053	47,99
	P		-73.719	-4.608	0,10053	24,97		258.157	-2.473	0,10053	29,00		-13.273	-2.494	0,10053	42,99
S	A		-427.378	21.317	0,08042	6,56		-327.171	14.146	0,08042	8,99		-313.101	6.222	0,08042	19,41
	P		-500.508	-25.025	0,08042	5,95		-438.125	-20.380	0,08042	6,92		-429.204	-14.384	0,08042	9,41
P	A	00564	36.116	1.475	0,10053	68,29	00565	77.132	1.212	0,10053	78,70	00566	-21.474	1.288	0,10053	84,09
	P		26.349	-1.960	0,10053	52,06		-157.379	-1.622	0,10053	77,59		-96.440	-4.822	0,10053	24,47
S	A		-104.330	1.519	0,08042	62,40		-146.505	7.325	0,08042	14,21		-294.315	14.715	0,08042	8,13
	P		-254.020	-13.564	0,08042	8,41		-393.825	-19.691	0,08042	6,89		-501.715	-25.086	0,08042	5,80
P	A	00567	2.378	116	0,10053	NS	00815	-143.583	7.179	0,10053	17,29	00816	-65.703	1.324	0,10053	86,14
	P		-102.473	-5.124	0,10053	23,19		-169.823	-8.491	0,10053	15,02		-36.450	-3.263	0,10053	33,78
S	A		-372.122	18.606	0,08042	7,14		-603.669	30.183	0,08042	5,23		-205.262	487	0,08042	NS
	P		-592.383	-29.619	0,08042	5,39		-699.480	-34.974	0,08042	4,82		-232.548	-8.402	0,08042	13,71
P	A	00817	-73.621	2.579	0,10053	44,62	00818	-137.248	6.862	0,10053	17,97	00819	-36.631	1.832	0,10053	60,19
	P		-41.865	-2.617	0,10053	42,39		-201.135	-10.057	0,10053	13,08		-40.754	-2.039	0,10053	54,33
S	A		-217.123	2.451	0,08042	44,81		-480.559	24.028	0,08042	6,09		-451.275	22.492	0,08042	6,17
	P		-202.425	-8.626	0,08042	12,51		-690.021	-34.501	0,08042	4,94		-585.301	-28.958	0,08042	5,35
P	A	00820	13.614	666	0,10053	NS										
	P		-37.657	-3.274	0,10053	33,71										
S	A		-170.607	5.757	0,08042	17,76										
	P		-300.464	-13.840	0,08042	8,59										
Piano interrato						**ParetеP10-21-P11**						**Parete P10-21**				
P	A	00015	-46.230	2.307	0,10053	48,32	00016	-38.784	4.372	0,10053	25,28	00094	-77.711	3.152	0,10053	36,67
	P		-20.849	-1.289	0,13404	NS		-129.008	-8.019	0,13404	19,47		-172.736	-4.981	0,13404	32,46
S	A		-242.626	7.278	0,08042	15,48		-237.689	11.875	0,08042	9,43		-509.158	7.205	0,08042	20,80
	P		-248.155	-12.408	0,08042	9,14		-238.658	-11.931	0,08042	9,39		-470.993	-12.226	0,08042	11,87
P	A	00095	-95.722	7.708	0,23457	32,96	00321	-37.484	5.331	0,10053	20,70	00474	-29.301	3.858	0,10053	28,33
	P		-219.709	-13.055	0,23457	20,68		-62.434	-6.749	0,13404	21,87		-99.569	-6.538	0,13404	23,30
S	A		-253.160	11.288	0,16085	17,03		-271.840	11.036	0,08042	10,89		-215.415	10.253	0,08042	10,60
	P		-557.068	-18.680	0,16085	12,32		-317.428	-14.826	0,08042	8,50		-383.870	-16.722	0,08042	7,78
P	A	00475	-29.308	1.596	0,10053	68,48	00476	-25.711	1.333	0,10053	81,64	00477	-24.400	1.255	0,10053	86,60
	P		-331.978	-1.375	0,13404	NS		75.240	-1.709	0,13404	75,95		-351.317	-2.430	0,13404	75,72
S	A		-224.085	9.940	0,08042	10,63		-255.511	9.934	0,08042	10,85		-250.375	10.318	0,08042	10,42
	P		-255.964	-12.798	0,08042	8,58		-326.118	-13.880	0,08042	8,41		-244.342	-12.167	0,08042	8,77
P	A	00478	-11.022	810	0,10053	NS	00479	-2.096	1.347	0,10053	78,48	00480	6.419	649	0,10053	NS
	P		-49.968	-2.498	0,13404	58,44		-605.221	-3.069	0,13404	69,35		260.613	-2.853	0,13404	37,02
S	A		-226.869	10.988	0,08042	9,50		-473.731	11.419	0,08042	12,05		-215.790	10.785	0,08042	10,48
	P		-245.291	-12.265	0,08042	8,70		-365.451	-17.272	0,08042	7,19		-376.719	-17.914	0,08042	7,45
P	A	00481	-546	400	0,10053	NS	00482	12.999	540	0,23457	NS	00749	-40.176	2.219	0,10053	49,89
	P		-40.222	-2.174	0,13404	66,56		-458.269	-1.297	0,23457	NS		-31.029	-1.962	0,13404	73,16
S	A		-198.606	9.802	0,08042	10,97		-176.057	8.803	0,08042	11,36		-206.268	9.386	0,08042	11,11
	P		-379.280	-18.229	0,08042	7,16		-681.706	-14.969	0,08042	10,80		-308.012	-15.372	0,08042	7,63
P	A	00750	-12.797	1.355	0,10053	79,08	00751	-51.213	2.277	0,10053	49,24	00752	-20.428	2.287	0,23457	NS
	P		-81.349	-4.062	0,13404	36,93		-61.816	-4.035	0,13404	36,56		-88.435	-4.917	0,23457	51,48
S	A		-260.726	11.258	0,08042	9,77		-388.393	12.431	0,08042	10,18		-198.685	9.586	0,08042	10,67
	P		-270.530	-12.397	0,08042	8,97		-357.917	-15.170	0,08042	8,09		-540.470	-16.356	0,08042	8,87
P	A	00753	-9.245	973	0,10053	NS	00754	1.622	356	0,10053	NS					

Dir	Pos	Nodo	N_{Ed} [N]	M_{Ed} [N·m]	A_s [cm²/cm]	CS	Nodo	N_{Ed} [N]	M_{Ed} [N·m]	A_s [cm²/cm]	CS	Nodo	N_{Ed} [N]	M_{Ed} [N·m]	A_s [cm²/cm]	CS
	P		-5.422	-1.297	0,13404	NS		-46.981	-2.518	0,13404	57,82					
S	A		-209.645	10.255	0,08042	10,16		-257.798	11.411	0,08042	9,57					
	P		-359.906	-17.408	0,08042	7,09		-320.701	-14.987	0,08042	7,82					
Piano interrato							**ParetеP10-21-P11**					**Parete 21-P11**				
P	A	00015	-86.403	5.515	0,10053	21,16	00016	79.199	3.946	0,10053	24,11	00117	-178.532	2.347	0,20106	98,31
	P		-78.860	-3.943	0,13404	37,97		-49.112	-5.180	0,13404	28,16		-462.883	-998	0,21447	NS
S	A		-221.912	10.724	0,08042	10,61		-259.571	6.057	0,08042	19,59		-401.212	6.331	0,16085	33,61
	P		-219.478	-10.974	0,08042	10,34		-254.228	-9.797	0,08042	12,04		-45.628	-2.281	0,16085	73,37
P	A	00118	-79.562	4.828	0,10053	23,99	00347	-68.044	5.305	0,10053	21,55	00348	-49.630	4.129	0,10053	27,11
	P		-120.880	-8.479	0,13404	18,29		3.676	-4.796	0,13404	29,00		-53.183	-2.681	0,13404	54,61
S	A		-271.817	10.558	0,08042	11,38		-240.577	10.370	0,08042	10,91		-208.864	9.854	0,08042	11,02
	P		-426.000	-10.897	0,08042	12,81		-245.893	-11.511	0,08042	9,89		-309.624	-10.480	0,08042	11,60
P	A	00475	-32.625	1.856	0,10053	59,11	00476	-30.918	1.564	0,10053	70,00	00477	-29.134	1.747	0,10053	62,56
	P		-331.513	-1.374	0,13404	NS		-375.142	-1.957	0,13404	95,52		-62.179	-3.084	0,13404	47,85
S	A		-238.622	9.752	0,08042	11,02		-259.399	9.997	0,08042	10,80		-225.729	10.974	0,08042	9,51
	P		-248.501	-12.425	0,08042	8,75		-275.469	-11.496	0,08042	9,57		-308.339	-12.327	0,08042	9,32
P	A	00478	-41.470	2.142	0,10053	51,75	00498	-46.555	3.855	0,10053	28,93	00499	-97.146	4.682	0,10053	25,23
	P		-61.452	-3.329	0,13404	44,31		115.815	-2.250	0,13404	55,34		-375.721	-1.137	0,13404	NS
S	A		-230.017	10.414	0,08042	10,06		-276.533	8.039	0,08042	14,51		-344.799	8.158	0,08042	15,25
	P		-274.591	-12.342	0,08042	8,95		-175.465	-8.773	0,08042	11,81		-94.776	-4.739	0,08042	19,47
P	A	00500	-8.590	591	0,20106	NS	00501	-8.420	1.175	0,10053	90,72	00502	260.872	892	0,10053	80,03
	P		-435.832	-1.561	0,21447	NS		-328.945	-2.056	0,13404	88,16		-338.344	-2.533	0,13404	72,02
S	A		-441.683	8.768	0,08042	15,12		-225.867	11.070	0,08042	10,01		-228.472	10.955	0,08042	10,20
	P		-22.066	-1.103	0,08042	71,45		-26.131	-1.307	0,08042	64,95		-41.751	-2.088	0,08042	41,95
P	A	00503	19.764	930	0,10053	NS	00767	-74.926	2.474	0,20106	87,85	00768	-37.633	2.771	0,10053	39,84
	P		-515.077	-3.007	0,13404	67,59		-406.837	-1.279	0,21447	NS		-414.383	-2.998	0,13404	63,94
S	A		-259.523	10.778	0,08042	10,28		-395.066	8.142	0,08042	15,62		-221.703	10.555	0,08042	10,13
	P		-368.342	-9.774	0,08042	12,75		-63.903	-3.195	0,08042	26,51		-348.520	-9.215	0,08042	13,36
P	A	00769	-39.075	2.705	0,10053	40,88	00770	-50.087	2.873	0,10053	38,98	00771	-22.689	1.312	0,10053	82,67
	P		-45.636	-3.161	0,13404	46,01		-335.356	-1.227	0,13404	NS		-348.979	-1.598	0,13404	NS
S	A		-226.293	9.852	0,08042	10,80		-259.773	9.289	0,08042	12,07		-293.570	9.636	0,08042	11,78
	P		-255.164	-9.794	0,08042	11,24		-192.962	-9.648	0,08042	10,73		-130.090	-6.505	0,08042	14,21
P	A	00772	-36.462	1.969	0,10053	55,99										
	P		-330.777	-2.836	0,13404	64,00										
S	A		-215.058	10.106	0,08042	10,19										
	P		-274.725	-11.310	0,08042	9,78										
Piano interrato							**ParetеP12-22-P13**					**Parete P12-22**				
P	A	00017	-85.458	5.384	0,10053	21,65	00018	-43.650	3.440	0,10053	32,31	00114	-36.528	2.713	0,20106	78,30
	P		-303.554	-609	0,10053	NS		-240.324	-4.293	0,10053	31,81		-179.850	-8.832	0,20106	26,14
S	A		-214.371	9.673	0,08042	11,26		-259.885	12.966	0,08042	8,91		-176.613	8.782	0,16085	20,61
	P		-164.205	-8.210	0,08042	12,48		-100.146	-5.007	0,08042	18,96		-559.990	-11.548	0,16085	19,84
P	A	00115	-100.333	3.624	0,10053	32,71	00357	-47.165	5.267	0,10053	21,19	00470	-31.552	1.834	0,10053	59,74
	P		-166.751	-2.312	0,10053	54,98		-2.903	-2.824	0,10053	37,48		-268.155	-2.807	0,10053	49,92
S	A		-465.414	8.830	0,08042	16,36		-283.562	12.846	0,08042	9,47		-244.391	11.732	0,08042	9,10
	P		-218.131	-10.537	0,08042	10,75		-164.529	-8.226	0,08042	12,93		-129.106	-6.455	0,08042	14,23
P	A	00471	-31.269	1.602	0,10053	68,39	00472	-41.865	2.103	0,10053	52,75	00473	-34.706	1.789	0,10053	61,47
	P		-314.501	-2.254	0,10053	64,77		-352.232	-1.731	0,10053	87,10		-305.808	-1.108	0,10053	NS
S	A		-259.861	10.849	0,08042	10,02		-263.664	10.266	0,08042	10,53		-229.166	9.751	0,08042	10,84
	P		-147.044	-6.418	0,08042	14,68		-263.289	-8.861	0,08042	12,20		-162.895	-8.145	0,08042	11,93

Dir	Pos	Nodo	N_{Ed} [N]	M_{Ed} [N·m]	A_s [cm²/cm]	CS	Nodo	N_{Ed} [N]	M_{Ed} [N·m]	A_s [cm²/cm]	CS	Nodo	N_{Ed} [N]	M_{Ed} [N·m]	A_s [cm²/cm]	CS
P	A	00504	-44.380	2.833	0,10053	39,26	00505	57.452	1.028	0,10053	95,27	00506	32.439	1.622	0,10053	62,42
	P		14.963	-2.448	0,10053	42,29		-474.976	-2.895	0,10053	57,36		317.507	-2.598	0,10053	24,59
S	A		-203.365	8.999	0,08042	11,88		-440.167	11.835	0,08042	11,29		-216.177	10.797	0,08042	10,47
	P		-248.994	-12.437	0,08042	9,07		-148.408	-7.420	0,08042	13,01		-159.611	-7.981	0,08042	13,25
P	A	00507	63.525	2.779	0,10053	34,97	00508	54.011	2.701	0,20106	74,32	00773	-48.806	2.633	0,10053	42,48
	P		-16.274	-1.655	0,10053	65,03		-20.538	-1.708	0,20106	NS		93.214	-1.135	0,10053	82,23
S	A		-200.507	9.952	0,08042	10,81		-170.172	8.509	0,08042	11,51		-204.045	9.527	0,08042	10,83
	P		-243.341	-12.097	0,08042	9,35		-554.480	-15.509	0,08042	9,42		-226.349	-10.663	0,08042	9,95
P	A	00774	-39.316	2.327	0,10053	47,52	00775	-53.229	2.775	0,10053	40,50	00776	-27.730	2.012	0,20106	NS
	P		-265.487	-3.172	0,10053	44,06		-378.387	-2.995	0,10053	51,44		-1.779	-884	0,20106	NS
S	A		-268.442	12.234	0,08042	9,07		-376.342	12.550	0,08042	9,96		-183.056	9.081	0,08042	10,91
	P		-134.052	-6.433	0,08042	14,56		-151.739	-7.423	0,08042	12,97		-422.966	-15.727	0,08042	8,24
P	A	00777	-21.919	1.238	0,10053	87,54	00778	-10.146	800	0,10053	NS					
	P		48.355	-1.028	0,10053	96,49		-325.579	-2.644	0,10053	55,74					
S	A		-210.226	10.075	0,08042	10,26		-265.705	11.669	0,08042	9,46					
	P		-264.268	-11.831	0,08042	9,32		-197.849	-9.340	0,08042	10,89					
Piano interrato						**ParetеP12-22-P13**						**Parete 22-P13**				
P	A	00017	176.390	1.282	0,10053	64,27	00018	80.951	4.022	0,10053	23,60	00097	-73.449	3.244	0,10053	35,46
	P		-300.745	-608	0,10053	NS		-20.220	-4.167	0,10053	25,94		-77.877	-5.196	0,10053	22,25
S	A		-262.757	6.425	0,08042	18,53		-278.086	9.323	0,08042	12,59		-360.735	9.863	0,08042	13,33
	P		-69.388	-3.469	0,08042	27,11		-75.471	-3.772	0,08042	24,19		-452.917	-4.297	0,08042	33,27
P	A	00098	-168.284	9.259	0,20106	24,77	00311	-86.595	6.413	0,10053	18,20	00312	-78.685	5.273	0,10053	21,94
	P		-339.790	-426	0,20106	NS		104.500	-3.638	0,10053	25,24		-308.085	-3.196	0,10053	45,43
S	A		-395.735	9.959	0,16085	21,37		-255.211	12.762	0,08042	8,83		-258.273	11.703	0,08042	9,88
	P		-41.650	-2.083	0,16085	80,49		-153.211	-7.087	0,08042	14,04		-284.009	-8.160	0,08042	14,57
P	A	00464	-70.528	3.471	0,10053	33,03	00465	26.134	1.307	0,20106	NS	00466	99.555	1.557	0,20106	NS
	P		-314.170	-674	0,10053	NS		-315.295	-642	0,20106	NS		-325.189	-1.190	0,20106	NS
S	A		-275.775	9.719	0,08042	12,03		-297.494	7.953	0,08042	15,09		-460.735	8.139	0,08042	16,80
	P		-123.274	-4.825	0,08042	20,16		-10.599	-525	0,08042	NS		-9.325	-466	0,08042	NS
P	A	00467	88.901	944	0,10053	99,43	00468	284.122	3.179	0,10053	21,48	00469	-30.030	540	0,10053	NS
	P		-294.336	-1.803	0,10053	79,57		-321.357	-2.350	0,10053	62,50		-615.541	-2.879	0,10053	63,49
S	A		-254.631	11.493	0,08042	9,96		-267.630	12.441	0,08042	9,38		-321.977	12.681	0,08042	9,35
	P		-16.202	-667	0,08042	NS		-28.079	-1.404	0,08042	61,07		-390.986	-6.900	0,08042	18,44
P	A	00470	-51.301	2.590	0,10053	43,30	00471	-36.029	2.001	0,10053	55,07	00472	-32.340	1.618	0,10053	67,79
	P		-264.293	-2.784	0,10053	50,15		-322.628	-2.254	0,10053	65,23		-340.048	-1.732	0,10053	86,14
S	A		-244.502	11.207	0,08042	9,49		-243.500	11.405	0,08042	9,31		-277.910	9.917	0,08042	11,13
	P		-202.930	-8.463	0,08042	11,93		-274.361	-8.300	0,08042	13,27		-202.883	-5.659	0,08042	17,81
P	A	00473	-38.695	1.927	0,10053	57,34	00743	-55.480	1.210	0,20106	NS	00744	-42.339	3.607	0,10053	30,77
	P		-303.446	-1.116	0,10053	NS		-322.471	-837	0,20106	NS		-434.674	-2.922	0,10053	55,12
S	A		-246.239	9.511	0,08042	11,43		-413.078	7.511	0,08042	17,34		-270.091	12.482	0,08042	9,08
	P		-180.794	-9.040	0,08042	11,09		-44.234	-2.212	0,08042	37,49		-353.722	-7.933	0,08042	15,63
P	A	00745	-52.390	3.308	0,10053	33,95	00746	-63.622	3.227	0,10053	35,25	00747	-21.034	2.016	0,10053	53,67
	P		-248.338	-3.292	0,10053	41,80		-301.775	-896	0,10053	NS		-312.515	-1.302	0,10053	NS
S	A		-244.627	11.554	0,08042	9,43		-269.522	8.816	0,08042	12,93		-309.728	9.475	0,08042	12,33
	P		-145.784	-6.799	0,08042	14,15		-98.076	-4.904	0,08042	18,73		-90.526	-4.066	0,08042	21,79
P	A	00748	-45.636	2.662	0,10053	41,85										
	P		-296.268	-2.684	0,10053	53,54										
S	A		-241.177	11.224	0,08042	9,44										
	P		-256.538	-8.019	0,08042	13,46										

Dir	Pos	Nodo	N_{Ed} [N]	M_{Ed} [N·m]	A_s [cm²/cm]	CS	Nodo	N_{Ed} [N]	M_{Ed} [N·m]	A_s [cm²/cm]	CS	Nodo	N_{Ed} [N]	M_{Ed} [N·m]	A_s [cm²/cm]	CS
Piano interrato						**ParetеP14-24**						**Parete P14-24**				
P	A	00021	-259.049	47.978	0,13404	3,60	00088	-40.324	3.517	0,13404	41,17	00089	-365.075	17.818	0,23457	16,19
	P		-129.512	-582	0,13404	NS		-151.295	-17.018	0,13404	9,35		24.013	-752	0,23457	NS
S	A		-1.431.184	80.524	0,08042	2,89		-445.732	22.287	0,08042	6,37		-1.096.325	35.842	0,16085	7,96
	P		-24.040	-111	0,08042	NS		-460.727	-20.817	0,08042	6,91		-39.082	-1.954	0,16085	85,31
P	A	00110	186.416	6.046	0,13404	19,07	00435	-11.764	6.210	0,13404	22,72	00513	160.405	1.603	0,13404	74,04
	P		3.401	-129	0,13404	NS		92.612	-2.047	0,13404	62,29		160.249	-3.211	0,13404	36,97
S	A		-270.959	16.980	0,08042	6,73		-384.933	19.206	0,08042	6,77		-761.318	4.918	0,08042	34,81
	P		-401.432	-10.379	0,08042	12,60		-457.536	-12.755	0,08042	10,90		-956.407	-9.772	0,08042	19,44
P	A	00514	189.458	7.109	0,13404	16,16	00515	96.353	1.456	0,13404	87,28	00516	50.617	1.222	0,13404	NS
	P		-145.425	-1.295	0,13404	NS		248.752	-11.524	0,13404	9,30		57.130	-8.650	0,13404	15,28
S	A		0	0	0,08042	-		0	0	0,08042	-		0	0	0,08042	-
	P		-348.329	-17.416	0,08042	7,03		-542.200	-23.031	0,08042	6,40		-527.500	-26.354	0,08042	5,48
P	A	00568	-310.222	21.392	0,13404	8,39	00569	14.969	1.157	0,13404	NS	00570	31.317	1.543	0,13404	87,82
	P		0	0	0,13404	-		12.097	-290	0,13404	NS		52.587	-2.616	0,13404	50,73
S	A		-1.048.280	44.582	0,08042	4,59		-86.648	1.993	0,08042	44,73		-635.115	2.229	0,08042	73,81
	P		-83.823	-4.191	0,08042	22,89		-477.198	-11.670	0,08042	11,90		-186.337	-4.229	0,08042	25,82
P	A	00571	-130.915	6.574	0,13404	23,81	00572	44.294	3.001	0,23457	78,64	00821	-121.623	7.019	0,13404	22,13
	P		152.496	-1.619	0,13404	73,97		-248.629	-393	0,23457	NS		14.500	-715	0,13404	NS
S	A		-609.764	13.652	0,08042	11,59		-878.487	34.896	0,08042	5,24		-890.293	28.418	0,08042	6,49
	P		-180.914	-7.163	0,08042	14,67		-139.263	-6.906	0,08042	13,95		-107.391	-5.370	0,08042	17,29
P	A	00822	85.063	3.716	0,13404	34,58	00823	-65.782	839	0,13404	NS	00824	-129.316	10.069	0,23457	25,66
	P		26.972	-2.913	0,13404	46,70		-45.744	-2.213	0,13404	65,75		-57.971	-1.078	0,23457	NS
S	A		-341.598	8.530	0,08042	14,32		-233.935	11.697	0,08042	9,24		-829.104	37.133	0,08042	4,80
	P		-418.079	-16.470	0,08042	8,00		-527.959	-13.747	0,08042	10,54		-160.025	-7.986	0,08042	12,44
P	A	00825	-8.321	1.119	0,13404	NS	00826	111.081	4.216	0,13404	29,68					
	P		24.730	-1.097	0,13404	NS		48.752	-896	0,13404	NS					
S	A		-680.415	19.277	0,08042	8,40		-13.923	42	0,08042	NS					
	P		-113.615	-5.656	0,08042	16,31		-554.350	-12.414	0,08042	11,84					
Piano interrato						**Parete6-P7**						**Parete 6-P7**				
P	A	00046	457	23	0,13404	NS	00047	-139.908	4.440	0,13404	35,51	00079	-164.101	10.923	0,13404	14,72
	P		-127.275	-22.488	0,13404	6,94		129.641	-5.314	0,13404	23,09		107.704	-2.246	0,13404	55,91
S	A		-669.867	3.523	0,10053	53,58		-472.099	16.921	0,10053	9,39		-402.603	19.356	0,10053	8,12
	P		-1.350.801	-67.540	0,10053	3,67		-293.423	-17.407	0,10053	7,84		-200.268	-6.109	0,10053	21,51
P	A	00080	-52.740	8.937	0,53617	62,09	00106	-453.402	32.662	0,53617	18,56	00107	-235.629	10.016	0,13404	16,97
	P		-45.000	-6.654	0,53617	83,25		-496.449	-31.833	0,53617	19,21		-151.793	-16.935	0,13404	9,40
S	A		-589.036	22.791	0,50266	25,40		-685.236	34.262	0,50266	16,94		-647.473	28.842	0,10053	6,46
	P		-722.134	-31.433	0,50266	18,88		-824.698	-41.235	0,50266	14,42		-497.715	-22.722	0,10053	7,43
P	A	00380	105.893	4.197	0,13404	29,98	00381	276.774	13.685	0,13404	7,56	00382	174.510	5.712	0,13404	20,46
	P		36.161	-5.198	0,13404	25,95		167.233	-1.621	0,13404	72,66		47.044	-3.018	0,13404	44,23
S	A		-559.838	15.269	0,10053	10,92		-537.199	12.938	0,10053	12,62		-351.953	16.204	0,10053	8,68
	P		-300.302	-8.360	0,10053	16,09		-175.301	-8.761	0,10053	13,45		-107.621	-2.604	0,10053	42,02
P	A	00383	727.220	7.719	0,13404	5,77	00521	-36.404	1.820	0,13404	79,27	00522	-34.414	1.731	0,13404	83,23
	P		52.252	-2.205	0,13404	60,23		-415.889	-20.794	0,13404	9,27		345.604	-5.122	0,13404	18,45
S	A		-356.095	17.152	0,10053	8,45		-245.897	12.295	0,10053	11,16		-399.600	15.917	0,10053	9,68
	P		-151.288	-4.246	0,10053	27,96		-885.331	-44.267	0,10053	4,76		-752.159	-37.608	0,10053	5,18
P	A	00523	-65.466	5.305	0,13404	27,91	00524	-220.362	11.018	0,13404	15,25	00525	-20.097	1.005	0,53617	NS
	P		-232.778	-11.639	0,13404	14,57		-241.537	-12.077	0,13404	14,13		-46.358	-2.318	0,53617	NS
S	A		-429.719	21.481	0,10053	7,47		-612.281	21.164	0,10053	8,27		-448.159	22.408	0,50266	24,61

Dir	Pos	Nodo	N_{Ed} [N]	M_{Ed} [N·m]	A_s [cm²/cm]	CS	Nodo	N_{Ed} [N]	M_{Ed} [N·m]	A_s [cm²/cm]	CS	Nodo	N_{Ed} [N]	M_{Ed} [N·m]	A_s [cm²/cm]	CS
	P		-698.666	-34.933	0,10053	5,49		-768.881	-31.839	0,10053	6,02		-569.853	-28.493	0,50266	19,89
P	A	00526	-93.866	4.693	0,53617	NS	00527	82.586	3.338	0,53617	NS	00528	78.269	3.581	0,13404	36,13
	P		-101.157	-8.039	0,53617	69,80		49.162	-2.458	0,53617	NS		89.633	-3.502	0,13404	36,53
S	A		-385.178	19.259	0,50266	28,87		-297.919	14.896	0,50266	36,79		-342.829	17.980	0,10053	7,94
	P		-431.563	-21.571	0,50266	26,05		-280.829	-11.683	0,50266	46,72		-219.753	-4.179	0,10053	30,40
P	A	00529	-16.483	8.055	0,13404	17,59	00530	689.905	7.698	0,13404	6,42	00531	-160.590	2.658	0,13404	60,31
	P		196.393	-4.255	0,13404	26,79		118.626	-4.763	0,13404	26,06		272.024	-4.390	0,13404	23,72
S	A		-515.069	25.753	0,10053	6,27		-349.391	17.469	0,10053	8,15		-259.775	12.989	0,10053	10,19
	P		0	0	0,10053	-		0	0	0,10053	-		-465.972	-3.115	0,10053	50,82
P	A	00532	227.891	2.865	0,13404	38,35	00788	-160.517	8.026	0,53617	70,86	00789	-168.698	5.961	0,13404	27,07
	P		107.792	-4.977	0,13404	25,23		-216.223	-10.811	0,53617	53,26		-21.083	-2.164	0,13404	65,75
S	A		-89.916	4.496	0,10053	24,94		-565.711	23.290	0,50266	24,42		-318.858	12.564	0,10053	11,22
	P		-580.441	-11.810	0,10053	14,71		-682.441	-30.617	0,50266	19,00		-251.096	-2.473	0,10053	53,50
P	A	00790	-154.091	3.979	0,13404	40,08	00791	11.613	641	0,13404	NS	00792	-174.764	1.663	0,13404	97,48
	P		63.727	-3.502	0,13404	37,49		-22.430	-6.651	0,13404	21,42		68.386	-1.193	0,13404	NS
S	A		-456.257	19.563	0,10053	7,88		-112.195	5.610	0,10053	20,71		-247.740	11.371	0,10053	11,45
	P		-270.346	-3.730	0,10053	35,08		-785.752	-31.224	0,10053	6,31		-537.821	-20.990	0,10053	7,93
P	A	00793	-154.632	2.981	0,13404	53,52	00794	-161.901	2.155	0,13404	74,48	00795	-87.091	4.355	0,53617	NS
	P		-2.688	-1.622	0,13404	86,26		-1.514	-2.902	0,13404	48,17		-149.247	-7.465	0,53617	76,00
S	A		-451.213	7.589	0,10053	19,97		-222.542	11.118	0,10053	11,03		-422.342	18.755	0,50266	29,57
	P		-12.645	-116	0,10053	NS		-327.294	-15.699	0,10053	8,66		-520.642	-23.869	0,50266	23,76
P	A	00796	-127.654	2.896	0,13404	53,89										
	P		29.279	-928	0,13404	NS										
S	A		-254.316	12.713	0,10053	10,09										
	P		-194.345	-7.384	0,10053	16,34										
Piano interrato						**Parete7-16**						**Parete 7-16**				
P	A	00022	-49.805	14.562	0,20106	14,70	00023	0	0	0,10053	-	00034	-219.418	14.445	0,18096	14,92
	P		-78.011	-5.151	0,20106	42,28		-174.449	-121.599	0,20106	1,88		-4.747	-1.256	0,18096	NS
S	A		-326.994	16.320	0,08042	7,49		0	0	0,08042	-		-322.972	16.144	0,08042	7,85
	P		-168.099	-8.405	0,08042	12,12		-81.699	-44.857	0,08042	2,06		-110.609	-5.320	0,08042	18,69
P	A	00035	0	0	0,10053	-	00401	48.246	1.379	0,10053	71,91	00402	-137.321	705	0,10053	NS
	P		-311.098	-137.132	0,20106	1,78		-142.049	-12.771	0,10053	9,70		208.184	-8.663	0,10053	9,03
S	A		0	0	0,08042	-		-49.622	6.939	0,08042	12,36		-451.781	5.959	0,08042	22,71
	P		-280.054	-49.932	0,08042	2,33		-225.642	-8.690	0,08042	12,50		-198.919	-9.851	0,08042	10,49
P	A	00403	-23.455	3.815	0,10053	28,45	00404	-41.952	2.103	0,10053	52,75	00405	-29.966	2.073	0,10053	52,77
	P		-139.360	-6.824	0,10053	18,11		-123.632	-3.952	0,10053	30,75		-115.334	-4.373	0,10053	27,55
S	A		-208.257	7.304	0,08042	13,95		-195.181	9.185	0,08042	10,86		-154.303	7.710	0,08042	12,23
	P		-199.652	-9.983	0,08042	10,09		-188.642	-9.432	0,08042	10,48		-189.772	-9.489	0,08042	10,42
P	A	00406	174.742	1.448	0,10053	57,07	00407	0	0	0,10053	-	00408	25.019	1.478	0,10053	69,13
	P		-93.433	-8.674	0,10053	13,56		-67.044	-6.409	0,10053	17,82		-48.037	-19.022	0,20106	11,20
S	A		-131.793	1.382	0,08042	66,42		-740.646	4.473	0,08042	37,53		-27.677	5.365	0,08042	15,44
	P		-198.840	-9.942	0,08042	10,10		-194.461	-9.723	0,08042	10,53		-200.145	-10.007	0,08042	10,52
P	A	00533	102.944	2.824	0,18096	61,59	00534	213.460	111	0,10053	NS	00535	418.059	1.073	0,10053	47,26
	P		4.376	-152	0,18096	NS		-264.974	-6.332	0,10053	22,06		-235.560	-10.450	0,10053	13,01
S	A		-222.796	8.197	0,08042	13,44		-237.822	81	0,08042	NS		-519.962	501	0,08042	NS
	P		-112.963	-5.017	0,08042	19,13		-113.621	-5.609	0,08042	16,96		-226.721	-9.495	0,08042	12,05
P	A	00536	0	0	0,10053	-	00537	545.623	946	0,10053	35,91	00538	460.932	998	0,10053	45,18
	P		-194.68	-12.080	0,10053	10,82		-183.40	-11.847	0,10053	10,91		-167.22	-9.925	0,10053	12,81

Dir	Pos	Nodo	N_{Ed} [N]	M_{Ed} [N·m]	A_s [cm²/cm]	CS	Nodo	N_{Ed} [N]	M_{Ed} [N·m]	A_s [cm²/cm]	CS	Nodo	N_{Ed} [N]	M_{Ed} [N·m]	A_s [cm²/cm]	CS
			4					1					4			
S	A		0	0	0,08042	-		0	0	0,08042	-		0	0	0,08042	-
	P		-227.362	-11.368	0,08042	9,46		-202.714	-10.136	0,08042	10,32		-137.197	-6.859	0,08042	14,99
P	A	00539	80.229	4.011	0,10053	23,68	00540	22.695	1.881	0,20106	NS	00541	-109.127	1.942	0,20106	NS
	P		-141.838	-5.616	0,10053	22,06		38.036	-1.596	0,20106	NS		-32.644	-3.734	0,20106	56,75
S	A		-186.451	5.332	0,08042	19,62		-196.182	9.717	0,08042	10,97		-159.522	7.785	0,08042	12,62
	P		-131.861	-6.593	0,08042	14,80		-142.332	-6.623	0,08042	15,04		-153.338	-7.667	0,08042	12,71
P	A	00542	203.068	2.377	0,20106	76,31	00543	174.546	7.650	0,20106	24,19	00544	600	24	0,10053	NS
	P		-79.749	-14.924	0,20106	14,61		-126.076	-25.166	0,20106	8,90		-216.069	-39.522	0,20106	5,90
S	A		-85.020	4.114	0,08042	22,09		0	0	0,08042	-		0	0	0,08042	-
	P		-168.374	-8.419	0,08042	12,08		-379.133	-16.750	0,08042	7,71		-546.611	-27.330	0,08042	5,50
P	A	00545	0	0	0,10053	-	00546	370.990	6.117	0,18096	22,73	00547	146.949	1.193	0,18096	NS
	P		-578.483	-40.910	0,18096	6,17		-351.271	-26.266	0,18096	8,84		-254.122	-15.390	0,18096	14,29
S	A		0	0	0,08042	-		0	0	0,08042	-		-80.865	508	0,08042	NS
	P		-618.664	-30.932	0,08042	5,00		-496.971	-16.614	0,08042	8,60		-180.933	-8.780	0,08042	11,79
P	A	00548	5.223	334	0,18096	NS	00797	34.450	732	0,20106	NS	00798	0	0	0,10053	-
	P		-214.347	-4.047	0,18096	53,08		-27.495	-1.378	0,20106	NS		-124.000	-44.208	0,20106	5,03
S	A		-283.711	7.690	0,08042	15,04		-199.400	8.876	0,08042	11,87		0	0	0,08042	-
	P		-119.953	-5.670	0,08042	16,68		-151.581	-7.283	0,08042	13,62		-511.586	-24.213	0,08042	5,98
P	A	00799	0	0	0,10053	-	00800	118.140	120	0,18096	NS	00801	79.228	26	0,18096	NS
	P		-301.082	-45.844	0,20106	5,29		50.828	-964	0,18096	NS		-241.841	-9.052	0,18096	24,12
S	A		0	0	0,08042	-		-284.616	8.071	0,08042	14,50		-226.415	1.838	0,08042	57,85
	P		-612.847	-24.599	0,08042	6,34		-129.830	-5.851	0,08042	16,60		-151.402	-7.429	0,08042	13,01
P	A	00802	54.654	1.159	0,10053	84,85	00803	7.699	77	0,10053	NS	00804	110.172	335	0,10053	NS
	P		-207.911	-20.275	0,18096	10,50		-187.228	-12.270	0,10053	10,57		-180.968	-10.272	0,10053	12,55
S	A		-60.336	4.532	0,08042	18,56		-185.034	2.009	0,08042	48,93		0	0	0,08042	-
	P		-212.000	-9.953	0,08042	10,43		-157.042	-7.851	0,08042	12,06		-141.577	-7.048	0,08042	13,29
P	A	00805	-13.482	1.563	0,10053	68,60	00806	1.675	84	0,10053	NS	00807	6.342	95	0,20106	NS
	P		-134.012	-9.528	0,10053	12,90		-128.015	-12.463	0,10053	9,80		-116.611	-8.783	0,20106	25,36
S	A		-91.641	3.186	0,08042	26,82		-162.461	1.300	0,08042	73,36		-166.000	2.205	0,08042	44,70
	P		-176.519	-8.825	0,08042	10,93		-154.670	-7.734	0,08042	12,20		-149.811	-7.491	0,08042	12,88
P	A	00808	62.578	1.137	0,10053	85,55										
	P		-94.351	-20.886	0,20106	10,47										
S	A		-28.090	3.401	0,08042	23,57										
	P		-188.519	-9.426	0,08042	10,72										
Piano interrato						**ParetеP8-24**						**Parete P8-24**				
P	A	00021	0	0	0,13404	-	00081	-160.684	13.843	0,13404	11,58	00082	-61.365	9.981	0,53617	55,71
	P		-157.303	-23.694	0,13404	6,75		92.248	-1.751	0,13404	72,87		-387.747	-8.052	0,53617	74,23
S	A		-35.558	1.778	0,10053	61,92		-497.060	20.441	0,10053	8,29		-618.516	23.019	0,50266	24,17
	P		-1.397.007	-69.850	0,13404	3,95		-219.574	-8.358	0,13404	20,05		-687.974	-28.530	0,33510	14,82
P	A	00110	-88.137	5.206	0,13404	29,00	00111	-355.802	15.300	0,13404	12,10	00113	-454.770	34.599	0,53617	17,52
	P		168.538	-5.886	0,13404	19,98		-170.931	-15.319	0,13404	10,55		-460.666	-31.835	0,53617	19,07
S	A		-436.245	17.961	0,10053	8,63		-727.953	27.671	0,10053	7,15		-699.247	34.962	0,50266	15,82
	P		-696.686	-24.783	0,13404	8,69		-507.099	-23.606	0,13404	8,57		-799.132	-39.956	0,33510	10,72
P	A	00365	549.826	6.957	0,13404	9,74	00366	150.925	5.717	0,13404	20,98	00367	334.370	16.188	0,13404	5,93
	P		23.669	-2.031	0,13404	67,20		399.215	-2.748	0,13404	31,83		124.340	-2.424	0,13404	50,91
S	A		-377.047	18.804	0,10053	7,86		-347.488	18.428	0,10053	7,61		-530.034	13.750	0,10053	11,88
	P		-159.983	-5.463	0,13404	28,11		-107.739	-3.326	0,13404	43,08		-209.738	-10.483	0,13404	14,90
P	A	00368	85.631	3.093	0,13404	41,52	00509	-233.744	11.687	0,13404	14,52	00510	-80.968	6.763	0,13404	22,19
	P		28.325	-5.286	0,13404	25,71		-221.198	-11.061	0,13404	15,20		-231.065	-11.553	0,13404	14,66

Pareti - Verifiche pressoflessione retta allo stato limite ultimo

Dir	Pos	Nodo	N_{Ed} [N]	M_{Ed} [N·m]	A_s [cm²/cm]	CS	Nodo	N_{Ed} [N]	M_{Ed} [N·m]	A_s [cm²/cm]	CS	Nodo	N_{Ed} [N]	M_{Ed} [N·m]	A_s [cm²/cm]	CS
S	A		-531.291	16.546	0,10053	9,92		-653.056	22.284	0,10053	8,15		-453.570	22.676	0,10053	7,23
	P		-375.866	-12.892	0,13404	13,77		-697.228	-32.137	0,13404	6,69		-680.438	-34.022	0,13404	6,48
P	A	00511	-45.469	2.278	0,13404	63,86	00512	-48.024	2.401	0,13404	60,72	00513	229.626	2.711	0,13404	40,45
	P		-135.173	-6.759	0,13404	23,24		-404.747	-20.237	0,13404	9,46		88.719	-4.433	0,13404	28,88
S	A		-425.147	15.829	0,10053	9,93		-263.094	13.155	0,10053	10,61		-92.512	4.626	0,10053	24,28
	P		-724.436	-36.222	0,13404	6,12		-872.684	-43.634	0,13404	5,46		-579.211	-12.872	0,13404	15,92
P	A	00514	-52.322	2.991	0,13404	48,94	00515	650.010	5.731	0,13404	9,53	00516	31.397	5.819	0,13404	23,28
	P		333.626	-6.586	0,13404	14,59		123.418	-5.988	0,13404	20,63		208.775	-4.296	0,13404	26,16
S	A		-270.770	13.538	0,10053	9,88		-354.654	17.730	0,10053	8,09		-505.989	25.299	0,10053	6,37
	P		-440.649	-3.125	0,13404	60,16		0	0	0,13404	-		0	0	0,13404	-
P	A	00517	-377.751	6.723	0,13404	27,96	00518	-270.409	3.618	0,53617	NS	00519	-108.264	5.413	0,53617	93,27
	P		94.313	-2.548	0,13404	49,96		239.883	-10.775	0,13404	10,05		-70.275	-9.565	0,13404	15,54
S	A		-302.372	15.542	0,10053	8,76		-329.678	14.870	0,50266	32,76		-445.034	22.252	0,50266	21,93
	P		-1.075.456	-727	0,13404	NS		-210.814	-10.433	0,13404	15,57		-420.002	-20.994	0,13404	8,88
P	A	00520	-19.094	955	0,53617	NS	00779	11.078	681	0,13404	NS	00780	-13.088	3.322	0,13404	42,53
	P		-62.816	-3.141	0,53617	NS		-26.097	-6.923	0,13404	20,65		69.207	-3.638	0,13404	35,89
S	A		-495.655	24.783	0,50266	21,69		-149.821	7.491	0,10053	16,17		-432.278	19.770	0,10053	7,68
	P		-575.652	-28.783	0,33510	13,85		-797.490	-31.959	0,13404	7,13		-281.709	-4.720	0,13404	35,17
P	A	00781	-261.812	9.515	0,13404	18,21	00782	-170.472	8.524	0,53617	66,87	00783	-96.617	4.831	0,53617	NS
	P		-29.178	-2.415	0,13404	59,36		-210.801	-10.540	0,53617	54,57		-124.685	-6.237	0,13404	24,98
S	A		-416.094	15.948	0,10053	9,58		-587.850	23.462	0,50266	23,30		-448.371	19.826	0,50266	24,30
	P		-200.854	-3.111	0,13404	51,05		-661.302	-28.664	0,33510	14,37		-507.486	-23.778	0,13404	8,05
P	A	00784	-190.873	4.305	0,13404	38,15	00785	-179.614	2.491	0,13404	65,34	00786	-153.390	1.478	0,13404	NS
	P		-58	-1.541	0,13404	90,60		6.708	-1.718	0,13404	80,72		18.472	-924	0,13404	NS
S	A		-240.411	12.009	0,10053	10,50		-228.686	11.424	0,10053	10,79		-260.456	11.666	0,10053	11,33
	P		-196.184	-2.600	0,13404	59,29		-278.408	-12.831	0,13404	12,71		-520.296	-20.259	0,13404	9,71
P	A	00787	-135.047	2.898	0,13404	54,20										
	P		37.980	-1.310	0,13404	NS										
S	A		-859.769	10.892	0,10053	18,41										
	P		-16.328	-84	0,13404	NS										

LEGENDA:

Dir Direzione [P] = principale - [S] = secondaria.
Pos Posizione [A] = anteriore - [P] = posteriore.
A_s Area delle armature esecutive per unità di lunghezza.
CS Coefficiente di sicurezza ([NS] = Non Significativo per valori di CS >= 100; [VNR]= Verifica Non Richiesta).
N_{Ed}, M_{Ed} Sollecitazioni di progetto.

Pareti - VERIFICHE A TAGLIO PER PRESSOFLESSIONE RETTA ALLO STATO LIMITE ULTIMO (Elevazione)

Pareti - Verifiche a taglio per pressoflessione retta allo stato limite ultimo

Id_{Nd}	$V_{Ed,2}$ [N]	CS	V_{Rcd} [N]	$V_{Rsd,s}$ [N]	N_{Ed} [N]	$V_{Rsd,p}$ [N]	V_{R1} [N]	V_{fd} [N]	Ctgϴ	A_{sw} [cm²/cm]
Piano terra			**Parete1-P1**				**Parete 1-P1**			
00002	111.775	6,22	794.110	695.100	179.100	0	0	0	2,50	0,0804
00059	124.449	4,20	766.319	522.291	159.429	0	0	0	2,50	0,1810
00083	21.875	35,03	766.319	1.200.906	320.062	0	0	0	2,50	0,1608
00084	27.558	29,35	808.898	1.119.906	274.399	0	0	0	2,50	0,1608
00243	64.199	11,98	769.241	887.915	18.832	0	0	0	2,50	0,0804
00244	44.585	17,19	766.408	887.915	572	0	0	0	2,50	0,0804
00245	58.510	13,18	771.113	887.915	30.896	0	0	0	2,50	0,0804
00246	69.093	11,09	766.319	887.915	27.166	0	0	0	2,50	0,0804
00247	43.486	17,62	766.319	887.915	12.204	0	0	0	2,50	0,0804
00248	68.454	11,19	766.319	2.068.061	30.768	0	0	0	2,50	0,0804
00417	81.905	9,36	766.319	887.915	8.137	0	0	0	2,50	0,0804
00418	163.444	4,69	766.319	887.915	108.051	0	0	0	2,50	0,0804
00419	27.185	28,19	766.319	887.915	10.947	0	0	0	2,50	0,0804
00420	37.233	20,58	766.319	887.915	36.666	0	0	0	2,50	0,0804
00421	45.228	17,04	770.515	887.915	27.041	0	0	0	2,50	0,0804
00422	23.262	33,08	769.404	887.915	19.881	0	0	0	2,50	0,0804
00423	135.870	5,75	781.679	1.596.003	98.986	0	0	0	2,50	0,1608

Id_{Nd}	$V_{Ed,2}$	CS	V_{Rcd}	$V_{Rsd,s}$	N_{Ed}	$V_{Rsd,p}$	V_{R1}	V_{fd}	CtgΘ	A_{sw}
	[N]		[N]	[N]	[N]	[N]	[N]	[N]		[cm^2/cm]
00424	55.802	13,88	774.594	887.915	53.328	0	0	0	2,50	0,0804
00697	75.223	10,19	766.319	887.915	117.467	0	0	0	2,50	0,0804
00698	81.952	9,53	781.133	887.915	95.469	0	0	0	2,50	0,0804
00699	7.438	NS	769.215	887.915	18.666	0	0	0	2,50	0,0804
00700	11.467	66,89	767.040	887.915	4.648	0	0	0	2,50	0,0804
00701	70.729	10,83	766.319	887.915	18.305	0	0	0	2,50	0,0804
00702	85.062	9,02	766.912	887.915	3.824	0	0	0	2,50	0,0804
00703	84.432	9,08	766.319	887.915	2.095	0	0	0	2,50	0,0804
00704	72.913	10,54	768.233	887.915	12.336	0	0	0	2,50	0,0804
Piano terra			**ParoteP2-3-P3**				**Parete P2-3**			
00006	58.385	13,31	776.963	1.241.959	68.597	0	0	0	2,50	0,1005
00055	105.913	7,24	766.319	2.937.524	39.118	0	0	0	2,50	0,2346
00103	62.600	3,99	766.319	249.709	259.366	0	0	0	2,50	0,1005
00105	76.608	10,41	797.570	938.646	201.398	0	0	0	2,50	0,1810
00237	37.220	20,59	766.319	1.241.959	55.054	0	0	0	2,50	0,1005
00238	21.670	35,36	766.319	1.241.959	54.447	0	0	0	2,50	0,1005
00239	26.849	28,54	766.319	1.241.959	5.072	0	0	0	2,50	0,1005
00240	28.354	27,03	766.319	1.241.959	864	0	0	0	2,50	0,1005
00241	20.337	37,90	770.662	1.241.959	27.989	0	0	0	2,50	0,1005
00242	18.485	41,94	775.228	1.241.959	57.412	0	0	0	2,50	0,1005
00329	17.815	43,02	766.319	1.241.959	2.629	0	0	0	2,50	0,1005
00330	17.505	44,37	776.710	1.241.959	66.964	0	0	0	2,50	0,1005
00331	111.949	6,96	779.017	1.241.959	81.832	0	0	0	2,50	0,1005
00332	10.436	73,50	767.080	1.241.959	4.905	0	0	0	2,50	0,1005
00333	11.834	64,83	767.234	1.241.959	5.897	0	0	0	2,50	0,1005
00334	11.993	63,90	766.319	1.241.959	9.370	0	0	0	2,50	0,1005
00335	16.403	46,72	766.319	1.241.959	562	0	0	0	2,50	0,1005
00336	152.781	5,02	766.319	1.241.959	101.719	0	0	0	2,50	0,1005
00613	26.520	28,90	766.319	1.241.959	47.134	0	0	0	2,50	0,1005
00614	8.937	87,00	777.514	3.602.252	72.144	0	0	0	2,50	0,2346
00615	86.289	9,06	782.057	1.241.959	101.425	0	0	0	2,50	0,1005
00616	88.786	8,63	766.319	1.241.959	119.558	0	0	0	2,50	0,1005
00617	70.911	10,81	766.319	1.241.959	45.558	0	0	0	2,50	0,1005
00618	38.388	19,96	766.319	1.241.959	8.400	0	0	0	2,50	0,1005
00619	26.958	28,43	766.400	1.241.959	520	0	0	0	2,50	0,1005
00620	49.894	15,47	771.733	1.241.959	34.888	0	0	0	2,50	0,1005
Piano terra			**ParoteP2-3-P3**				**Parete 3-P3**			
00006	5.367	NS	767.973	1.170.644	10.657	0	0	0	2,50	0,1005
00055	58.350	13,20	770.363	795.426	26.060	0	0	0	2,50	0,2346
00121	52.627	14,56	766.319	1.335.722	108.910	0	0	0	2,50	0,1810
00122	77.740	9,31	775.221	723.820	57.371	0	0	0	2,50	0,1810
00237	8.202	93,43	766.319	1.241.959	33.227	0	0	0	2,50	0,1005
00238	23.300	32,89	766.319	1.241.959	47.704	0	0	0	2,50	0,1005
00239	20.978	36,53	766.319	1.241.959	4.022	0	0	0	2,50	0,1005
00240	24.403	31,45	767.360	1.241.959	6.709	0	0	0	2,50	0,1005
00241	22.750	33,90	771.128	1.241.959	30.989	0	0	0	2,50	0,1005
00242	26.660	29,12	776.404	1.241.959	64.994	0	0	0	2,50	0,1005
00337	1.892	NS	771.355	1.241.959	32.454	0	0	0	2,50	0,1005
00338	12.092	63,37	766.319	1.241.959	487	0	0	0	2,50	0,1005
00339	81.967	9,35	766.319	1.241.959	73.240	0	0	0	2,50	0,1005
00340	5.991	NS	766.319	1.241.959	6.224	0	0	0	2,50	0,1005
00341	1.524	NS	767.019	1.241.959	4.509	0	0	0	2,50	0,1005
00342	7.266	NS	766.319	1.241.959	6.040	0	0	0	2,50	0,1005
00343	1.551	NS	766.319	1.241.959	169	0	0	0	2,50	0,1005
00344	46.801	16,53	773.429	1.241.959	45.820	0	0	0	2,50	0,1005
00345	32.278	23,97	773.674	1.095.807	47.396	0	0	0	2,50	0,1005
00346	21.889	35,25	771.498	1.219.068	33.377	0	0	0	2,50	0,1005
00621	45.093	16,99	766.319	1.241.959	57.528	0	0	0	2,50	0,1005
00622	45.771	16,93	774.706	1.241.959	54.048	0	0	0	2,50	0,1005
00623	22.198	34,89	774.408	1.241.959	52.129	0	0	0	2,50	0,1005
00624	9.978	76,80	766.319	1.241.959	21.143	0	0	0	2,50	0,1005
00625	30.902	24,80	766.319	1.241.959	40.325	0	0	0	2,50	0,1005
00626	4.908	NS	766.319	1.241.959	7.775	0	0	0	2,50	0,1005
00627	13.650	56,14	766.319	1.241.959	358	0	0	0	2,50	0,1005
00628	10.730	71,93	771.755	1.241.959	35.035	0	0	0	2,50	0,1005
Piano terra			**ParoteP4-4-P5**				**Parete P4-4**			
00008	18.464	41,68	769.596	887.915	21.122	0	0	0	2,50	0,0804
00053	24.190	32,05	775.154	4.012.789	56.935	0	0	0	2,50	0,2815
00124	49.148	15,59	766.319	1.372.591	92.880	0	0	0	2,50	0,1608
00125	70.177	6,46	772.385	453.526	39.091	0	0	0	2,50	0,1810
00254	7.290	NS	768.927	887.915	16.807	0	0	0	2,50	0,0804
00259	11.121	68,91	766.319	887.915	30.213	0	0	0	2,50	0,0804
00260	32.482	23,59	766.319	887.915	48.161	0	0	0	2,50	0,0804
00261	29.927	25,61	766.319	887.915	2.634	0	0	0	2,50	0,0804
00262	34.162	22,47	767.775	887.915	9.385	0	0	0	2,50	0,0804
00263	30.331	25,44	771.684	887.915	34.573	0	0	0	2,50	0,0804
00264	28.647	27,08	775.855	887.915	61.458	0	0	0	2,50	0,0804
00451	22.115	34,90	771.862	887.915	35.725	0	0	0	2,50	0,0804
00452	33.178	23,23	770.595	887.915	27.558	0	0	0	2,50	0,0804
00453	592	NS	766.319	887.915	1.302	0	0	0	2,50	0,0804
00454	10.404	73,65	766.319	887.915	8.166	0	0	0	2,50	0,0804

Id_{Nd}	$V_{Ed,2}$	CS	V_{Rcd}	$V_{Rsd,s}$	N_{Ed}	$V_{Rsd,p}$	V_{R1}	V_{fd}	Ctgϴ	A_{sw}
	[N]		[N]	[N]	[N]	[N]	[N]	[N]		[cm²/cm]
00455	3.695	NS	767.350	887.915	6.644	0	0	0	2,50	0,0804
00456	4.040	NS	766.319	887.915	7.034	0	0	0	2,50	0,0804
00457	70.496	10,87	766.319	887.915	53.348	0	0	0	2,50	0,0804
00729	8.838	86,71	766.319	887.915	25.134	0	0	0	2,50	0,0804
00730	13.637	56,76	774.035	4.428.355	49.722	0	0	0	2,50	0,2815
00731	39.896	19,39	773.739	2.649.330	47.816	0	0	0	2,50	0,1810
00732	45.469	16,85	766.319	887.915	54.138	0	0	0	2,50	0,0804
00733	22.599	33,91	766.319	887.915	30.236	0	0	0	2,50	0,0804
00734	11.602	66,05	766.319	887.915	8.260	0	0	0	2,50	0,0804
00735	19.538	39,22	766.339	887.915	126	0	0	0	2,50	0,0804
00736	5.166	NS	769.770	887.915	22.241	0	0	0	2,50	0,0804
Piano terra			**ParetеP4-4-P5**				**Parete 4-P5**			
00008	50.117	15,50	776.839	886.154	67.794	0	0	0	2,50	0,0804
00053	139.623	5,49	766.319	1.577.507	95.564	0	0	0	2,50	0,2815
00100	55.504	13,81	766.319	918.286	297.969	0	0	0	2,50	0,1608
00102	85.299	8,70	801.227	742.254	224.965	0	0	0	2,50	0,1810
00259	39.844	19,23	766.319	887.915	59.634	0	0	0	2,50	0,0804
00260	30.981	24,73	766.319	887.915	55.180	0	0	0	2,50	0,0804
00261	35.892	21,35	766.319	887.915	4.600	0	0	0	2,50	0,0804
00262	39.215	19,54	766.319	887.915	1.883	0	0	0	2,50	0,0804
00263	28.253	27,30	771.274	887.915	31.930	0	0	0	2,50	0,0804
00264	29.206	26,57	775.883	887.915	61.633	0	0	0	2,50	0,0804
00301	36.382	21,29	774.538	887.915	52.967	0	0	0	2,50	0,0804
00302	16.620	46,11	766.319	887.915	48.874	0	0	0	2,50	0,0804
00303	167.949	4,56	766.319	1.596.003	134.154	0	0	0	2,50	0,1608
00304	19.157	40,00	766.319	887.915	961	0	0	0	2,50	0,0804
00305	14.383	53,28	766.319	887.915	11.914	0	0	0	2,50	0,0804
00306	15.741	48,77	767.614	887.915	8.346	0	0	0	2,50	0,0804
00307	13.001	59,03	767.450	887.915	7.292	0	0	0	2,50	0,0804
00308	132.269	5,93	784.833	887.915	119.315	0	0	0	2,50	0,0804
00309	2.952	NS	782.266	861.502	102.773	0	0	0	2,50	0,0804
00310	88.287	8,71	768.791	887.915	15.933	0	0	0	2,50	0,0804
00589	78.786	9,73	766.319	887.915	123.037	0	0	0	2,50	0,0804
00590	85.810	9,13	783.856	1.773.025	113.015	0	0	0	2,50	0,1810
00591	17.960	43,23	776.356	4.428.355	64.681	0	0	0	2,50	0,2815
00592	20.183	37,97	766.319	887.915	35.372	0	0	0	2,50	0,0804
00593	85.834	8,93	766.319	887.915	65.803	0	0	0	2,50	0,0804
00594	46.500	16,48	766.319	887.915	7.814	0	0	0	2,50	0,0804
00595	35.963	21,31	766.504	887.915	1.195	0	0	0	2,50	0,0804
00596	71.925	10,79	775.966	887.915	62.169	0	0	0	2,50	0,0804
Piano terra			**ParetеP6-6**				**Parete P6-6**			
00047	108.546	7,26	788.127	887.915	140.540	0	0	0	2,50	0,0804
00060	123.852	4,13	766.319	511.089	127.749	0	0	0	2,50	0,0804
00085	38.507	19,90	766.319	1.166.569	344.480	0	0	0	2,50	0,1608
00087	47.378	14,66	806.972	694.656	261.988	0	0	0	2,50	0,1608
00395	69.220	11,07	766.319	887.915	10.586	0	0	0	2,50	0,0804
00396	59.512	12,88	766.319	887.915	2.259	0	0	0	2,50	0,0804
00397	81.780	9,37	766.319	887.915	18.565	0	0	0	2,50	0,0804
00398	69.578	11,08	770.651	887.915	27.917	0	0	0	2,50	0,0804
00399	56.591	13,54	766.319	887.915	10.724	0	0	0	2,50	0,0804
00400	65.155	11,77	766.639	887.915	2.061	0	0	0	2,50	0,0804
00443	67.725	11,32	766.319	887.915	22.214	0	0	0	2,50	0,0804
00444	38.999	19,90	775.942	887.915	62.018	0	0	0	2,50	0,0804
00445	138.406	5,65	781.606	887.915	98.519	0	0	0	2,50	0,0804
00446	23.016	33,37	768.029	887.915	11.021	0	0	0	2,50	0,0804
00447	40.944	18,80	769.781	887.915	22.314	0	0	0	2,50	0,0804
00448	35.770	21,42	766.319	887.915	35.599	0	0	0	2,50	0,0804
00449	27.053	28,33	766.319	887.915	4.659	0	0	0	2,50	0,0804
00450	177.161	4,33	766.319	887.915	113.987	0	0	0	2,50	0,0804
00721	20.370	37,62	766.319	887.915	13.182	0	0	0	2,50	0,0804
00722	11.815	65,31	771.682	887.915	34.565	0	0	0	2,50	0,0804
00723	93.094	8,40	782.134	887.915	101.922	0	0	0	2,50	0,0804
00724	88.969	8,61	766.319	887.915	137.285	0	0	0	2,50	0,0804
00725	83.663	9,16	766.319	887.915	23.868	0	0	0	2,50	0,0804
00726	88.440	8,67	766.927	887.915	3.920	0	0	0	2,50	0,0804
00727	89.841	8,53	766.319	887.915	3.464	0	0	0	2,50	0,0804
00728	83.790	9,17	768.366	887.915	13.193	0	0	0	2,50	0,0804
Piano terra			**Parete19-P9**				**Parete 19-P9**			
00012	66.031	11,98	790.834	845.763	157.985	0	0	0	2,50	0,1005
00050	142.376	2,53	766.319	359.611	189.662	0	0	0	2,50	0,2346
00091	17.242	0,80	766.319	13.752	254.181	0	0	0	2,50	0,1005
00093	51.332	11,27	808.277	578.329	270.396	0	0	0	2,50	0,1810
00277	67.445	11,42	770.350	1.241.959	25.980	0	0	0	2,50	0,1005
00278	49.726	15,41	766.319	1.241.959	5.057	0	0	0	2,50	0,1005
00279	57.726	13,35	770.633	1.241.959	27.799	0	0	0	2,50	0,1005
00280	76.983	9,95	766.319	1.241.959	38.015	0	0	0	2,50	0,1005
00281	44.227	17,33	766.319	1.241.959	23.149	0	0	0	2,50	0,1005
00282	68.251	11,23	766.319	1.241.959	43.466	0	0	0	2,50	0,1005
00425	69.790	11,11	775.641	1.241.959	60.073	0	0	0	2,50	0,1005
00426	46.989	16,31	766.319	1.241.959	51.567	0	0	0	2,50	0,1005
00427	136.638	5,61	766.319	1.241.959	109.392	0	0	0	2,50	0,1005

Id_{Nd}	$V_{Ed,2}$ [N]	CS	V_{Rcd} [N]	$V_{Rsd,s}$ [N]	N_{Ed} [N]	$V_{Rsd,p}$ [N]	V_{R1} [N]	V_{fd} [N]	Ctgϴ	A_{sw} [cm^2/cm]
00428	29.506	25,97	766.319	1.241.959	2.499	0	0	0	2,50	0,1005
00429	35.613	21,52	766.319	1.241.959	32.801	0	0	0	2,50	0,1005
00430	52.392	14,74	772.038	1.241.959	36.858	0	0	0	2,50	0,1005
00431	23.669	32,59	771.267	1.241.959	31.888	0	0	0	2,50	0,1005
00432	141.825	5,55	787.580	1.241.959	137.015	0	0	0	2,50	0,1005
00433	45.856	17,13	785.533	1.241.959	123.825	0	0	0	2,50	0,1005
00434	121.454	6,31	766.319	1.241.959	14.774	0	0	0	2,50	0,1005
00705	50.818	15,08	766.319	1.241.959	88.022	0	0	0	2,50	0,1005
00706	66.611	11,76	783.098	1.241.959	108.130	0	0	0	2,50	0,1005
00707	20.502	37,42	767.209	3.602.252	5.737	0	0	0	2,50	0,2346
00708	14.777	52,07	769.490	1.241.959	20.434	0	0	0	2,50	0,1005
00709	80.485	9,52	766.319	1.241.959	24.827	0	0	0	2,50	0,1005
00710	87.473	8,77	766.796	1.241.959	3.074	0	0	0	2,50	0,1005
00711	85.641	8,95	766.319	1.241.959	2.438	0	0	0	2,50	0,1005
00712	80.756	9,55	771.432	1.241.959	32.954	0	0	0	2,50	0,1005
	ERRORE: Armatura a taglio insufficiente									
Piano terra			**ParetеP10-21-P11**				**Parete P10-21**			
00016	39.495	19,63	775.220	887.915	57.364	0	0	0	2,50	0,0804
00064	93.940	8,16	766.319	2.232.004	36.304	0	0	0	2,50	0,1810
00094	41.502	18,46	766.319	1.297.754	175.816	0	0	0	2,50	0,1608
00096	91.935	6,41	798.719	589.004	208.798	0	0	0	2,50	0,1608
00283	29.475	26,00	766.319	887.915	35.816	0	0	0	2,50	0,0804
00284	19.106	40,11	766.319	887.915	35.706	0	0	0	2,50	0,0804
00285	17.935	42,73	766.319	887.915	765	0	0	0	2,50	0,0804
00286	26.252	29,20	766.552	887.915	1.504	0	0	0	2,50	0,0804
00287	16.706	46,23	772.293	887.915	38.497	0	0	0	2,50	0,0804
00288	22.944	33,82	775.962	887.915	62.146	0	0	0	2,50	0,0804
00321	12.692	60,48	767.653	887.915	8.597	0	0	0	2,50	0,0804
00322	4.383	NS	775.704	887.915	60.482	0	0	0	2,50	0,0804
00323	122.282	6,38	780.448	2.304.091	91.055	0	0	0	2,50	0,1608
00324	11.786	65,10	767.251	887.915	6.008	0	0	0	2,50	0,0804
00325	12.562	61,09	767.391	887.915	6.906	0	0	0	2,50	0,0804
00326	9.926	77,20	766.319	887.915	7.956	0	0	0	2,50	0,0804
00327	13.329	57,50	766.409	887.915	583	0	0	0	2,50	0,0804
00328	108.751	7,05	766.319	887.915	72.111	0	0	0	2,50	0,0804
00605	21.208	36,13	766.319	887.915	26.366	0	0	0	2,50	0,0804
00606	2.858	NS	776.684	2.658.135	66.796	0	0	0	2,50	0,1810
00607	97.730	8,02	783.371	2.304.091	109.892	0	0	0	2,50	0,1608
00608	62.227	12,31	766.319	887.915	78.916	0	0	0	2,50	0,0804
00609	52.723	14,53	766.319	887.915	30.516	0	0	0	2,50	0,0804
00610	31.098	24,64	766.319	887.915	5.604	0	0	0	2,50	0,0804
00611	28.014	27,37	766.786	887.915	3.009	0	0	0	2,50	0,0804
00612	57.947	13,33	772.559	887.915	40.216	0	0	0	2,50	0,0804
Piano terra			**ParetеP10-21-P11**				**Parete 21-P11**			
00016	6.801	NS	768.357	788.426	13.132	0	0	0	2,50	0,0804
00064	38.181	7,38	771.524	281.841	33.542	0	0	0	2,50	0,1810
00118	34.642	22,12	766.319	1.198.265	68.924	0	0	0	2,50	0,1608
00119	96.202	5,42	776.084	521.265	62.933	0	0	0	2,50	0,1810
00283	9.729	78,77	766.319	887.915	20.473	0	0	0	2,50	0,0804
00284	20.258	37,83	766.319	887.915	31.653	0	0	0	2,50	0,0804
00285	18.077	42,40	766.504	887.915	1.195	0	0	0	2,50	0,0804
00286	19.958	38,48	767.956	887.915	10.548	0	0	0	2,50	0,0804
00287	18.901	40,89	772.861	887.915	42.158	0	0	0	2,50	0,0804
00288	15.943	48,74	777.110	887.915	69.545	0	0	0	2,50	0,0804
00347	4.161	NS	771.963	887.915	36.374	0	0	0	2,50	0,0804
00348	5.240	NS	767.668	887.915	8.694	0	0	0	2,50	0,0804
00349	56.101	13,66	766.319	887.915	51.482	0	0	0	2,50	0,0804
00350	4.123	NS	766.319	887.915	7.056	0	0	0	2,50	0,0804
00351	837	NS	766.729	887.915	2.640	0	0	0	2,50	0,0804
00352	5.449	NS	766.319	887.915	5.647	0	0	0	2,50	0,0804
00353	3.754	NS	766.319	887.915	954	0	0	0	2,50	0,0804
00354	60.023	12,92	775.283	887.915	57.766	0	0	0	2,50	0,0804
00355	49.872	15,52	773.853	821.882	48.554	0	0	0	2,50	0,0804
00356	3.701	NS	769.861	887.915	22.824	0	0	0	2,50	0,0804
00629	28.432	26,95	766.319	887.915	35.772	0	0	0	2,50	0,0804
00630	59.624	13,02	776.276	1.773.025	64.167	0	0	0	2,50	0,1810
00631	7.455	NS	774.185	2.658.135	50.693	0	0	0	2,50	0,1810
00632	3.300	NS	766.319	887.915	8.601	0	0	0	2,50	0,0804
00633	18.238	42,02	766.319	887.915	25.824	0	0	0	2,50	0,0804
00634	4.953	NS	766.319	887.915	5.511	0	0	0	2,50	0,0804
00635	6.925	NS	766.626	887.915	1.978	0	0	0	2,50	0,0804
00636	22.332	34,62	773.107	887.915	43.748	0	0	0	2,50	0,0804
Piano terra			**ParetеP12-22-P13**				**Parete P12-22**			
00018	7.821	98,34	769.079	887.915	17.784	0	0	0	2,50	0,0804
00065	21.959	35,21	773.167	2.947.980	44.134	0	0	0	2,50	0,2145
00115	36.717	20,87	766.319	1.298.634	62.130	0	0	0	2,50	0,1608
00116	77.301	3,05	775.165	235.949	57.005	0	0	0	2,50	0,1608
00295	3.301	NS	766.319	887.915	23.685	0	0	0	2,50	0,0804
00296	20.470	37,44	766.319	887.915	38.447	0	0	0	2,50	0,0804
00297	19.699	38,90	766.319	887.915	1.415	0	0	0	2,50	0,0804
00298	20.049	38,27	767.286	887.915	6.231	0	0	0	2,50	0,0804

Id_{Nd}	$V_{Ed,2}$	CS	V_{Rcd}	$V_{Rsd,s}$	N_{Ed}	$V_{Rsd,p}$	V_{R1}	V_{fd}	CtgΘ	A_{sw}
	[N]		[N]	[N]	[N]	[N]	[N]	[N]		[cm^2/cm]
00299	20.163	38,26	771.455	887.915	33.098	0	0	0	2,50	0,0804
00300	16.446	47,09	774.484	887.915	52.620	0	0	0	2,50	0,0804
00357	9.348	82,28	769.142	887.915	18.191	0	0	0	2,50	0,0804
00358	26.221	29,46	772.333	887.915	38.759	0	0	0	2,50	0,0804
00359	44.915	17,19	772.169	887.915	37.700	0	0	0	2,50	0,0804
00360	2.756	NS	766.564	887.915	1.580	0	0	0	2,50	0,0804
00361	4.475	NS	766.319	887.915	3.423	0	0	0	2,50	0,0804
00362	1.772	NS	767.057	887.915	4.759	0	0	0	2,50	0,0804
00363	4.463	NS	766.319	887.915	3.486	0	0	0	2,50	0,0804
00364	52.994	14,46	766.319	887.915	39.692	0	0	0	2,50	0,0804
00637	10.992	69,72	766.319	887.915	15.776	0	0	0	2,50	0,0804
00638	5.588	NS	773.425	3.248.208	45.797	0	0	0	2,50	0,2145
00639	49.611	15,62	774.895	2.304.091	55.270	0	0	0	2,50	0,1608
00640	35.095	21,84	766.319	887.915	36.880	0	0	0	2,50	0,0804
00641	20.177	37,98	766.319	887.915	22.320	0	0	0	2,50	0,0804
00642	4.320	NS	766.319	887.915	8.089	0	0	0	2,50	0,0804
00643	10.103	75,87	766.480	887.915	1.040	0	0	0	2,50	0,0804
00644	14.283	53,91	770.001	887.915	23.729	0	0	0	2,50	0,0804
Piano terra			**ParetеP12-22-P13**				**Parete 22-P13**			
00018	46.258	16,77	775.750	873.828	60.780	0	0	0	2,50	0,0804
00065	110.960	5,75	766.319	637.719	72.064	0	0	0	2,50	0,2145
00097	40.766	18,80	766.319	1.143.678	236.983	0	0	0	2,50	0,1608
00099	72.483	10,87	795.241	787.982	186.388	0	0	0	2,50	0,1608
00295	25.827	29,67	766.319	887.915	44.053	0	0	0	2,50	0,0804
00296	19.201	39,91	766.319	887.915	40.842	0	0	0	2,50	0,0804
00297	24.136	31,75	766.319	887.915	1.061	0	0	0	2,50	0,0804
00298	25.505	30,06	766.783	887.915	2.990	0	0	0	2,50	0,0804
00299	18.287	42,20	771.775	887.915	35.160	0	0	0	2,50	0,0804
00300	22.446	34,55	775.398	887.915	58.509	0	0	0	2,50	0,0804
00311	35.350	21,87	773.249	887.915	44.658	0	0	0	2,50	0,0804
00312	18.850	40,65	766.319	887.915	35.589	0	0	0	2,50	0,0804
00313	131.211	5,84	766.319	887.915	105.582	0	0	0	2,50	0,0804
00314	14.274	53,69	766.319	887.915	3.852	0	0	0	2,50	0,0804
00315	11.006	69,63	766.319	887.915	9.369	0	0	0	2,50	0,0804
00316	10.323	74,30	766.945	887.915	4.037	0	0	0	2,50	0,0804
00317	11.078	69,23	766.906	887.915	3.780	0	0	0	2,50	0,0804
00318	111.948	6,98	781.700	887.915	99.122	0	0	0	2,50	0,0804
00319	7.235	NS	778.943	864.143	81.357	0	0	0	2,50	0,0804
00320	66.236	11,60	768.235	887.915	12.350	0	0	0	2,50	0,0804
00597	58.535	13,09	766.319	887.915	96.009	0	0	0	2,50	0,0804
00598	73.724	10,59	780.981	887.915	94.489	0	0	0	2,50	0,0804
00599	11.692	66,28	775.020	3.248.208	56.074	0	0	0	2,50	0,2145
00600	9.728	78,77	766.319	887.915	26.366	0	0	0	2,50	0,0804
00601	62.533	12,25	766.319	887.915	50.654	0	0	0	2,50	0,0804
00602	32.926	23,27	766.319	887.915	5.906	0	0	0	2,50	0,0804
00603	27.456	27,92	766.595	887.915	1.778	0	0	0	2,50	0,0804
00604	61.729	12,55	774.707	887.915	54.053	0	0	0	2,50	0,0804
Piano terra			**ParetеP14-24**				**Parete P14-24**			
00088	30.201	25,37	766.319	1.221.156	282.737	0	0	0	2,50	0,1608
00090	37.522	21,33	800.194	935.015	218.308	0	0	0	2,50	0,1608
00109	100.020	3,98	766.319	398.393	111.217	0	0	0	2,50	0,0804
00110	86.696	9,05	784.218	887.915	115.347	0	0	0	2,50	0,0804
00289	57.409	13,36	766.748	887.915	2.766	0	0	0	2,50	0,0804
00290	48.565	15,78	766.319	887.915	10.891	0	0	0	2,50	0,0804
00291	59.731	12,89	769.775	887.915	22.269	0	0	0	2,50	0,0804
00292	72.277	10,60	766.319	887.915	17.940	0	0	0	2,50	0,0804
00293	52.571	14,58	766.319	887.915	3.910	0	0	0	2,50	0,0804
00294	63.307	12,10	766.319	887.915	10.098	0	0	0	2,50	0,0804
00435	54.007	14,19	766.319	887.915	20.120	0	0	0	2,50	0,0804
00436	32.138	24,09	774.229	887.915	50.975	0	0	0	2,50	0,0804
00437	115.219	6,76	779.124	887.915	82.521	0	0	0	2,50	0,0804
00438	19.312	39,77	767.962	887.915	10.587	0	0	0	2,50	0,0804
00439	35.895	21,44	769.497	887.915	20.479	0	0	0	2,50	0,0804
00440	30.027	25,52	766.319	887.915	29.198	0	0	0	2,50	0,0804
00441	23.275	32,92	766.319	887.915	1.460	0	0	0	2,50	0,0804
00442	144.941	5,29	766.319	887.915	91.754	0	0	0	2,50	0,0804
00713	18.933	40,47	766.319	887.915	11.874	0	0	0	2,50	0,0804
00714	13.188	58,43	770.573	887.915	27.417	0	0	0	2,50	0,0804
00715	77.445	10,06	779.333	887.915	83.867	0	0	0	2,50	0,0804
00716	73.433	10,44	766.319	887.915	111.973	0	0	0	2,50	0,0804
00717	71.644	10,70	766.319	887.915	18.608	0	0	0	2,50	0,0804
00718	75.679	10,13	766.817	887.915	3.207	0	0	0	2,50	0,0804
00719	74.508	10,29	766.319	887.915	2.609	0	0	0	2,50	0,0804
00720	71.721	10,71	767.969	887.915	10.633	0	0	0	2,50	0,0804
Piano terra			**Parete6-P7**				**Parete 6-P7**			
00047	10.754	71,98	774.056	818.361	49.861	0	0	0	2,50	0,0804
00060	40.998	18,69	766.319	1.320.645	17.261	0	0	0	2,50	0,1608
00079	27.766	27,60	766.319	887.915	13.087	0	0	0	2,50	0,0804
00107	11.614	46,38	766.319	538.601	122.788	0	0	0	2,50	0,1608
00108	25.306	15,09	780.184	381.938	89.351	0	0	0	2,50	0,1810
00380	10.599	72,83	771.975	887.915	36.450	0	0	0	2,50	0,0804

Id_{Nd}	$V_{Ed,2}$	CS	V_{Rcd}	$V_{Rsd,s}$	N_{Ed}	$V_{Rsd,p}$	V_{R1}	V_{fd}	CtgΘ	A_{sw}
	[N]		[N]	[N]	[N]	[N]	[N]	[N]		[cm^2/cm]
00381	22.739	33,88	770.464	887.915	26.712	0	0	0	2,50	0,0804
00382	26.681	28,82	768.854	887.915	16.337	0	0	0	2,50	0,0804
00383	34.893	22,11	771.539	887.915	33.642	0	0	0	2,50	0,0804
00384	58.244	13,16	766.319	887.915	59.164	0	0	0	2,50	0,0804
00385	10.443	73,38	766.319	887.915	8.631	0	0	0	2,50	0,0804
00386	12.051	63,59	766.319	887.915	10.709	0	0	0	2,50	0,0804
00387	15.375	49,88	766.877	887.915	3.598	0	0	0	2,50	0,0804
00388	16.990	45,17	767.501	887.915	7.620	0	0	0	2,50	0,0804
00389	69.173	11,23	776.633	887.915	66.470	0	0	0	2,50	0,0804
00390	7.945	96,50	766.723	887.915	2.602	0	0	0	2,50	0,0804
00391	35.622	21,51	766.319	877.350	62.585	0	0	0	2,50	0,0804
00392	29.213	26,23	766.319	887.915	20.486	0	0	0	2,50	0,0804
00393	26.983	28,40	766.319	887.915	38.348	0	0	0	2,50	0,0804
00394	40.232	19,05	766.319	887.915	29.231	0	0	0	2,50	0,0804
00395	43.485	17,65	767.379	887.915	6.832	0	0	0	2,50	0,0804
00396	41.545	18,46	767.102	887.915	5.049	0	0	0	2,50	0,0804
00397	39.902	19,23	767.488	887.915	7.533	0	0	0	2,50	0,0804
00398	30.496	25,19	768.162	887.915	11.877	0	0	0	2,50	0,0804
00399	28.094	27,37	769.057	887.915	17.647	0	0	0	2,50	0,0804
00400	2.073	NS	771.300	887.915	32.103	0	0	0	2,50	0,0804
00660	15.906	48,18	766.319	870.306	45.524	0	0	0	2,50	0,0804
00661	39.081	19,75	771.831	1.773.025	35.520	0	0	0	2,50	0,1810
00662	38.412	19,95	766.319	887.915	8.019	0	0	0	2,50	0,0804
00663	4.078	NS	771.358	887.915	32.472	0	0	0	2,50	0,0804
00664	13.429	57,31	769.601	887.915	21.153	0	0	0	2,50	0,0804
00665	12.986	59,11	767.611	887.915	8.327	0	0	0	2,50	0,0804
00666	22.351	34,34	767.576	887.915	8.099	0	0	0	2,50	0,0804
00667	32.693	23,45	766.687	887.915	2.374	0	0	0	2,50	0,0804
00668	4.425	NS	766.942	887.915	4.015	0	0	0	2,50	0,0804
00669	16.781	45,74	767.486	887.915	7.518	0	0	0	2,50	0,0804
00670	14.074	54,61	768.497	887.915	14.037	0	0	0	2,50	0,0804
00671	16.468	46,53	766.319	887.915	14.835	0	0	0	2,50	0,0804
00672	22.660	33,83	766.694	887.915	2.418	0	0	0	2,50	0,0804
00673	32.759	23,43	767.645	887.915	8.548	0	0	0	2,50	0,0804
00674	43.434	17,72	769.807	887.915	22.476	0	0	0	2,50	0,0804
Piano terra			**Parete7-16**				**Parete 7-16**			
00023	70.516	10,87	766.152	1.144.455	68.621	0	0	0	2,50	0,1608
00035	96.862	5,22	766.152	505.259	232.175	0	0	0	2,50	0,1608
00048	105.301	7,53	797.459	792.700	201.755	0	0	0	2,50	0,1810
00049	21.814	14,82	779.166	323.228	83.866	0	0	0	2,50	0,1608
00265	67.399	11,37	766.152	888.030	57.798	0	0	0	2,50	0,0804
00266	28.281	27,09	766.152	888.030	19.884	0	0	0	2,50	0,0804
00267	26.755	28,64	766.152	888.030	9.415	0	0	0	2,50	0,0804
00268	19.590	39,16	767.068	888.030	5.902	0	0	0	2,50	0,0804
00269	24.530	31,28	767.314	888.030	7.488	0	0	0	2,50	0,0804
00270	59.356	13,00	771.882	888.030	36.929	0	0	0	2,50	0,0804
00271	153.772	4,98	766.152	1.596.118	117.422	0	0	0	2,50	0,1608
00272	48.164	15,91	766.152	888.030	34.502	0	0	0	2,50	0,0804
00273	31.092	24,64	766.152	888.030	12.259	0	0	0	2,50	0,0804
00274	40.188	19,12	768.326	888.030	14.013	0	0	0	2,50	0,0804
00275	49.355	15,65	772.614	888.030	41.645	0	0	0	2,50	0,0804
00276	146.717	5,35	785.417	2.953.287	124.152	0	0	0	2,50	0,1810
00401	55.288	13,89	768.114	888.030	12.645	0	0	0	2,50	0,0804
00402	16.808	45,95	772.279	888.030	39.486	0	0	0	2,50	0,0804
00403	7.294	NS	767.056	888.030	5.829	0	0	0	2,50	0,0804
00404	962	NS	768.762	888.030	16.820	0	0	0	2,50	0,0804
00405	8.118	94,73	768.961	888.030	18.102	0	0	0	2,50	0,0804
00406	14.402	53,26	767.024	888.030	5.623	0	0	0	2,50	0,0804
00407	11.538	66,58	768.278	888.030	13.701	0	0	0	2,50	0,0804
00408	21.829	35,10	766.152	888.030	3.393	0	0	0	2,50	0,0804
00409	13.236	57,88	766.152	888.030	6.175	0	0	0	2,50	0,0804
00410	1.362	NS	766.152	888.030	19.858	0	0	0	2,50	0,0804
00411	18.256	41,97	766.152	888.030	6.119	0	0	0	2,50	0,0804
00412	18.172	42,16	766.152	888.030	14.001	0	0	0	2,50	0,0804
00413	12.416	61,71	766.152	888.030	15.705	0	0	0	2,50	0,0804
00414	9.328	82,14	766.193	888.030	266	0	0	0	2,50	0,0804
00415	28.649	26,74	766.152	888.030	38.198	0	0	0	2,50	0,0804
00416	19.265	39,83	767.308	2.068.177	7.447	0	0	0	2,50	0,0804
00675	45.382	16,88	766.152	888.030	44.956	0	0	0	2,50	0,0804
00676	28.389	27,19	771.960	2.304.206	37.427	0	0	0	2,50	0,1608
00677	80.530	9,72	782.797	2.953.287	107.268	0	0	0	2,50	0,1810
00678	63.844	12,00	766.152	1.596.118	123.066	0	0	0	2,50	0,1608
00679	33.454	22,90	766.152	888.030	25.833	0	0	0	2,50	0,0804
00680	47.577	16,10	766.152	888.030	7.740	0	0	0	2,50	0,0804
00681	50.679	15,16	768.265	888.030	13.616	0	0	0	2,50	0,0804
00682	46.017	16,78	772.389	888.030	40.193	0	0	0	2,50	0,0804
00683	13.297	57,62	766.152	888.030	15.742	0	0	0	2,50	0,0804
00684	22.711	33,74	766.342	888.030	1.228	0	0	0	2,50	0,0804
00685	9.081	84,72	769.330	888.030	20.483	0	0	0	2,50	0,0804
00686	3.432	NS	766.542	888.030	2.516	0	0	0	2,50	0,0804
00687	3.944	NS	766.152	888.030	6.193	0	0	0	2,50	0,0804

Id_{Nd}	$V_{Ed,2}$	CS	V_{Rcd}	$V_{Rsd,s}$	N_{Ed}	$V_{Rsd,p}$	V_{R1}	V_{fd}	CtgΘ	A_{sw}
	[N]		[N]	[N]	[N]	[N]	[N]	[N]		[cm^2/cm]
00688	7.558	NS	767.356	888.030	7.762	0	0	0	2,50	0,0804
00689	15.413	49,72	766.401	888.030	1.604	0	0	0	2,50	0,0804
00690	18.076	42,38	766.152	888.030	9.364	0	0	0	2,50	0,0804
00691	24.771	30,93	766.152	888.030	1.738	0	0	0	2,50	0,0804
00692	23.588	32,52	767.025	888.030	5.628	0	0	0	2,50	0,0804
00693	27.910	27,45	766.152	888.030	12.804	0	0	0	2,50	0,0804
00694	34.525	22,19	766.152	888.030	7.561	0	0	0	2,50	0,0804
00695	31.609	24,24	766.264	888.030	723	0	0	0	2,50	0,0804
00696	28.517	26,92	767.629	888.030	9.518	0	0	0	2,50	0,0804
Piano terra			**ParetеP8-24**				**Parete P8-24**			
00081	29.083	26,35	766.319	887.915	8.014	0	0	0	2,50	0,0804
00109	48.130	15,92	766.319	1.522.265	25.163	0	0	0	2,50	0,1608
00110	6.589	NS	771.913	887.915	36.047	0	0	0	2,50	0,0804
00111	12.455	58,88	766.319	733.395	121.853	0	0	0	2,50	0,1608
00112	59.902	5,46	784.937	326.834	119.984	0	0	0	2,50	0,2145
00289	5.881	NS	770.376	887.915	26.142	0	0	0	2,50	0,0804
00290	26.479	29,00	767.971	887.915	10.645	0	0	0	2,50	0,0804
00291	31.228	24,58	767.516	887.915	7.711	0	0	0	2,50	0,0804
00292	37.591	20,40	766.846	887.915	3.394	0	0	0	2,50	0,0804
00293	43.339	17,69	766.673	887.915	2.281	0	0	0	2,50	0,0804
00294	47.673	16,10	767.350	887.915	6.645	0	0	0	2,50	0,0804
00365	37.044	20,88	773.415	887.915	45.729	0	0	0	2,50	0,0804
00366	27.745	27,72	769.078	887.915	17.779	0	0	0	2,50	0,0804
00367	22.024	34,97	770.159	887.915	24.748	0	0	0	2,50	0,0804
00368	11.401	67,66	771.442	887.915	33.014	0	0	0	2,50	0,0804
00369	56.165	13,64	766.319	887.915	33.818	0	0	0	2,50	0,0804
00370	46.176	16,60	766.319	887.915	42.336	0	0	0	2,50	0,0804
00371	52.906	14,48	766.319	887.915	17.954	0	0	0	2,50	0,0804
00372	49.807	15,39	766.319	847.415	64.451	0	0	0	2,50	0,0804
00373	1.613	NS	769.073	858.861	17.751	0	0	0	2,50	0,0804
00374	94.440	8,28	781.963	2.935.563	100.818	0	0	0	2,50	0,2145
00375	20.987	36,64	768.866	887.915	16.417	0	0	0	2,50	0,0804
00376	20.966	36,63	767.979	887.915	10.701	0	0	0	2,50	0,0804
00377	11.344	67,55	766.319	887.915	8.665	0	0	0	2,50	0,0804
00378	12.320	62,20	766.319	887.915	4.452	0	0	0	2,50	0,0804
00379	63.078	12,15	766.319	817.480	61.695	0	0	0	2,50	0,0804
00645	5.555	NS	770.769	887.915	28.678	0	0	0	2,50	0,0804
00646	46.366	16,53	766.319	887.915	7.925	0	0	0	2,50	0,0804
00647	59.497	13,03	775.316	2.953.171	57.983	0	0	0	2,50	0,2145
00648	18.213	42,08	766.319	852.698	44.636	0	0	0	2,50	0,0804
00649	20.859	36,74	766.319	887.915	15.205	0	0	0	2,50	0,0804
00650	24.293	31,57	766.982	887.915	4.273	0	0	0	2,50	0,0804
00651	37.133	20,69	768.374	887.915	13.241	0	0	0	2,50	0,0804
00652	51.603	14,96	771.962	887.915	36.364	0	0	0	2,50	0,0804
00653	3.805	NS	766.780	887.915	2.973	0	0	0	2,50	0,0804
00654	14.873	51,62	767.715	887.915	8.997	0	0	0	2,50	0,0804
00655	9.273	83,01	769.742	887.915	22.058	0	0	0	2,50	0,0804
00656	13.452	57,17	769.078	887.915	17.783	0	0	0	2,50	0,0804
00657	14.962	51,28	767.209	887.915	5.735	0	0	0	2,50	0,0804
00658	27.334	28,09	767.907	887.915	10.232	0	0	0	2,50	0,0804
00659	42.115	18,22	767.196	887.915	5.651	0	0	0	2,50	0,0804
Piano interrato			**Parete1-P1**				**Parete 1-P1**			
00001	7.459	NS	768.180	887.915	11.994	0	0	0	2,50	0,0804
00002	161.905	4,73	766.319	775.219	11.174	0	0	0	2,50	0,0804
00083	29.425	27,64	813.337	887.915	303.003	0	0	0	2,50	0,0804
00126	27.050	28,97	783.683	791.067	111.904	0	0	0	2,50	0,0804
00417	158.518	4,88	772.839	887.915	42.020	0	0	0	2,50	0,0804
00549	8.110	95,44	773.965	887.915	49.277	0	0	0	2,50	0,0804
00550	19.278	39,96	770.298	887.915	25.646	0	0	0	2,50	0,0804
00551	11.733	65,66	770.391	887.915	26.243	0	0	0	2,50	0,0804
00552	39.074	19,90	777.668	887.915	73.137	0	0	0	2,50	0,0804
00553	87.094	8,92	776.803	887.915	67.561	0	0	0	2,50	0,0804
00554	42.764	17,97	768.384	887.915	13.307	0	0	0	2,50	0,0804
00555	13.709	55,90	766.319	887.915	50.169	0	0	0	2,50	0,0804
00556	26.019	29,45	766.319	887.915	21.015	0	0	0	2,50	0,0804
00557	11.059	69,29	766.319	887.915	21.487	0	0	0	2,50	0,0804
00809	16.627	46,44	772.100	887.915	37.259	0	0	0	2,50	0,0804
00810	23.642	33,19	784.767	887.915	118.888	0	0	0	2,50	0,0804
00811	42.788	18,10	774.575	887.915	53.204	0	0	0	2,50	0,0804
00812	12.942	59,49	769.926	887.915	23.244	0	0	0	2,50	0,0804
00813	12.834	59,76	766.970	887.915	4.197	0	0	0	2,50	0,0804
00814	32.905	23,37	769.002	887.915	17.289	0	0	0	2,50	0,0804
Piano interrato			**ParetеP2-3-P3**				**Parete P2-3**			
00005	4.379	NS	782.867	887.915	106.640	0	0	0	2,50	0,0804
00006	61.589	12,52	770.902	887.915	29.537	0	0	0	2,50	0,0804
00103	101.683	8,03	816.323	887.915	322.247	0	0	0	2,50	0,0804
00104	62.034	12,72	789.324	1.634.960	148.256	0	0	0	2,50	0,1608
00329	45.999	16,81	773.430	887.915	45.825	0	0	0	2,50	0,0804
00483	35.202	22,24	782.974	887.915	107.330	0	0	0	2,50	0,0804
00484	9.708	80,07	777.301	887.915	70.773	0	0	0	2,50	0,0804
00485	6.336	NS	779.524	887.915	85.097	0	0	0	2,50	0,0804

Id_{Nd}	$V_{Ed,2}$	CS	V_{Rcd}	$V_{Rsd,s}$	N_{Ed}	$V_{Rsd,p}$	V_{R1}	V_{fd}	Ctgϴ	A_{sw}
	[N]		[N]	[N]	[N]	[N]	[N]	[N]		[cm²/cm]
00486	15.894	48,97	778.268	887.915	77.005	0	0	0	2,50	0,0804
00487	20.805	37,47	779.616	887.915	85.689	0	0	0	2,50	0,0804
00488	145.486	5,37	781.186	887.915	95.808	0	0	0	2,50	0,0804
00489	25.984	29,64	770.148	887.915	24.678	0	0	0	2,50	0,0804
00490	4.063	NS	766.319	887.915	8.474	0	0	0	2,50	0,0804
00491	46.110	16,72	771.006	887.915	30.206	0	0	0	2,50	0,0804
00755	40.451	19,35	782.701	887.915	105.571	0	0	0	2,50	0,0804
00756	55.645	14,05	781.587	887.915	98.395	0	0	0	2,50	0,0804
00757	114.084	6,92	789.656	887.915	150.392	0	0	0	2,50	0,0804
00758	54.943	14,18	779.326	887.915	83.820	0	0	0	2,50	0,0804
00759	13.454	57,48	773.279	887.915	44.856	0	0	0	2,50	0,0804
00760	53.995	14,36	775.320	887.915	58.009	0	0	0	2,50	0,0804
Piano interrato			**ParetеP2-3-P3**				**Parete 3-P3**			
00005	1.088	NS	787.127	887.915	134.096	0	0	0	2,50	0,0804
00006	1.606	NS	778.596	810.437	79.118	0	0	0	2,50	0,0804
00120	54.228	14,63	793.477	1.212.352	175.020	0	0	0	2,50	0,1608
00121	86.412	6,01	801.830	519.013	228.847	0	0	0	2,50	0,0804
00337	20.647	37,42	772.622	887.915	40.617	0	0	0	2,50	0,0804
00338	36.634	21,35	782.160	887.915	102.089	0	0	0	2,50	0,0804
00484	12.997	59,95	779.115	887.915	82.463	0	0	0	2,50	0,0804
00485	11.671	66,81	779.810	887.915	86.939	0	0	0	2,50	0,0804
00486	11.405	68,26	778.556	887.915	78.862	0	0	0	2,50	0,0804
00487	15.289	51,02	780.097	887.915	88.792	0	0	0	2,50	0,0804
00492	26.915	29,18	785.349	887.915	122.636	0	0	0	2,50	0,0804
00493	34.798	19,44	785.373	676.611	122.793	0	0	0	2,50	0,0804
00494	55.066	14,04	772.869	887.915	42.213	0	0	0	2,50	0,0804
00495	2.153	NS	766.319	887.915	8.414	0	0	0	2,50	0,0804
00496	17.111	44,91	768.477	887.915	13.906	0	0	0	2,50	0,0804
00497	103.029	7,58	781.125	887.915	95.419	0	0	0	2,50	0,0804
00761	55.359	12,86	779.483	711.828	84.834	0	0	0	2,50	0,0804
00762	84.147	9,31	783.077	887.915	107.993	0	0	0	2,50	0,0804
00763	26.325	29,60	779.214	887.915	83.104	0	0	0	2,50	0,0804
00764	21.569	36,32	783.458	887.915	110.451	0	0	0	2,50	0,0804
00765	39.984	19,40	775.514	887.915	59.260	0	0	0	2,50	0,0804
00766	63.989	12,13	776.300	887.915	64.321	0	0	0	2,50	0,0804
Piano interrato			**ParetеP4-4-P5**				**Parete P4-4**			
00007	11.470	68,59	786.703	887.915	131.366	0	0	0	2,50	0,0804
00008	15.417	50,33	775.953	887.915	62.084	0	0	0	2,50	0,0804
00123	91.000	8,80	800.527	1.529.308	220.451	0	0	0	2,50	0,1608
00124	92.804	7,12	797.645	660.763	201.879	0	0	0	2,50	0,0804
00249	40.061	19,64	786.699	887.915	131.341	0	0	0	2,50	0,0804
00250	36.597	21,27	778.385	887.915	77.759	0	0	0	2,50	0,0804
00251	38.258	20,38	779.580	887.915	85.459	0	0	0	2,50	0,0804
00252	10.170	76,44	777.423	887.915	71.558	0	0	0	2,50	0,0804
00253	3.817	NS	775.493	887.915	59.121	0	0	0	2,50	0,0804
00254	12.654	61,16	773.919	887.915	48.981	0	0	0	2,50	0,0804
00255	89.131	8,70	775.558	887.915	59.542	0	0	0	2,50	0,0804
00256	13.028	58,99	768.558	887.915	14.431	0	0	0	2,50	0,0804
00257	5.042	NS	766.519	887.915	1.287	0	0	0	2,50	0,0804
00258	75.513	10,24	773.281	887.915	44.865	0	0	0	2,50	0,0804
00583	64.320	12,20	784.654	887.915	118.158	0	0	0	2,50	0,0804
00584	38.002	20,52	779.941	887.915	87.785	0	0	0	2,50	0,0804
00585	77.297	10,12	782.485	887.915	104.182	0	0	0	2,50	0,0804
00586	82.139	9,55	784.448	887.915	116.829	0	0	0	2,50	0,0804
00587	42.498	18,22	774.312	887.915	51.512	0	0	0	2,50	0,0804
00588	24.213	31,95	773.644	887.915	47.203	0	0	0	2,50	0,0804
Piano interrato			**ParetеP4-4-P5**				**Parete 4-P5**			
00007	6.108	NS	786.470	887.915	129.865	0	0	0	2,50	0,0804
00008	49.003	14,22	770.547	696.861	27.250	0	0	0	2,50	0,0804
00100	78.713	10,44	821.694	887.915	356.859	0	0	0	2,50	0,0804
00101	28.958	26,94	780.125	1.318.004	88.969	0	0	0	2,50	0,1608
00250	14.753	52,69	777.325	887.915	70.926	0	0	0	2,50	0,0804
00251	20.332	38,36	779.849	887.915	87.191	0	0	0	2,50	0,0804
00252	37.790	20,64	779.948	887.915	87.833	0	0	0	2,50	0,0804
00253	39.038	20,03	782.090	887.915	101.638	0	0	0	2,50	0,0804
00301	24.557	31,29	768.485	887.915	13.956	0	0	0	2,50	0,0804
00302	2.674	NS	787.014	887.915	133.365	0	0	0	2,50	0,0804
00458	16.976	46,14	783.331	887.915	109.633	0	0	0	2,50	0,0804
00459	22.594	31,51	777.962	711.828	75.030	0	0	0	2,50	0,0804
00460	23.803	32,34	769.718	887.915	21.902	0	0	0	2,50	0,0804
00461	11.311	67,75	766.319	887.915	18.615	0	0	0	2,50	0,0804
00462	32.219	23,92	770.565	887.915	27.363	0	0	0	2,50	0,0804
00463	156.622	5,04	788.640	887.915	143.845	0	0	0	2,50	0,0804
00737	29.571	26,16	773.450	773.458	45.957	0	0	0	2,50	0,0804
00738	102.084	7,74	789.880	887.915	151.839	0	0	0	2,50	0,0804
00739	19.056	40,90	779.331	887.915	83.855	0	0	0	2,50	0,0804
00740	4.212	NS	779.205	887.915	83.046	0	0	0	2,50	0,0804
00741	7.637	NS	773.482	887.915	46.160	0	0	0	2,50	0,0804
00742	106.658	7,30	778.915	887.915	81.175	0	0	0	2,50	0,0804
Piano interrato			**ParetеP6-6**				**Parete P6-6**			
00046	22.250	34,75	773.115	887.035	43.798	0	0	0	2,50	0,0804

Id_{Nd}	$V_{Ed,2}$	CS	V_{Rcd}	$V_{Rsd,s}$	N_{Ed}	$V_{Rsd,p}$	V_{R1}	V_{fd}	Ctgϴ	A_{sw}
	[N]		[N]	[N]	[N]	[N]	[N]	[N]		[cm²/cm]
00047	125.535	6,10	766.319	887.915	34.773	0	0	0	2,50	0,0804
00085	52.446	15,59	817.480	887.915	329.703	0	0	0	2,50	0,0804
00086	3.589	NS	771.260	1.590.058	31.844	0	0	0	2,50	0,1608
00443	127.958	6,03	771.029	887.915	30.356	0	0	0	2,50	0,0804
00529	7.477	NS	768.906	887.915	16.671	0	0	0	2,50	0,0804
00530	45.845	16,72	766.319	887.915	23.138	0	0	0	2,50	0,0804
00531	16.403	46,79	767.561	887.915	8.002	0	0	0	2,50	0,0804
00532	39.142	19,58	766.319	887.915	2.973	0	0	0	2,50	0,0804
00573	8.288	93,11	771.643	887.915	34.310	0	0	0	2,50	0,0804
00574	124.564	6,26	780.210	887.915	89.518	0	0	0	2,50	0,0804
00575	45.215	17,16	775.710	887.915	60.523	0	0	0	2,50	0,0804
00576	8.525	89,94	766.734	887.915	2.675	0	0	0	2,50	0,0804
00577	16.263	47,16	766.992	887.915	4.339	0	0	0	2,50	0,0804
00827	32.551	23,67	770.541	887.915	27.211	0	0	0	2,50	0,0804
00828	11.159	69,40	774.351	887.915	51.761	0	0	0	2,50	0,0804
00829	71.464	11,01	786.559	887.915	130.434	0	0	0	2,50	0,0804
00830	24.247	31,71	768.862	887.915	16.391	0	0	0	2,50	0,0804
00831	42.654	18,00	767.758	887.915	9.273	0	0	0	2,50	0,0804
00832	31.030	24,82	770.116	887.915	24.470	0	0	0	2,50	0,0804
Piano interrato			**Parete19-P9**				**Parete 19-P9**			
00011	7.626	NS	769.039	887.915	17.528	0	0	0	2,50	0,0804
00012	110.792	5,34	767.493	592.089	7.566	0	0	0	2,50	0,0804
00091	12.745	60,13	801.796	766.415	228.628	0	0	0	2,50	0,0804
00092	8.656	61,79	776.676	534.861	66.746	0	0	0	2,50	0,0804
00425	106.099	7,25	769.429	887.915	20.042	0	0	0	2,50	0,0804
00426	73.824	10,58	780.858	887.915	93.698	0	0	0	2,50	0,0804
00558	4.165	NS	773.615	887.915	47.016	0	0	0	2,50	0,0804
00559	2.668	NS	769.674	887.915	21.621	0	0	0	2,50	0,0804
00560	9.215	83,53	769.725	887.915	21.949	0	0	0	2,50	0,0804
00561	7.513	NS	769.343	887.915	19.489	0	0	0	2,50	0,0804
00562	28.426	27,25	774.738	887.915	54.259	0	0	0	2,50	0,0804
00563	60.169	12,93	777.807	887.915	74.034	0	0	0	2,50	0,0804
00564	37.517	20,50	768.972	887.915	17.096	0	0	0	2,50	0,0804
00565	8.933	85,78	766.319	887.915	33.073	0	0	0	2,50	0,0804
00566	17.711	43,27	766.319	887.915	16.690	0	0	0	2,50	0,0804
00567	5.512	NS	766.319	887.915	17.956	0	0	0	2,50	0,0804
00815	7.202	NS	769.722	887.915	21.930	0	0	0	2,50	0,0804
00816	11.486	67,76	778.362	887.915	77.608	0	0	0	2,50	0,0804
00817	68.319	11,30	771.949	887.915	36.284	0	0	0	2,50	0,0804
00818	5.217	NS	768.826	887.915	16.154	0	0	0	2,50	0,0804
00819	13.031	58,87	767.166	887.915	5.462	0	0	0	2,50	0,0804
00820	9.925	77,57	769.847	887.915	22.738	0	0	0	2,50	0,0804
Piano interrato			**ParetеP10-21-P11**				**Parete P10-21**			
00015	4.266	NS	783.350	887.915	109.756	0	0	0	2,50	0,0804
00016	43.183	17,86	771.235	875.589	31.678	0	0	0	2,50	0,0804
00094	78.229	10,29	804.654	887.915	247.050	0	0	0	2,50	0,0804
00095	54.350	14,47	786.501	1.387.558	130.061	0	0	0	2,50	0,1608
00321	31.317	24,68	772.894	887.915	42.375	0	0	0	2,50	0,0804
00474	31.466	24,82	780.948	887.915	94.275	0	0	0	2,50	0,0804
00475	9.432	82,27	775.979	887.915	62.256	0	0	0	2,50	0,0804
00476	5.532	NS	776.716	887.915	67.005	0	0	0	2,50	0,0804
00477	12.330	62,89	775.385	887.915	58.425	0	0	0	2,50	0,0804
00478	16.251	47,78	776.497	887.915	65.592	0	0	0	2,50	0,0804
00479	109.158	7,12	777.266	887.915	70.545	0	0	0	2,50	0,0804
00480	18.384	41,83	768.916	887.915	16.737	0	0	0	2,50	0,0804
00481	2.842	NS	766.319	887.915	6.145	0	0	0	2,50	0,0804
00482	41.039	18,77	770.450	887.915	26.619	0	0	0	2,50	0,0804
00749	36.625	21,31	780.652	887.915	92.367	0	0	0	2,50	0,0804
00750	43.516	17,89	778.568	887.915	78.941	0	0	0	2,50	0,0804
00751	86.281	9,09	784.354	887.915	116.224	0	0	0	2,50	0,0804
00752	49.056	15,85	777.706	817.480	73.382	0	0	0	2,50	0,0804
00753	13.823	55,88	772.378	887.915	39.049	0	0	0	2,50	0,0804
00754	40.285	19,19	773.238	887.915	44.588	0	0	0	2,50	0,0804
Piano interrato			**ParetеP10-21-P11**				**Parete 21-P11**			
00015	685	NS	784.497	887.915	117.149	0	0	0	2,50	0,0804
00016	523	NS	775.362	777.861	58.280	0	0	0	2,50	0,0804
00117	47.414	16,66	790.151	1.282.786	153.584	0	0	0	2,50	0,1608
00118	66.664	6,33	794.540	422.165	181.866	0	0	0	2,50	0,0804
00347	15.301	50,47	772.230	887.915	38.094	0	0	0	2,50	0,0804
00348	27.787	28,05	779.529	887.915	85.132	0	0	0	2,50	0,0804
00475	11.226	69,25	777.434	887.915	71.632	0	0	0	2,50	0,0804
00476	9.353	83,06	776.833	887.915	67.756	0	0	0	2,50	0,0804
00477	8.108	95,68	775.811	887.915	61.169	0	0	0	2,50	0,0804
00478	11.538	67,35	777.157	887.915	69.846	0	0	0	2,50	0,0804
00498	23.721	33,01	783.065	887.915	107.916	0	0	0	2,50	0,0804
00499	30.626	22,09	783.078	676.611	108.005	0	0	0	2,50	0,0804
00500	48.380	15,96	772.070	887.915	37.061	0	0	0	2,50	0,0804
00501	1.408	NS	766.319	887.915	6.146	0	0	0	2,50	0,0804
00502	12.024	63,85	767.726	887.915	9.070	0	0	0	2,50	0,0804
00503	79.341	9,80	777.443	887.915	71.690	0	0	0	2,50	0,0804
00767	48.608	15,37	777.879	747.045	74.498	0	0	0	2,50	0,0804

Id_{Nd}	$V_{Ed,2}$	CS	V_{Rcd}	$V_{Rsd,s}$	N_{Ed}	$V_{Rsd,p}$	V_{R1}	V_{fd}	Ctgϴ	A_{sw}
	[N]		[N]	[N]	[N]	[N]	[N]	[N]		[cm²/cm]
00768	64.968	12,00	779.558	887.915	85.318	0	0	0	2,50	0,0804
00769	19.610	39,61	776.798	887.915	67.533	0	0	0	2,50	0,0804
00770	18.920	41,30	781.329	887.915	96.732	0	0	0	2,50	0,0804
00771	35.941	21,54	774.282	887.915	51.316	0	0	0	2,50	0,0804
00772	48.714	15,89	774.110	887.915	50.211	0	0	0	2,50	0,0804
Piano interrato			**ParetеP12-22-P13**				**Parete P12-22**			
00017	9.587	81,69	783.196	887.915	108.765	0	0	0	2,50	0,0804
00018	9.748	79,49	774.790	887.915	54.588	0	0	0	2,50	0,0804
00114	75.208	10,57	794.728	1.318.004	183.081	0	0	0	2,50	0,1608
00115	72.937	8,13	790.684	592.969	157.019	0	0	0	2,50	0,0804
00357	12.668	61,00	772.775	887.915	41.603	0	0	0	2,50	0,0804
00470	4.583	NS	773.836	887.915	48.441	0	0	0	2,50	0,0804
00471	10.274	75,43	774.994	887.915	55.905	0	0	0	2,50	0,0804
00472	33.330	23,31	776.821	887.915	67.677	0	0	0	2,50	0,0804
00473	31.248	24,84	776.101	887.915	63.041	0	0	0	2,50	0,0804
00504	33.307	23,52	783.295	887.915	109.404	0	0	0	2,50	0,0804
00505	67.683	11,42	773.249	887.915	44.661	0	0	0	2,50	0,0804
00506	9.349	82,14	767.957	887.915	10.556	0	0	0	2,50	0,0804
00507	4.497	NS	766.645	887.915	2.101	0	0	0	2,50	0,0804
00508	62.588	12,34	772.111	887.915	37.327	0	0	0	2,50	0,0804
00773	53.717	14,55	781.447	887.915	97.494	0	0	0	2,50	0,0804
00774	28.806	26,99	777.351	887.915	71.096	0	0	0	2,50	0,0804
00775	58.690	13,27	779.013	887.915	81.808	0	0	0	2,50	0,0804
00776	68.194	11,46	781.340	782.263	96.801	0	0	0	2,50	0,0804
00777	36.405	21,23	772.812	887.915	41.845	0	0	0	2,50	0,0804
00778	16.650	46,37	771.998	887.915	36.601	0	0	0	2,50	0,0804
Piano interrato			**ParetеP12-22-P13**				**Parete 22-P13**			
00017	4.907	NS	783.154	887.915	108.490	0	0	0	2,50	0,0804
00018	41.144	16,83	769.643	692.458	21.419	0	0	0	2,50	0,0804
00097	62.675	12,95	811.817	852.698	293.207	0	0	0	2,50	0,0804
00098	19.586	39,59	775.395	1.388.439	58.490	0	0	0	2,50	0,1608
00311	21.160	36,31	768.358	887.915	13.143	0	0	0	2,50	0,0804
00312	1.291	NS	780.264	887.915	89.871	0	0	0	2,50	0,0804
00464	13.767	56,63	779.605	887.915	85.622	0	0	0	2,50	0,0804
00465	17.779	40,04	774.776	711.828	54.503	0	0	0	2,50	0,0804
00466	15.167	50,68	768.640	887.915	14.958	0	0	0	2,50	0,0804
00467	10.189	75,21	766.319	887.915	16.229	0	0	0	2,50	0,0804
00468	25.990	29,61	769.622	887.915	21.284	0	0	0	2,50	0,0804
00469	127.898	6,13	784.384	887.915	116.419	0	0	0	2,50	0,0804
00470	33.682	23,13	779.129	887.915	82.557	0	0	0	2,50	0,0804
00471	32.160	24,17	777.360	887.915	71.156	0	0	0	2,50	0,0804
00472	18.925	41,06	777.073	887.915	69.304	0	0	0	2,50	0,0804
00473	13.483	57,49	775.098	887.915	56.574	0	0	0	2,50	0,0804
00743	21.112	36,53	771.222	782.263	31.599	0	0	0	2,50	0,0804
00744	82.966	9,47	785.601	887.915	124.260	0	0	0	2,50	0,0804
00745	15.843	49,04	776.931	887.915	68.389	0	0	0	2,50	0,0804
00746	2.910	NS	776.914	887.915	68.280	0	0	0	2,50	0,0804
00747	3.995	NS	771.117	887.915	30.920	0	0	0	2,50	0,0804
00748	88.283	8,80	776.515	887.915	65.706	0	0	0	2,50	0,0804
Piano interrato			**ParetеP14-24**				**Parete P14-24**			
00021	16.196	47,60	770.905	887.915	29.553	0	0	0	2,50	0,0804
00088	39.102	20,64	807.147	887.915	263.114	0	0	0	2,50	0,0804
00089	8.522	89,96	766.613	1.423.656	1.892	0	0	0	2,50	0,1608
00110	99.382	7,71	766.319	861.502	36.906	0	0	0	2,50	0,0804
00435	104.706	7,35	769.664	887.915	21.557	0	0	0	2,50	0,0804
00513	33.598	22,81	766.319	887.915	4.234	0	0	0	2,50	0,0804
00514	15.577	49,25	767.135	887.915	5.257	0	0	0	2,50	0,0804
00515	40.879	18,75	766.319	887.915	21.449	0	0	0	2,50	0,0804
00516	11.407	67,32	767.867	887.915	9.977	0	0	0	2,50	0,0804
00568	7.238	NS	768.988	887.915	17.202	0	0	0	2,50	0,0804
00569	100.575	7,73	777.539	887.915	72.310	0	0	0	2,50	0,0804
00570	37.808	20,47	773.957	887.915	49.222	0	0	0	2,50	0,0804
00571	8.001	95,80	766.495	887.915	1.132	0	0	0	2,50	0,0804
00572	22.213	34,50	766.319	887.915	593	0	0	0	2,50	0,0804
00821	30.451	25,24	768.700	887.915	15.341	0	0	0	2,50	0,0804
00822	11.993	64,38	772.124	887.915	37.408	0	0	0	2,50	0,0804
00823	58.366	13,40	782.259	887.915	102.726	0	0	0	2,50	0,0804
00824	26.869	28,53	766.459	887.915	903	0	0	0	2,50	0,0804
00825	40.147	19,10	767.007	887.915	4.433	0	0	0	2,50	0,0804
00826	28.689	26,81	769.074	887.915	17.753	0	0	0	2,50	0,0804
Piano interrato			**Parete6-P7**				**Parete 6-P7**			
00046	9.041	85,07	769.039	1.241.959	17.531	0	0	0	2,50	0,1005
00047	7.261	NS	772.483	1.234.915	39.722	0	0	0	2,50	0,1005
00079	21.375	36,12	772.059	1.241.959	36.992	0	0	0	2,50	0,1005
00080	2.460	NS	766.319	6.191.305	45.167	0	0	0	2,50	0,5027
00106	37.104	20,65	766.319	3.026.142	132.156	0	0	0	2,50	0,5027
00107	19.394	40,52	785.868	1.155.676	125.985	0	0	0	2,50	0,1005
00380	17.515	43,97	770.148	1.241.959	24.678	0	0	0	2,50	0,1005
00381	30.868	24,96	770.626	1.241.959	27.758	0	0	0	2,50	0,1005
00382	27.790	27,68	769.345	1.241.959	19.499	0	0	0	2,50	0,1005
00383	29.345	26,11	766.319	1.241.959	3.726	0	0	0	2,50	0,1005

Id_{Nd}	$V_{Ed,2}$	CS	V_{Rcd}	$V_{Rsd,s}$	N_{Ed}	$V_{Rsd,p}$	V_{R1}	V_{fd}	Ctgϴ	A_{sw}
	[N]		[N]	[N]	[N]	[N]	[N]	[N]		[cm²/cm]
00521	14.076	54,67	769.509	1.241.959	20.560	0	0	0	2,50	0,1005
00522	11.588	66,38	769.263	1.241.959	18.973	0	0	0	2,50	0,1005
00523	6.396	NS	766.661	925.002	2.205	0	0	0	2,50	0,1005
00524	7.914	77,95	766.863	616.850	3.509	0	0	0	2,50	0,1005
00525	35.173	21,79	766.319	7.231.099	27.874	0	0	0	2,50	0,5027
00526	7.024	NS	766.319	8.322.838	6.975	0	0	0	2,50	0,5027
00527	11.760	65,32	768.184	8.322.838	12.020	0	0	0	2,50	0,5027
00528	50.453	15,36	775.136	1.241.959	56.819	0	0	0	2,50	0,1005
00529	23.310	32,92	767.362	1.241.959	6.721	0	0	0	2,50	0,1005
00530	17.187	44,59	766.319	1.241.959	9.479	0	0	0	2,50	0,1005
00531	24.393	31,42	766.319	1.241.959	4.819	0	0	0	2,50	0,1005
00532	22.724	33,75	766.847	1.241.959	3.404	0	0	0	2,50	0,1005
00788	22.278	34,40	766.319	6.368.273	56.885	0	0	0	2,50	0,5027
00789	23.979	32,30	774.602	1.241.959	53.382	0	0	0	2,50	0,1005
00790	18.671	41,23	769.741	1.241.959	22.051	0	0	0	2,50	0,1005
00791	19.618	39,18	768.637	1.241.959	14.940	0	0	0	2,50	0,1005
00792	26.227	29,23	766.552	1.241.959	1.499	0	0	0	2,50	0,1005
00793	31.729	24,21	768.162	1.241.959	11.875	0	0	0	2,50	0,1005
00794	16.746	45,79	766.827	1.241.959	3.276	0	0	0	2,50	0,1005
00795	11.008	69,62	766.319	7.829.795	13.232	0	0	0	2,50	0,5027
00796	24.188	31,86	770.638	1.241.959	27.836	0	0	0	2,50	0,1005
Piano interrato			**Parete7-16**				**Parete 7-16**			
00022	27.086	14,58	766.319	394.871	49.975	0	0	0	2,50	0,0804
00023	85.422	7,34	778.996	627.306	81.699	0	0	0	2,50	0,0804
00034	26.752	21,34	766.319	570.958	27.056	0	0	0	2,50	0,0804
00035	139.803	4,76	809.776	666.045	280.054	0	0	0	2,50	0,0804
00401	36.535	21,14	772.419	887.915	39.313	0	0	0	2,50	0,0804
00402	4.102	NS	767.879	887.915	10.055	0	0	0	2,50	0,0804
00403	7.125	NS	771.323	887.915	32.248	0	0	0	2,50	0,0804
00404	3.487	NS	769.706	887.915	21.829	0	0	0	2,50	0,0804
00405	10.924	70,44	769.495	887.915	20.470	0	0	0	2,50	0,0804
00406	19.308	39,84	769.301	887.915	19.214	0	0	0	2,50	0,0804
00407	24.978	30,73	767.456	887.915	7.326	0	0	0	2,50	0,0804
00408	34.887	22,09	770.605	887.915	27.622	0	0	0	2,50	0,0804
00533	25.454	30,11	766.319	887.915	1.515	0	0	0	2,50	0,0804
00534	21.331	36,11	770.266	887.915	25.435	0	0	0	2,50	0,0804
00535	10.684	72,02	769.495	887.915	20.468	0	0	0	2,50	0,0804
00536	6.674	NS	769.542	887.915	20.771	0	0	0	2,50	0,0804
00537	256	NS	768.629	887.915	14.887	0	0	0	2,50	0,0804
00538	5.127	NS	768.642	887.915	14.970	0	0	0	2,50	0,0804
00539	12.457	61,63	767.695	887.915	8.865	0	0	0	2,50	0,0804
00540	15.406	49,74	766.319	887.915	14.530	0	0	0	2,50	0,0804
00541	46.185	16,59	766.319	887.915	26.362	0	0	0	2,50	0,0804
00542	33.187	23,09	766.319	887.915	711	0	0	0	2,50	0,0804
00543	49.624	15,46	767.386	887.915	6.876	0	0	0	2,50	0,0804
00544	96.581	8,01	774.080	887.915	50.018	0	0	0	2,50	0,0804
00545	245.956	3,19	784.450	887.915	116.844	0	0	0	2,50	0,0804
00546	85.258	9,05	771.713	887.915	34.762	0	0	0	2,50	0,0804
00547	45.838	16,74	767.356	887.915	6.680	0	0	0	2,50	0,0804
00548	49.391	15,52	766.319	887.915	29.040	0	0	0	2,50	0,0804
00797	32.059	23,90	766.319	887.915	19.940	0	0	0	2,50	0,0804
00798	63.528	12,20	775.076	887.915	56.434	0	0	0	2,50	0,0804
00799	101.412	7,81	792.411	887.915	168.152	0	0	0	2,50	0,0804
00800	44.122	17,37	766.319	887.915	3.873	0	0	0	2,50	0,0804
00801	61.398	12,49	766.867	887.915	3.529	0	0	0	2,50	0,0804
00802	61.506	12,61	775.741	887.915	60.719	0	0	0	2,50	0,0804
00803	24.325	31,70	771.027	887.915	30.344	0	0	0	2,50	0,0804
00804	3.722	NS	768.483	887.915	13.945	0	0	0	2,50	0,0804
00805	5.990	NS	771.122	887.915	30.953	0	0	0	2,50	0,0804
00806	22.218	34,63	769.379	887.915	19.719	0	0	0	2,50	0,0804
00807	40.655	18,85	766.319	887.915	3.053	0	0	0	2,50	0,0804
00808	48.656	15,84	770.675	887.915	28.070	0	0	0	2,50	0,0804
Piano interrato			**ParetеP8-24**				**Parete P8-24**			
00021	2.219	NS	768.765	1.536.996	15.762	0	0	0	2,50	0,1005
00081	24.230	31,94	773.881	1.536.996	48.734	0	0	0	2,50	0,1005
00082	6.714	NS	779.913	5.227.655	87.604	0	0	0	2,50	0,5027
00110	10.322	74,69	770.930	1.536.996	29.713	0	0	0	2,50	0,1005
00111	26.572	29,77	791.126	1.076.528	159.866	0	0	0	2,50	0,1005
00113	40.182	19,69	791.090	2.449.003	159.636	0	0	0	2,50	0,5027
00365	36.628	20,94	766.913	1.536.996	3.830	0	0	0	2,50	0,1005
00366	34.924	22,05	770.025	1.536.996	23.881	0	0	0	2,50	0,1005
00367	35.365	21,77	770.028	1.536.996	23.901	0	0	0	2,50	0,1005
00368	23.149	33,25	769.775	1.536.996	22.272	0	0	0	2,50	0,1005
00509	5.506	NS	774.412	1.149.604	52.155	0	0	0	2,50	0,1005
00510	201	NS	771.591	1.413.735	33.973	0	0	0	2,50	0,1005
00511	737	NS	770.447	1.536.996	26.600	0	0	0	2,50	0,1005
00512	2.150	NS	769.721	1.536.996	21.922	0	0	0	2,50	0,1005
00513	9.536	80,50	767.591	1.536.996	8.198	0	0	0	2,50	0,1005
00514	18.350	41,76	766.319	1.536.996	772	0	0	0	2,50	0,1005
00515	13.522	56,67	766.319	1.536.996	11.433	0	0	0	2,50	0,1005
00516	26.235	29,24	766.983	1.536.996	4.277	0	0	0	2,50	0,1005

Pareti - Verifiche a taglio per pressoflessione retta allo stato limite ultimo

Id_{Nd}	$V_{Ed,2}$	CS	V_{Rcd}	$V_{Rsd,s}$	N_{Ed}	$V_{Rsd,p}$	V_{R1}	V_{fd}	CtgΘ	A_{sw}
	[N]		[N]	[N]	[N]	[N]	[N]	[N]		[cm²/cm]
00517	58.441	13,30	777.492	1.536.996	72.002	0	0	0	2,50	0,1005
00518	15.408	49,98	770.160	5.077.435	24.752	0	0	0	2,50	0,5027
00519	2.721	NS	767.207	5.077.435	5.725	0	0	0	2,50	0,5027
00520	36.188	21,33	771.761	6.037.655	35.074	0	0	0	2,50	0,5027
00779	5.743	NS	768.788	1.536.996	15.912	0	0	0	2,50	0,1005
00780	23.587	32,61	769.266	1.536.996	18.993	0	0	0	2,50	0,1005
00781	27.219	28,54	776.753	1.536.996	67.242	0	0	0	2,50	0,1005
00782	29.400	26,45	777.711	5.386.133	73.417	0	0	0	2,50	0,5027
00783	17.307	44,56	771.202	4.795.696	31.470	0	0	0	2,50	0,5027
00784	19.803	38,98	771.944	1.536.996	36.251	0	0	0	2,50	0,1005
00785	17.208	44,71	769.411	1.536.996	19.927	0	0	0	2,50	0,1005
00786	9.514	80,82	768.884	1.536.996	16.531	0	0	0	2,50	0,1005
00787	34.495	22,29	768.979	1.536.996	17.141	0	0	0	2,50	0,1005

LEGENDA:

Id_{Nd} Identificativo del nodo.
$V_{Ed,2}$ Taglio di progetto in direzione 2.
CS Coefficienti di sicurezza relativi alle sollecitazioni "$V_{Ed,2}$" ([NS] = Non Significativo per valori di CS >= 100).
V_{Rcd} Resistenza a taglio compressione del calcestruzzo.
$V_{Rsd,s}$ Resistenza a taglio trazione delle staffe.
N_{Ed} Sforzo Normale utilizzato per il calcolo di α_C.
$V_{Rsd,p}$ Resistenza a taglio trazione dei ferri piegati.
V_{R1} Resistenza a taglio in assenza di armatura incrociata.
V_{fd} Resistenza a taglio dovuta al rinforzo FRP.
CtgΘ Cotangente dell'angolo Θ utilizzata nella verifica.
A_{sw} Area delle staffe per unità di lunghezza.

Pareti - VERIFICHE A PRESSOFLESSIONE RETTA ALLO STATO LIMITE DI ESERCIZIO (Elevazione)

Pareti - Verifiche a pressoflessione retta allo stato limite di esercizio

Dir	Nodo	σ_{ct}	σ_{cc}	σ_{at}	Nodo	σ_{ct}	σ_{cc}	σ_{at}	Nodo	σ_{ct}	σ_{cc}	σ_{at}	Nodo	σ_{ct}	σ_{cc}	σ_{at}
		[N/mm²]	[N/mm²]	[N/mm²]		[N/mm²]	[N/mm²]	[N/mm²]		[N/mm²]	[N/mm²]	[N/mm²]		[N/mm²]	[N/mm²]	[N/mm²]
Parete 1-P1 AA= PCA																
CA=FRQ ε_{sm}=0E+00 A_e=0,0 cm² S_m=0 mm W_k=0,00 mm $\sigma_{ct,f}$=0,00 N/mm² CA=QPR ε_{sm}=0E+00 A_e=0,0 cm² S_m=0 mm W_k=0,00 mm $\sigma_{ct,f}$=0,00 N/mm²																
Piano terra					**Parete1-P1**								**Parete 1-P1**			
SHELL: [00704-00247-00703] AA= PCA																
CA=FRQ ε_{sm}=0E+00 A_e=0,0 cm² S_m=0 mm W_k=0,00 mm $\sigma_{ct,f}$=0,00 N/mm² CA=QPR ε_{sm}=0E+00 A_e=0,0 cm² S_m=0 mm W_k=0,00 mm $\sigma_{ct,f}$=0,00 N/mm²																
SHELL: [00419-00420-00702] AA= PCA																
CA=FRQ ε_{sm}=0E+00 A_e=0,0 cm² S_m=0 mm W_k=0,00 mm $\sigma_{ct,f}$=0,00 N/mm² CA=QPR ε_{sm}=0E+00 A_e=0,0 cm² S_m=0 mm W_k=0,00 mm $\sigma_{ct,f}$=0,00 N/mm²																
SHELL: [00419-00701-00418] AA= PCA																
CA=FRQ ε_{sm}=0E+00 A_e=0,0 cm² S_m=0 mm W_k=0,00 mm $\sigma_{ct,f}$=0,00 N/mm² CA=QPR ε_{sm}=0E+00 A_e=0,0 cm² S_m=0 mm W_k=0,00 mm $\sigma_{ct,f}$=0,00 N/mm²																
SHELL: [00419-00702-00701] AA= PCA																
CA=FRQ ε_{sm}=0E+00 A_e=0,0 cm² S_m=0 mm W_k=0,00 mm $\sigma_{ct,f}$=0,00 N/mm² CA=QPR ε_{sm}=0E+00 A_e=0,0 cm² S_m=0 mm W_k=0,00 mm $\sigma_{ct,f}$=0,00 N/mm²																
SHELL: [00420-00421-00703] AA= PCA																
CA=FRQ ε_{sm}=0E+00 A_e=0,0 cm² S_m=0 mm W_k=0,00 mm $\sigma_{ct,f}$=0,00 N/mm² CA=QPR ε_{sm}=0E+00 A_e=0,0 cm² S_m=0 mm W_k=0,00 mm $\sigma_{ct,f}$=0,00 N/mm²																
SHELL: [00417-00700-00002] AA= PCA																
CA=FRQ ε_{sm}=0E+00 A_e=0,0 cm² S_m=0 mm W_k=0,00 mm $\sigma_{ct,f}$=0,00 N/mm² CA=QPR ε_{sm}=0E+00 A_e=0,0 cm² S_m=0 mm W_k=0,00 mm $\sigma_{ct,f}$=0,00 N/mm²																
SHELL: [00420-00703-00702] AA= PCA																
CA=FRQ ε_{sm}=0E+00 A_e=0,0 cm² S_m=0 mm W_k=0,00 mm $\sigma_{ct,f}$=0,00 N/mm² CA=QPR ε_{sm}=0E+00 A_e=0,0 cm² S_m=0 mm W_k=0,00 mm $\sigma_{ct,f}$=0,00 N/mm²																
SHELL: [00083-00697-00417] AA= PCA																
CA=FRQ ε_{sm}=0E+00 A_e=0,0 cm² S_m=0 mm W_k=0,00 mm $\sigma_{ct,f}$=0,00 N/mm² CA=QPR ε_{sm}=0E+00 A_e=0,0 cm² S_m=0 mm W_k=0,00 mm $\sigma_{ct,f}$=0,00 N/mm²																
SHELL: [00418-00701-00697] AA= PCA																
CA=FRQ ε_{sm}=0E+00 A_e=0,0 cm² S_m=0 mm W_k=0,00 mm $\sigma_{ct,f}$=0,00 N/mm² CA=QPR ε_{sm}=0E+00 A_e=0,0 cm² S_m=0 mm W_k=0,00 mm $\sigma_{ct,f}$=0,00 N/mm²																
SHELL: [00703-00246-00245] AA= PCA																
CA=FRQ ε_{sm}=0E+00 A_e=0,0 cm² S_m=0 mm W_k=0,00 mm $\sigma_{ct,f}$=0,00 N/mm² CA=QPR ε_{sm}=0E+00 A_e=0,0 cm² S_m=0 mm W_k=0,00 mm $\sigma_{ct,f}$=0,00 N/mm²																
SHELL: [00083-00418-00697] AA= PCA																
CA=FRQ ε_{sm}=0E+00 A_e=0,0 cm² S_m=0 mm W_k=0,00 mm $\sigma_{ct,f}$=0,00 N/mm² CA=QPR ε_{sm}=0E+00 A_e=0,0 cm² S_m=0 mm W_k=0,00 mm $\sigma_{ct,f}$=0,00 N/mm²																
SHELL: [00084-00424-00698] AA= PCA																
CA=FRQ ε_{sm}=0E+00 A_e=0,0 cm² S_m=0 mm W_k=0,00 mm $\sigma_{ct,f}$=0,00 N/mm² CA=QPR ε_{sm}=0E+00 A_e=0,0 cm² S_m=0 mm W_k=0,00 mm $\sigma_{ct,f}$=0,00 N/mm²																
SHELL: [00699-00059-00248] AA= PCA																
CA=FRQ ε_{sm}=0E+00 A_e=0,0 cm² S_m=0 mm W_k=0,00 mm $\sigma_{ct,f}$=0,00 N/mm² CA=QPR ε_{sm}=0E+00 A_e=0,0 cm² S_m=0 mm W_k=0,00 mm $\sigma_{ct,f}$=0,00 N/mm²																
SHELL: [00424-00699-00704] AA= PCA																
CA=FRQ ε_{sm}=0E+00 A_e=0,0 cm² S_m=0 mm W_k=0,00 mm $\sigma_{ct,f}$=0,00 N/mm² CA=QPR ε_{sm}=0E+00 A_e=0,0 cm² S_m=0 mm W_k=0,00 mm $\sigma_{ct,f}$=0,00 N/mm²																
SHELL: [00702-00244-00701] AA= PCA																
CA=FRQ ε_{sm}=0E+00 A_e=0,0 cm² S_m=0 mm W_k=0,00 mm $\sigma_{ct,f}$=0,00 N/mm² CA=QPR ε_{sm}=0E+00 A_e=0,0 cm² S_m=0 mm W_k=0,00 mm $\sigma_{ct,f}$=0,00 N/mm²																
SHELL: [00700-00243-00002] AA= PCA																

Dir	Nodo	σ_{ct} [N/mm^2]	σ_{cc} [N/mm^2]	σ_{at} [N/mm^2]	Nodo	σ_{ct} [N/mm^2]	σ_{cc} [N/mm^2]	σ_{at} [N/mm^2]	Nodo	σ_{ct} [N/mm^2]	σ_{cc} [N/mm^2]	σ_{at} [N/mm^2]	Nodo	σ_{ct} [N/mm^2]	σ_{cc} [N/mm^2]	σ_{at} [N/mm^2]
CA=FRQ ε_{sm}=0E+00 A_e=0,0 cm^2 S_m=0 mm W_k=0,00 mm $\sigma_{ct,f}$=0,00 N/mm^2 CA=QPR ε_{sm}=0E+00 A_e=0,0 cm^2 S_m=0 mm W_k=0,00 mm $\sigma_{ct,f}$=0,00 N/mm^2																
SHELL: [00423-00698-00704] AA= PCA																
CA=FRQ ε_{sm}=0E+00 A_e=0,0 cm^2 S_m=0 mm W_k=0,00 mm $\sigma_{ct,f}$=0,00 N/mm^2 CA=QPR ε_{sm}=0E+00 A_e=0,0 cm^2 S_m=0 mm W_k=0,00 mm $\sigma_{ct,f}$=0,00 N/mm^2																
SHELL: [00704-00699-00248] AA= PCA																
CA=FRQ ε_{sm}=0E+00 A_e=0,0 cm^2 S_m=0 mm W_k=0,00 mm $\sigma_{ct,f}$=0,00 N/mm^2 CA=QPR ε_{sm}=0E+00 A_e=0,0 cm^2 S_m=0 mm W_k=0,00 mm $\sigma_{ct,f}$=0,00 N/mm^2																
SHELL: [00704-00248-00247] AA= PCA																
CA=FRQ ε_{sm}=0E+00 A_e=0,0 cm^2 S_m=0 mm W_k=0,00 mm $\sigma_{ct,f}$=0,00 N/mm^2 CA=QPR ε_{sm}=0E+00 A_e=0,0 cm^2 S_m=0 mm W_k=0,00 mm $\sigma_{ct,f}$=0,00 N/mm^2																
SHELL: [00703-00247-00246] AA= PCA																
CA=FRQ ε_{sm}=0E+00 A_e=0,0 cm^2 S_m=0 mm W_k=0,00 mm $\sigma_{ct,f}$=0,00 N/mm^2 CA=QPR ε_{sm}=0E+00 A_e=0,0 cm^2 S_m=0 mm W_k=0,00 mm $\sigma_{ct,f}$=0,00 N/mm^2																
SHELL: [00702-00245-00244] AA= PCA																
CA=FRQ ε_{sm}=0E+00 A_e=0,0 cm^2 S_m=0 mm W_k=0,00 mm $\sigma_{ct,f}$=0,00 N/mm^2 CA=QPR ε_{sm}=0E+00 A_e=0,0 cm^2 S_m=0 mm W_k=0,00 mm $\sigma_{ct,f}$=0,00 N/mm^2																
SHELL: [00702-00703-00245] AA= PCA																
CA=FRQ ε_{sm}=0E+00 A_e=0,0 cm^2 S_m=0 mm W_k=0,00 mm $\sigma_{ct,f}$=0,00 N/mm^2 CA=QPR ε_{sm}=0E+00 A_e=0,0 cm^2 S_m=0 mm W_k=0,00 mm $\sigma_{ct,f}$=0,00 N/mm^2																
SHELL: [00701-00244-00243] AA= PCA																
CA=FRQ ε_{sm}=0E+00 A_e=0,0 cm^2 S_m=0 mm W_k=0,00 mm $\sigma_{ct,f}$=0,00 N/mm^2 CA=QPR ε_{sm}=0E+00 A_e=0,0 cm^2 S_m=0 mm W_k=0,00 mm $\sigma_{ct,f}$=0,00 N/mm^2																
SHELL: [00701-00243-00700] AA= PCA																
CA=FRQ ε_{sm}=0E+00 A_e=0,0 cm^2 S_m=0 mm W_k=0,00 mm $\sigma_{ct,f}$=0,00 N/mm^2 CA=QPR ε_{sm}=0E+00 A_e=0,0 cm^2 S_m=0 mm W_k=0,00 mm $\sigma_{ct,f}$=0,00 N/mm^2																
SHELL: [00698-00424-00704] AA= PCA																
CA=FRQ ε_{sm}=0E+00 A_e=0,0 cm^2 S_m=0 mm W_k=0,00 mm $\sigma_{ct,f}$=0,00 N/mm^2 CA=QPR ε_{sm}=0E+00 A_e=0,0 cm^2 S_m=0 mm W_k=0,00 mm $\sigma_{ct,f}$=0,00 N/mm^2																
SHELL: [00701-00700-00417] AA= PCA																
CA=FRQ ε_{sm}=0E+00 A_e=0,0 cm^2 S_m=0 mm W_k=0,00 mm $\sigma_{ct,f}$=0,00 N/mm^2 CA=QPR ε_{sm}=0E+00 A_e=0,0 cm^2 S_m=0 mm W_k=0,00 mm $\sigma_{ct,f}$=0,00 N/mm^2																
SHELL: [00423-00704-00422] AA= PCA																
CA=FRQ ε_{sm}=0E+00 A_e=0,0 cm^2 S_m=0 mm W_k=0,00 mm $\sigma_{ct,f}$=0,00 N/mm^2 CA=QPR ε_{sm}=0E+00 A_e=0,0 cm^2 S_m=0 mm W_k=0,00 mm $\sigma_{ct,f}$=0,00 N/mm^2																
SHELL: [00422-00704-00703] AA= PCA																
CA=FRQ ε_{sm}=0E+00 A_e=0,0 cm^2 S_m=0 mm W_k=0,00 mm $\sigma_{ct,f}$=0,00 N/mm^2 CA=QPR ε_{sm}=0E+00 A_e=0,0 cm^2 S_m=0 mm W_k=0,00 mm $\sigma_{ct,f}$=0,00 N/mm^2																
SHELL: [00424-00059-00699] AA= PCA																
CA=FRQ ε_{sm}=0E+00 A_e=0,0 cm^2 S_m=0 mm W_k=0,00 mm $\sigma_{ct,f}$=0,00 N/mm^2 CA=QPR ε_{sm}=0E+00 A_e=0,0 cm^2 S_m=0 mm W_k=0,00 mm $\sigma_{ct,f}$=0,00 N/mm^2																
SHELL: [00084-00698-00423] AA= PCA																
CA=FRQ ε_{sm}=0E+00 A_e=0,0 cm^2 S_m=0 mm W_k=0,00 mm $\sigma_{ct,f}$=0,00 N/mm^2 CA=QPR ε_{sm}=0E+00 A_e=0,0 cm^2 S_m=0 mm W_k=0,00 mm $\sigma_{ct,f}$=0,00 N/mm^2																
SHELL: [00697-00701-00417] AA= PCA																
CA=FRQ ε_{sm}=0E+00 A_e=0,0 cm^2 S_m=0 mm W_k=0,00 mm $\sigma_{ct,f}$=0,00 N/mm^2 CA=QPR ε_{sm}=0E+00 A_e=0,0 cm^2 S_m=0 mm W_k=0,00 mm $\sigma_{ct,f}$=0,00 N/mm^2																
SHELL: [00421-00422-00703] AA= PCA																
CA=FRQ ε_{sm}=0E+00 A_e=0,0 cm^2 S_m=0 mm W_k=0,00 mm $\sigma_{ct,f}$=0,00 N/mm^2 CA=QPR ε_{sm}=0E+00 A_e=0,0 cm^2 S_m=0 mm W_k=0,00 mm $\sigma_{ct,f}$=0,00 N/mm^2																
P	00002	0,000	0,000	0,000	00059	0,000	0,000	0,000	00083	0,000	0,000	0,000	00084	0,000	0,000	0,000
S		0,000	0,000	0,000		0,000	0,000	0,000		0,000	0,000	0,000		0,000	0,000	0,000
P	00243	0,000	0,000	0,000	00244	0,000	0,000	0,000	00245	0,000	0,000	0,000	00246	0,000	0,000	0,000
S		0,000	0,000	0,000		0,000	0,000	0,000		0,000	0,000	0,000		0,000	0,000	0,000
P	00247	0,000	0,000	0,000	00248	0,000	0,000	0,000	00417	0,000	0,000	0,000	00418	0,000	0,000	0,000
S		0,000	0,000	0,000		0,000	0,000	0,000		0,000	0,000	0,000		0,000	0,000	0,000
P	00419	0,000	0,000	0,000	00420	0,000	0,000	0,000	00421	0,000	0,000	0,000	00422	0,000	0,000	0,000
S		0,000	0,000	0,000		0,000	0,000	0,000		0,000	0,000	0,000		0,000	0,000	0,000
P	00423	0,000	0,000	0,000	00424	0,000	0,000	0,000	00697	0,000	0,000	0,000	00698	0,000	0,000	0,000
S		0,000	0,000	0,000		0,000	0,000	0,000		0,000	0,000	0,000		0,000	0,000	0,000
P	00699	0,000	0,000	0,000	00700	0,000	0,000	0,000	00701	0,000	0,000	0,000	00702	0,000	0,000	0,000
S		0,000	0,000	0,000		0,000	0,000	0,000		0,000	0,000	0,000		0,000	0,000	0,000
P	00703	0,000	0,000	0,000	00704	0,000	0,000	0,000								
S		0,000	0,000	0,000		0,000	0,000	0,000								
Parete P2-3 AA= PCA																
CA=FRQ ε_{sm}=0E+00 A_e=0,0 cm^2 S_m=0 mm W_k=0,00 mm $\sigma_{ct,f}$=0,00 N/mm^2 CA=QPR ε_{sm}=0E+00 A_e=0,0 cm^2 S_m=0 mm W_k=0,00 mm $\sigma_{ct,f}$=0,00 N/mm^2																
Piano terra					**ParetеP2-3-P3**								**Parete P2-3**			
SHELL: [00329-00616-00103] AA= PCA																
CA=FRQ ε_{sm}=0E+00 A_e=0,0 cm^2 S_m=0 mm W_k=0,00 mm $\sigma_{ct,f}$=0,00 N/mm^2 CA=QPR ε_{sm}=0E+00 A_e=0,0 cm^2 S_m=0 mm W_k=0,00 mm $\sigma_{ct,f}$=0,00 N/mm^2																
SHELL: [00238-00239-00618] AA= PCA																
CA=FRQ ε_{sm}=0E+00 A_e=0,0 cm^2 S_m=0 mm W_k=0,00 mm $\sigma_{ct,f}$=0,00 N/mm^2 CA=QPR ε_{sm}=0E+00 A_e=0,0 cm^2 S_m=0 mm W_k=0,00 mm $\sigma_{ct,f}$=0,00 N/mm^2																
SHELL: [00238-00617-00237] AA= PCA																
CA=FRQ ε_{sm}=0E+00 A_e=0,0 cm^2 S_m=0 mm W_k=0,00 mm $\sigma_{ct,f}$=0,00 N/mm^2 CA=QPR ε_{sm}=0E+00 A_e=0,0 cm^2 S_m=0 mm W_k=0,00 mm $\sigma_{ct,f}$=0,00 N/mm^2																

Dir	Nodo	σ_{ct} [N/mm^2]	σ_{cc} [N/mm^2]	σ_{at} [N/mm^2]	Nodo	σ_{ct} [N/mm^2]	σ_{cc} [N/mm^2]	σ_{at} [N/mm^2]	Nodo	σ_{ct} [N/mm^2]	σ_{cc} [N/mm^2]	σ_{at} [N/mm^2]	Nodo	σ_{ct} [N/mm^2]	σ_{cc} [N/mm^2]	σ_{at} [N/mm^2]

SHELL: [00238-00618-00617] AA= PCA
CA=FRQ ε_{sm}=0E+00 A_e=0,0 cm^2 S_m=0 mm W_k=0,00 mm $\sigma_{ct,f}$=0,00 N/mm^2 CA=QPR ε_{sm}=0E+00 A_e=0,0 cm^2 S_m=0 mm W_k=0,00 mm $\sigma_{ct,f}$=0,00 N/mm^2
SHELL: [00239-00240-00619] AA= PCA
CA=FRQ ε_{sm}=0E+00 A_e=0,0 cm^2 S_m=0 mm W_k=0,00 mm $\sigma_{ct,f}$=0,00 N/mm^2 CA=QPR ε_{sm}=0E+00 A_e=0,0 cm^2 S_m=0 mm W_k=0,00 mm $\sigma_{ct,f}$=0,00 N/mm^2
SHELL: [00330-00615-00620] AA= PCA
CA=FRQ ε_{sm}=0E+00 A_e=0,0 cm^2 S_m=0 mm W_k=0,00 mm $\sigma_{ct,f}$=0,00 N/mm^2 CA=QPR ε_{sm}=0E+00 A_e=0,0 cm^2 S_m=0 mm W_k=0,00 mm $\sigma_{ct,f}$=0,00 N/mm^2
SHELL: [00239-00619-00618] AA= PCA
CA=FRQ ε_{sm}=0E+00 A_e=0,0 cm^2 S_m=0 mm W_k=0,00 mm $\sigma_{ct,f}$=0,00 N/mm^2 CA=QPR ε_{sm}=0E+00 A_e=0,0 cm^2 S_m=0 mm W_k=0,00 mm $\sigma_{ct,f}$=0,00 N/mm^2
SHELL: [00237-00617-00613] AA= PCA
CA=FRQ ε_{sm}=0E+00 A_e=0,0 cm^2 S_m=0 mm W_k=0,00 mm $\sigma_{ct,f}$=0,00 N/mm^2 CA=QPR ε_{sm}=0E+00 A_e=0,0 cm^2 S_m=0 mm W_k=0,00 mm $\sigma_{ct,f}$=0,00 N/mm^2
SHELL: [00620-00332-00619] AA= PCA
CA=FRQ ε_{sm}=0E+00 A_e=0,0 cm^2 S_m=0 mm W_k=0,00 mm $\sigma_{ct,f}$=0,00 N/mm^2 CA=QPR ε_{sm}=0E+00 A_e=0,0 cm^2 S_m=0 mm W_k=0,00 mm $\sigma_{ct,f}$=0,00 N/mm^2
SHELL: [00620-00615-00331] AA= PCA
CA=FRQ ε_{sm}=0E+00 A_e=0,0 cm^2 S_m=0 mm W_k=0,00 mm $\sigma_{ct,f}$=0,00 N/mm^2 CA=QPR ε_{sm}=0E+00 A_e=0,0 cm^2 S_m=0 mm W_k=0,00 mm $\sigma_{ct,f}$=0,00 N/mm^2
SHELL: [00006-00613-00329] AA= PCA
CA=FRQ ε_{sm}=0E+00 A_e=0,0 cm^2 S_m=0 mm W_k=0,00 mm $\sigma_{ct,f}$=0,00 N/mm^2 CA=QPR ε_{sm}=0E+00 A_e=0,0 cm^2 S_m=0 mm W_k=0,00 mm $\sigma_{ct,f}$=0,00 N/mm^2
SHELL: [00055-00330-00614] AA= PCA
CA=FRQ ε_{sm}=0E+00 A_e=0,0 cm^2 S_m=0 mm W_k=0,00 mm $\sigma_{ct,f}$=0,00 N/mm^2 CA=QPR ε_{sm}=0E+00 A_e=0,0 cm^2 S_m=0 mm W_k=0,00 mm $\sigma_{ct,f}$=0,00 N/mm^2
SHELL: [00615-00105-00331] AA= PCA
CA=FRQ ε_{sm}=0E+00 A_e=0,0 cm^2 S_m=0 mm W_k=0,00 mm $\sigma_{ct,f}$=0,00 N/mm^2 CA=QPR ε_{sm}=0E+00 A_e=0,0 cm^2 S_m=0 mm W_k=0,00 mm $\sigma_{ct,f}$=0,00 N/mm^2
SHELL: [00619-00333-00334] AA= PCA
CA=FRQ ε_{sm}=0E+00 A_e=0,0 cm^2 S_m=0 mm W_k=0,00 mm $\sigma_{ct,f}$=0,00 N/mm^2 CA=QPR ε_{sm}=0E+00 A_e=0,0 cm^2 S_m=0 mm W_k=0,00 mm $\sigma_{ct,f}$=0,00 N/mm^2
SHELL: [00242-00614-00620] AA= PCA
CA=FRQ ε_{sm}=0E+00 A_e=0,0 cm^2 S_m=0 mm W_k=0,00 mm $\sigma_{ct,f}$=0,00 N/mm^2 CA=QPR ε_{sm}=0E+00 A_e=0,0 cm^2 S_m=0 mm W_k=0,00 mm $\sigma_{ct,f}$=0,00 N/mm^2
SHELL: [00616-00336-00103] AA= PCA
CA=FRQ ε_{sm}=0E+00 A_e=0,0 cm^2 S_m=0 mm W_k=0,00 mm $\sigma_{ct,f}$=0,00 N/mm^2 CA=QPR ε_{sm}=0E+00 A_e=0,0 cm^2 S_m=0 mm W_k=0,00 mm $\sigma_{ct,f}$=0,00 N/mm^2
SHELL: [00242-00620-00241] AA= PCA
CA=FRQ ε_{sm}=0E+00 A_e=0,0 cm^2 S_m=0 mm W_k=0,00 mm $\sigma_{ct,f}$=0,00 N/mm^2 CA=QPR ε_{sm}=0E+00 A_e=0,0 cm^2 S_m=0 mm W_k=0,00 mm $\sigma_{ct,f}$=0,00 N/mm^2
SHELL: [00619-00332-00333] AA= PCA
CA=FRQ ε_{sm}=0E+00 A_e=0,0 cm^2 S_m=0 mm W_k=0,00 mm $\sigma_{ct,f}$=0,00 N/mm^2 CA=QPR ε_{sm}=0E+00 A_e=0,0 cm^2 S_m=0 mm W_k=0,00 mm $\sigma_{ct,f}$=0,00 N/mm^2
SHELL: [00620-00331-00332] AA= PCA
CA=FRQ ε_{sm}=0E+00 A_e=0,0 cm^2 S_m=0 mm W_k=0,00 mm $\sigma_{ct,f}$=0,00 N/mm^2 CA=QPR ε_{sm}=0E+00 A_e=0,0 cm^2 S_m=0 mm W_k=0,00 mm $\sigma_{ct,f}$=0,00 N/mm^2
SHELL: [00618-00619-00334] AA= PCA
CA=FRQ ε_{sm}=0E+00 A_e=0,0 cm^2 S_m=0 mm W_k=0,00 mm $\sigma_{ct,f}$=0,00 N/mm^2 CA=QPR ε_{sm}=0E+00 A_e=0,0 cm^2 S_m=0 mm W_k=0,00 mm $\sigma_{ct,f}$=0,00 N/mm^2
SHELL: [00614-00330-00620] AA= PCA
CA=FRQ ε_{sm}=0E+00 A_e=0,0 cm^2 S_m=0 mm W_k=0,00 mm $\sigma_{ct,f}$=0,00 N/mm^2 CA=QPR ε_{sm}=0E+00 A_e=0,0 cm^2 S_m=0 mm W_k=0,00 mm $\sigma_{ct,f}$=0,00 N/mm^2
SHELL: [00613-00617-00329] AA= PCA
CA=FRQ ε_{sm}=0E+00 A_e=0,0 cm^2 S_m=0 mm W_k=0,00 mm $\sigma_{ct,f}$=0,00 N/mm^2 CA=QPR ε_{sm}=0E+00 A_e=0,0 cm^2 S_m=0 mm W_k=0,00 mm $\sigma_{ct,f}$=0,00 N/mm^2
SHELL: [00617-00335-00336] AA= PCA
CA=FRQ ε_{sm}=0E+00 A_e=0,0 cm^2 S_m=0 mm W_k=0,00 mm $\sigma_{ct,f}$=0,00 N/mm^2 CA=QPR ε_{sm}=0E+00 A_e=0,0 cm^2 S_m=0 mm W_k=0,00 mm $\sigma_{ct,f}$=0,00 N/mm^2
SHELL: [00617-00336-00616] AA= PCA
CA=FRQ ε_{sm}=0E+00 A_e=0,0 cm^2 S_m=0 mm W_k=0,00 mm $\sigma_{ct,f}$=0,00 N/mm^2 CA=QPR ε_{sm}=0E+00 A_e=0,0 cm^2 S_m=0 mm W_k=0,00 mm $\sigma_{ct,f}$=0,00 N/mm^2
SHELL: [00241-00620-00619] AA= PCA
CA=FRQ ε_{sm}=0E+00 A_e=0,0 cm^2 S_m=0 mm W_k=0,00 mm $\sigma_{ct,f}$=0,00 N/mm^2 CA=QPR ε_{sm}=0E+00 A_e=0,0 cm^2 S_m=0 mm W_k=0,00 mm $\sigma_{ct,f}$=0,00 N/mm^2
SHELL: [00617-00616-00329] AA= PCA
CA=FRQ ε_{sm}=0E+00 A_e=0,0 cm^2 S_m=0 mm W_k=0,00 mm $\sigma_{ct,f}$=0,00 N/mm^2 CA=QPR ε_{sm}=0E+00 A_e=0,0 cm^2 S_m=0 mm W_k=0,00 mm $\sigma_{ct,f}$=0,00 N/mm^2
SHELL: [00618-00334-00335] AA= PCA
CA=FRQ ε_{sm}=0E+00 A_e=0,0 cm^2 S_m=0 mm W_k=0,00 mm $\sigma_{ct,f}$=0,00 N/mm^2 CA=QPR ε_{sm}=0E+00 A_e=0,0 cm^2 S_m=0 mm W_k=0,00 mm $\sigma_{ct,f}$=0,00 N/mm^2
SHELL: [00618-00335-00617] AA= PCA
CA=FRQ ε_{sm}=0E+00 A_e=0,0 cm^2 S_m=0 mm W_k=0,00 mm $\sigma_{ct,f}$=0,00 N/mm^2 CA=QPR ε_{sm}=0E+00 A_e=0,0 cm^2 S_m=0 mm W_k=0,00 mm $\sigma_{ct,f}$=0,00 N/mm^2
SHELL: [00330-00105-00615] AA= PCA
CA=FRQ ε_{sm}=0E+00 A_e=0,0 cm^2 S_m=0 mm W_k=0,00 mm $\sigma_{ct,f}$=0,00 N/mm^2 CA=QPR ε_{sm}=0E+00 A_e=0,0 cm^2 S_m=0 mm W_k=0,00 mm $\sigma_{ct,f}$=0,00 N/mm^2
SHELL: [00055-00614-00242] AA= PCA
CA=FRQ ε_{sm}=0E+00 A_e=0,0 cm^2 S_m=0 mm W_k=0,00 mm $\sigma_{ct,f}$=0,00 N/mm^2 CA=QPR ε_{sm}=0E+00 A_e=0,0 cm^2 S_m=0 mm W_k=0,00 mm $\sigma_{ct,f}$=0,00 N/mm^2
SHELL: [00240-00241-00619] AA= PCA
CA=FRQ ε_{sm}=0E+00 A_e=0,0 cm^2 S_m=0 mm W_k=0,00 mm $\sigma_{ct,f}$=0,00 N/mm^2 CA=QPR ε_{sm}=0E+00 A_e=0,0 cm^2 S_m=0 mm W_k=0,00 mm $\sigma_{ct,f}$=0,00 N/mm^2

Dir	Nodo	σ_{ct}	σ_{cc}	σ_{at}	Nodo	σ_{ct}	σ_{cc}	σ_{at}	Nodo	σ_{ct}	σ_{cc}	σ_{at}	Nodo	σ_{ct}	σ_{cc}	σ_{at}
		[N/mm^2]	[N/mm^2]	[N/mm^2]		[N/mm^2]	[N/mm^2]	[N/mm^2]		[N/mm^2]	[N/mm^2]	[N/mm^2]		[N/mm^2]	[N/mm^2]	[N/mm^2]
SHELL: [00006-00237-00613] AA= PCA																
CA=FRQ ε_{sm}=0E+00 A_e=0,0 cm^2 S_m=0 mm W_k=0,00 mm $\sigma_{ct,f}$=0,00 N/mm^2										**CA=QPR ε_{sm}=0E+00 A_e=0,0 cm^2 S_m=0 mm W_k=0,00 mm $\sigma_{ct,f}$=0,00 N/mm^2**						
P	00006	0,000	0,000	0,000	00055	0,000	0,000	0,000	00103	0,000	0,000	0,000	00105	0,000	0,000	0,000
S		0,000	0,000	0,000		0,000	0,000	0,000		0,000	0,000	0,000		0,000	0,000	0,000
P	00237	0,000	0,000	0,000	00238	0,000	0,000	0,000	00239	0,000	0,000	0,000	00240	0,000	0,000	0,000
S		0,000	0,000	0,000		0,000	0,000	0,000		0,000	0,000	0,000		0,000	0,000	0,000
P	00241	0,000	0,000	0,000	00242	0,000	0,000	0,000	00329	0,000	0,000	0,000	00330	0,000	0,000	0,000
S		0,000	0,000	0,000		0,000	0,000	0,000		0,000	0,000	0,000		0,000	0,000	0,000
P	00331	0,000	0,000	0,000	00332	0,000	0,000	0,000	00333	0,000	0,000	0,000	00334	0,000	0,000	0,000
S		0,000	0,000	0,000		0,000	0,000	0,000		0,000	0,000	0,000		0,000	0,000	0,000
P	00335	0,000	0,000	0,000	00336	0,000	0,000	0,000	00613	0,000	0,000	0,000	00614	0,000	0,000	0,000
S		0,000	0,000	0,000		0,000	0,000	0,000		0,000	0,000	0,000		0,000	0,000	0,000
P	00615	0,000	0,000	0,000	00616	0,000	0,000	0,000	00617	0,000	0,000	0,000	00618	0,000	0,000	0,000
S		0,000	0,000	0,000		0,000	0,000	0,000		0,000	0,000	0,000		0,000	0,000	0,000
P	00619	0,000	0,000	0,000	00620	0,000	0,000	0,000								
S		0,000	0,000	0,000		0,000	0,000	0,000								
Parete 3-P3 AA= PCA																
CA=FRQ ε_{sm}=0E+00 A_e=0,0 cm^2 S_m=0 mm W_k=0,00 mm $\sigma_{ct,f}$=0,00 N/mm^2										**CA=QPR ε_{sm}=0E+00 A_e=0,0 cm^2 S_m=0 mm W_k=0,00 mm $\sigma_{ct,f}$=0,00 N/mm^2**						
Piano terra					**ParetеP2-3-P3**								**Parete 3-P3**			
SHELL: [00337-00624-00006] AA= PCA																
CA=FRQ ε_{sm}=0E+00 A_e=0,0 cm^2 S_m=0 mm W_k=0,00 mm $\sigma_{ct,f}$=0,00 N/mm^2										**CA=QPR ε_{sm}=0E+00 A_e=0,0 cm^2 S_m=0 mm W_k=0,00 mm $\sigma_{ct,f}$=0,00 N/mm^2**						
SHELL: [00340-00341-00626] AA= PCA																
CA=FRQ ε_{sm}=0E+00 A_e=0,0 cm^2 S_m=0 mm W_k=0,00 mm $\sigma_{ct,f}$=0,00 N/mm^2										**CA=QPR ε_{sm}=0E+00 A_e=0,0 cm^2 S_m=0 mm W_k=0,00 mm $\sigma_{ct,f}$=0,00 N/mm^2**						
SHELL: [00340-00625-00339] AA= PCA																
CA=FRQ ε_{sm}=0E+00 A_e=0,0 cm^2 S_m=0 mm W_k=0,00 mm $\sigma_{ct,f}$=0,00 N/mm^2										**CA=QPR ε_{sm}=0E+00 A_e=0,0 cm^2 S_m=0 mm W_k=0,00 mm $\sigma_{ct,f}$=0,00 N/mm^2**						
SHELL: [00340-00626-00625] AA= PCA																
CA=FRQ ε_{sm}=0E+00 A_e=0,0 cm^2 S_m=0 mm W_k=0,00 mm $\sigma_{ct,f}$=0,00 N/mm^2										**CA=QPR ε_{sm}=0E+00 A_e=0,0 cm^2 S_m=0 mm W_k=0,00 mm $\sigma_{ct,f}$=0,00 N/mm^2**						
SHELL: [00341-00342-00627] AA= PCA																
CA=FRQ ε_{sm}=0E+00 A_e=0,0 cm^2 S_m=0 mm W_k=0,00 mm $\sigma_{ct,f}$=0,00 N/mm^2										**CA=QPR ε_{sm}=0E+00 A_e=0,0 cm^2 S_m=0 mm W_k=0,00 mm $\sigma_{ct,f}$=0,00 N/mm^2**						
SHELL: [00626-00238-00625] AA= PCA																
CA=FRQ ε_{sm}=0E+00 A_e=0,0 cm^2 S_m=0 mm W_k=0,00 mm $\sigma_{ct,f}$=0,00 N/mm^2										**CA=QPR ε_{sm}=0E+00 A_e=0,0 cm^2 S_m=0 mm W_k=0,00 mm $\sigma_{ct,f}$=0,00 N/mm^2**						
SHELL: [00628-00241-00627] AA= PCA																
CA=FRQ ε_{sm}=0E+00 A_e=0,0 cm^2 S_m=0 mm W_k=0,00 mm $\sigma_{ct,f}$=0,00 N/mm^2										**CA=QPR ε_{sm}=0E+00 A_e=0,0 cm^2 S_m=0 mm W_k=0,00 mm $\sigma_{ct,f}$=0,00 N/mm^2**						
SHELL: [00341-00627-00626] AA= PCA																
CA=FRQ ε_{sm}=0E+00 A_e=0,0 cm^2 S_m=0 mm W_k=0,00 mm $\sigma_{ct,f}$=0,00 N/mm^2										**CA=QPR ε_{sm}=0E+00 A_e=0,0 cm^2 S_m=0 mm W_k=0,00 mm $\sigma_{ct,f}$=0,00 N/mm^2**						
SHELL: [00346-00055-00623] AA= PCA																
CA=FRQ ε_{sm}=0E+00 A_e=0,0 cm^2 S_m=0 mm W_k=0,00 mm $\sigma_{ct,f}$=0,00 N/mm^2										**CA=QPR ε_{sm}=0E+00 A_e=0,0 cm^2 S_m=0 mm W_k=0,00 mm $\sigma_{ct,f}$=0,00 N/mm^2**						
SHELL: [00121-00621-00338] AA= PCA																
CA=FRQ ε_{sm}=0E+00 A_e=0,0 cm^2 S_m=0 mm W_k=0,00 mm $\sigma_{ct,f}$=0,00 N/mm^2										**CA=QPR ε_{sm}=0E+00 A_e=0,0 cm^2 S_m=0 mm W_k=0,00 mm $\sigma_{ct,f}$=0,00 N/mm^2**						
SHELL: [00339-00625-00621] AA= PCA																
CA=FRQ ε_{sm}=0E+00 A_e=0,0 cm^2 S_m=0 mm W_k=0,00 mm $\sigma_{ct,f}$=0,00 N/mm^2										**CA=QPR ε_{sm}=0E+00 A_e=0,0 cm^2 S_m=0 mm W_k=0,00 mm $\sigma_{ct,f}$=0,00 N/mm^2**						
SHELL: [00121-00339-00621] AA= PCA																
CA=FRQ ε_{sm}=0E+00 A_e=0,0 cm^2 S_m=0 mm W_k=0,00 mm $\sigma_{ct,f}$=0,00 N/mm^2										**CA=QPR ε_{sm}=0E+00 A_e=0,0 cm^2 S_m=0 mm W_k=0,00 mm $\sigma_{ct,f}$=0,00 N/mm^2**						
SHELL: [00343-00344-00628] AA= PCA																
CA=FRQ ε_{sm}=0E+00 A_e=0,0 cm^2 S_m=0 mm W_k=0,00 mm $\sigma_{ct,f}$=0,00 N/mm^2										**CA=QPR ε_{sm}=0E+00 A_e=0,0 cm^2 S_m=0 mm W_k=0,00 mm $\sigma_{ct,f}$=0,00 N/mm^2**						
SHELL: [00623-00055-00242] AA= PCA																
CA=FRQ ε_{sm}=0E+00 A_e=0,0 cm^2 S_m=0 mm W_k=0,00 mm $\sigma_{ct,f}$=0,00 N/mm^2										**CA=QPR ε_{sm}=0E+00 A_e=0,0 cm^2 S_m=0 mm W_k=0,00 mm $\sigma_{ct,f}$=0,00 N/mm^2**						
SHELL: [00343-00628-00627] AA= PCA																
CA=FRQ ε_{sm}=0E+00 A_e=0,0 cm^2 S_m=0 mm W_k=0,00 mm $\sigma_{ct,f}$=0,00 N/mm^2										**CA=QPR ε_{sm}=0E+00 A_e=0,0 cm^2 S_m=0 mm W_k=0,00 mm $\sigma_{ct,f}$=0,00 N/mm^2**						
SHELL: [00624-00237-00006] AA= PCA																
CA=FRQ ε_{sm}=0E+00 A_e=0,0 cm^2 S_m=0 mm W_k=0,00 mm $\sigma_{ct,f}$=0,00 N/mm^2										**CA=QPR ε_{sm}=0E+00 A_e=0,0 cm^2 S_m=0 mm W_k=0,00 mm $\sigma_{ct,f}$=0,00 N/mm^2**						
SHELL: [00122-00345-00622] AA= PCA																
CA=FRQ ε_{sm}=0E+00 A_e=0,0 cm^2 S_m=0 mm W_k=0,00 mm $\sigma_{ct,f}$=0,00 N/mm^2										**CA=QPR ε_{sm}=0E+00 A_e=0,0 cm^2 S_m=0 mm W_k=0,00 mm $\sigma_{ct,f}$=0,00 N/mm^2**						
SHELL: [00627-00241-00240] AA= PCA																
CA=FRQ ε_{sm}=0E+00 A_e=0,0 cm^2 S_m=0 mm W_k=0,00 mm $\sigma_{ct,f}$=0,00 N/mm^2										**CA=QPR ε_{sm}=0E+00 A_e=0,0 cm^2 S_m=0 mm W_k=0,00 mm $\sigma_{ct,f}$=0,00 N/mm^2**						
SHELL: [00627-00240-00239] AA= PCA																
CA=FRQ ε_{sm}=0E+00 A_e=0,0 cm^2 S_m=0 mm W_k=0,00 mm $\sigma_{ct,f}$=0,00 N/mm^2										**CA=QPR ε_{sm}=0E+00 A_e=0,0 cm^2 S_m=0 mm W_k=0,00 mm $\sigma_{ct,f}$=0,00 N/mm^2**						

Dir	Nodo	σ_{ct} [N/mm²]	σ_{cc} [N/mm²]	σ_{at} [N/mm²]	Nodo	σ_{ct} [N/mm²]	σ_{cc} [N/mm²]	σ_{at} [N/mm²]	Nodo	σ_{ct} [N/mm²]	σ_{cc} [N/mm²]	σ_{at} [N/mm²]	Nodo	σ_{ct} [N/mm²]	σ_{cc} [N/mm²]	σ_{at} [N/mm²]
mm $\sigma_{ct,f}$=0,00 N/mm²																
SHELL: [00628-00242-00241] AA= PCA																
CA=FRQ ε_{sm}=0E+00 A_e=0,0 cm² S_m=0 mm W_k=0,00 mm $\sigma_{ct,f}$=0,00 N/mm² CA=QPR ε_{sm}=0E+00 A_e=0,0 cm² S_m=0 mm W_k=0,00 mm $\sigma_{ct,f}$=0,00 N/mm²																
SHELL: [00628-00623-00242] AA= PCA																
CA=FRQ ε_{sm}=0E+00 A_e=0,0 cm² S_m=0 mm W_k=0,00 mm $\sigma_{ct,f}$=0,00 N/mm² CA=QPR ε_{sm}=0E+00 A_e=0,0 cm² S_m=0 mm W_k=0,00 mm $\sigma_{ct,f}$=0,00 N/mm²																
SHELL: [00628-00346-00623] AA= PCA																
CA=FRQ ε_{sm}=0E+00 A_e=0,0 cm² S_m=0 mm W_k=0,00 mm $\sigma_{ct,f}$=0,00 N/mm² CA=QPR ε_{sm}=0E+00 A_e=0,0 cm² S_m=0 mm W_k=0,00 mm $\sigma_{ct,f}$=0,00 N/mm²																
SHELL: [00626-00239-00238] AA= PCA																
CA=FRQ ε_{sm}=0E+00 A_e=0,0 cm² S_m=0 mm W_k=0,00 mm $\sigma_{ct,f}$=0,00 N/mm² CA=QPR ε_{sm}=0E+00 A_e=0,0 cm² S_m=0 mm W_k=0,00 mm $\sigma_{ct,f}$=0,00 N/mm²																
SHELL: [00626-00627-00239] AA= PCA																
CA=FRQ ε_{sm}=0E+00 A_e=0,0 cm² S_m=0 mm W_k=0,00 mm $\sigma_{ct,f}$=0,00 N/mm² CA=QPR ε_{sm}=0E+00 A_e=0,0 cm² S_m=0 mm W_k=0,00 mm $\sigma_{ct,f}$=0,00 N/mm²																
SHELL: [00625-00624-00337] AA= PCA																
CA=FRQ ε_{sm}=0E+00 A_e=0,0 cm² S_m=0 mm W_k=0,00 mm $\sigma_{ct,f}$=0,00 N/mm² CA=QPR ε_{sm}=0E+00 A_e=0,0 cm² S_m=0 mm W_k=0,00 mm $\sigma_{ct,f}$=0,00 N/mm²																
SHELL: [00625-00238-00237] AA= PCA																
CA=FRQ ε_{sm}=0E+00 A_e=0,0 cm² S_m=0 mm W_k=0,00 mm $\sigma_{ct,f}$=0,00 N/mm² CA=QPR ε_{sm}=0E+00 A_e=0,0 cm² S_m=0 mm W_k=0,00 mm $\sigma_{ct,f}$=0,00 N/mm²																
SHELL: [00625-00237-00624] AA= PCA																
CA=FRQ ε_{sm}=0E+00 A_e=0,0 cm² S_m=0 mm W_k=0,00 mm $\sigma_{ct,f}$=0,00 N/mm² CA=QPR ε_{sm}=0E+00 A_e=0,0 cm² S_m=0 mm W_k=0,00 mm $\sigma_{ct,f}$=0,00 N/mm²																
SHELL: [00345-00346-00628] AA= PCA																
CA=FRQ ε_{sm}=0E+00 A_e=0,0 cm² S_m=0 mm W_k=0,00 mm $\sigma_{ct,f}$=0,00 N/mm² CA=QPR ε_{sm}=0E+00 A_e=0,0 cm² S_m=0 mm W_k=0,00 mm $\sigma_{ct,f}$=0,00 N/mm²																
SHELL: [00621-00625-00338] AA= PCA																
CA=FRQ ε_{sm}=0E+00 A_e=0,0 cm² S_m=0 mm W_k=0,00 mm $\sigma_{ct,f}$=0,00 N/mm² CA=QPR ε_{sm}=0E+00 A_e=0,0 cm² S_m=0 mm W_k=0,00 mm $\sigma_{ct,f}$=0,00 N/mm²																
SHELL: [00122-00622-00344] AA= PCA																
CA=FRQ ε_{sm}=0E+00 A_e=0,0 cm² S_m=0 mm W_k=0,00 mm $\sigma_{ct,f}$=0,00 N/mm² CA=QPR ε_{sm}=0E+00 A_e=0,0 cm² S_m=0 mm W_k=0,00 mm $\sigma_{ct,f}$=0,00 N/mm²																
SHELL: [00344-00622-00628] AA= PCA																
CA=FRQ ε_{sm}=0E+00 A_e=0,0 cm² S_m=0 mm W_k=0,00 mm $\sigma_{ct,f}$=0,00 N/mm² CA=QPR ε_{sm}=0E+00 A_e=0,0 cm² S_m=0 mm W_k=0,00 mm $\sigma_{ct,f}$=0,00 N/mm²																
SHELL: [00338-00625-00337] AA= PCA																
CA=FRQ ε_{sm}=0E+00 A_e=0,0 cm² S_m=0 mm W_k=0,00 mm $\sigma_{ct,f}$=0,00 N/mm² CA=QPR ε_{sm}=0E+00 A_e=0,0 cm² S_m=0 mm W_k=0,00 mm $\sigma_{ct,f}$=0,00 N/mm²																
SHELL: [00342-00343-00627] AA= PCA																
CA=FRQ ε_{sm}=0E+00 A_e=0,0 cm² S_m=0 mm W_k=0,00 mm $\sigma_{ct,f}$=0,00 N/mm² CA=QPR ε_{sm}=0E+00 A_e=0,0 cm² S_m=0 mm W_k=0,00 mm $\sigma_{ct,f}$=0,00 N/mm²																
SHELL: [00622-00345-00628] AA= PCA																
CA=FRQ ε_{sm}=0E+00 A_e=0,0 cm² S_m=0 mm W_k=0,00 mm $\sigma_{ct,f}$=0,00 N/mm² CA=QPR ε_{sm}=0E+00 A_e=0,0 cm² S_m=0 mm W_k=0,00 mm $\sigma_{ct,f}$=0,00 N/mm²																
P	00006	0,000	0,000	0,000	00055	0,000	0,000	0,000	00121	0,000	0,000	0,000	00122	0,000	0,000	0,000
S		0,000	0,000	0,000		0,000	0,000	0,000		0,000	0,000	0,000		0,000	0,000	0,000
P	00237	0,000	0,000	0,000	00238	0,000	0,000	0,000	00239	0,000	0,000	0,000	00240	0,000	0,000	0,000
S		0,000	0,000	0,000		0,000	0,000	0,000		0,000	0,000	0,000		0,000	0,000	0,000
P	00241	0,000	0,000	0,000	00242	0,000	0,000	0,000	00337	0,000	0,000	0,000	00338	0,000	0,000	0,000
S		0,000	0,000	0,000		0,000	0,000	0,000		0,000	0,000	0,000		0,000	0,000	0,000
P	00339	0,000	0,000	0,000	00340	0,000	0,000	0,000	00341	0,000	0,000	0,000	00342	0,000	0,000	0,000
S		0,000	0,000	0,000		0,000	0,000	0,000		0,000	0,000	0,000		0,000	0,000	0,000
P	00343	0,000	0,000	0,000	00344	0,000	0,000	0,000	00345	0,000	0,000	0,000	00346	0,000	0,000	0,000
S		0,000	0,000	0,000		0,000	0,000	0,000		0,000	0,000	0,000		0,000	0,000	0,000
P	00621	0,000	0,000	0,000	00622	0,000	0,000	0,000	00623	0,000	0,000	0,000	00624	0,000	0,000	0,000
S		0,000	0,000	0,000		0,000	0,000	0,000		0,000	0,000	0,000		0,000	0,000	0,000
P	00625	0,000	0,000	0,000	00626	0,000	0,000	0,000	00627	0,000	0,000	0,000	00628	0,000	0,000	0,000
S		0,000	0,000	0,000		0,000	0,000	0,000		0,000	0,000	0,000		0,000	0,000	0,000
Parete P4-4 AA= PCA																
CA=FRQ ε_{sm}=0E+00 A_e=0,0 cm² S_m=0 mm W_k=0,00 mm $\sigma_{ct,f}$=0,00 N/mm² CA=QPR ε_{sm}=0E+00 A_e=0,0 cm² S_m=0 mm W_k=0,00 mm $\sigma_{ct,f}$=0,00 N/mm²																
Piano terra					**ParetеP4-4-P5**								**Parete P4-4**			
SHELL: [00736-00453-00735] AA= PCA																
CA=FRQ ε_{sm}=0E+00 A_e=0,0 cm² S_m=0 mm W_k=0,00 mm $\sigma_{ct,f}$=0,00 N/mm² CA=QPR ε_{sm}=0E+00 A_e=0,0 cm² S_m=0 mm W_k=0,00 mm $\sigma_{ct,f}$=0,00 N/mm²																
SHELL: [00260-00261-00734] AA= PCA																
CA=FRQ ε_{sm}=0E+00 A_e=0,0 cm² S_m=0 mm W_k=0,00 mm $\sigma_{ct,f}$=0,00 N/mm² CA=QPR ε_{sm}=0E+00 A_e=0,0 cm² S_m=0 mm W_k=0,00 mm $\sigma_{ct,f}$=0,00 N/mm²																
SHELL: [00260-00733-00259] AA= PCA																
CA=FRQ ε_{sm}=0E+00 A_e=0,0 cm² S_m=0 mm W_k=0,00 mm $\sigma_{ct,f}$=0,00 N/mm² CA=QPR ε_{sm}=0E+00 A_e=0,0 cm² S_m=0 mm W_k=0,00 mm $\sigma_{ct,f}$=0,00 N/mm²																
SHELL: [00260-00734-00733] AA= PCA																
CA=FRQ ε_{sm}=0E+00 A_e=0,0 cm² S_m=0 mm W_k=0,00 mm $\sigma_{ct,f}$=0,00 N/mm² CA=QPR ε_{sm}=0E+00 A_e=0,0 cm² S_m=0 mm W_k=0,00 mm $\sigma_{ct,f}$=0,00 N/mm²																
SHELL: [00261-00262-00735] AA= PCA																

Dir	Nodo	σ_{ct} [N/mm^2]	σ_{cc} [N/mm^2]	σ_{at} [N/mm^2]	Nodo	σ_{ct} [N/mm^2]	σ_{cc} [N/mm^2]	σ_{at} [N/mm^2]	Nodo	σ_{ct} [N/mm^2]	σ_{cc} [N/mm^2]	σ_{at} [N/mm^2]	Nodo	σ_{ct} [N/mm^2]	σ_{cc} [N/mm^2]	σ_{at} [N/mm^2]
CA=FRQ ε_{sm}=0E+00 A_e=0,0 cm^2 S_m=0 mm W_k=0,00 mm $\sigma_{ct,f}$=0,00 N/mm^2 CA=QPR ε_{sm}=0E+00 A_e=0,0 cm^2 S_m=0 mm W_k=0,00 mm $\sigma_{ct,f}$=0,00 N/mm^2																
SHELL: [00254-00732-00124] AA= PCA																
CA=FRQ ε_{sm}=0E+00 A_e=0,0 cm^2 S_m=0 mm W_k=0,00 mm $\sigma_{ct,f}$=0,00 N/mm^2 CA=QPR ε_{sm}=0E+00 A_e=0,0 cm^2 S_m=0 mm W_k=0,00 mm $\sigma_{ct,f}$=0,00 N/mm^2																
SHELL: [00261-00735-00734] AA= PCA																
CA=FRQ ε_{sm}=0E+00 A_e=0,0 cm^2 S_m=0 mm W_k=0,00 mm $\sigma_{ct,f}$=0,00 N/mm^2 CA=QPR ε_{sm}=0E+00 A_e=0,0 cm^2 S_m=0 mm W_k=0,00 mm $\sigma_{ct,f}$=0,00 N/mm^2																
SHELL: [00008-00729-00254] AA= PCA																
CA=FRQ ε_{sm}=0E+00 A_e=0,0 cm^2 S_m=0 mm W_k=0,00 mm $\sigma_{ct,f}$=0,00 N/mm^2 CA=QPR ε_{sm}=0E+00 A_e=0,0 cm^2 S_m=0 mm W_k=0,00 mm $\sigma_{ct,f}$=0,00 N/mm^2																
SHELL: [00259-00733-00729] AA= PCA																
CA=FRQ ε_{sm}=0E+00 A_e=0,0 cm^2 S_m=0 mm W_k=0,00 mm $\sigma_{ct,f}$=0,00 N/mm^2 CA=QPR ε_{sm}=0E+00 A_e=0,0 cm^2 S_m=0 mm W_k=0,00 mm $\sigma_{ct,f}$=0,00 N/mm^2																
SHELL: [00735-00454-00455] AA= PCA																
CA=FRQ ε_{sm}=0E+00 A_e=0,0 cm^2 S_m=0 mm W_k=0,00 mm $\sigma_{ct,f}$=0,00 N/mm^2 CA=QPR ε_{sm}=0E+00 A_e=0,0 cm^2 S_m=0 mm W_k=0,00 mm $\sigma_{ct,f}$=0,00 N/mm^2																
SHELL: [00008-00259-00729] AA= PCA																
CA=FRQ ε_{sm}=0E+00 A_e=0,0 cm^2 S_m=0 mm W_k=0,00 mm $\sigma_{ct,f}$=0,00 N/mm^2 CA=QPR ε_{sm}=0E+00 A_e=0,0 cm^2 S_m=0 mm W_k=0,00 mm $\sigma_{ct,f}$=0,00 N/mm^2																
SHELL: [00053-00451-00730] AA= PCA																
CA=FRQ ε_{sm}=0E+00 A_e=0,0 cm^2 S_m=0 mm W_k=0,00 mm $\sigma_{ct,f}$=0,00 N/mm^2 CA=QPR ε_{sm}=0E+00 A_e=0,0 cm^2 S_m=0 mm W_k=0,00 mm $\sigma_{ct,f}$=0,00 N/mm^2																
SHELL: [00731-00125-00452] AA= PCA																
CA=FRQ ε_{sm}=0E+00 A_e=0,0 cm^2 S_m=0 mm W_k=0,00 mm $\sigma_{ct,f}$=0,00 N/mm^2 CA=QPR ε_{sm}=0E+00 A_e=0,0 cm^2 S_m=0 mm W_k=0,00 mm $\sigma_{ct,f}$=0,00 N/mm^2																
SHELL: [00730-00451-00736] AA= PCA																
CA=FRQ ε_{sm}=0E+00 A_e=0,0 cm^2 S_m=0 mm W_k=0,00 mm $\sigma_{ct,f}$=0,00 N/mm^2 CA=QPR ε_{sm}=0E+00 A_e=0,0 cm^2 S_m=0 mm W_k=0,00 mm $\sigma_{ct,f}$=0,00 N/mm^2																
SHELL: [00734-00456-00733] AA= PCA																
CA=FRQ ε_{sm}=0E+00 A_e=0,0 cm^2 S_m=0 mm W_k=0,00 mm $\sigma_{ct,f}$=0,00 N/mm^2 CA=QPR ε_{sm}=0E+00 A_e=0,0 cm^2 S_m=0 mm W_k=0,00 mm $\sigma_{ct,f}$=0,00 N/mm^2																
SHELL: [00732-00457-00124] AA= PCA																
CA=FRQ ε_{sm}=0E+00 A_e=0,0 cm^2 S_m=0 mm W_k=0,00 mm $\sigma_{ct,f}$=0,00 N/mm^2 CA=QPR ε_{sm}=0E+00 A_e=0,0 cm^2 S_m=0 mm W_k=0,00 mm $\sigma_{ct,f}$=0,00 N/mm^2																
SHELL: [00264-00730-00736] AA= PCA																
CA=FRQ ε_{sm}=0E+00 A_e=0,0 cm^2 S_m=0 mm W_k=0,00 mm $\sigma_{ct,f}$=0,00 N/mm^2 CA=QPR ε_{sm}=0E+00 A_e=0,0 cm^2 S_m=0 mm W_k=0,00 mm $\sigma_{ct,f}$=0,00 N/mm^2																
SHELL: [00736-00731-00452] AA= PCA																
CA=FRQ ε_{sm}=0E+00 A_e=0,0 cm^2 S_m=0 mm W_k=0,00 mm $\sigma_{ct,f}$=0,00 N/mm^2 CA=QPR ε_{sm}=0E+00 A_e=0,0 cm^2 S_m=0 mm W_k=0,00 mm $\sigma_{ct,f}$=0,00 N/mm^2																
SHELL: [00736-00452-00453] AA= PCA																
CA=FRQ ε_{sm}=0E+00 A_e=0,0 cm^2 S_m=0 mm W_k=0,00 mm $\sigma_{ct,f}$=0,00 N/mm^2 CA=QPR ε_{sm}=0E+00 A_e=0,0 cm^2 S_m=0 mm W_k=0,00 mm $\sigma_{ct,f}$=0,00 N/mm^2																
SHELL: [00735-00453-00454] AA= PCA																
CA=FRQ ε_{sm}=0E+00 A_e=0,0 cm^2 S_m=0 mm W_k=0,00 mm $\sigma_{ct,f}$=0,00 N/mm^2 CA=QPR ε_{sm}=0E+00 A_e=0,0 cm^2 S_m=0 mm W_k=0,00 mm $\sigma_{ct,f}$=0,00 N/mm^2																
SHELL: [00734-00455-00456] AA= PCA																
CA=FRQ ε_{sm}=0E+00 A_e=0,0 cm^2 S_m=0 mm W_k=0,00 mm $\sigma_{ct,f}$=0,00 N/mm^2 CA=QPR ε_{sm}=0E+00 A_e=0,0 cm^2 S_m=0 mm W_k=0,00 mm $\sigma_{ct,f}$=0,00 N/mm^2																
SHELL: [00734-00735-00455] AA= PCA																
CA=FRQ ε_{sm}=0E+00 A_e=0,0 cm^2 S_m=0 mm W_k=0,00 mm $\sigma_{ct,f}$=0,00 N/mm^2 CA=QPR ε_{sm}=0E+00 A_e=0,0 cm^2 S_m=0 mm W_k=0,00 mm $\sigma_{ct,f}$=0,00 N/mm^2																
SHELL: [00733-00456-00457] AA= PCA																
CA=FRQ ε_{sm}=0E+00 A_e=0,0 cm^2 S_m=0 mm W_k=0,00 mm $\sigma_{ct,f}$=0,00 N/mm^2 CA=QPR ε_{sm}=0E+00 A_e=0,0 cm^2 S_m=0 mm W_k=0,00 mm $\sigma_{ct,f}$=0,00 N/mm^2																
SHELL: [00733-00457-00732] AA= PCA																
CA=FRQ ε_{sm}=0E+00 A_e=0,0 cm^2 S_m=0 mm W_k=0,00 mm $\sigma_{ct,f}$=0,00 N/mm^2 CA=QPR ε_{sm}=0E+00 A_e=0,0 cm^2 S_m=0 mm W_k=0,00 mm $\sigma_{ct,f}$=0,00 N/mm^2																
SHELL: [00451-00731-00736] AA= PCA																
CA=FRQ ε_{sm}=0E+00 A_e=0,0 cm^2 S_m=0 mm W_k=0,00 mm $\sigma_{ct,f}$=0,00 N/mm^2 CA=QPR ε_{sm}=0E+00 A_e=0,0 cm^2 S_m=0 mm W_k=0,00 mm $\sigma_{ct,f}$=0,00 N/mm^2																
SHELL: [00733-00732-00254] AA= PCA																
CA=FRQ ε_{sm}=0E+00 A_e=0,0 cm^2 S_m=0 mm W_k=0,00 mm $\sigma_{ct,f}$=0,00 N/mm^2 CA=QPR ε_{sm}=0E+00 A_e=0,0 cm^2 S_m=0 mm W_k=0,00 mm $\sigma_{ct,f}$=0,00 N/mm^2																
SHELL: [00263-00736-00735] AA= PCA																
CA=FRQ ε_{sm}=0E+00 A_e=0,0 cm^2 S_m=0 mm W_k=0,00 mm $\sigma_{ct,f}$=0,00 N/mm^2 CA=QPR ε_{sm}=0E+00 A_e=0,0 cm^2 S_m=0 mm W_k=0,00 mm $\sigma_{ct,f}$=0,00 N/mm^2																
SHELL: [00451-00125-00731] AA= PCA																
CA=FRQ ε_{sm}=0E+00 A_e=0,0 cm^2 S_m=0 mm W_k=0,00 mm $\sigma_{ct,f}$=0,00 N/mm^2 CA=QPR ε_{sm}=0E+00 A_e=0,0 cm^2 S_m=0 mm W_k=0,00 mm $\sigma_{ct,f}$=0,00 N/mm^2																
SHELL: [00264-00736-00263] AA= PCA																
CA=FRQ ε_{sm}=0E+00 A_e=0,0 cm^2 S_m=0 mm W_k=0,00 mm $\sigma_{ct,f}$=0,00 N/mm^2 CA=QPR ε_{sm}=0E+00 A_e=0,0 cm^2 S_m=0 mm W_k=0,00 mm $\sigma_{ct,f}$=0,00 N/mm^2																
SHELL: [00729-00733-00254] AA= PCA																
CA=FRQ ε_{sm}=0E+00 A_e=0,0 cm^2 S_m=0 mm W_k=0,00 mm $\sigma_{ct,f}$=0,00 N/mm^2 CA=QPR ε_{sm}=0E+00 A_e=0,0 cm^2 S_m=0 mm W_k=0,00 mm $\sigma_{ct,f}$=0,00 N/mm^2																
SHELL: [00053-00730-00264] AA= PCA																
CA=FRQ ε_{sm}=0E+00 A_e=0,0 cm^2 S_m=0 mm W_k=0,00 mm $\sigma_{ct,f}$=0,00 N/mm^2 CA=QPR ε_{sm}=0E+00 A_e=0,0 cm^2 S_m=0 mm W_k=0,00 mm $\sigma_{ct,f}$=0,00 N/mm^2																
SHELL: [00262-00263-00735] AA= PCA																
CA=FRQ ε_{sm}=0E+00 A_e=0,0 cm^2 S_m=0 mm W_k=0,00 mm $\sigma_{ct,f}$=0,00 N/mm^2 CA=QPR ε_{sm}=0E+00 A_e=0,0 cm^2 S_m=0 mm W_k=0,00 mm $\sigma_{ct,f}$=0,00 N/mm^2																
P	0000	0,000	0,000	0,000	0005	0,000	0,000	0,000	0012	0,000	0,000	0,000	0012	0,000	0,000	0,000

Dir	Nodo	σ_{ct}	σ_{cc}	σ_{at}	Nodo	σ_{ct}	σ_{cc}	σ_{at}	Nodo	σ_{ct}	σ_{cc}	σ_{at}	Nodo	σ_{ct}	σ_{cc}	σ_{at}
		[N/mm^2]	[N/mm^2]	[N/mm^2]		[N/mm^2]	[N/mm^2]	[N/mm^2]		[N/mm^2]	[N/mm^2]	[N/mm^2]		[N/mm^2]	[N/mm^2]	[N/mm^2]
	8				3				4				5			
S		0,000	0,000	0,000		0,000	0,000	0,000		0,000	0,000	0,000		0,000	0,000	0,000
P	00254	0,000	0,000	0,000	00259	0,000	0,000	0,000	00260	0,000	0,000	0,000	00261	0,000	0,000	0,000
S		0,000	0,000	0,000		0,000	0,000	0,000		0,000	0,000	0,000		0,000	0,000	0,000
P	00262	0,000	0,000	0,000	00263	0,000	0,000	0,000	00264	0,000	0,000	0,000	00451	0,000	0,000	0,000
S		0,000	0,000	0,000		0,000	0,000	0,000		0,000	0,000	0,000		0,000	0,000	0,000
P	00452	0,000	0,000	0,000	00453	0,000	0,000	0,000	00454	0,000	0,000	0,000	00455	0,000	0,000	0,000
S		0,000	0,000	0,000		0,000	0,000	0,000		0,000	0,000	0,000		0,000	0,000	0,000
P	00456	0,000	0,000	0,000	00457	0,000	0,000	0,000	00729	0,000	0,000	0,000	00730	0,000	0,000	0,000
S		0,000	0,000	0,000		0,000	0,000	0,000		0,000	0,000	0,000		0,000	0,000	0,000
P	00731	0,000	0,000	0,000	00732	0,000	0,000	0,000	00733	0,000	0,000	0,000	00734	0,000	0,000	0,000
S		0,000	0,000	0,000		0,000	0,000	0,000		0,000	0,000	0,000		0,000	0,000	0,000
P	00735	0,000	0,000	0,000	00736	0,000	0,000	0,000								
S		0,000	0,000	0,000		0,000	0,000	0,000								

Parete 4-P5 AA= PCA
CA=FRQ ε_{sm}=0E+00 A_e=0,0 cm^2 S_m=0 mm W_k=0,00 mm $\sigma_{ct,f}$=0,00 N/mm^2 CA=QPR ε_{sm}=0E+00 A_e=0,0 cm^2 S_m=0 mm W_k=0,00 mm $\sigma_{ct,f}$=0,00 N/mm^2

Piano terra | ParetеP4-4-P5 | Parete 4-P5

SHELL: [00301-00592-00008] AA= PCA
CA=FRQ ε_{sm}=0E+00 A_e=0,0 cm^2 S_m=0 mm W_k=0,00 mm $\sigma_{ct,f}$=0,00 N/mm^2 CA=QPR ε_{sm}=0E+00 A_e=0,0 cm^2 S_m=0 mm W_k=0,00 mm $\sigma_{ct,f}$=0,00 N/mm^2

SHELL: [00304-00305-00594] AA= PCA
CA=FRQ ε_{sm}=0E+00 A_e=0,0 cm^2 S_m=0 mm W_k=0,00 mm $\sigma_{ct,f}$=0,00 N/mm^2 CA=QPR ε_{sm}=0E+00 A_e=0,0 cm^2 S_m=0 mm W_k=0,00 mm $\sigma_{ct,f}$=0,00 N/mm^2

SHELL: [00304-00593-00303] AA= PCA
CA=FRQ ε_{sm}=0E+00 A_e=0,0 cm^2 S_m=0 mm W_k=0,00 mm $\sigma_{ct,f}$=0,00 N/mm^2 CA=QPR ε_{sm}=0E+00 A_e=0,0 cm^2 S_m=0 mm W_k=0,00 mm $\sigma_{ct,f}$=0,00 N/mm^2

SHELL: [00304-00594-00593] AA= PCA
CA=FRQ ε_{sm}=0E+00 A_e=0,0 cm^2 S_m=0 mm W_k=0,00 mm $\sigma_{ct,f}$=0,00 N/mm^2 CA=QPR ε_{sm}=0E+00 A_e=0,0 cm^2 S_m=0 mm W_k=0,00 mm $\sigma_{ct,f}$=0,00 N/mm^2

SHELL: [00305-00306-00595] AA= PCA
CA=FRQ ε_{sm}=0E+00 A_e=0,0 cm^2 S_m=0 mm W_k=0,00 mm $\sigma_{ct,f}$=0,00 N/mm^2 CA=QPR ε_{sm}=0E+00 A_e=0,0 cm^2 S_m=0 mm W_k=0,00 mm $\sigma_{ct,f}$=0,00 N/mm^2

SHELL: [00594-00260-00593] AA= PCA
CA=FRQ ε_{sm}=0E+00 A_e=0,0 cm^2 S_m=0 mm W_k=0,00 mm $\sigma_{ct,f}$=0,00 N/mm^2 CA=QPR ε_{sm}=0E+00 A_e=0,0 cm^2 S_m=0 mm W_k=0,00 mm $\sigma_{ct,f}$=0,00 N/mm^2

SHELL: [00596-00263-00595] AA= PCA
CA=FRQ ε_{sm}=0E+00 A_e=0,0 cm^2 S_m=0 mm W_k=0,00 mm $\sigma_{ct,f}$=0,00 N/mm^2 CA=QPR ε_{sm}=0E+00 A_e=0,0 cm^2 S_m=0 mm W_k=0,00 mm $\sigma_{ct,f}$=0,00 N/mm^2

SHELL: [00305-00595-00594] AA= PCA
CA=FRQ ε_{sm}=0E+00 A_e=0,0 cm^2 S_m=0 mm W_k=0,00 mm $\sigma_{ct,f}$=0,00 N/mm^2 CA=QPR ε_{sm}=0E+00 A_e=0,0 cm^2 S_m=0 mm W_k=0,00 mm $\sigma_{ct,f}$=0,00 N/mm^2

SHELL: [00310-00053-00591] AA= PCA
CA=FRQ ε_{sm}=0E+00 A_e=0,0 cm^2 S_m=0 mm W_k=0,00 mm $\sigma_{ct,f}$=0,00 N/mm^2 CA=QPR ε_{sm}=0E+00 A_e=0,0 cm^2 S_m=0 mm W_k=0,00 mm $\sigma_{ct,f}$=0,00 N/mm^2

SHELL: [00100-00589-00302] AA= PCA
CA=FRQ ε_{sm}=0E+00 A_e=0,0 cm^2 S_m=0 mm W_k=0,00 mm $\sigma_{ct,f}$=0,00 N/mm^2 CA=QPR ε_{sm}=0E+00 A_e=0,0 cm^2 S_m=0 mm W_k=0,00 mm $\sigma_{ct,f}$=0,00 N/mm^2

SHELL: [00303-00593-00589] AA= PCA
CA=FRQ ε_{sm}=0E+00 A_e=0,0 cm^2 S_m=0 mm W_k=0,00 mm $\sigma_{ct,f}$=0,00 N/mm^2 CA=QPR ε_{sm}=0E+00 A_e=0,0 cm^2 S_m=0 mm W_k=0,00 mm $\sigma_{ct,f}$=0,00 N/mm^2

SHELL: [00100-00303-00589] AA= PCA
CA=FRQ ε_{sm}=0E+00 A_e=0,0 cm^2 S_m=0 mm W_k=0,00 mm $\sigma_{ct,f}$=0,00 N/mm^2 CA=QPR ε_{sm}=0E+00 A_e=0,0 cm^2 S_m=0 mm W_k=0,00 mm $\sigma_{ct,f}$=0,00 N/mm^2

SHELL: [00307-00308-00596] AA= PCA
CA=FRQ ε_{sm}=0E+00 A_e=0,0 cm^2 S_m=0 mm W_k=0,00 mm $\sigma_{ct,f}$=0,00 N/mm^2 CA=QPR ε_{sm}=0E+00 A_e=0,0 cm^2 S_m=0 mm W_k=0,00 mm $\sigma_{ct,f}$=0,00 N/mm^2

SHELL: [00591-00053-00264] AA= PCA
CA=FRQ ε_{sm}=0E+00 A_e=0,0 cm^2 S_m=0 mm W_k=0,00 mm $\sigma_{ct,f}$=0,00 N/mm^2 CA=QPR ε_{sm}=0E+00 A_e=0,0 cm^2 S_m=0 mm W_k=0,00 mm $\sigma_{ct,f}$=0,00 N/mm^2

SHELL: [00307-00596-00595] AA= PCA
CA=FRQ ε_{sm}=0E+00 A_e=0,0 cm^2 S_m=0 mm W_k=0,00 mm $\sigma_{ct,f}$=0,00 N/mm^2 CA=QPR ε_{sm}=0E+00 A_e=0,0 cm^2 S_m=0 mm W_k=0,00 mm $\sigma_{ct,f}$=0,00 N/mm^2

SHELL: [00592-00259-00008] AA= PCA
CA=FRQ ε_{sm}=0E+00 A_e=0,0 cm^2 S_m=0 mm W_k=0,00 mm $\sigma_{ct,f}$=0,00 N/mm^2 CA=QPR ε_{sm}=0E+00 A_e=0,0 cm^2 S_m=0 mm W_k=0,00 mm $\sigma_{ct,f}$=0,00 N/mm^2

SHELL: [00102-00309-00590] AA= PCA
CA=FRQ ε_{sm}=0E+00 A_e=0,0 cm^2 S_m=0 mm W_k=0,00 mm $\sigma_{ct,f}$=0,00 N/mm^2 CA=QPR ε_{sm}=0E+00 A_e=0,0 cm^2 S_m=0 mm W_k=0,00 mm $\sigma_{ct,f}$=0,00 N/mm^2

SHELL: [00595-00263-00262] AA= PCA
CA=FRQ ε_{sm}=0E+00 A_e=0,0 cm^2 S_m=0 mm W_k=0,00 mm $\sigma_{ct,f}$=0,00 N/mm^2 CA=QPR ε_{sm}=0E+00 A_e=0,0 cm^2 S_m=0 mm W_k=0,00 mm $\sigma_{ct,f}$=0,00 N/mm^2

SHELL: [00595-00262-00261] AA= PCA
CA=FRQ ε_{sm}=0E+00 A_e=0,0 cm^2 S_m=0 mm W_k=0,00 mm $\sigma_{ct,f}$=0,00 N/mm^2 CA=QPR ε_{sm}=0E+00 A_e=0,0 cm^2 S_m=0 mm W_k=0,00 mm $\sigma_{ct,f}$=0,00 N/mm^2

SHELL: [00596-00264-00263] AA= PCA
CA=FRQ ε_{sm}=0E+00 A_e=0,0 cm^2 S_m=0 mm W_k=0,00 mm $\sigma_{ct,f}$=0,00 N/mm^2 CA=QPR ε_{sm}=0E+00 A_e=0,0 cm^2 S_m=0 mm W_k=0,00 mm $\sigma_{ct,f}$=0,00 N/mm^2

Dir	Nodo	σ_{ct}	σ_{cc}	σ_{at}	Nodo	σ_{ct}	σ_{cc}	σ_{at}	Nodo	σ_{ct}	σ_{cc}	σ_{at}	Nodo	σ_{ct}	σ_{cc}	σ_{at}
		[N/mm^2]	[N/mm^2]	[N/mm^2]		[N/mm^2]	[N/mm^2]	[N/mm^2]		[N/mm^2]	[N/mm^2]	[N/mm^2]		[N/mm^2]	[N/mm^2]	[N/mm^2]
SHELL: [00596-00591-00264] AA= PCA																
CA=FRQ ε_{sm}=0E+00 A_e=0,0 cm^2 S_m=0 mm W_k=0,00 mm $\sigma_{ct,f}$=0,00 N/mm^2																
CA=QPR ε_{sm}=0E+00 A_e=0,0 cm^2 S_m=0 mm W_k=0,00 mm $\sigma_{ct,f}$=0,00 N/mm^2																
SHELL: [00596-00310-00591] AA= PCA																
CA=FRQ ε_{sm}=0E+00 A_e=0,0 cm^2 S_m=0 mm W_k=0,00 mm $\sigma_{ct,f}$=0,00 N/mm^2																
CA=QPR ε_{sm}=0E+00 A_e=0,0 cm^2 S_m=0 mm W_k=0,00 mm $\sigma_{ct,f}$=0,00 N/mm^2																
SHELL: [00594-00261-00260] AA= PCA																
CA=FRQ ε_{sm}=0E+00 A_e=0,0 cm^2 S_m=0 mm W_k=0,00 mm $\sigma_{ct,f}$=0,00 N/mm^2																
CA=QPR ε_{sm}=0E+00 A_e=0,0 cm^2 S_m=0 mm W_k=0,00 mm $\sigma_{ct,f}$=0,00 N/mm^2																
SHELL: [00594-00595-00261] AA= PCA																
CA=FRQ ε_{sm}=0E+00 A_e=0,0 cm^2 S_m=0 mm W_k=0,00 mm $\sigma_{ct,f}$=0,00 N/mm^2																
CA=QPR ε_{sm}=0E+00 A_e=0,0 cm^2 S_m=0 mm W_k=0,00 mm $\sigma_{ct,f}$=0,00 N/mm^2																
SHELL: [00593-00592-00301] AA= PCA																
CA=FRQ ε_{sm}=0E+00 A_e=0,0 cm^2 S_m=0 mm W_k=0,00 mm $\sigma_{ct,f}$=0,00 N/mm^2																
CA=QPR ε_{sm}=0E+00 A_e=0,0 cm^2 S_m=0 mm W_k=0,00 mm $\sigma_{ct,f}$=0,00 N/mm^2																
SHELL: [00593-00260-00259] AA= PCA																
CA=FRQ ε_{sm}=0E+00 A_e=0,0 cm^2 S_m=0 mm W_k=0,00 mm $\sigma_{ct,f}$=0,00 N/mm^2																
CA=QPR ε_{sm}=0E+00 A_e=0,0 cm^2 S_m=0 mm W_k=0,00 mm $\sigma_{ct,f}$=0,00 N/mm^2																
SHELL: [00593-00259-00592] AA= PCA																
CA=FRQ ε_{sm}=0E+00 A_e=0,0 cm^2 S_m=0 mm W_k=0,00 mm $\sigma_{ct,f}$=0,00 N/mm^2																
CA=QPR ε_{sm}=0E+00 A_e=0,0 cm^2 S_m=0 mm W_k=0,00 mm $\sigma_{ct,f}$=0,00 N/mm^2																
SHELL: [00309-00310-00596] AA= PCA																
CA=FRQ ε_{sm}=0E+00 A_e=0,0 cm^2 S_m=0 mm W_k=0,00 mm $\sigma_{ct,f}$=0,00 N/mm^2																
CA=QPR ε_{sm}=0E+00 A_e=0,0 cm^2 S_m=0 mm W_k=0,00 mm $\sigma_{ct,f}$=0,00 N/mm^2																
SHELL: [00589-00593-00302] AA= PCA																
CA=FRQ ε_{sm}=0E+00 A_e=0,0 cm^2 S_m=0 mm W_k=0,00 mm $\sigma_{ct,f}$=0,00 N/mm^2																
CA=QPR ε_{sm}=0E+00 A_e=0,0 cm^2 S_m=0 mm W_k=0,00 mm $\sigma_{ct,f}$=0,00 N/mm^2																
SHELL: [00102-00590-00308] AA= PCA																
CA=FRQ ε_{sm}=0E+00 A_e=0,0 cm^2 S_m=0 mm W_k=0,00 mm $\sigma_{ct,f}$=0,00 N/mm^2																
CA=QPR ε_{sm}=0E+00 A_e=0,0 cm^2 S_m=0 mm W_k=0,00 mm $\sigma_{ct,f}$=0,00 N/mm^2																
SHELL: [00308-00590-00596] AA= PCA																
CA=FRQ ε_{sm}=0E+00 A_e=0,0 cm^2 S_m=0 mm W_k=0,00 mm $\sigma_{ct,f}$=0,00 N/mm^2																
CA=QPR ε_{sm}=0E+00 A_e=0,0 cm^2 S_m=0 mm W_k=0,00 mm $\sigma_{ct,f}$=0,00 N/mm^2																
SHELL: [00302-00593-00301] AA= PCA																
CA=FRQ ε_{sm}=0E+00 A_e=0,0 cm^2 S_m=0 mm W_k=0,00 mm $\sigma_{ct,f}$=0,00 N/mm^2																
CA=QPR ε_{sm}=0E+00 A_e=0,0 cm^2 S_m=0 mm W_k=0,00 mm $\sigma_{ct,f}$=0,00 N/mm^2																
SHELL: [00306-00307-00595] AA= PCA																
CA=FRQ ε_{sm}=0E+00 A_e=0,0 cm^2 S_m=0 mm W_k=0,00 mm $\sigma_{ct,f}$=0,00 N/mm^2																
CA=QPR ε_{sm}=0E+00 A_e=0,0 cm^2 S_m=0 mm W_k=0,00 mm $\sigma_{ct,f}$=0,00 N/mm^2																
SHELL: [00590-00309-00596] AA= PCA																
CA=FRQ ε_{sm}=0E+00 A_e=0,0 cm^2 S_m=0 mm W_k=0,00 mm $\sigma_{ct,f}$=0,00 N/mm^2																
CA=QPR ε_{sm}=0E+00 A_e=0,0 cm^2 S_m=0 mm W_k=0,00 mm $\sigma_{ct,f}$=0,00 N/mm^2																
P	00008	0,000	0,000	0,000	00053	0,000	0,000	0,000	00100	0,000	0,000	0,000	00102	0,000	0,000	0,000
S		0,000	0,000	0,000		0,000	0,000	0,000		0,000	0,000	0,000		0,000	0,000	0,000
P	00259	0,000	0,000	0,000	00260	0,000	0,000	0,000	00261	0,000	0,000	0,000	00262	0,000	0,000	0,000
S		0,000	0,000	0,000		0,000	0,000	0,000		0,000	0,000	0,000		0,000	0,000	0,000
P	00263	0,000	0,000	0,000	00264	0,000	0,000	0,000	00301	0,000	0,000	0,000	00302	0,000	0,000	0,000
S		0,000	0,000	0,000		0,000	0,000	0,000		0,000	0,000	0,000		0,000	0,000	0,000
P	00303	0,000	0,000	0,000	00304	0,000	0,000	0,000	00305	0,000	0,000	0,000	00306	0,000	0,000	0,000
S		0,000	0,000	0,000		0,000	0,000	0,000		0,000	0,000	0,000		0,000	0,000	0,000
P	00307	0,000	0,000	0,000	00308	0,000	0,000	0,000	00309	0,000	0,000	0,000	00310	0,000	0,000	0,000
S		0,000	0,000	0,000		0,000	0,000	0,000		0,000	0,000	0,000		0,000	0,000	0,000
P	00589	0,000	0,000	0,000	00590	0,000	0,000	0,000	00591	0,000	0,000	0,000	00592	0,000	0,000	0,000
S		0,000	0,000	0,000		0,000	0,000	0,000		0,000	0,000	0,000		0,000	0,000	0,000
P	00593	0,000	0,000	0,000	00594	0,000	0,000	0,000	00595	0,000	0,000	0,000	00596	0,000	0,000	0,000
S		0,000	0,000	0,000		0,000	0,000	0,000		0,000	0,000	0,000		0,000	0,000	0,000
Parete P6-6 AA= PCA																
CA=FRQ ε_{sm}=0E+00 A_e=0,0 cm^2 S_m=0 mm W_k=0,00 mm $\sigma_{ct,f}$=0,00 N/mm^2																
CA=QPR ε_{sm}=0E+00 A_e=0,0 cm^2 S_m=0 mm W_k=0,00 mm $\sigma_{ct,f}$=0,00 N/mm^2																
Piano terra					**ParetеP6-6**								**Parete P6-6**			
SHELL: [00443-00724-00085] AA= PCA																
CA=FRQ ε_{sm}=0E+00 A_e=0,0 cm^2 S_m=0 mm W_k=0,00 mm $\sigma_{ct,f}$=0,00 N/mm^2																
CA=QPR ε_{sm}=0E+00 A_e=0,0 cm^2 S_m=0 mm W_k=0,00 mm $\sigma_{ct,f}$=0,00 N/mm^2																
SHELL: [00399-00398-00726] AA= PCA																
CA=FRQ ε_{sm}=0E+00 A_e=0,0 cm^2 S_m=0 mm W_k=0,00 mm $\sigma_{ct,f}$=0,00 N/mm^2																
CA=QPR ε_{sm}=0E+00 A_e=0,0 cm^2 S_m=0 mm W_k=0,00 mm $\sigma_{ct,f}$=0,00 N/mm^2																
SHELL: [00399-00725-00400] AA= PCA																
CA=FRQ ε_{sm}=0E+00 A_e=0,0 cm^2 S_m=0 mm W_k=0,00 mm $\sigma_{ct,f}$=0,00 N/mm^2																
CA=QPR ε_{sm}=0E+00 A_e=0,0 cm^2 S_m=0 mm W_k=0,00 mm $\sigma_{ct,f}$=0,00 N/mm^2																
SHELL: [00399-00726-00725] AA= PCA																
CA=FRQ ε_{sm}=0E+00 A_e=0,0 cm^2 S_m=0 mm W_k=0,00 mm $\sigma_{ct,f}$=0,00 N/mm^2																
CA=QPR ε_{sm}=0E+00 A_e=0,0 cm^2 S_m=0 mm W_k=0,00 mm $\sigma_{ct,f}$=0,00 N/mm^2																
SHELL: [00398-00397-00727] AA= PCA																
CA=FRQ ε_{sm}=0E+00 A_e=0,0 cm^2 S_m=0 mm W_k=0,00 mm $\sigma_{ct,f}$=0,00 N/mm^2																
CA=QPR ε_{sm}=0E+00 A_e=0,0 cm^2 S_m=0 mm W_k=0,00 mm $\sigma_{ct,f}$=0,00 N/mm^2																
SHELL: [00721-00725-00443] AA= PCA																
CA=FRQ ε_{sm}=0E+00 A_e=0,0 cm^2 S_m=0 mm W_k=0,00 mm $\sigma_{ct,f}$=0,00 N/mm^2																
CA=QPR ε_{sm}=0E+00 A_e=0,0 cm^2 S_m=0 mm W_k=0,00 mm $\sigma_{ct,f}$=0,00 N/mm^2																

Dir	Nodo	σ_{ct}	σ_{cc}	σ_{at}	Nodo	σ_{ct}	σ_{cc}	σ_{at}	Nodo	σ_{ct}	σ_{cc}	σ_{at}	Nodo	σ_{ct}	σ_{cc}	σ_{at}
		[N/mm^2]	[N/mm^2]	[N/mm^2]		[N/mm^2]	[N/mm^2]	[N/mm^2]		[N/mm^2]	[N/mm^2]	[N/mm^2]		[N/mm^2]	[N/mm^2]	[N/mm^2]
mm $\sigma_{ct,f}$=0,00 N/mm^2																
SHELL: [00398-00727-00726] AA= PCA																
CA=FRQ ε_{sm}=0E+00 A_e=0,0 cm^2 S_m=0 mm W_k=0,00 mm $\sigma_{ct,f}$=0,00 N/mm^2 CA=QPR ε_{sm}=0E+00 A_e=0,0 cm^2 S_m=0 mm W_k=0,00 mm $\sigma_{ct,f}$=0,00 N/mm^2																
SHELL: [00400-00725-00721] AA= PCA																
CA=FRQ ε_{sm}=0E+00 A_e=0,0 cm^2 S_m=0 mm W_k=0,00 mm $\sigma_{ct,f}$=0,00 N/mm^2 CA=QPR ε_{sm}=0E+00 A_e=0,0 cm^2 S_m=0 mm W_k=0,00 mm $\sigma_{ct,f}$=0,00 N/mm^2																
SHELL: [00728-00446-00727] AA= PCA																
CA=FRQ ε_{sm}=0E+00 A_e=0,0 cm^2 S_m=0 mm W_k=0,00 mm $\sigma_{ct,f}$=0,00 N/mm^2 CA=QPR ε_{sm}=0E+00 A_e=0,0 cm^2 S_m=0 mm W_k=0,00 mm $\sigma_{ct,f}$=0,00 N/mm^2																
SHELL: [00728-00723-00445] AA= PCA																
CA=FRQ ε_{sm}=0E+00 A_e=0,0 cm^2 S_m=0 mm W_k=0,00 mm $\sigma_{ct,f}$=0,00 N/mm^2 CA=QPR ε_{sm}=0E+00 A_e=0,0 cm^2 S_m=0 mm W_k=0,00 mm $\sigma_{ct,f}$=0,00 N/mm^2																
SHELL: [00047-00721-00443] AA= PCA																
CA=FRQ ε_{sm}=0E+00 A_e=0,0 cm^2 S_m=0 mm W_k=0,00 mm $\sigma_{ct,f}$=0,00 N/mm^2 CA=QPR ε_{sm}=0E+00 A_e=0,0 cm^2 S_m=0 mm W_k=0,00 mm $\sigma_{ct,f}$=0,00 N/mm^2																
SHELL: [00047-00400-00721] AA= PCA																
CA=FRQ ε_{sm}=0E+00 A_e=0,0 cm^2 S_m=0 mm W_k=0,00 mm $\sigma_{ct,f}$=0,00 N/mm^2 CA=QPR ε_{sm}=0E+00 A_e=0,0 cm^2 S_m=0 mm W_k=0,00 mm $\sigma_{ct,f}$=0,00 N/mm^2																
SHELL: [00723-00087-00445] AA= PCA																
CA=FRQ ε_{sm}=0E+00 A_e=0,0 cm^2 S_m=0 mm W_k=0,00 mm $\sigma_{ct,f}$=0,00 N/mm^2 CA=QPR ε_{sm}=0E+00 A_e=0,0 cm^2 S_m=0 mm W_k=0,00 mm $\sigma_{ct,f}$=0,00 N/mm^2																
SHELL: [00727-00447-00448] AA= PCA																
CA=FRQ ε_{sm}=0E+00 A_e=0,0 cm^2 S_m=0 mm W_k=0,00 mm $\sigma_{ct,f}$=0,00 N/mm^2 CA=QPR ε_{sm}=0E+00 A_e=0,0 cm^2 S_m=0 mm W_k=0,00 mm $\sigma_{ct,f}$=0,00 N/mm^2																
SHELL: [00060-00444-00722] AA= PCA																
CA=FRQ ε_{sm}=0E+00 A_e=0,0 cm^2 S_m=0 mm W_k=0,00 mm $\sigma_{ct,f}$=0,00 N/mm^2 CA=QPR ε_{sm}=0E+00 A_e=0,0 cm^2 S_m=0 mm W_k=0,00 mm $\sigma_{ct,f}$=0,00 N/mm^2																
SHELL: [00724-00450-00085] AA= PCA																
CA=FRQ ε_{sm}=0E+00 A_e=0,0 cm^2 S_m=0 mm W_k=0,00 mm $\sigma_{ct,f}$=0,00 N/mm^2 CA=QPR ε_{sm}=0E+00 A_e=0,0 cm^2 S_m=0 mm W_k=0,00 mm $\sigma_{ct,f}$=0,00 N/mm^2																
SHELL: [00395-00722-00728] AA= PCA																
CA=FRQ ε_{sm}=0E+00 A_e=0,0 cm^2 S_m=0 mm W_k=0,00 mm $\sigma_{ct,f}$=0,00 N/mm^2 CA=QPR ε_{sm}=0E+00 A_e=0,0 cm^2 S_m=0 mm W_k=0,00 mm $\sigma_{ct,f}$=0,00 N/mm^2																
SHELL: [00727-00446-00447] AA= PCA																
CA=FRQ ε_{sm}=0E+00 A_e=0,0 cm^2 S_m=0 mm W_k=0,00 mm $\sigma_{ct,f}$=0,00 N/mm^2 CA=QPR ε_{sm}=0E+00 A_e=0,0 cm^2 S_m=0 mm W_k=0,00 mm $\sigma_{ct,f}$=0,00 N/mm^2																
SHELL: [00728-00445-00446] AA= PCA																
CA=FRQ ε_{sm}=0E+00 A_e=0,0 cm^2 S_m=0 mm W_k=0,00 mm $\sigma_{ct,f}$=0,00 N/mm^2 CA=QPR ε_{sm}=0E+00 A_e=0,0 cm^2 S_m=0 mm W_k=0,00 mm $\sigma_{ct,f}$=0,00 N/mm^2																
SHELL: [00726-00727-00448] AA= PCA																
CA=FRQ ε_{sm}=0E+00 A_e=0,0 cm^2 S_m=0 mm W_k=0,00 mm $\sigma_{ct,f}$=0,00 N/mm^2 CA=QPR ε_{sm}=0E+00 A_e=0,0 cm^2 S_m=0 mm W_k=0,00 mm $\sigma_{ct,f}$=0,00 N/mm^2																
SHELL: [00444-00723-00728] AA= PCA																
CA=FRQ ε_{sm}=0E+00 A_e=0,0 cm^2 S_m=0 mm W_k=0,00 mm $\sigma_{ct,f}$=0,00 N/mm^2 CA=QPR ε_{sm}=0E+00 A_e=0,0 cm^2 S_m=0 mm W_k=0,00 mm $\sigma_{ct,f}$=0,00 N/mm^2																
SHELL: [00722-00444-00728] AA= PCA																
CA=FRQ ε_{sm}=0E+00 A_e=0,0 cm^2 S_m=0 mm W_k=0,00 mm $\sigma_{ct,f}$=0,00 N/mm^2 CA=QPR ε_{sm}=0E+00 A_e=0,0 cm^2 S_m=0 mm W_k=0,00 mm $\sigma_{ct,f}$=0,00 N/mm^2																
SHELL: [00725-00449-00450] AA= PCA																
CA=FRQ ε_{sm}=0E+00 A_e=0,0 cm^2 S_m=0 mm W_k=0,00 mm $\sigma_{ct,f}$=0,00 N/mm^2 CA=QPR ε_{sm}=0E+00 A_e=0,0 cm^2 S_m=0 mm W_k=0,00 mm $\sigma_{ct,f}$=0,00 N/mm^2																
SHELL: [00725-00450-00724] AA= PCA																
CA=FRQ ε_{sm}=0E+00 A_e=0,0 cm^2 S_m=0 mm W_k=0,00 mm $\sigma_{ct,f}$=0,00 N/mm^2 CA=QPR ε_{sm}=0E+00 A_e=0,0 cm^2 S_m=0 mm W_k=0,00 mm $\sigma_{ct,f}$=0,00 N/mm^2																
SHELL: [00444-00087-00723] AA= PCA																
CA=FRQ ε_{sm}=0E+00 A_e=0,0 cm^2 S_m=0 mm W_k=0,00 mm $\sigma_{ct,f}$=0,00 N/mm^2 CA=QPR ε_{sm}=0E+00 A_e=0,0 cm^2 S_m=0 mm W_k=0,00 mm $\sigma_{ct,f}$=0,00 N/mm^2																
SHELL: [00725-00724-00443] AA= PCA																
CA=FRQ ε_{sm}=0E+00 A_e=0,0 cm^2 S_m=0 mm W_k=0,00 mm $\sigma_{ct,f}$=0,00 N/mm^2 CA=QPR ε_{sm}=0E+00 A_e=0,0 cm^2 S_m=0 mm W_k=0,00 mm $\sigma_{ct,f}$=0,00 N/mm^2																
SHELL: [00726-00448-00449] AA= PCA																
CA=FRQ ε_{sm}=0E+00 A_e=0,0 cm^2 S_m=0 mm W_k=0,00 mm $\sigma_{ct,f}$=0,00 N/mm^2 CA=QPR ε_{sm}=0E+00 A_e=0,0 cm^2 S_m=0 mm W_k=0,00 mm $\sigma_{ct,f}$=0,00 N/mm^2																
SHELL: [00726-00449-00725] AA= PCA																
CA=FRQ ε_{sm}=0E+00 A_e=0,0 cm^2 S_m=0 mm W_k=0,00 mm $\sigma_{ct,f}$=0,00 N/mm^2 CA=QPR ε_{sm}=0E+00 A_e=0,0 cm^2 S_m=0 mm W_k=0,00 mm $\sigma_{ct,f}$=0,00 N/mm^2																
SHELL: [00395-00728-00396] AA= PCA																
CA=FRQ ε_{sm}=0E+00 A_e=0,0 cm^2 S_m=0 mm W_k=0,00 mm $\sigma_{ct,f}$=0,00 N/mm^2 CA=QPR ε_{sm}=0E+00 A_e=0,0 cm^2 S_m=0 mm W_k=0,00 mm $\sigma_{ct,f}$=0,00 N/mm^2																
SHELL: [00396-00728-00727] AA= PCA																
CA=FRQ ε_{sm}=0E+00 A_e=0,0 cm^2 S_m=0 mm W_k=0,00 mm $\sigma_{ct,f}$=0,00 N/mm^2 CA=QPR ε_{sm}=0E+00 A_e=0,0 cm^2 S_m=0 mm W_k=0,00 mm $\sigma_{ct,f}$=0,00 N/mm^2																
SHELL: [00060-00722-00395] AA= PCA																
CA=FRQ ε_{sm}=0E+00 A_e=0,0 cm^2 S_m=0 mm W_k=0,00 mm $\sigma_{ct,f}$=0,00 N/mm^2 CA=QPR ε_{sm}=0E+00 A_e=0,0 cm^2 S_m=0 mm W_k=0,00 mm $\sigma_{ct,f}$=0,00 N/mm^2																
SHELL: [00397-00396-00727] AA= PCA																
CA=FRQ ε_{sm}=0E+00 A_e=0,0 cm^2 S_m=0 mm W_k=0,00 mm $\sigma_{ct,f}$=0,00 N/mm^2 CA=QPR ε_{sm}=0E+00 A_e=0,0 cm^2 S_m=0 mm W_k=0,00 mm $\sigma_{ct,f}$=0,00 N/mm^2																
P	00047	0,000	0,000	0,000	00060	0,000	0,000	0,000	00085	0,000	0,000	0,000	00087	0,000	0,000	0,000
S		0,000	0,000	0,000		0,000	0,000	0,000		0,000	0,000	0,000		0,000	0,000	0,000
P	00395	0,000	0,000	0,000	00396	0,000	0,000	0,000	00397	0,000	0,000	0,000	00398	0,000	0,000	0,000

Dir	Nodo	σ_{ct}	σ_{cc}	σ_{at}	Nodo	σ_{ct}	σ_{cc}	σ_{at}	Nodo	σ_{ct}	σ_{cc}	σ_{at}	Nodo	σ_{ct}	σ_{cc}	σ_{at}
		[N/mm^2]	[N/mm^2]	[N/mm^2]		[N/mm^2]	[N/mm^2]	[N/mm^2]		[N/mm^2]	[N/mm^2]	[N/mm^2]		[N/mm^2]	[N/mm^2]	[N/mm^2]
S		0,000	0,000	0,000		0,000	0,000	0,000		0,000	0,000	0,000		0,000	0,000	0,000
P	00399	0,000	0,000	0,000	00400	0,000	0,000	0,000	00443	0,000	0,000	0,000	00444	0,000	0,000	0,000
S		0,000	0,000	0,000		0,000	0,000	0,000		0,000	0,000	0,000		0,000	0,000	0,000
P	00445	0,000	0,000	0,000	00446	0,000	0,000	0,000	00447	0,000	0,000	0,000	00448	0,000	0,000	0,000
S		0,000	0,000	0,000		0,000	0,000	0,000		0,000	0,000	0,000		0,000	0,000	0,000
P	00449	0,000	0,000	0,000	00450	0,000	0,000	0,000	00721	0,000	0,000	0,000	00722	0,000	0,000	0,000
S		0,000	0,000	0,000		0,000	0,000	0,000		0,000	0,000	0,000		0,000	0,000	0,000
P	00723	0,000	0,000	0,000	00724	0,000	0,000	0,000	00725	0,000	0,000	0,000	00726	0,000	0,000	0,000
S		0,000	0,000	0,000		0,000	0,000	0,000		0,000	0,000	0,000		0,000	0,000	0,000
P	00727	0,000	0,000	0,000	00728	0,000	0,000	0,000								
S		0,000	0,000	0,000		0,000	0,000	0,000								

Parete 19-P9 **AA= PCA**

CA=FRQ ε_{sm}=0E+00 A_e=0,0 cm^2 S_m=0 mm W_k=0,00 mm $\sigma_{ct,f}$=0,00 N/mm^2 **CA=QPR ε_{sm}=0E+00 A_e=0,0 cm^2 S_m=0 mm W_k=0,00 mm $\sigma_{ct,f}$=0,00 N/mm^2**

Piano terra **Parete19-P9** **Parete 19-P9**

SHELL: [00434-00050-00707] **AA= PCA**

CA=FRQ ε_{sm}=0E+00 A_e=0,0 cm^2 S_m=0 mm W_k=0,00 mm $\sigma_{ct,f}$=0,00 N/mm^2 **CA=QPR ε_{sm}=0E+00 A_e=0,0 cm^2 S_m=0 mm W_k=0,00 mm $\sigma_{ct,f}$=0,00 N/mm^2**

SHELL: [00428-00429-00710] **AA= PCA**

CA=FRQ ε_{sm}=0E+00 A_e=0,0 cm^2 S_m=0 mm W_k=0,00 mm $\sigma_{ct,f}$=0,00 N/mm^2 **CA=QPR ε_{sm}=0E+00 A_e=0,0 cm^2 S_m=0 mm W_k=0,00 mm $\sigma_{ct,f}$=0,00 N/mm^2**

SHELL: [00428-00709-00427] **AA= PCA**

CA=FRQ ε_{sm}=0E+00 A_e=0,0 cm^2 S_m=0 mm W_k=0,00 mm $\sigma_{ct,f}$=0,00 N/mm^2 **CA=QPR ε_{sm}=0E+00 A_e=0,0 cm^2 S_m=0 mm W_k=0,00 mm $\sigma_{ct,f}$=0,00 N/mm^2**

SHELL: [00428-00710-00709] **AA= PCA**

CA=FRQ ε_{sm}=0E+00 A_e=0,0 cm^2 S_m=0 mm W_k=0,00 mm $\sigma_{ct,f}$=0,00 N/mm^2 **CA=QPR ε_{sm}=0E+00 A_e=0,0 cm^2 S_m=0 mm W_k=0,00 mm $\sigma_{ct,f}$=0,00 N/mm^2**

SHELL: [00429-00430-00711] **AA= PCA**

CA=FRQ ε_{sm}=0E+00 A_e=0,0 cm^2 S_m=0 mm W_k=0,00 mm $\sigma_{ct,f}$=0,00 N/mm^2 **CA=QPR ε_{sm}=0E+00 A_e=0,0 cm^2 S_m=0 mm W_k=0,00 mm $\sigma_{ct,f}$=0,00 N/mm^2**

SHELL: [00711-00280-00279] **AA= PCA**

CA=FRQ ε_{sm}=0E+00 A_e=0,0 cm^2 S_m=0 mm W_k=0,00 mm $\sigma_{ct,f}$=0,00 N/mm^2 **CA=QPR ε_{sm}=0E+00 A_e=0,0 cm^2 S_m=0 mm W_k=0,00 mm $\sigma_{ct,f}$=0,00 N/mm^2**

SHELL: [00712-00434-00707] **AA= PCA**

CA=FRQ ε_{sm}=0E+00 A_e=0,0 cm^2 S_m=0 mm W_k=0,00 mm $\sigma_{ct,f}$=0,00 N/mm^2 **CA=QPR ε_{sm}=0E+00 A_e=0,0 cm^2 S_m=0 mm W_k=0,00 mm $\sigma_{ct,f}$=0,00 N/mm^2**

SHELL: [00429-00711-00710] **AA= PCA**

CA=FRQ ε_{sm}=0E+00 A_e=0,0 cm^2 S_m=0 mm W_k=0,00 mm $\sigma_{ct,f}$=0,00 N/mm^2 **CA=QPR ε_{sm}=0E+00 A_e=0,0 cm^2 S_m=0 mm W_k=0,00 mm $\sigma_{ct,f}$=0,00 N/mm^2**

SHELL: [00425-00708-00012] **AA= PCA**

CA=FRQ ε_{sm}=0E+00 A_e=0,0 cm^2 S_m=0 mm W_k=0,00 mm $\sigma_{ct,f}$=0,00 N/mm^2 **CA=QPR ε_{sm}=0E+00 A_e=0,0 cm^2 S_m=0 mm W_k=0,00 mm $\sigma_{ct,f}$=0,00 N/mm^2**

SHELL: [00091-00705-00426] **AA= PCA**

CA=FRQ ε_{sm}=0E+00 A_e=0,0 cm^2 S_m=0 mm W_k=0,00 mm $\sigma_{ct,f}$=0,00 N/mm^2 **CA=QPR ε_{sm}=0E+00 A_e=0,0 cm^2 S_m=0 mm W_k=0,00 mm $\sigma_{ct,f}$=0,00 N/mm^2**

SHELL: [00427-00709-00705] **AA= PCA**

CA=FRQ ε_{sm}=0E+00 A_e=0,0 cm^2 S_m=0 mm W_k=0,00 mm $\sigma_{ct,f}$=0,00 N/mm^2 **CA=QPR ε_{sm}=0E+00 A_e=0,0 cm^2 S_m=0 mm W_k=0,00 mm $\sigma_{ct,f}$=0,00 N/mm^2**

SHELL: [00431-00712-00711] **AA= PCA**

CA=FRQ ε_{sm}=0E+00 A_e=0,0 cm^2 S_m=0 mm W_k=0,00 mm $\sigma_{ct,f}$=0,00 N/mm^2 **CA=QPR ε_{sm}=0E+00 A_e=0,0 cm^2 S_m=0 mm W_k=0,00 mm $\sigma_{ct,f}$=0,00 N/mm^2**

SHELL: [00432-00706-00712] **AA= PCA**

CA=FRQ ε_{sm}=0E+00 A_e=0,0 cm^2 S_m=0 mm W_k=0,00 mm $\sigma_{ct,f}$=0,00 N/mm^2 **CA=QPR ε_{sm}=0E+00 A_e=0,0 cm^2 S_m=0 mm W_k=0,00 mm $\sigma_{ct,f}$=0,00 N/mm^2**

SHELL: [00707-00050-00282] **AA= PCA**

CA=FRQ ε_{sm}=0E+00 A_e=0,0 cm^2 S_m=0 mm W_k=0,00 mm $\sigma_{ct,f}$=0,00 N/mm^2 **CA=QPR ε_{sm}=0E+00 A_e=0,0 cm^2 S_m=0 mm W_k=0,00 mm $\sigma_{ct,f}$=0,00 N/mm^2**

SHELL: [00432-00093-00706] **AA= PCA**

CA=FRQ ε_{sm}=0E+00 A_e=0,0 cm^2 S_m=0 mm W_k=0,00 mm $\sigma_{ct,f}$=0,00 N/mm^2 **CA=QPR ε_{sm}=0E+00 A_e=0,0 cm^2 S_m=0 mm W_k=0,00 mm $\sigma_{ct,f}$=0,00 N/mm^2**

SHELL: [00431-00432-00712] **AA= PCA**

CA=FRQ ε_{sm}=0E+00 A_e=0,0 cm^2 S_m=0 mm W_k=0,00 mm $\sigma_{ct,f}$=0,00 N/mm^2 **CA=QPR ε_{sm}=0E+00 A_e=0,0 cm^2 S_m=0 mm W_k=0,00 mm $\sigma_{ct,f}$=0,00 N/mm^2**

SHELL: [00708-00277-00012] **AA= PCA**

CA=FRQ ε_{sm}=0E+00 A_e=0,0 cm^2 S_m=0 mm W_k=0,00 mm $\sigma_{ct,f}$=0,00 N/mm^2 **CA=QPR ε_{sm}=0E+00 A_e=0,0 cm^2 S_m=0 mm W_k=0,00 mm $\sigma_{ct,f}$=0,00 N/mm^2**

SHELL: [00712-00707-00282] **AA= PCA**

CA=FRQ ε_{sm}=0E+00 A_e=0,0 cm^2 S_m=0 mm W_k=0,00 mm $\sigma_{ct,f}$=0,00 N/mm^2 **CA=QPR ε_{sm}=0E+00 A_e=0,0 cm^2 S_m=0 mm W_k=0,00 mm $\sigma_{ct,f}$=0,00 N/mm^2**

SHELL: [00712-00282-00281] **AA= PCA**

CA=FRQ ε_{sm}=0E+00 A_e=0,0 cm^2 S_m=0 mm W_k=0,00 mm $\sigma_{ct,f}$=0,00 N/mm^2 **CA=QPR ε_{sm}=0E+00 A_e=0,0 cm^2 S_m=0 mm W_k=0,00 mm $\sigma_{ct,f}$=0,00 N/mm^2**

SHELL: [00705-00709-00426] **AA= PCA**

CA=FRQ ε_{sm}=0E+00 A_e=0,0 cm^2 S_m=0 mm W_k=0,00 mm $\sigma_{ct,f}$=0,00 N/mm^2 **CA=QPR ε_{sm}=0E+00 A_e=0,0 cm^2 S_m=0 mm W_k=0,00 mm $\sigma_{ct,f}$=0,00 N/mm^2**

SHELL: [00431-00711-00430] **AA= PCA**

CA=FRQ ε_{sm}=0E+00 A_e=0,0 cm^2 S_m=0 mm W_k=0,00 mm $\sigma_{ct,f}$=0,00 N/mm^2 **CA=QPR ε_{sm}=0E+00 A_e=0,0 cm^2 S_m=0 mm W_k=0,00 mm $\sigma_{ct,f}$=0,00 N/mm^2**

SHELL: [00426-00709-00425] **AA= PCA**

Dir	Nodo	σ_{ct} [N/mm^2]	σ_{cc} [N/mm^2]	σ_{at} [N/mm^2]	Nodo	σ_{ct} [N/mm^2]	σ_{cc} [N/mm^2]	σ_{at} [N/mm^2]	Nodo	σ_{ct} [N/mm^2]	σ_{cc} [N/mm^2]	σ_{at} [N/mm^2]	Nodo	σ_{ct} [N/mm^2]	σ_{cc} [N/mm^2]	σ_{at} [N/mm^2]
CA=FRQ ε_{sm}=0E+00 A_e=0,0 cm^2 S_m=0 mm W_k=0,00 mm $\sigma_{ct,f}$=0,00 N/mm^2 CA=QPR ε_{sm}=0E+00 A_e=0,0 cm^2 S_m=0 mm W_k=0,00 mm $\sigma_{ct,f}$=0,00 N/mm^2																
SHELL: [00711-00712-00281] AA= PCA																
CA=FRQ ε_{sm}=0E+00 A_e=0,0 cm^2 S_m=0 mm W_k=0,00 mm $\sigma_{ct,f}$=0,00 N/mm^2 CA=QPR ε_{sm}=0E+00 A_e=0,0 cm^2 S_m=0 mm W_k=0,00 mm $\sigma_{ct,f}$=0,00 N/mm^2																
SHELL: [00711-00281-00280] AA= PCA																
CA=FRQ ε_{sm}=0E+00 A_e=0,0 cm^2 S_m=0 mm W_k=0,00 mm $\sigma_{ct,f}$=0,00 N/mm^2 CA=QPR ε_{sm}=0E+00 A_e=0,0 cm^2 S_m=0 mm W_k=0,00 mm $\sigma_{ct,f}$=0,00 N/mm^2																
SHELL: [00709-00278-00277] AA= PCA																
CA=FRQ ε_{sm}=0E+00 A_e=0,0 cm^2 S_m=0 mm W_k=0,00 mm $\sigma_{ct,f}$=0,00 N/mm^2 CA=QPR ε_{sm}=0E+00 A_e=0,0 cm^2 S_m=0 mm W_k=0,00 mm $\sigma_{ct,f}$=0,00 N/mm^2																
SHELL: [00709-00277-00708] AA= PCA																
CA=FRQ ε_{sm}=0E+00 A_e=0,0 cm^2 S_m=0 mm W_k=0,00 mm $\sigma_{ct,f}$=0,00 N/mm^2 CA=QPR ε_{sm}=0E+00 A_e=0,0 cm^2 S_m=0 mm W_k=0,00 mm $\sigma_{ct,f}$=0,00 N/mm^2																
SHELL: [00709-00708-00425] AA= PCA																
CA=FRQ ε_{sm}=0E+00 A_e=0,0 cm^2 S_m=0 mm W_k=0,00 mm $\sigma_{ct,f}$=0,00 N/mm^2 CA=QPR ε_{sm}=0E+00 A_e=0,0 cm^2 S_m=0 mm W_k=0,00 mm $\sigma_{ct,f}$=0,00 N/mm^2																
SHELL: [00710-00711-00279] AA= PCA																
CA=FRQ ε_{sm}=0E+00 A_e=0,0 cm^2 S_m=0 mm W_k=0,00 mm $\sigma_{ct,f}$=0,00 N/mm^2 CA=QPR ε_{sm}=0E+00 A_e=0,0 cm^2 S_m=0 mm W_k=0,00 mm $\sigma_{ct,f}$=0,00 N/mm^2																
SHELL: [00710-00279-00278] AA= PCA																
CA=FRQ ε_{sm}=0E+00 A_e=0,0 cm^2 S_m=0 mm W_k=0,00 mm $\sigma_{ct,f}$=0,00 N/mm^2 CA=QPR ε_{sm}=0E+00 A_e=0,0 cm^2 S_m=0 mm W_k=0,00 mm $\sigma_{ct,f}$=0,00 N/mm^2																
SHELL: [00710-00278-00709] AA= PCA																
CA=FRQ ε_{sm}=0E+00 A_e=0,0 cm^2 S_m=0 mm W_k=0,00 mm $\sigma_{ct,f}$=0,00 N/mm^2 CA=QPR ε_{sm}=0E+00 A_e=0,0 cm^2 S_m=0 mm W_k=0,00 mm $\sigma_{ct,f}$=0,00 N/mm^2																
SHELL: [00433-00434-00712] AA= PCA																
CA=FRQ ε_{sm}=0E+00 A_e=0,0 cm^2 S_m=0 mm W_k=0,00 mm $\sigma_{ct,f}$=0,00 N/mm^2 CA=QPR ε_{sm}=0E+00 A_e=0,0 cm^2 S_m=0 mm W_k=0,00 mm $\sigma_{ct,f}$=0,00 N/mm^2																
SHELL: [00091-00427-00705] AA= PCA																
CA=FRQ ε_{sm}=0E+00 A_e=0,0 cm^2 S_m=0 mm W_k=0,00 mm $\sigma_{ct,f}$=0,00 N/mm^2 CA=QPR ε_{sm}=0E+00 A_e=0,0 cm^2 S_m=0 mm W_k=0,00 mm $\sigma_{ct,f}$=0,00 N/mm^2																
SHELL: [00093-00433-00706] AA= PCA																
CA=FRQ ε_{sm}=0E+00 A_e=0,0 cm^2 S_m=0 mm W_k=0,00 mm $\sigma_{ct,f}$=0,00 N/mm^2 CA=QPR ε_{sm}=0E+00 A_e=0,0 cm^2 S_m=0 mm W_k=0,00 mm $\sigma_{ct,f}$=0,00 N/mm^2																
SHELL: [00706-00433-00712] AA= PCA																
CA=FRQ ε_{sm}=0E+00 A_e=0,0 cm^2 S_m=0 mm W_k=0,00 mm $\sigma_{ct,f}$=0,00 N/mm^2 CA=QPR ε_{sm}=0E+00 A_e=0,0 cm^2 S_m=0 mm W_k=0,00 mm $\sigma_{ct,f}$=0,00 N/mm^2																
P	00012	0,000	0,000	0,000	00050	0,000	0,000	0,000	00091	0,000	0,000	0,000	00093	0,000	0,000	0,000
S		0,000	0,000	0,000		0,000	0,000	0,000		0,000	0,000	0,000		0,000	0,000	0,000
P	00277	0,000	0,000	0,000	00278	0,000	0,000	0,000	00279	0,000	0,000	0,000	00280	0,000	0,000	0,000
S		0,000	0,000	0,000		0,000	0,000	0,000		0,000	0,000	0,000		0,000	0,000	0,000
P	00281	0,000	0,000	0,000	00282	0,000	0,000	0,000	00425	0,000	0,000	0,000	00426	0,000	0,000	0,000
S		0,000	0,000	0,000		0,000	0,000	0,000		0,000	0,000	0,000		0,000	0,000	0,000
P	00427	0,000	0,000	0,000	00428	0,000	0,000	0,000	00429	0,000	0,000	0,000	00430	0,000	0,000	0,000
S		0,000	0,000	0,000		0,000	0,000	0,000		0,000	0,000	0,000		0,000	0,000	0,000
P	00431	0,000	0,000	0,000	00432	0,000	0,000	0,000	00433	0,000	0,000	0,000	00434	0,000	0,000	0,000
S		0,000	0,000	0,000		0,000	0,000	0,000		0,000	0,000	0,000		0,000	0,000	0,000
P	00705	0,000	0,000	0,000	00706	0,000	0,000	0,000	00707	0,000	0,000	0,000	00708	0,000	0,000	0,000
S		0,000	0,000	0,000		0,000	0,000	0,000		0,000	0,000	0,000		0,000	0,000	0,000
P	00709	0,000	0,000	0,000	00710	0,000	0,000	0,000	00711	0,000	0,000	0,000	00712	0,000	0,000	0,000
S		0,000	0,000	0,000		0,000	0,000	0,000		0,000	0,000	0,000		0,000	0,000	0,000
Parete P10-21 AA= PCA																
CA=FRQ ε_{sm}=0E+00 A_e=0,0 cm^2 S_m=0 mm W_k=0,00 mm $\sigma_{ct,f}$=0,00 N/mm^2 CA=QPR ε_{sm}=0E+00 A_e=0,0 cm^2 S_m=0 mm W_k=0,00 mm $\sigma_{ct,f}$=0,00 N/mm^2																
Piano terra					**ParetеP10-21-P11**								**Parete P10-21**			
SHELL: [00321-00608-00094] AA= PCA																
CA=FRQ ε_{sm}=0E+00 A_e=0,0 cm^2 S_m=0 mm W_k=0,00 mm $\sigma_{ct,f}$=0,00 N/mm^2 CA=QPR ε_{sm}=0E+00 A_e=0,0 cm^2 S_m=0 mm W_k=0,00 mm $\sigma_{ct,f}$=0,00 N/mm^2																
SHELL: [00284-00285-00610] AA= PCA																
CA=FRQ ε_{sm}=0E+00 A_e=0,0 cm^2 S_m=0 mm W_k=0,00 mm $\sigma_{ct,f}$=0,00 N/mm^2 CA=QPR ε_{sm}=0E+00 A_e=0,0 cm^2 S_m=0 mm W_k=0,00 mm $\sigma_{ct,f}$=0,00 N/mm^2																
SHELL: [00284-00609-00283] AA= PCA																
CA=FRQ ε_{sm}=0E+00 A_e=0,0 cm^2 S_m=0 mm W_k=0,00 mm $\sigma_{ct,f}$=0,00 N/mm^2 CA=QPR ε_{sm}=0E+00 A_e=0,0 cm^2 S_m=0 mm W_k=0,00 mm $\sigma_{ct,f}$=0,00 N/mm^2																
SHELL: [00284-00610-00609] AA= PCA																
CA=FRQ ε_{sm}=0E+00 A_e=0,0 cm^2 S_m=0 mm W_k=0,00 mm $\sigma_{ct,f}$=0,00 N/mm^2 CA=QPR ε_{sm}=0E+00 A_e=0,0 cm^2 S_m=0 mm W_k=0,00 mm $\sigma_{ct,f}$=0,00 N/mm^2																
SHELL: [00285-00286-00611] AA= PCA																
CA=FRQ ε_{sm}=0E+00 A_e=0,0 cm^2 S_m=0 mm W_k=0,00 mm $\sigma_{ct,f}$=0,00 N/mm^2 CA=QPR ε_{sm}=0E+00 A_e=0,0 cm^2 S_m=0 mm W_k=0,00 mm $\sigma_{ct,f}$=0,00 N/mm^2																
SHELL: [00322-00607-00612] AA= PCA																
CA=FRQ ε_{sm}=0E+00 A_e=0,0 cm^2 S_m=0 mm W_k=0,00 mm $\sigma_{ct,f}$=0,00 N/mm^2 CA=QPR ε_{sm}=0E+00 A_e=0,0 cm^2 S_m=0 mm W_k=0,00 mm $\sigma_{ct,f}$=0,00 N/mm^2																
SHELL: [00285-00611-00610] AA= PCA																
CA=FRQ ε_{sm}=0E+00 A_e=0,0 cm^2 S_m=0 mm W_k=0,00 mm $\sigma_{ct,f}$=0,00 N/mm^2 CA=QPR ε_{sm}=0E+00 A_e=0,0 cm^2 S_m=0 mm W_k=0,00 mm $\sigma_{ct,f}$=0,00 N/mm^2																

Dir	Nodo	σ_{ct}	σ_{cc}	σ_{at}	Nodo	σ_{ct}	σ_{cc}	σ_{at}	Nodo	σ_{ct}	σ_{cc}	σ_{at}	Nodo	σ_{ct}	σ_{cc}	σ_{at}
		[N/mm^2]	[N/mm^2]	[N/mm^2]		[N/mm^2]	[N/mm^2]	[N/mm^2]		[N/mm^2]	[N/mm^2]	[N/mm^2]		[N/mm^2]	[N/mm^2]	[N/mm^2]
SHELL: [00283-00609-00605] AA= PCA																
CA=FRQ ε_{sm}=0E+00 A_e=0,0 cm^2 S_m=0 mm W_k=0,00 mm $\sigma_{ct,f}$=0,00 N/mm^2																
CA=QPR ε_{sm}=0E+00 A_e=0,0 cm^2 S_m=0 mm W_k=0,00 mm $\sigma_{ct,f}$=0,00 N/mm^2																
SHELL: [00612-00324-00611] AA= PCA																
CA=FRQ ε_{sm}=0E+00 A_e=0,0 cm^2 S_m=0 mm W_k=0,00 mm $\sigma_{ct,f}$=0,00 N/mm^2																
CA=QPR ε_{sm}=0E+00 A_e=0,0 cm^2 S_m=0 mm W_k=0,00 mm $\sigma_{ct,f}$=0,00 N/mm^2																
SHELL: [00612-00607-00323] AA= PCA																
CA=FRQ ε_{sm}=0E+00 A_e=0,0 cm^2 S_m=0 mm W_k=0,00 mm $\sigma_{ct,f}$=0,00 N/mm^2																
CA=QPR ε_{sm}=0E+00 A_e=0,0 cm^2 S_m=0 mm W_k=0,00 mm $\sigma_{ct,f}$=0,00 N/mm^2																
SHELL: [00016-00605-00321] AA= PCA																
CA=FRQ ε_{sm}=0E+00 A_e=0,0 cm^2 S_m=0 mm W_k=0,00 mm $\sigma_{ct,f}$=0,00 N/mm^2																
CA=QPR ε_{sm}=0E+00 A_e=0,0 cm^2 S_m=0 mm W_k=0,00 mm $\sigma_{ct,f}$=0,00 N/mm^2																
SHELL: [00064-00322-00606] AA= PCA																
CA=FRQ ε_{sm}=0E+00 A_e=0,0 cm^2 S_m=0 mm W_k=0,00 mm $\sigma_{ct,f}$=0,00 N/mm^2																
CA=QPR ε_{sm}=0E+00 A_e=0,0 cm^2 S_m=0 mm W_k=0,00 mm $\sigma_{ct,f}$=0,00 N/mm^2																
SHELL: [00607-00096-00323] AA= PCA																
CA=FRQ ε_{sm}=0E+00 A_e=0,0 cm^2 S_m=0 mm W_k=0,00 mm $\sigma_{ct,f}$=0,00 N/mm^2																
CA=QPR ε_{sm}=0E+00 A_e=0,0 cm^2 S_m=0 mm W_k=0,00 mm $\sigma_{ct,f}$=0,00 N/mm^2																
SHELL: [00611-00325-00326] AA= PCA																
CA=FRQ ε_{sm}=0E+00 A_e=0,0 cm^2 S_m=0 mm W_k=0,00 mm $\sigma_{ct,f}$=0,00 N/mm^2																
CA=QPR ε_{sm}=0E+00 A_e=0,0 cm^2 S_m=0 mm W_k=0,00 mm $\sigma_{ct,f}$=0,00 N/mm^2																
SHELL: [00288-00606-00612] AA= PCA																
CA=FRQ ε_{sm}=0E+00 A_e=0,0 cm^2 S_m=0 mm W_k=0,00 mm $\sigma_{ct,f}$=0,00 N/mm^2																
CA=QPR ε_{sm}=0E+00 A_e=0,0 cm^2 S_m=0 mm W_k=0,00 mm $\sigma_{ct,f}$=0,00 N/mm^2																
SHELL: [00608-00328-00094] AA= PCA																
CA=FRQ ε_{sm}=0E+00 A_e=0,0 cm^2 S_m=0 mm W_k=0,00 mm $\sigma_{ct,f}$=0,00 N/mm^2																
CA=QPR ε_{sm}=0E+00 A_e=0,0 cm^2 S_m=0 mm W_k=0,00 mm $\sigma_{ct,f}$=0,00 N/mm^2																
SHELL: [00288-00612-00287] AA= PCA																
CA=FRQ ε_{sm}=0E+00 A_e=0,0 cm^2 S_m=0 mm W_k=0,00 mm $\sigma_{ct,f}$=0,00 N/mm^2																
CA=QPR ε_{sm}=0E+00 A_e=0,0 cm^2 S_m=0 mm W_k=0,00 mm $\sigma_{ct,f}$=0,00 N/mm^2																
SHELL: [00611-00324-00325] AA= PCA																
CA=FRQ ε_{sm}=0E+00 A_e=0,0 cm^2 S_m=0 mm W_k=0,00 mm $\sigma_{ct,f}$=0,00 N/mm^2																
CA=QPR ε_{sm}=0E+00 A_e=0,0 cm^2 S_m=0 mm W_k=0,00 mm $\sigma_{ct,f}$=0,00 N/mm^2																
SHELL: [00612-00323-00324] AA= PCA																
CA=FRQ ε_{sm}=0E+00 A_e=0,0 cm^2 S_m=0 mm W_k=0,00 mm $\sigma_{ct,f}$=0,00 N/mm^2																
CA=QPR ε_{sm}=0E+00 A_e=0,0 cm^2 S_m=0 mm W_k=0,00 mm $\sigma_{ct,f}$=0,00 N/mm^2																
SHELL: [00610-00611-00326] AA= PCA																
CA=FRQ ε_{sm}=0E+00 A_e=0,0 cm^2 S_m=0 mm W_k=0,00 mm $\sigma_{ct,f}$=0,00 N/mm^2																
CA=QPR ε_{sm}=0E+00 A_e=0,0 cm^2 S_m=0 mm W_k=0,00 mm $\sigma_{ct,f}$=0,00 N/mm^2																
SHELL: [00606-00322-00612] AA= PCA																
CA=FRQ ε_{sm}=0E+00 A_e=0,0 cm^2 S_m=0 mm W_k=0,00 mm $\sigma_{ct,f}$=0,00 N/mm^2																
CA=QPR ε_{sm}=0E+00 A_e=0,0 cm^2 S_m=0 mm W_k=0,00 mm $\sigma_{ct,f}$=0,00 N/mm^2																
SHELL: [00605-00609-00321] AA= PCA																
CA=FRQ ε_{sm}=0E+00 A_e=0,0 cm^2 S_m=0 mm W_k=0,00 mm $\sigma_{ct,f}$=0,00 N/mm^2																
CA=QPR ε_{sm}=0E+00 A_e=0,0 cm^2 S_m=0 mm W_k=0,00 mm $\sigma_{ct,f}$=0,00 N/mm^2																
SHELL: [00609-00327-00328] AA= PCA																
CA=FRQ ε_{sm}=0E+00 A_e=0,0 cm^2 S_m=0 mm W_k=0,00 mm $\sigma_{ct,f}$=0,00 N/mm^2																
CA=QPR ε_{sm}=0E+00 A_e=0,0 cm^2 S_m=0 mm W_k=0,00 mm $\sigma_{ct,f}$=0,00 N/mm^2																
SHELL: [00609-00328-00608] AA= PCA																
CA=FRQ ε_{sm}=0E+00 A_e=0,0 cm^2 S_m=0 mm W_k=0,00 mm $\sigma_{ct,f}$=0,00 N/mm^2																
CA=QPR ε_{sm}=0E+00 A_e=0,0 cm^2 S_m=0 mm W_k=0,00 mm $\sigma_{ct,f}$=0,00 N/mm^2																
SHELL: [00287-00612-00611] AA= PCA																
CA=FRQ ε_{sm}=0E+00 A_e=0,0 cm^2 S_m=0 mm W_k=0,00 mm $\sigma_{ct,f}$=0,00 N/mm^2																
CA=QPR ε_{sm}=0E+00 A_e=0,0 cm^2 S_m=0 mm W_k=0,00 mm $\sigma_{ct,f}$=0,00 N/mm^2																
SHELL: [00609-00608-00321] AA= PCA																
CA=FRQ ε_{sm}=0E+00 A_e=0,0 cm^2 S_m=0 mm W_k=0,00 mm $\sigma_{ct,f}$=0,00 N/mm^2																
CA=QPR ε_{sm}=0E+00 A_e=0,0 cm^2 S_m=0 mm W_k=0,00 mm $\sigma_{ct,f}$=0,00 N/mm^2																
SHELL: [00610-00326-00327] AA= PCA																
CA=FRQ ε_{sm}=0E+00 A_e=0,0 cm^2 S_m=0 mm W_k=0,00 mm $\sigma_{ct,f}$=0,00 N/mm^2																
CA=QPR ε_{sm}=0E+00 A_e=0,0 cm^2 S_m=0 mm W_k=0,00 mm $\sigma_{ct,f}$=0,00 N/mm^2																
SHELL: [00610-00327-00609] AA= PCA																
CA=FRQ ε_{sm}=0E+00 A_e=0,0 cm^2 S_m=0 mm W_k=0,00 mm $\sigma_{ct,f}$=0,00 N/mm^2																
CA=QPR ε_{sm}=0E+00 A_e=0,0 cm^2 S_m=0 mm W_k=0,00 mm $\sigma_{ct,f}$=0,00 N/mm^2																
SHELL: [00322-00096-00607] AA= PCA																
CA=FRQ ε_{sm}=0E+00 A_e=0,0 cm^2 S_m=0 mm W_k=0,00 mm $\sigma_{ct,f}$=0,00 N/mm^2																
CA=QPR ε_{sm}=0E+00 A_e=0,0 cm^2 S_m=0 mm W_k=0,00 mm $\sigma_{ct,f}$=0,00 N/mm^2																
SHELL: [00064-00606-00288] AA= PCA																
CA=FRQ ε_{sm}=0E+00 A_e=0,0 cm^2 S_m=0 mm W_k=0,00 mm $\sigma_{ct,f}$=0,00 N/mm^2																
CA=QPR ε_{sm}=0E+00 A_e=0,0 cm^2 S_m=0 mm W_k=0,00 mm $\sigma_{ct,f}$=0,00 N/mm^2																
SHELL: [00286-00287-00611] AA= PCA																
CA=FRQ ε_{sm}=0E+00 A_e=0,0 cm^2 S_m=0 mm W_k=0,00 mm $\sigma_{ct,f}$=0,00 N/mm^2																
CA=QPR ε_{sm}=0E+00 A_e=0,0 cm^2 S_m=0 mm W_k=0,00 mm $\sigma_{ct,f}$=0,00 N/mm^2																
SHELL: [00016-00283-00605] AA= PCA																
CA=FRQ ε_{sm}=0E+00 A_e=0,0 cm^2 S_m=0 mm W_k=0,00 mm $\sigma_{ct,f}$=0,00 N/mm^2																
CA=QPR ε_{sm}=0E+00 A_e=0,0 cm^2 S_m=0 mm W_k=0,00 mm $\sigma_{ct,f}$=0,00 N/mm^2																
P	00016	0,000	0,000	0,000	00064	0,000	0,000	0,000	00094	0,000	0,000	0,000	00096	0,000	0,000	0,000
S		0,000	0,000	0,000		0,000	0,000	0,000		0,000	0,000	0,000		0,000	0,000	0,000
P	00283	0,000	0,000	0,000	00284	0,000	0,000	0,000	00285	0,000	0,000	0,000	00286	0,000	0,000	0,000
S		0,000	0,000	0,000		0,000	0,000	0,000		0,000	0,000	0,000		0,000	0,000	0,000
P	00287	0,000	0,000	0,000	00288	0,000	0,000	0,000	00321	0,000	0,000	0,000	00322	0,000	0,000	0,000
S		0,000	0,000	0,000		0,000	0,000	0,000		0,000	0,000	0,000		0,000	0,000	0,000

Dir	Nodo	σ_{ct}	σ_{cc}	σ_{at}	Nodo	σ_{ct}	σ_{cc}	σ_{at}	Nodo	σ_{ct}	σ_{cc}	σ_{at}	Nodo	σ_{ct}	σ_{cc}	σ_{at}
		[N/mm^2]	[N/mm^2]	[N/mm^2]		[N/mm^2]	[N/mm^2]	[N/mm^2]		[N/mm^2]	[N/mm^2]	[N/mm^2]		[N/mm^2]	[N/mm^2]	[N/mm^2]
P	00323	0,000	0,000	0,000	00324	0,000	0,000	0,000	00325	0,000	0,000	0,000	00326	0,000	0,000	0,000
S		0,000	0,000	0,000		0,000	0,000	0,000		0,000	0,000	0,000		0,000	0,000	0,000
P	00327	0,000	0,000	0,000	00328	0,000	0,000	0,000	00605	0,000	0,000	0,000	00606	0,000	0,000	0,000
S		0,000	0,000	0,000		0,000	0,000	0,000		0,000	0,000	0,000		0,000	0,000	0,000
P	00607	0,000	0,000	0,000	00608	0,000	0,000	0,000	00609	0,000	0,000	0,000	00610	0,000	0,000	0,000
S		0,000	0,000	0,000		0,000	0,000	0,000		0,000	0,000	0,000		0,000	0,000	0,000
P	00611	0,000	0,000	0,000	00612	0,000	0,000	0,000								
S		0,000	0,000	0,000		0,000	0,000	0,000								

Parete 21-P11 **AA= PCA**

CA=FRQ ε_{sm}=0E+00 A_e=0,0 cm^2 S_m=0 mm W_k=0,00 mm $\sigma_{ct,f}$=0,00 N/mm^2 **CA=QPR ε_{sm}=0E+00 A_e=0,0 cm^2 S_m=0 mm W_k=0,00 mm $\sigma_{ct,f}$=0,00 N/mm^2**

Piano terra **ParetеP10-21-P11** **Parete 21-P11**

SHELL: [00347-00632-00016] **AA= PCA**

CA=FRQ ε_{sm}=0E+00 A_e=0,0 cm^2 S_m=0 mm W_k=0,00 mm $\sigma_{ct,f}$=0,00 N/mm^2 **CA=QPR ε_{sm}=0E+00 A_e=0,0 cm^2 S_m=0 mm W_k=0,00 mm $\sigma_{ct,f}$=0,00 N/mm^2**

SHELL: [00350-00351-00634] **AA= PCA**

CA=FRQ ε_{sm}=0E+00 A_e=0,0 cm^2 S_m=0 mm W_k=0,00 mm $\sigma_{ct,f}$=0,00 N/mm^2 **CA=QPR ε_{sm}=0E+00 A_e=0,0 cm^2 S_m=0 mm W_k=0,00 mm $\sigma_{ct,f}$=0,00 N/mm^2**

SHELL: [00350-00633-00349] **AA= PCA**

CA=FRQ ε_{sm}=0E+00 A_e=0,0 cm^2 S_m=0 mm W_k=0,00 mm $\sigma_{ct,f}$=0,00 N/mm^2 **CA=QPR ε_{sm}=0E+00 A_e=0,0 cm^2 S_m=0 mm W_k=0,00 mm $\sigma_{ct,f}$=0,00 N/mm^2**

SHELL: [00350-00634-00633] **AA= PCA**

CA=FRQ ε_{sm}=0E+00 A_e=0,0 cm^2 S_m=0 mm W_k=0,00 mm $\sigma_{ct,f}$=0,00 N/mm^2 **CA=QPR ε_{sm}=0E+00 A_e=0,0 cm^2 S_m=0 mm W_k=0,00 mm $\sigma_{ct,f}$=0,00 N/mm^2**

SHELL: [00351-00352-00635] **AA= PCA**

CA=FRQ ε_{sm}=0E+00 A_e=0,0 cm^2 S_m=0 mm W_k=0,00 mm $\sigma_{ct,f}$=0,00 N/mm^2 **CA=QPR ε_{sm}=0E+00 A_e=0,0 cm^2 S_m=0 mm W_k=0,00 mm $\sigma_{ct,f}$=0,00 N/mm^2**

SHELL: [00634-00284-00633] **AA= PCA**

CA=FRQ ε_{sm}=0E+00 A_e=0,0 cm^2 S_m=0 mm W_k=0,00 mm $\sigma_{ct,f}$=0,00 N/mm^2 **CA=QPR ε_{sm}=0E+00 A_e=0,0 cm^2 S_m=0 mm W_k=0,00 mm $\sigma_{ct,f}$=0,00 N/mm^2**

SHELL: [00636-00287-00635] **AA= PCA**

CA=FRQ ε_{sm}=0E+00 A_e=0,0 cm^2 S_m=0 mm W_k=0,00 mm $\sigma_{ct,f}$=0,00 N/mm^2 **CA=QPR ε_{sm}=0E+00 A_e=0,0 cm^2 S_m=0 mm W_k=0,00 mm $\sigma_{ct,f}$=0,00 N/mm^2**

SHELL: [00351-00635-00634] **AA= PCA**

CA=FRQ ε_{sm}=0E+00 A_e=0,0 cm^2 S_m=0 mm W_k=0,00 mm $\sigma_{ct,f}$=0,00 N/mm^2 **CA=QPR ε_{sm}=0E+00 A_e=0,0 cm^2 S_m=0 mm W_k=0,00 mm $\sigma_{ct,f}$=0,00 N/mm^2**

SHELL: [00356-00064-00631] **AA= PCA**

CA=FRQ ε_{sm}=0E+00 A_e=0,0 cm^2 S_m=0 mm W_k=0,00 mm $\sigma_{ct,f}$=0,00 N/mm^2 **CA=QPR ε_{sm}=0E+00 A_e=0,0 cm^2 S_m=0 mm W_k=0,00 mm $\sigma_{ct,f}$=0,00 N/mm^2**

SHELL: [00118-00629-00348] **AA= PCA**

CA=FRQ ε_{sm}=0E+00 A_e=0,0 cm^2 S_m=0 mm W_k=0,00 mm $\sigma_{ct,f}$=0,00 N/mm^2 **CA=QPR ε_{sm}=0E+00 A_e=0,0 cm^2 S_m=0 mm W_k=0,00 mm $\sigma_{ct,f}$=0,00 N/mm^2**

SHELL: [00349-00633-00629] **AA= PCA**

CA=FRQ ε_{sm}=0E+00 A_e=0,0 cm^2 S_m=0 mm W_k=0,00 mm $\sigma_{ct,f}$=0,00 N/mm^2 **CA=QPR ε_{sm}=0E+00 A_e=0,0 cm^2 S_m=0 mm W_k=0,00 mm $\sigma_{ct,f}$=0,00 N/mm^2**

SHELL: [00118-00349-00629] **AA= PCA**

CA=FRQ ε_{sm}=0E+00 A_e=0,0 cm^2 S_m=0 mm W_k=0,00 mm $\sigma_{ct,f}$=0,00 N/mm^2 **CA=QPR ε_{sm}=0E+00 A_e=0,0 cm^2 S_m=0 mm W_k=0,00 mm $\sigma_{ct,f}$=0,00 N/mm^2**

SHELL: [00353-00354-00636] **AA= PCA**

CA=FRQ ε_{sm}=0E+00 A_e=0,0 cm^2 S_m=0 mm W_k=0,00 mm $\sigma_{ct,f}$=0,00 N/mm^2 **CA=QPR ε_{sm}=0E+00 A_e=0,0 cm^2 S_m=0 mm W_k=0,00 mm $\sigma_{ct,f}$=0,00 N/mm^2**

SHELL: [00631-00064-00288] **AA= PCA**

CA=FRQ ε_{sm}=0E+00 A_e=0,0 cm^2 S_m=0 mm W_k=0,00 mm $\sigma_{ct,f}$=0,00 N/mm^2 **CA=QPR ε_{sm}=0E+00 A_e=0,0 cm^2 S_m=0 mm W_k=0,00 mm $\sigma_{ct,f}$=0,00 N/mm^2**

SHELL: [00353-00636-00635] **AA= PCA**

CA=FRQ ε_{sm}=0E+00 A_e=0,0 cm^2 S_m=0 mm W_k=0,00 mm $\sigma_{ct,f}$=0,00 N/mm^2 **CA=QPR ε_{sm}=0E+00 A_e=0,0 cm^2 S_m=0 mm W_k=0,00 mm $\sigma_{ct,f}$=0,00 N/mm^2**

SHELL: [00632-00283-00016] **AA= PCA**

CA=FRQ ε_{sm}=0E+00 A_e=0,0 cm^2 S_m=0 mm W_k=0,00 mm $\sigma_{ct,f}$=0,00 N/mm^2 **CA=QPR ε_{sm}=0E+00 A_e=0,0 cm^2 S_m=0 mm W_k=0,00 mm $\sigma_{ct,f}$=0,00 N/mm^2**

SHELL: [00119-00355-00630] **AA= PCA**

CA=FRQ ε_{sm}=0E+00 A_e=0,0 cm^2 S_m=0 mm W_k=0,00 mm $\sigma_{ct,f}$=0,00 N/mm^2 **CA=QPR ε_{sm}=0E+00 A_e=0,0 cm^2 S_m=0 mm W_k=0,00 mm $\sigma_{ct,f}$=0,00 N/mm^2**

SHELL: [00635-00287-00286] **AA= PCA**

CA=FRQ ε_{sm}=0E+00 A_e=0,0 cm^2 S_m=0 mm W_k=0,00 mm $\sigma_{ct,f}$=0,00 N/mm^2 **CA=QPR ε_{sm}=0E+00 A_e=0,0 cm^2 S_m=0 mm W_k=0,00 mm $\sigma_{ct,f}$=0,00 N/mm^2**

SHELL: [00635-00286-00285] **AA= PCA**

CA=FRQ ε_{sm}=0E+00 A_e=0,0 cm^2 S_m=0 mm W_k=0,00 mm $\sigma_{ct,f}$=0,00 N/mm^2 **CA=QPR ε_{sm}=0E+00 A_e=0,0 cm^2 S_m=0 mm W_k=0,00 mm $\sigma_{ct,f}$=0,00 N/mm^2**

SHELL: [00636-00288-00287] **AA= PCA**

CA=FRQ ε_{sm}=0E+00 A_e=0,0 cm^2 S_m=0 mm W_k=0,00 mm $\sigma_{ct,f}$=0,00 N/mm^2 **CA=QPR ε_{sm}=0E+00 A_e=0,0 cm^2 S_m=0 mm W_k=0,00 mm $\sigma_{ct,f}$=0,00 N/mm^2**

SHELL: [00636-00631-00288] **AA= PCA**

CA=FRQ ε_{sm}=0E+00 A_e=0,0 cm^2 S_m=0 mm W_k=0,00 mm $\sigma_{ct,f}$=0,00 N/mm^2 **CA=QPR ε_{sm}=0E+00 A_e=0,0 cm^2 S_m=0 mm W_k=0,00 mm $\sigma_{ct,f}$=0,00 N/mm^2**

SHELL: [00636-00356-00631] **AA= PCA**

CA=FRQ ε_{sm}=0E+00 A_e=0,0 cm^2 S_m=0 mm W_k=0,00 mm $\sigma_{ct,f}$=0,00 N/mm^2 **CA=QPR ε_{sm}=0E+00 A_e=0,0 cm^2 S_m=0 mm W_k=0,00 mm $\sigma_{ct,f}$=0,00 N/mm^2**

SHELL: [00634-00285-00284] **AA= PCA**

CA=FRQ ε_{sm}=0E+00 A_e=0,0 cm^2 S_m=0 mm W_k=0,00 mm $\sigma_{ct,f}$=0,00 N/mm^2 **CA=QPR ε_{sm}=0E+00 A_e=0,0 cm^2 S_m=0 mm W_k=0,00**

Dir	Nodo	σ_{ct} [N/mm^2]	σ_{cc} [N/mm^2]	σ_{at} [N/mm^2]	Nodo	σ_{ct} [N/mm^2]	σ_{cc} [N/mm^2]	σ_{at} [N/mm^2]	Nodo	σ_{ct} [N/mm^2]	σ_{cc} [N/mm^2]	σ_{at} [N/mm^2]	Nodo	σ_{ct} [N/mm^2]	σ_{cc} [N/mm^2]	σ_{at} [N/mm^2]
mm $\sigma_{ct,f}$=0,00 N/mm^2																
SHELL: [00634-00635-00285] AA= PCA																
CA=FRQ ε_{sm}=0E+00 A_e=0,0 cm^2 S_m=0 mm W_k=0,00 mm $\sigma_{ct,f}$=0,00 N/mm^2 CA=QPR ε_{sm}=0E+00 A_e=0,0 cm^2 S_m=0 mm W_k=0,00 mm $\sigma_{ct,f}$=0,00 N/mm^2																
SHELL: [00633-00632-00347] AA= PCA																
CA=FRQ ε_{sm}=0E+00 A_e=0,0 cm^2 S_m=0 mm W_k=0,00 mm $\sigma_{ct,f}$=0,00 N/mm^2 CA=QPR ε_{sm}=0E+00 A_e=0,0 cm^2 S_m=0 mm W_k=0,00 mm $\sigma_{ct,f}$=0,00 N/mm^2																
SHELL: [00633-00284-00283] AA= PCA																
CA=FRQ ε_{sm}=0E+00 A_e=0,0 cm^2 S_m=0 mm W_k=0,00 mm $\sigma_{ct,f}$=0,00 N/mm^2 CA=QPR ε_{sm}=0E+00 A_e=0,0 cm^2 S_m=0 mm W_k=0,00 mm $\sigma_{ct,f}$=0,00 N/mm^2																
SHELL: [00633-00283-00632] AA= PCA																
CA=FRQ ε_{sm}=0E+00 A_e=0,0 cm^2 S_m=0 mm W_k=0,00 mm $\sigma_{ct,f}$=0,00 N/mm^2 CA=QPR ε_{sm}=0E+00 A_e=0,0 cm^2 S_m=0 mm W_k=0,00 mm $\sigma_{ct,f}$=0,00 N/mm^2																
SHELL: [00355-00356-00636] AA= PCA																
CA=FRQ ε_{sm}=0E+00 A_e=0,0 cm^2 S_m=0 mm W_k=0,00 mm $\sigma_{ct,f}$=0,00 N/mm^2 CA=QPR ε_{sm}=0E+00 A_e=0,0 cm^2 S_m=0 mm W_k=0,00 mm $\sigma_{ct,f}$=0,00 N/mm^2																
SHELL: [00629-00633-00348] AA= PCA																
CA=FRQ ε_{sm}=0E+00 A_e=0,0 cm^2 S_m=0 mm W_k=0,00 mm $\sigma_{ct,f}$=0,00 N/mm^2 CA=QPR ε_{sm}=0E+00 A_e=0,0 cm^2 S_m=0 mm W_k=0,00 mm $\sigma_{ct,f}$=0,00 N/mm^2																
SHELL: [00119-00630-00354] AA= PCA																
CA=FRQ ε_{sm}=0E+00 A_e=0,0 cm^2 S_m=0 mm W_k=0,00 mm $\sigma_{ct,f}$=0,00 N/mm^2 CA=QPR ε_{sm}=0E+00 A_e=0,0 cm^2 S_m=0 mm W_k=0,00 mm $\sigma_{ct,f}$=0,00 N/mm^2																
SHELL: [00354-00630-00636] AA= PCA																
CA=FRQ ε_{sm}=0E+00 A_e=0,0 cm^2 S_m=0 mm W_k=0,00 mm $\sigma_{ct,f}$=0,00 N/mm^2 CA=QPR ε_{sm}=0E+00 A_e=0,0 cm^2 S_m=0 mm W_k=0,00 mm $\sigma_{ct,f}$=0,00 N/mm^2																
SHELL: [00348-00633-00347] AA= PCA																
CA=FRQ ε_{sm}=0E+00 A_e=0,0 cm^2 S_m=0 mm W_k=0,00 mm $\sigma_{ct,f}$=0,00 N/mm^2 CA=QPR ε_{sm}=0E+00 A_e=0,0 cm^2 S_m=0 mm W_k=0,00 mm $\sigma_{ct,f}$=0,00 N/mm^2																
SHELL: [00352-00353-00635] AA= PCA																
CA=FRQ ε_{sm}=0E+00 A_e=0,0 cm^2 S_m=0 mm W_k=0,00 mm $\sigma_{ct,f}$=0,00 N/mm^2 CA=QPR ε_{sm}=0E+00 A_e=0,0 cm^2 S_m=0 mm W_k=0,00 mm $\sigma_{ct,f}$=0,00 N/mm^2																
SHELL: [00630-00355-00636] AA= PCA																
CA=FRQ ε_{sm}=0E+00 A_e=0,0 cm^2 S_m=0 mm W_k=0,00 mm $\sigma_{ct,f}$=0,00 N/mm^2 CA=QPR ε_{sm}=0E+00 A_e=0,0 cm^2 S_m=0 mm W_k=0,00 mm $\sigma_{ct,f}$=0,00 N/mm^2																
P	00016	0,000	0,000	0,000	00064	0,000	0,000	0,000	00118	0,000	0,000	0,000	00119	0,000	0,000	0,000
S		0,000	0,000	0,000		0,000	0,000	0,000		0,000	0,000	0,000		0,000	0,000	0,000
P	00283	0,000	0,000	0,000	00284	0,000	0,000	0,000	00285	0,000	0,000	0,000	00286	0,000	0,000	0,000
S		0,000	0,000	0,000		0,000	0,000	0,000		0,000	0,000	0,000		0,000	0,000	0,000
P	00287	0,000	0,000	0,000	00288	0,000	0,000	0,000	00347	0,000	0,000	0,000	00348	0,000	0,000	0,000
S		0,000	0,000	0,000		0,000	0,000	0,000		0,000	0,000	0,000		0,000	0,000	0,000
P	00349	0,000	0,000	0,000	00350	0,000	0,000	0,000	00351	0,000	0,000	0,000	00352	0,000	0,000	0,000
S		0,000	0,000	0,000		0,000	0,000	0,000		0,000	0,000	0,000		0,000	0,000	0,000
P	00353	0,000	0,000	0,000	00354	0,000	0,000	0,000	00355	0,000	0,000	0,000	00356	0,000	0,000	0,000
S		0,000	0,000	0,000		0,000	0,000	0,000		0,000	0,000	0,000		0,000	0,000	0,000
P	00629	0,000	0,000	0,000	00630	0,000	0,000	0,000	00631	0,000	0,000	0,000	00632	0,000	0,000	0,000
S		0,000	0,000	0,000		0,000	0,000	0,000		0,000	0,000	0,000		0,000	0,000	0,000
P	00633	0,000	0,000	0,000	00634	0,000	0,000	0,000	00635	0,000	0,000	0,000	00636	0,000	0,000	0,000
S		0,000	0,000	0,000		0,000	0,000	0,000		0,000	0,000	0,000		0,000	0,000	0,000
Parete P12-22 AA= PCA																
CA=FRQ ε_{sm}=0E+00 A_e=0,0 cm^2 S_m=0 mm W_k=0,00 mm $\sigma_{ct,f}$=0,00 N/mm^2 CA=QPR ε_{sm}=0E+00 A_e=0,0 cm^2 S_m=0 mm W_k=0,00 mm $\sigma_{ct,f}$=0,00 N/mm^2																
Piano terra					**ParetteP12-22-P13**								**Parete P12-22**			
SHELL: [00644-00360-00643] AA= PCA																
CA=FRQ ε_{sm}=0E+00 A_e=0,0 cm^2 S_m=0 mm W_k=0,00 mm $\sigma_{ct,f}$=0,00 N/mm^2 CA=QPR ε_{sm}=0E+00 A_e=0,0 cm^2 S_m=0 mm W_k=0,00 mm $\sigma_{ct,f}$=0,00 N/mm^2																
SHELL: [00296-00297-00642] AA= PCA																
CA=FRQ ε_{sm}=0E+00 A_e=0,0 cm^2 S_m=0 mm W_k=0,00 mm $\sigma_{ct,f}$=0,00 N/mm^2 CA=QPR ε_{sm}=0E+00 A_e=0,0 cm^2 S_m=0 mm W_k=0,00 mm $\sigma_{ct,f}$=0,00 N/mm^2																
SHELL: [00296-00641-00295] AA= PCA																
CA=FRQ ε_{sm}=0E+00 A_e=0,0 cm^2 S_m=0 mm W_k=0,00 mm $\sigma_{ct,f}$=0,00 N/mm^2 CA=QPR ε_{sm}=0E+00 A_e=0,0 cm^2 S_m=0 mm W_k=0,00 mm $\sigma_{ct,f}$=0,00 N/mm^2																
SHELL: [00296-00642-00641] AA= PCA																
CA=FRQ ε_{sm}=0E+00 A_e=0,0 cm^2 S_m=0 mm W_k=0,00 mm $\sigma_{ct,f}$=0,00 N/mm^2 CA=QPR ε_{sm}=0E+00 A_e=0,0 cm^2 S_m=0 mm W_k=0,00 mm $\sigma_{ct,f}$=0,00 N/mm^2																
SHELL: [00297-00298-00643] AA= PCA																
CA=FRQ ε_{sm}=0E+00 A_e=0,0 cm^2 S_m=0 mm W_k=0,00 mm $\sigma_{ct,f}$=0,00 N/mm^2 CA=QPR ε_{sm}=0E+00 A_e=0,0 cm^2 S_m=0 mm W_k=0,00 mm $\sigma_{ct,f}$=0,00 N/mm^2																
SHELL: [00357-00640-00115] AA= PCA																
CA=FRQ ε_{sm}=0E+00 A_e=0,0 cm^2 S_m=0 mm W_k=0,00 mm $\sigma_{ct,f}$=0,00 N/mm^2 CA=QPR ε_{sm}=0E+00 A_e=0,0 cm^2 S_m=0 mm W_k=0,00 mm $\sigma_{ct,f}$=0,00 N/mm^2																
SHELL: [00297-00643-00642] AA= PCA																
CA=FRQ ε_{sm}=0E+00 A_e=0,0 cm^2 S_m=0 mm W_k=0,00 mm $\sigma_{ct,f}$=0,00 N/mm^2 CA=QPR ε_{sm}=0E+00 A_e=0,0 cm^2 S_m=0 mm W_k=0,00 mm $\sigma_{ct,f}$=0,00 N/mm^2																
SHELL: [00018-00637-00357] AA= PCA																
CA=FRQ ε_{sm}=0E+00 A_e=0,0 cm^2 S_m=0 mm W_k=0,00 mm $\sigma_{ct,f}$=0,00 N/mm^2 CA=QPR ε_{sm}=0E+00 A_e=0,0 cm^2 S_m=0 mm W_k=0,00 mm $\sigma_{ct,f}$=0,00 N/mm^2																
SHELL: [00295-00641-00637] AA= PCA																

Dir	Nodo	σ_{ct}	σ_{cc}	σ_{at}	Nodo	σ_{ct}	σ_{cc}	σ_{at}	Nodo	σ_{ct}	σ_{cc}	σ_{at}	Nodo	σ_{ct}	σ_{cc}	σ_{at}
		[N/mm^2]	[N/mm^2]	[N/mm^2]		[N/mm^2]	[N/mm^2]	[N/mm^2]		[N/mm^2]	[N/mm^2]	[N/mm^2]		[N/mm^2]	[N/mm^2]	[N/mm^2]
CA=FRQ ε_{sm}=0E+00 A_e=0,0 cm^2 S_m=0 mm W_k=0,00 mm $\sigma_{ct,f}$=0,00 N/mm^2 CA=QPR ε_{sm}=0E+00 A_e=0,0 cm^2 S_m=0 mm W_k=0,00 mm $\sigma_{ct,f}$=0,00 N/mm^2																
SHELL: [00643-00361-00362] AA= PCA																
CA=FRQ ε_{sm}=0E+00 A_e=0,0 cm^2 S_m=0 mm W_k=0,00 mm $\sigma_{ct,f}$=0,00 N/mm^2 CA=QPR ε_{sm}=0E+00 A_e=0,0 cm^2 S_m=0 mm W_k=0,00 mm $\sigma_{ct,f}$=0,00 N/mm^2																
SHELL: [00018-00295-00637] AA= PCA																
CA=FRQ ε_{sm}=0E+00 A_e=0,0 cm^2 S_m=0 mm W_k=0,00 mm $\sigma_{ct,f}$=0,00 N/mm^2 CA=QPR ε_{sm}=0E+00 A_e=0,0 cm^2 S_m=0 mm W_k=0,00 mm $\sigma_{ct,f}$=0,00 N/mm^2																
SHELL: [00065-00358-00638] AA= PCA																
CA=FRQ ε_{sm}=0E+00 A_e=0,0 cm^2 S_m=0 mm W_k=0,00 mm $\sigma_{ct,f}$=0,00 N/mm^2 CA=QPR ε_{sm}=0E+00 A_e=0,0 cm^2 S_m=0 mm W_k=0,00 mm $\sigma_{ct,f}$=0,00 N/mm^2																
SHELL: [00639-00116-00359] AA= PCA																
CA=FRQ ε_{sm}=0E+00 A_e=0,0 cm^2 S_m=0 mm W_k=0,00 mm $\sigma_{ct,f}$=0,00 N/mm^2 CA=QPR ε_{sm}=0E+00 A_e=0,0 cm^2 S_m=0 mm W_k=0,00 mm $\sigma_{ct,f}$=0,00 N/mm^2																
SHELL: [00638-00358-00644] AA= PCA																
CA=FRQ ε_{sm}=0E+00 A_e=0,0 cm^2 S_m=0 mm W_k=0,00 mm $\sigma_{ct,f}$=0,00 N/mm^2 CA=QPR ε_{sm}=0E+00 A_e=0,0 cm^2 S_m=0 mm W_k=0,00 mm $\sigma_{ct,f}$=0,00 N/mm^2																
SHELL: [00642-00363-00641] AA= PCA																
CA=FRQ ε_{sm}=0E+00 A_e=0,0 cm^2 S_m=0 mm W_k=0,00 mm $\sigma_{ct,f}$=0,00 N/mm^2 CA=QPR ε_{sm}=0E+00 A_e=0,0 cm^2 S_m=0 mm W_k=0,00 mm $\sigma_{ct,f}$=0,00 N/mm^2																
SHELL: [00640-00364-00115] AA= PCA																
CA=FRQ ε_{sm}=0E+00 A_e=0,0 cm^2 S_m=0 mm W_k=0,00 mm $\sigma_{ct,f}$=0,00 N/mm^2 CA=QPR ε_{sm}=0E+00 A_e=0,0 cm^2 S_m=0 mm W_k=0,00 mm $\sigma_{ct,f}$=0,00 N/mm^2																
SHELL: [00300-00638-00644] AA= PCA																
CA=FRQ ε_{sm}=0E+00 A_e=0,0 cm^2 S_m=0 mm W_k=0,00 mm $\sigma_{ct,f}$=0,00 N/mm^2 CA=QPR ε_{sm}=0E+00 A_e=0,0 cm^2 S_m=0 mm W_k=0,00 mm $\sigma_{ct,f}$=0,00 N/mm^2																
SHELL: [00644-00639-00359] AA= PCA																
CA=FRQ ε_{sm}=0E+00 A_e=0,0 cm^2 S_m=0 mm W_k=0,00 mm $\sigma_{ct,f}$=0,00 N/mm^2 CA=QPR ε_{sm}=0E+00 A_e=0,0 cm^2 S_m=0 mm W_k=0,00 mm $\sigma_{ct,f}$=0,00 N/mm^2																
SHELL: [00644-00359-00360] AA= PCA																
CA=FRQ ε_{sm}=0E+00 A_e=0,0 cm^2 S_m=0 mm W_k=0,00 mm $\sigma_{ct,f}$=0,00 N/mm^2 CA=QPR ε_{sm}=0E+00 A_e=0,0 cm^2 S_m=0 mm W_k=0,00 mm $\sigma_{ct,f}$=0,00 N/mm^2																
SHELL: [00643-00360-00361] AA= PCA																
CA=FRQ ε_{sm}=0E+00 A_e=0,0 cm^2 S_m=0 mm W_k=0,00 mm $\sigma_{ct,f}$=0,00 N/mm^2 CA=QPR ε_{sm}=0E+00 A_e=0,0 cm^2 S_m=0 mm W_k=0,00 mm $\sigma_{ct,f}$=0,00 N/mm^2																
SHELL: [00642-00362-00363] AA= PCA																
CA=FRQ ε_{sm}=0E+00 A_e=0,0 cm^2 S_m=0 mm W_k=0,00 mm $\sigma_{ct,f}$=0,00 N/mm^2 CA=QPR ε_{sm}=0E+00 A_e=0,0 cm^2 S_m=0 mm W_k=0,00 mm $\sigma_{ct,f}$=0,00 N/mm^2																
SHELL: [00642-00643-00362] AA= PCA																
CA=FRQ ε_{sm}=0E+00 A_e=0,0 cm^2 S_m=0 mm W_k=0,00 mm $\sigma_{ct,f}$=0,00 N/mm^2 CA=QPR ε_{sm}=0E+00 A_e=0,0 cm^2 S_m=0 mm W_k=0,00 mm $\sigma_{ct,f}$=0,00 N/mm^2																
SHELL: [00641-00363-00364] AA= PCA																
CA=FRQ ε_{sm}=0E+00 A_e=0,0 cm^2 S_m=0 mm W_k=0,00 mm $\sigma_{ct,f}$=0,00 N/mm^2 CA=QPR ε_{sm}=0E+00 A_e=0,0 cm^2 S_m=0 mm W_k=0,00 mm $\sigma_{ct,f}$=0,00 N/mm^2																
SHELL: [00641-00364-00640] AA= PCA																
CA=FRQ ε_{sm}=0E+00 A_e=0,0 cm^2 S_m=0 mm W_k=0,00 mm $\sigma_{ct,f}$=0,00 N/mm^2 CA=QPR ε_{sm}=0E+00 A_e=0,0 cm^2 S_m=0 mm W_k=0,00 mm $\sigma_{ct,f}$=0,00 N/mm^2																
SHELL: [00358-00639-00644] AA= PCA																
CA=FRQ ε_{sm}=0E+00 A_e=0,0 cm^2 S_m=0 mm W_k=0,00 mm $\sigma_{ct,f}$=0,00 N/mm^2 CA=QPR ε_{sm}=0E+00 A_e=0,0 cm^2 S_m=0 mm W_k=0,00 mm $\sigma_{ct,f}$=0,00 N/mm^2																
SHELL: [00641-00640-00357] AA= PCA																
CA=FRQ ε_{sm}=0E+00 A_e=0,0 cm^2 S_m=0 mm W_k=0,00 mm $\sigma_{ct,f}$=0,00 N/mm^2 CA=QPR ε_{sm}=0E+00 A_e=0,0 cm^2 S_m=0 mm W_k=0,00 mm $\sigma_{ct,f}$=0,00 N/mm^2																
SHELL: [00299-00644-00643] AA= PCA																
CA=FRQ ε_{sm}=0E+00 A_e=0,0 cm^2 S_m=0 mm W_k=0,00 mm $\sigma_{ct,f}$=0,00 N/mm^2 CA=QPR ε_{sm}=0E+00 A_e=0,0 cm^2 S_m=0 mm W_k=0,00 mm $\sigma_{ct,f}$=0,00 N/mm^2																
SHELL: [00358-00116-00639] AA= PCA																
CA=FRQ ε_{sm}=0E+00 A_e=0,0 cm^2 S_m=0 mm W_k=0,00 mm $\sigma_{ct,f}$=0,00 N/mm^2 CA=QPR ε_{sm}=0E+00 A_e=0,0 cm^2 S_m=0 mm W_k=0,00 mm $\sigma_{ct,f}$=0,00 N/mm^2																
SHELL: [00300-00644-00299] AA= PCA																
CA=FRQ ε_{sm}=0E+00 A_e=0,0 cm^2 S_m=0 mm W_k=0,00 mm $\sigma_{ct,f}$=0,00 N/mm^2 CA=QPR ε_{sm}=0E+00 A_e=0,0 cm^2 S_m=0 mm W_k=0,00 mm $\sigma_{ct,f}$=0,00 N/mm^2																
SHELL: [00637-00641-00357] AA= PCA																
CA=FRQ ε_{sm}=0E+00 A_e=0,0 cm^2 S_m=0 mm W_k=0,00 mm $\sigma_{ct,f}$=0,00 N/mm^2 CA=QPR ε_{sm}=0E+00 A_e=0,0 cm^2 S_m=0 mm W_k=0,00 mm $\sigma_{ct,f}$=0,00 N/mm^2																
SHELL: [00065-00638-00300] AA= PCA																
CA=FRQ ε_{sm}=0E+00 A_e=0,0 cm^2 S_m=0 mm W_k=0,00 mm $\sigma_{ct,f}$=0,00 N/mm^2 CA=QPR ε_{sm}=0E+00 A_e=0,0 cm^2 S_m=0 mm W_k=0,00 mm $\sigma_{ct,f}$=0,00 N/mm^2																
SHELL: [00298-00299-00643] AA= PCA																
CA=FRQ ε_{sm}=0E+00 A_e=0,0 cm^2 S_m=0 mm W_k=0,00 mm $\sigma_{ct,f}$=0,00 N/mm^2 CA=QPR ε_{sm}=0E+00 A_e=0,0 cm^2 S_m=0 mm W_k=0,00 mm $\sigma_{ct,f}$=0,00 N/mm^2																
P	00018	0,000	0,000	0,000	00065	0,000	0,000	0,000	00115	0,000	0,000	0,000	00116	0,000	0,000	0,000
S		0,000	0,000	0,000		0,000	0,000	0,000		0,000	0,000	0,000		0,000	0,000	0,000
P	00295	0,000	0,000	0,000	00296	0,000	0,000	0,000	00297	0,000	0,000	0,000	00298	0,000	0,000	0,000
S		0,000	0,000	0,000		0,000	0,000	0,000		0,000	0,000	0,000		0,000	0,000	0,000
P	00299	0,000	0,000	0,000	00300	0,000	0,000	0,000	00357	0,000	0,000	0,000	00358	0,000	0,000	0,000
S		0,000	0,000	0,000		0,000	0,000	0,000		0,000	0,000	0,000		0,000	0,000	0,000
P	00359	0,000	0,000	0,000	00360	0,000	0,000	0,000	00361	0,000	0,000	0,000	00362	0,000	0,000	0,000
S		0,000	0,000	0,000		0,000	0,000	0,000		0,000	0,000	0,000		0,000	0,000	0,000
P	0036	0,000	0,000	0,000	0036	0,000	0,000	0,000	0063	0,000	0,000	0,000	0063	0,000	0,000	0,000

Dir	Nodo	σ_{ct}	σ_{cc}	σ_{at}	Nodo	σ_{ct}	σ_{cc}	σ_{at}	Nodo	σ_{ct}	σ_{cc}	σ_{at}	Nodo	σ_{ct}	σ_{cc}	σ_{at}
		[N/mm²]	[N/mm²]	[N/mm²]		[N/mm²]	[N/mm²]	[N/mm²]		[N/mm²]	[N/mm²]	[N/mm²]		[N/mm²]	[N/mm²]	[N/mm²]
	3				4				7				8			
S		0,000	0,000	0,000		0,000	0,000	0,000		0,000	0,000	0,000		0,000	0,000	0,000
P	00639	0,000	0,000	0,000	00640	0,000	0,000	0,000	00641	0,000	0,000	0,000	00642	0,000	0,000	0,000
S		0,000	0,000	0,000		0,000	0,000	0,000		0,000	0,000	0,000		0,000	0,000	0,000
P	00643	0,000	0,000	0,000	00644	0,000	0,000	0,000								
S		0,000	0,000	0,000		0,000	0,000	0,000								

Parete 22-P13 AA= PCA

CA=FRQ ε_{sm}=0E+00 A_e=0,0 cm² S_m=0 mm W_k=0,00 mm $\sigma_{ct,f}$=0,00 N/mm² CA=QPR ε_{sm}=0E+00 A_e=0,0 cm² S_m=0 mm W_k=0,00 mm $\sigma_{ct,f}$=0,00 N/mm²

Piano terra | PareteP12-22-P13 | Parete 22-P13

SHELL: [00311-00600-00018] AA= PCA
CA=FRQ ε_{sm}=0E+00 A_e=0,0 cm² S_m=0 mm W_k=0,00 mm $\sigma_{ct,f}$=0,00 N/mm² CA=QPR ε_{sm}=0E+00 A_e=0,0 cm² S_m=0 mm W_k=0,00 mm $\sigma_{ct,f}$=0,00 N/mm²

SHELL: [00314-00315-00602] AA= PCA
CA=FRQ ε_{sm}=0E+00 A_e=0,0 cm² S_m=0 mm W_k=0,00 mm $\sigma_{ct,f}$=0,00 N/mm² CA=QPR ε_{sm}=0E+00 A_e=0,0 cm² S_m=0 mm W_k=0,00 mm $\sigma_{ct,f}$=0,00 N/mm²

SHELL: [00314-00601-00313] AA= PCA
CA=FRQ ε_{sm}=0E+00 A_e=0,0 cm² S_m=0 mm W_k=0,00 mm $\sigma_{ct,f}$=0,00 N/mm² CA=QPR ε_{sm}=0E+00 A_e=0,0 cm² S_m=0 mm W_k=0,00 mm $\sigma_{ct,f}$=0,00 N/mm²

SHELL: [00314-00602-00601] AA= PCA
CA=FRQ ε_{sm}=0E+00 A_e=0,0 cm² S_m=0 mm W_k=0,00 mm $\sigma_{ct,f}$=0,00 N/mm² CA=QPR ε_{sm}=0E+00 A_e=0,0 cm² S_m=0 mm W_k=0,00 mm $\sigma_{ct,f}$=0,00 N/mm²

SHELL: [00315-00316-00603] AA= PCA
CA=FRQ ε_{sm}=0E+00 A_e=0,0 cm² S_m=0 mm W_k=0,00 mm $\sigma_{ct,f}$=0,00 N/mm² CA=QPR ε_{sm}=0E+00 A_e=0,0 cm² S_m=0 mm W_k=0,00 mm $\sigma_{ct,f}$=0,00 N/mm²

SHELL: [00602-00296-00601] AA= PCA
CA=FRQ ε_{sm}=0E+00 A_e=0,0 cm² S_m=0 mm W_k=0,00 mm $\sigma_{ct,f}$=0,00 N/mm² CA=QPR ε_{sm}=0E+00 A_e=0,0 cm² S_m=0 mm W_k=0,00 mm $\sigma_{ct,f}$=0,00 N/mm²

SHELL: [00604-00299-00603] AA= PCA
CA=FRQ ε_{sm}=0E+00 A_e=0,0 cm² S_m=0 mm W_k=0,00 mm $\sigma_{ct,f}$=0,00 N/mm² CA=QPR ε_{sm}=0E+00 A_e=0,0 cm² S_m=0 mm W_k=0,00 mm $\sigma_{ct,f}$=0,00 N/mm²

SHELL: [00315-00603-00602] AA= PCA
CA=FRQ ε_{sm}=0E+00 A_e=0,0 cm² S_m=0 mm W_k=0,00 mm $\sigma_{ct,f}$=0,00 N/mm² CA=QPR ε_{sm}=0E+00 A_e=0,0 cm² S_m=0 mm W_k=0,00 mm $\sigma_{ct,f}$=0,00 N/mm²

SHELL: [00320-00065-00599] AA= PCA
CA=FRQ ε_{sm}=0E+00 A_e=0,0 cm² S_m=0 mm W_k=0,00 mm $\sigma_{ct,f}$=0,00 N/mm² CA=QPR ε_{sm}=0E+00 A_e=0,0 cm² S_m=0 mm W_k=0,00 mm $\sigma_{ct,f}$=0,00 N/mm²

SHELL: [00097-00597-00312] AA= PCA
CA=FRQ ε_{sm}=0E+00 A_e=0,0 cm² S_m=0 mm W_k=0,00 mm $\sigma_{ct,f}$=0,00 N/mm² CA=QPR ε_{sm}=0E+00 A_e=0,0 cm² S_m=0 mm W_k=0,00 mm $\sigma_{ct,f}$=0,00 N/mm²

SHELL: [00313-00601-00597] AA= PCA
CA=FRQ ε_{sm}=0E+00 A_e=0,0 cm² S_m=0 mm W_k=0,00 mm $\sigma_{ct,f}$=0,00 N/mm² CA=QPR ε_{sm}=0E+00 A_e=0,0 cm² S_m=0 mm W_k=0,00 mm $\sigma_{ct,f}$=0,00 N/mm²

SHELL: [00097-00313-00597] AA= PCA
CA=FRQ ε_{sm}=0E+00 A_e=0,0 cm² S_m=0 mm W_k=0,00 mm $\sigma_{ct,f}$=0,00 N/mm² CA=QPR ε_{sm}=0E+00 A_e=0,0 cm² S_m=0 mm W_k=0,00 mm $\sigma_{ct,f}$=0,00 N/mm²

SHELL: [00317-00318-00604] AA= PCA
CA=FRQ ε_{sm}=0E+00 A_e=0,0 cm² S_m=0 mm W_k=0,00 mm $\sigma_{ct,f}$=0,00 N/mm² CA=QPR ε_{sm}=0E+00 A_e=0,0 cm² S_m=0 mm W_k=0,00 mm $\sigma_{ct,f}$=0,00 N/mm²

SHELL: [00599-00065-00300] AA= PCA
CA=FRQ ε_{sm}=0E+00 A_e=0,0 cm² S_m=0 mm W_k=0,00 mm $\sigma_{ct,f}$=0,00 N/mm² CA=QPR ε_{sm}=0E+00 A_e=0,0 cm² S_m=0 mm W_k=0,00 mm $\sigma_{ct,f}$=0,00 N/mm²

SHELL: [00317-00604-00603] AA= PCA
CA=FRQ ε_{sm}=0E+00 A_e=0,0 cm² S_m=0 mm W_k=0,00 mm $\sigma_{ct,f}$=0,00 N/mm² CA=QPR ε_{sm}=0E+00 A_e=0,0 cm² S_m=0 mm W_k=0,00 mm $\sigma_{ct,f}$=0,00 N/mm²

SHELL: [00600-00295-00018] AA= PCA
CA=FRQ ε_{sm}=0E+00 A_e=0,0 cm² S_m=0 mm W_k=0,00 mm $\sigma_{ct,f}$=0,00 N/mm² CA=QPR ε_{sm}=0E+00 A_e=0,0 cm² S_m=0 mm W_k=0,00 mm $\sigma_{ct,f}$=0,00 N/mm²

SHELL: [00099-00319-00598] AA= PCA
CA=FRQ ε_{sm}=0E+00 A_e=0,0 cm² S_m=0 mm W_k=0,00 mm $\sigma_{ct,f}$=0,00 N/mm² CA=QPR ε_{sm}=0E+00 A_e=0,0 cm² S_m=0 mm W_k=0,00 mm $\sigma_{ct,f}$=0,00 N/mm²

SHELL: [00603-00299-00298] AA= PCA
CA=FRQ ε_{sm}=0E+00 A_e=0,0 cm² S_m=0 mm W_k=0,00 mm $\sigma_{ct,f}$=0,00 N/mm² CA=QPR ε_{sm}=0E+00 A_e=0,0 cm² S_m=0 mm W_k=0,00 mm $\sigma_{ct,f}$=0,00 N/mm²

SHELL: [00603-00298-00297] AA= PCA
CA=FRQ ε_{sm}=0E+00 A_e=0,0 cm² S_m=0 mm W_k=0,00 mm $\sigma_{ct,f}$=0,00 N/mm² CA=QPR ε_{sm}=0E+00 A_e=0,0 cm² S_m=0 mm W_k=0,00 mm $\sigma_{ct,f}$=0,00 N/mm²

SHELL: [00604-00300-00299] AA= PCA
CA=FRQ ε_{sm}=0E+00 A_e=0,0 cm² S_m=0 mm W_k=0,00 mm $\sigma_{ct,f}$=0,00 N/mm² CA=QPR ε_{sm}=0E+00 A_e=0,0 cm² S_m=0 mm W_k=0,00 mm $\sigma_{ct,f}$=0,00 N/mm²

SHELL: [00604-00599-00300] AA= PCA
CA=FRQ ε_{sm}=0E+00 A_e=0,0 cm² S_m=0 mm W_k=0,00 mm $\sigma_{ct,f}$=0,00 N/mm² CA=QPR ε_{sm}=0E+00 A_e=0,0 cm² S_m=0 mm W_k=0,00 mm $\sigma_{ct,f}$=0,00 N/mm²

SHELL: [00604-00320-00599] AA= PCA
CA=FRQ ε_{sm}=0E+00 A_e=0,0 cm² S_m=0 mm W_k=0,00 mm $\sigma_{ct,f}$=0,00 N/mm² CA=QPR ε_{sm}=0E+00 A_e=0,0 cm² S_m=0 mm W_k=0,00 mm $\sigma_{ct,f}$=0,00 N/mm²

SHELL: [00602-00297-00296] AA= PCA
CA=FRQ ε_{sm}=0E+00 A_e=0,0 cm² S_m=0 mm W_k=0,00 mm $\sigma_{ct,f}$=0,00 N/mm² CA=QPR ε_{sm}=0E+00 A_e=0,0 cm² S_m=0 mm W_k=0,00 mm $\sigma_{ct,f}$=0,00 N/mm²

SHELL: [00602-00603-00297] AA= PCA
CA=FRQ ε_{sm}=0E+00 A_e=0,0 cm² S_m=0 mm W_k=0,00 mm $\sigma_{ct,f}$=0,00 N/mm² CA=QPR ε_{sm}=0E+00 A_e=0,0 cm² S_m=0 mm W_k=0,00 mm $\sigma_{ct,f}$=0,00 N/mm²

Dir	Nodo	σ_{ct} [N/mm^2]	σ_{cc} [N/mm^2]	σ_{at} [N/mm^2]	Nodo	σ_{ct} [N/mm^2]	σ_{cc} [N/mm^2]	σ_{at} [N/mm^2]	Nodo	σ_{ct} [N/mm^2]	σ_{cc} [N/mm^2]	σ_{at} [N/mm^2]	Nodo	σ_{ct} [N/mm^2]	σ_{cc} [N/mm^2]	σ_{at} [N/mm^2]
SHELL: [00601-00600-00311] AA= PCA																
CA=FRQ ε_{sm}=0E+00 A_e=0,0 cm^2 S_m=0 mm W_k=0,00 mm $\sigma_{ct,f}$=0,00 N/mm^2 CA=QPR ε_{sm}=0E+00 A_e=0,0 cm^2 S_m=0 mm W_k=0,00 mm $\sigma_{ct,f}$=0,00 N/mm^2																
SHELL: [00601-00296-00295] AA= PCA																
CA=FRQ ε_{sm}=0E+00 A_e=0,0 cm^2 S_m=0 mm W_k=0,00 mm $\sigma_{ct,f}$=0,00 N/mm^2 CA=QPR ε_{sm}=0E+00 A_e=0,0 cm^2 S_m=0 mm W_k=0,00 mm $\sigma_{ct,f}$=0,00 N/mm^2																
SHELL: [00601-00295-00600] AA= PCA																
CA=FRQ ε_{sm}=0E+00 A_e=0,0 cm^2 S_m=0 mm W_k=0,00 mm $\sigma_{ct,f}$=0,00 N/mm^2 CA=QPR ε_{sm}=0E+00 A_e=0,0 cm^2 S_m=0 mm W_k=0,00 mm $\sigma_{ct,f}$=0,00 N/mm^2																
SHELL: [00319-00320-00604] AA= PCA																
CA=FRQ ε_{sm}=0E+00 A_e=0,0 cm^2 S_m=0 mm W_k=0,00 mm $\sigma_{ct,f}$=0,00 N/mm^2 CA=QPR ε_{sm}=0E+00 A_e=0,0 cm^2 S_m=0 mm W_k=0,00 mm $\sigma_{ct,f}$=0,00 N/mm^2																
SHELL: [00597-00601-00312] AA= PCA																
CA=FRQ ε_{sm}=0E+00 A_e=0,0 cm^2 S_m=0 mm W_k=0,00 mm $\sigma_{ct,f}$=0,00 N/mm^2 CA=QPR ε_{sm}=0E+00 A_e=0,0 cm^2 S_m=0 mm W_k=0,00 mm $\sigma_{ct,f}$=0,00 N/mm^2																
SHELL: [00099-00598-00318] AA= PCA																
CA=FRQ ε_{sm}=0E+00 A_e=0,0 cm^2 S_m=0 mm W_k=0,00 mm $\sigma_{ct,f}$=0,00 N/mm^2 CA=QPR ε_{sm}=0E+00 A_e=0,0 cm^2 S_m=0 mm W_k=0,00 mm $\sigma_{ct,f}$=0,00 N/mm^2																
SHELL: [00318-00598-00604] AA= PCA																
CA=FRQ ε_{sm}=0E+00 A_e=0,0 cm^2 S_m=0 mm W_k=0,00 mm $\sigma_{ct,f}$=0,00 N/mm^2 CA=QPR ε_{sm}=0E+00 A_e=0,0 cm^2 S_m=0 mm W_k=0,00 mm $\sigma_{ct,f}$=0,00 N/mm^2																
SHELL: [00312-00601-00311] AA= PCA																
CA=FRQ ε_{sm}=0E+00 A_e=0,0 cm^2 S_m=0 mm W_k=0,00 mm $\sigma_{ct,f}$=0,00 N/mm^2 CA=QPR ε_{sm}=0E+00 A_e=0,0 cm^2 S_m=0 mm W_k=0,00 mm $\sigma_{ct,f}$=0,00 N/mm^2																
SHELL: [00316-00317-00603] AA= PCA																
CA=FRQ ε_{sm}=0E+00 A_e=0,0 cm^2 S_m=0 mm W_k=0,00 mm $\sigma_{ct,f}$=0,00 N/mm^2 CA=QPR ε_{sm}=0E+00 A_e=0,0 cm^2 S_m=0 mm W_k=0,00 mm $\sigma_{ct,f}$=0,00 N/mm^2																
SHELL: [00598-00319-00604] AA= PCA																
CA=FRQ ε_{sm}=0E+00 A_e=0,0 cm^2 S_m=0 mm W_k=0,00 mm $\sigma_{ct,f}$=0,00 N/mm^2 CA=QPR ε_{sm}=0E+00 A_e=0,0 cm^2 S_m=0 mm W_k=0,00 mm $\sigma_{ct,f}$=0,00 N/mm^2																
P	00018	0,000	0,000	0,000	00065	0,000	0,000	0,000	00097	0,000	0,000	0,000	00099	0,000	0,000	0,000
S		0,000	0,000	0,000		0,000	0,000	0,000		0,000	0,000	0,000		0,000	0,000	0,000
P	00295	0,000	0,000	0,000	00296	0,000	0,000	0,000	00297	0,000	0,000	0,000	00298	0,000	0,000	0,000
S		0,000	0,000	0,000		0,000	0,000	0,000		0,000	0,000	0,000		0,000	0,000	0,000
P	00299	0,000	0,000	0,000	00300	0,000	0,000	0,000	00311	0,000	0,000	0,000	00312	0,000	0,000	0,000
S		0,000	0,000	0,000		0,000	0,000	0,000		0,000	0,000	0,000		0,000	0,000	0,000
P	00313	0,000	0,000	0,000	00314	0,000	0,000	0,000	00315	0,000	0,000	0,000	00316	0,000	0,000	0,000
S		0,000	0,000	0,000		0,000	0,000	0,000		0,000	0,000	0,000		0,000	0,000	0,000
P	00317	0,000	0,000	0,000	00318	0,000	0,000	0,000	00319	0,000	0,000	0,000	00320	0,000	0,000	0,000
S		0,000	0,000	0,000		0,000	0,000	0,000		0,000	0,000	0,000		0,000	0,000	0,000
P	00597	0,000	0,000	0,000	00598	0,000	0,000	0,000	00599	0,000	0,000	0,000	00600	0,000	0,000	0,000
S		0,000	0,000	0,000		0,000	0,000	0,000		0,000	0,000	0,000		0,000	0,000	0,000
P	00601	0,000	0,000	0,000	00602	0,000	0,000	0,000	00603	0,000	0,000	0,000	00604	0,000	0,000	0,000
S		0,000	0,000	0,000		0,000	0,000	0,000		0,000	0,000	0,000		0,000	0,000	0,000
Parete P14-24 AA= PCA																
CA=FRQ ε_{sm}=0E+00 A_e=0,0 cm^2 S_m=0 mm W_k=0,00 mm $\sigma_{ct,f}$=0,00 N/mm^2 CA=QPR ε_{sm}=0E+00 A_e=0,0 cm^2 S_m=0 mm W_k=0,00 mm $\sigma_{ct,f}$=0,00 N/mm^2																
Piano terra					**ParetteP14-24**								**Parete P14-24**			
SHELL: [00435-00716-00088] AA= PCA																
CA=FRQ ε_{sm}=0E+00 A_e=0,0 cm^2 S_m=0 mm W_k=0,00 mm $\sigma_{ct,f}$=0,00 N/mm^2 CA=QPR ε_{sm}=0E+00 A_e=0,0 cm^2 S_m=0 mm W_k=0,00 mm $\sigma_{ct,f}$=0,00 N/mm^2																
SHELL: [00290-00291-00718] AA= PCA																
CA=FRQ ε_{sm}=0E+00 A_e=0,0 cm^2 S_m=0 mm W_k=0,00 mm $\sigma_{ct,f}$=0,00 N/mm^2 CA=QPR ε_{sm}=0E+00 A_e=0,0 cm^2 S_m=0 mm W_k=0,00 mm $\sigma_{ct,f}$=0,00 N/mm^2																
SHELL: [00290-00717-00289] AA= PCA																
CA=FRQ ε_{sm}=0E+00 A_e=0,0 cm^2 S_m=0 mm W_k=0,00 mm $\sigma_{ct,f}$=0,00 N/mm^2 CA=QPR ε_{sm}=0E+00 A_e=0,0 cm^2 S_m=0 mm W_k=0,00 mm $\sigma_{ct,f}$=0,00 N/mm^2																
SHELL: [00290-00718-00717] AA= PCA																
CA=FRQ ε_{sm}=0E+00 A_e=0,0 cm^2 S_m=0 mm W_k=0,00 mm $\sigma_{ct,f}$=0,00 N/mm^2 CA=QPR ε_{sm}=0E+00 A_e=0,0 cm^2 S_m=0 mm W_k=0,00 mm $\sigma_{ct,f}$=0,00 N/mm^2																
SHELL: [00291-00292-00719] AA= PCA																
CA=FRQ ε_{sm}=0E+00 A_e=0,0 cm^2 S_m=0 mm W_k=0,00 mm $\sigma_{ct,f}$=0,00 N/mm^2 CA=QPR ε_{sm}=0E+00 A_e=0,0 cm^2 S_m=0 mm W_k=0,00 mm $\sigma_{ct,f}$=0,00 N/mm^2																
SHELL: [00713-00717-00435] AA= PCA																
CA=FRQ ε_{sm}=0E+00 A_e=0,0 cm^2 S_m=0 mm W_k=0,00 mm $\sigma_{ct,f}$=0,00 N/mm^2 CA=QPR ε_{sm}=0E+00 A_e=0,0 cm^2 S_m=0 mm W_k=0,00 mm $\sigma_{ct,f}$=0,00 N/mm^2																
SHELL: [00291-00719-00718] AA= PCA																
CA=FRQ ε_{sm}=0E+00 A_e=0,0 cm^2 S_m=0 mm W_k=0,00 mm $\sigma_{ct,f}$=0,00 N/mm^2 CA=QPR ε_{sm}=0E+00 A_e=0,0 cm^2 S_m=0 mm W_k=0,00 mm $\sigma_{ct,f}$=0,00 N/mm^2																
SHELL: [00289-00717-00713] AA= PCA																
CA=FRQ ε_{sm}=0E+00 A_e=0,0 cm^2 S_m=0 mm W_k=0,00 mm $\sigma_{ct,f}$=0,00 N/mm^2 CA=QPR ε_{sm}=0E+00 A_e=0,0 cm^2 S_m=0 mm W_k=0,00 mm $\sigma_{ct,f}$=0,00 N/mm^2																
SHELL: [00720-00438-00719] AA= PCA																
CA=FRQ ε_{sm}=0E+00 A_e=0,0 cm^2 S_m=0 mm W_k=0,00 mm $\sigma_{ct,f}$=0,00 N/mm^2 CA=QPR ε_{sm}=0E+00 A_e=0,0 cm^2 S_m=0 mm W_k=0,00 mm $\sigma_{ct,f}$=0,00 N/mm^2																
SHELL: [00720-00715-00437] AA= PCA																
CA=FRQ ε_{sm}=0E+00 A_e=0,0 cm^2 S_m=0 mm W_k=0,00 mm $\sigma_{ct,f}$=0,00 N/mm^2 CA=QPR ε_{sm}=0E+00 A_e=0,0 cm^2 S_m=0 mm W_k=0,00																

Dir	Nodo	σ_{ct}	σ_{cc}	σ_{at}	Nodo	σ_{ct}	σ_{cc}	σ_{at}	Nodo	σ_{ct}	σ_{cc}	σ_{at}	Nodo	σ_{ct}	σ_{cc}	σ_{at}
		[N/mm²]	[N/mm²]	[N/mm²]		[N/mm²]	[N/mm²]	[N/mm²]		[N/mm²]	[N/mm²]	[N/mm²]		[N/mm²]	[N/mm²]	[N/mm²]
mm $\sigma_{ct,f}$=0,00 N/mm²																
SHELL: [00110-00713-00435] AA= PCA																
CA=FRQ ε_{sm}=0E+00 A_e=0,0 cm² S_m=0 mm W_k=0,00 mm $\sigma_{ct,f}$=0,00 N/mm² CA=QPR ε_{sm}=0E+00 A_e=0,0 cm² S_m=0 mm W_k=0,00 mm $\sigma_{ct,f}$=0,00 N/mm²																
SHELL: [00110-00289-00713] AA= PCA																
CA=FRQ ε_{sm}=0E+00 A_e=0,0 cm² S_m=0 mm W_k=0,00 mm $\sigma_{ct,f}$=0,00 N/mm² CA=QPR ε_{sm}=0E+00 A_e=0,0 cm² S_m=0 mm W_k=0,00 mm $\sigma_{ct,f}$=0,00 N/mm²																
SHELL: [00715-00090-00437] AA= PCA																
CA=FRQ ε_{sm}=0E+00 A_e=0,0 cm² S_m=0 mm W_k=0,00 mm $\sigma_{ct,f}$=0,00 N/mm² CA=QPR ε_{sm}=0E+00 A_e=0,0 cm² S_m=0 mm W_k=0,00 mm $\sigma_{ct,f}$=0,00 N/mm²																
SHELL: [00719-00439-00440] AA= PCA																
CA=FRQ ε_{sm}=0E+00 A_e=0,0 cm² S_m=0 mm W_k=0,00 mm $\sigma_{ct,f}$=0,00 N/mm² CA=QPR ε_{sm}=0E+00 A_e=0,0 cm² S_m=0 mm W_k=0,00 mm $\sigma_{ct,f}$=0,00 N/mm²																
SHELL: [00109-00436-00714] AA= PCA																
CA=FRQ ε_{sm}=0E+00 A_e=0,0 cm² S_m=0 mm W_k=0,00 mm $\sigma_{ct,f}$=0,00 N/mm² CA=QPR ε_{sm}=0E+00 A_e=0,0 cm² S_m=0 mm W_k=0,00 mm $\sigma_{ct,f}$=0,00 N/mm²																
SHELL: [00716-00442-00088] AA= PCA																
CA=FRQ ε_{sm}=0E+00 A_e=0,0 cm² S_m=0 mm W_k=0,00 mm $\sigma_{ct,f}$=0,00 N/mm² CA=QPR ε_{sm}=0E+00 A_e=0,0 cm² S_m=0 mm W_k=0,00 mm $\sigma_{ct,f}$=0,00 N/mm²																
SHELL: [00294-00714-00720] AA= PCA																
CA=FRQ ε_{sm}=0E+00 A_e=0,0 cm² S_m=0 mm W_k=0,00 mm $\sigma_{ct,f}$=0,00 N/mm² CA=QPR ε_{sm}=0E+00 A_e=0,0 cm² S_m=0 mm W_k=0,00 mm $\sigma_{ct,f}$=0,00 N/mm²																
SHELL: [00719-00438-00439] AA= PCA																
CA=FRQ ε_{sm}=0E+00 A_e=0,0 cm² S_m=0 mm W_k=0,00 mm $\sigma_{ct,f}$=0,00 N/mm² CA=QPR ε_{sm}=0E+00 A_e=0,0 cm² S_m=0 mm W_k=0,00 mm $\sigma_{ct,f}$=0,00 N/mm²																
SHELL: [00720-00437-00438] AA= PCA																
CA=FRQ ε_{sm}=0E+00 A_e=0,0 cm² S_m=0 mm W_k=0,00 mm $\sigma_{ct,f}$=0,00 N/mm² CA=QPR ε_{sm}=0E+00 A_e=0,0 cm² S_m=0 mm W_k=0,00 mm $\sigma_{ct,f}$=0,00 N/mm²																
SHELL: [00718-00719-00440] AA= PCA																
CA=FRQ ε_{sm}=0E+00 A_e=0,0 cm² S_m=0 mm W_k=0,00 mm $\sigma_{ct,f}$=0,00 N/mm² CA=QPR ε_{sm}=0E+00 A_e=0,0 cm² S_m=0 mm W_k=0,00 mm $\sigma_{ct,f}$=0,00 N/mm²																
SHELL: [00436-00715-00720] AA= PCA																
CA=FRQ ε_{sm}=0E+00 A_e=0,0 cm² S_m=0 mm W_k=0,00 mm $\sigma_{ct,f}$=0,00 N/mm² CA=QPR ε_{sm}=0E+00 A_e=0,0 cm² S_m=0 mm W_k=0,00 mm $\sigma_{ct,f}$=0,00 N/mm²																
SHELL: [00714-00436-00720] AA= PCA																
CA=FRQ ε_{sm}=0E+00 A_e=0,0 cm² S_m=0 mm W_k=0,00 mm $\sigma_{ct,f}$=0,00 N/mm² CA=QPR ε_{sm}=0E+00 A_e=0,0 cm² S_m=0 mm W_k=0,00 mm $\sigma_{ct,f}$=0,00 N/mm²																
SHELL: [00717-00441-00442] AA= PCA																
CA=FRQ ε_{sm}=0E+00 A_e=0,0 cm² S_m=0 mm W_k=0,00 mm $\sigma_{ct,f}$=0,00 N/mm² CA=QPR ε_{sm}=0E+00 A_e=0,0 cm² S_m=0 mm W_k=0,00 mm $\sigma_{ct,f}$=0,00 N/mm²																
SHELL: [00717-00442-00716] AA= PCA																
CA=FRQ ε_{sm}=0E+00 A_e=0,0 cm² S_m=0 mm W_k=0,00 mm $\sigma_{ct,f}$=0,00 N/mm² CA=QPR ε_{sm}=0E+00 A_e=0,0 cm² S_m=0 mm W_k=0,00 mm $\sigma_{ct,f}$=0,00 N/mm²																
SHELL: [00436-00090-00715] AA= PCA																
CA=FRQ ε_{sm}=0E+00 A_e=0,0 cm² S_m=0 mm W_k=0,00 mm $\sigma_{ct,f}$=0,00 N/mm² CA=QPR ε_{sm}=0E+00 A_e=0,0 cm² S_m=0 mm W_k=0,00 mm $\sigma_{ct,f}$=0,00 N/mm²																
SHELL: [00717-00716-00435] AA= PCA																
CA=FRQ ε_{sm}=0E+00 A_e=0,0 cm² S_m=0 mm W_k=0,00 mm $\sigma_{ct,f}$=0,00 N/mm² CA=QPR ε_{sm}=0E+00 A_e=0,0 cm² S_m=0 mm W_k=0,00 mm $\sigma_{ct,f}$=0,00 N/mm²																
SHELL: [00718-00440-00441] AA= PCA																
CA=FRQ ε_{sm}=0E+00 A_e=0,0 cm² S_m=0 mm W_k=0,00 mm $\sigma_{ct,f}$=0,00 N/mm² CA=QPR ε_{sm}=0E+00 A_e=0,0 cm² S_m=0 mm W_k=0,00 mm $\sigma_{ct,f}$=0,00 N/mm²																
SHELL: [00718-00441-00717] AA= PCA																
CA=FRQ ε_{sm}=0E+00 A_e=0,0 cm² S_m=0 mm W_k=0,00 mm $\sigma_{ct,f}$=0,00 N/mm² CA=QPR ε_{sm}=0E+00 A_e=0,0 cm² S_m=0 mm W_k=0,00 mm $\sigma_{ct,f}$=0,00 N/mm²																
SHELL: [00294-00720-00293] AA= PCA																
CA=FRQ ε_{sm}=0E+00 A_e=0,0 cm² S_m=0 mm W_k=0,00 mm $\sigma_{ct,f}$=0,00 N/mm² CA=QPR ε_{sm}=0E+00 A_e=0,0 cm² S_m=0 mm W_k=0,00 mm $\sigma_{ct,f}$=0,00 N/mm²																
SHELL: [00293-00720-00719] AA= PCA																
CA=FRQ ε_{sm}=0E+00 A_e=0,0 cm² S_m=0 mm W_k=0,00 mm $\sigma_{ct,f}$=0,00 N/mm² CA=QPR ε_{sm}=0E+00 A_e=0,0 cm² S_m=0 mm W_k=0,00 mm $\sigma_{ct,f}$=0,00 N/mm²																
SHELL: [00109-00714-00294] AA= PCA																
CA=FRQ ε_{sm}=0E+00 A_e=0,0 cm² S_m=0 mm W_k=0,00 mm $\sigma_{ct,f}$=0,00 N/mm² CA=QPR ε_{sm}=0E+00 A_e=0,0 cm² S_m=0 mm W_k=0,00 mm $\sigma_{ct,f}$=0,00 N/mm²																
SHELL: [00292-00293-00719] AA= PCA																
CA=FRQ ε_{sm}=0E+00 A_e=0,0 cm² S_m=0 mm W_k=0,00 mm $\sigma_{ct,f}$=0,00 N/mm² CA=QPR ε_{sm}=0E+00 A_e=0,0 cm² S_m=0 mm W_k=0,00 mm $\sigma_{ct,f}$=0,00 N/mm²																
P	0008	0,000	0,000	0,000	0009	0,000	0,000	0,000	0010	0,000	0,000	0,000	0011	0,000	0,000	0,000
S		0,000	0,000	0,000		0,000	0,000	0,000		0,000	0,000	0,000		0,000	0,000	0,000
P	0028	0,000	0,000	0,000	0029	0,000	0,000	0,000	0029	0,000	0,000	0,000	0029	0,000	0,000	0,000
S		0,000	0,000	0,000		0,000	0,000	0,000		0,000	0,000	0,000		0,000	0,000	0,000
P	0029	0,000	0,000	0,000	0029	0,000	0,000	0,000	0043	0,000	0,000	0,000	0043	0,000	0,000	0,000
S		0,000	0,000	0,000		0,000	0,000	0,000		0,000	0,000	0,000		0,000	0,000	0,000
P	0043	0,000	0,000	0,000	0043	0,000	0,000	0,000	0043	0,000	0,000	0,000	0044	0,000	0,000	0,000
S		0,000	0,000	0,000		0,000	0,000	0,000		0,000	0,000	0,000		0,000	0,000	0,000
P	0044	0,000	0,000	0,000	0044	0,000	0,000	0,000	0071	0,000	0,000	0,000	0071	0,000	0,000	0,000
S		0,000	0,000	0,000		0,000	0,000	0,000		0,000	0,000	0,000		0,000	0,000	0,000
P	0071	0,000	0,000	0,000	0071	0,000	0,000	0,000	0071	0,000	0,000	0,000	0071	0,000	0,000	0,000

Dir	Nodo	σ_{ct}	σ_{cc}	σ_{at}	Nodo	σ_{ct}	σ_{cc}	σ_{at}	Nodo	σ_{ct}	σ_{cc}	σ_{at}	Nodo	σ_{ct}	σ_{cc}	σ_{at}
		[N/mm^2]	[N/mm^2]	[N/mm^2]		[N/mm^2]	[N/mm^2]	[N/mm^2]		[N/mm^2]	[N/mm^2]	[N/mm^2]		[N/mm^2]	[N/mm^2]	[N/mm^2]
S		0,000	0,000	0,000		0,000	0,000	0,000		0,000	0,000	0,000		0,000	0,000	0,000
P	00719	0,000	0,000	0,000	00720	0,000	0,000	0,000								
S		0,000	0,000	0,000		0,000	0,000	0,000								

Parete 6-P7 AA= PCA

CA=FRQ ε_{sm}=0E+00 A_e=0,0 cm^2 S_m=0 mm W_k=0,00 mm $\sigma_{ct,f}$=0,00 N/mm^2 **CA=QPR ε_{sm}=0E+00 A_e=0,0 cm^2 S_m=0 mm W_k=0,00 mm $\sigma_{ct,f}$=0,00 N/mm^2**

Piano terra **Parete6-P7** **Parete 6-P7**

SHELL: [00666-00398-00665] AA= PCA

CA=FRQ ε_{sm}=0E+00 A_e=0,0 cm^2 S_m=0 mm W_k=0,00 mm $\sigma_{ct,f}$=0,00 N/mm^2 **CA=QPR ε_{sm}=0E+00 A_e=0,0 cm^2 S_m=0 mm W_k=0,00 mm $\sigma_{ct,f}$=0,00 N/mm^2**

SHELL: [00387-00673-00386] AA= PCA

CA=FRQ ε_{sm}=0E+00 A_e=0,0 cm^2 S_m=0 mm W_k=0,00 mm $\sigma_{ct,f}$=0,00 N/mm^2 **CA=QPR ε_{sm}=0E+00 A_e=0,0 cm^2 S_m=0 mm W_k=0,00 mm $\sigma_{ct,f}$=0,00 N/mm^2**

SHELL: [00387-00388-00673] AA= PCA

CA=FRQ ε_{sm}=0E+00 A_e=0,0 cm^2 S_m=0 mm W_k=0,00 mm $\sigma_{ct,f}$=0,00 N/mm^2 **CA=QPR ε_{sm}=0E+00 A_e=0,0 cm^2 S_m=0 mm W_k=0,00 mm $\sigma_{ct,f}$=0,00 N/mm^2**

SHELL: [00386-00672-00385] AA= PCA

CA=FRQ ε_{sm}=0E+00 A_e=0,0 cm^2 S_m=0 mm W_k=0,00 mm $\sigma_{ct,f}$=0,00 N/mm^2 **CA=QPR ε_{sm}=0E+00 A_e=0,0 cm^2 S_m=0 mm W_k=0,00 mm $\sigma_{ct,f}$=0,00 N/mm^2**

SHELL: [00386-00673-00672] AA= PCA

CA=FRQ ε_{sm}=0E+00 A_e=0,0 cm^2 S_m=0 mm W_k=0,00 mm $\sigma_{ct,f}$=0,00 N/mm^2 **CA=QPR ε_{sm}=0E+00 A_e=0,0 cm^2 S_m=0 mm W_k=0,00 mm $\sigma_{ct,f}$=0,00 N/mm^2**

SHELL: [00380-00663-00047] AA= PCA

CA=FRQ ε_{sm}=0E+00 A_e=0,0 cm^2 S_m=0 mm W_k=0,00 mm $\sigma_{ct,f}$=0,00 N/mm^2 **CA=QPR ε_{sm}=0E+00 A_e=0,0 cm^2 S_m=0 mm W_k=0,00 mm $\sigma_{ct,f}$=0,00 N/mm^2**

SHELL: [00385-00671-00384] AA= PCA

CA=FRQ ε_{sm}=0E+00 A_e=0,0 cm^2 S_m=0 mm W_k=0,00 mm $\sigma_{ct,f}$=0,00 N/mm^2 **CA=QPR ε_{sm}=0E+00 A_e=0,0 cm^2 S_m=0 mm W_k=0,00 mm $\sigma_{ct,f}$=0,00 N/mm^2**

SHELL: [00385-00672-00671] AA= PCA

CA=FRQ ε_{sm}=0E+00 A_e=0,0 cm^2 S_m=0 mm W_k=0,00 mm $\sigma_{ct,f}$=0,00 N/mm^2 **CA=QPR ε_{sm}=0E+00 A_e=0,0 cm^2 S_m=0 mm W_k=0,00 mm $\sigma_{ct,f}$=0,00 N/mm^2**

SHELL: [00664-00665-00399] AA= PCA

CA=FRQ ε_{sm}=0E+00 A_e=0,0 cm^2 S_m=0 mm W_k=0,00 mm $\sigma_{ct,f}$=0,00 N/mm^2 **CA=QPR ε_{sm}=0E+00 A_e=0,0 cm^2 S_m=0 mm W_k=0,00 mm $\sigma_{ct,f}$=0,00 N/mm^2**

SHELL: [00666-00397-00398] AA= PCA

CA=FRQ ε_{sm}=0E+00 A_e=0,0 cm^2 S_m=0 mm W_k=0,00 mm $\sigma_{ct,f}$=0,00 N/mm^2 **CA=QPR ε_{sm}=0E+00 A_e=0,0 cm^2 S_m=0 mm W_k=0,00 mm $\sigma_{ct,f}$=0,00 N/mm^2**

SHELL: [00388-00674-00673] AA= PCA

CA=FRQ ε_{sm}=0E+00 A_e=0,0 cm^2 S_m=0 mm W_k=0,00 mm $\sigma_{ct,f}$=0,00 N/mm^2 **CA=QPR ε_{sm}=0E+00 A_e=0,0 cm^2 S_m=0 mm W_k=0,00 mm $\sigma_{ct,f}$=0,00 N/mm^2**

SHELL: [00108-00661-00389] AA= PCA

CA=FRQ ε_{sm}=0E+00 A_e=0,0 cm^2 S_m=0 mm W_k=0,00 mm $\sigma_{ct,f}$=0,00 N/mm^2 **CA=QPR ε_{sm}=0E+00 A_e=0,0 cm^2 S_m=0 mm W_k=0,00 mm $\sigma_{ct,f}$=0,00 N/mm^2**

SHELL: [00662-00060-00395] AA= PCA

CA=FRQ ε_{sm}=0E+00 A_e=0,0 cm^2 S_m=0 mm W_k=0,00 mm $\sigma_{ct,f}$=0,00 N/mm^2 **CA=QPR ε_{sm}=0E+00 A_e=0,0 cm^2 S_m=0 mm W_k=0,00 mm $\sigma_{ct,f}$=0,00 N/mm^2**

SHELL: [00108-00390-00661] AA= PCA

CA=FRQ ε_{sm}=0E+00 A_e=0,0 cm^2 S_m=0 mm W_k=0,00 mm $\sigma_{ct,f}$=0,00 N/mm^2 **CA=QPR ε_{sm}=0E+00 A_e=0,0 cm^2 S_m=0 mm W_k=0,00 mm $\sigma_{ct,f}$=0,00 N/mm^2**

SHELL: [00381-00664-00380] AA= PCA

CA=FRQ ε_{sm}=0E+00 A_e=0,0 cm^2 S_m=0 mm W_k=0,00 mm $\sigma_{ct,f}$=0,00 N/mm^2 **CA=QPR ε_{sm}=0E+00 A_e=0,0 cm^2 S_m=0 mm W_k=0,00 mm $\sigma_{ct,f}$=0,00 N/mm^2**

SHELL: [00663-00400-00047] AA= PCA

CA=FRQ ε_{sm}=0E+00 A_e=0,0 cm^2 S_m=0 mm W_k=0,00 mm $\sigma_{ct,f}$=0,00 N/mm^2 **CA=QPR ε_{sm}=0E+00 A_e=0,0 cm^2 S_m=0 mm W_k=0,00 mm $\sigma_{ct,f}$=0,00 N/mm^2**

SHELL: [00107-00660-00079] AA= PCA

CA=FRQ ε_{sm}=0E+00 A_e=0,0 cm^2 S_m=0 mm W_k=0,00 mm $\sigma_{ct,f}$=0,00 N/mm^2 **CA=QPR ε_{sm}=0E+00 A_e=0,0 cm^2 S_m=0 mm W_k=0,00 mm $\sigma_{ct,f}$=0,00 N/mm^2**

SHELL: [00394-00060-00662] AA= PCA

CA=FRQ ε_{sm}=0E+00 A_e=0,0 cm^2 S_m=0 mm W_k=0,00 mm $\sigma_{ct,f}$=0,00 N/mm^2 **CA=QPR ε_{sm}=0E+00 A_e=0,0 cm^2 S_m=0 mm W_k=0,00 mm $\sigma_{ct,f}$=0,00 N/mm^2**

SHELL: [00389-00661-00674] AA= PCA

CA=FRQ ε_{sm}=0E+00 A_e=0,0 cm^2 S_m=0 mm W_k=0,00 mm $\sigma_{ct,f}$=0,00 N/mm^2 **CA=QPR ε_{sm}=0E+00 A_e=0,0 cm^2 S_m=0 mm W_k=0,00 mm $\sigma_{ct,f}$=0,00 N/mm^2**

SHELL: [00667-00662-00395] AA= PCA

CA=FRQ ε_{sm}=0E+00 A_e=0,0 cm^2 S_m=0 mm W_k=0,00 mm $\sigma_{ct,f}$=0,00 N/mm^2 **CA=QPR ε_{sm}=0E+00 A_e=0,0 cm^2 S_m=0 mm W_k=0,00 mm $\sigma_{ct,f}$=0,00 N/mm^2**

SHELL: [00667-00395-00396] AA= PCA

CA=FRQ ε_{sm}=0E+00 A_e=0,0 cm^2 S_m=0 mm W_k=0,00 mm $\sigma_{ct,f}$=0,00 N/mm^2 **CA=QPR ε_{sm}=0E+00 A_e=0,0 cm^2 S_m=0 mm W_k=0,00 mm $\sigma_{ct,f}$=0,00 N/mm^2**

SHELL: [00667-00394-00662] AA= PCA

CA=FRQ ε_{sm}=0E+00 A_e=0,0 cm^2 S_m=0 mm W_k=0,00 mm $\sigma_{ct,f}$=0,00 N/mm^2 **CA=QPR ε_{sm}=0E+00 A_e=0,0 cm^2 S_m=0 mm W_k=0,00 mm $\sigma_{ct,f}$=0,00 N/mm^2**

SHELL: [00669-00666-00665] AA= PCA

CA=FRQ ε_{sm}=0E+00 A_e=0,0 cm^2 S_m=0 mm W_k=0,00 mm $\sigma_{ct,f}$=0,00 N/mm^2 **CA=QPR ε_{sm}=0E+00 A_e=0,0 cm^2 S_m=0 mm W_k=0,00 mm $\sigma_{ct,f}$=0,00 N/mm^2**

SHELL: [00665-00398-00399] AA= PCA

CA=FRQ ε_{sm}=0E+00 A_e=0,0 cm^2 S_m=0 mm W_k=0,00 mm $\sigma_{ct,f}$=0,00 N/mm^2 **CA=QPR ε_{sm}=0E+00 A_e=0,0 cm^2 S_m=0 mm W_k=0,00 mm $\sigma_{ct,f}$=0,00 N/mm^2**

SHELL: [00664-00663-00380] AA= PCA

CA=FRQ ε_{sm}=0E+00 A_e=0,0 cm^2 S_m=0 mm W_k=0,00 mm $\sigma_{ct,f}$=0,00 N/mm^2 **CA=QPR ε_{sm}=0E+00 A_e=0,0 cm^2 S_m=0 mm W_k=0,00 mm $\sigma_{ct,f}$=0,00 N/mm^2**

SHELL: [00664-00399-00400] AA= PCA

Dir	Nodo	σ_{ct} [N/mm^2]	σ_{cc} [N/mm^2]	σ_{at} [N/mm^2]	Nodo	σ_{ct} [N/mm^2]	σ_{cc} [N/mm^2]	σ_{at} [N/mm^2]	Nodo	σ_{ct} [N/mm^2]	σ_{cc} [N/mm^2]	σ_{at} [N/mm^2]	Nodo	σ_{ct} [N/mm^2]	σ_{cc} [N/mm^2]	σ_{at} [N/mm^2]

CA=FRQ ε_{sm}=0E+00 A_e=0,0 cm^2 S_m=0 mm W_k=0,00 mm $\sigma_{ct,f}$=0,00 N/mm^2 CA=QPR ε_{sm}=0E+00 A_e=0,0 cm^2 S_m=0 mm W_k=0,00 mm $\sigma_{ct,f}$=0,00 N/mm^2
SHELL: [00664-00400-00663] AA= PCA
CA=FRQ ε_{sm}=0E+00 A_e=0,0 cm^2 S_m=0 mm W_k=0,00 mm $\sigma_{ct,f}$=0,00 N/mm^2 CA=QPR ε_{sm}=0E+00 A_e=0,0 cm^2 S_m=0 mm W_k=0,00 mm $\sigma_{ct,f}$=0,00 N/mm^2
SHELL: [00666-00667-00396] AA= PCA
CA=FRQ ε_{sm}=0E+00 A_e=0,0 cm^2 S_m=0 mm W_k=0,00 mm $\sigma_{ct,f}$=0,00 N/mm^2 CA=QPR ε_{sm}=0E+00 A_e=0,0 cm^2 S_m=0 mm W_k=0,00 mm $\sigma_{ct,f}$=0,00 N/mm^2
SHELL: [00107-00384-00660] AA= PCA
CA=FRQ ε_{sm}=0E+00 A_e=0,0 cm^2 S_m=0 mm W_k=0,00 mm $\sigma_{ct,f}$=0,00 N/mm^2 CA=QPR ε_{sm}=0E+00 A_e=0,0 cm^2 S_m=0 mm W_k=0,00 mm $\sigma_{ct,f}$=0,00 N/mm^2
SHELL: [00666-00396-00397] AA= PCA
CA=FRQ ε_{sm}=0E+00 A_e=0,0 cm^2 S_m=0 mm W_k=0,00 mm $\sigma_{ct,f}$=0,00 N/mm^2 CA=QPR ε_{sm}=0E+00 A_e=0,0 cm^2 S_m=0 mm W_k=0,00 mm $\sigma_{ct,f}$=0,00 N/mm^2
SHELL: [00384-00671-00660] AA= PCA
CA=FRQ ε_{sm}=0E+00 A_e=0,0 cm^2 S_m=0 mm W_k=0,00 mm $\sigma_{ct,f}$=0,00 N/mm^2 CA=QPR ε_{sm}=0E+00 A_e=0,0 cm^2 S_m=0 mm W_k=0,00 mm $\sigma_{ct,f}$=0,00 N/mm^2
SHELL: [00393-00394-00667] AA= PCA
CA=FRQ ε_{sm}=0E+00 A_e=0,0 cm^2 S_m=0 mm W_k=0,00 mm $\sigma_{ct,f}$=0,00 N/mm^2 CA=QPR ε_{sm}=0E+00 A_e=0,0 cm^2 S_m=0 mm W_k=0,00 mm $\sigma_{ct,f}$=0,00 N/mm^2
SHELL: [00388-00389-00674] AA= PCA
CA=FRQ ε_{sm}=0E+00 A_e=0,0 cm^2 S_m=0 mm W_k=0,00 mm $\sigma_{ct,f}$=0,00 N/mm^2 CA=QPR ε_{sm}=0E+00 A_e=0,0 cm^2 S_m=0 mm W_k=0,00 mm $\sigma_{ct,f}$=0,00 N/mm^2
SHELL: [00668-00669-00665] AA= PCA
CA=FRQ ε_{sm}=0E+00 A_e=0,0 cm^2 S_m=0 mm W_k=0,00 mm $\sigma_{ct,f}$=0,00 N/mm^2 CA=QPR ε_{sm}=0E+00 A_e=0,0 cm^2 S_m=0 mm W_k=0,00 mm $\sigma_{ct,f}$=0,00 N/mm^2
SHELL: [00670-00666-00669] AA= PCA
CA=FRQ ε_{sm}=0E+00 A_e=0,0 cm^2 S_m=0 mm W_k=0,00 mm $\sigma_{ct,f}$=0,00 N/mm^2 CA=QPR ε_{sm}=0E+00 A_e=0,0 cm^2 S_m=0 mm W_k=0,00 mm $\sigma_{ct,f}$=0,00 N/mm^2
SHELL: [00668-00665-00664] AA= PCA
CA=FRQ ε_{sm}=0E+00 A_e=0,0 cm^2 S_m=0 mm W_k=0,00 mm $\sigma_{ct,f}$=0,00 N/mm^2 CA=QPR ε_{sm}=0E+00 A_e=0,0 cm^2 S_m=0 mm W_k=0,00 mm $\sigma_{ct,f}$=0,00 N/mm^2
SHELL: [00382-00668-00664] AA= PCA
CA=FRQ ε_{sm}=0E+00 A_e=0,0 cm^2 S_m=0 mm W_k=0,00 mm $\sigma_{ct,f}$=0,00 N/mm^2 CA=QPR ε_{sm}=0E+00 A_e=0,0 cm^2 S_m=0 mm W_k=0,00 mm $\sigma_{ct,f}$=0,00 N/mm^2
SHELL: [00670-00667-00666] AA= PCA
CA=FRQ ε_{sm}=0E+00 A_e=0,0 cm^2 S_m=0 mm W_k=0,00 mm $\sigma_{ct,f}$=0,00 N/mm^2 CA=QPR ε_{sm}=0E+00 A_e=0,0 cm^2 S_m=0 mm W_k=0,00 mm $\sigma_{ct,f}$=0,00 N/mm^2
SHELL: [00382-00664-00381] AA= PCA
CA=FRQ ε_{sm}=0E+00 A_e=0,0 cm^2 S_m=0 mm W_k=0,00 mm $\sigma_{ct,f}$=0,00 N/mm^2 CA=QPR ε_{sm}=0E+00 A_e=0,0 cm^2 S_m=0 mm W_k=0,00 mm $\sigma_{ct,f}$=0,00 N/mm^2
SHELL: [00079-00671-00383] AA= PCA
CA=FRQ ε_{sm}=0E+00 A_e=0,0 cm^2 S_m=0 mm W_k=0,00 mm $\sigma_{ct,f}$=0,00 N/mm^2 CA=QPR ε_{sm}=0E+00 A_e=0,0 cm^2 S_m=0 mm W_k=0,00 mm $\sigma_{ct,f}$=0,00 N/mm^2
SHELL: [00392-00393-00667] AA= PCA
CA=FRQ ε_{sm}=0E+00 A_e=0,0 cm^2 S_m=0 mm W_k=0,00 mm $\sigma_{ct,f}$=0,00 N/mm^2 CA=QPR ε_{sm}=0E+00 A_e=0,0 cm^2 S_m=0 mm W_k=0,00 mm $\sigma_{ct,f}$=0,00 N/mm^2
SHELL: [00392-00667-00670] AA= PCA
CA=FRQ ε_{sm}=0E+00 A_e=0,0 cm^2 S_m=0 mm W_k=0,00 mm $\sigma_{ct,f}$=0,00 N/mm^2 CA=QPR ε_{sm}=0E+00 A_e=0,0 cm^2 S_m=0 mm W_k=0,00 mm $\sigma_{ct,f}$=0,00 N/mm^2
SHELL: [00660-00671-00079] AA= PCA
CA=FRQ ε_{sm}=0E+00 A_e=0,0 cm^2 S_m=0 mm W_k=0,00 mm $\sigma_{ct,f}$=0,00 N/mm^2 CA=QPR ε_{sm}=0E+00 A_e=0,0 cm^2 S_m=0 mm W_k=0,00 mm $\sigma_{ct,f}$=0,00 N/mm^2
SHELL: [00661-00390-00674] AA= PCA
CA=FRQ ε_{sm}=0E+00 A_e=0,0 cm^2 S_m=0 mm W_k=0,00 mm $\sigma_{ct,f}$=0,00 N/mm^2 CA=QPR ε_{sm}=0E+00 A_e=0,0 cm^2 S_m=0 mm W_k=0,00 mm $\sigma_{ct,f}$=0,00 N/mm^2
SHELL: [00673-00669-00672] AA= PCA
CA=FRQ ε_{sm}=0E+00 A_e=0,0 cm^2 S_m=0 mm W_k=0,00 mm $\sigma_{ct,f}$=0,00 N/mm^2 CA=QPR ε_{sm}=0E+00 A_e=0,0 cm^2 S_m=0 mm W_k=0,00 mm $\sigma_{ct,f}$=0,00 N/mm^2
SHELL: [00672-00669-00668] AA= PCA
CA=FRQ ε_{sm}=0E+00 A_e=0,0 cm^2 S_m=0 mm W_k=0,00 mm $\sigma_{ct,f}$=0,00 N/mm^2 CA=QPR ε_{sm}=0E+00 A_e=0,0 cm^2 S_m=0 mm W_k=0,00 mm $\sigma_{ct,f}$=0,00 N/mm^2
SHELL: [00390-00391-00674] AA= PCA
CA=FRQ ε_{sm}=0E+00 A_e=0,0 cm^2 S_m=0 mm W_k=0,00 mm $\sigma_{ct,f}$=0,00 N/mm^2 CA=QPR ε_{sm}=0E+00 A_e=0,0 cm^2 S_m=0 mm W_k=0,00 mm $\sigma_{ct,f}$=0,00 N/mm^2
SHELL: [00674-00392-00670] AA= PCA
CA=FRQ ε_{sm}=0E+00 A_e=0,0 cm^2 S_m=0 mm W_k=0,00 mm $\sigma_{ct,f}$=0,00 N/mm^2 CA=QPR ε_{sm}=0E+00 A_e=0,0 cm^2 S_m=0 mm W_k=0,00 mm $\sigma_{ct,f}$=0,00 N/mm^2
SHELL: [00674-00391-00392] AA= PCA
CA=FRQ ε_{sm}=0E+00 A_e=0,0 cm^2 S_m=0 mm W_k=0,00 mm $\sigma_{ct,f}$=0,00 N/mm^2 CA=QPR ε_{sm}=0E+00 A_e=0,0 cm^2 S_m=0 mm W_k=0,00 mm $\sigma_{ct,f}$=0,00 N/mm^2
SHELL: [00671-00672-00668] AA= PCA
CA=FRQ ε_{sm}=0E+00 A_e=0,0 cm^2 S_m=0 mm W_k=0,00 mm $\sigma_{ct,f}$=0,00 N/mm^2 CA=QPR ε_{sm}=0E+00 A_e=0,0 cm^2 S_m=0 mm W_k=0,00 mm $\sigma_{ct,f}$=0,00 N/mm^2
SHELL: [00671-00668-00382] AA= PCA
CA=FRQ ε_{sm}=0E+00 A_e=0,0 cm^2 S_m=0 mm W_k=0,00 mm $\sigma_{ct,f}$=0,00 N/mm^2 CA=QPR ε_{sm}=0E+00 A_e=0,0 cm^2 S_m=0 mm W_k=0,00 mm $\sigma_{ct,f}$=0,00 N/mm^2
SHELL: [00671-00382-00383] AA= PCA
CA=FRQ ε_{sm}=0E+00 A_e=0,0 cm^2 S_m=0 mm W_k=0,00 mm $\sigma_{ct,f}$=0,00 N/mm^2 CA=QPR ε_{sm}=0E+00 A_e=0,0 cm^2 S_m=0 mm W_k=0,00 mm $\sigma_{ct,f}$=0,00 N/mm^2
SHELL: [00673-00670-00669] AA= PCA
CA=FRQ ε_{sm}=0E+00 A_e=0,0 cm^2 S_m=0 mm W_k=0,00 mm $\sigma_{ct,f}$=0,00 N/mm^2 CA=QPR ε_{sm}=0E+00 A_e=0,0 cm^2 S_m=0 mm W_k=0,00 mm $\sigma_{ct,f}$=0,00 N/mm^2
SHELL: [00674-00670-00673] AA= PCA

Dir	Nodo	σ_{ct} [N/mm^2]	σ_{cc} [N/mm^2]	σ_{at} [N/mm^2]	Nodo	σ_{ct} [N/mm^2]	σ_{cc} [N/mm^2]	σ_{at} [N/mm^2]	Nodo	σ_{ct} [N/mm^2]	σ_{cc} [N/mm^2]	σ_{at} [N/mm^2]	Nodo	σ_{ct} [N/mm^2]	σ_{cc} [N/mm^2]	σ_{at} [N/mm^2]
CA=FRQ ε_{sm}=0E+00 A_e=0,0 cm^2 S_m=0 mm W_k=0,00 mm $\sigma_{ct,f}$=0,00 N/mm^2													**CA=QPR ε_{sm}=0E+00 A_e=0,0 cm^2 S_m=0 mm W_k=0,00 mm $\sigma_{ct,f}$=0,00 N/mm^2**			
P	00047	0,000	0,000	0,000	00060	0,000	0,000	0,000	00079	0,000	0,000	0,000	00107	0,000	0,000	0,000
S		0,000	0,000	0,000		0,000	0,000	0,000		0,000	0,000	0,000		0,000	0,000	0,000
P	00108	0,000	0,000	0,000	00380	0,000	0,000	0,000	00381	0,000	0,000	0,000	00382	0,000	0,000	0,000
S		0,000	0,000	0,000		0,000	0,000	0,000		0,000	0,000	0,000		0,000	0,000	0,000
P	00383	0,000	0,000	0,000	00384	0,000	0,000	0,000	00385	0,000	0,000	0,000	00386	0,000	0,000	0,000
S		0,000	0,000	0,000		0,000	0,000	0,000		0,000	0,000	0,000		0,000	0,000	0,000
P	00387	0,000	0,000	0,000	00388	0,000	0,000	0,000	00389	0,000	0,000	0,000	00390	0,000	0,000	0,000
S		0,000	0,000	0,000		0,000	0,000	0,000		0,000	0,000	0,000		0,000	0,000	0,000
P	00391	0,000	0,000	0,000	00392	0,000	0,000	0,000	00393	0,000	0,000	0,000	00394	0,000	0,000	0,000
S		0,000	0,000	0,000		0,000	0,000	0,000		0,000	0,000	0,000		0,000	0,000	0,000
P	00395	0,000	0,000	0,000	00396	0,000	0,000	0,000	00397	0,000	0,000	0,000	00398	0,000	0,000	0,000
S		0,000	0,000	0,000		0,000	0,000	0,000		0,000	0,000	0,000		0,000	0,000	0,000
P	00399	0,000	0,000	0,000	00400	0,000	0,000	0,000	00660	0,000	0,000	0,000	00661	0,000	0,000	0,000
S		0,000	0,000	0,000		0,000	0,000	0,000		0,000	0,000	0,000		0,000	0,000	0,000
P	00662	0,000	0,000	0,000	00663	0,000	0,000	0,000	00664	0,000	0,000	0,000	00665	0,000	0,000	0,000
S		0,000	0,000	0,000		0,000	0,000	0,000		0,000	0,000	0,000		0,000	0,000	0,000
P	00666	0,000	0,000	0,000	00667	0,000	0,000	0,000	00668	0,000	0,000	0,000	00669	0,000	0,000	0,000
S		0,000	0,000	0,000		0,000	0,000	0,000		0,000	0,000	0,000		0,000	0,000	0,000
P	00670	0,000	0,000	0,000	00671	0,000	0,000	0,000	00672	0,000	0,000	0,000	00673	0,000	0,000	0,000
S		0,000	0,000	0,000		0,000	0,000	0,000		0,000	0,000	0,000		0,000	0,000	0,000
P	00674	0,000	0,000	0,000												
S		0,000	0,000	0,000												

Parete 7-16 AA= PCA

CA=FRQ ε_{sm}=0E+00 A_e=0,0 cm^2 S_m=0 mm W_k=0,00 mm $\sigma_{ct,f}$=0,00 N/mm^2 **CA=QPR ε_{sm}=0E+00 A_e=0,0 cm^2 S_m=0 mm W_k=0,00 mm $\sigma_{ct,f}$=0,00 N/mm^2**

Piano terra **Parete7-16** **Parete 7-16**

SHELL: [00402-00679-00401] AA= PCA

CA=FRQ ε_{sm}=0E+00 A_e=0,0 cm^2 S_m=0 mm W_k=0,00 mm $\sigma_{ct,f}$=0,00 N/mm^2 **CA=QPR ε_{sm}=0E+00 A_e=0,0 cm^2 S_m=0 mm W_k=0,00 mm $\sigma_{ct,f}$=0,00 N/mm^2**

SHELL: [00678-00271-00035] AA= PCA

CA=FRQ ε_{sm}=0E+00 A_e=0,0 cm^2 S_m=0 mm W_k=0,00 mm $\sigma_{ct,f}$=0,00 N/mm^2 **CA=QPR ε_{sm}=0E+00 A_e=0,0 cm^2 S_m=0 mm W_k=0,00 mm $\sigma_{ct,f}$=0,00 N/mm^2**

SHELL: [00049-00676-00270] AA= PCA

CA=FRQ ε_{sm}=0E+00 A_e=0,0 cm^2 S_m=0 mm W_k=0,00 mm $\sigma_{ct,f}$=0,00 N/mm^2 **CA=QPR ε_{sm}=0E+00 A_e=0,0 cm^2 S_m=0 mm W_k=0,00 mm $\sigma_{ct,f}$=0,00 N/mm^2**

SHELL: [00049-00409-00676] AA= PCA

CA=FRQ ε_{sm}=0E+00 A_e=0,0 cm^2 S_m=0 mm W_k=0,00 mm $\sigma_{ct,f}$=0,00 N/mm^2 **CA=QPR ε_{sm}=0E+00 A_e=0,0 cm^2 S_m=0 mm W_k=0,00 mm $\sigma_{ct,f}$=0,00 N/mm^2**

SHELL: [00270-00676-00696] AA= PCA

CA=FRQ ε_{sm}=0E+00 A_e=0,0 cm^2 S_m=0 mm W_k=0,00 mm $\sigma_{ct,f}$=0,00 N/mm^2 **CA=QPR ε_{sm}=0E+00 A_e=0,0 cm^2 S_m=0 mm W_k=0,00 mm $\sigma_{ct,f}$=0,00 N/mm^2**

SHELL: [00679-00680-00272] AA= PCA

CA=FRQ ε_{sm}=0E+00 A_e=0,0 cm^2 S_m=0 mm W_k=0,00 mm $\sigma_{ct,f}$=0,00 N/mm^2 **CA=QPR ε_{sm}=0E+00 A_e=0,0 cm^2 S_m=0 mm W_k=0,00 mm $\sigma_{ct,f}$=0,00 N/mm^2**

SHELL: [00416-00048-00677] AA= PCA

CA=FRQ ε_{sm}=0E+00 A_e=0,0 cm^2 S_m=0 mm W_k=0,00 mm $\sigma_{ct,f}$=0,00 N/mm^2 **CA=QPR ε_{sm}=0E+00 A_e=0,0 cm^2 S_m=0 mm W_k=0,00 mm $\sigma_{ct,f}$=0,00 N/mm^2**

SHELL: [00270-00696-00269] AA= PCA

CA=FRQ ε_{sm}=0E+00 A_e=0,0 cm^2 S_m=0 mm W_k=0,00 mm $\sigma_{ct,f}$=0,00 N/mm^2 **CA=QPR ε_{sm}=0E+00 A_e=0,0 cm^2 S_m=0 mm W_k=0,00 mm $\sigma_{ct,f}$=0,00 N/mm^2**

SHELL: [00265-00693-00675] AA= PCA

CA=FRQ ε_{sm}=0E+00 A_e=0,0 cm^2 S_m=0 mm W_k=0,00 mm $\sigma_{ct,f}$=0,00 N/mm^2 **CA=QPR ε_{sm}=0E+00 A_e=0,0 cm^2 S_m=0 mm W_k=0,00 mm $\sigma_{ct,f}$=0,00 N/mm^2**

SHELL: [00265-00266-00693] AA= PCA

CA=FRQ ε_{sm}=0E+00 A_e=0,0 cm^2 S_m=0 mm W_k=0,00 mm $\sigma_{ct,f}$=0,00 N/mm^2 **CA=QPR ε_{sm}=0E+00 A_e=0,0 cm^2 S_m=0 mm W_k=0,00 mm $\sigma_{ct,f}$=0,00 N/mm^2**

SHELL: [00267-00268-00694] AA= PCA

CA=FRQ ε_{sm}=0E+00 A_e=0,0 cm^2 S_m=0 mm W_k=0,00 mm $\sigma_{ct,f}$=0,00 N/mm^2 **CA=QPR ε_{sm}=0E+00 A_e=0,0 cm^2 S_m=0 mm W_k=0,00 mm $\sigma_{ct,f}$=0,00 N/mm^2**

SHELL: [00267-00694-00266] AA= PCA

CA=FRQ ε_{sm}=0E+00 A_e=0,0 cm^2 S_m=0 mm W_k=0,00 mm $\sigma_{ct,f}$=0,00 N/mm^2 **CA=QPR ε_{sm}=0E+00 A_e=0,0 cm^2 S_m=0 mm W_k=0,00 mm $\sigma_{ct,f}$=0,00 N/mm^2**

SHELL: [00266-00694-00693] AA= PCA

CA=FRQ ε_{sm}=0E+00 A_e=0,0 cm^2 S_m=0 mm W_k=0,00 mm $\sigma_{ct,f}$=0,00 N/mm^2 **CA=QPR ε_{sm}=0E+00 A_e=0,0 cm^2 S_m=0 mm W_k=0,00 mm $\sigma_{ct,f}$=0,00 N/mm^2**

SHELL: [00677-00048-00276] AA= PCA

CA=FRQ ε_{sm}=0E+00 A_e=0,0 cm^2 S_m=0 mm W_k=0,00 mm $\sigma_{ct,f}$=0,00 N/mm^2 **CA=QPR ε_{sm}=0E+00 A_e=0,0 cm^2 S_m=0 mm W_k=0,00 mm $\sigma_{ct,f}$=0,00 N/mm^2**

SHELL: [00269-00696-00695] AA= PCA

CA=FRQ ε_{sm}=0E+00 A_e=0,0 cm^2 S_m=0 mm W_k=0,00 mm $\sigma_{ct,f}$=0,00 N/mm^2 **CA=QPR ε_{sm}=0E+00 A_e=0,0 cm^2 S_m=0 mm W_k=0,00**

Dir	Nodo	σ_{ct} [N/mm^2]	σ_{cc} [N/mm^2]	σ_{at} [N/mm^2]	Nodo	σ_{ct} [N/mm^2]	σ_{cc} [N/mm^2]	σ_{at} [N/mm^2]	Nodo	σ_{ct} [N/mm^2]	σ_{cc} [N/mm^2]	σ_{at} [N/mm^2]	Nodo	σ_{ct} [N/mm^2]	σ_{cc} [N/mm^2]	σ_{at} [N/mm^2]

mm $\sigma_{ct,f}$=0,00 N/mm^2
SHELL: [00682-00416-00677] AA= PCA
CA=FRQ ε_{sm}=0E+00 A_e=0,0 cm^2 S_m=0 mm W_k=0,00 mm $\sigma_{ct,f}$=0,00 N/mm^2 CA=QPR ε_{sm}=0E+00 A_e=0,0 cm^2 S_m=0 mm W_k=0,00 mm $\sigma_{ct,f}$=0,00 N/mm^2
SHELL: [00401-00678-00035] AA= PCA
CA=FRQ ε_{sm}=0E+00 A_e=0,0 cm^2 S_m=0 mm W_k=0,00 mm $\sigma_{ct,f}$=0,00 N/mm^2 CA=QPR ε_{sm}=0E+00 A_e=0,0 cm^2 S_m=0 mm W_k=0,00 mm $\sigma_{ct,f}$=0,00 N/mm^2
SHELL: [00682-00275-00681] AA= PCA
CA=FRQ ε_{sm}=0E+00 A_e=0,0 cm^2 S_m=0 mm W_k=0,00 mm $\sigma_{ct,f}$=0,00 N/mm^2 CA=QPR ε_{sm}=0E+00 A_e=0,0 cm^2 S_m=0 mm W_k=0,00 mm $\sigma_{ct,f}$=0,00 N/mm^2
SHELL: [00681-00275-00274] AA= PCA
CA=FRQ ε_{sm}=0E+00 A_e=0,0 cm^2 S_m=0 mm W_k=0,00 mm $\sigma_{ct,f}$=0,00 N/mm^2 CA=QPR ε_{sm}=0E+00 A_e=0,0 cm^2 S_m=0 mm W_k=0,00 mm $\sigma_{ct,f}$=0,00 N/mm^2
SHELL: [00682-00677-00276] AA= PCA
CA=FRQ ε_{sm}=0E+00 A_e=0,0 cm^2 S_m=0 mm W_k=0,00 mm $\sigma_{ct,f}$=0,00 N/mm^2 CA=QPR ε_{sm}=0E+00 A_e=0,0 cm^2 S_m=0 mm W_k=0,00 mm $\sigma_{ct,f}$=0,00 N/mm^2
SHELL: [00681-00274-00273] AA= PCA
CA=FRQ ε_{sm}=0E+00 A_e=0,0 cm^2 S_m=0 mm W_k=0,00 mm $\sigma_{ct,f}$=0,00 N/mm^2 CA=QPR ε_{sm}=0E+00 A_e=0,0 cm^2 S_m=0 mm W_k=0,00 mm $\sigma_{ct,f}$=0,00 N/mm^2
SHELL: [00679-00678-00401] AA= PCA
CA=FRQ ε_{sm}=0E+00 A_e=0,0 cm^2 S_m=0 mm W_k=0,00 mm $\sigma_{ct,f}$=0,00 N/mm^2 CA=QPR ε_{sm}=0E+00 A_e=0,0 cm^2 S_m=0 mm W_k=0,00 mm $\sigma_{ct,f}$=0,00 N/mm^2
SHELL: [00679-00271-00678] AA= PCA
CA=FRQ ε_{sm}=0E+00 A_e=0,0 cm^2 S_m=0 mm W_k=0,00 mm $\sigma_{ct,f}$=0,00 N/mm^2 CA=QPR ε_{sm}=0E+00 A_e=0,0 cm^2 S_m=0 mm W_k=0,00 mm $\sigma_{ct,f}$=0,00 N/mm^2
SHELL: [00680-00273-00272] AA= PCA
CA=FRQ ε_{sm}=0E+00 A_e=0,0 cm^2 S_m=0 mm W_k=0,00 mm $\sigma_{ct,f}$=0,00 N/mm^2 CA=QPR ε_{sm}=0E+00 A_e=0,0 cm^2 S_m=0 mm W_k=0,00 mm $\sigma_{ct,f}$=0,00 N/mm^2
SHELL: [00680-00681-00273] AA= PCA
CA=FRQ ε_{sm}=0E+00 A_e=0,0 cm^2 S_m=0 mm W_k=0,00 mm $\sigma_{ct,f}$=0,00 N/mm^2 CA=QPR ε_{sm}=0E+00 A_e=0,0 cm^2 S_m=0 mm W_k=0,00 mm $\sigma_{ct,f}$=0,00 N/mm^2
SHELL: [00679-00272-00271] AA= PCA
CA=FRQ ε_{sm}=0E+00 A_e=0,0 cm^2 S_m=0 mm W_k=0,00 mm $\sigma_{ct,f}$=0,00 N/mm^2 CA=QPR ε_{sm}=0E+00 A_e=0,0 cm^2 S_m=0 mm W_k=0,00 mm $\sigma_{ct,f}$=0,00 N/mm^2
SHELL: [00268-00695-00694] AA= PCA
CA=FRQ ε_{sm}=0E+00 A_e=0,0 cm^2 S_m=0 mm W_k=0,00 mm $\sigma_{ct,f}$=0,00 N/mm^2 CA=QPR ε_{sm}=0E+00 A_e=0,0 cm^2 S_m=0 mm W_k=0,00 mm $\sigma_{ct,f}$=0,00 N/mm^2
SHELL: [00415-00416-00682] AA= PCA
CA=FRQ ε_{sm}=0E+00 A_e=0,0 cm^2 S_m=0 mm W_k=0,00 mm $\sigma_{ct,f}$=0,00 N/mm^2 CA=QPR ε_{sm}=0E+00 A_e=0,0 cm^2 S_m=0 mm W_k=0,00 mm $\sigma_{ct,f}$=0,00 N/mm^2
SHELL: [00682-00276-00275] AA= PCA
CA=FRQ ε_{sm}=0E+00 A_e=0,0 cm^2 S_m=0 mm W_k=0,00 mm $\sigma_{ct,f}$=0,00 N/mm^2 CA=QPR ε_{sm}=0E+00 A_e=0,0 cm^2 S_m=0 mm W_k=0,00 mm $\sigma_{ct,f}$=0,00 N/mm^2
SHELL: [00676-00409-00696] AA= PCA
CA=FRQ ε_{sm}=0E+00 A_e=0,0 cm^2 S_m=0 mm W_k=0,00 mm $\sigma_{ct,f}$=0,00 N/mm^2 CA=QPR ε_{sm}=0E+00 A_e=0,0 cm^2 S_m=0 mm W_k=0,00 mm $\sigma_{ct,f}$=0,00 N/mm^2
SHELL: [00403-00679-00402] AA= PCA
CA=FRQ ε_{sm}=0E+00 A_e=0,0 cm^2 S_m=0 mm W_k=0,00 mm $\sigma_{ct,f}$=0,00 N/mm^2 CA=QPR ε_{sm}=0E+00 A_e=0,0 cm^2 S_m=0 mm W_k=0,00 mm $\sigma_{ct,f}$=0,00 N/mm^2
SHELL: [00023-00675-00408] AA= PCA
CA=FRQ ε_{sm}=0E+00 A_e=0,0 cm^2 S_m=0 mm W_k=0,00 mm $\sigma_{ct,f}$=0,00 N/mm^2 CA=QPR ε_{sm}=0E+00 A_e=0,0 cm^2 S_m=0 mm W_k=0,00 mm $\sigma_{ct,f}$=0,00 N/mm^2
SHELL: [00684-00685-00681] AA= PCA
CA=FRQ ε_{sm}=0E+00 A_e=0,0 cm^2 S_m=0 mm W_k=0,00 mm $\sigma_{ct,f}$=0,00 N/mm^2 CA=QPR ε_{sm}=0E+00 A_e=0,0 cm^2 S_m=0 mm W_k=0,00 mm $\sigma_{ct,f}$=0,00 N/mm^2
SHELL: [00023-00265-00675] AA= PCA
CA=FRQ ε_{sm}=0E+00 A_e=0,0 cm^2 S_m=0 mm W_k=0,00 mm $\sigma_{ct,f}$=0,00 N/mm^2 CA=QPR ε_{sm}=0E+00 A_e=0,0 cm^2 S_m=0 mm W_k=0,00 mm $\sigma_{ct,f}$=0,00 N/mm^2
SHELL: [00269-00695-00268] AA= PCA
CA=FRQ ε_{sm}=0E+00 A_e=0,0 cm^2 S_m=0 mm W_k=0,00 mm $\sigma_{ct,f}$=0,00 N/mm^2 CA=QPR ε_{sm}=0E+00 A_e=0,0 cm^2 S_m=0 mm W_k=0,00 mm $\sigma_{ct,f}$=0,00 N/mm^2
SHELL: [00414-00415-00682] AA= PCA
CA=FRQ ε_{sm}=0E+00 A_e=0,0 cm^2 S_m=0 mm W_k=0,00 mm $\sigma_{ct,f}$=0,00 N/mm^2 CA=QPR ε_{sm}=0E+00 A_e=0,0 cm^2 S_m=0 mm W_k=0,00 mm $\sigma_{ct,f}$=0,00 N/mm^2
SHELL: [00406-00686-00405] AA= PCA
CA=FRQ ε_{sm}=0E+00 A_e=0,0 cm^2 S_m=0 mm W_k=0,00 mm $\sigma_{ct,f}$=0,00 N/mm^2 CA=QPR ε_{sm}=0E+00 A_e=0,0 cm^2 S_m=0 mm W_k=0,00 mm $\sigma_{ct,f}$=0,00 N/mm^2
SHELL: [00683-00680-00679] AA= PCA
CA=FRQ ε_{sm}=0E+00 A_e=0,0 cm^2 S_m=0 mm W_k=0,00 mm $\sigma_{ct,f}$=0,00 N/mm^2 CA=QPR ε_{sm}=0E+00 A_e=0,0 cm^2 S_m=0 mm W_k=0,00 mm $\sigma_{ct,f}$=0,00 N/mm^2
SHELL: [00683-00679-00403] AA= PCA
CA=FRQ ε_{sm}=0E+00 A_e=0,0 cm^2 S_m=0 mm W_k=0,00 mm $\sigma_{ct,f}$=0,00 N/mm^2 CA=QPR ε_{sm}=0E+00 A_e=0,0 cm^2 S_m=0 mm W_k=0,00 mm $\sigma_{ct,f}$=0,00 N/mm^2
SHELL: [00684-00680-00683] AA= PCA
CA=FRQ ε_{sm}=0E+00 A_e=0,0 cm^2 S_m=0 mm W_k=0,00 mm $\sigma_{ct,f}$=0,00 N/mm^2 CA=QPR ε_{sm}=0E+00 A_e=0,0 cm^2 S_m=0 mm W_k=0,00 mm $\sigma_{ct,f}$=0,00 N/mm^2
SHELL: [00685-00682-00681] AA= PCA
CA=FRQ ε_{sm}=0E+00 A_e=0,0 cm^2 S_m=0 mm W_k=0,00 mm $\sigma_{ct,f}$=0,00 N/mm^2 CA=QPR ε_{sm}=0E+00 A_e=0,0 cm^2 S_m=0 mm W_k=0,00 mm $\sigma_{ct,f}$=0,00 N/mm^2
SHELL: [00685-00414-00682] AA= PCA
CA=FRQ ε_{sm}=0E+00 A_e=0,0 cm^2 S_m=0 mm W_k=0,00 mm $\sigma_{ct,f}$=0,00 N/mm^2 CA=QPR ε_{sm}=0E+00 A_e=0,0 cm^2 S_m=0 mm W_k=0,00 mm $\sigma_{ct,f}$=0,00 N/mm^2
SHELL: [00684-00681-00680] AA= PCA
CA=FRQ ε_{sm}=0E+00 A_e=0,0 cm^2 S_m=0 mm W_k=0,00 mm $\sigma_{ct,f}$=0,00 N/mm^2 CA=QPR ε_{sm}=0E+00 A_e=0,0 cm^2 S_m=0 mm W_k=0,00

Dir	Nodo	σ_{ct} [N/mm^2]	σ_{cc} [N/mm^2]	σ_{at} [N/mm^2]	Nodo	σ_{ct} [N/mm^2]	σ_{cc} [N/mm^2]	σ_{at} [N/mm^2]	Nodo	σ_{ct} [N/mm^2]	σ_{cc} [N/mm^2]	σ_{at} [N/mm^2]	Nodo	σ_{ct} [N/mm^2]	σ_{cc} [N/mm^2]	σ_{at} [N/mm^2]

mm $\sigma_{ct,f}$=0,00 N/mm^2
SHELL: [00675-00693-00408] AA= PCA
CA=FRQ ε_{sm}=0E+00 A_e=0,0 cm^2 S_m=0 mm W_k=0,00 mm $\sigma_{ct,f}$=0,00 N/mm^2 CA=QPR ε_{sm}=0E+00 A_e=0,0 cm^2 S_m=0 mm W_k=0,00 mm $\sigma_{ct,f}$=0,00 N/mm^2
SHELL: [00693-00694-00690] AA= PCA
CA=FRQ ε_{sm}=0E+00 A_e=0,0 cm^2 S_m=0 mm W_k=0,00 mm $\sigma_{ct,f}$=0,00 N/mm^2 CA=QPR ε_{sm}=0E+00 A_e=0,0 cm^2 S_m=0 mm W_k=0,00 mm $\sigma_{ct,f}$=0,00 N/mm^2
SHELL: [00688-00685-00684] AA= PCA
CA=FRQ ε_{sm}=0E+00 A_e=0,0 cm^2 S_m=0 mm W_k=0,00 mm $\sigma_{ct,f}$=0,00 N/mm^2 CA=QPR ε_{sm}=0E+00 A_e=0,0 cm^2 S_m=0 mm W_k=0,00 mm $\sigma_{ct,f}$=0,00 N/mm^2
SHELL: [00412-00413-00689] AA= PCA
CA=FRQ ε_{sm}=0E+00 A_e=0,0 cm^2 S_m=0 mm W_k=0,00 mm $\sigma_{ct,f}$=0,00 N/mm^2 CA=QPR ε_{sm}=0E+00 A_e=0,0 cm^2 S_m=0 mm W_k=0,00 mm $\sigma_{ct,f}$=0,00 N/mm^2
SHELL: [00693-00406-00407] AA= PCA
CA=FRQ ε_{sm}=0E+00 A_e=0,0 cm^2 S_m=0 mm W_k=0,00 mm $\sigma_{ct,f}$=0,00 N/mm^2 CA=QPR ε_{sm}=0E+00 A_e=0,0 cm^2 S_m=0 mm W_k=0,00 mm $\sigma_{ct,f}$=0,00 N/mm^2
SHELL: [00405-00686-00404] AA= PCA
CA=FRQ ε_{sm}=0E+00 A_e=0,0 cm^2 S_m=0 mm W_k=0,00 mm $\sigma_{ct,f}$=0,00 N/mm^2 CA=QPR ε_{sm}=0E+00 A_e=0,0 cm^2 S_m=0 mm W_k=0,00 mm $\sigma_{ct,f}$=0,00 N/mm^2
SHELL: [00689-00414-00685] AA= PCA
CA=FRQ ε_{sm}=0E+00 A_e=0,0 cm^2 S_m=0 mm W_k=0,00 mm $\sigma_{ct,f}$=0,00 N/mm^2 CA=QPR ε_{sm}=0E+00 A_e=0,0 cm^2 S_m=0 mm W_k=0,00 mm $\sigma_{ct,f}$=0,00 N/mm^2
SHELL: [00689-00413-00414] AA= PCA
CA=FRQ ε_{sm}=0E+00 A_e=0,0 cm^2 S_m=0 mm W_k=0,00 mm $\sigma_{ct,f}$=0,00 N/mm^2 CA=QPR ε_{sm}=0E+00 A_e=0,0 cm^2 S_m=0 mm W_k=0,00 mm $\sigma_{ct,f}$=0,00 N/mm^2
SHELL: [00689-00685-00688] AA= PCA
CA=FRQ ε_{sm}=0E+00 A_e=0,0 cm^2 S_m=0 mm W_k=0,00 mm $\sigma_{ct,f}$=0,00 N/mm^2 CA=QPR ε_{sm}=0E+00 A_e=0,0 cm^2 S_m=0 mm W_k=0,00 mm $\sigma_{ct,f}$=0,00 N/mm^2
SHELL: [00686-00683-00403] AA= PCA
CA=FRQ ε_{sm}=0E+00 A_e=0,0 cm^2 S_m=0 mm W_k=0,00 mm $\sigma_{ct,f}$=0,00 N/mm^2 CA=QPR ε_{sm}=0E+00 A_e=0,0 cm^2 S_m=0 mm W_k=0,00 mm $\sigma_{ct,f}$=0,00 N/mm^2
SHELL: [00686-00403-00404] AA= PCA
CA=FRQ ε_{sm}=0E+00 A_e=0,0 cm^2 S_m=0 mm W_k=0,00 mm $\sigma_{ct,f}$=0,00 N/mm^2 CA=QPR ε_{sm}=0E+00 A_e=0,0 cm^2 S_m=0 mm W_k=0,00 mm $\sigma_{ct,f}$=0,00 N/mm^2
SHELL: [00687-00684-00683] AA= PCA
CA=FRQ ε_{sm}=0E+00 A_e=0,0 cm^2 S_m=0 mm W_k=0,00 mm $\sigma_{ct,f}$=0,00 N/mm^2 CA=QPR ε_{sm}=0E+00 A_e=0,0 cm^2 S_m=0 mm W_k=0,00 mm $\sigma_{ct,f}$=0,00 N/mm^2
SHELL: [00687-00688-00684] AA= PCA
CA=FRQ ε_{sm}=0E+00 A_e=0,0 cm^2 S_m=0 mm W_k=0,00 mm $\sigma_{ct,f}$=0,00 N/mm^2 CA=QPR ε_{sm}=0E+00 A_e=0,0 cm^2 S_m=0 mm W_k=0,00 mm $\sigma_{ct,f}$=0,00 N/mm^2
SHELL: [00687-00683-00686] AA= PCA
CA=FRQ ε_{sm}=0E+00 A_e=0,0 cm^2 S_m=0 mm W_k=0,00 mm $\sigma_{ct,f}$=0,00 N/mm^2 CA=QPR ε_{sm}=0E+00 A_e=0,0 cm^2 S_m=0 mm W_k=0,00 mm $\sigma_{ct,f}$=0,00 N/mm^2
SHELL: [00693-00690-00406] AA= PCA
CA=FRQ ε_{sm}=0E+00 A_e=0,0 cm^2 S_m=0 mm W_k=0,00 mm $\sigma_{ct,f}$=0,00 N/mm^2 CA=QPR ε_{sm}=0E+00 A_e=0,0 cm^2 S_m=0 mm W_k=0,00 mm $\sigma_{ct,f}$=0,00 N/mm^2
SHELL: [00411-00412-00689] AA= PCA
CA=FRQ ε_{sm}=0E+00 A_e=0,0 cm^2 S_m=0 mm W_k=0,00 mm $\sigma_{ct,f}$=0,00 N/mm^2 CA=QPR ε_{sm}=0E+00 A_e=0,0 cm^2 S_m=0 mm W_k=0,00 mm $\sigma_{ct,f}$=0,00 N/mm^2
SHELL: [00694-00691-00690] AA= PCA
CA=FRQ ε_{sm}=0E+00 A_e=0,0 cm^2 S_m=0 mm W_k=0,00 mm $\sigma_{ct,f}$=0,00 N/mm^2 CA=QPR ε_{sm}=0E+00 A_e=0,0 cm^2 S_m=0 mm W_k=0,00 mm $\sigma_{ct,f}$=0,00 N/mm^2
SHELL: [00694-00695-00691] AA= PCA
CA=FRQ ε_{sm}=0E+00 A_e=0,0 cm^2 S_m=0 mm W_k=0,00 mm $\sigma_{ct,f}$=0,00 N/mm^2 CA=QPR ε_{sm}=0E+00 A_e=0,0 cm^2 S_m=0 mm W_k=0,00 mm $\sigma_{ct,f}$=0,00 N/mm^2
SHELL: [00696-00692-00695] AA= PCA
CA=FRQ ε_{sm}=0E+00 A_e=0,0 cm^2 S_m=0 mm W_k=0,00 mm $\sigma_{ct,f}$=0,00 N/mm^2 CA=QPR ε_{sm}=0E+00 A_e=0,0 cm^2 S_m=0 mm W_k=0,00 mm $\sigma_{ct,f}$=0,00 N/mm^2
SHELL: [00691-00688-00687] AA= PCA
CA=FRQ ε_{sm}=0E+00 A_e=0,0 cm^2 S_m=0 mm W_k=0,00 mm $\sigma_{ct,f}$=0,00 N/mm^2 CA=QPR ε_{sm}=0E+00 A_e=0,0 cm^2 S_m=0 mm W_k=0,00 mm $\sigma_{ct,f}$=0,00 N/mm^2
SHELL: [00696-00410-00411] AA= PCA
CA=FRQ ε_{sm}=0E+00 A_e=0,0 cm^2 S_m=0 mm W_k=0,00 mm $\sigma_{ct,f}$=0,00 N/mm^2 CA=QPR ε_{sm}=0E+00 A_e=0,0 cm^2 S_m=0 mm W_k=0,00 mm $\sigma_{ct,f}$=0,00 N/mm^2
SHELL: [00692-00688-00691] AA= PCA
CA=FRQ ε_{sm}=0E+00 A_e=0,0 cm^2 S_m=0 mm W_k=0,00 mm $\sigma_{ct,f}$=0,00 N/mm^2 CA=QPR ε_{sm}=0E+00 A_e=0,0 cm^2 S_m=0 mm W_k=0,00 mm $\sigma_{ct,f}$=0,00 N/mm^2
SHELL: [00690-00686-00406] AA= PCA
CA=FRQ ε_{sm}=0E+00 A_e=0,0 cm^2 S_m=0 mm W_k=0,00 mm $\sigma_{ct,f}$=0,00 N/mm^2 CA=QPR ε_{sm}=0E+00 A_e=0,0 cm^2 S_m=0 mm W_k=0,00 mm $\sigma_{ct,f}$=0,00 N/mm^2
SHELL: [00690-00687-00686] AA= PCA
CA=FRQ ε_{sm}=0E+00 A_e=0,0 cm^2 S_m=0 mm W_k=0,00 mm $\sigma_{ct,f}$=0,00 N/mm^2 CA=QPR ε_{sm}=0E+00 A_e=0,0 cm^2 S_m=0 mm W_k=0,00 mm $\sigma_{ct,f}$=0,00 N/mm^2
SHELL: [00690-00691-00687] AA= PCA
CA=FRQ ε_{sm}=0E+00 A_e=0,0 cm^2 S_m=0 mm W_k=0,00 mm $\sigma_{ct,f}$=0,00 N/mm^2 CA=QPR ε_{sm}=0E+00 A_e=0,0 cm^2 S_m=0 mm W_k=0,00 mm $\sigma_{ct,f}$=0,00 N/mm^2
SHELL: [00692-00411-00689] AA= PCA
CA=FRQ ε_{sm}=0E+00 A_e=0,0 cm^2 S_m=0 mm W_k=0,00 mm $\sigma_{ct,f}$=0,00 N/mm^2 CA=QPR ε_{sm}=0E+00 A_e=0,0 cm^2 S_m=0 mm W_k=0,00 mm $\sigma_{ct,f}$=0,00 N/mm^2
SHELL: [00692-00689-00688] AA= PCA
CA=FRQ ε_{sm}=0E+00 A_e=0,0 cm^2 S_m=0 mm W_k=0,00 mm $\sigma_{ct,f}$=0,00 N/mm^2 CA=QPR ε_{sm}=0E+00 A_e=0,0 cm^2 S_m=0 mm W_k=0,00 mm $\sigma_{ct,f}$=0,00 N/mm^2
SHELL: [00695-00692-00691] AA= PCA
CA=FRQ ε_{sm}=0E+00 A_e=0,0 cm^2 S_m=0 mm W_k=0,00 mm $\sigma_{ct,f}$=0,00 N/mm^2 CA=QPR ε_{sm}=0E+00 A_e=0,0 cm^2 S_m=0 mm W_k=0,00

Dir	Nodo	σ_{ct} [N/mm^2]	σ_{cc} [N/mm^2]	σ_{at} [N/mm^2]	Nodo	σ_{ct} [N/mm^2]	σ_{cc} [N/mm^2]	σ_{at} [N/mm^2]	Nodo	σ_{ct} [N/mm^2]	σ_{cc} [N/mm^2]	σ_{at} [N/mm^2]	Nodo	σ_{ct} [N/mm^2]	σ_{cc} [N/mm^2]	σ_{at} [N/mm^2]
mm $\sigma_{ct,f}$=0,00 N/mm^2																
SHELL: [00696-00411-00692] AA= PCA																
CA=FRQ ε_{sm}=0E+00 A_e=0,0 cm^2 S_m=0 mm W_k=0,00 mm $\sigma_{ct,f}$=0,00 N/mm^2 CA=QPR ε_{sm}=0E+00 A_e=0,0 cm^2 S_m=0 mm W_k=0,00 mm $\sigma_{ct,f}$=0,00 N/mm^2																
SHELL: [00408-00693-00407] AA= PCA																
CA=FRQ ε_{sm}=0E+00 A_e=0,0 cm^2 S_m=0 mm W_k=0,00 mm $\sigma_{ct,f}$=0,00 N/mm^2 CA=QPR ε_{sm}=0E+00 A_e=0,0 cm^2 S_m=0 mm W_k=0,00 mm $\sigma_{ct,f}$=0,00 N/mm^2																
SHELL: [00409-00410-00696] AA= PCA																
CA=FRQ ε_{sm}=0E+00 A_e=0,0 cm^2 S_m=0 mm W_k=0,00 mm $\sigma_{ct,f}$=0,00 N/mm^2 CA=QPR ε_{sm}=0E+00 A_e=0,0 cm^2 S_m=0 mm W_k=0,00 mm $\sigma_{ct,f}$=0,00 N/mm^2																
P	00023	0,000	0,000	0,000	00035	0,000	0,000	0,000	00048	0,000	0,000	0,000	00049	0,000	0,000	0,000
S		0,000	0,000	0,000		0,000	0,000	0,000		0,000	0,000	0,000		0,000	0,000	0,000
P	00265	0,000	0,000	0,000	00266	0,000	0,000	0,000	00267	0,000	0,000	0,000	00268	0,000	0,000	0,000
S		0,000	0,000	0,000		0,000	0,000	0,000		0,000	0,000	0,000		0,000	0,000	0,000
P	00269	0,000	0,000	0,000	00270	0,000	0,000	0,000	00271	0,000	0,000	0,000	00272	0,000	0,000	0,000
S		0,000	0,000	0,000		0,000	0,000	0,000		0,000	0,000	0,000		0,000	0,000	0,000
P	00273	0,000	0,000	0,000	00274	0,000	0,000	0,000	00275	0,000	0,000	0,000	00276	0,000	0,000	0,000
S		0,000	0,000	0,000		0,000	0,000	0,000		0,000	0,000	0,000		0,000	0,000	0,000
P	00401	0,000	0,000	0,000	00402	0,000	0,000	0,000	00403	0,000	0,000	0,000	00404	0,000	0,000	0,000
S		0,000	0,000	0,000		0,000	0,000	0,000		0,000	0,000	0,000		0,000	0,000	0,000
P	00405	0,000	0,000	0,000	00406	0,000	0,000	0,000	00407	0,000	0,000	0,000	00408	0,000	0,000	0,000
S		0,000	0,000	0,000		0,000	0,000	0,000		0,000	0,000	0,000		0,000	0,000	0,000
P	00409	0,000	0,000	0,000	00410	0,000	0,000	0,000	00411	0,000	0,000	0,000	00412	0,000	0,000	0,000
S		0,000	0,000	0,000		0,000	0,000	0,000		0,000	0,000	0,000		0,000	0,000	0,000
P	00413	0,000	0,000	0,000	00414	0,000	0,000	0,000	00415	0,000	0,000	0,000	00416	0,000	0,000	0,000
S		0,000	0,000	0,000		0,000	0,000	0,000		0,000	0,000	0,000		0,000	0,000	0,000
P	00675	0,000	0,000	0,000	00676	0,000	0,000	0,000	00677	0,000	0,000	0,000	00678	0,000	0,000	0,000
S		0,000	0,000	0,000		0,000	0,000	0,000		0,000	0,000	0,000		0,000	0,000	0,000
P	00679	0,000	0,000	0,000	00680	0,000	0,000	0,000	00681	0,000	0,000	0,000	00682	0,000	0,000	0,000
S		0,000	0,000	0,000		0,000	0,000	0,000		0,000	0,000	0,000		0,000	0,000	0,000
P	00683	0,000	0,000	0,000	00684	0,000	0,000	0,000	00685	0,000	0,000	0,000	00686	0,000	0,000	0,000
S		0,000	0,000	0,000		0,000	0,000	0,000		0,000	0,000	0,000		0,000	0,000	0,000
P	00687	0,000	0,000	0,000	00688	0,000	0,000	0,000	00689	0,000	0,000	0,000	00690	0,000	0,000	0,000
S		0,000	0,000	0,000		0,000	0,000	0,000		0,000	0,000	0,000		0,000	0,000	0,000
P	00691	0,000	0,000	0,000	00692	0,000	0,000	0,000	00693	0,000	0,000	0,000	00694	0,000	0,000	0,000
S		0,000	0,000	0,000		0,000	0,000	0,000		0,000	0,000	0,000		0,000	0,000	0,000
P	00695	0,000	0,000	0,000	00696	0,000	0,000	0,000								
S		0,000	0,000	0,000		0,000	0,000	0,000								
Parete P8-24 AA= PCA																
CA=FRQ ε_{sm}=0E+00 A_e=0,0 cm^2 S_m=0 mm W_k=0,00 mm $\sigma_{ct,f}$=0,00 N/mm^2 CA=QPR ε_{sm}=0E+00 A_e=0,0 cm^2 S_m=0 mm W_k=0,00 mm $\sigma_{ct,f}$=0,00 N/mm^2																
Piano terra					**ParetеP8-24**								**Parete P8-24**			
SHELL: [00652-00647-00374] AA= PCA																
CA=FRQ ε_{sm}=0E+00 A_e=0,0 cm^2 S_m=0 mm W_k=0,00 mm $\sigma_{ct,f}$=0,00 N/mm^2 CA=QPR ε_{sm}=0E+00 A_e=0,0 cm^2 S_m=0 mm W_k=0,00 mm $\sigma_{ct,f}$=0,00 N/mm^2																
SHELL: [00648-00379-00111] AA= PCA																
CA=FRQ ε_{sm}=0E+00 A_e=0,0 cm^2 S_m=0 mm W_k=0,00 mm $\sigma_{ct,f}$=0,00 N/mm^2 CA=QPR ε_{sm}=0E+00 A_e=0,0 cm^2 S_m=0 mm W_k=0,00 mm $\sigma_{ct,f}$=0,00 N/mm^2																
SHELL: [00292-00658-00291] AA= PCA																
CA=FRQ ε_{sm}=0E+00 A_e=0,0 cm^2 S_m=0 mm W_k=0,00 mm $\sigma_{ct,f}$=0,00 N/mm^2 CA=QPR ε_{sm}=0E+00 A_e=0,0 cm^2 S_m=0 mm W_k=0,00 mm $\sigma_{ct,f}$=0,00 N/mm^2																
SHELL: [00292-00293-00658] AA= PCA																
CA=FRQ ε_{sm}=0E+00 A_e=0,0 cm^2 S_m=0 mm W_k=0,00 mm $\sigma_{ct,f}$=0,00 N/mm^2 CA=QPR ε_{sm}=0E+00 A_e=0,0 cm^2 S_m=0 mm W_k=0,00 mm $\sigma_{ct,f}$=0,00 N/mm^2																
SHELL: [00291-00657-00290] AA= PCA																
CA=FRQ ε_{sm}=0E+00 A_e=0,0 cm^2 S_m=0 mm W_k=0,00 mm $\sigma_{ct,f}$=0,00 N/mm^2 CA=QPR ε_{sm}=0E+00 A_e=0,0 cm^2 S_m=0 mm W_k=0,00 mm $\sigma_{ct,f}$=0,00 N/mm^2																
SHELL: [00373-00112-00647] AA= PCA																
CA=FRQ ε_{sm}=0E+00 A_e=0,0 cm^2 S_m=0 mm W_k=0,00 mm $\sigma_{ct,f}$=0,00 N/mm^2 CA=QPR ε_{sm}=0E+00 A_e=0,0 cm^2 S_m=0 mm W_k=0,00 mm $\sigma_{ct,f}$=0,00 N/mm^2																
SHELL: [00652-00374-00375] AA= PCA																
CA=FRQ ε_{sm}=0E+00 A_e=0,0 cm^2 S_m=0 mm W_k=0,00 mm $\sigma_{ct,f}$=0,00 N/mm^2 CA=QPR ε_{sm}=0E+00 A_e=0,0 cm^2 S_m=0 mm W_k=0,00 mm $\sigma_{ct,f}$=0,00 N/mm^2																
SHELL: [00291-00658-00657] AA= PCA																
CA=FRQ ε_{sm}=0E+00 A_e=0,0 cm^2 S_m=0 mm W_k=0,00 mm $\sigma_{ct,f}$=0,00 N/mm^2 CA=QPR ε_{sm}=0E+00 A_e=0,0 cm^2 S_m=0 mm W_k=0,00 mm $\sigma_{ct,f}$=0,00 N/mm^2																
SHELL: [00290-00656-00289] AA= PCA																
CA=FRQ ε_{sm}=0E+00 A_e=0,0 cm^2 S_m=0 mm W_k=0,00 mm $\sigma_{ct,f}$=0,00 N/mm^2 CA=QPR ε_{sm}=0E+00 A_e=0,0 cm^2 S_m=0 mm W_k=0,00 mm $\sigma_{ct,f}$=0,00 N/mm^2																

Dir	Nodo	σ_{ct} [N/mm^2]	σ_{cc} [N/mm^2]	σ_{at} [N/mm^2]	Nodo	σ_{ct} [N/mm^2]	σ_{cc} [N/mm^2]	σ_{at} [N/mm^2]	Nodo	σ_{ct} [N/mm^2]	σ_{cc} [N/mm^2]	σ_{at} [N/mm^2]	Nodo	σ_{ct} [N/mm^2]	σ_{cc} [N/mm^2]	σ_{at} [N/mm^2]

SHELL: [00290-00657-00656] AA= PCA
CA=FRQ ε_{sm}=0E+00 A_e=0,0 cm^2 S_m=0 mm W_k=0,00 mm $\sigma_{ct,f}$=0,00 N/mm^2 CA=QPR ε_{sm}=0E+00 A_e=0,0 cm^2 S_m=0 mm W_k=0,00 mm $\sigma_{ct,f}$=0,00 N/mm^2
SHELL: [00293-00659-00658] AA= PCA
CA=FRQ ε_{sm}=0E+00 A_e=0,0 cm^2 S_m=0 mm W_k=0,00 mm $\sigma_{ct,f}$=0,00 N/mm^2 CA=QPR ε_{sm}=0E+00 A_e=0,0 cm^2 S_m=0 mm W_k=0,00 mm $\sigma_{ct,f}$=0,00 N/mm^2
SHELL: [00293-00294-00659] AA= PCA
CA=FRQ ε_{sm}=0E+00 A_e=0,0 cm^2 S_m=0 mm W_k=0,00 mm $\sigma_{ct,f}$=0,00 N/mm^2 CA=QPR ε_{sm}=0E+00 A_e=0,0 cm^2 S_m=0 mm W_k=0,00 mm $\sigma_{ct,f}$=0,00 N/mm^2
SHELL: [00109-00646-00294] AA= PCA
CA=FRQ ε_{sm}=0E+00 A_e=0,0 cm^2 S_m=0 mm W_k=0,00 mm $\sigma_{ct,f}$=0,00 N/mm^2 CA=QPR ε_{sm}=0E+00 A_e=0,0 cm^2 S_m=0 mm W_k=0,00 mm $\sigma_{ct,f}$=0,00 N/mm^2
SHELL: [00647-00112-00374] AA= PCA
CA=FRQ ε_{sm}=0E+00 A_e=0,0 cm^2 S_m=0 mm W_k=0,00 mm $\sigma_{ct,f}$=0,00 N/mm^2 CA=QPR ε_{sm}=0E+00 A_e=0,0 cm^2 S_m=0 mm W_k=0,00 mm $\sigma_{ct,f}$=0,00 N/mm^2
SHELL: [00109-00369-00646] AA= PCA
CA=FRQ ε_{sm}=0E+00 A_e=0,0 cm^2 S_m=0 mm W_k=0,00 mm $\sigma_{ct,f}$=0,00 N/mm^2 CA=QPR ε_{sm}=0E+00 A_e=0,0 cm^2 S_m=0 mm W_k=0,00 mm $\sigma_{ct,f}$=0,00 N/mm^2
SHELL: [00650-00651-00377] AA= PCA
CA=FRQ ε_{sm}=0E+00 A_e=0,0 cm^2 S_m=0 mm W_k=0,00 mm $\sigma_{ct,f}$=0,00 N/mm^2 CA=QPR ε_{sm}=0E+00 A_e=0,0 cm^2 S_m=0 mm W_k=0,00 mm $\sigma_{ct,f}$=0,00 N/mm^2
SHELL: [00081-00648-00111] AA= PCA
CA=FRQ ε_{sm}=0E+00 A_e=0,0 cm^2 S_m=0 mm W_k=0,00 mm $\sigma_{ct,f}$=0,00 N/mm^2 CA=QPR ε_{sm}=0E+00 A_e=0,0 cm^2 S_m=0 mm W_k=0,00 mm $\sigma_{ct,f}$=0,00 N/mm^2
SHELL: [00649-00648-00081] AA= PCA
CA=FRQ ε_{sm}=0E+00 A_e=0,0 cm^2 S_m=0 mm W_k=0,00 mm $\sigma_{ct,f}$=0,00 N/mm^2 CA=QPR ε_{sm}=0E+00 A_e=0,0 cm^2 S_m=0 mm W_k=0,00 mm $\sigma_{ct,f}$=0,00 N/mm^2
SHELL: [00110-00645-00368] AA= PCA
CA=FRQ ε_{sm}=0E+00 A_e=0,0 cm^2 S_m=0 mm W_k=0,00 mm $\sigma_{ct,f}$=0,00 N/mm^2 CA=QPR ε_{sm}=0E+00 A_e=0,0 cm^2 S_m=0 mm W_k=0,00 mm $\sigma_{ct,f}$=0,00 N/mm^2
SHELL: [00372-00373-00652] AA= PCA
CA=FRQ ε_{sm}=0E+00 A_e=0,0 cm^2 S_m=0 mm W_k=0,00 mm $\sigma_{ct,f}$=0,00 N/mm^2 CA=QPR ε_{sm}=0E+00 A_e=0,0 cm^2 S_m=0 mm W_k=0,00 mm $\sigma_{ct,f}$=0,00 N/mm^2
SHELL: [00652-00373-00647] AA= PCA
CA=FRQ ε_{sm}=0E+00 A_e=0,0 cm^2 S_m=0 mm W_k=0,00 mm $\sigma_{ct,f}$=0,00 N/mm^2 CA=QPR ε_{sm}=0E+00 A_e=0,0 cm^2 S_m=0 mm W_k=0,00 mm $\sigma_{ct,f}$=0,00 N/mm^2
SHELL: [00294-00646-00659] AA= PCA
CA=FRQ ε_{sm}=0E+00 A_e=0,0 cm^2 S_m=0 mm W_k=0,00 mm $\sigma_{ct,f}$=0,00 N/mm^2 CA=QPR ε_{sm}=0E+00 A_e=0,0 cm^2 S_m=0 mm W_k=0,00 mm $\sigma_{ct,f}$=0,00 N/mm^2
SHELL: [00649-00378-00379] AA= PCA
CA=FRQ ε_{sm}=0E+00 A_e=0,0 cm^2 S_m=0 mm W_k=0,00 mm $\sigma_{ct,f}$=0,00 N/mm^2 CA=QPR ε_{sm}=0E+00 A_e=0,0 cm^2 S_m=0 mm W_k=0,00 mm $\sigma_{ct,f}$=0,00 N/mm^2
SHELL: [00649-00379-00648] AA= PCA
CA=FRQ ε_{sm}=0E+00 A_e=0,0 cm^2 S_m=0 mm W_k=0,00 mm $\sigma_{ct,f}$=0,00 N/mm^2 CA=QPR ε_{sm}=0E+00 A_e=0,0 cm^2 S_m=0 mm W_k=0,00 mm $\sigma_{ct,f}$=0,00 N/mm^2
SHELL: [00365-00649-00081] AA= PCA
CA=FRQ ε_{sm}=0E+00 A_e=0,0 cm^2 S_m=0 mm W_k=0,00 mm $\sigma_{ct,f}$=0,00 N/mm^2 CA=QPR ε_{sm}=0E+00 A_e=0,0 cm^2 S_m=0 mm W_k=0,00 mm $\sigma_{ct,f}$=0,00 N/mm^2
SHELL: [00651-00375-00376] AA= PCA
CA=FRQ ε_{sm}=0E+00 A_e=0,0 cm^2 S_m=0 mm W_k=0,00 mm $\sigma_{ct,f}$=0,00 N/mm^2 CA=QPR ε_{sm}=0E+00 A_e=0,0 cm^2 S_m=0 mm W_k=0,00 mm $\sigma_{ct,f}$=0,00 N/mm^2
SHELL: [00651-00652-00375] AA= PCA
CA=FRQ ε_{sm}=0E+00 A_e=0,0 cm^2 S_m=0 mm W_k=0,00 mm $\sigma_{ct,f}$=0,00 N/mm^2 CA=QPR ε_{sm}=0E+00 A_e=0,0 cm^2 S_m=0 mm W_k=0,00 mm $\sigma_{ct,f}$=0,00 N/mm^2
SHELL: [00651-00376-00377] AA= PCA
CA=FRQ ε_{sm}=0E+00 A_e=0,0 cm^2 S_m=0 mm W_k=0,00 mm $\sigma_{ct,f}$=0,00 N/mm^2 CA=QPR ε_{sm}=0E+00 A_e=0,0 cm^2 S_m=0 mm W_k=0,00 mm $\sigma_{ct,f}$=0,00 N/mm^2
SHELL: [00650-00377-00378] AA= PCA
CA=FRQ ε_{sm}=0E+00 A_e=0,0 cm^2 S_m=0 mm W_k=0,00 mm $\sigma_{ct,f}$=0,00 N/mm^2 CA=QPR ε_{sm}=0E+00 A_e=0,0 cm^2 S_m=0 mm W_k=0,00 mm $\sigma_{ct,f}$=0,00 N/mm^2
SHELL: [00650-00378-00649] AA= PCA
CA=FRQ ε_{sm}=0E+00 A_e=0,0 cm^2 S_m=0 mm W_k=0,00 mm $\sigma_{ct,f}$=0,00 N/mm^2 CA=QPR ε_{sm}=0E+00 A_e=0,0 cm^2 S_m=0 mm W_k=0,00 mm $\sigma_{ct,f}$=0,00 N/mm^2
SHELL: [00371-00652-00655] AA= PCA
CA=FRQ ε_{sm}=0E+00 A_e=0,0 cm^2 S_m=0 mm W_k=0,00 mm $\sigma_{ct,f}$=0,00 N/mm^2 CA=QPR ε_{sm}=0E+00 A_e=0,0 cm^2 S_m=0 mm W_k=0,00 mm $\sigma_{ct,f}$=0,00 N/mm^2
SHELL: [00646-00369-00659] AA= PCA
CA=FRQ ε_{sm}=0E+00 A_e=0,0 cm^2 S_m=0 mm W_k=0,00 mm $\sigma_{ct,f}$=0,00 N/mm^2 CA=QPR ε_{sm}=0E+00 A_e=0,0 cm^2 S_m=0 mm W_k=0,00 mm $\sigma_{ct,f}$=0,00 N/mm^2
SHELL: [00369-00370-00659] AA= PCA
CA=FRQ ε_{sm}=0E+00 A_e=0,0 cm^2 S_m=0 mm W_k=0,00 mm $\sigma_{ct,f}$=0,00 N/mm^2 CA=QPR ε_{sm}=0E+00 A_e=0,0 cm^2 S_m=0 mm W_k=0,00 mm $\sigma_{ct,f}$=0,00 N/mm^2
SHELL: [00366-00649-00365] AA= PCA
CA=FRQ ε_{sm}=0E+00 A_e=0,0 cm^2 S_m=0 mm W_k=0,00 mm $\sigma_{ct,f}$=0,00 N/mm^2 CA=QPR ε_{sm}=0E+00 A_e=0,0 cm^2 S_m=0 mm W_k=0,00 mm $\sigma_{ct,f}$=0,00 N/mm^2
SHELL: [00656-00657-00653] AA= PCA
CA=FRQ ε_{sm}=0E+00 A_e=0,0 cm^2 S_m=0 mm W_k=0,00 mm $\sigma_{ct,f}$=0,00 N/mm^2 CA=QPR ε_{sm}=0E+00 A_e=0,0 cm^2 S_m=0 mm W_k=0,00 mm $\sigma_{ct,f}$=0,00 N/mm^2
SHELL: [00653-00650-00649] AA= PCA
CA=FRQ ε_{sm}=0E+00 A_e=0,0 cm^2 S_m=0 mm W_k=0,00 mm $\sigma_{ct,f}$=0,00 N/mm^2 CA=QPR ε_{sm}=0E+00 A_e=0,0 cm^2 S_m=0 mm W_k=0,00 mm $\sigma_{ct,f}$=0,00 N/mm^2
SHELL: [00653-00649-00366] AA= PCA
CA=FRQ ε_{sm}=0E+00 A_e=0,0 cm^2 S_m=0 mm W_k=0,00 mm $\sigma_{ct,f}$=0,00 N/mm^2 CA=QPR ε_{sm}=0E+00 A_e=0,0 cm^2 S_m=0 mm W_k=0,00 mm $\sigma_{ct,f}$=0,00 N/mm^2

Dir	Nodo	σ_{ct}	σ_{cc}	σ_{at}	Nodo	σ_{ct}	σ_{cc}	σ_{at}	Nodo	σ_{ct}	σ_{cc}	σ_{at}	Nodo	σ_{ct}	σ_{cc}	σ_{at}
		[N/mm^2]	[N/mm^2]	[N/mm^2]		[N/mm^2]	[N/mm^2]	[N/mm^2]		[N/mm^2]	[N/mm^2]	[N/mm^2]		[N/mm^2]	[N/mm^2]	[N/mm^2]
SHELL: [00654-00650-00653] AA= PCA																
CA=FRQ ε_{sm}=0E+00 A_e=0,0 cm^2 S_m=0 mm W_k=0,00 mm $\sigma_{ct,f}$=0,00 N/mm^2										**CA=QPR ε_{sm}=0E+00 A_e=0,0 cm^2 S_m=0 mm W_k=0,00 mm $\sigma_{ct,f}$=0,00 N/mm^2**						
SHELL: [00654-00651-00650] AA= PCA																
CA=FRQ ε_{sm}=0E+00 A_e=0,0 cm^2 S_m=0 mm W_k=0,00 mm $\sigma_{ct,f}$=0,00 N/mm^2										**CA=QPR ε_{sm}=0E+00 A_e=0,0 cm^2 S_m=0 mm W_k=0,00 mm $\sigma_{ct,f}$=0,00 N/mm^2**						
SHELL: [00110-00289-00645] AA= PCA																
CA=FRQ ε_{sm}=0E+00 A_e=0,0 cm^2 S_m=0 mm W_k=0,00 mm $\sigma_{ct,f}$=0,00 N/mm^2										**CA=QPR ε_{sm}=0E+00 A_e=0,0 cm^2 S_m=0 mm W_k=0,00 mm $\sigma_{ct,f}$=0,00 N/mm^2**						
SHELL: [00655-00651-00654] AA= PCA																
CA=FRQ ε_{sm}=0E+00 A_e=0,0 cm^2 S_m=0 mm W_k=0,00 mm $\sigma_{ct,f}$=0,00 N/mm^2										**CA=QPR ε_{sm}=0E+00 A_e=0,0 cm^2 S_m=0 mm W_k=0,00 mm $\sigma_{ct,f}$=0,00 N/mm^2**						
SHELL: [00655-00652-00651] AA= PCA																
CA=FRQ ε_{sm}=0E+00 A_e=0,0 cm^2 S_m=0 mm W_k=0,00 mm $\sigma_{ct,f}$=0,00 N/mm^2										**CA=QPR ε_{sm}=0E+00 A_e=0,0 cm^2 S_m=0 mm W_k=0,00 mm $\sigma_{ct,f}$=0,00 N/mm^2**						
SHELL: [00658-00654-00657] AA= PCA																
CA=FRQ ε_{sm}=0E+00 A_e=0,0 cm^2 S_m=0 mm W_k=0,00 mm $\sigma_{ct,f}$=0,00 N/mm^2										**CA=QPR ε_{sm}=0E+00 A_e=0,0 cm^2 S_m=0 mm W_k=0,00 mm $\sigma_{ct,f}$=0,00 N/mm^2**						
SHELL: [00656-00366-00367] AA= PCA																
CA=FRQ ε_{sm}=0E+00 A_e=0,0 cm^2 S_m=0 mm W_k=0,00 mm $\sigma_{ct,f}$=0,00 N/mm^2										**CA=QPR ε_{sm}=0E+00 A_e=0,0 cm^2 S_m=0 mm W_k=0,00 mm $\sigma_{ct,f}$=0,00 N/mm^2**						
SHELL: [00371-00372-00652] AA= PCA																
CA=FRQ ε_{sm}=0E+00 A_e=0,0 cm^2 S_m=0 mm W_k=0,00 mm $\sigma_{ct,f}$=0,00 N/mm^2										**CA=QPR ε_{sm}=0E+00 A_e=0,0 cm^2 S_m=0 mm W_k=0,00 mm $\sigma_{ct,f}$=0,00 N/mm^2**						
SHELL: [00656-00653-00366] AA= PCA																
CA=FRQ ε_{sm}=0E+00 A_e=0,0 cm^2 S_m=0 mm W_k=0,00 mm $\sigma_{ct,f}$=0,00 N/mm^2										**CA=QPR ε_{sm}=0E+00 A_e=0,0 cm^2 S_m=0 mm W_k=0,00 mm $\sigma_{ct,f}$=0,00 N/mm^2**						
SHELL: [00645-00656-00368] AA= PCA																
CA=FRQ ε_{sm}=0E+00 A_e=0,0 cm^2 S_m=0 mm W_k=0,00 mm $\sigma_{ct,f}$=0,00 N/mm^2										**CA=QPR ε_{sm}=0E+00 A_e=0,0 cm^2 S_m=0 mm W_k=0,00 mm $\sigma_{ct,f}$=0,00 N/mm^2**						
SHELL: [00659-00371-00655] AA= PCA																
CA=FRQ ε_{sm}=0E+00 A_e=0,0 cm^2 S_m=0 mm W_k=0,00 mm $\sigma_{ct,f}$=0,00 N/mm^2										**CA=QPR ε_{sm}=0E+00 A_e=0,0 cm^2 S_m=0 mm W_k=0,00 mm $\sigma_{ct,f}$=0,00 N/mm^2**						
SHELL: [00659-00370-00371] AA= PCA																
CA=FRQ ε_{sm}=0E+00 A_e=0,0 cm^2 S_m=0 mm W_k=0,00 mm $\sigma_{ct,f}$=0,00 N/mm^2										**CA=QPR ε_{sm}=0E+00 A_e=0,0 cm^2 S_m=0 mm W_k=0,00 mm $\sigma_{ct,f}$=0,00 N/mm^2**						
SHELL: [00289-00656-00645] AA= PCA																
CA=FRQ ε_{sm}=0E+00 A_e=0,0 cm^2 S_m=0 mm W_k=0,00 mm $\sigma_{ct,f}$=0,00 N/mm^2										**CA=QPR ε_{sm}=0E+00 A_e=0,0 cm^2 S_m=0 mm W_k=0,00 mm $\sigma_{ct,f}$=0,00 N/mm^2**						
SHELL: [00657-00654-00653] AA= PCA																
CA=FRQ ε_{sm}=0E+00 A_e=0,0 cm^2 S_m=0 mm W_k=0,00 mm $\sigma_{ct,f}$=0,00 N/mm^2										**CA=QPR ε_{sm}=0E+00 A_e=0,0 cm^2 S_m=0 mm W_k=0,00 mm $\sigma_{ct,f}$=0,00 N/mm^2**						
SHELL: [00368-00656-00367] AA= PCA																
CA=FRQ ε_{sm}=0E+00 A_e=0,0 cm^2 S_m=0 mm W_k=0,00 mm $\sigma_{ct,f}$=0,00 N/mm^2										**CA=QPR ε_{sm}=0E+00 A_e=0,0 cm^2 S_m=0 mm W_k=0,00 mm $\sigma_{ct,f}$=0,00 N/mm^2**						
SHELL: [00658-00655-00654] AA= PCA																
CA=FRQ ε_{sm}=0E+00 A_e=0,0 cm^2 S_m=0 mm W_k=0,00 mm $\sigma_{ct,f}$=0,00 N/mm^2										**CA=QPR ε_{sm}=0E+00 A_e=0,0 cm^2 S_m=0 mm W_k=0,00 mm $\sigma_{ct,f}$=0,00 N/mm^2**						
SHELL: [00658-00659-00655] AA= PCA																
CA=FRQ ε_{sm}=0E+00 A_e=0,0 cm^2 S_m=0 mm W_k=0,00 mm $\sigma_{ct,f}$=0,00 N/mm^2										**CA=QPR ε_{sm}=0E+00 A_e=0,0 cm^2 S_m=0 mm W_k=0,00 mm $\sigma_{ct,f}$=0,00 N/mm^2**						
P	00081	0,000	0,000	0,000	00109	0,000	0,000	0,000	00110	0,000	0,000	0,000	00111	0,000	0,000	0,000
S		0,000	0,000	0,000		0,000	0,000	0,000		0,000	0,000	0,000		0,000	0,000	0,000
P	00112	0,000	0,000	0,000	00289	0,000	0,000	0,000	00290	0,000	0,000	0,000	00291	0,000	0,000	0,000
S		0,000	0,000	0,000		0,000	0,000	0,000		0,000	0,000	0,000		0,000	0,000	0,000
P	00292	0,000	0,000	0,000	00293	0,000	0,000	0,000	00294	0,000	0,000	0,000	00365	0,000	0,000	0,000
S		0,000	0,000	0,000		0,000	0,000	0,000		0,000	0,000	0,000		0,000	0,000	0,000
P	00366	0,000	0,000	0,000	00367	0,000	0,000	0,000	00368	0,000	0,000	0,000	00369	0,000	0,000	0,000
S		0,000	0,000	0,000		0,000	0,000	0,000		0,000	0,000	0,000		0,000	0,000	0,000
P	00370	0,000	0,000	0,000	00371	0,000	0,000	0,000	00372	0,000	0,000	0,000	00373	0,000	0,000	0,000
S		0,000	0,000	0,000		0,000	0,000	0,000		0,000	0,000	0,000		0,000	0,000	0,000
P	00374	0,000	0,000	0,000	00375	0,000	0,000	0,000	00376	0,000	0,000	0,000	00377	0,000	0,000	0,000
S		0,000	0,000	0,000		0,000	0,000	0,000		0,000	0,000	0,000		0,000	0,000	0,000
P	00378	0,000	0,000	0,000	00379	0,000	0,000	0,000	00645	0,000	0,000	0,000	00646	0,000	0,000	0,000
S		0,000	0,000	0,000		0,000	0,000	0,000		0,000	0,000	0,000		0,000	0,000	0,000
P	00647	0,000	0,000	0,000	00648	0,000	0,000	0,000	00649	0,000	0,000	0,000	00650	0,000	0,000	0,000
S		0,000	0,000	0,000		0,000	0,000	0,000		0,000	0,000	0,000		0,000	0,000	0,000
P	00651	0,000	0,000	0,000	00652	0,000	0,000	0,000	00653	0,000	0,000	0,000	00654	0,000	0,000	0,000
S		0,000	0,000	0,000		0,000	0,000	0,000		0,000	0,000	0,000		0,000	0,000	0,000
P	00655	0,000	0,000	0,000	00656	0,000	0,000	0,000	00657	0,000	0,000	0,000	00658	0,000	0,000	0,000
S		0,000	0,000	0,000		0,000	0,000	0,000		0,000	0,000	0,000		0,000	0,000	0,000
P	00659	0,000	0,000	0,000												

Dir	Nodo	σ_{ct}	σ_{cc}	σ_{at}	Nodo	σ_{ct}	σ_{cc}	σ_{at}	Nodo	σ_{ct}	σ_{cc}	σ_{at}	Nodo	σ_{ct}	σ_{cc}	σ_{at}
		[N/mm²]	[N/mm²]	[N/mm²]		[N/mm²]	[N/mm²]	[N/mm²]		[N/mm²]	[N/mm²]	[N/mm²]		[N/mm²]	[N/mm²]	[N/mm²]
S		0,000	0,000	0,000												

Parete 1-P1 AA= PCA

CA=FRQ ε_{sm}=0E+00 A_e=0,0 cm² S_m=0 mm W_k=0,00 mm $\sigma_{ct,f}$=0,00 N/mm² CA=QPR ε_{sm}=0E+00 A_e=0,0 cm² S_m=0 mm W_k=0,00 mm $\sigma_{ct,f}$=0,00 N/mm²

Piano interrato | **Parete1-P1** | **Parete 1-P1**

SHELL: [00549-00812-00001] AA= PCA

CA=FRQ ε_{sm}=0E+00 A_e=0,0 cm² S_m=0 mm W_k=0,00 mm $\sigma_{ct,f}$=0,00 N/mm² CA=QPR ε_{sm}=0E+00 A_e=0,0 cm² S_m=0 mm W_k=0,00 mm $\sigma_{ct,f}$=0,00 N/mm²

SHELL: [00126-00550-00809] AA= PCA

CA=FRQ ε_{sm}=0E+00 A_e=0,0 cm² S_m=0 mm W_k=0,00 mm $\sigma_{ct,f}$=0,00 N/mm² CA=QPR ε_{sm}=0E+00 A_e=0,0 cm² S_m=0 mm W_k=0,00 mm $\sigma_{ct,f}$=0,00 N/mm²

SHELL: [00126-00809-00549] AA= PCA

CA=FRQ ε_{sm}=0E+00 A_e=0,0 cm² S_m=0 mm W_k=0,00 mm $\sigma_{ct,f}$=0,00 N/mm² CA=QPR ε_{sm}=0E+00 A_e=0,0 cm² S_m=0 mm W_k=0,00 mm $\sigma_{ct,f}$=0,00 N/mm²

SHELL: [00550-00813-00809] AA= PCA

CA=FRQ ε_{sm}=0E+00 A_e=0,0 cm² S_m=0 mm W_k=0,00 mm $\sigma_{ct,f}$=0,00 N/mm² CA=QPR ε_{sm}=0E+00 A_e=0,0 cm² S_m=0 mm W_k=0,00 mm $\sigma_{ct,f}$=0,00 N/mm²

SHELL: [00550-00551-00813] AA= PCA

CA=FRQ ε_{sm}=0E+00 A_e=0,0 cm² S_m=0 mm W_k=0,00 mm $\sigma_{ct,f}$=0,00 N/mm² CA=QPR ε_{sm}=0E+00 A_e=0,0 cm² S_m=0 mm W_k=0,00 mm $\sigma_{ct,f}$=0,00 N/mm²

SHELL: [00551-00552-00814] AA= PCA

CA=FRQ ε_{sm}=0E+00 A_e=0,0 cm² S_m=0 mm W_k=0,00 mm $\sigma_{ct,f}$=0,00 N/mm² CA=QPR ε_{sm}=0E+00 A_e=0,0 cm² S_m=0 mm W_k=0,00 mm $\sigma_{ct,f}$=0,00 N/mm²

SHELL: [00551-00814-00813] AA= PCA

CA=FRQ ε_{sm}=0E+00 A_e=0,0 cm² S_m=0 mm W_k=0,00 mm $\sigma_{ct,f}$=0,00 N/mm² CA=QPR ε_{sm}=0E+00 A_e=0,0 cm² S_m=0 mm W_k=0,00 mm $\sigma_{ct,f}$=0,00 N/mm²

SHELL: [00552-00553-00814] AA= PCA

CA=FRQ ε_{sm}=0E+00 A_e=0,0 cm² S_m=0 mm W_k=0,00 mm $\sigma_{ct,f}$=0,00 N/mm² CA=QPR ε_{sm}=0E+00 A_e=0,0 cm² S_m=0 mm W_k=0,00 mm $\sigma_{ct,f}$=0,00 N/mm²

SHELL: [00553-00083-00810] AA= PCA

CA=FRQ ε_{sm}=0E+00 A_e=0,0 cm² S_m=0 mm W_k=0,00 mm $\sigma_{ct,f}$=0,00 N/mm² CA=QPR ε_{sm}=0E+00 A_e=0,0 cm² S_m=0 mm W_k=0,00 mm $\sigma_{ct,f}$=0,00 N/mm²

SHELL: [00811-00002-00554] AA= PCA

CA=FRQ ε_{sm}=0E+00 A_e=0,0 cm² S_m=0 mm W_k=0,00 mm $\sigma_{ct,f}$=0,00 N/mm² CA=QPR ε_{sm}=0E+00 A_e=0,0 cm² S_m=0 mm W_k=0,00 mm $\sigma_{ct,f}$=0,00 N/mm²

SHELL: [00812-00557-00001] AA= PCA

CA=FRQ ε_{sm}=0E+00 A_e=0,0 cm² S_m=0 mm W_k=0,00 mm $\sigma_{ct,f}$=0,00 N/mm² CA=QPR ε_{sm}=0E+00 A_e=0,0 cm² S_m=0 mm W_k=0,00 mm $\sigma_{ct,f}$=0,00 N/mm²

SHELL: [00809-00813-00812] AA= PCA

CA=FRQ ε_{sm}=0E+00 A_e=0,0 cm² S_m=0 mm W_k=0,00 mm $\sigma_{ct,f}$=0,00 N/mm² CA=QPR ε_{sm}=0E+00 A_e=0,0 cm² S_m=0 mm W_k=0,00 mm $\sigma_{ct,f}$=0,00 N/mm²

SHELL: [00809-00812-00549] AA= PCA

CA=FRQ ε_{sm}=0E+00 A_e=0,0 cm² S_m=0 mm W_k=0,00 mm $\sigma_{ct,f}$=0,00 N/mm² CA=QPR ε_{sm}=0E+00 A_e=0,0 cm² S_m=0 mm W_k=0,00 mm $\sigma_{ct,f}$=0,00 N/mm²

SHELL: [00814-00555-00556] AA= PCA

CA=FRQ ε_{sm}=0E+00 A_e=0,0 cm² S_m=0 mm W_k=0,00 mm $\sigma_{ct,f}$=0,00 N/mm² CA=QPR ε_{sm}=0E+00 A_e=0,0 cm² S_m=0 mm W_k=0,00 mm $\sigma_{ct,f}$=0,00 N/mm²

SHELL: [00553-00810-00814] AA= PCA

CA=FRQ ε_{sm}=0E+00 A_e=0,0 cm² S_m=0 mm W_k=0,00 mm $\sigma_{ct,f}$=0,00 N/mm² CA=QPR ε_{sm}=0E+00 A_e=0,0 cm² S_m=0 mm W_k=0,00 mm $\sigma_{ct,f}$=0,00 N/mm²

SHELL: [00814-00811-00554] AA= PCA

CA=FRQ ε_{sm}=0E+00 A_e=0,0 cm² S_m=0 mm W_k=0,00 mm $\sigma_{ct,f}$=0,00 N/mm² CA=QPR ε_{sm}=0E+00 A_e=0,0 cm² S_m=0 mm W_k=0,00 mm $\sigma_{ct,f}$=0,00 N/mm²

SHELL: [00814-00554-00555] AA= PCA

CA=FRQ ε_{sm}=0E+00 A_e=0,0 cm² S_m=0 mm W_k=0,00 mm $\sigma_{ct,f}$=0,00 N/mm² CA=QPR ε_{sm}=0E+00 A_e=0,0 cm² S_m=0 mm W_k=0,00 mm $\sigma_{ct,f}$=0,00 N/mm²

SHELL: [00813-00556-00557] AA= PCA

CA=FRQ ε_{sm}=0E+00 A_e=0,0 cm² S_m=0 mm W_k=0,00 mm $\sigma_{ct,f}$=0,00 N/mm² CA=QPR ε_{sm}=0E+00 A_e=0,0 cm² S_m=0 mm W_k=0,00 mm $\sigma_{ct,f}$=0,00 N/mm²

SHELL: [00813-00557-00812] AA= PCA

CA=FRQ ε_{sm}=0E+00 A_e=0,0 cm² S_m=0 mm W_k=0,00 mm $\sigma_{ct,f}$=0,00 N/mm² CA=QPR ε_{sm}=0E+00 A_e=0,0 cm² S_m=0 mm W_k=0,00 mm $\sigma_{ct,f}$=0,00 N/mm²

SHELL: [00813-00814-00556] AA= PCA

CA=FRQ ε_{sm}=0E+00 A_e=0,0 cm² S_m=0 mm W_k=0,00 mm $\sigma_{ct,f}$=0,00 N/mm² CA=QPR ε_{sm}=0E+00 A_e=0,0 cm² S_m=0 mm W_k=0,00 mm $\sigma_{ct,f}$=0,00 N/mm²

SHELL: [00810-00811-00814] AA= PCA

CA=FRQ ε_{sm}=0E+00 A_e=0,0 cm² S_m=0 mm W_k=0,00 mm $\sigma_{ct,f}$=0,00 N/mm² CA=QPR ε_{sm}=0E+00 A_e=0,0 cm² S_m=0 mm W_k=0,00 mm $\sigma_{ct,f}$=0,00 N/mm²

SHELL: [00417-00002-00811] AA= PCA

CA=FRQ ε_{sm}=0E+00 A_e=0,0 cm² S_m=0 mm W_k=0,00 mm $\sigma_{ct,f}$=0,00 N/mm² CA=QPR ε_{sm}=0E+00 A_e=0,0 cm² S_m=0 mm W_k=0,00 mm $\sigma_{ct,f}$=0,00 N/mm²

SHELL: [00083-00417-00810] AA= PCA

CA=FRQ ε_{sm}=0E+00 A_e=0,0 cm² S_m=0 mm W_k=0,00 mm $\sigma_{ct,f}$=0,00 N/mm² CA=QPR ε_{sm}=0E+00 A_e=0,0 cm² S_m=0 mm W_k=0,00 mm $\sigma_{ct,f}$=0,00 N/mm²

SHELL: [00810-00417-00811] AA= PCA

CA=FRQ ε_{sm}=0E+00 A_e=0,0 cm² S_m=0 mm W_k=0,00 mm $\sigma_{ct,f}$=0,00 N/mm² CA=QPR ε_{sm}=0E+00 A_e=0,0 cm² S_m=0 mm W_k=0,00 mm $\sigma_{ct,f}$=0,00 N/mm²

P	00001	0,000	0,000	0,000	00002	0,000	0,000	0,000	00083	0,000	0,000	0,000	00126	0,000	0,000	0,000
S		0,000	0,000	0,000		0,000	0,000	0,000		0,000	0,000	0,000		0,000	0,000	0,000
P	00417	0,000	0,000	0,000	00549	0,000	0,000	0,000	00550	0,000	0,000	0,000	00551	0,000	0,000	0,000
S		0,000	0,000	0,000		0,000	0,000	0,000		0,000	0,000	0,000		0,000	0,000	0,000
P	0055	0,000	0,000	0,000	0055	0,000	0,000	0,000	0055	0,000	0,000	0,000	0055	0,000	0,000	0,000

Dir	Nodo	σ_{ct}	σ_{cc}	σ_{at}	Nodo	σ_{ct}	σ_{cc}	σ_{at}	Nodo	σ_{ct}	σ_{cc}	σ_{at}	Nodo	σ_{ct}	σ_{cc}	σ_{at}
		[N/mm²]	[N/mm²]	[N/mm²]		[N/mm²]	[N/mm²]	[N/mm²]		[N/mm²]	[N/mm²]	[N/mm²]		[N/mm²]	[N/mm²]	[N/mm²]
	2				3				4				5			
S		0,000	0,000	0,000		0,000	0,000	0,000		0,000	0,000	0,000		0,000	0,000	0,000
P	00556	0,000	0,000	0,000	00557	0,000	0,000	0,000	00809	0,000	0,000	0,000	00810	0,000	0,000	0,000
S		0,000	0,000	0,000		0,000	0,000	0,000		0,000	0,000	0,000		0,000	0,000	0,000
P	00811	0,000	0,000	0,000	00812	0,000	0,000	0,000	00813	0,000	0,000	0,000	00814	0,000	0,000	0,000
S		0,000	0,000	0,000		0,000	0,000	0,000		0,000	0,000	0,000		0,000	0,000	0,000

Parete P2-3 AA= PCA
CA=FRQ ε_{sm}=0E+00 A_e=0,0 cm² S_m=0 mm W_k=0,00 mm $\sigma_{ct,f}$=0,00 N/mm² CA=QPR ε_{sm}=0E+00 A_e=0,0 cm² S_m=0 mm W_k=0,00 mm $\sigma_{ct,f}$=0,00 N/mm²

Piano interrato | ParetеP2-3-P3 | Parete P2-3

SHELL: [00483-00758-00104] AA= PCA
CA=FRQ ε_{sm}=0E+00 A_e=0,0 cm² S_m=0 mm W_k=0,00 mm $\sigma_{ct,f}$=0,00 N/mm² CA=QPR ε_{sm}=0E+00 A_e=0,0 cm² S_m=0 mm W_k=0,00 mm $\sigma_{ct,f}$=0,00 N/mm²

SHELL: [00005-00484-00755] AA= PCA
CA=FRQ ε_{sm}=0E+00 A_e=0,0 cm² S_m=0 mm W_k=0,00 mm $\sigma_{ct,f}$=0,00 N/mm² CA=QPR ε_{sm}=0E+00 A_e=0,0 cm² S_m=0 mm W_k=0,00 mm $\sigma_{ct,f}$=0,00 N/mm²

SHELL: [00005-00755-00483] AA= PCA
CA=FRQ ε_{sm}=0E+00 A_e=0,0 cm² S_m=0 mm W_k=0,00 mm $\sigma_{ct,f}$=0,00 N/mm² CA=QPR ε_{sm}=0E+00 A_e=0,0 cm² S_m=0 mm W_k=0,00 mm $\sigma_{ct,f}$=0,00 N/mm²

SHELL: [00484-00759-00755] AA= PCA
CA=FRQ ε_{sm}=0E+00 A_e=0,0 cm² S_m=0 mm W_k=0,00 mm $\sigma_{ct,f}$=0,00 N/mm² CA=QPR ε_{sm}=0E+00 A_e=0,0 cm² S_m=0 mm W_k=0,00 mm $\sigma_{ct,f}$=0,00 N/mm²

SHELL: [00484-00485-00759] AA= PCA
CA=FRQ ε_{sm}=0E+00 A_e=0,0 cm² S_m=0 mm W_k=0,00 mm $\sigma_{ct,f}$=0,00 N/mm² CA=QPR ε_{sm}=0E+00 A_e=0,0 cm² S_m=0 mm W_k=0,00 mm $\sigma_{ct,f}$=0,00 N/mm²

SHELL: [00485-00486-00760] AA= PCA
CA=FRQ ε_{sm}=0E+00 A_e=0,0 cm² S_m=0 mm W_k=0,00 mm $\sigma_{ct,f}$=0,00 N/mm² CA=QPR ε_{sm}=0E+00 A_e=0,0 cm² S_m=0 mm W_k=0,00 mm $\sigma_{ct,f}$=0,00 N/mm²

SHELL: [00485-00760-00759] AA= PCA
CA=FRQ ε_{sm}=0E+00 A_e=0,0 cm² S_m=0 mm W_k=0,00 mm $\sigma_{ct,f}$=0,00 N/mm² CA=QPR ε_{sm}=0E+00 A_e=0,0 cm² S_m=0 mm W_k=0,00 mm $\sigma_{ct,f}$=0,00 N/mm²

SHELL: [00486-00487-00760] AA= PCA
CA=FRQ ε_{sm}=0E+00 A_e=0,0 cm² S_m=0 mm W_k=0,00 mm $\sigma_{ct,f}$=0,00 N/mm² CA=QPR ε_{sm}=0E+00 A_e=0,0 cm² S_m=0 mm W_k=0,00 mm $\sigma_{ct,f}$=0,00 N/mm²

SHELL: [00487-00006-00756] AA= PCA
CA=FRQ ε_{sm}=0E+00 A_e=0,0 cm² S_m=0 mm W_k=0,00 mm $\sigma_{ct,f}$=0,00 N/mm² CA=QPR ε_{sm}=0E+00 A_e=0,0 cm² S_m=0 mm W_k=0,00 mm $\sigma_{ct,f}$=0,00 N/mm²

SHELL: [00757-00103-00488] AA= PCA
CA=FRQ ε_{sm}=0E+00 A_e=0,0 cm² S_m=0 mm W_k=0,00 mm $\sigma_{ct,f}$=0,00 N/mm² CA=QPR ε_{sm}=0E+00 A_e=0,0 cm² S_m=0 mm W_k=0,00 mm $\sigma_{ct,f}$=0,00 N/mm²

SHELL: [00758-00491-00104] AA= PCA
CA=FRQ ε_{sm}=0E+00 A_e=0,0 cm² S_m=0 mm W_k=0,00 mm $\sigma_{ct,f}$=0,00 N/mm² CA=QPR ε_{sm}=0E+00 A_e=0,0 cm² S_m=0 mm W_k=0,00 mm $\sigma_{ct,f}$=0,00 N/mm²

SHELL: [00755-00759-00758] AA= PCA
CA=FRQ ε_{sm}=0E+00 A_e=0,0 cm² S_m=0 mm W_k=0,00 mm $\sigma_{ct,f}$=0,00 N/mm² CA=QPR ε_{sm}=0E+00 A_e=0,0 cm² S_m=0 mm W_k=0,00 mm $\sigma_{ct,f}$=0,00 N/mm²

SHELL: [00755-00758-00483] AA= PCA
CA=FRQ ε_{sm}=0E+00 A_e=0,0 cm² S_m=0 mm W_k=0,00 mm $\sigma_{ct,f}$=0,00 N/mm² CA=QPR ε_{sm}=0E+00 A_e=0,0 cm² S_m=0 mm W_k=0,00 mm $\sigma_{ct,f}$=0,00 N/mm²

SHELL: [00760-00489-00490] AA= PCA
CA=FRQ ε_{sm}=0E+00 A_e=0,0 cm² S_m=0 mm W_k=0,00 mm $\sigma_{ct,f}$=0,00 N/mm² CA=QPR ε_{sm}=0E+00 A_e=0,0 cm² S_m=0 mm W_k=0,00 mm $\sigma_{ct,f}$=0,00 N/mm²

SHELL: [00487-00756-00760] AA= PCA
CA=FRQ ε_{sm}=0E+00 A_e=0,0 cm² S_m=0 mm W_k=0,00 mm $\sigma_{ct,f}$=0,00 N/mm² CA=QPR ε_{sm}=0E+00 A_e=0,0 cm² S_m=0 mm W_k=0,00 mm $\sigma_{ct,f}$=0,00 N/mm²

SHELL: [00760-00757-00488] AA= PCA
CA=FRQ ε_{sm}=0E+00 A_e=0,0 cm² S_m=0 mm W_k=0,00 mm $\sigma_{ct,f}$=0,00 N/mm² CA=QPR ε_{sm}=0E+00 A_e=0,0 cm² S_m=0 mm W_k=0,00 mm $\sigma_{ct,f}$=0,00 N/mm²

SHELL: [00760-00488-00489] AA= PCA
CA=FRQ ε_{sm}=0E+00 A_e=0,0 cm² S_m=0 mm W_k=0,00 mm $\sigma_{ct,f}$=0,00 N/mm² CA=QPR ε_{sm}=0E+00 A_e=0,0 cm² S_m=0 mm W_k=0,00 mm $\sigma_{ct,f}$=0,00 N/mm²

SHELL: [00759-00490-00491] AA= PCA
CA=FRQ ε_{sm}=0E+00 A_e=0,0 cm² S_m=0 mm W_k=0,00 mm $\sigma_{ct,f}$=0,00 N/mm² CA=QPR ε_{sm}=0E+00 A_e=0,0 cm² S_m=0 mm W_k=0,00 mm $\sigma_{ct,f}$=0,00 N/mm²

SHELL: [00759-00491-00758] AA= PCA
CA=FRQ ε_{sm}=0E+00 A_e=0,0 cm² S_m=0 mm W_k=0,00 mm $\sigma_{ct,f}$=0,00 N/mm² CA=QPR ε_{sm}=0E+00 A_e=0,0 cm² S_m=0 mm W_k=0,00 mm $\sigma_{ct,f}$=0,00 N/mm²

SHELL: [00759-00760-00490] AA= PCA
CA=FRQ ε_{sm}=0E+00 A_e=0,0 cm² S_m=0 mm W_k=0,00 mm $\sigma_{ct,f}$=0,00 N/mm² CA=QPR ε_{sm}=0E+00 A_e=0,0 cm² S_m=0 mm W_k=0,00 mm $\sigma_{ct,f}$=0,00 N/mm²

SHELL: [00756-00757-00760] AA= PCA
CA=FRQ ε_{sm}=0E+00 A_e=0,0 cm² S_m=0 mm W_k=0,00 mm $\sigma_{ct,f}$=0,00 N/mm² CA=QPR ε_{sm}=0E+00 A_e=0,0 cm² S_m=0 mm W_k=0,00 mm $\sigma_{ct,f}$=0,00 N/mm²

SHELL: [00329-00103-00757] AA= PCA
CA=FRQ ε_{sm}=0E+00 A_e=0,0 cm² S_m=0 mm W_k=0,00 mm $\sigma_{ct,f}$=0,00 N/mm² CA=QPR ε_{sm}=0E+00 A_e=0,0 cm² S_m=0 mm W_k=0,00 mm $\sigma_{ct,f}$=0,00 N/mm²

SHELL: [00006-00329-00756] AA= PCA
CA=FRQ ε_{sm}=0E+00 A_e=0,0 cm² S_m=0 mm W_k=0,00 mm $\sigma_{ct,f}$=0,00 N/mm² CA=QPR ε_{sm}=0E+00 A_e=0,0 cm² S_m=0 mm W_k=0,00 mm $\sigma_{ct,f}$=0,00 N/mm²

SHELL: [00756-00329-00757] AA= PCA
CA=FRQ ε_{sm}=0E+00 A_e=0,0 cm² S_m=0 mm W_k=0,00 mm $\sigma_{ct,f}$=0,00 N/mm² CA=QPR ε_{sm}=0E+00 A_e=0,0 cm² S_m=0 mm W_k=0,00 mm $\sigma_{ct,f}$=0,00 N/mm²

Dir	Nodo	σ_{ct}	σ_{cc}	σ_{at}	Nodo	σ_{ct}	σ_{cc}	σ_{at}	Nodo	σ_{ct}	σ_{cc}	σ_{at}	Nodo	σ_{ct}	σ_{cc}	σ_{at}
		[N/mm^2]	[N/mm^2]	[N/mm^2]		[N/mm^2]	[N/mm^2]	[N/mm^2]		[N/mm^2]	[N/mm^2]	[N/mm^2]		[N/mm^2]	[N/mm^2]	[N/mm^2]
P	00005	0,000	0,000	0,000	00006	0,000	0,000	0,000	00103	0,000	0,000	0,000	00104	0,000	0,000	0,000
S		0,000	0,000	0,000		0,000	0,000	0,000		0,000	0,000	0,000		0,000	0,000	0,000
P	00329	0,000	0,000	0,000	00483	0,000	0,000	0,000	00484	0,000	0,000	0,000	00485	0,000	0,000	0,000
S		0,000	0,000	0,000		0,000	0,000	0,000		0,000	0,000	0,000		0,000	0,000	0,000
P	00486	0,000	0,000	0,000	00487	0,000	0,000	0,000	00488	0,000	0,000	0,000	00489	0,000	0,000	0,000
S		0,000	0,000	0,000		0,000	0,000	0,000		0,000	0,000	0,000		0,000	0,000	0,000
P	00490	0,000	0,000	0,000	00491	0,000	0,000	0,000	00755	0,000	0,000	0,000	00756	0,000	0,000	0,000
S		0,000	0,000	0,000		0,000	0,000	0,000		0,000	0,000	0,000		0,000	0,000	0,000
P	00757	0,000	0,000	0,000	00758	0,000	0,000	0,000	00759	0,000	0,000	0,000	00760	0,000	0,000	0,000
S		0,000	0,000	0,000		0,000	0,000	0,000		0,000	0,000	0,000		0,000	0,000	0,000

Parete 3-P3 AA= PCA
CA=FRQ ε_{sm}=0E+00 A_e=0,0 cm^2 S_m=0 mm W_k=0,00 mm $\sigma_{ct,f}$=0,00 N/mm^2 **CA=QPR ε_{sm}=0E+00 A_e=0,0 cm^2 S_m=0 mm W_k=0,00 mm $\sigma_{ct,f}$=0,00 N/mm^2**

Piano interrato | **PareteP2-3-P3** | **Parete 3-P3**

SHELL: [00765-00484-00764] AA= PCA
CA=FRQ ε_{sm}=0E+00 A_e=0,0 cm^2 S_m=0 mm W_k=0,00 mm $\sigma_{ct,f}$=0,00 N/mm^2 **CA=QPR ε_{sm}=0E+00 A_e=0,0 cm^2 S_m=0 mm W_k=0,00 mm $\sigma_{ct,f}$=0,00 N/mm^2**

SHELL: [00495-00765-00494] AA= PCA
CA=FRQ ε_{sm}=0E+00 A_e=0,0 cm^2 S_m=0 mm W_k=0,00 mm $\sigma_{ct,f}$=0,00 N/mm^2 **CA=QPR ε_{sm}=0E+00 A_e=0,0 cm^2 S_m=0 mm W_k=0,00 mm $\sigma_{ct,f}$=0,00 N/mm^2**

SHELL: [00492-00764-00005] AA= PCA
CA=FRQ ε_{sm}=0E+00 A_e=0,0 cm^2 S_m=0 mm W_k=0,00 mm $\sigma_{ct,f}$=0,00 N/mm^2 **CA=QPR ε_{sm}=0E+00 A_e=0,0 cm^2 S_m=0 mm W_k=0,00 mm $\sigma_{ct,f}$=0,00 N/mm^2**

SHELL: [00495-00496-00766] AA= PCA
CA=FRQ ε_{sm}=0E+00 A_e=0,0 cm^2 S_m=0 mm W_k=0,00 mm $\sigma_{ct,f}$=0,00 N/mm^2 **CA=QPR ε_{sm}=0E+00 A_e=0,0 cm^2 S_m=0 mm W_k=0,00 mm $\sigma_{ct,f}$=0,00 N/mm^2**

SHELL: [00495-00766-00765] AA= PCA
CA=FRQ ε_{sm}=0E+00 A_e=0,0 cm^2 S_m=0 mm W_k=0,00 mm $\sigma_{ct,f}$=0,00 N/mm^2 **CA=QPR ε_{sm}=0E+00 A_e=0,0 cm^2 S_m=0 mm W_k=0,00 mm $\sigma_{ct,f}$=0,00 N/mm^2**

SHELL: [00494-00765-00761] AA= PCA
CA=FRQ ε_{sm}=0E+00 A_e=0,0 cm^2 S_m=0 mm W_k=0,00 mm $\sigma_{ct,f}$=0,00 N/mm^2 **CA=QPR ε_{sm}=0E+00 A_e=0,0 cm^2 S_m=0 mm W_k=0,00 mm $\sigma_{ct,f}$=0,00 N/mm^2**

SHELL: [00497-00762-00766] AA= PCA
CA=FRQ ε_{sm}=0E+00 A_e=0,0 cm^2 S_m=0 mm W_k=0,00 mm $\sigma_{ct,f}$=0,00 N/mm^2 **CA=QPR ε_{sm}=0E+00 A_e=0,0 cm^2 S_m=0 mm W_k=0,00 mm $\sigma_{ct,f}$=0,00 N/mm^2**

SHELL: [00497-00766-00496] AA= PCA
CA=FRQ ε_{sm}=0E+00 A_e=0,0 cm^2 S_m=0 mm W_k=0,00 mm $\sigma_{ct,f}$=0,00 N/mm^2 **CA=QPR ε_{sm}=0E+00 A_e=0,0 cm^2 S_m=0 mm W_k=0,00 mm $\sigma_{ct,f}$=0,00 N/mm^2**

SHELL: [00493-00765-00492] AA= PCA
CA=FRQ ε_{sm}=0E+00 A_e=0,0 cm^2 S_m=0 mm W_k=0,00 mm $\sigma_{ct,f}$=0,00 N/mm^2 **CA=QPR ε_{sm}=0E+00 A_e=0,0 cm^2 S_m=0 mm W_k=0,00 mm $\sigma_{ct,f}$=0,00 N/mm^2**

SHELL: [00494-00761-00120] AA= PCA
CA=FRQ ε_{sm}=0E+00 A_e=0,0 cm^2 S_m=0 mm W_k=0,00 mm $\sigma_{ct,f}$=0,00 N/mm^2 **CA=QPR ε_{sm}=0E+00 A_e=0,0 cm^2 S_m=0 mm W_k=0,00 mm $\sigma_{ct,f}$=0,00 N/mm^2**

SHELL: [00120-00761-00493] AA= PCA
CA=FRQ ε_{sm}=0E+00 A_e=0,0 cm^2 S_m=0 mm W_k=0,00 mm $\sigma_{ct,f}$=0,00 N/mm^2 **CA=QPR ε_{sm}=0E+00 A_e=0,0 cm^2 S_m=0 mm W_k=0,00 mm $\sigma_{ct,f}$=0,00 N/mm^2**

SHELL: [00763-00006-00487] AA= PCA
CA=FRQ ε_{sm}=0E+00 A_e=0,0 cm^2 S_m=0 mm W_k=0,00 mm $\sigma_{ct,f}$=0,00 N/mm^2 **CA=QPR ε_{sm}=0E+00 A_e=0,0 cm^2 S_m=0 mm W_k=0,00 mm $\sigma_{ct,f}$=0,00 N/mm^2**

SHELL: [00337-00006-00763] AA= PCA
CA=FRQ ε_{sm}=0E+00 A_e=0,0 cm^2 S_m=0 mm W_k=0,00 mm $\sigma_{ct,f}$=0,00 N/mm^2 **CA=QPR ε_{sm}=0E+00 A_e=0,0 cm^2 S_m=0 mm W_k=0,00 mm $\sigma_{ct,f}$=0,00 N/mm^2**

SHELL: [00764-00484-00005] AA= PCA
CA=FRQ ε_{sm}=0E+00 A_e=0,0 cm^2 S_m=0 mm W_k=0,00 mm $\sigma_{ct,f}$=0,00 N/mm^2 **CA=QPR ε_{sm}=0E+00 A_e=0,0 cm^2 S_m=0 mm W_k=0,00 mm $\sigma_{ct,f}$=0,00 N/mm^2**

SHELL: [00121-00338-00762] AA= PCA
CA=FRQ ε_{sm}=0E+00 A_e=0,0 cm^2 S_m=0 mm W_k=0,00 mm $\sigma_{ct,f}$=0,00 N/mm^2 **CA=QPR ε_{sm}=0E+00 A_e=0,0 cm^2 S_m=0 mm W_k=0,00 mm $\sigma_{ct,f}$=0,00 N/mm^2**

SHELL: [00765-00485-00484] AA= PCA
CA=FRQ ε_{sm}=0E+00 A_e=0,0 cm^2 S_m=0 mm W_k=0,00 mm $\sigma_{ct,f}$=0,00 N/mm^2 **CA=QPR ε_{sm}=0E+00 A_e=0,0 cm^2 S_m=0 mm W_k=0,00 mm $\sigma_{ct,f}$=0,00 N/mm^2**

SHELL: [00766-00337-00763] AA= PCA
CA=FRQ ε_{sm}=0E+00 A_e=0,0 cm^2 S_m=0 mm W_k=0,00 mm $\sigma_{ct,f}$=0,00 N/mm^2 **CA=QPR ε_{sm}=0E+00 A_e=0,0 cm^2 S_m=0 mm W_k=0,00 mm $\sigma_{ct,f}$=0,00 N/mm^2**

SHELL: [00765-00764-00492] AA= PCA
CA=FRQ ε_{sm}=0E+00 A_e=0,0 cm^2 S_m=0 mm W_k=0,00 mm $\sigma_{ct,f}$=0,00 N/mm^2 **CA=QPR ε_{sm}=0E+00 A_e=0,0 cm^2 S_m=0 mm W_k=0,00 mm $\sigma_{ct,f}$=0,00 N/mm^2**

SHELL: [00766-00487-00486] AA= PCA
CA=FRQ ε_{sm}=0E+00 A_e=0,0 cm^2 S_m=0 mm W_k=0,00 mm $\sigma_{ct,f}$=0,00 N/mm^2 **CA=QPR ε_{sm}=0E+00 A_e=0,0 cm^2 S_m=0 mm W_k=0,00 mm $\sigma_{ct,f}$=0,00 N/mm^2**

SHELL: [00766-00763-00487] AA= PCA
CA=FRQ ε_{sm}=0E+00 A_e=0,0 cm^2 S_m=0 mm W_k=0,00 mm $\sigma_{ct,f}$=0,00 N/mm^2 **CA=QPR ε_{sm}=0E+00 A_e=0,0 cm^2 S_m=0 mm W_k=0,00 mm $\sigma_{ct,f}$=0,00 N/mm^2**

SHELL: [00766-00486-00485] AA= PCA
CA=FRQ ε_{sm}=0E+00 A_e=0,0 cm^2 S_m=0 mm W_k=0,00 mm $\sigma_{ct,f}$=0,00 N/mm^2 **CA=QPR ε_{sm}=0E+00 A_e=0,0 cm^2 S_m=0 mm W_k=0,00 mm $\sigma_{ct,f}$=0,00 N/mm^2**

SHELL: [00766-00485-00765] AA= PCA
CA=FRQ ε_{sm}=0E+00 A_e=0,0 cm^2 S_m=0 mm W_k=0,00 mm $\sigma_{ct,f}$=0,00 N/mm^2 **CA=QPR ε_{sm}=0E+00 A_e=0,0 cm^2 S_m=0 mm W_k=0,00**

Dir	Nodo	σ_{ct}	σ_{cc}	σ_{at}	Nodo	σ_{ct}	σ_{cc}	σ_{at}	Nodo	σ_{ct}	σ_{cc}	σ_{at}	Nodo	σ_{ct}	σ_{cc}	σ_{at}
		[N/mm^2]	[N/mm^2]	[N/mm^2]		[N/mm^2]	[N/mm^2]	[N/mm^2]		[N/mm^2]	[N/mm^2]	[N/mm^2]		[N/mm^2]	[N/mm^2]	[N/mm^2]
mm $\sigma_{ct,f}$=0,00 N/mm^2																
SHELL: [00762-00338-00766] AA= PCA																
CA=FRQ ε_{sm}=0E+00 A_e=0,0 cm^2 S_m=0 mm W_k=0,00 mm $\sigma_{ct,f}$=0,00 N/mm^2 CA=QPR ε_{sm}=0E+00 A_e=0,0 cm^2 S_m=0 mm W_k=0,00 mm $\sigma_{ct,f}$=0,00 N/mm^2																
SHELL: [00761-00765-00493] AA= PCA																
CA=FRQ ε_{sm}=0E+00 A_e=0,0 cm^2 S_m=0 mm W_k=0,00 mm $\sigma_{ct,f}$=0,00 N/mm^2 CA=QPR ε_{sm}=0E+00 A_e=0,0 cm^2 S_m=0 mm W_k=0,00 mm $\sigma_{ct,f}$=0,00 N/mm^2																
SHELL: [00121-00762-00497] AA= PCA																
CA=FRQ ε_{sm}=0E+00 A_e=0,0 cm^2 S_m=0 mm W_k=0,00 mm $\sigma_{ct,f}$=0,00 N/mm^2 CA=QPR ε_{sm}=0E+00 A_e=0,0 cm^2 S_m=0 mm W_k=0,00 mm $\sigma_{ct,f}$=0,00 N/mm^2																
SHELL: [00338-00337-00766] AA= PCA																
CA=FRQ ε_{sm}=0E+00 A_e=0,0 cm^2 S_m=0 mm W_k=0,00 mm $\sigma_{ct,f}$=0,00 N/mm^2 CA=QPR ε_{sm}=0E+00 A_e=0,0 cm^2 S_m=0 mm W_k=0,00 mm $\sigma_{ct,f}$=0,00 N/mm^2																
P	00005	0,000	0,000	0,000	00006	0,000	0,000	0,000	00120	0,000	0,000	0,000	00121	0,000	0,000	0,000
S		0,000	0,000	0,000		0,000	0,000	0,000		0,000	0,000	0,000		0,000	0,000	0,000
P	00337	0,000	0,000	0,000	00338	0,000	0,000	0,000	00484	0,000	0,000	0,000	00485	0,000	0,000	0,000
S		0,000	0,000	0,000		0,000	0,000	0,000		0,000	0,000	0,000		0,000	0,000	0,000
P	00486	0,000	0,000	0,000	00487	0,000	0,000	0,000	00492	0,000	0,000	0,000	00493	0,000	0,000	0,000
S		0,000	0,000	0,000		0,000	0,000	0,000		0,000	0,000	0,000		0,000	0,000	0,000
P	00494	0,000	0,000	0,000	00495	0,000	0,000	0,000	00496	0,000	0,000	0,000	00497	0,000	0,000	0,000
S		0,000	0,000	0,000		0,000	0,000	0,000		0,000	0,000	0,000		0,000	0,000	0,000
P	00761	0,000	0,000	0,000	00762	0,000	0,000	0,000	00763	0,000	0,000	0,000	00764	0,000	0,000	0,000
S		0,000	0,000	0,000		0,000	0,000	0,000		0,000	0,000	0,000		0,000	0,000	0,000
P	00765	0,000	0,000	0,000	00766	0,000	0,000	0,000								
S		0,000	0,000	0,000		0,000	0,000	0,000								
Parete P4-4 AA= PCA																
CA=FRQ ε_{sm}=0E+00 A_e=0,0 cm^2 S_m=0 mm W_k=0,00 mm $\sigma_{ct,f}$=0,00 N/mm^2 CA=QPR ε_{sm}=0E+00 A_e=0,0 cm^2 S_m=0 mm W_k=0,00 mm $\sigma_{ct,f}$=0,00 N/mm^2																
Piano interrato					**ParetеP4-4-P5**								**Parete P4-4**			
SHELL: [00249-00586-00123] AA= PCA																
CA=FRQ ε_{sm}=0E+00 A_e=0,0 cm^2 S_m=0 mm W_k=0,00 mm $\sigma_{ct,f}$=0,00 N/mm^2 CA=QPR ε_{sm}=0E+00 A_e=0,0 cm^2 S_m=0 mm W_k=0,00 mm $\sigma_{ct,f}$=0,00 N/mm^2																
SHELL: [00007-00250-00583] AA= PCA																
CA=FRQ ε_{sm}=0E+00 A_e=0,0 cm^2 S_m=0 mm W_k=0,00 mm $\sigma_{ct,f}$=0,00 N/mm^2 CA=QPR ε_{sm}=0E+00 A_e=0,0 cm^2 S_m=0 mm W_k=0,00 mm $\sigma_{ct,f}$=0,00 N/mm^2																
SHELL: [00007-00583-00249] AA= PCA																
CA=FRQ ε_{sm}=0E+00 A_e=0,0 cm^2 S_m=0 mm W_k=0,00 mm $\sigma_{ct,f}$=0,00 N/mm^2 CA=QPR ε_{sm}=0E+00 A_e=0,0 cm^2 S_m=0 mm W_k=0,00 mm $\sigma_{ct,f}$=0,00 N/mm^2																
SHELL: [00250-00587-00583] AA= PCA																
CA=FRQ ε_{sm}=0E+00 A_e=0,0 cm^2 S_m=0 mm W_k=0,00 mm $\sigma_{ct,f}$=0,00 N/mm^2 CA=QPR ε_{sm}=0E+00 A_e=0,0 cm^2 S_m=0 mm W_k=0,00 mm $\sigma_{ct,f}$=0,00 N/mm^2																
SHELL: [00588-00256-00257] AA= PCA																
CA=FRQ ε_{sm}=0E+00 A_e=0,0 cm^2 S_m=0 mm W_k=0,00 mm $\sigma_{ct,f}$=0,00 N/mm^2 CA=QPR ε_{sm}=0E+00 A_e=0,0 cm^2 S_m=0 mm W_k=0,00 mm $\sigma_{ct,f}$=0,00 N/mm^2																
SHELL: [00250-00251-00587] AA= PCA																
CA=FRQ ε_{sm}=0E+00 A_e=0,0 cm^2 S_m=0 mm W_k=0,00 mm $\sigma_{ct,f}$=0,00 N/mm^2 CA=QPR ε_{sm}=0E+00 A_e=0,0 cm^2 S_m=0 mm W_k=0,00 mm $\sigma_{ct,f}$=0,00 N/mm^2																
SHELL: [00583-00587-00586] AA= PCA																
CA=FRQ ε_{sm}=0E+00 A_e=0,0 cm^2 S_m=0 mm W_k=0,00 mm $\sigma_{ct,f}$=0,00 N/mm^2 CA=QPR ε_{sm}=0E+00 A_e=0,0 cm^2 S_m=0 mm W_k=0,00 mm $\sigma_{ct,f}$=0,00 N/mm^2																
SHELL: [00251-00252-00588] AA= PCA																
CA=FRQ ε_{sm}=0E+00 A_e=0,0 cm^2 S_m=0 mm W_k=0,00 mm $\sigma_{ct,f}$=0,00 N/mm^2 CA=QPR ε_{sm}=0E+00 A_e=0,0 cm^2 S_m=0 mm W_k=0,00 mm $\sigma_{ct,f}$=0,00 N/mm^2																
SHELL: [00251-00588-00587] AA= PCA																
CA=FRQ ε_{sm}=0E+00 A_e=0,0 cm^2 S_m=0 mm W_k=0,00 mm $\sigma_{ct,f}$=0,00 N/mm^2 CA=QPR ε_{sm}=0E+00 A_e=0,0 cm^2 S_m=0 mm W_k=0,00 mm $\sigma_{ct,f}$=0,00 N/mm^2																
SHELL: [00585-00124-00255] AA= PCA																
CA=FRQ ε_{sm}=0E+00 A_e=0,0 cm^2 S_m=0 mm W_k=0,00 mm $\sigma_{ct,f}$=0,00 N/mm^2 CA=QPR ε_{sm}=0E+00 A_e=0,0 cm^2 S_m=0 mm W_k=0,00 mm $\sigma_{ct,f}$=0,00 N/mm^2																
SHELL: [00252-00253-00588] AA= PCA																
CA=FRQ ε_{sm}=0E+00 A_e=0,0 cm^2 S_m=0 mm W_k=0,00 mm $\sigma_{ct,f}$=0,00 N/mm^2 CA=QPR ε_{sm}=0E+00 A_e=0,0 cm^2 S_m=0 mm W_k=0,00 mm $\sigma_{ct,f}$=0,00 N/mm^2																
SHELL: [00253-00008-00584] AA= PCA																
CA=FRQ ε_{sm}=0E+00 A_e=0,0 cm^2 S_m=0 mm W_k=0,00 mm $\sigma_{ct,f}$=0,00 N/mm^2 CA=QPR ε_{sm}=0E+00 A_e=0,0 cm^2 S_m=0 mm W_k=0,00 mm $\sigma_{ct,f}$=0,00 N/mm^2																
SHELL: [00586-00258-00123] AA= PCA																
CA=FRQ ε_{sm}=0E+00 A_e=0,0 cm^2 S_m=0 mm W_k=0,00 mm $\sigma_{ct,f}$=0,00 N/mm^2 CA=QPR ε_{sm}=0E+00 A_e=0,0 cm^2 S_m=0 mm W_k=0,00 mm $\sigma_{ct,f}$=0,00 N/mm^2																
SHELL: [00588-00255-00256] AA= PCA																
CA=FRQ ε_{sm}=0E+00 A_e=0,0 cm^2 S_m=0 mm W_k=0,00 mm $\sigma_{ct,f}$=0,00 N/mm^2 CA=QPR ε_{sm}=0E+00 A_e=0,0 cm^2 S_m=0 mm W_k=0,00 mm $\sigma_{ct,f}$=0,00 N/mm^2																
SHELL: [00588-00585-00255] AA= PCA																
CA=FRQ ε_{sm}=0E+00 A_e=0,0 cm^2 S_m=0 mm W_k=0,00 mm $\sigma_{ct,f}$=0,00 N/mm^2 CA=QPR ε_{sm}=0E+00 A_e=0,0 cm^2 S_m=0 mm W_k=0,00 mm $\sigma_{ct,f}$=0,00 N/mm^2																
SHELL: [00583-00586-00249] AA= PCA																
CA=FRQ ε_{sm}=0E+00 A_e=0,0 cm^2 S_m=0 mm W_k=0,00 mm $\sigma_{ct,f}$=0,00 N/mm^2 CA=QPR ε_{sm}=0E+00 A_e=0,0 cm^2 S_m=0 mm W_k=0,00 mm $\sigma_{ct,f}$=0,00 N/mm^2																
SHELL: [00253-00584-00588] AA= PCA																

Dir	Nodo	σ_{ct} [N/mm²]	σ_{cc} [N/mm²]	σ_{at} [N/mm²]	Nodo	σ_{ct} [N/mm²]	σ_{cc} [N/mm²]	σ_{at} [N/mm²]	Nodo	σ_{ct} [N/mm²]	σ_{cc} [N/mm²]	σ_{at} [N/mm²]	Nodo	σ_{ct} [N/mm²]	σ_{cc} [N/mm²]	σ_{at} [N/mm²]
CA=FRQ ε_{sm}=0E+00 A_e=0,0 cm² S_m=0 mm W_k=0,00 mm $\sigma_{ct,f}$=0,00 N/mm² mm $\sigma_{ct,f}$=0,00 N/mm²														**CA=QPR ε_{sm}=0E+00 A_e=0,0 cm² S_m=0 mm W_k=0,00**		
SHELL: [00587-00257-00258] AA= PCA																
CA=FRQ ε_{sm}=0E+00 A_e=0,0 cm² S_m=0 mm W_k=0,00 mm $\sigma_{ct,f}$=0,00 N/mm² mm $\sigma_{ct,f}$=0,00 N/mm²														**CA=QPR ε_{sm}=0E+00 A_e=0,0 cm² S_m=0 mm W_k=0,00**		
SHELL: [00587-00258-00586] AA= PCA																
CA=FRQ ε_{sm}=0E+00 A_e=0,0 cm² S_m=0 mm W_k=0,00 mm $\sigma_{ct,f}$=0,00 N/mm² mm $\sigma_{ct,f}$=0,00 N/mm²														**CA=QPR ε_{sm}=0E+00 A_e=0,0 cm² S_m=0 mm W_k=0,00**		
SHELL: [00587-00588-00257] AA= PCA																
CA=FRQ ε_{sm}=0E+00 A_e=0,0 cm² S_m=0 mm W_k=0,00 mm $\sigma_{ct,f}$=0,00 N/mm² mm $\sigma_{ct,f}$=0,00 N/mm²														**CA=QPR ε_{sm}=0E+00 A_e=0,0 cm² S_m=0 mm W_k=0,00**		
SHELL: [00584-00585-00588] AA= PCA																
CA=FRQ ε_{sm}=0E+00 A_e=0,0 cm² S_m=0 mm W_k=0,00 mm $\sigma_{ct,f}$=0,00 N/mm² mm $\sigma_{ct,f}$=0,00 N/mm²														**CA=QPR ε_{sm}=0E+00 A_e=0,0 cm² S_m=0 mm W_k=0,00**		
SHELL: [00254-00124-00585] AA= PCA																
CA=FRQ ε_{sm}=0E+00 A_e=0,0 cm² S_m=0 mm W_k=0,00 mm $\sigma_{ct,f}$=0,00 N/mm² mm $\sigma_{ct,f}$=0,00 N/mm²														**CA=QPR ε_{sm}=0E+00 A_e=0,0 cm² S_m=0 mm W_k=0,00**		
SHELL: [00008-00254-00584] AA= PCA																
CA=FRQ ε_{sm}=0E+00 A_e=0,0 cm² S_m=0 mm W_k=0,00 mm $\sigma_{ct,f}$=0,00 N/mm² mm $\sigma_{ct,f}$=0,00 N/mm²														**CA=QPR ε_{sm}=0E+00 A_e=0,0 cm² S_m=0 mm W_k=0,00**		
SHELL: [00584-00254-00585] AA= PCA																
CA=FRQ ε_{sm}=0E+00 A_e=0,0 cm² S_m=0 mm W_k=0,00 mm $\sigma_{ct,f}$=0,00 N/mm² mm $\sigma_{ct,f}$=0,00 N/mm²														**CA=QPR ε_{sm}=0E+00 A_e=0,0 cm² S_m=0 mm W_k=0,00**		
P	00007	0,000	0,000	0,000	00008	0,000	0,000	0,000	00123	0,000	0,000	0,000	00124	0,000	0,000	0,000
S		0,000	0,000	0,000		0,000	0,000	0,000		0,000	0,000	0,000		0,000	0,000	0,000
P	00249	0,000	0,000	0,000	00250	0,000	0,000	0,000	00251	0,000	0,000	0,000	00252	0,000	0,000	0,000
S		0,000	0,000	0,000		0,000	0,000	0,000		0,000	0,000	0,000		0,000	0,000	0,000
P	00253	0,000	0,000	0,000	00254	0,000	0,000	0,000	00255	0,000	0,000	0,000	00256	0,000	0,000	0,000
S		0,000	0,000	0,000		0,000	0,000	0,000		0,000	0,000	0,000		0,000	0,000	0,000
P	00257	0,000	0,000	0,000	00258	0,000	0,000	0,000	00583	0,000	0,000	0,000	00584	0,000	0,000	0,000
S		0,000	0,000	0,000		0,000	0,000	0,000		0,000	0,000	0,000		0,000	0,000	0,000
P	00585	0,000	0,000	0,000	00586	0,000	0,000	0,000	00587	0,000	0,000	0,000	00588	0,000	0,000	0,000
S		0,000	0,000	0,000		0,000	0,000	0,000		0,000	0,000	0,000		0,000	0,000	0,000
Parete 4-P5 AA= PCA																
CA=FRQ ε_{sm}=0E+00 A_e=0,0 cm² S_m=0 mm W_k=0,00 mm $\sigma_{ct,f}$=0,00 N/mm² mm $\sigma_{ct,f}$=0,00 N/mm²														**CA=QPR ε_{sm}=0E+00 A_e=0,0 cm² S_m=0 mm W_k=0,00**		
Piano interrato					**ParetеP4-4-P5**								**Parete 4-P5**			
SHELL: [00741-00250-00740] AA= PCA																
CA=FRQ ε_{sm}=0E+00 A_e=0,0 cm² S_m=0 mm W_k=0,00 mm $\sigma_{ct,f}$=0,00 N/mm² mm $\sigma_{ct,f}$=0,00 N/mm²														**CA=QPR ε_{sm}=0E+00 A_e=0,0 cm² S_m=0 mm W_k=0,00**		
SHELL: [00461-00741-00460] AA= PCA																
CA=FRQ ε_{sm}=0E+00 A_e=0,0 cm² S_m=0 mm W_k=0,00 mm $\sigma_{ct,f}$=0,00 N/mm² mm $\sigma_{ct,f}$=0,00 N/mm²														**CA=QPR ε_{sm}=0E+00 A_e=0,0 cm² S_m=0 mm W_k=0,00**		
SHELL: [00458-00740-00007] AA= PCA																
CA=FRQ ε_{sm}=0E+00 A_e=0,0 cm² S_m=0 mm W_k=0,00 mm $\sigma_{ct,f}$=0,00 N/mm² mm $\sigma_{ct,f}$=0,00 N/mm²														**CA=QPR ε_{sm}=0E+00 A_e=0,0 cm² S_m=0 mm W_k=0,00**		
SHELL: [00461-00462-00742] AA= PCA																
CA=FRQ ε_{sm}=0E+00 A_e=0,0 cm² S_m=0 mm W_k=0,00 mm $\sigma_{ct,f}$=0,00 N/mm² mm $\sigma_{ct,f}$=0,00 N/mm²														**CA=QPR ε_{sm}=0E+00 A_e=0,0 cm² S_m=0 mm W_k=0,00**		
SHELL: [00461-00742-00741] AA= PCA																
CA=FRQ ε_{sm}=0E+00 A_e=0,0 cm² S_m=0 mm W_k=0,00 mm $\sigma_{ct,f}$=0,00 N/mm² mm $\sigma_{ct,f}$=0,00 N/mm²														**CA=QPR ε_{sm}=0E+00 A_e=0,0 cm² S_m=0 mm W_k=0,00**		
SHELL: [00460-00741-00737] AA= PCA																
CA=FRQ ε_{sm}=0E+00 A_e=0,0 cm² S_m=0 mm W_k=0,00 mm $\sigma_{ct,f}$=0,00 N/mm² mm $\sigma_{ct,f}$=0,00 N/mm²														**CA=QPR ε_{sm}=0E+00 A_e=0,0 cm² S_m=0 mm W_k=0,00**		
SHELL: [00463-00738-00742] AA= PCA																
CA=FRQ ε_{sm}=0E+00 A_e=0,0 cm² S_m=0 mm W_k=0,00 mm $\sigma_{ct,f}$=0,00 N/mm² mm $\sigma_{ct,f}$=0,00 N/mm²														**CA=QPR ε_{sm}=0E+00 A_e=0,0 cm² S_m=0 mm W_k=0,00**		
SHELL: [00463-00742-00462] AA= PCA																
CA=FRQ ε_{sm}=0E+00 A_e=0,0 cm² S_m=0 mm W_k=0,00 mm $\sigma_{ct,f}$=0,00 N/mm² mm $\sigma_{ct,f}$=0,00 N/mm²														**CA=QPR ε_{sm}=0E+00 A_e=0,0 cm² S_m=0 mm W_k=0,00**		
SHELL: [00459-00741-00458] AA= PCA																
CA=FRQ ε_{sm}=0E+00 A_e=0,0 cm² S_m=0 mm W_k=0,00 mm $\sigma_{ct,f}$=0,00 N/mm² mm $\sigma_{ct,f}$=0,00 N/mm²														**CA=QPR ε_{sm}=0E+00 A_e=0,0 cm² S_m=0 mm W_k=0,00**		
SHELL: [00460-00737-00101] AA= PCA																
CA=FRQ ε_{sm}=0E+00 A_e=0,0 cm² S_m=0 mm W_k=0,00 mm $\sigma_{ct,f}$=0,00 N/mm² mm $\sigma_{ct,f}$=0,00 N/mm²														**CA=QPR ε_{sm}=0E+00 A_e=0,0 cm² S_m=0 mm W_k=0,00**		
SHELL: [00739-00008-00253] AA= PCA																
CA=FRQ ε_{sm}=0E+00 A_e=0,0 cm² S_m=0 mm W_k=0,00 mm $\sigma_{ct,f}$=0,00 N/mm² mm $\sigma_{ct,f}$=0,00 N/mm²														**CA=QPR ε_{sm}=0E+00 A_e=0,0 cm² S_m=0 mm W_k=0,00**		
SHELL: [00301-00008-00739] AA= PCA																
CA=FRQ ε_{sm}=0E+00 A_e=0,0 cm² S_m=0 mm W_k=0,00 mm $\sigma_{ct,f}$=0,00 N/mm² mm $\sigma_{ct,f}$=0,00 N/mm²														**CA=QPR ε_{sm}=0E+00 A_e=0,0 cm² S_m=0 mm W_k=0,00**		
SHELL: [00740-00250-00007] AA= PCA																
CA=FRQ ε_{sm}=0E+00 A_e=0,0 cm² S_m=0 mm W_k=0,00 mm $\sigma_{ct,f}$=0,00 N/mm² mm $\sigma_{ct,f}$=0,00 N/mm²														**CA=QPR ε_{sm}=0E+00 A_e=0,0 cm² S_m=0 mm W_k=0,00**		
SHELL: [00101-00737-00459] AA= PCA																
CA=FRQ ε_{sm}=0E+00 A_e=0,0 cm² S_m=0 mm W_k=0,00 mm $\sigma_{ct,f}$=0,00 N/mm² mm $\sigma_{ct,f}$=0,00 N/mm²														**CA=QPR ε_{sm}=0E+00 A_e=0,0 cm² S_m=0 mm W_k=0,00**		

Dir	Nodo	σ_{ct} [N/mm^2]	σ_{cc} [N/mm^2]	σ_{at} [N/mm^2]	Nodo	σ_{ct} [N/mm^2]	σ_{cc} [N/mm^2]	σ_{at} [N/mm^2]	Nodo	σ_{ct} [N/mm^2]	σ_{cc} [N/mm^2]	σ_{at} [N/mm^2]	Nodo	σ_{ct} [N/mm^2]	σ_{cc} [N/mm^2]	σ_{at} [N/mm^2]
SHELL: [00100-00302-00738] AA= PCA																
CA=FRQ ε_{sm}=0E+00 A_e=0,0 cm^2 S_m=0 mm W_k=0,00 mm $\sigma_{ct,f}$=0,00 N/mm^2										**CA=QPR ε_{sm}=0E+00 A_e=0,0 cm^2 S_m=0 mm W_k=0,00 mm $\sigma_{ct,f}$=0,00 N/mm^2**						
SHELL: [00741-00251-00250] AA= PCA																
CA=FRQ ε_{sm}=0E+00 A_e=0,0 cm^2 S_m=0 mm W_k=0,00 mm $\sigma_{ct,f}$=0,00 N/mm^2										**CA=QPR ε_{sm}=0E+00 A_e=0,0 cm^2 S_m=0 mm W_k=0,00 mm $\sigma_{ct,f}$=0,00 N/mm^2**						
SHELL: [00741-00740-00458] AA= PCA																
CA=FRQ ε_{sm}=0E+00 A_e=0,0 cm^2 S_m=0 mm W_k=0,00 mm $\sigma_{ct,f}$=0,00 N/mm^2										**CA=QPR ε_{sm}=0E+00 A_e=0,0 cm^2 S_m=0 mm W_k=0,00 mm $\sigma_{ct,f}$=0,00 N/mm^2**						
SHELL: [00742-00301-00739] AA= PCA																
CA=FRQ ε_{sm}=0E+00 A_e=0,0 cm^2 S_m=0 mm W_k=0,00 mm $\sigma_{ct,f}$=0,00 N/mm^2										**CA=QPR ε_{sm}=0E+00 A_e=0,0 cm^2 S_m=0 mm W_k=0,00 mm $\sigma_{ct,f}$=0,00 N/mm^2**						
SHELL: [00742-00253-00252] AA= PCA																
CA=FRQ ε_{sm}=0E+00 A_e=0,0 cm^2 S_m=0 mm W_k=0,00 mm $\sigma_{ct,f}$=0,00 N/mm^2										**CA=QPR ε_{sm}=0E+00 A_e=0,0 cm^2 S_m=0 mm W_k=0,00 mm $\sigma_{ct,f}$=0,00 N/mm^2**						
SHELL: [00742-00739-00253] AA= PCA																
CA=FRQ ε_{sm}=0E+00 A_e=0,0 cm^2 S_m=0 mm W_k=0,00 mm $\sigma_{ct,f}$=0,00 N/mm^2										**CA=QPR ε_{sm}=0E+00 A_e=0,0 cm^2 S_m=0 mm W_k=0,00 mm $\sigma_{ct,f}$=0,00 N/mm^2**						
SHELL: [00742-00252-00251] AA= PCA																
CA=FRQ ε_{sm}=0E+00 A_e=0,0 cm^2 S_m=0 mm W_k=0,00 mm $\sigma_{ct,f}$=0,00 N/mm^2										**CA=QPR ε_{sm}=0E+00 A_e=0,0 cm^2 S_m=0 mm W_k=0,00 mm $\sigma_{ct,f}$=0,00 N/mm^2**						
SHELL: [00742-00251-00741] AA= PCA																
CA=FRQ ε_{sm}=0E+00 A_e=0,0 cm^2 S_m=0 mm W_k=0,00 mm $\sigma_{ct,f}$=0,00 N/mm^2										**CA=QPR ε_{sm}=0E+00 A_e=0,0 cm^2 S_m=0 mm W_k=0,00 mm $\sigma_{ct,f}$=0,00 N/mm^2**						
SHELL: [00738-00302-00742] AA= PCA																
CA=FRQ ε_{sm}=0E+00 A_e=0,0 cm^2 S_m=0 mm W_k=0,00 mm $\sigma_{ct,f}$=0,00 N/mm^2										**CA=QPR ε_{sm}=0E+00 A_e=0,0 cm^2 S_m=0 mm W_k=0,00 mm $\sigma_{ct,f}$=0,00 N/mm^2**						
SHELL: [00737-00741-00459] AA= PCA																
CA=FRQ ε_{sm}=0E+00 A_e=0,0 cm^2 S_m=0 mm W_k=0,00 mm $\sigma_{ct,f}$=0,00 N/mm^2										**CA=QPR ε_{sm}=0E+00 A_e=0,0 cm^2 S_m=0 mm W_k=0,00 mm $\sigma_{ct,f}$=0,00 N/mm^2**						
SHELL: [00100-00738-00463] AA= PCA																
CA=FRQ ε_{sm}=0E+00 A_e=0,0 cm^2 S_m=0 mm W_k=0,00 mm $\sigma_{ct,f}$=0,00 N/mm^2										**CA=QPR ε_{sm}=0E+00 A_e=0,0 cm^2 S_m=0 mm W_k=0,00 mm $\sigma_{ct,f}$=0,00 N/mm^2**						
SHELL: [00302-00301-00742] AA= PCA																
CA=FRQ ε_{sm}=0E+00 A_e=0,0 cm^2 S_m=0 mm W_k=0,00 mm $\sigma_{ct,f}$=0,00 N/mm^2										**CA=QPR ε_{sm}=0E+00 A_e=0,0 cm^2 S_m=0 mm W_k=0,00 mm $\sigma_{ct,f}$=0,00 N/mm^2**						
P	00007	0,000	0,000	0,000	00008	0,000	0,000	0,000	00100	0,000	0,000	0,000	00101	0,000	0,000	0,000
S		0,000	0,000	0,000		0,000	0,000	0,000		0,000	0,000	0,000		0,000	0,000	0,000
P	00250	0,000	0,000	0,000	00251	0,000	0,000	0,000	00252	0,000	0,000	0,000	00253	0,000	0,000	0,000
S		0,000	0,000	0,000		0,000	0,000	0,000		0,000	0,000	0,000		0,000	0,000	0,000
P	00301	0,000	0,000	0,000	00302	0,000	0,000	0,000	00458	0,000	0,000	0,000	00459	0,000	0,000	0,000
S		0,000	0,000	0,000		0,000	0,000	0,000		0,000	0,000	0,000		0,000	0,000	0,000
P	00460	0,000	0,000	0,000	00461	0,000	0,000	0,000	00462	0,000	0,000	0,000	00463	0,000	0,000	0,000
S		0,000	0,000	0,000		0,000	0,000	0,000		0,000	0,000	0,000		0,000	0,000	0,000
P	00737	0,000	0,000	0,000	00738	0,000	0,000	0,000	00739	0,000	0,000	0,000	00740	0,000	0,000	0,000
S		0,000	0,000	0,000		0,000	0,000	0,000		0,000	0,000	0,000		0,000	0,000	0,000
P	00741	0,000	0,000	0,000	00742	0,000	0,000	0,000								
S		0,000	0,000	0,000		0,000	0,000	0,000								
Parete P6-6 AA= PCA																
CA=FRQ ε_{sm}=0E+00 A_e=0,0 cm^2 S_m=0 mm W_k=0,00 mm $\sigma_{ct,f}$=0,00 N/mm^2										**CA=QPR ε_{sm}=0E+00 A_e=0,0 cm^2 S_m=0 mm W_k=0,00 mm $\sigma_{ct,f}$=0,00 N/mm^2**						
Piano interrato					**ParetеP6-6**								**Parete P6-6**			
SHELL: [00573-00830-00086] AA= PCA																
CA=FRQ ε_{sm}=0E+00 A_e=0,0 cm^2 S_m=0 mm W_k=0,00 mm $\sigma_{ct,f}$=0,00 N/mm^2										**CA=QPR ε_{sm}=0E+00 A_e=0,0 cm^2 S_m=0 mm W_k=0,00 mm $\sigma_{ct,f}$=0,00 N/mm^2**						
SHELL: [00046-00532-00827] AA= PCA																
CA=FRQ ε_{sm}=0E+00 A_e=0,0 cm^2 S_m=0 mm W_k=0,00 mm $\sigma_{ct,f}$=0,00 N/mm^2										**CA=QPR ε_{sm}=0E+00 A_e=0,0 cm^2 S_m=0 mm W_k=0,00 mm $\sigma_{ct,f}$=0,00 N/mm^2**						
SHELL: [00046-00827-00573] AA= PCA																
CA=FRQ ε_{sm}=0E+00 A_e=0,0 cm^2 S_m=0 mm W_k=0,00 mm $\sigma_{ct,f}$=0,00 N/mm^2										**CA=QPR ε_{sm}=0E+00 A_e=0,0 cm^2 S_m=0 mm W_k=0,00 mm $\sigma_{ct,f}$=0,00 N/mm^2**						
SHELL: [00532-00831-00827] AA= PCA																
CA=FRQ ε_{sm}=0E+00 A_e=0,0 cm^2 S_m=0 mm W_k=0,00 mm $\sigma_{ct,f}$=0,00 N/mm^2										**CA=QPR ε_{sm}=0E+00 A_e=0,0 cm^2 S_m=0 mm W_k=0,00 mm $\sigma_{ct,f}$=0,00 N/mm^2**						
SHELL: [00532-00531-00831] AA= PCA																
CA=FRQ ε_{sm}=0E+00 A_e=0,0 cm^2 S_m=0 mm W_k=0,00 mm $\sigma_{ct,f}$=0,00 N/mm^2										**CA=QPR ε_{sm}=0E+00 A_e=0,0 cm^2 S_m=0 mm W_k=0,00 mm $\sigma_{ct,f}$=0,00 N/mm^2**						
SHELL: [00531-00832-00831] AA= PCA																
CA=FRQ ε_{sm}=0E+00 A_e=0,0 cm^2 S_m=0 mm W_k=0,00 mm $\sigma_{ct,f}$=0,00 N/mm^2										**CA=QPR ε_{sm}=0E+00 A_e=0,0 cm^2 S_m=0 mm W_k=0,00 mm $\sigma_{ct,f}$=0,00 N/mm^2**						
SHELL: [00530-00529-00832] AA= PCA																
CA=FRQ ε_{sm}=0E+00 A_e=0,0 cm^2 S_m=0 mm W_k=0,00 mm $\sigma_{ct,f}$=0,00 N/mm^2										**CA=QPR ε_{sm}=0E+00 A_e=0,0 cm^2 S_m=0 mm W_k=0,00 mm $\sigma_{ct,f}$=0,00 N/mm^2**						
SHELL: [00529-00047-00828] AA= PCA																
CA=FRQ ε_{sm}=0E+00 A_e=0,0 cm^2 S_m=0 mm W_k=0,00 mm $\sigma_{ct,f}$=0,00 N/mm^2										**CA=QPR ε_{sm}=0E+00 A_e=0,0 cm^2 S_m=0 mm W_k=0,00 mm $\sigma_{ct,f}$=0,00 N/mm^2**						
SHELL: [00529-00828-00832] AA= PCA																
CA=FRQ ε_{sm}=0E+00 A_e=0,0 cm^2 S_m=0 mm W_k=0,00 mm $\sigma_{ct,f}$=0,00 N/mm^2										**CA=QPR ε_{sm}=0E+00 A_e=0,0 cm^2 S_m=0 mm W_k=0,00**						

Dir	Nodo	σ_{ct}	σ_{cc}	σ_{at}	Nodo	σ_{ct}	σ_{cc}	σ_{at}	Nodo	σ_{ct}	σ_{cc}	σ_{at}	Nodo	σ_{ct}	σ_{cc}	σ_{at}
		[N/mm^2]	[N/mm^2]	[N/mm^2]		[N/mm^2]	[N/mm^2]	[N/mm^2]		[N/mm^2]	[N/mm^2]	[N/mm^2]		[N/mm^2]	[N/mm^2]	[N/mm^2]
mm $\sigma_{ct,f}$=0,00 N/mm^2																
SHELL: [00829-00085-00574] AA= PCA																
CA=FRQ ε_{sm}=0E+00 A_e=0,0 cm^2 S_m=0 mm W_k=0,00 mm $\sigma_{ct,f}$=0,00 N/mm^2																
CA=QPR ε_{sm}=0E+00 A_e=0,0 cm^2 S_m=0 mm W_k=0,00 mm $\sigma_{ct,f}$=0,00 N/mm^2																
SHELL: [00830-00577-00086] AA= PCA																
CA=FRQ ε_{sm}=0E+00 A_e=0,0 cm^2 S_m=0 mm W_k=0,00 mm $\sigma_{ct,f}$=0,00 N/mm^2																
CA=QPR ε_{sm}=0E+00 A_e=0,0 cm^2 S_m=0 mm W_k=0,00 mm $\sigma_{ct,f}$=0,00 N/mm^2																
SHELL: [00827-00831-00830] AA= PCA																
CA=FRQ ε_{sm}=0E+00 A_e=0,0 cm^2 S_m=0 mm W_k=0,00 mm $\sigma_{ct,f}$=0,00 N/mm^2																
CA=QPR ε_{sm}=0E+00 A_e=0,0 cm^2 S_m=0 mm W_k=0,00 mm $\sigma_{ct,f}$=0,00 N/mm^2																
SHELL: [00827-00830-00573] AA= PCA																
CA=FRQ ε_{sm}=0E+00 A_e=0,0 cm^2 S_m=0 mm W_k=0,00 mm $\sigma_{ct,f}$=0,00 N/mm^2																
CA=QPR ε_{sm}=0E+00 A_e=0,0 cm^2 S_m=0 mm W_k=0,00 mm $\sigma_{ct,f}$=0,00 N/mm^2																

Continua nella prossima tabella...

LEGENDA:

Dir Direzione [P] = principale - [S] = secondaria.
σ_{ct} Tensione massima di trazione nel calcestruzzo.
σ_{cc} Tensione massima di compressione nel calcestruzzo.
σ_{at} Tensione massima di trazione nell'acciaio.
Shell Shell in cui risulta suddiviso l'elemento.
FRC Spostamento massimo (freccia) dell'elemento.
AA Identificativo dell'aggressività dell'ambiente: [PCA] = Poco aggressivo - [MDA] = Moderatamente aggressivo - [MLA] = Molto aggressivo.
Id_{Cmb} Identificativo della Combinazione di Azione: [QPR] = Quasi Permanente - [FRQ] = Frequente - [RAR] = Rara.
ε_{sm} Deformazione media nel calcestruzzo.
A_e Area efficace del calcestruzzo teso.
s_m Distanza media tra le fessure.
w_k Apertura massima delle fessure.

INFORMAZIONI GENERALI ..... pag. 2
LIVELLO DI CONOSCENZA E FATTORE DI CONFIDENZA ..... pag. 2
MATERIALI CALCESTRUZZO ARMATO ..... pag. 2
MATERIALI ACCIAIO ..... pag. 2
MATERIALI CARATTERISTICHE NON LINEARI ..... pag. 3
TERRENI ..... pag. 5
STRATIGRAFIE ..... pag. 5
SEZIONI ASTE ..... pag. 5
ANALISI CARICHI ..... pag. 6
DATI GENERALI ANALISI SISMICA NON LINEARE ..... pag. 6
..... pag. 7
PRINCIPALI ELEMENTI ANALISI SISMICA ..... pag. 7
RIEPILOGO MODI DI VIBRAZIONE ..... pag. 7
CURVA DI CAPACITA' ..... pag. 9
LIVELLI O PIANI ..... pag. 13
NODI ..... pag. 14
TRAVI IN ELEVAZIONE ..... pag. 36
TRAVI DI FONDAZIONE ..... pag. 40
PILASTRI E PILASTRI-PARETE ..... pag. 41
PARETI ..... pag. 43
PLINTI ..... pag. 46
SOLAI E BALCONI ..... pag. 47
NODI - VERIFICA DI CONFINAMENTO (Elevazione) ..... pag. 48
TRAVI - VERIFICHE PRESSOFLESSIONE RETTA E DEVIATA ALLO STATO LIMITE DI ESERCIZIO (Elevazione) ..... pag. 50
TRAVI - VERIFICHE DI ROTAZIONE ALLA CORDA (Elevazione) ..... pag. 62
TRAVI - VERIFICHE A TAGLIO PER ANALISI NON LINEARE (Elevazione) ..... pag. 90
PILASTRI - VERIFICHE PRESSOFLESSIONE DEVIATA ALLO STATO LIMITE DI ESERCIZIO (Elevazione) ..... pag. 128
PILASTRI - VERIFICHE DI ROTAZIONE ALLA CORDA (Elevazione) ..... pag. 133
PILASTRI - VERIFICHE A TAGLIO PER ANALISI NON LINEARE (Elevazione) ..... pag. 145
Pareti - VERIFICHE PRESSOFLESSIONE RETTA ALLO STATO LIMITE ULTIMO (Elevazione) ..... pag. 164
Pareti - VERIFICHE A TAGLIO PER PRESSOFLESSIONE RETTA ALLO STATO LIMITE ULTIMO (Elevazione) ..... pag. 188
Pareti - VERIFICHE A PRESSOFLESSIONE RETTA ALLO STATO LIMITE DI ESERCIZIO (Elevazione) ..... pag. 198

COMUNE DI TERNI
Direzione Lavori Pubblici e Manutenzioni - Patrimonio

Palazzo Spada - P.zza M. Ridolfi, 1
05100 Terni
Tel. +39 0744.549.501 Fax +39 0744.428708
renato.pierdonati@comune.terni.it

LAVORI DI RESTAURO, ADEGUAMENTO SISMICO, ADEGUAMENTO ALLE NORME DI PREVENZIONE INCENDI E ABBATTIMENTO BARRIERE ARCHITETTONICHE DELL'EDIFICIO SCOLASTICO "G. MATTEOTTI" VIA MARIE CURIE N. 4

DEFINITIVO

PROGETTO

Doc.
R2.4ST

EDIFICIO 1
TABULATO DI CALCOLO 2

Scala

Responsabile del Procedimento: Geom. S. Fredduzzi

Data: Marzo 2015

Progettisti:

Architettonico:	Arch. M. Finotto
Strutture:	Ing. M.Boccio
	Ing. S. Marinozzi
Impianti:	Per.Ind. T. Mococci
	Per.Ind. G. Rubeca
Sicurezza:	Geom. F. Formichetti

Collaboratori:

Geom. G. Poddi - Geom. M. D'Amato
Geom. F. Ottaviani - Per.Ind. E. Lenticchia
Geom. F. Ribeca - Geom. M. Ciuffetti
Geom. R. Sabatini - Geom. G. Severoni

Comune di Terni
Provincia di TR

TABULATI DI CALCOLO
(Tomo 2 di 2)

OGGETTO: Edificio 2

COMMITTENTE: Comune di Terni

I Progettisti

Ing. Marcello Boccio

Ing. Stefano Marinozzi

Pareti - VERIFICHE A PRESSOFLESSIONE RETTA ALLO STATO LIMITE DI ESERCIZIO (Elevazione)

Pareti - Verifiche a pressoflessione retta allo stato limite di esercizio

Dir	Nodo	σ_{ct}	σ_{cc}	σ_{at}	Nodo	σ_{ct}	σ_{cc}	σ_{at}	Nodo	σ_{ct}	σ_{cc}	σ_{at}	Nodo	σ_{ct}	σ_{cc}	σ_{at}
		[N/mm²]	[N/mm²]	[N/mm²]		[N/mm²]	[N/mm²]	[N/mm²]		[N/mm²]	[N/mm²]	[N/mm²]		[N/mm²]	[N/mm²]	[N/mm²]
SHELL: [00832-00575-00576] AA= PCA																
CA=FRQ ε_{sm}=0E+00 A_e=0,0 cm² S_m=0 mm W_k=0,00 mm $\sigma_{ct,f}$=0,00 N/mm² CA=QPR ε_{sm}=0E+00 A_e=0,0 cm² S_m=0 mm W_k=0,00 mm $\sigma_{ct,f}$=0,00 N/mm²																
SHELL: [00531-00530-00832] AA= PCA																
CA=FRQ ε_{sm}=0E+00 A_e=0,0 cm² S_m=0 mm W_k=0,00 mm $\sigma_{ct,f}$=0,00 N/mm² CA=QPR ε_{sm}=0E+00 A_e=0,0 cm² S_m=0 mm W_k=0,00 mm $\sigma_{ct,f}$=0,00 N/mm²																
SHELL: [00832-00829-00574] AA= PCA																
CA=FRQ ε_{sm}=0E+00 A_e=0,0 cm² S_m=0 mm W_k=0,00 mm $\sigma_{ct,f}$=0,00 N/mm² CA=QPR ε_{sm}=0E+00 A_e=0,0 cm² S_m=0 mm W_k=0,00 mm $\sigma_{ct,f}$=0,00 N/mm²																
SHELL: [00832-00574-00575] AA= PCA																
CA=FRQ ε_{sm}=0E+00 A_e=0,0 cm² S_m=0 mm W_k=0,00 mm $\sigma_{ct,f}$=0,00 N/mm² CA=QPR ε_{sm}=0E+00 A_e=0,0 cm² S_m=0 mm W_k=0,00 mm $\sigma_{ct,f}$=0,00 N/mm²																
SHELL: [00831-00576-00577] AA= PCA																
CA=FRQ ε_{sm}=0E+00 A_e=0,0 cm² S_m=0 mm W_k=0,00 mm $\sigma_{ct,f}$=0,00 N/mm² CA=QPR ε_{sm}=0E+00 A_e=0,0 cm² S_m=0 mm W_k=0,00 mm $\sigma_{ct,f}$=0,00 N/mm²																
SHELL: [00831-00577-00830] AA= PCA																
CA=FRQ ε_{sm}=0E+00 A_e=0,0 cm² S_m=0 mm W_k=0,00 mm $\sigma_{ct,f}$=0,00 N/mm² CA=QPR ε_{sm}=0E+00 A_e=0,0 cm² S_m=0 mm W_k=0,00 mm $\sigma_{ct,f}$=0,00 N/mm²																
SHELL: [00831-00832-00576] AA= PCA																
CA=FRQ ε_{sm}=0E+00 A_e=0,0 cm² S_m=0 mm W_k=0,00 mm $\sigma_{ct,f}$=0,00 N/mm² CA=QPR ε_{sm}=0E+00 A_e=0,0 cm² S_m=0 mm W_k=0,00 mm $\sigma_{ct,f}$=0,00 N/mm²																
SHELL: [00828-00443-00829] AA= PCA																
CA=FRQ ε_{sm}=0E+00 A_e=0,0 cm² S_m=0 mm W_k=0,00 mm $\sigma_{ct,f}$=0,00 N/mm² CA=QPR ε_{sm}=0E+00 A_e=0,0 cm² S_m=0 mm W_k=0,00 mm $\sigma_{ct,f}$=0,00 N/mm²																
SHELL: [00443-00085-00829] AA= PCA																
CA=FRQ ε_{sm}=0E+00 A_e=0,0 cm² S_m=0 mm W_k=0,00 mm $\sigma_{ct,f}$=0,00 N/mm² CA=QPR ε_{sm}=0E+00 A_e=0,0 cm² S_m=0 mm W_k=0,00 mm $\sigma_{ct,f}$=0,00 N/mm²																
SHELL: [00047-00443-00828] AA= PCA																
CA=FRQ ε_{sm}=0E+00 A_e=0,0 cm² S_m=0 mm W_k=0,00 mm $\sigma_{ct,f}$=0,00 N/mm² CA=QPR ε_{sm}=0E+00 A_e=0,0 cm² S_m=0 mm W_k=0,00 mm $\sigma_{ct,f}$=0,00 N/mm²																
SHELL: [00828-00829-00832] AA= PCA																
CA=FRQ ε_{sm}=0E+00 A_e=0,0 cm² S_m=0 mm W_k=0,00 mm $\sigma_{ct,f}$=0,00 N/mm² CA=QPR ε_{sm}=0E+00 A_e=0,0 cm² S_m=0 mm W_k=0,00 mm $\sigma_{ct,f}$=0,00 N/mm²																
P	00046	0,000	0,000	0,000	00047	0,000	0,000	0,000	00085	0,000	0,000	0,000	00086	0,000	0,000	0,000
S		0,000	0,000	0,000		0,000	0,000	0,000		0,000	0,000	0,000		0,000	0,000	0,000
P	00443	0,000	0,000	0,000	00529	0,000	0,000	0,000	00530	0,000	0,000	0,000	00531	0,000	0,000	0,000
S		0,000	0,000	0,000		0,000	0,000	0,000		0,000	0,000	0,000		0,000	0,000	0,000
P	00532	0,000	0,000	0,000	00573	0,000	0,000	0,000	00574	0,000	0,000	0,000	00575	0,000	0,000	0,000
S		0,000	0,000	0,000		0,000	0,000	0,000		0,000	0,000	0,000		0,000	0,000	0,000
P	00576	0,000	0,000	0,000	00577	0,000	0,000	0,000	00827	0,000	0,000	0,000	00828	0,000	0,000	0,000
S		0,000	0,000	0,000		0,000	0,000	0,000		0,000	0,000	0,000		0,000	0,000	0,000
P	00829	0,000	0,000	0,000	00830	0,000	0,000	0,000	00831	0,000	0,000	0,000	00832	0,000	0,000	0,000
S		0,000	0,000	0,000		0,000	0,000	0,000		0,000	0,000	0,000		0,000	0,000	0,000
Parete 19-P9 AA= PCA																
CA=FRQ ε_{sm}=0E+00 A_e=0,0 cm² S_m=0 mm W_k=0,00 mm $\sigma_{ct,f}$=0,00 N/mm² CA=QPR ε_{sm}=0E+00 A_e=0,0 cm² S_m=0 mm W_k=0,00 mm $\sigma_{ct,f}$=0,00 N/mm²																
Piano interrato					**Parete19-P9**								**Parete 19-P9**			
SHELL: [00819-00567-00818] AA= PCA																
CA=FRQ ε_{sm}=0E+00 A_e=0,0 cm² S_m=0 mm W_k=0,00 mm $\sigma_{ct,f}$=0,00 N/mm² CA=QPR ε_{sm}=0E+00 A_e=0,0 cm² S_m=0 mm W_k=0,00 mm $\sigma_{ct,f}$=0,00 N/mm²																
SHELL: [00561-00819-00560] AA= PCA																
CA=FRQ ε_{sm}=0E+00 A_e=0,0 cm² S_m=0 mm W_k=0,00 mm $\sigma_{ct,f}$=0,00 N/mm² CA=QPR ε_{sm}=0E+00 A_e=0,0 cm² S_m=0 mm W_k=0,00 mm $\sigma_{ct,f}$=0,00 N/mm²																
SHELL: [00558-00818-00011] AA= PCA																
CA=FRQ ε_{sm}=0E+00 A_e=0,0 cm² S_m=0 mm W_k=0,00 mm $\sigma_{ct,f}$=0,00 N/mm² CA=QPR ε_{sm}=0E+00 A_e=0,0 cm² S_m=0 mm W_k=0,00 mm $\sigma_{ct,f}$=0,00 N/mm²																
SHELL: [00561-00562-00820] AA= PCA																
CA=FRQ ε_{sm}=0E+00 A_e=0,0 cm² S_m=0 mm W_k=0,00 mm $\sigma_{ct,f}$=0,00 N/mm² CA=QPR ε_{sm}=0E+00 A_e=0,0 cm² S_m=0 mm W_k=0,00 mm $\sigma_{ct,f}$=0,00 N/mm²																
SHELL: [00561-00820-00819] AA= PCA																
CA=FRQ ε_{sm}=0E+00 A_e=0,0 cm² S_m=0 mm W_k=0,00 mm $\sigma_{ct,f}$=0,00 N/mm² CA=QPR ε_{sm}=0E+00 A_e=0,0 cm² S_m=0 mm W_k=0,00 mm $\sigma_{ct,f}$=0,00 N/mm²																
SHELL: [00560-00819-00815] AA= PCA																
CA=FRQ ε_{sm}=0E+00 A_e=0,0 cm² S_m=0 mm W_k=0,00 mm $\sigma_{ct,f}$=0,00 N/mm² CA=QPR ε_{sm}=0E+00 A_e=0,0 cm² S_m=0 mm W_k=0,00 mm $\sigma_{ct,f}$=0,00 N/mm²																
SHELL: [00563-00820-00562] AA= PCA																
CA=FRQ ε_{sm}=0E+00 A_e=0,0 cm² S_m=0 mm W_k=0,00 mm $\sigma_{ct,f}$=0,00 N/mm² CA=QPR ε_{sm}=0E+00 A_e=0,0 cm² S_m=0 mm W_k=0,00 mm $\sigma_{ct,f}$=0,00 N/mm²																
SHELL: [00563-00816-00820] AA= PCA																
CA=FRQ ε_{sm}=0E+00 A_e=0,0 cm² S_m=0 mm W_k=0,00 mm $\sigma_{ct,f}$=0,00 N/mm² CA=QPR ε_{sm}=0E+00 A_e=0,0 cm² S_m=0 mm W_k=0,00 mm $\sigma_{ct,f}$=0,00 N/mm²																
SHELL: [00559-00819-00558] AA= PCA																
CA=FRQ ε_{sm}=0E+00 A_e=0,0 cm² S_m=0 mm W_k=0,00 mm $\sigma_{ct,f}$=0,00 N/mm² CA=QPR ε_{sm}=0E+00 A_e=0,0 cm² S_m=0 mm W_k=0,00 mm $\sigma_{ct,f}$=0,00 N/mm²																

Dir	Nodo	σ_{ct} [N/mm^2]	σ_{cc} [N/mm^2]	σ_{at} [N/mm^2]	Nodo	σ_{ct} [N/mm^2]	σ_{cc} [N/mm^2]	σ_{at} [N/mm^2]	Nodo	σ_{ct} [N/mm^2]	σ_{cc} [N/mm^2]	σ_{at} [N/mm^2]	Nodo	σ_{ct} [N/mm^2]	σ_{cc} [N/mm^2]	σ_{at} [N/mm^2]
SHELL: [00091-00426-00816] AA= PCA																
CA=FRQ ε_{sm}=0E+00 A_e=0,0 cm^2 S_m=0 mm W_k=0,00 mm $\sigma_{ct,f}$=0,00 N/mm^2 CA=QPR ε_{sm}=0E+00 A_e=0,0 cm^2 S_m=0 mm W_k=0,00 mm $\sigma_{ct,f}$=0,00 N/mm^2																
SHELL: [00816-00426-00820] AA= PCA																
CA=FRQ ε_{sm}=0E+00 A_e=0,0 cm^2 S_m=0 mm W_k=0,00 mm $\sigma_{ct,f}$=0,00 N/mm^2 CA=QPR ε_{sm}=0E+00 A_e=0,0 cm^2 S_m=0 mm W_k=0,00 mm $\sigma_{ct,f}$=0,00 N/mm^2																
SHELL: [00817-00012-00564] AA= PCA																
CA=FRQ ε_{sm}=0E+00 A_e=0,0 cm^2 S_m=0 mm W_k=0,00 mm $\sigma_{ct,f}$=0,00 N/mm^2 CA=QPR ε_{sm}=0E+00 A_e=0,0 cm^2 S_m=0 mm W_k=0,00 mm $\sigma_{ct,f}$=0,00 N/mm^2																
SHELL: [00425-00012-00817] AA= PCA																
CA=FRQ ε_{sm}=0E+00 A_e=0,0 cm^2 S_m=0 mm W_k=0,00 mm $\sigma_{ct,f}$=0,00 N/mm^2 CA=QPR ε_{sm}=0E+00 A_e=0,0 cm^2 S_m=0 mm W_k=0,00 mm $\sigma_{ct,f}$=0,00 N/mm^2																
SHELL: [00818-00567-00011] AA= PCA																
CA=FRQ ε_{sm}=0E+00 A_e=0,0 cm^2 S_m=0 mm W_k=0,00 mm $\sigma_{ct,f}$=0,00 N/mm^2 CA=QPR ε_{sm}=0E+00 A_e=0,0 cm^2 S_m=0 mm W_k=0,00 mm $\sigma_{ct,f}$=0,00 N/mm^2																
SHELL: [00092-00815-00559] AA= PCA																
CA=FRQ ε_{sm}=0E+00 A_e=0,0 cm^2 S_m=0 mm W_k=0,00 mm $\sigma_{ct,f}$=0,00 N/mm^2 CA=QPR ε_{sm}=0E+00 A_e=0,0 cm^2 S_m=0 mm W_k=0,00 mm $\sigma_{ct,f}$=0,00 N/mm^2																
SHELL: [00819-00566-00567] AA= PCA																
CA=FRQ ε_{sm}=0E+00 A_e=0,0 cm^2 S_m=0 mm W_k=0,00 mm $\sigma_{ct,f}$=0,00 N/mm^2 CA=QPR ε_{sm}=0E+00 A_e=0,0 cm^2 S_m=0 mm W_k=0,00 mm $\sigma_{ct,f}$=0,00 N/mm^2																
SHELL: [00560-00815-00092] AA= PCA																
CA=FRQ ε_{sm}=0E+00 A_e=0,0 cm^2 S_m=0 mm W_k=0,00 mm $\sigma_{ct,f}$=0,00 N/mm^2 CA=QPR ε_{sm}=0E+00 A_e=0,0 cm^2 S_m=0 mm W_k=0,00 mm $\sigma_{ct,f}$=0,00 N/mm^2																
SHELL: [00819-00818-00558] AA= PCA																
CA=FRQ ε_{sm}=0E+00 A_e=0,0 cm^2 S_m=0 mm W_k=0,00 mm $\sigma_{ct,f}$=0,00 N/mm^2 CA=QPR ε_{sm}=0E+00 A_e=0,0 cm^2 S_m=0 mm W_k=0,00 mm $\sigma_{ct,f}$=0,00 N/mm^2																
SHELL: [00820-00564-00565] AA= PCA																
CA=FRQ ε_{sm}=0E+00 A_e=0,0 cm^2 S_m=0 mm W_k=0,00 mm $\sigma_{ct,f}$=0,00 N/mm^2 CA=QPR ε_{sm}=0E+00 A_e=0,0 cm^2 S_m=0 mm W_k=0,00 mm $\sigma_{ct,f}$=0,00 N/mm^2																
SHELL: [00820-00817-00564] AA= PCA																
CA=FRQ ε_{sm}=0E+00 A_e=0,0 cm^2 S_m=0 mm W_k=0,00 mm $\sigma_{ct,f}$=0,00 N/mm^2 CA=QPR ε_{sm}=0E+00 A_e=0,0 cm^2 S_m=0 mm W_k=0,00 mm $\sigma_{ct,f}$=0,00 N/mm^2																
SHELL: [00820-00425-00817] AA= PCA																
CA=FRQ ε_{sm}=0E+00 A_e=0,0 cm^2 S_m=0 mm W_k=0,00 mm $\sigma_{ct,f}$=0,00 N/mm^2 CA=QPR ε_{sm}=0E+00 A_e=0,0 cm^2 S_m=0 mm W_k=0,00 mm $\sigma_{ct,f}$=0,00 N/mm^2																
SHELL: [00820-00565-00566] AA= PCA																
CA=FRQ ε_{sm}=0E+00 A_e=0,0 cm^2 S_m=0 mm W_k=0,00 mm $\sigma_{ct,f}$=0,00 N/mm^2 CA=QPR ε_{sm}=0E+00 A_e=0,0 cm^2 S_m=0 mm W_k=0,00 mm $\sigma_{ct,f}$=0,00 N/mm^2																
SHELL: [00820-00566-00819] AA= PCA																
CA=FRQ ε_{sm}=0E+00 A_e=0,0 cm^2 S_m=0 mm W_k=0,00 mm $\sigma_{ct,f}$=0,00 N/mm^2 CA=QPR ε_{sm}=0E+00 A_e=0,0 cm^2 S_m=0 mm W_k=0,00 mm $\sigma_{ct,f}$=0,00 N/mm^2																
SHELL: [00815-00819-00559] AA= PCA																
CA=FRQ ε_{sm}=0E+00 A_e=0,0 cm^2 S_m=0 mm W_k=0,00 mm $\sigma_{ct,f}$=0,00 N/mm^2 CA=QPR ε_{sm}=0E+00 A_e=0,0 cm^2 S_m=0 mm W_k=0,00 mm $\sigma_{ct,f}$=0,00 N/mm^2																
SHELL: [00091-00816-00563] AA= PCA																
CA=FRQ ε_{sm}=0E+00 A_e=0,0 cm^2 S_m=0 mm W_k=0,00 mm $\sigma_{ct,f}$=0,00 N/mm^2 CA=QPR ε_{sm}=0E+00 A_e=0,0 cm^2 S_m=0 mm W_k=0,00 mm $\sigma_{ct,f}$=0,00 N/mm^2																
SHELL: [00426-00425-00820] AA= PCA																
CA=FRQ ε_{sm}=0E+00 A_e=0,0 cm^2 S_m=0 mm W_k=0,00 mm $\sigma_{ct,f}$=0,00 N/mm^2 CA=QPR ε_{sm}=0E+00 A_e=0,0 cm^2 S_m=0 mm W_k=0,00 mm $\sigma_{ct,f}$=0,00 N/mm^2																
P	00011	0,000	0,000	0,000	00012	0,000	0,000	0,000	00091	0,000	0,000	0,000	00092	0,000	0,000	0,000
S		0,000	0,000	0,000		0,000	0,000	0,000		0,000	0,000	0,000		0,000	0,000	0,000
P	00425	0,000	0,000	0,000	00426	0,000	0,000	0,000	00558	0,000	0,000	0,000	00559	0,000	0,000	0,000
S		0,000	0,000	0,000		0,000	0,000	0,000		0,000	0,000	0,000		0,000	0,000	0,000
P	00560	0,000	0,000	0,000	00561	0,000	0,000	0,000	00562	0,000	0,000	0,000	00563	0,000	0,000	0,000
S		0,000	0,000	0,000		0,000	0,000	0,000		0,000	0,000	0,000		0,000	0,000	0,000
P	00564	0,000	0,000	0,000	00565	0,000	0,000	0,000	00566	0,000	0,000	0,000	00567	0,000	0,000	0,000
S		0,000	0,000	0,000		0,000	0,000	0,000		0,000	0,000	0,000		0,000	0,000	0,000
P	00815	0,000	0,000	0,000	00816	0,000	0,000	0,000	00817	0,000	0,000	0,000	00818	0,000	0,000	0,000
S		0,000	0,000	0,000		0,000	0,000	0,000		0,000	0,000	0,000		0,000	0,000	0,000
P	00819	0,000	0,000	0,000	00820	0,000	0,000	0,000								
S		0,000	0,000	0,000		0,000	0,000	0,000								
Parete P10-21 AA= PCA																
CA=FRQ ε_{sm}=0E+00 A_e=0,0 cm^2 S_m=0 mm W_k=0,00 mm $\sigma_{ct,f}$=0,00 N/mm^2 CA=QPR ε_{sm}=0E+00 A_e=0,0 cm^2 S_m=0 mm W_k=0,00 mm $\sigma_{ct,f}$=0,00 N/mm^2																
Piano interrato					**ParetеP10-21-P11**								**Parete P10-21**			
SHELL: [00474-00752-00095] AA= PCA																
CA=FRQ ε_{sm}=0E+00 A_e=0,0 cm^2 S_m=0 mm W_k=0,00 mm $\sigma_{ct,f}$=0,00 N/mm^2 CA=QPR ε_{sm}=0E+00 A_e=0,0 cm^2 S_m=0 mm W_k=0,00 mm $\sigma_{ct,f}$=0,00 N/mm^2																
SHELL: [00015-00475-00749] AA= PCA																
CA=FRQ ε_{sm}=0E+00 A_e=0,0 cm^2 S_m=0 mm W_k=0,00 mm $\sigma_{ct,f}$=0,00 N/mm^2 CA=QPR ε_{sm}=0E+00 A_e=0,0 cm^2 S_m=0 mm W_k=0,00 mm $\sigma_{ct,f}$=0,00 N/mm^2																
SHELL: [00015-00749-00474] AA= PCA																
CA=FRQ ε_{sm}=0E+00 A_e=0,0 cm^2 S_m=0 mm W_k=0,00 mm $\sigma_{ct,f}$=0,00 N/mm^2 CA=QPR ε_{sm}=0E+00 A_e=0,0 cm^2 S_m=0 mm W_k=0,00 mm $\sigma_{ct,f}$=0,00 N/mm^2																
SHELL: [00475-00753-00749] AA= PCA																
CA=FRQ ε_{sm}=0E+00 A_e=0,0 cm^2 S_m=0 mm W_k=0,00 mm $\sigma_{ct,f}$=0,00 N/mm^2 CA=QPR ε_{sm}=0E+00 A_e=0,0 cm^2 S_m=0 mm W_k=0,00																

Dir	Nodo	σ_{ct} [N/mm²]	σ_{cc} [N/mm²]	σ_{at} [N/mm²]	Nodo	σ_{ct} [N/mm²]	σ_{cc} [N/mm²]	σ_{at} [N/mm²]	Nodo	σ_{ct} [N/mm²]	σ_{cc} [N/mm²]	σ_{at} [N/mm²]	Nodo	σ_{ct} [N/mm²]	σ_{cc} [N/mm²]	σ_{at} [N/mm²]
mm $\sigma_{ct,f}$=0,00 N/mm²																
SHELL: [00475-00476-00753] AA= PCA																
CA=FRQ ε_{sm}=0E+00 A_e=0,0 cm² S_m=0 mm W_k=0,00 mm $\sigma_{ct,f}$=0,00 N/mm² CA=QPR ε_{sm}=0E+00 A_e=0,0 cm² S_m=0 mm W_k=0,00 mm $\sigma_{ct,f}$=0,00 N/mm²																
SHELL: [00476-00477-00754] AA= PCA																
CA=FRQ ε_{sm}=0E+00 A_e=0,0 cm² S_m=0 mm W_k=0,00 mm $\sigma_{ct,f}$=0,00 N/mm² CA=QPR ε_{sm}=0E+00 A_e=0,0 cm² S_m=0 mm W_k=0,00 mm $\sigma_{ct,f}$=0,00 N/mm²																
SHELL: [00476-00754-00753] AA= PCA																
CA=FRQ ε_{sm}=0E+00 A_e=0,0 cm² S_m=0 mm W_k=0,00 mm $\sigma_{ct,f}$=0,00 N/mm² CA=QPR ε_{sm}=0E+00 A_e=0,0 cm² S_m=0 mm W_k=0,00 mm $\sigma_{ct,f}$=0,00 N/mm²																
SHELL: [00477-00478-00754] AA= PCA																
CA=FRQ ε_{sm}=0E+00 A_e=0,0 cm² S_m=0 mm W_k=0,00 mm $\sigma_{ct,f}$=0,00 N/mm² CA=QPR ε_{sm}=0E+00 A_e=0,0 cm² S_m=0 mm W_k=0,00 mm $\sigma_{ct,f}$=0,00 N/mm²																
SHELL: [00478-00016-00750] AA= PCA																
CA=FRQ ε_{sm}=0E+00 A_e=0,0 cm² S_m=0 mm W_k=0,00 mm $\sigma_{ct,f}$=0,00 N/mm² CA=QPR ε_{sm}=0E+00 A_e=0,0 cm² S_m=0 mm W_k=0,00 mm $\sigma_{ct,f}$=0,00 N/mm²																
SHELL: [00751-00094-00479] AA= PCA																
CA=FRQ ε_{sm}=0E+00 A_e=0,0 cm² S_m=0 mm W_k=0,00 mm $\sigma_{ct,f}$=0,00 N/mm² CA=QPR ε_{sm}=0E+00 A_e=0,0 cm² S_m=0 mm W_k=0,00 mm $\sigma_{ct,f}$=0,00 N/mm²																
SHELL: [00752-00482-00095] AA= PCA																
CA=FRQ ε_{sm}=0E+00 A_e=0,0 cm² S_m=0 mm W_k=0,00 mm $\sigma_{ct,f}$=0,00 N/mm² CA=QPR ε_{sm}=0E+00 A_e=0,0 cm² S_m=0 mm W_k=0,00 mm $\sigma_{ct,f}$=0,00 N/mm²																
SHELL: [00749-00753-00752] AA= PCA																
CA=FRQ ε_{sm}=0E+00 A_e=0,0 cm² S_m=0 mm W_k=0,00 mm $\sigma_{ct,f}$=0,00 N/mm² CA=QPR ε_{sm}=0E+00 A_e=0,0 cm² S_m=0 mm W_k=0,00 mm $\sigma_{ct,f}$=0,00 N/mm²																
SHELL: [00749-00752-00474] AA= PCA																
CA=FRQ ε_{sm}=0E+00 A_e=0,0 cm² S_m=0 mm W_k=0,00 mm $\sigma_{ct,f}$=0,00 N/mm² CA=QPR ε_{sm}=0E+00 A_e=0,0 cm² S_m=0 mm W_k=0,00 mm $\sigma_{ct,f}$=0,00 N/mm²																
SHELL: [00754-00480-00481] AA= PCA																
CA=FRQ ε_{sm}=0E+00 A_e=0,0 cm² S_m=0 mm W_k=0,00 mm $\sigma_{ct,f}$=0,00 N/mm² CA=QPR ε_{sm}=0E+00 A_e=0,0 cm² S_m=0 mm W_k=0,00 mm $\sigma_{ct,f}$=0,00 N/mm²																
SHELL: [00478-00750-00754] AA= PCA																
CA=FRQ ε_{sm}=0E+00 A_e=0,0 cm² S_m=0 mm W_k=0,00 mm $\sigma_{ct,f}$=0,00 N/mm² CA=QPR ε_{sm}=0E+00 A_e=0,0 cm² S_m=0 mm W_k=0,00 mm $\sigma_{ct,f}$=0,00 N/mm²																
SHELL: [00754-00751-00479] AA= PCA																
CA=FRQ ε_{sm}=0E+00 A_e=0,0 cm² S_m=0 mm W_k=0,00 mm $\sigma_{ct,f}$=0,00 N/mm² CA=QPR ε_{sm}=0E+00 A_e=0,0 cm² S_m=0 mm W_k=0,00 mm $\sigma_{ct,f}$=0,00 N/mm²																
SHELL: [00754-00479-00480] AA= PCA																
CA=FRQ ε_{sm}=0E+00 A_e=0,0 cm² S_m=0 mm W_k=0,00 mm $\sigma_{ct,f}$=0,00 N/mm² CA=QPR ε_{sm}=0E+00 A_e=0,0 cm² S_m=0 mm W_k=0,00 mm $\sigma_{ct,f}$=0,00 N/mm²																
SHELL: [00753-00481-00482] AA= PCA																
CA=FRQ ε_{sm}=0E+00 A_e=0,0 cm² S_m=0 mm W_k=0,00 mm $\sigma_{ct,f}$=0,00 N/mm² CA=QPR ε_{sm}=0E+00 A_e=0,0 cm² S_m=0 mm W_k=0,00 mm $\sigma_{ct,f}$=0,00 N/mm²																
SHELL: [00753-00482-00752] AA= PCA																
CA=FRQ ε_{sm}=0E+00 A_e=0,0 cm² S_m=0 mm W_k=0,00 mm $\sigma_{ct,f}$=0,00 N/mm² CA=QPR ε_{sm}=0E+00 A_e=0,0 cm² S_m=0 mm W_k=0,00 mm $\sigma_{ct,f}$=0,00 N/mm²																
SHELL: [00753-00754-00481] AA= PCA																
CA=FRQ ε_{sm}=0E+00 A_e=0,0 cm² S_m=0 mm W_k=0,00 mm $\sigma_{ct,f}$=0,00 N/mm² CA=QPR ε_{sm}=0E+00 A_e=0,0 cm² S_m=0 mm W_k=0,00 mm $\sigma_{ct,f}$=0,00 N/mm²																
SHELL: [00750-00751-00754] AA= PCA																
CA=FRQ ε_{sm}=0E+00 A_e=0,0 cm² S_m=0 mm W_k=0,00 mm $\sigma_{ct,f}$=0,00 N/mm² CA=QPR ε_{sm}=0E+00 A_e=0,0 cm² S_m=0 mm W_k=0,00 mm $\sigma_{ct,f}$=0,00 N/mm²																
SHELL: [00321-00094-00751] AA= PCA																
CA=FRQ ε_{sm}=0E+00 A_e=0,0 cm² S_m=0 mm W_k=0,00 mm $\sigma_{ct,f}$=0,00 N/mm² CA=QPR ε_{sm}=0E+00 A_e=0,0 cm² S_m=0 mm W_k=0,00 mm $\sigma_{ct,f}$=0,00 N/mm²																
SHELL: [00016-00321-00750] AA= PCA																
CA=FRQ ε_{sm}=0E+00 A_e=0,0 cm² S_m=0 mm W_k=0,00 mm $\sigma_{ct,f}$=0,00 N/mm² CA=QPR ε_{sm}=0E+00 A_e=0,0 cm² S_m=0 mm W_k=0,00 mm $\sigma_{ct,f}$=0,00 N/mm²																
SHELL: [00750-00321-00751] AA= PCA																
CA=FRQ ε_{sm}=0E+00 A_e=0,0 cm² S_m=0 mm W_k=0,00 mm $\sigma_{ct,f}$=0,00 N/mm² CA=QPR ε_{sm}=0E+00 A_e=0,0 cm² S_m=0 mm W_k=0,00 mm $\sigma_{ct,f}$=0,00 N/mm²																
mm $\sigma_{ct,f}$=0,00 N/mm²																
P	00015	0,000	0,000	0,000	00016	0,000	0,000	0,000	00094	0,000	0,000	0,000	00095	0,000	0,000	0,000
S		0,000	0,000	0,000		0,000	0,000	0,000		0,000	0,000	0,000		0,000	0,000	0,000
P	00321	0,000	0,000	0,000	00474	0,000	0,000	0,000	00475	0,000	0,000	0,000	00476	0,000	0,000	0,000
S		0,000	0,000	0,000		0,000	0,000	0,000		0,000	0,000	0,000		0,000	0,000	0,000
P	00477	0,000	0,000	0,000	00478	0,000	0,000	0,000	00479	0,000	0,000	0,000	00480	0,000	0,000	0,000
S		0,000	0,000	0,000		0,000	0,000	0,000		0,000	0,000	0,000		0,000	0,000	0,000
P	00481	0,000	0,000	0,000	00482	0,000	0,000	0,000	00749	0,000	0,000	0,000	00750	0,000	0,000	0,000
S		0,000	0,000	0,000		0,000	0,000	0,000		0,000	0,000	0,000		0,000	0,000	0,000
P	00751	0,000	0,000	0,000	00752	0,000	0,000	0,000	00753	0,000	0,000	0,000	00754	0,000	0,000	0,000
S		0,000	0,000	0,000		0,000	0,000	0,000		0,000	0,000	0,000		0,000	0,000	0,000
Parete 21-P11 AA= PCA																
CA=FRQ ε_{sm}=0E+00 A_e=0,0 cm² S_m=0 mm W_k=0,00 mm $\sigma_{ct,f}$=0,00 N/mm² CA=QPR ε_{sm}=0E+00 A_e=0,0 cm² S_m=0 mm W_k=0,00 mm $\sigma_{ct,f}$=0,00 N/mm²																
Piano interrato					**ParetеP10-21-P11**								**Parete 21-P11**			
SHELL: [00771-00475-00770] AA= PCA																
CA=FRQ ε_{sm}=0E+00 A_e=0,0 cm² S_m=0 mm W_k=0,00 mm $\sigma_{ct,f}$=0,00 N/mm² CA=QPR ε_{sm}=0E+00 A_e=0,0 cm² S_m=0 mm W_k=0,00 mm $\sigma_{ct,f}$=0,00 N/mm²																
SHELL: [00501-00771-00500] AA= PCA																

Dir	Nodo	σ_{ct} [N/mm^2]	σ_{cc} [N/mm^2]	σ_{at} [N/mm^2]	Nodo	σ_{ct} [N/mm^2]	σ_{cc} [N/mm^2]	σ_{at} [N/mm^2]	Nodo	σ_{ct} [N/mm^2]	σ_{cc} [N/mm^2]	σ_{at} [N/mm^2]	Nodo	σ_{ct} [N/mm^2]	σ_{cc} [N/mm^2]	σ_{at} [N/mm^2]
CA=FRQ ε_{sm}=0E+00 A_e=0,0 cm^2 S_m=0 mm W_k=0,00 mm $\sigma_{ct,f}$=0,00 N/mm^2 CA=QPR ε_{sm}=0E+00 A_e=0,0 cm^2 S_m=0 mm W_k=0,00 mm $\sigma_{ct,f}$=0,00 N/mm^2																
SHELL: [00498-00770-00015] AA= PCA																
CA=FRQ ε_{sm}=0E+00 A_e=0,0 cm^2 S_m=0 mm W_k=0,00 mm $\sigma_{ct,f}$=0,00 N/mm^2 CA=QPR ε_{sm}=0E+00 A_e=0,0 cm^2 S_m=0 mm W_k=0,00 mm $\sigma_{ct,f}$=0,00 N/mm^2																
SHELL: [00501-00502-00772] AA= PCA																
CA=FRQ ε_{sm}=0E+00 A_e=0,0 cm^2 S_m=0 mm W_k=0,00 mm $\sigma_{ct,f}$=0,00 N/mm^2 CA=QPR ε_{sm}=0E+00 A_e=0,0 cm^2 S_m=0 mm W_k=0,00 mm $\sigma_{ct,f}$=0,00 N/mm^2																
SHELL: [00501-00772-00771] AA= PCA																
CA=FRQ ε_{sm}=0E+00 A_e=0,0 cm^2 S_m=0 mm W_k=0,00 mm $\sigma_{ct,f}$=0,00 N/mm^2 CA=QPR ε_{sm}=0E+00 A_e=0,0 cm^2 S_m=0 mm W_k=0,00 mm $\sigma_{ct,f}$=0,00 N/mm^2																
SHELL: [00500-00771-00767] AA= PCA																
CA=FRQ ε_{sm}=0E+00 A_e=0,0 cm^2 S_m=0 mm W_k=0,00 mm $\sigma_{ct,f}$=0,00 N/mm^2 CA=QPR ε_{sm}=0E+00 A_e=0,0 cm^2 S_m=0 mm W_k=0,00 mm $\sigma_{ct,f}$=0,00 N/mm^2																
SHELL: [00503-00768-00772] AA= PCA																
CA=FRQ ε_{sm}=0E+00 A_e=0,0 cm^2 S_m=0 mm W_k=0,00 mm $\sigma_{ct,f}$=0,00 N/mm^2 CA=QPR ε_{sm}=0E+00 A_e=0,0 cm^2 S_m=0 mm W_k=0,00 mm $\sigma_{ct,f}$=0,00 N/mm^2																
SHELL: [00503-00772-00502] AA= PCA																
CA=FRQ ε_{sm}=0E+00 A_e=0,0 cm^2 S_m=0 mm W_k=0,00 mm $\sigma_{ct,f}$=0,00 N/mm^2 CA=QPR ε_{sm}=0E+00 A_e=0,0 cm^2 S_m=0 mm W_k=0,00 mm $\sigma_{ct,f}$=0,00 N/mm^2																
SHELL: [00499-00771-00498] AA= PCA																
CA=FRQ ε_{sm}=0E+00 A_e=0,0 cm^2 S_m=0 mm W_k=0,00 mm $\sigma_{ct,f}$=0,00 N/mm^2 CA=QPR ε_{sm}=0E+00 A_e=0,0 cm^2 S_m=0 mm W_k=0,00 mm $\sigma_{ct,f}$=0,00 N/mm^2																
SHELL: [00500-00767-00117] AA= PCA																
CA=FRQ ε_{sm}=0E+00 A_e=0,0 cm^2 S_m=0 mm W_k=0,00 mm $\sigma_{ct,f}$=0,00 N/mm^2 CA=QPR ε_{sm}=0E+00 A_e=0,0 cm^2 S_m=0 mm W_k=0,00 mm $\sigma_{ct,f}$=0,00 N/mm^2																
SHELL: [00117-00767-00499] AA= PCA																
CA=FRQ ε_{sm}=0E+00 A_e=0,0 cm^2 S_m=0 mm W_k=0,00 mm $\sigma_{ct,f}$=0,00 N/mm^2 CA=QPR ε_{sm}=0E+00 A_e=0,0 cm^2 S_m=0 mm W_k=0,00 mm $\sigma_{ct,f}$=0,00 N/mm^2																
SHELL: [00769-00016-00478] AA= PCA																
CA=FRQ ε_{sm}=0E+00 A_e=0,0 cm^2 S_m=0 mm W_k=0,00 mm $\sigma_{ct,f}$=0,00 N/mm^2 CA=QPR ε_{sm}=0E+00 A_e=0,0 cm^2 S_m=0 mm W_k=0,00 mm $\sigma_{ct,f}$=0,00 N/mm^2																
SHELL: [00347-00016-00769] AA= PCA																
CA=FRQ ε_{sm}=0E+00 A_e=0,0 cm^2 S_m=0 mm W_k=0,00 mm $\sigma_{ct,f}$=0,00 N/mm^2 CA=QPR ε_{sm}=0E+00 A_e=0,0 cm^2 S_m=0 mm W_k=0,00 mm $\sigma_{ct,f}$=0,00 N/mm^2																
SHELL: [00770-00475-00015] AA= PCA																
CA=FRQ ε_{sm}=0E+00 A_e=0,0 cm^2 S_m=0 mm W_k=0,00 mm $\sigma_{ct,f}$=0,00 N/mm^2 CA=QPR ε_{sm}=0E+00 A_e=0,0 cm^2 S_m=0 mm W_k=0,00 mm $\sigma_{ct,f}$=0,00 N/mm^2																
SHELL: [00118-00348-00768] AA= PCA																
CA=FRQ ε_{sm}=0E+00 A_e=0,0 cm^2 S_m=0 mm W_k=0,00 mm $\sigma_{ct,f}$=0,00 N/mm^2 CA=QPR ε_{sm}=0E+00 A_e=0,0 cm^2 S_m=0 mm W_k=0,00 mm $\sigma_{ct,f}$=0,00 N/mm^2																
SHELL: [00771-00476-00475] AA= PCA																
CA=FRQ ε_{sm}=0E+00 A_e=0,0 cm^2 S_m=0 mm W_k=0,00 mm $\sigma_{ct,f}$=0,00 N/mm^2 CA=QPR ε_{sm}=0E+00 A_e=0,0 cm^2 S_m=0 mm W_k=0,00 mm $\sigma_{ct,f}$=0,00 N/mm^2																
SHELL: [00772-00347-00769] AA= PCA																
CA=FRQ ε_{sm}=0E+00 A_e=0,0 cm^2 S_m=0 mm W_k=0,00 mm $\sigma_{ct,f}$=0,00 N/mm^2 CA=QPR ε_{sm}=0E+00 A_e=0,0 cm^2 S_m=0 mm W_k=0,00 mm $\sigma_{ct,f}$=0,00 N/mm^2																
SHELL: [00771-00770-00498] AA= PCA																
CA=FRQ ε_{sm}=0E+00 A_e=0,0 cm^2 S_m=0 mm W_k=0,00 mm $\sigma_{ct,f}$=0,00 N/mm^2 CA=QPR ε_{sm}=0E+00 A_e=0,0 cm^2 S_m=0 mm W_k=0,00 mm $\sigma_{ct,f}$=0,00 N/mm^2																
SHELL: [00772-00478-00477] AA= PCA																
CA=FRQ ε_{sm}=0E+00 A_e=0,0 cm^2 S_m=0 mm W_k=0,00 mm $\sigma_{ct,f}$=0,00 N/mm^2 CA=QPR ε_{sm}=0E+00 A_e=0,0 cm^2 S_m=0 mm W_k=0,00 mm $\sigma_{ct,f}$=0,00 N/mm^2																
SHELL: [00772-00769-00478] AA= PCA																
CA=FRQ ε_{sm}=0E+00 A_e=0,0 cm^2 S_m=0 mm W_k=0,00 mm $\sigma_{ct,f}$=0,00 N/mm^2 CA=QPR ε_{sm}=0E+00 A_e=0,0 cm^2 S_m=0 mm W_k=0,00 mm $\sigma_{ct,f}$=0,00 N/mm^2																
SHELL: [00772-00477-00476] AA= PCA																
CA=FRQ ε_{sm}=0E+00 A_e=0,0 cm^2 S_m=0 mm W_k=0,00 mm $\sigma_{ct,f}$=0,00 N/mm^2 CA=QPR ε_{sm}=0E+00 A_e=0,0 cm^2 S_m=0 mm W_k=0,00 mm $\sigma_{ct,f}$=0,00 N/mm^2																
SHELL: [00772-00476-00771] AA= PCA																
CA=FRQ ε_{sm}=0E+00 A_e=0,0 cm^2 S_m=0 mm W_k=0,00 mm $\sigma_{ct,f}$=0,00 N/mm^2 CA=QPR ε_{sm}=0E+00 A_e=0,0 cm^2 S_m=0 mm W_k=0,00 mm $\sigma_{ct,f}$=0,00 N/mm^2																
SHELL: [00768-00348-00772] AA= PCA																
CA=FRQ ε_{sm}=0E+00 A_e=0,0 cm^2 S_m=0 mm W_k=0,00 mm $\sigma_{ct,f}$=0,00 N/mm^2 CA=QPR ε_{sm}=0E+00 A_e=0,0 cm^2 S_m=0 mm W_k=0,00 mm $\sigma_{ct,f}$=0,00 N/mm^2																
SHELL: [00767-00771-00499] AA= PCA																
CA=FRQ ε_{sm}=0E+00 A_e=0,0 cm^2 S_m=0 mm W_k=0,00 mm $\sigma_{ct,f}$=0,00 N/mm^2 CA=QPR ε_{sm}=0E+00 A_e=0,0 cm^2 S_m=0 mm W_k=0,00 mm $\sigma_{ct,f}$=0,00 N/mm^2																
SHELL: [00118-00768-00503] AA= PCA																
CA=FRQ ε_{sm}=0E+00 A_e=0,0 cm^2 S_m=0 mm W_k=0,00 mm $\sigma_{ct,f}$=0,00 N/mm^2 CA=QPR ε_{sm}=0E+00 A_e=0,0 cm^2 S_m=0 mm W_k=0,00 mm $\sigma_{ct,f}$=0,00 N/mm^2																
SHELL: [00348-00347-00772] AA= PCA																
CA=FRQ ε_{sm}=0E+00 A_e=0,0 cm^2 S_m=0 mm W_k=0,00 mm $\sigma_{ct,f}$=0,00 N/mm^2 CA=QPR ε_{sm}=0E+00 A_e=0,0 cm^2 S_m=0 mm W_k=0,00 mm $\sigma_{ct,f}$=0,00 N/mm^2																
P	00015	0,000	0,000	0,000	00016	0,000	0,000	0,000	00117	0,000	0,000	0,000	00118	0,000	0,000	0,000
S		0,000	0,000	0,000		0,000	0,000	0,000		0,000	0,000	0,000		0,000	0,000	0,000
P	00347	0,000	0,000	0,000	00348	0,000	0,000	0,000	00475	0,000	0,000	0,000	00476	0,000	0,000	0,000
S		0,000	0,000	0,000		0,000	0,000	0,000		0,000	0,000	0,000		0,000	0,000	0,000
P	00477	0,000	0,000	0,000	00478	0,000	0,000	0,000	00498	0,000	0,000	0,000	00499	0,000	0,000	0,000
S		0,000	0,000	0,000		0,000	0,000	0,000		0,000	0,000	0,000		0,000	0,000	0,000
P	0050	0,000	0,000	0,000	0050	0,000	0,000	0,000	0050	0,000	0,000	0,000	0050	0,000	0,000	0,000

Dir	Nodo	σ_{ct}	σ_{cc}	σ_{at}	Nodo	σ_{ct}	σ_{cc}	σ_{at}	Nodo	σ_{ct}	σ_{cc}	σ_{at}	Nodo	σ_{ct}	σ_{cc}	σ_{at}
		[N/mm^2]	[N/mm^2]	[N/mm^2]		[N/mm^2]	[N/mm^2]	[N/mm^2]		[N/mm^2]	[N/mm^2]	[N/mm^2]		[N/mm^2]	[N/mm^2]	[N/mm^2]
	0				1				2				3			
S		0,000	0,000	0,000		0,000	0,000	0,000		0,000	0,000	0,000		0,000	0,000	0,000
P	00767	0,000	0,000	0,000	00768	0,000	0,000	0,000	00769	0,000	0,000	0,000	00770	0,000	0,000	0,000
S		0,000	0,000	0,000		0,000	0,000	0,000		0,000	0,000	0,000		0,000	0,000	0,000
P	00771	0,000	0,000	0,000	00772	0,000	0,000	0,000								
S		0,000	0,000	0,000		0,000	0,000	0,000								

Parete P12-22 AA= PCA

CA=FRQ ε_{sm}=0E+00 A_e=0,0 cm^2 S_m=0 mm W_k=0,00 mm $\sigma_{ct,f}$=0,00 N/mm^2 CA=QPR ε_{sm}=0E+00 A_e=0,0 cm^2 S_m=0 mm W_k=0,00 mm $\sigma_{ct,f}$=0,00 N/mm^2

Piano interrato | **ParetеP12-22-P13** | **Parete P12-22**

SHELL: [00504-00776-00114] AA= PCA
CA=FRQ ε_{sm}=0E+00 A_e=0,0 cm^2 S_m=0 mm W_k=0,00 mm $\sigma_{ct,f}$=0,00 N/mm^2 CA=QPR ε_{sm}=0E+00 A_e=0,0 cm^2 S_m=0 mm W_k=0,00 mm $\sigma_{ct,f}$=0,00 N/mm^2

SHELL: [00017-00473-00773] AA= PCA
CA=FRQ ε_{sm}=0E+00 A_e=0,0 cm^2 S_m=0 mm W_k=0,00 mm $\sigma_{ct,f}$=0,00 N/mm^2 CA=QPR ε_{sm}=0E+00 A_e=0,0 cm^2 S_m=0 mm W_k=0,00 mm $\sigma_{ct,f}$=0,00 N/mm^2

SHELL: [00017-00773-00504] AA= PCA
CA=FRQ ε_{sm}=0E+00 A_e=0,0 cm^2 S_m=0 mm W_k=0,00 mm $\sigma_{ct,f}$=0,00 N/mm^2 CA=QPR ε_{sm}=0E+00 A_e=0,0 cm^2 S_m=0 mm W_k=0,00 mm $\sigma_{ct,f}$=0,00 N/mm^2

SHELL: [00473-00777-00773] AA= PCA
CA=FRQ ε_{sm}=0E+00 A_e=0,0 cm^2 S_m=0 mm W_k=0,00 mm $\sigma_{ct,f}$=0,00 N/mm^2 CA=QPR ε_{sm}=0E+00 A_e=0,0 cm^2 S_m=0 mm W_k=0,00 mm $\sigma_{ct,f}$=0,00 N/mm^2

SHELL: [00778-00506-00507] AA= PCA
CA=FRQ ε_{sm}=0E+00 A_e=0,0 cm^2 S_m=0 mm W_k=0,00 mm $\sigma_{ct,f}$=0,00 N/mm^2 CA=QPR ε_{sm}=0E+00 A_e=0,0 cm^2 S_m=0 mm W_k=0,00 mm $\sigma_{ct,f}$=0,00 N/mm^2

SHELL: [00473-00472-00777] AA= PCA
CA=FRQ ε_{sm}=0E+00 A_e=0,0 cm^2 S_m=0 mm W_k=0,00 mm $\sigma_{ct,f}$=0,00 N/mm^2 CA=QPR ε_{sm}=0E+00 A_e=0,0 cm^2 S_m=0 mm W_k=0,00 mm $\sigma_{ct,f}$=0,00 N/mm^2

SHELL: [00773-00777-00776] AA= PCA
CA=FRQ ε_{sm}=0E+00 A_e=0,0 cm^2 S_m=0 mm W_k=0,00 mm $\sigma_{ct,f}$=0,00 N/mm^2 CA=QPR ε_{sm}=0E+00 A_e=0,0 cm^2 S_m=0 mm W_k=0,00 mm $\sigma_{ct,f}$=0,00 N/mm^2

SHELL: [00472-00471-00778] AA= PCA
CA=FRQ ε_{sm}=0E+00 A_e=0,0 cm^2 S_m=0 mm W_k=0,00 mm $\sigma_{ct,f}$=0,00 N/mm^2 CA=QPR ε_{sm}=0E+00 A_e=0,0 cm^2 S_m=0 mm W_k=0,00 mm $\sigma_{ct,f}$=0,00 N/mm^2

SHELL: [00472-00778-00777] AA= PCA
CA=FRQ ε_{sm}=0E+00 A_e=0,0 cm^2 S_m=0 mm W_k=0,00 mm $\sigma_{ct,f}$=0,00 N/mm^2 CA=QPR ε_{sm}=0E+00 A_e=0,0 cm^2 S_m=0 mm W_k=0,00 mm $\sigma_{ct,f}$=0,00 N/mm^2

SHELL: [00775-00115-00505] AA= PCA
CA=FRQ ε_{sm}=0E+00 A_e=0,0 cm^2 S_m=0 mm W_k=0,00 mm $\sigma_{ct,f}$=0,00 N/mm^2 CA=QPR ε_{sm}=0E+00 A_e=0,0 cm^2 S_m=0 mm W_k=0,00 mm $\sigma_{ct,f}$=0,00 N/mm^2

SHELL: [00471-00470-00778] AA= PCA
CA=FRQ ε_{sm}=0E+00 A_e=0,0 cm^2 S_m=0 mm W_k=0,00 mm $\sigma_{ct,f}$=0,00 N/mm^2 CA=QPR ε_{sm}=0E+00 A_e=0,0 cm^2 S_m=0 mm W_k=0,00 mm $\sigma_{ct,f}$=0,00 N/mm^2

SHELL: [00470-00018-00774] AA= PCA
CA=FRQ ε_{sm}=0E+00 A_e=0,0 cm^2 S_m=0 mm W_k=0,00 mm $\sigma_{ct,f}$=0,00 N/mm^2 CA=QPR ε_{sm}=0E+00 A_e=0,0 cm^2 S_m=0 mm W_k=0,00 mm $\sigma_{ct,f}$=0,00 N/mm^2

SHELL: [00776-00508-00114] AA= PCA
CA=FRQ ε_{sm}=0E+00 A_e=0,0 cm^2 S_m=0 mm W_k=0,00 mm $\sigma_{ct,f}$=0,00 N/mm^2 CA=QPR ε_{sm}=0E+00 A_e=0,0 cm^2 S_m=0 mm W_k=0,00 mm $\sigma_{ct,f}$=0,00 N/mm^2

SHELL: [00778-00505-00506] AA= PCA
CA=FRQ ε_{sm}=0E+00 A_e=0,0 cm^2 S_m=0 mm W_k=0,00 mm $\sigma_{ct,f}$=0,00 N/mm^2 CA=QPR ε_{sm}=0E+00 A_e=0,0 cm^2 S_m=0 mm W_k=0,00 mm $\sigma_{ct,f}$=0,00 N/mm^2

SHELL: [00778-00775-00505] AA= PCA
CA=FRQ ε_{sm}=0E+00 A_e=0,0 cm^2 S_m=0 mm W_k=0,00 mm $\sigma_{ct,f}$=0,00 N/mm^2 CA=QPR ε_{sm}=0E+00 A_e=0,0 cm^2 S_m=0 mm W_k=0,00 mm $\sigma_{ct,f}$=0,00 N/mm^2

SHELL: [00773-00776-00504] AA= PCA
CA=FRQ ε_{sm}=0E+00 A_e=0,0 cm^2 S_m=0 mm W_k=0,00 mm $\sigma_{ct,f}$=0,00 N/mm^2 CA=QPR ε_{sm}=0E+00 A_e=0,0 cm^2 S_m=0 mm W_k=0,00 mm $\sigma_{ct,f}$=0,00 N/mm^2

SHELL: [00470-00774-00778] AA= PCA
CA=FRQ ε_{sm}=0E+00 A_e=0,0 cm^2 S_m=0 mm W_k=0,00 mm $\sigma_{ct,f}$=0,00 N/mm^2 CA=QPR ε_{sm}=0E+00 A_e=0,0 cm^2 S_m=0 mm W_k=0,00 mm $\sigma_{ct,f}$=0,00 N/mm^2

SHELL: [00777-00507-00508] AA= PCA
CA=FRQ ε_{sm}=0E+00 A_e=0,0 cm^2 S_m=0 mm W_k=0,00 mm $\sigma_{ct,f}$=0,00 N/mm^2 CA=QPR ε_{sm}=0E+00 A_e=0,0 cm^2 S_m=0 mm W_k=0,00 mm $\sigma_{ct,f}$=0,00 N/mm^2

SHELL: [00777-00508-00776] AA= PCA
CA=FRQ ε_{sm}=0E+00 A_e=0,0 cm^2 S_m=0 mm W_k=0,00 mm $\sigma_{ct,f}$=0,00 N/mm^2 CA=QPR ε_{sm}=0E+00 A_e=0,0 cm^2 S_m=0 mm W_k=0,00 mm $\sigma_{ct,f}$=0,00 N/mm^2

SHELL: [00777-00778-00507] AA= PCA
CA=FRQ ε_{sm}=0E+00 A_e=0,0 cm^2 S_m=0 mm W_k=0,00 mm $\sigma_{ct,f}$=0,00 N/mm^2 CA=QPR ε_{sm}=0E+00 A_e=0,0 cm^2 S_m=0 mm W_k=0,00 mm $\sigma_{ct,f}$=0,00 N/mm^2

SHELL: [00774-00775-00778] AA= PCA
CA=FRQ ε_{sm}=0E+00 A_e=0,0 cm^2 S_m=0 mm W_k=0,00 mm $\sigma_{ct,f}$=0,00 N/mm^2 CA=QPR ε_{sm}=0E+00 A_e=0,0 cm^2 S_m=0 mm W_k=0,00 mm $\sigma_{ct,f}$=0,00 N/mm^2

SHELL: [00357-00115-00775] AA= PCA
CA=FRQ ε_{sm}=0E+00 A_e=0,0 cm^2 S_m=0 mm W_k=0,00 mm $\sigma_{ct,f}$=0,00 N/mm^2 CA=QPR ε_{sm}=0E+00 A_e=0,0 cm^2 S_m=0 mm W_k=0,00 mm $\sigma_{ct,f}$=0,00 N/mm^2

SHELL: [00018-00357-00774] AA= PCA
CA=FRQ ε_{sm}=0E+00 A_e=0,0 cm^2 S_m=0 mm W_k=0,00 mm $\sigma_{ct,f}$=0,00 N/mm^2 CA=QPR ε_{sm}=0E+00 A_e=0,0 cm^2 S_m=0 mm W_k=0,00 mm $\sigma_{ct,f}$=0,00 N/mm^2

SHELL: [00774-00357-00775] AA= PCA
CA=FRQ ε_{sm}=0E+00 A_e=0,0 cm^2 S_m=0 mm W_k=0,00 mm $\sigma_{ct,f}$=0,00 N/mm^2 CA=QPR ε_{sm}=0E+00 A_e=0,0 cm^2 S_m=0 mm W_k=0,00 mm $\sigma_{ct,f}$=0,00 N/mm^2

Dir	Nodo	σ_{ct}	σ_{cc}	σ_{at}	Nodo	σ_{ct}	σ_{cc}	σ_{at}	Nodo	σ_{ct}	σ_{cc}	σ_{at}	Nodo	σ_{ct}	σ_{cc}	σ_{at}
		[N/mm^2]	[N/mm^2]	[N/mm^2]		[N/mm^2]	[N/mm^2]	[N/mm^2]		[N/mm^2]	[N/mm^2]	[N/mm^2]		[N/mm^2]	[N/mm^2]	[N/mm^2]
P	00017	0,000	0,000	0,000	00018	0,000	0,000	0,000	00114	0,000	0,000	0,000	00115	0,000	0,000	0,000
S		0,000	0,000	0,000		0,000	0,000	0,000		0,000	0,000	0,000		0,000	0,000	0,000
P	00357	0,000	0,000	0,000	00470	0,000	0,000	0,000	00471	0,000	0,000	0,000	00472	0,000	0,000	0,000
S		0,000	0,000	0,000		0,000	0,000	0,000		0,000	0,000	0,000		0,000	0,000	0,000
P	00473	0,000	0,000	0,000	00504	0,000	0,000	0,000	00505	0,000	0,000	0,000	00506	0,000	0,000	0,000
S		0,000	0,000	0,000		0,000	0,000	0,000		0,000	0,000	0,000		0,000	0,000	0,000
P	00507	0,000	0,000	0,000	00508	0,000	0,000	0,000	00773	0,000	0,000	0,000	00774	0,000	0,000	0,000
S		0,000	0,000	0,000		0,000	0,000	0,000		0,000	0,000	0,000		0,000	0,000	0,000
P	00775	0,000	0,000	0,000	00776	0,000	0,000	0,000	00777	0,000	0,000	0,000	00778	0,000	0,000	0,000
S		0,000	0,000	0,000		0,000	0,000	0,000		0,000	0,000	0,000		0,000	0,000	0,000

Parete 22-P13 AA= PCA

CA=FRQ ε_{sm}=0E+00 A_e=0,0 cm^2 S_m=0 mm W_k=0,00 mm $\sigma_{ct,f}$=0,00 N/mm^2 CA=QPR ε_{sm}=0E+00 A_e=0,0 cm^2 S_m=0 mm W_k=0,00 mm $\sigma_{ct,f}$=0,00 N/mm^2

Piano interrato | PareteP12-22-P13 | Parete 22-P13

SHELL: [00747-00473-00746] AA= PCA

CA=FRQ ε_{sm}=0E+00 A_e=0,0 cm^2 S_m=0 mm W_k=0,00 mm $\sigma_{ct,f}$=0,00 N/mm^2 CA=QPR ε_{sm}=0E+00 A_e=0,0 cm^2 S_m=0 mm W_k=0,00 mm $\sigma_{ct,f}$=0,00 N/mm^2

SHELL: [00467-00747-00466] AA= PCA

CA=FRQ ε_{sm}=0E+00 A_e=0,0 cm^2 S_m=0 mm W_k=0,00 mm $\sigma_{ct,f}$=0,00 N/mm^2 CA=QPR ε_{sm}=0E+00 A_e=0,0 cm^2 S_m=0 mm W_k=0,00 mm $\sigma_{ct,f}$=0,00 N/mm^2

SHELL: [00464-00746-00017] AA= PCA

CA=FRQ ε_{sm}=0E+00 A_e=0,0 cm^2 S_m=0 mm W_k=0,00 mm $\sigma_{ct,f}$=0,00 N/mm^2 CA=QPR ε_{sm}=0E+00 A_e=0,0 cm^2 S_m=0 mm W_k=0,00 mm $\sigma_{ct,f}$=0,00 N/mm^2

SHELL: [00467-00468-00748] AA= PCA

CA=FRQ ε_{sm}=0E+00 A_e=0,0 cm^2 S_m=0 mm W_k=0,00 mm $\sigma_{ct,f}$=0,00 N/mm^2 CA=QPR ε_{sm}=0E+00 A_e=0,0 cm^2 S_m=0 mm W_k=0,00 mm $\sigma_{ct,f}$=0,00 N/mm^2

SHELL: [00467-00748-00747] AA= PCA

CA=FRQ ε_{sm}=0E+00 A_e=0,0 cm^2 S_m=0 mm W_k=0,00 mm $\sigma_{ct,f}$=0,00 N/mm^2 CA=QPR ε_{sm}=0E+00 A_e=0,0 cm^2 S_m=0 mm W_k=0,00 mm $\sigma_{ct,f}$=0,00 N/mm^2

SHELL: [00466-00747-00743] AA= PCA

CA=FRQ ε_{sm}=0E+00 A_e=0,0 cm^2 S_m=0 mm W_k=0,00 mm $\sigma_{ct,f}$=0,00 N/mm^2 CA=QPR ε_{sm}=0E+00 A_e=0,0 cm^2 S_m=0 mm W_k=0,00 mm $\sigma_{ct,f}$=0,00 N/mm^2

SHELL: [00469-00744-00748] AA= PCA

CA=FRQ ε_{sm}=0E+00 A_e=0,0 cm^2 S_m=0 mm W_k=0,00 mm $\sigma_{ct,f}$=0,00 N/mm^2 CA=QPR ε_{sm}=0E+00 A_e=0,0 cm^2 S_m=0 mm W_k=0,00 mm $\sigma_{ct,f}$=0,00 N/mm^2

SHELL: [00469-00748-00468] AA= PCA

CA=FRQ ε_{sm}=0E+00 A_e=0,0 cm^2 S_m=0 mm W_k=0,00 mm $\sigma_{ct,f}$=0,00 N/mm^2 CA=QPR ε_{sm}=0E+00 A_e=0,0 cm^2 S_m=0 mm W_k=0,00 mm $\sigma_{ct,f}$=0,00 N/mm^2

SHELL: [00465-00747-00464] AA= PCA

CA=FRQ ε_{sm}=0E+00 A_e=0,0 cm^2 S_m=0 mm W_k=0,00 mm $\sigma_{ct,f}$=0,00 N/mm^2 CA=QPR ε_{sm}=0E+00 A_e=0,0 cm^2 S_m=0 mm W_k=0,00 mm $\sigma_{ct,f}$=0,00 N/mm^2

SHELL: [00466-00743-00098] AA= PCA

CA=FRQ ε_{sm}=0E+00 A_e=0,0 cm^2 S_m=0 mm W_k=0,00 mm $\sigma_{ct,f}$=0,00 N/mm^2 CA=QPR ε_{sm}=0E+00 A_e=0,0 cm^2 S_m=0 mm W_k=0,00 mm $\sigma_{ct,f}$=0,00 N/mm^2

SHELL: [00098-00743-00465] AA= PCA

CA=FRQ ε_{sm}=0E+00 A_e=0,0 cm^2 S_m=0 mm W_k=0,00 mm $\sigma_{ct,f}$=0,00 N/mm^2 CA=QPR ε_{sm}=0E+00 A_e=0,0 cm^2 S_m=0 mm W_k=0,00 mm $\sigma_{ct,f}$=0,00 N/mm^2

SHELL: [00745-00018-00470] AA= PCA

CA=FRQ ε_{sm}=0E+00 A_e=0,0 cm^2 S_m=0 mm W_k=0,00 mm $\sigma_{ct,f}$=0,00 N/mm^2 CA=QPR ε_{sm}=0E+00 A_e=0,0 cm^2 S_m=0 mm W_k=0,00 mm $\sigma_{ct,f}$=0,00 N/mm^2

SHELL: [00311-00018-00745] AA= PCA

CA=FRQ ε_{sm}=0E+00 A_e=0,0 cm^2 S_m=0 mm W_k=0,00 mm $\sigma_{ct,f}$=0,00 N/mm^2 CA=QPR ε_{sm}=0E+00 A_e=0,0 cm^2 S_m=0 mm W_k=0,00 mm $\sigma_{ct,f}$=0,00 N/mm^2

SHELL: [00746-00473-00017] AA= PCA

CA=FRQ ε_{sm}=0E+00 A_e=0,0 cm^2 S_m=0 mm W_k=0,00 mm $\sigma_{ct,f}$=0,00 N/mm^2 CA=QPR ε_{sm}=0E+00 A_e=0,0 cm^2 S_m=0 mm W_k=0,00 mm $\sigma_{ct,f}$=0,00 N/mm^2

SHELL: [00097-00312-00744] AA= PCA

CA=FRQ ε_{sm}=0E+00 A_e=0,0 cm^2 S_m=0 mm W_k=0,00 mm $\sigma_{ct,f}$=0,00 N/mm^2 CA=QPR ε_{sm}=0E+00 A_e=0,0 cm^2 S_m=0 mm W_k=0,00 mm $\sigma_{ct,f}$=0,00 N/mm^2

SHELL: [00747-00472-00473] AA= PCA

CA=FRQ ε_{sm}=0E+00 A_e=0,0 cm^2 S_m=0 mm W_k=0,00 mm $\sigma_{ct,f}$=0,00 N/mm^2 CA=QPR ε_{sm}=0E+00 A_e=0,0 cm^2 S_m=0 mm W_k=0,00 mm $\sigma_{ct,f}$=0,00 N/mm^2

SHELL: [00748-00311-00745] AA= PCA

CA=FRQ ε_{sm}=0E+00 A_e=0,0 cm^2 S_m=0 mm W_k=0,00 mm $\sigma_{ct,f}$=0,00 N/mm^2 CA=QPR ε_{sm}=0E+00 A_e=0,0 cm^2 S_m=0 mm W_k=0,00 mm $\sigma_{ct,f}$=0,00 N/mm^2

SHELL: [00747-00746-00464] AA= PCA

CA=FRQ ε_{sm}=0E+00 A_e=0,0 cm^2 S_m=0 mm W_k=0,00 mm $\sigma_{ct,f}$=0,00 N/mm^2 CA=QPR ε_{sm}=0E+00 A_e=0,0 cm^2 S_m=0 mm W_k=0,00 mm $\sigma_{ct,f}$=0,00 N/mm^2

SHELL: [00748-00470-00471] AA= PCA

CA=FRQ ε_{sm}=0E+00 A_e=0,0 cm^2 S_m=0 mm W_k=0,00 mm $\sigma_{ct,f}$=0,00 N/mm^2 CA=QPR ε_{sm}=0E+00 A_e=0,0 cm^2 S_m=0 mm W_k=0,00 mm $\sigma_{ct,f}$=0,00 N/mm^2

SHELL: [00748-00745-00470] AA= PCA

CA=FRQ ε_{sm}=0E+00 A_e=0,0 cm^2 S_m=0 mm W_k=0,00 mm $\sigma_{ct,f}$=0,00 N/mm^2 CA=QPR ε_{sm}=0E+00 A_e=0,0 cm^2 S_m=0 mm W_k=0,00 mm $\sigma_{ct,f}$=0,00 N/mm^2

SHELL: [00748-00471-00472] AA= PCA

CA=FRQ ε_{sm}=0E+00 A_e=0,0 cm^2 S_m=0 mm W_k=0,00 mm $\sigma_{ct,f}$=0,00 N/mm^2 CA=QPR ε_{sm}=0E+00 A_e=0,0 cm^2 S_m=0 mm W_k=0,00 mm $\sigma_{ct,f}$=0,00 N/mm^2

SHELL: [00748-00472-00747] AA= PCA

CA=FRQ ε_{sm}=0E+00 A_e=0,0 cm^2 S_m=0 mm W_k=0,00 mm $\sigma_{ct,f}$=0,00 N/mm^2 CA=QPR ε_{sm}=0E+00 A_e=0,0 cm^2 S_m=0 mm W_k=0,00

Dir	Nodo	σ_{ct}	σ_{cc}	σ_{at}	Nodo	σ_{ct}	σ_{cc}	σ_{at}	Nodo	σ_{ct}	σ_{cc}	σ_{at}	Nodo	σ_{ct}	σ_{cc}	σ_{at}
		[N/mm^2]	[N/mm^2]	[N/mm^2]		[N/mm^2]	[N/mm^2]	[N/mm^2]		[N/mm^2]	[N/mm^2]	[N/mm^2]		[N/mm^2]	[N/mm^2]	[N/mm^2]
mm $\sigma_{ct,f}$=0,00 N/mm^2																
SHELL: [00744-00312-00748] AA= PCA																
CA=FRQ ε_{sm}=0E+00 A_e=0,0 cm^2 S_m=0 mm W_k=0,00 mm $\sigma_{ct,f}$=0,00 N/mm^2																
CA=QPR ε_{sm}=0E+00 A_e=0,0 cm^2 S_m=0 mm W_k=0,00 mm $\sigma_{ct,f}$=0,00 N/mm^2																
SHELL: [00743-00747-00465] AA= PCA																
CA=FRQ ε_{sm}=0E+00 A_e=0,0 cm^2 S_m=0 mm W_k=0,00 mm $\sigma_{ct,f}$=0,00 N/mm^2																
CA=QPR ε_{sm}=0E+00 A_e=0,0 cm^2 S_m=0 mm W_k=0,00 mm $\sigma_{ct,f}$=0,00 N/mm^2																
SHELL: [00097-00744-00469] AA= PCA																
CA=FRQ ε_{sm}=0E+00 A_e=0,0 cm^2 S_m=0 mm W_k=0,00 mm $\sigma_{ct,f}$=0,00 N/mm^2																
CA=QPR ε_{sm}=0E+00 A_e=0,0 cm^2 S_m=0 mm W_k=0,00 mm $\sigma_{ct,f}$=0,00 N/mm^2																
SHELL: [00312-00311-00748] AA= PCA																
CA=FRQ ε_{sm}=0E+00 A_e=0,0 cm^2 S_m=0 mm W_k=0,00 mm $\sigma_{ct,f}$=0,00 N/mm^2																
CA=QPR ε_{sm}=0E+00 A_e=0,0 cm^2 S_m=0 mm W_k=0,00 mm $\sigma_{ct,f}$=0,00 N/mm^2																
P	00017	0,000	0,000	0,000	00018	0,000	0,000	0,000	00097	0,000	0,000	0,000	00098	0,000	0,000	0,000
S		0,000	0,000	0,000		0,000	0,000	0,000		0,000	0,000	0,000		0,000	0,000	0,000
P	00311	0,000	0,000	0,000	00312	0,000	0,000	0,000	00464	0,000	0,000	0,000	00465	0,000	0,000	0,000
S		0,000	0,000	0,000		0,000	0,000	0,000		0,000	0,000	0,000		0,000	0,000	0,000
P	00466	0,000	0,000	0,000	00467	0,000	0,000	0,000	00468	0,000	0,000	0,000	00469	0,000	0,000	0,000
S		0,000	0,000	0,000		0,000	0,000	0,000		0,000	0,000	0,000		0,000	0,000	0,000
P	00470	0,000	0,000	0,000	00471	0,000	0,000	0,000	00472	0,000	0,000	0,000	00473	0,000	0,000	0,000
S		0,000	0,000	0,000		0,000	0,000	0,000		0,000	0,000	0,000		0,000	0,000	0,000
P	00743	0,000	0,000	0,000	00744	0,000	0,000	0,000	00745	0,000	0,000	0,000	00746	0,000	0,000	0,000
S		0,000	0,000	0,000		0,000	0,000	0,000		0,000	0,000	0,000		0,000	0,000	0,000
P	00747	0,000	0,000	0,000	00748	0,000	0,000	0,000								
S		0,000	0,000	0,000		0,000	0,000	0,000								
Parete P14-24 AA= PCA																
CA=FRQ ε_{sm}=0E+00 A_e=0,0 cm^2 S_m=0 mm W_k=0,00 mm $\sigma_{ct,f}$=0,00 N/mm^2																
CA=QPR ε_{sm}=0E+00 A_e=0,0 cm^2 S_m=0 mm W_k=0,00 mm $\sigma_{ct,f}$=0,00 N/mm^2																
Piano interrato					**ParetеP14-24**								**Parete P14-24**			
SHELL: [00568-00824-00089] AA= PCA																
CA=FRQ ε_{sm}=0E+00 A_e=0,0 cm^2 S_m=0 mm W_k=0,00 mm $\sigma_{ct,f}$=0,00 N/mm^2																
CA=QPR ε_{sm}=0E+00 A_e=0,0 cm^2 S_m=0 mm W_k=0,00 mm $\sigma_{ct,f}$=0,00 N/mm^2																
SHELL: [00021-00513-00821] AA= PCA																
CA=FRQ ε_{sm}=0E+00 A_e=0,0 cm^2 S_m=0 mm W_k=0,00 mm $\sigma_{ct,f}$=0,00 N/mm^2																
CA=QPR ε_{sm}=0E+00 A_e=0,0 cm^2 S_m=0 mm W_k=0,00 mm $\sigma_{ct,f}$=0,00 N/mm^2																
SHELL: [00021-00821-00568] AA= PCA																
CA=FRQ ε_{sm}=0E+00 A_e=0,0 cm^2 S_m=0 mm W_k=0,00 mm $\sigma_{ct,f}$=0,00 N/mm^2																
CA=QPR ε_{sm}=0E+00 A_e=0,0 cm^2 S_m=0 mm W_k=0,00 mm $\sigma_{ct,f}$=0,00 N/mm^2																
SHELL: [00513-00825-00821] AA= PCA																
CA=FRQ ε_{sm}=0E+00 A_e=0,0 cm^2 S_m=0 mm W_k=0,00 mm $\sigma_{ct,f}$=0,00 N/mm^2																
CA=QPR ε_{sm}=0E+00 A_e=0,0 cm^2 S_m=0 mm W_k=0,00 mm $\sigma_{ct,f}$=0,00 N/mm^2																
SHELL: [00513-00514-00825] AA= PCA																
CA=FRQ ε_{sm}=0E+00 A_e=0,0 cm^2 S_m=0 mm W_k=0,00 mm $\sigma_{ct,f}$=0,00 N/mm^2																
CA=QPR ε_{sm}=0E+00 A_e=0,0 cm^2 S_m=0 mm W_k=0,00 mm $\sigma_{ct,f}$=0,00 N/mm^2																
SHELL: [00514-00826-00825] AA= PCA																
CA=FRQ ε_{sm}=0E+00 A_e=0,0 cm^2 S_m=0 mm W_k=0,00 mm $\sigma_{ct,f}$=0,00 N/mm^2																
CA=QPR ε_{sm}=0E+00 A_e=0,0 cm^2 S_m=0 mm W_k=0,00 mm $\sigma_{ct,f}$=0,00 N/mm^2																
SHELL: [00515-00516-00826] AA= PCA																
CA=FRQ ε_{sm}=0E+00 A_e=0,0 cm^2 S_m=0 mm W_k=0,00 mm $\sigma_{ct,f}$=0,00 N/mm^2																
CA=QPR ε_{sm}=0E+00 A_e=0,0 cm^2 S_m=0 mm W_k=0,00 mm $\sigma_{ct,f}$=0,00 N/mm^2																
SHELL: [00516-00110-00822] AA= PCA																
CA=FRQ ε_{sm}=0E+00 A_e=0,0 cm^2 S_m=0 mm W_k=0,00 mm $\sigma_{ct,f}$=0,00 N/mm^2																
CA=QPR ε_{sm}=0E+00 A_e=0,0 cm^2 S_m=0 mm W_k=0,00 mm $\sigma_{ct,f}$=0,00 N/mm^2																
SHELL: [00516-00822-00826] AA= PCA																
CA=FRQ ε_{sm}=0E+00 A_e=0,0 cm^2 S_m=0 mm W_k=0,00 mm $\sigma_{ct,f}$=0,00 N/mm^2																
CA=QPR ε_{sm}=0E+00 A_e=0,0 cm^2 S_m=0 mm W_k=0,00 mm $\sigma_{ct,f}$=0,00 N/mm^2																
SHELL: [00823-00088-00569] AA= PCA																
CA=FRQ ε_{sm}=0E+00 A_e=0,0 cm^2 S_m=0 mm W_k=0,00 mm $\sigma_{ct,f}$=0,00 N/mm^2																
CA=QPR ε_{sm}=0E+00 A_e=0,0 cm^2 S_m=0 mm W_k=0,00 mm $\sigma_{ct,f}$=0,00 N/mm^2																
SHELL: [00824-00572-00089] AA= PCA																
CA=FRQ ε_{sm}=0E+00 A_e=0,0 cm^2 S_m=0 mm W_k=0,00 mm $\sigma_{ct,f}$=0,00 N/mm^2																
CA=QPR ε_{sm}=0E+00 A_e=0,0 cm^2 S_m=0 mm W_k=0,00 mm $\sigma_{ct,f}$=0,00 N/mm^2																
SHELL: [00821-00825-00824] AA= PCA																
CA=FRQ ε_{sm}=0E+00 A_e=0,0 cm^2 S_m=0 mm W_k=0,00 mm $\sigma_{ct,f}$=0,00 N/mm^2																
CA=QPR ε_{sm}=0E+00 A_e=0,0 cm^2 S_m=0 mm W_k=0,00 mm $\sigma_{ct,f}$=0,00 N/mm^2																
SHELL: [00821-00824-00568] AA= PCA																
CA=FRQ ε_{sm}=0E+00 A_e=0,0 cm^2 S_m=0 mm W_k=0,00 mm $\sigma_{ct,f}$=0,00 N/mm^2																
CA=QPR ε_{sm}=0E+00 A_e=0,0 cm^2 S_m=0 mm W_k=0,00 mm $\sigma_{ct,f}$=0,00 N/mm^2																
SHELL: [00826-00570-00571] AA= PCA																
CA=FRQ ε_{sm}=0E+00 A_e=0,0 cm^2 S_m=0 mm W_k=0,00 mm $\sigma_{ct,f}$=0,00 N/mm^2																
CA=QPR ε_{sm}=0E+00 A_e=0,0 cm^2 S_m=0 mm W_k=0,00 mm $\sigma_{ct,f}$=0,00 N/mm^2																
SHELL: [00514-00515-00826] AA= PCA																
CA=FRQ ε_{sm}=0E+00 A_e=0,0 cm^2 S_m=0 mm W_k=0,00 mm $\sigma_{ct,f}$=0,00 N/mm^2																
CA=QPR ε_{sm}=0E+00 A_e=0,0 cm^2 S_m=0 mm W_k=0,00 mm $\sigma_{ct,f}$=0,00 N/mm^2																
SHELL: [00826-00823-00569] AA= PCA																
CA=FRQ ε_{sm}=0E+00 A_e=0,0 cm^2 S_m=0 mm W_k=0,00 mm $\sigma_{ct,f}$=0,00 N/mm^2																
CA=QPR ε_{sm}=0E+00 A_e=0,0 cm^2 S_m=0 mm W_k=0,00 mm $\sigma_{ct,f}$=0,00 N/mm^2																
SHELL: [00826-00569-00570] AA= PCA																

Dir	Nodo	σ_{ct} [N/mm^2]	σ_{cc} [N/mm^2]	σ_{at} [N/mm^2]	Nodo	σ_{ct} [N/mm^2]	σ_{cc} [N/mm^2]	σ_{at} [N/mm^2]	Nodo	σ_{ct} [N/mm^2]	σ_{cc} [N/mm^2]	σ_{at} [N/mm^2]	Nodo	σ_{ct} [N/mm^2]	σ_{cc} [N/mm^2]	σ_{at} [N/mm^2]
CA=FRQ ε_{sm}=0E+00 A_e=0,0 cm^2 S_m=0 mm W_k=0,00 mm $\sigma_{ct,f}$=0,00 N/mm^2													**CA=QPR ε_{sm}=0E+00 A_e=0,0 cm^2 S_m=0 mm W_k=0,00 mm $\sigma_{ct,f}$=0,00 N/mm^2**			
SHELL: [00825-00571-00572] AA= PCA																
CA=FRQ ε_{sm}=0E+00 A_e=0,0 cm^2 S_m=0 mm W_k=0,00 mm $\sigma_{ct,f}$=0,00 N/mm^2													**CA=QPR ε_{sm}=0E+00 A_e=0,0 cm^2 S_m=0 mm W_k=0,00 mm $\sigma_{ct,f}$=0,00 N/mm^2**			
SHELL: [00825-00572-00824] AA= PCA																
CA=FRQ ε_{sm}=0E+00 A_e=0,0 cm^2 S_m=0 mm W_k=0,00 mm $\sigma_{ct,f}$=0,00 N/mm^2													**CA=QPR ε_{sm}=0E+00 A_e=0,0 cm^2 S_m=0 mm W_k=0,00 mm $\sigma_{ct,f}$=0,00 N/mm^2**			
SHELL: [00825-00826-00571] AA= PCA																
CA=FRQ ε_{sm}=0E+00 A_e=0,0 cm^2 S_m=0 mm W_k=0,00 mm $\sigma_{ct,f}$=0,00 N/mm^2													**CA=QPR ε_{sm}=0E+00 A_e=0,0 cm^2 S_m=0 mm W_k=0,00 mm $\sigma_{ct,f}$=0,00 N/mm^2**			
SHELL: [00822-00435-00823] AA= PCA																
CA=FRQ ε_{sm}=0E+00 A_e=0,0 cm^2 S_m=0 mm W_k=0,00 mm $\sigma_{ct,f}$=0,00 N/mm^2													**CA=QPR ε_{sm}=0E+00 A_e=0,0 cm^2 S_m=0 mm W_k=0,00 mm $\sigma_{ct,f}$=0,00 N/mm^2**			
SHELL: [00435-00088-00823] AA= PCA																
CA=FRQ ε_{sm}=0E+00 A_e=0,0 cm^2 S_m=0 mm W_k=0,00 mm $\sigma_{ct,f}$=0,00 N/mm^2													**CA=QPR ε_{sm}=0E+00 A_e=0,0 cm^2 S_m=0 mm W_k=0,00 mm $\sigma_{ct,f}$=0,00 N/mm^2**			
SHELL: [00110-00435-00822] AA= PCA																
CA=FRQ ε_{sm}=0E+00 A_e=0,0 cm^2 S_m=0 mm W_k=0,00 mm $\sigma_{ct,f}$=0,00 N/mm^2													**CA=QPR ε_{sm}=0E+00 A_e=0,0 cm^2 S_m=0 mm W_k=0,00 mm $\sigma_{ct,f}$=0,00 N/mm^2**			
SHELL: [00822-00823-00826] AA= PCA																
CA=FRQ ε_{sm}=0E+00 A_e=0,0 cm^2 S_m=0 mm W_k=0,00 mm $\sigma_{ct,f}$=0,00 N/mm^2													**CA=QPR ε_{sm}=0E+00 A_e=0,0 cm^2 S_m=0 mm W_k=0,00 mm $\sigma_{ct,f}$=0,00 N/mm^2**			
P	00021	0,000	0,000	0,000	00088	0,000	0,000	0,000	00089	0,000	0,000	0,000	00110	0,000	0,000	0,000
S		0,000	0,000	0,000		0,000	0,000	0,000		0,000	0,000	0,000		0,000	0,000	0,000
P	00435	0,000	0,000	0,000	00513	0,000	0,000	0,000	00514	0,000	0,000	0,000	00515	0,000	0,000	0,000
S		0,000	0,000	0,000		0,000	0,000	0,000		0,000	0,000	0,000		0,000	0,000	0,000
P	00516	0,000	0,000	0,000	00568	0,000	0,000	0,000	00569	0,000	0,000	0,000	00570	0,000	0,000	0,000
S		0,000	0,000	0,000		0,000	0,000	0,000		0,000	0,000	0,000		0,000	0,000	0,000
P	00571	0,000	0,000	0,000	00572	0,000	0,000	0,000	00821	0,000	0,000	0,000	00822	0,000	0,000	0,000
S		0,000	0,000	0,000		0,000	0,000	0,000		0,000	0,000	0,000		0,000	0,000	0,000
P	00823	0,000	0,000	0,000	00824	0,000	0,000	0,000	00825	0,000	0,000	0,000	00826	0,000	0,000	0,000
S		0,000	0,000	0,000		0,000	0,000	0,000		0,000	0,000	0,000		0,000	0,000	0,000
Parete 6-P7 AA= PCA																
CA=FRQ ε_{sm}=0E+00 A_e=0,0 cm^2 S_m=0 mm W_k=0,00 mm $\sigma_{ct,f}$=0,00 N/mm^2													**CA=QPR ε_{sm}=0E+00 A_e=0,0 cm^2 S_m=0 mm W_k=0,00 mm $\sigma_{ct,f}$=0,00 N/mm^2**			
Piano interrato					**Parete6-P7**								**Parete 6-P7**			
SHELL: [00792-00532-00791] AA= PCA																
CA=FRQ ε_{sm}=0E+00 A_e=0,0 cm^2 S_m=0 mm W_k=0,00 mm $\sigma_{ct,f}$=0,00 N/mm^2													**CA=QPR ε_{sm}=0E+00 A_e=0,0 cm^2 S_m=0 mm W_k=0,00 mm $\sigma_{ct,f}$=0,00 N/mm^2**			
SHELL: [00526-00795-00525] AA= PCA																
CA=FRQ ε_{sm}=0E+00 A_e=0,0 cm^2 S_m=0 mm W_k=0,00 mm $\sigma_{ct,f}$=0,00 N/mm^2													**CA=QPR ε_{sm}=0E+00 A_e=0,0 cm^2 S_m=0 mm W_k=0,00 mm $\sigma_{ct,f}$=0,00 N/mm^2**			
SHELL: [00526-00527-00796] AA= PCA																
CA=FRQ ε_{sm}=0E+00 A_e=0,0 cm^2 S_m=0 mm W_k=0,00 mm $\sigma_{ct,f}$=0,00 N/mm^2													**CA=QPR ε_{sm}=0E+00 A_e=0,0 cm^2 S_m=0 mm W_k=0,00 mm $\sigma_{ct,f}$=0,00 N/mm^2**			
SHELL: [00792-00531-00532] AA= PCA																
CA=FRQ ε_{sm}=0E+00 A_e=0,0 cm^2 S_m=0 mm W_k=0,00 mm $\sigma_{ct,f}$=0,00 N/mm^2													**CA=QPR ε_{sm}=0E+00 A_e=0,0 cm^2 S_m=0 mm W_k=0,00 mm $\sigma_{ct,f}$=0,00 N/mm^2**			
SHELL: [00526-00796-00795] AA= PCA																
CA=FRQ ε_{sm}=0E+00 A_e=0,0 cm^2 S_m=0 mm W_k=0,00 mm $\sigma_{ct,f}$=0,00 N/mm^2													**CA=QPR ε_{sm}=0E+00 A_e=0,0 cm^2 S_m=0 mm W_k=0,00 mm $\sigma_{ct,f}$=0,00 N/mm^2**			
SHELL: [00525-00788-00106] AA= PCA																
CA=FRQ ε_{sm}=0E+00 A_e=0,0 cm^2 S_m=0 mm W_k=0,00 mm $\sigma_{ct,f}$=0,00 N/mm^2													**CA=QPR ε_{sm}=0E+00 A_e=0,0 cm^2 S_m=0 mm W_k=0,00 mm $\sigma_{ct,f}$=0,00 N/mm^2**			
SHELL: [00525-00795-00788] AA= PCA																
CA=FRQ ε_{sm}=0E+00 A_e=0,0 cm^2 S_m=0 mm W_k=0,00 mm $\sigma_{ct,f}$=0,00 N/mm^2													**CA=QPR ε_{sm}=0E+00 A_e=0,0 cm^2 S_m=0 mm W_k=0,00 mm $\sigma_{ct,f}$=0,00 N/mm^2**			
SHELL: [00107-00789-00528] AA= PCA																
CA=FRQ ε_{sm}=0E+00 A_e=0,0 cm^2 S_m=0 mm W_k=0,00 mm $\sigma_{ct,f}$=0,00 N/mm^2													**CA=QPR ε_{sm}=0E+00 A_e=0,0 cm^2 S_m=0 mm W_k=0,00 mm $\sigma_{ct,f}$=0,00 N/mm^2**			
SHELL: [00521-00791-00046] AA= PCA																
CA=FRQ ε_{sm}=0E+00 A_e=0,0 cm^2 S_m=0 mm W_k=0,00 mm $\sigma_{ct,f}$=0,00 N/mm^2													**CA=QPR ε_{sm}=0E+00 A_e=0,0 cm^2 S_m=0 mm W_k=0,00 mm $\sigma_{ct,f}$=0,00 N/mm^2**			
SHELL: [00107-00079-00789] AA= PCA																
CA=FRQ ε_{sm}=0E+00 A_e=0,0 cm^2 S_m=0 mm W_k=0,00 mm $\sigma_{ct,f}$=0,00 N/mm^2													**CA=QPR ε_{sm}=0E+00 A_e=0,0 cm^2 S_m=0 mm W_k=0,00 mm $\sigma_{ct,f}$=0,00 N/mm^2**			
SHELL: [00790-00047-00529] AA= PCA																
CA=FRQ ε_{sm}=0E+00 A_e=0,0 cm^2 S_m=0 mm W_k=0,00 mm $\sigma_{ct,f}$=0,00 N/mm^2													**CA=QPR ε_{sm}=0E+00 A_e=0,0 cm^2 S_m=0 mm W_k=0,00 mm $\sigma_{ct,f}$=0,00 N/mm^2**			
SHELL: [00380-00047-00790] AA= PCA																
CA=FRQ ε_{sm}=0E+00 A_e=0,0 cm^2 S_m=0 mm W_k=0,00 mm $\sigma_{ct,f}$=0,00 N/mm^2													**CA=QPR ε_{sm}=0E+00 A_e=0,0 cm^2 S_m=0 mm W_k=0,00 mm $\sigma_{ct,f}$=0,00 N/mm^2**			
SHELL: [00528-00789-00796] AA= PCA																
CA=FRQ ε_{sm}=0E+00 A_e=0,0 cm^2 S_m=0 mm W_k=0,00 mm $\sigma_{ct,f}$=0,00 N/mm^2													**CA=QPR ε_{sm}=0E+00 A_e=0,0 cm^2 S_m=0 mm W_k=0,00 mm $\sigma_{ct,f}$=0,00 N/mm^2**			
SHELL: [00791-00532-00046] AA= PCA																
CA=FRQ ε_{sm}=0E+00 A_e=0,0 cm^2 S_m=0 mm W_k=0,00 mm $\sigma_{ct,f}$=0,00 N/mm^2													**CA=QPR ε_{sm}=0E+00 A_e=0,0 cm^2 S_m=0 mm W_k=0,00 mm $\sigma_{ct,f}$=0,00 N/mm^2**			

Dir	Nodo	σ_{ct} [N/mm^2]	σ_{cc} [N/mm^2]	σ_{at} [N/mm^2]	Nodo	σ_{ct} [N/mm^2]	σ_{cc} [N/mm^2]	σ_{at} [N/mm^2]	Nodo	σ_{ct} [N/mm^2]	σ_{cc} [N/mm^2]	σ_{at} [N/mm^2]	Nodo	σ_{ct} [N/mm^2]	σ_{cc} [N/mm^2]	σ_{at} [N/mm^2]
SHELL: [00381-00380-00793] AA= PCA																
CA=FRQ ε_{sm}=0E+00 A_e=0,0 cm^2 S_m=0 mm W_k=0,00 mm $\sigma_{ct,f}$=0,00 N/mm^2 CA=QPR ε_{sm}=0E+00 A_e=0,0 cm^2 S_m=0 mm W_k=0,00 mm $\sigma_{ct,f}$=0,00 N/mm^2																
SHELL: [00792-00791-00521] AA= PCA																
CA=FRQ ε_{sm}=0E+00 A_e=0,0 cm^2 S_m=0 mm W_k=0,00 mm $\sigma_{ct,f}$=0,00 N/mm^2 CA=QPR ε_{sm}=0E+00 A_e=0,0 cm^2 S_m=0 mm W_k=0,00 mm $\sigma_{ct,f}$=0,00 N/mm^2																
SHELL: [00528-00796-00527] AA= PCA																
CA=FRQ ε_{sm}=0E+00 A_e=0,0 cm^2 S_m=0 mm W_k=0,00 mm $\sigma_{ct,f}$=0,00 N/mm^2 CA=QPR ε_{sm}=0E+00 A_e=0,0 cm^2 S_m=0 mm W_k=0,00 mm $\sigma_{ct,f}$=0,00 N/mm^2																
SHELL: [00793-00529-00530] AA= PCA																
CA=FRQ ε_{sm}=0E+00 A_e=0,0 cm^2 S_m=0 mm W_k=0,00 mm $\sigma_{ct,f}$=0,00 N/mm^2 CA=QPR ε_{sm}=0E+00 A_e=0,0 cm^2 S_m=0 mm W_k=0,00 mm $\sigma_{ct,f}$=0,00 N/mm^2																
SHELL: [00793-00790-00529] AA= PCA																
CA=FRQ ε_{sm}=0E+00 A_e=0,0 cm^2 S_m=0 mm W_k=0,00 mm $\sigma_{ct,f}$=0,00 N/mm^2 CA=QPR ε_{sm}=0E+00 A_e=0,0 cm^2 S_m=0 mm W_k=0,00 mm $\sigma_{ct,f}$=0,00 N/mm^2																
SHELL: [00793-00380-00790] AA= PCA																
CA=FRQ ε_{sm}=0E+00 A_e=0,0 cm^2 S_m=0 mm W_k=0,00 mm $\sigma_{ct,f}$=0,00 N/mm^2 CA=QPR ε_{sm}=0E+00 A_e=0,0 cm^2 S_m=0 mm W_k=0,00 mm $\sigma_{ct,f}$=0,00 N/mm^2																
SHELL: [00793-00531-00792] AA= PCA																
CA=FRQ ε_{sm}=0E+00 A_e=0,0 cm^2 S_m=0 mm W_k=0,00 mm $\sigma_{ct,f}$=0,00 N/mm^2 CA=QPR ε_{sm}=0E+00 A_e=0,0 cm^2 S_m=0 mm W_k=0,00 mm $\sigma_{ct,f}$=0,00 N/mm^2																
SHELL: [00793-00530-00531] AA= PCA																
CA=FRQ ε_{sm}=0E+00 A_e=0,0 cm^2 S_m=0 mm W_k=0,00 mm $\sigma_{ct,f}$=0,00 N/mm^2 CA=QPR ε_{sm}=0E+00 A_e=0,0 cm^2 S_m=0 mm W_k=0,00 mm $\sigma_{ct,f}$=0,00 N/mm^2																
SHELL: [00788-00795-00080] AA= PCA																
CA=FRQ ε_{sm}=0E+00 A_e=0,0 cm^2 S_m=0 mm W_k=0,00 mm $\sigma_{ct,f}$=0,00 N/mm^2 CA=QPR ε_{sm}=0E+00 A_e=0,0 cm^2 S_m=0 mm W_k=0,00 mm $\sigma_{ct,f}$=0,00 N/mm^2																
SHELL: [00522-00792-00521] AA= PCA																
CA=FRQ ε_{sm}=0E+00 A_e=0,0 cm^2 S_m=0 mm W_k=0,00 mm $\sigma_{ct,f}$=0,00 N/mm^2 CA=QPR ε_{sm}=0E+00 A_e=0,0 cm^2 S_m=0 mm W_k=0,00 mm $\sigma_{ct,f}$=0,00 N/mm^2																
SHELL: [00382-00793-00794] AA= PCA																
CA=FRQ ε_{sm}=0E+00 A_e=0,0 cm^2 S_m=0 mm W_k=0,00 mm $\sigma_{ct,f}$=0,00 N/mm^2 CA=QPR ε_{sm}=0E+00 A_e=0,0 cm^2 S_m=0 mm W_k=0,00 mm $\sigma_{ct,f}$=0,00 N/mm^2																
SHELL: [00106-00788-00080] AA= PCA																
CA=FRQ ε_{sm}=0E+00 A_e=0,0 cm^2 S_m=0 mm W_k=0,00 mm $\sigma_{ct,f}$=0,00 N/mm^2 CA=QPR ε_{sm}=0E+00 A_e=0,0 cm^2 S_m=0 mm W_k=0,00 mm $\sigma_{ct,f}$=0,00 N/mm^2																
SHELL: [00794-00793-00792] AA= PCA																
CA=FRQ ε_{sm}=0E+00 A_e=0,0 cm^2 S_m=0 mm W_k=0,00 mm $\sigma_{ct,f}$=0,00 N/mm^2 CA=QPR ε_{sm}=0E+00 A_e=0,0 cm^2 S_m=0 mm W_k=0,00 mm $\sigma_{ct,f}$=0,00 N/mm^2																
SHELL: [00382-00381-00793] AA= PCA																
CA=FRQ ε_{sm}=0E+00 A_e=0,0 cm^2 S_m=0 mm W_k=0,00 mm $\sigma_{ct,f}$=0,00 N/mm^2 CA=QPR ε_{sm}=0E+00 A_e=0,0 cm^2 S_m=0 mm W_k=0,00 mm $\sigma_{ct,f}$=0,00 N/mm^2																
SHELL: [00080-00795-00524] AA= PCA																
CA=FRQ ε_{sm}=0E+00 A_e=0,0 cm^2 S_m=0 mm W_k=0,00 mm $\sigma_{ct,f}$=0,00 N/mm^2 CA=QPR ε_{sm}=0E+00 A_e=0,0 cm^2 S_m=0 mm W_k=0,00 mm $\sigma_{ct,f}$=0,00 N/mm^2																
SHELL: [00789-00079-00796] AA= PCA																
CA=FRQ ε_{sm}=0E+00 A_e=0,0 cm^2 S_m=0 mm W_k=0,00 mm $\sigma_{ct,f}$=0,00 N/mm^2 CA=QPR ε_{sm}=0E+00 A_e=0,0 cm^2 S_m=0 mm W_k=0,00 mm $\sigma_{ct,f}$=0,00 N/mm^2																
SHELL: [00523-00792-00522] AA= PCA																
CA=FRQ ε_{sm}=0E+00 A_e=0,0 cm^2 S_m=0 mm W_k=0,00 mm $\sigma_{ct,f}$=0,00 N/mm^2 CA=QPR ε_{sm}=0E+00 A_e=0,0 cm^2 S_m=0 mm W_k=0,00 mm $\sigma_{ct,f}$=0,00 N/mm^2																
SHELL: [00523-00794-00792] AA= PCA																
CA=FRQ ε_{sm}=0E+00 A_e=0,0 cm^2 S_m=0 mm W_k=0,00 mm $\sigma_{ct,f}$=0,00 N/mm^2 CA=QPR ε_{sm}=0E+00 A_e=0,0 cm^2 S_m=0 mm W_k=0,00 mm $\sigma_{ct,f}$=0,00 N/mm^2																
SHELL: [00079-00383-00796] AA= PCA																
CA=FRQ ε_{sm}=0E+00 A_e=0,0 cm^2 S_m=0 mm W_k=0,00 mm $\sigma_{ct,f}$=0,00 N/mm^2 CA=QPR ε_{sm}=0E+00 A_e=0,0 cm^2 S_m=0 mm W_k=0,00 mm $\sigma_{ct,f}$=0,00 N/mm^2																
SHELL: [00795-00796-00794] AA= PCA																
CA=FRQ ε_{sm}=0E+00 A_e=0,0 cm^2 S_m=0 mm W_k=0,00 mm $\sigma_{ct,f}$=0,00 N/mm^2 CA=QPR ε_{sm}=0E+00 A_e=0,0 cm^2 S_m=0 mm W_k=0,00 mm $\sigma_{ct,f}$=0,00 N/mm^2																
SHELL: [00795-00523-00524] AA= PCA																
CA=FRQ ε_{sm}=0E+00 A_e=0,0 cm^2 S_m=0 mm W_k=0,00 mm $\sigma_{ct,f}$=0,00 N/mm^2 CA=QPR ε_{sm}=0E+00 A_e=0,0 cm^2 S_m=0 mm W_k=0,00 mm $\sigma_{ct,f}$=0,00 N/mm^2																
SHELL: [00795-00794-00523] AA= PCA																
CA=FRQ ε_{sm}=0E+00 A_e=0,0 cm^2 S_m=0 mm W_k=0,00 mm $\sigma_{ct,f}$=0,00 N/mm^2 CA=QPR ε_{sm}=0E+00 A_e=0,0 cm^2 S_m=0 mm W_k=0,00 mm $\sigma_{ct,f}$=0,00 N/mm^2																
SHELL: [00796-00382-00794] AA= PCA																
CA=FRQ ε_{sm}=0E+00 A_e=0,0 cm^2 S_m=0 mm W_k=0,00 mm $\sigma_{ct,f}$=0,00 N/mm^2 CA=QPR ε_{sm}=0E+00 A_e=0,0 cm^2 S_m=0 mm W_k=0,00 mm $\sigma_{ct,f}$=0,00 N/mm^2																
SHELL: [00796-00383-00382] AA= PCA																
CA=FRQ ε_{sm}=0E+00 A_e=0,0 cm^2 S_m=0 mm W_k=0,00 mm $\sigma_{ct,f}$=0,00 N/mm^2 CA=QPR ε_{sm}=0E+00 A_e=0,0 cm^2 S_m=0 mm W_k=0,00 mm $\sigma_{ct,f}$=0,00 N/mm^2																
P	00046	0,000	0,000	0,000	00047	0,000	0,000	0,000	00079	0,000	0,000	0,000	00080	0,000	0,000	0,000
S		0,000	0,000	0,000		0,000	0,000	0,000		0,000	0,000	0,000		0,000	0,000	0,000
P	00106	0,000	0,000	0,000	00107	0,000	0,000	0,000	00380	0,000	0,000	0,000	00381	0,000	0,000	0,000
S		0,000	0,000	0,000		0,000	0,000	0,000		0,000	0,000	0,000		0,000	0,000	0,000
P	00382	0,000	0,000	0,000	00383	0,000	0,000	0,000	00521	0,000	0,000	0,000	00522	0,000	0,000	0,000
S		0,000	0,000	0,000		0,000	0,000	0,000		0,000	0,000	0,000		0,000	0,000	0,000
P	00523	0,000	0,000	0,000	00524	0,000	0,000	0,000	00525	0,000	0,000	0,000	00526	0,000	0,000	0,000
S		0,000	0,000	0,000		0,000	0,000	0,000		0,000	0,000	0,000		0,000	0,000	0,000

Dir	Nodo	σ_{ct}	σ_{cc}	σ_{at}	Nodo	σ_{ct}	σ_{cc}	σ_{at}	Nodo	σ_{ct}	σ_{cc}	σ_{at}	Nodo	σ_{ct}	σ_{cc}	σ_{at}
		[N/mm^2]	[N/mm^2]	[N/mm^2]		[N/mm^2]	[N/mm^2]	[N/mm^2]		[N/mm^2]	[N/mm^2]	[N/mm^2]		[N/mm^2]	[N/mm^2]	[N/mm^2]
P	00527	0,000	0,000	0,000	00528	0,000	0,000	0,000	00529	0,000	0,000	0,000	00530	0,000	0,000	0,000
S		0,000	0,000	0,000		0,000	0,000	0,000		0,000	0,000	0,000		0,000	0,000	0,000
P	00531	0,000	0,000	0,000	00532	0,000	0,000	0,000	00788	0,000	0,000	0,000	00789	0,000	0,000	0,000
S		0,000	0,000	0,000		0,000	0,000	0,000		0,000	0,000	0,000		0,000	0,000	0,000
P	00790	0,000	0,000	0,000	00791	0,000	0,000	0,000	00792	0,000	0,000	0,000	00793	0,000	0,000	0,000
S		0,000	0,000	0,000		0,000	0,000	0,000		0,000	0,000	0,000		0,000	0,000	0,000
P	00794	0,000	0,000	0,000	00795	0,000	0,000	0,000	00796	0,000	0,000	0,000				
S		0,000	0,000	0,000		0,000	0,000	0,000		0,000	0,000	0,000				

Parete 7-16 AA= PCA

CA=FRQ ε_{sm}=0E+00 A_e=0,0 cm^2 S_m=0 mm W_k=0,00 mm $\sigma_{ct,f}$=0,00 N/mm^2 **CA=QPR ε_{sm}=0E+00 A_e=0,0 cm^2 S_m=0 mm W_k=0,00 mm $\sigma_{ct,f}$=0,00 N/mm^2**

Piano interrato | **Parete7-16** | **Parete 7-16**

SHELL: [00542-00797-00541] AA= PCA

CA=FRQ ε_{sm}=0E+00 A_e=0,0 cm^2 S_m=0 mm W_k=0,00 mm $\sigma_{ct,f}$=0,00 N/mm^2 **CA=QPR ε_{sm}=0E+00 A_e=0,0 cm^2 S_m=0 mm W_k=0,00 mm $\sigma_{ct,f}$=0,00 N/mm^2**

SHELL: [00542-00807-00797] AA= PCA

CA=FRQ ε_{sm}=0E+00 A_e=0,0 cm^2 S_m=0 mm W_k=0,00 mm $\sigma_{ct,f}$=0,00 N/mm^2 **CA=QPR ε_{sm}=0E+00 A_e=0,0 cm^2 S_m=0 mm W_k=0,00 mm $\sigma_{ct,f}$=0,00 N/mm^2**

SHELL: [00542-00543-00808] AA= PCA

CA=FRQ ε_{sm}=0E+00 A_e=0,0 cm^2 S_m=0 mm W_k=0,00 mm $\sigma_{ct,f}$=0,00 N/mm^2 **CA=QPR ε_{sm}=0E+00 A_e=0,0 cm^2 S_m=0 mm W_k=0,00 mm $\sigma_{ct,f}$=0,00 N/mm^2**

SHELL: [00542-00808-00807] AA= PCA

CA=FRQ ε_{sm}=0E+00 A_e=0,0 cm^2 S_m=0 mm W_k=0,00 mm $\sigma_{ct,f}$=0,00 N/mm^2 **CA=QPR ε_{sm}=0E+00 A_e=0,0 cm^2 S_m=0 mm W_k=0,00 mm $\sigma_{ct,f}$=0,00 N/mm^2**

SHELL: [00541-00797-00022] AA= PCA

CA=FRQ ε_{sm}=0E+00 A_e=0,0 cm^2 S_m=0 mm W_k=0,00 mm $\sigma_{ct,f}$=0,00 N/mm^2 **CA=QPR ε_{sm}=0E+00 A_e=0,0 cm^2 S_m=0 mm W_k=0,00 mm $\sigma_{ct,f}$=0,00 N/mm^2**

SHELL: [00544-00798-00543] AA= PCA

CA=FRQ ε_{sm}=0E+00 A_e=0,0 cm^2 S_m=0 mm W_k=0,00 mm $\sigma_{ct,f}$=0,00 N/mm^2 **CA=QPR ε_{sm}=0E+00 A_e=0,0 cm^2 S_m=0 mm W_k=0,00 mm $\sigma_{ct,f}$=0,00 N/mm^2**

SHELL: [00801-00800-00533] AA= PCA

CA=FRQ ε_{sm}=0E+00 A_e=0,0 cm^2 S_m=0 mm W_k=0,00 mm $\sigma_{ct,f}$=0,00 N/mm^2 **CA=QPR ε_{sm}=0E+00 A_e=0,0 cm^2 S_m=0 mm W_k=0,00 mm $\sigma_{ct,f}$=0,00 N/mm^2**

SHELL: [00800-00547-00548] AA= PCA

CA=FRQ ε_{sm}=0E+00 A_e=0,0 cm^2 S_m=0 mm W_k=0,00 mm $\sigma_{ct,f}$=0,00 N/mm^2 **CA=QPR ε_{sm}=0E+00 A_e=0,0 cm^2 S_m=0 mm W_k=0,00 mm $\sigma_{ct,f}$=0,00 N/mm^2**

SHELL: [00533-00800-00034] AA= PCA

CA=FRQ ε_{sm}=0E+00 A_e=0,0 cm^2 S_m=0 mm W_k=0,00 mm $\sigma_{ct,f}$=0,00 N/mm^2 **CA=QPR ε_{sm}=0E+00 A_e=0,0 cm^2 S_m=0 mm W_k=0,00 mm $\sigma_{ct,f}$=0,00 N/mm^2**

SHELL: [00799-00035-00545] AA= PCA

CA=FRQ ε_{sm}=0E+00 A_e=0,0 cm^2 S_m=0 mm W_k=0,00 mm $\sigma_{ct,f}$=0,00 N/mm^2 **CA=QPR ε_{sm}=0E+00 A_e=0,0 cm^2 S_m=0 mm W_k=0,00 mm $\sigma_{ct,f}$=0,00 N/mm^2**

SHELL: [00799-00545-00546] AA= PCA

CA=FRQ ε_{sm}=0E+00 A_e=0,0 cm^2 S_m=0 mm W_k=0,00 mm $\sigma_{ct,f}$=0,00 N/mm^2 **CA=QPR ε_{sm}=0E+00 A_e=0,0 cm^2 S_m=0 mm W_k=0,00 mm $\sigma_{ct,f}$=0,00 N/mm^2**

SHELL: [00401-00035-00799] AA= PCA

CA=FRQ ε_{sm}=0E+00 A_e=0,0 cm^2 S_m=0 mm W_k=0,00 mm $\sigma_{ct,f}$=0,00 N/mm^2 **CA=QPR ε_{sm}=0E+00 A_e=0,0 cm^2 S_m=0 mm W_k=0,00 mm $\sigma_{ct,f}$=0,00 N/mm^2**

SHELL: [00543-00798-00808] AA= PCA

CA=FRQ ε_{sm}=0E+00 A_e=0,0 cm^2 S_m=0 mm W_k=0,00 mm $\sigma_{ct,f}$=0,00 N/mm^2 **CA=QPR ε_{sm}=0E+00 A_e=0,0 cm^2 S_m=0 mm W_k=0,00 mm $\sigma_{ct,f}$=0,00 N/mm^2**

SHELL: [00800-00548-00034] AA= PCA

CA=FRQ ε_{sm}=0E+00 A_e=0,0 cm^2 S_m=0 mm W_k=0,00 mm $\sigma_{ct,f}$=0,00 N/mm^2 **CA=QPR ε_{sm}=0E+00 A_e=0,0 cm^2 S_m=0 mm W_k=0,00 mm $\sigma_{ct,f}$=0,00 N/mm^2**

SHELL: [00023-00408-00798] AA= PCA

CA=FRQ ε_{sm}=0E+00 A_e=0,0 cm^2 S_m=0 mm W_k=0,00 mm $\sigma_{ct,f}$=0,00 N/mm^2 **CA=QPR ε_{sm}=0E+00 A_e=0,0 cm^2 S_m=0 mm W_k=0,00 mm $\sigma_{ct,f}$=0,00 N/mm^2**

SHELL: [00402-00401-00802] AA= PCA

CA=FRQ ε_{sm}=0E+00 A_e=0,0 cm^2 S_m=0 mm W_k=0,00 mm $\sigma_{ct,f}$=0,00 N/mm^2 **CA=QPR ε_{sm}=0E+00 A_e=0,0 cm^2 S_m=0 mm W_k=0,00 mm $\sigma_{ct,f}$=0,00 N/mm^2**

SHELL: [00798-00408-00808] AA= PCA

CA=FRQ ε_{sm}=0E+00 A_e=0,0 cm^2 S_m=0 mm W_k=0,00 mm $\sigma_{ct,f}$=0,00 N/mm^2 **CA=QPR ε_{sm}=0E+00 A_e=0,0 cm^2 S_m=0 mm W_k=0,00 mm $\sigma_{ct,f}$=0,00 N/mm^2**

SHELL: [00801-00547-00800] AA= PCA

CA=FRQ ε_{sm}=0E+00 A_e=0,0 cm^2 S_m=0 mm W_k=0,00 mm $\sigma_{ct,f}$=0,00 N/mm^2 **CA=QPR ε_{sm}=0E+00 A_e=0,0 cm^2 S_m=0 mm W_k=0,00 mm $\sigma_{ct,f}$=0,00 N/mm^2**

SHELL: [00802-00547-00801] AA= PCA

CA=FRQ ε_{sm}=0E+00 A_e=0,0 cm^2 S_m=0 mm W_k=0,00 mm $\sigma_{ct,f}$=0,00 N/mm^2 **CA=QPR ε_{sm}=0E+00 A_e=0,0 cm^2 S_m=0 mm W_k=0,00 mm $\sigma_{ct,f}$=0,00 N/mm^2**

SHELL: [00802-00546-00547] AA= PCA

CA=FRQ ε_{sm}=0E+00 A_e=0,0 cm^2 S_m=0 mm W_k=0,00 mm $\sigma_{ct,f}$=0,00 N/mm^2 **CA=QPR ε_{sm}=0E+00 A_e=0,0 cm^2 S_m=0 mm W_k=0,00 mm $\sigma_{ct,f}$=0,00 N/mm^2**

SHELL: [00802-00799-00546] AA= PCA

CA=FRQ ε_{sm}=0E+00 A_e=0,0 cm^2 S_m=0 mm W_k=0,00 mm $\sigma_{ct,f}$=0,00 N/mm^2 **CA=QPR ε_{sm}=0E+00 A_e=0,0 cm^2 S_m=0 mm W_k=0,00 mm $\sigma_{ct,f}$=0,00 N/mm^2**

SHELL: [00802-00401-00799] AA= PCA

CA=FRQ ε_{sm}=0E+00 A_e=0,0 cm^2 S_m=0 mm W_k=0,00 mm $\sigma_{ct,f}$=0,00 N/mm^2 **CA=QPR ε_{sm}=0E+00 A_e=0,0 cm^2 S_m=0 mm W_k=0,00 mm $\sigma_{ct,f}$=0,00 N/mm^2**

SHELL: [00534-00801-00533] AA= PCA

CA=FRQ ε_{sm}=0E+00 A_e=0,0 cm^2 S_m=0 mm W_k=0,00 mm $\sigma_{ct,f}$=0,00 N/mm^2 **CA=QPR ε_{sm}=0E+00 A_e=0,0 cm^2 S_m=0 mm W_k=0,00**

Dir	Nodo	σ_{ct} [N/mm^2]	σ_{cc} [N/mm^2]	σ_{at} [N/mm^2]	Nodo	σ_{ct} [N/mm^2]	σ_{cc} [N/mm^2]	σ_{at} [N/mm^2]	Nodo	σ_{ct} [N/mm^2]	σ_{cc} [N/mm^2]	σ_{at} [N/mm^2]	Nodo	σ_{ct} [N/mm^2]	σ_{cc} [N/mm^2]	σ_{at} [N/mm^2]
mm $\sigma_{ct,f}$=0,00 N/mm^2 SHELL: [00535-00803-00801] AA= PCA CA=FRQ ε_{sm}=0E+00 A_e=0,0 cm^2 S_m=0 mm W_k=0,00 mm $\sigma_{ct,f}$=0,00 N/mm^2 CA=QPR ε_{sm}=0E+00 A_e=0,0 cm^2 S_m=0 mm W_k=0,00 mm $\sigma_{ct,f}$=0,00 N/mm^2 SHELL: [00797-00807-00540] AA= PCA CA=FRQ ε_{sm}=0E+00 A_e=0,0 cm^2 S_m=0 mm W_k=0,00 mm $\sigma_{ct,f}$=0,00 N/mm^2 CA=QPR ε_{sm}=0E+00 A_e=0,0 cm^2 S_m=0 mm W_k=0,00 mm $\sigma_{ct,f}$=0,00 N/mm^2 SHELL: [00535-00801-00534] AA= PCA CA=FRQ ε_{sm}=0E+00 A_e=0,0 cm^2 S_m=0 mm W_k=0,00 mm $\sigma_{ct,f}$=0,00 N/mm^2 CA=QPR ε_{sm}=0E+00 A_e=0,0 cm^2 S_m=0 mm W_k=0,00 mm $\sigma_{ct,f}$=0,00 N/mm^2 SHELL: [00022-00797-00540] AA= PCA CA=FRQ ε_{sm}=0E+00 A_e=0,0 cm^2 S_m=0 mm W_k=0,00 mm $\sigma_{ct,f}$=0,00 N/mm^2 CA=QPR ε_{sm}=0E+00 A_e=0,0 cm^2 S_m=0 mm W_k=0,00 mm $\sigma_{ct,f}$=0,00 N/mm^2 SHELL: [00403-00402-00802] AA= PCA CA=FRQ ε_{sm}=0E+00 A_e=0,0 cm^2 S_m=0 mm W_k=0,00 mm $\sigma_{ct,f}$=0,00 N/mm^2 CA=QPR ε_{sm}=0E+00 A_e=0,0 cm^2 S_m=0 mm W_k=0,00 mm $\sigma_{ct,f}$=0,00 N/mm^2 SHELL: [00803-00802-00801] AA= PCA CA=FRQ ε_{sm}=0E+00 A_e=0,0 cm^2 S_m=0 mm W_k=0,00 mm $\sigma_{ct,f}$=0,00 N/mm^2 CA=QPR ε_{sm}=0E+00 A_e=0,0 cm^2 S_m=0 mm W_k=0,00 mm $\sigma_{ct,f}$=0,00 N/mm^2 SHELL: [00803-00403-00802] AA= PCA CA=FRQ ε_{sm}=0E+00 A_e=0,0 cm^2 S_m=0 mm W_k=0,00 mm $\sigma_{ct,f}$=0,00 N/mm^2 CA=QPR ε_{sm}=0E+00 A_e=0,0 cm^2 S_m=0 mm W_k=0,00 mm $\sigma_{ct,f}$=0,00 N/mm^2 SHELL: [00023-00798-00544] AA= PCA CA=FRQ ε_{sm}=0E+00 A_e=0,0 cm^2 S_m=0 mm W_k=0,00 mm $\sigma_{ct,f}$=0,00 N/mm^2 CA=QPR ε_{sm}=0E+00 A_e=0,0 cm^2 S_m=0 mm W_k=0,00 mm $\sigma_{ct,f}$=0,00 N/mm^2 SHELL: [00540-00807-00539] AA= PCA CA=FRQ ε_{sm}=0E+00 A_e=0,0 cm^2 S_m=0 mm W_k=0,00 mm $\sigma_{ct,f}$=0,00 N/mm^2 CA=QPR ε_{sm}=0E+00 A_e=0,0 cm^2 S_m=0 mm W_k=0,00 mm $\sigma_{ct,f}$=0,00 N/mm^2 SHELL: [00804-00805-00803] AA= PCA CA=FRQ ε_{sm}=0E+00 A_e=0,0 cm^2 S_m=0 mm W_k=0,00 mm $\sigma_{ct,f}$=0,00 N/mm^2 CA=QPR ε_{sm}=0E+00 A_e=0,0 cm^2 S_m=0 mm W_k=0,00 mm $\sigma_{ct,f}$=0,00 N/mm^2 SHELL: [00808-00407-00406] AA= PCA CA=FRQ ε_{sm}=0E+00 A_e=0,0 cm^2 S_m=0 mm W_k=0,00 mm $\sigma_{ct,f}$=0,00 N/mm^2 CA=QPR ε_{sm}=0E+00 A_e=0,0 cm^2 S_m=0 mm W_k=0,00 mm $\sigma_{ct,f}$=0,00 N/mm^2 SHELL: [00808-00406-00806] AA= PCA CA=FRQ ε_{sm}=0E+00 A_e=0,0 cm^2 S_m=0 mm W_k=0,00 mm $\sigma_{ct,f}$=0,00 N/mm^2 CA=QPR ε_{sm}=0E+00 A_e=0,0 cm^2 S_m=0 mm W_k=0,00 mm $\sigma_{ct,f}$=0,00 N/mm^2 SHELL: [00805-00403-00803] AA= PCA CA=FRQ ε_{sm}=0E+00 A_e=0,0 cm^2 S_m=0 mm W_k=0,00 mm $\sigma_{ct,f}$=0,00 N/mm^2 CA=QPR ε_{sm}=0E+00 A_e=0,0 cm^2 S_m=0 mm W_k=0,00 mm $\sigma_{ct,f}$=0,00 N/mm^2 SHELL: [00805-00404-00403] AA= PCA CA=FRQ ε_{sm}=0E+00 A_e=0,0 cm^2 S_m=0 mm W_k=0,00 mm $\sigma_{ct,f}$=0,00 N/mm^2 CA=QPR ε_{sm}=0E+00 A_e=0,0 cm^2 S_m=0 mm W_k=0,00 mm $\sigma_{ct,f}$=0,00 N/mm^2 SHELL: [00537-00804-00536] AA= PCA CA=FRQ ε_{sm}=0E+00 A_e=0,0 cm^2 S_m=0 mm W_k=0,00 mm $\sigma_{ct,f}$=0,00 N/mm^2 CA=QPR ε_{sm}=0E+00 A_e=0,0 cm^2 S_m=0 mm W_k=0,00 mm $\sigma_{ct,f}$=0,00 N/mm^2 SHELL: [00804-00803-00535] AA= PCA CA=FRQ ε_{sm}=0E+00 A_e=0,0 cm^2 S_m=0 mm W_k=0,00 mm $\sigma_{ct,f}$=0,00 N/mm^2 CA=QPR ε_{sm}=0E+00 A_e=0,0 cm^2 S_m=0 mm W_k=0,00 mm $\sigma_{ct,f}$=0,00 N/mm^2 SHELL: [00804-00535-00536] AA= PCA CA=FRQ ε_{sm}=0E+00 A_e=0,0 cm^2 S_m=0 mm W_k=0,00 mm $\sigma_{ct,f}$=0,00 N/mm^2 CA=QPR ε_{sm}=0E+00 A_e=0,0 cm^2 S_m=0 mm W_k=0,00 mm $\sigma_{ct,f}$=0,00 N/mm^2 SHELL: [00408-00407-00808] AA= PCA CA=FRQ ε_{sm}=0E+00 A_e=0,0 cm^2 S_m=0 mm W_k=0,00 mm $\sigma_{ct,f}$=0,00 N/mm^2 CA=QPR ε_{sm}=0E+00 A_e=0,0 cm^2 S_m=0 mm W_k=0,00 mm $\sigma_{ct,f}$=0,00 N/mm^2 SHELL: [00405-00404-00805] AA= PCA CA=FRQ ε_{sm}=0E+00 A_e=0,0 cm^2 S_m=0 mm W_k=0,00 mm $\sigma_{ct,f}$=0,00 N/mm^2 CA=QPR ε_{sm}=0E+00 A_e=0,0 cm^2 S_m=0 mm W_k=0,00 mm $\sigma_{ct,f}$=0,00 N/mm^2 SHELL: [00807-00806-00538] AA= PCA CA=FRQ ε_{sm}=0E+00 A_e=0,0 cm^2 S_m=0 mm W_k=0,00 mm $\sigma_{ct,f}$=0,00 N/mm^2 CA=QPR ε_{sm}=0E+00 A_e=0,0 cm^2 S_m=0 mm W_k=0,00 mm $\sigma_{ct,f}$=0,00 N/mm^2 SHELL: [00538-00806-00804] AA= PCA CA=FRQ ε_{sm}=0E+00 A_e=0,0 cm^2 S_m=0 mm W_k=0,00 mm $\sigma_{ct,f}$=0,00 N/mm^2 CA=QPR ε_{sm}=0E+00 A_e=0,0 cm^2 S_m=0 mm W_k=0,00 mm $\sigma_{ct,f}$=0,00 N/mm^2 SHELL: [00807-00538-00539] AA= PCA CA=FRQ ε_{sm}=0E+00 A_e=0,0 cm^2 S_m=0 mm W_k=0,00 mm $\sigma_{ct,f}$=0,00 N/mm^2 CA=QPR ε_{sm}=0E+00 A_e=0,0 cm^2 S_m=0 mm W_k=0,00 mm $\sigma_{ct,f}$=0,00 N/mm^2 SHELL: [00406-00405-00805] AA= PCA CA=FRQ ε_{sm}=0E+00 A_e=0,0 cm^2 S_m=0 mm W_k=0,00 mm $\sigma_{ct,f}$=0,00 N/mm^2 CA=QPR ε_{sm}=0E+00 A_e=0,0 cm^2 S_m=0 mm W_k=0,00 mm $\sigma_{ct,f}$=0,00 N/mm^2 SHELL: [00806-00406-00805] AA= PCA CA=FRQ ε_{sm}=0E+00 A_e=0,0 cm^2 S_m=0 mm W_k=0,00 mm $\sigma_{ct,f}$=0,00 N/mm^2 CA=QPR ε_{sm}=0E+00 A_e=0,0 cm^2 S_m=0 mm W_k=0,00 mm $\sigma_{ct,f}$=0,00 N/mm^2 SHELL: [00538-00804-00537] AA= PCA CA=FRQ ε_{sm}=0E+00 A_e=0,0 cm^2 S_m=0 mm W_k=0,00 mm $\sigma_{ct,f}$=0,00 N/mm^2 CA=QPR ε_{sm}=0E+00 A_e=0,0 cm^2 S_m=0 mm W_k=0,00 mm $\sigma_{ct,f}$=0,00 N/mm^2 SHELL: [00806-00805-00804] AA= PCA CA=FRQ ε_{sm}=0E+00 A_e=0,0 cm^2 S_m=0 mm W_k=0,00 mm $\sigma_{ct,f}$=0,00 N/mm^2 CA=QPR ε_{sm}=0E+00 A_e=0,0 cm^2 S_m=0 mm W_k=0,00 mm $\sigma_{ct,f}$=0,00 N/mm^2 SHELL: [00808-00806-00807] AA= PCA CA=FRQ ε_{sm}=0E+00 A_e=0,0 cm^2 S_m=0 mm W_k=0,00 mm $\sigma_{ct,f}$=0,00 N/mm^2 CA=QPR ε_{sm}=0E+00 A_e=0,0 cm^2 S_m=0 mm W_k=0,00 mm $\sigma_{ct,f}$=0,00 N/mm^2																
P	00022	0,000	0,000	0,000	00023	0,000	0,000	0,000	00034	0,000	0,000	0,000	00035	0,000	0,000	0,000

Dir	Nodo	σ_{ct}	σ_{cc}	σ_{at}	Nodo	σ_{ct}	σ_{cc}	σ_{at}	Nodo	σ_{ct}	σ_{cc}	σ_{at}	Nodo	σ_{ct}	σ_{cc}	σ_{at}
		[N/mm²]	[N/mm²]	[N/mm²]		[N/mm²]	[N/mm²]	[N/mm²]		[N/mm²]	[N/mm²]	[N/mm²]		[N/mm²]	[N/mm²]	[N/mm²]
S		0,000	0,000	0,000		0,000	0,000	0,000		0,000	0,000	0,000		0,000	0,000	0,000
P	00401	0,000	0,000	0,000	00402	0,000	0,000	0,000	00403	0,000	0,000	0,000	00404	0,000	0,000	0,000
S		0,000	0,000	0,000		0,000	0,000	0,000		0,000	0,000	0,000		0,000	0,000	0,000
P	00405	0,000	0,000	0,000	00406	0,000	0,000	0,000	00407	0,000	0,000	0,000	00408	0,000	0,000	0,000
S		0,000	0,000	0,000		0,000	0,000	0,000		0,000	0,000	0,000		0,000	0,000	0,000
P	00533	0,000	0,000	0,000	00534	0,000	0,000	0,000	00535	0,000	0,000	0,000	00536	0,000	0,000	0,000
S		0,000	0,000	0,000		0,000	0,000	0,000		0,000	0,000	0,000		0,000	0,000	0,000
P	00537	0,000	0,000	0,000	00538	0,000	0,000	0,000	00539	0,000	0,000	0,000	00540	0,000	0,000	0,000
S		0,000	0,000	0,000		0,000	0,000	0,000		0,000	0,000	0,000		0,000	0,000	0,000
P	00541	0,000	0,000	0,000	00542	0,000	0,000	0,000	00543	0,000	0,000	0,000	00544	0,000	0,000	0,000
S		0,000	0,000	0,000		0,000	0,000	0,000		0,000	0,000	0,000		0,000	0,000	0,000
P	00545	0,000	0,000	0,000	00546	0,000	0,000	0,000	00547	0,000	0,000	0,000	00548	0,000	0,000	0,000
S		0,000	0,000	0,000		0,000	0,000	0,000		0,000	0,000	0,000		0,000	0,000	0,000
P	00797	0,000	0,000	0,000	00798	0,000	0,000	0,000	00799	0,000	0,000	0,000	00800	0,000	0,000	0,000
S		0,000	0,000	0,000		0,000	0,000	0,000		0,000	0,000	0,000		0,000	0,000	0,000
P	00801	0,000	0,000	0,000	00802	0,000	0,000	0,000	00803	0,000	0,000	0,000	00804	0,000	0,000	0,000
S		0,000	0,000	0,000		0,000	0,000	0,000		0,000	0,000	0,000		0,000	0,000	0,000
P	00805	0,000	0,000	0,000	00806	0,000	0,000	0,000	00807	0,000	0,000	0,000	00808	0,000	0,000	0,000
S		0,000	0,000	0,000		0,000	0,000	0,000		0,000	0,000	0,000		0,000	0,000	0,000

Parete P8-24 AA= PCA

CA=FRQ ε_{sm}=0E+00 A_e=0,0 cm² S_m=0 mm W_k=0,00 mm $\sigma_{ct,f}$=0,00 N/mm² CA=QPR ε_{sm}=0E+00 A_e=0,0 cm² S_m=0 mm W_k=0,00 mm $\sigma_{ct,f}$=0,00 N/mm²

Piano interrato | **ParetеP8-24** | **Parete P8-24**

SHELL: [00783-00520-00782] AA= PCA

CA=FRQ ε_{sm}=0E+00 A_e=0,0 cm² S_m=0 mm W_k=0,00 mm $\sigma_{ct,f}$=0,00 N/mm² CA=QPR ε_{sm}=0E+00 A_e=0,0 cm² S_m=0 mm W_k=0,00 mm $\sigma_{ct,f}$=0,00 N/mm²

SHELL: [00514-00786-00513] AA= PCA

CA=FRQ ε_{sm}=0E+00 A_e=0,0 cm² S_m=0 mm W_k=0,00 mm $\sigma_{ct,f}$=0,00 N/mm² CA=QPR ε_{sm}=0E+00 A_e=0,0 cm² S_m=0 mm W_k=0,00 mm $\sigma_{ct,f}$=0,00 N/mm²

SHELL: [00514-00515-00787] AA= PCA

CA=FRQ ε_{sm}=0E+00 A_e=0,0 cm² S_m=0 mm W_k=0,00 mm $\sigma_{ct,f}$=0,00 N/mm² CA=QPR ε_{sm}=0E+00 A_e=0,0 cm² S_m=0 mm W_k=0,00 mm $\sigma_{ct,f}$=0,00 N/mm²

SHELL: [00783-00519-00520] AA= PCA

CA=FRQ ε_{sm}=0E+00 A_e=0,0 cm² S_m=0 mm W_k=0,00 mm $\sigma_{ct,f}$=0,00 N/mm² CA=QPR ε_{sm}=0E+00 A_e=0,0 cm² S_m=0 mm W_k=0,00 mm $\sigma_{ct,f}$=0,00 N/mm²

SHELL: [00514-00787-00786] AA= PCA

CA=FRQ ε_{sm}=0E+00 A_e=0,0 cm² S_m=0 mm W_k=0,00 mm $\sigma_{ct,f}$=0,00 N/mm² CA=QPR ε_{sm}=0E+00 A_e=0,0 cm² S_m=0 mm W_k=0,00 mm $\sigma_{ct,f}$=0,00 N/mm²

SHELL: [00513-00779-00021] AA= PCA

CA=FRQ ε_{sm}=0E+00 A_e=0,0 cm² S_m=0 mm W_k=0,00 mm $\sigma_{ct,f}$=0,00 N/mm² CA=QPR ε_{sm}=0E+00 A_e=0,0 cm² S_m=0 mm W_k=0,00 mm $\sigma_{ct,f}$=0,00 N/mm²

SHELL: [00513-00786-00779] AA= PCA

CA=FRQ ε_{sm}=0E+00 A_e=0,0 cm² S_m=0 mm W_k=0,00 mm $\sigma_{ct,f}$=0,00 N/mm² CA=QPR ε_{sm}=0E+00 A_e=0,0 cm² S_m=0 mm W_k=0,00 mm $\sigma_{ct,f}$=0,00 N/mm²

SHELL: [00516-00780-00787] AA= PCA

CA=FRQ ε_{sm}=0E+00 A_e=0,0 cm² S_m=0 mm W_k=0,00 mm $\sigma_{ct,f}$=0,00 N/mm² CA=QPR ε_{sm}=0E+00 A_e=0,0 cm² S_m=0 mm W_k=0,00 mm $\sigma_{ct,f}$=0,00 N/mm²

SHELL: [00082-00782-00113] AA= PCA

CA=FRQ ε_{sm}=0E+00 A_e=0,0 cm² S_m=0 mm W_k=0,00 mm $\sigma_{ct,f}$=0,00 N/mm² CA=QPR ε_{sm}=0E+00 A_e=0,0 cm² S_m=0 mm W_k=0,00 mm $\sigma_{ct,f}$=0,00 N/mm²

SHELL: [00516-00787-00515] AA= PCA

CA=FRQ ε_{sm}=0E+00 A_e=0,0 cm² S_m=0 mm W_k=0,00 mm $\sigma_{ct,f}$=0,00 N/mm² CA=QPR ε_{sm}=0E+00 A_e=0,0 cm² S_m=0 mm W_k=0,00 mm $\sigma_{ct,f}$=0,00 N/mm²

SHELL: [00781-00111-00517] AA= PCA

CA=FRQ ε_{sm}=0E+00 A_e=0,0 cm² S_m=0 mm W_k=0,00 mm $\sigma_{ct,f}$=0,00 N/mm² CA=QPR ε_{sm}=0E+00 A_e=0,0 cm² S_m=0 mm W_k=0,00 mm $\sigma_{ct,f}$=0,00 N/mm²

SHELL: [00081-00111-00781] AA= PCA

CA=FRQ ε_{sm}=0E+00 A_e=0,0 cm² S_m=0 mm W_k=0,00 mm $\sigma_{ct,f}$=0,00 N/mm² CA=QPR ε_{sm}=0E+00 A_e=0,0 cm² S_m=0 mm W_k=0,00 mm $\sigma_{ct,f}$=0,00 N/mm²

SHELL: [00782-00520-00113] AA= PCA

CA=FRQ ε_{sm}=0E+00 A_e=0,0 cm² S_m=0 mm W_k=0,00 mm $\sigma_{ct,f}$=0,00 N/mm² CA=QPR ε_{sm}=0E+00 A_e=0,0 cm² S_m=0 mm W_k=0,00 mm $\sigma_{ct,f}$=0,00 N/mm²

SHELL: [00365-00081-00784] AA= PCA

CA=FRQ ε_{sm}=0E+00 A_e=0,0 cm² S_m=0 mm W_k=0,00 mm $\sigma_{ct,f}$=0,00 N/mm² CA=QPR ε_{sm}=0E+00 A_e=0,0 cm² S_m=0 mm W_k=0,00 mm $\sigma_{ct,f}$=0,00 N/mm²

SHELL: [00779-00786-00512] AA= PCA

CA=FRQ ε_{sm}=0E+00 A_e=0,0 cm² S_m=0 mm W_k=0,00 mm $\sigma_{ct,f}$=0,00 N/mm² CA=QPR ε_{sm}=0E+00 A_e=0,0 cm² S_m=0 mm W_k=0,00 mm $\sigma_{ct,f}$=0,00 N/mm²

SHELL: [00783-00782-00082] AA= PCA

CA=FRQ ε_{sm}=0E+00 A_e=0,0 cm² S_m=0 mm W_k=0,00 mm $\sigma_{ct,f}$=0,00 N/mm² CA=QPR ε_{sm}=0E+00 A_e=0,0 cm² S_m=0 mm W_k=0,00 mm $\sigma_{ct,f}$=0,00 N/mm²

SHELL: [00110-00368-00780] AA= PCA

CA=FRQ ε_{sm}=0E+00 A_e=0,0 cm² S_m=0 mm W_k=0,00 mm $\sigma_{ct,f}$=0,00 N/mm² CA=QPR ε_{sm}=0E+00 A_e=0,0 cm² S_m=0 mm W_k=0,00 mm $\sigma_{ct,f}$=0,00 N/mm²

Dir	Nodo	σ_{ct}	σ_{cc}	σ_{at}	Nodo	σ_{ct}	σ_{cc}	σ_{at}	Nodo	σ_{ct}	σ_{cc}	σ_{at}	Nodo	σ_{ct}	σ_{cc}	σ_{at}
		[N/mm^2]	[N/mm^2]	[N/mm^2]		[N/mm^2]	[N/mm^2]	[N/mm^2]		[N/mm^2]	[N/mm^2]	[N/mm^2]		[N/mm^2]	[N/mm^2]	[N/mm^2]
SHELL: [00784-00517-00518] AA= PCA																
CA=FRQ ε_{sm}=0E+00 A_e=0,0 cm^2 S_m=0 mm W_k=0,00 mm $\sigma_{ct,f}$=0,00 N/mm^2																
CA=QPR ε_{sm}=0E+00 A_e=0,0 cm^2 S_m=0 mm W_k=0,00 mm $\sigma_{ct,f}$=0,00 N/mm^2																
SHELL: [00784-00781-00517] AA= PCA																
CA=FRQ ε_{sm}=0E+00 A_e=0,0 cm^2 S_m=0 mm W_k=0,00 mm $\sigma_{ct,f}$=0,00 N/mm^2																
CA=QPR ε_{sm}=0E+00 A_e=0,0 cm^2 S_m=0 mm W_k=0,00 mm $\sigma_{ct,f}$=0,00 N/mm^2																
SHELL: [00784-00081-00781] AA= PCA																
CA=FRQ ε_{sm}=0E+00 A_e=0,0 cm^2 S_m=0 mm W_k=0,00 mm $\sigma_{ct,f}$=0,00 N/mm^2																
CA=QPR ε_{sm}=0E+00 A_e=0,0 cm^2 S_m=0 mm W_k=0,00 mm $\sigma_{ct,f}$=0,00 N/mm^2																
SHELL: [00784-00519-00783] AA= PCA																
CA=FRQ ε_{sm}=0E+00 A_e=0,0 cm^2 S_m=0 mm W_k=0,00 mm $\sigma_{ct,f}$=0,00 N/mm^2																
CA=QPR ε_{sm}=0E+00 A_e=0,0 cm^2 S_m=0 mm W_k=0,00 mm $\sigma_{ct,f}$=0,00 N/mm^2																
SHELL: [00784-00518-00519] AA= PCA																
CA=FRQ ε_{sm}=0E+00 A_e=0,0 cm^2 S_m=0 mm W_k=0,00 mm $\sigma_{ct,f}$=0,00 N/mm^2																
CA=QPR ε_{sm}=0E+00 A_e=0,0 cm^2 S_m=0 mm W_k=0,00 mm $\sigma_{ct,f}$=0,00 N/mm^2																
SHELL: [00509-00783-00082] AA= PCA																
CA=FRQ ε_{sm}=0E+00 A_e=0,0 cm^2 S_m=0 mm W_k=0,00 mm $\sigma_{ct,f}$=0,00 N/mm^2																
CA=QPR ε_{sm}=0E+00 A_e=0,0 cm^2 S_m=0 mm W_k=0,00 mm $\sigma_{ct,f}$=0,00 N/mm^2																
SHELL: [00366-00365-00784] AA= PCA																
CA=FRQ ε_{sm}=0E+00 A_e=0,0 cm^2 S_m=0 mm W_k=0,00 mm $\sigma_{ct,f}$=0,00 N/mm^2																
CA=QPR ε_{sm}=0E+00 A_e=0,0 cm^2 S_m=0 mm W_k=0,00 mm $\sigma_{ct,f}$=0,00 N/mm^2																
SHELL: [00780-00368-00787] AA= PCA																
CA=FRQ ε_{sm}=0E+00 A_e=0,0 cm^2 S_m=0 mm W_k=0,00 mm $\sigma_{ct,f}$=0,00 N/mm^2																
CA=QPR ε_{sm}=0E+00 A_e=0,0 cm^2 S_m=0 mm W_k=0,00 mm $\sigma_{ct,f}$=0,00 N/mm^2																
SHELL: [00785-00783-00510] AA= PCA																
CA=FRQ ε_{sm}=0E+00 A_e=0,0 cm^2 S_m=0 mm W_k=0,00 mm $\sigma_{ct,f}$=0,00 N/mm^2																
CA=QPR ε_{sm}=0E+00 A_e=0,0 cm^2 S_m=0 mm W_k=0,00 mm $\sigma_{ct,f}$=0,00 N/mm^2																
SHELL: [00110-00780-00516] AA= PCA																
CA=FRQ ε_{sm}=0E+00 A_e=0,0 cm^2 S_m=0 mm W_k=0,00 mm $\sigma_{ct,f}$=0,00 N/mm^2																
CA=QPR ε_{sm}=0E+00 A_e=0,0 cm^2 S_m=0 mm W_k=0,00 mm $\sigma_{ct,f}$=0,00 N/mm^2																
SHELL: [00021-00779-00512] AA= PCA																
CA=FRQ ε_{sm}=0E+00 A_e=0,0 cm^2 S_m=0 mm W_k=0,00 mm $\sigma_{ct,f}$=0,00 N/mm^2																
CA=QPR ε_{sm}=0E+00 A_e=0,0 cm^2 S_m=0 mm W_k=0,00 mm $\sigma_{ct,f}$=0,00 N/mm^2																
SHELL: [00512-00786-00511] AA= PCA																
CA=FRQ ε_{sm}=0E+00 A_e=0,0 cm^2 S_m=0 mm W_k=0,00 mm $\sigma_{ct,f}$=0,00 N/mm^2																
CA=QPR ε_{sm}=0E+00 A_e=0,0 cm^2 S_m=0 mm W_k=0,00 mm $\sigma_{ct,f}$=0,00 N/mm^2																
SHELL: [00510-00783-00509] AA= PCA																
CA=FRQ ε_{sm}=0E+00 A_e=0,0 cm^2 S_m=0 mm W_k=0,00 mm $\sigma_{ct,f}$=0,00 N/mm^2																
CA=QPR ε_{sm}=0E+00 A_e=0,0 cm^2 S_m=0 mm W_k=0,00 mm $\sigma_{ct,f}$=0,00 N/mm^2																
SHELL: [00785-00784-00783] AA= PCA																
CA=FRQ ε_{sm}=0E+00 A_e=0,0 cm^2 S_m=0 mm W_k=0,00 mm $\sigma_{ct,f}$=0,00 N/mm^2																
CA=QPR ε_{sm}=0E+00 A_e=0,0 cm^2 S_m=0 mm W_k=0,00 mm $\sigma_{ct,f}$=0,00 N/mm^2																
SHELL: [00368-00367-00787] AA= PCA																
CA=FRQ ε_{sm}=0E+00 A_e=0,0 cm^2 S_m=0 mm W_k=0,00 mm $\sigma_{ct,f}$=0,00 N/mm^2																
CA=QPR ε_{sm}=0E+00 A_e=0,0 cm^2 S_m=0 mm W_k=0,00 mm $\sigma_{ct,f}$=0,00 N/mm^2																
SHELL: [00785-00366-00784] AA= PCA																
CA=FRQ ε_{sm}=0E+00 A_e=0,0 cm^2 S_m=0 mm W_k=0,00 mm $\sigma_{ct,f}$=0,00 N/mm^2																
CA=QPR ε_{sm}=0E+00 A_e=0,0 cm^2 S_m=0 mm W_k=0,00 mm $\sigma_{ct,f}$=0,00 N/mm^2																
SHELL: [00786-00787-00785] AA= PCA																
CA=FRQ ε_{sm}=0E+00 A_e=0,0 cm^2 S_m=0 mm W_k=0,00 mm $\sigma_{ct,f}$=0,00 N/mm^2																
CA=QPR ε_{sm}=0E+00 A_e=0,0 cm^2 S_m=0 mm W_k=0,00 mm $\sigma_{ct,f}$=0,00 N/mm^2																
SHELL: [00786-00510-00511] AA= PCA																
CA=FRQ ε_{sm}=0E+00 A_e=0,0 cm^2 S_m=0 mm W_k=0,00 mm $\sigma_{ct,f}$=0,00 N/mm^2																
CA=QPR ε_{sm}=0E+00 A_e=0,0 cm^2 S_m=0 mm W_k=0,00 mm $\sigma_{ct,f}$=0,00 N/mm^2																
SHELL: [00786-00785-00510] AA= PCA																
CA=FRQ ε_{sm}=0E+00 A_e=0,0 cm^2 S_m=0 mm W_k=0,00 mm $\sigma_{ct,f}$=0,00 N/mm^2																
CA=QPR ε_{sm}=0E+00 A_e=0,0 cm^2 S_m=0 mm W_k=0,00 mm $\sigma_{ct,f}$=0,00 N/mm^2																
SHELL: [00787-00366-00785] AA= PCA																
CA=FRQ ε_{sm}=0E+00 A_e=0,0 cm^2 S_m=0 mm W_k=0,00 mm $\sigma_{ct,f}$=0,00 N/mm^2																
CA=QPR ε_{sm}=0E+00 A_e=0,0 cm^2 S_m=0 mm W_k=0,00 mm $\sigma_{ct,f}$=0,00 N/mm^2																
SHELL: [00787-00367-00366] AA= PCA																
CA=FRQ ε_{sm}=0E+00 A_e=0,0 cm^2 S_m=0 mm W_k=0,00 mm $\sigma_{ct,f}$=0,00 N/mm^2																
CA=QPR ε_{sm}=0E+00 A_e=0,0 cm^2 S_m=0 mm W_k=0,00 mm $\sigma_{ct,f}$=0,00 N/mm^2																
P	00021	0,000	0,000	0,000	00081	0,000	0,000	0,000	00082	0,000	0,000	0,000	00110	0,000	0,000	0,000
S		0,000	0,000	0,000		0,000	0,000	0,000		0,000	0,000	0,000		0,000	0,000	0,000
P	00111	0,000	0,000	0,000	00113	0,000	0,000	0,000	00365	0,000	0,000	0,000	00366	0,000	0,000	0,000
S		0,000	0,000	0,000		0,000	0,000	0,000		0,000	0,000	0,000		0,000	0,000	0,000
P	00367	0,000	0,000	0,000	00368	0,000	0,000	0,000	00509	0,000	0,000	0,000	00510	0,000	0,000	0,000
S		0,000	0,000	0,000		0,000	0,000	0,000		0,000	0,000	0,000		0,000	0,000	0,000
P	00511	0,000	0,000	0,000	00512	0,000	0,000	0,000	00513	0,000	0,000	0,000	00514	0,000	0,000	0,000
S		0,000	0,000	0,000		0,000	0,000	0,000		0,000	0,000	0,000		0,000	0,000	0,000
P	00515	0,000	0,000	0,000	00516	0,000	0,000	0,000	00517	0,000	0,000	0,000	00518	0,000	0,000	0,000
S		0,000	0,000	0,000		0,000	0,000	0,000		0,000	0,000	0,000		0,000	0,000	0,000
P	00519	0,000	0,000	0,000	00520	0,000	0,000	0,000	00779	0,000	0,000	0,000	00780	0,000	0,000	0,000
S		0,000	0,000	0,000		0,000	0,000	0,000		0,000	0,000	0,000		0,000	0,000	0,000
P	00781	0,000	0,000	0,000	00782	0,000	0,000	0,000	00783	0,000	0,000	0,000	00784	0,000	0,000	0,000
S		0,000	0,000	0,000		0,000	0,000	0,000		0,000	0,000	0,000		0,000	0,000	0,000

Pareti - Verifiche a pressoflessione retta allo stato limite di esercizio

Dir	Nodo	σ_{ct}	σ_{cc}	σ_{at}	Nodo	σ_{ct}	σ_{cc}	σ_{at}	Nodo	σ_{ct}	σ_{cc}	σ_{at}	Nodo	σ_{ct}	σ_{cc}	σ_{at}
		[N/mm²]	[N/mm²]	[N/mm²]		[N/mm²]	[N/mm²]	[N/mm²]		[N/mm²]	[N/mm²]	[N/mm²]		[N/mm²]	[N/mm²]	[N/mm²]
P	00785	0,000	0,000	0,000	00786	0,000	0,000	0,000	00787	0,000	0,000	0,000				
S		0,000	0,000	0,000		0,000	0,000	0,000		0,000	0,000	0,000				

LEGENDA:

Dir Direzione [P] = principale - [S] = secondaria.
σ_{ct} Tensione massima di trazione nel calcestruzzo.
σ_{cc} Tensione massima di compressione nel calcestruzzo.
σ_{at} Tensione massima di trazione nell'acciaio.
Shell Shell in cui risulta suddiviso l'elemento.
FRC Spostamento massimo (freccia) dell'elemento.
AA Identificativo dell'aggressività dell'ambiente: [PCA] = Poco aggressivo - [MDA] = Moderatamente aggressivo - [MLA] = Molto aggressivo.
Id_{Cmb} Identificativo della Combinazione di Azione: [QPR] = Quasi Permanente - [FRQ] = Frequente - [RAR] = Rara.
ε_{sm} Deformazione media nel calcestruzzo.
A_e Area efficace del calcestruzzo teso.
s_m Distanza media tra le fessure.
w_k Apertura massima delle fessure.

PIANI - VERIFICHE REGOLARITÀ (Elevazione)

REGOLARITÁ DELLA STRUTTURA IN PIANTA		
	La configurazione in pianta è compatta e approssimativamente simmetrica rispetto a due direzioni ortogonali, in relazione alla distribuzione di masse e rigidezze	SI
	Il rapporto tra i lati di un rettangolo in cui l'edificio risulta inscritto è inferiore a 4	SI
	Almeno una dimensione di eventuali rientri o sporgenze non supera il 25% della dimensione totale dell'edificio nella corrispondente direzione	SI
	I solai possono essere considerati infinitamente rigidi nel loro piano rispetto agli elementi verticali e sufficientemente resistenti	NO
	La struttura non è regolare in pianta.	
REGOLARITÁ DELLA STRUTTURA IN ALTEZZA		
	Tutti i sistemi resistenti verticali dell'edificio (quali telai e pareti) si estendono per tutta l'altezza dell'edificio	NO
	Massa e rigidezza rimangono costanti o variano gradualmente, senza bruschi cambiamenti, dalla base alla cima dell'edificio (le variazioni di massa da un piano all'altro non superano il 25%, la rigidezza non si abbassa da un piano al sovrastante più del 30% e non aumenta più del 10%); ai fini della rigidezza si possono considerare regolari in altezza strutture dotate di pareti o nuclei in c.a. di sezione costante sull'altezza o di telai controventati in acciaio, ai quali sia affidata almeno il 50% dell'azione sismica alla base	NO
	Il rapporto tra resistenza effettiva e resistenza richiesta dal calcolo nelle strutture intelaiate progettate in Classe di Duttilità Bassa non è significativamente diverso per piani diversi (il rapporto fra la resistenza effettiva e quella richiesta calcolata ad un generico piano non deve differire più del 20% dall'analogo rapporto determinato per un altro piano); può fare eccezione l'ultimo piano di strutture intelaiate di almeno tre piani	NO
	Eventuali restringimenti della sezione orizzontale dell'edificio avvengono in modo graduale da un piano al successivo, rispettando i seguenti limiti: ad ogni piano il rientro non supera il 30% della dimensione corrispondente al primo piano, né il 20% della dimensione corrispondente al piano immediatamente sottostante. Fa eccezione l'ultimo piano di edifici di almeno quattro piani per il quale non sono previste limitazioni di restringimento	NO
	La struttura non è regolare in altezza.	

Piani - Verifiche Regolarità

Id_{Piano}	Q_{Lv}	H_{Lv}	Rid_{Tmp}	Ir_{Tmp}	M_{SLU}	K_{SLU}		R_{eff}		R_{ric}	
						X	Y	X	Y	X	Y
	[m]	[m]			[N·s²/m]	[N/cm]	[N/cm]	[N]	[N]	[N]	[N]
Piano copertura	5,40	2,90	NO	NO	94.416	77.976.291	13.681.214	266.177	236.983	45.605	22.430
Piano terra	2,00	3,40	NO	NO	282.625	4.144.777	3.545.002	949.229	995.180	281.534	131.273
Piano interrato	0,00	2,00	NO	NO	509.815	9.509.350	8.169.645	2.566.049	2.623.868	664.833	347.871

LEGENDA:

Id_{Piano} Identificativo del livello o piano.
Q_{Lv} Quota del livello o piano.
H_{Lv} Altezza del livello o piano.
Rid_{Tmp} Per i piani con riduzione dei tamponamenti, sono state incrementate le azioni di calcolo per gli elementi verticali (pilastri e pareti) di un fattore 1,4: [S] = Piano con riduzione dei tamponamenti - [N] = Piano senza riduzione dei tamponamenti.
Ir_{Tmp} Per piani con distribuzione dei tamponamenti in pianta fortemente irregolare, l'eccentricità accidentale è stata incrementata di un fattore pari a 2: [S] = Distribuzione tamponamenti irregolare fortemente - [N] = Distribuzione tamponamenti regolare.
M_{SLU} Massa eccitabile della struttura allo S.L. Ultimo, nelle direzioni X, Y, Z.
K_{SLU} Valori delle Rigidezze di Piano, valutate allo SLU, riferite agli assi X ed Y del riferimento globale.
R_{eff} Valori delle Resistenze Effettive di Piano, valutate allo SLU, relative al sistema di riferimento globale X, Y, Z.
R_{ric} Valori delle Resistenze Richieste di Piano, valutate allo SLU, relative al sistema di riferimento globale X, Y, Z.

PIANI - VERIFICHE AGLI SPOSTAMENTI

Piani - Verifiche

Id_{Piano}	Q_{Lv}	H_{Lv}	$\delta_{d,X}$	$\delta_{d,Y}$	$C_{lg}T_{mp}$	δ_{lim}	δ_{lim}- $\delta_{d,X}$	δ_{lim}- $\delta_{d,Y}$	Note
	[m]	[m]	[cm]	[cm]		[cm]	[cm]	[cm]	
Piano copertura	5,40	2,90	0,0082	0,0298	R	1,4500	1,4418	1,4202	Verificato
Piano terra	2,00	3,40	0,3435	0,5830	R	1,7000	1,3565	1,1170	Verificato
Piano interrato	0,00	2,00	0,1929	0,2632	R	1,0000	0,8071	0,7368	Verificato

LEGENDA:

Id_{Piano} Identificativo del livello o piano.
Q_{Lv} Quota del livello o piano.
H_{Lv} Altezza del livello o piano.
$C_{lg}T_{mp}$ Tipo di collegamento delle tamponature alla struttura: [R] = Rigido - [E] = Elastico.
δ_{lim} Valore limite dello spostamento differenziale indicato dalla normativa.
$\delta_{d,X}$, $\delta_{d,Y}$ Componenti dello spostamento differenziale rispetto al piano inferiore.

PIANI - VERIFICHE ALLO SLO (Elevazione)

Piani - Verifiche allo SLO

Id_{Piano}	Q_{Lv}	H_{Lv}	$\delta_{amm,SLO}$	$\delta_{d,SLO}$		$\Delta\delta_{SLO}$		$C_{lg}T_{mp}$	Note
				X	Y	X	Y		

	[m]	[m]	[cm]	[cm]	[cm]	[cm]	[cm]		
Piano copertura	5,40	2,90	0,9667	0,0042	0,0164	0,9625	0,9502	R	Verificato
Piano terra	2,00	3,40	1,1333	0,1570	0,1844	0,9764	0,9489	R	Verificato
Piano interrato	0,00	2,00	0,6667	0,0865	0,1095	0,5801	0,5572	R	Verificato

LEGENDA:

Id_{Piano} Identificativo del livello o piano.
Q_{Lv} Quota del livello o piano.
H_{Lv} Altezza del livello o piano.
$\delta_{amm,SLO}$ Spostamento Differenziale ammissibile per SLO.
$\delta_{d,SLO}$ Spostamento Differenziale di progetto allo SLO.
$\Delta\delta_{SLO}$ Differenza fra spostamento limite e quello di calcolo nelle direzioni X e Y.
$C_{Ig}T_{mp}$ Tipo di Collegamento delle Tamponature alla struttura.

PIANI - EFFETTI DEL SECONDO ORDINE (Elevazione)

Piani - Effetti del secondo ordine

Id_{Piano}	Q_{Lv}	H_{Lv}	$\delta_{d,X}$	$\delta_{d,Y}$	$P_{\theta,X}$	$P_{\theta,Y}$	$T_{\theta,X}$	$T_{\theta,Y}$	Θ_X	Θ_Y
	[m]	[m]	[cm]	[cm]	[N]	[N]	[N]	[N]	[rad]	[rad]
Piano copertura	5,40	2,90	0,0131	0,0604	932.970	932.970	764.525	777.546	0,0001	0,0002
Piano terra	2,00	3,40	0,7343	1,2242	4.904.370	4.904.370	2.362.130	2.402.359	0,0045	0,0074
Piano interrato	0,00	2,00	0,3895	0,5705	13.749.119	13.749.119	3.246.720	3.302.014	0,0082	0,0119

LEGENDA:

Id_{Piano} Identificativo del livello o piano.
H_{Lv} Altezza del livello o piano.
$\delta_{d,X}$, $\delta_{d,Y}$ Componenti dello spostamento differenziale rispetto al piano inferiore.
$P_{\theta,X}$, $P_{\theta,Z}$ Valori del carico verticale del piano utilizzato per il calcolo di "θ".
$T_{\theta,X}$, $T_{\theta,Y}$ Valori del tagliante di piano utilizzati per il calcolo di "θ".
θ_X, θ_Y Coefficienti "θ" del piano.
Nota Le forze sismiche orizzontali agenti sui piani caratterizzati da valori di θ compresi tra 0.1 e 0.2, sono state incrementate del fattore "1/(1-θ)", per portare in conto gli effetti del secondo ordine.[DM 2008 - par 7.3.1].

NODI - VERIFICA DI CONFINAMENTO (Fondazione)

Dati generali di verifica

Id_{Nd}	Pos	Stato	$Id_{Pil,sup}$	σ_{cR}	σ_{tR}	f_{yk}	f_{fk}	$N_{d,max}$	$A_{S,st}$	CS		Rf
										η	ξ	
				[N/mm²]	[N/mm²]	[N/mm²]	[N/mm²]	[N]				

Dati indicati per direzione

Id_{Nd}	Dir	ID_{tr}	b_j	h_{jw}	A_{sup}/M^+	A_i/M^-	Or_{Vjd}	$V_{c,\eta}$	$V_{c,\xi}$	σ_η	σ_ξ	$V_{jsd,sup}$	$V_{jsd,inf}$	V_{jsr}	h_{jc}
			[cm]	[cm]	[cm²;N·m]	[cm²;N·m]		[N]	[N]	[N/mm²]	[N/mm²]	[N]	[N]	[N]	[cm]

LEGENDA:

Dir Direzione di verifica.
ID_{tr} Identificativo delle travi che definiscono la direzione.
b_j Larghezza effettiva del nodo relativo alla trave esaminata.
h_{jw} Distanza tra le armature superiori ed inferiori della trave.
A_{sup}/M^+ Se Or. V_{jd}= A -> Armatura superiore a flessione; se Or. V_{jd}= M -> Massimo momento di calcolo nella sezione della trave a contatto con il nodo.
A_i/M^- Se Or. V_{jd}= A -> Armatura inferiore a flessione; se Or. V_{jd}= M -> Minimo momento di calcolo nella sezione della trave a contatto con il nodo.
Or_{Vjd} Origine del taglio nel nodo per la direzione considerata: [A] = taglio derivante dalle armature delle travi concorrenti nel nodo; [M] = taglio derivante dai momenti agenti agli estremi delle travi concorrenti nel nodo.
V_{jsr} Forza orizzontale resistente del rinforzo e delle staffe; [-] = rinforzo non presente.
h_{jc} Distanza, tra le giaciture più esterne delle armature del pilastro, nella direzione in esame.
ID_{rf} Identificativo dell'intervento
Pos Posizione del nodo: [I] = interno; [E] = esterno
C/NC Identificativo dello stato del nodo ([NC] = Non Confinato; [C] = Confinato).
$Id_{pil,sup}$ Identificativo del pilastro al di sopra del nodo.
σ_{cR} Resistenza di calcolo a compressione del calcestruzzo per la verifica del nodo.
σ_{tR} Resistenza di calcolo a trazione del calcestruzzo per la verifica del nodo.
f_{vk} Resistenza caratteristica allo snervamento delle staffe nel nodo.
f_{fk} Resistenza caratteristica ultima del rinforzo in FRP; [-] = rinforzo non presente.
$N_{Ed,max}$ Sforzo normale massimo nel pilastro al di sopra del nodo.
A_{sw} Staffe nel nodo (numero di staffe/diametro in mm/passo in cm/numero di bracci; [-] = assenza di staffe nel nodo).
CS Coefficiente di sicurezza: [η] = a compressione; [ξ] = a trazione; [f] = relativo al rinforzo e alle staffe ([NS] = Non Significativo per valori di CS >= 100).
R_f [SI] = nodo con presenza di rinforzo; [NO] = nodo senza rinforzo.
V_c Tagli nel pilastro al di sopra del nodo impiegato per la verifica: [η] = tensione principale di compressione; [ξ] = tensione principale di trazione
σ Tensioni principali di progetto: [η] = compressione; [ξ] = trazione; [-] = rinforzo presente.
V_{jsd} Forze orizzontali di progetto del rinforzo e delle staffe superiori e inferiori; [-] = rinforzo non presente.

TRAVI - VERIFICHE PRESSOFLESSIONE RETTA ALLO STATO LIMITE ULTIMO (Fondazione)

Travi - Verifiche pressoflessione retta allo stato limite ultimo

Id_{Tr}	$\%L_{LI}$	$N_{Ed,s}$	$M_{Ed,3,s}$	$N_{Ed,i}$	$M_{Ed,3,i}$	$A_{s,s}$	$A_{s,i}$	CS_s	CS_i	R_f
	[%]	[N]	[N·m]	[N]	[N·m]	[cm²]	[cm²]			
Fondazione						**Travata: Trave1-P1-1d**				
Trave 1-P1	0%	-	144.210	-	23.660	24,03	24,03	4,81	29,30	NO
	25%	-	222.403	-	49.638	24,03	24,03	3,12	13,97	NO
	50%	-	232.915	-	60.588	24,03	24,03	2,98	11,44	NO
	75%	-	208.089	-	70.684	24,03	24,03	3,33	9,81	NO
	100%	-	147.418	-	77.883	48,07	48,07	9,29	17,59	NO
Trave P1-1d	0%	148.065	141.331	75.448	131.279	48,07	48,07	10,07	10,64	NO
	25%	148.065	107.041	75.448	91.255	24,03	24,03	6,98	7,90	NO
	62,5%	148.065	77.555	75.448	60.544	24,03	24,03	9,63	11,90	NO
	75%	148.065	55.903	75.448	40.954	24,03	24,03	13,36	17,59	NO
	100%	-3.775	45.492	75.448	34.274	24,03	24,03	15,21	21,02	NO
Fondazione						**Travata: Trave2d-P2-3-P3-3d**				
Trave 2d-P2	0%	-6.582	35.969	61.203	27.558	24,03	24,03	19,21	25,96	NO

Id_{Tr}	$\%L_{LI}$	$N_{Ed,s}$	$M_{Ed,3,s}$	$N_{Ed,i}$	$M_{Ed,3,i}$	$A_{s,s}$	$A_{s,i}$	CS_s	CS_i	R_f
	[%]	[N]	[N·m]	[N]	[N·m]	[cm²]	[cm²]			
	25%	-6.582	36.721	61.203	37.088	24,03	24,03	18,82	19,29	NO
	37,5%	148.966	36.131	61.203	65.703	24,03	24,03	20,68	10,89	NO
	75%	148.966	55.260	61.203	112.081	24,03	24,03	13,52	6,38	NO
	100%	148.966	79.621	61.203	174.879	48,07	48,07	17,88	7,96	NO
Trave P2-3	0%	-	90.267	-	84.732	48,07	48,07	15,18	16,17	NO
	25%	-	127.230	-	52.544	24,03	24,03	5,45	13,20	NO
	50%	-	178.184	-	65.696	24,03	24,03	3,89	10,55	NO
	75%	-	190.293	-	22.837	24,03	24,03	3,64	30,36	NO
	100%	-	203.674	-	46.693	24,03	24,03	3,40	14,85	NO
Trave 3-P3	0%	-	212.585	-	39.850	24,03	24,03	3,26	17,40	NO
	25%	-	202.305	-	34.161	24,03	24,03	3,43	20,30	NO
	50%	-	209.929	-	40.899	24,03	24,03	3,30	16,95	NO
	75%	-	169.499	-	113.335	24,03	24,03	4,09	6,12	NO
	100%	-	120.067	-	114.701	48,07	48,07	11,41	11,94	NO
Trave P3-3d	0%	198.849	113.965	195.512	225.951	48,07	48,07	12,65	6,37	NO
	25%	198.849	86.019	195.512	169.746	24,03	24,03	8,89	4,50	NO
	62,5%	198.849	63.410	195.512	127.274	24,03	24,03	12,06	6,00	NO
	75%	198.849	46.870	195.512	99.685	24,03	24,03	16,32	7,66	NO
	100%	198.849	37.118	195.512	88.092	24,03	24,03	20,61	8,67	NO
Fondazione						**Travata: Trave4d-P4-4-P5-5d**				
Trave 4d-P4	0%	195.512	33.761	198.849	91.254	24,03	24,03	22,62	8,38	NO
	25%	195.512	43.157	198.849	103.606	24,03	24,03	17,70	7,38	NO
	37,5%	195.512	58.953	198.849	132.452	24,03	24,03	12,96	5,78	NO
	75%	195.512	80.562	198.849	176.744	24,03	24,03	9,48	4,33	NO
	100%	195.512	107.378	198.849	235.399	48,07	48,07	13,41	6,12	NO
Trave P4-4	0%	-	117.994	-	129.498	48,07	48,07	11,61	10,58	NO
	25%	-	158.831	-	90.668	24,03	24,03	4,37	7,65	NO
	50%	-	213.751	-	90.787	24,03	24,03	3,24	7,64	NO
	75%	-	227.969	-	29.839	24,03	24,03	3,04	23,24	NO
	100%	-	243.302	-	47.000	24,03	24,03	2,85	14,75	NO
Trave 4-P5	0%	-	180.486	-	38.603	24,03	24,03	3,84	17,96	NO
	25%	-	169.255	-	26.163	24,03	24,03	4,10	26,50	NO
	50%	-	180.673	-	29.571	24,03	24,03	3,84	23,45	NO
	75%	-	143.413	-	74.609	24,03	24,03	4,83	9,29	NO
	100%	-	96.603	-	66.927	48,07	48,07	14,18	20,47	NO
Trave P5-5d	0%	131.493	88.813	59.095	164.882	48,07	48,07	15,96	8,44	NO
	25%	131.493	62.052	59.095	105.656	24,03	24,03	11,94	6,76	NO
	62,5%	131.493	41.100	59.095	61.855	24,03	24,03	18,02	11,55	NO
	75%	1.485	39.348	59.095	34.851	24,03	24,03	17,63	20,51	NO
	100%	1.485	38.028	59.095	25.999	24,03	24,03	18,25	27,49	NO
Fondazione						**Travata: Trave6d-P6-6**				
Trave 6d-P6	0%	-1.529	38.766	55.119	22.491	24,03	24,03	17,87	31,71	NO
	25%	-1.529	40.756	55.119	28.945	24,03	24,03	17,00	24,64	NO
	37,5%	133.081	43.177	55.119	48.975	24,03	24,03	17,17	14,56	NO
	75%	133.081	62.047	55.119	81.271	24,03	24,03	11,95	8,78	NO
	100%	133.081	85.242	55.119	124.511	48,07	48,07	16,63	11,16	NO
Trave P6-6	0%	-	98.756	-	75.415	48,07	48,07	13,87	18,17	NO
	25%	-	124.258	-	34.808	24,03	24,03	5,58	19,92	NO
	50%	-	154.579	-	70.998	24,03	24,03	4,49	9,77	NO
	75%	-	125.534	-	57.801	24,03	24,03	5,52	12,00	NO
	100%	-	139.027	-	150.775	24,03	24,03	4,99	4,60	NO
Fondazione						**Travata: Trave19-P9-9d**				
Trave 19-P9	0%	-	143.581	-	34.868	24,03	24,03	4,83	19,88	NO
	25%	-	213.904	-	57.517	24,03	24,03	3,24	12,05	NO
	50%	-	243.690	-	56.953	24,03	24,03	2,85	12,17	NO
	75%	-	207.743	-	88.980	24,03	24,03	3,34	7,79	NO
	100%	-	143.555	-	74.676	48,07	48,07	9,54	18,35	NO
Trave P9-9d	0%	135.768	140.372	86.649	133.620	48,07	48,07	10,11	10,49	NO
	25%	135.768	105.324	86.649	94.692	24,03	24,03	7,05	7,65	NO
	62,5%	135.768	75.520	86.649	64.598	24,03	24,03	9,83	11,22	NO
	75%	135.768	53.852	86.649	45.262	24,03	24,03	13,78	16,01	NO
	100%	135.768	43.201	86.649	38.587	24,03	24,03	17,18	18,78	NO
Fondazione						**Travata: Trave10d-P10-21-P11-11d**				
Trave 10d-P10	0%	-4.440	31.906	66.942	29.655	24,03	24,03	21,68	24,19	NO
	25%	-4.440	32.743	66.942	39.031	24,03	24,03	21,13	18,38	NO
	37,5%	138.575	36.325	66.942	67.093	24,03	24,03	20,46	10,69	NO
	75%	138.575	56.798	66.942	112.482	24,03	24,03	13,09	6,38	NO
	100%	138.575	83.138	66.942	173.821	48,07	48,07	17,08	8,02	NO
Trave P10-21	0%	-	96.899	-	79.573	48,07	48,07	14,14	17,22	NO
	25%	-	134.063	-	45.782	24,03	24,03	5,17	15,14	NO
	50%	-	187.865	-	55.211	24,03	24,03	3,69	12,56	NO
	75%	-	194.210	-	19.774	24,03	24,03	3,57	35,06	NO
	100%	-	207.291	-	41.113	24,03	24,03	3,34	16,86	NO
Trave 21-P11	0%	-	243.718	-	34.891	24,03	24,03	2,84	19,87	NO
	25%	-	235.538	-	23.611	24,03	24,03	2,94	29,37	NO
	50%	-	223.823	-	21.777	24,03	24,03	3,10	31,84	NO
	75%	-	174.566	-	106.447	24,03	24,03	3,97	6,51	NO
	100%	-	119.613	-	109.281	48,07	48,07	11,45	12,54	NO
Trave P11-11d	0%	196.125	113.773	194.972	220.525	48,07	48,07	12,66	6,53	NO
	25%	196.125	84.942	194.972	166.468	24,03	24,03	8,99	4,59	NO
	62,5%	196.125	61.806	194.972	125.525	24,03	24,03	12,36	6,08	NO
	75%	196.125	45.044	194.972	98.860	24,03	24,03	16,96	7,72	NO
	100%	196.125	35.326	194.972	87.598	24,03	24,03	21,63	8,72	NO
Fondazione						**Travata: Trave12d-P12-22-P13-13d**				
Trave 12d-P12	0%	194.972	33.028	196.125	89.266	24,03	24,03	23,12	8,56	NO
	25%	194.972	42.396	196.125	100.952	24,03	24,03	18,01	7,57	NO

Travi - Verifiche pressoflessione retta allo stato limite ultimo

Id_{Tr}	$\%L_{LI}$	$N_{Ed,s}$	$M_{Ed,3,s}$	$N_{Ed,i}$	$M_{Ed,3,i}$	$A_{s,s}$	$A_{s,i}$	CS_s	CS_i	R_f
	[%]	[N]	[N·m]	[N]	[N·m]	[cm²]	[cm²]			
	37,5%	194.972	58.220	196.125	128.109	24,03	24,03	13,12	5,96	NO
	75%	194.972	79.930	196.125	169.695	24,03	24,03	9,55	4,50	NO
	100%	194.972	106.936	196.125	224.645	48,07	48,07	13,46	6,41	NO
Trave P12-22	0%	-	118.108	-	117.311	48,07	48,07	11,60	11,68	NO
	25%	-	158.586	-	75.121	24,03	24,03	4,37	9,23	NO
	50%	-	213.722	-	67.909	24,03	24,03	3,24	10,21	NO
	75%	-	226.768	-	23.723	24,03	24,03	3,06	29,23	NO
	100%	-	242.503	-	38.004	24,03	24,03	2,86	18,24	NO
Trave 22-P13	0%	-	186.747	-	30.965	24,03	24,03	3,71	22,39	NO
	25%	-	176.386	-	17.330	24,03	24,03	3,93	40,01	NO
	50%	-	183.750	-	18.563	24,03	24,03	3,77	37,35	NO
	75%	-	143.494	-	69.938	24,03	24,03	4,83	9,91	NO
	100%	-	95.828	-	63.862	48,07	48,07	14,30	21,45	NO
Trave P13-13d	0%	124.390	87.540	62.974	161.848	48,07	48,07	16,16	8,60	NO
	25%	124.390	60.852	62.974	104.265	24,03	24,03	12,13	6,87	NO
	62,5%	124.390	40.059	62.974	61.653	24,03	24,03	18,43	11,61	NO
	75%	2.382	39.134	62.974	35.376	24,03	24,03	17,74	20,24	NO
	100%	2.382	37.527	62.974	26.764	24,03	24,03	18,50	26,75	NO
Fondazione						**Travata: Trave14d-P14-24**				
Trave 14d-P14	0%	-87	38.208	61.664	24.710	24,03	24,03	18,15	28,96	NO
	25%	-87	40.506	61.664	31.150	24,03	24,03	17,12	22,97	NO
	37,5%	-87	40.153	61.664	51.024	24,03	24,03	17,27	14,02	NO
	75%	124.538	59.989	61.664	82.979	24,03	24,03	12,31	8,62	NO
	100%	124.538	82.967	61.664	125.651	48,07	48,07	17,05	11,08	NO
Trave P14-24	0%	-	98.351	-	74.686	48,07	48,07	13,93	18,34	NO
	25%	-	121.580	-	33.618	24,03	24,03	5,70	20,62	NO
	50%	-	151.444	-	75.232	24,03	24,03	4,58	9,22	NO
	75%	-	122.459	-	55.945	24,03	24,03	5,66	12,39	NO
	100%	-	161.985	-	144.428	24,03	24,03	4,28	4,80	NO
Fondazione						**Travata: Trave6-1c-P7-7d**				
Trave 6-1c	0%	-	330.909	-	30.865	24,03	24,03	2,10	22,46	NO
	25%	-	381.769	-	-	24,03	24,03	1,82	-	NO
	50%	-	394.234	-	-	24,03	24,03	1,76	-	NO
	75%	-	384.624	-	147.607	24,03	24,03	1,80	4,70	NO
	100%	-	412.549	-	510.998	24,03	24,03	1,68	1,36	NO
Trave 1c-P7	0%	-475.900	482.173	1.565.685	679.044	24,03	24,03	1,08	1,83	NO
	25%	-475.900	452.893	1.565.685	688.953	24,03	24,03	1,15	1,81	NO
	62,5%	-475.900	429.152	1.565.685	707.305	24,03	24,03	1,21	1,76	NO
	87,5%	-475.900	411.091	1.565.685	734.369	48,07	48,07	2,92	2,62	NO
	100%	-475.900	398.819	1.565.685	770.376	48,07	48,07	3,01	2,49	NO
Trave P7-7d	0%	159.463	124.930	21.262	165.702	48,07	48,07	11,42	8,31	NO
	25%	159.463	79.551	21.262	100.368	24,03	24,03	9,44	6,98	NO
	62,5%	159.463	45.983	21.262	53.485	24,03	24,03	16,33	13,11	NO
	75%	4.875	31.007	21.262	25.221	24,03	24,03	22,42	27,80	NO
	100%	4.875	28.942	21.262	15.746	24,03	24,03	24,02	44,52	NO
Fondazione						**Travata: Trave7-16**				
Trave 7-16	0%	-	56.426	-	1.469	25,45	24,03	12,99	NS	NO
	25%	-	730.360	-	-	25,45	24,03	1,00	-	NO
	50%	-	349.930	-	-	25,45	24,03	2,09	-	NO
	75%	-	503.387	-	-	25,45	24,03	1,46	-	NO
	100%	-	78.198	-	78.194	25,45	24,03	9,37	8,87	NO
Fondazione						**Travata: Trave8d-P8-3c-24**				
Trave 8d-P8	0%	11.689	55.701	7.826	31.802	24,03	24,03	12,52	21,89	NO
	25%	11.689	62.865	7.826	46.219	24,03	24,03	11,10	15,06	NO
	62,5%	11.689	66.577	7.826	78.053	24,03	24,03	10,48	8,92	NO
	75%	147.386	93.016	7.826	127.216	24,03	24,03	8,03	5,47	NO
	100%	147.386	134.695	7.826	193.597	48,07	48,07	10,56	7,09	NO
Trave P8-3c	0%	-268.750	315.609	1.526.149	784.424	48,07	48,07	4,04	2,43	NO
	25%	-268.750	330.102	1.526.149	748.384	48,07	48,07	3,86	2,55	NO
	62,5%	-268.750	348.970	1.526.149	720.194	24,03	24,03	1,71	1,71	NO
	87,5%	-268.750	372.178	1.526.149	699.730	24,03	24,03	1,60	1,76	NO
	87,5%	-268.750	399.671	1.526.149	686.832	24,03	24,03	1,49	1,79	NO
Trave 3c-24	0%	-	347.821	-	527.943	24,03	24,03	1,99	1,31	NO
	25%	-	350.697	-	163.897	24,03	24,03	1,98	4,23	NO
	50%	-	382.970	-	19.416	24,03	24,03	1,81	35,71	NO
	75%	-	373.542	-	13.736	24,03	24,03	1,86	50,48	NO
	100%	-	326.753	-	37.008	24,03	24,03	2,12	18,74	NO

LEGENDA:

Id_{Tr} Identificativo della trave. L'eventuale lettera tra parentesi distingue i diversi tratti della travata al livello considerato.

$\%L_{LI}$ Posizione della sezione per la quale vengono forniti i valori di verifica, valutata come % della lunghezza libera d'inflessione (L_{LI}), a partire dall'estremo iniziale.

R_f [SI] = nodo con presenza di rinforzo; [NO] = nodo senza rinforzo.

$N_{Ed,s}$, $M_{Ed,3,s}$ Sollecitazioni di progetto per armatura superiore.

$N_{Ed,i}$, $M_{Ed,3,i}$ Sollecitazioni di progetto per armatura inferiore.

$A_{s,s}$, $A_{s,i}$ Armatura a flessione superiore e inferiore.

CS_{sup}, CS_{inf} Coefficiente di sicurezza relativo alle sollecitazioni che tendono le fibre superiori e inferiori ([NS] = Non Significativo per valori di CS >= 100; [VNR]= Verifica Non Richiesta).

TRAVI - VERIFICHE A TAGLIO PER PRESSOFLESSIONE RETTA ALLO STATO LIMITE ULTIMO (Fondazione)

Travi - Verifiche a taglio per pressoflessione retta allo stato limite ultimo

Id_{Tr}	$\%L_{LI}$	+/-	$V_{Ed,2}$	CS	V_{Rcd}	$V_{Rsd,s}$	N_{Ed}	$V_{Rsd,p}$	V_{R1}	V_{fd}	Ctg Θ	A_{sw}	$A_{sw,p}$	$A_{s,Dg}$	R_f
	[%]		[N]		[N]	[N]	[N]	[N]	[N]	[N]		[cm²/cm]	[cm²]	[cm²]	

Id_{Tr}	$\%L_{LI}$	+/-	$V_{Ed,2}$	CS	V_{Rcd}	$V_{Rsd,s}$	N_{Ed}	$V_{Rsd,p}$	V_{R1}	V_{fd}	Ctg Θ	A_{sw}	$A_{sw,p}$	$A_{s,Dg}$	R_f
	[%]		[N]		[N]	[N]	[N]	[N]	[N]	[N]		[cm²/cm]	[cm²]	[cm²]	
Fondazione									**Travata: Trave1-P1-1d**						
Trave 1-P1	0%	+	-	-	2.495.572	1.681.397	0	0	0	0	2,50	0,2513	0,0000	0,0000	NO
		-	-118.519	14,19	2.495.572	1.681.397	0	0	0	0	2,50	0,2513	0,0000	0,0000	NO
	25%	+	-	-	2.495.572	1.681.397	0	0	0	0	2,50	0,2513	0,0000	0,0000	NO
		-	-19.680	85,44	2.495.572	1.681.397	0	0	0	0	2,50	0,2513	0,0000	0,0000	NO
	50%	+	83.575	20,12	2.495.572	1.681.397	0	0	0	0	2,50	0,2513	0,0000	0,0000	NO
		-	-	-	2.495.572	1.681.397	0	0	0	0	2,50	0,2513	0,0000	0,0000	NO
	75%	+	-	-	2.495.572	1.681.397	0	0	0	0	2,50	0,2513	0,0000	0,0000	NO
		-	-41.200	40,81	2.495.572	1.681.397	0	0	0	0	2,50	0,2513	0,0000	0,0000	NO
	100%	+	44.012	38,20	2.495.572	1.681.397	0	0	0	0	2,50	0,2513	0,0000	0,0000	NO
		-	-	-	2.495.572	1.681.397	0	0	0	0	2,50	0,2513	0,0000	0,0000	NO
Trave P1-1d	0%	+	-	-	2.495.572	1.921.597	0	0	0	0	2,50	0,2872	0,0000	0,0000	NO
		-	-117.735	16,32	2.495.572	1.921.597	0	0	0	0	2,50	0,2872	0,0000	0,0000	NO
	25%	+	-	-	2.495.572	1.921.597	0	0	0	0	2,50	0,2872	0,0000	0,0000	NO
		-	-78.041	24,62	2.495.572	1.921.597	0	0	0	0	2,50	0,2872	0,0000	0,0000	NO
	62,5%	+	-	-	2.495.572	1.921.597	0	0	0	0	2,50	0,2872	0,0000	0,0000	NO
		-	-40.034	48,00	2.495.572	1.921.597	0	0	0	0	2,50	0,2872	0,0000	0,0000	NO
	75%	+	-	-	2.495.572	1.921.597	0	0	0	0	2,50	0,2872	0,0000	0,0000	NO
		-	-3.637	NS	2.495.572	1.921.597	0	0	0	0	2,50	0,2872	0,0000	0,0000	NO
	100%	+	31.226	61,54	2.495.572	1.921.597	0	0	0	0	2,50	0,2872	0,0000	0,0000	NO
		-	-	-	2.495.572	1.921.597	0	0	0	0	2,50	0,2872	0,0000	0,0000	NO
Fondazione									**Travata: Trave2d-P2-3-P3-3d**						
Trave 2d-P2	0%	+	-	-	2.495.572	1.921.597	0	0	0	0	2,50	0,2872	0,0000	0,0000	NO
		-	-28.029	68,56	2.495.572	1.921.597	0	0	0	0	2,50	0,2872	0,0000	0,0000	NO
	25%	+	15.991	NS	2.495.572	1.921.597	0	0	0	0	2,50	0,2872	0,0000	0,0000	NO
		-	-	-	2.495.572	1.921.597	0	0	0	0	2,50	0,2872	0,0000	0,0000	NO
	37,5%	+	59.767	32,15	2.495.572	1.921.597	0	0	0	0	2,50	0,2872	0,0000	0,0000	NO
		-	-	-	2.495.572	1.921.597	0	0	0	0	2,50	0,2872	0,0000	0,0000	NO
	75%	+	103.356	18,59	2.495.572	1.921.597	0	0	0	0	2,50	0,2872	0,0000	0,0000	NO
		-	-	-	2.495.572	1.921.597	0	0	0	0	2,50	0,2872	0,0000	0,0000	NO
	100%	+	146.803	13,09	2.495.572	1.921.597	0	0	0	0	2,50	0,2872	0,0000	0,0000	NO
		-	-	-	2.495.572	1.921.597	0	0	0	0	2,50	0,2872	0,0000	0,0000	NO
Trave P2-3	0%	+	7.689	NS	2.495.572	1.681.397	0	0	0	0	2,50	0,2513	0,0000	0,0000	NO
		-	-	-	2.495.572	1.681.397	0	0	0	0	2,50	0,2513	0,0000	0,0000	NO
	25%	+	90.807	18,52	2.495.572	1.681.397	0	0	0	0	2,50	0,2513	0,0000	0,0000	NO
		-	-	-	2.495.572	1.681.397	0	0	0	0	2,50	0,2513	0,0000	0,0000	NO
	50%	+	176.995	9,50	2.495.572	1.681.397	0	0	0	0	2,50	0,2513	0,0000	0,0000	NO
		-	-	-	2.495.572	1.681.397	0	0	0	0	2,50	0,2513	0,0000	0,0000	NO
	75%	+	53.011	31,72	2.495.572	1.681.397	0	0	0	0	2,50	0,2513	0,0000	0,0000	NO
		-	-	-	2.495.572	1.681.397	0	0	0	0	2,50	0,2513	0,0000	0,0000	NO
	100%	+	137.681	12,21	2.495.572	1.681.397	0	0	0	0	2,50	0,2513	0,0000	0,0000	NO
		-	-	-	2.495.572	1.681.397	0	0	0	0	2,50	0,2513	0,0000	0,0000	NO
Trave 3-P3	0%	+	-	-	2.495.572	1.681.397	0	0	0	0	2,50	0,2513	0,0000	0,0000	NO

Id_{Tr}	$\%L_{LI}$	+/-	$V_{Ed,2}$	CS	V_{Rcd}	$V_{Rsd,s}$	N_{Ed}	$V_{Rsd,p}$	V_{R1}	V_{fd}	Ctg Θ	A_{sw}	$A_{sw,p}$	$A_{s,Dg}$	R_f
	[%]		[N]		[N]	[N]	[N]	[N]	[N]	[N]		[cm²/cm]	[cm²]	[cm²]	
		-	-92.744	18,13	2.495.572	1.681.397	0	0	0	0	2,50	0,2513	0,0000	0,0000	NO
	25%	+	-	-	2.495.572	1.681.397	0	0	0	0	2,50	0,2513	0,0000	0,0000	NO
		-	-9.488	NS	2.495.572	1.681.397	0	0	0	0	2,50	0,2513	0,0000	0,0000	NO
	50%	+	-	-	2.495.572	1.681.397	0	0	0	0	2,50	0,2513	0,0000	0,0000	NO
		-	-60.378	27,85	2.495.572	1.681.397	0	0	0	0	2,50	0,2513	0,0000	0,0000	NO
	75%	+	-	-	2.495.572	1.681.397	0	0	0	0	2,50	0,2513	0,0000	0,0000	NO
		-	-114.703	14,66	2.495.572	1.681.397	0	0	0	0	2,50	0,2513	0,0000	0,0000	NO
	100%	+	-	-	2.495.572	1.681.397	0	0	0	0	2,50	0,2513	0,0000	0,0000	NO
		-	-37.892	44,37	2.495.572	1.681.397	0	0	0	0	2,50	0,2513	0,0000	0,0000	NO
Trave P3-3d	0%	+	-	-	2.495.572	1.921.597	0	0	0	0	2,50	0,2872	0,0000	0,0000	NO
		-	-130.478	14,73	2.495.572	1.921.597	0	0	0	0	2,50	0,2872	0,0000	0,0000	NO
	25%	+	-	-	2.495.572	1.921.597	0	0	0	0	2,50	0,2872	0,0000	0,0000	NO
		-	-93.074	20,65	2.495.572	1.921.597	0	0	0	0	2,50	0,2872	0,0000	0,0000	NO
	62,5%	+	-	-	2.495.572	1.921.597	0	0	0	0	2,50	0,2872	0,0000	0,0000	NO
		-	-56.343	34,11	2.495.572	1.921.597	0	0	0	0	2,50	0,2872	0,0000	0,0000	NO
	75%	+	-	-	2.495.572	1.921.597	0	0	0	0	2,50	0,2872	0,0000	0,0000	NO
		-	-20.273	94,79	2.495.572	1.921.597	0	0	0	0	2,50	0,2872	0,0000	0,0000	NO
	100%	+	15.147	NS	2.495.572	1.921.597	0	0	0	0	2,50	0,2872	0,0000	0,0000	NO
		-	-	-	2.495.572	1.921.597	0	0	0	0	2,50	0,2872	0,0000	0,0000	NO
Fondazione									**Travata: Trave4d-P4-4-P5-5d**						
Trave 4d-P4	0%	+	-	-	2.495.572	1.921.597	0	0	0	0	2,50	0,2872	0,0000	0,0000	NO
		-	-11.270	NS	2.495.572	1.921.597	0	0	0	0	2,50	0,2872	0,0000	0,0000	NO
	25%	+	28.316	67,86	2.495.572	1.921.597	0	0	0	0	2,50	0,2872	0,0000	0,0000	NO
		-	-	-	2.495.572	1.921.597	0	0	0	0	2,50	0,2872	0,0000	0,0000	NO
	37,5%	+	67.759	28,36	2.495.572	1.921.597	0	0	0	0	2,50	0,2872	0,0000	0,0000	NO
		-	-	-	2.495.572	1.921.597	0	0	0	0	2,50	0,2872	0,0000	0,0000	NO
	75%	+	107.470	17,88	2.495.572	1.921.597	0	0	0	0	2,50	0,2872	0,0000	0,0000	NO
		-	-	-	2.495.572	1.921.597	0	0	0	0	2,50	0,2872	0,0000	0,0000	NO
	100%	+	147.434	13,03	2.495.572	1.921.597	0	0	0	0	2,50	0,2872	0,0000	0,0000	NO
		-	-	-	2.495.572	1.921.597	0	0	0	0	2,50	0,2872	0,0000	0,0000	NO
Trave P4-4	0%	+	-	-	2.495.572	1.681.397	0	0	0	0	2,50	0,2513	0,0000	0,0000	NO
		-	-5.946	NS	2.495.572	1.681.397	0	0	0	0	2,50	0,2513	0,0000	0,0000	NO
	25%	+	71.421	23,54	2.495.572	1.681.397	0	0	0	0	2,50	0,2513	0,0000	0,0000	NO
		-	-	-	2.495.572	1.681.397	0	0	0	0	2,50	0,2513	0,0000	0,0000	NO
	50%	+	152.652	11,01	2.495.572	1.681.397	0	0	0	0	2,50	0,2513	0,0000	0,0000	NO
		-	-	-	2.495.572	1.681.397	0	0	0	0	2,50	0,2513	0,0000	0,0000	NO
	75%	+	27.989	60,07	2.495.572	1.681.397	0	0	0	0	2,50	0,2513	0,0000	0,0000	NO
		-	-	-	2.495.572	1.681.397	0	0	0	0	2,50	0,2513	0,0000	0,0000	NO
	100%	+	109.183	15,40	2.495.572	1.681.397	0	0	0	0	2,50	0,2513	0,0000	0,0000	NO
		-	-	-	2.495.572	1.681.397	0	0	0	0	2,50	0,2513	0,0000	0,0000	NO
Trave 4-P5	0%	+	-	-	2.495.572	1.681.397	0	0	0	0	2,50	0,2513	0,0000	0,0000	NO
		-	-112.169	14,99	2.495.572	1.681.397	0	0	0	0	2,50	0,2513	0,0000	0,0000	NO
	25%	+	-	-	2.495.5	1.681.3	0	0	0	0	2,50	0,2513	0,0000	0,0000	NO

Id_{Tr}	$\%L_{LI}$	+/-	$V_{Ed,2}$	CS	V_{Rcd}	$V_{Rsd,s}$	N_{Ed}	$V_{Rsd,p}$	V_{R1}	V_{fd}	Ctg Θ	A_{sw}	$A_{sw,p}$	$A_{s,Dg}$	R_f
	[%]		[N]		[N]	[N]	[N]	[N]	[N]	[N]		[cm²/cm]	[cm²]	[cm²]	
		-	-31.749	52,96	2.495.572	1.681.397	0	0	0	0	2,50	0,2513	0,0000	0,0000	NO
	50%	+	-	-	2.495.572	1.681.397	0	0	0	0	2,50	0,2513	0,0000	0,0000	NO
		-	-76.668	21,93	2.495.572	1.681.397	0	0	0	0	2,50	0,2513	0,0000	0,0000	NO
	75%	+	-	-	2.495.572	1.681.397	0	0	0	0	2,50	0,2513	0,0000	0,0000	NO
		-	-122.693	13,70	2.495.572	1.681.397	0	0	0	0	2,50	0,2513	0,0000	0,0000	NO
	100%	+	-	-	2.495.572	1.681.397	0	0	0	0	2,50	0,2513	0,0000	0,0000	NO
		-	-46.239	36,36	2.495.572	1.681.397	0	0	0	0	2,50	0,2513	0,0000	0,0000	NO
Trave P5-5d	0%	+	-	-	2.495.735	1.921.597	1.100	0	0	0	2,50	0,2872	0,0000	0,0000	NO
		-	-120.243	15,98	2.495.735	1.921.597	1.100	0	0	0	2,50	0,2872	0,0000	0,0000	NO
	25%	+	-	-	2.495.735	1.921.597	1.100	0	0	0	2,50	0,2872	0,0000	0,0000	NO
		-	-82.534	23,28	2.495.735	1.921.597	1.100	0	0	0	2,50	0,2872	0,0000	0,0000	NO
	62,5%	+	-	-	2.495.735	1.921.597	1.100	0	0	0	2,50	0,2872	0,0000	0,0000	NO
		-	-45.119	42,59	2.495.735	1.921.597	1.100	0	0	0	2,50	0,2872	0,0000	0,0000	NO
	75%	+	-	-	2.495.735	1.921.597	1.100	0	0	0	2,50	0,2872	0,0000	0,0000	NO
		-	-7.933	NS	2.495.735	1.921.597	1.100	0	0	0	2,50	0,2872	0,0000	0,0000	NO
	100%	+	29.077	66,09	2.495.735	1.921.597	1.100	0	0	0	2,50	0,2872	0,0000	0,0000	NO
		-	-	-	2.495.735	1.921.597	1.100	0	0	0	2,50	0,2872	0,0000	0,0000	NO
Fondazione									**Travata: Trave6d-P6-6**						
Trave 6d-P6	0%	+	-	-	2.495.572	1.921.597	0	0	0	0	2,50	0,2872	0,0000	0,0000	NO
		-	-29.102	66,03	2.495.572	1.921.597	0	0	0	0	2,50	0,2872	0,0000	0,0000	NO
	25%	+	-	-	2.495.572	1.921.597	0	0	0	0	2,50	0,2872	0,0000	0,0000	NO
		-	-4.291	NS	2.495.572	1.921.597	0	0	0	0	2,50	0,2872	0,0000	0,0000	NO
	37,5%	+	23.557	81,57	2.495.572	1.921.597	0	0	0	0	2,50	0,2872	0,0000	0,0000	NO
		-	-	-	2.495.572	1.921.597	0	0	0	0	2,50	0,2872	0,0000	0,0000	NO
	75%	+	49.932	38,48	2.495.572	1.921.597	0	0	0	0	2,50	0,2872	0,0000	0,0000	NO
		-	-	-	2.495.572	1.921.597	0	0	0	0	2,50	0,2872	0,0000	0,0000	NO
	100%	+	76.426	25,14	2.495.572	1.921.597	0	0	0	0	2,50	0,2872	0,0000	0,0000	NO
		-	-	-	2.495.572	1.921.597	0	0	0	0	2,50	0,2872	0,0000	0,0000	NO
Trave P6-6	0%	+	-	-	2.495.572	1.681.397	0	0	0	0	2,50	0,2513	0,0000	0,0000	NO
		-	-17.455	96,33	2.495.572	1.681.397	0	0	0	0	2,50	0,2513	0,0000	0,0000	NO
	25%	+	34.125	49,27	2.495.572	1.681.397	0	0	0	0	2,50	0,2513	0,0000	0,0000	NO
		-	-	-	2.495.572	1.681.397	0	0	0	0	2,50	0,2513	0,0000	0,0000	NO
	50%	+	88.342	19,03	2.495.572	1.681.397	0	0	0	0	2,50	0,2513	0,0000	0,0000	NO
		-	-	-	2.495.572	1.681.397	0	0	0	0	2,50	0,2513	0,0000	0,0000	NO
	75%	+	4.295	NS	2.495.572	1.681.397	0	0	0	0	2,50	0,2513	0,0000	0,0000	NO
		-	-3.728	NS	2.495.572	1.681.397	0	0	0	0	2,50	0,2513	0,0000	0,0000	NO
	100%	+	54.887	30,63	2.495.572	1.681.397	0	0	0	0	2,50	0,2513	0,0000	0,0000	NO
		-	-	-	2.495.572	1.681.397	0	0	0	0	2,50	0,2513	0,0000	0,0000	NO
Fondazione									**Travata: Trave19-P9-9d**						
Trave 19-P9	0%	+	-	-	2.495.572	1.681.397	0	0	0	0	2,50	0,2513	0,0000	0,0000	NO
		-	-73.963	22,73	2.495.572	1.681.397	0	0	0	0	2,50	0,2513	0,0000	0,0000	NO
	25%	+	9.324	NS	2.495.572	1.681.397	0	0	0	0	2,50	0,2513	0,0000	0,0000	NO
		-	-	-	2.495.572	1.681.397	0	0	0	0	2,50	0,2513	0,0000	0,0000	NO

Id_{Tr}	$\%L_{LI}$	+/-	$V_{Ed,2}$	CS	V_{Rcd}	$V_{Rsd,s}$	N_{Ed}	$V_{Rsd,p}$	V_{R1}	V_{fd}	Ctg Θ	A_{sw}	$A_{sw,p}$	$A_{s,Dg}$	R_f
	[%]		[N]		[N]	[N]	[N]	[N]	[N]	[N]		[cm²/cm]	[cm²]	[cm²]	
					72	97									
	50%	+	-	-	2.495.572	1.681.397	0	0	0	0	2,50	0,2513	0,0000	0,0000	NO
		-	-15.066	NS	2.495.572	1.681.397	0	0	0	0	2,50	0,2513	0,0000	0,0000	NO
	75%	+	-	-	2.495.572	1.681.397	0	0	0	0	2,50	0,2513	0,0000	0,0000	NO
		-	-73.530	22,87	2.495.572	1.681.397	0	0	0	0	2,50	0,2513	0,0000	0,0000	NO
	100%	+	-	-	2.495.572	1.681.397	0	0	0	0	2,50	0,2513	0,0000	0,0000	NO
		-	-7.861	NS	2.495.572	1.681.397	0	0	0	0	2,50	0,2513	0,0000	0,0000	NO
Trave P9-9d	0%	+	-	-	2.495.572	1.921.597	0	0	0	0	2,50	0,2872	0,0000	0,0000	NO
		-	-90.781	21,17	2.495.572	1.921.597	0	0	0	0	2,50	0,2872	0,0000	0,0000	NO
	25%	+	-	-	2.495.572	1.921.597	0	0	0	0	2,50	0,2872	0,0000	0,0000	NO
		-	-59.146	32,49	2.495.572	1.921.597	0	0	0	0	2,50	0,2872	0,0000	0,0000	NO
	62,5%	+	-	-	2.495.572	1.921.597	0	0	0	0	2,50	0,2872	0,0000	0,0000	NO
		-	-28.690	66,98	2.495.572	1.921.597	0	0	0	0	2,50	0,2872	0,0000	0,0000	NO
	75%	+	2.503	NS	2.495.572	1.921.597	0	0	0	0	2,50	0,2872	0,0000	0,0000	NO
		-	-	-	2.495.572	1.921.597	0	0	0	0	2,50	0,2872	0,0000	0,0000	NO
	100%	+	28.941	66,40	2.495.572	1.921.597	0	0	0	0	2,50	0,2872	0,0000	0,0000	NO
		-	-	-	2.495.572	1.921.597	0	0	0	0	2,50	0,2872	0,0000	0,0000	NO
Fondazione									**Travata: Trave10d-P10-21-P11-11d**						
Trave 10d-P10	0%	+	-	-	2.495.572	1.921.597	0	0	0	0	2,50	0,2872	0,0000	0,0000	NO
		-	-26.332	72,98	2.495.572	1.921.597	0	0	0	0	2,50	0,2872	0,0000	0,0000	NO
	25%	+	12.869	NS	2.495.572	1.921.597	0	0	0	0	2,50	0,2872	0,0000	0,0000	NO
		-	-	-	2.495.572	1.921.597	0	0	0	0	2,50	0,2872	0,0000	0,0000	NO
	37,5%	+	51.841	37,07	2.495.572	1.921.597	0	0	0	0	2,50	0,2872	0,0000	0,0000	NO
		-	-	-	2.495.572	1.921.597	0	0	0	0	2,50	0,2872	0,0000	0,0000	NO
	75%	+	90.646	21,20	2.495.572	1.921.597	0	0	0	0	2,50	0,2872	0,0000	0,0000	NO
		-	-	-	2.495.572	1.921.597	0	0	0	0	2,50	0,2872	0,0000	0,0000	NO
	100%	+	129.314	14,86	2.495.572	1.921.597	0	0	0	0	2,50	0,2872	0,0000	0,0000	NO
		-	-	-	2.495.572	1.921.597	0	0	0	0	2,50	0,2872	0,0000	0,0000	NO
Trave P10-21	0%	+	6.490	NS	2.495.572	1.681.397	0	0	0	0	2,50	0,2513	0,0000	0,0000	NO
		-	-	-	2.495.572	1.681.397	0	0	0	0	2,50	0,2513	0,0000	0,0000	NO
	25%	+	80.452	20,90	2.495.572	1.681.397	0	0	0	0	2,50	0,2513	0,0000	0,0000	NO
		-	-	-	2.495.572	1.681.397	0	0	0	0	2,50	0,2513	0,0000	0,0000	NO
	50%	+	157.127	10,70	2.495.572	1.681.397	0	0	0	0	2,50	0,2513	0,0000	0,0000	NO
		-	-	-	2.495.572	1.681.397	0	0	0	0	2,50	0,2513	0,0000	0,0000	NO
	75%	+	47.616	35,31	2.495.572	1.681.397	0	0	0	0	2,50	0,2513	0,0000	0,0000	NO
		-	-	-	2.495.572	1.681.397	0	0	0	0	2,50	0,2513	0,0000	0,0000	NO
	100%	+	122.940	13,68	2.495.572	1.681.397	0	0	0	0	2,50	0,2513	0,0000	0,0000	NO
		-	-	-	2.495.572	1.681.397	0	0	0	0	2,50	0,2513	0,0000	0,0000	NO
Trave 21-P11	0%	+	-	-	2.495.572	1.681.397	0	0	0	0	2,50	0,2513	0,0000	0,0000	NO
		-	-82.279	20,44	2.495.572	1.681.397	0	0	0	0	2,50	0,2513	0,0000	0,0000	NO
	25%	+	-	-	2.495.572	1.681.397	0	0	0	0	2,50	0,2513	0,0000	0,0000	NO
		-	-8.211	NS	2.495.572	1.681.397	0	0	0	0	2,50	0,2513	0,0000	0,0000	NO
	50%	+	-	-	2.495.572	1.681.397	0	0	0	0	2,50	0,2513	0,0000	0,0000	NO

Id_{Tr}	$\%L_{LI}$	+/-	$V_{Ed,2}$	CS	V_{Rcd}	$V_{Rsd,s}$	N_{Ed}	$V_{Rsd,p}$	V_{R1}	V_{fd}	Ctg Θ	A_{sw}	$A_{sw,p}$	$A_{s,Dg}$	R_f
	[%]		[N]		[N]	[N]	[N]	[N]	[N]	[N]		[cm²/cm]	[cm²]	[cm²]	
		-	-53.434	31,47	2.495.572	1.681.397	0	0	0	0	2,50	0,2513	0,0000	0,0000	NO
	75%	+	-	-	2.495.572	1.681.397	0	0	0	0	2,50	0,2513	0,0000	0,0000	NO
		-	-101.597	16,55	2.495.572	1.681.397	0	0	0	0	2,50	0,2513	0,0000	0,0000	NO
	100%	+	-	-	2.495.572	1.681.397	0	0	0	0	2,50	0,2513	0,0000	0,0000	NO
		-	-33.196	50,65	2.495.572	1.681.397	0	0	0	0	2,50	0,2513	0,0000	0,0000	NO
Trave P11-11d	0%	+	-	-	2.495.572	1.921.597	0	0	0	0	2,50	0,2872	0,0000	0,0000	NO
		-	-115.157	16,69	2.495.572	1.921.597	0	0	0	0	2,50	0,2872	0,0000	0,0000	NO
	25%	+	-	-	2.495.572	1.921.597	0	0	0	0	2,50	0,2872	0,0000	0,0000	NO
		-	-81.835	23,48	2.495.572	1.921.597	0	0	0	0	2,50	0,2872	0,0000	0,0000	NO
	62,5%	+	-	-	2.495.572	1.921.597	0	0	0	0	2,50	0,2872	0,0000	0,0000	NO
		-	-49.097	39,14	2.495.572	1.921.597	0	0	0	0	2,50	0,2872	0,0000	0,0000	NO
	75%	+	-	-	2.495.572	1.921.597	0	0	0	0	2,50	0,2872	0,0000	0,0000	NO
		-	-16.940	NS	2.495.572	1.921.597	0	0	0	0	2,50	0,2872	0,0000	0,0000	NO
	100%	+	14.654	NS	2.495.572	1.921.597	0	0	0	0	2,50	0,2872	0,0000	0,0000	NO
		-	-	-	2.495.572	1.921.597	0	0	0	0	2,50	0,2872	0,0000	0,0000	NO
Fondazione									**Travata: Trave12d-P12-22-P13-13d**						
Trave 12d-P12	0%	+	-	-	2.495.572	1.921.597	0	0	0	0	2,50	0,2872	0,0000	0,0000	NO
		-	-11.731	NS	2.495.572	1.921.597	0	0	0	0	2,50	0,2872	0,0000	0,0000	NO
	25%	+	22.271	86,28	2.495.572	1.921.597	0	0	0	0	2,50	0,2872	0,0000	0,0000	NO
		-	-	-	2.495.572	1.921.597	0	0	0	0	2,50	0,2872	0,0000	0,0000	NO
	37,5%	+	56.078	34,27	2.495.572	1.921.597	0	0	0	0	2,50	0,2872	0,0000	0,0000	NO
		-	-	-	2.495.572	1.921.597	0	0	0	0	2,50	0,2872	0,0000	0,0000	NO
	75%	+	90.103	21,33	2.495.572	1.921.597	0	0	0	0	2,50	0,2872	0,0000	0,0000	NO
		-	-	-	2.495.572	1.921.597	0	0	0	0	2,50	0,2872	0,0000	0,0000	NO
	100%	+	124.327	15,46	2.495.572	1.921.597	0	0	0	0	2,50	0,2872	0,0000	0,0000	NO
		-	-	-	2.495.572	1.921.597	0	0	0	0	2,50	0,2872	0,0000	0,0000	NO
Trave P12-22	0%	+	-	-	2.495.572	1.681.397	0	0	0	0	2,50	0,2513	0,0000	0,0000	NO
		-	-5.990	NS	2.495.572	1.681.397	0	0	0	0	2,50	0,2513	0,0000	0,0000	NO
	25%	+	60.217	27,92	2.495.572	1.681.397	0	0	0	0	2,50	0,2513	0,0000	0,0000	NO
		-	-	-	2.495.572	1.681.397	0	0	0	0	2,50	0,2513	0,0000	0,0000	NO
	50%	+	129.699	12,96	2.495.572	1.681.397	0	0	0	0	2,50	0,2513	0,0000	0,0000	NO
		-	-	-	2.495.572	1.681.397	0	0	0	0	2,50	0,2513	0,0000	0,0000	NO
	75%	+	22.362	75,19	2.495.572	1.681.397	0	0	0	0	2,50	0,2513	0,0000	0,0000	NO
		-	-	-	2.495.572	1.681.397	0	0	0	0	2,50	0,2513	0,0000	0,0000	NO
	100%	+	91.812	18,31	2.495.572	1.681.397	0	0	0	0	2,50	0,2513	0,0000	0,0000	NO
		-	-	-	2.495.572	1.681.397	0	0	0	0	2,50	0,2513	0,0000	0,0000	NO
Trave 22-P13	0%	+	-	-	2.495.572	1.681.397	0	0	0	0	2,50	0,2513	0,0000	0,0000	NO
		-	-98.856	17,01	2.495.572	1.681.397	0	0	0	0	2,50	0,2513	0,0000	0,0000	NO
	25%	+	-	-	2.495.572	1.681.397	0	0	0	0	2,50	0,2513	0,0000	0,0000	NO
		-	-30.034	55,98	2.495.572	1.681.397	0	0	0	0	2,50	0,2513	0,0000	0,0000	NO
	50%	+	-	-	2.495.572	1.681.397	0	0	0	0	2,50	0,2513	0,0000	0,0000	NO
		-	-68.201	24,65	2.495.572	1.681.397	0	0	0	0	2,50	0,2513	0,0000	0,0000	NO
	75%	+	-	-	2.495.5	1.681.3	0	0	0	0	2,50	0,2513	0,0000	0,0000	NO

Id_{Tr}	$\%L_{LI}$	+/-	$V_{Ed,2}$	CS	V_{Rcd}	$V_{Rsd,s}$	N_{Ed}	$V_{Rsd,p}$	V_{R1}	V_{fd}	Ctg Θ	A_{sw}	$A_{sw,p}$	$A_{s,Dg}$	R_f
	[%]		[N]		[N]	[N]	[N]	[N]	[N]	[N]		[cm²/cm]	[cm²]	[cm²]	
		-	-106.119	15,84	2.495.572	1.681.397	0	0	0	0	2,50	0,2513	0,0000	0,0000	NO
	100%	+	-	-	2.495.572	1.681.397	0	0	0	0	2,50	0,2513	0,0000	0,0000	NO
		-	-40.327	41,69	2.495.572	1.681.397	0	0	0	0	2,50	0,2513	0,0000	0,0000	NO
Trave P13-13d	0%	+	-	-	2.495.837	1.921.597	1.792	0	0	0	2,50	0,2872	0,0000	0,0000	NO
		-	-100.364	19,15	2.495.837	1.921.597	1.792	0	0	0	2,50	0,2872	0,0000	0,0000	NO
	25%	+	-	-	2.495.837	1.921.597	1.792	0	0	0	2,50	0,2872	0,0000	0,0000	NO
		-	-67.826	28,33	2.495.837	1.921.597	1.792	0	0	0	2,50	0,2872	0,0000	0,0000	NO
	62,5%	+	-	-	2.495.837	1.921.597	1.792	0	0	0	2,50	0,2872	0,0000	0,0000	NO
		-	-35.464	54,18	2.495.837	1.921.597	1.792	0	0	0	2,50	0,2872	0,0000	0,0000	NO
	75%	+	223	NS	2.495.837	1.921.597	1.792	0	0	0	2,50	0,2872	0,0000	0,0000	NO
		-	-3.274	NS	2.495.837	1.921.597	1.792	0	0	0	2,50	0,2872	0,0000	0,0000	NO
	100%	+	28.964	66,34	2.495.837	1.921.597	1.792	0	0	0	2,50	0,2872	0,0000	0,0000	NO
		-	-	-	2.495.837	1.921.597	1.792	0	0	0	2,50	0,2872	0,0000	0,0000	NO
Fondazione									**Travata: Trave14d-P14-24**						
Trave 14d-P14	0%	+	-	-	2.495.572	1.921.597	0	0	0	0	2,50	0,2872	0,0000	0,0000	NO
		-	-29.054	66,14	2.495.572	1.921.597	0	0	0	0	2,50	0,2872	0,0000	0,0000	NO
	25%	+	-	-	2.495.572	1.921.597	0	0	0	0	2,50	0,2872	0,0000	0,0000	NO
		-	-8.257	NS	2.495.572	1.921.597	0	0	0	0	2,50	0,2872	0,0000	0,0000	NO
	37,5%	+	13.398	NS	2.495.572	1.921.597	0	0	0	0	2,50	0,2872	0,0000	0,0000	NO
		-	-	-	2.495.572	1.921.597	0	0	0	0	2,50	0,2872	0,0000	0,0000	NO
	75%	+	34.443	55,79	2.495.572	1.921.597	0	0	0	0	2,50	0,2872	0,0000	0,0000	NO
		-	-	-	2.495.572	1.921.597	0	0	0	0	2,50	0,2872	0,0000	0,0000	NO
	100%	+	55.449	34,66	2.495.572	1.921.597	0	0	0	0	2,50	0,2872	0,0000	0,0000	NO
		-	-	-	2.495.572	1.921.597	0	0	0	0	2,50	0,2872	0,0000	0,0000	NO
Trave P14-24	0%	+	-	-	2.495.572	1.681.397	0	0	0	0	2,50	0,2513	0,0000	0,0000	NO
		-	-9.659	NS	2.495.572	1.681.397	0	0	0	0	2,50	0,2513	0,0000	0,0000	NO
	25%	+	30.870	54,47	2.495.572	1.681.397	0	0	0	0	2,50	0,2513	0,0000	0,0000	NO
		-	-	-	2.495.572	1.681.397	0	0	0	0	2,50	0,2513	0,0000	0,0000	NO
	50%	+	73.297	22,94	2.495.572	1.681.397	0	0	0	0	2,50	0,2513	0,0000	0,0000	NO
		-	-	-	2.495.572	1.681.397	0	0	0	0	2,50	0,2513	0,0000	0,0000	NO
	75%	+	11.336	NS	2.495.572	1.681.397	0	0	0	0	2,50	0,2513	0,0000	0,0000	NO
		-	-	-	2.495.572	1.681.397	0	0	0	0	2,50	0,2513	0,0000	0,0000	NO
	100%	+	51.526	32,63	2.495.572	1.681.397	0	0	0	0	2,50	0,2513	0,0000	0,0000	NO
		-	-	-	2.495.572	1.681.397	0	0	0	0	2,50	0,2513	0,0000	0,0000	NO
Fondazione									**Travata: Trave6-1c-P7-7d**						
Trave 6-1c	0%	+	-	-	2.495.572	1.681.397	0	0	0	0	2,50	0,2513	0,0000	0,0000	NO
		-	-79.372	21,18	2.495.572	1.681.397	0	0	0	0	2,50	0,2513	0,0000	0,0000	NO
	25%	+	-	-	2.495.572	1.681.397	0	0	0	0	2,50	0,2513	0,0000	0,0000	NO
		-	-45.766	36,74	2.495.572	1.681.397	0	0	0	0	2,50	0,2513	0,0000	0,0000	NO
	50%	+	-	-	2.495.572	1.681.397	0	0	0	0	2,50	0,2513	0,0000	0,0000	NO
		-	-26.816	62,70	2.495.572	1.681.397	0	0	0	0	2,50	0,2513	0,0000	0,0000	NO
	75%	+	-	-	2.495.572	1.681.397	0	0	0	0	2,50	0,2513	0,0000	0,0000	NO
		-	-17.204	97,73	2.495.5	1.681.3	0	0	0	0	2,50	0,2513	0,0000	0,0000	NO

Id_{Tr}	$\%L_{LI}$	+/-	$V_{Ed,2}$	CS	V_{Rcd}	$V_{Rsd,s}$	N_{Ed}	$V_{Rsd,p}$	V_{R1}	V_{fd}	Ctg Θ	A_{sw}	$A_{sw,p}$	$A_{s,Dg}$	R_f
	[%]		[N]		[N]	[N]	[N]	[N]	[N]	[N]		[cm²/cm]	[cm²]	[cm²]	
					72	97									
	100%	+	-	-	2.495.572	1.681.397	0	0	0	0	2,50	0,2513	0,0000	0,0000	NO
		-	-15.447	NS	2.495.572	1.681.397	0	0	0	0	2,50	0,2513	0,0000	0,0000	NO
Trave 1c-P7	0%	+	-	-	2.495.572	1.681.397	0	0	0	0	2,50	0,2513	0,0000	0,0000	NO
		-	-85.004	19,78	2.495.572	1.681.397	0	0	0	0	2,50	0,2513	0,0000	0,0000	NO
	25%	+	-	-	2.495.572	1.681.397	0	0	0	0	2,50	0,2513	0,0000	0,0000	NO
		-	-71.932	23,37	2.495.572	1.681.397	0	0	0	0	2,50	0,2513	0,0000	0,0000	NO
	62,5%	+	-	-	2.495.572	1.681.397	0	0	0	0	2,50	0,2513	0,0000	0,0000	NO
		-	-58.981	28,51	2.495.572	1.681.397	0	0	0	0	2,50	0,2513	0,0000	0,0000	NO
	87,5%	+	-	-	2.495.572	1.681.397	0	0	0	0	2,50	0,2513	0,0000	0,0000	NO
		-	-46.121	36,46	2.495.572	1.681.397	0	0	0	0	2,50	0,2513	0,0000	0,0000	NO
	100%	+	-	-	2.495.572	1.681.397	0	0	0	0	2,50	0,2513	0,0000	0,0000	NO
		-	-33.321	50,46	2.495.572	1.681.397	0	0	0	0	2,50	0,2513	0,0000	0,0000	NO
Trave P7-7d	0%	+	-	-	2.496.012	1.921.597	2.982	0	0	0	2,50	0,2872	0,0000	0,0000	NO
		-	-47.392	40,55	2.496.012	1.921.597	2.982	0	0	0	2,50	0,2872	0,0000	0,0000	NO
	25%	+	-	-	2.496.012	1.921.597	2.982	0	0	0	2,50	0,2872	0,0000	0,0000	NO
		-	-29.158	65,90	2.496.012	1.921.597	2.982	0	0	0	2,50	0,2872	0,0000	0,0000	NO
	62,5%	+	-	-	2.496.012	1.921.597	2.982	0	0	0	2,50	0,2872	0,0000	0,0000	NO
		-	-10.936	NS	2.496.012	1.921.597	2.982	0	0	0	2,50	0,2872	0,0000	0,0000	NO
	75%	+	7.476	NS	2.496.012	1.921.597	2.982	0	0	0	2,50	0,2872	0,0000	0,0000	NO
		-	-	-	2.496.012	1.921.597	2.982	0	0	0	2,50	0,2872	0,0000	0,0000	NO
	100%	+	25.678	74,83	2.496.012	1.921.597	2.982	0	0	0	2,50	0,2872	0,0000	0,0000	NO
		-	-	-	2.496.012	1.921.597	2.982	0	0	0	2,50	0,2872	0,0000	0,0000	NO
Fondazione									**Travata: Trave7-16**						
Trave 7-16	0%	+	-	-	2.495.244	1.681.176	0	0	0	0	2,50	0,2513	0,0000	0,0000	NO
		-	-111.189	15,12	2.495.244	1.681.176	0	0	0	0	2,50	0,2513	0,0000	0,0000	NO
	25%	+	-	-	2.495.244	1.681.176	0	0	0	0	2,50	0,2513	0,0000	0,0000	NO
		-	-49.964	33,65	2.495.244	1.681.176	0	0	0	0	2,50	0,2513	0,0000	0,0000	NO
	50%	+	-	-	2.495.244	1.681.176	0	0	0	0	2,50	0,2513	0,0000	0,0000	NO
		-	-842	NS	2.495.244	1.681.176	0	0	0	0	2,50	0,2513	0,0000	0,0000	NO
	75%	+	26.252	64,04	2.495.244	1.681.176	0	0	0	0	2,50	0,2513	0,0000	0,0000	NO
		-	-	-	2.495.244	1.681.176	0	0	0	0	2,50	0,2513	0,0000	0,0000	NO
	100%	+	35.722	47,06	2.495.244	1.681.176	0	0	0	0	2,50	0,2513	0,0000	0,0000	NO
		-	-	-	2.495.244	1.681.176	0	0	0	0	2,50	0,2513	0,0000	0,0000	NO
Fondazione									**Travata: Trave8d-P8-3c-24**						
Trave 8d-P8	0%	+	-	-	2.496.695	1.921.597	7.618	0	0	0	2,50	0,2872	0,0000	0,0000	NO
		-	-70.557	27,23	2.496.695	1.921.597	7.618	0	0	0	2,50	0,2872	0,0000	0,0000	NO
	25%	+	-	-	2.496.695	1.921.597	7.618	0	0	0	2,50	0,2872	0,0000	0,0000	NO
		-	-42.999	44,69	2.496.695	1.921.597	7.618	0	0	0	2,50	0,2872	0,0000	0,0000	NO
	62,5%	+	-	-	2.496.695	1.921.597	7.618	0	0	0	2,50	0,2872	0,0000	0,0000	NO
		-	-15.972	NS	2.496.695	1.921.597	7.618	0	0	0	2,50	0,2872	0,0000	0,0000	NO
	75%	+	11.912	NS	2.496.695	1.921.597	7.618	0	0	0	2,50	0,2872	0,0000	0,0000	NO
		-	-	-	2.496.695	1.921.597	7.618	0	0	0	2,50	0,2872	0,0000	0,0000	NO
	100%	+	37.309	51,50	2.496.6	1.921.5	7.618	0	0	0	2,50	0,2872	0,0000	0,0000	NO

Travi - Verifiche a taglio per pressoflessione retta allo stato limite ultimo

Id_{Tr}	$\%L_{LI}$	+/-	$V_{Ed,2}$	CS	V_{Rcd}	$V_{Rsd,s}$	N_{Ed}	$V_{Rsd,p}$	V_{R1}	V_{fd}	Ctg Θ	A_{sw}	$A_{sw,p}$	$A_{s,Dg}$	R_f
	[%]		[N]		[N]	[N]	[N]	[N]	[N]	[N]		[cm²/cm]	[cm²]	[cm²]	
Trave P8-3c		-	-	-	2.496.695	1.921.597	7.618	0	0	0	2,50	0,2872	0,0000	0,0000	NO
	0%	+	-	-	2.512.749	1.681.397	116.539	0	0	0	2,50	0,2513	0,0000	0,0000	NO
		-	-24.559	68,46	2.512.749	1.681.397	116.539	0	0	0	2,50	0,2513	0,0000	0,0000	NO
	25%	+	-	-	2.512.749	1.681.397	116.539	0	0	0	2,50	0,2513	0,0000	0,0000	NO
		-	-6.564	NS	2.512.749	1.681.397	116.539	0	0	0	2,50	0,2513	0,0000	0,0000	NO
	62,5%	+	12.805	NS	2.512.749	1.681.397	116.539	0	0	0	2,50	0,2513	0,0000	0,0000	NO
		-	-	-	2.512.749	1.681.397	116.539	0	0	0	2,50	0,2513	0,0000	0,0000	NO
	87,5%	+	29.368	57,25	2.512.749	1.681.397	116.539	0	0	0	2,50	0,2513	0,0000	0,0000	NO
		-	-	-	2.512.749	1.681.397	116.539	0	0	0	2,50	0,2513	0,0000	0,0000	NO
	87,5%	+	47.021	35,76	2.512.749	1.681.397	116.539	0	0	0	2,50	0,2513	0,0000	0,0000	NO
		-	-	-	2.512.749	1.681.397	116.539	0	0	0	2,50	0,2513	0,0000	0,0000	NO
Trave 3c-24	0%	+	-	-	2.495.572	1.681.397	0	0	0	0	2,50	0,2513	0,0000	0,0000	NO
		-	-49.145	34,21	2.495.572	1.681.397	0	0	0	0	2,50	0,2513	0,0000	0,0000	NO
	25%	+	-	-	2.495.572	1.681.397	0	0	0	0	2,50	0,2513	0,0000	0,0000	NO
		-	-34.489	48,75	2.495.572	1.681.397	0	0	0	0	2,50	0,2513	0,0000	0,0000	NO
	50%	+	-	-	2.495.572	1.681.397	0	0	0	0	2,50	0,2513	0,0000	0,0000	NO
		-	-10.733	NS	2.495.572	1.681.397	0	0	0	0	2,50	0,2513	0,0000	0,0000	NO
	75%	+	16.134	NS	2.495.572	1.681.397	0	0	0	0	2,50	0,2513	0,0000	0,0000	NO
		-	-	-	2.495.572	1.681.397	0	0	0	0	2,50	0,2513	0,0000	0,0000	NO
	100%	+	47.544	35,37	2.495.572	1.681.397	0	0	0	0	2,50	0,2513	0,0000	0,0000	NO
		-	-	-	2.495.572	1.681.397	0	0	0	0	2,50	0,2513	0,0000	0,0000	NO

LEGENDA:

Id_{Tr}	Identificativo della trave. L'eventuale lettera tra parentesi distingue i diversi tratti della travata al livello considerato.
$\%L_{LI}$	Posizione della sezione per la quale vengono forniti i valori di verifica, valutata come % della lunghezza libera d'inflessione (L_{LI}), a partire dall'estremo iniziale.
+/-	[+] = sollecitazione massima; [-] = sollecitazione minima.
$V_{Ed,2}$	Taglio di progetto in direzione 2.
CS	Coefficiente di sicurezza ([NS] = Non Significativo per valori di CS >= 100; [VNR]= Verifica Non Richiesta).
V_{Rcd}	Resistenza a taglio compressione del calcestruzzo.
$V_{Rsd,s}$	Resistenza a taglio trazione delle staffe.
N_{Ed}	Sforzo Normale medio nella sezione di verifica.
$V_{Rsd,p}$	Resistenza a taglio trazione dei ferri piegati.
V_{R1}	Resistenza a taglio in assenza di armatura incrociata.
V_{fd}	Resistenza a taglio dovuta al rinforzo FRP.
CtgΘ	Cotangente dell'angolo Θ utilizzata nella verifica.
A_{sw}	Area delle staffe per unità di lunghezza.
$A_{sw,p}$	Area dei ferri piegati.
$A_{s,Dg}$	Area di ferri incrociati nelle zone critiche.
R_f	[SI] = nodo con presenza di rinforzo; [NO] = nodo senza rinforzo.

TRAVI - VERIFICHE PRESSOFLESSIONE RETTA E DEVIATA ALLO STATO LIMITE DI ESERCIZIO (Fondazione)

Travi - Verifiche pressoflessione retta e deviata allo stato limite di esercizio

%LLI / Tp_{rnf}	Trazione calcestruzzo / Trazione calcestruzzo rinforzo					Compressione calcestruzzo / Compressione calcestruzzo rinforzo					Trazione acciaio / Trazione acciaio/FRP rinforzo				
	Id_{Cmb}	σ_{ct}	N_{Ed}	$M_{Ed,3}$	$M_{Ed,2}$	Id_{Cmb}	σ_{cc}	N_{Ed}	$M_{Ed,3}$	$M_{Ed,2}$	Id_{Cmb}	σ_{at}	N_{Ed}	$M_{Ed,3}$	$M_{Ed,2}$
[%]		[N/mm²]	[N]	[N·m]	[N·m]		[N/mm²]	[N]	[N·m]	[N·m]		[N/mm²]	[N]	[N·m]	[N·m]
Fondazione											**Travata: Trave1-P1-1d**				
Trave: Trave 1-P1				**FRC=0,00 cm**					**AA= PCA**						
CA=FRQ	**ε_{sm}=0E+00**			**A_e=0,0 cm²**			**S_m=0 mm**			**W_k=0,00 mm**			**$\sigma_{ct,f}$=0,00 N/mm²**		
CA=QPR	**ε_{sm}=0E+00**			**A_e=0,0 cm²**			**S_m=0 mm**			**W_k=0,00 mm**			**$\sigma_{ct,f}$=0,00 N/mm²**		
0%	RAR	0,017	-	-3.119	-	RAR	-0,017	-	-3.119	-	RAR	0,230	-	-3.119	-
25%	RAR	0,051	-	9.380	-	RAR	-0,051	-	9.380	-	RAR	0,690	-	9.380	-
50%	RAR	0,018	-	3.222	-	RAR	-0,018	-	3.222	-	RAR	0,237	-	3.222	-
75%	RAR	0,072	-	13.207	-	RAR	-0,072	-	13.207	-	RAR	0,972	-	13.207	-
100%	RAR	0,062	-	12.873	-	RAR	-0,062	-	12.873	-	RAR	0,841	-	12.873	-
Trave: Trave P1-1d				**FRC=0,00 cm**					**AA= PCA**						
CA=FRQ	**ε_{sm}=0E+00**			**A_e=0,0 cm²**			**S_m=0 mm**			**W_k=0,00 mm**			**$\sigma_{ct,f}$=0,00 N/mm²**		
CA=QPR	**ε_{sm}=0E+00**			**A_e=0,0 cm²**			**S_m=0 mm**			**W_k=0,00 mm**			**$\sigma_{ct,f}$=0,00 N/mm²**		
0%	RAR	0,093	-2.784	18.874	-	RAR	-0,089	-2.784	18.874	-	RAR	1,263	-2.784	18.874	-

%LLI Tp_{rnf}	Trazione calcestruzzo Trazione calcestruzzo rinforzo					Compressione calcestruzzo Compressione calcestruzzo rinforzo					Trazione acciaio Trazione acciaio/FRP rinforzo				
	Id_{Cmb}	σ_{ct}	N_{Ed}	$M_{Ed,3}$	$M_{Ed,2}$	Id_{Cmb}	σ_{cc}	N_{Ed}	$M_{Ed,3}$	$M_{Ed,2}$	Id_{Cmb}	σ_{at}	N_{Ed}	$M_{Ed,3}$	$M_{Ed,2}$
[%]		[N/mm²]	[N]	[N·m]	[N·m]		[N/mm²]	[N]	[N·m]	[N·m]		[N/mm²]	[N]	[N·m]	[N·m]
25%	RAR	0,155	-2.784	28.052	-	RAR	-0,151	-2.784	28.052	-	RAR	2,098	-2.784	28.052	-
62,5%	RAR	0,185	-2.784	33.582	-	RAR	-0,181	-2.784	33.582	-	RAR	2,505	-2.784	33.582	-
75%	RAR	0,196	-2.784	35.602	-	RAR	-0,192	-2.784	35.602	-	RAR	2,653	-2.784	35.602	-
100%	RAR	0,189	-2.784	34.268	-	RAR	-0,185	-2.784	34.268	-	RAR	2,555	-2.784	34.268	-
Fondazione										**Travata: Trave2d-P2-3-P3-3d**					
Trave: Trave 2d-P2				**FRC=0,00 cm**				**AA= PCA**							
CA=FRQ	**ε_{sm}=0E+00**			**A_e=0,0 cm²**			**S_m=0 mm**			**W_k=0,00 mm**			**$\sigma_{ct,f}$=0,00 N/mm²**		
CA=QPR	**ε_{sm}=0E+00**			**A_e=0,0 cm²**			**S_m=0 mm**			**W_k=0,00 mm**			**$\sigma_{ct,f}$=0,00 N/mm²**		
0%	RAR	0,152	-4.873	27.170	-	RAR	-0,144	-4.873	27.170	-	RAR	2,057	-4.873	27.170	-
25%	RAR	0,155	-4.873	27.777	-	RAR	-0,148	-4.873	27.777	-	RAR	2,102	-4.873	27.777	-
37,5%	RAR	0,136	-4.873	24.269	-	RAR	-0,129	-4.873	24.269	-	RAR	1,844	-4.873	24.269	-
75%	RAR	0,095	-4.873	16.674	-	RAR	-0,087	-4.873	16.674	-	RAR	1,285	-4.873	16.674	-
100%	RAR	0,032	-4.306	5.911	-	RAR	-0,025	-4.306	5.911	-	RAR	0,434	-4.306	5.911	-
Trave: Trave P2-3				**FRC=0,00 cm**				**AA= PCA**							
CA=FRQ	**ε_{sm}=0E+00**			**A_e=0,0 cm²**			**S_m=0 mm**			**W_k=0,00 mm**			**$\sigma_{ct,f}$=0,00 N/mm²**		
CA=QPR	**ε_{sm}=0E+00**			**A_e=0,0 cm²**			**S_m=0 mm**			**W_k=0,00 mm**			**$\sigma_{ct,f}$=0,00 N/mm²**		
0%	RAR	0,039	-	7.968	-	RAR	-0,039	-	7.968	-	RAR	0,520	-	7.968	-
25%	RAR	0,007	-	-1.203	-	RAR	-0,007	-	-1.203	-	RAR	0,089	-	-1.203	-
50%	RAR	0,143	-	-26.278	-	RAR	-0,143	-	-26.278	-	RAR	1,934	-	-26.278	-
75%	RAR	0,092	-	-16.882	-	RAR	-0,092	-	-16.882	-	RAR	1,243	-	-16.882	-
100%	RAR	0,190	-	-34.776	-	RAR	-0,190	-	-34.776	-	RAR	2,560	-	-34.776	-
Trave: Trave 3-P3				**FRC=0,00 cm**				**AA= PCA**							
CA=FRQ	**ε_{sm}=0E+00**			**A_e=0,0 cm²**			**S_m=0 mm**			**W_k=0,00 mm**			**$\sigma_{ct,f}$=0,00 N/mm²**		
CA=QPR	**ε_{sm}=0E+00**			**A_e=0,0 cm²**			**S_m=0 mm**			**W_k=0,00 mm**			**$\sigma_{ct,f}$=0,00 N/mm²**		
0%	RAR	0,162	-	-29.636	-	RAR	-0,162	-	-29.636	-	RAR	2,181	-	-29.636	-
25%	RAR	0,110	-	-20.121	-	RAR	-0,110	-	-20.121	-	RAR	1,481	-	-20.121	-
50%	RAR	0,082	-	-15.085	-	RAR	-0,082	-	-15.085	-	RAR	1,110	-	-15.085	-
75%	RAR	0,091	-	-16.687	-	RAR	-0,091	-	-16.687	-	RAR	1,228	-	-16.687	-
100%	RAR	0,012	-	-2.479	-	RAR	-0,012	-	-2.479	-	RAR	0,162	-	-2.479	-
Trave: Trave P3-3d				**FRC=0,00 cm**				**AA= PCA**							
CA=FRQ	**ε_{sm}=0E+00**			**A_e=0,0 cm²**			**S_m=0 mm**			**W_k=0,00 mm**			**$\sigma_{ct,f}$=0,00 N/mm²**		
CA=QPR	**ε_{sm}=0E+00**			**A_e=0,0 cm²**			**S_m=0 mm**			**W_k=0,00 mm**			**$\sigma_{ct,f}$=0,00 N/mm²**		
0%	RAR	0,058	-7.994	-10.830	-	RAR	-0,046	-7.994	-10.830	-	RAR	0,796	-7.994	-10.830	-
25%	RAR	0,009	-7.994	-409	-	RAR	0,000	-	-	-	RAR	0,124	-7.994	-409	-
62,5%	RAR	0,042	-7.994	6.544	-	RAR	-0,030	-7.046	6.594	-	RAR	0,576	-7.994	6.544	-
75%	RAR	0,061	-7.994	10.090	-	RAR	-0,049	-7.994	10.090	-	RAR	0,837	-7.994	10.090	-
100%	RAR	0,062	-7.994	10.293	-	RAR	-0,050	-7.994	10.293	-	RAR	0,852	-7.994	10.293	-
Fondazione										**Travata: Trave4d-P4-4-P5-5d**					
Trave: Trave 4d-P4				**FRC=0,00 cm**				**AA= PCA**							
CA=FRQ	**ε_{sm}=0E+00**			**A_e=0,0 cm²**			**S_m=0 mm**			**W_k=0,00 mm**			**$\sigma_{ct,f}$=0,00 N/mm²**		
CA=QPR	**ε_{sm}=0E+00**			**A_e=0,0 cm²**			**S_m=0 mm**			**W_k=0,00 mm**			**$\sigma_{ct,f}$=0,00 N/mm²**		
0%	RAR	0,034	-7.994	5.139	-	RAR	-0,022	-7.103	5.073	-	RAR	0,473	-7.994	5.139	-
25%	RAR	0,030	-7.750	4.410	-	RAR	-0,019	-7.046	4.452	-	RAR	0,416	-7.750	4.410	-
37,5%	RAR	0,008	-7.046	475	-	RAR	0,000	-	-	-	RAR	0,118	-7.046	475	-
75%	RAR	0,051	-7.994	-8.269	-	RAR	-0,039	-7.994	-8.269	-	RAR	0,703	-7.994	-8.269	-
100%	RAR	0,103	-7.994	-20.161	-	RAR	-0,092	-7.994	-20.161	-	RAR	1,406	-7.994	-20.161	-
Trave: Trave P4-4				**FRC=0,00 cm**				**AA= PCA**							
CA=FRQ	**ε_{sm}=0E+00**			**A_e=0,0 cm²**			**S_m=0 mm**			**W_k=0,00 mm**			**$\sigma_{ct,f}$=0,00 N/mm²**		
CA=QPR	**ε_{sm}=0E+00**			**A_e=0,0 cm²**			**S_m=0 mm**			**W_k=0,00 mm**			**$\sigma_{ct,f}$=0,00 N/mm²**		
0%	RAR	0,054	-	-11.197	-	RAR	-0,054	-	-11.197	-	RAR	0,731	-	-11.197	-
25%	RAR	0,093	-	-17.051	-	RAR	-0,093	-	-17.051	-	RAR	1,255	-	-17.051	-
50%	RAR	0,207	-	-37.989	-	RAR	-0,207	-	-37.989	-	RAR	2,796	-	-37.989	-
75%	RAR	0,121	-	-22.167	-	RAR	-0,121	-	-22.167	-	RAR	1,632	-	-22.167	-
100%	RAR	0,191	-	-34.990	-	RAR	-0,191	-	-34.990	-	RAR	2,575	-	-34.990	-
Trave: Trave 4-P5				**FRC=0,00 cm**				**AA= PCA**							
CA=FRQ	**ε_{sm}=0E+00**			**A_e=0,0 cm²**			**S_m=0 mm**			**W_k=0,00 mm**			**$\sigma_{ct,f}$=0,00 N/mm²**		
CA=QPR	**ε_{sm}=0E+00**			**A_e=0,0 cm²**			**S_m=0 mm**			**W_k=0,00 mm**			**$\sigma_{ct,f}$=0,00 N/mm²**		
0%	RAR	0,157	-	-28.728	-	RAR	-0,157	-	-28.728	-	RAR	2,115	-	-28.728	-
25%	RAR	0,083	-	-15.238	-	RAR	-0,083	-	-15.238	-	RAR	1,122	-	-15.238	-
50%	RAR	0,033	-	-5.998	-	RAR	-0,033	-	-5.998	-	RAR	0,441	-	-5.998	-
75%	RAR	0,007	-	-1.370	-	RAR	-0,007	-	-1.370	-	RAR	0,101	-	-1.370	-
100%	RAR	0,070	-	14.407	-	RAR	-0,070	-	14.407	-	RAR	0,941	-	14.407	-
Trave: Trave P5-5d				**FRC=0,00 cm**				**AA= PCA**							
CA=FRQ	**ε_{sm}=0E+00**			**A_e=0,0 cm²**			**S_m=0 mm**			**W_k=0,00 mm**			**$\sigma_{ct,f}$=0,00 N/mm²**		
CA=QPR	**ε_{sm}=0E+00**			**A_e=0,0 cm²**			**S_m=0 mm**			**W_k=0,00 mm**			**$\sigma_{ct,f}$=0,00 N/mm²**		
0%	RAR	0,058	1.224	12.218	-	RAR	-0,060	1.224	12.218	-	RAR	0,784	1.224	12.218	-
25%	RAR	0,116	1.160	21.366	-	RAR	-0,117	1.160	21.366	-	RAR	1,559	1.160	21.366	-
62,5%	RAR	0,148	1.160	27.301	-	RAR	-0,150	1.160	27.301	-	RAR	1,996	1.160	27.301	-
75%	RAR	0,161	1.160	29.741	-	RAR	-0,163	1.160	29.741	-	RAR	2,175	1.160	29.741	-
100%	RAR	0,156	1.160	28.708	-	RAR	-0,157	1.160	28.708	-	RAR	2,099	1.160	28.708	-
Fondazione										**Travata: Trave6d-P6-6**					
Trave: Trave 6d-P6				**FRC=0,00 cm**				**AA= PCA**							
CA=FRQ	**ε_{sm}=0E+00**			**A_e=0,0 cm²**			**S_m=0 mm**			**W_k=0,00 mm**			**$\sigma_{ct,f}$=0,00 N/mm²**		
CA=QPR	**ε_{sm}=0E+00**			**A_e=0,0 cm²**			**S_m=0 mm**			**W_k=0,00 mm**			**$\sigma_{ct,f}$=0,00 N/mm²**		
0%	RAR	0,161	-1.092	29.289	-	RAR	-0,159	-1.092	29.289	-	RAR	2,169	-1.092	29.289	-
25%	RAR	0,169	-1.092	30.816	-	RAR	-0,167	-1.092	30.816	-	RAR	2,281	-1.092	30.816	-
37,5%	RAR	0,164	-1.092	29.860	-	RAR	-0,162	-1.092	29.860	-	RAR	2,211	-1.092	29.860	-
75%	RAR	0,145	-1.092	26.418	-	RAR	-0,143	-1.092	26.418	-	RAR	1,957	-1.092	26.418	-
100%	RAR	0,100	-1.092	20.483	-	RAR	-0,098	-1.092	20.483	-	RAR	1,350	-1.092	20.483	-
Trave: Trave P6-6				**FRC=0,00 cm**				**AA= PCA**							
CA=FRQ	**ε_{sm}=0E+00**			**A_e=0,0 cm²**			**S_m=0 mm**			**W_k=0,00 mm**			**$\sigma_{ct,f}$=0,00 N/mm²**		
CA=QPR	**ε_{sm}=0E+00**			**A_e=0,0 cm²**			**S_m=0 mm**			**W_k=0,00 mm**			**$\sigma_{ct,f}$=0,00 N/mm²**		
0%	RAR	0,066	-	13.643	-	RAR	-0,066	-	13.643	-	RAR	0,891	-	13.643	-
25%	RAR	0,066	-	12.110	-	RAR	-0,066	-	12.110	-	RAR	0,891	-	12.110	-

%LLI Tp_{rnf}	Trazione calcestruzzo / Trazione calcestruzzo rinforzo					Compressione calcestruzzo / Compressione calcestruzzo rinforzo					Trazione acciaio / Trazione acciaio/FRP rinforzo				
	Id_{Cmb}	σ_{ct}	N_{Ed}	$M_{Ed,3}$	$M_{Ed,2}$	Id_{Cmb}	σ_{cc}	N_{Ed}	$M_{Ed,3}$	$M_{Ed,2}$	Id_{Cmb}	σ_{at}	N_{Ed}	$M_{Ed,3}$	$M_{Ed,2}$
[%]		[N/mm²]	[N]	[N·m]	[N·m]		[N/mm²]	[N]	[N·m]	[N·m]		[N/mm²]	[N]	[N·m]	[N·m]
50%	RAR	0,004	-	738	-	RAR	-0,004	-	738	-	RAR	0,054	-	738	-
75%	RAR	0,020	-	3.623	-	RAR	-0,020	-	3.623	-	RAR	0,267	-	3.623	-
100%	RAR	0,009	-	-1.659	-	RAR	-0,009	-	-1.659	-	RAR	0,122	-	-1.659	-
Fondazione									**Travata: Trave19-P9-9d**						
Trave: Trave 19-P9				**FRC=0,00 cm**					**AA= PCA**						
CA=FRQ	**ε_{sm}=0E+00**			**A_e=0,0 cm²**			**S_m=0 mm**			**W_k=0,00 mm**			**$\sigma_{ct,f}$=0,00 N/mm²**		
CA=QPR	**ε_{sm}=0E+00**			**A_e=0,0 cm²**			**S_m=0 mm**			**W_k=0,00 mm**			**$\sigma_{ct,f}$=0,00 N/mm²**		
0%	RAR	0,010	-	1.794	-	RAR	-0,010	-	1.794	-	RAR	0,132	-	1.794	-
25%	RAR	0,043	-	7.873	-	RAR	-0,043	-	7.873	-	RAR	0,579	-	7.873	-
50%	RAR	0,056	-	10.343	-	RAR	-0,056	-	10.343	-	RAR	0,761	-	10.343	-
75%	RAR	0,056	-	10.326	-	RAR	-0,056	-	10.326	-	RAR	0,760	-	10.326	-
100%	RAR	0,086	-	17.813	-	RAR	-0,086	-	17.813	-	RAR	1,163	-	17.813	-
Trave: Trave P9-9d				**FRC=0,00 cm**					**AA= PCA**						
CA=FRQ	**ε_{sm}=0E+00**			**A_e=0,0 cm²**			**S_m=0 mm**			**W_k=0,00 mm**			**$\sigma_{ct,f}$=0,00 N/mm²**		
CA=QPR	**ε_{sm}=0E+00**			**A_e=0,0 cm²**			**S_m=0 mm**			**W_k=0,00 mm**			**$\sigma_{ct,f}$=0,00 N/mm²**		
0%	RAR	0,092	-1.324	18.775	-	RAR	-0,090	-1.324	18.775	-	RAR	1,241	-1.324	18.775	-
25%	RAR	0,142	-1.324	25.805	-	RAR	-0,140	-1.324	25.805	-	RAR	1,915	-1.324	25.805	-
62,5%	RAR	0,164	-1.324	29.912	-	RAR	-0,162	-1.324	29.912	-	RAR	2,217	-1.324	29.912	-
75%	RAR	0,171	-1.324	31.201	-	RAR	-0,169	-1.324	31.201	-	RAR	2,312	-1.324	31.201	-
100%	RAR	0,163	-1.324	29.773	-	RAR	-0,161	-1.324	29.773	-	RAR	2,207	-1.324	29.773	-
Fondazione									**Travata: Trave10d-P10-21-P11-11d**						
Trave: Trave 10d-P10				**FRC=0,00 cm**					**AA= PCA**						
CA=FRQ	**ε_{sm}=0E+00**			**A_e=0,0 cm²**			**S_m=0 mm**			**W_k=0,00 mm**			**$\sigma_{ct,f}$=0,00 N/mm²**		
CA=QPR	**ε_{sm}=0E+00**			**A_e=0,0 cm²**			**S_m=0 mm**			**W_k=0,00 mm**			**$\sigma_{ct,f}$=0,00 N/mm²**		
0%	RAR	0,134	-3.266	24.185	-	RAR	-0,129	-3.266	24.185	-	RAR	1,819	-3.266	24.185	-
25%	RAR	0,138	-3.266	24.857	-	RAR	-0,133	-3.266	24.857	-	RAR	1,868	-3.266	24.857	-
37,5%	RAR	0,122	-3.266	21.861	-	RAR	-0,117	-3.266	21.861	-	RAR	1,648	-3.266	21.861	-
75%	RAR	0,086	-3.266	15.220	-	RAR	-0,081	-2.802	15.216	-	RAR	1,159	-3.266	15.220	-
100%	RAR	0,031	-2.802	5.924	-	RAR	-0,027	-2.802	5.924	-	RAR	0,418	-2.802	5.924	-
Trave: Trave P10-21				**FRC=0,00 cm**					**AA= PCA**						
CA=FRQ	**ε_{sm}=0E+00**			**A_e=0,0 cm²**			**S_m=0 mm**			**W_k=0,00 mm**			**$\sigma_{ct,f}$=0,00 N/mm²**		
CA=QPR	**ε_{sm}=0E+00**			**A_e=0,0 cm²**			**S_m=0 mm**			**W_k=0,00 mm**			**$\sigma_{ct,f}$=0,00 N/mm²**		
0%	RAR	0,037	-	7.602	-	RAR	-0,037	-	7.602	-	RAR	0,496	-	7.602	-
25%	RAR	0,004	-	-644	-	RAR	-0,004	-	-644	-	RAR	0,047	-	-644	-
50%	RAR	0,125	-	-22.934	-	RAR	-0,125	-	-22.934	-	RAR	1,688	-	-22.934	-
75%	RAR	0,080	-	-14.630	-	RAR	-0,080	-	-14.630	-	RAR	1,077	-	-14.630	-
100%	RAR	0,167	-	-30.673	-	RAR	-0,167	-	-30.673	-	RAR	2,258	-	-30.673	-
Trave: Trave 21-P11				**FRC=0,00 cm**					**AA= PCA**						
CA=FRQ	**ε_{sm}=0E+00**			**A_e=0,0 cm²**			**S_m=0 mm**			**W_k=0,00 mm**			**$\sigma_{ct,f}$=0,00 N/mm²**		
CA=QPR	**ε_{sm}=0E+00**			**A_e=0,0 cm²**			**S_m=0 mm**			**W_k=0,00 mm**			**$\sigma_{ct,f}$=0,00 N/mm²**		
0%	RAR	0,142	-	-26.003	-	RAR	-0,142	-	-26.003	-	RAR	1,914	-	-26.003	-
25%	RAR	0,096	-	-17.563	-	RAR	-0,096	-	-17.563	-	RAR	1,293	-	-17.563	-
50%	RAR	0,071	-	-13.065	-	RAR	-0,071	-	-13.065	-	RAR	0,962	-	-13.065	-
75%	RAR	0,079	-	-14.433	-	RAR	-0,079	-	-14.433	-	RAR	1,062	-	-14.433	-
100%	RAR	0,009	-	-1.849	-	RAR	-0,009	-	-1.849	-	RAR	0,121	-	-1.849	-
Trave: Trave P11-11d				**FRC=0,00 cm**					**AA= PCA**						
CA=FRQ	**ε_{sm}=0E+00**			**A_e=0,0 cm²**			**S_m=0 mm**			**W_k=0,00 mm**			**$\sigma_{ct,f}$=0,00 N/mm²**		
CA=QPR	**ε_{sm}=0E+00**			**A_e=0,0 cm²**			**S_m=0 mm**			**W_k=0,00 mm**			**$\sigma_{ct,f}$=0,00 N/mm²**		
0%	RAR	0,049	-6.682	-9.156	-	RAR	-0,039	-6.682	-9.156	-	RAR	0,672	-6.682	-9.156	-
25%	RAR	0,008	-5.889	666	-	RAR	0,000	-	-	-	RAR	0,118	-5.889	666	-
62,5%	RAR	0,039	-6.682	6.161	-	RAR	-0,029	-5.889	6.183	-	RAR	0,532	-6.682	6.161	-
75%	RAR	0,056	-6.682	9.228	-	RAR	-0,045	-6.682	9.228	-	RAR	0,758	-6.682	9.228	-
100%	RAR	0,056	-6.682	9.300	-	RAR	-0,045	-6.682	9.300	-	RAR	0,763	-6.682	9.300	-
Fondazione									**Travata: Trave12d-P12-22-P13-13d**						
Trave: Trave 12d-P12				**FRC=0,00 cm**					**AA= PCA**						
CA=FRQ	**ε_{sm}=0E+00**			**A_e=0,0 cm²**			**S_m=0 mm**			**W_k=0,00 mm**			**$\sigma_{ct,f}$=0,00 N/mm²**		
CA=QPR	**ε_{sm}=0E+00**			**A_e=0,0 cm²**			**S_m=0 mm**			**W_k=0,00 mm**			**$\sigma_{ct,f}$=0,00 N/mm²**		
0%	RAR	0,034	-6.531	5.371	-	RAR	-0,024	-5.889	5.303	-	RAR	0,472	-6.531	5.371	-
25%	RAR	0,032	-6.531	4.930	-	RAR	-0,022	-5.889	4.966	-	RAR	0,440	-6.531	4.930	-
37,5%	RAR	0,014	-5.889	1.720	-	RAR	-0,005	-5.889	1.720	-	RAR	0,196	-5.889	1.720	-
75%	RAR	0,036	-6.682	-5.594	-	RAR	-0,025	-6.682	-5.594	-	RAR	0,491	-6.682	-5.594	-
100%	RAR	0,081	-6.682	-15.612	-	RAR	-0,071	-6.682	-15.612	-	RAR	1,094	-6.682	-15.612	-
Trave: Trave P12-22				**FRC=0,00 cm**					**AA= PCA**						
CA=FRQ	**ε_{sm}=0E+00**			**A_e=0,0 cm²**			**S_m=0 mm**			**W_k=0,00 mm**			**$\sigma_{ct,f}$=0,00 N/mm²**		
CA=QPR	**ε_{sm}=0E+00**			**A_e=0,0 cm²**			**S_m=0 mm**			**W_k=0,00 mm**			**$\sigma_{ct,f}$=0,00 N/mm²**		
0%	RAR	0,041	-	-8.471	-	RAR	-0,041	-	-8.471	-	RAR	0,553	-	-8.471	-
25%	RAR	0,073	-	-13.328	-	RAR	-0,073	-	-13.328	-	RAR	0,981	-	-13.328	-
50%	RAR	0,170	-	-31.110	-	RAR	-0,170	-	-31.110	-	RAR	2,290	-	-31.110	-
75%	RAR	0,096	-	-17.634	-	RAR	-0,096	-	-17.634	-	RAR	1,298	-	-17.634	-
100%	RAR	0,155	-	-28.332	-	RAR	-0,155	-	-28.332	-	RAR	2,085	-	-28.332	-
Trave: Trave 22-P13				**FRC=0,00 cm**					**AA= PCA**						
CA=FRQ	**ε_{sm}=0E+00**			**A_e=0,0 cm²**			**S_m=0 mm**			**W_k=0,00 mm**			**$\sigma_{ct,f}$=0,00 N/mm²**		
CA=QPR	**ε_{sm}=0E+00**			**A_e=0,0 cm²**			**S_m=0 mm**			**W_k=0,00 mm**			**$\sigma_{ct,f}$=0,00 N/mm²**		
0%	RAR	0,126	-	-23.075	-	RAR	-0,126	-	-23.075	-	RAR	1,698	-	-23.075	-
25%	RAR	0,060	-	-10.973	-	RAR	-0,060	-	-10.973	-	RAR	0,808	-	-10.973	-
50%	RAR	0,014	-	-2.635	-	RAR	-0,014	-	-2.635	-	RAR	0,194	-	-2.635	-
75%	RAR	0,017	-	3.067	-	RAR	-0,017	-	3.067	-	RAR	0,226	-	3.067	-
100%	RAR	0,078	-	16.093	-	RAR	-0,078	-	16.093	-	RAR	1,051	-	16.093	-
Trave: Trave P13-13d				**FRC=0,00 cm**					**AA= PCA**						
CA=FRQ	**ε_{sm}=0E+00**			**A_e=0,0 cm²**			**S_m=0 mm**			**W_k=0,00 mm**			**$\sigma_{ct,f}$=0,00 N/mm²**		
CA=QPR	**ε_{sm}=0E+00**			**A_e=0,0 cm²**			**S_m=0 mm**			**W_k=0,00 mm**			**$\sigma_{ct,f}$=0,00 N/mm²**		
0%	RAR	0,072	1.829	15.157	-	RAR	-0,075	1.829	15.157	-	RAR	0,969	1.829	15.157	-
25%	RAR	0,124	1.829	23.014	-	RAR	-0,127	1.829	23.014	-	RAR	1,672	1.829	23.014	-
62,5%	RAR	0,150	1.829	27.824	-	RAR	-0,153	1.829	27.824	-	RAR	2,026	1.829	27.824	-

%LLI Tp_{rnf}	Trazione calcestruzzo / Trazione calcestruzzo rinforzo					Compressione calcestruzzo / Compressione calcestruzzo rinforzo					Trazione acciaio / Trazione acciaio/FRP rinforzo				
	Id_{Cmb}	σ_{ct}	N_{Ed}	$M_{Ed,3}$	$M_{Ed,2}$	Id_{Cmb}	σ_{cc}	N_{Ed}	$M_{Ed,3}$	$M_{Ed,2}$	Id_{Cmb}	σ_{at}	N_{Ed}	$M_{Ed,3}$	$M_{Ed,2}$
[%]		[N/mm²]	[N]	[N·m]	[N·m]		[N/mm²]	[N]	[N·m]	[N·m]		[N/mm²]	[N]	[N·m]	[N·m]
75%	RAR	0,160	1.829	29.602	-	RAR	-0,163	1.829	29.602	-	RAR	2,157	1.829	29.602	-
100%	RAR	0,153	1.829	28.358	-	RAR	-0,156	1.829	28.358	-	RAR	2,066	1.829	28.358	-
Fondazione									**Travata: Trave14d-P14-24**						
Trave: Trave 14d-P14				**FRC=0,00 cm**				**AA= PCA**							
CA=FRQ	**ε_{sm}=0E+00**			**A_e=0,0 cm²**			**S_m=0 mm**			**W_k=0,00 mm**			**$\sigma_{ct,f}$=0,00 N/mm²**		
CA=QPR	**ε_{sm}=0E+00**			**A_e=0,0 cm²**			**S_m=0 mm**			**W_k=0,00 mm**			**$\sigma_{ct,f}$=0,00 N/mm²**		
0%	RAR	0,158	-17	28.908	-	RAR	-0,158	-17	28.908	-	RAR	2,128	-17	28.908	-
25%	RAR	0,167	-17	30.667	-	RAR	-0,167	-17	30.667	-	RAR	2,257	-17	30.667	-
37,5%	RAR	0,166	-17	30.416	-	RAR	-0,166	-17	30.416	-	RAR	2,239	-17	30.416	-
75%	RAR	0,154	-17	28.168	-	RAR	-0,154	-17	28.168	-	RAR	2,074	-17	28.168	-
100%	RAR	0,116	-17	23.931	-	RAR	-0,116	-17	23.931	-	RAR	1,563	-17	23.931	-
Trave: Trave P14-24				**FRC=0,00 cm**				**AA= PCA**							
CA=FRQ	**ε_{sm}=0E+00**			**A_e=0,0 cm²**			**S_m=0 mm**			**W_k=0,00 mm**			**$\sigma_{ct,f}$=0,00 N/mm²**		
CA=QPR	**ε_{sm}=0E+00**			**A_e=0,0 cm²**			**S_m=0 mm**			**W_k=0,00 mm**			**$\sigma_{ct,f}$=0,00 N/mm²**		
0%	RAR	0,080	-	16.609	-	RAR	-0,080	-	16.609	-	RAR	1,084	-	16.609	-
25%	RAR	0,080	-	14.652	-	RAR	-0,080	-	14.652	-	RAR	1,078	-	14.652	-
50%	RAR	0,026	-	4.770	-	RAR	-0,026	-	4.770	-	RAR	0,351	-	4.770	-
75%	RAR	0,027	-	4.993	-	RAR	-0,027	-	4.993	-	RAR	0,368	-	4.993	-
100%	RAR	0,005	-	-838	-	RAR	-0,005	-	-838	-	RAR	0,062	-	-838	-
Fondazione									**Travata: Trave6-1c-P7-7d**						
Trave: Trave 6-1c				**FRC=0,00 cm**				**AA= PCA**							
CA=FRQ	**ε_{sm}=0E+00**			**A_e=0,0 cm²**			**S_m=0 mm**			**W_k=0,00 mm**			**$\sigma_{ct,f}$=0,00 N/mm²**		
CA=QPR	**ε_{sm}=0E+00**			**A_e=0,0 cm²**			**S_m=0 mm**			**W_k=0,00 mm**			**$\sigma_{ct,f}$=0,00 N/mm²**		
0%	RAR	0,023	-	-4.205	-	RAR	-0,023	-	-4.205	-	RAR	0,310	-	-4.205	-
25%	RAR	0,029	-	5.385	-	RAR	-0,029	-	5.385	-	RAR	0,396	-	5.385	-
50%	RAR	0,055	-	10.118	-	RAR	-0,055	-	10.118	-	RAR	0,745	-	10.118	-
75%	RAR	0,081	-	14.774	-	RAR	-0,081	-	14.774	-	RAR	1,087	-	14.774	-
100%	RAR	0,143	-	26.205	-	RAR	-0,143	-	26.205	-	RAR	1,929	-	26.205	-
Trave: Trave 1c-P7				**FRC=0,00 cm**				**AA= PCA**							
CA=FRQ	**ε_{sm}=0E+00**			**A_e=0,0 cm²**			**S_m=0 mm**			**W_k=0,00 mm**			**$\sigma_{ct,f}$=0,00 N/mm²**		
CA=QPR	**ε_{sm}=0E+00**			**A_e=0,0 cm²**			**S_m=0 mm**			**W_k=0,00 mm**			**$\sigma_{ct,f}$=0,00 N/mm²**		
0%	RAR	0,198	-66.499	26.755	-	RAR	-0,094	-66.499	26.755	-	RAR	2,753	-66.499	26.755	-
25%	RAR	0,226	-66.499	31.928	-	RAR	-0,122	-66.499	31.928	-	RAR	3,134	-66.499	31.928	-
62,5%	RAR	0,250	-66.499	36.240	-	RAR	-0,145	-66.499	36.240	-	RAR	3,452	-66.499	36.240	-
87,5%	RAR	0,242	-66.499	39.697	-	RAR	-0,143	-66.499	39.697	-	RAR	3,334	-66.499	39.697	-
100%	RAR	0,254	-66.499	42.303	-	RAR	-0,155	-66.499	42.303	-	RAR	3,504	-66.499	42.303	-
Trave: Trave P7-7d				**FRC=0,00 cm**				**AA= PCA**							
CA=FRQ	**ε_{sm}=0E+00**			**A_e=0,0 cm²**			**S_m=0 mm**			**W_k=0,00 mm**			**$\sigma_{ct,f}$=0,00 N/mm²**		
CA=QPR	**ε_{sm}=0E+00**			**A_e=0,0 cm²**			**S_m=0 mm**			**W_k=0,00 mm**			**$\sigma_{ct,f}$=0,00 N/mm²**		
0%	RAR	0,083	3.648	17.717	-	RAR	-0,088	3.648	17.717	-	RAR	1,116	3.648	17.717	-
25%	RAR	0,114	3.648	21.337	-	RAR	-0,119	3.648	21.337	-	RAR	1,527	3.648	21.337	-
62,5%	RAR	0,124	3.648	23.232	-	RAR	-0,130	3.648	23.232	-	RAR	1,667	3.648	23.232	-
75%	RAR	0,125	3.648	23.400	-	RAR	-0,130	3.648	23.400	-	RAR	1,679	3.648	23.400	-
100%	RAR	0,116	3.648	21.832	-	RAR	-0,122	3.648	21.832	-	RAR	1,564	3.648	21.832	-
Fondazione									**Travata: Trave7-16**						
Trave: Trave 7-16				**FRC=0,00 cm**				**AA= PCA**							
CA=FRQ	**ε_{sm}=0E+00**			**A_e=0,0 cm²**			**S_m=0 mm**			**W_k=0,00 mm**			**$\sigma_{ct,f}$=0,00 N/mm²**		
CA=QPR	**ε_{sm}=0E+00**			**A_e=0,0 cm²**			**S_m=0 mm**			**W_k=0,00 mm**			**$\sigma_{ct,f}$=0,00 N/mm²**		
0%	RAR	0,038	-	7.018	-	RAR	-0,038	-	7.018	-	RAR	0,514	-	7.018	-
25%	RAR	0,054	-	9.979	-	RAR	-0,054	-	9.979	-	RAR	0,730	-	9.979	-
50%	RAR	0,048	-	8.937	-	RAR	-0,049	-	8.937	-	RAR	0,654	-	8.937	-
75%	RAR	0,040	-	7.406	-	RAR	-0,040	-	7.406	-	RAR	0,542	-	7.406	-
100%	RAR	0,063	-	11.533	-	RAR	-0,063	-	11.533	-	RAR	0,844	-	11.533	-
Fondazione									**Travata: Trave8d-P8-3c-24**						
Trave: Trave 8d-P8				**FRC=0,00 cm**				**AA= PCA**							
CA=FRQ	**ε_{sm}=0E+00**			**A_e=0,0 cm²**			**S_m=0 mm**			**W_k=0,00 mm**			**$\sigma_{ct,f}$=0,00 N/mm²**		
CA=QPR	**ε_{sm}=0E+00**			**A_e=0,0 cm²**			**S_m=0 mm**			**W_k=0,00 mm**			**$\sigma_{ct,f}$=0,00 N/mm²**		
0%	RAR	0,221	8.808	41.848	-	RAR	-0,235	8.808	41.848	-	RAR	2,976	8.808	41.848	-
25%	RAR	0,251	8.808	47.230	-	RAR	-0,265	8.808	47.230	-	RAR	3,373	8.808	47.230	-
62,5%	RAR	0,266	8.808	50.010	-	RAR	-0,280	8.808	50.010	-	RAR	3,577	8.808	50.010	-
75%	RAR	0,267	8.808	50.233	-	RAR	-0,281	8.808	50.233	-	RAR	3,594	8.808	50.233	-
100%	RAR	0,225	8.808	47.923	-	RAR	-0,238	8.808	47.923	-	RAR	3,031	8.808	47.923	-
Trave: Trave P8-3c				**FRC=0,00 cm**				**AA= PCA**							
CA=FRQ	**ε_{sm}=0E+00**			**A_e=0,0 cm²**			**S_m=0 mm**			**W_k=0,00 mm**			**$\sigma_{ct,f}$=0,00 N/mm²**		
CA=QPR	**ε_{sm}=0E+00**			**A_e=0,0 cm²**			**S_m=0 mm**			**W_k=0,00 mm**			**$\sigma_{ct,f}$=0,00 N/mm²**		
0%	RAR	0,000	-	-	-	RAR	-0,142	143.695	-7.247	-	RAR	0,000	-	-	-
25%	RAR	0,000	-	-	-	RAR	-0,137	143.695	-6.261	-	RAR	0,000	-	-	-
62,5%	RAR	0,000	-	-	-	RAR	-0,148	143.695	-6.442	-	RAR	0,000	-	-	-
87,5%	RAR	0,000	-	-	-	RAR	-0,155	143.695	-7.789	-	RAR	0,000	-	-	-
87,5%	RAR	0,000	-	-	-	RAR	-0,169	143.695	-10.291	-	RAR	0,000	-	-	-
Trave: Trave 3c-24				**FRC=0,00 cm**				**AA= PCA**							
CA=FRQ	**ε_{sm}=0E+00**			**A_e=0,0 cm²**			**S_m=0 mm**			**W_k=0,00 mm**			**$\sigma_{ct,f}$=0,00 N/mm²**		
CA=QPR	**ε_{sm}=0E+00**			**A_e=0,0 cm²**			**S_m=0 mm**			**W_k=0,00 mm**			**$\sigma_{ct,f}$=0,00 N/mm²**		
0%	RAR	0,049	-	-8.912	-	RAR	-0,049	-	-8.912	-	RAR	0,656	-	-8.912	-
25%	RAR	0,017	-	-3.142	-	RAR	-0,017	-	-3.142	-	RAR	0,231	-	-3.142	-
50%	RAR	0,014	-	2.490	-	RAR	-0,014	-	2.490	-	RAR	0,183	-	2.490	-
75%	RAR	0,020	-	3.601	-	RAR	-0,020	-	3.601	-	RAR	0,265	-	3.601	-
100%	RAR	0,004	-	-665	-	RAR	-0,004	-	-665	-	RAR	0,049	-	-665	-

LEGENDA:

σ_{ct} Tensione massima di trazione nel calcestruzzo della Trave/Rinforzo.
σ_{cc} Tensione massima di compressione nel calcestruzzo della Trave/Rinforzo.
Id_{Cmb} Identificativo della Combinazione di Azione: [QPR] = Quasi Permanente - [FRQ] = Frequente - [RAR] = Rara.
σ_{at} Tensione massima di trazione nell'acciaio della Trave/Rinforzo o nel FRP.

Travi - Verifiche pressoflessione retta e deviata allo stato limite di esercizio

%LLI / Tp$_{rnf}$	Trazione calcestruzzo / Trazione calcestruzzo rinforzo					Compressione calcestruzzo / Compressione calcestruzzo rinforzo					Trazione acciaio / Trazione acciaio/FRP rinforzo				
	Id$_{Cmb}$	σ_{ct}	N$_{Ed}$	M$_{Ed,3}$	M$_{Ed,2}$	Id$_{Cmb}$	σ_{cc}	N$_{Ed}$	M$_{Ed,3}$	M$_{Ed,2}$	Id$_{Cmb}$	σ_{at}	N$_{Ed}$	M$_{Ed,3}$	M$_{Ed,2}$
[%]		[N/mm^2]	[N]	[N·m]	[N·m]		[N/mm^2]	[N]	[N·m]	[N·m]		[N/mm^2]	[N]	[N·m]	[N·m]

$\sigma_{ct,f}$ Tensione massima di trazione nel calcestruzzo per la fessurazione, calcolata nell'ipotesi di calcestruzzo resistente a trazione.
Id$_{Tr}$ Identificativo della trave. L'eventuale lettera tra parentesi distingue i diversi tratti della travata al livello considerato.
%L$_{LI}$ Posizione della sezione per la quale vengono forniti i valori di verifica, valutata come % della lunghezza libera d'inflessione (L$_{LI}$), a partire dall'estremo iniziale.
Tp$_{rnf}$ Indica il tipo di rinforzo presente nella sezione di verifica: [Cls] = rinforzo in Calcestruzzo; [FRP] = rinforzo in FRP;
FRC Spostamento massimo (freccia) dell'elemento.
AA Identificativo dell'aggressività dell'ambiente: [PCA] = Poco aggressivo - [MDA] = Moderatamente aggressivo - [MLA] = Molto aggressivo.
ε_{sm} Deformazione media nel calcestruzzo.
A$_e$ Area efficace del calcestruzzo teso.
s$_m$ Distanza media tra le fessure.
w$_k$ Apertura massima delle fessure.
N$_{Ed}$, M$_{Ed,3}$, M$_{Ed,2}$ Sollecitazioni di progetto.

PLINTI - SOLLECITAZIONI E VERIFICHE ALLO STATO LIMITE ULTIMO (Fondazione)

Plinti - Sollecitazioni e verifiche allo stato limite ultimo

Id$_{Pil/Pln}$	Lv	N$_{Ed}$	M$_{Ed,X}$	M$_{Ed,Y}$	V$_{Ed,X}$	V$_{Ed,Y}$	A$_{s,s,A}$	A$_{s,s,B}$	A$_{s,i,A}$	A$_{s,i,B}$	A$_{s,pz,A}$	A$_{s,pz,B}$	CS$_{s,A}$	CS$_{sup,B}$	CS$_{inf,A}$	CS$_{inf,B}$	CS$_{pz,A}$	CS$_{pz,B}$
		[N]	[N·m]	[N·m]	[N]	[N]	[cm^2]	[cm^2]	[cm^2]	[cm^2]	[cm^2]	[cm^2]						
002	Fondazione	483.777	54.591	55.352	111.783	77.136	10,78	10,78	10,78	10,77566	4,52	4,52	6,08	6,00	6,08	6,00	0,91	0,91
005	Fondazione	488.683	50.648	54.544	101.235	63.854	10,78	10,78	10,78	10,77566	4,52	4,52	6,55	6,08	6,55	6,08	0,91	0,91
008	Fondazione	763.258	96.208	103.338	83.094	158.852	12,32	12,32	12,32	12,31504	0,00	0,00	4,48	4,17	4,48	4,17	7,12	7,12
009	Fondazione	486.968	88.845	89.508	79.999	154.662	12,32	12,32	12,32	12,31504	0,00	0,00	4,85	4,82	4,85	4,82	11,06	11,06
010	Fondazione	449.804	80.626	77.180	62.969	147.637	12,32	12,32	12,32	12,31504	0,00	0,00	5,35	5,59	5,35	5,59	11,52	11,52
011	Fondazione	644.415	71.349	77.237	58.353	117.900	10,18	10,18	10,18	10,17873	0,00	4,52	4,49	4,14	4,49	4,14	0,32	0,32
012	Fondazione	261.813	41.357	43.707	91.772	86.957	7,92	7,92	7,92	7,91679	4,52	4,52	5,56	5,26	5,56	5,26	2,03	2,03
013	Fondazione	493.271	37.259	42.659	87.395	23.900	6,28	6,28	6,28	6,2832	0,00	4,52	4,10	3,58	4,10	3,58	0,59	0,59
014	Fondazione	654.946	76.759	76.964	98.420	27.405	10,18	10,18	10,18	10,17873	0,00	4,52	4,17	4,16	4,17	4,16	0,31	0,31
015	Fondazione	385.061	57.666	43.032	89.081	102.078	7,92	7,92	7,92	7,91679	4,52	4,52	3,99	5,34	3,99	5,34	1,58	1,58
017	Fondazione	361.109	28.981	34.226	76.705	29.437	6,28	6,28	6,28	6,2832	0,00	4,52	5,27	4,46	5,27	4,46	0,82	0,82
018	Fondazione	358.406	27.002	33.431	76.112	19.766	6,28	6,28	6,28	6,2832	0,00	4,52	5,65	4,56	5,65	4,56	0,82	0,82
020	Fondazione	428.008	47.658	52.606	92.814	31.549	10,18	10,18	10,18	10,17873	0,00	4,52	7,00	6,34	7,00	6,34	0,51	0,51
023	Fondazione	369.744	30.400	34.003	81.837	27.509	7,92	7,92	7,92	7,91679	4,52	4,52	7,56	6,76	7,56	6,76	1,49	1,49

LEGENDA:

Id$_{Pil/Pln}$ Identificativo della pilastrata cui il plinto è collegato.
Lv Livello o piano di appartenenza dell'elemento strutturale.
N$_{Ed}$, M$_{Ed,x}$, M$_{Ed,y}$, V$_{Ed,x}$, V$_{Ed,y}$ Sollecitazioni di progetto.
A$_{s,s,A/B}$ Armatura superiore esecutiva nella direzione A/B.
A$_{s,i,A/B}$ Armatura inferiore esecutiva nella direzione A/B.
A$_{s,pz,A/B}$ Armatura a punzonamento esecutiva in direzione A/B.
CS$_{sup,A/B}$ Coefficiente di sicurezza relativo all'armatura superiore nella direzioni A/B ([NS] = Non Significativo - Per valori di CS >= 100).
CS$_{inf,A/B}$ Coefficiente di sicurezza relativo all'armatura inferiore nella direzione A/B ([NS] = Non Significativo per valori di CS >= 100).
CS$_{pz,A/B}$ Coefficiente di sicurezza relativo all'armatura a punzonamento nella direzione A/B ([NS] = Non Significativo per valori di CS >= 100).

VERIFICHE CARICO LIMITE FONDAZIONI DIRETTE (Fondazione)

Verifiche Carico Limite fondazioni dirette

Id$_{Fnd}$	CS	L$_X$	L$_Y$	Rtz	Z$_{P.cmp}$	Z$_{Fld}$	Cmp T	C. Terzaghi						Q$_{Ed}$	Q$_{d,Rd}$	R$_f$
								per N$_q$	per N$_c$	per N$_\gamma$	N$_q$	N$_c$	N$_\gamma$			
		[m]	[m]	[°]	[m]	[m]								[N/mm^2]	[N/mm^2]	
Plinto 17	4,00	1,60	1,60	0,00	2,20	5,00	NON Coesivo	1,17	0,00	0,30	22,92	35,21	29,79	0,141	0,564	NO
Plinto 18	4,04	1,60	1,60	0,00	2,20	5,00	NON Coesivo	1,14	0,00	0,29	22,92	35,21	29,79	0,137	0,552	NO
Plinto 13	3,49	1,60	1,60	0,00	2,20	5,00	NON Coesivo	1,27	0,00	0,34	22,92	35,21	29,79	0,176	0,616	NO
Plinto 11	3,96	2,15	2,15	0,00	2,40	5,00	NON Coesivo	1,14	0,00	0,29	17,14	28,68	20,42	0,112	0,442	NO
Plinto 14	4,27	2,15	2,15	0,00	2,40	5,00	NON Coesivo	1,37	0,00	0,38	17,14	28,68	20,42	0,127	0,540	NO
Plinto 8	3,49	2,40	2,40	0,00	2,50	5,00	NON Coesivo	1,12	0,00	0,28	15,70	26,98	18,20	0,117	0,409	NO
Plinto 9	3,61	2,40	2,40	0,00	2,50	5,00	NON Coesivo	1,06	0,00	0,27	15,70	26,98	18,20	0,108	0,390	NO
Plinto 10	3,79	2,40	2,40	0,00	2,50	5,00	NON Coesivo	1,03	0,00	0,25	15,70	26,98	18,20	0,099	0,376	NO
Plinto 20	6,59	2,15	2,15	0,00	2,00	-	NON	1,55	0,00	0,54	23,18	35,49	30,21	0,100	0,662	NO

Verifiche Carico Limite fondazioni dirette

Id_{Fnd}	CS	L_X	L_Y	Rtz	$Z_{P.cmp}$	Z_{Fld}	Cmp T	C. Terzaghi						Q_{Ed}	$Q_{d,Rd}$	R_f
								per N_q	per N_c	per N_γ	N_q	N_c	N_γ			
		[m]	[m]	[°]	[m]	[m]								[N/mm²]	[N/mm²]	
Plinto 23	4,80	1,80	1,80	0,00	2,00	-	Coesivo NON Coesivo	1,55	0,00	0,56	23,18	35,49	30,21	0,133	0,640	NO
Plinto 2	3,59	2,05	2,05	0,00	2,00	-	NON Coesivo	1,28	0,00	0,43	23,18	35,49	30,21	0,148	0,530	NO
Plinto 5	4,45	2,05	2,05	0,00	2,00	-	NON Coesivo	1,32	0,00	0,44	23,18	35,49	30,21	0,124	0,550	NO
Plinto 15	4,75	1,80	1,80	0,00	2,00	-	NON Coesivo	1,39	0,00	0,39	23,18	35,49	30,21	0,120	0,569	NO
Plinto 12	3,96	1,80	1,80	0,00	2,00	-	NON Coesivo	1,21	0,00	0,32	23,18	35,49	30,21	0,125	0,493	NO
Trave 3c-24	2,75	2,15	1,80	0,00	-	-	-	-	-	-	-	-	-	0,182	0,500	NO
Trave P8-3c	0,38	0,35	1,80	0,00	-	-	-	-	-	-	-	-	-	1,325	0,500	NO
	ERRORE: Il Carico Limite è inferiore al Carico Massimo di Progetto.															
Trave 7-16	2,14	4,30	1,80	0,00	-	-	-	-	-	-	-	-	-	0,234	0,500	NO
Trave P6-6	1,01	1,00	1,80	0,00	-	-	-	-	-	-	-	-	-	0,496	0,500	NO
Trave P1-1d	1,94	0,50	1,80	0,00	-	-	-	-	-	-	-	-	-	0,258	0,500	NO
Trave P14-24	1,02	1,00	1,80	0,00	-	-	-	-	-	-	-	-	-	0,491	0,500	NO
Trave P9-9d	2,50	0,50	1,80	0,00	-	-	-	-	-	-	-	-	-	0,200	0,500	NO
Trave 6-1c	2,48	2,15	1,80	0,00	-	-	-	-	-	-	-	-	-	0,201	0,500	NO
Trave P2-3	1,11	1,00	1,80	0,00	-	-	-	-	-	-	-	-	-	0,451	0,500	NO
Trave P5-5d	1,39	0,50	1,80	0,00	-	-	-	-	-	-	-	-	-	0,360	0,500	NO
Trave P13-13d	1,42	0,50	1,80	0,00	-	-	-	-	-	-	-	-	-	0,352	0,500	NO
Trave P10-21	1,17	1,00	1,80	0,00	-	-	-	-	-	-	-	-	-	0,427	0,500	NO
Trave P7-7d	0,83	0,50	1,80	0,00	-	-	-	-	-	-	-	-	-	0,604	0,500	NO
	ERRORE: Il Carico Limite è inferiore al Carico Massimo di Progetto.															
Trave P12-22	1,42	1,00	1,80	0,00	-	-	-	-	-	-	-	-	-	0,352	0,500	NO
Trave P11-11d	1,45	0,50	1,80	0,00	-	-	-	-	-	-	-	-	-	0,344	0,500	NO
Trave P4-4	1,26	1,00	1,80	0,00	-	-	-	-	-	-	-	-	-	0,398	0,500	NO
Trave P3-3d	1,40	0,50	1,80	0,00	-	-	-	-	-	-	-	-	-	0,356	0,500	NO
Trave 1-P1	1,54	1,00	1,80	0,00	-	-	-	-	-	-	-	-	-	0,325	0,500	NO
Trave 2d-P2	1,09	0,50	1,80	0,00	-	-	-	-	-	-	-	-	-	0,459	0,500	NO
Trave 3-P3	1,19	1,00	1,80	0,00	-	-	-	-	-	-	-	-	-	0,419	0,500	NO
Trave 4d-P4	1,13	0,50	1,80	0,00	-	-	-	-	-	-	-	-	-	0,444	0,500	NO
Trave 4-P5	1,09	1,00	1,80	0,00	-	-	-	-	-	-	-	-	-	0,461	0,500	NO
Trave 6d-P6	1,39	0,50	1,80	0,00	-	-	-	-	-	-	-	-	-	0,361	0,500	NO
Trave 1c-P7	0,37	0,35	1,80	0,00	-	-	-	-	-	-	-	-	-	1,354	0,500	NO
	ERRORE: Il Carico Limite è inferiore al Carico Massimo di Progetto.															
Trave 8d-P8	0,84	0,50	1,80	0,00	-	-	-	-	-	-	-	-	-	0,598	0,500	NO
	ERRORE: Il Carico Limite è inferiore al Carico Massimo di Progetto.															
Trave 14d-P14	1,40	0,50	1,80	0,00	-	-	-	-	-	-	-	-	-	0,357	0,500	NO
Trave 22-P13	1,13	1,00	1,80	0,00	-	-	-	-	-	-	-	-	-	0,442	0,500	NO
Trave 12d-P12	1,17	0,50	1,80	0,00	-	-	-	-	-	-	-	-	-	0,427	0,500	NO
Trave 21-P11	1,29	1,00	1,80	0,00	-	-	-	-	-	-	-	-	-	0,387	0,500	NO
Trave 10d-P10	1,10	0,50	1,80	0,00	-	-	-	-	-	-	-	-	-	0,456	0,500	NO
Trave 19-P9	2,10	1,00	1,80	0,00	-	-	-	-	-	-	-	-	-	0,238	0,500	NO

LEGENDA:

Id_{Fnd} Descrizione dell'oggetto di fondazione al quale è riferita la verifica.
CS Coefficiente di sicurezza ([NS] = Non Significativo per valori di CS >= 100; [VNR]= Verifica Non Richiesta).
$L_{X/Y}$ Dimensioni dell'elemento di fondazione.
Rtz Angolo compreso tra l'asse X e il lato più lungo del minimo rettangolo che delimita il poligono della platea.
$Z_{P.cmp}$ Profondità di posa dell'elemento di fondazione dal piano campagna.
Z_{Fld} Profondità della falda dal piano campagna.
Cmp T Classificazione del comportamento del terreno ai fini del calcolo.
C. Terzaghi Coefficienti correttivi per la formula di Terzaghi.
Q_{Ed} Carico di progetto sul terreno.
$Q_{d.Rd}$ Resistenza di progetto del terreno.
R_f [SI] = nodo con presenza di rinforzo; [NO] = nodo senza rinforzo.

ACCELERAZIONI SISMICHE DI COLLASSO SU BEAM E SHELL

Accelerazioni Sismiche di Collasso su Beam e Shell

Id_{Elm}	FLESSIONE			TAGLIO		
	%LLI/Shell	$PGA_{PF/RC}$	PGA_C/PGA_D	%LLI/Shell	PGA_T	PGA_C/PGA_D
			[%]			[%]
Fondazione						
Trave 7d-12	100.00 %	41,574	200	0.00 %	3,111	200
Trave 5-6d	100.00 %	11,747	200	100.00 %	3,665	200
Trave 1d-2	0.00 %	5,419	200	0.00 %	2,756	200
Trave 23-14d	100.00 %	9,583	200	100.00 %	3,777	200
Trave 9d-20	0.00 %	5,724	200	0.00 %	2,882	200
Trave 2-2d	100.00 %	19,315	200	100.00 %	3,807	200
Trave 5d-5	0.00 %	19,153	200	0.00 %	3,746	200
Trave 13d-23	0.00 %	19,299	200	0.00 %	3,852	200
Trave 20-10d	100.00 %	20,066	200	0.00 %	4,004	200
Trave 15-8d	0.00 %	38,269	200	100.00 %	1,447	200
Trave 11d-12d	100.00 %	16,404	200	0.00 %	2,053	200
Trave 3d-4d	100.00 %	16,045	200	0.00 %	2,005	200
Trave 12-15	100.00 %	51,310	200	0.00 %	4,441	200
Trave 16-19	0.00 %	3,315	200	100.00 %	1,038	200
Trave 1-7	0.00 %	2,740	200	0.00 %	1,761	200
Piano interrato						
Pilastro 1	-	-	-	0.00 %	0,208	77
Pilastro 2	0.00 %	0,542	200	0.00 %	0,179	67

Id_{Elm}	FLESSIONE			TAGLIO		
	%LLI/Shell	$PGA_{PF/RC}$	PGA_C/PGA_D	%LLI/Shell	PGA_T	PGA_C/PGA_D
			[%]			[%]
Pilastro 3	-	-	-	0.00 %	0,306	114
Pilastro 4	-	-	-	0.00 %	0,305	114
Pilastro 5	0.00 %	0,676	200	0.00 %	0,198	74
Pilastro 19	-	-	-	0.00 %	0,226	84
Pilastro 20	0.00 %	0,856	200	0.00 %	0,216	80
Pilastro 21	-	-	-	0.00 %	0,279	104
Pilastro 22	-	-	-	0.00 %	0,310	116
Pilastro 23	0.00 %	1,185	200	0.00 %	0,245	91
Pilastro 24	-	-	-	0.00 %	0,211	79
Pilastro 16	-	-	-	0.00 %	0,135	50
Pilastro 17	0.00 %	0,816	200	0.00 %	0,261	97
Pilastro 18	0.00 %	1,049	200	0.00 %	0,247	92
Pilastro 13	0.00 %	0,875	200	0.00 %	0,229	85
Pilastro 14	0.00 %	0,645	200	0.00 %	0,204	76
Pilastro 15	0.00 %	0,542	200	0.00 %	0,196	73
Pilastro 7	-	-	-	100.00 %	0,209	78
Pilastro 12	0.00 %	0,860	200	0.00 %	0,218	81
Pilastro 10	0.00 %	0,772	200	0.00 %	0,184	69
Pilastro 8	0.00 %	0,590	200	0.00 %	0,171	64
Pilastro 9	0.00 %	0,665	200	0.00 %	0,176	66
Pilastro 11	0.00 %	0,837	200	0.00 %	0,200	75
Pilastro 6	-	-	-	0.00 %	0,200	74
Trave P6-6	-	-	-	100.00 %	0,254	95
Trave P1-2	0.00 %	2,117	200	100.00 %	0,282	105
Trave P4-4	-	-	-	100.00 %	0,377	141
Trave P5-5	100.00 %	1,916	200	100.00 %	0,288	107
Trave P2-3	-	-	-	100.00 %	0,354	132
Trave 11-12	100.00 %	0,849	200	0.00 %	0,212	79
Trave 10-11	0.00 %	1,042	200	0.00 %	0,225	84
Trave 9-10	0.00 %	0,864	200	0.00 %	0,216	80
Trave 7-8	0.00 %	0,848	200	100.00 %	0,202	75
Trave 8-9	100.00 %	0,861	200	0.00 %	0,211	79
Trave 17-16	100.00 %	1,338	200	0.00 %	0,265	99
Trave 18-17	0.00 %	1,903	200	0.00 %	0,293	109
Trave 13-18	0.00 %	1,762	200	100.00 %	0,289	108
Trave 14-15	100.00 %	0,909	200	0.00 %	0,249	93
Trave 13-14	100.00 %	1,245	200	100.00 %	0,276	103
Trave P14-24	-	-	-	100.00 %	0,241	90
Trave P9-20	100.00 %	3,555	200	0.00 %	0,347	129
Trave P12-22	-	-	-	100.00 %	0,365	136
Trave P13-23	100.00 %	2,474	200	0.00 %	0,340	127
Trave P10-21	-	-	-	100.00 %	0,341	127
Trave 4c-24	-	-	-	100.00 %	0,205	77
Trave 12-15	0.00 %	3,561	200	0.00 %	0,576	200
Trave P7-12	100.00 %	4,399	200	0.00 %	0,360	134
Trave 1-7	0.00 %	0,804	200	0.00 %	0,492	183
Trave 2-8	0.00 %	0,845	200	0.00 %	0,901	200
Trave 3-9	100.00 %	1,047	200	0.00 %	1,006	200
Trave 4-10	100.00 %	1,117	200	0.00 %	1,044	200
Trave 5-11	0.00 %	1,050	200	0.00 %	1,005	200
Trave 16-19	100.00 %	1,639	200	0.00 %	1,005	200
Trave 7-16	-	-	-	100.00 %	0,293	109
Trave 6-2c	-	-	-	0.00 %	0,246	92
Trave P8-4c	100.00 %	2,794	200	0.00 %	0,497	185
Trave 1-P1	-	-	-	0.00 %	0,165	61
Trave 5-P6	0.00 %	1,942	200	0.00 %	0,269	100
Trave 23-P14	100.00 %	2,335	200	100.00 %	0,324	121
Trave 19-P9	-	-	-	0.00 %	0,175	65
Trave 20-P10	100.00 %	1,654	200	100.00 %	0,349	130
Trave 22-P13	-	-	-	0.00 %	0,312	116
Trave 4-P5	-	-	-	0.00 %	0,317	118
Trave 2-P2	100.00 %	1,724	200	100.00 %	0,282	105
Trave 2c-P7	0.00 %	1,591	200	0.00 %	0,411	153
Trave 15-P8	100.00 %	3,044	200	100.00 %	0,196	73
Trave P11-P12	100.00 %	2,352	200	0.00 %	0,269	100
Trave 21-P11	-	-	-	0.00 %	0,274	102
Trave 3-P3	-	-	-	0.00 %	0,277	103
Trave P3-P4	0.00 %	1,551	200	0.00 %	0,241	90
Parete 7-16	-	-	-	[00405-00404-00805]	0,537	200
Parete 6-P7	-	-	-	[00525-00788-00106]	0,364	135
Parete P8-24	-	-	-	[00082-00782-00113]	0,324	121
Parete 1-P1	-	-	-	[00551-00552-00814]	1,396	200
Parete P6-6	-	-	-	[00530-00529-00832]	0,654	200
Parete P14-24	-	-	-	[00515-00516-00826]	0,737	200
Parete 19-P9	-	-	-	[00561-00562-00820]	1,231	200
Parete P10-21	-	-	-	[00476-00477-00754]	0,684	200
Parete 22-P13	-	-	-	[00748-00471-00472]	0,571	200
Parete 4-P5	-	-	-	[00461-00462-00742]	0,538	200
Parete P2-3	-	-	-	[00485-00486-00760]	0,652	200
Parete P12-22	-	-	-	[00777-00508-00776]	0,618	200
Parete 21-P11	-	-	-	[00772-00477-00476]	0,574	200
Parete 3-P3	-	-	-	[00766-00486-00485]	0,558	200
Parete P4-4	-	-	-	[00587-00258-00586]	0,580	200
Piano terra						
Pilastro 1	-	-	-	0.00 %	0,240	89

Id_{Elm}	FLESSIONE			TAGLIO		
	%LLI/Shell	$PGA_{PF/RC}$	PGA_C/PGA_D	%LLI/Shell	PGA_T	PGA_C/PGA_D
			[%]			[%]
Pilastro 2	0.00 %	0,677	200	0.00 %	0,599	200
Pilastro 3	-	-	-	0.00 %	0,428	160
Pilastro 4	-	-	-	0.00 %	0,469	175
Pilastro 5	0.00 %	1,155	200	0.00 %	0,720	200
Pilastro 19	-	-	-	0.00 %	0,256	95
Pilastro 20	0.00 %	1,192	200	0.00 %	0,685	200
Pilastro 21	-	-	-	0.00 %	0,467	174
Pilastro 22	-	-	-	0.00 %	0,508	189
Pilastro 23	0.00 %	1,888	200	0.00 %	0,893	200
Pilastro 24	-	-	-	100.00 %	0,283	105
Pilastro 16	-	-	-	100.00 %	0,174	65
Pilastro 13	0.00 %	1,111	200	0.00 %	1,192	200
Pilastro 15	0.00 %	1,011	200	0.00 %	0,556	200
Pilastro 7	-	-	-	100.00 %	0,192	72
Pilastro 12	0.00 %	1,524	200	0.00 %	0,721	200
Pilastro 10	0.00 %	1,502	200	0.00 %	0,892	200
Pilastro 8	0.00 %	1,039	200	0.00 %	0,786	200
Pilastro 9	0.00 %	1,223	200	0.00 %	0,817	200
Pilastro 11	0.00 %	1,199	200	0.00 %	1,044	200
Pilastro 14	0.00 %	0,840	200	0.00 %	0,984	200
Pilastro 6	-	-	-	0.00 %	0,242	90
Trave P6-6	-	-	-	0.00 %	0,207	77
Trave P1-2	100.00 %	9,021	200	0.00 %	0,698	200
Trave P4-4	-	-	-	100.00 %	0,167	62
Trave P5-5	100.00 %	12,472	200	0.00 %	0,565	200
Trave P2-3	-	-	-	100.00 %	0,212	79
Trave 11-12	100.00 %	0,888	200	0.00 %	0,499	186
Trave 10-11	100.00 %	2,874	200	0.00 %	0,553	200
Trave 9-10	0.00 %	2,231	200	0.00 %	0,430	160
Trave 7-8	100.00 %	1,986	200	100.00 %	0,385	143
Trave 8-9	100.00 %	2,047	200	0.00 %	0,430	160
Trave 14-15	100.00 %	1,223	200	0.00 %	0,532	198
Trave 13-14	0.00 %	0,951	200	100.00 %	0,533	199
Trave P14-24	-	-	-	0.00 %	0,256	95
Trave P9-20	100.00 %	8,698	200	0.00 %	0,610	200
Trave P12-22	-	-	-	100.00 %	0,175	65
Trave P13-23	0.00 %	11,136	200	0.00 %	0,593	200
Trave P10-21	-	-	-	100.00 %	0,201	75
Trave P8-24	-	-	-	100.00 %	0,212	79
Trave 12-15	0.00 %	17,775	200	100.00 %	0,605	200
Trave P7-12	0.00 %	1,510	200	0.00 %	0,262	98
Trave 1-7	0.00 %	1,112	200	100.00 %	0,668	200
Trave 16-19	0.00 %	1,154	200	0.00 %	0,410	153
Trave 7-16	-	-	-	0.00 %	0,116	43
Trave 13-22	100.00 %	1,929	200	100.00 %	2,482	200
Trave 10-13	0.00 %	1,911	200	0.00 %	1,907	200
Trave 1-P1	-	-	-	100.00 %	0,273	102
Trave 5-P6	0.00 %	10,669	200	100.00 %	0,635	200
Trave 23-P14	100.00 %	9,504	200	100.00 %	0,694	200
Trave 19-P9	-	-	-	100.00 %	0,335	125
Trave 20-P10	0.00 %	9,353	200	100.00 %	0,505	188
Trave 22-P13	-	-	-	0.00 %	0,169	63
Trave 4-P5	-	-	-	100.00 %	0,195	73
Trave 2-P2	100.00 %	5,398	200	100.00 %	0,560	200
Trave 6-P7	-	-	-	0.00 %	0,236	88
Trave 15-P8	100.00 %	1,897	200	100.00 %	0,191	71
Trave P11-P12	0.00 %	3,329	200	0.00 %	0,401	150
Trave 21-P11	-	-	-	0.00 %	0,149	56
Trave 3-P3	-	-	-	0.00 %	0,157	58
Trave P3-P4	0.00 %	4,757	200	0.00 %	0,458	171
Parete 7-16	-	-	-	[00677-00048-00276]	0,567	200
Parete 6-P7	-	-	-	[00108-00661-00389]	0,623	200
Parete P8-24	-	-	-	[00647-00112-00374]	0,641	200
Parete 1-P1	-	-	-	[00084-00698-00423]	0,871	200
Parete P6-6	-	-	-	[00723-00087-00445]	0,738	200
Parete P14-24	-	-	-	[00715-00090-00437]	1,007	200
Parete 19-P9	-	-	-	[00428-00709-00427]	0,997	200
Parete P10-21	-	-	-	[00607-00096-00323]	0,757	200
Parete 22-P13	-	-	-	[00099-00598-00318]	0,746	200
Parete 4-P5	-	-	-	[00102-00590-00308]	0,629	200
Parete P2-3	-	-	-	[00615-00105-00331]	0,724	200
Parete P12-22	-	-	-	[00639-00116-00359]	0,888	200
Parete 21-P11	-	-	-	[00119-00630-00354]	0,838	200
Parete 3-P3	-	-	-	[00122-00622-00344]	0,772	200
Parete P4-4	-	-	-	[00733-00456-00457]	0,875	200
Piano copertura						
Pilastro 16	0.00 %	1,447	200	0.00 %	0,421	157
Pilastro 13	0.00 %	6,808	200	0.00 %	0,444	166
Pilastro 14	0.00 %	5,070	200	0.00 %	2,147	200
Pilastro 15	0.00 %	4,695	200	0.00 %	0,415	155
Pilastro 7	0.00 %	2,302	200	0.00 %	1,851	200
Pilastro 12	0.00 %	13,953	200	0.00 %	1,601	200
Pilastro 10	0.00 %	11,875	200	0.00 %	9,510	200
Pilastro 8	0.00 %	15,189	200	0.00 %	4,496	200
Pilastro 9	0.00 %	23,729	200	0.00 %	8,956	200

Accelerazioni Sismiche di Collasso su Beam e Shell

Id_{Elm}	FLESSIONE			TAGLIO		
	%LLI/Shell	$PGA_{PF/RC}$	PGA_C/PGA_D	%LLI/Shell	PGA_T	PGA_C/PGA_D
			[%]			[%]
Pilastro 11	0.00 %	14,764	200	0.00 %	13,825	200
Trave 11-12	100.00 %	0,992	200	0.00 %	0,492	183
Trave 10-11	0.00 %	10,697	200	0.00 %	0,590	200
Trave 9-10	100.00 %	10,165	200	0.00 %	0,448	167
Trave 7-8	0.00 %	1,759	200	100.00 %	0,392	146
Trave 8-9	0.00 %	10,649	200	100.00 %	0,454	169
Trave 14-15	100.00 %	2,128	200	0.00 %	0,797	200
Trave 13-14	0.00 %	2,560	200	100.00 %	0,828	200
Trave 15-24	100.00 %	1,795	200	0.00 %	2,682	200
Trave 12-15	100.00 %	4,930	200	100.00 %	2,296	200
Trave 6-12	0.00 %	3,252	200	0.00 %	2,091	200
Trave 1-7	0.00 %	1,652	200	0.00 %	1,946	200
Trave 16-19	0.00 %	1,378	200	0.00 %	2,518	200
Trave 7-16	100.00 %	1,335	200	100.00 %	1,144	200
Trave 10-13	0.00 %	1,711	200	0.00 %	3,066	200
Trave 13-22	100.00 %	0,773	200	100.00 %	2,616	200

LEGENDA:

Id_{Elm} Identificativo dell'elemento strutturale.

%LLI/Shell %LLI = Posizione della sezione per la quale si registra la minima PGA, valutata come % della lunghezza libera d'inflessione dell'elemento (LLI), a partire dal suo estremo iniziale (0% = estremo iniziale, 100% = estremo finale).
Shell = identificativo dei nodi strutturali (sub nodi) in cui è suddiviso l'elemento shell, individuato mediante i relativi vertici.

$PGA_{PF/RC}$ Accelerazione sismica di collasso per PRESSOFLESSIONE o FLESSIONE/ROTAZIONE ALLA CORDA. [0] = l'elemento risulta non verificato già per i carichi verticali presenti nella combinazione sismica $[G_k+\Sigma_i(\psi_{2,i}\cdot Q_{k,i})]$.
N.B.: per gli elementi beam (travi e pilastri), nel caso di calcolo Non Lineare, la PGA è quella relativa al meccanismo di collasso per verifica di rotazione alla corda.

PGA_T Accelerazione sismica di collasso per TAGLIO. [0] = l'elemento risulta non verificato già per i carichi verticali presenti nella combinazione sismica $[G_k+\Sigma_i(\psi_{2,i}\cdot Q_{k,i})]$.

PGA_C/PGA_D Rapporto tra la PGA di "capacita" (PGA_C) dell'elemento e quella di "domanda" ($PGA_D = S_S\cdot S_T\cdot a_g/g$). [200] = $PGA_C > 2\cdot PGA_D$.

ACCELERAZIONI SISMICHE DI COLLASSO PER CARICO LIMITE

Accelerazioni Sismiche di Collasso per Carico Limite

Id_{Elm}	PGA_{QI}	PGA_C/PGA_D
		[%]
Fondazione		
Trave 3c-24	2,094	200
Trave P8-3c	1,803	200
Trave 7-16	1,946	200
Trave P6-6	1,610	200
Trave P1-1d	2,368	200
Trave P14-24	2,092	200
Trave P9-9d	3,890	200
Trave 6-1c	2,000	200
Trave P2-3	1,110	200
Trave P5-5d	4,237	200
Trave P13-13d	4,835	200
Trave P10-21	1,238	200
Trave P7-7d	8,912	200
Trave P12-22	1,278	200
Trave P11-11d	3,964	200
Trave P4-4	1,113	200
Trave P3-3d	3,643	200
Trave 1-P1	1,058	200
Trave 2d-P2	2,712	200
Trave 3-P3	1,033	200
Trave 4d-P4	2,511	200
Trave 4-P5	1,108	200
Trave 6d-P6	3,636	200
Trave 1c-P7	3,008	200
Trave 8d-P8	4,821	200
Trave 14d-P14	4,640	200
Trave 22-P13	1,284	200
Trave 12d-P12	2,853	200
Trave 21-P11	1,150	200
Trave 10d-P10	2,985	200
Trave 19-P9	1,248	200
Plinto 17	2,467	200
Plinto 18	2,604	200
Plinto 13	1,908	200
Plinto 11	1,269	200
Plinto 14	1,280	200
Plinto 8	0,805	200
Plinto 9	1,165	200
Plinto 10	1,226	200
Plinto 20	2,845	200
Plinto 23	2,366	200
Plinto 2	2,435	200
Plinto 5	2,385	200
Plinto 15	3,308	200
Plinto 12	2,916	200

LEGENDA:

Id_{Elm} Identificativo dell'elemento strutturale.

PGA_{QI} Accelerazione sismica di collasso per CAPACITA' LIMITE del TERRENO di FONDAZIONE. [0] = l'elemento risulta non verificato già per

Id_{Elm}	PGA_{OI}	PGA_C/PGA_D
		[%]

i carichi verticali presenti nella combinazione sismica [$G_k+\Sigma_i(\psi_{2,i}\cdot Q_{k,i})$].

PGA_C/PGA_D Rapporto tra la PGA di "capacita" (PGA_C) dell'elemento e quella di "domanda" ($PGA_D = S_S\cdot S_T\cdot a_g/g$). [200] = $PGA_C > 2\cdot PGA_D$.

I Progettisti

Ing. Marcello Boccio

Ing. Stefano Marinozzi

Pareti - VERIFICHE A PRESSOFLESSIONE RETTA ALLO STATO LIMITE DI ESERCIZIO (Elevazione) .....pag. 2
PIANI - VERIFICHE REGOLARITÀ (Elevazione) .....pag. 16
PIANI - VERIFICHE AGLI SPOSTAMENTI .....pag. 17
PIANI - VERIFICHE ALLO SLO (Elevazione).....pag. 17
PIANI - EFFETTI DEL SECONDO ORDINE (Elevazione) .....pag. 17
NODI - VERIFICA DI CONFINAMENTO (Fondazione).....pag. 17
TRAVI - VERIFICHE PRESSOFLESSIONE RETTA ALLO STATO LIMITE ULTIMO (Fondazione) .....pag. 18
TRAVI - VERIFICHE A TAGLIO PER PRESSOFLESSIONE RETTA ALLO STATO LIMITE ULTIMO (Fondazione) ...pag. 20
TRAVI - VERIFICHE PRESSOFLESSIONE RETTA E DEVIATA ALLO STATO LIMITE DI ESERCIZIO (Fondazione) pag. 28
PLINTI - SOLLECITAZIONI E VERIFICHE ALLO STATO LIMITE ULTIMO (Fondazione) .....pag. 31
VERIFICHE CARICO LIMITE FONDAZIONI DIRETTE (Fondazione).....pag. 32
ACCELERAZIONI SISMICHE DI COLLASSO SU BEAM E SHELL .....pag. 33
ACCELERAZIONI SISMICHE DI COLLASSO PER CARICO LIMITE .....pag. 35

COMUNE DI TERNI
Direzione Lavori Pubblici e Manutenzioni - Patrimonio

Palazzo Spada - P.zza M. Ridolfi, 1
05100 Terni
Tel. +39 0744.549.501 Fax +39 0744.428708
renato.pierdonati@comune.terni.it

LAVORI DI RESTAURO, ADEGUAMENTO SISMICO, ADEGUAMENTO ALLE NORME DI PREVENZIONE INCENDI E ABBATTIMENTO BARRIERE ARCHITETTONICHE DELL'EDIFICIO SCOLASTICO "G. MATTEOTTI" VIA MARIE CURIE N. 4

DEFINITIVO

PROGETTO

Doc.
R3.1ST

EDIFICIO 3
RELAZIONE TECNICA DI CALCOLO
E DEI MATERIALI

Scala

Responsabile del Procedimento: Geom. S. Fredduzzi

Data: Marzo 2015

Progettisti:

Architettonico:	Arch. M. Finotto
Strutture:	Ing. M.Boccio
	Ing. S. Marinozzi
Impianti:	Per.Ind. T. Mococci
	Per.Ind. G. Rubeca
Sicurezza:	Geom. F. Formichetti

Collaboratori:

Geom. G. Poddi - Geom. M. D'Amato
Geom. F. Ottaviani - Per.Ind. E. Lenticchia
Geom. F. Ribeca - Geom. M. Ciuffetti
Geom. R. Sabatini - Geom. G. Severoni

Comune di Terni
Provincia di TR

RELAZIONE TECNICA
RELAZIONE DI CALCOLO
E DEI MATERIALI

OGGETTO: Edificio 3

COMMITTENTE: Comune di Terni

I Progettisti

Ing. Marcello Boccio

Ing. Stefano Marinozzi

1 - DESCRIZIONE GENERALE DELL'OPERA

Vista Anteriore

La direzione di visualizzazione (bisettrice del cono ottico), relativamente al sistema di riferimento globale 0,X,Y, Z, ha versore (1;1;-1)

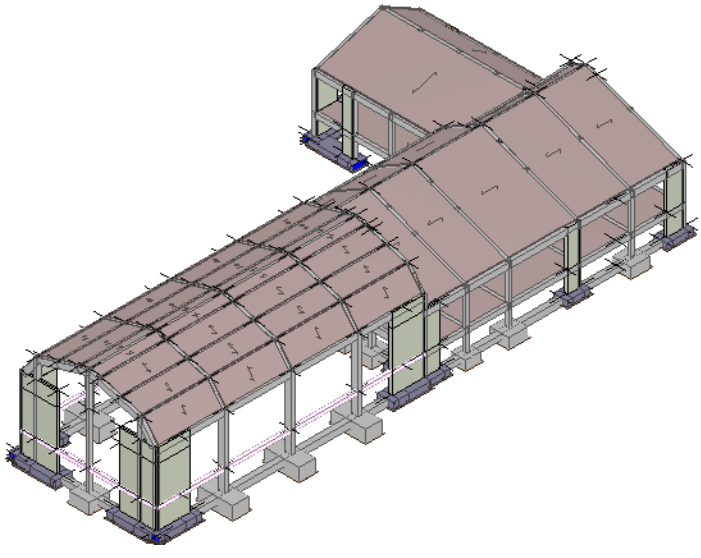

Vista Posteriore

La direzione di visualizzazione (bisettrice del cono ottico), relativamente al sistema di riferimento globale 0,X,Y, Z, ha versore (-1;-1;-1)

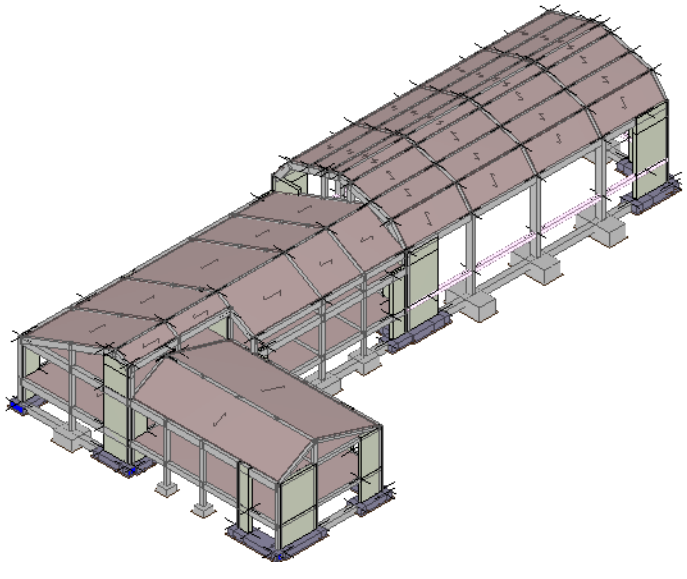

2 - NORMATIVA DI RIFERIMENTO

Le fasi di analisi e verifica della struttura sono state condotte in accordo alle seguenti disposizioni normative, per quanto applicabili in relazione al criterio di calcolo adottato dal progettista, evidenziato nel prosieguo della presente relazione:

Legge 5 novembre 1971 n. 1086 (G. U. 21 dicembre 1971 n. 321)
"Norme per la disciplina delle opere di conglomerato cementizio armato, normale e precompresso ed a struttura

metallica"

Legge 2 febbraio 1974 n. 64 (G. U. 21 marzo 1974 n. 76)
"Provvedimenti per le costruzioni con particolari prescrizioni per le zone sismiche"
Indicazioni progettive per le nuove costruzioni in zone sismiche a cura del Ministero per la Ricerca scientifica - Roma 1981.

D. M. Infrastrutture Trasporti 14 gennaio 2008 (G.U. 4 febbraio 2008 n. 29 - Suppl. Ord.)
"Norme tecniche per le Costruzioni"

Inoltre, in mancanza di specifiche indicazioni, ad integrazione della norma precedente e per quanto con esse non in contrasto, sono state utilizzate le indicazioni contenute nella:

Circolare 2 febbraio 2009 n. 617 del Ministero delle Infrastrutture e dei Trasporti (G.U. 26 febbraio 2009 n. 27 – Suppl. Ord.)
"Istruzioni per l'applicazione delle 'Norme Tecniche delle Costruzioni' di cui al D.M. 14 gennaio 2008".

Eurocodice 6 – "Progettazione delle strutture di muratura" - ENV 1996-1-1.

3 - MATERIALI IMPIEGATI E RESISTENZE DI CALCOLO

Per la realizzazione dell'opera in oggetto saranno impiegati i seguenti materiali:

LIVELLO DI CONOSCENZA E FATTORE DI CONFIDENZA

Livello di Conoscenza e Fattore di Confidenza

LC	FC
LC2	1,2

LEGENDA:
LC [LC1] = Conoscenza Limitata - [LC2] = Conoscenza Adeguata - [LC3] = Conoscenza Accurata.
FC Fattore di confidenza applicato alle proprietà dei materiali.

MATERIALI CALCESTRUZZO ARMATO

Caratteristiche calcestruzzo armato

N_{id}	γ_k	$\alpha_{T,i}$	E	G	C_{Erid}	Stz	R_{ck}	R_{cm}	$\%R_{ck}$	γ_c	f_{cd}	f_{ctd}	f_{cfm}	n	n Ac
	[N/m³]	[1/°C]	[N/mm²]	[N/mm²]	[%]		[N/mm²]	[N/mm²]			[N/mm²]	[N/mm²]	[N/mm²]		
Cls stato di fatto edificio 3 - (Rm sf)															
001	25.000	0,000010	20.000	8.696	60	F	-	19,78	1,00	1,50	9,12	1,13	1,94	15	002
Cls C25/30_B450C - (C25/30)															
003	25.000	0,000010	31.447	13.103	60	F/P	30,00	-	0,85	1,50	11,76	1,49	2,56	15	004
Cls C28/35_B450C - (C28/35)															
005	25.000	0,000010	32.588	13.578	60	P	35,00	-	0,85	1,50	16,46	1,98	3,40	15	004

LEGENDA:
N_{id} Numero identificativo del materiale, nella relativa tabella dei materiali.
γ_k Peso specifico.
$\alpha_{T,i}$ Coefficiente di dilatazione termica.
E Modulo elastico normale.
G Modulo elastico tangenziale.
C_{Erid} Coefficiente di riduzione del Modulo elastico normale per Analisi Sismica [$E_{sisma} = E \cdot c_{Erid}$].
Stz Tipo di situazione: [F] = di Fatto (Esistente); [P] = di Progetto (Nuovo).
R_{ck} Resistenza caratteristica cubica.
R_{cm} Resistenza media cubica.
$\%R_{ck}$ Percentuale di riduzione della R_{ck}
γ_c Coefficiente parziale di sicurezza del materiale.
f_{cd} Resistenza di calcolo a compressione.
f_{ctd} Resistenza di calcolo a trazione.
f_{cfm} Resistenza media a trazione per flessione.
n Ac Identificativo, nella relativa tabella materiali, dell'acciaio utilizzato: [-] = parametro NON significativo per il materiale.

MATERIALI ACCIAIO

Caratteristiche acciaio

N_{id}	γ_k	$\alpha_{T,i}$	E	G	Stz	$f_{yk,1}$/ $f_{yk,2}$	$f_{tk,1}$/ $f_{tk,2}$	$f_{yd,1}$/ $f_{yd,2}$	f_{td}	γ_s	γ_{M1}	γ_{M2}	$\gamma_{M3,SLV}$	$\gamma_{M3,SLE}$	γ_{M7}
	[N/m³]	[1/°C]	[N/mm²]	[N/mm²]		[N/mm²]	[N/mm²]	[N/mm²]	[N/mm²]						
Acciaio Aq42 - (Aq42)															
002	78.500	0,000010	210.000	80.769	-	378,00 -	-	273,91 -	-	1,15	-	-	-	-	-
Acciaio B450C - (B450C)															
004	78.500	0,000010	210.000	80.769	-	450,00 -	-	326,09 -	-	1,15	-	-	-	-	-

LEGENDA:

N_{id} Numero identificativo del materiale, nella relativa tabella dei materiali.
γ_k Peso specifico.
$\alpha_{T,i}$ Coefficiente di dilatazione termica.
E Modulo elastico normale.
G Modulo elastico tangenziale.
Stz Tipo di situazione: [F] = di Fatto (Esistente); [P] = di Progetto (Nuovo).
$f_{tk,1}$ Resistenza caratteristica a Rottura (per profili <= 40 mm).
$f_{tk,2}$ Resistenza caratteristica a Rottura (per profili 40 mm < t <= 80 mm).
f_{td} Resistenza di calcolo a Rottura (Bulloni).
γ_s Coefficiente parziale di sicurezza allo SLV del materiale.
γ_{M1} Coefficiente parziale di sicurezza per instabilità.
γ_{M2} Coefficiente parziale di sicurezza per sezioni tese indebolite.
$\gamma_{M3,SLV}$ Coefficiente parziale di sicurezza per scorrimento allo SLV (Bulloni).
$\gamma_{M3,SLE}$ Coefficiente parziale di sicurezza per scorrimento allo SLE (Bulloni).
γ_{M7} Coefficiente parziale di sicurezza precarico bulloni ad alta resistenza (Bulloni): [-] = parametro NON significativo per il materiale.
$f_{yk,1}$ Resistenza caratteristica allo snervamento (per profili con t <= 40 mm).
$f_{yk,2}$ Resistenza caratteristica allo snervamento (per profili con 40 mm < t <= 80 mm).
$f_{yd,1}$ Resistenza di calcolo (per profili con t <= 40 mm).
$f_{yd,2}$ Resistenza di calcolo (per profili con 40 mm < t <= 80 mm).
NOTE [-] = Parametro non significativo per il materiale.

MATERIALI CARATTERISTICHE NON LINEARI

Materiali Caratteristiche non lineari

N_{id}	Fase Elastica				Fase Plastica				Punto di Rottura			
	σ_{Cmp}	ε_{Cmp}	σ_{Trz}	ε_{Trz}	σ_{Cmp}	ε_{Cmp}	σ_{Trz}	ε_{Trz}	σ_{Cmp}	ε_{Cmp}	σ_{Trz}	ε_{Trz}
	[N/mm²]	[‰]	[N/mm²]	[‰]	[N/mm²]	[‰]	[N/mm²]	[‰]	[N/mm²]	[‰]	[N/mm²]	[‰]
Cls stato di fatto edificio 3 - (Rm sf)												
001	8,37	0,42	0,00	0,00	13,95	2,00	0,00	0,10	2,79	3,50	0,00	1,00

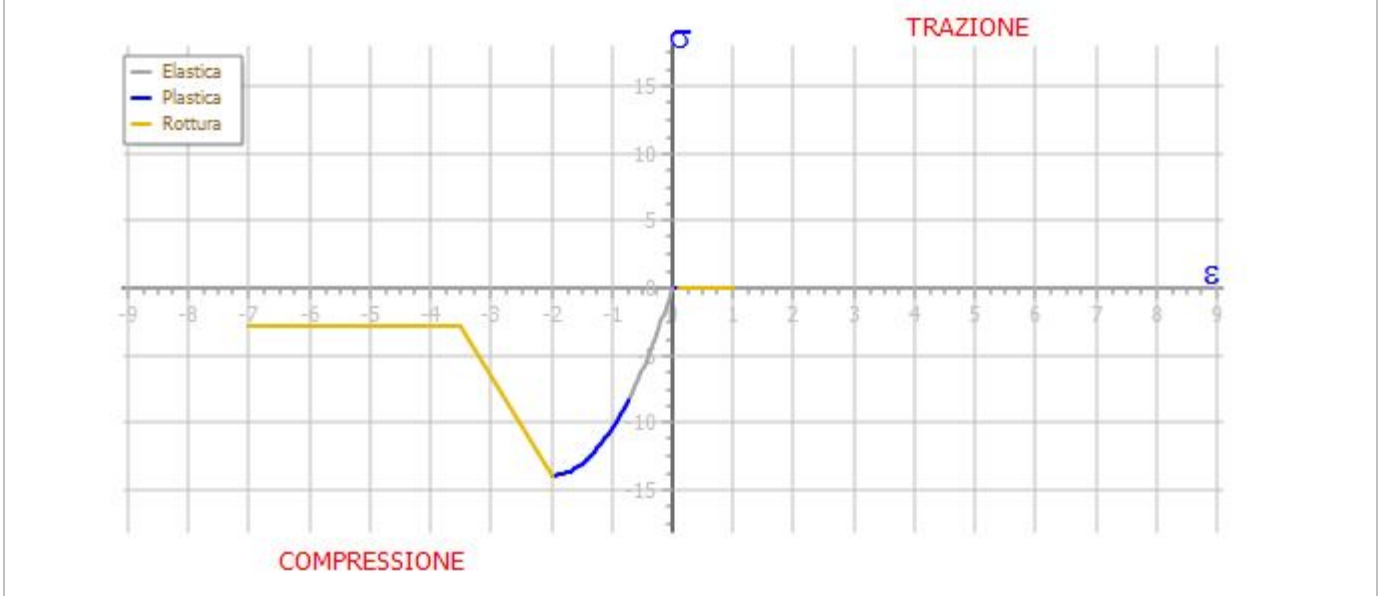

Acciaio Aq42 - (Aq42)												
002	328,70	1,57	328,70	1,86	378,00	10,00	378,00	10,00	378,00	10,00	378,00	10,00

Materiali Caratteristiche non lineari

N_{id}	Fase Elastica				Fase Plastica				Punto di Rottura			
	σ_{Cmp} [N/mm²]	ε_{Cmp} [‰]	σ_{Trz} [N/mm²]	ε_{Trz} [‰]	σ_{Cmp} [N/mm²]	ε_{Cmp} [‰]	σ_{Trz} [N/mm²]	ε_{Trz} [‰]	σ_{Cmp} [N/mm²]	ε_{Cmp} [‰]	σ_{Trz} [N/mm²]	ε_{Trz} [‰]
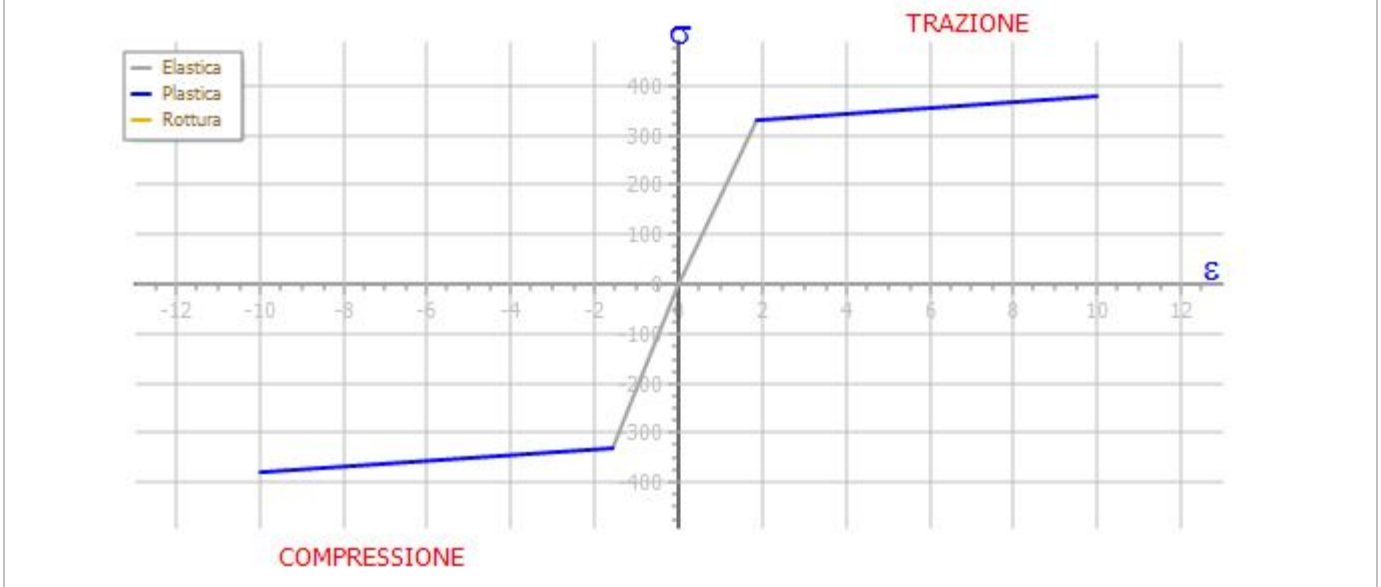												
Cls C25/30_B450C - (C25/30)												
003	14,94	0,48	0,00	0,00	24,90	2,00	0,00	0,10	4,98	3,50	0,00	1,00
Acciaio B450C - (B450C)												
004	391,30	1,86	391,30	1,86	450,00	10,00	450,00	10,00	450,00	10,00	450,00	10,00

Materiali Caratteristiche non lineari

N_{id}	Fase Elastica				Fase Plastica				Punto di Rottura			
	σ_{Cmp} [N/mm²]	ε_{Cmp} [‰]	σ_{Trz} [N/mm²]	ε_{Trz} [‰]	σ_{Cmp} [N/mm²]	ε_{Cmp} [‰]	σ_{Trz} [N/mm²]	ε_{Trz} [‰]	σ_{Cmp} [N/mm²]	ε_{Cmp} [‰]	σ_{Trz} [N/mm²]	ε_{Trz} [‰]

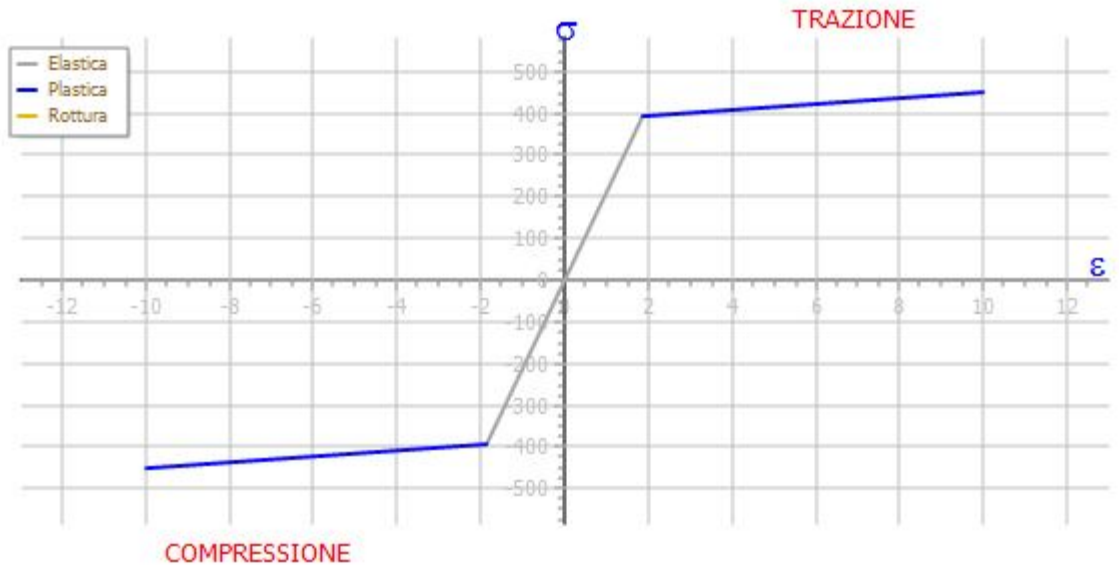

Cls C28/35_B450C - (C28/35)												
005	17,43	0,53	0,00	0,00	29,05	2,00	0,00	0,10	5,81	3,50	0,00	1,00

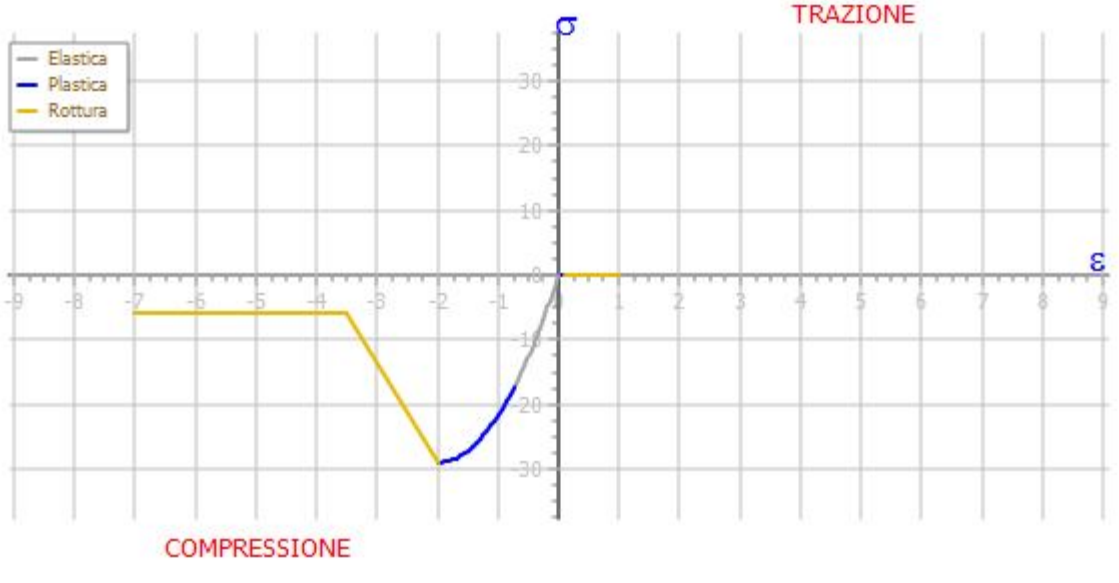

LEGENDA:

N_{id} Numero identificativo del materiale, nella relativa tabella dei materiali.
σ_{Cmp} Tensione massima per Compressione.
ε_{Cmp} Deformazione relativa alla tensione massima per compressione.
σ_{Trz} Tensione massima per Trazione.
ε_{Trz} Deformazione relativa alla tensione massima per trazione.

I valori dei parametri caratteristici dei suddetti materiali sono riportati anche nei **tabulati di calcolo**, nella relativa sezione.

Tutti i materiali impiegati dovranno essere comunque verificati con opportune prove di laboratorio

secondo le prescrizioni della vigente Normativa.

I diagrammi costitutivi degli elementi in calcestruzzo sono stati adottati in conformità alle indicazioni riportate al punto 4.1.2.1.2.2 del D.M. 14 gennaio 2008; in particolare per le verifiche effettuate a pressoflessione retta e pressoflessione deviata è adottato il modello riportato in fig. (a).

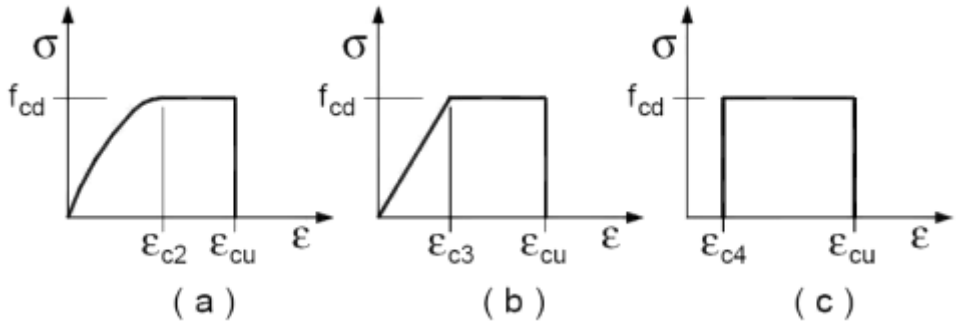

Diagrammi di calcolo tensione/deformazione del calcestruzzo.

I valori di deformazione assunti sono:

ε_{c2} = 0,0020;

ε_{cu2} = 0,0035.

Il comportamento non lineare del materiale calcestruzzo è definito attraverso una curva analitica uniassiale deformazioni-sforzi (ε-σ) comprendente sia la parte di compressione che quella di trazione. Nella schematizzazione a fibre della sezione, questo tipo di comportamento è utilizzato per simulare il comportamento a presso-flessione del calcestruzzo. Nella figura seguente è rappresentata una delle possibili curve uniassiali.

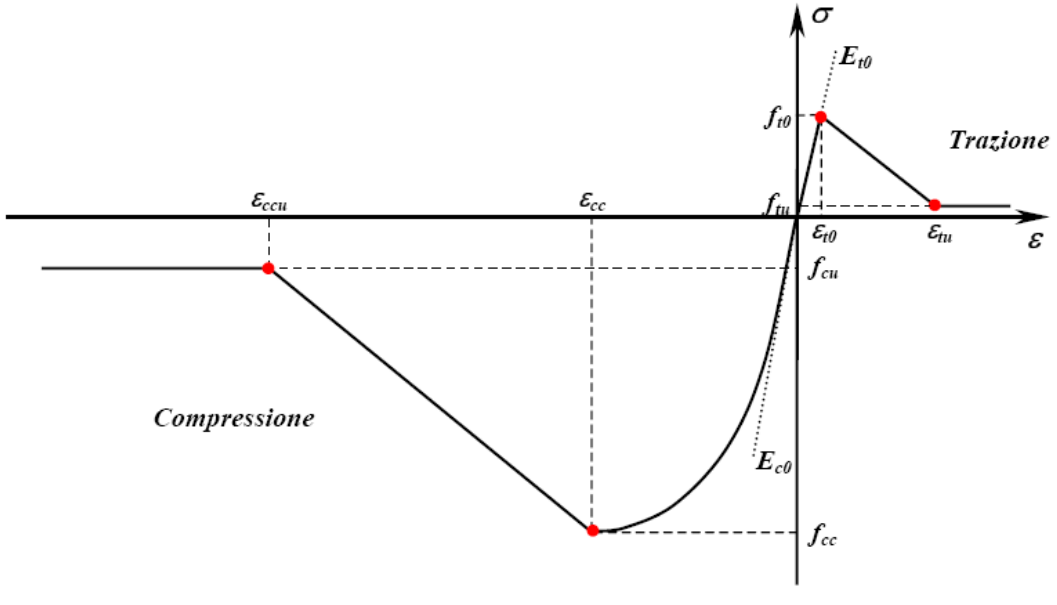

È possibile portare in conto anche l'effetto di confinamento causato dall'armatura trasversale (staffe). La figura seguente mostra la relazione tipica tra la curva del calcestruzzo non confinato (verde) e confinato (rosso).

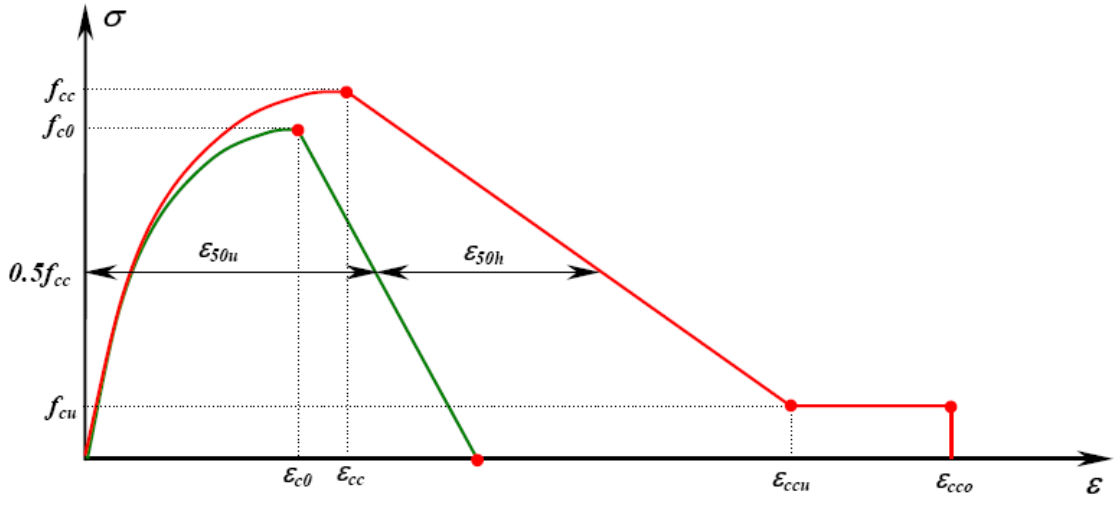

Le espressioni analitiche dei tratti in compressione sono riassunte di seguito. Il valore di E_{c0} è assegnato esplicitamente ed è pari al modulo elastico del calcestruzzo. Il modello parametrico del materiale permette di assegnare esplicitamente sia la curva del calcestruzzo non confinato sia di quello confinato, attribuendo gli opportuni valori alle coordinate dei punti (ε_{cc} ; f_{cc}) e (ε_{cu} ; f_{cu}).

Tratto			
crescente ($\varepsilon<\varepsilon_{cc}$)	decrescente ($\varepsilon_{cc}\le\varepsilon<\varepsilon_{ccu}$)	costante ($\varepsilon_{ccu}\le\varepsilon<\varepsilon_{cco}$)	nullo ($\varepsilon\ge\varepsilon_{cco}$)
$\sigma = E_{c0}\cdot\varepsilon\left[1-\frac{1}{n}\left(\frac{\varepsilon}{\varepsilon_{cc}}\right)^{n-1}\right]$	$\sigma = f_{cc} + E_{cd}\cdot(\varepsilon-\varepsilon_{cc})$	$\sigma = f_{cu}$	$\sigma = 0$
$n = \frac{E_{c0}}{E_{c0}-\frac{f_{cc}}{\varepsilon_{cc}}}$	$E_{cd} = \frac{f_{cu}-f_{cc}}{\varepsilon_{ccu}-\varepsilon_{cc}}$		

A seconda della quantità e geometria dell'armatura trasversale di contenimento la resistenza a compressione f_{cc} e la corrispondente deformazione ε_{cc} subiscono un incremento rispetto ai valori f_{c0} e ε_{c0}. Tale incremento è minore nel calcestruzzo ad alta resistenza. Risultano inoltre incrementate le caratteristiche di duttilità, evidenziate da una minore pendenza del tratto discendente. Convenzionalmente la pendenza del tratto post-picco è di solito determinata in riferimento alla deformazione ε_{50u} del materiale non confinato e all'incremento di deformazione ε_{50h} del materiale confinato in corrispondenza del 50% della resistenza di picco.

I valori f_{cc}, ε_{cc} possono essere ottenuti applicando un coefficiente di amplificazione K ai valori f_{c0}, ε_{c0}:

$$f_{cc} = K\cdot f_{c0} \qquad \varepsilon_{cc} = K\cdot\varepsilon_{c0} \qquad K = 1+\rho_s\frac{f_{yh}}{f_{c0}}$$

dove ρ_s è il rapporto tra il volume di una staffa e il volume di calcestruzzo da essa racchiuso, misurato sulla superficie esterna della staffa, e f_{yh} è la resistenza a snervamento della staffa. Per il calcestruzzo non confinato risulta $\rho_s=0$, per cui K=1 e $f_{cc}= f_{c0}$ e $\varepsilon_{cc}=\varepsilon_{c0}$. Per quanto riguarda invece la deformazione ε_{c0}, per essa è di solito assunto il valore 0.002 per qualunque tipo di calcestruzzo.

Di solito al calcestruzzo non confinato si attribuisce una resistenza residua nulla ($f_{cu}=0$), come rappresentato in figura. Nel caso di calcestruzzo confinato si assegna invece di norma una resistenza residua non nulla (valore tipico: $f_{cu}=0.2f_{cc}$). Il software, a vantaggio di sicurezza, assegna, comunque, anche per un calcestruzzo confinato una resistenza residua nulla.

Il parametro $\varepsilon_{cc0}/\varepsilon_{cc}$ consente di definire il valore di cutoff ε_{cco} di deformazione. Per default, assegnando $\varepsilon_{cc0}/\varepsilon_{cc}=0$ il materiale conserva la resistenza residua f_{cu} per qualunque valore $\varepsilon\ge\varepsilon_{ccu}$. Viceversa, se $\varepsilon\ge\varepsilon_{cco}$ la resistenza residua è soppressa. Ad esempio, se $\varepsilon_{cc}=0$ e $\varepsilon_{cc0}/\varepsilon_{cc}=10$ il calcestruzzo (supposto ovviamente confinato) non collabora a compressione per deformazioni maggiori o uguali al 2%.

I diagrammi costitutivi dell'acciaio sono stati adottati in conformità alle indicazioni riportate al punto 4.1.2.1.2.3

del D.M. 14 gennaio 2008; in particolare è adottato il modello elastico perfettamente plastico rappresentato in fig. (b).

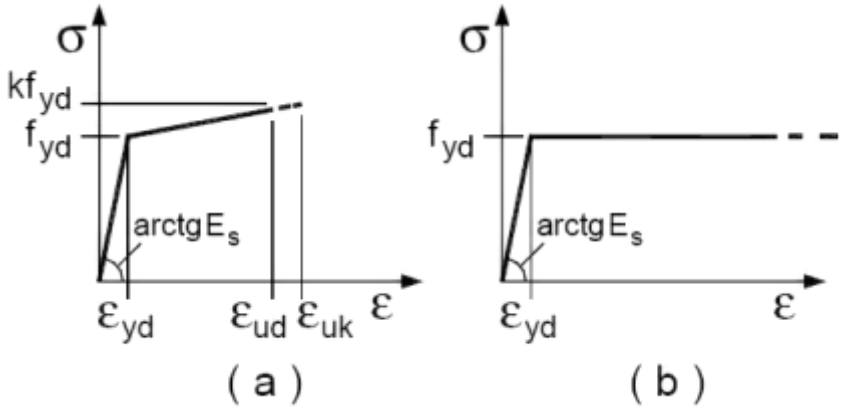

La resistenza di calcolo è data da f_{yk}/γ_f. Il coefficiente di sicurezza γ_f si assume pari a 1.15.

Il comportamento non lineare del materiale acciaio per cemento armato, nel caso di sezione schematizzata a fibre, è definito attraverso una curva bilineare uniassiale deformazioni-sforzi (ε-σ) simmetrica per trazione e compressione.

Per il calcolo della capacità di **elementi/meccanismi duttili** o **fragili** si impiegano le proprietà dei materiali esistenti (resistenze medie ottenute dalle prove in situ e da informazioni aggiuntive) divise per i fattori di confidenza in relazione al livello di conoscenza raggiunto.
Per il calcolo della capacità di resistenza degli **elementi fragili primari**, le resistenze dei materiali (resistenze medie ottenute dalle prove in situ e da informazioni aggiuntive) si dividono per i corrispondenti coefficienti parziali e per i fattori di confidenza in relazione al livello di conoscenza raggiunto.
Per i materiali nuovi o aggiunti si impiegano le proprietà nominali.
Il comportamento non lineare dell'eventuale materiale betoncino armato è definito attraverso una curva analitica uniassiale deformazioni-sforzi (ε-σ) comprendente la sola parte a compressione.
Il comportamento non lineare dell'eventuale materiale composito fibrorinforzato è definito attraverso una curva analitica uniassiale deformazioni-sforzi (ε-σ) comprendente la sola parte a trazione.

4 - LIVELLI DI CONOSCENZA E FATTORI DI CONFIDENZA

Sulla base delle informazioni acquisite:

- sulla GEOMETRIA (§ C8.A.1.A.1 - Circolare 02-02-2009 n. 617);
- sui DETTAGLI COSTRUTTIVI (§ C8.A.1.A.2 - Circolare 02-02-2009 n. 617);
- sulle PROPRIETA' DEI MATERIALI (§ C8.A.1.A.3 - Circolare 02-02-2009 n. 617).

con riferimento alla Tabella C8A.1.1 (Circolare 02-02-2009 n. 617) sono stati acquisiti il **LIVELLO DI CONOSCENZA** (LC - § C8.A.1.A.4 - Circolare 02-02-2009 n. 617) ed il **FATTORE DI CONFIDENZA** (FC - § C8.A.1.A.4 - Circolare 02-02-2009 n. 617) seguenti:

Livello di conoscenza e fattore di confidenza

Livello di conoscenza	Fattore di confidenza
LC2	**1.20**

LEGENDA: Livello di conoscenza e fattore di confidenza

Livello di conoscenza [LC1] = Conoscenza Limitata - [LC2] = Conoscenza Adeguata - [LC3] = Conoscenza Accurata.
Fattore di confidenza Fattore di confidenza applicato alle proprietà dei materiali.

4.1 Procedure per la valutazione della sicurezza e la redazione dei progetti

Per edifici esistenti l'analisi storico-critica ed il rilievo geometrico-strutturale devono evidenziare i seguenti aspetti:

- la costruzione riflette lo stato delle conoscenze al tempo della sua realizzazione;
- possono essere insiti e non palesi difetti di impostazione e di realizzazione;
- la costruzione può essere stata soggetta ad azioni, anche eccezionali, i cui effetti non siano completamente manifesti;
- le strutture possono presentare degrado e/o modificazioni significative rispetto alla situazione originaria.

Nella definizione dei modelli strutturali, si dovrà, inoltre, tenere conto che:

- la geometria e i dettagli costruttivi sono definiti e la loro conoscenza dipende solo dalla documentazione disponibile e dal livello di approfondimento delle indagini conoscitive;
- la conoscenza delle proprietà meccaniche dei materiali non risente delle incertezze legate alla produzione e posa in opera ma solo della omogeneità dei materiali stessi all'interno della costruzione, del livello di approfondimento delle indagini conoscitive e dell'affidabilità delle stesse;
- i carichi permanenti sono definiti e la loro conoscenza dipende dal livello di approfondimento delle indagini conoscitive.

- **Analisi storico-critica**

Ai fini di una corretta individuazione del sistema strutturale esistente e del suo stato di sollecitazione è stato importante ricostruire il processo di realizzazione e le successive modificazioni subite nel tempo dal manufatto, nonché gli eventi che lo hanno interessato. Viene di seguito indicata la documentazione reperita e vengono esplicitate le informazioni desunte da ciascuno dei documenti esaminati.

- **Rilievo geometrico-strutturale**

Il rilievo geometrico-strutturale è stato riferito sia alla geometria complessiva dell'organismo che a quella degli elementi costruttivi, comprendendo i rapporti con le eventuali strutture in aderenza. Nel rilievo sono state rappresentate le modificazioni intervenute nel tempo, come desunte dall'analisi storico-critica.
Il rilievo ha avuto come fine l'individuazione dell'organismo resistente della costruzione, tenendo anche presente la qualità e lo stato di conservazione dei materiali e degli elementi costitutivi.
Sono stati rilevati anche gli eventuali dissesti, in atto o stabilizzati, ponendo particolare attenzione all'individuazione dei quadri fessurativi e dei meccanismi di danno.

- **Caratterizzazione meccanica dei materiali**

Per conseguire un' adeguata conoscenza delle caratteristiche dei materiali e del loro degrado, ci si è basati sulla documentazione disponibile (progetto esecutivo), su verifiche visive in situ e su indagini sperimentali. Il numero di prove e dei riscontri effettuati per analogia ha permesso di attribuire un livello di conoscenza LC2 alla caratterizzazione dei materiali. I valori delle resistenze meccaniche dei medesimi sono stati valutati sulla base delle prove effettuate sulla struttura dalla soc. Istedil di Perugia e prescindono dalle classi discretizzate previste dalle norme per le nuovce costruzioni. Si riportano di seguito i valori numerici delle prove effettuate (prelievo di campioni di cls ed acciaio, prove pacometriche.

EDIFICIO 3

CONTR.	ZONA	Peso (g)	h/Ø (mm)	kN	N/mm²	
1	Pilastro n° 13	2005,9	105/104	157,7	18,57	Piano Rialzato
2	Pilastro n° 36	2004,5	105/104	200,6	23,63	
3	Pilastro n° 18	1970,2	105/104	166,1	19,56	
4	Pilastro n° 27	1994,3	105/104	186,9	22,01	
20	Pilastro n° 44	1779,6	94/104	196,2	23,11	
24	Pilastro n° 14	2016,6	105/104	147,3	17,35	
5	Trave tra pil. n° 21-30	1982,6	104/104	149,3	17,59	Piano sottotetto
6	Trave tra pil. n° 20-29	1945,1	104/104	139,2	16,40	

Media valori Piano Rialzato **20,71** N/mm²

Media valori Piano Sottotetto **16,99** N/mm²

Media valori EDIFICIO 1 19,78 N/mm²

Ferri

CONTR.	ZONA	Diametro (Ø)	Snervam. (N/mm²)	Rottura (N/mm²)
1	Pilastro n° 13	14 (liscio)	352	496
4	Pilastro n° 27	16 (liscio)	379	536
5	Trave tra pil. n° 21-30	12 (liscio)	398	580
6	Trave tra pil. n° 20-29	12 (liscio)	383	553

5 - TERRENO DI FONDAZIONE

Le indagini effettuate, mirate alla valutazione della velocità delle onde di taglio (V_{S30}) e/o del numero di colpi dello Standard Penetration Test (NSPT), permettono di classificare il profilo stratigrafico, ai fini della determinazione dell'azione sismica, di categoria **C [C - Depositi di terreni a grana grossa mediamente addensati o terreni a grana fina mediamente consistenti]**.

Tutti i parametri che caratterizzano i terreni di fondazione sono riportati nei tabulati di calcolo, nella relativa sezione. Per ulteriori dettagli si rimanda alle relazioni geologica e geotecnica.

6 - ANALISI DEI CARICHI

Un'accurata valutazione dei carichi è un requisito imprescindibile di una corretta progettazione, in

particolare per le costruzioni realizzate in zona sismica.
Essa, infatti, è fondamentale ai fini della determinazione delle forze sismiche, in quanto incide sulla valutazione delle masse e dei periodi propri della struttura dai quali dipendono i valori delle accelerazioni (ordinate degli spettri di progetto).

La valutazione dei carichi e dei sovraccarichi è stata effettuata in accordo con le disposizioni del **Decreto Ministero Infrastrutture Trasporti 14 gennaio 2008** (G. U. 4 febbraio 2008, n. 29 - Suppl.Ord.) "Norme tecniche per le Costruzioni"
La valutazione dei carichi permanenti è effettuata sulle dimensioni definitive.

Le analisi effettuate, corredate da dettagliate descrizioni, oltre che nei tabulati di calcolo nella relativa sezione, sono di seguito riportate:

ANALISI CARICHI

Analisi carichi

N_{id}	T. C.	Descrizione del Carico	Tipologie di Carico	Peso Proprio		Permanente NON Strutturale		Sovraccarico Accidentale		Carico Neve
				Descrizione	PP	Descrizione	PNS	Descrizione	SA	
										[N/m^2]
001	S	Doppia fodera 30cm (12+8)	Carico Permanente	Fodera esterna (12 cm) e fodera interna (8 cm)	1.600	Intonaco interno, intonaco esterno, isolante poliuretano espanso	740		0	0
002	S	Lat-cem sottotetto H = 20 cm no caldana	Abitazioni	Solaio latero cemento senza caldana H = 20 cm	2.000	Intonaco inferiore	180	solaio praticabile per sola manutenzione	500	0
003	S	Lat-cem copertura H = 20 cm	Scuole	Solaio latero cemento H = 20 cm no caldana	2.000	Manto	400	Copertura non praticabile	500	600
004	S	Lat-cem calpestio H = 24 + 2 cm	Scuole	Solaio latero-cemento H = 24 + 2 cm	2.900	Pavimento, allettamento, tramezzi	3.050	Scuole (Cat. C1 – Tab. 3.1.II - DM 14.01.2008)	3.000	0

LEGENDA:

N_{id} Numero identificativo dell'analisi di carico.
T. C. Identificativo del tipo di carico: [S] = Superficiale - [L] = Lineare - [C] = Concentrato.
PP, PNS, SA Valori rispettivamente, del Peso Proprio, del Sovraccarico Permanente NON strutturale, del Sovraccarico Accidentale. Secondo il tipo di carico indicato nella colonna "T.C." ("S" - "L" - "C"), i valori riportati nelle colonne "PP", "PNS" e "SA", sono espressi in [N/m^2] per carichi Superficiali, [N/m] per carichi Lineari, [N] per carichi Concentrati.

7 - VALUTAZIONE DELL'AZIONE SISMICA

L'azione sismica è stata valutata in conformità alle indicazioni riportate al capitolo 3.2 del D.M. 14 gennaio 2008 "Norme tecniche per le Costruzioni".

In particolare il procedimento per la definizione degli spettri di progetto per i vari Stati Limite per cui sono state effettuate le verifiche è stato il seguente:

- definizione della Vita Nominale e della Classe d'Uso della struttura, il cui uso combinato ha portato alla definizione del Periodo di Riferimento dell'azione sismica.
- Individuazione, tramite latitudine e longitudine, dei parametri sismici di base a_g, F_0 e T^*_c per tutti e quattro gli Stati Limite previsti (SLO, SLD, SLV e SLC); l'individuazione è stata effettuata interpolando tra i 4 punti più vicini al punto di riferimento dell'edificio.
- Determinazione dei coefficienti di amplificazione stratigrafica e topografica.
- Calcolo del periodo T_c corrispondente all'inizio del tratto a velocità costante dello Spettro.

I dati così calcolati sono stati utilizzati per determinare gli Spettri di Progetto nelle verifiche agli Stati Limite considerate.

Si riportano di seguito le coordinate geografiche del sito rispetto al Datum ED50:

Latitudine	Longitudine	Altitudine
[°]	[°]	[m]

42.5496	12.6586	150

7.1 Spettri di Progetto per S.L.U. e S.L.D.

L'edificio è stato progettato per una Vita Nominale pari a **50** e per Classe d'Uso pari a **3**.
In base alle indagini geognostiche effettuate si è classificato il suolo di fondazione di categoria **C**, cui corrispondono i seguenti valori per i parametri necessari alla costruzione degli spettri di risposta orizzontale e verticale:

	Parametri di pericolosità sismica							
Stato Limite	**a_g**	**F_O**	**T^*_c**	**C_C**	**T_B**	**T_C**	**T_D**	**S_S**
	[g]		[s]		[s]	[s]	[s]	[s]
SLO	0.0675	2.495	0.278	1.60	0.148	0.445	1.870	1.50
SLD	0.0825	2.495	0.290	1.58	0.153	0.458	1.930	1.50
SLV	0.1889	2.465	0.327	1.52	0.166	0.497	2.356	1.42
SLC	0.2337	2.490	0.339	1.50	0.169	0.508	2.535	1.35

Per la definizione degli spettri di risposta, oltre all'accelerazione a_g al suolo (dipendente dalla classificazione sismica del Comune) occorre determinare il Fattore di Struttura q.

Il Fattore di struttura q è un fattore riduttivo delle forze elastiche introdotto per tenere conto delle capacità dissipative della struttura che dipende dal sistema costruttivo adottato, dalla Classe di Duttilità e dalla regolarità in altezza.
Si è inoltre assunto il Coefficiente di Amplificazione Topografica S_T pari a **1,00**.

Tali succitate caratteristiche sono riportate negli allegati tabulati di calcolo al punto "DATI GENERALI ANALISI SISMICA".

Per la struttura in esame sono stati determinati i seguenti valori:

Stato Limite Ultimo

Verifica meccanismi "Duttili"
Fattore di Struttura q per sisma orizzontale in direzione X: **1,50**
Fattore di Struttura q per sisma orizzontale in direzione Y: **1,50**
Fattore di Struttura q per sisma verticale: **1,50**

Verifica meccanismi "Fragili"
Il fattore di struttura utilizzato per la verifica di tali meccanismi è pari a **1,50**.

Gli spettri utilizzati sono riportati nella successiva figura.

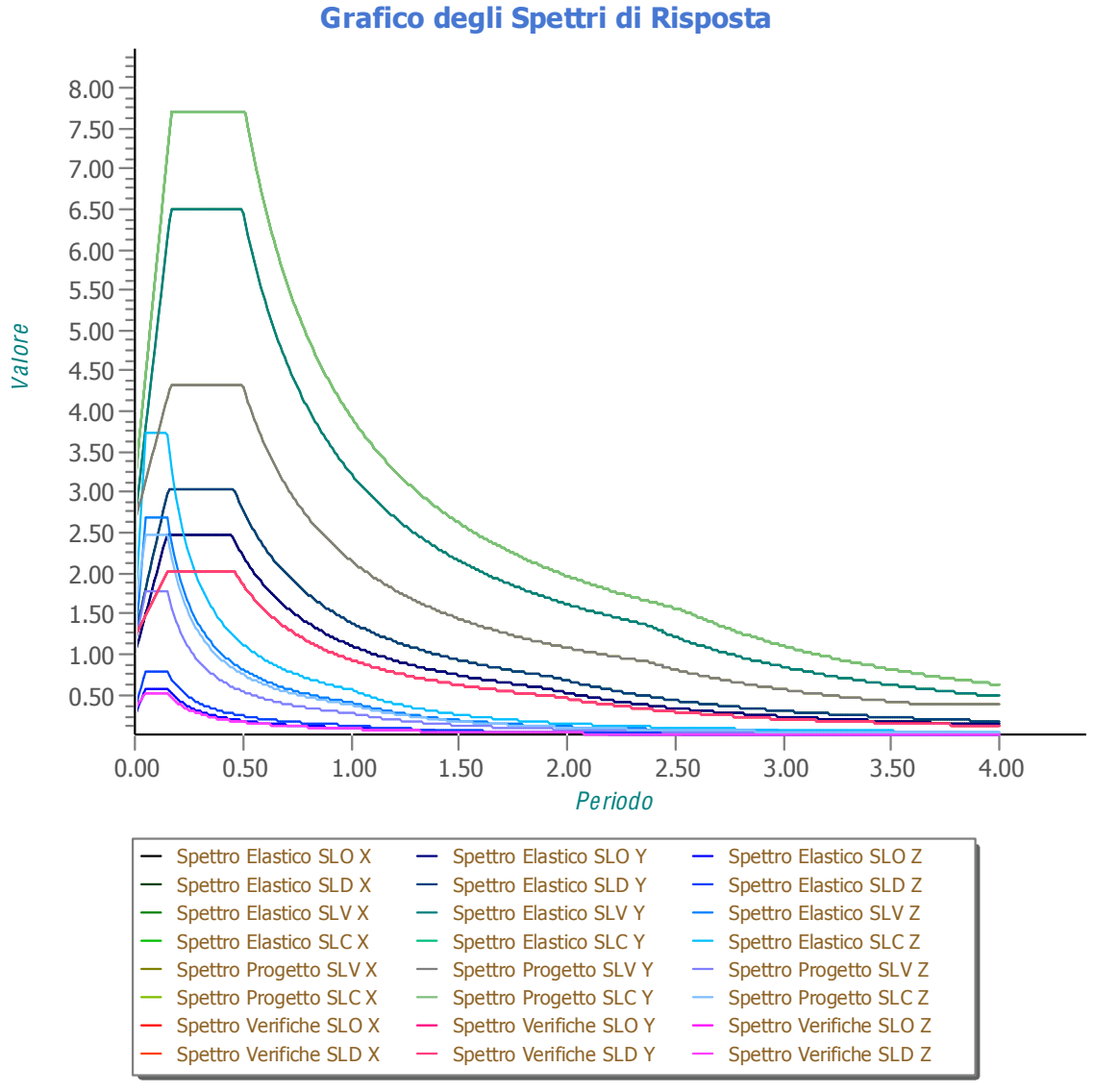

7.2 Metodo di Analisi

Il calcolo delle azioni sismiche è stato eseguito in analisi dinamica modale, considerando il comportamento della struttura in regime elastico lineare.
Il numero di modi di vibrazione considerato (35) ha consentito, nelle varie condizioni, di mobilitare le seguenti percentuali delle masse della struttura:

Stato Limite	Direzione Sisma	%
salvaguardia della vita	X	77.2
salvaguardia della vita	Y	84.7
salvaguardia della vita	Z	100.0

Per valutare la risposta massima complessiva di una generica caratteristica E, conseguente alla sovrapposizione dei modi, si è utilizzata una tecnica di combinazione probabilistica definita CQC (Complete Quadratic Combination - Combinazione Quadratica Completa):

$$E = \sqrt{\sum_{i,j=1,n} \varepsilon_{ij} E_i E_j} \qquad \text{con} \qquad \varepsilon_{ij} = \frac{8\beta^2(1+\beta)\rho_{ij}^{3/2}}{(1-\beta^2)^2 + 4\beta^2\beta_{ij}(1+\beta^2)} \qquad \rho_{ij} = \frac{\omega_i}{\omega_j}$$

dove:

n è il numero di modi di vibrazione considerati

ξ è il coefficiente di smorzamento viscoso equivalente espresso in percentuale;

β_{ij} è il rapporto tra le frequenze di ciascuna coppia i-j di modi di vibrazione.

Le sollecitazioni derivanti da tali azioni sono state composte poi con quelle derivanti da carichi verticali, orizzontali non sismici secondo le varie combinazioni di carico probabilistiche. Il calcolo è stato effettuato mediante un programma agli elementi finiti le cui caratteristiche verranno descritte nel seguito.

Il calcolo degli effetti dell'azione sismica è stato eseguito con riferimento alla struttura spaziale, tenendo cioè conto degli elementi interagenti fra loro secondo l'effettiva realizzazione escludendo i tamponamenti. Non ci sono approssimazioni su tetti inclinati, piani sfalsati o scale, solette, pareti irrigidenti e nuclei.

Si è tenuto conto delle deformabilità taglianti e flessionali degli elementi monodimensionali; muri, pareti, setti, solette sono stati correttamente schematizzati tramite elementi finiti a tre/quattro nodi con comportamento a guscio (sia a piastra che a lastra).

Sono stati considerati sei gradi di libertà per nodo; in ogni nodo della struttura sono state applicate le forze sismiche derivanti dalle masse circostanti.

Le sollecitazioni derivanti da tali forze sono state poi combinate con quelle derivanti dagli altri carichi come prima specificato.

7.3 Valutazione degli spostamenti

Gli spostamenti d_E della struttura sotto l'azione sismica di progetto allo SLV si ottengono moltiplicando per il fattore $_d$ i valori d_{Ee} ottenuti dall'analisi lineare, dinamica o statica, secondo l'espressione seguente:

$$d_E = \pm \mu_d \cdot d_{Ee}$$

dove

$\mu_d = q$ se $T_1 \geq T_C$

$\mu_d = 1+(q-1)\cdot T_C/T_1$ se $T_1 < T_C$

In ogni caso $\mu_d \leq 5q - 4$.

7.4 Combinazione delle componenti dell'azione sismica

Le azioni orizzontali dovute al sisma sulla struttura vengono convenzionalmente determinate come agenti separatamente in due direzioni tra loro ortogonali prefissate. In generale, però, le componenti orizzontali del sisma devono essere considerate come agenti simultaneamente. A tale scopo, la combinazione delle componenti orizzontali dell'azione sismica è stata tenuta in conto come segue:

- gli effetti delle azioni dovuti alla combinazione delle componenti orizzontali dell'azione sismica sono stati valutati mediante le seguenti combinazioni:

$$E_{EdX} \pm 0.30E_{EdY} \qquad E_{EdY} \pm 0.30E_{EdX}$$

dove:

E_{EdX} rappresenta gli effetti dell'azione dovuti all'applicazione dell'azione sismica lungo l'asse orizzontale X scelto della struttura;

E_{EdY} rappresenta gli effetti dell'azione dovuti all'applicazione dell'azione sismica lungo l'asse orizzontale Y scelto della struttura.

L'azione sismica verticale deve essere considerata in presenza di: elementi pressoché orizzontali con luce superiore a 20 m, elementi pressoché orizzontali precompressi, elementi a sbalzo pressoché orizzontali con luce maggiore di 5 m, travi che sostengono colonne, strutture isolate.
La combinazione della componente verticale del sisma, qualora portata in conto, con quelle orizzontali è stata tenuta in conto come segue:

- gli effetti delle azioni dovuti alla combinazione delle componenti orizzontali e verticali del sisma sono stati valutati mediante le seguenti combinazioni:

$$E_{EdX} \pm 0.30E_{EdY} \pm 0.30E_{EdZ} \qquad E_{EdY} \pm 0.30E_{EdX} \pm 0.30E_{EdZ} \qquad E_{EdZ} \pm 0.30E_{EdX} \pm 0.30E_{EdY}$$

dove:

E_{EdX} e E_{EdY} sono gli effetti dell'azione sismica nelle direzioni orizzontali prima definite;

E_{EdZ} rappresenta gli effetti dell'azione dovuti all'applicazione della componente verticale dell'azione sismica di progetto.

7.5 Eccentricità accidentali

Per valutare le eccentricità accidentali, previste in aggiunta all'eccentricità effettiva sono state considerate condizioni di carico aggiuntive ottenute applicando l'azione sismica nelle posizioni del centro di massa di ogni piano ottenute traslando gli stessi, in ogni direzione considerata, di una distanza pari a +/- 5% della dimensione massima del piano in direzione perpendicolare all'azione sismica.

8 - ANALISI STATICA NON LINEARE (PushOver)

Il calcolo è stato eseguito in Analisi Statica Non Lineare mediante un programma agli elementi finiti le cui caratteristiche verranno descritte nel seguito.

Il calcolo degli effetti dell'azione sismica è stato eseguito con riferimento alla struttura spaziale, tenendo cioè conto degli elementi interagenti fra loro secondo l'effettiva realizzazione. Non ci sono approssimazioni su tetti inclinati, piani sfalsati o scale, solette, pareti irrigidenti e nuclei.

Si è tenuto conto delle deformabilità assiali, taglianti e flessionali degli elementi monodimensionali; pareti, setti, muri, solette sono stati correttamente schematizzati tramite elementi finiti a tre/quattro nodi con comportamento sia a piastra che a lastra.

Sono stati considerati sei gradi di libertà per nodo; in ogni nodo della struttura sono state applicate le forze sismiche derivanti dalle masse circostanti.

Il calcolo in Analisi Statica Non Lineare viene svolto nei seguenti passi:

1) Definizione di un legame costitutivo non lineare per i materiali, come sopra esposto.
2) Definizione dei carichi agenti sulla struttura; tali carichi sono costituiti dai carichi verticali, combinati secondo le indicazioni del punto 2.5.3, relazione [2.5.5], oppure del punto 3.2.4, relazione [3.2.16] del D.M. 14.01.2008, e da una distribuzione di forze orizzontali come rappresentativa del sisma.
3) Definizione di un Punto di Controllo per l'Analisi; tale punto di controllo può essere scelto automaticamente tra i nodi strutturali dell'ultimo piano, con le coordinate più prossime (eventualmente coincidenti) a quelle del baricentro delle masse di tale impalcato, oppure manualmente dall'utente.
4) Soluzione del sistema tridimensionale dell'edificio soggetto ai carichi definiti al punto 2); tale soluzione viene perseguita per 4 direzioni del sisma (+X, -X, +Y e –Y) e per due distribuzioni di forze orizzontali (forze proporzionali alle masse e forze proporzionali al I Modo di vibrazione per la direzione considerata) per un totale di 8 Analisi Statiche Non Lineari. Alle 4 direzioni del sisma possono essere considerati anche i contributi dovuti alle eccentricità accidentali.
5) Per ognuna delle varie Analisi effettuate al punto 4 viene costruita la Curva di Capacità dell'Edificio, mettendo in ascissa il taglio alla base e sulle ordinate lo spostamento del Punto di Controllo; da tale Curva sono ricavate le caratteristiche di un Sistema a 1 Grado di Libertà equivalente e in particolare le grandezze Forza allo Snervamento e spostamento corrispondente imponendo l'uguaglianza tra l'area sottesa dalla curva e la bilineare equivalente. Definite quindi la rigidezza secante e la massa equivalente, si ricava il periodo del sistema a 1 Grado di Libertà; con tale Periodo sono calcolate le domande di spostamento allo SLU (SLV) e allo SLE (SLD), trasformate infine nelle domande del sistema reale.

Per quanto esposto al punto 4) è necessario preventivamente effettuare un calcolo in analisi dinamica modale, considerando il comportamento della struttura in regime elastico lineare.

9 - AZIONI SULLA STRUTTURA

I calcoli e le verifiche sono condotti con il metodo semiprobabilistico degli stati limite secondo le indicazioni del D.M. 14 gennaio 2008.

I carichi agenti sui solai, derivanti dall'analisi dei carichi, vengono ripartiti dal programma di calcolo in modo automatico sulle membrature (travi, pilastri, pareti, solette, platee, ecc.).

I carichi dovuti ai tamponamenti, sia sulle travi di fondazione che su quelle di piano, sono schematizzati

come carichi lineari agenti esclusivamente sulle aste.
Su tutti gli elementi strutturali è inoltre possibile applicare direttamente ulteriori azioni concentrate e/o distribuite (variabili con legge lineare ed agenti lungo tutta l'asta o su tratti limitati di essa).

Le azioni introdotte direttamente sono combinate con le altre (carichi permanenti, accidentali e sisma) mediante le combinazioni di carico di seguito descritte; da esse si ottengono i valori probabilistici da impiegare successivamente nelle verifiche.

9.1 Stato Limite di Salvaguardia della Vita

Le azioni sulla costruzione sono state cumulate in modo da determinare condizioni di carico tali da risultare più sfavorevoli ai fini delle singole verifiche, tenendo conto della probabilità ridotta di intervento simultaneo di tutte le azioni con i rispettivi valori più sfavorevoli, come consentito dalle norme vigenti.
Per gli stati limite ultimi sono state adottate le combinazioni del tipo:

$$\gamma_{G1} \cdot G_1 + \gamma_{G2} \cdot G_2 + \gamma_P \cdot P + \gamma_{Q1} \cdot Q_{k1} + \gamma_{Q2} \cdot \psi_{02} \cdot Q_{k2} + \gamma_{Q3} \cdot \psi_{03} \cdot Q_{k3} + \ldots\ldots \quad (1)$$

dove:

- G_1 rappresenta il peso proprio di tutti gli elementi strutturali; peso proprio del terreno, quando pertinente; forze indotte dal terreno (esclusi gli effetti di carichi variabili applicati al terreno); forze risultanti dalla pressione dell'acqua (quando si configurino costanti nel tempo);
- G_2 rappresenta il peso proprio di tutti gli elementi non strutturali;
- P rappresenta l'azione di pretensione e/o precompressione;
- Q azioni sulla struttura o sull'elemento strutturale con valori istantanei che possono risultare sensibilmente diversi fra loro nel tempo:
  - di lunga durata: agiscono con un'intensità significativa, anche non continuativamente, per un tempo non trascurabile rispetto alla vita nominale della struttura;
  - di breve durata: azioni che agiscono per un periodo di tempo breve rispetto alla vita nominale della struttura;
- Q_{ki} rappresenta il valore caratteristico della i-esima azione variabile;
- γ_g, γ_q ,γ_p coefficienti parziali come definiti nella tabella 2.6.I del DM 14 gennaio 2008;
- ψ_{0i} sono i coefficienti di combinazione per tenere conto della ridotta probabilità di concomitanza delle azioni variabili con i rispettivi valori caratteristici.

Le 26 combinazioni risultanti sono state costruite a partire dalle sollecitazioni caratteristiche calcolate per ogni condizione di carico elementare: ciascuna condizione di carico accidentale, a rotazione, è stata considerata sollecitazione di base (Q_{k1} nella formula precedente).
I coefficienti relativi a tali combinazioni di carico sono riportati negli allegati tabulati di calcolo.

In zona sismica, oltre alle sollecitazioni derivanti dalle generiche condizioni di carico statiche, devono essere considerate anche le sollecitazioni derivanti dal sisma. L'azione sismica è stata combinata con le altre azioni secondo la seguente relazione:

$$G_1 + G_2 + P + E + \sum_i \psi_{2i} \cdot Q_{ki}$$

dove:

- E rappresenta l'azione sismica per lo stato limite in esame;
- G_1 rappresenta peso proprio di tutti gli elementi strutturali;
- G_2 rappresenta il peso proprio di tutti gli elementi non strutturali;
- P rappresenta l'azione di pretensione e/o precompressione;
- ψ_{2i} coefficiente di combinazione delle azioni variabili Q_i;
- Q_{ki} valore caratteristico dell'azione variabile Q_i.

Gli effetti dell'azione sismica sono valutati tenendo conto delle masse associate ai seguenti carichi gravitazionali:

$$G_K + \sum_i (\psi_{2i} \cdot Q_{ki}).$$

I valori dei coefficienti ψ_{2i} sono riportati nella seguente tabella:

Categoria/Azione	ψ_{2i}
Categoria A – Ambienti ad uso residenziale	0,3
Categoria B – Uffici	0,3
Categoria C – Ambienti suscettibili di affollamento	0,6
Categoria D – Ambienti ad uso commerciale	0,6
Categoria E – Biblioteche, archivi, magazzini e ambienti ad uso industriale	0,8
Categoria F – Rimesse e parcheggi (per autoveicoli di peso $\leq$ 30 kN)	0,6
Categoria G – Rimesse e parcheggi (per autoveicoli di peso > 30 kN)	0,3
Categoria H – Coperture	0,0
Vento	0,0
Neve (a quota $\leq$ 1000 m s.l.m.)	0,0
Neve (a quota > 1000 m s.l.m.)	0,2
Variazioni termiche	0,0

In zona sismica, oltre alle sollecitazioni derivanti dalle generiche condizioni di carico statiche, devono essere considerate anche le sollecitazioni derivanti dal sisma. L'azione sismica è stata combinata con le altre azioni secondo la seguente relazione:

$$G_1 + G_2 + P + E + \sum_i \psi_{2i} \cdot Q_{ki}$$

dove:

- E rappresenta l'azione sismica per lo stato limite in esame;
- G_1 rappresenta peso proprio di tutti gli elementi strutturali;
- G_2 rappresenta il peso proprio di tutti gli elementi non strutturali;
- P rappresenta l'azione di pretensione e/o precompressione;
- ψ_{2i} coefficiente di combinazione delle azioni variabili Q_i;
- Q_{ki} valore caratteristico dell'azione variabile Q_i.

Gli effetti dell'azione sismica sono valutati tenendo conto delle masse associate ai seguenti carichi gravitazionali:

$$G_K + \sum_i (\psi_{2i} \cdot Q_{ki}).$$

I valori dei coefficienti ψ_{2i} sono riportati nella seguente tabella:

Categoria/Azione	ψ_{2i}
Categoria A – Ambienti ad uso residenziale	0,3
Categoria B – Uffici	0,3
Categoria C – Ambienti suscettibili di affollamento	0,6
Categoria D – Ambienti ad uso commerciale	0,6
Categoria E – Biblioteche, archivi, magazzini e ambienti ad uso industriale	0,8
Categoria F – Rimesse e parcheggi (per autoveicoli di peso $\leq$ 30 kN)	0,6
Categoria G – Rimesse e parcheggi (per autoveicoli di peso > 30 kN)	0,3
Categoria H – Coperture	0,0
Vento	0,0
Neve (a quota $\leq$ 1000 m s.l.m.)	0,0
Neve (a quota > 1000 m s.l.m.)	0,2
Variazioni termiche	0,0

Le verifiche strutturali e geotecniche delle fondazionii, sono state effettuate con l'**Approccio 2** come definito al p. 2.6.1 del DM 14/01/2008, attraverso la combinazione **A1+M1+R3**. Le azioni sono state amplificate tramite

i coefficienti della colonna A1 (STR) definiti nella tabella 6.2.I del DM 14/01/2008.
I valori di resistenza del terreno sono stati ridotti tramite i coefficienti della colonna M1 definiti nella 6.2.II del DM 14/01/2008.
I valori calcolati delle resistenze totali dell'elemento strutturale sono stati divisi per i coefficienti R3 della tabella 6.4.I del DM 14/01/2008 per le fondazioni superficiali.

Si è quindi provveduto a progettare le armature di ogni elemento strutturale per ciascuno dei valori ottenuti secondo le modalità precedentemente illustrate. Nella sezione relativa alle verifiche dei "Tabulati di calcolo" in allegato sono riportati, per brevità, i valori della sollecitazione relativi alla combinazione cui corrisponde il minimo valore del coefficiente di sicurezza.

9.2 Stato Limite di Danno

L'azione sismica, ottenuta dallo spettro di progetto per lo Stato Limite di Danno, è stata combinata con le altre azioni mediante una relazione del tutto analoga alla precedente:

$$G_1 + G_2 + P + E + \sum_i \psi_{2i} \cdot Q_{ki}$$

dove:
- E rappresenta l'azione sismica per lo stato limite in esame;
- G_1 rappresenta peso proprio di tutti gli elementi strutturali;
- G_2 rappresenta il peso proprio di tutti gli elementi non strutturali
- P rappresenta l'azione di pretensione e/o precompressione;
- ψ_{2i} coefficiente di combinazione delle azioni variabili Q_i;
- Q_{ki} valore caratteristico dell'azione variabile Q_i.

Gli effetti dell'azione sismica sono valutati tenendo conto delle masse associate ai seguenti carichi gravitazionali:

$$G_K + \sum_i (\psi_{2i} \cdot Q_{ki})$$

I valori dei coefficienti ψ_{2i} sono riportati nella tabella di cui allo SLV.

9.3 Stato Limite di Danno

L'azione sismica, ottenuta dallo spettro di progetto per lo Stato Limite di Danno, è stata combinata con le altre azioni mediante una relazione del tutto analoga alla precedente:

$$G_1 + G_2 + P + E + \sum_i \psi_{2i} \cdot Q_{ki}$$

dove:
- E rappresenta l'azione sismica per lo stato limite in esame;
- G_1 rappresenta peso proprio di tutti gli elementi strutturali;
- G_2 rappresenta il peso proprio di tutti gli elementi non strutturali
- P rappresenta l'azione di pretensione e/o precompressione;
- ψ_{2i} coefficiente di combinazione delle azioni variabili Q_i;
- Q_{ki} valore caratteristico dell'azione variabile Q_i.

Gli effetti dell'azione sismica sono valutati tenendo conto delle masse associate ai seguenti carichi gravitazionali:

$$G_K + \sum_i (\psi_{2i} \cdot Q_{ki})$$

I valori dei coefficienti ψ_{2i} sono riportati nella tabella di cui allo SLV.

9.4 Stati Limite di Esercizio

Allo Stato Limite di Esercizio le sollecitazioni con cui sono state semiprogettate le aste in c.a. sono state ricavate applicando le formule riportate nel D.M. 14 gennaio 2008 - Norme tecniche per le costruzioni - al punto 2.5.3. Per le verifiche agli stati limite di esercizio, a seconda dei casi, si fa riferimento alle seguenti combinazioni di carico:

rara	frequente	quasi permanente
$\sum_{j\geq 1} G_{kj} + P + Q_{k1} + \sum_{i>1} \psi_{0i} \cdot Q_{ki}$	$\sum_{j\geq 1} G_{kj} + P + \psi_{11} \cdot Q_{k1} + \sum_{i>1} \psi_{2i} \cdot Q_{ki}$	$\sum_{j\geq 1} G_{kj} + P + \sum_{i>1} \psi_{2i} \cdot Q_{ki}$

dove:

- G_{kj} valore caratteristico della j-esima azione permanente;
- P_{kh} valore caratteristico della h-esima deformazione impressa;
- Q_{kl} valore caratteristico dell'azione variabile di base di ogni combinazione;
- Q_{ki} valore caratteristico della i-esima azione variabile;
- ψ_{0i} coefficiente atto a definire i valori delle azioni ammissibili di durata breve ma ancora significativi nei riguardi della possibile concomitanza con altre azioni variabili;
- ψ_{1i} coefficiente atto a definire i valori delle azioni ammissibili ai frattili di ordine 0,95 delle distribuzioni dei valori istantanei;
- ψ_{2i} coefficiente atto a definire i valori quasi permanenti delle azioni ammissibili ai valori medi delle distribuzioni dei valori istantanei.

Ai coefficienti ψ_{0i}, ψ_{1i}, ψ_{2i} sono attribuiti i seguenti valori:

Azione	ψ_{0i}	ψ_{1i}	ψ_{2i}
Categoria A – Ambienti ad uso residenziale	0,7	0,5	0,3
Categoria B – Uffici	0,7	0,5	0,3
Categoria C – Ambienti suscettibili di affollamento	0,7	0,7	0,6
Categoria D – Ambienti ad uso commerciale	0,7	0,7	0,6
Categoria E – Biblioteche, archivi, magazzini e ambienti ad uso industriale	1,0	0,9	0,8
Categoria F – Rimesse e parcheggi (per autoveicoli di peso $\leq$ 30 kN)	0,7	0,7	0,6
Categoria G – Rimesse e parcheggi (per autoveicoli di peso > 30 kN)	0,7	0,5	0,3
Categoria H – Coperture	0,0	0,0	0,0
Vento	0,6	0,2	0,0
Neve (a quota $\leq$ 1000 m s.l.m.)	0,5	0,2	0,0
Neve (a quota > 1000 m s.l.m.)	0,7	0,5	0,2
Variazioni termiche	0,6	0,5	0,0

In maniera analoga a quanto illustrato nel caso dello SLU le combinazioni risultanti sono state costruite a partire dalle sollecitazioni caratteristiche calcolate per ogni condizione di carico; a turno ogni condizione di carico accidentale è stata considerata sollecitazione di base (Q_{k1} nella formula (1)), con ciò dando origine a tanti valori combinati. Per ognuna delle combinazioni ottenute, in funzione dell'elemento (trave, pilastro, etc...) sono state effettuate le verifiche allo SLE (tensioni, deformazioni e fessurazione).
Negli allegati tabulati di calcolo sono riportanti i coefficienti relativi alle combinazioni di calcolo generate relativamente alle combinazioni di azioni "Quasi Permanente" (1), "Frequente" (4) e "Rara" (3).
Nelle sezioni relative alle verifiche allo SLE dei citati tabulati, inoltre, sono riportati i valori delle sollecitazioni relativi alle combinazioni che hanno originato i risultati più gravosi.

10 - CODICE DI CALCOLO IMPIEGATO

10.1 Denominazione

Nome del Software	**EdiLus**
Versione	30.00b
Caratteristiche del Software	Software per il calcolo di strutture agli elementi finiti per

	Windows
Numero di serie	12113371
Intestatario Licenza	Comune di TERNI
Produzione e Distribuzione	**ACCA software S.p.A.** Via Michelangelo Cianciulli 83048 Montella (AV) Tel. 0827/69504 r.a. - Fax 0827/601235 e-mail: info@acca.it - Internet: www.acca.it

10.2 Sintesi delle funzionalità generali

Il pacchetto consente di modellare la struttura, di effettuare il dimensionamento e le verifiche di tutti gli elementi strutturali e di generare gli elaborati grafici esecutivi.

È una procedura integrata dotata di tutte le funzionalità necessarie per consentire il calcolo completo di una struttura mediante il metodo degli elementi finiti (FEM); la modellazione della struttura è realizzata tramite elementi Beam (travi e pilastri) e Shell (platee, pareti, solette, setti, travi-parete).

L'input della struttura avviene per oggetti (travi, pilastri, solai, solette, pareti, etc.) in un ambiente grafico integrato; il modello di calcolo agli elementi finiti, che può essere visualizzato in qualsiasi momento in una apposita finestra, viene generato dinamicamente dal software.

Apposite funzioni consentono la creazione e la manutenzione di archivi Sezioni, Materiali e Carichi; tali archivi sono generali, nel senso che sono creati una tantum e sono pronti per ogni calcolo, potendoli comunque integrare/modificare in ogni momento.

L'utente non può modificare il codice ma soltanto eseguire delle scelte come:

- definire i vincoli di estremità per ciascuna asta (vincoli interni) e gli eventuali vincoli nei nodi (vincoli esterni);
- modificare i parametri necessari alla definizione dell'azione sismica;
- definire condizioni di carico;
- definire gli impalcati come rigidi o meno.

Il programma è dotato di un manuale tecnico ed operativo. L'assistenza è effettuata direttamente dalla casa produttrice, mediante linea telefonica o e-mail.

Il calcolo si basa sul solutore agli elementi finiti MICROSAP prodotto dalla società TESYS srl. La scelta di tale codice è motivata dall'elevata affidabilità dimostrata e dall'ampia documentazione a disposizione, dalla quale risulta la sostanziale uniformità dei risultati ottenuti su strutture standard con i risultati internazionalmente accettati ed utilizzati come riferimento.

Tutti i risultati del calcolo sono forniti, oltre che in formato numerico, anche in formato grafico permettendo così di evidenziare agevolmente eventuali incongruenze.

Il programma consente la stampa di tutti i dati di input, dei dati del modello strutturale utilizzato, dei risultati del calcolo e delle verifiche dei diagrammi delle sollecitazioni e delle deformate.

10.3 Sistemi di Riferimento

10.3.1 Riferimento globale

Il sistema di riferimento globale, rispetto al quale va riferita l'intera struttura, è costituito da una terna di assi cartesiani sinistrorsa O,X,Y,Z (X,Y, e Z sono disposti e orientati rispettivamente secondo il pollice, l'indice ed il medio della mano destra, una volta posizionati questi ultimi a 90° tra loro).

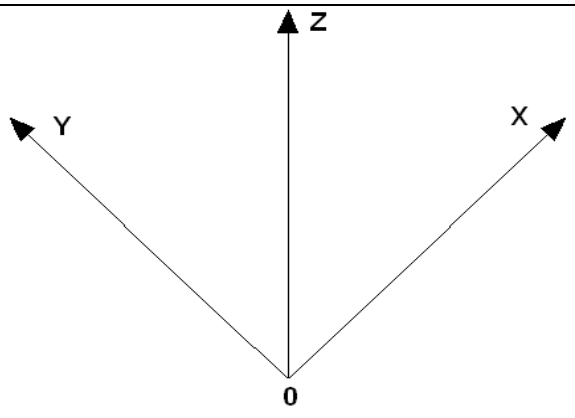

10.3.2 Riferimento locale per travi

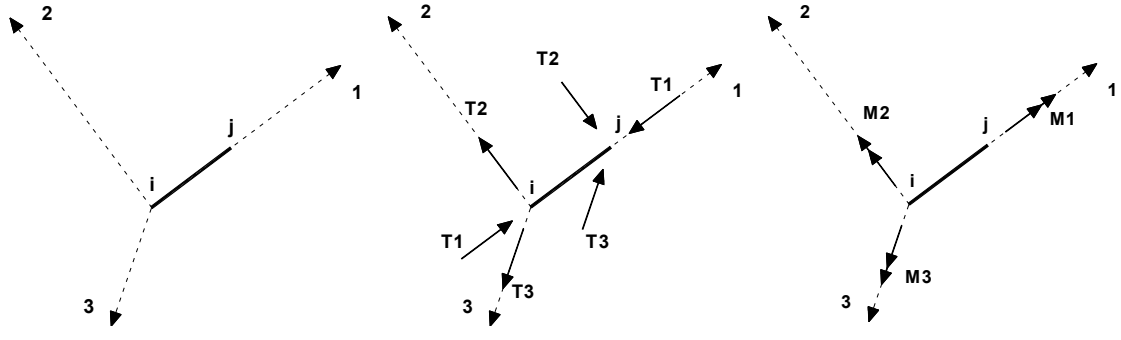

L'elemento Trave è un classico elemento strutturale in grado di ricevere Carichi distribuiti e Carichi Nodali applicati ai due nodi di estremità; per effetto di tali carichi nascono, negli estremi, sollecitazioni di taglio, sforzo normale, momenti flettenti e torcenti.

Definiti i e j i nodi iniziale e finale della Trave, viene individuato un sistema di assi cartesiani 1-2-3 locale all'elemento, con origine nel Nodo i così composto:

- asse 1 orientato dal nodo i al nodo j;
- assi 2 e 3 appartenenti alla sezione dell'elemento e coincidenti con gli assi principali d'inerzia della sezione stessa.

Le sollecitazioni verranno fornite in riferimento a tale sistema di riferimento:

1. Sollecitazione di Trazione o Compressione T1 (agente nella direzione i-j);
2. Sollecitazioni taglianti T2 e T3, agenti nei due piani 1-2 e 1-3, rispettivamente secondo l'asse 2 e l'asse 3;
3. Sollecitazioni che inducono flessione nei piani 1-3 e 1-2 (M2 e M3);
4. Sollecitazione torcente M1.

10.3.3 Riferimento locale per pilastri

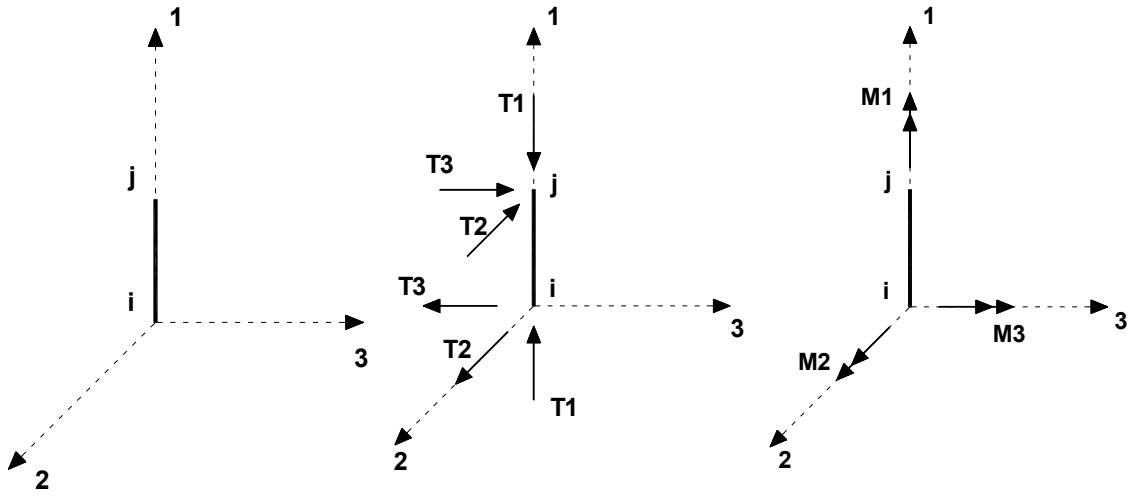

Definiti i e j come i due nodi iniziale e finale del pilastro, viene individuato un sistema di assi cartesiani 1-2-3 locale all'elemento, con origine nel Nodo i così composto:

- asse 1 orientato dal nodo i al nodo j;
- asse 2 perpendicolare all' asse 1, parallelo e discorde all'asse globale Y;
- asse 3 che completa la terna destrorsa, parallelo e concorde all'asse globale X.

Tale sistema di riferimento è valido per Pilastri con angolo di rotazione pari a '0' gradi; una rotazione del pilastro nel piano X,Y ha l'effetto di ruotare anche tale sistema (ad es. una rotazione di '90' gradi porterebbe l'asse 2 a essere parallelo e concorde all'asse X, mentre l'asse 3 sarebbe parallelo e concorde all'asse globale Y). La rotazione non ha alcun effetto sull'asse 1 che coinciderà sempre e comunque con l'asse globale Z.

Per quanto riguarda le sollecitazioni si ha:

- una forza di trazione o compressione T1, agente lungo l'asse locale 1;
- due forze taglianti T2 e T3 agenti lungo i due assi locali 2 e 3;
- due vettori momento (flettente) M2 e M3 agenti lungo i due assi locali 2 e 3;
- un vettore momento (torcente) M1 agente lungo l'asse locale nel piano 1.

10.3.4 Riferimento locale per pareti

Una parete è costituita da una sequenza di setti; ciascun setto è caratterizzato da un sistema di riferimento locale 1-2-3 così individuato:

- asse 1, coincidente con l'asse globale Z;
- asse 2, parallelo e discorde alla linea d'asse della traccia del setto in pianta;
- asse 3, ortogonale al piano della parete, che completa la terna levogira.

Su ciascun setto l'utente ha la possibilità di applicare uno o più carichi uniformemente distribuiti comunque orientati nello spazio; le componenti di tali carichi possono essere fornite, a discrezione dell'utente, rispetto al riferimento globale X,Y,Z oppure rispetto al riferimento locale 1,2,3 appena definito.

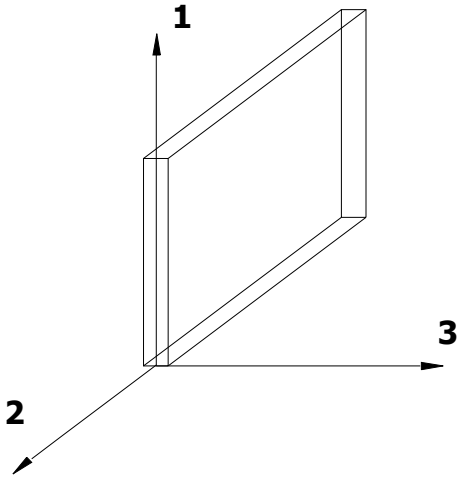

Si rende necessario, a questo punto, meglio precisare le modalità con cui EdiLus restituisce i risultati di calcolo.

Nel modello di calcolo agli elementi finiti ciascun setto è discretizzato in una serie di elementi tipo "shell" interconnessi; il solutore agli elementi finiti integrato nel programma EdiLus, definisce un riferimento locale per ciascun elemento shell e restituisce i valori delle tensioni esclusivamente rispetto a tali riferimenti.

Il software EdiLus provvede ad omogeneizzare tutti i valori riferendoli alla terna 1-2-3. Tale operazione consente, in fase di input, di ridurre al mimino gli errori dovuti alla complessità d'immissione dei dati stessi ed allo

stesso tempo di restituire all'utente dei risultati facilmente interpretabili.

Tutti i dati cioè, sia in fase di input che in fase di output, sono organizzati secondo un criterio razionale vicino al modo di operare del tecnico e svincolato dal procedimento seguito dall'elaboratore elettronico.

In tal modo ad esempio, il significato dei valori delle tensioni può essere compreso con immediatezza non solo dal progettista che ha operato con il programma ma anche da un tecnico terzo non coinvolto nell'elaborazione; entrambi, così, potranno controllare con facilità dal tabulato di calcolo, la congruità dei valori riportati.

Un'ultima notazione deve essere riservata alla modalità con cui il programma fornisce le armature delle pareti, con riferimento alla faccia anteriore e posteriore.

La faccia anteriore è quella di normale uscente concorde all'asse 3 come prima definito o, identicamente, quella posta alla destra dell'osservatore che percorresse il bordo superiore della parete concordemente al verso di tracciamento.

10.3.5 Riferimento locale per solette

In maniera analoga a quanto avviene per i setti, ciascuna soletta è caratterizzata da un sistema di riferimento locale 1,2,3 così definito:

- asse 1, coincidente con la direzione principale di armatura;
- asse 2, coincidente con la direzione secondaria di armatura;
- asse 3, ortogonale al piano della parete, che completa la terna levogira.

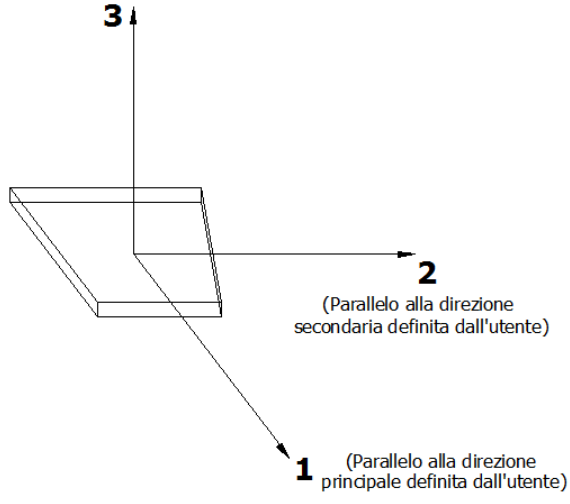

10.3.6 Riferimento locale per platee

Anche per le platee, analogamente a quanto descritto per le solette, è definito un sistema di riferimento locale 1,2,3:

- asse 1, coincidente con la direzione principale di armatura;
- asse 2, coincidente con la direzione secondaria di armatura;
- asse 3, ortogonale al piano della parete, che completa la terna levogira.

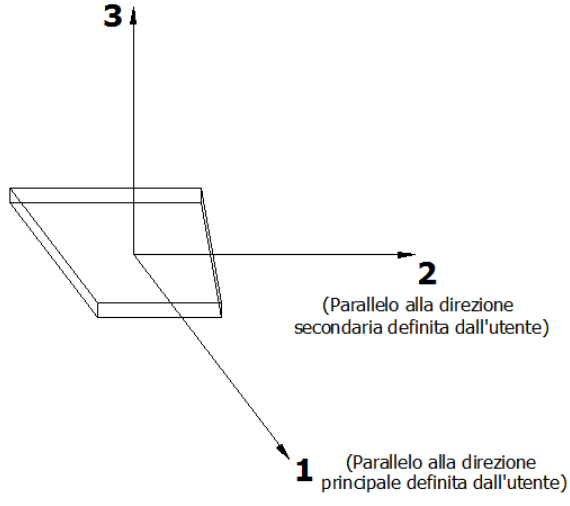

10.4 Modello di Calcolo

Il modello della struttura viene creato automaticamente dal codice di calcolo, individuando i vari elementi strutturali e fornendo le loro caratteristiche geometriche e meccaniche.

Viene definita un'opportuna numerazione degli elementi (nodi, aste, shell) costituenti il modello, al fine di individuare celermente ed univocamente ciascun elemento nei tabulati di calcolo.

Qui di seguito è fornita una rappresentazione grafica dettagliata della discretizzazione operata con evidenziazione dei nodi e degli elementi.

Vista Anteriore

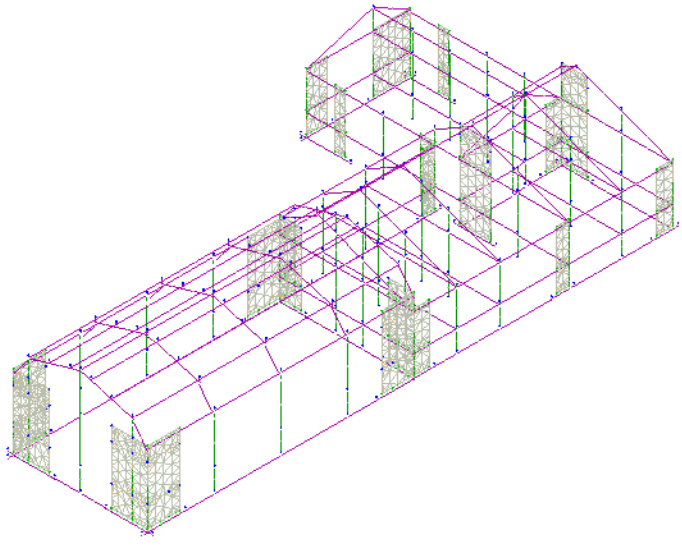

Vista Posteriore

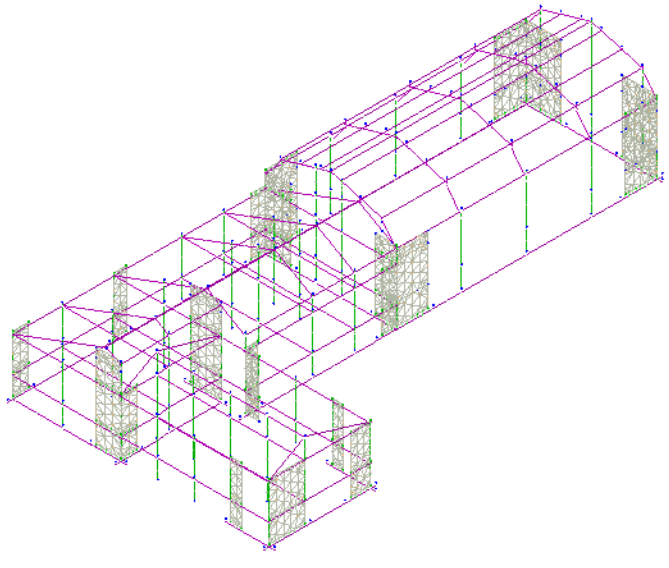

Dalle illustrazioni precedenti si evince come le aste, sia travi che pilastri, siano schematizzate con un tratto flessibile centrale e da due tratti (braccetti) rigidi alle estremità. I nodi vengono posizionati sull'asse verticale dei pilastri, in corrispondenza dell'estradosso della trave più alta che in esso si collega. Tramite i braccetti i tratti flessibili sono quindi collegati ad esso.

In questa maniera il nodo risulta perfettamente aderente alla realtà poiché vengono presi in conto tutti gli eventuali disassamenti degli elementi con gli effetti che si possono determinare, quali momenti flettenti/torcenti aggiuntivi.

Le sollecitazioni vengono determinate, com'è corretto, solo per il tratto flessibile. Sui tratti rigidi, infatti, essendo (teoricamente) nulle le deformazioni le sollecitazioni risultano indeterminate.

Questa schematizzazione dei nodi viene automaticamente realizzata dal programma anche quando il nodo sia determinato dall'incontro di più travi senza il pilastro, o all'attacco di travi/pilastri con elementi shell.

Per gli elementi monodimensionali (beam) in c.a., il comportamento non lineare del materiale è schematizzato con un modello a **plasticità diffusa**, utilizzando una modellazione a fibre per descrivere il comportamento flessionale mentre, per descrive il comportamento tangenziale (taglio e torsione) vengono definiti dei diagrammi forza-spostamento per il taglio e momento-rotazione per la torsione.
Per portare in conto la non linearità di materiale è necessario definire compiutamente le caratteristiche degli

elementi strutturali facendo intervenire anche le armature. Per gli elementi beam, essendo in genere le armature variabili lungo l'asse dell'elemento, è necessario considerare, nella costruzione della matrice di rigidezza, che il beam ha una sezione variabile (non costante). Non potendo portare in conto con continuità tale variabilità di sezione, si scelgono un certo numero di sezioni nelle quali si definiscono le caratteristiche non lineari. Tra due successive sezioni i dati sono poi ricavati per interpolazione. In linea generale, la caratterizzazione non lineare dell'elemento avviene nel seguente modo:

- Suddivisione dell'elemento in 3 tratti, un tratto centrale e due tratti laterali; la somma della lunghezza dei tre tratti è pari a quella totale dell'elemento.
- Per ognuno dei tre tratti, vengono definite le caratteristiche delle due sezioni di estremità. Il SAP provvede a definire, in funzione del grado di precisione richiesta, nuove sezioni (dette sezioni di integrazione) tra queste di estremità. In tali sezioni di integrazione i dati sono ricavati per interpolazione.
- Per ogni sezione di estremità occorre definire il comportamento lineare/non lineare del materiale. Per la definizione non lineare si hanno a disposizione due strade:
  - *Comportamento a Fibre*: si definisce la curva caratteristica dei materiali (calcestruzzo e acciaio) costituenti l'elemento e la geometria della sezione (inclusi i dati delle armature). La sezione, a tale scopo, viene suddivisa in fibre (meshata nel suo piano). Questo modello permette di riprodurre esattamente l'interazione tra le componenti di *azione normale* (N) e *momento biassiale* (Mx, My). Nel riprodurre tale comportamento è possibile portare in conto anche il contributo del confinamento. Questo metodo rappresenta la schematizzazione più rigorosa ma anche la più onerosa per il tempo di calcolo richiesto.
  - Per quanto riguarda, invece, il *comportamento a taglio e torsione*, si fa ricorso alla definizione di specifici legami costitutivi relativi al comportamento che si vuole analizzare. Si introducono pertanto i diagrammi *Momento-Rotazione* per il comportamento torsionale o *Forza-Spostamento* per quello tagliante che descrivono il comportamento dell'elemento in funzione dello stato deformativo.

Per gli elementi bidimensionali (shell) sia in c.a. che in muratura, la non linearità del materiale (sia con riferimento al comportamento membranale che flessionale) viene descritta tramite una stratificazione che opera lungo lo spessore dello shell. Con riferimento ad esempio ad una parete in c.a., lo shell viene descritto come formato dai seguenti strati:

- Uno strato di c.a. di spessore pari al copriferro.
- Uno strato di armature verticali (l'armatura ha spessore nullo).
- Uno strato di armature orizzontali (l'armatura ha spessore nullo).
- Uno strato di c.a. di spessore pari al totale dell'elemento meno 2 volte il copriferro.
- Uno strato di armature orizzontali (l'armatura ha spessore nullo).
- Uno strato di armature verticali (l'armatura ha spessore nullo).
- Uno strato di c.a. di spessore pari al copriferro.

Ognuno degli strati che costituiscono la shell può essere di materiale a comportamento lineare (basta definire E e G) o non lineare (definizione dal legame costitutivo del materiale). Nel caso di strato di spessore non nullo a comportamento non lineare il SAP provvede poi a suddividere ulteriormente lo strato in sottostrati per poter seguire più fedelmente il comportamento non lineare.

Gli elementi di fondazione (travi, platee, plinti, plinti su pali e pali) sono modellati assumendo un comportamento elastico-lineare sia a trazione che a compressione.
Gli elementi in acciaio per carpenterie metalliche e gli elementi in materiale generico sono modellati assumendo un comportamento elastico-lineare sia a trazione che a compressione.

10.5 Verifica della sicurezza

La verifica degli elementi allo SLU avviene col seguente procedimento:

- si costruiscono le combinazioni non sismiche in base al D.M. 14.01.2008, ottenendo un insieme di sollecitazioni;
- si combinano tali sollecitazioni con quelle dovute all'azione del sisma secondo quanto indicato nel § 2.5.3, relazione (2.5.5) del D.M. 14/01/2008.
- per sollecitazioni semplici (flessione retta, taglio, etc.) si individuano i valori minimo e massimo con cui progettare o verificare l'elemento considerato; per sollecitazioni composte (pressoflessione retta/deviata) vengono eseguite le verifiche per tutte le possibili combinazioni e solo a seguito di ciò si individua quella che

ha originato il minimo coefficiente di sicurezza.

Per quanto attiene agli elementi esistenti (di *Fatto*), ai fini delle verifiche di sicurezza, gli elementi strutturali vengono distinti in **duttili** e **fragili**. La classificazione degli elementi/meccanismi nelle due categorie è di seguito riportata:

- **duttili**: travi, pilastri e pareti/setti inflesse con e senza sforzo normale;
- **fragili**: meccanismi di taglio in travi, pilastri, pareti/setti e nodi.

Nel caso di uso del fattore di struttura, tutti gli elementi strutturali "duttili" devono soddisfare la condizione che la sollecitazione indotta dall'azione sismica, ridotta del fattore di struttura q, sia inferiore o uguale alla corrispondente resistenza. Tutti gli elementi strutturali "fragili" devono, invece, soddisfare la condizione che la sollecitazione indotta dall'azione sismica, ridotta per q = 1.5, sia inferiore o uguale alla corrispondente resistenza. Per gli elementi fragili, la resistenza a taglio si valuta come nel caso di situazioni non sismiche.
Per i nodi, la verifica di resistenza viene eseguita secondo quanto indicato nel § C8.7.2.5 della succitata Circolare verificando sia la resistenza a trazione diagonale [relazione (8.7.2.2)] che quella a compressione diagonale [relazione (8.7.2.3)].

Per quanto concerne gli elementi strutturali di nuova realizzazione (di *Progetto*), la progettazione e verifica di tali elementi segue le stesse regole previste per le strutture di nuova edificazione.

Relativamente alla verifica e/o il progetto degli elementi in c.a. illustriamo, in dettaglio, il procedimento seguito quando si è in presenza di pressoflessione deviata (pilastri e trave di sezione generica):

- per tutte le terne Mx, My, N, individuate secondo la modalità precedentemente illustrata, si calcola il coefficiente di sicurezza in base alla formula 4.1.10 del D.M. 14 gennaio 2008, effettuando due verifiche a pressoflessione retta con la seguente formula:

$$\left(\frac{M_{Ex}}{M_{Rx}}\right)^{\alpha} + \left(\frac{M_{Ey}}{M_{Ry}}\right)^{\alpha} \leq 1$$

  dove:

  M_{Ex}, M_{Ey} sono i valori di calcolo delle due componenti di flessione retta dell'azione attorno agli assi di flessione X ed Y del sistema di riferimento locale;

  M_{Rx}, M_{Ry} sono i valori di calcolo dei momenti resistenti di pressoflessione retta corrispondenti allo sforzo assiale N_{Ed} valutati separatamente attorno agli assi di flessione.

  L'esponente α può dedursi in funzione della geometria della sezione, della percentuale meccanica dell'armatura e della sollecitazione di sforzo normale agente.

- se per almeno una di queste terne la relazione 4.1.10 non è rispettata, si incrementa l'armatura variando il diametro delle barre utilizzate e/o il numero delle stesse in maniera iterativa fino a quando la suddetta relazione è rispettata per tutte le terne considerate.

Sempre quanto concerne il progetto degli elementi in c.a. illustriamo in dettaglio il procedimento seguito per le travi verificate/semiprogettate a pressoflessione retta:

- per tutte le coppie Mx, N, individuate secondo la modalità precedentemente illustrata, si calcola il coefficiente di sicurezza in base all'armatura adottata;
- se per almeno una di queste coppie esso è inferiore all'unità, si incrementa l'armatura variando il diametro delle barre utilizzate e/o il numero delle stesse in maniera iterativa fino a quando il coefficiente di sicurezza risulta maggiore o al più uguale all'unità per tutte le coppie considerate.

Nei tabulati di calcolo, per brevità, non potendo riportare una così grossa mole di dati, si riporta la terna Mx, My, N, o la coppia Mx, N che ha dato luogo al minimo coefficiente di sicurezza.

Una volta semiprogettate le armature allo SLU, si procede alla verifica delle sezioni allo Stato Limite di Esercizio con le sollecitazioni derivanti dalle combinazioni rare, frequenti e quasi permanenti; se necessario, le armature vengono integrate per far rientrare le tensioni entro i massimi valori previsti.

Successivamente si procede alle verifiche alla deformazione, quando richiesto, ed alla fessurazione che, come è noto, sono tese ad assicurare la durabilità dell'opera nel tempo.

Nel caso di analisi statica non lineare, la verifica globale di sicurezza consiste (come indicato nel § C7.3.4.1 della

Circolare n.617 del 02/02/2009) nel confronto tra la capacità di spostamento ultimo della costruzione e la domanda di spostamento ottenute applicando il procedimento illustrato al § 7.3.4.1 del DM 14/01/2008.
Per quanto riguarda la verifica allo SLV (SLU), si controlla che la domanda di spostamento – calcolata secondo la relazione (C7.3.7) oppure C7.3.8 del § C7.3.4.1 della Circolare – sia inferiore alla capacità di spostamento dell'edificio (calcolata secondo le indicazioni del § C7.3.4.1), letta in corrispondenza del massimo spostamento offerto dalla Curva di Capacità. Se tale verifica (Domanda $\leq$ Capacità) risulta soddisfatta per tutte le 8 Analisi effettuate, l'edificio è verificato allo SLU.
Per quanto riguarda le verifiche allo SLD (SLE), oltre alla condizione che la capacità di spostamento sia maggiore o uguale alla domanda di spostamento allo SLD, deve essere ulteriormente soddisfatta la verifica relativa agli spostamenti di interpiano; la struttura viene di nuovo analizzata, stavolta sotto l'azione di forze orizzontali tali da provocare uno spostamento del Punto di Controllo pari alla domanda di spostamento allo SLD; con gli spostamenti nodali calcolati in corrispondenza di tale sistema di forze orizzontali sono calcolati gli spostamenti di interpiano ed effettuata la relativa verifica.

Per quanto riguarda la verifica degli elementi in c.a. in analisi statica NON lineare, gli elementi ed i meccanismi resistenti vengono classificati in:
- **duttili:** travi, pilastri e pareti/setti inflesse con e senza sforzo normale;
- **fragili:** meccanismi di taglio in travi, pilastri, pareti/setti e nodi.

La verifica degli elementi "duttili" viene eseguita confrontando gli effetti indotti dalle azioni sismiche in termini di deformazioni con i rispettivi limiti di deformazione. La verifica degli elementi "fragili" viene eseguita confrontando gli effetti indotti dalle azioni sismiche in termini di forze con le rispettive resistenze.
Per il calcolo della capacità di elementi/meccanismi duttili o fragili si impiegano le proprietà caratteristiche/nominali dei materiali. Per il calcolo della capacità di resistenza degli elementi fragili, le resistenze nominali dei materiali sono ridotti per i corrispondenti coefficienti parziali di sicurezza.

Per gli elementi duttili, la capacità deformativa è definita con riferimento alla rotazione ("rotazione rispetto alla corda") θ della sezione d'estremità rispetto alla congiungente quest'ultima con la sezione di momento nullo a distanza pari alla luce di taglio $L_V = M/V$. Tale rotazione è anche pari allo spostamento relativo delle due sezioni diviso per la luce di taglio.
Allo SLV, la capacità di rotazione totale rispetto alla corda, può essere assunta pari a 3/4 del valore ultimo θ_u, calcolata secondo la relazione (C8A.6.5) del § C8A.6 della Circolare n.617 del 02/02/2009.
Allo SLD, la capacità di rotazione totale rispetto alla corda, è calcolata secondo le relazioni (8.7.2.1a e 8.7.2.1b) del § C8.7.2.5 della succitata Circolare.

Per gli elementi fragili, la resistenza a taglio si valuta come nel caso di situazioni non sismiche, considerando comunque un contributo del conglomerato al massimo pari a quello relativo agli elementi senza armature trasversali resistenti.
Per i nodi, la verifica di resistenza viene eseguita secondo quanto indicato nel § C8.7.2.5 della succitata Circolare. Viene verificata sia la resistenza a trazione diagonale che quella a compressione diagonale.

Gli elementi di fondazione (travi, platee, plinti, plinti su pali e pali) sono verificati assumendo implicitamente un comportamento lineare (come indicato al § 7.2.5 del DM 14/01/2008). In particolare, le verifiche vengono condotte con riferimento alle sollecitazioni dell'Analisi Non Lineare (sollecitazioni ottenute in corrispondenza della domanda di spostamento).

11 - TABULATI DI CALCOLO

Per quanto non espressamente sopra riportato, ed in particolar modo per ciò che concerne i dati numerici di calcolo, si rimanda all'allegato "Tabulati di calcolo" costituente parte integrante della presente relazione.

I Progettisti

Ing. Marcello Boccio

Ing. Stefano Marinozzi

INDICE

Tomo 1 di 2

INFORMAZIONI GENERALI ..... pag. 2
LIVELLO DI CONOSCENZA E FATTORE DI CONFIDENZA ..... pag. 2
MATERIALI CALCESTRUZZO ARMATO ..... pag. 2
MATERIALI ACCIAIO ..... pag. 2
MATERIALI CARATTERISTICHE NON LINEARI ..... pag. 3
TERRENI ..... pag. 5
STRATIGRAFIE ..... pag. 5
DATI GENERALI ANALISI SISMICA NON LINEARE ..... pag. 5
..... pag. 6
PRINCIPALI ELEMENTI ANALISI SISMICA ..... pag. 6
RIEPILOGO MODI DI VIBRAZIONE ..... pag. 6
CURVA DI CAPACITA' ..... pag. 11
EDIFICIO - VERIFICHE DI RIPARTIZIONE DELLE FORZE SISMICHE ..... pag. 15
NODI (CA) - VERIFICA DI CONFINAMENTO (Elevazione) ..... pag. 15
TRAVI - VERIFICHE DI ROTAZIONE ALLA CORDA (Elevazione) ..... pag. 20
TRAVI - VERIFICHE A TAGLIO PER ANALISI NON LINEARE (Elevazione) ..... pag. 96
PILASTRI - VERIFICHE DI ROTAZIONE ALLA CORDA (Elevazione) ..... pag. 183

Tomo 2 di 2

PILASTRI - VERIFICHE DI ROTAZIONE ALLA CORDA (Elevazione) ..... pag. 2
PILASTRI - VERIFICHE A TAGLIO PER ANALISI NON LINEARE (Elevazione) ..... pag. 26
Pareti - VERIFICHE PRESSOFLESSIONE RETTA ALLO SLU (Elevazione) ..... pag. 68
Pareti - VERIFICHE A TAGLIO PER PRESSOFLESSIONE RETTA ALLO SLU (Elevazione) ..... pag. 114
PIANI - VERIFICHE REGOLARITÀ (Elevazione) ..... pag. 136
PIANI - VERIFICHE AGLI SPOSTAMENTI ..... pag. 136
PIANI - VERIFICHE ALLO SLO (Elevazione) ..... pag. 137
TRAVI (CA) - VERIFICHE PRESSOFLESSIONE RETTA ALLO SLU (Fondazione) ..... pag. 137
TRAVI (CA) - VERIFICHE A TAGLIO PER PRESSOFLESSIONE RETTA ALLO SLU (Fondazione) ..... pag. 141
PLINTI - SOLLECITAZIONI E VERIFICHE ALLO SLD (Fondazione) ..... pag. 157
VERIFICHE CARICO LIMITE FONDAZIONI DIRETTE (Fondazione) ..... pag. 158
ACCELERAZIONI SISMICHE DI COLLASSO SU BEAM E SHELL ..... pag. 160
ACCELERAZIONI SISMICHE DI COLLASSO SUI NODI ..... pag. 166
ACCELERAZIONI SISMICHE DI COLLASSO PER CARICO LIMITE ..... pag. 167

COMUNE DI TERNI
Direzione Lavori Pubblici e Manutenzioni - Patrimonio

Palazzo Spada - P.zza M. Ridolfi, 1
05100 Terni
Tel. +39 0744.549.501 Fax +39 0744.428708
renato.pierdonati@comune.terni.it

LAVORI DI RESTAURO, ADEGUAMENTO SISMICO, ADEGUAMENTO ALLE NORME DI PREVENZIONE INCENDI E ABBATTIMENTO BARRIERE ARCHITETTONICHE DELL'EDIFICIO SCOLASTICO "G. MATTEOTTI" VIA MARIE CURIE N. 4

DEFINITIVO

PROGETTO

Doc.
R3.2ST

EDIFICIO 3
RELAZIONE GEOTECNICA
E DELLE FONDAZIONI

Scala

Responsabile del Procedimento: Geom. S. Fredduzzi

Data: Marzo 2015

Progettisti:

Architettonico:	Arch. M. Finotto
Strutture:	Ing. M.Boccio
	Ing. S. Marinozzi
Impianti:	Per.Ind. T. Mococci
	Per.Ind. G. Rubeca
Sicurezza:	Geom. F. Formichetti

Collaboratori:

Geom. G. Poddi - Geom. M. D'Amato
Geom. F. Ottaviani - Per.Ind. E. Lenticchia
Geom. F. Ribeca - Geom. M. Ciuffetti
Geom. R. Sabatini - Geom. G. Severoni

Comune di Terni
Provincia di TR

RELAZIONE GEOTECNICA E DELLE FONDAZIONI

OGGETTO: Edificio 3

COMMITTENTE: Comune di Terni

I Progettisti

Ing. Marcello Boccio

Ing. Stefano Marinozzi

1 - DESCRIZIONE GENERALE DELL'OPERA

La presente relazione geotecnica riguarda le indagini, la caratterizzazione e modellazione geotecnica del "volume significativo" per l'opera in esame e valuta l'interazione opera / terreno ai fini del dimensionamento delle relative fondazioni.
Questa relazione è stata redatta sulla base dei dati risultanti dalle prove di campagna e/o di laboratorio.

2 - NORMATIVA DI RIFERIMENTO

Le fasi di analisi e verifica della struttura sono state condotte in accordo alle seguenti disposizioni normative, per quanto applicabili in relazione al criterio di calcolo adottato dal progettista, evidenziato nel prosieguo della presente relazione:

Legge 5 novembre 1971 n. 1086 (G. U. 21 dicembre 1971 n. 321)
"Norme per la disciplina delle opere di conglomerato cementizio armato, normale e precompresso ed a struttura metallica"

Legge 2 febbraio 1974 n. 64 (G. U. 21 marzo 1974 n. 76)
"Provvedimenti per le costruzioni con particolari prescrizioni per le zone sismiche"
Indicazioni progettuali per le nuove costruzioni in zone sismiche a cura del Ministero per la Ricerca scientifica - Roma 1981.

D. M. Infrastrutture Trasporti 14 gennaio 2008 (G.U. 4 febbraio 2008 n. 29 - Suppl. Ord.)
"Norme tecniche per le Costruzioni"

Inoltre, in mancanza di specifiche indicazioni, ad integrazione della norma precedente e per quanto con esse non in contrasto, sono state utilizzate le indicazioni contenute nella:

Circolare 2 febbraio 2009 n. 617 del Ministero delle Infrastrutture e dei Trasporti (G.U. 26 febbraio 2009 n. 27 – Suppl. Ord.)
"Istruzioni per l'applicazione delle 'Norme Tecniche delle Costruzioni' di cui al D.M. 14 gennaio 2008";

Eurocodice 7 – "Progettazione geotecnica" - ENV 1997-1 per quanto non in contrasto con le disposizioni del D.M. 2008 "Norme Tecniche per le Costruzioni"

3 - INDAGINI GEOGNOSTICHE E CARATTERIZZAZIONE GEOTECNICA

Sulla base di quanto dettagliato nella relazione geologica dell'area di sito, si è proceduto alla progettazione della campagna di indagini geognostiche finalizzate alla determinazione delle caratteristiche geotecniche dei terreni interessati dal "volume significativo" dell'opera in esame.

3.1 Prove effettuate e Caratterizzazione geotecnica

Al fine della determinazione delle caratteristiche geotecniche dei terreni coinvolti nel "volume significativo" dell'opera in esame, sono state condotte delle prove geotecniche, riassunte nella relazione geologica.

Le indagini realizzate hanno permesso di ricostruire le seguenti stratigrafie per ognuna delle quali sono state definite le proprietà geotecniche dei singoli terreni coinvolti.

TERRENI

Terreni

N_{TRN}	γ_T	K			ϕ	c_u	c'	E_d	E_{cu}	A_{S-B}
		K_X	K_Y	K_Z						
	[N/m³]	[N/cm³]	[N/cm³]	[N/cm³]	[°]	[N/mm²]	[N/mm²]	[N/mm²]	[N/mm²]	
Terreno di riporto										
T001	18.000	60	60	300	24	0,000	0,000	0	0	0,000

Terreni

N_{TRN}	γ_T	K			ϕ	c_u	c'	E_d	E_{cu}	A_{S-B}
		K_X	K_Y	K_Z						
	[N/m³]	[N/cm³]	[N/cm³]	[N/cm³]	[°]	[N/mm²]	[N/mm²]	[N/mm²]	[N/mm²]	
Ghiaia mediamente addensata										
T002	21.000	60	60	300	35	0,000	0,000	0	0	0,000
Sabbia limosa										
T003	18.000	60	60	200	24	0,000	0,000	0	0	0,000

LEGENDA:

N_{TRN} Numero identificativo del terreno.
γ_T Peso specifico del terreno.
K Valori della costante di sottofondo del terreno nelle direzioni degli assi del riferimento globale X (K_X), Y (K_Y), e Z (K_Z).
ϕ Angolo di attrito del terreno.
c_u Coesione non drenata.
c' Coesione efficace.
E_d Modulo edometrico.
E_{cu} Modulo elastico in condizione non drenate.
A_{S-B} Parametro "A" di Skempton-Bjerrum per pressioni interstiziali.

STRATIGRAFIE

Stratigrafie

N_{TRN}	Q_i	Q_f	Cmp. S.	Add	ΔEd
	[m]	[m]			
[S001]-Edificio 3					
T001	1,50	-0,50	incoerente	sciolto	nulla
T002	-0,50	-4,50	incoerente	denso	nulla
T003	-4,50	INF	incoerente	sciolto	nulla

LEGENDA:

N_{TRN} Numero identificativo della stratigrafia.
Q_i Quota iniziale dello strato (riferito alla quota iniziale della stratigrafia).
Q_f Quota finale dello strato (riferito alla quota iniziale della stratigrafia). INF = infinito (profondità dello strato finale.
Cmp. S. Comportamento dello strato.
Add Addensamento dello strato.
ΔEd Variazione con la profondità del modulo edometrico.

NB: Nel caso di fondazioni dirette con stratigrafia, il calcolo del carico limite (q_{lim}) viene fatto su un terreno "*equivalente*" con parametri geotecnici calcolati come media pesata degli strati compresi tra la quota del piano di posa e la quota della profondità "*significativa*" (stabilita come "*Multiplo della dimensione Significativa della fondazione*").

$$\text{Parametro "J"} = \frac{\sum_{i}^{n} \left[\text{Parametro "J" (strato, i)} \cdot \text{Spessore (strato, i)}\right]}{\text{Profondità significativa}}$$

con i = 1,..., n (numero di strati compresi tra la quota del piano di posa e la quota della profondità significativa).

3.2 Idrogeologia

Non è stata riscontrata la presenza di falde acquifere a profondità di interesse relativamente al "volume significativo" investigato.

3.3 Problematiche riscontrate

Durante l'esecuzione delle prove e dall'elaborazione dei dati non sono emerse problematiche rilevanti alla realizzazione delle opere di fondazione.

4 - MODELLAZIONE GEOTECNICA E PERICOLOSITA' SISMICA DEL SITO E PERICOLOSITA' SISMICA DEL SITO

Le indagini effettuate, permettono di classificare il profilo stratigrafico, ai fini della determinazione dell'azione sismica, di categoria:
C [C - Depositi di terreni a grana grossa mediamente addensati o terreni a grana fina mediamente consistenti], basandosi sulla valutazione della velocità delle onde di taglio (V_{S30}) e/o del numero di colpi dello Standard Penetration Test (N_{SPT}) e/o della resistenza non drenata equivalente ($c_{u,30}$).
Le indagini effettuate, permettono di classificare il profilo stratigrafico, ai fini della determinazione dell'azione sismica, di categoria:
C [C - Depositi di terreni a grana grossa mediamente addensati o terreni a grana fina mediamente consistenti], basandosi sulla valutazione della velocità delle onde di taglio (V_{S30}) e/o del numero di colpi dello Standard Penetration Test (N_{SPT}) e/o della resistenza non drenata equivalente ($c_{u,30}$).
Tutti i parametri che caratterizzano i terreni di fondazione sono riportati nei seguenti paragrafi.

4.1 Modellazione geotecnica

Ai fini del calcolo strutturale, il terreno sottostante l'opera viene modellato secondo lo schema di Winkler, cioè un sistema costituito da un letto di molle elastiche mutuamente indipendenti. Ciò consente di ricavare le rigidezze offerte dai manufatti di fondazione, siano queste profonde o superficiali, che sono state introdotte direttamente nel modello strutturale per tener conto dell'interazione opera / terreno.

4.2 Pericolosità sismica

Ai fini della pericolosità sismica sono stati analizzati i dati relativi alla sismicità dell'area di interesse e ad eventuali effetti di amplificazione stratigrafica e topografica. Si sono tenute in considerazione anche la classe dell'edificio e la vita nominale.

Per tale caratterizzazione si riportano di seguito i dati di pericolosità come da normativa:

4.3 Pericolosità sismica

Ai fini della pericolosità sismica sono stati analizzati i dati relativi alla sismicità dell'area di interesse e ad eventuali effetti di amplificazione stratigrafica e topografica. Si sono tenute in considerazione anche la classe d'importanza della struttura.

Per tale caratterizzazione si riportano di seguito i dati di pericolosità come da normativa:

5 - SCELTA TIPOLOGICA DELLE OPERE DI FONDAZIONE

La tipologia delle opere di fondazione sono consone alle caratteristiche meccaniche del terreno definite in base ai risultati delle indagini geognostiche.
Nel caso in esame, la struttura di fondazione è costituita da:

- fondazioni dirette

6 - VERIFICHE DI SICUREZZA

Nelle verifiche allo stato limite ultimo deve essere rispettata la condizione:

$$E_d \leq R_d$$

dove:

E_d è il valore di progetto dell'azione o dell'effetto dell'azione;

R_d è il valore di progetto della resistenza del sistema geotecnico.

Le verifiche strutturali e geotecniche delle fondazioni, sono state effettuate con l'**Approccio 2** come definito al p. 2.6.1 del DM 14/01/2008, attraverso la combinazione **A1+M1+R3**. Le azioni sono state amplificate tramite i coefficienti della colonna A1 (STR) definiti nella tabella 6.2.I del DM 14/01/2008.

Tabella 6.2.I – Coefficienti parziali per le azioni o per l'effetto delle azioni [DM 14/01/2008]

CARICHI	EFFETTO	Coefficiente parziale γ_F (o γ_E)	A1 (STR)	A2 (GEO)
Permanenti	Favorevole	γ_{G1}	1,00	1,00
	Sfavorevole		1,30	1,00
Permanenti non strutturali	Favorevole	γ_{G2}	0,00	0,00
	Sfavorevole		1,50	1,30
Variabili	Favorevole	γ_{Qi}	0,00	0,00
	Sfavorevole		1,50	1,30

I valori di resistenza del terreno sono stati ridotti tramite i coefficienti della colonna M1 definiti nella 6.2.II del DM 14/01/2008.

Tabella 6.2.II – Coefficienti parziali per i parametri geotecnici del terreno [EN 1997-1:2005 (EC7)]

PARAMETRO GEOTECNICO	Grandezza alla quale applicare il coefficiente parziale	Coefficiente parziale γ_M	M1	M2
Angolo di attrito	$\tan\varphi_k$	$\gamma_{\varphi'}$	1,00	1,25
Coesione efficace	c'_k	$\gamma_{c'}$	1,00	1,25
Coesione non drenata	c_{uk}	γ_{cu}	1,00	1,40
Peso dell'unità di volume	γ	γ_γ	1,00	1,00

I valori calcolati delle resistenze totali dell'elemento strutturale sono stati divisi per i coefficienti R3 della tabella 6.4.I del DM 14/01/2008 per le fondazioni superficiali.

Per le varie tipologie di fondazioni sono di seguito elencate le metodologie ed i modelli usati per il calcolo del carico limite ed i risultati di tale calcolo.

6.1 Carico limite fondazioni dirette

La formula del carico limite esprime l'equilibrio fra il carico applicato alla fondazione e la resistenza limite del terreno. Il carico limite è dato dalla seguente espressione:

$$q_{lim} = c \cdot N_c \cdot s_c \cdot d_c \cdot i_c \cdot g_c \cdot b_c \cdot \Psi_c + q \cdot N_q \cdot s_q \cdot d_q \cdot i_q \cdot g_q \cdot b_q \cdot \Psi_q + \frac{B'}{2} \cdot \gamma_f \cdot N_\gamma \cdot s_\gamma \cdot d_\gamma \cdot i_\gamma \cdot g_\gamma \cdot b_\gamma \cdot \Psi_\gamma \cdot r_\gamma$$

in cui:

c = coesione del terreno al disotto del piano di posa della fondazione;

q = $\gamma \times D$ = pressione geostatica in corrispondenza del piano di posa della fondazione;

γ = peso unità di volume del terreno al di sopra del piano di posa della fondazione;

D = profondità del piano di posa della fondazione;

B' = larghezza ridotta della suola di fondazione (vedi **NB**);

L = lunghezza della fondazione;

γ_f = peso unità di volume del terreno al disotto del piano di posa della fondazione;

N_c, N_q, N_γ = fattori di capacità portante;

s, d, i, g, b, ψ , r = coefficienti correttivi.

NB: Se la risultante dei carichi verticali è eccentrica, B e L saranno ridotte rispettivamente di:

$B' = B - 2 \cdot e_B$ ed $L' = L - 2 \cdot e_L$

dove:

e_B = eccentricità parallela al lato di dimensione B;

e_L = eccentricità parallela al lato di dimensione L;

con B' ≤ L'.

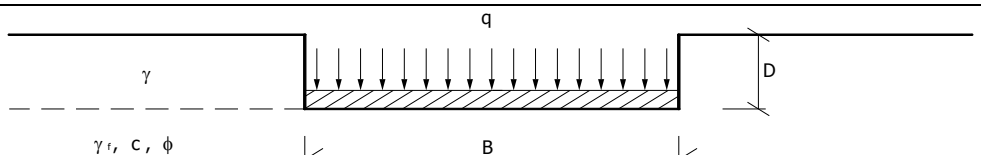

Calcolo dei fattori N_c, N_q, N_γ

Terreni puramente coesivi (c≠0, ϕ=0)	Terreni dotati di attrito e coesione (c≠0, ϕ≠0)
$N_c = 2 + \pi$	$N_c = (N_q - 1) \cdot \cot\phi$
$N_q = 1$	$N_q = K_p \cdot e^{\pi \cdot \tan\phi}$
$N_\gamma = 0$ se $\omega = 0$ $N_\gamma = -2 \cdot \sin\omega$ se $\omega \neq 0$	$N_\gamma = 2 \cdot (N_q + 1) \cdot \tan\phi$

dove:

$k_p = \tan^2\left(45 + \frac{\phi}{2}\right)$ è il coefficiente di spinta passiva di Rankine;

ϕ = angolo di attrito del terreno al disotto del piano di posa della fondazione;

ω = angolo di inclinazione del piano campagna.

Calcolo dei fattori di forma s_c, s_q, s_γ

Terreni puramente coesivi (c≠0, ϕ=0)	Terreni dotati di attrito e coesione (c≠0, ϕ≠0)
$s_c = 1 + \frac{B'}{(2+\pi) \cdot L'}$	$s_c = 1 + \frac{N_q}{N_c} \cdot \frac{B'}{L'}$
$s_q = 1$	$s_q = 1 + \frac{B'}{L'} \cdot \tan\phi$
$s_\gamma = 1 - 0.40 \cdot \frac{B'}{L'}$	$s_\gamma = 1 - 0.40 \cdot \frac{B'}{L'}$

con B′/L′<1.

Calcolo dei fattori di profondità del piano di posa d_c, d_q, d_γ

Si definisce il seguente parametro:

$$K = \frac{D}{B'} \quad \text{se} \quad \frac{D}{B'} \leq 1;$$

$$K = \text{arctg}\left(\frac{D}{B'}\right) \quad \text{se} \quad \frac{D}{B'} > 1.$$

Terreni puramente coesivi (c≠0, ϕ=0)	Terreni dotati di attrito e coesione (c≠0, ϕ≠0)
$d_c = 1 + 0.4 \cdot k$	$d_c = d_q - \frac{1 - d_q}{N_c \cdot \tan\phi}$
$d_q = 1$	$d_q = 1 + 2 \cdot \tan\phi \cdot (1 - \sin\phi)^2 \cdot K$
$d_\gamma = 1$	$d_\gamma = 1$

Calcolo dei fattori di inclinazione del carico i_c, i_q, i_γ

Si definisce il seguente parametro:

$m = m_B = \frac{2 + B/L}{1 + B/L}$ se la forza H è parallela alla direzione trasversale della fondazione

$m = m_L = \frac{2 + L/B}{1 + L/B}$ se la forza H è parallela alla direzione longitudinale della fondazione

$m = m_\theta = m_L \cdot \cos^2\theta + m_B \cdot \mathrm{sen}^2\theta$ se la forza H forma un angolo θ con la direzione longitudinale della fondazione

Terreni coesivi ($c \neq 0$, $\phi = 0$)	**Terreni incoerenti** ($c = 0$, $\phi \neq 0$)	**Terreni dotati di attrito e coesione** ($c \neq 0$, $\phi \neq 0$)
$i_c = 1 - \frac{m \cdot H}{c \cdot N_c \cdot B \cdot L}$	$i_c = 0$	$i_c = i_q - \frac{1 - i_q}{N_c \cdot \tan\phi}$
$i_q = 1$	$i_q = \left(1 - \frac{H}{V}\right)^m$	$i_q = \left(1 - \frac{H}{V + B \cdot L \cdot c \cdot \cot\phi}\right)^m$
$i_\gamma = 0$	$i_\gamma = \left(1 - \frac{H}{V}\right)^{m+1}$	$i_\gamma = \left(1 - \frac{H}{V + B \cdot L \cdot c \cdot \cot\phi}\right)^{m+1}$

dove:

H = componente orizzontale dei carichi agente sul piano di posa della fondazione;
V = componente verticale dei carichi agente sul piano di posa della fondazione.

Calcolo dei fattori di inclinazione del piano di campagna b_c, b_q, b_γ

Indicando con ω la pendenza del piano campagna, si ha:

Terreni puramente coesivi ($c \neq 0$, $\phi = 0$)	**Terreni dotati di attrito e coesione** ($c \neq 0$, $\phi \neq 0$)
$b_c = 1 - \frac{2 \cdot \omega}{(2 + \pi)}$	$b_c = b_q - \frac{1 - b_q}{N_c \cdot \tan\phi}$
$b_q = (1 - \tan\omega)^2 \cdot \cos\omega$	$b_q = (1 - \tan\omega)^2 \cdot \cos\omega$
$b_\gamma = \frac{b_q}{\cos\omega}$	$b_\gamma = \frac{b_q}{\cos\omega}$

Per poter applicare tali coefficienti correttivi deve essere verificata la seguente condizione:

$$\omega < \phi; \qquad \omega < 45°.$$

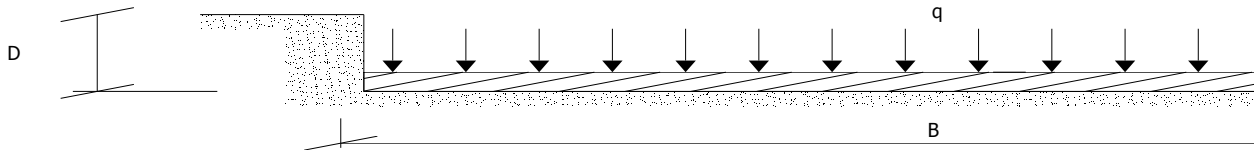

Calcolo dei fattori di inclinazione del piano di posa g_c, g_q, g_γ

Indicando con ε la pendenza del piano di posa della fondazione, si ha:

Terreni puramente coesivi ($c \neq 0$, $\phi = 0$)	**Terreni dotati di attrito e coesione** ($c \neq 0$, $\phi \neq 0$)
$g_c = 1 - \frac{2 \cdot \varepsilon}{(2 + \pi)}$	$g_c = g_q - \frac{1 - g_q}{N_c \cdot \tan\phi}$
$g_q = 1$	$g_q = (1 - \varepsilon \cdot \tan\phi)^2$
$g_\gamma = 1$	$g_\gamma = g_q$

Per poter applicare tali coefficienti correttivi deve essere verificata la seguente condizione:

$$\varepsilon < 45°$$

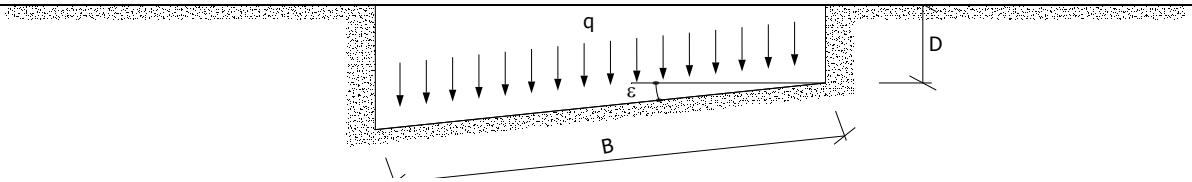

Calcolo dei fattori di riduzione per rottura a punzonamento ψ_c, ψ_q, ψ_γ

Si definisce l'*indice di rigidezza* del terreno come:

$$I_r = \frac{G}{c + \sigma \cdot \tan\phi}$$

dove:

$G = \frac{E}{2 \cdot (1+\nu)}$ = modulo d'elasticità tangenziale del terreno;

E= modulo elastico del terreno (nei calcoli è utilizzato il modulo edometrico);

ν = modulo di Poisson. Sia in condizioni non drenate che drenate è assunto pari a 0.5, a vantaggio di sicurezza;

σ= tensione litostatica alla profondità D+B/2.

La rottura a punzonamento si verifica quando i coefficienti di punzonamento ψ_c, ψ_q, ψ_γ sono inferiori all'unità; ciò accade quando l'indice di rigidezza I_r si mantiene inferiore al valore critico:

$$I_r < I_{r,crit} = \frac{1}{2} \cdot e^{\left[\left(3.3 - 0.45 \cdot \frac{B}{L}\right) \cdot \cot\left(45 - \frac{\phi}{2}\right)\right]}.$$

Terreni puramente coesivi ($c \neq 0$, $\phi = 0$)	**Terreni dotati di attrito e coesione** ($c \neq 0$, $\phi \neq 0$)
$\psi_c = 0.32 + 0.12 \cdot \frac{B'}{L'} + 0.6 \cdot \mathrm{Log}(I_r)$	$\psi_c = \psi_q - \frac{1 - \psi_q}{N_c \cdot \tan\phi}$
$\psi_q = 1$	$\psi_q = e^{\left\{\left(0,6 \cdot \frac{B'}{L'} - 4,4\right) \cdot \tan\phi + \frac{3,07 \cdot \sin\phi \cdot \mathrm{Log}(2 \cdot I_r)}{1 + \sin\phi}\right\}}$
$\psi_\gamma = 1$	$\psi_\gamma = \psi_q$

Correzione per fondazione tipo piastra

Bowles, al fine di limitare il contributo del termine "$B \cdot N_\gamma$", che per valori elevati di B porterebbe ad ottenere valori del carico limite prossimi a quelli di una fondazione profonda, propone il seguente fattore di riduzione $\mathbf{r_\gamma}$:

$$r_\gamma = 1 - 0,25 \cdot \mathrm{Log}\left(\frac{B}{2}\right) \quad \text{con } B \geq 2 \text{ m}$$

Nella tabella sottostante sono riportati una serie di valori del coefficiente r_γ al variare della larghezza dell'elemento di fondazione.

B [m]	2	2.5	3	3.5	4	5	10	20	100
$\mathbf{r_\gamma}$	1,00	0,97	0,95	0,93	0,92	0,90	0,82	0,75	0,57

Questo coefficiente assume particolare importanza per fondazioni larghe con rapporto D/B basso, caso nel quale il termine "$B \cdot N_\gamma$" è predominante.

Calcolo del carico limite in condizioni non drenate

L'espressione generale del carico limite, valutato in termini di *tensioni totale*, diventa:

$$q_{lim} = c_u \cdot (2 + \pi) \cdot s_c \cdot d_c \cdot i_c \cdot g_c \cdot b_c + q + \frac{B'}{2} \cdot \gamma_{sat} \cdot B' N_\gamma \cdot s_\gamma \cdot r_\gamma$$

dove:

c_u = coesione non drenata;

γ_{sat} = peso unità di volume del terreno in condizioni di saturazione.

N.B: Nel calcolo in condizioni non drenate (situazione molto rara per un terreno incoerente) si assume, sempre e comunque, che l'angolo di attrito ϕ sia nullo (ϕ=0).

6.2 Fattori correttivi al carico limite in presenza di sisma

L'azione del sisma si traduce in accelerazioni nel sottosuolo (**effetto cinematico**) e nella fondazione, per l'azione delle forze d'inerzia generate nella struttura in elevazione (**effetto inerziale**).
Nell'analisi pseudo-statica, modellando l'azione sismica attraverso la sola componente orizzontale, tali effetti possono essere portati in conto mediante l'introduzione di coefficienti sismici rispettivamente denominati $\mathbf{K_{hi}}$ e $\mathbf{K_{hk}}$, il primo definito dal rapporto tra le componenti orizzontale e verticale dei carichi trasmessi in fondazione ed il secondo funzione dell'accelerazione massima attesa al sito.
La formula generale del carico limite si modifica nel seguente modo:

$$q_{lim} = c \cdot N_c \cdot s_c \cdot d_c \cdot i_c \cdot g_c \cdot b_c \cdot \Psi_c \cdot z_c + q \cdot N_q \cdot s_q \cdot d_q \cdot i_q \cdot g_q \cdot b_q \cdot \Psi_q \cdot z_q + \frac{B'}{2} \cdot \gamma_f \cdot N_\gamma \cdot s_\gamma \cdot d_\gamma \cdot i_\gamma \cdot g_\gamma \cdot b_\gamma \cdot \Psi_\gamma \cdot r_\gamma \cdot z_\gamma \cdot c_\gamma$$

in cui, oltre ai termini già precedentemente indicati, si sono introdotti i seguenti termini:

z_c, z_q, z_γ = coefficienti correttivi dovuti all'effetto inerziale;
c_γ = coefficiente correttivo dovuto all'effetto cinematico.

Calcolo del fattore correttivo dovuto all'effetto cinematico c_γ

L'effetto cinematico modifica il solo coefficiente $N\gamma$ in funzione del coefficiente sismico K_{hk} che è pari a:

$$K_{hk} = \beta_s \cdot \frac{S_S \cdot S_T \cdot a_g}{g}$$

dove:

β_s = coefficiente di riduzione dell'accelerazione massima attesa al sito;
g = accelerazione di gravità;
S_S = coefficiente di amplificazione stratigrafica;
S_T = coefficiente di amplificazione topografica;
a_g = accelerazione orizzontale massima attesa su sito di riferimento rigido.

I valori di $\beta_s$sono riportati nella seguente tabella:

	CATEGORIA DI SOTTOSUOLO	
	A	**B,C,D,E**
	β_s	β_s
$0,2 < a_g(g) \le 0,4$	0,30	0,28
$0,1 < a_g(g) \le 0,2$	0,27	0,24
$a_g(g) \le 0,1$	0,20	0,20

Il fattore correttivo dovuto all'effetto cinematico $\mathbf{c_\gamma}$ è stato, pertanto, determinato con la seguente relazione:

Terreni puramente coesivi ($c \neq 0$, $\phi = 0$)	**Terreni dotati di attrito e coesione** ($c \neq 0$, $\phi \neq 0$)
$c_\gamma = 1$	$c_\gamma = \left(1 - \frac{K_{hk}}{\tan\phi}\right)^{0.45}$ se $\frac{K_{hk}}{\tan\phi} < 1$, altrimenti $c_\gamma = 0$

Calcolo dei fattori correttivi dovuti all'effetto inerziale z_c, z_q, z_γ

L'effetto inerziale produce variazioni di tutti i coefficienti di capacità portante del carico limite in funzione del coefficiente sismico K_{hi}.

Tali effetti correttivi vengono valutati con la teoria di **Paolucci - Pecker** attraverso le seguenti relazioni:

Terreni puramente coesivi ($c \neq 0$, $\phi = 0$)	**Terreni dotati di attrito e coesione** ($c \neq 0$, $\phi \neq 0$)		
$z_c = z_q = z_\gamma = 1$	$z_c = 1 - 0.32 \cdot K_{hi}$	se $z_c > 0$	altrimenti $z_c = 0$
	$z_\gamma = z_q = \left(1 - \frac{K_{hi}}{\tan\phi}\right)^{0.35}$	se $\frac{K_{hk}}{\tan\phi} < 1$	altrimenti $z_\gamma = z_q = 0$

dove:

K_{hi} è ricavato dallo spettro di progetto allo SLV attraverso la relazione:

$$K_{hi} = \frac{S_S \cdot S_T \cdot a_g}{g}$$

i cui termini sono stati precedentemente precisati.

Si fa notare che il coefficiente sismico K_{hi} coincide con l'ordinata dello spettro di progetto allo SLU per T =0 ed è indipendente dalle combinazioni di carico.

6.3 Fattori correttivi al carico limite in presenza di sisma

L'azione del sisma si traduce in accelerazioni nel sottosuolo (**effetto cinematico**) e nella fondazione, per l'azione delle forze d'inerzia generate nella struttura in elevazione (**effetto inerziale**).
Nell'analisi pseudo-statica, modellando l'azione sismica attraverso la sola componente orizzontale, tali effetti possono essere portati in conto mediante l'introduzione di coefficienti sismici rispettivamente denominati $\mathbf{K_{hi}}$ e $\mathbf{K_{hk}}$, il primo definito dal rapporto tra le componenti orizzontale e verticale dei carichi trasmessi in fondazione ed il secondo funzione dell'accelerazione massima attesa al sito.
La formula generale del carico limite si modifica nel seguente modo:

$$q_{lim} = c \cdot N_c \cdot s_c \cdot d_c \cdot i_c \cdot g_c \cdot b_c \cdot \Psi_c \cdot z_c + q \cdot N_q \cdot s_q \cdot d_q \cdot i_q \cdot g_q \cdot b_q \cdot \Psi_q \cdot z_q + \frac{B'}{2} \cdot \gamma_f \cdot N_\gamma \cdot s_\gamma \cdot d_\gamma \cdot i_\gamma \cdot g_\gamma \cdot b_\gamma \cdot \Psi_\gamma \cdot r_\gamma \cdot z_\gamma \cdot c_\gamma$$

in cui, oltre ai termini già precedentemente indicati, si sono introdotti i seguenti termini:

z_c, z_q, z_γ = coefficienti correttivi dovuti all'effetto inerziale;
c_γ = coefficiente correttivo dovuto all'effetto cinematico.

Calcolo del fattore correttivo dovuto all'effetto cinematico c_γ

L'effetto cinematico modifica il solo coefficiente N_γ in funzione del coefficiente sismico K_{hk} che è pari a:

$$K_{hk} = \beta_s \cdot \frac{S_S \cdot S_T \cdot a_g}{g}$$

dove:

β_s = coefficiente di riduzione dell'accelerazione massima attesa al sito;
g = accelerazione di gravità;
S_S = coefficiente di amplificazione stratigrafica;
S_T = coefficiente di amplificazione topografica;
a_g = accelerazione orizzontale massima attesa su sito di riferimento rigido.

I valori di $\beta_s$sono riportati nella seguente tabella:

	CATEGORIA DI SOTTOSUOLO	
	A	**B,C,D,E**
	β_s	**β_s**
$0,2 < a_g(g) \leq 0,4$	0,30	0,28
$0,1 < a_g(g) \leq 0,2$	0,27	0,24
$a_g(g) \leq 0,1$	0,20	0,20

Il fattore correttivo dovuto all'effetto cinematico $\mathbf{c_\gamma}$ è stato, pertanto, determinato con la seguente relazione:

Terreni puramente coesivi ($c\neq0$, $\phi=0$)	**Terreni dotati di attrito e coesione** ($c\neq0$, $\phi\neq0$)
$c_\gamma = 1$	$c_\gamma = \left(1 - \frac{K_{hk}}{\tan\phi}\right)^{0.45}$ se $\frac{K_{hk}}{\tan\phi} < 1$, altrimenti $c_\gamma = 0$

Calcolo dei fattori correttivi dovuti all'effetto inerziale z_c, z_q, z_γ

L'effetto inerziale produce variazioni di tutti i coefficienti di capacità portante del carico limite in funzione del coefficiente sismico K_{hi}.

Tali effetti correttivi vengono valutati con la teoria di **Paolucci - Pecker** attraverso le seguenti relazioni:

Terreni puramente coesivi ($c\neq0$, $\phi=0$)	**Terreni dotati di attrito e coesione** ($c\neq0$, $\phi\neq0$)		
$z_c = z_q = z_\gamma = 1$	$z_c = 1 - 0.32 \cdot K_{hi}$	se $z_c > 0$	altrimenti $z_c = 0$
	$z_\gamma = z_q = \left(1 - \frac{K_{hi}}{\tan\phi}\right)^{0.35}$	se $\frac{K_{hk}}{\tan\phi} < 1$	altrimenti $z_\gamma = z_q = 0$

dove:

K_{hi} è ricavato dallo spettro di progetto allo SLU attraverso la relazione:

$$K_{hi} = \frac{S_S \cdot S_T \cdot a_g}{g}$$

i cui termini sono stati precedentemente precisati.

Si fa notare che il coefficiente sismico K_{hi} coincide con l'ordinata dello spettro di progetto allo SLV per T = 0 ed è indipendente dalle combinazioni di carico.

Verifiche nei confronti degli stati limite ultimi (SLU)

Di seguito si riporta una tabella riepilogativa relativa alla verifica dello stato limite di collasso per carico limite dell'insieme fondazione-terreno.
Si precisa che il valore relativo alla colonna $Q_{d,Rd}$, di cui nella tabella seguente, è da intendersi come il valore di progetto della resistenza R_d, ossia il rapporto fra il carico limite q_{lim} (calcolato come sopra esposto) ed il valore del coefficiente parziale di sicurezza γ_R relativo alla capacità portante del complesso terreno-fondazione, in relazione all'approccio utilizzato. Nel caso in esame il coefficiente parziale di sicurezza γ_R, come indicato nella tabella 6.4.I del DM 14/01/2008 è stato assunto pari a:

Tabella 6.4.I – Coefficienti parziali γ_R per le verifiche agli stati limiti ultimi di fondazioni superficiali [DM 14/01/2008]

Verifica	**Coefficiente parziale γ_R (R3)**
Capacità portante	2,3

Si precisa che, nella sottostante tabella:

- la coppia Q_{Ed} e $Q_{d,Rd}$ è relativa alla combinazione di carico, fra tutte quelle esaminate, che da luogo al minimo coefficiente di sicurezza (CS);
- nelle colonne "***per N_q, per N_c*** e ***per N_γ***", relative ai "***Coef. Cor. Terzaghi***", viene riportato il prodotto tra i vari coefficienti correttivi presenti nell'espressione generale del carico limite. Ad esempio si è posto:

Coef. Cor. Terzaghi per N_q = $s_q \cdot d_q \cdot i_q \cdot g_q \cdot b_q \cdot \psi_q \cdot z_q$
Coef. Cor. Terzaghi per N_c = $s_c \cdot d_c \cdot i_c \cdot g_c \cdot b_c \cdot \psi_c \cdot z_c$
Coef. Cor. Terzaghi per N_γ = $s_\gamma \cdot d_\gamma \cdot i_\gamma \cdot g_\gamma \cdot b_\gamma \cdot \Psi_\gamma \cdot r_\gamma \cdot z_\gamma \cdot c_\gamma$

VERIFICHE CARICO LIMITE FONDAZIONI DIRETTE

Verifiche Carico Limite fondazioni dirette

Id_{Fnd}	CS	L_X	L_Y	Rtz	$Z_{P.cmp}$	Z_{Fld}	Cmp T	C. Terzaghi						Q_{Ed}	$Q_{d,Rd}$	R_f
								per N_q	per N_c	per N_γ	N_q	N_c	N_γ			
		[m]	[m]	[°]	[m]	[m]								[N/mm²]	[N/mm²]	
Plinto 7	2,69	1,20	1,20	0,00	2,00	-	NON Coesivo	0,89	0,00	0,25	23,18	35,49	30,21	0,127	0,340	NO
Plinto 10	0,82	1,20	1,20	0,00	2,00	-	NON Coesivo	0,39	0,00	0,09	23,18	35,49	30,21	0,177	0,145	NO
Plinto 5	4,74	1,60	1,60	0,00	2,00	-	NON Coesivo	1,31	0,00	0,36	23,18	35,49	30,21	0,111	0,529	NO
Plinto 35	3,88	1,60	1,60	0,00	2,00	-	NON Coesivo	1,33	0,00	0,37	23,18	35,49	30,21	0,139	0,539	NO
Plinto 28	3,88	1,60	1,60	0,00	2,00	-	NON	1,05	0,00	0,27	23,1	35,4	30,2	0,107	0,416	NO

Verifiche Carico Limite fondazioni dirette

Id_{Fnd}	CS	L_X	L_Y	Rtz	$Z_{P.cmp}$	Z_{Fld}	Cmp T	C. Terzaghi						Q_{Ed}	$Q_{d,Rd}$	R_f
								per N_q	per N_c	per N_γ	N_q	N_c	N_γ			
		[m]	[m]	[°]	[m]	[m]								[N/mm²]	[N/mm²]	
Plinto 8	4,92	1,60	1,60	0,00	2,00	-	Coesivo NON Coesivo	1,25	0,00	0,35	823,18	935,49	1030,21	0,103	0,505	NO
Plinto 9	5,48	1,60	1,60	0,00	2,00	-	NON Coesivo	1,00	0,00	0,26	23,18	35,49	30,21	0,072	0,394	NO
Plinto 11	5,17	1,60	1,60	0,00	2,00	-	NON Coesivo	1,17	0,00	0,32	23,18	35,49	30,21	0,090	0,467	NO
Plinto 32	5,15	2,05	2,05	0,00	2,00	-	NON Coesivo	1,40	0,00	0,39	23,18	35,49	30,21	0,114	0,588	NO
Plinto 33	4,42	1,80	1,80	0,00	2,00	-	NON Coesivo	1,48	0,00	0,42	23,18	35,49	30,21	0,139	0,616	NO
Plinto 34	4,39	1,80	1,80	0,00	2,00	-	NON Coesivo	1,42	0,00	0,40	23,18	35,49	30,21	0,133	0,586	NO
Plinto 27	4,73	1,80	1,80	0,00	2,00	-	NON Coesivo	1,17	0,00	0,31	23,18	35,49	30,21	0,100	0,474	NO
Plinto 12	2,86	1,70	1,65	0,00	2,00	-	NON Coesivo	1,49	0,00	0,38	23,18	35,49	30,21	0,215	0,613	NO
Plinto 44	8,91	1,80	3,50	0,00	2,00	-	NON Coesivo	1,41	0,00	0,64	23,18	35,49	30,21	0,072	0,642	NO
Plinto 45	9,16	1,80	3,50	0,00	2,00	-	NON Coesivo	1,33	0,00	0,61	23,18	35,49	30,21	0,064	0,588	NO
Plinto 17	9,77	1,80	3,50	0,00	2,00	-	NON Coesivo	1,21	0,00	0,51	23,18	35,49	30,21	0,054	0,532	NO
Plinto 18	9,70	1,80	3,50	0,00	2,00	-	NON Coesivo	1,37	0,00	0,63	23,18	35,49	30,21	0,063	0,611	NO
Plinto 46	10,23	1,80	3,50	0,00	2,00	-	NON Coesivo	1,95	0,00	0,62	23,18	35,49	30,21	0,081	0,830	NO
Plinto 19	10,12	1,80	3,50	0,00	2,00	-	NON Coesivo	1,12	0,00	0,44	23,18	35,49	30,21	0,048	0,487	NO
Plinto 14	6,04	2,05	2,05	0,00	2,00	-	NON Coesivo	1,58	0,00	0,47	23,18	35,49	30,21	0,112	0,674	NO
Plinto 39	4,39	2,05	2,05	0,00	2,00	-	NON Coesivo	1,37	0,00	0,45	23,18	35,49	30,21	0,130	0,570	NO
Plinto 41	4,74	2,05	2,05	0,00	2,00	-	NON Coesivo	1,38	0,00	0,41	23,18	35,49	30,21	0,122	0,577	NO
Plinto 31	6,47	2,05	2,05	0,00	2,00	-	NON Coesivo	1,74	0,00	0,65	23,18	35,49	30,21	0,115	0,742	NO
Plinto 36	8,15	2,05	2,05	0,00	2,00	-	NON Coesivo	1,76	0,00	0,72	23,18	35,49	30,21	0,091	0,744	NO
Plinto 29	8,77	2,05	2,05	0,00	2,00	-	NON Coesivo	1,79	0,00	0,67	23,18	35,49	30,21	0,087	0,766	NO
Plinto 15	4,42	1,80	1,80	0,00	2,00	-	NON Coesivo	1,79	0,00	0,54	23,18	35,49	30,21	0,171	0,754	NO
Plinto 23	3,83	1,60	1,80	0,00	2,00	-	NON Coesivo	1,43	0,00	0,79	23,18	35,49	30,21	0,174	0,666	NO
Plinto 24	6,03	1,60	1,80	0,00	2,00	-	NON Coesivo	1,71	0,00	0,55	23,18	35,49	30,21	0,119	0,717	NO
Plinto 42	3,65	1,70	1,65	0,00	2,00	-	NON Coesivo	1,49	0,00	0,46	23,18	35,49	30,21	0,167	0,612	NO
Plinto 30	5,90	2,15	2,15	0,00	2,00	-	NON Coesivo	1,71	0,00	0,62	23,18	35,49	30,21	0,125	0,736	NO
Trave 20-15d	3,40	0,50	1,80	0,00	-	-	-	-	-	-	-	-	-	0,147	0,500	NO
Trave P5-16	1,12	1,40	1,60	0,00	-	-	-	-	-	-	-	-	-	0,447	0,500	NO
Trave P7-3c	1,54	1,00	1,80	0,00	0,75	-	NON Coesivo	1,20	0,00	0,95	64,20	75,31	109,41	2,911	1,580	NO
Trave 16-1c	3,09	2,00	1,80	0,00	-	-	-	-	-	-	-	-	-	0,162	0,500	NO
Trave P4-11d	2,19	0,50	1,60	0,00	-	-	-	-	-	-	-	-	-	0,229	0,500	NO
Trave P12-37	3,13	1,94	1,80	0,00	-	-	-	-	-	-	-	-	-	0,160	0,500	NO
Trave 20-21	2,12	1,40	1,80	0,00	-	-	-	-	-	-	-	-	-	0,236	0,500	NO
Trave P10-21d	1,18	0,50	1,80	0,00	-	-	-	-	-	-	-	-	-	0,425	0,500	NO

Verifiche Carico Limite fondazioni dirette

Id_{Fnd}	CS	L_X	L_Y	Rtz	$Z_{P.cmp}$	Z_{Fld}	Cmp T	C. Terzaghi						Q_{Ed}	$Q_{d,Rd}$	R_f
								per N_q	per N_c	per N_γ	N_q	N_c	N_γ			
		[m]	[m]	[°]	[m]	[m]								[N/mm²]	[N/mm²]	
Trave 47-33d	3,93	0,50	1,80	0,00	-	-	-	-	-	-	-	-	-	0,127	0,500	NO
Trave P18-11c	1,51	1,00	1,80	0,00	0,75	-	NON Coesivo	1,20	0,00	0,95	64,20	75,31	109,41	3,093	1,581	NO
Trave 43-9c	2,24	2,00	1,80	0,00	-	-	-	-	-	-	-	-	-	0,224	0,500	NO
Trave P16-43	1,16	1,40	1,60	0,00	-	-	-	-	-	-	-	-	-	0,431	0,500	NO
Trave P14-27d	2,56	0,50	1,60	0,00	-	-	-	-	-	-	-	-	-	0,195	0,500	NO
Trave P15-29d	2,64	0,50	1,60	0,00	-	-	-	-	-	-	-	-	-	0,189	0,500	NO
Trave P11-22d	1,08	0,50	1,60	0,00	-	-	-	-	-	-	-	-	-	0,464	0,500	NO
Trave P8-19d	1,56	0,50	1,60	0,00	-	-	-	-	-	-	-	-	-	0,321	0,500	NO
Trave 2-4d	1,11	0,50	1,60	0,00	-	-	-	-	-	-	-	-	-	0,450	0,500	NO
Trave 3-6d	3,07	0,50	1,60	0,00	-	-	-	-	-	-	-	-	-	0,163	0,500	NO
Trave 4-7d	1,65	0,50	1,60	0,00	-	-	-	-	-	-	-	-	-	0,303	0,500	NO
Trave 1-P2	7,21	2,65	1,60	0,00	-	-	-	-	-	-	-	-	-	0,069	0,500	NO
Trave 6-8d	1,73	0,50	1,60	0,00	-	-	-	-	-	-	-	-	-	0,290	0,500	NO
Trave 3-P3	9,71	2,65	1,60	0,00	-	-	-	-	-	-	-	-	-	0,052	0,500	NO
Trave 26-23d	1,13	0,50	1,60	0,00	-	-	-	-	-	-	-	-	-	0,441	0,500	NO
Trave 7c-43	24,19	1,40	1,80	0,00	-	-	-	-	-	-	-	-	-	0,021	0,500	NO
Trave 16-5c	3,82	1,40	1,80	0,00	-	-	-	-	-	-	-	-	-	0,131	0,500	NO
Trave P9-20d	1,90	0,40	1,80	0,00	0,75	-	NON Coesivo	1,22	0,00	0,94	64,20	75,31	109,41	0,834	1,582	NO
Trave P2-4	5,11	1,00	1,60	0,00	-	-	-	-	-	-	-	-	-	0,098	0,500	NO
Trave 1d-1	1,92	0,50	1,60	0,00	-	-	-	-	-	-	-	-	-	0,261	0,500	NO
Trave 3d-1	1,57	0,50	1,30	0,00	-	-	-	-	-	-	-	-	-	0,319	0,500	NO
Trave P1-3	8,11	1,90	1,60	0,00	-	-	-	-	-	-	-	-	-	0,062	0,500	NO
Trave 2d-3	2,50	0,50	1,30	0,00	-	-	-	-	-	-	-	-	-	0,200	0,500	NO
Trave P3-6	4,23	1,00	1,60	0,00	-	-	-	-	-	-	-	-	-	0,118	0,500	NO
Trave 10d-13	2,49	0,50	1,60	0,00	-	-	-	-	-	-	-	-	-	0,201	0,500	NO
Trave 13-P4	1,71	1,13	1,60	0,00	-	-	-	-	-	-	-	-	-	0,293	0,500	NO
Trave 17d-25	2,13	0,50	1,60	0,00	-	-	-	-	-	-	-	-	-	0,235	0,500	NO
Trave 25-26	3,14	2,90	1,60	0,00	-	-	-	-	-	-	-	-	-	0,159	0,500	NO
Trave 12d-P5	1,11	0,50	1,60	0,00	-	-	-	-	-	-	-	-	-	0,451	0,500	NO
Trave 14d-P7	4,41	0,50	1,80	0,00	0,75	-	NON Coesivo	1,34	0,00	0,89	64,20	75,31	109,41	0,360	1,588	NO
Trave 3c-20	4,29	2,00	1,80	0,00	-	-	-	-	-	-	-	-	-	0,117	0,500	NO
Trave 9d-20	2,52	0,50	1,30	0,00	-	-	-	-	-	-	-	-	-	0,198	0,500	NO
Trave 21-P10	1,46	1,94	1,80	0,00	-	-	-	-	-	-	-	-	-	0,343	0,500	NO
Trave 24d-P12	3,03	0,50	1,80	0,00	-	-	-	-	-	-	-	-	-	0,165	0,500	NO
Trave 37-47	2,57	1,40	1,80	0,00	-	-	-	-	-	-	-	-	-	0,194	0,500	NO
Trave 47-34d	2,88	0,50	1,30	0,00	-	-	-	-	-	-	-	-	-	0,174	0,500	NO
Trave 11c-47	2,16	2,00	1,80	0,00	-	-	-	-	-	-	-	-	-	0,231	0,500	NO
Trave 32d-P18	3,91	0,50	1,80	0,00	0,75	-	NON Coesivo	1,34	0,00	0,89	64,20	75,31	109,41	0,406	1,588	NO
Trave 30d-P16	1,13	0,50	1,60	0,00	-	-	-	-	-	-	-	-	-	0,441	0,500	NO
Trave 40-P15	2,33	1,13	1,60	0,00	-	-	-	-	-	-	-	-	-	0,215	0,500	NO
Trave 28d-40	1,44	0,50	1,60	0,00	-	-	-	-	-	-	-	-	-	0,347	0,500	NO
Trave 38-P14	2,88	1,50	1,60	0,00	-	-	-	-	-	-	-	-	-	0,173	0,500	NO

Verifiche Carico Limite fondazioni dirette

Id_{Fnd}	CS	L_X	L_Y	Rtz	$Z_{P.cmp}$	Z_{Fld}	Cmp T	C. Terzaghi						Q_{Ed}	$Q_{d,Rd}$	R_f
								per N_q	per N_c	per N_γ	N_q	N_c	N_γ			
		[m]	[m]	[°]	[m]	[m]								[N/mm²]	[N/mm²]	
Trave 26d-38	1,18	0,50	1,60	0,00	-	-	-	-	-	-	-	-	-	0,425	0,500	NO
Trave 22-P11	2,74	2,39	1,60	0,00	-	-	-	-	-	-	-	-	-	0,183	0,500	NO
Trave 16d-22	3,70	0,50	1,60	0,00	-	-	-	-	-	-	-	-	-	0,135	0,500	NO
Trave 18d-22	3,01	0,50	1,30	0,00	-	-	-	-	-	-	-	-	-	0,166	0,500	NO
Trave 22-P8	1,99	1,50	1,60	0,00	-	-	-	-	-	-	-	-	-	0,252	0,500	NO
Trave 1-2	5,93	3,42	1,60	0,00	-	-	-	-	-	-	-	-	-	0,084	0,500	NO
Trave 5d-P1	1,84	0,50	1,60	0,00	-	-	-	-	-	-	-	-	-	0,272	0,500	NO

LEGENDA:

Id_{Fnd} Descrizione dell'oggetto di fondazione al quale è riferita la verifica.
CS Coefficiente di sicurezza ([NS] = Non Significativo per valori di CS >= 100; [VNR]= Verifica Non Richiesta).
$L_{X/Y}$ Dimensioni dell'elemento di fondazione.
Rtz Angolo compreso tra l'asse X e il lato più lungo del minimo rettangolo che delimita il poligono della platea.
$Z_{P.cmp}$ Profondità di posa dell'elemento di fondazione dal piano campagna.
Z_{Fld} Profondità della falda dal piano campagna.
Cmp T Classificazione del comportamento del terreno ai fini del calcolo.
C. Terzaghi Coefficienti correttivi per la formula di Terzaghi.
Q_{Ed} Carico di progetto sul terreno.
$Q_{d,Rd}$ Resistenza di progetto del terreno.
R_f [SI] = nodo con presenza di rinforzo; [NO] = nodo senza rinforzo.

I Progettisti

Ing. Marcello Boccio

Ing. Stefano Marinozzi

COMUNE DI TERNI
Direzione Lavori Pubblici e Manutenzioni - Patrimonio

Palazzo Spada - P.zza M. Ridolfi, 1
05100 Terni
Tel. +39 0744.549.501 Fax +39 0744.428708
renato.pierdonati@comune.terni.it

LAVORI DI RESTAURO, ADEGUAMENTO SISMICO, ADEGUAMENTO ALLE NORME DI PREVENZIONE INCENDI E ABBATTIMENTO BARRIERE ARCHITETTONICHE DELL'EDIFICIO SCOLASTICO "G. MATTEOTTI" VIA MARIE CURIE N. 4

DEFINITIVO

PROGETTO

Doc.
R3.3ST

EDIFICIO 3
TABULATO DI CALCOLO 1

Scala

Responsabile del Procedimento: Geom. S. Fredduzzi
Data: Marzo 2015

Progettisti:

Architettonico:	Arch. M. Finotto
Strutture:	Ing. M.Boccio
	Ing. S. Marinozzi
Impianti:	Per.Ind. T. Mococci
	Per.Ind. G. Rubeca
Sicurezza:	Geom. F. Formichetti

Collaboratori:

Geom. G. Poddi - Geom. M. D'Amato
Geom. F. Ottaviani - Per.Ind. E. Lenticchia
Geom. F. Ribeca - Geom. M. Ciuffetti
Geom. R. Sabatini - Geom. G. Severoni

Comune di Terni
Provincia di TR

TABULATI DI CALCOLO
(Tomo 1 di 2)

OGGETTO: Edificio 3

COMMITTENTE: Comune di Terni

I Progettisti

Ing. Marcello Boccio

Ing. Stefano Marinozzi

INFORMAZIONI GENERALI

Edificio	Cemento Armato
Costruzione	Esistente
Situazione	di Progetto
Intervento	Adeguamento
Comune	Terni
Provincia	TR
Oggetto	
Parte d'opera	Edificio B
Normativa di riferimento	D.M. 14/01/2008
Zona sismica	-
Analisi sismica	PushOver

LIVELLO DI CONOSCENZA E FATTORE DI CONFIDENZA

Livello di Conoscenza e Fattore di Confidenza

LC	FC
LC2	1,2

LEGENDA:

LC [LC1] = Conoscenza Limitata - [LC2] = Conoscenza Adeguata - [LC3] = Conoscenza Accurata.
FC Fattore di confidenza applicato alle proprietà dei materiali.

MATERIALI CALCESTRUZZO ARMATO

Caratteristiche calcestruzzo armato

N_{id}	γ_k	$\alpha_{T,i}$	E	G	C_{Erid}	Stz	R_{ck}	R_{cm}	$\%R_{ck}$	γ_c	f_{cd}	f_{ctd}	f_{cfm}	n	n Ac
	[N/m³]	[1/°C]	[N/mm²]	[N/mm²]	[%]		[N/mm²]	[N/mm²]			[N/mm²]	[N/mm²]	[N/mm²]		
Cls stato di fatto edificio 3 - (Rm sf)															
001	25.000	0,000010	20.000	8.696	60	F	-	19,78	1,00	1,50	9,12	1,13	1,94	15	002
Cls C25/30_B450C - (C25/30)															
003	25.000	0,000010	31.447	13.103	60	F/P	30,00	-	0,85	1,50	11,76	1,49	2,56	15	004
Cls C28/35_B450C - (C28/35)															
005	25.000	0,000010	32.588	13.578	60	P	35,00	-	0,85	1,50	16,46	1,98	3,40	15	004

LEGENDA:

N_{id} Numero identificativo del materiale, nella relativa tabella dei materiali.
γ_k Peso specifico.
$\alpha_{T,i}$ Coefficiente di dilatazione termica.
E Modulo elastico normale.
G Modulo elastico tangenziale.
C_{Erid} Coefficiente di riduzione del Modulo elastico normale per Analisi Sismica [$E_{sisma} = E \cdot c_{Erid}$].
Stz Tipo di situazione: [F] = di Fatto (Esistente); [P] = di Progetto (Nuovo).
R_{ck} Resistenza caratteristica cubica.
R_{cm} Resistenza media cubica.
$\%R_{ck}$ Percentuale di riduzione della R_{ck}
γ_c Coefficiente parziale di sicurezza del materiale.
f_{cd} Resistenza di calcolo a compressione.
f_{ctd} Resistenza di calcolo a trazione.
f_{cfm} Resistenza media a trazione per flessione.
n Ac Identificativo, nella relativa tabella materiali, dell'acciaio utilizzato: [-] = parametro NON significativo per il materiale.

MATERIALI ACCIAIO

Caratteristiche acciaio

N_{id}	γ_k	$\alpha_{T,i}$	E	G	Stz	$f_{yk,1}$/ $f_{yk,2}$	$f_{tk,1}$/ $f_{tk,2}$	$f_{yd,1}$/ $f_{yd,2}$	f_{td}	γ_s	γ_{M1}	γ_{M2}	$\gamma_{M3,SLV}$	$\gamma_{M3,SLE}$	γ_{M7}
	[N/m³]	[1/°C]	[N/mm²]	[N/mm²]		[N/mm²]	[N/mm²]	[N/mm²]	[N/mm²]						
Acciaio Aq42 - (Aq42)															
002	78.500	0,000010	210.000	80.769	-	378,00 -	-	273,91 -	-	1,15	-	-	-	-	-
Acciaio B450C - (B450C)															
004	78.500	0,000010	210.000	80.769	-	450,00 -	-	326,09 -	-	1,15	-	-	-	-	-

LEGENDA:

N_{id} Numero identificativo del materiale, nella relativa tabella dei materiali.
γ_k Peso specifico.
$\alpha_{T,i}$ Coefficiente di dilatazione termica.
E Modulo elastico normale.
G Modulo elastico tangenziale.
Stz Tipo di situazione: [F] = di Fatto (Esistente); [P] = di Progetto (Nuovo).
$f_{tk,1}$ Resistenza caratteristica a Rottura (per profili <= 40 mm).
$f_{tk,2}$ Resistenza caratteristica a Rottura (per profili 40 mm < t <= 80 mm).
f_{td} Resistenza di calcolo a Rottura (Bulloni).
γ_s Coefficiente parziale di sicurezza allo SLV del materiale.
γ_{M1} Coefficiente parziale di sicurezza per instabilità.
γ_{M2} Coefficiente parziale di sicurezza per sezioni tese indebolite.
$\gamma_{M3,SLV}$ Coefficiente parziale di sicurezza per scorrimento allo SLV (Bulloni).
$\gamma_{M3,SLE}$ Coefficiente parziale di sicurezza per scorrimento allo SLE (Bulloni).
γ_{M7} Coefficiente parziale di sicurezza precarico bulloni ad alta resistenza (Bulloni): [-] = parametro NON significativo per il materiale.
$f_{yk,1}$ Resistenza caratteristica allo snervamento (per profili con t <= 40 mm).
$f_{yk,2}$ Resistenza caratteristica allo snervamento (per profili con 40 mm < t <= 80 mm).
$f_{yd,1}$ Resistenza di calcolo (per profili con t <= 40 mm).
$f_{yd,2}$ Resistenza di calcolo (per profili con 40 mm < t <= 80 mm).

Caratteristiche acciaio

N_{id}	γ_k	$\alpha_{T,i}$	E	G	Stz	$f_{yk,1}$/ $f_{yk,2}$	$f_{tk,1}$/ $f_{tk,2}$	$f_{yd,1}$/ $f_{yd,2}$	f_{td}	γ_s	γ_{M1}	γ_{M2}	$\gamma_{M3,SLV}$	$\gamma_{M3,SLE}$	γ_{M7}
	[N/m^3]	[1/°C]	[N/mm^2]	[N/mm^2]		[N/mm^2]	[N/mm^2]	[N/mm^2]	[N/mm^2]						

NOTE [-] = Parametro non significativo per il materiale.

MATERIALI CARATTERISTICHE NON LINEARI

Materiali Caratteristiche non lineari

N_{id}	Fase Elastica				Fase Plastica				Punto di Rottura			
	σ_{Cmp} [N/mm^2]	ε_{Cmp} [‰]	σ_{Trz} [N/mm^2]	ε_{Trz} [‰]	σ_{Cmp} [N/mm^2]	ε_{Cmp} [‰]	σ_{Trz} [N/mm^2]	ε_{Trz} [‰]	σ_{Cmp} [N/mm^2]	ε_{Cmp} [‰]	σ_{Trz} [N/mm^2]	ε_{Trz} [‰]
Cls stato di fatto edificio 3 - (Rm sf)												
001	8,37	0,42	0,00	0,00	13,95	2,00	0,00	0,10	2,79	3,50	0,00	1,00

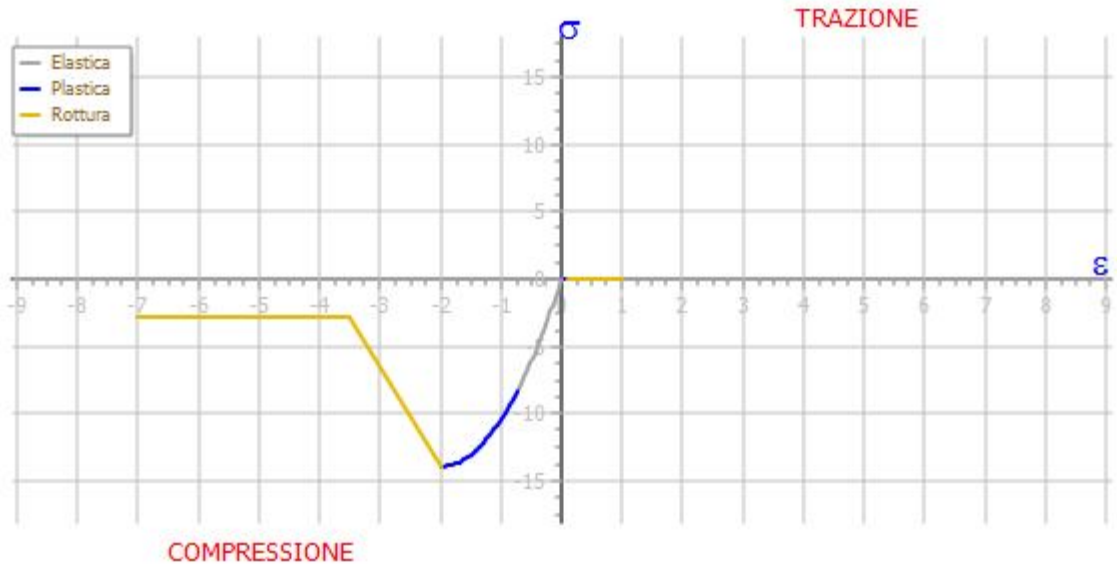

Acciaio Aq42 - (Aq42)												
002	328,70	1,57	328,70	1,86	378,00	10,00	378,00	10,00	378,00	10,00	378,00	10,00

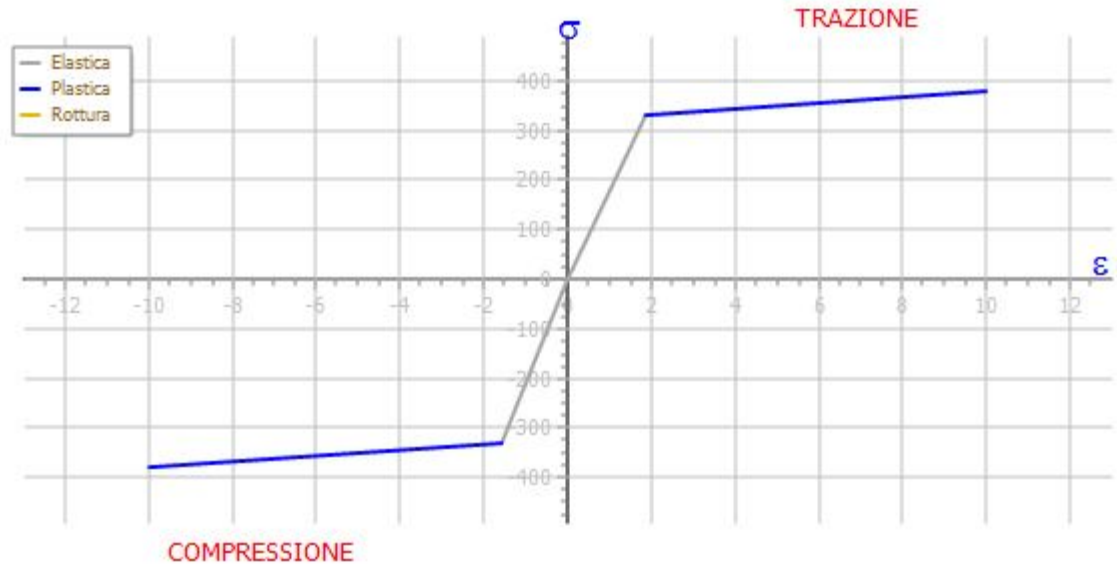

Cls C25/30_B450C - (C25/30)												
003	14,94	0,48	0,00	0,00	24,90	2,00	0,00	0,10	4,98	3,50	0,00	1,00

N_{id}	Fase Elastica				Fase Plastica				Punto di Rottura			
	σ_{Cmp} [N/mm²]	ε_{Cmp} [‰]	σ_{Trz} [N/mm²]	ε_{Trz} [‰]	σ_{Cmp} [N/mm²]	ε_{Cmp} [‰]	σ_{Trz} [N/mm²]	ε_{Trz} [‰]	σ_{Cmp} [N/mm²]	ε_{Cmp} [‰]	σ_{Trz} [N/mm²]	ε_{Trz} [‰]
Acciaio B450C - (B450C)												
004	391,30	1,86	391,30	1,86	450,00	10,00	450,00	10,00	450,00	10,00	450,00	10,00

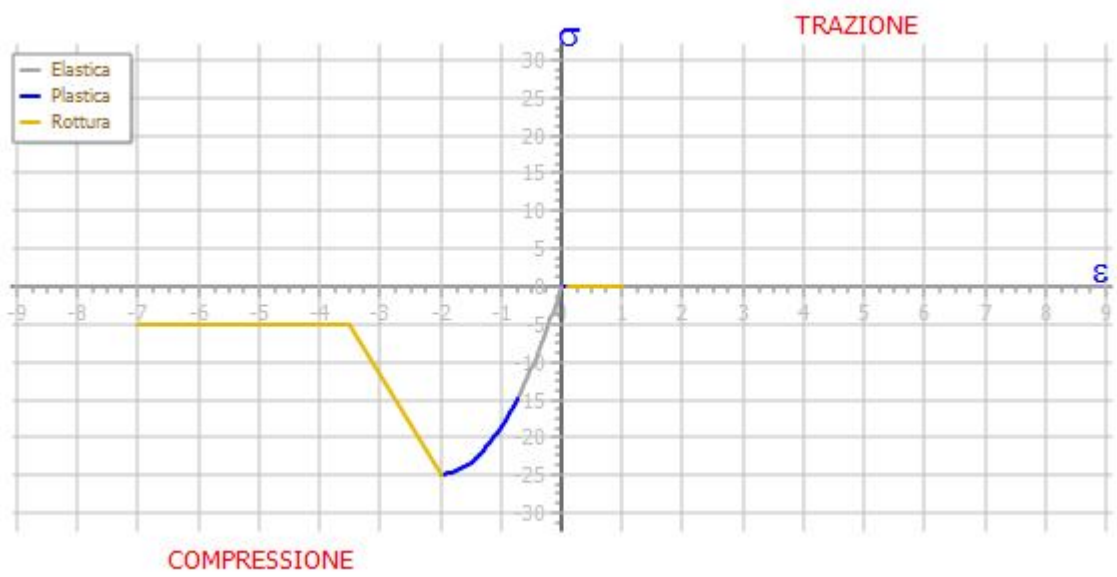

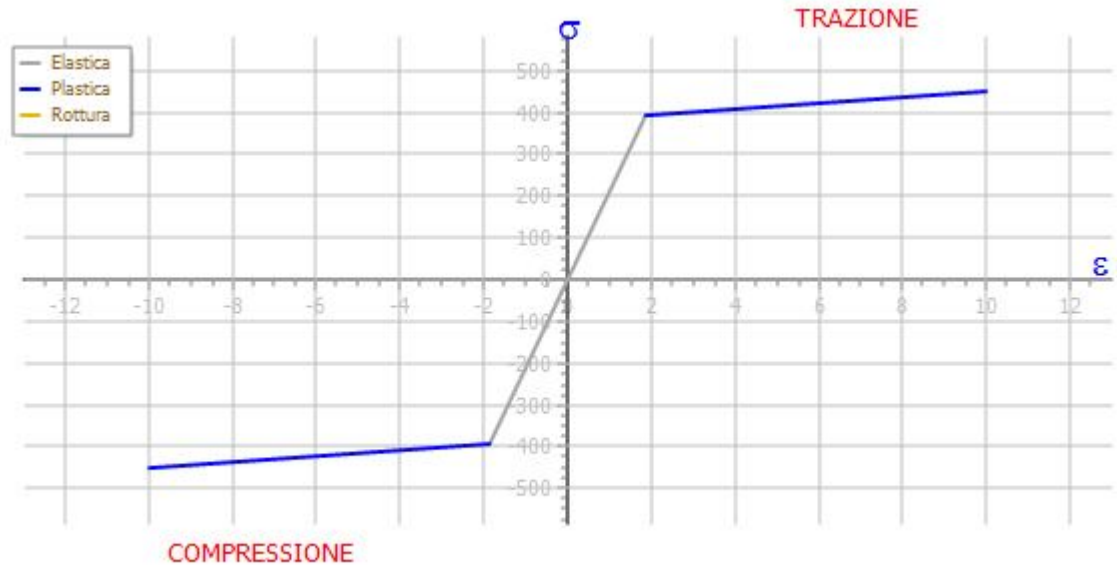

Cls C28/35_B450C - (C28/35)												
005	17,43	0,53	0,00	0,00	29,05	2,00	0,00	0,10	5,81	3,50	0,00	1,00

Materiali Caratteristiche non lineari

N_{id}	Fase Elastica				Fase Plastica				Punto di Rottura			
	σ_{Cmp} [N/mm²]	ε_{Cmp} [‰]	σ_{Trz} [N/mm²]	ε_{Trz} [‰]	σ_{Cmp} [N/mm²]	ε_{Cmp} [‰]	σ_{Trz} [N/mm²]	ε_{Trz} [‰]	σ_{Cmp} [N/mm²]	ε_{Cmp} [‰]	σ_{Trz} [N/mm²]	ε_{Trz} [‰]

LEGENDA:

N_{id} Numero identificativo del materiale, nella relativa tabella dei materiali.
σ_{Cmp} Tensione massima per Compressione.
ε_{Cmp} Deformazione relativa alla tensione massima per compressione.
σ_{Trz} Tensione massima per Trazione.
ε_{Trz} Deformazione relativa alla tensione massima per trazione.

TERRENI

Terreni

N_{TRN}	γ_T	K			ϕ	c_u	c'	E_d	E_{cu}	A_{S-B}
		K_X	K_Y	K_Z						
	[N/m³]	[N/cm³]	[N/cm³]	[N/cm³]	[°]	[N/mm²]	[N/mm²]	[N/mm²]	[N/mm²]	
Terreno di riporto										
T001	18.000	60	60	300	24	0,000	0,000	0	0	0,000
Ghiaia mediamente addensata										
T002	21.000	60	60	300	35	0,000	0,000	0	0	0,000
Sabbia limosa										
T003	18.000	60	60	200	24	0,000	0,000	0	0	0,000

LEGENDA:

N_{TRN} Numero identificativo del terreno.
γ_T Peso specifico del terreno.
K Valori della costante di sottofondo del terreno nelle direzioni degli assi del riferimento globale X (K_X), Y (K_Y), e Z (K_Z).
ϕ Angolo di attrito del terreno.
c_u Coesione non drenata.
c' Coesione efficace.
E_d Modulo edometrico.
E_{cu} Modulo elastico in condizione non drenate.
A_{S-B} Parametro "A" di Skempton-Bjerrum per pressioni interstiziali.

STRATIGRAFIE

Stratigrafie

N_{TRN}	Q_i [m]	Q_f [m]	Cmp. S.	Add	ΔEd
[S001]-Edificio 3					
T001	1,50	-0,50	incoerente	sciolto	nulla
T002	-0,50	-4,50	incoerente	denso	nulla
T003	-4,50	INF	incoerente	sciolto	nulla

LEGENDA:

N_{TRN} Numero identificativo della stratigrafia.
Q_i Quota iniziale dello strato (riferito alla quota iniziale della stratigrafia).
Q_f Quota finale dello strato (riferito alla quota iniziale della stratigrafia). INF = infinito (profondità dello strato finale.
Cmp. S. Comportamento dello strato.
Add Addensamento dello strato.
ΔEd Variazione con la profondità del modulo edometrico.

DATI GENERALI ANALISI SISMICA NON LINEARE

Dati generali analisi sismica non lineare

Ang	NV	MP	C.S.T.	ξ
[°]				
0	35	caOld	C	5

LEGENDA:

Dati generali analisi sismica non lineare

Ang	NV	MP	C.S.T.	ξ
[°]				

Ang Direzione di una componente dell'azione sismica rispetto all'asse X (sistema di riferimento globale); la seconda componente dell'azione sismica e' assunta con direzione ruotata di 90 gradi rispetto alla prima.
NV Nel caso di analisi dinamica, indica il numero di modi di vibrazione considerati.
MP Tipo di struttura sismo-resistente prevalente: [ca] = calcestruzzo armato - [caOld] = calcestruzzo armato esistente - [muOld] = muratura esistente - [muNew] = muratura nuova - [muArm] = muratura armata - [ac] = acciaio.
C.S.T. Categoria di sottosuolo: [A] = Ammassi rocciosi affioranti o terreni molto rigidi - [B] = Rocce tenere e depositi di terreni a grana grossa molto addensati o terreni a grana fina molto consistenti - [C] = Depositi di terreni a grana grossa mediamente addensati o terreni a grana fina mediamente consistenti - [D] = Depositi di terreni a grana grossa scarsamente addensati o di terreni a grana fina scarsamente consistenti - [E] = Terreni dei sottosuoli di tipo C o D per spessore non superiore a 20 m - [S1] = Depositi di terreni caratterizzati da valori di $V_{s,30}$ inferiori a 100 m/s (ovvero 10 < $c_{u,30}$ < 20 kPa), che includono uno strato di almeno 8 m di terreni a grana fina di bassa consistenza, oppure che includono almeno 3 m di torba o di argille altamente organiche - [S2] = Depositi di terreni suscettibili di liquefazione, di argille sensitive o qualsiasi altra categoria di sottosuolo non classificabile nei tipi precedenti.
ξ Coefficiente viscoso equivalente.
NOTE [-] = Parametro non significativo per il tipo di calcolo effettuato.

Stato Limite	T_r	a_g/g	Amplif. Stratigrafica		F_0	T^*_C	T_B	T_C	T_D
			S_S	C_C					
	[t]					[s]	[s]	[s]	[s]
SLO	45	0,0675	1,500	1,602	2,495	0,278	0,148	0,445	1,870
SLD	75	0,0825	1,500	1,579	2,495	0,290	0,153	0,458	1,930
SLV	712	0,1889	1,421	1,518	2,465	0,327	0,166	0,497	2,356
SLC	1462	0,2337	1,351	1,501	2,490	0,339	0,169	0,508	2,535

LEGENDA:

T_r Periodo di ritorno dell'azione sismica. [t] = anni.
a_g/g Coefficiente di accelerazione al suolo.
S_S Coefficienti di Amplificazione Stratigrafica allo SLO/SLD/SLV/SLC.
C_C Coefficienti di Amplificazione di Tc allo SLO/SLD/SLV/SLC.
F_0 Valore massimo del fattore di amplificazione dello spettro in accelerazione orizzontale.
T^*_C Periodo di inizio del tratto a velocità costante dello spettro in accelerazione orizzontale.
T_B Periodo di inizio del tratto accelerazione costante dello spettro di progetto.
T_C Periodo di inizio del tratto a velocità costante dello spettro di progetto.
T_D Periodo di inizio del tratto a spostamento costante dello spettro di progetto.

Cl Ed	V_N	V_R	Lat.	Long.	Q_g	CTop	CATop
	[t]	[t]	[°ssdc]	[°ssdc]	[m]		
3	50	75	42.5496	12.6586	150	T1	1,00

LEGENDA:

Cl Ed Classe dell'edificio.
Lat. Latitudine geografica del sito.
Long. Longitudine geografica del sito.
Q_g Altitudine geografica del sito.
CTop Categoria topografica. (Vedi NOTE)
CATop Coefficiente di amplificazione topografica.
NOTE [-] = Parametro non significativo per il tipo di calcolo effettuato.
Categoria topografica.
T1: Superficie pianeggiante, pendii e rilievi isolati con inclinazione media i <= 15°.
T2: Pendii con inclinazione media i > 15°.
T3: Rilievi con larghezza in cresta molto minore che alla base e inclinazione media 15° <= i <= 30°.
T4: Rilievi con larghezza in cresta molto minore che alla base e inclinazione media i > 30°.

PRINCIPALI ELEMENTI ANALISI SISMICA

Dir	M_{Str}	M_{SLU}	$M_{Ecc,SLU}$	M_{SLD}	$M_{Ecc,SLD}$	$\%T.M_{Ecc}$	$\Sigma V_{Ed,SLU}$
	[N·s²/m]	[N·s²/m]	[N·s²/m]	[N·s²/m]	[N·s²/m]	[%]	[N]
X	1.790.474	1.531.590	1.182.457	1.531.590	1.182.457	77,2	5.429.461
Y	1.790.474	1.531.590	1.297.614	1.531.590	1.297.614	84,7	5.633.472
Z	1.790.474	0	0	0	0	100,0	0

LEGENDA:

Dir Direzione del sisma.
M_{Str} Massa complessiva della struttura.
M_{SLU} Massa eccitabile allo SLU.
$M_{Ecc,SLU}$ Massa Eccitata dal sisma allo SLU.
M_{SLD} Massa eccitabile della struttura allo SLD, nelle direzioni X, Y, Z.
$M_{Ecc,SLD}$ Massa Eccitata dal sisma allo SLD.
$\%T.M_{Ecc}$ Percentuale Totale di Masse Eccitate dal sisma.
$\Sigma V_{Ed,SLU}$ Tagliante totale, alla base, per sisma allo SLU.

RIEPILOGO MODI DI VIBRAZIONE<u>MODI DI VIBRAZIONE N.35</u>

Sptr	T	$a_{g,O}$	$a_{g,V}$	Γ	CM	%M.M	M_{Ecc}
	[s]	[m/s²]	[m/s²]			[%]	[N·s²/m]
Modo Vibrazione n. 1							
SLU-X	0,150	4,171	0,000	979,383	0,5598	62,6	959.190
SLU-Y	0,150	4,171	0,000	58,379	0,0334	0,2	3.408
SLU-Z	0,000	0,000	1,088	0,000	0,0000	0,0	0
SLD-X	0,150	2,993	0,000	979,383	0,5598	62,6	959.190
SLD-Y	0,150	2,993	0,000	58,379	0,0334	0,2	3.408
SLD-Z	0,000	0,000	0,314	0,000	0,0000	0,0	0

Sptr	T	$a_{g,o}$	$a_{g,v}$	Γ	CM	%M.M	M_{Ecc}
Elast-X	-	2,993	0,000	-	-	-	-
Elast-Y	-	2,993	0,000	-	-	-	-
Elast-Z	-	0,000	1,088	-	-	-	-
Modo Vibrazione n. 2							
SLU-X	0,177	4,327	0,000	6,401	0,0051	0,0	41
SLU-Y	0,177	4,327	0,000	969,155	0,7682	61,3	939.262
SLU-Z	0,000	0,000	1,088	0,000	0,0000	0,0	0
SLD-X	0,177	3,027	0,000	6,401	0,0051	0,0	41
SLD-Y	0,177	3,027	0,000	969,155	0,7682	61,3	939.262
SLD-Z	0,000	0,000	0,314	0,000	0,0000	0,0	0
Elast-X	-	3,027	0,000	-	-	-	-
Elast-Y	-	3,027	0,000	-	-	-	-
Elast-Z	-	0,000	1,088	-	-	-	-
Modo Vibrazione n. 3							
SLU-X	0,139	4,058	0,000	210,180	0,1032	2,9	44.176
SLU-Y	0,139	4,058	0,000	-297,851	-0,1463	5,8	88.715
SLU-Z	0,000	0,000	1,088	0,000	0,0000	0,0	0
SLD-X	0,139	2,866	0,000	210,180	0,1032	2,9	44.176
SLD-Y	0,139	2,866	0,000	-297,851	-0,1463	5,8	88.715
SLD-Z	0,000	0,000	0,314	0,000	0,0000	0,0	0
Elast-X	-	2,866	0,000	-	-	-	-
Elast-Y	-	2,866	0,000	-	-	-	-
Elast-Z	-	0,000	1,088	-	-	-	-
Modo Vibrazione n. 4							
SLU-X	0,074	3,394	0,000	4,493	0,0006	0,0	20
SLU-Y	0,074	3,394	0,000	-192,752	-0,0270	2,4	37.153
SLU-Z	0,000	0,000	1,088	0,000	0,0000	0,0	0
SLD-X	0,074	2,096	0,000	4,493	0,0006	0,0	20
SLD-Y	0,074	2,096	0,000	-192,752	-0,0270	2,4	37.153
SLD-Z	0,000	0,000	0,314	0,000	0,0000	0,0	0
Elast-X	-	2,096	0,000	-	-	-	-
Elast-Y	-	2,096	0,000	-	-	-	-
Elast-Z	-	0,000	1,088	-	-	-	-
Modo Vibrazione n. 5							
SLU-X	0,045	3,098	0,000	-16,926	-0,0009	0,0	286
SLU-Y	0,045	3,098	0,000	-179,507	-0,0094	2,1	32.223
SLU-Z	0,000	0,000	1,088	0,000	0,0000	0,0	0
SLD-X	0,045	1,752	0,000	-16,926	-0,0009	0,0	286
SLD-Y	0,045	1,752	0,000	-179,507	-0,0094	2,1	32.223
SLD-Z	0,000	0,000	0,314	0,000	0,0000	0,0	0
Elast-X	-	1,752	0,000	-	-	-	-
Elast-Y	-	1,752	0,000	-	-	-	-
Elast-Z	-	0,000	1,088	-	-	-	-
Modo Vibrazione n. 6							
SLU-X	0,044	3,081	0,000	-164,045	-0,0080	1,8	26.911
SLU-Y	0,044	3,081	0,000	-78,799	-0,0038	0,4	6.209
SLU-Z	0,000	0,000	1,088	0,000	0,0000	0,0	0
SLD-X	0,044	1,733	0,000	-164,045	-0,0080	1,8	26.911
SLD-Y	0,044	1,733	0,000	-78,799	-0,0038	0,4	6.209
SLD-Z	0,000	0,000	0,314	0,000	0,0000	0,0	0
Elast-X	-	1,733	0,000	-	-	-	-
Elast-Y	-	1,733	0,000	-	-	-	-
Elast-Z	-	0,000	1,088	-	-	-	-
Modo Vibrazione n. 7							
SLU-X	0,089	3,541	0,000	0,624	0,0001	0,0	0
SLU-Y	0,089	3,541	0,000	-158,442	-0,0316	1,6	25.104
SLU-Z	0,000	0,000	1,088	0,000	0,0000	0,0	0
SLD-X	0,089	2,266	0,000	0,624	0,0001	0,0	0
SLD-Y	0,089	2,266	0,000	-158,442	-0,0316	1,6	25.104
SLD-Z	0,000	0,000	0,314	0,000	0,0000	0,0	0
Elast-X	-	2,266	0,000	-	-	-	-
Elast-Y	-	2,266	0,000	-	-	-	-
Elast-Z	-	0,000	1,088	-	-	-	-
Modo Vibrazione n. 8							
SLU-X	0,042	3,068	0,000	-156,415	-0,0071	1,6	24.465
SLU-Y	0,042	3,068	0,000	42,989	0,0020	0,1	1.848
SLU-Z	0,000	0,000	1,088	0,000	0,0000	0,0	0
SLD-X	0,042	1,717	0,000	-156,415	-0,0071	1,6	24.465
SLD-Y	0,042	1,717	0,000	42,989	0,0020	0,1	1.848
SLD-Z	0,000	0,000	0,314	0,000	0,0000	0,0	0
Elast-X	-	1,717	0,000	-	-	-	-
Elast-Y	-	1,717	0,000	-	-	-	-
Elast-Z	-	0,000	1,088	-	-	-	-
Modo Vibrazione n. 9							
SLU-X	0,045	3,090	0,000	154,742	0,0078	1,6	23.945
SLU-Y	0,045	3,090	0,000	13,687	0,0007	0,0	187
SLU-Z	0,000	0,000	1,088	0,000	0,0000	0,0	0
SLD-X	0,045	1,743	0,000	154,742	0,0078	1,6	23.945
SLD-Y	0,045	1,743	0,000	13,687	0,0007	0,0	187
SLD-Z	0,000	0,000	0,314	0,000	0,0000	0,0	0
Elast-X	-	1,743	0,000	-	-	-	-
Elast-Y	-	1,743	0,000	-	-	-	-
Elast-Z	-	0,000	1,088	-	-	-	-
Modo Vibrazione n. 10							
SLU-X	0,044	3,079	0,000	60,051	0,0029	0,2	3.606
SLU-Y	0,044	3,079	0,000	131,687	0,0063	1,1	17.342
SLU-Z	0,000	0,000	1,088	0,000	0,0000	0,0	0
SLD-X	0,044	1,731	0,000	60,051	0,0029	0,2	3.606

Sptr	T	$a_{g,o}$	$a_{g,v}$	Γ	CM	%M.M	M_{Ecc}
SLD-Y	0,044	1,731	0,000	131,687	0,0063	1,1	17.342
SLD-Z	0,000	0,000	0,314	0,000	0,0000	0,0	0
Elast-X	-	1,731	0,000	-	-	-	-
Elast-Y	-	1,731	0,000	-	-	-	-
Elast-Z	-	0,000	1,088	-	-	-	-
Modo Vibrazione n. 11							
SLU-X	0,052	3,168	0,000	0,526	0,0000	0,0	0
SLU-Y	0,052	3,168	0,000	-123,650	-0,0086	1,0	15.289
SLU-Z	0,000	0,000	1,088	0,000	0,0000	0,0	0
SLD-X	0,052	1,834	0,000	0,526	0,0000	0,0	0
SLD-Y	0,052	1,834	0,000	-123,650	-0,0086	1,0	15.289
SLD-Z	0,000	0,000	0,314	0,000	0,0000	0,0	0
Elast-X	-	1,834	0,000	-	-	-	-
Elast-Y	-	1,834	0,000	-	-	-	-
Elast-Z	-	0,000	1,088	-	-	-	-
Modo Vibrazione n. 12							
SLU-X	0,042	3,066	0,000	-96,080	-0,0044	0,6	9.231
SLU-Y	0,042	3,066	0,000	116,456	0,0053	0,9	13.562
SLU-Z	0,000	0,000	1,088	0,000	0,0000	0,0	0
SLD-X	0,042	1,716	0,000	-96,080	-0,0044	0,6	9.231
SLD-Y	0,042	1,716	0,000	116,456	0,0053	0,9	13.562
SLD-Z	0,000	0,000	0,314	0,000	0,0000	0,0	0
Elast-X	-	1,716	0,000	-	-	-	-
Elast-Y	-	1,716	0,000	-	-	-	-
Elast-Z	-	0,000	1,088	-	-	-	-
Modo Vibrazione n. 13							
SLU-X	0,046	3,105	0,000	-115,788	-0,0062	0,9	13.407
SLU-Y	0,046	3,105	0,000	-5,771	-0,0003	0,0	33
SLU-Z	0,000	0,000	1,088	0,000	0,0000	0,0	0
SLD-X	0,046	1,761	0,000	-115,788	-0,0062	0,9	13.407
SLD-Y	0,046	1,761	0,000	-5,771	-0,0003	0,0	33
SLD-Z	0,000	0,000	0,314	0,000	0,0000	0,0	0
Elast-X	-	1,761	0,000	-	-	-	-
Elast-Y	-	1,761	0,000	-	-	-	-
Elast-Z	-	0,000	1,088	-	-	-	-
Modo Vibrazione n. 14							
SLU-X	0,075	3,401	0,000	-2,356	-0,0003	0,0	6
SLU-Y	0,075	3,401	0,000	-114,393	-0,0163	0,9	13.086
SLU-Z	0,000	0,000	1,088	0,000	0,0000	0,0	0
SLD-X	0,075	2,104	0,000	-2,356	-0,0003	0,0	6
SLD-Y	0,075	2,104	0,000	-114,393	-0,0163	0,9	13.086
SLD-Z	0,000	0,000	0,314	0,000	0,0000	0,0	0
Elast-X	-	2,104	0,000	-	-	-	-
Elast-Y	-	2,104	0,000	-	-	-	-
Elast-Z	-	0,000	1,088	-	-	-	-
Modo Vibrazione n. 15							
SLU-X	0,042	3,058	0,000	113,436	0,0050	0,8	12.868
SLU-Y	0,042	3,058	0,000	-25,811	-0,0011	0,0	666
SLU-Z	0,000	0,000	1,088	0,000	0,0000	0,0	0
SLD-X	0,042	1,706	0,000	113,436	0,0050	0,8	12.868
SLD-Y	0,042	1,706	0,000	-25,811	-0,0011	0,0	666
SLD-Z	0,000	0,000	0,314	0,000	0,0000	0,0	0
Elast-X	-	1,706	0,000	-	-	-	-
Elast-Y	-	1,706	0,000	-	-	-	-
Elast-Z	-	0,000	1,088	-	-	-	-
Modo Vibrazione n. 16							
SLU-X	0,053	3,177	0,000	-4,915	-0,0004	0,0	24
SLU-Y	0,053	3,177	0,000	-112,589	-0,0081	0,8	12.676
SLU-Z	0,000	0,000	1,088	0,000	0,0000	0,0	0
SLD-X	0,053	1,845	0,000	-4,915	-0,0004	0,0	24
SLD-Y	0,053	1,845	0,000	-112,589	-0,0081	0,8	12.676
SLD-Z	0,000	0,000	0,314	0,000	0,0000	0,0	0
Elast-X	-	1,845	0,000	-	-	-	-
Elast-Y	-	1,845	0,000	-	-	-	-
Elast-Z	-	0,000	1,088	-	-	-	-
Modo Vibrazione n. 17							
SLU-X	0,088	3,536	0,000	-26,084	-0,0051	0,0	680
SLU-Y	0,088	3,536	0,000	110,670	0,0218	0,8	12.248
SLU-Z	0,000	0,000	1,088	0,000	0,0000	0,0	0
SLD-X	0,088	2,260	0,000	-26,084	-0,0051	0,0	680
SLD-Y	0,088	2,260	0,000	110,670	0,0218	0,8	12.248
SLD-Z	0,000	0,000	0,314	0,000	0,0000	0,0	0
Elast-X	-	2,260	0,000	-	-	-	-
Elast-Y	-	2,260	0,000	-	-	-	-
Elast-Z	-	0,000	1,088	-	-	-	-
Modo Vibrazione n. 18							
SLU-X	0,052	3,163	0,000	-2,052	-0,0001	0,0	4
SLU-Y	0,052	3,163	0,000	-108,515	-0,0074	0,8	11.776
SLU-Z	0,000	0,000	1,088	0,000	0,0000	0,0	0
SLD-X	0,052	1,828	0,000	-2,052	-0,0001	0,0	4
SLD-Y	0,052	1,828	0,000	-108,515	-0,0074	0,8	11.776
SLD-Z	0,000	0,000	0,314	0,000	0,0000	0,0	0
Elast-X	-	1,828	0,000	-	-	-	-
Elast-Y	-	1,828	0,000	-	-	-	-
Elast-Z	-	0,000	1,088	-	-	-	-
Modo Vibrazione n. 19							
SLU-X	0,045	3,094	0,000	-21,149	-0,0011	0,0	447
SLU-Y	0,045	3,094	0,000	-103,941	-0,0053	0,7	10.804

Sptr	T	$a_{g,o}$	$a_{g,v}$	Γ	CM	%M.M	M_{Ecc}
SLU-Z	0,000	0,000	1,088	0,000	0,0000	0,0	0
SLD-X	0,045	1,748	0,000	-21,149	-0,0011	0,0	447
SLD-Y	0,045	1,748	0,000	-103,941	-0,0053	0,7	10.804
SLD-Z	0,000	0,000	0,314	0,000	0,0000	0,0	0
Elast-X	-	1,748	0,000	-	-	-	-
Elast-Y	-	1,748	0,000	-	-	-	-
Elast-Z	-	0,000	1,088	-	-	-	-
Modo Vibrazione n. 20							
SLU-X	0,041	3,054	0,000	-102,802	-0,0044	0,7	10.568
SLU-Y	0,041	3,054	0,000	40,723	0,0017	0,1	1.658
SLU-Z	0,000	0,000	1,088	0,000	0,0000	0,0	0
SLD-X	0,041	1,702	0,000	-102,802	-0,0044	0,7	10.568
SLD-Y	0,041	1,702	0,000	40,723	0,0017	0,1	1.658
SLD-Z	0,000	0,000	0,314	0,000	0,0000	0,0	0
Elast-X	-	1,702	0,000	-	-	-	-
Elast-Y	-	1,702	0,000	-	-	-	-
Elast-Z	-	0,000	1,088	-	-	-	-
Modo Vibrazione n. 21							
SLU-X	0,044	3,087	0,000	98,838	0,0049	0,6	9.769
SLU-Y	0,044	3,087	0,000	50,286	0,0025	0,2	2.529
SLU-Z	0,000	0,000	1,088	0,000	0,0000	0,0	0
SLD-X	0,044	1,740	0,000	98,838	0,0049	0,6	9.769
SLD-Y	0,044	1,740	0,000	50,286	0,0025	0,2	2.529
SLD-Z	0,000	0,000	0,314	0,000	0,0000	0,0	0
Elast-X	-	1,740	0,000	-	-	-	-
Elast-Y	-	1,740	0,000	-	-	-	-
Elast-Z	-	0,000	1,088	-	-	-	-
Modo Vibrazione n. 22							
SLU-X	0,048	3,128	0,000	-25,079	-0,0015	0,0	629
SLU-Y	0,048	3,128	0,000	-96,006	-0,0057	0,6	9.217
SLU-Z	0,000	0,000	1,088	0,000	0,0000	0,0	0
SLD-X	0,048	1,788	0,000	-25,079	-0,0015	0,0	629
SLD-Y	0,048	1,788	0,000	-96,006	-0,0057	0,6	9.217
SLD-Z	0,000	0,000	0,314	0,000	0,0000	0,0	0
Elast-X	-	1,788	0,000	-	-	-	-
Elast-Y	-	1,788	0,000	-	-	-	-
Elast-Z	-	0,000	1,088	-	-	-	-
Modo Vibrazione n. 23							
SLU-X	0,048	3,126	0,000	95,004	0,0056	0,6	9.026
SLU-Y	0,048	3,126	0,000	-0,196	0,0000	0,0	0
SLU-Z	0,000	0,000	1,088	0,000	0,0000	0,0	0
SLD-X	0,048	1,785	0,000	95,004	0,0056	0,6	9.026
SLD-Y	0,048	1,785	0,000	-0,196	0,0000	0,0	0
SLD-Z	0,000	0,000	0,314	0,000	0,0000	0,0	0
Elast-X	-	1,785	0,000	-	-	-	-
Elast-Y	-	1,785	0,000	-	-	-	-
Elast-Z	-	0,000	1,088	-	-	-	-
Modo Vibrazione n. 24							
SLU-X	0,055	3,195	0,000	-0,994	-0,0001	0,0	1
SLU-Y	0,055	3,195	0,000	-89,452	-0,0068	0,5	8.002
SLU-Z	0,000	0,000	1,088	0,000	0,0000	0,0	0
SLD-X	0,055	1,865	0,000	-0,994	-0,0001	0,0	1
SLD-Y	0,055	1,865	0,000	-89,452	-0,0068	0,5	8.002
SLD-Z	0,000	0,000	0,314	0,000	0,0000	0,0	0
Elast-X	-	1,865	0,000	-	-	-	-
Elast-Y	-	1,865	0,000	-	-	-	-
Elast-Z	-	0,000	1,088	-	-	-	-
Modo Vibrazione n. 25							
SLU-X	0,050	3,147	0,000	-14,643	-0,0009	0,0	214
SLU-Y	0,050	3,147	0,000	-89,369	-0,0057	0,5	7.987
SLU-Z	0,000	0,000	1,088	0,000	0,0000	0,0	0
SLD-X	0,050	1,810	0,000	-14,643	-0,0009	0,0	214
SLD-Y	0,050	1,810	0,000	-89,369	-0,0057	0,5	7.987
SLD-Z	0,000	0,000	0,314	0,000	0,0000	0,0	0
Elast-X	-	1,810	0,000	-	-	-	-
Elast-Y	-	1,810	0,000	-	-	-	-
Elast-Z	-	0,000	1,088	-	-	-	-
Modo Vibrazione n. 26							
SLU-X	0,088	3,535	0,000	27,173	0,0053	0,0	738
SLU-Y	0,088	3,535	0,000	88,355	0,0174	0,5	7.807
SLU-Z	0,000	0,000	1,088	0,000	0,0000	0,0	0
SLD-X	0,088	2,259	0,000	27,173	0,0053	0,0	738
SLD-Y	0,088	2,259	0,000	88,355	0,0174	0,5	7.807
SLD-Z	0,000	0,000	0,314	0,000	0,0000	0,0	0
Elast-X	-	2,259	0,000	-	-	-	-
Elast-Y	-	2,259	0,000	-	-	-	-
Elast-Z	-	0,000	1,088	-	-	-	-
Modo Vibrazione n. 27							
SLU-X	0,041	3,057	0,000	61,322	0,0027	0,2	3.760
SLU-Y	0,041	3,057	0,000	-81,873	-0,0036	0,4	6.703
SLU-Z	0,000	0,000	1,088	0,000	0,0000	0,0	0
SLD-X	0,041	1,705	0,000	61,322	0,0027	0,2	3.760
SLD-Y	0,041	1,705	0,000	-81,873	-0,0036	0,4	6.703
SLD-Z	0,000	0,000	0,314	0,000	0,0000	0,0	0
Elast-X	-	1,705	0,000	-	-	-	-
Elast-Y	-	1,705	0,000	-	-	-	-
Elast-Z	-	0,000	1,088	-	-	-	-
Modo Vibrazione n. 28							

Sptr	T	$a_{g,O}$	$a_{g,V}$	Γ	CM	%M.M	M_{Ecc}
SLU-X	0,039	3,036	0,000	77,939	0,0031	0,4	6.075
SLU-Y	0,039	3,036	0,000	-26,042	-0,0010	0,0	678
SLU-Z	0,000	0,000	1,088	0,000	0,0000	0,0	0
SLD-X	0,039	1,681	0,000	77,939	0,0031	0,4	6.075
SLD-Y	0,039	1,681	0,000	-26,042	-0,0010	0,0	678
SLD-Z	0,000	0,000	0,314	0,000	0,0000	0,0	0
Elast-X	-	1,681	0,000	-	-	-	-
Elast-Y	-	1,681	0,000	-	-	-	-
Elast-Z	-	0,000	1,088	-	-	-	-
Modo Vibrazione n. 29							
SLU-X	0,047	3,116	0,000	-0,163	0,0000	0,0	0
SLU-Y	0,047	3,116	0,000	77,001	0,0043	0,4	5.929
SLU-Z	0,000	0,000	1,088	0,000	0,0000	0,0	0
SLD-X	0,047	1,773	0,000	-0,163	0,0000	0,0	0
SLD-Y	0,047	1,773	0,000	77,001	0,0043	0,4	5.929
SLD-Z	0,000	0,000	0,314	0,000	0,0000	0,0	0
Elast-X	-	1,773	0,000	-	-	-	-
Elast-Y	-	1,773	0,000	-	-	-	-
Elast-Z	-	0,000	1,088	-	-	-	-
Modo Vibrazione n. 30							
SLU-X	0,044	3,086	0,000	-72,801	-0,0036	0,3	5.300
SLU-Y	0,044	3,086	0,000	3,618	0,0002	0,0	13
SLU-Z	0,000	0,000	1,088	0,000	0,0000	0,0	0
SLD-X	0,044	1,739	0,000	-72,801	-0,0036	0,3	5.300
SLD-Y	0,044	1,739	0,000	3,618	0,0002	0,0	13
SLD-Z	0,000	0,000	0,314	0,000	0,0000	0,0	0
Elast-X	-	1,739	0,000	-	-	-	-
Elast-Y	-	1,739	0,000	-	-	-	-
Elast-Z	-	0,000	1,088	-	-	-	-
Modo Vibrazione n. 31							
SLU-X	0,068	3,326	0,000	-71,368	-0,0083	0,3	5.093
SLU-Y	0,068	3,326	0,000	-13,612	-0,0016	0,0	185
SLU-Z	0,000	0,000	1,088	0,000	0,0000	0,0	0
SLD-X	0,068	2,016	0,000	-71,368	-0,0083	0,3	5.093
SLD-Y	0,068	2,016	0,000	-13,612	-0,0016	0,0	185
SLD-Z	0,000	0,000	0,314	0,000	0,0000	0,0	0
Elast-X	-	2,016	0,000	-	-	-	-
Elast-Y	-	2,016	0,000	-	-	-	-
Elast-Z	-	0,000	1,088	-	-	-	-
Modo Vibrazione n. 32							
SLU-X	0,041	3,051	0,000	67,975	0,0029	0,3	4.621
SLU-Y	0,041	3,051	0,000	18,558	0,0008	0,0	344
SLU-Z	0,000	0,000	1,088	0,000	0,0000	0,0	0
SLD-X	0,041	1,699	0,000	67,975	0,0029	0,3	4.621
SLD-Y	0,041	1,699	0,000	18,558	0,0008	0,0	344
SLD-Z	0,000	0,000	0,314	0,000	0,0000	0,0	0
Elast-X	-	1,699	0,000	-	-	-	-
Elast-Y	-	1,699	0,000	-	-	-	-
Elast-Z	-	0,000	1,088	-	-	-	-
Modo Vibrazione n. 33							
SLU-X	0,041	3,057	0,000	65,605	0,0028	0,3	4.304
SLU-Y	0,041	3,057	0,000	39,817	0,0017	0,1	1.585
SLU-Z	0,000	0,000	1,088	0,000	0,0000	0,0	0
SLD-X	0,041	1,705	0,000	65,605	0,0028	0,3	4.304
SLD-Y	0,041	1,705	0,000	39,817	0,0017	0,1	1.585
SLD-Z	0,000	0,000	0,314	0,000	0,0000	0,0	0
Elast-X	-	1,705	0,000	-	-	-	-
Elast-Y	-	1,705	0,000	-	-	-	-
Elast-Z	-	0,000	1,088	-	-	-	-
Modo Vibrazione n. 34							
SLU-X	0,042	3,061	0,000	2,008	0,0001	0,0	4
SLU-Y	0,042	3,061	0,000	58,137	0,0026	0,2	3.380
SLU-Z	0,000	0,000	1,088	0,000	0,0000	0,0	0
SLD-X	0,042	1,710	0,000	2,008	0,0001	0,0	4
SLD-Y	0,042	1,710	0,000	58,137	0,0026	0,2	3.380
SLD-Z	0,000	0,000	0,314	0,000	0,0000	0,0	0
Elast-X	-	1,710	0,000	-	-	-	-
Elast-Y	-	1,710	0,000	-	-	-	-
Elast-Z	-	0,000	1,088	-	-	-	-
Modo Vibrazione n. 35							
SLU-X	0,042	3,062	0,000	55,207	0,0025	0,2	3.048
SLU-Y	0,042	3,062	0,000	2,407	0,0001	0,0	6
SLU-Z	0,000	0,000	1,088	0,000	0,0000	0,0	0
SLD-X	0,042	1,711	0,000	55,207	0,0025	0,2	3.048
SLD-Y	0,042	1,711	0,000	2,407	0,0001	0,0	6
SLD-Z	0,000	0,000	0,314	0,000	0,0000	0,0	0
Elast-X	-	1,711	0,000	-	-	-	-
Elast-Y	-	1,711	0,000	-	-	-	-
Elast-Z	-	0,000	1,088	-	-	-	-

LEGENDA:

Sptr Spettro di risposta considerato.
T Periodo del Modo di vibrazione.
$a_{g,O}$ Valore dell'Accelerazione Spettrale Orizzontale, riferita al corrispondente periodo.
$a_{g,V}$ Valore dell'Accelerazione Spettrale Verticale, riferita al corrispondente periodo.
Γ Coefficiente di partecipazione.
CM Coefficiente modale del modo di vibrazione.
%M.M Percentuale di mobilitazione delle masse nel modo di vibrazione.

Sptr	T	$a_{g,o}$	$a_{g,v}$	Γ	CM	%M.M	M_{Ecc}

M_{Ecc} Massa Eccitata nel modo di vibrazione.
SLU-X Spettro di progetto allo S.L. Ultimo per sisma in direzione X.
SLU-Y Spettro di progetto allo S.L. Ultimo per sisma in direzione Y.
SLU-Z Spettro di progetto allo S.L. Ultimo per sisma in direzione Z.
SLD-X Spettro di progetto allo S.L. di Danno per sisma in direzione X.
SLD-Y Spettro di progetto allo S.L. di Danno per sisma in direzione Y.
SLD-Z Spettro di progetto allo S.L. di Danno per sisma in direzione Z.
Elast-X Spettro Elastico per sisma in direzione X.
Elast-Y Spettro Elastico per sisma in direzione Y.
Elast-Z Spettro Elastico per sisma in direzione Z.

CURVA DI CAPACITA'

Curva di capacità

Γ	K_{Stop}	M_{Eq}	K_{sec}		$(d, F)_{Snv,Blt}$				A_{Snv}		T		PGA		$SLD_{pia\ ni}$	α_u/α_1	q*	Pnt Cntr		
			SLV	SLD	F_{SLV}	F_{SLD}	δ_{SLV}	δ_{SLD}	SLV	SLD	SLV	SLD	SLV	SLD				X	Y	Z
		[N·s²/m]	[N/cm]	[N/cm]	[N]	[N]	[cm]	[cm]	[N·m]	[N·m]	[s]	[s]						[m]	[m]	[m]
Direzione sisma in +X - proporzionale alle masse																				
1,000	3	1.531.590	10.866.821	10.866.821	13.940.078	13.940.078	1,283	1,283	120.179	120.179	0,236	0,236	0,441	0,436	0,411	1,29	0,71	26,69	12,51	7,16

Punti della curva di capacità (Forza / Spostamento).

Punto	Forza [N]	Spostamento [cm]	Punto	Forza [N]	Spostamento [cm]	Punto	Forza [N]	Spostamento [cm]
0	0	0,0000	1	161.298	0,0072	2	950.493	0,0421
3	2.000.994	0,1181	4	3.291.380	0,2187	5	4.581.766	0,3453
6	5.872.153	0,4845	7	7.162.539	0,6340	8	8.452.925	0,7749
9	9.743.311	0,9306	10	11.033.698	1,0897	11	12.324.084	1,2456
12	13.614.470	1,4166	13	14.259.663	1,5035			

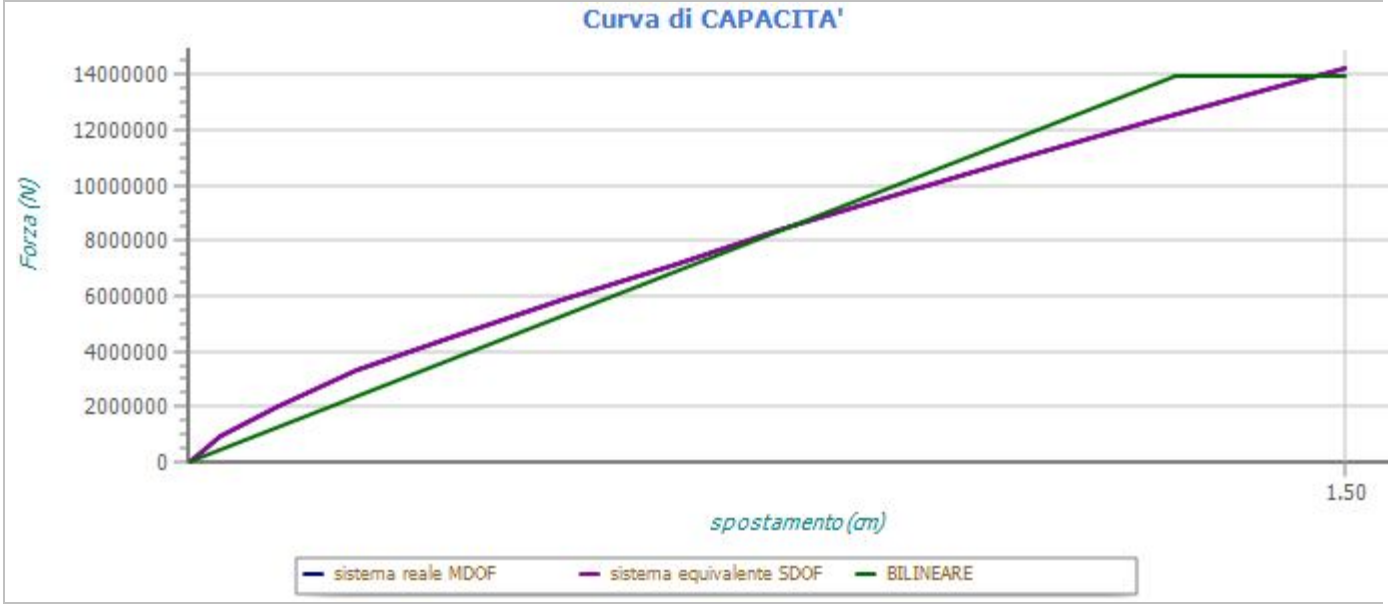

CAPACITA' DI SPOSTAMENTO DELL'EDIFICIO ALLO SLV (cm): 1,504	CAPACITA' DI SPOSTAMENTO DELL'EDIFICIO ALLO SLD (cm): 1,504
Domanda spostamento allo SLV (cm): 0,915	Domanda spostamento allo SLD (cm): 0,427
Verifica allo SLV: Verificata	Verifica allo SLD: Verificata

Direzione sisma in +X - proporzionale alla deformata 1° modo di vibrazione

1,181	3	859.144	6.586.436	6.586.436	9.541.736	9.541.736	1,449	1,449	95.691	95.691	0,227	0,227	0,547	0,541	0,511	1,39	0,58	26,69	12,51	7,16

Punti della curva di capacità (Forza / Spostamento).

Punto	Forza [N]	Spostamento [cm]	Punto	Forza [N]	Spostamento [cm]	Punto	Forza [N]	Spostamento [cm]
0	0	0,0000	1	90.463	0,0063	2	533.075	0,0364
3	1.256.775	0,0993	4	1.860.581	0,1846	5	2.584.281	0,2874
6	3.307.981	0,4013	7	4.031.682	0,5218	8	4.755.382	0,6481
9	5.479.082	0,7790	10	6.202.783	0,9126	11	6.926.483	1,0498
12	7.650.183	1,1879	13	8.373.884	1,3333	14	9.097.584	1,4875
15	9.672.289	1,6244	16	10.395.989	1,7725	17	11.119.690	1,9272
18	11.620.448	2,0390						

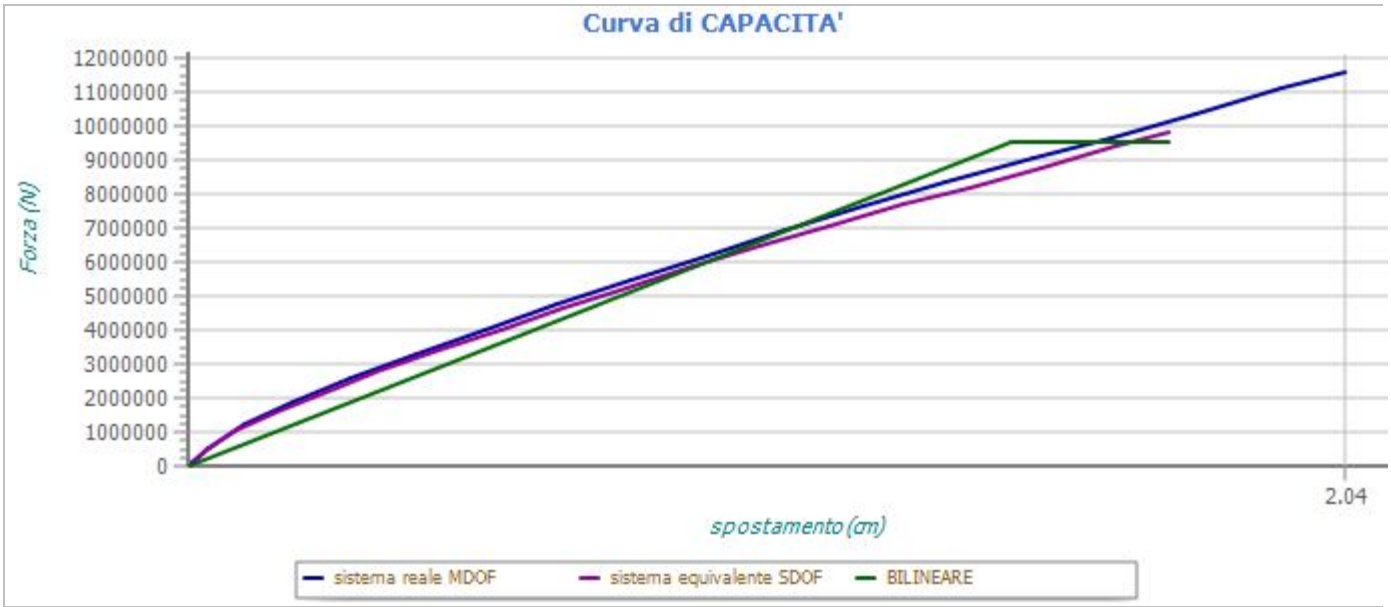

CAPACITA' DI SPOSTAMENTO DELL'EDIFICIO ALLO SLV (cm): 2,039	CAPACITA' DI SPOSTAMENTO DELL'EDIFICIO ALLO SLD (cm): 2,039
Domanda spostamento allo SLV (cm): 1,000	Domanda spostamento allo SLD (cm): 0,466
Verifica allo SLV: Verificata	Verifica allo SLD: Verificata

Direzione sisma in -X - proporzionale alle masse

1,000	3	1.531.590	9.348.511	9.348.511	12.473.877	12.473.877	1,334	1,334	101.658	101.658	0,254	0,254	0,374	0,370	0,322	1,26	0,80	26,69	12,51	7,16

Punti della curva di capacità (Forza / Spostamento).

Punto	Forza [N]	Spostamento [cm]	Punto	Forza [N]	Spostamento [cm]	Punto	Forza [N]	Spostamento [cm]
0	0	0,0000	1	161.298	0,0059	2	950.493	0,0431
3	2.035.519	0,1493	4	3.325.906	0,2753	5	4.616.292	0,4314
6	5.906.678	0,5975	7	7.197.064	0,7642	8	8.487.450	0,9355
9	9.777.837	1,1096	10	11.068.223	1,2914	11	12.358.609	1,4821

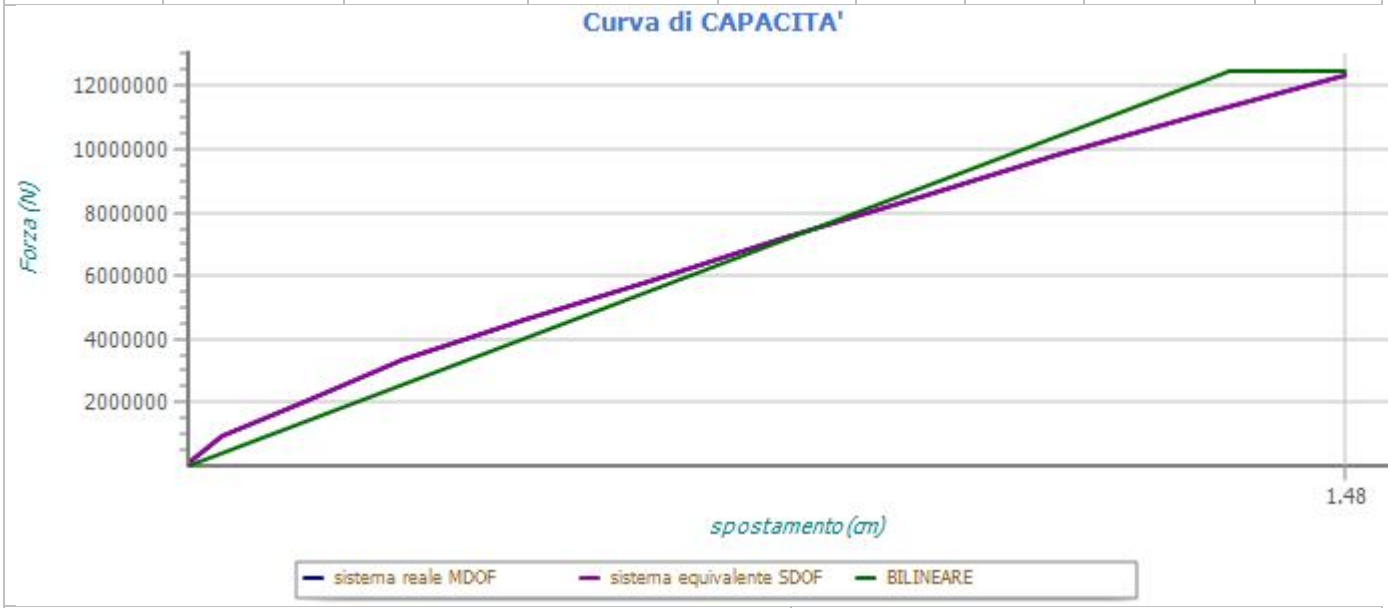

CAPACITA' DI SPOSTAMENTO DELL'EDIFICIO ALLO SLV (cm): 1,482	CAPACITA' DI SPOSTAMENTO DELL'EDIFICIO ALLO SLD (cm): 1,482
Domanda spostamento allo SLV (cm): 1,063	Domanda spostamento allo SLD (cm): 0,496
Verifica allo SLV: Verificata	Verifica allo SLD: Verificata

Direzione sisma in -X - proporzionale alla deformata 1° modo di vibrazione

1,181	3	859.144	5.889.300	5.889.300	7.775.837	7.775.837	1,320	1,320	62.881	62.881	0,240	0,240	0,416	0,411	0,370	1,19	0,72	26,69	12,51	7,16

Punti della curva di capacità (Forza / Spostamento).

Punto	Forza [N]	Spostamento [cm]	Punto	Forza [N]	Spostamento [cm]	Punto	Forza [N]	Spostamento [cm]
0	0	0,0000	1	90.463	0,0050	2	533.075	0,0361
3	1.136.950	0,1213	4	1.860.650	0,2228	5	2.584.350	0,3527
6	3.308.051	0,4935	7	4.031.751	0,6375	8	4.755.451	0,7869
9	5.479.152	0,9310	10	6.202.852	1,0798	11	6.926.552	1,2317
12	7.650.253	1,3896	13	8.373.953	1,5575	14	9.097.653	1,7340

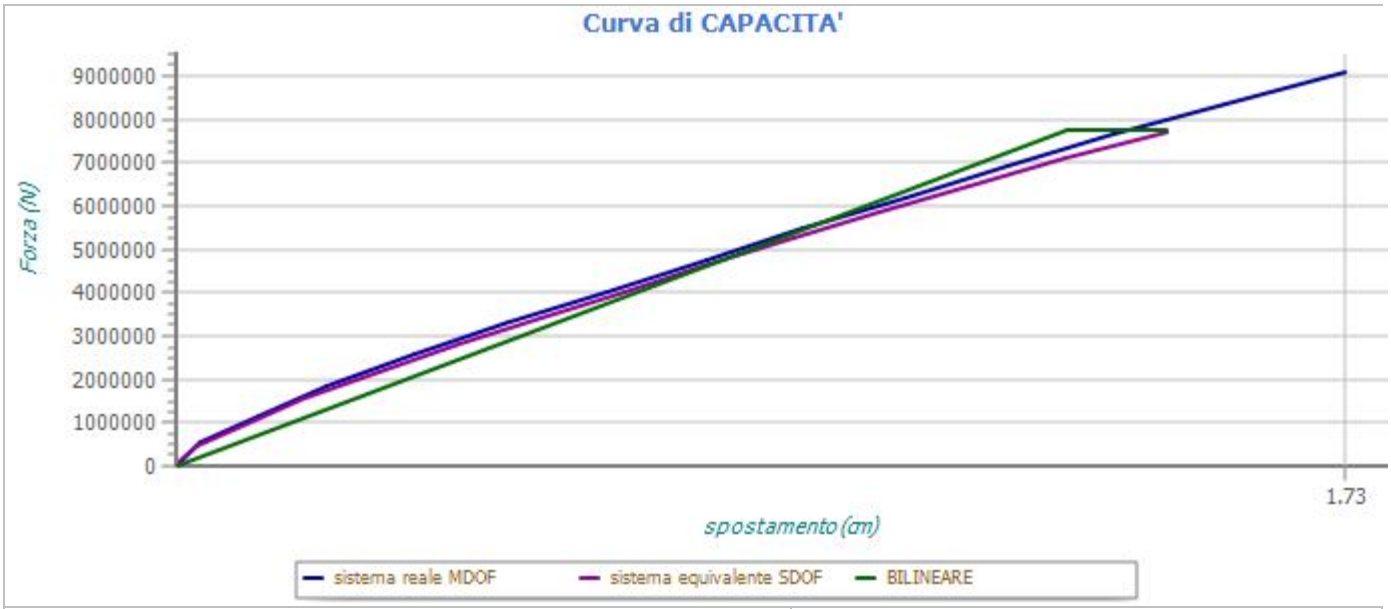

CAPACITA' DI SPOSTAMENTO DELL'EDIFICIO ALLO SLV (cm): 1,734	CAPACITA' DI SPOSTAMENTO DELL'EDIFICIO ALLO SLD (cm): 1,734
Domanda spostamento allo SLV (cm): 1,118	Domanda spostamento allo SLD (cm): 0,521
Verifica allo SLV: Verificata	Verifica allo SLD: Verificata

Direzione sisma in +Y - proporzionale alle masse

1,000	3	1.531.590	7.592.287	7.592.287	11.227.395	11.227.395	1,479	1,479	107.123	107.123	0,282	0,282	0,347	0,343	0,318	1,21	0,89	26,69	12,51	7,16

Punti della curva di capacità (Forza / Spostamento).

Punto	Forza [N]	Spostamento [cm]	Punto	Forza [N]	Spostamento [cm]	Punto	Forza [N]	Spostamento [cm]
0	0	0,0000	1	161.298	0,0116	2	950.493	0,0685
3	2.077.273	0,1813	4	3.195.954	0,3270	5	4.322.738	0,4952
6	5.613.125	0,6976	7	6.903.511	0,9133	8	8.089.095	1,1177
9	9.379.482	1,3386	10	10.669.868	1,5721	11	11.315.061	1,6935

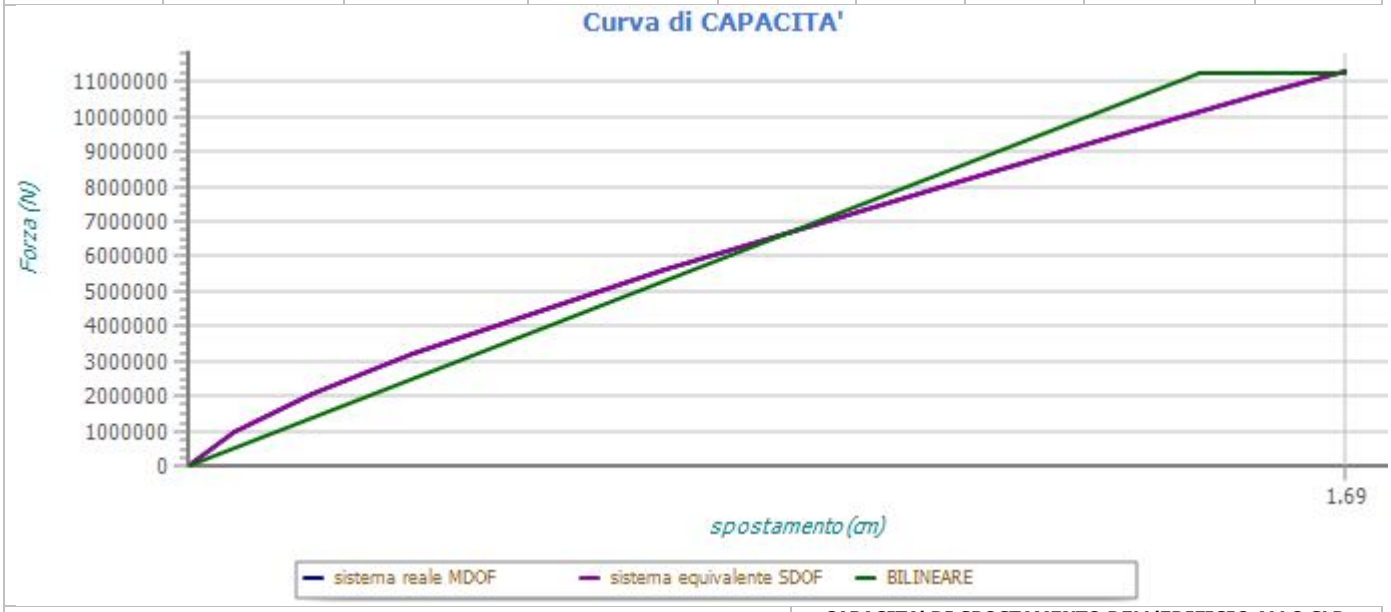

CAPACITA' DI SPOSTAMENTO DELL'EDIFICIO ALLO SLV (cm): 1,694	CAPACITA' DI SPOSTAMENTO DELL'EDIFICIO ALLO SLD (cm): 1,694
Domanda spostamento allo SLV (cm): 1,309	Domanda spostamento allo SLD (cm): 0,611
Verifica allo SLV: Verificata	Verifica allo SLD: Verificata

Direzione sisma in +Y - proporzionale alla deformata 1° modo di vibrazione

1,435	3	665.142	4.124.098	4.124.098	5.813.070	5.813.070	1,410	1,410	60.863	60.863	0,252	0,252	0,449	0,444	0,344	1,40	0,74	26,69	12,51	7,16

Punti della curva di capacità (Forza / Spostamento).

Punto	Forza [N]	Spostamento [cm]	Punto	Forza [N]	Spostamento [cm]	Punto	Forza [N]	Spostamento [cm]
0	0	0,0000	1	70.030	0,0090	2	412.668	0,0510
3	905.474	0,1288	4	1.390.847	0,2265	5	1.873.045	0,3380
6	2.379.169	0,4681	7	2.939.405	0,6125	8	3.499.641	0,7668
9	4.059.877	0,9246	10	4.620.113	1,0875	11	5.180.349	1,2504
12	5.740.585	1,4197	13	6.300.821	1,5892	14	6.788.684	1,7748
15	7.348.920	1,9609	16	7.751.928	2,1500	17	8.234.204	2,3083
18	8.794.440	2,5136						

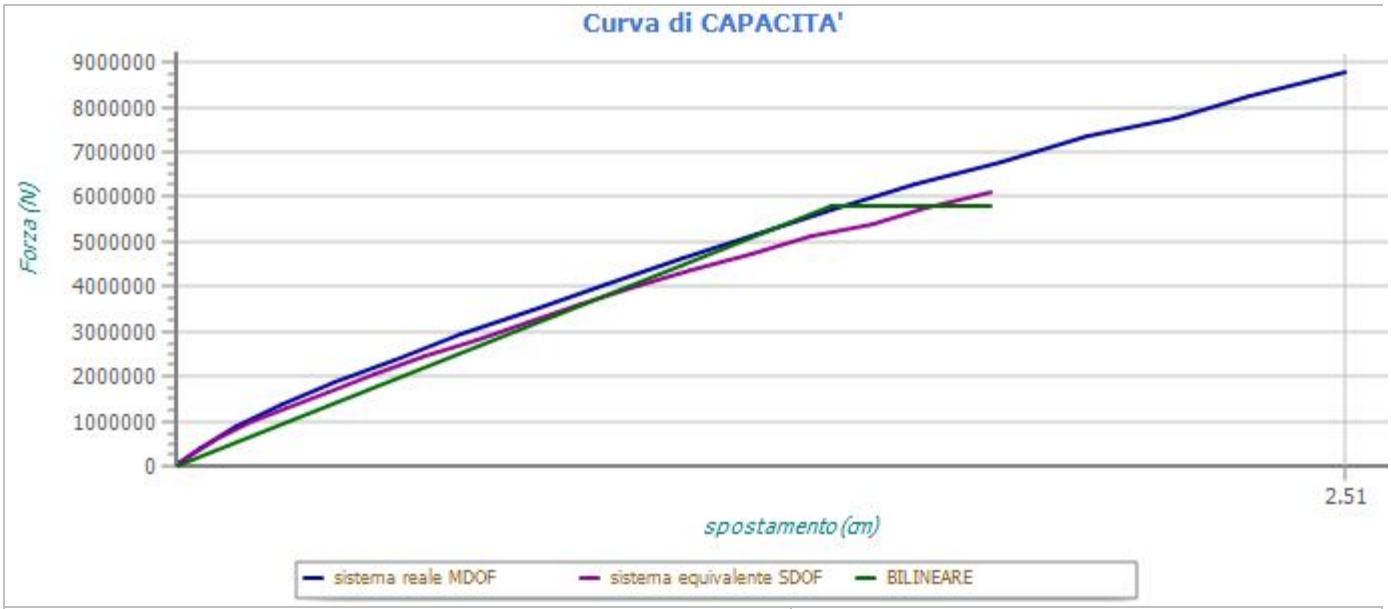

CAPACITA' DI SPOSTAMENTO DELL'EDIFICIO ALLO SLV (cm): 2,514	CAPACITA' DI SPOSTAMENTO DELL'EDIFICIO ALLO SLD (cm): 2,514
Domanda spostamento allo SLV (cm): 1,502	Domanda spostamento allo SLD (cm): 0,701
Verifica allo SLV: Verificata	Verifica allo SLD: Verificata

Direzione sisma in -Y - proporzionale alle masse

1,000	3	1.532.229	10.595.410	10.595.410	3.074.072	3.074.072	0,290	0,290	6.382	6.382	0,239	0,239	0,080	0,093	0,000	100,00	3,24	26,69	12,51	7,16

Punti della curva di capacità (Forza / Spostamento).

Punto	Forza [N]	Spostamento [cm]	Punto	Forza [N]	Spostamento [cm]	Punto	Forza [N]	Spostamento [cm]
0	0	0,0000	1	64.570	0,0087	2	280.334	0,0394
3	533.166	0,0785	4	803.885	0,1244	5	1.094.519	0,1799
6	1.401.366	0,2432	7	1.802.239	0,3331	8	2.250.496	0,4385
9	2.705.584	0,5503	10	3.163.593	0,6671	11	3.672.755	0,7906
12	4.157.450	0,9323	13	4.717.082	1,0748	14	5.276.715	1,2313
15	5.800.196	1,3853	16	6.359.828	1,5476	17	6.919.461	1,7173

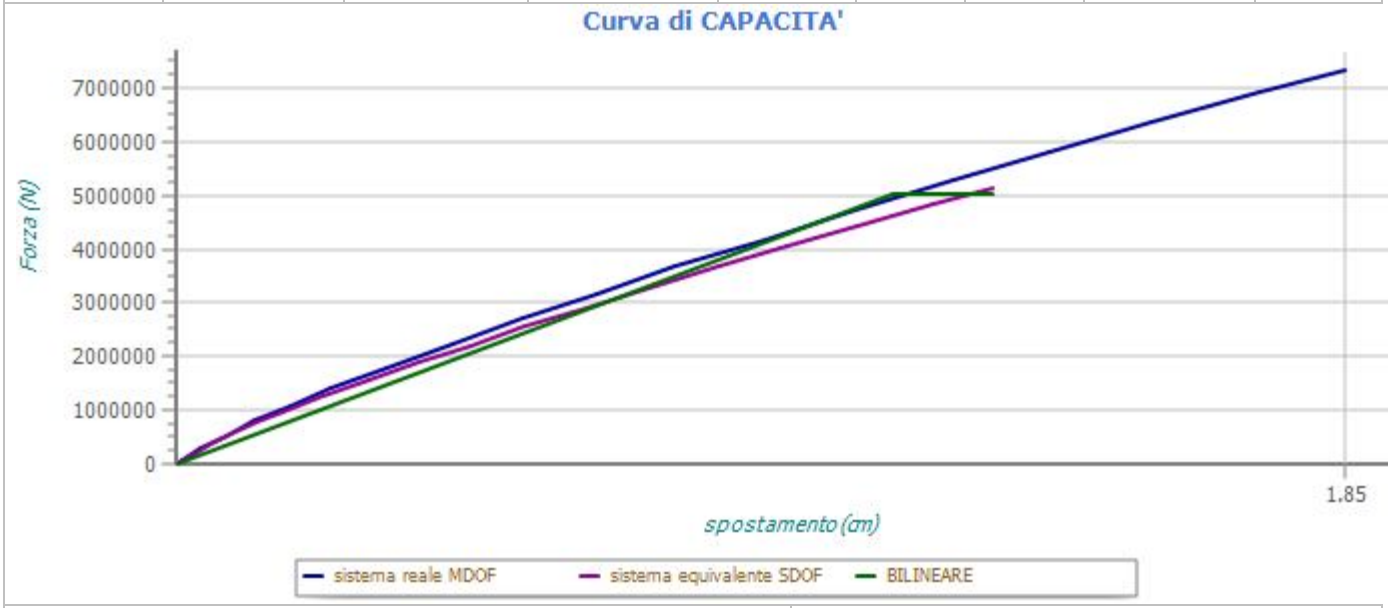

CAPACITA' DI SPOSTAMENTO DELL'EDIFICIO ALLO SLV (cm): 1,853	CAPACITA' DI SPOSTAMENTO DELL'EDIFICIO ALLO SLD (cm): 1,853
Domanda spostamento allo SLV (cm): 1,396	Domanda spostamento allo SLD (cm): 0,651
Verifica allo SLV: Verificata	Verifica allo SLD: Verificata

Direzione sisma in -Y - proporzionale alla deformata 1° modo di vibrazione

1,386	3	700.474	4.613.740	4.613.740	5.799.929	5.799.929	1,257	1,257	46.695	46.695	0,245	0,245	0,390	0,390	0,352	1,88	0,78	26,65	13,05	7,21

Punti della curva di capacità (Forza / Spostamento).

Punto	Forza [N]	Spostamento [cm]	Punto	Forza [N]	Spostamento [cm]	Punto	Forza [N]	Spostamento [cm]
0	0	0,0000	1	73.751	0,0078	2	434.595	0,0501
3	949.543	0,1274	4	1.395.179	0,2230	5	1.772.127	0,2958
6	2.258.138	0,4090	7	2.817.932	0,5337	8	3.351.681	0,6665
9	3.794.185	0,7796	10	4.349.935	0,9163	11	4.939.939	1,0721
12	5.529.944	1,2304	13	6.119.949	1,3948	14	6.709.953	1,5525

15	7.299.958	1,7205	16	7.889.963	1,8973	17	8.184.965	1,9864

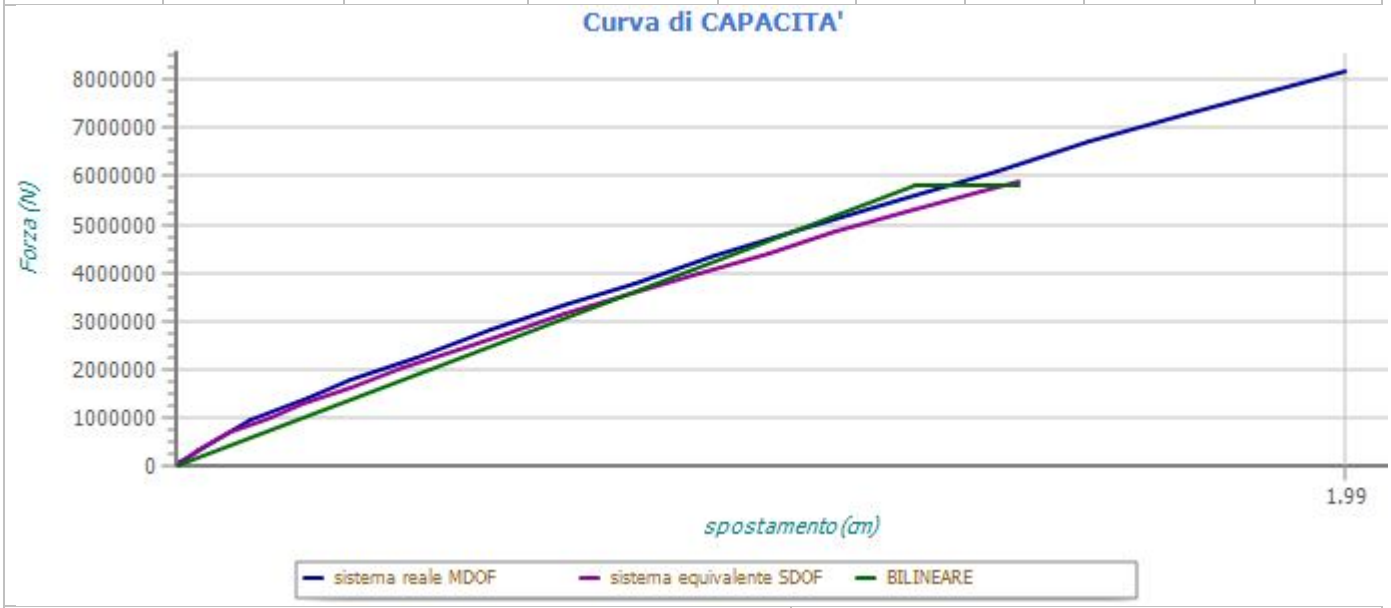

CAPACITA' DI SPOSTAMENTO DELL'EDIFICIO ALLO SLV (cm): 1,986	CAPACITA' DI SPOSTAMENTO DELL'EDIFICIO ALLO SLD (cm): 1,986
Domanda spostamento allo SLV (cm): 1,365	Domanda spostamento allo SLD (cm): 0,539
Verifica allo SLV: Verificata	Verifica allo SLD: Verificata

Legenda dei valori assunti dal parametro KStop

Valore	Descrizione
1	Raggiunto spostamento assegnato del punto di controllo
2	Raggiunta ampiezza minima del substep
3	Raggiunto massimo numero di tentativi di soluzione del substep
4	Raggiunto massimo numero di iterazioni cumulative
5	Raggiunta condizione di instabilità nella struttura
6	Richiesta di interruzione attraverso il file .ABT
7	Raggiunto valore limite assegnato del Parametro di Rigidezza
8	Raggiunto valore limite di Lambda dopo il superamento di LambdaMax
9	Raggiunta iterazione prossima alla condizione di singolarità o instabilità

LEGENDA:

Γ	Coefficiente di partecipazione.
K_{Stop}	Codice di conclusione dell'analisi.
M_{Eq}	Massa del sistema SDOF.
K_{sec}	Rigidezza secante allo snervamento del sistema SDOF.
$(d, F)_{Snv,Blt}$	Valori allo snervamento, di forze e spostamento, della bilatera equivalente.
A_{Snv}	Area sottesa allo snervamento.
T	Periodo del sistema SDOF.
PGA	Accelerazione di picco al suolo: [SLV] = Stato limite salvaguardia della vita; [SLD] = Stato limite di danno (relativo al massimo valore della forza); [SLD_{piani}] = Stato limite di danno (relativo al superamento dello spostamento differenziale ammissibile fra due piani consecutivi).
α_u/α_1	Rapporto α_u/α_1
q*	Rapporto tra la forza di risposta elastica e la forza di snervamento del sistema equivalente (SDOF).
Pnt Cntr	Coordinate del punto di controllo.

EDIFICIO - VERIFICHE DI RIPARTIZIONE DELLE FORZE SISMICHE

Edificio - Verifiche di ripartizione delle forze sismiche

$V_{T,tot}$		$V_{T,Pil}$		$\%_{T,Pil}$		$V_{T,Set}$		$\%_{T,Set}$		$V_{T,atr}$		$\%_{T,atr}$	
X	Y	X	Y	X	Y	X	Y	X	Y	X	Y	X	Y
[N]	[N]	[N]	[N]	[%]	[%]	[N]	[N]	[%]	[%]	[N]	[N]	[%]	[%]
3.775.040	3.489.688	392.359	877.645	10,0	25,0	0	0	0,0	0,0	3.382.681	2.612.043	90,0	75,0

LEGENDA:

$V_{T,tot}$	Taglio totale alla quota Zero Sismico (nella direzione X o Y).
$V_{T,Pil}$	Taglio totale alla quota Zero Sismico assorbito dai pilastri (nella direzione X o Y).
$\%_{T,Pil}$	Percentuale del Taglio totale alla quota Zero Sismico assorbito dai pilastri (nella direzione X o Y).
$V_{T,Set}$	Taglio totale alla quota Zero Sismico assorbito dai setti (nella direzione X o Y).
$\%_{T,Set}$	Percentuale del Taglio totale alla quota Zero Sismico assorbito dai setti (nella direzione X o Y).
$V_{T,atr}$	Taglio totale alla quota Zero Sismico NON assorbito dai pilastri e dai setti (nella direzione X o Y).
$\%_{T,atr}$	Percentuale del Taglio totale alla quota Zero Sismico NON assorbito dai pilastri e dai setti (nella direzione X o Y).

NODI (CA) - VERIFICA DI CONFINAMENTO (Elevazione)

Dati generali di verifica

Id_{Nd}	Pos	Stato	$Id_{Pil,sup}$	σ_{cR}	σ_{tR}	f_{yk}	f_{fk}	$N_{d,max}$	$A_{S,st}$	CS		Rf
										η	ξ	
				[N/mm²]	[N/mm²]	[N/mm²]	[N/mm²]	[N]				
Nodo 8	E	NC	Pilastro 39	4,56	0,91	378,00	-	129.317	-	1,06	0,31	NO
ERRORE: Verifica Confinamento Nodo a Trazione diagonale NON soddisfatta.												
Nodo 12	E	NC	Pilastro 41	4,56	0,91	378,00	-	153.777	-	1,29	0,50	NO
ERRORE: Verifica Confinamento Nodo a Trazione diagonale NON soddisfatta.												
Nodo 14	E	NC	Pilastro 42	4,56	0,91	378,00	-	145.697	-	1,17	0,40	NO

Dati generali di verifica

Id_{Nd}	Pos	Stato	$Id_{Pil,sup}$	σ_{cR}	σ_{tR}	f_{yk}	f_{fk}	$N_{d,max}$	$A_{S,st}$	CS		Rf
										η	ξ	
				[N/mm²]	[N/mm²]	[N/mm²]	[N/mm²]	[N]				
ERRORE: Verifica Confinamento Nodo a Trazione diagonale NON soddisfatta.												
Nodo 20	E	NC	Pilastro 32	4,56	0,91	378,00	-	167.170	-	1,15	0,43	NO
ERRORE: Verifica Confinamento Nodo a Trazione diagonale NON soddisfatta.												
Nodo 22	E	NC	Pilastro 33	4,56	0,91	378,00	-	132.383	-	1,20	0,39	NO
ERRORE: Verifica Confinamento Nodo a Trazione diagonale NON soddisfatta.												
Nodo 24	E	NC	Pilastro 34	4,56	0,91	378,00	-	139.786	-	1,36	0,51	NO
ERRORE: Verifica Confinamento Nodo a Trazione diagonale NON soddisfatta.												
Nodo 26	E	NC	Pilastro 35	4,56	0,91	378,00	-	105.414	-	1,69	0,60	NO
ERRORE: Verifica Confinamento Nodo a Trazione diagonale NON soddisfatta.												
Nodo 30	E	NC	Pilastro 27	4,56	0,91	378,00	-	123.508	-	1,09	0,32	NO
ERRORE: Verifica Confinamento Nodo a Trazione diagonale NON soddisfatta.												
Nodo 32	E	NC	Pilastro 28	4,56	0,91	378,00	-	105.546	-	1,20	0,35	NO
ERRORE: Verifica Confinamento Nodo a Trazione diagonale NON soddisfatta.												
Nodo 34	E	NC	Pilastro 24	4,56	0,91	378,00	-	105.051	-	1,76	0,64	NO
ERRORE: Verifica Confinamento Nodo a Trazione diagonale NON soddisfatta.												
Nodo 40	E	NC	Pilastro 14	4,56	0,91	378,00	-	152.329	-	1,33	0,52	NO
ERRORE: Verifica Confinamento Nodo a Trazione diagonale NON soddisfatta.												
Nodo 42	E	NC	Pilastro 15	4,56	0,91	378,00	-	155.547	-	1,14	0,40	NO
ERRORE: Verifica Confinamento Nodo a Trazione diagonale NON soddisfatta.												
Nodo 44	E	NC	Pilastro 10	4,56	0,91	378,00	-	63.209	-	1,61	0,43	NO
ERRORE: Verifica Confinamento Nodo a Trazione diagonale NON soddisfatta.												
Nodo 46	E	NC	Pilastro 11	4,56	0,91	378,00	-	70.984	-	1,58	0,43	NO
ERRORE: Verifica Confinamento Nodo a Trazione diagonale NON soddisfatta.												
Nodo 50	E	NC	Pilastro 7	4,56	0,91	378,00	-	45.483	-	2,33	0,62	NO
ERRORE: Verifica Confinamento Nodo a Trazione diagonale NON soddisfatta.												
Nodo 52	E	NC	Pilastro 8	4,56	0,91	378,00	-	43.245	-	2,07	0,52	NO
ERRORE: Verifica Confinamento Nodo a Trazione diagonale NON soddisfatta.												
Nodo 54	E	NC	Pilastro 9	4,56	0,91	378,00	-	50.395	-	1,51	0,37	NO
ERRORE: Verifica Confinamento Nodo a Trazione diagonale NON soddisfatta.												
Nodo 58	E	NC	Pilastro 5	4,56	0,91	378,00	-	38.866	-	1,89	0,46	NO
ERRORE: Verifica Confinamento Nodo a Trazione diagonale NON soddisfatta.												
Nodo 64	E	NC	Pilastro 31	4,56	0,91	378,00	-	105.343	-	1,48	0,44	NO
ERRORE: Verifica Confinamento Nodo a Trazione diagonale NON soddisfatta.												
Nodo 68	E	NC	Pilastro 23	4,56	0,91	378,00	-	172.362	-	1,95	0,85	NO
ERRORE: Verifica Confinamento Nodo a Trazione diagonale NON soddisfatta.												
Nodo 74	E	NC	Pilastro 36	4,56	0,91	378,00	-	107.702	-	1,16	0,31	NO
ERRORE: Verifica Confinamento Nodo a Trazione diagonale NON soddisfatta.												
Nodo 76	E	NC	Pilastro 29	4,56	0,91	378,00	-	127.876	-	1,34	0,42	NO
ERRORE: Verifica Confinamento Nodo a Trazione diagonale NON soddisfatta.												
Nodo 79	E	NC	-	4,56	0,91	378,00	-	0	-	2,43	0,48	NO
ERRORE: Verifica Confinamento Nodo a Trazione diagonale NON soddisfatta.												
Nodo 80	E	NC	-	4,56	0,91	378,00	-	0	-	9,70	1,93	NO
Nodo 81	E	NC	-	4,56	0,91	378,00	-	0	-	2,54	0,51	NO
ERRORE: Verifica Confinamento Nodo a Trazione diagonale NON soddisfatta.												
Nodo 82	E	NC	-	4,56	0,91	378,00	-	0	-	2,49	0,49	NO
ERRORE: Verifica Confinamento Nodo a Trazione diagonale NON soddisfatta.												
Nodo 83	E	NC	-	4,56	0,91	378,00	-	0	-	9,55	1,90	NO
Nodo 84	E	NC	-	4,56	0,91	378,00	-	0	-	2,64	0,53	NO
ERRORE: Verifica Confinamento Nodo a Trazione diagonale NON soddisfatta.												
Nodo 88	E	NC	Pilastro 24	4,56	0,91	378,00	-	69.358	-	4,03	2,50	NO
Nodo 90	E	NC	Pilastro 23	4,56	0,91	378,00	-	162.443	-	2,28	1,13	NO
Nodo 92	E	NC	Pilastro 5	4,56	0,91	378,00	-	0	-	5,39	1,07	NO
Nodo 93	E	NC	Pilastro 8	4,56	0,91	378,00	-	0	-	6,59	1,31	NO
Nodo 94	E	NC	Pilastro 11	4,56	0,91	378,00	-	18.113	-	5,85	1,57	NO
Nodo 96	E	NC	-	4,56	0,91	378,00	-	0	-	5,11	1,02	NO
Nodo 97	E	NC	-	4,56	0,91	378,00	-	0	-	2,41	0,48	NO
ERRORE: Verifica Confinamento Nodo a Trazione diagonale NON soddisfatta.												
Nodo 99	E	NC	-	4,56	0,91	378,00	-	0	-	2,41	0,48	NO
ERRORE: Verifica Confinamento Nodo a Trazione diagonale NON soddisfatta.												
Nodo 103	E	NC	Pilastro 33	4,56	0,91	378,00	-	65.308	-	2,25	0,70	NO
ERRORE: Verifica Confinamento Nodo a Trazione diagonale NON soddisfatta.												
Nodo 105	E	NC	Pilastro 31	4,56	0,91	378,00	-	44.683	-	3,63	1,09	NO
Nodo 107	E	NC	Pilastro 14	4,56	0,91	378,00	-	77.094	-	2,45	0,91	NO
ERRORE: Verifica Confinamento Nodo a Trazione diagonale NON soddisfatta.												
Nodo 108	E	NC	Pilastro 27	4,56	0,91	378,00	-	37.665	-	2,57	0,67	NO
ERRORE: Verifica Confinamento Nodo a Trazione diagonale NON soddisfatta.												
Nodo 109	E	NC	Pilastro 34	4,56	0,91	378,00	-	76.944	-	2,88	1,24	NO
Nodo 110	E	NC	-	4,56	0,91	378,00	-	0	-	5,63	1,12	NO
Nodo 111	E	NC	Pilastro 15	4,56	0,91	378,00	-	67.425	-	1,44	0,38	NO
ERRORE: Verifica Confinamento Nodo a Trazione diagonale NON soddisfatta.												
Nodo 112	E	NC	Pilastro 28	4,56	0,91	378,00	-	35.473	-	2,84	0,75	NO
ERRORE: Verifica Confinamento Nodo a Trazione diagonale NON soddisfatta.												
Nodo 113	E	NC	Pilastro 35	4,56	0,91	378,00	-	54.041	-	3,65	1,39	NO
Nodo 114	E	NC	-	4,56	0,91	378,00	-	0	-	3,43	0,68	NO
ERRORE: Verifica Confinamento Nodo a Trazione diagonale NON soddisfatta.												
Nodo 115	E	NC	Pilastro 29	4,56	0,91	378,00	-	87.369	-	2,67	1,03	NO
Nodo 116	E	NC	Pilastro 36	4,56	0,91	378,00	-	150.437	-	1,10	0,33	NO
ERRORE: Verifica Confinamento Nodo a Trazione diagonale NON soddisfatta.												
Nodo 119	E	NC	-	4,56	0,91	378,00	-	0	-	4,18	0,83	NO
ERRORE: Verifica Confinamento Nodo a Trazione diagonale NON soddisfatta.												
Nodo 120	E	NC	Pilastro 32	4,56	0,91	378,00	-	79.333	-	2,76	1,17	NO

Dati generali di verifica

Id_{Nd}	Pos	Stato	$Id_{Pil,sup}$	σ_{cR}	σ_{tR}	f_{yk}	f_{fk}	$N_{d,max}$	$A_{S,st}$	CS		Rf
										η	ξ	
				[N/mm²]	[N/mm²]	[N/mm²]	[N/mm²]	[N]				
Nodo 121	E	NC	-	4,56	0,91	378,00	-	0	-	3,72	0,74	NO
ERRORE: Verifica Confinamento Nodo a Trazione diagonale NON soddisfatta.												
Nodo 122	E	NC	-	4,56	0,91	378,00	-	0	-	4,08	0,81	NO
ERRORE: Verifica Confinamento Nodo a Trazione diagonale NON soddisfatta.												
Nodo 123	E	NC	-	4,56	0,91	378,00	-	0	-	7,78	1,55	NO
Nodo 126	E	NC	-	4,56	0,91	378,00	-	0	-	5,07	1,01	NO
Nodo 127	E	NC	-	4,56	0,91	378,00	-	0	-	7,31	1,45	NO
Nodo 128	E	NC	-	4,56	0,91	378,00	-	0	-	7,19	1,43	NO
Nodo 130	E	NC	-	4,56	0,91	378,00	-	0	-	3,05	0,61	NO
ERRORE: Verifica Confinamento Nodo a Trazione diagonale NON soddisfatta.												
Nodo 131	E	NC	-	4,56	0,91	378,00	-	0	-	4,64	0,92	NO
ERRORE: Verifica Confinamento Nodo a Trazione diagonale NON soddisfatta.												
Nodo 132	E	NC	-	4,56	0,91	378,00	-	0	-	3,42	0,68	NO
ERRORE: Verifica Confinamento Nodo a Trazione diagonale NON soddisfatta.												
Nodo 133	E	NC	-	4,56	0,91	378,00	-	0	-	4,47	0,89	NO
ERRORE: Verifica Confinamento Nodo a Trazione diagonale NON soddisfatta.												
Nodo 134	E	NC	-	4,56	0,91	378,00	-	0	-	3,82	0,76	NO
ERRORE: Verifica Confinamento Nodo a Trazione diagonale NON soddisfatta.												
Nodo 135	E	NC	-	4,56	0,91	378,00	-	0	-	3,24	0,64	NO
ERRORE: Verifica Confinamento Nodo a Trazione diagonale NON soddisfatta.												
Nodo 136	E	NC	-	4,56	0,91	378,00	-	0	-	5,54	1,10	NO
Nodo 137	E	NC	-	4,56	0,91	378,00	-	0	-	4,74	0,94	NO
ERRORE: Verifica Confinamento Nodo a Trazione diagonale NON soddisfatta.												
Nodo 138	E	NC	Pilastro 29	4,56	0,91	378,00	-	93.890	-	3,95	3,47	NO
Nodo 139	E	NC	Pilastro 36	4,56	0,91	378,00	-	219.360	-	1,10	0,44	NO
ERRORE: Verifica Confinamento Nodo a Trazione diagonale NON soddisfatta.												
Nodo 141	E	NC	Pilastro 24	4,56	0,91	378,00	-	37.840	-	6,96	3,87	NO
Nodo 142	E	NC	-	4,56	0,91	378,00	-	0	-	11,87	2,36	NO
Nodo 146	E	NC	-	4,56	0,91	378,00	-	0	-	4,41	0,88	NO
ERRORE: Verifica Confinamento Nodo a Trazione diagonale NON soddisfatta.												
Nodo 158	E	NC	-	4,56	0,91	378,00	-	0	-	1,83	0,36	NO
ERRORE: Verifica Confinamento Nodo a Trazione diagonale NON soddisfatta.												
Nodo 159	E	NC	-	4,56	0,91	378,00	-	0	-	1,64	0,33	NO
ERRORE: Verifica Confinamento Nodo a Trazione diagonale NON soddisfatta.												
Nodo 160	E	NC	-	4,56	0,91	378,00	-	0	3/ϕ6/15/2	7,70	1,89	NO
Nodo 162	E	NC	-	4,56	0,91	378,00	-	0	-	6,45	1,28	NO
Nodo 192	E	NC	-	4,56	0,91	378,00	-	0	-	3,29	0,65	NO
ERRORE: Verifica Confinamento Nodo a Trazione diagonale NON soddisfatta.												
Nodo 193	E	NC	Pilastro 17	4,56	0,91	378,00	-	0	-	-	-	NO
Nodo 194	E	NC	Pilastro 18	4,56	0,91	378,00	-	0	-	-	-	NO
Nodo 195	E	NC	Pilastro 19	4,56	0,91	378,00	-	0	-	-	-	NO
Nodo 198	E	NC	Pilastro 30	4,56	0,91	378,00	-	0	2/ϕ8/15/2	-	-	NO
Nodo 201	E	NC	Pilastro 46	4,56	0,91	378,00	-	0	-	-	-	NO
Nodo 202	E	NC	Pilastro 45	4,56	0,91	378,00	-	0	-	-	-	NO
Nodo 203	E	NC	Pilastro 44	4,56	0,91	378,00	-	0	-	-	-	NO

Dati indicati per direzione

Id_{Nd}	Dir	ID_{tr}	b_j	h_{jw}	A_{sup}/M^+	A_i/M^-	Or_{Vid}	$V_{c,\eta}$	$V_{c,\xi}$	σ_η	σ_ξ	$V_{jsd,sup}$	$V_{jsd,inf}$	V_{jsr}	h_{jc}
			[cm]	[cm]	[cm²;N·m]	[cm²;N·m]		[N]	[N]	[N/mm²]	[N/mm²]	[N]	[N]	[N]	[cm]
Nodo 8	1	Trave 32-39	30	61	106.659,00	0,00	M	17.873	17.873	3,06	1,63	-	-	-	26
	2	Trave 39-40	30	41	55.698,00	-17.822,00	M	11.901	11.901	4,32	2,88	-	-	-	26
		Trave P14-39	30	41	47.653,00	-51.750,00	M	11.901	11.901	4,32	2,88	-	-	-	26
Nodo 12	1	Trave 34-41	30	56	104.015,00	0,00	M	21.367	21.367	3,34	1,64	-	-	-	26
	2	Trave 41-42	30	41	50.975,00	-16.058,00	M	10.106	10.106	3,53	1,82	-	-	-	26
		Trave P15-41	30	41	43.229,00	-26.876,00	M	10.106	10.106	3,53	1,82	-	-	-	26
Nodo 14	1	Trave 35-42	30	56	91.348,00	0,00	M	19.423	19.423	3,01	1,39	-	-	-	26
	2	Trave 42-P16	30	41	64.658,00	-49.209,00	M	12.106	12.106	3,90	2,28	-	-	-	26
		Trave 41-42	30	41	32.545,00	-26.957,00	M	12.106	12.106	3,90	2,28	-	-	-	26
Nodo 20	1	Trave 24-32	30	61	133.213,00	0,00	M	14.408	14.408	3,96	2,11	-	-	-	26
		Trave 32-39	30	61	108.734,00	0,00	M	14.408	14.408	3,96	2,11	-	-	-	26
Nodo 22	1	Trave 26-33	30	36	80.488,00	-2.961,00	M	13.566	13.566	3,79	2,32	-	-	-	26
		Trave 33-40	30	56	92.357,00	0,00	M	13.566	13.566	3,79	2,32	-	-	-	26
Nodo 24	1	Trave 27-34	30	56	85.141,00	-9.788,00	M	14.787	14.787	3,34	1,79	-	-	-	26
		Trave 34-41	30	56	95.140,00	0,00	M	14.787	14.787	3,34	1,79	-	-	-	26
Nodo 26	1	Trave 28-35	30	56	75.463,00	-10.859,00	M	14.506	14.506	2,69	1,52	-	-	-	26
		Trave 35-42	30	56	77.162,00	0,00	M	14.506	14.506	2,69	1,52	-	-	-	26
Nodo 30	1	Trave 14-27	30	56	112.800,00	0,00	M	14.582	14.582	4,17	2,80	-	-	-	26
		Trave 27-34	30	56	66.521,00	-30.797,00	M	14.582	14.582	4,17	2,80	-	-	-	26
Nodo 32	1	Trave 15-28	30	56	98.776,00	0,00	M	14.523	14.523	3,80	2,62	-	-	-	26
		Trave 28-35	30	56	55.507,00	-34.282,00	M	14.523	14.523	3,80	2,62	-	-	-	26
Nodo 34	1	Trave 24-32	30	61	88.462,00	-14.742,00	M	9.634	9.634	2,59	1,42	-	-	-	26
	2	Trave 24-25	30	36	29.928,00	-8.538,00	M	11.292	11.292	1,76	0,59	-	-	-	26
Nodo 40	1	Trave 14-27	30	56	77.739,00	0,00	M	9.652	9.652	2,86	1,17	-	-	-	26
	2	Trave 14-15	30	41	54.625,00	-17.850,00	M	13.993	13.993	3,43	1,74	-	-	-	26
		Trave P4-14	30	41	57.341,00	-21.937,00	M	13.993	13.993	3,43	1,74	-	-	-	26
Nodo 42	1	Trave 15-28	30	56	65.430,00	-10.190,00	M	7.967	7.967	2,63	0,90	-	-	-	26
	2	Trave 15-P5	30	41	67.062,00	-51.354,00	M	17.651	17.651	3,99	2,26	-	-	-	26
		Trave 14-15	30	41	39.425,00	-27.156,00	M	17.651	17.651	3,99	2,26	-	-	-	26
Nodo 44	1	Trave 7-10	30	41	33.148,00	0,00	M	7.812	7.812	2,83	2,12	-	-	-	26
		Trave 10-22	30	41	30.995,00	-41.204,00	M	7.812	7.812	2,83	2,12	-	-	-	26
Nodo 46	1	Trave 8-11	30	46	64.487,00	0,00	M	6.746	6.746	2,89	2,10	-	-	-	26

Id_{Nd}		Pos	Stato	$Id_{Pil,sup}$			σ_{cR}	σ_{tR}		f_{yk}	f_{fk}		$N_{d,max}$	$A_{S,st}$		CS		Rf
																η	ξ	
							[N/mm²]	[N/mm²]		[N/mm²]	[N/mm²]		[N]					
		Trave 11-23		30	46	56.962,00	-19.237,00		M	6.746	6.746	2,89	2,10	-	-	-		26
Nodo 50	1	Trave 4-7		30	41	46.187,00	-10.340,00		M	7.833	7.833	1,96	1,45	-	-	-		26
		Trave 7-10		30	41	26.860,00	-5.946,00		M	7.833	7.833	1,96	1,45	-	-	-		26
Nodo 52	1	Trave 5-8		30	46	67.011,00	0,00		M	7.101	7.101	2,21	1,73	-	-	-		26
		Trave 8-11		30	46	51.734,00	0,00		M	7.101	7.101	2,21	1,73	-	-	-		26
Nodo 54	1	Trave 6-9		30	41	58.197,00	-196,00		M	7.290	7.290	3,01	2,45	-	-	-		26
		Trave 9-12		30	41	42.990,00	-23.736,00		M	7.290	7.290	3,01	2,45	-	-	-		26
Nodo 58	1	Trave 2-5		30	46	74.174,00	0,00		M	7.979	7.979	2,41	1,98	-	-	-		26
		Trave 5-8		30	46	52.808,00	-883,00		M	7.979	7.979	2,41	1,98	-	-	-		26
Nodo 64	1	Trave 31-38		35	56	74.886,00	0,00		M	13.857	13.857	3,07	2,07	-	-	-		26
		Trave P11-31		35	56	123.869,00	-33.194,00		M	13.857	13.857	3,07	2,07	-	-	-		26
Nodo 68	1	Trave 11-23		30	46	87.750,00	0,00		M	14.357	14.357	2,34	1,07	-	-	-		41
	2	Trave P8-23		45	36	48.741,00	-58.950,00		M	17.904	17.904	2,15	0,88	-	-	-		26
Nodo 74	1	Trave 29-36		30	56	61.547,00	-20.766,00		M	23.935	23.935	3,93	2,91	-	-	-		31
		Trave 36-P13		30	56	52.597,00	-110.622,00		M	23.935	23.935	3,93	2,91	-	-	-		31
Nodo 76	1	Trave P9-29		30	56	96.638,00	-31.668,00		M	27.198	27.198	3,40	2,18	-	-	-		31
		Trave 29-36		30	56	39.193,00	-45.946,00		M	27.198	27.198	3,40	2,18	-	-	-		31
Nodo 79	1	Trave 36a-44		30	86	42.951,00	-23.683,00		M	0	0	0,56	0,56	-	-	-		33
	2	Trave 44-45		40	51	20.225,00	0,00		M	0	0	1,88	1,88	-	-	-		26
		Trave P17-44		40	51	33.001,00	-70.791,00		M	0	0	1,88	1,88	-	-	-		26
Nodo 80	1	Trave 37a-45		30	86	36.220,00	-6.131,00		M	0	0	0,47	0,47	-	-	-		33
	2	Trave 45-46		40	51	21.306,00	0,00		M	0	0	0,45	0,45	-	-	-		26
		Trave 44-45		40	51	21.905,00	0,00		M	0	0	0,45	0,45	-	-	-		26
Nodo 81	1	Trave 38a-46		30	86	21.177,00	-66.071,00		M	0	0	0,86	0,86	-	-	-		33
	2	Trave 46-P18		40	51	38.690,00	-65.495,00		M	0	0	1,79	1,79	-	-	-		26
		Trave 45-46		40	51	21.448,00	0,00		M	0	0	1,79	1,79	-	-	-		26
Nodo 82	1	Trave 17-4a		30	86	31.962,00	-79.861,00		M	0	0	1,04	1,04	-	-	-		33
	2	Trave 17-18		40	51	21.122,00	0,00		M	0	0	1,83	1,83	-	-	-		26
		Trave P6-17		40	51	24.690,00	-67.467,00		M	0	0	1,83	1,83	-	-	-		26
Nodo 83	1	Trave 18-5a		30	86	17.108,00	-21.071,00		M	0	0	0,27	0,27	-	-	-		33
	2	Trave 18-19		40	51	21.871,00	0,00		M	0	0	0,48	0,48	-	-	-		26
		Trave 17-18		40	51	23.092,00	0,00		M	0	0	0,48	0,48	-	-	-		26
Nodo 84	1	Trave 19-6a		30	86	27.042,00	-53.153,00		M	0	0	0,69	0,69	-	-	-		33
	2	Trave 19-P7		40	51	36.394,00	-61.361,00		M	0	0	1,73	1,73	-	-	-		26
		Trave 18-19		40	51	22.092,00	0,00		M	0	0	1,73	1,73	-	-	-		26
Nodo 88	1	Trave 24-32		30	46	27.695,00	0,00		M	15.910	15.910	1,13	0,36	-	-	-		26
	2	Trave 24-25		30	31	8.040,00	-2.538,00		M	16.928	16.928	0,80	0,03	-	-	-		26
Nodo 90	1	Trave 11-23		30	36	23.683,00	0,00		M	21.667	21.667	1,33	0,12	-	-	-		41
	2	Trave P8-23		35	31	21.181,00	-38.640,00		M	20.762	20.762	2,00	0,80	-	-	-		26
Nodo 92	1	Trave 2-5		30	36	22.522,00	0,00		M	2.037	2.037	0,85	0,85	-	-	-		26
		Trave 5-8		30	36	15.496,00	0,00		M	2.037	2.037	0,85	0,85	-	-	-		26
Nodo 93	1	Trave 5-8		30	36	18.521,00	0,00		M	1.952	1.952	0,69	0,69	-	-	-		26
		Trave 8-11		30	36	15.467,00	0,00		M	1.952	1.952	0,69	0,69	-	-	-		26
Nodo 94	1	Trave 8-11		30	36	17.002,00	0,00		M	2.072	2.072	0,78	0,58	-	-	-		26
		Trave 11-23		30	36	16.619,00	-1.032,00		M	2.072	2.072	0,78	0,58	-	-	-		26
Nodo 96	1	Trave 4-7		30	56	30.099,00	-10.923,00		M	0	0	0,89	0,89	-	-	-		26
		Trave 7-10		30	56	20.190,00	-5.342,00		M	0	0	0,89	0,89	-	-	-		26
Nodo 97	1	Trave 7-10		30	56	26.561,00	0,00		M	0	0	1,89	1,89	-	-	-		26
		Trave 10-22		30	56	20.747,00	-48.625,00		M	0	0	1,89	1,89	-	-	-		26
Nodo 99	1	Trave 6-9		30	46	37.727,00	-866,00		M	0	0	1,89	1,89	-	-	-		26
		Trave 9-12		30	46	28.628,00	-24.197,00		M	0	0	1,89	1,89	-	-	-		26
Nodo 103	1	Trave 26-33		30	46	33.105,00	-27.922,00		M	25.773	25.773	2,03	1,30	-	-	-		26
		Trave 33-40		30	46	36.058,00	0,00		M	25.773	25.773	2,03	1,30	-	-	-		26
Nodo 105	1	Trave 31-38		40	51	29.966,00	0,00		M	15.072	15.072	1,26	0,83	-	-	-		26
		Trave P11-31		40	51	38.459,00	-26.395,00		M	15.072	15.072	1,26	0,83	-	-	-		26
Nodo 107	1	Trave 14-27		30	46	36.380,00	0,00		M	36.320	36.320	1,20	0,34	-	-	-		26
	2	Trave 14-15		40	51	32.409,00	-10.650,00		M	36.177	36.177	1,86	1,00	-	-	-		26
		Trave P4-14		40	51	30.420,00	-50.268,00		M	36.177	36.177	1,86	1,00	-	-	-		26
Nodo 108	1	Trave 14-27		30	46	52.559,00	0,00		M	4.026	4.026	1,77	1,35	-	-	-		26
		Trave 27-34		30	46	26.505,00	0,00		M	4.026	4.026	1,77	1,35	-	-	-		26
Nodo 109	1	Trave 27-34		30	46	20.566,00	-5.735,00		M	22.735	22.735	1,59	0,73	-	-	-		26
		Trave 34-41		30	46	39.146,00	0,00		M	22.735	22.735	1,59	0,73	-	-	-		26
Nodo 110	1	Trave 34-41		30	46	24.543,00	0,00		M	0	0	0,81	0,81	-	-	-		24
	2	Trave 41-42		40	51	21.588,00	-4.082,00		M	0	0	0,58	0,58	-	-	-		26
		Trave P15-41		40	51	17.306,00	-6.195,00		M	0	0	0,58	0,58	-	-	-		26
Nodo 111	1	Trave 15-28		30	46	33.655,00	-9.558,00		M	41.169	41.169	1,00	0,25	-	-	-		26
	2	Trave 15-P5		40	51	43.983,00	-131.701,00		M	47.420	47.420	3,16	2,42	-	-	-		26
		Trave 14-15		40	51	23.889,00	-6.146,00		M	47.420	47.420	3,16	2,42	-	-	-		26
Nodo 112	1	Trave 15-28		30	46	47.455,00	0,00		M	3.889	3.889	1,61	1,21	-	-	-		26
		Trave 28-35		30	46	22.481,00	0,00		M	3.889	3.889	1,61	1,21	-	-	-		26
Nodo 113	1	Trave 28-35		30	46	20.065,00	-5.742,00		M	18.938	18.938	1,25	0,65	-	-	-		26
		Trave 35-42		30	46	31.795,00	0,00		M	18.938	18.938	1,25	0,65	-	-	-		26
Nodo 114	1	Trave 35-42		30	46	25.255,00	0,00		M	0	0	0,83	0,83	-	-	-		24

Id_{Nd}		Pos	Stato	$Id_{Pil,sup}$			σ_{cR} [N/mm²]	σ_{tR} [N/mm²]		f_{yk} [N/mm²]	f_{fk} [N/mm²]		$N_{d,max}$ [N]	$A_{S,st}$		CS η	CS ξ	Rf
	2	Trave 42-P16		40	51	17.528,00	-48.436,00		M	0	0	1,33	1,33	-	-	-		26
		Trave 41-42		40	51	15.741,00	-6.721,00		M	0	0	1,33	1,33	-	-	-		26
Nodo 115	1	Trave P9-29		30	46	41.976,00	-24.209,00		M	11.148	11.148	1,71	0,88	-	-	-		31
		Trave 29-36		30	46	14.850,00	-10.408,00		M	11.148	11.148	1,71	0,88	-	-	-		31
Nodo 116	1	Trave 29-36		30	46	24.181,00	-5.513,00		M	19.306	19.306	4,16	2,73	-	-	-		31
		Trave 36-P13		30	46	22.325,00	-115.158,00		M	19.306	19.306	4,16	2,73	-	-	-		31
Nodo 119	1	Trave 32-39		30	46	23.634,00	0,00		M	0	0	0,78	0,78	-	-	-		24
	2	Trave 39-40		40	51	22.475,00	-4.302,00		M	0	0	1,09	1,09	-	-	-		26
		Trave P14-39		40	51	15.395,00	-30.161,00		M	0	0	1,09	1,09	-	-	-		26
Nodo 120	1	Trave 24-32		30	46	43.120,00	0,00		M	14.335	14.335	1,65	0,77	-	-	-		26
		Trave 32-39		30	46	39.331,00	0,00		M	14.335	14.335	1,65	0,77	-	-	-		26
Nodo 121	1	Trave 24-13a		30	46	9.016,00	-34.070,00		M	0	0	1,23	1,23	-	-	-		22
	2	Trave 24-25		30	46	9.197,00	0,00		M	0	0	0,30	0,30	-	-	-		27
		Trave 22-24		31	46	10.174,00	0,00		M	0	0	0,30	0,30	-	-	-		27
Nodo 122	1	Trave 13a-32		30	46	18.115,00	0,00		M	0	0	1,12	1,12	-	-	-		24
		Trave 32-39		30	46	33.811,00	0,00		M	0	0	1,12	1,12	-	-	-		24
Nodo 123	1	Trave 2-5		30	36	12.913,00	-736,00		M	0	0	0,50	0,50	-	-	-		26
	2	Trave 2-3		30	16	5.815,00	0,00		M	0	0	0,59	0,59	-	-	-		22
		Trave 1-2		30	16	3.231,00	0,00		M	0	0	0,59	0,59	-	-	-		22
Nodo 126	1	Trave 2-5		30	36	23.215,00	0,00		M	0	0	0,90	0,90	-	-	-		26
		Trave 5-8		30	36	14.875,00	0,00		M	0	0	0,90	0,90	-	-	-		26
Nodo 127	1	Trave 5-8		30	36	16.098,00	0,00		M	0	0	0,62	0,62	-	-	-		26
		Trave 8-11		30	36	15.711,00	0,00		M	0	0	0,62	0,62	-	-	-		26
Nodo 128	1	Trave 8-11		30	36	14.380,00	0,00		M	0	0	0,63	0,63	-	-	-		26
		Trave 11-23		30	36	16.349,00	0,00		M	0	0	0,63	0,63	-	-	-		26
Nodo 130	1	Trave 26-33		30	46	0,00	-10.479,00		M	0	0	1,49	1,49	-	-	-		24
		Trave 33-40		30	46	34.767,00	0,00		M	0	0	1,49	1,49	-	-	-		24
Nodo 131	1	Trave 31-38		35	46	18.951,00	0,00		M	0	0	0,98	0,98	-	-	-		24
		Trave P11-31		35	46	5.483,00	-15.788,00		M	0	0	0,98	0,98	-	-	-		24
Nodo 132	1	Trave 14-15a		30	46	23.939,00	-37.010,00		M	0	0	1,33	1,33	-	-	-		22
	2	Trave 14-15		30	46	10.901,00	-14.071,00		M	0	0	0,77	0,77	-	-	-		26
		Trave 13-14		30	46	11.304,00	0,00		M	0	0	0,77	0,77	-	-	-		26
Nodo 133	1	Trave 15a-27		30	46	648,00	-24.888,00		M	0	0	1,02	1,02	-	-	-		24
		Trave 27-34		30	46	5.997,00	0,00		M	0	0	1,02	1,02	-	-	-		24
Nodo 134	1	Trave 27-34		30	46	10.598,00	0,00		M	0	0	1,19	1,19	-	-	-		24
		Trave 34-41		30	46	36.124,00	0,00		M	0	0	1,19	1,19	-	-	-		24
Nodo 135	1	Trave 15-16a		30	46	26.465,00	-39.086,00		M	0	0	1,41	1,41	-	-	-		22
	2	Trave 15-16		30	46	8.730,00	-12.963,00		M	0	0	1,07	1,07	-	-	-		26
		Trave 14-15		30	46	22.142,00	-4.921,00		M	0	0	1,07	1,07	-	-	-		26
Nodo 136	1	Trave 16a-28		30	46	3.925,00	-18.673,00		M	0	0	0,82	0,82	-	-	-		24
		Trave 28-35		30	46	6.246,00	0,00		M	0	0	0,82	0,82	-	-	-		24
Nodo 137	1	Trave 28-35		30	46	8.416,00	0,00		M	0	0	0,96	0,96	-	-	-		24
		Trave 35-42		30	46	29.138,00	0,00		M	0	0	0,96	0,96	-	-	-		24
Nodo 138	1	Trave 11a-29		30	46	1.463,00	-13.512,00		M	30.382	30.382	1,16	0,26	-	-	-		29
		Trave 29-36		30	46	19.371,00	-30.468,00		M	30.382	30.382	1,16	0,26	-	-	-		29
Nodo 139	1	Trave 29-36		30	46	34.053,00	-8.141,00		M	65.111	65.111	4,14	2,05	-	-	-		29
		Trave 36-P13		30	46	18.860,00	-100.004,00		M	65.111	65.111	4,14	2,05	-	-	-		29
Nodo 141	1	Trave 24-25		30	16	8.615,00	0,00		M	27.952	27.952	0,65	0,23	-	-	-		25
Nodo 142	1	Trave 11-23		30	36	13.587,00	0,00		M	0	0	0,33	0,33	-	-	-		41
	2	Trave 22-23		38	16	4.827,00	0,00		M	0	0	0,38	0,38	-	-	-		22
Nodo 146	1	Trave 13-25		30	46	28.729,00	-24.732,00		M	0	0	1,03	1,03	-	-	-		22
	2	Trave 13-14		30	46	13.417,00	0,00		M	0	0	0,41	0,41	-	-	-		26
Nodo 158	1	Trave 6a-21		30	46	20.156,00	0,00		M	0	0	0,44	0,44	-	-	-		36
	2	Trave 21-10a		40	46	46.374,00	0,00		M	0	0	2,49	2,49	-	-	-		14
		Trave 20-21		39	46	21.345,00	-10.539,00		M	0	0	2,49	2,49	-	-	-		14
Nodo 159	1	Trave 38a-37		30	46	21.024,00	0,00		M	0	0	0,46	0,46	-	-	-		36
	2	Trave 37-47		39	46	32.116,00	-21.168,00		M	0	0	2,78	2,78	-	-	-		25
		Trave 34a-37		40	46	92.375,00	0,00		M	0	0	2,78	2,78	-	-	-		25

Dati generali di verifica

Id_{Nd}		Pos	Stato	$Id_{Pil,sup}$			σ_{cR}		σ_{tR}		f_{yk}	f_{fk}		$N_{d,max}$	$A_{S,st}$		CS		Rf
																	η	ξ	
							[N/mm²]		[N/mm²]		[N/mm²]	[N/mm²]		[N]					
Nodo 160	1	Trave 24a-30		30	31	6.421,00	0,00	M	0		0	0,21	0,08	-	-		-		36
	2	Trave 30-29a		40	46	21.161,00	0,00	M	0		0	0,59	0,48	-	-		-		25
		Trave 20a-30		40	46	24.770,00	0,00	M	0		0	0,59	0,48	-	-		-		25
Nodo 162	1	Trave 11a-29		30	46	13.644,00	-4.621,00	M	0		0	0,71	0,71	-	-		-		30
		Trave 29-21a		30	46	18.619,00	-13.043,00	M	0		0	0,71	0,71	-	-		-		30
	2	Trave 29-17a		35	46	17.256,00	0,00	M	0		0	0,45	0,45	-	-		-		26
Nodo 192	1	Trave 25a-36		31	46	52.314,00	-1.292,00	M	0		0	1,39	1,39	-	-		-		30
		Trave 36-30a		30	46	26.473,00	0,00	M	0		0	1,39	1,39	-	-		-		30
Nodo 193																			
Nodo 194																			
Nodo 195																			
Nodo 198																			
Nodo 201																			
Nodo 202																			
Nodo 203																			

LEGENDA:

Dir Direzione di verifica.
ID_{tr} Identificativo delle travi che definiscono la direzione.
b_j Larghezza effettiva del nodo relativo alla trave esaminata.
h_{jw} Distanza tra le armature superiori ed inferiori della trave.
A_{sup}/M^+ Se Or. V_{id}= A -> Armatura superiore a flessione; se Or. V_{id}= M -> Massimo momento di calcolo nella sezione della trave a contatto con il nodo.
A_i/M^- Se Or. V_{id}= A -> Armatura inferiore a flessione; se Or. V_{id}= M -> Minimo momento di calcolo nella sezione della trave a contatto con il nodo.
Or_{Vjd} Origine del taglio nel nodo per la direzione considerata: [A] = taglio derivante dalle armature delle travi concorrenti nel nodo; [M] = taglio derivante dai momenti agenti agli estremi delle travi concorrenti nel nodo.
V_{jsr} Forza orizzontale resistente del rinforzo e delle staffe; [-] = rinforzo non presente.
h_{jc} Distanza, tra le giaciture più esterne delle armature del pilastro, nella direzione in esame.
ID_{rf} Identificativo dell'intervento
Pos Posizione del nodo: [I] = interno; [E] = esterno
C/NC Identificativo dello stato del nodo ([NC] = Non Confinato; [C] = Confinato).
$Id_{pil.sup}$ Identificativo del pilastro al di sopra del nodo.
σ_{cR} Resistenza di calcolo a compressione del calcestruzzo per la verifica del nodo.
σ_{tR} Resistenza di calcolo a trazione del calcestruzzo per la verifica del nodo.
f_{yk} Resistenza caratteristica allo snervamento delle staffe nel nodo.
f_{fk} Resistenza caratteristica ultima del rinforzo in FRP; [-] = rinforzo non presente.
$N_{Ed,max}$ Sforzo normale massimo nel pilastro al di sopra del nodo.
A_{sw} Staffe nel nodo (numero di staffe/diametro in mm/passo in cm/numero di bracci; [-] = assenza di staffe nel nodo).
CS Coefficiente di sicurezza: [η] = a compressione; [ξ] = a trazione; [f] = relativo al rinforzo e alle staffe ([NS] = Non Significativo per valori di CS >= 100).
R_f [SI] = nodo con presenza di rinforzo; [NO] = nodo senza rinforzo.
V_c Tagli nel pilastro al di sopra del nodo impiegato per la verifica: [η] = tensione principale di compressione; [ξ] = tensione principale di trazione
σ Tensioni principali di progetto: [η] = compressione; [ξ] = trazione; [-] = rinforzo presente.
V_{jsd} Forze orizzontali di progetto del rinforzo e delle staffe superiori e inferiori; [-] = rinforzo non presente.

TRAVI - VERIFICHE DI ROTAZIONE ALLA CORDA (Elevazione)

Verifiche di Rotazione alla corda

Id_{Tr}	$\%L_{LI}$	$L_{v,SLV}$	$L_{v,SLD}$	L_{pl}	ϕ_u	ϕ_y	SLV			SLD		
							Θ_c	Θ_d	CS	Θ_c	Θ_d	CS
	[%]	[m]	[m]	[m]	[rad/m]	[rad/m]	[rad]	[rad]		[rad]	[rad]	
Piano copertura							**Travata: Trave1-2-3**					
sisma in +X												
proporzionale alle masse												
Trave 1-2	0%	0,04	0,34	0,34	0,0972	0,0208	0,010567	0,000775	13,63	0,008207	0,000351	23,39
Trave 1-2	100%	0,98	0,86	0,43	0,0980	0,0143	0,018198	0,001046	17,40	0,008165	0,000606	13,47
proporzionale alla deformata 1° modo di vibrazione												
Trave 1-2	0%	0,28	0,32	0,36	0,0966	0,0161	0,010724	0,000918	11,68	0,006856	0,000405	16,94
Trave 1-2	100%	1,03	0,85	0,44	0,0975	0,0128	0,018306	0,001195	15,32	0,007472	0,000619	12,08
sisma in -X												
proporzionale alle masse												
Trave 1-2	0%	0,07	0,39	0,34	0,1072	0,0097	0,010881	0,001602	6,79	0,005134	0,000539	9,52
Trave 1-2	100%	0,76	0,70	0,41	0,1082	0,0096	0,017642	0,000314	56,15	0,005653	0,000122	46,51
proporzionale alla deformata 1° modo di vibrazione												
Trave 1-2	0%	0,07	0,40	0,34	0,1070	0,0097	0,010895	0,001550	7,03	0,005150	0,000498	10,34
Trave 1-2	100%	0,77	0,70	0,41	0,1081	0,0095	0,017638	0,000324	54,41	0,005603	0,000124	45,31
sisma in +Y												
proporzionale alle masse												
Trave 1-2	0%	0,67	0,65	0,40	0,0993	0,0167	0,015738	0,000105	NS	0,008252	0,000071	NS
Trave 1-2	100%	0,68	0,68	0,40	0,1002	0,0144	0,015898	0,000154	NS	0,007509	0,000156	48,15
proporzionale alla deformata 1° modo di vibrazione												
Trave 1-2	0%	0,50	0,57	0,38	0,0984	0,0163	0,013617	0,000129	NS	0,007708	0,000045	NS
Trave 1-2	100%	0,83	0,76	0,42	0,0990	0,0151	0,017139	0,000457	37,51	0,008075	0,000322	25,08
sisma in -Y												
proporzionale alle masse												
Trave 1-2	0%	0,00	0,00	0,00	0,0000	0,0000	0,000000	0,000000	0,00	0,000000	0,000000	0,00

Id_{Tr}	$\%L_{LI}$	$L_{v,SLV}$	$L_{v,SLD}$	L_{pl}	ϕ_u	ϕ_y	SLV			SLD		
							Θ_c	Θ_d	CS	Θ_c	Θ_d	CS
	[%]	[m]	[m]	[m]	[rad/m]	[rad/m]	[rad]	[rad]		[rad]	[rad]	
Trave 1-2	100%	0,00	0,00	0,00	0,0000	0,0000	0,000000	0,000000	0,00	0,000000	0,000000	0,00
proporzionale alla deformata 1° modo di vibrazione												
Trave 1-2	0%	0,00	0,00	0,00	0,0000	0,0000	0,000000	0,000000	0,00	0,000000	0,000000	0,00
Trave 1-2	100%	0,00	0,00	0,00	0,0000	0,0000	0,000000	0,000000	0,00	0,000000	0,000000	0,00
sisma in +X												
proporzionale alle masse												
Trave 2-3	0%	0,86	0,98	0,42	0,0701	0,0147	0,013252	0,001046	12,67	0,008897	0,000606	14,67
Trave 2-3	100%	1,28	1,18	0,46	0,0965	0,0131	0,020262	0,001550	13,07	0,008907	0,000753	11,82
proporzionale alla deformata 1° modo di vibrazione												
Trave 2-3	0%	0,81	0,97	0,42	0,0699	0,0147	0,012972	0,001195	10,85	0,008864	0,000619	14,33
Trave 2-3	100%	1,31	1,19	0,47	0,0963	0,0136	0,020417	0,001761	11,60	0,009219	0,000841	10,97
sisma in -X												
proporzionale alle masse												
Trave 2-3	0%	1,27	1,18	0,46	0,0756	0,0125	0,016217	0,000314	51,62	0,008569	0,000122	70,50
Trave 2-3	100%	0,80	0,93	0,41	0,1037	0,0121	0,017764	0,002209	8,04	0,007437	0,001021	7,28
proporzionale alla deformata 1° modo di vibrazione												
Trave 2-3	0%	1,28	1,19	0,46	0,0759	0,0124	0,016284	0,000324	50,24	0,008529	0,000124	68,98
Trave 2-3	100%	0,78	0,93	0,41	0,1040	0,0121	0,017670	0,002375	7,44	0,007414	0,001105	6,71
sisma in +Y												
proporzionale alle masse												
Trave 2-3	0%	1,07	1,07	0,44	0,0719	0,0147	0,014674	0,000154	95,10	0,009327	0,000156	59,80
Trave 2-3	100%	1,09	1,09	0,44	0,0989	0,0124	0,019373	0,000139	NS	0,008154	0,000097	84,25
proporzionale alla deformata 1° modo di vibrazione												
Trave 2-3	0%	1,01	1,04	0,43	0,0717	0,0147	0,014284	0,000457	31,26	0,009166	0,000322	28,47
Trave 2-3	100%	1,14	1,11	0,45	0,0986	0,0126	0,019707	0,000489	40,28	0,008358	0,000277	30,18
sisma in -Y												
proporzionale alle masse												
Trave 2-3	0%	0,00	0,00	0,00	0,0000	0,0000	0,000000	0,000000	0,00	0,000000	0,000000	0,00
Trave 2-3	100%	0,00	0,00	0,00	0,0000	0,0000	0,000000	0,000000	0,00	0,000000	0,000000	0,00
proporzionale alla deformata 1° modo di vibrazione												
Trave 2-3	0%	0,00	0,00	0,00	0,0000	0,0000	0,000000	0,000000	0,00	0,000000	0,000000	0,00
Trave 2-3	100%	0,00	0,00	0,00	0,0000	0,0000	0,000000	0,000000	0,00	0,000000	0,000000	0,00
Piano copertura							**Travata: Trave13-14-15-16-P6-17-18-19-P7-20**					
sisma in +X												
proporzionale alle masse												
Trave 13-14	0%	1,15	1,08	0,42	0,0782	0,0055	0,014848	0,000008	NS	0,004810	0,000073	65,77
Trave 13-14	100%	0,95	0,93	0,40	0,0730	0,0051	0,012928	0,000117	NS	0,004546	0,000028	NS
proporzionale alla deformata 1° modo di vibrazione												
Trave 13-14	0%	1,12	1,06	0,42	0,0779	0,0057	0,014674	0,000010	NS	0,004901	0,000087	56,61
Trave 13-14	100%	1,01	0,96	0,40	0,0727	0,0059	0,013247	0,000188	70,48	0,004890	0,000062	79,04
sisma in -X												
proporzionale alle masse												
Trave 13-14	0%	0,90	0,95	0,39	0,0825	0,0049	0,014130	0,000368	38,40	0,004461	0,000246	18,15
Trave 13-14	100%	0,92	0,91	0,40	0,0777	0,0047	0,013510	0,000146	92,33	0,004344	0,000110	39,59
proporzionale alla deformata 1° modo di vibrazione												
Trave 13-14	0%	0,92	0,97	0,40	0,0826	0,0049	0,014303	0,000346	41,36	0,004471	0,000234	19,07
Trave 13-14	100%	0,89	0,89	0,39	0,0778	0,0047	0,013335	0,000193	68,92	0,004343	0,000135	32,24
sisma in +Y												
proporzionale alle masse												
Trave 13-14	0%	1,04	0,98	0,41	0,0801	0,0051	0,014580	0,000200	72,80	0,004560	0,000189	24,18
Trave 13-14	100%	0,92	0,97	0,39	0,0752	0,0051	0,013137	0,000070	NS	0,004541	0,000030	NS
proporzionale alla deformata 1° modo di vibrazione												
Trave 13-14	0%	0,86	0,87	0,39	0,0802	0,0049	0,013549	0,000362	37,42	0,004427	0,000278	15,94
Trave 13-14	100%	1,09	1,06	0,41	0,0750	0,0051	0,013976	0,000213	65,66	0,004643	0,000107	43,20
sisma in -Y												
proporzionale alle masse												
Trave 13-14	0%	0,00	0,00	0,00	0,0000	0,0000	0,000000	0,000000	0,00	0,000000	0,000000	0,00
Trave 13-14	100%	0,00	0,00	0,00	0,0000	0,0000	0,000000	0,000000	0,00	0,000000	0,000000	0,00
proporzionale alla deformata 1° modo di vibrazione												
Trave 13-14	0%	0,00	0,00	0,00	0,0000	0,0000	0,000000	0,000000	0,00	0,000000	0,000000	0,00
Trave 13-14	100%	0,00	0,00	0,00	0,0000	0,0000	0,000000	0,000000	0,00	0,000000	0,000000	0,00
sisma in +X												
proporzionale alle masse												
Trave 14-15	0%	5,07	3,76	0,81	0,1010	0,0059	0,040296	0,000117	NS	0,009652	0,000028	NS
Trave 14-15	100%	1,34	1,15	0,44	0,0637	0,0058	0,013133	0,000365	35,96	0,005068	0,000209	24,21
proporzionale alla deformata 1° modo di vibrazione												
Trave 14-15	0%	3,63	15,66	0,67	0,0982	0,0058	0,043996	0,000188	NS	0,032057	0,000062	NS
Trave 14-15	100%	1,40	1,21	0,44	0,0604	0,0059	0,012776	0,000480	26,60	0,005181	0,000264	19,61
sisma in -X												
proporzionale alle masse												
Trave 14-15	0%	0,99	0,83	0,40	0,0828	0,0051	0,014682	0,000146	NS	0,004489	0,000110	40,92
Trave 14-15	100%	1,23	0,06	0,43	0,1166	0,0051	0,029268	0,000310	94,30	0,019200	0,000123	NS
proporzionale alla deformata 1° modo di vibrazione												
Trave 14-15	0%	1,06	0,90	0,41	0,0812	0,0052	0,014835	0,000193	76,68	0,004573	0,000135	33,95
Trave 14-15	100%	3,07	0,23	0,61	0,1156	0,0047	0,033765	0,000425	79,42	0,006511	0,000179	36,38
sisma in +Y												
proporzionale alle masse												
Trave 14-15	0%	1,17	0,41	0,42	0,1095	0,0088	0,020329	0,000070	NS	0,005930	0,000030	NS
Trave 14-15	100%	1,02	0,94	0,41	0,0756	0,0053	0,013740	0,000091	NS	0,004605	0,000074	62,07
proporzionale alla deformata 1° modo di vibrazione												
Trave 14-15	0%	214,69	1,83	21,77	0,1064	0,0049	1,051833	0,000213	NS	0,005386	0,000107	50,12
Trave 14-15	100%	1,20	1,07	0,42	0,0708	0,0054	0,013777	0,000229	60,28	0,004766	0,000151	31,53
sisma in -Y												
proporzionale alle masse												
Trave 14-15	0%	0,00	0,00	0,00	0,0000	0,0000	0,000000	0,000000	0,00	0,000000	0,000000	0,00

Id_{Tr}	$\%L_{LI}$	$L_{v,SLV}$	$L_{v,SLD}$	L_{pl}	ϕ_u	ϕ_y	SLV			SLD		
							Θ_c	Θ_d	CS	Θ_c	Θ_d	CS
	[%]	[m]	[m]	[m]	[rad/m]	[rad/m]	[rad]	[rad]		[rad]	[rad]	
Trave 14-15	100%	0,00	0,00	0,00	0,0000	0,0000	0,000000	0,000000	0,00	0,000000	0,000000	0,00
proporzionale alla deformata 1° modo di vibrazione												
Trave 14-15	0%	0,00	0,00	0,00	0,0000	0,0000	0,000000	0,000000	0,00	0,000000	0,000000	0,00
Trave 14-15	100%	0,00	0,00	0,00	0,0000	0,0000	0,000000	0,000000	0,00	0,000000	0,000000	0,00
sisma in +X												
proporzionale alle masse												
Trave 15-16	0%	7,89	8,12	1,09	0,1047	0,0050	0,058478	0,000365	NS	0,015626	0,000209	74,66
Trave 15-16	100%	1,23	1,12	0,43	0,0899	0,0052	0,017277	0,000259	66,63	0,004713	0,000128	36,69
proporzionale alla deformata 1° modo di vibrazione												
Trave 15-16	0%	5,11	38,50	0,81	0,1033	0,0050	0,069748	0,000480	NS	0,065781	0,000264	NS
Trave 15-16	100%	1,27	1,15	0,43	0,0871	0,0052	0,017016	0,000340	50,12	0,004772	0,000167	28,61
sisma in -X												
proporzionale alle masse												
Trave 15-16	0%	0,82	0,46	0,38	0,0860	0,0051	0,014299	0,000310	46,07	0,004804	0,000123	39,01
Trave 15-16	100%	0,07	0,57	0,31	0,1114	0,0049	0,010524	0,000523	20,11	0,004512	0,000264	17,07
proporzionale alla deformata 1° modo di vibrazione												
Trave 15-16	0%	0,95	0,63	0,40	0,0830	0,0054	0,014518	0,000425	34,15	0,004627	0,000179	25,85
Trave 15-16	100%	1,00	0,50	0,40	0,1225	0,0049	0,021237	0,000610	34,80	0,004631	0,000295	15,69
sisma in +Y												
proporzionale alle masse												
Trave 15-16	0%	98,91	3,26	10,19	0,1066	0,0054	0,493230	0,000091	NS	0,008104	0,000074	NS
Trave 15-16	100%	1,16	1,06	0,42	0,0936	0,0050	0,017503	0,000037	NS	0,004563	0,000024	NS
proporzionale alla deformata 1° modo di vibrazione												
Trave 15-16	0%	5,41	18,22	0,84	0,1032	0,0054	0,055482	0,000229	NS	0,034884	0,000151	NS
Trave 15-16	100%	1,27	1,14	0,43	0,0867	0,0053	0,016969	0,000186	91,03	0,004791	0,000097	49,38
sisma in -Y												
proporzionale alle masse												
Trave 15-16	0%	0,00	0,00	0,00	0,0000	0,0000	0,000000	0,000000	0,00	0,000000	0,000000	0,00
Trave 15-16	100%	0,00	0,00	0,00	0,0000	0,0000	0,000000	0,000000	0,00	0,000000	0,000000	0,00
proporzionale alla deformata 1° modo di vibrazione												
Trave 15-16	0%	0,00	0,00	0,00	0,0000	0,0000	0,000000	0,000000	0,00	0,000000	0,000000	0,00
Trave 15-16	100%	0,00	0,00	0,00	0,0000	0,0000	0,000000	0,000000	0,00	0,000000	0,000000	0,00
sisma in +X												
proporzionale alle masse												
Trave P6-17	0%	21,04	2,37	2,42	0,0685	0,0049	0,075545	0,000315	NS	0,006222	0,000172	36,23
Trave P6-17	100%	0,96	0,91	0,41	0,0479	0,0051	0,009198	0,000202	45,63	0,004634	0,000162	28,67
proporzionale alla deformata 1° modo di vibrazione												
Trave P6-17	0%	4,38	8,32	0,75	0,0654	0,0050	0,028618	0,000354	80,85	0,015786	0,000193	81,69
Trave P6-17	100%	1,05	0,97	0,42	0,0455	0,0052	0,009096	0,000297	30,66	0,004723	0,000211	22,41
sisma in -X												
proporzionale alle masse												
Trave P6-17	0%	1,36	1,24	0,45	0,0639	0,0048	0,013411	0,000481	27,88	0,004701	0,000232	20,26
Trave P6-17	100%	1,77	2,05	0,49	0,0729	0,0052	0,017245	0,000063	NS	0,005997	0,000165	36,29
proporzionale alla deformata 1° modo di vibrazione												
Trave P6-17	0%	1,36	1,24	0,45	0,0606	0,0047	0,012801	0,000552	23,19	0,004677	0,000255	18,37
Trave P6-17	100%	1,76	2,07	0,49	0,0705	0,0051	0,016730	0,000075	NS	0,005932	0,000106	55,89
sisma in +Y												
proporzionale alle masse												
Trave P6-17	0%	0,81	0,55	0,39	0,1059	0,0052	0,017375	0,000162	NS	0,004812	0,000087	55,52
Trave P6-17	100%	0,62	0,79	0,37	0,0454	0,0059	0,007622	0,000289	26,37	0,004917	0,000214	22,96
proporzionale alla deformata 1° modo di vibrazione												
Trave P6-17	0%	0,34	0,21	0,35	0,0689	0,0057	0,009257	0,000257	36,03	0,007574	0,000141	53,64
Trave P6-17	100%	0,84	0,85	0,40	0,0483	0,0053	0,008860	0,000299	29,64	0,004692	0,000219	21,47
sisma in -Y												
proporzionale alle masse												
Trave P6-17	0%	0,00	0,00	0,00	0,0000	0,0000	0,000000	0,000000	0,00	0,000000	0,000000	0,00
Trave P6-17	100%	0,00	0,00	0,00	0,0000	0,0000	0,000000	0,000000	0,00	0,000000	0,000000	0,00
proporzionale alla deformata 1° modo di vibrazione												
Trave P6-17	0%	0,00	0,00	0,00	0,0000	0,0000	0,000000	0,000000	0,00	0,000000	0,000000	0,00
Trave P6-17	100%	0,00	0,00	0,00	0,0000	0,0000	0,000000	0,000000	0,00	0,000000	0,000000	0,00
sisma in +X												
proporzionale alle masse												
Trave 17-18	0%	0,86	0,89	0,40	0,0623	0,0047	0,011039	0,000202	54,77	0,004445	0,000162	27,50
Trave 17-18	100%	1,04	1,01	0,42	0,0434	0,0047	0,008692	0,000003	NS	0,004502	0,000012	NS
proporzionale alla deformata 1° modo di vibrazione												
Trave 17-18	0%	0,78	0,85	0,39	0,0621	0,0047	0,010599	0,000297	35,73	0,004438	0,000211	21,06
Trave 17-18	100%	1,12	1,06	0,42	0,0433	0,0047	0,008898	0,000121	73,48	0,004542	0,000048	95,34
sisma in -X												
proporzionale alle masse												
Trave 17-18	0%	0,96	0,91	0,41	0,0612	0,0048	0,011317	0,000063	NS	0,004484	0,000165	27,13
Trave 17-18	100%	0,96	0,99	0,41	0,0426	0,0049	0,008355	0,000062	NS	0,004568	0,000027	NS
proporzionale alla deformata 1° modo di vibrazione												
Trave 17-18	0%	1,06	0,95	0,42	0,0606	0,0048	0,011634	0,000075	NS	0,004516	0,000106	42,54
Trave 17-18	100%	0,86	0,95	0,40	0,0422	0,0049	0,007988	0,000188	42,38	0,004562	0,000083	54,80
sisma in +Y												
proporzionale alle masse												
Trave 17-18	0%	0,83	0,87	0,39	0,0630	0,0047	0,010986	0,000289	38,01	0,004441	0,000214	20,74
Trave 17-18	100%	1,04	1,02	0,42	0,0440	0,0047	0,008807	0,000005	NS	0,004492	0,000009	NS
proporzionale alla deformata 1° modo di vibrazione												
Trave 17-18	0%	0,81	0,86	0,39	0,0632	0,0047	0,010909	0,000299	36,50	0,004440	0,000219	20,32
Trave 17-18	100%	1,07	1,03	0,42	0,0442	0,0046	0,008902	0,000033	NS	0,004485	0,000017	NS
sisma in -Y												
proporzionale alle masse												
Trave 17-18	0%	0,00	0,00	0,00	0,0000	0,0000	0,000000	0,000000	0,00	0,000000	0,000000	0,00
Trave 17-18	100%	0,00	0,00	0,00	0,0000	0,0000	0,000000	0,000000	0,00	0,000000	0,000000	0,00

Id_{Tr}	$\%L_{LI}$	$L_{v,SLV}$	$L_{v,SLD}$	L_{pl}	ϕ_u	ϕ_y	SLV			SLD		
							Θ_c	Θ_d	CS	Θ_c	Θ_d	CS
	[%]	[m]	[m]	[m]	[rad/m]	[rad/m]	[rad]	[rad]		[rad]	[rad]	
proporzionale alla deformata 1° modo di vibrazione												
Trave 17-18	0%	0,00	0,00	0,00	0,0000	0,0000	0,000000	0,000000	0,00	0,000000	0,000000	0,00
Trave 17-18	100%	0,00	0,00	0,00	0,0000	0,0000	0,000000	0,000000	0,00	0,000000	0,000000	0,00
sisma in +X												
proporzionale alle masse												
Trave 18-19	0%	0,96	0,99	0,41	0,0499	0,0047	0,009504	0,000003	NS	0,004478	0,000012	NS
Trave 18-19	100%	0,99	0,94	0,41	0,0421	0,0051	0,008353	0,000053	NS	0,004637	0,000124	37,44
proporzionale alla deformata 1° modo di vibrazione												
Trave 18-19	0%	0,86	0,94	0,40	0,0495	0,0047	0,009081	0,000121	74,99	0,004460	0,000048	93,61
Trave 18-19	100%	1,10	0,98	0,42	0,0418	0,0051	0,008587	0,000092	93,07	0,004645	0,000068	68,23
sisma in -X												
proporzionale alle masse												
Trave 18-19	0%	1,01	1,01	0,41	0,0500	0,0049	0,009697	0,000062	NS	0,004582	0,000027	NS
Trave 18-19	100%	0,98	0,94	0,41	0,0422	0,0051	0,008347	0,000013	NS	0,004627	0,000103	44,72
proporzionale alla deformata 1° modo di vibrazione												
Trave 18-19	0%	1,10	1,05	0,42	0,0496	0,0049	0,009922	0,000188	52,65	0,004610	0,000083	55,37
Trave 18-19	100%	0,89	0,90	0,40	0,0420	0,0049	0,008038	0,000117	68,93	0,004543	0,000151	30,12
sisma in +Y												
proporzionale alle masse												
Trave 18-19	0%	1,02	1,01	0,41	0,0523	0,0045	0,010096	0,000005	NS	0,004426	0,000009	NS
Trave 18-19	100%	0,85	0,88	0,40	0,0438	0,0049	0,008204	0,000277	29,66	0,004537	0,000215	21,12
proporzionale alla deformata 1° modo di vibrazione												
Trave 18-19	0%	1,01	1,00	0,41	0,0530	0,0045	0,010175	0,000033	NS	0,004411	0,000017	NS
Trave 18-19	100%	0,84	0,88	0,40	0,0443	0,0047	0,008240	0,000327	25,20	0,004468	0,000243	18,35
sisma in -Y												
proporzionale alle masse												
Trave 18-19	0%	0,00	0,00	0,00	0,0000	0,0000	0,000000	0,000000	0,00	0,000000	0,000000	0,00
Trave 18-19	100%	0,00	0,00	0,00	0,0000	0,0000	0,000000	0,000000	0,00	0,000000	0,000000	0,00
proporzionale alla deformata 1° modo di vibrazione												
Trave 18-19	0%	0,00	0,00	0,00	0,0000	0,0000	0,000000	0,000000	0,00	0,000000	0,000000	0,00
Trave 18-19	100%	0,00	0,00	0,00	0,0000	0,0000	0,000000	0,000000	0,00	0,000000	0,000000	0,00
sisma in +X												
proporzionale alle masse												
Trave 19-P7	0%	1,74	2,70	0,49	0,0753	0,0058	0,018322	0,000053	NS	0,007619	0,000124	61,53
Trave 19-P7	100%	1,42	1,27	0,45	0,0626	0,0049	0,013394	0,000752	17,82	0,004818	0,000316	15,25
proporzionale alla deformata 1° modo di vibrazione												
Trave 19-P7	0%	1,74	2,12	0,49	0,0726	0,0053	0,017157	0,000092	NS	0,006168	0,000068	90,59
Trave 19-P7	100%	1,41	1,29	0,45	0,0578	0,0049	0,012477	0,000865	14,42	0,004792	0,000407	11,78
sisma in -X												
proporzionale alle masse												
Trave 19-P7	0%	1,00	0,95	0,41	0,0422	0,0049	0,008377	0,000013	NS	0,004583	0,000103	44,29
Trave 19-P7	100%	2,96	4,83	0,61	0,0715	0,0045	0,022934	0,000963	23,81	0,009310	0,000582	15,98
proporzionale alla deformata 1° modo di vibrazione												
Trave 19-P7	0%	1,04	0,99	0,42	0,0409	0,0050	0,008284	0,000117	71,03	0,004639	0,000151	30,76
Trave 19-P7	100%	2,71	4,11	0,58	0,0692	0,0046	0,020978	0,001019	20,59	0,008351	0,000609	13,71
sisma in +Y												
proporzionale alle masse												
Trave 19-P7	0%	0,80	0,83	0,39	0,0439	0,0047	0,008026	0,000277	29,01	0,004454	0,000215	20,74
Trave 19-P7	100%	0,66	0,44	0,38	0,0741	0,0048	0,011839	0,000375	31,55	0,005000	0,000184	27,23
proporzionale alla deformata 1° modo di vibrazione												
Trave 19-P7	0%	0,67	0,77	0,38	0,0451	0,0047	0,007731	0,000327	23,64	0,004460	0,000243	18,32
Trave 19-P7	100%	0,02	0,17	0,31	0,0769	0,0034	0,009799	0,000465	21,08	0,008073	0,000240	33,65
sisma in -Y												
proporzionale alle masse												
Trave 19-P7	0%	0,00	0,00	0,00	0,0000	0,0000	0,000000	0,000000	0,00	0,000000	0,000000	0,00
Trave 19-P7	100%	0,00	0,00	0,00	0,0000	0,0000	0,000000	0,000000	0,00	0,000000	0,000000	0,00
proporzionale alla deformata 1° modo di vibrazione												
Trave 19-P7	0%	0,00	0,00	0,00	0,0000	0,0000	0,000000	0,000000	0,00	0,000000	0,000000	0,00
Trave 19-P7	100%	0,00	0,00	0,00	0,0000	0,0000	0,000000	0,000000	0,00	0,000000	0,000000	0,00
Piano copertura							**Travata: Trave43-P17-44-45-46-P18-47**					
sisma in +X												
proporzionale alle masse												
Trave P17-44	0%	3,28	5,09	0,68	0,0703	0,0045	0,025065	0,000584	42,94	0,009855	0,000472	20,86
Trave P17-44	100%	1,00	0,95	0,46	0,0481	0,0049	0,009951	0,000085	NS	0,004659	0,000100	46,77
proporzionale alla deformata 1° modo di vibrazione												
Trave P17-44	0%	2,79	3,99	0,63	0,0679	0,0046	0,021959	0,000661	33,22	0,008292	0,000520	15,95
Trave P17-44	100%	1,05	0,98	0,46	0,0465	0,0049	0,009813	0,000136	72,02	0,004703	0,000125	37,67
sisma in -X												
proporzionale alle masse												
Trave P17-44	0%	1,38	1,25	0,49	0,0665	0,0045	0,014906	0,000594	25,10	0,004677	0,000232	20,13
Trave P17-44	100%	1,73	2,12	0,53	0,0764	0,0051	0,019026	0,000097	NS	0,006125	0,000212	28,95
proporzionale alla deformata 1° modo di vibrazione												
Trave P17-44	0%	1,40	1,27	0,50	0,0583	0,0045	0,013307	0,000709	18,76	0,004678	0,000293	15,96
Trave P17-44	100%	1,72	2,00	0,53	0,0718	0,0050	0,017856	0,000018	NS	0,005888	0,000170	34,73
sisma in +Y												
proporzionale alle masse												
Trave P17-44	0%	44,86	4,07	4,84	0,0690	0,0052	0,150834	0,000172	NS	0,009363	0,000144	64,96
Trave P17-44	100%	0,96	0,93	0,45	0,0474	0,0052	0,009668	0,000124	77,76	0,004789	0,000135	35,59
proporzionale alla deformata 1° modo di vibrazione												
Trave P17-44	0%	2,09	1,39	0,56	0,0666	0,0055	0,017621	0,000037	NS	0,005413	0,000066	81,40
Trave P17-44	100%	0,95	0,92	0,45	0,0456	0,0054	0,009342	0,000110	85,11	0,004901	0,000128	38,34
sisma in -Y												
proporzionale alle masse												
Trave P17-44	0%	0,00	0,00	0,00	0,0000	0,0000	0,000000	0,000000	0,00	0,000000	0,000000	0,00
Trave P17-44	100%	0,00	0,00	0,00	0,0000	0,0000	0,000000	0,000000	0,00	0,000000	0,000000	0,00

Id_{Tr}	$\%L_{LI}$	$L_{v,SLV}$	$L_{v,SLD}$	L_{pl}	ϕ_u	ϕ_y	SLV			SLD		
							Θ_c	Θ_d	CS	Θ_c	Θ_d	CS
	[%]	[m]	[m]	[m]	[rad/m]	[rad/m]	[rad]	[rad]		[rad]	[rad]	
proporzionale alla deformata 1° modo di vibrazione												
Trave P17-44	0%	0,00	0,00	0,00	0,0000	0,0000	0,000000	0,000000	0,00	0,000000	0,000000	0,00
Trave P17-44	100%	0,00	0,00	0,00	0,0000	0,0000	0,000000	0,000000	0,00	0,000000	0,000000	0,00
sisma in +X												
proporzionale alle masse												
Trave 44-45	0%	0,89	0,92	0,44	0,0615	0,0047	0,011774	0,000085	NS	0,004560	0,000100	45,77
Trave 44-45	100%	1,04	1,01	0,46	0,0501	0,0048	0,010448	0,000028	NS	0,004638	0,000008	NS
proporzionale alla deformata 1° modo di vibrazione												
Trave 44-45	0%	0,84	0,89	0,44	0,0614	0,0047	0,011497	0,000136	84,39	0,004555	0,000125	36,49
Trave 44-45	100%	1,09	1,03	0,46	0,0500	0,0048	0,010589	0,000087	NS	0,004678	0,000036	NS
sisma in -X												
proporzionale alle masse												
Trave 44-45	0%	0,96	0,89	0,45	0,0630	0,0046	0,012348	0,000097	NS	0,004532	0,000212	21,42
Trave 44-45	100%	0,94	0,99	0,45	0,0513	0,0046	0,010277	0,000089	NS	0,004566	0,000021	NS
proporzionale alla deformata 1° modo di vibrazione												
Trave 44-45	0%	1,03	0,92	0,46	0,0621	0,0047	0,012522	0,000018	NS	0,004594	0,000170	27,10
Trave 44-45	100%	0,88	0,97	0,44	0,0508	0,0047	0,009953	0,000154	64,78	0,004574	0,000051	89,00
sisma in +Y												
proporzionale alle masse												
Trave 44-45	0%	0,90	0,91	0,45	0,0621	0,0047	0,011908	0,000124	95,78	0,004592	0,000135	34,13
Trave 44-45	100%	1,03	1,01	0,46	0,0505	0,0048	0,010452	0,000039	NS	0,004640	0,000028	NS
proporzionale alla deformata 1° modo di vibrazione												
Trave 44-45	0%	0,91	0,91	0,45	0,0626	0,0048	0,012045	0,000110	NS	0,004597	0,000128	35,96
Trave 44-45	100%	1,01	1,00	0,46	0,0508	0,0047	0,010456	0,000006	NS	0,004624	0,000010	NS
sisma in -Y												
proporzionale alle masse												
Trave 44-45	0%	0,00	0,00	0,00	0,0000	0,0000	0,000000	0,000000	0,00	0,000000	0,000000	0,00
Trave 44-45	100%	0,00	0,00	0,00	0,0000	0,0000	0,000000	0,000000	0,00	0,000000	0,000000	0,00
proporzionale alla deformata 1° modo di vibrazione												
Trave 44-45	0%	0,00	0,00	0,00	0,0000	0,0000	0,000000	0,000000	0,00	0,000000	0,000000	0,00
Trave 44-45	100%	0,00	0,00	0,00	0,0000	0,0000	0,000000	0,000000	0,00	0,000000	0,000000	0,00
sisma in +X												
proporzionale alle masse												
Trave 45-46	0%	0,95	0,99	0,45	0,0495	0,0047	0,009999	0,000028	NS	0,004595	0,000008	NS
Trave 45-46	100%	1,01	0,94	0,46	0,0494	0,0050	0,010186	0,000026	NS	0,004708	0,000116	40,42
proporzionale alla deformata 1° modo di vibrazione												
Trave 45-46	0%	0,88	0,97	0,44	0,0490	0,0047	0,009653	0,000087	NS	0,004586	0,000036	NS
Trave 45-46	100%	1,08	0,96	0,46	0,0488	0,0050	0,010326	0,000077	NS	0,004729	0,000078	60,41
sisma in -X												
proporzionale alle masse												
Trave 45-46	0%	1,04	1,02	0,46	0,0503	0,0049	0,010471	0,000089	NS	0,004728	0,000021	NS
Trave 45-46	100%	0,97	0,93	0,45	0,0502	0,0047	0,010166	0,000014	NS	0,004555	0,000104	43,61
proporzionale alla deformata 1° modo di vibrazione												
Trave 45-46	0%	1,08	1,04	0,46	0,0500	0,0049	0,010590	0,000154	68,93	0,004746	0,000051	92,35
Trave 45-46	100%	0,93	0,91	0,45	0,0501	0,0047	0,009999	0,000064	NS	0,004550	0,000125	36,34
sisma in +Y												
proporzionale alle masse												
Trave 45-46	0%	0,95	0,98	0,45	0,0507	0,0047	0,010193	0,000039	NS	0,004592	0,000028	NS
Trave 45-46	100%	1,00	0,95	0,46	0,0505	0,0047	0,010348	0,000018	NS	0,004586	0,000083	55,31
proporzionale alla deformata 1° modo di vibrazione												
Trave 45-46	0%	0,95	0,98	0,45	0,0504	0,0047	0,010155	0,000006	NS	0,004593	0,000010	NS
Trave 45-46	100%	1,02	0,96	0,46	0,0503	0,0047	0,010400	0,000020	NS	0,004606	0,000069	67,00
sisma in -Y												
proporzionale alle masse												
Trave 45-46	0%	0,00	0,00	0,00	0,0000	0,0000	0,000000	0,000000	0,00	0,000000	0,000000	0,00
Trave 45-46	100%	0,00	0,00	0,00	0,0000	0,0000	0,000000	0,000000	0,00	0,000000	0,000000	0,00
proporzionale alla deformata 1° modo di vibrazione												
Trave 45-46	0%	0,00	0,00	0,00	0,0000	0,0000	0,000000	0,000000	0,00	0,000000	0,000000	0,00
Trave 45-46	100%	0,00	0,00	0,00	0,0000	0,0000	0,000000	0,000000	0,00	0,000000	0,000000	0,00
sisma in +X												
proporzionale alle masse												
Trave 46-P18	0%	1,74	2,13	0,53	0,0741	0,0057	0,018707	0,000026	NS	0,006667	0,000116	57,24
Trave 46-P18	100%	1,42	1,29	0,50	0,0641	0,0049	0,014600	0,000733	19,92	0,004907	0,000352	13,93
proporzionale alla deformata 1° modo di vibrazione												
Trave 46-P18	0%	1,72	2,06	0,53	0,0691	0,0052	0,017340	0,000077	NS	0,006165	0,000078	78,77
Trave 46-P18	100%	1,42	1,30	0,50	0,0530	0,0048	0,012335	0,000857	14,39	0,004895	0,000407	12,03
sisma in -X												
proporzionale alle masse												
Trave 46-P18	0%	1,01	0,96	0,46	0,0491	0,0048	0,010152	0,000014	NS	0,004641	0,000104	44,43
Trave 46-P18	100%	2,81	4,41	0,64	0,0717	0,0045	0,023372	0,001028	22,74	0,008800	0,000611	14,40
proporzionale alla deformata 1° modo di vibrazione												
Trave 46-P18	0%	1,04	0,98	0,46	0,0477	0,0049	0,010013	0,000064	NS	0,004694	0,000125	37,49
Trave 46-P18	100%	2,63	3,85	0,62	0,0696	0,0045	0,021795	0,001089	20,02	0,008067	0,000641	12,59
sisma in +Y												
proporzionale alle masse												
Trave 46-P18	0%	0,96	0,91	0,45	0,0445	0,0057	0,009207	0,000018	NS	0,005029	0,000083	60,66
Trave 46-P18	100%	0,84	0,45	0,44	0,0648	0,0078	0,012220	0,000095	NS	0,005941	0,000016	NS
proporzionale alla deformata 1° modo di vibrazione												
Trave 46-P18	0%	1,03	0,95	0,46	0,0432	0,0055	0,009187	0,000020	NS	0,004933	0,000069	71,76
Trave 46-P18	100%	12,98	3,17	1,65	0,0631	0,0055	0,048685	0,000027	NS	0,008250	0,000030	NS
sisma in -Y												
proporzionale alle masse												
Trave 46-P18	0%	0,00	0,00	0,00	0,0000	0,0000	0,000000	0,000000	0,00	0,000000	0,000000	0,00
Trave 46-P18	100%	0,00	0,00	0,00	0,0000	0,0000	0,000000	0,000000	0,00	0,000000	0,000000	0,00
proporzionale alla deformata 1° modo di vibrazione												

Id_{Tr}	$\%L_{LI}$	$L_{v,SLV}$	$L_{v,SLD}$	L_{pl}	ϕ_u	ϕ_y	SLV			SLD		
							Θ_c	Θ_d	CS	Θ_c	Θ_d	CS
	[%]	[m]	[m]	[m]	[rad/m]	[rad/m]	[rad]	[rad]		[rad]	[rad]	
Trave 46-P18	0%	0,00	0,00	0,00	0,0000	0,0000	0,000000	0,000000	0,00	0,000000	0,000000	0,00
Trave 46-P18	100%	0,00	0,00	0,00	0,0000	0,0000	0,000000	0,000000	0,00	0,000000	0,000000	0,00
Piano copertura							**Travata: Trave3a-4a-5a-6a-21**					
sisma in +X												
proporzionale alle masse												
Trave 3a-4a	0%	1,02	1,03	0,45	0,0454	0,0056	0,009443	0,000261	36,22	0,004934	0,000179	27,55
Trave 3a-4a	100%	1,08	1,09	0,45	0,0376	0,0059	0,008250	0,000086	95,55	0,005151	0,000071	72,48
proporzionale alla deformata 1° modo di vibrazione												
Trave 3a-4a	0%	1,01	1,02	0,45	0,0459	0,0055	0,009500	0,000322	29,50	0,004890	0,000211	23,22
Trave 3a-4a	100%	1,07	1,08	0,45	0,0379	0,0058	0,008293	0,000074	NS	0,005092	0,000061	83,41
sisma in -X												
proporzionale alle masse												
Trave 3a-4a	0%	1,11	1,07	0,46	0,0423	0,0059	0,009171	0,000142	64,63	0,005127	0,000026	NS
Trave 3a-4a	100%	1,09	1,10	0,45	0,0354	0,0061	0,007921	0,000109	72,96	0,005296	0,000098	53,80
proporzionale alla deformata 1° modo di vibrazione												
Trave 3a-4a	0%	1,13	1,08	0,46	0,0419	0,0059	0,009153	0,000193	47,35	0,005150	0,000054	95,44
Trave 3a-4a	100%	1,08	1,10	0,45	0,0351	0,0060	0,007842	0,000097	81,07	0,005254	0,000096	55,02
sisma in +Y												
proporzionale alle masse												
Trave 3a-4a	0%	1,08	1,05	0,45	0,0433	0,0058	0,009251	0,000091	NS	0,005071	0,000094	54,19
Trave 3a-4a	100%	1,08	1,08	0,45	0,0361	0,0062	0,008027	0,000184	43,54	0,005307	0,000101	52,55
proporzionale alla deformata 1° modo di vibrazione												
Trave 3a-4a	0%	1,08	1,05	0,45	0,0433	0,0057	0,009268	0,000121	76,46	0,005057	0,000111	45,47
Trave 3a-4a	100%	1,07	1,08	0,45	0,0362	0,0061	0,008007	0,000196	40,83	0,005285	0,000109	48,37
sisma in -Y												
proporzionale alle masse												
Trave 3a-4a	0%	0,00	0,00	0,00	0,0000	0,0000	0,000000	0,000000	0,00	0,000000	0,000000	0,00
Trave 3a-4a	100%	0,00	0,00	0,00	0,0000	0,0000	0,000000	0,000000	0,00	0,000000	0,000000	0,00
proporzionale alla deformata 1° modo di vibrazione												
Trave 3a-4a	0%	0,00	0,00	0,00	0,0000	0,0000	0,000000	0,000000	0,00	0,000000	0,000000	0,00
Trave 3a-4a	100%	0,00	0,00	0,00	0,0000	0,0000	0,000000	0,000000	0,00	0,000000	0,000000	0,00
sisma in +X												
proporzionale alle masse												
Trave 4a-5a	0%	1,07	1,06	0,45	0,0476	0,0057	0,009985	0,000086	NS	0,005032	0,000071	70,81
Trave 4a-5a	100%	1,04	1,05	0,45	0,0298	0,0063	0,006800	0,000082	82,70	0,005311	0,000042	NS
proporzionale alla deformata 1° modo di vibrazione												
Trave 4a-5a	0%	1,07	1,07	0,45	0,0476	0,0056	0,010012	0,000074	NS	0,005022	0,000061	82,25
Trave 4a-5a	100%	1,03	1,05	0,45	0,0298	0,0063	0,006786	0,000102	66,24	0,005305	0,000055	96,59
sisma in -X												
proporzionale alle masse												
Trave 4a-5a	0%	1,02	1,03	0,45	0,0461	0,0058	0,009579	0,000109	88,24	0,005048	0,000098	51,28
Trave 4a-5a	100%	1,12	1,10	0,46	0,0292	0,0064	0,006878	0,000116	59,27	0,005425	0,000073	73,86
proporzionale alla deformata 1° modo di vibrazione												
Trave 4a-5a	0%	1,02	1,04	0,45	0,0459	0,0061	0,009575	0,000097	98,97	0,005188	0,000096	54,32
Trave 4a-5a	100%	1,13	1,10	0,46	0,0291	0,0064	0,006873	0,000128	53,58	0,005446	0,000081	67,16
sisma in +Y												
proporzionale alle masse												
Trave 4a-5a	0%	1,03	1,05	0,45	0,0477	0,0058	0,009892	0,000184	53,66	0,005063	0,000101	50,14
Trave 4a-5a	100%	1,07	1,07	0,45	0,0298	0,0062	0,006876	0,000018	NS	0,005309	0,000027	NS
proporzionale alla deformata 1° modo di vibrazione												
Trave 4a-5a	0%	1,03	1,05	0,45	0,0479	0,0057	0,009929	0,000196	50,64	0,005041	0,000109	46,13
Trave 4a-5a	100%	1,06	1,06	0,45	0,0299	0,0061	0,006861	0,000005	NS	0,005262	0,000006	NS
sisma in -Y												
proporzionale alle masse												
Trave 4a-5a	0%	0,00	0,00	0,00	0,0000	0,0000	0,000000	0,000000	0,00	0,000000	0,000000	0,00
Trave 4a-5a	100%	0,00	0,00	0,00	0,0000	0,0000	0,000000	0,000000	0,00	0,000000	0,000000	0,00
proporzionale alla deformata 1° modo di vibrazione												
Trave 4a-5a	0%	0,00	0,00	0,00	0,0000	0,0000	0,000000	0,000000	0,00	0,000000	0,000000	0,00
Trave 4a-5a	100%	0,00	0,00	0,00	0,0000	0,0000	0,000000	0,000000	0,00	0,000000	0,000000	0,00
sisma in +X												
proporzionale alle masse												
Trave 5a-6a	0%	1,10	1,09	0,46	0,0362	0,0060	0,008081	0,000082	98,28	0,005214	0,000042	NS
Trave 5a-6a	100%	1,02	1,03	0,45	0,0362	0,0062	0,007870	0,000139	56,80	0,005266	0,000129	40,74
proporzionale alla deformata 1° modo di vibrazione												
Trave 5a-6a	0%	1,11	1,09	0,46	0,0362	0,0060	0,008088	0,000102	78,95	0,005227	0,000055	95,18
Trave 5a-6a	100%	1,01	1,02	0,45	0,0362	0,0060	0,007834	0,000148	53,04	0,005173	0,000133	38,84
sisma in -X												
proporzionale alle masse												
Trave 5a-6a	0%	1,01	1,03	0,45	0,0366	0,0059	0,007897	0,000116	68,05	0,005105	0,000073	69,50
Trave 5a-6a	100%	1,09	1,07	0,45	0,0366	0,0060	0,008099	0,000066	NS	0,005222	0,000065	80,09
proporzionale alla deformata 1° modo di vibrazione												
Trave 5a-6a	0%	1,01	1,03	0,45	0,0365	0,0059	0,007876	0,000128	61,41	0,005102	0,000081	62,92
Trave 5a-6a	100%	1,09	1,07	0,46	0,0365	0,0061	0,008107	0,000046	NS	0,005230	0,000055	95,63
sisma in +Y												
proporzionale alle masse												
Trave 5a-6a	0%	1,06	1,06	0,45	0,0361	0,0059	0,007942	0,000018	NS	0,005132	0,000027	NS
Trave 5a-6a	100%	1,06	1,05	0,45	0,0361	0,0062	0,007961	0,000051	NS	0,005269	0,000068	77,84
proporzionale alla deformata 1° modo di vibrazione												
Trave 5a-6a	0%	1,07	1,06	0,45	0,0359	0,0060	0,007937	0,000005	NS	0,005211	0,000006	NS
Trave 5a-6a	100%	1,06	1,06	0,45	0,0359	0,0062	0,007924	0,000068	NS	0,005297	0,000052	NS
sisma in -Y												
proporzionale alle masse												
Trave 5a-6a	0%	0,00	0,00	0,00	0,0000	0,0000	0,000000	0,000000	0,00	0,000000	0,000000	0,00
Trave 5a-6a	100%	0,00	0,00	0,00	0,0000	0,0000	0,000000	0,000000	0,00	0,000000	0,000000	0,00
proporzionale alla deformata 1° modo di vibrazione												

Id_{Tr}	$\%L_{LI}$	$L_{v,SLV}$	$L_{v,SLD}$	L_{pl}	ϕ_u	ϕ_y	SLV			SLD		
							Θ_c	Θ_d	CS	Θ_c	Θ_d	CS
	[%]	[m]	[m]	[m]	[rad/m]	[rad/m]	[rad]	[rad]		[rad]	[rad]	
Trave 5a-6a	0%	0,00	0,00	0,00	0,0000	0,0000	0,000000	0,000000	0,00	0,000000	0,000000	0,00
Trave 5a-6a	100%	0,00	0,00	0,00	0,0000	0,0000	0,000000	0,000000	0,00	0,000000	0,000000	0,00
sisma in +X												
proporzionale alle masse												
Trave 6a-21	0%	1,15	1,14	0,46	0,0302	0,0061	0,007105	0,000139	51,28	0,005311	0,000129	41,08
Trave 6a-21	100%	0,84	0,83	0,43	0,0418	0,0057	0,008206	0,000414	19,84	0,004879	0,000461	10,58
proporzionale alla deformata 1° modo di vibrazione												
Trave 6a-21	0%	1,14	1,13	0,46	0,0298	0,0062	0,007029	0,000148	47,59	0,005384	0,000133	40,43
Trave 6a-21	100%	0,88	0,86	0,43	0,0411	0,0061	0,008243	0,000278	29,61	0,005047	0,000367	13,74
sisma in -X												
proporzionale alle masse												
Trave 6a-21	0%	1,11	1,10	0,46	0,0317	0,0057	0,007264	0,000066	NS	0,005103	0,000065	78,25
Trave 6a-21	100%	0,75	0,82	0,42	0,0448	0,0057	0,008340	0,001010	8,26	0,004874	0,000655	7,44
proporzionale alla deformata 1° modo di vibrazione												
Trave 6a-21	0%	1,11	1,10	0,46	0,0320	0,0056	0,007313	0,000046	NS	0,005058	0,000055	92,50
Trave 6a-21	100%	0,72	0,81	0,42	0,0454	0,0057	0,008303	0,001111	7,47	0,004868	0,000704	6,92
sisma in +Y												
proporzionale alle masse												
Trave 6a-21	0%	1,15	1,13	0,46	0,0320	0,0057	0,007405	0,000051	NS	0,005130	0,000068	75,79
Trave 6a-21	100%	0,67	0,78	0,41	0,0454	0,0057	0,008070	0,001094	7,38	0,004856	0,000719	6,75
proporzionale alla deformata 1° modo di vibrazione												
Trave 6a-21	0%	1,17	1,13	0,46	0,0324	0,0056	0,007515	0,000068	NS	0,005045	0,000052	96,42
Trave 6a-21	100%	0,58	0,74	0,40	0,0462	0,0057	0,007722	0,001395	5,54	0,004848	0,000871	5,57
sisma in -Y												
proporzionale alle masse												
Trave 6a-21	0%	0,00	0,00	0,00	0,0000	0,0000	0,000000	0,000000	0,00	0,000000	0,000000	0,00
Trave 6a-21	100%	0,00	0,00	0,00	0,0000	0,0000	0,000000	0,000000	0,00	0,000000	0,000000	0,00
proporzionale alla deformata 1° modo di vibrazione												
Trave 6a-21	0%	0,00	0,00	0,00	0,0000	0,0000	0,000000	0,000000	0,00	0,000000	0,000000	0,00
Trave 6a-21	100%	0,00	0,00	0,00	0,0000	0,0000	0,000000	0,000000	0,00	0,000000	0,000000	0,00
Piano copertura							**Travata: Trave22-24-25**					
sisma in +X												
proporzionale alle masse												
Trave 22-24	0%	1,09	0,87	0,41	0,0810	0,0054	0,014941	0,000067	NS	0,004623	0,000043	NS
Trave 22-24	100%	0,13	0,53	0,32	0,0654	0,0047	0,007067	0,000037	NS	0,004537	0,000007	NS
proporzionale alla deformata 1° modo di vibrazione												
Trave 22-24	0%	1,15	0,90	0,42	0,0794	0,0056	0,014976	0,000103	NS	0,004747	0,000022	NS
Trave 22-24	100%	0,05	0,53	0,31	0,0629	0,0047	0,006741	0,000092	73,58	0,004530	0,000032	NS
sisma in -X												
proporzionale alle masse												
Trave 22-24	0%	0,00	0,28	0,30	0,0872	0,0042	0,009118	0,000661	13,78	0,005637	0,000428	13,19
Trave 22-24	100%	0,79	0,76	0,38	0,0705	0,0046	0,011674	0,000138	84,77	0,004304	0,000091	47,44
proporzionale alla deformata 1° modo di vibrazione												
Trave 22-24	0%	0,02	0,27	0,31	0,1218	0,0041	0,011842	0,000736	16,08	0,005725	0,000465	12,31
Trave 22-24	100%	0,76	0,74	0,38	0,0708	0,0046	0,011576	0,000180	64,41	0,004292	0,000113	38,08
sisma in +Y												
proporzionale alle masse												
Trave 22-24	0%	0,32	0,50	0,34	0,0834	0,0045	0,008883	0,000316	28,13	0,004538	0,000251	18,09
Trave 22-24	100%	0,94	0,79	0,40	0,0654	0,0055	0,011703	0,000251	46,63	0,004652	0,000074	63,01
proporzionale alla deformata 1° modo di vibrazione												
Trave 22-24	0%	0,01	0,41	0,30	0,1170	0,0045	0,010966	0,000284	38,55	0,004836	0,000235	20,56
Trave 22-24	100%	1,05	0,86	0,41	0,0639	0,0058	0,011948	0,000301	39,63	0,004802	0,000108	44,47
sisma in -Y												
proporzionale alle masse												
Trave 22-24	0%	0,00	0,00	0,00	0,0000	0,0000	0,000000	0,000000	0,00	0,000000	0,000000	0,00
Trave 22-24	100%	0,00	0,00	0,00	0,0000	0,0000	0,000000	0,000000	0,00	0,000000	0,000000	0,00
proporzionale alla deformata 1° modo di vibrazione												
Trave 22-24	0%	0,00	0,00	0,00	0,0000	0,0000	0,000000	0,000000	0,00	0,000000	0,000000	0,00
Trave 22-24	100%	0,00	0,00	0,00	0,0000	0,0000	0,000000	0,000000	0,00	0,000000	0,000000	0,00
sisma in +X												
proporzionale alle masse												
Trave 24-25	0%	0,86	0,85	0,39	0,0701	0,0045	0,012019	0,000042	NS	0,004259	0,000009	NS
Trave 24-25	100%	0,33	0,47	0,34	0,1032	0,0045	0,010599	0,000380	27,88	0,004613	0,000227	20,32
proporzionale alla deformata 1° modo di vibrazione												
Trave 24-25	0%	0,83	0,82	0,39	0,0708	0,0044	0,011968	0,000099	NS	0,004201	0,000034	NS
Trave 24-25	100%	0,33	0,47	0,34	0,1040	0,0034	0,010608	0,000448	23,66	0,004301	0,000260	16,54
sisma in -X												
proporzionale alle masse												
Trave 24-25	0%	1,04	0,96	0,41	0,0609	0,0051	0,011421	0,000135	84,55	0,004547	0,000090	50,31
Trave 24-25	100%	0,85	0,72	0,39	0,0915	0,0064	0,015231	0,000105	NS	0,004952	0,000020	NS
proporzionale alla deformata 1° modo di vibrazione												
Trave 24-25	0%	1,13	0,99	0,42	0,0585	0,0051	0,011332	0,000177	64,02	0,004569	0,000112	40,67
Trave 24-25	100%	0,88	0,73	0,39	0,0891	0,0069	0,015078	0,000123	NS	0,005117	0,000034	NS
sisma in +Y												
proporzionale alle masse												
Trave 24-25	0%	0,29	0,62	0,33	0,0698	0,0050	0,007635	0,000237	32,17	0,004499	0,000069	65,61
Trave 24-25	100%	0,82	0,74	0,39	0,1021	0,0043	0,016500	0,000235	70,12	0,004185	0,000148	28,25
proporzionale alla deformata 1° modo di vibrazione												
Trave 24-25	0%	0,18	0,59	0,32	0,0699	0,0050	0,007471	0,000289	25,83	0,004523	0,000104	43,65
Trave 24-25	100%	0,85	0,76	0,39	0,1021	0,0043	0,016762	0,000210	79,64	0,004191	0,000129	32,55
sisma in -Y												
proporzionale alle masse												
Trave 24-25	0%	0,00	0,00	0,00	0,0000	0,0000	0,000000	0,000000	0,00	0,000000	0,000000	0,00
Trave 24-25	100%	0,00	0,00	0,00	0,0000	0,0000	0,000000	0,000000	0,00	0,000000	0,000000	0,00
proporzionale alla deformata 1° modo di vibrazione												

Id_{Tr}	$\%L_{LI}$	$L_{v,SLV}$	$L_{v,SLD}$	L_{pl}	ϕ_u	ϕ_y	SLV			SLD		
							Θ_c	Θ_d	CS	Θ_c	Θ_d	CS
	[%]	[m]	[m]	[m]	[rad/m]	[rad/m]	[rad]	[rad]		[rad]	[rad]	
Trave 24-25	0%	0,00	0,00	0,00	0,0000	0,0000	0,000000	0,000000	0,00	0,000000	0,000000	0,00
Trave 24-25	100%	0,00	0,00	0,00	0,0000	0,0000	0,000000	0,000000	0,00	0,000000	0,000000	0,00
Piano copertura							**Travata: Trave22-23-24-25**					
sisma in +X												
proporzionale alle masse												
Trave 22-23	0%	0,48	0,54	0,38	0,1030	0,0125	0,013585	0,001223	11,11	0,006308	0,000555	11,37
Trave 22-23	100%	0,81	0,76	0,42	0,0762	0,0123	0,013324	0,000118	NS	0,006922	0,000040	NS
proporzionale alla deformata 1° modo di vibrazione												
Trave 22-23	0%	0,46	0,53	0,38	0,1035	0,0125	0,013215	0,001452	9,10	0,006278	0,000655	9,59
Trave 22-23	100%	0,82	0,77	0,42	0,0766	0,0119	0,013453	0,000143	94,00	0,006811	0,000048	NS
sisma in -X												
proporzionale alle masse												
Trave 22-23	0%	0,81	0,71	0,42	0,0893	0,0158	0,015475	0,001294	11,96	0,008194	0,000691	11,87
Trave 22-23	100%	0,56	0,64	0,39	0,0657	0,0150	0,010204	0,000065	NS	0,007525	0,000049	NS
proporzionale alla deformata 1° modo di vibrazione												
Trave 22-23	0%	0,85	0,73	0,42	0,0875	0,0168	0,015487	0,001494	10,37	0,008659	0,000775	11,18
Trave 22-23	100%	0,53	0,63	0,39	0,0644	0,0150	0,009800	0,000069	NS	0,007487	0,000050	NS
sisma in +Y												
proporzionale alle masse												
Trave 22-23	0%	0,63	0,63	0,40	0,0947	0,0125	0,014501	0,000274	52,88	0,006567	0,000175	37,55
Trave 22-23	100%	0,77	0,73	0,41	0,0696	0,0159	0,012220	0,000307	39,87	0,008293	0,000115	72,00
proporzionale alla deformata 1° modo di vibrazione												
Trave 22-23	0%	0,60	0,62	0,39	0,0959	0,0125	0,014365	0,000122	NS	0,006525	0,000101	64,35
Trave 22-23	100%	0,77	0,73	0,41	0,0706	0,0168	0,012464	0,000275	45,32	0,008642	0,000090	95,65
sisma in -Y												
proporzionale alle masse												
Trave 22-23	0%	0,00	0,00	0,00	0,0000	0,0000	0,000000	0,000000	0,00	0,000000	0,000000	0,00
Trave 22-23	100%	0,00	0,00	0,00	0,0000	0,0000	0,000000	0,000000	0,00	0,000000	0,000000	0,00
proporzionale alla deformata 1° modo di vibrazione												
Trave 22-23	0%	0,00	0,00	0,00	0,0000	0,0000	0,000000	0,000000	0,00	0,000000	0,000000	0,00
Trave 22-23	100%	0,00	0,00	0,00	0,0000	0,0000	0,000000	0,000000	0,00	0,000000	0,000000	0,00
sisma in +X												
proporzionale alle masse												
Trave 23-24	0%	0,48	0,46	0,38	0,0723	0,0146	0,009989	0,000090	NS	0,006756	0,000013	NS
Trave 23-24	100%	0,60	0,63	0,39	0,0998	0,0119	0,014843	0,000161	92,12	0,006360	0,000152	41,97
proporzionale alla deformata 1° modo di vibrazione												
Trave 23-24	0%	0,48	0,47	0,38	0,0723	0,0141	0,010004	0,000112	89,07	0,006630	0,000020	NS
Trave 23-24	100%	0,59	0,63	0,39	0,0998	0,0116	0,014721	0,000175	84,06	0,006248	0,000156	40,08
sisma in -X												
proporzionale alle masse												
Trave 23-24	0%	0,60	0,70	0,39	0,0984	0,0203	0,015287	0,000065	NS	0,009916	0,000058	NS
Trave 23-24	100%	0,46	0,44	0,38	0,0931	0,0176	0,012243	0,000086	NS	0,007616	0,000092	82,71
proporzionale alla deformata 1° modo di vibrazione												
Trave 23-24	0%	0,60	0,68	0,39	0,0982	0,0190	0,015075	0,000067	NS	0,009272	0,000058	NS
Trave 23-24	100%	0,46	0,44	0,38	0,0926	0,0176	0,012252	0,000079	NS	0,007634	0,000088	86,77
sisma in +Y												
proporzionale alle masse												
Trave 23-24	0%	0,50	0,48	0,38	0,0707	0,0148	0,010059	0,000237	42,43	0,006874	0,000062	NS
Trave 23-24	100%	0,55	0,58	0,39	0,0978	0,0124	0,013943	0,000347	40,21	0,006394	0,000244	26,18
proporzionale alla deformata 1° modo di vibrazione												
Trave 23-24	0%	0,50	0,48	0,38	0,0701	0,0153	0,010023	0,000210	47,64	0,007077	0,000041	NS
Trave 23-24	100%	0,56	0,56	0,39	0,0971	0,0128	0,013918	0,000369	37,74	0,006480	0,000236	27,46
sisma in -Y												
proporzionale alle masse												
Trave 23-24	0%	0,00	0,00	0,00	0,0000	0,0000	0,000000	0,000000	0,00	0,000000	0,000000	0,00
Trave 23-24	100%	0,00	0,00	0,00	0,0000	0,0000	0,000000	0,000000	0,00	0,000000	0,000000	0,00
proporzionale alla deformata 1° modo di vibrazione												
Trave 23-24	0%	0,00	0,00	0,00	0,0000	0,0000	0,000000	0,000000	0,00	0,000000	0,000000	0,00
Trave 23-24	100%	0,00	0,00	0,00	0,0000	0,0000	0,000000	0,000000	0,00	0,000000	0,000000	0,00
sisma in +X												
proporzionale alle masse												
Trave 24-25	0%	0,84	0,85	0,42	0,0958	0,0116	0,016660	0,000204	81,73	0,006913	0,000189	36,49
Trave 24-25	100%	0,80	0,78	0,41	0,0939	0,0123	0,016063	0,000734	21,89	0,006988	0,000281	24,83
proporzionale alla deformata 1° modo di vibrazione												
Trave 24-25	0%	0,83	0,84	0,42	0,0952	0,0116	0,016503	0,000223	74,14	0,006903	0,000196	35,23
Trave 24-25	100%	0,82	0,78	0,42	0,0933	0,0126	0,016099	0,000960	16,77	0,007122	0,000384	18,53
sisma in -X												
proporzionale alle masse												
Trave 24-25	0%	0,89	0,87	0,42	0,1004	0,0112	0,017794	0,000120	NS	0,006822	0,000125	54,39
Trave 24-25	100%	0,70	0,73	0,40	0,0985	0,0118	0,015803	0,001085	14,57	0,006605	0,000610	10,83
proporzionale alla deformata 1° modo di vibrazione												
Trave 24-25	0%	0,89	0,88	0,42	0,1008	0,0111	0,017896	0,000110	NS	0,006787	0,000120	56,64
Trave 24-25	100%	0,69	0,72	0,40	0,0988	0,0118	0,015758	0,001278	12,33	0,006587	0,000719	9,16
sisma in +Y												
proporzionale alle masse												
Trave 24-25	0%	0,81	0,83	0,42	0,0983	0,0116	0,016807	0,000368	45,68	0,006862	0,000276	24,83
Trave 24-25	100%	0,80	0,78	0,41	0,0964	0,0117	0,016379	0,000245	66,96	0,006749	0,000060	NS
proporzionale alla deformata 1° modo di vibrazione												
Trave 24-25	0%	0,81	0,83	0,41	0,0983	0,0116	0,016784	0,000395	42,51	0,006868	0,000270	25,48
Trave 24-25	100%	0,80	0,78	0,41	0,0963	0,0118	0,016391	0,000298	55,05	0,006756	0,000077	87,67
sisma in -Y												
proporzionale alle masse												
Trave 24-25	0%	0,00	0,00	0,00	0,0000	0,0000	0,000000	0,000000	0,00	0,000000	0,000000	0,00
Trave 24-25	100%	0,00	0,00	0,00	0,0000	0,0000	0,000000	0,000000	0,00	0,000000	0,000000	0,00
proporzionale alla deformata 1° modo di vibrazione												

Id_{Tr}	$\%L_{LI}$	$L_{v,SLV}$	$L_{v,SLD}$	L_{pl}	ϕ_u	ϕ_y	SLV			SLD		
							Θ_c	Θ_d	CS	Θ_c	Θ_d	CS
	[%]	[m]	[m]	[m]	[rad/m]	[rad/m]	[rad]	[rad]		[rad]	[rad]	
Trave 24-25	0%	0,00	0,00	0,00	0,0000	0,0000	0,000000	0,000000	0,00	0,000000	0,000000	0,00
Trave 24-25	100%	0,00	0,00	0,00	0,0000	0,0000	0,000000	0,000000	0,00	0,000000	0,000000	0,00
Piano copertura							**Travata: Trave29-17a-18a-19a-20a**					
sisma in +X												
proporzionale alle masse												
Trave 29-17a	0%	0,56	0,67	0,40	0,0808	0,0051	0,012104	0,001074	11,27	0,004613	0,000795	5,80
Trave 29-17a	100%	1,16	1,14	0,46	0,0548	0,0051	0,011593	0,000035	NS	0,004840	0,000056	86,43
proporzionale alla deformata 1° modo di vibrazione												
Trave 29-17a	0%	0,52	0,65	0,40	0,0813	0,0051	0,011690	0,001211	9,65	0,004626	0,000870	5,32
Trave 29-17a	100%	1,16	1,14	0,46	0,0555	0,0051	0,011730	0,000006	NS	0,004793	0,000038	NS
sisma in -X												
proporzionale alle masse												
Trave 29-17a	0%	0,91	0,84	0,44	0,0750	0,0054	0,013923	0,000111	NS	0,004739	0,000308	15,36
Trave 29-17a	100%	1,13	1,14	0,46	0,0482	0,0055	0,010330	0,000117	88,20	0,005000	0,000104	47,85
proporzionale alla deformata 1° modo di vibrazione												
Trave 29-17a	0%	0,95	0,86	0,44	0,0741	0,0055	0,014041	0,000008	NS	0,004797	0,000247	19,44
Trave 29-17a	100%	1,13	1,14	0,46	0,0474	0,0055	0,010157	0,000122	83,32	0,004999	0,000114	43,87
sisma in +Y												
proporzionale alle masse												
Trave 29-17a	0%	0,78	0,78	0,42	0,0781	0,0051	0,013572	0,000585	23,20	0,004594	0,000536	8,57
Trave 29-17a	100%	1,12	1,13	0,46	0,0515	0,0054	0,010893	0,000131	83,23	0,004975	0,000096	51,79
proporzionale alla deformata 1° modo di vibrazione												
Trave 29-17a	0%	0,81	0,80	0,43	0,0780	0,0050	0,013763	0,000554	24,85	0,004574	0,000514	8,89
Trave 29-17a	100%	1,11	1,12	0,46	0,0514	0,0055	0,010817	0,000136	79,35	0,004979	0,000089	56,06
sisma in -Y												
proporzionale alle masse												
Trave 29-17a	0%	0,00	0,00	0,00	0,0000	0,0000	0,000000	0,000000	0,00	0,000000	0,000000	0,00
Trave 29-17a	100%	0,00	0,00	0,00	0,0000	0,0000	0,000000	0,000000	0,00	0,000000	0,000000	0,00
proporzionale alla deformata 1° modo di vibrazione												
Trave 29-17a	0%	0,00	0,00	0,00	0,0000	0,0000	0,000000	0,000000	0,00	0,000000	0,000000	0,00
Trave 29-17a	100%	0,00	0,00	0,00	0,0000	0,0000	0,000000	0,000000	0,00	0,000000	0,000000	0,00
sisma in +X												
proporzionale alle masse												
Trave 17a-18a	0%	1,10	1,07	0,46	0,0484	0,0057	0,010232	0,000035	NS	0,005061	0,000056	90,37
Trave 17a-18a	100%	1,01	1,03	0,45	0,0372	0,0059	0,008000	0,000018	NS	0,005105	0,000003	NS
proporzionale alla deformata 1° modo di vibrazione												
Trave 17a-18a	0%	1,11	1,08	0,46	0,0483	0,0057	0,010278	0,000006	NS	0,005073	0,000038	NS
Trave 17a-18a	100%	0,99	1,02	0,45	0,0372	0,0059	0,007950	0,000042	NS	0,005095	0,000011	NS
sisma in -X												
proporzionale alle masse												
Trave 17a-18a	0%	1,00	1,02	0,45	0,0482	0,0057	0,009872	0,000117	84,28	0,005017	0,000104	48,01
Trave 17a-18a	100%	1,10	1,09	0,46	0,0370	0,0059	0,008219	0,000081	NS	0,005193	0,000060	86,16
proporzionale alla deformata 1° modo di vibrazione												
Trave 17a-18a	0%	1,00	1,02	0,45	0,0480	0,0057	0,009824	0,000122	80,59	0,005012	0,000114	43,98
Trave 17a-18a	100%	1,12	1,09	0,46	0,0369	0,0060	0,008229	0,000103	80,14	0,005222	0,000072	72,19
sisma in +Y												
proporzionale alle masse												
Trave 17a-18a	0%	1,02	1,04	0,45	0,0491	0,0057	0,010084	0,000131	77,05	0,005031	0,000096	52,38
Trave 17a-18a	100%	1,07	1,07	0,45	0,0375	0,0058	0,008221	0,000032	NS	0,005107	0,000035	NS
proporzionale alla deformata 1° modo di vibrazione												
Trave 17a-18a	0%	1,01	1,03	0,45	0,0493	0,0057	0,010087	0,000136	73,99	0,005029	0,000089	56,63
Trave 17a-18a	100%	1,08	1,07	0,45	0,0377	0,0057	0,008258	0,000015	NS	0,005064	0,000028	NS
sisma in -Y												
proporzionale alle masse												
Trave 17a-18a	0%	0,00	0,00	0,00	0,0000	0,0000	0,000000	0,000000	0,00	0,000000	0,000000	0,00
Trave 17a-18a	100%	0,00	0,00	0,00	0,0000	0,0000	0,000000	0,000000	0,00	0,000000	0,000000	0,00
proporzionale alla deformata 1° modo di vibrazione												
Trave 17a-18a	0%	0,00	0,00	0,00	0,0000	0,0000	0,000000	0,000000	0,00	0,000000	0,000000	0,00
Trave 17a-18a	100%	0,00	0,00	0,00	0,0000	0,0000	0,000000	0,000000	0,00	0,000000	0,000000	0,00
sisma in +X												
proporzionale alle masse												
Trave 18a-19a	0%	1,12	1,09	0,46	0,0368	0,0060	0,008221	0,000018	NS	0,005212	0,000003	NS
Trave 18a-19a	100%	1,01	1,02	0,45	0,0299	0,0063	0,006752	0,000003	NS	0,005286	0,000003	NS
proporzionale alla deformata 1° modo di vibrazione												
Trave 18a-19a	0%	1,13	1,10	0,46	0,0368	0,0060	0,008252	0,000042	NS	0,005226	0,000011	NS
Trave 18a-19a	100%	0,99	1,02	0,45	0,0299	0,0063	0,006718	0,000017	NS	0,005278	0,000011	NS
sisma in -X												
proporzionale alle masse												
Trave 18a-19a	0%	1,02	1,04	0,45	0,0371	0,0059	0,008007	0,000081	98,95	0,005116	0,000060	84,88
Trave 18a-19a	100%	1,08	1,07	0,45	0,0301	0,0063	0,006942	0,000021	NS	0,005333	0,000016	NS
proporzionale alla deformata 1° modo di vibrazione												
Trave 18a-19a	0%	1,01	1,04	0,45	0,0371	0,0059	0,007976	0,000103	77,68	0,005110	0,000072	70,64
Trave 18a-19a	100%	1,10	1,07	0,46	0,0301	0,0063	0,006963	0,000042	NS	0,005337	0,000026	NS
sisma in +Y												
proporzionale alle masse												
Trave 18a-19a	0%	1,06	1,06	0,45	0,0369	0,0059	0,008084	0,000032	NS	0,005141	0,000035	NS
Trave 18a-19a	100%	1,07	1,06	0,45	0,0299	0,0063	0,006885	0,000058	NS	0,005356	0,000035	NS
proporzionale alla deformata 1° modo di vibrazione												
Trave 18a-19a	0%	1,06	1,06	0,45	0,0368	0,0059	0,008067	0,000015	NS	0,005141	0,000028	NS
Trave 18a-19a	100%	1,08	1,06	0,45	0,0299	0,0064	0,006898	0,000069	NS	0,005376	0,000045	NS
sisma in -Y												
proporzionale alle masse												
Trave 18a-19a	0%	0,00	0,00	0,00	0,0000	0,0000	0,000000	0,000000	0,00	0,000000	0,000000	0,00
Trave 18a-19a	100%	0,00	0,00	0,00	0,0000	0,0000	0,000000	0,000000	0,00	0,000000	0,000000	0,00
proporzionale alla deformata 1° modo di vibrazione												

Id_{Tr}	$\%L_{LI}$	$L_{v,SLV}$	$L_{v,SLD}$	L_{pl}	ϕ_u	ϕ_y	SLV			SLD		
							Θ_c	Θ_d	CS	Θ_c	Θ_d	CS
	[%]	[m]	[m]	[m]	[rad/m]	[rad/m]	[rad]	[rad]		[rad]	[rad]	
Trave 18a-19a	0%	0,00	0,00	0,00	0,0000	0,0000	0,000000	0,000000	0,00	0,000000	0,000000	0,00
Trave 18a-19a	100%	0,00	0,00	0,00	0,0000	0,0000	0,000000	0,000000	0,00	0,000000	0,000000	0,00
sisma in +X												
proporzionale alle masse												
Trave 19a-20a	0%	1,26	1,26	0,47	0,0322	0,0055	0,007713	0,000003	NS	0,005185	0,000003	NS
Trave 19a-20a	100%	0,64	0,65	0,41	0,0457	0,0052	0,007998	0,001890	4,23	0,004673	0,001867	2,50
proporzionale alla deformata 1° modo di vibrazione												
Trave 19a-20a	0%	1,26	1,25	0,47	0,0322	0,0055	0,007691	0,000017	NS	0,005180	0,000011	NS
Trave 19a-20a	100%	0,65	0,65	0,41	0,0457	0,0052	0,008006	0,001682	4,76	0,004669	0,001768	2,64
sisma in -X												
proporzionale alle masse												
Trave 19a-20a	0%	1,26	1,25	0,47	0,0323	0,0055	0,007718	0,000021	NS	0,005174	0,000016	NS
Trave 19a-20a	100%	0,65	0,66	0,41	0,0460	0,0052	0,008072	0,002153	3,75	0,004664	0,001915	2,43
proporzionale alla deformata 1° modo di vibrazione												
Trave 19a-20a	0%	1,26	1,25	0,47	0,0324	0,0055	0,007737	0,000042	NS	0,005177	0,000026	NS
Trave 19a-20a	100%	0,65	0,65	0,41	0,0461	0,0052	0,008075	0,002355	3,43	0,004669	0,002006	2,33
sisma in +Y												
proporzionale alle masse												
Trave 19a-20a	0%	1,29	1,27	0,48	0,0321	0,0055	0,007738	0,000058	NS	0,005200	0,000035	NS
Trave 19a-20a	100%	0,62	0,64	0,41	0,0455	0,0053	0,007871	0,001971	3,99	0,004689	0,001852	2,53
proporzionale alla deformata 1° modo di vibrazione												
Trave 19a-20a	0%	1,31	1,28	0,48	0,0320	0,0058	0,007783	0,000069	NS	0,005369	0,000045	NS
Trave 19a-20a	100%	0,61	0,63	0,41	0,0453	0,0053	0,007762	0,002135	3,64	0,004692	0,001917	2,45
sisma in -Y												
proporzionale alle masse												
Trave 19a-20a	0%	0,00	0,00	0,00	0,0000	0,0000	0,000000	0,000000	0,00	0,000000	0,000000	0,00
Trave 19a-20a	100%	0,00	0,00	0,00	0,0000	0,0000	0,000000	0,000000	0,00	0,000000	0,000000	0,00
proporzionale alla deformata 1° modo di vibrazione												
Trave 19a-20a	0%	0,00	0,00	0,00	0,0000	0,0000	0,000000	0,000000	0,00	0,000000	0,000000	0,00
Trave 19a-20a	100%	0,00	0,00	0,00	0,0000	0,0000	0,000000	0,000000	0,00	0,000000	0,000000	0,00
Piano copertura							**Travata: Trave21a-22a-23a-24a-30**					
sisma in +X												
proporzionale alle masse												
Trave 21a-22a	0%	0,77	0,80	0,40	0,0501	0,0082	0,008939	0,001230	7,26	0,005503	0,001055	5,22
Trave 21a-22a	100%	1,15	1,15	0,43	0,0407	0,0084	0,008846	0,000026	NS	0,006315	0,000048	NS
proporzionale alla deformata 1° modo di vibrazione												
Trave 21a-22a	0%	0,76	0,80	0,40	0,0504	0,0082	0,008919	0,001321	6,75	0,005490	0,001103	4,98
Trave 21a-22a	100%	1,15	1,15	0,43	0,0409	0,0083	0,008865	0,000002	NS	0,006242	0,000029	NS
sisma in -X												
proporzionale alle masse												
Trave 21a-22a	0%	0,89	0,86	0,41	0,0478	0,0082	0,009033	0,000593	15,23	0,005604	0,000733	7,65
Trave 21a-22a	100%	1,15	1,15	0,44	0,0392	0,0087	0,008606	0,000119	72,06	0,006462	0,000104	62,35
proporzionale alla deformata 1° modo di vibrazione												
Trave 21a-22a	0%	0,90	0,87	0,41	0,0475	0,0086	0,009073	0,000514	17,64	0,005805	0,000689	8,42
Trave 21a-22a	100%	1,15	1,15	0,43	0,0389	0,0087	0,008562	0,000134	63,86	0,006462	0,000115	56,39
sisma in +Y												
proporzionale alle masse												
Trave 21a-22a	0%	0,77	0,80	0,40	0,0494	0,0082	0,008823	0,001039	8,49	0,005503	0,000956	5,76
Trave 21a-22a	100%	1,19	1,17	0,44	0,0402	0,0086	0,008877	0,000121	73,32	0,006457	0,000086	75,28
proporzionale alla deformata 1° modo di vibrazione												
Trave 21a-22a	0%	0,75	0,80	0,40	0,0493	0,0082	0,008741	0,001034	8,45	0,005497	0,000953	5,77
Trave 21a-22a	100%	1,20	1,17	0,44	0,0402	0,0086	0,008910	0,000128	69,55	0,006465	0,000089	72,92
sisma in -Y												
proporzionale alle masse												
Trave 21a-22a	0%	0,00	0,00	0,00	0,0000	0,0000	0,000000	0,000000	0,00	0,000000	0,000000	0,00
Trave 21a-22a	100%	0,00	0,00	0,00	0,0000	0,0000	0,000000	0,000000	0,00	0,000000	0,000000	0,00
proporzionale alla deformata 1° modo di vibrazione												
Trave 21a-22a	0%	0,00	0,00	0,00	0,0000	0,0000	0,000000	0,000000	0,00	0,000000	0,000000	0,00
Trave 21a-22a	100%	0,00	0,00	0,00	0,0000	0,0000	0,000000	0,000000	0,00	0,000000	0,000000	0,00
sisma in +X												
proporzionale alle masse												
Trave 22a-23a	0%	1,08	1,07	0,43	0,0496	0,0088	0,010158	0,000026	NS	0,006303	0,000048	NS
Trave 22a-23a	100%	1,04	1,06	0,42	0,0306	0,0097	0,006894	0,000009	NS	0,006724	0,000007	NS
proporzionale alla deformata 1° modo di vibrazione												
Trave 22a-23a	0%	1,09	1,07	0,43	0,0495	0,0088	0,010190	0,000002	NS	0,006323	0,000029	NS
Trave 22a-23a	100%	1,03	1,05	0,42	0,0306	0,0097	0,006867	0,000030	NS	0,006708	0,000006	NS
sisma in -X												
proporzionale alle masse												
Trave 22a-23a	0%	1,02	1,03	0,42	0,0496	0,0088	0,009948	0,000119	83,30	0,006217	0,000104	59,99
Trave 22a-23a	100%	1,10	1,09	0,43	0,0306	0,0097	0,007023	0,000062	NS	0,006826	0,000049	NS
proporzionale alla deformata 1° modo di vibrazione												
Trave 22a-23a	0%	1,02	1,03	0,42	0,0496	0,0088	0,009919	0,000134	73,99	0,006209	0,000115	54,18
Trave 22a-23a	100%	1,10	1,09	0,43	0,0306	0,0097	0,007035	0,000081	87,33	0,006848	0,000060	NS
sisma in +Y												
proporzionale alle masse												
Trave 22a-23a	0%	1,03	1,04	0,42	0,0501	0,0088	0,010062	0,000121	83,11	0,006235	0,000086	72,70
Trave 22a-23a	100%	1,08	1,08	0,43	0,0308	0,0096	0,007008	0,000033	NS	0,006730	0,000031	NS
proporzionale alla deformata 1° modo di vibrazione												
Trave 22a-23a	0%	1,02	1,04	0,42	0,0503	0,0087	0,010061	0,000128	78,53	0,006206	0,000089	70,01
Trave 22a-23a	100%	1,09	1,08	0,43	0,0309	0,0095	0,007027	0,000022	NS	0,006683	0,000027	NS
sisma in -Y												
proporzionale alle masse												
Trave 22a-23a	0%	0,00	0,00	0,00	0,0000	0,0000	0,000000	0,000000	0,00	0,000000	0,000000	0,00
Trave 22a-23a	100%	0,00	0,00	0,00	0,0000	0,0000	0,000000	0,000000	0,00	0,000000	0,000000	0,00
proporzionale alla deformata 1° modo di vibrazione												

Id_{Tr}	$\%L_{LI}$	$L_{v,SLV}$	$L_{v,SLD}$	L_{pl}	ϕ_u	ϕ_y	SLV			SLD		
							Θ_c	Θ_d	CS	Θ_c	Θ_d	CS
	[%]	[m]	[m]	[m]	[rad/m]	[rad/m]	[rad]	[rad]		[rad]	[rad]	
Trave 22a-23a	0%	0,00	0,00	0,00	0,0000	0,0000	0,000000	0,000000	0,00	0,000000	0,000000	0,00
Trave 22a-23a	100%	0,00	0,00	0,00	0,0000	0,0000	0,000000	0,000000	0,00	0,000000	0,000000	0,00
sisma in +X												
proporzionale alle masse												
Trave 23a-24a	0%	1,10	1,09	0,43	0,0305	0,0098	0,007009	0,000009	NS	0,006843	0,000007	NS
Trave 23a-24a	100%	1,03	1,04	0,42	0,0377	0,0093	0,008038	0,000020	NS	0,006521	0,000018	NS
proporzionale alla deformata 1° modo di vibrazione												
Trave 23a-24a	0%	1,11	1,09	0,43	0,0305	0,0098	0,007025	0,000030	NS	0,006849	0,000006	NS
Trave 23a-24a	100%	1,03	1,04	0,42	0,0377	0,0093	0,008015	0,000031	NS	0,006511	0,000025	NS
sisma in -X												
proporzionale alle masse												
Trave 23a-24a	0%	1,05	1,06	0,42	0,0306	0,0097	0,006902	0,000062	NS	0,006742	0,000049	NS
Trave 23a-24a	100%	1,08	1,07	0,43	0,0378	0,0094	0,008165	0,000002	NS	0,006587	0,000004	NS
proporzionale alla deformata 1° modo di vibrazione												
Trave 23a-24a	0%	1,04	1,05	0,42	0,0306	0,0097	0,006887	0,000081	85,48	0,006733	0,000060	NS
Trave 23a-24a	100%	1,08	1,07	0,43	0,0378	0,0093	0,008181	0,000014	NS	0,006592	0,000004	NS
sisma in +Y												
proporzionale alle masse												
Trave 23a-24a	0%	1,07	1,07	0,43	0,0306	0,0097	0,006955	0,000033	NS	0,006772	0,000031	NS
Trave 23a-24a	100%	1,06	1,06	0,43	0,0379	0,0093	0,008129	0,000018	NS	0,006550	0,000015	NS
proporzionale alla deformata 1° modo di vibrazione												
Trave 23a-24a	0%	1,06	1,07	0,43	0,0306	0,0097	0,006953	0,000022	NS	0,006770	0,000027	NS
Trave 23a-24a	100%	1,06	1,06	0,43	0,0379	0,0093	0,008139	0,000029	NS	0,006538	0,000019	NS
sisma in -Y												
proporzionale alle masse												
Trave 23a-24a	0%	0,00	0,00	0,00	0,0000	0,0000	0,000000	0,000000	0,00	0,000000	0,000000	0,00
Trave 23a-24a	100%	0,00	0,00	0,00	0,0000	0,0000	0,000000	0,000000	0,00	0,000000	0,000000	0,00
proporzionale alla deformata 1° modo di vibrazione												
Trave 23a-24a	0%	0,00	0,00	0,00	0,0000	0,0000	0,000000	0,000000	0,00	0,000000	0,000000	0,00
Trave 23a-24a	100%	0,00	0,00	0,00	0,0000	0,0000	0,000000	0,000000	0,00	0,000000	0,000000	0,00
sisma in +X												
proporzionale alle masse												
Trave 24a-30	0%	1,19	1,19	0,44	0,0330	0,0087	0,007630	0,000020	NS	0,006543	0,000018	NS
Trave 24a-30	100%	0,54	0,55	0,37	0,0780	0,0073	0,011057	0,001572	7,04	0,004893	0,001549	3,16
proporzionale alla deformata 1° modo di vibrazione												
Trave 24a-30	0%	1,19	1,19	0,44	0,0328	0,0087	0,007578	0,000031	NS	0,006536	0,000025	NS
Trave 24a-30	100%	0,60	0,58	0,38	0,0775	0,0073	0,011569	0,001330	8,70	0,004902	0,001436	3,41
sisma in -X												
proporzionale alle masse												
Trave 24a-30	0%	1,19	1,19	0,44	0,0333	0,0086	0,007650	0,000002	NS	0,006479	0,000004	NS
Trave 24a-30	100%	0,49	0,55	0,37	0,0786	0,0073	0,010685	0,001817	5,88	0,004894	0,001591	3,08
proporzionale alla deformata 1° modo di vibrazione												
Trave 24a-30	0%	1,19	1,19	0,44	0,0335	0,0085	0,007686	0,000014	NS	0,006428	0,000004	NS
Trave 24a-30	100%	0,42	0,52	0,36	0,0790	0,0073	0,009852	0,002069	4,76	0,004892	0,001700	2,88
sisma in +Y												
proporzionale alle masse												
Trave 24a-30	0%	1,19	1,19	0,44	0,0330	0,0087	0,007613	0,000018	NS	0,006520	0,000015	NS
Trave 24a-30	100%	0,56	0,58	0,38	0,0781	0,0073	0,011256	0,001560	7,22	0,004900	0,001495	3,28
proporzionale alla deformata 1° modo di vibrazione												
Trave 24a-30	0%	1,19	1,19	0,44	0,0331	0,0086	0,007629	0,000029	NS	0,006471	0,000019	NS
Trave 24a-30	100%	0,52	0,56	0,37	0,0783	0,0073	0,010911	0,001699	6,42	0,004896	0,001543	3,17
sisma in -Y												
proporzionale alle masse												
Trave 24a-30	0%	0,00	0,00	0,00	0,0000	0,0000	0,000000	0,000000	0,00	0,000000	0,000000	0,00
Trave 24a-30	100%	0,00	0,00	0,00	0,0000	0,0000	0,000000	0,000000	0,00	0,000000	0,000000	0,00
proporzionale alla deformata 1° modo di vibrazione												
Trave 24a-30	0%	0,00	0,00	0,00	0,0000	0,0000	0,000000	0,000000	0,00	0,000000	0,000000	0,00
Trave 24a-30	100%	0,00	0,00	0,00	0,0000	0,0000	0,000000	0,000000	0,00	0,000000	0,000000	0,00
Piano copertura							**Travata: Trave35a-36a-37a-38a-37**					
sisma in +X												
proporzionale alle masse												
Trave 35a-36a	0%	0,71	0,73	0,42	0,0503	0,0051	0,008941	0,001231	7,27	0,004608	0,001098	4,20
Trave 35a-36a	100%	1,17	1,18	0,46	0,0409	0,0056	0,009104	0,000014	NS	0,005117	0,000080	64,11
proporzionale alla deformata 1° modo di vibrazione												
Trave 35a-36a	0%	0,70	0,74	0,42	0,0506	0,0050	0,008962	0,001279	7,00	0,004567	0,001102	4,14
Trave 35a-36a	100%	1,16	1,17	0,46	0,0411	0,0053	0,009112	0,000019	NS	0,004977	0,000060	82,28
sisma in -X												
proporzionale alle masse												
Trave 35a-36a	0%	0,73	0,70	0,42	0,0480	0,0055	0,008718	0,001006	8,67	0,004752	0,001085	4,38
Trave 35a-36a	100%	1,20	1,21	0,47	0,0394	0,0057	0,008936	0,000145	61,50	0,005195	0,000161	32,17
proporzionale alla deformata 1° modo di vibrazione												
Trave 35a-36a	0%	0,73	0,70	0,42	0,0479	0,0055	0,008716	0,000989	8,82	0,004757	0,001078	4,41
Trave 35a-36a	100%	1,21	1,21	0,47	0,0393	0,0056	0,008915	0,000149	59,69	0,005164	0,000163	31,62
sisma in +Y												
proporzionale alle masse												
Trave 35a-36a	0%	0,67	0,68	0,41	0,0479	0,0053	0,008411	0,001069	7,87	0,004676	0,001098	4,26
Trave 35a-36a	100%	1,24	1,22	0,47	0,0392	0,0057	0,008996	0,000216	41,60	0,005237	0,000183	28,67
proporzionale alla deformata 1° modo di vibrazione												
Trave 35a-36a	0%	0,66	0,69	0,41	0,0468	0,0053	0,008198	0,001012	8,10	0,004675	0,001046	4,47
Trave 35a-36a	100%	1,26	1,23	0,47	0,0385	0,0058	0,008922	0,000279	31,93	0,005298	0,000214	24,80
sisma in -Y												
proporzionale alle masse												
Trave 35a-36a	0%	0,00	0,00	0,00	0,0000	0,0000	0,000000	0,000000	0,00	0,000000	0,000000	0,00
Trave 35a-36a	100%	0,00	0,00	0,00	0,0000	0,0000	0,000000	0,000000	0,00	0,000000	0,000000	0,00
proporzionale alla deformata 1° modo di vibrazione												

Id_{Tr}	$\%L_{LI}$	$L_{v,SLV}$	$L_{v,SLD}$	L_{pl}	ϕ_u	ϕ_y	SLV			SLD		
							Θ_c	Θ_d	CS	Θ_c	Θ_d	CS
	[%]	[m]	[m]	[m]	[rad/m]	[rad/m]	[rad]	[rad]		[rad]	[rad]	
Trave 35a-36a	0%	0,00	0,00	0,00	0,0000	0,0000	0,000000	0,000000	0,00	0,000000	0,000000	0,00
Trave 35a-36a	100%	0,00	0,00	0,00	0,0000	0,0000	0,000000	0,000000	0,00	0,000000	0,000000	0,00
sisma in +X												
proporzionale alle masse												
Trave 36a-37a	0%	1,06	1,05	0,45	0,0473	0,0057	0,009930	0,000014	NS	0,005040	0,000080	63,14
Trave 36a-37a	100%	1,05	1,06	0,45	0,0297	0,0062	0,006816	0,000077	88,74	0,005303	0,000032	NS
proporzionale alla deformata 1° modo di vibrazione												
Trave 36a-37a	0%	1,08	1,06	0,45	0,0473	0,0057	0,009959	0,000019	NS	0,005041	0,000060	83,33
Trave 36a-37a	100%	1,04	1,06	0,45	0,0297	0,0062	0,006792	0,000102	66,63	0,005296	0,000049	NS
sisma in -X												
proporzionale alle masse												
Trave 36a-37a	0%	1,01	1,01	0,45	0,0465	0,0058	0,009598	0,000145	66,05	0,005036	0,000161	31,19
Trave 36a-37a	100%	1,12	1,10	0,46	0,0294	0,0063	0,006907	0,000099	69,65	0,005409	0,000069	78,20
proporzionale alla deformata 1° modo di vibrazione												
Trave 36a-37a	0%	1,00	1,01	0,45	0,0464	0,0058	0,009545	0,000149	63,91	0,005033	0,000163	30,81
Trave 36a-37a	100%	1,13	1,11	0,46	0,0293	0,0064	0,006917	0,000120	57,52	0,005431	0,000081	66,68
sisma in +Y												
proporzionale alle masse												
Trave 36a-37a	0%	0,99	1,01	0,45	0,0475	0,0058	0,009719	0,000216	44,95	0,005032	0,000183	27,54
Trave 36a-37a	100%	1,11	1,09	0,46	0,0298	0,0062	0,006946	0,000045	NS	0,005335	0,000035	NS
proporzionale alla deformata 1° modo di vibrazione												
Trave 36a-37a	0%	0,96	1,00	0,44	0,0475	0,0058	0,009619	0,000279	34,43	0,005019	0,000214	23,50
Trave 36a-37a	100%	1,13	1,10	0,46	0,0298	0,0062	0,006980	0,000073	95,24	0,005341	0,000051	NS
sisma in -Y												
proporzionale alle masse												
Trave 36a-37a	0%	0,00	0,00	0,00	0,0000	0,0000	0,000000	0,000000	0,00	0,000000	0,000000	0,00
Trave 36a-37a	100%	0,00	0,00	0,00	0,0000	0,0000	0,000000	0,000000	0,00	0,000000	0,000000	0,00
proporzionale alla deformata 1° modo di vibrazione												
Trave 36a-37a	0%	0,00	0,00	0,00	0,0000	0,0000	0,000000	0,000000	0,00	0,000000	0,000000	0,00
Trave 36a-37a	100%	0,00	0,00	0,00	0,0000	0,0000	0,000000	0,000000	0,00	0,000000	0,000000	0,00
sisma in +X												
proporzionale alle masse												
Trave 37a-38a	0%	1,09	1,08	0,46	0,0362	0,0060	0,008050	0,000077	NS	0,005200	0,000032	NS
Trave 37a-38a	100%	1,04	1,03	0,45	0,0362	0,0062	0,007919	0,000104	76,07	0,005258	0,000113	46,53
proporzionale alla deformata 1° modo di vibrazione												
Trave 37a-38a	0%	1,10	1,09	0,46	0,0362	0,0060	0,008058	0,000102	79,05	0,005219	0,000049	NS
Trave 37a-38a	100%	1,03	1,03	0,45	0,0362	0,0060	0,007884	0,000114	69,34	0,005179	0,000121	42,72
sisma in -X												
proporzionale alle masse												
Trave 37a-38a	0%	1,01	1,04	0,45	0,0367	0,0059	0,007916	0,000099	79,82	0,005105	0,000069	73,80
Trave 37a-38a	100%	1,08	1,06	0,45	0,0366	0,0060	0,008081	0,000108	74,73	0,005207	0,000092	56,50
proporzionale alla deformata 1° modo di vibrazione												
Trave 37a-38a	0%	1,00	1,03	0,45	0,0367	0,0059	0,007886	0,000120	65,59	0,005099	0,000081	62,60
Trave 37a-38a	100%	1,09	1,07	0,45	0,0366	0,0060	0,008106	0,000093	87,24	0,005210	0,000084	62,28
sisma in +Y												
proporzionale alle masse												
Trave 37a-38a	0%	1,04	1,05	0,45	0,0367	0,0059	0,008004	0,000045	NS	0,005122	0,000035	NS
Trave 37a-38a	100%	1,05	1,05	0,45	0,0367	0,0060	0,008030	0,000162	49,43	0,005195	0,000127	40,84
proporzionale alla deformata 1° modo di vibrazione												
Trave 37a-38a	0%	1,02	1,04	0,45	0,0369	0,0059	0,007991	0,000073	NS	0,005113	0,000051	NS
Trave 37a-38a	100%	1,05	1,05	0,45	0,0369	0,0060	0,008059	0,000216	37,37	0,005177	0,000151	34,28
sisma in -Y												
proporzionale alle masse												
Trave 37a-38a	0%	0,00	0,00	0,00	0,0000	0,0000	0,000000	0,000000	0,00	0,000000	0,000000	0,00
Trave 37a-38a	100%	0,00	0,00	0,00	0,0000	0,0000	0,000000	0,000000	0,00	0,000000	0,000000	0,00
proporzionale alla deformata 1° modo di vibrazione												
Trave 37a-38a	0%	0,00	0,00	0,00	0,0000	0,0000	0,000000	0,000000	0,00	0,000000	0,000000	0,00
Trave 37a-38a	100%	0,00	0,00	0,00	0,0000	0,0000	0,000000	0,000000	0,00	0,000000	0,000000	0,00
sisma in +X												
proporzionale alle masse												
Trave 38a-37	0%	1,14	1,13	0,46	0,0305	0,0061	0,007134	0,000104	68,53	0,005305	0,000113	46,94
Trave 38a-37	100%	0,83	0,84	0,43	0,0424	0,0058	0,008277	0,000468	17,68	0,004896	0,000464	10,54
proporzionale alla deformata 1° modo di vibrazione												
Trave 38a-37	0%	1,14	1,14	0,46	0,0305	0,0060	0,007153	0,000114	62,92	0,005304	0,000121	43,75
Trave 38a-37	100%	0,82	0,83	0,43	0,0424	0,0058	0,008253	0,000495	16,68	0,004891	0,000487	10,05
sisma in -X												
proporzionale alle masse												
Trave 38a-37	0%	1,11	1,10	0,46	0,0317	0,0058	0,007273	0,000108	67,26	0,005115	0,000092	55,50
Trave 38a-37	100%	0,73	0,82	0,42	0,0447	0,0058	0,008275	0,001080	7,67	0,004884	0,000694	7,04
proporzionale alla deformata 1° modo di vibrazione												
Trave 38a-37	0%	1,10	1,10	0,46	0,0318	0,0057	0,007265	0,000093	78,19	0,005097	0,000084	60,93
Trave 38a-37	100%	0,74	0,82	0,42	0,0449	0,0058	0,008312	0,001106	7,51	0,004885	0,000709	6,89
sisma in +Y												
proporzionale alle masse												
Trave 38a-37	0%	1,10	1,11	0,46	0,0299	0,0061	0,006949	0,000162	42,77	0,005313	0,000127	41,77
Trave 38a-37	100%	0,90	0,89	0,44	0,0412	0,0059	0,008328	0,000386	21,57	0,004982	0,000394	12,66
proporzionale alla deformata 1° modo di vibrazione												
Trave 38a-37	0%	1,10	1,11	0,46	0,0300	0,0062	0,006973	0,000216	32,34	0,005325	0,000151	35,26
Trave 38a-37	100%	0,88	0,87	0,43	0,0414	0,0059	0,008286	0,000520	15,95	0,004983	0,000470	10,61
sisma in -Y												
proporzionale alle masse												
Trave 38a-37	0%	0,00	0,00	0,00	0,0000	0,0000	0,000000	0,000000	0,00	0,000000	0,000000	0,00
Trave 38a-37	100%	0,00	0,00	0,00	0,0000	0,0000	0,000000	0,000000	0,00	0,000000	0,000000	0,00
proporzionale alla deformata 1° modo di vibrazione												
Trave 38a-37	0%	0,00	0,00	0,00	0,0000	0,0000	0,000000	0,000000	0,00	0,000000	0,000000	0,00

Id_{Tr}	$\%L_{LI}$	$L_{v,SLV}$	$L_{v,SLD}$	L_{pl}	ϕ_u	ϕ_y	SLV			SLD		
							Θ_c	Θ_d	CS	Θ_c	Θ_d	CS
	[%]	[m]	[m]	[m]	[rad/m]	[rad/m]	[rad]	[rad]		[rad]	[rad]	
Trave 38a-37	100%	0,00	0,00	0,00	0,0000	0,0000	0,000000	0,000000	0,00	0,000000	0,000000	0,00
Piano copertura							**Travata: Trave11a-7a-8a-9a-10a**					
sisma in +X												
proporzionale alle masse												
Trave 11a-7a	0%	0,33	0,58	0,38	0,0704	0,0053	0,008542	0,002297	3,72	0,004753	0,001465	3,24
Trave 11a-7a	100%	1,21	1,20	0,47	0,0602	0,0050	0,012828	0,000079	NS	0,004800	0,000084	57,15
proporzionale alla deformata 1° modo di vibrazione												
Trave 11a-7a	0%	0,21	0,51	0,37	0,0711	0,0037	0,008360	0,002762	3,03	0,004350	0,001703	2,55
Trave 11a-7a	100%	1,21	1,21	0,47	0,0620	0,0048	0,013141	0,000059	NS	0,004747	0,000067	70,70
sisma in -X												
proporzionale alle masse												
Trave 11a-7a	0%	1,25	1,03	0,47	0,0500	0,0064	0,011004	0,000685	16,06	0,005355	0,000023	NS
Trave 11a-7a	100%	1,12	1,14	0,46	0,0405	0,0054	0,008892	0,000129	68,95	0,004991	0,000120	41,63
proporzionale alla deformata 1° modo di vibrazione												
Trave 11a-7a	0%	1,41	1,10	0,49	0,0439	0,0069	0,010298	0,001099	9,37	0,005691	0,000237	24,06
Trave 11a-7a	100%	1,09	1,13	0,45	0,0367	0,0054	0,008121	0,000097	83,49	0,004981	0,000118	42,18
sisma in +Y												
proporzionale alle masse												
Trave 11a-7a	0%	0,79	0,82	0,43	0,0665	0,0051	0,011867	0,001246	9,53	0,004604	0,000910	5,06
Trave 11a-7a	100%	1,12	1,13	0,46	0,0540	0,0053	0,011324	0,000270	41,96	0,004891	0,000157	31,07
proporzionale alla deformata 1° modo di vibrazione												
Trave 11a-7a	0%	0,80	0,82	0,43	0,0673	0,0050	0,011995	0,001469	8,17	0,004563	0,001025	4,45
Trave 11a-7a	100%	1,09	1,11	0,45	0,0552	0,0052	0,011423	0,000296	38,56	0,004854	0,000173	28,05
sisma in -Y												
proporzionale alle masse												
Trave 11a-7a	0%	0,00	0,00	0,00	0,0000	0,0000	0,000000	0,000000	0,00	0,000000	0,000000	0,00
Trave 11a-7a	100%	0,00	0,00	0,00	0,0000	0,0000	0,000000	0,000000	0,00	0,000000	0,000000	0,00
proporzionale alla deformata 1° modo di vibrazione												
Trave 11a-7a	0%	0,00	0,00	0,00	0,0000	0,0000	0,000000	0,000000	0,00	0,000000	0,000000	0,00
Trave 11a-7a	100%	0,00	0,00	0,00	0,0000	0,0000	0,000000	0,000000	0,00	0,000000	0,000000	0,00
sisma in +X												
proporzionale alle masse												
Trave 7a-8a	0%	1,08	1,07	0,45	0,0478	0,0057	0,010073	0,000079	NS	0,005034	0,000084	59,94
Trave 7a-8a	100%	1,02	1,03	0,45	0,0368	0,0059	0,007956	0,000055	NS	0,005115	0,000022	NS
proporzionale alla deformata 1° modo di vibrazione												
Trave 7a-8a	0%	1,09	1,07	0,46	0,0478	0,0057	0,010104	0,000059	NS	0,005034	0,000067	74,97
Trave 7a-8a	100%	1,01	1,03	0,45	0,0368	0,0059	0,007926	0,000079	NS	0,005109	0,000036	NS
sisma in -X												
proporzionale alle masse												
Trave 7a-8a	0%	1,02	1,03	0,45	0,0468	0,0057	0,009693	0,000129	75,17	0,005030	0,000120	41,96
Trave 7a-8a	100%	1,11	1,09	0,46	0,0362	0,0060	0,008084	0,000119	67,72	0,005214	0,000081	64,68
proporzionale alla deformata 1° modo di vibrazione												
Trave 7a-8a	0%	1,03	1,03	0,45	0,0464	0,0057	0,009660	0,000097	99,31	0,005030	0,000118	42,59
Trave 7a-8a	100%	1,11	1,09	0,46	0,0360	0,0060	0,008052	0,000136	59,26	0,005207	0,000090	57,67
sisma in +Y												
proporzionale alle masse												
Trave 7a-8a	0%	1,00	1,04	0,45	0,0485	0,0057	0,009923	0,000270	36,77	0,005032	0,000157	31,97
Trave 7a-8a	100%	1,07	1,06	0,45	0,0372	0,0058	0,008144	0,000023	NS	0,005082	0,000030	NS
proporzionale alla deformata 1° modo di vibrazione												
Trave 7a-8a	0%	0,99	1,03	0,45	0,0487	0,0057	0,009944	0,000296	33,57	0,005027	0,000173	29,05
Trave 7a-8a	100%	1,07	1,06	0,45	0,0373	0,0057	0,008162	0,000004	NS	0,005052	0,000014	NS
sisma in -Y												
proporzionale alle masse												
Trave 7a-8a	0%	0,00	0,00	0,00	0,0000	0,0000	0,000000	0,000000	0,00	0,000000	0,000000	0,00
Trave 7a-8a	100%	0,00	0,00	0,00	0,0000	0,0000	0,000000	0,000000	0,00	0,000000	0,000000	0,00
proporzionale alla deformata 1° modo di vibrazione												
Trave 7a-8a	0%	0,00	0,00	0,00	0,0000	0,0000	0,000000	0,000000	0,00	0,000000	0,000000	0,00
Trave 7a-8a	100%	0,00	0,00	0,00	0,0000	0,0000	0,000000	0,000000	0,00	0,000000	0,000000	0,00
sisma in +X												
proporzionale alle masse												
Trave 8a-9a	0%	1,12	1,10	0,46	0,0365	0,0059	0,008179	0,000055	NS	0,005182	0,000022	NS
Trave 8a-9a	100%	0,99	1,01	0,44	0,0297	0,0063	0,006676	0,000119	55,88	0,005253	0,000100	52,77
proporzionale alla deformata 1° modo di vibrazione												
Trave 8a-9a	0%	1,13	1,11	0,46	0,0365	0,0059	0,008199	0,000079	NS	0,005183	0,000036	NS
Trave 8a-9a	100%	0,98	1,00	0,44	0,0297	0,0063	0,006649	0,000140	47,58	0,005246	0,000110	47,51
sisma in -X												
proporzionale alle masse												
Trave 8a-9a	0%	1,01	1,04	0,45	0,0368	0,0059	0,007922	0,000119	66,36	0,005100	0,000081	63,27
Trave 8a-9a	100%	1,09	1,07	0,46	0,0299	0,0062	0,006913	0,000013	NS	0,005304	0,000026	NS
proporzionale alla deformata 1° modo di vibrazione												
Trave 8a-9a	0%	1,00	1,03	0,45	0,0367	0,0059	0,007896	0,000136	58,12	0,005096	0,000090	56,44
Trave 8a-9a	100%	1,10	1,07	0,46	0,0298	0,0062	0,006925	0,000014	NS	0,005312	0,000012	NS
sisma in +Y												
proporzionale alle masse												
Trave 8a-9a	0%	1,07	1,07	0,45	0,0363	0,0059	0,007989	0,000023	NS	0,005136	0,000030	NS
Trave 8a-9a	100%	1,07	1,05	0,45	0,0295	0,0064	0,006810	0,000043	NS	0,005354	0,000001	NS
proporzionale alla deformata 1° modo di vibrazione												
Trave 8a-9a	0%	1,07	1,07	0,45	0,0360	0,0059	0,007956	0,000004	NS	0,005140	0,000014	NS
Trave 8a-9a	100%	1,08	1,06	0,45	0,0294	0,0064	0,006807	0,000080	84,96	0,005399	0,000022	NS
sisma in -Y												
proporzionale alle masse												
Trave 8a-9a	0%	0,00	0,00	0,00	0,0000	0,0000	0,000000	0,000000	0,00	0,000000	0,000000	0,00
Trave 8a-9a	100%	0,00	0,00	0,00	0,0000	0,0000	0,000000	0,000000	0,00	0,000000	0,000000	0,00
proporzionale alla deformata 1° modo di vibrazione												
Trave 8a-9a	0%	0,00	0,00	0,00	0,0000	0,0000	0,000000	0,000000	0,00	0,000000	0,000000	0,00

Id_{Tr}	$\%L_{LI}$	$L_{v,SLV}$	$L_{v,SLD}$	L_{pl}	ϕ_u	ϕ_y	SLV			SLD		
							Θ_c	Θ_d	CS	Θ_c	Θ_d	CS
	[%]	[m]	[m]	[m]	[rad/m]	[rad/m]	[rad]	[rad]		[rad]	[rad]	
Trave 8a-9a	100%	0,00	0,00	0,00	0,0000	0,0000	0,000000	0,000000	0,00	0,000000	0,000000	0,00
sisma in +X												
proporzionale alle masse												
Trave 9a-10a	0%	1,27	1,26	0,47	0,0320	0,0057	0,007700	0,000119	64,45	0,005295	0,000100	53,20
Trave 9a-10a	100%	0,65	0,66	0,41	0,0454	0,0051	0,007957	0,001662	4,79	0,004615	0,001661	2,78
proporzionale alla deformata 1° modo di vibrazione												
Trave 9a-10a	0%	1,26	1,25	0,47	0,0320	0,0056	0,007667	0,000140	54,86	0,005217	0,000110	47,24
Trave 9a-10a	100%	0,65	0,66	0,41	0,0454	0,0052	0,007990	0,001496	5,34	0,004658	0,001570	2,97
sisma in -X												
proporzionale alle masse												
Trave 9a-10a	0%	1,26	1,24	0,47	0,0324	0,0057	0,007729	0,000013	NS	0,005237	0,000026	NS
Trave 9a-10a	100%	0,66	0,67	0,41	0,0461	0,0051	0,008134	0,002183	3,73	0,004634	0,001816	2,55
proporzionale alla deformata 1° modo di vibrazione												
Trave 9a-10a	0%	1,27	1,25	0,47	0,0323	0,0057	0,007751	0,000014	NS	0,005251	0,000012	NS
Trave 9a-10a	100%	0,66	0,67	0,41	0,0460	0,0052	0,008104	0,002335	3,47	0,004637	0,001887	2,46
sisma in +Y												
proporzionale alle masse												
Trave 9a-10a	0%	1,38	1,31	0,48	0,0311	0,0059	0,007764	0,000043	NS	0,005474	0,000001	NS
Trave 9a-10a	100%	0,54	0,61	0,40	0,0438	0,0051	0,007173	0,002139	3,35	0,004646	0,001808	2,57
proporzionale alla deformata 1° modo di vibrazione												
Trave 9a-10a	0%	1,44	1,35	0,49	0,0304	0,0061	0,007756	0,000080	96,81	0,005644	0,000022	NS
Trave 9a-10a	100%	0,44	0,58	0,39	0,0423	0,0051	0,006416	0,002434	2,64	0,004679	0,001948	2,40
sisma in -Y												
proporzionale alle masse												
Trave 9a-10a	0%	0,00	0,00	0,00	0,0000	0,0000	0,000000	0,000000	0,00	0,000000	0,000000	0,00
Trave 9a-10a	100%	0,00	0,00	0,00	0,0000	0,0000	0,000000	0,000000	0,00	0,000000	0,000000	0,00
proporzionale alla deformata 1° modo di vibrazione												
Trave 9a-10a	0%	0,00	0,00	0,00	0,0000	0,0000	0,000000	0,000000	0,00	0,000000	0,000000	0,00
Trave 9a-10a	100%	0,00	0,00	0,00	0,0000	0,0000	0,000000	0,000000	0,00	0,000000	0,000000	0,00
Piano copertura							**Travata: Trave30a-31a-32a-33a-34a**					
sisma in +X												
proporzionale alle masse												
Trave 30a-31a	0%	0,55	0,59	0,40	0,0513	0,0052	0,008254	0,001543	5,35	0,004730	0,001357	3,49
Trave 30a-31a	100%	1,20	1,20	0,47	0,0563	0,0051	0,012030	0,000036	NS	0,004878	0,000089	55,09
proporzionale alla deformata 1° modo di vibrazione												
Trave 30a-31a	0%	0,54	0,58	0,40	0,0518	0,0052	0,008237	0,001614	5,10	0,004737	0,001388	3,41
Trave 30a-31a	100%	1,19	1,20	0,47	0,0567	0,0050	0,012087	0,000007	NS	0,004845	0,000072	67,23
sisma in -X												
proporzionale alle masse												
Trave 30a-31a	0%	0,62	0,62	0,41	0,0486	0,0052	0,008307	0,001162	7,15	0,004703	0,001195	3,93
Trave 30a-31a	100%	1,22	1,22	0,47	0,0529	0,0053	0,011497	0,000200	57,36	0,004980	0,000184	27,00
proporzionale alla deformata 1° modo di vibrazione												
Trave 30a-31a	0%	0,63	0,62	0,41	0,0484	0,0052	0,008310	0,001140	7,29	0,004700	0,001180	3,98
Trave 30a-31a	100%	1,22	1,22	0,47	0,0527	0,0053	0,011458	0,000212	54,03	0,004981	0,000192	25,99
sisma in +Y												
proporzionale alle masse												
Trave 30a-31a	0%	0,60	0,61	0,41	0,0492	0,0052	0,008275	0,001317	6,28	0,004704	0,001255	3,75
Trave 30a-31a	100%	1,21	1,21	0,47	0,0535	0,0053	0,011594	0,000245	47,41	0,004973	0,000194	25,63
proporzionale alla deformata 1° modo di vibrazione												
Trave 30a-31a	0%	0,58	0,60	0,40	0,0486	0,0052	0,008052	0,001323	6,09	0,004714	0,001240	3,80
Trave 30a-31a	100%	1,23	1,22	0,47	0,0529	0,0052	0,011543	0,000306	37,69	0,004971	0,000223	22,27
sisma in -Y												
proporzionale alle masse												
Trave 30a-31a	0%	0,00	0,00	0,00	0,0000	0,0000	0,000000	0,000000	0,00	0,000000	0,000000	0,00
Trave 30a-31a	100%	0,00	0,00	0,00	0,0000	0,0000	0,000000	0,000000	0,00	0,000000	0,000000	0,00
proporzionale alla deformata 1° modo di vibrazione												
Trave 30a-31a	0%	0,00	0,00	0,00	0,0000	0,0000	0,000000	0,000000	0,00	0,000000	0,000000	0,00
Trave 30a-31a	100%	0,00	0,00	0,00	0,0000	0,0000	0,000000	0,000000	0,00	0,000000	0,000000	0,00
sisma in +X												
proporzionale alle masse												
Trave 31a-32a	0%	1,07	1,05	0,45	0,0474	0,0057	0,009947	0,000036	NS	0,005048	0,000089	57,01
Trave 31a-32a	100%	1,04	1,05	0,45	0,0366	0,0059	0,007975	0,000044	NS	0,005126	0,000016	NS
proporzionale alla deformata 1° modo di vibrazione												
Trave 31a-32a	0%	1,08	1,06	0,45	0,0473	0,0057	0,009980	0,000007	NS	0,005049	0,000072	70,06
Trave 31a-32a	100%	1,03	1,05	0,45	0,0365	0,0059	0,007941	0,000066	NS	0,005119	0,000029	NS
sisma in -X												
proporzionale alle masse												
Trave 31a-32a	0%	0,97	0,99	0,44	0,0474	0,0057	0,009618	0,000200	47,99	0,004997	0,000184	27,09
Trave 31a-32a	100%	1,13	1,10	0,46	0,0365	0,0059	0,008185	0,000085	96,76	0,005183	0,000061	84,99
proporzionale alla deformata 1° modo di vibrazione												
Trave 31a-32a	0%	0,96	0,99	0,44	0,0473	0,0057	0,009562	0,000212	45,09	0,004991	0,000192	26,04
Trave 31a-32a	100%	1,14	1,11	0,46	0,0365	0,0059	0,008203	0,000104	78,58	0,005196	0,000072	72,53
sisma in +Y												
proporzionale alle masse												
Trave 31a-32a	0%	0,97	1,00	0,44	0,0479	0,0057	0,009721	0,000245	39,75	0,005000	0,000194	25,78
Trave 31a-32a	100%	1,11	1,09	0,46	0,0369	0,0058	0,008194	0,000051	NS	0,005138	0,000038	NS
proporzionale alla deformata 1° modo di vibrazione												
Trave 31a-32a	0%	0,94	0,99	0,44	0,0481	0,0057	0,009643	0,000306	31,49	0,004988	0,000223	22,35
Trave 31a-32a	100%	1,13	1,10	0,46	0,0370	0,0058	0,008255	0,000071	NS	0,005127	0,000048	NS
sisma in -Y												
proporzionale alle masse												
Trave 31a-32a	0%	0,00	0,00	0,00	0,0000	0,0000	0,000000	0,000000	0,00	0,000000	0,000000	0,00
Trave 31a-32a	100%	0,00	0,00	0,00	0,0000	0,0000	0,000000	0,000000	0,00	0,000000	0,000000	0,00
proporzionale alla deformata 1° modo di vibrazione												
Trave 31a-32a	0%	0,00	0,00	0,00	0,0000	0,0000	0,000000	0,000000	0,00	0,000000	0,000000	0,00

Id_{Tr}	$\%L_{LI}$	$L_{v,SLV}$	$L_{v,SLD}$	L_{pl}	ϕ_u	ϕ_y	SLV			SLD		
							Θ_c	Θ_d	CS	Θ_c	Θ_d	CS
	[%]	[m]	[m]	[m]	[rad/m]	[rad/m]	[rad]	[rad]		[rad]	[rad]	
Trave 31a-32a	100%	0,00	0,00	0,00	0,0000	0,0000	0,000000	0,000000	0,00	0,000000	0,000000	0,00
sisma in +X												
proporzionale alle masse												
Trave 32a-33a	0%	1,10	1,09	0,46	0,0364	0,0059	0,008104	0,000044	NS	0,005187	0,000016	NS
Trave 32a-33a	100%	1,02	1,03	0,45	0,0297	0,0063	0,006735	0,000081	82,86	0,005273	0,000084	62,75
proporzionale alla deformata 1° modo di vibrazione												
Trave 32a-33a	0%	1,11	1,09	0,46	0,0364	0,0059	0,008116	0,000066	NS	0,005194	0,000029	NS
Trave 32a-33a	100%	1,01	1,02	0,45	0,0296	0,0063	0,006714	0,000088	76,55	0,005269	0,000090	58,84
sisma in -X												
proporzionale alle masse												
Trave 32a-33a	0%	1,01	1,03	0,45	0,0368	0,0059	0,007931	0,000085	93,76	0,005099	0,000061	83,60
Trave 32a-33a	100%	1,09	1,07	0,45	0,0299	0,0062	0,006907	0,000071	96,82	0,005297	0,000063	84,28
proporzionale alla deformata 1° modo di vibrazione												
Trave 32a-33a	0%	1,00	1,03	0,45	0,0368	0,0059	0,007901	0,000104	75,68	0,005093	0,000072	71,09
Trave 32a-33a	100%	1,10	1,07	0,46	0,0299	0,0062	0,006929	0,000059	NS	0,005299	0,000055	95,70
sisma in +Y												
proporzionale alle masse												
Trave 32a-33a	0%	1,04	1,05	0,45	0,0370	0,0059	0,008056	0,000051	NS	0,005118	0,000038	NS
Trave 32a-33a	100%	1,04	1,04	0,45	0,0301	0,0062	0,006840	0,000159	43,06	0,005262	0,000116	45,40
proporzionale alla deformata 1° modo di vibrazione												
Trave 32a-33a	0%	1,03	1,04	0,45	0,0373	0,0059	0,008061	0,000071	NS	0,005110	0,000048	NS
Trave 32a-33a	100%	1,04	1,04	0,45	0,0302	0,0062	0,006860	0,000220	31,16	0,005246	0,000142	37,05
sisma in -Y												
proporzionale alle masse												
Trave 32a-33a	0%	0,00	0,00	0,00	0,0000	0,0000	0,000000	0,000000	0,00	0,000000	0,000000	0,00
Trave 32a-33a	100%	0,00	0,00	0,00	0,0000	0,0000	0,000000	0,000000	0,00	0,000000	0,000000	0,00
proporzionale alla deformata 1° modo di vibrazione												
Trave 32a-33a	0%	0,00	0,00	0,00	0,0000	0,0000	0,000000	0,000000	0,00	0,000000	0,000000	0,00
Trave 32a-33a	100%	0,00	0,00	0,00	0,0000	0,0000	0,000000	0,000000	0,00	0,000000	0,000000	0,00
sisma in +X												
proporzionale alle masse												
Trave 33a-34a	0%	1,26	1,25	0,47	0,0321	0,0057	0,007701	0,000081	94,75	0,005277	0,000084	62,79
Trave 33a-34a	100%	0,66	0,66	0,41	0,0456	0,0052	0,008028	0,001670	4,81	0,004657	0,001652	2,82
proporzionale alla deformata 1° modo di vibrazione												
Trave 33a-34a	0%	1,27	1,26	0,47	0,0320	0,0058	0,007705	0,000088	87,84	0,005309	0,000090	59,29
Trave 33a-34a	100%	0,65	0,66	0,41	0,0454	0,0052	0,007970	0,001612	4,95	0,004656	0,001634	2,85
sisma in -X												
proporzionale alle masse												
Trave 33a-34a	0%	1,24	1,23	0,47	0,0325	0,0056	0,007710	0,000071	NS	0,005189	0,000063	82,56
Trave 33a-34a	100%	0,68	0,67	0,41	0,0463	0,0051	0,008222	0,002254	3,65	0,004620	0,001857	2,49
proporzionale alla deformata 1° modo di vibrazione												
Trave 33a-34a	0%	1,23	1,23	0,47	0,0326	0,0056	0,007712	0,000059	NS	0,005186	0,000055	93,65
Trave 33a-34a	100%	0,68	0,68	0,41	0,0464	0,0051	0,008275	0,002360	3,51	0,004605	0,001908	2,41
sisma in +Y												
proporzionale alle masse												
Trave 33a-34a	0%	1,19	1,21	0,47	0,0325	0,0056	0,007620	0,000159	47,97	0,005163	0,000116	44,54
Trave 33a-34a	100%	0,70	0,69	0,42	0,0463	0,0051	0,008333	0,001686	4,94	0,004608	0,001624	2,84
proporzionale alla deformata 1° modo di vibrazione												
Trave 33a-34a	0%	1,18	1,21	0,46	0,0326	0,0056	0,007613	0,000220	34,57	0,005156	0,000142	36,41
Trave 33a-34a	100%	0,71	0,69	0,42	0,0466	0,0051	0,008385	0,001880	4,46	0,004588	0,001719	2,67
sisma in -Y												
proporzionale alle masse												
Trave 33a-34a	0%	0,00	0,00	0,00	0,0000	0,0000	0,000000	0,000000	0,00	0,000000	0,000000	0,00
Trave 33a-34a	100%	0,00	0,00	0,00	0,0000	0,0000	0,000000	0,000000	0,00	0,000000	0,000000	0,00
proporzionale alla deformata 1° modo di vibrazione												
Trave 33a-34a	0%	0,00	0,00	0,00	0,0000	0,0000	0,000000	0,000000	0,00	0,000000	0,000000	0,00
Trave 33a-34a	100%	0,00	0,00	0,00	0,0000	0,0000	0,000000	0,000000	0,00	0,000000	0,000000	0,00
Piano copertura							**Travata: Trave25a-26a-27a-28a-29a**					
sisma in +X												
proporzionale alle masse												
Trave 25a-26a	0%	0,60	0,65	0,41	0,0509	0,0053	0,008444	0,001253	6,74	0,004699	0,001066	4,41
Trave 25a-26a	100%	1,18	1,18	0,46	0,0556	0,0051	0,011846	0,000040	NS	0,004860	0,000063	77,71
proporzionale alla deformata 1° modo di vibrazione												
Trave 25a-26a	0%	0,57	0,64	0,40	0,0514	0,0053	0,008374	0,001340	6,25	0,004707	0,001112	4,23
Trave 25a-26a	100%	1,18	1,18	0,46	0,0562	0,0050	0,011932	0,000014	NS	0,004824	0,000048	NS
sisma in -X												
proporzionale alle masse												
Trave 25a-26a	0%	0,79	0,75	0,42	0,0476	0,0055	0,008918	0,000662	13,48	0,004769	0,000781	6,11
Trave 25a-26a	100%	1,17	1,18	0,46	0,0517	0,0053	0,011110	0,000110	NS	0,004957	0,000103	48,00
proporzionale alla deformata 1° modo di vibrazione												
Trave 25a-26a	0%	0,81	0,76	0,43	0,0472	0,0056	0,008948	0,000599	14,95	0,004803	0,000745	6,45
Trave 25a-26a	100%	1,17	1,18	0,46	0,0513	0,0053	0,011014	0,000120	91,50	0,004959	0,000111	44,67
sisma in +Y												
proporzionale alle masse												
Trave 25a-26a	0%	0,68	0,70	0,41	0,0493	0,0053	0,008694	0,001028	8,46	0,004681	0,000947	4,94
Trave 25a-26a	100%	1,18	1,18	0,46	0,0538	0,0052	0,011505	0,000139	82,90	0,004930	0,000109	45,09
proporzionale alla deformata 1° modo di vibrazione												
Trave 25a-26a	0%	0,66	0,69	0,41	0,0494	0,0053	0,008610	0,001041	8,27	0,004683	0,000938	4,99
Trave 25a-26a	100%	1,19	1,18	0,46	0,0538	0,0051	0,011537	0,000147	78,28	0,004874	0,000116	42,15
sisma in -Y												
proporzionale alle masse												
Trave 25a-26a	0%	0,00	0,00	0,00	0,0000	0,0000	0,000000	0,000000	0,00	0,000000	0,000000	0,00
Trave 25a-26a	100%	0,00	0,00	0,00	0,0000	0,0000	0,000000	0,000000	0,00	0,000000	0,000000	0,00
proporzionale alla deformata 1° modo di vibrazione												
Trave 25a-26a	0%	0,00	0,00	0,00	0,0000	0,0000	0,000000	0,000000	0,00	0,000000	0,000000	0,00

Id_{Tr}	$\%L_{LI}$	$L_{v,SLV}$	$L_{v,SLD}$	L_{pl}	ϕ_u	ϕ_y	SLV			SLD		
							Θ_c	Θ_d	CS	Θ_c	Θ_d	CS
	[%]	[m]	[m]	[m]	[rad/m]	[rad/m]	[rad]	[rad]		[rad]	[rad]	
Trave 25a-26a	100%	0,00	0,00	0,00	0,0000	0,0000	0,000000	0,000000	0,00	0,000000	0,000000	0,00
sisma in +X												
proporzionale alle masse												
Trave 26a-27a	0%	1,09	1,06	0,45	0,0480	0,0058	0,010125	0,000040	NS	0,005087	0,000063	81,34
Trave 26a-27a	100%	1,02	1,04	0,45	0,0369	0,0059	0,007999	0,000003	NS	0,005130	0,000010	NS
proporzionale alla deformata 1° modo di vibrazione												
Trave 26a-27a	0%	1,10	1,07	0,46	0,0479	0,0058	0,010163	0,000014	NS	0,005098	0,000048	NS
Trave 26a-27a	100%	1,01	1,04	0,45	0,0369	0,0059	0,007952	0,000019	NS	0,005122	0,000000	NS
sisma in -X												
proporzionale alle masse												
Trave 26a-27a	0%	1,00	1,01	0,45	0,0481	0,0058	0,009831	0,000110	89,59	0,005025	0,000103	48,66
Trave 26a-27a	100%	1,11	1,09	0,46	0,0369	0,0059	0,008217	0,000046	NS	0,005196	0,000039	NS
proporzionale alla deformata 1° modo di vibrazione												
Trave 26a-27a	0%	0,99	1,01	0,44	0,0480	0,0058	0,009789	0,000120	81,32	0,005019	0,000111	45,21
Trave 26a-27a	100%	1,12	1,10	0,46	0,0369	0,0060	0,008235	0,000061	NS	0,005208	0,000047	NS
sisma in +Y												
proporzionale alle masse												
Trave 26a-27a	0%	1,00	1,02	0,45	0,0485	0,0058	0,009912	0,000139	71,43	0,005029	0,000109	46,00
Trave 26a-27a	100%	1,09	1,08	0,45	0,0372	0,0059	0,008205	0,000024	NS	0,005157	0,000024	NS
proporzionale alla deformata 1° modo di vibrazione												
Trave 26a-27a	0%	0,99	1,01	0,44	0,0485	0,0058	0,009872	0,000147	66,98	0,005021	0,000116	43,42
Trave 26a-27a	100%	1,10	1,08	0,46	0,0372	0,0059	0,008237	0,000015	NS	0,005150	0,000021	NS
sisma in -Y												
proporzionale alle masse												
Trave 26a-27a	0%	0,00	0,00	0,00	0,0000	0,0000	0,000000	0,000000	0,00	0,000000	0,000000	0,00
Trave 26a-27a	100%	0,00	0,00	0,00	0,0000	0,0000	0,000000	0,000000	0,00	0,000000	0,000000	0,00
proporzionale alla deformata 1° modo di vibrazione												
Trave 26a-27a	0%	0,00	0,00	0,00	0,0000	0,0000	0,000000	0,000000	0,00	0,000000	0,000000	0,00
Trave 26a-27a	100%	0,00	0,00	0,00	0,0000	0,0000	0,000000	0,000000	0,00	0,000000	0,000000	0,00
sisma in +X												
proporzionale alle masse												
Trave 27a-28a	0%	1,10	1,08	0,46	0,0368	0,0060	0,008168	0,000003	NS	0,005210	0,000010	NS
Trave 27a-28a	100%	1,02	1,03	0,45	0,0478	0,0058	0,009864	0,000006	NS	0,005054	0,000007	NS
proporzionale alla deformata 1° modo di vibrazione												
Trave 27a-28a	0%	1,11	1,09	0,46	0,0367	0,0060	0,008193	0,000019	NS	0,005217	0,000000	NS
Trave 27a-28a	100%	1,01	1,03	0,45	0,0477	0,0058	0,009819	0,000012	NS	0,005049	0,000011	NS
sisma in -X												
proporzionale alle masse												
Trave 27a-28a	0%	1,03	1,04	0,45	0,0369	0,0059	0,008005	0,000046	NS	0,005133	0,000039	NS
Trave 27a-28a	100%	1,08	1,06	0,45	0,0480	0,0058	0,010103	0,000001	NS	0,005087	0,000000	NS
proporzionale alla deformata 1° modo di vibrazione												
Trave 27a-28a	0%	1,02	1,04	0,45	0,0369	0,0059	0,007975	0,000061	NS	0,005128	0,000047	NS
Trave 27a-28a	100%	1,09	1,07	0,45	0,0479	0,0058	0,010132	0,000011	NS	0,005088	0,000006	NS
sisma in +Y												
proporzionale alle masse												
Trave 27a-28a	0%	1,05	1,06	0,45	0,0370	0,0059	0,008086	0,000024	NS	0,005149	0,000024	NS
Trave 27a-28a	100%	1,05	1,05	0,45	0,0481	0,0058	0,010026	0,000037	NS	0,005071	0,000023	NS
proporzionale alla deformata 1° modo di vibrazione												
Trave 27a-28a	0%	1,05	1,05	0,45	0,0370	0,0059	0,008077	0,000015	NS	0,005146	0,000021	NS
Trave 27a-28a	100%	1,05	1,05	0,45	0,0482	0,0058	0,010045	0,000061	NS	0,005061	0,000033	NS
sisma in -Y												
proporzionale alle masse												
Trave 27a-28a	0%	0,00	0,00	0,00	0,0000	0,0000	0,000000	0,000000	0,00	0,000000	0,000000	0,00
Trave 27a-28a	100%	0,00	0,00	0,00	0,0000	0,0000	0,000000	0,000000	0,00	0,000000	0,000000	0,00
proporzionale alla deformata 1° modo di vibrazione												
Trave 27a-28a	0%	0,00	0,00	0,00	0,0000	0,0000	0,000000	0,000000	0,00	0,000000	0,000000	0,00
Trave 27a-28a	100%	0,00	0,00	0,00	0,0000	0,0000	0,000000	0,000000	0,00	0,000000	0,000000	0,00
sisma in +X												
proporzionale alle masse												
Trave 28a-29a	0%	1,26	1,25	0,47	0,0536	0,0052	0,011787	0,000006	NS	0,004959	0,000007	NS
Trave 28a-29a	100%	0,63	0,64	0,41	0,0455	0,0052	0,007924	0,001896	4,18	0,004678	0,001869	2,50
proporzionale alla deformata 1° modo di vibrazione												
Trave 28a-29a	0%	1,27	1,26	0,47	0,0533	0,0052	0,011746	0,000012	NS	0,004964	0,000011	NS
Trave 28a-29a	100%	0,62	0,63	0,41	0,0453	0,0052	0,007848	0,001715	4,58	0,004684	0,001787	2,62
sisma in -X												
proporzionale alle masse												
Trave 28a-29a	0%	1,24	1,23	0,47	0,0543	0,0052	0,011816	0,000001	NS	0,004938	0,000000	NS
Trave 28a-29a	100%	0,65	0,65	0,41	0,0459	0,0052	0,008067	0,002174	3,71	0,004660	0,001926	2,42
proporzionale alla deformata 1° modo di vibrazione												
Trave 28a-29a	0%	1,24	1,23	0,47	0,0545	0,0052	0,011852	0,000011	NS	0,004936	0,000006	NS
Trave 28a-29a	100%	0,66	0,66	0,41	0,0461	0,0052	0,008111	0,002369	3,42	0,004650	0,002012	2,31
sisma in +Y												
proporzionale alle masse												
Trave 28a-29a	0%	1,21	1,22	0,47	0,0545	0,0052	0,011748	0,000037	NS	0,004920	0,000023	NS
Trave 28a-29a	100%	0,67	0,67	0,41	0,0461	0,0051	0,008182	0,001888	4,33	0,004632	0,001812	2,56
proporzionale alla deformata 1° modo di vibrazione												
Trave 28a-29a	0%	1,20	1,21	0,47	0,0547	0,0052	0,011764	0,000061	NS	0,004917	0,000033	NS
Trave 28a-29a	100%	0,68	0,67	0,41	0,0463	0,0051	0,008220	0,002045	4,02	0,004612	0,001878	2,46
sisma in -Y												
proporzionale alle masse												
Trave 28a-29a	0%	0,00	0,00	0,00	0,0000	0,0000	0,000000	0,000000	0,00	0,000000	0,000000	0,00
Trave 28a-29a	100%	0,00	0,00	0,00	0,0000	0,0000	0,000000	0,000000	0,00	0,000000	0,000000	0,00
proporzionale alla deformata 1° modo di vibrazione												
Trave 28a-29a	0%	0,00	0,00	0,00	0,0000	0,0000	0,000000	0,000000	0,00	0,000000	0,000000	0,00
Trave 28a-29a	100%	0,00	0,00	0,00	0,0000	0,0000	0,000000	0,000000	0,00	0,000000	0,000000	0,00

Id_{Tr}	$\%L_{LI}$	$L_{v,SLV}$	$L_{v,SLD}$	L_{pl}	ϕ_u	ϕ_y	SLV			SLD		
							Θ_c	Θ_d	CS	Θ_c	Θ_d	CS
	[%]	[m]	[m]	[m]	[rad/m]	[rad/m]	[rad]	[rad]		[rad]	[rad]	
Piano copertura							**Travata: Trave12a-13a-14a-15a-16a-11a**					
sisma in +X												
proporzionale alle masse												
Trave 12a-13a	0%	1,09	0,89	0,43	0,0459	0,0102	0,009410	0,000232	40,49	0,006518	0,000023	NS
Trave 12a-13a	100%	0,67	0,73	0,39	0,0982	0,0068	0,014988	0,000039	NS	0,004834	0,000029	NS
proporzionale alla deformata 1° modo di vibrazione												
Trave 12a-13a	0%	1,17	0,93	0,44	0,0453	0,0107	0,009564	0,000327	29,22	0,006869	0,000074	93,11
Trave 12a-13a	100%	0,62	0,72	0,38	0,0977	0,0068	0,014461	0,000037	NS	0,004822	0,000027	NS
sisma in -X												
proporzionale alle masse												
Trave 12a-13a	0%	0,02	0,33	0,32	0,0500	0,0087	0,006110	0,000812	7,52	0,005561	0,000494	11,27
Trave 12a-13a	100%	0,87	0,83	0,41	0,1016	0,0063	0,017207	0,000006	NS	0,004763	0,000014	NS
proporzionale alla deformata 1° modo di vibrazione												
Trave 12a-13a	0%	0,00	0,25	0,32	0,0499	0,0058	0,006179	0,000945	6,54	0,005285	0,000546	9,68
Trave 12a-13a	100%	0,88	0,84	0,41	0,1016	0,0063	0,017312	0,000009	NS	0,004779	0,000014	NS
sisma in +Y												
proporzionale alle masse												
Trave 12a-13a	0%	0,51	0,58	0,37	0,0482	0,0087	0,007350	0,000274	26,79	0,005377	0,000249	21,64
Trave 12a-13a	100%	0,84	0,80	0,40	0,1000	0,0071	0,016805	0,000036	NS	0,005051	0,000017	NS
proporzionale alla deformata 1° modo di vibrazione												
Trave 12a-13a	0%	0,51	0,57	0,37	0,0482	0,0087	0,007354	0,000243	30,22	0,005375	0,000234	22,94
Trave 12a-13a	100%	0,85	0,81	0,40	0,1000	0,0072	0,016850	0,000018	NS	0,005114	0,000009	NS
sisma in -Y												
proporzionale alle masse												
Trave 12a-13a	0%	0,00	0,00	0,00	0,0000	0,0000	0,000000	0,000000	0,00	0,000000	0,000000	0,00
Trave 12a-13a	100%	0,00	0,00	0,00	0,0000	0,0000	0,000000	0,000000	0,00	0,000000	0,000000	0,00
proporzionale alla deformata 1° modo di vibrazione												
Trave 12a-13a	0%	0,00	0,00	0,00	0,0000	0,0000	0,000000	0,000000	0,00	0,000000	0,000000	0,00
Trave 12a-13a	100%	0,00	0,00	0,00	0,0000	0,0000	0,000000	0,000000	0,00	0,000000	0,000000	0,00
sisma in +X												
proporzionale alle masse												
Trave 13a-14a	0%	0,83	0,81	0,40	0,0999	0,0067	0,016679	0,000039	NS	0,004885	0,000029	NS
Trave 13a-14a	100%	0,52	0,65	0,37	0,1130	0,0066	0,014987	0,000263	56,97	0,004700	0,000101	46,44
proporzionale alla deformata 1° modo di vibrazione												
Trave 13a-14a	0%	0,84	0,81	0,40	0,1002	0,0066	0,016782	0,000037	NS	0,004845	0,000027	NS
Trave 13a-14a	100%	0,46	0,63	0,37	0,1132	0,0066	0,014114	0,000338	41,70	0,004687	0,000136	34,35
sisma in -X												
proporzionale alle masse												
Trave 13a-14a	0%	0,78	0,78	0,40	0,0968	0,0077	0,015826	0,000006	NS	0,005279	0,000014	NS
Trave 13a-14a	100%	0,99	0,89	0,42	0,1100	0,0069	0,019599	0,000299	65,61	0,005078	0,000166	30,67
proporzionale alla deformata 1° modo di vibrazione												
Trave 13a-14a	0%	0,77	0,78	0,40	0,0964	0,0077	0,015709	0,000009	NS	0,005272	0,000014	NS
Trave 13a-14a	100%	1,04	0,91	0,42	0,1096	0,0070	0,019886	0,000351	56,60	0,005160	0,000191	27,00
sisma in +Y												
proporzionale alle masse												
Trave 13a-14a	0%	0,73	0,77	0,39	0,0989	0,0077	0,015740	0,000036	NS	0,005235	0,000017	NS
Trave 13a-14a	100%	0,77	0,78	0,40	0,1119	0,0064	0,017951	0,000010	NS	0,004738	0,000019	NS
proporzionale alla deformata 1° modo di vibrazione												
Trave 13a-14a	0%	0,72	0,76	0,39	0,0988	0,0077	0,015591	0,000018	NS	0,005228	0,000009	NS
Trave 13a-14a	100%	0,79	0,79	0,40	0,1119	0,0064	0,018066	0,000027	NS	0,004751	0,000007	NS
sisma in -Y												
proporzionale alle masse												
Trave 13a-14a	0%	0,00	0,00	0,00	0,0000	0,0000	0,000000	0,000000	0,00	0,000000	0,000000	0,00
Trave 13a-14a	100%	0,00	0,00	0,00	0,0000	0,0000	0,000000	0,000000	0,00	0,000000	0,000000	0,00
proporzionale alla deformata 1° modo di vibrazione												
Trave 13a-14a	0%	0,00	0,00	0,00	0,0000	0,0000	0,000000	0,000000	0,00	0,000000	0,000000	0,00
Trave 13a-14a	100%	0,00	0,00	0,00	0,0000	0,0000	0,000000	0,000000	0,00	0,000000	0,000000	0,00
sisma in +X												
proporzionale alle masse												
Trave 14a-15a	0%	1,10	1,04	0,43	0,1102	0,0064	0,020452	0,000263	77,75	0,005068	0,000101	50,08
Trave 14a-15a	100%	0,87	0,89	0,41	0,1103	0,0063	0,018630	0,000325	57,25	0,004838	0,000258	18,78
proporzionale alla deformata 1° modo di vibrazione												
Trave 14a-15a	0%	1,12	1,05	0,43	0,1100	0,0065	0,020620	0,000338	60,93	0,005129	0,000136	37,60
Trave 14a-15a	100%	0,85	0,89	0,41	0,1102	0,0063	0,018458	0,000361	51,08	0,004837	0,000272	17,75
sisma in -X												
proporzionale alle masse												
Trave 14a-15a	0%	0,89	0,93	0,41	0,1111	0,0062	0,018901	0,000299	63,27	0,004855	0,000166	29,32
Trave 14a-15a	100%	1,01	0,97	0,42	0,1111	0,0062	0,019901	0,000067	NS	0,004887	0,000066	73,72
proporzionale alla deformata 1° modo di vibrazione												
Trave 14a-15a	0%	0,87	0,92	0,41	0,1111	0,0062	0,018732	0,000351	53,31	0,004843	0,000191	25,34
Trave 14a-15a	100%	1,03	0,97	0,42	0,1110	0,0062	0,020039	0,000128	NS	0,004904	0,000042	NS
sisma in +Y												
proporzionale alle masse												
Trave 14a-15a	0%	0,99	0,98	0,42	0,1108	0,0062	0,019710	0,000010	NS	0,004919	0,000019	NS
Trave 14a-15a	100%	0,94	0,94	0,41	0,1108	0,0063	0,019348	0,000163	NS	0,004900	0,000156	31,39
proporzionale alla deformata 1° modo di vibrazione												
Trave 14a-15a	0%	0,97	0,97	0,42	0,1107	0,0062	0,019589	0,000027	NS	0,004909	0,000007	NS
Trave 14a-15a	100%	0,97	0,96	0,42	0,1107	0,0063	0,019559	0,000144	NS	0,004931	0,000147	33,65
sisma in -Y												
proporzionale alle masse												
Trave 14a-15a	0%	0,00	0,00	0,00	0,0000	0,0000	0,000000	0,000000	0,00	0,000000	0,000000	0,00
Trave 14a-15a	100%	0,00	0,00	0,00	0,0000	0,0000	0,000000	0,000000	0,00	0,000000	0,000000	0,00
proporzionale alla deformata 1° modo di vibrazione												
Trave 14a-15a	0%	0,00	0,00	0,00	0,0000	0,0000	0,000000	0,000000	0,00	0,000000	0,000000	0,00
Trave 14a-15a	100%	0,00	0,00	0,00	0,0000	0,0000	0,000000	0,000000	0,00	0,000000	0,000000	0,00

Id_{Tr}	$\%L_{LI}$	$L_{v,SLV}$	$L_{v,SLD}$	L_{pl}	ϕ_u	ϕ_y	SLV			SLD		
							Θ_c	Θ_d	CS	Θ_c	Θ_d	CS
	[%]	[m]	[m]	[m]	[rad/m]	[rad/m]	[rad]	[rad]		[rad]	[rad]	
sisma in +X												
proporzionale alle masse												
Trave 15a-16a	0%	1,00	0,91	0,42	0,1068	0,0071	0,019141	0,000325	58,83	0,005200	0,000258	20,19
Trave 15a-16a	100%	1,17	0,93	0,44	0,1063	0,0097	0,020346	0,000387	52,57	0,006412	0,000196	32,77
proporzionale alla deformata 1° modo di vibrazione												
Trave 15a-16a	0%	0,95	0,92	0,41	0,1051	0,0071	0,018485	0,000361	51,16	0,005224	0,000272	19,17
Trave 15a-16a	100%	1,28	1,01	0,45	0,1049	0,0097	0,020902	0,000490	42,63	0,006598	0,000250	26,37
sisma in -X												
proporzionale alle masse												
Trave 15a-16a	0%	0,67	0,71	0,39	0,1127	0,0066	0,016947	0,000067	NS	0,004756	0,000066	71,74
Trave 15a-16a	100%	0,39	0,41	0,36	0,1126	0,0073	0,012620	0,000224	56,32	0,004981	0,000108	46,28
proporzionale alla deformata 1° modo di vibrazione												
Trave 15a-16a	0%	0,65	0,73	0,38	0,1128	0,0066	0,016713	0,000128	NS	0,004753	0,000042	NS
Trave 15a-16a	100%	0,38	0,35	0,36	0,1126	0,0070	0,012515	0,000283	44,22	0,005037	0,000182	27,73
sisma in +Y												
proporzionale alle masse												
Trave 15a-16a	0%	0,76	0,76	0,40	0,1107	0,0071	0,017643	0,000163	NS	0,004984	0,000156	31,93
Trave 15a-16a	100%	0,74	0,66	0,39	0,1105	0,0084	0,017478	0,000075	NS	0,005363	0,000026	NS
proporzionale alla deformata 1° modo di vibrazione												
Trave 15a-16a	0%	0,66	0,71	0,39	0,1106	0,0071	0,016561	0,000144	NS	0,004929	0,000147	33,64
Trave 15a-16a	100%	0,84	0,72	0,40	0,1103	0,0076	0,018334	0,000107	NS	0,005137	0,000039	NS
sisma in -Y												
proporzionale alle masse												
Trave 15a-16a	0%	0,00	0,00	0,00	0,0000	0,0000	0,000000	0,000000	0,00	0,000000	0,000000	0,00
Trave 15a-16a	100%	0,00	0,00	0,00	0,0000	0,0000	0,000000	0,000000	0,00	0,000000	0,000000	0,00
proporzionale alla deformata 1° modo di vibrazione												
Trave 15a-16a	0%	0,00	0,00	0,00	0,0000	0,0000	0,000000	0,000000	0,00	0,000000	0,000000	0,00
Trave 15a-16a	100%	0,00	0,00	0,00	0,0000	0,0000	0,000000	0,000000	0,00	0,000000	0,000000	0,00
sisma in +X												
proporzionale alle masse												
Trave 16a-11a	0%	2,08	3,01	0,53	0,0331	0,0151	0,013520	0,000386	35,01	0,018756	0,000195	96,03
Trave 16a-11a	100%	1,96	1,79	0,52	0,0275	0,0136	0,008959	0,002297	3,90	0,011697	0,001465	7,98
proporzionale alla deformata 1° modo di vibrazione												
Trave 16a-11a	0%	1,95	2,48	0,51	0,0304	0,0157	0,011659	0,000489	23,82	0,016712	0,000250	66,92
Trave 16a-11a	100%	2,02	1,85	0,52	0,0256	0,0140	0,008781	0,002763	3,18	0,012314	0,001704	7,23
sisma in -X												
proporzionale alle masse												
Trave 16a-11a	0%	0,78	0,73	0,40	0,1139	0,0058	0,018271	0,000224	81,73	0,004471	0,000107	41,65
Trave 16a-11a	100%	0,41	0,56	0,36	0,1120	0,0057	0,012995	0,000686	18,95	0,004372	0,000023	NS
proporzionale alla deformata 1° modo di vibrazione												
Trave 16a-11a	0%	0,82	0,79	0,40	0,1141	0,0057	0,018719	0,000282	66,31	0,004455	0,000181	24,57
Trave 16a-11a	100%	1,19	0,06	0,44	0,1126	0,0055	0,026208	0,001099	23,84	0,014036	0,000237	59,30
sisma in +Y												
proporzionale alle masse												
Trave 16a-11a	0%	4,79	2,82	0,80	0,0406	0,0113	0,017602	0,000075	NS	0,013774	0,000027	NS
Trave 16a-11a	100%	1,76	1,62	0,50	0,0324	0,0134	0,009465	0,001246	7,60	0,010826	0,000910	11,89
proporzionale alla deformata 1° modo di vibrazione												
Trave 16a-11a	0%	2,85	116,43	0,60	0,0382	0,0123	0,247432	0,000107	NS	0,480876	0,000039	NS
Trave 16a-11a	100%	1,83	1,68	0,50	0,0308	0,0139	0,009395	0,001469	6,40	0,011421	0,001025	11,15
sisma in -Y												
proporzionale alle masse												
Trave 16a-11a	0%	0,00	0,00	0,00	0,0000	0,0000	0,000000	0,000000	0,00	0,000000	0,000000	0,00
Trave 16a-11a	100%	0,00	0,00	0,00	0,0000	0,0000	0,000000	0,000000	0,00	0,000000	0,000000	0,00
proporzionale alla deformata 1° modo di vibrazione												
Trave 16a-11a	0%	0,00	0,00	0,00	0,0000	0,0000	0,000000	0,000000	0,00	0,000000	0,000000	0,00
Trave 16a-11a	100%	0,00	0,00	0,00	0,0000	0,0000	0,000000	0,000000	0,00	0,000000	0,000000	0,00
Piano copertura							**Travata: Trave2-5-8-11-23**					
sisma in +X												
proporzionale alle masse												
Trave 2-5	0%	0,01	0,27	0,35	0,0823	0,0055	0,009565	0,001520	6,29	0,005571	0,000888	6,28
Trave 2-5	100%	0,66	0,63	0,42	0,0606	0,0064	0,010167	0,000180	56,33	0,004868	0,000095	51,21
proporzionale alla deformata 1° modo di vibrazione												
Trave 2-5	0%	0,04	0,26	0,36	0,1095	0,0056	0,012054	0,001643	7,34	0,005632	0,000892	6,31
Trave 2-5	100%	0,66	0,63	0,42	0,0611	0,0065	0,010260	0,000188	54,45	0,004893	0,000099	49,63
sisma in -X												
proporzionale alle masse												
Trave 2-5	0%	0,48	0,47	0,40	0,0794	0,0062	0,010962	0,000538	20,39	0,004892	0,000411	11,90
Trave 2-5	100%	0,54	0,56	0,41	0,0566	0,0063	0,008808	0,000175	50,38	0,004825	0,000087	55,43
proporzionale alla deformata 1° modo di vibrazione												
Trave 2-5	0%	0,48	0,47	0,40	0,0794	0,0062	0,010961	0,000546	20,08	0,004888	0,000413	11,83
Trave 2-5	100%	0,54	0,56	0,41	0,0567	0,0063	0,008809	0,000179	49,21	0,004825	0,000090	53,74
sisma in +Y												
proporzionale alle masse												
Trave 2-5	0%	0,45	0,43	0,40	0,0801	0,0060	0,010746	0,000309	34,75	0,004915	0,000409	12,03
Trave 2-5	100%	0,56	0,57	0,41	0,0576	0,0063	0,009031	0,000096	93,60	0,004820	0,000032	NS
proporzionale alla deformata 1° modo di vibrazione												
Trave 2-5	0%	0,35	0,35	0,39	0,0819	0,0061	0,009926	0,000608	16,32	0,005183	0,000609	8,51
Trave 2-5	100%	0,59	0,60	0,41	0,0595	0,0063	0,009557	0,000039	NS	0,004822	0,000007	NS
sisma in -Y												
proporzionale alle masse												
Trave 2-5	0%	0,00	0,00	0,00	0,0000	0,0000	0,000000	0,000000	0,00	0,000000	0,000000	0,00
Trave 2-5	100%	0,00	0,00	0,00	0,0000	0,0000	0,000000	0,000000	0,00	0,000000	0,000000	0,00
proporzionale alla deformata 1° modo di vibrazione												
Trave 2-5	0%	0,00	0,00	0,00	0,0000	0,0000	0,000000	0,000000	0,00	0,000000	0,000000	0,00
Trave 2-5	100%	0,00	0,00	0,00	0,0000	0,0000	0,000000	0,000000	0,00	0,000000	0,000000	0,00

Id_{Tr}	$\%L_{LI}$	$L_{v,SLV}$	$L_{v,SLD}$	L_{pl}	ϕ_u	ϕ_y	SLV			SLD		
							Θ_c	Θ_d	CS	Θ_c	Θ_d	CS
	[%]	[m]	[m]	[m]	[rad/m]	[rad/m]	[rad]	[rad]		[rad]	[rad]	
sisma in +X												
proporzionale alle masse												
Trave 5-8	0%	0,47	0,50	0,40	0,0434	0,0073	0,006773	0,000180	37,52	0,005211	0,000095	54,83
Trave 5-8	100%	0,57	0,56	0,41	0,0434	0,0075	0,007348	0,000105	70,11	0,005229	0,000060	86,91
proporzionale alla deformata 1° modo di vibrazione												
Trave 5-8	0%	0,47	0,50	0,40	0,0432	0,0071	0,006709	0,000188	35,61	0,005142	0,000099	52,16
Trave 5-8	100%	0,58	0,56	0,41	0,0433	0,0075	0,007348	0,000107	68,41	0,005238	0,000061	86,10
sisma in -X												
proporzionale alle masse												
Trave 5-8	0%	0,53	0,53	0,40	0,0437	0,0074	0,007154	0,000175	40,93	0,005229	0,000087	60,07
Trave 5-8	100%	0,54	0,54	0,41	0,0437	0,0072	0,007176	0,000150	47,82	0,005144	0,000077	66,42
proporzionale alla deformata 1° modo di vibrazione												
Trave 5-8	0%	0,53	0,53	0,40	0,0437	0,0077	0,007162	0,000179	40,01	0,005306	0,000090	59,10
Trave 5-8	100%	0,54	0,54	0,41	0,0437	0,0072	0,007175	0,000154	46,57	0,005143	0,000080	64,53
sisma in +Y												
proporzionale alle masse												
Trave 5-8	0%	0,55	0,54	0,41	0,0438	0,0075	0,007291	0,000096	75,57	0,005249	0,000032	NS
Trave 5-8	100%	0,52	0,53	0,40	0,0439	0,0072	0,007085	0,000114	62,00	0,005147	0,000042	NS
proporzionale alla deformata 1° modo di vibrazione												
Trave 5-8	0%	0,53	0,53	0,41	0,0439	0,0076	0,007196	0,000039	NS	0,005275	0,000007	NS
Trave 5-8	100%	0,53	0,54	0,41	0,0440	0,0074	0,007192	0,000071	NS	0,005229	0,000021	NS
sisma in -Y												
proporzionale alle masse												
Trave 5-8	0%	0,00	0,00	0,00	0,0000	0,0000	0,000000	0,000000	0,00	0,000000	0,000000	0,00
Trave 5-8	100%	0,00	0,00	0,00	0,0000	0,0000	0,000000	0,000000	0,00	0,000000	0,000000	0,00
proporzionale alla deformata 1° modo di vibrazione												
Trave 5-8	0%	0,00	0,00	0,00	0,0000	0,0000	0,000000	0,000000	0,00	0,000000	0,000000	0,00
Trave 5-8	100%	0,00	0,00	0,00	0,0000	0,0000	0,000000	0,000000	0,00	0,000000	0,000000	0,00
sisma in +X												
proporzionale alle masse												
Trave 8-11	0%	0,53	0,53	0,40	0,0374	0,0077	0,006349	0,000105	60,58	0,005314	0,000060	88,32
Trave 8-11	100%	0,53	0,52	0,40	0,0442	0,0074	0,007213	0,000041	NS	0,005227	0,000011	NS
proporzionale alla deformata 1° modo di vibrazione												
Trave 8-11	0%	0,53	0,53	0,40	0,0373	0,0077	0,006345	0,000107	59,07	0,005324	0,000061	87,51
Trave 8-11	100%	0,53	0,52	0,40	0,0442	0,0075	0,007209	0,000043	NS	0,005241	0,000009	NS
sisma in -X												
proporzionale alle masse												
Trave 8-11	0%	0,54	0,54	0,41	0,0371	0,0074	0,006387	0,000150	42,56	0,005229	0,000077	67,51
Trave 8-11	100%	0,52	0,52	0,40	0,0440	0,0072	0,007107	0,000106	67,19	0,005148	0,000045	NS
proporzionale alla deformata 1° modo di vibrazione												
Trave 8-11	0%	0,54	0,54	0,41	0,0371	0,0074	0,006382	0,000154	41,41	0,005229	0,000080	65,60
Trave 8-11	100%	0,52	0,52	0,40	0,0439	0,0072	0,007111	0,000110	64,46	0,005147	0,000048	NS
sisma in +Y												
proporzionale alle masse												
Trave 8-11	0%	0,57	0,56	0,41	0,0373	0,0075	0,006531	0,000114	57,16	0,005245	0,000042	NS
Trave 8-11	100%	0,48	0,50	0,40	0,0442	0,0072	0,006932	0,000171	40,51	0,005162	0,000087	59,01
proporzionale alla deformata 1° modo di vibrazione												
Trave 8-11	0%	0,56	0,55	0,41	0,0373	0,0076	0,006481	0,000071	91,26	0,005284	0,000021	NS
Trave 8-11	100%	0,50	0,51	0,40	0,0442	0,0075	0,007039	0,000120	58,69	0,005251	0,000063	83,03
sisma in -Y												
proporzionale alle masse												
Trave 8-11	0%	0,00	0,00	0,00	0,0000	0,0000	0,000000	0,000000	0,00	0,000000	0,000000	0,00
Trave 8-11	100%	0,00	0,00	0,00	0,0000	0,0000	0,000000	0,000000	0,00	0,000000	0,000000	0,00
proporzionale alla deformata 1° modo di vibrazione												
Trave 8-11	0%	0,00	0,00	0,00	0,0000	0,0000	0,000000	0,000000	0,00	0,000000	0,000000	0,00
Trave 8-11	100%	0,00	0,00	0,00	0,0000	0,0000	0,000000	0,000000	0,00	0,000000	0,000000	0,00
sisma in +X												
proporzionale alle masse												
Trave 11-23	0%	0,53	0,54	0,40	0,0387	0,0072	0,006510	0,000041	NS	0,005162	0,000011	NS
Trave 11-23	100%	0,43	0,43	0,40	0,0797	0,0064	0,010394	0,000240	43,23	0,005024	0,000234	21,50
proporzionale alla deformata 1° modo di vibrazione												
Trave 11-23	0%	0,53	0,54	0,40	0,0387	0,0073	0,006515	0,000043	NS	0,005168	0,000009	NS
Trave 11-23	100%	0,43	0,43	0,39	0,0798	0,0065	0,010310	0,000261	39,55	0,005042	0,000245	20,62
sisma in -X												
proporzionale alle masse												
Trave 11-23	0%	0,49	0,52	0,40	0,0376	0,0071	0,006184	0,000106	58,46	0,005136	0,000045	NS
Trave 11-23	100%	0,51	0,49	0,40	0,0774	0,0064	0,011180	0,000002	NS	0,004941	0,000078	63,53
proporzionale alla deformata 1° modo di vibrazione												
Trave 11-23	0%	0,49	0,52	0,40	0,0375	0,0071	0,006171	0,000110	55,95	0,005137	0,000048	NS
Trave 11-23	100%	0,52	0,49	0,40	0,0774	0,0065	0,011205	0,000011	NS	0,004953	0,000070	70,69
sisma in +Y												
proporzionale alle masse												
Trave 11-23	0%	0,57	0,57	0,41	0,0392	0,0069	0,006760	0,000171	39,50	0,005039	0,000087	57,60
Trave 11-23	100%	0,34	0,35	0,39	0,0808	0,0062	0,009789	0,000589	16,63	0,005173	0,000462	11,19
proporzionale alla deformata 1° modo di vibrazione												
Trave 11-23	0%	0,57	0,57	0,41	0,0391	0,0070	0,006733	0,000120	56,14	0,005085	0,000063	80,40
Trave 11-23	100%	0,35	0,36	0,39	0,0806	0,0064	0,009777	0,000548	17,83	0,005203	0,000427	12,20
sisma in -Y												
proporzionale alle masse												
Trave 11-23	0%	0,00	0,00	0,00	0,0000	0,0000	0,000000	0,000000	0,00	0,000000	0,000000	0,00
Trave 11-23	100%	0,00	0,00	0,00	0,0000	0,0000	0,000000	0,000000	0,00	0,000000	0,000000	0,00
proporzionale alla deformata 1° modo di vibrazione												
Trave 11-23	0%	0,00	0,00	0,00	0,0000	0,0000	0,000000	0,000000	0,00	0,000000	0,000000	0,00
Trave 11-23	100%	0,00	0,00	0,00	0,0000	0,0000	0,000000	0,000000	0,00	0,000000	0,000000	0,00
Piano copertura							**Travata: Trave22-12a-P11-31-38**					

Id_{Tr}	$\%L_{LI}$	$L_{v,SLV}$	$L_{v,SLD}$	L_{pl}	ϕ_u	ϕ_y	SLV			SLD		
							Θ_c	Θ_d	CS	Θ_c	Θ_d	CS
	[%]	[m]	[m]	[m]	[rad/m]	[rad/m]	[rad]	[rad]		[rad]	[rad]	
sisma in +X												
proporzionale alle masse												
Trave 22-12a	0%	0,70	0,67	0,44	0,0313	0,0061	0,006323	0,000059	NS	0,005052	0,000018	NS
Trave 22-12a	100%	0,93	1,03	0,46	0,0862	0,0049	0,016410	0,000108	NS	0,004693	0,000054	87,59
proporzionale alla deformata 1° modo di vibrazione												
Trave 22-12a	0%	0,72	0,69	0,44	0,0306	0,0062	0,006276	0,000094	67,02	0,005104	0,000034	NS
Trave 22-12a	100%	0,89	0,99	0,46	0,0854	0,0051	0,016018	0,000123	NS	0,004725	0,000059	80,37
sisma in -X												
proporzionale alle masse												
Trave 22-12a	0%	0,79	0,41	0,45	0,0995	0,0051	0,017702	0,000072	NS	0,005142	0,000050	NS
Trave 22-12a	100%	0,16	0,43	0,38	0,0691	0,0048	0,008660	0,000010	NS	0,004993	0,000005	NS
proporzionale alla deformata 1° modo di vibrazione												
Trave 22-12a	0%	1,49	0,31	0,52	0,0996	0,0048	0,023104	0,000114	NS	0,005692	0,000071	79,61
Trave 22-12a	100%	0,15	0,47	0,38	0,0692	0,0047	0,008584	0,000002	NS	0,004831	0,000003	NS
sisma in +Y												
proporzionale alle masse												
Trave 22-12a	0%	0,92	0,78	0,46	0,0278	0,0087	0,006368	0,000088	72,51	0,006144	0,000033	NS
Trave 22-12a	100%	0,65	0,96	0,43	0,0823	0,0050	0,013468	0,000266	50,68	0,004661	0,000112	41,62
proporzionale alla deformata 1° modo di vibrazione												
Trave 22-12a	0%	0,85	0,75	0,45	0,0285	0,0082	0,006321	0,000058	NS	0,005912	0,000017	NS
Trave 22-12a	100%	0,74	0,96	0,44	0,0829	0,0049	0,014373	0,000208	69,04	0,004640	0,000080	58,18
sisma in -Y												
proporzionale alle masse												
Trave 22-12a	0%	0,00	0,00	0,00	0,0000	0,0000	0,000000	0,000000	0,00	0,000000	0,000000	0,00
Trave 22-12a	100%	0,00	0,00	0,00	0,0000	0,0000	0,000000	0,000000	0,00	0,000000	0,000000	0,00
proporzionale alla deformata 1° modo di vibrazione												
Trave 22-12a	0%	0,00	0,00	0,00	0,0000	0,0000	0,000000	0,000000	0,00	0,000000	0,000000	0,00
Trave 22-12a	100%	0,00	0,00	0,00	0,0000	0,0000	0,000000	0,000000	0,00	0,000000	0,000000	0,00
sisma in +X												
proporzionale alle masse												
Trave 12a-P11	0%	0,54	0,55	0,42	0,0812	0,0056	0,012163	0,000108	NS	0,004954	0,000054	92,46
Trave 12a-P11	100%	0,53	0,52	0,42	0,0378	0,0065	0,006616	0,000083	80,03	0,005292	0,000030	NS
proporzionale alla deformata 1° modo di vibrazione												
Trave 12a-P11	0%	0,55	0,56	0,42	0,0823	0,0054	0,012463	0,000123	NS	0,004877	0,000059	82,95
Trave 12a-P11	100%	0,52	0,51	0,42	0,0394	0,0063	0,006747	0,000143	47,27	0,005261	0,000061	86,11
sisma in -X												
proporzionale alle masse												
Trave 12a-P11	0%	1,37	0,58	0,50	0,0859	0,0058	0,019000	0,000010	NS	0,004988	0,000005	NS
Trave 12a-P11	100%	0,48	0,52	0,42	0,0460	0,0065	0,007279	0,000009	NS	0,005298	0,000034	NS
proporzionale alla deformata 1° modo di vibrazione												
Trave 12a-P11	0%	0,74	0,55	0,44	0,0850	0,0053	0,014766	0,000002	NS	0,004860	0,000003	NS
Trave 12a-P11	100%	0,50	0,53	0,42	0,0444	0,0066	0,007279	0,000026	NS	0,005324	0,000044	NS
sisma in +Y												
proporzionale alle masse												
Trave 12a-P11	0%	0,37	0,28	0,40	0,0728	0,0046	0,009846	0,000266	37,05	0,005909	0,000112	52,76
Trave 12a-P11	100%	0,73	0,94	0,44	0,1014	0,0040	0,017128	0,000342	50,14	0,004212	0,000168	25,07
proporzionale alla deformata 1° modo di vibrazione												
Trave 12a-P11	0%	0,33	0,14	0,40	0,0726	0,0045	0,011429	0,000208	54,90	0,009240	0,000080	NS
Trave 12a-P11	100%	0,81	2,52	0,45	0,1012	0,0040	0,018636	0,000300	62,17	0,005672	0,000142	39,97
sisma in -Y												
proporzionale alle masse												
Trave 12a-P11	0%	0,00	0,00	0,00	0,0000	0,0000	0,000000	0,000000	0,00	0,000000	0,000000	0,00
Trave 12a-P11	100%	0,00	0,00	0,00	0,0000	0,0000	0,000000	0,000000	0,00	0,000000	0,000000	0,00
proporzionale alla deformata 1° modo di vibrazione												
Trave 12a-P11	0%	0,00	0,00	0,00	0,0000	0,0000	0,000000	0,000000	0,00	0,000000	0,000000	0,00
Trave 12a-P11	100%	0,00	0,00	0,00	0,0000	0,0000	0,000000	0,000000	0,00	0,000000	0,000000	0,00
sisma in +X												
proporzionale alle masse												
Trave P11-31	0%	0,98	0,83	0,47	0,0425	0,0060	0,009004	0,000083	NS	0,005070	0,000030	NS
Trave P11-31	100%	6,04	0,55	0,97	0,1052	0,0045	0,047280	0,000119	NS	0,004597	0,000011	NS
proporzionale alla deformata 1° modo di vibrazione												
Trave P11-31	0%	1,03	0,87	0,47	0,0409	0,0062	0,008878	0,000143	62,19	0,005177	0,000061	84,73
Trave P11-31	100%	164,46	0,87	16,81	0,1047	0,0044	0,802129	0,000172	NS	0,004387	0,000029	NS
sisma in -X												
proporzionale alle masse												
Trave P11-31	0%	0,63	0,60	0,43	0,0489	0,0053	0,008604	0,000009	NS	0,004809	0,000034	NS
Trave P11-31	100%	0,38	0,42	0,41	0,0163	0,0094	0,003884	0,000045	85,44	0,006373	0,000054	NS
proporzionale alla deformata 1° modo di vibrazione												
Trave P11-31	0%	0,61	0,59	0,43	0,0491	0,0053	0,008513	0,000026	NS	0,004818	0,000044	NS
Trave P11-31	100%	0,43	0,44	0,41	0,0163	0,0087	0,003875	0,000065	59,36	0,006116	0,000065	93,76
sisma in +Y												
proporzionale alle masse												
Trave P11-31	0%	1,19	0,99	0,49	0,0355	0,0070	0,008347	0,000342	24,43	0,005654	0,000168	33,65
Trave P11-31	100%	16,31	0,84	2,00	0,1025	0,0101	0,090101	0,000126	NS	0,006826	0,000063	NS
proporzionale alla deformata 1° modo di vibrazione												
Trave P11-31	0%	1,14	0,94	0,48	0,0372	0,0070	0,008529	0,000300	28,45	0,005599	0,000142	39,45
Trave P11-31	100%	4,83	0,45	0,85	0,1033	0,0100	0,039434	0,000099	NS	0,006499	0,000050	NS
sisma in -Y												
proporzionale alle masse												
Trave P11-31	0%	0,00	0,00	0,00	0,0000	0,0000	0,000000	0,000000	0,00	0,000000	0,000000	0,00
Trave P11-31	100%	0,00	0,00	0,00	0,0000	0,0000	0,000000	0,000000	0,00	0,000000	0,000000	0,00
proporzionale alla deformata 1° modo di vibrazione												
Trave P11-31	0%	0,00	0,00	0,00	0,0000	0,0000	0,000000	0,000000	0,00	0,000000	0,000000	0,00
Trave P11-31	100%	0,00	0,00	0,00	0,0000	0,0000	0,000000	0,000000	0,00	0,000000	0,000000	0,00
sisma in +X												

Id_{Tr}	$\%L_{LI}$	$L_{v,SLV}$	$L_{v,SLD}$	L_{pl}	ϕ_u	ϕ_y	SLV			SLD		
							Θ_c	Θ_d	CS	Θ_c	Θ_d	CS
	[%]	[m]	[m]	[m]	[rad/m]	[rad/m]	[rad]	[rad]		[rad]	[rad]	
proporzionale alle masse												
Trave 31-38	0%	0,70	0,75	0,44	0,0262	0,0052	0,005514	0,000119	46,23	0,004701	0,000011	NS
Trave 31-38	100%	0,52	0,49	0,42	0,0337	0,0053	0,006050	0,000786	7,70	0,004972	0,000637	7,81
proporzionale alla deformata 1° modo di vibrazione												
Trave 31-38	0%	0,69	0,74	0,44	0,0261	0,0052	0,005465	0,000172	31,70	0,004704	0,000029	NS
Trave 31-38	100%	0,55	0,50	0,42	0,0335	0,0055	0,006142	0,000822	7,47	0,004996	0,000658	7,59
sisma in -X												
proporzionale alle masse												
Trave 31-38	0%	0,80	0,81	0,45	0,0263	0,0052	0,005759	0,000045	NS	0,004695	0,000054	86,80
Trave 31-38	100%	0,36	0,37	0,40	0,0338	0,0054	0,005589	0,000658	8,49	0,005446	0,000609	8,94
proporzionale alla deformata 1° modo di vibrazione												
Trave 31-38	0%	0,80	0,81	0,45	0,0264	0,0051	0,005768	0,000065	88,35	0,004675	0,000065	71,67
Trave 31-38	100%	0,33	0,35	0,40	0,0339	0,0054	0,005613	0,000671	8,36	0,005524	0,000618	8,94
sisma in +Y												
proporzionale alle masse												
Trave 31-38	0%	0,67	0,73	0,43	0,0244	0,0053	0,005171	0,000126	41,20	0,004740	0,000063	74,90
Trave 31-38	100%	0,93	0,72	0,46	0,0306	0,0066	0,006784	0,000161	42,13	0,005235	0,000186	28,16
proporzionale alla deformata 1° modo di vibrazione												
Trave 31-38	0%	0,68	0,75	0,44	0,0246	0,0053	0,005240	0,000099	52,98	0,004731	0,000050	94,66
Trave 31-38	100%	0,89	0,68	0,46	0,0310	0,0066	0,006759	0,000067	NS	0,005259	0,000249	21,10
sisma in -Y												
proporzionale alle masse												
Trave 31-38	0%	0,00	0,00	0,00	0,0000	0,0000	0,000000	0,000000	0,00	0,000000	0,000000	0,00
Trave 31-38	100%	0,00	0,00	0,00	0,0000	0,0000	0,000000	0,000000	0,00	0,000000	0,000000	0,00
proporzionale alla deformata 1° modo di vibrazione												
Trave 31-38	0%	0,00	0,00	0,00	0,0000	0,0000	0,000000	0,000000	0,00	0,000000	0,000000	0,00
Trave 31-38	100%	0,00	0,00	0,00	0,0000	0,0000	0,000000	0,000000	0,00	0,000000	0,000000	0,00
Piano copertura							**Travata: Trave13-25-14a-26-33-40**					
sisma in +X												
proporzionale alle masse												
Trave 13-25	0%	0,92	0,82	0,46	0,0802	0,0055	0,015280	0,000218	69,94	0,004827	0,000136	35,45
Trave 13-25	100%	2,36	130,83	0,60	0,1001	0,0054	0,144018	0,000059	NS	0,238201	0,000033	NS
proporzionale alla deformata 1° modo di vibrazione												
Trave 13-25	0%	0,93	0,84	0,46	0,0789	0,0055	0,015155	0,000238	63,64	0,004847	0,000146	33,10
Trave 13-25	100%	2,15	14,01	0,58	0,0991	0,0049	0,036205	0,000060	NS	0,024882	0,000036	NS
sisma in -X												
proporzionale alle masse												
Trave 13-25	0%	0,67	0,61	0,43	0,0911	0,0054	0,015029	0,000069	NS	0,004819	0,000051	94,18
Trave 13-25	100%	0,13	0,07	0,38	0,1077	0,0064	0,017430	0,000031	NS	0,015560	0,000027	NS
proporzionale alla deformata 1° modo di vibrazione												
Trave 13-25	0%	0,67	0,61	0,43	0,0910	0,0056	0,014958	0,000069	NS	0,004900	0,000051	96,98
Trave 13-25	100%	0,03	0,09	0,37	0,1077	0,0061	0,016191	0,000028	NS	0,013567	0,000027	NS
sisma in +Y												
proporzionale alle masse												
Trave 13-25	0%	2,22	30,69	0,59	0,0883	0,0047	0,046643	0,000443	NS	0,050555	0,000191	NS
Trave 13-25	100%	0,80	0,68	0,45	0,0567	0,0054	0,010663	0,000050	NS	0,004774	0,000051	94,30
proporzionale alla deformata 1° modo di vibrazione												
Trave 13-25	0%	2,27	12,41	0,59	0,0890	0,0047	0,032567	0,000510	63,81	0,021596	0,000225	95,80
Trave 13-25	100%	0,79	0,67	0,45	0,0576	0,0053	0,010755	0,000044	NS	0,004769	0,000046	NS
sisma in -Y												
proporzionale alle masse												
Trave 13-25	0%	0,00	0,00	0,00	0,0000	0,0000	0,000000	0,000000	0,00	0,000000	0,000000	0,00
Trave 13-25	100%	0,00	0,00	0,00	0,0000	0,0000	0,000000	0,000000	0,00	0,000000	0,000000	0,00
proporzionale alla deformata 1° modo di vibrazione												
Trave 13-25	0%	0,00	0,00	0,00	0,0000	0,0000	0,000000	0,000000	0,00	0,000000	0,000000	0,00
Trave 13-25	100%	0,00	0,00	0,00	0,0000	0,0000	0,000000	0,000000	0,00	0,000000	0,000000	0,00
sisma in +X												
proporzionale alle masse												
Trave 25-14a	0%	0,31	0,48	0,40	0,0622	0,0066	0,008244	0,000059	NS	0,005408	0,000033	NS
Trave 25-14a	100%	0,16	0,15	0,38	0,0853	0,0047	0,012040	0,000067	NS	0,008599	0,000005	NS
proporzionale alla deformata 1° modo di vibrazione												
Trave 25-14a	0%	0,33	0,48	0,40	0,0621	0,0063	0,008238	0,000060	NS	0,005301	0,000036	NS
Trave 25-14a	100%	0,09	0,22	0,38	0,0853	0,0044	0,010986	0,000079	NS	0,006729	0,000010	NS
sisma in -X												
proporzionale alle masse												
Trave 25-14a	0%	0,45	0,52	0,41	0,0586	0,0066	0,008455	0,000031	NS	0,005334	0,000027	NS
Trave 25-14a	100%	0,12	0,14	0,38	0,0837	0,0056	0,012017	0,000005	NS	0,009211	0,000018	NS
proporzionale alla deformata 1° modo di vibrazione												
Trave 25-14a	0%	0,44	0,51	0,41	0,0580	0,0066	0,008286	0,000028	NS	0,005348	0,000027	NS
Trave 25-14a	100%	0,15	0,06	0,38	0,0838	0,0054	0,016291	0,000008	NS	0,017606	0,000017	NS
sisma in +Y												
proporzionale alle masse												
Trave 25-14a	0%	0,80	0,71	0,45	0,0366	0,0076	0,007480	0,000050	NS	0,005627	0,000051	NS
Trave 25-14a	100%	0,63	0,86	0,43	0,0645	0,0092	0,011083	0,000299	37,07	0,006451	0,000134	48,25
proporzionale alla deformata 1° modo di vibrazione												
Trave 25-14a	0%	0,83	0,72	0,45	0,0390	0,0092	0,008011	0,000044	NS	0,006248	0,000046	NS
Trave 25-14a	100%	0,54	1,80	0,42	0,0666	0,0069	0,011170	0,000267	41,82	0,007018	0,000115	60,86
sisma in -Y												
proporzionale alle masse												
Trave 25-14a	0%	0,00	0,00	0,00	0,0000	0,0000	0,000000	0,000000	0,00	0,000000	0,000000	0,00
Trave 25-14a	100%	0,00	0,00	0,00	0,0000	0,0000	0,000000	0,000000	0,00	0,000000	0,000000	0,00
proporzionale alla deformata 1° modo di vibrazione												
Trave 25-14a	0%	0,00	0,00	0,00	0,0000	0,0000	0,000000	0,000000	0,00	0,000000	0,000000	0,00
Trave 25-14a	100%	0,00	0,00	0,00	0,0000	0,0000	0,000000	0,000000	0,00	0,000000	0,000000	0,00
sisma in +X												

Id_{Tr}	$\%L_{LI}$	$L_{v,SLV}$	$L_{v,SLD}$	L_{pl}	ϕ_u	ϕ_y	SLV			SLD		
							Θ_c	Θ_d	CS	Θ_c	Θ_d	CS
	[%]	[m]	[m]	[m]	[rad/m]	[rad/m]	[rad]	[rad]		[rad]	[rad]	
proporzionale alle masse												
Trave 14a-26	0%	0,50	0,84	0,42	0,1026	0,0075	0,014357	0,000067	NS	0,005697	0,000005	NS
Trave 14a-26	100%	0,59	0,59	0,43	0,0387	0,0062	0,006985	0,000026	NS	0,005109	0,000049	NS
proporzionale alla deformata 1° modo di vibrazione												
Trave 14a-26	0%	0,56	0,88	0,42	0,1023	0,0075	0,015380	0,000079	NS	0,005765	0,000010	NS
Trave 14a-26	100%	0,60	0,59	0,43	0,0385	0,0062	0,006984	0,000018	NS	0,005108	0,000046	NS
sisma in -X												
proporzionale alle masse												
Trave 14a-26	0%	1,86	1,54	0,55	0,1018	0,0070	0,025640	0,000005	NS	0,006566	0,000018	NS
Trave 14a-26	100%	0,62	0,61	0,43	0,0382	0,0064	0,007061	0,000083	85,02	0,005178	0,000084	61,76
proporzionale alla deformata 1° modo di vibrazione												
Trave 14a-26	0%	2,41	1,70	0,61	0,1016	0,0070	0,028627	0,000008	NS	0,006912	0,000017	NS
Trave 14a-26	100%	0,63	0,62	0,43	0,0380	0,0064	0,007061	0,000086	81,89	0,005179	0,000086	60,23
sisma in +Y												
proporzionale alle masse												
Trave 14a-26	0%	0,41	0,29	0,41	0,0656	0,0047	0,009187	0,000299	30,73	0,005823	0,000134	43,56
Trave 14a-26	100%	0,03	0,34	0,37	0,0443	0,0062	0,006449	0,000109	59,01	0,005832	0,000092	63,34
proporzionale alla deformata 1° modo di vibrazione												
Trave 14a-26	0%	0,49	0,36	0,42	0,0638	0,0056	0,009745	0,000267	36,48	0,005513	0,000115	47,82
Trave 14a-26	100%	0,62	0,23	0,43	0,1202	0,0062	0,019456	0,000103	NS	0,006974	0,000098	71,49
sisma in -Y												
proporzionale alle masse												
Trave 14a-26	0%	0,00	0,00	0,00	0,0000	0,0000	0,000000	0,000000	0,00	0,000000	0,000000	0,00
Trave 14a-26	100%	0,00	0,00	0,00	0,0000	0,0000	0,000000	0,000000	0,00	0,000000	0,000000	0,00
proporzionale alla deformata 1° modo di vibrazione												
Trave 14a-26	0%	0,00	0,00	0,00	0,0000	0,0000	0,000000	0,000000	0,00	0,000000	0,000000	0,00
Trave 14a-26	100%	0,00	0,00	0,00	0,0000	0,0000	0,000000	0,000000	0,00	0,000000	0,000000	0,00
sisma in +X												
proporzionale alle masse												
Trave 26-33	0%	0,68	0,62	0,44	0,0682	0,0054	0,011693	0,000026	NS	0,004803	0,000049	97,89
Trave 26-33	100%	0,84	0,15	0,45	0,1034	0,0061	0,020686	0,000092	NS	0,009188	0,000150	61,10
proporzionale alla deformata 1° modo di vibrazione												
Trave 26-33	0%	0,69	0,63	0,44	0,0677	0,0055	0,011731	0,000018	NS	0,004826	0,000046	NS
Trave 26-33	100%	1,21	0,21	0,49	0,1029	0,0052	0,022533	0,000074	NS	0,007011	0,000146	47,92
sisma in -X												
proporzionale alle masse												
Trave 26-33	0%	0,63	0,59	0,43	0,0696	0,0053	0,011511	0,000083	NS	0,004800	0,000084	57,24
Trave 26-33	100%	0,18	0,07	0,39	0,1048	0,0087	0,017256	0,000183	94,28	0,015955	0,000190	83,86
proporzionale alla deformata 1° modo di vibrazione												
Trave 26-33	0%	0,64	0,59	0,43	0,0695	0,0053	0,011548	0,000086	NS	0,004801	0,000086	55,84
Trave 26-33	100%	0,24	0,06	0,39	0,1047	0,0102	0,019510	0,000184	NS	0,020484	0,000192	NS
sisma in +Y												
proporzionale alle masse												
Trave 26-33	0%	0,79	0,69	0,45	0,0622	0,0059	0,011505	0,000109	NS	0,004989	0,000092	54,18
Trave 26-33	100%	3,75	0,42	0,74	0,0991	0,0110	0,032884	0,000366	89,88	0,006848	0,000262	26,18
proporzionale alla deformata 1° modo di vibrazione												
Trave 26-33	0%	0,78	0,67	0,45	0,0624	0,0062	0,011510	0,000103	NS	0,005093	0,000098	52,20
Trave 26-33	100%	2,55	0,25	0,62	0,0994	0,0110	0,028068	0,000366	76,77	0,007846	0,000258	30,46
sisma in -Y												
proporzionale alle masse												
Trave 26-33	0%	0,00	0,00	0,00	0,0000	0,0000	0,000000	0,000000	0,00	0,000000	0,000000	0,00
Trave 26-33	100%	0,00	0,00	0,00	0,0000	0,0000	0,000000	0,000000	0,00	0,000000	0,000000	0,00
proporzionale alla deformata 1° modo di vibrazione												
Trave 26-33	0%	0,00	0,00	0,00	0,0000	0,0000	0,000000	0,000000	0,00	0,000000	0,000000	0,00
Trave 26-33	100%	0,00	0,00	0,00	0,0000	0,0000	0,000000	0,000000	0,00	0,000000	0,000000	0,00
sisma in +X												
proporzionale alle masse												
Trave 33-40	0%	0,74	0,76	0,44	0,0458	0,0048	0,008595	0,000092	93,06	0,004527	0,000150	30,10
Trave 33-40	100%	0,58	0,55	0,43	0,0334	0,0054	0,006228	0,001220	5,11	0,004899	0,001143	4,29
proporzionale alla deformata 1° modo di vibrazione												
Trave 33-40	0%	0,73	0,76	0,44	0,0456	0,0048	0,008544	0,000074	NS	0,004529	0,000146	30,95
Trave 33-40	100%	0,60	0,56	0,43	0,0333	0,0055	0,006267	0,001221	5,13	0,004906	0,001142	4,30
sisma in -X												
proporzionale alle masse												
Trave 33-40	0%	0,78	0,79	0,45	0,0473	0,0047	0,009006	0,000183	49,21	0,004472	0,000190	23,51
Trave 33-40	100%	0,47	0,48	0,41	0,0342	0,0054	0,005846	0,001391	4,20	0,005026	0,001265	3,97
proporzionale alla deformata 1° modo di vibrazione												
Trave 33-40	0%	0,78	0,79	0,45	0,0475	0,0046	0,009033	0,000184	49,04	0,004466	0,000192	23,29
Trave 33-40	100%	0,46	0,47	0,41	0,0343	0,0054	0,005818	0,001433	4,06	0,005040	0,001290	3,91
sisma in +Y												
proporzionale alle masse												
Trave 33-40	0%	0,67	0,73	0,43	0,0424	0,0048	0,007807	0,000366	21,34	0,004535	0,000262	17,34
Trave 33-40	100%	0,78	0,66	0,45	0,0316	0,0059	0,006576	0,000343	19,15	0,004970	0,000727	6,84
proporzionale alla deformata 1° modo di vibrazione												
Trave 33-40	0%	0,68	0,73	0,44	0,0422	0,0048	0,007783	0,000366	21,29	0,004533	0,000258	17,60
Trave 33-40	100%	0,79	0,66	0,45	0,0314	0,0060	0,006579	0,000293	22,44	0,005024	0,000708	7,10
sisma in -Y												
proporzionale alle masse												
Trave 33-40	0%	0,00	0,00	0,00	0,0000	0,0000	0,000000	0,000000	0,00	0,000000	0,000000	0,00
Trave 33-40	100%	0,00	0,00	0,00	0,0000	0,0000	0,000000	0,000000	0,00	0,000000	0,000000	0,00
proporzionale alla deformata 1° modo di vibrazione												
Trave 33-40	0%	0,00	0,00	0,00	0,0000	0,0000	0,000000	0,000000	0,00	0,000000	0,000000	0,00
Trave 33-40	100%	0,00	0,00	0,00	0,0000	0,0000	0,000000	0,000000	0,00	0,000000	0,000000	0,00
Piano copertura							**Travata: Trave11a-29-36-P13-2b-3b**					
sisma in +X												

Id_{Tr}	$\%L_{LI}$	$L_{v,SLV}$	$L_{v,SLD}$	L_{pl}	ϕ_u	ϕ_y	SLV			SLD		
							Θ_c	Θ_d	CS	Θ_c	Θ_d	CS
	[%]	[m]	[m]	[m]	[rad/m]	[rad/m]	[rad]	[rad]		[rad]	[rad]	
proporzionale alle masse												
Trave 11a-29	0%	0,70	0,70	0,44	0,0499	0,0054	0,009104	0,000122	74,72	0,004796	0,000071	67,30
Trave 11a-29	100%	1,59	1,72	0,53	0,0812	0,0061	0,019626	0,000160	NS	0,006280	0,000107	58,49
proporzionale alla deformata 1° modo di vibrazione												
Trave 11a-29	0%	0,68	0,69	0,44	0,0492	0,0051	0,008870	0,000186	47,62	0,004676	0,000105	44,69
Trave 11a-29	100%	1,57	1,73	0,52	0,0806	0,0058	0,019376	0,000205	94,55	0,006059	0,000136	44,46
sisma in -X												
proporzionale alle masse												
Trave 11a-29	0%	0,55	0,59	0,42	0,0605	0,0059	0,009646	0,000128	75,63	0,005008	0,000061	82,44
Trave 11a-29	100%	0,17	0,72	0,38	0,0750	0,0065	0,009202	0,000104	88,78	0,005226	0,000036	NS
proporzionale alla deformata 1° modo di vibrazione												
Trave 11a-29	0%	0,60	0,63	0,43	0,0560	0,0051	0,009375	0,000206	45,57	0,004694	0,000100	46,95
Trave 11a-29	100%	0,24	0,96	0,39	0,0723	0,0076	0,009307	0,000154	60,29	0,005930	0,000056	NS
sisma in +Y												
proporzionale alle masse												
Trave 11a-29	0%	0,01	0,35	0,37	0,1007	0,0039	0,011492	0,001221	9,41	0,005148	0,000601	8,57
Trave 11a-29	100%	7,85	398,00	1,15	0,0919	0,0042	0,328530	0,000597	NS	0,563386	0,000325	NS
proporzionale alla deformata 1° modo di vibrazione												
Trave 11a-29	0%	0,28	0,27	0,40	0,1028	0,0039	0,012696	0,001801	7,05	0,005849	0,000886	6,60
Trave 11a-29	100%	7,92	10,75	1,16	0,0942	0,0035	0,056054	0,000880	63,67	0,014602	0,000478	30,54
sisma in -Y												
proporzionale alle masse												
Trave 11a-29	0%	0,00	0,00	0,00	0,0000	0,0000	0,000000	0,000000	0,00	0,000000	0,000000	0,00
Trave 11a-29	100%	0,00	0,00	0,00	0,0000	0,0000	0,000000	0,000000	0,00	0,000000	0,000000	0,00
proporzionale alla deformata 1° modo di vibrazione												
Trave 11a-29	0%	0,00	0,00	0,00	0,0000	0,0000	0,000000	0,000000	0,00	0,000000	0,000000	0,00
Trave 11a-29	100%	0,00	0,00	0,00	0,0000	0,0000	0,000000	0,000000	0,00	0,000000	0,000000	0,00
sisma in +X												
proporzionale alle masse												
Trave 29-36	0%	0,42	0,39	0,41	0,0518	0,0049	0,007544	0,000160	47,03	0,005171	0,000107	48,17
Trave 29-36	100%	0,09	0,18	0,38	0,1099	0,0044	0,013819	0,000278	49,74	0,007789	0,000165	47,17
proporzionale alla deformata 1° modo di vibrazione												
Trave 29-36	0%	0,41	0,38	0,41	0,0519	0,0050	0,007489	0,000205	36,55	0,005236	0,000136	38,43
Trave 29-36	100%	0,12	0,15	0,38	0,1101	0,0043	0,014428	0,000283	51,04	0,008762	0,000171	51,23
sisma in -X												
proporzionale alle masse												
Trave 29-36	0%	0,51	0,42	0,42	0,0488	0,0056	0,007965	0,000104	76,88	0,005265	0,000036	NS
Trave 29-36	100%	0,18	0,29	0,39	0,0617	0,0056	0,008453	0,000142	59,36	0,006091	0,000095	64,44
proporzionale alla deformata 1° modo di vibrazione												
Trave 29-36	0%	0,56	0,45	0,42	0,0478	0,0059	0,008170	0,000154	52,94	0,005248	0,000056	94,36
Trave 29-36	100%	0,04	0,25	0,37	0,1075	0,0057	0,012726	0,000165	77,06	0,006511	0,000106	61,66
sisma in +Y												
proporzionale alle masse												
Trave 29-36	0%	2,25	5,58	0,59	0,1046	0,0042	0,030825	0,000597	51,62	0,009921	0,000325	30,52
Trave 29-36	100%	0,81	0,68	0,45	0,0508	0,0057	0,009758	0,000092	NS	0,004917	0,000006	NS
proporzionale alla deformata 1° modo di vibrazione												
Trave 29-36	0%	1,94	10,36	0,56	0,1037	0,0041	0,032026	0,000880	36,38	0,016201	0,000478	33,88
Trave 29-36	100%	0,83	0,70	0,45	0,0492	0,0057	0,009585	0,000159	60,14	0,004894	0,000042	NS
sisma in -Y												
proporzionale alle masse												
Trave 29-36	0%	0,00	0,00	0,00	0,0000	0,0000	0,000000	0,000000	0,00	0,000000	0,000000	0,00
Trave 29-36	100%	0,00	0,00	0,00	0,0000	0,0000	0,000000	0,000000	0,00	0,000000	0,000000	0,00
proporzionale alla deformata 1° modo di vibrazione												
Trave 29-36	0%	0,00	0,00	0,00	0,0000	0,0000	0,000000	0,000000	0,00	0,000000	0,000000	0,00
Trave 29-36	100%	0,00	0,00	0,00	0,0000	0,0000	0,000000	0,000000	0,00	0,000000	0,000000	0,00
sisma in +X												
proporzionale alle masse												
Trave 36-P13	0%	9,45	1,46	1,31	0,1036	0,0055	0,062638	0,000278	NS	0,005498	0,000165	33,29
Trave 36-P13	100%	0,83	0,74	0,45	0,0846	0,0056	0,015379	0,000191	80,34	0,004845	0,000118	40,90
proporzionale alla deformata 1° modo di vibrazione												
Trave 36-P13	0%	214,87	0,98	21,85	0,1043	0,0054	1,028191	0,000283	NS	0,004893	0,000171	28,60
Trave 36-P13	100%	0,80	0,71	0,45	0,0854	0,0056	0,015323	0,000223	68,82	0,004852	0,000141	34,43
sisma in -X												
proporzionale alle masse												
Trave 36-P13	0%	0,60	0,49	0,43	0,1069	0,0082	0,016540	0,000142	NS	0,005881	0,000095	62,21
Trave 36-P13	100%	0,70	0,69	0,44	0,0881	0,0053	0,014823	0,000076	NS	0,004755	0,000038	NS
proporzionale alla deformata 1° modo di vibrazione												
Trave 36-P13	0%	0,61	0,49	0,43	0,1067	0,0076	0,016633	0,000165	NS	0,005698	0,000106	53,96
Trave 36-P13	100%	0,70	0,69	0,44	0,0879	0,0054	0,014845	0,000089	NS	0,004771	0,000045	NS
sisma in +Y												
proporzionale alle masse												
Trave 36-P13	0%	1,17	1,30	0,48	0,0653	0,0055	0,014118	0,000092	NS	0,005283	0,000006	NS
Trave 36-P13	100%	1,17	1,09	0,48	0,0345	0,0061	0,008136	0,001060	7,67	0,005338	0,000512	10,43
proporzionale alla deformata 1° modo di vibrazione												
Trave 36-P13	0%	1,16	1,28	0,48	0,0565	0,0054	0,012362	0,000159	77,57	0,005208	0,000042	NS
Trave 36-P13	100%	1,18	1,10	0,49	0,0297	0,0060	0,007220	0,001235	5,85	0,005329	0,000581	9,18
sisma in -Y												
proporzionale alle masse												
Trave 36-P13	0%	0,00	0,00	0,00	0,0000	0,0000	0,000000	0,000000	0,00	0,000000	0,000000	0,00
Trave 36-P13	100%	0,00	0,00	0,00	0,0000	0,0000	0,000000	0,000000	0,00	0,000000	0,000000	0,00
proporzionale alla deformata 1° modo di vibrazione												
Trave 36-P13	0%	0,00	0,00	0,00	0,0000	0,0000	0,000000	0,000000	0,00	0,000000	0,000000	0,00
Trave 36-P13	100%	0,00	0,00	0,00	0,0000	0,0000	0,000000	0,000000	0,00	0,000000	0,000000	0,00
sisma in +X												
proporzionale alle masse												

Id_{Tr}	$\%L_{LI}$	$L_{v,SLV}$	$L_{v,SLD}$	L_{pl}	ϕ_u	ϕ_y	SLV			SLD		
							Θ_c	Θ_d	CS	Θ_c	Θ_d	CS
	[%]	[m]	[m]	[m]	[rad/m]	[rad/m]	[rad]	[rad]		[rad]	[rad]	
Trave 2b-3b	0%	0,14	0,14	0,38	0,1070	0,0056	0,014339	0,000095	NS	0,009322	0,000056	NS
Trave 2b-3b	100%	0,18	0,18	0,39	0,0366	0,0064	0,007023	0,000083	85,09	0,008227	0,000050	NS
proporzionale alla deformata 1° modo di vibrazione												
Trave 2b-3b	0%	0,15	0,14	0,38	0,1066	0,0056	0,014286	0,000134	NS	0,009283	0,000082	NS
Trave 2b-3b	100%	0,18	0,18	0,39	0,0362	0,0065	0,006927	0,000120	57,60	0,008125	0,000075	NS
sisma in -X												
proporzionale alle masse												
Trave 2b-3b	0%	0,17	0,19	0,38	0,1075	0,0057	0,013675	0,000018	NS	0,007776	0,000015	NS
Trave 2b-3b	100%	0,17	0,19	0,38	0,0371	0,0056	0,006802	0,000013	NS	0,007533	0,000019	NS
proporzionale alla deformata 1° modo di vibrazione												
Trave 2b-3b	0%	0,16	0,19	0,38	0,1071	0,0056	0,013586	0,000032	NS	0,007685	0,000007	NS
Trave 2b-3b	100%	0,17	0,18	0,38	0,0367	0,0052	0,006918	0,000028	NS	0,007785	0,000010	NS
sisma in +Y												
proporzionale alle masse												
Trave 2b-3b	0%	0,14	0,14	0,38	0,1066	0,0056	0,014378	0,001626	8,85	0,009479	0,000792	11,96
Trave 2b-3b	100%	0,19	0,19	0,39	0,0362	0,0072	0,006851	0,001641	4,18	0,008077	0,000800	10,09
proporzionale alla deformata 1° modo di vibrazione												
Trave 2b-3b	0%	0,14	0,14	0,38	0,1053	0,0055	0,014220	0,001906	7,46	0,009384	0,000903	10,39
Trave 2b-3b	100%	0,19	0,19	0,39	0,0349	0,0074	0,006724	0,001927	3,49	0,008123	0,000913	8,89
sisma in -Y												
proporzionale alle masse												
Trave 2b-3b	0%	0,00	0,00	0,00	0,0000	0,0000	0,000000	0,000000	0,00	0,000000	0,000000	0,00
Trave 2b-3b	100%	0,00	0,00	0,00	0,0000	0,0000	0,000000	0,000000	0,00	0,000000	0,000000	0,00
proporzionale alla deformata 1° modo di vibrazione												
Trave 2b-3b	0%	0,00	0,00	0,00	0,0000	0,0000	0,000000	0,000000	0,00	0,000000	0,000000	0,00
Trave 2b-3b	100%	0,00	0,00	0,00	0,0000	0,0000	0,000000	0,000000	0,00	0,000000	0,000000	0,00
Piano copertura							**Travata: Trave14-15a-27-34-41**					
sisma in +X												
proporzionale alle masse												
Trave 14-15a	0%	0,35	0,38	0,40	0,0494	0,0078	0,007204	0,000011	NS	0,006053	0,000081	74,85
Trave 14-15a	100%	0,88	0,82	0,46	0,0412	0,0060	0,008470	0,000117	72,68	0,005044	0,000059	85,53
proporzionale alla deformata 1° modo di vibrazione												
Trave 14-15a	0%	0,28	0,35	0,40	0,0489	0,0078	0,007147	0,000023	NS	0,006178	0,000086	71,57
Trave 14-15a	100%	0,91	0,84	0,46	0,0407	0,0062	0,008488	0,000140	60,51	0,005132	0,000070	73,03
sisma in -X												
proporzionale alle masse												
Trave 14-15a	0%	0,65	0,54	0,43	0,0524	0,0065	0,009286	0,000066	NS	0,005266	0,000035	NS
Trave 14-15a	100%	0,69	0,72	0,44	0,0437	0,0053	0,008095	0,000014	NS	0,004754	0,000010	NS
proporzionale alla deformata 1° modo di vibrazione												
Trave 14-15a	0%	0,69	0,56	0,44	0,0524	0,0063	0,009467	0,000099	96,01	0,005188	0,000019	NS
Trave 14-15a	100%	0,67	0,72	0,44	0,0434	0,0053	0,007989	0,000026	NS	0,004756	0,000014	NS
sisma in +Y												
proporzionale alle masse												
Trave 14-15a	0%	4,50	0,63	0,82	0,0892	0,0049	0,033649	0,000953	35,31	0,004631	0,000508	9,12
Trave 14-15a	100%	1,08	0,96	0,48	0,0395	0,0057	0,008797	0,000286	30,80	0,005022	0,000160	31,40
proporzionale alla deformata 1° modo di vibrazione												
Trave 14-15a	0%	12,19	1,11	1,59	0,0883	0,0049	0,064256	0,001136	56,56	0,004716	0,000622	7,58
Trave 14-15a	100%	1,13	1,00	0,48	0,0383	0,0060	0,008691	0,000361	24,10	0,005188	0,000212	24,48
sisma in -Y												
proporzionale alle masse												
Trave 14-15a	0%	0,00	0,00	0,00	0,0000	0,0000	0,000000	0,000000	0,00	0,000000	0,000000	0,00
Trave 14-15a	100%	0,00	0,00	0,00	0,0000	0,0000	0,000000	0,000000	0,00	0,000000	0,000000	0,00
proporzionale alla deformata 1° modo di vibrazione												
Trave 14-15a	0%	0,00	0,00	0,00	0,0000	0,0000	0,000000	0,000000	0,00	0,000000	0,000000	0,00
Trave 14-15a	100%	0,00	0,00	0,00	0,0000	0,0000	0,000000	0,000000	0,00	0,000000	0,000000	0,00
sisma in +X												
proporzionale alle masse												
Trave 15a-27	0%	0,70	0,67	0,44	0,0367	0,0068	0,007163	0,000117	61,47	0,005318	0,000059	90,19
Trave 15a-27	100%	1,13	1,38	0,48	0,1114	0,0011	0,022235	0,000197	NS	0,002676	0,000167	16,00
proporzionale alla deformata 1° modo di vibrazione												
Trave 15a-27	0%	0,71	0,68	0,44	0,0363	0,0069	0,007136	0,000140	50,87	0,005341	0,000070	76,01
Trave 15a-27	100%	1,07	1,32	0,47	0,1110	0,0010	0,021634	0,000209	NS	0,002631	0,000177	14,84
sisma in -X												
proporzionale alle masse												
Trave 15a-27	0%	0,62	0,63	0,43	0,0390	0,0068	0,007185	0,000014	NS	0,005304	0,000010	NS
Trave 15a-27	100%	11,45	4,50	1,51	0,1141	0,0006	0,081406	0,000092	NS	0,002525	0,000102	24,81
proporzionale alla deformata 1° modo di vibrazione												
Trave 15a-27	0%	0,62	0,63	0,43	0,0390	0,0068	0,007170	0,000026	NS	0,005307	0,000014	NS
Trave 15a-27	100%	112,26	6,10	11,59	0,1139	0,0016	0,619966	0,000080	NS	0,004988	0,000097	51,57
sisma in +Y												
proporzionale alle masse												
Trave 15a-27	0%	0,79	0,73	0,45	0,0313	0,0074	0,006606	0,000286	23,13	0,005557	0,000160	34,74
Trave 15a-27	100%	0,83	0,99	0,45	0,1054	0,0010	0,018494	0,000492	37,60	0,002769	0,000305	9,08
proporzionale alla deformata 1° modo di vibrazione												
Trave 15a-27	0%	0,81	0,75	0,45	0,0301	0,0075	0,006467	0,000361	17,93	0,005611	0,000212	26,47
Trave 15a-27	100%	0,79	0,93	0,45	0,1038	0,0011	0,017918	0,000562	31,89	0,002879	0,000342	8,43
sisma in -Y												
proporzionale alle masse												
Trave 15a-27	0%	0,00	0,00	0,00	0,0000	0,0000	0,000000	0,000000	0,00	0,000000	0,000000	0,00
Trave 15a-27	100%	0,00	0,00	0,00	0,0000	0,0000	0,000000	0,000000	0,00	0,000000	0,000000	0,00
proporzionale alla deformata 1° modo di vibrazione												
Trave 15a-27	0%	0,00	0,00	0,00	0,0000	0,0000	0,000000	0,000000	0,00	0,000000	0,000000	0,00
Trave 15a-27	100%	0,00	0,00	0,00	0,0000	0,0000	0,000000	0,000000	0,00	0,000000	0,000000	0,00
sisma in +X												
proporzionale alle masse												

Id_{Tr}	$\%L_{LI}$	$L_{v,SLV}$	$L_{v,SLD}$	L_{pl}	ϕ_u	ϕ_y	SLV			SLD		
							Θ_c	Θ_d	CS	Θ_c	Θ_d	CS
	[%]	[m]	[m]	[m]	[rad/m]	[rad/m]	[rad]	[rad]		[rad]	[rad]	
Trave 27-34	0%	0,32	0,28	0,40	0,0561	0,0045	0,008119	0,000197	41,18	0,005923	0,000167	35,42
Trave 27-34	100%	0,36	0,46	0,40	0,0488	0,0058	0,006935	0,000044	NS	0,005200	0,000035	NS
proporzionale alla deformata 1° modo di vibrazione												
Trave 27-34	0%	0,33	0,28	0,40	0,0563	0,0046	0,008137	0,000209	38,97	0,005926	0,000177	33,42
Trave 27-34	100%	0,35	0,45	0,40	0,0488	0,0058	0,006934	0,000056	NS	0,005205	0,000031	NS
sisma in -X												
proporzionale alle masse												
Trave 27-34	0%	0,32	0,28	0,40	0,0532	0,0053	0,007817	0,000092	84,78	0,006057	0,000102	59,50
Trave 27-34	100%	0,46	0,50	0,41	0,0466	0,0059	0,007226	0,000050	NS	0,005141	0,000076	67,24
proporzionale alla deformata 1° modo di vibrazione												
Trave 27-34	0%	0,33	0,29	0,40	0,0532	0,0053	0,007786	0,000080	97,35	0,005976	0,000097	61,78
Trave 27-34	100%	0,45	0,49	0,41	0,0465	0,0059	0,007128	0,000043	NS	0,005146	0,000074	69,84
sisma in +Y												
proporzionale alle masse												
Trave 27-34	0%	0,25	0,24	0,39	0,0563	0,0042	0,008278	0,000492	16,83	0,006340	0,000305	20,78
Trave 27-34	100%	0,41	0,46	0,41	0,0486	0,0056	0,006979	0,000200	34,85	0,005126	0,000130	39,52
proporzionale alla deformata 1° modo di vibrazione												
Trave 27-34	0%	0,22	0,21	0,39	0,0564	0,0040	0,008571	0,000562	15,25	0,006924	0,000342	20,27
Trave 27-34	100%	0,42	0,48	0,41	0,0489	0,0057	0,007050	0,000236	29,85	0,005110	0,000140	36,49
sisma in -Y												
proporzionale alle masse												
Trave 27-34	0%	0,00	0,00	0,00	0,0000	0,0000	0,000000	0,000000	0,00	0,000000	0,000000	0,00
Trave 27-34	100%	0,00	0,00	0,00	0,0000	0,0000	0,000000	0,000000	0,00	0,000000	0,000000	0,00
proporzionale alla deformata 1° modo di vibrazione												
Trave 27-34	0%	0,00	0,00	0,00	0,0000	0,0000	0,000000	0,000000	0,00	0,000000	0,000000	0,00
Trave 27-34	100%	0,00	0,00	0,00	0,0000	0,0000	0,000000	0,000000	0,00	0,000000	0,000000	0,00
sisma in +X												
proporzionale alle masse												
Trave 34-41	0%	0,80	0,82	0,45	0,0465	0,0047	0,008999	0,000044	NS	0,004510	0,000035	NS
Trave 34-41	100%	0,39	0,38	0,41	0,0728	0,0046	0,009501	0,001571	6,05	0,005145	0,001426	3,61
proporzionale alla deformata 1° modo di vibrazione												
Trave 34-41	0%	0,80	0,82	0,45	0,0465	0,0047	0,008993	0,000056	NS	0,004509	0,000031	NS
Trave 34-41	100%	0,39	0,38	0,41	0,0728	0,0046	0,009517	0,001586	6,00	0,005142	0,001443	3,56
sisma in -X												
proporzionale alle masse												
Trave 34-41	0%	0,81	0,82	0,45	0,0459	0,0048	0,008948	0,000050	NS	0,004523	0,000076	59,17
Trave 34-41	100%	0,40	0,41	0,41	0,0723	0,0047	0,009420	0,001375	6,85	0,005058	0,001286	3,93
proporzionale alla deformata 1° modo di vibrazione												
Trave 34-41	0%	0,81	0,82	0,45	0,0460	0,0048	0,008956	0,000043	NS	0,004520	0,000074	61,34
Trave 34-41	100%	0,40	0,40	0,41	0,0724	0,0047	0,009432	0,001403	6,72	0,005073	0,001305	3,89
sisma in +Y												
proporzionale alle masse												
Trave 34-41	0%	0,76	0,79	0,44	0,0427	0,0048	0,008194	0,000200	40,92	0,004531	0,000130	34,93
Trave 34-41	100%	0,68	0,55	0,44	0,0694	0,0051	0,011874	0,000535	22,20	0,004802	0,000904	5,31
proporzionale alla deformata 1° modo di vibrazione												
Trave 34-41	0%	0,75	0,79	0,44	0,0422	0,0048	0,008083	0,000236	34,22	0,004531	0,000140	32,35
Trave 34-41	100%	0,70	0,56	0,44	0,0689	0,0053	0,011988	0,000423	28,33	0,004833	0,000854	5,66
sisma in -Y												
proporzionale alle masse												
Trave 34-41	0%	0,00	0,00	0,00	0,0000	0,0000	0,000000	0,000000	0,00	0,000000	0,000000	0,00
Trave 34-41	100%	0,00	0,00	0,00	0,0000	0,0000	0,000000	0,000000	0,00	0,000000	0,000000	0,00
proporzionale alla deformata 1° modo di vibrazione												
Trave 34-41	0%	0,00	0,00	0,00	0,0000	0,0000	0,000000	0,000000	0,00	0,000000	0,000000	0,00
Trave 34-41	100%	0,00	0,00	0,00	0,0000	0,0000	0,000000	0,000000	0,00	0,000000	0,000000	0,00
Piano copertura							**Travata: Trave15-16a-28-35-42**					
sisma in +X												
proporzionale alle masse												
Trave 15-16a	0%	0,72	0,56	0,44	0,0471	0,0074	0,008828	0,000114	77,15	0,005544	0,000013	NS
Trave 15-16a	100%	0,84	0,82	0,45	0,0389	0,0068	0,007991	0,000163	49,03	0,005375	0,000102	52,78
proporzionale alla deformata 1° modo di vibrazione												
Trave 15-16a	0%	0,66	0,52	0,43	0,0463	0,0076	0,008487	0,000101	83,92	0,005672	0,000007	NS
Trave 15-16a	100%	0,89	0,84	0,46	0,0383	0,0069	0,008048	0,000199	40,36	0,005436	0,000118	45,94
sisma in -X												
proporzionale alle masse												
Trave 15-16a	0%	0,68	0,57	0,44	0,0548	0,0063	0,009764	0,000051	NS	0,005162	0,000016	NS
Trave 15-16a	100%	0,64	0,71	0,43	0,0441	0,0054	0,007938	0,000066	NS	0,004785	0,000021	NS
proporzionale alla deformata 1° modo di vibrazione												
Trave 15-16a	0%	0,72	0,61	0,44	0,0548	0,0062	0,009970	0,000083	NS	0,005094	0,000003	NS
Trave 15-16a	100%	0,61	0,69	0,43	0,0439	0,0054	0,007766	0,000087	89,56	0,004790	0,000034	NS
sisma in +Y												
proporzionale alle masse												
Trave 15-16a	0%	14,34	0,99	1,80	0,0875	0,0054	0,071707	0,000670	NS	0,004891	0,000379	12,91
Trave 15-16a	100%	1,20	1,04	0,49	0,0365	0,0061	0,008535	0,000469	18,18	0,005271	0,000266	19,80
proporzionale alla deformata 1° modo di vibrazione												
Trave 15-16a	0%	11,70	2,56	1,54	0,0855	0,0052	0,061074	0,000882	69,28	0,006951	0,000510	13,64
Trave 15-16a	100%	1,27	1,11	0,49	0,0343	0,0064	0,008323	0,000633	13,15	0,005544	0,000370	14,99
sisma in -Y												
proporzionale alle masse												
Trave 15-16a	0%	0,00	0,00	0,00	0,0000	0,0000	0,000000	0,000000	0,00	0,000000	0,000000	0,00
Trave 15-16a	100%	0,00	0,00	0,00	0,0000	0,0000	0,000000	0,000000	0,00	0,000000	0,000000	0,00
proporzionale alla deformata 1° modo di vibrazione												
Trave 15-16a	0%	0,00	0,00	0,00	0,0000	0,0000	0,000000	0,000000	0,00	0,000000	0,000000	0,00
Trave 15-16a	100%	0,00	0,00	0,00	0,0000	0,0000	0,000000	0,000000	0,00	0,000000	0,000000	0,00
sisma in +X												
proporzionale alle masse												

Id_{Tr}	$\%L_{LI}$	$L_{v,SLV}$	$L_{v,SLD}$	L_{pl}	ϕ_u	ϕ_y	SLV			SLD		
							Θ_c	Θ_d	CS	Θ_c	Θ_d	CS
	[%]	[m]	[m]	[m]	[rad/m]	[rad/m]	[rad]	[rad]		[rad]	[rad]	
Trave 16a-28	0%	0,73	0,69	0,44	0,0359	0,0066	0,007134	0,000163	43,77	0,005223	0,000102	51,29
Trave 16a-28	100%	0,99	1,22	0,47	0,1115	0,0016	0,021114	0,000160	NS	0,003006	0,000143	21,07
proporzionale alla deformata 1° modo di vibrazione												
Trave 16a-28	0%	0,74	0,70	0,44	0,0351	0,0065	0,007026	0,000199	35,24	0,005194	0,000118	43,90
Trave 16a-28	100%	0,95	1,15	0,46	0,1104	0,0016	0,020529	0,000177	NS	0,003016	0,000152	19,80
sisma in -X												
proporzionale alle masse												
Trave 16a-28	0%	0,57	0,59	0,42	0,0403	0,0059	0,007082	0,000066	NS	0,005006	0,000021	NS
Trave 16a-28	100%	0,00	0,81	0,37	0,0325	0,0075	0,005130	0,000001	NS	0,005657	0,000045	NS
proporzionale alla deformata 1° modo di vibrazione												
Trave 16a-28	0%	0,50	0,58	0,42	0,0394	0,0055	0,006552	0,000087	75,57	0,004881	0,000034	NS
Trave 16a-28	100%	0,14	0,46	0,38	0,0321	0,0097	0,005332	0,000031	NS	0,006379	0,000033	NS
sisma in +Y												
proporzionale alle masse												
Trave 16a-28	0%	0,78	0,72	0,45	0,0349	0,0070	0,007145	0,000469	15,22	0,005389	0,000266	20,24
Trave 16a-28	100%	0,84	1,06	0,45	0,1101	0,0016	0,019477	0,000421	46,32	0,003040	0,000265	11,47
proporzionale alla deformata 1° modo di vibrazione												
Trave 16a-28	0%	0,81	0,75	0,45	0,0333	0,0070	0,006989	0,000633	11,04	0,005441	0,000370	14,71
Trave 16a-28	100%	0,79	0,93	0,45	0,1082	0,0016	0,018575	0,000496	37,42	0,003100	0,000301	10,30
sisma in -Y												
proporzionale alle masse												
Trave 16a-28	0%	0,00	0,00	0,00	0,0000	0,0000	0,000000	0,000000	0,00	0,000000	0,000000	0,00
Trave 16a-28	100%	0,00	0,00	0,00	0,0000	0,0000	0,000000	0,000000	0,00	0,000000	0,000000	0,00
proporzionale alla deformata 1° modo di vibrazione												
Trave 16a-28	0%	0,00	0,00	0,00	0,0000	0,0000	0,000000	0,000000	0,00	0,000000	0,000000	0,00
Trave 16a-28	100%	0,00	0,00	0,00	0,0000	0,0000	0,000000	0,000000	0,00	0,000000	0,000000	0,00
sisma in +X												
proporzionale alle masse												
Trave 28-35	0%	0,35	0,28	0,40	0,0517	0,0049	0,007721	0,000160	48,25	0,006023	0,000143	42,21
Trave 28-35	100%	0,28	0,44	0,40	0,0491	0,0058	0,006913	0,000099	69,85	0,005257	0,000007	NS
proporzionale alla deformata 1° modo di vibrazione												
Trave 28-35	0%	0,35	0,28	0,40	0,0517	0,0050	0,007682	0,000177	43,34	0,005981	0,000152	39,28
Trave 28-35	100%	0,27	0,43	0,39	0,0490	0,0057	0,006901	0,000118	58,69	0,005269	0,000012	NS
sisma in -X												
proporzionale alle masse												
Trave 28-35	0%	0,37	0,29	0,40	0,0481	0,0059	0,007343	0,000001	NS	0,006148	0,000045	NS
Trave 28-35	100%	0,48	0,52	0,42	0,0457	0,0060	0,007271	0,000039	NS	0,005123	0,000059	87,51
proporzionale alla deformata 1° modo di vibrazione												
Trave 28-35	0%	0,42	0,31	0,41	0,0474	0,0061	0,007330	0,000031	NS	0,005987	0,000033	NS
Trave 28-35	100%	0,46	0,51	0,41	0,0452	0,0059	0,007037	0,000029	NS	0,005136	0,000057	90,65
sisma in +Y												
proporzionale alle masse												
Trave 28-35	0%	0,17	0,19	0,39	0,0513	0,0050	0,008235	0,000421	19,58	0,007548	0,000265	28,49
Trave 28-35	100%	0,46	0,48	0,41	0,0485	0,0056	0,007461	0,000190	39,19	0,005072	0,000110	46,02
proporzionale alla deformata 1° modo di vibrazione												
Trave 28-35	0%	0,13	0,15	0,38	0,0514	0,0040	0,008830	0,000496	17,79	0,008633	0,000301	28,69
Trave 28-35	100%	0,48	0,50	0,42	0,0487	0,0056	0,007557	0,000235	32,15	0,005054	0,000126	40,18
sisma in -Y												
proporzionale alle masse												
Trave 28-35	0%	0,00	0,00	0,00	0,0000	0,0000	0,000000	0,000000	0,00	0,000000	0,000000	0,00
Trave 28-35	100%	0,00	0,00	0,00	0,0000	0,0000	0,000000	0,000000	0,00	0,000000	0,000000	0,00
proporzionale alla deformata 1° modo di vibrazione												
Trave 28-35	0%	0,00	0,00	0,00	0,0000	0,0000	0,000000	0,000000	0,00	0,000000	0,000000	0,00
Trave 28-35	100%	0,00	0,00	0,00	0,0000	0,0000	0,000000	0,000000	0,00	0,000000	0,000000	0,00
sisma in +X												
proporzionale alle masse												
Trave 35-42	0%	0,77	0,80	0,44	0,0441	0,0048	0,008498	0,000099	85,86	0,004553	0,000007	NS
Trave 35-42	100%	0,49	0,45	0,42	0,0717	0,0048	0,010452	0,001184	8,83	0,004948	0,001084	4,56
proporzionale alla deformata 1° modo di vibrazione												
Trave 35-42	0%	0,77	0,80	0,44	0,0441	0,0048	0,008491	0,000118	72,22	0,004552	0,000012	NS
Trave 35-42	100%	0,49	0,45	0,42	0,0717	0,0048	0,010463	0,001207	8,67	0,004939	0,001100	4,49
sisma in -X												
proporzionale alle masse												
Trave 35-42	0%	0,81	0,82	0,45	0,0440	0,0048	0,008633	0,000039	NS	0,004539	0,000059	77,54
Trave 35-42	100%	0,43	0,43	0,41	0,0716	0,0048	0,009632	0,001026	9,39	0,005009	0,000975	5,14
proporzionale alla deformata 1° modo di vibrazione												
Trave 35-42	0%	0,81	0,82	0,45	0,0440	0,0048	0,008633	0,000029	NS	0,004525	0,000057	79,86
Trave 35-42	100%	0,43	0,43	0,41	0,0716	0,0048	0,009656	0,001041	9,28	0,005015	0,000987	5,08
sisma in +Y												
proporzionale alle masse												
Trave 35-42	0%	0,71	0,77	0,44	0,0399	0,0048	0,007611	0,000190	39,98	0,004553	0,000110	41,31
Trave 35-42	100%	0,80	0,64	0,45	0,0676	0,0054	0,012431	0,000091	NS	0,004815	0,000528	9,12
proporzionale alla deformata 1° modo di vibrazione												
Trave 35-42	0%	0,70	0,77	0,44	0,0395	0,0048	0,007485	0,000235	31,85	0,004553	0,000126	36,20
Trave 35-42	100%	0,84	0,66	0,45	0,0670	0,0056	0,012599	0,000056	NS	0,004883	0,000466	10,47
sisma in -Y												
proporzionale alle masse												
Trave 35-42	0%	0,00	0,00	0,00	0,0000	0,0000	0,000000	0,000000	0,00	0,000000	0,000000	0,00
Trave 35-42	100%	0,00	0,00	0,00	0,0000	0,0000	0,000000	0,000000	0,00	0,000000	0,000000	0,00
proporzionale alla deformata 1° modo di vibrazione												
Trave 35-42	0%	0,00	0,00	0,00	0,0000	0,0000	0,000000	0,000000	0,00	0,000000	0,000000	0,00
Trave 35-42	100%	0,00	0,00	0,00	0,0000	0,0000	0,000000	0,000000	0,00	0,000000	0,000000	0,00
Piano copertura							**Travata: Trave16-1a-2a-11a**					
sisma in +X												
proporzionale alle masse												

Id_{Tr}	$\%L_{LI}$	$L_{v,SLV}$	$L_{v,SLD}$	L_{pl}	ϕ_u	ϕ_y	SLV			SLD		
							Θ_c	Θ_d	CS	Θ_c	Θ_d	CS
	[%]	[m]	[m]	[m]	[rad/m]	[rad/m]	[rad]	[rad]		[rad]	[rad]	
Trave 16-1a	0%	0,98	1,05	0,44	0,0681	0,0110	0,013567	0,000462	29,37	0,007634	0,000264	28,90
Trave 16-1a	100%	0,39	0,73	0,38	0,0687	0,0100	0,008943	0,000306	29,20	0,006469	0,000180	35,91
proporzionale alla deformata 1° modo di vibrazione												
Trave 16-1a	0%	0,93	1,03	0,44	0,0692	0,0097	0,013408	0,000425	31,57	0,006938	0,000252	27,53
Trave 16-1a	100%	0,35	0,69	0,38	0,0699	0,0084	0,008707	0,000277	31,41	0,005801	0,000168	34,59
sisma in -X												
proporzionale alle masse												
Trave 16-1a	0%	0,94	0,99	0,44	0,0705	0,0095	0,013619	0,000281	48,39	0,006748	0,000163	41,37
Trave 16-1a	100%	0,34	0,56	0,38	0,0710	0,0105	0,008942	0,000136	65,95	0,006474	0,000078	83,45
proporzionale alla deformata 1° modo di vibrazione												
Trave 16-1a	0%	0,95	0,99	0,44	0,0661	0,0098	0,012949	0,000357	36,30	0,006909	0,000200	34,49
Trave 16-1a	100%	0,35	0,55	0,38	0,0664	0,0100	0,008496	0,000187	45,48	0,006318	0,000104	60,86
sisma in +Y												
proporzionale alle masse												
Trave 16-1a	0%	0,44	0,67	0,39	0,0931	0,0081	0,011997	0,000326	36,78	0,005700	0,000108	52,72
Trave 16-1a	100%	0,23	0,09	0,37	0,0948	0,0100	0,014422	0,000357	40,38	0,013302	0,000153	86,79
proporzionale alla deformata 1° modo di vibrazione												
Trave 16-1a	0%	0,26	0,27	0,37	0,1033	0,0065	0,012112	0,000709	17,07	0,006367	0,000306	20,83
Trave 16-1a	100%	1,11	0,27	0,45	0,1039	0,0045	0,020907	0,000680	30,75	0,005901	0,000306	19,26
sisma in -Y												
proporzionale alle masse												
Trave 16-1a	0%	0,00	0,00	0,00	0,0000	0,0000	0,000000	0,000000	0,00	0,000000	0,000000	0,00
Trave 16-1a	100%	0,00	0,00	0,00	0,0000	0,0000	0,000000	0,000000	0,00	0,000000	0,000000	0,00
proporzionale alla deformata 1° modo di vibrazione												
Trave 16-1a	0%	0,00	0,00	0,00	0,0000	0,0000	0,000000	0,000000	0,00	0,000000	0,000000	0,00
Trave 16-1a	100%	0,00	0,00	0,00	0,0000	0,0000	0,000000	0,000000	0,00	0,000000	0,000000	0,00
sisma in +X												
proporzionale alle masse												
Trave 1a-2a	0%	1,45	1,29	0,49	0,0493	0,0068	0,011571	0,000306	37,78	0,005903	0,000180	32,77
Trave 1a-2a	100%	0,61	0,51	0,40	0,0756	0,0091	0,012007	0,000285	42,10	0,006026	0,000207	29,15
proporzionale alla deformata 1° modo di vibrazione												
Trave 1a-2a	0%	1,44	1,28	0,49	0,0474	0,0073	0,011196	0,000277	40,39	0,006167	0,000168	36,77
Trave 1a-2a	100%	0,63	0,51	0,41	0,0735	0,0089	0,011889	0,000229	51,90	0,005979	0,000183	32,72
sisma in -X												
proporzionale alle masse												
Trave 1a-2a	0%	1,26	1,15	0,47	0,0651	0,0054	0,013883	0,000136	NS	0,004987	0,000078	64,29
Trave 1a-2a	100%	0,38	0,28	0,38	0,0877	0,0102	0,010956	0,000516	21,23	0,007130	0,000344	20,71
proporzionale alla deformata 1° modo di vibrazione												
Trave 1a-2a	0%	1,31	1,19	0,47	0,0619	0,0055	0,013445	0,000187	71,98	0,005046	0,000104	48,61
Trave 1a-2a	100%	0,41	0,31	0,38	0,0856	0,0101	0,011175	0,000592	18,87	0,006895	0,000383	17,99
sisma in +Y												
proporzionale alle masse												
Trave 1a-2a	0%	2,97	11,43	0,64	0,0784	0,0060	0,033147	0,000357	92,81	0,025013	0,000153	NS
Trave 1a-2a	100%	1,34	1,91	0,48	0,0545	0,0084	0,013202	0,000382	34,52	0,008350	0,000106	78,95
proporzionale alla deformata 1° modo di vibrazione												
Trave 1a-2a	0%	2,64	3,49	0,61	0,0612	0,0060	0,019472	0,000680	28,64	0,009371	0,000306	30,58
Trave 1a-2a	100%	1,27	1,51	0,47	0,0378	0,0104	0,009544	0,000688	13,88	0,008631	0,000257	33,63
sisma in -Y												
proporzionale alle masse												
Trave 1a-2a	0%	0,00	0,00	0,00	0,0000	0,0000	0,000000	0,000000	0,00	0,000000	0,000000	0,00
Trave 1a-2a	100%	0,00	0,00	0,00	0,0000	0,0000	0,000000	0,000000	0,00	0,000000	0,000000	0,00
proporzionale alla deformata 1° modo di vibrazione												
Trave 1a-2a	0%	0,00	0,00	0,00	0,0000	0,0000	0,000000	0,000000	0,00	0,000000	0,000000	0,00
Trave 1a-2a	100%	0,00	0,00	0,00	0,0000	0,0000	0,000000	0,000000	0,00	0,000000	0,000000	0,00
sisma in +X												
proporzionale alle masse												
Trave 2a-11a	0%	0,80	0,63	0,42	0,0756	0,0089	0,013341	0,000285	46,77	0,005962	0,000207	28,84
Trave 2a-11a	100%	2,47	17,47	0,59	0,0508	0,0145	0,053322	0,000121	NS	0,087846	0,000071	NS
proporzionale alla deformata 1° modo di vibrazione												
Trave 2a-11a	0%	0,87	0,66	0,43	0,0734	0,0087	0,013414	0,000229	58,55	0,005907	0,000183	32,33
Trave 2a-11a	100%	3,28	6,01	0,67	0,0485	0,0136	0,025839	0,000186	NS	0,030699	0,000104	NS
sisma in -X												
proporzionale alle masse												
Trave 2a-11a	0%	0,43	0,30	0,38	0,0876	0,0105	0,011700	0,000516	22,67	0,007055	0,000344	20,49
Trave 2a-11a	100%	3,22	7,55	0,66	0,0669	0,0146	0,035694	0,000127	NS	0,040268	0,000061	NS
proporzionale alla deformata 1° modo di vibrazione												
Trave 2a-11a	0%	0,46	0,36	0,39	0,0855	0,0104	0,011840	0,000592	19,99	0,006714	0,000383	17,52
Trave 2a-11a	100%	2,80	5,07	0,62	0,0638	0,0143	0,027517	0,000205	NS	0,027657	0,000100	NS
sisma in +Y												
proporzionale alle masse												
Trave 2a-11a	0%	0,85	0,96	0,43	0,0538	0,0087	0,010348	0,000382	27,06	0,006335	0,000106	59,91
Trave 2a-11a	100%	1,46	1,32	0,49	0,0798	0,0155	0,018569	0,001220	15,22	0,010998	0,000600	18,32
proporzionale alla deformata 1° modo di vibrazione												
Trave 2a-11a	0%	0,84	0,94	0,43	0,0373	0,0103	0,007803	0,000687	11,35	0,007020	0,000257	27,36
Trave 2a-11a	100%	1,48	1,36	0,49	0,0621	0,0158	0,015159	0,001801	8,42	0,011364	0,000886	12,83
sisma in -Y												
proporzionale alle masse												
Trave 2a-11a	0%	0,00	0,00	0,00	0,0000	0,0000	0,000000	0,000000	0,00	0,000000	0,000000	0,00
Trave 2a-11a	100%	0,00	0,00	0,00	0,0000	0,0000	0,000000	0,000000	0,00	0,000000	0,000000	0,00
proporzionale alla deformata 1° modo di vibrazione												
Trave 2a-11a	0%	0,00	0,00	0,00	0,0000	0,0000	0,000000	0,000000	0,00	0,000000	0,000000	0,00
Trave 2a-11a	100%	0,00	0,00	0,00	0,0000	0,0000	0,000000	0,000000	0,00	0,000000	0,000000	0,00
Piano copertura							**Travata: Trave17-4a-7a-17a-22a-26a-31a-36a-44**					
sisma in +X												
proporzionale alle masse												

Id_{Tr}	$\%L_{LI}$	$L_{v,SLV}$	$L_{v,SLD}$	L_{pl}	ϕ_u	ϕ_y	SLV			SLD		
							Θ_c	Θ_d	CS	Θ_c	Θ_d	CS
	[%]	[m]	[m]	[m]	[rad/m]	[rad/m]	[rad]	[rad]		[rad]	[rad]	
Trave 17-4a	0%	0,87	0,74	0,66	0,0932	0,0026	0,021004	0,000030	NS	0,004903	0,000040	NS
Trave 17-4a	100%	0,89	0,82	0,66	0,0204	0,0037	0,006098	0,000009	NS	0,005282	0,000064	82,61
proporzionale alla deformata 1° modo di vibrazione												
Trave 17-4a	0%	0,87	0,79	0,66	0,0930	0,0026	0,020858	0,000054	NS	0,004807	0,000024	NS
Trave 17-4a	100%	0,90	0,86	0,66	0,0201	0,0038	0,006041	0,000036	NS	0,005258	0,000049	NS
sisma in -X												
proporzionale alle masse												
Trave 17-4a	0%	0,87	0,81	0,66	0,0123	0,0044	0,004429	0,000164	27,04	0,005637	0,000155	36,26
Trave 17-4a	100%	0,93	0,95	0,66	0,0930	0,0028	0,021608	0,000163	NS	0,004634	0,000161	28,78
proporzionale alla deformata 1° modo di vibrazione												
Trave 17-4a	0%	0,87	0,81	0,66	0,0123	0,0038	0,004411	0,000162	27,26	0,005353	0,000157	34,08
Trave 17-4a	100%	1,02	0,96	0,67	0,0931	0,0027	0,022627	0,000157	NS	0,004603	0,000160	28,83
sisma in +Y												
proporzionale alle masse												
Trave 17-4a	0%	1,13	1,17	0,68	0,0974	0,0020	0,024689	0,000835	29,58	0,004001	0,000414	9,66
Trave 17-4a	100%	0,69	0,68	0,64	0,0254	0,0024	0,006403	0,000220	29,13	0,004941	0,000190	25,94
proporzionale alla deformata 1° modo di vibrazione												
Trave 17-4a	0%	1,14	1,17	0,68	0,0984	0,0019	0,025006	0,001150	21,75	0,003942	0,000591	6,67
Trave 17-4a	100%	0,68	0,67	0,64	0,0269	0,0019	0,006605	0,000276	23,92	0,004782	0,000211	22,66
sisma in -Y												
proporzionale alle masse												
Trave 17-4a	0%	0,00	0,00	0,00	0,0000	0,0000	0,000000	0,000000	0,00	0,000000	0,000000	0,00
Trave 17-4a	100%	0,00	0,00	0,00	0,0000	0,0000	0,000000	0,000000	0,00	0,000000	0,000000	0,00
proporzionale alla deformata 1° modo di vibrazione												
Trave 17-4a	0%	0,00	0,00	0,00	0,0000	0,0000	0,000000	0,000000	0,00	0,000000	0,000000	0,00
Trave 17-4a	100%	0,00	0,00	0,00	0,0000	0,0000	0,000000	0,000000	0,00	0,000000	0,000000	0,00
sisma in +X												
proporzionale alle masse												
Trave 4a-7a	0%	1,13	0,98	0,68	0,0192	0,0044	0,006272	0,000009	NS	0,005541	0,000064	86,64
Trave 4a-7a	100%	0,84	1,06	0,65	0,0612	0,0056	0,014181	0,000074	NS	0,006178	0,000095	65,01
proporzionale alla deformata 1° modo di vibrazione												
Trave 4a-7a	0%	1,15	1,03	0,68	0,0187	0,0046	0,006201	0,000036	NS	0,005596	0,000049	NS
Trave 4a-7a	100%	0,81	0,99	0,65	0,0598	0,0053	0,013593	0,000062	NS	0,006037	0,000091	66,29
sisma in -X												
proporzionale alle masse												
Trave 4a-7a	0%	29,97	3,50	3,57	0,0938	0,0025	0,155739	0,000163	NS	0,005279	0,000161	32,79
Trave 4a-7a	100%	0,25	0,29	0,59	0,0795	0,0024	0,015560	0,000063	NS	0,008234	0,000094	87,48
proporzionale alla deformata 1° modo di vibrazione												
Trave 4a-7a	0%	8,54	3,87	1,42	0,0938	0,0025	0,062276	0,000157	NS	0,005563	0,000160	34,84
Trave 4a-7a	100%	0,31	0,29	0,60	0,0795	0,0025	0,015592	0,000057	NS	0,008131	0,000091	89,82
sisma in +Y												
proporzionale alle masse												
Trave 4a-7a	0%	0,73	0,54	0,64	0,0215	0,0032	0,006196	0,000220	28,19	0,005827	0,000190	30,59
Trave 4a-7a	100%	1,48	2,15	0,72	0,0674	0,0028	0,019907	0,000143	NS	0,004749	0,000131	36,29
proporzionale alla deformata 1° modo di vibrazione												
Trave 4a-7a	0%	0,74	0,62	0,64	0,0215	0,0022	0,006044	0,000276	21,89	0,005062	0,000211	23,99
Trave 4a-7a	100%	1,42	1,78	0,71	0,0676	0,0021	0,019457	0,000183	NS	0,003969	0,000143	27,80
sisma in -Y												
proporzionale alle masse												
Trave 4a-7a	0%	0,00	0,00	0,00	0,0000	0,0000	0,000000	0,000000	0,00	0,000000	0,000000	0,00
Trave 4a-7a	100%	0,00	0,00	0,00	0,0000	0,0000	0,000000	0,000000	0,00	0,000000	0,000000	0,00
proporzionale alla deformata 1° modo di vibrazione												
Trave 4a-7a	0%	0,00	0,00	0,00	0,0000	0,0000	0,000000	0,000000	0,00	0,000000	0,000000	0,00
Trave 4a-7a	100%	0,00	0,00	0,00	0,0000	0,0000	0,000000	0,000000	0,00	0,000000	0,000000	0,00
sisma in +X												
proporzionale alle masse												
Trave 7a-17a	0%	1,16	1,54	0,68	0,0649	0,0032	0,017270	0,000074	NS	0,004829	0,000095	50,82
Trave 7a-17a	100%	0,98	0,86	0,67	0,0398	0,0040	0,010544	0,000113	93,29	0,005397	0,000116	46,43
proporzionale alla deformata 1° modo di vibrazione												
Trave 7a-17a	0%	1,06	1,48	0,67	0,0643	0,0034	0,016463	0,000062	NS	0,004911	0,000091	53,92
Trave 7a-17a	100%	1,01	0,88	0,67	0,0391	0,0043	0,010532	0,000107	98,32	0,005514	0,000115	48,15
sisma in -X												
proporzionale alle masse												
Trave 7a-17a	0%	1,27	1,52	0,70	0,0657	0,0044	0,018332	0,000063	NS	0,005649	0,000094	60,02
Trave 7a-17a	100%	0,90	0,83	0,66	0,0412	0,0035	0,010441	0,000090	NS	0,005164	0,000108	48,02
proporzionale alla deformata 1° modo di vibrazione												
Trave 7a-17a	0%	1,21	1,52	0,69	0,0654	0,0034	0,017767	0,000057	NS	0,004912	0,000091	54,26
Trave 7a-17a	100%	0,92	0,84	0,66	0,0408	0,0037	0,010476	0,000088	NS	0,005242	0,000108	48,67
sisma in +Y												
proporzionale alle masse												
Trave 7a-17a	0%	3,74	3,96	0,94	0,0700	0,0023	0,030568	0,000143	NS	0,005359	0,000131	40,95
Trave 7a-17a	100%	0,34	0,51	0,60	0,0486	0,0019	0,009776	0,000009	NS	0,005469	0,000081	67,79
proporzionale alla deformata 1° modo di vibrazione												
Trave 7a-17a	0%	5,89	8,64	1,16	0,0711	0,0023	0,040203	0,000183	NS	0,008597	0,000143	60,22
Trave 7a-17a	100%	0,03	0,39	0,57	0,0512	0,0028	0,010296	0,000069	NS	0,006773	0,000046	NS
sisma in -Y												
proporzionale alle masse												
Trave 7a-17a	0%	0,00	0,00	0,00	0,0000	0,0000	0,000000	0,000000	0,00	0,000000	0,000000	0,00
Trave 7a-17a	100%	0,00	0,00	0,00	0,0000	0,0000	0,000000	0,000000	0,00	0,000000	0,000000	0,00
proporzionale alla deformata 1° modo di vibrazione												
Trave 7a-17a	0%	0,00	0,00	0,00	0,0000	0,0000	0,000000	0,000000	0,00	0,000000	0,000000	0,00
Trave 7a-17a	100%	0,00	0,00	0,00	0,0000	0,0000	0,000000	0,000000	0,00	0,000000	0,000000	0,00
sisma in +X												
proporzionale alle masse												
Trave 17a-22a	0%	0,08	0,09	0,58	0,0843	0,0048	0,022160	0,000113	NS	0,021423	0,000116	NS

Id_{Tr}	$\%L_{LI}$	$L_{v,SLV}$	$L_{v,SLD}$	L_{pl}	ϕ_u	ϕ_y	SLV			SLD		
							Θ_c	Θ_d	CS	Θ_c	Θ_d	CS
	[%]	[m]	[m]	[m]	[rad/m]	[rad/m]	[rad]	[rad]		[rad]	[rad]	
Trave 17a-22a	100%	0,83	0,82	0,65	0,0216	0,0054	0,006273	0,000166	37,88	0,006140	0,000149	41,23
proporzionale alla deformata 1° modo di vibrazione												
Trave 17a-22a	0%	0,10	0,02	0,58	0,0835	0,0048	0,064241	0,000107	NS	0,105725	0,000115	NS
Trave 17a-22a	100%	0,82	0,81	0,65	0,0212	0,0056	0,006179	0,000166	37,24	0,006225	0,000150	41,55
sisma in -X												
proporzionale alle masse												
Trave 17a-22a	0%	0,57	3,23	0,62	0,0362	0,0048	0,008948	0,000090	99,79	0,008084	0,000108	75,18
Trave 17a-22a	100%	1,10	1,14	0,68	0,0225	0,0032	0,006916	0,000131	52,63	0,004750	0,000136	34,82
proporzionale alla deformata 1° modo di vibrazione												
Trave 17a-22a	0%	0,60	3,76	0,63	0,0358	0,0048	0,009289	0,000088	NS	0,008836	0,000108	82,04
Trave 17a-22a	100%	1,11	1,20	0,68	0,0223	0,0032	0,006895	0,000133	52,03	0,004743	0,000138	34,48
sisma in +Y												
proporzionale alle masse												
Trave 17a-22a	0%	0,85	1,59	0,65	0,0895	0,0029	0,019778	0,000009	NS	0,004580	0,000081	56,77
Trave 17a-22a	100%	0,21	0,18	0,59	0,0248	0,0025	0,009293	0,000037	NS	0,012008	0,000072	NS
proporzionale alla deformata 1° modo di vibrazione												
Trave 17a-22a	0%	1,33	2,67	0,70	0,0907	0,0026	0,025214	0,000069	NS	0,004819	0,000046	NS
Trave 17a-22a	100%	0,02	0,13	0,57	0,0931	0,0025	0,020580	0,000160	NS	0,015295	0,000014	NS
sisma in -Y												
proporzionale alle masse												
Trave 17a-22a	0%	0,00	0,00	0,00	0,0000	0,0000	0,000000	0,000000	0,00	0,000000	0,000000	0,00
Trave 17a-22a	100%	0,00	0,00	0,00	0,0000	0,0000	0,000000	0,000000	0,00	0,000000	0,000000	0,00
proporzionale alla deformata 1° modo di vibrazione												
Trave 17a-22a	0%	0,00	0,00	0,00	0,0000	0,0000	0,000000	0,000000	0,00	0,000000	0,000000	0,00
Trave 17a-22a	100%	0,00	0,00	0,00	0,0000	0,0000	0,000000	0,000000	0,00	0,000000	0,000000	0,00
sisma in +X												
proporzionale alle masse												
Trave 22a-26a	0%	0,53	0,47	0,62	0,0231	0,0041	0,006247	0,000166	37,72	0,006594	0,000149	44,28
Trave 22a-26a	100%	0,45	0,52	0,61	0,0875	0,0022	0,015871	0,000182	87,03	0,005598	0,000120	46,46
proporzionale alla deformata 1° modo di vibrazione												
Trave 22a-26a	0%	0,56	0,48	0,62	0,0224	0,0044	0,006119	0,000166	36,87	0,006620	0,000150	44,19
Trave 22a-26a	100%	0,44	0,51	0,61	0,0862	0,0022	0,015663	0,000195	80,39	0,005615	0,000129	43,37
sisma in -X												
proporzionale alle masse												
Trave 22a-26a	0%	0,52	0,44	0,62	0,0244	0,0037	0,006536	0,000131	49,74	0,006673	0,000136	48,91
Trave 22a-26a	100%	0,48	0,54	0,62	0,0896	0,0022	0,016183	0,000121	NS	0,005436	0,000093	58,39
proporzionale alla deformata 1° modo di vibrazione												
Trave 22a-26a	0%	0,52	0,46	0,62	0,0241	0,0038	0,006438	0,000133	48,58	0,006569	0,000138	47,76
Trave 22a-26a	100%	0,48	0,55	0,62	0,0893	0,0022	0,016125	0,000128	NS	0,005423	0,000096	56,53
sisma in +Y												
proporzionale alle masse												
Trave 22a-26a	0%	0,32	0,35	0,60	0,0254	0,0026	0,006995	0,000037	NS	0,007157	0,000072	99,00
Trave 22a-26a	100%	0,74	0,73	0,64	0,0911	0,0022	0,018537	0,000097	NS	0,004728	0,000022	NS
proporzionale alla deformata 1° modo di vibrazione												
Trave 22a-26a	0%	0,13	0,23	0,58	0,0926	0,0027	0,017959	0,000160	NS	0,009809	0,000014	NS
Trave 22a-26a	100%	2,75	0,92	0,84	0,0906	0,0022	0,033741	0,000218	NS	0,004382	0,000094	46,85
sisma in -Y												
proporzionale alle masse												
Trave 22a-26a	0%	0,00	0,00	0,00	0,0000	0,0000	0,000000	0,000000	0,00	0,000000	0,000000	0,00
Trave 22a-26a	100%	0,00	0,00	0,00	0,0000	0,0000	0,000000	0,000000	0,00	0,000000	0,000000	0,00
proporzionale alla deformata 1° modo di vibrazione												
Trave 22a-26a	0%	0,00	0,00	0,00	0,0000	0,0000	0,000000	0,000000	0,00	0,000000	0,000000	0,00
Trave 22a-26a	100%	0,00	0,00	0,00	0,0000	0,0000	0,000000	0,000000	0,00	0,000000	0,000000	0,00
sisma in +X												
proporzionale alle masse												
Trave 26a-31a	0%	0,35	0,13	0,60	0,0514	0,0026	0,015029	0,000182	82,42	0,015340	0,000120	NS
Trave 26a-31a	100%	1,92	3,09	0,76	0,0708	0,0025	0,023315	0,000086	NS	0,004999	0,000159	31,37
proporzionale alla deformata 1° modo di vibrazione												
Trave 26a-31a	0%	0,45	0,19	0,61	0,0499	0,0029	0,012894	0,000195	66,18	0,011376	0,000129	87,88
Trave 26a-31a	100%	1,81	2,78	0,75	0,0701	0,0027	0,022560	0,000054	NS	0,005019	0,000149	33,75
sisma in -X												
proporzionale alle masse												
Trave 26a-31a	0%	0,23	0,03	0,59	0,0518	0,0018	0,038817	0,000121	NS	0,062856	0,000093	NS
Trave 26a-31a	100%	2,55	4,79	0,82	0,0712	0,0024	0,026790	0,000165	NS	0,005999	0,000201	29,84
proporzionale alla deformata 1° modo di vibrazione												
Trave 26a-31a	0%	0,25	0,01	0,59	0,0517	0,0021	0,070699	0,000128	NS	0,126696	0,000096	NS
Trave 26a-31a	100%	2,44	4,57	0,81	0,0711	0,0024	0,026223	0,000154	NS	0,005884	0,000199	29,58
sisma in +Y												
proporzionale alle masse												
Trave 26a-31a	0%	1,31	1,36	0,70	0,0925	0,0018	0,025137	0,000097	NS	0,003821	0,000022	NS
Trave 26a-31a	100%	0,04	0,60	0,57	0,0800	0,0020	0,013699	0,000184	74,44	0,005066	0,000220	23,04
proporzionale alla deformata 1° modo di vibrazione												
Trave 26a-31a	0%	1,25	7,38	0,69	0,0894	0,0018	0,025113	0,000218	NS	0,006434	0,000094	68,79
Trave 26a-31a	100%	0,89	0,21	0,66	0,0762	0,0041	0,020361	0,000204	99,92	0,010931	0,000215	50,85
sisma in -Y												
proporzionale alle masse												
Trave 26a-31a	0%	0,00	0,00	0,00	0,0000	0,0000	0,000000	0,000000	0,00	0,000000	0,000000	0,00
Trave 26a-31a	100%	0,00	0,00	0,00	0,0000	0,0000	0,000000	0,000000	0,00	0,000000	0,000000	0,00
proporzionale alla deformata 1° modo di vibrazione												
Trave 26a-31a	0%	0,00	0,00	0,00	0,0000	0,0000	0,000000	0,000000	0,00	0,000000	0,000000	0,00
Trave 26a-31a	100%	0,00	0,00	0,00	0,0000	0,0000	0,000000	0,000000	0,00	0,000000	0,000000	0,00
sisma in +X												
proporzionale alle masse												
Trave 31a-36a	0%	1,65	1,23	0,73	0,0705	0,0021	0,021544	0,000086	NS	0,004062	0,000159	25,49
Trave 31a-36a	100%	0,65	0,87	0,63	0,0228	0,0036	0,005694	0,000225	25,25	0,005182	0,000201	25,73

Id_{Tr}	$\%L_{LI}$	$L_{v,SLV}$	$L_{v,SLD}$	L_{pl}	ϕ_u	ϕ_y	SLV			SLD		
							Θ_c	Θ_d	CS	Θ_c	Θ_d	CS
	[%]	[m]	[m]	[m]	[rad/m]	[rad/m]	[rad]	[rad]		[rad]	[rad]	
proporzionale alla deformata 1° modo di vibrazione												
Trave 31a-36a	0%	1,87	1,26	0,76	0,0709	0,0019	0,022778	0,000054	NS	0,003942	0,000149	26,51
Trave 31a-36a	100%	0,60	0,84	0,63	0,0229	0,0018	0,005473	0,000233	23,45	0,004313	0,000202	21,30
sisma in -X												
proporzionale alle masse												
Trave 31a-36a	0%	1,42	1,21	0,71	0,0679	0,0026	0,019599	0,000165	NS	0,004365	0,000201	21,71
Trave 31a-36a	100%	0,77	0,89	0,64	0,0217	0,0034	0,005939	0,000277	21,48	0,005062	0,000235	21,53
proporzionale alla deformata 1° modo di vibrazione												
Trave 31a-36a	0%	1,47	1,22	0,71	0,0682	0,0025	0,019917	0,000154	NS	0,004344	0,000199	21,84
Trave 31a-36a	100%	0,74	0,88	0,64	0,0218	0,0034	0,005862	0,000278	21,12	0,005045	0,000235	21,44
sisma in +Y												
proporzionale alle masse												
Trave 31a-36a	0%	0,93	0,99	0,66	0,0592	0,0031	0,014354	0,000184	78,00	0,004782	0,000220	21,75
Trave 31a-36a	100%	1,09	1,04	0,68	0,0184	0,0039	0,006006	0,000090	66,58	0,005238	0,000159	32,95
proporzionale alla deformata 1° modo di vibrazione												
Trave 31a-36a	0%	0,73	0,90	0,64	0,0465	0,0031	0,010272	0,000204	50,40	0,004864	0,000215	22,63
Trave 31a-36a	100%	1,26	1,11	0,69	0,0164	0,0048	0,005788	0,000011	NS	0,005715	0,000107	53,31
sisma in -Y												
proporzionale alle masse												
Trave 31a-36a	0%	0,00	0,00	0,00	0,0000	0,0000	0,000000	0,000000	0,00	0,000000	0,000000	0,00
Trave 31a-36a	100%	0,00	0,00	0,00	0,0000	0,0000	0,000000	0,000000	0,00	0,000000	0,000000	0,00
proporzionale alla deformata 1° modo di vibrazione												
Trave 31a-36a	0%	0,00	0,00	0,00	0,0000	0,0000	0,000000	0,000000	0,00	0,000000	0,000000	0,00
Trave 31a-36a	100%	0,00	0,00	0,00	0,0000	0,0000	0,000000	0,000000	0,00	0,000000	0,000000	0,00
sisma in +X												
proporzionale alle masse												
Trave 36a-44	0%	2,51	1,07	0,82	0,0211	0,0042	0,008479	0,000225	37,61	0,005370	0,000201	26,67
Trave 36a-44	100%	0,99	0,80	0,67	0,0120	0,0044	0,004516	0,000189	23,92	0,005654	0,000153	36,98
proporzionale alla deformata 1° modo di vibrazione												
Trave 36a-44	0%	0,35	1,08	0,60	0,0924	0,0025	0,015746	0,000233	67,48	0,004408	0,000202	21,77
Trave 36a-44	100%	0,85	0,68	0,65	0,0120	0,0037	0,004451	0,000202	22,02	0,005561	0,000158	35,30
sisma in -X												
proporzionale alle masse												
Trave 36a-44	0%	1,33	1,04	0,70	0,0205	0,0041	0,006899	0,000277	24,95	0,005356	0,000235	22,78
Trave 36a-44	100%	34,85	0,82	4,05	0,0120	0,0058	0,014938	0,000233	64,08	0,006323	0,000185	34,14
proporzionale alla deformata 1° modo di vibrazione												
Trave 36a-44	0%	1,57	1,06	0,73	0,0205	0,0041	0,007227	0,000278	26,04	0,005349	0,000235	22,73
Trave 36a-44	100%	1,77	0,85	0,75	0,0120	0,0058	0,004970	0,000234	21,28	0,006291	0,000185	33,99
sisma in +Y												
proporzionale alle masse												
Trave 36a-44	0%	1,44	1,80	0,71	0,0161	0,0043	0,006080	0,000090	67,42	0,005834	0,000159	36,71
Trave 36a-44	100%	2,14	0,67	0,78	0,0103	0,0049	0,004780	0,000114	42,05	0,006114	0,000031	NS
proporzionale alla deformata 1° modo di vibrazione												
Trave 36a-44	0%	7,96	1,90	1,36	0,0146	0,0043	0,009390	0,000011	NS	0,005926	0,000107	55,29
Trave 36a-44	100%	3,76	0,78	0,94	0,0097	0,0045	0,004999	0,000265	18,89	0,005746	0,000053	NS
sisma in -Y												
proporzionale alle masse												
Trave 36a-44	0%	0,00	0,00	0,00	0,0000	0,0000	0,000000	0,000000	0,00	0,000000	0,000000	0,00
Trave 36a-44	100%	0,00	0,00	0,00	0,0000	0,0000	0,000000	0,000000	0,00	0,000000	0,000000	0,00
proporzionale alla deformata 1° modo di vibrazione												
Trave 36a-44	0%	0,00	0,00	0,00	0,0000	0,0000	0,000000	0,000000	0,00	0,000000	0,000000	0,00
Trave 36a-44	100%	0,00	0,00	0,00	0,0000	0,0000	0,000000	0,000000	0,00	0,000000	0,000000	0,00
Piano copertura							**Travata: Trave18-5a-8a-18a-23a-27a-32a-37a-45**					
sisma in +X												
proporzionale alle masse												
Trave 18-5a	0%	0,97	1,02	0,67	0,0121	0,0043	0,004433	0,000223	19,86	0,005427	0,000191	28,36
Trave 18-5a	100%	0,59	0,41	0,63	0,0830	0,0041	0,015889	0,000253	62,81	0,007041	0,000220	31,99
proporzionale alla deformata 1° modo di vibrazione												
Trave 18-5a	0%	0,96	1,05	0,66	0,0121	0,0036	0,004364	0,000213	20,47	0,005063	0,000186	27,16
Trave 18-5a	100%	0,71	0,12	0,64	0,0828	0,0038	0,022564	0,000246	91,73	0,017366	0,000218	79,59
sisma in -X												
proporzionale alle masse												
Trave 18-5a	0%	0,64	1,03	0,63	0,0123	0,0028	0,003829	0,000166	23,06	0,004605	0,000160	28,77
Trave 18-5a	100%	0,19	0,95	0,59	0,0834	0,0029	0,014177	0,000173	81,71	0,004722	0,000179	26,35
proporzionale alla deformata 1° modo di vibrazione												
Trave 18-5a	0%	0,12	0,99	0,58	0,0124	0,0026	0,003681	0,000183	20,09	0,004529	0,000167	27,16
Trave 18-5a	100%	0,04	0,69	0,57	0,0192	0,0027	0,004901	0,000171	28,70	0,005067	0,000182	27,82
sisma in +Y												
proporzionale alle masse												
Trave 18-5a	0%	2,11	5,51	0,78	0,0985	0,0019	0,033422	0,001044	32,01	0,005441	0,000474	11,48
Trave 18-5a	100%	0,33	0,75	0,60	0,0230	0,0019	0,005449	0,000397	13,72	0,004542	0,000352	12,92
proporzionale alla deformata 1° modo di vibrazione												
Trave 18-5a	0%	2,02	1,99	0,77	0,1003	0,0018	0,032580	0,001503	21,67	0,003801	0,000776	4,90
Trave 18-5a	100%	0,25	0,49	0,59	0,0254	0,0020	0,006316	0,000485	13,04	0,005680	0,000353	16,11
sisma in -Y												
proporzionale alle masse												
Trave 18-5a	0%	0,00	0,00	0,00	0,0000	0,0000	0,000000	0,000000	0,00	0,000000	0,000000	0,00
Trave 18-5a	100%	0,00	0,00	0,00	0,0000	0,0000	0,000000	0,000000	0,00	0,000000	0,000000	0,00
proporzionale alla deformata 1° modo di vibrazione												
Trave 18-5a	0%	0,00	0,00	0,00	0,0000	0,0000	0,000000	0,000000	0,00	0,000000	0,000000	0,00
Trave 18-5a	100%	0,00	0,00	0,00	0,0000	0,0000	0,000000	0,000000	0,00	0,000000	0,000000	0,00
sisma in +X												
proporzionale alle masse												
Trave 5a-8a	0%	0,45	0,59	0,61	0,0200	0,0022	0,005329	0,000253	21,06	0,005204	0,000220	23,65
Trave 5a-8a	100%	2,77	2,11	0,85	0,0306	0,0025	0,012281	0,000167	73,54	0,004472	0,000159	28,13

Id_{Tr}	$\%L_{LI}$	$L_{v,SLV}$	$L_{v,SLD}$	L_{pl}	ϕ_u	ϕ_y	SLV			SLD		
							Θ_c	Θ_d	CS	Θ_c	Θ_d	CS
	[%]	[m]	[m]	[m]	[rad/m]	[rad/m]	[rad]	[rad]		[rad]	[rad]	
proporzionale alla deformata 1° modo di vibrazione												
Trave 5a-8a	0%	0,45	0,60	0,61	0,0199	0,0024	0,005301	0,000246	21,55	0,005228	0,000218	23,96
Trave 5a-8a	100%	2,79	2,09	0,85	0,0305	0,0025	0,012264	0,000163	75,10	0,004441	0,000158	28,07
sisma in -X												
proporzionale alle masse												
Trave 5a-8a	0%	0,41	0,60	0,61	0,0200	0,0023	0,005286	0,000174	30,47	0,005203	0,000179	29,04
Trave 5a-8a	100%	2,96	2,17	0,86	0,0306	0,0026	0,012615	0,000080	NS	0,004564	0,000114	40,20
proporzionale alla deformata 1° modo di vibrazione												
Trave 5a-8a	0%	0,38	0,57	0,61	0,0200	0,0024	0,005344	0,000171	31,29	0,005351	0,000182	29,38
Trave 5a-8a	100%	3,04	2,26	0,87	0,0307	0,0025	0,012802	0,000071	NS	0,004572	0,000109	41,78
sisma in +Y												
proporzionale alle masse												
Trave 5a-8a	0%	0,47	0,04	0,62	0,0862	0,0024	0,037172	0,000397	93,56	0,048563	0,000352	NS
Trave 5a-8a	100%	6,49	4,38	1,22	0,0349	0,0020	0,020688	0,000108	NS	0,005073	0,000143	35,46
proporzionale alla deformata 1° modo di vibrazione												
Trave 5a-8a	0%	1,30	0,03	0,70	0,0870	0,0019	0,054966	0,000485	NS	0,066431	0,000353	NS
Trave 5a-8a	100%	17,59	3,74	2,33	0,0375	0,0019	0,041004	0,000085	NS	0,004491	0,000126	35,74
sisma in -Y												
proporzionale alle masse												
Trave 5a-8a	0%	0,00	0,00	0,00	0,0000	0,0000	0,000000	0,000000	0,00	0,000000	0,000000	0,00
Trave 5a-8a	100%	0,00	0,00	0,00	0,0000	0,0000	0,000000	0,000000	0,00	0,000000	0,000000	0,00
proporzionale alla deformata 1° modo di vibrazione												
Trave 5a-8a	0%	0,00	0,00	0,00	0,0000	0,0000	0,000000	0,000000	0,00	0,000000	0,000000	0,00
Trave 5a-8a	100%	0,00	0,00	0,00	0,0000	0,0000	0,000000	0,000000	0,00	0,000000	0,000000	0,00
sisma in +X												
proporzionale alle masse												
Trave 8a-18a	0%	1,80	1,91	0,75	0,0294	0,0029	0,010208	0,000167	61,13	0,004716	0,000159	29,66
Trave 8a-18a	100%	0,55	0,51	0,62	0,0750	0,0024	0,014162	0,000095	NS	0,005721	0,000087	66,06
proporzionale alla deformata 1° modo di vibrazione												
Trave 8a-18a	0%	1,76	1,89	0,74	0,0292	0,0030	0,010077	0,000163	61,71	0,004800	0,000158	30,34
Trave 8a-18a	100%	0,58	0,53	0,63	0,0748	0,0026	0,014117	0,000100	NS	0,005626	0,000091	62,04
sisma in -X												
proporzionale alle masse												
Trave 8a-18a	0%	1,76	1,88	0,74	0,0293	0,0030	0,010097	0,000080	NS	0,004784	0,000114	42,14
Trave 8a-18a	100%	0,56	0,53	0,62	0,0748	0,0025	0,014108	0,000008	NS	0,005619	0,000042	NS
proporzionale alla deformata 1° modo di vibrazione												
Trave 8a-18a	0%	1,77	1,89	0,74	0,0293	0,0030	0,010129	0,000071	NS	0,004811	0,000109	43,96
Trave 8a-18a	100%	0,56	0,52	0,62	0,0749	0,0026	0,014128	0,000003	NS	0,005683	0,000035	NS
sisma in +Y												
proporzionale alle masse												
Trave 8a-18a	0%	2,39	2,28	0,81	0,0324	0,0025	0,012293	0,000108	NS	0,004517	0,000143	31,56
Trave 8a-18a	100%	0,17	0,32	0,59	0,0775	0,0018	0,014784	0,000127	NS	0,007402	0,000032	NS
proporzionale alla deformata 1° modo di vibrazione												
Trave 8a-18a	0%	2,44	2,53	0,81	0,0337	0,0025	0,012878	0,000085	NS	0,004641	0,000126	36,94
Trave 8a-18a	100%	0,09	0,17	0,58	0,0785	0,0019	0,016995	0,000219	77,70	0,011879	0,000084	NS
sisma in -Y												
proporzionale alle masse												
Trave 8a-18a	0%	0,00	0,00	0,00	0,0000	0,0000	0,000000	0,000000	0,00	0,000000	0,000000	0,00
Trave 8a-18a	100%	0,00	0,00	0,00	0,0000	0,0000	0,000000	0,000000	0,00	0,000000	0,000000	0,00
proporzionale alla deformata 1° modo di vibrazione												
Trave 8a-18a	0%	0,00	0,00	0,00	0,0000	0,0000	0,000000	0,000000	0,00	0,000000	0,000000	0,00
Trave 8a-18a	100%	0,00	0,00	0,00	0,0000	0,0000	0,000000	0,000000	0,00	0,000000	0,000000	0,00
sisma in +X												
proporzionale alle masse												
Trave 18a-23a	0%	0,27	0,31	0,60	0,0883	0,0032	0,016677	0,000095	NS	0,008027	0,000087	92,67
Trave 18a-23a	100%	0,68	0,65	0,64	0,0236	0,0054	0,006254	0,000121	51,59	0,006408	0,000108	59,49
proporzionale alla deformata 1° modo di vibrazione												
Trave 18a-23a	0%	0,24	0,28	0,59	0,0880	0,0032	0,016870	0,000100	NS	0,008625	0,000091	95,11
Trave 18a-23a	100%	0,70	0,66	0,64	0,0234	0,0059	0,006313	0,000128	49,40	0,006590	0,000113	58,33
sisma in -X												
proporzionale alle masse												
Trave 18a-23a	0%	0,33	0,34	0,60	0,0871	0,0032	0,016414	0,000008	NS	0,007609	0,000042	NS
Trave 18a-23a	100%	0,64	0,63	0,63	0,0229	0,0051	0,005994	0,000041	NS	0,006307	0,000067	93,98
proporzionale alla deformata 1° modo di vibrazione												
Trave 18a-23a	0%	0,34	0,33	0,60	0,0870	0,0032	0,016434	0,000003	NS	0,007627	0,000035	NS
Trave 18a-23a	100%	0,63	0,63	0,63	0,0229	0,0051	0,005970	0,000030	NS	0,006312	0,000059	NS
sisma in +Y												
proporzionale alle masse												
Trave 18a-23a	0%	0,53	0,47	0,62	0,0910	0,0025	0,016732	0,000127	NS	0,005998	0,000032	NS
Trave 18a-23a	100%	0,47	0,49	0,61	0,0253	0,0032	0,006468	0,000136	47,51	0,006153	0,000025	NS
proporzionale alla deformata 1° modo di vibrazione												
Trave 18a-23a	0%	0,55	0,56	0,62	0,0913	0,0025	0,016553	0,000219	75,68	0,005451	0,000084	64,77
Trave 18a-23a	100%	0,46	0,45	0,61	0,0255	0,0032	0,006609	0,000252	26,25	0,006394	0,000089	71,88
sisma in -Y												
proporzionale alle masse												
Trave 18a-23a	0%	0,00	0,00	0,00	0,0000	0,0000	0,000000	0,000000	0,00	0,000000	0,000000	0,00
Trave 18a-23a	100%	0,00	0,00	0,00	0,0000	0,0000	0,000000	0,000000	0,00	0,000000	0,000000	0,00
proporzionale alla deformata 1° modo di vibrazione												
Trave 18a-23a	0%	0,00	0,00	0,00	0,0000	0,0000	0,000000	0,000000	0,00	0,000000	0,000000	0,00
Trave 18a-23a	100%	0,00	0,00	0,00	0,0000	0,0000	0,000000	0,000000	0,00	0,000000	0,000000	0,00
sisma in +X												
proporzionale alle masse												
Trave 23a-27a	0%	0,47	0,45	0,61	0,0252	0,0032	0,006583	0,000121	54,30	0,006402	0,000108	59,43
Trave 23a-27a	100%	0,54	0,55	0,62	0,0910	0,0022	0,016494	0,000071	NS	0,005360	0,000047	NS
proporzionale alla deformata 1° modo di vibrazione												

Id_{Tr}	$\%L_{LI}$	$L_{v,SLV}$	$L_{v,SLD}$	L_{pl}	ϕ_u	ϕ_y	SLV			SLD		
							Θ_c	Θ_d	CS	Θ_c	Θ_d	CS
	[%]	[m]	[m]	[m]	[rad/m]	[rad/m]	[rad]	[rad]		[rad]	[rad]	
Trave 23a-27a	0%	0,47	0,45	0,62	0,0251	0,0034	0,006569	0,000128	51,40	0,006448	0,000113	57,07
Trave 23a-27a	100%	0,53	0,55	0,62	0,0908	0,0022	0,016460	0,000082	NS	0,005368	0,000054	99,70
sisma in -X												
proporzionale alle masse												
Trave 23a-27a	0%	0,53	0,49	0,62	0,0238	0,0041	0,006298	0,000041	NS	0,006475	0,000067	96,48
Trave 23a-27a	100%	0,46	0,52	0,61	0,0889	0,0022	0,016121	0,000046	NS	0,005587	0,000039	NS
proporzionale alla deformata 1° modo di vibrazione												
Trave 23a-27a	0%	0,54	0,49	0,62	0,0237	0,0043	0,006281	0,000030	NS	0,006528	0,000059	NS
Trave 23a-27a	100%	0,46	0,51	0,61	0,0887	0,0022	0,016085	0,000039	NS	0,005617	0,000035	NS
sisma in +Y												
proporzionale alle masse												
Trave 23a-27a	0%	0,46	0,44	0,61	0,0253	0,0029	0,006609	0,000136	48,54	0,006347	0,000025	NS
Trave 23a-27a	100%	0,52	0,58	0,62	0,0912	0,0022	0,016447	0,000153	NS	0,005265	0,000072	73,05
proporzionale alla deformata 1° modo di vibrazione												
Trave 23a-27a	0%	0,81	0,44	0,65	0,0243	0,0029	0,007330	0,000252	29,12	0,006380	0,000089	71,72
Trave 23a-27a	100%	0,55	0,59	0,62	0,0902	0,0022	0,016325	0,000236	69,21	0,005198	0,000126	41,25
sisma in -Y												
proporzionale alle masse												
Trave 23a-27a	0%	0,00	0,00	0,00	0,0000	0,0000	0,000000	0,000000	0,00	0,000000	0,000000	0,00
Trave 23a-27a	100%	0,00	0,00	0,00	0,0000	0,0000	0,000000	0,000000	0,00	0,000000	0,000000	0,00
proporzionale alla deformata 1° modo di vibrazione												
Trave 23a-27a	0%	0,00	0,00	0,00	0,0000	0,0000	0,000000	0,000000	0,00	0,000000	0,000000	0,00
Trave 23a-27a	100%	0,00	0,00	0,00	0,0000	0,0000	0,000000	0,000000	0,00	0,000000	0,000000	0,00
sisma in +X												
proporzionale alle masse												
Trave 27a-32a	0%	0,05	0,04	0,57	0,0781	0,0000	0,034817	0,000071	NS	0,047255	0,000047	NS
Trave 27a-32a	100%	2,65	3,10	0,83	0,0331	0,0025	0,013229	0,000196	67,52	0,004964	0,000198	25,07
proporzionale alla deformata 1° modo di vibrazione												
Trave 27a-32a	0%	0,07	0,02	0,58	0,0781	0,0000	0,057900	0,000082	NS	0,093323	0,000054	NS
Trave 27a-32a	100%	2,57	2,99	0,83	0,0331	0,0025	0,013084	0,000191	68,41	0,004963	0,000197	25,21
sisma in -X												
proporzionale alle masse												
Trave 27a-32a	0%	0,27	0,10	0,60	0,0764	0,0022	0,021170	0,000046	NS	0,020233	0,000039	NS
Trave 27a-32a	100%	2,33	2,95	0,80	0,0309	0,0023	0,011836	0,000105	NS	0,004725	0,000147	32,15
proporzionale alla deformata 1° modo di vibrazione												
Trave 27a-32a	0%	0,29	0,11	0,60	0,0762	0,0024	0,020033	0,000039	NS	0,018012	0,000035	NS
Trave 27a-32a	100%	2,30	2,96	0,80	0,0307	0,0023	0,011715	0,000097	NS	0,004728	0,000143	33,07
sisma in +Y												
proporzionale alle masse												
Trave 27a-32a	0%	0,71	0,27	0,64	0,0667	0,0023	0,015495	0,000153	NS	0,008478	0,000072	NS
Trave 27a-32a	100%	0,03	11,65	0,57	0,0296	0,0023	0,009359	0,000182	51,52	0,010919	0,000199	54,82
proporzionale alla deformata 1° modo di vibrazione												
Trave 27a-32a	0%	0,87	0,83	0,66	0,0625	0,0019	0,014529	0,000236	61,60	0,004373	0,000126	34,70
Trave 27a-32a	100%	1,17	0,39	0,69	0,0842	0,0023	0,023170	0,000186	NS	0,006611	0,000191	34,58
sisma in -Y												
proporzionale alle masse												
Trave 27a-32a	0%	0,00	0,00	0,00	0,0000	0,0000	0,000000	0,000000	0,00	0,000000	0,000000	0,00
Trave 27a-32a	100%	0,00	0,00	0,00	0,0000	0,0000	0,000000	0,000000	0,00	0,000000	0,000000	0,00
proporzionale alla deformata 1° modo di vibrazione												
Trave 27a-32a	0%	0,00	0,00	0,00	0,0000	0,0000	0,000000	0,000000	0,00	0,000000	0,000000	0,00
Trave 27a-32a	100%	0,00	0,00	0,00	0,0000	0,0000	0,000000	0,000000	0,00	0,000000	0,000000	0,00
sisma in +X												
proporzionale alle masse												
Trave 32a-37a	0%	2,19	1,71	0,79	0,0330	0,0023	0,011990	0,000196	61,20	0,004123	0,000198	20,82
Trave 32a-37a	100%	0,40	0,58	0,61	0,0153	0,0032	0,004688	0,000400	11,71	0,005699	0,000323	17,62
proporzionale alla deformata 1° modo di vibrazione												
Trave 32a-37a	0%	2,40	1,81	0,81	0,0336	0,0021	0,012596	0,000191	65,86	0,004024	0,000197	20,44
Trave 32a-37a	100%	0,28	0,53	0,60	0,0155	0,0019	0,004697	0,000433	10,86	0,005337	0,000340	15,72
sisma in -X												
proporzionale alle masse												
Trave 32a-37a	0%	1,62	1,51	0,73	0,0300	0,0028	0,009961	0,000105	95,06	0,004483	0,000147	30,50
Trave 32a-37a	100%	0,66	0,69	0,63	0,0148	0,0030	0,004539	0,000188	24,17	0,005187	0,000226	22,99
proporzionale alla deformata 1° modo di vibrazione												
Trave 32a-37a	0%	1,55	1,47	0,72	0,0296	0,0028	0,009663	0,000097	NS	0,004485	0,000143	31,37
Trave 32a-37a	100%	0,71	0,72	0,64	0,0146	0,0031	0,004612	0,000166	27,85	0,005153	0,000213	24,14
sisma in +Y												
proporzionale alle masse												
Trave 32a-37a	0%	0,84	1,09	0,65	0,0240	0,0028	0,006512	0,000182	35,85	0,004548	0,000199	22,83
Trave 32a-37a	100%	1,18	0,96	0,69	0,0131	0,0049	0,004881	0,000091	53,67	0,005787	0,000188	30,72
proporzionale alla deformata 1° modo di vibrazione												
Trave 32a-37a	0%	0,48	0,91	0,62	0,0202	0,0028	0,005030	0,000186	27,09	0,004702	0,000191	24,59
Trave 32a-37a	100%	1,44	1,12	0,71	0,0119	0,0061	0,004811	0,000005	NS	0,006494	0,000126	51,61
sisma in -Y												
proporzionale alle masse												
Trave 32a-37a	0%	0,00	0,00	0,00	0,0000	0,0000	0,000000	0,000000	0,00	0,000000	0,000000	0,00
Trave 32a-37a	100%	0,00	0,00	0,00	0,0000	0,0000	0,000000	0,000000	0,00	0,000000	0,000000	0,00
proporzionale alla deformata 1° modo di vibrazione												
Trave 32a-37a	0%	0,00	0,00	0,00	0,0000	0,0000	0,000000	0,000000	0,00	0,000000	0,000000	0,00
Trave 32a-37a	100%	0,00	0,00	0,00	0,0000	0,0000	0,000000	0,000000	0,00	0,000000	0,000000	0,00
sisma in +X												
proporzionale alle masse												
Trave 37a-45	0%	0,66	0,16	0,63	0,0899	0,0029	0,020820	0,000400	52,00	0,012777	0,000323	39,50
Trave 37a-45	100%	0,92	1,05	0,66	0,0121	0,0040	0,004354	0,000368	11,82	0,005285	0,000286	18,46
proporzionale alla deformata 1° modo di vibrazione												
Trave 37a-45	0%	0,82	0,53	0,65	0,0899	0,0024	0,019943	0,000433	46,10	0,005598	0,000340	16,48

Id_{Tr}	$\%L_{LI}$	$L_{v,SLV}$	$L_{v,SLD}$	L_{pl}	ϕ_u	ϕ_y	SLV			SLD		
							Θ_c	Θ_d	CS	Θ_c	Θ_d	CS
	[%]	[m]	[m]	[m]	[rad/m]	[rad/m]	[rad]	[rad]		[rad]	[rad]	
Trave 37a-45	100%	0,87	0,99	0,66	0,0122	0,0035	0,004283	0,000407	10,51	0,005021	0,000306	16,41
sisma in -X												
proporzionale alle masse												
Trave 37a-45	0%	1,17	1,37	0,69	0,0141	0,0059	0,005286	0,000188	28,15	0,006571	0,000226	29,12
Trave 37a-45	100%	1,18	1,93	0,69	0,0120	0,0035	0,004696	0,000158	29,80	0,005209	0,000189	27,59
proporzionale alla deformata 1° modo di vibrazione												
Trave 37a-45	0%	1,11	1,29	0,68	0,0140	0,0059	0,005172	0,000166	31,24	0,006499	0,000213	30,45
Trave 37a-45	100%	1,39	3,78	0,71	0,0120	0,0031	0,005531	0,000134	41,32	0,006379	0,000174	36,64
sisma in +Y												
proporzionale alle masse												
Trave 37a-45	0%	2,51	38,72	0,82	0,0118	0,0055	0,038695	0,000091	NS	0,073044	0,000188	NS
Trave 37a-45	100%	2,42	2,49	0,81	0,0104	0,0045	0,005357	0,000096	56,00	0,006754	0,000079	85,96
proporzionale alla deformata 1° modo di vibrazione												
Trave 37a-45	0%	22,30	7,34	2,80	0,0109	0,0055	0,015138	0,000005	NS	0,016292	0,000126	NS
Trave 37a-45	100%	5,82	4,10	1,15	0,0096	0,0045	0,007094	0,000273	25,98	0,008843	0,000022	NS
sisma in -Y												
proporzionale alle masse												
Trave 37a-45	0%	0,00	0,00	0,00	0,0000	0,0000	0,000000	0,000000	0,00	0,000000	0,000000	0,00
Trave 37a-45	100%	0,00	0,00	0,00	0,0000	0,0000	0,000000	0,000000	0,00	0,000000	0,000000	0,00
proporzionale alla deformata 1° modo di vibrazione												
Trave 37a-45	0%	0,00	0,00	0,00	0,0000	0,0000	0,000000	0,000000	0,00	0,000000	0,000000	0,00
Trave 37a-45	100%	0,00	0,00	0,00	0,0000	0,0000	0,000000	0,000000	0,00	0,000000	0,000000	0,00
Piano copertura							**Travata: Trave19-6a-9a-19a-24a-28a-33a-38a-46**					
sisma in +X												
proporzionale alle masse												
Trave 19-6a	0%	1,04	1,29	0,67	0,0118	0,0049	0,004509	0,000412	10,94	0,005880	0,000306	19,22
Trave 19-6a	100%	0,55	7,29	0,62	0,0892	0,0035	0,018725	0,000467	40,13	0,010753	0,000356	30,21
proporzionale alla deformata 1° modo di vibrazione												
Trave 19-6a	0%	1,08	1,25	0,68	0,0117	0,0045	0,004485	0,000407	11,02	0,005624	0,000308	18,24
Trave 19-6a	100%	0,55	1,45	0,62	0,0889	0,0039	0,015878	0,000470	33,82	0,005240	0,000363	14,45
sisma in -X												
proporzionale alle masse												
Trave 19-6a	0%	0,85	0,76	0,65	0,0933	0,0023	0,020716	0,000038	NS	0,004710	0,000105	44,79
Trave 19-6a	100%	0,92	0,91	0,66	0,0137	0,0039	0,004729	0,000047	NS	0,005269	0,000146	36,15
proporzionale alla deformata 1° modo di vibrazione												
Trave 19-6a	0%	0,86	0,80	0,65	0,0937	0,0023	0,020824	0,000065	NS	0,004618	0,000116	39,64
Trave 19-6a	100%	0,92	0,90	0,66	0,0139	0,0037	0,004757	0,000043	NS	0,005177	0,000148	35,00
sisma in +Y												
proporzionale alle masse												
Trave 19-6a	0%	1,19	1,20	0,69	0,0981	0,0018	0,025461	0,001030	24,73	0,003919	0,000484	8,09
Trave 19-6a	100%	0,71	0,74	0,64	0,0162	0,0019	0,004798	0,000464	10,34	0,004556	0,000407	11,20
proporzionale alla deformata 1° modo di vibrazione												
Trave 19-6a	0%	1,20	1,21	0,69	0,1001	0,0019	0,026097	0,001559	16,74	0,003917	0,000790	4,96
Trave 19-6a	100%	0,65	0,77	0,63	0,0176	0,0019	0,004794	0,000545	8,79	0,004519	0,000442	10,21
sisma in -Y												
proporzionale alle masse												
Trave 19-6a	0%	0,00	0,00	0,00	0,0000	0,0000	0,000000	0,000000	0,00	0,000000	0,000000	0,00
Trave 19-6a	100%	0,00	0,00	0,00	0,0000	0,0000	0,000000	0,000000	0,00	0,000000	0,000000	0,00
proporzionale alla deformata 1° modo di vibrazione												
Trave 19-6a	0%	0,00	0,00	0,00	0,0000	0,0000	0,000000	0,000000	0,00	0,000000	0,000000	0,00
Trave 19-6a	100%	0,00	0,00	0,00	0,0000	0,0000	0,000000	0,000000	0,00	0,000000	0,000000	0,00
sisma in +X												
proporzionale alle masse												
Trave 6a-9a	0%	0,50	0,69	0,62	0,0150	0,0022	0,004400	0,000467	9,43	0,004839	0,000356	13,60
Trave 6a-9a	100%	1,88	1,54	0,76	0,0311	0,0026	0,010783	0,000312	34,51	0,004331	0,000268	16,15
proporzionale alla deformata 1° modo di vibrazione												
Trave 6a-9a	0%	0,53	0,69	0,62	0,0150	0,0023	0,004410	0,000469	9,39	0,004884	0,000363	13,47
Trave 6a-9a	100%	1,83	1,54	0,75	0,0309	0,0027	0,010625	0,000323	32,88	0,004402	0,000275	16,00
sisma in -X												
proporzionale alle masse												
Trave 6a-9a	0%	1,12	0,99	0,68	0,0131	0,0048	0,004819	0,000047	NS	0,005717	0,000146	39,23
Trave 6a-9a	100%	0,89	1,05	0,66	0,0238	0,0031	0,006689	0,000128	52,38	0,004774	0,000168	28,42
proporzionale alla deformata 1° modo di vibrazione												
Trave 6a-9a	0%	1,10	0,97	0,68	0,0131	0,0048	0,004831	0,000043	NS	0,005725	0,000148	38,72
Trave 6a-9a	100%	0,91	1,07	0,66	0,0240	0,0031	0,006765	0,000118	57,14	0,004760	0,000163	29,25
sisma in +Y												
proporzionale alle masse												
Trave 6a-9a	0%	0,38	0,52	0,61	0,0156	0,0020	0,004779	0,000464	10,30	0,005427	0,000407	13,34
Trave 6a-9a	100%	1,97	1,80	0,77	0,0338	0,0025	0,011814	0,000201	58,79	0,004338	0,000227	19,09
proporzionale alla deformata 1° modo di vibrazione												
Trave 6a-9a	0%	0,21	0,45	0,59	0,0161	0,0019	0,005047	0,000545	9,25	0,005931	0,000442	13,40
Trave 6a-9a	100%	2,20	1,88	0,79	0,0362	0,0024	0,013082	0,000167	78,27	0,004249	0,000211	20,09
sisma in -Y												
proporzionale alle masse												
Trave 6a-9a	0%	0,00	0,00	0,00	0,0000	0,0000	0,000000	0,000000	0,00	0,000000	0,000000	0,00
Trave 6a-9a	100%	0,00	0,00	0,00	0,0000	0,0000	0,000000	0,000000	0,00	0,000000	0,000000	0,00
proporzionale alla deformata 1° modo di vibrazione												
Trave 6a-9a	0%	0,00	0,00	0,00	0,0000	0,0000	0,000000	0,000000	0,00	0,000000	0,000000	0,00
Trave 6a-9a	100%	0,00	0,00	0,00	0,0000	0,0000	0,000000	0,000000	0,00	0,000000	0,000000	0,00
sisma in +X												
proporzionale alle masse												
Trave 9a-19a	0%	3,07	3,38	0,88	0,0326	0,0024	0,013882	0,000312	44,43	0,005097	0,000268	19,01
Trave 9a-19a	100%	0,01	0,00	0,57	0,0330	0,0000	0,295103	0,000088	NS	0,580821	0,000076	NS
proporzionale alla deformata 1° modo di vibrazione												
Trave 9a-19a	0%	3,24	3,46	0,89	0,0326	0,0024	0,014150	0,000323	43,78	0,005101	0,000275	18,54

Id_{Tr}	$\%L_{LI}$	$L_{v,SLV}$	$L_{v,SLD}$	L_{pl}	ϕ_u	ϕ_y	SLV			SLD		
							Θ_c	Θ_d	CS	Θ_c	Θ_d	CS
	[%]	[m]	[m]	[m]	[rad/m]	[rad/m]	[rad]	[rad]		[rad]	[rad]	
Trave 9a-19a	100%	0,03	0,01	0,57	0,0329	0,0000	0,080254	0,000103	NS	0,151099	0,000084	NS
sisma in -X												
proporzionale alle masse												
Trave 9a-19a	0%	0,18	6,10	0,59	0,0305	0,0024	0,007591	0,000128	59,45	0,006944	0,000168	41,34
Trave 9a-19a	100%	7,77	0,41	1,35	0,0313	0,0020	0,021193	0,000035	NS	0,006343	0,000042	NS
proporzionale alla deformata 1° modo di vibrazione												
Trave 9a-19a	0%	0,30	9,68	0,60	0,0308	0,0024	0,009083	0,000118	76,72	0,009673	0,000163	59,45
Trave 9a-19a	100%	5,61	0,40	1,13	0,0315	0,0019	0,018221	0,000013	NS	0,006304	0,000026	NS
sisma in +Y												
proporzionale alle masse												
Trave 9a-19a	0%	3,34	3,42	0,90	0,0358	0,0023	0,015542	0,000201	77,34	0,004927	0,000227	21,68
Trave 9a-19a	100%	0,30	0,21	0,60	0,0362	0,0000	0,010248	0,000169	60,80	0,009664	0,000071	NS
proporzionale alla deformata 1° modo di vibrazione												
Trave 9a-19a	0%	3,13	3,38	0,88	0,0378	0,0023	0,015911	0,000167	95,20	0,004938	0,000211	23,35
Trave 9a-19a	100%	0,33	0,27	0,60	0,0383	0,0000	0,009621	0,000291	33,10	0,007740	0,000133	58,25
sisma in -Y												
proporzionale alle masse												
Trave 9a-19a	0%	0,00	0,00	0,00	0,0000	0,0000	0,000000	0,000000	0,00	0,000000	0,000000	0,00
Trave 9a-19a	100%	0,00	0,00	0,00	0,0000	0,0000	0,000000	0,000000	0,00	0,000000	0,000000	0,00
proporzionale alla deformata 1° modo di vibrazione												
Trave 9a-19a	0%	0,00	0,00	0,00	0,0000	0,0000	0,000000	0,000000	0,00	0,000000	0,000000	0,00
Trave 9a-19a	100%	0,00	0,00	0,00	0,0000	0,0000	0,000000	0,000000	0,00	0,000000	0,000000	0,00
sisma in +X												
proporzionale alle masse												
Trave 19a-24a	0%	0,63	0,61	0,63	0,0814	0,0024	0,015077	0,000088	NS	0,005205	0,000076	68,81
Trave 19a-24a	100%	0,40	0,41	0,61	0,0357	0,0028	0,008296	0,000049	NS	0,006589	0,000045	NS
proporzionale alla deformata 1° modo di vibrazione												
Trave 19a-24a	0%	0,65	0,62	0,63	0,0815	0,0023	0,015409	0,000103	NS	0,005138	0,000084	61,03
Trave 19a-24a	100%	0,38	0,41	0,61	0,0359	0,0028	0,008342	0,000060	NS	0,006632	0,000052	NS
sisma in -X												
proporzionale alle masse												
Trave 19a-24a	0%	0,73	0,64	0,64	0,0823	0,0022	0,016926	0,000035	NS	0,005013	0,000042	NS
Trave 19a-24a	100%	0,33	0,40	0,60	0,0370	0,0029	0,008494	0,000021	NS	0,006737	0,000012	NS
proporzionale alla deformata 1° modo di vibrazione												
Trave 19a-24a	0%	0,75	0,64	0,64	0,0824	0,0022	0,017173	0,000013	NS	0,005007	0,000026	NS
Trave 19a-24a	100%	0,31	0,40	0,60	0,0372	0,0029	0,008513	0,000052	NS	0,006743	0,000007	NS
sisma in +Y												
proporzionale alle masse												
Trave 19a-24a	0%	0,69	0,67	0,64	0,0829	0,0023	0,016321	0,000169	96,84	0,004918	0,000071	69,67
Trave 19a-24a	100%	0,33	0,36	0,60	0,0379	0,0026	0,008848	0,000282	31,34	0,007077	0,000146	48,49
proporzionale alla deformata 1° modo di vibrazione												
Trave 19a-24a	0%	0,68	0,68	0,64	0,0832	0,0023	0,016225	0,000291	55,82	0,004898	0,000133	36,86
Trave 19a-24a	100%	0,33	0,34	0,60	0,0384	0,0026	0,009038	0,000428	21,10	0,007288	0,000232	31,47
sisma in -Y												
proporzionale alle masse												
Trave 19a-24a	0%	0,00	0,00	0,00	0,0000	0,0000	0,000000	0,000000	0,00	0,000000	0,000000	0,00
Trave 19a-24a	100%	0,00	0,00	0,00	0,0000	0,0000	0,000000	0,000000	0,00	0,000000	0,000000	0,00
proporzionale alla deformata 1° modo di vibrazione												
Trave 19a-24a	0%	0,00	0,00	0,00	0,0000	0,0000	0,000000	0,000000	0,00	0,000000	0,000000	0,00
Trave 19a-24a	100%	0,00	0,00	0,00	0,0000	0,0000	0,000000	0,000000	0,00	0,000000	0,000000	0,00
sisma in +X												
proporzionale alle masse												
Trave 24a-28a	0%	0,37	0,37	0,60	0,0360	0,0027	0,008504	0,000049	NS	0,006912	0,000045	NS
Trave 24a-28a	100%	0,62	0,61	0,63	0,0817	0,0024	0,015095	0,000017	NS	0,005168	0,000009	NS
proporzionale alla deformata 1° modo di vibrazione												
Trave 24a-28a	0%	0,36	0,37	0,60	0,0364	0,0024	0,008573	0,000060	NS	0,006863	0,000052	NS
Trave 24a-28a	100%	0,64	0,62	0,63	0,0820	0,0023	0,015232	0,000015	NS	0,005114	0,000007	NS
sisma in -X												
proporzionale alle masse												
Trave 24a-28a	0%	0,34	0,37	0,60	0,0363	0,0030	0,008540	0,000021	NS	0,007067	0,000012	NS
Trave 24a-28a	100%	0,70	0,63	0,64	0,0819	0,0025	0,016299	0,000065	NS	0,005156	0,000028	NS
proporzionale alla deformata 1° modo di vibrazione												
Trave 24a-28a	0%	0,34	0,37	0,60	0,0361	0,0031	0,008512	0,000052	NS	0,007065	0,000007	NS
Trave 24a-28a	100%	0,72	0,64	0,64	0,0818	0,0025	0,016682	0,000087	NS	0,005143	0,000043	NS
sisma in +Y												
proporzionale alle masse												
Trave 24a-28a	0%	0,58	0,40	0,63	0,0338	0,0029	0,008212	0,000282	29,09	0,006749	0,000146	46,25
Trave 24a-28a	100%	1,65	0,64	0,73	0,0807	0,0025	0,024860	0,000282	88,25	0,005129	0,000168	30,57
proporzionale alla deformata 1° modo di vibrazione												
Trave 24a-28a	0%	0,18	0,48	0,59	0,0835	0,0029	0,014850	0,000428	34,66	0,006036	0,000232	26,06
Trave 24a-28a	100%	0,66	0,78	0,63	0,0587	0,0025	0,011671	0,000401	29,10	0,004744	0,000236	20,07
sisma in -Y												
proporzionale alle masse												
Trave 24a-28a	0%	0,00	0,00	0,00	0,0000	0,0000	0,000000	0,000000	0,00	0,000000	0,000000	0,00
Trave 24a-28a	100%	0,00	0,00	0,00	0,0000	0,0000	0,000000	0,000000	0,00	0,000000	0,000000	0,00
proporzionale alla deformata 1° modo di vibrazione												
Trave 24a-28a	0%	0,00	0,00	0,00	0,0000	0,0000	0,000000	0,000000	0,00	0,000000	0,000000	0,00
Trave 24a-28a	100%	0,00	0,00	0,00	0,0000	0,0000	0,000000	0,000000	0,00	0,000000	0,000000	0,00
sisma in +X												
proporzionale alle masse												
Trave 28a-33a	0%	0,21	0,20	0,59	0,0707	0,0000	0,015349	0,000017	NS	0,009869	0,000009	NS
Trave 28a-33a	100%	3,39	3,71	0,91	0,0342	0,0023	0,015125	0,000330	45,81	0,005145	0,000281	18,32
proporzionale alla deformata 1° modo di vibrazione												
Trave 28a-33a	0%	0,25	0,22	0,59	0,0710	0,0000	0,015101	0,000015	NS	0,009150	0,000007	NS
Trave 28a-33a	100%	3,45	3,71	0,91	0,0346	0,0023	0,015345	0,000345	44,44	0,005062	0,000289	17,52

Id_{Tr}	$\%L_{LI}$	$L_{v,SLV}$	$L_{v,SLD}$	L_{pl}	ϕ_u	ϕ_y	SLV			SLD		
							Θ_c	Θ_d	CS	Θ_c	Θ_d	CS
	[%]	[m]	[m]	[m]	[rad/m]	[rad/m]	[rad]	[rad]		[rad]	[rad]	
sisma in -X												
proporzionale alle masse												
Trave 28a-33a	0%	2,38	0,89	0,81	0,0668	0,0019	0,023891	0,000065	NS	0,004234	0,000028	NS
Trave 28a-33a	100%	0,25	2,43	0,59	0,0878	0,0023	0,014871	0,000125	NS	0,004391	0,000171	25,69
proporzionale alla deformata 1° modo di vibrazione												
Trave 28a-33a	0%	1,58	1,21	0,73	0,0655	0,0020	0,019747	0,000087	NS	0,003982	0,000043	92,23
Trave 28a-33a	100%	0,61	1,21	0,63	0,0868	0,0023	0,015395	0,000117	NS	0,004190	0,000163	25,67
sisma in +Y												
proporzionale alle masse												
Trave 28a-33a	0%	0,99	1,02	0,67	0,0629	0,0025	0,015614	0,000282	55,43	0,004411	0,000168	26,29
Trave 28a-33a	100%	1,09	0,41	0,68	0,0843	0,0023	0,022354	0,000240	93,05	0,006434	0,000234	27,55
proporzionale alla deformata 1° modo di vibrazione												
Trave 28a-33a	0%	0,54	0,84	0,62	0,0521	0,0018	0,009977	0,000401	24,87	0,004312	0,000236	18,24
Trave 28a-33a	100%	1,36	0,66	0,70	0,0790	0,0040	0,022454	0,000256	87,84	0,005766	0,000235	24,51
sisma in -Y												
proporzionale alle masse												
Trave 28a-33a	0%	0,00	0,00	0,00	0,0000	0,0000	0,000000	0,000000	0,00	0,000000	0,000000	0,00
Trave 28a-33a	100%	0,00	0,00	0,00	0,0000	0,0000	0,000000	0,000000	0,00	0,000000	0,000000	0,00
proporzionale alla deformata 1° modo di vibrazione												
Trave 28a-33a	0%	0,00	0,00	0,00	0,0000	0,0000	0,000000	0,000000	0,00	0,000000	0,000000	0,00
Trave 28a-33a	100%	0,00	0,00	0,00	0,0000	0,0000	0,000000	0,000000	0,00	0,000000	0,000000	0,00
sisma in +X												
proporzionale alle masse												
Trave 33a-38a	0%	1,88	1,61	0,76	0,0325	0,0024	0,011201	0,000330	33,92	0,004247	0,000281	15,12
Trave 33a-38a	100%	0,48	0,62	0,62	0,0153	0,0021	0,004540	0,000528	8,61	0,005004	0,000411	12,18
proporzionale alla deformata 1° modo di vibrazione												
Trave 33a-38a	0%	1,96	1,66	0,76	0,0330	0,0024	0,011521	0,000345	33,37	0,004248	0,000289	14,70
Trave 33a-38a	100%	0,42	0,60	0,61	0,0154	0,0019	0,004586	0,000565	8,12	0,005052	0,000433	11,67
sisma in -X												
proporzionale alle masse												
Trave 33a-38a	0%	0,80	1,02	0,65	0,0221	0,0029	0,006010	0,000125	48,16	0,004681	0,000171	27,38
Trave 33a-38a	100%	1,21	1,01	0,69	0,0125	0,0051	0,004774	0,000006	NS	0,005909	0,000139	42,53
proporzionale alla deformata 1° modo di vibrazione												
Trave 33a-38a	0%	0,72	0,97	0,64	0,0207	0,0029	0,005518	0,000117	46,99	0,004723	0,000163	28,93
Trave 33a-38a	100%	1,28	1,06	0,70	0,0120	0,0055	0,004725	0,000053	89,04	0,006139	0,000111	55,13
sisma in +Y												
proporzionale alle masse												
Trave 33a-38a	0%	0,55	0,90	0,62	0,0193	0,0029	0,004956	0,000240	20,63	0,004801	0,000234	20,56
Trave 33a-38a	100%	1,40	1,12	0,71	0,0116	0,0056	0,004698	0,000025	NS	0,006193	0,000157	39,36
proporzionale alla deformata 1° modo di vibrazione												
Trave 33a-38a	0%	0,26	0,67	0,59	0,0154	0,0029	0,004474	0,000256	17,50	0,005252	0,000235	22,32
Trave 33a-38a	100%	1,66	1,32	0,73	0,0101	0,0059	0,004472	0,000133	33,66	0,006584	0,000070	93,91
sisma in -Y												
proporzionale alle masse												
Trave 33a-38a	0%	0,00	0,00	0,00	0,0000	0,0000	0,000000	0,000000	0,00	0,000000	0,000000	0,00
Trave 33a-38a	100%	0,00	0,00	0,00	0,0000	0,0000	0,000000	0,000000	0,00	0,000000	0,000000	0,00
proporzionale alla deformata 1° modo di vibrazione												
Trave 33a-38a	0%	0,00	0,00	0,00	0,0000	0,0000	0,000000	0,000000	0,00	0,000000	0,000000	0,00
Trave 33a-38a	100%	0,00	0,00	0,00	0,0000	0,0000	0,000000	0,000000	0,00	0,000000	0,000000	0,00
sisma in +X												
proporzionale alle masse												
Trave 38a-46	0%	0,61	0,64	0,63	0,0897	0,0033	0,016340	0,000528	30,97	0,005490	0,000411	13,36
Trave 38a-46	100%	1,00	1,10	0,67	0,0120	0,0047	0,004462	0,000486	9,17	0,005657	0,000366	15,45
proporzionale alla deformata 1° modo di vibrazione												
Trave 38a-46	0%	0,68	0,37	0,64	0,0899	0,0030	0,018230	0,000565	32,28	0,007041	0,000433	16,26
Trave 38a-46	100%	0,97	1,05	0,67	0,0121	0,0040	0,004401	0,000530	8,30	0,005249	0,000392	13,38
sisma in -X												
proporzionale alle masse												
Trave 38a-46	0%	0,96	0,96	0,66	0,0132	0,0043	0,004660	0,000006	NS	0,005481	0,000139	39,44
Trave 38a-46	100%	0,81	0,70	0,65	0,0918	0,0026	0,019919	0,000068	NS	0,004993	0,000081	61,79
proporzionale alla deformata 1° modo di vibrazione												
Trave 38a-46	0%	0,97	0,97	0,67	0,0129	0,0044	0,004618	0,000053	87,06	0,005512	0,000111	49,49
Trave 38a-46	100%	0,81	0,71	0,65	0,0912	0,0027	0,019703	0,000127	NS	0,004992	0,000047	NS
sisma in +Y												
proporzionale alle masse												
Trave 38a-46	0%	1,52	1,53	0,72	0,0113	0,0051	0,004809	0,000025	NS	0,006191	0,000157	39,34
Trave 38a-46	100%	0,12	0,10	0,58	0,0870	0,0042	0,022039	0,000202	NS	0,020061	0,000027	NS
proporzionale alla deformata 1° modo di vibrazione												
Trave 38a-46	0%	1,43	1,45	0,71	0,0102	0,0052	0,004421	0,000133	33,28	0,006185	0,000070	88,19
Trave 38a-46	100%	0,30	0,18	0,60	0,0827	0,0042	0,017816	0,000474	37,59	0,012142	0,000114	NS
sisma in -Y												
proporzionale alle masse												
Trave 38a-46	0%	0,00	0,00	0,00	0,0000	0,0000	0,000000	0,000000	0,00	0,000000	0,000000	0,00
Trave 38a-46	100%	0,00	0,00	0,00	0,0000	0,0000	0,000000	0,000000	0,00	0,000000	0,000000	0,00
proporzionale alla deformata 1° modo di vibrazione												
Trave 38a-46	0%	0,00	0,00	0,00	0,0000	0,0000	0,000000	0,000000	0,00	0,000000	0,000000	0,00
Trave 38a-46	100%	0,00	0,00	0,00	0,0000	0,0000	0,000000	0,000000	0,00	0,000000	0,000000	0,00
Piano copertura							**Travata: Trave20-21-10a-20a-30-29a-34a-37-47**					
sisma in +X												
proporzionale alle masse												
Trave 20-21	0%	1,30	1,33	0,52	0,0835	0,0046	0,018742	0,000369	50,73	0,004814	0,000211	22,86
Trave 20-21	100%	0,82	0,83	0,47	0,0847	0,0048	0,015628	0,000279	55,92	0,004603	0,000196	23,50
proporzionale alla deformata 1° modo di vibrazione												
Trave 20-21	0%	1,29	1,30	0,52	0,0834	0,0046	0,018656	0,000225	83,10	0,004814	0,000136	35,46
Trave 20-21	100%	0,83	0,83	0,47	0,0845	0,0048	0,015694	0,000163	96,33	0,004577	0,000134	34,09

Id_{Tr}	$\%L_{LI}$	$L_{v,SLV}$	$L_{v,SLD}$	L_{pl}	ϕ_u	ϕ_y	SLV			SLD		
							Θ_c	Θ_d	CS	Θ_c	Θ_d	CS
	[%]	[m]	[m]	[m]	[rad/m]	[rad/m]	[rad]	[rad]		[rad]	[rad]	
sisma in -X												
proporzionale alle masse												
Trave 20-21	0%	1,18	1,23	0,50	0,0702	0,0074	0,015637	0,000387	40,36	0,006316	0,000202	31,24
Trave 20-21	100%	0,77	0,31	0,46	0,0712	0,0065	0,013548	0,000644	21,03	0,006167	0,000379	16,25
proporzionale alla deformata 1° modo di vibrazione												
Trave 20-21	0%	1,19	1,26	0,50	0,0705	0,0073	0,015730	0,000554	28,38	0,006303	0,000290	21,72
Trave 20-21	100%	0,76	0,20	0,46	0,0715	0,0063	0,014280	0,000806	17,71	0,007618	0,000463	16,45
sisma in +Y												
proporzionale alle masse												
Trave 20-21	0%	1,32	1,32	0,52	0,0861	0,0044	0,019335	0,002483	7,79	0,004697	0,001286	3,65
Trave 20-21	100%	0,78	0,80	0,46	0,0871	0,0045	0,015722	0,002159	7,28	0,004436	0,001151	3,86
proporzionale alla deformata 1° modo di vibrazione												
Trave 20-21	0%	1,31	1,32	0,52	0,0875	0,0043	0,019560	0,003710	5,27	0,004606	0,001881	2,45
Trave 20-21	100%	0,78	0,79	0,46	0,0885	0,0043	0,015871	0,003142	5,05	0,004360	0,001632	2,67
sisma in -Y												
proporzionale alle masse												
Trave 20-21	0%	0,00	0,00	0,00	0,0000	0,0000	0,000000	0,000000	0,00	0,000000	0,000000	0,00
Trave 20-21	100%	0,00	0,00	0,00	0,0000	0,0000	0,000000	0,000000	0,00	0,000000	0,000000	0,00
proporzionale alla deformata 1° modo di vibrazione												
Trave 20-21	0%	0,00	0,00	0,00	0,0000	0,0000	0,000000	0,000000	0,00	0,000000	0,000000	0,00
Trave 20-21	100%	0,00	0,00	0,00	0,0000	0,0000	0,000000	0,000000	0,00	0,000000	0,000000	0,00
sisma in +X												
proporzionale alle masse												
Trave 21-10a	0%	0,94	0,95	0,48	0,0762	0,0058	0,015176	0,000279	54,30	0,005093	0,000196	26,00
Trave 21-10a	100%	0,92	0,91	0,48	0,0765	0,0066	0,015102	0,000435	34,72	0,005458	0,000361	15,14
proporzionale alla deformata 1° modo di vibrazione												
Trave 21-10a	0%	0,96	0,96	0,48	0,0751	0,0059	0,015088	0,000163	92,60	0,005173	0,000134	38,53
Trave 21-10a	100%	0,89	0,90	0,48	0,0753	0,0066	0,014722	0,000349	42,13	0,005439	0,000320	17,02
sisma in -X												
proporzionale alle masse												
Trave 21-10a	0%	0,92	0,93	0,48	0,0756	0,0058	0,014876	0,000644	23,09	0,005101	0,000379	13,44
Trave 21-10a	100%	0,96	0,94	0,48	0,0761	0,0064	0,015288	0,000771	19,83	0,005399	0,000512	10,54
proporzionale alla deformata 1° modo di vibrazione												
Trave 21-10a	0%	0,91	0,92	0,48	0,0760	0,0057	0,014867	0,000806	18,44	0,005049	0,000463	10,90
Trave 21-10a	100%	0,98	0,95	0,48	0,0764	0,0063	0,015445	0,000919	16,81	0,005350	0,000583	9,17
sisma in +Y												
proporzionale alle masse												
Trave 21-10a	0%	0,83	0,90	0,47	0,0805	0,0054	0,015089	0,002159	6,99	0,004891	0,001151	4,25
Trave 21-10a	100%	1,10	0,99	0,50	0,0808	0,0055	0,016966	0,002170	7,82	0,004987	0,001240	4,02
proporzionale alla deformata 1° modo di vibrazione												
Trave 21-10a	0%	0,75	0,87	0,46	0,0821	0,0044	0,014655	0,003142	4,66	0,004412	0,001632	2,70
Trave 21-10a	100%	1,27	1,03	0,51	0,0824	0,0045	0,018193	0,003039	5,99	0,004522	0,001690	2,68
sisma in -Y												
proporzionale alle masse												
Trave 21-10a	0%	0,00	0,00	0,00	0,0000	0,0000	0,000000	0,000000	0,00	0,000000	0,000000	0,00
Trave 21-10a	100%	0,00	0,00	0,00	0,0000	0,0000	0,000000	0,000000	0,00	0,000000	0,000000	0,00
proporzionale alla deformata 1° modo di vibrazione												
Trave 21-10a	0%	0,00	0,00	0,00	0,0000	0,0000	0,000000	0,000000	0,00	0,000000	0,000000	0,00
Trave 21-10a	100%	0,00	0,00	0,00	0,0000	0,0000	0,000000	0,000000	0,00	0,000000	0,000000	0,00
sisma in +X												
proporzionale alle masse												
Trave 10a-20a	0%	0,21	0,12	0,41	0,0865	0,0041	0,013393	0,000435	30,79	0,010009	0,000361	27,76
Trave 10a-20a	100%	0,65	0,60	0,45	0,0869	0,0046	0,014437	0,000041	NS	0,004580	0,000033	NS
proporzionale alla deformata 1° modo di vibrazione												
Trave 10a-20a	0%	0,16	0,20	0,40	0,0863	0,0041	0,011845	0,000349	33,89	0,007158	0,000320	22,40
Trave 10a-20a	100%	0,56	0,54	0,44	0,0866	0,0047	0,013282	0,000170	78,27	0,004715	0,000104	45,31
sisma in -X												
proporzionale alle masse												
Trave 10a-20a	0%	0,10	0,52	0,40	0,0867	0,0044	0,010475	0,000771	13,59	0,004674	0,000512	9,12
Trave 10a-20a	100%	0,75	0,67	0,46	0,0870	0,0046	0,015439	0,000161	95,70	0,004541	0,000106	43,00
proporzionale alla deformata 1° modo di vibrazione												
Trave 10a-20a	0%	0,44	1,53	0,43	0,0867	0,0046	0,011507	0,000919	12,52	0,005064	0,000583	8,68
Trave 10a-20a	100%	0,82	0,72	0,47	0,0870	0,0045	0,016054	0,000261	61,45	0,004485	0,000171	26,29
sisma in +Y												
proporzionale alle masse												
Trave 10a-20a	0%	0,51	0,65	0,44	0,0866	0,0047	0,012448	0,002170	5,74	0,004576	0,001240	3,69
Trave 10a-20a	100%	1,18	0,98	0,50	0,0869	0,0045	0,018588	0,001275	14,58	0,004477	0,000742	6,03
proporzionale alla deformata 1° modo di vibrazione												
Trave 10a-20a	0%	0,52	0,58	0,44	0,0858	0,0052	0,012686	0,003039	4,17	0,004826	0,001690	2,86
Trave 10a-20a	100%	1,28	1,11	0,51	0,0861	0,0045	0,019055	0,001820	10,47	0,004560	0,001022	4,46
sisma in -Y												
proporzionale alle masse												
Trave 10a-20a	0%	0,00	0,00	0,00	0,0000	0,0000	0,000000	0,000000	0,00	0,000000	0,000000	0,00
Trave 10a-20a	100%	0,00	0,00	0,00	0,0000	0,0000	0,000000	0,000000	0,00	0,000000	0,000000	0,00
proporzionale alla deformata 1° modo di vibrazione												
Trave 10a-20a	0%	0,00	0,00	0,00	0,0000	0,0000	0,000000	0,000000	0,00	0,000000	0,000000	0,00
Trave 10a-20a	100%	0,00	0,00	0,00	0,0000	0,0000	0,000000	0,000000	0,00	0,000000	0,000000	0,00
sisma in +X												
proporzionale alle masse												
Trave 20a-30	0%	0,43	0,44	0,43	0,0770	0,0059	0,010295	0,000041	NS	0,005363	0,000033	NS
Trave 20a-30	100%	0,42	0,41	0,43	0,0457	0,0056	0,006970	0,000090	77,66	0,005356	0,000068	79,35
proporzionale alla deformata 1° modo di vibrazione												
Trave 20a-30	0%	0,41	0,43	0,43	0,0777	0,0059	0,010360	0,000170	61,05	0,005388	0,000104	51,79
Trave 20a-30	100%	0,43	0,42	0,43	0,0466	0,0054	0,007102	0,000226	31,37	0,005276	0,000144	36,61
sisma in -X												

Id_{Tr}	$\%L_{LI}$	$L_{v,SLV}$	$L_{v,SLD}$	L_{pl}	ϕ_u	ϕ_y	SLV			SLD		
							Θ_c	Θ_d	CS	Θ_c	Θ_d	CS
	[%]	[m]	[m]	[m]	[rad/m]	[rad/m]	[rad]	[rad]		[rad]	[rad]	
proporzionale alle masse												
Trave 20a-30	0%	0,49	0,46	0,43	0,0787	0,0059	0,011408	0,000161	70,72	0,005296	0,000106	50,15
Trave 20a-30	100%	0,37	0,39	0,42	0,0476	0,0050	0,007134	0,000160	44,50	0,005236	0,000087	60,09
proporzionale alla deformata 1° modo di vibrazione												
Trave 20a-30	0%	0,52	0,47	0,44	0,0782	0,0059	0,011795	0,000261	45,15	0,005280	0,000171	30,95
Trave 20a-30	100%	0,34	0,39	0,42	0,0471	0,0045	0,007041	0,000284	24,75	0,005131	0,000155	33,17
sisma in +Y												
proporzionale alle masse												
Trave 20a-30	0%	0,36	0,40	0,42	0,0718	0,0059	0,009704	0,001275	7,61	0,005503	0,000742	7,42
Trave 20a-30	100%	0,48	0,45	0,43	0,0403	0,0063	0,006794	0,001157	5,87	0,005446	0,000669	8,14
proporzionale alla deformata 1° modo di vibrazione												
Trave 20a-30	0%	0,32	0,37	0,42	0,0672	0,0059	0,009232	0,001820	5,07	0,005651	0,001022	5,53
Trave 20a-30	100%	0,52	0,48	0,44	0,0362	0,0068	0,006519	0,001646	3,96	0,005536	0,000914	6,06
sisma in -Y												
proporzionale alle masse												
Trave 20a-30	0%	0,00	0,00	0,00	0,0000	0,0000	0,000000	0,000000	0,00	0,000000	0,000000	0,00
Trave 20a-30	100%	0,00	0,00	0,00	0,0000	0,0000	0,000000	0,000000	0,00	0,000000	0,000000	0,00
proporzionale alla deformata 1° modo di vibrazione												
Trave 20a-30	0%	0,00	0,00	0,00	0,0000	0,0000	0,000000	0,000000	0,00	0,000000	0,000000	0,00
Trave 20a-30	100%	0,00	0,00	0,00	0,0000	0,0000	0,000000	0,000000	0,00	0,000000	0,000000	0,00
sisma in +X												
proporzionale alle masse												
Trave 30-29a	0%	0,48	0,47	0,43	0,0784	0,0054	0,011208	0,000090	NS	0,005090	0,000068	75,41
Trave 30-29a	100%	0,36	0,37	0,42	0,1114	0,0043	0,013893	0,000135	NS	0,005185	0,000151	34,33
proporzionale alla deformata 1° modo di vibrazione												
Trave 30-29a	0%	0,51	0,49	0,44	0,0793	0,0054	0,011771	0,000226	52,00	0,005052	0,000144	35,05
Trave 30-29a	100%	0,32	0,35	0,42	0,1123	0,0094	0,014137	0,000141	NS	0,006737	0,000145	46,32
sisma in -X												
proporzionale alle masse												
Trave 30-29a	0%	0,41	0,44	0,43	0,0802	0,0051	0,010574	0,000160	65,96	0,005112	0,000087	58,67
Trave 30-29a	100%	0,44	0,41	0,43	0,1135	0,0084	0,014702	0,000313	46,93	0,006185	0,000209	29,58
proporzionale alla deformata 1° modo di vibrazione												
Trave 30-29a	0%	0,36	0,42	0,42	0,0796	0,0050	0,010451	0,000284	36,74	0,005157	0,000155	33,33
Trave 30-29a	100%	0,50	0,44	0,44	0,1131	0,0109	0,016070	0,000383	42,00	0,006890	0,000234	29,51
sisma in +Y												
proporzionale alle masse												
Trave 30-29a	0%	3,94	0,72	0,78	0,0651	0,0054	0,023375	0,001157	20,20	0,004838	0,000669	7,23
Trave 30-29a	100%	87,26	0,06	9,11	0,0340	0,0086	0,119494	0,000922	NS	0,019464	0,000539	36,12
proporzionale alla deformata 1° modo di vibrazione												
Trave 30-29a	0%	0,86	1,32	0,47	0,0581	0,0054	0,011665	0,001646	7,09	0,005298	0,000914	5,80
Trave 30-29a	100%	1,43	0,99	0,53	0,0296	0,0097	0,007818	0,001322	5,91	0,007060	0,000737	9,59
sisma in -Y												
proporzionale alle masse												
Trave 30-29a	0%	0,00	0,00	0,00	0,0000	0,0000	0,000000	0,000000	0,00	0,000000	0,000000	0,00
Trave 30-29a	100%	0,00	0,00	0,00	0,0000	0,0000	0,000000	0,000000	0,00	0,000000	0,000000	0,00
proporzionale alla deformata 1° modo di vibrazione												
Trave 30-29a	0%	0,00	0,00	0,00	0,0000	0,0000	0,000000	0,000000	0,00	0,000000	0,000000	0,00
Trave 30-29a	100%	0,00	0,00	0,00	0,0000	0,0000	0,000000	0,000000	0,00	0,000000	0,000000	0,00
sisma in +X												
proporzionale alle masse												
Trave 29a-34a	0%	0,54	0,52	0,44	0,0886	0,0041	0,013356	0,000135	98,88	0,004538	0,000151	30,05
Trave 29a-34a	100%	2,68	4,70	0,65	0,0882	0,0042	0,028512	0,000453	62,87	0,008736	0,000365	23,95
proporzionale alla deformata 1° modo di vibrazione												
Trave 29a-34a	0%	0,53	0,52	0,44	0,0891	0,0040	0,013234	0,000141	93,70	0,004523	0,000145	31,10
Trave 29a-34a	100%	2,55	3,78	0,64	0,0887	0,0041	0,027417	0,000533	51,48	0,007382	0,000411	17,96
sisma in -X												
proporzionale alle masse												
Trave 29a-34a	0%	0,44	0,49	0,43	0,0870	0,0045	0,011418	0,000313	36,45	0,004767	0,000209	22,80
Trave 29a-34a	100%	3,66	6,63	0,75	0,0866	0,0047	0,033873	0,000452	75,01	0,012516	0,000344	36,37
proporzionale alla deformata 1° modo di vibrazione												
Trave 29a-34a	0%	0,41	0,50	0,43	0,0863	0,0046	0,011112	0,000383	29,04	0,004766	0,000234	20,41
Trave 29a-34a	100%	0,45	3,32	0,43	0,0857	0,0049	0,012918	0,000442	29,19	0,007813	0,000334	23,36
sisma in +Y												
proporzionale alle masse												
Trave 29a-34a	0%	0,23	0,20	0,41	0,0576	0,0046	0,009090	0,000922	9,86	0,007344	0,000539	13,63
Trave 29a-34a	100%	1,54	1,41	0,54	0,0570	0,0101	0,014650	0,000176	83,25	0,008405	0,000196	42,96
proporzionale alla deformata 1° modo di vibrazione												
Trave 29a-34a	0%	0,29	0,16	0,41	0,0381	0,0046	0,007747	0,001322	5,86	0,008546	0,000737	11,60
Trave 29a-34a	100%	1,58	1,50	0,54	0,0378	0,0113	0,010685	0,000179	59,59	0,009437	0,000199	47,52
sisma in -Y												
proporzionale alle masse												
Trave 29a-34a	0%	0,00	0,00	0,00	0,0000	0,0000	0,000000	0,000000	0,00	0,000000	0,000000	0,00
Trave 29a-34a	100%	0,00	0,00	0,00	0,0000	0,0000	0,000000	0,000000	0,00	0,000000	0,000000	0,00
proporzionale alla deformata 1° modo di vibrazione												
Trave 29a-34a	0%	0,00	0,00	0,00	0,0000	0,0000	0,000000	0,000000	0,00	0,000000	0,000000	0,00
Trave 29a-34a	100%	0,00	0,00	0,00	0,0000	0,0000	0,000000	0,000000	0,00	0,000000	0,000000	0,00
sisma in +X												
proporzionale alle masse												
Trave 34a-37	0%	1,15	1,05	0,50	0,0828	0,0050	0,017639	0,000453	38,90	0,004776	0,000365	13,09
Trave 34a-37	100%	0,79	0,86	0,47	0,0826	0,0050	0,015112	0,000516	29,31	0,004700	0,000333	14,11
proporzionale alla deformata 1° modo di vibrazione												
Trave 34a-37	0%	1,21	1,08	0,51	0,0839	0,0047	0,018198	0,000533	34,17	0,004639	0,000411	11,28
Trave 34a-37	100%	0,76	0,84	0,46	0,0837	0,0047	0,014973	0,000644	23,26	0,004560	0,000413	11,04
sisma in -X												
proporzionale alle masse												

Id_{Tr}	$\%L_{LI}$	$L_{v,SLV}$	$L_{v,SLD}$	L_{pl}	ϕ_u	ϕ_y	SLV			SLD		
							Θ_c	Θ_d	CS	Θ_c	Θ_d	CS
	[%]	[m]	[m]	[m]	[rad/m]	[rad/m]	[rad]	[rad]		[rad]	[rad]	
Trave 34a-37	0%	0,99	0,98	0,48	0,0761	0,0062	0,015453	0,000452	34,22	0,005330	0,000344	15,49
Trave 34a-37	100%	0,91	0,90	0,48	0,0756	0,0057	0,014790	0,000349	42,35	0,005036	0,000244	20,65
proporzionale alla deformata 1° modo di vibrazione												
Trave 34a-37	0%	0,93	0,95	0,48	0,0737	0,0062	0,014680	0,000442	33,18	0,005295	0,000334	15,83
Trave 34a-37	100%	0,94	0,92	0,48	0,0733	0,0060	0,014596	0,000268	54,54	0,005158	0,000212	24,28
sisma in +Y												
proporzionale alle masse												
Trave 34a-37	0%	0,26	0,49	0,41	0,0306	0,0062	0,005168	0,000176	29,37	0,005298	0,000196	27,08
Trave 34a-37	100%	1,51	1,29	0,54	0,0305	0,0107	0,008583	0,001153	7,44	0,008428	0,000494	17,07
proporzionale alla deformata 1° modo di vibrazione												
Trave 34a-37	0%	0,12	0,34	0,40	0,0215	0,0062	0,004478	0,000179	24,98	0,005898	0,000199	29,70
Trave 34a-37	100%	1,65	1,43	0,55	0,0215	0,0108	0,006888	0,001776	3,88	0,008853	0,000789	11,22
sisma in -Y												
proporzionale alle masse												
Trave 34a-37	0%	0,00	0,00	0,00	0,0000	0,0000	0,000000	0,000000	0,00	0,000000	0,000000	0,00
Trave 34a-37	100%	0,00	0,00	0,00	0,0000	0,0000	0,000000	0,000000	0,00	0,000000	0,000000	0,00
proporzionale alla deformata 1° modo di vibrazione												
Trave 34a-37	0%	0,00	0,00	0,00	0,0000	0,0000	0,000000	0,000000	0,00	0,000000	0,000000	0,00
Trave 34a-37	100%	0,00	0,00	0,00	0,0000	0,0000	0,000000	0,000000	0,00	0,000000	0,000000	0,00
sisma in +X												
proporzionale alle masse												
Trave 37-47	0%	0,78	0,79	0,46	0,0861	0,0046	0,015548	0,000516	30,15	0,004501	0,000333	13,51
Trave 37-47	100%	1,35	1,37	0,52	0,0852	0,0044	0,019371	0,000734	26,40	0,004742	0,000402	11,79
proporzionale alla deformata 1° modo di vibrazione												
Trave 37-47	0%	0,77	0,79	0,46	0,0867	0,0045	0,015500	0,000644	24,08	0,004442	0,000413	10,75
Trave 37-47	100%	1,36	1,38	0,52	0,0858	0,0042	0,019524	0,000939	20,80	0,004646	0,000519	8,95
sisma in -X												
proporzionale alle masse												
Trave 37-47	0%	0,85	0,72	0,47	0,0672	0,0112	0,013093	0,000349	37,49	0,007181	0,000244	29,45
Trave 37-47	100%	1,14	1,17	0,50	0,0664	0,0070	0,014610	0,000035	NS	0,005995	0,000039	NS
proporzionale alla deformata 1° modo di vibrazione												
Trave 37-47	0%	0,82	0,74	0,47	0,0646	0,0113	0,012554	0,000268	46,91	0,007240	0,000212	34,08
Trave 37-47	100%	1,17	1,18	0,50	0,0640	0,0071	0,014255	0,000096	NS	0,006099	0,000011	NS
sisma in +Y												
proporzionale alle masse												
Trave 37-47	0%	1,64	1,54	0,55	0,0637	0,0063	0,016255	0,001153	14,09	0,006200	0,000494	12,56
Trave 37-47	100%	0,07	0,50	0,39	0,0629	0,0083	0,008353	0,001624	5,14	0,005994	0,000744	8,06
proporzionale alla deformata 1° modo di vibrazione												
Trave 37-47	0%	1,94	1,96	0,58	0,0469	0,0105	0,014166	0,001776	7,98	0,010377	0,000789	13,15
Trave 37-47	100%	0,28	1,62	0,41	0,0458	0,0088	0,007876	0,002538	3,10	0,008081	0,001176	6,87
sisma in -Y												
proporzionale alle masse												
Trave 37-47	0%	0,00	0,00	0,00	0,0000	0,0000	0,000000	0,000000	0,00	0,000000	0,000000	0,00
Trave 37-47	100%	0,00	0,00	0,00	0,0000	0,0000	0,000000	0,000000	0,00	0,000000	0,000000	0,00
proporzionale alla deformata 1° modo di vibrazione												
Trave 37-47	0%	0,00	0,00	0,00	0,0000	0,0000	0,000000	0,000000	0,00	0,000000	0,000000	0,00
Trave 37-47	100%	0,00	0,00	0,00	0,0000	0,0000	0,000000	0,000000	0,00	0,000000	0,000000	0,00
Piano copertura							**Travata: Trave24-13a-32-39**					
sisma in +X												
proporzionale alle masse												
Trave 24-13a	0%	0,33	0,21	0,40	0,1023	0,0029	0,013274	0,000184	72,20	0,006649	0,000067	99,58
Trave 24-13a	100%	0,72	0,70	0,44	0,0298	0,0090	0,006276	0,000015	NS	0,006181	0,000095	65,14
proporzionale alla deformata 1° modo di vibrazione												
Trave 24-13a	0%	0,19	0,07	0,39	0,1016	0,0031	0,017903	0,000220	81,21	0,016755	0,000082	NS
Trave 24-13a	100%	0,76	0,72	0,44	0,0291	0,0096	0,006286	0,000004	NS	0,006420	0,000091	70,91
sisma in -X												
proporzionale alle masse												
Trave 24-13a	0%	1,03	1,14	0,47	0,0195	0,0088	0,005372	0,000085	63,18	0,006852	0,000012	NS
Trave 24-13a	100%	1,07	0,78	0,47	0,0305	0,0084	0,007091	0,000110	64,40	0,006015	0,000145	41,58
proporzionale alla deformata 1° modo di vibrazione												
Trave 24-13a	0%	1,11	1,29	0,48	0,0197	0,0082	0,005585	0,000089	62,96	0,006841	0,000014	NS
Trave 24-13a	100%	0,88	0,73	0,46	0,0310	0,0084	0,006803	0,000090	75,34	0,005962	0,000135	44,18
sisma in +Y												
proporzionale alle masse												
Trave 24-13a	0%	0,77	0,76	0,44	0,1070	0,0038	0,018364	0,000435	42,19	0,004147	0,000167	24,85
Trave 24-13a	100%	0,52	0,53	0,42	0,0360	0,0056	0,006283	0,000004	NS	0,004982	0,000109	45,55
proporzionale alla deformata 1° modo di vibrazione												
Trave 24-13a	0%	0,77	0,76	0,44	0,1068	0,0039	0,018319	0,000390	46,95	0,004151	0,000139	29,81
Trave 24-13a	100%	0,52	0,54	0,42	0,0357	0,0057	0,006264	0,000023	NS	0,005017	0,000125	40,07
sisma in -Y												
proporzionale alle masse												
Trave 24-13a	0%	0,00	0,00	0,00	0,0000	0,0000	0,000000	0,000000	0,00	0,000000	0,000000	0,00
Trave 24-13a	100%	0,00	0,00	0,00	0,0000	0,0000	0,000000	0,000000	0,00	0,000000	0,000000	0,00
proporzionale alla deformata 1° modo di vibrazione												
Trave 24-13a	0%	0,00	0,00	0,00	0,0000	0,0000	0,000000	0,000000	0,00	0,000000	0,000000	0,00
Trave 24-13a	100%	0,00	0,00	0,00	0,0000	0,0000	0,000000	0,000000	0,00	0,000000	0,000000	0,00
sisma in +X												
proporzionale alle masse												
Trave 13a-32	0%	0,85	0,77	0,45	0,0376	0,0055	0,007738	0,000015	NS	0,004822	0,000095	50,82
Trave 13a-32	100%	0,38	0,53	0,41	0,0235	0,0068	0,004381	0,000182	24,00	0,005382	0,000096	56,34
proporzionale alla deformata 1° modo di vibrazione												
Trave 13a-32	0%	0,86	0,77	0,45	0,0376	0,0056	0,007763	0,000004	NS	0,004853	0,000091	53,61
Trave 13a-32	100%	0,35	0,52	0,40	0,0235	0,0068	0,004376	0,000212	20,63	0,005395	0,000109	49,53
sisma in -X												
proporzionale alle masse												

Id_{Tr}	$\%L_{LI}$	$L_{v,SLV}$	$L_{v,SLD}$	L_{pl}	ϕ_u	ϕ_y	SLV			SLD		
							Θ_c	Θ_d	CS	Θ_c	Θ_d	CS
	[%]	[m]	[m]	[m]	[rad/m]	[rad/m]	[rad]	[rad]		[rad]	[rad]	
Trave 13a-32	0%	0,78	0,74	0,45	0,0379	0,0054	0,007551	0,000110	68,58	0,004791	0,000145	33,12
Trave 13a-32	100%	0,53	0,59	0,42	0,0235	0,0068	0,004784	0,000068	70,61	0,005328	0,000041	NS
proporzionale alla deformata 1° modo di vibrazione												
Trave 13a-32	0%	0,79	0,75	0,45	0,0377	0,0055	0,007567	0,000090	83,80	0,004826	0,000135	35,77
Trave 13a-32	100%	0,52	0,58	0,42	0,0234	0,0068	0,004740	0,000060	78,63	0,005333	0,000037	NS
sisma in +Y												
proporzionale alle masse												
Trave 13a-32	0%	0,94	0,81	0,46	0,0351	0,0059	0,007567	0,000004	NS	0,004986	0,000109	45,58
Trave 13a-32	100%	0,36	0,51	0,40	0,0226	0,0068	0,004300	0,000056	76,24	0,005419	0,000011	NS
proporzionale alla deformata 1° modo di vibrazione												
Trave 13a-32	0%	0,91	0,79	0,46	0,0355	0,0060	0,007584	0,000023	NS	0,005031	0,000125	40,17
Trave 13a-32	100%	0,39	0,53	0,41	0,0226	0,0068	0,004299	0,000044	97,76	0,005387	0,000016	NS
sisma in -Y												
proporzionale alle masse												
Trave 13a-32	0%	0,00	0,00	0,00	0,0000	0,0000	0,000000	0,000000	0,00	0,000000	0,000000	0,00
Trave 13a-32	100%	0,00	0,00	0,00	0,0000	0,0000	0,000000	0,000000	0,00	0,000000	0,000000	0,00
proporzionale alla deformata 1° modo di vibrazione												
Trave 13a-32	0%	0,00	0,00	0,00	0,0000	0,0000	0,000000	0,000000	0,00	0,000000	0,000000	0,00
Trave 13a-32	100%	0,00	0,00	0,00	0,0000	0,0000	0,000000	0,000000	0,00	0,000000	0,000000	0,00
sisma in +X												
proporzionale alle masse												
Trave 32-39	0%	0,83	0,85	0,45	0,0268	0,0053	0,005928	0,000182	32,48	0,004774	0,000096	49,98
Trave 32-39	100%	0,44	0,44	0,41	0,0502	0,0052	0,007432	0,001389	5,35	0,005088	0,001196	4,25
proporzionale alla deformata 1° modo di vibrazione												
Trave 32-39	0%	0,83	0,85	0,45	0,0269	0,0053	0,005922	0,000212	27,92	0,004770	0,000109	43,78
Trave 32-39	100%	0,44	0,43	0,41	0,0503	0,0052	0,007520	0,001439	5,22	0,005106	0,001232	4,15
sisma in -X												
proporzionale alle masse												
Trave 32-39	0%	0,84	0,85	0,45	0,0265	0,0054	0,005875	0,000068	86,72	0,004801	0,000041	NS
Trave 32-39	100%	0,50	0,49	0,42	0,0490	0,0052	0,007814	0,001059	7,38	0,004930	0,000995	4,95
proporzionale alla deformata 1° modo di vibrazione												
Trave 32-39	0%	0,83	0,85	0,45	0,0265	0,0054	0,005873	0,000060	97,43	0,004800	0,000037	NS
Trave 32-39	100%	0,50	0,49	0,42	0,0491	0,0051	0,007818	0,001067	7,33	0,004900	0,001002	4,89
sisma in +Y												
proporzionale alle masse												
Trave 32-39	0%	0,79	0,83	0,45	0,0252	0,0054	0,005581	0,000056	98,94	0,004797	0,000011	NS
Trave 32-39	100%	0,72	0,61	0,44	0,0449	0,0056	0,008469	0,000326	25,97	0,004899	0,000670	7,31
proporzionale alla deformata 1° modo di vibrazione												
Trave 32-39	0%	0,79	0,83	0,45	0,0253	0,0054	0,005594	0,000044	NS	0,004798	0,000016	NS
Trave 32-39	100%	0,72	0,60	0,44	0,0450	0,0057	0,008453	0,000352	23,98	0,004933	0,000688	7,18
sisma in -Y												
proporzionale alle masse												
Trave 32-39	0%	0,00	0,00	0,00	0,0000	0,0000	0,000000	0,000000	0,00	0,000000	0,000000	0,00
Trave 32-39	100%	0,00	0,00	0,00	0,0000	0,0000	0,000000	0,000000	0,00	0,000000	0,000000	0,00
proporzionale alla deformata 1° modo di vibrazione												
Trave 32-39	0%	0,00	0,00	0,00	0,0000	0,0000	0,000000	0,000000	0,00	0,000000	0,000000	0,00
Trave 32-39	100%	0,00	0,00	0,00	0,0000	0,0000	0,000000	0,000000	0,00	0,000000	0,000000	0,00
Piano copertura							**Travata: Trave3a-11a-29-21a-25a-36-30a-35a-43**					
sisma in +X												
proporzionale alle masse												
Trave 3a-11a	0%	0,62	0,60	0,41	0,0910	0,0047	0,014057	0,000159	88,49	0,004533	0,000105	42,99
Trave 3a-11a	100%	0,11	0,10	0,35	0,0922	0,0046	0,013893	0,000121	NS	0,012255	0,000071	NS
proporzionale alla deformata 1° modo di vibrazione												
Trave 3a-11a	0%	0,29	0,54	0,37	0,0859	0,0047	0,009869	0,000162	60,89	0,004619	0,000109	42,23
Trave 3a-11a	100%	0,45	0,25	0,39	0,0869	0,0048	0,012274	0,000186	66,07	0,006270	0,000104	60,09
sisma in -X												
proporzionale alle masse												
Trave 3a-11a	0%	0,74	0,69	0,42	0,0967	0,0048	0,016033	0,000162	99,16	0,004503	0,000112	40,06
Trave 3a-11a	100%	2,55	20,21	0,60	0,0979	0,0048	0,041757	0,000127	NS	0,034381	0,000061	NS
proporzionale alla deformata 1° modo di vibrazione												
Trave 3a-11a	0%	0,77	0,71	0,42	0,0950	0,0048	0,016029	0,000160	NS	0,004499	0,000112	40,01
Trave 3a-11a	100%	2,04	4,94	0,55	0,0963	0,0048	0,026701	0,000206	NS	0,010067	0,000100	NS
sisma in +Y												
proporzionale alle masse												
Trave 3a-11a	0%	1,03	1,13	0,45	0,0362	0,0069	0,007978	0,000264	30,25	0,005723	0,000167	34,27
Trave 3a-11a	100%	1,09	1,00	0,45	0,0368	0,0057	0,008060	0,001220	6,60	0,004975	0,000601	8,28
proporzionale alla deformata 1° modo di vibrazione												
Trave 3a-11a	0%	1,02	1,06	0,45	0,0249	0,0057	0,005854	0,000336	17,40	0,005047	0,000193	26,18
Trave 3a-11a	100%	0,95	1,06	0,44	0,0308	0,0057	0,006738	0,001801	3,74	0,005044	0,000886	5,70
sisma in -Y												
proporzionale alle masse												
Trave 3a-11a	0%	0,00	0,00	0,00	0,0000	0,0000	0,000000	0,000000	0,00	0,000000	0,000000	0,00
Trave 3a-11a	100%	0,00	0,00	0,00	0,0000	0,0000	0,000000	0,000000	0,00	0,000000	0,000000	0,00
proporzionale alla deformata 1° modo di vibrazione												
Trave 3a-11a	0%	0,00	0,00	0,00	0,0000	0,0000	0,000000	0,000000	0,00	0,000000	0,000000	0,00
Trave 3a-11a	100%	0,00	0,00	0,00	0,0000	0,0000	0,000000	0,000000	0,00	0,000000	0,000000	0,00
sisma in +X												
proporzionale alle masse												
Trave 11a-29	0%	0,60	0,76	0,40	0,0924	0,0048	0,013943	0,000121	NS	0,004489	0,000071	63,28
Trave 11a-29	100%	1,78	1,58	0,52	0,0932	0,0098	0,022760	0,000142	NS	0,008414	0,000147	57,18
proporzionale alla deformata 1° modo di vibrazione												
Trave 11a-29	0%	0,55	0,74	0,40	0,0917	0,0045	0,013228	0,000186	71,26	0,004350	0,000104	41,73
Trave 11a-29	100%	1,78	2,01	0,52	0,0922	0,0099	0,023198	0,000181	NS	0,009775	0,000163	59,79
sisma in -X												
proporzionale alle masse												

Id_{Tr}	$\%L_{LI}$	$L_{v,SLV}$	$L_{v,SLD}$	L_{pl}	ϕ_u	ϕ_y	SLV			SLD		
							Θ_c	Θ_d	CS	Θ_c	Θ_d	CS
	[%]	[m]	[m]	[m]	[rad/m]	[rad/m]	[rad]	[rad]		[rad]	[rad]	
Trave 11a-29	0%	0,48	17,65	0,39	0,0934	0,0057	0,028061	0,000127	NS	0,035949	0,000061	NS
Trave 11a-29	100%	0,79	0,90	0,42	0,0945	0,0061	0,016244	0,000024	NS	0,005082	0,000052	98,60
proporzionale alla deformata 1° modo di vibrazione												
Trave 11a-29	0%	0,09	2,26	0,35	0,0918	0,0054	0,010888	0,000205	52,98	0,006577	0,000100	65,81
Trave 11a-29	100%	0,96	1,00	0,44	0,0927	0,0069	0,017318	0,000081	NS	0,005558	0,000028	NS
sisma in +Y												
proporzionale alle masse												
Trave 11a-29	0%	1,14	1,04	0,46	0,0989	0,0047	0,019452	0,001220	15,94	0,004517	0,000600	7,52
Trave 11a-29	100%	0,64	0,60	0,41	0,0999	0,0047	0,015521	0,001113	13,94	0,004517	0,000613	7,36
proporzionale alla deformata 1° modo di vibrazione												
Trave 11a-29	0%	1,07	1,18	0,45	0,0984	0,0042	0,018926	0,001801	10,51	0,004382	0,000886	4,95
Trave 11a-29	100%	0,66	0,64	0,41	0,0990	0,0041	0,015501	0,001588	9,76	0,004279	0,000866	4,94
sisma in -Y												
proporzionale alle masse												
Trave 11a-29	0%	0,00	0,00	0,00	0,0000	0,0000	0,000000	0,000000	0,00	0,000000	0,000000	0,00
Trave 11a-29	100%	0,00	0,00	0,00	0,0000	0,0000	0,000000	0,000000	0,00	0,000000	0,000000	0,00
proporzionale alla deformata 1° modo di vibrazione												
Trave 11a-29	0%	0,00	0,00	0,00	0,0000	0,0000	0,000000	0,000000	0,00	0,000000	0,000000	0,00
Trave 11a-29	100%	0,00	0,00	0,00	0,0000	0,0000	0,000000	0,000000	0,00	0,000000	0,000000	0,00
sisma in +X												
proporzionale alle masse												
Trave 29-21a	0%	0,59	1,80	0,40	0,0937	0,0056	0,014643	0,000143	NS	0,005998	0,000147	40,73
Trave 29-21a	100%	0,29	1,14	0,37	0,0941	0,0051	0,010688	0,000077	NS	0,004810	0,000041	NS
proporzionale alla deformata 1° modo di vibrazione												
Trave 29-21a	0%	0,56	1,67	0,40	0,0928	0,0055	0,014124	0,000181	78,10	0,005702	0,000164	34,86
Trave 29-21a	100%	0,31	0,23	0,37	0,0936	0,0052	0,011604	0,000103	NS	0,006686	0,000052	NS
sisma in -X												
proporzionale alle masse												
Trave 29-21a	0%	0,43	0,40	0,39	0,0931	0,0052	0,011853	0,000024	NS	0,005157	0,000052	99,93
Trave 29-21a	100%	0,45	0,48	0,39	0,0936	0,0047	0,012146	0,000053	NS	0,004751	0,000017	NS
proporzionale alla deformata 1° modo di vibrazione												
Trave 29-21a	0%	0,44	0,41	0,39	0,0909	0,0054	0,011938	0,000080	NS	0,005175	0,000028	NS
Trave 29-21a	100%	0,43	0,47	0,39	0,0913	0,0047	0,011532	0,000075	NS	0,004783	0,000025	NS
sisma in +Y												
proporzionale alle masse												
Trave 29-21a	0%	0,17	0,21	0,36	0,1157	0,0037	0,013480	0,001113	12,11	0,006812	0,000613	11,10
Trave 29-21a	100%	0,72	0,71	0,42	0,1156	0,0042	0,018618	0,000115	NS	0,004249	0,000013	NS
proporzionale alla deformata 1° modo di vibrazione												
Trave 29-21a	0%	0,16	0,18	0,36	0,1167	0,0036	0,013847	0,001588	8,72	0,007403	0,000866	8,55
Trave 29-21a	100%	0,73	0,72	0,42	0,1168	0,0042	0,018848	0,000184	NS	0,004244	0,000011	NS
sisma in -Y												
proporzionale alle masse												
Trave 29-21a	0%	0,00	0,00	0,00	0,0000	0,0000	0,000000	0,000000	0,00	0,000000	0,000000	0,00
Trave 29-21a	100%	0,00	0,00	0,00	0,0000	0,0000	0,000000	0,000000	0,00	0,000000	0,000000	0,00
proporzionale alla deformata 1° modo di vibrazione												
Trave 29-21a	0%	0,00	0,00	0,00	0,0000	0,0000	0,000000	0,000000	0,00	0,000000	0,000000	0,00
Trave 29-21a	100%	0,00	0,00	0,00	0,0000	0,0000	0,000000	0,000000	0,00	0,000000	0,000000	0,00
sisma in +X												
proporzionale alle masse												
Trave 21a-25a	0%	0,98	0,60	0,44	0,0918	0,0044	0,017147	0,000052	NS	0,004405	0,000019	NS
Trave 21a-25a	100%	19,34	0,54	2,28	0,0925	0,0045	0,096585	0,000139	NS	0,004553	0,000031	NS
proporzionale alla deformata 1° modo di vibrazione												
Trave 21a-25a	0%	0,98	0,56	0,44	0,0899	0,0044	0,016880	0,000076	NS	0,004464	0,000029	NS
Trave 21a-25a	100%	0,92	0,60	0,44	0,0898	0,0045	0,016408	0,000175	93,91	0,004456	0,000056	79,67
sisma in -X												
proporzionale alle masse												
Trave 21a-25a	0%	0,58	0,62	0,40	0,1004	0,0044	0,014769	0,000065	NS	0,004392	0,000032	NS
Trave 21a-25a	100%	0,44	0,41	0,39	0,1000	0,0045	0,012724	0,000108	NS	0,004912	0,000107	45,99
proporzionale alla deformata 1° modo di vibrazione												
Trave 21a-25a	0%	0,57	0,61	0,40	0,0999	0,0044	0,014574	0,000086	NS	0,004396	0,000039	NS
Trave 21a-25a	100%	0,45	0,42	0,39	0,0996	0,0045	0,012963	0,000108	NS	0,004892	0,000107	45,89
sisma in +Y												
proporzionale alle masse												
Trave 21a-25a	0%	0,55	0,57	0,40	0,0789	0,0046	0,011687	0,000137	85,46	0,004517	0,000033	NS
Trave 21a-25a	100%	0,45	0,43	0,39	0,0796	0,0047	0,010687	0,000552	19,37	0,004915	0,000326	15,08
proporzionale alla deformata 1° modo di vibrazione												
Trave 21a-25a	0%	0,48	0,57	0,39	0,0784	0,0045	0,010853	0,000162	66,81	0,004506	0,000030	NS
Trave 21a-25a	100%	0,47	0,43	0,39	0,0722	0,0047	0,010178	0,000734	13,86	0,004895	0,000403	12,16
sisma in -Y												
proporzionale alle masse												
Trave 21a-25a	0%	0,00	0,00	0,00	0,0000	0,0000	0,000000	0,000000	0,00	0,000000	0,000000	0,00
Trave 21a-25a	100%	0,00	0,00	0,00	0,0000	0,0000	0,000000	0,000000	0,00	0,000000	0,000000	0,00
proporzionale alla deformata 1° modo di vibrazione												
Trave 21a-25a	0%	0,00	0,00	0,00	0,0000	0,0000	0,000000	0,000000	0,00	0,000000	0,000000	0,00
Trave 21a-25a	100%	0,00	0,00	0,00	0,0000	0,0000	0,000000	0,000000	0,00	0,000000	0,000000	0,00
sisma in +X												
proporzionale alle masse												
Trave 25a-36	0%	0,26	0,05	0,37	0,0740	0,0099	0,017242	0,000214	80,45	0,022666	0,000096	NS
Trave 25a-36	100%	0,58	0,31	0,40	0,0734	0,0067	0,011827	0,000249	47,54	0,006069	0,000124	49,00
proporzionale alla deformata 1° modo di vibrazione												
Trave 25a-36	0%	0,63	0,03	0,41	0,0724	0,0103	0,024984	0,000256	97,68	0,032839	0,000123	NS
Trave 25a-36	100%	0,81	0,32	0,42	0,0723	0,0071	0,013250	0,000291	45,48	0,006078	0,000151	40,20
sisma in -X												
proporzionale alle masse												
Trave 25a-36	0%	0,08	0,09	0,35	0,1202	0,0100	0,016865	0,000068	NS	0,014396	0,000059	NS

Id_{Tr}	$\%L_{LI}$	$L_{v,SLV}$	$L_{v,SLD}$	L_{pl}	ϕ_u	ϕ_y	SLV			SLD		
							Θ_c	Θ_d	CS	Θ_c	Θ_d	CS
	[%]	[m]	[m]	[m]	[rad/m]	[rad/m]	[rad]	[rad]		[rad]	[rad]	
Trave 25a-36	100%	0,26	0,26	0,37	0,0714	0,0086	0,009320	0,000031	NS	0,007050	0,000028	NS
proporzionale alla deformata 1° modo di vibrazione												
Trave 25a-36	0%	0,08	0,09	0,35	0,1200	0,0104	0,016702	0,000072	NS	0,014159	0,000061	NS
Trave 25a-36	100%	0,26	0,25	0,37	0,0713	0,0087	0,009326	0,000035	NS	0,007094	0,000030	NS
sisma in +Y												
proporzionale alle masse												
Trave 25a-36	0%	0,02	0,04	0,35	0,0591	0,0100	0,018486	0,000489	37,79	0,028478	0,000268	NS
Trave 25a-36	100%	0,32	0,30	0,37	0,0284	0,0106	0,005209	0,000261	19,99	0,007088	0,000152	46,54
proporzionale alla deformata 1° modo di vibrazione												
Trave 25a-36	0%	0,01	0,03	0,34	0,0422	0,0100	0,018176	0,000671	27,10	0,030818	0,000346	89,16
Trave 25a-36	100%	0,33	0,30	0,38	0,0237	0,0105	0,004763	0,000376	12,65	0,007030	0,000205	34,30
sisma in -Y												
proporzionale alle masse												
Trave 25a-36	0%	0,00	0,00	0,00	0,0000	0,0000	0,000000	0,000000	0,00	0,000000	0,000000	0,00
Trave 25a-36	100%	0,00	0,00	0,00	0,0000	0,0000	0,000000	0,000000	0,00	0,000000	0,000000	0,00
proporzionale alla deformata 1° modo di vibrazione												
Trave 25a-36	0%	0,00	0,00	0,00	0,0000	0,0000	0,000000	0,000000	0,00	0,000000	0,000000	0,00
Trave 25a-36	100%	0,00	0,00	0,00	0,0000	0,0000	0,000000	0,000000	0,00	0,000000	0,000000	0,00
sisma in +X												
proporzionale alle masse												
Trave 36-30a	0%	0,47	0,45	0,39	0,1024	0,0046	0,013512	0,000203	66,61	0,004786	0,000086	55,38
Trave 36-30a	100%	0,90	0,94	0,43	0,1019	0,0046	0,018254	0,000006	NS	0,004427	0,000060	73,48
proporzionale alla deformata 1° modo di vibrazione												
Trave 36-30a	0%	0,46	0,44	0,39	0,1030	0,0047	0,013394	0,000241	55,46	0,004845	0,000112	43,37
Trave 36-30a	100%	0,93	0,96	0,44	0,1025	0,0046	0,018520	0,000026	NS	0,004407	0,000056	78,96
sisma in -X												
proporzionale alle masse												
Trave 36-30a	0%	0,56	0,52	0,40	0,0959	0,0052	0,014047	0,000050	NS	0,004789	0,000052	91,58
Trave 36-30a	100%	0,77	0,81	0,42	0,0955	0,0051	0,016064	0,000100	NS	0,004594	0,000107	43,03
proporzionale alla deformata 1° modo di vibrazione												
Trave 36-30a	0%	0,57	0,53	0,40	0,0948	0,0053	0,014022	0,000052	NS	0,004810	0,000053	90,76
Trave 36-30a	100%	0,75	0,80	0,42	0,0944	0,0053	0,015806	0,000093	NS	0,004654	0,000105	44,17
sisma in +Y												
proporzionale alle masse												
Trave 36-30a	0%	0,87	0,69	0,43	0,0738	0,0072	0,013453	0,000295	45,53	0,005383	0,000184	29,22
Trave 36-30a	100%	0,41	0,62	0,38	0,0735	0,0050	0,009227	0,000005	NS	0,004594	0,000077	59,58
proporzionale alla deformata 1° modo di vibrazione												
Trave 36-30a	0%	1,02	0,78	0,45	0,0677	0,0078	0,013271	0,000411	32,26	0,005667	0,000236	23,97
Trave 36-30a	100%	0,20	0,50	0,36	0,0670	0,0050	0,008016	0,000017	NS	0,004771	0,000091	52,32
sisma in -Y												
proporzionale alle masse												
Trave 36-30a	0%	0,00	0,00	0,00	0,0000	0,0000	0,000000	0,000000	0,00	0,000000	0,000000	0,00
Trave 36-30a	100%	0,00	0,00	0,00	0,0000	0,0000	0,000000	0,000000	0,00	0,000000	0,000000	0,00
proporzionale alla deformata 1° modo di vibrazione												
Trave 36-30a	0%	0,00	0,00	0,00	0,0000	0,0000	0,000000	0,000000	0,00	0,000000	0,000000	0,00
Trave 36-30a	100%	0,00	0,00	0,00	0,0000	0,0000	0,000000	0,000000	0,00	0,000000	0,000000	0,00
sisma in +X												
proporzionale alle masse												
Trave 30a-35a	0%	2,25	1,51	0,57	0,1025	0,0048	0,026794	0,000006	NS	0,005040	0,000060	84,04
Trave 30a-35a	100%	0,66	0,78	0,41	0,1025	0,0052	0,016080	0,000231	69,62	0,004632	0,000181	25,65
proporzionale alla deformata 1° modo di vibrazione												
Trave 30a-35a	0%	2,13	1,51	0,56	0,1031	0,0049	0,026296	0,000026	NS	0,005097	0,000056	91,78
Trave 30a-35a	100%	0,66	0,78	0,41	0,1022	0,0052	0,016051	0,000239	67,30	0,004631	0,000188	24,57
sisma in -X												
proporzionale alle masse												
Trave 30a-35a	0%	5,43	1,62	0,89	0,1023	0,0054	0,042236	0,000100	NS	0,005568	0,000107	52,28
Trave 30a-35a	100%	0,61	0,78	0,40	0,1021	0,0052	0,015464	0,000224	69,11	0,004638	0,000159	29,20
proporzionale alla deformata 1° modo di vibrazione												
Trave 30a-35a	0%	7,38	1,73	1,08	0,1034	0,0054	0,051994	0,000093	NS	0,005718	0,000105	54,39
Trave 30a-35a	100%	0,51	0,77	0,39	0,1030	0,0052	0,014133	0,000242	58,41	0,004635	0,000169	27,45
sisma in +Y												
proporzionale alle masse												
Trave 30a-35a	0%	1,02	1,66	0,45	0,0885	0,0054	0,017285	0,000006	NS	0,005650	0,000077	73,53
Trave 30a-35a	100%	0,67	0,98	0,41	0,0898	0,0053	0,014358	0,000231	62,23	0,004765	0,000053	90,35
proporzionale alla deformata 1° modo di vibrazione												
Trave 30a-35a	0%	1,65	0,86	0,51	0,0791	0,0054	0,018209	0,000017	NS	0,004738	0,000091	52,10
Trave 30a-35a	100%	9,68	1,14	1,31	0,0795	0,0053	0,047784	0,000378	NS	0,004901	0,000131	37,31
sisma in -Y												
proporzionale alle masse												
Trave 30a-35a	0%	0,00	0,00	0,00	0,0000	0,0000	0,000000	0,000000	0,00	0,000000	0,000000	0,00
Trave 30a-35a	100%	0,00	0,00	0,00	0,0000	0,0000	0,000000	0,000000	0,00	0,000000	0,000000	0,00
proporzionale alla deformata 1° modo di vibrazione												
Trave 30a-35a	0%	0,00	0,00	0,00	0,0000	0,0000	0,000000	0,000000	0,00	0,000000	0,000000	0,00
Trave 30a-35a	100%	0,00	0,00	0,00	0,0000	0,0000	0,000000	0,000000	0,00	0,000000	0,000000	0,00
sisma in +X												
proporzionale alle masse												
Trave 35a-43	0%	1,01	0,87	0,44	0,0497	0,0068	0,010100	0,000231	43,77	0,005336	0,000180	29,58
Trave 35a-43	100%	1,23	1,24	0,47	0,0482	0,0061	0,010692	0,000384	27,82	0,005441	0,000138	39,41
proporzionale alla deformata 1° modo di vibrazione												
Trave 35a-43	0%	1,03	0,84	0,45	0,0441	0,0068	0,009168	0,000238	38,48	0,005314	0,000188	28,22
Trave 35a-43	100%	1,24	1,27	0,47	0,0430	0,0061	0,009750	0,000458	21,28	0,005504	0,000183	30,14
sisma in -X												
proporzionale alle masse												
Trave 35a-43	0%	1,05	0,41	0,45	0,0851	0,0047	0,016639	0,000224	74,43	0,004993	0,000159	31,47
Trave 35a-43	100%	1,15	0,23	0,46	0,0823	0,0058	0,017429	0,000121	NS	0,006785	0,000153	44,41

Id_{Tr}	$\%L_{LI}$	$L_{v,SLV}$	$L_{v,SLD}$	L_{pl}	ϕ_u	ϕ_y	SLV			SLD		
							Θ_c	Θ_d	CS	Θ_c	Θ_d	CS
	[%]	[m]	[m]	[m]	[rad/m]	[rad/m]	[rad]	[rad]		[rad]	[rad]	
proporzionale alla deformata 1° modo di vibrazione												
Trave 35a-43	0%	1,08	0,14	0,45	0,0849	0,0056	0,018734	0,000242	77,48	0,009138	0,000169	54,18
Trave 35a-43	100%	1,14	0,59	0,46	0,0826	0,0056	0,016471	0,000162	NS	0,004831	0,000171	28,18
sisma in +Y												
proporzionale alle masse												
Trave 35a-43	0%	0,90	0,83	0,43	0,0811	0,0047	0,014803	0,000231	64,10	0,004453	0,000053	84,12
Trave 35a-43	100%	1,21	0,51	0,46	0,0789	0,0061	0,016181	0,000446	36,31	0,005111	0,000124	41,35
proporzionale alla deformata 1° modo di vibrazione												
Trave 35a-43	0%	0,62	1,32	0,40	0,0735	0,0048	0,011753	0,000378	31,07	0,004802	0,000132	36,50
Trave 35a-43	100%	1,45	1,17	0,49	0,0714	0,0084	0,016085	0,000790	20,36	0,006602	0,000314	21,01
sisma in -Y												
proporzionale alle masse												
Trave 35a-43	0%	0,00	0,00	0,00	0,0000	0,0000	0,000000	0,000000	0,00	0,000000	0,000000	0,00
Trave 35a-43	100%	0,00	0,00	0,00	0,0000	0,0000	0,000000	0,000000	0,00	0,000000	0,000000	0,00
proporzionale alla deformata 1° modo di vibrazione												
Trave 35a-43	0%	0,00	0,00	0,00	0,0000	0,0000	0,000000	0,000000	0,00	0,000000	0,000000	0,00
Trave 35a-43	100%	0,00	0,00	0,00	0,0000	0,0000	0,000000	0,000000	0,00	0,000000	0,000000	0,00
Piano copertura							**Travata: Trave1a-3a**					
sisma in +X												
proporzionale alle masse												
Trave 1a-3a	0%	0,92	0,91	0,60	0,0252	0,0087	0,006854	0,000306	22,37	0,007027	0,000180	39,00
Trave 1a-3a	100%	0,64	0,65	0,58	0,0615	0,0093	0,011770	0,000159	74,12	0,006950	0,000105	65,94
proporzionale alla deformata 1° modo di vibrazione												
Trave 1a-3a	0%	0,92	0,91	0,60	0,0257	0,0087	0,006961	0,000277	25,11	0,007034	0,000168	41,93
Trave 1a-3a	100%	0,65	0,65	0,58	0,0620	0,0091	0,011892	0,000162	73,40	0,006867	0,000109	62,80
sisma in -X												
proporzionale alle masse												
Trave 1a-3a	0%	0,92	0,89	0,60	0,0317	0,0084	0,008129	0,000136	59,97	0,006821	0,000078	87,96
Trave 1a-3a	100%	0,64	0,65	0,57	0,0669	0,0087	0,012585	0,000162	77,82	0,006674	0,000112	59,37
proporzionale alla deformata 1° modo di vibrazione												
Trave 1a-3a	0%	0,92	0,90	0,60	0,0297	0,0085	0,007750	0,000187	41,50	0,006898	0,000104	66,47
Trave 1a-3a	100%	0,64	0,65	0,57	0,0655	0,0091	0,012379	0,000160	77,49	0,006845	0,000112	60,87
sisma in +Y												
proporzionale alle masse												
Trave 1a-3a	0%	1,83	0,58	0,69	0,0753	0,0052	0,022298	0,000357	62,43	0,005189	0,000153	33,86
Trave 1a-3a	100%	0,33	5,94	0,54	0,0545	0,0050	0,013011	0,000264	49,33	0,012584	0,000167	75,36
proporzionale alla deformata 1° modo di vibrazione												
Trave 1a-3a	0%	1,03	1,05	0,61	0,0772	0,0046	0,018087	0,000680	26,60	0,004877	0,000306	15,92
Trave 1a-3a	100%	0,57	0,44	0,57	0,0565	0,0049	0,010013	0,000336	29,77	0,005376	0,000193	27,89
sisma in -Y												
proporzionale alle masse												
Trave 1a-3a	0%	0,00	0,00	0,00	0,0000	0,0000	0,000000	0,000000	0,00	0,000000	0,000000	0,00
Trave 1a-3a	100%	0,00	0,00	0,00	0,0000	0,0000	0,000000	0,000000	0,00	0,000000	0,000000	0,00
proporzionale alla deformata 1° modo di vibrazione												
Trave 1a-3a	0%	0,00	0,00	0,00	0,0000	0,0000	0,000000	0,000000	0,00	0,000000	0,000000	0,00
Trave 1a-3a	100%	0,00	0,00	0,00	0,0000	0,0000	0,000000	0,000000	0,00	0,000000	0,000000	0,00
Piano terra							**Travata: Trave1-2-P1-3**					
sisma in +X												
proporzionale alle masse												
Trave 2-P1	0%	12,09	1,03	1,55	0,0862	0,0123	0,057732	0,000569	NS	0,008000	0,000312	25,60
Trave 2-P1	100%	1,48	1,20	0,49	0,0864	0,0105	0,019360	0,001429	13,55	0,007631	0,000659	11,58
proporzionale alla deformata 1° modo di vibrazione												
Trave 2-P1	0%	7,28	1,34	1,07	0,0853	0,0116	0,040990	0,000701	58,45	0,008755	0,000340	25,73
Trave 2-P1	100%	1,51	1,23	0,49	0,0854	0,0106	0,019367	0,001572	12,32	0,007775	0,000721	10,78
sisma in -X												
proporzionale alle masse												
Trave 2-P1	0%	1,39	1,16	0,48	0,0898	0,0100	0,019516	0,001038	18,81	0,007203	0,000474	15,18
Trave 2-P1	100%	9,35	1,55	1,28	0,0897	0,0106	0,051486	0,001656	31,09	0,008839	0,000793	11,14
proporzionale alla deformata 1° modo di vibrazione												
Trave 2-P1	0%	1,42	1,18	0,48	0,0890	0,0101	0,019520	0,001159	16,84	0,007310	0,000530	13,80
Trave 2-P1	100%	7,39	1,85	1,08	0,0889	0,0106	0,044231	0,001771	24,98	0,009822	0,000852	11,52
sisma in +Y												
proporzionale alle masse												
Trave 2-P1	0%	0,54	0,59	0,40	0,0977	0,0098	0,013935	0,000107	NS	0,005681	0,000067	84,61
Trave 2-P1	100%	0,79	0,76	0,42	0,0976	0,0094	0,016599	0,000065	NS	0,005879	0,000038	NS
proporzionale alla deformata 1° modo di vibrazione												
Trave 2-P1	0%	0,14	0,35	0,36	0,0954	0,0098	0,010377	0,000233	44,56	0,005477	0,000195	28,15
Trave 2-P1	100%	1,06	0,91	0,45	0,0954	0,0098	0,018369	0,000405	45,32	0,006439	0,000199	32,37
sisma in -Y												
proporzionale alle masse												
Trave 2-P1	0%	0,00	0,00	0,00	0,0000	0,0000	0,000000	0,000000	0,00	0,000000	0,000000	0,00
Trave 2-P1	100%	0,00	0,00	0,00	0,0000	0,0000	0,000000	0,000000	0,00	0,000000	0,000000	0,00
proporzionale alla deformata 1° modo di vibrazione												
Trave 2-P1	0%	0,00	0,00	0,00	0,0000	0,0000	0,000000	0,000000	0,00	0,000000	0,000000	0,00
Trave 2-P1	100%	0,00	0,00	0,00	0,0000	0,0000	0,000000	0,000000	0,00	0,000000	0,000000	0,00
Piano terra							**Travata: Trave13-P4-14-15-P5-16**					
sisma in +X												
proporzionale alle masse												
Trave P4-14	0%	2,80	0,01	0,64	0,0579	0,0046	0,054204	0,001421	38,15	0,078361	0,000712	NS
Trave P4-14	100%	0,92	0,86	0,45	0,0376	0,0051	0,007891	0,000120	65,59	0,004722	0,000048	97,90
proporzionale alla deformata 1° modo di vibrazione												
Trave P4-14	0%	4,44	0,30	0,80	0,0566	0,0046	0,021874	0,001571	13,93	0,005953	0,000833	7,15
Trave P4-14	100%	0,96	0,86	0,45	0,0370	0,0052	0,007886	0,000177	44,59	0,004793	0,000080	60,12
sisma in -X												
proporzionale alle masse												

Id_{Tr}	$\%L_{LI}$	$L_{v,SLV}$	$L_{v,SLD}$	L_{pl}	ϕ_u	ϕ_y	SLV			SLD		
							Θ_c	Θ_d	CS	Θ_c	Θ_d	CS
	[%]	[m]	[m]	[m]	[rad/m]	[rad/m]	[rad]	[rad]		[rad]	[rad]	
Trave P4-14	0%	1,88	1,53	0,54	0,0833	0,0044	0,020815	0,001216	17,11	0,004897	0,000593	8,26
Trave P4-14	100%	8,51	2,79	1,21	0,0939	0,0070	0,053305	0,000315	NS	0,009198	0,000172	53,63
proporzionale alla deformata 1° modo di vibrazione												
Trave P4-14	0%	1,95	1,57	0,55	0,0803	0,0045	0,020430	0,001383	14,78	0,005002	0,000666	7,51
Trave P4-14	100%	6,19	4,25	0,97	0,0912	0,0065	0,043852	0,000367	NS	0,011666	0,000197	59,25
sisma in +Y												
proporzionale alle masse												
Trave P4-14	0%	0,24	0,56	0,38	0,1082	0,0036	0,012147	0,000650	18,68	0,004404	0,000265	16,62
Trave P4-14	100%	0,72	0,82	0,43	0,0395	0,0045	0,007508	0,000010	NS	0,004472	0,000039	NS
proporzionale alla deformata 1° modo di vibrazione												
Trave P4-14	0%	0,09	0,52	0,37	0,1082	0,0037	0,011798	0,000711	16,59	0,004511	0,000297	15,17
Trave P4-14	100%	0,76	0,82	0,43	0,0393	0,0046	0,007623	0,000060	NS	0,004500	0,000012	NS
sisma in -Y												
proporzionale alle masse												
Trave P4-14	0%	0,00	0,00	0,00	0,0000	0,0000	0,000000	0,000000	0,00	0,000000	0,000000	0,00
Trave P4-14	100%	0,00	0,00	0,00	0,0000	0,0000	0,000000	0,000000	0,00	0,000000	0,000000	0,00
proporzionale alla deformata 1° modo di vibrazione												
Trave P4-14	0%	0,00	0,00	0,00	0,0000	0,0000	0,000000	0,000000	0,00	0,000000	0,000000	0,00
Trave P4-14	100%	0,00	0,00	0,00	0,0000	0,0000	0,000000	0,000000	0,00	0,000000	0,000000	0,00
sisma in +X												
proporzionale alle masse												
Trave 14-15	0%	1,45	0,09	0,50	0,1079	0,0040	0,028415	0,000120	NS	0,013740	0,000048	NS
Trave 14-15	100%	0,97	0,79	0,45	0,0481	0,0053	0,009823	0,000066	NS	0,004802	0,000085	56,42
proporzionale alla deformata 1° modo di vibrazione												
Trave 14-15	0%	2,43	0,07	0,60	0,1076	0,0039	0,035513	0,000177	NS	0,016558	0,000080	NS
Trave 14-15	100%	1,02	0,82	0,46	0,0471	0,0054	0,009839	0,000040	NS	0,004840	0,000073	66,24
sisma in -X												
proporzionale alle masse												
Trave 14-15	0%	1,27	1,00	0,48	0,0281	0,0068	0,006972	0,000315	22,11	0,005627	0,000172	32,81
Trave 14-15	100%	0,74	0,12	0,43	0,1072	0,0048	0,021201	0,000014	NS	0,011098	0,000075	NS
proporzionale alla deformata 1° modo di vibrazione												
Trave 14-15	0%	1,33	1,05	0,49	0,0275	0,0070	0,006979	0,000367	19,03	0,005778	0,000197	29,35
Trave 14-15	100%	1,77	0,12	0,53	0,1058	0,0048	0,028594	0,000019	NS	0,011465	0,000075	NS
sisma in +Y												
proporzionale alle masse												
Trave 14-15	0%	0,47	0,59	0,40	0,0318	0,0053	0,005536	0,000010	NS	0,004912	0,000039	NS
Trave 14-15	100%	0,59	0,54	0,42	0,0527	0,0044	0,008855	0,000159	55,66	0,004699	0,000136	34,61
proporzionale alla deformata 1° modo di vibrazione												
Trave 14-15	0%	0,34	0,51	0,39	0,0318	0,0053	0,005112	0,000060	84,59	0,005055	0,000012	NS
Trave 14-15	100%	0,64	0,61	0,42	0,0527	0,0044	0,009135	0,000151	60,58	0,004577	0,000116	39,34
sisma in -Y												
proporzionale alle masse												
Trave 14-15	0%	0,00	0,00	0,00	0,0000	0,0000	0,000000	0,000000	0,00	0,000000	0,000000	0,00
Trave 14-15	100%	0,00	0,00	0,00	0,0000	0,0000	0,000000	0,000000	0,00	0,000000	0,000000	0,00
proporzionale alla deformata 1° modo di vibrazione												
Trave 14-15	0%	0,00	0,00	0,00	0,0000	0,0000	0,000000	0,000000	0,00	0,000000	0,000000	0,00
Trave 14-15	100%	0,00	0,00	0,00	0,0000	0,0000	0,000000	0,000000	0,00	0,000000	0,000000	0,00
sisma in +X												
proporzionale alle masse												
Trave 15-P5	0%	1,26	1,32	0,48	0,0634	0,0049	0,013890	0,000066	NS	0,004949	0,000085	58,15
Trave 15-P5	100%	1,19	1,14	0,47	0,0434	0,0042	0,009671	0,000706	13,70	0,004443	0,000303	14,66
proporzionale alla deformata 1° modo di vibrazione												
Trave 15-P5	0%	1,26	1,32	0,48	0,0597	0,0051	0,013171	0,000040	NS	0,005051	0,000073	69,12
Trave 15-P5	100%	1,19	1,15	0,48	0,0385	0,0042	0,008747	0,000797	10,97	0,004452	0,000336	13,24
sisma in -X												
proporzionale alle masse												
Trave 15-P5	0%	0,85	0,76	0,44	0,0469	0,0048	0,009181	0,000014	NS	0,004611	0,000075	61,20
Trave 15-P5	100%	1,86	2,68	0,54	0,0760	0,0041	0,019622	0,000714	27,49	0,005967	0,000475	12,55
proporzionale alla deformata 1° modo di vibrazione												
Trave 15-P5	0%	0,86	0,78	0,44	0,0461	0,0049	0,009097	0,000019	NS	0,004646	0,000075	62,10
Trave 15-P5	100%	1,80	2,49	0,54	0,0744	0,0042	0,018928	0,000770	24,59	0,005777	0,000493	11,71
sisma in +Y												
proporzionale alle masse												
Trave 15-P5	0%	1,63	2,08	0,52	0,1000	0,0042	0,023548	0,000159	NS	0,005327	0,000136	39,23
Trave 15-P5	100%	1,00	0,91	0,46	0,0982	0,0040	0,018737	0,000121	NS	0,004260	0,000094	45,52
proporzionale alla deformata 1° modo di vibrazione												
Trave 15-P5	0%	1,53	1,91	0,51	0,0971	0,0042	0,022289	0,000151	NS	0,005130	0,000116	44,10
Trave 15-P5	100%	1,04	0,94	0,46	0,0936	0,0040	0,018173	0,000094	NS	0,004282	0,000083	51,37
sisma in -Y												
proporzionale alle masse												
Trave 15-P5	0%	0,00	0,00	0,00	0,0000	0,0000	0,000000	0,000000	0,00	0,000000	0,000000	0,00
Trave 15-P5	100%	0,00	0,00	0,00	0,0000	0,0000	0,000000	0,000000	0,00	0,000000	0,000000	0,00
proporzionale alla deformata 1° modo di vibrazione												
Trave 15-P5	0%	0,00	0,00	0,00	0,0000	0,0000	0,000000	0,000000	0,00	0,000000	0,000000	0,00
Trave 15-P5	100%	0,00	0,00	0,00	0,0000	0,0000	0,000000	0,000000	0,00	0,000000	0,000000	0,00
Piano terra							**Travata: Trave22-P8-23-24-25**					
sisma in +X												
proporzionale alle masse												
Trave P8-23	0%	0,97	1,02	0,41	0,0831	0,0075	0,015073	0,000611	24,67	0,005570	0,000318	17,52
Trave P8-23	100%	0,81	0,77	0,40	0,0831	0,0076	0,013891	0,000274	50,68	0,005207	0,000182	28,55
proporzionale alla deformata 1° modo di vibrazione												
Trave P8-23	0%	0,97	1,01	0,41	0,0806	0,0075	0,014647	0,000727	20,15	0,005532	0,000357	15,52
Trave P8-23	100%	0,81	0,78	0,40	0,0806	0,0076	0,013547	0,000300	45,09	0,005214	0,000196	26,55
sisma in -X												
proporzionale alle masse												

Id_{Tr}	$\%L_{LI}$	$L_{v,SLV}$	$L_{v,SLD}$	L_{pl}	ϕ_u	ϕ_y	SLV			SLD		
							Θ_c	Θ_d	CS	Θ_c	Θ_d	CS
	[%]	[m]	[m]	[m]	[rad/m]	[rad/m]	[rad]	[rad]		[rad]	[rad]	
Trave P8-23	0%	0,89	0,88	0,41	0,0479	0,0085	0,009048	0,001177	7,69	0,005760	0,000586	9,83
Trave P8-23	100%	0,86	0,88	0,40	0,0488	0,0092	0,009102	0,000328	27,74	0,006021	0,000158	38,13
proporzionale alla deformata 1° modo di vibrazione												
Trave P8-23	0%	0,89	0,89	0,40	0,0429	0,0085	0,008268	0,001339	6,17	0,005785	0,000658	8,80
Trave P8-23	100%	0,86	0,87	0,40	0,0437	0,0092	0,008319	0,000375	22,20	0,006014	0,000177	33,99
sisma in +Y												
proporzionale alle masse												
Trave P8-23	0%	0,93	0,83	0,41	0,0876	0,0094	0,015519	0,000004	NS	0,006033	0,000027	NS
Trave P8-23	100%	0,81	0,97	0,40	0,0877	0,0155	0,015401	0,000390	39,48	0,009145	0,000178	51,31
proporzionale alla deformata 1° modo di vibrazione												
Trave P8-23	0%	0,92	0,77	0,41	0,0955	0,0103	0,016668	0,000079	NS	0,006250	0,000007	NS
Trave P8-23	100%	0,62	4,63	0,38	0,0953	0,0134	0,022764	0,000311	73,13	0,024023	0,000139	NS
sisma in -Y												
proporzionale alle masse												
Trave P8-23	0%	0,00	0,00	0,00	0,0000	0,0000	0,000000	0,000000	0,00	0,000000	0,000000	0,00
Trave P8-23	100%	0,00	0,00	0,00	0,0000	0,0000	0,000000	0,000000	0,00	0,000000	0,000000	0,00
proporzionale alla deformata 1° modo di vibrazione												
Trave P8-23	0%	0,00	0,00	0,00	0,0000	0,0000	0,000000	0,000000	0,00	0,000000	0,000000	0,00
Trave P8-23	100%	0,00	0,00	0,00	0,0000	0,0000	0,000000	0,000000	0,00	0,000000	0,000000	0,00
sisma in +X												
proporzionale alle masse												
Trave 23-24	0%	2,81	0,58	0,60	0,0855	0,0090	0,023159	0,000261	88,70	0,005462	0,000172	31,70
Trave 23-24	100%	1,18	0,70	0,43	0,0857	0,0126	0,016411	0,000571	28,73	0,006974	0,000318	21,96
proporzionale alla deformata 1° modo di vibrazione												
Trave 23-24	0%	0,64	0,25	0,38	0,0826	0,0090	0,012863	0,000289	44,44	0,006008	0,000187	32,16
Trave 23-24	100%	1,02	0,73	0,42	0,0827	0,0125	0,015171	0,000651	23,29	0,007008	0,000360	19,46
sisma in -X												
proporzionale alle masse												
Trave 23-24	0%	0,46	0,45	0,36	0,0936	0,0080	0,011904	0,000328	36,33	0,005117	0,000161	31,81
Trave 23-24	100%	0,53	0,53	0,37	0,0936	0,0080	0,012865	0,000338	38,03	0,005111	0,000116	43,95
proporzionale alla deformata 1° modo di vibrazione												
Trave 23-24	0%	0,45	0,45	0,36	0,0927	0,0076	0,011770	0,000376	31,28	0,005016	0,000181	27,73
Trave 23-24	100%	0,53	0,53	0,37	0,0927	0,0075	0,012751	0,000417	30,60	0,004949	0,000149	33,20
sisma in +Y												
proporzionale alle masse												
Trave 23-24	0%	0,41	0,40	0,36	0,0984	0,0071	0,011712	0,000434	26,96	0,004947	0,000197	25,17
Trave 23-24	100%	0,59	0,60	0,37	0,0982	0,0069	0,014017	0,000245	57,25	0,004785	0,000170	28,21
proporzionale alla deformata 1° modo di vibrazione												
Trave 23-24	0%	0,42	0,41	0,36	0,0987	0,0070	0,011817	0,000356	33,17	0,004907	0,000157	31,21
Trave 23-24	100%	0,58	0,59	0,37	0,0987	0,0069	0,014053	0,000222	63,36	0,004761	0,000166	28,74
sisma in -Y												
proporzionale alle masse												
Trave 23-24	0%	0,00	0,00	0,00	0,0000	0,0000	0,000000	0,000000	0,00	0,000000	0,000000	0,00
Trave 23-24	100%	0,00	0,00	0,00	0,0000	0,0000	0,000000	0,000000	0,00	0,000000	0,000000	0,00
proporzionale alla deformata 1° modo di vibrazione												
Trave 23-24	0%	0,00	0,00	0,00	0,0000	0,0000	0,000000	0,000000	0,00	0,000000	0,000000	0,00
Trave 23-24	100%	0,00	0,00	0,00	0,0000	0,0000	0,000000	0,000000	0,00	0,000000	0,000000	0,00
sisma in +X												
proporzionale alle masse												
Trave 24-25	0%	0,65	0,42	0,38	0,0961	0,0072	0,014435	0,000486	29,71	0,004919	0,000235	20,96
Trave 24-25	100%	1,25	0,99	0,44	0,0962	0,0076	0,018866	0,000734	25,71	0,005526	0,000281	19,63
proporzionale alla deformata 1° modo di vibrazione												
Trave 24-25	0%	1,55	0,33	0,47	0,0932	0,0072	0,019758	0,000564	35,04	0,005152	0,000276	18,65
Trave 24-25	100%	1,36	1,05	0,45	0,0938	0,0079	0,019094	0,000960	19,89	0,005816	0,000384	15,13
sisma in -X												
proporzionale alle masse												
Trave 24-25	0%	1,17	1,01	0,43	0,1000	0,0069	0,019079	0,000429	44,49	0,005236	0,000200	26,17
Trave 24-25	100%	0,96	0,08	0,41	0,0988	0,0073	0,020289	0,001085	18,70	0,010909	0,000610	17,89
proporzionale alla deformata 1° modo di vibrazione												
Trave 24-25	0%	1,21	1,04	0,44	0,0995	0,0069	0,019255	0,000508	37,89	0,005308	0,000233	22,76
Trave 24-25	100%	1,67	0,03	0,48	0,0989	0,0075	0,031216	0,001278	24,42	0,024704	0,000719	34,36
sisma in +Y												
proporzionale alle masse												
Trave 24-25	0%	0,24	0,52	0,34	0,0981	0,0072	0,010159	0,000094	NS	0,004847	0,000052	92,82
Trave 24-25	100%	1,17	0,93	0,43	0,0979	0,0073	0,018637	0,000245	76,19	0,005281	0,000060	88,11
proporzionale alla deformata 1° modo di vibrazione												
Trave 24-25	0%	0,24	0,53	0,34	0,0976	0,0072	0,010117	0,000070	NS	0,004846	0,000051	95,08
Trave 24-25	100%	1,19	0,92	0,43	0,0975	0,0075	0,018679	0,000298	62,73	0,005374	0,000077	69,73
sisma in -Y												
proporzionale alle masse												
Trave 24-25	0%	0,00	0,00	0,00	0,0000	0,0000	0,000000	0,000000	0,00	0,000000	0,000000	0,00
Trave 24-25	100%	0,00	0,00	0,00	0,0000	0,0000	0,000000	0,000000	0,00	0,000000	0,000000	0,00
proporzionale alla deformata 1° modo di vibrazione												
Trave 24-25	0%	0,00	0,00	0,00	0,0000	0,0000	0,000000	0,000000	0,00	0,000000	0,000000	0,00
Trave 24-25	100%	0,00	0,00	0,00	0,0000	0,0000	0,000000	0,000000	0,00	0,000000	0,000000	0,00
Piano terra							**Travata: Trave38-P14-39-40-P15-41-42-P16-43**					
sisma in +X												
proporzionale alle masse												
Trave P14-39	0%	0,68	0,38	0,47	0,0751	0,0054	0,013599	0,000067	NS	0,005727	0,000058	98,38
Trave P14-39	100%	1,00	0,91	0,50	0,0483	0,0059	0,010563	0,000158	66,66	0,005247	0,000108	48,57
proporzionale alla deformata 1° modo di vibrazione												
Trave P14-39	0%	0,99	0,50	0,50	0,0744	0,0054	0,015462	0,000078	NS	0,005241	0,000061	85,46
Trave P14-39	100%	1,05	0,93	0,50	0,0476	0,0061	0,010621	0,000191	55,67	0,005374	0,000125	43,04
sisma in -X												
proporzionale alle masse												

Id_{Tr}	$\%L_{LI}$	$L_{v,SLV}$	$L_{v,SLD}$	L_{pl}	ϕ_u	ϕ_y	SLV			SLD		
							Θ_c	Θ_d	CS	Θ_c	Θ_d	CS
	[%]	[m]	[m]	[m]	[rad/m]	[rad/m]	[rad]	[rad]		[rad]	[rad]	
Trave P14-39	0%	1,31	1,15	0,53	0,0842	0,0049	0,019235	0,000330	58,28	0,004901	0,000177	27,63
Trave P14-39	100%	2,04	3,91	0,60	0,0961	0,0051	0,027967	0,000112	NS	0,009113	0,000019	NS
proporzionale alla deformata 1° modo di vibrazione												
Trave P14-39	0%	1,35	1,19	0,53	0,0823	0,0049	0,019051	0,000404	47,14	0,004958	0,000213	23,25
Trave P14-39	100%	1,91	2,80	0,59	0,0947	0,0049	0,025961	0,000168	NS	0,007066	0,000038	NS
sisma in +Y												
proporzionale alle masse												
Trave P14-39	0%	0,54	0,53	0,45	0,0939	0,0057	0,014276	0,000010	NS	0,005285	0,000007	NS
Trave P14-39	100%	0,70	0,70	0,47	0,0504	0,0059	0,009562	0,000063	NS	0,005169	0,000057	91,27
proporzionale alla deformata 1° modo di vibrazione												
Trave P14-39	0%	0,84	0,73	0,48	0,0929	0,0050	0,017548	0,000017	NS	0,004801	0,000009	NS
Trave P14-39	100%	0,46	0,58	0,45	0,0494	0,0059	0,007670	0,000059	NS	0,005251	0,000056	94,57
sisma in -Y												
proporzionale alle masse												
Trave P14-39	0%	0,00	0,00	0,00	0,0000	0,0000	0,000000	0,000000	0,00	0,000000	0,000000	0,00
Trave P14-39	100%	0,00	0,00	0,00	0,0000	0,0000	0,000000	0,000000	0,00	0,000000	0,000000	0,00
proporzionale alla deformata 1° modo di vibrazione												
Trave P14-39	0%	0,00	0,00	0,00	0,0000	0,0000	0,000000	0,000000	0,00	0,000000	0,000000	0,00
Trave P14-39	100%	0,00	0,00	0,00	0,0000	0,0000	0,000000	0,000000	0,00	0,000000	0,000000	0,00
sisma in +X												
proporzionale alle masse												
Trave 39-40	0%	0,19	0,48	0,42	0,0498	0,0047	0,007243	0,000158	45,70	0,005058	0,000108	46,82
Trave 39-40	100%	1,13	0,94	0,51	0,0575	0,0051	0,012839	0,000191	67,36	0,004895	0,000063	78,01
proporzionale alla deformata 1° modo di vibrazione												
Trave 39-40	0%	0,62	0,39	0,46	0,0979	0,0047	0,016181	0,000191	84,81	0,005450	0,000125	43,65
Trave 39-40	100%	1,27	1,00	0,53	0,0549	0,0055	0,012858	0,000292	44,01	0,005091	0,000103	49,56
sisma in -X												
proporzionale alle masse												
Trave 39-40	0%	1,13	0,95	0,51	0,0514	0,0048	0,011597	0,000112	NS	0,004754	0,000019	NS
Trave 39-40	100%	0,17	0,29	0,42	0,1056	0,0047	0,013626	0,000303	44,97	0,006258	0,000202	30,99
proporzionale alla deformata 1° modo di vibrazione												
Trave 39-40	0%	1,18	0,98	0,52	0,0506	0,0050	0,011649	0,000168	69,22	0,004846	0,000038	NS
Trave 39-40	100%	0,44	0,24	0,44	0,1048	0,0047	0,014619	0,000337	43,38	0,007005	0,000216	32,50
sisma in +Y												
proporzionale alle masse												
Trave 39-40	0%	0,77	0,77	0,48	0,0526	0,0046	0,010195	0,000063	NS	0,004641	0,000057	81,95
Trave 39-40	100%	0,60	0,61	0,46	0,0610	0,0046	0,010368	0,000103	NS	0,004771	0,000093	51,56
proporzionale alla deformata 1° modo di vibrazione												
Trave 39-40	0%	0,83	0,80	0,48	0,0525	0,0045	0,010500	0,000059	NS	0,004601	0,000056	82,86
Trave 39-40	100%	0,48	0,55	0,45	0,0610	0,0046	0,009188	0,000134	68,64	0,004860	0,000107	45,31
sisma in -Y												
proporzionale alle masse												
Trave 39-40	0%	0,00	0,00	0,00	0,0000	0,0000	0,000000	0,000000	0,00	0,000000	0,000000	0,00
Trave 39-40	100%	0,00	0,00	0,00	0,0000	0,0000	0,000000	0,000000	0,00	0,000000	0,000000	0,00
proporzionale alla deformata 1° modo di vibrazione												
Trave 39-40	0%	0,00	0,00	0,00	0,0000	0,0000	0,000000	0,000000	0,00	0,000000	0,000000	0,00
Trave 39-40	100%	0,00	0,00	0,00	0,0000	0,0000	0,000000	0,000000	0,00	0,000000	0,000000	0,00
sisma in +X												
proporzionale alle masse												
Trave P15-41	0%	0,55	0,58	0,45	0,1003	0,0037	0,015071	0,000090	NS	0,004477	0,000085	52,83
Trave P15-41	100%	0,98	0,91	0,50	0,0311	0,0056	0,007294	0,000008	NS	0,005112	0,000044	NS
proporzionale alla deformata 1° modo di vibrazione												
Trave P15-41	0%	0,56	0,56	0,46	0,0998	0,0037	0,015255	0,000081	NS	0,004535	0,000097	46,98
Trave P15-41	100%	1,02	0,93	0,50	0,0309	0,0060	0,007372	0,000025	NS	0,005331	0,000031	NS
sisma in -X												
proporzionale alle masse												
Trave P15-41	0%	1,23	1,03	0,52	0,0972	0,0040	0,021376	0,000262	81,63	0,004402	0,000131	33,65
Trave P15-41	100%	0,38	0,39	0,44	0,0986	0,0053	0,013000	0,000195	66,58	0,005600	0,000139	40,17
proporzionale alla deformata 1° modo di vibrazione												
Trave P15-41	0%	1,30	1,06	0,53	0,0964	0,0041	0,021704	0,000321	67,68	0,004458	0,000159	28,07
Trave P15-41	100%	0,75	0,33	0,47	0,0981	0,0052	0,018046	0,000216	83,44	0,005975	0,000151	39,46
sisma in +Y												
proporzionale alle masse												
Trave P15-41	0%	0,75	0,75	0,48	0,1004	0,0038	0,017884	0,000017	NS	0,004293	0,000021	NS
Trave P15-41	100%	0,78	0,78	0,48	0,0313	0,0052	0,006782	0,000059	NS	0,004902	0,000067	72,73
proporzionale alla deformata 1° modo di vibrazione												
Trave P15-41	0%	0,84	0,79	0,48	0,1000	0,0038	0,018691	0,000016	NS	0,004301	0,000003	NS
Trave P15-41	100%	0,70	0,74	0,47	0,0310	0,0052	0,006495	0,000067	96,69	0,004905	0,000072	68,31
sisma in -Y												
proporzionale alle masse												
Trave P15-41	0%	0,00	0,00	0,00	0,0000	0,0000	0,000000	0,000000	0,00	0,000000	0,000000	0,00
Trave P15-41	100%	0,00	0,00	0,00	0,0000	0,0000	0,000000	0,000000	0,00	0,000000	0,000000	0,00
proporzionale alla deformata 1° modo di vibrazione												
Trave P15-41	0%	0,00	0,00	0,00	0,0000	0,0000	0,000000	0,000000	0,00	0,000000	0,000000	0,00
Trave P15-41	100%	0,00	0,00	0,00	0,0000	0,0000	0,000000	0,000000	0,00	0,000000	0,000000	0,00
sisma in +X												
proporzionale alle masse												
Trave 41-42	0%	0,05	0,49	0,40	0,1065	0,0058	0,012880	0,000008	NS	0,005386	0,000044	NS
Trave 41-42	100%	0,91	0,74	0,49	0,0658	0,0050	0,013294	0,000000	NS	0,004811	0,000044	NS
proporzionale alla deformata 1° modo di vibrazione												
Trave 41-42	0%	0,79	0,37	0,48	0,1056	0,0047	0,019615	0,000025	NS	0,005557	0,000031	NS
Trave 41-42	100%	0,97	0,78	0,50	0,0649	0,0052	0,013484	0,000025	NS	0,004873	0,000033	NS
sisma in -X												
proporzionale alle masse												
Trave 41-42	0%	1,13	1,01	0,51	0,0274	0,0061	0,006934	0,000195	35,51	0,005401	0,000139	38,74

Id_{Tr}	$\%L_{LI}$	$L_{v,SLV}$	$L_{v,SLD}$	L_{pl}	ϕ_u	ϕ_y	SLV			SLD		
							Θ_c	Θ_d	CS	Θ_c	Θ_d	CS
	[%]	[m]	[m]	[m]	[rad/m]	[rad/m]	[rad]	[rad]		[rad]	[rad]	
Trave 41-42	100%	1,52	0,05	0,55	0,1031	0,0054	0,034456	0,000099	NS	0,024740	0,000071	NS
proporzionale alla deformata 1° modo di vibrazione												
Trave 41-42	0%	1,16	1,03	0,52	0,0273	0,0062	0,006975	0,000216	32,25	0,005507	0,000151	36,38
Trave 41-42	100%	2,40	0,44	0,64	0,1025	0,0058	0,029589	0,000111	NS	0,005564	0,000078	71,73
sisma in +Y												
proporzionale alle masse												
Trave 41-42	0%	0,81	0,81	0,48	0,0284	0,0057	0,006388	0,000059	NS	0,005111	0,000067	75,83
Trave 41-42	100%	0,46	0,45	0,45	0,0674	0,0054	0,009758	0,000021	NS	0,005405	0,000033	NS
proporzionale alla deformata 1° modo di vibrazione												
Trave 41-42	0%	0,86	0,83	0,49	0,0282	0,0058	0,006488	0,000067	96,58	0,005160	0,000072	71,86
Trave 41-42	100%	0,38	0,42	0,44	0,0670	0,0054	0,009514	0,000018	NS	0,005538	0,000032	NS
sisma in -Y												
proporzionale alle masse												
Trave 41-42	0%	0,00	0,00	0,00	0,0000	0,0000	0,000000	0,000000	0,00	0,000000	0,000000	0,00
Trave 41-42	100%	0,00	0,00	0,00	0,0000	0,0000	0,000000	0,000000	0,00	0,000000	0,000000	0,00
proporzionale alla deformata 1° modo di vibrazione												
Trave 41-42	0%	0,00	0,00	0,00	0,0000	0,0000	0,000000	0,000000	0,00	0,000000	0,000000	0,00
Trave 41-42	100%	0,00	0,00	0,00	0,0000	0,0000	0,000000	0,000000	0,00	0,000000	0,000000	0,00
sisma in +X												
proporzionale alle masse												
Trave 42-P16	0%	1,31	1,44	0,53	0,0913	0,0054	0,020944	0,000000	NS	0,005529	0,000044	NS
Trave 42-P16	100%	1,16	1,06	0,52	0,0866	0,0044	0,018759	0,000335	55,92	0,004606	0,000159	28,89
proporzionale alla deformata 1° modo di vibrazione												
Trave 42-P16	0%	1,29	1,45	0,53	0,0889	0,0054	0,020342	0,000025	NS	0,005516	0,000033	NS
Trave 42-P16	100%	1,17	1,08	0,52	0,0830	0,0044	0,018137	0,000394	46,04	0,004633	0,000183	25,37
sisma in -X												
proporzionale alle masse												
Trave 42-P16	0%	1,00	0,84	0,50	0,0467	0,0059	0,010256	0,000099	NS	0,005228	0,000071	73,21
Trave 42-P16	100%	3,38	1,54	0,74	0,0751	0,0049	0,025731	0,000033	NS	0,005322	0,000016	NS
proporzionale alla deformata 1° modo di vibrazione												
Trave 42-P16	0%	1,03	0,88	0,50	0,0460	0,0060	0,010227	0,000111	92,24	0,005270	0,000078	67,95
Trave 42-P16	100%	2,29	1,98	0,63	0,0735	0,0049	0,021549	0,000039	NS	0,005866	0,000012	NS
sisma in +Y												
proporzionale alle masse												
Trave 42-P16	0%	0,59	0,58	0,46	0,0515	0,0053	0,008981	0,000021	NS	0,005039	0,000033	NS
Trave 42-P16	100%	0,15	0,20	0,42	0,1167	0,0047	0,015500	0,000007	NS	0,007761	0,000017	NS
proporzionale alla deformata 1° modo di vibrazione												
Trave 42-P16	0%	0,67	0,62	0,47	0,0511	0,0053	0,009443	0,000018	NS	0,004996	0,000032	NS
Trave 42-P16	100%	0,26	0,00	0,43	0,0829	0,0048	0,614258	0,000002	NS	1,211871	0,000016	NS
sisma in -Y												
proporzionale alle masse												
Trave 42-P16	0%	0,00	0,00	0,00	0,0000	0,0000	0,000000	0,000000	0,00	0,000000	0,000000	0,00
Trave 42-P16	100%	0,00	0,00	0,00	0,0000	0,0000	0,000000	0,000000	0,00	0,000000	0,000000	0,00
proporzionale alla deformata 1° modo di vibrazione												
Trave 42-P16	0%	0,00	0,00	0,00	0,0000	0,0000	0,000000	0,000000	0,00	0,000000	0,000000	0,00
Trave 42-P16	100%	0,00	0,00	0,00	0,0000	0,0000	0,000000	0,000000	0,00	0,000000	0,000000	0,00
Piano terra							**Travata: Trave1-P2-4-7-10-22-P11-31-38**					
sisma in +X												
proporzionale alle masse												
Trave 1-P2	0%	0,89	0,76	0,45	0,0746	0,0044	0,014150	0,000292	48,47	0,004566	0,000159	28,78
Trave 1-P2	100%	2,84	12,08	0,65	0,0977	0,0040	0,035936	0,000187	NS	0,018036	0,000059	NS
proporzionale alla deformata 1° modo di vibrazione												
Trave 1-P2	0%	0,89	0,76	0,45	0,0741	0,0044	0,014087	0,000335	42,03	0,004582	0,000183	25,07
Trave 1-P2	100%	2,76	12,17	0,64	0,0972	0,0040	0,035402	0,000224	NS	0,018081	0,000080	NS
sisma in -X												
proporzionale alle masse												
Trave 1-P2	0%	0,48	0,45	0,41	0,0952	0,0040	0,013282	0,000134	98,77	0,005074	0,000099	51,45
Trave 1-P2	100%	0,16	0,26	0,38	0,1036	0,0036	0,012834	0,000034	NS	0,006682	0,000007	NS
proporzionale alla deformata 1° modo di vibrazione												
Trave 1-P2	0%	0,48	0,45	0,41	0,0954	0,0040	0,013221	0,000119	NS	0,005070	0,000090	56,30
Trave 1-P2	100%	0,16	0,25	0,38	0,1037	0,0036	0,012932	0,000011	NS	0,006824	0,000023	NS
sisma in +Y												
proporzionale alle masse												
Trave 1-P2	0%	2,41	7,20	0,61	0,0905	0,0040	0,028662	0,000444	64,59	0,011512	0,000254	45,32
Trave 1-P2	100%	0,91	0,75	0,45	0,0750	0,0040	0,014316	0,000364	39,37	0,004430	0,000214	20,73
proporzionale alla deformata 1° modo di vibrazione												
Trave 1-P2	0%	4,64	0,94	0,83	0,0965	0,0040	0,037057	0,000416	89,17	0,004375	0,000231	18,96
Trave 1-P2	100%	0,84	0,67	0,45	0,0830	0,0040	0,015208	0,000379	40,13	0,004525	0,000214	21,13
sisma in -Y												
proporzionale alle masse												
Trave 1-P2	0%	0,00	0,00	0,00	0,0000	0,0000	0,000000	0,000000	0,00	0,000000	0,000000	0,00
Trave 1-P2	100%	0,00	0,00	0,00	0,0000	0,0000	0,000000	0,000000	0,00	0,000000	0,000000	0,00
proporzionale alla deformata 1° modo di vibrazione												
Trave 1-P2	0%	0,00	0,00	0,00	0,0000	0,0000	0,000000	0,000000	0,00	0,000000	0,000000	0,00
Trave 1-P2	100%	0,00	0,00	0,00	0,0000	0,0000	0,000000	0,000000	0,00	0,000000	0,000000	0,00
sisma in +X												
proporzionale alle masse												
Trave 4-7	0%	0,25	0,38	0,39	0,1197	0,0035	0,013954	0,000223	62,45	0,005283	0,000085	62,24
Trave 4-7	100%	0,62	0,57	0,43	0,0869	0,0038	0,013965	0,000038	NS	0,004630	0,000012	NS
proporzionale alla deformata 1° modo di vibrazione												
Trave 4-7	0%	0,22	0,35	0,39	0,1193	0,0035	0,013954	0,000258	54,17	0,005578	0,000110	50,80
Trave 4-7	100%	0,64	0,59	0,43	0,0869	0,0039	0,014135	0,000048	NS	0,004598	0,000022	NS
sisma in -X												
proporzionale alle masse												
Trave 4-7	0%	0,47	0,50	0,41	0,1177	0,0035	0,015617	0,000094	NS	0,004716	0,000042	NS

Id_{Tr}	$\%L_{LI}$	$L_{v,SLV}$	$L_{v,SLD}$	L_{pl}	ϕ_u	ϕ_y	SLV			SLD		
							Θ_c	Θ_d	CS	Θ_c	Θ_d	CS
	[%]	[m]	[m]	[m]	[rad/m]	[rad/m]	[rad]	[rad]		[rad]	[rad]	
Trave 4-7	100%	0,51	0,48	0,41	0,0854	0,0040	0,012492	0,000050	NS	0,004946	0,000020	NS
proporzionale alla deformata 1° modo di vibrazione												
Trave 4-7	0%	0,51	0,53	0,41	0,1170	0,0034	0,016282	0,000065	NS	0,004602	0,000023	NS
Trave 4-7	100%	0,47	0,44	0,41	0,0849	0,0041	0,011862	0,000039	NS	0,005150	0,000010	NS
sisma in +Y												
proporzionale alle masse												
Trave 4-7	0%	1,75	0,22	0,54	0,0929	0,0042	0,023949	0,000500	47,87	0,007500	0,000306	24,51
Trave 4-7	100%	0,86	0,76	0,45	0,0804	0,0040	0,014930	0,000155	96,61	0,004430	0,000104	42,68
proporzionale alla deformata 1° modo di vibrazione												
Trave 4-7	0%	1,26	0,16	0,49	0,0944	0,0041	0,022480	0,000489	45,98	0,009292	0,000293	31,76
Trave 4-7	100%	0,84	0,74	0,45	0,0814	0,0040	0,014932	0,000138	NS	0,004449	0,000097	46,08
sisma in -Y												
proporzionale alle masse												
Trave 4-7	0%	0,00	0,00	0,00	0,0000	0,0000	0,000000	0,000000	0,00	0,000000	0,000000	0,00
Trave 4-7	100%	0,00	0,00	0,00	0,0000	0,0000	0,000000	0,000000	0,00	0,000000	0,000000	0,00
proporzionale alla deformata 1° modo di vibrazione												
Trave 4-7	0%	0,00	0,00	0,00	0,0000	0,0000	0,000000	0,000000	0,00	0,000000	0,000000	0,00
Trave 4-7	100%	0,00	0,00	0,00	0,0000	0,0000	0,000000	0,000000	0,00	0,000000	0,000000	0,00
sisma in +X												
proporzionale alle masse												
Trave 7-10	0%	0,61	0,58	0,42	0,0947	0,0037	0,014874	0,000038	NS	0,004556	0,000012	NS
Trave 7-10	100%	0,30	0,41	0,39	0,0896	0,0042	0,011092	0,000098	NS	0,005339	0,000051	NS
proporzionale alla deformata 1° modo di vibrazione												
Trave 7-10	0%	0,61	0,57	0,42	0,0949	0,0036	0,014863	0,000048	NS	0,004575	0,000022	NS
Trave 7-10	100%	0,31	0,42	0,39	0,0898	0,0041	0,011073	0,000099	NS	0,005249	0,000047	NS
sisma in -X												
proporzionale alle masse												
Trave 7-10	0%	0,59	0,58	0,42	0,0937	0,0037	0,014526	0,000050	NS	0,004569	0,000020	NS
Trave 7-10	100%	0,41	0,45	0,40	0,0885	0,0041	0,011208	0,000020	NS	0,005125	0,000002	NS
proporzionale alla deformata 1° modo di vibrazione												
Trave 7-10	0%	0,61	0,59	0,42	0,0935	0,0038	0,014714	0,000039	NS	0,004555	0,000010	NS
Trave 7-10	100%	0,38	0,43	0,40	0,0884	0,0041	0,011062	0,000008	NS	0,005215	0,000008	NS
sisma in +Y												
proporzionale alle masse												
Trave 7-10	0%	0,48	0,24	0,41	0,1006	0,0038	0,014962	0,000155	96,82	0,007016	0,000104	67,59
Trave 7-10	100%	0,85	0,70	0,45	0,0803	0,0043	0,014842	0,000178	83,48	0,004596	0,000090	51,06
proporzionale alla deformata 1° modo di vibrazione												
Trave 7-10	0%	0,16	0,30	0,38	0,1027	0,0050	0,012498	0,000138	90,57	0,006424	0,000097	66,54
Trave 7-10	100%	0,80	0,67	0,44	0,0822	0,0044	0,014794	0,000154	95,83	0,004641	0,000077	60,65
sisma in -Y												
proporzionale alle masse												
Trave 7-10	0%	0,00	0,00	0,00	0,0000	0,0000	0,000000	0,000000	0,00	0,000000	0,000000	0,00
Trave 7-10	100%	0,00	0,00	0,00	0,0000	0,0000	0,000000	0,000000	0,00	0,000000	0,000000	0,00
proporzionale alla deformata 1° modo di vibrazione												
Trave 7-10	0%	0,00	0,00	0,00	0,0000	0,0000	0,000000	0,000000	0,00	0,000000	0,000000	0,00
Trave 7-10	100%	0,00	0,00	0,00	0,0000	0,0000	0,000000	0,000000	0,00	0,000000	0,000000	0,00
sisma in +X												
proporzionale alle masse												
Trave 10-22	0%	0,44	0,41	0,41	0,0848	0,0041	0,011487	0,000098	NS	0,005307	0,000051	NS
Trave 10-22	100%	0,62	0,62	0,43	0,0347	0,0049	0,006615	0,000078	84,45	0,004908	0,000049	NS
proporzionale alla deformata 1° modo di vibrazione												
Trave 10-22	0%	0,33	0,33	0,40	0,0824	0,0043	0,010695	0,000099	NS	0,005902	0,000047	NS
Trave 10-22	100%	0,71	0,67	0,43	0,0340	0,0050	0,006808	0,000031	NS	0,004876	0,000024	NS
sisma in -X												
proporzionale alle masse												
Trave 10-22	0%	0,57	0,53	0,42	0,0875	0,0037	0,013442	0,000020	NS	0,004669	0,000002	NS
Trave 10-22	100%	0,37	0,46	0,40	0,0356	0,0047	0,005710	0,000080	71,37	0,005240	0,000062	84,22
proporzionale alla deformata 1° modo di vibrazione												
Trave 10-22	0%	0,60	0,56	0,42	0,0871	0,0037	0,013791	0,000008	NS	0,004596	0,000008	NS
Trave 10-22	100%	0,28	0,40	0,39	0,0355	0,0047	0,005783	0,000127	45,45	0,005527	0,000090	61,35
sisma in +Y												
proporzionale alle masse												
Trave 10-22	0%	2,23	10,11	0,59	0,0711	0,0052	0,026652	0,000178	NS	0,019739	0,000090	NS
Trave 10-22	100%	1,33	1,12	0,50	0,0227	0,0060	0,006086	0,000761	8,00	0,005448	0,000355	15,33
proporzionale alla deformata 1° modo di vibrazione												
Trave 10-22	0%	2,59	8,92	0,62	0,0766	0,0053	0,028490	0,000154	NS	0,017875	0,000077	NS
Trave 10-22	100%	1,28	1,06	0,49	0,0241	0,0061	0,006287	0,000648	9,70	0,005418	0,000294	18,43
sisma in -Y												
proporzionale alle masse												
Trave 10-22	0%	0,00	0,00	0,00	0,0000	0,0000	0,000000	0,000000	0,00	0,000000	0,000000	0,00
Trave 10-22	100%	0,00	0,00	0,00	0,0000	0,0000	0,000000	0,000000	0,00	0,000000	0,000000	0,00
proporzionale alla deformata 1° modo di vibrazione												
Trave 10-22	0%	0,00	0,00	0,00	0,0000	0,0000	0,000000	0,000000	0,00	0,000000	0,000000	0,00
Trave 10-22	100%	0,00	0,00	0,00	0,0000	0,0000	0,000000	0,000000	0,00	0,000000	0,000000	0,00
sisma in +X												
proporzionale alle masse												
Trave P11-31	0%	0,75	0,65	0,43	0,1011	0,0039	0,017135	0,000064	NS	0,004357	0,000043	NS
Trave P11-31	100%	0,81	0,09	0,44	0,1054	0,0047	0,022809	0,000071	NS	0,013415	0,000070	NS
proporzionale alla deformata 1° modo di vibrazione												
Trave P11-31	0%	0,69	0,61	0,43	0,1026	0,0038	0,016752	0,000109	NS	0,004389	0,000068	64,61
Trave P11-31	100%	0,47	0,18	0,40	0,1066	0,0040	0,015918	0,000057	NS	0,008185	0,000066	NS
sisma in -X												
proporzionale alle masse												
Trave P11-31	0%	0,63	0,62	0,42	0,1021	0,0041	0,015997	0,000026	NS	0,004455	0,000004	NS
Trave P11-31	100%	0,34	0,38	0,39	0,0364	0,0088	0,005929	0,000048	NS	0,006486	0,000066	98,36

Id_{Tr}	$\%L_{LI}$	$L_{v,SLV}$	$L_{v,SLD}$	L_{pl}	ϕ_u	ϕ_y	SLV			SLD		
							Θ_c	Θ_d	CS	Θ_c	Θ_d	CS
	[%]	[m]	[m]	[m]	[rad/m]	[rad/m]	[rad]	[rad]		[rad]	[rad]	
proporzionale alla deformata 1° modo di vibrazione												
Trave P11-31	0%	0,71	0,66	0,43	0,1008	0,0042	0,016644	0,000053	NS	0,004435	0,000018	NS
Trave P11-31	100%	0,20	0,33	0,38	0,0354	0,0093	0,005895	0,000051	NS	0,006892	0,000069	99,36
sisma in +Y												
proporzionale alle masse												
Trave P11-31	0%	15,99	0,97	1,96	0,0653	0,0045	0,058091	0,000608	95,47	0,004493	0,000391	11,48
Trave P11-31	100%	0,85	0,77	0,44	0,0375	0,0049	0,007628	0,000189	40,28	0,004643	0,000154	30,10
proporzionale alla deformata 1° modo di vibrazione												
Trave P11-31	0%	5,38	0,53	0,89	0,0657	0,0044	0,027474	0,000550	49,96	0,004732	0,000328	14,43
Trave P11-31	100%	0,83	0,75	0,44	0,0376	0,0049	0,007599	0,000176	43,10	0,004654	0,000139	33,53
sisma in -Y												
proporzionale alle masse												
Trave P11-31	0%	0,00	0,00	0,00	0,0000	0,0000	0,000000	0,000000	0,00	0,000000	0,000000	0,00
Trave P11-31	100%	0,00	0,00	0,00	0,0000	0,0000	0,000000	0,000000	0,00	0,000000	0,000000	0,00
proporzionale alla deformata 1° modo di vibrazione												
Trave P11-31	0%	0,00	0,00	0,00	0,0000	0,0000	0,000000	0,000000	0,00	0,000000	0,000000	0,00
Trave P11-31	100%	0,00	0,00	0,00	0,0000	0,0000	0,000000	0,000000	0,00	0,000000	0,000000	0,00
sisma in +X												
proporzionale alle masse												
Trave 31-38	0%	0,58	0,71	0,41	0,0408	0,0045	0,007108	0,000071	NS	0,004505	0,000070	64,35
Trave 31-38	100%	0,57	0,48	0,41	0,0798	0,0038	0,012344	0,000786	15,70	0,004703	0,000637	7,38
proporzionale alla deformata 1° modo di vibrazione												
Trave 31-38	0%	0,53	0,69	0,41	0,0408	0,0045	0,006843	0,000057	NS	0,004520	0,000066	68,72
Trave 31-38	100%	0,60	0,50	0,42	0,0799	0,0039	0,012686	0,000822	15,44	0,004639	0,000658	7,05
sisma in -X												
proporzionale alle masse												
Trave 31-38	0%	0,82	0,82	0,44	0,0399	0,0045	0,007905	0,000048	NS	0,004494	0,000066	68,15
Trave 31-38	100%	0,24	0,25	0,38	0,0783	0,0040	0,010343	0,000658	15,71	0,006563	0,000609	10,78
proporzionale alla deformata 1° modo di vibrazione												
Trave 31-38	0%	0,83	0,83	0,44	0,0398	0,0046	0,007947	0,000051	NS	0,004506	0,000069	64,97
Trave 31-38	100%	0,20	0,22	0,38	0,0782	0,0039	0,010458	0,000671	15,58	0,006958	0,000618	11,26
sisma in +Y												
proporzionale alle masse												
Trave 31-38	0%	0,51	0,64	0,41	0,0374	0,0045	0,006337	0,000189	33,46	0,004563	0,000154	29,58
Trave 31-38	100%	0,91	0,70	0,45	0,0730	0,0047	0,013791	0,000161	85,65	0,004588	0,000186	24,68
proporzionale alla deformata 1° modo di vibrazione												
Trave 31-38	0%	0,55	0,67	0,41	0,0380	0,0045	0,006555	0,000176	37,17	0,004537	0,000139	32,68
Trave 31-38	100%	0,85	0,65	0,44	0,0740	0,0048	0,013620	0,000067	NS	0,004666	0,000249	18,72
sisma in -Y												
proporzionale alle masse												
Trave 31-38	0%	0,00	0,00	0,00	0,0000	0,0000	0,000000	0,000000	0,00	0,000000	0,000000	0,00
Trave 31-38	100%	0,00	0,00	0,00	0,0000	0,0000	0,000000	0,000000	0,00	0,000000	0,000000	0,00
proporzionale alla deformata 1° modo di vibrazione												
Trave 31-38	0%	0,00	0,00	0,00	0,0000	0,0000	0,000000	0,000000	0,00	0,000000	0,000000	0,00
Trave 31-38	100%	0,00	0,00	0,00	0,0000	0,0000	0,000000	0,000000	0,00	0,000000	0,000000	0,00
Piano terra							**Travata: Trave2-5-8-11-23**					
sisma in +X												
proporzionale alle masse												
Trave 2-5	0%	0,28	0,36	0,36	0,0964	0,0059	0,010605	0,000327	32,40	0,005003	0,000383	13,07
Trave 2-5	100%	0,66	0,62	0,40	0,0768	0,0061	0,012149	0,000113	NS	0,004691	0,000055	85,79
proporzionale alla deformata 1° modo di vibrazione												
Trave 2-5	0%	0,24	0,36	0,35	0,0962	0,0058	0,010499	0,000355	29,59	0,004978	0,000377	13,19
Trave 2-5	100%	0,67	0,63	0,40	0,0767	0,0063	0,012251	0,000126	96,94	0,004738	0,000049	95,77
sisma in -X												
proporzionale alle masse												
Trave 2-5	0%	0,74	0,66	0,40	0,0906	0,0060	0,014759	0,000380	38,86	0,004657	0,000231	20,20
Trave 2-5	100%	0,17	0,36	0,35	0,0724	0,0062	0,008305	0,000276	30,14	0,005121	0,000082	62,15
proporzionale alla deformata 1° modo di vibrazione												
Trave 2-5	0%	0,75	0,66	0,40	0,0903	0,0061	0,014776	0,000377	39,21	0,004678	0,000233	20,12
Trave 2-5	100%	0,15	0,35	0,35	0,0722	0,0062	0,008260	0,000284	29,04	0,005130	0,000076	67,19
sisma in +Y												
proporzionale alle masse												
Trave 2-5	0%	0,00	0,29	0,33	0,1087	0,0058	0,011193	0,001121	9,98	0,005396	0,000664	8,12
Trave 2-5	100%	0,73	0,66	0,40	0,0775	0,0059	0,012757	0,000265	48,05	0,004605	0,000188	24,55
proporzionale alla deformata 1° modo di vibrazione												
Trave 2-5	0%	0,10	0,22	0,34	0,1070	0,0058	0,011658	0,001127	10,34	0,006097	0,000712	8,57
Trave 2-5	100%	0,75	0,67	0,40	0,0773	0,0059	0,012838	0,000178	72,01	0,004621	0,000135	34,32
sisma in -Y												
proporzionale alle masse												
Trave 2-5	0%	0,00	0,00	0,00	0,0000	0,0000	0,000000	0,000000	0,00	0,000000	0,000000	0,00
Trave 2-5	100%	0,00	0,00	0,00	0,0000	0,0000	0,000000	0,000000	0,00	0,000000	0,000000	0,00
proporzionale alla deformata 1° modo di vibrazione												
Trave 2-5	0%	0,00	0,00	0,00	0,0000	0,0000	0,000000	0,000000	0,00	0,000000	0,000000	0,00
Trave 2-5	100%	0,00	0,00	0,00	0,0000	0,0000	0,000000	0,000000	0,00	0,000000	0,000000	0,00
sisma in +X												
proporzionale alle masse												
Trave 5-8	0%	0,60	0,57	0,39	0,0702	0,0073	0,010847	0,000113	95,92	0,005078	0,000055	92,88
Trave 5-8	100%	0,51	0,53	0,38	0,0591	0,0068	0,008713	0,000004	NS	0,004938	0,000006	NS
proporzionale alla deformata 1° modo di vibrazione												
Trave 5-8	0%	0,61	0,56	0,39	0,0698	0,0075	0,010857	0,000126	85,91	0,005152	0,000049	NS
Trave 5-8	100%	0,51	0,54	0,38	0,0587	0,0068	0,008686	0,000008	NS	0,004936	0,000003	NS
sisma in -X												
proporzionale alle masse												
Trave 5-8	0%	0,46	0,51	0,38	0,0740	0,0067	0,009921	0,000276	36,00	0,004911	0,000082	59,60
Trave 5-8	100%	0,55	0,54	0,38	0,0638	0,0063	0,009552	0,000030	NS	0,004781	0,000001	NS

Id_{Tr}	$\%L_{LI}$	$L_{v,SLV}$	$L_{v,SLD}$	L_{pl}	ϕ_u	ϕ_y	SLV			SLD		
							Θ_c	Θ_d	CS	Θ_c	Θ_d	CS
	[%]	[m]	[m]	[m]	[rad/m]	[rad/m]	[rad]	[rad]		[rad]	[rad]	
proporzionale alla deformata 1° modo di vibrazione												
Trave 5-8	0%	0,46	0,52	0,38	0,0742	0,0067	0,009987	0,000284	35,12	0,004907	0,000076	64,27
Trave 5-8	100%	0,54	0,53	0,38	0,0639	0,0063	0,009520	0,000016	NS	0,004767	0,000008	NS
sisma in +Y												
proporzionale alle masse												
Trave 5-8	0%	0,26	0,38	0,36	0,0708	0,0067	0,008288	0,000265	31,22	0,005155	0,000188	27,48
Trave 5-8	100%	0,70	0,65	0,40	0,0590	0,0067	0,009941	0,000242	41,07	0,004909	0,000161	30,48
proporzionale alla deformata 1° modo di vibrazione												
Trave 5-8	0%	0,33	0,42	0,36	0,0703	0,0067	0,008298	0,000178	46,55	0,005046	0,000135	37,48
Trave 5-8	100%	0,69	0,64	0,40	0,0587	0,0069	0,009805	0,000230	42,67	0,004954	0,000150	32,97
sisma in -Y												
proporzionale alle masse												
Trave 5-8	0%	0,00	0,00	0,00	0,0000	0,0000	0,000000	0,000000	0,00	0,000000	0,000000	0,00
Trave 5-8	100%	0,00	0,00	0,00	0,0000	0,0000	0,000000	0,000000	0,00	0,000000	0,000000	0,00
proporzionale alla deformata 1° modo di vibrazione												
Trave 5-8	0%	0,00	0,00	0,00	0,0000	0,0000	0,000000	0,000000	0,00	0,000000	0,000000	0,00
Trave 5-8	100%	0,00	0,00	0,00	0,0000	0,0000	0,000000	0,000000	0,00	0,000000	0,000000	0,00
sisma in +X												
proporzionale alle masse												
Trave 8-11	0%	0,55	0,55	0,39	0,0752	0,0064	0,011042	0,000004	NS	0,004793	0,000006	NS
Trave 8-11	100%	0,50	0,52	0,38	0,0720	0,0067	0,010145	0,000050	NS	0,004914	0,000032	NS
proporzionale alla deformata 1° modo di vibrazione												
Trave 8-11	0%	0,55	0,54	0,38	0,0752	0,0064	0,010983	0,000008	NS	0,004806	0,000003	NS
Trave 8-11	100%	0,51	0,52	0,38	0,0720	0,0067	0,010230	0,000041	NS	0,004911	0,000025	NS
sisma in -X												
proporzionale alle masse												
Trave 8-11	0%	0,55	0,55	0,39	0,0755	0,0063	0,011075	0,000030	NS	0,004774	0,000001	NS
Trave 8-11	100%	0,50	0,51	0,38	0,0722	0,0067	0,010201	0,000010	NS	0,004919	0,000021	NS
proporzionale alla deformata 1° modo di vibrazione												
Trave 8-11	0%	0,56	0,56	0,39	0,0753	0,0063	0,011158	0,000016	NS	0,004762	0,000008	NS
Trave 8-11	100%	0,49	0,50	0,38	0,0722	0,0067	0,010069	0,000024	NS	0,004925	0,000029	NS
sisma in +Y												
proporzionale alle masse												
Trave 8-11	0%	0,32	0,42	0,36	0,0748	0,0064	0,008681	0,000242	35,86	0,004973	0,000161	30,89
Trave 8-11	100%	0,67	0,62	0,40	0,0714	0,0065	0,011479	0,000159	72,14	0,004815	0,000109	44,31
proporzionale alla deformata 1° modo di vibrazione												
Trave 8-11	0%	0,35	0,43	0,36	0,0747	0,0064	0,008693	0,000230	37,84	0,004945	0,000150	32,91
Trave 8-11	100%	0,66	0,61	0,40	0,0715	0,0065	0,011412	0,000155	73,74	0,004819	0,000104	46,13
sisma in -Y												
proporzionale alle masse												
Trave 8-11	0%	0,00	0,00	0,00	0,0000	0,0000	0,000000	0,000000	0,00	0,000000	0,000000	0,00
Trave 8-11	100%	0,00	0,00	0,00	0,0000	0,0000	0,000000	0,000000	0,00	0,000000	0,000000	0,00
proporzionale alla deformata 1° modo di vibrazione												
Trave 8-11	0%	0,00	0,00	0,00	0,0000	0,0000	0,000000	0,000000	0,00	0,000000	0,000000	0,00
Trave 8-11	100%	0,00	0,00	0,00	0,0000	0,0000	0,000000	0,000000	0,00	0,000000	0,000000	0,00
sisma in +X												
proporzionale alle masse												
Trave 11-23	0%	0,50	0,51	0,38	0,0619	0,0069	0,008940	0,000050	NS	0,004969	0,000032	NS
Trave 11-23	100%	0,54	0,52	0,38	0,0810	0,0064	0,011610	0,000098	NS	0,004830	0,000077	62,51
proporzionale alla deformata 1° modo di vibrazione												
Trave 11-23	0%	0,48	0,51	0,38	0,0617	0,0069	0,008810	0,000041	NS	0,004975	0,000025	NS
Trave 11-23	100%	0,55	0,53	0,39	0,0809	0,0064	0,011728	0,000079	NS	0,004821	0,000072	66,74
sisma in -X												
proporzionale alle masse												
Trave 11-23	0%	0,50	0,52	0,38	0,0616	0,0069	0,008964	0,000010	NS	0,004967	0,000021	NS
Trave 11-23	100%	0,54	0,53	0,38	0,0808	0,0064	0,011652	0,000015	NS	0,004818	0,000035	NS
proporzionale alla deformata 1° modo di vibrazione												
Trave 11-23	0%	0,51	0,52	0,38	0,0617	0,0069	0,009069	0,000024	NS	0,004978	0,000029	NS
Trave 11-23	100%	0,53	0,52	0,38	0,0809	0,0065	0,011547	0,000035	NS	0,004841	0,000045	NS
sisma in +Y												
proporzionale alle masse												
Trave 11-23	0%	0,08	0,29	0,34	0,1100	0,0069	0,011513	0,000159	72,35	0,005605	0,000109	51,58
Trave 11-23	100%	0,81	0,68	0,41	0,0734	0,0068	0,012680	0,000408	31,05	0,004944	0,000170	29,01
proporzionale alla deformata 1° modo di vibrazione												
Trave 11-23	0%	0,02	0,31	0,33	0,1102	0,0069	0,011315	0,000155	73,12	0,005482	0,000104	52,48
Trave 11-23	100%	0,80	0,67	0,41	0,0737	0,0069	0,012664	0,000410	30,88	0,005003	0,000166	30,21
sisma in -Y												
proporzionale alle masse												
Trave 11-23	0%	0,00	0,00	0,00	0,0000	0,0000	0,000000	0,000000	0,00	0,000000	0,000000	0,00
Trave 11-23	100%	0,00	0,00	0,00	0,0000	0,0000	0,000000	0,000000	0,00	0,000000	0,000000	0,00
proporzionale alla deformata 1° modo di vibrazione												
Trave 11-23	0%	0,00	0,00	0,00	0,0000	0,0000	0,000000	0,000000	0,00	0,000000	0,000000	0,00
Trave 11-23	100%	0,00	0,00	0,00	0,0000	0,0000	0,000000	0,000000	0,00	0,000000	0,000000	0,00
Piano terra							**Travata: Trave3-P3-6-9-12-13-25-26-33-40**					
sisma in +X												
proporzionale alle masse												
Trave 3-P3	0%	0,11	0,20	0,36	0,1012	0,0048	0,012203	0,000185	66,05	0,007142	0,000147	48,50
Trave 3-P3	100%	0,48	0,41	0,39	0,1113	0,0040	0,014806	0,000037	NS	0,004818	0,000020	NS
proporzionale alla deformata 1° modo di vibrazione												
Trave 3-P3	0%	0,20	0,17	0,37	0,1002	0,0050	0,012720	0,000189	67,42	0,007929	0,000148	53,43
Trave 3-P3	100%	0,49	0,41	0,40	0,1108	0,0041	0,015059	0,000038	NS	0,004795	0,000021	NS
sisma in -X												
proporzionale alle masse												
Trave 3-P3	0%	0,70	0,59	0,42	0,0753	0,0053	0,012603	0,000393	32,05	0,004742	0,000241	19,67
Trave 3-P3	100%	1,59	0,18	0,51	0,0661	0,0040	0,016991	0,000297	57,16	0,007541	0,000091	82,84

Id_{Tr}	$\%L_{LI}$	$L_{v,SLV}$	$L_{v,SLD}$	L_{pl}	ϕ_u	ϕ_y	SLV			SLD		
							Θ_c	Θ_d	CS	Θ_c	Θ_d	CS
	[%]	[m]	[m]	[m]	[rad/m]	[rad/m]	[rad]	[rad]		[rad]	[rad]	
proporzionale alla deformata 1° modo di vibrazione												
Trave 3-P3	0%	0,71	0,59	0,42	0,0742	0,0053	0,012574	0,000421	29,87	0,004755	0,000254	18,69
Trave 3-P3	100%	2,29	0,23	0,58	0,0651	0,0061	0,018277	0,000326	56,11	0,006824	0,000101	67,39
sisma in +Y												
proporzionale alle masse												
Trave 3-P3	0%	6,02	1,38	0,95	0,0854	0,0051	0,037635	0,000759	49,62	0,005082	0,000476	10,68
Trave 3-P3	100%	0,77	0,62	0,42	0,0949	0,0042	0,016097	0,000571	28,17	0,004328	0,000342	12,65
proporzionale alla deformata 1° modo di vibrazione												
Trave 3-P3	0%	4,04	2,14	0,75	0,0838	0,0050	0,029892	0,000865	34,57	0,006069	0,000520	11,66
Trave 3-P3	100%	0,78	0,64	0,43	0,0926	0,0042	0,015847	0,000575	27,57	0,004300	0,000338	12,73
sisma in -Y												
proporzionale alle masse												
Trave 3-P3	0%	0,00	0,00	0,00	0,0000	0,0000	0,000000	0,000000	0,00	0,000000	0,000000	0,00
Trave 3-P3	100%	0,00	0,00	0,00	0,0000	0,0000	0,000000	0,000000	0,00	0,000000	0,000000	0,00
proporzionale alla deformata 1° modo di vibrazione												
Trave 3-P3	0%	0,00	0,00	0,00	0,0000	0,0000	0,000000	0,000000	0,00	0,000000	0,000000	0,00
Trave 3-P3	100%	0,00	0,00	0,00	0,0000	0,0000	0,000000	0,000000	0,00	0,000000	0,000000	0,00
sisma in +X												
proporzionale alle masse												
Trave 6-9	0%	0,52	0,53	0,40	0,0452	0,0055	0,007318	0,000046	NS	0,004894	0,000048	NS
Trave 6-9	100%	0,53	0,53	0,40	0,0645	0,0052	0,009800	0,000011	NS	0,004806	0,000001	NS
proporzionale alla deformata 1° modo di vibrazione												
Trave 6-9	0%	0,51	0,52	0,40	0,0453	0,0055	0,007299	0,000051	NS	0,004901	0,000050	97,74
Trave 6-9	100%	0,53	0,53	0,40	0,0647	0,0051	0,009836	0,000015	NS	0,004780	0,000002	NS
sisma in -X												
proporzionale alle masse												
Trave 6-9	0%	0,39	0,48	0,39	0,0460	0,0055	0,006406	0,000294	21,78	0,004989	0,000119	41,95
Trave 6-9	100%	0,59	0,55	0,41	0,0653	0,0050	0,010389	0,000077	NS	0,004712	0,000032	NS
proporzionale alla deformata 1° modo di vibrazione												
Trave 6-9	0%	0,38	0,48	0,39	0,0460	0,0055	0,006403	0,000309	20,71	0,004994	0,000125	39,82
Trave 6-9	100%	0,59	0,55	0,41	0,0653	0,0050	0,010410	0,000081	NS	0,004710	0,000032	NS
sisma in +Y												
proporzionale alle masse												
Trave 6-9	0%	0,62	0,00	0,41	0,1051	0,0046	0,187058	0,000741	NS	0,346503	0,000457	NS
Trave 6-9	100%	0,82	0,73	0,43	0,0616	0,0054	0,011275	0,000210	53,76	0,004720	0,000122	38,74
proporzionale alla deformata 1° modo di vibrazione												
Trave 6-9	0%	0,59	0,01	0,41	0,1055	0,0043	0,055192	0,000752	73,39	0,083472	0,000455	NS
Trave 6-9	100%	0,82	0,72	0,43	0,0617	0,0055	0,011289	0,000215	52,48	0,004758	0,000119	40,04
sisma in -Y												
proporzionale alle masse												
Trave 6-9	0%	0,00	0,00	0,00	0,0000	0,0000	0,000000	0,000000	0,00	0,000000	0,000000	0,00
Trave 6-9	100%	0,00	0,00	0,00	0,0000	0,0000	0,000000	0,000000	0,00	0,000000	0,000000	0,00
proporzionale alla deformata 1° modo di vibrazione												
Trave 6-9	0%	0,00	0,00	0,00	0,0000	0,0000	0,000000	0,000000	0,00	0,000000	0,000000	0,00
Trave 6-9	100%	0,00	0,00	0,00	0,0000	0,0000	0,000000	0,000000	0,00	0,000000	0,000000	0,00
sisma in +X												
proporzionale alle masse												
Trave 9-12	0%	0,49	0,51	0,40	0,0446	0,0055	0,007050	0,000011	NS	0,004922	0,000001	NS
Trave 9-12	100%	0,57	0,54	0,40	0,0699	0,0050	0,010792	0,000035	NS	0,004725	0,000039	NS
proporzionale alla deformata 1° modo di vibrazione												
Trave 9-12	0%	0,49	0,51	0,40	0,0449	0,0055	0,007148	0,000015	NS	0,004920	0,000002	NS
Trave 9-12	100%	0,55	0,53	0,40	0,0703	0,0050	0,010696	0,000060	NS	0,004718	0,000047	NS
sisma in -X												
proporzionale alle masse												
Trave 9-12	0%	0,60	0,57	0,41	0,0458	0,0052	0,007816	0,000077	NS	0,004744	0,000032	NS
Trave 9-12	100%	0,37	0,44	0,38	0,0716	0,0050	0,008878	0,000128	69,23	0,004954	0,000078	63,32
proporzionale alla deformata 1° modo di vibrazione												
Trave 9-12	0%	0,60	0,57	0,41	0,0458	0,0052	0,007828	0,000081	97,20	0,004741	0,000032	NS
Trave 9-12	100%	0,37	0,44	0,38	0,0716	0,0050	0,008873	0,000134	66,09	0,004971	0,000082	60,93
sisma in +Y												
proporzionale alle masse												
Trave 9-12	0%	6,55	0,31	1,00	0,0915	0,0073	0,042090	0,000210	NS	0,006262	0,000122	51,40
Trave 9-12	100%	1,07	0,88	0,45	0,0437	0,0060	0,009260	0,000789	11,73	0,005015	0,000401	12,51
proporzionale alla deformata 1° modo di vibrazione												
Trave 9-12	0%	6,49	0,23	1,00	0,0918	0,0064	0,042699	0,000215	NS	0,006897	0,000119	58,04
Trave 9-12	100%	1,07	0,86	0,45	0,0438	0,0061	0,009281	0,000791	11,73	0,005069	0,000379	13,38
sisma in -Y												
proporzionale alle masse												
Trave 9-12	0%	0,00	0,00	0,00	0,0000	0,0000	0,000000	0,000000	0,00	0,000000	0,000000	0,00
Trave 9-12	100%	0,00	0,00	0,00	0,0000	0,0000	0,000000	0,000000	0,00	0,000000	0,000000	0,00
proporzionale alla deformata 1° modo di vibrazione												
Trave 9-12	0%	0,00	0,00	0,00	0,0000	0,0000	0,000000	0,000000	0,00	0,000000	0,000000	0,00
Trave 9-12	100%	0,00	0,00	0,00	0,0000	0,0000	0,000000	0,000000	0,00	0,000000	0,000000	0,00
sisma in +X												
proporzionale alle masse												
Trave 13-25	0%	0,55	0,49	0,40	0,0681	0,0052	0,010450	0,000046	NS	0,004873	0,000035	NS
Trave 13-25	100%	0,38	0,04	0,39	0,1114	0,0050	0,023069	0,000115	NS	0,025620	0,000070	NS
proporzionale alla deformata 1° modo di vibrazione												
Trave 13-25	0%	0,57	0,50	0,40	0,0670	0,0053	0,010464	0,000022	NS	0,004881	0,000028	NS
Trave 13-25	100%	0,57	0,09	0,40	0,1098	0,0046	0,020360	0,000124	NS	0,013221	0,000073	NS
sisma in -X												
proporzionale alle masse												
Trave 13-25	0%	0,49	0,44	0,40	0,0690	0,0052	0,010045	0,000042	NS	0,005018	0,000011	NS
Trave 13-25	100%	0,01	0,17	0,35	0,1032	0,0055	0,012639	0,000079	NS	0,008275	0,000060	NS
proporzionale alla deformata 1° modo di vibrazione												

Id_{Tr}	$\%L_{LI}$	$L_{v,SLV}$	$L_{v,SLD}$	L_{pl}	ϕ_u	ϕ_y	SLV			SLD		
							Θ_c	Θ_d	CS	Θ_c	Θ_d	CS
	[%]	[m]	[m]	[m]	[rad/m]	[rad/m]	[rad]	[rad]		[rad]	[rad]	
Trave 13-25	0%	0,50	0,45	0,40	0,0684	0,0052	0,010075	0,000052	NS	0,005004	0,000014	NS
Trave 13-25	100%	0,05	0,15	0,35	0,1137	0,0056	0,013943	0,000083	NS	0,008862	0,000064	NS
sisma in +Y												
proporzionale alle masse												
Trave 13-25	0%	1,65	7,37	0,51	0,0745	0,0051	0,022396	0,000603	37,16	0,014800	0,000350	42,30
Trave 13-25	100%	0,76	0,64	0,42	0,0485	0,0049	0,008925	0,000601	14,86	0,004574	0,000278	16,43
proporzionale alla deformata 1° modo di vibrazione												
Trave 13-25	0%	1,72	45,07	0,52	0,0767	0,0050	0,054462	0,000622	87,55	0,077302	0,000347	NS
Trave 13-25	100%	0,75	0,62	0,42	0,0519	0,0049	0,009399	0,000577	16,30	0,004569	0,000262	17,47
sisma in -Y												
proporzionale alle masse												
Trave 13-25	0%	0,00	0,00	0,00	0,0000	0,0000	0,000000	0,000000	0,00	0,000000	0,000000	0,00
Trave 13-25	100%	0,00	0,00	0,00	0,0000	0,0000	0,000000	0,000000	0,00	0,000000	0,000000	0,00
proporzionale alla deformata 1° modo di vibrazione												
Trave 13-25	0%	0,00	0,00	0,00	0,0000	0,0000	0,000000	0,000000	0,00	0,000000	0,000000	0,00
Trave 13-25	100%	0,00	0,00	0,00	0,0000	0,0000	0,000000	0,000000	0,00	0,000000	0,000000	0,00
sisma in +X												
proporzionale alle masse												
Trave 26-33	0%	0,55	0,53	0,40	0,0746	0,0051	0,011206	0,000055	NS	0,004762	0,000063	76,16
Trave 26-33	100%	0,02	0,18	0,35	0,0711	0,0081	0,009678	0,000151	64,06	0,008369	0,000170	49,15
proporzionale alla deformata 1° modo di vibrazione												
Trave 26-33	0%	0,54	0,52	0,40	0,0751	0,0050	0,011214	0,000063	NS	0,004759	0,000068	69,66
Trave 26-33	100%	0,03	0,19	0,35	0,0715	0,0094	0,009610	0,000150	64,14	0,008379	0,000169	49,66
sisma in -X												
proporzionale alle masse												
Trave 26-33	0%	0,62	0,58	0,41	0,0693	0,0055	0,011147	0,000032	NS	0,004820	0,000046	NS
Trave 26-33	100%	0,16	0,09	0,36	0,0929	0,0081	0,014536	0,000188	77,32	0,013699	0,000187	73,11
proporzionale alla deformata 1° modo di vibrazione												
Trave 26-33	0%	0,64	0,59	0,41	0,0682	0,0055	0,011139	0,000022	NS	0,004822	0,000041	NS
Trave 26-33	100%	0,31	0,05	0,38	0,0922	0,0084	0,018949	0,000191	99,40	0,022069	0,000188	NS
sisma in +Y												
proporzionale alle masse												
Trave 26-33	0%	118,28	0,74	12,17	0,1026	0,0042	0,570737	0,000817	NS	0,004234	0,000446	9,50
Trave 26-33	100%	0,69	0,62	0,42	0,0695	0,0050	0,011682	0,000326	35,84	0,004630	0,000261	17,70
proporzionale alla deformata 1° modo di vibrazione												
Trave 26-33	0%	144,55	0,64	14,80	0,1026	0,0041	0,693407	0,000802	NS	0,004282	0,000422	10,16
Trave 26-33	100%	0,69	0,61	0,42	0,0694	0,0051	0,011669	0,000331	35,26	0,004640	0,000263	17,67
sisma in -Y												
proporzionale alle masse												
Trave 26-33	0%	0,00	0,00	0,00	0,0000	0,0000	0,000000	0,000000	0,00	0,000000	0,000000	0,00
Trave 26-33	100%	0,00	0,00	0,00	0,0000	0,0000	0,000000	0,000000	0,00	0,000000	0,000000	0,00
proporzionale alla deformata 1° modo di vibrazione												
Trave 26-33	0%	0,00	0,00	0,00	0,0000	0,0000	0,000000	0,000000	0,00	0,000000	0,000000	0,00
Trave 26-33	100%	0,00	0,00	0,00	0,0000	0,0000	0,000000	0,000000	0,00	0,000000	0,000000	0,00
sisma in +X												
proporzionale alle masse												
Trave 33-40	0%	0,70	0,73	0,42	0,0617	0,0046	0,010542	0,000151	69,78	0,004424	0,000170	25,98
Trave 33-40	100%	0,50	0,46	0,40	0,0801	0,0043	0,011382	0,001220	9,33	0,004667	0,001143	4,08
proporzionale alla deformata 1° modo di vibrazione												
Trave 33-40	0%	0,68	0,73	0,41	0,0618	0,0046	0,010462	0,000150	69,82	0,004426	0,000169	26,23
Trave 33-40	100%	0,51	0,47	0,40	0,0802	0,0043	0,011571	0,001221	9,47	0,004647	0,001142	4,07
sisma in -X												
proporzionale alle masse												
Trave 33-40	0%	0,76	0,77	0,42	0,0621	0,0046	0,010958	0,000188	58,28	0,004403	0,000187	23,50
Trave 33-40	100%	0,37	0,38	0,38	0,0805	0,0044	0,009814	0,001391	7,06	0,005027	0,001265	3,97
proporzionale alla deformata 1° modo di vibrazione												
Trave 33-40	0%	0,76	0,77	0,42	0,0622	0,0046	0,010973	0,000191	57,56	0,004405	0,000188	23,44
Trave 33-40	100%	0,36	0,37	0,38	0,0807	0,0044	0,009830	0,001433	6,86	0,005063	0,001290	3,93
sisma in +Y												
proporzionale alle masse												
Trave 33-40	0%	0,65	0,70	0,41	0,0576	0,0046	0,009681	0,000326	29,70	0,004435	0,000261	16,96
Trave 33-40	100%	0,68	0,57	0,41	0,0761	0,0047	0,012566	0,000343	36,59	0,004585	0,000727	6,31
proporzionale alla deformata 1° modo di vibrazione												
Trave 33-40	0%	0,65	0,71	0,41	0,0573	0,0046	0,009632	0,000331	29,11	0,004434	0,000263	16,89
Trave 33-40	100%	0,69	0,57	0,42	0,0758	0,0049	0,012590	0,000293	42,94	0,004633	0,000708	6,54
sisma in -Y												
proporzionale alle masse												
Trave 33-40	0%	0,00	0,00	0,00	0,0000	0,0000	0,000000	0,000000	0,00	0,000000	0,000000	0,00
Trave 33-40	100%	0,00	0,00	0,00	0,0000	0,0000	0,000000	0,000000	0,00	0,000000	0,000000	0,00
proporzionale alla deformata 1° modo di vibrazione												
Trave 33-40	0%	0,00	0,00	0,00	0,0000	0,0000	0,000000	0,000000	0,00	0,000000	0,000000	0,00
Trave 33-40	100%	0,00	0,00	0,00	0,0000	0,0000	0,000000	0,000000	0,00	0,000000	0,000000	0,00
Piano terra							**Travata: Trave16-1b-P9-29-36-P13-2b**					
sisma in +X												
proporzionale alle masse												
Trave P9-29	0%	0,56	0,50	0,42	0,1052	0,0041	0,015650	0,000276	56,79	0,004564	0,000194	23,55
Trave P9-29	100%	0,02	0,22	0,37	0,0502	0,0064	0,007650	0,000044	NS	0,007209	0,000000	NS
proporzionale alla deformata 1° modo di vibrazione												
Trave P9-29	0%	0,56	0,49	0,42	0,1053	0,0040	0,015612	0,000293	53,31	0,004578	0,000211	21,70
Trave P9-29	100%	0,01	0,23	0,37	0,0501	0,0064	0,007557	0,000043	NS	0,007040	0,000002	NS
sisma in -X												
proporzionale alle masse												
Trave P9-29	0%	0,61	0,53	0,43	0,1038	0,0042	0,016138	0,000061	NS	0,004516	0,000080	56,40
Trave P9-29	100%	0,01	0,22	0,37	0,0480	0,0067	0,007400	0,000041	NS	0,007171	0,000044	NS
proporzionale alla deformata 1° modo di vibrazione												

Id_{Tr}	$\%L_{LI}$	$L_{v,SLV}$	$L_{v,SLD}$	L_{pl}	ϕ_u	ϕ_y	SLV			SLD		
							Θ_c	Θ_d	CS	Θ_c	Θ_d	CS
	[%]	[m]	[m]	[m]	[rad/m]	[rad/m]	[rad]	[rad]		[rad]	[rad]	
Trave P9-29	0%	0,64	0,52	0,43	0,1031	0,0042	0,016467	0,000047	NS	0,004542	0,000090	50,55
Trave P9-29	100%	0,09	0,23	0,38	0,1028	0,0066	0,012580	0,000034	NS	0,006984	0,000041	NS
sisma in +Y												
proporzionale alle masse												
Trave P9-29	0%	16,31	1,33	2,00	0,0632	0,0047	0,057288	0,001170	48,98	0,004848	0,000744	6,52
Trave P9-29	100%	0,81	0,70	0,45	0,0520	0,0049	0,009934	0,000118	84,52	0,004593	0,000053	86,32
proporzionale alla deformata 1° modo di vibrazione												
Trave P9-29	0%	6,97	1,59	1,07	0,0630	0,0047	0,031223	0,001368	22,82	0,005134	0,000788	6,51
Trave P9-29	100%	0,83	0,70	0,45	0,0518	0,0049	0,009995	0,000142	70,53	0,004585	0,000054	85,00
sisma in -Y												
proporzionale alle masse												
Trave P9-29	0%	0,00	0,00	0,00	0,0000	0,0000	0,000000	0,000000	0,00	0,000000	0,000000	0,00
Trave P9-29	100%	0,00	0,00	0,00	0,0000	0,0000	0,000000	0,000000	0,00	0,000000	0,000000	0,00
proporzionale alla deformata 1° modo di vibrazione												
Trave P9-29	0%	0,00	0,00	0,00	0,0000	0,0000	0,000000	0,000000	0,00	0,000000	0,000000	0,00
Trave P9-29	100%	0,00	0,00	0,00	0,0000	0,0000	0,000000	0,000000	0,00	0,000000	0,000000	0,00
sisma in +X												
proporzionale alle masse												
Trave 29-36	0%	0,43	0,46	0,41	0,0650	0,0046	0,008834	0,000044	NS	0,004817	0,000000	NS
Trave 29-36	100%	0,00	0,01	0,37	0,0586	0,0038	0,039034	0,000211	NS	0,067966	0,000129	NS
proporzionale alla deformata 1° modo di vibrazione												
Trave 29-36	0%	0,44	0,47	0,41	0,0648	0,0048	0,009040	0,000043	NS	0,004853	0,000002	NS
Trave 29-36	100%	0,09	0,04	0,38	0,1001	0,0040	0,023707	0,000230	NS	0,029318	0,000137	NS
sisma in -X												
proporzionale alle masse												
Trave 29-36	0%	0,41	0,43	0,41	0,0640	0,0052	0,008575	0,000041	NS	0,005100	0,000044	NS
Trave 29-36	100%	0,18	0,16	0,39	0,0581	0,0057	0,009332	0,000132	70,75	0,008543	0,000091	93,98
proporzionale alla deformata 1° modo di vibrazione												
Trave 29-36	0%	0,38	0,43	0,41	0,0643	0,0052	0,008565	0,000034	NS	0,005129	0,000041	NS
Trave 29-36	100%	0,24	0,18	0,39	0,0585	0,0051	0,009085	0,000140	64,97	0,007705	0,000094	82,08
sisma in +Y												
proporzionale alle masse												
Trave 29-36	0%	6,42	0,16	1,01	0,0993	0,0065	0,047569	0,000118	NS	0,008730	0,000053	NS
Trave 29-36	100%	0,79	0,62	0,45	0,0475	0,0064	0,009170	0,000033	NS	0,005194	0,000000	NS
proporzionale alla deformata 1° modo di vibrazione												
Trave 29-36	0%	5,17	0,18	0,89	0,0987	0,0070	0,041293	0,000142	NS	0,008288	0,000054	NS
Trave 29-36	100%	0,81	0,62	0,45	0,0462	0,0067	0,009068	0,000055	NS	0,005276	0,000010	NS
sisma in -Y												
proporzionale alle masse												
Trave 29-36	0%	0,00	0,00	0,00	0,0000	0,0000	0,000000	0,000000	0,00	0,000000	0,000000	0,00
Trave 29-36	100%	0,00	0,00	0,00	0,0000	0,0000	0,000000	0,000000	0,00	0,000000	0,000000	0,00
proporzionale alla deformata 1° modo di vibrazione												
Trave 29-36	0%	0,00	0,00	0,00	0,0000	0,0000	0,000000	0,000000	0,00	0,000000	0,000000	0,00
Trave 29-36	100%	0,00	0,00	0,00	0,0000	0,0000	0,000000	0,000000	0,00	0,000000	0,000000	0,00
sisma in +X												
proporzionale alle masse												
Trave 36-P13	0%	1,94	4,17	0,56	0,0996	0,0048	0,027258	0,000211	NS	0,008900	0,000129	68,88
Trave 36-P13	100%	0,84	0,75	0,45	0,0928	0,0049	0,016808	0,000191	87,84	0,004566	0,000106	42,95
proporzionale alla deformata 1° modo di vibrazione												
Trave 36-P13	0%	2,21	9,54	0,59	0,1004	0,0047	0,032985	0,000230	NS	0,017090	0,000137	NS
Trave 36-P13	100%	0,81	0,72	0,45	0,0938	0,0049	0,016749	0,000226	74,10	0,004575	0,000129	35,33
sisma in -X												
proporzionale alle masse												
Trave 36-P13	0%	3,44	2,31	0,71	0,1027	0,0077	0,034712	0,000132	NS	0,008812	0,000091	96,94
Trave 36-P13	100%	0,71	0,69	0,44	0,0963	0,0049	0,016133	0,000076	NS	0,004588	0,000038	NS
proporzionale alla deformata 1° modo di vibrazione												
Trave 36-P13	0%	6,10	2,61	0,98	0,1025	0,0068	0,047376	0,000140	NS	0,008636	0,000094	92,00
Trave 36-P13	100%	0,71	0,69	0,44	0,0962	0,0049	0,016185	0,000090	NS	0,004610	0,000044	NS
sisma in +Y												
proporzionale alle masse												
Trave 36-P13	0%	1,06	1,13	0,47	0,0621	0,0055	0,012964	0,000033	NS	0,005090	0,000000	NS
Trave 36-P13	100%	1,12	1,06	0,48	0,0445	0,0053	0,009855	0,001008	9,77	0,004908	0,000477	10,29
proporzionale alla deformata 1° modo di vibrazione												
Trave 36-P13	0%	1,06	1,12	0,47	0,0548	0,0053	0,011611	0,000055	NS	0,004982	0,000010	NS
Trave 36-P13	100%	1,12	1,08	0,48	0,0376	0,0053	0,008555	0,001170	7,31	0,004914	0,000537	9,15
sisma in -Y												
proporzionale alle masse												
Trave 36-P13	0%	0,00	0,00	0,00	0,0000	0,0000	0,000000	0,000000	0,00	0,000000	0,000000	0,00
Trave 36-P13	100%	0,00	0,00	0,00	0,0000	0,0000	0,000000	0,000000	0,00	0,000000	0,000000	0,00
proporzionale alla deformata 1° modo di vibrazione												
Trave 36-P13	0%	0,00	0,00	0,00	0,0000	0,0000	0,000000	0,000000	0,00	0,000000	0,000000	0,00
Trave 36-P13	100%	0,00	0,00	0,00	0,0000	0,0000	0,000000	0,000000	0,00	0,000000	0,000000	0,00
Piano terra							**Travata: Trave14-27-34-41**					
sisma in +X												
proporzionale alle masse												
Trave 14-27	0%	0,67	0,67	0,43	0,0748	0,0047	0,012520	0,000546	22,94	0,004542	0,000513	8,86
Trave 14-27	100%	0,79	0,79	0,45	0,0694	0,0046	0,012619	0,000191	66,21	0,004470	0,000180	24,87
proporzionale alla deformata 1° modo di vibrazione												
Trave 14-27	0%	0,66	0,66	0,43	0,0749	0,0047	0,012498	0,000572	21,87	0,004546	0,000529	8,59
Trave 14-27	100%	0,79	0,80	0,45	0,0696	0,0046	0,012647	0,000193	65,64	0,004468	0,000180	24,86
sisma in -X												
proporzionale alle masse												
Trave 14-27	0%	0,71	0,69	0,44	0,0740	0,0048	0,012778	0,000410	31,18	0,004543	0,000441	10,30
Trave 14-27	100%	0,78	0,79	0,45	0,0684	0,0047	0,012363	0,000197	62,89	0,004473	0,000183	24,50
proporzionale alla deformata 1° modo di vibrazione												

Id_{Tr}	$\%L_{LI}$	$L_{v,SLV}$	$L_{v,SLD}$	L_{pl}	ϕ_u	ϕ_y	SLV			SLD		
							Θ_c	Θ_d	CS	Θ_c	Θ_d	CS
	[%]	[m]	[m]	[m]	[rad/m]	[rad/m]	[rad]	[rad]		[rad]	[rad]	
Trave 14-27	0%	0,72	0,69	0,44	0,0740	0,0048	0,012814	0,000395	32,47	0,004553	0,000436	10,44
Trave 14-27	100%	0,77	0,79	0,45	0,0683	0,0047	0,012330	0,000201	61,40	0,004476	0,000184	24,32
sisma in +Y												
proporzionale alle masse												
Trave 14-27	0%	0,08	0,42	0,38	0,0767	0,0047	0,009271	0,001683	5,51	0,004999	0,001019	4,91
Trave 14-27	100%	0,97	0,89	0,47	0,0718	0,0046	0,014135	0,000119	NS	0,004442	0,000018	NS
proporzionale alla deformata 1° modo di vibrazione												
Trave 14-27	0%	0,01	0,39	0,37	0,0768	0,0041	0,009204	0,001901	4,84	0,004971	0,001107	4,49
Trave 14-27	100%	0,98	0,89	0,47	0,0724	0,0046	0,014307	0,000127	NS	0,004450	0,000012	NS
sisma in -Y												
proporzionale alle masse												
Trave 14-27	0%	0,00	0,00	0,00	0,0000	0,0000	0,000000	0,000000	0,00	0,000000	0,000000	0,00
Trave 14-27	100%	0,00	0,00	0,00	0,0000	0,0000	0,000000	0,000000	0,00	0,000000	0,000000	0,00
proporzionale alla deformata 1° modo di vibrazione												
Trave 14-27	0%	0,00	0,00	0,00	0,0000	0,0000	0,000000	0,000000	0,00	0,000000	0,000000	0,00
Trave 14-27	100%	0,00	0,00	0,00	0,0000	0,0000	0,000000	0,000000	0,00	0,000000	0,000000	0,00
sisma in +X												
proporzionale alle masse												
Trave 27-34	0%	0,74	0,74	0,44	0,0450	0,0066	0,008586	0,000191	45,05	0,005278	0,000180	29,36
Trave 27-34	100%	0,14	0,29	0,38	0,0666	0,0064	0,008874	0,000078	NS	0,006220	0,000105	59,03
proporzionale alla deformata 1° modo di vibrazione												
Trave 27-34	0%	0,74	0,74	0,44	0,0450	0,0064	0,008573	0,000193	44,50	0,005192	0,000180	28,89
Trave 27-34	100%	0,10	0,28	0,38	0,0666	0,0063	0,008876	0,000074	NS	0,006355	0,000103	61,47
sisma in -X												
proporzionale alle masse												
Trave 27-34	0%	0,75	0,74	0,44	0,0444	0,0071	0,008540	0,000197	43,45	0,005472	0,000183	29,97
Trave 27-34	100%	0,29	0,36	0,40	0,0658	0,0065	0,008791	0,000090	97,25	0,005789	0,000109	53,08
proporzionale alla deformata 1° modo di vibrazione												
Trave 27-34	0%	0,75	0,74	0,44	0,0444	0,0070	0,008533	0,000201	42,49	0,005436	0,000184	29,53
Trave 27-34	100%	0,28	0,36	0,40	0,0659	0,0065	0,008784	0,000086	NS	0,005803	0,000107	54,10
sisma in +Y												
proporzionale alle masse												
Trave 27-34	0%	0,62	0,69	0,43	0,0419	0,0073	0,007627	0,000119	64,11	0,005504	0,000018	NS
Trave 27-34	100%	0,81	0,71	0,45	0,0623	0,0077	0,011701	0,000511	22,88	0,005692	0,000326	17,44
proporzionale alla deformata 1° modo di vibrazione												
Trave 27-34	0%	0,59	0,69	0,43	0,0412	0,0073	0,007392	0,000127	58,03	0,005502	0,000012	NS
Trave 27-34	100%	0,82	0,72	0,45	0,0619	0,0075	0,011710	0,000531	22,05	0,005609	0,000338	16,60
sisma in -Y												
proporzionale alle masse												
Trave 27-34	0%	0,00	0,00	0,00	0,0000	0,0000	0,000000	0,000000	0,00	0,000000	0,000000	0,00
Trave 27-34	100%	0,00	0,00	0,00	0,0000	0,0000	0,000000	0,000000	0,00	0,000000	0,000000	0,00
proporzionale alla deformata 1° modo di vibrazione												
Trave 27-34	0%	0,00	0,00	0,00	0,0000	0,0000	0,000000	0,000000	0,00	0,000000	0,000000	0,00
Trave 27-34	100%	0,00	0,00	0,00	0,0000	0,0000	0,000000	0,000000	0,00	0,000000	0,000000	0,00
sisma in +X												
proporzionale alle masse												
Trave 34-41	0%	0,75	0,78	0,44	0,0636	0,0046	0,011465	0,000078	NS	0,004445	0,000105	42,19
Trave 34-41	100%	0,35	0,33	0,40	0,0833	0,0041	0,010669	0,001571	6,79	0,005352	0,001426	3,75
proporzionale alla deformata 1° modo di vibrazione												
Trave 34-41	0%	0,75	0,78	0,44	0,0637	0,0046	0,011438	0,000074	NS	0,004448	0,000103	43,02
Trave 34-41	100%	0,36	0,33	0,40	0,0834	0,0041	0,010692	0,001586	6,74	0,005349	0,001443	3,71
sisma in -X												
proporzionale alle masse												
Trave 34-41	0%	0,78	0,79	0,45	0,0627	0,0046	0,011506	0,000090	NS	0,004453	0,000109	40,83
Trave 34-41	100%	0,34	0,34	0,40	0,0824	0,0042	0,010511	0,001375	7,64	0,005298	0,001286	4,12
proporzionale alla deformata 1° modo di vibrazione												
Trave 34-41	0%	0,78	0,79	0,45	0,0628	0,0046	0,011502	0,000086	NS	0,004453	0,000107	41,52
Trave 34-41	100%	0,34	0,34	0,40	0,0825	0,0042	0,010533	0,001403	7,51	0,005320	0,001305	4,08
sisma in +Y												
proporzionale alle masse												
Trave 34-41	0%	0,63	0,71	0,43	0,0608	0,0046	0,010215	0,000511	19,97	0,004463	0,000326	13,67
Trave 34-41	100%	0,62	0,50	0,43	0,0806	0,0045	0,013062	0,000535	24,42	0,004672	0,000904	5,17
proporzionale alla deformata 1° modo di vibrazione												
Trave 34-41	0%	0,63	0,71	0,43	0,0600	0,0046	0,010055	0,000531	18,93	0,004463	0,000338	13,21
Trave 34-41	100%	0,64	0,51	0,43	0,0801	0,0046	0,013203	0,000423	31,20	0,004682	0,000854	5,49
sisma in -Y												
proporzionale alle masse												
Trave 34-41	0%	0,00	0,00	0,00	0,0000	0,0000	0,000000	0,000000	0,00	0,000000	0,000000	0,00
Trave 34-41	100%	0,00	0,00	0,00	0,0000	0,0000	0,000000	0,000000	0,00	0,000000	0,000000	0,00
proporzionale alla deformata 1° modo di vibrazione												
Trave 34-41	0%	0,00	0,00	0,00	0,0000	0,0000	0,000000	0,000000	0,00	0,000000	0,000000	0,00
Trave 34-41	100%	0,00	0,00	0,00	0,0000	0,0000	0,000000	0,000000	0,00	0,000000	0,000000	0,00
Piano terra							**Travata: Trave15-28-35-42**					
sisma in +X												
proporzionale alle masse												
Trave 15-28	0%	0,74	0,70	0,44	0,0747	0,0048	0,013155	0,000399	33,00	0,004553	0,000412	11,04
Trave 15-28	100%	0,74	0,78	0,44	0,0462	0,0051	0,008707	0,000143	60,82	0,004651	0,000143	32,57
proporzionale alla deformata 1° modo di vibrazione												
Trave 15-28	0%	0,74	0,69	0,44	0,0749	0,0048	0,013150	0,000432	30,44	0,004548	0,000432	10,53
Trave 15-28	100%	0,74	0,78	0,44	0,0464	0,0051	0,008718	0,000146	59,80	0,004651	0,000144	32,22
sisma in -X												
proporzionale alle masse												
Trave 15-28	0%	0,70	0,69	0,44	0,0744	0,0048	0,012781	0,000291	43,98	0,004547	0,000339	13,43
Trave 15-28	100%	0,80	0,81	0,45	0,0458	0,0051	0,008893	0,000174	51,19	0,004660	0,000156	29,93
proporzionale alla deformata 1° modo di vibrazione												

Id_{Tr}	$\%L_{LI}$	$L_{v,SLV}$	$L_{v,SLD}$	L_{pl}	ϕ_u	ϕ_y	SLV			SLD		
							Θ_c	Θ_d	CS	Θ_c	Θ_d	CS
	[%]	[m]	[m]	[m]	[rad/m]	[rad/m]	[rad]	[rad]		[rad]	[rad]	
Trave 15-28	0%	0,71	0,69	0,44	0,0743	0,0048	0,012824	0,000268	47,87	0,004556	0,000333	13,67
Trave 15-28	100%	0,80	0,81	0,45	0,0457	0,0051	0,008865	0,000176	50,46	0,004660	0,000157	29,63
sisma in +Y												
proporzionale alle masse												
Trave 15-28	0%	0,17	0,33	0,39	0,0988	0,0047	0,011824	0,001819	6,50	0,005529	0,001022	5,41
Trave 15-28	100%	1,03	0,93	0,47	0,0491	0,0049	0,010320	0,000120	85,67	0,004614	0,000002	NS
proporzionale alla deformata 1° modo di vibrazione												
Trave 15-28	0%	0,43	0,26	0,41	0,0992	0,0040	0,013255	0,002128	6,23	0,006071	0,001161	5,23
Trave 15-28	100%	1,03	0,94	0,47	0,0491	0,0049	0,010349	0,000139	74,56	0,004623	0,000012	NS
sisma in -Y												
proporzionale alle masse												
Trave 15-28	0%	0,00	0,00	0,00	0,0000	0,0000	0,000000	0,000000	0,00	0,000000	0,000000	0,00
Trave 15-28	100%	0,00	0,00	0,00	0,0000	0,0000	0,000000	0,000000	0,00	0,000000	0,000000	0,00
proporzionale alla deformata 1° modo di vibrazione												
Trave 15-28	0%	0,00	0,00	0,00	0,0000	0,0000	0,000000	0,000000	0,00	0,000000	0,000000	0,00
Trave 15-28	100%	0,00	0,00	0,00	0,0000	0,0000	0,000000	0,000000	0,00	0,000000	0,000000	0,00
sisma in +X												
proporzionale alle masse												
Trave 28-35	0%	0,72	0,73	0,44	0,0402	0,0067	0,007759	0,000143	54,20	0,005288	0,000143	37,04
Trave 28-35	100%	0,15	0,31	0,38	0,0606	0,0068	0,008275	0,000047	NS	0,006227	0,000072	86,45
proporzionale alla deformata 1° modo di vibrazione												
Trave 28-35	0%	0,72	0,73	0,44	0,0402	0,0064	0,007751	0,000146	53,17	0,005187	0,000144	35,93
Trave 28-35	100%	0,08	0,28	0,38	0,0606	0,0074	0,008306	0,000041	NS	0,006584	0,000069	95,42
sisma in -X												
proporzionale alle masse												
Trave 28-35	0%	0,76	0,75	0,44	0,0388	0,0078	0,007748	0,000174	44,60	0,005748	0,000156	36,92
Trave 28-35	100%	0,39	0,42	0,41	0,0574	0,0071	0,007957	0,000067	NS	0,005679	0,000084	67,86
proporzionale alla deformata 1° modo di vibrazione												
Trave 28-35	0%	0,76	0,75	0,44	0,0388	0,0079	0,007744	0,000176	44,08	0,005768	0,000157	36,67
Trave 28-35	100%	0,39	0,43	0,41	0,0575	0,0071	0,007969	0,000065	NS	0,005677	0,000083	68,60
sisma in +Y												
proporzionale alle masse												
Trave 28-35	0%	0,49	0,68	0,42	0,0366	0,0078	0,006298	0,000120	52,28	0,005686	0,000002	NS
Trave 28-35	100%	0,85	0,76	0,45	0,0523	0,0077	0,010271	0,000453	22,66	0,005715	0,000292	19,59
proporzionale alla deformata 1° modo di vibrazione												
Trave 28-35	0%	0,41	0,66	0,41	0,0361	0,0078	0,005755	0,000139	41,46	0,005678	0,000012	NS
Trave 28-35	100%	0,87	0,78	0,46	0,0515	0,0074	0,010217	0,000486	21,01	0,005598	0,000310	18,08
sisma in -Y												
proporzionale alle masse												
Trave 28-35	0%	0,00	0,00	0,00	0,0000	0,0000	0,000000	0,000000	0,00	0,000000	0,000000	0,00
Trave 28-35	100%	0,00	0,00	0,00	0,0000	0,0000	0,000000	0,000000	0,00	0,000000	0,000000	0,00
proporzionale alla deformata 1° modo di vibrazione												
Trave 28-35	0%	0,00	0,00	0,00	0,0000	0,0000	0,000000	0,000000	0,00	0,000000	0,000000	0,00
Trave 28-35	100%	0,00	0,00	0,00	0,0000	0,0000	0,000000	0,000000	0,00	0,000000	0,000000	0,00
sisma in +X												
proporzionale alle masse												
Trave 35-42	0%	0,70	0,75	0,44	0,0626	0,0046	0,010966	0,000047	NS	0,004472	0,000072	62,09
Trave 35-42	100%	0,46	0,40	0,41	0,0822	0,0043	0,011340	0,001184	9,58	0,004943	0,001084	4,56
proporzionale alla deformata 1° modo di vibrazione												
Trave 35-42	0%	0,69	0,75	0,44	0,0626	0,0046	0,010916	0,000041	NS	0,004473	0,000069	64,82
Trave 35-42	100%	0,46	0,40	0,41	0,0823	0,0043	0,011415	0,001207	9,46	0,004943	0,001100	4,49
sisma in -X												
proporzionale alle masse												
Trave 35-42	0%	0,78	0,79	0,45	0,0616	0,0047	0,011315	0,000067	NS	0,004475	0,000084	53,47
Trave 35-42	100%	0,37	0,36	0,41	0,0812	0,0044	0,010375	0,001026	10,11	0,005185	0,000975	5,32
proporzionale alla deformata 1° modo di vibrazione												
Trave 35-42	0%	0,78	0,79	0,45	0,0616	0,0047	0,011296	0,000065	NS	0,004484	0,000083	54,18
Trave 35-42	100%	0,37	0,36	0,41	0,0813	0,0044	0,010388	0,001041	9,98	0,005191	0,000987	5,26
sisma in +Y												
proporzionale alle masse												
Trave 35-42	0%	0,57	0,68	0,43	0,0577	0,0046	0,009336	0,000453	20,60	0,004500	0,000292	15,42
Trave 35-42	100%	0,74	0,59	0,44	0,0780	0,0047	0,013699	0,000091	NS	0,004603	0,000528	8,72
proporzionale alla deformata 1° modo di vibrazione												
Trave 35-42	0%	0,55	0,67	0,42	0,0566	0,0046	0,009053	0,000486	18,62	0,004502	0,000310	14,54
Trave 35-42	100%	0,78	0,60	0,45	0,0772	0,0049	0,013845	0,000056	NS	0,004672	0,000466	10,02
sisma in -Y												
proporzionale alle masse												
Trave 35-42	0%	0,00	0,00	0,00	0,0000	0,0000	0,000000	0,000000	0,00	0,000000	0,000000	0,00
Trave 35-42	100%	0,00	0,00	0,00	0,0000	0,0000	0,000000	0,000000	0,00	0,000000	0,000000	0,00
proporzionale alla deformata 1° modo di vibrazione												
Trave 35-42	0%	0,00	0,00	0,00	0,0000	0,0000	0,000000	0,000000	0,00	0,000000	0,000000	0,00
Trave 35-42	100%	0,00	0,00	0,00	0,0000	0,0000	0,000000	0,000000	0,00	0,000000	0,000000	0,00
Piano terra							**Travata: Trave24-32-39**					
sisma in +X												
proporzionale alle masse												
Trave 24-32	0%	0,64	0,64	0,43	0,0767	0,0045	0,012544	0,000772	16,24	0,004476	0,000736	6,09
Trave 24-32	100%	0,80	0,82	0,45	0,0485	0,0049	0,009302	0,000273	34,09	0,004592	0,000192	23,92
proporzionale alla deformata 1° modo di vibrazione												
Trave 24-32	0%	0,63	0,63	0,43	0,0768	0,0044	0,012504	0,000796	15,71	0,004454	0,000746	5,97
Trave 24-32	100%	0,79	0,82	0,45	0,0486	0,0049	0,009324	0,000287	32,43	0,004592	0,000195	23,55
sisma in -X												
proporzionale alle masse												
Trave 24-32	0%	0,65	0,65	0,43	0,0763	0,0045	0,012622	0,000764	16,51	0,004477	0,000719	6,23
Trave 24-32	100%	0,80	0,82	0,45	0,0480	0,0049	0,009253	0,000197	47,09	0,004596	0,000157	29,36
proporzionale alla deformata 1° modo di vibrazione												

Id_{Tr}	$\%L_{LI}$	$L_{v,SLV}$	$L_{v,SLD}$	L_{pl}	ϕ_u	ϕ_y	SLV			SLD		
							Θ_c	Θ_d	CS	Θ_c	Θ_d	CS
	[%]	[m]	[m]	[m]	[rad/m]	[rad/m]	[rad]	[rad]		[rad]	[rad]	
Trave 24-32	0%	0,65	0,65	0,43	0,0764	0,0045	0,012658	0,000768	16,47	0,004481	0,000720	6,23
Trave 24-32	100%	0,79	0,81	0,45	0,0482	0,0049	0,009246	0,000213	43,46	0,004596	0,000161	28,54
sisma in +Y												
proporzionale alle masse												
Trave 24-32	0%	0,31	0,48	0,40	0,0761	0,0046	0,009508	0,001320	7,21	0,004763	0,001027	4,64
Trave 24-32	100%	1,00	0,92	0,47	0,0475	0,0050	0,009941	0,000287	34,69	0,004654	0,000085	55,03
proporzionale alla deformata 1° modo di vibrazione												
Trave 24-32	0%	0,31	0,50	0,40	0,0762	0,0046	0,009505	0,001331	7,14	0,004731	0,001003	4,72
Trave 24-32	100%	0,99	0,91	0,47	0,0477	0,0050	0,009963	0,000262	38,10	0,004659	0,000069	67,15
sisma in -Y												
proporzionale alle masse												
Trave 24-32	0%	0,00	0,00	0,00	0,0000	0,0000	0,000000	0,000000	0,00	0,000000	0,000000	0,00
Trave 24-32	100%	0,00	0,00	0,00	0,0000	0,0000	0,000000	0,000000	0,00	0,000000	0,000000	0,00
proporzionale alla deformata 1° modo di vibrazione												
Trave 24-32	0%	0,00	0,00	0,00	0,0000	0,0000	0,000000	0,000000	0,00	0,000000	0,000000	0,00
Trave 24-32	100%	0,00	0,00	0,00	0,0000	0,0000	0,000000	0,000000	0,00	0,000000	0,000000	0,00
sisma in +X												
proporzionale alle masse												
Trave 32-39	0%	0,87	0,89	0,46	0,0348	0,0052	0,007331	0,000273	26,86	0,004747	0,000192	24,73
Trave 32-39	100%	0,26	0,24	0,39	0,0613	0,0045	0,008780	0,001389	6,32	0,006358	0,001196	5,31
proporzionale alla deformata 1° modo di vibrazione												
Trave 32-39	0%	0,86	0,88	0,45	0,0348	0,0052	0,007310	0,000287	25,43	0,004737	0,000195	24,29
Trave 32-39	100%	0,27	0,25	0,40	0,0615	0,0044	0,008794	0,001439	6,11	0,006305	0,001232	5,12
sisma in -X												
proporzionale alle masse												
Trave 32-39	0%	0,88	0,88	0,46	0,0342	0,0053	0,007261	0,000197	36,95	0,004778	0,000157	30,52
Trave 32-39	100%	0,31	0,29	0,40	0,0598	0,0048	0,008406	0,001059	7,94	0,005833	0,000995	5,86
proporzionale alla deformata 1° modo di vibrazione												
Trave 32-39	0%	0,88	0,89	0,46	0,0342	0,0053	0,007270	0,000213	34,18	0,004778	0,000161	29,67
Trave 32-39	100%	0,30	0,29	0,40	0,0597	0,0048	0,008411	0,001067	7,89	0,005901	0,001002	5,89
sisma in +Y												
proporzionale alle masse												
Trave 32-39	0%	0,68	0,78	0,44	0,0338	0,0053	0,006608	0,000287	23,06	0,004741	0,000085	56,06
Trave 32-39	100%	0,65	0,50	0,43	0,0584	0,0049	0,010157	0,000326	31,15	0,004815	0,000670	7,18
proporzionale alla deformata 1° modo di vibrazione												
Trave 32-39	0%	0,69	0,79	0,44	0,0338	0,0053	0,006645	0,000262	25,41	0,004743	0,000069	68,37
Trave 32-39	100%	0,64	0,49	0,43	0,0585	0,0049	0,010102	0,000352	28,66	0,004863	0,000688	7,07
sisma in -Y												
proporzionale alle masse												
Trave 32-39	0%	0,00	0,00	0,00	0,0000	0,0000	0,000000	0,000000	0,00	0,000000	0,000000	0,00
Trave 32-39	100%	0,00	0,00	0,00	0,0000	0,0000	0,000000	0,000000	0,00	0,000000	0,000000	0,00
proporzionale alla deformata 1° modo di vibrazione												
Trave 32-39	0%	0,00	0,00	0,00	0,0000	0,0000	0,000000	0,000000	0,00	0,000000	0,000000	0,00
Trave 32-39	100%	0,00	0,00	0,00	0,0000	0,0000	0,000000	0,000000	0,00	0,000000	0,000000	0,00
Piano interrato							**Travata: Trave1-2-P1-3**					
sisma in +X												
proporzionale alle masse												
Trave 2-P1	0%	4,25	0,24	0,77	0,0903	0,0107	0,030819	0,001547	19,92	0,006037	0,000756	7,99
Trave 2-P1	100%	1,19	0,99	0,46	0,0907	0,0098	0,018371	0,000999	18,38	0,006609	0,000441	14,98
proporzionale alla deformata 1° modo di vibrazione												
Trave 2-P1	0%	4,56	0,16	0,80	0,0903	0,0105	0,032450	0,001610	20,15	0,006690	0,000776	8,62
Trave 2-P1	100%	1,19	0,99	0,46	0,0906	0,0098	0,018364	0,000993	18,49	0,006646	0,000441	15,09
sisma in -X												
proporzionale alle masse												
Trave 2-P1	0%	1,31	1,08	0,47	0,0890	0,0099	0,018820	0,001358	13,86	0,006927	0,000608	11,40
Trave 2-P1	100%	3,87	0,12	0,73	0,0886	0,0112	0,029437	0,001675	17,57	0,007700	0,000789	9,76
proporzionale alla deformata 1° modo di vibrazione												
Trave 2-P1	0%	1,29	1,07	0,47	0,0897	0,0098	0,018835	0,001275	14,78	0,006869	0,000563	12,19
Trave 2-P1	100%	3,17	0,15	0,66	0,0891	0,0109	0,026674	0,001673	15,94	0,007080	0,000789	8,98
sisma in +Y												
proporzionale alle masse												
Trave 2-P1	0%	0,69	0,68	0,41	0,0965	0,0096	0,015476	0,000048	NS	0,005768	0,000062	92,46
Trave 2-P1	100%	0,66	0,68	0,41	0,0966	0,0095	0,015214	0,000064	NS	0,005764	0,000019	NS
proporzionale alla deformata 1° modo di vibrazione												
Trave 2-P1	0%	0,39	0,55	0,38	0,0964	0,0098	0,011339	0,000395	28,72	0,005601	0,000222	25,28
Trave 2-P1	100%	0,84	0,77	0,43	0,0962	0,0092	0,016748	0,000180	93,12	0,005819	0,000097	60,08
sisma in -Y												
proporzionale alle masse												
Trave 2-P1	0%	0,00	0,00	0,00	0,0000	0,0000	0,000000	0,000000	0,00	0,000000	0,000000	0,00
Trave 2-P1	100%	0,00	0,00	0,00	0,0000	0,0000	0,000000	0,000000	0,00	0,000000	0,000000	0,00
proporzionale alla deformata 1° modo di vibrazione												
Trave 2-P1	0%	0,00	0,00	0,00	0,0000	0,0000	0,000000	0,000000	0,00	0,000000	0,000000	0,00
Trave 2-P1	100%	0,00	0,00	0,00	0,0000	0,0000	0,000000	0,000000	0,00	0,000000	0,000000	0,00
Piano interrato							**Travata: Trave13-P4-14-15-P5-16**					
sisma in +X												
proporzionale alle masse												
Trave P4-14	0%	1,38	0,27	0,50	0,0632	0,0068	0,014647	0,001569	9,33	0,006225	0,000756	8,23
Trave P4-14	100%	1,35	1,12	0,49	0,0298	0,0070	0,007486	0,001079	6,94	0,005774	0,000445	12,98
proporzionale alla deformata 1° modo di vibrazione												
Trave P4-14	0%	1,51	0,24	0,51	0,0637	0,0067	0,015358	0,001649	9,32	0,006509	0,000796	8,18
Trave P4-14	100%	1,34	1,12	0,49	0,0300	0,0072	0,007537	0,001047	7,20	0,005883	0,000442	13,30
sisma in -X												
proporzionale alle masse												
Trave P4-14	0%	1,51	1,24	0,51	0,0755	0,0058	0,017408	0,001475	11,81	0,005303	0,000671	7,90
Trave P4-14	100%	2,14	0,04	0,57	0,0952	0,0057	0,033633	0,001457	23,08	0,022797	0,000748	30,48

Id_{Tr}	$\%L_{LI}$	$L_{v,SLV}$	$L_{v,SLD}$	L_{pl}	ϕ_u	ϕ_y	SLV			SLD		
							Θ_c	Θ_d	CS	Θ_c	Θ_d	CS
	[%]	[m]	[m]	[m]	[rad/m]	[rad/m]	[rad]	[rad]		[rad]	[rad]	
proporzionale alla deformata 1° modo di vibrazione												
Trave P4-14	0%	1,49	1,23	0,51	0,0757	0,0059	0,017407	0,001420	12,26	0,005322	0,000642	8,28
Trave P4-14	100%	1,94	0,02	0,55	0,0954	0,0056	0,041206	0,001397	29,49	0,039778	0,000727	54,71
sisma in +Y												
proporzionale alle masse												
Trave P4-14	0%	0,87	0,85	0,45	0,0837	0,0053	0,015345	0,000042	NS	0,004659	0,000019	NS
Trave P4-14	100%	0,78	0,79	0,44	0,0320	0,0066	0,006561	0,000195	33,62	0,005152	0,000150	34,40
proporzionale alla deformata 1° modo di vibrazione												
Trave P4-14	0%	0,82	0,82	0,44	0,0838	0,0052	0,015004	0,000046	NS	0,004597	0,000065	70,52
Trave P4-14	100%	0,83	0,82	0,44	0,0321	0,0067	0,006731	0,000105	63,98	0,005236	0,000108	48,38
sisma in -Y												
proporzionale alle masse												
Trave P4-14	0%	0,00	0,00	0,00	0,0000	0,0000	0,000000	0,000000	0,00	0,000000	0,000000	0,00
Trave P4-14	100%	0,00	0,00	0,00	0,0000	0,0000	0,000000	0,000000	0,00	0,000000	0,000000	0,00
proporzionale alla deformata 1° modo di vibrazione												
Trave P4-14	0%	0,00	0,00	0,00	0,0000	0,0000	0,000000	0,000000	0,00	0,000000	0,000000	0,00
Trave P4-14	100%	0,00	0,00	0,00	0,0000	0,0000	0,000000	0,000000	0,00	0,000000	0,000000	0,00
sisma in +X												
proporzionale alle masse												
Trave 14-15	0%	4,11	0,23	0,77	0,0996	0,0049	0,036210	0,001079	33,57	0,006188	0,000445	13,91
Trave 14-15	100%	1,11	0,92	0,47	0,0630	0,0062	0,013081	0,000809	16,17	0,005096	0,000372	13,69
proporzionale alla deformata 1° modo di vibrazione												
Trave 14-15	0%	3,39	0,28	0,70	0,1004	0,0048	0,032806	0,001047	31,34	0,005632	0,000442	12,73
Trave 14-15	100%	1,10	0,91	0,47	0,0638	0,0063	0,013166	0,000776	16,96	0,005121	0,000364	14,07
sisma in -X												
proporzionale alle masse												
Trave 14-15	0%	1,30	1,09	0,49	0,0254	0,0081	0,006578	0,001457	4,51	0,006289	0,000748	8,41
Trave 14-15	100%	12,13	1,22	1,57	0,0840	0,0064	0,059834	0,001030	58,08	0,005604	0,000565	9,91
proporzionale alla deformata 1° modo di vibrazione												
Trave 14-15	0%	1,29	1,09	0,49	0,0255	0,0082	0,006596	0,001397	4,72	0,006351	0,000727	8,73
Trave 14-15	100%	16,63	1,10	2,02	0,0843	0,0065	0,076676	0,000980	78,21	0,005481	0,000547	10,01
sisma in +Y												
proporzionale alle masse												
Trave 14-15	0%	0,77	0,75	0,44	0,0320	0,0069	0,006555	0,000195	33,60	0,005260	0,000150	35,13
Trave 14-15	100%	0,43	0,48	0,40	0,0742	0,0060	0,009788	0,000217	45,19	0,005028	0,000160	31,48
proporzionale alla deformata 1° modo di vibrazione												
Trave 14-15	0%	0,70	0,71	0,43	0,0323	0,0069	0,006396	0,000105	60,80	0,005224	0,000108	48,28
Trave 14-15	100%	0,54	0,53	0,41	0,0749	0,0059	0,011210	0,000143	78,41	0,004904	0,000119	41,07
sisma in -Y												
proporzionale alle masse												
Trave 14-15	0%	0,00	0,00	0,00	0,0000	0,0000	0,000000	0,000000	0,00	0,000000	0,000000	0,00
Trave 14-15	100%	0,00	0,00	0,00	0,0000	0,0000	0,000000	0,000000	0,00	0,000000	0,000000	0,00
proporzionale alla deformata 1° modo di vibrazione												
Trave 14-15	0%	0,00	0,00	0,00	0,0000	0,0000	0,000000	0,000000	0,00	0,000000	0,000000	0,00
Trave 14-15	100%	0,00	0,00	0,00	0,0000	0,0000	0,000000	0,000000	0,00	0,000000	0,000000	0,00
sisma in +X												
proporzionale alle masse												
Trave 15-P5	0%	1,68	2,41	0,53	0,0835	0,0051	0,020686	0,000809	25,57	0,006512	0,000372	17,50
Trave 15-P5	100%	0,97	0,87	0,46	0,0753	0,0050	0,014557	0,000614	23,72	0,004504	0,000268	16,81
proporzionale alla deformata 1° modo di vibrazione												
Trave 15-P5	0%	1,71	2,57	0,53	0,0849	0,0051	0,021244	0,000776	27,37	0,006768	0,000364	18,60
Trave 15-P5	100%	0,97	0,86	0,46	0,0771	0,0050	0,014835	0,000582	25,49	0,004498	0,000248	18,12
sisma in -X												
proporzionale alle masse												
Trave 15-P5	0%	1,00	0,91	0,46	0,0339	0,0070	0,007488	0,001030	7,27	0,005472	0,000565	9,68
Trave 15-P5	100%	1,59	2,08	0,52	0,0472	0,0060	0,012347	0,001475	8,37	0,006792	0,000758	8,96
proporzionale alla deformata 1° modo di vibrazione												
Trave 15-P5	0%	0,99	0,91	0,46	0,0341	0,0070	0,007507	0,000980	7,66	0,005479	0,000547	10,01
Trave 15-P5	100%	1,61	2,09	0,52	0,0477	0,0059	0,012494	0,001553	8,04	0,006771	0,000792	8,55
sisma in +Y												
proporzionale alle masse												
Trave 15-P5	0%	0,34	0,31	0,39	0,0585	0,0055	0,007982	0,000217	36,86	0,005524	0,000160	34,59
Trave 15-P5	100%	0,31	0,37	0,39	0,1157	0,0048	0,013322	0,000388	34,34	0,004999	0,000214	23,35
proporzionale alla deformata 1° modo di vibrazione												
Trave 15-P5	0%	0,12	0,19	0,37	0,0577	0,0097	0,008430	0,000143	58,96	0,007957	0,000119	66,63
Trave 15-P5	100%	0,40	0,43	0,40	0,1146	0,0041	0,013396	0,000333	40,24	0,004579	0,000189	24,17
sisma in -Y												
proporzionale alle masse												
Trave 15-P5	0%	0,00	0,00	0,00	0,0000	0,0000	0,000000	0,000000	0,00	0,000000	0,000000	0,00
Trave 15-P5	100%	0,00	0,00	0,00	0,0000	0,0000	0,000000	0,000000	0,00	0,000000	0,000000	0,00
proporzionale alla deformata 1° modo di vibrazione												
Trave 15-P5	0%	0,00	0,00	0,00	0,0000	0,0000	0,000000	0,000000	0,00	0,000000	0,000000	0,00
Trave 15-P5	100%	0,00	0,00	0,00	0,0000	0,0000	0,000000	0,000000	0,00	0,000000	0,000000	0,00
Piano interrato							**Travata: Trave22-P8-23-24-25**					
sisma in +X												
proporzionale alle masse												
Trave P8-23	0%	1,01	1,04	0,43	0,0605	0,0063	0,011748	0,001256	9,35	0,005138	0,000614	8,37
Trave P8-23	100%	0,77	0,75	0,41	0,0607	0,0066	0,010559	0,000514	20,54	0,004941	0,000307	16,08
proporzionale alla deformata 1° modo di vibrazione												
Trave P8-23	0%	1,03	1,06	0,43	0,0596	0,0063	0,011671	0,001363	8,57	0,005126	0,000659	7,78
Trave P8-23	100%	0,76	0,75	0,41	0,0613	0,0066	0,010599	0,000484	21,89	0,004929	0,000294	16,79
sisma in -X												
proporzionale alle masse												
Trave P8-23	0%	0,84	0,83	0,41	0,0593	0,0059	0,010709	0,001007	10,64	0,004691	0,000510	9,21
Trave P8-23	100%	0,93	0,95	0,42	0,0596	0,0061	0,011175	0,000862	12,96	0,004909	0,000419	11,71

Id_{Tr}	$\%L_{LI}$	$L_{v,SLV}$	$L_{v,SLD}$	L_{pl}	ϕ_u	ϕ_y	SLV			SLD		
							Θ_c	Θ_d	CS	Θ_c	Θ_d	CS
	[%]	[m]	[m]	[m]	[rad/m]	[rad/m]	[rad]	[rad]		[rad]	[rad]	
proporzionale alla deformata 1° modo di vibrazione												
Trave P8-23	0%	0,84	0,82	0,41	0,0642	0,0058	0,011444	0,000889	12,87	0,004659	0,000442	10,55
Trave P8-23	100%	0,94	0,97	0,42	0,0643	0,0060	0,012000	0,000845	14,19	0,004887	0,000413	11,83
sisma in +Y												
proporzionale alle masse												
Trave P8-23	0%	0,33	0,43	0,36	0,1210	0,0049	0,012794	0,000392	32,67	0,004514	0,000136	33,20
Trave P8-23	100%	2,01	2,55	0,53	0,1208	0,0050	0,029930	0,000031	NS	0,006524	0,000045	NS
proporzionale alla deformata 1° modo di vibrazione												
Trave P8-23	0%	0,26	0,42	0,36	0,1210	0,0058	0,012652	0,000289	43,80	0,004769	0,000079	60,13
Trave P8-23	100%	0,30	0,87	0,36	0,1210	0,0048	0,012604	0,000054	NS	0,004285	0,000050	85,01
sisma in -Y												
proporzionale alle masse												
Trave P8-23	0%	0,00	0,00	0,00	0,0000	0,0000	0,000000	0,000000	0,00	0,000000	0,000000	0,00
Trave P8-23	100%	0,00	0,00	0,00	0,0000	0,0000	0,000000	0,000000	0,00	0,000000	0,000000	0,00
proporzionale alla deformata 1° modo di vibrazione												
Trave P8-23	0%	0,00	0,00	0,00	0,0000	0,0000	0,000000	0,000000	0,00	0,000000	0,000000	0,00
Trave P8-23	100%	0,00	0,00	0,00	0,0000	0,0000	0,000000	0,000000	0,00	0,000000	0,000000	0,00
sisma in +X												
proporzionale alle masse												
Trave 23-24	0%	0,46	0,47	0,38	0,0704	0,0076	0,009551	0,000480	19,89	0,005239	0,000281	18,66
Trave 23-24	100%	0,51	0,49	0,38	0,0565	0,0069	0,008425	0,000970	8,68	0,004990	0,000522	9,56
proporzionale alla deformata 1° modo di vibrazione												
Trave 23-24	0%	0,45	0,47	0,38	0,0710	0,0080	0,009607	0,000455	21,12	0,005358	0,000269	19,92
Trave 23-24	100%	0,51	0,49	0,38	0,0572	0,0069	0,008537	0,000948	9,01	0,004982	0,000516	9,66
sisma in -X												
proporzionale alle masse												
Trave 23-24	0%	0,50	0,47	0,38	0,0447	0,0071	0,006983	0,000887	7,87	0,005068	0,000442	11,47
Trave 23-24	100%	0,39	0,50	0,37	0,0730	0,0058	0,008884	0,001436	6,19	0,004637	0,000540	8,58
proporzionale alla deformata 1° modo di vibrazione												
Trave 23-24	0%	0,50	0,47	0,38	0,0464	0,0067	0,007142	0,000875	8,16	0,004967	0,000438	11,34
Trave 23-24	100%	0,38	0,50	0,37	0,0775	0,0058	0,009185	0,001351	6,80	0,004642	0,000522	8,89
sisma in +Y												
proporzionale alle masse												
Trave 23-24	0%	0,37	0,41	0,37	0,0894	0,0073	0,010298	0,000162	63,39	0,005236	0,000101	51,93
Trave 23-24	100%	0,32	0,37	0,36	0,1219	0,0085	0,013088	0,000222	58,95	0,005667	0,000166	34,08
proporzionale alla deformata 1° modo di vibrazione												
Trave 23-24	0%	0,03	0,47	0,33	0,0891	0,0090	0,009493	0,000152	62,36	0,005640	0,000091	62,27
Trave 23-24	100%	0,42	0,42	0,37	0,1218	0,0074	0,014554	0,000221	65,92	0,005251	0,000164	32,01
sisma in -Y												
proporzionale alle masse												
Trave 23-24	0%	0,00	0,00	0,00	0,0000	0,0000	0,000000	0,000000	0,00	0,000000	0,000000	0,00
Trave 23-24	100%	0,00	0,00	0,00	0,0000	0,0000	0,000000	0,000000	0,00	0,000000	0,000000	0,00
proporzionale alla deformata 1° modo di vibrazione												
Trave 23-24	0%	0,00	0,00	0,00	0,0000	0,0000	0,000000	0,000000	0,00	0,000000	0,000000	0,00
Trave 23-24	100%	0,00	0,00	0,00	0,0000	0,0000	0,000000	0,000000	0,00	0,000000	0,000000	0,00
sisma in +X												
proporzionale alle masse												
Trave 24-25	0%	2,02	0,15	0,53	0,0920	0,0057	0,023742	0,000900	26,39	0,007663	0,000449	17,07
Trave 24-25	100%	1,43	1,14	0,47	0,0781	0,0066	0,016808	0,001379	12,19	0,005422	0,000626	8,67
proporzionale alla deformata 1° modo di vibrazione												
Trave 24-25	0%	2,09	0,15	0,54	0,0906	0,0067	0,023543	0,000875	26,91	0,007681	0,000441	17,41
Trave 24-25	100%	1,44	1,15	0,47	0,0773	0,0065	0,016713	0,001409	11,86	0,005382	0,000649	8,29
sisma in -X												
proporzionale alle masse												
Trave 24-25	0%	1,36	1,09	0,47	0,0913	0,0058	0,018989	0,001533	12,39	0,004931	0,000629	7,83
Trave 24-25	100%	14,63	0,62	1,79	0,0939	0,0066	0,075927	0,002063	36,81	0,004852	0,000989	4,91
proporzionale alla deformata 1° modo di vibrazione												
Trave 24-25	0%	1,34	1,08	0,46	0,0930	0,0058	0,019200	0,001444	13,30	0,004921	0,000610	8,07
Trave 24-25	100%	10,65	0,58	1,39	0,0956	0,0064	0,060500	0,002106	28,73	0,004794	0,001011	4,74
sisma in +Y												
proporzionale alle masse												
Trave 24-25	0%	0,53	0,64	0,38	0,1121	0,0057	0,015321	0,000031	NS	0,004546	0,000010	NS
Trave 24-25	100%	0,92	0,83	0,42	0,0938	0,0059	0,016633	0,000284	58,66	0,004710	0,000185	25,47
proporzionale alla deformata 1° modo di vibrazione												
Trave 24-25	0%	0,56	0,66	0,39	0,1122	0,0057	0,015791	0,000007	NS	0,004549	0,000026	NS
Trave 24-25	100%	0,90	0,82	0,42	0,0939	0,0059	0,016504	0,000238	69,35	0,004687	0,000172	27,28
sisma in -Y												
proporzionale alle masse												
Trave 24-25	0%	0,00	0,00	0,00	0,0000	0,0000	0,000000	0,000000	0,00	0,000000	0,000000	0,00
Trave 24-25	100%	0,00	0,00	0,00	0,0000	0,0000	0,000000	0,000000	0,00	0,000000	0,000000	0,00
proporzionale alla deformata 1° modo di vibrazione												
Trave 24-25	0%	0,00	0,00	0,00	0,0000	0,0000	0,000000	0,000000	0,00	0,000000	0,000000	0,00
Trave 24-25	100%	0,00	0,00	0,00	0,0000	0,0000	0,000000	0,000000	0,00	0,000000	0,000000	0,00
Piano interrato							**Travata: Trave38-P14-39-40-P15-41-42-P16-43**					
sisma in +X												
proporzionale alle masse												
Trave P14-39	0%	2,56	5,99	0,62	0,0622	0,0059	0,022310	0,001417	15,74	0,014095	0,000675	20,89
Trave P14-39	100%	1,12	1,01	0,47	0,0313	0,0072	0,007335	0,000879	8,35	0,005698	0,000476	11,96
proporzionale alla deformata 1° modo di vibrazione												
Trave P14-39	0%	2,60	6,06	0,62	0,0632	0,0058	0,022684	0,001514	14,98	0,014024	0,000714	19,64
Trave P14-39	100%	1,10	1,00	0,47	0,0317	0,0072	0,007382	0,000847	8,71	0,005695	0,000467	12,18
sisma in -X												
proporzionale alle masse												
Trave P14-39	0%	1,29	1,11	0,49	0,0719	0,0055	0,015615	0,001556	10,04	0,004981	0,000777	6,41
Trave P14-39	100%	2,02	3,49	0,56	0,0872	0,0050	0,023943	0,001415	16,92	0,008145	0,000680	11,97

Id_{Tr}	$\%L_{LI}$	$L_{v,SLV}$	$L_{v,SLD}$	L_{pl}	ϕ_u	ϕ_y	SLV			SLD		
							Θ_c	Θ_d	CS	Θ_c	Θ_d	CS
	[%]	[m]	[m]	[m]	[rad/m]	[rad/m]	[rad]	[rad]		[rad]	[rad]	
proporzionale alla deformata 1° modo di vibrazione												
Trave P14-39	0%	1,28	1,11	0,49	0,0727	0,0055	0,015751	0,001528	10,31	0,004976	0,000767	6,48
Trave P14-39	100%	2,04	3,65	0,56	0,0878	0,0050	0,024310	0,001372	17,72	0,008402	0,000671	12,53
sisma in +Y												
proporzionale alle masse												
Trave P14-39	0%	0,44	0,49	0,40	0,1022	0,0055	0,012993	0,000023	NS	0,004832	0,000028	NS
Trave P14-39	100%	0,61	0,58	0,42	0,0378	0,0069	0,006859	0,000027	NS	0,005219	0,000028	NS
proporzionale alla deformata 1° modo di vibrazione												
Trave P14-39	0%	0,69	0,62	0,43	0,1000	0,0053	0,016351	0,000151	NS	0,004634	0,000090	51,44
Trave P14-39	100%	0,27	0,44	0,39	0,0368	0,0071	0,005583	0,000049	NS	0,005433	0,000012	NS
sisma in -Y												
proporzionale alle masse												
Trave P14-39	0%	0,00	0,00	0,00	0,0000	0,0000	0,000000	0,000000	0,00	0,000000	0,000000	0,00
Trave P14-39	100%	0,00	0,00	0,00	0,0000	0,0000	0,000000	0,000000	0,00	0,000000	0,000000	0,00
proporzionale alla deformata 1° modo di vibrazione												
Trave P14-39	0%	0,00	0,00	0,00	0,0000	0,0000	0,000000	0,000000	0,00	0,000000	0,000000	0,00
Trave P14-39	100%	0,00	0,00	0,00	0,0000	0,0000	0,000000	0,000000	0,00	0,000000	0,000000	0,00
sisma in +X												
proporzionale alle masse												
Trave 39-40	0%	3,75	0,03	0,73	0,0915	0,0067	0,042749	0,000879	48,65	0,029329	0,000476	61,57
Trave 39-40	100%	1,46	1,18	0,51	0,0206	0,0090	0,005896	0,001298	4,54	0,006935	0,000563	12,31
proporzionale alla deformata 1° modo di vibrazione												
Trave 39-40	0%	3,60	0,03	0,72	0,0916	0,0070	0,045067	0,000847	53,19	0,035334	0,000467	75,59
Trave 39-40	100%	1,46	1,18	0,51	0,0206	0,0094	0,005922	0,001310	4,52	0,007177	0,000577	12,43
sisma in -X												
proporzionale alle masse												
Trave 39-40	0%	1,48	1,25	0,51	0,0397	0,0067	0,009850	0,001415	6,96	0,005839	0,000680	8,58
Trave 39-40	100%	30,17	1,14	3,38	0,0991	0,0044	0,153129	0,002133	71,79	0,004434	0,001040	4,26
proporzionale alla deformata 1° modo di vibrazione												
Trave 39-40	0%	1,47	1,24	0,51	0,0401	0,0068	0,009907	0,001372	7,22	0,005850	0,000671	8,72
Trave 39-40	100%	23,97	1,10	2,76	0,0994	0,0044	0,125564	0,002179	57,62	0,004401	0,001062	4,14
sisma in +Y												
proporzionale alle masse												
Trave 39-40	0%	0,81	0,81	0,44	0,0559	0,0059	0,010452	0,000027	NS	0,004871	0,000028	NS
Trave 39-40	100%	0,69	0,69	0,43	0,0239	0,0073	0,005144	0,000114	44,94	0,005370	0,000123	43,82
proporzionale alla deformata 1° modo di vibrazione												
Trave 39-40	0%	0,89	0,85	0,45	0,0555	0,0058	0,010747	0,000049	NS	0,004857	0,000012	NS
Trave 39-40	100%	0,56	0,63	0,42	0,0239	0,0073	0,004829	0,000252	19,19	0,005344	0,000188	28,46
sisma in -Y												
proporzionale alle masse												
Trave 39-40	0%	0,00	0,00	0,00	0,0000	0,0000	0,000000	0,000000	0,00	0,000000	0,000000	0,00
Trave 39-40	100%	0,00	0,00	0,00	0,0000	0,0000	0,000000	0,000000	0,00	0,000000	0,000000	0,00
proporzionale alla deformata 1° modo di vibrazione												
Trave 39-40	0%	0,00	0,00	0,00	0,0000	0,0000	0,000000	0,000000	0,00	0,000000	0,000000	0,00
Trave 39-40	100%	0,00	0,00	0,00	0,0000	0,0000	0,000000	0,000000	0,00	0,000000	0,000000	0,00
sisma in +X												
proporzionale alle masse												
Trave P15-41	0%	1,74	0,16	0,53	0,0497	0,0049	0,014085	0,001498	9,40	0,007962	0,000706	11,28
Trave P15-41	100%	1,30	1,09	0,49	0,0385	0,0069	0,009122	0,000930	9,81	0,005660	0,000393	14,39
proporzionale alla deformata 1° modo di vibrazione												
Trave P15-41	0%	1,81	0,14	0,54	0,0506	0,0068	0,014561	0,001551	9,39	0,009001	0,000740	12,16
Trave P15-41	100%	1,29	1,10	0,49	0,0387	0,0069	0,009124	0,000919	9,92	0,005683	0,000398	14,28
sisma in -X												
proporzionale alle masse												
Trave P15-41	0%	1,59	1,27	0,52	0,0817	0,0056	0,019117	0,001805	10,59	0,005241	0,000861	6,08
Trave P15-41	100%	6,12	0,38	0,97	0,0880	0,0069	0,039059	0,001432	27,28	0,005532	0,000766	7,22
proporzionale alla deformata 1° modo di vibrazione												
Trave P15-41	0%	1,59	1,27	0,52	0,0817	0,0057	0,019127	0,001788	10,70	0,005289	0,000860	6,15
Trave P15-41	100%	5,76	0,39	0,94	0,0878	0,0070	0,037482	0,001381	27,14	0,005534	0,000751	7,36
sisma in +Y												
proporzionale alle masse												
Trave P15-41	0%	0,80	0,81	0,44	0,0931	0,0049	0,016313	0,000002	NS	0,004464	0,000008	NS
Trave P15-41	100%	0,80	0,79	0,44	0,0427	0,0063	0,008314	0,000123	67,47	0,005057	0,000127	39,67
proporzionale alla deformata 1° modo di vibrazione												
Trave P15-41	0%	0,88	0,85	0,45	0,0926	0,0049	0,016909	0,000145	NS	0,004489	0,000076	58,72
Trave P15-41	100%	0,73	0,76	0,43	0,0421	0,0064	0,007971	0,000213	37,38	0,005044	0,000173	29,14
sisma in -Y												
proporzionale alle masse												
Trave P15-41	0%	0,00	0,00	0,00	0,0000	0,0000	0,000000	0,000000	0,00	0,000000	0,000000	0,00
Trave P15-41	100%	0,00	0,00	0,00	0,0000	0,0000	0,000000	0,000000	0,00	0,000000	0,000000	0,00
proporzionale alla deformata 1° modo di vibrazione												
Trave P15-41	0%	0,00	0,00	0,00	0,0000	0,0000	0,000000	0,000000	0,00	0,000000	0,000000	0,00
Trave P15-41	100%	0,00	0,00	0,00	0,0000	0,0000	0,000000	0,000000	0,00	0,000000	0,000000	0,00
sisma in +X												
proporzionale alle masse												
Trave 41-42	0%	7,42	0,33	1,10	0,1015	0,0047	0,051972	0,000930	55,89	0,005177	0,000393	13,17
Trave 41-42	100%	1,14	0,93	0,47	0,0652	0,0061	0,013617	0,000699	19,49	0,005082	0,000316	16,06
proporzionale alla deformata 1° modo di vibrazione												
Trave 41-42	0%	6,11	0,36	0,97	0,1017	0,0046	0,045850	0,000919	49,87	0,004994	0,000398	12,55
Trave 41-42	100%	1,13	0,93	0,47	0,0658	0,0061	0,013691	0,000687	19,93	0,005089	0,000317	16,08
sisma in -X												
proporzionale alle masse												
Trave 41-42	0%	1,40	1,19	0,50	0,0214	0,0089	0,006029	0,001432	4,21	0,006963	0,000766	9,09
Trave 41-42	100%	4,71	3,34	0,83	0,0838	0,0067	0,034218	0,000839	40,77	0,010071	0,000471	21,38
proporzionale alla deformata 1° modo di vibrazione												

Id_{Tr}	$\%L_{LI}$	$L_{v,SLV}$	$L_{v,SLD}$	L_{pl}	ϕ_u	ϕ_y	SLV			SLD		
							Θ_c	Θ_d	CS	Θ_c	Θ_d	CS
	[%]	[m]	[m]	[m]	[rad/m]	[rad/m]	[rad]	[rad]		[rad]	[rad]	
Trave 41-42	0%	1,39	1,19	0,50	0,0214	0,0090	0,006038	0,001381	4,37	0,007009	0,000751	9,33
Trave 41-42	100%	5,01	2,95	0,86	0,0841	0,0068	0,035082	0,000792	44,28	0,009372	0,000450	20,81
sisma in +Y												
proporzionale alle masse												
Trave 41-42	0%	0,77	0,78	0,44	0,0262	0,0073	0,005679	0,000123	46,09	0,005428	0,000127	42,58
Trave 41-42	100%	0,52	0,49	0,41	0,0748	0,0065	0,011109	0,000033	NS	0,005162	0,000067	76,81
proporzionale alla deformata 1° modo di vibrazione												
Trave 41-42	0%	0,86	0,82	0,45	0,0259	0,0077	0,005835	0,000213	27,37	0,005659	0,000173	32,70
Trave 41-42	100%	0,38	0,42	0,40	0,0739	0,0062	0,009331	0,000079	NS	0,005215	0,000089	58,36
sisma in -Y												
proporzionale alle masse												
Trave 41-42	0%	0,00	0,00	0,00	0,0000	0,0000	0,000000	0,000000	0,00	0,000000	0,000000	0,00
Trave 41-42	100%	0,00	0,00	0,00	0,0000	0,0000	0,000000	0,000000	0,00	0,000000	0,000000	0,00
proporzionale alla deformata 1° modo di vibrazione												
Trave 41-42	0%	0,00	0,00	0,00	0,0000	0,0000	0,000000	0,000000	0,00	0,000000	0,000000	0,00
Trave 41-42	100%	0,00	0,00	0,00	0,0000	0,0000	0,000000	0,000000	0,00	0,000000	0,000000	0,00
sisma in +X												
proporzionale alle masse												
Trave 42-P16	0%	1,53	2,05	0,51	0,0834	0,0053	0,019734	0,000699	28,24	0,006139	0,000316	19,40
Trave 42-P16	100%	1,03	0,91	0,46	0,0747	0,0051	0,014797	0,000738	20,04	0,004589	0,000334	13,75
proporzionale alla deformata 1° modo di vibrazione												
Trave 42-P16	0%	1,54	2,10	0,51	0,0842	0,0052	0,019994	0,000687	29,10	0,006195	0,000317	19,57
Trave 42-P16	100%	1,03	0,91	0,46	0,0762	0,0051	0,015034	0,000731	20,57	0,004582	0,000328	13,97
sisma in -X												
proporzionale alle masse												
Trave 42-P16	0%	1,01	0,95	0,46	0,0349	0,0069	0,007706	0,000839	9,18	0,005452	0,000471	11,58
Trave 42-P16	100%	1,53	1,77	0,51	0,0491	0,0058	0,012313	0,001435	8,58	0,006148	0,000747	8,24
proporzionale alla deformata 1° modo di vibrazione												
Trave 42-P16	0%	0,99	0,95	0,46	0,0351	0,0069	0,007713	0,000792	9,73	0,005464	0,000450	12,13
Trave 42-P16	100%	1,55	1,78	0,51	0,0496	0,0058	0,012477	0,001579	7,90	0,006110	0,000811	7,53
sisma in +Y												
proporzionale alle masse												
Trave 42-P16	0%	0,65	0,61	0,42	0,0547	0,0065	0,009431	0,000033	NS	0,005064	0,000067	75,35
Trave 42-P16	100%	0,28	0,01	0,39	0,0814	0,0058	0,063529	0,000034	NS	0,112417	0,000053	NS
proporzionale alla deformata 1° modo di vibrazione												
Trave 42-P16	0%	0,76	0,69	0,44	0,0529	0,0064	0,009715	0,000079	NS	0,005020	0,000089	56,18
Trave 42-P16	100%	6,23	0,77	0,98	0,0790	0,0063	0,035427	0,000148	NS	0,005036	0,000110	45,90
sisma in -Y												
proporzionale alle masse												
Trave 42-P16	0%	0,00	0,00	0,00	0,0000	0,0000	0,000000	0,000000	0,00	0,000000	0,000000	0,00
Trave 42-P16	100%	0,00	0,00	0,00	0,0000	0,0000	0,000000	0,000000	0,00	0,000000	0,000000	0,00
proporzionale alla deformata 1° modo di vibrazione												
Trave 42-P16	0%	0,00	0,00	0,00	0,0000	0,0000	0,000000	0,000000	0,00	0,000000	0,000000	0,00
Trave 42-P16	100%	0,00	0,00	0,00	0,0000	0,0000	0,000000	0,000000	0,00	0,000000	0,000000	0,00
Piano interrato							**Travata: Trave1-P2-4-7-10-22-P11-31-38**					
sisma in +X												
proporzionale alle masse												
Trave 1-P2	0%	0,59	0,46	0,44	0,0852	0,0052	0,013457	0,000588	22,89	0,004849	0,000402	12,07
Trave 1-P2	100%	0,49	0,08	0,43	0,1044	0,0045	0,018912	0,000045	NS	0,013678	0,000016	NS
proporzionale alla deformata 1° modo di vibrazione												
Trave 1-P2	0%	0,56	0,44	0,44	0,0861	0,0052	0,013224	0,000605	21,86	0,004912	0,000405	12,14
Trave 1-P2	100%	0,24	0,15	0,41	0,1052	0,0045	0,014313	0,000095	NS	0,008211	0,000006	NS
sisma in -X												
proporzionale alle masse												
Trave 1-P2	0%	0,95	0,04	0,48	0,0951	0,0053	0,028267	0,000000	NS	0,024479	0,000058	NS
Trave 1-P2	100%	0,67	0,59	0,45	0,0543	0,0059	0,009693	0,000301	32,18	0,004937	0,000163	30,25
proporzionale alla deformata 1° modo di vibrazione												
Trave 1-P2	0%	0,67	0,00	0,45	0,0957	0,0053	0,116681	0,000056	NS	0,206427	0,000034	NS
Trave 1-P2	100%	0,65	0,57	0,45	0,0549	0,0060	0,009672	0,000345	28,08	0,004969	0,000183	27,12
sisma in +Y												
proporzionale alle masse												
Trave 1-P2	0%	1,79	3,93	0,56	0,0727	0,0054	0,020620	0,001868	11,04	0,009423	0,000951	9,91
Trave 1-P2	100%	0,99	0,85	0,48	0,0340	0,0070	0,007645	0,001373	5,57	0,005454	0,000645	8,45
proporzionale alla deformata 1° modo di vibrazione												
Trave 1-P2	0%	2,32	5,79	0,61	0,0810	0,0054	0,026521	0,001344	19,74	0,012814	0,000723	17,72
Trave 1-P2	100%	0,92	0,76	0,47	0,0396	0,0068	0,008426	0,001030	8,18	0,005314	0,000469	11,32
sisma in -Y												
proporzionale alle masse												
Trave 1-P2	0%	0,00	0,00	0,00	0,0000	0,0000	0,000000	0,000000	0,00	0,000000	0,000000	0,00
Trave 1-P2	100%	0,00	0,00	0,00	0,0000	0,0000	0,000000	0,000000	0,00	0,000000	0,000000	0,00
proporzionale alla deformata 1° modo di vibrazione												
Trave 1-P2	0%	0,00	0,00	0,00	0,0000	0,0000	0,000000	0,000000	0,00	0,000000	0,000000	0,00
Trave 1-P2	100%	0,00	0,00	0,00	0,0000	0,0000	0,000000	0,000000	0,00	0,000000	0,000000	0,00
sisma in +X												
proporzionale alle masse												
Trave 4-7	0%	0,46	0,48	0,43	0,1053	0,0047	0,013810	0,000085	NS	0,004637	0,000034	NS
Trave 4-7	100%	0,54	0,54	0,44	0,0541	0,0059	0,008764	0,000012	NS	0,004974	0,000011	NS
proporzionale alla deformata 1° modo di vibrazione												
Trave 4-7	0%	0,43	0,47	0,42	0,1057	0,0047	0,013273	0,000135	98,68	0,004673	0,000057	82,68
Trave 4-7	100%	0,56	0,55	0,44	0,0546	0,0058	0,008944	0,000001	NS	0,004904	0,000001	NS
sisma in -X												
proporzionale alle masse												
Trave 4-7	0%	0,61	0,56	0,44	0,1019	0,0048	0,016013	0,000150	NS	0,004543	0,000061	74,79
Trave 4-7	100%	0,38	0,46	0,42	0,0511	0,0063	0,007305	0,000087	84,40	0,005232	0,000051	NS
proporzionale alla deformata 1° modo di vibrazione												

Id_{Tr}	$\%L_{LI}$	$L_{v,SLV}$	$L_{v,SLD}$	L_{pl}	ϕ_u	ϕ_y	SLV			SLD		
							Θ_c	Θ_d	CS	Θ_c	Θ_d	CS
	[%]	[m]	[m]	[m]	[rad/m]	[rad/m]	[rad]	[rad]		[rad]	[rad]	
Trave 4-7	0%	0,64	0,57	0,45	0,1011	0,0048	0,016242	0,000190	85,38	0,004556	0,000081	56,46
Trave 4-7	100%	0,33	0,44	0,41	0,0497	0,0063	0,007134	0,000102	70,00	0,005273	0,000064	82,81
sisma in +Y												
proporzionale alle masse												
Trave 4-7	0%	15,91	0,62	1,97	0,0725	0,0053	0,064428	0,001801	35,78	0,004700	0,000844	5,57
Trave 4-7	100%	0,92	0,83	0,47	0,0502	0,0059	0,010278	0,000454	22,62	0,004945	0,000295	16,74
proporzionale alla deformata 1° modo di vibrazione												
Trave 4-7	0%	2,66	0,20	0,65	0,0745	0,0053	0,023130	0,001368	16,91	0,006917	0,000628	11,02
Trave 4-7	100%	0,88	0,79	0,47	0,0519	0,0058	0,010358	0,000347	29,86	0,004907	0,000237	20,73
sisma in -Y												
proporzionale alle masse												
Trave 4-7	0%	0,00	0,00	0,00	0,0000	0,0000	0,000000	0,000000	0,00	0,000000	0,000000	0,00
Trave 4-7	100%	0,00	0,00	0,00	0,0000	0,0000	0,000000	0,000000	0,00	0,000000	0,000000	0,00
proporzionale alla deformata 1° modo di vibrazione												
Trave 4-7	0%	0,00	0,00	0,00	0,0000	0,0000	0,000000	0,000000	0,00	0,000000	0,000000	0,00
Trave 4-7	100%	0,00	0,00	0,00	0,0000	0,0000	0,000000	0,000000	0,00	0,000000	0,000000	0,00
sisma in +X												
proporzionale alle masse												
Trave 7-10	0%	0,57	0,57	0,44	0,0546	0,0059	0,009011	0,000012	NS	0,004934	0,000011	NS
Trave 7-10	100%	0,48	0,50	0,43	0,0727	0,0060	0,010460	0,000076	NS	0,005041	0,000034	NS
proporzionale alla deformata 1° modo di vibrazione												
Trave 7-10	0%	0,55	0,56	0,44	0,0548	0,0058	0,008902	0,000001	NS	0,004919	0,000001	NS
Trave 7-10	100%	0,50	0,51	0,43	0,0727	0,0059	0,010657	0,000065	NS	0,004989	0,000024	NS
sisma in -X												
proporzionale alle masse												
Trave 7-10	0%	0,63	0,60	0,44	0,0527	0,0062	0,009219	0,000087	NS	0,005026	0,000051	99,10
Trave 7-10	100%	0,45	0,48	0,43	0,0716	0,0060	0,009849	0,000034	NS	0,005077	0,000034	NS
proporzionale alla deformata 1° modo di vibrazione												
Trave 7-10	0%	0,65	0,61	0,45	0,0525	0,0062	0,009278	0,000102	91,04	0,005020	0,000064	78,83
Trave 7-10	100%	0,42	0,47	0,42	0,0714	0,0060	0,009481	0,000049	NS	0,005099	0,000042	NS
sisma in +Y												
proporzionale alle masse												
Trave 7-10	0%	0,44	0,16	0,43	0,0996	0,0061	0,014408	0,000454	31,71	0,008261	0,000295	27,97
Trave 7-10	100%	0,86	0,75	0,47	0,0683	0,0060	0,013102	0,000449	29,19	0,004956	0,000257	19,28
proporzionale alla deformata 1° modo di vibrazione												
Trave 7-10	0%	0,09	0,26	0,39	0,1015	0,0061	0,012394	0,000347	35,73	0,006197	0,000237	26,18
Trave 7-10	100%	0,80	0,71	0,46	0,0698	0,0060	0,012959	0,000333	38,92	0,004939	0,000203	24,38
sisma in -Y												
proporzionale alle masse												
Trave 7-10	0%	0,00	0,00	0,00	0,0000	0,0000	0,000000	0,000000	0,00	0,000000	0,000000	0,00
Trave 7-10	100%	0,00	0,00	0,00	0,0000	0,0000	0,000000	0,000000	0,00	0,000000	0,000000	0,00
proporzionale alla deformata 1° modo di vibrazione												
Trave 7-10	0%	0,00	0,00	0,00	0,0000	0,0000	0,000000	0,000000	0,00	0,000000	0,000000	0,00
Trave 7-10	100%	0,00	0,00	0,00	0,0000	0,0000	0,000000	0,000000	0,00	0,000000	0,000000	0,00
sisma in +X												
proporzionale alle masse												
Trave 10-22	0%	0,35	0,46	0,42	0,0620	0,0060	0,008381	0,000076	NS	0,005114	0,000034	NS
Trave 10-22	100%	0,72	0,61	0,45	0,0225	0,0082	0,005095	0,000058	87,22	0,005772	0,000006	NS
proporzionale alla deformata 1° modo di vibrazione												
Trave 10-22	0%	0,31	0,45	0,41	0,0615	0,0060	0,008299	0,000065	NS	0,005153	0,000024	NS
Trave 10-22	100%	0,75	0,63	0,46	0,0224	0,0085	0,005137	0,000098	52,57	0,005897	0,000011	NS
sisma in -X												
proporzionale alle masse												
Trave 10-22	0%	0,68	0,61	0,45	0,0635	0,0058	0,011098	0,000034	NS	0,004862	0,000034	NS
Trave 10-22	100%	0,22	0,39	0,40	0,0232	0,0078	0,004472	0,000189	23,65	0,005836	0,000108	53,88
proporzionale alla deformata 1° modo di vibrazione												
Trave 10-22	0%	0,70	0,62	0,45	0,0633	0,0058	0,011219	0,000049	NS	0,004860	0,000042	NS
Trave 10-22	100%	0,13	0,36	0,39	0,0231	0,0078	0,004479	0,000238	18,82	0,005929	0,000130	45,47
sisma in +Y												
proporzionale alle masse												
Trave 10-22	0%	3,13	2,44	0,69	0,0751	0,0070	0,025290	0,000449	56,34	0,008512	0,000257	33,12
Trave 10-22	100%	1,23	1,02	0,50	0,0172	0,0097	0,005033	0,001422	3,54	0,007033	0,000657	10,71
proporzionale alla deformata 1° modo di vibrazione												
Trave 10-22	0%	8,50	0,64	1,23	0,0814	0,0071	0,045121	0,000333	NS	0,005353	0,000203	26,42
Trave 10-22	100%	1,14	0,92	0,50	0,0186	0,0096	0,005148	0,001035	4,97	0,006800	0,000465	14,63
sisma in -Y												
proporzionale alle masse												
Trave 10-22	0%	0,00	0,00	0,00	0,0000	0,0000	0,000000	0,000000	0,00	0,000000	0,000000	0,00
Trave 10-22	100%	0,00	0,00	0,00	0,0000	0,0000	0,000000	0,000000	0,00	0,000000	0,000000	0,00
proporzionale alla deformata 1° modo di vibrazione												
Trave 10-22	0%	0,00	0,00	0,00	0,0000	0,0000	0,000000	0,000000	0,00	0,000000	0,000000	0,00
Trave 10-22	100%	0,00	0,00	0,00	0,0000	0,0000	0,000000	0,000000	0,00	0,000000	0,000000	0,00
sisma in +X												
proporzionale alle masse												
Trave P11-31	0%	0,39	0,47	0,45	0,0960	0,0032	0,012776	0,000191	66,85	0,004823	0,000080	60,14
Trave P11-31	100%	0,50	0,57	0,46	0,0214	0,0058	0,004639	0,000107	43,42	0,005412	0,000120	45,22
proporzionale alla deformata 1° modo di vibrazione												
Trave P11-31	0%	0,34	0,42	0,44	0,0961	0,0031	0,012768	0,000217	58,76	0,005016	0,000098	51,34
Trave P11-31	100%	0,54	0,59	0,46	0,0214	0,0049	0,004724	0,000122	38,63	0,005074	0,000128	39,59
sisma in -X												
proporzionale alle masse												
Trave P11-31	0%	0,62	0,53	0,47	0,0924	0,0043	0,015379	0,000082	NS	0,004973	0,000020	NS
Trave P11-31	100%	0,64	0,63	0,47	0,0195	0,0057	0,004710	0,000112	42,21	0,005313	0,000109	48,76
proporzionale alla deformata 1° modo di vibrazione												
Trave P11-31	0%	0,70	0,58	0,48	0,0916	0,0043	0,016209	0,000117	NS	0,004860	0,000038	NS

Id_{Tr}	$\%L_{LI}$	$L_{v,SLV}$	$L_{v,SLD}$	L_{pl}	ϕ_u	ϕ_y	SLV			SLD		
							Θ_c	Θ_d	CS	Θ_c	Θ_d	CS
	[%]	[m]	[m]	[m]	[rad/m]	[rad/m]	[rad]	[rad]		[rad]	[rad]	
Trave P11-31	100%	0,59	0,61	0,47	0,0191	0,0058	0,004562	0,000107	42,53	0,005344	0,000104	51,60
sisma in +Y												
proporzionale alle masse												
Trave P11-31	0%	3,18	9,38	0,72	0,0242	0,0050	0,015093	0,001175	12,84	0,017862	0,000629	28,40
Trave P11-31	100%	0,96	0,92	0,50	0,0186	0,0055	0,005011	0,000461	10,87	0,005146	0,000340	15,14
proporzionale alla deformata 1° modo di vibrazione												
Trave P11-31	0%	3,72	20,71	0,78	0,0254	0,0050	0,025454	0,000987	25,78	0,036669	0,000523	70,06
Trave P11-31	100%	0,95	0,88	0,50	0,0193	0,0055	0,005123	0,000381	13,45	0,005142	0,000287	17,89
sisma in -Y												
proporzionale alle masse												
Trave P11-31	0%	0,00	0,00	0,00	0,0000	0,0000	0,000000	0,000000	0,00	0,000000	0,000000	0,00
Trave P11-31	100%	0,00	0,00	0,00	0,0000	0,0000	0,000000	0,000000	0,00	0,000000	0,000000	0,00
proporzionale alla deformata 1° modo di vibrazione												
Trave P11-31	0%	0,00	0,00	0,00	0,0000	0,0000	0,000000	0,000000	0,00	0,000000	0,000000	0,00
Trave P11-31	100%	0,00	0,00	0,00	0,0000	0,0000	0,000000	0,000000	0,00	0,000000	0,000000	0,00
sisma in +X												
proporzionale alle masse												
Trave 31-38	0%	0,61	0,69	0,47	0,0175	0,0051	0,004291	0,000107	40,16	0,004997	0,000120	41,75
Trave 31-38	100%	0,62	0,58	0,47	0,0602	0,0038	0,010539	0,000698	15,11	0,004678	0,000526	8,89
proporzionale alla deformata 1° modo di vibrazione												
Trave 31-38	0%	0,60	0,69	0,47	0,0175	0,0051	0,004277	0,000122	34,98	0,004997	0,000128	38,99
Trave 31-38	100%	0,61	0,56	0,47	0,0606	0,0038	0,010592	0,000731	14,50	0,004721	0,000582	8,12
sisma in -X												
proporzionale alle masse												
Trave 31-38	0%	0,93	0,85	0,50	0,0170	0,0052	0,004663	0,000112	41,79	0,005003	0,000109	45,91
Trave 31-38	100%	0,28	0,44	0,44	0,0581	0,0040	0,008492	0,000383	22,16	0,005221	0,000353	14,79
proporzionale alla deformata 1° modo di vibrazione												
Trave 31-38	0%	0,95	0,86	0,50	0,0170	0,0053	0,004682	0,000107	43,65	0,005037	0,000104	48,63
Trave 31-38	100%	0,23	0,42	0,43	0,0580	0,0040	0,008453	0,000421	20,08	0,005303	0,000359	14,75
sisma in +Y												
proporzionale alle masse												
Trave 31-38	0%	0,09	0,51	0,42	0,0150	0,0051	0,003672	0,000461	7,97	0,005286	0,000340	15,55
Trave 31-38	100%	1,11	0,87	0,52	0,0397	0,0049	0,009345	0,000797	11,72	0,004861	0,000227	21,44
proporzionale alla deformata 1° modo di vibrazione												
Trave 31-38	0%	0,35	0,59	0,44	0,0156	0,0051	0,003721	0,000381	9,77	0,005107	0,000287	17,76
Trave 31-38	100%	1,00	0,79	0,51	0,0440	0,0049	0,009864	0,000566	17,43	0,004862	0,000101	48,35
sisma in -Y												
proporzionale alle masse												
Trave 31-38	0%	0,00	0,00	0,00	0,0000	0,0000	0,000000	0,000000	0,00	0,000000	0,000000	0,00
Trave 31-38	100%	0,00	0,00	0,00	0,0000	0,0000	0,000000	0,000000	0,00	0,000000	0,000000	0,00
proporzionale alla deformata 1° modo di vibrazione												
Trave 31-38	0%	0,00	0,00	0,00	0,0000	0,0000	0,000000	0,000000	0,00	0,000000	0,000000	0,00
Trave 31-38	100%	0,00	0,00	0,00	0,0000	0,0000	0,000000	0,000000	0,00	0,000000	0,000000	0,00
Piano interrato							**Travata: Trave2-5-8-11-23**					
sisma in +X												
proporzionale alle masse												
Trave 2-5	0%	0,23	0,34	0,41	0,0665	0,0047	0,009140	0,000261	34,98	0,005471	0,000372	14,69
Trave 2-5	100%	0,71	0,65	0,46	0,0287	0,0058	0,006074	0,000194	31,37	0,005010	0,000100	49,92
proporzionale alla deformata 1° modo di vibrazione												
Trave 2-5	0%	0,21	0,34	0,41	0,0664	0,0047	0,009092	0,000288	31,57	0,005470	0,000364	15,03
Trave 2-5	100%	0,71	0,65	0,46	0,0287	0,0059	0,006096	0,000189	32,28	0,005051	0,000093	54,27
sisma in -X												
proporzionale alle masse												
Trave 2-5	0%	0,51	0,45	0,44	0,0721	0,0045	0,010914	0,001192	9,16	0,004889	0,000921	5,31
Trave 2-5	100%	0,42	0,51	0,43	0,0311	0,0055	0,005294	0,000115	46,00	0,005056	0,000024	NS
proporzionale alla deformata 1° modo di vibrazione												
Trave 2-5	0%	0,50	0,44	0,44	0,0721	0,0045	0,010850	0,001157	9,38	0,004917	0,000920	5,34
Trave 2-5	100%	0,42	0,52	0,43	0,0311	0,0055	0,005292	0,000083	63,48	0,005048	0,000007	NS
sisma in +Y												
proporzionale alle masse												
Trave 2-5	0%	0,68	0,07	0,46	0,1012	0,0041	0,023161	0,002320	9,98	0,016864	0,001171	14,41
Trave 2-5	100%	0,77	0,73	0,47	0,0282	0,0058	0,006151	0,000587	10,48	0,005019	0,000334	15,02
proporzionale alla deformata 1° modo di vibrazione												
Trave 2-5	0%	0,43	0,14	0,43	0,1014	0,0042	0,015038	0,001794	8,38	0,008968	0,000936	9,58
Trave 2-5	100%	0,77	0,71	0,47	0,0284	0,0059	0,006183	0,000411	15,03	0,005047	0,000235	21,48
sisma in -Y												
proporzionale alle masse												
Trave 2-5	0%	0,00	0,00	0,00	0,0000	0,0000	0,000000	0,000000	0,00	0,000000	0,000000	0,00
Trave 2-5	100%	0,00	0,00	0,00	0,0000	0,0000	0,000000	0,000000	0,00	0,000000	0,000000	0,00
proporzionale alla deformata 1° modo di vibrazione												
Trave 2-5	0%	0,00	0,00	0,00	0,0000	0,0000	0,000000	0,000000	0,00	0,000000	0,000000	0,00
Trave 2-5	100%	0,00	0,00	0,00	0,0000	0,0000	0,000000	0,000000	0,00	0,000000	0,000000	0,00
sisma in +X												
proporzionale alle masse												
Trave 5-8	0%	0,61	0,57	0,45	0,0297	0,0064	0,005960	0,000194	30,79	0,005289	0,000100	52,70
Trave 5-8	100%	0,51	0,53	0,44	0,0265	0,0062	0,005186	0,000005	NS	0,005252	0,000000	NS
proporzionale alla deformata 1° modo di vibrazione												
Trave 5-8	0%	0,61	0,57	0,45	0,0297	0,0065	0,005947	0,000189	31,49	0,005341	0,000093	57,38
Trave 5-8	100%	0,52	0,53	0,44	0,0264	0,0062	0,005211	0,000010	NS	0,005249	0,000007	NS
sisma in -X												
proporzionale alle masse												
Trave 5-8	0%	0,51	0,53	0,44	0,0320	0,0060	0,005854	0,000115	50,86	0,005201	0,000024	NS
Trave 5-8	100%	0,52	0,52	0,44	0,0282	0,0058	0,005426	0,000045	NS	0,005130	0,000024	NS
proporzionale alla deformata 1° modo di vibrazione												
Trave 5-8	0%	0,52	0,54	0,44	0,0319	0,0059	0,005899	0,000083	70,76	0,005151	0,000007	NS

Id_{Tr}	$\%L_{LI}$	$L_{v,SLV}$	$L_{v,SLD}$	L_{pl}	ϕ_u	ϕ_y	SLV			SLD		
							Θ_c	Θ_d	CS	Θ_c	Θ_d	CS
	[%]	[m]	[m]	[m]	[rad/m]	[rad/m]	[rad]	[rad]		[rad]	[rad]	
Trave 5-8	100%	0,51	0,52	0,44	0,0282	0,0058	0,005379	0,000065	82,13	0,005138	0,000033	NS
sisma in +Y												
proporzionale alle masse												
Trave 5-8	0%	0,02	0,29	0,39	0,1003	0,0060	0,012381	0,000587	21,09	0,006223	0,000334	18,62
Trave 5-8	100%	0,78	0,70	0,47	0,0259	0,0062	0,005813	0,000547	10,62	0,005168	0,000336	15,39
proporzionale alla deformata 1° modo di vibrazione												
Trave 5-8	0%	0,18	0,37	0,41	0,0297	0,0060	0,005262	0,000411	12,79	0,005687	0,000235	24,20
Trave 5-8	100%	0,75	0,67	0,47	0,0261	0,0063	0,005768	0,000456	12,66	0,005190	0,000271	19,14
sisma in -Y												
proporzionale alle masse												
Trave 5-8	0%	0,00	0,00	0,00	0,0000	0,0000	0,000000	0,000000	0,00	0,000000	0,000000	0,00
Trave 5-8	100%	0,00	0,00	0,00	0,0000	0,0000	0,000000	0,000000	0,00	0,000000	0,000000	0,00
proporzionale alla deformata 1° modo di vibrazione												
Trave 5-8	0%	0,00	0,00	0,00	0,0000	0,0000	0,000000	0,000000	0,00	0,000000	0,000000	0,00
Trave 5-8	100%	0,00	0,00	0,00	0,0000	0,0000	0,000000	0,000000	0,00	0,000000	0,000000	0,00
sisma in +X												
proporzionale alle masse												
Trave 8-11	0%	0,55	0,54	0,45	0,0357	0,0058	0,006502	0,000005	NS	0,005091	0,000000	NS
Trave 8-11	100%	0,52	0,52	0,44	0,0311	0,0059	0,005783	0,000018	NS	0,005176	0,000010	NS
proporzionale alla deformata 1° modo di vibrazione												
Trave 8-11	0%	0,54	0,54	0,45	0,0357	0,0058	0,006463	0,000010	NS	0,005106	0,000007	NS
Trave 8-11	100%	0,53	0,53	0,44	0,0311	0,0059	0,005817	0,000001	NS	0,005170	0,000002	NS
sisma in -X												
proporzionale alle masse												
Trave 8-11	0%	0,58	0,56	0,45	0,0357	0,0057	0,006640	0,000045	NS	0,005055	0,000024	NS
Trave 8-11	100%	0,48	0,50	0,44	0,0311	0,0059	0,005631	0,000074	76,41	0,005209	0,000043	NS
proporzionale alla deformata 1° modo di vibrazione												
Trave 8-11	0%	0,59	0,56	0,45	0,0356	0,0057	0,006675	0,000065	NS	0,005050	0,000033	NS
Trave 8-11	100%	0,47	0,50	0,44	0,0311	0,0059	0,005572	0,000089	62,60	0,005218	0,000051	NS
sisma in +Y												
proporzionale alle masse												
Trave 8-11	0%	0,08	0,31	0,40	0,0338	0,0058	0,005780	0,000547	10,56	0,005962	0,000336	17,75
Trave 8-11	100%	0,77	0,68	0,47	0,0292	0,0060	0,006313	0,000520	12,15	0,005082	0,000316	16,06
proporzionale alla deformata 1° modo di vibrazione												
Trave 8-11	0%	0,19	0,37	0,41	0,0343	0,0058	0,005722	0,000456	12,55	0,005598	0,000271	20,65
Trave 8-11	100%	0,73	0,65	0,46	0,0298	0,0060	0,006303	0,000423	14,89	0,005086	0,000258	19,69
sisma in -Y												
proporzionale alle masse												
Trave 8-11	0%	0,00	0,00	0,00	0,0000	0,0000	0,000000	0,000000	0,00	0,000000	0,000000	0,00
Trave 8-11	100%	0,00	0,00	0,00	0,0000	0,0000	0,000000	0,000000	0,00	0,000000	0,000000	0,00
proporzionale alla deformata 1° modo di vibrazione												
Trave 8-11	0%	0,00	0,00	0,00	0,0000	0,0000	0,000000	0,000000	0,00	0,000000	0,000000	0,00
Trave 8-11	100%	0,00	0,00	0,00	0,0000	0,0000	0,000000	0,000000	0,00	0,000000	0,000000	0,00
sisma in +X												
proporzionale alle masse												
Trave 11-23	0%	0,54	0,54	0,45	0,0322	0,0056	0,006002	0,000018	NS	0,005050	0,000010	NS
Trave 11-23	100%	0,45	0,45	0,44	0,0750	0,0049	0,010337	0,000265	38,94	0,005000	0,000215	23,30
proporzionale alla deformata 1° modo di vibrazione												
Trave 11-23	0%	0,53	0,54	0,44	0,0321	0,0057	0,005958	0,000001	NS	0,005066	0,000002	NS
Trave 11-23	100%	0,46	0,46	0,44	0,0747	0,0049	0,010492	0,000228	46,03	0,004983	0,000198	25,13
sisma in -X												
proporzionale alle masse												
Trave 11-23	0%	0,56	0,55	0,45	0,0319	0,0057	0,006067	0,000074	82,33	0,005059	0,000043	NS
Trave 11-23	100%	0,43	0,45	0,43	0,0743	0,0049	0,010048	0,000263	38,23	0,005019	0,000221	22,76
proporzionale alla deformata 1° modo di vibrazione												
Trave 11-23	0%	0,58	0,56	0,45	0,0320	0,0057	0,006128	0,000089	68,85	0,005035	0,000051	98,42
Trave 11-23	100%	0,41	0,44	0,43	0,0744	0,0049	0,010043	0,000304	33,05	0,005049	0,000239	21,11
sisma in +Y												
proporzionale alle masse												
Trave 11-23	0%	0,67	0,17	0,46	0,0945	0,0057	0,017521	0,000520	33,72	0,008185	0,000316	25,87
Trave 11-23	100%	0,90	0,72	0,48	0,0457	0,0056	0,009523	0,001147	8,31	0,004920	0,000490	10,03
proporzionale alla deformata 1° modo di vibrazione												
Trave 11-23	0%	0,22	0,28	0,41	0,0986	0,0057	0,012720	0,000423	30,04	0,006256	0,000258	24,22
Trave 11-23	100%	0,83	0,67	0,47	0,0540	0,0056	0,010652	0,000860	12,39	0,004923	0,000353	13,93
sisma in -Y												
proporzionale alle masse												
Trave 11-23	0%	0,00	0,00	0,00	0,0000	0,0000	0,000000	0,000000	0,00	0,000000	0,000000	0,00
Trave 11-23	100%	0,00	0,00	0,00	0,0000	0,0000	0,000000	0,000000	0,00	0,000000	0,000000	0,00
proporzionale alla deformata 1° modo di vibrazione												
Trave 11-23	0%	0,00	0,00	0,00	0,0000	0,0000	0,000000	0,000000	0,00	0,000000	0,000000	0,00
Trave 11-23	100%	0,00	0,00	0,00	0,0000	0,0000	0,000000	0,000000	0,00	0,000000	0,000000	0,00
Piano interrato							**Travata: Trave3-P3-6-9-12-13-25-26-33-40**					
sisma in +X												
proporzionale alle masse												
Trave 3-P3	0%	0,15	0,27	0,38	0,0727	0,0053	0,009264	0,000179	51,88	0,005851	0,000192	30,49
Trave 3-P3	100%	0,45	0,40	0,41	0,1015	0,0045	0,013120	0,000072	NS	0,004793	0,000052	91,92
proporzionale alla deformata 1° modo di vibrazione												
Trave 3-P3	0%	0,10	0,25	0,37	0,0727	0,0053	0,009291	0,000201	46,23	0,006072	0,000201	30,21
Trave 3-P3	100%	0,47	0,41	0,41	0,1009	0,0046	0,013457	0,000058	NS	0,004764	0,000044	NS
sisma in -X												
proporzionale alle masse												
Trave 3-P3	0%	0,52	0,43	0,41	0,0758	0,0052	0,011247	0,000658	17,09	0,004891	0,000472	10,37
Trave 3-P3	100%	0,11	0,17	0,37	0,0696	0,0044	0,009788	0,000019	NS	0,007469	0,000041	NS
proporzionale alla deformata 1° modo di vibrazione												
Trave 3-P3	0%	0,51	0,42	0,41	0,0760	0,0052	0,011174	0,000633	17,64	0,004920	0,000479	10,27

Id_{Tr}	$\%L_{LI}$	$L_{v,SLV}$	$L_{v,SLD}$	L_{pl}	ϕ_u	ϕ_y	SLV			SLD		
							Θ_c	Θ_d	CS	Θ_c	Θ_d	CS
	[%]	[m]	[m]	[m]	[rad/m]	[rad/m]	[rad]	[rad]		[rad]	[rad]	
Trave 3-P3	100%	0,09	0,17	0,37	0,0703	0,0044	0,009714	0,000045	NS	0,007252	0,000054	NS
sisma in +Y												
proporzionale alle masse												
Trave 3-P3	0%	3,15	4,68	0,68	0,0730	0,0057	0,025886	0,002157	12,00	0,011178	0,001078	10,37
Trave 3-P3	100%	0,77	0,70	0,44	0,0800	0,0047	0,013959	0,001382	10,10	0,004382	0,000646	6,79
proporzionale alla deformata 1° modo di vibrazione												
Trave 3-P3	0%	3,88	2,04	0,75	0,0773	0,0056	0,027449	0,001826	15,03	0,006417	0,000916	7,00
Trave 3-P3	100%	0,77	0,66	0,44	0,0835	0,0047	0,014556	0,001105	13,17	0,004400	0,000513	8,57
sisma in -Y												
proporzionale alle masse												
Trave 3-P3	0%	0,00	0,00	0,00	0,0000	0,0000	0,000000	0,000000	0,00	0,000000	0,000000	0,00
Trave 3-P3	100%	0,00	0,00	0,00	0,0000	0,0000	0,000000	0,000000	0,00	0,000000	0,000000	0,00
proporzionale alla deformata 1° modo di vibrazione												
Trave 3-P3	0%	0,00	0,00	0,00	0,0000	0,0000	0,000000	0,000000	0,00	0,000000	0,000000	0,00
Trave 3-P3	100%	0,00	0,00	0,00	0,0000	0,0000	0,000000	0,000000	0,00	0,000000	0,000000	0,00
sisma in +X												
proporzionale alle masse												
Trave 6-9	0%	0,51	0,51	0,41	0,0373	0,0065	0,006350	0,000064	99,50	0,005116	0,000069	74,32
Trave 6-9	100%	0,54	0,55	0,41	0,0441	0,0063	0,007368	0,000012	NS	0,005017	0,000000	NS
proporzionale alla deformata 1° modo di vibrazione												
Trave 6-9	0%	0,50	0,50	0,41	0,0372	0,0065	0,006280	0,000086	72,81	0,005143	0,000078	65,84
Trave 6-9	100%	0,55	0,55	0,42	0,0441	0,0062	0,007421	0,000003	NS	0,004998	0,000003	NS
sisma in -X												
proporzionale alle masse												
Trave 6-9	0%	0,53	0,53	0,41	0,0368	0,0066	0,006371	0,000061	NS	0,005137	0,000052	99,46
Trave 6-9	100%	0,53	0,54	0,41	0,0434	0,0064	0,007220	0,000014	NS	0,005048	0,000012	NS
proporzionale alla deformata 1° modo di vibrazione												
Trave 6-9	0%	0,54	0,53	0,41	0,0368	0,0066	0,006434	0,000042	NS	0,005121	0,000041	NS
Trave 6-9	100%	0,52	0,53	0,41	0,0435	0,0064	0,007162	0,000005	NS	0,005053	0,000006	NS
sisma in +Y												
proporzionale alle masse												
Trave 6-9	0%	1,38	0,13	0,50	0,0992	0,0044	0,023938	0,001829	13,09	0,009122	0,000877	10,40
Trave 6-9	100%	0,84	0,76	0,44	0,0424	0,0061	0,008396	0,000293	28,70	0,004955	0,000217	22,83
proporzionale alla deformata 1° modo di vibrazione												
Trave 6-9	0%	0,84	0,04	0,44	0,0997	0,0044	0,026678	0,001541	17,31	0,022254	0,000741	30,05
Trave 6-9	100%	0,81	0,75	0,44	0,0431	0,0061	0,008413	0,000241	34,86	0,004940	0,000201	24,58
sisma in -Y												
proporzionale alle masse												
Trave 6-9	0%	0,00	0,00	0,00	0,0000	0,0000	0,000000	0,000000	0,00	0,000000	0,000000	0,00
Trave 6-9	100%	0,00	0,00	0,00	0,0000	0,0000	0,000000	0,000000	0,00	0,000000	0,000000	0,00
proporzionale alla deformata 1° modo di vibrazione												
Trave 6-9	0%	0,00	0,00	0,00	0,0000	0,0000	0,000000	0,000000	0,00	0,000000	0,000000	0,00
Trave 6-9	100%	0,00	0,00	0,00	0,0000	0,0000	0,000000	0,000000	0,00	0,000000	0,000000	0,00
sisma in +X												
proporzionale alle masse												
Trave 9-12	0%	0,53	0,54	0,41	0,0377	0,0062	0,006491	0,000012	NS	0,005002	0,000000	NS
Trave 9-12	100%	0,50	0,51	0,41	0,0635	0,0058	0,009432	0,000150	62,82	0,004889	0,000088	55,68
proporzionale alla deformata 1° modo di vibrazione												
Trave 9-12	0%	0,53	0,53	0,41	0,0375	0,0064	0,006434	0,000003	NS	0,005079	0,000003	NS
Trave 9-12	100%	0,51	0,51	0,41	0,0633	0,0058	0,009515	0,000128	74,46	0,004880	0,000075	64,88
sisma in -X												
proporzionale alle masse												
Trave 9-12	0%	0,58	0,57	0,42	0,0364	0,0066	0,006565	0,000014	NS	0,005121	0,000012	NS
Trave 9-12	100%	0,48	0,48	0,41	0,0618	0,0059	0,009095	0,000003	NS	0,004961	0,000041	NS
proporzionale alla deformata 1° modo di vibrazione												
Trave 9-12	0%	0,59	0,58	0,42	0,0366	0,0066	0,006626	0,000005	NS	0,005092	0,000006	NS
Trave 9-12	100%	0,47	0,48	0,41	0,0621	0,0059	0,008961	0,000023	NS	0,004973	0,000053	93,71
sisma in +Y												
proporzionale alle masse												
Trave 9-12	0%	2,09	0,00	0,57	0,0862	0,0064	0,216624	0,000293	NS	0,394008	0,000217	NS
Trave 9-12	100%	1,03	0,83	0,46	0,0377	0,0071	0,008204	0,001165	7,04	0,005394	0,000534	10,09
proporzionale alla deformata 1° modo di vibrazione												
Trave 9-12	0%	0,94	0,19	0,45	0,0893	0,0064	0,017962	0,000241	74,42	0,007420	0,000201	36,92
Trave 9-12	100%	0,98	0,78	0,46	0,0417	0,0071	0,008740	0,000948	9,22	0,005371	0,000415	12,94
sisma in -Y												
proporzionale alle masse												
Trave 9-12	0%	0,00	0,00	0,00	0,0000	0,0000	0,000000	0,000000	0,00	0,000000	0,000000	0,00
Trave 9-12	100%	0,00	0,00	0,00	0,0000	0,0000	0,000000	0,000000	0,00	0,000000	0,000000	0,00
proporzionale alla deformata 1° modo di vibrazione												
Trave 9-12	0%	0,00	0,00	0,00	0,0000	0,0000	0,000000	0,000000	0,00	0,000000	0,000000	0,00
Trave 9-12	100%	0,00	0,00	0,00	0,0000	0,0000	0,000000	0,000000	0,00	0,000000	0,000000	0,00
sisma in +X												
proporzionale alle masse												
Trave 13-25	0%	0,43	0,38	0,40	0,0616	0,0070	0,008525	0,000021	NS	0,005299	0,000045	NS
Trave 13-25	100%	0,16	0,27	0,37	0,0313	0,0078	0,005213	0,000044	NS	0,006103	0,000051	NS
proporzionale alla deformata 1° modo di vibrazione												
Trave 13-25	0%	0,41	0,37	0,39	0,0626	0,0070	0,008385	0,000062	NS	0,005352	0,000068	78,45
Trave 13-25	100%	0,21	0,29	0,37	0,0317	0,0078	0,005213	0,000026	NS	0,005974	0,000043	NS
sisma in -X												
proporzionale alle masse												
Trave 13-25	0%	0,30	0,32	0,38	0,0664	0,0065	0,008428	0,000134	62,87	0,005425	0,000083	65,50
Trave 13-25	100%	0,34	0,33	0,39	0,0333	0,0073	0,005289	0,000122	43,53	0,005561	0,000088	63,30
proporzionale alla deformata 1° modo di vibrazione												
Trave 13-25	0%	0,32	0,33	0,38	0,0662	0,0065	0,008420	0,000105	80,40	0,005378	0,000072	74,32
Trave 13-25	100%	0,32	0,33	0,38	0,0332	0,0073	0,005294	0,000150	35,39	0,005616	0,000097	57,95

Id_{Tr}	$\%L_{LI}$	$L_{v,SLV}$	$L_{v,SLD}$	L_{pl}	ϕ_u	ϕ_y	SLV			SLD		
							Θ_c	Θ_d	CS	Θ_c	Θ_d	CS
	[%]	[m]	[m]	[m]	[rad/m]	[rad/m]	[rad]	[rad]		[rad]	[rad]	
sisma in +Y												
proporzionale alle masse												
Trave 13-25	0%	2,78	2,59	0,63	0,0696	0,0062	0,021638	0,001681	12,87	0,007898	0,000797	9,91
Trave 13-25	100%	0,68	0,62	0,42	0,0204	0,0104	0,004614	0,000983	4,69	0,006319	0,000468	13,50
proporzionale alla deformata 1° modo di vibrazione												
Trave 13-25	0%	4,54	1,07	0,81	0,0783	0,0061	0,029067	0,001451	20,04	0,005126	0,000681	7,52
Trave 13-25	100%	0,66	0,59	0,42	0,0225	0,0105	0,004864	0,000746	6,52	0,006294	0,000351	17,91
sisma in -Y												
proporzionale alle masse												
Trave 13-25	0%	0,00	0,00	0,00	0,0000	0,0000	0,000000	0,000000	0,00	0,000000	0,000000	0,00
Trave 13-25	100%	0,00	0,00	0,00	0,0000	0,0000	0,000000	0,000000	0,00	0,000000	0,000000	0,00
proporzionale alla deformata 1° modo di vibrazione												
Trave 13-25	0%	0,00	0,00	0,00	0,0000	0,0000	0,000000	0,000000	0,00	0,000000	0,000000	0,00
Trave 13-25	100%	0,00	0,00	0,00	0,0000	0,0000	0,000000	0,000000	0,00	0,000000	0,000000	0,00
sisma in +X												
proporzionale alle masse												
Trave 26-33	0%	0,27	0,27	0,38	0,0294	0,0107	0,005182	0,000099	52,29	0,006813	0,000096	71,23
Trave 26-33	100%	0,50	0,51	0,40	0,0263	0,0092	0,004944	0,000344	14,37	0,005810	0,000384	15,14
proporzionale alla deformata 1° modo di vibrazione												
Trave 26-33	0%	0,25	0,25	0,38	0,0294	0,0121	0,005268	0,000125	42,15	0,007276	0,000106	68,79
Trave 26-33	100%	0,51	0,51	0,40	0,0262	0,0089	0,004955	0,000354	14,02	0,005722	0,000387	14,77
sisma in -X												
proporzionale alle masse												
Trave 26-33	0%	0,33	0,30	0,38	0,0282	0,0123	0,005036	0,000046	NS	0,007022	0,000067	NS
Trave 26-33	100%	0,52	0,52	0,40	0,0252	0,0092	0,004874	0,000445	10,96	0,005811	0,000427	13,60
proporzionale alla deformata 1° modo di vibrazione												
Trave 26-33	0%	0,35	0,31	0,39	0,0282	0,0116	0,005004	0,000036	NS	0,006790	0,000061	NS
Trave 26-33	100%	0,51	0,51	0,40	0,0253	0,0092	0,004858	0,000439	11,06	0,005810	0,000424	13,70
sisma in +Y												
proporzionale alle masse												
Trave 26-33	0%	5,67	2,03	0,92	0,0863	0,0055	0,037209	0,001721	21,62	0,006275	0,000836	7,51
Trave 26-33	100%	0,73	0,67	0,42	0,0194	0,0107	0,004559	0,001091	4,18	0,006508	0,000728	8,94
proporzionale alla deformata 1° modo di vibrazione												
Trave 26-33	0%	10,92	1,31	1,44	0,0887	0,0054	0,058711	0,001531	38,34	0,005104	0,000725	7,04
Trave 26-33	100%	0,71	0,66	0,42	0,0202	0,0109	0,004654	0,000983	4,73	0,006537	0,000673	9,71
sisma in -Y												
proporzionale alle masse												
Trave 26-33	0%	0,00	0,00	0,00	0,0000	0,0000	0,000000	0,000000	0,00	0,000000	0,000000	0,00
Trave 26-33	100%	0,00	0,00	0,00	0,0000	0,0000	0,000000	0,000000	0,00	0,000000	0,000000	0,00
proporzionale alla deformata 1° modo di vibrazione												
Trave 26-33	0%	0,00	0,00	0,00	0,0000	0,0000	0,000000	0,000000	0,00	0,000000	0,000000	0,00
Trave 26-33	100%	0,00	0,00	0,00	0,0000	0,0000	0,000000	0,000000	0,00	0,000000	0,000000	0,00
sisma in +X												
proporzionale alle masse												
Trave 33-40	0%	0,63	0,65	0,45	0,0332	0,0042	0,006502	0,000344	18,89	0,004647	0,000384	12,11
Trave 33-40	100%	0,57	0,57	0,44	0,0569	0,0038	0,009563	0,000991	9,65	0,004662	0,000851	5,48
proporzionale alla deformata 1° modo di vibrazione												
Trave 33-40	0%	0,63	0,65	0,45	0,0334	0,0042	0,006520	0,000354	18,44	0,004646	0,000387	11,99
Trave 33-40	100%	0,57	0,56	0,44	0,0573	0,0038	0,009579	0,001011	9,48	0,004679	0,000881	5,31
sisma in -X												
proporzionale alle masse												
Trave 33-40	0%	0,72	0,70	0,46	0,0323	0,0042	0,006689	0,000445	15,04	0,004609	0,000427	10,79
Trave 33-40	100%	0,50	0,53	0,44	0,0543	0,0039	0,008640	0,000707	12,22	0,004786	0,000714	6,71
proporzionale alla deformata 1° modo di vibrazione												
Trave 33-40	0%	0,72	0,70	0,46	0,0324	0,0042	0,006706	0,000439	15,26	0,004606	0,000424	10,86
Trave 33-40	100%	0,50	0,53	0,44	0,0544	0,0039	0,008592	0,000717	11,99	0,004789	0,000713	6,72
sisma in +Y												
proporzionale alle masse												
Trave 33-40	0%	0,31	0,52	0,42	0,0294	0,0042	0,005074	0,001091	4,65	0,004904	0,000728	6,74
Trave 33-40	100%	0,90	0,74	0,48	0,0463	0,0043	0,009643	0,000401	24,07	0,004616	0,000165	28,03
proporzionale alla deformata 1° modo di vibrazione												
Trave 33-40	0%	0,38	0,55	0,42	0,0297	0,0042	0,005111	0,000983	5,20	0,004825	0,000673	7,17
Trave 33-40	100%	0,87	0,72	0,47	0,0470	0,0044	0,009642	0,000314	30,66	0,004666	0,000219	21,35
sisma in -Y												
proporzionale alle masse												
Trave 33-40	0%	0,00	0,00	0,00	0,0000	0,0000	0,000000	0,000000	0,00	0,000000	0,000000	0,00
Trave 33-40	100%	0,00	0,00	0,00	0,0000	0,0000	0,000000	0,000000	0,00	0,000000	0,000000	0,00
proporzionale alla deformata 1° modo di vibrazione												
Trave 33-40	0%	0,00	0,00	0,00	0,0000	0,0000	0,000000	0,000000	0,00	0,000000	0,000000	0,00
Trave 33-40	100%	0,00	0,00	0,00	0,0000	0,0000	0,000000	0,000000	0,00	0,000000	0,000000	0,00
Piano interrato							**Travata: Trave16-6c-P9-29-36-P13-8c-43**					
sisma in +X												
proporzionale alle masse												
Trave P9-29	0%	0,28	0,34	0,44	0,1056	0,0031	0,013982	0,000288	48,59	0,005655	0,000181	31,26
Trave P9-29	100%	0,40	0,44	0,45	0,0242	0,0042	0,004864	0,000019	NS	0,005249	0,000006	NS
proporzionale alla deformata 1° modo di vibrazione												
Trave P9-29	0%	0,30	0,35	0,44	0,1054	0,0032	0,013958	0,000274	50,97	0,005542	0,000172	32,25
Trave P9-29	100%	0,39	0,43	0,45	0,0241	0,0040	0,004862	0,000012	NS	0,005238	0,000003	NS
sisma in -X												
proporzionale alle masse												
Trave P9-29	0%	0,34	0,39	0,44	0,1043	0,0032	0,013783	0,000106	NS	0,005234	0,000079	66,14
Trave P9-29	100%	0,49	0,47	0,46	0,0236	0,0050	0,004970	0,000010	NS	0,005399	0,000011	NS
proporzionale alla deformata 1° modo di vibrazione												
Trave P9-29	0%	0,35	0,39	0,44	0,1042	0,0032	0,013795	0,000098	NS	0,005237	0,000077	67,71
Trave P9-29	100%	0,50	0,47	0,46	0,0235	0,0050	0,004980	0,000006	NS	0,005399	0,000009	NS

Id_{Tr}	$\%L_{LI}$	$L_{v,SLV}$	$L_{v,SLD}$	L_{pl}	ϕ_u	ϕ_y	SLV			SLD		
							Θ_c	Θ_d	CS	Θ_c	Θ_d	CS
	[%]	[m]	[m]	[m]	[rad/m]	[rad/m]	[rad]	[rad]		[rad]	[rad]	
sisma in +Y												
proporzionale alle masse												
Trave P9-29	0%	2,92	7,01	0,70	0,0317	0,0044	0,014669	0,001377	10,66	0,012597	0,000727	17,34
Trave P9-29	100%	0,97	0,91	0,50	0,0207	0,0053	0,005409	0,000339	15,96	0,005056	0,000221	22,92
proporzionale alla deformata 1° modo di vibrazione												
Trave P9-29	0%	2,91	6,97	0,70	0,0315	0,0044	0,014558	0,001451	10,03	0,012462	0,000750	16,61
Trave P9-29	100%	0,96	0,90	0,50	0,0207	0,0051	0,005376	0,000347	15,49	0,004974	0,000214	23,27
sisma in -Y												
proporzionale alle masse												
Trave P9-29	0%	0,00	0,00	0,00	0,0000	0,0000	0,000000	0,000000	0,00	0,000000	0,000000	0,00
Trave P9-29	100%	0,00	0,00	0,00	0,0000	0,0000	0,000000	0,000000	0,00	0,000000	0,000000	0,00
proporzionale alla deformata 1° modo di vibrazione												
Trave P9-29	0%	0,00	0,00	0,00	0,0000	0,0000	0,000000	0,000000	0,00	0,000000	0,000000	0,00
Trave P9-29	100%	0,00	0,00	0,00	0,0000	0,0000	0,000000	0,000000	0,00	0,000000	0,000000	0,00
sisma in +X												
proporzionale alle masse												
Trave 29-36	0%	0,29	0,32	0,44	0,0296	0,0052	0,005848	0,000019	NS	0,006354	0,000006	NS
Trave 29-36	100%	0,40	0,39	0,45	0,0391	0,0044	0,006692	0,000006	NS	0,005601	0,000003	NS
proporzionale alla deformata 1° modo di vibrazione												
Trave 29-36	0%	0,34	0,34	0,44	0,0295	0,0051	0,005774	0,000012	NS	0,006153	0,000003	NS
Trave 29-36	100%	0,36	0,38	0,44	0,0392	0,0044	0,006707	0,000013	NS	0,005686	0,000004	NS
sisma in -X												
proporzionale alle masse												
Trave 29-36	0%	0,23	0,29	0,43	0,0290	0,0054	0,005899	0,000010	NS	0,006697	0,000011	NS
Trave 29-36	100%	0,48	0,45	0,46	0,0379	0,0051	0,006693	0,000009	NS	0,005539	0,000005	NS
proporzionale alla deformata 1° modo di vibrazione												
Trave 29-36	0%	0,20	0,27	0,43	0,0290	0,0054	0,006030	0,000006	NS	0,006993	0,000009	NS
Trave 29-36	100%	0,49	0,45	0,46	0,0381	0,0050	0,006760	0,000008	NS	0,005462	0,000006	NS
sisma in +Y												
proporzionale alle masse												
Trave 29-36	0%	1,62	2,50	0,57	0,0955	0,0035	0,024240	0,000339	71,53	0,005277	0,000221	23,92
Trave 29-36	100%	0,86	0,79	0,49	0,0297	0,0055	0,006830	0,000206	33,13	0,005138	0,000169	30,42
proporzionale alla deformata 1° modo di vibrazione												
Trave 29-36	0%	1,59	2,62	0,57	0,0952	0,0035	0,024070	0,000347	69,34	0,005402	0,000214	25,28
Trave 29-36	100%	0,87	0,79	0,50	0,0294	0,0056	0,006801	0,000227	29,96	0,005179	0,000169	30,59
sisma in -Y												
proporzionale alle masse												
Trave 29-36	0%	0,00	0,00	0,00	0,0000	0,0000	0,000000	0,000000	0,00	0,000000	0,000000	0,00
Trave 29-36	100%	0,00	0,00	0,00	0,0000	0,0000	0,000000	0,000000	0,00	0,000000	0,000000	0,00
proporzionale alla deformata 1° modo di vibrazione												
Trave 29-36	0%	0,00	0,00	0,00	0,0000	0,0000	0,000000	0,000000	0,00	0,000000	0,000000	0,00
Trave 29-36	100%	0,00	0,00	0,00	0,0000	0,0000	0,000000	0,000000	0,00	0,000000	0,000000	0,00
sisma in +X												
proporzionale alle masse												
Trave 36-P13	0%	0,19	0,25	0,43	0,1028	0,0038	0,013994	0,000006	NS	0,006872	0,000003	NS
Trave 36-P13	100%	0,40	0,44	0,45	0,1042	0,0031	0,013756	0,000158	87,19	0,004915	0,000083	58,86
proporzionale alla deformata 1° modo di vibrazione												
Trave 36-P13	0%	0,14	0,20	0,42	0,1029	0,0033	0,014387	0,000013	NS	0,007810	0,000004	NS
Trave 36-P13	100%	0,39	0,44	0,45	0,1042	0,0031	0,013753	0,000151	91,00	0,004924	0,000081	60,85
sisma in -X												
proporzionale alle masse												
Trave 36-P13	0%	0,10	0,10	0,42	0,1022	0,0078	0,016946	0,000009	NS	0,014216	0,000005	NS
Trave 36-P13	100%	0,46	0,47	0,45	0,1029	0,0034	0,013786	0,000020	NS	0,004893	0,000011	NS
proporzionale alla deformata 1° modo di vibrazione												
Trave 36-P13	0%	0,30	0,19	0,44	0,1017	0,0079	0,014876	0,000008	NS	0,009237	0,000006	NS
Trave 36-P13	100%	0,50	0,48	0,46	0,1023	0,0034	0,014721	0,000006	NS	0,004814	0,000007	NS
sisma in +Y												
proporzionale alle masse												
Trave 36-P13	0%	1,26	1,50	0,53	0,0793	0,0043	0,018213	0,000206	88,33	0,004907	0,000169	29,05
Trave 36-P13	100%	0,99	0,89	0,51	0,0696	0,0037	0,014579	0,000576	25,31	0,004334	0,000269	16,13
proporzionale alla deformata 1° modo di vibrazione												
Trave 36-P13	0%	1,28	1,57	0,54	0,0809	0,0044	0,018726	0,000227	82,49	0,005087	0,000169	30,04
Trave 36-P13	100%	0,98	0,88	0,51	0,0721	0,0037	0,014982	0,000534	28,06	0,004332	0,000246	17,64
sisma in -Y												
proporzionale alle masse												
Trave 36-P13	0%	0,00	0,00	0,00	0,0000	0,0000	0,000000	0,000000	0,00	0,000000	0,000000	0,00
Trave 36-P13	100%	0,00	0,00	0,00	0,0000	0,0000	0,000000	0,000000	0,00	0,000000	0,000000	0,00
proporzionale alla deformata 1° modo di vibrazione												
Trave 36-P13	0%	0,00	0,00	0,00	0,0000	0,0000	0,000000	0,000000	0,00	0,000000	0,000000	0,00
Trave 36-P13	100%	0,00	0,00	0,00	0,0000	0,0000	0,000000	0,000000	0,00	0,000000	0,000000	0,00
Piano interrato							**Travata: Trave14-27-34-41**					
sisma in +X												
proporzionale alle masse												
Trave 14-27	0%	0,54	0,56	0,46	0,0228	0,0045	0,004913	0,000998	4,92	0,004966	0,000933	5,32
Trave 14-27	100%	0,81	0,81	0,49	0,0307	0,0042	0,006795	0,000225	30,13	0,004595	0,000224	20,53
proporzionale alla deformata 1° modo di vibrazione												
Trave 14-27	0%	0,54	0,55	0,46	0,0228	0,0045	0,004908	0,001005	4,89	0,004969	0,000938	5,30
Trave 14-27	100%	0,81	0,81	0,49	0,0307	0,0042	0,006799	0,000223	30,46	0,004592	0,000223	20,61
sisma in -X												
proporzionale alle masse												
Trave 14-27	0%	0,54	0,56	0,46	0,0228	0,0045	0,004920	0,000996	4,94	0,004955	0,000918	5,40
Trave 14-27	100%	0,80	0,80	0,49	0,0307	0,0042	0,006786	0,000236	28,74	0,004595	0,000231	19,92
proporzionale alla deformata 1° modo di vibrazione												
Trave 14-27	0%	0,55	0,56	0,46	0,0228	0,0045	0,004928	0,000983	5,01	0,004953	0,000915	5,41
Trave 14-27	100%	0,80	0,80	0,49	0,0306	0,0042	0,006778	0,000240	28,20	0,004595	0,000232	19,77

Id_{Tr}	$\%L_{LI}$	$L_{v,SLV}$	$L_{v,SLD}$	L_{pl}	ϕ_u	ϕ_y	SLV			SLD		
							Θ_c	Θ_d	CS	Θ_c	Θ_d	CS
	[%]	[m]	[m]	[m]	[rad/m]	[rad/m]	[rad]	[rad]		[rad]	[rad]	
sisma in +Y												
proporzionale alle masse												
Trave 14-27	0%	0,05	0,34	0,41	0,0218	0,0045	0,004785	0,002672	1,79	0,005994	0,001643	3,65
Trave 14-27	100%	0,86	0,84	0,49	0,0285	0,0045	0,006571	0,000241	27,30	0,004711	0,000036	NS
proporzionale alla deformata 1° modo di vibrazione												
Trave 14-27	0%	0,10	0,36	0,42	0,0218	0,0045	0,004712	0,002495	1,89	0,005795	0,001579	3,67
Trave 14-27	100%	0,86	0,84	0,49	0,0287	0,0046	0,006605	0,000201	32,78	0,004729	0,000013	NS
sisma in -Y												
proporzionale alle masse												
Trave 14-27	0%	0,00	0,00	0,00	0,0000	0,0000	0,000000	0,000000	0,00	0,000000	0,000000	0,00
Trave 14-27	100%	0,00	0,00	0,00	0,0000	0,0000	0,000000	0,000000	0,00	0,000000	0,000000	0,00
proporzionale alla deformata 1° modo di vibrazione												
Trave 14-27	0%	0,00	0,00	0,00	0,0000	0,0000	0,000000	0,000000	0,00	0,000000	0,000000	0,00
Trave 14-27	100%	0,00	0,00	0,00	0,0000	0,0000	0,000000	0,000000	0,00	0,000000	0,000000	0,00
sisma in +X												
proporzionale alle masse												
Trave 27-34	0%	0,69	0,69	0,48	0,0223	0,0087	0,005347	0,000225	23,71	0,006433	0,000224	28,74
Trave 27-34	100%	0,60	0,60	0,47	0,0204	0,0081	0,004866	0,000200	24,35	0,006230	0,000203	30,74
proporzionale alla deformata 1° modo di vibrazione												
Trave 27-34	0%	0,69	0,69	0,48	0,0223	0,0088	0,005348	0,000223	23,96	0,006498	0,000223	29,17
Trave 27-34	100%	0,60	0,60	0,47	0,0204	0,0083	0,004879	0,000202	24,21	0,006287	0,000203	30,90
sisma in -X												
proporzionale alle masse												
Trave 27-34	0%	0,69	0,69	0,48	0,0222	0,0087	0,005341	0,000236	22,62	0,006437	0,000231	27,91
Trave 27-34	100%	0,59	0,59	0,47	0,0203	0,0079	0,004819	0,000187	25,73	0,006152	0,000196	31,46
proporzionale alla deformata 1° modo di vibrazione												
Trave 27-34	0%	0,70	0,69	0,48	0,0222	0,0085	0,005339	0,000240	22,21	0,006371	0,000232	27,42
Trave 27-34	100%	0,58	0,59	0,47	0,0203	0,0079	0,004812	0,000184	26,13	0,006151	0,000194	31,68
sisma in +Y												
proporzionale alle masse												
Trave 27-34	0%	6,05	0,14	1,01	0,0876	0,0088	0,042314	0,000241	NS	0,011490	0,000036	NS
Trave 27-34	100%	0,83	0,78	0,49	0,0187	0,0064	0,004892	0,000743	6,58	0,005546	0,000485	11,42
proporzionale alla deformata 1° modo di vibrazione												
Trave 27-34	0%	149,49	0,06	15,36	0,0884	0,0088	0,590483	0,000201	NS	0,022026	0,000013	NS
Trave 27-34	100%	0,83	0,78	0,49	0,0188	0,0066	0,004915	0,000701	7,01	0,005594	0,000460	12,17
sisma in -Y												
proporzionale alle masse												
Trave 27-34	0%	0,00	0,00	0,00	0,0000	0,0000	0,000000	0,000000	0,00	0,000000	0,000000	0,00
Trave 27-34	100%	0,00	0,00	0,00	0,0000	0,0000	0,000000	0,000000	0,00	0,000000	0,000000	0,00
proporzionale alla deformata 1° modo di vibrazione												
Trave 27-34	0%	0,00	0,00	0,00	0,0000	0,0000	0,000000	0,000000	0,00	0,000000	0,000000	0,00
Trave 27-34	100%	0,00	0,00	0,00	0,0000	0,0000	0,000000	0,000000	0,00	0,000000	0,000000	0,00
sisma in +X												
proporzionale alle masse												
Trave 34-41	0%	0,73	0,73	0,48	0,0232	0,0044	0,005388	0,000200	26,97	0,004698	0,000203	23,18
Trave 34-41	100%	0,48	0,50	0,46	0,0288	0,0042	0,005486	0,000955	5,75	0,005026	0,000853	5,89
proporzionale alla deformata 1° modo di vibrazione												
Trave 34-41	0%	0,73	0,73	0,48	0,0232	0,0044	0,005382	0,000202	26,70	0,004688	0,000203	23,04
Trave 34-41	100%	0,49	0,50	0,46	0,0288	0,0042	0,005497	0,000950	5,79	0,005027	0,000857	5,87
sisma in -X												
proporzionale alle masse												
Trave 34-41	0%	0,74	0,74	0,48	0,0231	0,0045	0,005376	0,000187	28,70	0,004717	0,000196	24,12
Trave 34-41	100%	0,49	0,51	0,46	0,0285	0,0042	0,005473	0,000888	6,16	0,004995	0,000792	6,31
proporzionale alla deformata 1° modo di vibrazione												
Trave 34-41	0%	0,74	0,74	0,48	0,0231	0,0045	0,005382	0,000184	29,22	0,004716	0,000194	24,29
Trave 34-41	100%	0,49	0,51	0,46	0,0286	0,0042	0,005466	0,000899	6,08	0,005004	0,000803	6,23
sisma in +Y												
proporzionale alle masse												
Trave 34-41	0%	0,38	0,59	0,45	0,0211	0,0045	0,004308	0,000743	5,80	0,004918	0,000485	10,13
Trave 34-41	100%	0,90	0,73	0,50	0,0255	0,0048	0,006165	0,000359	17,16	0,004850	0,000191	25,38
proporzionale alla deformata 1° modo di vibrazione												
Trave 34-41	0%	0,43	0,60	0,45	0,0212	0,0045	0,004326	0,000701	6,17	0,004890	0,000460	10,64
Trave 34-41	100%	0,88	0,72	0,50	0,0256	0,0049	0,006159	0,000327	18,81	0,004904	0,000212	23,18
sisma in -Y												
proporzionale alle masse												
Trave 34-41	0%	0,00	0,00	0,00	0,0000	0,0000	0,000000	0,000000	0,00	0,000000	0,000000	0,00
Trave 34-41	100%	0,00	0,00	0,00	0,0000	0,0000	0,000000	0,000000	0,00	0,000000	0,000000	0,00
proporzionale alla deformata 1° modo di vibrazione												
Trave 34-41	0%	0,00	0,00	0,00	0,0000	0,0000	0,000000	0,000000	0,00	0,000000	0,000000	0,00
Trave 34-41	100%	0,00	0,00	0,00	0,0000	0,0000	0,000000	0,000000	0,00	0,000000	0,000000	0,00
Piano interrato							**Travata: Trave15-28-35-42**					
sisma in +X												
proporzionale alle masse												
Trave 15-28	0%	0,53	0,55	0,46	0,0361	0,0042	0,006606	0,000951	6,95	0,004884	0,000837	5,84
Trave 15-28	100%	0,81	0,82	0,49	0,0279	0,0043	0,006331	0,000175	36,09	0,004613	0,000179	25,84
proporzionale alla deformata 1° modo di vibrazione												
Trave 15-28	0%	0,53	0,55	0,46	0,0363	0,0042	0,006618	0,000950	6,97	0,004883	0,000839	5,82
Trave 15-28	100%	0,81	0,81	0,49	0,0279	0,0043	0,006328	0,000177	35,72	0,004606	0,000179	25,68
sisma in -X												
proporzionale alle masse												
Trave 15-28	0%	0,52	0,55	0,46	0,0359	0,0042	0,006518	0,000842	7,74	0,004871	0,000763	6,39
Trave 15-28	100%	0,83	0,82	0,49	0,0276	0,0043	0,006336	0,000197	32,13	0,004628	0,000190	24,31
proporzionale alla deformata 1° modo di vibrazione												
Trave 15-28	0%	0,52	0,55	0,46	0,0358	0,0042	0,006512	0,000839	7,76	0,004873	0,000763	6,39
Trave 15-28	100%	0,83	0,82	0,49	0,0276	0,0043	0,006337	0,000199	31,92	0,004631	0,000191	24,27

Id_{Tr}	$\%L_{LI}$	$L_{v,SLV}$	$L_{v,SLD}$	L_{pl}	ϕ_u	ϕ_y	SLV			SLD		
							Θ_c	Θ_d	CS	Θ_c	Θ_d	CS
	[%]	[m]	[m]	[m]	[rad/m]	[rad/m]	[rad]	[rad]		[rad]	[rad]	
sisma in +Y												
proporzionale alle masse												
Trave 15-28	0%	0,16	0,26	0,42	0,1010	0,0033	0,013659	0,002383	5,73	0,006611	0,001438	4,60
Trave 15-28	100%	0,92	0,90	0,50	0,0266	0,0045	0,006372	0,000261	24,39	0,004716	0,000056	84,65
proporzionale alla deformata 1° modo di vibrazione												
Trave 15-28	0%	0,08	0,28	0,42	0,1013	0,0033	0,013312	0,002268	5,87	0,006270	0,001396	4,49
Trave 15-28	100%	0,91	0,90	0,50	0,0268	0,0046	0,006392	0,000235	27,18	0,004726	0,000043	NS
sisma in -Y												
proporzionale alle masse												
Trave 15-28	0%	0,00	0,00	0,00	0,0000	0,0000	0,000000	0,000000	0,00	0,000000	0,000000	0,00
Trave 15-28	100%	0,00	0,00	0,00	0,0000	0,0000	0,000000	0,000000	0,00	0,000000	0,000000	0,00
proporzionale alla deformata 1° modo di vibrazione												
Trave 15-28	0%	0,00	0,00	0,00	0,0000	0,0000	0,000000	0,000000	0,00	0,000000	0,000000	0,00
Trave 15-28	100%	0,00	0,00	0,00	0,0000	0,0000	0,000000	0,000000	0,00	0,000000	0,000000	0,00
sisma in +X												
proporzionale alle masse												
Trave 28-35	0%	0,67	0,68	0,48	0,0333	0,0084	0,006986	0,000175	39,83	0,006313	0,000179	35,36
Trave 28-35	100%	0,61	0,62	0,47	0,0291	0,0086	0,006169	0,000162	38,11	0,006407	0,000167	38,45
proporzionale alla deformata 1° modo di vibrazione												
Trave 28-35	0%	0,68	0,68	0,48	0,0332	0,0084	0,006988	0,000177	39,45	0,006313	0,000179	35,19
Trave 28-35	100%	0,61	0,62	0,47	0,0292	0,0087	0,006170	0,000161	38,36	0,006412	0,000166	38,61
sisma in -X												
proporzionale alle masse												
Trave 28-35	0%	0,70	0,70	0,48	0,0325	0,0084	0,006954	0,000197	35,26	0,006339	0,000190	33,30
Trave 28-35	100%	0,63	0,63	0,47	0,0286	0,0084	0,006143	0,000163	37,78	0,006315	0,000166	38,07
proporzionale alla deformata 1° modo di vibrazione												
Trave 28-35	0%	0,70	0,69	0,48	0,0325	0,0084	0,006949	0,000199	35,01	0,006339	0,000191	33,22
Trave 28-35	100%	0,63	0,63	0,47	0,0286	0,0084	0,006151	0,000162	37,93	0,006335	0,000166	38,23
sisma in +Y												
proporzionale alle masse												
Trave 28-35	0%	2,77	0,72	0,68	0,0841	0,0070	0,026013	0,000261	99,56	0,005760	0,000056	NS
Trave 28-35	100%	0,85	0,81	0,49	0,0254	0,0057	0,006059	0,000688	8,81	0,005212	0,000449	11,60
proporzionale alla deformata 1° modo di vibrazione												
Trave 28-35	0%	3,27	0,41	0,74	0,0844	0,0070	0,028372	0,000235	NS	0,006268	0,000043	NS
Trave 28-35	100%	0,85	0,81	0,49	0,0255	0,0057	0,006083	0,000664	9,16	0,005244	0,000435	12,05
sisma in -Y												
proporzionale alle masse												
Trave 28-35	0%	0,00	0,00	0,00	0,0000	0,0000	0,000000	0,000000	0,00	0,000000	0,000000	0,00
Trave 28-35	100%	0,00	0,00	0,00	0,0000	0,0000	0,000000	0,000000	0,00	0,000000	0,000000	0,00
proporzionale alla deformata 1° modo di vibrazione												
Trave 28-35	0%	0,00	0,00	0,00	0,0000	0,0000	0,000000	0,000000	0,00	0,000000	0,000000	0,00
Trave 28-35	100%	0,00	0,00	0,00	0,0000	0,0000	0,000000	0,000000	0,00	0,000000	0,000000	0,00
sisma in +X												
proporzionale alle masse												
Trave 35-42	0%	0,72	0,73	0,48	0,0249	0,0044	0,005619	0,000162	34,71	0,004683	0,000167	28,11
Trave 35-42	100%	0,50	0,50	0,46	0,0426	0,0039	0,007230	0,000867	8,34	0,004928	0,000776	6,35
proporzionale alla deformata 1° modo di vibrazione												
Trave 35-42	0%	0,72	0,73	0,48	0,0249	0,0044	0,005625	0,000161	34,96	0,004699	0,000166	28,30
Trave 35-42	100%	0,49	0,50	0,46	0,0426	0,0039	0,007215	0,000874	8,25	0,004926	0,000780	6,31
sisma in -X												
proporzionale alle masse												
Trave 35-42	0%	0,74	0,74	0,48	0,0246	0,0044	0,005632	0,000163	34,64	0,004702	0,000166	28,35
Trave 35-42	100%	0,50	0,51	0,46	0,0417	0,0041	0,007115	0,000737	9,66	0,004953	0,000674	7,34
proporzionale alla deformata 1° modo di vibrazione												
Trave 35-42	0%	0,74	0,74	0,48	0,0246	0,0044	0,005630	0,000162	34,72	0,004710	0,000166	28,42
Trave 35-42	100%	0,50	0,51	0,46	0,0417	0,0041	0,007124	0,000731	9,74	0,004953	0,000675	7,34
sisma in +Y												
proporzionale alle masse												
Trave 35-42	0%	0,28	0,56	0,44	0,0220	0,0045	0,004386	0,000688	6,38	0,004954	0,000449	11,02
Trave 35-42	100%	0,97	0,77	0,50	0,0343	0,0047	0,007930	0,000519	15,27	0,004786	0,000034	NS
proporzionale alla deformata 1° modo di vibrazione												
Trave 35-42	0%	0,32	0,58	0,44	0,0220	0,0045	0,004389	0,000664	6,61	0,004926	0,000435	11,32
Trave 35-42	100%	0,96	0,76	0,50	0,0344	0,0048	0,007915	0,000518	15,28	0,004849	0,000034	NS
sisma in -Y												
proporzionale alle masse												
Trave 35-42	0%	0,00	0,00	0,00	0,0000	0,0000	0,000000	0,000000	0,00	0,000000	0,000000	0,00
Trave 35-42	100%	0,00	0,00	0,00	0,0000	0,0000	0,000000	0,000000	0,00	0,000000	0,000000	0,00
proporzionale alla deformata 1° modo di vibrazione												
Trave 35-42	0%	0,00	0,00	0,00	0,0000	0,0000	0,000000	0,000000	0,00	0,000000	0,000000	0,00
Trave 35-42	100%	0,00	0,00	0,00	0,0000	0,0000	0,000000	0,000000	0,00	0,000000	0,000000	0,00
Piano interrato							**Travata: Trave24-32-39**					
sisma in +X												
proporzionale alle masse												
Trave 24-32	0%	0,63	0,63	0,48	0,0304	0,0040	0,006313	0,000668	9,45	0,004835	0,000665	7,27
Trave 24-32	100%	0,85	0,85	0,50	0,0202	0,0043	0,005160	0,000116	44,58	0,004744	0,000107	44,25
proporzionale alla deformata 1° modo di vibrazione												
Trave 24-32	0%	0,62	0,62	0,48	0,0304	0,0040	0,006278	0,000688	9,13	0,004844	0,000675	7,18
Trave 24-32	100%	0,85	0,85	0,50	0,0202	0,0044	0,005171	0,000102	50,94	0,004744	0,000100	47,31
sisma in -X												
proporzionale alle masse												
Trave 24-32	0%	0,63	0,62	0,48	0,0309	0,0040	0,006409	0,000753	8,52	0,004833	0,000742	6,51
Trave 24-32	100%	0,82	0,84	0,50	0,0204	0,0043	0,005152	0,000160	32,14	0,004741	0,000128	37,16
proporzionale alla deformata 1° modo di vibrazione												
Trave 24-32	0%	0,64	0,62	0,48	0,0309	0,0040	0,006436	0,000729	8,83	0,004828	0,000729	6,63
Trave 24-32	100%	0,81	0,83	0,50	0,0204	0,0043	0,005141	0,000177	29,10	0,004742	0,000135	35,04

Id_{Tr}	$\%L_{LI}$	$L_{v,SLV}$	$L_{v,SLD}$	L_{pl}	ϕ_u	ϕ_y	SLV			SLD		
							Θ_c	Θ_d	CS	Θ_c	Θ_d	CS
	[%]	[m]	[m]	[m]	[rad/m]	[rad/m]	[rad]	[rad]		[rad]	[rad]	
sisma in +Y												
proporzionale alle masse												
Trave 24-32	0%	0,19	0,28	0,44	0,0951	0,0040	0,013379	0,002206	6,06	0,006927	0,001361	5,09
Trave 24-32	100%	0,98	0,94	0,51	0,0186	0,0048	0,005093	0,000684	7,45	0,004925	0,000326	15,09
proporzionale alla deformata 1° modo di vibrazione												
Trave 24-32	0%	0,01	0,37	0,42	0,0282	0,0040	0,005463	0,001864	2,93	0,005889	0,001205	4,89
Trave 24-32	100%	0,97	0,93	0,51	0,0190	0,0048	0,005140	0,000561	9,16	0,004927	0,000238	20,70
sisma in -Y												
proporzionale alle masse												
Trave 24-32	0%	0,00	0,00	0,00	0,0000	0,0000	0,000000	0,000000	0,00	0,000000	0,000000	0,00
Trave 24-32	100%	0,00	0,00	0,00	0,0000	0,0000	0,000000	0,000000	0,00	0,000000	0,000000	0,00
proporzionale alla deformata 1° modo di vibrazione												
Trave 24-32	0%	0,00	0,00	0,00	0,0000	0,0000	0,000000	0,000000	0,00	0,000000	0,000000	0,00
Trave 24-32	100%	0,00	0,00	0,00	0,0000	0,0000	0,000000	0,000000	0,00	0,000000	0,000000	0,00
sisma in +X												
proporzionale alle masse												
Trave 32-39	0%	0,82	0,82	0,50	0,0186	0,0044	0,004842	0,000116	41,84	0,004776	0,000107	44,55
Trave 32-39	100%	0,41	0,44	0,46	0,0348	0,0040	0,006237	0,000816	7,64	0,005435	0,000715	7,60
proporzionale alla deformata 1° modo di vibrazione												
Trave 32-39	0%	0,81	0,81	0,50	0,0186	0,0044	0,004834	0,000102	47,62	0,004770	0,000100	47,57
Trave 32-39	100%	0,43	0,44	0,46	0,0348	0,0038	0,006237	0,000808	7,72	0,005355	0,000719	7,45
sisma in -X												
proporzionale alle masse												
Trave 32-39	0%	0,83	0,83	0,50	0,0185	0,0044	0,004854	0,000160	30,29	0,004789	0,000128	37,54
Trave 32-39	100%	0,39	0,43	0,45	0,0344	0,0040	0,006212	0,000825	7,53	0,005502	0,000712	7,73
proporzionale alla deformata 1° modo di vibrazione												
Trave 32-39	0%	0,84	0,83	0,50	0,0185	0,0044	0,004864	0,000177	27,53	0,004790	0,000135	35,40
Trave 32-39	100%	0,37	0,42	0,45	0,0343	0,0040	0,006215	0,000841	7,39	0,005555	0,000722	7,70
sisma in +Y												
proporzionale alle masse												
Trave 32-39	0%	0,26	0,61	0,44	0,0173	0,0045	0,003943	0,000684	5,77	0,005050	0,000326	15,48
Trave 32-39	100%	0,95	0,74	0,51	0,0302	0,0043	0,007218	0,000431	16,76	0,004801	0,000085	56,63
proporzionale alla deformata 1° modo di vibrazione												
Trave 32-39	0%	0,42	0,66	0,46	0,0176	0,0045	0,003984	0,000561	7,10	0,004965	0,000238	20,86
Trave 32-39	100%	0,88	0,69	0,50	0,0314	0,0044	0,007280	0,000262	27,81	0,004861	0,000190	25,61
sisma in -Y												
proporzionale alle masse												
Trave 32-39	0%	0,00	0,00	0,00	0,0000	0,0000	0,000000	0,000000	0,00	0,000000	0,000000	0,00
Trave 32-39	100%	0,00	0,00	0,00	0,0000	0,0000	0,000000	0,000000	0,00	0,000000	0,000000	0,00
proporzionale alla deformata 1° modo di vibrazione												
Trave 32-39	0%	0,00	0,00	0,00	0,0000	0,0000	0,000000	0,000000	0,00	0,000000	0,000000	0,00
Trave 32-39	100%	0,00	0,00	0,00	0,0000	0,0000	0,000000	0,000000	0,00	0,000000	0,000000	0,00
Fondazione							**Travata: Trave11d-14-15-12d**					
sisma in +X												
proporzionale alle masse												
Trave 11d-14	0%	699,92	1,83	70,44	0,0827	0,0037	2,642280	0,000655	NS	0,004912	0,000344	14,28
Trave 11d-14	100%	1,36	1,21	0,58	0,0829	0,0037	0,020354	0,000016	NS	0,004456	0,000003	NS
proporzionale alla deformata 1° modo di vibrazione												
Trave 11d-14	0%	31,54	1,45	3,60	0,0813	0,0039	0,133811	0,000539	NS	0,004726	0,000289	16,38
Trave 11d-14	100%	1,34	1,18	0,58	0,0815	0,0039	0,019910	0,000002	NS	0,004551	0,000007	NS
sisma in -X												
proporzionale alle masse												
Trave 11d-14	0%	1,63	1,38	0,61	0,0699	0,0056	0,018838	0,000281	66,95	0,005749	0,000188	30,60
Trave 11d-14	100%	12,93	0,61	1,74	0,0697	0,0040	0,055704	0,000049	NS	0,004796	0,000029	NS
proporzionale alla deformata 1° modo di vibrazione												
Trave 11d-14	0%	1,53	1,31	0,60	0,0743	0,0050	0,019362	0,000248	78,02	0,005297	0,000173	30,64
Trave 11d-14	100%	3,05	0,10	0,75	0,0742	0,0040	0,030127	0,000034	NS	0,014014	0,000021	NS
sisma in +Y												
proporzionale alle masse												
Trave 11d-14	0%	0,95	0,81	0,54	0,0831	0,0042	0,017619	0,000144	NS	0,004675	0,000081	57,40
Trave 11d-14	100%	0,81	0,83	0,53	0,0833	0,0041	0,016365	0,000011	NS	0,004604	0,000011	NS
proporzionale alla deformata 1° modo di vibrazione												
Trave 11d-14	0%	0,69	0,68	0,52	0,0838	0,0042	0,015205	0,000060	NS	0,004735	0,000044	NS
Trave 11d-14	100%	0,90	0,88	0,54	0,0838	0,0039	0,017292	0,000012	NS	0,004503	0,000010	NS
sisma in -Y												
proporzionale alle masse												
Trave 11d-14	0%	0,00	0,00	0,00	0,0000	0,0000	0,000000	0,000000	0,00	0,000000	0,000000	0,00
Trave 11d-14	100%	0,00	0,00	0,00	0,0000	0,0000	0,000000	0,000000	0,00	0,000000	0,000000	0,00
proporzionale alla deformata 1° modo di vibrazione												
Trave 11d-14	0%	0,00	0,00	0,00	0,0000	0,0000	0,000000	0,000000	0,00	0,000000	0,000000	0,00
Trave 11d-14	100%	0,00	0,00	0,00	0,0000	0,0000	0,000000	0,000000	0,00	0,000000	0,000000	0,00
sisma in +X												
proporzionale alle masse												
Trave 14-15	0%	0,23	0,59	0,47	0,0766	0,0044	0,010976	0,000016	NS	0,004962	0,000003	NS
Trave 14-15	100%	0,74	0,68	0,52	0,0769	0,0053	0,014657	0,000032	NS	0,005230	0,000020	NS
proporzionale alla deformata 1° modo di vibrazione												
Trave 14-15	0%	0,52	0,59	0,50	0,0800	0,0043	0,012260	0,000002	NS	0,004938	0,000007	NS
Trave 14-15	100%	0,65	0,61	0,51	0,0799	0,0049	0,014164	0,000038	NS	0,005146	0,000024	NS
sisma in -X												
proporzionale alle masse												
Trave 14-15	0%	1,10	0,88	0,56	0,0767	0,0043	0,017388	0,000049	NS	0,004675	0,000029	NS
Trave 14-15	100%	0,98	0,76	0,55	0,0766	0,0048	0,016621	0,000102	NS	0,004940	0,000045	NS
proporzionale alla deformata 1° modo di vibrazione												
Trave 14-15	0%	1,02	0,84	0,55	0,0766	0,0043	0,016868	0,000034	NS	0,004711	0,000021	NS
Trave 14-15	100%	1,07	0,82	0,55	0,0764	0,0046	0,017162	0,000124	NS	0,004847	0,000058	83,82

Id_{Tr}	$\%L_{LI}$	$L_{v,SLV}$	$L_{v,SLD}$	L_{pl}	ϕ_u	ϕ_y	SLV			SLD		
							Θ_c	Θ_d	CS	Θ_c	Θ_d	CS
	[%]	[m]	[m]	[m]	[rad/m]	[rad/m]	[rad]	[rad]		[rad]	[rad]	
sisma in +Y												
proporzionale alle masse												
Trave 14-15	0%	0,64	0,64	0,51	0,0836	0,0041	0,014577	0,000011	NS	0,004785	0,000011	NS
Trave 14-15	100%	0,48	0,48	0,50	0,0836	0,0048	0,012468	0,000037	NS	0,005430	0,000032	NS
proporzionale alla deformata 1° modo di vibrazione												
Trave 14-15	0%	0,62	0,63	0,51	0,0838	0,0043	0,014361	0,000012	NS	0,004848	0,000010	NS
Trave 14-15	100%	0,50	0,49	0,50	0,0838	0,0049	0,012553	0,000035	NS	0,005404	0,000030	NS
sisma in -Y												
proporzionale alle masse												
Trave 14-15	0%	0,00	0,00	0,00	0,0000	0,0000	0,000000	0,000000	0,00	0,000000	0,000000	0,00
Trave 14-15	100%	0,00	0,00	0,00	0,0000	0,0000	0,000000	0,000000	0,00	0,000000	0,000000	0,00
proporzionale alla deformata 1° modo di vibrazione												
Trave 14-15	0%	0,00	0,00	0,00	0,0000	0,0000	0,000000	0,000000	0,00	0,000000	0,000000	0,00
Trave 14-15	100%	0,00	0,00	0,00	0,0000	0,0000	0,000000	0,000000	0,00	0,000000	0,000000	0,00
sisma in +X												
proporzionale alle masse												
Trave 15-12d	0%	1,50	1,77	0,60	0,0700	0,0055	0,018553	0,000032	NS	0,006254	0,000020	NS
Trave 15-12d	100%	0,60	0,55	0,51	0,0702	0,0049	0,012195	0,000285	42,86	0,005227	0,000165	31,66
proporzionale alla deformata 1° modo di vibrazione												
Trave 15-12d	0%	1,47	1,77	0,59	0,0762	0,0045	0,019730	0,000038	NS	0,005472	0,000024	NS
Trave 15-12d	100%	0,64	0,55	0,51	0,0762	0,0055	0,013573	0,000259	52,38	0,005460	0,000151	36,18
sisma in -X												
proporzionale alle masse												
Trave 15-12d	0%	0,86	0,82	0,53	0,0825	0,0036	0,016666	0,000102	NS	0,004398	0,000045	98,17
Trave 15-12d	100%	1,10	1,16	0,56	0,0825	0,0036	0,018610	0,000239	77,73	0,004387	0,000145	30,29
proporzionale alla deformata 1° modo di vibrazione												
Trave 15-12d	0%	0,85	0,82	0,53	0,0793	0,0038	0,016071	0,000124	NS	0,004461	0,000058	77,14
Trave 15-12d	100%	1,10	1,16	0,56	0,0793	0,0037	0,017979	0,000202	88,79	0,004452	0,000132	33,68
sisma in +Y												
proporzionale alle masse												
Trave 15-12d	0%	1,19	1,33	0,57	0,0826	0,0044	0,019344	0,000037	NS	0,004936	0,000032	NS
Trave 15-12d	100%	0,25	0,25	0,47	0,0827	0,0041	0,012853	0,000201	63,97	0,007144	0,000111	64,36
proporzionale alla deformata 1° modo di vibrazione												
Trave 15-12d	0%	2,27	2,12	0,67	0,0832	0,0048	0,025563	0,000035	NS	0,006117	0,000030	NS
Trave 15-12d	100%	0,03	0,22	0,45	0,0832	0,0047	0,012776	0,000191	67,06	0,007891	0,000109	72,30
sisma in -Y												
proporzionale alle masse												
Trave 15-12d	0%	0,00	0,00	0,00	0,0000	0,0000	0,000000	0,000000	0,00	0,000000	0,000000	0,00
Trave 15-12d	100%	0,00	0,00	0,00	0,0000	0,0000	0,000000	0,000000	0,00	0,000000	0,000000	0,00
proporzionale alla deformata 1° modo di vibrazione												
Trave 15-12d	0%	0,00	0,00	0,00	0,0000	0,0000	0,000000	0,000000	0,00	0,000000	0,000000	0,00
Trave 15-12d	100%	0,00	0,00	0,00	0,0000	0,0000	0,000000	0,000000	0,00	0,000000	0,000000	0,00
Fondazione							**Travata: Trave13d-17-18-19-14d**					
sisma in +X												
proporzionale alle masse												
Trave 13d-17	0%	1,71	2,76	0,62	0,0868	0,0034	0,023876	0,000027	NS	0,005476	0,000010	NS
Trave 13d-17	100%	1,07	0,97	0,55	0,0868	0,0034	0,019236	0,000061	NS	0,004243	0,000047	90,71
proporzionale alla deformata 1° modo di vibrazione												
Trave 13d-17	0%	1,63	2,12	0,61	0,0811	0,0038	0,021799	0,000012	NS	0,005287	0,000029	NS
Trave 13d-17	100%	1,08	1,00	0,56	0,0812	0,0038	0,018213	0,000022	NS	0,004459	0,000023	NS
sisma in -X												
proporzionale alle masse												
Trave 13d-17	0%	0,30	0,44	0,48	0,0714	0,0061	0,010798	0,000215	50,17	0,005990	0,000088	68,30
Trave 13d-17	100%	2,68	2,50	0,72	0,0714	0,0071	0,024454	0,000052	NS	0,008998	0,000012	NS
proporzionale alla deformata 1° modo di vibrazione												
Trave 13d-17	0%	0,50	0,37	0,50	0,0810	0,0055	0,012624	0,000205	61,68	0,006215	0,000088	70,63
Trave 13d-17	100%	0,77	1,32	0,52	0,0808	0,0081	0,016259	0,000023	NS	0,007301	0,000006	NS
sisma in +Y												
proporzionale alle masse												
Trave 13d-17	0%	0,59	0,18	0,51	0,0809	0,0042	0,015484	0,000098	NS	0,008789	0,000045	NS
Trave 13d-17	100%	0,43	0,43	0,49	0,0809	0,0042	0,012124	0,000016	NS	0,005423	0,000023	NS
proporzionale alla deformata 1° modo di vibrazione												
Trave 13d-17	0%	0,68	0,25	0,52	0,0825	0,0047	0,016160	0,000084	NS	0,007316	0,000039	NS
Trave 13d-17	100%	0,49	0,49	0,50	0,0825	0,0046	0,012311	0,000023	NS	0,005297	0,000025	NS
sisma in -Y												
proporzionale alle masse												
Trave 13d-17	0%	0,00	0,00	0,00	0,0000	0,0000	0,000000	0,000000	0,00	0,000000	0,000000	0,00
Trave 13d-17	100%	0,00	0,00	0,00	0,0000	0,0000	0,000000	0,000000	0,00	0,000000	0,000000	0,00
proporzionale alla deformata 1° modo di vibrazione												
Trave 13d-17	0%	0,00	0,00	0,00	0,0000	0,0000	0,000000	0,000000	0,00	0,000000	0,000000	0,00
Trave 13d-17	100%	0,00	0,00	0,00	0,0000	0,0000	0,000000	0,000000	0,00	0,000000	0,000000	0,00
sisma in +X												
proporzionale alle masse												
Trave 17-18	0%	0,82	0,85	0,53	0,0827	0,0040	0,016346	0,000061	NS	0,004537	0,000047	97,00
Trave 17-18	100%	1,11	1,06	0,56	0,0827	0,0039	0,018738	0,000084	NS	0,004525	0,000047	95,54
proporzionale alla deformata 1° modo di vibrazione												
Trave 17-18	0%	0,88	0,90	0,54	0,0819	0,0040	0,016796	0,000022	NS	0,004547	0,000023	NS
Trave 17-18	100%	1,08	1,03	0,56	0,0818	0,0043	0,018374	0,000066	NS	0,004695	0,000037	NS
sisma in -X												
proporzionale alle masse												
Trave 17-18	0%	1,12	1,02	0,56	0,0787	0,0042	0,017963	0,000052	NS	0,004655	0,000012	NS
Trave 17-18	100%	0,75	0,87	0,52	0,0791	0,0040	0,015014	0,000088	NS	0,004558	0,000049	93,20
proporzionale alla deformata 1° modo di vibrazione												
Trave 17-18	0%	1,03	0,97	0,55	0,0817	0,0042	0,017963	0,000023	NS	0,004641	0,000006	NS
Trave 17-18	100%	0,83	0,90	0,53	0,0819	0,0040	0,016329	0,000068	NS	0,004550	0,000037	NS

Id_{Tr}	$\%L_{LI}$	$L_{v,SLV}$	$L_{v,SLD}$	L_{pl}	ϕ_u	ϕ_y	SLV			SLD		
							Θ_c	Θ_d	CS	Θ_c	Θ_d	CS
	[%]	[m]	[m]	[m]	[rad/m]	[rad/m]	[rad]	[rad]		[rad]	[rad]	
sisma in +Y												
proporzionale alle masse												
Trave 17-18	0%	0,93	0,93	0,54	0,0819	0,0040	0,017232	0,000016	NS	0,004550	0,000023	NS
Trave 17-18	100%	0,98	0,98	0,55	0,0819	0,0040	0,017615	0,000000	NS	0,004542	0,000000	NS
proporzionale alla deformata 1° modo di vibrazione												
Trave 17-18	0%	0,92	0,92	0,54	0,0826	0,0040	0,017216	0,000023	NS	0,004551	0,000025	NS
Trave 17-18	100%	0,99	0,98	0,55	0,0825	0,0040	0,017780	0,000003	NS	0,004533	0,000002	NS
sisma in -Y												
proporzionale alle masse												
Trave 17-18	0%	0,00	0,00	0,00	0,0000	0,0000	0,000000	0,000000	0,00	0,000000	0,000000	0,00
Trave 17-18	100%	0,00	0,00	0,00	0,0000	0,0000	0,000000	0,000000	0,00	0,000000	0,000000	0,00
proporzionale alla deformata 1° modo di vibrazione												
Trave 17-18	0%	0,00	0,00	0,00	0,0000	0,0000	0,000000	0,000000	0,00	0,000000	0,000000	0,00
Trave 17-18	100%	0,00	0,00	0,00	0,0000	0,0000	0,000000	0,000000	0,00	0,000000	0,000000	0,00
sisma in +X												
proporzionale alle masse												
Trave 18-19	0%	0,75	0,87	0,52	0,0790	0,0040	0,015021	0,000084	NS	0,004559	0,000047	96,26
Trave 18-19	100%	1,12	1,02	0,56	0,0785	0,0042	0,017938	0,000046	NS	0,004671	0,000015	NS
proporzionale alla deformata 1° modo di vibrazione												
Trave 18-19	0%	0,83	0,90	0,53	0,0818	0,0040	0,016296	0,000066	NS	0,004539	0,000037	NS
Trave 18-19	100%	1,02	0,98	0,55	0,0817	0,0043	0,017890	0,000012	NS	0,004710	0,000008	NS
sisma in -X												
proporzionale alle masse												
Trave 18-19	0%	1,11	1,06	0,56	0,0828	0,0039	0,018782	0,000088	NS	0,004493	0,000049	91,87
Trave 18-19	100%	0,80	0,85	0,53	0,0829	0,0039	0,016192	0,000075	NS	0,004520	0,000054	83,30
proporzionale alla deformata 1° modo di vibrazione												
Trave 18-19	0%	1,08	1,03	0,56	0,0821	0,0041	0,018383	0,000068	NS	0,004594	0,000037	NS
Trave 18-19	100%	0,87	0,90	0,53	0,0821	0,0040	0,016738	0,000033	NS	0,004557	0,000028	NS
sisma in +Y												
proporzionale alle masse												
Trave 18-19	0%	0,97	0,97	0,54	0,0820	0,0040	0,017560	0,000000	NS	0,004536	0,000000	NS
Trave 18-19	100%	0,94	0,93	0,54	0,0820	0,0040	0,017308	0,000016	NS	0,004554	0,000022	NS
proporzionale alla deformata 1° modo di vibrazione												
Trave 18-19	0%	0,96	0,97	0,54	0,0825	0,0040	0,017601	0,000003	NS	0,004534	0,000002	NS
Trave 18-19	100%	0,94	0,93	0,54	0,0825	0,0040	0,017436	0,000013	NS	0,004554	0,000020	NS
sisma in -Y												
proporzionale alle masse												
Trave 18-19	0%	0,00	0,00	0,00	0,0000	0,0000	0,000000	0,000000	0,00	0,000000	0,000000	0,00
Trave 18-19	100%	0,00	0,00	0,00	0,0000	0,0000	0,000000	0,000000	0,00	0,000000	0,000000	0,00
proporzionale alla deformata 1° modo di vibrazione												
Trave 18-19	0%	0,00	0,00	0,00	0,0000	0,0000	0,000000	0,000000	0,00	0,000000	0,000000	0,00
Trave 18-19	100%	0,00	0,00	0,00	0,0000	0,0000	0,000000	0,000000	0,00	0,000000	0,000000	0,00
sisma in +X												
proporzionale alle masse												
Trave 19-14d	0%	3,43	0,90	0,79	0,0714	0,0070	0,025530	0,000046	NS	0,006002	0,000015	NS
Trave 19-14d	100%	0,17	0,66	0,46	0,0714	0,0053	0,010295	0,000146	70,41	0,005234	0,000067	78,42
proporzionale alla deformata 1° modo di vibrazione												
Trave 19-14d	0%	2,30	0,95	0,68	0,0806	0,0064	0,024302	0,000012	NS	0,005758	0,000008	NS
Trave 19-14d	100%	0,37	0,54	0,48	0,0810	0,0047	0,011831	0,000124	95,33	0,005196	0,000056	92,03
sisma in -X												
proporzionale alle masse												
Trave 19-14d	0%	1,04	0,92	0,55	0,0872	0,0033	0,019108	0,000075	NS	0,004216	0,000054	77,70
Trave 19-14d	100%	2,01	4,94	0,65	0,0872	0,0033	0,026616	0,000063	NS	0,007579	0,000019	NS
proporzionale alla deformata 1° modo di vibrazione												
Trave 19-14d	0%	1,04	0,94	0,55	0,0817	0,0038	0,018029	0,000033	NS	0,004471	0,000028	NS
Trave 19-14d	100%	1,84	2,43	0,63	0,0816	0,0039	0,023179	0,000040	NS	0,005684	0,000005	NS
sisma in +Y												
proporzionale alle masse												
Trave 19-14d	0%	0,43	0,41	0,49	0,0810	0,0042	0,012186	0,000016	NS	0,005534	0,000022	NS
Trave 19-14d	100%	0,50	0,32	0,50	0,0810	0,0042	0,012732	0,000094	NS	0,006217	0,000038	NS
proporzionale alla deformata 1° modo di vibrazione												
Trave 19-14d	0%	0,47	0,40	0,49	0,0822	0,0047	0,012444	0,000013	NS	0,005733	0,000020	NS
Trave 19-14d	100%	2,26	0,03	0,67	0,0821	0,0046	0,041890	0,000144	NS	0,039364	0,000062	NS
sisma in -Y												
proporzionale alle masse												
Trave 19-14d	0%	0,00	0,00	0,00	0,0000	0,0000	0,000000	0,000000	0,00	0,000000	0,000000	0,00
Trave 19-14d	100%	0,00	0,00	0,00	0,0000	0,0000	0,000000	0,000000	0,00	0,000000	0,000000	0,00
proporzionale alla deformata 1° modo di vibrazione												
Trave 19-14d	0%	0,00	0,00	0,00	0,0000	0,0000	0,000000	0,000000	0,00	0,000000	0,000000	0,00
Trave 19-14d	100%	0,00	0,00	0,00	0,0000	0,0000	0,000000	0,000000	0,00	0,000000	0,000000	0,00
Fondazione							**Travata: Trave19d-23-24-25**					
sisma in +X												
proporzionale alle masse												
Trave 19d-23	0%	0,70	0,70	0,50	0,0785	0,0046	0,014193	0,000158	90,02	0,004625	0,000062	74,39
Trave 19d-23	100%	0,57	0,58	0,49	0,0785	0,0046	0,012725	0,000144	88,64	0,004751	0,000076	62,91
proporzionale alla deformata 1° modo di vibrazione												
Trave 19d-23	0%	0,70	0,70	0,50	0,0761	0,0048	0,013801	0,000119	NS	0,004690	0,000046	NS
Trave 19d-23	100%	0,58	0,58	0,49	0,0761	0,0049	0,012425	0,000145	85,69	0,004849	0,000077	62,67
sisma in -X												
proporzionale alle masse												
Trave 19d-23	0%	0,61	0,61	0,49	0,0623	0,0064	0,010863	0,000059	NS	0,005393	0,000014	NS
Trave 19d-23	100%	0,67	0,67	0,50	0,0623	0,0064	0,011407	0,000008	NS	0,005362	0,000010	NS
proporzionale alla deformata 1° modo di vibrazione												
Trave 19d-23	0%	0,61	0,61	0,49	0,0681	0,0057	0,011716	0,000028	NS	0,005113	0,000003	NS
Trave 19d-23	100%	0,67	0,67	0,50	0,0681	0,0057	0,012253	0,000001	NS	0,005093	0,000005	NS

Id_{Tr}	$\%L_{LI}$	$L_{v,SLV}$	$L_{v,SLD}$	L_{pl}	ϕ_u	ϕ_y	SLV			SLD		
							Θ_c	Θ_d	CS	Θ_c	Θ_d	CS
	[%]	[m]	[m]	[m]	[rad/m]	[rad/m]	[rad]	[rad]		[rad]	[rad]	
sisma in +Y												
proporzionale alle masse												
Trave 19d-23	0%	0,31	0,17	0,46	0,0789	0,0050	0,012615	0,000242	52,14	0,008224	0,000107	76,92
Trave 19d-23	100%	3,75	2,54	0,80	0,0788	0,0052	0,029949	0,000009	NS	0,007087	0,000018	NS
proporzionale alla deformata 1° modo di vibrazione												
Trave 19d-23	0%	0,21	0,31	0,45	0,0802	0,0052	0,011431	0,000165	69,48	0,005975	0,000069	86,52
Trave 19d-23	100%	6,72	2,04	1,10	0,0802	0,0054	0,041037	0,000012	NS	0,006470	0,000021	NS
sisma in -Y												
proporzionale alle masse												
Trave 19d-23	0%	0,00	0,00	0,00	0,0000	0,0000	0,000000	0,000000	0,00	0,000000	0,000000	0,00
Trave 19d-23	100%	0,00	0,00	0,00	0,0000	0,0000	0,000000	0,000000	0,00	0,000000	0,000000	0,00
proporzionale alla deformata 1° modo di vibrazione												
Trave 19d-23	0%	0,00	0,00	0,00	0,0000	0,0000	0,000000	0,000000	0,00	0,000000	0,000000	0,00
Trave 19d-23	100%	0,00	0,00	0,00	0,0000	0,0000	0,000000	0,000000	0,00	0,000000	0,000000	0,00
sisma in +X												
proporzionale alle masse												
Trave 23-24	0%	2,33	1,50	0,66	0,0728	0,0092	0,022169	0,000140	NS	0,008283	0,000072	NS
Trave 23-24	100%	5,26	2,45	0,95	0,0728	0,0064	0,032869	0,000090	NS	0,008146	0,000072	NS
proporzionale alla deformata 1° modo di vibrazione												
Trave 23-24	0%	1,58	1,22	0,59	0,0732	0,0075	0,018953	0,000141	NS	0,006531	0,000074	88,29
Trave 23-24	100%	1,43	1,01	0,57	0,0731	0,0065	0,018080	0,000081	NS	0,005650	0,000067	84,49
sisma in -X												
proporzionale alle masse												
Trave 23-24	0%	0,48	0,49	0,48	0,0704	0,0062	0,010445	0,000006	NS	0,005462	0,000010	NS
Trave 23-24	100%	0,48	0,35	0,48	0,0704	0,0066	0,010777	0,000018	NS	0,006104	0,000018	NS
proporzionale alla deformata 1° modo di vibrazione												
Trave 23-24	0%	0,34	10,18	0,46	0,0734	0,0062	0,019518	0,000003	NS	0,023473	0,000005	NS
Trave 23-24	100%	0,57	0,60	0,49	0,0734	0,0066	0,012040	0,000024	NS	0,005473	0,000023	NS
sisma in +Y												
proporzionale alle masse												
Trave 23-24	0%	1,09	0,00	0,54	0,0798	0,0061	0,770344	0,000043	NS	1,510758	0,000037	NS
Trave 23-24	100%	0,18	0,27	0,45	0,0799	0,0064	0,011567	0,000005	NS	0,006724	0,000027	NS
proporzionale alla deformata 1° modo di vibrazione												
Trave 23-24	0%	1,39	0,21	0,57	0,0806	0,0058	0,020654	0,000038	NS	0,007448	0,000037	NS
Trave 23-24	100%	0,20	0,38	0,45	0,0807	0,0064	0,011261	0,000018	NS	0,005835	0,000032	NS
sisma in -Y												
proporzionale alle masse												
Trave 23-24	0%	0,00	0,00	0,00	0,0000	0,0000	0,000000	0,000000	0,00	0,000000	0,000000	0,00
Trave 23-24	100%	0,00	0,00	0,00	0,0000	0,0000	0,000000	0,000000	0,00	0,000000	0,000000	0,00
proporzionale alla deformata 1° modo di vibrazione												
Trave 23-24	0%	0,00	0,00	0,00	0,0000	0,0000	0,000000	0,000000	0,00	0,000000	0,000000	0,00
Trave 23-24	100%	0,00	0,00	0,00	0,0000	0,0000	0,000000	0,000000	0,00	0,000000	0,000000	0,00
sisma in +X												
proporzionale alle masse												
Trave 24-25	0%	3,66	1,29	0,81	0,0663	0,0042	0,024827	0,000094	NS	0,004813	0,000077	62,11
Trave 24-25	100%	2,03	1,61	0,65	0,0666	0,0047	0,019602	0,000955	20,53	0,005457	0,000442	12,34
proporzionale alla deformata 1° modo di vibrazione												
Trave 24-25	0%	6,69	0,32	1,12	0,0702	0,0042	0,036885	0,000085	NS	0,006225	0,000072	86,80
Trave 24-25	100%	1,90	1,51	0,64	0,0704	0,0046	0,020080	0,000793	25,33	0,005236	0,000376	13,93
sisma in -X												
proporzionale alle masse												
Trave 24-25	0%	1,33	1,19	0,58	0,0765	0,0041	0,018740	0,000024	NS	0,004668	0,000024	NS
Trave 24-25	100%	6,04	26,04	1,05	0,0764	0,0039	0,052842	0,001535	34,43	0,036187	0,000749	48,33
proporzionale alla deformata 1° modo di vibrazione												
Trave 24-25	0%	1,30	1,17	0,58	0,0762	0,0042	0,018530	0,000031	NS	0,004737	0,000029	NS
Trave 24-25	100%	7,26	10,75	1,17	0,0761	0,0040	0,047176	0,001275	36,99	0,016591	0,000645	25,71
sisma in +Y												
proporzionale alle masse												
Trave 24-25	0%	0,34	0,54	0,48	0,0810	0,0042	0,011732	0,000009	NS	0,005017	0,000021	NS
Trave 24-25	100%	0,74	0,64	0,52	0,0805	0,0046	0,015273	0,000233	65,62	0,004987	0,000150	33,18
proporzionale alla deformata 1° modo di vibrazione												
Trave 24-25	0%	0,38	0,56	0,49	0,0815	0,0042	0,011857	0,000008	NS	0,004958	0,000029	NS
Trave 24-25	100%	0,74	0,67	0,52	0,0812	0,0044	0,015375	0,000186	82,49	0,004831	0,000122	39,50
sisma in -Y												
proporzionale alle masse												
Trave 24-25	0%	0,00	0,00	0,00	0,0000	0,0000	0,000000	0,000000	0,00	0,000000	0,000000	0,00
Trave 24-25	100%	0,00	0,00	0,00	0,0000	0,0000	0,000000	0,000000	0,00	0,000000	0,000000	0,00
proporzionale alla deformata 1° modo di vibrazione												
Trave 24-25	0%	0,00	0,00	0,00	0,0000	0,0000	0,000000	0,000000	0,00	0,000000	0,000000	0,00
Trave 24-25	100%	0,00	0,00	0,00	0,0000	0,0000	0,000000	0,000000	0,00	0,000000	0,000000	0,00
Fondazione							**Travata: Trave27d-39-28d**					
sisma in +X												
proporzionale alle masse												
Trave 27d-39	0%	1,85	2,14	0,61	0,0820	0,0046	0,022768	0,000475	47,89	0,005918	0,000257	23,03
Trave 27d-39	100%	0,95	0,91	0,52	0,0821	0,0047	0,017023	0,000005	NS	0,004683	0,000001	NS
proporzionale alla deformata 1° modo di vibrazione												
Trave 27d-39	0%	1,91	2,26	0,62	0,0807	0,0048	0,022847	0,000404	56,54	0,006278	0,000217	28,92
Trave 27d-39	100%	0,94	0,90	0,52	0,0808	0,0050	0,016688	0,000016	NS	0,004834	0,000007	NS
sisma in -X												
proporzionale alle masse												
Trave 27d-39	0%	1,34	1,26	0,56	0,0700	0,0056	0,017071	0,000545	31,30	0,005451	0,000346	15,75
Trave 27d-39	100%	1,20	1,30	0,55	0,0700	0,0072	0,016551	0,000040	NS	0,006480	0,000030	NS
proporzionale alla deformata 1° modo di vibrazione												
Trave 27d-39	0%	1,34	1,26	0,56	0,0735	0,0052	0,017838	0,000568	31,39	0,005250	0,000355	14,79
Trave 27d-39	100%	1,19	1,32	0,55	0,0735	0,0064	0,017180	0,000051	NS	0,006033	0,000036	NS

Id_{Tr}	$\%L_{LI}$	$L_{v,SLV}$	$L_{v,SLD}$	L_{pl}	ϕ_u	ϕ_y	SLV			SLD		
							Θ_c	Θ_d	CS	Θ_c	Θ_d	CS
	[%]	[m]	[m]	[m]	[rad/m]	[rad/m]	[rad]	[rad]		[rad]	[rad]	
sisma in +Y												
proporzionale alle masse												
Trave 27d-39	0%	0,69	0,59	0,50	0,0820	0,0053	0,014694	0,000117	NS	0,004966	0,000089	55,88
Trave 27d-39	100%	0,79	0,77	0,51	0,0819	0,0053	0,015689	0,000010	NS	0,004935	0,000009	NS
proporzionale alla deformata 1° modo di vibrazione												
Trave 27d-39	0%	1,01	0,84	0,53	0,0822	0,0056	0,017546	0,000155	NS	0,005096	0,000108	46,99
Trave 27d-39	100%	0,50	0,72	0,48	0,0822	0,0059	0,012112	0,000018	NS	0,005191	0,000014	NS
sisma in -Y												
proporzionale alle masse												
Trave 27d-39	0%	0,00	0,00	0,00	0,0000	0,0000	0,000000	0,000000	0,00	0,000000	0,000000	0,00
Trave 27d-39	100%	0,00	0,00	0,00	0,0000	0,0000	0,000000	0,000000	0,00	0,000000	0,000000	0,00
proporzionale alla deformata 1° modo di vibrazione												
Trave 27d-39	0%	0,00	0,00	0,00	0,0000	0,0000	0,000000	0,000000	0,00	0,000000	0,000000	0,00
Trave 27d-39	100%	0,00	0,00	0,00	0,0000	0,0000	0,000000	0,000000	0,00	0,000000	0,000000	0,00
sisma in +X												
proporzionale alle masse												
Trave 39-28d	0%	6,77	0,27	1,11	0,0751	0,0049	0,038788	0,000005	NS	0,006272	0,000001	NS
Trave 39-28d	100%	1,59	1,32	0,59	0,0751	0,0058	0,019457	0,000491	39,63	0,005665	0,000299	18,97
proporzionale alla deformata 1° modo di vibrazione												
Trave 39-28d	0%	1,64	0,45	0,59	0,0783	0,0049	0,020414	0,000016	NS	0,005119	0,000007	NS
Trave 39-28d	100%	1,49	1,24	0,58	0,0783	0,0054	0,019677	0,000448	43,96	0,005295	0,000274	19,31
sisma in -X												
proporzionale alle masse												
Trave 39-28d	0%	1,30	1,19	0,56	0,0789	0,0051	0,018735	0,000040	NS	0,005067	0,000030	NS
Trave 39-28d	100%	6,93	19,81	1,12	0,0788	0,0050	0,055786	0,000901	61,89	0,035417	0,000535	66,25
proporzionale alla deformata 1° modo di vibrazione												
Trave 39-28d	0%	1,28	1,17	0,56	0,0781	0,0053	0,018462	0,000051	NS	0,005178	0,000036	NS
Trave 39-28d	100%	7,82	12,93	1,21	0,0780	0,0052	0,053053	0,000802	66,14	0,024715	0,000487	50,73
sisma in +Y												
proporzionale alle masse												
Trave 39-28d	0%	0,95	0,93	0,52	0,0827	0,0054	0,017190	0,000010	NS	0,005044	0,000009	NS
Trave 39-28d	100%	0,11	0,22	0,44	0,0825	0,0062	0,012089	0,000041	NS	0,007364	0,000042	NS
proporzionale alla deformata 1° modo di vibrazione												
Trave 39-28d	0%	1,01	0,97	0,53	0,0829	0,0052	0,017706	0,000018	NS	0,004930	0,000014	NS
Trave 39-28d	100%	0,39	0,00	0,47	0,0828	0,0072	0,228132	0,000117	NS	0,438572	0,000078	NS
sisma in -Y												
proporzionale alle masse												
Trave 39-28d	0%	0,00	0,00	0,00	0,0000	0,0000	0,000000	0,000000	0,00	0,000000	0,000000	0,00
Trave 39-28d	100%	0,00	0,00	0,00	0,0000	0,0000	0,000000	0,000000	0,00	0,000000	0,000000	0,00
proporzionale alla deformata 1° modo di vibrazione												
Trave 39-28d	0%	0,00	0,00	0,00	0,0000	0,0000	0,000000	0,000000	0,00	0,000000	0,000000	0,00
Trave 39-28d	100%	0,00	0,00	0,00	0,0000	0,0000	0,000000	0,000000	0,00	0,000000	0,000000	0,00
Fondazione							**Travata: Trave29d-41-42-30d**					
sisma in +X												
proporzionale alle masse												
Trave 29d-41	0%	5,58	1,19	1,01	0,0837	0,0037	0,038821	0,000574	67,61	0,004440	0,000325	13,66
Trave 29d-41	100%	1,26	1,17	0,57	0,0839	0,0036	0,019975	0,000012	NS	0,004399	0,000001	NS
proporzionale alla deformata 1° modo di vibrazione												
Trave 29d-41	0%	5,25	1,13	0,97	0,0821	0,0039	0,036761	0,000496	74,17	0,004561	0,000285	15,99
Trave 29d-41	100%	1,24	1,14	0,57	0,0822	0,0039	0,019528	0,000007	NS	0,004529	0,000011	NS
sisma in -X												
proporzionale alle masse												
Trave 29d-41	0%	1,78	1,51	0,63	0,0698	0,0050	0,019448	0,000497	39,14	0,005501	0,000319	17,25
Trave 29d-41	100%	18,90	0,95	2,34	0,0696	0,0040	0,074186	0,000053	NS	0,004562	0,000036	NS
proporzionale alla deformata 1° modo di vibrazione												
Trave 29d-41	0%	1,70	1,45	0,62	0,0738	0,0046	0,020081	0,000477	42,09	0,005179	0,000309	16,77
Trave 29d-41	100%	10,42	0,43	1,49	0,0736	0,0040	0,050762	0,000038	NS	0,005331	0,000028	NS
sisma in +Y												
proporzionale alle masse												
Trave 29d-41	0%	0,72	0,72	0,52	0,0828	0,0046	0,015412	0,000063	NS	0,004867	0,000049	98,36
Trave 29d-41	100%	0,87	0,85	0,53	0,0828	0,0044	0,016899	0,000014	NS	0,004760	0,000015	NS
proporzionale alla deformata 1° modo di vibrazione												
Trave 29d-41	0%	0,93	0,82	0,54	0,0826	0,0044	0,017355	0,000130	NS	0,004761	0,000083	57,69
Trave 29d-41	100%	0,79	0,82	0,53	0,0827	0,0040	0,016096	0,000015	NS	0,004577	0,000015	NS
sisma in -Y												
proporzionale alle masse												
Trave 29d-41	0%	0,00	0,00	0,00	0,0000	0,0000	0,000000	0,000000	0,00	0,000000	0,000000	0,00
Trave 29d-41	100%	0,00	0,00	0,00	0,0000	0,0000	0,000000	0,000000	0,00	0,000000	0,000000	0,00
proporzionale alla deformata 1° modo di vibrazione												
Trave 29d-41	0%	0,00	0,00	0,00	0,0000	0,0000	0,000000	0,000000	0,00	0,000000	0,000000	0,00
Trave 29d-41	100%	0,00	0,00	0,00	0,0000	0,0000	0,000000	0,000000	0,00	0,000000	0,000000	0,00
sisma in +X												
proporzionale alle masse												
Trave 41-42	0%	0,46	0,64	0,48	0,0782	0,0053	0,011145	0,000012	NS	0,004959	0,000001	NS
Trave 41-42	100%	0,75	0,69	0,50	0,0783	0,0060	0,014697	0,000006	NS	0,005221	0,000004	NS
proporzionale alla deformata 1° modo di vibrazione												
Trave 41-42	0%	0,63	0,65	0,49	0,0810	0,0053	0,013783	0,000007	NS	0,004924	0,000011	NS
Trave 41-42	100%	0,67	0,62	0,50	0,0809	0,0062	0,014300	0,000014	NS	0,005314	0,000011	NS
sisma in -X												
proporzionale alle masse												
Trave 41-42	0%	1,02	0,88	0,53	0,0768	0,0052	0,016519	0,000053	NS	0,004899	0,000036	NS
Trave 41-42	100%	0,79	0,72	0,51	0,0766	0,0057	0,014786	0,000087	NS	0,005067	0,000036	NS
proporzionale alla deformata 1° modo di vibrazione												
Trave 41-42	0%	0,97	0,83	0,53	0,0766	0,0053	0,016115	0,000038	NS	0,004932	0,000028	NS
Trave 41-42	100%	0,93	0,76	0,52	0,0763	0,0058	0,015837	0,000112	NS	0,005129	0,000051	NS

Id_{Tr}	$\%L_{LI}$	$L_{v,SLV}$	$L_{v,SLD}$	L_{pl}	ϕ_u	ϕ_y	SLV			SLD		
							Θ_c	Θ_d	CS	Θ_c	Θ_d	CS
	[%]	[m]	[m]	[m]	[rad/m]	[rad/m]	[rad]	[rad]		[rad]	[rad]	
sisma in +Y												
proporzionale alle masse												
Trave 41-42	0%	0,72	0,70	0,50	0,0828	0,0053	0,015116	0,000014	NS	0,004929	0,000015	NS
Trave 41-42	100%	0,63	0,61	0,49	0,0827	0,0068	0,014207	0,000027	NS	0,005534	0,000014	NS
proporzionale alla deformata 1° modo di vibrazione												
Trave 41-42	0%	0,73	0,71	0,50	0,0828	0,0053	0,015249	0,000015	NS	0,004899	0,000015	NS
Trave 41-42	100%	0,66	0,62	0,50	0,0827	0,0069	0,014525	0,000040	NS	0,005583	0,000022	NS
sisma in -Y												
proporzionale alle masse												
Trave 41-42	0%	0,00	0,00	0,00	0,0000	0,0000	0,000000	0,000000	0,00	0,000000	0,000000	0,00
Trave 41-42	100%	0,00	0,00	0,00	0,0000	0,0000	0,000000	0,000000	0,00	0,000000	0,000000	0,00
proporzionale alla deformata 1° modo di vibrazione												
Trave 41-42	0%	0,00	0,00	0,00	0,0000	0,0000	0,000000	0,000000	0,00	0,000000	0,000000	0,00
Trave 41-42	100%	0,00	0,00	0,00	0,0000	0,0000	0,000000	0,000000	0,00	0,000000	0,000000	0,00
sisma in +X												
proporzionale alle masse												
Trave 42-30d	0%	1,38	1,70	0,57	0,0725	0,0076	0,018435	0,000006	NS	0,007637	0,000004	NS
Trave 42-30d	100%	0,71	0,64	0,50	0,0726	0,0099	0,013513	0,000163	82,78	0,006768	0,000086	78,84
proporzionale alla deformata 1° modo di vibrazione												
Trave 42-30d	0%	1,38	1,72	0,57	0,0778	0,0057	0,019351	0,000014	NS	0,006233	0,000011	NS
Trave 42-30d	100%	0,72	0,64	0,50	0,0778	0,0061	0,014351	0,000145	99,22	0,005258	0,000077	68,37
sisma in -X												
proporzionale alle masse												
Trave 42-30d	0%	0,85	0,82	0,51	0,0822	0,0045	0,016228	0,000087	NS	0,004564	0,000036	NS
Trave 42-30d	100%	1,11	1,15	0,54	0,0822	0,0045	0,018243	0,000354	51,54	0,004713	0,000186	25,37
proporzionale alla deformata 1° modo di vibrazione												
Trave 42-30d	0%	0,85	0,82	0,51	0,0792	0,0047	0,015683	0,000112	NS	0,004645	0,000051	91,56
Trave 42-30d	100%	1,11	1,15	0,54	0,0792	0,0046	0,017660	0,000324	54,43	0,004796	0,000173	27,79
sisma in +Y												
proporzionale alle masse												
Trave 42-30d	0%	0,88	0,77	0,52	0,0825	0,0053	0,016548	0,000027	NS	0,004909	0,000014	NS
Trave 42-30d	100%	1,51	2,20	0,58	0,0824	0,0050	0,021311	0,000121	NS	0,006360	0,000051	NS
proporzionale alla deformata 1° modo di vibrazione												
Trave 42-30d	0%	0,86	0,78	0,52	0,0829	0,0051	0,016448	0,000040	NS	0,004818	0,000022	NS
Trave 42-30d	100%	1,19	1,42	0,55	0,0829	0,0052	0,019097	0,000097	NS	0,005437	0,000041	NS
sisma in -Y												
proporzionale alle masse												
Trave 42-30d	0%	0,00	0,00	0,00	0,0000	0,0000	0,000000	0,000000	0,00	0,000000	0,000000	0,00
Trave 42-30d	100%	0,00	0,00	0,00	0,0000	0,0000	0,000000	0,000000	0,00	0,000000	0,000000	0,00
proporzionale alla deformata 1° modo di vibrazione												
Trave 42-30d	0%	0,00	0,00	0,00	0,0000	0,0000	0,000000	0,000000	0,00	0,000000	0,000000	0,00
Trave 42-30d	100%	0,00	0,00	0,00	0,0000	0,0000	0,000000	0,000000	0,00	0,000000	0,000000	0,00
Fondazione							**Travata: Trave31d-44-45-46-32d**					
sisma in +X												
proporzionale alle masse												
Trave 31d-44	0%	1,64	2,56	0,61	0,0867	0,0034	0,023350	0,000020	NS	0,005299	0,000049	NS
Trave 31d-44	100%	1,10	1,00	0,56	0,0868	0,0034	0,019487	0,000064	NS	0,004247	0,000049	86,76
proporzionale alla deformata 1° modo di vibrazione												
Trave 31d-44	0%	1,55	2,00	0,60	0,0811	0,0038	0,021365	0,000066	NS	0,005170	0,000074	70,06
Trave 31d-44	100%	1,12	1,03	0,56	0,0812	0,0038	0,018477	0,000030	NS	0,004447	0,000028	NS
sisma in -X												
proporzionale alle masse												
Trave 31d-44	0%	0,04	0,28	0,45	0,0713	0,0057	0,010960	0,000234	46,88	0,007116	0,000114	62,19
Trave 31d-44	100%	8,93	1,89	1,34	0,0712	0,0070	0,043597	0,000046	NS	0,007684	0,000014	NS
proporzionale alla deformata 1° modo di vibrazione												
Trave 31d-44	0%	0,81	0,18	0,53	0,0803	0,0052	0,017932	0,000249	72,15	0,009141	0,000118	77,20
Trave 31d-44	100%	0,86	0,70	0,53	0,0806	0,0084	0,016580	0,000031	NS	0,006497	0,000001	NS
sisma in +Y												
proporzionale alle masse												
Trave 31d-44	0%	1,10	0,97	0,56	0,0806	0,0043	0,018194	0,000139	NS	0,004696	0,000084	56,18
Trave 31d-44	100%	0,54	0,57	0,50	0,0805	0,0041	0,012747	0,000026	NS	0,004894	0,000026	NS
proporzionale alla deformata 1° modo di vibrazione												
Trave 31d-44	0%	1,12	1,00	0,56	0,0818	0,0044	0,018641	0,000144	NS	0,004746	0,000085	56,01
Trave 31d-44	100%	9,11	0,05	1,36	0,0816	0,0045	0,060915	0,000033	NS	0,024899	0,000031	NS
sisma in -Y												
proporzionale alle masse												
Trave 31d-44	0%	0,00	0,00	0,00	0,0000	0,0000	0,000000	0,000000	0,00	0,000000	0,000000	0,00
Trave 31d-44	100%	0,00	0,00	0,00	0,0000	0,0000	0,000000	0,000000	0,00	0,000000	0,000000	0,00
proporzionale alla deformata 1° modo di vibrazione												
Trave 31d-44	0%	0,00	0,00	0,00	0,0000	0,0000	0,000000	0,000000	0,00	0,000000	0,000000	0,00
Trave 31d-44	100%	0,00	0,00	0,00	0,0000	0,0000	0,000000	0,000000	0,00	0,000000	0,000000	0,00
sisma in +X												
proporzionale alle masse												
Trave 44-45	0%	0,80	0,85	0,53	0,0827	0,0040	0,016208	0,000064	NS	0,004540	0,000049	92,74
Trave 44-45	100%	1,12	1,06	0,56	0,0826	0,0039	0,018780	0,000086	NS	0,004527	0,000048	93,96
proporzionale alla deformata 1° modo di vibrazione												
Trave 44-45	0%	0,85	0,89	0,53	0,0819	0,0040	0,016544	0,000030	NS	0,004555	0,000028	NS
Trave 44-45	100%	1,11	1,04	0,56	0,0818	0,0042	0,018522	0,000076	NS	0,004661	0,000042	NS
sisma in -X												
proporzionale alle masse												
Trave 44-45	0%	1,12	1,02	0,56	0,0787	0,0041	0,017945	0,000046	NS	0,004596	0,000014	NS
Trave 44-45	100%	0,74	0,87	0,52	0,0791	0,0040	0,014958	0,000090	NS	0,004558	0,000049	92,19
proporzionale alla deformata 1° modo di vibrazione												
Trave 44-45	0%	1,05	0,99	0,55	0,0815	0,0042	0,018093	0,000031	NS	0,004663	0,000001	NS
Trave 44-45	100%	0,79	0,89	0,53	0,0818	0,0040	0,015941	0,000079	NS	0,004549	0,000042	NS

Id_{Tr}	$\%L_{LI}$	$L_{v,SLV}$	$L_{v,SLD}$	L_{pl}	ϕ_u	ϕ_y	SLV			SLD		
							Θ_c	Θ_d	CS	Θ_c	Θ_d	CS
	[%]	[m]	[m]	[m]	[rad/m]	[rad/m]	[rad]	[rad]		[rad]	[rad]	
sisma in +Y												
proporzionale alle masse												
Trave 44-45	0%	0,93	0,92	0,54	0,0818	0,0040	0,017160	0,000026	NS	0,004554	0,000026	NS
Trave 44-45	100%	0,98	0,97	0,55	0,0818	0,0040	0,017578	0,000001	NS	0,004537	0,000001	NS
proporzionale alla deformata 1° modo di vibrazione												
Trave 44-45	0%	0,91	0,92	0,54	0,0823	0,0040	0,017137	0,000033	NS	0,004559	0,000031	NS
Trave 44-45	100%	0,97	0,97	0,54	0,0823	0,0040	0,017638	0,000003	NS	0,004534	0,000002	NS
sisma in -Y												
proporzionale alle masse												
Trave 44-45	0%	0,00	0,00	0,00	0,0000	0,0000	0,000000	0,000000	0,00	0,000000	0,000000	0,00
Trave 44-45	100%	0,00	0,00	0,00	0,0000	0,0000	0,000000	0,000000	0,00	0,000000	0,000000	0,00
proporzionale alla deformata 1° modo di vibrazione												
Trave 44-45	0%	0,00	0,00	0,00	0,0000	0,0000	0,000000	0,000000	0,00	0,000000	0,000000	0,00
Trave 44-45	100%	0,00	0,00	0,00	0,0000	0,0000	0,000000	0,000000	0,00	0,000000	0,000000	0,00
sisma in +X												
proporzionale alle masse												
Trave 45-46	0%	0,75	0,87	0,52	0,0789	0,0040	0,015000	0,000086	NS	0,004559	0,000048	94,62
Trave 45-46	100%	1,12	1,02	0,56	0,0785	0,0041	0,017912	0,000044	NS	0,004590	0,000012	NS
proporzionale alla deformata 1° modo di vibrazione												
Trave 45-46	0%	0,80	0,89	0,53	0,0818	0,0040	0,015986	0,000076	NS	0,004552	0,000042	NS
Trave 45-46	100%	1,04	0,99	0,55	0,0815	0,0043	0,018001	0,000020	NS	0,004715	0,000004	NS
sisma in -X												
proporzionale alle masse												
Trave 45-46	0%	1,12	1,06	0,56	0,0828	0,0039	0,018784	0,000090	NS	0,004496	0,000049	90,93
Trave 45-46	100%	0,79	0,85	0,53	0,0829	0,0039	0,016157	0,000074	NS	0,004520	0,000054	83,74
proporzionale alla deformata 1° modo di vibrazione												
Trave 45-46	0%	1,10	1,03	0,56	0,0820	0,0041	0,018479	0,000079	NS	0,004598	0,000042	NS
Trave 45-46	100%	0,86	0,89	0,53	0,0821	0,0040	0,016599	0,000037	NS	0,004555	0,000030	NS
sisma in +Y												
proporzionale alle masse												
Trave 45-46	0%	0,97	0,97	0,54	0,0818	0,0040	0,017495	0,000001	NS	0,004534	0,000001	NS
Trave 45-46	100%	0,93	0,93	0,54	0,0818	0,0040	0,017231	0,000026	NS	0,004556	0,000026	NS
proporzionale alla deformata 1° modo di vibrazione												
Trave 45-46	0%	0,97	0,97	0,54	0,0824	0,0040	0,017609	0,000003	NS	0,004533	0,000002	NS
Trave 45-46	100%	0,93	0,93	0,54	0,0824	0,0040	0,017299	0,000025	NS	0,004567	0,000025	NS
sisma in -Y												
proporzionale alle masse												
Trave 45-46	0%	0,00	0,00	0,00	0,0000	0,0000	0,000000	0,000000	0,00	0,000000	0,000000	0,00
Trave 45-46	100%	0,00	0,00	0,00	0,0000	0,0000	0,000000	0,000000	0,00	0,000000	0,000000	0,00
proporzionale alla deformata 1° modo di vibrazione												
Trave 45-46	0%	0,00	0,00	0,00	0,0000	0,0000	0,000000	0,000000	0,00	0,000000	0,000000	0,00
Trave 45-46	100%	0,00	0,00	0,00	0,0000	0,0000	0,000000	0,000000	0,00	0,000000	0,000000	0,00
sisma in +X												
proporzionale alle masse												
Trave 46-32d	0%	8,12	2,03	1,26	0,0713	0,0081	0,041146	0,000044	NS	0,008898	0,000012	NS
Trave 46-32d	100%	0,27	0,57	0,47	0,0712	0,0052	0,010480	0,000151	69,46	0,005305	0,000072	73,29
proporzionale alla deformata 1° modo di vibrazione												
Trave 46-32d	0%	1,86	1,02	0,63	0,0802	0,0073	0,022306	0,000020	NS	0,006278	0,000004	NS
Trave 46-32d	100%	0,15	0,46	0,46	0,0806	0,0049	0,011512	0,000164	70,31	0,005512	0,000078	70,77
sisma in -X												
proporzionale alle masse												
Trave 46-32d	0%	1,06	0,94	0,55	0,0870	0,0033	0,019234	0,000074	NS	0,004216	0,000054	78,10
Trave 46-32d	100%	1,91	3,97	0,64	0,0870	0,0033	0,025527	0,000046	NS	0,006582	0,000008	NS
proporzionale alla deformata 1° modo di vibrazione												
Trave 46-32d	0%	1,08	0,97	0,56	0,0816	0,0038	0,018245	0,000037	NS	0,004445	0,000030	NS
Trave 46-32d	100%	1,74	2,36	0,62	0,0815	0,0039	0,022609	0,000011	NS	0,005559	0,000011	NS
sisma in +Y												
proporzionale alle masse												
Trave 46-32d	0%	0,31	0,48	0,48	0,0806	0,0041	0,011727	0,000026	NS	0,005166	0,000026	NS
Trave 46-32d	100%	1,11	0,98	0,56	0,0806	0,0043	0,018277	0,000145	NS	0,004715	0,000089	53,14
proporzionale alla deformata 1° modo di vibrazione												
Trave 46-32d	0%	1,11	0,86	0,56	0,0821	0,0045	0,018613	0,000025	NS	0,004816	0,000025	NS
Trave 46-32d	100%	1,19	1,00	0,57	0,0821	0,0044	0,019128	0,000181	NS	0,004781	0,000103	46,25
sisma in -Y												
proporzionale alle masse												
Trave 46-32d	0%	0,00	0,00	0,00	0,0000	0,0000	0,000000	0,000000	0,00	0,000000	0,000000	0,00
Trave 46-32d	100%	0,00	0,00	0,00	0,0000	0,0000	0,000000	0,000000	0,00	0,000000	0,000000	0,00
proporzionale alla deformata 1° modo di vibrazione												
Trave 46-32d	0%	0,00	0,00	0,00	0,0000	0,0000	0,000000	0,000000	0,00	0,000000	0,000000	0,00
Trave 46-32d	100%	0,00	0,00	0,00	0,0000	0,0000	0,000000	0,000000	0,00	0,000000	0,000000	0,00
Fondazione							**Travata: Trave4d-5d**					
sisma in +X												
proporzionale alle masse												
Trave 4d-5d	0%	2,29	2,73	0,59	0,0570	0,0063	0,017253	0,000715	24,13	0,008318	0,000365	22,76
Trave 4d-5d	100%	1,26	1,15	0,49	0,0573	0,0068	0,012846	0,000298	43,04	0,005765	0,000163	35,39
proporzionale alla deformata 1° modo di vibrazione												
Trave 4d-5d	0%	2,27	2,73	0,59	0,0581	0,0063	0,017469	0,000657	26,57	0,008327	0,000337	24,71
Trave 4d-5d	100%	1,27	1,16	0,49	0,0580	0,0068	0,013041	0,000266	49,02	0,005806	0,000145	39,92
sisma in -X												
proporzionale alle masse												
Trave 4d-5d	0%	1,25	1,11	0,49	0,0648	0,0066	0,014274	0,000124	NS	0,005634	0,000079	71,17
Trave 4d-5d	100%	2,40	3,26	0,60	0,0642	0,0063	0,019995	0,000408	49,05	0,009435	0,000234	40,39
proporzionale alla deformata 1° modo di vibrazione												
Trave 4d-5d	0%	1,24	1,09	0,49	0,0663	0,0066	0,014514	0,000112	NS	0,005602	0,000073	76,55
Trave 4d-5d	100%	2,46	3,61	0,61	0,0660	0,0063	0,021001	0,000356	58,92	0,010134	0,000208	48,75

Id_{Tr}	$\%L_{LI}$	$L_{v,SLV}$	$L_{v,SLD}$	L_{pl}	ϕ_u	ϕ_y	SLV			SLD		
							Θ_c	Θ_d	CS	Θ_c	Θ_d	CS
	[%]	[m]	[m]	[m]	[rad/m]	[rad/m]	[rad]	[rad]		[rad]	[rad]	
sisma in +Y												
proporzionale alle masse												
Trave 4d-5d	0%	0,55	0,33	0,42	0,0819	0,0061	0,012769	0,000024	NS	0,005847	0,000019	NS
Trave 4d-5d	100%	0,20	0,52	0,38	0,0838	0,0059	0,010032	0,000052	NS	0,005094	0,000032	NS
proporzionale alla deformata 1° modo di vibrazione												
Trave 4d-5d	0%	24,76	4,49	2,84	0,0776	0,0068	0,101131	0,000115	NS	0,012635	0,000076	NS
Trave 4d-5d	100%	0,95	0,88	0,46	0,0778	0,0064	0,015052	0,000081	NS	0,005241	0,000049	NS
sisma in -Y												
proporzionale alle masse												
Trave 4d-5d	0%	0,00	0,00	0,00	0,0000	0,0000	0,000000	0,000000	0,00	0,000000	0,000000	0,00
Trave 4d-5d	100%	0,00	0,00	0,00	0,0000	0,0000	0,000000	0,000000	0,00	0,000000	0,000000	0,00
proporzionale alla deformata 1° modo di vibrazione												
Trave 4d-5d	0%	0,00	0,00	0,00	0,0000	0,0000	0,000000	0,000000	0,00	0,000000	0,000000	0,00
Trave 4d-5d	100%	0,00	0,00	0,00	0,0000	0,0000	0,000000	0,000000	0,00	0,000000	0,000000	0,00
Fondazione							**Travata: Trave20d-29-36-25d**					
sisma in +X												
proporzionale alle masse												
Trave 20d-29	0%	6,11	0,13	0,99	0,0748	0,0052	0,037298	0,000158	NS	0,011131	0,000070	NS
Trave 20d-29	100%	0,38	0,13	0,42	0,0746	0,0054	0,013012	0,000005	NS	0,011524	0,000004	NS
proporzionale alla deformata 1° modo di vibrazione												
Trave 20d-29	0%	5,16	0,03	0,90	0,0756	0,0047	0,052339	0,000154	NS	0,046605	0,000066	NS
Trave 20d-29	100%	0,25	0,00	0,41	0,0764	0,0064	0,009231	0,000007	NS	0,004213	0,000003	NS
sisma in -X												
proporzionale alle masse												
Trave 20d-29	0%	1,02	0,75	0,48	0,0752	0,0050	0,015366	0,000083	NS	0,004852	0,000031	NS
Trave 20d-29	100%	0,22	0,48	0,40	0,0750	0,0051	0,009720	0,000012	NS	0,005319	0,000006	NS
proporzionale alla deformata 1° modo di vibrazione												
Trave 20d-29	0%	0,99	0,74	0,48	0,0764	0,0044	0,015430	0,000081	NS	0,004650	0,000029	NS
Trave 20d-29	100%	0,44	0,39	0,43	0,0778	0,0077	0,010929	0,000010	NS	0,006466	0,000005	NS
sisma in +Y												
proporzionale alle masse												
Trave 20d-29	0%	1,68	1,90	0,55	0,0690	0,0043	0,017523	0,000397	44,09	0,005291	0,000200	26,45
Trave 20d-29	100%	1,06	0,99	0,49	0,0690	0,0044	0,014432	0,000017	NS	0,004597	0,000004	NS
proporzionale alla deformata 1° modo di vibrazione												
Trave 20d-29	0%	1,69	1,94	0,55	0,0679	0,0044	0,017348	0,000362	47,99	0,005384	0,000183	29,43
Trave 20d-29	100%	1,06	0,98	0,49	0,0680	0,0045	0,014244	0,000028	NS	0,004660	0,000011	NS
sisma in -Y												
proporzionale alle masse												
Trave 20d-29	0%	0,00	0,00	0,00	0,0000	0,0000	0,000000	0,000000	0,00	0,000000	0,000000	0,00
Trave 20d-29	100%	0,00	0,00	0,00	0,0000	0,0000	0,000000	0,000000	0,00	0,000000	0,000000	0,00
proporzionale alla deformata 1° modo di vibrazione												
Trave 20d-29	0%	0,00	0,00	0,00	0,0000	0,0000	0,000000	0,000000	0,00	0,000000	0,000000	0,00
Trave 20d-29	100%	0,00	0,00	0,00	0,0000	0,0000	0,000000	0,000000	0,00	0,000000	0,000000	0,00
sisma in +X												
proporzionale alle masse												
Trave 29-36	0%	0,47	0,31	0,43	0,0754	0,0085	0,011387	0,000005	NS	0,007285	0,000004	NS
Trave 29-36	100%	0,42	0,38	0,42	0,0758	0,0094	0,010526	0,000005	NS	0,006984	0,000011	NS
proporzionale alla deformata 1° modo di vibrazione												
Trave 29-36	0%	0,52	0,17	0,43	0,0766	0,0080	0,013554	0,000007	NS	0,009719	0,000003	NS
Trave 29-36	100%	0,43	0,27	0,42	0,0771	0,0094	0,011196	0,000006	NS	0,007916	0,000010	NS
sisma in -X												
proporzionale alle masse												
Trave 29-36	0%	0,32	0,14	0,41	0,0748	0,0099	0,012472	0,000012	NS	0,011508	0,000006	NS
Trave 29-36	100%	0,28	0,36	0,41	0,0752	0,0098	0,010327	0,000023	NS	0,007240	0,000018	NS
proporzionale alla deformata 1° modo di vibrazione												
Trave 29-36	0%	0,58	0,15	0,44	0,0759	0,0075	0,014717	0,000010	NS	0,010714	0,000005	NS
Trave 29-36	100%	0,32	0,32	0,41	0,0764	0,0096	0,010607	0,000024	NS	0,007401	0,000019	NS
sisma in +Y												
proporzionale alle masse												
Trave 29-36	0%	1,88	2,81	0,57	0,0601	0,0076	0,017702	0,000017	NS	0,010047	0,000004	NS
Trave 29-36	100%	0,80	0,78	0,46	0,0602	0,0091	0,011678	0,000027	NS	0,006548	0,000011	NS
proporzionale alla deformata 1° modo di vibrazione												
Trave 29-36	0%	2,20	5,84	0,60	0,0627	0,0078	0,023172	0,000028	NS	0,017837	0,000011	NS
Trave 29-36	100%	0,83	0,76	0,47	0,0629	0,0094	0,012304	0,000029	NS	0,006663	0,000013	NS
sisma in -Y												
proporzionale alle masse												
Trave 29-36	0%	0,00	0,00	0,00	0,0000	0,0000	0,000000	0,000000	0,00	0,000000	0,000000	0,00
Trave 29-36	100%	0,00	0,00	0,00	0,0000	0,0000	0,000000	0,000000	0,00	0,000000	0,000000	0,00
proporzionale alla deformata 1° modo di vibrazione												
Trave 29-36	0%	0,00	0,00	0,00	0,0000	0,0000	0,000000	0,000000	0,00	0,000000	0,000000	0,00
Trave 29-36	100%	0,00	0,00	0,00	0,0000	0,0000	0,000000	0,000000	0,00	0,000000	0,000000	0,00
sisma in +X												
proporzionale alle masse												
Trave 36-25d	0%	0,77	12,22	0,46	0,0745	0,0050	0,022507	0,000005	NS	0,022666	0,000011	NS
Trave 36-25d	100%	0,79	0,52	0,46	0,0747	0,0050	0,013958	0,000091	NS	0,005151	0,000044	NS
proporzionale alla deformata 1° modo di vibrazione												
Trave 36-25d	0%	0,59	15,40	0,44	0,0773	0,0050	0,023753	0,000006	NS	0,027593	0,000010	NS
Trave 36-25d	100%	0,00	0,38	0,38	0,0788	0,0053	0,009933	0,000078	NS	0,005859	0,000045	NS
sisma in -X												
proporzionale alle masse												
Trave 36-25d	0%	0,86	1,00	0,47	0,0735	0,0053	0,014127	0,000023	NS	0,005039	0,000018	NS
Trave 36-25d	100%	0,86	0,80	0,47	0,0735	0,0050	0,014065	0,000054	NS	0,004831	0,000036	NS
proporzionale alla deformata 1° modo di vibrazione												
Trave 36-25d	0%	0,87	0,95	0,47	0,0747	0,0051	0,014367	0,000024	NS	0,004940	0,000019	NS
Trave 36-25d	100%	0,82	0,78	0,46	0,0748	0,0045	0,014025	0,000049	NS	0,004652	0,000033	NS

Id_{Tr}	$\%L_{LI}$	$L_{v,SLV}$	$L_{v,SLD}$	L_{pl}	ϕ_u	ϕ_y	SLV			SLD		
							Θ_c	Θ_d	CS	Θ_c	Θ_d	CS
	[%]	[m]	[m]	[m]	[rad/m]	[rad/m]	[rad]	[rad]		[rad]	[rad]	
sisma in +Y												
proporzionale alle masse												
Trave 36-25d	0%	1,15	1,15	0,50	0,0528	0,0098	0,012155	0,000027	NS	0,007567	0,000011	NS
Trave 36-25d	100%	0,61	0,65	0,44	0,0528	0,0048	0,009185	0,000138	66,60	0,004845	0,000074	65,87
proporzionale alla deformata 1° modo di vibrazione												
Trave 36-25d	0%	1,12	1,12	0,49	0,0585	0,0069	0,012880	0,000029	NS	0,005949	0,000013	NS
Trave 36-25d	100%	0,66	0,68	0,45	0,0588	0,0047	0,010416	0,000118	87,90	0,004785	0,000059	80,83
sisma in -Y												
proporzionale alle masse												
Trave 36-25d	0%	0,00	0,00	0,00	0,0000	0,0000	0,000000	0,000000	0,00	0,000000	0,000000	0,00
Trave 36-25d	100%	0,00	0,00	0,00	0,0000	0,0000	0,000000	0,000000	0,00	0,000000	0,000000	0,00
proporzionale alla deformata 1° modo di vibrazione												
Trave 36-25d	0%	0,00	0,00	0,00	0,0000	0,0000	0,000000	0,000000	0,00	0,000000	0,000000	0,00
Trave 36-25d	100%	0,00	0,00	0,00	0,0000	0,0000	0,000000	0,000000	0,00	0,000000	0,000000	0,00
Fondazione							**Travata: Trave21d-30-24d**					
sisma in +X												
proporzionale alle masse												
Trave 21d-30	0%	0,98	0,86	0,53	0,0825	0,0053	0,017347	0,000133	NS	0,004943	0,000076	64,66
Trave 21d-30	100%	1,64	5,30	0,59	0,0825	0,0056	0,024868	0,000009	NS	0,012392	0,000005	NS
proporzionale alla deformata 1° modo di vibrazione												
Trave 21d-30	0%	1,00	0,89	0,53	0,0831	0,0048	0,017571	0,000148	NS	0,004693	0,000087	53,86
Trave 21d-30	100%	1,50	2,52	0,58	0,0831	0,0052	0,021696	0,000016	NS	0,007023	0,000011	NS
sisma in -X												
proporzionale alle masse												
Trave 21d-30	0%	0,29	0,51	0,46	0,0824	0,0055	0,011404	0,000097	NS	0,005181	0,000050	NS
Trave 21d-30	100%	0,44	0,35	0,47	0,0823	0,0056	0,011969	0,000003	NS	0,005758	0,000001	NS
proporzionale alla deformata 1° modo di vibrazione												
Trave 21d-30	0%	0,17	0,40	0,45	0,0840	0,0050	0,011490	0,000096	NS	0,005322	0,000051	NS
Trave 21d-30	100%	0,16	0,28	0,45	0,0837	0,0070	0,011915	0,000006	NS	0,006740	0,000003	NS
sisma in +Y												
proporzionale alle masse												
Trave 21d-30	0%	1,35	1,47	0,57	0,0767	0,0048	0,018694	0,000307	60,89	0,005242	0,000156	33,52
Trave 21d-30	100%	0,95	0,90	0,52	0,0768	0,0049	0,016053	0,000074	NS	0,004786	0,000034	NS
proporzionale alla deformata 1° modo di vibrazione												
Trave 21d-30	0%	1,32	1,41	0,56	0,0718	0,0050	0,017413	0,000383	45,42	0,005287	0,000201	26,26
Trave 21d-30	100%	0,97	0,93	0,53	0,0718	0,0051	0,015226	0,000134	NS	0,004902	0,000067	73,34
sisma in -Y												
proporzionale alle masse												
Trave 21d-30	0%	0,00	0,00	0,00	0,0000	0,0000	0,000000	0,000000	0,00	0,000000	0,000000	0,00
Trave 21d-30	100%	0,00	0,00	0,00	0,0000	0,0000	0,000000	0,000000	0,00	0,000000	0,000000	0,00
proporzionale alla deformata 1° modo di vibrazione												
Trave 21d-30	0%	0,00	0,00	0,00	0,0000	0,0000	0,000000	0,000000	0,00	0,000000	0,000000	0,00
Trave 21d-30	100%	0,00	0,00	0,00	0,0000	0,0000	0,000000	0,000000	0,00	0,000000	0,000000	0,00
sisma in +X												
proporzionale alle masse												
Trave 30-24d	0%	1,72	0,29	0,60	0,0827	0,0055	0,022265	0,000009	NS	0,006232	0,000005	NS
Trave 30-24d	100%	0,87	0,77	0,52	0,0827	0,0055	0,016527	0,000104	NS	0,005001	0,000064	78,36
proporzionale alla deformata 1° modo di vibrazione												
Trave 30-24d	0%	0,29	0,22	0,46	0,0836	0,0068	0,012540	0,000016	NS	0,007483	0,000011	NS
Trave 30-24d	100%	0,80	0,69	0,51	0,0836	0,0057	0,016069	0,000098	NS	0,005073	0,000059	85,80
sisma in -X												
proporzionale alle masse												
Trave 30-24d	0%	1,87	0,79	0,62	0,0823	0,0057	0,022284	0,000003	NS	0,005085	0,000001	NS
Trave 30-24d	100%	0,42	0,54	0,47	0,0823	0,0056	0,011615	0,000124	93,96	0,005139	0,000064	79,99
proporzionale alla deformata 1° modo di vibrazione												
Trave 30-24d	0%	7,05	1,44	1,13	0,0834	0,0059	0,043383	0,000006	NS	0,005903	0,000003	NS
Trave 30-24d	100%	0,52	0,52	0,48	0,0836	0,0049	0,012557	0,000135	93,14	0,004934	0,000072	68,89
sisma in +Y												
proporzionale alle masse												
Trave 30-24d	0%	1,29	1,72	0,56	0,0700	0,0079	0,017483	0,000074	NS	0,007837	0,000034	NS
Trave 30-24d	100%	0,97	0,89	0,53	0,0700	0,0071	0,014958	0,000073	NS	0,005826	0,000050	NS
proporzionale alla deformata 1° modo di vibrazione												
Trave 30-24d	0%	1,27	1,54	0,56	0,0706	0,0071	0,017253	0,000134	NS	0,006865	0,000067	NS
Trave 30-24d	100%	1,02	0,93	0,53	0,0706	0,0064	0,015395	0,000095	NS	0,005530	0,000060	92,26
sisma in -Y												
proporzionale alle masse												
Trave 30-24d	0%	0,00	0,00	0,00	0,0000	0,0000	0,000000	0,000000	0,00	0,000000	0,000000	0,00
Trave 30-24d	100%	0,00	0,00	0,00	0,0000	0,0000	0,000000	0,000000	0,00	0,000000	0,000000	0,00
proporzionale alla deformata 1° modo di vibrazione												
Trave 30-24d	0%	0,00	0,00	0,00	0,0000	0,0000	0,000000	0,000000	0,00	0,000000	0,000000	0,00
Trave 30-24d	100%	0,00	0,00	0,00	0,0000	0,0000	0,000000	0,000000	0,00	0,000000	0,000000	0,00
Fondazione							**Travata: Trave22d-31-38**					
sisma in +X												
proporzionale alle masse												
Trave 22d-31	0%	0,31	0,44	0,48	0,0827	0,0041	0,012057	0,000065	NS	0,005339	0,000026	NS
Trave 22d-31	100%	0,11	0,31	0,46	0,0827	0,0042	0,012134	0,000001	NS	0,006289	0,000006	NS
proporzionale alla deformata 1° modo di vibrazione												
Trave 22d-31	0%	0,30	0,37	0,48	0,0837	0,0060	0,012436	0,000058	NS	0,006307	0,000024	NS
Trave 22d-31	100%	0,02	0,27	0,45	0,0837	0,0055	0,012332	0,000006	NS	0,007098	0,000005	NS
sisma in -X												
proporzionale alle masse												
Trave 22d-31	0%	1,05	0,83	0,55	0,0804	0,0048	0,017841	0,000116	NS	0,004927	0,000071	69,36
Trave 22d-31	100%	0,66	0,82	0,51	0,0803	0,0050	0,014277	0,000016	NS	0,005035	0,000008	NS
proporzionale alla deformata 1° modo di vibrazione												
Trave 22d-31	0%	1,09	0,90	0,56	0,0804	0,0050	0,018166	0,000110	NS	0,005014	0,000068	73,89

Verifiche di Rotazione alla corda

Id_{Tr}	$\%L_{LI}$	$L_{v,SLV}$	$L_{v,SLD}$	L_{pl}	ϕ_u	ϕ_y	SLV			SLD		
							Θ_c	Θ_d	CS	Θ_c	Θ_d	CS
	[%]	[m]	[m]	[m]	[rad/m]	[rad/m]	[rad]	[rad]		[rad]	[rad]	
Trave 22d-31	100%	0,68	0,74	0,52	0,0806	0,0056	0,014680	0,000019	NS	0,005315	0,000009	NS
sisma in +Y												
proporzionale alle masse												
Trave 22d-31	0%	1,51	1,61	0,60	0,0774	0,0038	0,020048	0,000413	48,55	0,004764	0,000192	24,81
Trave 22d-31	100%	1,05	1,01	0,55	0,0775	0,0038	0,017215	0,000073	NS	0,004471	0,000029	NS
proporzionale alla deformata 1° modo di vibrazione												
Trave 22d-31	0%	1,54	1,70	0,60	0,0779	0,0038	0,020384	0,000280	72,92	0,004886	0,000121	40,39
Trave 22d-31	100%	1,04	0,99	0,55	0,0779	0,0039	0,017241	0,000061	NS	0,004504	0,000026	NS
sisma in -Y												
proporzionale alle masse												
Trave 22d-31	0%	0,00	0,00	0,00	0,0000	0,0000	0,000000	0,000000	0,00	0,000000	0,000000	0,00
Trave 22d-31	100%	0,00	0,00	0,00	0,0000	0,0000	0,000000	0,000000	0,00	0,000000	0,000000	0,00
proporzionale alla deformata 1° modo di vibrazione												
Trave 22d-31	0%	0,00	0,00	0,00	0,0000	0,0000	0,000000	0,000000	0,00	0,000000	0,000000	0,00
Trave 22d-31	100%	0,00	0,00	0,00	0,0000	0,0000	0,000000	0,000000	0,00	0,000000	0,000000	0,00
sisma in +X												
proporzionale alle masse												
Trave 31-38	0%	0,45	0,61	0,48	0,0836	0,0049	0,011750	0,000001	NS	0,004812	0,000006	NS
Trave 31-38	100%	0,88	0,76	0,52	0,0834	0,0053	0,016682	0,000053	NS	0,004895	0,000040	NS
proporzionale alla deformata 1° modo di vibrazione												
Trave 31-38	0%	0,44	0,61	0,47	0,0841	0,0049	0,011794	0,000006	NS	0,004814	0,000005	NS
Trave 31-38	100%	0,89	0,77	0,52	0,0839	0,0048	0,016868	0,000033	NS	0,004683	0,000029	NS
sisma in -X												
proporzionale alle masse												
Trave 31-38	0%	1,22	1,09	0,55	0,0820	0,0051	0,018943	0,000016	NS	0,004989	0,000008	NS
Trave 31-38	100%	1,17	0,07	0,55	0,0816	0,0066	0,024311	0,000007	NS	0,017198	0,000006	NS
proporzionale alla deformata 1° modo di vibrazione												
Trave 31-38	0%	1,23	1,10	0,55	0,0822	0,0049	0,018994	0,000019	NS	0,004880	0,000009	NS
Trave 31-38	100%	1,32	0,03	0,56	0,0816	0,0061	0,036301	0,000032	NS	0,039238	0,000007	NS
sisma in +Y												
proporzionale alle masse												
Trave 31-38	0%	3,17	0,03	0,75	0,0684	0,0049	0,038138	0,000073	NS	0,034521	0,000029	NS
Trave 31-38	100%	2,09	1,68	0,64	0,0683	0,0057	0,019984	0,001320	15,13	0,006171	0,000649	9,50
proporzionale alla deformata 1° modo di vibrazione												
Trave 31-38	0%	1,20	0,78	0,55	0,0741	0,0049	0,017042	0,000061	NS	0,004745	0,000026	NS
Trave 31-38	100%	1,87	1,43	0,62	0,0740	0,0056	0,020460	0,000922	22,19	0,005717	0,000446	12,83
sisma in -Y												
proporzionale alle masse												
Trave 31-38	0%	0,00	0,00	0,00	0,0000	0,0000	0,000000	0,000000	0,00	0,000000	0,000000	0,00
Trave 31-38	100%	0,00	0,00	0,00	0,0000	0,0000	0,000000	0,000000	0,00	0,000000	0,000000	0,00
proporzionale alla deformata 1° modo di vibrazione												
Trave 31-38	0%	0,00	0,00	0,00	0,0000	0,0000	0,000000	0,000000	0,00	0,000000	0,000000	0,00
Trave 31-38	100%	0,00	0,00	0,00	0,0000	0,0000	0,000000	0,000000	0,00	0,000000	0,000000	0,00

LEGENDA:

Id_{Tr} Identificativo della trave. L'eventuale lettera tra parentesi distingue i diversi tratti della travata al livello considerato.
$\%L_{LI}$ Posizione della sezione per la quale vengono forniti i valori di verifica, valutata come % della lunghezza libera d'inflessione (L_{LI}), a partire dall'estremo iniziale.
$L_{v,SLV}$ Luce di Taglio allo SLV
$L_{v,SLD}$ Luce di Taglio allo SLD
L_{pl} Lunghezza della cerniera plastica.
ϕ_u Curvatura allo SLU.
ϕ_y Curvatura allo snervamento.
Θ_c Capacità di rotazione alla corda.
Θ_d Domanda di Rotazione alla Corda.
CS Coefficiente di sicurezza ([NS] = Non Significativo per valori di CS >= 100; [VNR]= Verifica Non Richiesta).

TRAVI - VERIFICHE A TAGLIO PER ANALISI NON LINEARE (Elevazione)

Travi - Verifiche a Taglio per Analisi Non Lineare

Id_{Tr}	$\%L_{LI}$	$V_{Ed,3}$	$V_{Ed,2}$	$CS^{(3)}$	$CS^{(2)}$	α_C	$V_{Rsd,s}{}^{(3)}$	$V_{Rsd,s}{}^{(2)}$	$V_{Rcd}{}^{(3)}$	$V_{Rcd}{}^{(2)}$	$V_{fd}{}^{(3)}$	$V_{fd}{}^{(2)}$	$Ctg\Theta^{(3)}$	$Ctg\Theta^{(2)}$
	[%]	[N]	[N]				[N]	[N]	[N]	[N]	[N]	[N]		
Piano copertura								**Travata: Trave1-2-3**						
sisma in +X														
proporzionale alle masse														
Trave 1-2	0%	-710	1.365	53,26	21,32	1,03	37813	29100	60954	60954	0	0	2,50	2,50
	100%	-710	-3.001	53,26	9,70	1,03	37813	29100	60719	60719	0	0	2,50	2,50
proporzionale alla deformata 1° modo di vibrazione														
	0%	-785	1.216	48,17	23,93	1,03	37813	29100	61094	61094	0	0	2,50	2,50
	100%	-785	-3.149	48,17	9,24	1,03	37813	29100	60865	60865	0	0	2,50	2,50
sisma in -X														
proporzionale alle masse														
	0%	-135	1.625	NS	17,91	1,00	37813	29100	59078	59078	0	0	2,50	2,50
	100%	-135	-2.740	NS	10,62	1,00	37813	29100	59078	59078	0	0	2,50	2,50
proporzionale alla deformata 1° modo di vibrazione														
	0%	-138	1.632	NS	17,83	1,00	37813	29100	59078	59078	0	0	2,50	2,50
	100%	-138	-2.734	NS	10,64	1,00	37813	29100	59078	59078	0	0	2,50	2,50
sisma in +Y														
proporzionale alle masse														
	0%	-474	2.163	79,77	13,45	1,02	37813	29100	60368	60368	0	0	2,50	2,50
	100%	-474	-2.202	79,77	13,22	1,02	37813	29100	60146	60146	0	0	2,50	2,50
proporzionale alla deformata 1° modo di vibrazione														
	0%	-562	1.872	67,28	15,54	1,03	37813	29100	60631	60631	0	0	2,50	2,50
	100%	-562	-2.493	67,28	11,67	1,02	37813	29100	60448	60448	0	0	2,50	2,50
sisma in -Y														
proporzionale alle masse														

Id_{Tr}	$\%L_{LI}$	$V_{Ed,3}$	$V_{Ed,2}$	$CS^{(3)}$	$CS^{(2)}$	α_C	$V_{Rsd,s}{}^{(3)}$	$V_{Rsd,s}{}^{(2)}$	$V_{Rcd}{}^{(3)}$	$V_{Rcd}{}^{(2)}$	$V_{fd}{}^{(3)}$	$V_{fd}{}^{(2)}$	$Ctg\Theta^{(3)}$	$Ctg\Theta^{(2)}$
	[%]	[N]	[N]				[N]	[N]	[N]	[N]	[N]	[N]		
	0%	-	-	VNR	VNR	0,00	0	0	0	0	0	0	0,00	0,00
	100%	-	-	VNR	VNR	0,00	0	0	0	0	0	0	0,00	0,00
proporzionale alla deformata 1° modo di vibrazione														
	0%	-	-	VNR	VNR	0,00	0	0	0	0	0	0	0,00	0,00
	100%	-	-	VNR	VNR	0,00	0	0	0	0	0	0	0,00	0,00
sisma in +X														
proporzionale alle masse														
Trave 2-3	0%	453	3.674	83,47	7,92	1,03	37813	29100	60898	60898	0	0	2,50	2,50
	100%	453	-4.468	83,47	6,51	1,03	37813	29100	61132	61132	0	0	2,50	2,50
proporzionale alla deformata 1° modo di vibrazione														
	0%	470	3.605	80,45	8,07	1,03	37813	29100	60965	60965	0	0	2,50	2,50
	100%	470	-4.538	80,45	6,41	1,04	37813	29100	61202	61202	0	0	2,50	2,50
sisma in -X														
proporzionale alle masse														
	0%	76	4.532	NS	6,42	1,00	37813	29100	59078	59078	0	0	2,50	2,50
	100%	76	-3.610	NS	8,06	1,00	37813	29100	59201	59201	0	0	2,50	2,50
proporzionale alla deformata 1° modo di vibrazione														
	0%	82	4.551	NS	6,39	1,00	37813	29100	59078	59078	0	0	2,50	2,50
	100%	82	-3.592	NS	8,10	1,00	37813	29100	59123	59123	0	0	2,50	2,50
sisma in +Y														
proporzionale alle masse														
	0%	113	4.059	NS	7,17	1,02	37813	29100	60254	60254	0	0	2,50	2,50
	100%	113	-4.083	NS	7,13	1,02	37813	29100	60471	60471	0	0	2,50	2,50
proporzionale alla deformata 1° modo di vibrazione														
	0%	187	3.948	NS	7,37	1,02	37813	29100	60344	60344	0	0	2,50	2,50
	100%	187	-4.195	NS	6,94	1,03	37813	29100	60561	60561	0	0	2,50	2,50
sisma in -Y														
proporzionale alle masse														
	0%	-	-	VNR	VNR	0,00	0	0	0	0	0	0	0,00	0,00
	100%	-	-	VNR	VNR	0,00	0	0	0	0	0	0	0,00	0,00
proporzionale alla deformata 1° modo di vibrazione														
	0%	-	-	VNR	VNR	0,00	0	0	0	0	0	0	0,00	0,00
	100%	-	-	VNR	VNR	0,00	0	0	0	0	0	0	0,00	0,00
Piano copertura								**Travata: Trave13-14-15-16-P6-17-18-19-P7-20**						
sisma in +X														
proporzionale alle masse														
Trave 13-14	0%	310	10.389	97,49	6,26	1,01	30221	65071	167067	167067	0	0	2,50	2,50
	100%	310	-9.369	97,49	6,95	1,01	30221	65071	167040	167040	0	0	2,50	2,50
proporzionale alla deformata 1° modo di vibrazione														
	0%	354	10.153	85,37	6,41	1,01	30221	65071	167179	167179	0	0	2,50	2,50
	100%	354	-9.605	85,37	6,77	1,01	30221	65071	167123	167123	0	0	2,50	2,50
sisma in -X														
proporzionale alle masse														
	0%	17	9.827	NS	6,62	1,00	30221	65071	165777	165777	0	0	2,50	2,50
	100%	17	-9.931	NS	6,55	1,00	30221	65071	165764	165764	0	0	2,50	2,50
proporzionale alla deformata 1° modo di vibrazione														
	0%	-11	9.953	NS	6,54	1,00	30221	65071	165740	165740	0	0	2,50	2,50
	100%	-11	-9.805	NS	6,64	1,00	30221	65071	165751	165751	0	0	2,50	2,50
sisma in +Y														
proporzionale alle masse														
	0%	218	10.184	NS	6,39	1,01	30221	65071	166482	166482	0	0	2,50	2,50
	100%	218	-9.574	NS	6,80	1,01	30221	65071	166419	166419	0	0	2,50	2,50
proporzionale alla deformata 1° modo di vibrazione														
	0%	252	9.342	NS	6,97	1,01	30221	65071	166450	166450	0	0	2,50	2,50
	100%	252	-10.416	NS	6,25	1,01	30221	65071	166484	166484	0	0	2,50	2,50
sisma in -Y														
proporzionale alle masse														
	0%	-	-	VNR	VNR	0,00	0	0	0	0	0	0	0,00	0,00
	100%	-	-	VNR	VNR	0,00	0	0	0	0	0	0	0,00	0,00
proporzionale alla deformata 1° modo di vibrazione														
	0%	-	-	VNR	VNR	0,00	0	0	0	0	0	0	0,00	0,00
	100%	-	-	VNR	VNR	0,00	0	0	0	0	0	0	0,00	0,00
sisma in +X														
proporzionale alle masse														
Trave 14-15	0%	-1.446	-2.155	20,90	30,20	1,03	30221	65071	170171	170171	0	0	2,50	2,50
	100%	-1.446	-14.040	20,90	4,63	1,03	30221	65071	170012	170012	0	0	2,50	2,50
proporzionale alla deformata 1° modo di vibrazione														
	0%	-1.718	-3.878	17,59	16,78	1,04	30221	65071	171210	171210	0	0	2,50	2,50
	100%	-1.718	-15.764	17,59	4,13	1,04	30221	65071	171045	171045	0	0	2,50	2,50
sisma in -X														
proporzionale alle masse														
	0%	413	9.439	73,17	6,89	1,01	30221	65071	166528	166528	0	0	2,50	2,50
	100%	413	-2.446	73,17	26,60	1,01	30221	65071	166965	166965	0	0	2,50	2,50
proporzionale alla deformata 1° modo di vibrazione														
	0%	534	10.284	56,59	6,33	1,01	30221	65071	166946	166946	0	0	2,50	2,50
	100%	534	-1.601	56,59	40,64	1,01	30221	65071	167305	167305	0	0	2,50	2,50
sisma in +Y														
proporzionale alle masse														
	0%	-113	2.457	NS	26,48	1,01	30221	65071	167070	167070	0	0	2,50	2,50
	100%	-113	-9.428	NS	6,90	1,01	30221	65071	166916	166916	0	0	2,50	2,50
proporzionale alla deformata 1° modo di vibrazione														
	0%	-207	35	NS	NS	1,02	30221	65071	168188	168188	0	0	2,50	2,50
	100%	-207	-11.850	NS	5,49	1,02	30221	65071	168074	168074	0	0	2,50	2,50
sisma in -Y														
proporzionale alle masse														
	0%	-	-	VNR	VNR	0,00	0	0	0	0	0	0	0,00	0,00

Id_{Tr}	$\%L_{LI}$	$V_{Ed,3}$	$V_{Ed,2}$	$CS^{(3)}$	$CS^{(2)}$	α_C	$V_{Rsd,s}{}^{(3)}$	$V_{Rsd,s}{}^{(2)}$	$V_{Rcd}{}^{(3)}$	$V_{Rcd}{}^{(2)}$	$V_{fd}{}^{(3)}$	$V_{fd}{}^{(2)}$	$Ctg\Theta^{(3)}$	$Ctg\Theta^{(2)}$
	[%]	[N]	[N]				[N]	[N]	[N]	[N]	[N]	[N]		
	100%	-	-	VNR	VNR	0,00	0	0	0	0	0	0	0,00	0,00
proporzionale alla deformata 1° modo di vibrazione														
	0%	-	-	VNR	VNR	0,00	0	0	0	0	0	0	0,00	0,00
	100%	-	-	VNR	VNR	0,00	0	0	0	0	0	0	0,00	0,00
sisma in +X														
proporzionale alle masse														
Trave 15-16	0%	-1.934	-1.351	15,63	48,17	1,02	30221	65071	168793	168793	0	0	2,50	2,50
	100%	-1.934	-13.236	15,63	4,92	1,02	30221	65071	168743	168743	0	0	2,50	2,50
proporzionale alla deformata 1° modo di vibrazione														
	0%	-2.288	-2.535	13,21	25,67	1,03	30221	65071	169320	169320	0	0	2,50	2,50
	100%	-2.288	-14.421	13,21	4,51	1,03	30221	65071	169283	169283	0	0	2,50	2,50
sisma in -X														
proporzionale alle masse														
	0%	304	7.899	99,41	8,24	1,00	30221	65071	165737	165737	0	0	2,50	2,50
	100%	304	-3.986	99,41	16,32	1,00	30221	65071	165292	165292	0	0	2,50	2,50
proporzionale alla deformata 1° modo di vibrazione														
	0%	606	9.200	49,87	7,07	1,01	30221	65071	166489	166489	0	0	2,50	2,50
	100%	606	-2.685	49,87	24,24	1,01	30221	65071	166744	166744	0	0	2,50	2,50
sisma in +Y														
proporzionale alle masse														
	0%	-467	80	64,71	NS	1,02	30221	65071	168127	168127	0	0	2,50	2,50
	100%	-467	-11.805	64,71	5,51	1,02	30221	65071	168086	168086	0	0	2,50	2,50
proporzionale alla deformata 1° modo di vibrazione														
	0%	-716	-2.266	42,21	28,72	1,03	30221	65071	169368	169368	0	0	2,50	2,50
	100%	-716	-14.151	42,21	4,60	1,03	30221	65071	169348	169348	0	0	2,50	2,50
sisma in -Y														
proporzionale alle masse														
	0%	-	-	VNR	VNR	0,00	0	0	0	0	0	0	0,00	0,00
	100%	-	-	VNR	VNR	0,00	0	0	0	0	0	0	0,00	0,00
proporzionale alla deformata 1° modo di vibrazione														
	0%	-	-	VNR	VNR	0,00	0	0	0	0	0	0	0,00	0,00
	100%	-	-	VNR	VNR	0,00	0	0	0	0	0	0	0,00	0,00
sisma in +X														
proporzionale alle masse														
Trave 16-P6	0%	-6.207	-8.271	0,00	0,00	1,03	0	0	187731	187731	0	0	2,50	2,50
	100%	12.513	31.446	0,00	0,00	1,01	0	0	185126	185126	0	0	2,50	2,50
proporzionale alla deformata 1° modo di vibrazione														
	0%	-10.236	-11.900	0,00	0,00	1,03	0	0	188109	188109	0	0	2,50	2,50
	100%	10.211	33.728	0,00	0,00	1,01	0	0	185347	185347	0	0	2,50	2,50
sisma in -X														
proporzionale alle masse														
	0%	-24.572	-93.527	0,00	0,00	1,01	0	0	184623	184623	0	0	2,50	2,50
	100%	1.014	-68.816	0,00	0,00	1,09	0	0	199822	199822	0	0	2,50	2,50
proporzionale alla deformata 1° modo di vibrazione														
	0%	-24.421	-95.442	0,00	0,00	1,01	0	0	184995	184995	0	0	2,50	2,50
	100%	2.279	-72.896	0,00	0,00	1,10	0	0	201186	201186	0	0	2,50	2,50
sisma in +Y														
proporzionale alle masse														
	0%	-14.448	-36.195	0,00	0,00	1,02	0	0	186889	186889	0	0	2,50	2,50
	100%	10.832	7.997	0,00	0,00	1,01	0	0	185440	185440	0	0	2,50	2,50
proporzionale alla deformata 1° modo di vibrazione														
	0%	-13.544	-29.410	0,00	0,00	1,02	0	0	187335	187335	0	0	2,50	2,50
	100%	8.814	13.341	0,00	0,00	1,01	0	0	184635	184635	0	0	2,50	2,50
sisma in -Y														
proporzionale alle masse														
	0%	-	-	VNR	VNR	0,00	0	0	0	0	0	0	0,00	0,00
	100%	-	-	VNR	VNR	0,00	0	0	0	0	0	0	0,00	0,00
proporzionale alla deformata 1° modo di vibrazione														
	0%	-	-	VNR	VNR	0,00	0	0	0	0	0	0	0,00	0,00
	100%	-	-	VNR	VNR	0,00	0	0	0	0	0	0	0,00	0,00
sisma in +X														
proporzionale alle masse														
Trave P6-17	0%	-1.138	-575	26,56	NS	1,01	30221	72042	185286	185286	0	0	2,50	2,50
	100%	-1.138	-20.167	26,56	3,57	1,01	30221	72042	185177	185177	0	0	2,50	2,50
proporzionale alla deformata 1° modo di vibrazione														
	0%	-1.458	-3.859	20,73	18,67	1,02	30221	72042	186269	186269	0	0	2,50	2,50
	100%	-1.458	-23.451	20,73	3,07	1,02	30221	72042	186198	186198	0	0	2,50	2,50
sisma in -X														
proporzionale alle masse														
	0%	5.966	53.134	5,07	1,36	1,13	30221	72042	206724	206724	0	0	2,50	2,50
	100%	5.966	33.541	5,07	2,15	1,13	30221	72042	206860	206860	0	0	2,50	2,50
proporzionale alla deformata 1° modo di vibrazione														
	0%	6.358	57.819	4,75	1,25	1,14	30221	72042	208613	208613	0	0	2,50	2,50
	100%	6.358	38.226	4,75	1,88	1,14	30221	72042	208451	208451	0	0	2,50	2,50
sisma in +Y														
proporzionale alle masse														
	0%	-288	11.226	NS	6,42	1,02	30221	72042	186707	186707	0	0	2,50	2,50
	100%	-288	-8.366	NS	8,61	1,02	30221	72042	186239	186239	0	0	2,50	2,50
proporzionale alla deformata 1° modo di vibrazione														
	0%	-1.190	5.187	25,40	13,89	1,01	30221	72042	185177	185177	0	0	2,50	2,50
	100%	-1.190	-14.405	25,40	5,00	1,01	30221	72042	185004	185004	0	0	2,50	2,50
sisma in -Y														
proporzionale alle masse														
	0%	-	-	VNR	VNR	0,00	0	0	0	0	0	0	0,00	0,00
	100%	-	-	VNR	VNR	0,00	0	0	0	0	0	0	0,00	0,00
proporzionale alla deformata 1° modo di vibrazione														

Id_{Tr}	$\%L_{LI}$	$V_{Ed,3}$	$V_{Ed,2}$	$CS^{(3)}$	$CS^{(2)}$	α_C	$V_{Rsd,s}{}^{(3)}$	$V_{Rsd,s}{}^{(2)}$	$V_{Rcd}{}^{(3)}$	$V_{Rcd}{}^{(2)}$	$V_{fd}{}^{(3)}$	$V_{fd}{}^{(2)}$	$Ctg\Theta^{(3)}$	$Ctg\Theta^{(2)}$
	[%]	[N]	[N]				[N]	[N]	[N]	[N]	[N]	[N]		
	0%	-	-	VNR	VNR	0,00	0	0	0	0	0	0	0,00	0,00
	100%	-	-	VNR	VNR	0,00	0	0	0	0	0	0	0,00	0,00
sisma in +X														
proporzionale alle masse														
Trave 17-18	0%	-6	18.071	NS	3,99	1,00	30221	72042	183701	183701	0	0	2,50	2,50
	100%	-6	-19.767	NS	3,64	1,00	30221	72042	183724	183724	0	0	2,50	2,50
proporzionale alla deformata 1° modo di vibrazione														
	0%	36	17.268	NS	4,17	1,01	30221	72042	183773	183773	0	0	2,50	2,50
	100%	36	-20.569	NS	3,50	1,01	30221	72042	183810	183810	0	0	2,50	2,50
sisma in -X														
proporzionale alle masse														
	0%	-216	18.921	NS	3,81	1,01	30221	72042	184191	184191	0	0	2,50	2,50
	100%	-216	-18.917	NS	3,81	1,01	30221	72042	184156	184156	0	0	2,50	2,50
proporzionale alla deformata 1° modo di vibrazione														
	0%	-252	19.892	NS	3,62	1,01	30221	72042	184416	184416	0	0	2,50	2,50
	100%	-252	-17.946	NS	4,01	1,01	30221	72042	184372	184372	0	0	2,50	2,50
sisma in +Y														
proporzionale alle masse														
	0%	-196	17.897	NS	4,03	1,00	30221	72042	183399	183399	0	0	2,50	2,50
	100%	-196	-19.941	NS	3,61	1,00	30221	72042	183426	183426	0	0	2,50	2,50
proporzionale alla deformata 1° modo di vibrazione														
	0%	-158	17.676	NS	4,08	1,00	30221	72042	183341	183341	0	0	2,50	2,50
	100%	-158	-20.162	NS	3,57	1,00	30221	72042	183372	183372	0	0	2,50	2,50
sisma in -Y														
proporzionale alle masse														
	0%	-	-	VNR	VNR	0,00	0	0	0	0	0	0	0,00	0,00
	100%	-	-	VNR	VNR	0,00	0	0	0	0	0	0	0,00	0,00
proporzionale alla deformata 1° modo di vibrazione														
	0%	-	-	VNR	VNR	0,00	0	0	0	0	0	0	0,00	0,00
	100%	-	-	VNR	VNR	0,00	0	0	0	0	0	0	0,00	0,00
sisma in +X														
proporzionale alle masse														
Trave 18-19	0%	83	18.758	NS	3,84	1,01	30221	72042	184396	184396	0	0	2,50	2,50
	100%	83	-19.080	NS	3,78	1,01	30221	72042	184403	184403	0	0	2,50	2,50
proporzionale alla deformata 1° modo di vibrazione														
	0%	96	17.739	NS	4,06	1,01	30221	72042	184516	184516	0	0	2,50	2,50
	100%	96	-20.098	NS	3,58	1,01	30221	72042	184567	184567	0	0	2,50	2,50
sisma in -X														
proporzionale alle masse														
	0%	-157	19.034	NS	3,78	1,01	30221	72042	184331	184331	0	0	2,50	2,50
	100%	-157	-18.804	NS	3,83	1,01	30221	72042	184344	184344	0	0	2,50	2,50
proporzionale alla deformata 1° modo di vibrazione														
	0%	-229	19.917	NS	3,62	1,01	30221	72042	184490	184490	0	0	2,50	2,50
	100%	-229	-17.921	NS	4,02	1,01	30221	72042	184483	184483	0	0	2,50	2,50
sisma in +Y														
proporzionale alle masse														
	0%	96	19.716	NS	3,65	1,00	30221	72042	183524	183524	0	0	2,50	2,50
	100%	96	-18.122	NS	3,98	1,00	30221	72042	183524	183524	0	0	2,50	2,50
proporzionale alla deformata 1° modo di vibrazione														
	0%	176	19.708	NS	3,66	1,00	30221	72042	183283	183283	0	0	2,50	2,50
	100%	176	-18.130	NS	3,97	1,00	30221	72042	183283	183283	0	0	2,50	2,50
sisma in -Y														
proporzionale alle masse														
	0%	-	-	VNR	VNR	0,00	0	0	0	0	0	0	0,00	0,00
	100%	-	-	VNR	VNR	0,00	0	0	0	0	0	0	0,00	0,00
proporzionale alla deformata 1° modo di vibrazione														
	0%	-	-	VNR	VNR	0,00	0	0	0	0	0	0	0,00	0,00
	100%	-	-	VNR	VNR	0,00	0	0	0	0	0	0	0,00	0,00
sisma in +X														
proporzionale alle masse														
Trave 19-P7	0%	-5.826	-29.594	5,19	2,43	1,14	30221	72042	207580	207580	0	0	2,50	2,50
	100%	-5.826	-49.443	5,19	1,46	1,13	30221	72042	207465	207465	0	0	2,50	2,50
proporzionale alla deformata 1° modo di vibrazione														
	0%	-6.261	-35.243	4,83	2,04	1,15	30221	72042	209556	209556	0	0	2,50	2,50
	100%	-6.261	-55.092	4,83	1,31	1,15	30221	72042	209492	209492	0	0	2,50	2,50
sisma in -X														
proporzionale alle masse														
	0%	3.561	32.343	8,49	2,23	1,01	30221	72042	184367	184367	0	0	2,50	2,50
	100%	3.561	12.494	8,49	5,77	1,01	30221	72042	184404	184404	0	0	2,50	2,50
proporzionale alla deformata 1° modo di vibrazione														
	0%	3.753	35.009	8,05	2,06	1,01	30221	72042	185070	185070	0	0	2,50	2,50
	100%	3.753	15.160	8,05	4,75	1,01	30221	72042	185096	185096	0	0	2,50	2,50
sisma in +Y														
proporzionale alle masse														
	0%	349	14.823	86,59	4,86	1,00	30221	72042	183504	183504	0	0	2,50	2,50
	100%	349	-5.026	86,59	14,33	1,00	30221	72042	183654	183654	0	0	2,50	2,50
proporzionale alla deformata 1° modo di vibrazione														
	0%	-185	12.697	NS	5,67	1,00	30221	72042	182905	182905	0	0	2,50	2,50
	100%	-185	-7.152	NS	10,07	1,00	30221	72042	182904	182904	0	0	2,50	2,50
sisma in -Y														
proporzionale alle masse														
	0%	-	-	VNR	VNR	0,00	0	0	0	0	0	0	0,00	0,00
	100%	-	-	VNR	VNR	0,00	0	0	0	0	0	0	0,00	0,00
proporzionale alla deformata 1° modo di vibrazione														
	0%	-	-	VNR	VNR	0,00	0	0	0	0	0	0	0,00	0,00
	100%	-	-	VNR	VNR	0,00	0	0	0	0	0	0	0,00	0,00

Id_{Tr}	$\%L_{LI}$	$V_{Ed,3}$	$V_{Ed,2}$	$CS^{(3)}$	$CS^{(2)}$	α_C	$V_{Rsd,s}{}^{(3)}$	$V_{Rsd,s}{}^{(2)}$	$V_{Rcd}{}^{(3)}$	$V_{Rcd}{}^{(2)}$	$V_{fd}{}^{(3)}$	$V_{fd}{}^{(2)}$	$Ctg\Theta^{(3)}$	$Ctg\Theta^{(2)}$
	[%]	[N]	[N]				[N]	[N]	[N]	[N]	[N]	[N]		
sisma in +X														
proporzionale alle masse														
Trave P7-20	0%	-5.434	57.769	0,00	0,00	1,15	0	0	210366	210366	0	0	2,50	2,50
	100%	-8.632	-25.960	0,00	0,00	1,00	0	0	182818	182818	0	0	2,50	2,50
proporzionale alla deformata 1° modo di vibrazione														
	0%	-6.800	62.287	0,00	0,00	1,17	0	0	213175	213175	0	0	2,50	2,50
	100%	-7.005	-22.051	0,00	0,00	1,00	0	0	182818	182818	0	0	2,50	2,50
sisma in -X														
proporzionale alle masse														
	0%	-2.532	-21.584	0,00	0,00	1,00	0	0	182818	182818	0	0	2,50	2,50
	100%	13.064	60.378	0,00	0,00	1,00	0	0	182818	182818	0	0	2,50	2,50
proporzionale alla deformata 1° modo di vibrazione														
	0%	-2.555	-22.210	0,00	0,00	1,00	0	0	182818	182818	0	0	2,50	2,50
	100%	11.710	59.461	0,00	0,00	1,00	0	0	182818	182818	0	0	2,50	2,50
sisma in +Y														
proporzionale alle masse														
	0%	-4.790	10.753	0,00	0,00	1,00	0	0	182818	182818	0	0	2,50	2,50
	100%	-21.682	-47.196	0,00	0,00	1,01	0	0	183930	183930	0	0	2,50	2,50
proporzionale alla deformata 1° modo di vibrazione														
	0%	-4.440	23.509	0,00	0,00	1,00	0	0	182914	182914	0	0	2,50	2,50
	100%	-31.475	-68.915	0,00	0,00	1,01	0	0	184569	184569	0	0	2,50	2,50
sisma in -Y														
proporzionale alle masse														
	0%	-	-	VNR	VNR	0,00	0	0	0	0	0	0	0,00	0,00
	100%	-	-	VNR	VNR	0,00	0	0	0	0	0	0	0,00	0,00
proporzionale alla deformata 1° modo di vibrazione														
	0%	-	-	VNR	VNR	0,00	0	0	0	0	0	0	0,00	0,00
	100%	-	-	VNR	VNR	0,00	0	0	0	0	0	0	0,00	0,00
Piano copertura								**Travata: Trave43-P17-44-45-46-P18-47**						
sisma in +X														
proporzionale alle masse														
Trave 43-P17	0%	1.830	-38.248	16,62	1,89	1,01	30421	72242	184301	184301	0	0	2,50	2,50
	100%	2.583	10.752	11,78	6,72	1,00	30421	72242	183326	183326	0	0	2,50	2,50
proporzionale alla deformata 1° modo di vibrazione														
	0%	6.451	-53.029	4,72	1,36	1,00	30421	72242	184233	184233	0	0	2,50	2,50
	100%	2.844	15.091	10,70	4,79	1,00	30421	72242	183326	183326	0	0	2,50	2,50
sisma in -X														
proporzionale alle masse														
	0%	17.206	-34.583	1,77	2,09	1,00	30421	72242	183326	183326	0	0	2,50	2,50
	100%	-21.478	-35.885	1,42	2,01	1,16	30421	72242	213220	213220	0	0	2,50	2,50
proporzionale alla deformata 1° modo di vibrazione														
	0%	16.824	-32.353	1,81	2,23	1,00	30421	72242	183326	183326	0	0	2,50	2,50
	100%	-25.313	-45.177	1,20	1,60	1,18	30421	72242	216433	216433	0	0	2,50	2,50
sisma in +Y														
proporzionale alle masse														
	0%	4.082	-12.155	7,45	5,94	1,00	30421	72242	183326	183326	0	0	2,50	2,50
	100%	-6.986	25.917	4,35	2,79	1,01	30421	72242	185385	185385	0	0	2,50	2,50
proporzionale alla deformata 1° modo di vibrazione														
	0%	5.064	-15.561	6,01	4,64	1,00	30421	72242	183326	183326	0	0	2,50	2,50
	100%	-9.816	26.377	3,10	2,74	1,02	30421	72242	186765	186765	0	0	2,50	2,50
sisma in -Y														
proporzionale alle masse														
	0%	-	-	VNR	VNR	0,00	0	0	0	0	0	0	0,00	0,00
	100%	-	-	VNR	VNR	0,00	0	0	0	0	0	0	0,00	0,00
proporzionale alla deformata 1° modo di vibrazione														
	0%	-	-	VNR	VNR	0,00	0	0	0	0	0	0	0,00	0,00
	100%	-	-	VNR	VNR	0,00	0	0	0	0	0	0	0,00	0,00
sisma in +X														
proporzionale alle masse														
Trave P17-44	0%	1.092	-8.244	27,86	8,76	1,01	30421	72242	185600	185600	0	0	2,50	2,50
	100%	1.092	-27.847	27,86	2,59	1,01	30421	72242	185590	185590	0	0	2,50	2,50
proporzionale alla deformata 1° modo di vibrazione														
	0%	1.179	-11.866	25,80	6,09	1,02	30421	72242	186307	186307	0	0	2,50	2,50
	100%	1.179	-31.470	25,80	2,30	1,02	30421	72242	186296	186296	0	0	2,50	2,50
sisma in -X														
proporzionale alle masse														
	0%	-1.919	54.283	15,85	1,33	1,13	30421	72242	206819	206819	0	0	2,50	2,50
	100%	-1.919	34.679	15,85	2,08	1,13	30421	72242	206718	206718	0	0	2,50	2,50
proporzionale alla deformata 1° modo di vibrazione														
	0%	-2.162	60.844	14,07	1,19	1,15	30421	72242	209937	209937	0	0	2,50	2,50
	100%	-2.162	41.241	14,07	1,75	1,14	30421	72242	209652	209652	0	0	2,50	2,50
sisma in +Y														
proporzionale alle masse														
	0%	1.444	235	21,07	NS	1,01	30421	72242	185970	185970	0	0	2,50	2,50
	100%	1.444	-19.368	21,07	3,73	1,01	30421	72242	185899	185899	0	0	2,50	2,50
proporzionale alla deformata 1° modo di vibrazione														
	0%	2.115	2.728	14,38	26,48	1,02	30421	72242	186730	186730	0	0	2,50	2,50
	100%	2.115	-16.875	14,38	4,28	1,02	30421	72242	186668	186668	0	0	2,50	2,50
sisma in -Y														
proporzionale alle masse														
	0%	-	-	VNR	VNR	0,00	0	0	0	0	0	0	0,00	0,00
	100%	-	-	VNR	VNR	0,00	0	0	0	0	0	0	0,00	0,00
proporzionale alla deformata 1° modo di vibrazione														
	0%	-	-	VNR	VNR	0,00	0	0	0	0	0	0	0,00	0,00
	100%	-	-	VNR	VNR	0,00	0	0	0	0	0	0	0,00	0,00
sisma in +X														

Id_{Tr}	$\%L_{LI}$	$V_{Ed,3}$	$V_{Ed,2}$	$CS^{(3)}$	$CS^{(2)}$	α_C	$V_{Rsd,s}{}^{(3)}$	$V_{Rsd,s}{}^{(2)}$	$V_{Rcd}{}^{(3)}$	$V_{Rcd}{}^{(2)}$	$V_{fd}{}^{(3)}$	$V_{fd}{}^{(2)}$	$Ctg\Theta^{(3)}$	$Ctg\Theta^{(2)}$
	[%]	[N]	[N]				[N]	[N]	[N]	[N]	[N]	[N]		
proporzionale alle masse														
Trave 44-45	0%	4	18.200	NS	3,97	1,01	30421	72242	184787	184787	0	0	2,50	2,50
	100%	4	-19.659	NS	3,67	1,01	30421	72242	184820	184820	0	0	2,50	2,50
proporzionale alla deformata 1° modo di vibrazione														
	0%	-65	17.748	NS	4,07	1,01	30421	72242	184818	184818	0	0	2,50	2,50
	100%	-65	-20.111	NS	3,59	1,01	30421	72242	184867	184867	0	0	2,50	2,50
sisma in -X														
proporzionale alle masse														
	0%	144	19.026	NS	3,80	1,01	30421	72242	184416	184416	0	0	2,50	2,50
	100%	144	-18.833	NS	3,84	1,01	30421	72242	184360	184360	0	0	2,50	2,50
proporzionale alla deformata 1° modo di vibrazione														
	0%	186	19.636	NS	3,68	1,01	30421	72242	184642	184642	0	0	2,50	2,50
	100%	186	-18.223	NS	3,96	1,01	30421	72242	184570	184570	0	0	2,50	2,50
sisma in +Y														
proporzionale alle masse														
	0%	240	18.330	NS	3,94	1,01	30421	72242	184654	184654	0	0	2,50	2,50
	100%	240	-19.529	NS	3,70	1,01	30421	72242	184680	184680	0	0	2,50	2,50
proporzionale alla deformata 1° modo di vibrazione														
	0%	318	18.462	95,66	3,91	1,01	30421	72242	184535	184535	0	0	2,50	2,50
	100%	318	-19.397	95,66	3,72	1,01	30421	72242	184543	184543	0	0	2,50	2,50
sisma in -Y														
proporzionale alle masse														
	0%	-	-	VNR	VNR	0,00	0	0	0	0	0	0	0,00	0,00
	100%	-	-	VNR	VNR	0,00	0	0	0	0	0	0	0,00	0,00
proporzionale alla deformata 1° modo di vibrazione														
	0%	-	-	VNR	VNR	0,00	0	0	0	0	0	0	0,00	0,00
	100%	-	-	VNR	VNR	0,00	0	0	0	0	0	0	0,00	0,00
sisma in +X														
proporzionale alle masse														
Trave 45-46	0%	-58	18.644	NS	3,87	1,01	30421	72242	185031	185031	0	0	2,50	2,50
	100%	-58	-19.215	NS	3,76	1,01	30421	72242	185083	185083	0	0	2,50	2,50
proporzionale alla deformata 1° modo di vibrazione														
	0%	-103	17.976	NS	4,02	1,01	30421	72242	185255	185255	0	0	2,50	2,50
	100%	-103	-19.883	NS	3,63	1,01	30421	72242	185332	185332	0	0	2,50	2,50
sisma in -X														
proporzionale alle masse														
	0%	99	19.272	NS	3,75	1,01	30421	72242	184741	184741	0	0	2,50	2,50
	100%	99	-18.587	NS	3,89	1,01	30421	72242	184778	184778	0	0	2,50	2,50
proporzionale alla deformata 1° modo di vibrazione														
	0%	176	19.688	NS	3,67	1,01	30421	72242	184838	184838	0	0	2,50	2,50
	100%	176	-18.171	NS	3,98	1,01	30421	72242	184801	184801	0	0	2,50	2,50
sisma in +Y														
proporzionale alle masse														
	0%	1	18.686	NS	3,87	1,01	30421	72242	184609	184609	0	0	2,50	2,50
	100%	1	-19.174	NS	3,77	1,01	30421	72242	184658	184658	0	0	2,50	2,50
proporzionale alla deformata 1° modo di vibrazione														
	0%	27	18.577	NS	3,89	1,01	30421	72242	184702	184702	0	0	2,50	2,50
	100%	27	-19.283	NS	3,75	1,01	30421	72242	184736	184736	0	0	2,50	2,50
sisma in -Y														
proporzionale alle masse														
	0%	-	-	VNR	VNR	0,00	0	0	0	0	0	0	0,00	0,00
	100%	-	-	VNR	VNR	0,00	0	0	0	0	0	0	0,00	0,00
proporzionale alla deformata 1° modo di vibrazione														
	0%	-	-	VNR	VNR	0,00	0	0	0	0	0	0	0,00	0,00
	100%	-	-	VNR	VNR	0,00	0	0	0	0	0	0	0,00	0,00
sisma in +X														
proporzionale alle masse														
Trave 46-P18	0%	6.174	-30.705	4,93	2,35	1,14	30421	72242	208180	208180	0	0	2,50	2,50
	100%	6.174	-50.565	4,93	1,43	1,14	30421	72242	208098	208098	0	0	2,50	2,50
proporzionale alla deformata 1° modo di vibrazione														
	0%	6.965	-38.093	4,37	1,90	1,15	30421	72242	211464	211464	0	0	2,50	2,50
	100%	6.965	-57.953	4,37	1,25	1,15	30421	72242	211570	211570	0	0	2,50	2,50
sisma in -X														
proporzionale alle masse														
	0%	-3.997	34.356	7,61	2,10	1,01	30421	72242	185186	185186	0	0	2,50	2,50
	100%	-3.997	14.497	7,61	4,98	1,01	30421	72242	185191	185191	0	0	2,50	2,50
proporzionale alla deformata 1° modo di vibrazione														
	0%	-4.355	37.179	6,99	1,94	1,01	30421	72242	185756	185756	0	0	2,50	2,50
	100%	-4.355	17.319	6,99	4,17	1,01	30421	72242	185785	185785	0	0	2,50	2,50
sisma in +Y														
proporzionale alle masse														
	0%	-2.224	15.844	13,68	4,56	1,02	30421	72242	187189	187189	0	0	2,50	2,50
	100%	-2.224	-4.016	13,68	17,99	1,02	30421	72242	187283	187283	0	0	2,50	2,50
proporzionale alla deformata 1° modo di vibrazione														
	0%	-3.355	20.805	9,07	3,47	1,02	30421	72242	187850	187850	0	0	2,50	2,50
	100%	-3.355	945	9,07	76,45	1,02	30421	72242	187863	187863	0	0	2,50	2,50
sisma in -Y														
proporzionale alle masse														
	0%	-	-	VNR	VNR	0,00	0	0	0	0	0	0	0,00	0,00
	100%	-	-	VNR	VNR	0,00	0	0	0	0	0	0	0,00	0,00
proporzionale alla deformata 1° modo di vibrazione														
	0%	-	-	VNR	VNR	0,00	0	0	0	0	0	0	0,00	0,00
	100%	-	-	VNR	VNR	0,00	0	0	0	0	0	0	0,00	0,00
sisma in +X														
proporzionale alle masse														
Trave P18-47	0%	6.878	66.676	4,42	1,08	1,15	30421	72242	210190	210190	0	0	2,50	2,50

Id_{Tr}	$\%L_{LI}$	$V_{Ed,3}$	$V_{Ed,2}$	$CS^{(3)}$	$CS^{(2)}$	α_C	$V_{Rsd,s}{}^{(3)}$	$V_{Rsd,s}{}^{(2)}$	$V_{Rcd}{}^{(3)}$	$V_{Rcd}{}^{(2)}$	$V_{fd}{}^{(3)}$	$V_{fd}{}^{(2)}$	$Ctg\Theta^{(3)}$	$Ctg\Theta^{(2)}$
	[%]	[N]	[N]				[N]	[N]	[N]	[N]	[N]	[N]		
	100%	9.467	-38.999	3,21	1,85	1,00	30421	72242	183326	183326	0	0	2,50	2,50
proporzionale alla deformata 1° modo di vibrazione														
	0%	6.988	80.465	4,35	0,90	1,17	30421	72242	214198	214198	0	0	2,50	2,50
	100%	11.130	-47.023	2,73	1,54	1,00	30421	72242	183326	183326	0	0	2,50	2,50
sisma in -X														
proporzionale alle masse														
	0%	2.166	-25.564	14,04	2,83	1,00	30421	72242	183326	183326	0	0	2,50	2,50
	100%	-15.506	71.733	1,96	1,01	1,00	30421	72242	183326	183326	0	0	2,50	2,50
proporzionale alla deformata 1° modo di vibrazione														
	0%	2.184	-27.508	13,93	2,63	1,00	30421	72242	183326	183326	0	0	2,50	2,50
	100%	-17.294	81.939	1,76	0,88	1,00	30421	72242	183326	183326	0	0	2,50	2,50
sisma in +Y														
proporzionale alle masse														
	0%	-4.128	-3.519	7,37	20,53	1,01	30421	72242	185597	185597	0	0	2,50	2,50
	100%	-6.971	31.302	4,36	2,31	1,00	30421	72242	183326	183326	0	0	2,50	2,50
proporzionale alla deformata 1° modo di vibrazione														
	0%	-6.200	-7.875	4,91	9,17	1,01	30421	72242	184829	184829	0	0	2,50	2,50
	100%	-10.217	53.655	2,98	1,35	1,00	30421	72242	183326	183326	0	0	2,50	2,50
sisma in -Y														
proporzionale alle masse														
	0%	-	-	VNR	VNR	0,00	0	0	0	0	0	0	0,00	0,00
	100%	-	-	VNR	VNR	0,00	0	0	0	0	0	0	0,00	0,00
proporzionale alla deformata 1° modo di vibrazione														
	0%	-	-	VNR	VNR	0,00	0	0	0	0	0	0	0,00	0,00
	100%	-	-	VNR	VNR	0,00	0	0	0	0	0	0	0,00	0,00
Piano copertura								**Travata: Trave3a-4a-5a-6a-21**						
sisma in +X														
proporzionale alle masse														
Trave 3a-4a	0%	-209	23.671	NS	2,76	1,01	23412	65233	133918	133918	0	0	2,50	2,50
	100%	-209	-24.295	NS	2,69	1,01	23412	65233	133921	133921	0	0	2,50	2,50
proporzionale alla deformata 1° modo di vibrazione														
	0%	-220	23.647	NS	2,76	1,01	23412	65233	133731	133731	0	0	2,50	2,50
	100%	-220	-24.320	NS	2,68	1,01	23412	65233	133733	133733	0	0	2,50	2,50
sisma in -X														
proporzionale alle masse														
	0%	-219	24.115	NS	2,71	1,02	23412	65233	135136	135136	0	0	2,50	2,50
	100%	-219	-23.851	NS	2,74	1,02	23412	65233	135113	135113	0	0	2,50	2,50
proporzionale alla deformata 1° modo di vibrazione														
	0%	-202	24.257	NS	2,69	1,02	23412	65233	135296	135296	0	0	2,50	2,50
	100%	-202	-23.709	NS	2,75	1,02	23412	65233	135305	135305	0	0	2,50	2,50
sisma in +Y														
proporzionale alle masse														
	0%	-283	23.951	82,73	2,72	1,02	23412	65233	134727	134727	0	0	2,50	2,50
	100%	-283	-24.015	82,73	2,72	1,02	23412	65233	134712	134712	0	0	2,50	2,50
proporzionale alla deformata 1° modo di vibrazione														
	0%	-284	24.024	82,44	2,72	1,02	23412	65233	134708	134708	0	0	2,50	2,50
	100%	-284	-23.942	82,44	2,72	1,02	23412	65233	134699	134699	0	0	2,50	2,50
sisma in -Y														
proporzionale alle masse														
	0%	-	-	VNR	VNR	0,00	0	0	0	0	0	0	0,00	0,00
	100%	-	-	VNR	VNR	0,00	0	0	0	0	0	0	0,00	0,00
proporzionale alla deformata 1° modo di vibrazione														
	0%	-	-	VNR	VNR	0,00	0	0	0	0	0	0	0,00	0,00
	100%	-	-	VNR	VNR	0,00	0	0	0	0	0	0	0,00	0,00
sisma in +X														
proporzionale alle masse														
Trave 4a-5a	0%	3	24.159	NS	2,70	1,01	23412	65233	134405	134405	0	0	2,50	2,50
	100%	3	-23.807	NS	2,74	1,01	23412	65233	134410	134410	0	0	2,50	2,50
proporzionale alla deformata 1° modo di vibrazione														
	0%	15	24.248	NS	2,69	1,01	23412	65233	134394	134394	0	0	2,50	2,50
	100%	15	-23.718	NS	2,75	1,01	23412	65233	134391	134391	0	0	2,50	2,50
sisma in -X														
proporzionale alle masse														
	0%	-273	23.384	85,76	2,79	1,02	23412	65233	134909	134909	0	0	2,50	2,50
	100%	-273	-24.582	85,76	2,65	1,02	23412	65233	134932	134932	0	0	2,50	2,50
proporzionale alla deformata 1° modo di vibrazione														
	0%	-283	23.379	82,73	2,79	1,02	23412	65233	134973	134973	0	0	2,50	2,50
	100%	-283	-24.587	82,73	2,65	1,02	23412	65233	135003	135003	0	0	2,50	2,50
sisma in +Y														
proporzionale alle masse														
	0%	-133	23.737	NS	2,75	1,01	23412	65233	134369	134369	0	0	2,50	2,50
	100%	-133	-24.229	NS	2,69	1,01	23412	65233	134397	134397	0	0	2,50	2,50
proporzionale alla deformata 1° modo di vibrazione														
	0%	-97	23.821	NS	2,74	1,01	23412	65233	134316	134316	0	0	2,50	2,50
	100%	-97	-24.145	NS	2,70	1,01	23412	65233	134335	134335	0	0	2,50	2,50
sisma in -Y														
proporzionale alle masse														
	0%	-	-	VNR	VNR	0,00	0	0	0	0	0	0	0,00	0,00
	100%	-	-	VNR	VNR	0,00	0	0	0	0	0	0	0,00	0,00
proporzionale alla deformata 1° modo di vibrazione														
	0%	-	-	VNR	VNR	0,00	0	0	0	0	0	0	0,00	0,00
	100%	-	-	VNR	VNR	0,00	0	0	0	0	0	0	0,00	0,00
sisma in +X														
proporzionale alle masse														
Trave 5a-6a	0%	223	24.493	NS	2,66	1,02	23412	65233	134656	134656	0	0	2,50	2,50
	100%	223	-23.473	NS	2,78	1,02	23412	65233	134655	134655	0	0	2,50	2,50

Id_{Tr}	$\%L_{LI}$	$V_{Ed,3}$	$V_{Ed,2}$	$CS^{(3)}$	$CS^{(2)}$	α_C	$V_{Rsd,s}{}^{(3)}$	$V_{Rsd,s}{}^{(2)}$	$V_{Rcd}{}^{(3)}$	$V_{Rcd}{}^{(2)}$	$V_{fd}{}^{(3)}$	$V_{fd}{}^{(2)}$	$Ctg\Theta^{(3)}$	$Ctg\Theta^{(2)}$
	[%]	[N]	[N]				[N]	[N]	[N]	[N]	[N]	[N]		
proporzionale alla deformata 1° modo di vibrazione														
	0%	238	24.560	98,37	2,66	1,02	23412	65233	134693	134693	0	0	2,50	2,50
	100%	238	-23.406	98,37	2,79	1,02	23412	65233	134691	134691	0	0	2,50	2,50
sisma in -X														
proporzionale alle masse														
	0%	-58	23.533	NS	2,77	1,02	23412	65233	134449	134449	0	0	2,50	2,50
	100%	-58	-24.433	NS	2,67	1,02	23412	65233	134466	134466	0	0	2,50	2,50
proporzionale alla deformata 1° modo di vibrazione														
	0%	-69	23.471	NS	2,78	1,02	23412	65233	134482	134482	0	0	2,50	2,50
	100%	-69	-24.495	NS	2,66	1,02	23412	65233	134491	134491	0	0	2,50	2,50
sisma in +Y														
proporzionale alle masse														
	0%	163	23.972	NS	2,72	1,02	23412	65233	134714	134714	0	0	2,50	2,50
	100%	163	-23.994	NS	2,72	1,02	23412	65233	134721	134721	0	0	2,50	2,50
proporzionale alla deformata 1° modo di vibrazione														
	0%	222	24.044	NS	2,71	1,02	23412	65233	134826	134826	0	0	2,50	2,50
	100%	222	-23.922	NS	2,73	1,02	23412	65233	134826	134826	0	0	2,50	2,50
sisma in -Y														
proporzionale alle masse														
	0%	-	-	VNR	VNR	0,00	0	0	0	0	0	0	0,00	0,00
	100%	-	-	VNR	VNR	0,00	0	0	0	0	0	0	0,00	0,00
proporzionale alla deformata 1° modo di vibrazione														
	0%	-	-	VNR	VNR	0,00	0	0	0	0	0	0	0,00	0,00
	100%	-	-	VNR	VNR	0,00	0	0	0	0	0	0	0,00	0,00
sisma in +X														
proporzionale alle masse														
Trave 6a-21	0%	336	25.016	69,68	2,61	1,01	23412	65233	134087	134087	0	0	2,50	2,50
	100%	336	-22.577	69,68	2,89	1,01	23412	65233	134083	134083	0	0	2,50	2,50
proporzionale alla deformata 1° modo di vibrazione														
	0%	330	24.732	70,95	2,64	1,01	23412	65233	134411	134411	0	0	2,50	2,50
	100%	330	-22.861	70,95	2,85	1,01	23412	65233	134408	134408	0	0	2,50	2,50
sisma in -X														
proporzionale alle masse														
	0%	267	25.267	87,69	2,58	1,00	23412	65233	132890	132890	0	0	2,50	2,50
	100%	267	-22.326	87,69	2,92	1,00	23412	65233	132886	132886	0	0	2,50	2,50
proporzionale alla deformata 1° modo di vibrazione														
	0%	267	25.455	87,69	2,56	1,00	23412	65233	132705	132705	0	0	2,50	2,50
	100%	267	-22.138	87,69	2,95	1,00	23412	65233	132671	132671	0	0	2,50	2,50
sisma in +Y														
proporzionale alle masse														
	0%	333	25.945	70,31	2,51	1,00	23412	65233	132696	132696	0	0	2,50	2,50
	100%	333	-21.648	70,31	3,01	1,00	23412	65233	132689	132689	0	0	2,50	2,50
proporzionale alla deformata 1° modo di vibrazione														
	0%	352	26.540	66,51	2,46	1,00	23412	65233	132432	132432	0	0	2,50	2,50
	100%	352	-21.053	66,51	3,10	1,00	23412	65233	132432	132432	0	0	2,50	2,50
sisma in -Y														
proporzionale alle masse														
	0%	-	-	VNR	VNR	0,00	0	0	0	0	0	0	0,00	0,00
	100%	-	-	VNR	VNR	0,00	0	0	0	0	0	0	0,00	0,00
proporzionale alla deformata 1° modo di vibrazione														
	0%	-	-	VNR	VNR	0,00	0	0	0	0	0	0	0,00	0,00
	100%	-	-	VNR	VNR	0,00	0	0	0	0	0	0	0,00	0,00
Piano copertura								**Travata: Trave22-24-25**						
sisma in +X														
proporzionale alle masse														
Trave 22-24	0%	489	9.650	62,50	6,78	1,01	30564	65415	167562	167562	0	0	2,50	2,50
	100%	489	-4.978	62,50	13,14	1,01	30564	65415	167297	167297	0	0	2,50	2,50
proporzionale alla deformata 1° modo di vibrazione														
	0%	600	9.806	50,94	6,67	1,01	30564	65415	167985	167985	0	0	2,50	2,50
	100%	600	-4.822	50,94	13,57	1,01	30564	65415	167891	167891	0	0	2,50	2,50
sisma in -X														
proporzionale alle masse														
	0%	-196	5.557	NS	11,77	1,00	30564	65415	166032	166032	0	0	2,50	2,50
	100%	-196	-9.070	NS	7,21	1,00	30564	65415	166002	166002	0	0	2,50	2,50
proporzionale alla deformata 1° modo di vibrazione														
	0%	-206	5.595	NS	11,69	1,00	30564	65415	166002	166002	0	0	2,50	2,50
	100%	-206	-9.033	NS	7,24	1,00	30564	65415	166002	166002	0	0	2,50	2,50
sisma in +Y														
proporzionale alle masse														
	0%	106	5.655	NS	11,57	1,01	30564	65415	166953	166953	0	0	2,50	2,50
	100%	106	-8.973	NS	7,29	1,01	30564	65415	167287	167287	0	0	2,50	2,50
proporzionale alla deformata 1° modo di vibrazione														
	0%	96	4.922	NS	13,29	1,01	30564	65415	167687	167687	0	0	2,50	2,50
	100%	96	-9.706	NS	6,74	1,01	30564	65415	167647	167647	0	0	2,50	2,50
sisma in -Y														
proporzionale alle masse														
	0%	-	-	VNR	VNR	0,00	0	0	0	0	0	0	0,00	0,00
	100%	-	-	VNR	VNR	0,00	0	0	0	0	0	0	0,00	0,00
proporzionale alla deformata 1° modo di vibrazione														
	0%	-	-	VNR	VNR	0,00	0	0	0	0	0	0	0,00	0,00
	100%	-	-	VNR	VNR	0,00	0	0	0	0	0	0	0,00	0,00
sisma in +X														
proporzionale alle masse														
Trave 24-25	0%	125	8.658	NS	7,56	1,00	30564	65415	166043	166043	0	0	2,50	2,50
	100%	125	-6.278	NS	10,42	1,00	30564	65415	166023	166023	0	0	2,50	2,50
proporzionale alla deformata 1° modo di vibrazione														

Id_{Tr}	$\%L_{LI}$	$V_{Ed,3}$	$V_{Ed,2}$	$CS^{(3)}$	$CS^{(2)}$	α_C	$V_{Rsd,s}{}^{(3)}$	$V_{Rsd,s}{}^{(2)}$	$V_{Rcd}{}^{(3)}$	$V_{Rcd}{}^{(2)}$	$V_{fd}{}^{(3)}$	$V_{fd}{}^{(2)}$	$Ctg\Theta^{(3)}$	$Ctg\Theta^{(2)}$
	[%]	[N]	[N]				[N]	[N]	[N]	[N]	[N]	[N]		
	0%	107	8.586	NS	7,62	1,00	30564	65415	166002	166002	0	0	2,50	2,50
	100%	107	-6.351	NS	10,30	1,00	30564	65415	166002	166002	0	0	2,50	2,50
sisma in -X														
proporzionale alle masse														
	0%	-396	8.001	77,18	8,18	1,01	30564	65415	168392	168392	0	0	2,50	2,50
	100%	-396	-6.936	77,18	9,43	1,02	30564	65415	168502	168502	0	0	2,50	2,50
proporzionale alla deformata 1° modo di vibrazione														
	0%	-502	8.168	60,88	8,01	1,02	30564	65415	169027	169027	0	0	2,50	2,50
	100%	-502	-6.769	60,88	9,66	1,02	30564	65415	169051	169051	0	0	2,50	2,50
sisma in +Y														
proporzionale alle masse														
	0%	-65	6.305	NS	10,38	1,00	30564	65415	166101	166101	0	0	2,50	2,50
	100%	-65	-8.632	NS	7,58	1,00	30564	65415	166251	166251	0	0	2,50	2,50
proporzionale alla deformata 1° modo di vibrazione														
	0%	-53	6.015	NS	10,88	1,00	30564	65415	166087	166087	0	0	2,50	2,50
	100%	-53	-8.922	NS	7,33	1,00	30564	65415	166257	166257	0	0	2,50	2,50
sisma in -Y														
proporzionale alle masse														
	0%	-	-	VNR	VNR	0,00	0	0	0	0	0	0	0,00	0,00
	100%	-	-	VNR	VNR	0,00	0	0	0	0	0	0	0,00	0,00
proporzionale alla deformata 1° modo di vibrazione														
	0%	-	-	VNR	VNR	0,00	0	0	0	0	0	0	0,00	0,00
	100%	-	-	VNR	VNR	0,00	0	0	0	0	0	0	0,00	0,00
Piano copertura								**Travata: Trave22-23-24-25**						
sisma in +X														
proporzionale alle masse														
Trave 22-23	0%	255	6.575	NS	4,43	1,01	37813	29100	59398	59398	0	0	2,50	2,50
	100%	255	-5.791	NS	5,03	1,00	37813	29100	59078	59078	0	0	2,50	2,50
proporzionale alla deformata 1° modo di vibrazione														
	0%	227	6.479	NS	4,49	1,00	37813	29100	59258	59258	0	0	2,50	2,50
	100%	227	-5.887	NS	4,94	1,00	37813	29100	59078	59078	0	0	2,50	2,50
sisma in -X														
proporzionale alle masse														
	0%	234	8.140	NS	3,57	1,07	37813	29100	63162	63162	0	0	2,50	2,50
	100%	234	-4.227	NS	6,88	1,06	37813	29100	62494	62494	0	0	2,50	2,50
proporzionale alla deformata 1° modo di vibrazione														
	0%	245	8.316	NS	3,50	1,08	37813	29100	63681	63681	0	0	2,50	2,50
	100%	245	-4.050	NS	7,19	1,07	37813	29100	63009	63009	0	0	2,50	2,50
sisma in +Y														
proporzionale alle masse														
	0%	182	7.111	NS	4,09	1,04	37813	29100	61644	61644	0	0	2,50	2,50
	100%	182	-5.255	NS	5,54	1,03	37813	29100	61057	61057	0	0	2,50	2,50
proporzionale alla deformata 1° modo di vibrazione														
	0%	314	7.005	NS	4,15	1,04	37813	29100	61287	61287	0	0	2,50	2,50
	100%	314	-5.362	NS	5,43	1,03	37813	29100	60703	60703	0	0	2,50	2,50
sisma in -Y														
proporzionale alle masse														
	0%	-	-	VNR	VNR	0,00	0	0	0	0	0	0	0,00	0,00
	100%	-	-	VNR	VNR	0,00	0	0	0	0	0	0	0,00	0,00
proporzionale alla deformata 1° modo di vibrazione														
	0%	-	-	VNR	VNR	0,00	0	0	0	0	0	0	0,00	0,00
	100%	-	-	VNR	VNR	0,00	0	0	0	0	0	0	0,00	0,00
sisma in +X														
proporzionale alle masse														
Trave 23-24	0%	-277	7.686	NS	3,79	1,02	37813	29100	60106	60106	0	0	2,50	2,50
	100%	-277	4.516	NS	6,44	1,02	37813	29100	60227	60227	0	0	2,50	2,50
proporzionale alla deformata 1° modo di vibrazione														
	0%	-358	8.221	NS	3,54	1,02	37813	29100	60134	60134	0	0	2,50	2,50
	100%	-358	5.052	NS	5,76	1,02	37813	29100	60252	60252	0	0	2,50	2,50
sisma in -X														
proporzionale alle masse														
	0%	-1.167	-4.042	32,40	7,20	1,05	37813	29100	62017	62017	0	0	2,50	2,50
	100%	-1.167	-7.212	32,40	4,03	1,05	37813	29100	62074	62074	0	0	2,50	2,50
proporzionale alla deformata 1° modo di vibrazione														
	0%	-1.101	-4.561	34,34	6,38	1,05	37813	29100	62136	62136	0	0	2,50	2,50
	100%	-1.101	-7.731	34,34	3,76	1,05	37813	29100	62211	62211	0	0	2,50	2,50
sisma in +Y														
proporzionale alle masse														
	0%	367	11.355	NS	2,56	1,03	37813	29100	60683	60683	0	0	2,50	2,50
	100%	367	8.185	NS	3,56	1,03	37813	29100	60784	60784	0	0	2,50	2,50
proporzionale alla deformata 1° modo di vibrazione														
	0%	1.051	9.805	35,98	2,97	1,03	37813	29100	60874	60874	0	0	2,50	2,50
	100%	1.051	6.635	35,98	4,39	1,03	37813	29100	60974	60974	0	0	2,50	2,50
sisma in -Y														
proporzionale alle masse														
	0%	-	-	VNR	VNR	0,00	0	0	0	0	0	0	0,00	0,00
	100%	-	-	VNR	VNR	0,00	0	0	0	0	0	0	0,00	0,00
proporzionale alla deformata 1° modo di vibrazione														
	0%	-	-	VNR	VNR	0,00	0	0	0	0	0	0	0,00	0,00
	100%	-	-	VNR	VNR	0,00	0	0	0	0	0	0	0,00	0,00
sisma in +X														
proporzionale alle masse														
Trave 24-25	0%	-90	9.050	NS	3,22	1,04	37813	29100	61319	61319	0	0	2,50	2,50
	100%	-90	-12.290	NS	2,37	1,05	37813	29100	61847	61847	0	0	2,50	2,50
proporzionale alla deformata 1° modo di vibrazione														
	0%	-99	8.974	NS	3,24	1,04	37813	29100	61487	61487	0	0	2,50	2,50

Id_{Tr}	$\%L_{LI}$	$V_{Ed,3}$	$V_{Ed,2}$	$CS^{(3)}$	$CS^{(2)}$	α_C	$V_{Rsd,s}{}^{(3)}$	$V_{Rsd,s}{}^{(2)}$	$V_{Rcd}{}^{(3)}$	$V_{Rcd}{}^{(2)}$	$V_{fd}{}^{(3)}$	$V_{fd}{}^{(2)}$	$Ctg\Theta^{(3)}$	$Ctg\Theta^{(2)}$
	[%]	[N]	[N]				[N]	[N]	[N]	[N]	[N]	[N]		
	100%	-99	-12.365	NS	2,35	1,05	37813	29100	62015	62015	0	0	2,50	2,50
sisma in -X														
proporzionale alle masse														
	0%	-86	9.582	NS	3,04	1,02	37813	29100	60073	60073	0	0	2,50	2,50
	100%	-86	-11.758	NS	2,47	1,03	37813	29100	60592	60592	0	0	2,50	2,50
proporzionale alla deformata 1° modo di vibrazione														
	0%	-82	9.635	NS	3,02	1,02	37813	29100	59980	59980	0	0	2,50	2,50
	100%	-82	-11.705	NS	2,49	1,02	37813	29100	60498	60498	0	0	2,50	2,50
sisma in +Y														
proporzionale alle masse														
	0%	69	8.983	NS	3,24	1,03	37813	29100	60644	60644	0	0	2,50	2,50
	100%	69	-12.357	NS	2,35	1,04	37813	29100	61172	61172	0	0	2,50	2,50
proporzionale alla deformata 1° modo di vibrazione														
	0%	50	8.968	NS	3,24	1,03	37813	29100	60658	60658	0	0	2,50	2,50
	100%	50	-12.371	NS	2,35	1,04	37813	29100	61185	61185	0	0	2,50	2,50
sisma in -Y														
proporzionale alle masse														
	0%	-	-	VNR	VNR	0,00	0	0	0	0	0	0	0,00	0,00
	100%	-	-	VNR	VNR	0,00	0	0	0	0	0	0	0,00	0,00
proporzionale alla deformata 1° modo di vibrazione														
	0%	-	-	VNR	VNR	0,00	0	0	0	0	0	0	0,00	0,00
	100%	-	-	VNR	VNR	0,00	0	0	0	0	0	0	0,00	0,00
Piano copertura								**Travata: Trave29-17a-18a-19a-20a**						
sisma in +X														
proporzionale alle masse														
Trave 29-17a	0%	-90	16.317	NS	4,00	1,00	23412	65233	132432	132432	0	0	2,50	2,50
	100%	-90	-20.648	NS	3,16	1,00	23412	65233	132432	132432	0	0	2,50	2,50
proporzionale alla deformata 1° modo di vibrazione														
	0%	-71	16.153	NS	4,04	1,00	23412	65233	132432	132432	0	0	2,50	2,50
	100%	-71	-20.812	NS	3,13	1,00	23412	65233	132432	132432	0	0	2,50	2,50
sisma in -X														
proporzionale alle masse														
	0%	-120	17.861	NS	3,65	1,01	23412	65233	134222	134222	0	0	2,50	2,50
	100%	-120	-19.104	NS	3,41	1,01	23412	65233	134196	134196	0	0	2,50	2,50
proporzionale alla deformata 1° modo di vibrazione														
	0%	-122	18.089	NS	3,61	1,02	23412	65233	134519	134519	0	0	2,50	2,50
	100%	-122	-18.876	NS	3,46	1,02	23412	65233	134478	134478	0	0	2,50	2,50
sisma in +Y														
proporzionale alle masse														
	0%	-86	17.347	NS	3,76	1,01	23412	65233	133199	133199	0	0	2,50	2,50
	100%	-86	-19.618	NS	3,33	1,01	23412	65233	133203	133203	0	0	2,50	2,50
proporzionale alla deformata 1° modo di vibrazione														
	0%	-60	17.555	NS	3,72	1,01	23412	65233	133232	133232	0	0	2,50	2,50
	100%	-60	-19.410	NS	3,36	1,01	23412	65233	133229	133229	0	0	2,50	2,50
sisma in -Y														
proporzionale alle masse														
	0%	-	-	VNR	VNR	0,00	0	0	0	0	0	0	0,00	0,00
	100%	-	-	VNR	VNR	0,00	0	0	0	0	0	0	0,00	0,00
proporzionale alla deformata 1° modo di vibrazione														
	0%	-	-	VNR	VNR	0,00	0	0	0	0	0	0	0,00	0,00
	100%	-	-	VNR	VNR	0,00	0	0	0	0	0	0	0,00	0,00
sisma in +X														
proporzionale alle masse														
Trave 17a-18a	0%	20	19.062	NS	3,42	1,01	23412	65233	134137	134137	0	0	2,50	2,50
	100%	20	-18.279	NS	3,57	1,01	23412	65233	134120	134120	0	0	2,50	2,50
proporzionale alla deformata 1° modo di vibrazione														
	0%	27	19.217	NS	3,39	1,01	23412	65233	134159	134159	0	0	2,50	2,50
	100%	27	-18.125	NS	3,60	1,01	23412	65233	134133	134133	0	0	2,50	2,50
sisma in -X														
proporzionale alle masse														
	0%	-20	18.210	NS	3,58	1,01	23412	65233	134221	134221	0	0	2,50	2,50
	100%	-20	-19.132	NS	3,41	1,01	23412	65233	134226	134226	0	0	2,50	2,50
proporzionale alla deformata 1° modo di vibrazione														
	0%	-27	18.141	NS	3,60	1,01	23412	65233	134280	134280	0	0	2,50	2,50
	100%	-27	-19.200	NS	3,40	1,01	23412	65233	134287	134287	0	0	2,50	2,50
sisma in +Y														
proporzionale alle masse														
	0%	-24	18.420	NS	3,54	1,01	23412	65233	133929	133929	0	0	2,50	2,50
	100%	-24	-18.922	NS	3,45	1,01	23412	65233	133938	133938	0	0	2,50	2,50
proporzionale alla deformata 1° modo di vibrazione														
	0%	-26	18.334	NS	3,56	1,01	23412	65233	133849	133849	0	0	2,50	2,50
	100%	-26	-19.007	NS	3,43	1,01	23412	65233	133857	133857	0	0	2,50	2,50
sisma in -Y														
proporzionale alle masse														
	0%	-	-	VNR	VNR	0,00	0	0	0	0	0	0	0,00	0,00
	100%	-	-	VNR	VNR	0,00	0	0	0	0	0	0	0,00	0,00
proporzionale alla deformata 1° modo di vibrazione														
	0%	-	-	VNR	VNR	0,00	0	0	0	0	0	0	0,00	0,00
	100%	-	-	VNR	VNR	0,00	0	0	0	0	0	0	0,00	0,00
sisma in +X														
proporzionale alle masse														
Trave 18a-19a	0%	51	19.178	NS	3,40	1,01	23412	65233	134322	134322	0	0	2,50	2,50
	100%	51	-18.163	NS	3,59	1,01	23412	65233	134322	134322	0	0	2,50	2,50
proporzionale alla deformata 1° modo di vibrazione														
	0%	59	19.310	NS	3,38	1,01	23412	65233	134343	134343	0	0	2,50	2,50
	100%	59	-18.031	NS	3,62	1,01	23412	65233	134344	134344	0	0	2,50	2,50

Id_{Tr}	$\%L_{LI}$	$V_{Ed,3}$	$V_{Ed,2}$	$CS^{(3)}$	$CS^{(2)}$	α_C	$V_{Rsd,s}{}^{(3)}$	$V_{Rsd,s}{}^{(2)}$	$V_{Rcd}{}^{(3)}$	$V_{Rcd}{}^{(2)}$	$V_{fd}{}^{(3)}$	$V_{fd}{}^{(2)}$	$Ctg\Theta^{(3)}$	$Ctg\Theta^{(2)}$
	[%]	[N]	[N]				[N]	[N]	[N]	[N]	[N]	[N]		
sisma in -X														
proporzionale alle masse														
	0%	2	18.375	NS	3,55	1,01	23412	65233	134190	134190	0	0	2,50	2,50
	100%	2	-18.966	NS	3,44	1,01	23412	65233	134199	134199	0	0	2,50	2,50
proporzionale alla deformata 1° modo di vibrazione														
	0%	-5	18.274	NS	3,57	1,01	23412	65233	134192	134192	0	0	2,50	2,50
	100%	-5	-19.068	NS	3,42	1,01	23412	65233	134202	134202	0	0	2,50	2,50
sisma in +Y														
proporzionale alle masse														
	0%	18	18.653	NS	3,50	1,01	23412	65233	134298	134298	0	0	2,50	2,50
	100%	18	-18.689	NS	3,49	1,01	23412	65233	134308	134308	0	0	2,50	2,50
proporzionale alla deformata 1° modo di vibrazione														
	0%	11	18.601	NS	3,51	1,01	23412	65233	134340	134340	0	0	2,50	2,50
	100%	11	-18.740	NS	3,48	1,01	23412	65233	134349	134349	0	0	2,50	2,50
sisma in -Y														
proporzionale alle masse														
	0%	-	-	VNR	VNR	0,00	0	0	0	0	0	0	0,00	0,00
	100%	-	-	VNR	VNR	0,00	0	0	0	0	0	0	0,00	0,00
proporzionale alla deformata 1° modo di vibrazione														
	0%	-	-	VNR	VNR	0,00	0	0	0	0	0	0	0,00	0,00
	100%	-	-	VNR	VNR	0,00	0	0	0	0	0	0	0,00	0,00
sisma in +X														
proporzionale alle masse														
Trave 19a-20a	0%	151	21.522	NS	3,03	1,00	23412	65233	132558	132558	0	0	2,50	2,50
	100%	151	-16.131	NS	4,04	1,00	23412	65233	132556	132556	0	0	2,50	2,50
proporzionale alla deformata 1° modo di vibrazione														
	0%	133	21.470	NS	3,04	1,00	23412	65233	132578	132578	0	0	2,50	2,50
	100%	133	-16.183	NS	4,03	1,00	23412	65233	132577	132577	0	0	2,50	2,50
sisma in -X														
proporzionale alle masse														
	0%	147	21.449	NS	3,04	1,00	23412	65233	132459	132459	0	0	2,50	2,50
	100%	147	-16.204	NS	4,03	1,00	23412	65233	132464	132464	0	0	2,50	2,50
proporzionale alla deformata 1° modo di vibrazione														
	0%	164	21.488	NS	3,04	1,00	23412	65233	132437	132437	0	0	2,50	2,50
	100%	164	-16.165	NS	4,04	1,00	23412	65233	132439	132439	0	0	2,50	2,50
sisma in +Y														
proporzionale alle masse														
	0%	182	21.719	NS	3,00	1,00	23412	65233	132648	132648	0	0	2,50	2,50
	100%	182	-15.934	NS	4,09	1,00	23412	65233	132647	132647	0	0	2,50	2,50
proporzionale alla deformata 1° modo di vibrazione														
	0%	207	21.879	NS	2,98	1,00	23412	65233	132721	132721	0	0	2,50	2,50
	100%	207	-15.775	NS	4,14	1,00	23412	65233	132711	132711	0	0	2,50	2,50
sisma in -Y														
proporzionale alle masse														
	0%	-	-	VNR	VNR	0,00	0	0	0	0	0	0	0,00	0,00
	100%	-	-	VNR	VNR	0,00	0	0	0	0	0	0	0,00	0,00
proporzionale alla deformata 1° modo di vibrazione														
	0%	-	-	VNR	VNR	0,00	0	0	0	0	0	0	0,00	0,00
	100%	-	-	VNR	VNR	0,00	0	0	0	0	0	0	0,00	0,00
Piano copertura								**Travata: Trave21a-22a-23a-24a-30**						
sisma in +X														
proporzionale alle masse														
Trave 21a-22a	0%	58	11.205	NS	3,96	1,00	23412	44322	89981	89981	0	0	2,50	2,50
	100%	58	-13.349	NS	3,32	1,00	23412	44322	89981	89981	0	0	2,50	2,50
proporzionale alla deformata 1° modo di vibrazione														
	0%	63	11.169	NS	3,97	1,00	23412	44322	89981	89981	0	0	2,50	2,50
	100%	63	-13.385	NS	3,31	1,00	23412	44322	89981	89981	0	0	2,50	2,50
sisma in -X														
proporzionale alle masse														
	0%	15	11.499	NS	3,85	1,01	23412	44322	90610	90610	0	0	2,50	2,50
	100%	15	-13.056	NS	3,39	1,01	23412	44322	90635	90635	0	0	2,50	2,50
proporzionale alla deformata 1° modo di vibrazione														
	0%	-	11.551	-	3,84	1,01	0	44322	0	90701	0	0	0,00	2,50
	100%	-	-13.003	-	3,41	1,01	0	44322	0	90744	0	0	0,00	2,50
sisma in +Y														
proporzionale alle masse														
	0%	167	11.077	NS	4,00	1,00	23412	44322	90128	90128	0	0	2,50	2,50
	100%	167	-13.477	NS	3,29	1,00	23412	44322	90135	90135	0	0	2,50	2,50
proporzionale alla deformata 1° modo di vibrazione														
	0%	248	10.982	94,40	4,04	1,00	23412	44322	90143	90143	0	0	2,50	2,50
	100%	248	-13.572	94,40	3,27	1,00	23412	44322	90145	90145	0	0	2,50	2,50
sisma in -Y														
proporzionale alle masse														
	0%	-	-	VNR	VNR	0,00	0	0	0	0	0	0	0,00	0,00
	100%	-	-	VNR	VNR	0,00	0	0	0	0	0	0	0,00	0,00
proporzionale alla deformata 1° modo di vibrazione														
	0%	-	-	VNR	VNR	0,00	0	0	0	0	0	0	0,00	0,00
	100%	-	-	VNR	VNR	0,00	0	0	0	0	0	0	0,00	0,00
sisma in +X														
proporzionale alle masse														
Trave 22a-23a	0%	39	12.400	NS	3,57	1,01	23412	44322	91281	91281	0	0	2,50	2,50
	100%	39	-12.152	NS	3,65	1,01	23412	44322	91274	91274	0	0	2,50	2,50
proporzionale alla deformata 1° modo di vibrazione														
	0%	45	12.465	NS	3,56	1,01	23412	44322	91292	91292	0	0	2,50	2,50
	100%	45	-12.087	NS	3,67	1,01	23412	44322	91288	91288	0	0	2,50	2,50
sisma in -X														

Id_{Tr}	$\%L_{LI}$	$V_{Ed,3}$	$V_{Ed,2}$	$CS^{(3)}$	$CS^{(2)}$	α_C	$V_{Rsd,s}{}^{(3)}$	$V_{Rsd,s}{}^{(2)}$	$V_{Rcd}{}^{(3)}$	$V_{Rcd}{}^{(2)}$	$V_{fd}{}^{(3)}$	$V_{fd}{}^{(2)}$	$Ctg\Theta^{(3)}$	$Ctg\Theta^{(2)}$
	[%]	[N]	[N]				[N]	[N]	[N]	[N]	[N]	[N]		
proporzionale alle masse														
	0%	4	12.044	NS	3,68	1,01	23412	44322	91270	91270	0	0	2,50	2,50
	100%	4	-12.508	NS	3,54	1,01	23412	44322	91272	91272	0	0	2,50	2,50
proporzionale alla deformata 1° modo di vibrazione														
	0%	-4	12.007	NS	3,69	1,01	23412	44322	91284	91284	0	0	2,50	2,50
	100%	-4	-12.545	NS	3,53	1,01	23412	44322	91286	91286	0	0	2,50	2,50
sisma in +Y														
proporzionale alle masse														
	0%	67	12.116	NS	3,66	1,01	23412	44322	91135	91135	0	0	2,50	2,50
	100%	67	-12.436	NS	3,56	1,01	23412	44322	91130	91130	0	0	2,50	2,50
proporzionale alla deformata 1° modo di vibrazione														
	0%	96	12.066	NS	3,67	1,01	23412	44322	91073	91073	0	0	2,50	2,50
	100%	96	-12.486	NS	3,55	1,01	23412	44322	91072	91072	0	0	2,50	2,50
sisma in -Y														
proporzionale alle masse														
	0%	-	-	VNR	VNR	0,00	0	0	0	0	0	0	0,00	0,00
	100%	-	-	VNR	VNR	0,00	0	0	0	0	0	0	0,00	0,00
proporzionale alla deformata 1° modo di vibrazione														
	0%	-	-	VNR	VNR	0,00	0	0	0	0	0	0	0,00	0,00
	100%	-	-	VNR	VNR	0,00	0	0	0	0	0	0	0,00	0,00
sisma in +X														
proporzionale alle masse														
Trave 23a-24a	0%	-3	12.472	NS	3,55	1,02	23412	44322	91337	91337	0	0	2,50	2,50
	100%	-3	-12.080	NS	3,67	1,02	23412	44322	91335	91335	0	0	2,50	2,50
proporzionale alla deformata 1° modo di vibrazione														
	0%	-1	12.523	NS	3,54	1,02	23412	44322	91347	91347	0	0	2,50	2,50
	100%	-1	-12.029	NS	3,68	1,02	23412	44322	91344	91344	0	0	2,50	2,50
sisma in -X														
proporzionale alle masse														
	0%	-8	12.190	NS	3,64	1,01	23412	44322	91301	91301	0	0	2,50	2,50
	100%	-8	-12.362	NS	3,59	1,01	23412	44322	91304	91304	0	0	2,50	2,50
proporzionale alla deformata 1° modo di vibrazione														
	0%	-10	12.150	NS	3,65	1,01	23412	44322	91303	91303	0	0	2,50	2,50
	100%	-10	-12.402	NS	3,57	1,01	23412	44322	91306	91306	0	0	2,50	2,50
sisma in +Y														
proporzionale alle masse														
	0%	-14	12.305	NS	3,60	1,01	23412	44322	91260	91260	0	0	2,50	2,50
	100%	-14	-12.247	NS	3,62	1,01	23412	44322	91261	91261	0	0	2,50	2,50
proporzionale alla deformata 1° modo di vibrazione														
	0%	-12	12.288	NS	3,61	1,01	23412	44322	91242	91242	0	0	2,50	2,50
	100%	-12	-12.264	NS	3,61	1,01	23412	44322	91242	91242	0	0	2,50	2,50
sisma in -Y														
proporzionale alle masse														
	0%	-	-	VNR	VNR	0,00	0	0	0	0	0	0	0,00	0,00
	100%	-	-	VNR	VNR	0,00	0	0	0	0	0	0	0,00	0,00
proporzionale alla deformata 1° modo di vibrazione														
	0%	-	-	VNR	VNR	0,00	0	0	0	0	0	0	0,00	0,00
	100%	-	-	VNR	VNR	0,00	0	0	0	0	0	0	0,00	0,00
sisma in +X														
proporzionale alle masse														
Trave 24a-30	0%	-7	13.756	NS	3,22	1,00	23412	44322	89981	89981	0	0	2,50	2,50
	100%	-7	-10.534	NS	4,21	1,00	23412	44322	89981	89981	0	0	2,50	2,50
proporzionale alla deformata 1° modo di vibrazione														
	0%	-9	13.587	NS	3,26	1,00	23412	44322	89981	89981	0	0	2,50	2,50
	100%	-9	-10.704	NS	4,14	1,00	23412	44322	89981	89981	0	0	2,50	2,50
sisma in -X														
proporzionale alle masse														
	0%	-4	13.836	NS	3,20	1,00	23412	44322	89981	89981	0	0	2,50	2,50
	100%	-4	-10.455	NS	4,24	1,00	23412	44322	89981	89981	0	0	2,50	2,50
proporzionale alla deformata 1° modo di vibrazione														
	0%	-5	14.019	NS	3,16	1,00	23412	44322	89981	89981	0	0	2,50	2,50
	100%	-5	-10.272	NS	4,31	1,00	23412	44322	89981	89981	0	0	2,50	2,50
sisma in +Y														
proporzionale alle masse														
	0%	-13	13.683	NS	3,24	1,00	23412	44322	89981	89981	0	0	2,50	2,50
	100%	-13	-10.608	NS	4,18	1,00	23412	44322	89981	89981	0	0	2,50	2,50
proporzionale alla deformata 1° modo di vibrazione														
	0%	-11	13.788	NS	3,21	1,00	23412	44322	89981	89981	0	0	2,50	2,50
	100%	-11	-10.503	NS	4,22	1,00	23412	44322	89981	89981	0	0	2,50	2,50
sisma in -Y														
proporzionale alle masse														
	0%	-	-	VNR	VNR	0,00	0	0	0	0	0	0	0,00	0,00
	100%	-	-	VNR	VNR	0,00	0	0	0	0	0	0	0,00	0,00
proporzionale alla deformata 1° modo di vibrazione														
	0%	-	-	VNR	VNR	0,00	0	0	0	0	0	0	0,00	0,00
	100%	-	-	VNR	VNR	0,00	0	0	0	0	0	0	0,00	0,00
Piano copertura								**Travata: Trave35a-36a-37a-38a-37**						
sisma in +X														
proporzionale alle masse														
Trave 35a-36a	0%	159	21.430	NS	3,04	1,00	23412	65233	132432	132432	0	0	2,50	2,50
	100%	159	-26.558	NS	2,46	1,00	23412	65233	132432	132432	0	0	2,50	2,50
proporzionale alla deformata 1° modo di vibrazione														
	0%	160	21.447	NS	3,04	1,00	23412	65233	132432	132432	0	0	2,50	2,50
	100%	160	-26.540	NS	2,46	1,00	23412	65233	132432	132432	0	0	2,50	2,50
sisma in -X														
proporzionale alle masse														

Id_{Tr}	$\%L_{LI}$	$V_{Ed,3}$	$V_{Ed,2}$	$CS^{(3)}$	$CS^{(2)}$	α_C	$V_{Rsd,s}{}^{(3)}$	$V_{Rsd,s}{}^{(2)}$	$V_{Rcd}{}^{(3)}$	$V_{Rcd}{}^{(2)}$	$V_{fd}{}^{(3)}$	$V_{fd}{}^{(2)}$	$Ctg\Theta^{(3)}$	$Ctg\Theta^{(2)}$
	[%]	[N]	[N]				[N]	[N]	[N]	[N]	[N]	[N]		
	0%	245	21.317	95,56	3,06	1,00	23412	65233	133026	133026	0	0	2,50	2,50
	100%	245	-26.670	95,56	2,45	1,00	23412	65233	133000	133000	0	0	2,50	2,50
proporzionale alla deformata 1° modo di vibrazione														
	0%	249	21.325	94,02	3,06	1,00	23412	65233	133056	133056	0	0	2,50	2,50
	100%	249	-26.663	94,02	2,45	1,00	23412	65233	133051	133051	0	0	2,50	2,50
sisma in +Y														
proporzionale alle masse														
	0%	282	20.786	83,02	3,14	1,00	23412	65233	133072	133072	0	0	2,50	2,50
	100%	282	-27.202	83,02	2,40	1,01	23412	65233	133095	133095	0	0	2,50	2,50
proporzionale alla deformata 1° modo di vibrazione														
	0%	386	20.583	60,65	3,17	1,01	23412	65233	133439	133439	0	0	2,50	2,50
	100%	386	-27.405	60,65	2,38	1,01	23412	65233	133451	133451	0	0	2,50	2,50
sisma in -Y														
proporzionale alle masse														
	0%	-	-	VNR	VNR	0,00	0	0	0	0	0	0	0,00	0,00
	100%	-	-	VNR	VNR	0,00	0	0	0	0	0	0	0,00	0,00
proporzionale alla deformata 1° modo di vibrazione														
	0%	-	-	VNR	VNR	0,00	0	0	0	0	0	0	0,00	0,00
	100%	-	-	VNR	VNR	0,00	0	0	0	0	0	0	0,00	0,00
sisma in +X														
proporzionale alle masse														
Trave 36a-37a	0%	27	24.067	NS	2,71	1,02	23412	65233	134495	134495	0	0	2,50	2,50
	100%	27	-23.920	NS	2,73	1,02	23412	65233	134490	134490	0	0	2,50	2,50
proporzionale alla deformata 1° modo di vibrazione														
	0%	13	24.192	NS	2,70	1,02	23412	65233	134508	134508	0	0	2,50	2,50
	100%	13	-23.795	NS	2,74	1,02	23412	65233	134503	134503	0	0	2,50	2,50
sisma in -X														
proporzionale alle masse														
	0%	279	23.317	83,91	2,80	1,02	23412	65233	134766	134766	0	0	2,50	2,50
	100%	279	-24.670	83,91	2,64	1,02	23412	65233	134777	134777	0	0	2,50	2,50
proporzionale alla deformata 1° modo di vibrazione														
	0%	298	23.212	78,56	2,81	1,02	23412	65233	134824	134824	0	0	2,50	2,50
	100%	298	-24.775	78,56	2,63	1,02	23412	65233	134842	134842	0	0	2,50	2,50
sisma in +Y														
proporzionale alle masse														
	0%	246	23.298	95,17	2,80	1,02	23412	65233	134420	134420	0	0	2,50	2,50
	100%	246	-24.689	95,17	2,64	1,02	23412	65233	134426	134426	0	0	2,50	2,50
proporzionale alla deformata 1° modo di vibrazione														
	0%	326	23.033	71,82	2,83	1,02	23412	65233	134431	134431	0	0	2,50	2,50
	100%	326	-24.954	71,82	2,61	1,02	23412	65233	134443	134443	0	0	2,50	2,50
sisma in -Y														
proporzionale alle masse														
	0%	-	-	VNR	VNR	0,00	0	0	0	0	0	0	0,00	0,00
	100%	-	-	VNR	VNR	0,00	0	0	0	0	0	0	0,00	0,00
proporzionale alla deformata 1° modo di vibrazione														
	0%	-	-	VNR	VNR	0,00	0	0	0	0	0	0	0,00	0,00
	100%	-	-	VNR	VNR	0,00	0	0	0	0	0	0	0,00	0,00
sisma in +X														
proporzionale alle masse														
Trave 37a-38a	0%	-138	24.311	NS	2,68	1,02	23412	65233	134644	134644	0	0	2,50	2,50
	100%	-138	-23.676	NS	2,76	1,02	23412	65233	134645	134645	0	0	2,50	2,50
proporzionale alla deformata 1° modo di vibrazione														
	0%	-150	24.380	NS	2,68	1,02	23412	65233	134686	134686	0	0	2,50	2,50
	100%	-150	-23.607	NS	2,76	1,02	23412	65233	134686	134686	0	0	2,50	2,50
sisma in -X														
proporzionale alle masse														
	0%	25	23.609	NS	2,76	1,01	23412	65233	134412	134412	0	0	2,50	2,50
	100%	25	-24.378	NS	2,68	1,02	23412	65233	134446	134446	0	0	2,50	2,50
proporzionale alla deformata 1° modo di vibrazione														
	0%	42	23.478	NS	2,78	1,01	23412	65233	134400	134400	0	0	2,50	2,50
	100%	42	-24.509	NS	2,66	1,02	23412	65233	134448	134448	0	0	2,50	2,50
sisma in +Y														
proporzionale alle masse														
	0%	-36	23.943	NS	2,72	1,01	23412	65233	134366	134366	0	0	2,50	2,50
	100%	-36	-24.044	NS	2,71	1,01	23412	65233	134370	134370	0	0	2,50	2,50
proporzionale alla deformata 1° modo di vibrazione														
	0%	-25	23.842	NS	2,74	1,01	23412	65233	134270	134270	0	0	2,50	2,50
	100%	-25	-24.145	NS	2,70	1,01	23412	65233	134282	134282	0	0	2,50	2,50
sisma in -Y														
proporzionale alle masse														
	0%	-	-	VNR	VNR	0,00	0	0	0	0	0	0	0,00	0,00
	100%	-	-	VNR	VNR	0,00	0	0	0	0	0	0	0,00	0,00
proporzionale alla deformata 1° modo di vibrazione														
	0%	-	-	VNR	VNR	0,00	0	0	0	0	0	0	0,00	0,00
	100%	-	-	VNR	VNR	0,00	0	0	0	0	0	0	0,00	0,00
sisma in +X														
proporzionale alle masse														
Trave 38a-37	0%	-241	24.988	97,15	2,61	1,01	23412	65233	133859	133859	0	0	2,50	2,50
	100%	-241	-22.627	97,15	2,88	1,01	23412	65233	133858	133858	0	0	2,50	2,50
proporzionale alla deformata 1° modo di vibrazione														
	0%	-241	25.074	97,15	2,60	1,01	23412	65233	133828	133828	0	0	2,50	2,50
	100%	-241	-22.541	97,15	2,89	1,01	23412	65233	133831	133831	0	0	2,50	2,50
sisma in -X														
proporzionale alle masse														
	0%	-314	25.388	74,56	2,57	1,00	23412	65233	132920	132920	0	0	2,50	2,50
	100%	-314	-22.227	74,56	2,93	1,00	23412	65233	132919	132919	0	0	2,50	2,50

Id_{Tr}	$\%L_{LI}$	$V_{Ed,3}$	$V_{Ed,2}$	$CS^{(3)}$	$CS^{(2)}$	α_C	$V_{Rsd,s}{}^{(3)}$	$V_{Rsd,s}{}^{(2)}$	$V_{Rcd}{}^{(3)}$	$V_{Rcd}{}^{(2)}$	$V_{fd}{}^{(3)}$	$V_{fd}{}^{(2)}$	$Ctg\Theta^{(3)}$	$Ctg\Theta^{(2)}$
	[%]	[N]	[N]				[N]	[N]	[N]	[N]	[N]	[N]		
proporzionale alla deformata 1° modo di vibrazione														
	0%	-310	25.310	75,52	2,58	1,00	23412	65233	132865	132865	0	0	2,50	2,50
	100%	-310	-22.305	75,52	2,92	1,00	23412	65233	132877	132877	0	0	2,50	2,50
sisma in +Y														
proporzionale alle masse														
	0%	-316	24.359	74,09	2,68	1,01	23412	65233	134365	134365	0	0	2,50	2,50
	100%	-316	-23.256	74,09	2,80	1,01	23412	65233	134373	134373	0	0	2,50	2,50
proporzionale alla deformata 1° modo di vibrazione														
	0%	-398	24.517	58,82	2,66	1,01	23412	65233	134298	134298	0	0	2,50	2,50
	100%	-398	-23.097	58,82	2,82	1,01	23412	65233	134292	134292	0	0	2,50	2,50
sisma in -Y														
proporzionale alle masse														
	0%	-	-	VNR	VNR	0,00	0	0	0	0	0	0	0,00	0,00
	100%	-	-	VNR	VNR	0,00	0	0	0	0	0	0	0,00	0,00
proporzionale alla deformata 1° modo di vibrazione														
	0%	-	-	VNR	VNR	0,00	0	0	0	0	0	0	0,00	0,00
	100%	-	-	VNR	VNR	0,00	0	0	0	0	0	0	0,00	0,00
Piano copertura								**Travata: Trave11a-7a-8a-9a-10a**						
sisma in +X														
proporzionale alle masse														
Trave 11a-7a	0%	34	18.391	NS	3,55	1,00	23412	65233	132432	132432	0	0	2,50	2,50
	100%	34	-27.113	NS	2,41	1,00	23412	65233	132432	132432	0	0	2,50	2,50
proporzionale alla deformata 1° modo di vibrazione														
	0%	43	17.926	NS	3,64	1,00	23412	65233	132432	132432	0	0	2,50	2,50
	100%	43	-27.579	NS	2,37	1,00	23412	65233	132432	132432	0	0	2,50	2,50
sisma in -X														
proporzionale alle masse														
	0%	-59	23.549	NS	2,77	1,04	23412	65233	137099	137099	0	0	2,50	2,50
	100%	-59	-21.956	NS	2,97	1,04	23412	65233	137150	137150	0	0	2,50	2,50
proporzionale alla deformata 1° modo di vibrazione														
	0%	-86	24.759	NS	2,63	1,05	23412	65233	139181	139181	0	0	2,50	2,50
	100%	-86	-20.746	NS	3,14	1,05	23412	65233	139070	139070	0	0	2,50	2,50
sisma in +Y														
proporzionale alle masse														
	0%	117	21.020	NS	3,10	1,00	23412	65233	132532	132532	0	0	2,50	2,50
	100%	117	-24.485	NS	2,66	1,00	23412	65233	132530	132530	0	0	2,50	2,50
proporzionale alla deformata 1° modo di vibrazione														
	0%	158	21.209	NS	3,08	1,00	23412	65233	132432	132432	0	0	2,50	2,50
	100%	158	-24.296	NS	2,68	1,00	23412	65233	132432	132432	0	0	2,50	2,50
sisma in -Y														
proporzionale alle masse														
	0%	-	-	VNR	VNR	0,00	0	0	0	0	0	0	0,00	0,00
	100%	-	-	VNR	VNR	0,00	0	0	0	0	0	0	0,00	0,00
proporzionale alla deformata 1° modo di vibrazione														
	0%	-	-	VNR	VNR	0,00	0	0	0	0	0	0	0,00	0,00
	100%	-	-	VNR	VNR	0,00	0	0	0	0	0	0	0,00	0,00
sisma in +X														
proporzionale alle masse														
Trave 7a-8a	0%	14	23.098	NS	2,82	1,01	23412	65233	134329	134329	0	0	2,50	2,50
	100%	14	-22.407	NS	2,91	1,01	23412	65233	134323	134323	0	0	2,50	2,50
proporzionale alla deformata 1° modo di vibrazione														
	0%	20	23.212	NS	2,81	1,01	23412	65233	134334	134334	0	0	2,50	2,50
	100%	20	-22.292	NS	2,93	1,01	23412	65233	134327	134327	0	0	2,50	2,50
sisma in -X														
proporzionale alle masse														
	0%	2	22.265	NS	2,93	1,02	23412	65233	134671	134671	0	0	2,50	2,50
	100%	2	-23.239	NS	2,81	1,02	23412	65233	134668	134668	0	0	2,50	2,50
proporzionale alla deformata 1° modo di vibrazione														
	0%	1	22.301	NS	2,93	1,02	23412	65233	134798	134798	0	0	2,50	2,50
	100%	1	-23.204	NS	2,81	1,02	23412	65233	134794	134794	0	0	2,50	2,50
sisma in +Y														
proporzionale alle masse														
	0%	17	22.370	NS	2,92	1,01	23412	65233	134124	134124	0	0	2,50	2,50
	100%	17	-23.135	NS	2,82	1,01	23412	65233	134138	134138	0	0	2,50	2,50
proporzionale alla deformata 1° modo di vibrazione														
	0%	22	22.351	NS	2,92	1,01	23412	65233	134037	134037	0	0	2,50	2,50
	100%	22	-23.154	NS	2,82	1,01	23412	65233	134048	134048	0	0	2,50	2,50
sisma in -Y														
proporzionale alle masse														
	0%	-	-	VNR	VNR	0,00	0	0	0	0	0	0	0,00	0,00
	100%	-	-	VNR	VNR	0,00	0	0	0	0	0	0	0,00	0,00
proporzionale alla deformata 1° modo di vibrazione														
	0%	-	-	VNR	VNR	0,00	0	0	0	0	0	0	0,00	0,00
	100%	-	-	VNR	VNR	0,00	0	0	0	0	0	0	0,00	0,00
sisma in +X														
proporzionale alle masse														
Trave 8a-9a	0%	-16	23.500	NS	2,78	1,02	23412	65233	134481	134481	0	0	2,50	2,50
	100%	-16	-22.005	NS	2,96	1,02	23412	65233	134474	134474	0	0	2,50	2,50
proporzionale alla deformata 1° modo di vibrazione														
	0%	-13	23.620	NS	2,76	1,02	23412	65233	134502	134502	0	0	2,50	2,50
	100%	-13	-21.885	NS	2,98	1,02	23412	65233	134495	134495	0	0	2,50	2,50
sisma in -X														
proporzionale alle masse														
	0%	-19	22.289	NS	2,93	1,01	23412	65233	134357	134357	0	0	2,50	2,50
	100%	-19	-23.216	NS	2,81	1,01	23412	65233	134368	134368	0	0	2,50	2,50
proporzionale alla deformata 1° modo di vibrazione														

Id_{Tr}	$\%L_{LI}$	$V_{Ed,3}$	$V_{Ed,2}$	$CS^{(3)}$	$CS^{(2)}$	α_C	$V_{Rsd,s}{}^{(3)}$	$V_{Rsd,s}{}^{(2)}$	$V_{Rcd}{}^{(3)}$	$V_{Rcd}{}^{(2)}$	$V_{fd}{}^{(3)}$	$V_{fd}{}^{(2)}$	$Ctg\Theta^{(3)}$	$Ctg\Theta^{(2)}$
	[%]	[N]	[N]				[N]	[N]	[N]	[N]	[N]	[N]		
	0%	-25	22.202	NS	2,94	1,01	23412	65233	134384	134384	0	0	2,50	2,50
	100%	-25	-23.302	NS	2,80	1,01	23412	65233	134402	134402	0	0	2,50	2,50
sisma in +Y														
proporzionale alle masse														
	0%	-24	22.764	NS	2,87	1,02	23412	65233	134640	134640	0	0	2,50	2,50
	100%	-24	-22.740	NS	2,87	1,02	23412	65233	134653	134653	0	0	2,50	2,50
proporzionale alla deformata 1° modo di vibrazione														
	0%	-25	22.716	NS	2,87	1,02	23412	65233	134778	134778	0	0	2,50	2,50
	100%	-25	-22.789	NS	2,86	1,02	23412	65233	134810	134810	0	0	2,50	2,50
sisma in -Y														
proporzionale alle masse														
	0%	-	-	VNR	VNR	0,00	0	0	0	0	0	0	0,00	0,00
	100%	-	-	VNR	VNR	0,00	0	0	0	0	0	0	0,00	0,00
proporzionale alla deformata 1° modo di vibrazione														
	0%	-	-	VNR	VNR	0,00	0	0	0	0	0	0	0,00	0,00
	100%	-	-	VNR	VNR	0,00	0	0	0	0	0	0	0,00	0,00
sisma in +X														
proporzionale alle masse														
Trave 9a-10a	0%	113	26.234	NS	2,49	1,00	23412	65233	132689	132689	0	0	2,50	2,50
	100%	113	-19.652	NS	3,32	1,00	23412	65233	132683	132683	0	0	2,50	2,50
proporzionale alla deformata 1° modo di vibrazione														
	0%	106	26.139	NS	2,50	1,00	23412	65233	132691	132691	0	0	2,50	2,50
	100%	106	-19.747	NS	3,30	1,00	23412	65233	132687	132687	0	0	2,50	2,50
sisma in -X														
proporzionale alle masse														
	0%	89	26.079	NS	2,50	1,00	23412	65233	132436	132436	0	0	2,50	2,50
	100%	89	-19.807	NS	3,29	1,00	23412	65233	132432	132432	0	0	2,50	2,50
proporzionale alla deformata 1° modo di vibrazione														
	0%	99	26.179	NS	2,49	1,00	23412	65233	132451	132451	0	0	2,50	2,50
	100%	99	-19.708	NS	3,31	1,00	23412	65233	132446	132446	0	0	2,50	2,50
sisma in +Y														
proporzionale alle masse														
	0%	133	27.401	NS	2,38	1,01	23412	65233	133347	133347	0	0	2,50	2,50
	100%	133	-18.485	NS	3,53	1,01	23412	65233	133297	133297	0	0	2,50	2,50
proporzionale alla deformata 1° modo di vibrazione														
	0%	155	28.188	NS	2,31	1,01	23412	65233	133926	133926	0	0	2,50	2,50
	100%	155	-17.698	NS	3,69	1,01	23412	65233	133875	133875	0	0	2,50	2,50
sisma in -Y														
proporzionale alle masse														
	0%	-	-	VNR	VNR	0,00	0	0	0	0	0	0	0,00	0,00
	100%	-	-	VNR	VNR	0,00	0	0	0	0	0	0	0,00	0,00
proporzionale alla deformata 1° modo di vibrazione														
	0%	-	-	VNR	VNR	0,00	0	0	0	0	0	0	0,00	0,00
	100%	-	-	VNR	VNR	0,00	0	0	0	0	0	0	0,00	0,00
Piano copertura								**Travata: Trave30a-31a-32a-33a-34a**						
sisma in +X														
proporzionale alle masse														
Trave 30a-31a	0%	37	19.457	NS	3,35	1,00	23412	65233	132432	132432	0	0	2,50	2,50
	100%	37	-26.048	NS	2,50	1,00	23412	65233	132432	132432	0	0	2,50	2,50
proporzionale alla deformata 1° modo di vibrazione														
	0%	36	19.436	NS	3,36	1,00	23412	65233	132432	132432	0	0	2,50	2,50
	100%	36	-26.069	NS	2,50	1,00	23412	65233	132432	132432	0	0	2,50	2,50
sisma in -X														
proporzionale alle masse														
	0%	-1	19.647	NS	3,32	1,00	23412	65233	132822	132822	0	0	2,50	2,50
	100%	-1	-25.858	NS	2,52	1,00	23412	65233	132819	132819	0	0	2,50	2,50
proporzionale alla deformata 1° modo di vibrazione														
	0%	-12	19.663	NS	3,32	1,00	23412	65233	132880	132880	0	0	2,50	2,50
	100%	-12	-25.842	NS	2,52	1,00	23412	65233	132881	132881	0	0	2,50	2,50
sisma in +Y														
proporzionale alle masse														
	0%	42	19.583	NS	3,33	1,00	23412	65233	132649	132649	0	0	2,50	2,50
	100%	42	-25.922	NS	2,52	1,00	23412	65233	132657	132657	0	0	2,50	2,50
proporzionale alla deformata 1° modo di vibrazione														
	0%	37	19.346	NS	3,37	1,00	23412	65233	132815	132815	0	0	2,50	2,50
	100%	37	-26.159	NS	2,49	1,00	23412	65233	132823	132823	0	0	2,50	2,50
sisma in -Y														
proporzionale alle masse														
	0%	-	-	VNR	VNR	0,00	0	0	0	0	0	0	0,00	0,00
	100%	-	-	VNR	VNR	0,00	0	0	0	0	0	0	0,00	0,00
proporzionale alla deformata 1° modo di vibrazione														
	0%	-	-	VNR	VNR	0,00	0	0	0	0	0	0	0,00	0,00
	100%	-	-	VNR	VNR	0,00	0	0	0	0	0	0	0,00	0,00
sisma in +X														
proporzionale alle masse														
Trave 31a-32a	0%	-9	22.890	NS	2,85	1,02	23412	65233	134479	134479	0	0	2,50	2,50
	100%	-9	-22.615	NS	2,88	1,02	23412	65233	134471	134471	0	0	2,50	2,50
proporzionale alla deformata 1° modo di vibrazione														
	0%	-13	23.026	NS	2,83	1,02	23412	65233	134494	134494	0	0	2,50	2,50
	100%	-13	-22.478	NS	2,90	1,02	23412	65233	134483	134483	0	0	2,50	2,50
sisma in -X														
proporzionale alle masse														
	0%	-19	21.891	NS	2,98	1,02	23412	65233	134478	134478	0	0	2,50	2,50
	100%	-19	-23.614	NS	2,76	1,02	23412	65233	134491	134491	0	0	2,50	2,50
proporzionale alla deformata 1° modo di vibrazione														
	0%	-18	21.768	NS	3,00	1,02	23412	65233	134515	134515	0	0	2,50	2,50

Id_{Tr}	$\%L_{LI}$	$V_{Ed,3}$	$V_{Ed,2}$	$CS^{(3)}$	$CS^{(2)}$	α_C	$V_{Rsd,s}{}^{(3)}$	$V_{Rsd,s}{}^{(2)}$	$V_{Rcd}{}^{(3)}$	$V_{Rcd}{}^{(2)}$	$V_{fd}{}^{(3)}$	$V_{fd}{}^{(2)}$	$Ctg\Theta^{(3)}$	$Ctg\Theta^{(2)}$
	[%]	[N]	[N]				[N]	[N]	[N]	[N]	[N]	[N]		
	100%	-18	-23.737	NS	2,75	1,02	23412	65233	134528	134528	0	0	2,50	2,50
sisma in +Y														
proporzionale alle masse														
	0%	-21	22.005	NS	2,96	1,01	23412	65233	134293	134293	0	0	2,50	2,50
	100%	-21	-23.499	NS	2,78	1,01	23412	65233	134303	134303	0	0	2,50	2,50
proporzionale alla deformata 1° modo di vibrazione														
	0%	-32	21.744	NS	3,00	1,01	23412	65233	134235	134235	0	0	2,50	2,50
	100%	-32	-23.761	NS	2,75	1,01	23412	65233	134245	134245	0	0	2,50	2,50
sisma in -Y														
proporzionale alle masse														
	0%	-	-	VNR	VNR	0,00	0	0	0	0	0	0	0,00	0,00
	100%	-	-	VNR	VNR	0,00	0	0	0	0	0	0	0,00	0,00
proporzionale alla deformata 1° modo di vibrazione														
	0%	-	-	VNR	VNR	0,00	0	0	0	0	0	0	0,00	0,00
	100%	-	-	VNR	VNR	0,00	0	0	0	0	0	0	0,00	0,00
sisma in +X														
proporzionale alle masse														
Trave 32a-33a	0%	7	23.181	NS	2,81	1,02	23412	65233	134532	134532	0	0	2,50	2,50
	100%	7	-22.323	NS	2,92	1,02	23412	65233	134531	134531	0	0	2,50	2,50
proporzionale alla deformata 1° modo di vibrazione														
	0%	3	23.267	NS	2,80	1,02	23412	65233	134563	134563	0	0	2,50	2,50
	100%	3	-22.238	NS	2,93	1,02	23412	65233	134562	134562	0	0	2,50	2,50
sisma in -X														
proporzionale alle masse														
	0%	19	22.326	NS	2,92	1,01	23412	65233	134329	134329	0	0	2,50	2,50
	100%	19	-23.179	NS	2,81	1,01	23412	65233	134341	134341	0	0	2,50	2,50
proporzionale alla deformata 1° modo di vibrazione														
	0%	22	22.206	NS	2,94	1,01	23412	65233	134326	134326	0	0	2,50	2,50
	100%	22	-23.299	NS	2,80	1,01	23412	65233	134337	134337	0	0	2,50	2,50
sisma in +Y														
proporzionale alle masse														
	0%	11	22.767	NS	2,87	1,01	23412	65233	134212	134212	0	0	2,50	2,50
	100%	11	-22.738	NS	2,87	1,01	23412	65233	134204	134204	0	0	2,50	2,50
proporzionale alla deformata 1° modo di vibrazione														
	0%	11	22.700	NS	2,87	1,01	23412	65233	134086	134086	0	0	2,50	2,50
	100%	11	-22.805	NS	2,86	1,01	23412	65233	134087	134087	0	0	2,50	2,50
sisma in -Y														
proporzionale alle masse														
	0%	-	-	VNR	VNR	0,00	0	0	0	0	0	0	0,00	0,00
	100%	-	-	VNR	VNR	0,00	0	0	0	0	0	0	0,00	0,00
proporzionale alla deformata 1° modo di vibrazione														
	0%	-	-	VNR	VNR	0,00	0	0	0	0	0	0	0,00	0,00
	100%	-	-	VNR	VNR	0,00	0	0	0	0	0	0	0,00	0,00
sisma in +X														
proporzionale alle masse														
Trave 33a-34a	0%	-123	26.149	NS	2,49	1,00	23412	65233	132614	132614	0	0	2,50	2,50
	100%	-123	-19.737	NS	3,31	1,00	23412	65233	132610	132610	0	0	2,50	2,50
proporzionale alla deformata 1° modo di vibrazione														
	0%	-120	26.230	NS	2,49	1,00	23412	65233	132685	132685	0	0	2,50	2,50
	100%	-120	-19.656	NS	3,32	1,00	23412	65233	132683	132683	0	0	2,50	2,50
sisma in -X														
proporzionale alle masse														
	0%	-85	25.920	NS	2,52	1,00	23412	65233	132432	132432	0	0	2,50	2,50
	100%	-85	-19.966	NS	3,27	1,00	23412	65233	132432	132432	0	0	2,50	2,50
proporzionale alla deformata 1° modo di vibrazione														
	0%	-91	25.843	NS	2,52	1,00	23412	65233	132432	132432	0	0	2,50	2,50
	100%	-91	-20.044	NS	3,25	1,00	23412	65233	132432	132432	0	0	2,50	2,50
sisma in +Y														
proporzionale alle masse														
	0%	-79	25.537	NS	2,55	1,00	23412	65233	132432	132432	0	0	2,50	2,50
	100%	-79	-20.349	NS	3,21	1,00	23412	65233	132432	132432	0	0	2,50	2,50
proporzionale alla deformata 1° modo di vibrazione														
	0%	-65	25.443	NS	2,56	1,00	23412	65233	132432	132432	0	0	2,50	2,50
	100%	-65	-20.443	NS	3,19	1,00	23412	65233	132432	132432	0	0	2,50	2,50
sisma in -Y														
proporzionale alle masse														
	0%	-	-	VNR	VNR	0,00	0	0	0	0	0	0	0,00	0,00
	100%	-	-	VNR	VNR	0,00	0	0	0	0	0	0	0,00	0,00
proporzionale alla deformata 1° modo di vibrazione														
	0%	-	-	VNR	VNR	0,00	0	0	0	0	0	0	0,00	0,00
	100%	-	-	VNR	VNR	0,00	0	0	0	0	0	0	0,00	0,00
Piano copertura								**Travata: Trave25a-26a-27a-28a-29a**						
sisma in +X														
proporzionale alle masse														
Trave 25a-26a	0%	70	16.200	NS	4,03	1,00	23412	65233	132432	132432	0	0	2,50	2,50
	100%	70	-21.209	NS	3,08	1,00	23412	65233	132432	132432	0	0	2,50	2,50
proporzionale alla deformata 1° modo di vibrazione														
	0%	67	16.133	NS	4,04	1,00	23412	65233	132432	132432	0	0	2,50	2,50
	100%	67	-21.277	NS	3,07	1,00	23412	65233	132432	132432	0	0	2,50	2,50
sisma in -X														
proporzionale alle masse														
	0%	84	16.984	NS	3,84	1,01	23412	65233	133146	133146	0	0	2,50	2,50
	100%	84	-20.426	NS	3,19	1,01	23412	65233	133139	133139	0	0	2,50	2,50
proporzionale alla deformata 1° modo di vibrazione														
	0%	82	17.079	NS	3,82	1,01	23412	65233	133277	133277	0	0	2,50	2,50
	100%	82	-20.330	NS	3,21	1,01	23412	65233	133279	133279	0	0	2,50	2,50

Id_{Tr}	$\%L_{LI}$	$V_{Ed,3}$	$V_{Ed,2}$	$CS^{(3)}$	$CS^{(2)}$	α_C	$V_{Rsd,s}{}^{(3)}$	$V_{Rsd,s}{}^{(2)}$	$V_{Rcd}{}^{(3)}$	$V_{Rcd}{}^{(2)}$	$V_{fd}{}^{(3)}$	$V_{fd}{}^{(2)}$	$Ctg\Theta^{(3)}$	$Ctg\Theta^{(2)}$
	[%]	[N]	[N]				[N]	[N]	[N]	[N]	[N]	[N]		
sisma in +Y														
proporzionale alle masse														
	0%	82	16.532	NS	3,95	1,00	23412	65233	132606	132606	0	0	2,50	2,50
	100%	82	-20.877	NS	3,12	1,00	23412	65233	132592	132592	0	0	2,50	2,50
proporzionale alla deformata 1° modo di vibrazione														
	0%	85	16.421	NS	3,97	1,00	23412	65233	132585	132585	0	0	2,50	2,50
	100%	85	-20.988	NS	3,11	1,00	23412	65233	132582	132582	0	0	2,50	2,50
sisma in -Y														
proporzionale alle masse														
	0%	-	-	VNR	VNR	0,00	0	0	0	0	0	0	0,00	0,00
	100%	-	-	VNR	VNR	0,00	0	0	0	0	0	0	0,00	0,00
proporzionale alla deformata 1° modo di vibrazione														
	0%	-	-	VNR	VNR	0,00	0	0	0	0	0	0	0,00	0,00
	100%	-	-	VNR	VNR	0,00	0	0	0	0	0	0	0,00	0,00
sisma in +X														
proporzionale alle masse														
Trave 26a-27a	0%	-25	18.957	NS	3,44	1,01	23412	65233	134283	134283	0	0	2,50	2,50
	100%	-25	-18.385	NS	3,55	1,01	23412	65233	134255	134255	0	0	2,50	2,50
proporzionale alla deformata 1° modo di vibrazione														
	0%	-37	19.102	NS	3,41	1,01	23412	65233	134319	134319	0	0	2,50	2,50
	100%	-37	-18.239	NS	3,58	1,01	23412	65233	134281	134281	0	0	2,50	2,50
sisma in -X														
proporzionale alle masse														
	0%	40	18.164	NS	3,59	1,01	23412	65233	134242	134242	0	0	2,50	2,50
	100%	40	-19.178	NS	3,40	1,01	23412	65233	134252	134252	0	0	2,50	2,50
proporzionale alla deformata 1° modo di vibrazione														
	0%	47	18.080	NS	3,61	1,01	23412	65233	134266	134266	0	0	2,50	2,50
	100%	47	-19.261	NS	3,39	1,01	23412	65233	134276	134276	0	0	2,50	2,50
sisma in +Y														
proporzionale alle masse														
	0%	13	18.269	NS	3,57	1,01	23412	65233	134123	134123	0	0	2,50	2,50
	100%	13	-19.072	NS	3,42	1,01	23412	65233	134130	134130	0	0	2,50	2,50
proporzionale alla deformata 1° modo di vibrazione														
	0%	16	18.156	NS	3,59	1,01	23412	65233	134100	134100	0	0	2,50	2,50
	100%	16	-19.185	NS	3,40	1,01	23412	65233	134108	134108	0	0	2,50	2,50
sisma in -Y														
proporzionale alle masse														
	0%	-	-	VNR	VNR	0,00	0	0	0	0	0	0	0,00	0,00
	100%	-	-	VNR	VNR	0,00	0	0	0	0	0	0	0,00	0,00
proporzionale alla deformata 1° modo di vibrazione														
	0%	-	-	VNR	VNR	0,00	0	0	0	0	0	0	0,00	0,00
	100%	-	-	VNR	VNR	0,00	0	0	0	0	0	0	0,00	0,00
sisma in +X														
proporzionale alle masse														
Trave 27a-28a	0%	-33	19.042	NS	3,43	1,01	23412	65233	134347	134347	0	0	2,50	2,50
	100%	-33	-18.300	NS	3,56	1,01	23412	65233	134342	134342	0	0	2,50	2,50
proporzionale alla deformata 1° modo di vibrazione														
	0%	-43	19.143	NS	3,41	1,01	23412	65233	134368	134368	0	0	2,50	2,50
	100%	-43	-18.198	NS	3,58	1,01	23412	65233	134363	134363	0	0	2,50	2,50
sisma in -X														
proporzionale alle masse														
	0%	15	18.436	NS	3,54	1,01	23412	65233	134262	134262	0	0	2,50	2,50
	100%	15	-18.906	NS	3,45	1,01	23412	65233	134281	134281	0	0	2,50	2,50
proporzionale alla deformata 1° modo di vibrazione														
	0%	23	18.343	NS	3,56	1,01	23412	65233	134273	134273	0	0	2,50	2,50
	100%	23	-18.999	NS	3,43	1,01	23412	65233	134290	134290	0	0	2,50	2,50
sisma in +Y														
proporzionale alle masse														
	0%	6	18.701	NS	3,49	1,01	23412	65233	134227	134227	0	0	2,50	2,50
	100%	6	-18.640	NS	3,50	1,01	23412	65233	134227	134227	0	0	2,50	2,50
proporzionale alla deformata 1° modo di vibrazione														
	0%	11	18.661	NS	3,50	1,01	23412	65233	134204	134204	0	0	2,50	2,50
	100%	11	-18.681	NS	3,49	1,01	23412	65233	134204	134204	0	0	2,50	2,50
sisma in -Y														
proporzionale alle masse														
	0%	-	-	VNR	VNR	0,00	0	0	0	0	0	0	0,00	0,00
	100%	-	-	VNR	VNR	0,00	0	0	0	0	0	0	0,00	0,00
proporzionale alla deformata 1° modo di vibrazione														
	0%	-	-	VNR	VNR	0,00	0	0	0	0	0	0	0,00	0,00
	100%	-	-	VNR	VNR	0,00	0	0	0	0	0	0	0,00	0,00
sisma in +X														
proporzionale alle masse														
Trave 28a-29a	0%	-134	21.550	NS	3,03	1,00	23412	65233	132628	132628	0	0	2,50	2,50
	100%	-134	-16.104	NS	4,05	1,00	23412	65233	132623	132623	0	0	2,50	2,50
proporzionale alla deformata 1° modo di vibrazione														
	0%	-123	21.616	NS	3,02	1,00	23412	65233	132717	132717	0	0	2,50	2,50
	100%	-123	-16.038	NS	4,07	1,00	23412	65233	132712	132712	0	0	2,50	2,50
sisma in -X														
proporzionale alle masse														
	0%	-120	21.361	NS	3,05	1,00	23412	65233	132468	132468	0	0	2,50	2,50
	100%	-120	-16.293	NS	4,00	1,00	23412	65233	132484	132484	0	0	2,50	2,50
proporzionale alla deformata 1° modo di vibrazione														
	0%	-134	21.335	NS	3,06	1,00	23412	65233	132432	132432	0	0	2,50	2,50
	100%	-134	-16.318	NS	4,00	1,00	23412	65233	132432	132432	0	0	2,50	2,50
sisma in +Y														
proporzionale alle masse														

Id_{Tr}	$\%L_{LI}$	$V_{Ed,3}$	$V_{Ed,2}$	$CS^{(3)}$	$CS^{(2)}$	α_C	$V_{Rsd,s}{}^{(3)}$	$V_{Rsd,s}{}^{(2)}$	$V_{Rcd}{}^{(3)}$	$V_{Rcd}{}^{(2)}$	$V_{fd}{}^{(3)}$	$V_{fd}{}^{(2)}$	$Ctg\Theta^{(3)}$	$Ctg\Theta^{(2)}$
	[%]	[N]	[N]				[N]	[N]	[N]	[N]	[N]	[N]		
	0%	-92	21.129	NS	3,09	1,00	23412	65233	132432	132432	0	0	2,50	2,50
	100%	-92	-16.524	NS	3,95	1,00	23412	65233	132432	132432	0	0	2,50	2,50
proporzionale alla deformata 1° modo di vibrazione														
	0%	-88	21.084	NS	3,09	1,00	23412	65233	132432	132432	0	0	2,50	2,50
	100%	-88	-16.570	NS	3,94	1,00	23412	65233	132432	132432	0	0	2,50	2,50
sisma in -Y														
proporzionale alle masse														
	0%	-	-	VNR	VNR	0,00	0	0	0	0	0	0	0,00	0,00
	100%	-	-	VNR	VNR	0,00	0	0	0	0	0	0	0,00	0,00
proporzionale alla deformata 1° modo di vibrazione														
	0%	-	-	VNR	VNR	0,00	0	0	0	0	0	0	0,00	0,00
	100%	-	-	VNR	VNR	0,00	0	0	0	0	0	0	0,00	0,00
Piano copertura								**Travata: Trave12a-13a-14a-15a-16a-11a**						
sisma in +X														
proporzionale alle masse														
Trave 12a-13a	0%	-10	5.149	NS	8,61	1,01	23412	44322	91238	91238	0	0	2,50	2,50
	100%	-10	-3.811	NS	11,63	1,01	23412	44322	91140	91140	0	0	2,50	2,50
proporzionale alla deformata 1° modo di vibrazione														
	0%	-25	5.358	NS	8,27	1,02	23412	44322	91471	91471	0	0	2,50	2,50
	100%	-25	-3.602	NS	12,30	1,01	23412	44322	91326	91326	0	0	2,50	2,50
sisma in -X														
proporzionale alle masse														
	0%	-1	3.459	NS	12,81	1,00	23412	44322	89981	89981	0	0	2,50	2,50
	100%	-1	-5.501	NS	8,06	1,00	23412	44322	89981	89981	0	0	2,50	2,50
proporzionale alla deformata 1° modo di vibrazione														
	0%	1	3.363	NS	13,18	1,00	23412	44322	89981	89981	0	0	2,50	2,50
	100%	1	-5.597	NS	7,92	1,00	23412	44322	89981	89981	0	0	2,50	2,50
sisma in +Y														
proporzionale alle masse														
	0%	-98	4.038	NS	10,98	1,01	23412	44322	90502	90502	0	0	2,50	2,50
	100%	-98	-4.923	NS	9,00	1,01	23412	44322	90525	90525	0	0	2,50	2,50
proporzionale alla deformata 1° modo di vibrazione														
	0%	-107	4.037	NS	10,98	1,01	23412	44322	90479	90479	0	0	2,50	2,50
	100%	-107	-4.923	NS	9,00	1,01	23412	44322	90521	90521	0	0	2,50	2,50
sisma in -Y														
proporzionale alle masse														
	0%	-	-	VNR	VNR	0,00	0	0	0	0	0	0	0,00	0,00
	100%	-	-	VNR	VNR	0,00	0	0	0	0	0	0	0,00	0,00
proporzionale alla deformata 1° modo di vibrazione														
	0%	-	-	VNR	VNR	0,00	0	0	0	0	0	0	0,00	0,00
	100%	-	-	VNR	VNR	0,00	0	0	0	0	0	0	0,00	0,00
sisma in +X														
proporzionale alle masse														
Trave 13a-14a	0%	-28	5.077	NS	8,73	1,01	23412	44322	90547	90547	0	0	2,50	2,50
	100%	-28	-4.243	NS	10,45	1,01	23412	44322	90500	90500	0	0	2,50	2,50
proporzionale alla deformata 1° modo di vibrazione														
	0%	-33	5.151	NS	8,60	1,01	23412	44322	90449	90449	0	0	2,50	2,50
	100%	-33	-4.169	NS	10,63	1,00	23412	44322	90419	90419	0	0	2,50	2,50
sisma in -X														
proporzionale alle masse														
	0%	19	4.335	NS	10,22	1,02	23412	44322	91633	91633	0	0	2,50	2,50
	100%	19	-4.986	NS	8,89	1,02	23412	44322	91673	91673	0	0	2,50	2,50
proporzionale alla deformata 1° modo di vibrazione														
	0%	34	4.254	NS	10,42	1,02	23412	44322	91777	91777	0	0	2,50	2,50
	100%	34	-5.067	NS	8,75	1,02	23412	44322	91830	91830	0	0	2,50	2,50
sisma in +Y														
proporzionale alle masse														
	0%	-43	4.605	NS	9,62	1,01	23412	44322	90885	90885	0	0	2,50	2,50
	100%	-43	-4.715	NS	9,40	1,01	23412	44322	90905	90905	0	0	2,50	2,50
proporzionale alla deformata 1° modo di vibrazione														
	0%	-63	4.566	NS	9,71	1,01	23412	44322	90920	90920	0	0	2,50	2,50
	100%	-63	-4.755	NS	9,32	1,01	23412	44322	90937	90937	0	0	2,50	2,50
sisma in -Y														
proporzionale alle masse														
	0%	-	-	VNR	VNR	0,00	0	0	0	0	0	0	0,00	0,00
	100%	-	-	VNR	VNR	0,00	0	0	0	0	0	0	0,00	0,00
proporzionale alla deformata 1° modo di vibrazione														
	0%	-	-	VNR	VNR	0,00	0	0	0	0	0	0	0,00	0,00
	100%	-	-	VNR	VNR	0,00	0	0	0	0	0	0	0,00	0,00
sisma in +X														
proporzionale alle masse														
Trave 14a-15a	0%	-37	6.385	NS	6,94	1,02	23412	44322	91588	91588	0	0	2,50	2,50
	100%	-37	-5.773	NS	7,68	1,02	23412	44322	91556	91556	0	0	2,50	2,50
proporzionale alla deformata 1° modo di vibrazione														
	0%	-47	6.441	NS	6,88	1,02	23412	44322	91660	91660	0	0	2,50	2,50
	100%	-47	-5.717	NS	7,75	1,02	23412	44322	91605	91605	0	0	2,50	2,50
sisma in -X														
proporzionale alle masse														
	0%	26	5.914	NS	7,49	1,01	23412	44322	91232	91232	0	0	2,50	2,50
	100%	26	-6.245	NS	7,10	1,01	23412	44322	91256	91256	0	0	2,50	2,50
proporzionale alla deformata 1° modo di vibrazione														
	0%	36	5.865	NS	7,56	1,01	23412	44322	91243	91243	0	0	2,50	2,50
	100%	36	-6.294	NS	7,04	1,01	23412	44322	91273	91273	0	0	2,50	2,50
sisma in +Y														
proporzionale alle masse														
	0%	-1	6.139	NS	7,22	1,02	23412	44322	91341	91341	0	0	2,50	2,50

Id_{Tr}	$\%L_{LI}$	$V_{Ed,3}$	$V_{Ed,2}$	$CS^{(3)}$	$CS^{(2)}$	α_C	$V_{Rsd,s}{}^{(3)}$	$V_{Rsd,s}{}^{(2)}$	$V_{Rcd}{}^{(3)}$	$V_{Rcd}{}^{(2)}$	$V_{fd}{}^{(3)}$	$V_{fd}{}^{(2)}$	$Ctg\Theta^{(3)}$	$Ctg\Theta^{(2)}$
	[%]	[N]	[N]				[N]	[N]	[N]	[N]	[N]	[N]		
	100%	-1	-6.020	NS	7,36	1,02	23412	44322	91341	91341	0	0	2,50	2,50
proporzionale alla deformata 1° modo di vibrazione														
	0%	-5	6.084	NS	7,29	1,02	23412	44322	91384	91384	0	0	2,50	2,50
	100%	-5	-6.074	NS	7,30	1,02	23412	44322	91389	91389	0	0	2,50	2,50
sisma in -Y														
proporzionale alle masse														
	0%	-	-	VNR	VNR	0,00	0	0	0	0	0	0	0,00	0,00
	100%	-	-	VNR	VNR	0,00	0	0	0	0	0	0	0,00	0,00
proporzionale alla deformata 1° modo di vibrazione														
	0%	-	-	VNR	VNR	0,00	0	0	0	0	0	0	0,00	0,00
	100%	-	-	VNR	VNR	0,00	0	0	0	0	0	0	0,00	0,00
sisma in +X														
proporzionale alle masse														
Trave 15a-16a	0%	-421	3.297	55,61	13,44	1,03	23412	44322	92977	92977	0	0	2,50	2,50
	100%	-421	-4.228	55,61	10,48	1,04	23412	44322	93172	93172	0	0	2,50	2,50
proporzionale alla deformata 1° modo di vibrazione														
	0%	-531	3.025	44,09	14,65	1,04	23412	44322	93664	93664	0	0	2,50	2,50
	100%	-531	-4.500	44,09	9,85	1,04	23412	44322	93716	93716	0	0	2,50	2,50
sisma in -X														
proporzionale alle masse														
	0%	260	4.119	90,05	10,76	1,01	23412	44322	90615	90615	0	0	2,50	2,50
	100%	260	-3.406	90,05	13,01	1,01	23412	44322	90653	90653	0	0	2,50	2,50
proporzionale alla deformata 1° modo di vibrazione														
	0%	310	4.099	75,52	10,81	1,01	23412	44322	90561	90561	0	0	2,50	2,50
	100%	310	-3.426	75,52	12,94	1,01	23412	44322	90651	90651	0	0	2,50	2,50
sisma in +Y														
proporzionale alle masse														
	0%	108	3.778	NS	11,73	1,02	23412	44322	91408	91408	0	0	2,50	2,50
	100%	108	-3.747	NS	11,83	1,02	23412	44322	91467	91467	0	0	2,50	2,50
proporzionale alla deformata 1° modo di vibrazione														
	0%	130	3.462	NS	12,80	1,02	23412	44322	91451	91451	0	0	2,50	2,50
	100%	130	-4.063	NS	10,91	1,02	23412	44322	91538	91538	0	0	2,50	2,50
sisma in -Y														
proporzionale alle masse														
	0%	-	-	VNR	VNR	0,00	0	0	0	0	0	0	0,00	0,00
	100%	-	-	VNR	VNR	0,00	0	0	0	0	0	0	0,00	0,00
proporzionale alla deformata 1° modo di vibrazione														
	0%	-	-	VNR	VNR	0,00	0	0	0	0	0	0	0,00	0,00
	100%	-	-	VNR	VNR	0,00	0	0	0	0	0	0	0,00	0,00
sisma in +X														
proporzionale alle masse														
Trave 16a-11a	0%	-55	-4.861	NS	9,12	1,12	23412	44322	100767	100767	0	0	2,50	2,50
	100%	-71	-12.386	NS	3,58	1,12	23412	44322	100701	100701	0	0	2,50	2,50
proporzionale alla deformata 1° modo di vibrazione														
	0%	-83	-6.527	NS	6,79	1,14	23412	44322	102653	102653	0	0	2,50	2,50
	100%	-99	-14.051	NS	3,15	1,14	23412	44322	102631	102631	0	0	2,50	2,50
sisma in -X														
proporzionale alle masse														
	0%	87	5.165	NS	8,58	1,00	23412	44322	90134	90134	0	0	2,50	2,50
	100%	71	-2.360	NS	18,78	1,01	23412	44322	90609	90609	0	0	2,50	2,50
proporzionale alla deformata 1° modo di vibrazione														
	0%	97	5.502	NS	8,06	1,00	23412	44322	90046	90046	0	0	2,50	2,50
	100%	81	-2.022	NS	21,92	1,00	23412	44322	90283	90283	0	0	2,50	2,50
sisma in +Y														
proporzionale alle masse														
	0%	184	-693	NS	63,96	1,07	23412	44322	96665	96665	0	0	2,50	2,50
	100%	168	-8.218	NS	5,39	1,07	23412	44322	96673	96673	0	0	2,50	2,50
proporzionale alla deformata 1° modo di vibrazione														
	0%	211	-1.761	NS	25,17	1,09	23412	44322	97805	97805	0	0	2,50	2,50
	100%	195	-9.286	NS	4,77	1,09	23412	44322	97792	97792	0	0	2,50	2,50
sisma in -Y														
proporzionale alle masse														
	0%	-	-	VNR	VNR	0,00	0	0	0	0	0	0	0,00	0,00
	100%	-	-	VNR	VNR	0,00	0	0	0	0	0	0	0,00	0,00
proporzionale alla deformata 1° modo di vibrazione														
	0%	-	-	VNR	VNR	0,00	0	0	0	0	0	0	0,00	0,00
	100%	-	-	VNR	VNR	0,00	0	0	0	0	0	0	0,00	0,00
Piano copertura								**Travata: Trave2-5-8-11-23**						
sisma in +X														
proporzionale alle masse														
Trave 2-5	0%	2.603	20.850	14,32	2,46	1,00	37283	51223	155995	155995	0	0	2,50	2,50
	100%	2.603	-34.673	14,32	1,48	1,00	37283	51223	155985	155985	0	0	2,50	2,50
proporzionale alla deformata 1° modo di vibrazione														
	0%	2.581	20.466	14,45	2,50	1,00	37283	51223	155985	155985	0	0	2,50	2,50
	100%	2.581	-35.056	14,45	1,46	1,00	37283	51223	155985	155985	0	0	2,50	2,50
sisma in -X														
proporzionale alle masse														
	0%	-545	27.011	68,41	1,90	1,01	37283	51223	157044	157044	0	0	2,50	2,50
	100%	-545	-28.512	68,41	1,80	1,01	37283	51223	157062	157062	0	0	2,50	2,50
proporzionale alla deformata 1° modo di vibrazione														
	0%	-558	27.012	66,82	1,90	1,01	37283	51223	157045	157045	0	0	2,50	2,50
	100%	-558	-28.511	66,82	1,80	1,01	37283	51223	157041	157041	0	0	2,50	2,50
sisma in +Y														
proporzionale alle masse														
	0%	249	26.570	NS	1,93	1,01	37283	51223	156775	156775	0	0	2,50	2,50
	100%	249	-28.953	NS	1,77	1,00	37283	51223	156742	156742	0	0	2,50	2,50

Id_{Tr}	$\%L_{LI}$	$V_{Ed,3}$	$V_{Ed,2}$	$CS^{(3)}$	$CS^{(2)}$	α_C	$V_{Rsd,s}{}^{(3)}$	$V_{Rsd,s}{}^{(2)}$	$V_{Rcd}{}^{(3)}$	$V_{Rcd}{}^{(2)}$	$V_{fd}{}^{(3)}$	$V_{fd}{}^{(2)}$	$Ctg\Theta^{(3)}$	$Ctg\Theta^{(2)}$
	[%]	[N]	[N]				[N]	[N]	[N]	[N]	[N]	[N]		
proporzionale alla deformata 1° modo di vibrazione														
	0%	828	24.998	45,03	2,05	1,00	37283	51223	156112	156112	0	0	2,50	2,50
	100%	828	-30.525	45,03	1,68	1,00	37283	51223	156112	156112	0	0	2,50	2,50
sisma in -Y														
proporzionale alle masse														
	0%	-	-	VNR	VNR	0,00	0	0	0	0	0	0	0,00	0,00
	100%	-	-	VNR	VNR	0,00	0	0	0	0	0	0	0,00	0,00
proporzionale alla deformata 1° modo di vibrazione														
	0%	-	-	VNR	VNR	0,00	0	0	0	0	0	0	0,00	0,00
	100%	-	-	VNR	VNR	0,00	0	0	0	0	0	0	0,00	0,00
sisma in +X														
proporzionale alle masse														
Trave 5-8	0%	3.113	25.199	11,98	2,03	1,02	37283	51223	158382	158382	0	0	2,50	2,50
	100%	3.113	-27.837	11,98	1,84	1,02	37283	51223	158427	158427	0	0	2,50	2,50
proporzionale alla deformata 1° modo di vibrazione														
	0%	3.218	25.134	11,59	2,04	1,02	37283	51223	158533	158533	0	0	2,50	2,50
	100%	3.218	-27.903	11,59	1,84	1,02	37283	51223	158474	158474	0	0	2,50	2,50
sisma in -X														
proporzionale alle masse														
	0%	-167	26.443	NS	1,94	1,01	37283	51223	158237	158237	0	0	2,50	2,50
	100%	-167	-26.594	NS	1,93	1,01	37283	51223	158241	158241	0	0	2,50	2,50
proporzionale alla deformata 1° modo di vibrazione														
	0%	-185	26.442	NS	1,94	1,01	37283	51223	158237	158237	0	0	2,50	2,50
	100%	-185	-26.595	NS	1,93	1,01	37283	51223	158246	158246	0	0	2,50	2,50
sisma in +Y														
proporzionale alle masse														
	0%	408	26.958	91,38	1,90	1,01	37283	51223	158153	158153	0	0	2,50	2,50
	100%	408	-26.079	91,38	1,96	1,01	37283	51223	158138	158138	0	0	2,50	2,50
proporzionale alla deformata 1° modo di vibrazione														
	0%	1.056	26.520	35,31	1,93	1,01	37283	51223	158102	158102	0	0	2,50	2,50
	100%	1.056	-26.516	35,31	1,93	1,01	37283	51223	158084	158084	0	0	2,50	2,50
sisma in -Y														
proporzionale alle masse														
	0%	-	-	VNR	VNR	0,00	0	0	0	0	0	0	0,00	0,00
	100%	-	-	VNR	VNR	0,00	0	0	0	0	0	0	0,00	0,00
proporzionale alla deformata 1° modo di vibrazione														
	0%	-	-	VNR	VNR	0,00	0	0	0	0	0	0	0,00	0,00
	100%	-	-	VNR	VNR	0,00	0	0	0	0	0	0	0,00	0,00
sisma in +X														
proporzionale alle masse														
Trave 8-11	0%	1.373	26.476	27,15	1,93	1,01	37283	51223	157917	157917	0	0	2,50	2,50
	100%	1.373	-26.561	27,15	1,93	1,01	37283	51223	157919	157919	0	0	2,50	2,50
proporzionale alla deformata 1° modo di vibrazione														
	0%	1.453	26.473	25,66	1,93	1,01	37283	51223	157949	157949	0	0	2,50	2,50
	100%	1.453	-26.564	25,66	1,93	1,01	37283	51223	157955	157955	0	0	2,50	2,50
sisma in -X														
proporzionale alle masse														
	0%	-29	26.814	NS	1,91	1,01	37283	51223	158080	158080	0	0	2,50	2,50
	100%	-29	-26.222	NS	1,95	1,01	37283	51223	158080	158080	0	0	2,50	2,50
proporzionale alla deformata 1° modo di vibrazione														
	0%	-51	26.791	NS	1,91	1,01	37283	51223	158084	158084	0	0	2,50	2,50
	100%	-51	-26.246	NS	1,95	1,01	37283	51223	158085	158085	0	0	2,50	2,50
sisma in +Y														
proporzionale alle masse														
	0%	277	27.579	NS	1,86	1,01	37283	51223	157941	157941	0	0	2,50	2,50
	100%	277	-25.458	NS	2,01	1,01	37283	51223	157924	157924	0	0	2,50	2,50
proporzionale alla deformata 1° modo di vibrazione														
	0%	688	27.237	54,19	1,88	1,01	37283	51223	157962	157962	0	0	2,50	2,50
	100%	688	-25.800	54,19	1,99	1,01	37283	51223	157938	157938	0	0	2,50	2,50
sisma in -Y														
proporzionale alle masse														
	0%	-	-	VNR	VNR	0,00	0	0	0	0	0	0	0,00	0,00
	100%	-	-	VNR	VNR	0,00	0	0	0	0	0	0	0,00	0,00
proporzionale alla deformata 1° modo di vibrazione														
	0%	-	-	VNR	VNR	0,00	0	0	0	0	0	0	0,00	0,00
	100%	-	-	VNR	VNR	0,00	0	0	0	0	0	0	0,00	0,00
sisma in +X														
proporzionale alle masse														
Trave 11-23	0%	847	27.033	44,02	1,89	1,01	37283	51223	156878	156878	0	0	2,50	2,50
	100%	847	-24.760	44,02	2,07	1,01	37283	51223	156945	156945	0	0	2,50	2,50
proporzionale alla deformata 1° modo di vibrazione														
	0%	968	27.118	38,52	1,89	1,01	37283	51223	156907	156907	0	0	2,50	2,50
	100%	968	-24.676	38,52	2,08	1,01	37283	51223	156901	156901	0	0	2,50	2,50
sisma in -X														
proporzionale alle masse														
	0%	-414	25.612	90,06	2,00	1,01	37283	51223	157749	157749	0	0	2,50	2,50
	100%	-414	-26.182	90,06	1,96	1,01	37283	51223	157801	157801	0	0	2,50	2,50
proporzionale alla deformata 1° modo di vibrazione														
	0%	-515	25.552	72,39	2,00	1,01	37283	51223	157762	157762	0	0	2,50	2,50
	100%	-515	-26.242	72,39	1,95	1,01	37283	51223	157827	157827	0	0	2,50	2,50
sisma in +Y														
proporzionale alle masse														
	0%	576	28.603	64,73	1,79	1,00	37283	51223	156538	156538	0	0	2,50	2,50
	100%	576	-23.191	64,73	2,21	1,00	37283	51223	156532	156532	0	0	2,50	2,50
proporzionale alla deformata 1° modo di vibrazione														
	0%	1.070	28.480	34,84	1,80	1,00	37283	51223	156583	156583	0	0	2,50	2,50

Id_{Tr}	$\%L_{LI}$	$V_{Ed,3}$	$V_{Ed,2}$	$CS^{(3)}$	$CS^{(2)}$	α_C	$V_{Rsd,s}{}^{(3)}$	$V_{Rsd,s}{}^{(2)}$	$V_{Rcd}{}^{(3)}$	$V_{Rcd}{}^{(2)}$	$V_{fd}{}^{(3)}$	$V_{fd}{}^{(2)}$	$Ctg\Theta^{(3)}$	$Ctg\Theta^{(2)}$
	[%]	[N]	[N]				[N]	[N]	[N]	[N]	[N]	[N]		
	100%	1.070	-23.314	34,84	2,20	1,00	37283	51223	156587	156587	0	0	2,50	2,50
sisma in -Y														
proporzionale alle masse														
	0%	-	-	VNR	VNR	0,00	0	0	0	0	0	0	0,00	0,00
	100%	-	-	VNR	VNR	0,00	0	0	0	0	0	0	0,00	0,00
proporzionale alla deformata 1° modo di vibrazione														
	0%	-	-	VNR	VNR	0,00	0	0	0	0	0	0	0,00	0,00
	100%	-	-	VNR	VNR	0,00	0	0	0	0	0	0	0,00	0,00
Piano copertura								**Travata: Trave22-12a-P11-31-38**						
sisma in +X														
proporzionale alle masse														
Trave 22-12a	0%	-255	39.364	NS	2,07	1,01	37871	81435	167097	167097	0	0	2,50	2,50
	100%	-255	28.177	NS	2,89	1,01	37871	81435	166558	166558	0	0	2,50	2,50
proporzionale alla deformata 1° modo di vibrazione														
	0%	-605	44.464	62,60	1,83	1,01	37871	81435	167785	167785	0	0	2,50	2,50
	100%	-605	33.277	62,60	2,45	1,01	37871	81435	167233	167233	0	0	2,50	2,50
sisma in -X														
proporzionale alle masse														
	0%	3.054	2.227	12,40	36,57	1,00	37871	81435	165846	165846	0	0	2,50	2,50
	100%	3.054	-8.959	12,40	9,09	1,00	37871	81435	165324	165324	0	0	2,50	2,50
proporzionale alla deformata 1° modo di vibrazione														
	0%	3.324	1.875	11,39	43,43	1,00	37871	81435	165751	165751	0	0	2,50	2,50
	100%	3.324	-9.312	11,39	8,75	1,00	37871	81435	165324	165324	0	0	2,50	2,50
sisma in +Y														
proporzionale alle masse														
	0%	1.043	21.544	36,31	3,78	1,03	37871	81435	170844	170844	0	0	2,50	2,50
	100%	1.043	10.357	36,31	7,86	1,03	37871	81435	169994	169994	0	0	2,50	2,50
proporzionale alla deformata 1° modo di vibrazione														
	0%	1.294	25.715	29,27	3,17	1,03	37871	81435	170079	170079	0	0	2,50	2,50
	100%	1.294	14.528	29,27	5,61	1,02	37871	81435	169434	169434	0	0	2,50	2,50
sisma in -Y														
proporzionale alle masse														
	0%	-	-	VNR	VNR	0,00	0	0	0	0	0	0	0,00	0,00
	100%	-	-	VNR	VNR	0,00	0	0	0	0	0	0	0,00	0,00
proporzionale alla deformata 1° modo di vibrazione														
	0%	-	-	VNR	VNR	0,00	0	0	0	0	0	0	0,00	0,00
	100%	-	-	VNR	VNR	0,00	0	0	0	0	0	0	0,00	0,00
sisma in +X														
proporzionale alle masse														
Trave 12a-P11	0%	-1.893	-61.779	20,01	1,32	1,03	37871	81435	171008	171008	0	0	2,50	2,50
	100%	-1.893	-71.033	20,01	1,15	1,04	37871	81435	171333	171333	0	0	2,50	2,50
proporzionale alla deformata 1° modo di vibrazione														
	0%	-2.076	-59.306	18,24	1,37	1,03	37871	81435	170022	170022	0	0	2,50	2,50
	100%	-2.076	-68.561	18,24	1,19	1,03	37871	81435	170352	170352	0	0	2,50	2,50
sisma in -X														
proporzionale alle masse														
	0%	-1.433	-1.792	26,43	45,44	1,01	37871	81435	166785	166785	0	0	2,50	2,50
	100%	-1.433	-11.046	26,43	7,37	1,01	37871	81435	166941	166941	0	0	2,50	2,50
proporzionale alla deformata 1° modo di vibrazione														
	0%	-1.676	-5.828	22,60	13,97	1,01	37871	81435	167602	167602	0	0	2,50	2,50
	100%	-1.676	-15.082	22,60	5,40	1,01	37871	81435	167668	167668	0	0	2,50	2,50
sisma in +Y														
proporzionale alle masse														
	0%	-2.600	47.056	14,57	1,73	1,00	37871	81435	165324	165324	0	0	2,50	2,50
	100%	-2.600	37.801	14,57	2,15	1,00	37871	81435	165324	165324	0	0	2,50	2,50
proporzionale alla deformata 1° modo di vibrazione														
	0%	-2.151	32.514	17,61	2,50	1,00	37871	81435	165324	165324	0	0	2,50	2,50
	100%	-2.151	23.259	17,61	3,50	1,00	37871	81435	165324	165324	0	0	2,50	2,50
sisma in -Y														
proporzionale alle masse														
	0%	-	-	VNR	VNR	0,00	0	0	0	0	0	0	0,00	0,00
	100%	-	-	VNR	VNR	0,00	0	0	0	0	0	0	0,00	0,00
proporzionale alla deformata 1° modo di vibrazione														
	0%	-	-	VNR	VNR	0,00	0	0	0	0	0	0	0,00	0,00
	100%	-	-	VNR	VNR	0,00	0	0	0	0	0	0	0,00	0,00
sisma in +X														
proporzionale alle masse														
Trave P11-31	0%	637	25.751	59,45	3,16	1,02	37871	81435	168589	168589	0	0	2,50	2,50
	100%	637	-2.081	59,45	39,13	1,03	37871	81435	170017	170017	0	0	2,50	2,50
proporzionale alla deformata 1° modo di vibrazione														
	0%	752	27.736	50,36	2,94	1,03	37871	81435	169468	169468	0	0	2,50	2,50
	100%	752	-96	50,36	NS	1,03	37871	81435	170714	170714	0	0	2,50	2,50
sisma in -X														
proporzionale alle masse														
	0%	-225	15.553	NS	5,24	1,00	37871	81435	165730	165730	0	0	2,50	2,50
	100%	-225	-12.279	NS	6,63	1,01	37871	81435	166710	166710	0	0	2,50	2,50
proporzionale alla deformata 1° modo di vibrazione														
	0%	-255	15.117	NS	5,39	1,00	37871	81435	165664	165664	0	0	2,50	2,50
	100%	-255	-12.715	NS	6,40	1,01	37871	81435	166654	166654	0	0	2,50	2,50
sisma in +Y														
proporzionale alle masse														
	0%	-71	27.207	NS	2,99	1,05	37871	81435	172980	172980	0	0	2,50	2,50
	100%	-71	-626	NS	NS	1,05	37871	81435	173989	173989	0	0	2,50	2,50
proporzionale alla deformata 1° modo di vibrazione														
	0%	-91	25.957	NS	3,14	1,04	37871	81435	171767	171767	0	0	2,50	2,50
	100%	-91	-1.875	NS	43,43	1,05	37871	81435	172828	172828	0	0	2,50	2,50

Id_{Tr}	$\%L_{LI}$	$V_{Ed,3}$	$V_{Ed,2}$	$CS^{(3)}$	$CS^{(2)}$	α_C	$V_{Rsd,s}{}^{(3)}$	$V_{Rsd,s}{}^{(2)}$	$V_{Rcd}{}^{(3)}$	$V_{Rcd}{}^{(2)}$	$V_{fd}{}^{(3)}$	$V_{fd}{}^{(2)}$	$Ctg\Theta^{(3)}$	$Ctg\Theta^{(2)}$
	[%]	[N]	[N]				[N]	[N]	[N]	[N]	[N]	[N]		
sisma in -Y														
proporzionale alle masse														
	0%	-	-	VNR	VNR	0,00	0	0	0	0	0	0	0,00	0,00
	100%	-	-	VNR	VNR	0,00	0	0	0	0	0	0	0,00	0,00
proporzionale alla deformata 1° modo di vibrazione														
	0%	-	-	VNR	VNR	0,00	0	0	0	0	0	0	0,00	0,00
	100%	-	-	VNR	VNR	0,00	0	0	0	0	0	0	0,00	0,00
sisma in +X														
proporzionale alle masse														
Trave 31-38	0%	6	21.689	NS	3,75	1,00	37871	81435	165324	165324	0	0	2,50	2,50
	100%	6	-18.946	NS	4,30	1,00	37871	81435	165324	165324	0	0	2,50	2,50
proporzionale alla deformata 1° modo di vibrazione														
	0%	1	21.462	NS	3,79	1,00	37871	81435	165324	165324	0	0	2,50	2,50
	100%	1	-19.173	NS	4,25	1,00	37871	81435	165324	165324	0	0	2,50	2,50
sisma in -X														
proporzionale alle masse														
	0%	-16	23.174	NS	3,51	1,00	37871	81435	165324	165324	0	0	2,50	2,50
	100%	-16	-17.460	NS	4,66	1,00	37871	81435	165324	165324	0	0	2,50	2,50
proporzionale alla deformata 1° modo di vibrazione														
	0%	-29	23.332	NS	3,49	1,00	37871	81435	165324	165324	0	0	2,50	2,50
	100%	-29	-17.303	NS	4,71	1,00	37871	81435	165324	165324	0	0	2,50	2,50
sisma in +Y														
proporzionale alle masse														
	0%	109	18.991	NS	4,29	1,01	37871	81435	166208	166208	0	0	2,50	2,50
	100%	109	-21.644	NS	3,76	1,02	37871	81435	167825	167825	0	0	2,50	2,50
proporzionale alla deformata 1° modo di vibrazione														
	0%	132	19.407	NS	4,20	1,00	37871	81435	165822	165822	0	0	2,50	2,50
	100%	132	-21.228	NS	3,84	1,01	37871	81435	167371	167371	0	0	2,50	2,50
sisma in -Y														
proporzionale alle masse														
	0%	-	-	VNR	VNR	0,00	0	0	0	0	0	0	0,00	0,00
	100%	-	-	VNR	VNR	0,00	0	0	0	0	0	0	0,00	0,00
proporzionale alla deformata 1° modo di vibrazione														
	0%	-	-	VNR	VNR	0,00	0	0	0	0	0	0	0,00	0,00
	100%	-	-	VNR	VNR	0,00	0	0	0	0	0	0	0,00	0,00
Piano copertura								**Travata: Trave13-25-14a-26-33-40**						
sisma in +X														
proporzionale alle masse														
Trave 13-25	0%	143	29.479	NS	2,76	1,04	37874	81437	172247	172247	0	0	2,50	2,50
	100%	143	6.614	NS	12,31	1,03	37874	81437	171043	171043	0	0	2,50	2,50
proporzionale alla deformata 1° modo di vibrazione														
	0%	392	30.768	96,62	2,65	1,05	37874	81437	172773	172773	0	0	2,50	2,50
	100%	392	7.904	96,62	10,30	1,04	37874	81437	171559	171559	0	0	2,50	2,50
sisma in -X														
proporzionale alle masse														
	0%	-609	16.304	62,19	4,99	1,02	37874	81437	168085	168085	0	0	2,50	2,50
	100%	-609	-6.560	62,19	12,41	1,01	37874	81437	166892	166892	0	0	2,50	2,50
proporzionale alla deformata 1° modo di vibrazione														
	0%	-875	15.786	43,28	5,16	1,02	37874	81437	168114	168114	0	0	2,50	2,50
	100%	-875	-7.078	43,28	11,51	1,01	37874	81437	166921	166921	0	0	2,50	2,50
sisma in +Y														
proporzionale alle masse														
	0%	-164	-11.057	NS	7,37	1,02	37874	81437	169138	169138	0	0	2,50	2,50
	100%	-164	-33.921	NS	2,40	1,01	37874	81437	167776	167776	0	0	2,50	2,50
proporzionale alla deformata 1° modo di vibrazione														
	0%	267	-10.912	NS	7,46	1,02	37874	81437	168851	168851	0	0	2,50	2,50
	100%	267	-33.776	NS	2,41	1,01	37874	81437	167530	167530	0	0	2,50	2,50
sisma in -Y														
proporzionale alle masse														
	0%	-	-	VNR	VNR	0,00	0	0	0	0	0	0	0,00	0,00
	100%	-	-	VNR	VNR	0,00	0	0	0	0	0	0	0,00	0,00
proporzionale alla deformata 1° modo di vibrazione														
	0%	-	-	VNR	VNR	0,00	0	0	0	0	0	0	0,00	0,00
	100%	-	-	VNR	VNR	0,00	0	0	0	0	0	0	0,00	0,00
sisma in +X														
proporzionale alle masse														
Trave 25-14a	0%	-1.323	9.669	28,63	8,42	1,01	37874	81437	166201	166201	0	0	2,50	2,50
	100%	-1.323	-10.260	28,63	7,94	1,00	37874	81437	165398	165398	0	0	2,50	2,50
proporzionale alla deformata 1° modo di vibrazione														
	0%	-1.468	10.546	25,80	7,72	1,01	37874	81437	166238	166238	0	0	2,50	2,50
	100%	-1.468	-9.383	25,80	8,68	1,00	37874	81437	165386	165386	0	0	2,50	2,50
sisma in -X														
proporzionale alle masse														
	0%	67	11.953	NS	6,81	1,01	37874	81437	167244	167244	0	0	2,50	2,50
	100%	67	-7.976	NS	10,21	1,01	37874	81437	166483	166483	0	0	2,50	2,50
proporzionale alla deformata 1° modo di vibrazione														
	0%	67	11.264	NS	7,23	1,01	37874	81437	167404	167404	0	0	2,50	2,50
	100%	67	-8.665	NS	9,40	1,01	37874	81437	166414	166414	0	0	2,50	2,50
sisma in +Y														
proporzionale alle masse														
	0%	181	42.158	NS	1,93	1,07	37874	81437	176881	176881	0	0	2,50	2,50
	100%	181	22.229	NS	3,66	1,06	37874	81437	175712	175712	0	0	2,50	2,50
proporzionale alla deformata 1° modo di vibrazione														
	0%	84	31.429	NS	2,59	1,06	37874	81437	175311	175311	0	0	2,50	2,50
	100%	84	11.500	NS	7,08	1,05	37874	81437	174247	174247	0	0	2,50	2,50
sisma in -Y														

Id_{Tr}	$\%L_{LI}$	$V_{Ed,3}$	$V_{Ed,2}$	$CS^{(3)}$	$CS^{(2)}$	α_C	$V_{Rsd,s}{}^{(3)}$	$V_{Rsd,s}{}^{(2)}$	$V_{Rcd}{}^{(3)}$	$V_{Rcd}{}^{(2)}$	$V_{fd}{}^{(3)}$	$V_{fd}{}^{(2)}$	$Ctg\Theta^{(3)}$	$Ctg\Theta^{(2)}$
	[%]	[N]	[N]				[N]	[N]	[N]	[N]	[N]	[N]		
proporzionale alle masse														
	0%	-	-	VNR	VNR	0,00	0	0	0	0	0	0	0,00	0,00
	100%	-	-	VNR	VNR	0,00	0	0	0	0	0	0	0,00	0,00
proporzionale alla deformata 1° modo di vibrazione														
	0%	-	-	VNR	VNR	0,00	0	0	0	0	0	0	0,00	0,00
	100%	-	-	VNR	VNR	0,00	0	0	0	0	0	0	0,00	0,00
sisma in +X														
proporzionale alle masse														
Trave 14a-26	0%	-138	5.900	NS	13,80	1,01	37874	81437	167380	167380	0	0	2,50	2,50
	100%	-138	-22.674	NS	3,59	1,02	37874	81437	168607	168607	0	0	2,50	2,50
proporzionale alla deformata 1° modo di vibrazione														
	0%	-205	5.518	NS	14,76	1,01	37874	81437	167588	167588	0	0	2,50	2,50
	100%	-205	-23.056	NS	3,53	1,02	37874	81437	168732	168732	0	0	2,50	2,50
sisma in -X														
proporzionale alle masse														
	0%	57	2.840	NS	28,68	1,02	37874	81437	167862	167862	0	0	2,50	2,50
	100%	57	-25.734	NS	3,16	1,02	37874	81437	168895	168895	0	0	2,50	2,50
proporzionale alla deformata 1° modo di vibrazione														
	0%	217	2.349	NS	34,67	1,02	37874	81437	167971	167971	0	0	2,50	2,50
	100%	217	-26.226	NS	3,11	1,02	37874	81437	169040	169040	0	0	2,50	2,50
sisma in +Y														
proporzionale alle masse														
	0%	-194	20.145	NS	4,04	1,00	37874	81437	165329	165329	0	0	2,50	2,50
	100%	-194	-8.430	NS	9,66	1,00	37874	81437	165511	165511	0	0	2,50	2,50
proporzionale alla deformata 1° modo di vibrazione														
	0%	-313	23.639	NS	3,45	1,00	37874	81437	165718	165718	0	0	2,50	2,50
	100%	-313	-4.935	NS	16,50	1,01	37874	81437	167177	167177	0	0	2,50	2,50
sisma in -Y														
proporzionale alle masse														
	0%	-	-	VNR	VNR	0,00	0	0	0	0	0	0	0,00	0,00
	100%	-	-	VNR	VNR	0,00	0	0	0	0	0	0	0,00	0,00
proporzionale alla deformata 1° modo di vibrazione														
	0%	-	-	VNR	VNR	0,00	0	0	0	0	0	0	0,00	0,00
	100%	-	-	VNR	VNR	0,00	0	0	0	0	0	0	0,00	0,00
sisma in +X														
proporzionale alle masse														
Trave 26-33	0%	-2	32.072	NS	2,54	1,02	37874	81437	167930	167930	0	0	2,50	2,50
	100%	-2	-7.560	NS	10,77	1,03	37874	81437	169638	169638	0	0	2,50	2,50
proporzionale alla deformata 1° modo di vibrazione														
	0%	-21	33.174	NS	2,45	1,02	37874	81437	168177	168177	0	0	2,50	2,50
	100%	-21	-6.458	NS	12,61	1,03	37874	81437	169933	169933	0	0	2,50	2,50
sisma in -X														
proporzionale alle masse														
	0%	-69	28.292	NS	2,88	1,01	37874	81437	167301	167301	0	0	2,50	2,50
	100%	-69	-11.341	NS	7,18	1,02	37874	81437	168711	168711	0	0	2,50	2,50
proporzionale alla deformata 1° modo di vibrazione														
	0%	-96	28.730	NS	2,83	1,01	37874	81437	167353	167353	0	0	2,50	2,50
	100%	-96	-10.902	NS	7,47	1,02	37874	81437	168765	168765	0	0	2,50	2,50
sisma in +Y														
proporzionale alle masse														
	0%	-349	36.837	NS	2,21	1,03	37874	81437	170784	170784	0	0	2,50	2,50
	100%	-349	-2.795	NS	29,14	1,04	37874	81437	172408	172408	0	0	2,50	2,50
proporzionale alla deformata 1° modo di vibrazione														
	0%	-427	35.929	88,70	2,27	1,03	37874	81437	170692	170692	0	0	2,50	2,50
	100%	-427	-3.704	88,70	21,99	1,04	37874	81437	172226	172226	0	0	2,50	2,50
sisma in -Y														
proporzionale alle masse														
	0%	-	-	VNR	VNR	0,00	0	0	0	0	0	0	0,00	0,00
	100%	-	-	VNR	VNR	0,00	0	0	0	0	0	0	0,00	0,00
proporzionale alla deformata 1° modo di vibrazione														
	0%	-	-	VNR	VNR	0,00	0	0	0	0	0	0	0,00	0,00
	100%	-	-	VNR	VNR	0,00	0	0	0	0	0	0	0,00	0,00
sisma in +X														
proporzionale alle masse														
Trave 33-40	0%	106	42.327	NS	1,92	1,00	37874	81437	165329	165329	0	0	2,50	2,50
	100%	106	-36.660	NS	2,22	1,00	37874	81437	165329	165329	0	0	2,50	2,50
proporzionale alla deformata 1° modo di vibrazione														
	0%	124	42.110	NS	1,93	1,00	37874	81437	165329	165329	0	0	2,50	2,50
	100%	124	-36.877	NS	2,21	1,00	37874	81437	165329	165329	0	0	2,50	2,50
sisma in -X														
proporzionale alle masse														
	0%	46	44.003	NS	1,85	1,00	37874	81437	165329	165329	0	0	2,50	2,50
	100%	46	-34.984	NS	2,33	1,00	37874	81437	165329	165329	0	0	2,50	2,50
proporzionale alla deformata 1° modo di vibrazione														
	0%	39	44.076	NS	1,85	1,00	37874	81437	165329	165329	0	0	2,50	2,50
	100%	39	-34.911	NS	2,33	1,00	37874	81437	165329	165329	0	0	2,50	2,50
sisma in +Y														
proporzionale alle masse														
	0%	182	39.323	NS	2,07	1,00	37874	81437	165329	165329	0	0	2,50	2,50
	100%	182	-39.664	NS	2,05	1,01	37874	81437	166890	166890	0	0	2,50	2,50
proporzionale alla deformata 1° modo di vibrazione														
	0%	219	39.272	NS	2,07	1,00	37874	81437	165329	165329	0	0	2,50	2,50
	100%	219	-39.715	NS	2,05	1,01	37874	81437	167004	167004	0	0	2,50	2,50
sisma in -Y														
proporzionale alle masse														
	0%	-	-	VNR	VNR	0,00	0	0	0	0	0	0	0,00	0,00

Id_{Tr}	$\%L_{LI}$	$V_{Ed,3}$	$V_{Ed,2}$	$CS^{(3)}$	$CS^{(2)}$	α_C	$V_{Rsd,s}{}^{(3)}$	$V_{Rsd,s}{}^{(2)}$	$V_{Rcd}{}^{(3)}$	$V_{Rcd}{}^{(2)}$	$V_{fd}{}^{(3)}$	$V_{fd}{}^{(2)}$	$Ctg\Theta^{(3)}$	$Ctg\Theta^{(2)}$
	[%]	[N]	[N]				[N]	[N]	[N]	[N]	[N]	[N]		
	100%	-	-	VNR	VNR	0,00	0	0	0	0	0	0	0,00	0,00
proporzionale alla deformata 1° modo di vibrazione														
	0%	-	-	VNR	VNR	0,00	0	0	0	0	0	0	0,00	0,00
	100%	-	-	VNR	VNR	0,00	0	0	0	0	0	0	0,00	0,00
Piano copertura								**Travata: Trave11a-29-36-P13-2b-3b**						
sisma in +X														
proporzionale alle masse														
Trave 11a-29	0%	-8.988	19.745	4,21	4,12	1,03	37876	81440	170059	170059	0	0	2,50	2,50
	100%	-8.988	5.738	4,21	14,19	1,03	37876	81440	170465	170465	0	0	2,50	2,50
proporzionale alla deformata 1° modo di vibrazione														
	0%	-10.282	20.407	3,68	3,99	1,03	37876	81440	170303	170303	0	0	2,50	2,50
	100%	-10.282	6.400	3,68	12,73	1,03	37876	81440	170851	170851	0	0	2,50	2,50
sisma in -X														
proporzionale alle masse														
	0%	2.308	6.895	16,41	11,81	1,01	37876	81440	166763	166763	0	0	2,50	2,50
	100%	2.308	-7.112	16,41	11,45	1,01	37876	81440	166883	166883	0	0	2,50	2,50
proporzionale alla deformata 1° modo di vibrazione														
	0%	3.638	8.019	10,41	10,16	1,02	37876	81440	168004	168004	0	0	2,50	2,50
	100%	3.638	-5.988	10,41	13,60	1,02	37876	81440	168560	168560	0	0	2,50	2,50
sisma in +Y														
proporzionale alle masse														
	0%	-3.265	12.635	11,60	6,45	1,00	37876	81440	165335	165335	0	0	2,50	2,50
	100%	-3.265	-1.372	11,60	59,36	1,00	37876	81440	165335	165335	0	0	2,50	2,50
proporzionale alla deformata 1° modo di vibrazione														
	0%	-3.675	12.302	10,31	6,62	1,00	37876	81440	165335	165335	0	0	2,50	2,50
	100%	-3.675	-1.705	10,31	47,77	1,00	37876	81440	165335	165335	0	0	2,50	2,50
sisma in -Y														
proporzionale alle masse														
	0%	-	-	VNR	VNR	0,00	0	0	0	0	0	0	0,00	0,00
	100%	-	-	VNR	VNR	0,00	0	0	0	0	0	0	0,00	0,00
proporzionale alla deformata 1° modo di vibrazione														
	0%	-	-	VNR	VNR	0,00	0	0	0	0	0	0	0,00	0,00
	100%	-	-	VNR	VNR	0,00	0	0	0	0	0	0	0,00	0,00
sisma in +X														
proporzionale alle masse														
Trave 29-36	0%	868	15.964	43,64	5,10	1,00	37876	81440	165335	165335	0	0	2,50	2,50
	100%	868	-9.329	43,64	8,73	1,00	37876	81440	165758	165758	0	0	2,50	2,50
proporzionale alla deformata 1° modo di vibrazione														
	0%	948	15.901	39,95	5,12	1,00	37876	81440	165335	165335	0	0	2,50	2,50
	100%	948	-9.392	39,95	8,67	1,00	37876	81440	165642	165642	0	0	2,50	2,50
sisma in -X														
proporzionale alle masse														
	0%	-655	15.266	57,83	5,33	1,00	37876	81440	165777	165777	0	0	2,50	2,50
	100%	-655	-10.027	57,83	8,12	1,01	37876	81440	166376	166376	0	0	2,50	2,50
proporzionale alla deformata 1° modo di vibrazione														
	0%	-926	16.857	40,90	4,83	1,01	37876	81440	166173	166173	0	0	2,50	2,50
	100%	-926	-8.436	40,90	9,65	1,01	37876	81440	167024	167024	0	0	2,50	2,50
sisma in +Y														
proporzionale alle masse														
	0%	586	-10.319	64,63	7,89	1,02	37876	81440	168861	168861	0	0	2,50	2,50
	100%	586	-35.612	64,63	2,29	1,03	37876	81440	169724	169724	0	0	2,50	2,50
proporzionale alla deformata 1° modo di vibrazione														
	0%	598	-15.706	63,34	5,19	1,02	37876	81440	169437	169437	0	0	2,50	2,50
	100%	598	-40.999	63,34	1,99	1,03	37876	81440	170323	170323	0	0	2,50	2,50
sisma in -Y														
proporzionale alle masse														
	0%	-	-	VNR	VNR	0,00	0	0	0	0	0	0	0,00	0,00
	100%	-	-	VNR	VNR	0,00	0	0	0	0	0	0	0,00	0,00
proporzionale alla deformata 1° modo di vibrazione														
	0%	-	-	VNR	VNR	0,00	0	0	0	0	0	0	0,00	0,00
	100%	-	-	VNR	VNR	0,00	0	0	0	0	0	0	0,00	0,00
sisma in +X														
proporzionale alle masse														
Trave 36-P13	0%	1.200	-1.149	31,56	70,88	1,03	37876	81440	169525	169525	0	0	2,50	2,50
	100%	1.200	-28.402	31,56	2,87	1,03	37876	81440	170449	170449	0	0	2,50	2,50
proporzionale alla deformata 1° modo di vibrazione														
	0%	1.321	45	28,67	NS	1,02	37876	81440	169057	169057	0	0	2,50	2,50
	100%	1.321	-27.207	28,67	2,99	1,03	37876	81440	170000	170000	0	0	2,50	2,50
sisma in -X														
proporzionale alle masse														
	0%	305	5.685	NS	14,33	1,01	37876	81440	167398	167398	0	0	2,50	2,50
	100%	305	-21.568	NS	3,78	1,02	37876	81440	168441	168441	0	0	2,50	2,50
proporzionale alla deformata 1° modo di vibrazione														
	0%	202	5.580	NS	14,59	1,01	37876	81440	167500	167500	0	0	2,50	2,50
	100%	202	-21.673	NS	3,76	1,02	37876	81440	168516	168516	0	0	2,50	2,50
sisma in +Y														
proporzionale alle masse														
	0%	1.174	-73.897	32,26	1,10	1,19	37876	81440	196193	196193	0	0	2,50	2,50
	100%	1.174	-101.150	32,26	0,81	1,19	37876	81440	197156	197156	0	0	2,50	2,50
proporzionale alla deformata 1° modo di vibrazione														
	0%	1.188	-86.511	31,88	0,94	1,21	37876	81440	200673	200673	0	0	2,50	2,50
	100%	1.188	-113.764	31,88	0,72	1,22	37876	81440	201596	201596	0	0	2,50	2,50
sisma in -Y														
proporzionale alle masse														
	0%	-	-	VNR	VNR	0,00	0	0	0	0	0	0	0,00	0,00
	100%	-	-	VNR	VNR	0,00	0	0	0	0	0	0	0,00	0,00

Id_{Tr}	$\%L_{LI}$	$V_{Ed,3}$	$V_{Ed,2}$	$CS^{(3)}$	$CS^{(2)}$	α_C	$V_{Rsd,s}{}^{(3)}$	$V_{Rsd,s}{}^{(2)}$	$V_{Rcd}{}^{(3)}$	$V_{Rcd}{}^{(2)}$	$V_{fd}{}^{(3)}$	$V_{fd}{}^{(2)}$	$Ctg\Theta^{(3)}$	$Ctg\Theta^{(2)}$
	[%]	[N]	[N]				[N]	[N]	[N]	[N]	[N]	[N]		
proporzionale alla deformata 1° modo di vibrazione														
	0%	-	-	VNR	VNR	0,00	0	0	0	0	0	0	0,00	0,00
	100%	-	-	VNR	VNR	0,00	0	0	0	0	0	0	0,00	0,00
sisma in +X														
proporzionale alle masse														
Trave P13-2b	0%	-340	10.664	NS	7,64	1,02	37876	81440	169240	169240	0	0	2,50	2,50
	100%	-2.905	21.442	13,04	3,80	1,03	37876	81440	169843	169843	0	0	2,50	2,50
proporzionale alla deformata 1° modo di vibrazione														
	0%	-399	11.917	94,93	6,83	1,02	37876	81440	168956	168956	0	0	2,50	2,50
	100%	-3.383	25.273	11,20	3,22	1,03	37876	81440	169633	169633	0	0	2,50	2,50
sisma in -X														
proporzionale alle masse														
	0%	-274	2.212	NS	36,82	1,01	37876	81440	167777	167777	0	0	2,50	2,50
	100%	3.923	2.333	9,65	34,91	1,02	37876	81440	168138	168138	0	0	2,50	2,50
proporzionale alla deformata 1° modo di vibrazione														
	0%	-568	2.264	66,68	35,97	1,02	37876	81440	167846	167846	0	0	2,50	2,50
	100%	5.451	4.146	6,95	19,64	1,02	37876	81440	168057	168057	0	0	2,50	2,50
sisma in +Y														
proporzionale alle masse														
	0%	839	14.332	45,14	5,68	1,18	37876	81440	195360	195360	0	0	2,50	2,50
	100%	-6.295	6.629	6,02	12,29	1,11	37876	81440	184291	184291	0	0	2,50	2,50
proporzionale alla deformata 1° modo di vibrazione														
	0%	46	18.127	NS	4,49	1,21	37876	81440	200059	200059	0	0	2,50	2,50
	100%	-5.630	13.153	6,73	6,19	1,14	37876	81440	188737	188737	0	0	2,50	2,50
sisma in -Y														
proporzionale alle masse														
	0%	-	-	VNR	VNR	0,00	0	0	0	0	0	0	0,00	0,00
	100%	-	-	VNR	VNR	0,00	0	0	0	0	0	0	0,00	0,00
proporzionale alla deformata 1° modo di vibrazione														
	0%	-	-	VNR	VNR	0,00	0	0	0	0	0	0	0,00	0,00
	100%	-	-	VNR	VNR	0,00	0	0	0	0	0	0	0,00	0,00
sisma in +X														
proporzionale alle masse														
Trave 2b-3b	0%	-13.445	-33.150	2,82	2,46	1,01	37876	81440	167381	167381	0	0	2,50	2,50
	100%	-13.445	-36.437	2,82	2,24	1,01	37876	81440	167494	167494	0	0	2,50	2,50
proporzionale alla deformata 1° modo di vibrazione														
	0%	-15.160	-37.972	2,50	2,14	1,01	37876	81440	167681	167681	0	0	2,50	2,50
	100%	-15.160	-41.259	2,50	1,97	1,01	37876	81440	167798	167798	0	0	2,50	2,50
sisma in -X														
proporzionale alle masse														
	0%	14.952	-13.740	2,53	5,93	1,01	37876	81440	166993	166993	0	0	2,50	2,50
	100%	14.952	-17.026	2,53	4,78	1,01	37876	81440	167129	167129	0	0	2,50	2,50
proporzionale alla deformata 1° modo di vibrazione														
	0%	18.512	-12.517	2,05	6,51	1,01	37876	81440	167279	167279	0	0	2,50	2,50
	100%	18.512	-15.804	2,05	5,15	1,01	37876	81440	167419	167419	0	0	2,50	2,50
sisma in +Y														
proporzionale alle masse														
	0%	-7.459	-42.881	5,08	1,90	1,01	37876	81440	167640	167640	0	0	2,50	2,50
	100%	-7.459	-46.167	5,08	1,76	1,01	37876	81440	167736	167736	0	0	2,50	2,50
proporzionale alla deformata 1° modo di vibrazione														
	0%	-4.616	-61.819	8,21	1,32	1,02	37876	81440	168588	168588	0	0	2,50	2,50
	100%	-4.616	-65.106	8,21	1,25	1,02	37876	81440	168705	168705	0	0	2,50	2,50
sisma in -Y														
proporzionale alle masse														
	0%	-	-	VNR	VNR	0,00	0	0	0	0	0	0	0,00	0,00
	100%	-	-	VNR	VNR	0,00	0	0	0	0	0	0	0,00	0,00
proporzionale alla deformata 1° modo di vibrazione														
	0%	-	-	VNR	VNR	0,00	0	0	0	0	0	0	0,00	0,00
	100%	-	-	VNR	VNR	0,00	0	0	0	0	0	0	0,00	0,00
Piano copertura								**Travata: Trave14-15a-27-34-41**						
sisma in +X														
proporzionale alle masse														
Trave 14-15a	0%	-148	21.908	NS	3,72	1,03	37871	81435	170237	170237	0	0	2,50	2,50
	100%	-148	-34.337	NS	2,37	1,01	37871	81435	167121	167121	0	0	2,50	2,50
proporzionale alla deformata 1° modo di vibrazione														
	0%	-112	21.019	NS	3,87	1,03	37871	81435	170435	170435	0	0	2,50	2,50
	100%	-112	-35.226	NS	2,31	1,01	37871	81435	167360	167360	0	0	2,50	2,50
sisma in -X														
proporzionale alle masse														
	0%	-52	27.113	NS	3,00	1,02	37871	81435	169139	169139	0	0	2,50	2,50
	100%	-52	-29.132	NS	2,80	1,00	37871	81435	165824	165824	0	0	2,50	2,50
proporzionale alla deformata 1° modo di vibrazione														
	0%	14	27.634	NS	2,95	1,02	37871	81435	169152	169152	0	0	2,50	2,50
	100%	14	-28.611	NS	2,85	1,00	37871	81435	165942	165942	0	0	2,50	2,50
sisma in +Y														
proporzionale alle masse														
	0%	-74	6.507	NS	12,51	1,04	37871	81435	171378	171378	0	0	2,50	2,50
	100%	-74	-49.738	NS	1,64	1,02	37871	81435	168058	168058	0	0	2,50	2,50
proporzionale alla deformata 1° modo di vibrazione														
	0%	123	3.037	NS	26,81	1,04	37871	81435	172090	172090	0	0	2,50	2,50
	100%	123	-53.208	NS	1,53	1,02	37871	81435	168857	168857	0	0	2,50	2,50
sisma in -Y														
proporzionale alle masse														
	0%	-	-	VNR	VNR	0,00	0	0	0	0	0	0	0,00	0,00
	100%	-	-	VNR	VNR	0,00	0	0	0	0	0	0	0,00	0,00
proporzionale alla deformata 1° modo di vibrazione														

Id_{Tr}	$\%L_{LI}$	$V_{Ed,3}$	$V_{Ed,2}$	$CS^{(3)}$	$CS^{(2)}$	α_C	$V_{Rsd,s}{}^{(3)}$	$V_{Rsd,s}{}^{(2)}$	$V_{Rcd}{}^{(3)}$	$V_{Rcd}{}^{(2)}$	$V_{fd}{}^{(3)}$	$V_{fd}{}^{(2)}$	$Ctg\Theta^{(3)}$	$Ctg\Theta^{(2)}$
	[%]	[N]	[N]				[N]	[N]	[N]	[N]	[N]	[N]		
	0%	-	-	VNR	VNR	0,00	0	0	0	0	0	0	0,00	0,00
	100%	-	-	VNR	VNR	0,00	0	0	0	0	0	0	0,00	0,00
sisma in +X														
proporzionale alle masse														
Trave 15a-27	0%	442	36.246	85,68	2,25	1,03	37871	81435	169891	169891	0	0	2,50	2,50
	100%	442	11.021	85,68	7,39	1,03	37871	81435	171061	171061	0	0	2,50	2,50
proporzionale alla deformata 1° modo di vibrazione														
	0%	360	37.662	NS	2,16	1,03	37871	81435	170208	170208	0	0	2,50	2,50
	100%	360	12.438	NS	6,55	1,04	37871	81435	171323	171323	0	0	2,50	2,50
sisma in -X														
proporzionale alle masse														
	0%	701	25.698	54,02	3,17	1,02	37871	81435	168414	168414	0	0	2,50	2,50
	100%	701	473	54,02	NS	1,02	37871	81435	169161	169161	0	0	2,50	2,50
proporzionale alla deformata 1° modo di vibrazione														
	0%	701	25.267	54,02	3,22	1,02	37871	81435	168371	168371	0	0	2,50	2,50
	100%	701	43	54,02	NS	1,02	37871	81435	169242	169242	0	0	2,50	2,50
sisma in +Y														
proporzionale alle masse														
	0%	318	51.565	NS	1,58	1,05	37871	81435	174328	174328	0	0	2,50	2,50
	100%	318	26.341	NS	3,09	1,06	37871	81435	175314	175314	0	0	2,50	2,50
proporzionale alla deformata 1° modo di vibrazione														
	0%	184	56.607	NS	1,44	1,06	37871	81435	175513	175513	0	0	2,50	2,50
	100%	184	31.382	NS	2,59	1,07	37871	81435	176454	176454	0	0	2,50	2,50
sisma in -Y														
proporzionale alle masse														
	0%	-	-	VNR	VNR	0,00	0	0	0	0	0	0	0,00	0,00
	100%	-	-	VNR	VNR	0,00	0	0	0	0	0	0	0,00	0,00
proporzionale alla deformata 1° modo di vibrazione														
	0%	-	-	VNR	VNR	0,00	0	0	0	0	0	0	0,00	0,00
	100%	-	-	VNR	VNR	0,00	0	0	0	0	0	0	0,00	0,00
sisma in +X														
proporzionale alle masse														
Trave 27-34	0%	175	18.113	NS	4,50	1,00	37871	81435	165324	165324	0	0	2,50	2,50
	100%	175	-18.699	NS	4,36	1,00	37871	81435	165773	165773	0	0	2,50	2,50
proporzionale alla deformata 1° modo di vibrazione														
	0%	276	18.285	NS	4,45	1,00	37871	81435	165324	165324	0	0	2,50	2,50
	100%	276	-18.527	NS	4,40	1,00	37871	81435	165752	165752	0	0	2,50	2,50
sisma in -X														
proporzionale alle masse														
	0%	-527	16.791	71,86	4,85	1,00	37871	81435	165420	165420	0	0	2,50	2,50
	100%	-527	-20.021	71,86	4,07	1,01	37871	81435	166679	166679	0	0	2,50	2,50
proporzionale alla deformata 1° modo di vibrazione														
	0%	-610	17.046	62,08	4,78	1,00	37871	81435	165426	165426	0	0	2,50	2,50
	100%	-610	-19.765	62,08	4,12	1,01	37871	81435	166730	166730	0	0	2,50	2,50
sisma in +Y														
proporzionale alle masse														
	0%	-25	16.629	NS	4,90	1,00	37871	81435	165324	165324	0	0	2,50	2,50
	100%	-25	-20.183	NS	4,03	1,00	37871	81435	165846	165846	0	0	2,50	2,50
proporzionale alla deformata 1° modo di vibrazione														
	0%	-31	16.330	NS	4,99	1,00	37871	81435	165324	165324	0	0	2,50	2,50
	100%	-31	-20.482	NS	3,98	1,00	37871	81435	165736	165736	0	0	2,50	2,50
sisma in -Y														
proporzionale alle masse														
	0%	-	-	VNR	VNR	0,00	0	0	0	0	0	0	0,00	0,00
	100%	-	-	VNR	VNR	0,00	0	0	0	0	0	0	0,00	0,00
proporzionale alla deformata 1° modo di vibrazione														
	0%	-	-	VNR	VNR	0,00	0	0	0	0	0	0	0,00	0,00
	100%	-	-	VNR	VNR	0,00	0	0	0	0	0	0	0,00	0,00
sisma in +X														
proporzionale alle masse														
Trave 34-41	0%	41	41.909	NS	1,94	1,00	37871	81435	165324	165324	0	0	2,50	2,50
	100%	41	-31.426	NS	2,59	1,00	37871	81435	165324	165324	0	0	2,50	2,50
proporzionale alla deformata 1° modo di vibrazione														
	0%	51	41.825	NS	1,95	1,00	37871	81435	165324	165324	0	0	2,50	2,50
	100%	51	-31.509	NS	2,58	1,00	37871	81435	165324	165324	0	0	2,50	2,50
sisma in -X														
proporzionale alle masse														
	0%	-7	41.931	NS	1,94	1,00	37871	81435	165324	165324	0	0	2,50	2,50
	100%	-7	-31.403	NS	2,59	1,00	37871	81435	165324	165324	0	0	2,50	2,50
proporzionale alla deformata 1° modo di vibrazione														
	0%	-10	41.921	NS	1,94	1,00	37871	81435	165324	165324	0	0	2,50	2,50
	100%	-10	-31.414	NS	2,59	1,00	37871	81435	165324	165324	0	0	2,50	2,50
sisma in +Y														
proporzionale alle masse														
	0%	-10	38.604	NS	2,11	1,00	37871	81435	165324	165324	0	0	2,50	2,50
	100%	-10	-34.731	NS	2,34	1,01	37871	81435	166567	166567	0	0	2,50	2,50
proporzionale alla deformata 1° modo di vibrazione														
	0%	-	38.251	-	2,13	1,00	0	81435	0	165324	0	0	0,00	2,50
	100%	-	-35.083	-	2,32	1,01	0	81435	0	166806	0	0	0,00	2,50
sisma in -Y														
proporzionale alle masse														
	0%	-	-	VNR	VNR	0,00	0	0	0	0	0	0	0,00	0,00
	100%	-	-	VNR	VNR	0,00	0	0	0	0	0	0	0,00	0,00
proporzionale alla deformata 1° modo di vibrazione														
	0%	-	-	VNR	VNR	0,00	0	0	0	0	0	0	0,00	0,00
	100%	-	-	VNR	VNR	0,00	0	0	0	0	0	0	0,00	0,00

Id_{Tr}	$\%L_{LI}$	$V_{Ed,3}$	$V_{Ed,2}$	$CS^{(3)}$	$CS^{(2)}$	α_C	$V_{Rsd,s}{}^{(3)}$	$V_{Rsd,s}{}^{(2)}$	$V_{Rcd}{}^{(3)}$	$V_{Rcd}{}^{(2)}$	$V_{fd}{}^{(3)}$	$V_{fd}{}^{(2)}$	$Ctg\Theta^{(3)}$	$Ctg\Theta^{(2)}$
	[%]	[N]	[N]				[N]	[N]	[N]	[N]	[N]	[N]		
Piano copertura								**Travata: Trave15-16a-28-35-42**						
sisma in +X														
proporzionale alle masse														
Trave 15-16a	0%	-1.437	20.958	26,35	3,89	1,04	37865	81428	171150	171150	0	0	2,50	2,50
	100%	-1.437	-24.097	26,35	3,38	1,02	37865	81428	168421	168421	0	0	2,50	2,50
proporzionale alla deformata 1° modo di vibrazione														
	0%	-1.763	19.886	21,48	4,09	1,04	37865	81428	171462	171462	0	0	2,50	2,50
	100%	-1.763	-25.169	21,48	3,24	1,02	37865	81428	168834	168834	0	0	2,50	2,50
sisma in -X														
proporzionale alle masse														
	0%	499	22.447	75,88	3,63	1,02	37865	81428	168336	168336	0	0	2,50	2,50
	100%	499	-22.609	75,88	3,60	1,00	37865	81428	165603	165603	0	0	2,50	2,50
proporzionale alla deformata 1° modo di vibrazione														
	0%	780	22.934	48,54	3,55	1,02	37865	81428	168332	168332	0	0	2,50	2,50
	100%	780	-22.121	48,54	3,68	1,00	37865	81428	165713	165713	0	0	2,50	2,50
sisma in +Y														
proporzionale alle masse														
	0%	367	1.951	NS	41,74	1,04	37865	81428	172700	172700	0	0	2,50	2,50
	100%	367	-43.104	NS	1,89	1,03	37865	81428	170044	170044	0	0	2,50	2,50
proporzionale alla deformata 1° modo di vibrazione														
	0%	472	-3.342	80,22	24,37	1,05	37865	81428	174270	174270	0	0	2,50	2,50
	100%	472	-48.397	80,22	1,68	1,04	37865	81428	171656	171656	0	0	2,50	2,50
sisma in -Y														
proporzionale alle masse														
	0%	-	-	VNR	VNR	0,00	0	0	0	0	0	0	0,00	0,00
	100%	-	-	VNR	VNR	0,00	0	0	0	0	0	0	0,00	0,00
proporzionale alla deformata 1° modo di vibrazione														
	0%	-	-	VNR	VNR	0,00	0	0	0	0	0	0	0,00	0,00
	100%	-	-	VNR	VNR	0,00	0	0	0	0	0	0	0,00	0,00
sisma in +X														
proporzionale alle masse														
Trave 16a-28	0%	-3.676	33.626	10,30	2,42	1,03	37865	81428	170438	170438	0	0	2,50	2,50
	100%	-3.676	13.388	10,30	6,08	1,04	37865	81428	171185	171185	0	0	2,50	2,50
proporzionale alla deformata 1° modo di vibrazione														
	0%	-4.594	36.000	8,24	2,26	1,03	37865	81428	171076	171076	0	0	2,50	2,50
	100%	-4.594	15.763	8,24	5,17	1,04	37865	81428	171902	171902	0	0	2,50	2,50
sisma in -X														
proporzionale alle masse														
	0%	3.269	14.883	11,58	5,47	1,01	37865	81428	167595	167595	0	0	2,50	2,50
	100%	3.269	-5.355	11,58	15,21	1,02	37865	81428	168519	168519	0	0	2,50	2,50
proporzionale alla deformata 1° modo di vibrazione														
	0%	4.007	13.721	9,45	5,93	1,02	37865	81428	168142	168142	0	0	2,50	2,50
	100%	4.007	-6.517	9,45	12,49	1,02	37865	81428	168815	168815	0	0	2,50	2,50
sisma in +Y														
proporzionale alle masse														
	0%	932	38.632	40,63	2,11	1,04	37865	81428	171201	171201	0	0	2,50	2,50
	100%	932	18.394	40,63	4,43	1,04	37865	81428	172067	172067	0	0	2,50	2,50
proporzionale alla deformata 1° modo di vibrazione														
	0%	988	44.011	38,32	1,85	1,04	37865	81428	172466	172466	0	0	2,50	2,50
	100%	988	23.773	38,32	3,43	1,05	37865	81428	173306	173306	0	0	2,50	2,50
sisma in -Y														
proporzionale alle masse														
	0%	-	-	VNR	VNR	0,00	0	0	0	0	0	0	0,00	0,00
	100%	-	-	VNR	VNR	0,00	0	0	0	0	0	0	0,00	0,00
proporzionale alla deformata 1° modo di vibrazione														
	0%	-	-	VNR	VNR	0,00	0	0	0	0	0	0	0,00	0,00
	100%	-	-	VNR	VNR	0,00	0	0	0	0	0	0	0,00	0,00
sisma in +X														
proporzionale alle masse														
Trave 28-35	0%	614	15.481	61,67	5,26	1,00	37865	81428	165311	165311	0	0	2,50	2,50
	100%	614	-14.054	61,67	5,79	1,00	37865	81428	165655	165655	0	0	2,50	2,50
proporzionale alla deformata 1° modo di vibrazione														
	0%	771	15.578	49,11	5,23	1,00	37865	81428	165311	165311	0	0	2,50	2,50
	100%	771	-13.957	49,11	5,83	1,00	37865	81428	165682	165682	0	0	2,50	2,50
sisma in -X														
proporzionale alle masse														
	0%	-957	13.813	39,57	5,90	1,00	37865	81428	166033	166033	0	0	2,50	2,50
	100%	-957	-15.722	39,57	5,18	1,01	37865	81428	167051	167051	0	0	2,50	2,50
proporzionale alla deformata 1° modo di vibrazione														
	0%	-1.191	14.463	31,79	5,63	1,01	37865	81428	166309	166309	0	0	2,50	2,50
	100%	-1.191	-15.072	31,79	5,40	1,01	37865	81428	167280	167280	0	0	2,50	2,50
sisma in +Y														
proporzionale alle masse														
	0%	-90	12.199	NS	6,67	1,00	37865	81428	165311	165311	0	0	2,50	2,50
	100%	-90	-17.336	NS	4,70	1,00	37865	81428	165858	165858	0	0	2,50	2,50
proporzionale alla deformata 1° modo di vibrazione														
	0%	-98	11.823	NS	6,89	1,00	37865	81428	165311	165311	0	0	2,50	2,50
	100%	-98	-17.712	NS	4,60	1,00	37865	81428	165810	165810	0	0	2,50	2,50
sisma in -Y														
proporzionale alle masse														
	0%	-	-	VNR	VNR	0,00	0	0	0	0	0	0	0,00	0,00
	100%	-	-	VNR	VNR	0,00	0	0	0	0	0	0	0,00	0,00
proporzionale alla deformata 1° modo di vibrazione														
	0%	-	-	VNR	VNR	0,00	0	0	0	0	0	0	0,00	0,00
	100%	-	-	VNR	VNR	0,00	0	0	0	0	0	0	0,00	0,00
sisma in +X														

Id_{Tr}	$\%L_{LI}$	$V_{Ed,3}$	$V_{Ed,2}$	$CS^{(3)}$	$CS^{(2)}$	α_C	$V_{Rsd,s}{}^{(3)}$	$V_{Rsd,s}{}^{(2)}$	$V_{Rcd}{}^{(3)}$	$V_{Rcd}{}^{(2)}$	$V_{fd}{}^{(3)}$	$V_{fd}{}^{(2)}$	$Ctg\Theta^{(3)}$	$Ctg\Theta^{(2)}$
	[%]	[N]	[N]				[N]	[N]	[N]	[N]	[N]	[N]		
proporzionale alle masse														
Trave 35-42	0%	58	32.608	NS	2,50	1,00	37865	81428	165311	165311	0	0	2,50	2,50
	100%	58	-26.271	NS	3,10	1,00	37865	81428	165311	165311	0	0	2,50	2,50
proporzionale alla deformata 1° modo di vibrazione														
	0%	65	32.584	NS	2,50	1,00	37865	81428	165311	165311	0	0	2,50	2,50
	100%	65	-26.295	NS	3,10	1,00	37865	81428	165311	165311	0	0	2,50	2,50
sisma in -X														
proporzionale alle masse														
	0%	29	33.415	NS	2,44	1,00	37865	81428	165311	165311	0	0	2,50	2,50
	100%	29	-25.465	NS	3,20	1,00	37865	81428	165311	165311	0	0	2,50	2,50
proporzionale alla deformata 1° modo di vibrazione														
	0%	28	33.391	NS	2,44	1,00	37865	81428	165311	165311	0	0	2,50	2,50
	100%	28	-25.488	NS	3,19	1,00	37865	81428	165311	165311	0	0	2,50	2,50
sisma in +Y														
proporzionale alle masse														
	0%	137	29.490	NS	2,76	1,00	37865	81428	165335	165335	0	0	2,50	2,50
	100%	137	-29.389	NS	2,77	1,01	37865	81428	167486	167486	0	0	2,50	2,50
proporzionale alla deformata 1° modo di vibrazione														
	0%	137	28.968	NS	2,81	1,00	37865	81428	165576	165576	0	0	2,50	2,50
	100%	137	-29.912	NS	2,72	1,02	37865	81428	167835	167835	0	0	2,50	2,50
sisma in -Y														
proporzionale alle masse														
	0%	-	-	VNR	VNR	0,00	0	0	0	0	0	0	0,00	0,00
	100%	-	-	VNR	VNR	0,00	0	0	0	0	0	0	0,00	0,00
proporzionale alla deformata 1° modo di vibrazione														
	0%	-	-	VNR	VNR	0,00	0	0	0	0	0	0	0,00	0,00
	100%	-	-	VNR	VNR	0,00	0	0	0	0	0	0	0,00	0,00
Piano copertura								**Travata: Trave16-1a-2a-11a**						
sisma in +X														
proporzionale alle masse														
Trave 16-1a	0%	-20.869	13.709	3,95	10,53	1,07	82403	144360	212094	212094	0	0	2,50	2,50
	100%	-20.869	11.207	3,95	12,88	1,07	82403	144360	211850	211850	0	0	2,50	2,50
proporzionale alla deformata 1° modo di vibrazione														
	0%	-23.387	13.662	3,52	10,57	1,07	82403	144360	211587	211587	0	0	2,50	2,50
	100%	-23.387	11.161	3,52	12,93	1,07	82403	144360	211292	211292	0	0	2,50	2,50
sisma in -X														
proporzionale alle masse														
	0%	17.704	13.941	4,65	10,36	1,07	82403	144360	211009	211009	0	0	2,50	2,50
	100%	17.704	11.440	4,65	12,62	1,07	82403	144360	210779	210779	0	0	2,50	2,50
proporzionale alla deformata 1° modo di vibrazione														
	0%	21.332	15.873	3,86	9,09	1,08	82403	144360	213098	213098	0	0	2,50	2,50
	100%	21.332	13.372	3,86	10,80	1,08	82403	144360	212924	212924	0	0	2,50	2,50
sisma in +Y														
proporzionale alle masse														
	0%	2.026	13.906	40,67	10,38	1,02	82403	144360	201857	201857	0	0	2,50	2,50
	100%	2.026	11.404	40,67	12,66	1,02	82403	144360	201238	201238	0	0	2,50	2,50
proporzionale alla deformata 1° modo di vibrazione														
	0%	352	5.170	NS	27,92	1,00	82403	144360	198285	198285	0	0	2,50	2,50
	100%	352	2.669	NS	54,09	1,00	82403	144360	198099	198099	0	0	2,50	2,50
sisma in -Y														
proporzionale alle masse														
	0%	-	-	VNR	VNR	0,00	0	0	0	0	0	0	0,00	0,00
	100%	-	-	VNR	VNR	0,00	0	0	0	0	0	0	0,00	0,00
proporzionale alla deformata 1° modo di vibrazione														
	0%	-	-	VNR	VNR	0,00	0	0	0	0	0	0	0,00	0,00
	100%	-	-	VNR	VNR	0,00	0	0	0	0	0	0	0,00	0,00
sisma in +X														
proporzionale alle masse														
Trave 1a-2a	0%	965	14.765	69,34	9,78	1,05	66914	144360	173483	173483	0	0	2,50	2,50
	100%	965	11.832	69,34	12,20	1,05	66914	144360	173301	173301	0	0	2,50	2,50
proporzionale alla deformata 1° modo di vibrazione														
	0%	1.340	13.596	49,94	10,62	1,06	66914	144360	174271	174271	0	0	2,50	2,50
	100%	1.340	10.663	49,94	13,54	1,06	66914	144360	174115	174115	0	0	2,50	2,50
sisma in -X														
proporzionale alle masse														
	0%	1.277	14.464	52,40	9,98	1,02	66914	144360	168896	168896	0	0	2,50	2,50
	100%	1.277	11.531	52,40	12,52	1,02	66914	144360	168771	168771	0	0	2,50	2,50
proporzionale alla deformata 1° modo di vibrazione														
	0%	981	16.346	68,21	8,83	1,03	66914	144360	169647	169647	0	0	2,50	2,50
	100%	981	13.413	68,21	10,76	1,03	66914	144360	169509	169509	0	0	2,50	2,50
sisma in +Y														
proporzionale alle masse														
	0%	1.891	-9.076	35,39	15,91	1,11	66914	144360	182487	182487	0	0	2,50	2,50
	100%	1.891	-12.010	35,39	12,02	1,10	66914	144360	181998	181998	0	0	2,50	2,50
proporzionale alla deformata 1° modo di vibrazione														
	0%	2.114	-16.898	31,65	8,54	1,15	66914	144360	189886	189886	0	0	2,50	2,50
	100%	2.114	-19.831	31,65	7,28	1,15	66914	144360	189576	189576	0	0	2,50	2,50
sisma in -Y														
proporzionale alle masse														
	0%	-	-	VNR	VNR	0,00	0	0	0	0	0	0	0,00	0,00
	100%	-	-	VNR	VNR	0,00	0	0	0	0	0	0	0,00	0,00
proporzionale alla deformata 1° modo di vibrazione														
	0%	-	-	VNR	VNR	0,00	0	0	0	0	0	0	0,00	0,00
	100%	-	-	VNR	VNR	0,00	0	0	0	0	0	0	0,00	0,00
sisma in +X														
proporzionale alle masse														

Id_{Tr}	$\%L_{LI}$	$V_{Ed,3}$	$V_{Ed,2}$	$CS^{(3)}$	$CS^{(2)}$	α_C	$V_{Rsd,s}{}^{(3)}$	$V_{Rsd,s}{}^{(2)}$	$V_{Rcd}{}^{(3)}$	$V_{Rcd}{}^{(2)}$	$V_{fd}{}^{(3)}$	$V_{fd}{}^{(2)}$	$Ctg\Theta^{(3)}$	$Ctg\Theta^{(2)}$
	[%]	[N]	[N]				[N]	[N]	[N]	[N]	[N]	[N]		
Trave 2a-11a	0%	4.430	9.157	15,10	15,76	1,05	66914	144360	173295	173295	0	0	2,50	2,50
	100%	4.430	2.643	15,10	54,62	1,05	66914	144360	172944	172944	0	0	2,50	2,50
proporzionale alla deformata 1° modo di vibrazione														
	0%	5.179	7.714	12,92	18,71	1,06	66914	144360	174158	174158	0	0	2,50	2,50
	100%	5.179	1.200	12,92	NS	1,05	66914	144360	173802	173802	0	0	2,50	2,50
sisma in -X														
proporzionale alle masse														
	0%	-2.124	10.320	31,50	13,99	1,02	66914	144360	168778	168778	0	0	2,50	2,50
	100%	-2.124	3.807	31,50	37,92	1,02	66914	144360	168519	168519	0	0	2,50	2,50
proporzionale alla deformata 1° modo di vibrazione														
	0%	-2.698	11.941	24,80	12,09	1,03	66914	144360	169534	169534	0	0	2,50	2,50
	100%	-2.698	5.427	24,80	26,60	1,03	66914	144360	169187	169187	0	0	2,50	2,50
sisma in +Y														
proporzionale alle masse														
	0%	1.894	-19.113	35,33	7,55	1,11	66914	144360	182231	182231	0	0	2,50	2,50
	100%	1.894	-25.626	35,33	5,63	1,10	66914	144360	181964	181964	0	0	2,50	2,50
proporzionale alla deformata 1° modo di vibrazione														
	0%	2.118	-29.879	31,59	4,83	1,15	66914	144360	189887	189887	0	0	2,50	2,50
	100%	2.118	-36.392	31,59	3,97	1,15	66914	144360	189444	189444	0	0	2,50	2,50
sisma in -Y														
proporzionale alle masse														
	0%	-	-	VNR	VNR	0,00	0	0	0	0	0	0	0,00	0,00
	100%	-	-	VNR	VNR	0,00	0	0	0	0	0	0	0,00	0,00
proporzionale alla deformata 1° modo di vibrazione														
	0%	-	-	VNR	VNR	0,00	0	0	0	0	0	0	0,00	0,00
	100%	-	-	VNR	VNR	0,00	0	0	0	0	0	0	0,00	0,00
Piano copertura								**Travata: Trave17-4a-7a-17a-22a-26a-31a-36a-44**						
sisma in +X														
proporzionale alle masse														
Trave 17-4a	0%	814	-41.004	56,60	3,67	1,02	46073	150625	373162	373162	0	0	2,50	2,50
	100%	814	-48.620	56,60	3,10	1,01	46073	150625	371763	371763	0	0	2,50	2,50
proporzionale alla deformata 1° modo di vibrazione														
	0%	1.869	-47.598	24,65	3,16	1,02	46073	150625	373764	373764	0	0	2,50	2,50
	100%	1.869	-55.214	24,65	2,73	1,02	46073	150625	372621	372621	0	0	2,50	2,50
sisma in -X														
proporzionale alle masse														
	0%	-3.014	19.173	15,29	7,86	1,01	46073	150625	369714	369714	0	0	2,50	2,50
	100%	-3.014	11.556	15,29	13,03	1,00	46073	150625	368765	368765	0	0	2,50	2,50
proporzionale alla deformata 1° modo di vibrazione														
	0%	-4.436	18.382	10,39	8,19	1,01	46073	150625	369674	369674	0	0	2,50	2,50
	100%	-4.436	10.766	10,39	13,99	1,00	46073	150625	368533	368533	0	0	2,50	2,50
sisma in +Y														
proporzionale alle masse														
	0%	-1.446	-54.329	31,86	2,77	1,00	46073	150625	366948	366948	0	0	2,50	2,50
	100%	-1.446	-61.945	31,86	2,43	1,00	46073	150625	366948	366948	0	0	2,50	2,50
proporzionale alla deformata 1° modo di vibrazione														
	0%	-1.233	-70.271	37,37	2,14	1,00	46073	150625	366948	366948	0	0	2,50	2,50
	100%	-1.233	-77.888	37,37	1,93	1,00	46073	150625	366948	366948	0	0	2,50	2,50
sisma in -Y														
proporzionale alle masse														
	0%	-	-	VNR	VNR	0,00	0	0	0	0	0	0	0,00	0,00
	100%	-	-	VNR	VNR	0,00	0	0	0	0	0	0	0,00	0,00
proporzionale alla deformata 1° modo di vibrazione														
	0%	-	-	VNR	VNR	0,00	0	0	0	0	0	0	0,00	0,00
	100%	-	-	VNR	VNR	0,00	0	0	0	0	0	0	0,00	0,00
sisma in +X														
proporzionale alle masse														
Trave 4a-7a	0%	-1.982	41.259	23,25	3,65	1,02	46073	150625	375291	375291	0	0	2,50	2,50
	100%	-1.982	27.804	23,25	5,42	1,02	46073	150625	374883	374883	0	0	2,50	2,50
proporzionale alla deformata 1° modo di vibrazione														
	0%	-1.979	46.582	23,28	3,23	1,03	46073	150625	376806	376806	0	0	2,50	2,50
	100%	-1.979	33.128	23,28	4,55	1,03	46073	150625	376369	376369	0	0	2,50	2,50
sisma in -X														
proporzionale alle masse														
	0%	-3.819	-358	12,06	NS	1,00	46073	150625	367245	367245	0	0	2,50	2,50
	100%	-3.819	-13.812	12,06	10,91	1,00	46073	150625	366948	366948	0	0	2,50	2,50
proporzionale alla deformata 1° modo di vibrazione														
	0%	-4.086	-1.383	11,28	NS	1,00	46073	150625	367321	367321	0	0	2,50	2,50
	100%	-4.086	-14.837	11,28	10,15	1,00	46073	150625	366948	366948	0	0	2,50	2,50
sisma in +Y														
proporzionale alle masse														
	0%	-3.766	33.355	12,23	4,52	1,01	46073	150625	368791	368791	0	0	2,50	2,50
	100%	-3.766	19.900	12,23	7,57	1,00	46073	150625	368410	368410	0	0	2,50	2,50
proporzionale alla deformata 1° modo di vibrazione														
	0%	-3.510	38.240	13,13	3,94	1,00	46073	150625	368709	368709	0	0	2,50	2,50
	100%	-3.510	24.786	13,13	6,08	1,00	46073	150625	368242	368242	0	0	2,50	2,50
sisma in -Y														
proporzionale alle masse														
	0%	-	-	VNR	VNR	0,00	0	0	0	0	0	0	0,00	0,00
	100%	-	-	VNR	VNR	0,00	0	0	0	0	0	0	0,00	0,00
proporzionale alla deformata 1° modo di vibrazione														
	0%	-	-	VNR	VNR	0,00	0	0	0	0	0	0	0,00	0,00
	100%	-	-	VNR	VNR	0,00	0	0	0	0	0	0	0,00	0,00
sisma in +X														
proporzionale alle masse														
Trave 7a-17a	0%	82	-10.371	NS	14,52	1,01	46073	150625	370974	370974	0	0	2,50	2,50

Id_{Tr}	$\%L_{LI}$	$V_{Ed,3}$	$V_{Ed,2}$	$CS^{(3)}$	$CS^{(2)}$	α_C	$V_{Rsd,s}{}^{(3)}$	$V_{Rsd,s}{}^{(2)}$	$V_{Rcd}{}^{(3)}$	$V_{Rcd}{}^{(2)}$	$V_{fd}{}^{(3)}$	$V_{fd}{}^{(2)}$	$Ctg\Theta^{(3)}$	$Ctg\Theta^{(2)}$
	[%]	[N]	[N]				[N]	[N]	[N]	[N]	[N]	[N]		
	100%	82	-23.828	NS	6,32	1,01	46073	150625	370798	370798	0	0	2,50	2,50
proporzionale alla deformata 1° modo di vibrazione														
	0%	154	-11.419	NS	13,19	1,01	46073	150625	371610	371610	0	0	2,50	2,50
	100%	154	-24.877	NS	6,05	1,01	46073	150625	371319	371319	0	0	2,50	2,50
sisma in -X														
proporzionale alle masse														
	0%	307	-10.945	NS	13,76	1,01	46073	150625	370148	370148	0	0	2,50	2,50
	100%	307	-24.402	NS	6,17	1,01	46073	150625	369823	369823	0	0	2,50	2,50
proporzionale alla deformata 1° modo di vibrazione														
	0%	329	-11.327	NS	13,30	1,01	46073	150625	370462	370462	0	0	2,50	2,50
	100%	329	-24.785	NS	6,08	1,01	46073	150625	370118	370118	0	0	2,50	2,50
sisma in +Y														
proporzionale alle masse														
	0%	504	-5.035	91,41	29,92	1,00	46073	150625	366948	366948	0	0	2,50	2,50
	100%	504	-18.493	91,41	8,14	1,00	46073	150625	366948	366948	0	0	2,50	2,50
proporzionale alla deformata 1° modo di vibrazione														
	0%	512	-3.448	89,99	43,68	1,00	46073	150625	366948	366948	0	0	2,50	2,50
	100%	512	-16.906	89,99	8,91	1,00	46073	150625	366948	366948	0	0	2,50	2,50
sisma in -Y														
proporzionale alle masse														
	0%	-	-	VNR	VNR	0,00	0	0	0	0	0	0	0,00	0,00
	100%	-	-	VNR	VNR	0,00	0	0	0	0	0	0	0,00	0,00
proporzionale alla deformata 1° modo di vibrazione														
	0%	-	-	VNR	VNR	0,00	0	0	0	0	0	0	0,00	0,00
	100%	-	-	VNR	VNR	0,00	0	0	0	0	0	0	0,00	0,00
sisma in +X														
proporzionale alle masse														
Trave 17a-22a	0%	6.427	-24.975	7,17	6,03	1,02	46073	150625	375877	375877	0	0	2,50	2,50
	100%	6.427	-31.683	7,17	4,75	1,02	46073	150625	375610	375610	0	0	2,50	2,50
proporzionale alla deformata 1° modo di vibrazione														
	0%	7.434	-30.191	6,20	4,99	1,03	46073	150625	376925	376925	0	0	2,50	2,50
	100%	7.434	-36.899	6,20	4,08	1,03	46073	150625	376711	376711	0	0	2,50	2,50
sisma in -X														
proporzionale alle masse														
	0%	739	-8.266	62,35	18,22	1,02	46073	150625	373694	373694	0	0	2,50	2,50
	100%	739	-14.974	62,35	10,06	1,02	46073	150625	373385	373385	0	0	2,50	2,50
proporzionale alla deformata 1° modo di vibrazione														
	0%	-640	-8.783	71,99	17,15	1,02	46073	150625	374042	374042	0	0	2,50	2,50
	100%	-640	-15.490	71,99	9,72	1,02	46073	150625	373859	373859	0	0	2,50	2,50
sisma in +Y														
proporzionale alle masse														
	0%	10.931	-12.622	4,21	11,93	1,01	46073	150625	369562	369562	0	0	2,50	2,50
	100%	10.931	-19.330	4,21	7,79	1,00	46073	150625	368692	368692	0	0	2,50	2,50
proporzionale alla deformata 1° modo di vibrazione														
	0%	14.897	-10.716	3,09	14,06	1,00	46073	150625	368078	368078	0	0	2,50	2,50
	100%	14.897	-17.424	3,09	8,64	1,00	46073	150625	367719	367719	0	0	2,50	2,50
sisma in -Y														
proporzionale alle masse														
	0%	-	-	VNR	VNR	0,00	0	0	0	0	0	0	0,00	0,00
	100%	-	-	VNR	VNR	0,00	0	0	0	0	0	0	0,00	0,00
proporzionale alla deformata 1° modo di vibrazione														
	0%	-	-	VNR	VNR	0,00	0	0	0	0	0	0	0,00	0,00
	100%	-	-	VNR	VNR	0,00	0	0	0	0	0	0	0,00	0,00
sisma in +X														
proporzionale alle masse														
Trave 22a-26a	0%	7.016	66.262	6,57	2,27	1,01	46073	150625	372076	372076	0	0	2,50	2,50
	100%	7.016	59.554	6,57	2,53	1,01	46073	150625	371959	371959	0	0	2,50	2,50
proporzionale alla deformata 1° modo di vibrazione														
	0%	9.164	69.488	5,03	2,17	1,02	46073	150625	373707	373707	0	0	2,50	2,50
	100%	9.164	62.781	5,03	2,40	1,02	46073	150625	373560	373560	0	0	2,50	2,50
sisma in -X														
proporzionale alle masse														
	0%	-1.501	56.387	30,69	2,67	1,01	46073	150625	369495	369495	0	0	2,50	2,50
	100%	-1.501	49.680	30,69	3,03	1,01	46073	150625	369436	369436	0	0	2,50	2,50
proporzionale alla deformata 1° modo di vibrazione														
	0%	-2.800	57.386	16,45	2,62	1,01	46073	150625	369988	369988	0	0	2,50	2,50
	100%	-2.800	50.679	16,45	2,97	1,01	46073	150625	369850	369850	0	0	2,50	2,50
sisma in +Y														
proporzionale alle masse														
	0%	8.218	27.798	5,61	5,42	1,00	46073	150625	367683	367683	0	0	2,50	2,50
	100%	8.218	21.090	5,61	7,14	1,00	46073	150625	367632	367632	0	0	2,50	2,50
proporzionale alla deformata 1° modo di vibrazione														
	0%	12.796	9.907	3,60	15,20	1,00	46073	150625	368502	368502	0	0	2,50	2,50
	100%	12.796	3.200	3,60	47,07	1,00	46073	150625	368264	368264	0	0	2,50	2,50
sisma in -Y														
proporzionale alle masse														
	0%	-	-	VNR	VNR	0,00	0	0	0	0	0	0	0,00	0,00
	100%	-	-	VNR	VNR	0,00	0	0	0	0	0	0	0,00	0,00
proporzionale alla deformata 1° modo di vibrazione														
	0%	-	-	VNR	VNR	0,00	0	0	0	0	0	0	0,00	0,00
	100%	-	-	VNR	VNR	0,00	0	0	0	0	0	0	0,00	0,00
sisma in +X														
proporzionale alle masse														
Trave 26a-31a	0%	-285	35.419	NS	4,25	1,00	46073	150625	366948	366948	0	0	2,50	2,50
	100%	-285	21.961	NS	6,86	1,00	46073	150625	366948	366948	0	0	2,50	2,50
proporzionale alla deformata 1° modo di vibrazione														

Id_{Tr}	$\%L_{LI}$	$V_{Ed,3}$	$V_{Ed,2}$	$CS^{(3)}$	$CS^{(2)}$	α_C	$V_{Rsd,s}{}^{(3)}$	$V_{Rsd,s}{}^{(2)}$	$V_{Rcd}{}^{(3)}$	$V_{Rcd}{}^{(2)}$	$V_{fd}{}^{(3)}$	$V_{fd}{}^{(2)}$	$Ctg\Theta^{(3)}$	$Ctg\Theta^{(2)}$
	[%]	[N]	[N]				[N]	[N]	[N]	[N]	[N]	[N]		
	0%	-389	38.676	NS	3,89	1,00	46073	150625	366948	366948	0	0	2,50	2,50
	100%	-389	25.218	NS	5,97	1,00	46073	150625	366948	366948	0	0	2,50	2,50
sisma in -X														
proporzionale alle masse														
	0%	-371	26.173	NS	5,75	1,00	46073	150625	366948	366948	0	0	2,50	2,50
	100%	-371	12.715	NS	11,85	1,00	46073	150625	366948	366948	0	0	2,50	2,50
proporzionale alla deformata 1° modo di vibrazione														
	0%	-388	27.192	NS	5,54	1,00	46073	150625	366948	366948	0	0	2,50	2,50
	100%	-388	13.735	NS	10,97	1,00	46073	150625	366948	366948	0	0	2,50	2,50
sisma in +Y														
proporzionale alle masse														
	0%	-790	3.417	58,32	44,08	1,00	46073	150625	366948	366948	0	0	2,50	2,50
	100%	-790	-10.040	58,32	15,00	1,00	46073	150625	366948	366948	0	0	2,50	2,50
proporzionale alla deformata 1° modo di vibrazione														
	0%	-1.633	-10.866	28,21	13,86	1,01	46073	150625	369751	369751	0	0	2,50	2,50
	100%	-1.633	-24.323	28,21	6,19	1,01	46073	150625	370543	370543	0	0	2,50	2,50
sisma in -Y														
proporzionale alle masse														
	0%	-	-	VNR	VNR	0,00	0	0	0	0	0	0	0,00	0,00
	100%	-	-	VNR	VNR	0,00	0	0	0	0	0	0	0,00	0,00
proporzionale alla deformata 1° modo di vibrazione														
	0%	-	-	VNR	VNR	0,00	0	0	0	0	0	0	0,00	0,00
	100%	-	-	VNR	VNR	0,00	0	0	0	0	0	0	0,00	0,00
sisma in +X														
proporzionale alle masse														
Trave 31a-36a	0%	471	-21.383	97,82	7,04	1,00	46073	150625	366948	366948	0	0	2,50	2,50
	100%	471	-34.837	97,82	4,32	1,00	46073	150625	366948	366948	0	0	2,50	2,50
proporzionale alla deformata 1° modo di vibrazione														
	0%	207	-18.055	NS	8,34	1,00	46073	150625	366948	366948	0	0	2,50	2,50
	100%	207	-31.510	NS	4,78	1,00	46073	150625	366948	366948	0	0	2,50	2,50
sisma in -X														
proporzionale alle masse														
	0%	4.557	-29.233	10,11	5,15	1,00	46073	150625	367891	367891	0	0	2,50	2,50
	100%	4.557	-42.688	10,11	3,53	1,00	46073	150625	368323	368323	0	0	2,50	2,50
proporzionale alla deformata 1° modo di vibrazione														
	0%	4.566	-27.951	10,09	5,39	1,00	46073	150625	367610	367610	0	0	2,50	2,50
	100%	4.566	-41.405	10,09	3,64	1,00	46073	150625	368047	368047	0	0	2,50	2,50
sisma in +Y														
proporzionale alle masse														
	0%	6.544	-45.715	7,04	3,29	1,03	46073	150625	377041	377041	0	0	2,50	2,50
	100%	6.544	-59.169	7,04	2,55	1,03	46073	150625	377705	377705	0	0	2,50	2,50
proporzionale alla deformata 1° modo di vibrazione														
	0%	9.702	-54.574	4,75	2,76	1,05	46073	150625	384687	384687	0	0	2,50	2,50
	100%	9.702	-68.029	4,75	2,21	1,05	46073	150625	385328	385328	0	0	2,50	2,50
sisma in -Y														
proporzionale alle masse														
	0%	-	-	VNR	VNR	0,00	0	0	0	0	0	0	0,00	0,00
	100%	-	-	VNR	VNR	0,00	0	0	0	0	0	0	0,00	0,00
proporzionale alla deformata 1° modo di vibrazione														
	0%	-	-	VNR	VNR	0,00	0	0	0	0	0	0	0,00	0,00
	100%	-	-	VNR	VNR	0,00	0	0	0	0	0	0	0,00	0,00
sisma in +X														
proporzionale alle masse														
Trave 36a-44	0%	-1.053	-1.190	43,75	NS	1,01	46073	150625	369802	369802	0	0	2,50	2,50
	100%	-1.053	-8.843	43,75	17,03	1,01	46073	150625	371800	371800	0	0	2,50	2,50
proporzionale alla deformata 1° modo di vibrazione														
	0%	-2.096	-3.537	21,98	42,59	1,01	46073	150625	369913	369913	0	0	2,50	2,50
	100%	-2.096	-11.190	21,98	13,46	1,01	46073	150625	371813	371813	0	0	2,50	2,50
sisma in -X														
proporzionale alle masse														
	0%	2.215	7.699	20,80	19,56	1,01	46073	150625	371448	371448	0	0	2,50	2,50
	100%	2.215	47	20,80	NS	1,01	46073	150625	372311	372311	0	0	2,50	2,50
proporzionale alla deformata 1° modo di vibrazione														
	0%	3.430	5.215	13,43	28,88	1,01	46073	150625	371518	371518	0	0	2,50	2,50
	100%	3.430	-2.438	13,43	61,78	1,01	46073	150625	372315	372315	0	0	2,50	2,50
sisma in +Y														
proporzionale alle masse														
	0%	4.401	-10.938	10,47	13,77	1,05	46073	150625	386664	386664	0	0	2,50	2,50
	100%	4.401	-18.591	10,47	8,10	1,06	46073	150625	388249	388249	0	0	2,50	2,50
proporzionale alla deformata 1° modo di vibrazione														
	0%	6.599	-3.765	6,98	40,01	1,07	46073	150625	394039	394039	0	0	2,50	2,50
	100%	6.599	-11.417	6,98	13,19	1,08	46073	150625	395164	395164	0	0	2,50	2,50
sisma in -Y														
proporzionale alle masse														
	0%	-	-	VNR	VNR	0,00	0	0	0	0	0	0	0,00	0,00
	100%	-	-	VNR	VNR	0,00	0	0	0	0	0	0	0,00	0,00
proporzionale alla deformata 1° modo di vibrazione														
	0%	-	-	VNR	VNR	0,00	0	0	0	0	0	0	0,00	0,00
	100%	-	-	VNR	VNR	0,00	0	0	0	0	0	0	0,00	0,00
Piano copertura								**Travata: Trave18-5a-8a-18a-23a-27a-32a-37a-45**						
sisma in +X														
proporzionale alle masse														
Trave 18-5a	0%	2.951	14.576	15,62	10,33	1,01	46090	150642	370882	370882	0	0	2,50	2,50
	100%	2.951	6.960	15,62	21,64	1,01	46090	150642	369969	369969	0	0	2,50	2,50
proporzionale alla deformata 1° modo di vibrazione														
	0%	4.656	16.109	9,90	9,35	1,01	46090	150642	371558	371558	0	0	2,50	2,50

Id_{Tr}	$\%L_{LI}$	$V_{Ed,3}$	$V_{Ed,2}$	$CS^{(3)}$	$CS^{(2)}$	α_C	$V_{Rsd,s}{}^{(3)}$	$V_{Rsd,s}{}^{(2)}$	$V_{Rcd}{}^{(3)}$	$V_{Rcd}{}^{(2)}$	$V_{fd}{}^{(3)}$	$V_{fd}{}^{(2)}$	$Ctg\Theta^{(3)}$	$Ctg\Theta^{(2)}$
	[%]	[N]	[N]				[N]	[N]	[N]	[N]	[N]	[N]		
	100%	4.656	8.493	9,90	17,74	1,01	46090	150642	370556	370556	0	0	2,50	2,50
sisma in -X														
proporzionale alle masse														
	0%	-4.615	6.161	9,99	24,45	1,01	46090	150642	369417	369417	0	0	2,50	2,50
	100%	-4.615	-1.455	9,99	NS	1,00	46090	150642	368803	368803	0	0	2,50	2,50
proporzionale alla deformata 1° modo di vibrazione														
	0%	-5.446	4.253	8,46	35,42	1,01	46090	150642	368976	368976	0	0	2,50	2,50
	100%	-5.446	-3.364	8,46	44,78	1,00	46090	150642	368055	368055	0	0	2,50	2,50
sisma in +Y														
proporzionale alle masse														
	0%	648	-6.724	71,13	22,40	1,00	46090	150642	366991	366991	0	0	2,50	2,50
	100%	648	-14.340	71,13	10,51	1,00	46090	150642	366991	366991	0	0	2,50	2,50
proporzionale alla deformata 1° modo di vibrazione														
	0%	1.808	-10.441	25,49	14,43	1,00	46090	150642	366991	366991	0	0	2,50	2,50
	100%	1.808	-18.058	25,49	8,34	1,00	46090	150642	366991	366991	0	0	2,50	2,50
sisma in -Y														
proporzionale alle masse														
	0%	-	-	VNR	VNR	0,00	0	0	0	0	0	0	0,00	0,00
	100%	-	-	VNR	VNR	0,00	0	0	0	0	0	0	0,00	0,00
proporzionale alla deformata 1° modo di vibrazione														
	0%	-	-	VNR	VNR	0,00	0	0	0	0	0	0	0,00	0,00
	100%	-	-	VNR	VNR	0,00	0	0	0	0	0	0	0,00	0,00
sisma in +X														
proporzionale alle masse														
Trave 5a-8a	0%	1.828	20.917	25,21	7,20	1,00	46090	150642	366991	366991	0	0	2,50	2,50
	100%	1.828	7.463	25,21	20,19	1,00	46090	150642	366991	366991	0	0	2,50	2,50
proporzionale alla deformata 1° modo di vibrazione														
	0%	2.174	20.580	21,20	7,32	1,00	46090	150642	366991	366991	0	0	2,50	2,50
	100%	2.174	7.125	21,20	21,14	1,00	46090	150642	366991	366991	0	0	2,50	2,50
sisma in -X														
proporzionale alle masse														
	0%	-2.429	20.544	18,97	7,33	1,00	46090	150642	366991	366991	0	0	2,50	2,50
	100%	-2.429	7.090	18,97	21,25	1,00	46090	150642	366991	366991	0	0	2,50	2,50
proporzionale alla deformata 1° modo di vibrazione														
	0%	-2.550	20.415	18,07	7,38	1,00	46090	150642	366991	366991	0	0	2,50	2,50
	100%	-2.550	6.961	18,07	21,64	1,00	46090	150642	366991	366991	0	0	2,50	2,50
sisma in +Y														
proporzionale alle masse														
	0%	576	18.640	80,02	8,08	1,00	46090	150642	366991	366991	0	0	2,50	2,50
	100%	576	5.186	80,02	29,05	1,00	46090	150642	366991	366991	0	0	2,50	2,50
proporzionale alla deformata 1° modo di vibrazione														
	0%	1.102	15.700	41,82	9,60	1,00	46090	150642	366991	366991	0	0	2,50	2,50
	100%	1.102	2.246	41,82	67,07	1,00	46090	150642	366991	366991	0	0	2,50	2,50
sisma in -Y														
proporzionale alle masse														
	0%	-	-	VNR	VNR	0,00	0	0	0	0	0	0	0,00	0,00
	100%	-	-	VNR	VNR	0,00	0	0	0	0	0	0	0,00	0,00
proporzionale alla deformata 1° modo di vibrazione														
	0%	-	-	VNR	VNR	0,00	0	0	0	0	0	0	0,00	0,00
	100%	-	-	VNR	VNR	0,00	0	0	0	0	0	0	0,00	0,00
sisma in +X														
proporzionale alle masse														
Trave 8a-18a	0%	-103	-18.080	NS	8,33	1,00	46090	150642	366991	366991	0	0	2,50	2,50
	100%	-103	-31.538	NS	4,78	1,00	46090	150642	366991	366991	0	0	2,50	2,50
proporzionale alla deformata 1° modo di vibrazione														
	0%	-134	-18.216	NS	8,27	1,00	46090	150642	367247	367247	0	0	2,50	2,50
	100%	-134	-31.674	NS	4,76	1,00	46090	150642	366991	366991	0	0	2,50	2,50
sisma in -X														
proporzionale alle masse														
	0%	434	-19.163	NS	7,86	1,00	46090	150642	367129	367129	0	0	2,50	2,50
	100%	434	-32.621	NS	4,62	1,00	46090	150642	366991	366991	0	0	2,50	2,50
proporzionale alla deformata 1° modo di vibrazione														
	0%	411	-19.295	NS	7,81	1,00	46090	150642	367088	367088	0	0	2,50	2,50
	100%	411	-32.753	NS	4,60	1,00	46090	150642	366991	366991	0	0	2,50	2,50
sisma in +Y														
proporzionale alle masse														
	0%	-193	-20.727	NS	7,27	1,00	46090	150642	366991	366991	0	0	2,50	2,50
	100%	-193	-34.185	NS	4,41	1,00	46090	150642	366991	366991	0	0	2,50	2,50
proporzionale alla deformata 1° modo di vibrazione														
	0%	-370	-24.322	NS	6,19	1,00	46090	150642	366991	366991	0	0	2,50	2,50
	100%	-370	-37.780	NS	3,99	1,00	46090	150642	366991	366991	0	0	2,50	2,50
sisma in -Y														
proporzionale alle masse														
	0%	-	-	VNR	VNR	0,00	0	0	0	0	0	0	0,00	0,00
	100%	-	-	VNR	VNR	0,00	0	0	0	0	0	0	0,00	0,00
proporzionale alla deformata 1° modo di vibrazione														
	0%	-	-	VNR	VNR	0,00	0	0	0	0	0	0	0,00	0,00
	100%	-	-	VNR	VNR	0,00	0	0	0	0	0	0	0,00	0,00
sisma in +X														
proporzionale alle masse														
Trave 18a-23a	0%	853	-20.047	54,03	7,51	1,01	46090	150642	371368	371368	0	0	2,50	2,50
	100%	853	-26.754	54,03	5,63	1,01	46090	150642	371168	371168	0	0	2,50	2,50
proporzionale alla deformata 1° modo di vibrazione														
	0%	1.410	-20.072	32,69	7,51	1,01	46090	150642	371684	371684	0	0	2,50	2,50
	100%	1.410	-26.780	32,69	5,63	1,01	46090	150642	371500	371500	0	0	2,50	2,50
sisma in -X														

Id_{Tr}	$\%L_{LI}$	$V_{Ed,3}$	$V_{Ed,2}$	$CS^{(3)}$	$CS^{(2)}$	α_C	$V_{Rsd,s}{}^{(3)}$	$V_{Rsd,s}{}^{(2)}$	$V_{Rcd}{}^{(3)}$	$V_{Rcd}{}^{(2)}$	$V_{fd}{}^{(3)}$	$V_{fd}{}^{(2)}$	$Ctg\Theta^{(3)}$	$Ctg\Theta^{(2)}$
	[%]	[N]	[N]				[N]	[N]	[N]	[N]	[N]	[N]		
proporzionale alle masse														
	0%	-627	-34.825	73,51	4,33	1,02	46090	150642	372802	372802	0	0	2,50	2,50
	100%	-627	-41.533	73,51	3,63	1,02	46090	150642	372623	372623	0	0	2,50	2,50
proporzionale alla deformata 1° modo di vibrazione														
	0%	-1.025	-36.415	44,97	4,14	1,02	46090	150642	372868	372868	0	0	2,50	2,50
	100%	-1.025	-43.123	44,97	3,49	1,02	46090	150642	372687	372687	0	0	2,50	2,50
sisma in +Y														
proporzionale alle masse														
	0%	-598	-29.914	77,07	5,04	1,00	46090	150642	368135	368135	0	0	2,50	2,50
	100%	-598	-36.622	77,07	4,11	1,00	46090	150642	367885	367885	0	0	2,50	2,50
proporzionale alla deformata 1° modo di vibrazione														
	0%	-392	-38.486	NS	3,91	1,00	46090	150642	367750	367750	0	0	2,50	2,50
	100%	-392	-45.194	NS	3,33	1,00	46090	150642	367511	367511	0	0	2,50	2,50
sisma in -Y														
proporzionale alle masse														
	0%	-	-	VNR	VNR	0,00	0	0	0	0	0	0	0,00	0,00
	100%	-	-	VNR	VNR	0,00	0	0	0	0	0	0	0,00	0,00
proporzionale alla deformata 1° modo di vibrazione														
	0%	-	-	VNR	VNR	0,00	0	0	0	0	0	0	0,00	0,00
	100%	-	-	VNR	VNR	0,00	0	0	0	0	0	0	0,00	0,00
sisma in +X														
proporzionale alle masse														
Trave 23a-27a	0%	1.745	62.148	26,41	2,42	1,00	46090	150642	367929	367929	0	0	2,50	2,50
	100%	1.745	55.440	26,41	2,72	1,00	46090	150642	368063	368063	0	0	2,50	2,50
proporzionale alla deformata 1° modo di vibrazione														
	0%	2.421	63.469	19,04	2,37	1,00	46090	150642	368160	368160	0	0	2,50	2,50
	100%	2.421	56.762	19,04	2,65	1,00	46090	150642	368257	368257	0	0	2,50	2,50
sisma in -X														
proporzionale alle masse														
	0%	-1.445	60.500	31,90	2,49	1,01	46090	150642	370752	370752	0	0	2,50	2,50
	100%	-1.445	53.792	31,90	2,80	1,01	46090	150642	370563	370563	0	0	2,50	2,50
proporzionale alla deformata 1° modo di vibrazione														
	0%	-1.994	59.760	23,11	2,52	1,01	46090	150642	370948	370948	0	0	2,50	2,50
	100%	-1.994	53.052	23,11	2,84	1,01	46090	150642	370866	370866	0	0	2,50	2,50
sisma in +Y														
proporzionale alle masse														
	0%	-305	31.496	NS	4,78	1,00	46090	150642	367860	367860	0	0	2,50	2,50
	100%	-305	24.788	NS	6,08	1,00	46090	150642	367798	367798	0	0	2,50	2,50
proporzionale alla deformata 1° modo di vibrazione														
	0%	-96	14.660	NS	10,28	1,01	46090	150642	369768	369768	0	0	2,50	2,50
	100%	-96	7.953	NS	18,94	1,01	46090	150642	369005	369005	0	0	2,50	2,50
sisma in -Y														
proporzionale alle masse														
	0%	-	-	VNR	VNR	0,00	0	0	0	0	0	0	0,00	0,00
	100%	-	-	VNR	VNR	0,00	0	0	0	0	0	0	0,00	0,00
proporzionale alla deformata 1° modo di vibrazione														
	0%	-	-	VNR	VNR	0,00	0	0	0	0	0	0	0,00	0,00
	100%	-	-	VNR	VNR	0,00	0	0	0	0	0	0	0,00	0,00
sisma in +X														
proporzionale alle masse														
Trave 27a-32a	0%	-195	32.131	NS	4,69	1,00	46090	150642	366991	366991	0	0	2,50	2,50
	100%	-195	18.674	NS	8,07	1,00	46090	150642	366991	366991	0	0	2,50	2,50
proporzionale alla deformata 1° modo di vibrazione														
	0%	-249	33.642	NS	4,48	1,00	46090	150642	366991	366991	0	0	2,50	2,50
	100%	-249	20.184	NS	7,46	1,00	46090	150642	366991	366991	0	0	2,50	2,50
sisma in -X														
proporzionale alle masse														
	0%	-166	29.014	NS	5,19	1,00	46090	150642	366991	366991	0	0	2,50	2,50
	100%	-166	15.556	NS	9,68	1,00	46090	150642	366991	366991	0	0	2,50	2,50
proporzionale alla deformata 1° modo di vibrazione														
	0%	-158	28.225	NS	5,34	1,00	46090	150642	366991	366991	0	0	2,50	2,50
	100%	-158	14.767	NS	10,20	1,00	46090	150642	366991	366991	0	0	2,50	2,50
sisma in +Y														
proporzionale alle masse														
	0%	-331	3.303	NS	45,61	1,00	46090	150642	366991	366991	0	0	2,50	2,50
	100%	-331	-10.154	NS	14,84	1,00	46090	150642	366991	366991	0	0	2,50	2,50
proporzionale alla deformata 1° modo di vibrazione														
	0%	-335	-10.649	NS	14,15	1,01	46090	150642	371889	371889	0	0	2,50	2,50
	100%	-335	-24.107	NS	6,25	1,02	46090	150642	372831	372831	0	0	2,50	2,50
sisma in -Y														
proporzionale alle masse														
	0%	-	-	VNR	VNR	0,00	0	0	0	0	0	0	0,00	0,00
	100%	-	-	VNR	VNR	0,00	0	0	0	0	0	0	0,00	0,00
proporzionale alla deformata 1° modo di vibrazione														
	0%	-	-	VNR	VNR	0,00	0	0	0	0	0	0	0,00	0,00
	100%	-	-	VNR	VNR	0,00	0	0	0	0	0	0	0,00	0,00
sisma in +X														
proporzionale alle masse														
Trave 32a-37a	0%	-470	-19.887	98,06	7,57	1,00	46090	150642	366991	366991	0	0	2,50	2,50
	100%	-470	-33.342	98,06	4,52	1,00	46090	150642	366991	366991	0	0	2,50	2,50
proporzionale alla deformata 1° modo di vibrazione														
	0%	-661	-18.130	69,73	8,31	1,00	46090	150642	366991	366991	0	0	2,50	2,50
	100%	-661	-31.584	69,73	4,77	1,00	46090	150642	366991	366991	0	0	2,50	2,50
sisma in -X														
proporzionale alle masse														
	0%	2.451	-21.794	18,80	6,91	1,00	46090	150642	366991	366991	0	0	2,50	2,50

Id_{Tr}	$\%L_{LI}$	$V_{Ed,3}$	$V_{Ed,2}$	$CS^{(3)}$	$CS^{(2)}$	α_C	$V_{Rsd,s}{}^{(3)}$	$V_{Rsd,s}{}^{(2)}$	$V_{Rcd}{}^{(3)}$	$V_{Rcd}{}^{(2)}$	$V_{fd}{}^{(3)}$	$V_{fd}{}^{(2)}$	$Ctg\Theta^{(3)}$	$Ctg\Theta^{(2)}$
	[%]	[N]	[N]				[N]	[N]	[N]	[N]	[N]	[N]		
	100%	2.451	-35.248	18,80	4,27	1,00	46090	150642	366991	366991	0	0	2,50	2,50
proporzionale alla deformata 1° modo di vibrazione														
	0%	2.891	-22.491	15,94	6,70	1,00	46090	150642	366991	366991	0	0	2,50	2,50
	100%	2.891	-35.945	15,94	4,19	1,00	46090	150642	367264	367264	0	0	2,50	2,50
sisma in +Y														
proporzionale alle masse														
	0%	2.765	-40.891	16,67	3,68	1,02	46090	150642	375718	375718	0	0	2,50	2,50
	100%	2.765	-54.345	16,67	2,77	1,03	46090	150642	376810	376810	0	0	2,50	2,50
proporzionale alla deformata 1° modo di vibrazione														
	0%	4.168	-48.432	11,06	3,11	1,05	46090	150642	384922	384922	0	0	2,50	2,50
	100%	4.168	-61.887	11,06	2,43	1,05	46090	150642	385329	385329	0	0	2,50	2,50
sisma in -Y														
proporzionale alle masse														
	0%	-	-	VNR	VNR	0,00	0	0	0	0	0	0	0,00	0,00
	100%	-	-	VNR	VNR	0,00	0	0	0	0	0	0	0,00	0,00
proporzionale alla deformata 1° modo di vibrazione														
	0%	-	-	VNR	VNR	0,00	0	0	0	0	0	0	0,00	0,00
	100%	-	-	VNR	VNR	0,00	0	0	0	0	0	0	0,00	0,00
sisma in +X														
proporzionale alle masse														
Trave 37a-45	0%	-2.455	-15.833	18,77	9,51	1,01	46090	150642	370527	370527	0	0	2,50	2,50
	100%	-2.455	-23.485	18,77	6,41	1,01	46090	150642	370957	370957	0	0	2,50	2,50
proporzionale alla deformata 1° modo di vibrazione														
	0%	-3.521	-17.704	13,09	8,51	1,01	46090	150642	370421	370421	0	0	2,50	2,50
	100%	-3.521	-25.356	13,09	5,94	1,01	46090	150642	370571	370571	0	0	2,50	2,50
sisma in -X														
proporzionale alle masse														
	0%	4.842	4.076	9,52	36,96	1,01	46090	150642	370214	370214	0	0	2,50	2,50
	100%	4.842	-3.577	9,52	42,11	1,01	46090	150642	371739	371739	0	0	2,50	2,50
proporzionale alla deformata 1° modo di vibrazione														
	0%	5.851	5.157	7,88	29,21	1,01	46090	150642	370880	370880	0	0	2,50	2,50
	100%	5.851	-2.495	7,88	60,38	1,01	46090	150642	372171	372171	0	0	2,50	2,50
sisma in +Y														
proporzionale alle masse														
	0%	1.226	-6.159	37,59	24,46	1,05	46090	150642	386206	386206	0	0	2,50	2,50
	100%	1.226	-13.812	37,59	10,91	1,05	46090	150642	387168	387168	0	0	2,50	2,50
proporzionale alla deformata 1° modo di vibrazione														
	0%	2.842	1.431	16,22	NS	1,08	46090	150642	394785	394785	0	0	2,50	2,50
	100%	2.842	-6.222	16,22	24,21	1,08	46090	150642	395760	395760	0	0	2,50	2,50
sisma in -Y														
proporzionale alle masse														
	0%	-	-	VNR	VNR	0,00	0	0	0	0	0	0	0,00	0,00
	100%	-	-	VNR	VNR	0,00	0	0	0	0	0	0	0,00	0,00
proporzionale alla deformata 1° modo di vibrazione														
	0%	-	-	VNR	VNR	0,00	0	0	0	0	0	0	0,00	0,00
	100%	-	-	VNR	VNR	0,00	0	0	0	0	0	0	0,00	0,00
Piano copertura								**Travata: Trave19-6a-9a-19a-24a-28a-33a-38a-46**						
sisma in +X														
proporzionale alle masse														
Trave 19-6a	0%	3.694	23.059	12,48	6,53	1,02	46090	150642	373431	373431	0	0	2,50	2,50
	100%	3.694	15.443	12,48	9,75	1,01	46090	150642	372393	372393	0	0	2,50	2,50
proporzionale alla deformata 1° modo di vibrazione														
	0%	5.261	24.982	8,76	6,03	1,02	46090	150642	374139	374139	0	0	2,50	2,50
	100%	5.261	17.365	8,76	8,68	1,02	46090	150642	373064	373064	0	0	2,50	2,50
sisma in -X														
proporzionale alle masse														
	0%	377	-60.249	NS	2,50	1,02	46090	150642	373643	373643	0	0	2,50	2,50
	100%	377	-67.865	NS	2,22	1,01	46090	150642	372381	372381	0	0	2,50	2,50
proporzionale alla deformata 1° modo di vibrazione														
	0%	-689	-61.889	66,89	2,43	1,01	46090	150642	372474	372474	0	0	2,50	2,50
	100%	-689	-69.505	66,89	2,17	1,01	46090	150642	371324	371324	0	0	2,50	2,50
sisma in +Y														
proporzionale alle masse														
	0%	1.808	-24.684	25,49	6,10	1,00	46090	150642	366991	366991	0	0	2,50	2,50
	100%	1.808	-32.300	25,49	4,66	1,00	46090	150642	366991	366991	0	0	2,50	2,50
proporzionale alla deformata 1° modo di vibrazione														
	0%	2.899	-35.438	15,90	4,25	1,00	46090	150642	366991	366991	0	0	2,50	2,50
	100%	2.899	-43.054	15,90	3,50	1,00	46090	150642	366991	366991	0	0	2,50	2,50
sisma in -Y														
proporzionale alle masse														
	0%	-	-	VNR	VNR	0,00	0	0	0	0	0	0	0,00	0,00
	100%	-	-	VNR	VNR	0,00	0	0	0	0	0	0	0,00	0,00
proporzionale alla deformata 1° modo di vibrazione														
	0%	-	-	VNR	VNR	0,00	0	0	0	0	0	0	0,00	0,00
	100%	-	-	VNR	VNR	0,00	0	0	0	0	0	0	0,00	0,00
sisma in +X														
proporzionale alle masse														
Trave 6a-9a	0%	3.808	36.162	12,10	4,17	1,00	46090	150642	366991	366991	0	0	2,50	2,50
	100%	3.808	22.708	12,10	6,63	1,00	46090	150642	366991	366991	0	0	2,50	2,50
proporzionale alla deformata 1° modo di vibrazione														
	0%	3.891	36.587	11,85	4,12	1,00	46090	150642	366991	366991	0	0	2,50	2,50
	100%	3.891	23.133	11,85	6,51	1,00	46090	150642	366991	366991	0	0	2,50	2,50
sisma in -X														
proporzionale alle masse														
	0%	1.355	66.262	34,01	2,27	1,03	46090	150642	376812	376812	0	0	2,50	2,50
	100%	1.355	52.807	34,01	2,85	1,02	46090	150642	376121	376121	0	0	2,50	2,50

Id_{Tr}	$\%L_{LI}$	$V_{Ed,3}$	$V_{Ed,2}$	$CS^{(3)}$	$CS^{(2)}$	α_C	$V_{Rsd,s}{}^{(3)}$	$V_{Rsd,s}{}^{(2)}$	$V_{Rcd}{}^{(3)}$	$V_{Rcd}{}^{(2)}$	$V_{fd}{}^{(3)}$	$V_{fd}{}^{(2)}$	$Ctg\Theta^{(3)}$	$Ctg\Theta^{(2)}$
	[%]	[N]	[N]				[N]	[N]	[N]	[N]	[N]	[N]		
proporzionale alla deformata 1° modo di vibrazione														
	0%	1.374	66.184	33,54	2,28	1,03	46090	150642	376223	376223	0	0	2,50	2,50
	100%	1.374	52.730	33,54	2,86	1,02	46090	150642	375733	375733	0	0	2,50	2,50
sisma in +Y														
proporzionale alle masse														
	0%	3.218	42.826	14,32	3,52	1,00	46090	150642	366991	366991	0	0	2,50	2,50
	100%	3.218	29.372	14,32	5,13	1,00	46090	150642	366991	366991	0	0	2,50	2,50
proporzionale alla deformata 1° modo di vibrazione														
	0%	3.928	44.287	11,73	3,40	1,00	46090	150642	366991	366991	0	0	2,50	2,50
	100%	3.928	30.833	11,73	4,89	1,00	46090	150642	366991	366991	0	0	2,50	2,50
sisma in -Y														
proporzionale alle masse														
	0%	-	-	VNR	VNR	0,00	0	0	0	0	0	0	0,00	0,00
	100%	-	-	VNR	VNR	0,00	0	0	0	0	0	0	0,00	0,00
proporzionale alla deformata 1° modo di vibrazione														
	0%	-	-	VNR	VNR	0,00	0	0	0	0	0	0	0,00	0,00
	100%	-	-	VNR	VNR	0,00	0	0	0	0	0	0	0,00	0,00
sisma in +X														
proporzionale alle masse														
Trave 9a-19a	0%	-218	-13.055	NS	11,54	1,00	46090	150642	366991	366991	0	0	2,50	2,50
	100%	-218	-26.512	NS	5,68	1,00	46090	150642	366991	366991	0	0	2,50	2,50
proporzionale alla deformata 1° modo di vibrazione														
	0%	-176	-11.842	NS	12,72	1,00	46090	150642	366991	366991	0	0	2,50	2,50
	100%	-176	-25.299	NS	5,95	1,00	46090	150642	366991	366991	0	0	2,50	2,50
sisma in -X														
proporzionale alle masse														
	0%	158	12.190	NS	12,36	1,00	46090	150642	366991	366991	0	0	2,50	2,50
	100%	158	-1.267	NS	NS	1,00	46090	150642	366991	366991	0	0	2,50	2,50
proporzionale alla deformata 1° modo di vibrazione														
	0%	100	11.570	NS	13,02	1,00	46090	150642	366991	366991	0	0	2,50	2,50
	100%	100	-1.887	NS	79,83	1,00	46090	150642	366991	366991	0	0	2,50	2,50
sisma in +Y														
proporzionale alle masse														
	0%	125	-17.092	NS	8,81	1,00	46090	150642	366991	366991	0	0	2,50	2,50
	100%	125	-30.550	NS	4,93	1,00	46090	150642	366991	366991	0	0	2,50	2,50
proporzionale alla deformata 1° modo di vibrazione														
	0%	220	-22.845	NS	6,59	1,00	46090	150642	366991	366991	0	0	2,50	2,50
	100%	220	-36.302	NS	4,15	1,00	46090	150642	366991	366991	0	0	2,50	2,50
sisma in -Y														
proporzionale alle masse														
	0%	-	-	VNR	VNR	0,00	0	0	0	0	0	0	0,00	0,00
	100%	-	-	VNR	VNR	0,00	0	0	0	0	0	0	0,00	0,00
proporzionale alla deformata 1° modo di vibrazione														
	0%	-	-	VNR	VNR	0,00	0	0	0	0	0	0	0,00	0,00
	100%	-	-	VNR	VNR	0,00	0	0	0	0	0	0	0,00	0,00
sisma in +X														
proporzionale alle masse														
Trave 19a-24a	0%	-992	-37.347	46,46	4,03	1,00	46090	150642	367235	367235	0	0	2,50	2,50
	100%	-992	-44.054	46,46	3,42	1,00	46090	150642	367064	367064	0	0	2,50	2,50
proporzionale alla deformata 1° modo di vibrazione														
	0%	-841	-35.514	54,80	4,24	1,00	46090	150642	367038	367038	0	0	2,50	2,50
	100%	-841	-42.222	54,80	3,57	1,00	46090	150642	366991	366991	0	0	2,50	2,50
sisma in -X														
proporzionale alle masse														
	0%	-718	-26.769	64,19	5,63	1,00	46090	150642	366991	366991	0	0	2,50	2,50
	100%	-718	-33.477	64,19	4,50	1,00	46090	150642	366991	366991	0	0	2,50	2,50
proporzionale alla deformata 1° modo di vibrazione														
	0%	-658	-28.075	70,05	5,37	1,00	46090	150642	366991	366991	0	0	2,50	2,50
	100%	-658	-34.783	70,05	4,33	1,00	46090	150642	366991	366991	0	0	2,50	2,50
sisma in +Y														
proporzionale alle masse														
	0%	-2.076	-55.133	22,20	2,73	1,00	46090	150642	366991	366991	0	0	2,50	2,50
	100%	-2.076	-61.841	22,20	2,44	1,00	46090	150642	366991	366991	0	0	2,50	2,50
proporzionale alla deformata 1° modo di vibrazione														
	0%	-2.228	-68.309	20,69	2,21	1,00	46090	150642	366991	366991	0	0	2,50	2,50
	100%	-2.228	-75.017	20,69	2,01	1,00	46090	150642	366991	366991	0	0	2,50	2,50
sisma in -Y														
proporzionale alle masse														
	0%	-	-	VNR	VNR	0,00	0	0	0	0	0	0	0,00	0,00
	100%	-	-	VNR	VNR	0,00	0	0	0	0	0	0	0,00	0,00
proporzionale alla deformata 1° modo di vibrazione														
	0%	-	-	VNR	VNR	0,00	0	0	0	0	0	0	0,00	0,00
	100%	-	-	VNR	VNR	0,00	0	0	0	0	0	0	0,00	0,00
sisma in +X														
proporzionale alle masse														
Trave 24a-28a	0%	-998	58.535	46,18	2,57	1,00	46090	150642	366991	366991	0	0	2,50	2,50
	100%	-998	51.817	46,18	2,91	1,00	46090	150642	366991	366991	0	0	2,50	2,50
proporzionale alla deformata 1° modo di vibrazione														
	0%	-746	59.529	61,78	2,53	1,00	46090	150642	366991	366991	0	0	2,50	2,50
	100%	-746	52.811	61,78	2,85	1,00	46090	150642	366991	366991	0	0	2,50	2,50
sisma in -X														
proporzionale alle masse														
	0%	-1.432	31.903	32,19	4,72	1,00	46090	150642	366991	366991	0	0	2,50	2,50
	100%	-1.432	25.186	32,19	5,98	1,00	46090	150642	366991	366991	0	0	2,50	2,50
proporzionale alla deformata 1° modo di vibrazione														
	0%	-1.761	26.204	26,17	5,75	1,00	46090	150642	366991	366991	0	0	2,50	2,50

Id_{Tr}	$\%L_{LI}$	$V_{Ed,3}$	$V_{Ed,2}$	$CS^{(3)}$	$CS^{(2)}$	α_C	$V_{Rsd,s}{}^{(3)}$	$V_{Rsd,s}{}^{(2)}$	$V_{Rcd}{}^{(3)}$	$V_{Rcd}{}^{(2)}$	$V_{fd}{}^{(3)}$	$V_{fd}{}^{(2)}$	$Ctg\Theta^{(3)}$	$Ctg\Theta^{(2)}$
	[%]	[N]	[N]				[N]	[N]	[N]	[N]	[N]	[N]		
	100%	-1.761	19.487	26,17	7,73	1,00	46090	150642	366991	366991	0	0	2,50	2,50
sisma in +Y														
proporzionale alle masse														
	0%	-4.422	8.798	10,42	17,12	1,01	46090	150642	368935	368935	0	0	2,50	2,50
	100%	-4.422	2.081	10,42	72,39	1,00	46090	150642	367981	367981	0	0	2,50	2,50
proporzionale alla deformata 1° modo di vibrazione														
	0%	-5.423	-23.366	8,50	6,45	1,01	46090	150642	371534	371534	0	0	2,50	2,50
	100%	-5.423	-30.084	8,50	5,01	1,01	46090	150642	372291	372291	0	0	2,50	2,50
sisma in -Y														
proporzionale alle masse														
	0%	-	-	VNR	VNR	0,00	0	0	0	0	0	0	0,00	0,00
	100%	-	-	VNR	VNR	0,00	0	0	0	0	0	0	0,00	0,00
proporzionale alla deformata 1° modo di vibrazione														
	0%	-	-	VNR	VNR	0,00	0	0	0	0	0	0	0,00	0,00
	100%	-	-	VNR	VNR	0,00	0	0	0	0	0	0	0,00	0,00
sisma in +X														
proporzionale alle masse														
Trave 28a-33a	0%	76	27.496	NS	5,48	1,00	46090	150642	366991	366991	0	0	2,50	2,50
	100%	76	14.038	NS	10,73	1,00	46090	150642	366991	366991	0	0	2,50	2,50
proporzionale alla deformata 1° modo di vibrazione														
	0%	-22	27.789	NS	5,42	1,00	46090	150642	366991	366991	0	0	2,50	2,50
	100%	-22	14.331	NS	10,51	1,00	46090	150642	366991	366991	0	0	2,50	2,50
sisma in -X														
proporzionale alle masse														
	0%	187	-6.013	NS	25,05	1,00	46090	150642	366991	366991	0	0	2,50	2,50
	100%	187	-19.471	NS	7,74	1,00	46090	150642	366991	366991	0	0	2,50	2,50
proporzionale alla deformata 1° modo di vibrazione														
	0%	288	-11.632	NS	12,95	1,00	46090	150642	367844	367844	0	0	2,50	2,50
	100%	288	-25.090	NS	6,00	1,00	46090	150642	368050	368050	0	0	2,50	2,50
sisma in +Y														
proporzionale alle masse														
	0%	489	-14.720	94,25	10,23	1,01	46090	150642	371262	371262	0	0	2,50	2,50
	100%	489	-28.178	94,25	5,35	1,02	46090	150642	372586	372586	0	0	2,50	2,50
proporzionale alla deformata 1° modo di vibrazione														
	0%	617	-38.787	74,70	3,88	1,04	46090	150642	382082	382082	0	0	2,50	2,50
	100%	617	-52.245	74,70	2,88	1,04	46090	150642	382473	382473	0	0	2,50	2,50
sisma in -Y														
proporzionale alle masse														
	0%	-	-	VNR	VNR	0,00	0	0	0	0	0	0	0,00	0,00
	100%	-	-	VNR	VNR	0,00	0	0	0	0	0	0	0,00	0,00
proporzionale alla deformata 1° modo di vibrazione														
	0%	-	-	VNR	VNR	0,00	0	0	0	0	0	0	0,00	0,00
	100%	-	-	VNR	VNR	0,00	0	0	0	0	0	0	0,00	0,00
sisma in +X														
proporzionale alle masse														
Trave 33a-38a	0%	-2.077	-26.610	22,19	5,66	1,00	46090	150642	366991	366991	0	0	2,50	2,50
	100%	-2.077	-40.064	22,19	3,76	1,00	46090	150642	366991	366991	0	0	2,50	2,50
proporzionale alla deformata 1° modo di vibrazione														
	0%	-2.077	-26.068	22,19	5,78	1,00	46090	150642	366991	366991	0	0	2,50	2,50
	100%	-2.077	-39.522	22,19	3,81	1,00	46090	150642	366991	366991	0	0	2,50	2,50
sisma in -X														
proporzionale alle masse														
	0%	-2.210	-61.919	20,86	2,43	1,04	46090	150642	380053	380053	0	0	2,50	2,50
	100%	-2.210	-75.374	20,86	2,00	1,04	46090	150642	380795	380795	0	0	2,50	2,50
proporzionale alla deformata 1° modo di vibrazione														
	0%	-2.080	-67.646	22,16	2,23	1,04	46090	150642	383460	383460	0	0	2,50	2,50
	100%	-2.080	-81.100	22,16	1,86	1,05	46090	150642	384252	384252	0	0	2,50	2,50
sisma in +Y														
proporzionale alle masse														
	0%	-3.755	-61.880	12,27	2,43	1,06	46090	150642	387410	387410	0	0	2,50	2,50
	100%	-3.755	-75.335	12,27	2,00	1,06	46090	150642	387937	387937	0	0	2,50	2,50
proporzionale alla deformata 1° modo di vibrazione														
	0%	-4.857	-79.581	9,49	1,89	1,10	46090	150642	402759	402759	0	0	2,50	2,50
	100%	-4.857	-93.035	9,49	1,62	1,10	46090	150642	403065	403065	0	0	2,50	2,50
sisma in -Y														
proporzionale alle masse														
	0%	-	-	VNR	VNR	0,00	0	0	0	0	0	0	0,00	0,00
	100%	-	-	VNR	VNR	0,00	0	0	0	0	0	0	0,00	0,00
proporzionale alla deformata 1° modo di vibrazione														
	0%	-	-	VNR	VNR	0,00	0	0	0	0	0	0	0,00	0,00
	100%	-	-	VNR	VNR	0,00	0	0	0	0	0	0	0,00	0,00
sisma in +X														
proporzionale alle masse														
Trave 38a-46	0%	-2.607	-13.617	17,68	11,06	1,01	46090	150642	370911	370911	0	0	2,50	2,50
	100%	-2.607	-21.270	17,68	7,08	1,01	46090	150642	371778	371778	0	0	2,50	2,50
proporzionale alla deformata 1° modo di vibrazione														
	0%	-3.820	-14.046	12,07	10,72	1,01	46090	150642	370359	370359	0	0	2,50	2,50
	100%	-3.820	-21.699	12,07	6,94	1,01	46090	150642	371225	371225	0	0	2,50	2,50
sisma in -X														
proporzionale alle masse														
	0%	-809	77.517	56,97	1,94	1,02	46090	150642	376102	376102	0	0	2,50	2,50
	100%	-809	69.864	56,97	2,16	1,03	46090	150642	377617	377617	0	0	2,50	2,50
proporzionale alla deformata 1° modo di vibrazione														
	0%	147	89.400	NS	1,69	1,03	46090	150642	377894	377894	0	0	2,50	2,50
	100%	147	81.747	NS	1,84	1,03	46090	150642	379259	379259	0	0	2,50	2,50
sisma in +Y														

Id_{Tr}	$\%L_{LI}$	$V_{Ed,3}$	$V_{Ed,2}$	$CS^{(3)}$	$CS^{(2)}$	α_C	$V_{Rsd,s}{}^{(3)}$	$V_{Rsd,s}{}^{(2)}$	$V_{Rcd}{}^{(3)}$	$V_{Rcd}{}^{(2)}$	$V_{fd}{}^{(3)}$	$V_{fd}{}^{(2)}$	$Ctg\Theta^{(3)}$	$Ctg\Theta^{(2)}$
	[%]	[N]	[N]				[N]	[N]	[N]	[N]	[N]	[N]		
proporzionale alle masse														
	0%	-2.302	41.198	20,02	3,66	1,06	46090	150642	390289	390289	0	0	2,50	2,50
	100%	-2.302	33.545	20,02	4,49	1,07	46090	150642	391167	391167	0	0	2,50	2,50
proporzionale alla deformata 1° modo di vibrazione														
	0%	-3.165	72.807	14,56	2,07	1,10	46090	150642	402053	402053	0	0	2,50	2,50
	100%	-3.165	65.154	14,56	2,31	1,10	46090	150642	403007	403007	0	0	2,50	2,50
sisma in -Y														
proporzionale alle masse														
	0%	-	-	VNR	VNR	0,00	0	0	0	0	0	0	0,00	0,00
	100%	-	-	VNR	VNR	0,00	0	0	0	0	0	0	0,00	0,00
proporzionale alla deformata 1° modo di vibrazione														
	0%	-	-	VNR	VNR	0,00	0	0	0	0	0	0	0,00	0,00
	100%	-	-	VNR	VNR	0,00	0	0	0	0	0	0	0,00	0,00
Piano copertura								**Travata: Trave20-21-10a-20a-30-29a-34a-37-47**						
sisma in +X														
proporzionale alle masse														
Trave 20-21	0%	-2.088	-10.340	39,32	13,93	1,01	82093	144050	199295	199295	0	0	2,50	2,50
	100%	-2.088	-15.124	39,32	9,52	1,01	82093	144050	198622	198622	0	0	2,50	2,50
proporzionale alla deformata 1° modo di vibrazione														
	0%	-1.719	-9.673	47,76	14,89	1,01	82093	144050	199355	199355	0	0	2,50	2,50
	100%	-1.719	-14.457	47,76	9,96	1,01	82093	144050	198697	198697	0	0	2,50	2,50
sisma in -X														
proporzionale alle masse														
	0%	-2.623	18.518	31,30	7,78	1,05	82093	144050	207620	207620	0	0	2,50	2,50
	100%	-2.623	13.734	31,30	10,49	1,05	82093	144050	206969	206969	0	0	2,50	2,50
proporzionale alla deformata 1° modo di vibrazione														
	0%	-3.322	17.712	24,71	8,13	1,05	82093	144050	207433	207433	0	0	2,50	2,50
	100%	-3.322	12.927	24,71	11,14	1,05	82093	144050	206774	206774	0	0	2,50	2,50
sisma in +Y														
proporzionale alle masse														
	0%	-1.808	-15.805	45,41	9,11	1,00	82093	144050	197804	197804	0	0	2,50	2,50
	100%	-1.808	-20.589	45,41	7,00	1,00	82093	144050	197398	197398	0	0	2,50	2,50
proporzionale alla deformata 1° modo di vibrazione														
	0%	-1.818	-22.722	45,16	6,34	1,00	82093	144050	197398	197398	0	0	2,50	2,50
	100%	-1.818	-27.506	45,16	5,24	1,00	82093	144050	197398	197398	0	0	2,50	2,50
sisma in -Y														
proporzionale alle masse														
	0%	-	-	VNR	VNR	0,00	0	0	0	0	0	0	0,00	0,00
	100%	-	-	VNR	VNR	0,00	0	0	0	0	0	0	0,00	0,00
proporzionale alla deformata 1° modo di vibrazione														
	0%	-	-	VNR	VNR	0,00	0	0	0	0	0	0	0,00	0,00
	100%	-	-	VNR	VNR	0,00	0	0	0	0	0	0	0,00	0,00
sisma in +X														
proporzionale alle masse														
Trave 21-10a	0%	-1.986	25.116	41,34	5,74	1,03	82093	144050	203750	203750	0	0	2,50	2,50
	100%	-1.986	18.219	41,34	7,91	1,03	82093	144050	203563	203563	0	0	2,50	2,50
proporzionale alla deformata 1° modo di vibrazione														
	0%	-2.069	26.577	39,68	5,42	1,04	82093	144050	204498	204498	0	0	2,50	2,50
	100%	-2.069	19.680	39,68	7,32	1,04	82093	144050	204320	204320	0	0	2,50	2,50
sisma in -X														
proporzionale alle masse														
	0%	1.304	25.979	62,95	5,54	1,03	82093	144050	204138	204138	0	0	2,50	2,50
	100%	1.304	19.082	62,95	7,55	1,03	82093	144050	203873	203873	0	0	2,50	2,50
proporzionale alla deformata 1° modo di vibrazione														
	0%	1.398	25.223	58,72	5,71	1,03	82093	144050	203909	203909	0	0	2,50	2,50
	100%	1.398	18.326	58,72	7,86	1,03	82093	144050	203630	203630	0	0	2,50	2,50
sisma in +Y														
proporzionale alle masse														
	0%	872	20.146	94,14	7,15	1,02	82093	144050	201112	201112	0	0	2,50	2,50
	100%	872	13.250	94,14	10,87	1,02	82093	144050	200915	200915	0	0	2,50	2,50
proporzionale alla deformata 1° modo di vibrazione														
	0%	1.831	18.133	44,84	7,94	1,01	82093	144050	200169	200169	0	0	2,50	2,50
	100%	1.831	11.236	44,84	12,82	1,01	82093	144050	199966	199966	0	0	2,50	2,50
sisma in -Y														
proporzionale alle masse														
	0%	-	-	VNR	VNR	0,00	0	0	0	0	0	0	0,00	0,00
	100%	-	-	VNR	VNR	0,00	0	0	0	0	0	0	0,00	0,00
proporzionale alla deformata 1° modo di vibrazione														
	0%	-	-	VNR	VNR	0,00	0	0	0	0	0	0	0,00	0,00
	100%	-	-	VNR	VNR	0,00	0	0	0	0	0	0	0,00	0,00
sisma in +X														
proporzionale alle masse														
Trave 10a-20a	0%	-723	1.390	NS	NS	1,00	82093	144050	197546	197546	0	0	2,50	2,50
	100%	-723	-6.071	NS	23,73	1,00	82093	144050	197398	197398	0	0	2,50	2,50
proporzionale alla deformata 1° modo di vibrazione														
	0%	-884	2.474	92,87	58,23	1,00	82093	144050	197660	197660	0	0	2,50	2,50
	100%	-884	-4.986	92,87	28,89	1,00	82093	144050	197466	197466	0	0	2,50	2,50
sisma in -X														
proporzionale alle masse														
	0%	-1.041	893	78,86	NS	1,00	82093	144050	197452	197452	0	0	2,50	2,50
	100%	-1.041	-6.567	78,86	21,94	1,00	82093	144050	197398	197398	0	0	2,50	2,50
proporzionale alla deformata 1° modo di vibrazione														
	0%	-1.004	644	81,77	NS	1,00	82093	144050	197453	197453	0	0	2,50	2,50
	100%	-1.004	-6.816	81,77	21,13	1,00	82093	144050	197398	197398	0	0	2,50	2,50
sisma in +Y														
proporzionale alle masse														

Id_{Tr}	$\%L_{LI}$	$V_{Ed,3}$	$V_{Ed,2}$	$CS^{(3)}$	$CS^{(2)}$	α_C	$V_{Rsd,s}{}^{(3)}$	$V_{Rsd,s}{}^{(2)}$	$V_{Rcd}{}^{(3)}$	$V_{Rcd}{}^{(2)}$	$V_{fd}{}^{(3)}$	$V_{fd}{}^{(2)}$	$Ctg\Theta^{(3)}$	$Ctg\Theta^{(2)}$
	[%]	[N]	[N]				[N]	[N]	[N]	[N]	[N]	[N]		
	0%	-1.227	-5.368	66,91	26,83	1,00	82093	144050	197490	197490	0	0	2,50	2,50
	100%	-1.227	-12.828	66,91	11,23	1,00	82093	144050	197398	197398	0	0	2,50	2,50
proporzionale alla deformata 1° modo di vibrazione														
	0%	-1.649	-10.218	49,78	14,10	1,00	82093	144050	197955	197955	0	0	2,50	2,50
	100%	-1.649	-17.678	49,78	8,15	1,00	82093	144050	197759	197759	0	0	2,50	2,50
sisma in -Y														
proporzionale alle masse														
	0%	-	-	VNR	VNR	0,00	0	0	0	0	0	0	0,00	0,00
	100%	-	-	VNR	VNR	0,00	0	0	0	0	0	0	0,00	0,00
proporzionale alla deformata 1° modo di vibrazione														
	0%	-	-	VNR	VNR	0,00	0	0	0	0	0	0	0,00	0,00
	100%	-	-	VNR	VNR	0,00	0	0	0	0	0	0	0,00	0,00
sisma in +X														
proporzionale alle masse														
Trave 20a-30	0%	-16.462	-31.587	4,99	4,56	1,03	82093	144050	203294	203294	0	0	2,50	2,50
	100%	-16.462	-34.732	4,99	4,15	1,03	82093	144050	203230	203230	0	0	2,50	2,50
proporzionale alla deformata 1° modo di vibrazione														
	0%	-13.679	-31.577	6,00	4,56	1,03	82093	144050	202821	202821	0	0	2,50	2,50
	100%	-13.679	-34.722	6,00	4,15	1,03	82093	144050	202717	202717	0	0	2,50	2,50
sisma in -X														
proporzionale alle masse														
	0%	-16.040	-21.479	5,12	6,71	1,02	82093	144050	202204	202204	0	0	2,50	2,50
	100%	-16.040	-24.624	5,12	5,85	1,02	82093	144050	202218	202218	0	0	2,50	2,50
proporzionale alla deformata 1° modo di vibrazione														
	0%	-18.149	-20.580	4,52	7,00	1,03	82093	144050	202512	202512	0	0	2,50	2,50
	100%	-18.149	-23.725	4,52	6,07	1,03	82093	144050	202480	202480	0	0	2,50	2,50
sisma in +Y														
proporzionale alle masse														
	0%	-18.710	-37.064	4,39	3,89	1,05	82093	144050	206564	206564	0	0	2,50	2,50
	100%	-18.710	-40.209	4,39	3,58	1,05	82093	144050	206526	206526	0	0	2,50	2,50
proporzionale alla deformata 1° modo di vibrazione														
	0%	-20.974	-44.160	3,91	3,26	1,06	82093	144050	209637	209637	0	0	2,50	2,50
	100%	-20.974	-47.304	3,91	3,05	1,06	82093	144050	209603	209603	0	0	2,50	2,50
sisma in -Y														
proporzionale alle masse														
	0%	-	-	VNR	VNR	0,00	0	0	0	0	0	0	0,00	0,00
	100%	-	-	VNR	VNR	0,00	0	0	0	0	0	0	0,00	0,00
proporzionale alla deformata 1° modo di vibrazione														
	0%	-	-	VNR	VNR	0,00	0	0	0	0	0	0	0,00	0,00
	100%	-	-	VNR	VNR	0,00	0	0	0	0	0	0	0,00	0,00
sisma in +X														
proporzionale alle masse														
Trave 30-29a	0%	15.431	37.142	5,32	3,88	1,03	82093	144050	202398	202398	0	0	2,50	2,50
	100%	15.431	33.998	5,32	4,24	1,03	82093	144050	202498	202498	0	0	2,50	2,50
proporzionale alla deformata 1° modo di vibrazione														
	0%	12.551	38.291	6,54	3,76	1,02	82093	144050	201855	201855	0	0	2,50	2,50
	100%	12.551	35.147	6,54	4,10	1,02	82093	144050	201990	201990	0	0	2,50	2,50
sisma in -X														
proporzionale alle masse														
	0%	15.029	24.477	5,46	5,89	1,02	82093	144050	201304	201304	0	0	2,50	2,50
	100%	15.029	21.333	5,46	6,75	1,02	82093	144050	201384	201384	0	0	2,50	2,50
proporzionale alla deformata 1° modo di vibrazione														
	0%	17.252	22.240	4,76	6,48	1,02	82093	144050	201650	201650	0	0	2,50	2,50
	100%	17.252	19.096	4,76	7,54	1,02	82093	144050	201608	201608	0	0	2,50	2,50
sisma in +Y														
proporzionale alle masse														
	0%	16.148	3.267	5,08	44,09	1,07	82093	144050	211133	211133	0	0	2,50	2,50
	100%	16.148	123	5,08	NS	1,07	82093	144050	211658	211658	0	0	2,50	2,50
proporzionale alla deformata 1° modo di vibrazione														
	0%	18.328	-12.185	4,48	11,82	1,10	82093	144050	216232	216232	0	0	2,50	2,50
	100%	18.328	-15.330	4,48	9,40	1,10	82093	144050	216537	216537	0	0	2,50	2,50
sisma in -Y														
proporzionale alle masse														
	0%	-	-	VNR	VNR	0,00	0	0	0	0	0	0	0,00	0,00
	100%	-	-	VNR	VNR	0,00	0	0	0	0	0	0	0,00	0,00
proporzionale alla deformata 1° modo di vibrazione														
	0%	-	-	VNR	VNR	0,00	0	0	0	0	0	0	0,00	0,00
	100%	-	-	VNR	VNR	0,00	0	0	0	0	0	0	0,00	0,00
sisma in +X														
proporzionale alle masse														
Trave 29a-34a	0%	1.011	10.245	81,20	14,06	1,00	82093	144050	197398	197398	0	0	2,50	2,50
	100%	1.011	2.785	81,20	51,72	1,00	82093	144050	197398	197398	0	0	2,50	2,50
proporzionale alla deformata 1° modo di vibrazione														
	0%	1.102	10.761	74,49	13,39	1,00	82093	144050	197398	197398	0	0	2,50	2,50
	100%	1.102	3.300	74,49	43,65	1,00	82093	144050	197398	197398	0	0	2,50	2,50
sisma in -X														
proporzionale alle masse														
	0%	1.695	6.629	48,43	21,73	1,00	82093	144050	197398	197398	0	0	2,50	2,50
	100%	1.695	-831	48,43	NS	1,00	82093	144050	197511	197511	0	0	2,50	2,50
proporzionale alla deformata 1° modo di vibrazione														
	0%	1.773	5.095	46,30	28,27	1,00	82093	144050	197682	197682	0	0	2,50	2,50
	100%	1.773	-2.365	46,30	60,91	1,00	82093	144050	198036	198036	0	0	2,50	2,50
sisma in +Y														
proporzionale alle masse														
	0%	1.859	-16.535	44,16	8,71	1,10	82093	144050	216623	216623	0	0	2,50	2,50
	100%	1.859	-23.995	44,16	6,00	1,10	82093	144050	217010	217010	0	0	2,50	2,50

Id_{Tr}	$\%L_{LI}$	$V_{Ed,3}$	$V_{Ed,2}$	$CS^{(3)}$	$CS^{(2)}$	α_C	$V_{Rsd,s}{}^{(3)}$	$V_{Rsd,s}{}^{(2)}$	$V_{Rcd}{}^{(3)}$	$V_{Rcd}{}^{(2)}$	$V_{fd}{}^{(3)}$	$V_{fd}{}^{(2)}$	$Ctg\Theta^{(3)}$	$Ctg\Theta^{(2)}$
	[%]	[N]	[N]				[N]	[N]	[N]	[N]	[N]	[N]		
proporzionale alla deformata 1° modo di vibrazione														
	0%	2.161	-28.250	37,99	5,10	1,15	82093	144050	226791	226791	0	0	2,50	2,50
	100%	2.161	-35.710	37,99	4,03	1,15	82093	144050	227007	227007	0	0	2,50	2,50
sisma in -Y														
proporzionale alle masse														
	0%	-	-	VNR	VNR	0,00	0	0	0	0	0	0	0,00	0,00
	100%	-	-	VNR	VNR	0,00	0	0	0	0	0	0	0,00	0,00
proporzionale alla deformata 1° modo di vibrazione														
	0%	-	-	VNR	VNR	0,00	0	0	0	0	0	0	0,00	0,00
	100%	-	-	VNR	VNR	0,00	0	0	0	0	0	0	0,00	0,00
sisma in +X														
proporzionale alle masse														
Trave 34a-37	0%	2.595	-13.475	31,64	10,69	1,01	82093	144050	199729	199729	0	0	2,50	2,50
	100%	2.595	-20.371	31,64	7,07	1,01	82093	144050	199879	199879	0	0	2,50	2,50
proporzionale alla deformata 1° modo di vibrazione														
	0%	2.480	-12.777	33,10	11,27	1,01	82093	144050	199082	199082	0	0	2,50	2,50
	100%	2.480	-19.674	33,10	7,32	1,01	82093	144050	199229	199229	0	0	2,50	2,50
sisma in -X														
proporzionale alle masse														
	0%	-2.200	-20.280	37,32	7,10	1,03	82093	144050	203828	203828	0	0	2,50	2,50
	100%	-2.200	-27.176	37,32	5,30	1,03	82093	144050	204179	204179	0	0	2,50	2,50
proporzionale alla deformata 1° modo di vibrazione														
	0%	-2.530	-22.266	32,45	6,47	1,04	82093	144050	205338	205338	0	0	2,50	2,50
	100%	-2.530	-29.162	32,45	4,94	1,04	82093	144050	205628	205628	0	0	2,50	2,50
sisma in +Y														
proporzionale alle masse														
	0%	496	-39.947	NS	3,61	1,19	82093	144050	233919	233919	0	0	2,50	2,50
	100%	496	-46.843	NS	3,08	1,19	82093	144050	234046	234046	0	0	2,50	2,50
proporzionale alla deformata 1° modo di vibrazione														
	0%	-993	-49.240	82,67	2,93	1,26	82093	144050	249341	249341	0	0	2,50	2,50
	100%	-993	-56.136	82,67	2,57	1,26	82093	144050	249458	249458	0	0	2,50	2,50
sisma in -Y														
proporzionale alle masse														
	0%	-	-	VNR	VNR	0,00	0	0	0	0	0	0	0,00	0,00
	100%	-	-	VNR	VNR	0,00	0	0	0	0	0	0	0,00	0,00
proporzionale alla deformata 1° modo di vibrazione														
	0%	-	-	VNR	VNR	0,00	0	0	0	0	0	0	0,00	0,00
	100%	-	-	VNR	VNR	0,00	0	0	0	0	0	0	0,00	0,00
sisma in +X														
proporzionale alle masse														
Trave 37-47	0%	2.184	16.426	37,59	8,77	1,00	82093	144050	197775	197775	0	0	2,50	2,50
	100%	2.184	11.623	37,59	12,39	1,00	82093	144050	198320	198320	0	0	2,50	2,50
proporzionale alla deformata 1° modo di vibrazione														
	0%	2.212	17.928	37,11	8,03	1,00	82093	144050	197414	197414	0	0	2,50	2,50
	100%	2.212	13.125	37,11	10,98	1,00	82093	144050	197979	197979	0	0	2,50	2,50
sisma in -X														
proporzionale alle masse														
	0%	1.767	-23.194	46,46	6,21	1,06	82093	144050	209693	209693	0	0	2,50	2,50
	100%	1.767	-27.997	46,46	5,15	1,06	82093	144050	210220	210220	0	0	2,50	2,50
proporzionale alla deformata 1° modo di vibrazione														
	0%	1.411	-25.680	58,18	5,61	1,07	82093	144050	211483	211483	0	0	2,50	2,50
	100%	1.411	-30.483	58,18	4,73	1,07	82093	144050	211925	211925	0	0	2,50	2,50
sisma in +Y														
proporzionale alle masse														
	0%	1.165	13.995	70,47	10,29	1,07	82093	144050	212078	212078	0	0	2,50	2,50
	100%	1.165	9.192	70,47	15,67	1,08	82093	144050	212699	212699	0	0	2,50	2,50
proporzionale alla deformata 1° modo di vibrazione														
	0%	853	16.561	96,24	8,70	1,12	82093	144050	221239	221239	0	0	2,50	2,50
	100%	853	11.758	96,24	12,25	1,12	82093	144050	221813	221813	0	0	2,50	2,50
sisma in -Y														
proporzionale alle masse														
	0%	-	-	VNR	VNR	0,00	0	0	0	0	0	0	0,00	0,00
	100%	-	-	VNR	VNR	0,00	0	0	0	0	0	0	0,00	0,00
proporzionale alla deformata 1° modo di vibrazione														
	0%	-	-	VNR	VNR	0,00	0	0	0	0	0	0	0,00	0,00
	100%	-	-	VNR	VNR	0,00	0	0	0	0	0	0	0,00	0,00
Piano copertura								**Travata: Trave24-13a-32-39**						
sisma in +X														
proporzionale alle masse														
Trave 24-13a	0%	-853	-9.943	44,42	8,19	1,05	37888	81451	172935	172935	0	0	2,50	2,50
	100%	-853	-26.239	44,42	3,10	1,04	37888	81451	172062	172062	0	0	2,50	2,50
proporzionale alla deformata 1° modo di vibrazione														
	0%	-1.109	-8.988	34,16	9,06	1,05	37888	81451	173727	173727	0	0	2,50	2,50
	100%	-1.109	-25.283	34,16	3,22	1,05	37888	81451	172852	172852	0	0	2,50	2,50
sisma in -X														
proporzionale alle masse														
	0%	909	8.738	41,68	9,32	1,04	37888	81451	172380	172380	0	0	2,50	2,50
	100%	909	-7.558	41,68	10,78	1,04	37888	81451	171344	171344	0	0	2,50	2,50
proporzionale alla deformata 1° modo di vibrazione														
	0%	1.164	6.133	32,55	13,28	1,04	37888	81451	171858	171858	0	0	2,50	2,50
	100%	1.164	-10.162	32,55	8,02	1,03	37888	81451	170899	170899	0	0	2,50	2,50
sisma in +Y														
proporzionale alle masse														
	0%	1.281	-44.350	29,58	1,84	1,01	37888	81451	167709	167709	0	0	2,50	2,50
	100%	1.281	-60.646	29,58	1,34	1,01	37888	81451	166710	166710	0	0	2,50	2,50
proporzionale alla deformata 1° modo di vibrazione														

Id_{Tr}	$\%L_{LI}$	$V_{Ed,3}$	$V_{Ed,2}$	$CS^{(3)}$	$CS^{(2)}$	α_C	$V_{Rsd,s}{}^{(3)}$	$V_{Rsd,s}{}^{(2)}$	$V_{Rcd}{}^{(3)}$	$V_{Rcd}{}^{(2)}$	$V_{fd}{}^{(3)}$	$V_{fd}{}^{(2)}$	$Ctg\Theta^{(3)}$	$Ctg\Theta^{(2)}$
	[%]	[N]	[N]				[N]	[N]	[N]	[N]	[N]	[N]		
	0%	1.108	-40.512	34,19	2,01	1,02	37888	81451	167922	167922	0	0	2,50	2,50
	100%	1.108	-56.807	34,19	1,43	1,01	37888	81451	166950	166950	0	0	2,50	2,50
sisma in -Y														
proporzionale alle masse														
	0%	-	-	VNR	VNR	0,00	0	0	0	0	0	0	0,00	0,00
	100%	-	-	VNR	VNR	0,00	0	0	0	0	0	0	0,00	0,00
proporzionale alla deformata 1° modo di vibrazione														
	0%	-	-	VNR	VNR	0,00	0	0	0	0	0	0	0,00	0,00
	100%	-	-	VNR	VNR	0,00	0	0	0	0	0	0	0,00	0,00
sisma in +X														
proporzionale alle masse														
Trave 13a-32	0%	125	36.285	NS	2,24	1,00	37888	81451	165557	165557	0	0	2,50	2,50
	100%	125	-26.581	NS	3,06	1,01	37888	81451	167790	167790	0	0	2,50	2,50
proporzionale alla deformata 1° modo di vibrazione														
	0%	142	36.696	NS	2,22	1,00	37888	81451	165599	165599	0	0	2,50	2,50
	100%	142	-26.170	NS	3,11	1,01	37888	81451	167752	167752	0	0	2,50	2,50
sisma in -X														
proporzionale alle masse														
	0%	-108	34.092	NS	2,39	1,00	37888	81451	165396	165396	0	0	2,50	2,50
	100%	-108	-28.774	NS	2,83	1,01	37888	81451	167653	167653	0	0	2,50	2,50
proporzionale alla deformata 1° modo di vibrazione														
	0%	-122	34.381	NS	2,37	1,00	37888	81451	165550	165550	0	0	2,50	2,50
	100%	-122	-28.485	NS	2,86	1,02	37888	81451	167845	167845	0	0	2,50	2,50
sisma in +Y														
proporzionale alle masse														
	0%	-126	37.628	NS	2,16	1,01	37888	81451	167394	167394	0	0	2,50	2,50
	100%	-126	-25.238	NS	3,23	1,02	37888	81451	169337	169337	0	0	2,50	2,50
proporzionale alla deformata 1° modo di vibrazione														
	0%	-170	37.053	NS	2,20	1,01	37888	81451	167058	167058	0	0	2,50	2,50
	100%	-170	-25.813	NS	3,16	1,02	37888	81451	169234	169234	0	0	2,50	2,50
sisma in -Y														
proporzionale alle masse														
	0%	-	-	VNR	VNR	0,00	0	0	0	0	0	0	0,00	0,00
	100%	-	-	VNR	VNR	0,00	0	0	0	0	0	0	0,00	0,00
proporzionale alla deformata 1° modo di vibrazione														
	0%	-	-	VNR	VNR	0,00	0	0	0	0	0	0	0,00	0,00
	100%	-	-	VNR	VNR	0,00	0	0	0	0	0	0	0,00	0,00
sisma in +X														
proporzionale alle masse														
Trave 32-39	0%	24	39.228	NS	2,08	1,00	37888	81451	165358	165358	0	0	2,50	2,50
	100%	24	-29.539	NS	2,76	1,00	37888	81451	165358	165358	0	0	2,50	2,50
proporzionale alla deformata 1° modo di vibrazione														
	0%	42	39.114	NS	2,08	1,00	37888	81451	165358	165358	0	0	2,50	2,50
	100%	42	-29.653	NS	2,75	1,00	37888	81451	165358	165358	0	0	2,50	2,50
sisma in -X														
proporzionale alle masse														
	0%	-100	38.669	NS	2,11	1,00	37888	81451	165358	165358	0	0	2,50	2,50
	100%	-100	-30.098	NS	2,71	1,00	37888	81451	165725	165725	0	0	2,50	2,50
proporzionale alla deformata 1° modo di vibrazione														
	0%	-110	38.641	NS	2,11	1,00	37888	81451	165358	165358	0	0	2,50	2,50
	100%	-110	-30.126	NS	2,70	1,00	37888	81451	165695	165695	0	0	2,50	2,50
sisma in +Y														
proporzionale alle masse														
	0%	-66	36.096	NS	2,26	1,00	37888	81451	165358	165358	0	0	2,50	2,50
	100%	-66	-32.671	NS	2,49	1,01	37888	81451	167450	167450	0	0	2,50	2,50
proporzionale alla deformata 1° modo di vibrazione														
	0%	-51	36.213	NS	2,25	1,00	37888	81451	165358	165358	0	0	2,50	2,50
	100%	-51	-32.555	NS	2,50	1,01	37888	81451	167417	167417	0	0	2,50	2,50
sisma in -Y														
proporzionale alle masse														
	0%	-	-	VNR	VNR	0,00	0	0	0	0	0	0	0,00	0,00
	100%	-	-	VNR	VNR	0,00	0	0	0	0	0	0	0,00	0,00
proporzionale alla deformata 1° modo di vibrazione														
	0%	-	-	VNR	VNR	0,00	0	0	0	0	0	0	0,00	0,00
	100%	-	-	VNR	VNR	0,00	0	0	0	0	0	0	0,00	0,00
Piano copertura								**Travata: Trave3a-11a-29-21a-25a-36-30a-35a-43**						
sisma in +X														
proporzionale alle masse														
Trave 3a-11a	0%	5.096	12.038	16,17	11,99	1,02	82403	144360	202641	202641	0	0	2,50	2,50
	100%	5.096	-5.305	16,17	27,21	1,02	82403	144360	202185	202185	0	0	2,50	2,50
proporzionale alla deformata 1° modo di vibrazione														
	0%	7.105	6.744	11,60	21,41	1,03	82403	144360	204540	204540	0	0	2,50	2,50
	100%	7.105	-10.599	11,60	13,62	1,03	82403	144360	204169	204169	0	0	2,50	2,50
sisma in -X														
proporzionale alle masse														
	0%	-3.612	23.112	22,81	6,25	1,01	82403	144360	200557	200557	0	0	2,50	2,50
	100%	-3.612	5.769	22,81	25,02	1,01	82403	144360	200148	200148	0	0	2,50	2,50
proporzionale alla deformata 1° modo di vibrazione														
	0%	-4.642	26.719	17,75	5,40	1,02	82403	144360	201183	201183	0	0	2,50	2,50
	100%	-4.642	9.376	17,75	15,40	1,01	82403	144360	200716	200716	0	0	2,50	2,50
sisma in +Y														
proporzionale alle masse														
	0%	1.596	-68.320	51,63	2,11	1,16	82403	144360	228807	228807	0	0	2,50	2,50
	100%	1.596	-85.663	51,63	1,69	1,15	82403	144360	228243	228243	0	0	2,50	2,50
proporzionale alla deformata 1° modo di vibrazione														
	0%	1.761	-99.557	46,79	1,45	1,23	82403	144360	242872	242872	0	0	2,50	2,50

Id_{Tr}	$\%L_{LI}$	$V_{Ed,3}$	$V_{Ed,2}$	$CS^{(3)}$	$CS^{(2)}$	α_C	$V_{Rsd,s}{}^{(3)}$	$V_{Rsd,s}{}^{(2)}$	$V_{Rcd}{}^{(3)}$	$V_{Rcd}{}^{(2)}$	$V_{fd}{}^{(3)}$	$V_{fd}{}^{(2)}$	$Ctg\Theta^{(3)}$	$Ctg\Theta^{(2)}$
	[%]	[N]	[N]				[N]	[N]	[N]	[N]	[N]	[N]		
	100%	1.761	-116.900	46,79	1,23	1,18	82403	144360	234273	234273	0	0	2,50	2,50
sisma in -Y														
proporzionale alle masse														
	0%	-	-	VNR	VNR	0,00	0	0	0	0	0	0	0,00	0,00
	100%	-	-	VNR	VNR	0,00	0	0	0	0	0	0	0,00	0,00
proporzionale alla deformata 1° modo di vibrazione														
	0%	-	-	VNR	VNR	0,00	0	0	0	0	0	0	0,00	0,00
	100%	-	-	VNR	VNR	0,00	0	0	0	0	0	0	0,00	0,00
sisma in +X														
proporzionale alle masse														
Trave 11a-29	0%	4.334	8.414	19,01	17,16	1,02	82403	144360	202106	202106	0	0	2,50	2,50
	100%	4.334	2.259	19,01	63,90	1,02	82403	144360	201822	201822	0	0	2,50	2,50
proporzionale alla deformata 1° modo di vibrazione														
	0%	5.153	8.753	15,99	16,49	1,02	82403	144360	202375	202375	0	0	2,50	2,50
	100%	5.153	2.599	15,99	55,54	1,02	82403	144360	202178	202178	0	0	2,50	2,50
sisma in -X														
proporzionale alle masse														
	0%	-4.513	-2.689	18,26	53,69	1,02	82403	144360	201743	201743	0	0	2,50	2,50
	100%	-4.513	-8.843	18,26	16,32	1,02	82403	144360	201368	201368	0	0	2,50	2,50
proporzionale alla deformata 1° modo di vibrazione														
	0%	-5.174	-1.411	15,93	NS	1,02	82403	144360	202346	202346	0	0	2,50	2,50
	100%	-5.174	-7.566	15,93	19,08	1,02	82403	144360	201991	201991	0	0	2,50	2,50
sisma in +Y														
proporzionale alle masse														
	0%	367	-9.111	NS	15,84	1,01	82403	144360	199790	199790	0	0	2,50	2,50
	100%	367	-15.266	NS	9,46	1,01	82403	144360	199433	199433	0	0	2,50	2,50
proporzionale alla deformata 1° modo di vibrazione														
	0%	542	-14.601	NS	9,89	1,01	82403	144360	199972	199972	0	0	2,50	2,50
	100%	542	-20.756	NS	6,96	1,01	82403	144360	199769	199769	0	0	2,50	2,50
sisma in -Y														
proporzionale alle masse														
	0%	-	-	VNR	VNR	0,00	0	0	0	0	0	0	0,00	0,00
	100%	-	-	VNR	VNR	0,00	0	0	0	0	0	0	0,00	0,00
proporzionale alla deformata 1° modo di vibrazione														
	0%	-	-	VNR	VNR	0,00	0	0	0	0	0	0	0,00	0,00
	100%	-	-	VNR	VNR	0,00	0	0	0	0	0	0	0,00	0,00
sisma in +X														
proporzionale alle masse														
Trave 29-21a	0%	13.752	-17.665	5,99	8,17	1,02	82403	144360	201637	201637	0	0	2,50	2,50
	100%	13.752	-20.925	5,99	6,90	1,02	82403	144360	201491	201491	0	0	2,50	2,50
proporzionale alla deformata 1° modo di vibrazione														
	0%	14.599	-23.098	5,64	6,25	1,02	82403	144360	201969	201969	0	0	2,50	2,50
	100%	14.599	-26.358	5,64	5,48	1,02	82403	144360	201664	201664	0	0	2,50	2,50
sisma in -X														
proporzionale alle masse														
	0%	8.442	33.602	9,76	4,30	1,02	82403	144360	201844	201844	0	0	2,50	2,50
	100%	8.442	30.342	9,76	4,76	1,02	82403	144360	201667	201667	0	0	2,50	2,50
proporzionale alla deformata 1° modo di vibrazione														
	0%	7.667	36.562	10,75	3,95	1,02	82403	144360	202651	202651	0	0	2,50	2,50
	100%	7.667	33.302	10,75	4,33	1,02	82403	144360	202504	202504	0	0	2,50	2,50
sisma in +Y														
proporzionale alle masse														
	0%	11.726	48.711	7,03	2,96	1,00	82403	144360	197823	197823	0	0	2,50	2,50
	100%	11.726	45.451	7,03	3,18	1,00	82403	144360	197823	197823	0	0	2,50	2,50
proporzionale alla deformata 1° modo di vibrazione														
	0%	14.225	52.457	5,79	2,75	1,00	82403	144360	197823	197823	0	0	2,50	2,50
	100%	14.225	49.197	5,79	2,93	1,00	82403	144360	197823	197823	0	0	2,50	2,50
sisma in -Y														
proporzionale alle masse														
	0%	-	-	VNR	VNR	0,00	0	0	0	0	0	0	0,00	0,00
	100%	-	-	VNR	VNR	0,00	0	0	0	0	0	0	0,00	0,00
proporzionale alla deformata 1° modo di vibrazione														
	0%	-	-	VNR	VNR	0,00	0	0	0	0	0	0	0,00	0,00
	100%	-	-	VNR	VNR	0,00	0	0	0	0	0	0	0,00	0,00
sisma in +X														
proporzionale alle masse														
Trave 21a-25a	0%	-3.460	3.914	23,82	36,88	1,02	82403	144360	202345	202345	0	0	2,50	2,50
	100%	-3.460	185	23,82	NS	1,02	82403	144360	202066	202066	0	0	2,50	2,50
proporzionale alla deformata 1° modo di vibrazione														
	0%	-3.610	5.966	22,83	24,20	1,03	82403	144360	203045	203045	0	0	2,50	2,50
	100%	-3.610	2.237	22,83	64,53	1,03	82403	144360	203061	203061	0	0	2,50	2,50
sisma in -X														
proporzionale alle masse														
	0%	-828	-14.610	99,52	9,88	1,01	82403	144360	199286	199286	0	0	2,50	2,50
	100%	-828	-18.338	99,52	7,87	1,01	82403	144360	199430	199430	0	0	2,50	2,50
proporzionale alla deformata 1° modo di vibrazione														
	0%	-1.219	-13.059	67,60	11,05	1,01	82403	144360	199444	199444	0	0	2,50	2,50
	100%	-1.219	-16.788	67,60	8,60	1,01	82403	144360	199567	199567	0	0	2,50	2,50
sisma in +Y														
proporzionale alle masse														
	0%	6.368	-116.709	12,94	1,24	1,05	82403	144360	207343	207343	0	0	2,50	2,50
	100%	6.368	-120.438	12,94	1,20	1,05	82403	144360	207039	207039	0	0	2,50	2,50
proporzionale alla deformata 1° modo di vibrazione														
	0%	9.186	-141.295	8,97	1,02	1,05	82403	144360	207531	207531	0	0	2,50	2,50
	100%	9.186	-145.024	8,97	1,00	1,06	82403	144360	210246	210246	0	0	2,50	2,50
sisma in -Y														

Id_{Tr}	$\%L_{LI}$	$V_{Ed,3}$	$V_{Ed,2}$	$CS^{(3)}$	$CS^{(2)}$	α_C	$V_{Rsd,s}{}^{(3)}$	$V_{Rsd,s}{}^{(2)}$	$V_{Rcd}{}^{(3)}$	$V_{Rcd}{}^{(2)}$	$V_{fd}{}^{(3)}$	$V_{fd}{}^{(2)}$	$Ctg\Theta^{(3)}$	$Ctg\Theta^{(2)}$
	[%]	[N]	[N]				[N]	[N]	[N]	[N]	[N]	[N]		
proporzionale alle masse														
	0%	-	-	VNR	VNR	0,00	0	0	0	0	0	0	0,00	0,00
	100%	-	-	VNR	VNR	0,00	0	0	0	0	0	0	0,00	0,00
proporzionale alla deformata 1° modo di vibrazione														
	0%	-	-	VNR	VNR	0,00	0	0	0	0	0	0	0,00	0,00
	100%	-	-	VNR	VNR	0,00	0	0	0	0	0	0	0,00	0,00
sisma in +X														
proporzionale alle masse														
Trave 25a-36	0%	-6.056	-6.765	13,61	21,34	1,02	82403	144360	202674	202674	0	0	2,50	2,50
	100%	-6.056	-8.026	13,61	17,99	1,03	82403	144360	202794	202794	0	0	2,50	2,50
proporzionale alla deformata 1° modo di vibrazione														
	0%	-6.036	-4.029	13,65	35,83	1,03	82403	144360	203003	203003	0	0	2,50	2,50
	100%	-6.036	-5.290	13,65	27,29	1,03	82403	144360	203020	203020	0	0	2,50	2,50
sisma in -X														
proporzionale alle masse														
	0%	-7.480	-31.933	11,02	4,52	1,03	82403	144360	203128	203128	0	0	2,50	2,50
	100%	-7.480	-33.194	11,02	4,35	1,03	82403	144360	203227	203227	0	0	2,50	2,50
proporzionale alla deformata 1° modo di vibrazione														
	0%	-7.387	-31.300	11,16	4,61	1,03	82403	144360	203169	203169	0	0	2,50	2,50
	100%	-7.387	-32.560	11,16	4,43	1,03	82403	144360	203233	203233	0	0	2,50	2,50
sisma in +Y														
proporzionale alle masse														
	0%	-15.712	-135.711	5,24	1,06	1,15	82403	144360	227020	227020	0	0	2,50	2,50
	100%	-15.712	-136.972	5,24	1,05	1,15	82403	144360	227040	227040	0	0	2,50	2,50
proporzionale alla deformata 1° modo di vibrazione														
	0%	-17.420	-158.741	4,73	0,91	1,19	82403	144360	234723	234723	0	0	2,50	2,50
	100%	-17.420	-160.002	4,73	0,90	1,19	82403	144360	234734	234734	0	0	2,50	2,50
sisma in -Y														
proporzionale alle masse														
	0%	-	-	VNR	VNR	0,00	0	0	0	0	0	0	0,00	0,00
	100%	-	-	VNR	VNR	0,00	0	0	0	0	0	0	0,00	0,00
proporzionale alla deformata 1° modo di vibrazione														
	0%	-	-	VNR	VNR	0,00	0	0	0	0	0	0	0,00	0,00
	100%	-	-	VNR	VNR	0,00	0	0	0	0	0	0	0,00	0,00
sisma in +X														
proporzionale alle masse														
Trave 36-30a	0%	136	16.690	NS	8,65	1,00	82403	144360	198593	198593	0	0	2,50	2,50
	100%	136	11.859	NS	12,17	1,00	82403	144360	198746	198746	0	0	2,50	2,50
proporzionale alla deformata 1° modo di vibrazione														
	0%	-287	16.185	NS	8,92	1,00	82403	144360	198399	198399	0	0	2,50	2,50
	100%	-287	11.353	NS	12,72	1,00	82403	144360	198572	198572	0	0	2,50	2,50
sisma in -X														
proporzionale alle masse														
	0%	2.624	22.140	31,40	6,52	1,02	82403	144360	200862	200862	0	0	2,50	2,50
	100%	2.624	17.309	31,40	8,34	1,02	82403	144360	201006	201006	0	0	2,50	2,50
proporzionale alla deformata 1° modo di vibrazione														
	0%	2.615	23.786	31,51	6,07	1,02	82403	144360	201231	201231	0	0	2,50	2,50
	100%	2.615	18.954	31,51	7,62	1,02	82403	144360	201378	201378	0	0	2,50	2,50
sisma in +Y														
proporzionale alle masse														
	0%	4.508	28.721	18,28	5,03	1,06	82403	144360	209518	209518	0	0	2,50	2,50
	100%	4.508	23.890	18,28	6,04	1,06	82403	144360	209631	209631	0	0	2,50	2,50
proporzionale alla deformata 1° modo di vibrazione														
	0%	4.855	25.887	16,97	5,58	1,07	82403	144360	212300	212300	0	0	2,50	2,50
	100%	4.855	21.055	16,97	6,86	1,07	82403	144360	212646	212646	0	0	2,50	2,50
sisma in -Y														
proporzionale alle masse														
	0%	-	-	VNR	VNR	0,00	0	0	0	0	0	0	0,00	0,00
	100%	-	-	VNR	VNR	0,00	0	0	0	0	0	0	0,00	0,00
proporzionale alla deformata 1° modo di vibrazione														
	0%	-	-	VNR	VNR	0,00	0	0	0	0	0	0	0,00	0,00
	100%	-	-	VNR	VNR	0,00	0	0	0	0	0	0	0,00	0,00
sisma in +X														
proporzionale alle masse														
Trave 30a-35a	0%	-493	-3.672	NS	39,31	1,00	82403	144360	198548	198548	0	0	2,50	2,50
	100%	-493	-11.131	NS	12,97	1,00	82403	144360	198548	198548	0	0	2,50	2,50
proporzionale alla deformata 1° modo di vibrazione														
	0%	-176	-3.862	NS	37,38	1,00	82403	144360	198337	198337	0	0	2,50	2,50
	100%	-176	-11.321	NS	12,75	1,00	82403	144360	198647	198647	0	0	2,50	2,50
sisma in -X														
proporzionale alle masse														
	0%	-2.345	-897	35,14	NS	1,00	82403	144360	198615	198615	0	0	2,50	2,50
	100%	-2.345	-8.356	35,14	17,28	1,00	82403	144360	198681	198681	0	0	2,50	2,50
proporzionale alla deformata 1° modo di vibrazione														
	0%	-2.137	500	38,56	NS	1,00	82403	144360	198236	198236	0	0	2,50	2,50
	100%	-2.137	-6.959	38,56	20,74	1,00	82403	144360	198378	198378	0	0	2,50	2,50
sisma in +Y														
proporzionale alle masse														
	0%	-3.225	8.851	25,55	16,31	1,03	82403	144360	203575	203575	0	0	2,50	2,50
	100%	-3.225	1.392	25,55	NS	1,03	82403	144360	203084	203084	0	0	2,50	2,50
proporzionale alla deformata 1° modo di vibrazione														
	0%	-1.863	8.023	44,23	17,99	1,05	82403	144360	207279	207279	0	0	2,50	2,50
	100%	-1.863	564	44,23	NS	1,05	82403	144360	207110	207110	0	0	2,50	2,50
sisma in -Y														
proporzionale alle masse														
	0%	-	-	VNR	VNR	0,00	0	0	0	0	0	0	0,00	0,00

Id_{Tr}	$\%L_{LI}$	$V_{Ed,3}$	$V_{Ed,2}$	$CS^{(3)}$	$CS^{(2)}$	α_C	$V_{Rsd,s}{}^{(3)}$	$V_{Rsd,s}{}^{(2)}$	$V_{Rcd}{}^{(3)}$	$V_{Rcd}{}^{(2)}$	$V_{fd}{}^{(3)}$	$V_{fd}{}^{(2)}$	$Ctg\Theta^{(3)}$	$Ctg\Theta^{(2)}$
	[%]	[N]	[N]				[N]	[N]	[N]	[N]	[N]	[N]		
	100%	-	-	VNR	VNR	0,00	0	0	0	0	0	0	0,00	0,00
proporzionale alla deformata 1° modo di vibrazione														
	0%	-	-	VNR	VNR	0,00	0	0	0	0	0	0	0,00	0,00
	100%	-	-	VNR	VNR	0,00	0	0	0	0	0	0	0,00	0,00
sisma in +X														
proporzionale alle masse														
Trave 35a-43	0%	-9.230	-43.175	8,93	3,34	1,11	82403	144360	220369	220369	0	0	2,50	2,50
	100%	-9.230	-48.562	8,93	2,97	1,12	82403	144360	221074	221074	0	0	2,50	2,50
proporzionale alla deformata 1° modo di vibrazione														
	0%	-9.313	-49.007	8,85	2,95	1,13	82403	144360	223229	223229	0	0	2,50	2,50
	100%	-9.313	-54.393	8,85	2,65	1,13	82403	144360	223865	223865	0	0	2,50	2,50
sisma in -X														
proporzionale alle masse														
	0%	-6.578	-10.902	12,53	13,24	1,04	82403	144360	204862	204862	0	0	2,50	2,50
	100%	-6.578	-16.289	12,53	8,86	1,04	82403	144360	205956	205956	0	0	2,50	2,50
proporzionale alla deformata 1° modo di vibrazione														
	0%	-6.381	-12.925	12,91	11,17	1,04	82403	144360	204929	204929	0	0	2,50	2,50
	100%	-6.381	-18.311	12,91	7,88	1,04	82403	144360	205855	205855	0	0	2,50	2,50
sisma in +Y														
proporzionale alle masse														
	0%	-8.407	-10.220	9,80	14,13	1,04	82403	144360	206455	206455	0	0	2,50	2,50
	100%	-8.407	-15.607	9,80	9,25	1,05	82403	144360	207351	207351	0	0	2,50	2,50
proporzionale alla deformata 1° modo di vibrazione														
	0%	-9.075	-9.434	9,08	15,30	1,06	82403	144360	209657	209657	0	0	2,50	2,50
	100%	-9.075	-14.821	9,08	9,74	1,06	82403	144360	210572	210572	0	0	2,50	2,50
sisma in -Y														
proporzionale alle masse														
	0%	-	-	VNR	VNR	0,00	0	0	0	0	0	0	0,00	0,00
	100%	-	-	VNR	VNR	0,00	0	0	0	0	0	0	0,00	0,00
proporzionale alla deformata 1° modo di vibrazione														
	0%	-	-	VNR	VNR	0,00	0	0	0	0	0	0	0,00	0,00
	100%	-	-	VNR	VNR	0,00	0	0	0	0	0	0	0,00	0,00
Piano copertura								**Travata: Trave1a-3a**						
sisma in +X														
proporzionale alle masse														
Trave 1a-3a	0%	-10.875	85.593	9,95	2,23	1,13	108218	190828	221359	221359	0	0	2,50	2,50
	100%	-10.875	77.347	9,95	2,47	1,12	108218	190828	220407	220407	0	0	2,50	2,50
proporzionale alla deformata 1° modo di vibrazione														
	0%	-11.822	81.871	9,15	2,33	1,12	108218	190828	220427	220427	0	0	2,50	2,50
	100%	-11.822	73.625	9,15	2,59	1,12	108218	190828	219424	219424	0	0	2,50	2,50
sisma in -X														
proporzionale alle masse														
	0%	-9.549	54.598	11,33	3,50	1,08	108218	190828	212239	212239	0	0	2,50	2,50
	100%	-9.549	46.352	11,33	4,12	1,08	108218	190828	211152	211152	0	0	2,50	2,50
proporzionale alla deformata 1° modo di vibrazione														
	0%	-9.573	62.810	11,30	3,04	1,09	108218	190828	214615	214615	0	0	2,50	2,50
	100%	-9.573	54.564	11,30	3,50	1,09	108218	190828	213591	213591	0	0	2,50	2,50
sisma in +Y														
proporzionale alle masse														
	0%	-6.518	-3.720	16,60	51,30	1,01	108218	190828	197194	197194	0	0	2,50	2,50
	100%	-6.518	-11.966	16,60	15,95	1,00	108218	190828	196125	196125	0	0	2,50	2,50
proporzionale alla deformata 1° modo di vibrazione														
	0%	-4.970	-28.265	21,77	6,75	1,00	108218	190828	196125	196125	0	0	2,50	2,50
	100%	-4.970	-36.511	21,77	5,23	1,00	108218	190828	196125	196125	0	0	2,50	2,50
sisma in -Y														
proporzionale alle masse														
	0%	-	-	VNR	VNR	0,00	0	0	0	0	0	0	0,00	0,00
	100%	-	-	VNR	VNR	0,00	0	0	0	0	0	0	0,00	0,00
proporzionale alla deformata 1° modo di vibrazione														
	0%	-	-	VNR	VNR	0,00	0	0	0	0	0	0	0,00	0,00
	100%	-	-	VNR	VNR	0,00	0	0	0	0	0	0	0,00	0,00
Piano terra								**Travata: Trave1-2-P1-3**						
sisma in +X														
proporzionale alle masse														
Trave 1-2	0%	-4.691	-15.926	10,65	3,28	1,08	49953	52276	85878	85878	0	0	2,50	2,50
	100%	1.020	-14.671	48,97	3,56	1,00	49953	52276	79596	79596	0	0	2,50	2,50
proporzionale alla deformata 1° modo di vibrazione														
	0%	-5.333	-25.142	9,37	2,08	1,07	49953	52276	85321	85321	0	0	2,50	2,50
	100%	1.254	-15.641	39,83	3,34	1,00	49953	52276	79596	79596	0	0	2,50	2,50
sisma in -X														
proporzionale alle masse														
	0%	-22	11.313	NS	4,62	1,00	49953	52276	79596	79596	0	0	2,50	2,50
	100%	-7.845	47.547	6,37	1,10	1,07	49953	52276	85408	85408	0	0	2,50	2,50
proporzionale alla deformata 1° modo di vibrazione														
	0%	210	13.379	NS	3,91	1,00	49953	52276	79596	79596	0	0	2,50	2,50
	100%	-8.190	55.757	6,10	0,94	1,07	49953	52276	85210	85210	0	0	2,50	2,50
sisma in +Y														
proporzionale alle masse														
	0%	-9.679	4.656	5,16	11,23	1,03	49953	52276	81891	81891	0	0	2,50	2,50
	100%	1.639	469	30,48	NS	1,00	49953	52276	79852	79852	0	0	2,50	2,50
proporzionale alla deformata 1° modo di vibrazione														
	0%	-12.327	-2.118	4,05	24,68	1,04	49953	52276	82647	82647	0	0	2,50	2,50
	100%	1.571	-3.849	31,80	13,58	1,00	49953	52276	79596	79596	0	0	2,50	2,50
sisma in -Y														
proporzionale alle masse														
	0%	-	-	VNR	VNR	0,00	0	0	0	0	0	0	0,00	0,00

Id_{Tr}	$\%L_{LI}$	$V_{Ed,3}$	$V_{Ed,2}$	$CS^{(3)}$	$CS^{(2)}$	α_C	$V_{Rsd,s}{}^{(3)}$	$V_{Rsd,s}{}^{(2)}$	$V_{Rcd}{}^{(3)}$	$V_{Rcd}{}^{(2)}$	$V_{fd}{}^{(3)}$	$V_{fd}{}^{(2)}$	$Ctg\Theta^{(3)}$	$Ctg\Theta^{(2)}$
	[%]	[N]	[N]				[N]	[N]	[N]	[N]	[N]	[N]		
	100%	-	-	VNR	VNR	0,00	0	0	0	0	0	0	0,00	0,00
proporzionale alla deformata 1° modo di vibrazione														
	0%	-	-	VNR	VNR	0,00	0	0	0	0	0	0	0,00	0,00
	100%	-	-	VNR	VNR	0,00	0	0	0	0	0	0	0,00	0,00
sisma in +X														
proporzionale alle masse														
Trave 2-P1	0%	38	-456	NS	NS	1,05	49953	52276	83760	83760	0	0	2,50	2,50
	100%	38	-7.451	NS	7,02	1,05	49953	52276	83699	83699	0	0	2,50	2,50
proporzionale alla deformata 1° modo di vibrazione														
	0%	32	-882	NS	59,27	1,06	49953	52276	84045	84045	0	0	2,50	2,50
	100%	32	-7.877	NS	6,64	1,06	49953	52276	84016	84016	0	0	2,50	2,50
sisma in -X														
proporzionale alle masse														
	0%	77	7.744	NS	6,75	1,04	49953	52276	82648	82648	0	0	2,50	2,50
	100%	77	749	NS	69,79	1,04	49953	52276	82683	82683	0	0	2,50	2,50
proporzionale alla deformata 1° modo di vibrazione														
	0%	91	8.023	NS	6,52	1,04	49953	52276	82881	82881	0	0	2,50	2,50
	100%	91	1.028	NS	50,85	1,04	49953	52276	82907	82907	0	0	2,50	2,50
sisma in +Y														
proporzionale alle masse														
	0%	-33	3.197	NS	16,35	1,01	49953	52276	80266	80266	0	0	2,50	2,50
	100%	-33	-3.798	NS	13,76	1,01	49953	52276	80275	80275	0	0	2,50	2,50
proporzionale alla deformata 1° modo di vibrazione														
	0%	-54	2.218	NS	23,57	1,02	49953	52276	80942	80942	0	0	2,50	2,50
	100%	-54	-4.777	NS	10,94	1,02	49953	52276	80949	80949	0	0	2,50	2,50
sisma in -Y														
proporzionale alle masse														
	0%	-	-	VNR	VNR	0,00	0	0	0	0	0	0	0,00	0,00
	100%	-	-	VNR	VNR	0,00	0	0	0	0	0	0	0,00	0,00
proporzionale alla deformata 1° modo di vibrazione														
	0%	-	-	VNR	VNR	0,00	0	0	0	0	0	0	0,00	0,00
	100%	-	-	VNR	VNR	0,00	0	0	0	0	0	0	0,00	0,00
sisma in +X														
proporzionale alle masse														
Trave P1-3	0%	-38	7.256	0,00	0,00	1,03	0	0	82228	82228	0	0	2,50	2,50
	100%	-1.402	2.490	0,00	0,00	1,00	0	0	79597	79597	0	0	2,50	2,50
proporzionale alla deformata 1° modo di vibrazione														
	0%	26	7.534	0,00	0,00	1,04	0	0	82965	82965	0	0	2,50	2,50
	100%	-1.498	2.426	0,00	0,00	1,00	0	0	79707	79707	0	0	2,50	2,50
sisma in -X														
proporzionale alle masse														
	0%	72	-582	0,00	0,00	1,00	0	0	79596	79596	0	0	2,50	2,50
	100%	-540	5.397	0,00	0,00	1,00	0	0	79596	79596	0	0	2,50	2,50
proporzionale alla deformata 1° modo di vibrazione														
	0%	-173	-1.061	0,00	0,00	1,00	0	0	79596	79596	0	0	2,50	2,50
	100%	-968	9.437	0,00	0,00	1,00	0	0	79596	79596	0	0	2,50	2,50
sisma in +Y														
proporzionale alle masse														
	0%	444	1.294	0,00	0,00	1,01	0	0	80126	80126	0	0	2,50	2,50
	100%	5.411	-1.630	0,00	0,00	1,01	0	0	80368	80368	0	0	2,50	2,50
proporzionale alla deformata 1° modo di vibrazione														
	0%	349	2.499	0,00	0,00	1,01	0	0	80616	80616	0	0	2,50	2,50
	100%	5.900	-1.035	0,00	0,00	1,01	0	0	80277	80277	0	0	2,50	2,50
sisma in -Y														
proporzionale alle masse														
	0%	-	-	VNR	VNR	0,00	0	0	0	0	0	0	0,00	0,00
	100%	-	-	VNR	VNR	0,00	0	0	0	0	0	0	0,00	0,00
proporzionale alla deformata 1° modo di vibrazione														
	0%	-	-	VNR	VNR	0,00	0	0	0	0	0	0	0,00	0,00
	100%	-	-	VNR	VNR	0,00	0	0	0	0	0	0	0,00	0,00
Piano terra								**Travata: Trave13-P4-14-15-P5-16**						
sisma in +X														
proporzionale alle masse														
Trave 13-P4	0%	5.047	4.927	0,00	0,00	1,00	0	0	293220	293220	0	0	2,50	2,50
	100%	-221	13.205	0,00	0,00	1,00	0	0	292159	292159	0	0	2,50	2,50
proporzionale alla deformata 1° modo di vibrazione														
	0%	5.104	-3.429	0,00	0,00	1,00	0	0	292159	292159	0	0	2,50	2,50
	100%	-630	14.423	0,00	0,00	1,00	0	0	292159	292159	0	0	2,50	2,50
sisma in -X														
proporzionale alle masse														
	0%	-2.243	-131.586	0,00	0,00	1,02	0	0	297510	297510	0	0	2,50	2,50
	100%	-3.573	-86.622	0,00	0,00	1,11	0	0	323848	323848	0	0	2,50	2,50
proporzionale alla deformata 1° modo di vibrazione														
	0%	-4.367	-140.859	0,00	0,00	1,02	0	0	298492	298492	0	0	2,50	2,50
	100%	-3.147	-98.023	0,00	0,00	1,12	0	0	327416	327416	0	0	2,50	2,50
sisma in +Y														
proporzionale alle masse														
	0%	4.034	82.580	0,00	0,00	1,02	0	0	298978	298978	0	0	2,50	2,50
	100%	-7.456	4.179	0,00	0,00	1,00	0	0	293229	293229	0	0	2,50	2,50
proporzionale alla deformata 1° modo di vibrazione														
	0%	5.677	72.621	0,00	0,00	1,02	0	0	297354	297354	0	0	2,50	2,50
	100%	-8.903	4.663	0,00	0,00	1,00	0	0	293178	293178	0	0	2,50	2,50
sisma in -Y														
proporzionale alle masse														
	0%	-	-	VNR	VNR	0,00	0	0	0	0	0	0	0,00	0,00
	100%	-	-	VNR	VNR	0,00	0	0	0	0	0	0	0,00	0,00

Id_{Tr}	$\%L_{LI}$	$V_{Ed,3}$	$V_{Ed,2}$	$CS^{(3)}$	$CS^{(2)}$	α_C	$V_{Rsd,s}{}^{(3)}$	$V_{Rsd,s}{}^{(2)}$	$V_{Rcd}{}^{(3)}$	$V_{Rcd}{}^{(2)}$	$V_{fd}{}^{(3)}$	$V_{fd}{}^{(2)}$	$Ctg\Theta^{(3)}$	$Ctg\Theta^{(2)}$
	[%]	[N]	[N]				[N]	[N]	[N]	[N]	[N]	[N]		
proporzionale alla deformata 1° modo di vibrazione														
	0%	-	-	VNR	VNR	0,00	0	0	0	0	0	0	0,00	0,00
	100%	-	-	VNR	VNR	0,00	0	0	0	0	0	0	0,00	0,00
sisma in +X														
proporzionale alle masse														
Trave P4-14	0%	113	9.106	NS	9,88	1,01	63806	89944	294596	294596	0	0	2,50	2,50
	100%	113	-29.733	NS	3,03	1,01	63806	89944	294394	294394	0	0	2,50	2,50
proporzionale alla deformata 1° modo di vibrazione														
	0%	150	7.263	NS	12,38	1,01	63806	89944	295223	295223	0	0	2,50	2,50
	100%	150	-31.576	NS	2,85	1,01	63806	89944	295126	295126	0	0	2,50	2,50
sisma in -X														
proporzionale alle masse														
	0%	-272	43.910	NS	2,05	1,08	63806	89944	315354	315354	0	0	2,50	2,50
	100%	-272	5.071	NS	17,74	1,08	63806	89944	315753	315753	0	0	2,50	2,50
proporzionale alla deformata 1° modo di vibrazione														
	0%	-336	46.963	NS	1,92	1,09	63806	89944	318331	318331	0	0	2,50	2,50
	100%	-336	8.124	NS	11,07	1,09	63806	89944	318576	318576	0	0	2,50	2,50
sisma in +Y														
proporzionale alle masse														
	0%	-116	17.109	NS	5,26	1,00	63806	89944	292235	292235	0	0	2,50	2,50
	100%	-116	-21.730	NS	4,14	1,00	63806	89944	292464	292464	0	0	2,50	2,50
proporzionale alla deformata 1° modo di vibrazione														
	0%	-89	16.268	NS	5,53	1,00	63806	89944	292268	292268	0	0	2,50	2,50
	100%	-89	-22.571	NS	3,98	1,00	63806	89944	292700	292700	0	0	2,50	2,50
sisma in -Y														
proporzionale alle masse														
	0%	-	-	VNR	VNR	0,00	0	0	0	0	0	0	0,00	0,00
	100%	-	-	VNR	VNR	0,00	0	0	0	0	0	0	0,00	0,00
proporzionale alla deformata 1° modo di vibrazione														
	0%	-	-	VNR	VNR	0,00	0	0	0	0	0	0	0,00	0,00
	100%	-	-	VNR	VNR	0,00	0	0	0	0	0	0	0,00	0,00
sisma in +X														
proporzionale alle masse														
Trave 14-15	0%	-603	5.664	NS	15,88	1,01	63806	89944	296075	296075	0	0	2,50	2,50
	100%	-603	-22.131	NS	4,06	1,01	63806	89944	295189	295189	0	0	2,50	2,50
proporzionale alla deformata 1° modo di vibrazione														
	0%	-811	4.387	78,68	20,50	1,01	63806	89944	296424	296424	0	0	2,50	2,50
	100%	-811	-23.407	78,68	3,84	1,01	63806	89944	295843	295843	0	0	2,50	2,50
sisma in -X														
proporzionale alle masse														
	0%	645	22.695	98,92	3,96	1,02	63806	89944	298561	298561	0	0	2,50	2,50
	100%	645	-5.099	98,92	17,64	1,02	63806	89944	298640	298640	0	0	2,50	2,50
proporzionale alla deformata 1° modo di vibrazione														
	0%	928	24.323	68,76	3,70	1,03	63806	89944	299787	299787	0	0	2,50	2,50
	100%	928	-3.472	68,76	25,91	1,03	63806	89944	299829	299829	0	0	2,50	2,50
sisma in +Y														
proporzionale alle masse														
	0%	26	13.251	NS	6,79	1,00	63806	89944	292343	292343	0	0	2,50	2,50
	100%	26	-14.543	NS	6,18	1,00	63806	89944	292462	292462	0	0	2,50	2,50
proporzionale alla deformata 1° modo di vibrazione														
	0%	-77	12.284	NS	7,32	1,00	63806	89944	292374	292374	0	0	2,50	2,50
	100%	-77	-15.510	NS	5,80	1,00	63806	89944	292459	292459	0	0	2,50	2,50
sisma in -Y														
proporzionale alle masse														
	0%	-	-	VNR	VNR	0,00	0	0	0	0	0	0	0,00	0,00
	100%	-	-	VNR	VNR	0,00	0	0	0	0	0	0	0,00	0,00
proporzionale alla deformata 1° modo di vibrazione														
	0%	-	-	VNR	VNR	0,00	0	0	0	0	0	0	0,00	0,00
	100%	-	-	VNR	VNR	0,00	0	0	0	0	0	0	0,00	0,00
sisma in +X														
proporzionale alle masse														
Trave 15-P5	0%	-1.795	-96.040	35,55	0,94	1,17	63806	89944	340897	340897	0	0	2,50	2,50
	100%	-1.795	-115.589	35,55	0,78	1,17	63806	89944	340940	340940	0	0	2,50	2,50
proporzionale alla deformata 1° modo di vibrazione														
	0%	-2.324	-104.647	27,46	0,86	1,18	63806	89944	345174	345174	0	0	2,50	2,50
	100%	-2.324	-124.196	27,46	0,72	1,18	63806	89944	345356	345356	0	0	2,50	2,50
sisma in -X														
proporzionale alle masse														
	0%	824	46.716	77,43	1,93	1,01	63806	89944	295977	295977	0	0	2,50	2,50
	100%	824	27.167	77,43	3,31	1,01	63806	89944	296016	296016	0	0	2,50	2,50
proporzionale alla deformata 1° modo di vibrazione														
	0%	1.135	50.987	56,22	1,76	1,02	63806	89944	296565	296565	0	0	2,50	2,50
	100%	1.135	31.438	56,22	2,86	1,02	63806	89944	296599	296599	0	0	2,50	2,50
sisma in +Y														
proporzionale alle masse														
	0%	-274	-22.814	NS	3,94	1,04	63806	89944	304976	304976	0	0	2,50	2,50
	100%	-274	-42.362	NS	2,12	1,04	63806	89944	304934	304934	0	0	2,50	2,50
proporzionale alla deformata 1° modo di vibrazione														
	0%	-614	-29.370	NS	3,06	1,05	63806	89944	307615	307615	0	0	2,50	2,50
	100%	-614	-48.918	NS	1,84	1,05	63806	89944	307614	307614	0	0	2,50	2,50
sisma in -Y														
proporzionale alle masse														
	0%	-	-	VNR	VNR	0,00	0	0	0	0	0	0	0,00	0,00
	100%	-	-	VNR	VNR	0,00	0	0	0	0	0	0	0,00	0,00
proporzionale alla deformata 1° modo di vibrazione														
	0%	-	-	VNR	VNR	0,00	0	0	0	0	0	0	0,00	0,00

Id_{Tr}	$\%L_{LI}$	$V_{Ed,3}$	$V_{Ed,2}$	$CS^{(3)}$	$CS^{(2)}$	α_C	$V_{Rsd,s}{}^{(3)}$	$V_{Rsd,s}{}^{(2)}$	$V_{Rcd}{}^{(3)}$	$V_{Rcd}{}^{(2)}$	$V_{fd}{}^{(3)}$	$V_{fd}{}^{(2)}$	$Ctg\Theta^{(3)}$	$Ctg\Theta^{(2)}$
	[%]	[N]	[N]				[N]	[N]	[N]	[N]	[N]	[N]		
	100%	-	-	VNR	VNR	0,00	0	0	0	0	0	0	0,00	0,00
sisma in +X														
proporzionale alle masse														
Trave P5-16	0%	2.534	118.266	0,00	0,00	1,20	0	0	351981	351981	0	0	2,50	2,50
	100%	-3.404	216.450	0,00	0,00	1,03	0	0	302321	302321	0	0	2,50	2,50
proporzionale alla deformata 1° modo di vibrazione														
	0%	2.810	125.301	0,00	0,00	1,22	0	0	356613	356613	0	0	2,50	2,50
	100%	-7.161	233.324	0,00	0,00	1,04	0	0	303607	303607	0	0	2,50	2,50
sisma in -X														
proporzionale alle masse														
	0%	174	-14.057	0,00	0,00	1,00	0	0	292159	292159	0	0	2,50	2,50
	100%	20.164	-52.765	0,00	0,00	1,01	0	0	295832	295832	0	0	2,50	2,50
proporzionale alla deformata 1° modo di vibrazione														
	0%	-51	-15.679	0,00	0,00	1,00	0	0	292159	292159	0	0	2,50	2,50
	100%	21.299	-47.677	0,00	0,00	1,01	0	0	295579	295579	0	0	2,50	2,50
sisma in +Y														
proporzionale alle masse														
	0%	1.163	9.518	0,00	0,00	1,06	0	0	309082	309082	0	0	2,50	2,50
	100%	21.252	46.781	0,00	0,00	1,03	0	0	302249	302249	0	0	2,50	2,50
proporzionale alla deformata 1° modo di vibrazione														
	0%	468	10.654	0,00	0,00	1,07	0	0	312516	312516	0	0	2,50	2,50
	100%	18.171	42.190	0,00	0,00	1,04	0	0	305183	305183	0	0	2,50	2,50
sisma in -Y														
proporzionale alle masse														
	0%	-	-	VNR	VNR	0,00	0	0	0	0	0	0	0,00	0,00
	100%	-	-	VNR	VNR	0,00	0	0	0	0	0	0	0,00	0,00
proporzionale alla deformata 1° modo di vibrazione														
	0%	-	-	VNR	VNR	0,00	0	0	0	0	0	0	0,00	0,00
	100%	-	-	VNR	VNR	0,00	0	0	0	0	0	0	0,00	0,00
Piano terra								**Travata: Trave22-P8-23-24-25**						
sisma in +X														
proporzionale alle masse														
Trave 22-P8	0%	-3.625	12.090	0,00	0,00	1,04	0	0	92977	92977	0	0	2,50	2,50
	100%	64	1.776	0,00	0,00	1,00	0	0	89431	89431	0	0	2,50	2,50
proporzionale alla deformata 1° modo di vibrazione														
	0%	-5.379	7.527	0,00	0,00	1,03	0	0	92530	92530	0	0	2,50	2,50
	100%	84	2.278	0,00	0,00	1,00	0	0	89431	89431	0	0	2,50	2,50
sisma in -X														
proporzionale alle masse														
	0%	1.297	-29.931	0,00	0,00	1,00	0	0	89431	89431	0	0	2,50	2,50
	100%	142	-32.826	0,00	0,00	1,17	0	0	104418	104418	0	0	2,50	2,50
proporzionale alla deformata 1° modo di vibrazione														
	0%	1.486	-27.921	0,00	0,00	1,00	0	0	89431	89431	0	0	2,50	2,50
	100%	184	-37.426	0,00	0,00	1,18	0	0	105748	105748	0	0	2,50	2,50
sisma in +Y														
proporzionale alle masse														
	0%	-23.694	-36.873	0,00	0,00	1,05	0	0	93864	93864	0	0	2,50	2,50
	100%	2.229	2.099	0,00	0,00	1,04	0	0	92899	92899	0	0	2,50	2,50
proporzionale alla deformata 1° modo di vibrazione														
	0%	-22.475	-27.380	0,00	0,00	1,05	0	0	93658	93658	0	0	2,50	2,50
	100%	1.270	4.765	0,00	0,00	1,02	0	0	91299	91299	0	0	2,50	2,50
sisma in -Y														
proporzionale alle masse														
	0%	-	-	VNR	VNR	0,00	0	0	0	0	0	0	0,00	0,00
	100%	-	-	VNR	VNR	0,00	0	0	0	0	0	0	0,00	0,00
proporzionale alla deformata 1° modo di vibrazione														
	0%	-	-	VNR	VNR	0,00	0	0	0	0	0	0	0,00	0,00
	100%	-	-	VNR	VNR	0,00	0	0	0	0	0	0	0,00	0,00
sisma in +X														
proporzionale alle masse														
Trave P8-23	0%	296	-19.756	NS	3,72	1,06	38568	73419	94488	94488	0	0	2,50	2,50
	100%	296	-22.971	NS	3,20	1,06	38568	73419	94484	94484	0	0	2,50	2,50
proporzionale alla deformata 1° modo di vibrazione														
	0%	334	-22.957	NS	3,20	1,06	38568	73419	95118	95118	0	0	2,50	2,50
	100%	334	-26.171	NS	2,81	1,06	38568	73419	95116	95116	0	0	2,50	2,50
sisma in -X														
proporzionale alle masse														
	0%	23	43.940	NS	1,67	1,17	38568	73419	104550	104550	0	0	2,50	2,50
	100%	23	40.726	NS	1,80	1,17	38568	73419	104280	104280	0	0	2,50	2,50
proporzionale alla deformata 1° modo di vibrazione														
	0%	-8	48.219	NS	1,52	1,19	38568	73419	106303	106303	0	0	2,50	2,50
	100%	-8	45.005	NS	1,63	1,19	38568	73419	106010	106010	0	0	2,50	2,50
sisma in +Y														
proporzionale alle masse														
	0%	875	8.617	44,08	8,52	1,04	38568	73419	93355	93355	0	0	2,50	2,50
	100%	875	5.402	44,08	13,59	1,04	38568	73419	93321	93321	0	0	2,50	2,50
proporzionale alla deformata 1° modo di vibrazione														
	0%	1.124	3.622	34,31	20,27	1,02	38568	73419	91489	91489	0	0	2,50	2,50
	100%	1.124	407	34,31	NS	1,02	38568	73419	91518	91518	0	0	2,50	2,50
sisma in -Y														
proporzionale alle masse														
	0%	-	-	VNR	VNR	0,00	0	0	0	0	0	0	0,00	0,00
	100%	-	-	VNR	VNR	0,00	0	0	0	0	0	0	0,00	0,00
proporzionale alla deformata 1° modo di vibrazione														
	0%	-	-	VNR	VNR	0,00	0	0	0	0	0	0	0,00	0,00
	100%	-	-	VNR	VNR	0,00	0	0	0	0	0	0	0,00	0,00

Id_{Tr}	$\%L_{LI}$	$V_{Ed,3}$	$V_{Ed,2}$	$CS^{(3)}$	$CS^{(2)}$	α_C	$V_{Rsd,s}{}^{(3)}$	$V_{Rsd,s}{}^{(2)}$	$V_{Rcd}{}^{(3)}$	$V_{Rcd}{}^{(2)}$	$V_{fd}{}^{(3)}$	$V_{fd}{}^{(2)}$	$Ctg\Theta^{(3)}$	$Ctg\Theta^{(2)}$
	[%]	[N]	[N]				[N]	[N]	[N]	[N]	[N]	[N]		
sisma in +X														
proporzionale alle masse														
Trave 23-24	0%	-1.320	-767	29,22	95,72	1,05	38568	73419	93874	93874	0	0	2,50	2,50
	100%	-1.320	-3.774	29,22	19,45	1,05	38568	73419	93826	93826	0	0	2,50	2,50
proporzionale alla deformata 1° modo di vibrazione														
	0%	-1.338	-2.605	28,83	28,18	1,06	38568	73419	94620	94620	0	0	2,50	2,50
	100%	-1.338	-5.612	28,83	13,08	1,06	38568	73419	94596	94596	0	0	2,50	2,50
sisma in -X														
proporzionale alle masse														
	0%	-999	17.152	38,61	4,28	1,03	38568	73419	91915	91915	0	0	2,50	2,50
	100%	-999	14.144	38,61	5,19	1,03	38568	73419	91923	91923	0	0	2,50	2,50
proporzionale alla deformata 1° modo di vibrazione														
	0%	-979	19.513	39,40	3,76	1,03	38568	73419	92136	92136	0	0	2,50	2,50
	100%	-979	16.505	39,40	4,45	1,03	38568	73419	92142	92142	0	0	2,50	2,50
sisma in +Y														
proporzionale alle masse														
	0%	-681	16.398	56,63	4,48	1,02	38568	73419	90820	90820	0	0	2,50	2,50
	100%	-681	13.391	56,63	5,48	1,02	38568	73419	90863	90863	0	0	2,50	2,50
proporzionale alla deformata 1° modo di vibrazione														
	0%	-374	14.360	NS	5,11	1,01	38568	73419	90744	90744	0	0	2,50	2,50
	100%	-374	11.352	NS	6,47	1,01	38568	73419	90752	90752	0	0	2,50	2,50
sisma in -Y														
proporzionale alle masse														
	0%	-	-	VNR	VNR	0,00	0	0	0	0	0	0	0,00	0,00
	100%	-	-	VNR	VNR	0,00	0	0	0	0	0	0	0,00	0,00
proporzionale alla deformata 1° modo di vibrazione														
	0%	-	-	VNR	VNR	0,00	0	0	0	0	0	0	0,00	0,00
	100%	-	-	VNR	VNR	0,00	0	0	0	0	0	0	0,00	0,00
sisma in +X														
proporzionale alle masse														
Trave 24-25	0%	87	2.212	NS	33,19	1,02	38568	73419	91346	91346	0	0	2,50	2,50
	100%	87	-6.232	NS	11,78	1,02	38568	73419	91312	91312	0	0	2,50	2,50
proporzionale alla deformata 1° modo di vibrazione														
	0%	88	1.637	NS	44,85	1,03	38568	73419	92017	92017	0	0	2,50	2,50
	100%	88	-6.807	NS	10,79	1,03	38568	73419	91873	91873	0	0	2,50	2,50
sisma in -X														
proporzionale alle masse														
	0%	54	6.309	NS	11,64	1,01	38568	73419	90453	90453	0	0	2,50	2,50
	100%	54	-2.136	NS	34,37	1,01	38568	73419	90738	90738	0	0	2,50	2,50
proporzionale alla deformata 1° modo di vibrazione														
	0%	52	6.621	NS	11,09	1,01	38568	73419	90577	90577	0	0	2,50	2,50
	100%	52	-1.824	NS	40,25	1,01	38568	73419	90699	90699	0	0	2,50	2,50
sisma in +Y														
proporzionale alle masse														
	0%	65	2.603	NS	28,21	1,02	38568	73419	90898	90898	0	0	2,50	2,50
	100%	65	-5.842	NS	12,57	1,02	38568	73419	90939	90939	0	0	2,50	2,50
proporzionale alla deformata 1° modo di vibrazione														
	0%	69	2.588	NS	28,37	1,02	38568	73419	91008	91008	0	0	2,50	2,50
	100%	69	-5.857	NS	12,54	1,02	38568	73419	91020	91020	0	0	2,50	2,50
sisma in -Y														
proporzionale alle masse														
	0%	-	-	VNR	VNR	0,00	0	0	0	0	0	0	0,00	0,00
	100%	-	-	VNR	VNR	0,00	0	0	0	0	0	0	0,00	0,00
proporzionale alla deformata 1° modo di vibrazione														
	0%	-	-	VNR	VNR	0,00	0	0	0	0	0	0	0,00	0,00
	100%	-	-	VNR	VNR	0,00	0	0	0	0	0	0	0,00	0,00
Piano terra								**Travata: Trave38-P14-39-40-P15-41-42-P16-43**						
sisma in +X														
proporzionale alle masse														
Trave 38-P14	0%	-8.817	-3.865	0,00	0,00	1,00	0	0	291618	291618	0	0	2,50	2,50
	100%	7.172	-31.466	0,00	0,00	1,00	0	0	291618	291618	0	0	2,50	2,50
proporzionale alla deformata 1° modo di vibrazione														
	0%	-11.806	-14.540	0,00	0,00	1,00	0	0	291618	291618	0	0	2,50	2,50
	100%	7.844	-36.624	0,00	0,00	1,00	0	0	291618	291618	0	0	2,50	2,50
sisma in -X														
proporzionale alle masse														
	0%	-10.128	25.359	0,00	0,00	1,01	0	0	293211	293211	0	0	2,50	2,50
	100%	3.327	-37.309	0,00	0,00	1,06	0	0	308069	308069	0	0	2,50	2,50
proporzionale alla deformata 1° modo di vibrazione														
	0%	-9.453	33.218	0,00	0,00	1,01	0	0	293608	293608	0	0	2,50	2,50
	100%	3.248	-47.937	0,00	0,00	1,06	0	0	310071	310071	0	0	2,50	2,50
sisma in +Y														
proporzionale alle masse														
	0%	-46.753	-24.882	0,00	0,00	1,01	0	0	295305	295305	0	0	2,50	2,50
	100%	5.026	1.631	0,00	0,00	1,01	0	0	294536	294536	0	0	2,50	2,50
proporzionale alla deformata 1° modo di vibrazione														
	0%	-46.300	-24.026	0,00	0,00	1,01	0	0	295315	295315	0	0	2,50	2,50
	100%	1.518	2.687	0,00	0,00	1,02	0	0	296130	296130	0	0	2,50	2,50
sisma in -Y														
proporzionale alle masse														
	0%	-	-	VNR	VNR	0,00	0	0	0	0	0	0	0,00	0,00
	100%	-	-	VNR	VNR	0,00	0	0	0	0	0	0	0,00	0,00
proporzionale alla deformata 1° modo di vibrazione														
	0%	-	-	VNR	VNR	0,00	0	0	0	0	0	0	0,00	0,00
	100%	-	-	VNR	VNR	0,00	0	0	0	0	0	0	0,00	0,00
sisma in +X														

Id_{Tr}	$\%L_{LI}$	$V_{Ed,3}$	$V_{Ed,2}$	$CS^{(3)}$	$CS^{(2)}$	α_C	$V_{Rsd,s}{}^{(3)}$	$V_{Rsd,s}{}^{(2)}$	$V_{Rcd}{}^{(3)}$	$V_{Rcd}{}^{(2)}$	$V_{fd}{}^{(3)}$	$V_{fd}{}^{(2)}$	$Ctg\Theta^{(3)}$	$Ctg\Theta^{(2)}$
	[%]	[N]	[N]				[N]	[N]	[N]	[N]	[N]	[N]		
proporzionale alle masse														
Trave P14-39	0%	290	3.415	NS	26,29	1,01	63639	89777	294528	294528	0	0	2,50	2,50
	100%	290	-14.104	NS	6,37	1,01	63639	89777	294506	294506	0	0	2,50	2,50
proporzionale alla deformata 1° modo di vibrazione														
	0%	284	2.833	NS	31,69	1,01	63639	89777	295051	295051	0	0	2,50	2,50
	100%	284	-14.686	NS	6,11	1,01	63639	89777	295011	295011	0	0	2,50	2,50
sisma in -X														
proporzionale alle masse														
	0%	-621	29.505	NS	3,04	1,03	63639	89777	301372	301372	0	0	2,50	2,50
	100%	-621	11.986	NS	7,49	1,03	63639	89777	301755	301755	0	0	2,50	2,50
proporzionale alla deformata 1° modo di vibrazione														
	0%	-800	33.291	79,55	2,70	1,04	63639	89777	303065	303065	0	0	2,50	2,50
	100%	-800	15.772	79,55	5,69	1,04	63639	89777	303257	303257	0	0	2,50	2,50
sisma in +Y														
proporzionale alle masse														
	0%	655	7.864	97,16	11,42	1,01	63639	89777	293200	293200	0	0	2,50	2,50
	100%	655	-9.655	97,16	9,30	1,01	63639	89777	293221	293221	0	0	2,50	2,50
proporzionale alla deformata 1° modo di vibrazione														
	0%	390	10.894	NS	8,24	1,01	63639	89777	294057	294057	0	0	2,50	2,50
	100%	390	-6.625	NS	13,55	1,01	63639	89777	293818	293818	0	0	2,50	2,50
sisma in -Y														
proporzionale alle masse														
	0%	-	-	VNR	VNR	0,00	0	0	0	0	0	0	0,00	0,00
	100%	-	-	VNR	VNR	0,00	0	0	0	0	0	0	0,00	0,00
proporzionale alla deformata 1° modo di vibrazione														
	0%	-	-	VNR	VNR	0,00	0	0	0	0	0	0	0,00	0,00
	100%	-	-	VNR	VNR	0,00	0	0	0	0	0	0	0,00	0,00
sisma in +X														
proporzionale alle masse														
Trave 39-40	0%	328	8.943	NS	10,04	1,01	63639	89777	293613	293613	0	0	2,50	2,50
	100%	328	-17.590	NS	5,10	1,01	63639	89777	294229	294229	0	0	2,50	2,50
proporzionale alla deformata 1° modo di vibrazione														
	0%	352	6.979	NS	12,86	1,01	63639	89777	295527	295527	0	0	2,50	2,50
	100%	352	-19.554	NS	4,59	1,01	63639	89777	295510	295510	0	0	2,50	2,50
sisma in -X														
proporzionale alle masse														
	0%	466	18.292	NS	4,91	1,00	63639	89777	292637	292637	0	0	2,50	2,50
	100%	466	-8.241	NS	10,89	1,00	63639	89777	292676	292676	0	0	2,50	2,50
proporzionale alla deformata 1° modo di vibrazione														
	0%	511	19.032	NS	4,72	1,01	63639	89777	293103	293103	0	0	2,50	2,50
	100%	511	-7.501	NS	11,97	1,01	63639	89777	293334	293334	0	0	2,50	2,50
sisma in +Y														
proporzionale alle masse														
	0%	416	13.937	NS	6,44	1,00	63639	89777	292002	292002	0	0	2,50	2,50
	100%	416	-12.596	NS	7,13	1,00	63639	89777	292011	292011	0	0	2,50	2,50
proporzionale alla deformata 1° modo di vibrazione														
	0%	441	14.666	NS	6,12	1,00	63639	89777	292022	292022	0	0	2,50	2,50
	100%	441	-11.866	NS	7,57	1,00	63639	89777	292000	292000	0	0	2,50	2,50
sisma in -Y														
proporzionale alle masse														
	0%	-	-	VNR	VNR	0,00	0	0	0	0	0	0	0,00	0,00
	100%	-	-	VNR	VNR	0,00	0	0	0	0	0	0	0,00	0,00
proporzionale alla deformata 1° modo di vibrazione														
	0%	-	-	VNR	VNR	0,00	0	0	0	0	0	0	0,00	0,00
	100%	-	-	VNR	VNR	0,00	0	0	0	0	0	0	0,00	0,00
sisma in +X														
proporzionale alle masse														
Trave 40-P15	0%	-14.262	8.485	0,00	0,00	1,00	0	0	176728	176728	0	0	2,50	2,50
	100%	5.328	-28.469	0,00	0,00	1,00	0	0	176762	176762	0	0	2,50	2,50
proporzionale alla deformata 1° modo di vibrazione														
	0%	-13.342	5.060	0,00	0,00	1,00	0	0	176485	176485	0	0	2,50	2,50
	100%	4.597	-29.275	0,00	0,00	1,00	0	0	176473	176473	0	0	2,50	2,50
sisma in -X														
proporzionale alle masse														
	0%	-29.494	28.747	0,00	0,00	1,01	0	0	178095	178095	0	0	2,50	2,50
	100%	-7.580	-30.642	0,00	0,00	1,06	0	0	186121	186121	0	0	2,50	2,50
proporzionale alla deformata 1° modo di vibrazione														
	0%	-30.281	40.164	0,00	0,00	1,01	0	0	178109	178109	0	0	2,50	2,50
	100%	-8.043	-37.301	0,00	0,00	1,06	0	0	186889	186889	0	0	2,50	2,50
sisma in +Y														
proporzionale alle masse														
	0%	-55.635	-24.118	0,00	0,00	1,04	0	0	182862	182862	0	0	2,50	2,50
	100%	-4.763	6.073	0,00	0,00	1,03	0	0	180767	180767	0	0	2,50	2,50
proporzionale alla deformata 1° modo di vibrazione														
	0%	-59.288	-28.979	0,00	0,00	1,04	0	0	182807	182807	0	0	2,50	2,50
	100%	-7.793	6.434	0,00	0,00	1,03	0	0	181694	181694	0	0	2,50	2,50
sisma in -Y														
proporzionale alle masse														
	0%	-	-	VNR	VNR	0,00	0	0	0	0	0	0	0,00	0,00
	100%	-	-	VNR	VNR	0,00	0	0	0	0	0	0	0,00	0,00
proporzionale alla deformata 1° modo di vibrazione														
	0%	-	-	VNR	VNR	0,00	0	0	0	0	0	0	0,00	0,00
	100%	-	-	VNR	VNR	0,00	0	0	0	0	0	0	0,00	0,00
sisma in +X														
proporzionale alle masse														
Trave P15-41	0%	193	13.180	NS	6,81	1,00	63639	89777	292764	292764	0	0	2,50	2,50

Id_{Tr}	$\%L_{LI}$	$V_{Ed,3}$	$V_{Ed,2}$	$CS^{(3)}$	$CS^{(2)}$	α_C	$V_{Rsd,s}{}^{(3)}$	$V_{Rsd,s}{}^{(2)}$	$V_{Rcd}{}^{(3)}$	$V_{Rcd}{}^{(2)}$	$V_{fd}{}^{(3)}$	$V_{fd}{}^{(2)}$	$Ctg\Theta^{(3)}$	$Ctg\Theta^{(2)}$
	[%]	[N]	[N]				[N]	[N]	[N]	[N]	[N]	[N]		
	100%	193	-16.704	NS	5,37	1,00	63639	89777	292902	292902	0	0	2,50	2,50
proporzionale alla deformata 1° modo di vibrazione														
	0%	188	12.996	NS	6,91	1,01	63639	89777	293169	293169	0	0	2,50	2,50
	100%	188	-16.888	NS	5,32	1,01	63639	89777	293280	293280	0	0	2,50	2,50
sisma in -X														
proporzionale alle masse														
	0%	-137	20.536	NS	4,37	1,01	63639	89777	295568	295568	0	0	2,50	2,50
	100%	-137	-9.348	NS	9,60	1,01	63639	89777	295565	295565	0	0	2,50	2,50
proporzionale alla deformata 1° modo di vibrazione														
	0%	-195	21.615	NS	4,15	1,02	63639	89777	296268	296268	0	0	2,50	2,50
	100%	-195	-8.270	NS	10,86	1,02	63639	89777	296283	296283	0	0	2,50	2,50
sisma in +Y														
proporzionale alle masse														
	0%	171	14.816	NS	6,06	1,00	63639	89777	292620	292620	0	0	2,50	2,50
	100%	171	-15.068	NS	5,96	1,00	63639	89777	292633	292633	0	0	2,50	2,50
proporzionale alla deformata 1° modo di vibrazione														
	0%	203	15.510	NS	5,79	1,00	63639	89777	293045	293045	0	0	2,50	2,50
	100%	203	-14.375	NS	6,25	1,00	63639	89777	293012	293012	0	0	2,50	2,50
sisma in -Y														
proporzionale alle masse														
	0%	-	-	VNR	VNR	0,00	0	0	0	0	0	0	0,00	0,00
	100%	-	-	VNR	VNR	0,00	0	0	0	0	0	0	0,00	0,00
proporzionale alla deformata 1° modo di vibrazione														
	0%	-	-	VNR	VNR	0,00	0	0	0	0	0	0	0,00	0,00
	100%	-	-	VNR	VNR	0,00	0	0	0	0	0	0	0,00	0,00
sisma in +X														
proporzionale alle masse														
Trave 41-42	0%	-97	6.603	NS	13,60	1,01	63639	89777	293254	293254	0	0	2,50	2,50
	100%	-97	-14.783	NS	6,07	1,01	63639	89777	293847	293847	0	0	2,50	2,50
proporzionale alla deformata 1° modo di vibrazione														
	0%	-146	5.166	NS	17,38	1,01	63639	89777	294443	294443	0	0	2,50	2,50
	100%	-146	-16.220	NS	5,53	1,01	63639	89777	294316	294316	0	0	2,50	2,50
sisma in -X														
proporzionale alle masse														
	0%	148	17.816	NS	5,04	1,01	63639	89777	294676	294676	0	0	2,50	2,50
	100%	148	-3.570	NS	25,15	1,01	63639	89777	295045	295045	0	0	2,50	2,50
proporzionale alla deformata 1° modo di vibrazione														
	0%	174	18.585	NS	4,83	1,01	63639	89777	295052	295052	0	0	2,50	2,50
	100%	174	-2.801	NS	32,05	1,01	63639	89777	295534	295534	0	0	2,50	2,50
sisma in +Y														
proporzionale alle masse														
	0%	302	12.269	NS	7,32	1,00	63639	89777	292888	292888	0	0	2,50	2,50
	100%	302	-9.117	NS	9,85	1,00	63639	89777	292945	292945	0	0	2,50	2,50
proporzionale alla deformata 1° modo di vibrazione														
	0%	388	12.804	NS	7,01	1,01	63639	89777	293131	293131	0	0	2,50	2,50
	100%	388	-8.582	NS	10,46	1,01	63639	89777	293143	293143	0	0	2,50	2,50
sisma in -Y														
proporzionale alle masse														
	0%	-	-	VNR	VNR	0,00	0	0	0	0	0	0	0,00	0,00
	100%	-	-	VNR	VNR	0,00	0	0	0	0	0	0	0,00	0,00
proporzionale alla deformata 1° modo di vibrazione														
	0%	-	-	VNR	VNR	0,00	0	0	0	0	0	0	0,00	0,00
	100%	-	-	VNR	VNR	0,00	0	0	0	0	0	0	0,00	0,00
sisma in +X														
proporzionale alle masse														
Trave 42-P16	0%	665	-32.370	95,70	2,77	1,06	63639	89777	310398	310398	0	0	2,50	2,50
	100%	665	-46.530	95,70	1,93	1,06	63639	89777	310326	310326	0	0	2,50	2,50
proporzionale alla deformata 1° modo di vibrazione														
	0%	889	-37.461	71,58	2,40	1,07	63639	89777	312640	312640	0	0	2,50	2,50
	100%	889	-51.621	71,58	1,74	1,07	63639	89777	312604	312604	0	0	2,50	2,50
sisma in -X														
proporzionale alle masse														
	0%	-557	15.776	NS	5,69	1,01	63639	89777	295564	295564	0	0	2,50	2,50
	100%	-557	1.615	NS	55,59	1,01	63639	89777	295547	295547	0	0	2,50	2,50
proporzionale alla deformata 1° modo di vibrazione														
	0%	-599	17.036	NS	5,27	1,02	63639	89777	296107	296107	0	0	2,50	2,50
	100%	-599	2.875	NS	31,23	1,02	63639	89777	296187	296187	0	0	2,50	2,50
sisma in +Y														
proporzionale alle masse														
	0%	-1.715	8.674	37,11	10,35	1,00	63639	89777	292596	292596	0	0	2,50	2,50
	100%	-1.715	-5.487	37,11	16,36	1,00	63639	89777	292647	292647	0	0	2,50	2,50
proporzionale alla deformata 1° modo di vibrazione														
	0%	-1.633	10.331	38,97	8,69	1,00	63639	89777	292801	292801	0	0	2,50	2,50
	100%	-1.633	-3.829	38,97	23,45	1,00	63639	89777	292813	292813	0	0	2,50	2,50
sisma in -Y														
proporzionale alle masse														
	0%	-	-	VNR	VNR	0,00	0	0	0	0	0	0	0,00	0,00
	100%	-	-	VNR	VNR	0,00	0	0	0	0	0	0	0,00	0,00
proporzionale alla deformata 1° modo di vibrazione														
	0%	-	-	VNR	VNR	0,00	0	0	0	0	0	0	0,00	0,00
	100%	-	-	VNR	VNR	0,00	0	0	0	0	0	0	0,00	0,00
sisma in +X														
proporzionale alle masse														
Trave P16-43	0%	-17.790	1.745	0,00	0,00	1,10	0	0	321213	321213	0	0	2,50	2,50
	100%	-12.377	-38.936	0,00	0,00	1,05	0	0	306406	306406	0	0	2,50	2,50
proporzionale alla deformata 1° modo di vibrazione														

Id_{Tr}	$\%L_{LI}$	$V_{Ed,3}$	$V_{Ed,2}$	$CS^{(3)}$	$CS^{(2)}$	α_C	$V_{Rsd,s}{}^{(3)}$	$V_{Rsd,s}{}^{(2)}$	$V_{Rcd}{}^{(3)}$	$V_{Rcd}{}^{(2)}$	$V_{fd}{}^{(3)}$	$V_{fd}{}^{(2)}$	$Ctg\Theta^{(3)}$	$Ctg\Theta^{(2)}$
	[%]	[N]	[N]				[N]	[N]	[N]	[N]	[N]	[N]		
	0%	-18.683	11.269	0,00	0,00	1,11	0	0	322741	322741	0	0	2,50	2,50
	100%	-12.153	-52.887	0,00	0,00	1,06	0	0	308726	308726	0	0	2,50	2,50
sisma in -X														
proporzionale alle masse														
	0%	-8.231	25.320	0,00	0,00	1,00	0	0	291618	291618	0	0	2,50	2,50
	100%	-22.018	61.731	0,00	0,00	1,00	0	0	291618	291618	0	0	2,50	2,50
proporzionale alla deformata 1° modo di vibrazione														
	0%	-8.271	25.214	0,00	0,00	1,00	0	0	291618	291618	0	0	2,50	2,50
	100%	-24.245	81.413	0,00	0,00	1,00	0	0	291618	291618	0	0	2,50	2,50
sisma in +Y														
proporzionale alle masse														
	0%	-19.765	2.013	0,00	0,00	1,01	0	0	293756	293756	0	0	2,50	2,50
	100%	-23.456	-34.974	0,00	0,00	1,01	0	0	294062	294062	0	0	2,50	2,50
proporzionale alla deformata 1° modo di vibrazione														
	0%	-19.662	-343	0,00	0,00	1,01	0	0	293190	293190	0	0	2,50	2,50
	100%	-27.501	-12.350	0,00	0,00	1,01	0	0	293153	293153	0	0	2,50	2,50
sisma in -Y														
proporzionale alle masse														
	0%	-	-	VNR	VNR	0,00	0	0	0	0	0	0	0,00	0,00
	100%	-	-	VNR	VNR	0,00	0	0	0	0	0	0	0,00	0,00
proporzionale alla deformata 1° modo di vibrazione														
	0%	-	-	VNR	VNR	0,00	0	0	0	0	0	0	0,00	0,00
	100%	-	-	VNR	VNR	0,00	0	0	0	0	0	0	0,00	0,00
Piano terra								**Travata: Trave1-P2-4-7-10-22-P11-31-38**						
sisma in +X														
proporzionale alle masse														
Trave 1-P2	0%	-4.409	42.632	10,52	2,31	1,03	46375	98651	248265	248265	0	0	2,50	2,50
	100%	-4.409	9.528	10,52	10,35	1,03	46375	98651	248332	248332	0	0	2,50	2,50
proporzionale alla deformata 1° modo di vibrazione														
	0%	-4.559	43.201	10,17	2,28	1,03	46375	98651	248444	248444	0	0	2,50	2,50
	100%	-4.559	10.098	10,17	9,77	1,03	46375	98651	248514	248514	0	0	2,50	2,50
sisma in -X														
proporzionale alle masse														
	0%	-1.945	19.460	23,84	5,07	1,01	46375	98651	241595	241595	0	0	2,50	2,50
	100%	-1.945	-13.644	23,84	7,23	1,01	46375	98651	241601	241601	0	0	2,50	2,50
proporzionale alla deformata 1° modo di vibrazione														
	0%	-1.929	19.384	24,04	5,09	1,01	46375	98651	241550	241550	0	0	2,50	2,50
	100%	-1.929	-13.719	24,04	7,19	1,01	46375	98651	241570	241570	0	0	2,50	2,50
sisma in +Y														
proporzionale alle masse														
	0%	-238	-13.462	NS	7,33	1,04	46375	98651	249103	249103	0	0	2,50	2,50
	100%	-238	-46.565	NS	2,12	1,04	46375	98651	248905	248905	0	0	2,50	2,50
proporzionale alla deformata 1° modo di vibrazione														
	0%	-932	-4.517	49,76	21,84	1,03	46375	98651	246705	246705	0	0	2,50	2,50
	100%	-932	-37.620	49,76	2,62	1,03	46375	98651	246567	246567	0	0	2,50	2,50
sisma in -Y														
proporzionale alle masse														
	0%	-	-	VNR	VNR	0,00	0	0	0	0	0	0	0,00	0,00
	100%	-	-	VNR	VNR	0,00	0	0	0	0	0	0	0,00	0,00
proporzionale alla deformata 1° modo di vibrazione														
	0%	-	-	VNR	VNR	0,00	0	0	0	0	0	0	0,00	0,00
	100%	-	-	VNR	VNR	0,00	0	0	0	0	0	0	0,00	0,00
sisma in +X														
proporzionale alle masse														
Trave P2-4	0%	9.428	-13.960	0,00	0,00	1,01	0	0	243193	243193	0	0	2,50	2,50
	100%	19.746	-15.385	0,00	0,00	1,02	0	0	244821	244821	0	0	2,50	2,50
proporzionale alla deformata 1° modo di vibrazione														
	0%	12.393	-15.854	0,00	0,00	1,01	0	0	243796	243796	0	0	2,50	2,50
	100%	22.972	-15.034	0,00	0,00	1,02	0	0	245379	245379	0	0	2,50	2,50
sisma in -X														
proporzionale alle masse														
	0%	-17.182	-14.862	0,00	0,00	1,02	0	0	244512	244512	0	0	2,50	2,50
	100%	-10.557	-8.410	0,00	0,00	1,02	0	0	245506	245506	0	0	2,50	2,50
proporzionale alla deformata 1° modo di vibrazione														
	0%	-18.313	-15.965	0,00	0,00	1,02	0	0	244457	244457	0	0	2,50	2,50
	100%	-12.537	-11.249	0,00	0,00	1,02	0	0	245656	245656	0	0	2,50	2,50
sisma in +Y														
proporzionale alle masse														
	0%	-483	95.188	0,00	0,00	1,08	0	0	258629	258629	0	0	2,50	2,50
	100%	12.182	74.648	0,00	0,00	1,02	0	0	246324	246324	0	0	2,50	2,50
proporzionale alla deformata 1° modo di vibrazione														
	0%	259	80.573	0,00	0,00	1,06	0	0	255111	255111	0	0	2,50	2,50
	100%	12.187	56.099	0,00	0,00	1,02	0	0	245248	245248	0	0	2,50	2,50
sisma in -Y														
proporzionale alle masse														
	0%	-	-	VNR	VNR	0,00	0	0	0	0	0	0	0,00	0,00
	100%	-	-	VNR	VNR	0,00	0	0	0	0	0	0	0,00	0,00
proporzionale alla deformata 1° modo di vibrazione														
	0%	-	-	VNR	VNR	0,00	0	0	0	0	0	0	0,00	0,00
	100%	-	-	VNR	VNR	0,00	0	0	0	0	0	0	0,00	0,00
sisma in +X														
proporzionale alle masse														
Trave 4-7	0%	789	17.673	58,78	5,58	1,00	46375	98651	241413	241413	0	0	2,50	2,50
	100%	789	-24.657	58,78	4,00	1,01	46375	98651	241583	241583	0	0	2,50	2,50
proporzionale alla deformata 1° modo di vibrazione														
	0%	823	17.177	56,35	5,74	1,00	46375	98651	241526	241526	0	0	2,50	2,50

Id_{Tr}	$\%L_{LI}$	$V_{Ed,3}$	$V_{Ed,2}$	$CS^{(3)}$	$CS^{(2)}$	α_C	$V_{Rsd,s}{}^{(3)}$	$V_{Rsd,s}{}^{(2)}$	$V_{Rcd}{}^{(3)}$	$V_{Rcd}{}^{(2)}$	$V_{fd}{}^{(3)}$	$V_{fd}{}^{(2)}$	$Ctg\Theta^{(3)}$	$Ctg\Theta^{(2)}$
	[%]	[N]	[N]				[N]	[N]	[N]	[N]	[N]	[N]		
	100%	823	-25.154	56,35	3,92	1,01	46375	98651	241604	241604	0	0	2,50	2,50
sisma in -X														
proporzionale alle masse														
	0%	120	20.811	NS	4,74	1,01	46375	98651	242024	242024	0	0	2,50	2,50
	100%	120	-21.519	NS	4,58	1,01	46375	98651	242073	242073	0	0	2,50	2,50
proporzionale alla deformata 1° modo di vibrazione														
	0%	78	21.573	NS	4,57	1,01	46375	98651	242224	242224	0	0	2,50	2,50
	100%	78	-20.758	NS	4,75	1,01	46375	98651	242224	242224	0	0	2,50	2,50
sisma in +Y														
proporzionale alle masse														
	0%	1.429	7.521	32,45	13,12	1,02	46375	98651	244029	244029	0	0	2,50	2,50
	100%	1.429	-34.809	32,45	2,83	1,01	46375	98651	243719	243719	0	0	2,50	2,50
proporzionale alla deformata 1° modo di vibrazione														
	0%	1.357	8.783	34,17	11,23	1,01	46375	98651	243679	243679	0	0	2,50	2,50
	100%	1.357	-33.548	34,17	2,94	1,01	46375	98651	243359	243359	0	0	2,50	2,50
sisma in -Y														
proporzionale alle masse														
	0%	-	-	VNR	VNR	0,00	0	0	0	0	0	0	0,00	0,00
	100%	-	-	VNR	VNR	0,00	0	0	0	0	0	0	0,00	0,00
proporzionale alla deformata 1° modo di vibrazione														
	0%	-	-	VNR	VNR	0,00	0	0	0	0	0	0	0,00	0,00
	100%	-	-	VNR	VNR	0,00	0	0	0	0	0	0	0,00	0,00
sisma in +X														
proporzionale alle masse														
Trave 7-10	0%	-493	24.106	94,07	4,09	1,01	46375	98651	241643	241643	0	0	2,50	2,50
	100%	-493	-18.224	94,07	5,41	1,00	46375	98651	241491	241491	0	0	2,50	2,50
proporzionale alla deformata 1° modo di vibrazione														
	0%	-246	23.983	NS	4,11	1,01	46375	98651	241606	241606	0	0	2,50	2,50
	100%	-246	-18.347	NS	5,38	1,00	46375	98651	241442	241442	0	0	2,50	2,50
sisma in -X														
proporzionale alle masse														
	0%	-152	22.967	NS	4,30	1,01	46375	98651	241960	241960	0	0	2,50	2,50
	100%	-152	-19.364	NS	5,09	1,01	46375	98651	241905	241905	0	0	2,50	2,50
proporzionale alla deformata 1° modo di vibrazione														
	0%	-311	23.461	NS	4,20	1,01	46375	98651	242007	242007	0	0	2,50	2,50
	100%	-311	-18.869	NS	5,23	1,01	46375	98651	241949	241949	0	0	2,50	2,50
sisma in +Y														
proporzionale alle masse														
	0%	2.958	11.037	15,68	8,94	1,02	46375	98651	245109	245109	0	0	2,50	2,50
	100%	2.958	-31.294	15,68	3,15	1,02	46375	98651	244991	244991	0	0	2,50	2,50
proporzionale alla deformata 1° modo di vibrazione														
	0%	2.645	13.062	17,53	7,55	1,02	46375	98651	244303	244303	0	0	2,50	2,50
	100%	2.645	-29.268	17,53	3,37	1,02	46375	98651	244262	244262	0	0	2,50	2,50
sisma in -Y														
proporzionale alle masse														
	0%	-	-	VNR	VNR	0,00	0	0	0	0	0	0	0,00	0,00
	100%	-	-	VNR	VNR	0,00	0	0	0	0	0	0	0,00	0,00
proporzionale alla deformata 1° modo di vibrazione														
	0%	-	-	VNR	VNR	0,00	0	0	0	0	0	0	0,00	0,00
	100%	-	-	VNR	VNR	0,00	0	0	0	0	0	0	0,00	0,00
sisma in +X														
proporzionale alle masse														
Trave 10-22	0%	-971	18.859	47,76	5,23	1,01	46375	98651	242268	242268	0	0	2,50	2,50
	100%	-971	-22.480	47,76	4,39	1,01	46375	98651	242161	242161	0	0	2,50	2,50
proporzionale alla deformata 1° modo di vibrazione														
	0%	-1.127	16.935	41,15	5,83	1,01	46375	98651	243035	243035	0	0	2,50	2,50
	100%	-1.127	-24.403	41,15	4,04	1,01	46375	98651	242808	242808	0	0	2,50	2,50
sisma in -X														
proporzionale alle masse														
	0%	307	22.595	NS	4,37	1,00	46375	98651	241416	241416	0	0	2,50	2,50
	100%	307	-18.743	NS	5,26	1,00	46375	98651	241323	241323	0	0	2,50	2,50
proporzionale alla deformata 1° modo di vibrazione														
	0%	272	23.712	NS	4,16	1,00	46375	98651	241517	241517	0	0	2,50	2,50
	100%	272	-17.626	NS	5,60	1,00	46375	98651	241361	241361	0	0	2,50	2,50
sisma in +Y														
proporzionale alle masse														
	0%	2.009	-21.831	23,08	4,52	1,08	46375	98651	259588	259588	0	0	2,50	2,50
	100%	2.009	-63.169	23,08	1,56	1,08	46375	98651	259466	259466	0	0	2,50	2,50
proporzionale alla deformata 1° modo di vibrazione														
	0%	1.605	-15.391	28,89	6,41	1,07	46375	98651	256637	256637	0	0	2,50	2,50
	100%	1.605	-56.729	28,89	1,74	1,07	46375	98651	256523	256523	0	0	2,50	2,50
sisma in -Y														
proporzionale alle masse														
	0%	-	-	VNR	VNR	0,00	0	0	0	0	0	0	0,00	0,00
	100%	-	-	VNR	VNR	0,00	0	0	0	0	0	0	0,00	0,00
proporzionale alla deformata 1° modo di vibrazione														
	0%	-	-	VNR	VNR	0,00	0	0	0	0	0	0	0,00	0,00
	100%	-	-	VNR	VNR	0,00	0	0	0	0	0	0	0,00	0,00
sisma in +X														
proporzionale alle masse														
Trave 22-P11	0%	-14.634	1.684	0,00	0,00	1,01	0	0	295962	295962	0	0	2,50	2,50
	100%	-2.066	-17.160	0,00	0,00	1,03	0	0	300518	300518	0	0	2,50	2,50
proporzionale alla deformata 1° modo di vibrazione														
	0%	-14.871	13.185	0,00	0,00	1,02	0	0	296581	296581	0	0	2,50	2,50
	100%	180	-13.313	0,00	0,00	1,03	0	0	299810	299810	0	0	2,50	2,50
sisma in -X														

Id_{Tr}	$\%L_{LI}$	$V_{Ed,3}$	$V_{Ed,2}$	$CS^{(3)}$	$CS^{(2)}$	α_C	$V_{Rsd,s}{}^{(3)}$	$V_{Rsd,s}{}^{(2)}$	$V_{Rcd}{}^{(3)}$	$V_{Rcd}{}^{(2)}$	$V_{fd}{}^{(3)}$	$V_{fd}{}^{(2)}$	$Ctg\Theta^{(3)}$	$Ctg\Theta^{(2)}$
	[%]	[N]	[N]				[N]	[N]	[N]	[N]	[N]	[N]		
proporzionale alle masse														
	0%	9.967	-15.673	0,00	0,00	1,00	0	0	293135	293135	0	0	2,50	2,50
	100%	3.124	-12.794	0,00	0,00	1,02	0	0	298306	298306	0	0	2,50	2,50
proporzionale alla deformata 1° modo di vibrazione														
	0%	7.307	-18.938	0,00	0,00	1,00	0	0	293388	293388	0	0	2,50	2,50
	100%	2.631	-14.156	0,00	0,00	1,03	0	0	299525	299525	0	0	2,50	2,50
sisma in +Y														
proporzionale alle masse														
	0%	11.536	52.982	0,00	0,00	1,04	0	0	303552	303552	0	0	2,50	2,50
	100%	979	6.720	0,00	0,00	1,00	0	0	292140	292140	0	0	2,50	2,50
proporzionale alla deformata 1° modo di vibrazione														
	0%	5.685	31.094	0,00	0,00	1,03	0	0	300692	300692	0	0	2,50	2,50
	100%	376	6.080	0,00	0,00	1,00	0	0	292140	292140	0	0	2,50	2,50
sisma in -Y														
proporzionale alle masse														
	0%	-	-	VNR	VNR	0,00	0	0	0	0	0	0	0,00	0,00
	100%	-	-	VNR	VNR	0,00	0	0	0	0	0	0	0,00	0,00
proporzionale alla deformata 1° modo di vibrazione														
	0%	-	-	VNR	VNR	0,00	0	0	0	0	0	0	0,00	0,00
	100%	-	-	VNR	VNR	0,00	0	0	0	0	0	0	0,00	0,00
sisma in +X														
proporzionale alle masse														
Trave P11-31	0%	-235	36.542	NS	2,46	1,02	63800	89938	296815	296815	0	0	2,50	2,50
	100%	-235	-10.658	NS	8,44	1,02	63800	89938	297421	297421	0	0	2,50	2,50
proporzionale alla deformata 1° modo di vibrazione														
	0%	-266	34.346	NS	2,62	1,01	63800	89938	295639	295639	0	0	2,50	2,50
	100%	-266	-12.855	NS	7,00	1,01	63800	89938	296101	296101	0	0	2,50	2,50
sisma in -X														
proporzionale alle masse														
	0%	230	27.752	NS	3,24	1,01	63800	89938	296004	296004	0	0	2,50	2,50
	100%	230	-19.448	NS	4,62	1,01	63800	89938	295878	295878	0	0	2,50	2,50
proporzionale alla deformata 1° modo di vibrazione														
	0%	299	30.052	NS	2,99	1,02	63800	89938	297114	297114	0	0	2,50	2,50
	100%	299	-17.149	NS	5,24	1,02	63800	89938	297012	297012	0	0	2,50	2,50
sisma in +Y														
proporzionale alle masse														
	0%	-112	1.759	NS	51,13	1,01	63800	89938	294781	294781	0	0	2,50	2,50
	100%	-112	-45.442	NS	1,98	1,01	63800	89938	294664	294664	0	0	2,50	2,50
proporzionale alla deformata 1° modo di vibrazione														
	0%	-58	4.368	NS	20,59	1,01	63800	89938	294548	294548	0	0	2,50	2,50
	100%	-58	-42.832	NS	2,10	1,01	63800	89938	294472	294472	0	0	2,50	2,50
sisma in -Y														
proporzionale alle masse														
	0%	-	-	VNR	VNR	0,00	0	0	0	0	0	0	0,00	0,00
	100%	-	-	VNR	VNR	0,00	0	0	0	0	0	0	0,00	0,00
proporzionale alla deformata 1° modo di vibrazione														
	0%	-	-	VNR	VNR	0,00	0	0	0	0	0	0	0,00	0,00
	100%	-	-	VNR	VNR	0,00	0	0	0	0	0	0	0,00	0,00
sisma in +X														
proporzionale alle masse														
Trave 31-38	0%	120	27.659	NS	3,25	1,00	63800	89938	292140	292140	0	0	2,50	2,50
	100%	120	-24.202	NS	3,72	1,00	63800	89938	292140	292140	0	0	2,50	2,50
proporzionale alla deformata 1° modo di vibrazione														
	0%	126	26.991	NS	3,33	1,00	63800	89938	292140	292140	0	0	2,50	2,50
	100%	126	-24.871	NS	3,62	1,00	63800	89938	292140	292140	0	0	2,50	2,50
sisma in -X														
proporzionale alle masse														
	0%	116	31.943	NS	2,82	1,00	63800	89938	292224	292224	0	0	2,50	2,50
	100%	116	-19.918	NS	4,52	1,00	63800	89938	292205	292205	0	0	2,50	2,50
proporzionale alla deformata 1° modo di vibrazione														
	0%	121	32.347	NS	2,78	1,00	63800	89938	292273	292273	0	0	2,50	2,50
	100%	121	-19.514	NS	4,61	1,00	63800	89938	292220	292220	0	0	2,50	2,50
sisma in +Y														
proporzionale alle masse														
	0%	403	24.233	NS	3,71	1,01	63800	89938	294695	294695	0	0	2,50	2,50
	100%	403	-27.628	NS	3,26	1,01	63800	89938	294982	294982	0	0	2,50	2,50
proporzionale alla deformata 1° modo di vibrazione														
	0%	447	25.109	NS	3,58	1,01	63800	89938	294136	294136	0	0	2,50	2,50
	100%	447	-26.752	NS	3,36	1,01	63800	89938	294408	294408	0	0	2,50	2,50
sisma in -Y														
proporzionale alle masse														
	0%	-	-	VNR	VNR	0,00	0	0	0	0	0	0	0,00	0,00
	100%	-	-	VNR	VNR	0,00	0	0	0	0	0	0	0,00	0,00
proporzionale alla deformata 1° modo di vibrazione														
	0%	-	-	VNR	VNR	0,00	0	0	0	0	0	0	0,00	0,00
	100%	-	-	VNR	VNR	0,00	0	0	0	0	0	0	0,00	0,00
Piano terra								**Travata: Trave2-5-8-11-23**						
sisma in +X														
proporzionale alle masse														
Trave 2-5	0%	170	19.282	NS	2,66	1,01	37340	51280	157422	157422	0	0	2,50	2,50
	100%	170	-26.519	NS	1,93	1,01	37340	51280	157713	157713	0	0	2,50	2,50
proporzionale alla deformata 1° modo di vibrazione														
	0%	109	18.786	NS	2,73	1,01	37340	51280	157467	157467	0	0	2,50	2,50
	100%	109	-27.014	NS	1,90	1,01	37340	51280	157724	157724	0	0	2,50	2,50
sisma in -X														
proporzionale alle masse														

Id_{Tr}	$\%L_{LI}$	$V_{Ed,3}$	$V_{Ed,2}$	$CS^{(3)}$	$CS^{(2)}$	α_C	$V_{Rsd,s}{}^{(3)}$	$V_{Rsd,s}{}^{(2)}$	$V_{Rcd}{}^{(3)}$	$V_{Rcd}{}^{(2)}$	$V_{fd}{}^{(3)}$	$V_{fd}{}^{(2)}$	$Ctg\Theta^{(3)}$	$Ctg\Theta^{(2)}$
	[%]	[N]	[N]				[N]	[N]	[N]	[N]	[N]	[N]		
	0%	492	28.437	75,89	1,80	1,02	37340	51280	159310	159310	0	0	2,50	2,50
	100%	492	-17.364	75,89	2,95	1,02	37340	51280	159006	159006	0	0	2,50	2,50
proporzionale alla deformata 1° modo di vibrazione														
	0%	591	28.663	63,18	1,79	1,02	37340	51280	159405	159405	0	0	2,50	2,50
	100%	591	-17.138	63,18	2,99	1,02	37340	51280	159087	159087	0	0	2,50	2,50
sisma in +Y														
proporzionale alle masse														
	0%	-118	16.243	NS	3,16	1,01	37340	51280	157051	157051	0	0	2,50	2,50
	100%	-118	-29.557	NS	1,73	1,01	37340	51280	157497	157497	0	0	2,50	2,50
proporzionale alla deformata 1° modo di vibrazione														
	0%	-134	15.595	NS	3,29	1,01	37340	51280	157703	157703	0	0	2,50	2,50
	100%	-134	-30.205	NS	1,70	1,01	37340	51280	157551	157551	0	0	2,50	2,50
sisma in -Y														
proporzionale alle masse														
	0%	-	-	VNR	VNR	0,00	0	0	0	0	0	0	0,00	0,00
	100%	-	-	VNR	VNR	0,00	0	0	0	0	0	0	0,00	0,00
proporzionale alla deformata 1° modo di vibrazione														
	0%	-	-	VNR	VNR	0,00	0	0	0	0	0	0	0,00	0,00
	100%	-	-	VNR	VNR	0,00	0	0	0	0	0	0	0,00	0,00
sisma in +X														
proporzionale alle masse														
Trave 5-8	0%	854	22.852	43,72	2,24	1,02	37340	51280	158914	158914	0	0	2,50	2,50
	100%	854	-20.897	43,72	2,45	1,02	37340	51280	158876	158876	0	0	2,50	2,50
proporzionale alla deformata 1° modo di vibrazione														
	0%	910	22.914	41,03	2,24	1,02	37340	51280	159085	159085	0	0	2,50	2,50
	100%	910	-20.835	41,03	2,46	1,02	37340	51280	158990	158990	0	0	2,50	2,50
sisma in -X														
proporzionale alle masse														
	0%	-184	20.974	NS	2,44	1,01	37340	51280	157350	157350	0	0	2,50	2,50
	100%	-184	-22.776	NS	2,25	1,01	37340	51280	157340	157340	0	0	2,50	2,50
proporzionale alla deformata 1° modo di vibrazione														
	0%	-199	21.090	NS	2,43	1,01	37340	51280	157302	157302	0	0	2,50	2,50
	100%	-199	-22.660	NS	2,26	1,01	37340	51280	157279	157279	0	0	2,50	2,50
sisma in +Y														
proporzionale alle masse														
	0%	135	17.438	NS	2,94	1,02	37340	51280	158666	158666	0	0	2,50	2,50
	100%	135	-26.312	NS	1,95	1,02	37340	51280	158909	158909	0	0	2,50	2,50
proporzionale alla deformata 1° modo di vibrazione														
	0%	388	18.290	96,24	2,80	1,02	37340	51280	158902	158902	0	0	2,50	2,50
	100%	388	-25.460	96,24	2,01	1,02	37340	51280	159002	159002	0	0	2,50	2,50
sisma in -Y														
proporzionale alle masse														
	0%	-	-	VNR	VNR	0,00	0	0	0	0	0	0	0,00	0,00
	100%	-	-	VNR	VNR	0,00	0	0	0	0	0	0	0,00	0,00
proporzionale alla deformata 1° modo di vibrazione														
	0%	-	-	VNR	VNR	0,00	0	0	0	0	0	0	0,00	0,00
	100%	-	-	VNR	VNR	0,00	0	0	0	0	0	0	0,00	0,00
sisma in +X														
proporzionale alle masse														
Trave 8-11	0%	113	22.444	NS	2,28	1,01	37340	51280	158170	158170	0	0	2,50	2,50
	100%	113	-21.305	NS	2,41	1,01	37340	51280	158159	158159	0	0	2,50	2,50
proporzionale alla deformata 1° modo di vibrazione														
	0%	109	22.277	NS	2,30	1,01	37340	51280	158154	158154	0	0	2,50	2,50
	100%	109	-21.473	NS	2,39	1,01	37340	51280	158158	158158	0	0	2,50	2,50
sisma in -X														
proporzionale alle masse														
	0%	7	22.399	NS	2,29	1,01	37340	51280	158094	158094	0	0	2,50	2,50
	100%	7	-21.351	NS	2,40	1,01	37340	51280	158097	158097	0	0	2,50	2,50
proporzionale alla deformata 1° modo di vibrazione														
	0%	15	22.638	NS	2,27	1,01	37340	51280	158128	158128	0	0	2,50	2,50
	100%	15	-21.112	NS	2,43	1,01	37340	51280	158104	158104	0	0	2,50	2,50
sisma in +Y														
proporzionale alle masse														
	0%	-50	18.386	NS	2,79	1,01	37340	51280	158285	158285	0	0	2,50	2,50
	100%	-50	-25.364	NS	2,02	1,01	37340	51280	158430	158430	0	0	2,50	2,50
proporzionale alla deformata 1° modo di vibrazione														
	0%	31	18.717	NS	2,74	1,01	37340	51280	158326	158326	0	0	2,50	2,50
	100%	31	-25.033	NS	2,05	1,01	37340	51280	158402	158402	0	0	2,50	2,50
sisma in -Y														
proporzionale alle masse														
	0%	-	-	VNR	VNR	0,00	0	0	0	0	0	0	0,00	0,00
	100%	-	-	VNR	VNR	0,00	0	0	0	0	0	0	0,00	0,00
proporzionale alla deformata 1° modo di vibrazione														
	0%	-	-	VNR	VNR	0,00	0	0	0	0	0	0	0,00	0,00
	100%	-	-	VNR	VNR	0,00	0	0	0	0	0	0	0,00	0,00
sisma in +X														
proporzionale alle masse														
Trave 11-23	0%	337	20.953	NS	2,45	1,01	37340	51280	158029	158029	0	0	2,50	2,50
	100%	337	-21.771	NS	2,36	1,01	37340	51280	158047	158047	0	0	2,50	2,50
proporzionale alla deformata 1° modo di vibrazione														
	0%	297	20.689	NS	2,48	1,01	37340	51280	158093	158093	0	0	2,50	2,50
	100%	297	-22.035	NS	2,33	1,01	37340	51280	158115	158115	0	0	2,50	2,50
sisma in -X														
proporzionale alle masse														
	0%	331	20.947	NS	2,45	1,01	37340	51280	158109	158109	0	0	2,50	2,50
	100%	331	-21.777	NS	2,35	1,01	37340	51280	158144	158144	0	0	2,50	2,50

Id_{Tr}	$\%L_{LI}$	$V_{Ed,3}$	$V_{Ed,2}$	$CS^{(3)}$	$CS^{(2)}$	α_C	$V_{Rsd,s}{}^{(3)}$	$V_{Rsd,s}{}^{(2)}$	$V_{Rcd}{}^{(3)}$	$V_{Rcd}{}^{(2)}$	$V_{fd}{}^{(3)}$	$V_{fd}{}^{(2)}$	$Ctg\Theta^{(3)}$	$Ctg\Theta^{(2)}$
	[%]	[N]	[N]				[N]	[N]	[N]	[N]	[N]	[N]		
proporzionale alla deformata 1° modo di vibrazione														
	0%	382	21.186	97,75	2,42	1,01	37340	51280	158079	158079	0	0	2,50	2,50
	100%	382	-21.538	97,75	2,38	1,01	37340	51280	158097	158097	0	0	2,50	2,50
sisma in +Y														
proporzionale alle masse														
	0%	375	13.440	99,57	3,82	1,03	37340	51280	160993	160993	0	0	2,50	2,50
	100%	375	-29.284	99,57	1,75	1,03	37340	51280	161005	161005	0	0	2,50	2,50
proporzionale alla deformata 1° modo di vibrazione														
	0%	571	13.909	65,39	3,69	1,03	37340	51280	160899	160899	0	0	2,50	2,50
	100%	571	-28.815	65,39	1,78	1,03	37340	51280	160893	160893	0	0	2,50	2,50
sisma in -Y														
proporzionale alle masse														
	0%	-	-	VNR	VNR	0,00	0	0	0	0	0	0	0,00	0,00
	100%	-	-	VNR	VNR	0,00	0	0	0	0	0	0	0,00	0,00
proporzionale alla deformata 1° modo di vibrazione														
	0%	-	-	VNR	VNR	0,00	0	0	0	0	0	0	0,00	0,00
	100%	-	-	VNR	VNR	0,00	0	0	0	0	0	0	0,00	0,00
Piano terra								**Travata: Trave3-P3-6-9-12-13-25-26-33-40**						
sisma in +X														
proporzionale alle masse														
Trave 3-P3	0%	-1.106	17.208	33,51	3,77	1,01	37066	64946	199906	199906	0	0	2,50	2,50
	100%	-1.106	-31.008	33,51	2,09	1,01	37066	64946	199831	199831	0	0	2,50	2,50
proporzionale alla deformata 1° modo di vibrazione														
	0%	-1.088	16.248	34,07	4,00	1,01	37066	64946	200396	200396	0	0	2,50	2,50
	100%	-1.088	-31.969	34,07	2,03	1,01	37066	64946	200099	200099	0	0	2,50	2,50
sisma in -X														
proporzionale alle masse														
	0%	2.961	40.417	12,52	1,61	1,02	37066	64946	202230	202230	0	0	2,50	2,50
	100%	2.961	-7.800	12,52	8,33	1,02	37066	64946	202386	202386	0	0	2,50	2,50
proporzionale alla deformata 1° modo di vibrazione														
	0%	3.149	41.912	11,77	1,55	1,02	37066	64946	202673	202673	0	0	2,50	2,50
	100%	3.149	-6.304	11,77	10,30	1,03	37066	64946	202743	202743	0	0	2,50	2,50
sisma in +Y														
proporzionale alle masse														
	0%	-420	-5.387	88,25	12,06	1,05	37066	64946	207846	207846	0	0	2,50	2,50
	100%	-420	-53.603	88,25	1,21	1,05	37066	64946	207681	207681	0	0	2,50	2,50
proporzionale alla deformata 1° modo di vibrazione														
	0%	-895	-9.609	41,41	6,76	1,06	37066	64946	208662	208662	0	0	2,50	2,50
	100%	-895	-57.825	41,41	1,12	1,06	37066	64946	208832	208832	0	0	2,50	2,50
sisma in -Y														
proporzionale alle masse														
	0%	-	-	VNR	VNR	0,00	0	0	0	0	0	0	0,00	0,00
	100%	-	-	VNR	VNR	0,00	0	0	0	0	0	0	0,00	0,00
proporzionale alla deformata 1° modo di vibrazione														
	0%	-	-	VNR	VNR	0,00	0	0	0	0	0	0	0,00	0,00
	100%	-	-	VNR	VNR	0,00	0	0	0	0	0	0	0,00	0,00
sisma in +X														
proporzionale alle masse														
Trave P3-6	0%	-2.438	-2.931	0,00	0,00	1,02	0	0	201057	201057	0	0	2,50	2,50
	100%	-355	-8.297	0,00	0,00	1,02	0	0	201896	201896	0	0	2,50	2,50
proporzionale alla deformata 1° modo di vibrazione														
	0%	-1.709	-2.190	0,00	0,00	1,02	0	0	201395	201395	0	0	2,50	2,50
	100%	190	-6.688	0,00	0,00	1,02	0	0	201999	201999	0	0	2,50	2,50
sisma in -X														
proporzionale alle masse														
	0%	-6.609	-17.620	0,00	0,00	1,00	0	0	198352	198352	0	0	2,50	2,50
	100%	-6.724	-35.255	0,00	0,00	1,02	0	0	201927	201927	0	0	2,50	2,50
proporzionale alla deformata 1° modo di vibrazione														
	0%	-7.965	-17.514	0,00	0,00	1,00	0	0	198298	198298	0	0	2,50	2,50
	100%	-8.671	-37.793	0,00	0,00	1,02	0	0	201883	201883	0	0	2,50	2,50
sisma in +Y														
proporzionale alle masse														
	0%	-10.767	73.563	0,00	0,00	1,08	0	0	213374	213374	0	0	2,50	2,50
	100%	-10.364	46.656	0,00	0,00	1,03	0	0	203291	203291	0	0	2,50	2,50
proporzionale alla deformata 1° modo di vibrazione														
	0%	-12.031	75.334	0,00	0,00	1,08	0	0	213790	213790	0	0	2,50	2,50
	100%	-10.968	46.947	0,00	0,00	1,03	0	0	203316	203316	0	0	2,50	2,50
sisma in -Y														
proporzionale alle masse														
	0%	-	-	VNR	VNR	0,00	0	0	0	0	0	0	0,00	0,00
	100%	-	-	VNR	VNR	0,00	0	0	0	0	0	0	0,00	0,00
proporzionale alla deformata 1° modo di vibrazione														
	0%	-	-	VNR	VNR	0,00	0	0	0	0	0	0	0,00	0,00
	100%	-	-	VNR	VNR	0,00	0	0	0	0	0	0	0,00	0,00
sisma in +X														
proporzionale alle masse														
Trave 6-9	0%	-91	30.638	NS	2,12	1,01	37066	64946	199484	199484	0	0	2,50	2,50
	100%	-91	-31.018	NS	2,09	1,01	37066	64946	199521	199521	0	0	2,50	2,50
proporzionale alla deformata 1° modo di vibrazione														
	0%	-90	30.513	NS	2,13	1,01	37066	64946	199416	199416	0	0	2,50	2,50
	100%	-90	-31.143	NS	2,09	1,01	37066	64946	199437	199437	0	0	2,50	2,50
sisma in -X														
proporzionale alle masse														
	0%	-349	27.912	NS	2,33	1,01	37066	64946	199046	199046	0	0	2,50	2,50
	100%	-349	-33.744	NS	1,92	1,01	37066	64946	199077	199077	0	0	2,50	2,50
proporzionale alla deformata 1° modo di vibrazione														

Id_{Tr}	$\%L_{LI}$	$V_{Ed,3}$	$V_{Ed,2}$	$CS^{(3)}$	$CS^{(2)}$	α_C	$V_{Rsd,s}{}^{(3)}$	$V_{Rsd,s}{}^{(2)}$	$V_{Rcd}{}^{(3)}$	$V_{Rcd}{}^{(2)}$	$V_{fd}{}^{(3)}$	$V_{fd}{}^{(2)}$	$Ctg\Theta^{(3)}$	$Ctg\Theta^{(2)}$
	[%]	[N]	[N]				[N]	[N]	[N]	[N]	[N]	[N]		
	0%	-325	27.802	NS	2,34	1,01	37066	64946	199032	199032	0	0	2,50	2,50
	100%	-325	-33.854	NS	1,92	1,01	37066	64946	199063	199063	0	0	2,50	2,50
sisma in +Y														
proporzionale alle masse														
	0%	-1.166	15.821	31,79	4,11	1,02	37066	64946	202094	202094	0	0	2,50	2,50
	100%	-1.166	-45.835	31,79	1,42	1,02	37066	64946	201308	201308	0	0	2,50	2,50
proporzionale alla deformata 1° modo di vibrazione														
	0%	-1.140	16.080	32,51	4,04	1,02	37066	64946	201804	201804	0	0	2,50	2,50
	100%	-1.140	-45.576	32,51	1,43	1,02	37066	64946	201189	201189	0	0	2,50	2,50
sisma in -Y														
proporzionale alle masse														
	0%	-	-	VNR	VNR	0,00	0	0	0	0	0	0	0,00	0,00
	100%	-	-	VNR	VNR	0,00	0	0	0	0	0	0	0,00	0,00
proporzionale alla deformata 1° modo di vibrazione														
	0%	-	-	VNR	VNR	0,00	0	0	0	0	0	0	0,00	0,00
	100%	-	-	VNR	VNR	0,00	0	0	0	0	0	0	0,00	0,00
sisma in +X														
proporzionale alle masse														
Trave 9-12	0%	-111	29.650	NS	2,19	1,01	37066	64946	199803	199803	0	0	2,50	2,50
	100%	-111	-32.006	NS	2,03	1,01	37066	64946	199842	199842	0	0	2,50	2,50
proporzionale alla deformata 1° modo di vibrazione														
	0%	-62	30.029	NS	2,16	1,01	37066	64946	199627	199627	0	0	2,50	2,50
	100%	-62	-31.627	NS	2,05	1,01	37066	64946	199649	199649	0	0	2,50	2,50
sisma in -X														
proporzionale alle masse														
	0%	225	33.964	NS	1,91	1,01	37066	64946	199183	199183	0	0	2,50	2,50
	100%	225	-27.692	NS	2,35	1,01	37066	64946	199103	199103	0	0	2,50	2,50
proporzionale alla deformata 1° modo di vibrazione														
	0%	221	34.086	NS	1,91	1,01	37066	64946	199180	199180	0	0	2,50	2,50
	100%	221	-27.570	NS	2,36	1,01	37066	64946	199115	199115	0	0	2,50	2,50
sisma in +Y														
proporzionale alle masse														
	0%	-1.679	3.667	22,08	17,71	1,07	37066	64946	212324	212324	0	0	2,50	2,50
	100%	-1.679	-57.989	22,08	1,12	1,07	37066	64946	211892	211892	0	0	2,50	2,50
proporzionale alla deformata 1° modo di vibrazione														
	0%	-1.619	3.731	22,89	17,41	1,07	37066	64946	212064	212064	0	0	2,50	2,50
	100%	-1.619	-57.925	22,89	1,12	1,07	37066	64946	211818	211818	0	0	2,50	2,50
sisma in -Y														
proporzionale alle masse														
	0%	-	-	VNR	VNR	0,00	0	0	0	0	0	0	0,00	0,00
	100%	-	-	VNR	VNR	0,00	0	0	0	0	0	0	0,00	0,00
proporzionale alla deformata 1° modo di vibrazione														
	0%	-	-	VNR	VNR	0,00	0	0	0	0	0	0	0,00	0,00
	100%	-	-	VNR	VNR	0,00	0	0	0	0	0	0	0,00	0,00
sisma in +X														
proporzionale alle masse														
Trave 12-13	0%	-11.443	-5.718	0,00	0,00	1,01	0	0	200595	200595	0	0	2,50	2,50
	100%	-22.528	-7.052	0,00	0,00	1,02	0	0	201918	201918	0	0	2,50	2,50
proporzionale alla deformata 1° modo di vibrazione														
	0%	-12.602	-4.522	0,00	0,00	1,01	0	0	200435	200435	0	0	2,50	2,50
	100%	-29.838	-16.560	0,00	0,00	1,03	0	0	202859	202859	0	0	2,50	2,50
sisma in -X														
proporzionale alle masse														
	0%	12.614	5.918	0,00	0,00	1,02	0	0	201707	201707	0	0	2,50	2,50
	100%	15.307	-6.501	0,00	0,00	1,02	0	0	201988	201988	0	0	2,50	2,50
proporzionale alla deformata 1° modo di vibrazione														
	0%	15.281	4.252	0,00	0,00	1,02	0	0	201870	201870	0	0	2,50	2,50
	100%	22.859	-4.642	0,00	0,00	1,02	0	0	202495	202495	0	0	2,50	2,50
sisma in +Y														
proporzionale alle masse														
	0%	-4.903	99.786	0,00	0,00	1,06	0	0	208685	208685	0	0	2,50	2,50
	100%	9.800	22.503	0,00	0,00	1,00	0	0	197776	197776	0	0	2,50	2,50
proporzionale alla deformata 1° modo di vibrazione														
	0%	-10.791	95.262	0,00	0,00	1,05	0	0	207833	207833	0	0	2,50	2,50
	100%	1.834	8.929	0,00	0,00	1,00	0	0	197776	197776	0	0	2,50	2,50
sisma in -Y														
proporzionale alle masse														
	0%	-	-	VNR	VNR	0,00	0	0	0	0	0	0	0,00	0,00
	100%	-	-	VNR	VNR	0,00	0	0	0	0	0	0	0,00	0,00
proporzionale alla deformata 1° modo di vibrazione														
	0%	-	-	VNR	VNR	0,00	0	0	0	0	0	0	0,00	0,00
	100%	-	-	VNR	VNR	0,00	0	0	0	0	0	0	0,00	0,00
sisma in +X														
proporzionale alle masse														
Trave 13-25	0%	-925	46.389	40,07	1,40	1,02	37066	64946	200914	200914	0	0	2,50	2,50
	100%	-925	-15.721	40,07	4,13	1,02	37066	64946	201436	201436	0	0	2,50	2,50
proporzionale alla deformata 1° modo di vibrazione														
	0%	-533	48.125	69,54	1,35	1,02	37066	64946	201421	201421	0	0	2,50	2,50
	100%	-533	-13.985	69,54	4,64	1,02	37066	64946	201876	201876	0	0	2,50	2,50
sisma in -X														
proporzionale alle masse														
	0%	410	40.257	90,40	1,61	1,01	37066	64946	200532	200532	0	0	2,50	2,50
	100%	410	-21.853	90,40	2,97	1,01	37066	64946	200374	200374	0	0	2,50	2,50
proporzionale alla deformata 1° modo di vibrazione														
	0%	-13	41.131	NS	1,58	1,02	37066	64946	200805	200805	0	0	2,50	2,50
	100%	-13	-20.980	NS	3,10	1,02	37066	64946	200803	200803	0	0	2,50	2,50

Id_{Tr}	$\%L_{LI}$	$V_{Ed,3}$	$V_{Ed,2}$	$CS^{(3)}$	$CS^{(2)}$	α_C	$V_{Rsd,s}{}^{(3)}$	$V_{Rsd,s}{}^{(2)}$	$V_{Rcd}{}^{(3)}$	$V_{Rcd}{}^{(2)}$	$V_{fd}{}^{(3)}$	$V_{fd}{}^{(2)}$	$Ctg\Theta^{(3)}$	$Ctg\Theta^{(2)}$
	[%]	[N]	[N]				[N]	[N]	[N]	[N]	[N]	[N]		
sisma in +Y														
proporzionale alle masse														
	0%	-1.717	-37.128	21,59	1,75	1,10	37066	64946	217261	217261	0	0	2,50	2,50
	100%	-1.717	-99.239	21,59	0,65	1,10	37066	64946	217449	217449	0	0	2,50	2,50
proporzionale alla deformata 1° modo di vibrazione														
	0%	-1.305	-33.536	28,40	1,94	1,09	37066	64946	215824	215824	0	0	2,50	2,50
	100%	-1.305	-95.647	28,40	0,68	1,09	37066	64946	215946	215946	0	0	2,50	2,50
sisma in -Y														
proporzionale alle masse														
	0%	-	-	VNR	VNR	0,00	0	0	0	0	0	0	0,00	0,00
	100%	-	-	VNR	VNR	0,00	0	0	0	0	0	0	0,00	0,00
proporzionale alla deformata 1° modo di vibrazione														
	0%	-	-	VNR	VNR	0,00	0	0	0	0	0	0	0,00	0,00
	100%	-	-	VNR	VNR	0,00	0	0	0	0	0	0	0,00	0,00
sisma in +X														
proporzionale alle masse														
Trave 25-26	0%	1.424	982	26,03	66,14	1,01	37066	64946	199339	199339	0	0	2,50	2,50
	100%	2.321	-16.007	15,97	4,06	1,03	37066	64946	203354	203354	0	0	2,50	2,50
proporzionale alla deformata 1° modo di vibrazione														
	0%	1.055	1.927	35,13	33,70	1,01	37066	64946	199862	199862	0	0	2,50	2,50
	100%	2.819	-15.660	13,15	4,15	1,03	37066	64946	203390	203390	0	0	2,50	2,50
sisma in -X														
proporzionale alle masse														
	0%	6.509	-11.218	5,69	5,79	1,00	37066	64946	198760	198760	0	0	2,50	2,50
	100%	-1.026	-21.782	36,13	2,98	1,03	37066	64946	204343	204343	0	0	2,50	2,50
proporzionale alla deformata 1° modo di vibrazione														
	0%	5.902	-12.638	6,28	5,14	1,00	37066	64946	198536	198536	0	0	2,50	2,50
	100%	-1.717	-23.244	21,59	2,79	1,04	37066	64946	204737	204737	0	0	2,50	2,50
sisma in +Y														
proporzionale alle masse														
	0%	-7.951	35.172	4,66	1,85	1,08	37066	64946	213249	213249	0	0	2,50	2,50
	100%	-111	6.047	NS	10,74	1,00	37066	64946	197788	197788	0	0	2,50	2,50
proporzionale alla deformata 1° modo di vibrazione														
	0%	-10.101	22.522	3,67	2,88	1,07	37066	64946	211061	211061	0	0	2,50	2,50
	100%	-381	4.943	97,29	13,14	1,00	37066	64946	198094	198094	0	0	2,50	2,50
sisma in -Y														
proporzionale alle masse														
	0%	-	-	VNR	VNR	0,00	0	0	0	0	0	0	0,00	0,00
	100%	-	-	VNR	VNR	0,00	0	0	0	0	0	0	0,00	0,00
proporzionale alla deformata 1° modo di vibrazione														
	0%	-	-	VNR	VNR	0,00	0	0	0	0	0	0	0,00	0,00
	100%	-	-	VNR	VNR	0,00	0	0	0	0	0	0	0,00	0,00
sisma in +X														
proporzionale alle masse														
Trave 26-33	0%	-74	32.003	NS	2,54	1,02	46332	81183	200954	200954	0	0	2,50	2,50
	100%	-74	-15.704	NS	5,17	1,02	46332	81183	200903	200903	0	0	2,50	2,50
proporzionale alla deformata 1° modo di vibrazione														
	0%	-48	31.815	NS	2,55	1,02	46332	81183	200771	200771	0	0	2,50	2,50
	100%	-48	-15.893	NS	5,11	1,01	46332	81183	200730	200730	0	0	2,50	2,50
sisma in -X														
proporzionale alle masse														
	0%	14	35.004	NS	2,32	1,03	46332	81183	202920	202920	0	0	2,50	2,50
	100%	14	-12.703	NS	6,39	1,03	46332	81183	202907	202907	0	0	2,50	2,50
proporzionale alla deformata 1° modo di vibrazione														
	0%	29	36.394	NS	2,23	1,03	46332	81183	203366	203366	0	0	2,50	2,50
	100%	29	-11.314	NS	7,18	1,03	46332	81183	203342	203342	0	0	2,50	2,50
sisma in +Y														
proporzionale alle masse														
	0%	-140	-173	NS	NS	1,02	46332	81183	201814	201814	0	0	2,50	2,50
	100%	-140	-47.881	NS	1,70	1,02	46332	81183	201683	201683	0	0	2,50	2,50
proporzionale alla deformata 1° modo di vibrazione														
	0%	-89	-141	NS	NS	1,02	46332	81183	201856	201856	0	0	2,50	2,50
	100%	-89	-47.849	NS	1,70	1,02	46332	81183	201774	201774	0	0	2,50	2,50
sisma in -Y														
proporzionale alle masse														
	0%	-	-	VNR	VNR	0,00	0	0	0	0	0	0	0,00	0,00
	100%	-	-	VNR	VNR	0,00	0	0	0	0	0	0	0,00	0,00
proporzionale alla deformata 1° modo di vibrazione														
	0%	-	-	VNR	VNR	0,00	0	0	0	0	0	0	0,00	0,00
	100%	-	-	VNR	VNR	0,00	0	0	0	0	0	0	0,00	0,00
sisma in +X														
proporzionale alle masse														
Trave 33-40	0%	24	41.898	NS	1,94	1,00	46332	81183	197776	197776	0	0	2,50	2,50
	100%	24	-36.343	NS	2,23	1,00	46332	81183	197776	197776	0	0	2,50	2,50
proporzionale alla deformata 1° modo di vibrazione														
	0%	12	41.554	NS	1,95	1,00	46332	81183	197776	197776	0	0	2,50	2,50
	100%	12	-36.687	NS	2,21	1,00	46332	81183	197776	197776	0	0	2,50	2,50
sisma in -X														
proporzionale alle masse														
	0%	201	44.081	NS	1,84	1,00	46332	81183	197776	197776	0	0	2,50	2,50
	100%	201	-34.160	NS	2,38	1,00	46332	81183	197776	197776	0	0	2,50	2,50
proporzionale alla deformata 1° modo di vibrazione														
	0%	217	44.153	NS	1,84	1,00	46332	81183	197776	197776	0	0	2,50	2,50
	100%	217	-34.088	NS	2,38	1,00	46332	81183	197776	197776	0	0	2,50	2,50
sisma in +Y														
proporzionale alle masse														

Id_{Tr}	$\%L_{LI}$	$V_{Ed,3}$	$V_{Ed,2}$	$CS^{(3)}$	$CS^{(2)}$	α_C	$V_{Rsd,s}{}^{(3)}$	$V_{Rsd,s}{}^{(2)}$	$V_{Rcd}{}^{(3)}$	$V_{Rcd}{}^{(2)}$	$V_{fd}{}^{(3)}$	$V_{fd}{}^{(2)}$	$Ctg\Theta^{(3)}$	$Ctg\Theta^{(2)}$
	[%]	[N]	[N]				[N]	[N]	[N]	[N]	[N]	[N]		
	0%	249	39.204	NS	2,07	1,00	46332	81183	198528	198528	0	0	2,50	2,50
	100%	249	-39.037	NS	2,08	1,00	46332	81183	198576	198576	0	0	2,50	2,50
proporzionale alla deformata 1° modo di vibrazione														
	0%	292	39.128	NS	2,07	1,00	46332	81183	198651	198651	0	0	2,50	2,50
	100%	292	-39.113	NS	2,08	1,00	46332	81183	198689	198689	0	0	2,50	2,50
sisma in -Y														
proporzionale alle masse														
	0%	-	-	VNR	VNR	0,00	0	0	0	0	0	0	0,00	0,00
	100%	-	-	VNR	VNR	0,00	0	0	0	0	0	0	0,00	0,00
proporzionale alla deformata 1° modo di vibrazione														
	0%	-	-	VNR	VNR	0,00	0	0	0	0	0	0	0,00	0,00
	100%	-	-	VNR	VNR	0,00	0	0	0	0	0	0	0,00	0,00
Piano terra								**Travata: Trave16-1b-P9-29-36-P13-2b**						
sisma in +X														
proporzionale alle masse														
Trave 16-1b	0%	-5.993	20.992	0,00	0,00	1,03	0	0	203776	203776	0	0	2,50	2,50
	100%	2.773	27.152	0,00	0,00	1,03	0	0	203383	203383	0	0	2,50	2,50
proporzionale alla deformata 1° modo di vibrazione														
	0%	-3.324	28.824	0,00	0,00	1,03	0	0	203542	203542	0	0	2,50	2,50
	100%	5.655	29.409	0,00	0,00	1,03	0	0	202525	202525	0	0	2,50	2,50
sisma in -X														
proporzionale alle masse														
	0%	13.748	-9.407	0,00	0,00	1,03	0	0	204302	204302	0	0	2,50	2,50
	100%	2.014	10.721	0,00	0,00	1,03	0	0	203058	203058	0	0	2,50	2,50
proporzionale alla deformata 1° modo di vibrazione														
	0%	15.825	125	0,00	0,00	1,04	0	0	205073	205073	0	0	2,50	2,50
	100%	-880	7.872	0,00	0,00	1,04	0	0	204767	204767	0	0	2,50	2,50
sisma in +Y														
proporzionale alle masse														
	0%	6.131	-55.037	0,00	0,00	1,00	0	0	197557	197557	0	0	2,50	2,50
	100%	509	12.706	0,00	0,00	1,00	0	0	197557	197557	0	0	2,50	2,50
proporzionale alla deformata 1° modo di vibrazione														
	0%	6.520	-70.854	0,00	0,00	1,00	0	0	197557	197557	0	0	2,50	2,50
	100%	-152	12.433	0,00	0,00	1,00	0	0	197557	197557	0	0	2,50	2,50
sisma in -Y														
proporzionale alle masse														
	0%	-	-	VNR	VNR	0,00	0	0	0	0	0	0	0,00	0,00
	100%	-	-	VNR	VNR	0,00	0	0	0	0	0	0	0,00	0,00
proporzionale alla deformata 1° modo di vibrazione														
	0%	-	-	VNR	VNR	0,00	0	0	0	0	0	0	0,00	0,00
	100%	-	-	VNR	VNR	0,00	0	0	0	0	0	0	0,00	0,00
sisma in +X														
proporzionale alle masse														
Trave 1b-P9	0%	-942	31.567	0,00	0,00	1,04	0	0	205125	205125	0	0	2,50	2,50
	100%	-3.086	21.079	0,00	0,00	1,03	0	0	202758	202758	0	0	2,50	2,50
proporzionale alla deformata 1° modo di vibrazione														
	0%	3.097	28.059	0,00	0,00	1,04	0	0	204618	204618	0	0	2,50	2,50
	100%	-134	19.514	0,00	0,00	1,03	0	0	202777	202777	0	0	2,50	2,50
sisma in -X														
proporzionale alle masse														
	0%	5.606	22.800	0,00	0,00	1,04	0	0	204935	204935	0	0	2,50	2,50
	100%	7.136	12.489	0,00	0,00	1,03	0	0	203281	203281	0	0	2,50	2,50
proporzionale alla deformata 1° modo di vibrazione														
	0%	4.161	26.209	0,00	0,00	1,04	0	0	206239	206239	0	0	2,50	2,50
	100%	5.206	16.017	0,00	0,00	1,03	0	0	204173	204173	0	0	2,50	2,50
sisma in +Y														
proporzionale alle masse														
	0%	-19	24.762	0,00	0,00	1,00	0	0	197557	197557	0	0	2,50	2,50
	100%	-579	20.510	0,00	0,00	1,00	0	0	197557	197557	0	0	2,50	2,50
proporzionale alla deformata 1° modo di vibrazione														
	0%	-1.075	28.987	0,00	0,00	1,00	0	0	197557	197557	0	0	2,50	2,50
	100%	-772	30.022	0,00	0,00	1,00	0	0	197557	197557	0	0	2,50	2,50
sisma in -Y														
proporzionale alle masse														
	0%	-	-	VNR	VNR	0,00	0	0	0	0	0	0	0,00	0,00
	100%	-	-	VNR	VNR	0,00	0	0	0	0	0	0	0,00	0,00
proporzionale alla deformata 1° modo di vibrazione														
	0%	-	-	VNR	VNR	0,00	0	0	0	0	0	0	0,00	0,00
	100%	-	-	VNR	VNR	0,00	0	0	0	0	0	0	0,00	0,00
sisma in +X														
proporzionale alle masse														
Trave P9-29	0%	441	26.611	NS	3,05	1,01	46243	81093	199177	199177	0	0	2,50	2,50
	100%	441	-17.727	NS	4,57	1,01	46243	81093	199013	199013	0	0	2,50	2,50
proporzionale alla deformata 1° modo di vibrazione														
	0%	549	26.694	84,23	3,04	1,01	46243	81093	199077	199077	0	0	2,50	2,50
	100%	549	-17.643	84,23	4,60	1,01	46243	81093	199044	199044	0	0	2,50	2,50
sisma in -X														
proporzionale alle masse														
	0%	-247	27.313	NS	2,97	1,01	46243	81093	200023	200023	0	0	2,50	2,50
	100%	-247	-17.025	NS	4,76	1,01	46243	81093	199990	199990	0	0	2,50	2,50
proporzionale alla deformata 1° modo di vibrazione														
	0%	-358	28.362	NS	2,86	1,01	46243	81093	200493	200493	0	0	2,50	2,50
	100%	-358	-15.975	NS	5,08	1,01	46243	81093	200462	200462	0	0	2,50	2,50
sisma in +Y														
proporzionale alle masse														
	0%	-14	-2.202	NS	36,83	1,00	46243	81093	198216	198216	0	0	2,50	2,50

Id_{Tr}	$\%L_{LI}$	$V_{Ed,3}$	$V_{Ed,2}$	$CS^{(3)}$	$CS^{(2)}$	α_C	$V_{Rsd,s}{}^{(3)}$	$V_{Rsd,s}{}^{(2)}$	$V_{Rcd}{}^{(3)}$	$V_{Rcd}{}^{(2)}$	$V_{fd}{}^{(3)}$	$V_{fd}{}^{(2)}$	$Ctg\Theta^{(3)}$	$Ctg\Theta^{(2)}$
	[%]	[N]	[N]				[N]	[N]	[N]	[N]	[N]	[N]		
	100%	-14	-46.540	NS	1,74	1,00	46243	81093	198203	198203	0	0	2,50	2,50
proporzionale alla deformata 1° modo di vibrazione														
	0%	-	-6.324	-	12,82	1,00	0	81093	0	198308	0	0	0,00	2,50
	100%	-	-50.661	-	1,60	1,00	0	81093	0	198297	0	0	0,00	2,50
sisma in -Y														
proporzionale alle masse														
	0%	-	-	VNR	VNR	0,00	0	0	0	0	0	0	0,00	0,00
	100%	-	-	VNR	VNR	0,00	0	0	0	0	0	0	0,00	0,00
proporzionale alla deformata 1° modo di vibrazione														
	0%	-	-	VNR	VNR	0,00	0	0	0	0	0	0	0,00	0,00
	100%	-	-	VNR	VNR	0,00	0	0	0	0	0	0	0,00	0,00
sisma in +X														
proporzionale alle masse														
Trave 29-36	0%	576	17.585	80,28	4,61	1,00	46243	81093	197557	197557	0	0	2,50	2,50
	100%	576	-10.176	80,28	7,97	1,00	46243	81093	197761	197761	0	0	2,50	2,50
proporzionale alla deformata 1° modo di vibrazione														
	0%	643	18.313	71,92	4,43	1,00	46243	81093	197557	197557	0	0	2,50	2,50
	100%	643	-9.449	71,92	8,58	1,00	46243	81093	197936	197936	0	0	2,50	2,50
sisma in -X														
proporzionale alle masse														
	0%	-89	16.202	NS	5,01	1,00	46243	81093	197861	197861	0	0	2,50	2,50
	100%	-89	-11.560	NS	7,01	1,00	46243	81093	198072	198072	0	0	2,50	2,50
proporzionale alla deformata 1° modo di vibrazione														
	0%	-184	15.503	NS	5,23	1,00	46243	81093	197719	197719	0	0	2,50	2,50
	100%	-184	-12.259	NS	6,61	1,00	46243	81093	197832	197832	0	0	2,50	2,50
sisma in +Y														
proporzionale alle masse														
	0%	190	-1.577	NS	51,42	1,03	46243	81093	202899	202899	0	0	2,50	2,50
	100%	190	-29.339	NS	2,76	1,02	46243	81093	202438	202438	0	0	2,50	2,50
proporzionale alla deformata 1° modo di vibrazione														
	0%	349	-2.012	NS	40,30	1,03	46243	81093	203280	203280	0	0	2,50	2,50
	100%	349	-29.774	NS	2,72	1,03	46243	81093	203097	203097	0	0	2,50	2,50
sisma in -Y														
proporzionale alle masse														
	0%	-	-	VNR	VNR	0,00	0	0	0	0	0	0	0,00	0,00
	100%	-	-	VNR	VNR	0,00	0	0	0	0	0	0	0,00	0,00
proporzionale alla deformata 1° modo di vibrazione														
	0%	-	-	VNR	VNR	0,00	0	0	0	0	0	0	0,00	0,00
	100%	-	-	VNR	VNR	0,00	0	0	0	0	0	0	0,00	0,00
sisma in +X														
proporzionale alle masse														
Trave 36-P13	0%	-541	-8.387	85,48	9,67	1,03	46243	81093	202979	202979	0	0	2,50	2,50
	100%	-541	-27.813	85,48	2,92	1,03	46243	81093	202938	202938	0	0	2,50	2,50
proporzionale alla deformata 1° modo di vibrazione														
	0%	-626	-6.549	73,87	12,38	1,02	46243	81093	202318	202318	0	0	2,50	2,50
	100%	-626	-25.974	73,87	3,12	1,02	46243	81093	202273	202273	0	0	2,50	2,50
sisma in -X														
proporzionale alle masse														
	0%	889	1.522	52,02	53,28	1,01	46243	81093	200503	200503	0	0	2,50	2,50
	100%	889	-17.904	52,02	4,53	1,01	46243	81093	200456	200456	0	0	2,50	2,50
proporzionale alla deformata 1° modo di vibrazione														
	0%	1.025	968	45,12	83,77	1,02	46243	81093	200620	200620	0	0	2,50	2,50
	100%	1.025	-18.458	45,12	4,39	1,02	46243	81093	200546	200546	0	0	2,50	2,50
sisma in +Y														
proporzionale alle masse														
	0%	-121	-95.653	NS	0,85	1,19	46243	81093	235950	235950	0	0	2,50	2,50
	100%	-121	-115.078	NS	0,70	1,20	46243	81093	236742	236742	0	0	2,50	2,50
proporzionale alla deformata 1° modo di vibrazione														
	0%	-59	-108.176	NS	0,75	1,22	46243	81093	241337	241337	0	0	2,50	2,50
	100%	-59	-127.601	NS	0,64	1,22	46243	81093	241321	241321	0	0	2,50	2,50
sisma in -Y														
proporzionale alle masse														
	0%	-	-	VNR	VNR	0,00	0	0	0	0	0	0	0,00	0,00
	100%	-	-	VNR	VNR	0,00	0	0	0	0	0	0	0,00	0,00
proporzionale alla deformata 1° modo di vibrazione														
	0%	-	-	VNR	VNR	0,00	0	0	0	0	0	0	0,00	0,00
	100%	-	-	VNR	VNR	0,00	0	0	0	0	0	0	0,00	0,00
sisma in +X														
proporzionale alle masse														
Trave P13-2b	0%	-10.322	5.708	0,00	0,00	1,04	0	0	204796	204796	0	0	2,50	2,50
	100%	-22.170	-20.688	0,00	0,00	1,03	0	0	203915	203915	0	0	2,50	2,50
proporzionale alla deformata 1° modo di vibrazione														
	0%	-13.871	1.296	0,00	0,00	1,03	0	0	204324	204324	0	0	2,50	2,50
	100%	-26.298	-24.594	0,00	0,00	1,03	0	0	204057	204057	0	0	2,50	2,50
sisma in -X														
proporzionale alle masse														
	0%	11.592	-2.187	0,00	0,00	1,02	0	0	202150	202150	0	0	2,50	2,50
	100%	19.149	-17.456	0,00	0,00	1,02	0	0	202310	202310	0	0	2,50	2,50
proporzionale alla deformata 1° modo di vibrazione														
	0%	14.020	-2.436	0,00	0,00	1,02	0	0	202244	202244	0	0	2,50	2,50
	100%	22.673	-18.166	0,00	0,00	1,02	0	0	202404	202404	0	0	2,50	2,50
sisma in +Y														
proporzionale alle masse														
	0%	639	83.098	0,00	0,00	1,25	0	0	247202	247202	0	0	2,50	2,50
	100%	5.191	3.204	0,00	0,00	1,17	0	0	230564	230564	0	0	2,50	2,50
proporzionale alla deformata 1° modo di vibrazione														

Id_{Tr}	$\%L_{LI}$	$V_{Ed,3}$	$V_{Ed,2}$	$CS^{(3)}$	$CS^{(2)}$	α_C	$V_{Rsd,s}{}^{(3)}$	$V_{Rsd,s}{}^{(2)}$	$V_{Rcd}{}^{(3)}$	$V_{Rcd}{}^{(2)}$	$V_{fd}{}^{(3)}$	$V_{fd}{}^{(2)}$	$Ctg\Theta^{(3)}$	$Ctg\Theta^{(2)}$
	[%]	[N]	[N]				[N]	[N]	[N]	[N]	[N]	[N]		
	0%	191	79.829	0,00	0,00	1,29	0	0	253917	253917	0	0	2,50	2,50
	100%	7.126	-9.850	0,00	0,00	1,21	0	0	238822	238822	0	0	2,50	2,50
sisma in -Y														
proporzionale alle masse														
	0%	-	-	VNR	VNR	0,00	0	0	0	0	0	0	0,00	0,00
	100%	-	-	VNR	VNR	0,00	0	0	0	0	0	0	0,00	0,00
proporzionale alla deformata 1° modo di vibrazione														
	0%	-	-	VNR	VNR	0,00	0	0	0	0	0	0	0,00	0,00
	100%	-	-	VNR	VNR	0,00	0	0	0	0	0	0	0,00	0,00
Piano terra								**Travata: Trave14-27-34-41**						
sisma in +X														
proporzionale alle masse														
Trave 14-27	0%	124	40.172	NS	2,03	1,00	46599	81450	199363	199363	0	0	2,50	2,50
	100%	124	-44.142	NS	1,85	1,00	46599	81450	199353	199353	0	0	2,50	2,50
proporzionale alla deformata 1° modo di vibrazione														
	0%	149	40.122	NS	2,03	1,00	46599	81450	199280	199280	0	0	2,50	2,50
	100%	149	-44.191	NS	1,84	1,00	46599	81450	199274	199274	0	0	2,50	2,50
sisma in -X														
proporzionale alle masse														
	0%	-44	40.878	NS	1,99	1,01	46599	81450	199770	199770	0	0	2,50	2,50
	100%	-44	-43.435	NS	1,88	1,01	46599	81450	199750	199750	0	0	2,50	2,50
proporzionale alla deformata 1° modo di vibrazione														
	0%	-69	40.977	NS	1,99	1,01	46599	81450	199797	199797	0	0	2,50	2,50
	100%	-69	-43.336	NS	1,88	1,01	46599	81450	199782	199782	0	0	2,50	2,50
sisma in +Y														
proporzionale alle masse														
	0%	24	31.805	NS	2,56	1,00	46599	81450	198426	198426	0	0	2,50	2,50
	100%	24	-52.509	NS	1,55	1,00	46599	81450	198445	198445	0	0	2,50	2,50
proporzionale alla deformata 1° modo di vibrazione														
	0%	29	30.885	NS	2,64	1,00	46599	81450	198426	198426	0	0	2,50	2,50
	100%	29	-53.428	NS	1,52	1,00	46599	81450	198426	198426	0	0	2,50	2,50
sisma in -Y														
proporzionale alle masse														
	0%	-	-	VNR	VNR	0,00	0	0	0	0	0	0	0,00	0,00
	100%	-	-	VNR	VNR	0,00	0	0	0	0	0	0	0,00	0,00
proporzionale alla deformata 1° modo di vibrazione														
	0%	-	-	VNR	VNR	0,00	0	0	0	0	0	0	0,00	0,00
	100%	-	-	VNR	VNR	0,00	0	0	0	0	0	0	0,00	0,00
sisma in +X														
proporzionale alle masse														
Trave 27-34	0%	-197	27.573	NS	2,95	1,03	46599	81450	204640	204640	0	0	2,50	2,50
	100%	-197	-10.393	NS	7,84	1,03	46599	81450	204621	204621	0	0	2,50	2,50
proporzionale alla deformata 1° modo di vibrazione														
	0%	-258	27.908	NS	2,92	1,03	46599	81450	204668	204668	0	0	2,50	2,50
	100%	-258	-10.058	NS	8,10	1,03	46599	81450	204643	204643	0	0	2,50	2,50
sisma in -X														
proporzionale alle masse														
	0%	148	26.411	NS	3,08	1,03	46599	81450	205003	205003	0	0	2,50	2,50
	100%	148	-11.555	NS	7,05	1,03	46599	81450	205004	205004	0	0	2,50	2,50
proporzionale alla deformata 1° modo di vibrazione														
	0%	227	26.512	NS	3,07	1,03	46599	81450	205006	205006	0	0	2,50	2,50
	100%	227	-11.454	NS	7,11	1,03	46599	81450	204995	204995	0	0	2,50	2,50
sisma in +Y														
proporzionale alle masse														
	0%	-48	13.623	NS	5,98	1,04	46599	81450	206519	206519	0	0	2,50	2,50
	100%	-48	-24.343	NS	3,35	1,04	46599	81450	206873	206873	0	0	2,50	2,50
proporzionale alla deformata 1° modo di vibrazione														
	0%	135	13.025	NS	6,25	1,04	46599	81450	206953	206953	0	0	2,50	2,50
	100%	135	-24.941	NS	3,27	1,04	46599	81450	207096	207096	0	0	2,50	2,50
sisma in -Y														
proporzionale alle masse														
	0%	-	-	VNR	VNR	0,00	0	0	0	0	0	0	0,00	0,00
	100%	-	-	VNR	VNR	0,00	0	0	0	0	0	0	0,00	0,00
proporzionale alla deformata 1° modo di vibrazione														
	0%	-	-	VNR	VNR	0,00	0	0	0	0	0	0	0,00	0,00
	100%	-	-	VNR	VNR	0,00	0	0	0	0	0	0	0,00	0,00
sisma in +X														
proporzionale alle masse														
Trave 34-41	0%	-122	43.264	NS	1,88	1,00	46599	81450	198426	198426	0	0	2,50	2,50
	100%	-122	-33.285	NS	2,45	1,00	46599	81450	198426	198426	0	0	2,50	2,50
proporzionale alla deformata 1° modo di vibrazione														
	0%	-159	43.108	NS	1,89	1,00	46599	81450	198426	198426	0	0	2,50	2,50
	100%	-159	-33.441	NS	2,44	1,00	46599	81450	198426	198426	0	0	2,50	2,50
sisma in -X														
proporzionale alle masse														
	0%	130	43.798	NS	1,86	1,00	46599	81450	198426	198426	0	0	2,50	2,50
	100%	130	-32.751	NS	2,49	1,00	46599	81450	198426	198426	0	0	2,50	2,50
proporzionale alla deformata 1° modo di vibrazione														
	0%	171	43.744	NS	1,86	1,00	46599	81450	198426	198426	0	0	2,50	2,50
	100%	171	-32.805	NS	2,48	1,00	46599	81450	198426	198426	0	0	2,50	2,50
sisma in +Y														
proporzionale alle masse														
	0%	-34	38.796	NS	2,10	1,00	46599	81450	198426	198426	0	0	2,50	2,50
	100%	-34	-37.753	NS	2,16	1,00	46599	81450	198426	198426	0	0	2,50	2,50
proporzionale alla deformata 1° modo di vibrazione														
	0%	-26	38.456	NS	2,12	1,00	46599	81450	198426	198426	0	0	2,50	2,50

Id_{Tr}	$\%L_{LI}$	$V_{Ed,3}$	$V_{Ed,2}$	$CS^{(3)}$	$CS^{(2)}$	α_C	$V_{Rsd,s}{}^{(3)}$	$V_{Rsd,s}{}^{(2)}$	$V_{Rcd}{}^{(3)}$	$V_{Rcd}{}^{(2)}$	$V_{fd}{}^{(3)}$	$V_{fd}{}^{(2)}$	$Ctg\Theta^{(3)}$	$Ctg\Theta^{(2)}$
	[%]	[N]	[N]				[N]	[N]	[N]	[N]	[N]	[N]		
	100%	-26	-38.093	NS	2,14	1,00	46599	81450	198426	198426	0	0	2,50	2,50
sisma in -Y														
proporzionale alle masse														
	0%	-	-	VNR	VNR	0,00	0	0	0	0	0	0	0,00	0,00
	100%	-	-	VNR	VNR	0,00	0	0	0	0	0	0	0,00	0,00
proporzionale alla deformata 1° modo di vibrazione														
	0%	-	-	VNR	VNR	0,00	0	0	0	0	0	0	0,00	0,00
	100%	-	-	VNR	VNR	0,00	0	0	0	0	0	0	0,00	0,00
Piano terra								**Travata: Trave15-28-35-42**						
sisma in +X														
proporzionale alle masse														
Trave 15-28	0%	-149	33.769	NS	2,41	1,00	46599	81450	199385	199385	0	0	2,50	2,50
	100%	-149	-34.423	NS	2,37	1,00	46599	81450	199336	199336	0	0	2,50	2,50
proporzionale alla deformata 1° modo di vibrazione														
	0%	-166	33.759	NS	2,41	1,00	46599	81450	199270	199270	0	0	2,50	2,50
	100%	-166	-34.433	NS	2,37	1,00	46599	81450	199238	199238	0	0	2,50	2,50
sisma in -X														
proporzionale alle masse														
	0%	-47	32.781	NS	2,48	1,01	46599	81450	199578	199578	0	0	2,50	2,50
	100%	-47	-35.410	NS	2,30	1,01	46599	81450	199543	199543	0	0	2,50	2,50
proporzionale alla deformata 1° modo di vibrazione														
	0%	-31	32.867	NS	2,48	1,01	46599	81450	199625	199625	0	0	2,50	2,50
	100%	-31	-35.324	NS	2,31	1,01	46599	81450	199605	199605	0	0	2,50	2,50
sisma in +Y														
proporzionale alle masse														
	0%	5	23.455	NS	3,47	1,00	46599	81450	198426	198426	0	0	2,50	2,50
	100%	5	-44.736	NS	1,82	1,00	46599	81450	198426	198426	0	0	2,50	2,50
proporzionale alla deformata 1° modo di vibrazione														
	0%	-7	22.209	NS	3,67	1,00	46599	81450	198426	198426	0	0	2,50	2,50
	100%	-7	-45.982	NS	1,77	1,00	46599	81450	198426	198426	0	0	2,50	2,50
sisma in -Y														
proporzionale alle masse														
	0%	-	-	VNR	VNR	0,00	0	0	0	0	0	0	0,00	0,00
	100%	-	-	VNR	VNR	0,00	0	0	0	0	0	0	0,00	0,00
proporzionale alla deformata 1° modo di vibrazione														
	0%	-	-	VNR	VNR	0,00	0	0	0	0	0	0	0,00	0,00
	100%	-	-	VNR	VNR	0,00	0	0	0	0	0	0	0,00	0,00
sisma in +X														
proporzionale alle masse														
Trave 28-35	0%	432	21.853	NS	3,73	1,02	46599	81450	202934	202934	0	0	2,50	2,50
	100%	432	-8.837	NS	9,22	1,02	46599	81450	202908	202908	0	0	2,50	2,50
proporzionale alla deformata 1° modo di vibrazione														
	0%	497	22.338	93,76	3,65	1,02	46599	81450	202952	202952	0	0	2,50	2,50
	100%	497	-8.352	93,76	9,75	1,02	46599	81450	202904	202904	0	0	2,50	2,50
sisma in -X														
proporzionale alle masse														
	0%	-55	20.753	NS	3,92	1,03	46599	81450	203940	203940	0	0	2,50	2,50
	100%	-55	-9.937	NS	8,20	1,03	46599	81450	203959	203959	0	0	2,50	2,50
proporzionale alla deformata 1° modo di vibrazione														
	0%	-69	20.671	NS	3,94	1,03	46599	81450	203934	203934	0	0	2,50	2,50
	100%	-69	-10.019	NS	8,13	1,03	46599	81450	203928	203928	0	0	2,50	2,50
sisma in +Y														
proporzionale alle masse														
	0%	-67	8.757	NS	9,30	1,04	46599	81450	205696	205696	0	0	2,50	2,50
	100%	-67	-21.933	NS	3,71	1,04	46599	81450	205862	205862	0	0	2,50	2,50
proporzionale alla deformata 1° modo di vibrazione														
	0%	118	7.614	NS	10,70	1,04	46599	81450	206109	206109	0	0	2,50	2,50
	100%	118	-23.076	NS	3,53	1,04	46599	81450	206189	206189	0	0	2,50	2,50
sisma in -Y														
proporzionale alle masse														
	0%	-	-	VNR	VNR	0,00	0	0	0	0	0	0	0,00	0,00
	100%	-	-	VNR	VNR	0,00	0	0	0	0	0	0	0,00	0,00
proporzionale alla deformata 1° modo di vibrazione														
	0%	-	-	VNR	VNR	0,00	0	0	0	0	0	0	0,00	0,00
	100%	-	-	VNR	VNR	0,00	0	0	0	0	0	0	0,00	0,00
sisma in +X														
proporzionale alle masse														
Trave 35-42	0%	-132	33.533	NS	2,43	1,00	46599	81450	198426	198426	0	0	2,50	2,50
	100%	-132	-28.388	NS	2,87	1,00	46599	81450	198426	198426	0	0	2,50	2,50
proporzionale alla deformata 1° modo di vibrazione														
	0%	-174	33.418	NS	2,44	1,00	46599	81450	198426	198426	0	0	2,50	2,50
	100%	-174	-28.503	NS	2,86	1,00	46599	81450	198426	198426	0	0	2,50	2,50
sisma in -X														
proporzionale alle masse														
	0%	222	35.149	NS	2,32	1,00	46599	81450	198426	198426	0	0	2,50	2,50
	100%	222	-26.773	NS	3,04	1,00	46599	81450	198426	198426	0	0	2,50	2,50
proporzionale alla deformata 1° modo di vibrazione														
	0%	276	35.062	NS	2,32	1,00	46599	81450	198426	198426	0	0	2,50	2,50
	100%	276	-26.859	NS	3,03	1,00	46599	81450	198426	198426	0	0	2,50	2,50
sisma in +Y														
proporzionale alle masse														
	0%	171	29.601	NS	2,75	1,00	46599	81450	199169	199169	0	0	2,50	2,50
	100%	171	-32.320	NS	2,52	1,00	46599	81450	199281	199281	0	0	2,50	2,50
proporzionale alla deformata 1° modo di vibrazione														
	0%	184	29.063	NS	2,80	1,01	46599	81450	199523	199523	0	0	2,50	2,50
	100%	184	-32.858	NS	2,48	1,01	46599	81450	199649	199649	0	0	2,50	2,50

Id_{Tr}	$\%L_{LI}$	$V_{Ed,3}$	$V_{Ed,2}$	$CS^{(3)}$	$CS^{(2)}$	α_C	$V_{Rsd,s}{}^{(3)}$	$V_{Rsd,s}{}^{(2)}$	$V_{Rcd}{}^{(3)}$	$V_{Rcd}{}^{(2)}$	$V_{fd}{}^{(3)}$	$V_{fd}{}^{(2)}$	$Ctg\Theta^{(3)}$	$Ctg\Theta^{(2)}$
	[%]	[N]	[N]				[N]	[N]	[N]	[N]	[N]	[N]		
sisma in -Y														
proporzionale alle masse														
	0%	-	-	VNR	VNR	0,00	0	0	0	0	0	0	0,00	0,00
	100%	-	-	VNR	VNR	0,00	0	0	0	0	0	0	0,00	0,00
proporzionale alla deformata 1° modo di vibrazione														
	0%	-	-	VNR	VNR	0,00	0	0	0	0	0	0	0,00	0,00
	100%	-	-	VNR	VNR	0,00	0	0	0	0	0	0	0,00	0,00
Piano terra								**Travata: Trave24-32-39**						
sisma in +X														
proporzionale alle masse														
Trave 24-32	0%	125	35.041	NS	2,32	1,00	46576	81426	198368	198368	0	0	2,50	2,50
	100%	125	-38.210	NS	2,13	1,00	46576	81426	198368	198368	0	0	2,50	2,50
proporzionale alla deformata 1° modo di vibrazione														
	0%	130	34.997	NS	2,33	1,00	46576	81426	198368	198368	0	0	2,50	2,50
	100%	130	-38.253	NS	2,13	1,00	46576	81426	198368	198368	0	0	2,50	2,50
sisma in -X														
proporzionale alle masse														
	0%	48	35.137	NS	2,32	1,00	46576	81426	198368	198368	0	0	2,50	2,50
	100%	48	-38.113	NS	2,14	1,00	46576	81426	198368	198368	0	0	2,50	2,50
proporzionale alla deformata 1° modo di vibrazione														
	0%	39	35.223	NS	2,31	1,00	46576	81426	198368	198368	0	0	2,50	2,50
	100%	39	-38.027	NS	2,14	1,00	46576	81426	198368	198368	0	0	2,50	2,50
sisma in +Y														
proporzionale alle masse														
	0%	173	29.945	NS	2,72	1,00	46576	81426	198480	198480	0	0	2,50	2,50
	100%	173	-43.305	NS	1,88	1,00	46576	81426	198582	198582	0	0	2,50	2,50
proporzionale alla deformata 1° modo di vibrazione														
	0%	171	30.013	NS	2,71	1,00	46576	81426	198409	198409	0	0	2,50	2,50
	100%	171	-43.238	NS	1,88	1,00	46576	81426	198470	198470	0	0	2,50	2,50
sisma in -Y														
proporzionale alle masse														
	0%	-	-	VNR	VNR	0,00	0	0	0	0	0	0	0,00	0,00
	100%	-	-	VNR	VNR	0,00	0	0	0	0	0	0	0,00	0,00
proporzionale alla deformata 1° modo di vibrazione														
	0%	-	-	VNR	VNR	0,00	0	0	0	0	0	0	0,00	0,00
	100%	-	-	VNR	VNR	0,00	0	0	0	0	0	0	0,00	0,00
sisma in +X														
proporzionale alle masse														
Trave 32-39	0%	-89	38.005	NS	2,14	1,00	46576	81426	198368	198368	0	0	2,50	2,50
	100%	-89	-25.736	NS	3,16	1,00	46576	81426	198368	198368	0	0	2,50	2,50
proporzionale alla deformata 1° modo di vibrazione														
	0%	-118	37.801	NS	2,15	1,00	46576	81426	198368	198368	0	0	2,50	2,50
	100%	-118	-25.941	NS	3,14	1,00	46576	81426	198368	198368	0	0	2,50	2,50
sisma in -X														
proporzionale alle masse														
	0%	78	37.737	NS	2,16	1,00	46576	81426	198429	198429	0	0	2,50	2,50
	100%	78	-26.005	NS	3,13	1,00	46576	81426	198409	198409	0	0	2,50	2,50
proporzionale alla deformata 1° modo di vibrazione														
	0%	116	37.861	NS	2,15	1,00	46576	81426	198450	198450	0	0	2,50	2,50
	100%	116	-25.880	NS	3,15	1,00	46576	81426	198441	198441	0	0	2,50	2,50
sisma in +Y														
proporzionale alle masse														
	0%	-98	32.522	NS	2,50	1,00	46576	81426	198768	198768	0	0	2,50	2,50
	100%	-98	-31.219	NS	2,61	1,00	46576	81426	198849	198849	0	0	2,50	2,50
proporzionale alla deformata 1° modo di vibrazione														
	0%	-57	32.758	NS	2,49	1,00	46576	81426	198768	198768	0	0	2,50	2,50
	100%	-57	-30.984	NS	2,63	1,00	46576	81426	198829	198829	0	0	2,50	2,50
sisma in -Y														
proporzionale alle masse														
	0%	-	-	VNR	VNR	0,00	0	0	0	0	0	0	0,00	0,00
	100%	-	-	VNR	VNR	0,00	0	0	0	0	0	0	0,00	0,00
proporzionale alla deformata 1° modo di vibrazione														
	0%	-	-	VNR	VNR	0,00	0	0	0	0	0	0	0,00	0,00
	100%	-	-	VNR	VNR	0,00	0	0	0	0	0	0	0,00	0,00
Piano terra								**Travata: Trave3b-43**						
sisma in +X														
proporzionale alle masse														
Trave 3b-43	0%	9.344	-26.944	5,00	3,03	1,02	46700	81551	202248	202248	0	0	2,50	2,50
	100%	-1.123	-17.978	41,59	4,54	1,06	46700	81551	210636	210636	0	0	2,50	2,50
proporzionale alla deformata 1° modo di vibrazione														
	0%	9.227	-31.062	5,06	2,63	1,02	46700	81551	202624	202624	0	0	2,50	2,50
	100%	-5.425	-22.980	8,61	3,55	1,07	46700	81551	212131	212131	0	0	2,50	2,50
sisma in -X														
proporzionale alle masse														
	0%	-13.341	-6.894	3,50	11,83	1,01	46700	81551	200488	200488	0	0	2,50	2,50
	100%	-3.051	-2.423	15,31	33,66	1,00	46700	81551	199522	199522	0	0	2,50	2,50
proporzionale alla deformata 1° modo di vibrazione														
	0%	-13.545	-7.570	3,45	10,77	1,01	46700	81551	200480	200480	0	0	2,50	2,50
	100%	-2.346	-3.995	19,91	20,41	1,00	46700	81551	199607	199607	0	0	2,50	2,50
sisma in +Y														
proporzionale alle masse														
	0%	7.396	-16.241	6,31	5,02	1,01	46700	81551	200941	200941	0	0	2,50	2,50
	100%	-6.702	5.325	6,97	15,31	1,00	46700	81551	198933	198933	0	0	2,50	2,50
proporzionale alla deformata 1° modo di vibrazione														
	0%	4.991	-36.156	9,36	2,26	1,02	46700	81551	202457	202457	0	0	2,50	2,50
	100%	-4.021	2.174	11,61	37,51	1,00	46700	81551	199236	199236	0	0	2,50	2,50

Id_{Tr}	$\%L_{LI}$	$V_{Ed,3}$	$V_{Ed,2}$	$CS^{(3)}$	$CS^{(2)}$	α_C	$V_{Rsd,s}{}^{(3)}$	$V_{Rsd,s}{}^{(2)}$	$V_{Rcd}{}^{(3)}$	$V_{Rcd}{}^{(2)}$	$V_{fd}{}^{(3)}$	$V_{fd}{}^{(2)}$	$Ctg\Theta^{(3)}$	$Ctg\Theta^{(2)}$
	[%]	[N]	[N]				[N]	[N]	[N]	[N]	[N]	[N]		
sisma in -Y														
proporzionale alle masse														
	0%	-	-	VNR	VNR	0,00	0	0	0	0	0	0	0,00	0,00
	100%	-	-	VNR	VNR	0,00	0	0	0	0	0	0	0,00	0,00
proporzionale alla deformata 1° modo di vibrazione														
	0%	-	-	VNR	VNR	0,00	0	0	0	0	0	0	0,00	0,00
	100%	-	-	VNR	VNR	0,00	0	0	0	0	0	0	0,00	0,00
Piano interrato								**Travata: Trave1-2-P1-3**						
sisma in +X														
proporzionale alle masse														
Trave 1-2	0%	7.946	-29.955	6,29	1,75	1,01	49953	52276	80639	80639	0	0	2,50	2,50
	100%	-4.246	-7.465	11,76	7,00	1,02	49953	52276	81400	81400	0	0	2,50	2,50
proporzionale alla deformata 1° modo di vibrazione														
	0%	6.562	-30.731	7,61	1,70	1,02	49953	52276	80826	80826	0	0	2,50	2,50
	100%	-4.477	-11.017	11,16	4,75	1,03	49953	52276	82166	82166	0	0	2,50	2,50
sisma in -X														
proporzionale alle masse														
	0%	-1.403	12.016	35,60	4,35	1,04	49953	52276	82602	82602	0	0	2,50	2,50
	100%	-13.510	19.534	3,70	2,68	1,01	49953	52276	80616	80616	0	0	2,50	2,50
proporzionale alla deformata 1° modo di vibrazione														
	0%	-1.011	14.939	49,41	3,50	1,05	49953	52276	83393	83393	0	0	2,50	2,50
	100%	-13.137	20.661	3,80	2,53	1,01	49953	52276	80709	80709	0	0	2,50	2,50
sisma in +Y														
proporzionale alle masse														
	0%	-8.358	3.187	5,98	16,40	1,01	49953	52276	80495	80495	0	0	2,50	2,50
	100%	1.560	-816	32,02	64,06	1,01	49953	52276	80146	80146	0	0	2,50	2,50
proporzionale alla deformata 1° modo di vibrazione														
	0%	-5.632	-12	8,87	NS	1,01	49953	52276	80003	80003	0	0	2,50	2,50
	100%	-631	-3.523	79,16	14,84	1,01	49953	52276	80698	80698	0	0	2,50	2,50
sisma in -Y														
proporzionale alle masse														
	0%	-	-	VNR	VNR	0,00	0	0	0	0	0	0	0,00	0,00
	100%	-	-	VNR	VNR	0,00	0	0	0	0	0	0	0,00	0,00
proporzionale alla deformata 1° modo di vibrazione														
	0%	-	-	VNR	VNR	0,00	0	0	0	0	0	0	0,00	0,00
	100%	-	-	VNR	VNR	0,00	0	0	0	0	0	0	0,00	0,00
sisma in +X														
proporzionale alle masse														
Trave 2-P1	0%	-5	1.220	NS	42,85	1,04	49953	52276	82487	82487	0	0	2,50	2,50
	100%	-5	-10.087	NS	5,18	1,03	49953	52276	82376	82376	0	0	2,50	2,50
proporzionale alla deformata 1° modo di vibrazione														
	0%	13	1.170	NS	44,68	1,04	49953	52276	82491	82491	0	0	2,50	2,50
	100%	13	-10.136	NS	5,16	1,04	49953	52276	82401	82401	0	0	2,50	2,50
sisma in -X														
proporzionale alle masse														
	0%	121	9.791	NS	5,34	1,04	49953	52276	82894	82894	0	0	2,50	2,50
	100%	121	-1.515	NS	34,51	1,04	49953	52276	83011	83011	0	0	2,50	2,50
proporzionale alla deformata 1° modo di vibrazione														
	0%	115	9.584	NS	5,45	1,04	49953	52276	82660	82660	0	0	2,50	2,50
	100%	115	-1.723	NS	30,34	1,04	49953	52276	82842	82842	0	0	2,50	2,50
sisma in +Y														
proporzionale alle masse														
	0%	11	5.237	NS	9,98	1,01	49953	52276	80609	80609	0	0	2,50	2,50
	100%	11	-6.069	NS	8,61	1,01	49953	52276	80591	80591	0	0	2,50	2,50
proporzionale alla deformata 1° modo di vibrazione														
	0%	8	4.342	NS	12,04	1,01	49953	52276	80641	80641	0	0	2,50	2,50
	100%	8	-6.964	NS	7,51	1,01	49953	52276	80712	80712	0	0	2,50	2,50
sisma in -Y														
proporzionale alle masse														
	0%	-	-	VNR	VNR	0,00	0	0	0	0	0	0	0,00	0,00
	100%	-	-	VNR	VNR	0,00	0	0	0	0	0	0	0,00	0,00
proporzionale alla deformata 1° modo di vibrazione														
	0%	-	-	VNR	VNR	0,00	0	0	0	0	0	0	0,00	0,00
	100%	-	-	VNR	VNR	0,00	0	0	0	0	0	0	0,00	0,00
sisma in +X														
proporzionale alle masse														
Trave P1-3	0%	512	-23.770	0,00	0,00	1,07	0	0	85244	85244	0	0	2,50	2,50
	100%	-1.200	1.209	0,00	0,00	1,01	0	0	80226	80226	0	0	2,50	2,50
proporzionale alla deformata 1° modo di vibrazione														
	0%	826	-23.760	0,00	0,00	1,09	0	0	86640	86640	0	0	2,50	2,50
	100%	-1.387	-673	0,00	0,00	1,02	0	0	81005	81005	0	0	2,50	2,50
sisma in -X														
proporzionale alle masse														
	0%	-494	-1.142	0,00	0,00	1,00	0	0	79865	79865	0	0	2,50	2,50
	100%	-10.311	18.833	0,00	0,00	1,01	0	0	80732	80732	0	0	2,50	2,50
proporzionale alla deformata 1° modo di vibrazione														
	0%	-383	-1.716	0,00	0,00	1,01	0	0	80561	80561	0	0	2,50	2,50
	100%	-9.482	19.476	0,00	0,00	1,01	0	0	80645	80645	0	0	2,50	2,50
sisma in +Y														
proporzionale alle masse														
	0%	887	2.422	0,00	0,00	1,01	0	0	80767	80767	0	0	2,50	2,50
	100%	7.575	-2.685	0,00	0,00	1,01	0	0	80626	80626	0	0	2,50	2,50
proporzionale alla deformata 1° modo di vibrazione														
	0%	1.382	-2.279	0,00	0,00	1,03	0	0	81715	81715	0	0	2,50	2,50
	100%	4.753	-670	0,00	0,00	1,01	0	0	80308	80308	0	0	2,50	2,50
sisma in -Y														

Id_{Tr}	$\%L_{LI}$	$V_{Ed,3}$	$V_{Ed,2}$	$CS^{(3)}$	$CS^{(2)}$	α_C	$V_{Rsd,s}{}^{(3)}$	$V_{Rsd,s}{}^{(2)}$	$V_{Rcd}{}^{(3)}$	$V_{Rcd}{}^{(2)}$	$V_{fd}{}^{(3)}$	$V_{fd}{}^{(2)}$	$Ctg\Theta^{(3)}$	$Ctg\Theta^{(2)}$
	[%]	[N]	[N]				[N]	[N]	[N]	[N]	[N]	[N]		
proporzionale alle masse														
	0%	-	-	VNR	VNR	0,00	0	0	0	0	0	0	0,00	0,00
	100%	-	-	VNR	VNR	0,00	0	0	0	0	0	0	0,00	0,00
proporzionale alla deformata 1° modo di vibrazione														
	0%	-	-	VNR	VNR	0,00	0	0	0	0	0	0	0,00	0,00
	100%	-	-	VNR	VNR	0,00	0	0	0	0	0	0	0,00	0,00
Piano interrato								**Travata: Trave13-P4-14-15-P5-16**						
sisma in +X														
proporzionale alle masse														
Trave 13-P4	0%	6.517	-25.798	0,00	0,00	1,00	0	0	176740	176740	0	0	2,50	2,50
	100%	-4.841	5.923	0,00	0,00	1,00	0	0	176975	176975	0	0	2,50	2,50
proporzionale alla deformata 1° modo di vibrazione														
	0%	2.868	-34.517	0,00	0,00	1,01	0	0	177784	177784	0	0	2,50	2,50
	100%	-4.111	10.995	0,00	0,00	1,01	0	0	177342	177342	0	0	2,50	2,50
sisma in -X														
proporzionale alle masse														
	0%	4.864	-23.324	0,00	0,00	1,04	0	0	184038	184038	0	0	2,50	2,50
	100%	-5.367	-25.938	0,00	0,00	1,13	0	0	200186	200186	0	0	2,50	2,50
proporzionale alla deformata 1° modo di vibrazione														
	0%	4.210	-34.471	0,00	0,00	1,07	0	0	188088	188088	0	0	2,50	2,50
	100%	-4.002	-8.875	0,00	0,00	1,14	0	0	200866	200866	0	0	2,50	2,50
sisma in +Y														
proporzionale alle masse														
	0%	-19.561	-21.278	0,00	0,00	1,01	0	0	178132	178132	0	0	2,50	2,50
	100%	-6.692	-13.228	0,00	0,00	1,04	0	0	184124	184124	0	0	2,50	2,50
proporzionale alla deformata 1° modo di vibrazione														
	0%	-18.926	-21.125	0,00	0,00	1,01	0	0	178084	178084	0	0	2,50	2,50
	100%	-7.040	-12.086	0,00	0,00	1,04	0	0	183540	183540	0	0	2,50	2,50
sisma in -Y														
proporzionale alle masse														
	0%	-	-	VNR	VNR	0,00	0	0	0	0	0	0	0,00	0,00
	100%	-	-	VNR	VNR	0,00	0	0	0	0	0	0	0,00	0,00
proporzionale alla deformata 1° modo di vibrazione														
	0%	-	-	VNR	VNR	0,00	0	0	0	0	0	0	0,00	0,00
	100%	-	-	VNR	VNR	0,00	0	0	0	0	0	0	0,00	0,00
sisma in +X														
proporzionale alle masse														
Trave P4-14	0%	-118	13.128	NS	5,52	1,03	46277	72415	181731	181731	0	0	2,50	2,50
	100%	-118	-42.566	NS	1,70	1,03	46277	72415	181155	181155	0	0	2,50	2,50
proporzionale alla deformata 1° modo di vibrazione														
	0%	-108	12.915	NS	5,61	1,03	46277	72415	181306	181306	0	0	2,50	2,50
	100%	-108	-42.779	NS	1,69	1,03	46277	72415	180878	180878	0	0	2,50	2,50
sisma in -X														
proporzionale alle masse														
	0%	-73	45.440	NS	1,59	1,06	46277	72415	186599	186599	0	0	2,50	2,50
	100%	-73	-10.254	NS	7,06	1,06	46277	72415	187096	187096	0	0	2,50	2,50
proporzionale alla deformata 1° modo di vibrazione														
	0%	-68	44.949	NS	1,61	1,06	46277	72415	186345	186345	0	0	2,50	2,50
	100%	-68	-10.745	NS	6,74	1,06	46277	72415	186854	186854	0	0	2,50	2,50
sisma in +Y														
proporzionale alle masse														
	0%	-136	28.617	NS	2,53	1,01	46277	72415	178632	178632	0	0	2,50	2,50
	100%	-136	-27.077	NS	2,67	1,01	46277	72415	178643	178643	0	0	2,50	2,50
proporzionale alla deformata 1° modo di vibrazione														
	0%	-123	27.812	NS	2,60	1,01	46277	72415	178473	178473	0	0	2,50	2,50
	100%	-123	-27.882	NS	2,60	1,01	46277	72415	178490	178490	0	0	2,50	2,50
sisma in -Y														
proporzionale alle masse														
	0%	-	-	VNR	VNR	0,00	0	0	0	0	0	0	0,00	0,00
	100%	-	-	VNR	VNR	0,00	0	0	0	0	0	0	0,00	0,00
proporzionale alla deformata 1° modo di vibrazione														
	0%	-	-	VNR	VNR	0,00	0	0	0	0	0	0	0,00	0,00
	100%	-	-	VNR	VNR	0,00	0	0	0	0	0	0	0,00	0,00
sisma in +X														
proporzionale alle masse														
Trave 14-15	0%	-122	4.339	NS	16,69	1,05	46277	72415	184550	184550	0	0	2,50	2,50
	100%	-122	-35.517	NS	2,04	1,04	46277	72415	183730	183730	0	0	2,50	2,50
proporzionale alla deformata 1° modo di vibrazione														
	0%	-141	4.978	NS	14,55	1,04	46277	72415	183787	183787	0	0	2,50	2,50
	100%	-141	-34.878	NS	2,08	1,04	46277	72415	183350	183350	0	0	2,50	2,50
sisma in -X														
proporzionale alle masse														
	0%	108	42.096	NS	1,72	1,06	46277	72415	187724	187724	0	0	2,50	2,50
	100%	108	2.239	NS	32,34	1,06	46277	72415	187849	187849	0	0	2,50	2,50
proporzionale alla deformata 1° modo di vibrazione														
	0%	112	41.418	NS	1,75	1,06	46277	72415	187507	187507	0	0	2,50	2,50
	100%	112	1.562	NS	46,36	1,06	46277	72415	187626	187626	0	0	2,50	2,50
sisma in +Y														
proporzionale alle masse														
	0%	47	22.680	NS	3,19	1,01	46277	72415	178710	178710	0	0	2,50	2,50
	100%	47	-17.177	NS	4,22	1,01	46277	72415	178672	178672	0	0	2,50	2,50
proporzionale alla deformata 1° modo di vibrazione														
	0%	31	21.242	NS	3,41	1,01	46277	72415	178333	178333	0	0	2,50	2,50
	100%	31	-18.615	NS	3,89	1,01	46277	72415	178349	178349	0	0	2,50	2,50
sisma in -Y														
proporzionale alle masse														

Id_{Tr}	$\%L_{LI}$	$V_{Ed,3}$	$V_{Ed,2}$	$CS^{(3)}$	$CS^{(2)}$	α_C	$V_{Rsd,s}{}^{(3)}$	$V_{Rsd,s}{}^{(2)}$	$V_{Rcd}{}^{(3)}$	$V_{Rcd}{}^{(2)}$	$V_{fd}{}^{(3)}$	$V_{fd}{}^{(2)}$	$Ctg\Theta^{(3)}$	$Ctg\Theta^{(2)}$
	[%]	[N]	[N]				[N]	[N]	[N]	[N]	[N]	[N]		
	0%	-	-	VNR	VNR	0,00	0	0	0	0	0	0	0,00	0,00
	100%	-	-	VNR	VNR	0,00	0	0	0	0	0	0	0,00	0,00
proporzionale alla deformata 1° modo di vibrazione														
	0%	-	-	VNR	VNR	0,00	0	0	0	0	0	0	0,00	0,00
	100%	-	-	VNR	VNR	0,00	0	0	0	0	0	0	0,00	0,00
sisma in +X														
proporzionale alle masse														
Trave 15-P5	0%	243	-30.588	NS	2,37	1,10	46277	72415	194696	194696	0	0	2,50	2,50
	100%	243	-56.976	NS	1,27	1,10	46277	72415	194888	194888	0	0	2,50	2,50
proporzionale alla deformata 1° modo di vibrazione														
	0%	219	-28.723	NS	2,52	1,10	46277	72415	193748	193748	0	0	2,50	2,50
	100%	219	-55.111	NS	1,31	1,10	46277	72415	193994	193994	0	0	2,50	2,50
sisma in -X														
proporzionale alle masse														
	0%	500	67.217	92,55	1,08	1,08	46277	72415	190660	190660	0	0	2,50	2,50
	100%	500	40.828	92,55	1,77	1,08	46277	72415	190676	190676	0	0	2,50	2,50
proporzionale alla deformata 1° modo di vibrazione														
	0%	522	67.694	88,65	1,07	1,08	46277	72415	190424	190424	0	0	2,50	2,50
	100%	522	41.305	88,65	1,75	1,08	46277	72415	190433	190433	0	0	2,50	2,50
sisma in +Y														
proporzionale alle masse														
	0%	62	13.546	NS	5,35	1,00	46277	72415	176809	176809	0	0	2,50	2,50
	100%	62	-12.843	NS	5,64	1,00	46277	72415	176785	176785	0	0	2,50	2,50
proporzionale alla deformata 1° modo di vibrazione														
	0%	70	11.254	NS	6,43	1,00	46277	72415	177135	177135	0	0	2,50	2,50
	100%	70	-15.134	NS	4,78	1,00	46277	72415	177213	177213	0	0	2,50	2,50
sisma in -Y														
proporzionale alle masse														
	0%	-	-	VNR	VNR	0,00	0	0	0	0	0	0	0,00	0,00
	100%	-	-	VNR	VNR	0,00	0	0	0	0	0	0	0,00	0,00
proporzionale alla deformata 1° modo di vibrazione														
	0%	-	-	VNR	VNR	0,00	0	0	0	0	0	0	0,00	0,00
	100%	-	-	VNR	VNR	0,00	0	0	0	0	0	0	0,00	0,00
sisma in +X														
proporzionale alle masse														
Trave P5-16	0%	3.161	5.117	0,00	0,00	1,13	0	0	199077	199077	0	0	2,50	2,50
	100%	-8.204	-46.705	0,00	0,00	1,09	0	0	192267	192267	0	0	2,50	2,50
proporzionale alla deformata 1° modo di vibrazione														
	0%	2.460	-962	0,00	0,00	1,13	0	0	199296	199296	0	0	2,50	2,50
	100%	-9.418	-53.707	0,00	0,00	1,10	0	0	194132	194132	0	0	2,50	2,50
sisma in -X														
proporzionale alle masse														
	0%	1.509	-16.144	0,00	0,00	1,00	0	0	176415	176415	0	0	2,50	2,50
	100%	190	56.846	0,00	0,00	1,00	0	0	177024	177024	0	0	2,50	2,50
proporzionale alla deformata 1° modo di vibrazione														
	0%	1.661	-14.406	0,00	0,00	1,00	0	0	176415	176415	0	0	2,50	2,50
	100%	3.057	51.068	0,00	0,00	1,00	0	0	177287	177287	0	0	2,50	2,50
sisma in +Y														
proporzionale alle masse														
	0%	2.452	-9.582	0,00	0,00	1,01	0	0	178059	178059	0	0	2,50	2,50
	100%	26.315	-52.446	0,00	0,00	1,05	0	0	184575	184575	0	0	2,50	2,50
proporzionale alla deformata 1° modo di vibrazione														
	0%	1.598	-10.472	0,00	0,00	1,01	0	0	178481	178481	0	0	2,50	2,50
	100%	23.749	-54.682	0,00	0,00	1,05	0	0	184539	184539	0	0	2,50	2,50
sisma in -Y														
proporzionale alle masse														
	0%	-	-	VNR	VNR	0,00	0	0	0	0	0	0	0,00	0,00
	100%	-	-	VNR	VNR	0,00	0	0	0	0	0	0	0,00	0,00
proporzionale alla deformata 1° modo di vibrazione														
	0%	-	-	VNR	VNR	0,00	0	0	0	0	0	0	0,00	0,00
	100%	-	-	VNR	VNR	0,00	0	0	0	0	0	0	0,00	0,00
Piano interrato								**Travata: Trave22-P8-23-24-25**						
sisma in +X														
proporzionale alle masse														
Trave 22-P8	0%	6.348	-32.657	0,00	0,00	1,00	0	0	155516	155516	0	0	2,50	2,50
	100%	676	13.064	0,00	0,00	1,00	0	0	155478	155478	0	0	2,50	2,50
proporzionale alla deformata 1° modo di vibrazione														
	0%	6.956	-34.459	0,00	0,00	1,00	0	0	155927	155927	0	0	2,50	2,50
	100%	670	13.557	0,00	0,00	1,00	0	0	155478	155478	0	0	2,50	2,50
sisma in -X														
proporzionale alle masse														
	0%	-5.716	-9.928	0,00	0,00	1,05	0	0	163191	163191	0	0	2,50	2,50
	100%	897	-24.461	0,00	0,00	1,21	0	0	187456	187456	0	0	2,50	2,50
proporzionale alla deformata 1° modo di vibrazione														
	0%	-5.018	-18.399	0,00	0,00	1,07	0	0	166434	166434	0	0	2,50	2,50
	100%	414	-5.447	0,00	0,00	1,20	0	0	186417	186417	0	0	2,50	2,50
sisma in +Y														
proporzionale alle masse														
	0%	-41.579	35.460	0,00	0,00	1,05	0	0	163248	163248	0	0	2,50	2,50
	100%	-246	4.950	0,00	0,00	1,00	0	0	156181	156181	0	0	2,50	2,50
proporzionale alla deformata 1° modo di vibrazione														
	0%	-28.193	24.298	0,00	0,00	1,03	0	0	160519	160519	0	0	2,50	2,50
	100%	-301	2.953	0,00	0,00	1,00	0	0	155776	155776	0	0	2,50	2,50
sisma in -Y														
proporzionale alle masse														
	0%	-	-	VNR	VNR	0,00	0	0	0	0	0	0	0,00	0,00

Id_{Tr}	$\%L_{LI}$	$V_{Ed,3}$	$V_{Ed,2}$	$CS^{(3)}$	$CS^{(2)}$	α_C	$V_{Rsd,s}{}^{(3)}$	$V_{Rsd,s}{}^{(2)}$	$V_{Rcd}{}^{(3)}$	$V_{Rcd}{}^{(2)}$	$V_{fd}{}^{(3)}$	$V_{fd}{}^{(2)}$	$Ctg\Theta^{(3)}$	$Ctg\Theta^{(2)}$
	[%]	[N]	[N]				[N]	[N]	[N]	[N]	[N]	[N]		
	100%	-	-	VNR	VNR	0,00	0	0	0	0	0	0	0,00	0,00
proporzionale alla deformata 1° modo di vibrazione														
	0%	-	-	VNR	VNR	0,00	0	0	0	0	0	0	0,00	0,00
	100%	-	-	VNR	VNR	0,00	0	0	0	0	0	0	0,00	0,00
sisma in +X														
proporzionale alle masse														
Trave P8-23	0%	1.239	-55.220	29,96	0,92	1,07	37116	51056	166802	166802	0	0	2,50	2,50
	100%	1.239	-63.108	29,96	0,81	1,07	37116	51056	166703	166703	0	0	2,50	2,50
proporzionale alla deformata 1° modo di vibrazione														
	0%	1.206	-56.156	30,78	0,91	1,08	37116	51056	167164	167164	0	0	2,50	2,50
	100%	1.206	-64.044	30,78	0,80	1,07	37116	51056	166498	166498	0	0	2,50	2,50
sisma in -X														
proporzionale alle masse														
	0%	596	71.615	62,28	0,71	1,16	37116	51056	180768	180768	0	0	2,50	2,50
	100%	596	63.727	62,28	0,80	1,16	37116	51056	180627	180627	0	0	2,50	2,50
proporzionale alla deformata 1° modo di vibrazione														
	0%	585	66.546	63,45	0,77	1,15	37116	51056	178098	178098	0	0	2,50	2,50
	100%	585	58.658	63,45	0,87	1,15	37116	51056	178044	178044	0	0	2,50	2,50
sisma in +Y														
proporzionale alle masse														
	0%	879	6.598	42,23	7,74	1,00	37116	51056	155478	155478	0	0	2,50	2,50
	100%	879	-1.290	42,23	39,58	1,00	37116	51056	155507	155507	0	0	2,50	2,50
proporzionale alla deformata 1° modo di vibrazione														
	0%	684	5.068	54,26	10,07	1,00	37116	51056	155478	155478	0	0	2,50	2,50
	100%	684	-2.821	54,26	18,10	1,00	37116	51056	155478	155478	0	0	2,50	2,50
sisma in -Y														
proporzionale alle masse														
	0%	-	-	VNR	VNR	0,00	0	0	0	0	0	0	0,00	0,00
	100%	-	-	VNR	VNR	0,00	0	0	0	0	0	0	0,00	0,00
proporzionale alla deformata 1° modo di vibrazione														
	0%	-	-	VNR	VNR	0,00	0	0	0	0	0	0	0,00	0,00
	100%	-	-	VNR	VNR	0,00	0	0	0	0	0	0	0,00	0,00
sisma in +X														
proporzionale alle masse														
Trave 23-24	0%	-4.081	-71.738	9,09	0,71	1,13	37116	51056	175016	175016	0	0	2,50	2,50
	100%	-4.081	-81.275	9,09	0,63	1,13	37116	51056	174974	174974	0	0	2,50	2,50
proporzionale alla deformata 1° modo di vibrazione														
	0%	-3.894	-69.333	9,53	0,74	1,12	37116	51056	174725	174725	0	0	2,50	2,50
	100%	-3.894	-78.869	9,53	0,65	1,12	37116	51056	174719	174719	0	0	2,50	2,50
sisma in -X														
proporzionale alle masse														
	0%	-3.912	110.212	9,49	0,46	1,12	37116	51056	173380	173380	0	0	2,50	2,50
	100%	-3.912	100.675	9,49	0,51	1,09	37116	51056	169102	169102	0	0	2,50	2,50
proporzionale alla deformata 1° modo di vibrazione														
	0%	-3.906	107.491	9,50	0,47	1,11	37116	51056	172487	172487	0	0	2,50	2,50
	100%	-3.906	97.954	9,50	0,52	1,08	37116	51056	167755	167755	0	0	2,50	2,50
sisma in +Y														
proporzionale alle masse														
	0%	-5.999	5.955	6,19	8,57	1,02	37116	51056	157861	157861	0	0	2,50	2,50
	100%	-5.999	-3.582	6,19	14,25	1,02	37116	51056	157912	157912	0	0	2,50	2,50
proporzionale alla deformata 1° modo di vibrazione														
	0%	-5.016	1.036	7,40	49,28	1,02	37116	51056	157943	157943	0	0	2,50	2,50
	100%	-5.016	-8.500	7,40	6,01	1,02	37116	51056	157920	157920	0	0	2,50	2,50
sisma in -Y														
proporzionale alle masse														
	0%	-	-	VNR	VNR	0,00	0	0	0	0	0	0	0,00	0,00
	100%	-	-	VNR	VNR	0,00	0	0	0	0	0	0	0,00	0,00
proporzionale alla deformata 1° modo di vibrazione														
	0%	-	-	VNR	VNR	0,00	0	0	0	0	0	0	0,00	0,00
	100%	-	-	VNR	VNR	0,00	0	0	0	0	0	0	0,00	0,00
sisma in +X														
proporzionale alle masse														
Trave 24-25	0%	269	4.201	NS	12,15	1,05	37116	51056	162486	162486	0	0	2,50	2,50
	100%	269	-18.894	NS	2,70	1,04	37116	51056	162134	162134	0	0	2,50	2,50
proporzionale alla deformata 1° modo di vibrazione														
	0%	275	4.085	NS	12,50	1,05	37116	51056	162864	162864	0	0	2,50	2,50
	100%	275	-19.009	NS	2,69	1,04	37116	51056	162376	162376	0	0	2,50	2,50
sisma in -X														
proporzionale alle masse														
	0%	299	21.971	NS	2,32	1,05	37116	51056	162677	162677	0	0	2,50	2,50
	100%	299	-1.124	NS	45,42	1,05	37116	51056	162945	162945	0	0	2,50	2,50
proporzionale alla deformata 1° modo di vibrazione														
	0%	300	21.612	NS	2,36	1,04	37116	51056	162192	162192	0	0	2,50	2,50
	100%	300	-1.482	NS	34,45	1,04	37116	51056	162331	162331	0	0	2,50	2,50
sisma in +Y														
proporzionale alle masse														
	0%	389	10.702	95,41	4,77	1,01	37116	51056	157270	157270	0	0	2,50	2,50
	100%	389	-12.392	95,41	4,12	1,01	37116	51056	157388	157388	0	0	2,50	2,50
proporzionale alla deformata 1° modo di vibrazione														
	0%	350	10.904	NS	4,68	1,01	37116	51056	157255	157255	0	0	2,50	2,50
	100%	350	-12.190	NS	4,19	1,01	37116	51056	157340	157340	0	0	2,50	2,50
sisma in -Y														
proporzionale alle masse														
	0%	-	-	VNR	VNR	0,00	0	0	0	0	0	0	0,00	0,00
	100%	-	-	VNR	VNR	0,00	0	0	0	0	0	0	0,00	0,00
proporzionale alla deformata 1° modo di vibrazione														

Id_{Tr}	$\%L_{LI}$	$V_{Ed,3}$	$V_{Ed,2}$	$CS^{(3)}$	$CS^{(2)}$	α_C	$V_{Rsd,s}{}^{(3)}$	$V_{Rsd,s}{}^{(2)}$	$V_{Rcd}{}^{(3)}$	$V_{Rcd}{}^{(2)}$	$V_{fd}{}^{(3)}$	$V_{fd}{}^{(2)}$	$Ctg\Theta^{(3)}$	$Ctg\Theta^{(2)}$
	[%]	[N]	[N]				[N]	[N]	[N]	[N]	[N]	[N]		
	0%	-	-	VNR	VNR	0,00	0	0	0	0	0	0	0,00	0,00
	100%	-	-	VNR	VNR	0,00	0	0	0	0	0	0	0,00	0,00
Piano interrato								**Travata: Trave38-P14-39-40-P15-41-42-P16-43**						
sisma in +X														
proporzionale alle masse														
Trave 38-P14	0%	-31.563	-44.219	0,00	0,00	1,01	0	0	177671	177671	0	0	2,50	2,50
	100%	-399	9.875	0,00	0,00	1,00	0	0	176451	176451	0	0	2,50	2,50
proporzionale alla deformata 1° modo di vibrazione														
	0%	-32.788	-51.163	0,00	0,00	1,01	0	0	178065	178065	0	0	2,50	2,50
	100%	-1.552	14.150	0,00	0,00	1,00	0	0	176451	176451	0	0	2,50	2,50
sisma in -X														
proporzionale alle masse														
	0%	-15.028	726	0,00	0,00	1,03	0	0	182242	182242	0	0	2,50	2,50
	100%	4.161	-44.888	0,00	0,00	1,15	0	0	203778	203778	0	0	2,50	2,50
proporzionale alla deformata 1° modo di vibrazione														
	0%	-13.493	493	0,00	0,00	1,05	0	0	184928	184928	0	0	2,50	2,50
	100%	3.842	-28.412	0,00	0,00	1,16	0	0	204528	204528	0	0	2,50	2,50
sisma in +Y														
proporzionale alle masse														
	0%	-80.724	-12.220	0,00	0,00	1,03	0	0	182240	182240	0	0	2,50	2,50
	100%	-3.247	-2.462	0,00	0,00	1,01	0	0	178772	178772	0	0	2,50	2,50
proporzionale alla deformata 1° modo di vibrazione														
	0%	-65.191	-10.648	0,00	0,00	1,03	0	0	181319	181319	0	0	2,50	2,50
	100%	-1.457	-6.766	0,00	0,00	1,02	0	0	180186	180186	0	0	2,50	2,50
sisma in -Y														
proporzionale alle masse														
	0%	-	-	VNR	VNR	0,00	0	0	0	0	0	0	0,00	0,00
	100%	-	-	VNR	VNR	0,00	0	0	0	0	0	0	0,00	0,00
proporzionale alla deformata 1° modo di vibrazione														
	0%	-	-	VNR	VNR	0,00	0	0	0	0	0	0	0,00	0,00
	100%	-	-	VNR	VNR	0,00	0	0	0	0	0	0	0,00	0,00
sisma in +X														
proporzionale alle masse														
Trave P14-39	0%	319	-17.059	NS	4,25	1,04	46291	72430	184184	184184	0	0	2,50	2,50
	100%	319	-42.588	NS	1,70	1,04	46291	72430	184138	184138	0	0	2,50	2,50
proporzionale alla deformata 1° modo di vibrazione														
	0%	329	-17.165	NS	4,22	1,04	46291	72430	183687	183687	0	0	2,50	2,50
	100%	329	-42.694	NS	1,70	1,04	46291	72430	183651	183651	0	0	2,50	2,50
sisma in -X														
proporzionale alle masse														
	0%	144	51.134	NS	1,42	1,11	46291	72430	195362	195362	0	0	2,50	2,50
	100%	144	25.604	NS	2,83	1,11	46291	72430	195434	195434	0	0	2,50	2,50
proporzionale alla deformata 1° modo di vibrazione														
	0%	92	50.054	NS	1,45	1,10	46291	72430	194845	194845	0	0	2,50	2,50
	100%	92	24.525	NS	2,95	1,10	46291	72430	194920	194920	0	0	2,50	2,50
sisma in +Y														
proporzionale alle masse														
	0%	790	11.635	58,60	6,23	1,01	46291	72430	177849	177849	0	0	2,50	2,50
	100%	790	-13.894	58,60	5,21	1,01	46291	72430	178023	178023	0	0	2,50	2,50
proporzionale alla deformata 1° modo di vibrazione														
	0%	548	15.441	84,47	4,69	1,01	46291	72430	179002	179002	0	0	2,50	2,50
	100%	548	-10.088	84,47	7,18	1,01	46291	72430	178863	178863	0	0	2,50	2,50
sisma in -Y														
proporzionale alle masse														
	0%	-	-	VNR	VNR	0,00	0	0	0	0	0	0	0,00	0,00
	100%	-	-	VNR	VNR	0,00	0	0	0	0	0	0	0,00	0,00
proporzionale alla deformata 1° modo di vibrazione														
	0%	-	-	VNR	VNR	0,00	0	0	0	0	0	0	0,00	0,00
	100%	-	-	VNR	VNR	0,00	0	0	0	0	0	0	0,00	0,00
sisma in +X														
proporzionale alle masse														
Trave 39-40	0%	233	4.748	NS	15,25	1,05	46291	72430	185913	185913	0	0	2,50	2,50
	100%	233	-33.916	NS	2,14	1,05	46291	72430	185305	185305	0	0	2,50	2,50
proporzionale alla deformata 1° modo di vibrazione														
	0%	243	4.864	NS	14,89	1,05	46291	72430	185774	185774	0	0	2,50	2,50
	100%	243	-33.801	NS	2,14	1,05	46291	72430	185380	185380	0	0	2,50	2,50
sisma in -X														
proporzionale alle masse														
	0%	-5	37.688	NS	1,92	1,05	46291	72430	185885	185885	0	0	2,50	2,50
	100%	-5	-977	NS	74,14	1,05	46291	72430	186099	186099	0	0	2,50	2,50
proporzionale alla deformata 1° modo di vibrazione														
	0%	4	37.450	NS	1,93	1,05	46291	72430	185622	185622	0	0	2,50	2,50
	100%	4	-1.215	NS	59,61	1,05	46291	72430	185767	185767	0	0	2,50	2,50
sisma in +Y														
proporzionale alle masse														
	0%	146	20.048	NS	3,61	1,01	46291	72430	177803	177803	0	0	2,50	2,50
	100%	146	-18.617	NS	3,89	1,01	46291	72430	177819	177819	0	0	2,50	2,50
proporzionale alla deformata 1° modo di vibrazione														
	0%	139	21.329	NS	3,40	1,01	46291	72430	177946	177946	0	0	2,50	2,50
	100%	139	-17.336	NS	4,18	1,01	46291	72430	177910	177910	0	0	2,50	2,50
sisma in -Y														
proporzionale alle masse														
	0%	-	-	VNR	VNR	0,00	0	0	0	0	0	0	0,00	0,00
	100%	-	-	VNR	VNR	0,00	0	0	0	0	0	0	0,00	0,00
proporzionale alla deformata 1° modo di vibrazione														
	0%	-	-	VNR	VNR	0,00	0	0	0	0	0	0	0,00	0,00

Id_{Tr}	$\%L_{LI}$	$V_{Ed,3}$	$V_{Ed,2}$	$CS^{(3)}$	$CS^{(2)}$	α_C	$V_{Rsd,s}{}^{(3)}$	$V_{Rsd,s}{}^{(2)}$	$V_{Rcd}{}^{(3)}$	$V_{Rcd}{}^{(2)}$	$V_{fd}{}^{(3)}$	$V_{fd}{}^{(2)}$	$Ctg\Theta^{(3)}$	$Ctg\Theta^{(2)}$
	[%]	[N]	[N]				[N]	[N]	[N]	[N]	[N]	[N]		
	100%	-	-	VNR	VNR	0,00	0	0	0	0	0	0	0,00	0,00
sisma in +X														
proporzionale alle masse														
Trave 40-P15	0%	-58.216	2.794	0,00	0,00	1,08	0	0	191141	191141	0	0	2,50	2,50
	100%	-6.427	29.591	0,00	0,00	1,02	0	0	179440	179440	0	0	2,50	2,50
proporzionale alla deformata 1° modo di vibrazione														
	0%	-57.202	-3.368	0,00	0,00	1,09	0	0	192454	192454	0	0	2,50	2,50
	100%	-8.576	35.412	0,00	0,00	1,02	0	0	180450	180450	0	0	2,50	2,50
sisma in -X														
proporzionale alle masse														
	0%	-41.395	-29.857	0,00	0,00	1,03	0	0	182217	182217	0	0	2,50	2,50
	100%	662	-31.498	0,00	0,00	1,12	0	0	198403	198403	0	0	2,50	2,50
proporzionale alla deformata 1° modo di vibrazione														
	0%	-36.635	-37.998	0,00	0,00	1,05	0	0	184463	184463	0	0	2,50	2,50
	100%	-563	-18.136	0,00	0,00	1,13	0	0	199986	199986	0	0	2,50	2,50
sisma in +Y														
proporzionale alle masse														
	0%	-99.701	-12.416	0,00	0,00	1,05	0	0	184750	184750	0	0	2,50	2,50
	100%	-12.420	657	0,00	0,00	1,03	0	0	181663	181663	0	0	2,50	2,50
proporzionale alla deformata 1° modo di vibrazione														
	0%	-91.757	-13.223	0,00	0,00	1,04	0	0	184024	184024	0	0	2,50	2,50
	100%	-10.507	-4.374	0,00	0,00	1,03	0	0	182145	182145	0	0	2,50	2,50
sisma in -Y														
proporzionale alle masse														
	0%	-	-	VNR	VNR	0,00	0	0	0	0	0	0	0,00	0,00
	100%	-	-	VNR	VNR	0,00	0	0	0	0	0	0	0,00	0,00
proporzionale alla deformata 1° modo di vibrazione														
	0%	-	-	VNR	VNR	0,00	0	0	0	0	0	0	0,00	0,00
	100%	-	-	VNR	VNR	0,00	0	0	0	0	0	0	0,00	0,00
sisma in +X														
proporzionale alle masse														
Trave P15-41	0%	108	9.765	NS	7,42	1,03	46291	72430	181507	181507	0	0	2,50	2,50
	100%	108	-33.226	NS	2,18	1,03	46291	72430	180894	180894	0	0	2,50	2,50
proporzionale alla deformata 1° modo di vibrazione														
	0%	110	9.759	NS	7,42	1,03	46291	72430	181100	181100	0	0	2,50	2,50
	100%	110	-33.232	NS	2,18	1,02	46291	72430	180797	180797	0	0	2,50	2,50
sisma in -X														
proporzionale alle masse														
	0%	32	38.597	NS	1,88	1,07	46291	72430	188718	188718	0	0	2,50	2,50
	100%	32	-4.394	NS	16,48	1,07	46291	72430	188943	188943	0	0	2,50	2,50
proporzionale alla deformata 1° modo di vibrazione														
	0%	28	38.443	NS	1,88	1,07	46291	72430	188791	188791	0	0	2,50	2,50
	100%	28	-4.547	NS	15,93	1,07	46291	72430	189205	189205	0	0	2,50	2,50
sisma in +Y														
proporzionale alle masse														
	0%	133	21.516	NS	3,37	1,01	46291	72430	178058	178058	0	0	2,50	2,50
	100%	133	-21.474	NS	3,37	1,01	46291	72430	178092	178092	0	0	2,50	2,50
proporzionale alla deformata 1° modo di vibrazione														
	0%	119	22.410	NS	3,23	1,01	46291	72430	178482	178482	0	0	2,50	2,50
	100%	119	-20.581	NS	3,52	1,01	46291	72430	178448	178448	0	0	2,50	2,50
sisma in -Y														
proporzionale alle masse														
	0%	-	-	VNR	VNR	0,00	0	0	0	0	0	0	0,00	0,00
	100%	-	-	VNR	VNR	0,00	0	0	0	0	0	0	0,00	0,00
proporzionale alla deformata 1° modo di vibrazione														
	0%	-	-	VNR	VNR	0,00	0	0	0	0	0	0	0,00	0,00
	100%	-	-	VNR	VNR	0,00	0	0	0	0	0	0	0,00	0,00
sisma in +X														
proporzionale alle masse														
Trave 41-42	0%	87	2.165	NS	33,45	1,04	46291	72430	183048	183048	0	0	2,50	2,50
	100%	87	-28.601	NS	2,53	1,04	46291	72430	182728	182728	0	0	2,50	2,50
proporzionale alla deformata 1° modo di vibrazione														
	0%	97	2.550	NS	28,40	1,04	46291	72430	182895	182895	0	0	2,50	2,50
	100%	97	-28.216	NS	2,57	1,03	46291	72430	182457	182457	0	0	2,50	2,50
sisma in -X														
proporzionale alle masse														
	0%	-60	36.494	NS	1,98	1,07	46291	72430	187951	187951	0	0	2,50	2,50
	100%	-60	5.728	NS	12,64	1,07	46291	72430	188052	188052	0	0	2,50	2,50
proporzionale alla deformata 1° modo di vibrazione														
	0%	-66	35.934	NS	2,02	1,06	46291	72430	187817	187817	0	0	2,50	2,50
	100%	-66	5.169	NS	14,01	1,06	46291	72430	187904	187904	0	0	2,50	2,50
sisma in +Y														
proporzionale alle masse														
	0%	83	16.972	NS	4,27	1,01	46291	72430	178438	178438	0	0	2,50	2,50
	100%	83	-13.793	NS	5,25	1,01	46291	72430	178501	178501	0	0	2,50	2,50
proporzionale alla deformata 1° modo di vibrazione														
	0%	68	18.445	NS	3,93	1,01	46291	72430	178937	178937	0	0	2,50	2,50
	100%	68	-12.320	NS	5,88	1,01	46291	72430	178857	178857	0	0	2,50	2,50
sisma in -Y														
proporzionale alle masse														
	0%	-	-	VNR	VNR	0,00	0	0	0	0	0	0	0,00	0,00
	100%	-	-	VNR	VNR	0,00	0	0	0	0	0	0	0,00	0,00
proporzionale alla deformata 1° modo di vibrazione														
	0%	-	-	VNR	VNR	0,00	0	0	0	0	0	0	0,00	0,00
	100%	-	-	VNR	VNR	0,00	0	0	0	0	0	0	0,00	0,00
sisma in +X														

Id_{Tr}	$\%L_{LI}$	$V_{Ed,3}$	$V_{Ed,2}$	$CS^{(3)}$	$CS^{(2)}$	α_C	$V_{Rsd,s}{}^{(3)}$	$V_{Rsd,s}{}^{(2)}$	$V_{Rcd}{}^{(3)}$	$V_{Rcd}{}^{(2)}$	$V_{fd}{}^{(3)}$	$V_{fd}{}^{(2)}$	$Ctg\Theta^{(3)}$	$Ctg\Theta^{(2)}$
	[%]	[N]	[N]				[N]	[N]	[N]	[N]	[N]	[N]		
proporzionale alle masse														
Trave 42-P16	0%	-325	-32.203	NS	2,25	1,10	46291	72430	194884	194884	0	0	2,50	2,50
	100%	-325	-52.572	NS	1,38	1,11	46291	72430	195320	195320	0	0	2,50	2,50
proporzionale alla deformata 1° modo di vibrazione														
	0%	-313	-31.165	NS	2,32	1,10	46291	72430	194322	194322	0	0	2,50	2,50
	100%	-313	-51.535	NS	1,41	1,10	46291	72430	194561	194561	0	0	2,50	2,50
sisma in -X														
proporzionale alle masse														
	0%	-525	63.726	88,17	1,14	1,08	46291	72430	189784	189784	0	0	2,50	2,50
	100%	-525	43.357	88,17	1,67	1,08	46291	72430	189799	189799	0	0	2,50	2,50
proporzionale alla deformata 1° modo di vibrazione														
	0%	-570	64.987	81,21	1,11	1,07	46291	72430	189554	189554	0	0	2,50	2,50
	100%	-570	44.617	81,21	1,62	1,07	46291	72430	189564	189564	0	0	2,50	2,50
sisma in +Y														
proporzionale alle masse														
	0%	-1.348	14.703	34,34	4,93	1,01	46291	72430	178230	178230	0	0	2,50	2,50
	100%	-1.348	-5.666	34,34	12,78	1,01	46291	72430	178331	178331	0	0	2,50	2,50
proporzionale alla deformata 1° modo di vibrazione														
	0%	-1.182	19.174	39,16	3,78	1,01	46291	72430	178920	178920	0	0	2,50	2,50
	100%	-1.182	-1.195	39,16	60,61	1,01	46291	72430	178990	178990	0	0	2,50	2,50
sisma in -Y														
proporzionale alle masse														
	0%	-	-	VNR	VNR	0,00	0	0	0	0	0	0	0,00	0,00
	100%	-	-	VNR	VNR	0,00	0	0	0	0	0	0	0,00	0,00
proporzionale alla deformata 1° modo di vibrazione														
	0%	-	-	VNR	VNR	0,00	0	0	0	0	0	0	0,00	0,00
	100%	-	-	VNR	VNR	0,00	0	0	0	0	0	0	0,00	0,00
sisma in +X														
proporzionale alle masse														
Trave P16-43	0%	-4.412	2.911	0,00	0,00	1,13	0	0	199974	199974	0	0	2,50	2,50
	100%	5.058	-39.986	0,00	0,00	1,08	0	0	190979	190979	0	0	2,50	2,50
proporzionale alla deformata 1° modo di vibrazione														
	0%	-3.710	-6.365	0,00	0,00	1,14	0	0	200778	200778	0	0	2,50	2,50
	100%	3.431	-40.408	0,00	0,00	1,10	0	0	194110	194110	0	0	2,50	2,50
sisma in -X														
proporzionale alle masse														
	0%	-1.237	-18.649	0,00	0,00	1,00	0	0	176451	176451	0	0	2,50	2,50
	100%	1.351	76.233	0,00	0,00	1,00	0	0	176722	176722	0	0	2,50	2,50
proporzionale alla deformata 1° modo di vibrazione														
	0%	-1.054	-16.862	0,00	0,00	1,00	0	0	176451	176451	0	0	2,50	2,50
	100%	1.225	68.611	0,00	0,00	1,00	0	0	176817	176817	0	0	2,50	2,50
sisma in +Y														
proporzionale alle masse														
	0%	-2.101	3.802	0,00	0,00	1,01	0	0	178155	178155	0	0	2,50	2,50
	100%	12.728	9.866	0,00	0,00	1,01	0	0	177698	177698	0	0	2,50	2,50
proporzionale alla deformata 1° modo di vibrazione														
	0%	-3.415	1.614	0,00	0,00	1,01	0	0	177369	177369	0	0	2,50	2,50
	100%	13.801	16.816	0,00	0,00	1,01	0	0	177894	177894	0	0	2,50	2,50
sisma in -Y														
proporzionale alle masse														
	0%	-	-	VNR	VNR	0,00	0	0	0	0	0	0	0,00	0,00
	100%	-	-	VNR	VNR	0,00	0	0	0	0	0	0	0,00	0,00
proporzionale alla deformata 1° modo di vibrazione														
	0%	-	-	VNR	VNR	0,00	0	0	0	0	0	0	0,00	0,00
	100%	-	-	VNR	VNR	0,00	0	0	0	0	0	0	0,00	0,00
Piano interrato								**Travata: Trave1-P2-4-7-10-22-P11-31-38**						
sisma in +X														
proporzionale alle masse														
Trave 1-P2	0%	-42	29.432	NS	2,46	1,01	46215	72353	177320	177320	0	0	2,50	2,50
	100%	-42	-11.140	NS	6,49	1,01	46215	72353	177910	177910	0	0	2,50	2,50
proporzionale alla deformata 1° modo di vibrazione														
	0%	-30	27.866	NS	2,60	1,00	46215	72353	176924	176924	0	0	2,50	2,50
	100%	-30	-12.706	NS	5,69	1,01	46215	72353	177307	177307	0	0	2,50	2,50
sisma in -X														
proporzionale alle masse														
	0%	59	8.377	NS	8,64	1,01	46215	72353	178547	178547	0	0	2,50	2,50
	100%	59	-32.195	NS	2,25	1,01	46215	72353	178184	178184	0	0	2,50	2,50
proporzionale alla deformata 1° modo di vibrazione														
	0%	-155	9.577	NS	7,55	1,01	46215	72353	178242	178242	0	0	2,50	2,50
	100%	-155	-30.995	NS	2,33	1,01	46215	72353	177959	177959	0	0	2,50	2,50
sisma in +Y														
proporzionale alle masse														
	0%	-124	-36.559	NS	1,98	1,08	46215	72353	190478	190478	0	0	2,50	2,50
	100%	-124	-77.131	NS	0,94	1,08	46215	72353	190420	190420	0	0	2,50	2,50
proporzionale alla deformata 1° modo di vibrazione														
	0%	-46	-17.694	NS	4,09	1,05	46215	72353	185828	185828	0	0	2,50	2,50
	100%	-46	-58.266	NS	1,24	1,05	46215	72353	185789	185789	0	0	2,50	2,50
sisma in -Y														
proporzionale alle masse														
	0%	-	-	VNR	VNR	0,00	0	0	0	0	0	0	0,00	0,00
	100%	-	-	VNR	VNR	0,00	0	0	0	0	0	0	0,00	0,00
proporzionale alla deformata 1° modo di vibrazione														
	0%	-	-	VNR	VNR	0,00	0	0	0	0	0	0	0,00	0,00
	100%	-	-	VNR	VNR	0,00	0	0	0	0	0	0	0,00	0,00
sisma in +X														
proporzionale alle masse														

Id_{Tr}	$\%L_{LI}$	$V_{Ed,3}$	$V_{Ed,2}$	$CS^{(3)}$	$CS^{(2)}$	α_C	$V_{Rsd,s}{}^{(3)}$	$V_{Rsd,s}{}^{(2)}$	$V_{Rcd}{}^{(3)}$	$V_{Rcd}{}^{(2)}$	$V_{fd}{}^{(3)}$	$V_{fd}{}^{(2)}$	$Ctg\Theta^{(3)}$	$Ctg\Theta^{(2)}$
	[%]	[N]	[N]				[N]	[N]	[N]	[N]	[N]	[N]		
Trave P2-4	0%	4.401	-8.793	0,00	0,00	1,01	0	0	177838	177838	0	0	2,50	2,50
	100%	1.181	-18.062	0,00	0,00	1,02	0	0	179743	179743	0	0	2,50	2,50
proporzionale alla deformata 1° modo di vibrazione														
	0%	2.477	-9.017	0,00	0,00	1,01	0	0	177727	177727	0	0	2,50	2,50
	100%	893	-17.455	0,00	0,00	1,02	0	0	179416	179416	0	0	2,50	2,50
sisma in -X														
proporzionale alle masse														
	0%	-3.809	8.208	0,00	0,00	1,04	0	0	182690	182690	0	0	2,50	2,50
	100%	-1.995	-7.397	0,00	0,00	1,03	0	0	182205	182205	0	0	2,50	2,50
proporzionale alla deformata 1° modo di vibrazione														
	0%	-2.843	5.051	0,00	0,00	1,04	0	0	182567	182567	0	0	2,50	2,50
	100%	-1.321	-8.471	0,00	0,00	1,04	0	0	182848	182848	0	0	2,50	2,50
sisma in +Y														
proporzionale alle masse														
	0%	511	54.499	0,00	0,00	1,15	0	0	203148	203148	0	0	2,50	2,50
	100%	416	66.678	0,00	0,00	1,05	0	0	185494	185494	0	0	2,50	2,50
proporzionale alla deformata 1° modo di vibrazione														
	0%	-235	30.951	0,00	0,00	1,11	0	0	195455	195455	0	0	2,50	2,50
	100%	-438	44.643	0,00	0,00	1,05	0	0	185398	185398	0	0	2,50	2,50
sisma in -Y														
proporzionale alle masse														
	0%	-	-	VNR	VNR	0,00	0	0	0	0	0	0	0,00	0,00
	100%	-	-	VNR	VNR	0,00	0	0	0	0	0	0	0,00	0,00
proporzionale alla deformata 1° modo di vibrazione														
	0%	-	-	VNR	VNR	0,00	0	0	0	0	0	0	0,00	0,00
	100%	-	-	VNR	VNR	0,00	0	0	0	0	0	0	0,00	0,00
sisma in +X														
proporzionale alle masse														
Trave 4-7	0%	3	24.956	NS	2,90	1,01	46215	72353	178279	178279	0	0	2,50	2,50
	100%	3	-26.925	NS	2,69	1,01	46215	72353	178273	178273	0	0	2,50	2,50
proporzionale alla deformata 1° modo di vibrazione														
	0%	-16	24.460	NS	2,96	1,01	46215	72353	178074	178074	0	0	2,50	2,50
	100%	-16	-27.421	NS	2,64	1,01	46215	72353	178091	178091	0	0	2,50	2,50
sisma in -X														
proporzionale alle masse														
	0%	-25	28.767	NS	2,52	1,02	46215	72353	179888	179888	0	0	2,50	2,50
	100%	-25	-23.114	NS	3,13	1,02	46215	72353	179480	179480	0	0	2,50	2,50
proporzionale alla deformata 1° modo di vibrazione														
	0%	3	29.610	NS	2,44	1,02	46215	72353	180276	180276	0	0	2,50	2,50
	100%	3	-22.271	NS	3,25	1,02	46215	72353	180066	180066	0	0	2,50	2,50
sisma in +Y														
proporzionale alle masse														
	0%	51	1.916	NS	37,76	1,02	46215	72353	179965	179965	0	0	2,50	2,50
	100%	51	-49.965	NS	1,45	1,02	46215	72353	179874	179874	0	0	2,50	2,50
proporzionale alla deformata 1° modo di vibrazione														
	0%	14	7.509	NS	9,64	1,02	46215	72353	179236	179236	0	0	2,50	2,50
	100%	14	-44.372	NS	1,63	1,02	46215	72353	179141	179141	0	0	2,50	2,50
sisma in -Y														
proporzionale alle masse														
	0%	-	-	VNR	VNR	0,00	0	0	0	0	0	0	0,00	0,00
	100%	-	-	VNR	VNR	0,00	0	0	0	0	0	0	0,00	0,00
proporzionale alla deformata 1° modo di vibrazione														
	0%	-	-	VNR	VNR	0,00	0	0	0	0	0	0	0,00	0,00
	100%	-	-	VNR	VNR	0,00	0	0	0	0	0	0	0,00	0,00
sisma in +X														
proporzionale alle masse														
Trave 7-10	0%	-4	26.966	NS	2,68	1,01	46215	72353	178066	178066	0	0	2,50	2,50
	100%	-4	-24.915	NS	2,90	1,01	46215	72353	178038	178038	0	0	2,50	2,50
proporzionale alla deformata 1° modo di vibrazione														
	0%	57	26.597	NS	2,72	1,01	46215	72353	178020	178020	0	0	2,50	2,50
	100%	57	-25.284	NS	2,86	1,01	46215	72353	177989	177989	0	0	2,50	2,50
sisma in -X														
proporzionale alle masse														
	0%	14	28.225	NS	2,56	1,01	46215	72353	178808	178808	0	0	2,50	2,50
	100%	14	-23.656	NS	3,06	1,01	46215	72353	178743	178743	0	0	2,50	2,50
proporzionale alla deformata 1° modo di vibrazione														
	0%	-41	28.670	NS	2,52	1,01	46215	72353	178875	178875	0	0	2,50	2,50
	100%	-41	-23.211	NS	3,12	1,01	46215	72353	178833	178833	0	0	2,50	2,50
sisma in +Y														
proporzionale alle masse														
	0%	272	13.505	NS	5,36	1,03	46215	72353	181186	181186	0	0	2,50	2,50
	100%	272	-38.376	NS	1,89	1,03	46215	72353	180874	180874	0	0	2,50	2,50
proporzionale alla deformata 1° modo di vibrazione														
	0%	216	16.648	NS	4,35	1,02	46215	72353	179879	179879	0	0	2,50	2,50
	100%	216	-35.233	NS	2,05	1,02	46215	72353	179897	179897	0	0	2,50	2,50
sisma in -Y														
proporzionale alle masse														
	0%	-	-	VNR	VNR	0,00	0	0	0	0	0	0	0,00	0,00
	100%	-	-	VNR	VNR	0,00	0	0	0	0	0	0	0,00	0,00
proporzionale alla deformata 1° modo di vibrazione														
	0%	-	-	VNR	VNR	0,00	0	0	0	0	0	0	0,00	0,00
	100%	-	-	VNR	VNR	0,00	0	0	0	0	0	0	0,00	0,00
sisma in +X														
proporzionale alle masse														
Trave 10-22	0%	-141	20.648	NS	3,50	1,02	46215	72353	179092	179092	0	0	2,50	2,50
	100%	-141	-30.017	NS	2,41	1,02	46215	72353	179399	179399	0	0	2,50	2,50

Id_{Tr}	$\%L_{LI}$	$V_{Ed,3}$	$V_{Ed,2}$	$CS^{(3)}$	$CS^{(2)}$	α_C	$V_{Rsd,s}{}^{(3)}$	$V_{Rsd,s}{}^{(2)}$	$V_{Rcd}{}^{(3)}$	$V_{Rcd}{}^{(2)}$	$V_{fd}{}^{(3)}$	$V_{fd}{}^{(2)}$	$Ctg\Theta^{(3)}$	$Ctg\Theta^{(2)}$
	[%]	[N]	[N]				[N]	[N]	[N]	[N]	[N]	[N]		
proporzionale alla deformata 1° modo di vibrazione														
	0%	-124	19.846	NS	3,65	1,02	46215	72353	179360	179360	0	0	2,50	2,50
	100%	-124	-30.819	NS	2,35	1,02	46215	72353	179631	179631	0	0	2,50	2,50
sisma in -X														
proporzionale alle masse														
	0%	262	30.713	NS	2,36	1,01	46215	72353	178239	178239	0	0	2,50	2,50
	100%	262	-19.952	NS	3,63	1,01	46215	72353	177855	177855	0	0	2,50	2,50
proporzionale alla deformata 1° modo di vibrazione														
	0%	262	31.777	NS	2,28	1,01	46215	72353	178355	178355	0	0	2,50	2,50
	100%	262	-18.888	NS	3,83	1,01	46215	72353	178022	178022	0	0	2,50	2,50
sisma in +Y														
proporzionale alle masse														
	0%	415	-13.156	NS	5,50	1,10	46215	72353	194573	194573	0	0	2,50	2,50
	100%	415	-63.821	NS	1,13	1,10	46215	72353	194430	194430	0	0	2,50	2,50
proporzionale alla deformata 1° modo di vibrazione														
	0%	314	-3.230	NS	22,40	1,08	46215	72353	189732	189732	0	0	2,50	2,50
	100%	314	-53.895	NS	1,34	1,08	46215	72353	189572	189572	0	0	2,50	2,50
sisma in -Y														
proporzionale alle masse														
	0%	-	-	VNR	VNR	0,00	0	0	0	0	0	0	0,00	0,00
	100%	-	-	VNR	VNR	0,00	0	0	0	0	0	0	0,00	0,00
proporzionale alla deformata 1° modo di vibrazione														
	0%	-	-	VNR	VNR	0,00	0	0	0	0	0	0	0,00	0,00
	100%	-	-	VNR	VNR	0,00	0	0	0	0	0	0	0,00	0,00
sisma in +X														
proporzionale alle masse														
Trave 22-P11	0%	17.293	43.183	0,00	0,00	1,04	0	0	249314	249314	0	0	2,50	2,50
	100%	4.070	-9.559	0,00	0,00	1,01	0	0	243142	243142	0	0	2,50	2,50
proporzionale alla deformata 1° modo di vibrazione														
	0%	16.637	52.115	0,00	0,00	1,04	0	0	248880	248880	0	0	2,50	2,50
	100%	2.048	-9.081	0,00	0,00	1,01	0	0	242895	242895	0	0	2,50	2,50
sisma in -X														
proporzionale alle masse														
	0%	-16.455	-4.807	0,00	0,00	1,01	0	0	242049	242049	0	0	2,50	2,50
	100%	-7.367	-21.451	0,00	0,00	1,04	0	0	248832	248832	0	0	2,50	2,50
proporzionale alla deformata 1° modo di vibrazione														
	0%	-19.243	-3.962	0,00	0,00	1,01	0	0	242156	242156	0	0	2,50	2,50
	100%	-7.074	-26.491	0,00	0,00	1,05	0	0	250897	250897	0	0	2,50	2,50
sisma in +Y														
proporzionale alle masse														
	0%	-21.753	-33.927	0,00	0,00	1,04	0	0	249858	249858	0	0	2,50	2,50
	100%	-1.142	88.379	0,00	0,00	1,00	0	0	239941	239941	0	0	2,50	2,50
proporzionale alla deformata 1° modo di vibrazione														
	0%	-13.849	-31.410	0,00	0,00	1,05	0	0	251531	251531	0	0	2,50	2,50
	100%	-1.485	70.317	0,00	0,00	1,00	0	0	239941	239941	0	0	2,50	2,50
sisma in -Y														
proporzionale alle masse														
	0%	-	-	VNR	VNR	0,00	0	0	0	0	0	0	0,00	0,00
	100%	-	-	VNR	VNR	0,00	0	0	0	0	0	0	0,00	0,00
proporzionale alla deformata 1° modo di vibrazione														
	0%	-	-	VNR	VNR	0,00	0	0	0	0	0	0	0,00	0,00
	100%	-	-	VNR	VNR	0,00	0	0	0	0	0	0	0,00	0,00
sisma in +X														
proporzionale alle masse														
Trave P11-31	0%	43	41.409	NS	2,38	1,01	46215	98491	241162	241162	0	0	2,50	2,50
	100%	43	-45.877	NS	2,15	1,00	46215	98491	240946	240946	0	0	2,50	2,50
proporzionale alla deformata 1° modo di vibrazione														
	0%	70	39.324	NS	2,50	1,00	46215	98491	241027	241027	0	0	2,50	2,50
	100%	70	-47.961	NS	2,05	1,00	46215	98491	240897	240897	0	0	2,50	2,50
sisma in -X														
proporzionale alle masse														
	0%	-457	43.205	NS	2,28	1,03	46215	98491	246128	246128	0	0	2,50	2,50
	100%	-457	-44.081	NS	2,23	1,03	46215	98491	246120	246120	0	0	2,50	2,50
proporzionale alla deformata 1° modo di vibrazione														
	0%	-362	46.688	NS	2,11	1,03	46215	98491	247312	247312	0	0	2,50	2,50
	100%	-362	-40.598	NS	2,43	1,03	46215	98491	247173	247173	0	0	2,50	2,50
sisma in +Y														
proporzionale alle masse														
	0%	-215	-41.821	NS	2,36	1,04	46215	98491	248984	248984	0	0	2,50	2,50
	100%	-215	-129.107	NS	0,76	1,04	46215	98491	248936	248936	0	0	2,50	2,50
proporzionale alla deformata 1° modo di vibrazione														
	0%	-202	-28.927	NS	3,40	1,03	46215	98491	246738	246738	0	0	2,50	2,50
	100%	-202	-116.213	NS	0,85	1,03	46215	98491	246720	246720	0	0	2,50	2,50
sisma in -Y														
proporzionale alle masse														
	0%	-	-	VNR	VNR	0,00	0	0	0	0	0	0	0,00	0,00
	100%	-	-	VNR	VNR	0,00	0	0	0	0	0	0	0,00	0,00
proporzionale alla deformata 1° modo di vibrazione														
	0%	-	-	VNR	VNR	0,00	0	0	0	0	0	0	0,00	0,00
	100%	-	-	VNR	VNR	0,00	0	0	0	0	0	0	0,00	0,00
sisma in +X														
proporzionale alle masse														
Trave 31-38	0%	-1	64.497	NS	1,53	1,00	46215	98491	239941	239941	0	0	2,50	2,50
	100%	-1	-64.714	NS	1,52	1,00	46215	98491	239941	239941	0	0	2,50	2,50
proporzionale alla deformata 1° modo di vibrazione														
	0%	-26	64.278	NS	1,53	1,00	46215	98491	239941	239941	0	0	2,50	2,50

Id_{Tr}	$\%L_{LI}$	$V_{Ed,3}$	$V_{Ed,2}$	$CS^{(3)}$	$CS^{(2)}$	α_C	$V_{Rsd,s}{}^{(3)}$	$V_{Rsd,s}{}^{(2)}$	$V_{Rcd}{}^{(3)}$	$V_{Rcd}{}^{(2)}$	$V_{fd}{}^{(3)}$	$V_{fd}{}^{(2)}$	$Ctg\Theta^{(3)}$	$Ctg\Theta^{(2)}$
	[%]	[N]	[N]				[N]	[N]	[N]	[N]	[N]	[N]		
	100%	-26	-64.933	NS	1,52	1,00	46215	98491	239941	239941	0	0	2,50	2,50
sisma in -X														
proporzionale alle masse														
	0%	220	77.682	NS	1,27	1,00	46215	98491	240447	240447	0	0	2,50	2,50
	100%	220	-51.529	NS	1,91	1,00	46215	98491	240282	240282	0	0	2,50	2,50
proporzionale alla deformata 1° modo di vibrazione														
	0%	241	78.946	NS	1,25	1,00	46215	98491	240528	240528	0	0	2,50	2,50
	100%	241	-50.265	NS	1,96	1,00	46215	98491	240348	240348	0	0	2,50	2,50
sisma in +Y														
proporzionale alle masse														
	0%	197	44.212	NS	2,23	1,04	46215	98491	249563	249563	0	0	2,50	2,50
	100%	197	-84.999	NS	1,16	1,04	46215	98491	249605	249605	0	0	2,50	2,50
proporzionale alla deformata 1° modo di vibrazione														
	0%	159	50.731	NS	1,94	1,03	46215	98491	246371	246371	0	0	2,50	2,50
	100%	159	-78.480	NS	1,25	1,03	46215	98491	246778	246778	0	0	2,50	2,50
sisma in -Y														
proporzionale alle masse														
	0%	-	-	VNR	VNR	0,00	0	0	0	0	0	0	0,00	0,00
	100%	-	-	VNR	VNR	0,00	0	0	0	0	0	0	0,00	0,00
proporzionale alla deformata 1° modo di vibrazione														
	0%	-	-	VNR	VNR	0,00	0	0	0	0	0	0	0,00	0,00
	100%	-	-	VNR	VNR	0,00	0	0	0	0	0	0	0,00	0,00
Piano interrato								**Travata: Trave2-5-8-11-23**						
sisma in +X														
proporzionale alle masse														
Trave 2-5	0%	119	50.707	NS	1,28	1,01	37247	65128	199743	199743	0	0	2,50	2,50
	100%	119	-81.209	NS	0,80	1,01	37247	65128	199974	199974	0	0	2,50	2,50
proporzionale alla deformata 1° modo di vibrazione														
	0%	231	49.987	NS	1,30	1,01	37247	65128	199803	199803	0	0	2,50	2,50
	100%	231	-81.929	NS	0,79	1,01	37247	65128	199971	199971	0	0	2,50	2,50
sisma in -X														
proporzionale alle masse														
	0%	21	66.345	NS	0,98	1,00	37247	65128	198328	198328	0	0	2,50	2,50
	100%	21	-65.571	NS	0,99	1,00	37247	65128	198328	198328	0	0	2,50	2,50
proporzionale alla deformata 1° modo di vibrazione														
	0%	-55	66.008	NS	0,99	1,00	37247	65128	198328	198328	0	0	2,50	2,50
	100%	-55	-65.908	NS	0,99	1,00	37247	65128	198328	198328	0	0	2,50	2,50
sisma in +Y														
proporzionale alle masse														
	0%	143	35.090	NS	1,86	1,01	37247	65128	200915	200915	0	0	2,50	2,50
	100%	143	-96.825	NS	0,67	1,01	37247	65128	200630	200630	0	0	2,50	2,50
proporzionale alla deformata 1° modo di vibrazione														
	0%	119	37.901	NS	1,72	1,01	37247	65128	200772	200772	0	0	2,50	2,50
	100%	119	-94.015	NS	0,69	1,01	37247	65128	200454	200454	0	0	2,50	2,50
sisma in -Y														
proporzionale alle masse														
	0%	-	-	VNR	VNR	0,00	0	0	0	0	0	0	0,00	0,00
	100%	-	-	VNR	VNR	0,00	0	0	0	0	0	0	0,00	0,00
proporzionale alla deformata 1° modo di vibrazione														
	0%	-	-	VNR	VNR	0,00	0	0	0	0	0	0	0,00	0,00
	100%	-	-	VNR	VNR	0,00	0	0	0	0	0	0	0,00	0,00
sisma in +X														
proporzionale alle masse														
Trave 5-8	0%	74	67.597	NS	0,96	1,03	37247	65128	203348	203348	0	0	2,50	2,50
	100%	74	-61.596	NS	1,06	1,03	37247	65128	203318	203318	0	0	2,50	2,50
proporzionale alla deformata 1° modo di vibrazione														
	0%	61	67.214	NS	0,97	1,03	37247	65128	203412	203412	0	0	2,50	2,50
	100%	61	-61.979	NS	1,05	1,03	37247	65128	203383	203383	0	0	2,50	2,50
sisma in -X														
proporzionale alle masse														
	0%	32	64.241	NS	1,01	1,01	37247	65128	200645	200645	0	0	2,50	2,50
	100%	32	-64.952	NS	1,00	1,01	37247	65128	200654	200654	0	0	2,50	2,50
proporzionale alla deformata 1° modo di vibrazione														
	0%	46	64.943	NS	1,00	1,01	37247	65128	200728	200728	0	0	2,50	2,50
	100%	46	-64.250	NS	1,01	1,01	37247	65128	200737	200737	0	0	2,50	2,50
sisma in +Y														
proporzionale alle masse														
	0%	-26	43.286	NS	1,50	1,03	37247	65128	204108	204108	0	0	2,50	2,50
	100%	-26	-85.907	NS	0,76	1,03	37247	65128	204251	204251	0	0	2,50	2,50
proporzionale alla deformata 1° modo di vibrazione														
	0%	-6	48.237	NS	1,35	1,03	37247	65128	203411	203411	0	0	2,50	2,50
	100%	-6	-80.956	NS	0,80	1,03	37247	65128	203942	203942	0	0	2,50	2,50
sisma in -Y														
proporzionale alle masse														
	0%	-	-	VNR	VNR	0,00	0	0	0	0	0	0	0,00	0,00
	100%	-	-	VNR	VNR	0,00	0	0	0	0	0	0	0,00	0,00
proporzionale alla deformata 1° modo di vibrazione														
	0%	-	-	VNR	VNR	0,00	0	0	0	0	0	0	0,00	0,00
	100%	-	-	VNR	VNR	0,00	0	0	0	0	0	0	0,00	0,00
sisma in +X														
proporzionale alle masse														
Trave 8-11	0%	14	65.459	NS	0,99	1,02	37247	65128	201679	201679	0	0	2,50	2,50
	100%	14	-63.734	NS	1,02	1,02	37247	65128	201666	201666	0	0	2,50	2,50
proporzionale alla deformata 1° modo di vibrazione														
	0%	50	64.972	NS	1,00	1,02	37247	65128	201693	201693	0	0	2,50	2,50
	100%	50	-64.221	NS	1,01	1,02	37247	65128	201687	201687	0	0	2,50	2,50

Id_{Tr}	$\%L_{LI}$	$V_{Ed,3}$	$V_{Ed,2}$	$CS^{(3)}$	$CS^{(2)}$	α_C	$V_{Rsd,s}{}^{(3)}$	$V_{Rsd,s}{}^{(2)}$	$V_{Rcd}{}^{(3)}$	$V_{Rcd}{}^{(2)}$	$V_{fd}{}^{(3)}$	$V_{fd}{}^{(2)}$	$Ctg\Theta^{(3)}$	$Ctg\Theta^{(2)}$
	[%]	[N]	[N]				[N]	[N]	[N]	[N]	[N]	[N]		
sisma in -X														
proporzionale alle masse														
	0%	-231	67.370	NS	0,97	1,02	37247	65128	201647	201647	0	0	2,50	2,50
	100%	-231	-61.823	NS	1,05	1,02	37247	65128	201621	201621	0	0	2,50	2,50
proporzionale alla deformata 1° modo di vibrazione														
	0%	-269	67.999	NS	0,96	1,02	37247	65128	201732	201732	0	0	2,50	2,50
	100%	-269	-61.194	NS	1,06	1,02	37247	65128	201695	201695	0	0	2,50	2,50
sisma in +Y														
proporzionale alle masse														
	0%	-102	45.061	NS	1,45	1,03	37247	65128	203411	203411	0	0	2,50	2,50
	100%	-102	-84.132	NS	0,77	1,03	37247	65128	204015	204015	0	0	2,50	2,50
proporzionale alla deformata 1° modo di vibrazione														
	0%	-154	49.131	NS	1,33	1,02	37247	65128	202991	202991	0	0	2,50	2,50
	100%	-154	-80.062	NS	0,81	1,03	37247	65128	203291	203291	0	0	2,50	2,50
sisma in -Y														
proporzionale alle masse														
	0%	-	-	VNR	VNR	0,00	0	0	0	0	0	0	0,00	0,00
	100%	-	-	VNR	VNR	0,00	0	0	0	0	0	0	0,00	0,00
proporzionale alla deformata 1° modo di vibrazione														
	0%	-	-	VNR	VNR	0,00	0	0	0	0	0	0	0,00	0,00
	100%	-	-	VNR	VNR	0,00	0	0	0	0	0	0	0,00	0,00
sisma in +X														
proporzionale alle masse														
Trave 11-23	0%	-138	65.803	NS	0,99	1,01	37247	65128	200406	200406	0	0	2,50	2,50
	100%	-138	-60.362	NS	1,08	1,01	37247	65128	200396	200396	0	0	2,50	2,50
proporzionale alla deformata 1° modo di vibrazione														
	0%	-163	65.230	NS	1,00	1,01	37247	65128	200494	200494	0	0	2,50	2,50
	100%	-163	-60.935	NS	1,07	1,01	37247	65128	200497	200497	0	0	2,50	2,50
sisma in -X														
proporzionale alle masse														
	0%	970	66.921	38,40	0,97	1,01	37247	65128	200725	200725	0	0	2,50	2,50
	100%	970	-59.244	38,40	1,10	1,01	37247	65128	200712	200712	0	0	2,50	2,50
proporzionale alla deformata 1° modo di vibrazione														
	0%	973	67.910	38,28	0,96	1,01	37247	65128	200652	200652	0	0	2,50	2,50
	100%	973	-58.255	38,28	1,12	1,01	37247	65128	200652	200652	0	0	2,50	2,50
sisma in +Y														
proporzionale alle masse														
	0%	385	28.558	96,75	2,28	1,08	37247	65128	213880	213880	0	0	2,50	2,50
	100%	385	-97.607	96,75	0,67	1,08	37247	65128	213559	213559	0	0	2,50	2,50
proporzionale alla deformata 1° modo di vibrazione														
	0%	463	36.768	80,45	1,77	1,06	37247	65128	209871	209871	0	0	2,50	2,50
	100%	463	-89.397	80,45	0,73	1,06	37247	65128	209765	209765	0	0	2,50	2,50
sisma in -Y														
proporzionale alle masse														
	0%	-	-	VNR	VNR	0,00	0	0	0	0	0	0	0,00	0,00
	100%	-	-	VNR	VNR	0,00	0	0	0	0	0	0	0,00	0,00
proporzionale alla deformata 1° modo di vibrazione														
	0%	-	-	VNR	VNR	0,00	0	0	0	0	0	0	0,00	0,00
	100%	-	-	VNR	VNR	0,00	0	0	0	0	0	0	0,00	0,00
Piano interrato								**Travata: Trave3-P3-6-9-12-13-25-26-33-40**						
sisma in +X														
proporzionale alle masse														
Trave 3-P3	0%	-313	28.721	NS	2,02	1,01	36977	57888	177423	177423	0	0	2,50	2,50
	100%	-313	-39.246	NS	1,48	1,01	36977	57888	177556	177556	0	0	2,50	2,50
proporzionale alla deformata 1° modo di vibrazione														
	0%	-48	27.352	NS	2,12	1,01	36977	57888	177395	177395	0	0	2,50	2,50
	100%	-48	-40.615	NS	1,43	1,01	36977	57888	177918	177918	0	0	2,50	2,50
sisma in -X														
proporzionale alle masse														
	0%	361	44.760	NS	1,29	1,00	36977	57888	176281	176281	0	0	2,50	2,50
	100%	361	-23.207	NS	2,49	1,00	36977	57888	176281	176281	0	0	2,50	2,50
proporzionale alla deformata 1° modo di vibrazione														
	0%	141	44.210	NS	1,31	1,00	36977	57888	176281	176281	0	0	2,50	2,50
	100%	141	-23.757	NS	2,44	1,00	36977	57888	176281	176281	0	0	2,50	2,50
sisma in +Y														
proporzionale alle masse														
	0%	158	-22.002	NS	2,63	1,09	36977	57888	192493	192493	0	0	2,50	2,50
	100%	158	-89.969	NS	0,64	1,09	36977	57888	192003	192003	0	0	2,50	2,50
proporzionale alla deformata 1° modo di vibrazione														
	0%	82	-15.008	NS	3,86	1,07	36977	57888	189332	189332	0	0	2,50	2,50
	100%	82	-82.975	NS	0,70	1,08	36977	57888	189559	189559	0	0	2,50	2,50
sisma in -Y														
proporzionale alle masse														
	0%	-	-	VNR	VNR	0,00	0	0	0	0	0	0	0,00	0,00
	100%	-	-	VNR	VNR	0,00	0	0	0	0	0	0	0,00	0,00
proporzionale alla deformata 1° modo di vibrazione														
	0%	-	-	VNR	VNR	0,00	0	0	0	0	0	0	0,00	0,00
	100%	-	-	VNR	VNR	0,00	0	0	0	0	0	0	0,00	0,00
sisma in +X														
proporzionale alle masse														
Trave P3-6	0%	827	10.009	0,00	0,00	1,03	0	0	181217	181217	0	0	2,50	2,50
	100%	692	-14.407	0,00	0,00	1,03	0	0	181805	181805	0	0	2,50	2,50
proporzionale alla deformata 1° modo di vibrazione														
	0%	411	10.090	0,00	0,00	1,03	0	0	181879	181879	0	0	2,50	2,50
	100%	609	-13.435	0,00	0,00	1,03	0	0	182178	182178	0	0	2,50	2,50
sisma in -X														

Id_{Tr}	$\%L_{LI}$	$V_{Ed,3}$	$V_{Ed,2}$	$CS^{(3)}$	$CS^{(2)}$	α_C	$V_{Rsd,s}{}^{(3)}$	$V_{Rsd,s}{}^{(2)}$	$V_{Rcd}{}^{(3)}$	$V_{Rcd}{}^{(2)}$	$V_{fd}{}^{(3)}$	$V_{fd}{}^{(2)}$	$Ctg\Theta^{(3)}$	$Ctg\Theta^{(2)}$
	[%]	[N]	[N]				[N]	[N]	[N]	[N]	[N]	[N]		
proporzionale alle masse														
	0%	-1.820	-10.425	0,00	0,00	1,01	0	0	178225	178225	0	0	2,50	2,50
	100%	-2.352	-26.819	0,00	0,00	1,03	0	0	182156	182156	0	0	2,50	2,50
proporzionale alla deformata 1° modo di vibrazione														
	0%	-1.588	-11.795	0,00	0,00	1,01	0	0	178274	178274	0	0	2,50	2,50
	100%	-2.086	-27.422	0,00	0,00	1,03	0	0	182233	182233	0	0	2,50	2,50
sisma in +Y														
proporzionale alle masse														
	0%	121	56.543	0,00	0,00	1,15	0	0	203520	203520	0	0	2,50	2,50
	100%	36	63.022	0,00	0,00	1,06	0	0	186488	186488	0	0	2,50	2,50
proporzionale alla deformata 1° modo di vibrazione														
	0%	-541	43.330	0,00	0,00	1,14	0	0	200519	200519	0	0	2,50	2,50
	100%	-343	55.070	0,00	0,00	1,07	0	0	188169	188169	0	0	2,50	2,50
sisma in -Y														
proporzionale alle masse														
	0%	-	-	VNR	VNR	0,00	0	0	0	0	0	0	0,00	0,00
	100%	-	-	VNR	VNR	0,00	0	0	0	0	0	0	0,00	0,00
proporzionale alla deformata 1° modo di vibrazione														
	0%	-	-	VNR	VNR	0,00	0	0	0	0	0	0	0,00	0,00
	100%	-	-	VNR	VNR	0,00	0	0	0	0	0	0	0,00	0,00
sisma in +X														
proporzionale alle masse														
Trave 6-9	0%	183	42.809	NS	1,35	1,01	36977	57888	178293	178293	0	0	2,50	2,50
	100%	183	-44.103	NS	1,31	1,01	36977	57888	178280	178280	0	0	2,50	2,50
proporzionale alla deformata 1° modo di vibrazione														
	0%	117	42.318	NS	1,37	1,01	36977	57888	178306	178306	0	0	2,50	2,50
	100%	117	-44.594	NS	1,30	1,01	36977	57888	178303	178303	0	0	2,50	2,50
sisma in -X														
proporzionale alle masse														
	0%	-132	43.372	NS	1,33	1,01	36977	57888	178685	178685	0	0	2,50	2,50
	100%	-132	-43.540	NS	1,33	1,01	36977	57888	178694	178694	0	0	2,50	2,50
proporzionale alla deformata 1° modo di vibrazione														
	0%	-74	43.853	NS	1,32	1,01	36977	57888	178665	178665	0	0	2,50	2,50
	100%	-74	-43.059	NS	1,34	1,01	36977	57888	178676	178676	0	0	2,50	2,50
sisma in +Y														
proporzionale alle masse														
	0%	-128	17.611	NS	3,29	1,02	36977	57888	179521	179521	0	0	2,50	2,50
	100%	-128	-69.301	NS	0,84	1,02	36977	57888	179344	179344	0	0	2,50	2,50
proporzionale alla deformata 1° modo di vibrazione														
	0%	-128	21.210	NS	2,73	1,02	36977	57888	179054	179054	0	0	2,50	2,50
	100%	-128	-65.702	NS	0,88	1,01	36977	57888	178894	178894	0	0	2,50	2,50
sisma in -Y														
proporzionale alle masse														
	0%	-	-	VNR	VNR	0,00	0	0	0	0	0	0	0,00	0,00
	100%	-	-	VNR	VNR	0,00	0	0	0	0	0	0	0,00	0,00
proporzionale alla deformata 1° modo di vibrazione														
	0%	-	-	VNR	VNR	0,00	0	0	0	0	0	0	0,00	0,00
	100%	-	-	VNR	VNR	0,00	0	0	0	0	0	0	0,00	0,00
sisma in +X														
proporzionale alle masse														
Trave 9-12	0%	-137	44.159	NS	1,31	1,01	36977	57888	177985	177985	0	0	2,50	2,50
	100%	-137	-42.753	NS	1,35	1,01	36977	57888	177959	177959	0	0	2,50	2,50
proporzionale alla deformata 1° modo di vibrazione														
	0%	-62	43.759	NS	1,32	1,01	36977	57888	178140	178140	0	0	2,50	2,50
	100%	-62	-43.153	NS	1,34	1,01	36977	57888	178090	178090	0	0	2,50	2,50
sisma in -X														
proporzionale alle masse														
	0%	133	45.498	NS	1,27	1,02	36977	57888	178973	178973	0	0	2,50	2,50
	100%	133	-41.414	NS	1,40	1,02	36977	57888	178970	178970	0	0	2,50	2,50
proporzionale alla deformata 1° modo di vibrazione														
	0%	9	46.019	NS	1,26	1,01	36977	57888	178823	178823	0	0	2,50	2,50
	100%	9	-40.893	NS	1,42	1,01	36977	57888	178801	178801	0	0	2,50	2,50
sisma in +Y														
proporzionale alle masse														
	0%	-221	11.361	NS	5,10	1,09	36977	57888	192355	192355	0	0	2,50	2,50
	100%	-221	-75.551	NS	0,77	1,09	36977	57888	191856	191856	0	0	2,50	2,50
proporzionale alla deformata 1° modo di vibrazione														
	0%	-253	16.998	NS	3,41	1,07	36977	57888	189280	189280	0	0	2,50	2,50
	100%	-253	-69.914	NS	0,83	1,07	36977	57888	189027	189027	0	0	2,50	2,50
sisma in -Y														
proporzionale alle masse														
	0%	-	-	VNR	VNR	0,00	0	0	0	0	0	0	0,00	0,00
	100%	-	-	VNR	VNR	0,00	0	0	0	0	0	0	0,00	0,00
proporzionale alla deformata 1° modo di vibrazione														
	0%	-	-	VNR	VNR	0,00	0	0	0	0	0	0	0,00	0,00
	100%	-	-	VNR	VNR	0,00	0	0	0	0	0	0	0,00	0,00
sisma in +X														
proporzionale alle masse														
Trave 12-13	0%	-5.189	20.423	0,00	0,00	1,03	0	0	181910	181910	0	0	2,50	2,50
	100%	-3.770	-33.977	0,00	0,00	1,04	0	0	182725	182725	0	0	2,50	2,50
proporzionale alla deformata 1° modo di vibrazione														
	0%	-3.031	20.884	0,00	0,00	1,03	0	0	182208	182208	0	0	2,50	2,50
	100%	-6.647	-35.819	0,00	0,00	1,04	0	0	183605	183605	0	0	2,50	2,50
sisma in -X														
proporzionale alle masse														
	0%	7.425	17.715	0,00	0,00	1,04	0	0	182559	182559	0	0	2,50	2,50

Id_{Tr}	$\%L_{LI}$	$V_{Ed,3}$	$V_{Ed,2}$	$CS^{(3)}$	$CS^{(2)}$	α_C	$V_{Rsd,s}{}^{(3)}$	$V_{Rsd,s}{}^{(2)}$	$V_{Rcd}{}^{(3)}$	$V_{Rcd}{}^{(2)}$	$V_{fd}{}^{(3)}$	$V_{fd}{}^{(2)}$	$Ctg\Theta^{(3)}$	$Ctg\Theta^{(2)}$
	[%]	[N]	[N]				[N]	[N]	[N]	[N]	[N]	[N]		
	100%	13.174	685	0,00	0,00	1,02	0	0	179704	179704	0	0	2,50	2,50
proporzionale alla deformata 1° modo di vibrazione														
	0%	6.496	18.399	0,00	0,00	1,03	0	0	182397	182397	0	0	2,50	2,50
	100%	17.303	-1.406	0,00	0,00	1,02	0	0	179777	179777	0	0	2,50	2,50
sisma in +Y														
proporzionale alle masse														
	0%	-1.102	40.916	0,00	0,00	1,15	0	0	201847	201847	0	0	2,50	2,50
	100%	8.305	19.222	0,00	0,00	1,03	0	0	182428	182428	0	0	2,50	2,50
proporzionale alla deformata 1° modo di vibrazione														
	0%	-1.781	31.602	0,00	0,00	1,13	0	0	198866	198866	0	0	2,50	2,50
	100%	3.816	15.566	0,00	0,00	1,05	0	0	184466	184466	0	0	2,50	2,50
sisma in -Y														
proporzionale alle masse														
	0%	-	-	VNR	VNR	0,00	0	0	0	0	0	0	0,00	0,00
	100%	-	-	VNR	VNR	0,00	0	0	0	0	0	0	0,00	0,00
proporzionale alla deformata 1° modo di vibrazione														
	0%	-	-	VNR	VNR	0,00	0	0	0	0	0	0	0,00	0,00
	100%	-	-	VNR	VNR	0,00	0	0	0	0	0	0	0,00	0,00
sisma in +X														
proporzionale alle masse														
Trave 13-25	0%	-1.996	62.209	18,53	0,82	1,02	36977	50918	158297	158297	0	0	2,50	2,50
	100%	-1.996	-37.575	18,53	1,36	1,02	36977	50918	158050	158050	0	0	2,50	2,50
proporzionale alla deformata 1° modo di vibrazione														
	0%	-1.725	59.762	21,44	0,85	1,02	36977	50918	157765	157765	0	0	2,50	2,50
	100%	-1.725	-40.021	21,44	1,27	1,02	36977	50918	157628	157628	0	0	2,50	2,50
sisma in -X														
proporzionale alle masse														
	0%	-512	50.980	72,22	1,00	1,01	36977	50918	155967	155967	0	0	2,50	2,50
	100%	-512	-48.803	72,22	1,04	1,01	36977	50918	156001	156001	0	0	2,50	2,50
proporzionale alla deformata 1° modo di vibrazione														
	0%	-733	52.453	50,45	0,97	1,01	36977	50918	156037	156037	0	0	2,50	2,50
	100%	-733	-47.330	50,45	1,08	1,01	36977	50918	156059	156059	0	0	2,50	2,50
sisma in +Y														
proporzionale alle masse														
	0%	-1.773	-25.385	20,86	2,01	1,15	36977	50918	178198	178198	0	0	2,50	2,50
	100%	-1.773	-125.169	20,86	0,41	1,14	36977	50918	176761	176761	0	0	2,50	2,50
proporzionale alla deformata 1° modo di vibrazione														
	0%	-1.579	-12.330	23,42	4,13	1,11	36977	50918	171812	171812	0	0	2,50	2,50
	100%	-1.579	-112.113	23,42	0,45	1,11	36977	50918	171729	171729	0	0	2,50	2,50
sisma in -Y														
proporzionale alle masse														
	0%	-	-	VNR	VNR	0,00	0	0	0	0	0	0	0,00	0,00
	100%	-	-	VNR	VNR	0,00	0	0	0	0	0	0	0,00	0,00
proporzionale alla deformata 1° modo di vibrazione														
	0%	-	-	VNR	VNR	0,00	0	0	0	0	0	0	0,00	0,00
	100%	-	-	VNR	VNR	0,00	0	0	0	0	0	0	0,00	0,00
sisma in +X														
proporzionale alle masse														
Trave 25-26	0%	20.261	10.395	1,83	4,90	1,02	36977	50918	158360	158360	0	0	2,50	2,50
	100%	1.459	-24.784	25,34	2,05	1,03	36977	50918	159720	159720	0	0	2,50	2,50
proporzionale alla deformata 1° modo di vibrazione														
	0%	21.217	9.954	1,74	5,12	1,02	36977	50918	158297	158297	0	0	2,50	2,50
	100%	169	-24.813	NS	2,05	1,03	36977	50918	159835	159835	0	0	2,50	2,50
sisma in -X														
proporzionale alle masse														
	0%	110	15.444	NS	3,30	1,02	36977	50918	158147	158147	0	0	2,50	2,50
	100%	-2.226	-25.825	16,61	1,97	1,04	36977	50918	160532	160532	0	0	2,50	2,50
proporzionale alla deformata 1° modo di vibrazione														
	0%	-1.468	15.956	25,19	3,19	1,02	36977	50918	158023	158023	0	0	2,50	2,50
	100%	-1.004	-27.545	36,83	1,85	1,04	36977	50918	161008	161008	0	0	2,50	2,50
sisma in +Y														
proporzionale alle masse														
	0%	13.245	33.303	2,79	1,53	1,15	36977	50918	178991	178991	0	0	2,50	2,50
	100%	268	-26.153	NS	1,95	1,02	36977	50918	158822	158822	0	0	2,50	2,50
proporzionale alla deformata 1° modo di vibrazione														
	0%	11.685	25.526	3,16	1,99	1,14	36977	50918	176963	176963	0	0	2,50	2,50
	100%	-546	-31.482	67,72	1,62	1,04	36977	50918	160510	160510	0	0	2,50	2,50
sisma in -Y														
proporzionale alle masse														
	0%	-	-	VNR	VNR	0,00	0	0	0	0	0	0	0,00	0,00
	100%	-	-	VNR	VNR	0,00	0	0	0	0	0	0	0,00	0,00
proporzionale alla deformata 1° modo di vibrazione														
	0%	-	-	VNR	VNR	0,00	0	0	0	0	0	0	0,00	0,00
	100%	-	-	VNR	VNR	0,00	0	0	0	0	0	0	0,00	0,00
sisma in +X														
proporzionale alle masse														
Trave 26-33	0%	264	43.070	NS	1,18	1,03	36977	50918	160331	160331	0	0	2,50	2,50
	100%	264	-58.847	NS	0,87	1,03	36977	50918	160247	160247	0	0	2,50	2,50
proporzionale alla deformata 1° modo di vibrazione														
	0%	137	41.941	NS	1,21	1,03	36977	50918	160289	160289	0	0	2,50	2,50
	100%	137	-59.976	NS	0,85	1,03	36977	50918	160281	160281	0	0	2,50	2,50
sisma in -X														
proporzionale alle masse														
	0%	-560	44.002	66,03	1,16	1,04	36977	50918	161960	161960	0	0	2,50	2,50
	100%	-560	-57.915	66,03	0,88	1,04	36977	50918	161933	161933	0	0	2,50	2,50
proporzionale alla deformata 1° modo di vibrazione														

Id_{Tr}	$\%L_{LI}$	$V_{Ed,3}$	$V_{Ed,2}$	$CS^{(3)}$	$CS^{(2)}$	α_C	$V_{Rsd,s}{}^{(3)}$	$V_{Rsd,s}{}^{(2)}$	$V_{Rcd}{}^{(3)}$	$V_{Rcd}{}^{(2)}$	$V_{fd}{}^{(3)}$	$V_{fd}{}^{(2)}$	$Ctg\Theta^{(3)}$	$Ctg\Theta^{(2)}$
	[%]	[N]	[N]				[N]	[N]	[N]	[N]	[N]	[N]		
	0%	-423	45.037	87,42	1,13	1,04	36977	50918	161901	161901	0	0	2,50	2,50
	100%	-423	-56.880	87,42	0,90	1,04	36977	50918	161849	161849	0	0	2,50	2,50
sisma in +Y														
proporzionale alle masse														
	0%	-182	-9.090	NS	5,60	1,13	36977	50918	175422	175422	0	0	2,50	2,50
	100%	-182	-111.007	NS	0,46	1,13	36977	50918	174968	174968	0	0	2,50	2,50
proporzionale alla deformata 1° modo di vibrazione														
	0%	-200	-4.187	NS	12,16	1,12	36977	50918	172988	172988	0	0	2,50	2,50
	100%	-200	-106.104	NS	0,48	1,11	36977	50918	172808	172808	0	0	2,50	2,50
sisma in -Y														
proporzionale alle masse														
	0%	-	-	VNR	VNR	0,00	0	0	0	0	0	0	0,00	0,00
	100%	-	-	VNR	VNR	0,00	0	0	0	0	0	0	0,00	0,00
proporzionale alla deformata 1° modo di vibrazione														
	0%	-	-	VNR	VNR	0,00	0	0	0	0	0	0	0,00	0,00
	100%	-	-	VNR	VNR	0,00	0	0	0	0	0	0	0,00	0,00
sisma in +X														
proporzionale alle masse														
Trave 33-40	0%	2	108.675	NS	0,91	1,00	46222	98498	239958	239958	0	0	2,50	2,50
	100%	2	-105.289	NS	0,94	1,00	46222	98498	239958	239958	0	0	2,50	2,50
proporzionale alla deformata 1° modo di vibrazione														
	0%	12	108.806	NS	0,91	1,00	46222	98498	239958	239958	0	0	2,50	2,50
	100%	12	-105.159	NS	0,94	1,00	46222	98498	239958	239958	0	0	2,50	2,50
sisma in -X														
proporzionale alle masse														
	0%	224	114.046	NS	0,86	1,00	46222	98498	239958	239958	0	0	2,50	2,50
	100%	224	-99.919	NS	0,99	1,00	46222	98498	239958	239958	0	0	2,50	2,50
proporzionale alla deformata 1° modo di vibrazione														
	0%	213	114.374	NS	0,86	1,00	46222	98498	239958	239958	0	0	2,50	2,50
	100%	213	-99.590	NS	0,99	1,00	46222	98498	239958	239958	0	0	2,50	2,50
sisma in +Y														
proporzionale alle masse														
	0%	287	87.453	NS	1,13	1,00	46222	98498	240729	240729	0	0	2,50	2,50
	100%	287	-126.512	NS	0,78	1,00	46222	98498	240822	240822	0	0	2,50	2,50
proporzionale alla deformata 1° modo di vibrazione														
	0%	231	90.846	NS	1,08	1,00	46222	98498	240355	240355	0	0	2,50	2,50
	100%	231	-123.118	NS	0,80	1,00	46222	98498	240434	240434	0	0	2,50	2,50
sisma in -Y														
proporzionale alle masse														
	0%	-	-	VNR	VNR	0,00	0	0	0	0	0	0	0,00	0,00
	100%	-	-	VNR	VNR	0,00	0	0	0	0	0	0	0,00	0,00
proporzionale alla deformata 1° modo di vibrazione														
	0%	-	-	VNR	VNR	0,00	0	0	0	0	0	0	0,00	0,00
	100%	-	-	VNR	VNR	0,00	0	0	0	0	0	0	0,00	0,00
Piano interrato								**Travata: Trave16-6c-P9-29-36-P13-8c-43**						
sisma in +X														
proporzionale alle masse														
Trave 16-6c	0%	36.150	43.411	0,00	0,00	1,02	0	0	244614	244614	0	0	2,50	2,50
	100%	12.476	28.726	0,00	0,00	1,00	0	0	240015	240015	0	0	2,50	2,50
proporzionale alla deformata 1° modo di vibrazione														
	0%	35.478	35.602	0,00	0,00	1,02	0	0	244871	244871	0	0	2,50	2,50
	100%	9.909	28.138	0,00	0,00	1,00	0	0	240180	240180	0	0	2,50	2,50
sisma in -X														
proporzionale alle masse														
	0%	-22.765	-4.575	0,00	0,00	1,00	0	0	240714	240714	0	0	2,50	2,50
	100%	-15.636	-25.384	0,00	0,00	1,01	0	0	242475	242475	0	0	2,50	2,50
proporzionale alla deformata 1° modo di vibrazione														
	0%	-17.388	-13.943	0,00	0,00	1,00	0	0	240180	240180	0	0	2,50	2,50
	100%	-13.530	-33.781	0,00	0,00	1,01	0	0	242477	242477	0	0	2,50	2,50
sisma in +Y														
proporzionale alle masse														
	0%	12.937	-139.367	0,00	0,00	1,00	0	0	239915	239915	0	0	2,50	2,50
	100%	-109	-104.020	0,00	0,00	1,04	0	0	249272	249272	0	0	2,50	2,50
proporzionale alla deformata 1° modo di vibrazione														
	0%	13.998	-144.830	0,00	0,00	1,00	0	0	240812	240812	0	0	2,50	2,50
	100%	-425	-90.823	0,00	0,00	1,05	0	0	250948	250948	0	0	2,50	2,50
sisma in -Y														
proporzionale alle masse														
	0%	-	-	VNR	VNR	0,00	0	0	0	0	0	0	0,00	0,00
	100%	-	-	VNR	VNR	0,00	0	0	0	0	0	0	0,00	0,00
proporzionale alla deformata 1° modo di vibrazione														
	0%	-	-	VNR	VNR	0,00	0	0	0	0	0	0	0,00	0,00
	100%	-	-	VNR	VNR	0,00	0	0	0	0	0	0	0,00	0,00
sisma in +X														
proporzionale alle masse														
Trave 6c-P9	0%	15.228	20.389	0,00	0,00	1,00	0	0	240274	240274	0	0	2,50	2,50
	100%	10.983	2.214	0,00	0,00	1,00	0	0	240809	240809	0	0	2,50	2,50
proporzionale alla deformata 1° modo di vibrazione														
	0%	14.391	20.839	0,00	0,00	1,00	0	0	240485	240485	0	0	2,50	2,50
	100%	10.250	3.468	0,00	0,00	1,00	0	0	241011	241011	0	0	2,50	2,50
sisma in -X														
proporzionale alle masse														
	0%	-18.842	-5.589	0,00	0,00	1,01	0	0	242869	242869	0	0	2,50	2,50
	100%	-12.770	1.005	0,00	0,00	1,01	0	0	242977	242977	0	0	2,50	2,50
proporzionale alla deformata 1° modo di vibrazione														
	0%	-17.125	-7.586	0,00	0,00	1,01	0	0	242777	242777	0	0	2,50	2,50

Id_{Tr}	$\%L_{LI}$	$V_{Ed,3}$	$V_{Ed,2}$	$CS^{(3)}$	$CS^{(2)}$	α_C	$V_{Rsd,s}{}^{(3)}$	$V_{Rsd,s}{}^{(2)}$	$V_{Rcd}{}^{(3)}$	$V_{Rcd}{}^{(2)}$	$V_{fd}{}^{(3)}$	$V_{fd}{}^{(2)}$	$Ctg\Theta^{(3)}$	$Ctg\Theta^{(2)}$
	[%]	[N]	[N]				[N]	[N]	[N]	[N]	[N]	[N]		
	100%	-11.904	-1.478	0,00	0,00	1,01	0	0	242916	242916	0	0	2,50	2,50
sisma in +Y														
proporzionale alle masse														
	0%	244	18.218	0,00	0,00	1,00	0	0	239915	239915	0	0	2,50	2,50
	100%	-8	65.644	0,00	0,00	1,00	0	0	239915	239915	0	0	2,50	2,50
proporzionale alla deformata 1° modo di vibrazione														
	0%	-458	19.142	0,00	0,00	1,00	0	0	239915	239915	0	0	2,50	2,50
	100%	-799	70.043	0,00	0,00	1,00	0	0	239915	239915	0	0	2,50	2,50
sisma in -Y														
proporzionale alle masse														
	0%	-	-	VNR	VNR	0,00	0	0	0	0	0	0	0,00	0,00
	100%	-	-	VNR	VNR	0,00	0	0	0	0	0	0	0,00	0,00
proporzionale alla deformata 1° modo di vibrazione														
	0%	-	-	VNR	VNR	0,00	0	0	0	0	0	0	0,00	0,00
	100%	-	-	VNR	VNR	0,00	0	0	0	0	0	0	0,00	0,00
sisma in +X														
proporzionale alle masse														
Trave P9-29	0%	141	28.211	NS	3,49	1,00	46204	98480	239915	239915	0	0	2,50	2,50
	100%	141	-31.462	NS	3,13	1,00	46204	98480	239915	239915	0	0	2,50	2,50
proporzionale alla deformata 1° modo di vibrazione														
	0%	68	28.671	NS	3,43	1,00	46204	98480	239915	239915	0	0	2,50	2,50
	100%	68	-31.003	NS	3,18	1,00	46204	98480	239915	239915	0	0	2,50	2,50
sisma in -X														
proporzionale alle masse														
	0%	-376	27.805	NS	3,54	1,00	46204	98480	240709	240709	0	0	2,50	2,50
	100%	-376	-31.868	NS	3,09	1,00	46204	98480	240751	240751	0	0	2,50	2,50
proporzionale alla deformata 1° modo di vibrazione														
	0%	-326	27.813	NS	3,54	1,00	46204	98480	240772	240772	0	0	2,50	2,50
	100%	-326	-31.861	NS	3,09	1,00	46204	98480	240816	240816	0	0	2,50	2,50
sisma in +Y														
proporzionale alle masse														
	0%	-27	-39.618	NS	2,49	1,03	46204	98480	247351	247351	0	0	2,50	2,50
	100%	-27	-99.291	NS	0,99	1,03	46204	98480	247310	247310	0	0	2,50	2,50
proporzionale alla deformata 1° modo di vibrazione														
	0%	-10	-41.051	NS	2,40	1,03	46204	98480	247503	247503	0	0	2,50	2,50
	100%	-10	-100.724	NS	0,98	1,03	46204	98480	247496	247496	0	0	2,50	2,50
sisma in -Y														
proporzionale alle masse														
	0%	-	-	VNR	VNR	0,00	0	0	0	0	0	0	0,00	0,00
	100%	-	-	VNR	VNR	0,00	0	0	0	0	0	0	0,00	0,00
proporzionale alla deformata 1° modo di vibrazione														
	0%	-	-	VNR	VNR	0,00	0	0	0	0	0	0	0,00	0,00
	100%	-	-	VNR	VNR	0,00	0	0	0	0	0	0	0,00	0,00
sisma in +X														
proporzionale alle masse														
Trave 29-36	0%	87	19.375	NS	4,07	1,00	36963	78784	240420	240420	0	0	2,50	2,50
	100%	87	-22.690	NS	3,47	1,00	36963	78784	240509	240509	0	0	2,50	2,50
proporzionale alla deformata 1° modo di vibrazione														
	0%	161	20.728	NS	3,80	1,00	36963	78784	240482	240482	0	0	2,50	2,50
	100%	161	-21.337	NS	3,69	1,00	36963	78784	240451	240451	0	0	2,50	2,50
sisma in -X														
proporzionale alle masse														
	0%	-35	17.100	NS	4,61	1,01	36963	78784	241159	241159	0	0	2,50	2,50
	100%	-35	-24.965	NS	3,16	1,01	36963	78784	241435	241435	0	0	2,50	2,50
proporzionale alla deformata 1° modo di vibrazione														
	0%	-50	16.611	NS	4,74	1,01	36963	78784	241117	241117	0	0	2,50	2,50
	100%	-50	-25.454	NS	3,10	1,01	36963	78784	241338	241338	0	0	2,50	2,50
sisma in +Y														
proporzionale alle masse														
	0%	-168	-27.784	NS	2,84	1,04	36963	78784	249935	249935	0	0	2,50	2,50
	100%	-168	-69.849	NS	1,13	1,04	36963	78784	249756	249756	0	0	2,50	2,50
proporzionale alla deformata 1° modo di vibrazione														
	0%	-164	-28.906	NS	2,73	1,04	36963	78784	250305	250305	0	0	2,50	2,50
	100%	-164	-70.971	NS	1,11	1,04	36963	78784	250110	250110	0	0	2,50	2,50
sisma in -Y														
proporzionale alle masse														
	0%	-	-	VNR	VNR	0,00	0	0	0	0	0	0	0,00	0,00
	100%	-	-	VNR	VNR	0,00	0	0	0	0	0	0	0,00	0,00
proporzionale alla deformata 1° modo di vibrazione														
	0%	-	-	VNR	VNR	0,00	0	0	0	0	0	0	0,00	0,00
	100%	-	-	VNR	VNR	0,00	0	0	0	0	0	0	0,00	0,00
sisma in +X														
proporzionale alle masse														
Trave 36-P13	0%	-212	14.846	NS	6,63	1,00	46204	98480	241085	241085	0	0	2,50	2,50
	100%	-212	-28.099	NS	3,50	1,00	46204	98480	240778	240778	0	0	2,50	2,50
proporzionale alla deformata 1° modo di vibrazione														
	0%	-29	15.544	NS	6,34	1,00	46204	98480	240896	240896	0	0	2,50	2,50
	100%	-29	-27.401	NS	3,59	1,00	46204	98480	240772	240772	0	0	2,50	2,50
sisma in -X														
proporzionale alle masse														
	0%	509	14.987	90,77	6,57	1,01	46204	98480	241894	241894	0	0	2,50	2,50
	100%	509	-27.958	90,77	3,52	1,01	46204	98480	241922	241922	0	0	2,50	2,50
proporzionale alla deformata 1° modo di vibrazione														
	0%	224	12.786	NS	7,70	1,01	46204	98480	242506	242506	0	0	2,50	2,50
	100%	224	-30.159	NS	3,27	1,01	46204	98480	242485	242485	0	0	2,50	2,50
sisma in +Y														

Id_{Tr}	$\%L_{LI}$	$V_{Ed,3}$	$V_{Ed,2}$	$CS^{(3)}$	$CS^{(2)}$	α_C	$V_{Rsd,s}{}^{(3)}$	$V_{Rsd,s}{}^{(2)}$	$V_{Rcd}{}^{(3)}$	$V_{Rcd}{}^{(2)}$	$V_{fd}{}^{(3)}$	$V_{fd}{}^{(2)}$	$Ctg\Theta^{(3)}$	$Ctg\Theta^{(2)}$
	[%]	[N]	[N]				[N]	[N]	[N]	[N]	[N]	[N]		
proporzionale alle masse														
	0%	-103	-87.933	NS	1,12	1,14	46204	98480	273939	273939	0	0	2,50	2,50
	100%	-103	-130.878	NS	0,75	1,14	46204	98480	274512	274512	0	0	2,50	2,50
proporzionale alla deformata 1° modo di vibrazione														
	0%	-147	-82.210	NS	1,20	1,13	46204	98480	271636	271636	0	0	2,50	2,50
	100%	-147	-125.155	NS	0,79	1,13	46204	98480	271900	271900	0	0	2,50	2,50
sisma in -Y														
proporzionale alle masse														
	0%	-	-	VNR	VNR	0,00	0	0	0	0	0	0	0,00	0,00
	100%	-	-	VNR	VNR	0,00	0	0	0	0	0	0	0,00	0,00
proporzionale alla deformata 1° modo di vibrazione														
	0%	-	-	VNR	VNR	0,00	0	0	0	0	0	0	0,00	0,00
	100%	-	-	VNR	VNR	0,00	0	0	0	0	0	0	0,00	0,00
sisma in +X														
proporzionale alle masse														
Trave P13-8c	0%	-6.378	10.425	0,00	0,00	1,01	0	0	241976	241976	0	0	2,50	2,50
	100%	-11.912	-11.639	0,00	0,00	1,00	0	0	240174	240174	0	0	2,50	2,50
proporzionale alla deformata 1° modo di vibrazione														
	0%	-5.742	10.198	0,00	0,00	1,01	0	0	241924	241924	0	0	2,50	2,50
	100%	-9.832	-9.485	0,00	0,00	1,00	0	0	240360	240360	0	0	2,50	2,50
sisma in -X														
proporzionale alle masse														
	0%	10.284	7.451	0,00	0,00	1,02	0	0	244266	244266	0	0	2,50	2,50
	100%	19.545	7.443	0,00	0,00	1,01	0	0	242543	242543	0	0	2,50	2,50
proporzionale alla deformata 1° modo di vibrazione														
	0%	8.457	9.407	0,00	0,00	1,02	0	0	244741	244741	0	0	2,50	2,50
	100%	17.325	11.296	0,00	0,00	1,01	0	0	242545	242545	0	0	2,50	2,50
sisma in +Y														
proporzionale alle masse														
	0%	474	30.807	0,00	0,00	1,20	0	0	287423	287423	0	0	2,50	2,50
	100%	-1.051	-66.460	0,00	0,00	1,15	0	0	275701	275701	0	0	2,50	2,50
proporzionale alla deformata 1° modo di vibrazione														
	0%	339	-2.151	0,00	0,00	1,19	0	0	285845	285845	0	0	2,50	2,50
	100%	-495	-65.306	0,00	0,00	1,16	0	0	277678	277678	0	0	2,50	2,50
sisma in -Y														
proporzionale alle masse														
	0%	-	-	VNR	VNR	0,00	0	0	0	0	0	0	0,00	0,00
	100%	-	-	VNR	VNR	0,00	0	0	0	0	0	0	0,00	0,00
proporzionale alla deformata 1° modo di vibrazione														
	0%	-	-	VNR	VNR	0,00	0	0	0	0	0	0	0,00	0,00
	100%	-	-	VNR	VNR	0,00	0	0	0	0	0	0	0,00	0,00
sisma in +X														
proporzionale alle masse														
Trave 8c-43	0%	-11.046	-33.556	0,00	0,00	1,00	0	0	240058	240058	0	0	2,50	2,50
	100%	-34.931	-48.542	0,00	0,00	1,03	0	0	245988	245988	0	0	2,50	2,50
proporzionale alla deformata 1° modo di vibrazione														
	0%	-9.121	-28.107	0,00	0,00	1,00	0	0	240108	240108	0	0	2,50	2,50
	100%	-31.637	-35.795	0,00	0,00	1,02	0	0	245207	245207	0	0	2,50	2,50
sisma in -X														
proporzionale alle masse														
	0%	16.721	19.833	0,00	0,00	1,01	0	0	241741	241741	0	0	2,50	2,50
	100%	35.983	-36.876	0,00	0,00	1,01	0	0	241944	241944	0	0	2,50	2,50
proporzionale alla deformata 1° modo di vibrazione														
	0%	15.094	21.876	0,00	0,00	1,01	0	0	241631	241631	0	0	2,50	2,50
	100%	31.544	-31.619	0,00	0,00	1,01	0	0	241645	241645	0	0	2,50	2,50
sisma in +Y														
proporzionale alle masse														
	0%	-535	-180.545	0,00	0,00	1,14	0	0	273244	273244	0	0	2,50	2,50
	100%	575	-3.786	0,00	0,00	1,09	0	0	261301	261301	0	0	2,50	2,50
proporzionale alla deformata 1° modo di vibrazione														
	0%	-812	-151.647	0,00	0,00	1,15	0	0	275438	275438	0	0	2,50	2,50
	100%	-1.929	-1.616	0,00	0,00	1,10	0	0	263090	263090	0	0	2,50	2,50
sisma in -Y														
proporzionale alle masse														
	0%	-	-	VNR	VNR	0,00	0	0	0	0	0	0	0,00	0,00
	100%	-	-	VNR	VNR	0,00	0	0	0	0	0	0	0,00	0,00
proporzionale alla deformata 1° modo di vibrazione														
	0%	-	-	VNR	VNR	0,00	0	0	0	0	0	0	0,00	0,00
	100%	-	-	VNR	VNR	0,00	0	0	0	0	0	0	0,00	0,00
Piano interrato								**Travata: Trave14-27-34-41**						
sisma in +X														
proporzionale alle masse														
Trave 14-27	0%	136	100.592	NS	0,98	1,00	46542	98818	240737	240737	0	0	2,50	2,50
	100%	136	-116.718	NS	0,85	1,00	46542	98818	240737	240737	0	0	2,50	2,50
proporzionale alla deformata 1° modo di vibrazione														
	0%	143	100.508	NS	0,98	1,00	46542	98818	240737	240737	0	0	2,50	2,50
	100%	143	-116.803	NS	0,85	1,00	46542	98818	240737	240737	0	0	2,50	2,50
sisma in -X														
proporzionale alle masse														
	0%	-112	100.808	NS	0,98	1,00	46542	98818	240737	240737	0	0	2,50	2,50
	100%	-112	-116.502	NS	0,85	1,00	46542	98818	240737	240737	0	0	2,50	2,50
proporzionale alla deformata 1° modo di vibrazione														
	0%	-124	100.931	NS	0,98	1,00	46542	98818	240737	240737	0	0	2,50	2,50
	100%	-124	-116.379	NS	0,85	1,00	46542	98818	240737	240737	0	0	2,50	2,50
sisma in +Y														
proporzionale alle masse														

Id_{Tr}	$\%L_{LI}$	$V_{Ed,3}$	$V_{Ed,2}$	$CS^{(3)}$	$CS^{(2)}$	α_C	$V_{Rsd,s}{}^{(3)}$	$V_{Rsd,s}{}^{(2)}$	$V_{Rcd}{}^{(3)}$	$V_{Rcd}{}^{(2)}$	$V_{fd}{}^{(3)}$	$V_{fd}{}^{(2)}$	$Ctg\Theta^{(3)}$	$Ctg\Theta^{(2)}$
	[%]	[N]	[N]				[N]	[N]	[N]	[N]	[N]	[N]		
	0%	17	86.389	NS	1,14	1,00	46542	98818	240737	240737	0	0	2,50	2,50
	100%	17	-130.921	NS	0,75	1,00	46542	98818	241291	241291	0	0	2,50	2,50
proporzionale alla deformata 1° modo di vibrazione														
	0%	11	87.909	NS	1,12	1,00	46542	98818	240737	240737	0	0	2,50	2,50
	100%	11	-129.401	NS	0,76	1,00	46542	98818	240929	240929	0	0	2,50	2,50
sisma in -Y														
proporzionale alle masse														
	0%	-	-	VNR	VNR	0,00	0	0	0	0	0	0	0,00	0,00
	100%	-	-	VNR	VNR	0,00	0	0	0	0	0	0	0,00	0,00
proporzionale alla deformata 1° modo di vibrazione														
	0%	-	-	VNR	VNR	0,00	0	0	0	0	0	0	0,00	0,00
	100%	-	-	VNR	VNR	0,00	0	0	0	0	0	0	0,00	0,00
sisma in +X														
proporzionale alle masse														
Trave 27-34	0%	-52	53.289	NS	1,48	1,05	37233	79054	253680	253680	0	0	2,50	2,50
	100%	-52	-43.784	NS	1,81	1,05	37233	79054	253704	253704	0	0	2,50	2,50
proporzionale alla deformata 1° modo di vibrazione														
	0%	-40	53.025	NS	1,49	1,05	37233	79054	253702	253702	0	0	2,50	2,50
	100%	-40	-44.048	NS	1,79	1,05	37233	79054	253706	253706	0	0	2,50	2,50
sisma in -X														
proporzionale alle masse														
	0%	-26	54.309	NS	1,46	1,05	37233	79054	253950	253950	0	0	2,50	2,50
	100%	-26	-42.763	NS	1,85	1,05	37233	79054	253955	253955	0	0	2,50	2,50
proporzionale alla deformata 1° modo di vibrazione														
	0%	-29	54.636	NS	1,45	1,05	37233	79054	253954	253954	0	0	2,50	2,50
	100%	-29	-42.437	NS	1,86	1,05	37233	79054	253953	253953	0	0	2,50	2,50
sisma in +Y														
proporzionale alle masse														
	0%	-171	-5.089	NS	15,53	1,08	37233	79054	259644	259644	0	0	2,50	2,50
	100%	-171	-102.162	NS	0,77	1,08	37233	79054	258961	258961	0	0	2,50	2,50
proporzionale alla deformata 1° modo di vibrazione														
	0%	-165	-175	NS	NS	1,07	37233	79054	258567	258567	0	0	2,50	2,50
	100%	-165	-97.248	NS	0,81	1,07	37233	79054	258517	258517	0	0	2,50	2,50
sisma in -Y														
proporzionale alle masse														
	0%	-	-	VNR	VNR	0,00	0	0	0	0	0	0	0,00	0,00
	100%	-	-	VNR	VNR	0,00	0	0	0	0	0	0	0,00	0,00
proporzionale alla deformata 1° modo di vibrazione														
	0%	-	-	VNR	VNR	0,00	0	0	0	0	0	0	0,00	0,00
	100%	-	-	VNR	VNR	0,00	0	0	0	0	0	0	0,00	0,00
sisma in +X														
proporzionale alle masse														
Trave 34-41	0%	-176	106.207	NS	0,93	1,00	46542	98818	240737	240737	0	0	2,50	2,50
	100%	-176	-91.247	NS	1,08	1,00	46542	98818	240737	240737	0	0	2,50	2,50
proporzionale alla deformata 1° modo di vibrazione														
	0%	-192	106.104	NS	0,93	1,00	46542	98818	240737	240737	0	0	2,50	2,50
	100%	-192	-91.351	NS	1,08	1,00	46542	98818	240737	240737	0	0	2,50	2,50
sisma in -X														
proporzionale alle masse														
	0%	205	106.248	NS	0,93	1,00	46542	98818	240737	240737	0	0	2,50	2,50
	100%	205	-91.207	NS	1,08	1,00	46542	98818	240737	240737	0	0	2,50	2,50
proporzionale alla deformata 1° modo di vibrazione														
	0%	215	106.382	NS	0,93	1,00	46542	98818	240737	240737	0	0	2,50	2,50
	100%	215	-91.073	NS	1,09	1,00	46542	98818	240737	240737	0	0	2,50	2,50
sisma in +Y														
proporzionale alle masse														
	0%	-66	82.461	NS	1,20	1,01	46542	98818	242470	242470	0	0	2,50	2,50
	100%	-66	-114.994	NS	0,86	1,01	46542	98818	242669	242669	0	0	2,50	2,50
proporzionale alla deformata 1° modo di vibrazione														
	0%	-53	84.358	NS	1,17	1,01	46542	98818	242152	242152	0	0	2,50	2,50
	100%	-53	-113.097	NS	0,87	1,01	46542	98818	242393	242393	0	0	2,50	2,50
sisma in -Y														
proporzionale alle masse														
	0%	-	-	VNR	VNR	0,00	0	0	0	0	0	0	0,00	0,00
	100%	-	-	VNR	VNR	0,00	0	0	0	0	0	0	0,00	0,00
proporzionale alla deformata 1° modo di vibrazione														
	0%	-	-	VNR	VNR	0,00	0	0	0	0	0	0	0,00	0,00
	100%	-	-	VNR	VNR	0,00	0	0	0	0	0	0	0,00	0,00
Piano interrato								**Travata: Trave15-28-35-42**						
sisma in +X														
proporzionale alle masse														
Trave 15-28	0%	51	78.545	NS	1,26	1,00	46552	98828	240761	240761	0	0	2,50	2,50
	100%	51	-92.008	NS	1,07	1,00	46552	98828	240761	240761	0	0	2,50	2,50
proporzionale alla deformata 1° modo di vibrazione														
	0%	58	78.588	NS	1,26	1,00	46552	98828	240761	240761	0	0	2,50	2,50
	100%	58	-91.965	NS	1,07	1,00	46552	98828	240761	240761	0	0	2,50	2,50
sisma in -X														
proporzionale alle masse														
	0%	-227	77.923	NS	1,27	1,00	46552	98828	240761	240761	0	0	2,50	2,50
	100%	-227	-92.630	NS	1,07	1,00	46552	98828	240761	240761	0	0	2,50	2,50
proporzionale alla deformata 1° modo di vibrazione														
	0%	-230	77.887	NS	1,27	1,00	46552	98828	240761	240761	0	0	2,50	2,50
	100%	-230	-92.666	NS	1,07	1,00	46552	98828	240761	240761	0	0	2,50	2,50
sisma in +Y														
proporzionale alle masse														
	0%	12	62.839	NS	1,57	1,00	46552	98828	241565	241565	0	0	2,50	2,50

Id_{Tr}	$\%L_{LI}$	$V_{Ed,3}$	$V_{Ed,2}$	$CS^{(3)}$	$CS^{(2)}$	α_C	$V_{Rsd,s}{}^{(3)}$	$V_{Rsd,s}{}^{(2)}$	$V_{Rcd}{}^{(3)}$	$V_{Rcd}{}^{(2)}$	$V_{fd}{}^{(3)}$	$V_{fd}{}^{(2)}$	$Ctg\Theta^{(3)}$	$Ctg\Theta^{(2)}$
	[%]	[N]	[N]				[N]	[N]	[N]	[N]	[N]	[N]		
	100%	12	-107.714	NS	0,92	1,00	46552	98828	240765	240765	0	0	2,50	2,50
proporzionale alla deformata 1° modo di vibrazione														
	0%	-21	63.993	NS	1,54	1,00	46552	98828	241269	241269	0	0	2,50	2,50
	100%	-21	-106.560	NS	0,93	1,00	46552	98828	240761	240761	0	0	2,50	2,50
sisma in -Y														
proporzionale alle masse														
	0%	-	-	VNR	VNR	0,00	0	0	0	0	0	0	0,00	0,00
	100%	-	-	VNR	VNR	0,00	0	0	0	0	0	0	0,00	0,00
proporzionale alla deformata 1° modo di vibrazione														
	0%	-	-	VNR	VNR	0,00	0	0	0	0	0	0	0,00	0,00
	100%	-	-	VNR	VNR	0,00	0	0	0	0	0	0	0,00	0,00
sisma in +X														
proporzionale alle masse														
Trave 28-35	0%	-7	40.541	NS	1,95	1,04	37241	79062	251243	251243	0	0	2,50	2,50
	100%	-7	-35.645	NS	2,22	1,04	37241	79062	251335	251335	0	0	2,50	2,50
proporzionale alla deformata 1° modo di vibrazione														
	0%	17	40.770	NS	1,94	1,04	37241	79062	251281	251281	0	0	2,50	2,50
	100%	17	-35.416	NS	2,23	1,04	37241	79062	251310	251310	0	0	2,50	2,50
sisma in -X														
proporzionale alle masse														
	0%	-61	40.879	NS	1,93	1,05	37241	79062	251999	251999	0	0	2,50	2,50
	100%	-61	-35.307	NS	2,24	1,05	37241	79062	252043	252043	0	0	2,50	2,50
proporzionale alla deformata 1° modo di vibrazione														
	0%	-78	40.775	NS	1,94	1,05	37241	79062	252023	252023	0	0	2,50	2,50
	100%	-78	-35.411	NS	2,23	1,05	37241	79062	252062	252062	0	0	2,50	2,50
sisma in +Y														
proporzionale alle masse														
	0%	-321	-12.398	NS	6,38	1,07	37241	79062	257591	257591	0	0	2,50	2,50
	100%	-321	-88.584	NS	0,89	1,07	37241	79062	257149	257149	0	0	2,50	2,50
proporzionale alla deformata 1° modo di vibrazione														
	0%	-290	-9.342	NS	8,46	1,07	37241	79062	257265	257265	0	0	2,50	2,50
	100%	-290	-85.528	NS	0,92	1,07	37241	79062	256908	256908	0	0	2,50	2,50
sisma in -Y														
proporzionale alle masse														
	0%	-	-	VNR	VNR	0,00	0	0	0	0	0	0	0,00	0,00
	100%	-	-	VNR	VNR	0,00	0	0	0	0	0	0	0,00	0,00
proporzionale alla deformata 1° modo di vibrazione														
	0%	-	-	VNR	VNR	0,00	0	0	0	0	0	0	0,00	0,00
	100%	-	-	VNR	VNR	0,00	0	0	0	0	0	0	0,00	0,00
sisma in +X														
proporzionale alle masse														
Trave 35-42	0%	-144	82.716	NS	1,19	1,00	46552	98828	240761	240761	0	0	2,50	2,50
	100%	-144	-72.253	NS	1,37	1,00	46552	98828	240761	240761	0	0	2,50	2,50
proporzionale alla deformata 1° modo di vibrazione														
	0%	-165	82.798	NS	1,19	1,00	46552	98828	240761	240761	0	0	2,50	2,50
	100%	-165	-72.171	NS	1,37	1,00	46552	98828	240761	240761	0	0	2,50	2,50
sisma in -X														
proporzionale alle masse														
	0%	367	83.358	NS	1,19	1,00	46552	98828	240761	240761	0	0	2,50	2,50
	100%	367	-71.612	NS	1,38	1,00	46552	98828	240761	240761	0	0	2,50	2,50
proporzionale alla deformata 1° modo di vibrazione														
	0%	384	83.312	NS	1,19	1,00	46552	98828	240761	240761	0	0	2,50	2,50
	100%	384	-71.657	NS	1,38	1,00	46552	98828	240761	240761	0	0	2,50	2,50
sisma in +Y														
proporzionale alle masse														
	0%	287	60.693	NS	1,63	1,02	46552	98828	245009	245009	0	0	2,50	2,50
	100%	287	-94.276	NS	1,05	1,02	46552	98828	245421	245421	0	0	2,50	2,50
proporzionale alla deformata 1° modo di vibrazione														
	0%	241	61.834	NS	1,60	1,02	46552	98828	245019	245019	0	0	2,50	2,50
	100%	241	-93.135	NS	1,06	1,02	46552	98828	245366	245366	0	0	2,50	2,50
sisma in -Y														
proporzionale alle masse														
	0%	-	-	VNR	VNR	0,00	0	0	0	0	0	0	0,00	0,00
	100%	-	-	VNR	VNR	0,00	0	0	0	0	0	0	0,00	0,00
proporzionale alla deformata 1° modo di vibrazione														
	0%	-	-	VNR	VNR	0,00	0	0	0	0	0	0	0,00	0,00
	100%	-	-	VNR	VNR	0,00	0	0	0	0	0	0	0,00	0,00
Piano interrato								**Travata: Trave24-32-39**						
sisma in +X														
proporzionale alle masse														
Trave 24-32	0%	395	99.392	NS	1,08	1,00	46555	107544	261995	261995	0	0	2,50	2,50
	100%	395	-112.234	NS	0,96	1,00	46555	107544	261995	261995	0	0	2,50	2,50
proporzionale alla deformata 1° modo di vibrazione														
	0%	396	98.929	NS	1,09	1,00	46555	107544	261995	261995	0	0	2,50	2,50
	100%	396	-112.697	NS	0,95	1,00	46555	107544	261995	261995	0	0	2,50	2,50
sisma in -X														
proporzionale alle masse														
	0%	-36	100.349	NS	1,07	1,00	46555	107544	261995	261995	0	0	2,50	2,50
	100%	-36	-111.277	NS	0,97	1,00	46555	107544	261995	261995	0	0	2,50	2,50
proporzionale alla deformata 1° modo di vibrazione														
	0%	-43	100.737	NS	1,07	1,00	46555	107544	261995	261995	0	0	2,50	2,50
	100%	-43	-110.889	NS	0,97	1,00	46555	107544	261995	261995	0	0	2,50	2,50
sisma in +Y														
proporzionale alle masse														
	0%	271	76.137	NS	1,41	1,02	46555	107544	267693	267693	0	0	2,50	2,50
	100%	271	-135.488	NS	0,79	1,02	46555	107544	266225	266225	0	0	2,50	2,50

Id_{Tr}	$\%L_{LI}$	$V_{Ed,3}$	$V_{Ed,2}$	$CS^{(3)}$	$CS^{(2)}$	α_C	$V_{Rsd,s}{}^{(3)}$	$V_{Rsd,s}{}^{(2)}$	$V_{Rcd}{}^{(3)}$	$V_{Rcd}{}^{(2)}$	$V_{fd}{}^{(3)}$	$V_{fd}{}^{(2)}$	$Ctg\Theta^{(3)}$	$Ctg\Theta^{(2)}$
	[%]	[N]	[N]				[N]	[N]	[N]	[N]	[N]	[N]		
proporzionale alla deformata 1° modo di vibrazione														
	0%	228	80.554	NS	1,34	1,01	46555	107544	264412	264412	0	0	2,50	2,50
	100%	228	-131.072	NS	0,82	1,01	46555	107544	265083	265083	0	0	2,50	2,50
sisma in -Y														
proporzionale alle masse														
	0%	-	-	VNR	VNR	0,00	0	0	0	0	0	0	0,00	0,00
	100%	-	-	VNR	VNR	0,00	0	0	0	0	0	0	0,00	0,00
proporzionale alla deformata 1° modo di vibrazione														
	0%	-	-	VNR	VNR	0,00	0	0	0	0	0	0	0,00	0,00
	100%	-	-	VNR	VNR	0,00	0	0	0	0	0	0	0,00	0,00
sisma in +X														
proporzionale alle masse														
Trave 32-39	0%	-383	104.341	NS	1,03	1,00	46555	107544	261995	261995	0	0	2,50	2,50
	100%	-383	-81.348	NS	1,32	1,00	46555	107544	261995	261995	0	0	2,50	2,50
proporzionale alla deformata 1° modo di vibrazione														
	0%	-394	103.775	NS	1,04	1,00	46555	107544	261995	261995	0	0	2,50	2,50
	100%	-394	-81.914	NS	1,31	1,00	46555	107544	261995	261995	0	0	2,50	2,50
sisma in -X														
proporzionale alle masse														
	0%	213	105.617	NS	1,02	1,00	46555	107544	261995	261995	0	0	2,50	2,50
	100%	213	-80.072	NS	1,34	1,00	46555	107544	261995	261995	0	0	2,50	2,50
proporzionale alla deformata 1° modo di vibrazione														
	0%	228	106.391	NS	1,01	1,00	46555	107544	261995	261995	0	0	2,50	2,50
	100%	228	-79.297	NS	1,36	1,00	46555	107544	261995	261995	0	0	2,50	2,50
sisma in +Y														
proporzionale alle masse														
	0%	-277	73.133	NS	1,47	1,02	46555	107544	265986	265986	0	0	2,50	2,50
	100%	-277	-112.556	NS	0,96	1,02	46555	107544	266524	266524	0	0	2,50	2,50
proporzionale alla deformata 1° modo di vibrazione														
	0%	-199	79.337	NS	1,36	1,01	46555	107544	264850	264850	0	0	2,50	2,50
	100%	-199	-106.352	NS	1,01	1,01	46555	107544	265078	265078	0	0	2,50	2,50
sisma in -Y														
proporzionale alle masse														
	0%	-	-	VNR	VNR	0,00	0	0	0	0	0	0	0,00	0,00
	100%	-	-	VNR	VNR	0,00	0	0	0	0	0	0	0,00	0,00
proporzionale alla deformata 1° modo di vibrazione														
	0%	-	-	VNR	VNR	0,00	0	0	0	0	0	0	0,00	0,00
	100%	-	-	VNR	VNR	0,00	0	0	0	0	0	0	0,00	0,00
Fondazione								**Travata: Trave11d-14-15-12d**						
sisma in +X														
proporzionale alle masse														
Trave 11d-14	0%	-498	-49	NS	NS	1,01	191654	232959	401811	401811	0	0	2,50	2,50
	100%	-498	-35.112	NS	6,63	1,01	191654	232959	401541	401541	0	0	2,50	2,50
proporzionale alla deformata 1° modo di vibrazione														
	0%	-595	999	NS	NS	1,01	191654	232959	403175	403175	0	0	2,50	2,50
	100%	-595	-34.064	NS	6,84	1,01	191654	232959	403016	403016	0	0	2,50	2,50
sisma in -X														
proporzionale alle masse														
	0%	-1.115	33.528	NS	6,95	1,04	191654	232959	415418	415418	0	0	2,50	2,50
	100%	-1.115	-1.534	NS	NS	1,04	191654	232959	415622	415622	0	0	2,50	2,50
proporzionale alla deformata 1° modo di vibrazione														
	0%	-1.089	30.544	NS	7,63	1,03	191654	232959	410563	410563	0	0	2,50	2,50
	100%	-1.089	-4.518	NS	51,56	1,03	191654	232959	410711	410711	0	0	2,50	2,50
sisma in +Y														
proporzionale alle masse														
	0%	1.733	18.442	NS	12,63	1,01	191654	232959	401365	401365	0	0	2,50	2,50
	100%	1.733	-16.621	NS	14,02	1,01	191654	232959	401128	401128	0	0	2,50	2,50
proporzionale alla deformata 1° modo di vibrazione														
	0%	183	16.321	NS	14,27	1,00	191654	232959	400647	400647	0	0	2,50	2,50
	100%	183	-18.742	NS	12,43	1,00	191654	232959	400633	400633	0	0	2,50	2,50
sisma in -Y														
proporzionale alle masse														
	0%	-	-	VNR	VNR	0,00	0	0	0	0	0	0	0,00	0,00
	100%	-	-	VNR	VNR	0,00	0	0	0	0	0	0	0,00	0,00
proporzionale alla deformata 1° modo di vibrazione														
	0%	-	-	VNR	VNR	0,00	0	0	0	0	0	0	0,00	0,00
	100%	-	-	VNR	VNR	0,00	0	0	0	0	0	0	0,00	0,00
sisma in +X														
proporzionale alle masse														
Trave 14-15	0%	-92	11.590	NS	20,10	1,02	191654	232959	408049	408049	0	0	2,50	2,50
	100%	-92	-16.160	NS	14,42	1,02	191654	232959	407744	407744	0	0	2,50	2,50
proporzionale alla deformata 1° modo di vibrazione														
	0%	-50	12.993	NS	17,93	1,01	191654	232959	404549	404549	0	0	2,50	2,50
	100%	-50	-14.757	NS	15,79	1,01	191654	232959	404631	404631	0	0	2,50	2,50
sisma in -X														
proporzionale alle masse														
	0%	115	14.955	NS	15,58	1,02	191654	232959	408030	408030	0	0	2,50	2,50
	100%	115	-12.795	NS	18,21	1,02	191654	232959	408088	408088	0	0	2,50	2,50
proporzionale alla deformata 1° modo di vibrazione														
	0%	123	13.133	NS	17,74	1,02	191654	232959	408091	408091	0	0	2,50	2,50
	100%	123	-14.617	NS	15,94	1,02	191654	232959	408308	408308	0	0	2,50	2,50
sisma in +Y														
proporzionale alle masse														
	0%	294	14.782	NS	15,76	1,00	191654	232959	400832	400832	0	0	2,50	2,50
	100%	294	-12.968	NS	17,96	1,00	191654	232959	400821	400821	0	0	2,50	2,50
proporzionale alla deformata 1° modo di vibrazione														

Id_{Tr}	$\%L_{LI}$	$V_{Ed,3}$	$V_{Ed,2}$	$CS^{(3)}$	$CS^{(2)}$	α_C	$V_{Rsd,s}{}^{(3)}$	$V_{Rsd,s}{}^{(2)}$	$V_{Rcd}{}^{(3)}$	$V_{Rcd}{}^{(2)}$	$V_{fd}{}^{(3)}$	$V_{fd}{}^{(2)}$	$Ctg\Theta^{(3)}$	$Ctg\Theta^{(2)}$
	[%]	[N]	[N]				[N]	[N]	[N]	[N]	[N]	[N]		
	0%	253	14.517	NS	16,05	1,00	191654	232959	400615	400615	0	0	2,50	2,50
	100%	253	-13.233	NS	17,60	1,00	191654	232959	400653	400653	0	0	2,50	2,50
sisma in -Y														
proporzionale alle masse														
	0%	-	-	VNR	VNR	0,00	0	0	0	0	0	0	0,00	0,00
	100%	-	-	VNR	VNR	0,00	0	0	0	0	0	0	0,00	0,00
proporzionale alla deformata 1° modo di vibrazione														
	0%	-	-	VNR	VNR	0,00	0	0	0	0	0	0	0,00	0,00
	100%	-	-	VNR	VNR	0,00	0	0	0	0	0	0	0,00	0,00
sisma in +X														
proporzionale alle masse														
Trave 15-12d	0%	5.238	-32.589	36,59	7,15	1,04	191654	232959	415304	415304	0	0	2,50	2,50
	100%	5.238	-47.177	36,59	4,94	1,04	191654	232959	415079	415079	0	0	2,50	2,50
proporzionale alla deformata 1° modo di vibrazione														
	0%	4.773	-27.226	40,15	8,56	1,02	191654	232959	408475	408475	0	0	2,50	2,50
	100%	4.773	-41.813	40,15	5,57	1,02	191654	232959	408463	408463	0	0	2,50	2,50
sisma in -X														
proporzionale alle masse														
	0%	3.173	120.008	60,40	1,94	1,01	191654	232959	402020	402020	0	0	2,50	2,50
	100%	3.173	105.420	60,40	2,21	1,01	191654	232959	402019	402019	0	0	2,50	2,50
proporzionale alla deformata 1° modo di vibrazione														
	0%	3.303	119.180	58,02	1,95	1,02	191654	232959	405266	405266	0	0	2,50	2,50
	100%	3.303	104.593	58,02	2,23	1,02	191654	232959	405272	405272	0	0	2,50	2,50
sisma in +Y														
proporzionale alle masse														
	0%	-9.862	5.523	19,43	42,18	1,01	191654	232959	401900	401900	0	0	2,50	2,50
	100%	-9.862	-9.065	19,43	25,70	1,01	191654	232959	401771	401771	0	0	2,50	2,50
proporzionale alla deformata 1° modo di vibrazione														
	0%	-2.331	3.529	82,22	66,01	1,01	191654	232959	401304	401304	0	0	2,50	2,50
	100%	-2.331	-11.058	82,22	21,07	1,01	191654	232959	401281	401281	0	0	2,50	2,50
sisma in -Y														
proporzionale alle masse														
	0%	-	-	VNR	VNR	0,00	0	0	0	0	0	0	0,00	0,00
	100%	-	-	VNR	VNR	0,00	0	0	0	0	0	0	0,00	0,00
proporzionale alla deformata 1° modo di vibrazione														
	0%	-	-	VNR	VNR	0,00	0	0	0	0	0	0	0,00	0,00
	100%	-	-	VNR	VNR	0,00	0	0	0	0	0	0	0,00	0,00
Fondazione								**Travata: Trave13d-17-18-19-14d**						
sisma in +X														
proporzionale alle masse														
Trave 13d-17	0%	53	-16.496	NS	14,12	1,00	191654	232959	399041	399041	0	0	2,50	2,50
	100%	53	-35.658	NS	6,53	1,00	191654	232959	399041	399041	0	0	2,50	2,50
proporzionale alla deformata 1° modo di vibrazione														
	0%	104	-21.774	NS	10,70	1,01	191654	232959	403371	403371	0	0	2,50	2,50
	100%	104	-40.936	NS	5,69	1,01	191654	232959	403329	403329	0	0	2,50	2,50
sisma in -X														
proporzionale alle masse														
	0%	-736	13.696	NS	17,01	1,04	191654	232959	413696	413696	0	0	2,50	2,50
	100%	-736	-5.467	NS	42,61	1,04	191654	232959	413695	413695	0	0	2,50	2,50
proporzionale alla deformata 1° modo di vibrazione														
	0%	-570	10.379	NS	22,45	1,01	191654	232959	403461	403461	0	0	2,50	2,50
	100%	-570	-8.784	NS	26,52	1,01	191654	232959	403655	403655	0	0	2,50	2,50
sisma in +Y														
proporzionale alle masse														
	0%	14.207	5.928	13,49	39,30	1,01	191654	232959	403642	403642	0	0	2,50	2,50
	100%	14.207	-13.235	13,49	17,60	1,01	191654	232959	403617	403617	0	0	2,50	2,50
proporzionale alla deformata 1° modo di vibrazione														
	0%	6.073	5.362	31,56	43,45	1,01	191654	232959	402010	402010	0	0	2,50	2,50
	100%	6.073	-13.800	31,56	16,88	1,01	191654	232959	402019	402019	0	0	2,50	2,50
sisma in -Y														
proporzionale alle masse														
	0%	-	-	VNR	VNR	0,00	0	0	0	0	0	0	0,00	0,00
	100%	-	-	VNR	VNR	0,00	0	0	0	0	0	0	0,00	0,00
proporzionale alla deformata 1° modo di vibrazione														
	0%	-	-	VNR	VNR	0,00	0	0	0	0	0	0	0,00	0,00
	100%	-	-	VNR	VNR	0,00	0	0	0	0	0	0	0,00	0,00
sisma in +X														
proporzionale alle masse														
Trave 17-18	0%	-45	20.434	NS	11,40	1,01	191654	232959	401716	401716	0	0	2,50	2,50
	100%	-45	-23.816	NS	9,78	1,01	191654	232959	401783	401783	0	0	2,50	2,50
proporzionale alla deformata 1° modo di vibrazione														
	0%	-80	20.976	NS	11,11	1,01	191654	232959	402586	402586	0	0	2,50	2,50
	100%	-80	-23.274	NS	10,01	1,01	191654	232959	402667	402667	0	0	2,50	2,50
sisma in -X														
proporzionale alle masse														
	0%	2	24.331	NS	9,57	1,02	191654	232959	405845	405845	0	0	2,50	2,50
	100%	2	-19.919	NS	11,70	1,02	191654	232959	405459	405459	0	0	2,50	2,50
proporzionale alla deformata 1° modo di vibrazione														
	0%	7	23.241	NS	10,02	1,01	191654	232959	402734	402734	0	0	2,50	2,50
	100%	7	-21.009	NS	11,09	1,01	191654	232959	402585	402585	0	0	2,50	2,50
sisma in +Y														
proporzionale alle masse														
	0%	87	21.859	NS	10,66	1,01	191654	232959	402542	402542	0	0	2,50	2,50
	100%	87	-22.391	NS	10,40	1,01	191654	232959	402538	402538	0	0	2,50	2,50
proporzionale alla deformata 1° modo di vibrazione														
	0%	12	21.739	NS	10,72	1,01	191654	232959	401912	401912	0	0	2,50	2,50

Id_{Tr}	$\%L_{LI}$	$V_{Ed,3}$	$V_{Ed,2}$	$CS^{(3)}$	$CS^{(2)}$	α_C	$V_{Rsd,s}{}^{(3)}$	$V_{Rsd,s}{}^{(2)}$	$V_{Rcd}{}^{(3)}$	$V_{Rcd}{}^{(2)}$	$V_{fd}{}^{(3)}$	$V_{fd}{}^{(2)}$	$Ctg\Theta^{(3)}$	$Ctg\Theta^{(2)}$
	[%]	[N]	[N]				[N]	[N]	[N]	[N]	[N]	[N]		
	100%	12	-22.511	NS	10,35	1,01	191654	232959	401927	401927	0	0	2,50	2,50
sisma in -Y														
proporzionale alle masse														
	0%	-	-	VNR	VNR	0,00	0	0	0	0	0	0	0,00	0,00
	100%	-	-	VNR	VNR	0,00	0	0	0	0	0	0	0,00	0,00
proporzionale alla deformata 1° modo di vibrazione														
	0%	-	-	VNR	VNR	0,00	0	0	0	0	0	0	0,00	0,00
	100%	-	-	VNR	VNR	0,00	0	0	0	0	0	0	0,00	0,00
sisma in +X														
proporzionale alle masse														
Trave 18-19	0%	-77	19.873	NS	11,72	1,02	191654	232959	405612	405612	0	0	2,50	2,50
	100%	-77	-24.377	NS	9,56	1,02	191654	232959	406082	406082	0	0	2,50	2,50
proporzionale alla deformata 1° modo di vibrazione														
	0%	-44	21.057	NS	11,06	1,01	191654	232959	402679	402679	0	0	2,50	2,50
	100%	-44	-23.193	NS	10,04	1,01	191654	232959	402826	402826	0	0	2,50	2,50
sisma in -X														
proporzionale alle masse														
	0%	17	23.921	NS	9,74	1,01	191654	232959	401620	401620	0	0	2,50	2,50
	100%	17	-20.329	NS	11,46	1,01	191654	232959	401514	401514	0	0	2,50	2,50
proporzionale alla deformata 1° modo di vibrazione														
	0%	29	23.314	NS	9,99	1,01	191654	232959	402419	402419	0	0	2,50	2,50
	100%	29	-20.936	NS	11,13	1,01	191654	232959	402352	402352	0	0	2,50	2,50
sisma in +Y														
proporzionale alle masse														
	0%	-154	22.298	NS	10,45	1,01	191654	232959	402513	402513	0	0	2,50	2,50
	100%	-154	-21.952	NS	10,61	1,01	191654	232959	402523	402523	0	0	2,50	2,50
proporzionale alla deformata 1° modo di vibrazione														
	0%	-74	22.233	NS	10,48	1,01	191654	232959	401964	401964	0	0	2,50	2,50
	100%	-74	-22.017	NS	10,58	1,01	191654	232959	401955	401955	0	0	2,50	2,50
sisma in -Y														
proporzionale alle masse														
	0%	-	-	VNR	VNR	0,00	0	0	0	0	0	0	0,00	0,00
	100%	-	-	VNR	VNR	0,00	0	0	0	0	0	0	0,00	0,00
proporzionale alla deformata 1° modo di vibrazione														
	0%	-	-	VNR	VNR	0,00	0	0	0	0	0	0	0,00	0,00
	100%	-	-	VNR	VNR	0,00	0	0	0	0	0	0	0,00	0,00
sisma in +X														
proporzionale alle masse														
Trave 19-14d	0%	1.806	3.883	NS	59,99	1,04	191654	232959	413692	413692	0	0	2,50	2,50
	100%	1.806	-15.579	NS	14,95	1,04	191654	232959	413763	413763	0	0	2,50	2,50
proporzionale alla deformata 1° modo di vibrazione														
	0%	1.897	3.790	NS	61,47	1,01	191654	232959	403889	403889	0	0	2,50	2,50
	100%	1.897	-15.672	NS	14,86	1,01	191654	232959	403472	403472	0	0	2,50	2,50
sisma in -X														
proporzionale alle masse														
	0%	-141	29.914	NS	7,79	1,00	191654	232959	399041	399041	0	0	2,50	2,50
	100%	-141	10.452	NS	22,29	1,00	191654	232959	399041	399041	0	0	2,50	2,50
proporzionale alla deformata 1° modo di vibrazione														
	0%	-381	35.580	NS	6,55	1,01	191654	232959	402788	402788	0	0	2,50	2,50
	100%	-381	16.118	NS	14,45	1,01	191654	232959	402840	402840	0	0	2,50	2,50
sisma in +Y														
proporzionale alle masse														
	0%	-13.275	13.177	14,44	17,68	1,01	191654	232959	403506	403506	0	0	2,50	2,50
	100%	-13.275	-6.285	14,44	37,07	1,01	191654	232959	403534	403534	0	0	2,50	2,50
proporzionale alla deformata 1° modo di vibrazione														
	0%	-5.461	15.893	35,10	14,66	1,01	191654	232959	402236	402236	0	0	2,50	2,50
	100%	-5.461	-3.570	35,10	65,25	1,01	191654	232959	402376	402376	0	0	2,50	2,50
sisma in -Y														
proporzionale alle masse														
	0%	-	-	VNR	VNR	0,00	0	0	0	0	0	0	0,00	0,00
	100%	-	-	VNR	VNR	0,00	0	0	0	0	0	0	0,00	0,00
proporzionale alla deformata 1° modo di vibrazione														
	0%	-	-	VNR	VNR	0,00	0	0	0	0	0	0	0,00	0,00
	100%	-	-	VNR	VNR	0,00	0	0	0	0	0	0	0,00	0,00
Fondazione								**Travata: Trave19d-23-24-25**						
sisma in +X														
proporzionale alle masse														
Trave 19d-23	0%	295	-146.256	NS	1,31	1,02	171002	191654	300075	300075	0	0	2,50	2,50
	100%	295	-153.428	NS	1,25	1,02	171002	191654	300074	300074	0	0	2,50	2,50
proporzionale alla deformata 1° modo di vibrazione														
	0%	682	-136.556	NS	1,40	1,02	171002	191654	302501	302501	0	0	2,50	2,50
	100%	682	-143.728	NS	1,33	1,02	171002	191654	302502	302502	0	0	2,50	2,50
sisma in -X														
proporzionale alle masse														
	0%	-3.729	112.073	45,86	1,71	1,07	171002	191654	317363	317363	0	0	2,50	2,50
	100%	-3.729	104.902	45,86	1,83	1,07	171002	191654	317389	317389	0	0	2,50	2,50
proporzionale alla deformata 1° modo di vibrazione														
	0%	-2.870	97.348	59,58	1,97	1,05	171002	191654	310857	310857	0	0	2,50	2,50
	100%	-2.870	90.176	59,58	2,13	1,05	171002	191654	310915	310915	0	0	2,50	2,50
sisma in +Y														
proporzionale alle masse														
	0%	31.140	10.328	5,49	18,56	1,01	171002	191654	299659	299659	0	0	2,50	2,50
	100%	31.140	3.156	5,49	60,73	1,01	171002	191654	299709	299709	0	0	2,50	2,50
proporzionale alla deformata 1° modo di vibrazione														
	0%	16.652	8.368	10,27	22,90	1,01	171002	191654	298350	298350	0	0	2,50	2,50
	100%	16.652	1.196	10,27	NS	1,01	171002	191654	298360	298360	0	0	2,50	2,50

Id_{Tr}	$\%L_{LI}$	$V_{Ed,3}$	$V_{Ed,2}$	$CS^{(3)}$	$CS^{(2)}$	α_C	$V_{Rsd,s}{}^{(3)}$	$V_{Rsd,s}{}^{(2)}$	$V_{Rcd}{}^{(3)}$	$V_{Rcd}{}^{(2)}$	$V_{fd}{}^{(3)}$	$V_{fd}{}^{(2)}$	$Ctg\Theta^{(3)}$	$Ctg\Theta^{(2)}$
	[%]	[N]	[N]				[N]	[N]	[N]	[N]	[N]	[N]		
sisma in -Y														
proporzionale alle masse														
	0%	-	-	VNR	VNR	0,00	0	0	0	0	0	0	0,00	0,00
	100%	-	-	VNR	VNR	0,00	0	0	0	0	0	0	0,00	0,00
proporzionale alla deformata 1° modo di vibrazione														
	0%	-	-	VNR	VNR	0,00	0	0	0	0	0	0	0,00	0,00
	100%	-	-	VNR	VNR	0,00	0	0	0	0	0	0	0,00	0,00
sisma in +X														
proporzionale alle masse														
Trave 23-24	0%	-2.635	8.021	64,90	23,89	1,04	171002	191654	305922	305922	0	0	2,50	2,50
	100%	-2.635	2.578	64,90	74,34	1,04	171002	191654	305907	305907	0	0	2,50	2,50
proporzionale alla deformata 1° modo di vibrazione														
	0%	-3.167	12.814	53,99	14,96	1,03	171002	191654	305501	305501	0	0	2,50	2,50
	100%	-3.167	7.370	53,99	26,00	1,03	171002	191654	305519	305519	0	0	2,50	2,50
sisma in -X														
proporzionale alle masse														
	0%	18	-3.737	NS	51,29	1,04	171002	191654	308435	308435	0	0	2,50	2,50
	100%	18	-9.180	NS	20,88	1,04	171002	191654	308435	308435	0	0	2,50	2,50
proporzionale alla deformata 1° modo di vibrazione														
	0%	-2.407	-8.328	71,04	23,01	1,03	171002	191654	305288	305288	0	0	2,50	2,50
	100%	-2.407	-13.771	71,04	13,92	1,03	171002	191654	305288	305288	0	0	2,50	2,50
sisma in +Y														
proporzionale alle masse														
	0%	-7.682	-4.305	22,26	44,52	1,01	171002	191654	298743	298743	0	0	2,50	2,50
	100%	-7.682	-9.748	22,26	19,66	1,01	171002	191654	298692	298692	0	0	2,50	2,50
proporzionale alla deformata 1° modo di vibrazione														
	0%	-10.767	-2.026	15,88	94,60	1,01	171002	191654	297962	297962	0	0	2,50	2,50
	100%	-10.767	-7.469	15,88	25,66	1,01	171002	191654	297837	297837	0	0	2,50	2,50
sisma in -Y														
proporzionale alle masse														
	0%	-	-	VNR	VNR	0,00	0	0	0	0	0	0	0,00	0,00
	100%	-	-	VNR	VNR	0,00	0	0	0	0	0	0	0,00	0,00
proporzionale alla deformata 1° modo di vibrazione														
	0%	-	-	VNR	VNR	0,00	0	0	0	0	0	0	0,00	0,00
	100%	-	-	VNR	VNR	0,00	0	0	0	0	0	0	0,00	0,00
sisma in +X														
proporzionale alle masse														
Trave 24-25	0%	383	-7.729	NS	30,14	1,05	171002	232959	376774	376774	0	0	2,50	2,50
	100%	383	-39.117	NS	5,96	1,05	171002	232959	376419	376419	0	0	2,50	2,50
proporzionale alla deformata 1° modo di vibrazione														
	0%	405	-3.149	NS	73,98	1,04	171002	232959	372425	372425	0	0	2,50	2,50
	100%	405	-34.536	NS	6,75	1,04	171002	232959	372232	372232	0	0	2,50	2,50
sisma in -X														
proporzionale alle masse														
	0%	255	42.783	NS	5,45	1,02	171002	232959	365848	365848	0	0	2,50	2,50
	100%	255	11.396	NS	20,44	1,02	171002	232959	365943	365943	0	0	2,50	2,50
proporzionale alla deformata 1° modo di vibrazione														
	0%	378	39.520	NS	5,89	1,02	171002	232959	366122	366122	0	0	2,50	2,50
	100%	378	8.133	NS	28,64	1,02	171002	232959	366218	366218	0	0	2,50	2,50
sisma in +Y														
proporzionale alle masse														
	0%	-1.449	13.671	NS	17,04	1,01	171002	232959	361298	361298	0	0	2,50	2,50
	100%	-1.449	-17.716	NS	13,15	1,01	171002	232959	361733	361733	0	0	2,50	2,50
proporzionale alla deformata 1° modo di vibrazione														
	0%	-104	13.978	NS	16,67	1,00	171002	232959	360739	360739	0	0	2,50	2,50
	100%	-104	-17.409	NS	13,38	1,01	171002	232959	361100	361100	0	0	2,50	2,50
sisma in -Y														
proporzionale alle masse														
	0%	-	-	VNR	VNR	0,00	0	0	0	0	0	0	0,00	0,00
	100%	-	-	VNR	VNR	0,00	0	0	0	0	0	0	0,00	0,00
proporzionale alla deformata 1° modo di vibrazione														
	0%	-	-	VNR	VNR	0,00	0	0	0	0	0	0	0,00	0,00
	100%	-	-	VNR	VNR	0,00	0	0	0	0	0	0	0,00	0,00
Fondazione								**Travata: Trave27d-39-28d**						
sisma in +X														
proporzionale alle masse														
Trave 27d-39	0%	1.583	-23.768	NS	8,06	1,01	191654	191654	331657	331657	0	0	2,50	2,50
	100%	1.583	-39.862	NS	4,81	1,01	191654	191654	331624	331624	0	0	2,50	2,50
proporzionale alla deformata 1° modo di vibrazione														
	0%	1.758	-20.813	NS	9,21	1,01	191654	191654	332949	332949	0	0	2,50	2,50
	100%	1.758	-36.907	NS	5,19	1,01	191654	191654	332919	332919	0	0	2,50	2,50
sisma in -X														
proporzionale alle masse														
	0%	1.615	49.649	NS	3,86	1,05	191654	191654	344300	344300	0	0	2,50	2,50
	100%	1.615	33.555	NS	5,71	1,05	191654	191654	344348	344348	0	0	2,50	2,50
proporzionale alla deformata 1° modo di vibrazione														
	0%	1.492	45.444	NS	4,22	1,04	191654	191654	340491	340491	0	0	2,50	2,50
	100%	1.492	29.351	NS	6,53	1,04	191654	191654	340557	340557	0	0	2,50	2,50
sisma in +Y														
proporzionale alle masse														
	0%	10.384	7.357	18,46	26,05	1,01	191654	191654	331724	331724	0	0	2,50	2,50
	100%	10.384	-8.737	18,46	21,94	1,01	191654	191654	331810	331810	0	0	2,50	2,50
proporzionale alla deformata 1° modo di vibrazione														
	0%	5.867	12.223	32,67	15,68	1,01	191654	191654	331518	331518	0	0	2,50	2,50
	100%	5.867	-3.871	32,67	49,51	1,01	191654	191654	331491	331491	0	0	2,50	2,50
sisma in -Y														

Id_{Tr}	$\%L_{LI}$ [%]	$V_{Ed,3}$ [N]	$V_{Ed,2}$ [N]	$CS^{(3)}$	$CS^{(2)}$	α_C	$V_{Rsd,s}{}^{(3)}$ [N]	$V_{Rsd,s}{}^{(2)}$ [N]	$V_{Rcd}{}^{(3)}$ [N]	$V_{Rcd}{}^{(2)}$ [N]	$V_{fd}{}^{(3)}$ [N]	$V_{fd}{}^{(2)}$ [N]	$Ctg\Theta^{(3)}$	$Ctg\Theta^{(2)}$
proporzionale alle masse														
	0%	-	-	VNR	VNR	0,00	0	0	0	0	0	0	0,00	0,00
	100%	-	-	VNR	VNR	0,00	0	0	0	0	0	0	0,00	0,00
proporzionale alla deformata 1° modo di vibrazione														
	0%	-	-	VNR	VNR	0,00	0	0	0	0	0	0	0,00	0,00
	100%	-	-	VNR	VNR	0,00	0	0	0	0	0	0	0,00	0,00
sisma in +X														
proporzionale alle masse														
Trave 39-28d	0%	-763	1.567	NS	NS	1,03	191654	191654	338787	338787	0	0	2,50	2,50
	100%	-763	-25.339	NS	7,56	1,03	191654	191654	338786	338786	0	0	2,50	2,50
proporzionale alla deformata 1° modo di vibrazione														
	0%	-779	3.931	NS	48,75	1,02	191654	191654	335427	335427	0	0	2,50	2,50
	100%	-779	-22.976	NS	8,34	1,02	191654	191654	335450	335450	0	0	2,50	2,50
sisma in -X														
proporzionale alle masse														
	0%	-460	32.726	NS	5,86	1,02	191654	191654	334801	334801	0	0	2,50	2,50
	100%	-460	5.820	NS	32,93	1,02	191654	191654	334914	334914	0	0	2,50	2,50
proporzionale alla deformata 1° modo di vibrazione														
	0%	-460	31.763	NS	6,03	1,02	191654	191654	335657	335657	0	0	2,50	2,50
	100%	-460	4.856	NS	39,47	1,02	191654	191654	335765	335765	0	0	2,50	2,50
sisma in +Y														
proporzionale alle masse														
	0%	-3.470	16.858	55,23	11,37	1,01	191654	191654	330939	330939	0	0	2,50	2,50
	100%	-3.470	-10.048	55,23	19,07	1,01	191654	191654	331226	331226	0	0	2,50	2,50
proporzionale alla deformata 1° modo di vibrazione														
	0%	-1.715	18.647	NS	10,28	1,01	191654	191654	330738	330738	0	0	2,50	2,50
	100%	-1.715	-8.259	NS	23,21	1,01	191654	191654	330900	330900	0	0	2,50	2,50
sisma in -Y														
proporzionale alle masse														
	0%	-	-	VNR	VNR	0,00	0	0	0	0	0	0	0,00	0,00
	100%	-	-	VNR	VNR	0,00	0	0	0	0	0	0	0,00	0,00
proporzionale alla deformata 1° modo di vibrazione														
	0%	-	-	VNR	VNR	0,00	0	0	0	0	0	0	0,00	0,00
	100%	-	-	VNR	VNR	0,00	0	0	0	0	0	0	0,00	0,00
Fondazione								**Travata: Trave29d-41-42-30d**						
sisma in +X														
proporzionale alle masse														
Trave 29d-41	0%	438	4.178	NS	55,76	1,00	191654	232959	400738	400738	0	0	2,50	2,50
	100%	438	-30.884	NS	7,54	1,00	191654	232959	400514	400514	0	0	2,50	2,50
proporzionale alla deformata 1° modo di vibrazione														
	0%	523	4.382	NS	53,16	1,01	191654	232959	402395	402395	0	0	2,50	2,50
	100%	523	-30.681	NS	7,59	1,01	191654	232959	402229	402229	0	0	2,50	2,50
sisma in -X														
proporzionale alle masse														
	0%	775	36.249	NS	6,43	1,04	191654	232959	415537	415537	0	0	2,50	2,50
	100%	775	1.187	NS	NS	1,04	191654	232959	415722	415722	0	0	2,50	2,50
proporzionale alla deformata 1° modo di vibrazione														
	0%	737	33.456	NS	6,96	1,03	191654	232959	411075	411075	0	0	2,50	2,50
	100%	737	-1.606	NS	NS	1,03	191654	232959	411354	411354	0	0	2,50	2,50
sisma in +Y														
proporzionale alle masse														
	0%	3.105	16.623	61,72	14,01	1,01	191654	232959	401668	401668	0	0	2,50	2,50
	100%	3.105	-18.439	61,72	12,63	1,01	191654	232959	401651	401651	0	0	2,50	2,50
proporzionale alla deformata 1° modo di vibrazione														
	0%	1.843	18.398	NS	12,66	1,01	191654	232959	401829	401829	0	0	2,50	2,50
	100%	1.843	-16.665	NS	13,98	1,01	191654	232959	401744	401744	0	0	2,50	2,50
sisma in -Y														
proporzionale alle masse														
	0%	-	-	VNR	VNR	0,00	0	0	0	0	0	0	0,00	0,00
	100%	-	-	VNR	VNR	0,00	0	0	0	0	0	0	0,00	0,00
proporzionale alla deformata 1° modo di vibrazione														
	0%	-	-	VNR	VNR	0,00	0	0	0	0	0	0	0,00	0,00
	100%	-	-	VNR	VNR	0,00	0	0	0	0	0	0	0,00	0,00
sisma in +X														
proporzionale alle masse														
Trave 41-42	0%	268	10.325	NS	18,56	1,02	191654	191654	335607	335607	0	0	2,50	2,50
	100%	268	-12.800	NS	14,97	1,02	191654	191654	335483	335483	0	0	2,50	2,50
proporzionale alla deformata 1° modo di vibrazione														
	0%	212	11.262	NS	17,02	1,01	191654	191654	332658	332658	0	0	2,50	2,50
	100%	212	-11.863	NS	16,16	1,01	191654	191654	332767	332767	0	0	2,50	2,50
sisma in -X														
proporzionale alle masse														
	0%	65	12.774	NS	15,00	1,03	191654	191654	336992	336992	0	0	2,50	2,50
	100%	65	-10.351	NS	18,52	1,03	191654	191654	337221	337221	0	0	2,50	2,50
proporzionale alla deformata 1° modo di vibrazione														
	0%	79	11.471	NS	16,71	1,03	191654	191654	337271	337271	0	0	2,50	2,50
	100%	79	-11.654	NS	16,45	1,03	191654	191654	337553	337553	0	0	2,50	2,50
sisma in +Y														
proporzionale alle masse														
	0%	547	12.020	NS	15,94	1,01	191654	191654	330923	330923	0	0	2,50	2,50
	100%	547	-11.105	NS	17,26	1,01	191654	191654	330931	330931	0	0	2,50	2,50
proporzionale alla deformata 1° modo di vibrazione														
	0%	574	11.951	NS	16,04	1,01	191654	191654	330901	330901	0	0	2,50	2,50
	100%	574	-11.174	NS	17,15	1,01	191654	191654	330971	330971	0	0	2,50	2,50
sisma in -Y														
proporzionale alle masse														

Id_{Tr}	$\%L_{LI}$	$V_{Ed,3}$	$V_{Ed,2}$	$CS^{(3)}$	$CS^{(2)}$	α_C	$V_{Rsd,s}{}^{(3)}$	$V_{Rsd,s}{}^{(2)}$	$V_{Rcd}{}^{(3)}$	$V_{Rcd}{}^{(2)}$	$V_{fd}{}^{(3)}$	$V_{fd}{}^{(2)}$	$Ctg\Theta^{(3)}$	$Ctg\Theta^{(2)}$
	[%]	[N]	[N]				[N]	[N]	[N]	[N]	[N]	[N]		
	0%	-	-	VNR	VNR	0,00	0	0	0	0	0	0	0,00	0,00
	100%	-	-	VNR	VNR	0,00	0	0	0	0	0	0	0,00	0,00
proporzionale alla deformata 1° modo di vibrazione														
	0%	-	-	VNR	VNR	0,00	0	0	0	0	0	0	0,00	0,00
	100%	-	-	VNR	VNR	0,00	0	0	0	0	0	0	0,00	0,00
sisma in +X														
proporzionale alle masse														
Trave 42-30d	0%	-4.108	-21.790	46,65	8,80	1,04	191654	191654	341589	341589	0	0	2,50	2,50
	100%	-4.108	-33.946	46,65	5,65	1,04	191654	191654	341466	341466	0	0	2,50	2,50
proporzionale alla deformata 1° modo di vibrazione														
	0%	-3.674	-17.774	52,16	10,78	1,02	191654	191654	335930	335930	0	0	2,50	2,50
	100%	-3.674	-29.931	52,16	6,40	1,02	191654	191654	335965	335965	0	0	2,50	2,50
sisma in -X														
proporzionale alle masse														
	0%	-2.582	95.967	74,23	2,00	1,01	191654	191654	331452	331452	0	0	2,50	2,50
	100%	-2.582	83.811	74,23	2,29	1,01	191654	191654	331454	331454	0	0	2,50	2,50
proporzionale alla deformata 1° modo di vibrazione														
	0%	-2.678	97.147	71,57	1,97	1,02	191654	191654	334475	334475	0	0	2,50	2,50
	100%	-2.678	84.990	71,57	2,26	1,02	191654	191654	334487	334487	0	0	2,50	2,50
sisma in +Y														
proporzionale alle masse														
	0%	-14.473	16.615	13,24	11,53	1,01	191654	191654	331167	331167	0	0	2,50	2,50
	100%	-14.473	4.458	13,24	42,99	1,01	191654	191654	331231	331231	0	0	2,50	2,50
proporzionale alla deformata 1° modo di vibrazione														
	0%	-8.702	25.943	22,02	7,39	1,01	191654	191654	330747	330747	0	0	2,50	2,50
	100%	-8.702	13.786	22,02	13,90	1,01	191654	191654	330751	330751	0	0	2,50	2,50
sisma in -Y														
proporzionale alle masse														
	0%	-	-	VNR	VNR	0,00	0	0	0	0	0	0	0,00	0,00
	100%	-	-	VNR	VNR	0,00	0	0	0	0	0	0	0,00	0,00
proporzionale alla deformata 1° modo di vibrazione														
	0%	-	-	VNR	VNR	0,00	0	0	0	0	0	0	0,00	0,00
	100%	-	-	VNR	VNR	0,00	0	0	0	0	0	0	0,00	0,00
Fondazione								**Travata: Trave31d-44-45-46-32d**						
sisma in +X														
proporzionale alle masse														
Trave 31d-44	0%	321	-16.645	NS	14,00	1,00	191654	232959	399041	399041	0	0	2,50	2,50
	100%	321	-35.807	NS	6,51	1,00	191654	232959	399041	399041	0	0	2,50	2,50
proporzionale alla deformata 1° modo di vibrazione														
	0%	412	-22.889	NS	10,18	1,01	191654	232959	403379	403379	0	0	2,50	2,50
	100%	412	-42.051	NS	5,54	1,01	191654	232959	403244	403244	0	0	2,50	2,50
sisma in -X														
proporzionale alle masse														
	0%	935	17.011	NS	13,69	1,04	191654	232959	413823	413823	0	0	2,50	2,50
	100%	935	-2.151	NS	NS	1,04	191654	232959	413977	413977	0	0	2,50	2,50
proporzionale alla deformata 1° modo di vibrazione														
	0%	995	9.463	NS	24,62	1,01	191654	232959	404246	404246	0	0	2,50	2,50
	100%	995	-9.699	NS	24,02	1,01	191654	232959	403892	403892	0	0	2,50	2,50
sisma in +Y														
proporzionale alle masse														
	0%	15.141	15.101	12,66	15,43	1,01	191654	232959	403940	403940	0	0	2,50	2,50
	100%	15.141	-4.062	12,66	57,35	1,01	191654	232959	403973	403973	0	0	2,50	2,50
proporzionale alla deformata 1° modo di vibrazione														
	0%	7.105	19.530	26,97	11,93	1,01	191654	232959	402721	402721	0	0	2,50	2,50
	100%	7.105	367	26,97	NS	1,01	191654	232959	402851	402851	0	0	2,50	2,50
sisma in -Y														
proporzionale alle masse														
	0%	-	-	VNR	VNR	0,00	0	0	0	0	0	0	0,00	0,00
	100%	-	-	VNR	VNR	0,00	0	0	0	0	0	0	0,00	0,00
proporzionale alla deformata 1° modo di vibrazione														
	0%	-	-	VNR	VNR	0,00	0	0	0	0	0	0	0,00	0,00
	100%	-	-	VNR	VNR	0,00	0	0	0	0	0	0	0,00	0,00
sisma in +X														
proporzionale alle masse														
Trave 44-45	0%	44	20.317	NS	11,47	1,01	191654	232959	401755	401755	0	0	2,50	2,50
	100%	44	-23.933	NS	9,73	1,01	191654	232959	401842	401842	0	0	2,50	2,50
proporzionale alla deformata 1° modo di vibrazione														
	0%	46	20.687	NS	11,26	1,01	191654	232959	402594	402594	0	0	2,50	2,50
	100%	46	-23.563	NS	9,89	1,01	191654	232959	402703	402703	0	0	2,50	2,50
sisma in -X														
proporzionale alle masse														
	0%	25	24.378	NS	9,56	1,02	191654	232959	405894	405894	0	0	2,50	2,50
	100%	25	-19.872	NS	11,72	1,02	191654	232959	405460	405460	0	0	2,50	2,50
proporzionale alla deformata 1° modo di vibrazione														
	0%	21	23.588	NS	9,88	1,01	191654	232959	403017	403017	0	0	2,50	2,50
	100%	21	-20.662	NS	11,27	1,01	191654	232959	402639	402639	0	0	2,50	2,50
sisma in +Y														
proporzionale alle masse														
	0%	178	21.831	NS	10,67	1,01	191654	232959	402679	402679	0	0	2,50	2,50
	100%	178	-22.419	NS	10,39	1,01	191654	232959	402687	402687	0	0	2,50	2,50
proporzionale alla deformata 1° modo di vibrazione														
	0%	137	21.780	NS	10,70	1,01	191654	232959	402137	402137	0	0	2,50	2,50
	100%	137	-22.470	NS	10,37	1,01	191654	232959	402132	402132	0	0	2,50	2,50
sisma in -Y														
proporzionale alle masse														
	0%	-	-	VNR	VNR	0,00	0	0	0	0	0	0	0,00	0,00

Id_{Tr}	$\%L_{LI}$	$V_{Ed,3}$	$V_{Ed,2}$	$CS^{(3)}$	$CS^{(2)}$	α_C	$V_{Rsd,s}{}^{(3)}$	$V_{Rsd,s}{}^{(2)}$	$V_{Rcd}{}^{(3)}$	$V_{Rcd}{}^{(2)}$	$V_{fd}{}^{(3)}$	$V_{fd}{}^{(2)}$	$Ctg\Theta^{(3)}$	$Ctg\Theta^{(2)}$
	[%]	[N]	[N]				[N]	[N]	[N]	[N]	[N]	[N]		
	100%	-	-	VNR	VNR	0,00	0	0	0	0	0	0	0,00	0,00
proporzionale alla deformata 1° modo di vibrazione														
	0%	-	-	VNR	VNR	0,00	0	0	0	0	0	0	0,00	0,00
	100%	-	-	VNR	VNR	0,00	0	0	0	0	0	0	0,00	0,00
sisma in +X														
proporzionale alle masse														
Trave 45-46	0%	-2	19.915	NS	11,70	1,02	191654	232959	405633	405633	0	0	2,50	2,50
	100%	-2	-24.335	NS	9,57	1,02	191654	232959	406045	406045	0	0	2,50	2,50
proporzionale alla deformata 1° modo di vibrazione														
	0%	-6	20.801	NS	11,20	1,01	191654	232959	402680	402680	0	0	2,50	2,50
	100%	-6	-23.449	NS	9,93	1,01	191654	232959	403038	403038	0	0	2,50	2,50
sisma in -X														
proporzionale alle masse														
	0%	-32	23.948	NS	9,73	1,01	191654	232959	401689	401689	0	0	2,50	2,50
	100%	-32	-20.302	NS	11,47	1,01	191654	232959	401593	401593	0	0	2,50	2,50
proporzionale alla deformata 1° modo di vibrazione														
	0%	-38	23.484	NS	9,92	1,01	191654	232959	402496	402496	0	0	2,50	2,50
	100%	-38	-20.766	NS	11,22	1,01	191654	232959	402413	402413	0	0	2,50	2,50
sisma in +Y														
proporzionale alle masse														
	0%	-194	22.300	NS	10,45	1,01	191654	232959	402659	402659	0	0	2,50	2,50
	100%	-194	-21.950	NS	10,61	1,01	191654	232959	402682	402682	0	0	2,50	2,50
proporzionale alla deformata 1° modo di vibrazione														
	0%	-140	22.338	NS	10,43	1,01	191654	232959	402110	402110	0	0	2,50	2,50
	100%	-140	-21.912	NS	10,63	1,01	191654	232959	402111	402111	0	0	2,50	2,50
sisma in -Y														
proporzionale alle masse														
	0%	-	-	VNR	VNR	0,00	0	0	0	0	0	0	0,00	0,00
	100%	-	-	VNR	VNR	0,00	0	0	0	0	0	0	0,00	0,00
proporzionale alla deformata 1° modo di vibrazione														
	0%	-	-	VNR	VNR	0,00	0	0	0	0	0	0	0,00	0,00
	100%	-	-	VNR	VNR	0,00	0	0	0	0	0	0	0,00	0,00
sisma in +X														
proporzionale alle masse														
Trave 46-32d	0%	-1.482	1.930	NS	NS	1,04	191654	232959	413873	413873	0	0	2,50	2,50
	100%	-1.482	-17.533	NS	13,29	1,04	191654	232959	413905	413905	0	0	2,50	2,50
proporzionale alla deformata 1° modo di vibrazione														
	0%	-1.210	5.008	NS	46,52	1,01	191654	232959	404293	404293	0	0	2,50	2,50
	100%	-1.210	-14.455	NS	16,12	1,01	191654	232959	403897	403897	0	0	2,50	2,50
sisma in -X														
proporzionale alle masse														
	0%	-87	31.263	NS	7,45	1,00	191654	232959	399041	399041	0	0	2,50	2,50
	100%	-87	11.800	NS	19,74	1,00	191654	232959	399041	399041	0	0	2,50	2,50
proporzionale alla deformata 1° modo di vibrazione														
	0%	-228	37.793	NS	6,16	1,01	191654	232959	402867	402867	0	0	2,50	2,50
	100%	-228	18.331	NS	12,71	1,01	191654	232959	402991	402991	0	0	2,50	2,50
sisma in +Y														
proporzionale alle masse														
	0%	-14.280	3.151	13,42	73,93	1,01	191654	232959	403944	403944	0	0	2,50	2,50
	100%	-14.280	-16.312	13,42	14,28	1,01	191654	232959	403876	403876	0	0	2,50	2,50
proporzionale alla deformata 1° modo di vibrazione														
	0%	-6.587	6.336	29,10	36,77	1,01	191654	232959	402424	402424	0	0	2,50	2,50
	100%	-6.587	-13.126	29,10	17,75	1,01	191654	232959	402365	402365	0	0	2,50	2,50
sisma in -Y														
proporzionale alle masse														
	0%	-	-	VNR	VNR	0,00	0	0	0	0	0	0	0,00	0,00
	100%	-	-	VNR	VNR	0,00	0	0	0	0	0	0	0,00	0,00
proporzionale alla deformata 1° modo di vibrazione														
	0%	-	-	VNR	VNR	0,00	0	0	0	0	0	0	0,00	0,00
	100%	-	-	VNR	VNR	0,00	0	0	0	0	0	0	0,00	0,00
Fondazione								**Travata: Trave4d-5d**						
sisma in +X														
proporzionale alle masse														
Trave 4d-5d	0%	8	-43.282	NS	7,91	1,08	342239	342239	548276	548276	0	0	2,50	2,50
	100%	8	-64.219	NS	5,33	1,08	342239	342239	547767	547767	0	0	2,50	2,50
proporzionale alla deformata 1° modo di vibrazione														
	0%	-	-41.556	-	8,24	1,08	0	342239	0	546466	0	0	0,00	2,50
	100%	-	-62.494	-	5,48	1,08	0	342239	0	546562	0	0	0,00	2,50
sisma in -X														
proporzionale alle masse														
	0%	9	48.654	NS	7,03	1,05	342239	342239	535402	535402	0	0	2,50	2,50
	100%	9	27.717	NS	12,35	1,06	342239	342239	536310	536310	0	0	2,50	2,50
proporzionale alla deformata 1° modo di vibrazione														
	0%	5	45.155	NS	7,58	1,05	342239	342239	533110	533110	0	0	2,50	2,50
	100%	5	24.218	NS	14,13	1,05	342239	342239	533664	533664	0	0	2,50	2,50
sisma in +Y														
proporzionale alle masse														
	0%	-48	12.534	NS	27,30	1,01	342239	342239	511268	511268	0	0	2,50	2,50
	100%	-48	-8.404	NS	40,72	1,00	342239	342239	508734	508734	0	0	2,50	2,50
proporzionale alla deformata 1° modo di vibrazione														
	0%	10	-667	NS	NS	1,02	342239	342239	516950	516950	0	0	2,50	2,50
	100%	10	-21.605	NS	15,84	1,02	342239	342239	516663	516663	0	0	2,50	2,50
sisma in -Y														
proporzionale alle masse														
	0%	-	-	VNR	VNR	0,00	0	0	0	0	0	0	0,00	0,00
	100%	-	-	VNR	VNR	0,00	0	0	0	0	0	0	0,00	0,00

Id_{Tr}	$\%L_{LI}$	$V_{Ed,3}$	$V_{Ed,2}$	$CS^{(3)}$	$CS^{(2)}$	α_C	$V_{Rsd,s}{}^{(3)}$	$V_{Rsd,s}{}^{(2)}$	$V_{Rcd}{}^{(3)}$	$V_{Rcd}{}^{(2)}$	$V_{fd}{}^{(3)}$	$V_{fd}{}^{(2)}$	$Ctg\Theta^{(3)}$	$Ctg\Theta^{(2)}$
	[%]	[N]	[N]				[N]	[N]	[N]	[N]	[N]	[N]		
proporzionale alla deformata 1° modo di vibrazione														
	0%	-	-	VNR	VNR	0,00	0	0	0	0	0	0	0,00	0,00
	100%	-	-	VNR	VNR	0,00	0	0	0	0	0	0	0,00	0,00
Fondazione								**Travata: Trave20d-29-36-25d**						
sisma in +X														
proporzionale alle masse														
Trave 20d-29	0%	-7.427	1.949	46,08	NS	1,01	342239	415998	623929	623929	0	0	2,50	2,50
	100%	-7.427	-17.963	46,08	23,16	1,01	342239	415998	624223	624223	0	0	2,50	2,50
proporzionale alla deformata 1° modo di vibrazione														
	0%	-117	2.029	NS	NS	1,01	342239	415998	622659	622659	0	0	2,50	2,50
	100%	-117	-17.884	NS	23,26	1,01	342239	415998	621241	621241	0	0	2,50	2,50
sisma in -X														
proporzionale alle masse														
	0%	7.784	17.385	43,97	23,93	1,01	342239	415998	623273	623273	0	0	2,50	2,50
	100%	7.784	-2.527	43,97	NS	1,01	342239	415998	623535	623535	0	0	2,50	2,50
proporzionale alla deformata 1° modo di vibrazione														
	0%	632	16.436	NS	25,31	1,01	342239	415998	621338	621338	0	0	2,50	2,50
	100%	632	-3.476	NS	NS	1,00	342239	415998	619030	619030	0	0	2,50	2,50
sisma in +Y														
proporzionale alle masse														
	0%	129	-53.420	NS	7,79	1,03	342239	415998	633642	633642	0	0	2,50	2,50
	100%	129	-73.332	NS	5,67	1,03	342239	415998	633519	633519	0	0	2,50	2,50
proporzionale alla deformata 1° modo di vibrazione														
	0%	99	-51.434	NS	8,09	1,03	342239	415998	635415	635415	0	0	2,50	2,50
	100%	99	-71.347	NS	5,83	1,03	342239	415998	635318	635318	0	0	2,50	2,50
sisma in -Y														
proporzionale alle masse														
	0%	-	-	VNR	VNR	0,00	0	0	0	0	0	0	0,00	0,00
	100%	-	-	VNR	VNR	0,00	0	0	0	0	0	0	0,00	0,00
proporzionale alla deformata 1° modo di vibrazione														
	0%	-	-	VNR	VNR	0,00	0	0	0	0	0	0	0,00	0,00
	100%	-	-	VNR	VNR	0,00	0	0	0	0	0	0	0,00	0,00
sisma in +X														
proporzionale alle masse														
Trave 29-36	0%	1.287	8.668	NS	47,99	1,01	342239	415998	622935	622935	0	0	2,50	2,50
	100%	1.287	-7.457	NS	55,79	1,01	342239	415998	622265	622265	0	0	2,50	2,50
proporzionale alla deformata 1° modo di vibrazione														
	0%	259	9.420	NS	44,16	1,01	342239	415998	620931	620931	0	0	2,50	2,50
	100%	259	-6.705	NS	62,04	1,00	342239	415998	620227	620227	0	0	2,50	2,50
sisma in -X														
proporzionale alle masse														
	0%	-1.561	5.685	NS	73,17	1,01	342239	415998	623937	623937	0	0	2,50	2,50
	100%	-1.561	-10.440	NS	39,85	1,01	342239	415998	623177	623177	0	0	2,50	2,50
proporzionale alla deformata 1° modo di vibrazione														
	0%	-757	5.231	NS	79,53	1,01	342239	415998	622097	622097	0	0	2,50	2,50
	100%	-757	-10.894	NS	38,19	1,01	342239	415998	621339	621339	0	0	2,50	2,50
sisma in +Y														
proporzionale alle masse														
	0%	-108	-8.777	NS	47,40	1,05	342239	415998	649627	649627	0	0	2,50	2,50
	100%	-108	-24.902	NS	16,71	1,05	342239	415998	649500	649500	0	0	2,50	2,50
proporzionale alla deformata 1° modo di vibrazione														
	0%	-284	-5.307	NS	78,39	1,04	342239	415998	644830	644830	0	0	2,50	2,50
	100%	-284	-21.432	NS	19,41	1,04	342239	415998	644388	644388	0	0	2,50	2,50
sisma in -Y														
proporzionale alle masse														
	0%	-	-	VNR	VNR	0,00	0	0	0	0	0	0	0,00	0,00
	100%	-	-	VNR	VNR	0,00	0	0	0	0	0	0	0,00	0,00
proporzionale alla deformata 1° modo di vibrazione														
	0%	-	-	VNR	VNR	0,00	0	0	0	0	0	0	0,00	0,00
	100%	-	-	VNR	VNR	0,00	0	0	0	0	0	0	0,00	0,00
sisma in +X														
proporzionale alle masse														
Trave 36-25d	0%	16.248	7.344	22,98	61,79	1,01	373352	453815	624432	624432	0	0	2,50	2,50
	100%	16.248	-5.369	22,98	84,53	1,01	373352	453815	623999	623999	0	0	2,50	2,50
proporzionale alla deformata 1° modo di vibrazione														
	0%	-10	8.693	NS	52,20	1,00	373352	453815	619925	619925	0	0	2,50	2,50
	100%	-10	-4.020	NS	NS	1,00	373352	453815	617434	617434	0	0	2,50	2,50
sisma in -X														
proporzionale alle masse														
	0%	-16.722	-18.781	22,33	24,16	1,01	373352	453815	626092	626092	0	0	2,50	2,50
	100%	-16.722	-31.493	22,33	14,41	1,01	373352	453815	626008	626008	0	0	2,50	2,50
proporzionale alla deformata 1° modo di vibrazione														
	0%	-583	-18.825	NS	24,11	1,01	373352	453815	624019	624019	0	0	2,50	2,50
	100%	-583	-31.537	NS	14,39	1,01	373352	453815	623948	623948	0	0	2,50	2,50
sisma in +Y														
proporzionale alle masse														
	0%	46	-53.175	NS	8,53	1,08	373352	453815	664436	664436	0	0	2,50	2,50
	100%	46	-65.888	NS	6,89	1,08	373352	453815	664476	664476	0	0	2,50	2,50
proporzionale alla deformata 1° modo di vibrazione														
	0%	89	-48.200	NS	9,42	1,06	373352	453815	652816	652816	0	0	2,50	2,50
	100%	89	-60.912	NS	7,45	1,06	373352	453815	652290	652290	0	0	2,50	2,50
sisma in -Y														
proporzionale alle masse														
	0%	-	-	VNR	VNR	0,00	0	0	0	0	0	0	0,00	0,00
	100%	-	-	VNR	VNR	0,00	0	0	0	0	0	0	0,00	0,00
proporzionale alla deformata 1° modo di vibrazione														

Id_{Tr}	$\%L_{LI}$	$V_{Ed,3}$	$V_{Ed,2}$	$CS^{(3)}$	$CS^{(2)}$	α_C	$V_{Rsd,s}{}^{(3)}$	$V_{Rsd,s}{}^{(2)}$	$V_{Rcd}{}^{(3)}$	$V_{Rcd}{}^{(2)}$	$V_{fd}{}^{(3)}$	$V_{fd}{}^{(2)}$	$Ctg\Theta^{(3)}$	$Ctg\Theta^{(2)}$
	[%]	[N]	[N]				[N]	[N]	[N]	[N]	[N]	[N]		
	0%	-	-	VNR	VNR	0,00	0	0	0	0	0	0	0,00	0,00
	100%	-	-	VNR	VNR	0,00	0	0	0	0	0	0	0,00	0,00
Fondazione								**Travata: Trave21d-30-24d**						
sisma in +X														
proporzionale alle masse														
Trave 21d-30	0%	-7.517	19.617	25,50	9,77	1,01	191654	191654	331133	331133	0	0	2,50	2,50
	100%	-7.517	5.477	25,50	34,99	1,01	191654	191654	331196	331196	0	0	2,50	2,50
proporzionale alla deformata 1° modo di vibrazione														
	0%	-705	21.901	NS	8,75	1,01	191654	191654	330575	330575	0	0	2,50	2,50
	100%	-705	7.760	NS	24,70	1,01	191654	191654	330611	330611	0	0	2,50	2,50
sisma in -X														
proporzionale alle masse														
	0%	8.670	9.084	22,11	21,10	1,01	191654	191654	331302	331302	0	0	2,50	2,50
	100%	8.670	-5.056	22,11	37,91	1,01	191654	191654	331350	331350	0	0	2,50	2,50
proporzionale alla deformata 1° modo di vibrazione														
	0%	1.759	7.787	NS	24,61	1,00	191654	191654	329671	329671	0	0	2,50	2,50
	100%	1.759	-6.354	NS	30,16	1,01	191654	191654	329964	329964	0	0	2,50	2,50
sisma in +Y														
proporzionale alle masse														
	0%	79	-51.509	NS	3,72	1,03	191654	191654	337072	337072	0	0	2,50	2,50
	100%	79	-65.649	NS	2,92	1,03	191654	191654	337050	337050	0	0	2,50	2,50
proporzionale alla deformata 1° modo di vibrazione														
	0%	184	-71.585	NS	2,68	1,04	191654	191654	342369	342369	0	0	2,50	2,50
	100%	184	-85.725	NS	2,24	1,04	191654	191654	342365	342365	0	0	2,50	2,50
sisma in -Y														
proporzionale alle masse														
	0%	-	-	VNR	VNR	0,00	0	0	0	0	0	0	0,00	0,00
	100%	-	-	VNR	VNR	0,00	0	0	0	0	0	0	0,00	0,00
proporzionale alla deformata 1° modo di vibrazione														
	0%	-	-	VNR	VNR	0,00	0	0	0	0	0	0	0,00	0,00
	100%	-	-	VNR	VNR	0,00	0	0	0	0	0	0	0,00	0,00
sisma in +X														
proporzionale alle masse														
Trave 30-24d	0%	7.941	1.096	24,13	NS	1,01	191654	191654	330978	330978	0	0	2,50	2,50
	100%	7.941	-13.013	24,13	14,73	1,01	191654	191654	330956	330956	0	0	2,50	2,50
proporzionale alla deformata 1° modo di vibrazione														
	0%	842	3.902	NS	49,12	1,01	191654	191654	330055	330055	0	0	2,50	2,50
	100%	842	-10.208	NS	18,77	1,01	191654	191654	330082	330082	0	0	2,50	2,50
sisma in -X														
proporzionale alle masse														
	0%	-8.717	2.844	21,99	67,39	1,01	191654	191654	331376	331376	0	0	2,50	2,50
	100%	-8.717	-11.265	21,99	17,01	1,01	191654	191654	331406	331406	0	0	2,50	2,50
proporzionale alla deformata 1° modo di vibrazione														
	0%	-1.378	957	NS	NS	1,01	191654	191654	330294	330294	0	0	2,50	2,50
	100%	-1.378	-13.152	NS	14,57	1,01	191654	191654	330117	330117	0	0	2,50	2,50
sisma in +Y														
proporzionale alle masse														
	0%	-32	-27.999	NS	6,85	1,05	191654	191654	344378	344378	0	0	2,50	2,50
	100%	-32	-42.108	NS	4,55	1,05	191654	191654	344354	344354	0	0	2,50	2,50
proporzionale alla deformata 1° modo di vibrazione														
	0%	-91	-31.859	NS	6,02	1,05	191654	191654	343691	343691	0	0	2,50	2,50
	100%	-91	-45.968	NS	4,17	1,05	191654	191654	343670	343670	0	0	2,50	2,50
sisma in -Y														
proporzionale alle masse														
	0%	-	-	VNR	VNR	0,00	0	0	0	0	0	0	0,00	0,00
	100%	-	-	VNR	VNR	0,00	0	0	0	0	0	0	0,00	0,00
proporzionale alla deformata 1° modo di vibrazione														
	0%	-	-	VNR	VNR	0,00	0	0	0	0	0	0	0,00	0,00
	100%	-	-	VNR	VNR	0,00	0	0	0	0	0	0	0,00	0,00
Fondazione								**Travata: Trave22d-31-38**						
sisma in +X														
proporzionale alle masse														
Trave 22d-31	0%	-7.788	10.986	24,61	21,21	1,01	191654	232959	401799	401799	0	0	2,50	2,50
	100%	-7.788	-7.839	24,61	29,72	1,01	191654	232959	401797	401797	0	0	2,50	2,50
proporzionale alla deformata 1° modo di vibrazione														
	0%	-2.156	10.837	88,89	21,50	1,00	191654	232959	400753	400753	0	0	2,50	2,50
	100%	-2.156	-7.988	88,89	29,16	1,00	191654	232959	400780	400780	0	0	2,50	2,50
sisma in -X														
proporzionale alle masse														
	0%	9.553	14.768	20,06	15,77	1,01	191654	232959	404155	404155	0	0	2,50	2,50
	100%	9.553	-4.057	20,06	57,42	1,01	191654	232959	404205	404205	0	0	2,50	2,50
proporzionale alla deformata 1° modo di vibrazione														
	0%	2.550	17.427	75,16	13,37	1,01	191654	232959	404081	404081	0	0	2,50	2,50
	100%	2.550	-1.398	75,16	NS	1,01	191654	232959	403907	403907	0	0	2,50	2,50
sisma in +Y														
proporzionale alle masse														
	0%	161	-73.264	NS	3,18	1,02	191654	232959	407200	407200	0	0	2,50	2,50
	100%	161	-92.089	NS	2,53	1,02	191654	232959	407166	407166	0	0	2,50	2,50
proporzionale alla deformata 1° modo di vibrazione														
	0%	135	-54.116	NS	4,30	1,02	191654	232959	406698	406698	0	0	2,50	2,50
	100%	135	-72.941	NS	3,19	1,02	191654	232959	406667	406667	0	0	2,50	2,50
sisma in -Y														
proporzionale alle masse														
	0%	-	-	VNR	VNR	0,00	0	0	0	0	0	0	0,00	0,00
	100%	-	-	VNR	VNR	0,00	0	0	0	0	0	0	0,00	0,00
proporzionale alla deformata 1° modo di vibrazione														

Id_{Tr}	$\%L_{LI}$	$V_{Ed,3}$	$V_{Ed,2}$	$CS^{(3)}$	$CS^{(2)}$	α_C	$V_{Rsd,s}{}^{(3)}$	$V_{Rsd,s}{}^{(2)}$	$V_{Rcd}{}^{(3)}$	$V_{Rcd}{}^{(2)}$	$V_{fd}{}^{(3)}$	$V_{fd}{}^{(2)}$	$Ctg\Theta^{(3)}$	$Ctg\Theta^{(2)}$
	[%]	[N]	[N]				[N]	[N]	[N]	[N]	[N]	[N]		
	0%	-	-	VNR	VNR	0,00	0	0	0	0	0	0	0,00	0,00
	100%	-	-	VNR	VNR	0,00	0	0	0	0	0	0	0,00	0,00
sisma in +X														
proporzionale alle masse														
Trave 31-38	0%	1.838	11.865	NS	16,15	1,01	191654	191654	330094	330094	0	0	2,50	2,50
	100%	1.838	-15.947	NS	12,02	1,01	191654	191654	330306	330306	0	0	2,50	2,50
proporzionale alla deformata 1° modo di vibrazione														
	0%	232	11.856	NS	16,17	1,00	191654	191654	329555	329555	0	0	2,50	2,50
	100%	232	-15.956	NS	12,01	1,00	191654	191654	329799	329799	0	0	2,50	2,50
sisma in -X														
proporzionale alle masse														
	0%	-1.765	21.650	NS	8,85	1,01	191654	191654	331633	331633	0	0	2,50	2,50
	100%	-1.765	-6.163	NS	31,10	1,01	191654	191654	332102	332102	0	0	2,50	2,50
proporzionale alla deformata 1° modo di vibrazione														
	0%	-310	21.875	NS	8,76	1,01	191654	191654	331481	331481	0	0	2,50	2,50
	100%	-310	-5.937	NS	32,28	1,01	191654	191654	332037	332037	0	0	2,50	2,50
sisma in +Y														
proporzionale alle masse														
	0%	-62	-4.626	NS	41,43	1,05	191654	191654	346163	346163	0	0	2,50	2,50
	100%	-62	-32.439	NS	5,91	1,05	191654	191654	346267	346267	0	0	2,50	2,50
proporzionale alla deformata 1° modo di vibrazione														
	0%	-77	2.600	NS	73,71	1,04	191654	191654	339881	339881	0	0	2,50	2,50
	100%	-77	-25.212	NS	7,60	1,04	191654	191654	339948	339948	0	0	2,50	2,50
sisma in -Y														
proporzionale alle masse														
	0%	-	-	VNR	VNR	0,00	0	0	0	0	0	0	0,00	0,00
	100%	-	-	VNR	VNR	0,00	0	0	0	0	0	0	0,00	0,00
proporzionale alla deformata 1° modo di vibrazione														
	0%	-	-	VNR	VNR	0,00	0	0	0	0	0	0	0,00	0,00
	100%	-	-	VNR	VNR	0,00	0	0	0	0	0	0	0,00	0,00

LEGENDA:

Id_{Tr} Identificativo della trave. L'eventuale lettera tra parentesi distingue i diversi tratti della travata al livello considerato.
$\%L_{LI}$ Posizione della sezione per la quale vengono forniti i valori di verifica, valutata come % della lunghezza libera d'inflessione (L_{LI}), a partire dall'estremo iniziale.
V_{Ed} Taglio di progetto.
CS Coefficiente di sicurezza, con riferimento alla direzione positiva e negativa del sisma. ([NS] = Non Significativo per valori di CS >= 100). Per ulteriori dettagli sulla verifica si rimanda alle tabelle relative alle Verifiche a Taglio.
α_C Coefficiente maggiorativo per compressione
$V_{Rsd,s}$ Resistenza a taglio trazione delle staffe.
V_{Rcd} Resistenza a taglio compressione del calcestruzzo.
V_{fd} Resistenza a taglio dovuta al rinforzo FRP.
$Ctg\Theta$ Cotangente dell'angolo Θ utilizzata nella verifica.

PILASTRI - VERIFICHE DI ROTAZIONE ALLA CORDA (Elevazione)

Verifiche di Rotazione alla corda

Lv	$\%L_{LI}$	$L_{v,SLV}$	$L_{v,SLD}$	L_{pl}	ϕ_u	ϕ_y	SLV			SLD		
							Θ_c	Θ_d	CS	Θ_c	Θ_d	CS
	[%]	[m]	[m]	[m]	[rad/m]	[rad/m]	[rad]	[rad]		[rad]	[rad]	
Pilastrata: Pilastrata2												
sisma in +X												
proporzionale alle masse												
Piano copertura	0%	0,65	0,77	0,47	0,4603	0,0047	0,070928	0,000128	NS	0,004783	0,000020	NS
Piano copertura	100%	0,85	0,91	0,49	0,4657	0,0044	0,082891	0,000128	NS	0,004651	0,000020	NS
proporzionale alla deformata 1° modo di vibrazione												
Piano copertura	0%	0,68	0,84	0,47	0,6111	0,0045	0,096175	0,000131	NS	0,004684	0,000038	NS
Piano copertura	100%	0,79	0,88	0,48	0,7025	0,0043	0,119285	0,000131	NS	0,004593	0,000038	NS
sisma in -X												
proporzionale alle masse												
Piano copertura	0%	0,94	1,00	0,50	0,0166	0,0083	0,004817	0,000152	31,73	0,006620	0,000090	73,20
Piano copertura	100%	0,55	0,48	0,46	0,0166	0,0075	0,004299	0,000152	28,31	0,006162	0,000090	68,13
proporzionale alla deformata 1° modo di vibrazione												
Piano copertura	0%	0,95	1,00	0,50	0,0163	0,0084	0,004775	0,000187	25,53	0,006630	0,000107	61,76
Piano copertura	100%	0,54	0,49	0,46	0,0164	0,0075	0,004248	0,000187	22,72	0,006151	0,000107	57,30
sisma in +Y												
proporzionale alle masse												
Piano copertura	0%	0,86	0,78	0,44	0,1038	0,0065	0,018327	0,000154	NS	0,004782	0,000133	36,01
Piano copertura	100%	0,64	0,72	0,42	0,1048	0,0067	0,016214	0,000154	NS	0,004801	0,000133	36,15
proporzionale alla deformata 1° modo di vibrazione												
Piano copertura	0%	0,81	0,76	0,43	0,1290	0,0051	0,021802	0,000225	96,97	0,004208	0,000185	22,73
Piano copertura	100%	0,70	0,75	0,42	0,1302	0,0049	0,020494	0,000225	91,16	0,004127	0,000185	22,30
sisma in -Y												
proporzionale alle masse												
Piano copertura	0%	0,00	0,00	0,00	0,0000	0,0000	0,000000	0,000000	0,00	0,000000	0,000000	0,00
Piano copertura	100%	0,00	0,00	0,00	0,0000	0,0000	0,000000	0,000000	0,00	0,000000	0,000000	0,00
proporzionale alla deformata 1° modo di vibrazione												
Piano copertura	0%	0,00	0,00	0,00	0,0000	0,0000	0,000000	0,000000	0,00	0,000000	0,000000	0,00
Piano copertura	100%	0,00	0,00	0,00	0,0000	0,0000	0,000000	0,000000	0,00	0,000000	0,000000	0,00
Pilastrata: Pilastrata5												
sisma in +X												
proporzionale alle masse												
Piano interrato	0%	1,64	1,91	0,57	0,0640	0,0090	0,017455	0,001387	12,59	0,009113	0,000626	14,56
Piano interrato	100%	0,25	0,38	0,43	0,0663	0,0122	0,009764	0,001387	7,04	0,007904	0,000626	12,63
proporzionale alla deformata 1° modo di vibrazione												
Piano interrato	0%	2,00	2,11	0,60	0,0656	0,0085	0,019265	0,001295	14,88	0,009261	0,000600	15,43
Piano interrato	100%	0,53	0,60	0,46	0,0668	0,0158	0,011086	0,001295	8,56	0,008999	0,000600	15,00

Lv	$\%L_{LI}$	$L_{v,SLV}$	$L_{v,SLD}$	L_{pl}	ϕ_u	ϕ_y	SLV			SLD		
							Θ_c	Θ_d	CS	Θ_c	Θ_d	CS
	[%]	[m]	[m]	[m]	[rad/m]	[rad/m]	[rad]	[rad]		[rad]	[rad]	
sisma in -X												
proporzionale alle masse												
Piano interrato	0%	1,59	1,52	0,56	0,0704	0,0083	0,018217	0,001657	10,99	0,007637	0,000748	10,20
Piano interrato	100%	0,10	0,05	0,41	0,0717	0,0149	0,019273	0,001657	11,63	0,026792	0,000748	35,80
proporzionale alla deformata 1° modo di vibrazione												
Piano interrato	0%	1,65	1,55	0,57	0,0707	0,0082	0,018513	0,001519	12,19	0,007642	0,000702	10,88
Piano interrato	100%	0,15	0,10	0,42	0,0717	0,0147	0,014151	0,001519	9,32	0,016348	0,000702	23,27
sisma in +Y												
proporzionale alle masse												
Piano interrato	0%	0,77	0,77	0,43	0,0602	0,0081	0,010811	0,002227	4,85	0,005471	0,000930	5,88
Piano interrato	100%	0,72	0,65	0,43	0,0610	0,0080	0,010582	0,002227	4,75	0,005226	0,000930	5,62
proporzionale alla deformata 1° modo di vibrazione												
Piano interrato	0%	0,77	0,75	0,43	0,0607	0,0079	0,010855	0,001602	6,78	0,005343	0,000672	7,96
Piano interrato	100%	0,72	0,68	0,43	0,0613	0,0080	0,010652	0,001602	6,65	0,005293	0,000672	7,88
sisma in -Y												
proporzionale alle masse												
Piano interrato	0%	0,00	0,00	0,00	0,0000	0,0000	0,000000	0,000000	0,00	0,000000	0,000000	0,00
Piano interrato	100%	0,00	0,00	0,00	0,0000	0,0000	0,000000	0,000000	0,00	0,000000	0,000000	0,00
proporzionale alla deformata 1° modo di vibrazione												
Piano interrato	0%	0,00	0,00	0,00	0,0000	0,0000	0,000000	0,000000	0,00	0,000000	0,000000	0,00
Piano interrato	100%	0,00	0,00	0,00	0,0000	0,0000	0,000000	0,000000	0,00	0,000000	0,000000	0,00
sisma in +X												
proporzionale alle masse												
Piano terra	0%	0,41	0,20	0,45	0,1069	0,0048	0,015546	0,001732	8,98	0,008333	0,000786	10,60
Piano terra	100%	3,32	2,57	0,74	0,1104	0,0052	0,037958	0,001732	21,92	0,007066	0,000786	8,99
proporzionale alla deformata 1° modo di vibrazione												
Piano terra	0%	0,90	0,63	0,49	0,1080	0,0050	0,020964	0,001976	10,61	0,005033	0,000888	5,67
Piano terra	100%	1,96	2,00	0,60	0,1116	0,0052	0,030138	0,001976	15,25	0,006201	0,000888	6,98
sisma in -X												
proporzionale alle masse												
Piano terra	0%	3,04	5,36	0,71	0,1102	0,0048	0,038427	0,001867	20,59	0,010959	0,000848	12,92
Piano terra	100%	4,71	3,09	0,88	0,1123	0,0054	0,046485	0,001867	24,90	0,008140	0,000848	9,60
proporzionale alla deformata 1° modo di vibrazione												
Piano terra	0%	0,84	1,12	0,49	0,1105	0,0053	0,020827	0,002053	10,14	0,005200	0,000923	5,64
Piano terra	100%	1,93	3,40	0,60	0,1129	0,0055	0,031450	0,002053	15,32	0,008731	0,000923	9,46
sisma in +Y												
proporzionale alle masse												
Piano terra	0%	1,48	1,41	0,50	0,0981	0,0066	0,021983	0,002128	10,33	0,005911	0,000936	6,31
Piano terra	100%	1,51	1,48	0,50	0,1002	0,0064	0,022665	0,002128	10,65	0,005912	0,000936	6,31
proporzionale alla deformata 1° modo di vibrazione												
Piano terra	0%	1,48	1,43	0,50	0,0994	0,0065	0,022272	0,001932	11,53	0,005860	0,000816	7,18
Piano terra	100%	1,51	1,47	0,50	0,1015	0,0064	0,022938	0,001932	11,87	0,005874	0,000816	7,20
sisma in -Y												
proporzionale alle masse												
Piano terra	0%	0,00	0,00	0,00	0,0000	0,0000	0,000000	0,000000	0,00	0,000000	0,000000	0,00
Piano terra	100%	0,00	0,00	0,00	0,0000	0,0000	0,000000	0,000000	0,00	0,000000	0,000000	0,00
proporzionale alla deformata 1° modo di vibrazione												
Piano terra	0%	0,00	0,00	0,00	0,0000	0,0000	0,000000	0,000000	0,00	0,000000	0,000000	0,00
Piano terra	100%	0,00	0,00	0,00	0,0000	0,0000	0,000000	0,000000	0,00	0,000000	0,000000	0,00
sisma in +X												
proporzionale alle masse												
Piano copertura	0%	0,86	0,80	0,49	0,1293	0,0043	0,024251	0,000025	NS	0,004598	0,000028	NS
Piano copertura	100%	0,65	0,76	0,47	0,1305	0,0043	0,021277	0,000025	NS	0,004632	0,000028	NS
proporzionale alla deformata 1° modo di vibrazione												
Piano copertura	0%	0,90	0,84	0,49	0,1305	0,0043	0,024925	0,000048	NS	0,004604	0,000012	NS
Piano copertura	100%	0,61	0,69	0,47	0,1318	0,0043	0,020705	0,000048	NS	0,004707	0,000012	NS
sisma in -X												
proporzionale alle masse												
Piano copertura	0%	3,26	0,26	0,73	0,1280	0,0047	0,043473	0,000289	NS	0,006915	0,000184	37,66
Piano copertura	100%	4,81	1,90	0,88	0,1292	0,0043	0,052838	0,000289	NS	0,005320	0,000184	28,97
proporzionale alla deformata 1° modo di vibrazione												
Piano copertura	0%	16,07	0,88	2,01	0,1283	0,0047	0,118856	0,000317	NS	0,004776	0,000197	24,26
Piano copertura	100%	17,67	2,49	2,17	0,1295	0,0048	0,130275	0,000317	NS	0,006530	0,000197	33,17
sisma in +Y												
proporzionale alle masse												
Piano copertura	0%	1,08	1,01	0,46	0,1168	0,0050	0,022502	0,000040	NS	0,004373	0,000006	NS
Piano copertura	100%	0,39	0,42	0,39	0,1179	0,0045	0,013158	0,000040	NS	0,004054	0,000006	NS
proporzionale alla deformata 1° modo di vibrazione												
Piano copertura	0%	0,99	0,98	0,45	0,1186	0,0050	0,022011	0,000037	NS	0,004334	0,000005	NS
Piano copertura	100%	0,50	0,50	0,40	0,1197	0,0045	0,015782	0,000037	NS	0,003958	0,000005	NS
sisma in -Y												
proporzionale alle masse												
Piano copertura	0%	0,00	0,00	0,00	0,0000	0,0000	0,000000	0,000000	0,00	0,000000	0,000000	0,00
Piano copertura	100%	0,00	0,00	0,00	0,0000	0,0000	0,000000	0,000000	0,00	0,000000	0,000000	0,00
proporzionale alla deformata 1° modo di vibrazione												
Piano copertura	0%	0,00	0,00	0,00	0,0000	0,0000	0,000000	0,000000	0,00	0,000000	0,000000	0,00
Piano copertura	100%	0,00	0,00	0,00	0,0000	0,0000	0,000000	0,000000	0,00	0,000000	0,000000	0,00
Pilastrata: Pilastrata7												
sisma in +X												
proporzionale alle masse												
Piano interrato	0%	1,62	1,31	0,57	0,0960	0,0063	0,023969	0,001441	16,64	0,005977	0,000645	9,27
Piano interrato	100%	0,08	0,09	0,41	0,0977	0,0084	0,016858	0,001441	11,70	0,015302	0,000645	23,73
proporzionale alla deformata 1° modo di vibrazione												
Piano interrato	0%	1,73	1,35	0,58	0,0959	0,0059	0,024564	0,001340	18,33	0,005776	0,000612	9,44
Piano interrato	100%	0,19	0,04	0,42	0,0977	0,0077	0,026074	0,001340	19,45	0,033074	0,000612	54,03

Lv	$\%L_{LI}$	$L_{v,SLV}$	$L_{v,SLD}$	L_{pl}	ϕ_u	ϕ_y	SLV			SLD		
							Θ_c	Θ_d	CS	Θ_c	Θ_d	CS
	[%]	[m]	[m]	[m]	[rad/m]	[rad/m]	[rad]	[rad]		[rad]	[rad]	
sisma in -X												
proporzionale alle masse												
Piano interrato	0%	1,84	1,58	0,59	0,0868	0,0075	0,023192	0,001725	13,44	0,007204	0,000784	9,19
Piano interrato	100%	0,27	0,15	0,43	0,0882	0,0154	0,013971	0,001725	8,10	0,012225	0,000784	15,59
proporzionale alla deformata 1° modo di vibrazione												
Piano interrato	0%	2,12	1,76	0,62	0,0876	0,0075	0,024899	0,001569	15,87	0,007568	0,000731	10,36
Piano interrato	100%	0,55	0,31	0,46	0,0885	0,0116	0,014417	0,001569	9,19	0,008149	0,000731	11,15
sisma in +Y												
proporzionale alle masse												
Piano interrato	0%	0,78	0,77	0,43	0,0846	0,0068	0,014565	0,002142	6,80	0,004904	0,000873	5,62
Piano interrato	100%	0,77	0,72	0,43	0,0856	0,0067	0,014636	0,002142	6,83	0,004810	0,000873	5,51
proporzionale alla deformata 1° modo di vibrazione												
Piano interrato	0%	0,78	0,77	0,43	0,0864	0,0066	0,014881	0,001448	10,27	0,004838	0,000575	8,42
Piano interrato	100%	0,76	0,70	0,43	0,0874	0,0065	0,014847	0,001448	10,25	0,004726	0,000575	8,22
sisma in -Y												
proporzionale alle masse												
Piano interrato	0%	0,00	0,00	0,00	0,0000	0,0000	0,000000	0,000000	0,00	0,000000	0,000000	0,00
Piano interrato	100%	0,00	0,00	0,00	0,0000	0,0000	0,000000	0,000000	0,00	0,000000	0,000000	0,00
proporzionale alla deformata 1° modo di vibrazione												
Piano interrato	0%	0,00	0,00	0,00	0,0000	0,0000	0,000000	0,000000	0,00	0,000000	0,000000	0,00
Piano interrato	100%	0,00	0,00	0,00	0,0000	0,0000	0,000000	0,000000	0,00	0,000000	0,000000	0,00
sisma in +X												
proporzionale alle masse												
Piano terra	0%	1,49	1,03	0,55	0,1146	0,0043	0,027144	0,001453	18,68	0,004642	0,000709	6,55
Piano terra	100%	1,53	0,87	0,56	0,1168	0,0043	0,027956	0,001453	19,23	0,004601	0,000709	6,49
proporzionale alla deformata 1° modo di vibrazione												
Piano terra	0%	1,30	0,67	0,53	0,1149	0,0045	0,025841	0,001670	15,47	0,004803	0,000801	6,00
Piano terra	100%	2,22	1,43	0,63	0,1167	0,0044	0,032683	0,001670	19,57	0,004928	0,000801	6,15
sisma in -X												
proporzionale alle masse												
Piano terra	0%	0,25	2,47	0,43	0,1038	0,0085	0,015319	0,002009	7,62	0,010185	0,000889	11,45
Piano terra	100%	2,93	4,34	0,70	0,1059	0,0063	0,036440	0,002009	18,13	0,011717	0,000889	13,18
proporzionale alla deformata 1° modo di vibrazione												
Piano terra	0%	0,82	0,15	0,49	0,1041	0,0068	0,021790	0,002193	9,94	0,010355	0,000965	10,74
Piano terra	100%	2,00	2,21	0,60	0,1067	0,0063	0,029529	0,002193	13,47	0,007481	0,000965	7,76
sisma in +Y												
proporzionale alle masse												
Piano terra	0%	1,39	1,33	0,49	0,1054	0,0060	0,022803	0,002269	10,05	0,005414	0,000993	5,45
Piano terra	100%	1,42	1,39	0,49	0,1074	0,0061	0,023456	0,002269	10,34	0,005525	0,000993	5,56
proporzionale alla deformata 1° modo di vibrazione												
Piano terra	0%	1,39	1,34	0,49	0,1067	0,0059	0,023108	0,001949	11,86	0,005325	0,000811	6,56
Piano terra	100%	1,41	1,39	0,49	0,1089	0,0059	0,023721	0,001949	12,17	0,005449	0,000811	6,72
sisma in -Y												
proporzionale alle masse												
Piano terra	0%	0,00	0,00	0,00	0,0000	0,0000	0,000000	0,000000	0,00	0,000000	0,000000	0,00
Piano terra	100%	0,00	0,00	0,00	0,0000	0,0000	0,000000	0,000000	0,00	0,000000	0,000000	0,00
proporzionale alla deformata 1° modo di vibrazione												
Piano terra	0%	0,00	0,00	0,00	0,0000	0,0000	0,000000	0,000000	0,00	0,000000	0,000000	0,00
Piano terra	100%	0,00	0,00	0,00	0,0000	0,0000	0,000000	0,000000	0,00	0,000000	0,000000	0,00
Pilastrata: Pilastrata8												
sisma in +X												
proporzionale alle masse												
Piano interrato	0%	1,69	1,83	0,57	0,0680	0,0086	0,018405	0,001378	13,36	0,008559	0,000617	13,87
Piano interrato	100%	0,25	0,32	0,43	0,0692	0,0085	0,010131	0,001378	7,35	0,007245	0,000617	11,74
proporzionale alla deformata 1° modo di vibrazione												
Piano interrato	0%	2,07	2,07	0,61	0,0684	0,0081	0,020086	0,001287	15,61	0,008747	0,000594	14,74
Piano interrato	100%	0,62	0,57	0,47	0,0700	0,0114	0,012213	0,001287	9,49	0,007379	0,000594	12,43
sisma in -X												
proporzionale alle masse												
Piano interrato	0%	1,65	1,66	0,57	0,0636	0,0093	0,017137	0,001682	10,19	0,008675	0,000767	11,31
Piano interrato	100%	0,17	0,16	0,42	0,0649	0,0098	0,011119	0,001682	6,61	0,010633	0,000767	13,87
proporzionale alla deformata 1° modo di vibrazione												
Piano interrato	0%	1,81	1,76	0,58	0,0638	0,0093	0,017833	0,001546	11,53	0,008939	0,000723	12,37
Piano interrato	100%	0,33	0,27	0,44	0,0650	0,0123	0,010113	0,001546	6,54	0,008729	0,000723	12,08
sisma in +Y												
proporzionale alle masse												
Piano interrato	0%	0,77	0,76	0,43	0,0641	0,0079	0,011410	0,002247	5,08	0,005353	0,000932	5,74
Piano interrato	100%	0,72	0,68	0,43	0,0651	0,0075	0,011190	0,002247	4,98	0,005104	0,000932	5,48
proporzionale alla deformata 1° modo di vibrazione												
Piano interrato	0%	0,77	0,71	0,43	0,0653	0,0075	0,011548	0,001598	7,23	0,005110	0,000665	7,69
Piano interrato	100%	0,72	0,67	0,43	0,0660	0,0076	0,011302	0,001598	7,07	0,005104	0,000665	7,68
sisma in -Y												
proporzionale alle masse												
Piano interrato	0%	0,00	0,00	0,00	0,0000	0,0000	0,000000	0,000000	0,00	0,000000	0,000000	0,00
Piano interrato	100%	0,00	0,00	0,00	0,0000	0,0000	0,000000	0,000000	0,00	0,000000	0,000000	0,00
proporzionale alla deformata 1° modo di vibrazione												
Piano interrato	0%	0,00	0,00	0,00	0,0000	0,0000	0,000000	0,000000	0,00	0,000000	0,000000	0,00
Piano interrato	100%	0,00	0,00	0,00	0,0000	0,0000	0,000000	0,000000	0,00	0,000000	0,000000	0,00
sisma in +X												
proporzionale alle masse												
Piano terra	0%	1,63	0,39	0,57	0,1064	0,0063	0,026541	0,001702	15,59	0,006157	0,000774	7,95
Piano terra	100%	4,61	3,20	0,86	0,1077	0,0052	0,044197	0,001702	25,96	0,008121	0,000774	10,49
proporzionale alla deformata 1° modo di vibrazione												
Piano terra	0%	0,71	0,56	0,47	0,1057	0,0049	0,018419	0,001962	9,39	0,005101	0,000884	5,77
Piano terra	100%	2,01	1,98	0,61	0,1085	0,0050	0,029629	0,001962	15,10	0,006025	0,000884	6,82

Lv	$\%L_{LI}$	$L_{v,SLV}$	$L_{v,SLD}$	L_{pl}	ϕ_u	ϕ_y	SLV			SLD		
							Θ_c	Θ_d	CS	Θ_c	Θ_d	CS
	[%]	[m]	[m]	[m]	[rad/m]	[rad/m]	[rad]	[rad]		[rad]	[rad]	
sisma in -X												
proporzionale alle masse												
Piano terra	0%	66,84	4,50	7,09	0,1010	0,0102	0,313921	0,001873	NS	0,018501	0,000862	21,47
Piano terra	100%	51,91	1,67	5,59	0,1024	0,0076	0,254676	0,001873	NS	0,007447	0,000862	8,64
proporzionale alla deformata 1° modo di vibrazione												
Piano terra	0%	0,44	8,28	0,45	0,1012	0,0088	0,023910	0,002076	11,52	0,027114	0,000944	28,72
Piano terra	100%	3,37	10,92	0,74	0,1029	0,0068	0,045398	0,002076	21,86	0,027345	0,000944	28,97
sisma in +Y												
proporzionale alle masse												
Piano terra	0%	1,48	1,40	0,50	0,1019	0,0064	0,022730	0,002131	10,67	0,005733	0,000940	6,10
Piano terra	100%	1,51	1,47	0,50	0,1041	0,0062	0,023468	0,002131	11,01	0,005748	0,000940	6,12
proporzionale alla deformata 1° modo di vibrazione												
Piano terra	0%	1,48	1,43	0,50	0,1028	0,0062	0,022935	0,001925	11,92	0,005670	0,000813	6,97
Piano terra	100%	1,52	1,48	0,50	0,1049	0,0061	0,023630	0,001925	12,28	0,005689	0,000813	7,00
sisma in -Y												
proporzionale alle masse												
Piano terra	0%	0,00	0,00	0,00	0,0000	0,0000	0,000000	0,000000	0,00	0,000000	0,000000	0,00
Piano terra	100%	0,00	0,00	0,00	0,0000	0,0000	0,000000	0,000000	0,00	0,000000	0,000000	0,00
proporzionale alla deformata 1° modo di vibrazione												
Piano terra	0%	0,00	0,00	0,00	0,0000	0,0000	0,000000	0,000000	0,00	0,000000	0,000000	0,00
Piano terra	100%	0,00	0,00	0,00	0,0000	0,0000	0,000000	0,000000	0,00	0,000000	0,000000	0,00
sisma in +X												
proporzionale alle masse												
Piano copertura	0%	1,08	0,85	0,51	0,1241	0,0044	0,025721	0,000109	NS	0,004629	0,000016	NS
Piano copertura	100%	0,50	0,68	0,45	0,1254	0,0043	0,017281	0,000109	NS	0,004703	0,000016	NS
proporzionale alla deformata 1° modo di vibrazione												
Piano copertura	0%	1,10	0,94	0,51	0,1252	0,0043	0,026122	0,000148	NS	0,004574	0,000038	NS
Piano copertura	100%	0,42	0,58	0,45	0,1266	0,0042	0,016068	0,000148	NS	0,004827	0,000038	NS
sisma in -X												
proporzionale alle masse												
Piano copertura	0%	1,30	0,01	0,53	0,1198	0,0048	0,101987	0,000328	NS	0,155179	0,000197	NS
Piano copertura	100%	2,93	1,58	0,70	0,1209	0,0043	0,038316	0,000328	NS	0,004989	0,000197	25,35
proporzionale alla deformata 1° modo di vibrazione												
Piano copertura	0%	3,14	0,38	0,72	0,1199	0,0044	0,039589	0,000363	NS	0,005631	0,000213	26,41
Piano copertura	100%	4,71	1,97	0,87	0,1210	0,0043	0,049004	0,000363	NS	0,005385	0,000213	25,25
sisma in +Y												
proporzionale alle masse												
Piano copertura	0%	1,14	1,08	0,47	0,1203	0,0042	0,023567	0,000040	NS	0,004055	0,000005	NS
Piano copertura	100%	0,36	0,44	0,39	0,1214	0,0043	0,013364	0,000040	NS	0,003957	0,000005	NS
proporzionale alla deformata 1° modo di vibrazione												
Piano copertura	0%	1,08	1,04	0,46	0,1209	0,0042	0,023201	0,000030	NS	0,004027	0,000002	NS
Piano copertura	100%	0,41	0,44	0,39	0,1221	0,0043	0,014057	0,000030	NS	0,003944	0,000002	NS
sisma in -Y												
proporzionale alle masse												
Piano copertura	0%	0,00	0,00	0,00	0,0000	0,0000	0,000000	0,000000	0,00	0,000000	0,000000	0,00
Piano copertura	100%	0,00	0,00	0,00	0,0000	0,0000	0,000000	0,000000	0,00	0,000000	0,000000	0,00
proporzionale alla deformata 1° modo di vibrazione												
Piano copertura	0%	0,00	0,00	0,00	0,0000	0,0000	0,000000	0,000000	0,00	0,000000	0,000000	0,00
Piano copertura	100%	0,00	0,00	0,00	0,0000	0,0000	0,000000	0,000000	0,00	0,000000	0,000000	0,00
Pilastrata: Pilastrata9												
sisma in +X												
proporzionale alle masse												
Piano interrato	0%	1,56	1,80	0,56	0,0732	0,0081	0,019041	0,001418	13,43	0,008099	0,000631	12,83
Piano interrato	100%	0,05	0,12	0,41	0,0753	0,0039	0,013117	0,001418	9,25	0,011613	0,000631	18,40
proporzionale alla deformata 1° modo di vibrazione												
Piano interrato	0%	1,80	1,85	0,58	0,0746	0,0077	0,020356	0,001326	15,36	0,007915	0,000607	13,03
Piano interrato	100%	0,28	0,28	0,43	0,0760	0,0110	0,011161	0,001326	8,42	0,008294	0,000607	13,66
sisma in -X												
proporzionale alle masse												
Piano interrato	0%	1,45	1,24	0,55	0,0781	0,0076	0,019018	0,001740	10,93	0,006621	0,000794	8,34
Piano interrato	100%	0,10	0,17	0,41	0,0796	0,0091	0,012361	0,001740	7,10	0,010110	0,000794	12,74
proporzionale alla deformata 1° modo di vibrazione												
Piano interrato	0%	1,54	1,37	0,56	0,0790	0,0075	0,019748	0,001606	12,30	0,006844	0,000748	9,15
Piano interrato	100%	0,00	0,10	0,40	0,0802	0,0103	0,014747	0,001606	9,18	0,015347	0,000748	20,52
sisma in +Y												
proporzionale alle masse												
Piano interrato	0%	0,78	0,78	0,43	0,0824	0,0069	0,014305	0,002317	6,17	0,004954	0,000988	5,02
Piano interrato	100%	0,77	0,73	0,43	0,0836	0,0068	0,014319	0,002317	6,18	0,004877	0,000988	4,94
proporzionale alla deformata 1° modo di vibrazione												
Piano interrato	0%	0,79	0,79	0,43	0,0829	0,0067	0,014376	0,001806	7,96	0,004906	0,000770	6,37

Continua nella prossima tabella...

LEGENDA:

Lv Livello o piano di appartenenza dell'elemento strutturale.
$\%L_{LI}$ Posizione della sezione per la quale vengono forniti i valori di verifica, valutata come % della lunghezza libera d'inflessione (L_{LI}), a partire dall'estremo iniziale.
$L_{v,SLV}$ Luce di Taglio allo SLV
$L_{v,SLD}$ Luce di Taglio allo SLD
L_{pl} Lunghezza della cerniera plastica.
ϕ_u Curvatura allo SLU.
ϕ_v Curvatura allo snervamento.
Θ_c Capacità di rotazione alla corda.
Θ_d Domanda di Rotazione alla Corda.
CS Coefficiente di sicurezza ([NS] = Non Significativo per valori di CS >= 100; [VNR]= Verifica Non Richiesta).
$L_{v,SLV}$ Luce di Taglio allo SLV

INFORMAZIONI GENERALI ..... pag. 2
LIVELLO DI CONOSCENZA E FATTORE DI CONFIDENZA ..... pag. 2
MATERIALI CALCESTRUZZO ARMATO ..... pag. 2
MATERIALI ACCIAIO ..... pag. 2
MATERIALI CARATTERISTICHE NON LINEARI ..... pag. 3
TERRENI ..... pag. 5
STRATIGRAFIE ..... pag. 5
DATI GENERALI ANALISI SISMICA NON LINEARE ..... pag. 5
..... pag. 6
PRINCIPALI ELEMENTI ANALISI SISMICA ..... pag. 6
RIEPILOGO MODI DI VIBRAZIONE ..... pag. 6
CURVA DI CAPACITA' ..... pag. 11
EDIFICIO - VERIFICHE DI RIPARTIZIONE DELLE FORZE SISMICHE ..... pag. 15
NODI (CA) - VERIFICA DI CONFINAMENTO (Elevazione) ..... pag. 15
TRAVI - VERIFICHE DI ROTAZIONE ALLA CORDA (Elevazione) ..... pag. 20
TRAVI - VERIFICHE A TAGLIO PER ANALISI NON LINEARE (Elevazione) ..... pag. 96
PILASTRI - VERIFICHE DI ROTAZIONE ALLA CORDA (Elevazione) ..... pag. 183

COMUNE DI TERNI
Direzione Lavori Pubblici e Manutenzioni - Patrimonio

Palazzo Spada - P.zza M. Ridolfi, 1
05100 Terni
Tel. +39 0744.549.501 Fax +39 0744.428708
renato.pierdonati@comune.terni.it

LAVORI DI RESTAURO, ADEGUAMENTO SISMICO, ADEGUAMENTO ALLE NORME DI PREVENZIONE INCENDI E ABBATTIMENTO BARRIERE ARCHITETTONICHE DELL'EDIFICIO SCOLASTICO "G. MATTEOTTI" VIA MARIE CURIE N. 4

DEFINITIVO

PROGETTO

Doc.
R3.4ST

EDIFICIO 3
TABULATO DI CALCOLO 2

Scala

Responsabile del Procedimento: Geom. S. Fredduzzi

Data: Marzo 2015

Progettisti:

Architettonico:	Arch. M. Finotto
Strutture:	Ing. M.Boccio
	Ing. S. Marinozzi
Impianti:	Per.Ind. T. Mococci
	Per.Ind. G. Rubeca
Sicurezza:	Geom. F. Formichetti

Collaboratori:

Geom. G. Poddi - Geom. M. D'Amato
Geom. F. Ottaviani - Per.Ind. E. Lenticchia
Geom. F. Ribeca - Geom. M. Ciuffetti
Geom. R. Sabatini - Geom. G. Severoni

Comune di Terni
Provincia di TR

TABULATI DI CALCOLO
(Tomo 2 di 2)

OGGETTO: Edificio 3

COMMITTENTE: Comune di Terni

I Progettisti

Ing. Marcello Boccio

Ing. Stefano Marinozzi

PILASTRI - VERIFICHE DI ROTAZIONE ALLA CORDA (Elevazione)

Verifiche di Rotazione alla corda

Lv	%L_{LI}	$L_{v,SLV}$	$L_{v,SLD}$	L_{pl}	ϕ_u	ϕ_y	SLV			SLD		
							Θ_c	Θ_d	CS	Θ_c	Θ_d	CS
	[%]	[m]	[m]	[m]	[rad/m]	[rad/m]	[rad]	[rad]		[rad]	[rad]	
Piano interrato	100%	0,76	0,71	0,43	0,0839	0,0067	0,014296	0,001806	7,92	0,004803	0,000770	6,23
sisma in -Y												
proporzionale alle masse												
Piano interrato	0%	0,00	0,00	0,00	0,0000	0,0000	0,000000	0,000000	0,00	0,000000	0,000000	0,00
Piano interrato	100%	0,00	0,00	0,00	0,0000	0,0000	0,000000	0,000000	0,00	0,000000	0,000000	0,00
proporzionale alla deformata 1° modo di vibrazione												
Piano interrato	0%	0,00	0,00	0,00	0,0000	0,0000	0,000000	0,000000	0,00	0,000000	0,000000	0,00
Piano interrato	100%	0,00	0,00	0,00	0,0000	0,0000	0,000000	0,000000	0,00	0,000000	0,000000	0,00
sisma in +X												
proporzionale alle masse												
Piano terra	0%	1,84	0,01	0,59	0,1017	0,0122	0,077256	0,001663	46,45	0,110247	0,000778	NS
Piano terra	100%	4,34	2,73	0,84	0,1030	0,0070	0,040964	0,001663	24,63	0,009260	0,000778	11,91
proporzionale alla deformata 1° modo di vibrazione												
Piano terra	0%	0,68	0,65	0,47	0,1026	0,0063	0,017529	0,001904	9,21	0,005490	0,000882	6,22
Piano terra	100%	2,12	2,05	0,62	0,1040	0,0056	0,029222	0,001904	15,35	0,006623	0,000882	7,51
sisma in -X												
proporzionale alle masse												
Piano terra	0%	1,52	1,36	0,56	0,1064	0,0061	0,025730	0,001726	14,91	0,005901	0,000810	7,28
Piano terra	100%	1,42	1,17	0,55	0,1084	0,0059	0,025418	0,001726	14,72	0,005545	0,000810	6,84
proporzionale alla deformata 1° modo di vibrazione												
Piano terra	0%	1,29	1,20	0,53	0,1073	0,0058	0,024270	0,001901	12,77	0,005550	0,000885	6,27
Piano terra	100%	1,63	1,39	0,57	0,1095	0,0056	0,027156	0,001901	14,29	0,005679	0,000885	6,42
sisma in +Y												
proporzionale alle masse												
Piano terra	0%	1,46	1,50	0,50	0,1095	0,0059	0,024233	0,002228	10,88	0,005602	0,000996	5,62
Piano terra	100%	1,44	1,41	0,50	0,1117	0,0058	0,024487	0,002228	10,99	0,005383	0,000996	5,41
proporzionale alla deformata 1° modo di vibrazione												
Piano terra	0%	1,47	1,47	0,50	0,1106	0,0058	0,024481	0,002181	11,22	0,005471	0,000942	5,81
Piano terra	100%	1,44	1,41	0,50	0,1126	0,0057	0,024635	0,002181	11,29	0,005304	0,000942	5,63
sisma in -Y												
proporzionale alle masse												
Piano terra	0%	0,00	0,00	0,00	0,0000	0,0000	0,000000	0,000000	0,00	0,000000	0,000000	0,00
Piano terra	100%	0,00	0,00	0,00	0,0000	0,0000	0,000000	0,000000	0,00	0,000000	0,000000	0,00
proporzionale alla deformata 1° modo di vibrazione												
Piano terra	0%	0,00	0,00	0,00	0,0000	0,0000	0,000000	0,000000	0,00	0,000000	0,000000	0,00
Piano terra	100%	0,00	0,00	0,00	0,0000	0,0000	0,000000	0,000000	0,00	0,000000	0,000000	0,00
Pilastrata: Pilastrata10												
sisma in +X												
proporzionale alle masse												
Piano interrato	0%	1,44	1,26	0,55	0,0946	0,0063	0,022551	0,001444	15,62	0,005920	0,000636	9,30
Piano interrato	100%	0,08	0,00	0,41	0,0967	0,0156	0,317767	0,001444	NS	0,618849	0,000636	NS
proporzionale alla deformata 1° modo di vibrazione												
Piano interrato	0%	1,62	1,64	0,57	0,0966	0,0060	0,024303	0,001342	18,10	0,006292	0,000604	10,42
Piano interrato	100%	0,06	0,15	0,41	0,0980	0,0060	0,014531	0,001342	10,83	0,010209	0,000604	16,91
sisma in -X												
proporzionale alle masse												
Piano interrato	0%	1,61	1,43	0,56	0,0766	0,0082	0,019591	0,001771	11,06	0,007334	0,000809	9,06
Piano interrato	100%	0,07	0,02	0,41	0,0779	0,0106	0,035930	0,001771	20,28	0,058016	0,000809	71,70
proporzionale alla deformata 1° modo di vibrazione												
Piano interrato	0%	1,82	1,63	0,59	0,0765	0,0084	0,020690	0,001619	12,78	0,007916	0,000757	10,45
Piano interrato	100%	0,27	0,14	0,43	0,0777	0,0147	0,013202	0,001619	8,15	0,012816	0,000757	16,92
sisma in +Y												
proporzionale alle masse												
Piano interrato	0%	0,78	0,75	0,43	0,0968	0,0064	0,016499	0,002183	7,56	0,004737	0,000890	5,32
Piano interrato	100%	0,78	0,73	0,43	0,0977	0,0064	0,016606	0,002183	7,61	0,004700	0,000890	5,28
proporzionale alla deformata 1° modo di vibrazione												
Piano interrato	0%	0,79	0,73	0,43	0,0952	0,0061	0,016303	0,001480	11,02	0,004598	0,000585	7,86
Piano interrato	100%	0,76	0,70	0,43	0,0965	0,0062	0,016187	0,001480	10,94	0,004581	0,000585	7,83
sisma in -Y												
proporzionale alle masse												
Piano interrato	0%	0,00	0,00	0,00	0,0000	0,0000	0,000000	0,000000	0,00	0,000000	0,000000	0,00
Piano interrato	100%	0,00	0,00	0,00	0,0000	0,0000	0,000000	0,000000	0,00	0,000000	0,000000	0,00
proporzionale alla deformata 1° modo di vibrazione												
Piano interrato	0%	0,00	0,00	0,00	0,0000	0,0000	0,000000	0,000000	0,00	0,000000	0,000000	0,00
Piano interrato	100%	0,00	0,00	0,00	0,0000	0,0000	0,000000	0,000000	0,00	0,000000	0,000000	0,00
sisma in +X												
proporzionale alle masse												
Piano terra	0%	1,27	1,95	0,53	0,1096	0,0045	0,024872	0,001510	16,47	0,005548	0,000731	7,59
Piano terra	100%	1,23	0,76	0,53	0,1122	0,0042	0,024703	0,001510	16,36	0,004599	0,000731	6,29
proporzionale alla deformata 1° modo di vibrazione												
Piano terra	0%	0,85	1,02	0,49	0,1111	0,0043	0,020904	0,001755	11,91	0,004632	0,000843	5,50
Piano terra	100%	1,89	1,35	0,59	0,1138	0,0045	0,029774	0,001755	16,96	0,004925	0,000843	5,84
sisma in -X												
proporzionale alle masse												
Piano terra	0%	4,04	2,81	0,81	0,0935	0,0147	0,037597	0,001937	19,41	0,017844	0,000882	20,22
Piano terra	100%	6,04	0,01	1,01	0,0942	0,0094	0,095994	0,001937	49,57	0,113685	0,000882	NS
proporzionale alla deformata 1° modo di vibrazione												
Piano terra	0%	0,38	11,90	0,44	0,0932	0,0117	0,033858	0,002149	15,76	0,049681	0,000971	51,19
Piano terra	100%	2,17	9,48	0,62	0,0944	0,0083	0,037411	0,002149	17,41	0,029052	0,000971	29,93
sisma in +Y												
proporzionale alle masse												
Piano terra	0%	1,36	1,33	0,49	0,1066	0,0058	0,022861	0,002263	10,10	0,005287	0,000996	5,31

Lv	$\%L_{LI}$	$L_{v,SLV}$	$L_{v,SLD}$	L_{pl}	ϕ_u	ϕ_y	SLV			SLD		
							Θ_c	Θ_d	CS	Θ_c	Θ_d	CS
	[%]	[m]	[m]	[m]	[rad/m]	[rad/m]	[rad]	[rad]		[rad]	[rad]	
Piano terra	100%	1,40	1,43	0,49	0,1086	0,0058	0,023613	0,002263	10,43	0,005403	0,000996	5,42
proporzionale alla deformata 1° modo di vibrazione												
Piano terra	0%	1,37	1,35	0,49	0,1072	0,0057	0,023062	0,001944	11,86	0,005223	0,000815	6,40
Piano terra	100%	1,41	1,43	0,49	0,1095	0,0057	0,023806	0,001944	12,24	0,005346	0,000815	6,56
sisma in -Y												
proporzionale alle masse												
Piano terra	0%	0,00	0,00	0,00	0,0000	0,0000	0,000000	0,000000	0,00	0,000000	0,000000	0,00
Piano terra	100%	0,00	0,00	0,00	0,0000	0,0000	0,000000	0,000000	0,00	0,000000	0,000000	0,00
proporzionale alla deformata 1° modo di vibrazione												
Piano terra	0%	0,00	0,00	0,00	0,0000	0,0000	0,000000	0,000000	0,00	0,000000	0,000000	0,00
Piano terra	100%	0,00	0,00	0,00	0,0000	0,0000	0,000000	0,000000	0,00	0,000000	0,000000	0,00
Pilastrata: Pilastrata11												
sisma in +X												
proporzionale alle masse												
Piano interrato	0%	1,37	1,52	0,54	0,0650	0,0085	0,016152	0,001404	11,50	0,007755	0,000624	12,43
Piano interrato	100%	0,07	0,01	0,41	0,0661	0,0045	0,065196	0,001404	46,42	0,117715	0,000624	NS
proporzionale alla deformata 1° modo di vibrazione												
Piano interrato	0%	1,55	1,65	0,56	0,0655	0,0082	0,017057	0,001315	12,97	0,007837	0,000600	13,06
Piano interrato	100%	0,08	0,14	0,41	0,0667	0,0044	0,011657	0,001315	8,86	0,010489	0,000600	17,47
sisma in -X												
proporzionale alle masse												
Piano interrato	0%	1,40	1,35	0,54	0,0537	0,0099	0,013722	0,001760	7,80	0,008267	0,000807	10,24
Piano interrato	100%	0,10	0,09	0,41	0,0559	0,0066	0,013012	0,001760	7,39	0,015815	0,000807	19,59
proporzionale alla deformata 1° modo di vibrazione												
Piano interrato	0%	1,48	1,48	0,55	0,0535	0,0104	0,014154	0,001619	8,74	0,008947	0,000763	11,72
Piano interrato	100%	0,00	0,01	0,40	0,0550	0,0089	0,054572	0,001619	33,70	0,099827	0,000763	NS
sisma in +Y												
proporzionale alle masse												
Piano interrato	0%	0,76	0,78	0,43	0,0710	0,0074	0,012411	0,002268	5,47	0,005189	0,000940	5,52
Piano interrato	100%	0,73	0,68	0,43	0,0718	0,0074	0,012229	0,002268	5,39	0,005060	0,000940	5,38
proporzionale alla deformata 1° modo di vibrazione												
Piano interrato	0%	0,77	0,76	0,43	0,0701	0,0072	0,012300	0,001616	7,61	0,005066	0,000669	7,57
Piano interrato	100%	0,72	0,67	0,43	0,0708	0,0071	0,012028	0,001616	7,44	0,004932	0,000669	7,38
sisma in -Y												
proporzionale alle masse												
Piano interrato	0%	0,00	0,00	0,00	0,0000	0,0000	0,000000	0,000000	0,00	0,000000	0,000000	0,00
Piano interrato	100%	0,00	0,00	0,00	0,0000	0,0000	0,000000	0,000000	0,00	0,000000	0,000000	0,00
proporzionale alla deformata 1° modo di vibrazione												
Piano interrato	0%	0,00	0,00	0,00	0,0000	0,0000	0,000000	0,000000	0,00	0,000000	0,000000	0,00
Piano interrato	100%	0,00	0,00	0,00	0,0000	0,0000	0,000000	0,000000	0,00	0,000000	0,000000	0,00
sisma in +X												
proporzionale alle masse												
Piano terra	0%	0,34	0,37	0,44	0,1029	0,0070	0,013737	0,001687	8,14	0,006453	0,000769	8,39
Piano terra	100%	2,49	2,45	0,65	0,1038	0,0059	0,031536	0,001687	18,69	0,007532	0,000769	9,79
proporzionale alla deformata 1° modo di vibrazione												
Piano terra	0%	1,09	0,94	0,51	0,1021	0,0057	0,021513	0,001974	10,90	0,005279	0,000892	5,92
Piano terra	100%	1,77	1,78	0,58	0,1053	0,0056	0,027309	0,001974	13,83	0,006192	0,000892	6,94
sisma in -X												
proporzionale alle masse												
Piano terra	0%	0,33	0,85	0,44	0,0897	0,0043	0,011636	0,001922	6,05	0,004601	0,000891	5,17
Piano terra	100%	3,16	3,96	0,72	0,0906	0,0099	0,033870	0,001922	17,62	0,016309	0,000891	18,31
proporzionale alla deformata 1° modo di vibrazione												
Piano terra	0%	0,79	0,57	0,48	0,0887	0,0137	0,016641	0,002150	7,74	0,008206	0,000985	8,33
Piano terra	100%	2,16	2,25	0,62	0,0901	0,0087	0,026479	0,002150	12,31	0,009737	0,000985	9,88
sisma in +Y												
proporzionale alle masse												
Piano terra	0%	1,46	1,43	0,50	0,1059	0,0060	0,023430	0,002142	10,94	0,005572	0,000946	5,89
Piano terra	100%	1,53	1,53	0,51	0,1077	0,0058	0,024289	0,002142	11,34	0,005610	0,000946	5,93
proporzionale alla deformata 1° modo di vibrazione												
Piano terra	0%	1,48	1,39	0,50	0,1056	0,0059	0,023483	0,001934	12,14	0,005416	0,000819	6,61
Piano terra	100%	1,53	1,52	0,51	0,1077	0,0058	0,024320	0,001934	12,57	0,005557	0,000819	6,79
sisma in -Y												
proporzionale alle masse												
Piano terra	0%	0,00	0,00	0,00	0,0000	0,0000	0,000000	0,000000	0,00	0,000000	0,000000	0,00
Piano terra	100%	0,00	0,00	0,00	0,0000	0,0000	0,000000	0,000000	0,00	0,000000	0,000000	0,00
proporzionale alla deformata 1° modo di vibrazione												
Piano terra	0%	0,00	0,00	0,00	0,0000	0,0000	0,000000	0,000000	0,00	0,000000	0,000000	0,00
Piano terra	100%	0,00	0,00	0,00	0,0000	0,0000	0,000000	0,000000	0,00	0,000000	0,000000	0,00
sisma in +X												
proporzionale alle masse												
Piano copertura	0%	1,12	0,87	0,52	0,1197	0,0043	0,025204	0,000136	NS	0,004608	0,000036	NS
Piano copertura	100%	0,43	0,62	0,45	0,1210	0,0044	0,015454	0,000136	NS	0,004818	0,000036	NS
proporzionale alla deformata 1° modo di vibrazione												
Piano copertura	0%	1,16	0,99	0,52	0,1207	0,0043	0,025800	0,000175	NS	0,004597	0,000057	80,72
Piano copertura	100%	0,37	0,52	0,44	0,1219	0,0042	0,015456	0,000175	88,33	0,004973	0,000057	87,34
sisma in -X												
proporzionale alle masse												
Piano copertura	0%	6,31	1,28	1,04	0,1053	0,0071	0,049854	0,000222	NS	0,006405	0,000134	47,74
Piano copertura	100%	4,88	3,77	0,89	0,1066	0,0052	0,045623	0,000222	NS	0,009047	0,000134	67,43
proporzionale alla deformata 1° modo di vibrazione												
Piano copertura	0%	3,57	25,53	0,76	0,1043	0,0071	0,064344	0,000252	NS	0,062528	0,000148	NS
Piano copertura	100%	2,09	30,45	0,61	0,1056	0,0052	0,053674	0,000252	NS	0,054849	0,000148	NS
sisma in +Y												
proporzionale alle masse												
Piano copertura	0%	1,76	2,01	0,53	0,1225	0,0043	0,029143	0,000028	NS	0,005146	0,000006	NS

Lv	$\%L_{LI}$	$L_{v,SLV}$	$L_{v,SLD}$	L_{pl}	ϕ_u	ϕ_y	SLV			SLD		
							Θ_c	Θ_d	CS	Θ_c	Θ_d	CS
	[%]	[m]	[m]	[m]	[rad/m]	[rad/m]	[rad]	[rad]		[rad]	[rad]	
Piano copertura	100%	0,23	0,45	0,38	0,1237	0,0042	0,013200	0,000028	NS	0,003932	0,000006	NS
proporzionale alla deformata 1° modo di vibrazione												
Piano copertura	0%	1,54	1,65	0,51	0,1222	0,0042	0,027319	0,000020	NS	0,004682	0,000009	NS
Piano copertura	100%	0,05	0,39	0,36	0,1234	0,0043	0,012680	0,000020	NS	0,004044	0,000009	NS
sisma in -Y												
proporzionale alle masse												
Piano copertura	0%	0,00	0,00	0,00	0,0000	0,0000	0,000000	0,000000	0,00	0,000000	0,000000	0,00
Piano copertura	100%	0,00	0,00	0,00	0,0000	0,0000	0,000000	0,000000	0,00	0,000000	0,000000	0,00
proporzionale alla deformata 1° modo di vibrazione												
Piano copertura	0%	0,00	0,00	0,00	0,0000	0,0000	0,000000	0,000000	0,00	0,000000	0,000000	0,00
Piano copertura	100%	0,00	0,00	0,00	0,0000	0,0000	0,000000	0,000000	0,00	0,000000	0,000000	0,00
Pilastrata: Pilastrata13												
sisma in +X												
proporzionale alle masse												
Piano copertura	0%	0,76	0,59	0,52	0,0814	0,0078	0,015726	0,000347	45,28	0,006270	0,000127	49,49
Piano copertura	100%	0,04	0,22	0,45	0,0817	0,0075	0,012657	0,000347	36,45	0,008553	0,000127	67,52
proporzionale alla deformata 1° modo di vibrazione												
Piano copertura	0%	0,80	0,63	0,53	0,0805	0,0078	0,015984	0,000483	33,09	0,006242	0,000187	33,33
Piano copertura	100%	0,01	0,17	0,45	0,0810	0,0071	0,013272	0,000483	27,47	0,009990	0,000187	53,34
sisma in -X												
proporzionale alle masse												
Piano copertura	0%	9,73	0,49	1,42	0,0887	0,0077	0,056539	0,000541	NS	0,006384	0,000322	19,80
Piano copertura	100%	10,81	1,30	1,53	0,0894	0,0078	0,061418	0,000541	NS	0,007067	0,000322	21,92
proporzionale alla deformata 1° modo di vibrazione												
Piano copertura	0%	25,47	0,62	2,99	0,0889	0,0075	0,117752	0,000648	NS	0,006152	0,000376	16,34
Piano copertura	100%	26,53	1,46	3,10	0,0896	0,0078	0,123086	0,000648	NS	0,007331	0,000376	19,48
sisma in +Y												
proporzionale alle masse												
Piano copertura	0%	0,28	12,01	0,42	0,0991	0,0066	0,024384	0,000746	32,71	0,029170	0,000300	97,26
Piano copertura	100%	0,47	7,98	0,44	0,0994	0,0065	0,020772	0,000746	27,86	0,019880	0,000300	66,29
proporzionale alla deformata 1° modo di vibrazione												
Piano copertura	0%	0,36	1,33	0,43	0,0991	0,0063	0,012879	0,000806	15,97	0,005720	0,000317	18,03
Piano copertura	100%	0,42	1,46	0,44	0,0996	0,0059	0,013115	0,000806	16,26	0,005677	0,000317	17,89
sisma in -Y												
proporzionale alle masse												
Piano copertura	0%	0,00	0,00	0,00	0,0000	0,0000	0,000000	0,000000	0,00	0,000000	0,000000	0,00
Piano copertura	100%	0,00	0,00	0,00	0,0000	0,0000	0,000000	0,000000	0,00	0,000000	0,000000	0,00
proporzionale alla deformata 1° modo di vibrazione												
Piano copertura	0%	0,00	0,00	0,00	0,0000	0,0000	0,000000	0,000000	0,00	0,000000	0,000000	0,00
Piano copertura	100%	0,00	0,00	0,00	0,0000	0,0000	0,000000	0,000000	0,00	0,000000	0,000000	0,00
Pilastrata: Pilastrata14												
sisma in +X												
proporzionale alle masse												
Piano interrato	0%	0,83	0,80	0,53	0,0406	0,0096	0,009153	0,001692	5,41	0,007119	0,000778	9,15
Piano interrato	100%	0,56	0,58	0,50	0,0410	0,0099	0,007876	0,001692	4,65	0,007089	0,000778	9,12
proporzionale alla deformata 1° modo di vibrazione												
Piano interrato	0%	0,84	0,84	0,53	0,0410	0,0094	0,009270	0,001567	5,91	0,007093	0,000733	9,67
Piano interrato	100%	0,55	0,57	0,50	0,0415	0,0098	0,007878	0,001567	5,03	0,007054	0,000733	9,62
sisma in -X												
proporzionale alle masse												
Piano interrato	0%	0,84	0,87	0,53	0,0389	0,0095	0,008927	0,002170	4,11	0,007166	0,000995	7,20
Piano interrato	100%	0,55	0,51	0,50	0,0393	0,0099	0,007593	0,002170	3,50	0,007129	0,000995	7,16
proporzionale alla deformata 1° modo di vibrazione												
Piano interrato	0%	0,85	0,89	0,53	0,0387	0,0097	0,008942	0,001973	4,53	0,007305	0,000925	7,89
Piano interrato	100%	0,55	0,49	0,50	0,0392	0,0100	0,007555	0,001973	3,83	0,007178	0,000925	7,76
sisma in +Y												
proporzionale alle masse												
Piano interrato	0%	10,90	0,24	1,49	0,0457	0,0135	0,025954	0,001538	16,88	0,007357	0,000567	12,96
Piano interrato	100%	12,45	1,16	1,64	0,0478	0,0161	0,029786	0,001538	19,37	0,011088	0,000567	19,54
proporzionale alla deformata 1° modo di vibrazione												
Piano interrato	0%	8,66	0,22	1,26	0,0477	0,0131	0,023962	0,001296	18,49	0,007358	0,000385	19,09
Piano interrato	100%	10,33	1,18	1,43	0,0490	0,0162	0,027425	0,001296	21,16	0,011188	0,000385	29,03
sisma in -Y												
proporzionale alle masse												
Piano interrato	0%	0,00	0,00	0,00	0,0000	0,0000	0,000000	0,000000	0,00	0,000000	0,000000	0,00
Piano interrato	100%	0,00	0,00	0,00	0,0000	0,0000	0,000000	0,000000	0,00	0,000000	0,000000	0,00
proporzionale alla deformata 1° modo di vibrazione												
Piano interrato	0%	0,00	0,00	0,00	0,0000	0,0000	0,000000	0,000000	0,00	0,000000	0,000000	0,00
Piano interrato	100%	0,00	0,00	0,00	0,0000	0,0000	0,000000	0,000000	0,00	0,000000	0,000000	0,00
sisma in +X												
proporzionale alle masse												
Piano terra	0%	1,24	1,25	0,57	0,0700	0,0090	0,017239	0,001913	9,01	0,007650	0,000892	8,58
Piano terra	100%	1,58	1,57	0,61	0,0711	0,0083	0,019340	0,001913	10,11	0,007911	0,000892	8,87
proporzionale alla deformata 1° modo di vibrazione												
Piano terra	0%	1,29	1,27	0,58	0,0706	0,0082	0,017569	0,002242	7,83	0,007210	0,001036	6,96
Piano terra	100%	1,54	1,50	0,60	0,0718	0,0077	0,019213	0,002242	8,57	0,007384	0,001036	7,13
sisma in -X												
proporzionale alle masse												
Piano terra	0%	1,16	1,03	0,56	0,0687	0,0095	0,016343	0,002120	7,71	0,007477	0,000978	7,64
Piano terra	100%	1,66	1,70	0,61	0,0698	0,0087	0,019539	0,002120	9,22	0,008524	0,000978	8,71
proporzionale alla deformata 1° modo di vibrazione												
Piano terra	0%	1,25	1,17	0,57	0,0684	0,0088	0,016812	0,002386	7,05	0,007376	0,001090	6,77
Piano terra	100%	1,58	1,64	0,61	0,0696	0,0082	0,019075	0,002386	7,99	0,008043	0,001090	7,38
sisma in +Y												
proporzionale alle masse												

Lv	$\%L_{LI}$	$L_{v,SLV}$	$L_{v,SLD}$	L_{pl}	ϕ_u	ϕ_y	SLV			SLD		
							Θ_c	Θ_d	CS	Θ_c	Θ_d	CS
	[%]	[m]	[m]	[m]	[rad/m]	[rad/m]	[rad]	[rad]		[rad]	[rad]	
Piano terra	0%	2,25	1,68	0,62	0,0757	0,0145	0,022600	0,002050	11,03	0,012486	0,000889	14,05
Piano terra	100%	0,61	1,20	0,46	0,0768	0,0157	0,014210	0,002050	6,93	0,010991	0,000889	12,37
proporzionale alla deformata 1° modo di vibrazione												
Piano terra	0%	2,99	1,65	0,70	0,0770	0,0145	0,025373	0,002149	11,81	0,012329	0,000904	13,63
Piano terra	100%	0,03	1,22	0,40	0,0782	0,0102	0,010722	0,002149	4,99	0,007870	0,000904	8,70
sisma in -Y												
proporzionale alle masse												
Piano terra	0%	0,00	0,00	0,00	0,0000	0,0000	0,000000	0,000000	0,00	0,000000	0,000000	0,00
Piano terra	100%	0,00	0,00	0,00	0,0000	0,0000	0,000000	0,000000	0,00	0,000000	0,000000	0,00
proporzionale alla deformata 1° modo di vibrazione												
Piano terra	0%	0,00	0,00	0,00	0,0000	0,0000	0,000000	0,000000	0,00	0,000000	0,000000	0,00
Piano terra	100%	0,00	0,00	0,00	0,0000	0,0000	0,000000	0,000000	0,00	0,000000	0,000000	0,00
sisma in +X												
proporzionale alle masse												
Piano copertura	0%	0,37	0,37	0,48	0,0876	0,0076	0,013112	0,000291	44,99	0,006838	0,000168	40,79
Piano copertura	100%	0,42	0,44	0,49	0,0879	0,0083	0,013112	0,000291	44,99	0,006740	0,000168	40,21
proporzionale alla deformata 1° modo di vibrazione												
Piano copertura	0%	0,38	0,36	0,49	0,0884	0,0074	0,013221	0,000387	34,14	0,006802	0,000211	32,23
Piano copertura	100%	0,42	0,44	0,49	0,0887	0,0080	0,013192	0,000387	34,07	0,006621	0,000211	31,37
sisma in -X												
proporzionale alle masse												
Piano copertura	0%	1,14	0,50	0,56	0,0822	0,0079	0,018914	0,000233	81,07	0,006433	0,000106	60,70
Piano copertura	100%	0,28	0,33	0,48	0,0824	0,0094	0,012500	0,000233	53,58	0,007658	0,000106	72,25
proporzionale alla deformata 1° modo di vibrazione												
Piano copertura	0%	0,07	0,72	0,45	0,0816	0,0078	0,011511	0,000321	35,81	0,006272	0,000149	42,08
Piano copertura	100%	0,84	0,20	0,53	0,0820	0,0090	0,017901	0,000321	55,69	0,009343	0,000149	62,68
sisma in +Y												
proporzionale alle masse												
Piano copertura	0%	0,34	0,90	0,43	0,0915	0,0085	0,011978	0,001481	8,09	0,006092	0,000697	8,74
Piano copertura	100%	1,08	0,08	0,50	0,0914	0,0071	0,021446	0,001481	14,48	0,010313	0,000697	14,79
proporzionale alla deformata 1° modo di vibrazione												
Piano copertura	0%	0,14	1,79	0,41	0,0930	0,0069	0,012358	0,001788	6,91	0,007045	0,000849	8,30
Piano copertura	100%	0,64	0,58	0,46	0,0933	0,0067	0,015219	0,001788	8,51	0,004852	0,000849	5,72
sisma in -Y												
proporzionale alle masse												
Piano copertura	0%	0,00	0,00	0,00	0,0000	0,0000	0,000000	0,000000	0,00	0,000000	0,000000	0,00
Piano copertura	100%	0,00	0,00	0,00	0,0000	0,0000	0,000000	0,000000	0,00	0,000000	0,000000	0,00
proporzionale alla deformata 1° modo di vibrazione												
Piano copertura	0%	0,00	0,00	0,00	0,0000	0,0000	0,000000	0,000000	0,00	0,000000	0,000000	0,00
Piano copertura	100%	0,00	0,00	0,00	0,0000	0,0000	0,000000	0,000000	0,00	0,000000	0,000000	0,00
Pilastrata: Pilastrata15												
sisma in +X												
proporzionale alle masse												
Piano interrato	0%	0,79	0,78	0,53	0,0719	0,0079	0,014371	0,001866	7,70	0,006327	0,000837	7,56
Piano interrato	100%	0,63	0,58	0,51	0,0704	0,0084	0,012618	0,001866	6,76	0,006493	0,000837	7,76
proporzionale alla deformata 1° modo di vibrazione												
Piano interrato	0%	0,79	0,81	0,53	0,0734	0,0078	0,014654	0,001721	8,52	0,006326	0,000785	8,06
Piano interrato	100%	0,61	0,57	0,51	0,0739	0,0079	0,012939	0,001721	7,52	0,006339	0,000785	8,08
sisma in -X												
proporzionale alle masse												
Piano interrato	0%	0,77	0,80	0,52	0,0392	0,0094	0,008681	0,002311	3,76	0,007031	0,001053	6,67
Piano interrato	100%	0,62	0,57	0,51	0,0392	0,0101	0,007942	0,002311	3,44	0,007155	0,001053	6,79
proporzionale alla deformata 1° modo di vibrazione												
Piano interrato	0%	0,78	0,82	0,53	0,0383	0,0096	0,008572	0,002116	4,05	0,007159	0,000984	7,27
Piano interrato	100%	0,62	0,57	0,51	0,0387	0,0100	0,007838	0,002116	3,70	0,007125	0,000984	7,24
sisma in +Y												
proporzionale alle masse												
Piano interrato	0%	2,48	0,04	0,64	0,0686	0,0082	0,025565	0,001630	15,68	0,017247	0,000645	26,74
Piano interrato	100%	1,29	1,46	0,53	0,0704	0,0146	0,017420	0,001630	10,69	0,011546	0,000645	17,90
proporzionale alla deformata 1° modo di vibrazione												
Piano interrato	0%	2,56	0,08	0,65	0,0722	0,0073	0,023381	0,001436	16,28	0,009857	0,000524	18,79
Piano interrato	100%	1,20	1,49	0,52	0,0735	0,0146	0,017764	0,001436	12,37	0,011662	0,000524	22,24
sisma in -Y												
proporzionale alle masse												
Piano interrato	0%	0,00	0,00	0,00	0,0000	0,0000	0,000000	0,000000	0,00	0,000000	0,000000	0,00
Piano interrato	100%	0,00	0,00	0,00	0,0000	0,0000	0,000000	0,000000	0,00	0,000000	0,000000	0,00
proporzionale alla deformata 1° modo di vibrazione												
Piano interrato	0%	0,00	0,00	0,00	0,0000	0,0000	0,000000	0,000000	0,00	0,000000	0,000000	0,00
Piano interrato	100%	0,00	0,00	0,00	0,0000	0,0000	0,000000	0,000000	0,00	0,000000	0,000000	0,00
sisma in +X												
proporzionale alle masse												
Piano terra	0%	1,29	1,22	0,58	0,0911	0,0073	0,022052	0,001947	11,33	0,006582	0,000917	7,18
Piano terra	100%	1,54	1,59	0,60	0,0926	0,0069	0,024244	0,001947	12,45	0,006999	0,000917	7,63
proporzionale alla deformata 1° modo di vibrazione												
Piano terra	0%	1,33	1,25	0,58	0,0931	0,0070	0,022742	0,002280	9,97	0,006475	0,001064	6,09
Piano terra	100%	1,52	1,46	0,60	0,0947	0,0068	0,024461	0,002280	10,73	0,006689	0,001064	6,29
sisma in -X												
proporzionale alle masse												
Piano terra	0%	1,26	1,18	0,57	0,0669	0,0092	0,016611	0,002181	7,62	0,007616	0,000995	7,65
Piano terra	100%	1,57	1,59	0,60	0,0683	0,0085	0,018622	0,002181	8,54	0,008123	0,000995	8,16
proporzionale alla deformata 1° modo di vibrazione												
Piano terra	0%	1,31	1,24	0,58	0,0660	0,0086	0,016642	0,002456	6,78	0,007433	0,001111	6,69
Piano terra	100%	1,53	1,55	0,60	0,0670	0,0082	0,018092	0,002456	7,37	0,007816	0,001111	7,04
sisma in +Y												
proporzionale alle masse												

Lv	$\%L_{LI}$	$L_{v,SLV}$	$L_{v,SLD}$	L_{pl}	ϕ_u	ϕ_y	SLV			SLD		
							Θ_c	Θ_d	CS	Θ_c	Θ_d	CS
	[%]	[m]	[m]	[m]	[rad/m]	[rad/m]	[rad]	[rad]		[rad]	[rad]	
Piano terra	0%	2,58	1,69	0,65	0,0899	0,0128	0,027654	0,002076	13,32	0,011216	0,000925	12,12
Piano terra	100%	0,62	1,20	0,46	0,0909	0,0082	0,015283	0,002076	7,36	0,006596	0,000925	7,13
proporzionale alla deformata 1° modo di vibrazione												
Piano terra	0%	4,38	1,62	0,83	0,0938	0,0061	0,036150	0,002268	15,94	0,006098	0,000983	6,20
Piano terra	100%	3,98	1,26	0,79	0,0952	0,0059	0,034585	0,002268	15,25	0,005331	0,000983	5,42
sisma in -Y												
proporzionale alle masse												
Piano terra	0%	0,00	0,00	0,00	0,0000	0,0000	0,000000	0,000000	0,00	0,000000	0,000000	0,00
Piano terra	100%	0,00	0,00	0,00	0,0000	0,0000	0,000000	0,000000	0,00	0,000000	0,000000	0,00
proporzionale alla deformata 1° modo di vibrazione												
Piano terra	0%	0,00	0,00	0,00	0,0000	0,0000	0,000000	0,000000	0,00	0,000000	0,000000	0,00
Piano terra	100%	0,00	0,00	0,00	0,0000	0,0000	0,000000	0,000000	0,00	0,000000	0,000000	0,00
sisma in +X												
proporzionale alle masse												
Piano copertura	0%	0,85	1,10	0,53	0,0837	0,0075	0,017214	0,000199	86,71	0,006495	0,000090	72,12
Piano copertura	100%	0,04	0,26	0,45	0,0841	0,0077	0,012563	0,000199	63,28	0,007883	0,000090	87,54
proporzionale alla deformata 1° modo di vibrazione												
Piano copertura	0%	1,09	1,35	0,56	0,0840	0,0074	0,019344	0,000273	70,77	0,006855	0,000124	55,48
Piano copertura	100%	0,29	0,58	0,48	0,0844	0,0078	0,012268	0,000273	44,88	0,006265	0,000124	50,71
sisma in -X												
proporzionale alle masse												
Piano copertura	0%	1,20	0,09	0,57	0,0860	0,0078	0,025245	0,000163	NS	0,016640	0,000111	NS
Piano copertura	100%	2,07	0,24	0,65	0,0862	0,0084	0,025626	0,000163	NS	0,008430	0,000111	75,76
proporzionale alla deformata 1° modo di vibrazione												
Piano copertura	0%	4,90	1,14	0,94	0,0854	0,0078	0,036256	0,000214	NS	0,006737	0,000138	48,84
Piano copertura	100%	5,67	0,44	1,01	0,0857	0,0082	0,039127	0,000214	NS	0,006695	0,000138	48,53
sisma in +Y												
proporzionale alle masse												
Piano copertura	0%	0,05	1,83	0,40	0,0954	0,0070	0,012464	0,001546	8,06	0,007169	0,000696	10,30
Piano copertura	100%	0,73	0,89	0,47	0,0957	0,0067	0,016768	0,001546	10,84	0,005184	0,000696	7,45
proporzionale alla deformata 1° modo di vibrazione												
Piano copertura	0%	0,21	0,34	0,42	0,0977	0,0067	0,012011	0,002005	5,99	0,005029	0,000944	5,33
Piano copertura	100%	0,58	0,97	0,45	0,0983	0,0066	0,015309	0,002005	7,64	0,005280	0,000944	5,59
sisma in -Y												
proporzionale alle masse												
Piano copertura	0%	0,00	0,00	0,00	0,0000	0,0000	0,000000	0,000000	0,00	0,000000	0,000000	0,00
Piano copertura	100%	0,00	0,00	0,00	0,0000	0,0000	0,000000	0,000000	0,00	0,000000	0,000000	0,00
proporzionale alla deformata 1° modo di vibrazione												
Piano copertura	0%	0,00	0,00	0,00	0,0000	0,0000	0,000000	0,000000	0,00	0,000000	0,000000	0,00
Piano copertura	100%	0,00	0,00	0,00	0,0000	0,0000	0,000000	0,000000	0,00	0,000000	0,000000	0,00
Pilastrata: Pilastrata17												
sisma in +X												
proporzionale alle masse												
Piano interrato	0%	1,54	1,46	0,69	0,0585	0,0047	0,017165	0,001859	9,23	0,005509	0,000866	6,36
Piano interrato	100%	0,16	0,20	0,55	0,0590	0,0047	0,011855	0,001859	6,38	0,008695	0,000866	10,04
proporzionale alla deformata 1° modo di vibrazione												
Piano interrato	0%	1,83	1,78	0,72	0,0578	0,0049	0,018293	0,001658	11,03	0,006021	0,000764	7,88
Piano interrato	100%	0,13	0,10	0,55	0,0582	0,0043	0,014235	0,001658	8,58	0,013633	0,000764	17,83
sisma in -X												
proporzionale alle masse												
Piano interrato	0%	1,64	1,64	0,70	0,0605	0,0045	0,018213	0,002183	8,34	0,005543	0,001077	5,15
Piano interrato	100%	0,05	0,05	0,54	0,0610	0,0044	0,020304	0,002183	9,30	0,025268	0,001077	23,46
proporzionale alla deformata 1° modo di vibrazione												
Piano interrato	0%	1,89	1,90	0,73	0,0609	0,0046	0,019462	0,001900	10,25	0,005900	0,000936	6,31
Piano interrato	100%	0,19	0,21	0,56	0,0614	0,0054	0,012049	0,001900	6,34	0,008525	0,000936	9,11
sisma in +Y												
proporzionale alle masse												
Piano interrato	0%	2,27	2,20	0,76	0,0211	0,0046	0,008386	0,001533	5,47	0,006292	0,000692	9,10
Piano interrato	100%	0,57	0,51	0,59	0,0212	0,0075	0,005354	0,001533	3,49	0,006635	0,000692	9,59
proporzionale alla deformata 1° modo di vibrazione												
Piano interrato	0%	2,68	2,68	0,80	0,0208	0,0046	0,008985	0,001721	5,22	0,006873	0,000771	8,92
Piano interrato	100%	0,98	0,95	0,63	0,0209	0,0054	0,006085	0,001721	3,54	0,005530	0,000771	7,18
sisma in -Y												
proporzionale alle masse												
Piano interrato	0%	0,00	0,00	0,00	0,0000	0,0000	0,000000	0,000000	0,00	0,000000	0,000000	0,00
Piano interrato	100%	0,00	0,00	0,00	0,0000	0,0000	0,000000	0,000000	0,00	0,000000	0,000000	0,00
proporzionale alla deformata 1° modo di vibrazione												
Piano interrato	0%	0,00	0,00	0,00	0,0000	0,0000	0,000000	0,000000	0,00	0,000000	0,000000	0,00
Piano interrato	100%	0,00	0,00	0,00	0,0000	0,0000	0,000000	0,000000	0,00	0,000000	0,000000	0,00
sisma in +X												
proporzionale alle masse												
Piano copertura	0%	9,50	4,45	1,49	0,0610	0,0089	0,044150	0,001322	33,40	0,016852	0,000597	28,23
Piano copertura	100%	5,29	0,84	1,07	0,0617	0,0068	0,029414	0,001322	22,25	0,006220	0,000597	10,42
proporzionale alla deformata 1° modo di vibrazione												
Piano copertura	0%	1,06	1,99	0,64	0,0603	0,0060	0,015782	0,001662	9,49	0,007315	0,000759	9,64
Piano copertura	100%	4,64	5,11	1,00	0,0611	0,0056	0,030951	0,001662	18,62	0,012429	0,000759	16,38
sisma in -X												
proporzionale alle masse												
Piano copertura	0%	9,29	6,51	1,47	0,0630	0,0068	0,046869	0,001627	28,80	0,017794	0,000767	23,18
Piano copertura	100%	12,96	10,86	1,83	0,0640	0,0051	0,060691	0,001627	37,29	0,021205	0,000767	27,63
proporzionale alla deformata 1° modo di vibrazione												
Piano copertura	0%	0,49	0,39	0,59	0,0635	0,0053	0,011646	0,001904	6,12	0,006263	0,000904	6,93
Piano copertura	100%	4,10	3,91	0,95	0,0644	0,0048	0,029430	0,001904	15,46	0,008984	0,000904	9,94
sisma in +Y												
proporzionale alle masse												

Lv	$\%L_{LI}$	$L_{v,SLV}$	$L_{v,SLD}$	L_{pl}	ϕ_u	ϕ_y	SLV			SLD		
							Θ_c	Θ_d	CS	Θ_c	Θ_d	CS
	[%]	[m]	[m]	[m]	[rad/m]	[rad/m]	[rad]	[rad]		[rad]	[rad]	
Piano copertura	0%	0,67	0,69	0,60	0,0221	0,0078	0,005680	0,002050	2,77	0,006604	0,000914	7,23
Piano copertura	100%	2,92	2,86	0,83	0,0224	0,0047	0,009928	0,002050	4,84	0,007266	0,000914	7,95
proporzionale alla deformata 1° modo di vibrazione												
Piano copertura	0%	1,02	1,09	0,64	0,0217	0,0057	0,006410	0,002611	2,46	0,005772	0,001186	4,87
Piano copertura	100%	2,59	2,46	0,80	0,0221	0,0046	0,009197	0,002611	3,52	0,006599	0,001186	5,57
sisma in -Y												
proporzionale alle masse												
Piano copertura	0%	0,00	0,00	0,00	0,0000	0,0000	0,000000	0,000000	0,00	0,000000	0,000000	0,00
Piano copertura	100%	0,00	0,00	0,00	0,0000	0,0000	0,000000	0,000000	0,00	0,000000	0,000000	0,00
proporzionale alla deformata 1° modo di vibrazione												
Piano copertura	0%	0,00	0,00	0,00	0,0000	0,0000	0,000000	0,000000	0,00	0,000000	0,000000	0,00
Piano copertura	100%	0,00	0,00	0,00	0,0000	0,0000	0,000000	0,000000	0,00	0,000000	0,000000	0,00
Pilastrata: Pilastrata18												
sisma in +X												
proporzionale alle masse												
Piano interrato	0%	1,52	1,44	0,69	0,0596	0,0045	0,017341	0,002142	8,09	0,005336	0,001004	5,31
Piano interrato	100%	0,17	0,22	0,55	0,0601	0,0072	0,011803	0,002142	5,51	0,008966	0,001004	8,93
proporzionale alla deformata 1° modo di vibrazione												
Piano interrato	0%	1,64	1,59	0,70	0,0593	0,0045	0,017852	0,001997	8,94	0,005509	0,000937	5,88
Piano interrato	100%	0,05	0,07	0,54	0,0599	0,0049	0,017293	0,001997	8,66	0,019683	0,000937	21,02
sisma in -X												
proporzionale alle masse												
Piano interrato	0%	1,56	1,53	0,69	0,0600	0,0044	0,017674	0,002308	7,66	0,005352	0,001059	5,06
Piano interrato	100%	0,13	0,15	0,55	0,0606	0,0052	0,012799	0,002308	5,55	0,010357	0,001059	9,78
proporzionale alla deformata 1° modo di vibrazione												
Piano interrato	0%	1,69	1,68	0,71	0,0604	0,0044	0,018369	0,002107	8,72	0,005503	0,000972	5,66
Piano interrato	100%	0,01	0,00	0,54	0,0609	0,0036	0,136877	0,002107	64,96	0,258358	0,000972	NS
sisma in +Y												
proporzionale alle masse												
Piano interrato	0%	2,14	2,06	0,75	0,0218	0,0044	0,008365	0,001398	5,98	0,005966	0,000638	9,35
Piano interrato	100%	0,44	0,40	0,58	0,0219	0,0068	0,005558	0,001398	3,98	0,006710	0,000638	10,52
proporzionale alla deformata 1° modo di vibrazione												
Piano interrato	0%	2,62	2,63	0,80	0,0218	0,0044	0,009204	0,001645	5,59	0,006624	0,000736	8,99
Piano interrato	100%	0,91	0,86	0,63	0,0219	0,0048	0,006114	0,001645	3,72	0,005176	0,000736	7,03
sisma in -Y												
proporzionale alle masse												
Piano interrato	0%	0,00	0,00	0,00	0,0000	0,0000	0,000000	0,000000	0,00	0,000000	0,000000	0,00
Piano interrato	100%	0,00	0,00	0,00	0,0000	0,0000	0,000000	0,000000	0,00	0,000000	0,000000	0,00
proporzionale alla deformata 1° modo di vibrazione												
Piano interrato	0%	0,00	0,00	0,00	0,0000	0,0000	0,000000	0,000000	0,00	0,000000	0,000000	0,00
Piano interrato	100%	0,00	0,00	0,00	0,0000	0,0000	0,000000	0,000000	0,00	0,000000	0,000000	0,00
sisma in +X												
proporzionale alle masse												
Piano copertura	0%	6,96	5,50	1,23	0,0627	0,0050	0,038370	0,001236	31,06	0,011932	0,000578	20,65
Piano copertura	100%	3,33	2,23	0,87	0,0637	0,0055	0,025605	0,001236	20,72	0,007164	0,000578	12,40
proporzionale alla deformata 1° modo di vibrazione												
Piano copertura	0%	12,01	24,55	1,74	0,0625	0,0063	0,072483	0,001549	46,80	0,054472	0,000726	75,02
Piano copertura	100%	15,80	30,04	2,12	0,0634	0,0050	0,084054	0,001549	54,27	0,052707	0,000726	72,59
sisma in -X												
proporzionale alle masse												
Piano copertura	0%	12,86	14,05	1,82	0,0632	0,0051	0,062416	0,001484	42,05	0,026421	0,000699	37,78
Piano copertura	100%	9,26	10,70	1,46	0,0641	0,0054	0,050502	0,001484	34,02	0,021852	0,000699	31,25
proporzionale alla deformata 1° modo di vibrazione												
Piano copertura	0%	5,44	4,17	1,08	0,0636	0,0063	0,033765	0,001743	19,37	0,011767	0,000819	14,37
Piano copertura	100%	9,16	7,81	1,45	0,0644	0,0047	0,047320	0,001743	27,15	0,014708	0,000819	17,96
sisma in +Y												
proporzionale alle masse												
Piano copertura	0%	0,56	0,41	0,59	0,0230	0,0083	0,005808	0,001885	3,08	0,007231	0,000832	8,69
Piano copertura	100%	3,02	2,99	0,84	0,0234	0,0044	0,010422	0,001885	5,53	0,007089	0,000832	8,52
proporzionale alla deformata 1° modo di vibrazione												
Piano copertura	0%	1,14	1,19	0,65	0,0230	0,0046	0,006888	0,002622	2,63	0,005204	0,001184	4,39
Piano copertura	100%	2,46	2,29	0,78	0,0234	0,0043	0,009344	0,002622	3,56	0,006085	0,001184	5,14
sisma in -Y												
proporzionale alle masse												
Piano copertura	0%	0,00	0,00	0,00	0,0000	0,0000	0,000000	0,000000	0,00	0,000000	0,000000	0,00
Piano copertura	100%	0,00	0,00	0,00	0,0000	0,0000	0,000000	0,000000	0,00	0,000000	0,000000	0,00
proporzionale alla deformata 1° modo di vibrazione												
Piano copertura	0%	0,00	0,00	0,00	0,0000	0,0000	0,000000	0,000000	0,00	0,000000	0,000000	0,00
Piano copertura	100%	0,00	0,00	0,00	0,0000	0,0000	0,000000	0,000000	0,00	0,000000	0,000000	0,00
Pilastrata: Pilastrata19												
sisma in +X												
proporzionale alle masse												
Piano interrato	0%	1,59	1,54	0,70	0,0634	0,0043	0,018705	0,002062	9,07	0,005313	0,001008	5,27
Piano interrato	100%	0,09	0,11	0,55	0,0638	0,0068	0,014787	0,002062	7,17	0,014013	0,001008	13,91
proporzionale alla deformata 1° modo di vibrazione												
Piano interrato	0%	1,84	1,82	0,72	0,0636	0,0044	0,019962	0,001786	11,18	0,005675	0,000870	6,52
Piano interrato	100%	0,13	0,14	0,55	0,0639	0,0065	0,013533	0,001786	7,58	0,011284	0,000870	12,97
sisma in -X												
proporzionale alle masse												
Piano interrato	0%	1,64	1,62	0,70	0,0622	0,0044	0,018663	0,002173	8,59	0,005412	0,000982	5,51
Piano interrato	100%	0,05	0,09	0,54	0,0628	0,0059	0,015307	0,002173	7,04	0,015208	0,000982	15,48
proporzionale alla deformata 1° modo di vibrazione												
Piano interrato	0%	1,89	1,87	0,73	0,0623	0,0045	0,019839	0,001870	10,61	0,005757	0,000840	6,85
Piano interrato	100%	0,19	0,19	0,56	0,0628	0,0089	0,012480	0,001870	6,67	0,010007	0,000840	11,91
sisma in +Y												

Lv	$\%L_{LI}$	$L_{v,SLV}$	$L_{v,SLD}$	L_{pl}	ϕ_u	ϕ_y	SLV			SLD		
							Θ_c	Θ_d	CS	Θ_c	Θ_d	CS
	[%]	[m]	[m]	[m]	[rad/m]	[rad/m]	[rad]	[rad]		[rad]	[rad]	
proporzionale alle masse												
Piano interrato	0%	2,24	2,12	0,76	0,0222	0,0044	0,008635	0,001361	6,34	0,006011	0,000610	9,85
Piano interrato	100%	0,53	0,43	0,59	0,0224	0,0057	0,005554	0,001361	4,08	0,006189	0,000610	10,15
proporzionale alla deformata 1° modo di vibrazione												
Piano interrato	0%	2,75	2,77	0,81	0,0223	0,0044	0,009576	0,001716	5,58	0,006765	0,000771	8,78
Piano interrato	100%	1,05	0,98	0,64	0,0224	0,0046	0,006506	0,001716	3,79	0,005065	0,000771	6,57
sisma in -Y												
proporzionale alle masse												
Piano interrato	0%	0,00	0,00	0,00	0,0000	0,0000	0,000000	0,000000	0,00	0,000000	0,000000	0,00
Piano interrato	100%	0,00	0,00	0,00	0,0000	0,0000	0,000000	0,000000	0,00	0,000000	0,000000	0,00
proporzionale alla deformata 1° modo di vibrazione												
Piano interrato	0%	0,00	0,00	0,00	0,0000	0,0000	0,000000	0,000000	0,00	0,000000	0,000000	0,00
Piano interrato	100%	0,00	0,00	0,00	0,0000	0,0000	0,000000	0,000000	0,00	0,000000	0,000000	0,00
sisma in +X												
proporzionale alle masse												
Piano copertura	0%	36,31	168,87	4,17	0,0660	0,0043	0,244000	0,001326	NS	0,245837	0,000632	NS
Piano copertura	100%	34,45	186,58	3,98	0,0669	0,0044	0,253979	0,001326	NS	0,273406	0,000632	NS
proporzionale alla deformata 1° modo di vibrazione												
Piano copertura	0%	0,90	0,58	0,63	0,0661	0,0050	0,015234	0,001685	9,04	0,005477	0,000808	6,77
Piano copertura	100%	4,60	4,21	1,00	0,0671	0,0045	0,032290	0,001685	19,17	0,008876	0,000808	10,98
sisma in -X												
proporzionale alle masse												
Piano copertura	0%	14,02	35,41	1,94	0,0648	0,0051	0,084991	0,001560	54,49	0,062130	0,000712	87,26
Piano copertura	100%	18,05	34,24	2,34	0,0657	0,0046	0,094530	0,001560	60,61	0,055322	0,000712	77,70
proporzionale alla deformata 1° modo di vibrazione												
Piano copertura	0%	0,48	0,53	0,58	0,0649	0,0088	0,011761	0,001874	6,28	0,007116	0,000859	8,28
Piano copertura	100%	4,10	4,00	0,95	0,0658	0,0045	0,029991	0,001874	16,01	0,008597	0,000859	10,01
sisma in +Y												
proporzionale alle masse												
Piano copertura	0%	0,72	0,63	0,61	0,0232	0,0065	0,005977	0,001901	3,14	0,006046	0,000828	7,30
Piano copertura	100%	2,80	2,46	0,82	0,0236	0,0044	0,009919	0,001901	5,22	0,006417	0,000828	7,75
proporzionale alla deformata 1° modo di vibrazione												
Piano copertura	0%	1,19	1,26	0,66	0,0233	0,0044	0,007042	0,002810	2,51	0,005140	0,001274	4,04
Piano copertura	100%	2,42	2,25	0,78	0,0236	0,0043	0,009340	0,002810	3,32	0,006032	0,001274	4,74
sisma in -Y												
proporzionale alle masse												
Piano copertura	0%	0,00	0,00	0,00	0,0000	0,0000	0,000000	0,000000	0,00	0,000000	0,000000	0,00
Piano copertura	100%	0,00	0,00	0,00	0,0000	0,0000	0,000000	0,000000	0,00	0,000000	0,000000	0,00
proporzionale alla deformata 1° modo di vibrazione												
Piano copertura	0%	0,00	0,00	0,00	0,0000	0,0000	0,000000	0,000000	0,00	0,000000	0,000000	0,00
Piano copertura	100%	0,00	0,00	0,00	0,0000	0,0000	0,000000	0,000000	0,00	0,000000	0,000000	0,00
Pilastrata: Pilastrata21												
sisma in +X												
proporzionale alle masse												
Piano copertura (b)	0%	2,65	1,05	0,70	0,0582	0,0105	0,018598	0,000187	99,38	0,008175	0,000007	NS
Piano copertura (b)	100%	3,44	1,85	0,78	0,0590	0,0103	0,021938	0,000187	NS	0,010184	0,000007	NS
proporzionale alla deformata 1° modo di vibrazione												
Piano copertura (b)	0%	2,92	1,12	0,73	0,0584	0,0098	0,019494	0,000384	50,79	0,007940	0,000134	59,36
Piano copertura (b)	100%	3,74	1,92	0,81	0,0589	0,0101	0,022761	0,000384	59,31	0,010237	0,000134	76,54
sisma in -X												
proporzionale alle masse												
Piano copertura (b)	0%	0,28	0,13	0,47	0,0715	0,0132	0,014879	0,000875	17,00	0,016200	0,000445	36,39
Piano copertura (b)	100%	0,51	0,67	0,49	0,0723	0,0083	0,011545	0,000875	13,19	0,006853	0,000445	15,39
proporzionale alla deformata 1° modo di vibrazione												
Piano copertura (b)	0%	0,39	0,18	0,48	0,0708	0,0110	0,013244	0,001026	12,91	0,012280	0,000522	23,53
Piano copertura (b)	100%	0,39	0,62	0,48	0,0719	0,0085	0,011016	0,001026	10,74	0,006944	0,000522	13,31
sisma in +Y												
proporzionale alle masse												
Piano copertura (b)	0%	0,72	1,26	0,42	0,0327	0,0108	0,007314	0,002047	3,57	0,008095	0,000986	8,21
Piano copertura (b)	100%	0,07	0,49	0,36	0,0329	0,0094	0,004895	0,002047	2,39	0,005571	0,000986	5,65
proporzionale alla deformata 1° modo di vibrazione												
Piano copertura (b)	0%	0,60	0,80	0,41	0,0241	0,0119	0,005218	0,003086	1,69	0,007154	0,001483	4,82
Piano copertura (b)	100%	0,19	0,01	0,37	0,0242	0,0094	0,030487	0,003086	9,88	0,058236	0,001483	39,26
sisma in -Y												
proporzionale alle masse												
Piano copertura (b)	0%	0,00	0,00	0,00	0,0000	0,0000	0,000000	0,000000	0,00	0,000000	0,000000	0,00
Piano copertura (b)	100%	0,00	0,00	0,00	0,0000	0,0000	0,000000	0,000000	0,00	0,000000	0,000000	0,00
proporzionale alla deformata 1° modo di vibrazione												
Piano copertura (b)	0%	0,00	0,00	0,00	0,0000	0,0000	0,000000	0,000000	0,00	0,000000	0,000000	0,00
Piano copertura (b)	100%	0,00	0,00	0,00	0,0000	0,0000	0,000000	0,000000	0,00	0,000000	0,000000	0,00
Pilastrata: Pilastrata23												
sisma in +X												
proporzionale alle masse												
Piano interrato	0%	0,80	0,81	0,53	0,0874	0,0050	0,017069	0,001923	8,87	0,005048	0,000841	6,00
Piano interrato	100%	0,70	0,64	0,52	0,0883	0,0052	0,016204	0,001923	8,42	0,005222	0,000841	6,21
proporzionale alla deformata 1° modo di vibrazione												
Piano interrato	0%	0,80	0,82	0,53	0,0872	0,0051	0,017032	0,001777	9,58	0,005070	0,000791	6,41
Piano interrato	100%	0,70	0,65	0,52	0,0882	0,0052	0,016178	0,001777	9,10	0,005191	0,000791	6,56
sisma in -X												
proporzionale alle masse												
Piano interrato	0%	0,80	0,79	0,53	0,0597	0,0058	0,012224	0,002436	5,02	0,005384	0,001138	4,73
Piano interrato	100%	0,70	0,68	0,52	0,0607	0,0060	0,011701	0,002436	4,80	0,005518	0,001138	4,85
proporzionale alla deformata 1° modo di vibrazione												
Piano interrato	0%	0,80	0,80	0,53	0,0598	0,0058	0,012233	0,002210	5,53	0,005420	0,001052	5,15
Piano interrato	100%	0,70	0,68	0,52	0,0604	0,0062	0,011643	0,002210	5,27	0,005590	0,001052	5,32

Lv	$\%L_{LI}$	$L_{v,SLV}$	$L_{v,SLD}$	L_{pl}	ϕ_u	ϕ_y	SLV			SLD		
							Θ_c	Θ_d	CS	Θ_c	Θ_d	CS
	[%]	[m]	[m]	[m]	[rad/m]	[rad/m]	[rad]	[rad]		[rad]	[rad]	
sisma in +Y												
proporzionale alle masse												
Piano interrato	0%	0,83	0,80	0,51	0,0726	0,0051	0,014253	0,002095	6,80	0,004721	0,000922	5,12
Piano interrato	100%	0,67	0,69	0,49	0,0772	0,0051	0,013554	0,002095	6,47	0,004698	0,000922	5,10
proporzionale alla deformata 1° modo di vibrazione												
Piano interrato	0%	0,83	0,80	0,51	0,0769	0,0050	0,014959	0,001517	9,86	0,004661	0,000675	6,90
Piano interrato	100%	0,67	0,69	0,49	0,0779	0,0050	0,013683	0,001517	9,02	0,004647	0,000675	6,88
sisma in -Y												
proporzionale alle masse												
Piano interrato	0%	0,00	0,00	0,00	0,0000	0,0000	0,000000	0,000000	0,00	0,000000	0,000000	0,00
Piano interrato	100%	0,00	0,00	0,00	0,0000	0,0000	0,000000	0,000000	0,00	0,000000	0,000000	0,00
proporzionale alla deformata 1° modo di vibrazione												
Piano interrato	0%	0,00	0,00	0,00	0,0000	0,0000	0,000000	0,000000	0,00	0,000000	0,000000	0,00
Piano interrato	100%	0,00	0,00	0,00	0,0000	0,0000	0,000000	0,000000	0,00	0,000000	0,000000	0,00
sisma in +X												
proporzionale alle masse												
Piano terra	0%	1,47	1,32	0,60	0,1001	0,0050	0,025271	0,001755	14,40	0,005330	0,000801	6,65
Piano terra	100%	1,52	1,45	0,60	0,1023	0,0048	0,026179	0,001755	14,92	0,005318	0,000801	6,64
proporzionale alla deformata 1° modo di vibrazione												
Piano terra	0%	1,50	1,46	0,60	0,1007	0,0047	0,025621	0,002083	12,30	0,005282	0,000945	5,59
Piano terra	100%	1,50	1,49	0,60	0,1030	0,0046	0,026239	0,002083	12,60	0,005207	0,000945	5,51
sisma in -X												
proporzionale alle masse												
Piano terra	0%	1,42	1,31	0,59	0,0774	0,0068	0,019751	0,002046	9,65	0,006464	0,000957	6,75
Piano terra	100%	1,55	1,53	0,60	0,0792	0,0062	0,020954	0,002046	10,24	0,006370	0,000957	6,66
proporzionale alla deformata 1° modo di vibrazione												
Piano terra	0%	1,45	1,41	0,59	0,0773	0,0063	0,019927	0,002313	8,62	0,006301	0,001070	5,89
Piano terra	100%	1,54	1,52	0,60	0,0788	0,0059	0,020748	0,002313	8,97	0,006164	0,001070	5,76
sisma in +Y												
proporzionale alle masse												
Piano terra	0%	1,36	1,42	0,56	0,1024	0,0043	0,024202	0,002108	11,48	0,004765	0,000938	5,08
Piano terra	100%	1,63	1,56	0,59	0,1050	0,0043	0,026692	0,002108	12,66	0,004899	0,000938	5,22
proporzionale alla deformata 1° modo di vibrazione												
Piano terra	0%	1,41	1,45	0,56	0,1006	0,0042	0,024098	0,001900	12,68	0,004735	0,000811	5,84
Piano terra	100%	1,59	1,51	0,58	0,1030	0,0042	0,025939	0,001900	13,65	0,004798	0,000811	5,92
sisma in -Y												
proporzionale alle masse												
Piano terra	0%	0,00	0,00	0,00	0,0000	0,0000	0,000000	0,000000	0,00	0,000000	0,000000	0,00
Piano terra	100%	0,00	0,00	0,00	0,0000	0,0000	0,000000	0,000000	0,00	0,000000	0,000000	0,00
proporzionale alla deformata 1° modo di vibrazione												
Piano terra	0%	0,00	0,00	0,00	0,0000	0,0000	0,000000	0,000000	0,00	0,000000	0,000000	0,00
Piano terra	100%	0,00	0,00	0,00	0,0000	0,0000	0,000000	0,000000	0,00	0,000000	0,000000	0,00
sisma in +X												
proporzionale alle masse												
Piano copertura (a)	0%	1,28	1,24	0,58	0,1131	0,0045	0,026769	0,000133	NS	0,004970	0,000071	69,70
Piano copertura (a)	100%	0,22	0,12	0,47	0,1143	0,0043	0,018880	0,000133	NS	0,011876	0,000071	NS
proporzionale alla deformata 1° modo di vibrazione												
Piano copertura (a)	0%	1,05	1,34	0,55	0,1142	0,0040	0,024853	0,000147	NS	0,004696	0,000079	59,29
Piano copertura (a)	100%	0,44	0,16	0,49	0,1153	0,0039	0,018435	0,000147	NS	0,009427	0,000079	NS
sisma in -X												
proporzionale alle masse												
Piano copertura (a)	0%	0,96	0,87	0,54	0,0797	0,0108	0,017327	0,000032	NS	0,007788	0,000004	NS
Piano copertura (a)	100%	0,56	0,60	0,50	0,0807	0,0053	0,013037	0,000032	NS	0,005289	0,000004	NS
proporzionale alla deformata 1° modo di vibrazione												
Piano copertura (a)	0%	0,97	0,92	0,55	0,0791	0,0096	0,017312	0,000042	NS	0,007340	0,000009	NS
Piano copertura (a)	100%	0,53	0,50	0,50	0,0802	0,0053	0,012623	0,000042	NS	0,005489	0,000009	NS
sisma in +Y												
proporzionale alle masse												
Piano copertura (a)	0%	0,16	0,57	0,44	0,1165	0,0033	0,014486	0,000086	NS	0,004086	0,000111	36,65
Piano copertura (a)	100%	1,38	1,10	0,56	0,1178	0,0034	0,027555	0,000086	NS	0,003986	0,000111	35,75
proporzionale alla deformata 1° modo di vibrazione												
Piano copertura (a)	0%	0,07	0,50	0,43	0,1149	0,0033	0,014146	0,000097	NS	0,004242	0,000112	37,95
Piano copertura (a)	100%	1,46	1,08	0,57	0,1162	0,0032	0,027834	0,000097	NS	0,003877	0,000112	34,68
sisma in -Y												
proporzionale alle masse												
Piano copertura (a)	0%	0,00	0,00	0,00	0,0000	0,0000	0,000000	0,000000	0,00	0,000000	0,000000	0,00
Piano copertura (a)	100%	0,00	0,00	0,00	0,0000	0,0000	0,000000	0,000000	0,00	0,000000	0,000000	0,00
proporzionale alla deformata 1° modo di vibrazione												
Piano copertura (a)	0%	0,00	0,00	0,00	0,0000	0,0000	0,000000	0,000000	0,00	0,000000	0,000000	0,00
Piano copertura (a)	100%	0,00	0,00	0,00	0,0000	0,0000	0,000000	0,000000	0,00	0,000000	0,000000	0,00
Pilastrata: Pilastrata24												
sisma in +X												
proporzionale alle masse												
Piano interrato	0%	0,75	0,79	0,52	0,0442	0,0094	0,009450	0,001873	5,05	0,006995	0,000812	8,61
Piano interrato	100%	0,58	0,55	0,51	0,0446	0,0096	0,008492	0,001873	4,53	0,006993	0,000812	8,61
proporzionale alla deformata 1° modo di vibrazione												
Piano interrato	0%	0,76	0,79	0,52	0,0440	0,0093	0,009443	0,001711	5,52	0,006969	0,000756	9,22
Piano interrato	100%	0,58	0,55	0,51	0,0445	0,0099	0,008477	0,001711	4,95	0,007078	0,000756	9,36
sisma in -X												
proporzionale alle masse												
Piano interrato	0%	0,79	0,79	0,53	0,0700	0,0081	0,014047	0,002264	6,21	0,006412	0,001106	5,80
Piano interrato	100%	0,56	0,53	0,50	0,0708	0,0083	0,011868	0,002264	5,24	0,006540	0,001106	5,91
proporzionale alla deformata 1° modo di vibrazione												
Piano interrato	0%	0,80	0,81	0,53	0,0700	0,0081	0,014196	0,002061	6,89	0,006430	0,001024	6,28
Piano interrato	100%	0,54	0,53	0,50	0,0710	0,0084	0,011681	0,002061	5,67	0,006548	0,001024	6,40

Lv	$\%L_{LI}$	$L_{v,SLV}$	$L_{v,SLD}$	L_{pl}	ϕ_u	ϕ_y	SLV			SLD		
							Θ_c	Θ_d	CS	Θ_c	Θ_d	CS
	[%]	[m]	[m]	[m]	[rad/m]	[rad/m]	[rad]	[rad]		[rad]	[rad]	
sisma in +Y												
proporzionale alle masse												
Piano interrato	0%	1,59	0,04	0,56	0,0781	0,0071	0,024915	0,001728	14,42	0,017294	0,000603	28,68
Piano interrato	100%	0,25	1,29	0,42	0,0795	0,0117	0,011621	0,001728	6,73	0,008955	0,000603	14,85
proporzionale alla deformata 1° modo di vibrazione												
Piano interrato	0%	2,27	0,20	0,62	0,0746	0,0071	0,021207	0,001209	17,54	0,006076	0,000389	15,61
Piano interrato	100%	1,07	1,16	0,50	0,0770	0,0117	0,016815	0,001209	13,91	0,008489	0,000389	21,80
sisma in -Y												
proporzionale alle masse												
Piano interrato	0%	0,00	0,00	0,00	0,0000	0,0000	0,000000	0,000000	0,00	0,000000	0,000000	0,00
Piano interrato	100%	0,00	0,00	0,00	0,0000	0,0000	0,000000	0,000000	0,00	0,000000	0,000000	0,00
proporzionale alla deformata 1° modo di vibrazione												
Piano interrato	0%	0,00	0,00	0,00	0,0000	0,0000	0,000000	0,000000	0,00	0,000000	0,000000	0,00
Piano interrato	100%	0,00	0,00	0,00	0,0000	0,0000	0,000000	0,000000	0,00	0,000000	0,000000	0,00
sisma in +X												
proporzionale alle masse												
Piano terra	0%	1,31	1,25	0,58	0,0825	0,0080	0,020315	0,001770	11,48	0,007083	0,000814	8,70
Piano terra	100%	1,54	1,55	0,60	0,0840	0,0077	0,022216	0,001770	12,55	0,007493	0,000814	9,21
proporzionale alla deformata 1° modo di vibrazione												
Piano terra	0%	1,40	1,33	0,59	0,0817	0,0077	0,020702	0,002101	9,86	0,007049	0,000959	7,35
Piano terra	100%	1,48	1,46	0,60	0,0831	0,0075	0,021574	0,002101	10,27	0,007173	0,000959	7,48
sisma in -X												
proporzionale alle masse												
Piano terra	0%	1,22	1,20	0,57	0,0757	0,0095	0,018368	0,002089	8,79	0,007839	0,000978	8,02
Piano terra	100%	1,65	1,63	0,61	0,0769	0,0084	0,021174	0,002089	10,14	0,008149	0,000978	8,34
proporzionale alla deformata 1° modo di vibrazione												
Piano terra	0%	1,29	1,29	0,58	0,0764	0,0087	0,018942	0,002358	8,03	0,007599	0,001093	6,95
Piano terra	100%	1,59	1,57	0,61	0,0776	0,0080	0,020967	0,002358	8,89	0,007752	0,001093	7,09
sisma in +Y												
proporzionale alle masse												
Piano terra	0%	3,63	1,57	0,76	0,0994	0,0094	0,034734	0,002014	17,25	0,008361	0,000821	10,19
Piano terra	100%	6,90	1,34	1,09	0,1001	0,0053	0,049991	0,002014	24,83	0,005071	0,000821	6,18
proporzionale alla deformata 1° modo di vibrazione												
Piano terra	0%	0,43	1,54	0,44	0,0978	0,0056	0,012926	0,001833	7,05	0,005624	0,000709	7,93
Piano terra	100%	1,83	1,37	0,58	0,0991	0,0056	0,025440	0,001833	13,88	0,005309	0,000709	7,49
sisma in -Y												
proporzionale alle masse												
Piano terra	0%	0,00	0,00	0,00	0,0000	0,0000	0,000000	0,000000	0,00	0,000000	0,000000	0,00
Piano terra	100%	0,00	0,00	0,00	0,0000	0,0000	0,000000	0,000000	0,00	0,000000	0,000000	0,00
proporzionale alla deformata 1° modo di vibrazione												
Piano terra	0%	0,00	0,00	0,00	0,0000	0,0000	0,000000	0,000000	0,00	0,000000	0,000000	0,00
Piano terra	100%	0,00	0,00	0,00	0,0000	0,0000	0,000000	0,000000	0,00	0,000000	0,000000	0,00
sisma in +X												
proporzionale alle masse												
Piano copertura (a)	0%	0,63	0,56	0,51	0,0940	0,0072	0,016211	0,000005	NS	0,006085	0,000046	NS
Piano copertura (a)	100%	0,52	0,59	0,50	0,0946	0,0075	0,014359	0,000005	NS	0,006175	0,000046	NS
proporzionale alla deformata 1° modo di vibrazione												
Piano copertura (a)	0%	0,65	0,58	0,51	0,0933	0,0072	0,016324	0,000002	NS	0,006042	0,000044	NS
Piano copertura (a)	100%	0,50	0,56	0,50	0,0939	0,0076	0,013979	0,000002	NS	0,006240	0,000044	NS
sisma in -X												
proporzionale alle masse												
Piano copertura (a)	0%	1,16	0,35	0,56	0,0833	0,0080	0,019573	0,000033	NS	0,007039	0,000040	NS
Piano copertura (a)	100%	0,11	1,75	0,46	0,0838	0,0089	0,012990	0,000033	NS	0,008793	0,000040	NS
proporzionale alla deformata 1° modo di vibrazione												
Piano copertura (a)	0%	0,98	5,91	0,54	0,0834	0,0092	0,025209	0,000033	NS	0,021252	0,000040	NS
Piano copertura (a)	100%	0,15	7,38	0,46	0,0841	0,0088	0,021133	0,000033	NS	0,024877	0,000040	NS
sisma in +Y												
proporzionale alle masse												
Piano copertura (a)	0%	0,82	1,02	0,48	0,1077	0,0063	0,019751	0,000035	NS	0,005205	0,000063	82,63
Piano copertura (a)	100%	0,32	0,09	0,43	0,1078	0,0061	0,015466	0,000035	NS	0,009148	0,000063	NS
proporzionale alla deformata 1° modo di vibrazione												
Piano copertura (a)	0%	0,82	1,05	0,48	0,1071	0,0063	0,019733	0,000003	NS	0,005263	0,000076	69,68
Piano copertura (a)	100%	0,33	0,06	0,43	0,1078	0,0061	0,017341	0,000003	NS	0,012851	0,000076	NS
sisma in -Y												
proporzionale alle masse												
Piano copertura (a)	0%	0,00	0,00	0,00	0,0000	0,0000	0,000000	0,000000	0,00	0,000000	0,000000	0,00
Piano copertura (a)	100%	0,00	0,00	0,00	0,0000	0,0000	0,000000	0,000000	0,00	0,000000	0,000000	0,00
proporzionale alla deformata 1° modo di vibrazione												
Piano copertura (a)	0%	0,00	0,00	0,00	0,0000	0,0000	0,000000	0,000000	0,00	0,000000	0,000000	0,00
Piano copertura (a)	100%	0,00	0,00	0,00	0,0000	0,0000	0,000000	0,000000	0,00	0,000000	0,000000	0,00
sisma in +X												
proporzionale alle masse												
Piano copertura (b)	0%	0,60	0,65	0,51	0,0951	0,0077	0,015838	0,000069	NS	0,006195	0,000054	NS
Piano copertura (b)	100%	0,07	0,04	0,45	0,0955	0,0071	0,027446	0,000069	NS	0,034847	0,000054	NS
proporzionale alla deformata 1° modo di vibrazione												
Piano copertura (b)	0%	0,79	0,78	0,53	0,0939	0,0075	0,018254	0,000135	NS	0,006134	0,000086	71,45
Piano copertura (b)	100%	0,13	0,10	0,46	0,0942	0,0072	0,017517	0,000135	NS	0,015013	0,000086	NS
sisma in -X												
proporzionale alle masse												
Piano copertura (b)	0%	0,52	0,53	0,50	0,0904	0,0078	0,013946	0,000125	NS	0,006354	0,000071	89,70
Piano copertura (b)	100%	0,14	0,12	0,46	0,0909	0,0074	0,015849	0,000125	NS	0,012450	0,000071	NS
proporzionale alla deformata 1° modo di vibrazione												
Piano copertura (b)	0%	0,47	0,49	0,49	0,0914	0,0077	0,013546	0,000190	71,48	0,006386	0,000103	61,75
Piano copertura (b)	100%	0,19	0,16	0,47	0,0920	0,0076	0,015085	0,000190	79,60	0,010508	0,000103	NS
sisma in +Y												

Lv	$\%L_{LI}$	$L_{v,SLV}$	$L_{v,SLD}$	L_{pl}	ϕ_u	ϕ_y	SLV			SLD		
							Θ_c	Θ_d	CS	Θ_c	Θ_d	CS
	[%]	[m]	[m]	[m]	[rad/m]	[rad/m]	[rad]	[rad]		[rad]	[rad]	
proporzionale alle masse												
Piano copertura (b)	0%	0,40	0,47	0,44	0,1071	0,0061	0,013336	0,000709	18,82	0,004651	0,000152	30,66
Piano copertura (b)	100%	0,26	0,11	0,42	0,1074	0,0061	0,014733	0,000709	20,79	0,008100	0,000152	53,39
proporzionale alla deformata 1° modo di vibrazione												
Piano copertura (b)	0%	0,40	0,50	0,44	0,1064	0,0064	0,013276	0,000597	22,23	0,004717	0,000083	56,74
Piano copertura (b)	100%	0,26	0,10	0,42	0,1068	0,0064	0,014915	0,000597	24,98	0,008647	0,000083	NS
sisma in -Y												
proporzionale alle masse												
Piano copertura (b)	0%	0,00	0,00	0,00	0,0000	0,0000	0,000000	0,000000	0,00	0,000000	0,000000	0,00
Piano copertura (b)	100%	0,00	0,00	0,00	0,0000	0,0000	0,000000	0,000000	0,00	0,000000	0,000000	0,00
proporzionale alla deformata 1° modo di vibrazione												
Piano copertura (b)	0%	0,00	0,00	0,00	0,0000	0,0000	0,000000	0,000000	0,00	0,000000	0,000000	0,00
Piano copertura (b)	100%	0,00	0,00	0,00	0,0000	0,0000	0,000000	0,000000	0,00	0,000000	0,000000	0,00
Pilastrata: Pilastrata27												
sisma in +X												
proporzionale alle masse												
Piano interrato	0%	1,59	1,71	0,61	0,0400	0,0139	0,012664	0,001285	9,86	0,012514	0,000572	21,89
Piano interrato	100%	0,24	0,31	0,47	0,0413	0,0093	0,007666	0,001285	5,97	0,007799	0,000572	13,65
proporzionale alla deformata 1° modo di vibrazione												
Piano interrato	0%	1,90	1,95	0,64	0,0408	0,0124	0,013687	0,001223	11,19	0,012324	0,000560	22,02
Piano interrato	100%	0,51	0,56	0,50	0,0415	0,0114	0,007687	0,001223	6,29	0,007663	0,000560	13,70
sisma in -X												
proporzionale alle masse												
Piano interrato	0%	1,54	1,62	0,60	0,0391	0,0125	0,011986	0,001735	6,91	0,011104	0,000807	13,75
Piano interrato	100%	0,17	0,23	0,46	0,0399	0,0082	0,007989	0,001735	4,61	0,008636	0,000807	10,70
proporzionale alla deformata 1° modo di vibrazione												
Piano interrato	0%	1,71	1,75	0,62	0,0391	0,0129	0,012575	0,001625	7,74	0,011922	0,000777	15,35
Piano interrato	100%	0,33	0,35	0,48	0,0398	0,0094	0,007379	0,001625	4,54	0,007486	0,000777	9,64
sisma in +Y												
proporzionale alle masse												
Piano interrato	0%	0,70	0,64	0,47	0,0556	0,0082	0,010140	0,002399	4,23	0,005497	0,001076	5,11
Piano interrato	100%	0,69	0,70	0,47	0,0565	0,0082	0,010261	0,002399	4,28	0,005569	0,001076	5,18
proporzionale alla deformata 1° modo di vibrazione												
Piano interrato	0%	0,70	0,66	0,47	0,0563	0,0081	0,010258	0,002031	5,05	0,005490	0,000934	5,88
Piano interrato	100%	0,70	0,70	0,47	0,0572	0,0081	0,010381	0,002031	5,11	0,005543	0,000934	5,94
sisma in -Y												
proporzionale alle masse												
Piano interrato	0%	0,00	0,00	0,00	0,0000	0,0000	0,000000	0,000000	0,00	0,000000	0,000000	0,00
Piano interrato	100%	0,00	0,00	0,00	0,0000	0,0000	0,000000	0,000000	0,00	0,000000	0,000000	0,00
proporzionale alla deformata 1° modo di vibrazione												
Piano interrato	0%	0,00	0,00	0,00	0,0000	0,0000	0,000000	0,000000	0,00	0,000000	0,000000	0,00
Piano interrato	100%	0,00	0,00	0,00	0,0000	0,0000	0,000000	0,000000	0,00	0,000000	0,000000	0,00
sisma in +X												
proporzionale alle masse												
Piano terra	0%	0,43	0,69	0,49	0,0770	0,0132	0,012069	0,001706	7,08	0,008500	0,000792	10,73
Piano terra	100%	2,42	2,17	0,69	0,0781	0,0104	0,025657	0,001706	15,04	0,011341	0,000792	14,32
proporzionale alla deformata 1° modo di vibrazione												
Piano terra	0%	0,99	1,01	0,55	0,0771	0,0116	0,017197	0,002019	8,52	0,008519	0,000932	9,14
Piano terra	100%	1,87	1,84	0,63	0,0782	0,0086	0,022749	0,002019	11,27	0,008828	0,000932	9,47
sisma in -X												
proporzionale alle masse												
Piano terra	0%	0,46	0,19	0,49	0,0751	0,0094	0,012961	0,002014	6,44	0,009716	0,000949	10,24
Piano terra	100%	3,31	3,01	0,78	0,0761	0,0123	0,030076	0,002014	14,93	0,016361	0,000949	17,25
proporzionale alla deformata 1° modo di vibrazione												
Piano terra	0%	0,59	0,49	0,51	0,0750	0,0121	0,013010	0,002270	5,73	0,007921	0,001058	7,48
Piano terra	100%	2,26	2,36	0,67	0,0758	0,0101	0,024644	0,002270	10,85	0,011661	0,001058	11,02
sisma in +Y												
proporzionale alle masse												
Piano terra	0%	1,45	1,41	0,54	0,0835	0,0070	0,020021	0,002313	8,65	0,006318	0,001070	5,91
Piano terra	100%	1,44	1,44	0,54	0,0850	0,0068	0,020298	0,002313	8,77	0,006263	0,001070	5,86
proporzionale alla deformata 1° modo di vibrazione												
Piano terra	0%	1,45	1,45	0,54	0,0850	0,0066	0,020328	0,002451	8,29	0,006123	0,001101	5,56
Piano terra	100%	1,45	1,43	0,54	0,0865	0,0065	0,020599	0,002451	8,40	0,006010	0,001101	5,46
sisma in -Y												
proporzionale alle masse												
Piano terra	0%	0,00	0,00	0,00	0,0000	0,0000	0,000000	0,000000	0,00	0,000000	0,000000	0,00
Piano terra	100%	0,00	0,00	0,00	0,0000	0,0000	0,000000	0,000000	0,00	0,000000	0,000000	0,00
proporzionale alla deformata 1° modo di vibrazione												
Piano terra	0%	0,00	0,00	0,00	0,0000	0,0000	0,000000	0,000000	0,00	0,000000	0,000000	0,00
Piano terra	100%	0,00	0,00	0,00	0,0000	0,0000	0,000000	0,000000	0,00	0,000000	0,000000	0,00
sisma in +X												
proporzionale alle masse												
Piano copertura	0%	2,73	2,34	0,72	0,0953	0,0072	0,031926	0,000104	NS	0,008758	0,000049	NS
Piano copertura	100%	0,55	1,16	0,50	0,0968	0,0066	0,015337	0,000104	NS	0,006064	0,000049	NS
proporzionale alla deformata 1° modo di vibrazione												
Piano copertura	0%	2,41	2,51	0,69	0,0959	0,0069	0,030657	0,000143	NS	0,008879	0,000066	NS
Piano copertura	100%	0,27	0,75	0,47	0,0971	0,0063	0,013585	0,000143	94,82	0,005628	0,000066	85,82
sisma in -X												
proporzionale alle masse												
Piano copertura	0%	2,06	1,77	0,65	0,0929	0,0075	0,027347	0,000104	NS	0,007793	0,000054	NS
Piano copertura	100%	0,08	0,18	0,46	0,0943	0,0093	0,014740	0,000104	NS	0,010114	0,000054	NS
proporzionale alla deformata 1° modo di vibrazione												
Piano copertura	0%	2,12	1,96	0,66	0,0927	0,0073	0,027813	0,000139	NS	0,007993	0,000069	NS
Piano copertura	100%	0,02	0,11	0,45	0,0940	0,0094	0,016341	0,000139	NS	0,013674	0,000069	NS
sisma in +Y												

Lv	$\%L_{LI}$	$L_{v,SLV}$	$L_{v,SLD}$	L_{pl}	ϕ_u	ϕ_y	SLV			SLD		
							Θ_c	Θ_d	CS	Θ_c	Θ_d	CS
	[%]	[m]	[m]	[m]	[rad/m]	[rad/m]	[rad]	[rad]		[rad]	[rad]	
proporzionale alle masse												
Piano copertura	0%	0,90	0,86	0,49	0,1018	0,0049	0,019333	0,000043	NS	0,004298	0,000097	44,16
Piano copertura	100%	1,29	1,24	0,52	0,1031	0,0050	0,022875	0,000043	NS	0,004765	0,000097	48,96
proporzionale alla deformata 1° modo di vibrazione												
Piano copertura	0%	0,94	0,87	0,49	0,1032	0,0046	0,019975	0,000016	NS	0,004164	0,000089	46,93
Piano copertura	100%	1,47	1,24	0,54	0,1044	0,0044	0,024369	0,000016	NS	0,004421	0,000089	49,83
sisma in -Y												
proporzionale alle masse												
Piano copertura	0%	0,00	0,00	0,00	0,0000	0,0000	0,000000	0,000000	0,00	0,000000	0,000000	0,00
Piano copertura	100%	0,00	0,00	0,00	0,0000	0,0000	0,000000	0,000000	0,00	0,000000	0,000000	0,00
proporzionale alla deformata 1° modo di vibrazione												
Piano copertura	0%	0,00	0,00	0,00	0,0000	0,0000	0,000000	0,000000	0,00	0,000000	0,000000	0,00
Piano copertura	100%	0,00	0,00	0,00	0,0000	0,0000	0,000000	0,000000	0,00	0,000000	0,000000	0,00
Pilastrata: Pilastrata28												
sisma in +X												
proporzionale alle masse												
Piano interrato	0%	1,49	1,72	0,60	0,0516	0,0109	0,014858	0,001299	11,43	0,010308	0,000575	17,94
Piano interrato	100%	0,20	0,30	0,47	0,0533	0,0092	0,009099	0,001299	7,00	0,007894	0,000575	13,74
proporzionale alla deformata 1° modo di vibrazione												
Piano interrato	0%	1,82	1,96	0,63	0,0524	0,0104	0,016243	0,001228	13,23	0,010609	0,000558	19,03
Piano interrato	100%	0,45	0,56	0,49	0,0537	0,0115	0,009042	0,001228	7,36	0,007675	0,000558	13,76
sisma in -X												
proporzionale alle masse												
Piano interrato	0%	1,49	1,50	0,60	0,0473	0,0107	0,013445	0,001758	7,65	0,009430	0,000814	11,58
Piano interrato	100%	0,08	0,14	0,46	0,0487	0,0085	0,010546	0,001758	6,00	0,011928	0,000814	14,65
proporzionale alla deformata 1° modo di vibrazione												
Piano interrato	0%	1,63	1,66	0,61	0,0474	0,0110	0,014106	0,001637	8,62	0,010144	0,000779	13,03
Piano interrato	100%	0,24	0,27	0,47	0,0484	0,0101	0,008757	0,001637	5,35	0,008487	0,000779	10,90
sisma in +Y												
proporzionale alle masse												
Piano interrato	0%	0,70	0,66	0,47	0,0637	0,0079	0,011371	0,002292	4,96	0,005387	0,001028	5,24
Piano interrato	100%	0,70	0,71	0,47	0,0643	0,0078	0,011470	0,002292	5,01	0,005423	0,001028	5,28
proporzionale alla deformata 1° modo di vibrazione												
Piano interrato	0%	0,70	0,68	0,47	0,0650	0,0077	0,011581	0,002031	5,70	0,005330	0,000931	5,73
Piano interrato	100%	0,70	0,71	0,47	0,0656	0,0076	0,011666	0,002031	5,74	0,005344	0,000931	5,74
sisma in -Y												
proporzionale alle masse												
Piano interrato	0%	0,00	0,00	0,00	0,0000	0,0000	0,000000	0,000000	0,00	0,000000	0,000000	0,00
Piano interrato	100%	0,00	0,00	0,00	0,0000	0,0000	0,000000	0,000000	0,00	0,000000	0,000000	0,00
proporzionale alla deformata 1° modo di vibrazione												
Piano interrato	0%	0,00	0,00	0,00	0,0000	0,0000	0,000000	0,000000	0,00	0,000000	0,000000	0,00
Piano interrato	100%	0,00	0,00	0,00	0,0000	0,0000	0,000000	0,000000	0,00	0,000000	0,000000	0,00
sisma in +X												
proporzionale alle masse												
Piano terra	0%	0,54	0,74	0,50	0,0818	0,0150	0,013648	0,001719	7,94	0,009397	0,000800	11,75
Piano terra	100%	2,31	2,08	0,68	0,0829	0,0088	0,026221	0,001719	15,26	0,009563	0,000800	11,96
proporzionale alla deformata 1° modo di vibrazione												
Piano terra	0%	1,01	1,03	0,55	0,0820	0,0091	0,018190	0,002036	8,93	0,007253	0,000940	7,72
Piano terra	100%	1,82	1,82	0,63	0,0833	0,0077	0,023724	0,002036	11,65	0,008085	0,000940	8,60
sisma in -X												
proporzionale alle masse												
Piano terra	0%	0,05	0,02	0,45	0,0778	0,0099	0,045397	0,002020	22,47	0,075450	0,000946	79,72
Piano terra	100%	2,85	2,84	0,73	0,0787	0,0104	0,028547	0,002020	14,13	0,013489	0,000946	14,25
proporzionale alla deformata 1° modo di vibrazione												
Piano terra	0%	0,73	0,60	0,52	0,0772	0,0144	0,014926	0,002281	6,54	0,008844	0,001057	8,36
Piano terra	100%	2,11	2,22	0,66	0,0783	0,0091	0,024344	0,002281	10,67	0,010253	0,001057	9,70
sisma in +Y												
proporzionale alle masse												
Piano terra	0%	1,45	1,44	0,54	0,0859	0,0069	0,020510	0,002364	8,68	0,006305	0,001103	5,72
Piano terra	100%	1,45	1,39	0,54	0,0874	0,0067	0,020781	0,002364	8,79	0,006100	0,001103	5,53
proporzionale alla deformata 1° modo di vibrazione												
Piano terra	0%	1,45	1,43	0,54	0,0876	0,0065	0,020860	0,002608	8,00	0,006054	0,001184	5,11
Piano terra	100%	1,45	1,44	0,54	0,0891	0,0064	0,021190	0,002608	8,12	0,006004	0,001184	5,07
sisma in -Y												
proporzionale alle masse												
Piano terra	0%	0,00	0,00	0,00	0,0000	0,0000	0,000000	0,000000	0,00	0,000000	0,000000	0,00
Piano terra	100%	0,00	0,00	0,00	0,0000	0,0000	0,000000	0,000000	0,00	0,000000	0,000000	0,00
proporzionale alla deformata 1° modo di vibrazione												
Piano terra	0%	0,00	0,00	0,00	0,0000	0,0000	0,000000	0,000000	0,00	0,000000	0,000000	0,00
Piano terra	100%	0,00	0,00	0,00	0,0000	0,0000	0,000000	0,000000	0,00	0,000000	0,000000	0,00
sisma in +X												
proporzionale alle masse												
Piano copertura	0%	1,78	1,70	0,62	0,0971	0,0069	0,026814	0,000052	NS	0,007178	0,000011	NS
Piano copertura	100%	0,36	0,24	0,48	0,0984	0,0065	0,015036	0,000052	NS	0,007890	0,000011	NS
proporzionale alla deformata 1° modo di vibrazione												
Piano copertura	0%	1,72	1,74	0,62	0,0978	0,0067	0,026663	0,000081	NS	0,007102	0,000023	NS
Piano copertura	100%	0,43	0,34	0,49	0,0990	0,0064	0,014696	0,000081	NS	0,006701	0,000023	NS
sisma in -X												
proporzionale alle masse												
Piano copertura	0%	1,99	1,73	0,65	0,0925	0,0075	0,026837	0,000097	NS	0,007686	0,000061	NS
Piano copertura	100%	0,16	0,05	0,46	0,0944	0,0095	0,022121	0,000097	NS	0,024597	0,000061	NS
proporzionale alla deformata 1° modo di vibrazione												
Piano copertura	0%	1,93	1,82	0,64	0,0920	0,0072	0,026443	0,000124	NS	0,007662	0,000071	NS
Piano copertura	100%	0,22	0,20	0,47	0,0935	0,0095	0,014639	0,000124	NS	0,009561	0,000071	NS
sisma in +Y												

Lv	$\%L_{LI}$	$L_{v,SLV}$	$L_{v,SLD}$	L_{pl}	ϕ_u	ϕ_y	SLV			SLD		
							Θ_c	Θ_d	CS	Θ_c	Θ_d	CS
	[%]	[m]	[m]	[m]	[rad/m]	[rad/m]	[rad]	[rad]		[rad]	[rad]	
proporzionale alle masse												
Piano copertura	0%	0,98	0,91	0,49	0,1007	0,0053	0,019877	0,000006	NS	0,004522	0,000072	62,59
Piano copertura	100%	1,26	1,21	0,52	0,1022	0,0050	0,022528	0,000006	NS	0,004757	0,000072	65,85
proporzionale alla deformata 1° modo di vibrazione												
Piano copertura	0%	0,99	0,90	0,50	0,1024	0,0047	0,020243	0,000032	NS	0,004254	0,000058	73,19
Piano copertura	100%	1,43	1,29	0,54	0,1038	0,0043	0,023968	0,000032	NS	0,004421	0,000058	76,07
sisma in -Y												
proporzionale alle masse												
Piano copertura	0%	0,00	0,00	0,00	0,0000	0,0000	0,000000	0,000000	0,00	0,000000	0,000000	0,00
Piano copertura	100%	0,00	0,00	0,00	0,0000	0,0000	0,000000	0,000000	0,00	0,000000	0,000000	0,00
proporzionale alla deformata 1° modo di vibrazione												
Piano copertura	0%	0,00	0,00	0,00	0,0000	0,0000	0,000000	0,000000	0,00	0,000000	0,000000	0,00
Piano copertura	100%	0,00	0,00	0,00	0,0000	0,0000	0,000000	0,000000	0,00	0,000000	0,000000	0,00
Pilastrata: Pilastrata29												
sisma in +X												
proporzionale alle masse												
Piano interrato	0%	1,98	1,94	0,65	0,0795	0,0069	0,023442	0,001284	18,25	0,007631	0,000557	13,69
Piano interrato	100%	0,59	0,57	0,51	0,0808	0,0114	0,013829	0,001284	10,77	0,007646	0,000557	13,72
proporzionale alla deformata 1° modo di vibrazione												
Piano interrato	0%	2,50	2,14	0,70	0,0806	0,0066	0,026102	0,001235	21,13	0,007791	0,000556	14,03
Piano interrato	100%	1,06	0,82	0,55	0,0813	0,0109	0,018279	0,001235	14,80	0,007735	0,000556	13,92
sisma in -X												
proporzionale alle masse												
Piano interrato	0%	1,69	1,66	0,62	0,0658	0,0083	0,018553	0,001736	10,69	0,008115	0,000803	10,11
Piano interrato	100%	0,30	0,31	0,48	0,0666	0,0105	0,010753	0,001736	6,20	0,008090	0,000803	10,07
proporzionale alla deformata 1° modo di vibrazione												
Piano interrato	0%	1,98	1,83	0,65	0,0654	0,0086	0,019747	0,001641	12,03	0,008782	0,000780	11,26
Piano interrato	100%	0,59	0,48	0,51	0,0663	0,0123	0,011790	0,001641	7,18	0,008009	0,000780	10,27
sisma in +Y												
proporzionale alle masse												
Piano interrato	0%	0,71	0,72	0,48	0,0557	0,0071	0,010313	0,002500	4,12	0,005289	0,001132	4,67
Piano interrato	100%	0,66	0,67	0,47	0,0587	0,0069	0,010455	0,002500	4,18	0,005154	0,001132	4,55
proporzionale alla deformata 1° modo di vibrazione												
Piano interrato	0%	0,72	0,72	0,48	0,0549	0,0071	0,010255	0,002263	4,53	0,005277	0,001047	5,04
Piano interrato	100%	0,67	0,67	0,47	0,0570	0,0070	0,010272	0,002263	4,54	0,005196	0,001047	4,96
sisma in -Y												
proporzionale alle masse												
Piano interrato	0%	0,00	0,00	0,00	0,0000	0,0000	0,000000	0,000000	0,00	0,000000	0,000000	0,00
Piano interrato	100%	0,00	0,00	0,00	0,0000	0,0000	0,000000	0,000000	0,00	0,000000	0,000000	0,00
proporzionale alla deformata 1° modo di vibrazione												
Piano interrato	0%	0,00	0,00	0,00	0,0000	0,0000	0,000000	0,000000	0,00	0,000000	0,000000	0,00
Piano interrato	100%	0,00	0,00	0,00	0,0000	0,0000	0,000000	0,000000	0,00	0,000000	0,000000	0,00
sisma in +X												
proporzionale alle masse												
Piano terra	0%	0,24	0,46	0,47	0,0930	0,0114	0,013494	0,001697	7,95	0,007741	0,000782	9,90
Piano terra	100%	2,64	2,24	0,71	0,0940	0,0064	0,030890	0,001697	18,20	0,007792	0,000782	9,97
proporzionale alla deformata 1° modo di vibrazione												
Piano terra	0%	0,95	0,96	0,54	0,0936	0,0066	0,019823	0,002018	9,82	0,005877	0,000921	6,38
Piano terra	100%	1,87	1,91	0,63	0,0956	0,0059	0,027004	0,002018	13,38	0,006730	0,000921	7,31
sisma in -X												
proporzionale alle masse												
Piano terra	0%	0,16	0,04	0,46	0,0767	0,0036	0,023199	0,002016	11,50	0,029450	0,000949	31,05
Piano terra	100%	3,01	2,87	0,75	0,0780	0,0111	0,029138	0,002016	14,45	0,014354	0,000949	15,13
proporzionale alla deformata 1° modo di vibrazione												
Piano terra	0%	0,63	0,52	0,51	0,0763	0,0081	0,013592	0,002280	5,96	0,006470	0,001061	6,10
Piano terra	100%	2,23	2,30	0,67	0,0772	0,0093	0,024678	0,002280	10,83	0,010714	0,001061	10,09
sisma in +Y												
proporzionale alle masse												
Piano terra	0%	1,41	1,38	0,55	0,0729	0,0064	0,017621	0,002455	7,18	0,005967	0,001148	5,20
Piano terra	100%	1,48	1,49	0,55	0,0746	0,0063	0,018414	0,002455	7,50	0,006065	0,001148	5,28
proporzionale alla deformata 1° modo di vibrazione												
Piano terra	0%	1,42	1,41	0,55	0,0723	0,0064	0,017556	0,002809	6,25	0,006025	0,001280	4,71
Piano terra	100%	1,48	1,47	0,55	0,0739	0,0065	0,018233	0,002809	6,49	0,006135	0,001280	4,79
sisma in -Y												
proporzionale alle masse												
Piano terra	0%	0,00	0,00	0,00	0,0000	0,0000	0,000000	0,000000	0,00	0,000000	0,000000	0,00
Piano terra	100%	0,00	0,00	0,00	0,0000	0,0000	0,000000	0,000000	0,00	0,000000	0,000000	0,00
proporzionale alla deformata 1° modo di vibrazione												
Piano terra	0%	0,00	0,00	0,00	0,0000	0,0000	0,000000	0,000000	0,00	0,000000	0,000000	0,00
Piano terra	100%	0,00	0,00	0,00	0,0000	0,0000	0,000000	0,000000	0,00	0,000000	0,000000	0,00
sisma in +X												
proporzionale alle masse												
Piano copertura (a)	0%	1,33	1,47	0,58	0,1035	0,0058	0,025199	0,000030	NS	0,006013	0,000037	NS
Piano copertura (a)	100%	0,79	0,33	0,53	0,1048	0,0057	0,020670	0,000030	NS	0,006549	0,000037	NS
proporzionale alla deformata 1° modo di vibrazione												
Piano copertura (a)	0%	1,28	1,45	0,58	0,1050	0,0056	0,025143	0,000028	NS	0,005892	0,000037	NS
Piano copertura (a)	100%	0,84	0,51	0,53	0,1063	0,0056	0,021147	0,000028	NS	0,005576	0,000037	NS
sisma in -X												
proporzionale alle masse												
Piano copertura (a)	0%	1,31	1,15	0,58	0,0854	0,0077	0,020894	0,000040	NS	0,006706	0,000019	NS
Piano copertura (a)	100%	0,80	0,85	0,53	0,0865	0,0106	0,017292	0,000040	NS	0,007653	0,000019	NS
proporzionale alla deformata 1° modo di vibrazione												
Piano copertura (a)	0%	1,30	1,21	0,58	0,0844	0,0072	0,020602	0,000047	NS	0,006536	0,000023	NS
Piano copertura (a)	100%	0,83	0,83	0,53	0,0858	0,0091	0,017339	0,000047	NS	0,006941	0,000023	NS
sisma in +Y												

Lv	$\%L_{LI}$	$L_{v,SLV}$	$L_{v,SLD}$	L_{pl}	ϕ_u	ϕ_y	SLV			SLD		
							Θ_c	Θ_d	CS	Θ_c	Θ_d	CS
	[%]	[m]	[m]	[m]	[rad/m]	[rad/m]	[rad]	[rad]		[rad]	[rad]	
proporzionale alle masse												
Piano copertura (a)	0%	0,73	0,83	0,48	0,0850	0,0136	0,015653	0,000078	NS	0,008407	0,000091	92,16
Piano copertura (a)	100%	1,39	1,29	0,54	0,0861	0,0070	0,020401	0,000078	NS	0,006175	0,000091	67,69
proporzionale alla deformata 1° modo di vibrazione												
Piano copertura (a)	0%	0,72	0,82	0,48	0,0848	0,0073	0,015145	0,000109	NS	0,005485	0,000110	49,84
Piano copertura (a)	100%	1,41	1,30	0,55	0,0859	0,0061	0,020390	0,000109	NS	0,005587	0,000110	50,78
sisma in -Y												
proporzionale alle masse												
Piano copertura (a)	0%	0,00	0,00	0,00	0,0000	0,0000	0,000000	0,000000	0,00	0,000000	0,000000	0,00
Piano copertura (a)	100%	0,00	0,00	0,00	0,0000	0,0000	0,000000	0,000000	0,00	0,000000	0,000000	0,00
proporzionale alla deformata 1° modo di vibrazione												
Piano copertura (a)	0%	0,00	0,00	0,00	0,0000	0,0000	0,000000	0,000000	0,00	0,000000	0,000000	0,00
Piano copertura (a)	100%	0,00	0,00	0,00	0,0000	0,0000	0,000000	0,000000	0,00	0,000000	0,000000	0,00
sisma in +X												
proporzionale alle masse												
Piano copertura (b)	0%	0,27	0,28	0,48	0,1071	0,0052	0,015605	0,000200	78,22	0,007004	0,000029	NS
Piano copertura (b)	100%	0,59	0,59	0,51	0,1079	0,0053	0,017411	0,000200	87,27	0,005338	0,000029	NS
proporzionale alla deformata 1° modo di vibrazione												
Piano copertura (b)	0%	0,28	0,27	0,48	0,1082	0,0052	0,015759	0,000296	53,16	0,007021	0,000077	90,83
Piano copertura (b)	100%	0,58	0,59	0,51	0,1087	0,0054	0,017502	0,000296	59,04	0,005359	0,000077	69,33
sisma in -X												
proporzionale alle masse												
Piano copertura (b)	0%	0,36	0,33	0,48	0,0930	0,0075	0,013881	0,000345	40,19	0,007050	0,000220	32,02
Piano copertura (b)	100%	0,50	0,52	0,50	0,0936	0,0063	0,013791	0,000345	39,93	0,005798	0,000220	26,34
proporzionale alla deformata 1° modo di vibrazione												
Piano copertura (b)	0%	0,38	0,34	0,49	0,0924	0,0076	0,013798	0,000438	31,53	0,006990	0,000272	25,71
Piano copertura (b)	100%	0,48	0,51	0,50	0,0930	0,0063	0,013670	0,000438	31,24	0,005822	0,000272	21,42
sisma in +Y												
proporzionale alle masse												
Piano copertura (b)	0%	0,72	0,80	0,48	0,0804	0,0076	0,014433	0,001043	13,84	0,005588	0,000549	10,17
Piano copertura (b)	100%	0,13	0,01	0,42	0,0811	0,0062	0,064110	0,001043	61,49	0,112542	0,000549	NS
proporzionale alla deformata 1° modo di vibrazione												
Piano copertura (b)	0%	0,68	0,73	0,47	0,0780	0,0066	0,013514	0,001511	8,94	0,005069	0,000798	6,35
Piano copertura (b)	100%	0,18	0,10	0,42	0,0786	0,0068	0,012518	0,001511	8,28	0,009828	0,000798	12,32
sisma in -Y												
proporzionale alle masse												
Piano copertura (b)	0%	0,00	0,00	0,00	0,0000	0,0000	0,000000	0,000000	0,00	0,000000	0,000000	0,00
Piano copertura (b)	100%	0,00	0,00	0,00	0,0000	0,0000	0,000000	0,000000	0,00	0,000000	0,000000	0,00
proporzionale alla deformata 1° modo di vibrazione												
Piano copertura (b)	0%	0,00	0,00	0,00	0,0000	0,0000	0,000000	0,000000	0,00	0,000000	0,000000	0,00
Piano copertura (b)	100%	0,00	0,00	0,00	0,0000	0,0000	0,000000	0,000000	0,00	0,000000	0,000000	0,00
Pilastrata: Pilastrata30												
sisma in +X												
proporzionale alle masse												
Piano interrato	0%	1,71	1,84	0,65	0,0338	0,0081	0,011117	0,002097	5,30	0,008667	0,001153	7,52
Piano interrato	100%	0,03	0,18	0,49	0,0345	0,0025	0,009227	0,002097	4,40	0,010677	0,001153	9,26
proporzionale alla deformata 1° modo di vibrazione												
Piano interrato	0%	1,93	2,04	0,68	0,0322	0,0096	0,011508	0,001653	6,96	0,010379	0,000958	10,83
Piano interrato	100%	0,25	0,36	0,51	0,0329	0,0025	0,007070	0,001653	4,28	0,006449	0,000958	6,73
sisma in -X												
proporzionale alle masse												
Piano interrato	0%	1,41	1,26	0,62	0,0712	0,0056	0,018897	0,001702	11,10	0,005953	0,000503	11,83
Piano interrato	100%	0,29	0,44	0,51	0,0729	0,0105	0,012159	0,001702	7,14	0,008343	0,000503	16,58
proporzionale alla deformata 1° modo di vibrazione												
Piano interrato	0%	1,53	1,34	0,64	0,0735	0,0055	0,020075	0,001130	17,77	0,005931	0,000317	18,69
Piano interrato	100%	0,17	0,38	0,50	0,0769	0,0095	0,012607	0,001130	11,16	0,008390	0,000317	26,43
sisma in +Y												
proporzionale alle masse												
Piano interrato	0%	1,52	1,55	0,55	0,0637	0,0064	0,016003	0,003295	4,86	0,006158	0,001450	4,25
Piano interrato	100%	0,18	0,05	0,42	0,0654	0,0081	0,013142	0,003295	3,99	0,014394	0,001450	9,93
proporzionale alla deformata 1° modo di vibrazione												
Piano interrato	0%	1,61	1,75	0,56	0,0687	0,0063	0,017640	0,003526	5,00	0,006501	0,001524	4,26
Piano interrato	100%	0,09	0,10	0,41	0,0698	0,0121	0,010843	0,003526	3,08	0,009951	0,001524	6,53
sisma in -Y												
proporzionale alle masse												
Piano interrato	0%	0,00	0,00	0,00	0,0000	0,0000	0,000000	0,000000	0,00	0,000000	0,000000	0,00
Piano interrato	100%	0,00	0,00	0,00	0,0000	0,0000	0,000000	0,000000	0,00	0,000000	0,000000	0,00
proporzionale alla deformata 1° modo di vibrazione												
Piano interrato	0%	0,00	0,00	0,00	0,0000	0,0000	0,000000	0,000000	0,00	0,000000	0,000000	0,00
Piano interrato	100%	0,00	0,00	0,00	0,0000	0,0000	0,000000	0,000000	0,00	0,000000	0,000000	0,00
sisma in +X												
proporzionale alle masse												
Piano copertura	0%	6,81	1,08	1,16	0,0389	0,0072	0,020200	0,000800	25,24	0,006666	0,000393	16,95
Piano copertura	100%	14,17	8,43	1,90	0,0419	0,0087	0,043246	0,000800	54,04	0,027618	0,000393	70,22
proporzionale alla deformata 1° modo di vibrazione												
Piano copertura	0%	0,47	0,30	0,53	0,0367	0,0025	0,008166	0,001074	7,60	0,007250	0,000522	13,88
Piano copertura	100%	7,85	7,07	1,27	0,0395	0,0092	0,030086	0,001074	28,00	0,024807	0,000522	47,48
sisma in -X												
proporzionale alle masse												
Piano copertura	0%	3,36	2,65	0,82	0,0796	0,0061	0,030629	0,000833	36,77	0,008407	0,000399	21,07
Piano copertura	100%	3,73	4,57	0,86	0,0848	0,0060	0,035807	0,000833	42,98	0,011932	0,000399	29,91
proporzionale alla deformata 1° modo di vibrazione												
Piano copertura	0%	2,84	2,13	0,77	0,0837	0,0059	0,029455	0,001103	26,70	0,007289	0,000507	14,39
Piano copertura	100%	4,10	5,15	0,89	0,0891	0,0053	0,039192	0,001103	35,53	0,011742	0,000507	23,17
sisma in +Y												

Lv	$\%L_{LI}$	$L_{v,SLV}$	$L_{v,SLD}$	L_{pl}	ϕ_u	ϕ_y	SLV			SLD		
							Θ_c	Θ_d	CS	Θ_c	Θ_d	CS
	[%]	[m]	[m]	[m]	[rad/m]	[rad/m]	[rad]	[rad]		[rad]	[rad]	
proporzionale alle masse												
Piano copertura	0%	8,88	12,15	1,29	0,0705	0,0110	0,059505	0,000863	68,95	0,048006	0,000450	NS
Piano copertura	100%	1,80	4,62	0,58	0,0751	0,0110	0,025817	0,000863	29,91	0,020521	0,000450	45,59
proporzionale alla deformata 1° modo di vibrazione												
Piano copertura	0%	54,95	6,44	5,89	0,0759	0,0064	0,201958	0,001594	NS	0,016253	0,000820	19,83
Piano copertura	100%	48,91	13,59	5,29	0,0803	0,0095	0,200142	0,001594	NS	0,046370	0,000820	56,58
sisma in -Y												
proporzionale alle masse												
Piano copertura	0%	0,00	0,00	0,00	0,0000	0,0000	0,000000	0,000000	0,00	0,000000	0,000000	0,00
Piano copertura	100%	0,00	0,00	0,00	0,0000	0,0000	0,000000	0,000000	0,00	0,000000	0,000000	0,00
proporzionale alla deformata 1° modo di vibrazione												
Piano copertura	0%	0,00	0,00	0,00	0,0000	0,0000	0,000000	0,000000	0,00	0,000000	0,000000	0,00
Piano copertura	100%	0,00	0,00	0,00	0,0000	0,0000	0,000000	0,000000	0,00	0,000000	0,000000	0,00
Pilastrata: Pilastrata31												
sisma in +X												
proporzionale alle masse												
Piano interrato	0%	1,83	2,01	0,65	0,0588	0,0081	0,017981	0,001274	14,11	0,008942	0,000561	15,95
Piano interrato	100%	0,48	0,58	0,51	0,0600	0,0110	0,010205	0,001274	8,01	0,007848	0,000561	14,00
proporzionale alla deformata 1° modo di vibrazione												
Piano interrato	0%	2,20	2,24	0,68	0,0587	0,0077	0,019302	0,001240	15,57	0,009078	0,000561	16,18
Piano interrato	100%	0,85	0,82	0,55	0,0599	0,0132	0,013209	0,001240	10,65	0,009036	0,000561	16,10
sisma in -X												
proporzionale alle masse												
Piano interrato	0%	1,58	1,55	0,62	0,0479	0,0085	0,013928	0,001770	7,87	0,008125	0,000823	9,87
Piano interrato	100%	0,20	0,20	0,49	0,0497	0,0131	0,010150	0,001770	5,73	0,011415	0,000823	13,87
proporzionale alla deformata 1° modo di vibrazione												
Piano interrato	0%	1,88	1,77	0,65	0,0491	0,0084	0,015282	0,001681	9,09	0,008628	0,000803	10,74
Piano interrato	100%	0,48	0,40	0,51	0,0503	0,0135	0,009236	0,001681	5,49	0,009049	0,000803	11,26
sisma in +Y												
proporzionale alle masse												
Piano interrato	0%	0,74	0,73	0,47	0,0474	0,0076	0,009086	0,002644	3,44	0,005378	0,001093	4,92
Piano interrato	100%	0,67	0,62	0,46	0,0481	0,0078	0,008786	0,002644	3,32	0,005314	0,001093	4,86
proporzionale alla deformata 1° modo di vibrazione												
Piano interrato	0%	0,73	0,74	0,47	0,0492	0,0077	0,009320	0,001762	5,29	0,005435	0,000707	7,68
Piano interrato	100%	0,67	0,59	0,46	0,0497	0,0075	0,008976	0,001762	5,09	0,005161	0,000707	7,30
sisma in -Y												
proporzionale alle masse												
Piano interrato	0%	0,00	0,00	0,00	0,0000	0,0000	0,000000	0,000000	0,00	0,000000	0,000000	0,00
Piano interrato	100%	0,00	0,00	0,00	0,0000	0,0000	0,000000	0,000000	0,00	0,000000	0,000000	0,00
proporzionale alla deformata 1° modo di vibrazione												
Piano interrato	0%	0,00	0,00	0,00	0,0000	0,0000	0,000000	0,000000	0,00	0,000000	0,000000	0,00
Piano interrato	100%	0,00	0,00	0,00	0,0000	0,0000	0,000000	0,000000	0,00	0,000000	0,000000	0,00
sisma in +X												
proporzionale alle masse												
Piano terra	0%	0,46	0,66	0,51	0,0824	0,0128	0,013176	0,001697	7,76	0,008569	0,000781	10,97
Piano terra	100%	2,32	2,07	0,70	0,0835	0,0070	0,026677	0,001697	15,72	0,008065	0,000781	10,32
proporzionale alla deformata 1° modo di vibrazione												
Piano terra	0%	0,99	0,99	0,56	0,0822	0,0071	0,018361	0,002033	9,03	0,006369	0,000928	6,86
Piano terra	100%	1,81	1,69	0,65	0,0840	0,0061	0,024033	0,002033	11,82	0,006692	0,000928	7,21
sisma in -X												
proporzionale alle masse												
Piano terra	0%	0,02	0,03	0,47	0,0758	0,0098	0,032826	0,002060	15,94	0,050252	0,000969	51,87
Piano terra	100%	2,81	2,41	0,75	0,0768	0,0084	0,027219	0,002060	13,21	0,010225	0,000969	10,55
proporzionale alla deformata 1° modo di vibrazione												
Piano terra	0%	0,66	0,55	0,53	0,0757	0,0120	0,014231	0,002340	6,08	0,008231	0,001088	7,57
Piano terra	100%	2,17	2,20	0,68	0,0772	0,0075	0,024422	0,002340	10,44	0,008798	0,001088	8,09
sisma in +Y												
proporzionale alle masse												
Piano terra	0%	1,40	1,23	0,54	0,0822	0,0065	0,019231	0,002218	8,67	0,005624	0,000965	5,83
Piano terra	100%	1,43	1,39	0,54	0,0840	0,0063	0,019955	0,002218	9,00	0,005838	0,000965	6,05
proporzionale alla deformata 1° modo di vibrazione												
Piano terra	0%	1,40	1,24	0,54	0,0822	0,0063	0,019269	0,001903	10,13	0,005562	0,000787	7,07
Piano terra	100%	1,44	1,42	0,54	0,0838	0,0062	0,019946	0,001903	10,48	0,005792	0,000787	7,36
sisma in -Y												
proporzionale alle masse												
Piano terra	0%	0,00	0,00	0,00	0,0000	0,0000	0,000000	0,000000	0,00	0,000000	0,000000	0,00
Piano terra	100%	0,00	0,00	0,00	0,0000	0,0000	0,000000	0,000000	0,00	0,000000	0,000000	0,00
proporzionale alla deformata 1° modo di vibrazione												
Piano terra	0%	0,00	0,00	0,00	0,0000	0,0000	0,000000	0,000000	0,00	0,000000	0,000000	0,00
Piano terra	100%	0,00	0,00	0,00	0,0000	0,0000	0,000000	0,000000	0,00	0,000000	0,000000	0,00
sisma in +X												
proporzionale alle masse												
Piano copertura	0%	1,50	1,40	0,61	0,0933	0,0063	0,024451	0,000162	NS	0,006404	0,000057	NS
Piano copertura	100%	0,27	0,25	0,49	0,0941	0,0060	0,014995	0,000162	92,59	0,008316	0,000057	NS
proporzionale alla deformata 1° modo di vibrazione												
Piano copertura	0%	1,53	1,44	0,62	0,0941	0,0061	0,024844	0,000224	NS	0,006342	0,000086	73,94
Piano copertura	100%	0,32	0,31	0,50	0,0948	0,0058	0,014756	0,000224	65,77	0,007410	0,000086	86,40
sisma in -X												
proporzionale alle masse												
Piano copertura	0%	1,83	1,81	0,65	0,0890	0,0068	0,025652	0,000202	NS	0,007437	0,000117	63,82
Piano copertura	100%	0,62	0,68	0,53	0,0899	0,0083	0,015666	0,000202	77,67	0,006739	0,000117	57,83
proporzionale alla deformata 1° modo di vibrazione												
Piano copertura	0%	1,83	1,83	0,65	0,0888	0,0065	0,025584	0,000250	NS	0,007259	0,000140	52,02
Piano copertura	100%	0,62	0,67	0,53	0,0896	0,0081	0,015721	0,000250	62,85	0,006681	0,000140	47,87
sisma in +Y												

Lv	$\%L_{LI}$	$L_{v,SLV}$	$L_{v,SLD}$	L_{pl}	ϕ_u	ϕ_y	SLV			SLD		
							Θ_c	Θ_d	CS	Θ_c	Θ_d	CS
	[%]	[m]	[m]	[m]	[rad/m]	[rad/m]	[rad]	[rad]		[rad]	[rad]	
proporzionale alle masse												
Piano copertura	0%	0,65	0,65	0,46	0,1006	0,0066	0,016449	0,000007	NS	0,004859	0,000088	55,33
Piano copertura	100%	0,55	0,54	0,45	0,1013	0,0067	0,015041	0,000007	NS	0,004861	0,000088	55,35
proporzionale alla deformata 1° modo di vibrazione												
Piano copertura	0%	0,65	0,66	0,46	0,0998	0,0067	0,016376	0,000048	NS	0,004899	0,000099	49,37
Piano copertura	100%	0,56	0,55	0,45	0,1006	0,0066	0,015004	0,000048	NS	0,004813	0,000099	48,50
sisma in -Y												
proporzionale alle masse												
Piano copertura	0%	0,00	0,00	0,00	0,0000	0,0000	0,000000	0,000000	0,00	0,000000	0,000000	0,00
Piano copertura	100%	0,00	0,00	0,00	0,0000	0,0000	0,000000	0,000000	0,00	0,000000	0,000000	0,00
proporzionale alla deformata 1° modo di vibrazione												
Piano copertura	0%	0,00	0,00	0,00	0,0000	0,0000	0,000000	0,000000	0,00	0,000000	0,000000	0,00
Piano copertura	100%	0,00	0,00	0,00	0,0000	0,0000	0,000000	0,000000	0,00	0,000000	0,000000	0,00
Pilastrata: Pilastrata32												
sisma in +X												
proporzionale alle masse												
Piano interrato	0%	1,36	1,42	0,58	0,0304	0,0162	0,009660	0,001289	7,50	0,012820	0,000569	22,52
Piano interrato	100%	0,01	0,08	0,45	0,0307	0,0044	0,011624	0,001289	9,02	0,017353	0,000569	30,48
proporzionale alla deformata 1° modo di vibrazione												
Piano interrato	0%	1,48	1,55	0,60	0,0305	0,0149	0,009979	0,001242	8,04	0,012564	0,000565	22,24
Piano interrato	100%	0,13	0,20	0,46	0,0308	0,0069	0,007187	0,001242	5,79	0,008888	0,000565	15,73
sisma in -X												
proporzionale alle masse												
Piano interrato	0%	1,38	1,42	0,58	0,0300	0,0158	0,009553	0,001751	5,46	0,012582	0,000822	15,30
Piano interrato	100%	0,05	0,07	0,45	0,0304	0,0028	0,012062	0,001751	6,89	0,017888	0,000822	21,75
proporzionale alla deformata 1° modo di vibrazione												
Piano interrato	0%	1,44	1,50	0,59	0,0297	0,0154	0,009685	0,001658	5,84	0,012643	0,000799	15,83
Piano interrato	100%	0,14	0,15	0,46	0,0304	0,0046	0,008128	0,001658	4,90	0,010325	0,000799	12,93
sisma in +Y												
proporzionale alle masse												
Piano interrato	0%	0,70	0,69	0,47	0,0329	0,0101	0,006748	0,002338	2,89	0,006384	0,000998	6,40
Piano interrato	100%	0,63	0,67	0,46	0,0320	0,0094	0,006329	0,002338	2,71	0,006041	0,000998	6,06
proporzionale alla deformata 1° modo di vibrazione												
Piano interrato	0%	0,71	0,71	0,47	0,0326	0,0095	0,006701	0,001709	3,92	0,006163	0,000752	8,19
Piano interrato	100%	0,63	0,64	0,46	0,0328	0,0096	0,006432	0,001709	3,76	0,006053	0,000752	8,05
sisma in -Y												
proporzionale alle masse												
Piano interrato	0%	0,00	0,00	0,00	0,0000	0,0000	0,000000	0,000000	0,00	0,000000	0,000000	0,00
Piano interrato	100%	0,00	0,00	0,00	0,0000	0,0000	0,000000	0,000000	0,00	0,000000	0,000000	0,00
proporzionale alla deformata 1° modo di vibrazione												
Piano interrato	0%	0,00	0,00	0,00	0,0000	0,0000	0,000000	0,000000	0,00	0,000000	0,000000	0,00
Piano interrato	100%	0,00	0,00	0,00	0,0000	0,0000	0,000000	0,000000	0,00	0,000000	0,000000	0,00
sisma in +X												
proporzionale alle masse												
Piano terra	0%	0,77	0,85	0,52	0,0670	0,0117	0,013674	0,001707	8,01	0,008160	0,000789	10,35
Piano terra	100%	2,08	2,07	0,65	0,0678	0,0118	0,021561	0,001707	12,63	0,012257	0,000789	15,54
proporzionale alla deformata 1° modo di vibrazione												
Piano terra	0%	1,05	1,08	0,55	0,0669	0,0127	0,015706	0,002043	7,69	0,009325	0,000940	9,92
Piano terra	100%	1,76	1,78	0,62	0,0679	0,0092	0,019629	0,002043	9,61	0,009103	0,000940	9,68
sisma in -X												
proporzionale alle masse												
Piano terra	0%	0,31	0,39	0,48	0,0663	0,0054	0,010302	0,002061	5,00	0,006028	0,000975	6,18
Piano terra	100%	2,53	2,51	0,70	0,0671	0,0138	0,024016	0,002061	11,65	0,015933	0,000975	16,34
proporzionale alla deformata 1° modo di vibrazione												
Piano terra	0%	0,80	0,75	0,53	0,0664	0,0110	0,013597	0,002337	5,82	0,007655	0,001096	6,99
Piano terra	100%	2,07	2,14	0,65	0,0670	0,0107	0,021271	0,002337	9,10	0,011503	0,001096	10,50
sisma in +Y												
proporzionale alle masse												
Piano terra	0%	1,39	1,33	0,54	0,0708	0,0083	0,017011	0,002191	7,76	0,006955	0,000982	7,08
Piano terra	100%	1,49	1,48	0,55	0,0722	0,0080	0,017854	0,002191	8,15	0,007129	0,000982	7,26
proporzionale alla deformata 1° modo di vibrazione												
Piano terra	0%	1,41	1,35	0,54	0,0705	0,0078	0,016993	0,002016	8,43	0,006717	0,000869	7,73
Piano terra	100%	1,48	1,41	0,54	0,0718	0,0076	0,017590	0,002016	8,72	0,006688	0,000869	7,70
sisma in -Y												
proporzionale alle masse												
Piano terra	0%	0,00	0,00	0,00	0,0000	0,0000	0,000000	0,000000	0,00	0,000000	0,000000	0,00
Piano terra	100%	0,00	0,00	0,00	0,0000	0,0000	0,000000	0,000000	0,00	0,000000	0,000000	0,00
proporzionale alla deformata 1° modo di vibrazione												
Piano terra	0%	0,00	0,00	0,00	0,0000	0,0000	0,000000	0,000000	0,00	0,000000	0,000000	0,00
Piano terra	100%	0,00	0,00	0,00	0,0000	0,0000	0,000000	0,000000	0,00	0,000000	0,000000	0,00
sisma in +X												
proporzionale alle masse												
Piano copertura	0%	1,62	1,57	0,61	0,0843	0,0082	0,022765	0,000156	NS	0,007885	0,000074	NS
Piano copertura	100%	0,44	0,47	0,49	0,0847	0,0086	0,012730	0,000156	81,42	0,006735	0,000074	91,13
proporzionale alla deformata 1° modo di vibrazione												
Piano copertura	0%	1,57	1,59	0,60	0,0844	0,0077	0,022516	0,000208	NS	0,007587	0,000098	77,69
Piano copertura	100%	0,38	0,37	0,49	0,0852	0,0081	0,012831	0,000208	61,70	0,006957	0,000098	71,24
sisma in -X												
proporzionale alle masse												
Piano copertura	0%	1,50	1,59	0,60	0,0833	0,0087	0,021971	0,000143	NS	0,008309	0,000071	NS
Piano copertura	100%	0,33	0,35	0,48	0,0840	0,0115	0,012782	0,000143	89,56	0,008147	0,000071	NS
proporzionale alla deformata 1° modo di vibrazione												
Piano copertura	0%	1,51	1,54	0,60	0,0836	0,0081	0,021973	0,000187	NS	0,007737	0,000092	84,07
Piano copertura	100%	0,31	0,36	0,48	0,0843	0,0109	0,012702	0,000187	67,77	0,007881	0,000092	85,63
sisma in +Y												

Lv	$\%L_{LI}$	$L_{v,SLV}$	$L_{v,SLD}$	L_{pl}	ϕ_u	ϕ_y	SLV			SLD		
							Θ_c	Θ_d	CS	Θ_c	Θ_d	CS
	[%]	[m]	[m]	[m]	[rad/m]	[rad/m]	[rad]	[rad]		[rad]	[rad]	
proporzionale alle masse												
Piano copertura	0%	0,66	0,64	0,46	0,0891	0,0076	0,014918	0,000111	NS	0,005265	0,000171	30,80
Piano copertura	100%	0,53	0,57	0,45	0,0901	0,0081	0,013265	0,000111	NS	0,005376	0,000171	31,45
proporzionale alla deformata 1° modo di vibrazione												
Piano copertura	0%	0,68	0,64	0,46	0,0890	0,0072	0,015002	0,000120	NS	0,005096	0,000172	29,63
Piano copertura	100%	0,53	0,56	0,45	0,0896	0,0077	0,013194	0,000120	NS	0,005241	0,000172	30,48
sisma in -Y												
proporzionale alle masse												
Piano copertura	0%	0,00	0,00	0,00	0,0000	0,0000	0,000000	0,000000	0,00	0,000000	0,000000	0,00
Piano copertura	100%	0,00	0,00	0,00	0,0000	0,0000	0,000000	0,000000	0,00	0,000000	0,000000	0,00
proporzionale alla deformata 1° modo di vibrazione												
Piano copertura	0%	0,00	0,00	0,00	0,0000	0,0000	0,000000	0,000000	0,00	0,000000	0,000000	0,00
Piano copertura	100%	0,00	0,00	0,00	0,0000	0,0000	0,000000	0,000000	0,00	0,000000	0,000000	0,00
Pilastrata: Pilastrata33												
sisma in +X												
proporzionale alle masse												
Piano interrato	0%	1,66	1,74	0,61	0,0378	0,0141	0,012301	0,001283	9,59	0,012749	0,000570	22,38
Piano interrato	100%	0,28	0,34	0,48	0,0384	0,0095	0,007228	0,001283	5,63	0,007586	0,000570	13,32
proporzionale alla deformata 1° modo di vibrazione												
Piano interrato	0%	1,99	2,05	0,65	0,0379	0,0130	0,013334	0,001221	10,92	0,013166	0,000558	23,60
Piano interrato	100%	0,62	0,66	0,51	0,0385	0,0112	0,007885	0,001221	6,46	0,007613	0,000558	13,65
sisma in -X												
proporzionale alle masse												
Piano interrato	0%	1,53	1,59	0,60	0,0363	0,0123	0,011230	0,001764	6,37	0,010854	0,000826	13,14
Piano interrato	100%	0,17	0,20	0,46	0,0369	0,0116	0,008050	0,001764	4,56	0,010221	0,000826	12,37
proporzionale alla deformata 1° modo di vibrazione												
Piano interrato	0%	1,77	1,74	0,62	0,0367	0,0123	0,011986	0,001651	7,26	0,011416	0,000795	14,36
Piano interrato	100%	0,39	0,35	0,49	0,0373	0,0137	0,007272	0,001651	4,40	0,008814	0,000795	11,08
sisma in +Y												
proporzionale alle masse												
Piano interrato	0%	0,79	1,00	0,48	0,0333	0,0096	0,007386	0,002135	3,46	0,006907	0,000875	7,89
Piano interrato	100%	0,61	0,42	0,46	0,0339	0,0105	0,006393	0,002135	2,99	0,006141	0,000875	7,02
proporzionale alla deformata 1° modo di vibrazione												
Piano interrato	0%	0,79	1,05	0,48	0,0337	0,0096	0,007529	0,001633	4,61	0,007042	0,000675	10,43
Piano interrato	100%	0,59	0,34	0,46	0,0340	0,0106	0,006361	0,001633	3,89	0,006186	0,000675	9,16
sisma in -Y												
proporzionale alle masse												
Piano interrato	0%	0,00	0,00	0,00	0,0000	0,0000	0,000000	0,000000	0,00	0,000000	0,000000	0,00
Piano interrato	100%	0,00	0,00	0,00	0,0000	0,0000	0,000000	0,000000	0,00	0,000000	0,000000	0,00
proporzionale alla deformata 1° modo di vibrazione												
Piano interrato	0%	0,00	0,00	0,00	0,0000	0,0000	0,000000	0,000000	0,00	0,000000	0,000000	0,00
Piano interrato	100%	0,00	0,00	0,00	0,0000	0,0000	0,000000	0,000000	0,00	0,000000	0,000000	0,00
sisma in +X												
proporzionale alle masse												
Piano terra	0%	0,49	0,63	0,50	0,0725	0,0121	0,011478	0,001699	6,76	0,007962	0,000783	10,17
Piano terra	100%	2,37	2,24	0,68	0,0734	0,0108	0,024275	0,001699	14,29	0,011890	0,000783	15,19
proporzionale alla deformata 1° modo di vibrazione												
Piano terra	0%	0,96	0,98	0,54	0,0727	0,0123	0,016145	0,002029	7,96	0,008799	0,000931	9,45
Piano terra	100%	1,90	1,87	0,64	0,0738	0,0084	0,021727	0,002029	10,71	0,008762	0,000931	9,41
sisma in -X												
proporzionale alle masse												
Piano terra	0%	0,27	0,33	0,47	0,0711	0,0131	0,011235	0,002043	5,50	0,008729	0,000960	9,10
Piano terra	100%	3,10	2,95	0,76	0,0721	0,0114	0,027721	0,002043	13,57	0,015059	0,000960	15,69
proporzionale alla deformata 1° modo di vibrazione												
Piano terra	0%	0,60	0,47	0,51	0,0714	0,0161	0,012705	0,002318	5,48	0,009311	0,001078	8,64
Piano terra	100%	2,28	2,36	0,67	0,0725	0,0098	0,023677	0,002318	10,22	0,011319	0,001078	10,50
sisma in +Y												
proporzionale alle masse												
Piano terra	0%	1,30	1,08	0,53	0,0704	0,0086	0,016252	0,002210	7,35	0,006568	0,000973	6,75
Piano terra	100%	1,57	1,87	0,55	0,0721	0,0081	0,018659	0,002210	8,44	0,008160	0,000973	8,38
proporzionale alla deformata 1° modo di vibrazione												
Piano terra	0%	1,35	1,15	0,53	0,0703	0,0079	0,016477	0,002165	7,61	0,006318	0,000920	6,87
Piano terra	100%	1,53	1,77	0,55	0,0719	0,0075	0,018217	0,002165	8,41	0,007482	0,000920	8,14
sisma in -Y												
proporzionale alle masse												
Piano terra	0%	0,00	0,00	0,00	0,0000	0,0000	0,000000	0,000000	0,00	0,000000	0,000000	0,00
Piano terra	100%	0,00	0,00	0,00	0,0000	0,0000	0,000000	0,000000	0,00	0,000000	0,000000	0,00
proporzionale alla deformata 1° modo di vibrazione												
Piano terra	0%	0,00	0,00	0,00	0,0000	0,0000	0,000000	0,000000	0,00	0,000000	0,000000	0,00
Piano terra	100%	0,00	0,00	0,00	0,0000	0,0000	0,000000	0,000000	0,00	0,000000	0,000000	0,00
sisma in +X												
proporzionale alle masse												
Piano copertura	0%	1,86	1,95	0,63	0,0870	0,0075	0,024995	0,000171	NS	0,008206	0,000077	NS
Piano copertura	100%	0,67	0,77	0,51	0,0877	0,0073	0,015761	0,000171	92,06	0,006040	0,000077	78,29
proporzionale alla deformata 1° modo di vibrazione												
Piano copertura	0%	1,74	1,85	0,62	0,0875	0,0074	0,024383	0,000232	NS	0,007854	0,000104	75,39
Piano copertura	100%	0,54	0,66	0,50	0,0881	0,0071	0,013838	0,000232	59,59	0,005967	0,000104	57,28
sisma in -X												
proporzionale alle masse												
Piano copertura	0%	1,67	1,68	0,61	0,0854	0,0079	0,023376	0,000179	NS	0,007918	0,000092	85,97
Piano copertura	100%	0,47	0,49	0,49	0,0860	0,0077	0,012881	0,000179	72,12	0,006410	0,000092	69,60
proporzionale alla deformata 1° modo di vibrazione												
Piano copertura	0%	1,71	1,74	0,62	0,0854	0,0078	0,023636	0,000232	NS	0,007961	0,000117	68,32
Piano copertura	100%	0,51	0,54	0,50	0,0861	0,0077	0,013201	0,000232	56,95	0,006292	0,000117	53,99
sisma in +Y												

Lv	$\%L_{LI}$	$L_{v,SLV}$	$L_{v,SLD}$	L_{pl}	ϕ_u	ϕ_y	SLV			SLD		
							Θ_c	Θ_d	CS	Θ_c	Θ_d	CS
	[%]	[m]	[m]	[m]	[rad/m]	[rad/m]	[rad]	[rad]		[rad]	[rad]	
proporzionale alle masse												
Piano copertura	0%	0,61	0,60	0,46	0,0924	0,0067	0,014619	0,000261	55,94	0,004869	0,000282	17,28
Piano copertura	100%	0,60	0,60	0,46	0,0930	0,0065	0,014669	0,000261	56,13	0,004801	0,000282	17,04
proporzionale alla deformata 1° modo di vibrazione												
Piano copertura	0%	0,60	0,61	0,46	0,0920	0,0069	0,014545	0,000235	61,81	0,004939	0,000265	18,64
Piano copertura	100%	0,61	0,60	0,46	0,0927	0,0063	0,014657	0,000235	62,29	0,004729	0,000265	17,84
sisma in -Y												
proporzionale alle masse												
Piano copertura	0%	0,00	0,00	0,00	0,0000	0,0000	0,000000	0,000000	0,00	0,000000	0,000000	0,00
Piano copertura	100%	0,00	0,00	0,00	0,0000	0,0000	0,000000	0,000000	0,00	0,000000	0,000000	0,00
proporzionale alla deformata 1° modo di vibrazione												
Piano copertura	0%	0,00	0,00	0,00	0,0000	0,0000	0,000000	0,000000	0,00	0,000000	0,000000	0,00
Piano copertura	100%	0,00	0,00	0,00	0,0000	0,0000	0,000000	0,000000	0,00	0,000000	0,000000	0,00
Pilastrata: Pilastrata34												
sisma in +X												
proporzionale alle masse												
Piano interrato	0%	1,62	1,68	0,61	0,0389	0,0143	0,012419	0,001284	9,67	0,012641	0,000570	22,18
Piano interrato	100%	0,23	0,28	0,47	0,0397	0,0071	0,007575	0,001284	5,90	0,007495	0,000570	13,15
proporzionale alla deformata 1° modo di vibrazione												
Piano interrato	0%	1,87	1,92	0,63	0,0392	0,0128	0,013182	0,001227	10,74	0,012472	0,000560	22,28
Piano interrato	100%	0,49	0,52	0,50	0,0398	0,0088	0,007206	0,001227	5,87	0,006725	0,000560	12,01
sisma in -X												
proporzionale alle masse												
Piano interrato	0%	1,52	1,60	0,60	0,0383	0,0125	0,011714	0,001760	6,66	0,010998	0,000821	13,40
Piano interrato	100%	0,13	0,19	0,46	0,0393	0,0066	0,008339	0,001760	4,74	0,009125	0,000821	11,12
proporzionale alla deformata 1° modo di vibrazione												
Piano interrato	0%	1,66	1,72	0,61	0,0387	0,0125	0,012297	0,001656	7,43	0,011475	0,000793	14,48
Piano interrato	100%	0,28	0,31	0,48	0,0394	0,0085	0,007441	0,001656	4,49	0,007519	0,000793	9,49
sisma in +Y												
proporzionale alle masse												
Piano interrato	0%	0,74	0,79	0,47	0,0359	0,0095	0,007389	0,002195	3,37	0,006305	0,000932	6,76
Piano interrato	100%	0,65	0,60	0,46	0,0358	0,0095	0,006897	0,002195	3,14	0,005932	0,000932	6,36
proporzionale alla deformata 1° modo di vibrazione												
Piano interrato	0%	0,74	0,81	0,47	0,0362	0,0092	0,007463	0,001834	4,07	0,006239	0,000797	7,83
Piano interrato	100%	0,65	0,59	0,46	0,0367	0,0092	0,007007	0,001834	3,82	0,005832	0,000797	7,32
sisma in -Y												
proporzionale alle masse												
Piano interrato	0%	0,00	0,00	0,00	0,0000	0,0000	0,000000	0,000000	0,00	0,000000	0,000000	0,00
Piano interrato	100%	0,00	0,00	0,00	0,0000	0,0000	0,000000	0,000000	0,00	0,000000	0,000000	0,00
proporzionale alla deformata 1° modo di vibrazione												
Piano interrato	0%	0,00	0,00	0,00	0,0000	0,0000	0,000000	0,000000	0,00	0,000000	0,000000	0,00
Piano interrato	100%	0,00	0,00	0,00	0,0000	0,0000	0,000000	0,000000	0,00	0,000000	0,000000	0,00
sisma in +X												
proporzionale alle masse												
Piano terra	0%	0,50	0,66	0,50	0,0708	0,0083	0,010988	0,001688	6,51	0,006455	0,000780	8,28
Piano terra	100%	2,33	2,24	0,68	0,0717	0,0127	0,023995	0,001688	14,22	0,013680	0,000780	17,55
proporzionale alla deformata 1° modo di vibrazione												
Piano terra	0%	0,98	0,99	0,55	0,0709	0,0166	0,016219	0,002013	8,06	0,011056	0,000926	11,94
Piano terra	100%	1,86	1,90	0,63	0,0718	0,0090	0,021159	0,002013	10,51	0,009302	0,000926	10,05
sisma in -X												
proporzionale alle masse												
Piano terra	0%	0,10	0,08	0,46	0,0700	0,0079	0,015786	0,002036	7,75	0,017369	0,000961	18,08
Piano terra	100%	2,88	3,01	0,74	0,0707	0,0130	0,027109	0,002036	13,31	0,017206	0,000961	17,91
proporzionale alla deformata 1° modo di vibrazione												
Piano terra	0%	0,66	0,55	0,51	0,0701	0,0131	0,013100	0,002304	5,69	0,008276	0,001076	7,69
Piano terra	100%	2,21	2,30	0,67	0,0709	0,0104	0,023023	0,002304	9,99	0,011685	0,001076	10,86
sisma in +Y												
proporzionale alle masse												
Piano terra	0%	1,41	1,40	0,54	0,0720	0,0082	0,017399	0,002245	7,75	0,007087	0,001010	7,02
Piano terra	100%	1,47	1,35	0,54	0,0733	0,0080	0,017864	0,002245	7,96	0,006820	0,001010	6,75
proporzionale alla deformata 1° modo di vibrazione												
Piano terra	0%	1,43	1,31	0,54	0,0723	0,0075	0,017376	0,002381	7,30	0,006411	0,001040	6,16
Piano terra	100%	1,46	1,35	0,54	0,0736	0,0074	0,017841	0,002381	7,49	0,006431	0,001040	6,18
sisma in -Y												
proporzionale alle masse												
Piano terra	0%	0,00	0,00	0,00	0,0000	0,0000	0,000000	0,000000	0,00	0,000000	0,000000	0,00
Piano terra	100%	0,00	0,00	0,00	0,0000	0,0000	0,000000	0,000000	0,00	0,000000	0,000000	0,00
proporzionale alla deformata 1° modo di vibrazione												
Piano terra	0%	0,00	0,00	0,00	0,0000	0,0000	0,000000	0,000000	0,00	0,000000	0,000000	0,00
Piano terra	100%	0,00	0,00	0,00	0,0000	0,0000	0,000000	0,000000	0,00	0,000000	0,000000	0,00
sisma in +X												
proporzionale alle masse												
Piano copertura	0%	2,03	2,53	0,65	0,0842	0,0080	0,025813	0,000182	NS	0,010050	0,000082	NS
Piano copertura	100%	0,84	1,44	0,53	0,0848	0,0080	0,017703	0,000182	97,32	0,007473	0,000082	90,65
proporzionale alla deformata 1° modo di vibrazione												
Piano copertura	0%	1,83	2,06	0,63	0,0840	0,0077	0,024189	0,000248	97,47	0,008602	0,000111	77,79
Piano copertura	100%	0,63	0,94	0,51	0,0849	0,0078	0,014964	0,000248	60,29	0,006470	0,000111	58,51
sisma in -X												
proporzionale alle masse												
Piano copertura	0%	1,62	1,46	0,61	0,0833	0,0083	0,022425	0,000188	NS	0,007732	0,000095	81,47
Piano copertura	100%	0,38	0,31	0,49	0,0843	0,0087	0,012955	0,000188	68,88	0,007578	0,000095	79,84
proporzionale alla deformata 1° modo di vibrazione												
Piano copertura	0%	1,61	1,55	0,61	0,0838	0,0080	0,022559	0,000244	92,31	0,007706	0,000120	64,19
Piano copertura	100%	0,40	0,36	0,49	0,0844	0,0086	0,012828	0,000244	52,49	0,007196	0,000120	59,94
sisma in +Y												

Lv	$\%L_{LI}$	$L_{v,SLV}$	$L_{v,SLD}$	L_{pl}	ϕ_u	ϕ_y	SLV			SLD		
							Θ_c	Θ_d	CS	Θ_c	Θ_d	CS
	[%]	[m]	[m]	[m]	[rad/m]	[rad/m]	[rad]	[rad]		[rad]	[rad]	
proporzionale alle masse												
Piano copertura	0%	0,66	0,64	0,46	0,0881	0,0071	0,014685	0,000171	85,90	0,005056	0,000213	23,68
Piano copertura	100%	0,55	0,57	0,45	0,0887	0,0073	0,013392	0,000171	78,34	0,005093	0,000213	23,85
proporzionale alla deformata 1° modo di vibrazione												
Piano copertura	0%	0,66	0,64	0,46	0,0884	0,0069	0,014721	0,000139	NS	0,004991	0,000194	25,76
Piano copertura	100%	0,55	0,56	0,45	0,0890	0,0070	0,013381	0,000139	96,56	0,004981	0,000194	25,71
sisma in -Y												
proporzionale alle masse												
Piano copertura	0%	0,00	0,00	0,00	0,0000	0,0000	0,000000	0,000000	0,00	0,000000	0,000000	0,00
Piano copertura	100%	0,00	0,00	0,00	0,0000	0,0000	0,000000	0,000000	0,00	0,000000	0,000000	0,00
proporzionale alla deformata 1° modo di vibrazione												
Piano copertura	0%	0,00	0,00	0,00	0,0000	0,0000	0,000000	0,000000	0,00	0,000000	0,000000	0,00
Piano copertura	100%	0,00	0,00	0,00	0,0000	0,0000	0,000000	0,000000	0,00	0,000000	0,000000	0,00
Pilastrata: Pilastrata35												
sisma in +X												
proporzionale alle masse												
Piano interrato	0%	1,52	1,64	0,60	0,0512	0,0111	0,014710	0,001300	11,32	0,010146	0,000574	17,69
Piano interrato	100%	0,18	0,24	0,47	0,0525	0,0064	0,009284	0,001300	7,14	0,007831	0,000574	13,65
proporzionale alla deformata 1° modo di vibrazione												
Piano interrato	0%	1,71	1,88	0,62	0,0515	0,0101	0,015573	0,001233	12,63	0,010141	0,000559	18,14
Piano interrato	100%	0,41	0,48	0,49	0,0530	0,0086	0,008774	0,001233	7,12	0,006733	0,000559	12,05
sisma in -X												
proporzionale alle masse												
Piano interrato	0%	1,41	1,49	0,59	0,0488	0,0105	0,013530	0,001789	7,56	0,009270	0,000828	11,19
Piano interrato	100%	0,03	0,07	0,45	0,0499	0,0053	0,014111	0,001789	7,89	0,018197	0,000828	21,97
proporzionale alla deformata 1° modo di vibrazione												
Piano interrato	0%	1,54	1,59	0,60	0,0485	0,0106	0,013986	0,001674	8,36	0,009595	0,000796	12,06
Piano interrato	100%	0,16	0,19	0,46	0,0499	0,0063	0,009585	0,001674	5,73	0,009065	0,000796	11,40
sisma in +Y												
proporzionale alle masse												
Piano interrato	0%	0,74	0,77	0,47	0,0452	0,0086	0,008790	0,002115	4,16	0,005859	0,000903	6,49
Piano interrato	100%	0,66	0,61	0,46	0,0457	0,0087	0,008363	0,002115	3,95	0,005658	0,000903	6,27
proporzionale alla deformata 1° modo di vibrazione												
Piano interrato	0%	0,73	0,77	0,47	0,0458	0,0086	0,008886	0,001857	4,79	0,005859	0,000810	7,23
Piano interrato	100%	0,66	0,61	0,46	0,0454	0,0085	0,008313	0,001857	4,48	0,005576	0,000810	6,88
sisma in -Y												
proporzionale alle masse												
Piano interrato	0%	0,00	0,00	0,00	0,0000	0,0000	0,000000	0,000000	0,00	0,000000	0,000000	0,00
Piano interrato	100%	0,00	0,00	0,00	0,0000	0,0000	0,000000	0,000000	0,00	0,000000	0,000000	0,00
proporzionale alla deformata 1° modo di vibrazione												
Piano interrato	0%	0,00	0,00	0,00	0,0000	0,0000	0,000000	0,000000	0,00	0,000000	0,000000	0,00
Piano interrato	100%	0,00	0,00	0,00	0,0000	0,0000	0,000000	0,000000	0,00	0,000000	0,000000	0,00
sisma in +X												
proporzionale alle masse												
Piano terra	0%	0,52	0,67	0,50	0,0782	0,0107	0,012474	0,001689	7,38	0,007438	0,000780	9,54
Piano terra	100%	2,32	2,22	0,68	0,0788	0,0093	0,025374	0,001689	15,02	0,010462	0,000780	13,41
proporzionale alla deformata 1° modo di vibrazione												
Piano terra	0%	1,02	1,02	0,55	0,0783	0,0098	0,017576	0,002016	8,72	0,007594	0,000926	8,20
Piano terra	100%	1,86	1,86	0,63	0,0792	0,0078	0,022869	0,002016	11,34	0,008253	0,000926	8,92
sisma in -X												
proporzionale alle masse												
Piano terra	0%	0,15	0,13	0,46	0,0758	0,0097	0,013805	0,002039	6,77	0,012330	0,000960	12,85
Piano terra	100%	2,67	2,81	0,71	0,0767	0,0105	0,027220	0,002039	13,35	0,013484	0,000960	14,05
proporzionale alla deformata 1° modo di vibrazione												
Piano terra	0%	0,79	0,68	0,53	0,0758	0,0158	0,015279	0,002309	6,62	0,009579	0,001076	8,90
Piano terra	100%	2,07	2,15	0,65	0,0766	0,0089	0,023576	0,002309	10,21	0,009910	0,001076	9,21
sisma in +Y												
proporzionale alle masse												
Piano terra	0%	1,41	1,21	0,54	0,0778	0,0077	0,018436	0,002306	7,99	0,006310	0,001052	6,00
Piano terra	100%	1,46	1,41	0,54	0,0787	0,0074	0,019011	0,002306	8,24	0,006578	0,001052	6,25
proporzionale alla deformata 1° modo di vibrazione												
Piano terra	0%	1,44	1,35	0,54	0,0781	0,0071	0,018689	0,002548	7,34	0,006251	0,001133	5,52
Piano terra	100%	1,46	1,43	0,54	0,0794	0,0070	0,019176	0,002548	7,53	0,006350	0,001133	5,61
sisma in -Y												
proporzionale alle masse												
Piano terra	0%	0,00	0,00	0,00	0,0000	0,0000	0,000000	0,000000	0,00	0,000000	0,000000	0,00
Piano terra	100%	0,00	0,00	0,00	0,0000	0,0000	0,000000	0,000000	0,00	0,000000	0,000000	0,00
proporzionale alla deformata 1° modo di vibrazione												
Piano terra	0%	0,00	0,00	0,00	0,0000	0,0000	0,000000	0,000000	0,00	0,000000	0,000000	0,00
Piano terra	100%	0,00	0,00	0,00	0,0000	0,0000	0,000000	0,000000	0,00	0,000000	0,000000	0,00
sisma in +X												
proporzionale alle masse												
Piano copertura	0%	1,62	1,82	0,61	0,0897	0,0075	0,024307	0,000170	NS	0,007905	0,000073	NS
Piano copertura	100%	0,43	0,65	0,49	0,0904	0,0073	0,013200	0,000170	77,46	0,006044	0,000073	82,63
proporzionale alla deformata 1° modo di vibrazione												
Piano copertura	0%	1,53	1,64	0,60	0,0898	0,0073	0,023633	0,000230	NS	0,007392	0,000101	72,91
Piano copertura	100%	0,34	0,46	0,48	0,0907	0,0071	0,013188	0,000230	57,34	0,006264	0,000101	61,79
sisma in -X												
proporzionale alle masse												
Piano copertura	0%	1,57	1,59	0,60	0,0875	0,0081	0,023314	0,000186	NS	0,007825	0,000099	79,15
Piano copertura	100%	0,35	0,38	0,48	0,0884	0,0087	0,013154	0,000186	70,57	0,007094	0,000099	71,76
proporzionale alla deformata 1° modo di vibrazione												
Piano copertura	0%	1,53	1,49	0,60	0,0876	0,0078	0,022947	0,000238	96,23	0,007393	0,000123	60,34
Piano copertura	100%	0,34	0,35	0,48	0,0885	0,0087	0,013234	0,000238	55,49	0,007261	0,000123	59,26
sisma in +Y												

Lv	$\%L_{LI}$	$L_{v,SLV}$	$L_{v,SLD}$	L_{pl}	ϕ_u	ϕ_y	SLV			SLD		
							Θ_c	Θ_d	CS	Θ_c	Θ_d	CS
	[%]	[m]	[m]	[m]	[rad/m]	[rad/m]	[rad]	[rad]		[rad]	[rad]	
proporzionale alle masse												
Piano copertura	0%	0,66	0,65	0,46	0,0918	0,0070	0,015307	0,000091	NS	0,005007	0,000156	32,15
Piano copertura	100%	0,54	0,56	0,45	0,0925	0,0071	0,013746	0,000091	NS	0,004996	0,000156	32,08
proporzionale alla deformata 1° modo di vibrazione												
Piano copertura	0%	0,67	0,66	0,46	0,0924	0,0067	0,015383	0,000045	NS	0,004925	0,000132	37,43
Piano copertura	100%	0,54	0,56	0,45	0,0930	0,0069	0,013818	0,000045	NS	0,004907	0,000132	37,30
sisma in -Y												
proporzionale alle masse												
Piano copertura	0%	0,00	0,00	0,00	0,0000	0,0000	0,000000	0,000000	0,00	0,000000	0,000000	0,00
Piano copertura	100%	0,00	0,00	0,00	0,0000	0,0000	0,000000	0,000000	0,00	0,000000	0,000000	0,00
proporzionale alla deformata 1° modo di vibrazione												
Piano copertura	0%	0,00	0,00	0,00	0,0000	0,0000	0,000000	0,000000	0,00	0,000000	0,000000	0,00
Piano copertura	100%	0,00	0,00	0,00	0,0000	0,0000	0,000000	0,000000	0,00	0,000000	0,000000	0,00
Pilastrata: Pilastrata36												
sisma in +X												
proporzionale alle masse												
Piano interrato	0%	2,08	1,87	0,66	0,0801	0,0068	0,023954	0,001299	18,44	0,007469	0,000565	13,21
Piano interrato	100%	0,67	0,57	0,51	0,0812	0,0143	0,014960	0,001299	11,52	0,008760	0,000565	15,49
proporzionale alla deformata 1° modo di vibrazione												
Piano interrato	0%	2,89	2,36	0,74	0,0806	0,0066	0,027895	0,001230	22,67	0,008218	0,000553	14,86
Piano interrato	100%	1,40	1,12	0,59	0,0809	0,0087	0,020382	0,001230	16,57	0,007210	0,000553	13,03
sisma in -X												
proporzionale alle masse												
Piano interrato	0%	1,76	1,70	0,62	0,0701	0,0078	0,019943	0,001776	11,23	0,007885	0,000823	9,58
Piano interrato	100%	0,33	0,36	0,48	0,0712	0,0117	0,011239	0,001776	6,33	0,008154	0,000823	9,90
proporzionale alla deformata 1° modo di vibrazione												
Piano interrato	0%	2,19	1,99	0,67	0,0707	0,0080	0,022066	0,001662	13,28	0,008685	0,000791	10,97
Piano interrato	100%	0,79	0,66	0,53	0,0716	0,0144	0,014538	0,001662	8,75	0,008920	0,000791	11,27
sisma in +Y												
proporzionale alle masse												
Piano interrato	0%	0,73	0,72	0,48	0,0861	0,0062	0,015326	0,002604	5,89	0,004910	0,001178	4,17
Piano interrato	100%	0,73	0,68	0,48	0,0825	0,0061	0,014672	0,002604	5,63	0,004847	0,001178	4,11
proporzionale alla deformata 1° modo di vibrazione												
Piano interrato	0%	0,71	0,72	0,48	0,0824	0,0062	0,014486	0,002352	6,16	0,004918	0,001086	4,53
Piano interrato	100%	0,71	0,68	0,48	0,0794	0,0061	0,014020	0,002352	5,96	0,004833	0,001086	4,45
sisma in -Y												
proporzionale alle masse												
Piano interrato	0%	0,00	0,00	0,00	0,0000	0,0000	0,000000	0,000000	0,00	0,000000	0,000000	0,00
Piano interrato	100%	0,00	0,00	0,00	0,0000	0,0000	0,000000	0,000000	0,00	0,000000	0,000000	0,00
proporzionale alla deformata 1° modo di vibrazione												
Piano interrato	0%	0,00	0,00	0,00	0,0000	0,0000	0,000000	0,000000	0,00	0,000000	0,000000	0,00
Piano interrato	100%	0,00	0,00	0,00	0,0000	0,0000	0,000000	0,000000	0,00	0,000000	0,000000	0,00
sisma in +X												
proporzionale alle masse												
Piano terra	0%	0,39	0,49	0,49	0,0902	0,0079	0,013242	0,001728	7,66	0,006447	0,000790	8,16
Piano terra	100%	2,37	1,91	0,68	0,0907	0,0065	0,028297	0,001728	16,37	0,007292	0,000790	9,23
proporzionale alla deformata 1° modo di vibrazione												
Piano terra	0%	0,98	0,89	0,55	0,0904	0,0066	0,019402	0,002066	9,39	0,005810	0,000941	6,18
Piano terra	100%	1,87	1,82	0,63	0,0922	0,0061	0,026077	0,002066	12,62	0,006781	0,000941	7,21
sisma in -X												
proporzionale alle masse												
Piano terra	0%	0,20	0,33	0,47	0,0802	0,0054	0,011991	0,002083	5,76	0,006502	0,000983	6,62
Piano terra	100%	2,62	2,49	0,71	0,0814	0,0083	0,027535	0,002083	13,22	0,010229	0,000983	10,41
proporzionale alla deformata 1° modo di vibrazione												
Piano terra	0%	0,75	0,66	0,52	0,0803	0,0117	0,015569	0,002361	6,59	0,007856	0,001101	7,13
Piano terra	100%	2,14	2,10	0,66	0,0816	0,0074	0,024967	0,002361	10,58	0,008379	0,001101	7,61
sisma in +Y												
proporzionale alle masse												
Piano terra	0%	1,42	1,42	0,55	0,0798	0,0063	0,019204	0,002431	7,90	0,005954	0,001140	5,22
Piano terra	100%	1,46	1,45	0,55	0,0817	0,0062	0,019870	0,002431	8,17	0,005942	0,001140	5,21
proporzionale alla deformata 1° modo di vibrazione												
Piano terra	0%	1,44	1,40	0,55	0,0805	0,0063	0,019451	0,002778	7,00	0,005897	0,001270	4,64
Piano terra	100%	1,46	1,46	0,55	0,0822	0,0062	0,019981	0,002778	7,19	0,005951	0,001270	4,69
sisma in -Y												
proporzionale alle masse												
Piano terra	0%	0,00	0,00	0,00	0,0000	0,0000	0,000000	0,000000	0,00	0,000000	0,000000	0,00
Piano terra	100%	0,00	0,00	0,00	0,0000	0,0000	0,000000	0,000000	0,00	0,000000	0,000000	0,00
proporzionale alla deformata 1° modo di vibrazione												
Piano terra	0%	0,00	0,00	0,00	0,0000	0,0000	0,000000	0,000000	0,00	0,000000	0,000000	0,00
Piano terra	100%	0,00	0,00	0,00	0,0000	0,0000	0,000000	0,000000	0,00	0,000000	0,000000	0,00
sisma in +X												
proporzionale alle masse												
Piano copertura (a)	0%	1,62	7,47	0,61	0,0930	0,0066	0,031011	0,000147	NS	0,019198	0,000105	NS
Piano copertura (a)	100%	0,47	9,37	0,49	0,0942	0,0138	0,033436	0,000147	NS	0,046976	0,000105	NS
proporzionale alla deformata 1° modo di vibrazione												
Piano copertura (a)	0%	1,35	2,52	0,58	0,0937	0,0061	0,024059	0,000180	NS	0,007999	0,000122	65,53
Piano copertura (a)	100%	0,17	1,57	0,46	0,0945	0,0078	0,013870	0,000180	77,16	0,007577	0,000122	62,07
sisma in -X												
proporzionale alle masse												
Piano copertura (a)	0%	0,86	0,72	0,53	0,0844	0,0076	0,017226	0,000064	NS	0,006154	0,000015	NS
Piano copertura (a)	100%	0,33	0,43	0,48	0,0857	0,0112	0,012834	0,000064	NS	0,007734	0,000015	NS
proporzionale alla deformata 1° modo di vibrazione												
Piano copertura (a)	0%	0,87	0,76	0,53	0,0850	0,0069	0,017393	0,000094	NS	0,005860	0,000030	NS
Piano copertura (a)	100%	0,32	0,38	0,48	0,0858	0,0140	0,013006	0,000094	NS	0,008753	0,000030	NS
sisma in +Y												

Lv	$\%L_{LI}$	$L_{v,SLV}$	$L_{v,SLD}$	L_{pl}	ϕ_u	ϕ_y	SLV			SLD		
							Θ_c	Θ_d	CS	Θ_c	Θ_d	CS
	[%]	[m]	[m]	[m]	[rad/m]	[rad/m]	[rad]	[rad]		[rad]	[rad]	
proporzionale alle masse												
Piano copertura (a)	0%	0,62	0,57	0,47	0,0688	0,0143	0,011880	0,000270	44,07	0,007898	0,000071	NS
Piano copertura (a)	100%	0,55	0,62	0,46	0,0694	0,0142	0,011354	0,000270	42,12	0,008007	0,000071	NS
proporzionale alla deformata 1° modo di vibrazione												
Piano copertura (a)	0%	0,64	0,66	0,47	0,0669	0,0110	0,011753	0,000308	38,15	0,006806	0,000086	79,36
Piano copertura (a)	100%	0,53	0,53	0,46	0,0677	0,0137	0,010851	0,000308	35,22	0,007572	0,000086	88,29
sisma in -Y												
proporzionale alle masse												
Piano copertura (a)	0%	0,00	0,00	0,00	0,0000	0,0000	0,000000	0,000000	0,00	0,000000	0,000000	0,00
Piano copertura (a)	100%	0,00	0,00	0,00	0,0000	0,0000	0,000000	0,000000	0,00	0,000000	0,000000	0,00
proporzionale alla deformata 1° modo di vibrazione												
Piano copertura (a)	0%	0,00	0,00	0,00	0,0000	0,0000	0,000000	0,000000	0,00	0,000000	0,000000	0,00
Piano copertura (a)	100%	0,00	0,00	0,00	0,0000	0,0000	0,000000	0,000000	0,00	0,000000	0,000000	0,00
sisma in +X												
proporzionale alle masse												
Piano copertura (b)	0%	0,32	0,49	0,48	0,0963	0,0084	0,013868	0,000218	63,61	0,006626	0,000040	NS
Piano copertura (b)	100%	1,40	1,20	0,59	0,0973	0,0069	0,024176	0,000218	NS	0,006308	0,000040	NS
proporzionale alla deformata 1° modo di vibrazione												
Piano copertura (b)	0%	0,08	0,43	0,46	0,0969	0,0067	0,013412	0,000313	42,92	0,006271	0,000090	69,52
Piano copertura (b)	100%	1,58	1,28	0,61	0,0981	0,0069	0,025577	0,000313	81,85	0,006430	0,000090	71,29
sisma in -X												
proporzionale alle masse												
Piano copertura (b)	0%	0,73	0,68	0,52	0,0892	0,0073	0,016734	0,000394	42,52	0,006034	0,000254	23,71
Piano copertura (b)	100%	0,93	0,98	0,54	0,0903	0,0069	0,019034	0,000394	48,36	0,006025	0,000254	23,68
proporzionale alla deformata 1° modo di vibrazione												
Piano copertura (b)	0%	0,76	0,70	0,52	0,0892	0,0070	0,017069	0,000496	34,43	0,005911	0,000309	19,11
Piano copertura (b)	100%	0,90	0,95	0,54	0,0903	0,0068	0,018745	0,000496	37,81	0,005976	0,000309	19,32
sisma in +Y												
proporzionale alle masse												
Piano copertura (b)	0%	0,81	0,83	0,49	0,0595	0,0079	0,011663	0,001290	9,04	0,005794	0,000726	7,99
Piano copertura (b)	100%	0,85	0,82	0,49	0,0602	0,0077	0,011995	0,001290	9,30	0,005681	0,000726	7,83
proporzionale alla deformata 1° modo di vibrazione												
Piano copertura (b)	0%	0,80	0,81	0,49	0,0530	0,0075	0,010492	0,001904	5,51	0,005581	0,001029	5,42
Piano copertura (b)	100%	0,86	0,84	0,49	0,0541	0,0073	0,010967	0,001904	5,76	0,005547	0,001029	5,39
sisma in -Y												
proporzionale alle masse												
Piano copertura (b)	0%	0,00	0,00	0,00	0,0000	0,0000	0,000000	0,000000	0,00	0,000000	0,000000	0,00
Piano copertura (b)	100%	0,00	0,00	0,00	0,0000	0,0000	0,000000	0,000000	0,00	0,000000	0,000000	0,00
proporzionale alla deformata 1° modo di vibrazione												
Piano copertura (b)	0%	0,00	0,00	0,00	0,0000	0,0000	0,000000	0,000000	0,00	0,000000	0,000000	0,00
Piano copertura (b)	100%	0,00	0,00	0,00	0,0000	0,0000	0,000000	0,000000	0,00	0,000000	0,000000	0,00
Pilastrata: Pilastrata37												
sisma in +X												
proporzionale alle masse												
Piano copertura (b)	0%	8,14	1,84	1,25	0,0584	0,0088	0,033176	0,000158	NS	0,008985	0,000029	NS
Piano copertura (b)	100%	9,00	2,71	1,34	0,0590	0,0111	0,036522	0,000158	NS	0,013714	0,000029	NS
proporzionale alla deformata 1° modo di vibrazione												
Piano copertura (b)	0%	39,12	2,83	4,35	0,0534	0,0084	0,097997	0,000183	NS	0,011135	0,000040	NS
Piano copertura (b)	100%	38,36	3,70	4,27	0,0543	0,0118	0,094956	0,000183	NS	0,018181	0,000040	NS
sisma in -X												
proporzionale alle masse												
Piano copertura (b)	0%	0,30	0,13	0,47	0,0739	0,0085	0,015010	0,000925	16,22	0,014763	0,000474	31,13
Piano copertura (b)	100%	0,49	0,66	0,49	0,0748	0,0078	0,011575	0,000925	12,51	0,006666	0,000474	14,06
proporzionale alla deformata 1° modo di vibrazione												
Piano copertura (b)	0%	0,38	0,21	0,48	0,0751	0,0070	0,013334	0,000957	13,94	0,010485	0,000500	20,99
Piano copertura (b)	100%	0,41	0,59	0,48	0,0759	0,0068	0,011462	0,000957	11,98	0,006415	0,000500	12,84
sisma in +Y												
proporzionale alle masse												
Piano copertura (b)	0%	0,32	0,31	0,38	0,0768	0,0068	0,009229	0,002102	4,39	0,005007	0,000979	5,11
Piano copertura (b)	100%	0,47	0,47	0,40	0,0773	0,0062	0,010429	0,002102	4,96	0,004542	0,000979	4,64
proporzionale alla deformata 1° modo di vibrazione												
Piano copertura (b)	0%	0,33	0,32	0,38	0,0801	0,0057	0,009482	0,003259	2,91	0,004656	0,001513	3,08
Piano copertura (b)	100%	0,47	0,46	0,40	0,0804	0,0060	0,010724	0,003259	3,29	0,004485	0,001513	2,97
sisma in -Y												
proporzionale alle masse												
Piano copertura (b)	0%	0,00	0,00	0,00	0,0000	0,0000	0,000000	0,000000	0,00	0,000000	0,000000	0,00
Piano copertura (b)	100%	0,00	0,00	0,00	0,0000	0,0000	0,000000	0,000000	0,00	0,000000	0,000000	0,00
proporzionale alla deformata 1° modo di vibrazione												
Piano copertura (b)	0%	0,00	0,00	0,00	0,0000	0,0000	0,000000	0,000000	0,00	0,000000	0,000000	0,00
Piano copertura (b)	100%	0,00	0,00	0,00	0,0000	0,0000	0,000000	0,000000	0,00	0,000000	0,000000	0,00
Pilastrata: Pilastrata39												
sisma in +X												
proporzionale alle masse												
Piano interrato	0%	0,76	0,81	0,52	0,0779	0,0076	0,015186	0,001857	8,18	0,006206	0,000784	7,91
Piano interrato	100%	0,58	0,48	0,51	0,0779	0,0079	0,013197	0,001857	7,10	0,006492	0,000784	8,28
proporzionale alla deformata 1° modo di vibrazione												
Piano interrato	0%	0,76	0,83	0,52	0,0803	0,0075	0,015605	0,001739	8,97	0,006182	0,000744	8,31
Piano interrato	100%	0,58	0,49	0,51	0,0805	0,0077	0,013639	0,001739	7,84	0,006398	0,000744	8,60
sisma in -X												
proporzionale alle masse												
Piano interrato	0%	0,77	0,78	0,52	0,0664	0,0079	0,013298	0,002554	5,21	0,006351	0,001208	5,26
Piano interrato	100%	0,58	0,55	0,50	0,0676	0,0082	0,011645	0,002554	4,56	0,006455	0,001208	5,34
proporzionale alla deformata 1° modo di vibrazione												
Piano interrato	0%	0,77	0,79	0,52	0,0668	0,0079	0,013354	0,002365	5,65	0,006328	0,001138	5,56
Piano interrato	100%	0,58	0,55	0,50	0,0680	0,0082	0,011698	0,002365	4,95	0,006462	0,001138	5,68

Lv	$\%L_{LI}$	$L_{v,SLV}$	$L_{v,SLD}$	L_{pl}	ϕ_u	ϕ_y	SLV			SLD		
							Θ_c	Θ_d	CS	Θ_c	Θ_d	CS
	[%]	[m]	[m]	[m]	[rad/m]	[rad/m]	[rad]	[rad]		[rad]	[rad]	
sisma in +Y												
proporzionale alle masse												
Piano interrato	0%	0,68	0,63	0,46	0,0416	0,0090	0,007875	0,002464	3,20	0,005800	0,001177	4,93
Piano interrato	100%	0,67	0,70	0,46	0,0420	0,0091	0,007961	0,002464	3,23	0,005952	0,001177	5,06
proporzionale alla deformata 1° modo di vibrazione												
Piano interrato	0%	0,68	0,63	0,46	0,0431	0,0093	0,008125	0,001871	4,34	0,005925	0,000937	6,32
Piano interrato	100%	0,67	0,71	0,46	0,0436	0,0093	0,008232	0,001871	4,40	0,006088	0,000937	6,49
sisma in -Y												
proporzionale alle masse												
Piano interrato	0%	0,00	0,00	0,00	0,0000	0,0000	0,000000	0,000000	0,00	0,000000	0,000000	0,00
Piano interrato	100%	0,00	0,00	0,00	0,0000	0,0000	0,000000	0,000000	0,00	0,000000	0,000000	0,00
proporzionale alla deformata 1° modo di vibrazione												
Piano interrato	0%	0,00	0,00	0,00	0,0000	0,0000	0,000000	0,000000	0,00	0,000000	0,000000	0,00
Piano interrato	100%	0,00	0,00	0,00	0,0000	0,0000	0,000000	0,000000	0,00	0,000000	0,000000	0,00
sisma in +X												
proporzionale alle masse												
Piano terra	0%	1,29	1,05	0,58	0,1091	0,0056	0,025861	0,001818	14,22	0,005430	0,000829	6,55
Piano terra	100%	1,47	1,52	0,59	0,1103	0,0057	0,027782	0,001818	15,28	0,006014	0,000829	7,26
proporzionale alla deformata 1° modo di vibrazione												
Piano terra	0%	1,33	1,19	0,58	0,1125	0,0056	0,027055	0,002218	12,20	0,005545	0,001009	5,50
Piano terra	100%	1,52	1,53	0,60	0,1142	0,0057	0,029130	0,002218	13,13	0,006043	0,001009	5,99
sisma in -X												
proporzionale alle masse												
Piano terra	0%	1,12	1,07	0,56	0,0869	0,0076	0,019917	0,002246	8,87	0,006544	0,001074	6,09
Piano terra	100%	1,62	1,58	0,61	0,0886	0,0073	0,023749	0,002246	10,57	0,007258	0,001074	6,76
proporzionale alla deformata 1° modo di vibrazione												
Piano terra	0%	1,27	1,24	0,57	0,0875	0,0072	0,021152	0,002578	8,21	0,006586	0,001218	5,41
Piano terra	100%	1,56	1,56	0,60	0,0889	0,0070	0,023465	0,002578	9,10	0,007019	0,001218	5,76
sisma in +Y												
proporzionale alle masse												
Piano terra	0%	1,36	1,36	0,53	0,0709	0,0084	0,016922	0,002342	7,22	0,007087	0,001144	6,20
Piano terra	100%	1,49	1,49	0,54	0,0722	0,0081	0,017868	0,002342	7,63	0,007201	0,001144	6,30
proporzionale alla deformata 1° modo di vibrazione												
Piano terra	0%	1,37	1,36	0,53	0,0712	0,0084	0,017067	0,002165	7,88	0,007125	0,001029	6,92
Piano terra	100%	1,47	1,48	0,54	0,0726	0,0082	0,017909	0,002165	8,27	0,007263	0,001029	7,06
sisma in -Y												
proporzionale alle masse												
Piano terra	0%	0,00	0,00	0,00	0,0000	0,0000	0,000000	0,000000	0,00	0,000000	0,000000	0,00
Piano terra	100%	0,00	0,00	0,00	0,0000	0,0000	0,000000	0,000000	0,00	0,000000	0,000000	0,00
proporzionale alla deformata 1° modo di vibrazione												
Piano terra	0%	0,00	0,00	0,00	0,0000	0,0000	0,000000	0,000000	0,00	0,000000	0,000000	0,00
Piano terra	100%	0,00	0,00	0,00	0,0000	0,0000	0,000000	0,000000	0,00	0,000000	0,000000	0,00
Pilastrata: Pilastrata41												
sisma in +X												
proporzionale alle masse												
Piano interrato	0%	0,80	0,80	0,53	0,0773	0,0078	0,015447	0,001754	8,81	0,006279	0,000780	8,05
Piano interrato	100%	0,59	0,56	0,51	0,0778	0,0078	0,013249	0,001754	7,55	0,006291	0,000780	8,06
proporzionale alla deformata 1° modo di vibrazione												
Piano interrato	0%	0,81	0,83	0,53	0,0784	0,0075	0,015694	0,001658	9,46	0,006185	0,000751	8,24
Piano interrato	100%	0,59	0,57	0,51	0,0790	0,0077	0,013410	0,001658	8,09	0,006274	0,000751	8,36
sisma in -X												
proporzionale alle masse												
Piano interrato	0%	0,81	0,86	0,53	0,0642	0,0084	0,013222	0,002403	5,50	0,006620	0,001103	6,00
Piano interrato	100%	0,58	0,51	0,51	0,0651	0,0086	0,011423	0,002403	4,75	0,006646	0,001103	6,03
proporzionale alla deformata 1° modo di vibrazione												
Piano interrato	0%	0,81	0,86	0,53	0,0660	0,0082	0,013564	0,002243	6,05	0,006550	0,001048	6,25
Piano interrato	100%	0,58	0,52	0,51	0,0667	0,0085	0,011644	0,002243	5,19	0,006608	0,001048	6,30
sisma in +Y												
proporzionale alle masse												
Piano interrato	0%	0,70	0,66	0,47	0,0401	0,0091	0,007782	0,002323	3,35	0,005882	0,001155	5,09
Piano interrato	100%	0,69	0,73	0,47	0,0407	0,0091	0,007901	0,002323	3,40	0,006037	0,001155	5,23
proporzionale alla deformata 1° modo di vibrazione												
Piano interrato	0%	0,71	0,66	0,47	0,0374	0,0098	0,007410	0,002011	3,68	0,006175	0,001041	5,93
Piano interrato	100%	0,69	0,74	0,47	0,0378	0,0101	0,007514	0,002011	3,74	0,006456	0,001041	6,20
sisma in -Y												
proporzionale alle masse												
Piano interrato	0%	0,00	0,00	0,00	0,0000	0,0000	0,000000	0,000000	0,00	0,000000	0,000000	0,00
Piano interrato	100%	0,00	0,00	0,00	0,0000	0,0000	0,000000	0,000000	0,00	0,000000	0,000000	0,00
proporzionale alla deformata 1° modo di vibrazione												
Piano interrato	0%	0,00	0,00	0,00	0,0000	0,0000	0,000000	0,000000	0,00	0,000000	0,000000	0,00
Piano interrato	100%	0,00	0,00	0,00	0,0000	0,0000	0,000000	0,000000	0,00	0,000000	0,000000	0,00
sisma in +X												
proporzionale alle masse												
Piano terra	0%	1,31	1,25	0,58	0,1082	0,0058	0,025988	0,001849	14,06	0,005744	0,000859	6,68
Piano terra	100%	1,54	1,53	0,60	0,1099	0,0059	0,028240	0,001849	15,27	0,006182	0,000859	7,19
proporzionale alla deformata 1° modo di vibrazione												
Piano terra	0%	1,28	1,25	0,58	0,1093	0,0059	0,025992	0,002243	11,59	0,005773	0,001037	5,57
Piano terra	100%	1,53	1,52	0,60	0,1113	0,0060	0,028504	0,002243	12,71	0,006257	0,001037	6,03
sisma in -X												
proporzionale alle masse												
Piano terra	0%	1,18	1,16	0,57	0,0929	0,0072	0,021669	0,002237	9,69	0,006446	0,001053	6,12
Piano terra	100%	1,64	1,68	0,61	0,0945	0,0070	0,025369	0,002237	11,34	0,007244	0,001053	6,88
proporzionale alla deformata 1° modo di vibrazione												
Piano terra	0%	1,26	1,21	0,57	0,0949	0,0069	0,022675	0,002571	8,82	0,006347	0,001196	5,31
Piano terra	100%	1,58	1,59	0,60	0,0965	0,0068	0,025369	0,002571	9,87	0,006931	0,001196	5,79

Lv	$\%L_{LI}$	$L_{v,SLV}$	$L_{v,SLD}$	L_{pl}	ϕ_u	ϕ_y	SLV			SLD		
							Θ_c	Θ_d	CS	Θ_c	Θ_d	CS
	[%]	[m]	[m]	[m]	[rad/m]	[rad/m]	[rad]	[rad]		[rad]	[rad]	
sisma in +Y												
proporzionale alle masse												
Piano terra	0%	1,35	1,35	0,53	0,0705	0,0082	0,016766	0,002477	6,77	0,006987	0,001259	5,55
Piano terra	100%	1,49	1,50	0,55	0,0718	0,0079	0,017804	0,002477	7,19	0,007108	0,001259	5,65
proporzionale alla deformata 1° modo di vibrazione												
Piano terra	0%	1,37	1,36	0,53	0,0663	0,0086	0,016013	0,002597	6,17	0,007240	0,001282	5,65
Piano terra	100%	1,48	1,49	0,54	0,0675	0,0084	0,016839	0,002597	6,48	0,007428	0,001282	5,79
sisma in -Y												
proporzionale alle masse												
Piano terra	0%	0,00	0,00	0,00	0,0000	0,0000	0,000000	0,000000	0,00	0,000000	0,000000	0,00
Piano terra	100%	0,00	0,00	0,00	0,0000	0,0000	0,000000	0,000000	0,00	0,000000	0,000000	0,00
proporzionale alla deformata 1° modo di vibrazione												
Piano terra	0%	0,00	0,00	0,00	0,0000	0,0000	0,000000	0,000000	0,00	0,000000	0,000000	0,00
Piano terra	100%	0,00	0,00	0,00	0,0000	0,0000	0,000000	0,000000	0,00	0,000000	0,000000	0,00
Pilastrata: Pilastrata42												
sisma in +X												
proporzionale alle masse												
Piano interrato	0%	0,77	0,78	0,52	0,0918	0,0071	0,017679	0,001906	9,28	0,005990	0,000841	7,12
Piano interrato	100%	0,66	0,59	0,51	0,0924	0,0073	0,016366	0,001906	8,59	0,006080	0,000841	7,23
proporzionale alla deformata 1° modo di vibrazione												
Piano interrato	0%	0,77	0,78	0,52	0,0938	0,0068	0,017908	0,001792	9,99	0,005859	0,000804	7,29
Piano interrato	100%	0,65	0,59	0,51	0,0942	0,0072	0,016494	0,001792	9,20	0,006030	0,000804	7,50
sisma in -X												
proporzionale alle masse												
Piano interrato	0%	0,75	0,77	0,52	0,0629	0,0082	0,012516	0,002593	4,83	0,006456	0,001195	5,40
Piano interrato	100%	0,64	0,59	0,51	0,0647	0,0086	0,011872	0,002593	4,58	0,006564	0,001195	5,49
proporzionale alla deformata 1° modo di vibrazione												
Piano interrato	0%	0,75	0,78	0,52	0,0645	0,0081	0,012784	0,002435	5,25	0,006399	0,001143	5,60
Piano interrato	100%	0,64	0,60	0,51	0,0653	0,0083	0,012015	0,002435	4,94	0,006481	0,001143	5,67
sisma in +Y												
proporzionale alle masse												
Piano interrato	0%	0,71	0,66	0,47	0,0471	0,0088	0,008862	0,002241	3,95	0,005754	0,001105	5,21
Piano interrato	100%	0,69	0,73	0,47	0,0477	0,0089	0,008955	0,002241	4,00	0,005937	0,001105	5,37
proporzionale alla deformata 1° modo di vibrazione												
Piano interrato	0%	0,71	0,67	0,47	0,0423	0,0097	0,008192	0,001986	4,13	0,006135	0,001009	6,08
Piano interrato	100%	0,68	0,73	0,46	0,0427	0,0100	0,008232	0,001986	4,15	0,006421	0,001009	6,36
sisma in -Y												
proporzionale alle masse												
Piano interrato	0%	0,00	0,00	0,00	0,0000	0,0000	0,000000	0,000000	0,00	0,000000	0,000000	0,00
Piano interrato	100%	0,00	0,00	0,00	0,0000	0,0000	0,000000	0,000000	0,00	0,000000	0,000000	0,00
proporzionale alla deformata 1° modo di vibrazione												
Piano interrato	0%	0,00	0,00	0,00	0,0000	0,0000	0,000000	0,000000	0,00	0,000000	0,000000	0,00
Piano interrato	100%	0,00	0,00	0,00	0,0000	0,0000	0,000000	0,000000	0,00	0,000000	0,000000	0,00
sisma in +X												
proporzionale alle masse												
Piano terra	0%	1,31	1,26	0,58	0,1109	0,0058	0,026570	0,001849	14,37	0,005738	0,000861	6,67
Piano terra	100%	1,56	1,51	0,60	0,1126	0,0058	0,029014	0,001849	15,70	0,006085	0,000861	7,07
proporzionale alla deformata 1° modo di vibrazione												
Piano terra	0%	1,34	1,35	0,58	0,1129	0,0058	0,027301	0,002240	12,19	0,005844	0,001036	5,64
Piano terra	100%	1,50	1,45	0,60	0,1146	0,0058	0,029011	0,002240	12,95	0,006005	0,001036	5,79
sisma in -X												
proporzionale alle masse												
Piano terra	0%	1,32	1,26	0,58	0,0923	0,0071	0,022558	0,002258	9,99	0,006522	0,001067	6,11
Piano terra	100%	1,47	1,47	0,59	0,0938	0,0069	0,024030	0,002258	10,64	0,006798	0,001067	6,37
proporzionale alla deformata 1° modo di vibrazione												
Piano terra	0%	1,35	1,30	0,58	0,0936	0,0068	0,022996	0,002591	8,88	0,006394	0,001210	5,28
Piano terra	100%	1,49	1,47	0,60	0,0952	0,0069	0,024458	0,002591	9,44	0,006733	0,001210	5,56
sisma in +Y												
proporzionale alle masse												
Piano terra	0%	1,37	1,36	0,53	0,0728	0,0083	0,017355	0,002444	7,10	0,007025	0,001224	5,74
Piano terra	100%	1,48	1,48	0,54	0,0741	0,0080	0,018241	0,002444	7,46	0,007121	0,001224	5,82
proporzionale alla deformata 1° modo di vibrazione												
Piano terra	0%	1,39	1,37	0,54	0,0678	0,0088	0,016437	0,002667	6,16	0,007390	0,001297	5,70
Piano terra	100%	1,46	1,47	0,54	0,0690	0,0086	0,017099	0,002667	6,41	0,007517	0,001297	5,80
sisma in -Y												
proporzionale alle masse												
Piano terra	0%	0,00	0,00	0,00	0,0000	0,0000	0,000000	0,000000	0,00	0,000000	0,000000	0,00
Piano terra	100%	0,00	0,00	0,00	0,0000	0,0000	0,000000	0,000000	0,00	0,000000	0,000000	0,00
proporzionale alla deformata 1° modo di vibrazione												
Piano terra	0%	0,00	0,00	0,00	0,0000	0,0000	0,000000	0,000000	0,00	0,000000	0,000000	0,00
Piano terra	100%	0,00	0,00	0,00	0,0000	0,0000	0,000000	0,000000	0,00	0,000000	0,000000	0,00
Pilastrata: Pilastrata44												
sisma in +X												
proporzionale alle masse												
Piano interrato	0%	1,60	1,55	0,70	0,0560	0,0050	0,016821	0,001959	8,59	0,005787	0,000929	6,23
Piano interrato	100%	0,09	0,13	0,55	0,0565	0,0055	0,012902	0,001959	6,59	0,011876	0,000929	12,79
proporzionale alla deformata 1° modo di vibrazione												
Piano interrato	0%	1,79	1,75	0,72	0,0544	0,0051	0,017196	0,001954	8,80	0,006126	0,000922	6,65
Piano interrato	100%	0,09	0,08	0,55	0,0555	0,0052	0,015843	0,001954	8,11	0,017932	0,000922	19,46
sisma in -X												
proporzionale alle masse												
Piano interrato	0%	1,67	1,61	0,70	0,0613	0,0044	0,018529	0,002313	8,01	0,005459	0,001145	4,77
Piano interrato	100%	0,03	0,02	0,54	0,0618	0,0052	0,037374	0,002313	16,16	0,059470	0,001145	51,92
proporzionale alla deformata 1° modo di vibrazione												
Piano interrato	0%	1,82	1,81	0,72	0,0614	0,0045	0,019270	0,002204	8,74	0,005704	0,001094	5,21

Lv	$\%L_{LI}$	$L_{v,SLV}$	$L_{v,SLD}$	L_{pl}	ϕ_u	ϕ_y	SLV			SLD		
							Θ_c	Θ_d	CS	Θ_c	Θ_d	CS
	[%]	[m]	[m]	[m]	[rad/m]	[rad/m]	[rad]	[rad]		[rad]	[rad]	
Piano interrato	100%	0,13	0,13	0,55	0,0618	0,0061	0,013639	0,002204	6,19	0,011977	0,001094	10,95
sisma in +Y												
proporzionale alle masse												
Piano interrato	0%	2,28	2,26	0,76	0,0208	0,0046	0,008321	0,001911	4,35	0,006345	0,000973	6,52
Piano interrato	100%	0,58	0,56	0,59	0,0209	0,0072	0,005248	0,001911	2,75	0,006427	0,000973	6,60
proporzionale alla deformata 1° modo di vibrazione												
Piano interrato	0%	2,58	2,57	0,79	0,0206	0,0046	0,008766	0,002164	4,05	0,006790	0,001083	6,27
Piano interrato	100%	0,88	0,86	0,62	0,0207	0,0058	0,005851	0,002164	2,70	0,005664	0,001083	5,23
sisma in -Y												
proporzionale alle masse												
Piano interrato	0%	0,00	0,00	0,00	0,0000	0,0000	0,000000	0,000000	0,00	0,000000	0,000000	0,00
Piano interrato	100%	0,00	0,00	0,00	0,0000	0,0000	0,000000	0,000000	0,00	0,000000	0,000000	0,00
proporzionale alla deformata 1° modo di vibrazione												
Piano interrato	0%	0,00	0,00	0,00	0,0000	0,0000	0,000000	0,000000	0,00	0,000000	0,000000	0,00
Piano interrato	100%	0,00	0,00	0,00	0,0000	0,0000	0,000000	0,000000	0,00	0,000000	0,000000	0,00
sisma in +X												
proporzionale alle masse												
Piano copertura	0%	28,83	8,42	3,42	0,0584	0,0072	0,094076	0,001482	63,48	0,023363	0,000681	34,31
Piano copertura	100%	32,26	4,20	3,76	0,0593	0,0068	0,099277	0,001482	66,99	0,012731	0,000681	18,70
proporzionale alla deformata 1° modo di vibrazione												
Piano copertura	0%	1,32	2,21	0,67	0,0575	0,0070	0,016949	0,001822	9,30	0,008660	0,000848	10,21
Piano copertura	100%	4,95	5,50	1,03	0,0583	0,0061	0,031170	0,001822	17,11	0,014085	0,000848	16,61
sisma in -X												
proporzionale alle masse												
Piano copertura	0%	5,62	4,09	1,10	0,0639	0,0060	0,034291	0,001769	19,39	0,011248	0,000826	13,62
Piano copertura	100%	9,15	7,70	1,45	0,0648	0,0048	0,047601	0,001769	26,91	0,014964	0,000826	18,12
proporzionale alla deformata 1° modo di vibrazione												
Piano copertura	0%	1,02	0,88	0,64	0,0639	0,0079	0,015699	0,002068	7,59	0,006794	0,000975	6,97
Piano copertura	100%	4,64	4,37	1,00	0,0649	0,0047	0,031626	0,002068	15,30	0,009512	0,000975	9,76
sisma in +Y												
proporzionale alle masse												
Piano copertura	0%	0,53	0,51	0,59	0,0217	0,0078	0,005427	0,002282	2,38	0,006747	0,001126	5,99
Piano copertura	100%	3,08	3,09	0,84	0,0221	0,0045	0,010089	0,002282	4,42	0,007386	0,001126	6,56
proporzionale alla deformata 1° modo di vibrazione												
Piano copertura	0%	0,79	0,77	0,62	0,0215	0,0066	0,005823	0,002871	2,03	0,006057	0,001408	4,30
Piano copertura	100%	2,83	2,82	0,82	0,0219	0,0045	0,009602	0,002871	3,34	0,007067	0,001408	5,02
sisma in -Y												
proporzionale alle masse												
Piano copertura	0%	0,00	0,00	0,00	0,0000	0,0000	0,000000	0,000000	0,00	0,000000	0,000000	0,00
Piano copertura	100%	0,00	0,00	0,00	0,0000	0,0000	0,000000	0,000000	0,00	0,000000	0,000000	0,00
proporzionale alla deformata 1° modo di vibrazione												
Piano copertura	0%	0,00	0,00	0,00	0,0000	0,0000	0,000000	0,000000	0,00	0,000000	0,000000	0,00
Piano copertura	100%	0,00	0,00	0,00	0,0000	0,0000	0,000000	0,000000	0,00	0,000000	0,000000	0,00
Pilastrata: Pilastrata45												
sisma in +X												
proporzionale alle masse												
Piano interrato	0%	1,52	1,48	0,69	0,0595	0,0045	0,017336	0,002220	7,81	0,005389	0,001048	5,14
Piano interrato	100%	0,18	0,19	0,55	0,0600	0,0068	0,012073	0,002220	5,44	0,009418	0,001048	8,99
proporzionale alla deformata 1° modo di vibrazione												
Piano interrato	0%	1,59	1,56	0,70	0,0595	0,0045	0,017649	0,002341	7,54	0,005423	0,001116	4,86
Piano interrato	100%	0,11	0,12	0,55	0,0599	0,0052	0,013696	0,002341	5,85	0,012396	0,001116	11,11
sisma in -X												
proporzionale alle masse												
Piano interrato	0%	1,57	1,53	0,69	0,0597	0,0045	0,017636	0,002394	7,37	0,005408	0,001104	4,90
Piano interrato	100%	0,12	0,14	0,55	0,0602	0,0056	0,013042	0,002394	5,45	0,011103	0,001104	10,06
proporzionale alla deformata 1° modo di vibrazione												
Piano interrato	0%	1,64	1,60	0,70	0,0596	0,0045	0,017927	0,002450	7,32	0,005477	0,001135	4,83
Piano interrato	100%	0,06	0,08	0,54	0,0601	0,0048	0,016318	0,002450	6,66	0,017611	0,001135	15,52
sisma in +Y												
proporzionale alle masse												
Piano interrato	0%	2,20	2,20	0,76	0,0208	0,0045	0,008197	0,001927	4,25	0,006220	0,001006	6,18
Piano interrato	100%	0,50	0,48	0,59	0,0209	0,0076	0,005321	0,001927	2,76	0,006735	0,001006	6,69
proporzionale alla deformata 1° modo di vibrazione												
Piano interrato	0%	2,51	2,51	0,79	0,0207	0,0045	0,008677	0,002297	3,78	0,006596	0,001178	5,60
Piano interrato	100%	0,81	0,79	0,62	0,0208	0,0053	0,005684	0,002297	2,47	0,005440	0,001178	4,62
sisma in -Y												
proporzionale alle masse												
Piano interrato	0%	0,00	0,00	0,00	0,0000	0,0000	0,000000	0,000000	0,00	0,000000	0,000000	0,00
Piano interrato	100%	0,00	0,00	0,00	0,0000	0,0000	0,000000	0,000000	0,00	0,000000	0,000000	0,00
proporzionale alla deformata 1° modo di vibrazione												
Piano interrato	0%	0,00	0,00	0,00	0,0000	0,0000	0,000000	0,000000	0,00	0,000000	0,000000	0,00
Piano interrato	100%	0,00	0,00	0,00	0,0000	0,0000	0,000000	0,000000	0,00	0,000000	0,000000	0,00
sisma in +X												
proporzionale alle masse												
Piano copertura	0%	6,38	4,16	1,17	0,0626	0,0052	0,035592	0,001358	26,21	0,009956	0,000647	15,40
Piano copertura	100%	2,78	1,98	0,81	0,0636	0,0053	0,023562	0,001358	17,35	0,006612	0,000647	10,22
proporzionale alla deformata 1° modo di vibrazione												
Piano copertura	0%	18,66	10,85	2,40	0,0624	0,0054	0,075247	0,001636	45,98	0,022287	0,000779	28,59
Piano copertura	100%	14,74	8,84	2,01	0,0635	0,0050	0,063525	0,001636	38,82	0,017496	0,000779	22,45
sisma in -X												
proporzionale alle masse												
Piano copertura	0%	16,62	10,35	2,20	0,0628	0,0054	0,069549	0,001630	42,67	0,021233	0,000754	28,15
Piano copertura	100%	12,84	7,60	1,82	0,0638	0,0053	0,057516	0,001630	35,29	0,016035	0,000754	21,26
proporzionale alla deformata 1° modo di vibrazione												
Piano copertura	0%	18,47	25,26	2,38	0,0627	0,0058	0,089293	0,001873	47,66	0,051703	0,000873	59,24

Lv	$\%L_{LI}$	$L_{v,SLV}$	$L_{v,SLD}$	L_{pl}	ϕ_u	ϕ_y	SLV			SLD		
							Θ_c	Θ_d	CS	Θ_c	Θ_d	CS
	[%]	[m]	[m]	[m]	[rad/m]	[rad/m]	[rad]	[rad]		[rad]	[rad]	
Piano copertura	100%	22,25	30,22	2,76	0,0636	0,0050	0,102307	0,001873	54,61	0,052717	0,000873	60,40
sisma in +Y												
proporzionale alle masse												
Piano copertura	0%	0,43	0,43	0,58	0,0220	0,0072	0,005508	0,002231	2,47	0,006748	0,001120	6,02
Piano copertura	100%	3,18	3,17	0,85	0,0223	0,0044	0,010325	0,002231	4,63	0,007410	0,001120	6,62
proporzionale alla deformata 1° modo di vibrazione												
Piano copertura	0%	0,75	0,70	0,61	0,0219	0,0057	0,005753	0,003008	1,91	0,005636	0,001496	3,77
Piano copertura	100%	2,86	2,87	0,82	0,0222	0,0044	0,009763	0,003008	3,25	0,006952	0,001496	4,65
sisma in -Y												
proporzionale alle masse												
Piano copertura	0%	0,00	0,00	0,00	0,0000	0,0000	0,000000	0,000000	0,00	0,000000	0,000000	0,00
Piano copertura	100%	0,00	0,00	0,00	0,0000	0,0000	0,000000	0,000000	0,00	0,000000	0,000000	0,00
proporzionale alla deformata 1° modo di vibrazione												
Piano copertura	0%	0,00	0,00	0,00	0,0000	0,0000	0,000000	0,000000	0,00	0,000000	0,000000	0,00
Piano copertura	100%	0,00	0,00	0,00	0,0000	0,0000	0,000000	0,000000	0,00	0,000000	0,000000	0,00
Pilastrata: Pilastrata46												
sisma in +X												
proporzionale alle masse												
Piano interrato	0%	1,59	1,57	0,70	0,0639	0,0043	0,018852	0,002153	8,76	0,005272	0,001058	4,98
Piano interrato	100%	0,10	0,11	0,55	0,0644	0,0075	0,014880	0,002153	6,91	0,014215	0,001058	13,43
proporzionale alla deformata 1° modo di vibrazione												
Piano interrato	0%	1,76	1,74	0,71	0,0644	0,0042	0,019817	0,002080	9,53	0,005399	0,001023	5,28
Piano interrato	100%	0,05	0,06	0,54	0,0649	0,0089	0,018696	0,002080	8,99	0,022212	0,001023	21,72
sisma in -X												
proporzionale alle masse												
Piano interrato	0%	1,64	1,54	0,70	0,0620	0,0043	0,018521	0,002271	8,15	0,005265	0,001006	5,23
Piano interrato	100%	0,06	0,12	0,54	0,0626	0,0058	0,014144	0,002271	6,23	0,012865	0,001006	12,78
proporzionale alla deformata 1° modo di vibrazione												
Piano interrato	0%	1,82	1,76	0,72	0,0622	0,0043	0,019443	0,002170	8,96	0,005481	0,000968	5,66
Piano interrato	100%	0,11	0,08	0,55	0,0628	0,0074	0,016161	0,002170	7,45	0,017142	0,000968	17,70
sisma in +Y												
proporzionale alle masse												
Piano interrato	0%	2,26	2,26	0,76	0,0223	0,0043	0,008751	0,001843	4,75	0,006100	0,000975	6,25
Piano interrato	100%	0,56	0,55	0,59	0,0224	0,0051	0,005346	0,001843	2,90	0,005543	0,000975	5,68
proporzionale alla deformata 1° modo di vibrazione												
Piano interrato	0%	2,61	2,60	0,80	0,0226	0,0043	0,009415	0,002275	4,14	0,006469	0,001186	5,45
Piano interrato	100%	0,91	0,89	0,63	0,0227	0,0044	0,006245	0,002275	2,74	0,004956	0,001186	4,18
sisma in -Y												
proporzionale alle masse												
Piano interrato	0%	0,00	0,00	0,00	0,0000	0,0000	0,000000	0,000000	0,00	0,000000	0,000000	0,00
Piano interrato	100%	0,00	0,00	0,00	0,0000	0,0000	0,000000	0,000000	0,00	0,000000	0,000000	0,00
proporzionale alla deformata 1° modo di vibrazione												
Piano interrato	0%	0,00	0,00	0,00	0,0000	0,0000	0,000000	0,000000	0,00	0,000000	0,000000	0,00
Piano interrato	100%	0,00	0,00	0,00	0,0000	0,0000	0,000000	0,000000	0,00	0,000000	0,000000	0,00
sisma in +X												
proporzionale alle masse												
Piano copertura	0%	11,93	20,24	1,73	0,0664	0,0041	0,064984	0,001438	45,19	0,029947	0,000700	42,80
Piano copertura	100%	8,02	23,43	1,34	0,0675	0,0043	0,056669	0,001438	39,40	0,035784	0,000700	51,15
proporzionale alla deformata 1° modo di vibrazione												
Piano copertura	0%	2,75	2,28	0,81	0,0670	0,0042	0,024703	0,001789	13,81	0,005988	0,000875	6,84
Piano copertura	100%	6,44	5,69	1,18	0,0680	0,0043	0,039468	0,001789	22,06	0,010579	0,000875	12,09
sisma in -X												
proporzionale alle masse												
Piano copertura	0%	35,69	18,07	4,11	0,0646	0,0051	0,131641	0,001702	77,36	0,033120	0,000774	42,81
Piano copertura	100%	39,09	17,54	4,45	0,0655	0,0044	0,142177	0,001702	83,55	0,028042	0,000774	36,25
proporzionale alla deformata 1° modo di vibrazione												
Piano copertura	0%	1,17	1,75	0,65	0,0648	0,0071	0,017471	0,002028	8,62	0,007760	0,000926	8,38
Piano copertura	100%	4,84	5,11	1,02	0,0658	0,0041	0,032916	0,002028	16,23	0,009540	0,000926	10,30
sisma in +Y												
proporzionale alle masse												
Piano copertura	0%	0,52	0,48	0,59	0,0232	0,0053	0,005555	0,002227	2,49	0,005823	0,001130	5,15
Piano copertura	100%	3,07	3,10	0,84	0,0237	0,0042	0,010594	0,002227	4,76	0,006997	0,001130	6,19
proporzionale alla deformata 1° modo di vibrazione												
Piano copertura	0%	0,83	0,80	0,62	0,0236	0,0043	0,006206	0,003154	1,97	0,004908	0,001581	3,10
Piano copertura	100%	2,79	2,80	0,82	0,0240	0,0042	0,010189	0,003154	3,23	0,006580	0,001581	4,16
sisma in -Y												
proporzionale alle masse												
Piano copertura	0%	0,00	0,00	0,00	0,0000	0,0000	0,000000	0,000000	0,00	0,000000	0,000000	0,00
Piano copertura	100%	0,00	0,00	0,00	0,0000	0,0000	0,000000	0,000000	0,00	0,000000	0,000000	0,00
proporzionale alla deformata 1° modo di vibrazione												
Piano copertura	0%	0,00	0,00	0,00	0,0000	0,0000	0,000000	0,000000	0,00	0,000000	0,000000	0,00
Piano copertura	100%	0,00	0,00	0,00	0,0000	0,0000	0,000000	0,000000	0,00	0,000000	0,000000	0,00

LEGENDA:

Lv Livello o piano di appartenenza dell'elemento strutturale.
$\%L_{LI}$ Posizione della sezione per la quale vengono forniti i valori di verifica, valutata come % della lunghezza libera d'inflessione (L_{LI}), a partire dall'estremo iniziale.
$L_{v,SLV}$ Luce di Taglio allo SLV
$L_{v,SLD}$ Luce di Taglio allo SLD
L_{pl} Lunghezza della cerniera plastica.
ϕ_u Curvatura allo SLU.
ϕ_v Curvatura allo snervamento.
Θ_c Capacità di rotazione alla corda.
Θ_d Domanda di Rotazione alla Corda.
CS Coefficiente di sicurezza ([NS] = Non Significativo per valori di CS >= 100; [VNR]= Verifica Non Richiesta).
$L_{v,SLV}$ Luce di Taglio allo SLV

PILASTRI - VERIFICHE A TAGLIO PER ANALISI NON LINEARE (Elevazione)

Pilastri - Verifiche a Taglio per Analisi Non Lineare

Lv	$\%L_{LI}$	$V_{Ed,3}$	$V_{Ed,2}$	$CS^{(3)}$	$CS^{(2)}$	α_C	$V_{Rsd,s}{}^{(3)}$	$V_{Rsd,s}{}^{(2)}$	$V_{Rcd}{}^{(3)}$	$V_{Rcd}{}^{(2)}$	$V_{fd}{}^{(3)}$	$V_{fd}{}^{(2)}$	$Ctg\Theta^{(3)}$	$Ctg\Theta^{(2)}$
	[%]	[N]	[N]				[N]	[N]	[N]	[N]	[N]	[N]		
Pilastrata: Pilastrata1														
sisma in +X														
proporzionale alle masse														
Piano interrato	0%	-10.881	227	5,98	NS	1,00	65055	65055	118863	118863	0	0	2,50	2,50
	100%	-23.218	-7.303	2,80	8,91	1,00	65055	65055	118863	118863	0	0	2,50	2,50
proporzionale alla deformata 1° modo di vibrazione														
	0%	-9.525	-1.775	6,83	36,65	1,00	65055	65055	118863	118863	0	0	2,50	2,50
	100%	-20.446	-5.931	3,18	10,97	1,00	65055	65055	118863	118863	0	0	2,50	2,50
sisma in -X														
proporzionale alle masse														
	0%	84.215	-5.566	0,77	11,69	1,36	65055	65055	162080	162080	0	0	2,50	2,50
	100%	-16.007	4.968	4,06	13,09	1,07	65055	65055	127025	127025	0	0	2,50	2,50
proporzionale alla deformata 1° modo di vibrazione														
	0%	79.437	633	0,82	NS	1,37	65055	65055	162629	162629	0	0	2,50	2,50
	100%	-25.007	4.093	2,60	15,89	1,12	65055	65055	132902	132902	0	0	2,50	2,50
sisma in +Y														
proporzionale alle masse														
	0%	16.159	9.376	4,03	6,94	1,04	65055	65055	123071	123071	0	0	2,50	2,50
	100%	-984	9.791	66,11	6,64	1,00	65055	65055	118963	118963	0	0	2,50	2,50
proporzionale alla deformata 1° modo di vibrazione														
	0%	-577	4.162	NS	15,63	1,00	65055	65055	118863	118863	0	0	2,50	2,50
	100%	-1.980	7.181	32,86	9,06	1,00	65055	65055	118863	118863	0	0	2,50	2,50
sisma in -Y														
proporzionale alle masse														
	0%	-	-	VNR	VNR	0,00	0	0	0	0	0	0	0,00	0,00
	100%	-	-	VNR	VNR	0,00	0	0	0	0	0	0	0,00	0,00
proporzionale alla deformata 1° modo di vibrazione														
	0%	-	-	VNR	VNR	0,00	0	0	0	0	0	0	0,00	0,00
	100%	-	-	VNR	VNR	0,00	0	0	0	0	0	0	0,00	0,00
sisma in +X														
proporzionale alle masse														
Piano terra	0%	4.322	-4.968	15,05	13,09	1,00	65055	65055	118863	118863	0	0	2,50	2,50
	100%	-70.101	5.121	0,93	12,70	1,22	65055	65055	144572	144572	0	0	2,50	2,50
proporzionale alla deformata 1° modo di vibrazione														
	0%	1.223	-5.442	53,19	11,95	1,00	65055	65055	118863	118863	0	0	2,50	2,50
	100%	-87.163	1.678	0,75	38,77	1,21	65055	65055	144068	144068	0	0	2,50	2,50
sisma in -X														
proporzionale alle masse														
	0%	22.649	-4.368	2,87	14,89	1,01	65055	65055	119954	119954	0	0	2,50	2,50
	100%	35.348	179	1,84	NS	1,00	65055	65055	118863	118863	0	0	2,50	2,50
proporzionale alla deformata 1° modo di vibrazione														
	0%	41.083	-2.295	1,58	28,35	1,04	65055	65055	124121	124121	0	0	2,50	2,50
	100%	32.749	-966	1,99	67,34	1,00	65055	65055	118863	118863	0	0	2,50	2,50
sisma in +Y														
proporzionale alle masse														
	0%	4.465	6.732	14,57	9,66	1,01	65055	65055	120588	120588	0	0	2,50	2,50
	100%	-10.611	6.833	6,13	9,52	1,03	65055	65055	122972	122972	0	0	2,50	2,50
proporzionale alla deformata 1° modo di vibrazione														
	0%	1.557	5.610	41,78	11,60	1,00	65055	65055	118863	118863	0	0	2,50	2,50
	100%	-30.652	10.289	2,12	6,32	1,07	65055	65055	127659	127659	0	0	2,50	2,50
sisma in -Y														
proporzionale alle masse														
	0%	-	-	VNR	VNR	0,00	0	0	0	0	0	0	0,00	0,00
	100%	-	-	VNR	VNR	0,00	0	0	0	0	0	0	0,00	0,00
proporzionale alla deformata 1° modo di vibrazione														
	0%	-	-	VNR	VNR	0,00	0	0	0	0	0	0	0,00	0,00
	100%	-	-	VNR	VNR	0,00	0	0	0	0	0	0	0,00	0,00
Pilastrata: Pilastrata2														
sisma in +X														
proporzionale alle masse														
Piano interrato	0%	-72.166	10.387	0,90	6,26	1,32	65055	65055	157070	157070	0	0	2,50	2,50
	100%	11.773	-9.796	5,53	6,64	1,07	65055	65055	127711	127711	0	0	2,50	2,50
proporzionale alla deformata 1° modo di vibrazione														
	0%	-67.536	3.051	0,96	21,32	1,32	65055	65055	156684	156684	0	0	2,50	2,50
	100%	21.265	-9.407	3,06	6,92	1,14	65055	65055	135323	135323	0	0	2,50	2,50
sisma in -X														
proporzionale alle masse														
	0%	22.317	1.915	2,92	33,97	1,00	65055	65055	118863	118863	0	0	2,50	2,50
	100%	53.028	-17.386	1,23	3,74	1,00	65055	65055	118863	118863	0	0	2,50	2,50
proporzionale alla deformata 1° modo di vibrazione														
	0%	20.534	-581	3,17	NS	1,00	65055	65055	118863	118863	0	0	2,50	2,50
	100%	48.794	-13.895	1,33	4,68	1,00	65055	65055	118863	118863	0	0	2,50	2,50
sisma in +Y														
proporzionale alle masse														
	0%	32	3.226	NS	20,17	1,00	65055	65055	118863	118863	0	0	2,50	2,50
	100%	9.474	872	6,87	74,60	1,04	65055	65055	123328	123328	0	0	2,50	2,50
proporzionale alla deformata 1° modo di vibrazione														
	0%	-11.309	2.831	5,75	22,98	1,06	65055	65055	126567	126567	0	0	2,50	2,50
	100%	13.229	2.607	4,92	24,95	1,07	65055	65055	127470	127470	0	0	2,50	2,50
sisma in -Y														
proporzionale alle masse														
	0%	-	-	VNR	VNR	0,00	0	0	0	0	0	0	0,00	0,00
	100%	-	-	VNR	VNR	0,00	0	0	0	0	0	0	0,00	0,00

Lv	%L_{LI}	$V_{Ed,3}$	$V_{Ed,2}$	$CS^{(3)}$	$CS^{(2)}$	α_C	$V_{Rsd,s}{}^{(3)}$	$V_{Rsd,s}{}^{(2)}$	$V_{Rcd}{}^{(3)}$	$V_{Rcd}{}^{(2)}$	$V_{fd}{}^{(3)}$	$V_{fd}{}^{(2)}$	$Ctg\Theta^{(3)}$	$Ctg\Theta^{(2)}$
	[%]	[N]	[N]				[N]	[N]	[N]	[N]	[N]	[N]		
proporzionale alla deformata 1° modo di vibrazione														
	0%	-	-	VNR	VNR	0,00	0	0	0	0	0	0	0,00	0,00
	100%	-	-	VNR	VNR	0,00	0	0	0	0	0	0	0,00	0,00
sisma in +X														
proporzionale alle masse														
Piano terra	0%	-13.161	-2.366	4,94	27,50	1,01	65055	65055	120600	120600	0	0	2,50	2,50
	100%	-18.295	286	3,56	NS	1,00	65055	65055	118863	118863	0	0	2,50	2,50
proporzionale alla deformata 1° modo di vibrazione														
	0%	-29.165	-914	2,23	71,18	1,06	65055	65055	126191	126191	0	0	2,50	2,50
	100%	-21.895	-1.376	2,97	47,28	1,00	65055	65055	118863	118863	0	0	2,50	2,50
sisma in -X														
proporzionale alle masse														
	0%	-4.717	-9.870	13,79	6,59	1,00	65055	65055	118863	118863	0	0	2,50	2,50
	100%	78.358	-16.449	0,83	3,95	1,30	65055	65055	154509	154509	0	0	2,50	2,50
proporzionale alla deformata 1° modo di vibrazione														
	0%	-2.567	-10.620	25,34	6,13	1,00	65055	65055	118863	118863	0	0	2,50	2,50
	100%	95.836	-12.295	0,68	5,29	1,30	65055	65055	154302	154302	0	0	2,50	2,50
sisma in +Y														
proporzionale alle masse														
	0%	793	2.892	82,04	22,49	1,02	65055	65055	121186	121186	0	0	2,50	2,50
	100%	3.626	509	17,94	NS	1,01	65055	65055	120296	120296	0	0	2,50	2,50
proporzionale alla deformata 1° modo di vibrazione														
	0%	-9.826	4.083	6,62	15,93	1,04	65055	65055	123495	123495	0	0	2,50	2,50
	100%	-4.677	1.916	13,91	33,95	1,00	65055	65055	118863	118863	0	0	2,50	2,50
sisma in -Y														
proporzionale alle masse														
	0%	-	-	VNR	VNR	0,00	0	0	0	0	0	0	0,00	0,00
	100%	-	-	VNR	VNR	0,00	0	0	0	0	0	0	0,00	0,00
proporzionale alla deformata 1° modo di vibrazione														
	0%	-	-	VNR	VNR	0,00	0	0	0	0	0	0	0,00	0,00
	100%	-	-	VNR	VNR	0,00	0	0	0	0	0	0	0,00	0,00
sisma in +X														
proporzionale alle masse														
Piano copertura	0%	6.129	-7.694	10,61	8,46	1,00	65055	65055	118863	118863	0	0	2,50	2,50
	100%	6.129	-7.694	10,61	8,46	1,00	65055	65055	118863	118863	0	0	2,50	2,50
proporzionale alla deformata 1° modo di vibrazione														
	0%	5.426	-4.018	11,99	16,19	1,00	65055	65055	118863	118863	0	0	2,50	2,50
	100%	5.426	-4.018	11,99	16,19	1,00	65055	65055	118863	118863	0	0	2,50	2,50
sisma in -X														
proporzionale alle masse														
	0%	-14.965	-12.480	4,35	5,21	1,60	65055	65055	190233	190233	0	0	2,50	2,50
	100%	-14.965	-12.480	4,35	5,21	1,60	65055	65055	189926	189926	0	0	2,50	2,50
proporzionale alla deformata 1° modo di vibrazione														
	0%	-17.698	-13.443	3,68	4,84	1,61	65055	65055	191744	191744	0	0	2,50	2,50
	100%	-17.698	-13.443	3,68	4,84	1,61	65055	65055	191438	191438	0	0	2,50	2,50
sisma in +Y														
proporzionale alle masse														
	0%	2.930	-14.764	22,20	4,41	1,02	65055	65055	120789	120789	0	0	2,50	2,50
	100%	2.930	-14.764	22,20	4,41	1,01	65055	65055	120460	120460	0	0	2,50	2,50
proporzionale alla deformata 1° modo di vibrazione														
	0%	3.879	-10.613	16,77	6,13	1,00	65055	65055	118863	118863	0	0	2,50	2,50
	100%	3.879	-10.613	16,77	6,13	1,00	65055	65055	118863	118863	0	0	2,50	2,50
sisma in -Y														
proporzionale alle masse														
	0%	-	-	VNR	VNR	0,00	0	0	0	0	0	0	0,00	0,00
	100%	-	-	VNR	VNR	0,00	0	0	0	0	0	0	0,00	0,00
proporzionale alla deformata 1° modo di vibrazione														
	0%	-	-	VNR	VNR	0,00	0	0	0	0	0	0	0,00	0,00
	100%	-	-	VNR	VNR	0,00	0	0	0	0	0	0	0,00	0,00
Pilastrata: Pilastrata3														
sisma in +X														
proporzionale alle masse														
Piano interrato	0%	-40.787	9.601	1,59	6,78	1,27	65055	65055	150485	150485	0	0	2,50	2,50
	100%	5.006	-3.606	13,00	18,04	1,04	65055	65055	124124	124124	0	0	2,50	2,50
proporzionale alla deformata 1° modo di vibrazione														
	0%	-36.135	3.417	1,80	19,04	1,25	65055	65055	149039	149039	0	0	2,50	2,50
	100%	8.453	-1.717	7,70	37,89	1,08	65055	65055	128423	128423	0	0	2,50	2,50
sisma in -X														
proporzionale alle masse														
	0%	3.883	-4.209	16,75	15,46	1,00	65055	65055	118863	118863	0	0	2,50	2,50
	100%	28.411	-14.050	2,29	4,63	1,00	65055	65055	118863	118863	0	0	2,50	2,50
proporzionale alla deformata 1° modo di vibrazione														
	0%	3.696	-4.476	17,60	14,53	1,00	65055	65055	118863	118863	0	0	2,50	2,50
	100%	28.211	-11.751	2,31	5,54	1,00	65055	65055	118863	118863	0	0	2,50	2,50
sisma in +Y														
proporzionale alle masse														
	0%	-5.347	8.693	12,17	7,48	1,02	65055	65055	121493	121493	0	0	2,50	2,50
	100%	6.894	9.125	9,44	7,13	1,02	65055	65055	121815	121815	0	0	2,50	2,50
proporzionale alla deformata 1° modo di vibrazione														
	0%	-9.385	8.719	6,93	7,46	1,06	65055	65055	126156	126156	0	0	2,50	2,50
	100%	4.209	10.391	15,46	6,26	1,04	65055	65055	123123	123123	0	0	2,50	2,50
sisma in -Y														
proporzionale alle masse														
	0%	-	-	VNR	VNR	0,00	0	0	0	0	0	0	0,00	0,00
	100%	-	-	VNR	VNR	0,00	0	0	0	0	0	0	0,00	0,00
proporzionale alla deformata 1° modo di vibrazione														

Lv	%L_{LI}	$V_{Ed,3}$	$V_{Ed,2}$	$CS^{(3)}$	$CS^{(2)}$	α_C	$V_{Rsd,s}{}^{(3)}$	$V_{Rsd,s}{}^{(2)}$	$V_{Rcd}{}^{(3)}$	$V_{Rcd}{}^{(2)}$	$V_{fd}{}^{(3)}$	$V_{fd}{}^{(2)}$	$Ctg\Theta^{(3)}$	$Ctg\Theta^{(2)}$
	[%]	[N]	[N]				[N]	[N]	[N]	[N]	[N]	[N]		
	0%	-	-	VNR	VNR	0,00	0	0	0	0	0	0	0,00	0,00
	100%	-	-	VNR	VNR	0,00	0	0	0	0	0	0	0,00	0,00
sisma in +X														
proporzionale alle masse														
Piano terra	0%	-736	-3.176	88,39	20,48	1,03	65055	65055	122699	122699	0	0	2,50	2,50
	100%	-91	-1.484	NS	43,84	1,01	65055	65055	119960	119960	0	0	2,50	2,50
proporzionale alla deformata 1° modo di vibrazione														
	0%	-4.912	-2.023	13,24	32,16	1,07	65055	65055	126830	126830	0	0	2,50	2,50
	100%	250	-2.257	NS	28,82	1,01	65055	65055	120196	120196	0	0	2,50	2,50
sisma in -X														
proporzionale alle masse														
	0%	-7.850	-6.451	8,29	10,08	1,00	65055	65055	118863	118863	0	0	2,50	2,50
	100%	-12.610	-2.599	5,16	25,03	1,00	65055	65055	118863	118863	0	0	2,50	2,50
proporzionale alla deformata 1° modo di vibrazione														
	0%	-7.073	-7.011	9,20	9,28	1,00	65055	65055	118863	118863	0	0	2,50	2,50
	100%	-12.115	-3.683	5,37	17,66	1,00	65055	65055	118863	118863	0	0	2,50	2,50
sisma in +Y														
proporzionale alle masse														
	0%	-968	7.706	67,21	8,44	1,03	65055	65055	122485	122485	0	0	2,50	2,50
	100%	1.741	2.722	37,37	23,90	1,01	65055	65055	120309	120309	0	0	2,50	2,50
proporzionale alla deformata 1° modo di vibrazione														
	0%	-3.729	8.370	17,45	7,77	1,04	65055	65055	123946	123946	0	0	2,50	2,50
	100%	341	4.383	NS	14,84	1,01	65055	65055	119774	119774	0	0	2,50	2,50
sisma in -Y														
proporzionale alle masse														
	0%	-	-	VNR	VNR	0,00	0	0	0	0	0	0	0,00	0,00
	100%	-	-	VNR	VNR	0,00	0	0	0	0	0	0	0,00	0,00
proporzionale alla deformata 1° modo di vibrazione														
	0%	-	-	VNR	VNR	0,00	0	0	0	0	0	0	0,00	0,00
	100%	-	-	VNR	VNR	0,00	0	0	0	0	0	0	0,00	0,00
Pilastrata: Pilastrata4														
sisma in +X														
proporzionale alle masse														
Piano interrato	0%	-2.532	2.338	25,69	27,83	1,00	65055	65055	118863	118863	0	0	2,50	2,50
	100%	-2.748	-5.506	23,67	11,82	1,01	65055	65055	120518	120518	0	0	2,50	2,50
proporzionale alla deformata 1° modo di vibrazione														
	0%	-1.919	1.783	33,90	36,49	1,00	65055	65055	118888	118888	0	0	2,50	2,50
	100%	-3.042	-4.705	21,39	13,83	1,01	65055	65055	120475	120475	0	0	2,50	2,50
sisma in -X														
proporzionale alle masse														
	0%	865	-26	75,21	NS	1,00	65055	65055	118863	118863	0	0	2,50	2,50
	100%	109	-10.073	NS	6,46	1,02	65055	65055	121073	121073	0	0	2,50	2,50
proporzionale alla deformata 1° modo di vibrazione														
	0%	410	-237	NS	NS	1,00	65055	65055	118863	118863	0	0	2,50	2,50
	100%	-657	-10.966	99,02	5,93	1,02	65055	65055	120771	120771	0	0	2,50	2,50
sisma in +Y														
proporzionale alle masse														
	0%	10.364	46.086	6,28	1,41	1,27	65055	65055	150770	150770	0	0	2,50	2,50
	100%	693	-1.878	93,87	34,64	1,01	65055	65055	120102	120102	0	0	2,50	2,50
proporzionale alla deformata 1° modo di vibrazione														
	0%	2.750	31.934	23,66	2,04	1,20	65055	65055	142171	142171	0	0	2,50	2,50
	100%	874	-3.717	74,43	17,50	1,03	65055	65055	122894	122894	0	0	2,50	2,50
sisma in -Y														
proporzionale alle masse														
	0%	-	-	VNR	VNR	0,00	0	0	0	0	0	0	0,00	0,00
	100%	-	-	VNR	VNR	0,00	0	0	0	0	0	0	0,00	0,00
proporzionale alla deformata 1° modo di vibrazione														
	0%	-	-	VNR	VNR	0,00	0	0	0	0	0	0	0,00	0,00
	100%	-	-	VNR	VNR	0,00	0	0	0	0	0	0	0,00	0,00
sisma in +X														
proporzionale alle masse														
Piano terra	0%	-998	-838	65,19	77,63	1,00	65055	65055	118863	118863	0	0	2,50	2,50
	100%	3.246	-3.404	20,04	19,11	1,00	65055	65055	118863	118863	0	0	2,50	2,50
proporzionale alla deformata 1° modo di vibrazione														
	0%	-1.307	-1.194	49,77	54,48	1,00	65055	65055	118863	118863	0	0	2,50	2,50
	100%	2.421	-900	26,87	72,28	1,00	65055	65055	118863	118863	0	0	2,50	2,50
sisma in -X														
proporzionale alle masse														
	0%	333	-2.829	NS	23,00	1,00	65055	65055	119033	119033	0	0	2,50	2,50
	100%	-1.240	-5.498	52,46	11,83	1,01	65055	65055	120515	120515	0	0	2,50	2,50
proporzionale alla deformata 1° modo di vibrazione														
	0%	1.330	-4.184	48,91	15,55	1,00	65055	65055	118863	118863	0	0	2,50	2,50
	100%	-861	-7.345	75,56	8,86	1,02	65055	65055	120990	120990	0	0	2,50	2,50
sisma in +Y														
proporzionale alle masse														
	0%	4.574	17.123	14,22	3,80	1,06	65055	65055	126584	126584	0	0	2,50	2,50
	100%	2.216	4.392	29,36	14,81	1,00	65055	65055	118863	118863	0	0	2,50	2,50
proporzionale alla deformata 1° modo di vibrazione														
	0%	533	22.953	NS	2,83	1,08	65055	65055	128647	128647	0	0	2,50	2,50
	100%	1.770	5.470	36,75	11,89	1,00	65055	65055	118863	118863	0	0	2,50	2,50
sisma in -Y														
proporzionale alle masse														
	0%	-	-	VNR	VNR	0,00	0	0	0	0	0	0	0,00	0,00
	100%	-	-	VNR	VNR	0,00	0	0	0	0	0	0	0,00	0,00
proporzionale alla deformata 1° modo di vibrazione														
	0%	-	-	VNR	VNR	0,00	0	0	0	0	0	0	0,00	0,00

Lv	%L_{LI}	$V_{Ed,3}$	$V_{Ed,2}$	$CS^{(3)}$	$CS^{(2)}$	α_C	$V_{Rsd,s}{}^{(3)}$	$V_{Rsd,s}{}^{(2)}$	$V_{Rcd}{}^{(3)}$	$V_{Rcd}{}^{(2)}$	$V_{fd}{}^{(3)}$	$V_{fd}{}^{(2)}$	$Ctg\Theta^{(3)}$	$Ctg\Theta^{(2)}$
	[%]	[N]	[N]				[N]	[N]	[N]	[N]	[N]	[N]		
	100%	-	-	VNR	VNR	0,00	0	0	0	0	0	0	0,00	0,00
Pilastrata: Pilastrata5														
sisma in +X														
proporzionale alle masse														
Piano interrato	0%	-9.237	5.008	7,04	12,99	1,14	65055	65055	135704	135704	0	0	2,50	2,50
	100%	-9.237	5.008	7,04	12,99	1,13	65055	65055	134608	134608	0	0	2,50	2,50
proporzionale alla deformata 1° modo di vibrazione														
	0%	-7.647	6.063	8,51	10,73	1,14	65055	65055	134928	134928	0	0	2,50	2,50
	100%	-7.647	6.063	8,51	10,73	1,13	65055	65055	134409	134409	0	0	2,50	2,50
sisma in -X														
proporzionale alle masse														
	0%	11.104	-8.035	5,86	8,10	1,12	65055	65055	132788	132788	0	0	2,50	2,50
	100%	11.104	-8.035	5,86	8,10	1,11	65055	65055	132252	132252	0	0	2,50	2,50
proporzionale alla deformata 1° modo di vibrazione														
	0%	10.936	-9.508	5,95	6,84	1,12	65055	65055	132682	132682	0	0	2,50	2,50
	100%	10.936	-9.508	5,95	6,84	1,11	65055	65055	132228	132228	0	0	2,50	2,50
sisma in +Y														
proporzionale alle masse														
	0%	6.045	41.475	10,76	1,57	1,16	65055	65055	137526	137526	0	0	2,50	2,50
	100%	6.045	41.475	10,76	1,57	1,15	65055	65055	137202	137202	0	0	2,50	2,50
proporzionale alla deformata 1° modo di vibrazione														
	0%	1.522	38.091	42,74	1,71	1,16	65055	65055	137355	137355	0	0	2,50	2,50
	100%	1.522	38.091	42,74	1,71	1,15	65055	65055	137046	137046	0	0	2,50	2,50
sisma in -Y														
proporzionale alle masse														
	0%	-	-	VNR	VNR	0,00	0	0	0	0	0	0	0,00	0,00
	100%	-	-	VNR	VNR	0,00	0	0	0	0	0	0	0,00	0,00
proporzionale alla deformata 1° modo di vibrazione														
	0%	-	-	VNR	VNR	0,00	0	0	0	0	0	0	0,00	0,00
	100%	-	-	VNR	VNR	0,00	0	0	0	0	0	0	0,00	0,00
sisma in +X														
proporzionale alle masse														
Piano terra	0%	-1.022	1.322	63,65	49,21	1,01	65055	65055	119825	119825	0	0	2,50	2,50
	100%	-1.022	1.322	63,65	49,21	1,00	65055	65055	118863	118863	0	0	2,50	2,50
proporzionale alla deformata 1° modo di vibrazione														
	0%	-2.003	1.183	32,48	54,99	1,01	65055	65055	119495	119495	0	0	2,50	2,50
	100%	-2.003	1.183	32,48	54,99	1,00	65055	65055	118863	118863	0	0	2,50	2,50
sisma in -X														
proporzionale alle masse														
	0%	371	-1.638	NS	39,72	1,00	65055	65055	118863	118863	0	0	2,50	2,50
	100%	371	-1.638	NS	39,72	1,00	65055	65055	118863	118863	0	0	2,50	2,50
proporzionale alla deformata 1° modo di vibrazione														
	0%	1.079	-1.510	60,29	43,08	1,00	65055	65055	118863	118863	0	0	2,50	2,50
	100%	1.079	-1.510	60,29	43,08	1,00	65055	65055	118863	118863	0	0	2,50	2,50
sisma in +Y														
proporzionale alle masse														
	0%	409	7.462	NS	8,72	1,03	65055	65055	122568	122568	0	0	2,50	2,50
	100%	409	7.462	NS	8,72	1,03	65055	65055	121916	121916	0	0	2,50	2,50
proporzionale alla deformata 1° modo di vibrazione														
	0%	-733	7.979	88,75	8,15	1,03	65055	65055	122153	122153	0	0	2,50	2,50
	100%	-733	7.979	88,75	8,15	1,02	65055	65055	121506	121506	0	0	2,50	2,50
sisma in -Y														
proporzionale alle masse														
	0%	-	-	VNR	VNR	0,00	0	0	0	0	0	0	0,00	0,00
	100%	-	-	VNR	VNR	0,00	0	0	0	0	0	0	0,00	0,00
proporzionale alla deformata 1° modo di vibrazione														
	0%	-	-	VNR	VNR	0,00	0	0	0	0	0	0	0,00	0,00
	100%	-	-	VNR	VNR	0,00	0	0	0	0	0	0	0,00	0,00
sisma in +X														
proporzionale alle masse														
Piano copertura	0%	4.211	-609	15,45	NS	1,00	65055	65055	118863	118863	0	0	2,50	2,50
	100%	4.211	-609	15,45	NS	1,00	65055	65055	118863	118863	0	0	2,50	2,50
proporzionale alla deformata 1° modo di vibrazione														
	0%	4.856	-678	13,40	95,95	1,00	65055	65055	118863	118863	0	0	2,50	2,50
	100%	4.856	-678	13,40	95,95	1,00	65055	65055	118863	118863	0	0	2,50	2,50
sisma in -X														
proporzionale alle masse														
	0%	503	-537	NS	NS	1,00	65055	65055	118863	118863	0	0	2,50	2,50
	100%	503	-537	NS	NS	1,00	65055	65055	118863	118863	0	0	2,50	2,50
proporzionale alla deformata 1° modo di vibrazione														
	0%	145	-763	NS	85,26	1,00	65055	65055	118863	118863	0	0	2,50	2,50
	100%	145	-763	NS	85,26	1,00	65055	65055	118863	118863	0	0	2,50	2,50
sisma in +Y														
proporzionale alle masse														
	0%	2.242	-1.088	29,02	59,79	1,00	65055	65055	118863	118863	0	0	2,50	2,50
	100%	2.242	-1.088	29,02	59,79	1,00	65055	65055	118863	118863	0	0	2,50	2,50
proporzionale alla deformata 1° modo di vibrazione														
	0%	3.403	-1.032	19,12	63,04	1,00	65055	65055	118863	118863	0	0	2,50	2,50
	100%	3.403	-1.032	19,12	63,04	1,00	65055	65055	118863	118863	0	0	2,50	2,50
sisma in -Y														
proporzionale alle masse														
	0%	-	-	VNR	VNR	0,00	0	0	0	0	0	0	0,00	0,00
	100%	-	-	VNR	VNR	0,00	0	0	0	0	0	0	0,00	0,00
proporzionale alla deformata 1° modo di vibrazione														
	0%	-	-	VNR	VNR	0,00	0	0	0	0	0	0	0,00	0,00
	100%	-	-	VNR	VNR	0,00	0	0	0	0	0	0	0,00	0,00

Lv	$\%L_{LI}$	$V_{Ed,3}$	$V_{Ed,2}$	$CS^{(3)}$	$CS^{(2)}$	α_C	$V_{Rsd,s}{}^{(3)}$	$V_{Rsd,s}{}^{(2)}$	$V_{Rcd}{}^{(3)}$	$V_{Rcd}{}^{(2)}$	$V_{fd}{}^{(3)}$	$V_{fd}{}^{(2)}$	$Ctg\Theta^{(3)}$	$Ctg\Theta^{(2)}$
	[%]	[N]	[N]				[N]	[N]	[N]	[N]	[N]	[N]		
Pilastrata: Pilastrata6														
sisma in +X														
proporzionale alle masse														
Piano interrato	0%	-1.865	4.110	34,88	15,83	1,02	65055	65055	120785	120785	0	0	2,50	2,50
	100%	-644	-10.597	NS	6,14	1,03	65055	65055	122935	122935	0	0	2,50	2,50
proporzionale alla deformata 1° modo di vibrazione														
	0%	-958	4.207	67,91	15,46	1,02	65055	65055	121227	121227	0	0	2,50	2,50
	100%	-778	-10.619	83,62	6,13	1,03	65055	65055	122626	122626	0	0	2,50	2,50
sisma in -X														
proporzionale alle masse														
	0%	2.839	2.390	22,91	27,22	1,00	65055	65055	118863	118863	0	0	2,50	2,50
	100%	1.923	-11.876	33,83	5,48	1,03	65055	65055	122472	122472	0	0	2,50	2,50
proporzionale alla deformata 1° modo di vibrazione														
	0%	2.169	1.814	29,99	35,86	1,00	65055	65055	118863	118863	0	0	2,50	2,50
	100%	3.272	-12.281	19,88	5,30	1,03	65055	65055	122618	122618	0	0	2,50	2,50
sisma in +Y														
proporzionale alle masse														
	0%	10.680	47.793	6,09	1,36	1,26	65055	65055	150019	150019	0	0	2,50	2,50
	100%	835	-2.748	77,91	23,67	1,01	65055	65055	119926	119926	0	0	2,50	2,50
proporzionale alla deformata 1° modo di vibrazione														
	0%	2.794	39.724	23,28	1,64	1,22	65055	65055	145017	145017	0	0	2,50	2,50
	100%	759	-5.766	85,71	11,28	1,03	65055	65055	122802	122802	0	0	2,50	2,50
sisma in -Y														
proporzionale alle masse														
	0%	-	-	VNR	VNR	0,00	0	0	0	0	0	0	0,00	0,00
	100%	-	-	VNR	VNR	0,00	0	0	0	0	0	0	0,00	0,00
proporzionale alla deformata 1° modo di vibrazione														
	0%	-	-	VNR	VNR	0,00	0	0	0	0	0	0	0,00	0,00
	100%	-	-	VNR	VNR	0,00	0	0	0	0	0	0	0,00	0,00
sisma in +X														
proporzionale alle masse														
Piano terra	0%	-711	-4.010	91,50	16,22	1,00	65055	65055	119085	119085	0	0	2,50	2,50
	100%	321	-5.555	NS	11,71	1,02	65055	65055	121124	121124	0	0	2,50	2,50
proporzionale alla deformata 1° modo di vibrazione														
	0%	-304	-3.593	NS	18,11	1,00	65055	65055	119057	119057	0	0	2,50	2,50
	100%	-456	-5.401	NS	12,04	1,02	65055	65055	120948	120948	0	0	2,50	2,50
sisma in -X														
proporzionale alle masse														
	0%	-230	-2.875	NS	22,63	1,00	65055	65055	118863	118863	0	0	2,50	2,50
	100%	-2.123	-5.637	30,64	11,54	1,01	65055	65055	120179	120179	0	0	2,50	2,50
proporzionale alla deformata 1° modo di vibrazione														
	0%	-171	-3.037	NS	21,42	1,00	65055	65055	118863	118863	0	0	2,50	2,50
	100%	-2.260	-5.288	28,79	12,30	1,01	65055	65055	120040	120040	0	0	2,50	2,50
sisma in +Y														
proporzionale alle masse														
	0%	3.407	14.933	19,09	4,36	1,05	65055	65055	124856	124856	0	0	2,50	2,50
	100%	-114	2.553	NS	25,48	1,00	65055	65055	118863	118863	0	0	2,50	2,50
proporzionale alla deformata 1° modo di vibrazione														
	0%	-399	23.177	NS	2,81	1,08	65055	65055	128928	128928	0	0	2,50	2,50
	100%	-887	5.188	73,34	12,54	1,00	65055	65055	118863	118863	0	0	2,50	2,50
sisma in -Y														
proporzionale alle masse														
	0%	-	-	VNR	VNR	0,00	0	0	0	0	0	0	0,00	0,00
	100%	-	-	VNR	VNR	0,00	0	0	0	0	0	0	0,00	0,00
proporzionale alla deformata 1° modo di vibrazione														
	0%	-	-	VNR	VNR	0,00	0	0	0	0	0	0	0,00	0,00
	100%	-	-	VNR	VNR	0,00	0	0	0	0	0	0	0,00	0,00
Pilastrata: Pilastrata7														
sisma in +X														
proporzionale alle masse														
Piano interrato	0%	-6.341	387	10,26	NS	1,04	65055	65055	123265	123265	0	0	2,50	2,50
	100%	-6.341	387	10,26	NS	1,03	65055	65055	122706	122706	0	0	2,50	2,50
proporzionale alla deformata 1° modo di vibrazione														
	0%	-5.745	972	11,32	66,93	1,04	65055	65055	123289	123289	0	0	2,50	2,50
	100%	-5.745	972	11,32	66,93	1,03	65055	65055	122704	122704	0	0	2,50	2,50
sisma in -X														
proporzionale alle masse														
	0%	7.318	-3.871	8,89	16,81	1,06	65055	65055	126396	126396	0	0	2,50	2,50
	100%	7.318	-3.871	8,89	16,81	1,06	65055	65055	125903	125903	0	0	2,50	2,50
proporzionale alla deformata 1° modo di vibrazione														
	0%	6.010	-4.812	10,82	13,52	1,06	65055	65055	126102	126102	0	0	2,50	2,50
	100%	6.010	-4.812	10,82	13,52	1,06	65055	65055	125805	125805	0	0	2,50	2,50
sisma in +Y														
proporzionale alle masse														
	0%	3.998	29.006	16,27	2,24	1,07	65055	65055	127193	127193	0	0	2,50	2,50
	100%	3.998	29.006	16,27	2,24	1,07	65055	65055	126849	126849	0	0	2,50	2,50
proporzionale alla deformata 1° modo di vibrazione														
	0%	409	24.174	NS	2,69	1,06	65055	65055	126555	126555	0	0	2,50	2,50
	100%	409	24.174	NS	2,69	1,06	65055	65055	126192	126192	0	0	2,50	2,50
sisma in -Y														
proporzionale alle masse														
	0%	-	-	VNR	VNR	0,00	0	0	0	0	0	0	0,00	0,00
	100%	-	-	VNR	VNR	0,00	0	0	0	0	0	0	0,00	0,00
proporzionale alla deformata 1° modo di vibrazione														
	0%	-	-	VNR	VNR	0,00	0	0	0	0	0	0	0,00	0,00
	100%	-	-	VNR	VNR	0,00	0	0	0	0	0	0	0,00	0,00

Lv	%L_{LI}	$V_{Ed,3}$	$V_{Ed,2}$	$CS^{(3)}$	$CS^{(2)}$	α_C	$V_{Rsd,s}{}^{(3)}$	$V_{Rsd,s}{}^{(2)}$	$V_{Rcd}{}^{(3)}$	$V_{Rcd}{}^{(2)}$	$V_{fd}{}^{(3)}$	$V_{fd}{}^{(2)}$	$Ctg\Theta^{(3)}$	$Ctg\Theta^{(2)}$
	[%]	[N]	[N]				[N]	[N]	[N]	[N]	[N]	[N]		
sisma in +X														
proporzionale alle masse														
Piano terra	0%	1.573	-233	41,36	NS	1,00	65055	65055	118863	118863	0	0	2,50	2,50
	100%	1.573	-233	41,36	NS	1,00	65055	65055	118863	118863	0	0	2,50	2,50
proporzionale alla deformata 1° modo di vibrazione														
	0%	1.240	-151	52,46	NS	1,00	65055	65055	118863	118863	0	0	2,50	2,50
	100%	1.240	-151	52,46	NS	1,00	65055	65055	118863	118863	0	0	2,50	2,50
sisma in -X														
proporzionale alle masse														
	0%	1.582	-1.497	41,12	43,46	1,02	65055	65055	120770	120770	0	0	2,50	2,50
	100%	1.582	-1.497	41,12	43,46	1,01	65055	65055	120127	120127	0	0	2,50	2,50
proporzionale alla deformata 1° modo di vibrazione														
	0%	2.711	-1.930	24,00	33,71	1,02	65055	65055	120700	120700	0	0	2,50	2,50
	100%	2.711	-1.930	24,00	33,71	1,01	65055	65055	119884	119884	0	0	2,50	2,50
sisma in +Y														
proporzionale alle masse														
	0%	1.883	7.833	34,55	8,31	1,01	65055	65055	120284	120284	0	0	2,50	2,50
	100%	1.883	7.833	34,55	8,31	1,01	65055	65055	119670	119670	0	0	2,50	2,50
proporzionale alla deformata 1° modo di vibrazione														
	0%	1.439	7.592	45,21	8,57	1,01	65055	65055	119883	119883	0	0	2,50	2,50
	100%	1.439	7.592	45,21	8,57	1,00	65055	65055	119219	119219	0	0	2,50	2,50
sisma in -Y														
proporzionale alle masse														
	0%	-	-	VNR	VNR	0,00	0	0	0	0	0	0	0,00	0,00
	100%	-	-	VNR	VNR	0,00	0	0	0	0	0	0	0,00	0,00
proporzionale alla deformata 1° modo di vibrazione														
	0%	-	-	VNR	VNR	0,00	0	0	0	0	0	0	0,00	0,00
	100%	-	-	VNR	VNR	0,00	0	0	0	0	0	0	0,00	0,00
Pilastrata: Pilastrata8														
sisma in +X														
proporzionale alle masse														
Piano interrato	0%	-9.045	640	7,19	NS	1,13	65055	65055	133863	133863	0	0	2,50	2,50
	100%	-9.045	640	7,19	NS	1,12	65055	65055	133336	133336	0	0	2,50	2,50
proporzionale alla deformata 1° modo di vibrazione														
	0%	-7.107	1.142	9,15	56,97	1,12	65055	65055	133652	133652	0	0	2,50	2,50
	100%	-7.107	1.142	9,15	56,97	1,12	65055	65055	132987	132987	0	0	2,50	2,50
sisma in -X														
proporzionale alle masse														
	0%	11.299	-4.906	5,76	13,26	1,14	65055	65055	135884	135884	0	0	2,50	2,50
	100%	11.299	-4.906	5,76	13,26	1,14	65055	65055	135265	135265	0	0	2,50	2,50
proporzionale alla deformata 1° modo di vibrazione														
	0%	10.534	-5.863	6,18	11,10	1,14	65055	65055	135811	135811	0	0	2,50	2,50
	100%	10.534	-5.863	6,18	11,10	1,14	65055	65055	135252	135252	0	0	2,50	2,50
sisma in +Y														
proporzionale alle masse														
	0%	5.750	40.520	11,31	1,61	1,14	65055	65055	135673	135673	0	0	2,50	2,50
	100%	5.750	40.520	11,31	1,61	1,14	65055	65055	135195	135195	0	0	2,50	2,50
proporzionale alla deformata 1° modo di vibrazione														
	0%	1.685	36.015	38,61	1,81	1,14	65055	65055	135088	135088	0	0	2,50	2,50
	100%	1.685	36.015	38,61	1,81	1,13	65055	65055	134777	134777	0	0	2,50	2,50
sisma in -Y														
proporzionale alle masse														
	0%	-	-	VNR	VNR	0,00	0	0	0	0	0	0	0,00	0,00
	100%	-	-	VNR	VNR	0,00	0	0	0	0	0	0	0,00	0,00
proporzionale alla deformata 1° modo di vibrazione														
	0%	-	-	VNR	VNR	0,00	0	0	0	0	0	0	0,00	0,00
	100%	-	-	VNR	VNR	0,00	0	0	0	0	0	0	0,00	0,00
sisma in +X														
proporzionale alle masse														
Piano terra	0%	-834	-63	78,00	NS	1,01	65055	65055	119969	119969	0	0	2,50	2,50
	100%	-834	-63	78,00	NS	1,01	65055	65055	119594	119594	0	0	2,50	2,50
proporzionale alla deformata 1° modo di vibrazione														
	0%	-2.022	320	32,17	NS	1,01	65055	65055	120207	120207	0	0	2,50	2,50
	100%	-2.022	320	32,17	NS	1,00	65055	65055	119350	119350	0	0	2,50	2,50
sisma in -X														
proporzionale alle masse														
	0%	-43	-1.198	NS	54,30	1,02	65055	65055	121671	121671	0	0	2,50	2,50
	100%	-43	-1.198	NS	54,30	1,02	65055	65055	121221	121221	0	0	2,50	2,50
proporzionale alla deformata 1° modo di vibrazione														
	0%	1.027	-1.656	63,34	39,28	1,02	65055	65055	121607	121607	0	0	2,50	2,50
	100%	1.027	-1.656	63,34	39,28	1,02	65055	65055	121051	121051	0	0	2,50	2,50
sisma in +Y														
proporzionale alle masse														
	0%	316	6.946	NS	9,37	1,02	65055	65055	121375	121375	0	0	2,50	2,50
	100%	316	6.946	NS	9,37	1,02	65055	65055	120682	120682	0	0	2,50	2,50
proporzionale alla deformata 1° modo di vibrazione														
	0%	-588	7.101	NS	9,16	1,02	65055	65055	121101	121101	0	0	2,50	2,50
	100%	-588	7.101	NS	9,16	1,01	65055	65055	120446	120446	0	0	2,50	2,50
sisma in -Y														
proporzionale alle masse														
	0%	-	-	VNR	VNR	0,00	0	0	0	0	0	0	0,00	0,00
	100%	-	-	VNR	VNR	0,00	0	0	0	0	0	0	0,00	0,00
proporzionale alla deformata 1° modo di vibrazione														
	0%	-	-	VNR	VNR	0,00	0	0	0	0	0	0	0,00	0,00
	100%	-	-	VNR	VNR	0,00	0	0	0	0	0	0	0,00	0,00
sisma in +X														

Lv	%L_{LI}	$V_{Ed,3}$	$V_{Ed,2}$	$CS^{(3)}$	$CS^{(2)}$	α_C	$V_{Rsd,s}{}^{(3)}$	$V_{Rsd,s}{}^{(2)}$	$V_{Rcd}{}^{(3)}$	$V_{Rcd}{}^{(2)}$	$V_{fd}{}^{(3)}$	$V_{fd}{}^{(2)}$	$Ctg\Theta^{(3)}$	$Ctg\Theta^{(2)}$
	[%]	[N]	[N]				[N]	[N]	[N]	[N]	[N]	[N]		
proporzionale alle masse														
Piano copertura	0%	3.033	-339	21,45	NS	1,00	65055	65055	118863	118863	0	0	2,50	2,50
	100%	3.033	-339	21,45	NS	1,00	65055	65055	118863	118863	0	0	2,50	2,50
proporzionale alla deformata 1° modo di vibrazione														
	0%	3.459	-421	18,81	NS	1,00	65055	65055	118863	118863	0	0	2,50	2,50
	100%	3.459	-421	18,81	NS	1,00	65055	65055	118863	118863	0	0	2,50	2,50
sisma in -X														
proporzionale alle masse														
	0%	1.061	390	61,31	NS	1,00	65055	65055	118863	118863	0	0	2,50	2,50
	100%	1.061	390	61,31	NS	1,00	65055	65055	118863	118863	0	0	2,50	2,50
proporzionale alla deformata 1° modo di vibrazione														
	0%	704	466	92,41	NS	1,00	65055	65055	118863	118863	0	0	2,50	2,50
	100%	704	466	92,41	NS	1,00	65055	65055	118863	118863	0	0	2,50	2,50
sisma in +Y														
proporzionale alle masse														
	0%	2.411	-931	26,98	69,88	1,00	65055	65055	118863	118863	0	0	2,50	2,50
	100%	2.411	-931	26,98	69,88	1,00	65055	65055	118863	118863	0	0	2,50	2,50
proporzionale alla deformata 1° modo di vibrazione														
	0%	2.991	-1.017	21,75	63,97	1,00	65055	65055	118863	118863	0	0	2,50	2,50
	100%	2.991	-1.017	21,75	63,97	1,00	65055	65055	118863	118863	0	0	2,50	2,50
sisma in -Y														
proporzionale alle masse														
	0%	-	-	VNR	VNR	0,00	0	0	0	0	0	0	0,00	0,00
	100%	-	-	VNR	VNR	0,00	0	0	0	0	0	0	0,00	0,00
proporzionale alla deformata 1° modo di vibrazione														
	0%	-	-	VNR	VNR	0,00	0	0	0	0	0	0	0,00	0,00
	100%	-	-	VNR	VNR	0,00	0	0	0	0	0	0	0,00	0,00
Pilastrata: Pilastrata9														
sisma in +X														
proporzionale alle masse														
Piano interrato	0%	-9.383	1.859	6,93	34,99	1,11	65055	65055	131592	131592	0	0	2,50	2,50
	100%	-9.383	1.859	6,93	34,99	1,10	65055	65055	130722	130722	0	0	2,50	2,50
proporzionale alla deformata 1° modo di vibrazione														
	0%	-8.081	1.928	8,05	33,74	1,10	65055	65055	131028	131028	0	0	2,50	2,50
	100%	-8.081	1.928	8,05	33,74	1,10	65055	65055	130460	130460	0	0	2,50	2,50
sisma in -X														
proporzionale alle masse														
	0%	12.059	-2.450	5,39	26,55	1,09	65055	65055	129647	129647	0	0	2,50	2,50
	100%	12.059	-2.450	5,39	26,55	1,09	65055	65055	129060	129060	0	0	2,50	2,50
proporzionale alla deformata 1° modo di vibrazione														
	0%	11.247	-3.063	5,78	21,24	1,09	65055	65055	129285	129285	0	0	2,50	2,50
	100%	11.247	-3.063	5,78	21,24	1,08	65055	65055	128815	128815	0	0	2,50	2,50
sisma in +Y														
proporzionale alle masse														
	0%	4.780	35.179	13,61	1,85	1,08	65055	65055	127980	127980	0	0	2,50	2,50
	100%	4.780	35.179	13,61	1,85	1,07	65055	65055	127544	127544	0	0	2,50	2,50
proporzionale alla deformata 1° modo di vibrazione														
	0%	1.072	32.771	60,69	1,99	1,08	65055	65055	127814	127814	0	0	2,50	2,50
	100%	1.072	32.771	60,69	1,99	1,07	65055	65055	127457	127457	0	0	2,50	2,50
sisma in -Y														
proporzionale alle masse														
	0%	-	-	VNR	VNR	0,00	0	0	0	0	0	0	0,00	0,00
	100%	-	-	VNR	VNR	0,00	0	0	0	0	0	0	0,00	0,00
proporzionale alla deformata 1° modo di vibrazione														
	0%	-	-	VNR	VNR	0,00	0	0	0	0	0	0	0,00	0,00
	100%	-	-	VNR	VNR	0,00	0	0	0	0	0	0	0,00	0,00
sisma in +X														
proporzionale alle masse														
Piano terra	0%	-585	-139	NS	NS	1,02	65055	65055	121447	121447	0	0	2,50	2,50
	100%	-585	-139	NS	NS	1,02	65055	65055	121021	121021	0	0	2,50	2,50
proporzionale alla deformata 1° modo di vibrazione														
	0%	-1.292	123	50,35	NS	1,02	65055	65055	121163	121163	0	0	2,50	2,50
	100%	-1.292	123	50,35	NS	1,02	65055	65055	120727	120727	0	0	2,50	2,50
sisma in -X														
proporzionale alle masse														
	0%	-3.022	-957	21,53	67,98	1,01	65055	65055	119982	119982	0	0	2,50	2,50
	100%	-3.022	-957	21,53	67,98	1,00	65055	65055	119364	119364	0	0	2,50	2,50
proporzionale alla deformata 1° modo di vibrazione														
	0%	-2.649	-1.071	24,56	60,74	1,01	65055	65055	119703	119703	0	0	2,50	2,50
	100%	-2.649	-1.071	24,56	60,74	1,00	65055	65055	119048	119048	0	0	2,50	2,50
sisma in +Y														
proporzionale alle masse														
	0%	-268	6.764	NS	9,62	1,00	65055	65055	119031	119031	0	0	2,50	2,50
	100%	-268	6.764	NS	9,62	1,00	65055	65055	118863	118863	0	0	2,50	2,50
proporzionale alla deformata 1° modo di vibrazione														
	0%	-752	7.290	86,51	8,92	1,00	65055	65055	118863	118863	0	0	2,50	2,50
	100%	-752	7.290	86,51	8,92	1,00	65055	65055	118863	118863	0	0	2,50	2,50
sisma in -Y														
proporzionale alle masse														
	0%	-	-	VNR	VNR	0,00	0	0	0	0	0	0	0,00	0,00
	100%	-	-	VNR	VNR	0,00	0	0	0	0	0	0	0,00	0,00
proporzionale alla deformata 1° modo di vibrazione														
	0%	-	-	VNR	VNR	0,00	0	0	0	0	0	0	0,00	0,00
	100%	-	-	VNR	VNR	0,00	0	0	0	0	0	0	0,00	0,00
Pilastrata: Pilastrata10														
sisma in +X														

Lv	$\%L_{LI}$	$V_{Ed,3}$	$V_{Ed,2}$	$CS^{(3)}$	$CS^{(2)}$	α_C	$V_{Rsd,s}{}^{(3)}$	$V_{Rsd,s}{}^{(2)}$	$V_{Rcd}{}^{(3)}$	$V_{Rcd}{}^{(2)}$	$V_{fd}{}^{(3)}$	$V_{fd}{}^{(2)}$	$Ctg\Theta^{(3)}$	$Ctg\Theta^{(2)}$
	[%]	[N]	[N]				[N]	[N]	[N]	[N]	[N]	[N]		
proporzionale alle masse														
Piano interrato	0%	-7.878	984	8,26	66,11	1,04	65055	65055	123738	123738	0	0	2,50	2,50
	100%	-7.878	984	8,26	66,11	1,04	65055	65055	123044	123044	0	0	2,50	2,50
proporzionale alla deformata 1° modo di vibrazione														
	0%	-6.380	1.788	10,20	36,38	1,04	65055	65055	123055	123055	0	0	2,50	2,50
	100%	-6.380	1.788	10,20	36,38	1,03	65055	65055	122624	122624	0	0	2,50	2,50
sisma in -X														
proporzionale alle masse														
	0%	9.852	-5.137	6,60	12,66	1,10	65055	65055	130248	130248	0	0	2,50	2,50
	100%	9.852	-5.137	6,60	12,66	1,09	65055	65055	129690	129690	0	0	2,50	2,50
proporzionale alla deformata 1° modo di vibrazione														
	0%	8.708	-6.199	7,47	10,49	1,10	65055	65055	130273	130273	0	0	2,50	2,50
	100%	8.708	-6.199	7,47	10,49	1,09	65055	65055	129789	129789	0	0	2,50	2,50
sisma in +Y														
proporzionale alle masse														
	0%	4.170	25.835	15,60	2,52	1,03	65055	65055	123008	123008	0	0	2,50	2,50
	100%	4.170	25.835	15,60	2,52	1,03	65055	65055	122703	122703	0	0	2,50	2,50
proporzionale alla deformata 1° modo di vibrazione														
	0%	1.233	21.814	52,76	2,98	1,04	65055	65055	123545	123545	0	0	2,50	2,50
	100%	1.233	21.814	52,76	2,98	1,04	65055	65055	123108	123108	0	0	2,50	2,50
sisma in -Y														
proporzionale alle masse														
	0%	-	-	VNR	VNR	0,00	0	0	0	0	0	0	0,00	0,00
	100%	-	-	VNR	VNR	0,00	0	0	0	0	0	0	0,00	0,00
proporzionale alla deformata 1° modo di vibrazione														
	0%	-	-	VNR	VNR	0,00	0	0	0	0	0	0	0,00	0,00
	100%	-	-	VNR	VNR	0,00	0	0	0	0	0	0	0,00	0,00
sisma in +X														
proporzionale alle masse														
Piano terra	0%	2.383	925	27,30	70,33	1,00	65055	65055	119021	119021	0	0	2,50	2,50
	100%	2.383	925	27,30	70,33	1,00	65055	65055	118863	118863	0	0	2,50	2,50
proporzionale alla deformata 1° modo di vibrazione														
	0%	1.385	923	46,97	70,48	1,00	65055	65055	118863	118863	0	0	2,50	2,50
	100%	1.385	923	46,97	70,48	1,00	65055	65055	118863	118863	0	0	2,50	2,50
sisma in -X														
proporzionale alle masse														
	0%	498	-2.101	NS	30,96	1,04	65055	65055	124085	124085	0	0	2,50	2,50
	100%	498	-2.101	NS	30,96	1,04	65055	65055	123870	123870	0	0	2,50	2,50
proporzionale alla deformata 1° modo di vibrazione														
	0%	2.053	-2.859	31,69	22,75	1,04	65055	65055	124188	124188	0	0	2,50	2,50
	100%	2.053	-2.859	31,69	22,75	1,04	65055	65055	123802	123802	0	0	2,50	2,50
sisma in +Y														
proporzionale alle masse														
	0%	884	7.812	73,59	8,33	1,01	65055	65055	119924	119924	0	0	2,50	2,50
	100%	884	7.812	73,59	8,33	1,00	65055	65055	119305	119305	0	0	2,50	2,50
proporzionale alla deformata 1° modo di vibrazione														
	0%	550	7.500	NS	8,67	1,01	65055	65055	119725	119725	0	0	2,50	2,50
	100%	550	7.500	NS	8,67	1,00	65055	65055	119034	119034	0	0	2,50	2,50
sisma in -Y														
proporzionale alle masse														
	0%	-	-	VNR	VNR	0,00	0	0	0	0	0	0	0,00	0,00
	100%	-	-	VNR	VNR	0,00	0	0	0	0	0	0	0,00	0,00
proporzionale alla deformata 1° modo di vibrazione														
	0%	-	-	VNR	VNR	0,00	0	0	0	0	0	0	0,00	0,00
	100%	-	-	VNR	VNR	0,00	0	0	0	0	0	0	0,00	0,00
Pilastrata: Pilastrata11														
sisma in +X														
proporzionale alle masse														
Piano interrato	0%	-12.066	1.845	5,39	35,26	1,14	65055	65055	135222	135222	0	0	2,50	2,50
	100%	-12.066	1.845	5,39	35,26	1,13	65055	65055	134696	134696	0	0	2,50	2,50
proporzionale alla deformata 1° modo di vibrazione														
	0%	-10.761	1.787	6,05	36,40	1,14	65055	65055	134976	134976	0	0	2,50	2,50
	100%	-10.761	1.787	6,05	36,40	1,13	65055	65055	134430	134430	0	0	2,50	2,50
sisma in -X														
proporzionale alle masse														
	0%	15.582	-4.692	4,18	13,87	1,18	65055	65055	139772	139772	0	0	2,50	2,50
	100%	15.582	-4.692	4,18	13,87	1,17	65055	65055	138942	138942	0	0	2,50	2,50
proporzionale alla deformata 1° modo di vibrazione														
	0%	14.827	-5.315	4,39	12,24	1,18	65055	65055	139840	139840	0	0	2,50	2,50
	100%	14.827	-5.315	4,39	12,24	1,17	65055	65055	139279	139279	0	0	2,50	2,50
sisma in +Y														
proporzionale alle masse														
	0%	5.425	39.297	11,99	1,66	1,11	65055	65055	132522	132522	0	0	2,50	2,50
	100%	5.425	39.297	11,99	1,66	1,11	65055	65055	132212	132212	0	0	2,50	2,50
proporzionale alla deformata 1° modo di vibrazione														
	0%	1.806	35.067	36,02	1,86	1,12	65055	65055	132941	132941	0	0	2,50	2,50
	100%	1.806	35.067	36,02	1,86	1,12	65055	65055	132619	132619	0	0	2,50	2,50
sisma in -Y														
proporzionale alle masse														
	0%	-	-	VNR	VNR	0,00	0	0	0	0	0	0	0,00	0,00
	100%	-	-	VNR	VNR	0,00	0	0	0	0	0	0	0,00	0,00
proporzionale alla deformata 1° modo di vibrazione														
	0%	-	-	VNR	VNR	0,00	0	0	0	0	0	0	0,00	0,00
	100%	-	-	VNR	VNR	0,00	0	0	0	0	0	0	0,00	0,00
sisma in +X														
proporzionale alle masse														

Lv	%L_{LI}	$V_{Ed,3}$	$V_{Ed,2}$	$CS^{(3)}$	$CS^{(2)}$	α_C	$V_{Rsd,s}{}^{(3)}$	$V_{Rsd,s}{}^{(2)}$	$V_{Rcd}{}^{(3)}$	$V_{Rcd}{}^{(2)}$	$V_{fd}{}^{(3)}$	$V_{fd}{}^{(2)}$	$Ctg\Theta^{(3)}$	$Ctg\Theta^{(2)}$
	[%]	[N]	[N]				[N]	[N]	[N]	[N]	[N]	[N]		
Piano terra	0%	-1.719	341	37,84	NS	1,02	65055	65055	121061	121061	0	0	2,50	2,50
	100%	-1.719	341	37,84	NS	1,02	65055	65055	120771	120771	0	0	2,50	2,50
proporzionale alla deformata 1° modo di vibrazione														
	0%	-3.116	452	20,88	NS	1,02	65055	65055	121313	121313	0	0	2,50	2,50
	100%	-3.116	452	20,88	NS	1,01	65055	65055	120327	120327	0	0	2,50	2,50
sisma in -X														
proporzionale alle masse														
	0%	1.749	-959	37,20	67,84	1,05	65055	65055	125385	125385	0	0	2,50	2,50
	100%	1.749	-959	37,20	67,84	1,05	65055	65055	125082	125082	0	0	2,50	2,50
proporzionale alla deformata 1° modo di vibrazione														
	0%	3.569	-1.336	18,23	48,69	1,06	65055	65055	125717	125717	0	0	2,50	2,50
	100%	3.569	-1.336	18,23	48,69	1,05	65055	65055	125262	125262	0	0	2,50	2,50
sisma in +Y														
proporzionale alle masse														
	0%	464	6.526	NS	9,97	1,01	65055	65055	120127	120127	0	0	2,50	2,50
	100%	464	6.526	NS	9,97	1,01	65055	65055	119601	119601	0	0	2,50	2,50
proporzionale alla deformata 1° modo di vibrazione														
	0%	-262	6.746	NS	9,64	1,01	65055	65055	120223	120223	0	0	2,50	2,50
	100%	-262	6.746	NS	9,64	1,01	65055	65055	119574	119574	0	0	2,50	2,50
sisma in -Y														
proporzionale alle masse														
	0%	-	-	VNR	VNR	0,00	0	0	0	0	0	0	0,00	0,00
	100%	-	-	VNR	VNR	0,00	0	0	0	0	0	0	0,00	0,00
proporzionale alla deformata 1° modo di vibrazione														
	0%	-	-	VNR	VNR	0,00	0	0	0	0	0	0	0,00	0,00
	100%	-	-	VNR	VNR	0,00	0	0	0	0	0	0	0,00	0,00
sisma in +X														
proporzionale alle masse														
Piano copertura	0%	2.528	342	25,73	NS	1,00	65055	65055	118863	118863	0	0	2,50	2,50
	100%	2.528	342	25,73	NS	1,00	65055	65055	118863	118863	0	0	2,50	2,50
proporzionale alla deformata 1° modo di vibrazione														
	0%	2.957	347	22,00	NS	1,00	65055	65055	118863	118863	0	0	2,50	2,50
	100%	2.957	347	22,00	NS	1,00	65055	65055	118863	118863	0	0	2,50	2,50
sisma in -X														
proporzionale alle masse														
	0%	-625	1.894	NS	34,35	1,01	65055	65055	120329	120329	0	0	2,50	2,50
	100%	-625	1.894	NS	34,35	1,01	65055	65055	119923	119923	0	0	2,50	2,50
proporzionale alla deformata 1° modo di vibrazione														
	0%	-1.612	2.072	40,36	31,40	1,01	65055	65055	120612	120612	0	0	2,50	2,50
	100%	-1.612	2.072	40,36	31,40	1,01	65055	65055	120234	120234	0	0	2,50	2,50
sisma in +Y														
proporzionale alle masse														
	0%	2.670	-330	24,37	NS	1,00	65055	65055	118863	118863	0	0	2,50	2,50
	100%	2.670	-330	24,37	NS	1,00	65055	65055	118863	118863	0	0	2,50	2,50
proporzionale alla deformata 1° modo di vibrazione														
	0%	2.981	-389	21,82	NS	1,00	65055	65055	118863	118863	0	0	2,50	2,50
	100%	2.981	-389	21,82	NS	1,00	65055	65055	118863	118863	0	0	2,50	2,50
sisma in -Y														
proporzionale alle masse														
	0%	-	-	VNR	VNR	0,00	0	0	0	0	0	0	0,00	0,00
	100%	-	-	VNR	VNR	0,00	0	0	0	0	0	0	0,00	0,00
proporzionale alla deformata 1° modo di vibrazione														
	0%	-	-	VNR	VNR	0,00	0	0	0	0	0	0	0,00	0,00
	100%	-	-	VNR	VNR	0,00	0	0	0	0	0	0	0,00	0,00
Pilastrata: Pilastrata12														
sisma in +X														
proporzionale alle masse														
Piano interrato (a)	0%	-15.804	7.053	4,12	9,22	1,02	65055	65055	121785	121785	0	0	2,50	2,50
	100%	-2.107	10.824	30,88	6,01	1,03	65055	65055	122723	122723	0	0	2,50	2,50
proporzionale alla deformata 1° modo di vibrazione														
	0%	-14.077	8.074	4,62	8,06	1,02	65055	65055	120932	120932	0	0	2,50	2,50
	100%	-2.191	10.564	29,69	6,16	1,03	65055	65055	122638	122638	0	0	2,50	2,50
sisma in -X														
proporzionale alle masse														
	0%	32.574	-9.754	2,00	6,67	1,15	65055	65055	136321	136321	0	0	2,50	2,50
	100%	2.839	10.832	22,91	6,01	1,07	65055	65055	126964	126964	0	0	2,50	2,50
proporzionale alla deformata 1° modo di vibrazione														
	0%	32.364	-9.723	2,01	6,69	1,15	65055	65055	136754	136754	0	0	2,50	2,50
	100%	2.711	11.089	24,00	5,87	1,07	65055	65055	126829	126829	0	0	2,50	2,50
sisma in +Y														
proporzionale alle masse														
	0%	-457	45.147	NS	1,44	1,00	65055	65055	118863	118863	0	0	2,50	2,50
	100%	5.769	47.392	11,28	1,37	1,01	65055	65055	120519	120519	0	0	2,50	2,50
proporzionale alla deformata 1° modo di vibrazione														
	0%	64	41.543	NS	1,57	1,00	65055	65055	118863	118863	0	0	2,50	2,50
	100%	-201	40.798	NS	1,59	1,00	65055	65055	118902	118902	0	0	2,50	2,50
sisma in -Y														
proporzionale alle masse														
	0%	-	-	VNR	VNR	0,00	0	0	0	0	0	0	0,00	0,00
	100%	-	-	VNR	VNR	0,00	0	0	0	0	0	0	0,00	0,00
proporzionale alla deformata 1° modo di vibrazione														
	0%	-	-	VNR	VNR	0,00	0	0	0	0	0	0	0,00	0,00
	100%	-	-	VNR	VNR	0,00	0	0	0	0	0	0	0,00	0,00
sisma in +X														
proporzionale alle masse														
Piano terra (a)	0%	-1.315	3.071	49,47	21,18	1,00	65055	65055	118863	118863	0	0	2,50	2,50

Lv	%L_{LI}	$V_{Ed,3}$	$V_{Ed,2}$	$CS^{(3)}$	$CS^{(2)}$	α_C	$V_{Rsd,s}{}^{(3)}$	$V_{Rsd,s}{}^{(2)}$	$V_{Rcd}{}^{(3)}$	$V_{Rcd}{}^{(2)}$	$V_{fd}{}^{(3)}$	$V_{fd}{}^{(2)}$	$Ctg\Theta^{(3)}$	$Ctg\Theta^{(2)}$
	[%]	[N]	[N]				[N]	[N]	[N]	[N]	[N]	[N]		
	100%	1.865	5.621	34,88	11,57	1,03	65055	65055	122087	122087	0	0	2,50	2,50
proporzionale alla deformata 1° modo di vibrazione														
	0%	-588	2.981	NS	21,82	1,00	65055	65055	118863	118863	0	0	2,50	2,50
	100%	766	5.393	84,93	12,06	1,03	65055	65055	122242	122242	0	0	2,50	2,50
sisma in -X														
proporzionale alle masse														
	0%	206	1.423	NS	45,72	1,03	65055	65055	122152	122152	0	0	2,50	2,50
	100%	-4.006	2.178	16,24	29,87	1,00	65055	65055	118863	118863	0	0	2,50	2,50
proporzionale alla deformata 1° modo di vibrazione														
	0%	1.465	651	44,41	99,93	1,03	65055	65055	122186	122186	0	0	2,50	2,50
	100%	-2.858	2.370	22,76	27,45	1,00	65055	65055	118863	118863	0	0	2,50	2,50
sisma in +Y														
proporzionale alle masse														
	0%	2.128	12.508	30,57	5,20	1,00	65055	65055	118863	118863	0	0	2,50	2,50
	100%	6.968	36.186	9,34	1,80	1,20	65055	65055	143161	143161	0	0	2,50	2,50
proporzionale alla deformata 1° modo di vibrazione														
	0%	1.318	15.533	49,36	4,19	1,00	65055	65055	118863	118863	0	0	2,50	2,50
	100%	4.387	45.531	14,83	1,43	1,20	65055	65055	143009	143009	0	0	2,50	2,50
sisma in -Y														
proporzionale alle masse														
	0%	-	-	VNR	VNR	0,00	0	0	0	0	0	0	0,00	0,00
	100%	-	-	VNR	VNR	0,00	0	0	0	0	0	0	0,00	0,00
proporzionale alla deformata 1° modo di vibrazione														
	0%	-	-	VNR	VNR	0,00	0	0	0	0	0	0	0,00	0,00
	100%	-	-	VNR	VNR	0,00	0	0	0	0	0	0	0,00	0,00
Pilastrata: Pilastrata13														
sisma in +X														
proporzionale alle masse														
Piano interrato	0%	306	2.009	NS	32,38	1,00	65055	65055	118863	118863	0	0	2,50	2,50
	100%	-12.446	-2.432	5,23	26,75	1,03	65055	65055	122847	122847	0	0	2,50	2,50
proporzionale alla deformata 1° modo di vibrazione														
	0%	3.323	1.025	19,58	63,47	1,00	65055	65055	118863	118863	0	0	2,50	2,50
	100%	-10.862	-3.963	5,99	16,42	1,01	65055	65055	119647	119647	0	0	2,50	2,50
sisma in -X														
proporzionale alle masse														
	0%	47.166	-7.119	1,38	9,14	1,14	65055	65055	135209	135209	0	0	2,50	2,50
	100%	-3.500	-8.360	18,59	7,78	1,01	65055	65055	119995	119995	0	0	2,50	2,50
proporzionale alla deformata 1° modo di vibrazione														
	0%	40.586	-3.836	1,60	16,96	1,13	65055	65055	134612	134612	0	0	2,50	2,50
	100%	-2.875	-9.667	22,63	6,73	1,03	65055	65055	121983	121983	0	0	2,50	2,50
sisma in +Y														
proporzionale alle masse														
	0%	2.455	2.362	26,50	27,54	1,04	65055	65055	123882	123882	0	0	2,50	2,50
	100%	-5.976	-1.924	10,89	33,81	1,02	65055	65055	120704	120704	0	0	2,50	2,50
proporzionale alla deformata 1° modo di vibrazione														
	0%	2.373	1.750	27,41	37,17	1,04	65055	65055	123466	123466	0	0	2,50	2,50
	100%	-5.824	-3.733	11,17	17,43	1,04	65055	65055	123290	123290	0	0	2,50	2,50
sisma in -Y														
proporzionale alle masse														
	0%	-	-	VNR	VNR	0,00	0	0	0	0	0	0	0,00	0,00
	100%	-	-	VNR	VNR	0,00	0	0	0	0	0	0	0,00	0,00
proporzionale alla deformata 1° modo di vibrazione														
	0%	-	-	VNR	VNR	0,00	0	0	0	0	0	0	0,00	0,00
	100%	-	-	VNR	VNR	0,00	0	0	0	0	0	0	0,00	0,00
sisma in +X														
proporzionale alle masse														
Piano terra	0%	1.023	-369	63,59	NS	1,01	65055	65055	120497	120497	0	0	2,50	2,50
	100%	-6.662	-1.221	9,77	53,28	1,05	65055	65055	125367	125367	0	0	2,50	2,50
proporzionale alla deformata 1° modo di vibrazione														
	0%	104	3.081	NS	21,11	1,00	65055	65055	118863	118863	0	0	2,50	2,50
	100%	-13.227	-1.177	4,92	55,27	1,06	65055	65055	125586	125586	0	0	2,50	2,50
sisma in -X														
proporzionale alle masse														
	0%	6.635	-2.899	9,80	22,44	1,01	65055	65055	119555	119555	0	0	2,50	2,50
	100%	1.031	-5.171	63,10	12,58	1,00	65055	65055	118863	118863	0	0	2,50	2,50
proporzionale alla deformata 1° modo di vibrazione														
	0%	15.318	-2.118	4,25	30,72	1,02	65055	65055	121668	121668	0	0	2,50	2,50
	100%	2.550	-5.981	25,51	10,88	1,00	65055	65055	118863	118863	0	0	2,50	2,50
sisma in +Y														
proporzionale alle masse														
	0%	5.366	22.355	12,12	2,91	1,05	65055	65055	124351	124351	0	0	2,50	2,50
	100%	-1.394	10.687	46,67	6,09	1,00	65055	65055	118863	118863	0	0	2,50	2,50
proporzionale alla deformata 1° modo di vibrazione														
	0%	3.278	32.254	19,85	2,02	1,07	65055	65055	126645	126645	0	0	2,50	2,50
	100%	-4.075	12.601	15,96	5,16	1,00	65055	65055	118863	118863	0	0	2,50	2,50
sisma in -Y														
proporzionale alle masse														
	0%	-	-	VNR	VNR	0,00	0	0	0	0	0	0	0,00	0,00
	100%	-	-	VNR	VNR	0,00	0	0	0	0	0	0	0,00	0,00
proporzionale alla deformata 1° modo di vibrazione														
	0%	-	-	VNR	VNR	0,00	0	0	0	0	0	0	0,00	0,00
	100%	-	-	VNR	VNR	0,00	0	0	0	0	0	0	0,00	0,00
sisma in +X														
proporzionale alle masse														
Piano copertura	0%	21.651	-47.613	3,00	1,37	1,06	65055	65055	126408	126408	0	0	2,50	2,50
	100%	21.651	-47.613	3,00	1,37	1,06	65055	65055	126261	126261	0	0	2,50	2,50

Lv	%L_{LI}	$V_{Ed,3}$	$V_{Ed,2}$	$CS^{(3)}$	$CS^{(2)}$	α_C	$V_{Rsd,s}{}^{(3)}$	$V_{Rsd,s}{}^{(2)}$	$V_{Rcd}{}^{(3)}$	$V_{Rcd}{}^{(2)}$	$V_{fd}{}^{(3)}$	$V_{fd}{}^{(2)}$	$Ctg\Theta^{(3)}$	$Ctg\Theta^{(2)}$
	[%]	[N]	[N]				[N]	[N]	[N]	[N]	[N]	[N]		
proporzionale alla deformata 1° modo di vibrazione														
	0%	25.097	-52.793	2,59	1,23	1,07	65055	65055	126797	126797	0	0	2,50	2,50
	100%	25.097	-52.793	2,59	1,23	1,06	65055	65055	126558	126558	0	0	2,50	2,50
sisma in -X														
proporzionale alle masse														
	0%	928	-18.316	70,10	3,55	1,04	65055	65055	123231	123231	0	0	2,50	2,50
	100%	928	-18.316	70,10	3,55	1,03	65055	65055	122958	122958	0	0	2,50	2,50
proporzionale alla deformata 1° modo di vibrazione														
	0%	430	-19.503	NS	3,34	1,04	65055	65055	123146	123146	0	0	2,50	2,50
	100%	430	-19.503	NS	3,34	1,03	65055	65055	122871	122871	0	0	2,50	2,50
sisma in +Y														
proporzionale alle masse														
	0%	18.594	10.016	3,50	6,50	1,00	65055	65055	119047	119047	0	0	2,50	2,50
	100%	18.594	10.016	3,50	6,50	1,00	65055	65055	118917	118917	0	0	2,50	2,50
proporzionale alla deformata 1° modo di vibrazione														
	0%	13.676	14.169	4,76	4,59	1,00	65055	65055	119035	119035	0	0	2,50	2,50
	100%	13.676	14.169	4,76	4,59	1,00	65055	65055	118863	118863	0	0	2,50	2,50
sisma in -Y														
proporzionale alle masse														
	0%	-	-	VNR	VNR	0,00	0	0	0	0	0	0	0,00	0,00
	100%	-	-	VNR	VNR	0,00	0	0	0	0	0	0	0,00	0,00
proporzionale alla deformata 1° modo di vibrazione														
	0%	-	-	VNR	VNR	0,00	0	0	0	0	0	0	0,00	0,00
	100%	-	-	VNR	VNR	0,00	0	0	0	0	0	0	0,00	0,00
Pilastrata: Pilastrata14														
sisma in +X														
proporzionale alle masse														
Piano interrato	0%	-37.612	-26.356	1,73	2,47	1,23	65055	65055	146498	146498	0	0	2,50	2,50
	100%	-37.612	-26.356	1,73	2,47	1,23	65055	65055	146267	146267	0	0	2,50	2,50
proporzionale alla deformata 1° modo di vibrazione														
	0%	-37.775	-28.312	1,72	2,30	1,23	65055	65055	146273	146273	0	0	2,50	2,50
	100%	-37.775	-28.312	1,72	2,30	1,23	65055	65055	145934	145934	0	0	2,50	2,50
sisma in -X														
proporzionale alle masse														
	0%	46.275	-34.831	1,41	1,87	1,24	65055	65055	147704	147704	0	0	2,50	2,50
	100%	46.275	-34.831	1,41	1,87	1,24	65055	65055	147395	147395	0	0	2,50	2,50
proporzionale alla deformata 1° modo di vibrazione														
	0%	46.874	-31.894	1,39	2,04	1,24	65055	65055	147855	147855	0	0	2,50	2,50
	100%	46.874	-31.894	1,39	2,04	1,24	65055	65055	147516	147516	0	0	2,50	2,50
sisma in +Y														
proporzionale alle masse														
	0%	5.485	-1.240	11,86	52,46	1,21	65055	65055	143441	143441	0	0	2,50	2,50
	100%	5.485	-1.240	11,86	52,46	1,20	65055	65055	142371	142371	0	0	2,50	2,50
proporzionale alla deformata 1° modo di vibrazione														
	0%	-1.728	-1.563	37,65	41,62	1,20	65055	65055	142382	142382	0	0	2,50	2,50
	100%	-1.728	-1.563	37,65	41,62	1,19	65055	65055	141774	141774	0	0	2,50	2,50
sisma in -Y														
proporzionale alle masse														
	0%	-	-	VNR	VNR	0,00	0	0	0	0	0	0	0,00	0,00
	100%	-	-	VNR	VNR	0,00	0	0	0	0	0	0	0,00	0,00
proporzionale alla deformata 1° modo di vibrazione														
	0%	-	-	VNR	VNR	0,00	0	0	0	0	0	0	0,00	0,00
	100%	-	-	VNR	VNR	0,00	0	0	0	0	0	0	0,00	0,00
sisma in +X														
proporzionale alle masse														
Piano terra	0%	-10.532	-7.093	6,18	9,17	1,11	65055	65055	131818	131818	0	0	2,50	2,50
	100%	-10.532	-7.093	6,18	9,17	1,10	65055	65055	131256	131256	0	0	2,50	2,50
proporzionale alla deformata 1° modo di vibrazione														
	0%	-13.527	-7.120	4,81	9,14	1,11	65055	65055	131516	131516	0	0	2,50	2,50
	100%	-13.527	-7.120	4,81	9,14	1,10	65055	65055	130905	130905	0	0	2,50	2,50
sisma in -X														
proporzionale alle masse														
	0%	10.756	-9.652	6,05	6,74	1,11	65055	65055	132463	132463	0	0	2,50	2,50
	100%	10.756	-9.652	6,05	6,74	1,11	65055	65055	131908	131908	0	0	2,50	2,50
proporzionale alla deformata 1° modo di vibrazione														
	0%	13.993	-8.277	4,65	7,86	1,12	65055	65055	132647	132647	0	0	2,50	2,50
	100%	13.993	-8.277	4,65	7,86	1,11	65055	65055	131978	131978	0	0	2,50	2,50
sisma in +Y														
proporzionale alle masse														
	0%	-1.000	-3.303	65,06	19,70	1,09	65055	65055	129035	129035	0	0	2,50	2,50
	100%	-1.000	-3.303	65,06	19,70	1,08	65055	65055	128482	128482	0	0	2,50	2,50
proporzionale alla deformata 1° modo di vibrazione														
	0%	-2.614	-1.326	24,89	49,06	1,08	65055	65055	128407	128407	0	0	2,50	2,50
	100%	-2.614	-1.326	24,89	49,06	1,08	65055	65055	127850	127850	0	0	2,50	2,50
sisma in -Y														
proporzionale alle masse														
	0%	-	-	VNR	VNR	0,00	0	0	0	0	0	0	0,00	0,00
	100%	-	-	VNR	VNR	0,00	0	0	0	0	0	0	0,00	0,00
proporzionale alla deformata 1° modo di vibrazione														
	0%	-	-	VNR	VNR	0,00	0	0	0	0	0	0	0,00	0,00
	100%	-	-	VNR	VNR	0,00	0	0	0	0	0	0	0,00	0,00
sisma in +X														
proporzionale alle masse														
Piano copertura	0%	-16.059	-24.153	4,05	2,69	1,04	65055	65055	123702	123702	0	0	2,50	2,50
	100%	-16.059	-24.153	4,05	2,69	1,04	65055	65055	123562	123562	0	0	2,50	2,50
proporzionale alla deformata 1° modo di vibrazione														

Lv	%L_{LI}	$V_{Ed,3}$	$V_{Ed,2}$	$CS^{(3)}$	$CS^{(2)}$	α_C	$V_{Rsd,s}{}^{(3)}$	$V_{Rsd,s}{}^{(2)}$	$V_{Rcd}{}^{(3)}$	$V_{Rcd}{}^{(2)}$	$V_{fd}{}^{(3)}$	$V_{fd}{}^{(2)}$	$Ctg\Theta^{(3)}$	$Ctg\Theta^{(2)}$
	[%]	[N]	[N]				[N]	[N]	[N]	[N]	[N]	[N]		
	0%	-18.194	-24.069	3,58	2,70	1,04	65055	65055	123363	123363	0	0	2,50	2,50
	100%	-18.194	-24.069	3,58	2,70	1,04	65055	65055	123241	123241	0	0	2,50	2,50
sisma in -X														
proporzionale alle masse														
	0%	-1.883	-33.537	34,55	1,94	1,06	65055	65055	126031	126031	0	0	2,50	2,50
	100%	-1.883	-33.537	34,55	1,94	1,06	65055	65055	125930	125930	0	0	2,50	2,50
proporzionale alla deformata 1° modo di vibrazione														
	0%	3.771	-36.320	17,25	1,79	1,06	65055	65055	126307	126307	0	0	2,50	2,50
	100%	3.771	-36.320	17,25	1,79	1,06	65055	65055	126136	126136	0	0	2,50	2,50
sisma in +Y														
proporzionale alle masse														
	0%	-10.552	6.737	6,17	9,66	1,03	65055	65055	122068	122068	0	0	2,50	2,50
	100%	-10.552	6.737	6,17	9,66	1,03	65055	65055	122115	122115	0	0	2,50	2,50
proporzionale alla deformata 1° modo di vibrazione														
	0%	-18.448	17.403	3,53	3,74	1,02	65055	65055	121465	121465	0	0	2,50	2,50
	100%	-18.448	17.403	3,53	3,74	1,02	65055	65055	121345	121345	0	0	2,50	2,50
sisma in -Y														
proporzionale alle masse														
	0%	-	-	VNR	VNR	0,00	0	0	0	0	0	0	0,00	0,00
	100%	-	-	VNR	VNR	0,00	0	0	0	0	0	0	0,00	0,00
proporzionale alla deformata 1° modo di vibrazione														
	0%	-	-	VNR	VNR	0,00	0	0	0	0	0	0	0,00	0,00
	100%	-	-	VNR	VNR	0,00	0	0	0	0	0	0	0,00	0,00
Pilastrata: Pilastrata15														
sisma in +X														
proporzionale alle masse														
Piano interrato	0%	-37.229	-19.141	1,75	3,40	1,10	65055	65055	130851	130851	0	0	2,50	2,50
	100%	-37.229	-19.141	1,75	3,40	1,11	65055	65055	131599	131599	0	0	2,50	2,50
proporzionale alla deformata 1° modo di vibrazione														
	0%	-37.172	-21.081	1,75	3,09	1,09	65055	65055	130130	130130	0	0	2,50	2,50
	100%	-37.172	-21.081	1,75	3,09	1,09	65055	65055	129865	129865	0	0	2,50	2,50
sisma in -X														
proporzionale alle masse														
	0%	57.514	-27.390	1,13	2,38	1,24	65055	65055	147508	147508	0	0	2,50	2,50
	100%	57.514	-27.390	1,13	2,38	1,24	65055	65055	147486	147486	0	0	2,50	2,50
proporzionale alla deformata 1° modo di vibrazione														
	0%	60.351	-23.403	1,08	2,78	1,25	65055	65055	148153	148153	0	0	2,50	2,50
	100%	60.351	-23.403	1,08	2,78	1,24	65055	65055	147900	147900	0	0	2,50	2,50
sisma in +Y														
proporzionale alle masse														
	0%	2.424	6.380	26,84	10,20	1,11	65055	65055	132499	132499	0	0	2,50	2,50
	100%	2.424	6.380	26,84	10,20	1,11	65055	65055	131620	131620	0	0	2,50	2,50
proporzionale alla deformata 1° modo di vibrazione														
	0%	-3.717	6.185	17,50	10,52	1,10	65055	65055	130720	130720	0	0	2,50	2,50
	100%	-3.717	6.185	17,50	10,52	1,09	65055	65055	130082	130082	0	0	2,50	2,50
sisma in -Y														
proporzionale alle masse														
	0%	-	-	VNR	VNR	0,00	0	0	0	0	0	0	0,00	0,00
	100%	-	-	VNR	VNR	0,00	0	0	0	0	0	0	0,00	0,00
proporzionale alla deformata 1° modo di vibrazione														
	0%	-	-	VNR	VNR	0,00	0	0	0	0	0	0	0,00	0,00
	100%	-	-	VNR	VNR	0,00	0	0	0	0	0	0	0,00	0,00
sisma in +X														
proporzionale alle masse														
Piano terra	0%	-8.903	-4.140	7,31	15,71	1,03	65055	65055	122243	122243	0	0	2,50	2,50
	100%	-8.903	-4.140	7,31	15,71	1,02	65055	65055	121638	121638	0	0	2,50	2,50
proporzionale alla deformata 1° modo di vibrazione														
	0%	-10.631	-4.213	6,12	15,44	1,02	65055	65055	121425	121425	0	0	2,50	2,50
	100%	-10.631	-4.213	6,12	15,44	1,02	65055	65055	120793	120793	0	0	2,50	2,50
sisma in -X														
proporzionale alle masse														
	0%	13.893	-7.967	4,68	8,17	1,12	65055	65055	133383	133383	0	0	2,50	2,50
	100%	13.893	-7.967	4,68	8,17	1,12	65055	65055	132700	132700	0	0	2,50	2,50
proporzionale alla deformata 1° modo di vibrazione														
	0%	17.651	-6.318	3,69	10,30	1,13	65055	65055	133882	133882	0	0	2,50	2,50
	100%	17.651	-6.318	3,69	10,30	1,12	65055	65055	133372	133372	0	0	2,50	2,50
sisma in +Y														
proporzionale alle masse														
	0%	-2.451	-1.393	26,54	46,70	1,03	65055	65055	122738	122738	0	0	2,50	2,50
	100%	-2.451	-1.393	26,54	46,70	1,03	65055	65055	122306	122306	0	0	2,50	2,50
proporzionale alla deformata 1° modo di vibrazione														
	0%	-3.378	81	19,26	NS	1,02	65055	65055	121147	121147	0	0	2,50	2,50
	100%	-3.378	81	19,26	NS	1,01	65055	65055	120563	120563	0	0	2,50	2,50
sisma in -Y														
proporzionale alle masse														
	0%	-	-	VNR	VNR	0,00	0	0	0	0	0	0	0,00	0,00
	100%	-	-	VNR	VNR	0,00	0	0	0	0	0	0	0,00	0,00
proporzionale alla deformata 1° modo di vibrazione														
	0%	-	-	VNR	VNR	0,00	0	0	0	0	0	0	0,00	0,00
	100%	-	-	VNR	VNR	0,00	0	0	0	0	0	0	0,00	0,00
sisma in +X														
proporzionale alle masse														
Piano copertura	0%	-7.104	-39.139	9,16	1,66	1,05	65055	65055	125373	125373	0	0	2,50	2,50
	100%	-7.104	-39.139	9,16	1,66	1,05	65055	65055	125220	125220	0	0	2,50	2,50
proporzionale alla deformata 1° modo di vibrazione														
	0%	-5.584	-41.169	11,65	1,58	1,05	65055	65055	125231	125231	0	0	2,50	2,50

Lv	%L_{LI}	$V_{Ed,3}$	$V_{Ed,2}$	$CS^{(3)}$	$CS^{(2)}$	α_C	$V_{Rsd,s}{}^{(3)}$	$V_{Rsd,s}{}^{(2)}$	$V_{Rcd}{}^{(3)}$	$V_{Rcd}{}^{(2)}$	$V_{fd}{}^{(3)}$	$V_{fd}{}^{(2)}$	$Ctg\Theta^{(3)}$	$Ctg\Theta^{(2)}$
	[%]	[N]	[N]				[N]	[N]	[N]	[N]	[N]	[N]		
	100%	-5.584	-41.169	11,65	1,58	1,05	65055	65055	125073	125073	0	0	2,50	2,50
sisma in -X														
proporzionale alle masse														
	0%	-1.317	-29.394	49,40	2,21	1,05	65055	65055	124398	124398	0	0	2,50	2,50
	100%	-1.317	-29.394	49,40	2,21	1,05	65055	65055	124319	124319	0	0	2,50	2,50
proporzionale alla deformata 1° modo di vibrazione														
	0%	-664	-33.859	97,97	1,92	1,05	65055	65055	124648	124648	0	0	2,50	2,50
	100%	-664	-33.859	97,97	1,92	1,05	65055	65055	124536	124536	0	0	2,50	2,50
sisma in +Y														
proporzionale alle masse														
	0%	-11.282	15.194	5,77	4,28	1,01	65055	65055	120487	120487	0	0	2,50	2,50
	100%	-11.282	15.194	5,77	4,28	1,01	65055	65055	120362	120362	0	0	2,50	2,50
proporzionale alla deformata 1° modo di vibrazione														
	0%	-20.173	29.881	3,22	2,18	1,01	65055	65055	119586	119586	0	0	2,50	2,50
	100%	-20.173	29.881	3,22	2,18	1,00	65055	65055	119319	119319	0	0	2,50	2,50
sisma in -Y														
proporzionale alle masse														
	0%	-	-	VNR	VNR	0,00	0	0	0	0	0	0	0,00	0,00
	100%	-	-	VNR	VNR	0,00	0	0	0	0	0	0	0,00	0,00
proporzionale alla deformata 1° modo di vibrazione														
	0%	-	-	VNR	VNR	0,00	0	0	0	0	0	0	0,00	0,00
	100%	-	-	VNR	VNR	0,00	0	0	0	0	0	0	0,00	0,00
Pilastrata: Pilastrata16														
sisma in +X														
proporzionale alle masse														
Piano interrato	0%	-18.177	-3.407	3,58	25,91	1,00	65055	88289	158485	158485	0	0	2,50	2,50
	100%	-36.934	4.324	1,76	20,42	1,00	65055	88289	158485	158485	0	0	2,50	2,50
proporzionale alla deformata 1° modo di vibrazione														
	0%	-16.223	-4.894	4,01	18,04	1,00	65055	88289	158485	158485	0	0	2,50	2,50
	100%	-31.507	-827	2,06	NS	1,00	65055	88289	158485	158485	0	0	2,50	2,50
sisma in -X														
proporzionale alle masse														
	0%	30.980	-6.735	2,10	13,11	1,00	65055	88289	158485	158485	0	0	2,50	2,50
	100%	75.844	5.909	0,86	14,94	1,01	65055	88289	159640	159640	0	0	2,50	2,50
proporzionale alla deformata 1° modo di vibrazione														
	0%	26.609	-900	2,44	98,10	1,00	65055	88289	158485	158485	0	0	2,50	2,50
	100%	69.713	17.774	0,93	4,97	1,00	65055	88289	159169	159169	0	0	2,50	2,50
sisma in +Y														
proporzionale alle masse														
	0%	6.242	10.784	10,42	8,19	1,00	65055	88289	158485	158485	0	0	2,50	2,50
	100%	12.688	49.399	5,13	1,79	1,00	65055	88289	158485	158485	0	0	2,50	2,50
proporzionale alla deformata 1° modo di vibrazione														
	0%	2.227	13.163	29,21	6,71	1,00	65055	88289	158485	158485	0	0	2,50	2,50
	100%	3.001	48.061	21,68	1,84	1,00	65055	88289	158485	158485	0	0	2,50	2,50
sisma in -Y														
proporzionale alle masse														
	0%	-	-	VNR	VNR	0,00	0	0	0	0	0	0	0,00	0,00
	100%	-	-	VNR	VNR	0,00	0	0	0	0	0	0	0,00	0,00
proporzionale alla deformata 1° modo di vibrazione														
	0%	-	-	VNR	VNR	0,00	0	0	0	0	0	0	0,00	0,00
	100%	-	-	VNR	VNR	0,00	0	0	0	0	0	0	0,00	0,00
sisma in +X														
proporzionale alle masse														
Piano terra	0%	-17.094	-11.787	3,81	7,49	1,00	65055	88289	158485	158485	0	0	2,50	2,50
	100%	-38.719	15.943	1,68	5,54	1,07	65055	88289	170233	170233	0	0	2,50	2,50
proporzionale alla deformata 1° modo di vibrazione														
	0%	-35.449	-13.622	1,84	6,48	1,00	65055	88289	158485	158485	0	0	2,50	2,50
	100%	-49.434	13.581	1,32	6,50	1,07	65055	88289	169434	169434	0	0	2,50	2,50
sisma in -X														
proporzionale alle masse														
	0%	-11.254	-4.007	5,78	22,03	1,05	65055	88289	165743	165743	0	0	2,50	2,50
	100%	63.406	5.705	1,03	15,48	1,02	65055	88289	161803	161803	0	0	2,50	2,50
proporzionale alla deformata 1° modo di vibrazione														
	0%	-2.906	-7.414	22,39	11,91	1,03	65055	88289	163273	163273	0	0	2,50	2,50
	100%	86.888	14.063	0,75	6,28	1,03	65055	88289	162683	162683	0	0	2,50	2,50
sisma in +Y														
proporzionale alle masse														
	0%	-11.827	-7.217	5,50	12,23	1,00	65055	88289	158485	158485	0	0	2,50	2,50
	100%	15.493	47.153	4,20	1,87	1,06	65055	88289	167387	167387	0	0	2,50	2,50
proporzionale alla deformata 1° modo di vibrazione														
	0%	-12.015	-3.340	5,41	26,43	1,00	65055	88289	158485	158485	0	0	2,50	2,50
	100%	13.641	57.284	4,77	1,54	1,04	65055	88289	165392	165392	0	0	2,50	2,50
sisma in -Y														
proporzionale alle masse														
	0%	-	-	VNR	VNR	0,00	0	0	0	0	0	0	0,00	0,00
	100%	-	-	VNR	VNR	0,00	0	0	0	0	0	0	0,00	0,00
proporzionale alla deformata 1° modo di vibrazione														
	0%	-	-	VNR	VNR	0,00	0	0	0	0	0	0	0,00	0,00
	100%	-	-	VNR	VNR	0,00	0	0	0	0	0	0	0,00	0,00
sisma in +X														
proporzionale alle masse														
Piano copertura	0%	88.232	-76.186	0,74	1,16	1,25	65055	88289	197681	197681	0	0	2,50	2,50
	100%	-9.903	-14.896	6,57	5,93	1,06	65055	88289	167755	167755	0	0	2,50	2,50
proporzionale alla deformata 1° modo di vibrazione														
	0%	105.742	-71.585	0,62	1,23	1,25	65055	88289	197922	197922	0	0	2,50	2,50
	100%	-9.527	-18.926	6,83	4,66	1,07	65055	88289	169364	169364	0	0	2,50	2,50

Lv	%L_{LI}	$V_{Ed,3}$	$V_{Ed,2}$	$CS^{(3)}$	$CS^{(2)}$	α_C	$V_{Rsd,s}{}^{(3)}$	$V_{Rsd,s}{}^{(2)}$	$V_{Rcd}{}^{(3)}$	$V_{Rcd}{}^{(2)}$	$V_{fd}{}^{(3)}$	$V_{fd}{}^{(2)}$	$Ctg\Theta^{(3)}$	$Ctg\Theta^{(2)}$
	[%]	[N]	[N]				[N]	[N]	[N]	[N]	[N]	[N]		
sisma in -X														
proporzionale alle masse														
	0%	-84.881	-70.164	0,77	1,26	1,02	65055	88289	161717	161717	0	0	2,50	2,50
	100%	-10.521	-15.610	6,18	5,66	1,00	65055	88289	158485	158485	0	0	2,50	2,50
proporzionale alla deformata 1° modo di vibrazione														
	0%	-95.605	-87.483	0,68	1,01	1,03	65055	88289	163235	163235	0	0	2,50	2,50
	100%	-11.262	-19.860	5,78	4,45	1,00	65055	88289	158485	158485	0	0	2,50	2,50
sisma in +Y														
proporzionale alle masse														
	0%	-15.556	-36.254	4,18	2,44	1,14	65055	88289	181102	181102	0	0	2,50	2,50
	100%	-5.613	-16.679	11,59	5,29	1,09	65055	88289	172913	172913	0	0	2,50	2,50
proporzionale alla deformata 1° modo di vibrazione														
	0%	-21.402	-23.829	3,04	3,71	1,12	65055	88289	177767	177767	0	0	2,50	2,50
	100%	-5.731	-11.171	11,35	7,90	1,11	65055	88289	175356	175356	0	0	2,50	2,50
sisma in -Y														
proporzionale alle masse														
	0%	-	-	VNR	VNR	0,00	0	0	0	0	0	0	0,00	0,00
	100%	-	-	VNR	VNR	0,00	0	0	0	0	0	0	0,00	0,00
proporzionale alla deformata 1° modo di vibrazione														
	0%	-	-	VNR	VNR	0,00	0	0	0	0	0	0	0,00	0,00
	100%	-	-	VNR	VNR	0,00	0	0	0	0	0	0	0,00	0,00
Pilastrata: Pilastrata17														
sisma in +X														
proporzionale alle masse														
Piano interrato	0%	-26.114	3.968	2,49	33,96	1,07	65055	134756	253542	253542	0	0	2,50	2,50
	100%	-26.114	3.968	2,49	33,96	1,06	65055	134756	252713	252713	0	0	2,50	2,50
proporzionale alla deformata 1° modo di vibrazione														
	0%	-21.591	2.111	3,01	63,84	1,07	65055	134756	254920	254920	0	0	2,50	2,50
	100%	-21.591	2.111	3,01	63,84	1,07	65055	134756	254099	254099	0	0	2,50	2,50
sisma in -X														
proporzionale alle masse														
	0%	28.888	-7.056	2,25	19,10	1,05	65055	134756	250067	250067	0	0	2,50	2,50
	100%	28.888	-7.056	2,25	19,10	1,05	65055	134756	249227	249227	0	0	2,50	2,50
proporzionale alla deformata 1° modo di vibrazione														
	0%	23.689	-3.910	2,75	34,46	1,05	65055	134756	249353	249353	0	0	2,50	2,50
	100%	23.689	-3.910	2,75	34,46	1,05	65055	134756	248522	248522	0	0	2,50	2,50
sisma in +Y														
proporzionale alle masse														
	0%	7.689	43.874	8,46	3,07	1,06	65055	134756	252220	252220	0	0	2,50	2,50
	100%	7.689	43.874	8,46	3,07	1,06	65055	134756	251525	251525	0	0	2,50	2,50
proporzionale alla deformata 1° modo di vibrazione														
	0%	2.544	46.435	25,57	2,90	1,07	65055	134756	253614	253614	0	0	2,50	2,50
	100%	2.544	46.435	25,57	2,90	1,06	65055	134756	252902	252902	0	0	2,50	2,50
sisma in -Y														
proporzionale alle masse														
	0%	-	-	VNR	VNR	0,00	0	0	0	0	0	0	0,00	0,00
	100%	-	-	VNR	VNR	0,00	0	0	0	0	0	0	0,00	0,00
proporzionale alla deformata 1° modo di vibrazione														
	0%	-	-	VNR	VNR	0,00	0	0	0	0	0	0	0,00	0,00
	100%	-	-	VNR	VNR	0,00	0	0	0	0	0	0	0,00	0,00
sisma in +X														
proporzionale alle masse														
Piano copertura	0%	1.240	393	52,46	NS	1,05	65055	134756	249134	249134	0	0	2,50	2,50
	100%	1.240	393	52,46	NS	1,04	65055	134756	247949	247949	0	0	2,50	2,50
proporzionale alla deformata 1° modo di vibrazione														
	0%	-3.440	872	18,91	NS	1,05	65055	134756	250467	250467	0	0	2,50	2,50
	100%	-3.440	872	18,91	NS	1,05	65055	134756	249077	249077	0	0	2,50	2,50
sisma in -X														
proporzionale alle masse														
	0%	1.087	-4.133	59,85	32,60	1,03	65055	134756	245657	245657	0	0	2,50	2,50
	100%	1.087	-4.133	59,85	32,60	1,03	65055	134756	244078	244078	0	0	2,50	2,50
proporzionale alla deformata 1° modo di vibrazione														
	0%	5.162	-3.419	12,60	39,41	1,03	65055	134756	244890	244890	0	0	2,50	2,50
	100%	5.162	-3.419	12,60	39,41	1,02	65055	134756	243397	243397	0	0	2,50	2,50
sisma in +Y														
proporzionale alle masse														
	0%	4.237	17.713	15,35	7,61	1,04	65055	134756	247811	247811	0	0	2,50	2,50
	100%	4.237	17.713	15,35	7,61	1,04	65055	134756	246294	246294	0	0	2,50	2,50
proporzionale alla deformata 1° modo di vibrazione														
	0%	1.865	30.778	34,88	4,38	1,05	65055	134756	249249	249249	0	0	2,50	2,50
	100%	1.865	30.778	34,88	4,38	1,04	65055	134756	247677	247677	0	0	2,50	2,50
sisma in -Y														
proporzionale alle masse														
	0%	-	-	VNR	VNR	0,00	0	0	0	0	0	0	0,00	0,00
	100%	-	-	VNR	VNR	0,00	0	0	0	0	0	0	0,00	0,00
proporzionale alla deformata 1° modo di vibrazione														
	0%	-	-	VNR	VNR	0,00	0	0	0	0	0	0	0,00	0,00
	100%	-	-	VNR	VNR	0,00	0	0	0	0	0	0	0,00	0,00
Pilastrata: Pilastrata18														
sisma in +X														
proporzionale alle masse														
Piano interrato	0%	-31.275	-2.601	2,08	51,81	1,06	65055	134756	251629	251629	0	0	2,50	2,50
	100%	-31.275	-2.601	2,08	51,81	1,05	65055	134756	250785	250785	0	0	2,50	2,50
proporzionale alla deformata 1° modo di vibrazione														
	0%	-28.797	-5.943	2,26	22,67	1,06	65055	134756	252142	252142	0	0	2,50	2,50
	100%	-28.797	-5.943	2,26	22,67	1,06	65055	134756	251184	251184	0	0	2,50	2,50

Lv	%L_{LI}	$V_{Ed,3}$	$V_{Ed,2}$	$CS^{(3)}$	$CS^{(2)}$	α_C	$V_{Rsd,s}{}^{(3)}$	$V_{Rsd,s}{}^{(2)}$	$V_{Rcd}{}^{(3)}$	$V_{Rcd}{}^{(2)}$	$V_{fd}{}^{(3)}$	$V_{fd}{}^{(2)}$	$Ctg\Theta^{(3)}$	$Ctg\Theta^{(2)}$
	[%]	[N]	[N]				[N]	[N]	[N]	[N]	[N]	[N]		
sisma in -X														
proporzionale alle masse														
	0%	32.893	-6.179	1,98	21,81	1,06	65055	134756	250884	250884	0	0	2,50	2,50
	100%	32.893	-6.179	1,98	21,81	1,05	65055	134756	249938	249938	0	0	2,50	2,50
proporzionale alla deformata 1° modo di vibrazione														
	0%	30.225	-2.020	2,15	66,71	1,05	65055	134756	250294	250294	0	0	2,50	2,50
	100%	30.225	-2.020	2,15	66,71	1,05	65055	134756	249335	249335	0	0	2,50	2,50
sisma in +Y														
proporzionale alle masse														
	0%	6.072	43.195	10,71	3,12	1,05	65055	134756	248882	248882	0	0	2,50	2,50
	100%	6.072	43.195	10,71	3,12	1,04	65055	134756	248306	248306	0	0	2,50	2,50
proporzionale alla deformata 1° modo di vibrazione														
	0%	1.227	44.551	53,02	3,02	1,05	65055	134756	248940	248940	0	0	2,50	2,50
	100%	1.227	44.551	53,02	3,02	1,04	65055	134756	248394	248394	0	0	2,50	2,50
sisma in -Y														
proporzionale alle masse														
	0%	-	-	VNR	VNR	0,00	0	0	0	0	0	0	0,00	0,00
	100%	-	-	VNR	VNR	0,00	0	0	0	0	0	0	0,00	0,00
proporzionale alla deformata 1° modo di vibrazione														
	0%	-	-	VNR	VNR	0,00	0	0	0	0	0	0	0,00	0,00
	100%	-	-	VNR	VNR	0,00	0	0	0	0	0	0	0,00	0,00
sisma in +X														
proporzionale alle masse														
Piano copertura	0%	2.159	-6.972	30,13	19,33	1,04	65055	134756	246200	246200	0	0	2,50	2,50
	100%	2.159	-6.972	30,13	19,33	1,03	65055	134756	244539	244539	0	0	2,50	2,50
proporzionale alla deformata 1° modo di vibrazione														
	0%	-822	-7.855	79,14	17,16	1,04	65055	134756	246653	246653	0	0	2,50	2,50
	100%	-822	-7.855	79,14	17,16	1,03	65055	134756	244975	244975	0	0	2,50	2,50
sisma in -X														
proporzionale alle masse														
	0%	-1.088	-2.607	59,79	51,69	1,03	65055	134756	245391	245391	0	0	2,50	2,50
	100%	-1.088	-2.607	59,79	51,69	1,03	65055	134756	243814	243814	0	0	2,50	2,50
proporzionale alla deformata 1° modo di vibrazione														
	0%	1.672	-1.264	38,91	NS	1,03	65055	134756	244767	244767	0	0	2,50	2,50
	100%	1.672	-1.264	38,91	NS	1,02	65055	134756	243260	243260	0	0	2,50	2,50
sisma in +Y														
proporzionale alle masse														
	0%	1.853	11.218	35,11	12,01	1,02	65055	134756	243495	243495	0	0	2,50	2,50
	100%	1.853	11.218	35,11	12,01	1,02	65055	134756	241848	241848	0	0	2,50	2,50
proporzionale alla deformata 1° modo di vibrazione														
	0%	340	24.094	NS	5,59	1,02	65055	134756	243508	243508	0	0	2,50	2,50
	100%	340	24.094	NS	5,59	1,02	65055	134756	241910	241910	0	0	2,50	2,50
sisma in -Y														
proporzionale alle masse														
	0%	-	-	VNR	VNR	0,00	0	0	0	0	0	0	0,00	0,00
	100%	-	-	VNR	VNR	0,00	0	0	0	0	0	0	0,00	0,00
proporzionale alla deformata 1° modo di vibrazione														
	0%	-	-	VNR	VNR	0,00	0	0	0	0	0	0	0,00	0,00
	100%	-	-	VNR	VNR	0,00	0	0	0	0	0	0	0,00	0,00
Pilastrata: Pilastrata19														
sisma in +X														
proporzionale alle masse														
Piano interrato	0%	-27.131	-7.340	2,40	18,36	1,03	65055	134756	245044	245044	0	0	2,50	2,50
	100%	-27.131	-7.340	2,40	18,36	1,03	65055	134756	244355	244355	0	0	2,50	2,50
proporzionale alla deformata 1° modo di vibrazione														
	0%	-21.215	-11.378	3,07	11,84	1,03	65055	134756	244772	244772	0	0	2,50	2,50
	100%	-21.215	-11.378	3,07	11,84	1,03	65055	134756	244169	244169	0	0	2,50	2,50
sisma in -X														
proporzionale alle masse														
	0%	28.586	-1.790	2,28	75,28	1,04	65055	134756	247048	247048	0	0	2,50	2,50
	100%	28.586	-1.790	2,28	75,28	1,04	65055	134756	246125	246125	0	0	2,50	2,50
proporzionale alla deformata 1° modo di vibrazione														
	0%	22.825	3.172	2,85	42,48	1,04	65055	134756	246931	246931	0	0	2,50	2,50
	100%	22.825	3.172	2,85	42,48	1,04	65055	134756	246121	246121	0	0	2,50	2,50
sisma in +Y														
proporzionale alle masse														
	0%	4.465	38.697	14,57	3,48	1,04	65055	134756	246946	246946	0	0	2,50	2,50
	100%	4.465	38.697	14,57	3,48	1,04	65055	134756	246330	246330	0	0	2,50	2,50
proporzionale alla deformata 1° modo di vibrazione														
	0%	-218	42.544	NS	3,17	1,04	65055	134756	246904	246904	0	0	2,50	2,50
	100%	-218	42.544	NS	3,17	1,04	65055	134756	246361	246361	0	0	2,50	2,50
sisma in -Y														
proporzionale alle masse														
	0%	-	-	VNR	VNR	0,00	0	0	0	0	0	0	0,00	0,00
	100%	-	-	VNR	VNR	0,00	0	0	0	0	0	0	0,00	0,00
proporzionale alla deformata 1° modo di vibrazione														
	0%	-	-	VNR	VNR	0,00	0	0	0	0	0	0	0,00	0,00
	100%	-	-	VNR	VNR	0,00	0	0	0	0	0	0	0,00	0,00
sisma in +X														
proporzionale alle masse														
Piano copertura	0%	300	-10.926	NS	12,33	1,01	65055	134756	240709	240709	0	0	2,50	2,50
	100%	300	-10.926	NS	12,33	1,01	65055	134756	239201	239201	0	0	2,50	2,50
proporzionale alla deformata 1° modo di vibrazione														
	0%	-3.487	-12.589	18,66	10,70	1,01	65055	134756	240544	240544	0	0	2,50	2,50
	100%	-3.487	-12.589	18,66	10,70	1,00	65055	134756	238787	238787	0	0	2,50	2,50
sisma in -X														

Lv	%L_{LI}	$V_{Ed,3}$	$V_{Ed,2}$	$CS^{(3)}$	$CS^{(2)}$	α_C	$V_{Rsd,s}{}^{(3)}$	$V_{Rsd,s}{}^{(2)}$	$V_{Rcd}{}^{(3)}$	$V_{Rcd}{}^{(2)}$	$V_{fd}{}^{(3)}$	$V_{fd}{}^{(2)}$	$Ctg\Theta^{(3)}$	$Ctg\Theta^{(2)}$
	[%]	[N]	[N]				[N]	[N]	[N]	[N]	[N]	[N]		
proporzionale alle masse														
	0%	707	1.141	92,02	NS	1,02	65055	134756	242624	242624	0	0	2,50	2,50
	100%	707	1.141	92,02	NS	1,01	65055	134756	241172	241172	0	0	2,50	2,50
proporzionale alla deformata 1° modo di vibrazione														
	0%	4.730	3.651	13,75	36,91	1,02	65055	134756	242482	242482	0	0	2,50	2,50
	100%	4.730	3.651	13,75	36,91	1,01	65055	134756	240940	240940	0	0	2,50	2,50
sisma in +Y														
proporzionale alle masse														
	0%	1.004	12.461	64,80	10,81	1,02	65055	134756	242710	242710	0	0	2,50	2,50
	100%	1.004	12.461	64,80	10,81	1,01	65055	134756	241046	241046	0	0	2,50	2,50
proporzionale alla deformata 1° modo di vibrazione														
	0%	-895	26.908	72,69	5,01	1,02	65055	134756	242602	242602	0	0	2,50	2,50
	100%	-895	26.908	72,69	5,01	1,01	65055	134756	241026	241026	0	0	2,50	2,50
sisma in -Y														
proporzionale alle masse														
	0%	-	-	VNR	VNR	0,00	0	0	0	0	0	0	0,00	0,00
	100%	-	-	VNR	VNR	0,00	0	0	0	0	0	0	0,00	0,00
proporzionale alla deformata 1° modo di vibrazione														
	0%	-	-	VNR	VNR	0,00	0	0	0	0	0	0	0,00	0,00
	100%	-	-	VNR	VNR	0,00	0	0	0	0	0	0	0,00	0,00
Pilastrata: Pilastrata20														
sisma in +X														
proporzionale alle masse														
Piano interrato	0%	-13.773	-918	4,72	70,87	1,13	65055	65055	134237	134237	0	0	2,50	2,50
	100%	-4.993	5.568	13,03	11,68	1,04	65055	65055	123277	123277	0	0	2,50	2,50
proporzionale alla deformata 1° modo di vibrazione														
	0%	-18.746	-6.674	3,47	9,75	1,16	65055	65055	137328	137328	0	0	2,50	2,50
	100%	-4.686	4.301	13,88	15,13	1,05	65055	65055	124709	124709	0	0	2,50	2,50
sisma in -X														
proporzionale alle masse														
	0%	-221	-7.421	NS	8,77	1,00	65055	65055	118863	118863	0	0	2,50	2,50
	100%	4.094	-5.048	15,89	12,89	1,00	65055	65055	118863	118863	0	0	2,50	2,50
proporzionale alla deformata 1° modo di vibrazione														
	0%	1.894	-8.889	34,35	7,32	1,00	65055	65055	118863	118863	0	0	2,50	2,50
	100%	4.977	-5.616	13,07	11,58	1,00	65055	65055	118863	118863	0	0	2,50	2,50
sisma in +Y														
proporzionale alle masse														
	0%	-1.607	1.820	40,48	35,74	1,00	65055	65055	118863	118863	0	0	2,50	2,50
	100%	-920	3.242	70,71	20,07	1,00	65055	65055	118863	118863	0	0	2,50	2,50
proporzionale alla deformata 1° modo di vibrazione														
	0%	-5.226	5.194	12,45	12,53	1,00	65055	65055	118863	118863	0	0	2,50	2,50
	100%	-2.236	3.970	29,09	16,39	1,00	65055	65055	118863	118863	0	0	2,50	2,50
sisma in -Y														
proporzionale alle masse														
	0%	-	-	VNR	VNR	0,00	0	0	0	0	0	0	0,00	0,00
	100%	-	-	VNR	VNR	0,00	0	0	0	0	0	0	0,00	0,00
proporzionale alla deformata 1° modo di vibrazione														
	0%	-	-	VNR	VNR	0,00	0	0	0	0	0	0	0,00	0,00
	100%	-	-	VNR	VNR	0,00	0	0	0	0	0	0	0,00	0,00
sisma in +X														
proporzionale alle masse														
Piano terra	0%	-11.033	3.853	5,90	16,88	1,03	65055	65055	122448	122448	0	0	2,50	2,50
	100%	-313	-665	NS	97,83	1,00	65055	65055	118863	118863	0	0	2,50	2,50
proporzionale alla deformata 1° modo di vibrazione														
	0%	-8.383	4.294	7,76	15,15	1,04	65055	65055	123648	123648	0	0	2,50	2,50
	100%	-979	-345	66,45	NS	1,00	65055	65055	118863	118863	0	0	2,50	2,50
sisma in -X														
proporzionale alle masse														
	0%	11.309	-12.482	5,75	5,21	1,00	65055	65055	118863	118863	0	0	2,50	2,50
	100%	12.188	-10.280	5,34	6,33	1,00	65055	65055	118863	118863	0	0	2,50	2,50
proporzionale alla deformata 1° modo di vibrazione														
	0%	14.958	-13.425	4,35	4,85	1,00	65055	65055	118863	118863	0	0	2,50	2,50
	100%	15.360	-10.803	4,24	6,02	1,00	65055	65055	118863	118863	0	0	2,50	2,50
sisma in +Y														
proporzionale alle masse														
	0%	-5.812	6.927	11,19	9,39	1,00	65055	65055	118863	118863	0	0	2,50	2,50
	100%	-4.759	3.658	13,67	17,78	1,00	65055	65055	118863	118863	0	0	2,50	2,50
proporzionale alla deformata 1° modo di vibrazione														
	0%	-13.063	10.214	4,98	6,37	1,00	65055	65055	118863	118863	0	0	2,50	2,50
	100%	-8.974	6.589	7,25	9,87	1,00	65055	65055	118863	118863	0	0	2,50	2,50
sisma in -Y														
proporzionale alle masse														
	0%	-	-	VNR	VNR	0,00	0	0	0	0	0	0	0,00	0,00
	100%	-	-	VNR	VNR	0,00	0	0	0	0	0	0	0,00	0,00
proporzionale alla deformata 1° modo di vibrazione														
	0%	-	-	VNR	VNR	0,00	0	0	0	0	0	0	0,00	0,00
	100%	-	-	VNR	VNR	0,00	0	0	0	0	0	0	0,00	0,00
sisma in +X														
proporzionale alle masse														
Piano copertura	0%	-395	-2.164	NS	30,06	1,00	65055	65055	118863	118863	0	0	2,50	2,50
	100%	-7.056	-1.534	9,22	42,41	1,00	65055	65055	118863	118863	0	0	2,50	2,50
proporzionale alla deformata 1° modo di vibrazione														
	0%	-869	-2.077	74,86	31,32	1,00	65055	65055	118863	118863	0	0	2,50	2,50
	100%	-7.453	-1.998	8,73	32,56	1,00	65055	65055	118863	118863	0	0	2,50	2,50
sisma in -X														
proporzionale alle masse														

Lv	%L_{LI}	$V_{Ed,3}$	$V_{Ed,2}$	$CS^{(3)}$	$CS^{(2)}$	α_C	$V_{Rsd,s}{}^{(3)}$	$V_{Rsd,s}{}^{(2)}$	$V_{Rcd}{}^{(3)}$	$V_{Rcd}{}^{(2)}$	$V_{fd}{}^{(3)}$	$V_{fd}{}^{(2)}$	$Ctg\Theta^{(3)}$	$Ctg\Theta^{(2)}$
	[%]	[N]	[N]				[N]	[N]	[N]	[N]	[N]	[N]		
	0%	7.433	-5.729	8,75	11,36	1,00	65055	65055	118863	118863	0	0	2,50	2,50
	100%	22.392	-26.717	2,91	2,43	1,02	65055	65055	121710	121710	0	0	2,50	2,50
proporzionale alla deformata 1° modo di vibrazione														
	0%	9.453	-6.227	6,88	10,45	1,00	65055	65055	118863	118863	0	0	2,50	2,50
	100%	28.566	-26.840	2,28	2,42	1,02	65055	65055	121243	121243	0	0	2,50	2,50
sisma in +Y														
proporzionale alle masse														
	0%	-3.571	-1.176	18,22	55,32	1,00	65055	65055	118863	118863	0	0	2,50	2,50
	100%	-13.930	-4.902	4,67	13,27	1,00	65055	65055	118863	118863	0	0	2,50	2,50
proporzionale alla deformata 1° modo di vibrazione														
	0%	-6.305	-1.141	10,32	57,02	1,00	65055	65055	118863	118863	0	0	2,50	2,50
	100%	-22.814	-5.905	2,85	11,02	1,00	65055	65055	118863	118863	0	0	2,50	2,50
sisma in -Y														
proporzionale alle masse														
	0%	-	-	VNR	VNR	0,00	0	0	0	0	0	0	0,00	0,00
	100%	-	-	VNR	VNR	0,00	0	0	0	0	0	0	0,00	0,00
proporzionale alla deformata 1° modo di vibrazione														
	0%	-	-	VNR	VNR	0,00	0	0	0	0	0	0	0,00	0,00
	100%	-	-	VNR	VNR	0,00	0	0	0	0	0	0	0,00	0,00
Pilastrata: Pilastrata21														
sisma in +X														
proporzionale alle masse														
Piano interrato	0%	-3.751	-2.253	23,12	52,25	1,03	86740	117718	162920	162920	0	0	2,50	2,50
	100%	2.180	-2.283	39,79	51,56	1,02	86740	117718	161260	161260	0	0	2,50	2,50
proporzionale alla deformata 1° modo di vibrazione														
	0%	-4.358	-1.131	19,90	NS	1,03	86740	117718	163151	163151	0	0	2,50	2,50
	100%	2.172	-2.511	39,94	46,88	1,02	86740	117718	161694	161694	0	0	2,50	2,50
sisma in -X														
proporzionale alle masse														
	0%	9.573	4.748	9,06	24,79	1,00	86740	117718	158485	158485	0	0	2,50	2,50
	100%	11.631	1.414	7,46	83,25	1,00	86740	117718	158485	158485	0	0	2,50	2,50
proporzionale alla deformata 1° modo di vibrazione														
	0%	12.970	3.364	6,69	34,99	1,00	86740	117718	158485	158485	0	0	2,50	2,50
	100%	12.292	452	7,06	NS	1,00	86740	117718	158485	158485	0	0	2,50	2,50
sisma in +Y														
proporzionale alle masse														
	0%	-16.976	-5.407	5,11	21,77	1,00	86740	117718	158485	158485	0	0	2,50	2,50
	100%	-20.744	-3.649	4,18	32,26	1,00	86740	117718	158485	158485	0	0	2,50	2,50
proporzionale alla deformata 1° modo di vibrazione														
	0%	-24.106	-5.655	3,60	20,82	1,00	86740	117718	158485	158485	0	0	2,50	2,50
	100%	-31.868	-2.110	2,72	55,79	1,00	86740	117718	158485	158485	0	0	2,50	2,50
sisma in -Y														
proporzionale alle masse														
	0%	-	-	VNR	VNR	0,00	0	0	0	0	0	0	0,00	0,00
	100%	-	-	VNR	VNR	0,00	0	0	0	0	0	0	0,00	0,00
proporzionale alla deformata 1° modo di vibrazione														
	0%	-	-	VNR	VNR	0,00	0	0	0	0	0	0	0,00	0,00
	100%	-	-	VNR	VNR	0,00	0	0	0	0	0	0	0,00	0,00
sisma in +X														
proporzionale alle masse														
Piano terra	0%	1.848	-2.050	46,94	57,42	1,02	86740	117718	161398	161398	0	0	2,50	2,50
	100%	788	-1.620	NS	72,67	1,02	86740	117718	161449	161449	0	0	2,50	2,50
proporzionale alla deformata 1° modo di vibrazione														
	0%	2.057	-2.332	42,17	50,48	1,02	86740	117718	161870	161870	0	0	2,50	2,50
	100%	962	-1.518	90,17	77,55	1,02	86740	117718	161740	161740	0	0	2,50	2,50
sisma in -X														
proporzionale alle masse														
	0%	23.427	2.879	3,70	40,89	1,00	86740	117718	158485	158485	0	0	2,50	2,50
	100%	13.990	3.067	6,20	38,38	1,00	86740	117718	158485	158485	0	0	2,50	2,50
proporzionale alla deformata 1° modo di vibrazione														
	0%	25.447	1.850	3,41	63,63	1,00	86740	117718	158485	158485	0	0	2,50	2,50
	100%	16.018	2.160	5,42	54,50	1,00	86740	117718	158485	158485	0	0	2,50	2,50
sisma in +Y														
proporzionale alle masse														
	0%	-23.531	-4.720	3,69	24,94	1,00	86740	117718	158485	158485	0	0	2,50	2,50
	100%	-10.834	-3.052	8,01	38,57	1,03	86740	117718	162747	162747	0	0	2,50	2,50
proporzionale alla deformata 1° modo di vibrazione														
	0%	-38.968	-2.964	2,23	39,72	1,00	86740	117718	158485	158485	0	0	2,50	2,50
	100%	-20.879	-4.924	4,15	23,91	1,04	86740	117718	164070	164070	0	0	2,50	2,50
sisma in -Y														
proporzionale alle masse														
	0%	-	-	VNR	VNR	0,00	0	0	0	0	0	0	0,00	0,00
	100%	-	-	VNR	VNR	0,00	0	0	0	0	0	0	0,00	0,00
proporzionale alla deformata 1° modo di vibrazione														
	0%	-	-	VNR	VNR	0,00	0	0	0	0	0	0	0,00	0,00
	100%	-	-	VNR	VNR	0,00	0	0	0	0	0	0	0,00	0,00
sisma in +X														
proporzionale alle masse														
Piano copertura (a)	0%	89	-1.097	NS	NS	1,02	86740	117718	161803	161803	0	0	2,50	2,50
	100%	-1.221	-8.839	71,04	13,32	1,04	86740	117718	164115	164115	0	0	2,50	2,50
proporzionale alla deformata 1° modo di vibrazione														
	0%	649	-862	NS	NS	1,02	86740	117718	162146	162146	0	0	2,50	2,50
	100%	-1.585	-10.208	54,73	11,53	1,04	86740	117718	164393	164393	0	0	2,50	2,50
sisma in -X														
proporzionale alle masse														
	0%	13.767	2.060	6,30	57,14	1,00	86740	117718	158485	158485	0	0	2,50	2,50

Lv	%L_{LI}	$V_{Ed,3}$	$V_{Ed,2}$	$CS^{(3)}$	$CS^{(2)}$	α_C	$V_{Rsd,s}{}^{(3)}$	$V_{Rsd,s}{}^{(2)}$	$V_{Rcd}{}^{(3)}$	$V_{Rcd}{}^{(2)}$	$V_{fd}{}^{(3)}$	$V_{fd}{}^{(2)}$	$Ctg\Theta^{(3)}$	$Ctg\Theta^{(2)}$
	[%]	[N]	[N]				[N]	[N]	[N]	[N]	[N]	[N]		
	100%	5.187	3.071	16,72	38,33	1,01	86740	117718	160399	160399	0	0	2,50	2,50
proporzionale alla deformata 1° modo di vibrazione														
	0%	15.667	1.301	5,54	90,48	1,00	86740	117718	158485	158485	0	0	2,50	2,50
	100%	6.006	4.644	14,44	25,35	1,01	86740	117718	160522	160522	0	0	2,50	2,50
sisma in +Y														
proporzionale alle masse														
	0%	-9.267	-3.028	9,36	38,88	1,04	86740	117718	164486	164486	0	0	2,50	2,50
	100%	1.390	-8.479	62,40	13,88	1,09	86740	117718	172152	172152	0	0	2,50	2,50
proporzionale alla deformata 1° modo di vibrazione														
	0%	-19.322	-3.476	4,49	33,87	1,05	86740	117718	166971	166971	0	0	2,50	2,50
	100%	4.625	-11.816	18,75	9,96	1,13	86740	117718	178882	178882	0	0	2,50	2,50
sisma in -Y														
proporzionale alle masse														
	0%	-	-	VNR	VNR	0,00	0	0	0	0	0	0	0,00	0,00
	100%	-	-	VNR	VNR	0,00	0	0	0	0	0	0	0,00	0,00
proporzionale alla deformata 1° modo di vibrazione														
	0%	-	-	VNR	VNR	0,00	0	0	0	0	0	0	0,00	0,00
	100%	-	-	VNR	VNR	0,00	0	0	0	0	0	0	0,00	0,00
sisma in +X														
proporzionale alle masse														
Piano copertura (b)	0%	1.929	-7.373	44,97	15,97	1,12	86740	117718	176996	176996	0	0	2,50	2,50
	100%	1.929	-7.373	44,97	15,97	1,11	86740	117718	176524	176524	0	0	2,50	2,50
proporzionale alla deformata 1° modo di vibrazione														
	0%	5.162	-7.309	16,80	16,11	1,12	86740	117718	176853	176853	0	0	2,50	2,50
	100%	5.162	-7.309	16,80	16,11	1,11	86740	117718	176540	176540	0	0	2,50	2,50
sisma in -X														
proporzionale alle masse														
	0%	16.745	-24.319	5,18	4,84	1,07	86740	117718	169514	169514	0	0	2,50	2,50
	100%	16.745	-24.319	5,18	4,84	1,07	86740	117718	169082	169082	0	0	2,50	2,50
proporzionale alla deformata 1° modo di vibrazione														
	0%	14.405	-24.749	6,02	4,76	1,07	86740	117718	169869	169869	0	0	2,50	2,50
	100%	14.405	-24.749	6,02	4,76	1,07	86740	117718	169314	169314	0	0	2,50	2,50
sisma in +Y														
proporzionale alle masse														
	0%	-27.189	-12.283	3,19	9,58	1,29	86740	117718	204204	204204	0	0	2,50	2,50
	100%	-27.189	-12.283	3,19	9,58	1,29	86740	117718	203960	203960	0	0	2,50	2,50
proporzionale alla deformata 1° modo di vibrazione														
	0%	-53.541	-5.135	1,62	22,92	1,39	86740	117718	220608	220608	0	0	2,50	2,50
	100%	-53.541	-5.135	1,62	22,92	1,39	86740	117718	220384	220384	0	0	2,50	2,50
sisma in -Y														
proporzionale alle masse														
	0%	-	-	VNR	VNR	0,00	0	0	0	0	0	0	0,00	0,00
	100%	-	-	VNR	VNR	0,00	0	0	0	0	0	0	0,00	0,00
proporzionale alla deformata 1° modo di vibrazione														
	0%	-	-	VNR	VNR	0,00	0	0	0	0	0	0	0,00	0,00
	100%	-	-	VNR	VNR	0,00	0	0	0	0	0	0	0,00	0,00
Pilastrata: Pilastrata22														
sisma in +X														
proporzionale alle masse														
Piano interrato	0%	-163	-5.186	NS	19,26	1,00	65055	99906	178295	178295	0	0	2,50	2,50
	100%	-24.082	10.781	2,70	9,27	1,01	65055	99906	180049	180049	0	0	2,50	2,50
proporzionale alla deformata 1° modo di vibrazione														
	0%	1.064	-2.322	61,14	43,03	1,00	65055	99906	178295	178295	0	0	2,50	2,50
	100%	-13.367	4.428	4,87	22,56	1,00	65055	99906	178295	178295	0	0	2,50	2,50
sisma in -X														
proporzionale alle masse														
	0%	43.026	-24.146	1,51	4,14	1,11	65055	99906	198526	198526	0	0	2,50	2,50
	100%	-4.530	11.713	14,36	8,53	1,01	65055	99906	180018	180018	0	0	2,50	2,50
proporzionale alla deformata 1° modo di vibrazione														
	0%	34.704	-24.811	1,87	4,03	1,12	65055	99906	199955	199955	0	0	2,50	2,50
	100%	-15.735	9.207	4,13	10,85	1,03	65055	99906	183398	183398	0	0	2,50	2,50
sisma in +Y														
proporzionale alle masse														
	0%	9.268	9.892	7,02	10,10	1,00	65055	99906	178295	178295	0	0	2,50	2,50
	100%	13.205	85.502	4,93	1,17	1,01	65055	99906	179970	179970	0	0	2,50	2,50
proporzionale alla deformata 1° modo di vibrazione														
	0%	4.321	9.454	15,06	10,57	1,00	65055	99906	178295	178295	0	0	2,50	2,50
	100%	2.452	57.089	26,53	1,75	1,00	65055	99906	178295	178295	0	0	2,50	2,50
sisma in -Y														
proporzionale alle masse														
	0%	-	-	VNR	VNR	0,00	0	0	0	0	0	0	0,00	0,00
	100%	-	-	VNR	VNR	0,00	0	0	0	0	0	0	0,00	0,00
proporzionale alla deformata 1° modo di vibrazione														
	0%	-	-	VNR	VNR	0,00	0	0	0	0	0	0	0,00	0,00
	100%	-	-	VNR	VNR	0,00	0	0	0	0	0	0	0,00	0,00
sisma in +X														
proporzionale alle masse														
Piano terra	0%	5.412	-15.622	12,02	6,40	1,02	65055	99906	182418	182418	0	0	2,50	2,50
	100%	-23.048	7.820	2,82	12,78	1,07	65055	99906	191241	191241	0	0	2,50	2,50
proporzionale alla deformata 1° modo di vibrazione														
	0%	2.333	-10.488	27,88	9,53	1,00	65055	99906	178295	178295	0	0	2,50	2,50
	100%	-36.758	10.551	1,77	9,47	1,09	65055	99906	194950	194950	0	0	2,50	2,50
sisma in -X														
proporzionale alle masse														
	0%	7.348	-1.893	8,85	52,78	1,01	65055	99906	180254	180254	0	0	2,50	2,50
	100%	7.722	5.891	8,42	16,96	1,00	65055	99906	178295	178295	0	0	2,50	2,50

Lv	%L_{LI}	$V_{Ed,3}$	$V_{Ed,2}$	$CS^{(3)}$	$CS^{(2)}$	α_C	$V_{Rsd,s}{}^{(3)}$	$V_{Rsd,s}{}^{(2)}$	$V_{Rcd}{}^{(3)}$	$V_{Rcd}{}^{(2)}$	$V_{fd}{}^{(3)}$	$V_{fd}{}^{(2)}$	$Ctg\Theta^{(3)}$	$Ctg\Theta^{(2)}$
	[%]	[N]	[N]				[N]	[N]	[N]	[N]	[N]	[N]		
proporzionale alla deformata 1° modo di vibrazione														
	0%	17.577	-2.540	3,70	39,33	1,03	65055	99906	184409	184409	0	0	2,50	2,50
	100%	9.679	4.461	6,72	22,40	1,00	65055	99906	178295	178295	0	0	2,50	2,50
sisma in +Y														
proporzionale alle masse														
	0%	7.040	3.457	9,24	28,90	1,00	65055	99906	178295	178295	0	0	2,50	2,50
	100%	16.066	106.401	4,05	0,94	1,23	65055	99906	220057	220057	0	0	2,50	2,50
proporzionale alla deformata 1° modo di vibrazione														
	0%	6.931	4.646	9,39	21,50	1,00	65055	99906	178295	178295	0	0	2,50	2,50
	100%	6.559	115.782	9,92	0,86	1,20	65055	99906	214465	214465	0	0	2,50	2,50
sisma in -Y														
proporzionale alle masse														
	0%	-	-	VNR	VNR	0,00	0	0	0	0	0	0	0,00	0,00
	100%	-	-	VNR	VNR	0,00	0	0	0	0	0	0	0,00	0,00
proporzionale alla deformata 1° modo di vibrazione														
	0%	-	-	VNR	VNR	0,00	0	0	0	0	0	0	0,00	0,00
	100%	-	-	VNR	VNR	0,00	0	0	0	0	0	0	0,00	0,00
sisma in +X														
proporzionale alle masse														
Piano copertura (a)	0%	3.880	-4.984	16,77	20,05	1,04	65055	99906	184723	184723	0	0	2,50	2,50
	100%	3.729	1.754	17,45	56,96	1,03	65055	99906	184007	184007	0	0	2,50	2,50
proporzionale alla deformata 1° modo di vibrazione														
	0%	5.640	-12.884	11,53	7,75	1,06	65055	99906	188816	188816	0	0	2,50	2,50
	100%	4.946	3.177	13,15	31,45	1,04	65055	99906	185591	185591	0	0	2,50	2,50
sisma in -X														
proporzionale alle masse														
	0%	-2.620	-400	24,83	NS	1,00	65055	99906	178295	178295	0	0	2,50	2,50
	100%	-977	-676	66,59	NS	1,00	65055	99906	178295	178295	0	0	2,50	2,50
proporzionale alla deformata 1° modo di vibrazione														
	0%	-2.463	-226	26,41	NS	1,00	65055	99906	178295	178295	0	0	2,50	2,50
	100%	-1.020	-540	63,78	NS	1,00	65055	99906	178295	178295	0	0	2,50	2,50
sisma in +Y														
proporzionale alle masse														
	0%	-9.165	-56.247	7,10	1,78	1,18	65055	99906	210816	210816	0	0	2,50	2,50
	100%	1.291	6.717	50,39	14,87	1,06	65055	99906	188635	188635	0	0	2,50	2,50
proporzionale alla deformata 1° modo di vibrazione														
	0%	-3.249	-58.412	20,02	1,71	1,16	65055	99906	207397	207397	0	0	2,50	2,50
	100%	1.080	7.157	60,24	13,96	1,05	65055	99906	188037	188037	0	0	2,50	2,50
sisma in -Y														
proporzionale alle masse														
	0%	-	-	VNR	VNR	0,00	0	0	0	0	0	0	0,00	0,00
	100%	-	-	VNR	VNR	0,00	0	0	0	0	0	0	0,00	0,00
proporzionale alla deformata 1° modo di vibrazione														
	0%	-	-	VNR	VNR	0,00	0	0	0	0	0	0	0,00	0,00
	100%	-	-	VNR	VNR	0,00	0	0	0	0	0	0	0,00	0,00
sisma in +X														
proporzionale alle masse														
Piano copertura (b)	0%	4.479	-10.835	14,52	9,22	1,03	65055	99906	184250	184250	0	0	2,50	2,50
	100%	4.820	-44.080	13,50	2,27	1,03	65055	99906	183258	183258	0	0	2,50	2,50
proporzionale alla deformata 1° modo di vibrazione														
	0%	6.412	-14.708	10,15	6,79	1,04	65055	99906	185754	185754	0	0	2,50	2,50
	100%	8.558	-58.878	7,60	1,70	1,04	65055	99906	184590	184590	0	0	2,50	2,50
sisma in -X														
proporzionale alle masse														
	0%	-1.574	-1.490	41,33	67,05	1,00	65055	99906	178295	178295	0	0	2,50	2,50
	100%	-80	3.884	NS	25,72	1,00	65055	99906	178295	178295	0	0	2,50	2,50
proporzionale alla deformata 1° modo di vibrazione														
	0%	-1.811	-650	35,92	NS	1,00	65055	99906	178295	178295	0	0	2,50	2,50
	100%	-1.472	7.556	44,19	13,22	1,00	65055	99906	178295	178295	0	0	2,50	2,50
sisma in +Y														
proporzionale alle masse														
	0%	-207	-14.046	NS	7,11	1,05	65055	99906	188049	188049	0	0	2,50	2,50
	100%	-7.692	-67.065	8,46	1,49	1,05	65055	99906	186807	186807	0	0	2,50	2,50
proporzionale alla deformata 1° modo di vibrazione														
	0%	501	-16.005	NS	6,24	1,05	65055	99906	187634	187634	0	0	2,50	2,50
	100%	-2.511	-73.589	25,91	1,36	1,05	65055	99906	186425	186425	0	0	2,50	2,50
sisma in -Y														
proporzionale alle masse														
	0%	-	-	VNR	VNR	0,00	0	0	0	0	0	0	0,00	0,00
	100%	-	-	VNR	VNR	0,00	0	0	0	0	0	0	0,00	0,00
proporzionale alla deformata 1° modo di vibrazione														
	0%	-	-	VNR	VNR	0,00	0	0	0	0	0	0	0,00	0,00
	100%	-	-	VNR	VNR	0,00	0	0	0	0	0	0	0,00	0,00
Pilastrata: Pilastrata23														
sisma in +X														
proporzionale alle masse														
Piano interrato	0%	-42.191	20.020	1,54	4,99	1,06	65055	99906	189661	189661	0	0	2,50	2,50
	100%	-42.191	20.020	1,54	4,99	1,06	65055	99906	189181	189181	0	0	2,50	2,50
proporzionale alla deformata 1° modo di vibrazione														
	0%	-43.338	18.574	1,50	5,38	1,06	65055	99906	189724	189724	0	0	2,50	2,50
	100%	-43.338	18.574	1,50	5,38	1,06	65055	99906	189245	189245	0	0	2,50	2,50
sisma in -X														
proporzionale alle masse														
	0%	63.498	463	1,02	NS	1,16	65055	99906	206271	206271	0	0	2,50	2,50
	100%	63.498	463	1,02	NS	1,15	65055	99906	205525	205525	0	0	2,50	2,50
proporzionale alla deformata 1° modo di vibrazione														

Lv	%L_{LI}	$V_{Ed,3}$	$V_{Ed,2}$	$CS^{(3)}$	$CS^{(2)}$	α_C	$V_{Rsd,s}{}^{(3)}$	$V_{Rsd,s}{}^{(2)}$	$V_{Rcd}{}^{(3)}$	$V_{Rcd}{}^{(2)}$	$V_{fd}{}^{(3)}$	$V_{fd}{}^{(2)}$	$Ctg\Theta^{(3)}$	$Ctg\Theta^{(2)}$
	[%]	[N]	[N]				[N]	[N]	[N]	[N]	[N]	[N]		
	0%	66.406	2.750	0,98	36,33	1,16	65055	99906	206218	206218	0	0	2,50	2,50
	100%	66.406	2.750	0,98	36,33	1,15	65055	99906	205728	205728	0	0	2,50	2,50
sisma in +Y														
proporzionale alle masse														
	0%	12.583	72.962	5,17	1,37	1,07	65055	99906	189964	189964	0	0	2,50	2,50
	100%	12.583	72.962	5,17	1,37	1,05	65055	99906	187733	187733	0	0	2,50	2,50
proporzionale alla deformata 1° modo di vibrazione														
	0%	5.079	63.569	12,81	1,57	1,05	65055	99906	187882	187882	0	0	2,50	2,50
	100%	5.079	63.569	12,81	1,57	1,05	65055	99906	187436	187436	0	0	2,50	2,50
sisma in -Y														
proporzionale alle masse														
	0%	-	-	VNR	VNR	0,00	0	0	0	0	0	0	0,00	0,00
	100%	-	-	VNR	VNR	0,00	0	0	0	0	0	0	0,00	0,00
proporzionale alla deformata 1° modo di vibrazione														
	0%	-	-	VNR	VNR	0,00	0	0	0	0	0	0	0,00	0,00
	100%	-	-	VNR	VNR	0,00	0	0	0	0	0	0	0,00	0,00
sisma in +X														
proporzionale alle masse														
Piano terra	0%	-8.870	4.493	7,33	22,24	1,03	65055	99906	183695	183695	0	0	2,50	2,50
	100%	-8.870	4.493	7,33	22,24	1,02	65055	99906	182691	182691	0	0	2,50	2,50
proporzionale alla deformata 1° modo di vibrazione														
	0%	-10.864	4.494	5,99	22,23	1,03	65055	99906	183422	183422	0	0	2,50	2,50
	100%	-10.864	4.494	5,99	22,23	1,02	65055	99906	182387	182387	0	0	2,50	2,50
sisma in -X														
proporzionale alle masse														
	0%	14.448	-403	4,50	NS	1,09	65055	99906	194922	194922	0	0	2,50	2,50
	100%	14.448	-403	4,50	NS	1,09	65055	99906	193880	193880	0	0	2,50	2,50
proporzionale alla deformata 1° modo di vibrazione														
	0%	17.904	-553	3,63	NS	1,09	65055	99906	194937	194937	0	0	2,50	2,50
	100%	17.904	-553	3,63	NS	1,09	65055	99906	194120	194120	0	0	2,50	2,50
sisma in +Y														
proporzionale alle masse														
	0%	2.919	12.459	22,29	8,02	1,00	65055	99906	178295	178295	0	0	2,50	2,50
	100%	2.919	12.459	22,29	8,02	1,00	65055	99906	178295	178295	0	0	2,50	2,50
proporzionale alla deformata 1° modo di vibrazione														
	0%	1.225	14.357	53,11	6,96	1,00	65055	99906	178295	178295	0	0	2,50	2,50
	100%	1.225	14.357	53,11	6,96	1,00	65055	99906	178295	178295	0	0	2,50	2,50
sisma in -Y														
proporzionale alle masse														
	0%	-	-	VNR	VNR	0,00	0	0	0	0	0	0	0,00	0,00
	100%	-	-	VNR	VNR	0,00	0	0	0	0	0	0	0,00	0,00
proporzionale alla deformata 1° modo di vibrazione														
	0%	-	-	VNR	VNR	0,00	0	0	0	0	0	0	0,00	0,00
	100%	-	-	VNR	VNR	0,00	0	0	0	0	0	0	0,00	0,00
sisma in +X														
proporzionale alle masse														
Piano copertura (a)	0%	1.252	13.416	51,96	7,45	1,00	65055	99906	178295	178295	0	0	2,50	2,50
	100%	1.252	13.416	51,96	7,45	1,00	65055	99906	178295	178295	0	0	2,50	2,50
proporzionale alla deformata 1° modo di vibrazione														
	0%	1.443	12.898	45,08	7,75	1,00	65055	99906	178295	178295	0	0	2,50	2,50
	100%	1.443	12.898	45,08	7,75	1,00	65055	99906	178295	178295	0	0	2,50	2,50
sisma in -X														
proporzionale alle masse														
	0%	-8.119	20.985	8,01	4,76	1,09	65055	99906	193645	193645	0	0	2,50	2,50
	100%	-8.119	20.985	8,01	4,76	1,08	65055	99906	193103	193103	0	0	2,50	2,50
proporzionale alla deformata 1° modo di vibrazione														
	0%	-10.074	21.667	6,46	4,61	1,09	65055	99906	193979	193979	0	0	2,50	2,50
	100%	-10.074	21.667	6,46	4,61	1,08	65055	99906	193392	193392	0	0	2,50	2,50
sisma in +Y														
proporzionale alle masse														
	0%	3.836	5.801	16,96	17,22	1,00	65055	99906	178295	178295	0	0	2,50	2,50
	100%	3.836	5.801	16,96	17,22	1,00	65055	99906	178295	178295	0	0	2,50	2,50
proporzionale alla deformata 1° modo di vibrazione														
	0%	4.447	5.379	14,63	18,57	1,00	65055	99906	178295	178295	0	0	2,50	2,50
	100%	4.447	5.379	14,63	18,57	1,00	65055	99906	178295	178295	0	0	2,50	2,50
sisma in -Y														
proporzionale alle masse														
	0%	-	-	VNR	VNR	0,00	0	0	0	0	0	0	0,00	0,00
	100%	-	-	VNR	VNR	0,00	0	0	0	0	0	0	0,00	0,00
proporzionale alla deformata 1° modo di vibrazione														
	0%	-	-	VNR	VNR	0,00	0	0	0	0	0	0	0,00	0,00
	100%	-	-	VNR	VNR	0,00	0	0	0	0	0	0	0,00	0,00
Pilastrata: Pilastrata24														
sisma in +X														
proporzionale alle masse														
Piano interrato	0%	-44.161	-17.966	1,47	3,62	1,21	65055	65055	144261	144261	0	0	2,50	2,50
	100%	-44.161	-17.966	1,47	3,62	1,21	65055	65055	144053	144053	0	0	2,50	2,50
proporzionale alla deformata 1° modo di vibrazione														
	0%	-45.264	-20.493	1,44	3,17	1,21	65055	65055	144360	144360	0	0	2,50	2,50
	100%	-45.264	-20.493	1,44	3,17	1,21	65055	65055	144098	144098	0	0	2,50	2,50
sisma in -X														
proporzionale alle masse														
	0%	44.054	-29.944	1,48	2,17	1,11	65055	65055	131795	131795	0	0	2,50	2,50
	100%	44.054	-29.944	1,48	2,17	1,11	65055	65055	131378	131378	0	0	2,50	2,50
proporzionale alla deformata 1° modo di vibrazione														
	0%	42.921	-29.411	1,52	2,21	1,11	65055	65055	131795	131795	0	0	2,50	2,50

Lv	%L_{LI}	$V_{Ed,3}$	$V_{Ed,2}$	$CS^{(3)}$	$CS^{(2)}$	α_C	$V_{Rsd,s}{}^{(3)}$	$V_{Rsd,s}{}^{(2)}$	$V_{Rcd}{}^{(3)}$	$V_{Rcd}{}^{(2)}$	$V_{fd}{}^{(3)}$	$V_{fd}{}^{(2)}$	$Ctg\Theta^{(3)}$	$Ctg\Theta^{(2)}$
	[%]	[N]	[N]				[N]	[N]	[N]	[N]	[N]	[N]		
	100%	42.921	-29.411	1,52	2,21	1,10	65055	65055	131310	131310	0	0	2,50	2,50
sisma in +Y														
proporzionale alle masse														
	0%	9.563	10.736	6,80	6,06	1,08	65055	65055	127900	127900	0	0	2,50	2,50
	100%	9.563	10.736	6,80	6,06	1,07	65055	65055	127269	127269	0	0	2,50	2,50
proporzionale alla deformata 1° modo di vibrazione														
	0%	4.052	5.956	16,06	10,92	1,09	65055	65055	129520	129520	0	0	2,50	2,50
	100%	4.052	5.956	16,06	10,92	1,08	65055	65055	128414	128414	0	0	2,50	2,50
sisma in -Y														
proporzionale alle masse														
	0%	-	-	VNR	VNR	0,00	0	0	0	0	0	0	0,00	0,00
	100%	-	-	VNR	VNR	0,00	0	0	0	0	0	0	0,00	0,00
proporzionale alla deformata 1° modo di vibrazione														
	0%	-	-	VNR	VNR	0,00	0	0	0	0	0	0	0,00	0,00
	100%	-	-	VNR	VNR	0,00	0	0	0	0	0	0	0,00	0,00
sisma in +X														
proporzionale alle masse														
Piano terra	0%	-7.281	-6.366	8,93	10,22	1,06	65055	65055	125912	125912	0	0	2,50	2,50
	100%	-7.281	-6.366	8,93	10,22	1,05	65055	65055	125256	125256	0	0	2,50	2,50
proporzionale alla deformata 1° modo di vibrazione														
	0%	-9.804	-6.222	6,64	10,46	1,06	65055	65055	126272	126272	0	0	2,50	2,50
	100%	-9.804	-6.222	6,64	10,46	1,06	65055	65055	125624	125624	0	0	2,50	2,50
sisma in -X														
proporzionale alle masse														
	0%	8.641	-9.627	7,53	6,76	1,09	65055	65055	129006	129006	0	0	2,50	2,50
	100%	8.641	-9.627	7,53	6,76	1,08	65055	65055	128452	128452	0	0	2,50	2,50
proporzionale alla deformata 1° modo di vibrazione														
	0%	11.292	-9.136	5,76	7,12	1,08	65055	65055	128708	128708	0	0	2,50	2,50
	100%	11.292	-9.136	5,76	7,12	1,08	65055	65055	128110	128110	0	0	2,50	2,50
sisma in +Y														
proporzionale alle masse														
	0%	1.082	227	60,12	NS	1,00	65055	65055	118925	118925	0	0	2,50	2,50
	100%	1.082	227	60,12	NS	1,00	65055	65055	118863	118863	0	0	2,50	2,50
proporzionale alla deformata 1° modo di vibrazione														
	0%	-516	1.381	NS	47,11	1,01	65055	65055	119541	119541	0	0	2,50	2,50
	100%	-516	1.381	NS	47,11	1,00	65055	65055	119022	119022	0	0	2,50	2,50
sisma in -Y														
proporzionale alle masse														
	0%	-	-	VNR	VNR	0,00	0	0	0	0	0	0	0,00	0,00
	100%	-	-	VNR	VNR	0,00	0	0	0	0	0	0	0,00	0,00
proporzionale alla deformata 1° modo di vibrazione														
	0%	-	-	VNR	VNR	0,00	0	0	0	0	0	0	0,00	0,00
	100%	-	-	VNR	VNR	0,00	0	0	0	0	0	0	0,00	0,00
sisma in +X														
proporzionale alle masse														
Piano copertura (a)	0%	12.976	-2.762	5,01	23,55	1,02	65055	65055	121072	121072	0	0	2,50	2,50
	100%	12.976	-2.762	5,01	23,55	1,02	65055	65055	120819	120819	0	0	2,50	2,50
proporzionale alla deformata 1° modo di vibrazione														
	0%	14.909	-1.698	4,36	38,31	1,02	65055	65055	121330	121330	0	0	2,50	2,50
	100%	14.909	-1.698	4,36	38,31	1,02	65055	65055	121075	121075	0	0	2,50	2,50
sisma in -X														
proporzionale alle masse														
	0%	-4.475	860	14,54	75,65	1,06	65055	65055	125560	125560	0	0	2,50	2,50
	100%	-4.475	860	14,54	75,65	1,05	65055	65055	125340	125340	0	0	2,50	2,50
proporzionale alla deformata 1° modo di vibrazione														
	0%	-8.374	199	7,77	NS	1,06	65055	65055	125511	125511	0	0	2,50	2,50
	100%	-8.374	199	7,77	NS	1,05	65055	65055	125191	125191	0	0	2,50	2,50
sisma in +Y														
proporzionale alle masse														
	0%	14.471	-15.910	4,50	4,09	1,00	65055	65055	118863	118863	0	0	2,50	2,50
	100%	14.471	-15.910	4,50	4,09	1,00	65055	65055	118863	118863	0	0	2,50	2,50
proporzionale alla deformata 1° modo di vibrazione														
	0%	16.928	-15.672	3,84	4,15	1,00	65055	65055	118863	118863	0	0	2,50	2,50
	100%	16.928	-15.672	3,84	4,15	1,00	65055	65055	118863	118863	0	0	2,50	2,50
sisma in -Y														
proporzionale alle masse														
	0%	-	-	VNR	VNR	0,00	0	0	0	0	0	0	0,00	0,00
	100%	-	-	VNR	VNR	0,00	0	0	0	0	0	0	0,00	0,00
proporzionale alla deformata 1° modo di vibrazione														
	0%	-	-	VNR	VNR	0,00	0	0	0	0	0	0	0,00	0,00
	100%	-	-	VNR	VNR	0,00	0	0	0	0	0	0	0,00	0,00
sisma in +X														
proporzionale alle masse														
Piano copertura (b)	0%	5.027	-17.435	12,94	3,73	1,01	65055	65055	120623	120623	0	0	2,50	2,50
	100%	5.027	-17.435	12,94	3,73	1,01	65055	65055	120457	120457	0	0	2,50	2,50
proporzionale alla deformata 1° modo di vibrazione														
	0%	2.562	-21.856	25,39	2,98	1,02	65055	65055	121114	121114	0	0	2,50	2,50
	100%	2.562	-21.856	25,39	2,98	1,02	65055	65055	120957	120957	0	0	2,50	2,50
sisma in -X														
proporzionale alle masse														
	0%	11.280	-29.321	5,77	2,22	1,03	65055	65055	122517	122517	0	0	2,50	2,50
	100%	11.280	-29.321	5,77	2,22	1,03	65055	65055	122305	122305	0	0	2,50	2,50
proporzionale alla deformata 1° modo di vibrazione														
	0%	17.029	-27.361	3,82	2,38	1,03	65055	65055	122100	122100	0	0	2,50	2,50
	100%	17.029	-27.361	3,82	2,38	1,03	65055	65055	121890	121890	0	0	2,50	2,50
sisma in +Y														

Lv	%L_{LI}	$V_{Ed,3}$	$V_{Ed,2}$	$CS^{(3)}$	$CS^{(2)}$	α_C	$V_{Rsd,s}{}^{(3)}$	$V_{Rsd,s}{}^{(2)}$	$V_{Rcd}{}^{(3)}$	$V_{Rcd}{}^{(2)}$	$V_{fd}{}^{(3)}$	$V_{fd}{}^{(2)}$	$Ctg\Theta^{(3)}$	$Ctg\Theta^{(2)}$
	[%]	[N]	[N]				[N]	[N]	[N]	[N]	[N]	[N]		
proporzionale alle masse														
	0%	-3.195	36.068	20,36	1,80	1,00	65055	65055	118863	118863	0	0	2,50	2,50
	100%	-3.195	36.068	20,36	1,80	1,00	65055	65055	118863	118863	0	0	2,50	2,50
proporzionale alla deformata 1° modo di vibrazione														
	0%	-14.864	36.258	4,38	1,79	1,00	65055	65055	118863	118863	0	0	2,50	2,50
	100%	-14.864	36.258	4,38	1,79	1,00	65055	65055	118863	118863	0	0	2,50	2,50
sisma in -Y														
proporzionale alle masse														
	0%	-	-	VNR	VNR	0,00	0	0	0	0	0	0	0,00	0,00
	100%	-	-	VNR	VNR	0,00	0	0	0	0	0	0	0,00	0,00
proporzionale alla deformata 1° modo di vibrazione														
	0%	-	-	VNR	VNR	0,00	0	0	0	0	0	0	0,00	0,00
	100%	-	-	VNR	VNR	0,00	0	0	0	0	0	0	0,00	0,00
Pilastrata: Pilastrata25														
sisma in +X														
proporzionale alle masse														
Piano interrato (a)	0%	-8.589	-5.835	7,57	11,15	1,03	65055	65055	122852	122852	0	0	2,50	2,50
	100%	-10.323	12.952	6,30	5,02	1,05	65055	65055	125352	125352	0	0	2,50	2,50
proporzionale alla deformata 1° modo di vibrazione														
	0%	-6.225	-5.951	10,45	10,93	1,03	65055	65055	122624	122624	0	0	2,50	2,50
	100%	-10.902	13.541	5,97	4,80	1,06	65055	65055	125597	125597	0	0	2,50	2,50
sisma in -X														
proporzionale alle masse														
	0%	3.168	-9.254	20,54	7,03	1,05	65055	65055	124704	124704	0	0	2,50	2,50
	100%	876	10.489	74,26	6,20	1,05	65055	65055	124704	124704	0	0	2,50	2,50
proporzionale alla deformata 1° modo di vibrazione														
	0%	1.754	-9.710	37,09	6,70	1,05	65055	65055	124956	124956	0	0	2,50	2,50
	100%	1.944	10.337	33,46	6,29	1,05	65055	65055	124760	124760	0	0	2,50	2,50
sisma in +Y														
proporzionale alle masse														
	0%	2.990	13.674	21,76	4,76	1,00	65055	65055	118863	118863	0	0	2,50	2,50
	100%	8.536	88.690	7,62	0,73	1,05	65055	65055	124823	124823	0	0	2,50	2,50
proporzionale alla deformata 1° modo di vibrazione														
	0%	-372	14.152	NS	4,60	1,00	65055	65055	118863	118863	0	0	2,50	2,50
	100%	-2.858	73.162	22,76	0,89	1,02	65055	65055	121439	121439	0	0	2,50	2,50
sisma in -Y														
proporzionale alle masse														
	0%	-	-	VNR	VNR	0,00	0	0	0	0	0	0	0,00	0,00
	100%	-	-	VNR	VNR	0,00	0	0	0	0	0	0	0,00	0,00
proporzionale alla deformata 1° modo di vibrazione														
	0%	-	-	VNR	VNR	0,00	0	0	0	0	0	0	0,00	0,00
	100%	-	-	VNR	VNR	0,00	0	0	0	0	0	0	0,00	0,00
sisma in +X														
proporzionale alle masse														
Piano terra (a)	0%	-6.929	3.234	9,39	20,12	1,02	65055	65055	121524	121524	0	0	2,50	2,50
	100%	-2.069	7.817	31,44	8,32	1,05	65055	65055	125051	125051	0	0	2,50	2,50
proporzionale alla deformata 1° modo di vibrazione														
	0%	-7.659	3.065	8,49	21,23	1,02	65055	65055	121732	121732	0	0	2,50	2,50
	100%	-3.314	10.027	19,63	6,49	1,06	65055	65055	126153	126153	0	0	2,50	2,50
sisma in -X														
proporzionale alle masse														
	0%	1.578	2.830	41,23	22,99	1,01	65055	65055	120460	120460	0	0	2,50	2,50
	100%	-1.195	3.078	54,44	21,14	1,02	65055	65055	120884	120884	0	0	2,50	2,50
proporzionale alla deformata 1° modo di vibrazione														
	0%	2.782	1.781	23,38	36,53	1,01	65055	65055	120535	120535	0	0	2,50	2,50
	100%	-486	2.005	NS	32,45	1,01	65055	65055	120112	120112	0	0	2,50	2,50
sisma in +Y														
proporzionale alle masse														
	0%	39	17.252	NS	3,77	1,00	65055	65055	118863	118863	0	0	2,50	2,50
	100%	11.257	87.690	5,78	0,74	1,44	65055	65055	170975	170975	0	0	2,50	2,50
proporzionale alla deformata 1° modo di vibrazione														
	0%	-1.732	18.724	37,56	3,47	1,00	65055	65055	118863	118863	0	0	2,50	2,50
	100%	5.157	107.957	12,61	0,60	1,40	65055	65055	166219	166219	0	0	2,50	2,50
sisma in -Y														
proporzionale alle masse														
	0%	-	-	VNR	VNR	0,00	0	0	0	0	0	0	0,00	0,00
	100%	-	-	VNR	VNR	0,00	0	0	0	0	0	0	0,00	0,00
proporzionale alla deformata 1° modo di vibrazione														
	0%	-	-	VNR	VNR	0,00	0	0	0	0	0	0	0,00	0,00
	100%	-	-	VNR	VNR	0,00	0	0	0	0	0	0	0,00	0,00
sisma in +X														
proporzionale alle masse														
Piano copertura (a)	0%	-702	-1.654	92,67	39,33	1,01	65055	65055	120646	120646	0	0	2,50	2,50
	100%	-25	-262	NS	NS	1,01	65055	65055	119731	119731	0	0	2,50	2,50
proporzionale alla deformata 1° modo di vibrazione														
	0%	-514	-2.233	NS	29,13	1,02	65055	65055	121015	121015	0	0	2,50	2,50
	100%	321	-751	NS	86,62	1,01	65055	65055	119755	119755	0	0	2,50	2,50
sisma in -X														
proporzionale alle masse														
	0%	-2.702	-1.641	24,08	39,64	1,00	65055	65055	118990	118990	0	0	2,50	2,50
	100%	-1.399	-1.337	46,50	48,66	1,00	65055	65055	119271	119271	0	0	2,50	2,50
proporzionale alla deformata 1° modo di vibrazione														
	0%	-2.691	-2.921	24,18	22,27	1,00	65055	65055	118863	118863	0	0	2,50	2,50
	100%	-1.709	-1.788	38,07	36,38	1,00	65055	65055	118900	118900	0	0	2,50	2,50
sisma in +Y														
proporzionale alle masse														

Lv	%L_{LI}	$V_{Ed,3}$	$V_{Ed,2}$	$CS^{(3)}$	$CS^{(2)}$	α_C	$V_{Rsd,s}{}^{(3)}$	$V_{Rsd,s}{}^{(2)}$	$V_{Rcd}{}^{(3)}$	$V_{Rcd}{}^{(2)}$	$V_{fd}{}^{(3)}$	$V_{fd}{}^{(2)}$	$Ctg\Theta^{(3)}$	$Ctg\Theta^{(2)}$
	[%]	[N]	[N]				[N]	[N]	[N]	[N]	[N]	[N]		
	0%	-3.327	-26.443	19,55	2,46	1,22	65055	65055	144446	144446	0	0	2,50	2,50
	100%	396	3.907	NS	16,65	1,07	65055	65055	127423	127423	0	0	2,50	2,50
proporzionale alla deformata 1° modo di vibrazione														
	0%	-479	-26.850	NS	2,42	1,19	65055	65055	141210	141210	0	0	2,50	2,50
	100%	18	2.950	NS	22,05	1,06	65055	65055	125449	125449	0	0	2,50	2,50
sisma in -Y														
proporzionale alle masse														
	0%	-	-	VNR	VNR	0,00	0	0	0	0	0	0	0,00	0,00
	100%	-	-	VNR	VNR	0,00	0	0	0	0	0	0	0,00	0,00
proporzionale alla deformata 1° modo di vibrazione														
	0%	-	-	VNR	VNR	0,00	0	0	0	0	0	0	0,00	0,00
	100%	-	-	VNR	VNR	0,00	0	0	0	0	0	0	0,00	0,00
sisma in +X														
proporzionale alle masse														
Piano copertura (b)	0%	1.047	-2.078	62,13	31,31	1,01	65055	65055	119634	119634	0	0	2,50	2,50
	100%	2.159	-7.610	30,13	8,55	1,00	65055	65055	119103	119103	0	0	2,50	2,50
proporzionale alla deformata 1° modo di vibrazione														
	0%	1.609	-2.739	40,43	23,75	1,01	65055	65055	119825	119825	0	0	2,50	2,50
	100%	2.485	-8.031	26,18	8,10	1,00	65055	65055	119101	119101	0	0	2,50	2,50
sisma in -X														
proporzionale alle masse														
	0%	-3.445	543	18,88	NS	1,01	65055	65055	119599	119599	0	0	2,50	2,50
	100%	-6.371	1.662	10,21	39,14	1,00	65055	65055	119263	119263	0	0	2,50	2,50
proporzionale alla deformata 1° modo di vibrazione														
	0%	-3.408	-382	19,09	NS	1,00	65055	65055	119218	119218	0	0	2,50	2,50
	100%	-9.031	3.331	7,20	19,53	1,00	65055	65055	118937	118937	0	0	2,50	2,50
sisma in +Y														
proporzionale alle masse														
	0%	-1.114	934	58,40	69,65	1,08	65055	65055	128409	128409	0	0	2,50	2,50
	100%	-6.072	-17.807	10,71	3,65	1,08	65055	65055	127835	127835	0	0	2,50	2,50
proporzionale alla deformata 1° modo di vibrazione														
	0%	-1.136	2.413	57,27	26,96	1,06	65055	65055	126191	126191	0	0	2,50	2,50
	100%	-3.672	-9.051	17,72	7,19	1,07	65055	65055	126753	126753	0	0	2,50	2,50
sisma in -Y														
proporzionale alle masse														
	0%	-	-	VNR	VNR	0,00	0	0	0	0	0	0	0,00	0,00
	100%	-	-	VNR	VNR	0,00	0	0	0	0	0	0	0,00	0,00
proporzionale alla deformata 1° modo di vibrazione														
	0%	-	-	VNR	VNR	0,00	0	0	0	0	0	0	0,00	0,00
	100%	-	-	VNR	VNR	0,00	0	0	0	0	0	0	0,00	0,00
Pilastrata: Pilastrata26														
sisma in +X														
proporzionale alle masse														
Piano interrato	0%	350	8.204	NS	7,93	1,04	65055	65055	123687	123687	0	0	2,50	2,50
	100%	570	-12.266	NS	5,30	1,04	65055	65055	123375	123375	0	0	2,50	2,50
proporzionale alla deformata 1° modo di vibrazione														
	0%	1.776	8.688	36,63	7,49	1,04	65055	65055	123914	123914	0	0	2,50	2,50
	100%	843	-11.763	77,17	5,53	1,04	65055	65055	123136	123136	0	0	2,50	2,50
sisma in -X														
proporzionale alle masse														
	0%	-107	5.273	NS	12,34	1,03	65055	65055	122138	122138	0	0	2,50	2,50
	100%	-1.357	-14.209	47,94	4,58	1,04	65055	65055	123952	123952	0	0	2,50	2,50
proporzionale alla deformata 1° modo di vibrazione														
	0%	-635	4.671	NS	13,93	1,02	65055	65055	121790	121790	0	0	2,50	2,50
	100%	-915	-16.110	71,10	4,04	1,04	65055	65055	123728	123728	0	0	2,50	2,50
sisma in +Y														
proporzionale alle masse														
	0%	12.529	73.148	5,19	0,89	1,32	65055	65055	157376	157376	0	0	2,50	2,50
	100%	-1.878	-7.790	34,64	8,35	1,04	65055	65055	123229	123229	0	0	2,50	2,50
proporzionale alla deformata 1° modo di vibrazione														
	0%	3.042	57.271	21,39	1,14	1,28	65055	65055	152567	152567	0	0	2,50	2,50
	100%	-855	-14.102	76,09	4,61	1,11	65055	65055	131682	131682	0	0	2,50	2,50
sisma in -Y														
proporzionale alle masse														
	0%	-	-	VNR	VNR	0,00	0	0	0	0	0	0	0,00	0,00
	100%	-	-	VNR	VNR	0,00	0	0	0	0	0	0	0,00	0,00
proporzionale alla deformata 1° modo di vibrazione														
	0%	-	-	VNR	VNR	0,00	0	0	0	0	0	0	0,00	0,00
	100%	-	-	VNR	VNR	0,00	0	0	0	0	0	0	0,00	0,00
sisma in +X														
proporzionale alle masse														
Piano terra	0%	-1.426	-2.776	45,62	23,43	1,00	65055	65055	118863	118863	0	0	2,50	2,50
	100%	-592	-6.964	NS	9,34	1,01	65055	65055	119701	119701	0	0	2,50	2,50
proporzionale alla deformata 1° modo di vibrazione														
	0%	-2.308	-2.554	28,19	25,47	1,00	65055	65055	118863	118863	0	0	2,50	2,50
	100%	-758	-6.772	85,82	9,61	1,00	65055	65055	119363	119363	0	0	2,50	2,50
sisma in -X														
proporzionale alle masse														
	0%	786	-4.939	82,77	13,17	1,00	65055	65055	118863	118863	0	0	2,50	2,50
	100%	-68	-10.052	NS	6,47	1,03	65055	65055	121934	121934	0	0	2,50	2,50
proporzionale alla deformata 1° modo di vibrazione														
	0%	1.727	-4.987	37,67	13,04	1,00	65055	65055	118863	118863	0	0	2,50	2,50
	100%	730	-11.876	89,12	5,48	1,03	65055	65055	122418	122418	0	0	2,50	2,50
sisma in +Y														
proporzionale alle masse														
	0%	6.723	33.323	9,68	1,95	1,00	65055	65055	119226	119226	0	0	2,50	2,50

Lv	%L_{LI}	$V_{Ed,3}$	$V_{Ed,2}$	$CS^{(3)}$	$CS^{(2)}$	α_C	$V_{Rsd,s}{}^{(3)}$	$V_{Rsd,s}{}^{(2)}$	$V_{Rcd}{}^{(3)}$	$V_{Rcd}{}^{(2)}$	$V_{fd}{}^{(3)}$	$V_{fd}{}^{(2)}$	$Ctg\Theta^{(3)}$	$Ctg\Theta^{(2)}$
	[%]	[N]	[N]				[N]	[N]	[N]	[N]	[N]	[N]		
	100%	1.549	2.200	42,00	29,57	1,00	65055	65055	118863	118863	0	0	2,50	2,50
proporzionale alla deformata 1° modo di vibrazione														
	0%	3.897	54.957	16,69	1,18	1,06	65055	65055	126153	126153	0	0	2,50	2,50
	100%	883	2.874	73,67	22,64	1,00	65055	65055	118863	118863	0	0	2,50	2,50
sisma in -Y														
proporzionale alle masse														
	0%	-	-	VNR	VNR	0,00	0	0	0	0	0	0	0,00	0,00
	100%	-	-	VNR	VNR	0,00	0	0	0	0	0	0	0,00	0,00
proporzionale alla deformata 1° modo di vibrazione														
	0%	-	-	VNR	VNR	0,00	0	0	0	0	0	0	0,00	0,00
	100%	-	-	VNR	VNR	0,00	0	0	0	0	0	0	0,00	0,00
sisma in +X														
proporzionale alle masse														
Piano copertura (a)	0%	37	-3.509	NS	18,54	1,00	65055	65055	118863	118863	0	0	2,50	2,50
	100%	411	-165	NS	NS	1,00	65055	65055	118863	118863	0	0	2,50	2,50
proporzionale alla deformata 1° modo di vibrazione														
	0%	73	-3.801	NS	17,12	1,00	65055	65055	118863	118863	0	0	2,50	2,50
	100%	445	-165	NS	NS	1,00	65055	65055	118863	118863	0	0	2,50	2,50
sisma in -X														
proporzionale alle masse														
	0%	-156	-3.412	NS	19,07	1,00	65055	65055	118863	118863	0	0	2,50	2,50
	100%	-221	597	NS	NS	1,01	65055	65055	119798	119798	0	0	2,50	2,50
proporzionale alla deformata 1° modo di vibrazione														
	0%	-170	-3.532	NS	18,42	1,00	65055	65055	118863	118863	0	0	2,50	2,50
	100%	-342	781	NS	83,30	1,01	65055	65055	119910	119910	0	0	2,50	2,50
sisma in +Y														
proporzionale alle masse														
	0%	651	-681	99,93	95,53	1,00	65055	65055	118863	118863	0	0	2,50	2,50
	100%	-394	-2.181	NS	29,83	1,00	65055	65055	118863	118863	0	0	2,50	2,50
proporzionale alla deformata 1° modo di vibrazione														
	0%	108	-287	NS	NS	1,00	65055	65055	118863	118863	0	0	2,50	2,50
	100%	-72	-2.254	NS	28,86	1,00	65055	65055	118863	118863	0	0	2,50	2,50
sisma in -Y														
proporzionale alle masse														
	0%	-	-	VNR	VNR	0,00	0	0	0	0	0	0	0,00	0,00
	100%	-	-	VNR	VNR	0,00	0	0	0	0	0	0	0,00	0,00
proporzionale alla deformata 1° modo di vibrazione														
	0%	-	-	VNR	VNR	0,00	0	0	0	0	0	0	0,00	0,00
	100%	-	-	VNR	VNR	0,00	0	0	0	0	0	0	0,00	0,00
sisma in +X														
proporzionale alle masse														
Piano copertura (b)	0%	857	-2.476	75,91	26,27	1,00	65055	65055	118863	118863	0	0	2,50	2,50
	100%	1.667	-14.220	39,03	4,57	1,01	65055	65055	120604	120604	0	0	2,50	2,50
proporzionale alla deformata 1° modo di vibrazione														
	0%	1.259	-2.689	51,67	24,19	1,00	65055	65055	118863	118863	0	0	2,50	2,50
	100%	2.772	-16.254	23,47	4,00	1,01	65055	65055	120451	120451	0	0	2,50	2,50
sisma in -X														
proporzionale alle masse														
	0%	-1.746	-1.217	37,26	53,46	1,02	65055	65055	120709	120709	0	0	2,50	2,50
	100%	-4.204	-6.454	15,47	10,08	1,03	65055	65055	122212	122212	0	0	2,50	2,50
proporzionale alla deformata 1° modo di vibrazione														
	0%	-2.292	-577	28,38	NS	1,02	65055	65055	120858	120858	0	0	2,50	2,50
	100%	-5.028	-7.412	12,94	8,78	1,03	65055	65055	122300	122300	0	0	2,50	2,50
sisma in +Y														
proporzionale alle masse														
	0%	-897	-9.418	72,53	6,91	1,00	65055	65055	118863	118863	0	0	2,50	2,50
	100%	-4.943	-36.150	13,16	1,80	1,00	65055	65055	118863	118863	0	0	2,50	2,50
proporzionale alla deformata 1° modo di vibrazione														
	0%	-239	-9.118	NS	7,13	1,00	65055	65055	118863	118863	0	0	2,50	2,50
	100%	-1.974	-39.303	32,96	1,66	1,00	65055	65055	118863	118863	0	0	2,50	2,50
sisma in -Y														
proporzionale alle masse														
	0%	-	-	VNR	VNR	0,00	0	0	0	0	0	0	0,00	0,00
	100%	-	-	VNR	VNR	0,00	0	0	0	0	0	0	0,00	0,00
proporzionale alla deformata 1° modo di vibrazione														
	0%	-	-	VNR	VNR	0,00	0	0	0	0	0	0	0,00	0,00
	100%	-	-	VNR	VNR	0,00	0	0	0	0	0	0	0,00	0,00
Pilastrata: Pilastrata27														
sisma in +X														
proporzionale alle masse														
Piano interrato	0%	-10.294	12.012	6,32	5,42	1,24	65055	65055	146921	146921	0	0	2,50	2,50
	100%	-10.294	12.012	6,32	5,42	1,23	65055	65055	146058	146058	0	0	2,50	2,50
proporzionale alla deformata 1° modo di vibrazione														
	0%	-8.962	11.393	7,26	5,71	1,23	65055	65055	146369	146369	0	0	2,50	2,50
	100%	-8.962	11.393	7,26	5,71	1,23	65055	65055	145939	145939	0	0	2,50	2,50
sisma in -X														
proporzionale alle masse														
	0%	15.273	7.683	4,26	8,47	1,24	65055	65055	147607	147607	0	0	2,50	2,50
	100%	15.273	7.683	4,26	8,47	1,24	65055	65055	147013	147013	0	0	2,50	2,50
proporzionale alla deformata 1° modo di vibrazione														
	0%	14.324	8.488	4,54	7,66	1,24	65055	65055	147604	147604	0	0	2,50	2,50
	100%	14.324	8.488	4,54	7,66	1,24	65055	65055	147102	147102	0	0	2,50	2,50
sisma in +Y														
proporzionale alle masse														
	0%	6.804	59.998	9,56	1,08	1,17	65055	65055	139048	139048	0	0	2,50	2,50
	100%	6.804	59.998	9,56	1,08	1,17	65055	65055	138740	138740	0	0	2,50	2,50

Lv	%L_{LI}	$V_{Ed,3}$	$V_{Ed,2}$	$CS^{(3)}$	$CS^{(2)}$	α_C	$V_{Rsd,s}{}^{(3)}$	$V_{Rsd,s}{}^{(2)}$	$V_{Rcd}{}^{(3)}$	$V_{Rcd}{}^{(2)}$	$V_{fd}{}^{(3)}$	$V_{fd}{}^{(2)}$	$Ctg\Theta^{(3)}$	$Ctg\Theta^{(2)}$
	[%]	[N]	[N]				[N]	[N]	[N]	[N]	[N]	[N]		
proporzionale alla deformata 1° modo di vibrazione														
	0%	2.292	59.310	28,38	1,10	1,17	65055	65055	138788	138788	0	0	2,50	2,50
	100%	2.292	59.310	28,38	1,10	1,17	65055	65055	138483	138483	0	0	2,50	2,50
sisma in -Y														
proporzionale alle masse														
	0%	-	-	VNR	VNR	0,00	0	0	0	0	0	0	0,00	0,00
	100%	-	-	VNR	VNR	0,00	0	0	0	0	0	0	0,00	0,00
proporzionale alla deformata 1° modo di vibrazione														
	0%	-	-	VNR	VNR	0,00	0	0	0	0	0	0	0,00	0,00
	100%	-	-	VNR	VNR	0,00	0	0	0	0	0	0	0,00	0,00
sisma in +X														
proporzionale alle masse														
Piano terra	0%	-2.727	3.921	23,86	16,59	1,08	65055	65055	128415	128415	0	0	2,50	2,50
	100%	-2.727	3.921	23,86	16,59	1,08	65055	65055	127905	127905	0	0	2,50	2,50
proporzionale alla deformata 1° modo di vibrazione														
	0%	-4.708	3.749	13,82	17,35	1,08	65055	65055	128378	128378	0	0	2,50	2,50
	100%	-4.708	3.749	13,82	17,35	1,08	65055	65055	127835	127835	0	0	2,50	2,50
sisma in -X														
proporzionale alle masse														
	0%	2.330	2.329	27,92	27,93	1,09	65055	65055	129285	129285	0	0	2,50	2,50
	100%	2.330	2.329	27,92	27,93	1,08	65055	65055	128816	128816	0	0	2,50	2,50
proporzionale alla deformata 1° modo di vibrazione														
	0%	4.531	2.277	14,36	28,57	1,09	65055	65055	129355	129355	0	0	2,50	2,50
	100%	4.531	2.277	14,36	28,57	1,08	65055	65055	128963	128963	0	0	2,50	2,50
sisma in +Y														
proporzionale alle masse														
	0%	794	13.040	81,93	4,99	1,06	65055	65055	125447	125447	0	0	2,50	2,50
	100%	794	13.040	81,93	4,99	1,05	65055	65055	124792	124792	0	0	2,50	2,50
proporzionale alla deformata 1° modo di vibrazione														
	0%	161	14.582	NS	4,46	1,05	65055	65055	124798	124798	0	0	2,50	2,50
	100%	161	14.582	NS	4,46	1,04	65055	65055	124165	124165	0	0	2,50	2,50
sisma in -Y														
proporzionale alle masse														
	0%	-	-	VNR	VNR	0,00	0	0	0	0	0	0	0,00	0,00
	100%	-	-	VNR	VNR	0,00	0	0	0	0	0	0	0,00	0,00
proporzionale alla deformata 1° modo di vibrazione														
	0%	-	-	VNR	VNR	0,00	0	0	0	0	0	0	0,00	0,00
	100%	-	-	VNR	VNR	0,00	0	0	0	0	0	0	0,00	0,00
sisma in +X														
proporzionale alle masse														
Piano copertura	0%	1.519	-3.824	42,83	17,01	1,01	65055	65055	120516	120516	0	0	2,50	2,50
	100%	1.519	-3.824	42,83	17,01	1,01	65055	65055	119951	119951	0	0	2,50	2,50
proporzionale alla deformata 1° modo di vibrazione														
	0%	2.313	-4.026	28,13	16,16	1,01	65055	65055	120299	120299	0	0	2,50	2,50
	100%	2.313	-4.026	28,13	16,16	1,01	65055	65055	119801	119801	0	0	2,50	2,50
sisma in -X														
proporzionale alle masse														
	0%	-2.899	-1.908	22,44	34,10	1,02	65055	65055	121505	121505	0	0	2,50	2,50
	100%	-2.899	-1.908	22,44	34,10	1,02	65055	65055	120925	120925	0	0	2,50	2,50
proporzionale alla deformata 1° modo di vibrazione														
	0%	-3.623	-2.216	17,96	29,36	1,02	65055	65055	121568	121568	0	0	2,50	2,50
	100%	-3.623	-2.216	17,96	29,36	1,02	65055	65055	121065	121065	0	0	2,50	2,50
sisma in +Y														
proporzionale alle masse														
	0%	-73	-2.414	NS	26,95	1,00	65055	65055	118863	118863	0	0	2,50	2,50
	100%	-73	-2.414	NS	26,95	1,00	65055	65055	118863	118863	0	0	2,50	2,50
proporzionale alla deformata 1° modo di vibrazione														
	0%	-245	-1.946	NS	33,43	1,00	65055	65055	118863	118863	0	0	2,50	2,50
	100%	-245	-1.946	NS	33,43	1,00	65055	65055	118863	118863	0	0	2,50	2,50
sisma in -Y														
proporzionale alle masse														
	0%	-	-	VNR	VNR	0,00	0	0	0	0	0	0	0,00	0,00
	100%	-	-	VNR	VNR	0,00	0	0	0	0	0	0	0,00	0,00
proporzionale alla deformata 1° modo di vibrazione														
	0%	-	-	VNR	VNR	0,00	0	0	0	0	0	0	0,00	0,00
	100%	-	-	VNR	VNR	0,00	0	0	0	0	0	0	0,00	0,00
Pilastrata: Pilastrata28														
sisma in +X														
proporzionale alle masse														
Piano interrato	0%	-10.605	9.790	6,13	6,65	1,18	65055	65055	140617	140617	0	0	2,50	2,50
	100%	-10.605	9.790	6,13	6,65	1,18	65055	65055	139933	139933	0	0	2,50	2,50
proporzionale alla deformata 1° modo di vibrazione														
	0%	-9.177	8.812	7,09	7,38	1,18	65055	65055	140300	140300	0	0	2,50	2,50
	100%	-9.177	8.812	7,09	7,38	1,18	65055	65055	139748	139748	0	0	2,50	2,50
sisma in -X														
proporzionale alle masse														
	0%	15.816	7.609	4,11	8,55	1,20	65055	65055	142587	142587	0	0	2,50	2,50
	100%	15.816	7.609	4,11	8,55	1,19	65055	65055	141891	141891	0	0	2,50	2,50
proporzionale alla deformata 1° modo di vibrazione														
	0%	14.607	9.003	4,45	7,23	1,20	65055	65055	142534	142534	0	0	2,50	2,50
	100%	14.607	9.003	4,45	7,23	1,20	65055	65055	142060	142060	0	0	2,50	2,50
sisma in +Y														
proporzionale alle masse														
	0%	6.564	53.474	9,91	1,22	1,14	65055	65055	135112	135112	0	0	2,50	2,50
	100%	6.564	53.474	9,91	1,22	1,13	65055	65055	134800	134800	0	0	2,50	2,50
proporzionale alla deformata 1° modo di vibrazione														

Lv	%L_{LI}	$V_{Ed,3}$	$V_{Ed,2}$	$CS^{(3)}$	$CS^{(2)}$	α_C	$V_{Rsd,s}{}^{(3)}$	$V_{Rsd,s}{}^{(2)}$	$V_{Rcd}{}^{(3)}$	$V_{Rcd}{}^{(2)}$	$V_{fd}{}^{(3)}$	$V_{fd}{}^{(2)}$	$Ctg\Theta^{(3)}$	$Ctg\Theta^{(2)}$
	[%]	[N]	[N]				[N]	[N]	[N]	[N]	[N]	[N]		
	0%	2.440	54.218	26,66	1,20	1,13	65055	65055	134432	134432	0	0	2,50	2,50
	100%	2.440	54.218	26,66	1,20	1,13	65055	65055	134110	134110	0	0	2,50	2,50
sisma in -Y														
proporzionale alle masse														
	0%	-	-	VNR	VNR	0,00	0	0	0	0	0	0	0,00	0,00
	100%	-	-	VNR	VNR	0,00	0	0	0	0	0	0	0,00	0,00
proporzionale alla deformata 1° modo di vibrazione														
	0%	-	-	VNR	VNR	0,00	0	0	0	0	0	0	0,00	0,00
	100%	-	-	VNR	VNR	0,00	0	0	0	0	0	0	0,00	0,00
sisma in +X														
proporzionale alle masse														
Piano terra	0%	-2.982	3.693	21,82	17,62	1,06	65055	65055	126223	126223	0	0	2,50	2,50
	100%	-2.982	3.693	21,82	17,62	1,06	65055	65055	125736	125736	0	0	2,50	2,50
proporzionale alla deformata 1° modo di vibrazione														
	0%	-4.981	3.327	13,06	19,55	1,06	65055	65055	126122	126122	0	0	2,50	2,50
	100%	-4.981	3.327	13,06	19,55	1,06	65055	65055	125542	125542	0	0	2,50	2,50
sisma in -X														
proporzionale alle masse														
	0%	2.894	1.850	22,48	35,16	1,08	65055	65055	128039	128039	0	0	2,50	2,50
	100%	2.894	1.850	22,48	35,16	1,07	65055	65055	127631	127631	0	0	2,50	2,50
proporzionale alla deformata 1° modo di vibrazione														
	0%	5.206	2.030	12,50	32,05	1,08	65055	65055	128316	128316	0	0	2,50	2,50
	100%	5.206	2.030	12,50	32,05	1,08	65055	65055	127786	127786	0	0	2,50	2,50
sisma in +Y														
proporzionale alle masse														
	0%	688	12.642	94,56	5,15	1,05	65055	65055	124444	124444	0	0	2,50	2,50
	100%	688	12.642	94,56	5,15	1,04	65055	65055	123803	123803	0	0	2,50	2,50
proporzionale alla deformata 1° modo di vibrazione														
	0%	-50	14.523	NS	4,48	1,04	65055	65055	123700	123700	0	0	2,50	2,50
	100%	-50	14.523	NS	4,48	1,04	65055	65055	123072	123072	0	0	2,50	2,50
sisma in -Y														
proporzionale alle masse														
	0%	-	-	VNR	VNR	0,00	0	0	0	0	0	0	0,00	0,00
	100%	-	-	VNR	VNR	0,00	0	0	0	0	0	0	0,00	0,00
proporzionale alla deformata 1° modo di vibrazione														
	0%	-	-	VNR	VNR	0,00	0	0	0	0	0	0	0,00	0,00
	100%	-	-	VNR	VNR	0,00	0	0	0	0	0	0	0,00	0,00
sisma in +X														
proporzionale alle masse														
Piano copertura	0%	2.487	-3.768	26,16	17,27	1,01	65055	65055	119815	119815	0	0	2,50	2,50
	100%	2.487	-3.768	26,16	17,27	1,00	65055	65055	119316	119316	0	0	2,50	2,50
proporzionale alla deformata 1° modo di vibrazione														
	0%	3.402	-3.889	19,12	16,73	1,01	65055	65055	119534	119534	0	0	2,50	2,50
	100%	3.402	-3.889	19,12	16,73	1,00	65055	65055	119055	119055	0	0	2,50	2,50
sisma in -X														
proporzionale alle masse														
	0%	-3.001	-848	21,68	76,72	1,02	65055	65055	121674	121674	0	0	2,50	2,50
	100%	-3.001	-848	21,68	76,72	1,02	65055	65055	120899	120899	0	0	2,50	2,50
proporzionale alla deformata 1° modo di vibrazione														
	0%	-4.122	-771	15,78	84,38	1,03	65055	65055	121883	121883	0	0	2,50	2,50
	100%	-4.122	-771	15,78	84,38	1,02	65055	65055	121270	121270	0	0	2,50	2,50
sisma in +Y														
proporzionale alle masse														
	0%	311	-2.054	NS	31,67	1,00	65055	65055	118863	118863	0	0	2,50	2,50
	100%	311	-2.054	NS	31,67	1,00	65055	65055	118863	118863	0	0	2,50	2,50
proporzionale alla deformata 1° modo di vibrazione														
	0%	161	-1.438	NS	45,24	1,00	65055	65055	118863	118863	0	0	2,50	2,50
	100%	161	-1.438	NS	45,24	1,00	65055	65055	118863	118863	0	0	2,50	2,50
sisma in -Y														
proporzionale alle masse														
	0%	-	-	VNR	VNR	0,00	0	0	0	0	0	0	0,00	0,00
	100%	-	-	VNR	VNR	0,00	0	0	0	0	0	0	0,00	0,00
proporzionale alla deformata 1° modo di vibrazione														
	0%	-	-	VNR	VNR	0,00	0	0	0	0	0	0	0,00	0,00
	100%	-	-	VNR	VNR	0,00	0	0	0	0	0	0	0,00	0,00
Pilastrata: Pilastrata29														
sisma in +X														
proporzionale alle masse														
Piano interrato	0%	-7.459	3.183	8,72	24,09	1,08	65055	76672	149393	149393	0	0	2,50	2,50
	100%	-7.459	3.183	8,72	24,09	1,07	65055	76672	148788	148788	0	0	2,50	2,50
proporzionale alla deformata 1° modo di vibrazione														
	0%	-5.758	2.082	11,30	36,83	1,07	65055	76672	148900	148900	0	0	2,50	2,50
	100%	-5.758	2.082	11,30	36,83	1,07	65055	76672	148558	148558	0	0	2,50	2,50
sisma in -X														
proporzionale alle masse														
	0%	13.196	6.919	4,93	11,08	1,13	65055	76672	156658	156658	0	0	2,50	2,50
	100%	13.196	6.919	4,93	11,08	1,13	65055	76672	156188	156188	0	0	2,50	2,50
proporzionale alla deformata 1° modo di vibrazione														
	0%	11.460	9.075	5,68	8,45	1,13	65055	76672	156870	156870	0	0	2,50	2,50
	100%	11.460	9.075	5,68	8,45	1,13	65055	76672	156368	156368	0	0	2,50	2,50
sisma in +Y														
proporzionale alle masse														
	0%	5.821	84.182	11,18	0,91	1,15	65055	76672	158828	158828	0	0	2,50	2,50
	100%	5.821	84.182	11,18	0,91	1,14	65055	76672	157807	157807	0	0	2,50	2,50
proporzionale alla deformata 1° modo di vibrazione														
	0%	2.709	87.187	24,01	0,88	1,15	65055	76672	159122	159122	0	0	2,50	2,50

Lv	%L_{LI}	$V_{Ed,3}$	$V_{Ed,2}$	$CS^{(3)}$	$CS^{(2)}$	α_C	$V_{Rsd,s}{}^{(3)}$	$V_{Rsd,s}{}^{(2)}$	$V_{Rcd}{}^{(3)}$	$V_{Rcd}{}^{(2)}$	$V_{fd}{}^{(3)}$	$V_{fd}{}^{(2)}$	$Ctg\Theta^{(3)}$	$Ctg\Theta^{(2)}$
	[%]	[N]	[N]				[N]	[N]	[N]	[N]	[N]	[N]		
	100%	2.709	87.187	24,01	0,88	1,14	65055	76672	158352	158352	0	0	2,50	2,50
sisma in -Y														
proporzionale alle masse														
	0%	-	-	VNR	VNR	0,00	0	0	0	0	0	0	0,00	0,00
	100%	-	-	VNR	VNR	0,00	0	0	0	0	0	0	0,00	0,00
proporzionale alla deformata 1° modo di vibrazione														
	0%	-	-	VNR	VNR	0,00	0	0	0	0	0	0	0,00	0,00
	100%	-	-	VNR	VNR	0,00	0	0	0	0	0	0	0,00	0,00
sisma in +X														
proporzionale alle masse														
Piano terra	0%	-2.323	1.881	28,00	40,76	1,03	65055	76672	143292	143292	0	0	2,50	2,50
	100%	-2.323	1.881	28,00	40,76	1,03	65055	76672	142848	142848	0	0	2,50	2,50
proporzionale alla deformata 1° modo di vibrazione														
	0%	-4.128	1.479	15,76	51,84	1,03	65055	76672	143021	143021	0	0	2,50	2,50
	100%	-4.128	1.479	15,76	51,84	1,03	65055	76672	142188	142188	0	0	2,50	2,50
sisma in -X														
proporzionale alle masse														
	0%	3.185	175	20,43	NS	1,09	65055	76672	150823	150823	0	0	2,50	2,50
	100%	3.185	175	20,43	NS	1,08	65055	76672	150157	150157	0	0	2,50	2,50
proporzionale alla deformata 1° modo di vibrazione														
	0%	5.678	552	11,46	NS	1,09	65055	76672	151021	151021	0	0	2,50	2,50
	100%	5.678	552	11,46	NS	1,09	65055	76672	150553	150553	0	0	2,50	2,50
sisma in +Y														
proporzionale alle masse														
	0%	2.587	21.550	25,15	3,56	1,08	65055	76672	150163	150163	0	0	2,50	2,50
	100%	2.587	21.550	25,15	3,56	1,08	65055	76672	149360	149360	0	0	2,50	2,50
proporzionale alla deformata 1° modo di vibrazione														
	0%	910	27.198	71,49	2,82	1,09	65055	76672	150463	150463	0	0	2,50	2,50
	100%	910	27.198	71,49	2,82	1,08	65055	76672	149708	149708	0	0	2,50	2,50
sisma in -Y														
proporzionale alle masse														
	0%	-	-	VNR	VNR	0,00	0	0	0	0	0	0	0,00	0,00
	100%	-	-	VNR	VNR	0,00	0	0	0	0	0	0	0,00	0,00
proporzionale alla deformata 1° modo di vibrazione														
	0%	-	-	VNR	VNR	0,00	0	0	0	0	0	0	0,00	0,00
	100%	-	-	VNR	VNR	0,00	0	0	0	0	0	0	0,00	0,00
sisma in +X														
proporzionale alle masse														
Piano copertura (a)	0%	4.170	-5.581	15,60	13,74	1,00	65055	76672	138964	138964	0	0	2,50	2,50
	100%	4.170	-5.581	15,60	13,74	1,00	65055	76672	138674	138674	0	0	2,50	2,50
proporzionale alla deformata 1° modo di vibrazione														
	0%	5.657	-5.881	11,50	13,04	1,00	65055	76672	138674	138674	0	0	2,50	2,50
	100%	5.657	-5.881	11,50	13,04	1,00	65055	76672	138674	138674	0	0	2,50	2,50
sisma in -X														
proporzionale alle masse														
	0%	-8.627	-545	7,54	NS	1,06	65055	76672	146650	146650	0	0	2,50	2,50
	100%	-8.627	-545	7,54	NS	1,05	65055	76672	146136	146136	0	0	2,50	2,50
proporzionale alla deformata 1° modo di vibrazione														
	0%	-11.490	-364	5,66	NS	1,06	65055	76672	147110	147110	0	0	2,50	2,50
	100%	-11.490	-364	5,66	NS	1,06	65055	76672	146468	146468	0	0	2,50	2,50
sisma in +Y														
proporzionale alle masse														
	0%	-313	-8.159	NS	9,40	1,04	65055	76672	144642	144642	0	0	2,50	2,50
	100%	-313	-8.159	NS	9,40	1,04	65055	76672	144134	144134	0	0	2,50	2,50
proporzionale alla deformata 1° modo di vibrazione														
	0%	-95	-11.148	NS	6,88	1,04	65055	76672	144710	144710	0	0	2,50	2,50
	100%	-95	-11.148	NS	6,88	1,04	65055	76672	144217	144217	0	0	2,50	2,50
sisma in -Y														
proporzionale alle masse														
	0%	-	-	VNR	VNR	0,00	0	0	0	0	0	0	0,00	0,00
	100%	-	-	VNR	VNR	0,00	0	0	0	0	0	0	0,00	0,00
proporzionale alla deformata 1° modo di vibrazione														
	0%	-	-	VNR	VNR	0,00	0	0	0	0	0	0	0,00	0,00
	100%	-	-	VNR	VNR	0,00	0	0	0	0	0	0	0,00	0,00
sisma in +X														
proporzionale alle masse														
Piano copertura (b)	0%	22.498	5.635	2,89	13,61	1,00	65055	76672	138674	138674	0	0	2,50	2,50
	100%	22.498	5.635	2,89	13,61	1,00	65055	76672	138674	138674	0	0	2,50	2,50
proporzionale alla deformata 1° modo di vibrazione														
	0%	22.711	8.348	2,86	9,18	1,00	65055	76672	138674	138674	0	0	2,50	2,50
	100%	22.711	8.348	2,86	9,18	1,00	65055	76672	138674	138674	0	0	2,50	2,50
sisma in -X														
proporzionale alle masse														
	0%	25.619	-11.036	2,54	6,95	1,03	65055	76672	143267	143267	0	0	2,50	2,50
	100%	25.619	-11.036	2,54	6,95	1,03	65055	76672	143024	143024	0	0	2,50	2,50
proporzionale alla deformata 1° modo di vibrazione														
	0%	26.675	-13.402	2,44	5,72	1,04	65055	76672	143544	143544	0	0	2,50	2,50
	100%	26.675	-13.402	2,44	5,72	1,03	65055	76672	143273	143273	0	0	2,50	2,50
sisma in +Y														
proporzionale alle masse														
	0%	30.650	18.348	2,12	4,18	1,06	65055	76672	146650	146650	0	0	2,50	2,50
	100%	30.650	18.348	2,12	4,18	1,06	65055	76672	146344	146344	0	0	2,50	2,50
proporzionale alla deformata 1° modo di vibrazione														
	0%	32.765	30.382	1,99	2,52	1,07	65055	76672	147739	147739	0	0	2,50	2,50
	100%	32.765	30.382	1,99	2,52	1,06	65055	76672	147452	147452	0	0	2,50	2,50
sisma in -Y														

Lv	%L_{LI}	$V_{Ed,3}$	$V_{Ed,2}$	$CS^{(3)}$	$CS^{(2)}$	α_C	$V_{Rsd,s}{}^{(3)}$	$V_{Rsd,s}{}^{(2)}$	$V_{Rcd}{}^{(3)}$	$V_{Rcd}{}^{(2)}$	$V_{fd}{}^{(3)}$	$V_{fd}{}^{(2)}$	$Ctg\Theta^{(3)}$	$Ctg\Theta^{(2)}$
	[%]	[N]	[N]				[N]	[N]	[N]	[N]	[N]	[N]		
proporzionale alle masse														
	0%	-	-	VNR	VNR	0,00	0	0	0	0	0	0	0,00	0,00
	100%	-	-	VNR	VNR	0,00	0	0	0	0	0	0	0,00	0,00
proporzionale alla deformata 1° modo di vibrazione														
	0%	-	-	VNR	VNR	0,00	0	0	0	0	0	0	0,00	0,00
	100%	-	-	VNR	VNR	0,00	0	0	0	0	0	0	0,00	0,00
Pilastrata: Pilastrata30														
sisma in +X														
proporzionale alle masse														
Piano interrato	0%	3.174	-27.626	20,50	3,20	1,21	65055	88289	191693	191693	0	0	2,50	2,50
	100%	3.174	-27.626	20,50	3,20	1,21	65055	88289	190996	190996	0	0	2,50	2,50
proporzionale alla deformata 1° modo di vibrazione														
	0%	1.625	-21.893	40,03	4,03	1,22	65055	88289	193308	193308	0	0	2,50	2,50
	100%	1.625	-21.893	40,03	4,03	1,22	65055	88289	192655	192655	0	0	2,50	2,50
sisma in -X														
proporzionale alle masse														
	0%	-2.679	23.280	24,28	3,79	1,08	65055	88289	170838	170838	0	0	2,50	2,50
	100%	-2.679	23.280	24,28	3,79	1,07	65055	88289	169953	169953	0	0	2,50	2,50
proporzionale alla deformata 1° modo di vibrazione														
	0%	-902	17.427	72,12	5,07	1,07	65055	88289	169696	169696	0	0	2,50	2,50
	100%	-902	17.427	72,12	5,07	1,06	65055	88289	168078	168078	0	0	2,50	2,50
sisma in +Y														
proporzionale alle masse														
	0%	-24.116	-5.213	2,70	16,94	1,14	65055	88289	180607	180607	0	0	2,50	2,50
	100%	-24.116	-5.213	2,70	16,94	1,13	65055	88289	179533	179533	0	0	2,50	2,50
proporzionale alla deformata 1° modo di vibrazione														
	0%	-24.999	-3.222	2,60	27,40	1,12	65055	88289	177559	177559	0	0	2,50	2,50
	100%	-24.999	-3.222	2,60	27,40	1,12	65055	88289	176868	176868	0	0	2,50	2,50
sisma in -Y														
proporzionale alle masse														
	0%	-	-	VNR	VNR	0,00	0	0	0	0	0	0	0,00	0,00
	100%	-	-	VNR	VNR	0,00	0	0	0	0	0	0	0,00	0,00
proporzionale alla deformata 1° modo di vibrazione														
	0%	-	-	VNR	VNR	0,00	0	0	0	0	0	0	0,00	0,00
	100%	-	-	VNR	VNR	0,00	0	0	0	0	0	0	0,00	0,00
sisma in +X														
proporzionale alle masse														
Piano copertura	0%	-6	-1.081	NS	81,67	1,18	65055	88289	187376	187376	0	0	2,50	2,50
	100%	-6	-1.081	NS	81,67	1,17	65055	88289	185251	185251	0	0	2,50	2,50
proporzionale alla deformata 1° modo di vibrazione														
	0%	422	-2.458	NS	35,92	1,19	65055	88289	189037	189037	0	0	2,50	2,50
	100%	422	-2.458	NS	35,92	1,18	65055	88289	186900	186900	0	0	2,50	2,50
sisma in -X														
proporzionale alle masse														
	0%	-81	-3.817	NS	23,13	1,05	65055	88289	166824	166824	0	0	2,50	2,50
	100%	-81	-3.817	NS	23,13	1,04	65055	88289	164527	164527	0	0	2,50	2,50
proporzionale alla deformata 1° modo di vibrazione														
	0%	-426	-2.552	NS	34,60	1,04	65055	88289	165011	165011	0	0	2,50	2,50
	100%	-426	-2.552	NS	34,60	1,03	65055	88289	162669	162669	0	0	2,50	2,50
sisma in +Y														
proporzionale alle masse														
	0%	1.266	-2.143	51,39	41,20	1,11	65055	88289	176446	176446	0	0	2,50	2,50
	100%	1.266	-2.143	51,39	41,20	1,10	65055	88289	173888	173888	0	0	2,50	2,50
proporzionale alla deformata 1° modo di vibrazione														
	0%	172	-2.236	NS	39,49	1,09	65055	88289	173479	173479	0	0	2,50	2,50
	100%	172	-2.236	NS	39,49	1,08	65055	88289	171177	171177	0	0	2,50	2,50
sisma in -Y														
proporzionale alle masse														
	0%	-	-	VNR	VNR	0,00	0	0	0	0	0	0	0,00	0,00
	100%	-	-	VNR	VNR	0,00	0	0	0	0	0	0	0,00	0,00
proporzionale alla deformata 1° modo di vibrazione														
	0%	-	-	VNR	VNR	0,00	0	0	0	0	0	0	0,00	0,00
	100%	-	-	VNR	VNR	0,00	0	0	0	0	0	0	0,00	0,00
Pilastrata: Pilastrata31														
sisma in +X														
proporzionale alle masse														
Piano interrato	0%	7.106	-12.056	9,15	6,36	1,14	65055	76672	157762	157762	0	0	2,50	2,50
	100%	7.106	-12.056	9,15	6,36	1,13	65055	76672	157056	157056	0	0	2,50	2,50
proporzionale alla deformata 1° modo di vibrazione														
	0%	4.489	-10.340	14,49	7,42	1,14	65055	76672	157782	157782	0	0	2,50	2,50
	100%	4.489	-10.340	14,49	7,42	1,13	65055	76672	157138	157138	0	0	2,50	2,50
sisma in -X														
proporzionale alle masse														
	0%	15.711	19.625	4,14	3,91	1,17	65055	76672	162093	162093	0	0	2,50	2,50
	100%	15.711	19.625	4,14	3,91	1,16	65055	76672	161272	161272	0	0	2,50	2,50
proporzionale alla deformata 1° modo di vibrazione														
	0%	20.438	17.186	3,18	4,46	1,16	65055	76672	161535	161535	0	0	2,50	2,50
	100%	20.438	17.186	3,18	4,46	1,16	65055	76672	161011	161011	0	0	2,50	2,50
sisma in +Y														
proporzionale alle masse														
	0%	-69.704	-5.169	0,93	14,83	1,20	65055	76672	166333	166333	0	0	2,50	2,50
	100%	-69.704	-5.169	0,93	14,83	1,20	65055	76672	165910	165910	0	0	2,50	2,50
proporzionale alla deformata 1° modo di vibrazione														
	0%	-59.837	21	1,09	NS	1,19	65055	76672	165311	165311	0	0	2,50	2,50
	100%	-59.837	21	1,09	NS	1,19	65055	76672	165012	165012	0	0	2,50	2,50
sisma in -Y														

Lv	%L_{LI}	$V_{Ed,3}$	$V_{Ed,2}$	$CS^{(3)}$	$CS^{(2)}$	α_C	$V_{Rsd,s}{}^{(3)}$	$V_{Rsd,s}{}^{(2)}$	$V_{Rcd}{}^{(3)}$	$V_{Rcd}{}^{(2)}$	$V_{fd}{}^{(3)}$	$V_{fd}{}^{(2)}$	$Ctg\Theta^{(3)}$	$Ctg\Theta^{(2)}$
	[%]	[N]	[N]				[N]	[N]	[N]	[N]	[N]	[N]		
proporzionale alle masse														
	0%	-	-	VNR	VNR	0,00	0	0	0	0	0	0	0,00	0,00
	100%	-	-	VNR	VNR	0,00	0	0	0	0	0	0	0,00	0,00
proporzionale alla deformata 1° modo di vibrazione														
	0%	-	-	VNR	VNR	0,00	0	0	0	0	0	0	0,00	0,00
	100%	-	-	VNR	VNR	0,00	0	0	0	0	0	0	0,00	0,00
sisma in +X														
proporzionale alle masse														
Piano terra	0%	2.323	-4.039	28,00	18,98	1,05	65055	76672	145764	145764	0	0	2,50	2,50
	100%	2.323	-4.039	28,00	18,98	1,05	65055	76672	145289	145289	0	0	2,50	2,50
proporzionale alla deformata 1° modo di vibrazione														
	0%	1.244	-6.902	52,30	11,11	1,05	65055	76672	145842	145842	0	0	2,50	2,50
	100%	1.244	-6.902	52,30	11,11	1,05	65055	76672	145070	145070	0	0	2,50	2,50
sisma in -X														
proporzionale alle masse														
	0%	2.919	4.490	22,29	17,08	1,07	65055	76672	148777	148777	0	0	2,50	2,50
	100%	2.919	4.490	22,29	17,08	1,07	65055	76672	148299	148299	0	0	2,50	2,50
proporzionale alla deformata 1° modo di vibrazione														
	0%	4.031	7.425	16,14	10,33	1,07	65055	76672	148845	148845	0	0	2,50	2,50
	100%	4.031	7.425	16,14	10,33	1,07	65055	76672	148131	148131	0	0	2,50	2,50
sisma in +Y														
proporzionale alle masse														
	0%	-13.526	-2.123	4,81	36,11	1,07	65055	76672	148139	148139	0	0	2,50	2,50
	100%	-13.526	-2.123	4,81	36,11	1,06	65055	76672	147292	147292	0	0	2,50	2,50
proporzionale alla deformata 1° modo di vibrazione														
	0%	-13.857	-863	4,69	88,84	1,07	65055	76672	148114	148114	0	0	2,50	2,50
	100%	-13.857	-863	4,69	88,84	1,06	65055	76672	147370	147370	0	0	2,50	2,50
sisma in -Y														
proporzionale alle masse														
	0%	-	-	VNR	VNR	0,00	0	0	0	0	0	0	0,00	0,00
	100%	-	-	VNR	VNR	0,00	0	0	0	0	0	0	0,00	0,00
proporzionale alla deformata 1° modo di vibrazione														
	0%	-	-	VNR	VNR	0,00	0	0	0	0	0	0	0,00	0,00
	100%	-	-	VNR	VNR	0,00	0	0	0	0	0	0	0,00	0,00
sisma in +X														
proporzionale alle masse														
Piano copertura	0%	13.914	6.639	4,68	11,55	1,02	65055	76672	141147	141147	0	0	2,50	2,50
	100%	13.914	6.639	4,68	11,55	1,02	65055	76672	140833	140833	0	0	2,50	2,50
proporzionale alla deformata 1° modo di vibrazione														
	0%	15.072	8.065	4,32	9,51	1,02	65055	76672	140840	140840	0	0	2,50	2,50
	100%	15.072	8.065	4,32	9,51	1,01	65055	76672	140527	140527	0	0	2,50	2,50
sisma in -X														
proporzionale alle masse														
	0%	8.677	-6.013	7,50	12,75	1,03	65055	76672	142936	142936	0	0	2,50	2,50
	100%	8.677	-6.013	7,50	12,75	1,03	65055	76672	142562	142562	0	0	2,50	2,50
proporzionale alla deformata 1° modo di vibrazione														
	0%	8.186	-7.590	7,95	10,10	1,03	65055	76672	142988	142988	0	0	2,50	2,50
	100%	8.186	-7.590	7,95	10,10	1,03	65055	76672	142652	142652	0	0	2,50	2,50
sisma in +Y														
proporzionale alle masse														
	0%	8.332	-377	7,81	NS	1,01	65055	76672	140132	140132	0	0	2,50	2,50
	100%	8.332	-377	7,81	NS	1,01	65055	76672	139843	139843	0	0	2,50	2,50
proporzionale alla deformata 1° modo di vibrazione														
	0%	8.426	-193	7,72	NS	1,01	65055	76672	140424	140424	0	0	2,50	2,50
	100%	8.426	-193	7,72	NS	1,01	65055	76672	140124	140124	0	0	2,50	2,50
sisma in -Y														
proporzionale alle masse														
	0%	-	-	VNR	VNR	0,00	0	0	0	0	0	0	0,00	0,00
	100%	-	-	VNR	VNR	0,00	0	0	0	0	0	0	0,00	0,00
proporzionale alla deformata 1° modo di vibrazione														
	0%	-	-	VNR	VNR	0,00	0	0	0	0	0	0	0,00	0,00
	100%	-	-	VNR	VNR	0,00	0	0	0	0	0	0	0,00	0,00
Pilastrata: Pilastrata32														
sisma in +X														
proporzionale alle masse														
Piano interrato	0%	-13.305	7.693	4,89	8,46	1,31	65055	65055	155847	155847	0	0	2,50	2,50
	100%	-13.305	7.693	4,89	8,46	1,31	65055	65055	155439	155439	0	0	2,50	2,50
proporzionale alla deformata 1° modo di vibrazione														
	0%	-12.822	7.592	5,07	8,57	1,31	65055	65055	155694	155694	0	0	2,50	2,50
	100%	-12.822	7.592	5,07	8,57	1,31	65055	65055	155359	155359	0	0	2,50	2,50
sisma in -X														
proporzionale alle masse														
	0%	18.609	-2.778	3,50	23,42	1,31	65055	65055	156294	156294	0	0	2,50	2,50
	100%	18.609	-2.778	3,50	23,42	1,31	65055	65055	155835	155835	0	0	2,50	2,50
proporzionale alla deformata 1° modo di vibrazione														
	0%	18.462	-3.349	3,52	19,43	1,32	65055	65055	156629	156629	0	0	2,50	2,50
	100%	18.462	-3.349	3,52	19,43	1,31	65055	65055	155816	155816	0	0	2,50	2,50
sisma in +Y														
proporzionale alle masse														
	0%	8.989	64.994	7,24	1,00	1,29	65055	65055	152947	152947	0	0	2,50	2,50
	100%	8.989	64.994	7,24	1,00	1,29	65055	65055	153914	153914	0	0	2,50	2,50
proporzionale alla deformata 1° modo di vibrazione														
	0%	3.870	58.648	16,81	1,11	1,29	65055	65055	153298	153298	0	0	2,50	2,50
	100%	3.870	58.648	16,81	1,11	1,29	65055	65055	153044	153044	0	0	2,50	2,50
sisma in -Y														
proporzionale alle masse														

Lv	%L_{LI}	$V_{Ed,3}$	$V_{Ed,2}$	$CS^{(3)}$	$CS^{(2)}$	α_C	$V_{Rsd,s}{}^{(3)}$	$V_{Rsd,s}{}^{(2)}$	$V_{Rcd}{}^{(3)}$	$V_{Rcd}{}^{(2)}$	$V_{fd}{}^{(3)}$	$V_{fd}{}^{(2)}$	$Ctg\Theta^{(3)}$	$Ctg\Theta^{(2)}$
	[%]	[N]	[N]				[N]	[N]	[N]	[N]	[N]	[N]		
	0%	-	-	VNR	VNR	0,00	0	0	0	0	0	0	0,00	0,00
	100%	-	-	VNR	VNR	0,00	0	0	0	0	0	0	0,00	0,00
proporzionale alla deformata 1° modo di vibrazione														
	0%	-	-	VNR	VNR	0,00	0	0	0	0	0	0	0,00	0,00
	100%	-	-	VNR	VNR	0,00	0	0	0	0	0	0	0,00	0,00
sisma in +X														
proporzionale alle masse														
Piano terra	0%	-4.157	3.121	15,65	20,84	1,12	65055	65055	133367	133367	0	0	2,50	2,50
	100%	-4.157	3.121	15,65	20,84	1,12	65055	65055	132929	132929	0	0	2,50	2,50
proporzionale alla deformata 1° modo di vibrazione														
	0%	-6.738	3.565	9,65	18,25	1,12	65055	65055	133400	133400	0	0	2,50	2,50
	100%	-6.738	3.565	9,65	18,25	1,12	65055	65055	132886	132886	0	0	2,50	2,50
sisma in -X														
proporzionale alle masse														
	0%	4.282	862	15,19	75,47	1,13	65055	65055	133732	133732	0	0	2,50	2,50
	100%	4.282	862	15,19	75,47	1,12	65055	65055	133316	133316	0	0	2,50	2,50
proporzionale alla deformata 1° modo di vibrazione														
	0%	6.896	483	9,43	NS	1,12	65055	65055	133677	133677	0	0	2,50	2,50
	100%	6.896	483	9,43	NS	1,12	65055	65055	133337	133337	0	0	2,50	2,50
sisma in +Y														
proporzionale alle masse														
	0%	1.181	13.565	55,08	4,80	1,11	65055	65055	131376	131376	0	0	2,50	2,50
	100%	1.181	13.565	55,08	4,80	1,10	65055	65055	130701	130701	0	0	2,50	2,50
proporzionale alla deformata 1° modo di vibrazione														
	0%	456	14.408	NS	4,52	1,11	65055	65055	131567	131567	0	0	2,50	2,50
	100%	456	14.408	NS	4,52	1,10	65055	65055	130910	130910	0	0	2,50	2,50
sisma in -Y														
proporzionale alle masse														
	0%	-	-	VNR	VNR	0,00	0	0	0	0	0	0	0,00	0,00
	100%	-	-	VNR	VNR	0,00	0	0	0	0	0	0	0,00	0,00
proporzionale alla deformata 1° modo di vibrazione														
	0%	-	-	VNR	VNR	0,00	0	0	0	0	0	0	0,00	0,00
	100%	-	-	VNR	VNR	0,00	0	0	0	0	0	0	0,00	0,00
sisma in +X														
proporzionale alle masse														
Piano copertura	0%	4.498	-13.536	14,46	4,81	1,05	65055	65055	125139	125139	0	0	2,50	2,50
	100%	4.498	-13.536	14,46	4,81	1,05	65055	65055	124931	124931	0	0	2,50	2,50
proporzionale alla deformata 1° modo di vibrazione														
	0%	6.249	-14.335	10,41	4,54	1,05	65055	65055	125083	125083	0	0	2,50	2,50
	100%	6.249	-14.335	10,41	4,54	1,05	65055	65055	124749	124749	0	0	2,50	2,50
sisma in -X														
proporzionale alle masse														
	0%	-5.876	-9.612	11,07	6,77	1,06	65055	65055	125573	125573	0	0	2,50	2,50
	100%	-5.876	-9.612	11,07	6,77	1,05	65055	65055	125236	125236	0	0	2,50	2,50
proporzionale alla deformata 1° modo di vibrazione														
	0%	-7.520	-9.835	8,65	6,61	1,06	65055	65055	125432	125432	0	0	2,50	2,50
	100%	-7.520	-9.835	8,65	6,61	1,05	65055	65055	125140	125140	0	0	2,50	2,50
sisma in +Y														
proporzionale alle masse														
	0%	-67	-13.233	NS	4,92	1,04	65055	65055	123073	123073	0	0	2,50	2,50
	100%	-67	-13.233	NS	4,92	1,03	65055	65055	122663	122663	0	0	2,50	2,50
proporzionale alla deformata 1° modo di vibrazione														
	0%	-291	-13.256	NS	4,91	1,04	65055	65055	123115	123115	0	0	2,50	2,50
	100%	-291	-13.256	NS	4,91	1,03	65055	65055	122868	122868	0	0	2,50	2,50
sisma in -Y														
proporzionale alle masse														
	0%	-	-	VNR	VNR	0,00	0	0	0	0	0	0	0,00	0,00
	100%	-	-	VNR	VNR	0,00	0	0	0	0	0	0	0,00	0,00
proporzionale alla deformata 1° modo di vibrazione														
	0%	-	-	VNR	VNR	0,00	0	0	0	0	0	0	0,00	0,00
	100%	-	-	VNR	VNR	0,00	0	0	0	0	0	0	0,00	0,00
Pilastrata: Pilastrata33														
sisma in +X														
proporzionale alle masse														
Piano interrato	0%	-9.663	-10.714	6,73	6,07	1,25	65055	65055	148572	148572	0	0	2,50	2,50
	100%	-9.663	-10.714	6,73	6,07	1,25	65055	65055	148082	148082	0	0	2,50	2,50
proporzionale alla deformata 1° modo di vibrazione														
	0%	-8.265	-10.685	7,87	6,09	1,25	65055	65055	148498	148498	0	0	2,50	2,50
	100%	-8.265	-10.685	7,87	6,09	1,25	65055	65055	148029	148029	0	0	2,50	2,50
sisma in -X														
proporzionale alle masse														
	0%	15.402	-20.355	4,22	3,20	1,26	65055	65055	149761	149761	0	0	2,50	2,50
	100%	15.402	-20.355	4,22	3,20	1,26	65055	65055	149258	149258	0	0	2,50	2,50
proporzionale alla deformata 1° modo di vibrazione														
	0%	13.823	-20.737	4,71	3,14	1,26	65055	65055	149439	149439	0	0	2,50	2,50
	100%	13.823	-20.737	4,71	3,14	1,25	65055	65055	148964	148964	0	0	2,50	2,50
sisma in +Y														
proporzionale alle masse														
	0%	9.177	49.077	7,09	1,33	1,28	65055	65055	152548	152548	0	0	2,50	2,50
	100%	9.177	49.077	7,09	1,33	1,28	65055	65055	151979	151979	0	0	2,50	2,50
proporzionale alla deformata 1° modo di vibrazione														
	0%	3.761	44.892	17,30	1,45	1,28	65055	65055	152199	152199	0	0	2,50	2,50
	100%	3.761	44.892	17,30	1,45	1,28	65055	65055	151917	151917	0	0	2,50	2,50
sisma in -Y														
proporzionale alle masse														
	0%	-	-	VNR	VNR	0,00	0	0	0	0	0	0	0,00	0,00

Lv	%L_{LI}	$V_{Ed,3}$	$V_{Ed,2}$	$CS^{(3)}$	$CS^{(2)}$	α_C	$V_{Rsd,s}{}^{(3)}$	$V_{Rsd,s}{}^{(2)}$	$V_{Rcd}{}^{(3)}$	$V_{Rcd}{}^{(2)}$	$V_{fd}{}^{(3)}$	$V_{fd}{}^{(2)}$	$Ctg\Theta^{(3)}$	$Ctg\Theta^{(2)}$
	[%]	[N]	[N]				[N]	[N]	[N]	[N]	[N]	[N]		
	100%	-	-	VNR	VNR	0,00	0	0	0	0	0	0	0,00	0,00
proporzionale alla deformata 1° modo di vibrazione														
	0%	-	-	VNR	VNR	0,00	0	0	0	0	0	0	0,00	0,00
	100%	-	-	VNR	VNR	0,00	0	0	0	0	0	0	0,00	0,00
sisma in +X														
proporzionale alle masse														
Piano terra	0%	-3.080	-3.469	21,12	18,75	1,10	65055	65055	130570	130570	0	0	2,50	2,50
	100%	-3.080	-3.469	21,12	18,75	1,09	65055	65055	130104	130104	0	0	2,50	2,50
proporzionale alla deformata 1° modo di vibrazione														
	0%	-5.368	-3.050	12,12	21,33	1,10	65055	65055	130453	130453	0	0	2,50	2,50
	100%	-5.368	-3.050	12,12	21,33	1,09	65055	65055	129924	129924	0	0	2,50	2,50
sisma in -X														
proporzionale alle masse														
	0%	2.775	-5.782	23,44	11,25	1,10	65055	65055	131264	131264	0	0	2,50	2,50
	100%	2.775	-5.782	23,44	11,25	1,10	65055	65055	130744	130744	0	0	2,50	2,50
proporzionale alla deformata 1° modo di vibrazione														
	0%	5.081	-5.771	12,80	11,27	1,10	65055	65055	131106	131106	0	0	2,50	2,50
	100%	5.081	-5.771	12,80	11,27	1,10	65055	65055	130570	130570	0	0	2,50	2,50
sisma in +Y														
proporzionale alle masse														
	0%	1.387	11.743	46,90	5,54	1,11	65055	65055	131586	131586	0	0	2,50	2,50
	100%	1.387	11.743	46,90	5,54	1,10	65055	65055	130772	130772	0	0	2,50	2,50
proporzionale alla deformata 1° modo di vibrazione														
	0%	463	13.566	NS	4,80	1,11	65055	65055	131645	131645	0	0	2,50	2,50
	100%	463	13.566	NS	4,80	1,10	65055	65055	130873	130873	0	0	2,50	2,50
sisma in -Y														
proporzionale alle masse														
	0%	-	-	VNR	VNR	0,00	0	0	0	0	0	0	0,00	0,00
	100%	-	-	VNR	VNR	0,00	0	0	0	0	0	0	0,00	0,00
proporzionale alla deformata 1° modo di vibrazione														
	0%	-	-	VNR	VNR	0,00	0	0	0	0	0	0	0,00	0,00
	100%	-	-	VNR	VNR	0,00	0	0	0	0	0	0	0,00	0,00
sisma in +X														
proporzionale alle masse														
Piano copertura	0%	3.329	-25.243	19,54	2,58	1,04	65055	65055	123936	123936	0	0	2,50	2,50
	100%	3.329	-25.243	19,54	2,58	1,04	65055	65055	123641	123641	0	0	2,50	2,50
proporzionale alla deformata 1° modo di vibrazione														
	0%	5.013	-25.773	12,98	2,52	1,04	65055	65055	123746	123746	0	0	2,50	2,50
	100%	5.013	-25.773	12,98	2,52	1,04	65055	65055	123472	123472	0	0	2,50	2,50
sisma in -X														
proporzionale alle masse														
	0%	-4.743	-22.936	13,72	2,84	1,05	65055	65055	124656	124656	0	0	2,50	2,50
	100%	-4.743	-22.936	13,72	2,84	1,05	65055	65055	124376	124376	0	0	2,50	2,50
proporzionale alla deformata 1° modo di vibrazione														
	0%	-6.069	-23.796	10,72	2,73	1,05	65055	65055	124638	124638	0	0	2,50	2,50
	100%	-6.069	-23.796	10,72	2,73	1,05	65055	65055	124331	124331	0	0	2,50	2,50
sisma in +Y														
proporzionale alle masse														
	0%	314	-22.068	NS	2,95	1,02	65055	65055	121728	121728	0	0	2,50	2,50
	100%	314	-22.068	NS	2,95	1,02	65055	65055	121470	121470	0	0	2,50	2,50
proporzionale alla deformata 1° modo di vibrazione														
	0%	-118	-21.323	NS	3,05	1,03	65055	65055	121853	121853	0	0	2,50	2,50
	100%	-118	-21.323	NS	3,05	1,02	65055	65055	121598	121598	0	0	2,50	2,50
sisma in -Y														
proporzionale alle masse														
	0%	-	-	VNR	VNR	0,00	0	0	0	0	0	0	0,00	0,00
	100%	-	-	VNR	VNR	0,00	0	0	0	0	0	0	0,00	0,00
proporzionale alla deformata 1° modo di vibrazione														
	0%	-	-	VNR	VNR	0,00	0	0	0	0	0	0	0,00	0,00
	100%	-	-	VNR	VNR	0,00	0	0	0	0	0	0	0,00	0,00
Pilastrata: Pilastrata34														
sisma in +X														
proporzionale alle masse														
Piano interrato	0%	-10.211	-4.063	6,37	16,01	1,24	65055	65055	147705	147705	0	0	2,50	2,50
	100%	-10.211	-4.063	6,37	16,01	1,24	65055	65055	147126	147126	0	0	2,50	2,50
proporzionale alla deformata 1° modo di vibrazione														
	0%	-9.105	-4.637	7,14	14,03	1,24	65055	65055	147515	147515	0	0	2,50	2,50
	100%	-9.105	-4.637	7,14	14,03	1,24	65055	65055	147070	147070	0	0	2,50	2,50
sisma in -X														
proporzionale alle masse														
	0%	16.063	-7.865	4,05	8,27	1,25	65055	65055	148171	148171	0	0	2,50	2,50
	100%	16.063	-7.865	4,05	8,27	1,24	65055	65055	147400	147400	0	0	2,50	2,50
proporzionale alla deformata 1° modo di vibrazione														
	0%	15.074	-6.933	4,32	9,38	1,24	65055	65055	147863	147863	0	0	2,50	2,50
	100%	15.074	-6.933	4,32	9,38	1,24	65055	65055	147328	147328	0	0	2,50	2,50
sisma in +Y														
proporzionale alle masse														
	0%	8.017	55.125	8,11	1,18	1,26	65055	65055	150164	150164	0	0	2,50	2,50
	100%	8.017	55.125	8,11	1,18	1,26	65055	65055	150181	150181	0	0	2,50	2,50
proporzionale alla deformata 1° modo di vibrazione														
	0%	3.153	54.750	20,63	1,19	1,26	65055	65055	149832	149832	0	0	2,50	2,50
	100%	3.153	54.750	20,63	1,19	1,26	65055	65055	149457	149457	0	0	2,50	2,50
sisma in -Y														
proporzionale alle masse														
	0%	-	-	VNR	VNR	0,00	0	0	0	0	0	0	0,00	0,00
	100%	-	-	VNR	VNR	0,00	0	0	0	0	0	0	0,00	0,00

Lv	%L_{LI}	$V_{Ed,3}$	$V_{Ed,2}$	$CS^{(3)}$	$CS^{(2)}$	α_C	$V_{Rsd,s}{}^{(3)}$	$V_{Rsd,s}{}^{(2)}$	$V_{Rcd}{}^{(3)}$	$V_{Rcd}{}^{(2)}$	$V_{fd}{}^{(3)}$	$V_{fd}{}^{(2)}$	$Ctg\Theta^{(3)}$	$Ctg\Theta^{(2)}$
	[%]	[N]	[N]				[N]	[N]	[N]	[N]	[N]	[N]		
proporzionale alla deformata 1° modo di vibrazione														
	0%	-	-	VNR	VNR	0,00	0	0	0	0	0	0	0,00	0,00
	100%	-	-	VNR	VNR	0,00	0	0	0	0	0	0	0,00	0,00
sisma in +X														
proporzionale alle masse														
Piano terra	0%	-3.109	-1.207	20,92	53,90	1,11	65055	65055	131408	131408	0	0	2,50	2,50
	100%	-3.109	-1.207	20,92	53,90	1,10	65055	65055	130928	130928	0	0	2,50	2,50
proporzionale alla deformata 1° modo di vibrazione														
	0%	-5.502	-1.147	11,82	56,72	1,11	65055	65055	131352	131352	0	0	2,50	2,50
	100%	-5.502	-1.147	11,82	56,72	1,10	65055	65055	130911	130911	0	0	2,50	2,50
sisma in -X														
proporzionale alle masse														
	0%	3.086	-3.066	21,08	21,22	1,11	65055	65055	131776	131776	0	0	2,50	2,50
	100%	3.086	-3.066	21,08	21,22	1,11	65055	65055	131448	131448	0	0	2,50	2,50
proporzionale alla deformata 1° modo di vibrazione														
	0%	5.459	-2.772	11,92	23,47	1,11	65055	65055	131727	131727	0	0	2,50	2,50
	100%	5.459	-2.772	11,92	23,47	1,11	65055	65055	131369	131369	0	0	2,50	2,50
sisma in +Y														
proporzionale alle masse														
	0%	1.293	12.615	50,31	5,16	1,10	65055	65055	130815	130815	0	0	2,50	2,50
	100%	1.293	12.615	50,31	5,16	1,09	65055	65055	130145	130145	0	0	2,50	2,50
proporzionale alla deformata 1° modo di vibrazione														
	0%	590	14.787	NS	4,40	1,10	65055	65055	130673	130673	0	0	2,50	2,50
	100%	590	14.787	NS	4,40	1,09	65055	65055	130028	130028	0	0	2,50	2,50
sisma in -Y														
proporzionale alle masse														
	0%	-	-	VNR	VNR	0,00	0	0	0	0	0	0	0,00	0,00
	100%	-	-	VNR	VNR	0,00	0	0	0	0	0	0	0,00	0,00
proporzionale alla deformata 1° modo di vibrazione														
	0%	-	-	VNR	VNR	0,00	0	0	0	0	0	0	0,00	0,00
	100%	-	-	VNR	VNR	0,00	0	0	0	0	0	0	0,00	0,00
sisma in +X														
proporzionale alle masse														
Piano copertura	0%	3.129	-22.511	20,79	2,89	1,05	65055	65055	125161	125161	0	0	2,50	2,50
	100%	3.129	-22.511	20,79	2,89	1,05	65055	65055	124915	124915	0	0	2,50	2,50
proporzionale alla deformata 1° modo di vibrazione														
	0%	5.102	-22.735	12,75	2,86	1,05	65055	65055	125233	125233	0	0	2,50	2,50
	100%	5.102	-22.735	12,75	2,86	1,05	65055	65055	124854	124854	0	0	2,50	2,50
sisma in -X														
proporzionale alle masse														
	0%	-5.399	-18.275	12,05	3,56	1,06	65055	65055	125557	125557	0	0	2,50	2,50
	100%	-5.399	-18.275	12,05	3,56	1,05	65055	65055	125105	125105	0	0	2,50	2,50
proporzionale alla deformata 1° modo di vibrazione														
	0%	-6.994	-18.853	9,30	3,45	1,05	65055	65055	125326	125326	0	0	2,50	2,50
	100%	-6.994	-18.853	9,30	3,45	1,05	65055	65055	125074	125074	0	0	2,50	2,50
sisma in +Y														
proporzionale alle masse														
	0%	-532	-21.280	NS	3,06	1,04	65055	65055	123471	123471	0	0	2,50	2,50
	100%	-532	-21.280	NS	3,06	1,04	65055	65055	123227	123227	0	0	2,50	2,50
proporzionale alla deformata 1° modo di vibrazione														
	0%	-671	-21.260	96,95	3,06	1,04	65055	65055	123372	123372	0	0	2,50	2,50
	100%	-671	-21.260	96,95	3,06	1,04	65055	65055	123126	123126	0	0	2,50	2,50
sisma in -Y														
proporzionale alle masse														
	0%	-	-	VNR	VNR	0,00	0	0	0	0	0	0	0,00	0,00
	100%	-	-	VNR	VNR	0,00	0	0	0	0	0	0	0,00	0,00
proporzionale alla deformata 1° modo di vibrazione														
	0%	-	-	VNR	VNR	0,00	0	0	0	0	0	0	0,00	0,00
	100%	-	-	VNR	VNR	0,00	0	0	0	0	0	0	0,00	0,00
Pilastrata: Pilastrata35														
sisma in +X														
proporzionale alle masse														
Piano interrato	0%	-11.078	-2.437	5,87	26,69	1,18	65055	65055	140806	140806	0	0	2,50	2,50
	100%	-11.078	-2.437	5,87	26,69	1,18	65055	65055	140240	140240	0	0	2,50	2,50
proporzionale alla deformata 1° modo di vibrazione														
	0%	-9.709	-3.356	6,70	19,38	1,18	65055	65055	140651	140651	0	0	2,50	2,50
	100%	-9.709	-3.356	6,70	19,38	1,18	65055	65055	140060	140060	0	0	2,50	2,50
sisma in -X														
proporzionale alle masse														
	0%	17.037	-4.856	3,82	13,40	1,19	65055	65055	141874	141874	0	0	2,50	2,50
	100%	17.037	-4.856	3,82	13,40	1,19	65055	65055	141373	141373	0	0	2,50	2,50
proporzionale alla deformata 1° modo di vibrazione														
	0%	15.873	-3.383	4,10	19,23	1,19	65055	65055	142000	142000	0	0	2,50	2,50
	100%	15.873	-3.383	4,10	19,23	1,19	65055	65055	141359	141359	0	0	2,50	2,50
sisma in +Y														
proporzionale alle masse														
	0%	7.662	50.378	8,49	1,29	1,21	65055	65055	143680	143680	0	0	2,50	2,50
	100%	7.662	50.378	8,49	1,29	1,21	65055	65055	143442	143442	0	0	2,50	2,50
proporzionale alla deformata 1° modo di vibrazione														
	0%	3.325	51.922	19,57	1,25	1,21	65055	65055	143353	143353	0	0	2,50	2,50
	100%	3.325	51.922	19,57	1,25	1,21	65055	65055	143589	143589	0	0	2,50	2,50
sisma in -Y														
proporzionale alle masse														
	0%	-	-	VNR	VNR	0,00	0	0	0	0	0	0	0,00	0,00
	100%	-	-	VNR	VNR	0,00	0	0	0	0	0	0	0,00	0,00
proporzionale alla deformata 1° modo di vibrazione														

Lv	%L_{LI}	$V_{Ed,3}$	$V_{Ed,2}$	$CS^{(3)}$	$CS^{(2)}$	α_C	$V_{Rsd,s}{}^{(3)}$	$V_{Rsd,s}{}^{(2)}$	$V_{Rcd}{}^{(3)}$	$V_{Rcd}{}^{(2)}$	$V_{fd}{}^{(3)}$	$V_{fd}{}^{(2)}$	$Ctg\Theta^{(3)}$	$Ctg\Theta^{(2)}$
	[%]	[N]	[N]				[N]	[N]	[N]	[N]	[N]	[N]		
	0%	-	-	VNR	VNR	0,00	0	0	0	0	0	0	0,00	0,00
	100%	-	-	VNR	VNR	0,00	0	0	0	0	0	0	0,00	0,00
sisma in +X														
proporzionale alle masse														
Piano terra	0%	-3.262	-58	19,94	NS	1,08	65055	65055	127851	127851	0	0	2,50	2,50
	100%	-3.262	-58	19,94	NS	1,07	65055	65055	127572	127572	0	0	2,50	2,50
proporzionale alla deformata 1° modo di vibrazione														
	0%	-5.467	-27	11,90	NS	1,08	65055	65055	127800	127800	0	0	2,50	2,50
	100%	-5.467	-27	11,90	NS	1,07	65055	65055	127386	127386	0	0	2,50	2,50
sisma in -X														
proporzionale alle masse														
	0%	3.462	-2.349	18,79	27,69	1,08	65055	65055	128954	128954	0	0	2,50	2,50
	100%	3.462	-2.349	18,79	27,69	1,08	65055	65055	128564	128564	0	0	2,50	2,50
proporzionale alla deformata 1° modo di vibrazione														
	0%	5.819	-1.999	11,18	32,54	1,09	65055	65055	128986	128986	0	0	2,50	2,50
	100%	5.819	-1.999	11,18	32,54	1,08	65055	65055	128610	128610	0	0	2,50	2,50
sisma in +Y														
proporzionale alle masse														
	0%	1.184	12.105	54,95	5,37	1,08	65055	65055	128008	128008	0	0	2,50	2,50
	100%	1.184	12.105	54,95	5,37	1,07	65055	65055	127615	127615	0	0	2,50	2,50
proporzionale alla deformata 1° modo di vibrazione														
	0%	541	14.506	NS	4,48	1,08	65055	65055	127917	127917	0	0	2,50	2,50
	100%	541	14.506	NS	4,48	1,07	65055	65055	127312	127312	0	0	2,50	2,50
sisma in -Y														
proporzionale alle masse														
	0%	-	-	VNR	VNR	0,00	0	0	0	0	0	0	0,00	0,00
	100%	-	-	VNR	VNR	0,00	0	0	0	0	0	0	0,00	0,00
proporzionale alla deformata 1° modo di vibrazione														
	0%	-	-	VNR	VNR	0,00	0	0	0	0	0	0	0,00	0,00
	100%	-	-	VNR	VNR	0,00	0	0	0	0	0	0	0,00	0,00
sisma in +X														
proporzionale alle masse														
Piano copertura	0%	3.863	-18.732	16,84	3,47	1,03	65055	65055	122803	122803	0	0	2,50	2,50
	100%	3.863	-18.732	16,84	3,47	1,03	65055	65055	122529	122529	0	0	2,50	2,50
proporzionale alla deformata 1° modo di vibrazione														
	0%	5.521	-18.938	11,78	3,44	1,03	65055	65055	122758	122758	0	0	2,50	2,50
	100%	5.521	-18.938	11,78	3,44	1,03	65055	65055	122395	122395	0	0	2,50	2,50
sisma in -X														
proporzionale alle masse														
	0%	-5.156	-13.484	12,62	4,82	1,04	65055	65055	123722	123722	0	0	2,50	2,50
	100%	-5.156	-13.484	12,62	4,82	1,04	65055	65055	123352	123352	0	0	2,50	2,50
proporzionale alla deformata 1° modo di vibrazione														
	0%	-6.681	-13.792	9,74	4,72	1,04	65055	65055	123696	123696	0	0	2,50	2,50
	100%	-6.681	-13.792	9,74	4,72	1,04	65055	65055	123320	123320	0	0	2,50	2,50
sisma in +Y														
proporzionale alle masse														
	0%	56	-16.118	NS	4,04	1,03	65055	65055	121935	121935	0	0	2,50	2,50
	100%	56	-16.118	NS	4,04	1,02	65055	65055	121678	121678	0	0	2,50	2,50
proporzionale alla deformata 1° modo di vibrazione														
	0%	48	-15.695	NS	4,14	1,02	65055	65055	121726	121726	0	0	2,50	2,50
	100%	48	-15.695	NS	4,14	1,02	65055	65055	121463	121463	0	0	2,50	2,50
sisma in -Y														
proporzionale alle masse														
	0%	-	-	VNR	VNR	0,00	0	0	0	0	0	0	0,00	0,00
	100%	-	-	VNR	VNR	0,00	0	0	0	0	0	0	0,00	0,00
proporzionale alla deformata 1° modo di vibrazione														
	0%	-	-	VNR	VNR	0,00	0	0	0	0	0	0	0,00	0,00
	100%	-	-	VNR	VNR	0,00	0	0	0	0	0	0	0,00	0,00
Pilastrata: Pilastrata36														
sisma in +X														
proporzionale alle masse														
Piano interrato	0%	-7.005	4.691	9,29	16,34	1,08	65055	76672	149144	149144	0	0	2,50	2,50
	100%	-7.005	4.691	9,29	16,34	1,07	65055	76672	148595	148595	0	0	2,50	2,50
proporzionale alla deformata 1° modo di vibrazione														
	0%	-4.831	3.357	13,47	22,84	1,07	65055	76672	148898	148898	0	0	2,50	2,50
	100%	-4.831	3.357	13,47	22,84	1,07	65055	76672	148740	148740	0	0	2,50	2,50
sisma in -X														
proporzionale alle masse														
	0%	12.109	7.590	5,37	10,10	1,11	65055	76672	154220	154220	0	0	2,50	2,50
	100%	12.109	7.590	5,37	10,10	1,11	65055	76672	153635	153635	0	0	2,50	2,50
proporzionale alla deformata 1° modo di vibrazione														
	0%	9.496	9.633	6,85	7,96	1,11	65055	76672	153927	153927	0	0	2,50	2,50
	100%	9.496	9.633	6,85	7,96	1,11	65055	76672	153401	153401	0	0	2,50	2,50
sisma in +Y														
proporzionale alle masse														
	0%	-1.140	71.163	57,07	1,08	1,04	65055	76672	144139	144139	0	0	2,50	2,50
	100%	-1.140	71.163	57,07	1,08	1,05	65055	76672	145731	145731	0	0	2,50	2,50
proporzionale alla deformata 1° modo di vibrazione														
	0%	-183	70.365	NS	1,09	1,05	65055	76672	145743	145743	0	0	2,50	2,50
	100%	-183	70.365	NS	1,09	1,06	65055	76672	147096	147096	0	0	2,50	2,50
sisma in -Y														
proporzionale alle masse														
	0%	-	-	VNR	VNR	0,00	0	0	0	0	0	0	0,00	0,00
	100%	-	-	VNR	VNR	0,00	0	0	0	0	0	0	0,00	0,00
proporzionale alla deformata 1° modo di vibrazione														
	0%	-	-	VNR	VNR	0,00	0	0	0	0	0	0	0,00	0,00

Lv	%L_{LI}	$V_{Ed,3}$	$V_{Ed,2}$	$CS^{(3)}$	$CS^{(2)}$	α_C	$V_{Rsd,s}{}^{(3)}$	$V_{Rsd,s}{}^{(2)}$	$V_{Rcd}{}^{(3)}$	$V_{Rcd}{}^{(2)}$	$V_{fd}{}^{(3)}$	$V_{fd}{}^{(2)}$	$Ctg\Theta^{(3)}$	$Ctg\Theta^{(2)}$
	[%]	[N]	[N]				[N]	[N]	[N]	[N]	[N]	[N]		
	100%	-	-	VNR	VNR	0,00	0	0	0	0	0	0	0,00	0,00
sisma in +X														
proporzionale alle masse														
Piano terra	0%	-3.296	4.554	19,74	16,84	1,04	65055	76672	144495	144495	0	0	2,50	2,50
	100%	-3.296	4.554	19,74	16,84	1,04	65055	76672	144271	144271	0	0	2,50	2,50
proporzionale alla deformata 1° modo di vibrazione														
	0%	-5.481	4.109	11,87	18,66	1,04	65055	76672	144411	144411	0	0	2,50	2,50
	100%	-5.481	4.109	11,87	18,66	1,04	65055	76672	143610	143610	0	0	2,50	2,50
sisma in -X														
proporzionale alle masse														
	0%	4.429	831	14,69	92,26	1,07	65055	76672	149073	149073	0	0	2,50	2,50
	100%	4.429	831	14,69	92,26	1,07	65055	76672	148504	148504	0	0	2,50	2,50
proporzionale alla deformata 1° modo di vibrazione														
	0%	6.893	1.429	9,44	53,65	1,07	65055	76672	149028	149028	0	0	2,50	2,50
	100%	6.893	1.429	9,44	53,65	1,07	65055	76672	148396	148396	0	0	2,50	2,50
sisma in +Y														
proporzionale alle masse														
	0%	2.663	19.210	24,43	3,99	1,06	65055	76672	146926	146926	0	0	2,50	2,50
	100%	2.663	19.210	24,43	3,99	1,05	65055	76672	146065	146065	0	0	2,50	2,50
proporzionale alla deformata 1° modo di vibrazione														
	0%	1.226	23.935	53,06	3,20	1,06	65055	76672	146591	146591	0	0	2,50	2,50
	100%	1.226	23.935	53,06	3,20	1,05	65055	76672	145845	145845	0	0	2,50	2,50
sisma in -Y														
proporzionale alle masse														
	0%	-	-	VNR	VNR	0,00	0	0	0	0	0	0	0,00	0,00
	100%	-	-	VNR	VNR	0,00	0	0	0	0	0	0	0,00	0,00
proporzionale alla deformata 1° modo di vibrazione														
	0%	-	-	VNR	VNR	0,00	0	0	0	0	0	0	0,00	0,00
	100%	-	-	VNR	VNR	0,00	0	0	0	0	0	0	0,00	0,00
sisma in +X														
proporzionale alle masse														
Piano copertura (a)	0%	4.362	-7.239	14,91	10,59	1,03	65055	76672	143288	143288	0	0	2,50	2,50
	100%	4.362	-7.239	14,91	10,59	1,03	65055	76672	142768	142768	0	0	2,50	2,50
proporzionale alla deformata 1° modo di vibrazione														
	0%	6.747	-7.507	9,64	10,21	1,03	65055	76672	142990	142990	0	0	2,50	2,50
	100%	6.747	-7.507	9,64	10,21	1,03	65055	76672	142631	142631	0	0	2,50	2,50
sisma in -X														
proporzionale alle masse														
	0%	-13.894	658	4,68	NS	1,06	65055	76672	147108	147108	0	0	2,50	2,50
	100%	-13.894	658	4,68	NS	1,06	65055	76672	146500	146500	0	0	2,50	2,50
proporzionale alla deformata 1° modo di vibrazione														
	0%	-17.255	732	3,77	NS	1,06	65055	76672	146819	146819	0	0	2,50	2,50
	100%	-17.255	732	3,77	NS	1,06	65055	76672	146464	146464	0	0	2,50	2,50
sisma in +Y														
proporzionale alle masse														
	0%	78	15.561	NS	4,93	1,10	65055	76672	152202	152202	0	0	2,50	2,50
	100%	78	15.561	NS	4,93	1,10	65055	76672	151890	151890	0	0	2,50	2,50
proporzionale alla deformata 1° modo di vibrazione														
	0%	-2.997	19.306	21,71	3,97	1,10	65055	76672	153199	153199	0	0	2,50	2,50
	100%	-2.997	19.306	21,71	3,97	1,10	65055	76672	152788	152788	0	0	2,50	2,50
sisma in -Y														
proporzionale alle masse														
	0%	-	-	VNR	VNR	0,00	0	0	0	0	0	0	0,00	0,00
	100%	-	-	VNR	VNR	0,00	0	0	0	0	0	0	0,00	0,00
proporzionale alla deformata 1° modo di vibrazione														
	0%	-	-	VNR	VNR	0,00	0	0	0	0	0	0	0,00	0,00
	100%	-	-	VNR	VNR	0,00	0	0	0	0	0	0	0,00	0,00
sisma in +X														
proporzionale alle masse														
Piano copertura (b)	0%	6.828	6.978	9,53	10,99	1,02	65055	76672	141899	141899	0	0	2,50	2,50
	100%	6.828	6.978	9,53	10,99	1,02	65055	76672	141449	141449	0	0	2,50	2,50
proporzionale alla deformata 1° modo di vibrazione														
	0%	5.624	7.126	11,57	10,76	1,02	65055	76672	141652	141652	0	0	2,50	2,50
	100%	5.624	7.126	11,57	10,76	1,02	65055	76672	141156	141156	0	0	2,50	2,50
sisma in -X														
proporzionale alle masse														
	0%	15.239	1.588	4,27	48,28	1,05	65055	76672	144940	144940	0	0	2,50	2,50
	100%	15.239	1.588	4,27	48,28	1,04	65055	76672	144442	144442	0	0	2,50	2,50
proporzionale alla deformata 1° modo di vibrazione														
	0%	17.085	-598	3,81	NS	1,05	65055	76672	144919	144919	0	0	2,50	2,50
	100%	17.085	-598	3,81	NS	1,04	65055	76672	144471	144471	0	0	2,50	2,50
sisma in +Y														
proporzionale alle masse														
	0%	15.932	44.627	4,08	1,72	1,13	65055	76672	157354	157354	0	0	2,50	2,50
	100%	15.932	44.627	4,08	1,72	1,13	65055	76672	156933	156933	0	0	2,50	2,50
proporzionale alla deformata 1° modo di vibrazione														
	0%	13.756	65.111	4,73	1,18	1,15	65055	76672	159854	159854	0	0	2,50	2,50
	100%	13.756	65.111	4,73	1,18	1,15	65055	76672	159426	159426	0	0	2,50	2,50
sisma in -Y														
proporzionale alle masse														
	0%	-	-	VNR	VNR	0,00	0	0	0	0	0	0	0,00	0,00
	100%	-	-	VNR	VNR	0,00	0	0	0	0	0	0	0,00	0,00
proporzionale alla deformata 1° modo di vibrazione														
	0%	-	-	VNR	VNR	0,00	0	0	0	0	0	0	0,00	0,00
	100%	-	-	VNR	VNR	0,00	0	0	0	0	0	0	0,00	0,00
Pilastrata: Pilastrata37														

Lv	%L_{LI}	$V_{Ed,3}$	$V_{Ed,2}$	$CS^{(3)}$	$CS^{(2)}$	α_C	$V_{Rsd,s}{}^{(3)}$	$V_{Rsd,s}{}^{(2)}$	$V_{Rcd}{}^{(3)}$	$V_{Rcd}{}^{(2)}$	$V_{fd}{}^{(3)}$	$V_{fd}{}^{(2)}$	$Ctg\Theta^{(3)}$	$Ctg\Theta^{(2)}$
	[%]	[N]	[N]				[N]	[N]	[N]	[N]	[N]	[N]		
sisma in +X														
proporzionale alle masse														
Piano interrato	0%	5.439	-1.341	15,95	87,78	1,03	86740	117718	162579	162579	0	0	2,50	2,50
	100%	1.045	-1.598	83,00	73,67	1,01	86740	117718	160427	160427	0	0	2,50	2,50
proporzionale alla deformata 1° modo di vibrazione														
	0%	5.660	-1.237	15,33	95,16	1,03	86740	117718	162825	162825	0	0	2,50	2,50
	100%	2.957	-1.210	29,33	97,29	1,01	86740	117718	160772	160772	0	0	2,50	2,50
sisma in -X														
proporzionale alle masse														
	0%	-15.989	3.655	5,42	32,21	1,00	86740	117718	158485	158485	0	0	2,50	2,50
	100%	-16.314	-513	5,32	NS	1,00	86740	117718	158485	158485	0	0	2,50	2,50
proporzionale alla deformata 1° modo di vibrazione														
	0%	-22.099	4.906	3,93	23,99	1,00	86740	117718	158485	158485	0	0	2,50	2,50
	100%	-22.057	661	3,93	NS	1,00	86740	117718	158485	158485	0	0	2,50	2,50
sisma in +Y														
proporzionale alle masse														
	0%	-31.823	-4.027	2,73	29,23	1,00	86740	117718	158485	158485	0	0	2,50	2,50
	100%	-19.184	-7.389	4,52	15,93	1,00	86740	117718	158485	158485	0	0	2,50	2,50
proporzionale alla deformata 1° modo di vibrazione														
	0%	-38.499	-1.807	2,25	65,15	1,00	86740	117718	158485	158485	0	0	2,50	2,50
	100%	-41.000	250	2,12	NS	1,00	86740	117718	158485	158485	0	0	2,50	2,50
sisma in -Y														
proporzionale alle masse														
	0%	-	-	VNR	VNR	0,00	0	0	0	0	0	0	0,00	0,00
	100%	-	-	VNR	VNR	0,00	0	0	0	0	0	0	0,00	0,00
proporzionale alla deformata 1° modo di vibrazione														
	0%	-	-	VNR	VNR	0,00	0	0	0	0	0	0	0,00	0,00
	100%	-	-	VNR	VNR	0,00	0	0	0	0	0	0	0,00	0,00
sisma in +X														
proporzionale alle masse														
Piano terra	0%	1.133	-1.647	76,56	71,47	1,01	86740	117718	160652	160652	0	0	2,50	2,50
	100%	1.725	41	50,28	NS	1,01	86740	117718	160816	160816	0	0	2,50	2,50
proporzionale alla deformata 1° modo di vibrazione														
	0%	3.777	-1.783	22,97	66,02	1,01	86740	117718	160736	160736	0	0	2,50	2,50
	100%	2.961	-688	29,29	NS	1,02	86740	117718	160960	160960	0	0	2,50	2,50
sisma in -X														
proporzionale alle masse														
	0%	-34.324	322	2,53	NS	1,00	86740	117718	158485	158485	0	0	2,50	2,50
	100%	-18.108	-460	4,79	NS	1,00	86740	117718	158485	158485	0	0	2,50	2,50
proporzionale alla deformata 1° modo di vibrazione														
	0%	-36.949	15	2,35	NS	1,00	86740	117718	158485	158485	0	0	2,50	2,50
	100%	-24.731	1.741	3,51	67,62	1,00	86740	117718	158485	158485	0	0	2,50	2,50
sisma in +Y														
proporzionale alle masse														
	0%	-41.813	-6.711	2,07	17,54	1,00	86740	117718	158485	158485	0	0	2,50	2,50
	100%	-14.374	-4.340	6,03	27,12	1,00	86740	117718	158485	158485	0	0	2,50	2,50
proporzionale alla deformata 1° modo di vibrazione														
	0%	-67.846	-686	1,28	NS	1,00	86740	117718	158485	158485	0	0	2,50	2,50
	100%	-35.386	-1.036	2,45	NS	1,00	86740	117718	158485	158485	0	0	2,50	2,50
sisma in -Y														
proporzionale alle masse														
	0%	-	-	VNR	VNR	0,00	0	0	0	0	0	0	0,00	0,00
	100%	-	-	VNR	VNR	0,00	0	0	0	0	0	0	0,00	0,00
proporzionale alla deformata 1° modo di vibrazione														
	0%	-	-	VNR	VNR	0,00	0	0	0	0	0	0	0,00	0,00
	100%	-	-	VNR	VNR	0,00	0	0	0	0	0	0	0,00	0,00
sisma in +X														
proporzionale alle masse														
Piano copertura (a)	0%	2.305	-188	37,63	NS	1,02	86740	117718	161338	161338	0	0	2,50	2,50
	100%	2.889	-8.736	30,02	13,48	1,04	86740	117718	164075	164075	0	0	2,50	2,50
proporzionale alla deformata 1° modo di vibrazione														
	0%	4.359	-1.567	19,90	75,12	1,02	86740	117718	161660	161660	0	0	2,50	2,50
	100%	1.755	-11.820	49,42	9,96	1,04	86740	117718	165217	165217	0	0	2,50	2,50
sisma in -X														
proporzionale alle masse														
	0%	-18.119	-79	4,79	NS	1,00	86740	117718	158485	158485	0	0	2,50	2,50
	100%	-6.509	3.092	13,33	38,07	1,01	86740	117718	160192	160192	0	0	2,50	2,50
proporzionale alla deformata 1° modo di vibrazione														
	0%	-26.153	1.322	3,32	89,05	1,00	86740	117718	158485	158485	0	0	2,50	2,50
	100%	-8.438	6.924	10,28	17,00	1,01	86740	117718	159655	159655	0	0	2,50	2,50
sisma in +Y														
proporzionale alle masse														
	0%	-12.384	-3.753	7,00	31,37	1,00	86740	117718	158485	158485	0	0	2,50	2,50
	100%	-1.955	175	44,37	NS	1,01	86740	117718	160097	160097	0	0	2,50	2,50
proporzionale alla deformata 1° modo di vibrazione														
	0%	-32.816	-831	2,64	NS	1,00	86740	117718	158485	158485	0	0	2,50	2,50
	100%	-6.584	1.775	13,17	66,32	1,00	86740	117718	158485	158485	0	0	2,50	2,50
sisma in -Y														
proporzionale alle masse														
	0%	-	-	VNR	VNR	0,00	0	0	0	0	0	0	0,00	0,00
	100%	-	-	VNR	VNR	0,00	0	0	0	0	0	0	0,00	0,00
proporzionale alla deformata 1° modo di vibrazione														
	0%	-	-	VNR	VNR	0,00	0	0	0	0	0	0	0,00	0,00
	100%	-	-	VNR	VNR	0,00	0	0	0	0	0	0	0,00	0,00
sisma in +X														
proporzionale alle masse														

Lv	%L_{LI}	$V_{Ed,3}$	$V_{Ed,2}$	$CS^{(3)}$	$CS^{(2)}$	α_C	$V_{Rsd,s}{}^{(3)}$	$V_{Rsd,s}{}^{(2)}$	$V_{Rcd}{}^{(3)}$	$V_{Rcd}{}^{(2)}$	$V_{fd}{}^{(3)}$	$V_{fd}{}^{(2)}$	$Ctg\Theta^{(3)}$	$Ctg\Theta^{(2)}$
	[%]	[N]	[N]				[N]	[N]	[N]	[N]	[N]	[N]		
Piano copertura (b)	0%	7.357	-2.770	11,79	42,50	1,12	86740	117718	176845	176845	0	0	2,50	2,50
	100%	7.357	-2.770	11,79	42,50	1,11	86740	117718	176477	176477	0	0	2,50	2,50
proporzionale alla deformata 1° modo di vibrazione														
	0%	13.365	707	6,49	NS	1,13	86740	117718	179500	179500	0	0	2,50	2,50
	100%	13.365	707	6,49	NS	1,13	86740	117718	179138	179138	0	0	2,50	2,50
sisma in -X														
proporzionale alle masse														
	0%	-20.366	-26.778	4,26	4,40	1,06	86740	117718	168279	168279	0	0	2,50	2,50
	100%	-20.366	-26.778	4,26	4,40	1,06	86740	117718	167842	167842	0	0	2,50	2,50
proporzionale alla deformata 1° modo di vibrazione														
	0%	-25.604	-30.411	3,39	3,87	1,06	86740	117718	167682	167682	0	0	2,50	2,50
	100%	-25.604	-30.411	3,39	3,87	1,06	86740	117718	167281	167281	0	0	2,50	2,50
sisma in +Y														
proporzionale alle masse														
	0%	-53.845	-27.535	1,61	4,28	1,08	86740	117718	171720	171720	0	0	2,50	2,50
	100%	-53.845	-27.535	1,61	4,28	1,08	86740	117718	171442	171442	0	0	2,50	2,50
proporzionale alla deformata 1° modo di vibrazione														
	0%	-81.011	-27.529	1,07	4,28	1,07	86740	117718	169954	169954	0	0	2,50	2,50
	100%	-81.011	-27.529	1,07	4,28	1,07	86740	117718	169799	169799	0	0	2,50	2,50
sisma in -Y														
proporzionale alle masse														
	0%	-	-	VNR	VNR	0,00	0	0	0	0	0	0	0,00	0,00
	100%	-	-	VNR	VNR	0,00	0	0	0	0	0	0	0,00	0,00
proporzionale alla deformata 1° modo di vibrazione														
	0%	-	-	VNR	VNR	0,00	0	0	0	0	0	0	0,00	0,00
	100%	-	-	VNR	VNR	0,00	0	0	0	0	0	0	0,00	0,00
Pilastrata: Pilastrata38														
sisma in +X														
proporzionale alle masse														
Piano interrato	0%	-11.840	4.312	6,48	17,78	1,00	76672	76672	163437	163437	0	0	2,50	2,50
	100%	-21.395	16.155	3,58	4,75	1,00	76672	76672	163437	163437	0	0	2,50	2,50
proporzionale alla deformata 1° modo di vibrazione														
	0%	-9.781	3.532	7,84	21,71	1,00	76672	76672	163437	163437	0	0	2,50	2,50
	100%	-15.796	12.024	4,85	6,38	1,00	76672	76672	163437	163437	0	0	2,50	2,50
sisma in -X														
proporzionale alle masse														
	0%	74.768	-8.381	1,03	9,15	1,27	76672	76672	206933	206933	0	0	2,50	2,50
	100%	-9.946	6.790	7,71	11,29	1,06	76672	76672	174044	174044	0	0	2,50	2,50
proporzionale alla deformata 1° modo di vibrazione														
	0%	62.764	-2.746	1,22	27,92	1,27	76672	76672	208246	208246	0	0	2,50	2,50
	100%	-20.043	4.265	3,83	17,98	1,13	76672	76672	184217	184217	0	0	2,50	2,50
sisma in +Y														
proporzionale alle masse														
	0%	15.346	16.050	5,00	4,78	1,05	76672	76672	171344	171344	0	0	2,50	2,50
	100%	-6.658	33.798	11,52	2,27	1,07	76672	76672	174990	174990	0	0	2,50	2,50
proporzionale alla deformata 1° modo di vibrazione														
	0%	13.592	13.446	5,64	5,70	1,05	76672	76672	172038	172038	0	0	2,50	2,50
	100%	-7.144	30.848	10,73	2,49	1,07	76672	76672	174209	174209	0	0	2,50	2,50
sisma in -Y														
proporzionale alle masse														
	0%	-	-	VNR	VNR	0,00	0	0	0	0	0	0	0,00	0,00
	100%	-	-	VNR	VNR	0,00	0	0	0	0	0	0	0,00	0,00
proporzionale alla deformata 1° modo di vibrazione														
	0%	-	-	VNR	VNR	0,00	0	0	0	0	0	0	0,00	0,00
	100%	-	-	VNR	VNR	0,00	0	0	0	0	0	0	0,00	0,00
sisma in +X														
proporzionale alle masse														
Piano terra	0%	3.128	11.590	24,51	6,62	1,00	76672	76672	163437	163437	0	0	2,50	2,50
	100%	-23.113	9.275	3,32	8,27	1,13	76672	76672	184924	184924	0	0	2,50	2,50
proporzionale alla deformata 1° modo di vibrazione														
	0%	-1.585	11.423	48,37	6,71	1,00	76672	76672	163437	163437	0	0	2,50	2,50
	100%	-37.962	8.983	2,02	8,54	1,15	76672	76672	187433	187433	0	0	2,50	2,50
sisma in -X														
proporzionale alle masse														
	0%	30.382	1.708	2,52	44,89	1,03	76672	76672	169049	169049	0	0	2,50	2,50
	100%	9.908	1.726	7,74	44,42	1,00	76672	76672	163437	163437	0	0	2,50	2,50
proporzionale alla deformata 1° modo di vibrazione														
	0%	59.669	1.871	1,28	40,98	1,09	76672	76672	178295	178295	0	0	2,50	2,50
	100%	16.060	2.201	4,77	34,84	1,00	76672	76672	163437	163437	0	0	2,50	2,50
sisma in +Y														
proporzionale alle masse														
	0%	12.316	28.018	6,23	2,74	1,05	76672	76672	171216	171216	0	0	2,50	2,50
	100%	-2.850	10.835	26,90	7,08	1,04	76672	76672	169760	169760	0	0	2,50	2,50
proporzionale alla deformata 1° modo di vibrazione														
	0%	11.277	24.899	6,80	3,08	1,04	76672	76672	170791	170791	0	0	2,50	2,50
	100%	1.309	9.098	58,57	8,43	1,01	76672	76672	164639	164639	0	0	2,50	2,50
sisma in -Y														
proporzionale alle masse														
	0%	-	-	VNR	VNR	0,00	0	0	0	0	0	0	0,00	0,00
	100%	-	-	VNR	VNR	0,00	0	0	0	0	0	0	0,00	0,00
proporzionale alla deformata 1° modo di vibrazione														
	0%	-	-	VNR	VNR	0,00	0	0	0	0	0	0	0,00	0,00
	100%	-	-	VNR	VNR	0,00	0	0	0	0	0	0	0,00	0,00
Pilastrata: Pilastrata39														
sisma in +X														
proporzionale alle masse														

Lv	%L_{LI}	$V_{Ed,3}$	$V_{Ed,2}$	$CS^{(3)}$	$CS^{(2)}$	α_C	$V_{Rsd,s}{}^{(3)}$	$V_{Rsd,s}{}^{(2)}$	$V_{Rcd}{}^{(3)}$	$V_{Rcd}{}^{(2)}$	$V_{fd}{}^{(3)}$	$V_{fd}{}^{(2)}$	$Ctg\Theta^{(3)}$	$Ctg\Theta^{(2)}$
	[%]	[N]	[N]				[N]	[N]	[N]	[N]	[N]	[N]		
Piano interrato	0%	-35.690	27.621	1,82	2,36	1,08	65055	65055	128000	128000	0	0	2,50	2,50
	100%	-35.690	27.621	1,82	2,36	1,08	65055	65055	127978	127978	0	0	2,50	2,50
proporzionale alla deformata 1° modo di vibrazione														
	0%	-35.729	25.720	1,82	2,53	1,07	65055	65055	126908	126908	0	0	2,50	2,50
	100%	-35.729	25.720	1,82	2,53	1,07	65055	65055	126807	126807	0	0	2,50	2,50
sisma in -X														
proporzionale alle masse														
	0%	51.102	14.638	1,27	4,44	1,12	65055	65055	133660	133660	0	0	2,50	2,50
	100%	51.102	14.638	1,27	4,44	1,12	65055	65055	133029	133029	0	0	2,50	2,50
proporzionale alla deformata 1° modo di vibrazione														
	0%	53.153	16.444	1,22	3,96	1,12	65055	65055	133435	133435	0	0	2,50	2,50
	100%	53.153	16.444	1,22	3,96	1,12	65055	65055	132846	132846	0	0	2,50	2,50
sisma in +Y														
proporzionale alle masse														
	0%	12.346	66.615	5,27	0,98	1,23	65055	65055	145865	145865	0	0	2,50	2,50
	100%	12.346	66.615	5,27	0,98	1,22	65055	65055	145584	145584	0	0	2,50	2,50
proporzionale alla deformata 1° modo di vibrazione														
	0%	11.339	61.895	5,74	1,05	1,22	65055	65055	144903	144903	0	0	2,50	2,50
	100%	11.339	61.895	5,74	1,05	1,22	65055	65055	144613	144613	0	0	2,50	2,50
sisma in -Y														
proporzionale alle masse														
	0%	-	-	VNR	VNR	0,00	0	0	0	0	0	0	0,00	0,00
	100%	-	-	VNR	VNR	0,00	0	0	0	0	0	0	0,00	0,00
proporzionale alla deformata 1° modo di vibrazione														
	0%	-	-	VNR	VNR	0,00	0	0	0	0	0	0	0,00	0,00
	100%	-	-	VNR	VNR	0,00	0	0	0	0	0	0	0,00	0,00
sisma in +X														
proporzionale alle masse														
Piano terra	0%	-4.631	6.129	14,05	10,61	1,00	65055	65055	118863	118863	0	0	2,50	2,50
	100%	-4.631	6.129	14,05	10,61	1,00	65055	65055	118863	118863	0	0	2,50	2,50
proporzionale alla deformata 1° modo di vibrazione														
	0%	-6.166	6.236	10,55	10,43	1,00	65055	65055	118863	118863	0	0	2,50	2,50
	100%	-6.166	6.236	10,55	10,43	1,00	65055	65055	118863	118863	0	0	2,50	2,50
sisma in -X														
proporzionale alle masse														
	0%	9.145	6.829	7,11	9,53	1,04	65055	65055	124009	124009	0	0	2,50	2,50
	100%	9.145	6.829	7,11	9,53	1,04	65055	65055	123280	123280	0	0	2,50	2,50
proporzionale alla deformata 1° modo di vibrazione														
	0%	11.901	6.786	5,47	9,59	1,04	65055	65055	123758	123758	0	0	2,50	2,50
	100%	11.901	6.786	5,47	9,59	1,04	65055	65055	123145	123145	0	0	2,50	2,50
sisma in +Y														
proporzionale alle masse														
	0%	2.302	16.993	28,26	3,83	1,11	65055	65055	131349	131349	0	0	2,50	2,50
	100%	2.302	16.993	28,26	3,83	1,10	65055	65055	130720	130720	0	0	2,50	2,50
proporzionale alla deformata 1° modo di vibrazione														
	0%	2.479	17.871	26,24	3,64	1,10	65055	65055	131181	131181	0	0	2,50	2,50
	100%	2.479	17.871	26,24	3,64	1,10	65055	65055	130531	130531	0	0	2,50	2,50
sisma in -Y														
proporzionale alle masse														
	0%	-	-	VNR	VNR	0,00	0	0	0	0	0	0	0,00	0,00
	100%	-	-	VNR	VNR	0,00	0	0	0	0	0	0	0,00	0,00
proporzionale alla deformata 1° modo di vibrazione														
	0%	-	-	VNR	VNR	0,00	0	0	0	0	0	0	0,00	0,00
	100%	-	-	VNR	VNR	0,00	0	0	0	0	0	0	0,00	0,00
Pilastrata: Pilastrata40														
sisma in +X														
proporzionale alle masse														
Piano interrato	0%	-11.737	5.043	5,54	12,90	1,00	65055	65055	118863	118863	0	0	2,50	2,50
	100%	-33.279	15.557	1,95	4,18	1,03	65055	65055	122930	122930	0	0	2,50	2,50
proporzionale alla deformata 1° modo di vibrazione														
	0%	-11.692	3.184	5,56	20,43	1,00	65055	65055	118863	118863	0	0	2,50	2,50
	100%	-30.481	13.529	2,13	4,81	1,01	65055	65055	120059	120059	0	0	2,50	2,50
sisma in -X														
proporzionale alle masse														
	0%	60.290	-1.033	1,08	62,98	1,31	65055	65055	155341	155341	0	0	2,50	2,50
	100%	-3.205	10.381	20,30	6,27	1,06	65055	65055	125969	125969	0	0	2,50	2,50
proporzionale alla deformata 1° modo di vibrazione														
	0%	51.787	4.122	1,26	15,78	1,30	65055	65055	154215	154215	0	0	2,50	2,50
	100%	-5.216	9.052	12,47	7,19	1,10	65055	65055	131155	131155	0	0	2,50	2,50
sisma in +Y														
proporzionale alle masse														
	0%	7.988	7.620	8,14	8,54	1,06	65055	65055	125658	125658	0	0	2,50	2,50
	100%	-11.031	26.168	5,90	2,49	1,10	65055	65055	130367	130367	0	0	2,50	2,50
proporzionale alla deformata 1° modo di vibrazione														
	0%	9.174	7.005	7,09	9,29	1,07	65055	65055	127670	127670	0	0	2,50	2,50
	100%	-10.369	27.146	6,27	2,40	1,10	65055	65055	131235	131235	0	0	2,50	2,50
sisma in -Y														
proporzionale alle masse														
	0%	-	-	VNR	VNR	0,00	0	0	0	0	0	0	0,00	0,00
	100%	-	-	VNR	VNR	0,00	0	0	0	0	0	0	0,00	0,00
proporzionale alla deformata 1° modo di vibrazione														
	0%	-	-	VNR	VNR	0,00	0	0	0	0	0	0	0,00	0,00
	100%	-	-	VNR	VNR	0,00	0	0	0	0	0	0	0,00	0,00
sisma in +X														
proporzionale alle masse														
Piano terra	0%	-8.769	9.995	7,42	6,51	1,00	65055	65055	118863	118863	0	0	2,50	2,50

Lv	%L_{LI}	$V_{Ed,3}$	$V_{Ed,2}$	$CS^{(3)}$	$CS^{(2)}$	α_C	$V_{Rsd,s}{}^{(3)}$	$V_{Rsd,s}{}^{(2)}$	$V_{Rcd}{}^{(3)}$	$V_{Rcd}{}^{(2)}$	$V_{fd}{}^{(3)}$	$V_{fd}{}^{(2)}$	$Ctg\Theta^{(3)}$	$Ctg\Theta^{(2)}$
	[%]	[N]	[N]				[N]	[N]	[N]	[N]	[N]	[N]		
	100%	-21.135	9.469	3,08	6,87	1,15	65055	65055	136975	136975	0	0	2,50	2,50
proporzionale alla deformata 1° modo di vibrazione														
	0%	-9.751	10.343	6,67	6,29	1,00	65055	65055	118863	118863	0	0	2,50	2,50
	100%	-32.116	8.563	2,03	7,60	1,19	65055	65055	140937	140937	0	0	2,50	2,50
sisma in -X														
proporzionale alle masse														
	0%	16.740	7.568	3,89	8,60	1,03	65055	65055	122641	122641	0	0	2,50	2,50
	100%	5.332	4.995	12,20	13,02	1,00	65055	65055	118863	118863	0	0	2,50	2,50
proporzionale alla deformata 1° modo di vibrazione														
	0%	33.195	9.201	1,96	7,07	1,08	65055	65055	128049	128049	0	0	2,50	2,50
	100%	9.207	5.976	7,07	10,89	1,00	65055	65055	118863	118863	0	0	2,50	2,50
sisma in +Y														
proporzionale alle masse														
	0%	1.396	20.673	46,60	3,15	1,04	65055	65055	123438	123438	0	0	2,50	2,50
	100%	-5.003	13.331	13,00	4,88	1,06	65055	65055	125584	125584	0	0	2,50	2,50
proporzionale alla deformata 1° modo di vibrazione														
	0%	2.642	21.027	24,62	3,09	1,05	65055	65055	124745	124745	0	0	2,50	2,50
	100%	-3.004	14.221	21,66	4,57	1,04	65055	65055	123549	123549	0	0	2,50	2,50
sisma in -Y														
proporzionale alle masse														
	0%	-	-	VNR	VNR	0,00	0	0	0	0	0	0	0,00	0,00
	100%	-	-	VNR	VNR	0,00	0	0	0	0	0	0	0,00	0,00
proporzionale alla deformata 1° modo di vibrazione														
	0%	-	-	VNR	VNR	0,00	0	0	0	0	0	0	0,00	0,00
	100%	-	-	VNR	VNR	0,00	0	0	0	0	0	0	0,00	0,00
Pilastrata: Pilastrata41														
sisma in +X														
proporzionale alle masse														
Piano interrato	0%	-31.813	28.416	2,04	2,29	1,08	65055	65055	128247	128247	0	0	2,50	2,50
	100%	-31.813	28.416	2,04	2,29	1,08	65055	65055	128019	128019	0	0	2,50	2,50
proporzionale alla deformata 1° modo di vibrazione														
	0%	-31.974	26.647	2,03	2,44	1,07	65055	65055	127754	127754	0	0	2,50	2,50
	100%	-31.974	26.647	2,03	2,44	1,07	65055	65055	127456	127456	0	0	2,50	2,50
sisma in -X														
proporzionale alle masse														
	0%	44.371	19.976	1,47	3,26	1,13	65055	65055	134859	134859	0	0	2,50	2,50
	100%	44.371	19.976	1,47	3,26	1,13	65055	65055	134361	134361	0	0	2,50	2,50
proporzionale alla deformata 1° modo di vibrazione														
	0%	46.146	22.772	1,41	2,86	1,13	65055	65055	133880	133880	0	0	2,50	2,50
	100%	46.146	22.772	1,41	2,86	1,12	65055	65055	133503	133503	0	0	2,50	2,50
sisma in +Y														
proporzionale alle masse														
	0%	4.760	62.496	13,67	1,04	1,24	65055	65055	146864	146864	0	0	2,50	2,50
	100%	4.760	62.496	13,67	1,04	1,23	65055	65055	146462	146462	0	0	2,50	2,50
proporzionale alla deformata 1° modo di vibrazione														
	0%	3.716	63.967	17,51	1,02	1,25	65055	65055	148839	148839	0	0	2,50	2,50
	100%	3.716	63.967	17,51	1,02	1,25	65055	65055	148529	148529	0	0	2,50	2,50
sisma in -Y														
proporzionale alle masse														
	0%	-	-	VNR	VNR	0,00	0	0	0	0	0	0	0,00	0,00
	100%	-	-	VNR	VNR	0,00	0	0	0	0	0	0	0,00	0,00
proporzionale alla deformata 1° modo di vibrazione														
	0%	-	-	VNR	VNR	0,00	0	0	0	0	0	0	0,00	0,00
	100%	-	-	VNR	VNR	0,00	0	0	0	0	0	0	0,00	0,00
sisma in +X														
proporzionale alle masse														
Piano terra	0%	-5.462	7.565	11,91	8,60	1,00	65055	65055	118863	118863	0	0	2,50	2,50
	100%	-5.462	7.565	11,91	8,60	1,00	65055	65055	118863	118863	0	0	2,50	2,50
proporzionale alla deformata 1° modo di vibrazione														
	0%	-7.123	7.527	9,13	8,64	1,00	65055	65055	118863	118863	0	0	2,50	2,50
	100%	-7.123	7.527	9,13	8,64	1,00	65055	65055	118863	118863	0	0	2,50	2,50
sisma in -X														
proporzionale alle masse														
	0%	7.667	7.697	8,49	8,45	1,02	65055	65055	121482	121482	0	0	2,50	2,50
	100%	7.667	7.697	8,49	8,45	1,02	65055	65055	120852	120852	0	0	2,50	2,50
proporzionale alla deformata 1° modo di vibrazione														
	0%	10.106	8.026	6,44	8,11	1,02	65055	65055	120670	120670	0	0	2,50	2,50
	100%	10.106	8.026	6,44	8,11	1,01	65055	65055	120063	120063	0	0	2,50	2,50
sisma in +Y														
proporzionale alle masse														
	0%	1.025	18.582	63,47	3,50	1,11	65055	65055	131561	131561	0	0	2,50	2,50
	100%	1.025	18.582	63,47	3,50	1,10	65055	65055	130911	130911	0	0	2,50	2,50
proporzionale alla deformata 1° modo di vibrazione														
	0%	1.195	21.367	54,44	3,04	1,12	65055	65055	133711	133711	0	0	2,50	2,50
	100%	1.195	21.367	54,44	3,04	1,12	65055	65055	133076	133076	0	0	2,50	2,50
sisma in -Y														
proporzionale alle masse														
	0%	-	-	VNR	VNR	0,00	0	0	0	0	0	0	0,00	0,00
	100%	-	-	VNR	VNR	0,00	0	0	0	0	0	0	0,00	0,00
proporzionale alla deformata 1° modo di vibrazione														
	0%	-	-	VNR	VNR	0,00	0	0	0	0	0	0	0,00	0,00
	100%	-	-	VNR	VNR	0,00	0	0	0	0	0	0	0,00	0,00
Pilastrata: Pilastrata42														
sisma in +X														
proporzionale alle masse														
Piano interrato	0%	-30.951	23.089	2,10	2,82	1,03	65055	65055	121968	121968	0	0	2,50	2,50

Lv	%L_{LI}	$V_{Ed,3}$	$V_{Ed,2}$	$CS^{(3)}$	$CS^{(2)}$	α_C	$V_{Rsd,s}{}^{(3)}$	$V_{Rsd,s}{}^{(2)}$	$V_{Rcd}{}^{(3)}$	$V_{Rcd}{}^{(2)}$	$V_{fd}{}^{(3)}$	$V_{fd}{}^{(2)}$	$Ctg\Theta^{(3)}$	$Ctg\Theta^{(2)}$
	[%]	[N]	[N]				[N]	[N]	[N]	[N]	[N]	[N]		
	100%	-30.951	23.089	2,10	2,82	1,02	65055	65055	121710	121710	0	0	2,50	2,50
proporzionale alla deformata 1° modo di vibrazione														
	0%	-30.989	20.932	2,10	3,11	1,02	65055	65055	121158	121158	0	0	2,50	2,50
	100%	-30.989	20.932	2,10	3,11	1,02	65055	65055	120966	120966	0	0	2,50	2,50
sisma in -X														
proporzionale alle masse														
	0%	55.292	14.961	1,18	4,35	1,14	65055	65055	135549	135549	0	0	2,50	2,50
	100%	55.292	14.961	1,18	4,35	1,13	65055	65055	134596	134596	0	0	2,50	2,50
proporzionale alla deformata 1° modo di vibrazione														
	0%	58.992	17.961	1,10	3,62	1,13	65055	65055	134701	134701	0	0	2,50	2,50
	100%	58.992	17.961	1,10	3,62	1,13	65055	65055	134251	134251	0	0	2,50	2,50
sisma in +Y														
proporzionale alle masse														
	0%	7.263	54.870	8,96	1,19	1,20	65055	65055	142705	142705	0	0	2,50	2,50
	100%	7.263	54.870	8,96	1,19	1,20	65055	65055	142396	142396	0	0	2,50	2,50
proporzionale alla deformata 1° modo di vibrazione														
	0%	8.499	57.143	7,65	1,14	1,22	65055	65055	145412	145412	0	0	2,50	2,50
	100%	8.499	57.143	7,65	1,14	1,22	65055	65055	145121	145121	0	0	2,50	2,50
sisma in -Y														
proporzionale alle masse														
	0%	-	-	VNR	VNR	0,00	0	0	0	0	0	0	0,00	0,00
	100%	-	-	VNR	VNR	0,00	0	0	0	0	0	0	0,00	0,00
proporzionale alla deformata 1° modo di vibrazione														
	0%	-	-	VNR	VNR	0,00	0	0	0	0	0	0	0,00	0,00
	100%	-	-	VNR	VNR	0,00	0	0	0	0	0	0	0,00	0,00
sisma in +X														
proporzionale alle masse														
Piano terra	0%	-4.962	6.059	13,11	10,74	1,00	65055	65055	118863	118863	0	0	2,50	2,50
	100%	-4.962	6.059	13,11	10,74	1,00	65055	65055	118863	118863	0	0	2,50	2,50
proporzionale alla deformata 1° modo di vibrazione														
	0%	-6.733	6.118	9,66	10,63	1,00	65055	65055	118863	118863	0	0	2,50	2,50
	100%	-6.733	6.118	9,66	10,63	1,00	65055	65055	118863	118863	0	0	2,50	2,50
sisma in -X														
proporzionale alle masse														
	0%	9.429	5.661	6,90	11,49	1,02	65055	65055	121730	121730	0	0	2,50	2,50
	100%	9.429	5.661	6,90	11,49	1,02	65055	65055	121118	121118	0	0	2,50	2,50
proporzionale alla deformata 1° modo di vibrazione														
	0%	12.106	6.417	5,37	10,14	1,02	65055	65055	121231	121231	0	0	2,50	2,50
	100%	12.106	6.417	5,37	10,14	1,01	65055	65055	120578	120578	0	0	2,50	2,50
sisma in +Y														
proporzionale alle masse														
	0%	1.557	16.131	41,78	4,03	1,10	65055	65055	130413	130413	0	0	2,50	2,50
	100%	1.557	16.131	41,78	4,03	1,09	65055	65055	129779	129779	0	0	2,50	2,50
proporzionale alla deformata 1° modo di vibrazione														
	0%	2.067	19.423	31,47	3,35	1,12	65055	65055	132931	132931	0	0	2,50	2,50
	100%	2.067	19.423	31,47	3,35	1,11	65055	65055	132302	132302	0	0	2,50	2,50
sisma in -Y														
proporzionale alle masse														
	0%	-	-	VNR	VNR	0,00	0	0	0	0	0	0	0,00	0,00
	100%	-	-	VNR	VNR	0,00	0	0	0	0	0	0	0,00	0,00
proporzionale alla deformata 1° modo di vibrazione														
	0%	-	-	VNR	VNR	0,00	0	0	0	0	0	0	0,00	0,00
	100%	-	-	VNR	VNR	0,00	0	0	0	0	0	0	0,00	0,00
Pilastrata: Pilastrata43														
sisma in +X														
proporzionale alle masse														
Piano interrato	0%	-12.429	12.826	5,23	6,88	1,00	65055	88289	158485	158485	0	0	2,50	2,50
	100%	-30.235	8.332	2,15	10,60	1,00	65055	88289	158485	158485	0	0	2,50	2,50
proporzionale alla deformata 1° modo di vibrazione														
	0%	-11.880	10.633	5,48	8,30	1,00	65055	88289	158485	158485	0	0	2,50	2,50
	100%	-23.706	5.410	2,74	16,32	1,00	65055	88289	158485	158485	0	0	2,50	2,50
sisma in -X														
proporzionale alle masse														
	0%	33.673	1.264	1,93	69,85	1,00	65055	88289	158485	158485	0	0	2,50	2,50
	100%	79.436	-17.909	0,82	4,93	1,00	65055	88289	158558	158558	0	0	2,50	2,50
proporzionale alla deformata 1° modo di vibrazione														
	0%	32.160	4.604	2,02	19,18	1,00	65055	88289	158485	158485	0	0	2,50	2,50
	100%	73.081	-7.919	0,89	11,15	1,00	65055	88289	158485	158485	0	0	2,50	2,50
sisma in +Y														
proporzionale alle masse														
	0%	9.983	80.888	6,52	1,09	1,12	65055	88289	177152	177152	0	0	2,50	2,50
	100%	-3.938	2.024	16,52	43,62	1,03	65055	88289	163091	163091	0	0	2,50	2,50
proporzionale alla deformata 1° modo di vibrazione														
	0%	1.086	78.871	59,90	1,12	1,12	65055	88289	177180	177180	0	0	2,50	2,50
	100%	1.912	-3.504	34,02	25,20	1,05	65055	88289	166143	166143	0	0	2,50	2,50
sisma in -Y														
proporzionale alle masse														
	0%	-	-	VNR	VNR	0,00	0	0	0	0	0	0	0,00	0,00
	100%	-	-	VNR	VNR	0,00	0	0	0	0	0	0	0,00	0,00
proporzionale alla deformata 1° modo di vibrazione														
	0%	-	-	VNR	VNR	0,00	0	0	0	0	0	0	0,00	0,00
	100%	-	-	VNR	VNR	0,00	0	0	0	0	0	0	0,00	0,00
sisma in +X														
proporzionale alle masse														
Piano terra	0%	-21.503	27.332	3,03	3,23	1,00	65055	88289	158485	158485	0	0	2,50	2,50
	100%	-29.008	-3.463	2,24	25,49	1,00	65055	88289	158485	158485	0	0	2,50	2,50

Lv	%L_{LI}	$V_{Ed,3}$	$V_{Ed,2}$	$CS^{(3)}$	$CS^{(2)}$	α_C	$V_{Rsd,s}{}^{(3)}$	$V_{Rsd,s}{}^{(2)}$	$V_{Rcd}{}^{(3)}$	$V_{Rcd}{}^{(2)}$	$V_{fd}{}^{(3)}$	$V_{fd}{}^{(2)}$	$Ctg\Theta^{(3)}$	$Ctg\Theta^{(2)}$
	[%]	[N]	[N]				[N]	[N]	[N]	[N]	[N]	[N]		
proporzionale alla deformata 1° modo di vibrazione														
	0%	-50.069	28.401	1,30	3,11	1,00	65055	88289	158485	158485	0	0	2,50	2,50
	100%	-39.783	-7.210	1,64	12,25	1,00	65055	88289	158485	158485	0	0	2,50	2,50
sisma in -X														
proporzionale alle masse														
	0%	-16.016	13.501	4,06	6,54	1,03	65055	88289	163642	163642	0	0	2,50	2,50
	100%	72.022	-19.394	0,90	4,55	1,04	65055	88289	164332	164332	0	0	2,50	2,50
proporzionale alla deformata 1° modo di vibrazione														
	0%	-9.990	9.916	6,51	8,90	1,02	65055	88289	161101	161101	0	0	2,50	2,50
	100%	92.952	-13.492	0,70	6,54	1,04	65055	88289	164397	164397	0	0	2,50	2,50
sisma in +Y														
proporzionale alle masse														
	0%	11.874	57.346	5,48	1,54	1,04	65055	88289	165054	165054	0	0	2,50	2,50
	100%	-2.012	-2.643	32,33	33,40	1,00	65055	88289	158485	158485	0	0	2,50	2,50
proporzionale alla deformata 1° modo di vibrazione														
	0%	5.324	81.778	12,22	1,08	1,08	65055	88289	170412	170412	0	0	2,50	2,50
	100%	5.568	-3.611	11,68	24,45	1,00	65055	88289	158981	158981	0	0	2,50	2,50
sisma in -Y														
proporzionale alle masse														
	0%	-	-	VNR	VNR	0,00	0	0	0	0	0	0	0,00	0,00
	100%	-	-	VNR	VNR	0,00	0	0	0	0	0	0	0,00	0,00
proporzionale alla deformata 1° modo di vibrazione														
	0%	-	-	VNR	VNR	0,00	0	0	0	0	0	0	0,00	0,00
	100%	-	-	VNR	VNR	0,00	0	0	0	0	0	0	0,00	0,00
sisma in +X														
proporzionale alle masse														
Piano copertura	0%	-2.972	54.260	21,89	1,63	1,11	65055	88289	175428	175428	0	0	2,50	2,50
	100%	-16.288	73.378	3,99	1,20	1,08	65055	88289	171889	171889	0	0	2,50	2,50
proporzionale alla deformata 1° modo di vibrazione														
	0%	-10.128	67.177	6,42	1,31	1,11	65055	88289	176411	176411	0	0	2,50	2,50
	100%	-29.534	93.018	2,20	0,95	1,10	65055	88289	174014	174014	0	0	2,50	2,50
sisma in -X														
proporzionale alle masse														
	0%	-49.448	41.125	1,32	2,15	1,00	65055	88289	158485	158485	0	0	2,50	2,50
	100%	-17.586	37.486	3,70	2,36	1,00	65055	88289	158485	158485	0	0	2,50	2,50
proporzionale alla deformata 1° modo di vibrazione														
	0%	-53.875	40.793	1,21	2,16	1,00	65055	88289	158485	158485	0	0	2,50	2,50
	100%	-19.855	40.629	3,28	2,17	1,00	65055	88289	158485	158485	0	0	2,50	2,50
sisma in +Y														
proporzionale alle masse														
	0%	-18.664	26.653	3,49	3,31	1,00	65055	88289	158485	158485	0	0	2,50	2,50
	100%	-9.873	39.394	6,59	2,24	1,00	65055	88289	158485	158485	0	0	2,50	2,50
proporzionale alla deformata 1° modo di vibrazione														
	0%	-20.923	35.011	3,11	2,52	1,00	65055	88289	158485	158485	0	0	2,50	2,50
	100%	-14.642	54.966	4,44	1,61	1,00	65055	88289	158485	158485	0	0	2,50	2,50
sisma in -Y														
proporzionale alle masse														
	0%	-	-	VNR	VNR	0,00	0	0	0	0	0	0	0,00	0,00
	100%	-	-	VNR	VNR	0,00	0	0	0	0	0	0	0,00	0,00
proporzionale alla deformata 1° modo di vibrazione														
	0%	-	-	VNR	VNR	0,00	0	0	0	0	0	0	0,00	0,00
	100%	-	-	VNR	VNR	0,00	0	0	0	0	0	0	0,00	0,00
Pilastrata: Pilastrata44														
sisma in +X														
proporzionale alle masse														
Piano interrato	0%	-27.728	9.014	2,35	14,95	1,09	65055	134756	258164	258164	0	0	2,50	2,50
	100%	-27.728	9.014	2,35	14,95	1,08	65055	134756	257335	257335	0	0	2,50	2,50
proporzionale alla deformata 1° modo di vibrazione														
	0%	-27.006	6.418	2,41	21,00	1,09	65055	134756	259876	259876	0	0	2,50	2,50
	100%	-27.006	6.418	2,41	21,00	1,09	65055	134756	259052	259052	0	0	2,50	2,50
sisma in -X														
proporzionale alle masse														
	0%	29.494	2.455	2,21	54,89	1,05	65055	134756	248600	248600	0	0	2,50	2,50
	100%	29.494	2.455	2,21	54,89	1,04	65055	134756	247756	247756	0	0	2,50	2,50
proporzionale alla deformata 1° modo di vibrazione														
	0%	27.965	5.485	2,33	24,57	1,05	65055	134756	248558	248558	0	0	2,50	2,50
	100%	27.965	5.485	2,33	24,57	1,04	65055	134756	247741	247741	0	0	2,50	2,50
sisma in +Y														
proporzionale alle masse														
	0%	7.818	54.957	8,32	2,45	1,07	65055	134756	253706	253706	0	0	2,50	2,50
	100%	7.818	54.957	8,32	2,45	1,07	65055	134756	253236	253236	0	0	2,50	2,50
proporzionale alla deformata 1° modo di vibrazione														
	0%	3.867	59.761	16,82	2,25	1,07	65055	134756	254606	254606	0	0	2,50	2,50
	100%	3.867	59.761	16,82	2,25	1,07	65055	134756	253935	253935	0	0	2,50	2,50
sisma in -Y														
proporzionale alle masse														
	0%	-	-	VNR	VNR	0,00	0	0	0	0	0	0	0,00	0,00
	100%	-	-	VNR	VNR	0,00	0	0	0	0	0	0	0,00	0,00
proporzionale alla deformata 1° modo di vibrazione														
	0%	-	-	VNR	VNR	0,00	0	0	0	0	0	0	0,00	0,00
	100%	-	-	VNR	VNR	0,00	0	0	0	0	0	0	0,00	0,00
sisma in +X														
proporzionale alle masse														
Piano copertura	0%	-379	5.439	NS	24,78	1,07	65055	134756	253753	253753	0	0	2,50	2,50
	100%	-379	5.439	NS	24,78	1,06	65055	134756	252247	252247	0	0	2,50	2,50
proporzionale alla deformata 1° modo di vibrazione														

Lv	%L_{LI}	$V_{Ed,3}$	$V_{Ed,2}$	$CS^{(3)}$	$CS^{(2)}$	α_C	$V_{Rsd,s}{}^{(3)}$	$V_{Rsd,s}{}^{(2)}$	$V_{Rcd}{}^{(3)}$	$V_{Rcd}{}^{(2)}$	$V_{fd}{}^{(3)}$	$V_{fd}{}^{(2)}$	$Ctg\Theta^{(3)}$	$Ctg\Theta^{(2)}$
	[%]	[N]	[N]				[N]	[N]	[N]	[N]	[N]	[N]		
	0%	-4.211	4.861	15,45	27,72	1,07	65055	134756	255420	255420	0	0	2,50	2,50
	100%	-4.211	4.861	15,45	27,72	1,07	65055	134756	254002	254002	0	0	2,50	2,50
sisma in -X														
proporzionale alle masse														
	0%	1.700	5.378	38,27	25,06	1,03	65055	134756	244229	244229	0	0	2,50	2,50
	100%	1.700	5.378	38,27	25,06	1,02	65055	134756	242614	242614	0	0	2,50	2,50
proporzionale alla deformata 1° modo di vibrazione														
	0%	4.697	6.101	13,85	22,09	1,03	65055	134756	244150	244150	0	0	2,50	2,50
	100%	4.697	6.101	13,85	22,09	1,02	65055	134756	242572	242572	0	0	2,50	2,50
sisma in +Y														
proporzionale alle masse														
	0%	4.367	28.800	14,90	4,68	1,05	65055	134756	249330	249330	0	0	2,50	2,50
	100%	4.367	28.800	14,90	4,68	1,04	65055	134756	247755	247755	0	0	2,50	2,50
proporzionale alla deformata 1° modo di vibrazione														
	0%	3.198	44.347	20,34	3,04	1,05	65055	134756	250241	250241	0	0	2,50	2,50
	100%	3.198	44.347	20,34	3,04	1,05	65055	134756	248660	248660	0	0	2,50	2,50
sisma in -Y														
proporzionale alle masse														
	0%	-	-	VNR	VNR	0,00	0	0	0	0	0	0	0,00	0,00
	100%	-	-	VNR	VNR	0,00	0	0	0	0	0	0	0,00	0,00
proporzionale alla deformata 1° modo di vibrazione														
	0%	-	-	VNR	VNR	0,00	0	0	0	0	0	0	0,00	0,00
	100%	-	-	VNR	VNR	0,00	0	0	0	0	0	0	0,00	0,00
Pilastrata: Pilastrata45														
sisma in +X														
proporzionale alle masse														
Piano interrato	0%	-31.136	12.317	2,09	10,94	1,06	65055	134756	251833	251833	0	0	2,50	2,50
	100%	-31.136	12.317	2,09	10,94	1,06	65055	134756	250980	250980	0	0	2,50	2,50
proporzionale alla deformata 1° modo di vibrazione														
	0%	-34.057	10.044	1,91	13,42	1,06	65055	134756	251883	251883	0	0	2,50	2,50
	100%	-34.057	10.044	1,91	13,42	1,06	65055	134756	251034	251034	0	0	2,50	2,50
sisma in -X														
proporzionale alle masse														
	0%	33.147	2.208	1,96	61,03	1,06	65055	134756	251474	251474	0	0	2,50	2,50
	100%	33.147	2.208	1,96	61,03	1,05	65055	134756	250596	250596	0	0	2,50	2,50
proporzionale alla deformata 1° modo di vibrazione														
	0%	36.230	5.495	1,80	24,52	1,06	65055	134756	251590	251590	0	0	2,50	2,50
	100%	36.230	5.495	1,80	24,52	1,05	65055	134756	250722	250722	0	0	2,50	2,50
sisma in +Y														
proporzionale alle masse														
	0%	7.320	59.368	8,89	2,27	1,07	65055	134756	253638	253638	0	0	2,50	2,50
	100%	7.320	59.368	8,89	2,27	1,06	65055	134756	253058	253058	0	0	2,50	2,50
proporzionale alla deformata 1° modo di vibrazione														
	0%	3.371	65.545	19,30	2,06	1,07	65055	134756	254061	254061	0	0	2,50	2,50
	100%	3.371	65.545	19,30	2,06	1,07	65055	134756	253561	253561	0	0	2,50	2,50
sisma in -Y														
proporzionale alle masse														
	0%	-	-	VNR	VNR	0,00	0	0	0	0	0	0	0,00	0,00
	100%	-	-	VNR	VNR	0,00	0	0	0	0	0	0	0,00	0,00
proporzionale alla deformata 1° modo di vibrazione														
	0%	-	-	VNR	VNR	0,00	0	0	0	0	0	0	0,00	0,00
	100%	-	-	VNR	VNR	0,00	0	0	0	0	0	0	0,00	0,00
sisma in +X														
proporzionale alle masse														
Piano copertura	0%	2.298	7.945	28,31	16,96	1,04	65055	134756	246430	246430	0	0	2,50	2,50
	100%	2.298	7.945	28,31	16,96	1,03	65055	134756	244755	244755	0	0	2,50	2,50
proporzionale alla deformata 1° modo di vibrazione														
	0%	754	7.666	86,28	17,58	1,04	65055	134756	246686	246686	0	0	2,50	2,50
	100%	754	7.666	86,28	17,58	1,03	65055	134756	244816	244816	0	0	2,50	2,50
sisma in -X														
proporzionale alle masse														
	0%	-834	5.781	78,00	23,31	1,04	65055	134756	246084	246084	0	0	2,50	2,50
	100%	-834	5.781	78,00	23,31	1,03	65055	134756	244390	244390	0	0	2,50	2,50
proporzionale alla deformata 1° modo di vibrazione														
	0%	699	6.436	93,07	20,94	1,04	65055	134756	246193	246193	0	0	2,50	2,50
	100%	699	6.436	93,07	20,94	1,03	65055	134756	244664	244664	0	0	2,50	2,50
sisma in +Y														
proporzionale alle masse														
	0%	3.100	27.391	20,99	4,92	1,04	65055	134756	248195	248195	0	0	2,50	2,50
	100%	3.100	27.391	20,99	4,92	1,04	65055	134756	246575	246575	0	0	2,50	2,50
proporzionale alla deformata 1° modo di vibrazione														
	0%	2.478	44.953	26,25	3,00	1,05	65055	134756	248631	248631	0	0	2,50	2,50
	100%	2.478	44.953	26,25	3,00	1,04	65055	134756	247003	247003	0	0	2,50	2,50
sisma in -Y														
proporzionale alle masse														
	0%	-	-	VNR	VNR	0,00	0	0	0	0	0	0	0,00	0,00
	100%	-	-	VNR	VNR	0,00	0	0	0	0	0	0	0,00	0,00
proporzionale alla deformata 1° modo di vibrazione														
	0%	-	-	VNR	VNR	0,00	0	0	0	0	0	0	0,00	0,00
	100%	-	-	VNR	VNR	0,00	0	0	0	0	0	0	0,00	0,00
Pilastrata: Pilastrata46														
sisma in +X														
proporzionale alle masse														
Piano interrato	0%	-26.546	12.150	2,45	11,09	1,03	65055	134756	244199	244199	0	0	2,50	2,50
	100%	-26.546	12.150	2,45	11,09	1,02	65055	134756	243422	243422	0	0	2,50	2,50
proporzionale alla deformata 1° modo di vibrazione														

Lv	%L_{LI}	$V_{Ed,3}$	$V_{Ed,2}$	$CS^{(3)}$	$CS^{(2)}$	α_C	$V_{Rsd,s}{}^{(3)}$	$V_{Rsd,s}{}^{(2)}$	$V_{Rcd}{}^{(3)}$	$V_{Rcd}{}^{(2)}$	$V_{fd}{}^{(3)}$	$V_{fd}{}^{(2)}$	$Ctg\Theta^{(3)}$	$Ctg\Theta^{(2)}$
	[%]	[N]	[N]				[N]	[N]	[N]	[N]	[N]	[N]		
	0%	-24.578	9.735	2,65	13,84	1,02	65055	134756	243268	243268	0	0	2,50	2,50
	100%	-24.578	9.735	2,65	13,84	1,02	65055	134756	242519	242519	0	0	2,50	2,50
sisma in -X														
proporzionale alle masse														
	0%	28.164	-748	2,31	NS	1,04	65055	134756	247425	247425	0	0	2,50	2,50
	100%	28.164	-748	2,31	NS	1,04	65055	134756	246490	246490	0	0	2,50	2,50
proporzionale alla deformata 1° modo di vibrazione														
	0%	26.979	2.092	2,41	64,41	1,04	65055	134756	247024	247024	0	0	2,50	2,50
	100%	26.979	2.092	2,41	64,41	1,04	65055	134756	246127	246127	0	0	2,50	2,50
sisma in +Y														
proporzionale alle masse														
	0%	5.760	51.931	11,29	2,59	1,04	65055	134756	246697	246697	0	0	2,50	2,50
	100%	5.760	51.931	11,29	2,59	1,04	65055	134756	246175	246175	0	0	2,50	2,50
proporzionale alla deformata 1° modo di vibrazione														
	0%	2.879	58.619	22,60	2,30	1,03	65055	134756	245486	245486	0	0	2,50	2,50
	100%	2.879	58.619	22,60	2,30	1,03	65055	134756	244822	244822	0	0	2,50	2,50
sisma in -Y														
proporzionale alle masse														
	0%	-	-	VNR	VNR	0,00	0	0	0	0	0	0	0,00	0,00
	100%	-	-	VNR	VNR	0,00	0	0	0	0	0	0	0,00	0,00
proporzionale alla deformata 1° modo di vibrazione														
	0%	-	-	VNR	VNR	0,00	0	0	0	0	0	0	0,00	0,00
	100%	-	-	VNR	VNR	0,00	0	0	0	0	0	0	0,00	0,00
sisma in +X														
proporzionale alle masse														
Piano copertura	0%	891	8.563	73,01	15,74	1,01	65055	134756	239914	239914	0	0	2,50	2,50
	100%	891	8.563	73,01	15,74	1,00	65055	134756	238196	238196	0	0	2,50	2,50
proporzionale alla deformata 1° modo di vibrazione														
	0%	-2.076	8.198	31,34	16,44	1,01	65055	134756	239046	239046	0	0	2,50	2,50
	100%	-2.076	8.198	31,34	16,44	1,00	65055	134756	237727	237727	0	0	2,50	2,50
sisma in -X														
proporzionale alle masse														
	0%	280	2.184	NS	61,70	1,02	65055	134756	243084	243084	0	0	2,50	2,50
	100%	280	2.184	NS	61,70	1,02	65055	134756	241464	241464	0	0	2,50	2,50
proporzionale alla deformata 1° modo di vibrazione														
	0%	4.011	2.700	16,22	49,91	1,02	65055	134756	242592	242592	0	0	2,50	2,50
	100%	4.011	2.700	16,22	49,91	1,01	65055	134756	241029	241029	0	0	2,50	2,50
sisma in +Y														
proporzionale alle masse														
	0%	2.297	25.691	28,32	5,25	1,02	65055	134756	242690	242690	0	0	2,50	2,50
	100%	2.297	25.691	28,32	5,25	1,01	65055	134756	240780	240780	0	0	2,50	2,50
proporzionale alla deformata 1° modo di vibrazione														
	0%	2.202	42.996	29,54	3,13	1,01	65055	134756	241168	241168	0	0	2,50	2,50
	100%	2.202	42.996	29,54	3,13	1,01	65055	134756	239564	239564	0	0	2,50	2,50
sisma in -Y														
proporzionale alle masse														
	0%	-	-	VNR	VNR	0,00	0	0	0	0	0	0	0,00	0,00
	100%	-	-	VNR	VNR	0,00	0	0	0	0	0	0	0,00	0,00
proporzionale alla deformata 1° modo di vibrazione														
	0%	-	-	VNR	VNR	0,00	0	0	0	0	0	0	0,00	0,00
	100%	-	-	VNR	VNR	0,00	0	0	0	0	0	0	0,00	0,00
Pilastrata: Pilastrata47														
sisma in +X														
proporzionale alle masse														
Piano interrato (a)	0%	-15.202	5.584	4,28	11,65	1,12	65055	65055	133127	133127	0	0	2,50	2,50
	100%	-8.269	-2.961	7,87	21,97	1,03	65055	65055	122842	122842	0	0	2,50	2,50
proporzionale alla deformata 1° modo di vibrazione														
	0%	-18.792	4.382	3,46	14,85	1,13	65055	65055	134013	134013	0	0	2,50	2,50
	100%	-11.566	-5.495	5,62	11,84	1,03	65055	65055	122899	122899	0	0	2,50	2,50
sisma in -X														
proporzionale alle masse														
	0%	1.324	8.928	49,14	7,29	1,00	65055	65055	118863	118863	0	0	2,50	2,50
	100%	5.906	5.473	11,02	11,89	1,00	65055	65055	118863	118863	0	0	2,50	2,50
proporzionale alla deformata 1° modo di vibrazione														
	0%	2.299	12.897	28,30	5,04	1,00	65055	65055	118863	118863	0	0	2,50	2,50
	100%	6.373	7.399	10,21	8,79	1,00	65055	65055	118863	118863	0	0	2,50	2,50
sisma in +Y														
proporzionale alle masse														
	0%	129	12.551	NS	5,18	1,12	65055	65055	133173	133173	0	0	2,50	2,50
	100%	3.562	9.222	18,26	7,05	1,04	65055	65055	123820	123820	0	0	2,50	2,50
proporzionale alla deformata 1° modo di vibrazione														
	0%	-2.957	26.235	22,00	2,48	1,14	65055	65055	135875	135875	0	0	2,50	2,50
	100%	6.024	11.415	10,80	5,70	1,05	65055	65055	124746	124746	0	0	2,50	2,50
sisma in -Y														
proporzionale alle masse														
	0%	-	-	VNR	VNR	0,00	0	0	0	0	0	0	0,00	0,00
	100%	-	-	VNR	VNR	0,00	0	0	0	0	0	0	0,00	0,00
proporzionale alla deformata 1° modo di vibrazione														
	0%	-	-	VNR	VNR	0,00	0	0	0	0	0	0	0,00	0,00
	100%	-	-	VNR	VNR	0,00	0	0	0	0	0	0	0,00	0,00
sisma in +X														
proporzionale alle masse														
Piano terra (a)	0%	-12.554	-3.482	5,18	18,68	1,03	65055	65055	121953	121953	0	0	2,50	2,50
	100%	-1.779	894	36,57	72,77	1,00	65055	65055	118863	118863	0	0	2,50	2,50
proporzionale alla deformata 1° modo di vibrazione														
	0%	-12.991	-6.231	5,01	10,44	1,03	65055	65055	121877	121877	0	0	2,50	2,50

Lv	%L_{LI}	$V_{Ed,3}$	$V_{Ed,2}$	$CS^{(3)}$	$CS^{(2)}$	α_C	$V_{Rsd,s}^{(3)}$	$V_{Rsd,s}^{(2)}$	$V_{Rcd}^{(3)}$	$V_{Rcd}^{(2)}$	$V_{fd}^{(3)}$	$V_{fd}^{(2)}$	$Ctg\Theta^{(3)}$	$Ctg\Theta^{(2)}$
	[%]	[N]	[N]				[N]	[N]	[N]	[N]	[N]	[N]		
	100%	-3.303	711	19,70	91,50	1,00	65055	65055	118863	118863	0	0	2,50	2,50
sisma in -X														
proporzionale alle masse														
	0%	15.061	11.769	4,32	5,53	1,00	65055	65055	118863	118863	0	0	2,50	2,50
	100%	15.171	8.243	4,29	7,89	1,00	65055	65055	118863	118863	0	0	2,50	2,50
proporzionale alla deformata 1° modo di vibrazione														
	0%	16.994	15.665	3,83	4,15	1,00	65055	65055	118863	118863	0	0	2,50	2,50
	100%	18.219	11.372	3,57	5,72	1,00	65055	65055	118863	118863	0	0	2,50	2,50
sisma in +Y														
proporzionale alle masse														
	0%	4.132	12.222	15,74	5,32	1,03	65055	65055	122827	122827	0	0	2,50	2,50
	100%	5.582	2.096	11,65	31,04	1,00	65055	65055	119096	119096	0	0	2,50	2,50
proporzionale alla deformata 1° modo di vibrazione														
	0%	9.508	13.301	6,84	4,89	1,04	65055	65055	123656	123656	0	0	2,50	2,50
	100%	10.120	5.308	6,43	12,26	1,01	65055	65055	119490	119490	0	0	2,50	2,50
sisma in -Y														
proporzionale alle masse														
	0%	-	-	VNR	VNR	0,00	0	0	0	0	0	0	0,00	0,00
	100%	-	-	VNR	VNR	0,00	0	0	0	0	0	0	0,00	0,00
proporzionale alla deformata 1° modo di vibrazione														
	0%	-	-	VNR	VNR	0,00	0	0	0	0	0	0	0,00	0,00
	100%	-	-	VNR	VNR	0,00	0	0	0	0	0	0	0,00	0,00
sisma in +X														
proporzionale alle masse														
Piano copertura	0%	-1.919	1.719	33,90	37,84	1,00	65055	65055	118863	118863	0	0	2,50	2,50
	100%	-10.177	4.797	6,39	13,56	1,00	65055	65055	118863	118863	0	0	2,50	2,50
proporzionale alla deformata 1° modo di vibrazione														
	0%	-2.986	1.418	21,79	45,88	1,00	65055	65055	118863	118863	0	0	2,50	2,50
	100%	-13.524	5.086	4,81	12,79	1,00	65055	65055	118863	118863	0	0	2,50	2,50
sisma in -X														
proporzionale alle masse														
	0%	8.543	3.730	7,62	17,44	1,00	65055	65055	118863	118863	0	0	2,50	2,50
	100%	36.526	29.867	1,78	2,18	1,04	65055	65055	123129	123129	0	0	2,50	2,50
proporzionale alla deformata 1° modo di vibrazione														
	0%	10.509	5.093	6,19	12,77	1,00	65055	65055	118863	118863	0	0	2,50	2,50
	100%	43.389	42.646	1,50	1,53	1,05	65055	65055	124236	124236	0	0	2,50	2,50
sisma in +Y														
proporzionale alle masse														
	0%	2.901	1.310	22,43	49,66	1,00	65055	65055	119366	119366	0	0	2,50	2,50
	100%	17.450	22.993	3,73	2,83	1,02	65055	65055	121236	121236	0	0	2,50	2,50
proporzionale alla deformata 1° modo di vibrazione														
	0%	5.354	2.253	12,15	28,87	1,01	65055	65055	120258	120258	0	0	2,50	2,50
	100%	28.413	48.861	2,29	1,33	1,05	65055	65055	124388	124388	0	0	2,50	2,50
sisma in -Y														
proporzionale alle masse														
	0%	-	-	VNR	VNR	0,00	0	0	0	0	0	0	0,00	0,00
	100%	-	-	VNR	VNR	0,00	0	0	0	0	0	0	0,00	0,00
proporzionale alla deformata 1° modo di vibrazione														
	0%	-	-	VNR	VNR	0,00	0	0	0	0	0	0	0,00	0,00
	100%	-	-	VNR	VNR	0,00	0	0	0	0	0	0	0,00	0,00

LEGENDA:

Lv Livello o piano di appartenenza dell'elemento strutturale.
%L_{LI} Posizione della sezione per la quale vengono forniti i valori di verifica, valutata come % della lunghezza libera d'inflessione (L_{LI}), a partire dall'estremo iniziale.
V_{Ed} Taglio di progetto.
CS Coefficiente di sicurezza, con riferimento alla direzione positiva e negativa del sisma. ([NS] = Non Significativo per valori di CS >= 100). Per ulteriori dettagli sulla verifica si rimanda alle tabelle relative alle Verifiche a Taglio.
α_C Coefficiente maggiorativo per compressione
$V_{Rsd,s}$ Resistenza a taglio trazione delle staffe.
V_{Rcd} Resistenza a taglio compressione del calcestruzzo.
V_{fd} Resistenza a taglio dovuta al rinforzo FRP.
CtgΘ Cotangente dell'angolo Θ utilizzata nella verifica.

Pareti - VERIFICHE PRESSOFLESSIONE RETTA ALLO SLU (Elevazione)

Dir	Pos	Nodo	N_{Ed}	M_{Ed}	A_s	CS	Nodo	N_{Ed}	M_{Ed}	A_s	CS	Nodo	N_{Ed}	M_{Ed}	A_s	CS
			[N]	[N·m]	[cm^2/cm]			[N]	[N·m]	[cm^2/cm]			[N]	[N·m]	[cm^2/cm]	
Piano copertura						**Parete16-P6**					**Parete 16-P6**					
P	A	00117	0	0	0,13404	-	00253	-130.170	1.126	0,13404	NS	00274	-191.925	37.567	0,13404	4,37
	P		-666.289	-44.548	0,10053	4,27		21.762	-1.166	0,18096	NS		-104.589	-5.949	0,10053	20,02
S	A		0	0	0,18096	-		-3.874	194	0,23457	NS		-251.714	12.342	0,10053	10,76
	P		-1.104.737	-55.199	0,21447	6,14		-280.056	-12.784	0,23457	21,72		-27.317	-43.535	0,13404	3,16
P	A	00378	199.145	1.214	0,13404	93,58	00379	168.988	6.250	0,13404	18,81	00380	232.290	5.939	0,13404	18,41
	P		167.481	-1.398	0,10053	59,79		-12.431	-2.054	0,10053	52,13		34.454	-2.538	0,10053	39,79
S	A		-306.791	8.197	0,10053	16,90		-412.984	7.475	0,10053	20,32		-347.757	4.783	0,10053	29,97
	P		87.834	-19.158	0,13404	6,34		79.954	-15.934	0,13404	7,67		126.287	-14.581	0,13404	7,96
P	A	00381	142.929	3.183	0,13404	38,01	00382	165.718	3.933	0,13404	30,01	00802	-53.490	3.280	0,13404	44,66
	P		2.734	-2.439	0,10053	43,10		63.298	-3.148	0,10053	30,88		-4.595	-230	0,10053	NS
S	A		-449.444	6.653	0,10053	23,26		-81.947	3.602	0,10053	29,51		-43.257	2.163	0,10053	51,37

Dir	Pos	Nodo	N_{Ed} [N]	M_{Ed} [N·m]	A_s [cm²/cm]	CS	Nodo	N_{Ed} [N]	M_{Ed} [N·m]	A_s [cm²/cm]	CS	Nodo	N_{Ed} [N]	M_{Ed} [N·m]	A_s [cm²/cm]	CS
	P		120.032	-15.566	0,13404	7,41		182.917	-18.505	0,13404	5,72		-337.954	-15.825	0,13404	11,53
P	A	00803	-12.765	2.910	0,13404	48,52	00804	8.070	403	0,13404	NS	00805	16.636	786	0,13404	NS
	P		38.270	-1.902	0,10053	52,84		94.360	-3.435	0,10053	27,12		92.430	-1.730	0,10053	53,98
S	A		-24.613	1.231	0,10053	88,31		-66.732	2.174	0,10053	52,51		0	0	0,10053	-
	P		-345.862	-17.293	0,13404	10,60		6.898	-11.799	0,13404	11,75		-336.468	-16.812	0,13404	10,84
P	A	00806	73.143	3.657	0,13404	35,57	00900	-164.879	4.930	0,13404	32,60	00901	39.062	4.571	0,13404	29,42
	P		-124.843	-6.880	0,10053	17,69		5.788	-96	0,10053	NS		28.842	-1.145	0,10053	88,79
S	A		0	0	0,18096	-		-32.561	1.628	0,10053	67,39		-95.092	12.671	0,10053	8,68
	P		-462.040	-23.102	0,21447	11,87		-380.389	-11.657	0,13404	16,09		-152.100	-7.605	0,13404	19,89
P	A	00902	89.457	5.060	0,13404	25,29	00903	259.736	2.187	0,13404	48,34	01473	-107.894	2.345	0,13404	65,49
	P		278.030	-5.379	0,10053	12,85		-17.785	-8.173	0,10053	13,19		30.610	-1.236	0,18096	NS
S	A		-276.509	6.336	0,10053	21,49		0	0	0,18096	-		-47.576	2.379	0,23457	NS
	P		31.297	-24.625	0,13404	5,29		-17.755	-19.502	0,13404	6,79		-263.911	-12.856	0,13404	13,52
P	A	01474	-116.415	14.427	0,13404	10,71	01475	25.688	1.641	0,13404	83,01	01476	0	0	0,13404	-
	P		-76.430	-2.275	0,10053	50,74		-227.110	-11.147	0,10053	12,11		-408.342	-20.067	0,10053	7,88
S	A		-123.636	5.935	0,10053	19,99		-384.583	7.451	0,10053	20,01		0	0	0,18096	-
	P		-24.113	-21.364	0,13404	6,54		11.868	-21.063	0,13404	6,26		-548.574	-27.429	0,21447	10,23
P	A	01477	12.622	648	0,13404	NS	01478	8.388	157	0,13404	NS	01479	25.978	1.215	0,13404	NS
	P		-108.899	-5.886	0,10053	20,33		-111.345	-6.433	0,10053	18,65		-14.960	-1.049	0,10053	NS
S	A		-95.452	1.953	0,18096	99,09		-166.581	5.888	0,10053	20,49		-123.643	4.999	0,10053	23,46
	P		6.649	-14.374	0,13404	9,25		41.045	-16.705	0,13404	7,65		35.742	-13.533	0,13404	9,65
P	A	01480	-16.890	2.708	0,13404	52,33	01481	7.020	2.766	0,13404	50,12	01699	247.333	18.679	0,13404	5,75
	P		9.236	-685	0,10053	NS		6.805	-1.938	0,10053	53,97		-373.858	-45.262	0,18096	5,17
S	A		-82.094	4.105	0,10053	28,30		-112.139	5.589	0,10053	20,82		-760.934	37.981	0,10053	5,30
	P		-13.498	-11.781	0,13404	11,99		57.086	-17.016	0,13404	7,55		-980.667	-47.226	0,13404	5,24
Piano copertura						**ParetеP7-20**						**Parete P7-20**				
P	A	00018	-111.462	6.894	0,33510	51,95	00204	0	0	0,13404	-	00259	30.656	1.169	0,21447	NS
	P		175.945	-8.513	0,33510	37,73		84.057	-4.101	0,13404	31,37		-5.059	-262	0,21447	NS
S	A		-311.013	15.550	0,40212	28,24		-290.998	2.225	0,28149	NS		-75.200	3.760	0,28149	79,54
	P		-760.099	-38.004	0,40212	12,96		16.430	-16.772	0,28149	16,73		-220.494	-6.800	0,28149	46,72
P	A	00277	-207.955	47.502	0,26808	6,36	00694	35.653	1.791	0,13404	75,36	00695	64.913	3.080	0,13404	42,58
	P		37.940	-2.089	0,21447	NS		-22.712	-1.210	0,13404	NS		-24.656	-1.816	0,13404	78,63
S	A		-355.237	12.900	0,20106	19,62		-323.980	16.199	0,20106	15,00		-189.469	4.113	0,20106	54,83
	P		251.082	-51.634	0,20106	3,39		16.774	-13.870	0,20106	14,37		10.724	-12.885	0,20106	15,50
P	A	00696	40.448	1.910	0,13404	70,32	00697	-18.336	1.950	0,13404	72,80	00698	-38.521	161	0,21447	NS
	P		20.566	-909	0,13404	NS		22.209	-1.111	0,13404	NS		31.590	-1.562	0,21447	NS
S	A		-161.615	2.782	0,20106	80,20		-125.538	89	0,20106	NS		-122.883	2.025	0,20106	NS
	P		15.541	-10.901	0,20106	18,37		-5.697	-9.579	0,20106	21,27		-6	-7.745	0,20106	26,38
P	A	00699	-65.214	3.518	0,21447	65,29	00852	18.242	912	0,33510	NS	00853	78.125	1.495	0,13404	86,54
	P		1.310	-54	0,21447	NS		485	-3.398	0,33510	NS		-3.720	-3.684	0,13404	38,01
S	A		-67.116	2.747	0,20106	78,75		-226.306	11.308	0,40212	38,22		-138.770	6.938	0,20106	31,54
	P		-348.776	-6.548	0,20106	38,53		16.153	-20.198	0,40212	19,86		20.929	-18.716	0,20106	10,59
P	A	00870	105.088	3.057	0,13404	41,18	00871	302.209	4.732	0,13404	21,17	00872	180.391	7.352	0,13404	15,79
	P		52.195	-6.754	0,13404	19,66		-18.741	-1.349	0,13404	NS		-3.109	-1.191	0,13404	NS
S	A		-350.828	3.090	0,20106	79,42		-475.667	8.587	0,20106	30,83		-326.537	7.345	0,20106	33,60
	P		-9.935	-18.736	0,20106	10,77		33.554	-17.001	0,20106	11,76		53.085	-14.035	0,20106	14,12
P	A	00873	197.447	917	0,13404	NS	00874	257.151	1.632	0,13404	65,00	00875	159.441	20.861	0,13404	5,70
	P		19.402	-159	0,13404	NS		21.992	-495	0,13404	NS		70.264	-5.394	0,13404	24,18
S	A		-323.263	5.078	0,20106	49,05		-520.526	7.136	0,20106	38,37		-579.744	27.585	0,20106	10,04
	P		106.446	-15.741	0,20106	12,32		201.959	-14.802	0,20106	12,26		266.491	-13.909	0,20106	12,16
P	A	00876	-224.464	4.012	0,13404	42,00	00877	-191.347	4.841	0,21447	50,80	01425	11.566	578	0,13404	NS
	P		-181	-209	0,13404	NS		24.619	-1.013	0,21447	NS		-10.110	-2.864	0,13404	49,19
S	A		-88.910	3.722	0,20106	57,71		-78.417	3.645	0,20106	59,75		-314.012	13.825	0,20106	17,27
	P		-439.146	-9.887	0,20106	26,23		-318.791	-8.852	0,20106	28,07		23.078	-16.297	0,20106	12,00

Dir	Pos	Nodo	N_{Ed} [N]	M_{Ed} [N·m]	A_s [cm²/cm]	CS	Nodo	N_{Ed} [N]	M_{Ed} [N·m]	A_s [cm²/cm]	CS	Nodo	N_{Ed} [N]	M_{Ed} [N·m]	A_s [cm²/cm]	CS
P	A	01426	65.766	3.155	0,33510	NS	01427	-89.839	19.859	0,26808	14,35	01428	-115.096	2.863	0,21447	82,49
	P		-12.637	-2.728	0,33510	NS		21.111	-442	0,13404	NS		22.367	-891	0,21447	NS
S	A		-366.044	13.172	0,40212	34,10		-554.773	7.889	0,20106	34,81		-82.581	3.237	0,20106	67,45
	P		15.621	-19.203	0,40212	20,85		87.138	-19.630	0,20106	9,83		-156.990	-5.875	0,20106	38,79
P	A	01429	-26.400	3.139	0,21447	71,60	01430	13.120	4.968	0,13404	27,75	01431	-5.731	821	0,13404	NS
	P		16.602	-777	0,21447	NS		-7.245	-2.283	0,13404	61,55		49.256	-2.242	0,13404	59,40
S	A		-87.424	2.143	0,20106	NS		-74.515	1.590	0,20106	NS		0	0	0,20106	-
	P		-8.453	-10.630	0,20106	19,33		93.597	-16.146	0,20106	11,88		31.704	-13.025	0,20106	15,33
P	A	01432	37.935	1.870	0,13404	71,99	01433	34.513	660	0,13404	NS					
	P		-18.272	-1.777	0,13404	79,90		-21.993	-1.827	0,13404	77,93					
S	A		-253.370	8.845	0,20106	26,34		0	0	0,20106	-					
	P		23.422	-14.401	0,20106	13,71		33.882	-16.131	0,20106	12,20					
Piano copertura							**Parete43-P17**					**Parete 43-P17**				
P	A	00118	-380.893	33.660	0,08042	3,99	00156	126.799	6.374	0,08042	10,73	00250	-533	303	0,16085	NS
	P		363	-18	0,10053	NS		-51.415	-20.099	0,10053	5,58		-17.609	-880	0,18096	NS
S	A		-1.150.660	57.516	0,21447	5,83		14.864	27.797	0,13404	4,95		-65.956	3.284	0,23457	76,19
	P		0	0	0,18096	-		-1.313.346	-38.891	0,10053	6,51		-313.436	-15.672	0,23457	17,98
P	A	00283	55.129	14.485	0,16085	11,02	00562	254.766	6.074	0,08042	8,49	00563	235.659	7.807	0,08042	6,93
	P		-201.690	-45.424	0,18096	4,69		174.280	-116	0,10053	NS		0	0	0,10053	-
S	A		226.097	46.947	0,21447	4,09		20.049	18.962	0,13404	6,88		29.068	18.011	0,13404	7,35
	P		-70.866	-3.530	0,10053	32,49		0	0	0,10053	-		-136.623	-6.293	0,10053	19,05
P	A	00817	759	34	0,16085	NS	00818	15.139	731	0,08042	NS	00819	43.521	2.167	0,08042	36,59
	P		-57.710	-3.099	0,10053	36,45		-21.034	-4.324	0,10053	25,03		1.208	-22	0,10053	NS
S	A		-7.731	6.127	0,13404	22,94		-7.540	8.420	0,13404	16,36		14.102	10.805	0,13404	12,32
	P		-245.695	-12.285	0,10053	11,18		-198.686	-9.930	0,10053	12,94		-119.727	-5.986	0,10053	19,46
P	A	00820	23.367	1.070	0,08042	76,54	00821	-39.436	1.505	0,08042	59,88	00904	7.349	270	0,16085	NS
	P		-20.616	-1.118	0,10053	96,76		100.605	-816	0,10053	NS		-159.565	-6.281	0,10053	20,10
S	A		17.776	11.714	0,13404	11,34		26.002	13.203	0,21447	16,18		192	4.854	0,13404	28,75
	P		-42.824	-1.984	0,10053	53,75		0	0	0,18096	-		-277.697	-13.885	0,10053	10,19
P	A	00905	-18.390	1.037	0,08042	84,28	00906	46.168	5.620	0,16085	28,61	00907	7.163	553	0,08042	NS
	P		9.240	-8.637	0,10053	12,07		69.503	-21.987	0,10053	4,38		58.488	-2.791	0,10053	35,06
S	A		-207.931	3.357	0,13404	47,83		285.963	15.046	0,21447	12,24		145.538	15.311	0,13404	7,50
	P		-116.997	-11.511	0,10053	10,00		-752.185	-40.936	0,18096	6,90		-105.313	-4.109	0,10053	27,58
P	A	00908	3.881	626	0,08042	NS	00909	-11.332	1.191	0,08042	72,59	00910	-24.270	669	0,08042	NS
	P		140.758	-5.387	0,10053	16,16		123.196	-4.528	0,10053	19,74		248.142	-13.391	0,10053	5,45
S	A		111.988	14.748	0,13404	8,10		52.974	16.174	0,13404	7,97		27.778	18.105	0,13404	7,51
	P		-241.054	-3.747	0,10053	35,03		-386.870	-11.411	0,10053	13,30		-694.311	-27.346	0,10053	7,09
P	A	01482	50.989	1.280	0,16085	NS	01483	31.658	853	0,08042	94,79	01484	5.108	205	0,08042	NS
	P		-90.572	-2.708	0,10053	43,30		-124.333	-20.268	0,18096	9,97		-40.696	-2.997	0,10053	36,96
S	A		-25.154	4.967	0,13404	28,75		80.448	21.680	0,13404	5,96		14.551	20.609	0,13404	6,45
	P		-278.087	-13.904	0,10053	10,18		-567.378	-18.941	0,10053	9,41		-410.375	-6.785	0,10053	22,65
P	A	01485	80.456	5.111	0,08042	14,57	01486	-30.700	1.286	0,08042	69,18	01487	-25.189	353	0,08042	NS
	P		30.408	-236	0,10053	NS		-11.786	-547	0,10053	NS		17.242	-1.928	0,10053	53,55
S	A		-621.953	28.175	0,21447	10,30		20.256	13.381	0,13404	9,78		34.481	16.565	0,13404	7,80
	P		0	0	0,18096	-		-127.420	-759	0,10053	NS		-319.659	-11.766	0,10053	11,99
P	A	01488	4.916	795	0,08042	NS	01489	8.699	420	0,08042	NS	01490	-4.418	231	0,08042	NS
	P		-1.298	-513	0,10053	NS		-27.789	-3.673	0,10053	29,71		5.047	-5.706	0,10053	18,37
S	A		31.301	13.325	0,13404	9,67		4.015	8.663	0,13404	15,65		66.521	15.112	0,13404	8,30
	P		-277.519	-9.556	0,10053	14,11		-238.294	-11.915	0,10053	11,16		-191.336	-9.566	0,10053	13,05
Piano copertura							**ParetteP18-47**					**Parete P18-47**				
P	A	00016	105.903	5.420	0,33510	60,92	00207	79.655	3.823	0,20106	51,59	00256	24.765	1.186	0,28149	NS
	P		-122.234	-8.805	0,33510	40,84		0	0	0,13404	-		-130.188	-1.407	0,21447	NS
S	A		-655.739	32.785	0,40212	14,68		15.908	16.671	0,28149	16,84		-158.827	5.382	0,28149	57,56
	P		-972.751	-22.915	0,40212	22,38		-346.739	-613	0,28149	NS		-101.586	-5.079	0,28149	59,54
P	A	00280	71.597	3.582	0,20106	55,40	00501	-2.290	3.638	0,20106	57,09	00502	194.694	3.485	0,33510	91,45
	P		-202.402	-47.369	0,26808	6,35		106.187	-2.605	0,13404	48,27		118.072	-5.904	0,33510	55,66
S	A		247.188	51.992	0,20106	3,38		22.133	18.607	0,20106	10,65		-687.809	30.658	0,40212	15,95
	P		-176.389	-8.742	0,20106	26,35		-34.406	-1.720	0,20106	NS		-61.978	-3.099	0,40212	NS

Dir	Pos	Nodo	N_{Ed} [N]	M_{Ed} [N·m]	A_s [cm²/cm]	CS	Nodo	N_{Ed} [N]	M_{Ed} [N·m]	A_s [cm²/cm]	CS	Nodo	N_{Ed} [N]	M_{Ed} [N·m]	A_s [cm²/cm]	CS
P	A	00718	-22.821	1.216	0,20106	NS	00719	-24.726	1.803	0,20106	NS	00720	19.352	833	0,20106	NS
	P		23.581	-1.172	0,13404	NS		25.779	-298	0,13404	NS		14.614	-611	0,13404	NS
S	A		16.862	13.736	0,20106	14,49		10.797	12.752	0,20106	15,64		15.702	10.782	0,20106	18,54
	P		-151.666	-7.003	0,20106	31,52		-588.019	-1.810	0,20106	NS		-62.899	-1.467	0,20106	NS
P	A	00721	22.207	1.040	0,20106	NS	00722	24.992	1.203	0,20106	NS	00723	6.498	288	0,20106	NS
	P		-18.464	-1.927	0,13404	73,68		-38.731	-195	0,21447	NS		-64.648	-3.674	0,21447	62,50
S	A		-5.191	9.476	0,20106	21,47		-33	7.701	0,20106	26,52		-388.413	6.861	0,20106	37,50
	P		-168.915	-1.661	0,20106	NS		-154.068	-4.646	0,20106	48,22		-99.037	-4.930	0,20106	44,71
P	A	00878	94.991	4.893	0,20106	39,91	00879	-19.072	1.268	0,20106	NS	00880	-2.908	1.148	0,20106	NS
	P		194.365	-2.175	0,13404	52,52		247.048	-6.452	0,13404	16,64		206.383	-8.826	0,13404	12,77
S	A		-13.293	18.384	0,20106	10,99		31.829	16.718	0,20106	11,96		52.426	13.829	0,20106	14,32
	P		-433.948	-2.234	0,20106	NS		-437.331	-4.758	0,20106	54,61		-281.873	-4.943	0,20106	48,75
P	A	00881	61.505	2.015	0,20106	99,03	00882	22.512	359	0,20106	NS	00883	82.632	4.251	0,20106	46,31
	P		207.169	-313	0,13404	NS		273.964	-1.281	0,13404	81,09		209.753	-20.144	0,13404	5,57
S	A		104.890	15.554	0,20106	12,48		201.403	14.684	0,20106	12,37		264.526	13.609	0,20106	12,44
	P		-279.858	-4.074	0,20106	59,78		-315.555	-5.837	0,20106	42,51		-594.829	-26.647	0,20106	10,46
P	A	00884	-293.620	263	0,20106	NS	00885	34.886	1.650	0,20106	NS	01434	-9.609	2.847	0,20106	73,29
	P		26.802	-2.969	0,13404	45,83		-151.927	-5.671	0,21447	42,46		6.784	-250	0,13404	NS
S	A		-336.684	1.237	0,20106	NS		-137	3.938	0,20106	52,74		23.877	16.138	0,20106	12,13
	P		-119.842	-10.850	0,20106	19,99		-102.308	-4.033	0,20106	54,76		-114.843	-3.879	0,20106	55,09
P	A	01435	-12.920	2.665	0,20106	78,59	01436	12.901	448	0,20106	NS	01437	22.529	1.098	0,20106	NS
	P		20.906	-983	0,33510	NS		-100.707	-18.979	0,26808	15,18		-105.456	-2.268	0,21447	NS
S	A		14.942	18.884	0,20106	10,41		69.009	19.207	0,20106	10,35		-256.825	5.297	0,20106	45,43
	P		-130.419	-3.159	0,40212	NS		-559.025	-6.185	0,20106	45,04		-110.491	-5.057	0,20106	43,88
P	A	01438	5.645	260	0,20106	NS	01439	-10.269	2.478	0,20106	84,23	01440	41.843	1.813	0,20106	NS
	P		-26.589	-3.074	0,21447	73,10		12.585	-4.955	0,13404	27,84		-5.888	-828	0,13404	NS
S	A		-9.679	10.505	0,20106	19,56		91.919	15.933	0,20106	12,05		31.288	12.859	0,20106	15,51
	P		-125.386	-3.789	0,20106	58,17		-125.982	-3.523	0,20106	62,48		0	0	0,20106	-
P	A	01441	-18.749	1.757	0,20106	NS	01442	56.734	2.620	0,20106	76,40					
	P		23.835	-454	0,13404	NS		0	0	0,13404	-					
S	A		23.615	14.213	0,20106	13,90		32.802	15.875	0,20106	12,42					
	P		-84.377	-2.499	0,20106	84,61		0	0	0,20106	-					
Piano copertura						**Parete16-P9**						**Parete 16-P9**				
P	A	00117	-316.664	58.274	0,16085	3,56	00140	-3.063	9.575	0,08042	8,92	00210	156.790	3.419	0,08042	18,85
	P		131.211	-35.825	0,18096	4,75		43.342	-13.622	0,10053	7,33		104.534	-2.412	0,10053	38,08
S	A		-1.645.724	91.378	0,13404	3,32		-380.420	18.989	0,13404	9,84		114.716	5.578	0,13404	22,35
	P		-1.264.408	-63.197	0,16085	4,64		-806.203	-14.739	0,08042	12,72		-153.494	-3.642	0,08042	28,83
P	A	00224	109.575	3.484	0,08042	20,28	00286	57.886	2.894	0,16085	55,02	00327	63.981	12	0,08042	NS
	P		-332.537	-28.595	0,18096	7,88		207.355	-2.813	0,10053	27,86		310.428	-8.725	0,10053	7,43
S	A		-1.001.588	20.610	0,13404	11,89		367.067	12.962	0,33510	22,86		-196.209	8.173	0,13404	20,12
	P		-796.270	-18.097	0,08042	10,30		-72.567	-3.628	0,28149	82,37		-208.454	-4.026	0,08042	27,85
P	A	00862	-105.435	3.684	0,08042	26,80	00863	-76.808	4.923	0,08042	19,30	00864	53.880	2.694	0,08042	28,93
	P		-6.491	-4.310	0,10053	24,67		85.279	-6.380	0,10053	14,79		56.384	-2.055	0,10053	47,75
S	A		-559.799	16.930	0,13404	11,92		-404.023	11.991	0,13404	15,80		146.957	4.452	0,13404	26,32
	P		-575.754	-21.879	0,08042	7,08		-449.815	-15.670	0,08042	9,14		-58.081	-2.904	0,08042	30,73
P	A	00865	193.957	1.649	0,08042	36,12	00866	76.233	3.812	0,08042	19,68	00867	232.053	8.000	0,08042	6,82
	P		48.651	-2.433	0,10053	40,75		88.036	-3.700	0,10053	25,40		252.667	-7.520	0,10053	9,63
S	A		-275.394	2.744	0,13404	61,64		-180.894	9.045	0,13404	17,97		-449.265	2.968	0,13404	65,49
	P		-11.726	-586	0,08042	NS		-87.222	-4.361	0,08042	22,09		-146.223	-3.171	0,08042	32,81
P	A	00868	119.691	2.341	0,08042	29,60	00869	189.642	9.482	0,08042	6,34	00902	239.229	11.660	0,08042	4,60
	P		107.590	-456	0,10053	NS		587.504	-29.375	0,10053	0,95		161.859	-616	0,10053	NS
S	A		-78.729	3.936	0,13404	38,00		-266.451	3.092	0,13404	53,20		79.678	19.152	0,13404	6,49
	P		-79.124	-3.956	0,08042	24,09		-222.270	-11.114	0,08042	9,47		-616.470	-9.558	0,08042	16,67
P	A	00903	340.724	16.240	0,08042	2,48	01418	69.629	1.995	0,08042	38,02	01419	158.661	5.957	0,08042	10,78
	P		-49.975	-22.089	0,10053	5,07		237.048	-1.620	0,10053	45,94		145.463	-2.558	0,10053	33,80
S	A		2.809	17.671	0,13404	7,64		139.457	4.996	0,33510	65,19		-404.171	9.687	0,13404	19,56
	P		-903.07	-24.764	0,08042	7,83		-35.255	-1.747	0,28149	NS		-234.28	-974	0,08042	NS

Dir	Pos	Nodo	N_{Ed} [N]	M_{Ed} [N·m]	A_s [cm²/cm]	CS	Nodo	N_{Ed} [N]	M_{Ed} [N·m]	A_s [cm²/cm]	CS	Nodo	N_{Ed} [N]	M_{Ed} [N·m]	A_s [cm²/cm]	CS
			4										5			
P	A	01420	15.730	4.750	0,08042	17,46	01421	-134.144	5.060	0,16085	36,31	01422	-112.044	4.763	0,08042	20,91
	P		-107.328	-4.782	0,10053	24,97		-23.239	-1.470	0,10053	73,80		9.605	-1.692	0,10053	61,59
S	A		-45.680	12.883	0,13404	10,79		22.018	11.127	0,13404	11,83		-430.203	9.049	0,13404	20,89
	P		-423.850	-4.496	0,08042	29,71		-732.405	-12.850	0,08042	13,51		-353.164	-12.952	0,08042	9,85
P	A	01423	91.785	3.631	0,08042	20,09	01424	80.183	2.621	0,08042	28,42					
	P		79.429	-2.500	0,10053	38,05		220.492	-3.289	0,10053	23,29					
S	A		-499.790	8.321	0,13404	23,67		43.160	2.919	0,13404	45,89					
	P		-334.576	-4.798	0,08042	26,18		-205.242	-7.079	0,08042	15,78					
	ERRORE: Coefficiente di sicurezza (allo SLU per Momento negativo) inferiore a 1															
Piano copertura						**Parete20-21-P10**						**Parete 20-21**				
P	A	00204	128.558	6.418	0,10053	13,82	00205	27.257	1.348	0,10053	75,59	00206	-226.220	17.992	0,10053	7,49
	P		-19.343	-2.313	0,10053	46,68		74.959	-3.609	0,18096	49,15		0	0	0,10053	-
S	A		-231.970	11.584	0,20106	20,50		-299.480	14.974	0,28149	21,89		-597.074	14.205	0,60319	45,03
	P		14.115	-15.833	0,20106	13,00		-126.509	-3.929	0,28149	77,78		-548.411	-639	0,33510	NS
P	A	00499	50.234	2.104	0,10053	47,01	00500	-184.495	10.846	0,10053	11,93	00848	0	0	0,10053	-
	P		71.578	-1.668	0,10053	57,65		47.550	-1.868	0,10053	53,15		-30.865	-2.230	0,10053	49,10
S	A		-360.982	18.047	0,20106	14,07		-26.805	8.576	0,20106	24,62		-171.659	8.583	0,20106	26,27
	P		-89.449	-4.472	0,20106	49,02		-361.867	-5.404	0,20106	47,00		5.159	-10.112	0,20106	20,05
P	A	00849	-293	15	0,10053	NS	00850	-32.769	1.592	0,10053	68,92	00851	149.384	6.757	0,10053	12,72
	P		-49.586	-2.246	0,10053	49,83		31.500	-2.482	0,10053	40,83		16.078	-1.397	0,10053	74,01
S	A		-189.615	9.481	0,20106	24,00		-778.167	8.672	0,60319	67,41		-1.392.603	15.176	0,60319	45,47
	P		-258.458	-6.345	0,20106	37,24		-429.874	-13.983	0,20106	18,52		-432.884	-15.722	0,40212	29,79
P	A	00852	23.306	1.165	0,18096	NS	00853	267.175	3.377	0,18096	45,18	01406	29.009	1.388	0,10053	73,24
	P		227.603	-6.280	0,18096	25,11		-4.272	-3.618	0,18096	51,91		-61.992	-1.347	0,10053	84,29
S	A		-276.221	13.811	0,20106	17,60		-348.973	9.032	0,20106	27,28		-278.746	13.932	0,20106	17,18
	P		26.685	-20.408	0,20106	10,01		7.125	-19.865	0,20106	10,11		-264.685	-10.905	0,20106	21,78
P	A	01407	-179.624	8.148	0,10053	15,80	01408	7.928	4.167	0,10053	25,06	01409	10.054	503	0,10053	NS
	P		20.160	-1.007	0,10053	NS		-5.174	-1.461	0,10053	72,66		92.428	-4.621	0,10053	20,21
S	A		-538.566	15.585	0,60319	40,54		-443.530	18.745	0,60319	34,61		-61.833	3.092	0,20106	69,76
	P		-361.409	-8.179	0,33510	47,20		8.924	-16.639	0,40212	24,71		1.377	-13.800	0,20106	15,04
P	A	01410	0	0	0,10053	-	01411	1.401	625	0,10053	NS	01698	-89.950	4.845	0,18096	41,05
	P		-33.942	-1.766	0,10053	62,22		7.321	-677	0,10053	NS		131.298	-7.146	0,18096	23,82
S	A		-152.811	7.641	0,20106	29,76		-481.910	16.729	0,60319	38,58		-1.252.444	25.871	0,60319	26,33
	P		-39	-8.190	0,20106	25,36		-229.522	-8.757	0,40212	49,77		29.576	-24.456	0,40212	16,44
	ERRORE: L'armatura superiore è maggiore del massimo consentito															
Piano copertura						**Parete20-21-P10**						**Parete 21-P10**				
P	A	00205	32.596	1.612	0,10053	62,77	00206	-99.157	21.973	0,10053	5,39	00227	5.309	141	0,18096	NS
	P		93.081	-4.469	0,18096	39,18		-32.245	-2.246	0,10053	48,84		-12.732	-803	0,18096	NS
S	A		-343.516	13.294	0,28149	24,78		-18.265	18.303	0,60319	32,88		-115.004	5.746	0,28149	52,93
	P		-112.605	-4.292	0,28149	69,89		-7.932	-397	0,33510	NS		-187.437	-9.225	0,28149	33,98
P	A	00228	23.754	326	0,10053	NS	00499	99.675	2.143	0,10053	43,14	00500	-108.963	3.173	0,10053	37,71
	P		22.992	-1.136	0,10053	90,21		83.371	-2.088	0,10053	45,30		53.851	-1.265	0,10053	77,84
S	A		0	0	0,20106	-		-438.832	14.994	0,20106	17,58		-670.692	15.106	0,20106	19,27
	P		-18.932	-762	0,20106	NS		-134.898	-6.295	0,20106	35,75		-182.896	-4.507	0,20106	51,30
P	A	00673	11.898	583	0,18096	NS	00674	70.941	3.168	0,10053	30,37	00675	5.340	264	0,10053	NS
	P		-9.993	-839	0,18096	NS		-18.267	-1.306	0,10053	82,57		-39.605	-1.783	0,10053	62,06
S	A		-219.674	9.743	0,20106	24,21		-270.276	8.744	0,20106	27,72		-151.877	7.548	0,20106	29,54
	P		-172.685	-7.208	0,20106	31,90		-136.715	-6.450	0,20106	34,93		-117.495	-4.979	0,20106	43,89
P	A	00895	13.490	135	0,10053	NS	00896	-2.541	229	0,10053	NS	00897	11.388	558	0,10053	NS
	P		-8.535	-576	0,10053	NS		12.098	-414	0,10053	NS		13.384	-304	0,10053	NS
S	A		-97.032	2.685	0,20106	82,01		-60.254	1.449	0,20106	NS		-70.135	3.504	0,20106	61,84
	P		-171.754	-6.917	0,20106	33,22		-53.135	-1.655	0,20106	NS		-44.146	-203	0,20106	NS
P	A	00898	-7.294	879	0,10053	NS	00899	-6.482	3.121	0,10053	34,07	01466	54.206	1.641	0,18096	NS
	P		66.884	-3.344	0,10053	28,93		3.471	-2.176	0,10053	48,27		-8.479	-434	0,18096	NS

Dir	Pos	Nodo	N_{Ed} [N]	M_{Ed} [N·m]	A_s [cm²/cm]	CS	Nodo	N_{Ed} [N]	M_{Ed} [N·m]	A_s [cm²/cm]	CS	Nodo	N_{Ed} [N]	M_{Ed} [N·m]	A_s [cm²/cm]	CS
S	A		-174.495	7.798	0,20106	29,51		-275.784	10.922	0,20106	22,25		-156.225	7.437	0,20106	30,63
	P		-10.819	-235	0,20106	NS		-302.107	-2.700	0,20106	91,25		-45.988	-1.695	0,20106	NS
P	A	01467	-1.930	101	0,10053	NS	01468	-52.122	4.418	0,10053	25,41	01469	11.561	547	0,10053	NS
	P		1.369	-77	0,10053	NS		47.865	-1.253	0,10053	79,19		24.525	-962	0,10053	NS
S	A		-41.260	858	0,20106	NS		-668.061	10.590	0,60319	60,70		-190.696	8.705	0,20106	26,19
	P		-43.619	-827	0,20106	NS		0	0	0,33510	-		-127.157	-6.115	0,20106	35,95
P	A	01470	17.231	735	0,10053	NS	01471	34.553	1.728	0,10053	58,44	01472	72.749	3.365	0,10053	28,52
	P		-27.685	-396	0,10053	NS		50.200	-1.165	0,10053	84,92		22.518	-105	0,10053	NS
S	A		-453.108	8.546	0,20106	30,57		-527.506	10.929	0,20106	25,13		-216.003	8.360	0,20106	28,16
	P		-91.970	-2.960	0,20106	72,75		-132.312	-3.242	0,20106	69,31		-105.035	-3.682	0,20106	60,08
	ERRORE: L'armatura superiore è maggiore del massimo consentito															
Piano copertura						**Parete22-P11 (b)**						**Parete 22-P11**				
P	A	00125	104.699	5.381	0,20106	36,08	00219	3.759	189	0,20106	NS	00220	19.822	910	0,40212	NS
	P		-99.979	-23.786	0,20106	9,27		-30.749	-6.138	0,20106	34,48		-108.550	-3.841	0,40212	NS
S	A		-363.739	17.715	0,20106	14,35		-297.753	9.473	0,28149	34,57		-266.206	13.310	0,60319	47,69
	P		-632.148	-31.607	0,20106	9,08		-352.913	-7.969	0,28149	41,97		-272.527	-13.626	0,40212	32,85
P	A	00328	0	0	0,40212	-	00504	62.989	1.446	0,20106	NS	00822	1.517	73	0,20106	NS
	P		-188.752	-11.237	0,40212	38,81		-24.917	-9.111	0,20106	23,15		-27.712	-5.204	0,20106	40,60
S	A		-521.168	18.478	0,60319	33,45		0	0	0,20106	-		-108.713	2.281	0,20106	93,83
	P		-447.791	-16.427	0,28149	21,17		-231.364	-10.555	0,20106	22,49		-202.289	-10.114	0,20106	22,34
P	A	00823	14.525	726	0,20106	NS	00824	3.757	114	0,20106	NS	00825	27.570	161	0,20106	NS
	P		-8.914	-3.403	0,20106	61,38		-17.676	-3.043	0,20106	69,00		-58.641	-2.932	0,20106	73,41
S	A		-172.169	8.581	0,20106	25,60		-237.796	11.883	0,20106	19,32		-248.437	12.221	0,20106	19,36
	P		-195.968	-9.798	0,20106	22,73		-216.827	-10.841	0,20106	20,93		-197.811	-9.891	0,20106	23,27
P	A	00826	141.080	521	0,40212	NS	00827	77.245	1.977	0,20106	99,98	00828	29.088	1.454	0,20106	NS
	P		-228.449	-2.909	0,40212	NS		50.314	-569	0,20106	NS		46.312	-1.428	0,20106	NS
S	A		-293.965	12.368	0,20106	19,84		-221.471	11.074	0,60319	54,51		-47.271	2.364	0,60319	NS
	P		-324.038	-9.799	0,20106	25,43		-243.602	-5.374	0,28149	59,77		-208.403	-10.420	0,20106	21,86
P	A	00829	175.236	1.118	0,20106	NS	00830	50.019	2.501	0,20106	80,47	01368	16.571	126	0,40212	NS
	P		-21.017	-1.057	0,20106	NS		20.473	-564	0,20106	NS		-92.964	-3.102	0,40212	NS
S	A		-21.016	962	0,20106	NS		0	0	0,20106	-		-271.311	13.566	0,60319	42,73
	P		-322.071	-12.210	0,20106	20,07		-424.646	-4.509	0,20106	58,07		-251.762	-11.556	0,20106	20,81
P	A	01369	78.282	616	0,40212	NS	01370	30.931	958	0,20106	NS	01371	30.542	52	0,20106	NS
	P		-83.850	-3.203	0,40212	NS		-41.275	-10.037	0,20106	21,22		-30.966	-7.009	0,20106	30,20
S	A		-288.298	13.757	0,60319	42,17		12.840	2.394	0,20106	83,76		7.441	364	0,20106	NS
	P		-238.761	-9.046	0,20106	26,40		-253.293	-7.956	0,20106	29,50		-145.048	-6.823	0,20106	32,24
P	A	01372	14.246	602	0,20106	NS	01373	17.500	725	0,20106	NS	01374	0	0	0,20106	-
	P		-19.163	-4.286	0,20106	49,04		-8.164	-2.284	0,20106	91,38		-60.960	-3.050	0,20106	70,68
S	A		-73.609	3.367	0,20106	61,67		-76.746	1.798	0,20106	NS		-173.126	8.325	0,20106	26,64
	P		-195.003	-9.750	0,20106	22,90		-234.485	-11.711	0,20106	19,60		-164.789	-7.031	0,20106	31,38
	ERRORE: L'armatura superiore è maggiore del massimo consentito															
Piano copertura						**Parete22-P11 (a)**						**Parete 22-P11**				
P	A	00091	-404.073	20.204	0,28149	16,88	00217	13.904	695	0,60319	NS	00219	989	34	0,20106	NS
	P		-143.187	-9.053	0,28149	34,00		22.640	-1.132	0,60319	NS		-38.348	-6.880	0,20106	30,90
S	A		-602.067	30.103	0,18096	8,58		-71.981	3.599	0,18096	54,61		-224.614	4.825	0,30159	70,17
	P		-302.950	-15.141	0,18096	14,62		-296.146	-13.258	0,18096	16,99		-193.631	-6.227	0,30159	53,75
P	A	00220	-19.848	992	0,33510	NS	00505	-174.489	8.724	0,28149	35,63	00506	-48.700	3.011	0,20106	71,06
	P		-86.029	-3.010	0,33510	NS		19.252	-2.954	0,20106	69,48		-36.303	-3.616	0,20106	58,72
S	A		-254.031	12.702	0,50266	43,04		-470.851	23.543	0,18096	9,93		-396.868	19.843	0,10053	7,61
	P		-283.560	-14.178	0,50266	38,82		-191.404	-9.570	0,10053	12,79		-188.532	-9.427	0,10053	13,21
P	A	00507	0	0	0,20106	-	00636	-15.885	794	0,60319	NS	00637	94.456	1.291	0,20106	NS
	P		-36.839	-4.754	0,20106	44,69		-72.324	-3.616	0,60319	NS		-49.570	-3.199	0,20106	66,92
S	A		-357.846	14.822	0,10053	10,22		-165.291	8.265	0,10053	14,71		-257.294	12.865	0,10053	10,78

Dir	Pos	Nodo	N_{Ed} [N]	M_{Ed} [N·m]	A_s [cm²/cm]	CS	Nodo	N_{Ed} [N]	M_{Ed} [N·m]	A_s [cm²/cm]	CS	Nodo	N_{Ed} [N]	M_{Ed} [N·m]	A_s [cm²/cm]	CS
	P		-152.621	-7.631	0,10053	16,42		-289.060	-14.453	0,10053	9,51		-272.436	-13.622	0,10053	10,33
P	A	00638	-49.004	2.450	0,20106	87,34	00639	8.047	400	0,20106	NS	00822	25.423	471	0,20106	NS
	P		-73.006	-3.650	0,20106	59,47		47.872	-2.390	0,20106	84,31		-30.162	-5.376	0,20106	39,35
S	A		-347.397	17.370	0,10053	8,42		-406.132	20.307	0,10053	7,51		-51.005	2.548	0,10053	40,81
	P		-229.034	-11.452	0,10053	11,46		-187.317	-8.104	0,10053	15,39		-170.349	-8.517	0,10053	14,03
P	A	00823	7.382	369	0,20106	NS	00824	0	0	0,20106	-	00825	723	35	0,20106	NS
	P		-22.676	-4.069	0,20106	51,75		-30.300	-3.239	0,20106	65,33		-56.530	-2.993	0,33510	NS
S	A		-122.595	6.130	0,10053	18,17		-225.325	11.266	0,10053	11,21		-255.246	12.762	0,10053	10,86
	P		-174.390	-8.720	0,10053	13,54		-200.797	-10.040	0,10053	12,27		-183.076	-9.154	0,50266	51,78
P	A	00831	-59.272	420	0,60319	NS	00832	16.380	369	0,20106	NS	00833	-24.801	1.240	0,33510	NS
	P		96.306	-2.184	0,60319	NS		-32.610	-2.359	0,20106	89,84		-67.044	-2.828	0,33510	NS
S	A		-68.373	3.419	0,10053	32,16		-175.681	8.784	0,10053	14,60		-213.716	10.686	0,50266	50,67
	P		-316.606	-15.739	0,10053	9,01		-349.851	-17.493	0,10053	8,60		-319.854	-15.993	0,50266	34,70
P	A	01375	19.325	593	0,60319	NS	01376	55.785	218	0,33510	NS	01377	18.811	536	0,20106	NS
	P		-30.610	-1.739	0,60319	NS		-59.395	-2.945	0,33510	NS		-33.852	-5.244	0,20106	40,43
S	A		-164.256	8.213	0,10053	15,12		-232.229	11.611	0,50266	46,84		-209.285	7.777	0,30159	42,44
	P		-302.791	-15.114	0,10053	9,39		-273.696	-13.685	0,50266	40,13		-157.988	-7.899	0,30159	40,95
P	A	01378	-133.602	6.680	0,28149	45,89	01379	-34.612	1.731	0,20106	NS	01380	6.668	333	0,20106	NS
	P		-58.422	-2.707	0,28149	NS		-76.247	-2.668	0,20106	81,53		-33.128	-3.938	0,20106	53,82
S	A		-462.217	23.111	0,18096	10,43		-332.456	16.623	0,10053	8,51		-219.364	10.968	0,10053	11,35
	P		-222.854	-10.385	0,18096	20,31		-223.330	-11.167	0,10053	11,42		-214.542	-10.727	0,10053	11,55
P	A	01381	11.973	599	0,20106	NS										
	P		-52.958	-2.782	0,20106	77,12										
S	A		-269.065	13.453	0,10053	9,93										
	P		-284.101	-14.205	0,10053	9,54										

ERRORE: L'armatura superiore è maggiore del massimo consentitoL'armatura inferiore è maggiore del massimo consentito

Piano copertura						**ParetteP12-37-47**						**Parete P12-37**				
P	A	00208	18.480	915	0,10053	NS	00209	-95.304	22.503	0,10053	5,24	00231	28.180	339	0,18096	NS
	P		-61.198	-2.809	0,18096	69,31		-20.953	-2.277	0,10053	47,53		-6.766	-547	0,18096	NS
S	A		-148.350	7.417	0,28149	41,04		-19.611	17.826	0,40212	23,23		-167.146	5.444	0,28149	57,10
	P		-138.670	-6.380	0,28149	47,51		0	0	0,33510	-		-112.707	-5.361	0,28149	56,68
P	A	00232	6.768	304	0,10053	NS	00497	32.199	1.521	0,10053	66,58	00498	-96.505	2.051	0,10053	57,55
	P		9.020	-440	0,10053	NS		18.663	-782	0,10053	NS		67.733	-247	0,10053	NS
S	A		-43.885	481	0,20106	NS		-242.843	10.486	0,20106	22,42		-334.669	12.081	0,20106	20,74
	P		-69.151	-1.785	0,20106	NS		-203.069	-6.362	0,20106	36,16		-42.613	-1.016	0,20106	NS
P	A	00655	4.291	163	0,10053	NS	00656	5.888	279	0,10053	NS	00657	6.574	308	0,18096	NS
	P		-34.557	-1.776	0,10053	61,93		-19.413	-1.165	0,10053	92,72		-12.475	-669	0,18096	NS
S	A		-209.153	10.458	0,20106	22,02		-221.618	11.055	0,20106	21,04		-165.053	7.999	0,20106	28,62
	P		-167.576	-3.573	0,20106	62,97		-181.522	-3.856	0,20106	59,00		-97.859	-3.264	0,20106	67,50
P	A	00890	45.124	919	0,10053	NS	00891	656	613	0,10053	NS	00892	21.829	883	0,10053	NS
	P		-11.175	-1.761	0,10053	60,72		5.154	-110	0,10053	NS		15.496	-461	0,10053	NS
S	A		-170.566	6.825	0,20106	33,65		-135.447	6.781	0,20106	33,20		-111.079	2.995	0,20106	74,13
	P		-485.652	-1.960	0,20106	NS		0	0	0,20106	-		0	0	0,20106	-
P	A	00893	20.192	274	0,10053	NS	00894	41.210	327	0,10053	NS	01459	13.757	544	0,10053	NS
	P		2.659	-265	0,10053	NS		49.812	-764	0,10053	NS		25.819	-1.026	0,10053	99,53
S	A		-60.599	1.716	0,20106	NS		-123.089	3.306	0,20106	67,62		-211.581	10.575	0,20106	21,83
	P		-119.291	-5.506	0,20106	40,51		-89.293	-4.457	0,20106	49,17		-113.075	-4.614	0,20106	47,30
P	A	01460	-44.285	4.577	0,10053	24,31	01461	8.749	293	0,10053	NS	01462	16.649	304	0,18096	NS
	P		16.560	-646	0,10053	NS		41.188	-198	0,10053	NS		-7.757	-241	0,18096	NS
S	A		-432.464	9.914	0,40212	46,82		-84.757	1.897	0,20106	NS		-148.615	4.092	0,20106	55,43
	P		-100.190	-2.076	0,33510	NS		-241.279	-1.074	0,20106	NS		-93.124	-3.994	0,20106	55,01
P	A	01463	11.855	507	0,10053	NS	01464	25.976	1.097	0,10053	93,06	01465	-21.826	961	0,10053	NS
	P		12.215	-463	0,10053	NS		42.422	-1.204	0,10053	83,02		18.739	-338	0,10053	NS
S	A		-175.409	7.372	0,20106	31,23		-53.015	2.032	0,20106	NS		-290.397	9.014	0,20106	26,70
	P		-99.355	-3.454	0,20106	63,84		-97.705	-774	0,20106	NS		-230.843	-2.648	0,20106	88,04

Piano copertura	**ParetteP12-37-47**	**Parete 37-47**

Dir	Pos	Nodo	N_{Ed} [N]	M_{Ed} [N·m]	A_s [cm²/cm]	CS	Nodo	N_{Ed} [N]	M_{Ed} [N·m]	A_s [cm²/cm]	CS	Nodo	N_{Ed} [N]	M_{Ed} [N·m]	A_s [cm²/cm]	CS
P	A	00016	-26.606	1.282	0,18096	NS	00207	131.517	7.522	0,10053	11,74	00208	22.259	1.033	0,10053	99,24
	P		161.460	-8.559	0,18096	19,43		-19.078	-2.309	0,10053	46,76		-54.440	-1.873	0,18096	NS
S	A		-525.565	4.548	0,40212	NS		-334.482	16.722	0,20106	14,98		-178.091	8.905	0,28149	35,07
	P		-630.097	-31.505	0,40212	15,40		14.514	-15.590	0,20106	13,20		-76.705	-3.414	0,28149	87,65
P	A	00209	-224.922	18.383	0,10053	7,32	00497	58.311	1.719	0,10053	56,93	00498	-101.353	6.120	0,10053	19,39
	P		72.456	-2.504	0,10053	38,35		31.890	-1.198	0,10053	84,60		147.022	-1.873	0,10053	46,04
S	A		-687.763	13.604	0,40212	35,97		-231.743	11.554	0,20106	20,55		-321.809	10.718	0,20106	23,22
	P		-445.444	-12.838	0,33510	31,26		-95.549	-4.774	0,20106	46,08		-323.990	-3.501	0,20106	71,16
P	A	00501	204.163	821	0,18096	NS	00502	55.859	74	0,18096	NS	00844	16.933	267	0,10053	NS
	P		-3.015	-3.516	0,18096	53,37		249.059	-6.607	0,18096	23,45		-49.521	-2.035	0,10053	54,99
S	A		-419.249	9.473	0,20106	26,97		-19.995	1.009	0,20106	NS		-67.585	3.379	0,20106	62,62
	P		6.653	-19.966	0,20106	10,07		26.311	-20.100	0,40212	20,04		-434.121	-6.889	0,20106	37,48
P	A	00845	6.087	272	0,10053	NS	00846	181.491	8.520	0,10053	9,59	00847	-1.908	147	0,10053	NS
	P		-30.792	-2.312	0,10053	47,35		14.867	-692	0,10053	NS		53.961	-2.166	0,10053	45,45
S	A		-808	40	0,20106	NS		-714.946	3.526	0,40212	NS		-399.476	5.400	0,20106	47,91
	P		5.301	-9.950	0,20106	20,35		9.226	-12.676	0,40212	32,40		-495.216	-10.283	0,20106	26,32
P	A	01400	32.486	1.624	0,10053	62,33	01401	7.231	1.331	0,10053	78,56	01402	-78.897	4.080	0,10053	28,37
	P		-16.619	-2.470	0,10053	43,59		-3.091	-1.199	0,10053	88,30		36.775	-1.882	0,10053	53,50
S	A		-30.269	611	0,20106	NS		-192.098	5.835	0,40212	74,81		-267.805	10.501	0,40212	41,91
	P		-3.233	-13.688	0,20106	15,20		9.544	-17.046	0,40212	24,09		-407.073	-10.624	0,33510	36,81
P	A	01403	22.811	1.045	0,10053	98,13	01404	59.751	1.705	0,10053	57,30	01405	1.751	165	0,10053	NS
	P		-65.453	-1.230	0,10053	92,66		-45.946	-1.521	0,10053	73,27		22.834	-990	0,10053	NS
S	A		-149.308	6.490	0,20106	34,32		-25.564	961	0,20106	NS		-182.028	5.836	0,40212	73,54
	P		-300.653	-10.693	0,20106	22,64		-390.451	-9.789	0,20106	26,31		-346.002	-11.415	0,40212	39,43
Piano copertura						**ParetteP13-43**						**Parete P13-43**				
P	A	00118	-70.016	2.915	0,16085	60,33	00156	237.870	11.337	0,08042	4,74	00216	92.095	4.584	0,08042	15,91
	P		61.981	-31.126	0,16085	5,10		-270.711	-8.007	0,08042	14,99		135.565	-5.453	0,08042	12,32
S	A		-27.499	14.454	0,16085	11,79		-700.588	23.430	0,08042	7,04		19.117	5.749	0,08042	13,87
	P		-407.484	-19.520	0,16085	11,21		171.111	-10.478	0,08042	5,32		-106.091	-3.363	0,08042	28,57
P	A	00289	221.980	3.853	0,08042	14,52	00290	91.978	3.283	0,08042	22,21	00325	-43.035	499	0,08042	NS
	P		-123.687	-6.860	0,16085	26,54		91.926	-695	0,08042	NS		54.130	-2.707	0,08042	28,78
S	A		275.646	9.560	0,28149	26,52		-148.999	7.452	0,08042	13,27		-9.859	7.850	0,08042	10,99
	P		-299.097	-14.942	0,18096	15,13		-95.202	-663	0,08042	NS		-75.446	-802	0,08042	NS
P	A	00326	103.405	5.227	0,08042	13,67	00387	2.252	1.547	0,08042	54,75	00562	125.952	4.470	0,08042	15,32
	P		31.301	-3.196	0,08042	25,31		-55.179	-5.229	0,08042	17,63		0	0	0,08042	-
S	A		218.338	5.243	0,08042	10,74		-28.447	6.604	0,08042	12,73		36.693	14.852	0,08042	5,40
	P		-219.496	-5.449	0,08042	20,83		-744.030	-4.942	0,08042	34,71		0	0	0,08042	-
P	A	00563	5.720	4.518	0,08042	18,64	00854	46.214	876	0,08042	90,13	00855	38.738	2.529	0,08042	31,59
	P		106.710	-5.335	0,08042	13,31		-89.380	-4.479	0,08042	21,58		77.753	-13.180	0,08042	5,68
S	A		69.563	18.723	0,08042	3,80		154.858	6.214	0,08042	9,95		15.023	7.976	0,08042	10,41
	P		-211.683	-2.183	0,08042	49,39		-316.678	-11.481	0,08042	10,72		-146.330	-7.313	0,08042	14,23
P	A	00856	-36.038	2.338	0,08042	38,36	00857	-37.744	944	0,08042	95,24	00858	2.283	98	0,08042	NS
	P		-76.952	-14.652	0,08042	6,49		104.186	-3.434	0,08042	20,77		58.642	-2.207	0,08042	35,02
S	A		1.412	9.515	0,08042	8,91		15.988	8.481	0,08042	8,64		99.360	7.816	0,08042	8,44
	P		-293.009	-13.099	0,08042	9,38		-71.052	-201	0,08042	NS		-86.329	-1.921	0,08042	46,99
P	A	00859	23.330	1.158	0,08042	70,76	00860	148.819	73	0,08042	NS	00861	8.740	1.290	0,08042	65,01
	P		29.677	-1.434	0,08042	56,55		70.935	-6.085	0,08042	12,44		43.145	-2.098	0,08042	37,82
S	A		120.741	7.037	0,08042	9,04		89.470	6.306	0,08042	10,92		-197.101	3.429	0,08042	28,97
	P		-50.393	-2.460	0,08042	34,98		-117.185	-3.923	0,08042	24,44		-217.373	-7.614	0,08042	13,39
P	A	01412	-56.258	3.581	0,08042	25,78	01413	-90.449	3.199	0,08042	30,26	01414	18.524	913	0,08042	90,38
	P		-91.379	-4.896	0,08042	19,79		87.110	-1.053	0,08042	69,87		-37.970	-3.397	0,08042	26,48
S	A		-5.055	11.183	0,08042	7,66		100.215	6.443	0,08042	11,15		83.048	5.661	0,08042	13,09
	P		-207.230	-1.798	0,08042	62,25		0	0	0,08042	-		-332.600	-6.982	0,08042	18,32
P	A	01415	55.858	826	0,08042	94,02	01416	73.645	946	0,08042	79,64	01417	-17.002	1.927	0,08042	45,25
	P		24.975	-1.685	0,08042	48,49		110.985	-2.030	0,08042	34,69		62.105	-2.028	0,08042	37,89
S	A		-528.804	9.254	0,28149	36,72		48.194	6.782	0,08042	11,60		41.583	7.840	0,08042	10,14
	P		-185.247	-8.924	0,18096	22,87		-208.551	-7.544	0,08042	14,86		-133.605	-1.179	0,08042	86,82

Dir	Pos	Nodo	N_{Ed} [N]	M_{Ed} [N·m]	A_s [cm²/cm]	CS	Nodo	N_{Ed} [N]	M_{Ed} [N·m]	A_s [cm²/cm]	CS	Nodo	N_{Ed} [N]	M_{Ed} [N·m]	A_s [cm²/cm]	CS
P	A	01704	237.197	5.402	0,08042	9,97										
	P		-85.162	-6.162	0,08042	15,60										
S	A		-105.259	9.500	0,08042	10,39										
	P		-94.651	-1.312	0,08042	74,16										
Piano copertura						**Parete25-26 (a)**						**Parete 25-26**				
P	A	00089	-194.058	2.070	0,28149	NS	00102	-69.017	522	0,33510	NS	00222	251	13	0,28149	NS
	P		-24.360	-21.648	0,30159	14,45		-146.372	-302	0,30159	NS		-155.449	-383	0,20106	NS
S	A		-267.885	13.394	0,18096	16,56		-72.246	3.612	0,16085	48,77		-148.442	7.422	0,28149	41,56
	P		-366.858	-18.343	0,21447	14,59		-278.929	-13.946	0,16085	14,53		-234.111	-11.706	0,28149	27,29
P	A	00223	-91.516	2.850	0,20106	77,01	00556	-5.313	351	0,20106	NS	00557	15.162	399	0,20106	NS
	P		1.352	-60	0,20106	NS		10.663	-533	0,30159	NS		-45.895	-2.295	0,20106	93,08
S	A		-180.663	9.033	0,28149	34,60		-69.101	3.455	0,08042	25,55		-150.497	7.525	0,08042	13,90
	P		-121.731	-6.087	0,28149	50,11		-256.466	-12.823	0,16085	15,01		-271.677	-13.584	0,08042	8,85
P	A	00558	-44.477	57	0,28149	NS	00559	-34.707	1.735	0,20106	NS	00560	-46.251	2.313	0,20106	92,39
	P		-15.749	-787	0,20106	NS		32.017	-5.814	0,20106	35,01		-57.572	-2.879	0,20106	74,73
S	A		-124.053	6.203	0,28149	47,53		-293.945	14.697	0,08042	8,09		-273.153	13.658	0,08042	8,48
	P		-250.902	-12.545	0,08042	9,38		-280.851	-14.043	0,08042	8,35		-250.460	-12.523	0,08042	9,01
P	A	00561	-8.774	439	0,20106	NS	00621	-5.762	288	0,20106	NS	00622	-43.843	2.192	0,20106	97,32
	P		-74.011	-276	0,20106	NS		-70.260	-3.513	0,20106	61,70		-91.267	-4.563	0,20106	48,09
S	A		-227.724	11.386	0,08042	10,06		-186.484	9.324	0,08042	11,09		-192.510	9.626	0,08042	10,96
	P		-197.792	-9.890	0,08042	11,19		-295.533	-14.777	0,08042	7,95		-271.731	-13.587	0,08042	8,51
P	A	00623	-7.598	380	0,20106	NS	00624	84.124	1.558	0,20106	NS	00625	-161.036	8.052	0,20106	28,37
	P		-76.853	-3.843	0,20106	56,63		-67.718	-3.386	0,20106	63,92		-71.792	-3.590	0,20106	60,44
S	A		-217.238	10.862	0,08042	10,42		-250.226	12.511	0,08042	8,96		-316.882	15.844	0,08042	7,63
	P		-271.114	-13.556	0,08042	8,86		-262.371	-13.119	0,08042	8,67		-277.319	-13.866	0,08042	8,36
P	A	00834	-46.246	1.601	0,20106	NS	00835	-31.027	1.551	0,20106	NS	00836	-16.506	138	0,20106	NS
	P		11.583	-559	0,20106	NS		-3.765	-188	0,20106	NS		-88.450	-4.423	0,20106	49,54
S	A		-143.173	7.159	0,08042	13,47		-117.082	5.854	0,08042	15,49		-190.139	9.507	0,08042	10,39
	P		-134.848	-6.742	0,08042	14,14		-151.205	-7.560	0,08042	12,58		-156.252	-7.813	0,08042	12,08
P	A	00837	0	0	0,20106	-	00838	37.475	19	0,20106	NS	01391	4.915	120	0,33510	NS
	P		-28.319	-1.416	0,20106	NS		-12.381	-619	0,20106	NS		-23.723	-1.186	0,30159	NS
S	A		-189.123	9.456	0,08042	10,72		-203.384	10.169	0,08042	10,52		-148.995	7.450	0,16085	24,52
	P		-158.433	-7.922	0,08042	12,29		-196.296	-9.815	0,08042	10,81		-280.909	-14.045	0,16085	14,20
P	A	01392	5.374	225	0,28149	NS	01393	-40.342	2.017	0,20106	NS	01394	-77.645	3.882	0,28149	77,13
	P		-19.126	-956	0,20106	NS		6.951	-200	0,20106	NS		-41.668	-7.672	0,30159	41,07
S	A		-177.489	8.874	0,28149	34,83		-189.512	9.476	0,28149	32,52		-290.606	14.530	0,18096	15,16
	P		-226.958	-11.348	0,28149	27,80		-170.908	-8.545	0,28149	35,78		-288.474	-14.424	0,21447	17,57
P	A	01395	-19.066	953	0,20106	NS	01396	-19.341	967	0,20106	NS	01397	2.436	91	0,20106	NS
	P		-69.210	-2.805	0,20106	77,21		-21.468	-1.073	0,20106	NS		-39.913	-1.996	0,20106	NS
S	A		-271.453	13.573	0,08042	8,30		-202.761	10.138	0,08042	10,07		-233.198	11.660	0,08042	9,07
	P		-262.853	-13.143	0,08042	8,49		-196.697	-9.835	0,08042	10,31		-243.783	-12.189	0,08042	8,79
P	A	01398	0	0	0,20106	-	01399	22.020	35	0,20106	NS					
	P		-28.335	-1.417	0,20106	NS		-45.370	-2.269	0,20106	94,13					
S	A		-207.101	10.355	0,08042	10,23		-208.290	10.415	0,08042	10,10					
	P		-274.260	-13.713	0,08042	8,36		-218.231	-10.912	0,08042	9,75					
Piano copertura						**Parete25-26 (b)**						**Parete 25-26**				
P	A	00124	-201.887	19.808	0,21447	12,48	00129	-40.300	4.446	0,26808	63,17	00222	1.482	78	0,26808	NS
	P		9.918	-6.324	0,21447	34,79		3.101	-1.137	0,23457	NS		-188.948	-366	0,23457	NS
S	A		-551.140	25.799	0,20106	10,76		-198.024	9.831	0,60319	64,41		-190.791	9.540	0,28149	32,90
	P		-206.499	-10.368	0,20106	22,59		-390.963	-13.720	0,60319	47,95		-264.564	-12.480	0,28149	25,90
P	A	00223	-113.871	1.953	0,13404	79,00	00496	-114.852	5.580	0,13404	27,68	00503	15.782	699	0,26808	NS
	P		32.815	-1.508	0,13404	89,75		52.646	-1.867	0,13404	71,10		-215.861	-462	0,13404	NS
S	A		-221.872	10.483	0,28149	30,33		-276.181	9.330	0,20106	25,78		-280.764	9.877	0,20106	23,89

Dir	Pos	Nodo	N_{Ed} [N]	M_{Ed} [N·m]	A_s [cm²/cm]	CS	Nodo	N_{Ed} [N]	M_{Ed} [N·m]	A_s [cm²/cm]	CS	Nodo	N_{Ed} [N]	M_{Ed} [N·m]	A_s [cm²/cm]	CS
	P		-184.176	-5.931	0,30159	56,19		0	0	0,20106	-		-294.088	-8.583	0,20106	27,69
P	A	00834	-40.450	2.023	0,13404	71,60	00835	-38.147	1.907	0,13404	75,77	00836	-15.321	127	0,13404	NS
	P		16.880	-737	0,13404	NS		-43.481	-2.174	0,13404	66,79		-100.122	-5.006	0,13404	30,47
S	A		-153.190	7.660	0,20106	28,87		-157.024	7.851	0,20106	27,76		-231.851	11.593	0,20106	19,56
	P		-180.242	-8.855	0,20106	25,36		-145.123	-7.256	0,20106	29,82		-188.782	-9.439	0,20106	23,44
P	A	00837	-1.389	69	0,13404	NS	00838	8.384	56	0,13404	NS	00839	13.055	454	0,13404	NS
	P		-79.446	-3.972	0,13404	37,73		-33.310	-1.666	0,13404	86,40		132.370	-1.359	0,23457	NS
S	A		-197.725	9.886	0,20106	22,64		-226.310	11.316	0,20106	20,55		-178.632	1.182	0,60319	NS
	P		-157.221	-7.861	0,20106	27,81		-201.145	-10.057	0,20106	22,80		-744.638	-368	0,60319	NS
P	A	00840	-13.135	684	0,13404	NS	00841	13.453	673	0,13404	NS	00842	-28.491	1.425	0,13404	NS
	P		-3.463	-195	0,13404	NS		33.420	-1.671	0,13404	80,93		-28.652	-1.433	0,13404	NS
S	A		-179.994	7.217	0,20106	31,98		-171.440	8.572	0,20106	26,22		-123.119	6.156	0,20106	36,31
	P		-131.938	-3.594	0,20106	62,51		-162.805	-8.140	0,20106	27,48		-157.085	-7.313	0,20106	31,16
P	A	00843	25.244	677	0,13404	NS	01382	6.891	67	0,26808	NS	01383	28.926	1.393	0,26808	NS
	P		56.592	-3.390	0,13404	39,01		-92.787	-360	0,23457	NS		29.029	-1.327	0,23457	NS
S	A		-133.400	2.839	0,20106	79,20		-186.698	9.210	0,20106	24,66		-190.172	5.205	0,60319	NS
	P		-82.573	-864	0,20106	NS		-178.361	-8.503	0,20106	26,59		-645.741	-1.351	0,60319	NS
P	A	01384	-76.889	6.484	0,13404	23,06	01385	-85.904	4.197	0,13404	35,90	01386	-34.728	2.305	0,13404	62,49
	P		26.606	-247	0,13404	NS		9.171	-345	0,13404	NS		-160	-434	0,13404	NS
S	A		-166.930	4.037	0,20106	55,89		-147.875	6.561	0,20106	33,95		-114.393	5.687	0,20106	37,83
	P		58.748	-2.019	0,20106	97,35		-115.745	-2.350	0,20106	93,02		-151.902	-7.339	0,20106	29,97
P	A	01387	-17.915	413	0,13404	NS	01388	-28.002	1.400	0,13404	NS	01389	0	0	0,13404	-
	P		-12.644	-941	0,13404	NS		-54.642	-2.735	0,13404	53,61		-22.963	-1.148	0,13404	NS
S	A		-93.935	4.214	0,20106	50,76		-169.480	8.474	0,20106	26,01		-209.942	10.497	0,20106	21,55
	P		-131.400	-5.808	0,20106	37,66		-148.663	-7.293	0,20106	29,86		-164.302	-8.215	0,20106	26,83
P	A	01390	21.857	973	0,13404	NS										
	P		15.271	-266	0,23457	NS										
S	A		-158.040	7.853	0,60319	79,75										
	P		-80.710	-3.851	0,60319	NS										
	ERRORE: L'armatura superiore è maggiore del massimo consentitoL'armatura inferiore è maggiore del massimo consentito															
Piano terra						**ParetteP1-3**						**Parete P1-3**				
P	A	00006	-115.246	13.362	0,08042	7,48	00087	-129.731	32.661	0,16085	5,62	00233	24.163	1.111	0,08042	73,64
	P		-136.302	-33.497	0,16085	5,48		-126.515	-6.298	0,16085	29,08		59.191	-1.751	0,08042	44,12
S	A		-596.220	26.620	0,18096	9,86		-590.648	14.594	0,30159	26,35		-38.769	1.709	0,18096	NS
	P		-738.720	-34.730	0,18096	8,00		-533.576	-18.592	0,30159	20,31		-130.912	-5.158	0,18096	39,58
P	A	00235	-30.458	1.527	0,08042	58,26	00550	47.360	1.869	0,08042	42,14	00551	-12.101	633	0,08042	NS
	P		-9.948	-485	0,08042	NS		-122.662	-9.205	0,08042	10,97		-119.642	-5.169	0,08042	19,46
S	A		-110.198	3.291	0,50266	NS		-229.591	9.122	0,10053	14,82		-251.057	239	0,10053	NS
	P		-89.065	-1.615	0,50266	NS		-206.793	-9.235	0,10053	14,32		-177.520	-6.095	0,10053	21,08
P	A	00552	2.414	121	0,08042	NS	00553	-80.992	1.823	0,08042	52,41	00554	-110.192	5.063	0,08042	19,62
	P		-100.511	-2.050	0,08042	47,84		-16.415	-1.114	0,08042	78,19		-38.959	-1.948	0,08042	46,24
S	A		-100.300	239	0,10053	NS		-121.318	4.317	0,10053	28,08		-175.437	8.761	0,10053	14,64
	P		-198.937	-9.633	0,10053	13,62		-242.127	-12.105	0,10053	11,30		-270.605	-13.530	0,10053	10,38
P	A	00555	-76.426	9.471	0,08042	10,03	00576	704	248	0,08042	NS	00577	78.607	2.219	0,08042	33,66
	P		-99.629	-4.981	0,08042	19,67		-13.000	-953	0,08042	90,94		-77.276	-2.857	0,08042	33,27
S	A		-243.089	12.154	0,10053	11,26		-111.264	3.025	0,10053	39,65		-109.550	5.427	0,10053	22,06
	P		-262.339	-13.117	0,10053	10,63		-59.341	-2.961	0,10053	38,23		-157.039	-5.454	0,10053	23,07
P	A	00578	111.863	5.222	0,08042	13,47	00579	65.416	3.115	0,08042	24,53	00580	35.059	2.566	0,08042	31,33
	P		63.622	-3.388	0,08042	22,62		79.497	-2.830	0,08042	26,35		17.675	-574	0,08042	NS
S	A		-264.592	10.088	0,10053	13,84		-290.352	14.203	0,10053	9,86		-155.313	6.557	0,10053	19,16
	P		-457.400	-12.495	0,10053	13,12		-186.827	-6.458	0,10053	19,64		-115.557	-3.196	0,10053	37,70
P	A	00581	77.768	897	0,08042	83,39	00582	-103.281	1.487	0,08042	66,21	00583	-5.934	1.943	0,08042	44,14
	P		26.435	-397	0,08042	NS		3.214	-130	0,08042	NS		47.497	-595	0,08042	NS

Dir	Pos	Nodo	N_{Ed} [N]	M_{Ed} [N·m]	A_s [cm²/cm]	CS	Nodo	N_{Ed} [N]	M_{Ed} [N·m]	A_s [cm²/cm]	CS	Nodo	N_{Ed} [N]	M_{Ed} [N·m]	A_s [cm²/cm]	CS
S	A		-53.686	1.567	0,10053	71,79		-95.022	3.308	0,10053	35,61		-71.268	3.563	0,10053	32,20
	P		-43.124	-1.311	0,10053	84,73		-112.784	-4.294	0,10053	27,98		-75.066	-3.753	0,10053	30,70
P	A	00584	39.193	840	0,08042	95,02	00585	2.109	105	0,08042	NS	00586	-8.835	1.113	0,08042	77,36
	P		71.798	-699	0,08042	NS		45.358	-956	0,08042	82,68		24.386	-2.588	0,08042	31,60
S	A		-67.624	3.381	0,10053	33,80		-76.079	3.804	0,10053	30,33		-40.901	1.989	0,10053	55,71
	P		-61.874	-3.094	0,10053	36,70		-64.115	-3.206	0,10053	35,50		-31.103	-1.539	0,10053	71,17
P	A	00587	19.754	361	0,08042	NS	01183	37.884	1.946	0,08042	41,13	01184	-55.259	12.085	0,16085	14,36
	P		104.964	-2.197	0,08042	32,41		-117.139	-12.021	0,08042	8,34		-6.145	-1.461	0,08042	58,72
S	A		-64.744	1.101	0,10053	NS		-189.111	8.296	0,10053	15,67		-250.937	11.807	0,30159	28,96
	P		-89.128	-2.367	0,10053	49,45		-240.496	-9.802	0,10053	13,93		-246.701	-12.254	0,30159	27,86
P	A	01185	-11.012	915	0,08042	94,45	01186	126.263	514	0,08042	NS	01187	21.790	229	0,08042	NS
	P		11.005	-462	0,08042	NS		30.180	-1.802	0,08042	44,98		-20.437	-2.981	0,08042	29,41
S	A		-60.046	1.692	0,50266	NS		-83.063	1.777	0,10053	65,45		-81.262	2.343	0,10053	49,52
	P		-65.639	-2.096	0,50266	NS		-105.587	-2.889	0,10053	41,25		-61.092	-2.371	0,10053	47,83
P	A	01188	-14.145	886	0,08042	97,98	01189	-11.968	1.400	0,08042	61,80	01190	2.431	2.032	0,08042	41,66
	P		-16.283	-1.917	0,08042	45,44		4.599	-91	0,08042	NS		5.787	-169	0,08042	NS
S	A		-49.761	2.231	0,10053	50,17		-80.401	4.010	0,10053	28,91		-86.063	3.765	0,10053	30,99
	P		-101.115	-4.981	0,10053	23,81		-135.947	-6.797	0,10053	18,11		-99.534	-4.976	0,10053	23,80
P	A	01191	15.172	277	0,08042	NS	01192	-56.419	396	0,08042	NS	01193	-38.835	4.067	0,08042	22,14
	P		-80.063	-4.705	0,08042	20,28		-44.052	-493	0,08042	NS		25.982	-481	0,08042	NS
S	A		6.287	614	0,10053	NS		-89.576	3.118	0,10053	37,57		-155.105	6.840	0,10053	18,36
	P		-111.166	-3.916	0,10053	30,62		-189.390	-9.109	0,10053	14,27		-211.603	-10.580	0,10053	12,56
Piano terra						**Parete1-2**						**Parete 1-2**				
P	A	00002	-251.911	12.992	0,16085	15,33	00004	12.426	9.200	0,08042	9,06	00085	-76.962	18.013	0,18096	10,94
	P		-26.591	-18.743	0,16085	9,08		-43.802	-86.025	0,16085	2,00		-203.048	-10.123	0,16085	19,07
S	A		-678.387	30.502	0,18096	8,90		-242.101	12.130	0,10053	11,29		-534.260	14.376	0,50266	39,81
	P		-697.757	-30.008	0,18096	9,12		54.839	-40.026	0,18096	4,50		-714.631	-32.530	0,50266	18,22
P	A	00086	-161.444	39.826	0,28149	7,75	00538	74.181	3.023	0,08042	24,89	00539	91.285	1.212	0,08042	60,24
	P		-62.763	-3.946	0,18096	49,54		-19.047	-19.783	0,08042	4,42		-52.459	-12.943	0,08042	7,10
S	A		-1.588.390	24.170	0,50266	23,84		-334.676	1.976	0,10053	73,46		0	0	0,10053	-
	P		-301.042	-14.697	0,30159	22,85		-193.161	-9.658	0,10053	13,16		-162.981	-7.400	0,10053	16,66
P	A	00540	36.684	1.683	0,08042	47,65	00541	18.331	920	0,08042	89,74	00542	-141.361	4.672	0,28149	65,56
	P		-77.763	-6.612	0,08042	14,39		-38.493	-1.925	0,08042	46,77		-22.229	-1.111	0,18096	NS
S	A		-43.541	923	0,10053	NS		-110.622	4.388	0,10053	26,63		-175.726	8.767	0,10053	13,89
	P		-185.862	-9.293	0,10053	13,63		-199.923	-9.996	0,10053	12,84		-194.907	-9.745	0,30159	32,35
P	A	00543	-164.058	10.284	0,28149	30,05	00544	56.164	2.806	0,08042	27,66	00545	42.752	614	0,08042	NS
	P		-31.411	-1.807	0,18096	NS		-21.826	-5.559	0,08042	15,80		-38.399	-3.857	0,08042	23,33
S	A		-224.571	11.229	0,10053	11,14		-115.608	5.789	0,10053	20,24		-61.815	3.039	0,10053	37,36
	P		-193.839	-9.154	0,30159	34,10		-160.415	-8.021	0,10053	15,33		-95.353	-2.806	0,10053	42,01
P	A	00546	20.703	860	0,08042	95,65	00547	8.566	423	0,08042	NS	00548	-51.058	2.147	0,08042	42,68
	P		-38.058	-1.797	0,08042	50,06		-26.381	-1.319	0,08042	67,04		-88.120	-4.406	0,08042	21,90
S	A		-104.152	1.939	0,10053	61,37		-103.651	5.177	0,10053	22,21		-170.700	8.535	0,10053	14,42
	P		-143.810	-6.960	0,10053	17,84		-222.039	-11.102	0,10053	11,73		-277.596	-13.880	0,10053	9,86
P	A	00549	-75.519	5.514	0,18096	35,72	00588	46.979	2.364	0,08042	33,35	00589	25.158	689	0,08042	NS
	P		133.855	-3.578	0,16085	41,76		38.241	-1.947	0,08042	41,08		-66.166	-2.044	0,08042	45,81
S	A		-211.662	10.583	0,50266	50,01		-267.482	10.667	0,10053	12,72		-222.563	2.492	0,10053	51,53
	P		-477.376	-23.279	0,50266	24,19		-369.850	-2.628	0,10053	56,59		-106.861	-3.273	0,10053	34,66
P	A	00590	26.929	1.245	0,08042	65,44	00591	27.448	477	0,08042	NS	00592	36.837	1.624	0,08042	49,37
	P		-75.000	-1.857	0,08042	51,04		-10.782	-767	0,08042	NS		-100.291	-3.097	0,08042	31,67
S	A		-113.654	3.415	0,10053	33,24		-181.471	5.288	0,10053	23,15		-177.899	5.940	0,10053	20,72
	P		-96.396	-3.178	0,10053	35,01		-86.828	-1.729	0,10053	63,72		-380.647	-2.787	0,10053	53,42
P	A	00593	44.806	2.167	0,08042	36,51	00594	4.086	5.876	0,08042	14,37	00595	28.970	2.217	0,08042	36,62
	P		-107.328	-4.760	0,08042	20,79		38.716	-1.232	0,08042	64,87		4.333	-357	0,08042	NS
S	A		13.740	8.934	0,10053	11,17		-261.790	6.653	0,10053	20,02		-307.882	6.213	0,10053	23,36

Dir	Pos	Nodo	N_{Ed} [N]	M_{Ed} [N·m]	A_s [cm²/cm]	CS	Nodo	N_{Ed} [N]	M_{Ed} [N·m]	A_s [cm²/cm]	CS	Nodo	N_{Ed} [N]	M_{Ed} [N·m]	A_s [cm²/cm]	CS
	P		-192.716	-7.924	0,10053	15,97		-117.524	-3.028	0,10053	37,85		-58.937	-2.783	0,10053	40,66
P	A	00596	12.868	643	0,08042	NS	00597	21.127	556	0,08042	NS	00598	85.655	3.069	0,08042	24,04
	P		10.487	-502	0,08042	NS		18.965	-900	0,08042	91,64		27.175	-1.343	0,08042	60,61
S	A		-285.077	2.707	0,10053	52,55		-97.117	1.606	0,10053	73,52		-100.343	2.492	0,10053	47,56
	P		-17.951	-898	0,10053	NS		-78.570	-3.928	0,10053	29,46		-225.347	-6.129	0,10053	21,97
P	A	00599	3.756	1.467	0,18096	NS	01194	158.478	1.308	0,08042	49,12	01195	-81.346	13.526	0,28149	22,09
	P		32.897	-1.075	0,08042	75,04		-73.796	-24.792	0,16085	7,09		34.867	-1.924	0,18096	94,98
S	A		-221.964	5.661	0,50266	84,00		-296.832	4.063	0,10053	34,55		-240.731	11.496	0,50266	45,25
	P		-354.010	-12.544	0,10053	12,08		-251.841	-12.576	0,18096	17,05		-155.503	-7.358	0,30159	43,51
P	A	01196	-41.274	6.822	0,18096	28,22	01197	72.629	2.158	0,08042	34,97	01198	13.692	288	0,08042	NS
	P		14.370	-2.527	0,16085	65,29		-43.602	-7.146	0,08042	12,69		-56.071	-3.988	0,08042	23,15
S	A		-230.112	11.084	0,50266	48,28		-175.759	8.099	0,10053	15,38		-83.380	1.535	0,10053	72,52
	P		-443.575	-20.221	0,50266	27,81		-223.786	-10.668	0,10053	12,26		-125.095	-3.897	0,10053	29,95
P	A	01199	1.789	56	0,08042	NS	01200	-31.359	615	0,08042	NS	01201	-16.570	2.735	0,08042	31,87
	P		-43.709	-2.838	0,08042	31,95		-36.400	-1.820	0,08042	49,31		-12.745	-643	0,08042	NS
S	A		-70.900	1.740	0,10053	62,84		-111.774	4.972	0,10053	22,98		-147.669	5.112	0,10053	23,38
	P		-123.432	-5.621	0,10053	20,67		-212.872	-10.644	0,10053	11,96		-313.979	-12.633	0,10053	11,15
P	A	01202	-862	329	0,08042	NS	01203	6.886	32	0,08042	NS	01204	-10.338	1.292	0,08042	66,83
	P		-62.149	-4.085	0,08042	22,79		-43.205	-2.160	0,08042	41,95		-10.648	-542	0,08042	NS
S	A		-65.550	2.537	0,10053	42,21		-67.713	3.386	0,10053	31,89		-105.520	3.903	0,10053	29,58
	P		-126.264	-5.837	0,10053	19,70		-164.759	-8.238	0,10053	14,63		-227.582	-8.541	0,10053	15,36
P	A	01205	10.191	377	0,08042	NS	01206	-13.244	855	0,08042	NS	01207	-29.094	417	0,08042	NS
	P		-83.335	-4.352	0,08042	22,03		-58.279	-4.530	0,08042	20,44		-16.301	-1.260	0,08042	69,12
S	A		-110	2.019	0,10053	48,84		-44.422	1.864	0,10053	55,94		-73.749	3.667	0,10053	29,82
	P		-97.116	-4.357	0,10053	25,53		-158.203	-7.910	0,10053	15,05		-174.272	-8.713	0,10053	14,04
P	A	01208	-6.428	1.406	0,08042	61,05	01209	0	0	0,08042	-	01210	303	134	0,08042	NS
	P		-6.466	-367	0,08042	NS		-79.905	-10.787	0,08042	8,85		-62.320	-3.403	0,08042	27,37
S	A		-74.646	2.546	0,10053	44,01		9.312	2.513	0,10053	39,29		-80.856	2.095	0,10053	52,56
	P		-105.067	-4.619	0,10053	25,11		-329.950	-9.146	0,10053	15,58		-189.530	-9.477	0,10053	13,10
P	A	01211	-41.418	3.731	0,08042	24,23										
	P		-16.412	-877	0,08042	99,31										
S	A		-156.182	5.514	0,10053	21,61										
	P		-172.575	-7.230	0,10053	16,78										
Piano terra						**Parete13-P4**						**Parete 13-P4**				
P	A	00038	-74.768	20.778	0,08042	4,56	00101	-206.602	17.262	0,18096	12,38	00269	5.628	281	0,08042	NS
	P		-27.651	-24.502	0,16085	6,94		0	0	0,16085	-		-67.184	-9.320	0,08042	10,06
S	A		-719.106	43.581	0,08042	4,07		-623.980	29.941	0,21447	9,85		-213.242	10.662	0,16085	18,23
	P		-319.917	-15.961	0,16085	12,87		0	0	0,21447	-		-128.748	-6.437	0,18096	31,65
P	A	00271	-279.376	5.745	0,08042	21,09	00508	-34.575	4.592	0,08042	19,49	00509	103.512	2.454	0,08042	29,10
	P		-102.824	-8.333	0,08042	11,81		115.439	-3.450	0,08042	20,25		212.677	-4.824	0,08042	11,83
S	A		-296.160	12.604	0,28149	25,97		56.433	2.366	0,08042	32,79		11.702	1.233	0,08042	67,70
	P		-356.058	-16.454	0,28149	20,35		-204.884	-7.115	0,08042	15,69		-228.331	-8.123	0,08042	14,11
P	A	00510	96.945	1.578	0,08042	45,81	00511	154.134	2.322	0,08042	27,90	00512	32.993	1.297	0,08042	62,21
	P		133.364	-746	0,08042	90,45		-77.073	-1.325	0,08042	71,73		51.173	-1.797	0,08042	43,55
S	A		0	0	0,08042	-		0	0	0,08042	-		-252.242	404	0,08042	NS
	P		-226.988	-7.383	0,08042	15,50		-123.580	-6.120	0,08042	16,52		-178.631	-5.352	0,08042	20,22
P	A	00513	-154.775	1.623	0,08042	64,78	01035	-128.583	6.429	0,08042	15,82	01036	-145.793	7.291	0,08042	14,26
	P		34.241	-1.717	0,08042	46,88		-185.175	-2.541	0,08042	42,92		-66.693	-4.260	0,08042	21,99
S	A		-468.052	5.472	0,08042	26,47		-325.524	16.276	0,08042	7,80		-443.460	17.493	0,08042	8,11
	P		-181.059	-3.748	0,08042	28,96		-125.777	-6.228	0,08042	16,28		-135.407	-6.379	0,08042	16,09
P	A	01071	77.650	1.583	0,08042	47,25	01072	466	736	0,08042	NS	01073	4.403	40	0,08042	NS
	P		35.294	-2.497	0,08042	32,18		-125.384	-1.117	0,08042	90,71		-120.148	-547	0,08042	NS
S	A		-140.089	7.004	0,08042	14,08		-114.820	4.624	0,08042	21,61		0	0	0,08042	-
	P		-94.824	-4.730	0,08042	19,61		-94.695	-3.566	0,08042	27,30		-198.51	-5.376	0,08042	20,61

Dir	Pos	Nodo	N_{Ed} [N]	M_{Ed} [N·m]	A_s [cm²/cm]	CS	Nodo	N_{Ed} [N]	M_{Ed} [N·m]	A_s [cm²/cm]	CS	Nodo	N_{Ed} [N]	M_{Ed} [N·m]	A_s [cm²/cm]	CS
													1			
P	A	01074	1.896	424	0,08042	NS	01075	-121.901	1.184	0,08042	85,17	01076	-359.303	3.314	0,08042	39,61
	P		-33.507	-1.675	0,08042	53,34		-80.831	-4.042	0,08042	23,64		23.726	-1.180	0,08042	69,38
S	A		-34.339	1.611	0,08042	55,53		-60.365	2.980	0,08042	31,16		-188.760	7.968	0,08042	13,22
	P		-275.839	-13.792	0,08042	8,75		-265.022	-13.251	0,08042	9,00		-385.145	-17.695	0,08042	7,37
P	A	01077	-127.452	6.373	0,08042	15,94	01078	-166.669	10.738	0,08042	9,93	01601	-18.757	938	0,08042	93,23
	P		24.282	-1.213	0,08042	67,44		107.304	-2.676	0,08042	26,50		-141.639	-4.444	0,08042	23,27
S	A		-238.580	11.929	0,08042	9,72		-397.501	19.874	0,08042	6,67		-235.226	11.761	0,16085	16,77
	P		-173.530	-6.550	0,08042	16,42		-306.183	-15.309	0,08042	7,90		-138.571	-6.927	0,18096	29,60
P	A	01602	-143.774	4.572	0,08042	22,68	01603	-70.694	6.282	0,18096	31,25	01604	-27.947	1.046	0,08042	84,71
	P		-29.955	-2.172	0,08042	40,92		0	0	0,16085	-		-90.553	-6.308	0,08042	15,34
S	A		-217.163	10.854	0,28149	29,23		-427.749	14.908	0,21447	18,50		-463.478	14.508	0,08042	9,94
	P		-204.002	-8.604	0,28149	36,67		-117.817	-1.365	0,21447	NS		-127.975	-6.105	0,08042	16,65
P	A	01605	30.729	1.460	0,08042	55,45	01606	27.558	1.145	0,08042	71,07	01607	41.646	1.947	0,08042	40,84
	P		-156.611	-2.392	0,08042	44,04		17.215	-644	0,08042	NS		-94.341	-162	0,08042	NS
S	A		-242.821	7.423	0,08042	15,69		0	0	0,08042	-		-121.045	404	0,08042	NS
	P		-147.839	-6.289	0,08042	16,57		-177.660	-5.639	0,08042	19,17		-259.467	-4.820	0,08042	24,61
P	A	01608	-30.121	3.474	0,08042	25,59										
	P		11.420	-145	0,08042	NS										
S	A		-230.046	9.909	0,08042	11,59										
	P		-72.554	-3.394	0,08042	27,83										
Piano terra						**ParetteP5-16-P6**						**Parete P5-16**				
P	A	00072	-106.455	856	0,08042	NS	00117	23.041	3.620	0,08042	22,64	00263	0	0	0,08042	-
	P		-179.913	-15.980	0,08042	6,78		76.148	-8.442	0,08042	8,89		-38.023	-12.418	0,16085	13,80
S	A		-163.066	8.153	0,10053	15,53		36.101	2.544	0,20106	79,79		-6.221	311	0,18096	NS
	P		-445.321	-22.264	0,10053	7,29		-775.454	-39.104	0,20106	7,73		-210.883	-10.544	0,18096	20,33
P	A	00265	-384.794	7.607	0,08042	17,68	00730	91.248	3.821	0,08042	19,11	00731	55.990	2.298	0,08042	33,79
	P		-176.453	-8.793	0,08042	12,28		46.525	-1.795	0,08042	43,96		59.738	-3.011	0,08042	25,62
S	A		-308.793	4.661	0,18096	48,70		32.214	1.627	0,10053	62,23		-2.829	244	0,10053	NS
	P		-545.455	-17.286	0,20106	15,95		-169.542	-8.107	0,10053	15,72		-489.037	-12.581	0,10053	13,34
P	A	00732	44.442	4.590	0,08042	17,25	00733	147.652	5.371	0,08042	12,22	00734	47.357	4.474	0,08042	17,61
	P		46.722	-4.266	0,08042	18,49		44.938	-905	0,08042	87,45		-88.728	-746	0,08042	NS
S	A		-403.879	20.194	0,10053	7,79		-268.250	13.412	0,10053	10,15		-315.241	15.760	0,10053	9,01
	P		-187.611	-5.848	0,10053	22,19		-152.900	-1.142	0,10053	NS		-624	-1.129	0,10053	89,81
P	A	00735	47.919	2.624	0,08042	29,99	00736	219.724	9.399	0,08042	5,97	00737	162.019	1.595	0,08042	39,97
	P		294.828	-5.885	0,08042	7,86		-55.218	-1.087	0,08042	84,79		-103.275	-2.479	0,08042	39,72
S	A		-121.703	7.897	0,10053	14,87		-398.346	14.009	0,10053	10,93		-580.652	12.915	0,20106	21,31
	P		-6.623	-2.350	0,10053	43,60		-6.786	-2.780	0,20106	73,35		-4.191	-3.873	0,20106	52,23
P	A	00738	43.885	2.856	0,08042	27,74	00739	-11.345	2.912	0,08042	29,69	00740	-18.130	1.467	0,08042	59,56
	P		-60.511	-10.913	0,08042	8,51		-74.887	-4.507	0,08042	21,02		49.578	-70	0,08042	NS
S	A		0	0	0,10053	-		-138.794	1.755	0,10053	70,38		-166.825	3.764	0,10053	31,65
	P		-406.858	-20.341	0,10053	7,59		-311.367	-13.937	0,10053	10,45		-377.590	-3.779	0,10053	38,64
P	A	00741	29.035	1.350	0,08042	60,14	00742	8.438	405	0,08042	NS	00743	63.009	1.873	0,08042	40,96
	P		4.347	-250	0,08042	NS		84.982	-2.026	0,08042	36,44		-87.539	-1.172	0,08042	82,25
S	A		-53.514	2.325	0,10053	48,36		-30.760	1.535	0,10053	71,34		-47.463	198	0,10053	NS
	P		-260.779	-2.452	0,10053	56,76		-25.330	-302	0,10053	NS		-46.736	-2.295	0,10053	48,60
P	A	00744	35.374	366	0,08042	NS	00745	175.972	1.619	0,08042	38,27	01306	51.521	2.019	0,08042	38,75
	P		-82.708	-1.688	0,08042	56,73		18.391	-2.605	0,16085	63,04		-16.769	-2.540	0,08042	34,33
S	A		-4.636	220	0,10053	NS		-56.350	2.511	0,10053	43,18		-114.398	5.550	0,10053	21,68
	P		-65.154	-3.027	0,10053	37,64		-112.351	-5.487	0,10053	21,08		-226.291	-9.132	0,10053	14,76
P	A	01307	68.811	1.952	0,08042	38,92	01308	-138.673	2.910	0,08042	35,41	01309	14.114	697	0,08042	NS
	P		-134.53	-7.408	0,08042	13,84		23.565	-1.529	0,08042	53,57		-71.648	-4.650	0,08042	20,29

Dir	Pos	Nodo	N_{Ed} [N]	M_{Ed} [N·m]	A_s [cm²/cm]	CS	Nodo	N_{Ed} [N]	M_{Ed} [N·m]	A_s [cm²/cm]	CS	Nodo	N_{Ed} [N]	M_{Ed} [N·m]	A_s [cm²/cm]	CS
			1													
S	A		0	0	0,20106	-		-149.687	5.041	0,18096	39,81		-179.617	2.357	0,10053	54,62
	P		-356.985	-7.979	0,20106	31,29		-356.624	-13.272	0,20106	18,62		-150.405	-7.514	0,10053	16,63
P	A	01310	90.185	587	0,08042	NS	01311	54.659	903	0,08042	86,21	01312	16.392	505	0,08042	NS
	P		-104.645	-1.676	0,08042	58,84		-89.481	-1.078	0,08042	89,66		40.429	-1.298	0,08042	61,40
S	A		-81.728	2.080	0,10053	54,47		-147.306	6.330	0,10053	19,26		-269.391	4.260	0,10053	32,14
	P		-168.235	-6.111	0,10053	20,37		-93.354	-1.389	0,10053	82,74		-352.317	-1.951	0,10053	75,56
P	A	01313	16.669	489	0,08042	NS										
	P		54.041	-491	0,08042	NS										
S	A		-69.545	1.003	0,10053	NS										
	P		-306.697	-8.788	0,10053	15,89										
Piano terra							**ParetteP5-16-P6**					**Parete 16-P6**				
P	A	00072	-102.670	380	0,08042	NS	00117	1.790	89	0,08042	NS	00251	255.348	2.262	0,08042	22,75
	P		154.712	-7.761	0,08042	8,34		-229.338	-20.463	0,08042	5,61		-97.018	-1.614	0,08042	60,49
S	A		0	0	0,10053	-		0	0	0,20106	-		-116.420	5.820	0,10053	19,45
	P		-422.163	-20.887	0,10053	7,37		-821.196	-41.484	0,20106	7,23		-111.953	-4.497	0,10053	25,04
P	A	00253	909	45	0,16085	NS	00273	54.151	1.400	0,16085	NS	00732	120.081	5.359	0,08042	12,92
	P		-8.014	-401	0,16085	NS		-72.128	-2.868	0,16085	61,42		41.695	-3.176	0,08042	25,04
S	A		-20.397	1.020	0,30159	NS		-107.016	5.351	0,18096	37,58		-251.495	12.574	0,10053	10,59
	P		-242.017	-12.101	0,23457	22,57		-78.608	-3.648	0,18096	54,11		-183.653	-7.310	0,10053	17,02
P	A	00733	174.012	1.092	0,08042	56,91	00734	53.443	7.089	0,08042	11,00	00735	41.090	2.117	0,08042	37,60
	P		110.873	-2.775	0,08042	25,39		155.734	-3.333	0,08042	19,37		344.979	-4.524	0,08042	8,77
S	A		-328.113	16.365	0,10053	8,69		-418.235	16.353	0,10053	9,35		-585.697	8.913	0,10053	19,43
	P		5.847	-4.828	0,10053	20,53		4.189	-7.427	0,10053	13,29		-430	-8.887	0,10053	11,17
P	A	00736	228.636	5.572	0,08042	9,87	00737	17.915	892	0,08042	92,67	00792	0	0	0,08042	-
	P		110.885	-3.828	0,08042	18,40		186.618	-3.877	0,08042	15,61		-21.796	-1.092	0,08042	80,45
S	A		-382.769	10.529	0,10053	14,14		-1.025.080	6.090	0,20106	52,11		-295.379	5.599	0,10053	24,01
	P		11.814	-12.018	0,20106	16,59		-695	-13.863	0,20106	14,40		-168.545	-7.440	0,10053	15,89
P	A	00793	31.610	1.545	0,08042	52,32	00794	0	0	0,08042	-	00795	122.923	3.979	0,08042	17,32
	P		-101.172	-422	0,08042	NS		92.097	-3.497	0,08042	20,85		-104.446	-2.215	0,16085	81,11
S	A		-112.242	5.612	0,10053	19,73		-192.942	6.998	0,10053	17,41		-116.904	5.845	0,10053	19,86
	P		-156.832	-5.961	0,10053	19,55		-132.158	-5.043	0,10053	22,61		-96.506	-4.282	0,10053	26,49
P	A	00796	67.525	3.376	0,08042	22,55	00797	190.001	1.862	0,08042	32,25	00798	115.444	5.094	0,08042	13,71
	P		-62.153	-2.920	0,08042	31,88		-77.992	-2.532	0,08042	37,58		-72.635	-3.554	0,08042	26,58
S	A		-91.535	4.577	0,10053	25,65		-98.648	4.932	0,10053	23,98		-85.036	3.054	0,10053	38,16
	P		-41.943	-2.097	0,10053	52,91		-119.929	-4.711	0,10053	25,70		-166.895	-2.235	0,10053	56,89
P	A	00799	109.138	1.913	0,08042	36,95	00800	66.367	1.379	0,08042	55,31	00801	6.852	343	0,16085	NS
	P		-73.253	-2.865	0,08042	33,00		-69.099	-1.568	0,08042	59,94		-91.526	-1.858	0,16085	96,14
S	A		-11.225	522	0,10053	NS		-10.221	511	0,10053	NS		-11.312	330	0,10053	NS
	P		-194.176	-7.037	0,10053	18,56		-141.804	-6.691	0,10053	18,52		-192.012	-9.601	0,10053	13,58
P	A	00802	6.514	326	0,16085	NS	00803	74.827	1.370	0,08042	54,87	00804	5.582	279	0,08042	NS
	P		592	-30	0,16085	NS		-29.922	-1.501	0,08042	59,20		76.106	-465	0,08042	NS
S	A		-37.554	1.878	0,10053	58,78		-68.709	2.901	0,10053	39,44		-71.448	333	0,10053	NS
	P		-374.661	-15.508	0,10053	9,90		-327.974	-14.216	0,10053	10,39		-12.879	-11.518	0,10053	9,30
P	A	00805	27.044	1.495	0,08042	54,47	00806	3.824	191	0,08042	NS	01338	135.586	3.872	0,16085	38,54
	P		-32.810	-3.582	0,08042	24,92		-136.680	-6.954	0,08042	14,78		-88.037	-2.778	0,16085	64,16
S	A		0	0	0,10053	-		0	0	0,20106	-		-105.682	5.284	0,10053	22,03
	P		119	-12.833	0,10053	8,22		-537.519	-26.839	0,20106	10,08		-85.316	-3.929	0,10053	28,96
P	A	01339	5.291	229	0,16085	NS	01340	50.019	2.429	0,08042	32,29	01341	88.759	3.153	0,08042	23,26
	P		-82.827	-403	0,16085	NS		71.638	-4.296	0,08042	17,60		-8.660	-1.802	0,08042	47,79
S	A		-16.959	848	0,30159	NS		0	0	0,20106	-		-236.740	6.118	0,10053	21,17
	P		-314.365	-12.427	0,23457	22,73		6.653	-14.981	0,20106	13,27		-215.173	-8.826	0,10053	14,36
P	A	01342	5.526	122	0,08042	NS	01343	1.775	73	0,08042	NS	01344	1.334	34	0,08042	NS
	P		-102.432	-1.237	0,08042	79,48		-90.760	-1.505	0,08042	64,34		-76.604	-1.932	0,08042	49,17
S	A		-118.215	5.911	0,10053	19,09		-199.906	8.150	0,10053	15,14		-287.330	3.089	0,10053	43,60
	P		-146.42	-5.837	0,10053	19,96		1.281	-5.573	0,10053	17,47		-495.06	-12.729	0,20106	19,95

Dir	Pos	Nodo	N_{Ed} [N]	M_{Ed} [N·m]	A_s [cm²/cm]	CS	Nodo	N_{Ed} [N]	M_{Ed} [N·m]	A_s [cm²/cm]	CS	Nodo	N_{Ed} [N]	M_{Ed} [N·m]	A_s [cm²/cm]	CS
			4										5			
P	A	01345	0	0	0,08042	-	01346	5.384	147	0,08042	NS	01347	3.508	156	0,08042	NS
	P		51.164	-2.236	0,08042	35,01		-93.462	-1.707	0,08042	56,94		-74.935	-1.686	0,08042	56,20
S	A		0	0	0,20106	-		-87.343	3.698	0,10053	29,49		-32.755	1.188	0,10053	86,68
	P		-444.076	-17.638	0,20106	14,53		-374.591	-6.304	0,10053	23,13		-419.561	-10.371	0,10053	14,70
P	A	01348	3.885	177	0,08042	NS	01349	50.642	1.125	0,08042	69,63	01350	104.688	809	0,08042	88,09
	P		29.090	-1.138	0,08042	71,33		-93.986	-2.413	0,08042	40,30		-78.656	-2.272	0,08042	41,92
S	A		0	0	0,10053	-		-110.612	5.531	0,10053	20,80		-51.893	1.956	0,10053	55,08
	P		-412.255	-18.181	0,10053	8,41		-92.836	-3.257	0,10053	34,60		-195.652	-7.463	0,10053	16,93
P	A	01351	20.228	628	0,08042	NS	01352	201	10	0,16085	NS					
	P		-66.392	-2.023	0,08042	46,29		4.992	-393	0,16085	NS					
S	A		-38.703	1.618	0,10053	66,12		-16.859	588	0,10053	NS					
	P		-380.579	-12.227	0,10053	12,34		-301.666	-14.214	0,10053	10,16					
Piano terra						**ParetеP7-20**						**Parete P7-20**				
P	A	00196	174	117	0,13404	NS	00204	105.281	5.265	0,13404	23,91	00257	21.412	184	0,13404	NS
	P		147.598	-7.294	0,13404	16,50		-25.408	-2.757	0,13404	51,82		-110.818	-1.793	0,13404	85,86
S	A		-227.620	11.381	0,16085	16,88		-274.870	13.738	0,28149	23,63		-183.795	9.190	0,08042	11,37
	P		-194.393	-6.854	0,16085	27,41		18.506	-15.805	0,28149	18,16		-227.012	-4.533	0,08042	24,28
P	A	00259	5.347	589	0,23457	NS	00276	315	21	0,21447	NS	00682	14.014	468	0,21447	NS
	P		-3.558	-1.461	0,23457	NS		-95.894	-2.669	0,21447	87,54		749.593	-27.107	0,21447	4,57
S	A		-73.623	3.320	0,28149	90,01		-71.627	3.581	0,16085	49,17		-132.399	6.620	0,08042	15,44
	P		-147.835	-6.600	0,28149	46,72		-198.381	-9.265	0,16085	20,76		-287.450	-4.358	0,08042	28,04
P	A	00683	-990	59	0,13404	NS	00684	29.019	1.383	0,13404	98,18	00685	0	0	0,13404	-
	P		-120.237	-2.285	0,21447	NS		-98.784	-1.357	0,13404	NS		159.027	-5.735	0,13404	20,73
S	A		-446.435	20.883	0,08042	6,65		-169.051	7.488	0,08042	13,60		-193.376	7.012	0,08042	14,96
	P		-243.140	-4.563	0,08042	24,82		-209.275	-4.678	0,08042	22,89		-379.441	-9.916	0,08042	12,97
P	A	00686	21.376	420	0,13404	NS	00687	75.276	3.383	0,13404	38,36	00688	0	0	0,13404	-
	P		-82.156	-941	0,13404	NS		3.385	-186	0,13404	NS		89.250	-4.502	0,13404	28,42
S	A		-188.919	9.446	0,08042	11,06		-262.208	13.110	0,08042	8,66		-176.009	8.800	0,08042	11,74
	P		-193.156	-4.066	0,08042	25,83		-495.681	-6.338	0,08042	22,54		2.049	-2.950	0,08042	27,15
P	A	00689	0	0	0,13404	-	00690	0	0	0,13404	-	00691	0	0	0,13404	-
	P		121.131	-6.057	0,13404	20,44		181.676	-5.968	0,13404	19,42		176.512	-8.818	0,13404	13,22
S	A		-266.957	13.319	0,08042	8,70		-264.993	13.238	0,08042	8,66		-306.650	12.138	0,08042	9,94
	P		-25	-4.198	0,08042	19,37		1.869	-6.005	0,08042	13,33		-304	-7.214	0,08042	11,23
P	A	00692	104.825	614	0,13404	NS	00693	207.227	3.498	0,13404	32,18	00694	18.679	745	0,13404	NS
	P		205.633	-3.881	0,13404	29,06		65.815	-3.291	0,13404	39,81		-20.937	-3.322	0,13404	42,83
S	A		-301.621	15.077	0,08042	7,94		-140.665	7.033	0,08042	13,85		-208.668	10.432	0,28149	29,75
	P		3.089	-10.920	0,08042	7,35		6.113	-12.795	0,28149	21,60		11.772	-14.146	0,28149	19,94
P	A	00695	2.978	149	0,13404	NS	00696	3.277	147	0,13404	NS	00697	3.075	15	0,13404	NS
	P		-24.092	-1.408	0,13404	NS		-30.647	-1.289	0,13404	NS		-35.588	-667	0,13404	NS
S	A		-214.683	9.884	0,08042	10,85		-88.559	4.420	0,08042	20,62		-140.629	2.161	0,08042	45,64
	P		11.464	-12.804	0,08042	6,07		5.532	-11.023	0,08042	7,15		-3.061	-9.535	0,08042	8,47
P	A	00698	-41.974	2.033	0,23457	NS	00699	501	153	0,23457	NS	00700	48.957	1.314	0,23457	NS
	P		4.049	-43	0,23457	NS		11.345	-595	0,23457	NS		-106.184	-1.386	0,23457	NS
S	A		-78.508	2.250	0,08042	40,90		-93.563	3.156	0,08042	30,80		-73.086	3.640	0,08042	25,97
	P		-11.100	-7.366	0,08042	11,30		-251.196	-7.480	0,08042	15,72		-69.704	-3.438	0,08042	27,36
P	A	00701	7.999	307	0,13404	NS	00702	165.415	1.654	0,13404	71,36	00703	4.343	105	0,13404	NS
	P		83.780	-2.701	0,13404	47,65		-101.953	-3.131	0,13404	48,80		57.909	-2.048	0,13404	64,48
S	A		-108.938	4.635	0,08042	21,40		-89.171	4.459	0,08042	21,67		-439.745	5.442	0,08042	25,97
	P		-69.195	-3.306	0,08042	28,44		-139.745	-1.257	0,08042	82,10		-105.124	-2.908	0,08042	33,94
P	A	00704	15.642	743	0,13404	NS	00705	110.943	1.743	0,21447	NS	01276	4.785	263	0,13404	NS
	P		-104.315	-2.197	0,13404	69,66		-92.711	-2.646	0,21447	88,16		42.851	-2.143	0,13404	62,54
S	A		-125.165	6.246	0,08042	16,22		-95.478	4.774	0,08042	20,41		-107.112	5.356	0,08042	17,63
	P		-125.319	-3.890	0,08042	26,04		-233.288	-3.340	0,08042	34,51		-485.251	-4.743	0,08042	30,03
P	A	01277	2.733	137	0,13404	NS	01278	17.564	864	0,23457	NS	01279	122.146	1.320	0,21447	NS
	P		-24.738	-1.858	0,13404	76,86		27.406	-1.309	0,23457	NS		-111.272	-2.457	0,21447	95,89
S	A		-146.121	7.306	0,28149	41,45		-69.597	3.480	0,28149	85,73		-396.474	7.861	0,08042	17,29

Dir	Pos	Nodo	N_{Ed} [N]	M_{Ed} [N·m]	A_s [cm²/cm]	CS	Nodo	N_{Ed} [N]	M_{Ed} [N·m]	A_s [cm²/cm]	CS	Nodo	N_{Ed} [N]	M_{Ed} [N·m]	A_s [cm²/cm]	CS
	P		10.757	-13.742	0,28149	20,57		-125.454	-5.509	0,28149	55,45		-242.372	-3.780	0,08042	30,80
P	A	01280	71.380	548	0,13404	NS	01281	56.862	2.720	0,13404	48,60	01282	216.695	4.272	0,13404	26,07
	P		-106.332	-1.949	0,13404	78,69		-89.947	-1.802	0,13404	83,92		-79.188	-1.608	0,13404	93,19
S	A		-122.037	5.525	0,08042	17,67		-133.051	4.454	0,08042	22,24		-100.289	3.007	0,08042	31,58
	P		-120.166	-3.099	0,08042	31,42		-252.697	-9.104	0,08042	12,58		-2.173	-3.210	0,08042	25,60
P	A	01283	4.997	217	0,23457	NS	01284	16.286	631	0,13404	NS	01285	13.123	623	0,13404	NS
	P		12.038	-326	0,23457	NS		-85.380	-1.321	0,13404	NS		35.534	-1.112	0,13404	NS
S	A		-91.703	2.693	0,08042	34,94		-156.168	6.259	0,08042	15,96		-146.689	4.914	0,08042	20,10
	P		-5.894	-5.277	0,08042	15,71		-471.523	-8.378	0,08042	16,69		-505.837	-11.282	0,08042	12,78
P	A	01286	11.279	542	0,13404	NS	01287	15.133	203	0,13404	NS	01288	0	0	0,13404	-
	P		20.925	-904	0,13404	NS		-76.339	-914	0,13404	NS		25.706	-1.263	0,13404	NS
S	A		-154.706	3.293	0,08042	30,38		-210.492	10.525	0,08042	10,16		-263.660	11.436	0,08042	9,93
	P		-286.576	-11.884	0,08042	9,84		166	-3.250	0,08042	24,47		-323.354	-8.019	0,08042	15,11
P	A	01289	10.833	463	0,13404	NS	01290	0	0	0,13404	-					
	P		-46.327	-1.213	0,13404	NS		-28.769	-1.170	0,13404	NS					
S	A		-221.384	10.050	0,08042	10,80		-215.666	9.860	0,08042	10,88					
	P		-1.157	-7.794	0,08042	10,25		3.176	-10.990	0,08042	7,17					
Piano terra							**Parete22-P8**					**Parete 22-P8**				
P	A	00066	-98.141	13.973	0,08042	7,00	00091	-265	54	0,18096	NS	00245	39.556	4.606	0,08042	17,32
	P		-205.940	-18.337	0,08042	6,09		-100.436	-31.127	0,18096	6,43		1.902	-95	0,08042	NS
S	A		-411.869	20.788	0,08042	6,63		-232.423	5.833	0,21447	41,76		-116.205	5.785	0,16085	31,43
	P		-418.306	-24.011	0,08042	5,78		-1.380.464	-68.867	0,21447	5,20		-124.195	-1.493	0,16085	NS
P	A	00247	-265.985	2.516	0,08042	47,48	00640	23.068	464	0,18096	NS	00641	90.757	3.328	0,08042	21,96
	P		-62.885	-800	0,08042	NS		-100.142	-3.839	0,18096	52,14		36.665	-1.588	0,08042	50,49
S	A		-37.530	1.767	0,48255	NS		-55.015	2.751	0,08042	32,20		-47.392	2.370	0,08042	38,48
	P		-248.120	-5.325	0,48255	98,68		-757.841	-13.761	0,08042	12,64		-497.943	-2.904	0,08042	51,12
P	A	00642	13.472	667	0,08042	NS	00643	172.672	6.131	0,08042	10,17	00644	92.585	4.362	0,08042	16,70
	P		283.432	-4.957	0,08042	9,64		51.235	-1.845	0,08042	42,43		53.650	-792	0,08042	98,41
S	A		-212.244	9.915	0,08042	11,35		-301.111	9.155	0,08042	13,54		-214.383	10.716	0,08042	10,53
	P		-11.580	-1.069	0,08042	80,95		-6.095	-1.295	0,08042	66,22		547	-1.629	0,08042	52,12
P	A	00645	145.825	1.894	0,08042	34,77	00762	-118.604	896	0,08042	NS	00763	-91.642	631	0,08042	NS
	P		-102.399	-2.539	0,08042	38,73		40.470	-1.962	0,08042	40,61		67.624	-3.354	0,08042	22,69
S	A		-332.529	16.626	0,08042	7,69		-85.751	3.924	0,08042	24,51		-63.432	3.172	0,08042	29,41
	P		13.767	-1.970	0,08042	42,23		-176.050	-6.258	0,08042	17,24		-140.950	-6.472	0,08042	15,97
P	A	00764	-55.186	1.094	0,08042	84,24	00765	336.122	987	0,08042	41,40	00766	-15.975	297	0,08042	NS
	P		61.997	-3.083	0,08042	24,93		86.698	-573	0,08042	NS		9.478	-474	0,08042	NS
S	A		0	0	0,08042	-		-11.021	551	0,08042	NS		-63.811	2.167	0,08042	43,05
	P		-109.574	-5.506	0,08042	18,03		-96.774	-2.734	0,08042	33,87		11.482	-295	0,08042	NS
P	A	00767	-5.414	413	0,08042	NS	00768	69.252	1.052	0,08042	72,13	00769	12.041	602	0,08042	NS
	P		25.842	-816	0,08042	NS		19.826	-991	0,08042	83,11		-23.909	-669	0,08042	NS
S	A		-124.071	6.193	0,08042	16,33		-140.483	7.024	0,08042	14,70		-136.169	6.808	0,08042	15,09
	P		-84.926	-677	0,08042	NS		0	0	0,08042	-		-7.185	-301	0,08042	NS
P	A	00770	13.919	381	0,08042	NS	00771	-3.716	266	0,08042	NS	00772	10.340	203	0,08042	NS
	P		15.705	-757	0,08042	NS		35.382	-2.681	0,08042	29,97		145.891	-2.140	0,08042	30,77
S	A		-71.598	3.256	0,08042	27,53		-30.263	1.503	0,08042	56,50		-220.889	3.551	0,08042	31,11
	P		-168.938	-2.953	0,08042	34,63		-168.506	-6.353	0,08042	16,20		-126.134	-6.302	0,08042	15,59
P	A	00773	51.769	1.153	0,18096	NS	01322	-24.635	2.219	0,08042	39,75	01323	-58.915	530	0,08042	NS
	P		74.373	-1.484	0,18096	NS		-218.321	-829	0,08042	NS		25.091	-1.231	0,08042	66,38
S	A		-84.045	4.202	0,08042	21,86		-33.913	1.114	0,08042	80,25		-37.000	1.626	0,48255	NS
	P		-375.883	-11.921	0,08042	10,85		-90.385	-3.843	0,16085	46,31		-198.360	-3.857	0,48255	NS
P	A	01324	57.967	649	0,18096	NS	01325	-105.895	3.112	0,08042	31,75	01326	30.707	778	0,08042	NS
	P		-117.951	-7.770	0,18096	26,06		-4.513	-1.152	0,08042	74,25		5.763	-260	0,08042	NS
S	A		-52.881	2.644	0,21447	86,28		-135.369	6.722	0,08042	15,27		-74.425	3.163	0,08042	29,94
	P		-857.093	-23.173	0,21447	13,97		-204.504	-5.598	0,08042	19,93		-89.137	-2.198	0,08042	43,95

Dir	Pos	Nodo	N_{Ed} [N]	M_{Ed} [N·m]	A_s [cm²/cm]	CS	Nodo	N_{Ed} [N]	M_{Ed} [N·m]	A_s [cm²/cm]	CS	Nodo	N_{Ed} [N]	M_{Ed} [N·m]	A_s [cm²/cm]	CS
P	A	01327	47.687	634	0,08042	NS	01328	3.665	118	0,08042	NS	01329	14.504	432	0,08042	NS
	P		13.659	-532	0,08042	NS		13.853	-668	0,08042	NS		-8.026	-1.587	0,08042	54,22
S	A		-133.554	2.551	0,08042	40,13		-59.597	2.521	0,08042	36,79		-56.649	2.813	0,08042	32,84
	P		619	-568	0,08042	NS		-1.678	-776	0,08042	NS		-269.208	-6.837	0,08042	17,53
Piano terra						**Parete38-P14**						**Parete 38-P14**				
P	A	00062	-62.006	76.238	0,18096	2,55	00106	103.078	5.154	0,08042	13,87	00242	-45.807	12.297	0,08042	7,40
	P		0	0	0,10053	-		-126.050	-44.421	0,18096	4,55		17.579	-879	0,10053	NS
S	A		10.932	44.144	0,18096	4,21		38.331	9.110	0,18096	19,43		-464.249	23.212	0,18096	10,59
	P		0	0	0,16085	-		-705.761	-28.131	0,16085	8,90		-14.760	-738	0,16085	NS
P	A	00244	25.040	1.252	0,16085	NS	00774	-139.884	11.182	0,08042	9,23	00775	-133.892	5.644	0,08042	18,15
	P		-192.007	-21.585	0,18096	9,81		185.700	-1.779	0,10053	45,64		13.402	-446	0,10053	NS
S	A		122.521	5.553	0,23457	39,60		-593.666	11.883	0,10053	15,05		-439.012	10.625	0,10053	14,90
	P		-614.852	-28.044	0,21447	10,47		-139.731	-7.016	0,08042	14,71		-132.412	-4.642	0,08042	21,43
P	A	00776	-116.438	7.815	0,08042	12,82	00777	-3.470	8.713	0,08042	9,80	00778	-86.851	7.659	0,08042	12,58
	P		144.860	-2.400	0,10053	36,05		24.009	-184	0,10053	NS		15.714	-670	0,10053	NS
S	A		-330.793	16.540	0,10053	8,94		-211.522	10.573	0,10053	12,09		-220.958	6.596	0,10053	20,31
	P		36.489	-1.457	0,08042	55,03		0	0	0,08042	-		-144.522	-4.764	0,08042	21,79
P	A	00779	-57.707	305	0,08042	NS	00780	1.145	57	0,16085	NS	00781	123.029	1.168	0,16085	NS
	P		61.632	-2.482	0,10053	39,26		-69.818	-6.213	0,10053	18,44		-66.516	-13.444	0,10053	8,49
S	A		-119.055	2.282	0,10053	52,97		0	0	0,10053	-		-22.044	1.142	0,10053	94,86
	P		-140.731	-7.007	0,08042	14,75		-240.382	-11.969	0,08042	9,46		-368.003	-18.400	0,08042	7,21
P	A	00782	27.483	1.033	0,16085	NS	00783	101.376	2.797	0,16085	54,94	00784	152.101	1.388	0,08042	46,88
	P		-232.655	-17.742	0,18096	12,23		47.856	-18.252	0,18096	9,92		32.710	-18.689	0,10053	5,42
S	A		-17.486	636	0,10053	NS		-7.445	38	0,10053	NS		-39.905	177	0,10053	NS
	P		-525.008	-24.451	0,08042	5,98		-498.566	-24.928	0,08042	5,87		-451.301	-22.565	0,08042	6,34
P	A	00785	39.604	1.980	0,08042	40,30	00786	20.780	245	0,08042	NS	00787	11.205	551	0,08042	NS
	P		17.186	-29.105	0,10053	3,55		-136.602	-25.573	0,10053	4,82		-69.898	-15.333	0,10053	7,47
S	A		0	0	0,10053	-		0	0	0,10053	-		-36.552	631	0,10053	NS
	P		-494.071	-24.703	0,08042	5,88		-446.537	-22.327	0,08042	6,24		-354.924	-17.746	0,08042	7,38
P	A	00788	30.715	1.536	0,08042	52,72	00789	79.586	1.599	0,08042	46,63	00790	-84.778	11.227	0,08042	8,55
	P		-94.890	-6.854	0,10053	17,19		72.954	-1.478	0,10053	64,92		785	-41	0,10053	NS
S	A		-25.036	1.227	0,10053	85,31		-34.765	1.696	0,10053	63,16		-218.590	10.919	0,10053	11,95
	P		-231.256	-11.459	0,08042	9,68		-178.898	-1.689	0,08042	62,42		0	0	0,08042	-
P	A	00791	-50.899	19.972	0,08042	4,59	01330	-98.143	9.098	0,08042	10,75	01331	0	0	0,16085	-
	P		49.228	-1.120	0,10053	88,41		31.665	-1.692	0,10053	59,90		-101.473	-19.128	0,18096	10,47
S	A		-388.833	19.442	0,10053	7,78		-318.071	15.904	0,10053	9,01		0	0	0,23457	-
	P		0	0	0,08042	-		69.169	-607	0,08042	NS		-488.036	-24.401	0,21447	11,48
P	A	01332	47.326	2.366	0,08042	33,29	01333	-96.284	30.673	0,18096	6,49	01334	-117.880	12.782	0,08042	7,85
	P		-70.569	-30.773	0,10053	3,73		30.972	-600	0,10053	NS		9.535	-355	0,10053	NS
S	A		0	0	0,10053	-		-541.559	20.797	0,18096	11,66		-366.994	13.517	0,10053	10,96
	P		-495.642	-22.548	0,08042	6,59		17.821	-204	0,08042	NS		19.270	-1.857	0,08042	42,16
P	A	01335	-78.677	4.676	0,08042	20,37	01336	21.746	319	0,08042	NS	01337	41.657	1.335	0,08042	59,55
	P		12.709	-315	0,10053	NS		-71.764	-8.608	0,10053	13,34		5.108	-20.540	0,10053	5,10
S	A		-140.900	3.887	0,10053	30,76		-52.987	646	0,10053	NS		8.696	153	0,10053	NS
	P		1.229	-641	0,08042	NS		-269.305	-12.715	0,08042	9,11		-414.844	-20.742	0,08042	6,54
Piano terra						**Parete40-P15**						**Parete 40-P15**				
P	A	00010	-91.923	161.223	0,23457	1,55	00104	69.407	3.479	0,10053	27,71	00266	-159.184	23.092	0,10053	5,46
	P		0	0	0,08042	-		-281.775	-121.460	0,18096	1,82		54.977	-2.749	0,08042	28,30
S	A		175.538	91.976	0,21447	2,15		133.919	16.773	0,18096	9,69		-518.597	25.929	0,16085	8,97
	P		0	0	0,08042	-		-888.785	-30.270	0,16085	8,84		270.416	-1.081	0,16085	NS
P	A	00268	45.877	2.294	0,18096	79,04	00570	-15.557	43.178	0,10053	2,49	00571	-140.464	25.888	0,10053	4,78

Dir	Pos	Nodo	N_{Ed} [N]	M_{Ed} [N·m]	A_s [cm²/cm]	CS	Nodo	N_{Ed} [N]	M_{Ed} [N·m]	A_s [cm²/cm]	CS	Nodo	N_{Ed} [N]	M_{Ed} [N·m]	A_s [cm²/cm]	CS
	P		-181.760	-31.303	0,16085	6,08		67.870	-3.393	0,08042	22,42		1.713	-86	0,08042	NS
S	A		0	0	0,28149	-		-480.584	24.029	0,08042	5,85		-293.444	14.672	0,08042	8,18
	P		-623.234	-31.162	0,28149	11,80		0	0	0,08042	-		0	0	0,08042	-
P	A	00572	-152.951	6.181	0,10053	20,27	00573	35.049	1.452	0,10053	69,50	00574	18.436	912	0,10053	NS
	P		48.332	-2.391	0,08042	32,90		-210.763	-13.132	0,08042	8,56		-198.296	-31.543	0,08042	3,51
S	A		-246.868	6.854	0,08042	17,07		0	0	0,08042	-		0	0	0,08042	-
	P		-123.879	-5.413	0,08042	18,68		-253.909	-12.435	0,08042	9,15		-423.067	-21.153	0,08042	6,58
P	A	00575	0	0	0,10053	-	00911	-283.777	28.980	0,10053	4,90	00912	-276.611	21.068	0,10053	6,69
	P		-396.960	-55.229	0,18096	4,24		181.054	-2.642	0,08042	23,19		30.355	-1.518	0,08042	53,37
S	A		0	0	0,08042	-		-373.616	16.954	0,08042	7,85		-505.778	21.379	0,08042	6,99
	P		-549.377	-27.469	0,08042	5,42		53.420	-16.061	0,08042	4,86		65.191	-4.549	0,08042	16,81
P	A	00913	-67.158	27.498	0,10053	4,15	00914	-182.451	22.884	0,10053	5,64	00915	-105.857	4.609	0,10053	25,87
	P		43.752	-1.171	0,08042	67,68		7.079	-267	0,08042	NS		100.741	-1.662	0,08042	43,20
S	A		-336.802	16.840	0,08042	7,32		-296.571	12.089	0,08042	10,20		-398.153	8.047	0,08042	16,92
	P		0	0	0,08042	-		8.174	-3.984	0,08042	21,06		-97.769	-4.870	0,08042	20,07
P	A	00916	73.376	3.669	0,10053	26,14	00917	119.380	2.155	0,10053	41,70	00918	358	18	0,18096	NS
	P		-77.813	-11.533	0,08042	8,25		-61.297	-28.929	0,16085	6,03		-287.275	-35.093	0,16085	5,81
S	A		0	0	0,08042	-		-17.528	3.697	0,08042	23,61		-120.087	75	0,08042	NS
	P		-243.137	-13.629	0,08042	8,55		-420.483	-21.024	0,08042	6,61		-522.399	-26.120	0,08042	5,58
P	A	00919	0	0	0,10053	-	00920	59.272	2.151	0,10053	45,42	01491	-220.582	25.947	0,10053	5,16
	P		132.305	-27.367	0,16085	5,47		87.559	-52.714	0,18096	3,33		18.525	-899	0,08042	91,81
S	A		0	0	0,08042	-		0	0	0,08042	-		-428.924	21.446	0,08042	6,53
	P		380.149	-7.634	0,08042	4,59		298.702	-22.890	0,08042	1,84		124.187	-436	0,08042	NS
P	A	01492	42.499	2.106	0,10053	47,44	01493	68.396	2.830	0,10053	34,11	01494	-182.275	66.766	0,23457	3,88
	P		-74.047	-32.742	0,16085	5,38		-143.517	-70.010	0,18096	2,93		0	0	0,08042	-
S	A		93.935	888	0,28149	NS		-39.001	1.692	0,18096	NS		-696.930	26.182	0,21447	10,82
	P		-509.402	-25.470	0,28149	13,91		-642.200	-25.052	0,16085	9,80		103.103	-482	0,08042	NS
P	A	01495	-227.256	36.956	0,10053	3,65	01496	-149.481	13.901	0,10053	8,98	01497	33.186	1.394	0,10053	72,54
	P		5.100	-178	0,08042	NS		0	0	0,08042	-		-140.767	-17.864	0,08042	5,78
S	A		-518.100	20.882	0,08042	7,05		-211.584	7.985	0,08042	13,58		0	0	0,08042	-
	P		48.591	-1.801	0,08042	41,62		-93	-508	0,08042	NS		-306.806	-13.796	0,08042	8,77
P	A	01498	44.885	2.233	0,10053	44,62										
	P		-24.249	-43.511	0,08042	2,03										
S	A		0	0	0,08042	-										
	P		-476.036	-23.802	0,08042	6,13										
Piano terra							**ParetteP16-43-P17**					**Parete P16-43**				
P	A	00070	-201.680	37.390	0,08042	2,97	00118	-13.209	7.310	0,16085	23,03	00260	-277.884	15.536	0,16085	12,97
	P		-76.187	-931	0,10053	NS		-21.804	-5.399	0,10053	20,06		861	-43	0,10053	NS
S	A		-1.045.930	52.030	0,13404	4,90		-919.495	28.475	0,21447	11,31		-511.926	25.594	0,13404	8,00
	P		-76.298	-3.209	0,13404	45,31		78.196	-11.827	0,21447	17,20		0	0	0,13404	-
P	A	00262	-35.292	2.720	0,21447	83,05	00746	-119.746	5.987	0,08042	16,80	00747	-128.095	6.406	0,08042	15,87
	P		-187.947	-14.195	0,23457	18,72		103.690	-2.380	0,10053	38,63		19.959	-58	0,10053	NS
S	A		130.922	9.110	0,23457	23,66		-407.910	20.395	0,13404	9,40		-512.377	19.078	0,13404	10,55
	P		-2.674.624	-14.595	0,21447	26,65		-28.441	-1.404	0,13404	NS		-44.034	-385	0,13404	NS
P	A	00748	133.958	4.530	0,08042	14,89	00749	212.560	4.682	0,08042	12,20	00750	174.116	279	0,08042	NS
	P		62.835	-4.530	0,10053	21,47		8.784	-173	0,10053	NS		283.979	-2.221	0,10053	30,75
S	A		-378.763	233	0,13404	NS		5.983	486	0,13404	NS		-5.362	733	0,13404	NS
	P		-241.910	-12.011	0,13404	13,80		-141.264	-7.030	0,13404	21,52		-174.882	-8.744	0,13404	17,76
P	A	00751	39.116	907	0,08042	88,02	00752	74.656	3.730	0,08042	20,16	00753	-43.208	878	0,08042	NS

Dir	Pos	Nodo	N_{Ed} [N]	M_{Ed} [N·m]	A_s [cm²/cm]	CS	Nodo	N_{Ed} [N]	M_{Ed} [N·m]	A_s [cm²/cm]	CS	Nodo	N_{Ed} [N]	M_{Ed} [N·m]	A_s [cm²/cm]	CS
	P		247.910	-2.538	0,10053	28,77		310.469	-3.067	0,10053	21,13		6.232	-263	0,10053	NS
S	A		-630.519	3.090	0,13404	68,17		-2.472	2.236	0,13404	59,12		-736.327	3.320	0,21447	87,47
	P		-211.254	-10.563	0,13404	15,05		-181.079	-8.842	0,13404	17,56		-160.054	-5.131	0,13404	29,30
P	A	00754	-10.601	4.054	0,08042	21,30	00755	15.914	683	0,21447	NS	00756	81.618	1.763	0,21447	NS
	P		36.880	-3.549	0,10053	28,37		62.355	-8.830	0,23457	26,46		-254.624	-6.818	0,23457	40,22
S	A		-235.443	7.868	0,13404	20,69		-171.059	1.838	0,13404	84,29		-139.083	819	0,13404	NS
	P		-196.276	-9.744	0,13404	16,19		-222.595	-9.900	0,13404	16,32		-200.351	-10.016	0,13404	15,38
P	A	00757	22.237	215	0,08042	NS	00758	39.204	1.859	0,08042	42,94	00759	28.715	1.243	0,08042	65,37
	P		-89.866	-2.286	0,10053	51,24		10.212	-1.066	0,10053	97,67		26.810	-1.331	0,10053	76,62
S	A		-38.549	405	0,13404	NS		-250.812	3.324	0,13404	50,67		-227.788	4.660	0,13404	36,25
	P		-133.709	-6.685	0,13404	22,82		-96.591	-4.843	0,13404	30,69		-243.680	-5.100	0,13404	33,52
P	A	00760	-54.244	665	0,08042	NS	00761	56.327	1.467	0,08042	52,90	01314	-35.256	9.183	0,08042	9,76
	P		20.302	-866	0,10053	NS		34.342	-981	0,10053	NS		84.788	-2.814	0,10053	33,55
S	A		-134.631	3.751	0,13404	41,86		-321.010	14.948	0,13404	11,74		-627.645	18.907	0,13404	11,32
	P		-173.662	-2.180	0,13404	74,32		-25.952	-540	0,13404	NS		-56.317	-3.042	0,13404	46,88
P	A	01315	-42.229	2.593	0,08042	34,89	01316	15.534	353	0,21447	NS	01317	-63.371	3.170	0,08042	29,42
	P		-8.428	-2.008	0,10053	53,08		-101.870	-8.875	0,23457	28,70		9.351	-55	0,10053	NS
S	A		-220.743	5.043	0,13404	31,55		-183.696	880	0,23457	NS		-394.792	18.919	0,13404	9,86
	P		-93.083	-3.813	0,13404	37,42		-267.306	-9.902	0,13404	16,63		-38.773	-531	0,13404	NS
P	A	01318	34.088	1.339	0,08042	60,15	01319	16.229	207	0,08042	NS	01320	25.482	879	0,08042	92,85
	P		6.180	-78	0,10053	NS		12.758	-722	0,10053	NS		-54.210	-624	0,10053	NS
S	A		-420.002	13.836	0,13404	13,64		-499.758	3.039	0,13404	64,97		-857.395	212	0,13404	NS
	P		-50.731	-1.449	0,13404	97,70		-309.564	-4.887	0,13404	35,54		-245.551	-7.344	0,13404	22,26
P	A	01321	34.436	34	0,08042	NS										
	P		-5.705	-3.842	0,10053	27,65										
S	A		-179.501	3.060	0,13404	49,92										
	P		-145.423	-6.261	0,13404	23,70										
Piano terra							**ParetteP16-43-P17**					**Parete 43-P17**				
P	A	00070	-438.128	36.418	0,08042	3,88	00118	32.950	6.190	0,16085	26,25	00248	-62.218	3.400	0,08042	27,38
	P		-69.675	-525	0,10053	NS		0	0	0,10053	-		70.080	-1.898	0,10053	50,75
S	A		-1.046.513	52.303	0,13404	4,81		-483.908	24.195	0,21447	11,69		-226.681	11.330	0,13404	14,13
	P		0	0	0,13404	-		0	0	0,21447	-		-54.397	-2.705	0,13404	50,96
P	A	00250	-107.031	365	0,16085	NS	00282	73.804	3.690	0,16085	42,61	00748	145.917	3.641	0,08042	18,09
	P		-33.289	-1.664	0,18096	NS		28.283	-818	0,18096	NS		272.676	-6.243	0,10053	11,17
S	A		-55.680	2.784	0,23457	89,40		-224.963	11.248	0,13404	14,99		5.738	3.882	0,13404	34,11
	P		-321.786	-16.089	0,23457	17,58		-90.113	-4.506	0,13404	33,57		-127.557	-6.378	0,13404	23,47
P	A	00749	63.960	1.692	0,08042	45,29	00750	127.745	2.817	0,08042	24,23	00751	-46.894	1.754	0,08042	51,95
	P		134.313	-2.239	0,10053	39,28		50.125	-3.655	0,10053	27,07		261.522	-2.377	0,10053	29,97
S	A		3.498	5.022	0,13404	26,11		-1.702	7.689	0,13404	17,10		2.104	9.003	0,13404	14,57
	P		-136.126	-6.776	0,13404	22,02		-166.935	-8.337	0,13404	18,33		-213.133	-9.491	0,13404	16,75
P	A	00752	155.752	2.559	0,08042	25,23	00753	100.763	2.447	0,08042	29,34	00807	-41.881	2.119	0,08042	42,69
	P		157.739	-800	0,10053	NS		41.971	-2.092	0,10053	47,81		-14	-17	0,10053	NS
S	A		17.425	11.177	0,13404	11,62		26.081	12.133	0,21447	17,35		-392.577	14.448	0,13404	12,36
	P		-844.034	-12.757	0,13404	18,29		-653.254	-16.619	0,13404	13,04		-858.214	-566	0,13404	NS
P	A	00808	-41.522	2.074	0,08042	43,60	00809	8.370	3.419	0,08042	24,53	00810	66.886	2.197	0,16085	71,97
	P		9.180	-396	0,10053	NS		-46	-24	0,10053	NS		29.403	-156	0,10053	NS
S	A		-306.647	11.990	0,13404	13,98		-229.919	11.062	0,13404	14,37		-256.249	12.812	0,13404	13,05
	P		-61.920	-1.494	0,13404	91,18		-52.512	-2.179	0,13404	62,47		-224.530	-7.783	0,13404	20,96
P	A	00811	122.229	6.111	0,08042	11,29	00812	-74.666	2.007	0,08042	47,20	00813	224.550	3.622	0,08042	15,34
	P		15.640	-728	0,10053	NS		556.134	-25.073	0,10053	1,29		12.963	-444	0,10053	NS
S	A		-181.492	8.291	0,13404	19,66		-212.404	2.947	0,13404	56,65		-153.426	2.251	0,13404	70,82
	P		-104.719	-5.236	0,13404	29,25		-260.129	-5.398	0,13404	32,06		-297.360	-11.095	0,13404	16,03
P	A	00814	76.754	2.420	0,08042	30,97	00815	153.740	1.401	0,08042	46,29	00816	281.346	1.395	0,16085	93,37
	P		-16.576	-2.043	0,10053	52,68		-61.472	-3.074	0,10053	36,92		-16.307	-815	0,18096	NS
S	A		-178.342	3.362	0,13404	48,37		-52.159	2.418	0,13404	60,51		-53.917	2.421	0,13404	60,54

Dir	Pos	Nodo	N_{Ed} [N]	M_{Ed} [N·m]	A_s [cm²/cm]	CS	Nodo	N_{Ed} [N]	M_{Ed} [N·m]	A_s [cm²/cm]	CS	Nodo	N_{Ed} [N]	M_{Ed} [N·m]	A_s [cm²/cm]	CS
	P		-283.941	-14.199	0,13404	12,40		-351.719	-17.586	0,13404	10,50		-340.156	-17.008	0,13404	10,77
P	A	00817	13.835	642	0,16085	NS	00818	52.583	2.452	0,08042	31,85	00819	72.441	2.954	0,08042	25,55
	P		-18.397	-920	0,10053	NS		36.388	-1.647	0,10053	61,16		-33.627	-1.305	0,10053	84,17
S	A		-2.379	5.174	0,13404	27,03		-6.186	8.143	0,13404	16,91		-3.477	10.547	0,13404	12,92
	P		-263.889	-13.194	0,13404	13,15		-187.264	-9.363	0,13404	17,20		-183.936	-9.197	0,13404	17,35
P	A	00820	-30.239	2.231	0,08042	39,87	00821	-68.776	4.036	0,08042	23,28	01353	140.158	3.784	0,16085	39,28
	P		141.532	-4.901	0,10053	17,75		11.486	-574	0,10053	NS		62.252	-1.052	0,10053	92,54
S	A		18.144	11.793	0,13404	11,30		-607.655	19.000	0,21447	15,21		-207.359	10.145	0,13404	16,07
	P		-69.997	-3.404	0,13404	42,50		0	0	0,13404	-		-273.717	-11.743	0,13404	14,60
P	A	01354	-2.740	145	0,16085	NS	01355	47.933	1.862	0,08042	42,27	01356	15.537	6.443	0,08042	12,87
	P		-8.671	-434	0,18096	NS		76.465	-3.758	0,10053	25,42		48.076	-1.810	0,10053	54,80
S	A		-1.937	2.427	0,13404	57,62		34.881	12.743	0,21447	16,64		-532.675	16.611	0,13404	11,94
	P		-292.438	-14.622	0,13404	12,12		-516.977	-2.899	0,21447	97,34		-120.453	-2.149	0,13404	68,10
P	A	01357	38.990	1.878	0,08042	42,52	01358	-64.814	1.098	0,08042	85,12	01359	26.701	1.232	0,08042	66,14
	P		17.570	-461	0,10053	NS		13.337	-147	0,10053	NS		7.787	-353	0,10053	NS
S	A		-311.881	12.541	0,13404	13,53		568	5.406	0,13404	24,05		3.034	7.844	0,13404	16,69
	P		-23.909	-1.193	0,13404	NS		-98.789	-3.467	0,13404	41,23		-227.032	-5.248	0,13404	30,61
P	A	01360	44.753	1.680	0,08042	47,10	01361	-75.814	1.307	0,08042	72,59	01362	-62.188	1.170	0,08042	79,54
	P		19.462	-339	0,10053	NS		11.815	-78	0,10053	NS		15.530	-658	0,10053	NS
S	A		15.411	10.922	0,13404	12,03		-441.241	4.597	0,13404	40,67		82	4.946	0,13404	26,75
	P		-77.713	-2.052	0,13404	69,91		-134.819	-2.192	0,13404	67,55		-109.121	-5.066	0,13404	28,91
P	A	01363	30.682	1.081	0,08042	74,90	01364	76.153	1.985	0,08042	37,80	01365	79.846	2.605	0,08042	28,61
	P		4.127	-530	0,10053	NS		3.756	-178	0,10053	NS		39.495	-807	0,10053	NS
S	A		-912	7.407	0,13404	18,23		-188.472	9.234	0,13404	17,15		-327.614	11.752	0,13404	15,06
	P		-79.409	-3.953	0,13404	36,74		-49.161	-2.458	0,13404	57,10		-148.875	-7.074	0,13404	21,79
P	A	01366	-67.373	1.391	0,08042	67,41	01367	11.497	482	0,08042	NS					
	P		204.978	-4.903	0,10053	16,04		-58.168	-200	0,10053	NS					
S	A		-1.758	3.316	0,13404	41,15		-5.354	5.362	0,13404	26,16					
	P		-179.982	-8.999	0,13404	17,72		-218.941	-10.947	0,13404	15,33					
Piano terra						**ParetеP18-47**						**Parete P18-47**				
P	A	00200	175.397	8.750	0,13404	13,34	00207	-25.129	2.713	0,13404	52,64	00254	-111.753	1.805	0,13404	85,35
	P		8.525	-372	0,13404	NS		124.110	-6.210	0,13404	19,88		35.896	-1.230	0,13404	NS
S	A		-417.890	13.579	0,16085	15,91		18.139	15.689	0,28149	18,30		-446.237	10.908	0,08042	12,60
	P		-384.227	-8.457	0,16085	25,04		-316.190	-15.794	0,28149	20,88		-78.832	-3.894	0,08042	23,27
P	A	00256	57.723	2.146	0,23457	NS	00279	-97.715	2.677	0,21447	87,36	00706	-133.084	2.497	0,21447	95,48
	P		2.755	-165	0,23457	NS		189.293	-9.465	0,21447	20,79		85.397	-4.270	0,21447	49,24
S	A		-103.381	5.023	0,28149	60,26		-462.816	8.993	0,16085	25,11		-201.636	10.082	0,08042	11,03
	P		-110.035	-4.421	0,28149	68,65		-75.255	-3.763	0,16085	46,92		-109.911	-5.496	0,08042	18,07
P	A	00707	43.141	2.009	0,13404	66,67	00708	-99.261	1.367	0,13404	NS	00709	44.240	1.688	0,13404	79,28
	P		31.816	-374	0,13404	NS		126.197	-2.806	0,13404	43,88		13.497	-574	0,13404	NS
S	A		-448.990	10.774	0,08042	12,90		-390.445	9.772	0,08042	13,28		-377.377	10.618	0,08042	12,01
	P		-48.749	-2.437	0,08042	36,05		-109.420	-2.539	0,08042	36,96		-66.543	-2.355	0,08042	37,22
P	A	00710	-81.618	946	0,13404	NS	00711	1.149	68	0,13404	NS	00712	157.917	6.264	0,13404	19,00
	P		5.557	-265	0,13404	NS		91.156	-4.067	0,13404	31,40		0	0	0,13404	-
S	A		-405.710	9.101	0,08042	14,42		-396.796	5.587	0,08042	23,24		2.181	2.940	0,08042	27,13
	P		-434.325	-6.864	0,08042	19,64		-294.424	-9.555	0,08042	12,24		-356.203	-9.451	0,08042	13,33
P	A	00713	133.401	6.076	0,13404	20,12	00714	252.728	6.380	0,13404	16,71	00715	121.848	5.178	0,13404	23,89
	P		209.823	-885	0,13404	NS		0	0	0,13404	-		0	0	0,13404	-
S	A		61	4.183	0,08042	19,29		2.011	5.989	0,08042	13,24		-288	7.177	0,08042	11,20
	P		-328.121	-14.238	0,08042	8,65		-290.751	-14.537	0,08042	8,06		-350.031	-13.918	0,08042	9,02
P	A	00716	231.984	5.135	0,13404	21,29	00717	69.205	2.509	0,13404	52,04	00718	-20.818	3.285	0,13404	43,31
	P		31.120	-1.588	0,13404	85,35		193.256	-2.510	0,13404	45,58		2.678	-134	0,13404	NS
S	A		3.263	10.865	0,08042	7,33		6.220	12.739	0,28149	21,67		11.530	14.007	0,28149	20,11
	P		-378.277	-11.825	0,08042	10,89		-290.466	-6.905	0,08042	16,89		-34.982	-628	0,28149	NS
P	A	00719	-24.164	1.402	0,13404	NS	00720	43.005	2.075	0,13404	64,58	00721	-35.599	627	0,13404	NS
	P		1.784	-89	0,13404	NS		13.583	-93	0,13404	NS		0	0	0,13404	-
S	A		11.766	12.672	0,08042	6,10		5.721	10.899	0,08042	7,20		-2.881	9.432	0,08042	8,52
	P		-112.678	-1.566	0,08042	59,72		-37.387	-697	0,08042	NS		-192.347	-231	0,08042	NS

Dir	Pos	Nodo	N_{Ed} [N]	M_{Ed} [N·m]	A_s [cm²/cm]	CS	Nodo	N_{Ed} [N]	M_{Ed} [N·m]	A_s [cm²/cm]	CS	Nodo	N_{Ed} [N]	M_{Ed} [N·m]	A_s [cm²/cm]	CS
P	A	00722	2.450	99	0,23457	NS	00723	3.110	122	0,23457	NS	00724	114.541	4.251	0,23457	53,38
	P		-42.096	-2.072	0,23457	NS		-62.698	-95	0,23457	NS		11.257	-568	0,23457	NS
S	A		-10.973	7.324	0,08042	11,34		-278.365	7.615	0,08042	15,89		-62.552	3.083	0,08042	30,22
	P		-104.747	-5.047	0,08042	18,88		-127.049	-5.112	0,08042	19,86		-107.905	-5.395	0,08042	18,36
P	A	00725	-90.262	1.121	0,13404	NS	00726	-103.174	3.107	0,13404	49,22	00727	-96.514	2.071	0,13404	73,44
	P		18.078	-833	0,13404	NS		13.073	-676	0,13404	NS		74.048	-2.916	0,13404	44,56
S	A		-68.209	3.272	0,08042	28,69		-49.697	1.924	0,08042	47,55		-128.632	3.181	0,08042	31,98
	P		-138.729	-6.937	0,08042	14,86		-143.860	-7.179	0,08042	14,45		-181.175	-7.114	0,08042	15,26
P	A	00728	-105.679	2.195	0,13404	69,81	00729	-94.460	2.647	0,21447	87,96	01291	26.253	1.313	0,13404	NS
	P		232.888	-3.129	0,13404	34,91		0	0	0,13404	-		50.314	-2.008	0,13404	66,26
S	A		-348.241	4.583	0,08042	28,34		-401.969	8.266	0,08042	16,53		-957	2.492	0,08042	32,19
	P		-223.606	-4.220	0,08042	27,02		-844.287	-2.606	0,08042	71,47		-318.860	-5.633	0,08042	21,54
P	A	01292	-24.466	1.853	0,13404	77,02	01293	36.033	1.737	0,23457	NS	01294	-112.831	2.463	0,21447	95,75
	P		3.376	-169	0,13404	NS		21.934	-850	0,23457	NS		8.637	-432	0,21447	NS
S	A		10.637	13.641	0,28149	20,68		-244.010	4.940	0,28149	64,91		-427.553	8.927	0,08042	15,66
	P		-27.347	-367	0,28149	NS		-102.484	-5.117	0,28149	59,13		-57.706	-2.885	0,08042	32,07
P	A	01295	-107.238	1.953	0,13404	78,57	01296	-90.719	1.801	0,13404	84,02	01297	-79.789	1.601	0,13404	93,63
	P		7.534	-347	0,13404	NS		100.412	-1.347	0,13404	93,89		9.715	-422	0,13404	NS
S	A		-390.355	7.538	0,08042	17,48		-791	2.269	0,08042	35,97		-188.842	7.743	0,08042	13,73
	P		-43.059	-1.568	0,08042	55,57		-200.863	-4.096	0,08042	26,28		-161.165	-5.453	0,08042	18,83
P	A	01298	16.565	617	0,23457	NS	01299	-85.577	1.325	0,13404	NS	01300	27.319	1.141	0,13404	NS
	P		10.846	-449	0,23457	NS		25.286	-937	0,13404	NS		48.002	-227	0,13404	NS
S	A		-353.207	10.318	0,08042	12,36		-350.351	6.020	0,08042	20,67		-411.915	13.174	0,08042	10,04
	P		-126.795	-5.421	0,08042	18,17		-607.927	-1.610	0,08042	96,71		-583.904	-1.745	0,08042	87,74
P	A	01301	-46.485	794	0,13404	NS	01302	-75.777	915	0,13404	NS	01303	-61.568	938	0,13404	NS
	P		13.916	-565	0,13404	NS		3.002	-67	0,13404	NS		12.954	-531	0,13404	NS
S	A		-3.252	7.391	0,08042	10,82		189	3.235	0,08042	24,47		-415.916	9.748	0,08042	13,58
	P		-193.838	-342	0,08042	NS		-448.422	-10.748	0,08042	12,71		-443.195	-10.150	0,08042	13,38
P	A	01304	-46.046	1.211	0,13404	NS	01305	34.328	1.317	0,13404	NS					
	P		4.288	-53	0,13404	NS		26.526	-343	0,13404	NS					
S	A		-363.344	12.346	0,08042	10,18		3.276	10.889	0,08042	7,15					
	P		-497.629	-7.523	0,08042	18,92		-105.033	-3.031	0,08042	30,36					
Piano terra						**ParetеP2-4**						**Parete P2-4**				
P	A	00056	-122.430	128	0,08042	NS	00095	-246.556	10.329	0,16085	19,22	00236	-57.254	2.863	0,08042	32,30
	P		-50.364	-2.498	0,08042	36,66		-255.220	-15.902	0,16085	12,55		-56.934	-3.108	0,08042	29,73
S	A		-214.888	10.744	0,16085	18,11		-487.606	15.062	0,28149	23,18		-300.875	15.044	0,16085	13,67
	P		-412.365	-5.672	0,18096	42,23		-495.944	-24.790	0,23457	12,32		-137.006	-6.617	0,18096	30,95
P	A	00238	52.609	2.605	0,18096	69,27	00520	16.177	588	0,08042	NS	00521	14.194	439	0,08042	NS
	P		-339.770	-14.341	0,18096	16,09		4.693	-119	0,08042	NS		18.609	-898	0,08042	91,89
S	A		-161.829	6.596	0,28149	47,04		-138.996	6.837	0,08042	14,28		-20.377	1.011	0,08042	86,69
	P		-307.244	-12.403	0,30159	28,13		-568.941	-2.686	0,10053	63,54		-177.305	-2.173	0,10053	59,08
P	A	00522	26.102	996	0,08042	81,86	00523	-113.938	214	0,08042	NS	00524	26.593	1.240	0,08042	65,70
	P		15.059	-753	0,08042	NS		-13.739	-1.774	0,08042	48,91		84.347	-1.138	0,08042	64,95
S	A		-43.629	2.181	0,08042	41,57		-354.894	4.097	0,08042	31,05		-312.331	7.495	0,08042	16,74
	P		-203.895	-9.470	0,10053	13,92		-279.013	-13.949	0,10053	9,86		-315.271	-15.764	0,10053	9,25
P	A	00525	-20.612	529	0,16085	NS	00608	27.477	1.344	0,08042	60,55	00609	128.213	1.926	0,08042	35,40
	P		-23.513	-1.176	0,16085	NS		6.563	-87	0,08042	NS		88.351	-3.114	0,08042	23,58
S	A		-503.773	11.093	0,28149	31,21		-282.798	14.140	0,08042	8,36		-111.620	7.685	0,08042	12,22
	P		-326.247	-16.312	0,23457	17,12		-106.202	-2.141	0,10053	54,04		-249.651	-10.912	0,10053	12,10
P	A	00610	-43.227	4.114	0,18096	46,87	00611	-35.109	238	0,08042	NS	00612	19.987	504	0,08042	NS
	P		57.150	-1.864	0,18096	96,51		-14.526	-726	0,08042	NS		7.768	-315	0,08042	NS
S	A		-1.247.7	4.633	0,28149	78,21		-15.659	782	0,08042	NS		-26.499	301	0,08042	NS

Dir	Pos	Nodo	N_{Ed} [N]	M_{Ed} [N·m]	A_s [cm²/cm]	CS	Nodo	N_{Ed} [N]	M_{Ed} [N·m]	A_s [cm²/cm]	CS	Nodo	N_{Ed} [N]	M_{Ed} [N·m]	A_s [cm²/cm]	CS
	P		22 -176.037	-8.802	0,10053	13,91		-156.897	-7.845	0,10053	16,03		-107.549	-5.377	0,10053	21,71
P	A	00613	15.448	764	0,08042	NS	00614	14.559	462	0,08042	NS	00615	62.120	755	0,08042	NS
	P		19.889	-883	0,08042	93,28		67.597	-748	0,08042	NS		29.856	-401	0,08042	NS
S	A		-53.596	2.415	0,08042	38,08		-48.602	2.338	0,08042	39,06		-135.238	6.691	0,08042	14,58
	P		-96.094	-4.533	0,10053	26,02		-89.220	-1.115	0,10053	NS		-46.325	-1.945	0,10053	54,72
P	A	01220	66.073	703	0,08042	NS	01221	20.633	1.305	0,16085	NS	01222	13.247	657	0,18096	NS
	P		117.262	-195	0,08042	NS		-107.234	-5.365	0,16085	33,67		-22.073	-4.608	0,18096	41,26
S	A		-210.896	10.545	0,16085	18,33		-183.394	7.943	0,28149	39,34		-601.966	5.183	0,28149	70,65
	P		-180.251	-4.306	0,10053	29,94		-304.430	-13.651	0,23457	20,59		-221.953	-9.618	0,30159	35,15
P	A	01223	30.386	1.300	0,08042	62,31	01224	19.117	568	0,08042	NS	01225	-88.311	161	0,08042	NS
	P		4.818	-407	0,08042	NS		24.504	-456	0,08042	NS		26.919	-1.045	0,08042	77,94
S	A		-216.889	10.844	0,16085	17,89		-149.402	6.817	0,08042	14,90		-71.384	3.147	0,08042	28,88
	P		-219.237	-2.130	0,10053	62,88		-177.713	-2.089	0,10053	60,12		-97.217	-4.727	0,10053	24,27
P	A	01226	12.185	609	0,08042	NS	01227	14.081	619	0,08042	NS					
	P		48.257	-232	0,08042	NS		-30.743	-1.537	0,08042	57,90					
S	A		-137.410	3.520	0,08042	28,36		-122.127	2.182	0,08042	46,23					
	P		-224.199	-10.938	0,10053	12,01		-226.577	-11.329	0,10053	11,89					
Piano terra						**ParetеP3-6**						**Parete P3-6**				
P	A	00060	-3.039	99	0,10053	NS	00098	-152.198	7.610	0,10053	16,46	00239	-127.484	1.356	0,10053	89,95
	P		-45.861	-2.179	0,08042	41,75		-173.675	-7.154	0,16085	26,37		-19.591	-1.141	0,08042	76,73
S	A		-203.849	705	0,13404	NS		-369.496	18.475	0,33510	21,11		-364.749	1.851	0,21447	NS
	P		-143.986	-7.199	0,16085	25,74		-525.429	-5.555	0,28149	64,26		-147.900	-7.395	0,16085	25,16
P	A	00241	-475.392	9.715	0,10053	17,04	00526	12.061	546	0,10053	NS	00527	7.790	382	0,10053	NS
	P		47.835	-2.365	0,08042	33,28		14.405	-451	0,08042	NS		12.953	-425	0,08042	NS
S	A		-1.150.071	12.894	0,33510	35,67		-84.939	345	0,13404	NS		-85.488	3.862	0,13404	38,96
	P		-55.846	-2.792	0,28149	NS		-89.543	-4.477	0,08042	20,43		-179.490	-2.741	0,08042	39,53
P	A	00528	15.359	182	0,10053	NS	00529	9.301	458	0,10053	NS	00530	-10.226	804	0,10053	NS
	P		25.810	-286	0,08042	NS		25.753	-836	0,08042	97,65		17.938	-946	0,08042	87,30
S	A		-107.213	5.258	0,13404	29,14		-124.539	6.226	0,13404	24,49		-126.775	5.965	0,13404	26,10
	P		-85.773	-4.289	0,08042	22,42		-47.459	-2.332	0,08042	37,84		-295.441	-5.696	0,08042	21,66
P	A	00531	-2.326	573	0,10053	NS	00600	23.440	1.162	0,10053	88,15	00601	60.247	1.655	0,10053	58,99
	P		2.462	-970	0,16085	NS		-14.486	-724	0,08042	NS		22.659	-1.096	0,08042	74,82
S	A		-221.625	11.081	0,13404	14,66		-216.934	2.329	0,13404	70,28		-127.222	6.130	0,13404	24,48
	P		-537.606	-8.520	0,28149	39,18		-219.807	-10.990	0,08042	10,04		-91.545	-2.963	0,08042	30,78
P	A	00602	26.498	1.172	0,18096	NS	00603	-3.180	351	0,10053	NS	00604	5.500	379	0,10053	NS
	P		-39.325	-883	0,16085	NS		12.520	-585	0,08042	NS		49.673	-1.963	0,08042	39,98
S	A		-151.403	3.728	0,13404	41,23		-99.329	4.897	0,13404	31,08		-107.285	5.362	0,13404	28,57
	P		-59.827	-35	0,08042	NS		-48.895	-2.445	0,08042	37,37		-128.954	-3.931	0,08042	25,90
P	A	00605	11.959	368	0,10053	NS	00606	10.141	284	0,10053	NS	00607	8.583	401	0,10053	NS
	P		-117.257	-280	0,08042	NS		-161.818	-415	0,08042	NS		67.732	-732	0,08042	NS
S	A		-108.838	5.148	0,13404	29,80		-96.569	4.223	0,13404	35,96		-320.973	1.355	0,13404	NS
	P		-171.962	-2.496	0,08042	43,02		-67.809	-3.390	0,08042	27,67		-121.474	-6.064	0,08042	15,82
P	A	01212	12.206	564	0,10053	NS	01213	-15.218	1.005	0,10053	NS	01214	-40.556	1.833	0,10053	60,43
	P		130.819	-877	0,08042	77,39		40.840	-1.530	0,16085	NS		13.503	-646	0,08042	NS
S	A		-89.126	1.772	0,13404	85,18		-62.681	2.903	0,33510	NS		-47.372	2.170	0,33510	NS
	P		-162.668	-8.133	0,08042	13,05		-176.868	-5.028	0,28149	62,11		-555.010	-2.292	0,28149	NS
P	A	01215	8.184	409	0,10053	NS	01216	1.651	77	0,10053	NS	01217	7.147	354	0,10053	NS
	P		-165.536	-633	0,08042	NS		27.222	-624	0,08042	NS		-120.460	-335	0,08042	NS
S	A		-261.513	2.171	0,13404	79,88		-114.862	1.111	0,13404	NS		-98.873	4.855	0,13404	30,77
	P		-173.815	-8.691	0,16085	21,76		-125.805	-6.213	0,08042	16,32		-85.359	-4.154	0,08042	22,46
P	A	01218	32.240	440	0,10053	NS	01219	84.696	599	0,10053	NS					
	P		16.698	-655	0,08042	NS		26.090	-1.174	0,08042	69,47					
S	A		-116.328	5.754	0,13404	26,83		-83.912	3.029	0,13404	49,60					

Dir	Pos	Nodo	N_{Ed} [N]	M_{Ed} [N·m]	A_s [cm²/cm]	CS	Nodo	N_{Ed} [N]	M_{Ed} [N·m]	A_s [cm²/cm]	CS	Nodo	N_{Ed} [N]	M_{Ed} [N·m]	A_s [cm²/cm]	CS
	P		-132.953	-2.834	0,08042	36,09		-52.998	-1.676	0,08042	54,82					
Piano terra						**Parete16-P9**						**Parete 16-P9**				
P	A	00072	11	41	0,08042	NS	00117	26.543	28.345	0,08042	2,88	00210	-21.449	2.898	0,08042	30,29
	P		18	-16.168	0,08042	5,26		237.025	-27.917	0,08042	1,93		74.488	-3.705	0,08042	20,30
S	A		-4.914	1.088	0,08042	73,84		-790.706	47.125	0,16085	5,49		83.814	5.800	0,08042	12,76
	P		-420.705	-20.995	0,08042	6,37		-799.547	-49.979	0,16085	5,19		-198.349	-7.335	0,08042	15,10
P	A	00211	13.603	637	0,08042	NS	00285	47.305	2.290	0,18096	79,10	00286	3.469	167	0,08042	NS
	P		77.836	-2.265	0,08042	33,02		133.285	-1.327	0,18096	NS		-40.675	-4.610	0,08042	19,59
S	A		92.030	1.379	0,08042	50,72		-134.082	3.401	0,28149	89,97		125.999	11.729	0,28149	23,29
	P		-125.521	-3.712	0,08042	26,51		-28.401	-1.336	0,21447	NS		-195.983	-4.813	0,28149	65,35
P	A	00732	2.435	13.574	0,08042	6,24	00733	59.546	5.929	0,08042	13,02	00734	46.956	5.386	0,08042	14,64
	P		127.688	-2.483	0,08042	27,49		228.017	-2.500	0,08042	22,02		245.698	-6.676	0,08042	7,90
S	A		-443.254	17.648	0,08042	7,71		-386.685	7.168	0,08042	18,10		-7	5.232	0,08042	15,29
	P		-184.061	-9.203	0,08042	11,22		-338.421	-8.052	0,08042	15,35		-384.284	-7.779	0,08042	16,64
P	A	00735	121.722	8.837	0,08042	7,81	00736	117.938	6.782	0,08042	10,25	00737	72.756	21.803	0,08042	3,46
	P		267.688	-1.001	0,08042	49,80		280.568	-7.103	0,08042	6,78		191.913	-4.710	0,08042	12,70
S	A		702	6.797	0,08042	11,81		8.978	7.579	0,08042	10,53		-737.997	31.960	0,08042	5,37
	P		-313.945	-1.832	0,08042	66,01		-352.458	-3.670	0,08042	34,45		-511.100	-10.964	0,08042	13,33
P	A	00862	-102.387	3.634	0,08042	27,06	00863	-56.505	3.184	0,08042	29,01	00864	11.947	2.665	0,08042	31,30
	P		-137.031	-6.853	0,08042	15,01		-19.474	-3.556	0,08042	24,61		57.965	-1.727	0,08042	44,81
S	A		-481.250	15.134	0,08042	9,35		-166.503	8.306	0,08042	12,48		161.295	4.682	0,08042	12,79
	P		-547.577	-16.047	0,08042	9,32		-207.170	-10.267	0,08042	10,61		-82.385	-4.119	0,08042	22,29
P	A	01068	16.983	823	0,18096	NS	01069	102.877	2.344	0,08042	30,51	01070	38.996	1.945	0,08042	41,07
	P		-269.544	-1.082	0,18096	NS		51.873	-2.720	0,08042	28,74		94.825	-3.409	0,08042	21,28
S	A		105.964	1.176	0,08042	60,45		10.153	1.564	0,08042	50,03		788	1.926	0,08042	40,97
	P		-52.313	-2.589	0,08042	35,47		-311.832	-11.252	0,08042	10,66		-415.527	-15.394	0,08042	8,60
P	A	01087	91.936	984	0,18096	NS	01088	-7.850	2.114	0,08042	40,69	01089	-41.241	2.096	0,08042	43,11
	P		20.103	-936	0,18096	NS		34.420	-1.721	0,08042	46,76		25.428	-830	0,08042	98,38
S	A		-70.535	1.253	0,08042	70,53		-18.674	887	0,08042	95,35		-23.654	1.084	0,08042	81,26
	P		-57.423	-1.404	0,08042	61,73		-349.431	-5.709	0,08042	22,28		-219.682	-4.412	0,08042	25,73
P	A	01090	-39.425	2.282	0,08042	39,49	01091	-46.813	3.524	0,08042	25,85	01092	-64.526	2.575	0,08042	36,27
	P		40.727	-2.036	0,08042	39,11		9.780	-489	0,08042	NS		249.397	-1.045	0,08042	50,02
S	A		2.169	1.190	0,08042	71,16		-83.430	4.172	0,08042	22,98		-121.204	6.060	0,08042	16,00
	P		-54.989	-2.539	0,08042	36,30		-60.199	-3.010	0,08042	30,85		-249.225	-8.114	0,08042	13,99
P	A	01628	10.563	500	0,18096	NS	01629	42.622	2.268	0,08042	35,01	01630	-25.442	2.579	0,08042	34,24
	P		-151.268	-756	0,18096	NS		40.811	-1.775	0,08042	44,86		-55.810	-1.265	0,08042	72,96
S	A		107.187	988	0,28149	NS		-173.229	8.661	0,28149	35,98		12.288	8.783	0,08042	8,96
	P		-1.032.047	-2.697	0,21447	NS		-145.949	-7.295	0,28149	42,24		-544.227	-4.142	0,08042	36,08
P	A	01631	-16.981	943	0,08042	92,49	01632	36.016	700	0,08042	NS	01633	-74.638	1.211	0,08042	78,20
	P		-63.158	-3.178	0,08042	29,33		15.831	-696	0,08042	NS		-7.655	-659	0,08042	NS
S	A		1.608	2.315	0,08042	34,07		16.201	2.233	0,08042	34,33		5.709	3.435	0,08042	22,71
	P		-327.125	-7.742	0,08042	15,68		-572.540	-8.970	0,08042	16,87		-748.657	-2.518	0,08042	67,70
P	A	01634	-68.422	1.809	0,08042	51,92	01635	36.347	2.241	0,08042	35,80	01636	-57.864	1.084	0,08042	85,37
	P		11.304	-400	0,08042	NS		66.974	-2.426	0,08042	31,41		23.433	-726	0,08042	NS
S	A		3.759	5.018	0,08042	15,74		19.559	6.643	0,08042	11,60		27.962	1.612	0,08042	47,24
	P		-908.239	-924	0,08042	NS		-283.743	-5.766	0,08042	20,18		-62.758	-2.028	0,08042	43,39
P	A	01637	-49.900	1.987	0,08042	46,04	01638	-42.508	1.877	0,08042	48,24					
	P		31.076	-518	0,08042	NS		6.556	-263	0,08042	NS					
S	A		4.024	2.403	0,08042	33,56		-177.060	6.022	0,08042	17,22					
	P		-463.544	-2.068	0,08042	67,94		-193.696	-6.524	0,08042	16,23					
Piano terra						**Parete20-21-P10**						**Parete 20-21**				
P	A	00196	34.569	1.545	0,08042	52,08	00197	46.773	1.161	0,08042	67,94	00204	0	0	0,08042	-
	P		137.820	-6.879	0,08042	9,73		18.262	-875	0,08042	94,37		130.530	-6.529	0,08042	10,39
S	A		-312.494	15.625	0,10053	9,33		-222.512	4.312	0,18096	48,82		-112.009	5.600	0,23457	44,60
	P		-278.930	-11.393	0,10053	12,42		-163.050	-8.074	0,18096	25,13		1.565	-16.447	0,23457	14,30
P	A	00205	13.018	661	0,16085	NS	00676	26.818	1.299	0,08042	62,70	00677	34.617	1.685	0,08042	47,74
	P		55.746	-2.495	0,16085	63,96		108.647	-3.151	0,08042	22,45		64.760	-2.562	0,08042	29,86

Dir	Pos	Nodo	N_{Ed} [N]	M_{Ed} [N·m]	A_s [cm²/cm]	CS	Nodo	N_{Ed} [N]	M_{Ed} [N·m]	A_s [cm²/cm]	CS	Nodo	N_{Ed} [N]	M_{Ed} [N·m]	A_s [cm²/cm]	CS
S	A		-296.668	14.833	0,23457	18,86		-269.444	13.472	0,10053	10,02		-152.855	7.642	0,10053	15,68
	P		-155.750	-4.825	0,23457	54,25		-93.343	-4.296	0,23457	57,20		-119.322	-5.282	0,10053	21,86
P	A	00678	46.037	2.271	0,08042	34,77	00679	43.672	2.082	0,08042	38,08	00680	64.299	2.854	0,08042	26,82
	P		-44.705	-2.192	0,08042	41,43		64.052	-1.563	0,08042	49,00		30.703	-1.366	0,08042	59,27
S	A		-219.916	10.149	0,10053	12,66		-250.324	6.483	0,10053	20,46		-197.108	5.589	0,10053	22,55
	P		8.435	-2.207	0,10053	44,80		-131.888	-4.716	0,10053	24,89		-106.533	-4.683	0,10053	24,41
P	A	00681	36.630	1.723	0,08042	46,55	00688	152.295	3.577	0,08042	18,18	00689	0	0	0,08042	-
	P		-52.595	-999	0,08042	91,91		123.361	-3.790	0,08042	18,15		80.411	-3.823	0,08042	19,47
S	A		-158.775	4.596	0,10053	26,32		-248.129	12.325	0,10053	10,85		-288.257	14.411	0,10053	9,63
	P		-135.800	-5.339	0,10053	22,10		610	-3.101	0,10053	32,76		2.552	-3.874	0,10053	26,15
P	A	00690	0	0	0,08042	-	00691	238.598	3.954	0,08042	13,57	00692	273.781	5.270	0,08042	9,31
	P		185.630	-9.275	0,08042	6,54		187.747	-4.926	0,08042	12,25		132.355	-6.618	0,08042	10,22
S	A		-262.928	10.172	0,10053	13,29		-279.146	13.948	0,10053	9,85		-245.239	12.262	0,10053	10,83
	P		-2.119	-5.912	0,10053	17,16		2.855	-8.268	0,10053	12,21		4.514	-9.266	0,10053	10,84
P	A	00693	1.010	50	0,08042	NS	00848	3.242	162	0,08042	NS	00849	1.408	48	0,08042	NS
	P		82.655	-2.513	0,08042	29,51		-35.794	-2.835	0,08042	31,63		-47.190	-2.397	0,08042	38,02
S	A		-206.157	10.308	0,10053	12,17		-200.166	10.008	0,23457	26,22		-171.976	8.599	0,23457	30,09
	P		8.997	-12.587	0,23457	18,46		7.369	-9.858	0,23457	23,91		-303.322	-8.498	0,23457	32,42
P	A	00888	67.632	1.318	0,08042	57,74	00889	8.638	160	0,08042	NS	01451	16.273	768	0,08042	NS
	P		-5.503	-313	0,08042	NS		-9.285	-733	0,08042	NS		154.264	-991	0,08042	65,36
S	A		-246.096	12.305	0,10053	10,68		-280.976	7.298	0,10053	18,60		-152.512	5.363	0,10053	22,33
	P		-254.385	-4.889	0,10053	27,09		-177.013	-8.267	0,10053	14,80		-163.374	-6.915	0,10053	17,52
P	A	01452	10.443	428	0,08042	NS	01453	5.780	289	0,08042	NS	01454	26.193	1.088	0,08042	74,98
	P		-53.316	-2.615	0,08042	35,15		48.882	-2.444	0,08042	32,15		76.104	-3.781	0,08042	19,84
S	A		-221.384	11.069	0,23457	23,92		-57.547	2.877	0,23457	84,29		-164.841	8.205	0,10053	14,98
	P		-199.192	-8.620	0,23457	30,39		5.492	-11.374	0,23457	20,61		1.501	-2.367	0,10053	42,82
P	A	01455	26.675	436	0,08042	NS	01456	27.698	462	0,08042	NS	01457	32.458	1.090	0,08042	74,04
	P		21.155	-1.007	0,08042	81,65		30.372	-1.428	0,08042	56,71		-43.934	-2.087	0,08042	43,48
S	A		-245.584	10.928	0,10053	12,10		-263.701	11.822	0,10053	11,33		-323.175	13.135	0,10053	10,73
	P		-215.289	-4.179	0,10053	30,71		4.126	-3.855	0,10053	25,78		5.823	-5.294	0,10053	18,60
P	A	01458	0	0	0,08042	-										
	P		-42.128	-2.404	0,08042	37,64										
S	A		-196.053	9.803	0,23457	26,55										
	P		9.146	-6.636	0,23457	35,24										
Piano terra						**Parete20-21-P10**						**Parete 21-P10**				
P	A	00197	0	0	0,08042	-	00205	2.424	113	0,16085	NS	00225	31.577	706	0,16085	NS
	P		-54.203	-557	0,08042	NS		-56.360	-1.786	0,16085	97,48		10.822	-1.208	0,16085	NS
S	A		-82.093	4.105	0,18096	46,86		-485.062	14.080	0,23457	21,24		-37.377	1.869	0,18096	NS
	P		-161.703	-7.910	0,18096	25,61		-65.075	-3.196	0,23457	76,88		-80.268	-4.013	0,18096	49,24
P	A	00227	124.874	6.244	0,16085	24,12	00664	1.552	17	0,08042	NS	00665	10.896	496	0,08042	NS
	P		-17.604	-880	0,16085	NS		-52.243	-775	0,08042	NS		-43.752	-969	0,08042	93,56
S	A		-114.407	5.138	0,23457	49,91		-158.476	7.739	0,10053	15,57		-169.871	6.598	0,10053	18,70
	P		-196.838	-9.842	0,23457	27,13		-170.598	-8.018	0,10053	15,22		-160.049	-7.884	0,10053	15,49
P	A	00666	19.084	888	0,16085	NS	00667	6.849	327	0,16085	NS	00668	7.075	202	0,16085	NS
	P		-38.300	-1.272	0,16085	NS		9.441	-1.510	0,16085	NS		-13.099	-1.898	0,16085	88,78
S	A		-125.775	5.458	0,10053	22,32		-54.104	2.665	0,10053	42,21		-88.489	3.026	0,10053	38,66
	P		-126.995	-6.273	0,10053	19,44		-67.407	-2.406	0,10053	47,49		-80.689	-603	0,10053	NS
P	A	00669	10.944	181	0,08042	NS	00670	9.585	479	0,08042	NS	00671	2.741	47	0,08042	NS
	P		-24.636	-1.909	0,08042	46,21		-22.368	-2.059	0,08042	42,70		-15.763	-1.781	0,08042	48,88
S	A		-142.025	4.652	0,10053	26,64		-153.149	6.975	0,10053	17,97		-171.929	8.593	0,10053	14,87
	P		-904	-139	0,10053	NS		-40.044	-1.378	0,10053	80,35		-101.699	-4.265	0,10053	27,83
P	A	00672	32.461	1.243	0,16085	NS	00673	9.933	497	0,16085	NS	00674	12.340	605	0,08042	NS
	P		-13.756	-1.422	0,16085	NS		30.361	-1.136	0,16085	NS		36.618	-1.847	0,08042	43,42
S	A		-162.408	8.028	0,10053	15,76		-451.763	8.051	0,10053	20,27		-135.807	6.627	0,10053	18,58
	P		-168.965	-7.168	0,10053	17,77		-120.214	-3.661	0,10053	33,07		-109.035	-4.869	0,10053	24,57
P	A	00675	3.843	195	0,08042	NS	00676	31.559	1.551	0,08042	52,14	00677	46.067	2.259	0,08042	34,95
	P		183.694	-3.424	0,08042	17,78		-53.053	-2.778	0,08042	33,08		-41.911	-2.424	0,08042	37,31
S	A		-151.91	7.596	0,23457	33,83		-333.94	11.966	0,10053	12,04		-366.65	11.259	0,10053	13,09

Dir	Pos	Nodo	N_{Ed} [N]	M_{Ed} [N·m]	A_s [cm²/cm]	CS	Nodo	N_{Ed} [N]	M_{Ed} [N·m]	A_s [cm²/cm]	CS	Nodo	N_{Ed} [N]	M_{Ed} [N·m]	A_s [cm²/cm]	CS
	P		3 -115.019	-4.626	0,23457	54,52		6 -94.028	-3.369	0,23457	73,18		4 -238.665	-6.052	0,10053	21,67
P	A	00678	71.407	3.266	0,08042	23,16	00679	20.011	924	0,08042	89,09	00680	1.300	37	0,08042	NS
	P		-46.035	-2.282	0,08042	39,88		-43.337	-1.853	0,08042	48,92		68.739	-1.377	0,08042	55,20
S	A		-124.850	6.207	0,10053	18,79		-222.809	7.642	0,10053	16,91		-197.950	7.985	0,10053	15,81
	P		6.913	-2.654	0,10053	37,48		8.403	-1.722	0,10053	57,64		5.000	-1.615	0,10053	61,88
P	A	00681	41.000	1.458	0,08042	54,59	01265	7.850	234	0,16085	NS	01266	39.406	1.455	0,16085	NS
	P		-51.708	-1.035	0,08042	88,64		-14.919	-1.320	0,16085	NS		58.747	-2.066	0,16085	77,06
S	A		-120.615	5.656	0,10053	20,48		-59.936	2.470	0,10053	45,87		-242.805	8.609	0,23457	31,70
	P		-155.397	-4.743	0,10053	25,38		-75.173	-3.556	0,10053	32,41		-101.257	-5.042	0,23457	50,52
P	A	01267	65.488	1.159	0,08042	65,94	01268	7.898	435	0,08042	NS	01269	11.214	499	0,08042	NS
	P		-48.258	-2.287	0,08042	39,92		-52.389	-905	0,08042	NS		-47.372	-1.182	0,08042	77,14
S	A		-518.216	10.382	0,23457	29,18		-250.910	5.783	0,10053	22,92		-132.027	4.546	0,10053	25,91
	P		-113.820	-4.847	0,23457	51,94		-147.137	-6.787	0,10053	17,57		-127.655	-5.064	0,10053	23,15
P	A	01270	17.577	669	0,08042	NS	01271	4.708	229	0,08042	NS	01272	45.198	207	0,08042	NS
	P		-40.077	-1.757	0,08042	51,36		-38.560	-2.181	0,08042	41,28		-36.757	-1.992	0,08042	45,07
S	A		-358.375	7.540	0,10053	19,46		-326.765	8.924	0,10053	16,00		-151.613	7.562	0,23457	33,94
	P		4.618	-1.025	0,10053	97,60		-139.899	-3.300	0,10053	36,03		-112.167	-4.620	0,23457	54,46
P	A	01273	5.404	213	0,16085	NS	01274	44.375	418	0,08042	NS	01275	24.283	373	0,08042	NS
	P		-31.418	-1.635	0,16085	NS		-28.975	-2.041	0,08042	43,50		-24.118	-1.943	0,08042	45,36
S	A		-149.948	3.004	0,10053	40,67		-143.309	6.690	0,10053	18,14		-148.410	7.251	0,10053	17,20
	P		-85.840	-2.667	0,10053	42,69		-99.843	-2.163	0,10053	53,50		-109.380	-5.115	0,10053	23,40
Piano terra						**Parete22-P11**						**Parete 22-P11**				
P	A	00066	-123.460	20.261	0,10053	6,00	00091	-157.694	30.111	0,18096	6,89	00217	-412.238	1.378	0,30159	NS
	P		-152.469	-1.131	0,10053	NS		46.523	-9.617	0,18096	18,84		-142.843	-7.154	0,30159	45,87
S	A		-496.228	24.615	0,08042	5,81		-679.425	38.700	0,16085	6,49		-207.276	6.261	0,18096	34,15
	P		-85.839	-2.466	0,08042	36,87		-398.025	-19.877	0,16085	10,95		-485.422	-17.312	0,16085	13,23
P	A	00218	-13.027	1.140	0,10053	94,03	00626	95.260	3.334	0,10053	27,91	00627	3.139	2.307	0,10053	45,54
	P		-13.267	-3.064	0,10053	34,99		13.749	-566	0,10053	NS		32.464	-808	0,10053	NS
S	A		-134.077	6.704	0,28149	45,42		-332.640	9.070	0,08042	13,34		-314.545	9.795	0,08042	12,02
	P		-61.796	-3.090	0,16085	56,60		-121.725	-4.869	0,08042	19,29		-102.699	-5.135	0,08042	17,62
P	A	00628	4.768	2.440	0,10053	42,97	00629	-46.912	2.361	0,10053	47,27	00630	28.296	1.001	0,10053	NS
	P		43.672	-174	0,10053	NS		63.620	-544	0,10053	NS		19.339	-138	0,10053	NS
S	A		-281.506	12.412	0,08042	9,30		-288.630	9.877	0,08042	12,07		-90.273	3.708	0,08042	23,90
	P		-75.315	-3.766	0,08042	23,57		-509.045	-4.303	0,08042	34,10		-36.958	-1.848	0,08042	44,20
P	A	00631	31.032	1.552	0,10053	65,37	00632	109.255	4.345	0,10053	20,99	00633	207.805	1.077	0,30159	NS
	P		263.183	-371	0,10053	NS		-10.123	-1.719	0,10053	62,11		-36.027	-1.801	0,30159	NS
S	A		-124.691	443	0,08042	NS		-96.473	1.777	0,08042	52,79		-79.056	3.953	0,08042	23,28
	P		-173.524	-6.652	0,08042	15,50		-211.811	-10.589	0,08042	10,27		-258.175	-12.909	0,08042	8,92
P	A	00634	58.287	227	0,30159	NS	00635	31.535	488	0,30159	NS	00636	-8.099	1.810	0,30159	NS
	P		85.889	-731	0,30159	NS		-35.503	-1.780	0,30159	NS		-79.598	-6.086	0,30159	52,58
S	A		-100.072	5.004	0,08042	18,46		-255.844	10.678	0,08042	10,41		-181.691	9.085	0,08042	11,96
	P		-311.720	-15.586	0,08042	7,67		-431.506	-18.340	0,08042	7,27		-358.668	-17.929	0,08042	7,32
P	A	00637	112.824	179	0,10053	NS	00638	-83.144	4.157	0,10053	27,97	00639	-87.957	6.857	0,10053	17,05
	P		-92.059	-4.603	0,30159	67,84		-88.727	-4.436	0,10053	26,38		-57.740	-2.310	0,10053	48,90
S	A		-251.608	12.580	0,08042	9,35		-364.709	14.546	0,08042	8,78		-482.803	18.032	0,08042	8,13
	P		-277.204	-13.860	0,08042	8,72		-262.924	-13.146	0,08042	8,73		-236.566	-8.043	0,08042	14,38
P	A	00640	81.160	2.870	0,18096	61,58	00641	103.930	4.990	0,18096	34,80	00642	76.992	3.065	0,10053	31,13
	P		38.145	-3.873	0,18096	47,08		23.644	-4.301	0,10053	23,80		143.015	-2.345	0,10053	37,01
S	A		-36.562	2.992	0,08042	27,25		-55.557	2.228	0,08042	38,75		-152.341	2.307	0,08042	42,19
	P		-80.354	-647	0,08042	NS		-358.674	-3.557	0,08042	35,24		-334.748	-8.159	0,08042	14,80
P	A	00643	155.170	5.523	0,10053	15,42	00644	72.074	3.033	0,10053	31,67	00645	71.739	3.220	0,10053	29,84
	P		91.727	-6.248	0,10053	14,96		152.937	-2.328	0,10053	36,73		63.561	-3.394	0,10053	28,64
S	A		1.506	1.240	0,08042	62,84		15.654	1.143	0,08042	65,91		-328.200	7.971	0,08042	14,94
	P		-351.970	-10.394	0,08042	11,89		-272.568	-11.940	0,08042	9,44		-382.447	-18.631	0,08042	6,76
P	A	01243	-83.387	1.007	0,10053	NS	01244	-2.447	1.063	0,30159	NS	01245	-19.681	3.976	0,18096	47,74

Dir	Pos	Nodo	N_{Ed} [N]	M_{Ed} [N·m]	A_s [cm²/cm]	CS	Nodo	N_{Ed} [N]	M_{Ed} [N·m]	A_s [cm²/cm]	CS	Nodo	N_{Ed} [N]	M_{Ed} [N·m]	A_s [cm²/cm]	CS
	P		60.534	-420	0,10053	NS		-71.536	-5.520	0,30159	57,79		-30.114	-1.536	0,18096	NS
S	A		-167.142	7.003	0,28149	42,98		-242.425	10.477	0,18096	20,13		-544.722	15.156	0,16085	14,70
	P		-851.512	-3.547	0,16085	75,92		-371.164	-17.713	0,16085	11,70		-216.555	-6.007	0,08042	17,88
P	A	01246	-3.417	2.494	0,10053	42,47	01247	-9.238	2.729	0,10053	39,08	01248	-115.062	842	0,10053	NS
	P		11.104	-357	0,10053	NS		9.165	-347	0,10053	NS		24.745	-139	0,10053	NS
S	A		-362.577	7.986	0,08042	15,50		-213.608	6.519	0,08042	15,82		-170.809	1.031	0,08042	94,25
	P		-267.223	-12.439	0,08042	8,98		-120.827	-6.041	0,08042	15,08		-112.436	-4.647	0,08042	19,27
P	A	01249	20.112	937	0,10053	NS	01250	3.425	1.877	0,10053	55,95	01251	-114.905	854	0,10053	NS
	P		4.519	-1.539	0,10053	68,14		-28.880	-2.217	0,10053	49,26		2.440	-309	0,10053	NS
S	A		-217.901	5.022	0,08042	20,60		-298.136	12.761	0,08042	9,06		-144.133	3.158	0,08042	30,12
	P		-105.465	-5.167	0,08042	17,20		-164.691	-8.232	0,08042	11,96		-156.942	-5.767	0,08042	16,78
P	A	01252	-102.569	558	0,10053	NS	01253	71.887	350	0,30159	NS					
	P		-32.028	-1.716	0,30159	NS		-59.955	-2.998	0,30159	NS					
S	A		-120.824	5.048	0,08042	18,24		-211.509	10.575	0,08042	9,81					
	P		-197.996	-9.895	0,08042	10,32		-258.438	-12.922	0,08042	8,49					
Piano terra						**Parete12-13**						**Parete 12-13**				
P	A	00038	7.008	14.685	0,10053	7,12	00048	39.297	1.749	0,10053	57,37	00100	-73.158	251	0,10053	NS
	P		-109.141	-5.654	0,08042	17,55		-19.452	-676	0,08042	NS		-112.972	-8.864	0,16085	20,42
S	A		-561.624	28.080	0,16085	8,49		-316.993	3.834	0,16085	54,16		0	0	0,28149	-
	P		-230.735	-10.385	0,18096	20,87		-294.649	-4.100	0,18096	54,84		-250.888	-10.786	0,23457	25,42
P	A	00101	-93.884	13.175	0,10053	8,93	00508	108.890	2.266	0,10053	40,27	00509	60.284	1.653	0,10053	59,04
	P		29.730	-1.483	0,08042	54,68		33.045	-4.060	0,08042	19,87		165.936	-332	0,08042	NS
S	A		-490.035	21.265	0,16085	10,80		-234.294	1.617	0,08042	67,39		26.621	279	0,08042	NS
	P		-144.714	-4.441	0,18096	46,35		-183.231	-9.106	0,10053	13,48		-188.037	-6.813	0,10053	18,52
P	A	00510	70.780	3.381	0,10053	28,46	00511	78.668	3.922	0,10053	24,28	00512	148.515	2.464	0,10053	34,92
	P		134.690	-596	0,08042	NS		-78.086	-1.032	0,08042	92,18		2.270	-1.469	0,08042	57,65
S	A		0	0	0,08042	-		-263.497	622	0,08042	NS		-249.230	944	0,08042	NS
	P		-193.706	-8.739	0,10053	14,56		-189.000	-6.022	0,10053	20,90		-152.448	-6.636	0,10053	18,34
P	A	00513	44.621	2.231	0,10053	44,67	00532	0	0	0,10053	-	00533	41.466	1.940	0,10053	51,59
	P		43.639	-2.022	0,08042	39,21		-6.411	-364	0,08042	NS		8.355	-319	0,08042	NS
S	A		-369.829	2.570	0,08042	48,69		-181.696	2.844	0,08042	35,90		-68.367	3.249	0,08042	28,01
	P		-204.461	-10.127	0,10053	12,26		-167.418	-5.867	0,10053	20,56		-159.694	-7.953	0,10053	15,50
P	A	00534	7.083	271	0,10053	NS	00535	41.744	400	0,10053	NS	00536	69.043	1.681	0,10053	57,40
	P		9.715	-430	0,08042	NS		52.964	-2.605	0,08042	29,96		12.355	-261	0,08042	NS
S	A		-81.623	3.645	0,08042	26,23		-65.881	2.972	0,08042	30,28		-122.657	2.408	0,08042	40,63
	P		-172.048	-8.602	0,10053	14,85		-168.799	-7.748	0,10053	15,97		-509.273	-12.143	0,10053	13,70
P	A	00537	-260.358	344	0,10053	NS	01013	78.829	8.688	0,10053	10,96	01014	-37.605	2.439	0,10053	45,26
	P		-10.468	-2.473	0,16085	67,94		29.293	-1.339	0,08042	60,61		56.949	-2.816	0,08042	27,53
S	A		-41.638	1.286	0,08042	64,63		-267.516	13.370	0,08042	8,95		-233.658	7.891	0,08042	14,62
	P		-901.758	-16.363	0,23457	18,82		-182.207	-1.841	0,10053	70,07		-96.238	-3.113	0,10053	37,90
P	A	01079	38.919	2.881	0,10053	34,86	01080	38.819	771	0,10053	NS	01609	35.538	2.652	0,10053	38,03
	P		88.139	-4.260	0,08042	17,24		61.465	-3.198	0,08042	24,06		45.559	-1.670	0,08042	47,32
S	A		-181.534	5.573	0,08042	18,25		-138.017	2.380	0,08042	40,56		-299.224	7.439	0,08042	16,16
	P		-72.417	-3.621	0,10053	29,83		-174.463	-4.208	0,10053	28,90		-148.015	-5.804	0,10053	20,86
P	A	01610	-50.483	2.411	0,10053	46,48	01611	118.525	1.379	0,10053	65,28	01612	27.670	297	0,10053	NS
	P		-11.396	-241	0,08042	NS		-50.283	-3.667	0,16085	47,21		-171.551	-428	0,08042	NS
S	A		-288.440	5.725	0,16085	35,64		-83.969	1.479	0,28149	NS		-201.221	5.397	0,08042	20,11
	P		-152.447	-5.975	0,18096	34,61		-543.111	-17.961	0,23457	17,34		-170.882	-4.703	0,10053	26,57
P	A	01613	3.778	221	0,10053	NS	01614	2.605	113	0,10053	NS	01615	5.502	198	0,10053	NS
	P		13.830	-617	0,08042	NS		6.414	-167	0,08042	NS		21.356	-654	0,08042	NS
S	A		-314.968	5.736	0,08042	21,21		-144.646	1.224	0,08042	81,04		-173.924	2.018	0,08042	51,08
	P		-143.255	-5.312	0,10053	22,57		-130.796	-4.760	0,10053	24,75		-381.412	-8.610	0,10053	17,37

Dir	Pos	Nodo	N_{Ed} [N]	M_{Ed} [N·m]	A_s [cm²/cm]	CS	Nodo	N_{Ed} [N]	M_{Ed} [N·m]	A_s [cm²/cm]	CS	Nodo	N_{Ed} [N]	M_{Ed} [N·m]	A_s [cm²/cm]	CS
P	A	01616	-857	868	0,10053	NS										
	P		17.863	-761	0,08042	NS										
S	A		-135.642	1.476	0,08042	67,18										
	P		-243.271	-7.323	0,10053	18,20										
Piano terra						**ParetteP12-37-47**						**Parete P12-37**				
P	A	00199	16.618	133	0,10053	NS	00208	383	21	0,18096	NS	00229	164.259	1.049	0,18096	NS
	P		10.817	-530	0,10053	NS		-56.152	-1.676	0,18096	NS		130.035	-6.502	0,18096	26,21
S	A		-217.894	4.879	0,18096	42,97		-185.743	9.287	0,23457	28,10		-212.784	4.262	0,18096	50,36
	P		-121.521	-6.004	0,18096	32,86		-158.959	-4.579	0,23457	56,24		-221.529	-6.340	0,18096	34,03
P	A	00231	172.481	1.085	0,18096	NS	00646	81.144	2.721	0,18096	64,95	00647	171.499	6.605	0,10053	12,57
	P		91.963	-603	0,18096	NS		63.478	-2.451	0,18096	73,04		116.167	-1.016	0,10053	88,89
S	A		-121.708	4.520	0,23457	56,94		-134.244	6.461	0,10053	19,02		-117.334	2.173	0,10053	53,47
	P		-52.037	-1.902	0,23457	NS		-262.864	-8.148	0,10053	17,11		-212.653	-8.995	0,10053	14,29
P	A	00648	62.537	1.780	0,10053	54,66	00649	49.125	1.514	0,10053	65,44	00650	126.586	1.597	0,10053	55,70
	P		47.211	-557	0,10053	NS		51.174	-1.061	0,10053	93,07		29.681	-1.236	0,10053	82,20
S	A		-213.437	2.883	0,10053	44,28		-143.021	4.155	0,10053	28,64		-80.814	2.818	0,10053	39,26
	P		-172.481	-8.033	0,10053	15,24		-102.332	-2.777	0,10053	40,96		5.172	-1.939	0,10053	51,29
P	A	00651	45.350	1.077	0,10053	92,44	00652	19.896	964	0,10053	NS	00653	53.437	2.580	0,10053	38,18
	P		130.282	-1.977	0,10053	44,73		126.022	-4.442	0,10053	20,04		-46.107	-2.139	0,10053	52,11
S	A		-134.823	4.075	0,10053	28,92		-85.914	4.296	0,10053	25,88		-116.613	5.831	0,10053	19,78
	P		5.014	-1.674	0,10053	59,53		-231.826	-5.514	0,10053	23,58		7.314	-1.851	0,10053	53,60
P	A	00654	10.264	477	0,10053	NS	00655	0	0	0,10053	-	00656	3.981	75	0,10053	NS
	P		-51.815	-2.528	0,10053	44,39		30.591	-1.392	0,10053	72,90		-30.098	-821	0,10053	NS
S	A		-131.270	6.563	0,10053	17,87		-204.310	10.216	0,23457	25,79		-204.787	10.239	0,10053	12,54
	P		-104.030	-2.936	0,23457	84,20		-127.786	-5.653	0,23457	44,87		-175.930	-3.482	0,10053	35,80
P	A	00657	7.340	195	0,18096	NS	00658	163.324	6.475	0,18096	25,65	00659	124.860	973	0,10053	91,63
	P		-16.211	-666	0,18096	NS		-11.756	-1.234	0,18096	NS		-21.458	-1.820	0,10053	59,50
S	A		-169.845	7.906	0,10053	16,13		-184.933	8.659	0,10053	14,95		-200.937	10.029	0,10053	13,11
	P		-163.122	-5.862	0,10053	21,60		-65.670	-2.082	0,10053	54,78		-45.108	-864	0,10053	NS
P	A	00660	149.100	471	0,10053	NS	00661	141.368	1.617	0,10053	53,80	00662	160.666	1.189	0,10053	71,05
	P		111.608	-1.785	0,10053	50,92		-23.040	-1.958	0,10053	55,40		-21.926	-1.636	0,10053	66,20
S	A		-215.793	9.928	0,10053	13,44		-204.316	8.719	0,10053	15,13		-210.342	6.288	0,10053	21,11
	P		-91.899	-2.323	0,10053	50,56		-117.045	-1.490	0,10053	81,01		-126.623	-6.331	0,10053	19,26
P	A	00663	418	26	0,18096	NS	01254	54.996	1.077	0,10053	91,24	01255	1.195	40	0,10053	NS
	P		16.510	-1.488	0,18096	NS		89.038	-966	0,10053	97,13		-45.062	-2.064	0,10053	53,96
S	A		-192.318	3.790	0,10053	34,40		-119.149	2.829	0,10053	40,86		-174.728	8.736	0,23457	29,69
	P		-260.959	-2.069	0,10053	67,27		-118.808	-4.829	0,10053	23,93		-136.500	-4.805	0,23457	52,96
P	A	01256	8.049	363	0,18096	NS	01257	49.307	390	0,18096	NS	01258	119.661	1.803	0,18096	95,22
	P		-13.713	-990	0,18096	NS		-14.483	-1.329	0,18096	NS		-34.606	-1.346	0,10053	81,69
S	A		-162.196	7.576	0,23457	34,66		-140.741	7.037	0,10053	17,58		-213.945	1.668	0,10053	79,85
	P		-373.663	-5.752	0,23457	50,33		-262.261	-3.866	0,10053	36,05		-244.057	-3.077	0,10053	44,54
P	A	01259	6.070	296	0,10053	NS	01260	13.143	654	0,10053	NS	01261	2.186	48	0,18096	NS
	P		155.602	-1.868	0,10053	45,58		-27.009	-1.973	0,10053	55,26		-22.058	-1.479	0,18096	NS
S	A		-168.984	7.545	0,10053	16,52		-176.353	8.806	0,10053	14,26		-179.020	8.902	0,10053	14,46
	P		-175.140	-1.774	0,10053	70,71		-107.959	-2.057	0,10053	56,76		-117.364	-3.257	0,10053	37,07
P	A	01262	94.073	4.066	0,10053	22,92	01263	6.757	326	0,10053	NS	01264	66.005	1.602	0,10053	60,45
	P		42.969	-1.362	0,10053	73,33		-38.118	-1.962	0,10053	56,29		-37.086	-2.112	0,10053	52,22
S	A		-129.897	4.389	0,10053	26,74		-147.220	7.346	0,10053	16,29		-178.874	8.924	0,10053	13,87
	P		6.224	-1.037	0,10053	96,08		-127.956	-4.724	0,10053	24,81		-213.568	-7.554	0,10053	16,98
Piano terra						**ParetteP12-37-47**						**Parete 37-47**				
P	A	00199	69.817	1.744	0,10053	55,24	00200	-58.820	951	0,10053	NS	00207	0	0	0,10053	-
	P		193.078	-1.634	0,10053	49,09		163.421	-8.078	0,10053	10,41		188.909	-9.454	0,10053	8,54
S	A		-105.318	2.507	0,18096	77,83		-367.147	18.357	0,10053	8,32		0	0	0,23457	-
	P		-133.102	-6.655	0,18096	29,86		-346.124	-16.481	0,10053	9,10		1.747	-16.408	0,23457	14,32
P	A	00208	3.717	113	0,18096	NS	00649	41.558	1.355	0,10053	73,86	00650	140.426	2.429	0,10053	35,88
	P		-57.248	-1.457	0,18096	NS		-52.204	-1.005	0,10053	NS		39.722	-1.924	0,10053	52,12
S	A		-199.009	9.229	0,23457	28,43		-70.149	2.232	0,10053	48,92		-162.793	3.312	0,10053	36,62

Dir	Pos	Nodo	N_{Ed} [N]	M_{Ed} [N·m]	A_s [cm²/cm]	CS	Nodo	N_{Ed} [N]	M_{Ed} [N·m]	A_s [cm²/cm]	CS	Nodo	N_{Ed} [N]	M_{Ed} [N·m]	A_s [cm²/cm]	CS
	P		-176.990	-5.501	0,23457	47,19		-75.220	-2.767	0,10053	39,70		4.453	-2.499	0,10053	39,86
P	A	00651	106.924	2.785	0,10053	32,86	00652	33.332	1.633	0,10053	61,94	00653	30.992	696	0,10053	NS
	P		-45.690	-1.559	0,10053	71,48		50.610	-2.247	0,10053	44,01		-44.031	-1.825	0,10053	60,94
S	A		-63.344	2.381	0,10053	45,42		-104.841	5.201	0,10053	21,81		-77.942	3.661	0,10053	30,03
	P		-345.887	-6.345	0,10053	22,76		-151.112	-4.540	0,10053	26,31		-218.694	-7.613	0,10053	16,83
P	A	00654	25.272	1.235	0,10053	82,72	00712	250.004	3.751	0,10053	19,40	00713	145.446	2.700	0,10053	32,03
	P		-50.692	-2.300	0,10053	48,73		164.345	-4.664	0,10053	18,01		158.167	-6.458	0,10053	13,13
S	A		-142.399	6.976	0,10053	16,97		-264.142	13.181	0,10053	10,32		-463.554	12.813	0,10053	12,54
	P		-146.496	-3.454	0,23457	72,80		651	-3.093	0,10053	32,90		2.573	-3.876	0,10053	26,08
P	A	00714	0	0	0,10053	-	00715	290.678	3.654	0,10053	18,45	00716	284.314	5.380	0,10053	12,69
	P		131.389	-6.406	0,10053	13,78		155.274	-3.591	0,10053	23,72		183.988	-5.691	0,10053	14,31
S	A		-418.341	8.673	0,10053	17,83		-448.959	12.051	0,10053	13,15		-496.006	12.677	0,10053	12,94
	P		-2.087	-5.889	0,10053	17,20		2.834	-8.234	0,10053	12,23		4.590	-9.239	0,10053	10,85
P	A	00717	8.477	424	0,10053	NS	00844	22.459	882	0,10053	NS	00845	6.533	327	0,10053	NS
	P		137.901	-4.968	0,10053	17,60		-46.369	-2.190	0,10053	50,92		-35.654	-2.780	0,10053	39,61
S	A		-423.457	6.246	0,10053	24,57		-57.474	2.874	0,23457	84,83		-15.243	762	0,23457	NS
	P		9.176	-12.546	0,23457	18,51		-370.686	-8.238	0,23457	34,44		7.775	-9.732	0,23457	24,19
P	A	00886	17.125	472	0,10053	NS	00887	23.808	770	0,10053	NS	01443	0	0	0,10053	-
	P		28.147	-451	0,10053	NS		9.276	-475	0,10053	NS		36.962	-1.830	0,10053	55,01
S	A		-180.919	6.740	0,10053	18,20		-266.864	13.343	0,10053	10,03		-75.994	3.800	0,10053	29,27
	P		-162.837	-8.142	0,10053	14,78		-212.684	-7.254	0,10053	17,49		1.512	-2.358	0,10053	42,90
P	A	01444	8.597	430	0,10053	NS	01445	14.643	589	0,10053	NS	01446	45.022	2.215	0,10053	44,97
	P		-26.786	-1.876	0,10053	58,09		-52.653	-2.504	0,10053	44,85		-55.796	-791	0,10053	NS
S	A		-390.791	1.275	0,23457	NS		-91.833	4.276	0,23457	58,01		-174.462	6.278	0,10053	19,50
	P		5.662	-11.317	0,23457	20,69		-270.514	-8.174	0,23457	33,14		-102.847	-5.142	0,10053	22,00
P	A	01447	22.622	481	0,10053	NS	01448	57.391	80	0,10053	NS	01449	11.206	165	0,10053	NS
	P		-56.998	-682	0,10053	NS		-50.600	-1.273	0,10053	88,01		-43.235	-2.085	0,10053	53,29
S	A		-303.322	6.679	0,10053	20,87		-325.035	7.277	0,10053	19,46		-104.664	4.497	0,10053	25,05
	P		1.567	-2.548	0,10053	39,27		4.297	-3.823	0,10053	25,93		5.733	-5.218	0,10053	18,84
P	A	01450	32.501	704	0,10053	NS										
	P		-41.735	-2.359	0,10053	47,02										
S	A		-72.239	3.577	0,23457	68,26										
	P		9.360	-6.485	0,23457	36,03										
Piano terra						**ParetteP13-43**						**Parete P13-43**				
P	A	00070	-13.302	299	0,08042	NS	00118	222.572	26.432	0,08042	2,11	00214	29.334	1.467	0,08042	55,32
	P		-32.167	-26.277	0,08042	3,39		340.034	-31.510	0,08042	1,28		90.793	-958	0,08042	76,25
S	A		1.609	1.776	0,08042	44,12		-782.879	39.030	0,16085	6,40		6.700	1.704	0,08042	46,49
	P		-611.021	-29.705	0,08042	5,23		-1.262.907	-72.264	0,08042	3,28		-142.756	-7.138	0,08042	13,83
P	A	00216	-80.744	2.584	0,08042	36,97	00288	45.941	2.297	0,21447	93,73	00289	-129.587	6.479	0,08042	15,72
	P		-205.345	-10.267	0,08042	10,88		-495.498	-87	0,18096	NS		-191.999	-9.613	0,16085	19,81
S	A		-517.175	21.130	0,08042	6,94		-305.161	14.256	0,28149	23,04		-473.387	16.484	0,28149	21,21
	P		-499.608	-24.980	0,08042	5,79		-22.047	-1.102	0,28149	NS		-462.032	-19.326	0,28149	18,02
P	A	00325	-90.429	4.081	0,08042	23,71	00748	55.801	15.329	0,08042	5,07	00749	196.121	8.183	0,08042	7,24
	P		-139.855	-6.993	0,08042	14,76		181.582	-3.136	0,08042	19,50		476.480	-2.782	0,08042	7,98
S	A		-444.611	22.231	0,08042	6,38		-451.623	21.529	0,08042	6,30		6.847	5.028	0,08042	15,23
	P		-489.227	-24.461	0,08042	6,03		-322.426	-4.850	0,08042	24,64		-497.567	-6.225	0,08042	22,64
P	A	00750	184.046	6.113	0,08042	9,95	00751	170.888	6.852	0,08042	9,13	00752	315.256	17.401	0,08042	2,50
	P		344.023	-1.763	0,08042	22,57		266.742	-8.535	0,08042	5,85		237.834	-9.989	0,08042	5,38
S	A		7.470	5.476	0,08042	14,13		8.809	7.397	0,08042	10,45		15.152	8.800	0,08042	8,73
	P		-474.157	-7.766	0,08042	17,90		-438.365	-6.271	0,08042	21,48		-243.644	-6.133	0,08042	18,02
P	A	00753	405.458	9.838	0,08042	3,22	00854	-93.796	4.690	0,08042	20,73	00855	133.427	4.331	0,08042	15,58
	P		372.024	-4.381	0,08042	8,24		-164.479	-8.224	0,08042	12,94		131.859	-1.862	0,08042	36,36
S	A		14.960	10.722	0,08042	7,29		-384.274	19.214	0,08042	7,00		-526.742	22.295	0,08042	6,64
	P		-441.477	-14.938	0,08042	9,15		-391.442	-19.572	0,08042	6,91		-604.643	-28.104	0,08042	5,59
P	A	00856	-23.991	7.141	0,08042	12,34	01053	93.873	4.677	0,08042	15,54	01054	81.008	4.031	0,08042	18,45
	P		-187.219	-9.361	0,08042	11,68		109.749	-5.104	0,08042	13,83		47.479	-1.055	0,08042	74,66
S	A		-3.064	10.017	0,08042	8,14		5.093	2.073	0,08042	36,93		16.098	1.682	0,08042	44,56

Dir	Pos	Nodo	N_{Ed} [N]	M_{Ed} [N·m]	A_s [cm²/cm]	CS	Nodo	N_{Ed} [N]	M_{Ed} [N·m]	A_s [cm²/cm]	CS	Nodo	N_{Ed} [N]	M_{Ed} [N·m]	A_s [cm²/cm]	CS
	P		-828.919	-19.139	0,08042	9,45		-562.055	-22.184	0,08042	6,69		-248.655	-7.181	0,08042	15,23
P	A	01055	52.368	2.618	0,08042	29,84	01056	21.673	3.272	0,21447	66,76	01081	-155.552	1.551	0,08042	67,87
	P		66.435	-2.222	0,08042	34,34		0	0	0,18096	-		-29.938	-1.506	0,16085	NS
S	A		-221.801	6.520	0,08042	17,45		-253.092	8.940	0,08042	13,18		-412.091	15.815	0,08042	8,30
	P		-102.788	-5.139	0,08042	19,14		-94.449	-4.722	0,08042	20,60		-427.131	-18.839	0,08042	7,06
P	A	01082	-128.473	1.292	0,08042	78,75	01083	-136.559	3.124	0,08042	32,90	01084	-125.150	1.844	0,08042	54,92
	P		-84.438	-4.222	0,08042	22,74		40.402	-679	0,08042	NS		-23.370	-1.658	0,08042	53,10
S	A		-157.763	7.888	0,08042	13,02		-45.769	2.144	0,08042	41,14		102	1.123	0,08042	75,68
	P		-325.127	-16.256	0,08042	7,64		-295.864	-14.793	0,08042	8,15		-164.780	-8.061	0,08042	13,20
P	A	01085	-122.474	1.536	0,08042	65,71	01086	18.307	1.662	0,21447	NS	01617	41.105	1.545	0,08042	51,51
	P		1.989	-100	0,08042	NS		7.405	-13	0,18096	NS		-65.915	-4.258	0,08042	21,98
S	A		-137.425	2.218	0,08042	44,98		-130.787	5.976	0,08042	15,44		-275.097	4.924	0,08042	22,91
	P		-44.688	-2.234	0,08042	39,25		-52.715	-2.636	0,28149	NS		-358.560	-7.207	0,08042	17,12
P	A	01618	-70.610	7.627	0,08042	12,35	01619	55.083	838	0,08042	92,77	01620	-26.518	2.382	0,21447	94,31
	P		-63.656	-8.405	0,08042	11,10		-76.947	-5.735	0,08042	16,57		0	0	0,18096	-
S	A		2.192	10.547	0,08042	7,55		-321.375	16.069	0,28149	20,38		-206.693	8.345	0,28149	36,97
	P		-645.776	-11.818	0,08042	13,59		-371.059	-18.546	0,28149	17,99		-50.974	-2.549	0,28149	NS
P	A	01621	21.692	1.085	0,08042	75,74	01622	-104.893	1.487	0,08042	66,33	01623	-103.119	1.825	0,08042	53,95
	P		6.450	-273	0,08042	NS		32.519	-128	0,08042	NS		-54.633	-2.934	0,08042	31,40
S	A		31.418	1.586	0,08042	46,58		4.485	2.282	0,08042	34,06		-194.274	9.397	0,08042	11,07
	P		-193.796	-4.250	0,08042	24,29		-116.126	-4.085	0,08042	22,88		-200.753	-9.908	0,08042	10,59
P	A	01624	-97.304	1.208	0,08042	80,84	01625	32.349	1.040	0,08042	77,63	01626	-79.624	1.351	0,08042	70,60
	P		-127.510	-6.375	0,08042	15,94		422	-53	0,08042	NS		-263	-975	0,08042	87,23
S	A		-393.881	19.694	0,08042	6,56		-327.265	5.670	0,08042	20,89		5.966	4.925	0,08042	15,39
	P		-394.943	-19.747	0,08042	6,55		-360.581	-3.254	0,08042	37,69		-322.354	-1.240	0,08042	95,39
P	A	01627	64.755	2.424	0,08042	31,56										
	P		68.710	-3.514	0,08042	21,62										
S	A		6.223	6.990	0,08042	10,92										
	P		-364.058	-4.537	0,08042	27,35										
Piano terra						**Parete25-26**						**Parete 25-26**				
P	A	00028	8.632	432	0,13404	NS	00036	-50.618	2.531	0,13404	57,74	00089	-138.371	15.425	0,23457	16,82
	P		20.916	-1.046	0,13404	NS		-156.754	-16.851	0,13404	9,48		-149.545	-8.307	0,21447	28,97
S	A		-183.194	9.160	0,16085	20,79		-307.328	15.366	0,18096	14,73		-493.411	24.671	0,28149	13,81
	P		-245.438	-12.272	0,16085	16,17		-533.511	-26.674	0,16085	8,81		-302.866	-15.143	0,16085	13,61
P	A	00102	-57.865	2.934	0,23457	84,93	00514	8.611	330	0,13404	NS	00515	9.746	405	0,13404	NS
	P		-162.291	-8.132	0,23457	32,29		-30.753	-4.208	0,13404	34,11		75.250	-2.062	0,13404	62,94
S	A		-241.896	10.055	0,18096	21,70		-154.776	7.734	0,08042	12,32		-114.496	1.777	0,08042	53,01
	P		-401.561	-15.537	0,16085	14,06		-282.694	-14.135	0,08042	7,90		-193.081	-8.002	0,08042	13,04
P	A	00516	51.603	961	0,13404	NS	00517	1.846	1.342	0,13404	NS	00518	-131.587	2.552	0,13404	61,36
	P		41.470	-1.841	0,13404	72,90		-21.760	-1.088	0,13404	NS		-34.032	-1.702	0,13404	84,62
S	A		-194.774	5.480	0,08042	19,19		-223.207	11.187	0,08042	9,65		-306.935	15.336	0,08042	7,77
	P		-160.456	-8.021	0,08042	12,56		-219.094	-10.955	0,08042	9,80		-253.947	-12.697	0,08042	8,85
P	A	00519	-186.976	5.143	0,23457	51,65	00564	16.817	107	0,13404	NS	00565	14.764	567	0,13404	NS
	P		-27.383	-1.369	0,21447	NS		4.845	-492	0,13404	NS		44.179	-938	0,13404	NS
S	A		-424.395	21.220	0,28149	14,60		-103.471	5.171	0,08042	17,27		-64.213	1.355	0,08042	64,87
	P		-275.807	-13.790	0,08042	8,03		-122.956	-6.148	0,08042	14,93		-61.011	-1.323	0,08042	66,12
P	A	00566	124.430	711	0,13404	NS	00567	-27.735	1.387	0,13404	NS	00568	-42.686	2.134	0,13404	67,99
	P		11.508	-483	0,13404	NS		111.342	-362	0,13404	NS		-42.990	-2.150	0,13404	67,53
S	A		-83.230	4.023	0,08042	22,56		-143.678	7.184	0,08042	13,67		-182.174	9.109	0,08042	11,34
	P		-108.628	-5.429	0,08042	17,32		-201.859	-10.093	0,08042	10,48		-276.903	-13.845	0,08042	8,34

Dir	Pos	Nodo	N_{Ed} [N]	M_{Ed} [N·m]	A_s [cm²/cm]	CS	Nodo	N_{Ed} [N]	M_{Ed} [N·m]	A_s [cm²/cm]	CS	Nodo	N_{Ed} [N]	M_{Ed} [N·m]	A_s [cm²/cm]	CS
P	A	00569	-304.124	433	0,23457	NS	00616	-59.853	2.998	0,13404	49,14	00617	-83.964	4.702	0,13404	32,00
	P		-34.203	-1.717	0,23457	NS		-36.471	-2.894	0,13404	49,86		-73.368	-3.669	0,13404	40,63
S	A		-257.217	11.501	0,08042	9,40		-276.913	13.510	0,08042	8,70		-291.621	14.573	0,08042	7,96
	P		-385.968	-16.633	0,08042	7,48		-375.018	-16.225	0,08042	8,01		-306.739	-13.736	0,08042	8,58
P	A	00618	-7.756	3.301	0,13404	42,59	00619	-77.491	3.875	0,13404	38,61	00620	-70.434	3.522	0,13404	42,22
	P		-68.999	-4.146	0,13404	35,82		-77.678	-3.884	0,13404	38,53		-94.761	-4.738	0,13404	32,05
S	A		-274.542	13.727	0,08042	8,16		-279.850	13.993	0,08042	8,19		-262.891	13.145	0,08042	8,80
	P		-303.751	-15.187	0,08042	7,62		-299.196	-14.960	0,08042	7,82		-298.778	-14.939	0,08042	8,05
P	A	00621	-72.227	3.611	0,23457	69,51	00622	-45.101	2.255	0,13404	64,49	00623	-85.334	4.267	0,13404	35,30
	P		-128.415	-6.783	0,23457	38,07		-79.120	-3.956	0,13404	37,87		-103.643	-5.182	0,13404	29,52
S	A		-210.203	10.510	0,08042	10,68		-244.655	12.233	0,08042	9,54		-269.908	13.495	0,08042	8,89
	P		-321.262	-16.058	0,08042	7,88		-320.968	-16.048	0,08042	7,88		-304.699	-15.235	0,08042	8,16
P	A	00624	-76.572	3.829	0,13404	39,05	00625	-197.959	9.898	0,13404	16,68	01228	7.749	1.049	0,13404	NS
	P		213.203	-4.414	0,13404	25,33		-109.213	-5.461	0,13404	28,15		91.784	-625	0,13404	NS
S	A		-326.147	16.307	0,08042	7,79		-399.646	19.982	0,08042	6,82		-198.949	9.947	0,16085	18,54
	P		-312.091	-15.605	0,08042	8,03		-306.321	-15.316	0,08042	8,13		-218.993	-10.950	0,08042	9,74
P	A	01229	-41.094	3.075	0,23457	80,34	01230	-123.961	6.483	0,23457	39,73	01231	-19.591	980	0,13404	NS
	P		-71.182	-5.562	0,23457	45,11		-80.302	-4.015	0,21447	57,71		-170.672	-6.001	0,13404	26,93
S	A		-201.525	10.056	0,18096	20,44		-403.236	20.162	0,28149	15,40		-231.742	11.587	0,18096	18,10
	P		-316.050	-15.526	0,16085	12,88		-279.692	-13.985	0,08042	8,11		-347.477	-16.791	0,16085	12,17
P	A	01232	18.446	557	0,13404	NS	01233	10.530	319	0,13404	NS	01234	-6.756	1.162	0,13404	NS
	P		-187.590	-2.233	0,13404	73,34		-146.732	-811	0,13404	NS		-20.654	-1.033	0,13404	NS
S	A		-181.545	8.275	0,08042	12,08		-149.501	3.070	0,08042	31,18		-231.307	11.049	0,08042	9,63
	P		-264.886	-11.838	0,08042	9,35		-139.411	-6.215	0,08042	15,19		-227.762	-11.388	0,08042	9,30
P	A	01235	-90.536	4.527	0,13404	33,42	01236	1.835	69	0,13404	NS	01237	11.448	701	0,13404	NS
	P		-80.165	-4.008	0,13404	37,41		-180.839	-861	0,13404	NS		1.722	-784	0,13404	NS
S	A		-329.426	16.471	0,08042	7,28		-111.789	3.676	0,08042	24,22		-147.819	7.016	0,08042	13,30
	P		-276.228	-13.811	0,08042	8,19		-147.431	-5.047	0,08042	18,56		-175.710	-8.767	0,08042	11,06
P	A	01238	-59.892	2.995	0,13404	49,20	01239	22.246	82	0,13404	NS	01240	14.061	109	0,13404	NS
	P		-65.230	-3.262	0,13404	45,39		-201.010	-518	0,13404	NS		9.347	-265	0,13404	NS
S	A		-240.203	12.010	0,08042	8,89		-157.435	7.846	0,08042	12,35		-80.154	3.636	0,08042	23,87
	P		-261.496	-13.075	0,08042	8,37		-187.981	-9.087	0,08042	11,10		-118.249	-5.308	0,08042	17,29
P	A	01241	-27.793	1.390	0,13404	NS	01242	-73.339	3.667	0,13404	40,65					
	P		-18.084	-904	0,13404	NS		-84.294	-4.215	0,13404	35,71					
S	A		-178.031	8.902	0,08042	11,15		-209.278	10.464	0,08042	10,01					
	P		-230.727	-11.536	0,08042	9,19		-298.310	-14.915	0,08042	7,78					
Piano interrato						**Parete1-2**						**Parete 1-2**				
P	A	00001	-573.092	28.655	0,16085	8,35	00002	-307.119	15.358	0,08042	8,12	00003	-246.607	12.376	0,16085	16,04
	P		-402.809	-20.483	0,16085	10,66		-248.832	-12.442	0,08042	9,42		-212.532	-9.250	0,16085	20,99
S	A		-782.430	39.122	0,16085	6,22		-732.267	32.428	0,16085	7,92		-432.388	21.619	0,16085	9,85
	P		-544.910	-27.225	0,08042	5,47		-600.241	-30.012	0,16085	8,08		-395.516	-19.776	0,16085	10,54
P	A	00004	-213.352	78.788	0,16085	2,45	00588	42.191	2.036	0,08042	39,03	00589	86.614	2.933	0,08042	25,10
	P		-39.462	-6.391	0,08042	14,10		12.394	-1.487	0,08042	56,06		-43.581	-1.919	0,08042	47,26
S	A		-71.255	31.483	0,16085	5,58		-431.713	16.615	0,08042	8,18		-105.561	4.365	0,08042	21,33
	P		-360.971	-12.188	0,08042	10,82		-345.369	-7.642	0,08042	16,37		-117.766	-5.395	0,08042	17,55
P	A	00590	221.443	2.053	0,08042	27,23	00591	45.488	924	0,08042	85,56	00592	-104.551	2.583	0,08042	38,18
	P		33.601	-1.643	0,08042	49,05		-90.820	-1.745	0,08042	55,48		39.325	-1.516	0,08042	52,66
S	A		-63.319	2.401	0,08042	35,90		-109.307	4.544	0,08042	20,32		-128.798	3.319	0,08042	28,95
	P		-117.16	-3.288	0,08042	28,35		-134.16	-2.061	0,08042	46,37		-128.00	-3.391	0,08042	28,30

Dir	Pos	Nodo	N_{Ed} [N]	M_{Ed} [N·m]	A_s [cm²/cm]	CS	Nodo	N_{Ed} [N]	M_{Ed} [N·m]	A_s [cm²/cm]	CS	Nodo	N_{Ed} [N]	M_{Ed} [N·m]	A_s [cm²/cm]	CS
			0					2					7			
P	A	00593	-40.187	2.846	0,08042	31,71	01104	-126.740	6.337	0,08042	16,02	01105	-169.413	8.471	0,08042	12,64
	P		-109.058	-6.445	0,08042	15,39		-48.289	-5.434	0,08042	16,80		-97.847	-4.895	0,08042	19,97
S	A		-517.222	10.431	0,08042	14,19		-588.562	29.428	0,08042	5,27		-530.327	26.516	0,08042	5,65
	P		-201.665	-6.893	0,08042	15,72		-390.278	-19.284	0,08042	6,79		-336.276	-12.306	0,08042	10,21
P	A	01106	-155.045	7.752	0,08042	13,57	01107	-131.653	6.583	0,08042	15,52	01108	-133.671	6.684	0,08042	15,32
	P		303.084	-1.994	0,08042	22,66		49.738	-2.487	0,08042	31,55		94.056	-3.530	0,08042	20,58
S	A		-460.873	23.044	0,08042	6,25		-427.327	21.366	0,08042	6,54		-457.985	22.899	0,08042	6,27
	P		-290.109	-13.658	0,08042	8,97		-240.987	-10.273	0,08042	11,32		-291.922	-14.224	0,08042	8,63
P	A	01109	-117.620	7.653	0,08042	13,11	01110	-275.746	2.054	0,16085	98,45	01111	-202.972	6.132	0,08042	18,16
	P		-62.855	-3.143	0,08042	29,65		40.715	-1.981	0,16085	81,54		89.953	-4.498	0,08042	16,27
S	A		-426.928	21.346	0,08042	6,55		-440.564	21.726	0,08042	5,99		-370.283	18.182	0,08042	7,14
	P		-307.296	-15.365	0,08042	8,12		-203.702	-10.094	0,08042	9,92		-177.552	-2.948	0,08042	35,69
P	A	01112	-200.932	15.057	0,08042	7,38	01113	-266.481	22.621	0,08042	5,28	01114	171.395	6.794	0,08042	9,20
	P		127.633	-6.382	0,08042	10,69		6.945	-332	0,08042	NS		56.083	-3.866	0,08042	20,08
S	A		-326.842	14.762	0,08042	8,41		-313.967	15.698	0,08042	7,79		-236.822	11.841	0,08042	9,77
	P		-8.970	-834	0,08042	99,58		0	0	0,08042	-		-177.462	-8.870	0,08042	12,18
P	A	01115	-93.307	4.304	0,08042	22,57	01116	464.791	5.876	0,16085	18,07	01117	-130.363	6.518	0,16085	28,18
	P		194.097	-4.529	0,08042	13,14		120.228	-1.264	0,08042	54,79		-62.428	-3.121	0,16085	56,03
S	A		-690.731	4.483	0,08042	38,04		-320.688	16.031	0,08042	7,60		-520.948	26.047	0,08042	5,48
	P		-487.509	-18.510	0,08042	7,95		-149.622	-7.336	0,08042	13,63		-322.725	-16.136	0,08042	7,32
P	A	01646	-110.741	5.536	0,08042	17,96	01647	-173.199	25.207	0,08042	4,27	01648	92.018	4.078	0,08042	17,88
	P		-21.137	-1.831	0,08042	47,92		0	0	0,08042	-		-122.070	-1.839	0,08042	54,86
S	A		-412.181	19.869	0,08042	6,62		-364.062	15.075	0,08042	8,50		-435.510	15.821	0,08042	8,70
	P		-258.890	-11.599	0,08042	9,67		-227.954	-5.750	0,08042	19,27		-239.216	-9.065	0,08042	12,46
P	A	01649	199.983	6.503	0,16085	21,66	01650	-90.966	4.277	0,08042	22,64	01651	-79.839	2.740	0,08042	34,81
	P		-76.638	-3.840	0,16085	46,02		-33.640	-2.854	0,08042	31,31		-15.135	-1.426	0,08042	60,98
S	A		-550.568	27.528	0,08042	5,40		-416.985	20.814	0,08042	6,34		-93.462	3.681	0,08042	24,76
	P		-352.619	-17.494	0,08042	7,10		-245.941	-10.150	0,08042	10,86		-670.381	-2.195	0,08042	73,94
P	A	01652	-87.220	3.969	0,08042	24,28	01653	-98.110	3.897	0,08042	25,09	01654	-95.876	3.576	0,08042	27,26
	P		-11.775	-1.657	0,08042	52,20		-47.011	-2.858	0,08042	31,88		-2.424	-116	0,08042	NS
S	A		-236.705	10.931	0,08042	10,01		-362.608	18.130	0,08042	7,02		-129.776	6.266	0,08042	15,17
	P		-110.988	-3.844	0,08042	24,25		-192.402	-8.986	0,08042	11,75		-92.339	-1.318	0,08042	68,43
P	A	01655	-140.997	7.801	0,08042	13,25										
	P		12.967	-530	0,08042	NS										
S	A		-284.912	13.378	0,08042	8,72										
	P		-122.228	-1.497	0,08042	63,92										
Piano interrato						**ParetteP1-3**						**Parete P1-3**				
P	A	00005	-542.268	27.113	0,18096	9,18	00006	-235.621	19.866	0,10053	6,84	00233	-51.965	2.742	0,10053	40,93
	P		-416.045	-20.802	0,10053	7,66		-98.814	-12.337	0,10053	9,59		-16.228	-1.718	0,10053	62,62
S	A		-734.300	36.715	0,08042	4,77		-812.466	34.914	0,16085	7,59		-61.620	2.737	0,16085	63,86
	P		-568.115	-28.406	0,08042	5,53		-676.032	-28.315	0,16085	8,86		-113.393	-4.147	0,16085	43,76
P	A	00234	-146.022	7.301	0,20106	31,01	00576	35.589	1.374	0,10053	73,37	00577	158.065	5.763	0,10053	14,72
	P		-918.842	-5.905	0,18096	50,52		6.287	-1.205	0,10053	86,88		14.839	-1.451	0,10053	71,37
S	A		-479.879	23.994	0,16085	9,14		-72.561	1.987	0,08042	47,53		-212.069	3.399	0,08042	32,00
	P		-290.505	-14.525	0,16085	13,47		-73.821	-2.585	0,08042	36,60		-216.470	-4.887	0,08042	22,37
P	A	00578	74.719	1.733	0,10053	55,23	01093	-143.946	7.197	0,10053	17,25	01094	-214.219	10.714	0,10053	12,43
	P		-133.398	-5.588	0,10053	21,97		-59.308	-3.650	0,10053	31,01		-115.948	-5.796	0,10053	20,80

Dir	Pos	Nodo	N_{Ed} [N]	M_{Ed} [N·m]	A_s [cm²/cm]	CS	Nodo	N_{Ed} [N]	M_{Ed} [N·m]	A_s [cm²/cm]	CS	Nodo	N_{Ed} [N]	M_{Ed} [N·m]	A_s [cm²/cm]	CS
S	A		-516.699	13.567	0,08042	11,11		-421.042	21.052	0,08042	6,60		-532.940	24.764	0,08042	6,17
	P		-268.145	-8.683	0,08042	13,79		-262.477	-13.124	0,08042	9,07		-382.192	-16.820	0,08042	7,98
P	A	01095	-143.292	7.165	0,10053	17,32	01096	-331.989	5.987	0,10053	24,76	01097	-263.963	5.204	0,10053	26,82
	P		-92.610	-4.630	0,10053	25,38		15.090	-1.728	0,10053	59,91		56.752	-2.838	0,10053	34,56
S	A		-535.652	26.783	0,08042	5,71		-536.742	26.837	0,08042	5,50		-405.027	19.282	0,08042	7,11
	P		-380.792	-19.040	0,08042	7,04		-301.637	-15.079	0,08042	7,85		-205.262	-8.083	0,08042	13,81
P	A	01098	-236.180	5.408	0,10053	25,15	01099	30.556	5.931	0,10053	17,11	01100	37.584	1.538	0,10053	65,38
	P		83.355	-4.168	0,10053	22,70		11.807	-3.456	0,10053	30,07		24.558	-713	0,10053	NS
S	A		-272.116	10.003	0,08042	11,71		-230.221	11.511	0,08042	9,98		-145.624	7.293	0,08042	13,78
	P		-17.283	-461	0,08042	NS		-172.113	-7.897	0,08042	13,60		-209.871	-2.940	0,08042	37,01
P	A	01101	92.604	2.474	0,10053	37,75	01102	50.640	3.360	0,10053	29,42	01103	158.828	3.661	0,20106	51,10
	P		41.016	-2.051	0,10053	48,82		-19.520	-1.798	0,10053	60,09		36.110	-631	0,18096	NS
S	A		-143.231	7.162	0,08042	14,47		-269.091	13.455	0,08042	8,91		-346.002	17.300	0,08042	7,03
	P		-136.654	-4.823	0,08042	21,31		-139.164	-6.956	0,08042	14,82		-204.928	-10.246	0,08042	10,11
P	A	01639	-123.551	7.433	0,10053	16,35	01640	-189.930	6.093	0,10053	21,35	01641	37.103	1.230	0,10053	81,80
	P		-45.933	-3.824	0,10053	29,15		47.343	-2.378	0,10053	41,76		-2.802	-569	0,10053	NS
S	A		-515.604	25.780	0,08042	5,84		-324.251	12.768	0,08042	9,67		-131.199	3.371	0,08042	29,33
	P		-351.968	-16.772	0,08042	7,77		-201.887	-8.512	0,08042	12,67		-128.540	-3.130	0,08042	31,48
P	A	01642	-104.094	5.205	0,20106	42,46	01643	-31.327	4.007	0,10053	27,34	01644	-17.757	1.452	0,10053	74,26
	P		-53.179	-2.659	0,18096	73,02		-37.209	-2.025	0,10053	54,49		-8.078	-1.268	0,10053	84,03
S	A		-393.226	19.661	0,16085	10,67		-381.494	19.075	0,08042	6,78		-170.497	6.821	0,08042	14,93
	P		-245.506	-12.275	0,16085	15,57		-239.342	-11.829	0,08042	9,41		-73.074	-2.915	0,08042	30,59
P	A	01645	-141.363	4.308	0,10053	28,75										
	P		1.683	-583	0,10053	NS										
S	A		-225.784	10.169	0,08042	10,78										
	P		-162.432	-3.338	0,08042	30,39										
Piano interrato						**Parete13-P4**						**Parete 13-P4**				
P	A	00037	-275.603	7.433	0,08042	16,23	00038	-222.783	19.012	0,08042	5,99	00269	-342.624	5.415	0,08042	23,86
	P		-147.745	-9.559	0,08042	10,90		-50.321	-2.523	0,08042	36,29		20.952	-426	0,08042	NS
S	A		-462.923	10.706	0,08042	13,47		-569.797	32.766	0,08042	4,80		-555.946	4.902	0,16085	48,40
	P		-298.643	-7.137	0,08042	17,32		-304.300	-6.425	0,08042	19,35		-476.715	-3.630	0,16085	62,67
P	A	00270	-117.841	11.902	0,08042	8,43	01009	135.222	2.926	0,08042	22,98	01010	147.291	2.405	0,08042	27,30
	P		40.437	-2.022	0,08042	39,41		15.734	-657	0,08042	NS		42.295	-4.224	0,08042	18,81
S	A		-474.248	11.333	0,08042	12,85		-280.956	14.047	0,08042	8,64		-295.966	1.391	0,08042	88,64
	P		-75.601	-2.565	0,08042	36,98		-21.075	-940	0,08042	93,33		-325.859	-8.932	0,08042	14,23
P	A	01011	32.581	246	0,08042	NS	01012	0	0	0,08042	-	01029	-49.411	4.667	0,08042	19,59
	P		222.858	-6.700	0,08042	8,32		-21.383	-5.509	0,08042	15,93		54.487	-2.724	0,08042	28,57
S	A		0	0	0,08042	-		0	0	0,08042	-		-278.065	10.607	0,08042	11,41
	P		-296.066	-14.073	0,08042	8,76		-330.367	-16.473	0,08042	7,58		-125.331	-1.018	0,08042	99,50
P	A	01030	-270.039	2.741	0,08042	43,76	01031	57.544	2.268	0,08042	34,15	01032	107.566	1.108	0,08042	63,98
	P		54.904	-2.727	0,08042	28,53		-25.063	-1.938	0,08042	45,55		2.961	-41	0,08042	NS
S	A		-321.345	9.019	0,08042	14,03		-467.191	5.835	0,08042	24,19		-91.069	4.519	0,08042	21,43
	P		-886.234	-3.255	0,08042	58,45		-1.697.465	-2.449	0,08042	99,19		-233.711	-3.691	0,08042	31,24
P	A	01033	141.578	2.116	0,08042	31,39	01034	11.863	1.413	0,08042	59,04	01035	-86.261	7.085	0,08042	13,58
	P		-79.457	-48	0,08042	NS		22.114	-314	0,08042	NS		0	0	0,08042	-
S	A		-112.892	5.645	0,08042	17,66		-252.434	9.349	0,08042	12,24		-282.789	9.735	0,08042	12,49
	P		-204.939	-3.363	0,08042	33,19		-79.722	-82	0,08042	NS		0	0	0,08042	-
P	A	01036	-44.262	5.179	0,08042	17,53	01571	-293.495	2.054	0,08042	59,87	01572	-33.851	3.735	0,08042	23,94
	P		-70.676	-2.111	0,08042	44,63		64.483	-764	0,08042	NS		0	0	0,08042	-
S	A		-180.758	9.957	0,08042	10,90		-401.235	7.691	0,08042	17,29		-251.844	9.363	0,08042	12,56

Dir	Pos	Nodo	N_{Ed} [N]	M_{Ed} [N·m]	A_s [cm²/cm]	CS	Nodo	N_{Ed} [N]	M_{Ed} [N·m]	A_s [cm²/cm]	CS	Nodo	N_{Ed} [N]	M_{Ed} [N·m]	A_s [cm²/cm]	CS
	P		-265.890	-1.135	0,08042	NS		-46.247	-1.669	0,08042	52,37		0	0	0,08042	-
P	A	01573	-178.316	4.212	0,08042	25,68	01574	46.994	3.484	0,08042	22,62	01575	-242.530	1.471	0,08042	79,16
	P		32.871	-812	0,08042	99,34		54.723	-808	0,08042	96,26		-17.553	-1.128	0,08042	77,40
S	A		-246.130	5.930	0,08042	19,25		-256.166	6.935	0,08042	17,04		-126.947	4.993	0,08042	20,33
	P		-242.247	-10.049	0,08042	11,31		-258.267	-4.719	0,08042	25,10		-624.521	-5.400	0,08042	30,24
P	A	01576	15.680	1.391	0,08042	59,60										
	P		12.972	-433	0,08042	NS										
S	A		-158.715	3.815	0,08042	26,92										
	P		-195.625	-4.130	0,08042	26,02										
Piano interrato						**ParetteP5-16-P6**						**Parete P5-16**				
P	A	00071	160.174	4.635	0,20106	40,33	00072	43.385	2.169	0,20106	93,16	00263	-147.048	7.443	0,20106	30,45
	P		-166.915	-10.069	0,20106	22,76		-34.775	-4.162	0,20106	50,98		-20.499	-1.563	0,20106	NS
S	A		-47.662	1.900	0,10053	58,77		-136.544	3.664	0,10053	32,16		-255.481	4.892	0,10053	28,31
	P		-502.148	-24.110	0,10053	7,03		-646.396	-20.495	0,10053	8,82		-221.332	-7.598	0,10053	17,65
P	A	00264	-149.281	3.197	0,20106	70,98	00730	36.417	1.814	0,20106	NS	00731	236.185	1.024	0,20106	NS
	P		-187.933	-9.424	0,20106	24,60		-41.435	-1.032	0,20106	NS		-10.620	-5.445	0,20106	38,40
S	A		-281.460	14.073	0,18096	15,15		-607.270	2.153	0,10053	84,46		-349.986	3.490	0,10053	41,86
	P		-366.611	-17.789	0,18096	12,59		-178.844	-8.934	0,10053	14,40		-255.499	-11.826	0,10053	11,34
P	A	00949	-519.967	7.596	0,20106	36,04	00950	11.345	567	0,20106	NS	00951	86.233	4.230	0,20106	46,46
	P		-105.690	-5.285	0,20106	41,88		-165.263	-12.360	0,20106	18,52		35.655	-864	0,20106	NS
S	A		-316.638	15.832	0,10053	9,24		-40.505	2.025	0,10053	54,68		-225.509	9.455	0,10053	13,84
	P		-329.778	-13.057	0,10053	11,33		-365.162	-18.258	0,10053	8,35		-311.120	-7.916	0,10053	17,90
P	A	00952	107.189	4.819	0,20106	40,22	00953	7.783	5.513	0,20106	37,49	00954	280.409	8.864	0,20106	19,32
	P		0	0	0,20106	-		106.692	-3.260	0,20106	59,48		3.009	-117	0,20106	NS
S	A		-144.430	7.222	0,10053	16,48		-347.632	17.364	0,10053	8,28		-623.823	14.564	0,10053	12,13
	P		-346.390	-1.464	0,10053	98,92		-15.244	-67	0,10053	NS		-11.273	-326	0,10053	NS
P	A	00955	235.001	3.649	0,20106	48,56	00956	-134.238	1.751	0,20106	NS	00957	-120.119	1.281	0,20106	NS
	P		104.268	-1.294	0,20106	NS		-37.254	-322	0,20106	NS		84.115	-2.045	0,20106	96,23
S	A		-142.358	2.357	0,10053	50,31		-113.907	3.611	0,10053	33,31		-88.247	4.412	0,10053	25,66
	P		-197.067	-1.771	0,10053	70,95		-125.020	-3.670	0,10053	33,17		-115.527	-5.684	0,10053	20,54
P	A	00958	-114.191	1.484	0,20106	NS	01517	62.016	1.166	0,20106	NS	01518	-463	55	0,20106	NS
	P		134.805	-4.488	0,20106	42,39		-57.074	-6.268	0,20106	34,31		87.742	-5.102	0,20106	38,48
S	A		-232.782	11.639	0,10053	10,66		-464.454	6.164	0,10053	26,21		-169.032	2.235	0,10053	54,08
	P		-262.683	-12.581	0,10053	10,16		-304.457	-12.160	0,10053	11,64		-269.542	-8.471	0,10053	15,79
P	A	01519	-132.512	2.608	0,20106	86,19	01520	-142.139	1.642	0,20106	NS	01521	-119.528	1.132	0,20106	NS
	P		35.897	-1.629	0,20106	NS		-69.099	-3.676	0,20106	58,92		-16.581	-3.040	0,20106	69,02
S	A		-761.467	3.938	0,10053	49,48		-253.355	12.668	0,10053	10,32		-140.214	7.011	0,10053	16,78
	P		-75.159	-3.716	0,10053	30,07		-274.086	-13.609	0,10053	9,80		-224.918	-8.750	0,10053	14,69
P	A	01522	-106.210	1.191	0,20106	NS										
	P		43.613	-1.828	0,20106	NS										
S	A		-682.545	2.306	0,10053	79,82										
	P		-125.007	-1.757	0,10053	65,83										
Piano interrato						**ParetteP5-16-P6**						**Parete 16-P6**				
P	A	00071	97.171	3.543	0,20106	55,07	00072	-2.452	186	0,20106	NS	00251	194.097	5.703	0,20106	32,01
	P		-282.627	-20.182	0,20106	12,09		258.086	-8.647	0,20106	20,15		-111.222	-1.871	0,20106	NS
S	A		-207.190	3.559	0,10053	37,17		-519.076	7.787	0,10053	20,86		-575.804	8.429	0,10053	20,25
	P		-548.982	-27.443	0,10053	6,38		-435.314	-21.762	0,10053	6,99		-123.444	-3.008	0,10053	37,86
P	A	00252	-92.789	4.639	0,20106	47,34	00272	-155.005	7.750	0,40212	55,79	00273	0	0	0,20106	-
	P		-19.900	-4.490	0,20106	46,83		-167.36	-9.870	0,60319	63,43		-136.80	-2.898	0,20106	77,74

Dir	Pos	Nodo	N_{Ed} [N]	M_{Ed} [N·m]	A_s [cm²/cm]	CS	Nodo	N_{Ed} [N]	M_{Ed} [N·m]	A_s [cm²/cm]	CS	Nodo	N_{Ed} [N]	M_{Ed} [N·m]	A_s [cm²/cm]	CS
								6					1			
S	A		-281.827	14.091	0,10053	9,64		-291.839	14.592	0,23457	18,10		-137.808	6.177	0,18096	33,19
	P		-281.907	-8.255	0,10053	16,46		-374.285	-18.312	0,23457	14,99		-113.673	-3.877	0,18096	52,08
P	A	00792	10.126	506	0,20106	NS	00793	0	0	0,20106	-	00794	14.934	736	0,20106	NS
	P		-32.555	-1.691	0,20106	NS		-103.745	-1.466	0,20106	NS		-109.534	-1.651	0,20106	NS
S	A		-270.565	8.964	0,10053	14,49		-174.601	4.046	0,10053	29,15		-114.868	5.713	0,10053	19,33
	P		-201.596	-5.453	0,10053	22,20		-152.628	-4.336	0,10053	26,54		-545.947	-5.808	0,10053	28,37
P	A	00795	12.007	209	0,20106	NS	00951	-105.528	2.374	0,20106	93,21	00952	95.811	3.094	0,20106	63,13
	P		-105.311	-2.462	0,20106	89,86		31.478	-1.747	0,20106	NS		119.818	-4.801	0,20106	40,02
S	A		-84.108	4.205	0,10053	26,43		-474.265	14.502	0,10053	11,11		-232.180	11.609	0,10053	11,14
	P		-401.571	-6.691	0,10053	22,68		-298.296	-8.260	0,10053	16,85		0	0	0,10053	-
P	A	00953	39.457	3.994	0,20106	50,72	00954	146.393	7.190	0,20106	26,25	00991	10.466	521	0,20106	NS
	P		68.784	-3.439	0,20106	57,80		15.543	-829	0,20106	NS		-41.635	-6.808	0,20106	31,29
S	A		-484.014	12.733	0,10053	12,45		-870.002	22.350	0,10053	8,95		-190.487	9.524	0,10053	13,34
	P		-13.775	-119	0,10053	NS		-494.431	-9.004	0,10053	17,69		-363.140	-13.638	0,10053	10,93
P	A	00992	306.417	2.318	0,20106	72,44	00993	-25.140	1.257	0,20106	NS	00994	-51.881	2.594	0,40212	NS
	P		-76.170	-4.450	0,20106	48,87		-13.241	-4.245	0,20106	49,32		-183.872	-5.130	0,60319	NS
S	A		-286.794	14.340	0,10053	9,64		-272.867	13.643	0,10053	10,31		-231.714	11.586	0,23457	22,70
	P		-309.719	-8.397	0,10053	16,81		-224.076	-9.697	0,10053	13,87		-281.648	-11.566	0,23457	23,29
P	A	00995	174.419	1.483	0,40212	NS	00996	-42.720	2.136	0,20106	99,81	00997	63.668	1.492	0,20106	NS
	P		-104.131	-4.585	0,60319	NS		-138.147	-3.172	0,20106	71,08		-139.243	-3.052	0,20106	73,93
S	A		-227.175	11.359	0,23457	22,44		-205.736	10.287	0,10053	12,20		-198.719	9.936	0,10053	12,90
	P		-368.465	-13.220	0,23457	20,64		-244.251	-10.882	0,10053	11,98		-153.056	-7.174	0,10053	17,05
P	A	00998	67.646	515	0,20106	NS	01541	-64.033	3.202	0,40212	NS	01542	-6.208	596	0,20106	NS
	P		-148.284	-2.604	0,20106	87,07		-162.310	-5.071	0,60319	NS		-124.986	-2.503	0,20106	89,41
S	A		-170.234	7.798	0,10053	16,36		-215.441	10.772	0,23457	23,98		-134.331	6.708	0,10053	17,89
	P		-132.095	-4.325	0,10053	28,35		-311.656	-13.726	0,23457	19,71		-116.927	-4.302	0,10053	27,37
P	A	01543	51.130	375	0,20106	NS	01544	34.605	1.165	0,20106	NS	01545	17.759	829	0,20106	NS
	P		212.026	-3.695	0,20106	48,77		-10.976	-4.527	0,20106	46,19		283	-2.273	0,20106	91,36
S	A		-171.610	3.006	0,10053	38,91		-352.996	7.632	0,10053	19,08		-226.028	11.301	0,10053	11,27
	P		-271.140	-5.816	0,10053	22,30		-321.345	-11.989	0,10053	11,81		-226.790	-7.910	0,10053	16,11
P	A	01546	0	0	0,20106	-	01547	48.963	709	0,20106	NS	01548	-39.776	1.989	0,20106	NS
	P		-24.028	-2.246	0,20106	93,86		174.187	-2.066	0,20106	89,60		-153.764	-2.936	0,20106	77,49
S	A		-183.689	7.440	0,10053	15,96		-151.533	7.577	0,10053	15,18		-206.468	10.323	0,10053	11,78
	P		-171.720	-2.923	0,10053	40,09		-181.670	-6.593	0,10053	18,03		-259.937	-9.521	0,10053	13,49
P	A	01549	49.744	357	0,20106	NS										
	P		-118.500	-1.985	0,20106	NS										
S	A		-156.074	7.804	0,10053	15,04										
	P		-147.691	-5.245	0,10053	22,17										
	ERRORE: L'armatura inferiore è maggiore del massimo consentito															
Piano interrato						**ParetteP7-20**						**Parete P7-20**				
P	A	00017	0	0	0,20106	-	00196	38.473	1.982	0,20106	NS	00257	6.992	350	0,20106	NS
	P		-206.180	-24.473	0,20106	9,57		74.021	-3.859	0,20106	51,34		382.315	-3.355	0,20106	47,11
S	A		-59.689	2.984	0,18096	63,31		-248.207	12.410	0,18096	17,20		-147.576	6.762	0,10053	17,74
	P		-493.139	-24.604	0,18096	9,92		-309.080	-5.145	0,16085	39,11		-217.510	-10.876	0,08042	9,99
P	A	00258	-91.014	4.551	0,20106	48,22	00275	-59.171	2.959	0,60319	NS	00276	-24.616	1.030	0,20106	NS
	P		-29.748	-4.150	0,20106	50,98		-198.358	-10.738	0,60319	59,76		-174.950	-2.639	0,20106	87,22
S	A		-272.670	13.634	0,10053	10,31		-267.669	13.383	0,23457	19,88		-55.676	2.444	0,18096	79,53
	P		-258.060	-9.090	0,08042	13,04		-413.283	-16.536	0,21447	16,00		-330.960	-3.487	0,16085	60,06
P	A	00682	-13.438	677	0,20106	NS	00683	83.997	4.150	0,20106	47,42	00684	40.386	944	0,20106	NS

Dir	Pos	Nodo	N_{Ed} [N]	M_{Ed} [N·m]	A_s [cm²/cm]	CS	Nodo	N_{Ed} [N]	M_{Ed} [N·m]	A_s [cm²/cm]	CS	Nodo	N_{Ed} [N]	M_{Ed} [N·m]	A_s [cm²/cm]	CS
	P		-125.244	-2.493	0,20106	89,77		-123.104	-2.319	0,20106	96,38		-112.665	-1.697	0,20106	NS
S	A		-129.946	5.598	0,10053	21,85		-145.762	4.974	0,10053	24,24		-151.862	7.182	0,10053	16,67
	P		-270.294	-4.098	0,08042	29,30		-618.487	-30.924	0,08042	5,17		-182.314	-3.217	0,08042	32,12
P	A	00685	45.981	475	0,20106	NS	00686	6.824	305	0,20106	NS	00687	17.312	817	0,20106	NS
	P		-99.148	-1.402	0,20106	NS		185.124	-8.828	0,20106	20,81		-78.309	-1.054	0,20106	NS
S	A		-184.017	9.201	0,10053	13,44		-208.756	10.438	0,10053	12,13		-261.990	13.099	0,10053	10,19
	P		-155.055	-4.595	0,08042	21,67		-142.663	-3.217	0,08042	30,38		-169.524	-3.381	0,08042	30,00
P	A	00921	8.849	375	0,60319	NS	00922	-34.864	1.743	0,20106	NS	00923	-14.853	743	0,20106	NS
	P		-197.451	-6.544	0,60319	98,04		-188.857	-5.269	0,20106	44,02		-31.986	-4.790	0,20106	44,22
S	A		-137.542	6.877	0,23457	36,97		-182.861	9.143	0,10053	14,12		-279.155	13.958	0,10053	10,13
	P		-340.423	-10.571	0,21447	24,60		-257.218	-10.475	0,08042	11,30		-226.984	-7.914	0,08042	14,47
P	A	00924	122.174	1.370	0,20106	NS	00925	60.701	1.640	0,20106	NS	00926	-7.664	383	0,20106	NS
	P		110.337	-5.517	0,20106	35,06		-49.782	-4.957	0,20106	43,19		-10.578	-6.576	0,20106	31,79
S	A		-211.713	10.586	0,10053	12,54		-211.037	10.552	0,10053	12,58		-168.210	8.410	0,10053	15,13
	P		-219.761	-9.117	0,08042	12,46		-283.514	-8.488	0,08042	14,35		-308.983	-11.031	0,08042	11,34
P	A	00927	49.860	1.726	0,20106	NS	00928	80.329	1.421	0,20106	NS	00929	9.684	632	0,20106	NS
	P		-14.010	-2.581	0,20106	81,18		89.210	-4.460	0,20106	43,97		179.409	-6.860	0,20106	26,89
S	A		-170.551	8.528	0,10053	13,68		-238.884	10.363	0,10053	12,69		-224.194	11.210	0,10053	11,56
	P		-379.940	-10.132	0,08042	12,16		-276.862	-4.818	0,08042	24,12		-265.875	-9.883	0,08042	11,60
P	A	00930	-30.951	2.100	0,20106	NS	00931	16.805	840	0,20106	NS	00932	-70.105	1.544	0,20106	NS
	P		101.034	-4.536	0,20106	42,91		-174.477	-2.772	0,20106	83,01		-173.289	-3.012	0,20106	76,36
S	A		-234.906	11.722	0,10053	11,11		-136.880	6.172	0,10053	19,96		-82.490	4.125	0,10053	28,17
	P		-100.391	-2.009	0,08042	46,07		-353.204	-5.418	0,08042	24,12		-414.179	-6.633	0,08042	20,87
P	A	00933	-114.041	2.603	0,20106	85,42	00934	-346.524	5.593	0,60319	NS	01499	23.739	564	0,20106	NS
	P		-156.877	-3.135	0,20106	72,70		-154.111	-5.055	0,60319	NS		-51.064	-4.421	0,20106	48,46
S	A		-128.711	6.434	0,10053	18,43		-123.582	6.179	0,23457	40,04		-100.137	5.007	0,18096	38,79
	P		-372.105	-8.138	0,08042	15,92		-480.137	-8.935	0,21447	30,51		-409.794	-12.316	0,18096	18,97
P	A	01500	21.262	1.069	0,20106	NS	01501	276.340	13.845	0,20106	12,41	01502	-25.026	1.251	0,60319	NS
	P		25.627	-940	0,20106	NS		-144.994	-2.507	0,20106	90,29		-204.451	-5.482	0,60319	NS
S	A		-222.565	10.925	0,10053	11,71		-106.010	5.165	0,10053	23,09		-166.444	8.322	0,23457	30,46
	P		-239.412	-2.005	0,16085	94,94		-298.846	-4.967	0,08042	24,92		-386.035	-10.872	0,21447	24,04
P	A	01503	65.257	1.109	0,20106	NS	01504	69.851	1.631	0,20106	NS	01505	0	0	0,20106	-
	P		-162.836	-3.239	0,20106	70,59		-134.309	-2.101	0,20106	NS		-113.070	-1.670	0,20106	NS
S	A		-161.429	7.090	0,10053	16,91		-173.994	7.828	0,10053	15,73		-223.014	9.235	0,10053	14,00
	P		-268.360	-8.969	0,08042	12,64		-256.846	-11.010	0,08042	10,31		-184.672	-7.173	0,08042	14,51
P	A	01506	0	0	0,20106	-	01507	12.268	576	0,20106	NS					
	P		592	-2.674	0,20106	77,63		58.544	-1.963	0,20106	NS					
S	A		-227.741	11.387	0,10053	11,58		-193.972	9.699	0,10053	12,83					
	P		-226.369	-8.465	0,08042	13,17		-424.551	-7.024	0,08042	19,03					
	ERRORE: L'armatura superiore è maggiore del massimo consentitoL'armatura inferiore è maggiore del massimo consentito															
Piano interrato						**Parete22-P8**						**Parete 22-P8**				
P	A	00065	0	0	0,10053	-	00066	1.826	214	0,10053	NS	00245	-73.559	754	0,10053	NS
	P		-159.961	-25.559	0,10053	4,94		-216.580	-12.495	0,10053	10,68		-59.555	-2.978	0,10053	38,02
S	A		-3.205	160	0,08042	NS		0	0	0,08042	-		-680.430	1.217	0,16085	NS
	P		-572.849	-31.645	0,08042	4,98		-891.272	-39.841	0,08042	4,68		-261.757	-13.088	0,16085	15,32
P	A	00246	-1.071.277	1.224	0,18096	NS	00762	231.465	1.083	0,10053	69,42	00763	0	0	0,10053	-
	P		-198.876	-10.415	0,18096	20,44		-75.107	-6.904	0,10053	16,69		-31.334	-4.134	0,10053	26,50
S	A		-70.537	3.527	0,16085	47,30		-268.315	3.898	0,08042	29,63		-187.483	348	0,08042	NS
	P		-493.492	-12.738	0,16085	17,31		-351.795	-14.181	0,08042	8,89		-216.198	-10.810	0,08042	10,13
P	A	00764	32.175	827	0,10053	NS	00969	13.720	626	0,10053	NS	00970	24.763	52	0,10053	NS

Dir	Pos	Nodo	N_{Ed} [N]	M_{Ed} [N·m]	A_s [cm²/cm]	CS	Nodo	N_{Ed} [N]	M_{Ed} [N·m]	A_s [cm²/cm]	CS	Nodo	N_{Ed} [N]	M_{Ed} [N·m]	A_s [cm²/cm]	CS
	P		190.403	-1.876	0,10053	42,94		-68.464	-6.556	0,10053	17,45		-32.104	-5.684	0,10053	19,29
S	A		0	0	0,08042	-		-239.886	11.994	0,08042	9,68		-240.042	12.002	0,08042	9,68
	P		-278.828	-13.941	0,08042	8,69		-394.497	-15.843	0,08042	8,57		-374.820	-14.042	0,08042	9,49
P	A	00971	-557.019	1.311	0,10053	NS	00972	-9.536	648	0,18096	NS	00973	21.266	747	0,10053	NS
	P		84.229	-4.211	0,10053	22,43		504.574	-1.172	0,18096	NS		88.704	-1.761	0,10053	53,33
S	A		-136.953	6.848	0,08042	15,02		-128.893	6.445	0,16085	26,61		-116.473	5.749	0,08042	16,71
	P		-352.656	-11.219	0,08042	11,63		-452.823	-9.430	0,16085	22,54		-235.946	-6.589	0,08042	16,93
P	A	00974	55.092	2.217	0,10053	44,34	00975	73.877	3.648	0,10053	26,27	00976	233.578	8.862	0,10053	8,45
	P		-67.226	-612	0,10053	NS		4.413	-615	0,10053	NS		0	0	0,10053	-
S	A		-70.443	2.426	0,08042	38,83		-106.023	1.662	0,08042	56,16		-299.448	14.904	0,08042	7,90
	P		-130.110	-4.459	0,08042	22,86		-109.601	-4.693	0,08042	19,99		0	0	0,08042	-
P	A	00977	-85.736	9.947	0,10053	11,72	00978	40.893	3.954	0,10053	25,33	00979	77.127	2.533	0,10053	37,66
	P		230.412	-1.632	0,10053	46,15		89.263	-1.953	0,10053	48,04		4.419	-135	0,10053	NS
S	A		-300.734	15.032	0,08042	7,84		-232.714	11.636	0,08042	9,51		-170.775	8.539	0,08042	12,56
	P		0	0	0,08042	-		0	0	0,08042	-		-456.249	-1.966	0,08042	72,92
P	A	01529	122.006	458	0,18096	NS	01530	-70.799	402	0,10053	NS	01531	-46.519	2.419	0,10053	46,11
	P		-55.720	-3.433	0,18096	56,65		10.409	-2.695	0,10053	38,64		57.405	-7.522	0,10053	13,03
S	A		-162.032	8.081	0,16085	22,48		0	0	0,08042	-		-286.595	7.677	0,08042	15,07
	P		-354.611	-12.300	0,16085	16,76		-178.685	-8.916	0,08042	11,84		-364.237	-15.195	0,08042	8,26
P	A	01532	8.482	291	0,10053	NS	01533	58.294	1.130	0,10053	86,57	01534	27.304	115	0,10053	NS
	P		12.031	-3.251	0,10053	31,96		18.052	-902	0,10053	NS		45.620	-1.417	0,10053	70,23
S	A		-72.997	3.650	0,08042	24,91		-181.750	8.230	0,08042	12,47		-570.661	2.245	0,08042	67,41
	P		-441.104	-12.161	0,08042	11,34		-302.317	-9.315	0,08042	12,68		-188.922	-2.479	0,08042	41,83
Piano interrato						**Parete38-P14**						**Parete 38-P14**				
P	A	00061	-193.004	17.252	0,08042	6,38	00062	2.180	109	0,08042	NS	00242	-70.917	1.307	0,08042	72,10
	P		-108.374	-6.212	0,08042	15,96		-231.643	-55.945	0,16085	3,49		-138.322	-10.735	0,08042	9,59
S	A		-607.242	30.362	0,08042	5,32		0	0	0,08042	-		-688.791	1.659	0,16085	NS
	P		-239.063	-11.092	0,08042	10,46		-918.432	-38.102	0,16085	6,83		-349.499	-16.701	0,16085	12,67
P	A	00243	-334.503	16.804	0,08042	7,63	00774	23.272	1.120	0,08042	73,13	00775	149.469	2.414	0,08042	27,09
	P		-87.995	-4.346	0,08042	22,20		-135.645	-14.147	0,08042	7,26		130.527	-5.651	0,08042	12,01
S	A		-563.776	28.189	0,08042	5,41		-176.617	241	0,08042	NS		-366.200	1.641	0,08042	80,52
	P		-192.536	-9.627	0,08042	11,03		-774.815	-18.802	0,08042	9,54		-462.501	-11.360	0,08042	12,69
P	A	00776	0	0	0,08042	-	00980	-156.582	10.731	0,08042	9,82	00981	-132.691	9.711	0,08042	10,53
	P		58.271	-3.231	0,08042	23,94		-59.708	-2.987	0,08042	31,06		-28.419	-1.970	0,08042	45,02
S	A		-472.153	723	0,08042	NS		-492.879	24.641	0,08042	6,00		-563.125	23.799	0,08042	6,57
	P		-316.700	-9.494	0,08042	13,26		-200.746	-9.142	0,08042	12,15		-205.254	-9.053	0,08042	12,33
P	A	00982	-195.143	9.760	0,08042	11,31	00983	-77.198	2.139	0,08042	44,45	00984	-22.548	2.296	0,08042	38,30
	P		-39.072	-1.364	0,08042	66,05		225.543	-1.737	0,08042	31,89		-161.731	-2.080	0,08042	50,97
S	A		-514.914	23.645	0,08042	6,37		-387.371	19.344	0,08042	6,66		-224.856	10.927	0,08042	10,45
	P		-183.434	-9.172	0,08042	11,87		-141.469	-7.073	0,08042	13,77		-131.492	-6.339	0,08042	16,11
P	A	00985	41.850	253	0,08042	NS	00986	3.132	92	0,08042	NS	00987	16.340	817	0,08042	NS
	P		-158.821	-5.369	0,08042	19,68		-210.098	-5.313	0,08042	21,13		-225.964	-19.368	0,08042	5,90
S	A		-152.242	1.703	0,08042	61,53		-41.151	796	0,08042	NS		0	0	0,08042	-
	P		-349.235	-8.954	0,08042	14,52		-371.342	-9.596	0,08042	13,50		-436.611	-21.828	0,08042	6,46
P	A	00988	103.633	3.414	0,08042	20,92	00989	63.183	2.584	0,08042	29,69	00990	27.626	4.700	0,08042	17,31
	P		-204.916	-10.759	0,08042	10,37		-188.149	-4.335	0,08042	25,25		-164.761	-2.096	0,08042	50,78
S	A		0	0	0,08042	-		-289.824	5.161	0,08042	23,74		-361.668	18.083	0,08042	7,09
	P		-351.604	-11.555	0,08042	11,28		-131.276	-6.466	0,08042	15,79		-208.383	-8.271	0,08042	13,14
P	A	01535	-103.715	5.196	0,08042	18,96	01536	-34.613	307	0,08042	NS	01537	4.111	206	0,08042	NS

Dir	Pos	Nodo	N_{Ed} [N]	M_{Ed} [N·m]	A_s [cm²/cm]	CS	Nodo	N_{Ed} [N]	M_{Ed} [N·m]	A_s [cm²/cm]	CS	Nodo	N_{Ed} [N]	M_{Ed} [N·m]	A_s [cm²/cm]	CS
	P		-44.788	-1.112	0,08042	81,68		-152.154	-4.444	0,08042	23,58		-190.246	-24.067	0,08042	4,56
S	A		-442.818	22.109	0,08042	6,41		-12.838	140	0,08042	NS		0	0	0,08042	-
	P		-171.911	-8.414	0,08042	12,76		-306.092	-9.612	0,08042	12,96		-595.025	-23.668	0,08042	6,76
P	A	01538	-148.600	7.430	0,08042	14,04	01539	-13.015	2.299	0,08042	37,70	01540	26.200	713	0,08042	NS
	P		-36.910	-2.190	0,08042	41,01		46.020	-1.208	0,08042	65,34		-146.527	-9.401	0,08042	11,07
S	A		-491.536	22.144	0,08042	6,67		-348.915	14.108	0,08042	9,21		-15.516	1.708	0,08042	49,05
	P		-188.654	-9.116	0,08042	12,01		-158.588	-7.322	0,08042	14,43		-373.043	-10.115	0,08042	12,83
Piano interrato						**Parete40-P15**						**Parete 40-P15**				
P	A	00009	-209.825	16.131	0,08042	6,96	00010	54.907	2.742	0,08042	28,37	00266	0	0	0,08042	-
	P		-62.567	-3.719	0,08042	25,05		-450.281	-103.510	0,16085	2,12		-150.264	-17.887	0,08042	5,84
S	A		-481.546	23.753	0,08042	6,17		0	0	0,08042	-		0	0	0,16085	-
	P		-218.907	-8.952	0,08042	12,67		-1.179.797	-37.939	0,08042	5,68		-428.736	-21.364	0,16085	10,37
P	A	00267	-171.252	15.916	0,08042	6,74	00911	0	0	0,08042	-	00912	0	0	0,08042	-
	P		-421.881	-5.571	0,08042	24,97		-242.899	-25.854	0,08042	4,51		65.917	-4.118	0,08042	18,54
S	A		-409.549	20.692	0,08042	6,65		0	0	0,08042	-		0	0	0,08042	-
	P		-186.531	-9.234	0,08042	11,83		-789.427	-21.470	0,08042	8,42		-509.496	-11.122	0,08042	13,48
P	A	01019	-127.219	8.145	0,08042	12,47	01020	-99.700	6.366	0,08042	15,39	01021	111.174	3.368	0,08042	20,90
	P		-337.518	-3.496	0,08042	36,76		-349.748	-6.310	0,08042	20,61		-401.511	-9.762	0,08042	13,99
S	A		-420.148	19.025	0,08042	7,30		-419.661	16.742	0,08042	8,29		-269.373	12.164	0,08042	9,53
	P		-190.147	-8.898	0,08042	12,33		-176.788	-8.839	0,08042	12,22		-194.121	-8.845	0,08042	12,01
P	A	01022	85.723	4.159	0,08042	17,73	01023	89.894	2.077	0,08042	35,25	01024	24.563	1.103	0,08042	74,10
	P		-308.357	-16.015	0,08042	7,80		-293.803	-19.357	0,08042	6,35		-381.377	-16.145	0,08042	8,30
S	A		-77.637	2.664	0,08042	35,71		-2.564	234	0,08042	NS		-55.369	1.154	0,08042	77,08
	P		-195.654	-9.370	0,08042	11,78		-427.512	-15.081	0,08042	9,27		-426.268	-14.418	0,08042	9,46
P	A	01025	5.324	266	0,08042	NS	01026	0	0	0,08042	-	01027	15.929	795	0,08042	NS
	P		-491.539	-38.018	0,08042	3,88		-418.728	-25.775	0,08042	5,38		-367.205	-17.394	0,08042	7,60
S	A		0	0	0,08042	-		0	0	0,08042	-		-79.642	2.458	0,08042	38,81
	P		-504.257	-25.213	0,08042	5,74		-393.700	-15.702	0,08042	8,64		-211.058	-10.226	0,08042	10,99
P	A	01028	-35.957	2.213	0,08042	40,52	01565	-77.446	4.533	0,08042	20,98	01566	29.129	1.137	0,08042	71,36
	P		-381.296	-8.914	0,08042	15,04		-377.149	-7.676	0,08042	17,40		-281.400	-11.344	0,08042	10,70
S	A		-358.347	11.435	0,08042	11,47		-380.012	15.205	0,08042	8,81		-39.376	849	0,08042	NS
	P		-216.950	-10.084	0,08042	11,22		-165.963	-8.298	0,08042	12,84		-460.812	-13.818	0,08042	10,42
P	A	01567	0	0	0,08042	-	01568	-92.624	6.392	0,08042	15,19	01569	-18.093	637	0,08042	NS
	P		-350.425	-45.849	0,08042	2,84		-337.410	-4.892	0,08042	26,27		-337.551	-11.117	0,08042	11,56
S	A		0	0	0,08042	-		-412.678	15.008	0,08042	9,19		-347.250	8.436	0,08042	15,04
	P		-678.658	-28.390	0,08042	5,85		-199.554	-9.150	0,08042	12,12		-177.300	-8.862	0,08042	11,86
P	A	01570	0	0	0,08042	-										
	P		-299.641	-24.771	0,08042	5,00										
S	A		-29.695	634	0,08042	NS										
	P		-441.257	-16.874	0,08042	8,17										
Piano interrato						**ParetеP16-43-P17**						**Parete P16-43**				
P	A	00069	-291.546	28.361	0,13404	6,24	00070	-177.317	6.708	0,13404	24,22	00260	29.162	1.440	0,13404	94,29
	P		0	0	0,13404	-		5.319	-257	0,13404	NS		-48.716	-7.150	0,13404	20,41
S	A		-1.199.155	59.170	0,10053	4,01		-265.949	13.297	0,10053	9,98		-68.639	2.239	0,10053	51,11
	P		-46.587	-1.062	0,10053	NS		-197.507	-1.669	0,10053	74,28		-344.630	-11.126	0,10053	13,46
P	A	00261	-367.574	18.395	0,21447	14,58	00746	-47.164	5.008	0,13404	29,09	00747	-91.171	5.622	0,13404	26,93
	P		-148.640	-2.121	0,21447	NS		162.500	-3.284	0,13404	36,06		243.475	-1.029	0,13404	NS
S	A		-791.796	29.310	0,18096	9,33		-325.893	9.880	0,10053	14,92		-152.500	6.030	0,10053	19,85

Dir	Pos	Nodo	N_{Ed} [N]	M_{Ed} [N·m]	A_s [cm²/cm]	CS	Nodo	N_{Ed} [N]	M_{Ed} [N·m]	A_s [cm²/cm]	CS	Nodo	N_{Ed} [N]	M_{Ed} [N·m]	A_s [cm²/cm]	CS
	P		-174.917	-8.746	0,18096	22,86		-222.739	-1.380	0,10053	97,32		-358.258	-2.174	0,10053	67,13
P	A	00959	-276.765	15.663	0,13404	11,19	00960	-297.722	30.468	0,13404	5,84	00961	0	0	0,13404	-
	P		-82.006	-1.283	0,13404	NS		20.003	-1.000	0,13404	NS		88.675	-8.543	0,13404	14,99
S	A		-707.826	25.597	0,10053	7,40		-799.352	39.968	0,10053	5,06		-323.815	3.462	0,10053	41,09
	P		-42.381	-2.119	0,10053	50,81		-13.459	-673	0,10053	NS		-248.356	-8.371	0,10053	15,84
P	A	00962	0	0	0,13404	-	00963	105.954	2.374	0,13404	52,99	00964	3.536	107	0,13404	NS
	P		102.232	-19.039	0,13404	6,63		53.608	-8.780	0,13404	15,10		11.131	-20.747	0,13404	6,66
S	A		0	0	0,10053	-		-19.614	272	0,10053	NS		-11.468	571	0,10053	NS
	P		-660.651	-25.298	0,10053	7,17		-438.962	-14.687	0,10053	10,48		-436.151	-24.111	0,10053	6,33
P	A	00965	95.756	1.481	0,13404	85,83	00966	81.969	1.562	0,13404	82,56	00967	-59.963	5.317	0,13404	27,71
	P		-172.951	-2.186	0,13404	74,06		40.159	-1.879	0,13404	71,51		-110.364	-1.196	0,13404	NS
S	A		-310.992	6.752	0,10053	20,66		-326.513	11.359	0,10053	12,73		-366.773	17.826	0,10053	8,33
	P		-29.666	-1.649	0,10053	62,64		-162.995	-2.677	0,10053	46,23		-34.282	-1.714	0,10053	61,70
P	A	00968	-44.843	3.860	0,21447	58,83	01523	-84.746	11.243	0,13404	13,39	01524	-15.797	2.397	0,13404	59,09
	P		-122.702	-1.200	0,21447	NS		52.483	-1.339	0,13404	99,16		-79.634	-115	0,13404	NS
S	A		-618.974	23.371	0,10053	7,35		-750.268	22.963	0,10053	8,40		-95.539	3.660	0,10053	29,95
	P		-138.592	-6.930	0,10053	16,18		-783.330	-1.010	0,10053	NS		-433.713	-8.865	0,10053	17,23
P	A	01525	-5.569	1.953	0,13404	71,83	01526	-120.544	9.061	0,13404	17,13	01527	14.028	5.813	0,13404	23,70
	P		-108.809	-2.768	0,13404	55,51		70.174	-1.393	0,13404	93,67		-104.493	-1.053	0,13404	NS
S	A		-305.469	7.490	0,10053	18,78		-568.591	26.678	0,10053	6,37		-547.060	17.272	0,10053	9,72
	P		-257.013	-2.784	0,10053	48,30		-103.320	-5.166	0,10053	21,57		-40.785	-2.039	0,10053	50,94
P	A	01528	-53.114	4.132	0,13404	35,44										
	P		-86.639	-1.274	0,13404	NS										
S	A		-386.001	1.988	0,10053	74,31										
	P		-321.554	-2.613	0,10053	53,41										
Piano interrato						**ParetteP16-43-P17**						**Parete 43-P17**				
P	A	00069	-438.134	49.737	0,13404	3,93	00070	307.524	5.412	0,13404	18,38	00248	-41.198	2.060	0,13404	70,34
	P		0	0	0,13404	-		-159.172	-4.515	0,13404	35,47		40.919	-917	0,13404	NS
S	A		-1.183.699	68.999	0,10053	3,42		-285.682	14.282	0,10053	9,19		-207.065	9.451	0,10053	13,05
	P		-47.503	-2.375	0,10053	47,01		-463.760	-11.474	0,10053	13,38		-87.578	-2.590	0,10053	41,65
P	A	00249	-22.827	7.921	0,53617	69,57	00281	-317.836	19.733	0,53617	29,84	00282	160.156	4.426	0,13404	26,82
	P		-24.483	-1.224	0,53617	NS		149.593	-7.480	0,53617	70,71		8.372	-389	0,13404	NS
S	A		-445.323	14.757	0,10053	10,51		-639.519	31.971	0,30159	11,62		-271.843	10.808	0,18096	20,55
	P		-133.025	-6.651	0,10053	17,35		-162.875	-8.144	0,30159	38,33		-113.044	-5.199	0,18096	38,82
P	A	00807	-36.156	5.890	0,13404	24,49	00808	-60.106	3.072	0,13404	47,96	00809	-89.339	1.274	0,13404	NS
	P		5.645	-275	0,13404	NS		2.729	-100	0,13404	NS		46.862	-2.344	0,13404	56,94
S	A		-522.771	9.570	0,18096	25,19		-319.912	9.353	0,10053	14,35		-227.601	10.423	0,10053	11,80
	P		-47.024	-2.003	0,18096	90,22		-90.662	-1.566	0,10053	66,90		-86.758	-1.512	0,10053	69,32
P	A	00810	-89.061	1.972	0,13404	76,61	00961	297	15	0,13404	NS	00962	170.729	1.909	0,13404	61,48
	P		-10.144	-507	0,13404	NS		48.021	-4.402	0,13404	30,29		39.685	-13.975	0,13404	9,62
S	A		-224.395	11.220	0,10053	11,44		-665.856	4.652	0,10053	39,18		-29.111	183	0,10053	NS
	P		-79.020	-3.951	0,10053	27,75		-755.432	-13.164	0,10053	14,56		-653.824	-20.423	0,10053	8,78
P	A	00963	132.966	5.395	0,13404	22,66	00964	15.262	198	0,13404	NS	00999	-127.809	17.281	0,13404	9,03
	P		195.205	-5.063	0,13404	22,55		-167.851	-22.721	0,13404	7,10		-72.375	-619	0,13404	NS
S	A		-20.027	386	0,10053	NS		-14.565	1.307	0,10053	73,54		-786.614	29.715	0,10053	6,63
	P		-460.370	-11.532	0,10053	13,37		-561.961	-28.098	0,10053	5,89		-124.974	-6.249	0,10053	18,87
P	A	01000	-225.607	11.280	0,13404	14,95	01001	-60.222	9.877	0,13404	14,92	01002	-119.465	5.983	0,53617	94,18
	P		285.849	-1.013	0,13404	NS		-7.443	-559	0,13404	NS		-15.866	-793	0,53617	NS
S	A		-678.404	17.584	0,10053	10,48		-460.445	20.389	0,10053	7,93		-412.456	20.623	0,30159	17,08
	P		-172.192	-8.610	0,10053	14,22		-141.281	-6.984	0,10053	17,35		-118.828	-5.941	0,30159	52,98

Dir	Pos	Nodo	N_{Ed} [N]	M_{Ed} [N·m]	A_s [cm²/cm]	CS	Nodo	N_{Ed} [N]	M_{Ed} [N·m]	A_s [cm²/cm]	CS	Nodo	N_{Ed} [N]	M_{Ed} [N·m]	A_s [cm²/cm]	CS
P	A	01003	-57.617	4.466	0,53617	NS	01004	-54.337	4.276	0,53617	NS	01005	-114.743	2.431	0,53617	NS
	P		27.455	-1.373	0,53617	NS		136.275	-5.516	0,53617	96,18		36.226	-1.810	0,53617	NS
S	A		-414.882	20.744	0,30159	16,53		-330.737	16.537	0,10053	8,46		-310.082	14.152	0,10053	10,02
	P		-127.117	-6.356	0,30159	48,19		-104.188	-5.165	0,10053	21,45		-112.671	-5.372	0,10053	21,67
P	A	01006	-130.867	2.069	0,53617	NS	01550	-118.229	5.911	0,53617	95,29	01551	-108.345	1.990	0,13404	77,20
	P		106.896	-5.345	0,53617	99,98		-21.306	-1.065	0,53617	NS		61.377	-1.772	0,13404	74,27
S	A		-265.389	11.132	0,10053	12,55		-550.400	23.087	0,30159	15,85		-265.861	12.483	0,10053	10,91
	P		-117.675	-5.011	0,10053	24,10		-121.754	-6.088	0,30159	51,21		-94.326	-4.595	0,10053	24,83
P	A	01552	146.603	3.266	0,13404	36,89	01553	-64.595	7.260	0,13404	20,38	01554	-50.799	5.627	0,13404	25,97
	P		49.703	-630	0,13404	NS		22.752	-959	0,13404	NS		56.566	-246	0,13404	NS
S	A		-10.480	2.223	0,18096	78,89		-775.687	23.303	0,10053	8,29		-492.883	17.124	0,10053	9,29
	P		-430.373	-12.284	0,18096	18,64		-427.631	-4.475	0,10053	34,32		-125.965	-6.022	0,10053	18,71
P	A	01555	-63.551	6.466	0,13404	22,86	01556	-92.143	5.327	0,13404	28,44	01557	-76.848	3.842	0,53617	NS
	P		3.191	-21	0,13404	NS		7.848	-203	0,13404	NS		-21.735	-1.087	0,53617	NS
S	A		-420.152	6.263	0,10053	23,39		-300.887	14.390	0,10053	9,17		-407.189	18.214	0,10053	7,94
	P		-97.195	-3.453	0,10053	30,49		-80.231	-3.992	0,10053	25,94		-112.125	-5.606	0,10053	19,09
P	A	01558	-55.479	3.698	0,53617	NS										
	P		-13.156	-756	0,53617	NS										
S	A		-271.813	13.590	0,10053	9,60										
	P		-80.202	-4.009	0,10053	26,38										
Piano interrato						**ParetteP18-47**						**Parete P18-47**				
P	A	00015	-346.249	41.732	0,20106	6,04	00200	126.987	5.573	0,20106	34,31	00254	-123.158	2.018	0,20106	NS
	P		0	0	0,20106	-		30.073	-1.512	0,20106	NS		182.251	-4.114	0,20106	44,74
S	A		-808.445	40.422	0,20106	7,27		-249.577	2.582	0,18096	82,68		-199.050	7.422	0,10053	17,01
	P		-54.928	-2.746	0,16085	61,11		-254.452	-12.641	0,16085	15,35		-92.597	-1.597	0,08042	57,65
P	A	00255	-37.220	8.112	0,20106	26,19	00278	-207.124	21.764	0,60319	29,54	00279	-176.954	2.649	0,20106	87,01
	P		-30.787	-2.036	0,20106	NS		-26.222	-1.311	0,60319	NS		-37.155	-1.683	0,20106	NS
S	A		-466.802	14.179	0,10053	11,60		-530.739	26.516	0,30159	13,78		-545.596	8.463	0,18096	30,17
	P		-147.126	-6.862	0,08042	15,18		-150.930	-7.547	0,28149	39,47		-1.085.587	-2.142	0,16085	NS
P	A	00706	90.907	2.189	0,20106	89,52	00707	-124.389	2.329	0,20106	96,06	00708	62.888	2.865	0,20106	69,66
	P		-15.596	-778	0,20106	NS		195.624	-5.038	0,20106	36,19		31.548	-929	0,20106	NS
S	A		-472.993	9.560	0,10053	17,28		-425.454	10.645	0,10053	14,60		-385.889	7.698	0,10053	19,29
	P		-19.823	-991	0,08042	88,35		-170.999	-3.407	0,08042	30,30		-47.995	-2.391	0,08042	35,59
P	A	00709	56.430	2.271	0,20106	88,24	00710	-84.784	574	0,20106	NS	00711	-77.431	1.054	0,20106	NS
	P		11.505	-305	0,20106	NS		3.741	-131	0,20106	NS		15.081	-718	0,20106	NS
S	A		-346.268	9.631	0,10053	14,88		-327.286	7.827	0,10053	17,98		-403.368	6.221	0,10053	24,16
	P		-97.920	-4.300	0,08042	21,23		-84.232	-4.212	0,08042	21,20		-495.625	-8.521	0,08042	16,69
P	A	00935	-200.021	6.624	0,60319	96,91	00936	-101.949	8.206	0,60319	76,69	00937	-88.099	11.087	0,20106	19,76
	P		-769.322	-728	0,60319	NS		-16.263	-813	0,60319	NS		-17.251	-1.192	0,20106	NS
S	A		-431.203	17.258	0,30159	20,79		-388.510	15.698	0,10053	9,94		-426.720	14.318	0,10053	11,15
	P		-109.961	-5.498	0,28149	54,18		-127.142	-6.027	0,28149	49,42		-139.635	-6.981	0,08042	14,78
P	A	00938	-25.230	8.280	0,20106	25,48	00939	-82.819	9.986	0,20106	21,87	00940	-93.693	12.889	0,20106	17,05
	P		164.214	-433	0,20106	NS		12.746	-637	0,20106	NS		-537	-27	0,20106	NS
S	A		-439.981	17.075	0,10053	9,44		-566.286	16.008	0,10053	10,98		-572.590	21.049	0,10053	8,39
	P		-109.886	-5.494	0,08042	18,08		-147.334	-7.367	0,08042	14,14		-87.477	-4.374	0,08042	22,04
P	A	00941	-56.427	5.709	0,20106	37,65	00942	68.670	2.205	0,20106	90,15	00943	139.251	7.031	0,20106	26,98
	P		146.796	-5.576	0,20106	33,84		107.534	-4.137	0,20106	46,83		0	0	0,20106	-
S	A		-650.352	14.007	0,10053	12,39		-540.369	5.412	0,10053	31,07		-504.157	14.691	0,10053	11,15
	P		-82.588	-4.129	0,08042	20,46		-273.864	-10.281	0,08042	11,26		-109.758	-5.292	0,08042	17,82
P	A	00944	122.830	3.587	0,20106	53,47	00945	93.535	2.547	0,20106	76,79	00946	-175.934	3.037	0,20106	75,83
	P		195.270	-1.465	0,20106	NS		12.117	-461	0,20106	NS		-82.809	-2.281	0,20106	95,73
S	A		970	1.117	0,10053	89,28		-561.788	13.207	0,10053	13,27		-709.911	14.599	0,10053	13,08

Dir	Pos	Nodo	N_{Ed} [N]	M_{Ed} [N·m]	A_s [cm²/cm]	CS	Nodo	N_{Ed} [N]	M_{Ed} [N·m]	A_s [cm²/cm]	CS	Nodo	N_{Ed} [N]	M_{Ed} [N·m]	A_s [cm²/cm]	CS
	P		-259.023	-12.949	0,08042	8,73		-75.964	-4.092	0,08042	23,19		-75.259	-3.763	0,08042	25,19
P	A	00947	-85.016	4.291	0,20106	50,96	00948	-158.766	5.114	0,60319	NS	01508	-75.722	9.108	0,20106	23,87
	P		-136.690	-3.598	0,20106	62,61		-402.817	-6.715	0,60319	99,44		23.100	-710	0,20106	NS
S	A		-405.552	16.118	0,10053	9,48		-497.218	17.263	0,30159	20,92		-679.445	21.097	0,20106	13,36
	P		-80.104	-4.003	0,08042	22,79		-83.930	-4.197	0,28149	68,80		-60.434	-3.022	0,16085	55,82
P	A	01509	36.470	760	0,20106	NS	01510	-146.682	2.520	0,20106	89,91	01511	-157.906	7.659	0,60319	83,10
	P		5.211	-261	0,20106	NS		-18.047	-1.273	0,20106	NS		-508.514	-1.285	0,60319	NS
S	A		-469.493	2.633	0,10053	60,55		-514.616	11.246	0,10053	15,29		-472.498	19.062	0,30159	18,83
	P		-282.136	-9.192	0,16085	21,25		-44.342	-1.715	0,16085	NS		-105.560	-5.278	0,28149	55,39
P	A	01512	-71.846	3.757	0,60319	NS	01513	-135.638	2.118	0,20106	NS	01514	-113.201	1.686	0,20106	NS
	P		60.177	-464	0,60319	NS		50.310	-1.799	0,20106	NS		41.869	-283	0,20106	NS
S	A		-478.093	17.112	0,10053	9,37		-458.143	15.124	0,10053	10,46		-380.540	14.685	0,10053	10,11
	P		-102.426	-4.812	0,28149	59,89		-94.905	-4.682	0,08042	19,67		-86.069	-4.303	0,08042	21,09
P	A	01515	-40.543	6.291	0,20106	33,85	01516	-89.639	687	0,20106	NS					
	P		0	0	0,20106	-		12.646	-603	0,20106	NS					
S	A		-445.805	16.182	0,10053	9,82		-387.814	10.262	0,10053	14,43					
	P		-106.951	-5.190	0,08042	18,47		-78.634	-3.904	0,08042	22,65					
	ERRORE: L'armatura superiore è maggiore del massimo consentitoL'armatura inferiore è maggiore del massimo consentito															
Piano interrato						**ParetteP2-4**						**Parete P2-4**				
P	A	00055	-104.624	1.662	0,13404	92,13	00056	15.588	1.432	0,13404	96,08	00236	-93.204	6.210	0,13404	24,42
	P		-116.331	-5.817	0,13404	26,58		14.444	-812	0,13404	NS		6.468	-1.230	0,13404	NS
S	A		-192.440	9.622	0,10053	13,55		-287.544	6.711	0,10053	21,24		-294.764	9.511	0,18096	23,66
	P		-357.757	-17.888	0,10053	8,47		-358.680	-5.342	0,10053	28,38		-471.243	-1.818	0,18096	NS
P	A	00237	-252.997	12.836	0,23457	21,34	00608	-5.169	2.613	0,13404	53,68	01127	-74.671	3.734	0,13404	39,97
	P		-322.956	-16.148	0,21447	16,28		17.964	-230	0,13404	NS		-136.674	-6.834	0,13404	23,01
S	A		-463.981	23.114	0,18096	10,11		-200.735	8.908	0,10053	14,34		-319.039	15.952	0,10053	9,01
	P		-489.762	-24.488	0,18096	9,68		-275.092	-2.023	0,10053	67,84		-379.569	-18.978	0,10053	7,98
P	A	01128	-4.052	799	0,13404	NS	01129	-162.584	326	0,13404	NS	01130	22.744	1.048	0,13404	NS
	P		-37.585	-1.879	0,13404	76,86		-31.433	-1.572	0,13404	91,40		174.068	-517	0,13404	NS
S	A		-146.160	7.308	0,10053	16,30		-146.113	7.306	0,10053	16,13		-133.398	6.670	0,10053	17,58
	P		-270.032	-13.502	0,10053	10,00		-233.418	-11.671	0,10053	11,06		-184.513	-9.226	0,10053	13,42
P	A	01131	17.361	492	0,13404	NS	01132	66.760	1.160	0,13404	NS	01133	42.908	2.145	0,13404	62,47
	P		-19.081	-552	0,13404	NS		18.485	-411	0,13404	NS		12.408	-463	0,13404	NS
S	A		-221.206	9.560	0,10053	13,04		-283.985	11.886	0,10053	11,32		-287.225	13.864	0,10053	10,28
	P		-170.252	-5.875	0,10053	20,11		54	-1.204	0,10053	81,31		-99.282	-4.828	0,10053	24,52
P	A	01134	-60.204	3.030	0,13404	48,64	01135	22.041	1.102	0,23457	NS	01662	-8.270	413	0,13404	NS
	P		-41.157	-2.058	0,13404	70,42		19.074	-897	0,21447	NS		-61.101	-3.055	0,13404	48,28
S	A		-327.538	16.377	0,10053	8,77		-385.306	19.141	0,10053	7,48		-221.069	11.053	0,10053	11,71
	P		-236.759	-11.838	0,10053	11,15		-351.832	-17.592	0,18096	12,33		-305.427	-15.271	0,10053	9,18
P	A	01663	-22.084	1.784	0,13404	79,85	01664	-52.062	3.271	0,13404	44,74	01665	-53.754	3.125	0,23457	79,54
	P		-9.839	-700	0,13404	NS		15.461	-245	0,13404	NS		-79.842	-3.992	0,21447	58,03
S	A		-194.657	7.683	0,10053	16,06		-225.276	9.391	0,10053	13,62		-357.156	17.783	0,10053	8,00
	P		-214.242	-2.074	0,10053	60,70		-453.412	-2.302	0,10053	68,05		-352.011	-17.601	0,18096	12,48
P	A	01666	-8.722	436	0,13404	NS	01667	-10.779	836	0,13404	NS					
	P		-3.254	-163	0,13404	NS		16.400	-262	0,13404	NS					
S	A		-272.496	13.625	0,10053	9,74		-222.103	10.901	0,10053	11,50					
	P		-291.995	-14.600	0,10053	9,26		-80.445	-3.997	0,10053	26,78					
Piano interrato						**ParetteP3-6**						**Parete P3-6**				
P	A	00059	-141.827	7.091	0,10053	17,47	00060	29.500	395	0,10053	NS	00239	-92.317	3.055	0,10053	38,45
	P		-119.419	-5.984	0,10053	20,22		-66.351	-3.041	0,10053	37,53		-4.214	-1.820	0,10053	58,25

Dir	Pos	Nodo	N_{Ed} [N]	M_{Ed} [N·m]	A_s [cm²/cm]	CS	Nodo	N_{Ed} [N]	M_{Ed} [N·m]	A_s [cm²/cm]	CS	Nodo	N_{Ed} [N]	M_{Ed} [N·m]	A_s [cm²/cm]	CS
S	A		-368.215	18.411	0,10053	8,30		-219.494	705	0,10053	NS		-291.695	2.948	0,18096	76,22
	P		-331.296	-15.180	0,10053	9,76		-273.947	-5.239	0,10053	26,89		-168.008	-8.336	0,18096	25,06
P	A	00240	-371.818	19.128	0,18096	12,28	00600	80.248	636	0,10053	NS	01118	-172.124	8.608	0,10053	14,85
	P		-242.876	-16.959	0,18096	12,88		-2.881	-3.670	0,10053	28,84		-109.661	-6.407	0,10053	18,69
S	A		-572.326	28.614	0,18096	8,67		-220.868	1.759	0,10053	74,33		-419.678	20.626	0,10053	7,72
	P		-478.782	-23.610	0,18096	10,02		-177.332	-8.675	0,10053	14,43		-384.806	-16.609	0,10053	9,32
P	A	01119	-6.114	306	0,10053	NS	01120	-1.189	30	0,10053	NS	01121	136.669	581	0,10053	NS
	P		-13.377	-722	0,10053	NS		1.369	-468	0,10053	NS		-7.298	-572	0,10053	NS
S	A		-276.446	13.822	0,10053	9,89		-225.390	11.270	0,10053	11,42		-166.817	8.316	0,10053	14,68
	P		-252.180	-12.594	0,10053	10,61		-239.238	-11.962	0,10053	10,91		-217.952	-10.616	0,10053	12,12
P	A	01122	37.957	1.047	0,10053	96,02	01123	13.457	864	0,10053	NS	01124	340.396	2.134	0,10053	28,54
	P		-4.352	-1.345	0,10053	78,82		1.686	-837	0,10053	NS		45.732	-2.370	0,10053	41,98
S	A		-255.852	6.014	0,10053	21,52		-43.665	1.959	0,10053	53,55		-141.468	6.020	0,10053	20,57
	P		-256.968	-9.137	0,10053	14,18		-325.580	-10.418	0,10053	13,55		-266.467	-12.267	0,10053	11,40
P	A	01125	-40.154	2.164	0,10053	51,17	01126	13.881	625	0,18096	NS	01656	-76.696	3.835	0,10053	30,11
	P		-21.006	-2.095	0,10053	51,64		29.343	-1.467	0,18096	NS		-73.603	-4.015	0,10053	28,65
S	A		-271.127	13.556	0,10053	10,09		-414.379	20.719	0,10053	7,11		-323.680	16.184	0,10053	8,84
	P		-281.137	-13.976	0,10053	9,88		-354.602	-17.142	0,10053	8,16		-289.112	-13.901	0,10053	9,98
P	A	01657	3.603	1.215	0,10053	86,40	01658	-51.538	437	0,10053	NS	01659	-96.622	4.832	0,18096	41,33
	P		-49.317	-2.844	0,10053	39,35		-66.514	-3.237	0,10053	35,26		-91.651	-4.725	0,18096	42,13
S	A		-119.194	1.765	0,10053	64,69		-226.282	1.673	0,10053	77,18		-407.038	20.137	0,10053	7,39
	P		-218.645	-7.179	0,10053	17,69		-255.950	-8.864	0,10053	14,99		-382.062	-16.815	0,10053	8,66
P	A	01660	43.526	296	0,10053	NS	01661	193	728	0,10053	NS					
	P		-34.787	-1.741	0,10053	63,17		-28.365	-1.959	0,10053	55,74					
S	A		-323.310	16.166	0,10053	8,66		-119.555	5.643	0,10053	20,04					
	P		-278.435	-13.875	0,10053	9,68		-211.930	-10.182	0,10053	12,28					
Piano interrato						**Parete16-P9**						**Parete 16-P9**				
P	A	00071	-367.089	18.354	0,13404	10,17	00072	103.146	1.514	0,13404	83,35	00211	-121.649	1.439	0,13404	NS
	P		-116.385	-5.819	0,13404	26,57		11.104	-22.648	0,13404	6,10		60.840	-2.566	0,13404	51,31
S	A		-714.783	35.739	0,10053	5,42		-457.093	18.477	0,10053	8,55		-157.580	4.409	0,10053	27,41
	P		-213.319	-10.666	0,10053	12,48		-673.947	-45.342	0,10053	4,04		-237.999	-8.049	0,10053	16,30
P	A	00213	-70.939	3.547	0,13404	41,94	00284	-403.136	20.157	0,53617	29,75	00285	-320.830	16.086	0,13404	11,24
	P		-202.866	-614	0,13404	NS		-150.184	-7.509	0,53617	75,56		-60.543	-15.904	0,13404	9,27
S	A		-512.940	25.647	0,10053	6,66		-689.140	34.457	0,23457	9,24		-680.146	25.795	0,20106	11,25
	P		-276.489	-13.824	0,10053	10,21		-261.596	-13.080	0,23457	20,37		-262.248	-13.158	0,18096	16,80
P	A	00951	236.265	487	0,13404	NS	00952	218.206	4.745	0,13404	23,42	00953	334.401	3.824	0,13404	25,09
	P		214.309	-1.230	0,13404	90,81		379.883	-5.288	0,13404	17,02		337.948	-2.889	0,13404	33,05
S	A		-342.665	9.263	0,10053	15,39		-6.811	328	0,10053	NS		-821.758	20.874	0,10053	9,42
	P		-200.465	-10.022	0,10053	12,42		-276.548	-8.164	0,10053	16,57		-546.031	-14.731	0,10053	11,34
P	A	00954	318.841	10.917	0,13404	8,98	01061	-83.035	4.152	0,13404	36,21	01062	-99.304	4.965	0,13404	30,70
	P		415.684	-4.286	0,13404	19,91		-15.018	-751	0,13404	NS		-140.950	-535	0,13404	NS
S	A		-523.164	13.488	0,10053	12,26		-447.699	22.385	0,10053	7,27		-421.787	21.089	0,10053	7,41
	P		-138.168	-1.348	0,10053	86,68		-350.951	-17.548	0,10053	8,58		-341.473	-17.074	0,10053	8,56
P	A	01063	-125.708	6.285	0,53617	89,77	01064	-156.739	9.828	0,53617	57,82	01065	16.626	831	0,53617	NS
	P		-35.880	-1.794	0,53617	NS		-68.631	-3.432	0,53617	NS		70.724	-3.471	0,53617	NS
S	A		-539.707	26.985	0,23457	11,50		-560.377	28.015	0,23457	10,82		-387.962	15.916	0,23457	18,00
	P		-211.863	-10.593	0,23457	25,39		-207.624	-10.381	0,23457	24,91		-155.777	-7.789	0,23457	33,00
P	A	01066	31.148	4.158	0,13404	32,60	01067	-41.143	2.732	0,13404	53,05	01068	-144.751	2.007	0,13404	78,86
	P		8.723	-38	0,13404	NS		-46.317	-2.533	0,13404	57,46		18.338	-5.161	0,13404	26,58
S	A		-209.964	10.498	0,10053	12,23		-34.531	657	0,10053	NS		-174.608	8.708	0,10053	14,71

Dir	Pos	Nodo	N_{Ed} [N]	M_{Ed} [N·m]	A_s [cm²/cm]	CS	Nodo	N_{Ed} [N]	M_{Ed} [N·m]	A_s [cm²/cm]	CS	Nodo	N_{Ed} [N]	M_{Ed} [N·m]	A_s [cm²/cm]	CS
	P		-209.414	-10.471	0,10053	12,26		-308.871	-3.395	0,10053	41,33		-275.509	-6.333	0,10053	22,27
P	A	01069	65.212	1.426	0,13404	91,92	01070	-29.735	4.403	0,13404	32,57	01596	80.212	8.354	0,13404	15,46
	P		54.491	-7.781	0,13404	17,03		-139.242	-6.965	0,13404	22,62		5.715	-1.231	0,13404	NS
S	A		-240.791	12.040	0,10053	10,69		-352.067	14.853	0,10053	9,58		-406.825	9.325	0,10053	15,96
	P		-269.276	-11.738	0,10053	11,27		-541.516	-20.120	0,10053	8,24		-529.178	-5.565	0,10053	29,45
P	A	01597	36.980	4.642	0,13404	29,03	01598	12.439	622	0,13404	NS	01599	83.555	1.977	0,13404	65,12
	P		-23.117	-1.156	0,13404	NS		9.779	-252	0,13404	NS		2.843	-1.599	0,13404	87,04
S	A		-456.738	17.825	0,10053	8,90		-339.816	13.707	0,10053	10,38		-8.600	1.201	0,10053	80,17
	P		-310.306	-10.985	0,10053	12,78		-261.328	-13.066	0,10053	10,13		-386.052	-2.150	0,10053	67,32
P	A	01600	41.108	697	0,13404	NS										
	P		65.129	-966	0,13404	NS										
S	A		-296.043	12.132	0,10053	11,10										
	P		-160.018	-8.000	0,10053	14,66										
Piano interrato						**Parete20-21-P10**						**Parete 20-21**				
P	A	00017	0	0	0,20106	-	00078	83.022	4.146	0,20106	47,50	00196	-1.545	91	0,20106	NS
	P		-273.836	-36.880	0,20106	6,58		44.756	-2.238	0,20106	90,22		106.394	-3.542	0,20106	54,75
S	A		-125.775	6.289	0,18096	31,28		-143.902	7.195	0,08042	14,42		-232.062	11.603	0,16085	16,45
	P		-713.617	-35.396	0,16085	7,06		-370.349	-7.375	0,08042	17,99		-3.161	-2.260	0,16085	71,40
P	A	00197	119.792	753	0,20106	NS	00888	12.700	599	0,20106	NS	00889	23.628	1.160	0,20106	NS
	P		-65.508	-736	0,20106	NS		-12.286	-667	0,20106	NS		-64.628	-652	0,20106	NS
S	A		-119.441	2.074	0,16085	85,15		-432.500	13.817	0,08042	9,70		-275.270	7.500	0,08042	15,22
	P		-146.604	-6.981	0,16085	25,80		-270.219	-5.953	0,08042	19,08		-186.056	-7.716	0,08042	13,31
P	A	00927	-103.613	1.602	0,20106	NS	00928	20.667	800	0,20106	NS	00929	-70.241	772	0,20106	NS
	P		-104.276	-7.944	0,20106	27,83		66.362	-3.318	0,20106	60,00		165.784	-6.412	0,20106	29,04
S	A		-278.039	13.902	0,08042	7,87		-250.895	12.545	0,08042	8,94		-390.569	16.677	0,08042	7,80
	P		-633.209	-15.771	0,08042	9,68		-510.134	-3.985	0,08042	36,28		-439.060	-11.072	0,08042	12,29
P	A	00930	-3.651	489	0,20106	NS	01043	5.306	124	0,20106	NS	01044	-79.006	602	0,20106	NS
	P		68.864	-2.304	0,20106	86,27		-70.194	-9.572	0,20106	22,64		-99.998	-9.594	0,20106	22,99
S	A		-198.235	9.912	0,08042	10,57		-172.475	8.624	0,08042	12,46		-199.184	9.959	0,08042	11,13
	P		-126.639	-1.960	0,08042	48,74		-540.254	-17.862	0,08042	8,60		-438.136	-15.900	0,08042	8,88
P	A	01045	6.042	341	0,20106	NS	01046	54.460	2.727	0,20106	73,58	01047	10.205	352	0,20106	NS
	P		-31.621	-4.088	0,20106	51,81		-68.520	-3.821	0,20106	56,67		58.561	-1.353	0,20106	NS
S	A		-202.968	10.148	0,08042	10,97		-150.894	7.545	0,08042	13,31		-44.987	1.772	0,08042	48,12
	P		-299.294	-13.744	0,08042	9,00		-275.118	-12.518	0,08042	9,30		-231.230	-11.089	0,08042	9,87
P	A	01048	17.722	864	0,20106	NS	01583	82.725	554	0,20106	NS	01584	22.431	1.036	0,20106	NS
	P		36.932	-1.764	0,20106	NS		-100.343	-5.511	0,20106	40,04		66.088	-1.724	0,20106	NS
S	A		-85.366	2.090	0,08042	43,44		-224.241	11.212	0,08042	10,18		-127.650	5.476	0,08042	17,36
	P		-174.894	-8.445	0,08042	12,12		-341.257	-14.183	0,08042	9,10		-182.193	-8.961	0,08042	11,40
P	A	01585	67.078	1.329	0,20106	NS	01586	4.045	247	0,20106	NS	01587	-78.573	200	0,20106	NS
	P		101.484	-1.243	0,20106	NS		-128.026	-8.952	0,20106	25,04		-98.322	-8.006	0,20106	27,52
S	A		-157.811	7.814	0,08042	12,58		-169.541	8.477	0,18096	23,79		-233.688	11.684	0,08042	9,45
	P		-355.869	-3.439	0,08042	35,96		-635.046	-18.897	0,16085	12,71		-383.947	-15.886	0,08042	8,15
P	A	01588	9.646	441	0,20106	NS										
	P		-34.619	-2.210	0,20106	96,01										
S	A		-175.691	8.777	0,08042	11,48										
	P		-268.643	-9.247	0,08042	12,19										
Piano interrato						**Parete20-21-P10**						**Parete 21-P10**				
P	A	00078	-69.441	806	0,20106	NS	00197	11.701	571	0,20106	NS	00225	3.178	157	0,20106	NS
	P		-188.082	-12.388	0,20106	18,72		28.587	-1.440	0,20106	NS		-76.638	-1.247	0,20106	NS
S	A		-223.632	11.182	0,08042	10,20		-216.591	4.471	0,16085	42,30		-96.001	2.741	0,16085	65,38
	P		-354.206	-17.707	0,08042	7,38		-141.298	-6.585	0,16085	27,26		-133.762	-4.469	0,16085	41,19
P	A	00226	8.804	470	0,60319	NS	00664	1.894	14	0,20106	NS	00665	35.197	416	0,20106	NS

Dir	Pos	Nodo	N_{Ed} [N]	M_{Ed} [N·m]	A_s [cm²/cm]	CS	Nodo	N_{Ed} [N]	M_{Ed} [N·m]	A_s [cm²/cm]	CS	Nodo	N_{Ed} [N]	M_{Ed} [N·m]	A_s [cm²/cm]	CS
	P		-649.802	-5.631	0,60319	NS		-53.927	-809	0,20106	NS		-46.445	-1.048	0,20106	NS
S	A		-222.137	11.107	0,28149	27,52		-207.000	4.233	0,08042	24,97		-171.507	7.517	0,08042	13,64
	P		-368.868	-18.443	0,28149	17,58		-134.317	-6.664	0,08042	14,45		-139.594	-6.980	0,08042	14,10
P	A	00666	35.017	818	0,20106	NS	01045	-71.378	340	0,20106	NS	01046	41.591	496	0,20106	NS
	P		-36.568	-1.173	0,20106	NS		-88.065	-4.640	0,20106	47,21		-39.518	-2.094	0,20106	NS
S	A		-87.967	4.398	0,08042	21,93		-222.110	11.106	0,08042	10,25		-199.616	9.981	0,08042	10,67
	P		-51.466	-2.573	0,08042	35,64		-296.327	-13.866	0,08042	8,89		-240.169	-11.533	0,08042	9,69
P	A	01047	32.304	800	0,20106	NS	01048	17.299	844	0,20106	NS	01164	-72.549	655	0,20106	NS
	P		18.189	-920	0,20106	NS		8.714	-413	0,20106	NS		-44.242	-2.690	0,20106	79,34
S	A		-165.908	5.397	0,08042	18,77		-150.029	3.154	0,08042	31,47		-237.832	11.892	0,08042	9,74
	P		-210.356	-10.518	0,08042	10,18		-178.090	-8.832	0,08042	11,65		-331.105	-14.482	0,08042	8,82
P	A	01165	-21.372	1.069	0,20106	NS	01166	2.058	97	0,60319	NS	01167	18.034	702	0,60319	NS
	P		10.702	-8.258	0,20106	24,98		-512.538	-2.026	0,60319	NS		31.192	-3.191	0,60319	NS
S	A		-272.206	13.610	0,08042	8,83		-172.130	8.606	0,28149	36,19		-121.847	6.092	0,28149	47,80
	P		-335.450	-16.440	0,08042	7,80		-311.792	-15.590	0,28149	21,12		-273.554	-13.551	0,28149	22,92
P	A	01168	136.669	727	0,60319	NS	01169	62.336	712	0,20106	NS	01170	7.819	2.566	0,20106	80,55
	P		-134.189	-1.630	0,60319	NS		-59.262	-3.655	0,20106	58,91		174.602	-1.056	0,20106	NS
S	A		-105.748	5.287	0,28149	56,74		-135.944	6.797	0,08042	15,11		-134.385	3.527	0,08042	29,06
	P		-246.583	-11.212	0,28149	28,36		-207.580	-9.516	0,08042	11,77		-187.640	-7.163	0,08042	15,27
P	A	01691	66.776	670	0,60319	NS	01692	12.194	455	0,20106	NS	01693	39.485	1.293	0,20106	NS
	P		-432.345	-3.728	0,60319	NS		-45.268	-1.197	0,20106	NS		-60.279	-562	0,20106	NS
S	A		-190.152	9.508	0,28149	32,11		-135.875	6.788	0,08042	15,13		-89.709	4.483	0,08042	20,14
	P		-309.966	-15.184	0,28149	21,11		-134.944	-6.548	0,08042	15,66		-163.736	-8.020	0,08042	12,46
P	A	01694	-68.689	432	0,20106	NS	01695	-66.906	182	0,20106	NS	01696	9.624	481	0,20106	NS
	P		-53.466	-3.872	0,20106	55,43		-24.509	-1.225	0,20106	NS		-56.505	-589	0,20106	NS
S	A		-223.396	11.170	0,08042	10,20		-203.258	10.163	0,08042	10,53		-123.564	6.160	0,08042	15,34
	P		-277.556	-13.595	0,08042	8,89		-251.077	-12.143	0,08042	9,32		-168.962	-8.448	0,08042	11,88
P	A	01697	5.862	137	0,60319	NS										
	P		15.546	-653	0,60319	NS										
S	A		-165.234	8.262	0,28149	36,92										
	P		-214.168	-10.142	0,28149	30,70										
	ERRORE: L'armatura superiore è maggiore del massimo consentitoL'armatura inferiore è maggiore del massimo consentito															
Piano interrato						**Parete22-P11**						**Parete 22-P11**				
P	A	00065	-538.782	38.387	0,08042	4,00	00066	-461	8.742	0,08042	9,73	00218	-140.085	9.020	0,08042	11,44
	P		-40.043	-928	0,08042	97,19		0	0	0,08042	-		-144.851	-9.898	0,08042	10,49
S	A		-973.992	48.691	0,08042	4,00		-517.689	25.748	0,08042	5,64		-303.088	9.293	0,16085	22,14
	P		-5.276	-264	0,08042	NS		0	0	0,08042	-		-417.397	-7.915	0,16085	27,81
P	A	00221	-246.124	12.306	0,28149	26,08	00626	-50.533	2.610	0,08042	35,08	00627	28.841	2.376	0,08042	34,18
	P		-20.464	-1.023	0,28149	NS		113.241	-5.226	0,08042	13,42		85.859	-3.373	0,08042	21,86
S	A		-453.309	22.665	0,21447	11,60		-236.294	8.690	0,08042	12,46		-81.057	4.048	0,08042	21,49
	P		-257.398	-12.870	0,21447	18,50		-256.519	-5.778	0,08042	19,19		-245.196	-5.237	0,08042	20,67
P	A	00628	-135.759	990	0,08042	NS	00629	15.201	3.637	0,08042	22,82	00976	-223.462	871	0,08042	NS
	P		70.748	-3.163	0,08042	23,94		-1.742	-4.548	0,08042	18,73		-42.455	-12.253	0,08042	7,39
S	A		-235.066	5.968	0,08042	18,20		-247.979	6.995	0,08042	16,29		-30.621	457	0,08042	NS
	P		-425.607	-5.919	0,08042	22,42		-330.697	-7.575	0,08042	16,43		-358.974	-17.640	0,08042	6,95
P	A	00977	345.292	5.027	0,08042	7,88	00978	226.442	5.233	0,08042	10,56	00979	-21.384	8.169	0,08042	10,75
	P		-26.859	-12.756	0,08042	6,94		159.867	-6.283	0,08042	10,19		-22.446	-1.795	0,08042	48,97
S	A		-22.037	40	0,08042	NS		0	0	0,08042	-		-635.929	22.020	0,08042	7,14
	P		-371.437	-18.548	0,08042	6,72		-193.004	-9.650	0,08042	10,70		-130.976	-6.549	0,08042	14,44
P	A	01149	-176.962	14.019	0,08042	7,70	01150	-164.495	8.225	0,08042	12,93	01151	-133.164	6.657	0,08042	15,37
	P		-6.447	-322	0,08042	NS		0	0	0,08042	-		277.084	-262	0,08042	NS

Dir	Pos	Nodo	N_{Ed} [N]	M_{Ed} [N·m]	A_s [cm²/cm]	CS	Nodo	N_{Ed} [N]	M_{Ed} [N·m]	A_s [cm²/cm]	CS	Nodo	N_{Ed} [N]	M_{Ed} [N·m]	A_s [cm²/cm]	CS
S	A		-618.457	28.345	0,08042	5,60		-570.406	20.773	0,08042	7,36		-447.029	22.073	0,08042	6,30
	P		-80.884	-4.044	0,08042	22,68		-200.002	-10.000	0,08042	10,66		-223.104	-11.155	0,08042	9,93
P	A	01152	-74.948	3.747	0,28149	79,79	01153	73.836	1.182	0,28149	NS	01154	-237.042	996	0,28149	NS
	P		-46.568	-2.328	0,28149	NS		-11.192	-560	0,28149	NS		44.552	-238	0,28149	NS
S	A		-398.140	19.907	0,21447	13,50		-327.990	16.394	0,21447	14,98		-282.931	13.971	0,21447	18,05
	P		-179.389	-8.969	0,21447	26,86		-151.188	-7.559	0,21447	29,50		-181.032	-9.052	0,21447	26,42
P	A	01155	24.706	1.743	0,08042	46,91	01156	-19.553	1.537	0,08042	56,97	01677	-65.297	3.453	0,28149	86,25
	P		10.007	-65	0,08042	NS		43.017	-663	0,08042	NS		0	0	0,28149	-
S	A		-266.587	13.111	0,08042	8,74		-386.872	9.633	0,08042	13,03		-376.954	18.788	0,21447	13,79
	P		-224.753	-11.238	0,08042	9,71		-346.930	-11.244	0,08042	10,72		-203.676	-10.184	0,21447	23,29
P	A	01678	-14.489	923	0,08042	94,13	01679	67.393	4.277	0,08042	17,81	01680	-105.756	9.688	0,08042	10,20
	P		-56.932	-2.228	0,08042	41,47		23.145	-706	0,08042	NS		6.584	-75	0,08042	NS
S	A		-288.436	10.473	0,16085	18,82		-237.761	6.549	0,08042	16,38		-643.659	23.924	0,08042	6,63
	P		-273.102	-7.075	0,16085	27,58		-290.398	-8.949	0,08042	12,74		-48.204	-2.410	0,08042	35,00
P	A	01681	-77.027	7.181	0,08042	13,23	01682	-7.699	4.058	0,08042	21,19	01683	-48.144	3.123	0,08042	29,22
	P		49.392	-640	0,08042	NS		-16.586	-288	0,08042	NS		4.211	-45	0,08042	NS
S	A		-395.039	16.330	0,08042	7,80		-304.718	5.227	0,08042	21,78		-252.291	12.550	0,08042	8,61
	P		-131.724	-6.586	0,08042	14,23		-610.553	-5.124	0,08042	29,51		-126.205	-6.291	0,08042	14,60
Piano interrato						**ParetеP12-37-47**						**Parete P12-37**				
P	A	00077	-70.294	876	0,20106	NS	00199	2.846	117	0,20106	NS	00229	83.419	2.463	0,20106	79,93
	P		-200.492	-12.952	0,20106	18,02		50.467	-1.439	0,20106	NS		268.429	-13.421	0,20106	12,88
S	A		-227.271	11.364	0,08042	10,07		-128.162	6.047	0,16085	29,36		-384.538	18.080	0,16085	11,95
	P		-366.564	-18.327	0,08042	7,21		-125.894	-6.295	0,16085	28,16		-351.592	-2.358	0,16085	89,83
P	A	00230	0	0	0,60319	-	00646	71.445	3.361	0,20106	59,03	00647	53.953	1.893	0,20106	NS
	P		-247.826	-12.391	0,60319	52,30		-35.107	-1.159	0,20106	NS		-50.139	-859	0,20106	NS
S	A		-110.461	5.523	0,28149	52,69		-301.158	11.756	0,08042	10,27		-206.059	7.198	0,08042	14,78
	P		-474.564	-23.728	0,28149	14,21		-259.776	-6.737	0,08042	17,15		-195.418	-7.959	0,08042	13,20
P	A	00648	23.980	1.112	0,20106	NS	01039	24.189	1.209	0,20106	NS	01040	1.454	48	0,20106	NS
	P		-53.674	-984	0,20106	NS		-64.740	-389	0,20106	NS		28.776	-1.430	0,20106	NS
S	A		-136.980	1.776	0,08042	54,48		-266.544	3.559	0,08042	32,03		-247.735	6.502	0,08042	17,11
	P		-100.908	-4.999	0,08042	18,42		-160.445	-8.022	0,08042	12,51		-214.367	-10.718	0,08042	9,98
P	A	01041	-67.199	175	0,20106	NS	01042	-72.697	381	0,20106	NS	01157	-66.176	166	0,60319	NS
	P		63.121	-3.156	0,20106	63,22		-81.270	-4.063	0,20106	53,69		-96.041	-4.806	0,60319	NS
S	A		-198.060	9.903	0,08042	10,74		-228.391	11.420	0,08042	10,04		-187.077	9.354	0,28149	33,05
	P		-249.189	-12.459	0,08042	9,06		-285.925	-14.296	0,08042	8,53		-380.719	-18.428	0,28149	18,11
P	A	01158	-67.056	506	0,20106	NS	01159	-72.861	794	0,20106	NS	01160	48.038	489	0,20106	NS
	P		-76.158	-4.281	0,20106	50,81		-51.546	-2.626	0,20106	81,62		330.859	-13.221	0,20106	12,46
S	A		-198.177	9.882	0,08042	11,21		-224.194	11.210	0,08042	10,18		-36.884	1.748	0,08042	51,38
	P		-354.943	-16.915	0,08042	7,73		-318.961	-14.307	0,08042	8,82		-402.370	-6.050	0,08042	22,59
P	A	01161	42.558	848	0,20106	NS	01162	0	0	0,60319	-	01163	10.213	501	0,60319	NS
	P		15.955	-743	0,20106	NS		-34.313	-2.602	0,60319	NS		-17.976	-2.221	0,60319	NS
S	A		-171.777	5.371	0,08042	19,98		-88.017	4.188	0,28149	70,76		-108.209	5.410	0,28149	53,44
	P		-368.214	-13.804	0,08042	9,59		-334.680	-16.194	0,28149	20,24		-380.991	-19.037	0,28149	17,01
P	A	01684	-68.123	444	0,20106	NS	01685	43.226	1.633	0,20106	NS	01686	61.270	2.167	0,20106	92,16
	P		-73.783	-4.002	0,20106	54,28		-59.188	-550	0,20106	NS		179.427	-1.943	0,20106	94,92
S	A		-282.938	14.131	0,08042	8,61		-130.112	3.793	0,08042	25,23		-177.154	8.743	0,08042	12,36
	P		-292.145	-14.059	0,08042	8,73		-161.265	-7.891	0,08042	12,64		-324.884	-9.489	0,08042	13,38
P	A	01687	85.497	117	0,60319	NS	01688	78.608	152	0,60319	NS	01689	58.592	2.252	0,20106	88,86
	P		-90.058	-4.508	0,60319	NS		-66.078	-3.306	0,60319	NS		9.641	-1.744	0,20106	NS
S	A		-152.190	7.609	0,28149	39,39		-205.561	10.171	0,28149	30,28		-208.789	8.715	0,08042	12,22
	P		-383.141	-18.974	0,28149	17,35		-327.079	-16.050	0,28149	20,15		-269.435	-12.976	0,08042	8,81
P	A	01690	13.476	581	0,20106	NS										
	P		-15.044	-756	0,20106	NS										
S	A		-233.43	10.864	0,08042	10,03										

Dir	Pos	Nodo	N_{Ed} [N]	M_{Ed} [N·m]	A_s [cm²/cm]	CS	Nodo	N_{Ed} [N]	M_{Ed} [N·m]	A_s [cm²/cm]	CS	Nodo	N_{Ed} [N]	M_{Ed} [N·m]	A_s [cm²/cm]	CS
	P		3 -251.983	-12.354	0,08042	9,01										
	ERRORE: L'armatura superiore è maggiore del massimo consentitoL'armatura inferiore è maggiore del massimo consentito															
Piano interrato						**ParetеP12-37-47**						**Parete 37-47**				
P	A	00015	0	0	0,20106	-	00077	75.019	3.772	0,20106	52,49	00199	38.393	311	0,20106	NS
	P		-305.081	-36.506	0,20106	6,76		60.602	-3.030	0,20106	65,95		-64.538	-748	0,20106	NS
S	A		-138.114	6.906	0,16085	25,81		-119.476	5.974	0,08042	16,83		-157.591	1.537	0,16085	NS
	P		-725.804	-36.289	0,16085	6,88		-393.662	-6.200	0,08042	21,87		-110.948	-4.663	0,16085	37,58
P	A	00200	-735	37	0,20106	NS	00886	16.783	500	0,20106	NS	00887	5.950	281	0,20106	NS
	P		54.088	-2.704	0,20106	74,21		-63.866	-633	0,20106	NS		-66.172	-455	0,20106	NS
S	A		-244.673	12.234	0,16085	15,72		-359.876	9.225	0,08042	13,51		-252.475	10.064	0,08042	11,04
	P		-3.126	-2.260	0,16085	71,33		-146.999	-7.021	0,08042	13,87		-255.092	-7.139	0,08042	15,61
P	A	00941	-101.340	1.610	0,20106	NS	00942	119.032	992	0,20106	NS	00943	-68.670	783	0,20106	NS
	P		-85.938	-7.768	0,20106	28,16		85.792	-4.290	0,20106	45,83		144.298	-7.272	0,20106	25,99
S	A		-336.314	16.816	0,08042	6,95		-279.392	13.970	0,08042	8,28		-422.116	15.711	0,08042	8,52
	P		-609.712	-18.384	0,08042	8,16		-499.974	-7.734	0,08042	18,52		-495.824	-15.654	0,08042	9,13
P	A	00944	24.443	1.222	0,20106	NS	01037	-78.323	628	0,20106	NS	01038	0	0	0,20106	-
	P		114.068	-3.086	0,20106	62,51		-93.625	-9.029	0,20106	24,34		-36.397	-7.729	0,20106	27,48
S	A		-100.351	5.018	0,08042	18,33		-189.098	9.455	0,08042	11,59		-176.480	8.824	0,08042	12,23
	P		-637	-1.129	0,08042	69,95		-431.798	-15.625	0,08042	8,98		-516.615	-16.399	0,08042	9,19
P	A	01039	58.361	162	0,20106	NS	01040	35.191	910	0,20106	NS	01041	24.152	909	0,20106	NS
	P		-32.468	-1.623	0,20106	NS		80.587	-1.846	0,20106	NS		-59.116	-2.961	0,20106	72,73
S	A		-120.645	2.757	0,08042	34,51		-61.771	3.060	0,08042	28,51		-153.307	7.665	0,08042	13,11
	P		-158.073	-7.904	0,08042	12,66		-211.266	-10.563	0,08042	10,09		-265.384	-12.419	0,08042	9,25
P	A	01042	-70.321	387	0,20106	NS	01577	17.124	630	0,20106	NS	01578	56.475	413	0,20106	NS
	P		-44.303	-3.977	0,20106	53,66		-92.046	-7.460	0,20106	29,43		21.250	-226	0,20106	NS
S	A		-172.374	8.619	0,08042	12,46		-228.468	11.423	0,16085	16,54		-157.910	7.879	0,08042	12,45
	P		-308.303	-13.371	0,08042	9,34		-616.343	-19.502	0,16085	12,15		-350.048	-3.342	0,08042	36,72
P	A	01579	46.444	1.779	0,20106	NS	01580	-71.619	419	0,20106	NS	01581	-77.625	228	0,20106	NS
	P		-64.685	-334	0,20106	NS		-75.376	-4.587	0,20106	47,40		-94.960	-6.686	0,20106	32,89
S	A		-198.658	8.184	0,08042	12,70		-208.630	10.431	0,08042	10,75		-283.729	14.186	0,08042	8,23
	P		-142.600	-7.066	0,08042	13,68		-335.054	-13.965	0,08042	9,18		-385.691	-15.579	0,08042	8,32
P	A	01582	3.514	137	0,20106	NS										
	P		30.532	-673	0,20106	NS										
S	A		-230.321	11.512	0,08042	9,35										
	P		-254.281	-8.707	0,08042	12,72										
Piano interrato						**Parete12-13**						**Parete 12-13**				
P	A	00037	-156.940	17.716	0,08042	5,95	00038	-13.473	8.444	0,08042	10,27	00047	-241.147	16.291	0,08042	7,14
	P		-104.859	-4.622	0,08042	21,35		-21.240	-1.041	0,08042	84,32		-203.363	-10.137	0,08042	10,99
S	A		-1.171.633	54.739	0,16085	5,31		-512.336	14.044	0,08042	10,70		-1.439.024	71.846	0,08042	3,12
	P		-69.979	-1.712	0,16085	99,35		-203.429	-2.489	0,08042	44,77		-865.031	-31.564	0,08042	5,67
P	A	00048	-112.746	6.301	0,08042	15,82	01007	95.773	4.155	0,08042	17,43	01008	150.188	769	0,08042	84,85
	P		-149.482	-9.150	0,08042	11,42		68.502	-3.425	0,08042	22,19		104.005	-4.057	0,08042	17,59
S	A		-277.305	7.353	0,08042	16,44		-506.280	11.806	0,16085	19,58		-224.131	4.013	0,16085	48,76
	P		-397.628	-9.662	0,08042	14,09		-376.205	-6.632	0,16085	32,41		-195.751	-4.332	0,16085	44,33
P	A	01009	81.676	5.612	0,08042	13,24	01010	104.349	2.595	0,08042	27,48	01011	56.144	891	0,08042	87,11
	P		70.440	-3.522	0,08042	21,51		203.851	-2.231	0,08042	26,11		-73.486	-9.307	0,08042	10,16
S	A		-533.878	21.379	0,08042	7,15		-300.406	2.864	0,08042	43,23		0	0	0,08042	-
	P		-114.159	-5.693	0,08042	17,54		-239.583	-7.733	0,08042	15,01		-175.261	-11.262	0,08042	9,57
P	A	01012	0	0	0,08042	-	01013	176.831	10.571	0,08042	5,85	01014	45.438	3.835	0,08042	20,61
	P		22.785	-7.926	0,08042	10,35		64.147	-3.011	0,08042	25,43		1.902	-850	0,08042	99,66
S	A		0	0	0,08042	-		-257.288	13.028	0,08042	9,08		-122.823	5.789	0,08042	17,45
	P		-350.152	-17.435	0,08042	7,19		-237.664	-6.142	0,08042	18,86		-209.697	-6.151	0,08042	18,24

Dir	Pos	Nodo	N_{Ed} [N]	M_{Ed} [N·m]	A_s [cm²/cm]	CS	Nodo	N_{Ed} [N]	M_{Ed} [N·m]	A_s [cm²/cm]	CS	Nodo	N_{Ed} [N]	M_{Ed} [N·m]	A_s [cm²/cm]	CS
P	A	01015	12.412	712	0,08042	NS	01016	499.154	845	0,08042	22,51	01017	-82.664	8.042	0,08042	11,91
	P		13.000	-845	0,08042	98,51		-7.431	-339	0,08042	NS		-46.054	-2.345	0,08042	38,80
S	A		-473.153	4.372	0,08042	32,09		-519.147	7.971	0,08042	18,95		-382.008	16.636	0,08042	7,68
	P		-248.531	-5.033	0,08042	22,27		-231.428	-9.507	0,08042	12,10		-296.694	-14.797	0,08042	7,91
P	A	01018	-145.523	9.461	0,16085	19,62	01559	44.157	2.649	0,08042	29,90	01560	-40.392	2.889	0,08042	31,24
	P		-119.406	-5.970	0,16085	30,52		112.854	-792	0,08042	88,66		-961	-1.115	0,08042	76,34
S	A		-595.945	28.260	0,08042	5,37		-274.264	8.804	0,08042	13,17		-202.170	2.506	0,08042	44,40
	P		-414.608	-20.730	0,08042	6,27		-98.681	-1.790	0,08042	52,10		-248.625	-10.049	0,08042	11,67
P	A	01561	-53.197	2.887	0,08042	31,85	01562	349.678	3.958	0,08042	9,87	01563	23.383	1.164	0,08042	70,37
	P		-31.242	-2.332	0,08042	38,19		143.940	-1.936	0,08042	34,14		43.135	-2.092	0,08042	37,92
S	A		-131.222	3.853	0,08042	26,50		-603.225	29.016	0,08042	5,33		-306.883	5.534	0,08042	21,94
	P		-337.002	-4.687	0,08042	27,41		-324.541	-16.172	0,08042	7,47		-213.830	-4.063	0,08042	26,95
P	A	01564	10.586	2.471	0,08042	33,83										
	P		-172.103	-1.004	0,08042	NS										
S	A		-274.064	1.068	0,08042	NS										
	P		-265.250	-4.701	0,08042	24,55										
Piano interrato							**ParetteP13-43**					**Parete P13-43**				
P	A	00069	-449.399	22.470	0,20106	11,79	00070	173.099	5.602	0,20106	33,07	00214	-165.132	1.631	0,20106	NS
	P		-77.223	-3.861	0,20106	56,37		46.713	-24.346	0,20106	8,28		123.521	-3.287	0,20106	58,32
S	A		-787.564	39.378	0,08042	4,59		-577.355	19.518	0,08042	7,74		-80.513	4.017	0,08042	22,17
	P		-334.135	-16.707	0,08042	7,67		-873.842	-49.877	0,08042	3,65		-290.671	-6.850	0,08042	16,96
P	A	00215	-65.923	3.296	0,20106	65,59	00287	-229.849	11.492	0,40212	38,41	00288	-44.694	4.099	0,20106	52,08
	P		-102.889	-5.144	0,20106	42,95		-135.697	-6.785	0,40212	63,28		-88.501	-8.746	0,20106	25,05
S	A		-463.863	23.193	0,08042	6,01		-492.941	24.647	0,28149	13,61		-270.157	13.040	0,16085	15,46
	P		-320.566	-16.028	0,08042	7,57		-264.701	-13.235	0,28149	23,16		-337.045	-5.667	0,16085	37,06
P	A	00961	40.184	2.008	0,20106	NS	00962	136.312	1.942	0,20106	97,86	00963	336.594	7.354	0,20106	22,30
	P		210.786	-227	0,20106	NS		428.034	-8.521	0,20106	17,85		19.318	-4.558	0,20106	45,02
S	A		-371.265	12.948	0,08042	9,71		0	0	0,08042	-		-591.660	15.625	0,08042	9,68
	P		-270.499	-13.525	0,08042	8,35		-170.424	-8.023	0,08042	12,59		-546.377	-10.887	0,08042	13,41
P	A	00964	388.247	8.208	0,20106	19,16	01049	-81.960	4.098	0,40212	NS	01050	-17.288	7.642	0,40212	54,19
	P		9.869	-3.132	0,20106	65,89		-66.755	-3.338	0,40212	NS		-16.078	-804	0,40212	NS
S	A		-625.273	14.515	0,08042	10,75		-465.694	23.285	0,28149	14,64		-470.508	23.525	0,28149	14,85
	P		-486.789	-6.021	0,08042	23,22		-254.444	-12.722	0,28149	24,69		-271.568	-13.578	0,28149	23,87
P	A	01051	-70.609	3.530	0,20106	61,41	01052	-151.500	7.575	0,20106	29,99	01053	19.425	8.378	0,20106	24,49
	P		170.705	-345	0,20106	NS		73.640	-629	0,20106	NS		-22.612	-5.938	0,20106	35,47
S	A		-465.305	23.265	0,08042	6,21		-432.302	21.615	0,08042	6,50		-423.100	21.155	0,08042	6,14
	P		-295.837	-14.792	0,08042	8,33		-317.173	-15.859	0,08042	7,94		-496.795	-24.827	0,08042	5,60
P	A	01054	302.233	1.141	0,20106	NS	01055	-156.591	1.689	0,20106	NS	01056	179.822	1.929	0,20106	95,56
	P		17.544	-1.553	0,20106	NS		67.659	-2.993	0,20106	66,47		55.725	-2.781	0,20106	72,10
S	A		-221.776	7.563	0,08042	13,75		-121.513	3.865	0,08042	25,07		-155.716	6.411	0,08042	15,89
	P		-307.515	-8.717	0,08042	13,19		-225.199	-4.196	0,08042	26,28		-220.224	-2.102	0,08042	52,41
P	A	01057	-317.530	1.383	0,20106	NS	01058	-285.755	1.299	0,20106	NS	01059	-56.004	2.927	0,20106	73,42
	P		18.121	-976	0,20106	NS		144.902	-2.988	0,20106	63,23		5.434	-530	0,20106	NS
S	A		-277.516	8.880	0,08042	12,85		-338.403	15.356	0,08042	8,04		-389.465	19.311	0,08042	6,55
	P		-369.072	-10.636	0,08042	11,82		-187.623	-7.029	0,08042	14,81		-125.407	-6.253	0,08042	14,82
P	A	01060	-60.776	3.039	0,40212	NS	01589	51.566	3.975	0,20106	50,57	01590	64.542	6.940	0,20106	28,72
	P		63.735	-461	0,40212	NS		-9.870	-494	0,20106	NS		45.064	-6.486	0,20106	31,12
S	A		-457.144	22.857	0,28149	14,40		-387.365	15.785	0,08042	8,24		-376.875	5.733	0,08042	21,54
	P		-161.556	-8.078	0,28149	36,10		-390.302	-15.221	0,08042	8,56		-503.534	-6.370	0,08042	21,84
P	A	01591	-19.701	2.290	0,20106	91,82	01592	-52.715	2.636	0,40212	NS	01593	-219.465	699	0,20106	NS

Dir	Pos	Nodo	N_{Ed} [N]	M_{Ed} [N·m]	A_s [cm²/cm]	CS	Nodo	N_{Ed} [N]	M_{Ed} [N·m]	A_s [cm²/cm]	CS	Nodo	N_{Ed} [N]	M_{Ed} [N·m]	A_s [cm²/cm]	CS
	P		-29.501	-288	0,20106	NS		-18.240	-912	0,40212	NS		10.652	-533	0,20106	NS
S	A		-220.176	6.045	0,16085	31,29		-445.180	22.259	0,28149	15,02		-377.015	18.851	0,08042	6,50
	P		-169.657	-3.233	0,08042	31,65		-208.581	-10.429	0,28149	29,18		-241.555	-11.235	0,08042	9,38
P	A	01594	7.928	1.324	0,20106	NS	01595	7.469	1.242	0,20106	NS					
	P		22.189	-390	0,20106	NS		831	-28	0,20106	NS					
S	A		-151.886	6.150	0,08042	15,43		-297.432	5.951	0,08042	18,96					
	P		-212.303	-7.283	0,08042	14,10		-279.688	-6.821	0,08042	16,21					
Piano interrato						**Parete25-26**						**Parete 25-26**				
P	A	00027	-64.045	3.105	0,08042	30,06	00028	-107.365	5.062	0,08042	19,56	00035	-237.264	19.284	0,08042	6,00
	P		107.527	-5.376	0,08042	13,19		-105.064	-5.185	0,08042	19,03		-374.147	-23.112	0,08042	5,76
S	A		-259.075	8.272	0,08042	13,58		-393.614	7.598	0,16085	28,07		-430.461	21.284	0,08042	6,29
	P		-359.644	-9.294	0,08042	13,46		-359.711	-10.150	0,08042	12,98		-537.888	-26.887	0,08042	5,47
P	A	00036	-265.261	18.332	0,08042	6,51	00616	179.285	2.154	0,08042	28,54	00617	167.681	3.877	0,08042	16,25
	P		-107.694	-438	0,08042	NS		-70.159	-4.689	0,08042	20,08		-16.630	-2.684	0,08042	32,47
S	A		-580.324	18.068	0,16085	13,29		-262.881	12.194	0,08042	9,76		-259.777	12.984	0,08042	8,73
	P		0	0	0,16085	-		-364.174	-6.526	0,08042	20,21		-302.478	-9.729	0,08042	12,21
P	A	00618	-77.269	3.863	0,08042	24,61	00619	-37.092	3.836	0,08042	23,41	00620	-61.549	6.157	0,08042	15,11
	P		-66.808	-3.336	0,08042	28,09		-45.234	-3.873	0,08042	23,47		-73.614	-5.624	0,08042	16,82
S	A		-251.125	12.556	0,08042	8,80		-249.386	12.469	0,08042	8,97		-261.011	11.729	0,08042	10,13
	P		-258.486	-11.148	0,08042	9,99		-261.549	-13.077	0,08042	8,67		-279.148	-12.883	0,08042	9,40
P	A	01136	-10.930	4.731	0,08042	18,27	01137	-46.631	4.498	0,08042	20,25	01138	-34.366	4.133	0,08042	21,65
	P		-23.397	-6.274	0,08042	14,03		-113.376	-5.693	0,08042	17,52		-54.551	-5.424	0,08042	16,98
S	A		-384.556	11.749	0,08042	11,19		-300.326	10.438	0,08042	11,54		-248.499	10.522	0,08042	11,14
	P		-429.243	-18.460	0,08042	7,42		-364.827	-12.761	0,08042	10,08		-315.673	-14.579	0,08042	8,63
P	A	01139	-24.317	3.787	0,08042	23,28	01140	-49.038	3.793	0,08042	24,09	01141	-3.924	987	0,08042	86,66
	P		-36.452	-4.907	0,08042	18,29		-68.376	-5.397	0,08042	17,40		-79.691	-2.259	0,08042	42,23
S	A		-245.090	9.133	0,08042	12,43		-216.840	9.793	0,08042	11,28		-235.290	10.664	0,08042	10,04
	P		-330.884	-11.147	0,08042	11,16		-286.178	-11.903	0,08042	10,02		-321.470	-12.589	0,08042	9,38
P	A	01142	-19.562	977	0,08042	89,56	01143	-16.162	830	0,08042	NS	01144	4.893	1.576	0,08042	53,53
	P		-22.645	-1.218	0,08042	72,17		-22.250	-1.112	0,08042	79,00		-31	-1.322	0,08042	64,30
S	A		-217.631	10.810	0,08042	10,08		-245.171	11.467	0,08042	9,86		-357.742	12.304	0,08042	10,07
	P		-257.396	-12.525	0,08042	9,11		-258.965	-12.948	0,08042	8,87		-320.687	-13.798	0,08042	8,64
P	A	01145	-422.417	5.115	0,08042	27,21	01146	3.802	1.656	0,08042	51,03	01147	-13.550	1.481	0,08042	58,59
	P		-4.524	-151	0,08042	NS		286.383	-1.383	0,08042	34,27		-249.861	-1.640	0,08042	71,56
S	A		-354.566	12.854	0,08042	9,50		-292.674	13.633	0,08042	8,70		-283.675	13.878	0,08042	8,46
	P		0	0	0,08042	-		-296.354	-7.046	0,08042	16,89		-241.712	-11.761	0,08042	9,53
P	A	01148	-25.146	1.564	0,08042	56,44	01668	-48.012	2.497	0,08042	36,54	01669	-59.917	3.814	0,08042	24,33
	P		-306.653	-4.782	0,08042	26,06		-59.006	-3.235	0,08042	28,66		-66.014	-3.973	0,08042	23,56
S	A		-329.022	16.215	0,08042	7,35		-222.188	9.755	0,08042	11,10		-284.318	11.037	0,08042	10,64
	P		-326.270	-16.314	0,08042	7,28		-288.763	-11.602	0,08042	10,07		-270.475	-12.088	0,08042	9,57
P	A	01670	-300.203	6.014	0,08042	20,59	01671	-92.459	4.759	0,08042	20,39	01672	-62.610	3.467	0,08042	26,87
	P		992	-52	0,08042	NS		-96.559	-4.920	0,08042	19,83		-36.101	-3.582	0,08042	25,04
S	A		-295.411	11.627	0,08042	10,15		-333.706	13.974	0,08042	8,77		-280.479	12.017	0,08042	9,61
	P		0	0	0,08042	-		-371.409	-17.300	0,08042	7,36		-306.787	-13.414	0,08042	8,86
P	A	01673	-54.892	3.189	0,08042	28,90	01674	-60.052	3.237	0,08042	28,67	01675	-47.160	2.491	0,08042	36,60
	P		-37.511	-3.718	0,08042	24,18		-67.421	-3.717	0,08042	25,23		-44.040	-2.736	0,08042	33,17
S	A		-255.494	12.418	0,08042	8,97		-235.683	11.777	0,08042	9,24		-232.625	10.373	0,08042	10,52
	P		-230.967	-9.543	0,08042	11,35		-244.548	-12.007	0,08042	9,16		-275.796	-12.037	0,08042	9,53
P	A	01676	-60.649	3.234	0,08042	28,72										
	P		-74.181	-3.709	0,08042	25,52										
S	A		-233.43	11.173	0,08042	9,76										

Pareti - Verifiche pressoflessione retta allo SLU

Dir	Pos	Nodo	N_{Ed}	M_{Ed}	A_s	CS	Nodo	N_{Ed}	M_{Ed}	A_s	CS	Nodo	N_{Ed}	M_{Ed}	A_s	CS
			[N]	[N·m]	[cm²/cm]			[N]	[N·m]	[cm²/cm]			[N]	[N·m]	[cm²/cm]	
	P		7 -241.869	-11.691	0,08042	9,42										

LEGENDA:

Dir Direzione [P] = principale - [S] = secondaria.
Pos Posizione [A] = anteriore - [P] = posteriore.
A_s Area delle armature esecutive per unità di lunghezza.
CS Coefficiente di sicurezza ([NS] = Non Significativo per valori di CS >= 100; [VNR]= Verifica Non Richiesta).
N_{Ed}, M_{Ed} Sollecitazioni di progetto (N_{Ed} > 0: compressione).

Pareti - VERIFICHE A TAGLIO PER PRESSOFLESSIONE RETTA ALLO SLU (Elevazione)

Pareti - Verifiche a taglio per pressoflessione retta allo SLU

Id_{Nd}	$V_{Ed,2}$	CS	V_{Rcd}	$V_{Rsd,s}$	N_{Ed}	$V_{Rsd,p}$	V_{R1}	V_{fd}	Ctgϴ	A_{sw}
	[N]		[N]	[N]	[N]	[N]	[N]	[N]		[cm²/cm]
Piano copertura			**Parete16-P6**				**Parete 16-P6**			
00117	33.551	15,99	770.871	536.378	29.336	0	0	0	2,50	0,1810
00253	12.803	25,06	768.517	320.872	14.166	0	0	0	2,50	0,2346
00274	31.864	23,09	770.567	735.800	27.374	0	0	0	2,50	0,1005
00378	14.548	52,67	766.319	1.170.735	86.833	0	0	0	2,50	0,1005
00379	2.300	NS	766.319	1.219.159	78.902	0	0	0	2,50	0,1005
00380	15.475	49,52	766.319	1.072.126	126.287	0	0	0	2,50	0,1005
00381	44.396	17,26	766.319	1.292.235	120.032	0	0	0	2,50	0,1005
00382	102.924	7,45	766.319	1.363.550	182.917	0	0	0	2,50	0,1005
00802	22.299	34,44	767.954	1.536.996	10.537	0	0	0	2,50	0,1005
00803	6.936	NS	767.696	1.536.996	8.874	0	0	0	2,50	0,1005
00804	15.290	50,12	766.319	1.306.322	7.077	0	0	0	2,50	0,1005
00805	30.967	21,00	766.319	650.398	842	0	0	0	2,50	0,1005
00806	51.593	14,87	767.170	1.595.541	5.483	0	0	0	2,50	0,1810
00900	9.750	78,60	766.319	1.527.311	11.689	0	0	0	2,50	0,1005
00901	136.924	5,70	781.083	1.536.996	95.144	0	0	0	2,50	0,1005
00902	94.679	8,09	766.319	1.306.322	31.297	0	0	0	2,50	0,1005
00903	22.785	33,75	769.080	1.447.410	17.791	0	0	0	2,50	0,1810
01473	31.498	24,38	767.987	2.298.936	10.748	0	0	0	2,50	0,2346
01474	36.122	21,32	770.058	1.530.833	24.099	0	0	0	2,50	0,1005
01475	51.983	14,74	766.319	1.416.376	11.868	0	0	0	2,50	0,1005
01476	47.231	16,26	767.752	1.636.041	9.233	0	0	0	2,50	0,1810
01477	30.704	24,96	766.319	1.537.214	6.649	0	0	0	2,50	0,1810
01478	19.691	38,92	766.319	1.220.039	41.045	0	0	0	2,50	0,1005
01479	18.063	42,43	766.319	1.382.919	35.810	0	0	0	2,50	0,1005
01480	7.198	NS	768.411	1.390.843	13.483	0	0	0	2,50	0,1005
01481	12.381	61,89	766.319	1.528.191	56.765	0	0	0	2,50	0,1005
01699	85.403	8,97	766.319	1.384.680	4.258	0	0	0	2,50	0,1005
Piano copertura			**ParetеP7-20**				**Parete P7-20**			
00018	15.928	48,17	767.283	1.539.423	6.211	0	0	0	2,50	0,4021
00204	19.118	35,54	766.319	679.463	15.788	0	0	0	2,50	0,2815
00259	3.906	NS	767.955	1.036.920	10.542	0	0	0	2,50	0,2815
00277	44.649	17,16	766.319	1.349.037	251.082	0	0	0	2,50	0,2011
00694	26.213	29,23	766.319	2.346.570	16.267	0	0	0	2,50	0,2011
00695	24.515	31,26	766.319	2.946.146	10.410	0	0	0	2,50	0,2011
00696	22.456	34,12	766.319	3.012.179	15.106	0	0	0	2,50	0,2011
00697	14.122	54,32	767.163	3.012.179	5.442	0	0	0	2,50	0,2011
00698	3.578	NS	766.320	3.012.179	6	0	0	0	2,50	0,2011
00699	11.586	66,21	767.137	3.012.179	5.274	0	0	0	2,50	0,2011
00852	4.302	NS	766.319	4.750.368	11.387	0	0	0	2,50	0,4021
00853	18.274	41,94	766.319	1.719.700	20.929	0	0	0	2,50	0,2011
00870	16.617	46,21	767.859	2.985.766	9.924	0	0	0	2,50	0,2011
00871	13.154	58,26	766.319	3.012.179	33.554	0	0	0	2,50	0,2011
00872	13.831	55,41	766.319	2.955.831	53.085	0	0	0	2,50	0,2011
00873	13.054	58,70	766.319	2.878.353	106.401	0	0	0	2,50	0,2011
00874	44.210	17,33	766.319	2.908.287	201.932	0	0	0	2,50	0,2011
00875	50.174	15,27	766.319	1.692.407	266.491	0	0	0	2,50	0,2011
00876	29.551	26,44	781.229	2.935.581	96.084	0	0	0	2,50	0,2011
00877	11.150	68,73	766.319	2.716.353	4.893	0	0	0	2,50	0,2011
01425	22.467	34,11	766.319	2.034.896	22.424	0	0	0	2,50	0,2011
01426	15.506	49,42	766.319	5.630.803	15.112	0	0	0	2,50	0,4021
01427	3.064	NS	766.319	2.886.277	81.950	0	0	0	2,50	0,2011
01428	26.499	28,94	766.980	2.844.016	4.262	0	0	0	2,50	0,2011
01429	3.819	NS	767.479	3.012.179	7.474	0	0	0	2,50	0,2011
01430	14.847	51,61	766.319	2.996.331	92.046	0	0	0	2,50	0,2011
01431	25.972	29,51	766.319	3.012.179	31.704	0	0	0	2,50	0,2011
01432	26.012	29,46	766.319	2.871.309	23.422	0	0	0	2,50	0,2011
01433	18.619	41,16	766.319	2.908.287	33.882	0	0	0	2,50	0,2011
Piano copertura			**Parete43-P17**				**Parete 43-P17**			
00118	23.667	32,38	766.319	1.577.052	27.185	0	0	0	2,50	0,2145
00156	22.696	33,76	766.319	1.455.996	14.864	0	0	0	2,50	0,1340
00250	11.459	40,45	768.004	463.502	10.858	0	0	0	2,50	0,2346
00283	35.213	19,23	766.319	677.029	226.097	0	0	0	2,50	0,2145
00562	17.443	43,93	766.319	922.452	20.147	0	0	0	2,50	0,1340
00563	22.045	34,76	766.319	1.420.778	29.068	0	0	0	2,50	0,1340
00817	15.555	49,34	767.519	1.536.996	7.731	0	0	0	2,50	0,1340

Id_{Nd}	$V_{Ed,2}$	CS	V_{Rcd}	$V_{Rsd,s}$	N_{Ed}	$V_{Rsd,p}$	V_{R1}	V_{fd}	CtgΘ	A_{sw}
	[N]		[N]	[N]	[N]	[N]	[N]	[N]		[cm²/cm]
00818	2.423	NS	767.486	1.536.996	7.518	0	0	0	2,50	0,1340
00819	15.398	49,77	766.319	1.271.985	14.459	0	0	0	2,50	0,1340
00820	22.157	26,69	766.319	591.409	17.776	0	0	0	2,50	0,1340
00821	29.328	26,13	766.319	1.539.193	26.802	0	0	0	2,50	0,2145
00904	4.988	NS	766.319	1.529.072	192	0	0	0	2,50	0,1340
00905	63.336	12,39	784.474	1.536.996	116.997	0	0	0	2,50	0,1340
00906	49.922	13,94	766.319	695.737	285.963	0	0	0	2,50	0,2145
00907	29.058	26,37	766.319	844.093	145.538	0	0	0	2,50	0,1340
00908	16.255	47,14	766.319	1.393.485	112.049	0	0	0	2,50	0,1340
00909	7.302	NS	766.319	1.536.996	52.974	0	0	0	2,50	0,1340
00910	15.918	48,14	766.319	1.516.746	27.726	0	0	0	2,50	0,1340
01482	28.467	27,06	770.222	1.392.604	25.154	0	0	0	2,50	0,1340
01483	7.333	NS	766.319	1.371.474	80.360	0	0	0	2,50	0,1340
01484	22.470	34,10	766.319	1.534.354	14.551	0	0	0	2,50	0,1340
01485	29.103	26,33	766.319	1.617.552	20.528	0	0	0	2,50	0,2145
01486	28.458	26,93	766.319	921.572	20.719	0	0	0	2,50	0,1340
01487	19.950	38,41	766.319	1.427.822	33.964	0	0	0	2,50	0,1340
01488	22.412	34,19	766.319	1.415.496	31.231	0	0	0	2,50	0,1340
01489	5.451	NS	766.319	1.332.735	4.015	0	0	0	2,50	0,1340
01490	17.045	44,96	766.319	1.241.169	65.901	0	0	0	2,50	0,1340
Piano copertura			**ParetеP18-47**				**Parete P18-47**			
00016	16.688	46,01	767.754	1.498.923	9.246	0	0	0	2,50	0,4021
00207	18.532	41,35	766.319	887.246	15.280	0	0	0	2,50	0,2815
00256	9.287	82,64	767.502	1.080.061	7.623	0	0	0	2,50	0,2815
00280	40.894	18,74	766.319	1.159.744	247.188	0	0	0	2,50	0,2011
00501	17.814	43,02	766.319	1.529.527	22.133	0	0	0	2,50	0,2011
00502	3.751	NS	766.319	3.959.738	11.303	0	0	0	2,50	0,4021
00718	26.302	29,13	766.319	2.365.059	16.359	0	0	0	2,50	0,2011
00719	24.762	30,95	766.319	2.973.440	10.488	0	0	0	2,50	0,2011
00720	22.933	33,42	766.319	3.012.179	15.271	0	0	0	2,50	0,2011
00721	14.624	52,45	767.082	3.012.179	4.920	0	0	0	2,50	0,2011
00722	2.923	NS	766.324	3.012.179	33	0	0	0	2,50	0,2011
00723	11.819	64,92	767.253	3.012.179	6.018	0	0	0	2,50	0,2011
00878	17.929	42,86	768.382	2.851.940	13.293	0	0	0	2,50	0,2011
00879	14.029	54,62	766.319	3.004.255	31.829	0	0	0	2,50	0,2011
00880	14.217	53,90	766.319	2.954.950	52.426	0	0	0	2,50	0,2011
00881	13.486	56,82	766.319	2.928.537	104.890	0	0	0	2,50	0,2011
00882	44.765	17,12	766.319	2.866.027	201.374	0	0	0	2,50	0,2011
00883	48.955	15,65	766.319	1.827.113	264.526	0	0	0	2,50	0,2011
00884	42.796	18,34	784.929	3.000.733	119.929	0	0	0	2,50	0,2011
00885	1.050	NS	766.319	3.007.777	15	0	0	0	2,50	0,2011
01434	22.293	34,38	766.319	2.072.755	23.208	0	0	0	2,50	0,2011
01435	16.021	47,83	766.319	3.657.203	14.465	0	0	0	2,50	0,2011
01436	875	NS	766.319	2.953.190	64.823	0	0	0	2,50	0,2011
01437	21.106	36,32	766.610	2.743.646	1.874	0	0	0	2,50	0,2011
01438	4.458	NS	767.648	2.991.929	8.564	0	0	0	2,50	0,2011
01439	15.248	50,26	766.319	2.944.385	90.474	0	0	0	2,50	0,2011
01440	26.451	28,97	766.319	3.012.179	31.288	0	0	0	2,50	0,2011
01441	26.328	29,11	766.319	2.774.461	23.615	0	0	0	2,50	0,2011
01442	19.454	39,39	766.319	2.872.190	32.802	0	0	0	2,50	0,2011
Piano copertura			**Parete16-P9**				**Parete 16-P9**			
00117	47.402	16,18	766.756	920.855	2.815	0	0	0	2,50	0,1340
00140	3.446	NS	772.045	1.131.061	36.898	0	0	0	2,50	0,1340
00210	9.452	81,08	766.319	1.267.528	114.716	0	0	0	2,50	0,1340
00224	43.938	17,44	766.319	1.208.539	5.599	0	0	0	2,50	0,1340
00286	88.388	5,78	766.319	510.565	367.038	0	0	0	2,50	0,3351
00327	2.449	NS	766.674	1.359.974	2.285	0	0	0	2,50	0,1340
00862	42.376	18,08	766.319	1.359.974	20.530	0	0	0	2,50	0,1340
00863	16.124	47,53	766.319	1.359.974	38.447	0	0	0	2,50	0,1340
00864	3.177	NS	766.319	872.213	138.336	0	0	0	2,50	0,1340
00865	101.230	7,57	766.319	1.340.604	93.871	0	0	0	2,50	0,1340
00866	22.722	33,73	766.319	1.359.974	9.236	0	0	0	2,50	0,1340
00867	17.482	43,84	766.319	1.359.974	8.317	0	0	0	2,50	0,1340
00868	29.206	26,24	766.319	1.359.974	91.262	0	0	0	2,50	0,1340
00869	120.093	6,48	778.304	898.626	77.236	0	0	0	2,50	0,1340
00902	67.657	11,33	766.319	1.010.441	79.678	0	0	0	2,50	0,1340
00903	60.683	12,63	766.319	888.941	2.809	0	0	0	2,50	0,1340
01418	67.800	11,30	766.319	4.532.391	139.457	0	0	0	2,50	0,3351
01419	16.250	47,16	766.319	1.359.974	1.174	0	0	0	2,50	0,1340
01420	127.007	6,09	773.407	1.359.974	45.680	0	0	0	2,50	0,1340
01421	66.969	11,44	766.319	1.359.974	22.018	0	0	0	2,50	0,1340
01422	48.520	15,79	766.319	1.359.974	54.839	0	0	0	2,50	0,1340
01423	69.559	11,02	766.319	1.359.974	105.651	0	0	0	2,50	0,1340
01424	45.800	16,73	766.319	1.359.974	43.160	0	0	0	2,50	0,1340
Piano copertura			**Parete20-21-P10**				**Parete 20-21**			
00204	26.195	29,25	766.319	1.557.700	14.115	0	0	0	2,50	0,2011
00205	16.170	47,39	766.319	1.345.072	9.710	0	0	0	2,50	0,2815
00206	65.321	11,94	779.634	6.057.297	85.810	0	0	0	2,50	0,6032
00499	7.095	NS	766.319	1.769.885	50.577	0	0	0	2,50	0,2011
00500	3.399	NS	770.478	962.527	26.805	0	0	0	2,50	0,2011
00848	34.286	22,35	766.319	1.486.385	5.159	0	0	0	2,50	0,2011

Id_{Nd}	$V_{Ed,2}$	CS	V_{Rcd}	$V_{Rsd,s}$	N_{Ed}	$V_{Rsd,p}$	V_{R1}	V_{fd}	CtgΘ	A_{sw}
	[N]		[N]	[N]	[N]	[N]	[N]	[N]		[cm²/cm]
00849	28.985	26,44	766.319	1.992.635	13.686	0	0	0	2,50	0,2011
00850	57.006	13,69	780.621	3.985.270	92.168	0	0	0	2,50	0,6032
00851	6.531	NS	766.319	3.648.610	10.389	0	0	0	2,50	0,6032
00852	15.768	48,60	766.319	862.157	26.163	0	0	0	2,50	0,2011
00853	19.661	38,98	766.319	1.437.961	7.125	0	0	0	2,50	0,2011
01406	30.822	24,86	766.319	2.023.450	5.907	0	0	0	2,50	0,2011
01407	39.170	19,70	771.799	5.694.558	35.314	0	0	0	2,50	0,6032
01408	19.842	38,62	766.319	5.329.360	8.924	0	0	0	2,50	0,6032
01409	31.173	24,58	766.319	1.445.005	1.377	0	0	0	2,50	0,2011
01410	35.373	21,66	766.325	1.614.048	39	0	0	0	2,50	0,2011
01411	37.111	20,70	768.084	6.046.034	11.376	0	0	0	2,50	0,6032
01698	6.343	NS	766.319	2.114.012	29.576	0	0	0	2,50	0,6032
Piano copertura			**Parete20-21-P10**				**Parete 21-P10**			
00205	3.437	NS	766.319	4.125.485	7.304	0	0	0	2,50	0,2815
00206	21.213	36,26	769.156	2.346.265	18.285	0	0	0	2,50	0,6032
00227	407	NS	766.319	1.189.235	2.221	0	0	0	2,50	0,2815
00228	526	NS	766.319	3.012.179	448	0	0	0	2,50	0,2011
00499	5.472	NS	766.319	1.547.135	28.672	0	0	0	2,50	0,2011
00500	24.955	30,89	770.842	1.144.777	29.148	0	0	0	2,50	0,2011
00673	1.779	NS	766.319	3.012.179	838	0	0	0	2,50	0,2011
00674	2.331	NS	766.319	2.040.179	630	0	0	0	2,50	0,2011
00675	2.665	NS	766.319	1.864.092	6.293	0	0	0	2,50	0,2011
00895	1.131	NS	766.435	3.012.179	745	0	0	0	2,50	0,2011
00896	1.873	NS	766.319	3.012.179	161	0	0	0	2,50	0,2011
00897	1.979	NS	766.319	3.012.179	5.304	0	0	0	2,50	0,2011
00898	589	NS	766.319	2.247.961	9.783	0	0	0	2,50	0,2011
00899	6.074	NS	766.319	700.157	8.314	0	0	0	2,50	0,2011
01466	205	NS	766.337	2.608.059	116	0	0	0	2,50	0,2011
01467	1.544	NS	766.319	3.012.179	624	0	0	0	2,50	0,2011
01468	16.205	47,48	769.340	5.215.602	19.470	0	0	0	2,50	0,6032
01469	9.366	81,82	766.319	1.787.494	1.911	0	0	0	2,50	0,2011
01470	8.595	89,20	766.626	2.354.494	1.979	0	0	0	2,50	0,2011
01471	7.569	NS	766.644	1.768.124	2.093	0	0	0	2,50	0,2011
01472	1.296	NS	766.579	2.664.407	1.677	0	0	0	2,50	0,2011
Piano copertura			**Parete22-P11 (b)**				**Parete 22-P11**			
00125	17.260	13,84	766.319	238.809	10.311	0	0	0	2,50	0,2011
00219	3.026	NS	766.319	1.113.518	7.304	0	0	0	2,50	0,2815
00220	19.254	39,98	769.864	2.622.903	22.843	0	0	0	2,50	0,6032
00328	57.588	13,38	770.274	1.765.913	25.489	0	0	0	2,50	0,6032
00504	19.796	38,71	766.319	2.968.157	23.044	0	0	0	2,50	0,2011
00822	6.909	NS	766.319	2.768.298	3.113	0	0	0	2,50	0,2011
00823	1.311	NS	766.425	3.012.179	682	0	0	0	2,50	0,2011
00824	12.437	61,61	766.319	3.012.179	652	0	0	0	2,50	0,2011
00825	21.287	36,08	768.120	3.012.179	11.605	0	0	0	2,50	0,2011
00826	58.855	13,14	773.521	2.615.983	46.414	0	0	0	2,50	0,2011
00827	13.169	58,19	766.319	4.452.119	61.236	0	0	0	2,50	0,6032
00828	9.813	78,10	766.319	4.867.466	55.407	0	0	0	2,50	0,6032
00829	1.193	NS	766.319	3.012.179	25.619	0	0	0	2,50	0,2011
00830	36.440	21,09	768.602	2.071.874	14.715	0	0	0	2,50	0,2011
01368	40.154	19,13	768.071	6.168.749	11.288	0	0	0	2,50	0,6032
01369	29.656	25,92	768.675	4.545.227	15.183	0	0	0	2,50	0,6032
01370	10.642	72,01	766.319	2.508.570	13.054	0	0	0	2,50	0,2011
01371	11.550	66,35	766.319	3.010.418	7.441	0	0	0	2,50	0,2011
01372	7.888	97,15	766.319	3.012.179	3.899	0	0	0	2,50	0,2011
01373	6.791	NS	766.319	3.012.179	12.890	0	0	0	2,50	0,2011
01374	5.734	NS	766.319	2.822.885	146	0	0	0	2,50	0,2011
Piano copertura			**Parete22-P11 (a)**				**Parete 22-P11**			
00091	16.251	35,11	766.319	570.624	139.086	0	0	0	2,50	0,1810
00217	57.821	5,56	766.319	321.461	203.405	0	0	0	2,50	0,1810
00219	3.265	NS	766.319	1.299.398	1.858	0	0	0	2,50	0,3016
00220	10.691	71,72	766.777	2.932.816	2.953	0	0	0	2,50	0,5027
00505	74.032	10,35	766.319	1.703.525	32.574	0	0	0	2,50	0,1810
00506	14.074	54,45	766.319	1.241.959	14.417	0	0	0	2,50	0,1005
00507	4.930	NS	766.560	1.241.959	1.556	0	0	0	2,50	0,1005
00636	42.479	18,04	766.319	984.872	12.853	0	0	0	2,50	0,1005
00637	5.295	NS	766.319	1.241.959	18.603	0	0	0	2,50	0,1005
00638	20.593	37,37	769.551	1.241.959	20.832	0	0	0	2,50	0,1005
00639	44.564	17,20	766.319	1.241.959	25.610	0	0	0	2,50	0,1005
00822	6.197	NS	766.319	1.241.959	4.172	0	0	0	2,50	0,1005
00823	1.009	NS	766.944	1.241.959	4.030	0	0	0	2,50	0,1005
00824	16.331	46,98	767.283	1.241.959	6.212	0	0	0	2,50	0,1005
00825	22.537	34,08	767.987	4.782.398	10.749	0	0	0	2,50	0,1005
00831	104.810	7,31	766.319	1.241.959	51.618	0	0	0	2,50	0,1005
00832	18.531	41,36	766.377	1.241.959	374	0	0	0	2,50	0,1005
00833	7.887	97,43	768.465	7.701.251	13.831	0	0	0	2,50	0,5027
01375	31.296	24,49	766.319	1.224.350	62.384	0	0	0	2,50	0,1005
01376	16.551	46,32	766.700	7.482.023	2.454	0	0	0	2,50	0,5027
01377	6.417	NS	766.319	4.677.627	4.876	0	0	0	2,50	0,3016
01378	12.303	62,29	766.319	2.642.287	62.620	0	0	0	2,50	0,1810
01379	1.943	NS	766.319	1.241.959	16.831	0	0	0	2,50	0,1005
01380	2.282	NS	766.319	1.241.959	1.862	0	0	0	2,50	0,1005

Id_{Nd}	$V_{Ed,2}$	CS	V_{Rcd}	$V_{Rsd,s}$	N_{Ed}	$V_{Rsd,p}$	V_{R1}	V_{fd}	CtgΘ	A_{sw}
	[N]		[N]	[N]	[N]	[N]	[N]	[N]		[cm²/cm]
01381	19.569	39,16	766.319	1.241.959	18.277	0	0	0	2,50	0,1005
Piano copertura			**Parete**	**P12-37-47**			**Parete P12-37**			
00208	2.679	NS	766.319	4.228.496	6.476	0	0	0	2,50	0,2815
00209	22.169	23,01	769.362	510.012	19.611	0	0	0	2,50	0,4021
00231	402	NS	766.319	1.198.039	1.672	0	0	0	2,50	0,2815
00232	319	NS	766.331	3.012.179	76	0	0	0	2,50	0,2011
00497	5.826	NS	766.862	1.778.690	3.500	0	0	0	2,50	0,2011
00498	14.605	52,73	770.102	1.095.472	24.381	0	0	0	2,50	0,2011
00655	4.860	NS	766.319	1.700.331	10.272	0	0	0	2,50	0,2011
00656	4.534	NS	766.694	2.768.298	2.416	0	0	0	2,50	0,2011
00657	1.809	NS	766.319	2.963.755	157	0	0	0	2,50	0,2011
00890	7.923	90,26	766.319	715.124	1.668	0	0	0	2,50	0,2011
00891	2.177	NS	766.319	2.450.461	9.658	0	0	0	2,50	0,2011
00892	718	NS	766.319	2.980.483	4.130	0	0	0	2,50	0,2011
00893	711	NS	766.325	3.012.179	41	0	0	0	2,50	0,2011
00894	1.570	NS	766.319	3.012.179	344	0	0	0	2,50	0,2011
01459	4.927	NS	766.319	1.915.157	6.019	0	0	0	2,50	0,2011
01460	17.679	43,44	767.948	3.315.078	10.496	0	0	0	2,50	0,4021
01461	1.676	NS	766.319	3.012.179	233	0	0	0	2,50	0,2011
01462	315	NS	766.319	2.625.668	150	0	0	0	2,50	0,2011
01463	484	NS	766.622	2.479.516	1.952	0	0	0	2,50	0,2011
01464	1.386	NS	766.319	2.726.918	1.077	0	0	0	2,50	0,2011
01465	10.767	71,19	766.562	1.917.798	1.565	0	0	0	2,50	0,2011
Piano copertura			**Parete**	**P12-37-47**			**Parete 37-47**			
00016	6.442	NS	766.319	904.629	29.732	0	0	0	2,50	0,4021
00207	26.401	29,03	766.319	1.471.418	14.514	0	0	0	2,50	0,2011
00208	16.028	47,81	766.319	1.354.757	9.530	0	0	0	2,50	0,2815
00209	63.807	12,22	780.032	4.225.447	88.372	0	0	0	2,50	0,4021
00497	6.820	NS	766.319	1.720.581	55.105	0	0	0	2,50	0,2011
00498	2.446	NS	770.713	1.250.429	28.317	0	0	0	2,50	0,2011
00501	19.766	38,77	766.319	1.422.113	6.653	0	0	0	2,50	0,2011
00502	15.260	50,22	766.319	2.637.659	25.839	0	0	0	2,50	0,2011
00844	28.927	26,49	766.319	1.977.668	14.532	0	0	0	2,50	0,2011
00845	34.369	22,30	766.319	1.492.548	5.301	0	0	0	2,50	0,2011
00846	6.478	NS	766.319	2.168.053	9.207	0	0	0	2,50	0,4021
00847	56.747	10,60	780.616	601.548	92.135	0	0	0	2,50	0,2011
01400	31.460	24,37	766.821	1.421.233	3.233	0	0	0	2,50	0,2011
01401	20.096	38,13	766.319	3.294.129	9.580	0	0	0	2,50	0,4021
01402	41.120	18,74	770.647	4.140.925	27.889	0	0	0	2,50	0,4021
01403	30.512	25,12	766.319	1.985.592	5.838	0	0	0	2,50	0,2011
01404	33.757	22,70	766.319	1.688.885	3.172	0	0	0	2,50	0,2011
01405	34.662	22,16	768.278	4.455.423	12.625	0	0	0	2,50	0,4021
Piano copertura			**Parete**	**P13-43**			**Parete P13-43**			
00118	12.505	61,62	770.586	1.163.928	27.499	0	0	0	2,50	0,1608
00156	23.047	23,25	766.319	535.741	171.061	0	0	0	2,50	0,0804
00216	17.571	43,61	766.319	887.915	19.117	0	0	0	2,50	0,0804
00289	110.264	2,78	766.319	306.766	275.646	0	0	0	2,50	0,2815
00290	86.450	8,86	766.319	772.578	90.194	0	0	0	2,50	0,0804
00325	16.259	47,23	767.849	870.306	9.859	0	0	0	2,50	0,0804
00326	45.852	4,48	766.319	205.578	218.338	0	0	0	2,50	0,0804
00387	51.881	14,86	770.733	887.915	28.447	0	0	0	2,50	0,0804
00562	27.549	13,89	766.319	382.545	36.693	0	0	0	2,50	0,0804
00563	114.963	5,56	766.319	638.752	69.563	0	0	0	2,50	0,0804
00854	62.402	11,44	766.319	713.589	154.876	0	0	0	2,50	0,0804
00855	3.629	NS	766.319	887.915	14.476	0	0	0	2,50	0,0804
00856	534	NS	766.319	860.621	1.410	0	0	0	2,50	0,0804
00857	88.659	8,64	766.319	887.915	15.942	0	0	0	2,50	0,0804
00858	4.967	NS	766.319	843.893	99.360	0	0	0	2,50	0,0804
00859	6.205	NS	766.319	840.371	120.729	0	0	0	2,50	0,0804
00860	5.786	NS	766.319	887.915	89.470	0	0	0	2,50	0,0804
00861	159.893	4,84	773.676	887.915	47.411	0	0	0	2,50	0,0804
01412	10.047	76,35	767.103	887.915	5.055	0	0	0	2,50	0,0804
01413	9.434	81,23	766.319	853.578	100.229	0	0	0	2,50	0,0804
01414	629	NS	766.319	887.915	70.488	0	0	0	2,50	0,0804
01415	99.890	7,67	766.319	3.391.810	126.371	0	0	0	2,50	0,2815
01416	5.763	NS	766.319	887.915	48.194	0	0	0	2,50	0,0804
01417	2.139	NS	766.319	887.915	40.615	0	0	0	2,50	0,0804
01704	42.765	5,36	782.652	229.350	105.259	0	0	0	2,50	0,0804
Piano copertura			**Parete**	**25-26 (a)**			**Parete 25-26**			
00089	44.748	4,73	766.319	211.497	113.197	0	0	0	2,50	0,1810
00102	38.372	3,83	766.319	147.026	230.091	0	0	0	2,50	0,1608
00222	33.990	9,24	767.937	314.083	10.430	0	0	0	2,50	0,2815
00223	25.130	5,98	766.319	150.322	484	0	0	0	2,50	0,2815
00556	140.407	5,46	766.319	1.596.003	58.716	0	0	0	2,50	0,0804
00557	35.315	21,70	766.319	887.915	7.302	0	0	0	2,50	0,0804
00558	32.782	23,50	770.446	2.658.135	26.595	0	0	0	2,50	0,2815
00559	83.175	9,21	766.319	887.915	42.641	0	0	0	2,50	0,0804
00560	34.536	22,19	766.319	887.915	5.067	0	0	0	2,50	0,0804
00561	25.686	29,96	769.545	887.915	20.792	0	0	0	2,50	0,0804
00621	67.802	11,30	766.319	887.915	29.774	0	0	0	2,50	0,0804
00622	32.986	23,45	773.462	887.915	46.035	0	0	0	2,50	0,0804

Id_{Nd}	$V_{Ed,2}$	CS	V_{Rcd}	$V_{Rsd,s}$	N_{Ed}	$V_{Rsd,p}$	V_{R1}	V_{fd}	CtgΘ	A_{sw}
	[N]		[N]	[N]	[N]	[N]	[N]	[N]		[cm²/cm]
00623	7.265	NS	766.984	887.915	4.288	0	0	0	2,50	0,0804
00624	1.844	NS	769.540	887.915	20.756	0	0	0	2,50	0,0804
00625	5.239	NS	766.319	870.306	23.471	0	0	0	2,50	0,0804
00834	39.772	19,27	766.319	887.915	3.978	0	0	0	2,50	0,0804
00835	30.941	24,77	766.319	887.915	10.290	0	0	0	2,50	0,0804
00836	12.690	60,39	766.319	887.915	7.658	0	0	0	2,50	0,0804
00837	15.760	48,62	766.319	887.915	170	0	0	0	2,50	0,0804
00838	36.292	21,13	766.785	887.915	3.001	0	0	0	2,50	0,0804
01391	37.429	20,47	766.319	2.304.091	101.138	0	0	0	2,50	0,1608
01392	30.875	24,85	767.235	4.169.507	5.902	0	0	0	2,50	0,2815
01393	31.650	24,21	766.319	4.137.811	2.893	0	0	0	2,50	0,2815
01394	38.437	19,94	766.319	2.953.171	52.092	0	0	0	2,50	0,1810
01395	32.362	23,68	766.319	887.915	10.050	0	0	0	2,50	0,0804
01396	39.914	19,21	766.776	852.698	2.947	0	0	0	2,50	0,0804
01397	10.891	70,36	766.319	887.915	4.164	0	0	0	2,50	0,0804
01398	21.001	36,49	766.319	887.915	16.075	0	0	0	2,50	0,0804
01399	28.309	27,12	767.617	887.915	8.365	0	0	0	2,50	0,0804
Piano copertura			**Parete25-26 (b)**				**Parete 25-26**			
00124	41.587	18,43	766.319	2.067.472	104.075	0	0	0	2,50	0,2011
00129	17.584	43,58	766.319	3.780.340	182.816	0	0	0	2,50	0,6032
00222	54.993	8,90	772.754	489.289	41.468	0	0	0	2,50	0,2815
00223	27.944	19,75	768.386	551.855	13.323	0	0	0	2,50	0,2815
00496	12.597	60,83	766.319	3.012.179	10.411	0	0	0	2,50	0,2011
00503	60.798	12,78	777.077	3.012.179	69.329	0	0	0	2,50	0,2011
00834	38.160	20,08	766.319	2.864.266	5.057	0	0	0	2,50	0,2011
00835	29.933	25,60	766.319	3.012.179	17.314	0	0	0	2,50	0,2011
00836	13.431	57,06	766.319	3.012.179	19.738	0	0	0	2,50	0,2011
00837	11.106	69,00	766.319	3.012.179	10.705	0	0	0	2,50	0,2011
00838	38.726	19,83	768.037	2.990.168	11.073	0	0	0	2,50	0,2011
00839	33.276	23,03	766.319	5.997.275	224.355	0	0	0	2,50	0,6032
00840	14.944	38,37	766.319	573.374	160.365	0	0	0	2,50	0,2011
00841	11.310	67,76	766.319	1.563.863	161.804	0	0	0	2,50	0,2011
00842	2.775	NS	766.319	2.905.646	113.874	0	0	0	2,50	0,2011
00843	52.946	14,47	766.319	2.469.831	69.788	0	0	0	2,50	0,2011
01382	43.061	17,80	766.517	2.824.646	1.278	0	0	0	2,50	0,2011
01383	15.202	50,41	766.319	7.275.667	90.675	0	0	0	2,50	0,6032
01384	26.200	29,25	766.319	3.012.179	58.517	0	0	0	2,50	0,2011
01385	35.695	21,47	766.319	2.788.548	10.735	0	0	0	2,50	0,2011
01386	26.534	28,88	766.319	2.758.613	25.940	0	0	0	2,50	0,2011
01387	14.032	54,61	766.319	3.012.179	82.007	0	0	0	2,50	0,2011
01388	14.612	52,44	766.319	2.563.157	70.758	0	0	0	2,50	0,2011
01389	5.988	NS	766.319	2.564.918	22.438	0	0	0	2,50	0,2011
01390	22.094	34,69	766.319	8.397.340	101.145	0	0	0	2,50	0,6032
Piano terra			**ParteP1-3**				**Parete P1-3**			
00006	20.334	37,69	766.319	1.113.852	7.425	0	0	0	2,50	0,1810
00087	17.446	22,30	766.319	389.029	56.700	0	0	0	2,50	0,3016
00233	15.567	49,23	766.319	910.472	79.027	0	0	0	2,50	0,1810
00235	7.229	NS	766.598	2.526.055	1.797	0	0	0	2,50	0,5027
00550	10.442	73,40	766.476	1.241.959	1.015	0	0	0	2,50	0,1005
00551	3.767	NS	767.050	1.241.959	4.708	0	0	0	2,50	0,1005
00552	263	NS	766.674	1.241.959	2.289	0	0	0	2,50	0,1005
00553	2.591	NS	767.674	1.241.959	8.734	0	0	0	2,50	0,1005
00554	5.356	NS	767.819	1.241.959	9.665	0	0	0	2,50	0,1005
00555	17.645	43,46	766.807	1.241.959	3.144	0	0	0	2,50	0,1005
00576	13.597	56,41	766.974	1.241.959	4.219	0	0	0	2,50	0,1005
00577	5.610	NS	766.729	1.241.959	2.643	0	0	0	2,50	0,1005
00578	1.433	NS	767.179	1.241.959	5.542	0	0	0	2,50	0,1005
00579	34.296	22,34	766.319	1.170.644	18.580	0	0	0	2,50	0,1005
00580	3.468	NS	766.319	1.241.959	37.422	0	0	0	2,50	0,1005
00581	28.725	24,14	766.319	693.448	92.216	0	0	0	2,50	0,1005
00582	53.160	14,55	773.555	1.241.959	46.630	0	0	0	2,50	0,1005
00583	11.810	64,94	766.958	1.241.959	4.117	0	0	0	2,50	0,1005
00584	6.271	NS	766.319	1.241.959	2.863	0	0	0	2,50	0,1005
00585	8.581	89,31	766.319	1.241.959	8.155	0	0	0	2,50	0,1005
00586	6.524	NS	766.319	1.241.959	7.814	0	0	0	2,50	0,1005
00587	40.884	18,74	766.319	1.241.959	34.867	0	0	0	2,50	0,1005
01183	1.210	NS	766.319	1.241.959	4.865	0	0	0	2,50	0,1005
01184	8.266	92,71	766.319	4.758.627	33.050	0	0	0	2,50	0,3016
01185	9.799	78,21	766.319	8.322.838	1.267	0	0	0	2,50	0,5027
01186	14.570	52,59	766.319	1.241.959	36.129	0	0	0	2,50	0,1005
01187	10.563	72,55	766.319	1.241.959	9.553	0	0	0	2,50	0,1005
01188	14.803	51,77	766.319	1.241.959	3.392	0	0	0	2,50	0,1005
01189	17.364	44,16	766.744	1.241.959	2.742	0	0	0	2,50	0,1005
01190	13.305	57,60	766.319	1.241.959	1.540	0	0	0	2,50	0,1005
01191	6.931	NS	766.319	1.241.959	5.665	0	0	0	2,50	0,1005
01192	8.859	86,57	766.968	1.241.959	4.182	0	0	0	2,50	0,1005
01193	5.207	NS	766.735	1.241.959	2.683	0	0	0	2,50	0,1005
Piano terra			**Parete1-2**				**Parete 1-2**			
00002	14.727	52,03	766.319	1.065.428	10.008	0	0	0	2,50	0,1810
00004	47.450	15,14	766.319	718.319	54.839	0	0	0	2,50	0,1005
00085	12.659	60,53	766.319	3.377.436	49.205	0	0	0	2,50	0,5027

Id_{Nd}	$V_{Ed,2}$	CS	V_{Rcd}	$V_{Rsd,s}$	N_{Ed}	$V_{Rsd,p}$	V_{R1}	V_{fd}	CtgΘ	A_{sw}
	[N]		[N]	[N]	[N]	[N]	[N]	[N]		[cm²/cm]
00086	49.125	15,60	766.319	2.465.640	25.195	0	0	0	2,50	0,5027
00538	44.284	17,30	766.319	1.241.959	34.028	0	0	0	2,50	0,1005
00539	25.727	29,79	766.319	1.241.959	8.930	0	0	0	2,50	0,1005
00540	19.256	39,84	767.161	1.241.959	5.427	0	0	0	2,50	0,1005
00541	19.490	39,35	766.923	1.241.959	3.892	0	0	0	2,50	0,1005
00542	38.478	20,01	769.856	3.012.179	22.796	0	0	0	2,50	0,1005
00543	40.069	19,33	774.511	2.809.679	52.794	0	0	0	2,50	0,1005
00544	14.434	53,09	766.319	1.241.959	8.603	0	0	0	2,50	0,1005
00545	10.217	75,00	766.319	1.241.959	2.129	0	0	0	2,50	0,1005
00546	10.610	72,22	766.319	1.241.959	1.976	0	0	0	2,50	0,1005
00547	14.716	52,13	767.068	1.241.959	4.829	0	0	0	2,50	0,1005
00548	14.852	51,68	767.463	1.241.959	7.376	0	0	0	2,50	0,1005
00549	11.464	66,94	767.363	7.933.686	6.726	0	0	0	2,50	0,5027
00588	6.506	NS	766.515	1.241.959	1.265	0	0	0	2,50	0,1005
00589	1.759	NS	766.886	1.241.959	3.652	0	0	0	2,50	0,1005
00590	1.520	NS	767.714	1.241.959	8.989	0	0	0	2,50	0,1005
00591	2.430	NS	768.122	1.241.959	11.623	0	0	0	2,50	0,1005
00592	4.234	NS	767.865	1.241.959	9.966	0	0	0	2,50	0,1005
00593	10.482	73,10	766.319	1.241.959	13.740	0	0	0	2,50	0,1005
00594	17.920	41,01	766.319	734.828	54.026	0	0	0	2,50	0,1005
00595	5.565	NS	766.319	1.138.948	61.425	0	0	0	2,50	0,1005
00596	4.309	NS	766.319	1.241.959	65.935	0	0	0	2,50	0,1005
00597	1.666	NS	766.319	1.153.915	49.686	0	0	0	2,50	0,1005
00598	738	NS	766.319	1.241.959	44.871	0	0	0	2,50	0,1005
00599	8.862	86,47	766.319	4.650.333	51.926	0	0	0	2,50	0,5027
01194	34.073	22,49	766.319	1.950.047	27.579	0	0	0	2,50	0,1005
01195	37.518	20,43	766.319	6.446.086	10.039	0	0	0	2,50	0,5027
01196	6.709	NS	766.319	7.873.816	27.027	0	0	0	2,50	0,5027
01197	10.654	71,93	766.319	1.241.959	5.434	0	0	0	2,50	0,1005
01198	8.771	87,37	766.319	1.241.959	95	0	0	0	2,50	0,1005
01199	12.957	59,16	766.564	1.241.959	1.581	0	0	0	2,50	0,1005
01200	15.052	50,94	766.739	1.241.959	2.704	0	0	0	2,50	0,1005
01201	6.920	NS	766.319	1.241.959	15.690	0	0	0	2,50	0,1005
01202	3.132	NS	766.524	1.241.959	1.318	0	0	0	2,50	0,1005
01203	3.761	NS	766.931	1.241.959	3.946	0	0	0	2,50	0,1005
01204	2.586	NS	766.319	1.241.959	6.551	0	0	0	2,50	0,1005
01205	6.777	NS	766.671	1.241.959	2.266	0	0	0	2,50	0,1005
01206	11.657	65,74	766.392	1.241.959	469	0	0	0	2,50	0,1005
01207	10.089	76,04	767.156	1.241.959	5.392	0	0	0	2,50	0,1005
01208	2.609	NS	766.319	1.241.959	24.017	0	0	0	2,50	0,1005
01209	24.626	31,12	766.319	1.241.959	9.312	0	0	0	2,50	0,1005
01210	27.168	28,23	767.078	1.241.959	4.893	0	0	0	2,50	0,1005
01211	26.697	28,75	767.633	1.241.959	8.467	0	0	0	2,50	0,1005
Piano terra			**Parete13-P4**				**Parete 13-P4**			
00038	63.101	11,97	766.319	755.188	819	0	0	0	2,50	0,0804
00101	53.446	13,88	766.319	741.610	145.022	0	0	0	2,50	0,2145
00269	56.885	6,07	766.319	345.178	365.966	0	0	0	2,50	0,1608
00271	25.071	30,57	766.319	1.028.996	189.679	0	0	0	2,50	0,2815
00508	23.377	32,78	766.319	887.915	56.592	0	0	0	2,50	0,0804
00509	3.183	NS	766.319	887.915	10.288	0	0	0	2,50	0,0804
00510	5.119	NS	766.794	887.915	3.063	0	0	0	2,50	0,0804
00511	5.604	NS	766.487	887.915	1.082	0	0	0	2,50	0,0804
00512	10.498	73,30	769.508	887.915	20.552	0	0	0	2,50	0,0804
00513	33.215	23,20	770.711	887.915	28.303	0	0	0	2,50	0,0804
01035	71.732	10,68	766.319	887.915	99.216	0	0	0	2,50	0,0804
01036	67.730	11,31	766.319	887.915	6.716	0	0	0	2,50	0,0804
01071	121.676	6,30	766.319	887.915	77.796	0	0	0	2,50	0,0804
01072	6.734	NS	766.319	887.915	1.958	0	0	0	2,50	0,0804
01073	3.603	NS	766.319	887.915	1.382	0	0	0	2,50	0,0804
01074	10.295	74,54	767.429	887.915	7.154	0	0	0	2,50	0,0804
01075	16.809	45,82	770.159	887.915	24.745	0	0	0	2,50	0,0804
01076	82.499	9,52	785.228	887.915	121.860	0	0	0	2,50	0,0804
01077	31.076	10,47	766.319	325.317	320.420	0	0	0	2,50	0,0804
01078	49.970	11,36	766.319	567.437	214.170	0	0	0	2,50	0,0804
01601	32.790	23,37	766.319	2.481.113	156.917	0	0	0	2,50	0,1608
01602	6.887	NS	766.319	4.428.355	95.282	0	0	0	2,50	0,2815
01603	17.935	42,73	766.319	3.248.208	54.702	0	0	0	2,50	0,2145
01604	38.915	19,69	766.319	887.915	36.190	0	0	0	2,50	0,0804
01605	6.442	NS	766.319	887.915	35.963	0	0	0	2,50	0,0804
01606	8.545	89,69	766.402	887.915	534	0	0	0	2,50	0,0804
01607	10.219	75,01	766.542	887.915	1.439	0	0	0	2,50	0,0804
01608	16.574	46,24	766.416	887.915	626	0	0	0	2,50	0,0804
Piano terra			**ParetеP5-16-P6**				**Parete P5-16**			
00072	1.929	98,88	766.641	190.720	2.075	0	0	0	2,50	0,1005
00117	49.195	7,79	766.319	383.200	36.101	0	0	0	2,50	0,2011
00263	34.466	22,23	766.319	1.164.917	155.893	0	0	0	2,50	0,1810
00265	12.296	29,51	766.319	362.896	112.398	0	0	0	2,50	0,1810
00730	24.427	31,37	766.319	1.241.959	32.568	0	0	0	2,50	0,1005
00731	5.533	NS	766.781	1.241.959	2.975	0	0	0	2,50	0,1005
00732	9.226	83,06	766.319	1.020.970	14.484	0	0	0	2,50	0,1005
00733	11.761	65,16	766.319	1.166.242	11.798	0	0	0	2,50	0,1005

Id_{Nd}	$V_{Ed,2}$	CS	V_{Rcd}	$V_{Rsd,s}$	N_{Ed}	$V_{Rsd,p}$	V_{R1}	V_{fd}	CtgΘ	A_{sw}
	[N]		[N]	[N]	[N]	[N]	[N]	[N]		[cm²/cm]
00734	13.909	55,10	766.426	1.241.959	693	0	0	0	2,50	0,1005
00735	9.613	79,81	767.241	1.220.828	5.941	0	0	0	2,50	0,1005
00736	3.746	NS	767.321	2.127.069	6.455	0	0	0	2,50	0,1005
00737	22.804	33,63	766.969	2.722.516	4.191	0	0	0	2,50	0,2011
00738	52.588	14,57	766.319	979.589	94.128	0	0	0	2,50	0,1005
00739	41.725	18,37	766.319	1.020.089	246.004	0	0	0	2,50	0,1005
00740	86.609	9,06	784.380	1.241.959	116.396	0	0	0	2,50	0,1005
00741	25.106	30,70	770.815	1.241.959	28.973	0	0	0	2,50	0,1005
00742	15.218	50,43	767.532	1.241.959	7.819	0	0	0	2,50	0,1005
00743	8.073	94,93	766.319	1.241.959	4.019	0	0	0	2,50	0,1005
00744	9.672	79,23	766.319	1.241.959	2.208	0	0	0	2,50	0,1005
00745	62.519	12,26	766.319	1.241.959	47.363	0	0	0	2,50	0,1005
01306	5.767	NS	766.319	1.241.959	6.890	0	0	0	2,50	0,1005
01307	21.422	35,77	766.319	3.012.179	13.151	0	0	0	2,50	0,2011
01308	17.167	44,64	766.319	2.720.700	67.259	0	0	0	2,50	0,1810
01309	26.430	28,99	766.319	1.241.959	75.248	0	0	0	2,50	0,1005
01310	18.058	42,44	766.319	1.241.959	16.694	0	0	0	2,50	0,1005
01311	16.114	47,56	766.319	1.241.959	2.520	0	0	0	2,50	0,1005
01312	14.794	51,83	766.866	1.241.959	3.528	0	0	0	2,50	0,1005
01313	10.561	72,56	766.319	1.241.959	838	0	0	0	2,50	0,1005
Piano terra			**Parete P5-16-P6**				**Parete 16-P6**			
00072	3.774	NS	766.550	761.242	1.491	0	0	0	2,50	0,1005
00117	27.789	27,58	766.319	885.929	11.044	0	0	0	2,50	0,2011
00251	7.964	96,23	766.398	1.241.959	510	0	0	0	2,50	0,1005
00253	10.167	75,43	766.869	829.064	3.542	0	0	0	2,50	0,3016
00273	11.812	64,88	766.319	1.013.483	16.447	0	0	0	2,50	0,1810
00732	5.651	NS	766.319	698.731	8.584	0	0	0	2,50	0,1005
00733	12.974	35,87	766.319	465.415	6.210	0	0	0	2,50	0,1005
00734	14.654	40,29	766.319	590.437	4.147	0	0	0	2,50	0,1005
00735	16.223	40,68	766.384	659.992	419	0	0	0	2,50	0,1005
00736	10.174	75,32	766.319	1.303.862	11.754	0	0	0	2,50	0,1005
00737	19.255	39,80	766.443	1.983.831	799	0	0	0	2,50	0,2011
00792	6.193	NS	766.646	635.339	2.105	0	0	0	2,50	0,1005
00793	7.950	96,47	766.934	870.415	3.965	0	0	0	2,50	0,1005
00794	7.977	96,15	766.942	1.225.231	4.014	0	0	0	2,50	0,1005
00795	4.514	NS	766.319	1.241.959	1.065	0	0	0	2,50	0,1005
00796	9.883	77,54	766.319	1.241.959	9.996	0	0	0	2,50	0,1005
00797	2.820	NS	766.319	1.241.959	2.965	0	0	0	2,50	0,1005
00798	2.445	NS	766.319	1.241.959	870	0	0	0	2,50	0,1005
00799	3.925	NS	766.503	1.241.959	1.188	0	0	0	2,50	0,1005
00800	5.290	NS	766.569	1.241.959	1.609	0	0	0	2,50	0,1005
00801	8.097	94,86	768.076	1.241.959	11.324	0	0	0	2,50	0,1005
00802	21.762	35,25	767.027	1.241.959	4.564	0	0	0	2,50	0,1005
00803	4.311	NS	767.722	1.241.959	9.043	0	0	0	2,50	0,1005
00804	12.068	63,66	768.250	976.948	12.447	0	0	0	2,50	0,1005
00805	28.974	14,33	766.319	415.231	40	0	0	0	2,50	0,1005
00806	49.592	15,47	767.068	1.434.440	4.829	0	0	0	2,50	0,2011
01338	4.048	NS	766.319	1.241.959	9.398	0	0	0	2,50	0,1005
01339	12.575	60,98	766.851	4.133.336	3.430	0	0	0	2,50	0,3016
01340	32.265	23,75	766.319	1.402.744	6.522	0	0	0	2,50	0,2011
01341	7.315	72,05	766.357	527.046	246	0	0	0	2,50	0,1005
01342	9.544	80,29	766.319	939.970	634	0	0	0	2,50	0,1005
01343	14.099	54,35	766.319	936.448	1.281	0	0	0	2,50	0,1005
01344	21.548	35,58	766.622	1.782.819	1.952	0	0	0	2,50	0,1005
01345	32.419	23,66	767.118	2.414.363	5.152	0	0	0	2,50	0,2011
01346	7.137	NS	766.319	1.204.100	137	0	0	0	2,50	0,1005
01347	7.104	NS	766.651	1.210.263	2.141	0	0	0	2,50	0,1005
01348	9.386	81,83	768.049	1.123.100	11.149	0	0	0	2,50	0,1005
01349	1.354	NS	766.319	1.241.959	912	0	0	0	2,50	0,1005
01350	796	NS	766.427	1.241.959	697	0	0	0	2,50	0,1005
01351	4.864	NS	767.048	1.241.959	4.696	0	0	0	2,50	0,1005
01352	9.858	77,89	767.806	1.172.405	9.582	0	0	0	2,50	0,1005
Piano terra			**Parete P7-20**				**Parete P7-20**			
00196	14.173	54,09	766.650	878.667	2.132	0	0	0	2,50	0,1608
00204	20.329	36,33	766.319	738.452	18.040	0	0	0	2,50	0,2815
00257	9.040	84,84	766.922	887.915	3.887	0	0	0	2,50	0,0804
00259	5.201	NS	766.544	940.952	1.450	0	0	0	2,50	0,2815
00276	16.063	14,09	766.319	226.265	10.746	0	0	0	2,50	0,1608
00682	4.472	NS	766.319	887.915	1.944	0	0	0	2,50	0,0804
00683	4.497	NS	766.319	887.915	2.448	0	0	0	2,50	0,0804
00684	9.682	79,15	766.319	887.915	835	0	0	0	2,50	0,0804
00685	12.433	61,68	766.805	887.915	3.131	0	0	0	2,50	0,0804
00686	14.771	51,89	766.433	887.915	736	0	0	0	2,50	0,0804
00687	17.229	44,49	766.477	887.915	1.021	0	0	0	2,50	0,0804
00688	14.575	52,58	766.319	887.915	2.133	0	0	0	2,50	0,0804
00689	15.514	49,39	766.319	887.915	1	0	0	0	2,50	0,0804
00690	17.772	43,12	766.319	887.915	1.896	0	0	0	2,50	0,0804
00691	18.668	41,05	766.378	887.915	380	0	0	0	2,50	0,0804
00692	20.184	37,97	766.319	823.643	3.082	0	0	0	2,50	0,0804
00693	19.701	38,90	766.319	2.089.374	5.903	0	0	0	2,50	0,0804
00694	25.579	29,96	766.319	3.735.452	11.371	0	0	0	2,50	0,2815

Id_{Nd}	$V_{Ed,2}$	CS	V_{Rcd}	$V_{Rsd,s}$	N_{Ed}	$V_{Rsd,p}$	V_{R1}	V_{fd}	CtgΘ	A_{sw}
	[N]		[N]	[N]	[N]	[N]	[N]	[N]		[cm²/cm]
00695	22.855	33,53	766.319	818.361	11.085	0	0	0	2,50	0,0804
00696	19.118	40,08	766.319	887.915	5.321	0	0	0	2,50	0,0804
00697	11.665	65,73	766.762	887.915	2.857	0	0	0	2,50	0,0804
00698	3.441	NS	768.041	887.915	11.100	0	0	0	2,50	0,0804
00699	11.642	65,82	766.319	887.915	1.427	0	0	0	2,50	0,0804
00700	4.834	NS	767.731	887.915	9.100	0	0	0	2,50	0,0804
00701	3.010	NS	766.870	887.915	3.554	0	0	0	2,50	0,0804
00702	3.496	NS	766.912	887.915	3.820	0	0	0	2,50	0,0804
00703	1.456	NS	766.493	887.915	1.123	0	0	0	2,50	0,0804
00704	3.295	NS	766.319	887.915	522	0	0	0	2,50	0,0804
00705	8.854	86,55	766.319	887.915	10.002	0	0	0	2,50	0,0804
01276	15.016	51,04	766.469	887.915	965	0	0	0	2,50	0,0804
01277	21.886	35,01	766.319	3.857.833	10.441	0	0	0	2,50	0,2815
01278	5.870	NS	766.592	4.416.909	1.762	0	0	0	2,50	0,2815
01279	3.852	NS	766.319	887.915	7.105	0	0	0	2,50	0,0804
01280	2.322	NS	766.319	887.915	1.846	0	0	0	2,50	0,0804
01281	1.324	NS	766.417	887.915	632	0	0	0	2,50	0,0804
01282	1.273	NS	766.656	887.915	2.173	0	0	0	2,50	0,0804
01283	3.002	NS	767.234	887.915	5.894	0	0	0	2,50	0,0804
01284	9.870	77,64	766.319	887.915	443	0	0	0	2,50	0,0804
01285	8.675	88,36	766.538	887.915	1.412	0	0	0	2,50	0,0804
01286	10.257	74,76	766.808	887.915	3.151	0	0	0	2,50	0,0804
01287	15.790	48,53	766.319	887.915	206	0	0	0	2,50	0,0804
01288	16.827	45,54	766.334	887.915	99	0	0	0	2,50	0,0804
01289	18.662	41,07	766.493	887.915	1.121	0	0	0	2,50	0,0804
01290	22.810	33,60	766.319	775.219	3.007	0	0	0	2,50	0,0804
Piano terra			**Parete22-P8**				**Parete 22-P8**			
00066	23.530	10,87	766.645	255.763	2.098	0	0	0	2,50	0,0804
00091	48.293	15,87	766.319	800.599	40.208	0	0	0	2,50	0,2145
00245	28.733	15,14	766.319	434.928	177.756	0	0	0	2,50	0,1608
00247	7.628	NS	766.319	1.052.979	62.196	0	0	0	2,50	0,4825
00640	3.915	NS	767.180	614.100	5.550	0	0	0	2,50	0,0804
00641	3.373	NS	767.254	887.915	6.025	0	0	0	2,50	0,0804
00642	3.540	NS	767.864	887.915	9.954	0	0	0	2,50	0,0804
00643	4.785	NS	767.281	887.915	6.202	0	0	0	2,50	0,0804
00644	1.809	NS	766.341	887.915	140	0	0	0	2,50	0,0804
00645	8.410	91,12	766.319	887.915	13.905	0	0	0	2,50	0,0804
00762	18.330	41,81	766.319	887.915	7.795	0	0	0	2,50	0,0804
00763	12.035	63,68	766.319	887.915	973	0	0	0	2,50	0,0804
00764	29.189	26,25	766.319	887.915	37.915	0	0	0	2,50	0,0804
00765	60.032	12,77	766.319	887.915	61.242	0	0	0	2,50	0,0804
00766	6.712	NS	766.319	887.915	11.681	0	0	0	2,50	0,0804
00767	6.719	NS	766.319	887.915	5.319	0	0	0	2,50	0,0804
00768	5.248	NS	766.319	887.915	3.465	0	0	0	2,50	0,0804
00769	15.527	49,47	768.111	887.915	11.546	0	0	0	2,50	0,0804
00770	67.071	11,62	779.388	887.915	84.222	0	0	0	2,50	0,0804
00771	44.126	12,76	766.319	563.035	163.343	0	0	0	2,50	0,0804
00772	10.443	73,38	766.319	887.915	117.731	0	0	0	2,50	0,0804
00773	39.152	19,57	766.319	884.393	7.801	0	0	0	2,50	0,0804
01322	14.803	51,77	766.319	1.596.003	74.051	0	0	0	2,50	0,0804
01323	3.289	NS	766.319	7.968.794	35.526	0	0	0	2,50	0,4825
01324	20.248	37,85	766.319	2.987.599	9.982	0	0	0	2,50	0,2145
01325	13.563	56,50	766.319	887.915	11.289	0	0	0	2,50	0,0804
01326	1.863	NS	766.319	887.915	17.015	0	0	0	2,50	0,0804
01327	6.800	NS	766.319	887.915	619	0	0	0	2,50	0,0804
01328	6.966	NS	766.591	887.915	1.751	0	0	0	2,50	0,0804
01329	1.026	NS	766.319	887.915	7.285	0	0	0	2,50	0,0804
Piano terra			**Parete38-P14**				**Parete 38-P14**			
00062	42.586	17,99	766.319	885.765	10.932	0	0	0	2,50	0,1810
00106	36.536	20,97	766.319	1.073.298	38.105	0	0	0	2,50	0,1810
00242	28.581	23,44	766.319	670.058	165.441	0	0	0	2,50	0,1810
00244	20.050	36,29	766.319	727.578	124.903	0	0	0	2,50	0,2346
00774	29.318	26,14	766.319	1.064.937	7.192	0	0	0	2,50	0,1005
00775	15.349	49,93	766.329	1.064.937	62	0	0	0	2,50	0,1005
00776	28.178	27,20	766.319	1.064.937	36.489	0	0	0	2,50	0,1005
00777	56.169	13,64	766.319	1.064.937	52.743	0	0	0	2,50	0,1005
00778	5.331	NS	766.319	1.064.937	6.633	0	0	0	2,50	0,1005
00779	1.930	NS	766.353	1.064.937	218	0	0	0	2,50	0,1005
00780	6.342	NS	767.186	1.064.937	5.589	0	0	0	2,50	0,1005
00781	18.004	42,75	769.740	1.064.937	22.044	0	0	0	2,50	0,1005
00782	54.430	14,34	780.312	1.064.937	90.177	0	0	0	2,50	0,1005
00783	34.126	22,46	766.319	897.654	187.317	0	0	0	2,50	0,1005
00784	19.269	39,77	766.319	1.056.133	199.385	0	0	0	2,50	0,1005
00785	26.401	29,03	766.319	1.064.937	72.369	0	0	0	2,50	0,1005
00786	35.545	21,69	770.837	1.064.937	29.116	0	0	0	2,50	0,1005
00787	21.195	36,31	769.527	1.064.937	20.674	0	0	0	2,50	0,1005
00788	12.655	60,67	767.843	1.064.937	9.820	0	0	0	2,50	0,1005
00789	6.516	NS	766.506	1.064.937	1.205	0	0	0	2,50	0,1005
00790	11.412	67,15	766.319	1.064.937	10.480	0	0	0	2,50	0,1005
00791	26.537	28,88	766.319	1.064.937	30.103	0	0	0	2,50	0,1005
01330	15.079	50,82	766.319	1.064.937	68.585	0	0	0	2,50	0,1005

Id_{Nd}	$V_{Ed,2}$	CS	V_{Rcd}	$V_{Rsd,s}$	N_{Ed}	$V_{Rsd,p}$	V_{R1}	V_{fd}	CtgΘ	A_{sw}
	[N]		[N]	[N]	[N]	[N]	[N]	[N]		[cm²/cm]
01331	2.375	NS	766.319	3.354.795	61.876	0	0	0	2,50	0,2346
01332	20.639	37,13	766.319	1.064.937	17.536	0	0	0	2,50	0,1005
01333	26.314	29,12	766.319	1.773.025	17.866	0	0	0	2,50	0,1810
01334	3.432	NS	766.319	1.064.937	15.762	0	0	0	2,50	0,1005
01335	2.675	NS	766.319	1.064.937	1.160	0	0	0	2,50	0,1005
01336	2.227	NS	766.956	1.064.937	4.106	0	0	0	2,50	0,1005
01337	1.447	NS	766.319	1.064.937	8.030	0	0	0	2,50	0,1005
Piano terra				**Parete40-P15**				**Parete 40-P15**		
00010	103.448	3,32	766.319	343.290	175.538	0	0	0	2,50	0,2145
00104	68.177	4,88	766.319	332.852	133.919	0	0	0	2,50	0,1810
00266	56.445	4,63	766.319	261.482	269.070	0	0	0	2,50	0,1608
00268	13.204	23,32	766.319	307.920	189.798	0	0	0	2,50	0,2815
00570	103.461	7,41	766.319	887.915	85.766	0	0	0	2,50	0,0804
00571	27.042	28,34	766.319	887.915	15.871	0	0	0	2,50	0,0804
00572	19.320	39,67	766.319	887.915	5.982	0	0	0	2,50	0,0804
00573	33.041	23,28	769.155	887.915	18.277	0	0	0	2,50	0,0804
00574	44.587	17,38	774.727	887.915	54.184	0	0	0	2,50	0,0804
00575	113.474	6,90	782.677	887.915	105.418	0	0	0	2,50	0,0804
00911	32.078	23,89	766.319	887.915	53.420	0	0	0	2,50	0,0804
00912	36.000	21,29	766.319	887.915	62.913	0	0	0	2,50	0,0804
00913	91.908	8,34	766.319	887.915	70.034	0	0	0	2,50	0,0804
00914	4.903	NS	766.319	887.915	8.174	0	0	0	2,50	0,0804
00915	9.837	78,04	767.663	887.915	8.661	0	0	0	2,50	0,0804
00916	11.086	69,12	766.319	887.915	8.097	0	0	0	2,50	0,0804
00917	12.671	60,67	768.695	887.915	15.314	0	0	0	2,50	0,0804
00918	96.875	8,11	785.847	887.915	125.846	0	0	0	2,50	0,0804
00919	26.584	12,73	766.319	338.524	377.651	0	0	0	2,50	0,0804
00920	35.032	15,49	766.319	542.785	293.794	0	0	0	2,50	0,0804
01491	31.726	24,15	766.319	887.915	123.925	0	0	0	2,50	0,0804
01492	7.078	NS	766.319	4.349.115	88.967	0	0	0	2,50	0,2815
01493	45.748	16,75	766.319	2.481.113	63.288	0	0	0	2,50	0,1810
01494	67.426	11,37	766.319	2.068.061	103.075	0	0	0	2,50	0,2145
01495	17.466	43,87	766.319	887.915	46.675	0	0	0	2,50	0,0804
01496	26.572	28,84	766.333	887.915	93	0	0	0	2,50	0,0804
01497	25.140	30,49	766.585	887.915	1.716	0	0	0	2,50	0,0804
01498	9.675	79,42	768.346	887.915	13.060	0	0	0	2,50	0,0804
Piano terra				**ParetеP16-43-P17**				**Parete P16-43**		
00070	5.274	NS	767.137	688.347	5.271	0	0	0	2,50	0,1340
00118	24.318	31,51	766.319	1.516.393	77.799	0	0	0	2,50	0,2145
00260	28.266	3,45	766.319	97.576	134.790	0	0	0	2,50	0,1340
00262	19.390	38,84	766.319	753.110	133.494	0	0	0	2,50	0,2346
00746	25.350	30,23	766.319	1.832.032	26.141	0	0	0	2,50	0,1340
00747	10.984	69,83	767.083	1.832.032	4.921	0	0	0	2,50	0,1340
00748	3.575	NS	766.319	1.582.869	7.382	0	0	0	2,50	0,1340
00749	5.513	NS	766.319	1.677.076	5.704	0	0	0	2,50	0,1340
00750	7.180	NS	767.095	1.832.032	5.001	0	0	0	2,50	0,1340
00751	5.180	NS	767.230	1.763.358	5.870	0	0	0	2,50	0,1340
00752	3.203	NS	766.675	1.605.760	2.294	0	0	0	2,50	0,1340
00753	19.785	38,73	766.319	2.255.740	19.987	0	0	0	2,50	0,2145
00754	29.633	25,86	766.319	1.717.576	124.226	0	0	0	2,50	0,1340
00755	29.735	25,77	766.319	1.391.815	219.715	0	0	0	2,50	0,1340
00756	52.812	14,73	778.178	1.585.510	76.425	0	0	0	2,50	0,1340
00757	21.082	36,52	769.955	1.832.032	23.432	0	0	0	2,50	0,1340
00758	15.037	51,05	767.642	1.832.032	8.528	0	0	0	2,50	0,1340
00759	7.531	NS	766.319	1.832.032	3.066	0	0	0	2,50	0,1340
00760	8.677	88,32	766.319	1.832.032	1.710	0	0	0	2,50	0,1340
00761	53.352	14,36	766.319	1.832.032	39.560	0	0	0	2,50	0,1340
01314	998	NS	766.319	1.832.032	3.069	0	0	0	2,50	0,1340
01315	12.544	61,09	766.319	1.832.032	50.504	0	0	0	2,50	0,1340
01316	3.262	NS	766.319	2.239.946	66.230	0	0	0	2,50	0,2346
01317	20.630	37,15	766.319	1.832.032	64.057	0	0	0	2,50	0,1340
01318	12.055	63,57	766.319	1.832.032	11.978	0	0	0	2,50	0,1340
01319	13.093	58,53	766.319	1.832.032	666	0	0	0	2,50	0,1340
01320	14.087	54,44	766.849	1.832.032	3.416	0	0	0	2,50	0,1340
01321	5.852	NS	766.319	1.832.032	14.584	0	0	0	2,50	0,1340
Piano terra				**ParetеP16-43-P17**				**Parete 43-P17**		
00070	4.470	NS	766.719	1.084.543	2.578	0	0	0	2,50	0,1340
00118	8.445	90,74	766.319	1.808.697	52.231	0	0	0	2,50	0,2145
00248	1.867	NS	766.319	1.832.032	158	0	0	0	2,50	0,1340
00250	7.126	56,40	766.810	401.872	3.165	0	0	0	2,50	0,2346
00282	13.189	14,87	766.319	196.184	15.675	0	0	0	2,50	0,1340
00748	1.683	NS	766.319	1.130.326	5.037	0	0	0	2,50	0,1340
00749	4.105	NS	766.319	896.130	2.577	0	0	0	2,50	0,1340
00750	5.820	NS	766.508	1.059.010	1.215	0	0	0	2,50	0,1340
00751	2.827	NS	766.319	962.163	2.063	0	0	0	2,50	0,1340
00752	1.876	NS	766.319	748.217	14.420	0	0	0	2,50	0,1340
00753	1.510	NS	766.319	1.196.577	21.828	0	0	0	2,50	0,2145
00807	4.977	NS	767.010	909.337	4.454	0	0	0	2,50	0,1340
00808	3.752	NS	767.105	1.248.304	5.065	0	0	0	2,50	0,1340
00809	3.929	NS	766.942	1.712.293	4.018	0	0	0	2,50	0,1340
00810	1.610	NS	766.319	1.832.032	1.824	0	0	0	2,50	0,1340

Id_{Nd}	$V_{Ed,2}$	CS	V_{Rcd}	$V_{Rsd,s}$	N_{Ed}	$V_{Rsd,p}$	V_{R1}	V_{fd}	CtgΘ	A_{sw}
	[N]		[N]	[N]	[N]	[N]	[N]	[N]		[cm²/cm]
00811	12.461	61,50	766.319	1.832.032	10.013	0	0	0	2,50	0,1340
00812	4.791	NS	766.319	1.832.032	1.288	0	0	0	2,50	0,1340
00813	3.442	NS	766.418	1.832.032	636	0	0	0	2,50	0,1340
00814	5.472	NS	766.798	1.832.032	3.084	0	0	0	2,50	0,1340
00815	5.271	NS	766.637	1.832.032	2.049	0	0	0	2,50	0,1340
00816	6.919	NS	767.826	1.832.032	9.714	0	0	0	2,50	0,1340
00817	15.860	48,34	766.688	1.832.032	2.379	0	0	0	2,50	0,1340
00818	2.565	NS	767.277	1.832.032	6.172	0	0	0	2,50	0,1340
00819	7.621	NS	766.718	1.593.434	2.572	0	0	0	2,50	0,1340
00820	19.587	39,12	766.319	950.717	17.977	0	0	0	2,50	0,1340
00821	26.071	29,39	766.319	1.100.609	28.450	0	0	0	2,50	0,2145
01353	7.774	98,57	766.319	1.832.032	9.653	0	0	0	2,50	0,1340
01354	9.507	80,63	766.620	1.766.000	1.937	0	0	0	2,50	0,1340
01355	10.122	75,71	766.319	1.514.632	34.579	0	0	0	2,50	0,2145
01356	2.745	NS	766.595	896.130	1.776	0	0	0	2,50	0,1340
01357	3.363	NS	766.535	1.375.967	1.393	0	0	0	2,50	0,1340
01358	1.281	NS	766.319	1.404.141	607	0	0	0	2,50	0,1340
01359	2.604	NS	766.319	1.365.402	2.630	0	0	0	2,50	0,1340
01360	9.022	84,94	766.319	1.225.413	13.312	0	0	0	2,50	0,1340
01361	5.518	NS	766.335	1.708.771	105	0	0	0	2,50	0,1340
01362	5.724	NS	766.319	1.773.923	249	0	0	0	2,50	0,1340
01363	1.408	NS	766.415	1.651.543	618	0	0	0	2,50	0,1340
01364	6.367	NS	766.319	1.832.032	1.377	0	0	0	2,50	0,1340
01365	7.436	NS	766.319	1.832.032	141	0	0	0	2,50	0,1340
01366	8.416	91,09	766.589	1.832.032	1.741	0	0	0	2,50	0,1340
01367	8.648	88,71	767.147	1.723.739	5.338	0	0	0	2,50	0,1340
Piano terra			**ParetеP18-47**				**Parete P18-47**			
00200	14.329	53,50	766.649	1.000.167	2.127	0	0	0	2,50	0,1608
00207	20.566	37,26	766.319	862.594	17.691	0	0	0	2,50	0,2815
00254	9.356	81,97	766.938	887.915	3.989	0	0	0	2,50	0,0804
00256	5.161	NS	766.524	953.278	1.322	0	0	0	2,50	0,2815
00279	16.053	14,09	766.319	226.265	10.753	0	0	0	2,50	0,1608
00706	4.384	NS	766.319	887.915	1.938	0	0	0	2,50	0,0804
00707	4.632	NS	766.319	887.915	2.453	0	0	0	2,50	0,0804
00708	10.011	76,55	766.319	887.915	799	0	0	0	2,50	0,0804
00709	12.798	59,91	766.816	887.915	3.206	0	0	0	2,50	0,0804
00710	15.074	50,85	766.440	887.915	778	0	0	0	2,50	0,0804
00711	17.509	43,78	766.480	887.915	1.040	0	0	0	2,50	0,0804
00712	14.775	51,87	766.319	887.915	2.266	0	0	0	2,50	0,0804
00713	15.700	48,81	766.319	887.915	85	0	0	0	2,50	0,0804
00714	18.080	42,39	766.319	887.915	2.039	0	0	0	2,50	0,0804
00715	18.861	40,63	766.377	887.915	371	0	0	0	2,50	0,0804
00716	20.399	37,57	766.319	797.230	3.257	0	0	0	2,50	0,0804
00717	19.987	38,34	766.319	2.142.200	6.006	0	0	0	2,50	0,2815
00718	25.780	29,73	766.319	3.775.072	11.137	0	0	0	2,50	0,2815
00719	23.162	33,09	766.319	848.295	11.387	0	0	0	2,50	0,0804
00720	19.646	39,01	766.319	887.915	5.511	0	0	0	2,50	0,0804
00721	12.197	62,87	766.748	887.915	2.768	0	0	0	2,50	0,0804
00722	2.954	NS	768.022	887.915	10.973	0	0	0	2,50	0,0804
00723	11.413	67,14	766.319	887.915	1.598	0	0	0	2,50	0,0804
00724	4.773	NS	767.756	887.915	9.261	0	0	0	2,50	0,0804
00725	2.858	NS	766.852	887.915	3.434	0	0	0	2,50	0,0804
00726	3.431	NS	766.924	887.915	3.901	0	0	0	2,50	0,0804
00727	1.383	NS	766.505	887.915	1.200	0	0	0	2,50	0,0804
00728	3.236	NS	766.319	887.915	479	0	0	0	2,50	0,0804
00729	8.792	87,16	766.319	887.915	9.900	0	0	0	2,50	0,0804
01291	15.239	50,30	766.465	887.915	944	0	0	0	2,50	0,0804
01292	22.178	34,55	766.319	3.878.963	10.326	0	0	0	2,50	0,2815
01293	5.755	NS	766.571	4.410.746	1.626	0	0	0	2,50	0,2815
01294	3.768	NS	766.319	887.915	7.096	0	0	0	2,50	0,0804
01295	2.542	NS	766.319	887.915	1.824	0	0	0	2,50	0,0804
01296	1.556	NS	766.428	887.915	700	0	0	0	2,50	0,0804
01297	1.015	NS	766.654	887.915	2.162	0	0	0	2,50	0,0804
01298	2.731	NS	767.239	887.915	5.928	0	0	0	2,50	0,0804
01299	10.254	74,74	766.319	887.915	444	0	0	0	2,50	0,0804
01300	9.097	84,26	766.535	887.915	1.393	0	0	0	2,50	0,0804
01301	10.738	71,41	766.801	887.915	3.109	0	0	0	2,50	0,0804
01302	16.087	47,64	766.319	887.915	224	0	0	0	2,50	0,0804
01303	17.217	44,51	766.322	887.915	19	0	0	0	2,50	0,0804
01304	19.072	40,19	766.479	887.915	1.034	0	0	0	2,50	0,0804
01305	23.224	33,00	766.319	802.513	3.103	0	0	0	2,50	0,0804
Piano terra			**ParetеP2-4**				**Parete P2-4**			
00056	40.702	18,83	766.319	771.308	175.920	0	0	0	2,50	0,1608
00095	9.153	43,54	766.319	398.477	94.244	0	0	0	2,50	0,2815
00236	58.091	8,40	766.319	487.808	101.865	0	0	0	2,50	0,1608
00238	32.981	15,56	766.319	513.116	105.416	0	0	0	2,50	0,2815
00520	73.399	10,44	766.319	1.064.937	43.995	0	0	0	2,50	0,0804
00521	14.189	54,01	766.319	1.064.937	9.002	0	0	0	2,50	0,0804
00522	10.581	72,42	766.319	1.064.937	3.410	0	0	0	2,50	0,0804
00523	16.918	45,38	767.691	1.064.937	8.845	0	0	0	2,50	0,0804
00524	23.182	33,27	771.307	1.064.937	32.145	0	0	0	2,50	0,0804

Id_{Nd}	$V_{Ed,2}$	CS	V_{Rcd}	$V_{Rsd,s}$	N_{Ed}	$V_{Rsd,p}$	V_{R1}	V_{fd}	CtgΘ	A_{sw}
	[N]		[N]	[N]	[N]	[N]	[N]	[N]		[cm²/cm]
00525	61.668	12,55	773.744	4.015.303	47.853	0	0	0	2,50	0,2815
00608	23.028	33,28	766.319	1.064.937	47.341	0	0	0	2,50	0,0804
00609	28.364	27,02	766.319	1.052.611	172.649	0	0	0	2,50	0,0804
00610	19.478	39,54	770.093	2.835.157	24.322	0	0	0	2,50	0,2815
00611	4.683	NS	767.098	1.064.937	5.018	0	0	0	2,50	0,0804
00612	6.912	NS	766.319	1.064.937	6.085	0	0	0	2,50	0,0804
00613	4.961	NS	767.239	1.064.937	5.931	0	0	0	2,50	0,0804
00614	2.949	NS	766.319	1.064.937	1.314	0	0	0	2,50	0,0804
00615	40.336	19,00	766.319	1.064.937	28.300	0	0	0	2,50	0,0804
01220	28.810	26,60	766.319	1.773.025	98.166	0	0	0	2,50	0,1608
01221	9.684	79,13	766.319	3.987.129	65.263	0	0	0	2,50	0,2815
01222	7.455	NS	766.319	4.475.953	32.002	0	0	0	2,50	0,2815
01223	28.479	26,91	766.319	1.773.025	75.840	0	0	0	2,50	0,1608
01224	7.034	NS	766.319	1.064.937	21.309	0	0	0	2,50	0,0804
01225	14.999	51,09	766.337	1.064.937	115	0	0	0	2,50	0,0804
01226	12.893	59,44	766.343	1.064.937	155	0	0	0	2,50	0,0804
01227	8.250	93,04	767.655	1.064.937	8.608	0	0	0	2,50	0,0804
Piano terra			**Parete P3-6**				**Parete P3-6**			
00060	65.173	8,06	766.319	525.540	276.427	0	0	0	2,50	0,1340
00098	9.012	85,03	766.319	1.149.761	126.022	0	0	0	2,50	0,3351
00239	95.475	6,97	766.319	665.747	172.578	0	0	0	2,50	0,2145
00241	50.864	8,72	766.319	443.652	122.676	0	0	0	2,50	0,3351
00526	112.760	6,80	766.319	1.359.974	71.608	0	0	0	2,50	0,1340
00527	18.209	42,08	766.319	1.359.974	17.475	0	0	0	2,50	0,1340
00528	14.162	54,11	766.319	1.359.974	6.251	0	0	0	2,50	0,1340
00529	20.554	37,35	767.706	1.359.974	8.941	0	0	0	2,50	0,1340
00530	35.559	21,77	774.014	1.359.974	49.593	0	0	0	2,50	0,1340
00531	110.872	7,03	779.172	3.130.193	82.829	0	0	0	2,50	0,1340
00600	35.837	21,38	766.319	1.359.974	79.319	0	0	0	2,50	0,1340
00601	40.149	19,09	766.319	1.219.104	283.422	0	0	0	2,50	0,1340
00602	59.423	13,06	776.114	1.359.974	63.127	0	0	0	2,50	0,1340
00603	7.850	97,85	768.155	1.359.974	11.833	0	0	0	2,50	0,1340
00604	6.911	NS	766.319	1.359.974	4.822	0	0	0	2,50	0,1340
00605	8.008	95,87	767.751	1.359.974	9.229	0	0	0	2,50	0,1340
00606	3.921	NS	766.601	1.359.974	1.820	0	0	0	2,50	0,1340
00607	68.651	11,16	766.319	1.359.974	46.322	0	0	0	2,50	0,1340
01212	44.282	17,31	766.319	1.359.974	156.190	0	0	0	2,50	0,1340
01213	18.301	41,87	766.319	4.900.413	74.624	0	0	0	2,50	0,3351
01214	21.820	35,12	766.319	4.849.348	36.659	0	0	0	2,50	0,3351
01215	48.664	15,75	766.319	2.068.061	126.469	0	0	0	2,50	0,1340
01216	7.011	NS	766.319	1.359.974	31.427	0	0	0	2,50	0,1340
01217	18.876	40,60	766.370	1.359.974	332	0	0	0	2,50	0,1340
01218	16.283	47,06	766.319	1.359.974	23	0	0	0	2,50	0,1340
01219	6.752	NS	769.671	1.359.974	21.603	0	0	0	2,50	0,1340
Piano terra			**Parete16-P9**				**Parete 16-P9**			
00072	12.048	53,16	767.123	640.513	5.183	0	0	0	2,50	0,0804
00117	36.276	21,14	766.906	1.346.178	3.782	0	0	0	2,50	0,1608
00210	4.618	NS	766.319	856.219	78.769	0	0	0	2,50	0,0804
00211	24.998	30,66	766.319	887.915	95.745	0	0	0	2,50	0,0804
00285	73.960	9,97	766.319	737.390	324.317	0	0	0	2,50	0,2815
00286	19.146	40,02	766.319	973.528	126.062	0	0	0	2,50	0,2815
00732	9.066	84,53	766.319	887.915	3.953	0	0	0	2,50	0,0804
00733	2.109	NS	766.319	867.665	1.329	0	0	0	2,50	0,0804
00734	5.827	NS	766.356	824.524	236	0	0	0	2,50	0,0804
00735	8.715	82,69	766.319	720.632	355	0	0	0	2,50	0,0804
00736	12.648	60,59	766.319	813.078	8.349	0	0	0	2,50	0,0804
00737	16.776	44,06	766.319	739.121	10.587	0	0	0	2,50	0,0804
00862	30.848	24,84	766.319	887.915	24.473	0	0	0	2,50	0,0804
00863	5.677	NS	766.319	887.915	36.978	0	0	0	2,50	0,0804
00864	24.858	15,11	766.319	375.502	161.295	0	0	0	2,50	0,0804
01068	17.468	43,87	766.319	835.089	109.745	0	0	0	2,50	0,0804
01069	26.145	29,31	766.319	887.915	9.596	0	0	0	2,50	0,0804
01070	23.410	32,74	766.319	887.915	256	0	0	0	2,50	0,0804
01087	84.888	7,24	766.319	614.980	98.940	0	0	0	2,50	0,0804
01088	17.736	43,21	766.319	887.915	13.612	0	0	0	2,50	0,0804
01089	4.284	NS	766.677	887.915	2.307	0	0	0	2,50	0,0804
01090	5.498	NS	766.319	887.915	2.365	0	0	0	2,50	0,0804
01091	6.061	NS	766.575	887.915	1.651	0	0	0	2,50	0,0804
01092	3.450	NS	770.753	887.915	28.578	0	0	0	2,50	0,0804
01628	47.018	16,30	766.319	3.565.346	112.347	0	0	0	2,50	0,2815
01629	7.362	NS	766.319	4.202.963	55.237	0	0	0	2,50	0,2815
01630	25.332	30,25	766.319	887.915	11.909	0	0	0	2,50	0,0804
01631	14.372	53,32	766.319	887.915	1.338	0	0	0	2,50	0,0804
01632	9.348	81,98	766.319	887.915	16.467	0	0	0	2,50	0,0804
01633	7.867	97,41	766.319	887.915	5.960	0	0	0	2,50	0,0804
01634	11.638	65,85	766.319	887.915	3.563	0	0	0	2,50	0,0804
01635	15.974	47,97	766.319	887.915	18.870	0	0	0	2,50	0,0804
01636	18.655	41,08	766.319	887.915	29.420	0	0	0	2,50	0,0804
01637	10.158	75,44	766.319	887.915	4.072	0	0	0	2,50	0,0804
01638	2.027	NS	766.319	887.915	3.551	0	0	0	2,50	0,0804
Piano terra			**Parete20-21-P10**				**Parete 20-21**			

Id_{Nd}	$V_{Ed,2}$	CS	V_{Rcd}	$V_{Rsd,s}$	N_{Ed}	$V_{Rsd,p}$	V_{R1}	V_{fd}	CtgΘ	A_{sw}
	[N]		[N]	[N]	[N]	[N]	[N]	[N]		[cm²/cm]
00196	11.055	7,38	766.319	81.546	2.690	0	0	0	2,50	0,1005
00197	14.447	53,04	766.319	1.576.080	2.030	0	0	0	2,50	0,1810
00204	27.917	27,45	766.319	2.369.643	1.565	0	0	0	2,50	0,2346
00205	18.166	31,72	766.319	576.198	14.819	0	0	0	2,50	0,2346
00676	18.926	40,49	766.319	1.741.529	9.479	0	0	0	2,50	0,1005
00677	16.174	47,38	766.319	914.437	12.596	0	0	0	2,50	0,1005
00678	17.801	43,05	766.319	1.013.046	8.435	0	0	0	2,50	0,1005
00679	16.098	47,60	766.319	1.207.622	9.130	0	0	0	2,50	0,1005
00680	15.341	49,95	766.319	1.241.959	4.602	0	0	0	2,50	0,1005
00681	14.433	53,09	766.319	1.235.796	4.334	0	0	0	2,50	0,1005
00688	12.553	61,05	766.319	1.241.959	610	0	0	0	2,50	0,1005
00689	13.382	57,27	766.319	1.241.959	2.552	0	0	0	2,50	0,1005
00690	14.245	53,82	766.648	992.796	2.119	0	0	0	2,50	0,1005
00691	19.166	39,98	766.319	930.285	2.855	0	0	0	2,50	0,1005
00692	18.564	31,24	766.319	579.872	4.514	0	0	0	2,50	0,1005
00693	25.097	30,53	766.319	1.757.377	8.997	0	0	0	2,50	0,1005
00848	33.788	22,68	766.319	1.978.730	7.369	0	0	0	2,50	0,2346
00849	29.620	25,87	766.319	2.711.252	10.626	0	0	0	2,50	0,2346
00888	14.680	52,20	766.319	1.124.861	480	0	0	0	2,50	0,1005
00889	15.816	48,45	766.319	1.241.959	2.673	0	0	0	2,50	0,1005
01451	14.902	51,42	766.319	1.241.959	2.611	0	0	0	2,50	0,1005
01452	23.196	33,04	766.319	2.925.198	12.296	0	0	0	2,50	0,2346
01453	29.315	26,14	766.319	2.249.024	5.492	0	0	0	2,50	0,2346
01454	13.479	56,85	766.319	1.215.546	1.501	0	0	0	2,50	0,1005
01455	16.142	47,47	766.319	1.241.959	1.679	0	0	0	2,50	0,1005
01456	19.406	39,49	766.319	1.206.742	4.126	0	0	0	2,50	0,1005
01457	24.444	31,35	766.319	931.165	5.823	0	0	0	2,50	0,1005
01458	28.346	27,03	766.319	2.817.785	9.146	0	0	0	2,50	0,2346
Piano terra				**Parete20-21-P10**			**Parete 21-P10**			
00197	10.917	70,20	766.319	2.280.428	2.572	0	0	0	2,50	0,1810
00205	6.164	NS	766.319	3.318.752	9.951	0	0	0	2,50	0,2346
00225	20.927	36,62	766.319	878.776	24.189	0	0	0	2,50	0,1810
00227	903	NS	766.451	375.458	852	0	0	0	2,50	0,2346
00664	10.420	73,54	766.319	1.083.481	2.826	0	0	0	2,50	0,1005
00665	9.116	84,07	766.319	1.078.198	3.753	0	0	0	2,50	0,1005
00666	8.965	85,48	766.319	1.241.959	8.050	0	0	0	2,50	0,1005
00667	13.904	55,11	766.319	1.241.959	17.167	0	0	0	2,50	0,1005
00668	7.196	NS	766.319	1.241.959	3.778	0	0	0	2,50	0,1005
00669	3.046	NS	766.459	1.241.959	904	0	0	0	2,50	0,1005
00670	3.007	NS	766.319	1.241.959	1.405	0	0	0	2,50	0,1005
00671	716	NS	766.319	1.241.959	1.432	0	0	0	2,50	0,1005
00672	1.247	NS	766.319	1.241.959	1.987	0	0	0	2,50	0,1005
00673	705	NS	766.700	1.241.959	2.453	0	0	0	2,50	0,1005
00674	1.737	NS	766.319	308.698	2.746	0	0	0	2,50	0,1005
00675	1.225	NS	766.319	2.454.165	6.666	0	0	0	2,50	0,2346
00676	8.131	94,24	766.319	1.632.355	7.390	0	0	0	2,50	0,1005
00677	13.634	41,50	766.319	565.785	10.240	0	0	0	2,50	0,1005
00678	12.728	60,21	766.319	895.948	6.913	0	0	0	2,50	0,1005
00679	14.729	52,03	766.319	966.383	8.403	0	0	0	2,50	0,1005
00680	13.291	57,66	766.319	1.132.785	5.000	0	0	0	2,50	0,1005
00681	12.147	63,09	766.319	1.241.959	3.565	0	0	0	2,50	0,1005
01265	14.392	53,25	766.319	1.241.959	11.046	0	0	0	2,50	0,1005
01266	852	NS	766.319	3.276.491	133	0	0	0	2,50	0,2346
01267	4.212	NS	766.319	2.582.708	8.582	0	0	0	2,50	0,2346
01268	11.324	67,67	766.319	1.196.176	3.881	0	0	0	2,50	0,1005
01269	10.790	71,02	766.319	1.241.959	5.464	0	0	0	2,50	0,1005
01270	11.127	68,87	766.319	1.241.959	4.618	0	0	0	2,50	0,1005
01271	8.127	94,30	766.319	1.068.513	4.843	0	0	0	2,50	0,1005
01272	3.355	NS	766.319	3.146.187	4.139	0	0	0	2,50	0,2346
01273	10.666	71,85	766.319	1.241.959	4.543	0	0	0	2,50	0,1005
01274	5.535	NS	766.319	1.241.959	3.412	0	0	0	2,50	0,1005
01275	1.267	NS	766.319	1.204.981	1.741	0	0	0	2,50	0,1005
Piano terra				**Parete22-P11**			**Parete 22-P11**			
00066	1.888	NS	766.319	220.545	76.809	0	0	0	2,50	0,0804
00091	11.038	70,05	773.205	787.982	44.374	0	0	0	2,50	0,1608
00217	11.645	25,71	775.708	299.395	60.508	0	0	0	2,50	0,1810
00218	57.040	13,43	766.319	790.951	205.471	0	0	0	2,50	0,2815
00626	35.642	21,50	766.319	887.915	16.718	0	0	0	2,50	0,0804
00627	13.707	56,08	768.711	887.915	15.412	0	0	0	2,50	0,0804
00628	678	NS	766.319	887.915	18.738	0	0	0	2,50	0,0804
00629	31.197	24,56	766.319	887.915	22.685	0	0	0	2,50	0,0804
00630	65.909	11,63	766.319	782.263	61.366	0	0	0	2,50	0,0804
00631	18.452	41,53	766.319	887.915	13.892	0	0	0	2,50	0,0804
00632	6.928	NS	766.724	887.915	2.609	0	0	0	2,50	0,0804
00633	7.184	NS	766.319	887.915	2.536	0	0	0	2,50	0,0804
00634	16.107	47,68	768.009	887.915	10.890	0	0	0	2,50	0,0804
00635	44.440	14,43	775.289	641.393	57.806	0	0	0	2,50	0,0804
00636	35.323	21,69	766.319	847.415	50.414	0	0	0	2,50	0,0804
00637	1.956	NS	767.358	887.915	6.696	0	0	0	2,50	0,0804
00638	16.463	46,55	766.319	887.915	7.065	0	0	0	2,50	0,0804
00639	32.187	23,81	766.319	887.915	21.267	0	0	0	2,50	0,0804

Id_{Nd}	$V_{Ed,2}$	CS	V_{Rcd}	$V_{Rsd,s}$	N_{Ed}	$V_{Rsd,p}$	V_{R1}	V_{fd}	CtgΘ	A_{sw}
	[N]		[N]	[N]	[N]	[N]	[N]	[N]		[cm²/cm]
00640	51.042	14,12	771.992	720.632	36.562	0	0	0	2,50	0,0804
00641	9.568	80,36	768.821	887.915	16.126	0	0	0	2,50	0,0804
00642	2.961	NS	767.265	887.915	6.094	0	0	0	2,50	0,0804
00643	2.931	NS	766.319	887.915	1.506	0	0	0	2,50	0,0804
00644	10.779	71,09	766.319	887.915	15.754	0	0	0	2,50	0,0804
00645	52.066	14,72	766.319	887.915	43.209	0	0	0	2,50	0,0804
01243	39.534	19,38	766.319	3.331.005	74.210	0	0	0	2,50	0,2815
01244	31.296	24,61	770.209	2.319.993	25.071	0	0	0	2,50	0,1810
01245	5.048	NS	769.983	1.596.003	23.612	0	0	0	2,50	0,1608
01246	7.971	96,14	766.319	887.915	52.080	0	0	0	2,50	0,0804
01247	2.938	NS	766.319	887.915	21.899	0	0	0	2,50	0,0804
01248	1.723	NS	766.319	887.915	7.574	0	0	0	2,50	0,0804
01249	2.327	NS	767.234	887.915	5.895	0	0	0	2,50	0,0804
01250	2.355	NS	769.163	887.915	18.330	0	0	0	2,50	0,0804
01251	19.742	38,82	766.319	887.915	20.783	0	0	0	2,50	0,0804
01252	13.493	56,79	766.319	887.915	1.049	0	0	0	2,50	0,0804
01253	18.541	41,45	768.495	887.915	14.025	0	0	0	2,50	0,0804
Piano terra			**Parete12-13**				**Parete 12-13**			
00038	15.304	50,07	766.319	1.008.145	178.686	0	0	0	2,50	0,1608
00048	46.432	12,00	766.319	557.363	296.244	0	0	0	2,50	0,1608
00100	15.969	11,89	766.319	189.814	102.601	0	0	0	2,50	0,2815
00101	18.454	14,55	766.319	268.580	57.352	0	0	0	2,50	0,1608
00508	65.762	11,65	766.319	1.064.937	87.260	0	0	0	2,50	0,0804
00509	8.921	85,90	766.319	1.064.937	26.621	0	0	0	2,50	0,0804
00510	3.723	NS	766.680	1.064.937	2.329	0	0	0	2,50	0,0804
00511	7.709	99,58	767.642	1.064.937	8.527	0	0	0	2,50	0,0804
00512	21.829	35,33	771.167	1.064.937	31.241	0	0	0	2,50	0,0804
00513	56.478	13,72	774.942	1.064.937	55.573	0	0	0	2,50	0,0804
00532	117.884	6,50	766.319	1.064.937	86.579	0	0	0	2,50	0,0804
00533	17.678	43,35	766.319	1.064.937	20.494	0	0	0	2,50	0,0804
00534	4.630	NS	766.573	1.064.937	1.639	0	0	0	2,50	0,0804
00535	18.145	42,38	768.883	1.064.937	16.521	0	0	0	2,50	0,0804
00536	39.334	19,70	774.783	1.064.937	54.544	0	0	0	2,50	0,0804
00537	113.708	6,88	782.683	2.245.083	105.460	0	0	0	2,50	0,0804
01013	22.031	34,78	766.319	1.064.937	15.745	0	0	0	2,50	0,0804
01014	57.968	13,22	766.319	1.064.937	41.269	0	0	0	2,50	0,0804
01079	17.221	44,50	766.319	1.056.133	173.196	0	0	0	2,50	0,0804
01080	53.800	14,24	766.319	772.633	288.222	0	0	0	2,50	0,0804
01609	19.122	40,08	766.319	1.064.937	96.685	0	0	0	2,50	0,0804
01610	17.736	43,21	766.319	2.481.113	30.068	0	0	0	2,50	0,1608
01611	17.637	43,45	766.319	4.015.303	73.011	0	0	0	2,50	0,2815
01612	37.855	20,24	766.319	1.064.937	139.719	0	0	0	2,50	0,0804
01613	6.121	NS	766.319	1.064.937	51.196	0	0	0	2,50	0,0804
01614	4.538	NS	766.319	1.064.937	2.686	0	0	0	2,50	0,0804
01615	4.309	NS	767.770	1.064.937	9.348	0	0	0	2,50	0,0804
01616	3.280	NS	768.193	1.064.937	12.076	0	0	0	2,50	0,0804
Piano terra			**ParetеP12-37-47**				**Parete P12-37**			
00199	10.460	73,26	766.319	2.439.787	2.542	0	0	0	2,50	0,1810
00208	5.844	NS	766.319	3.379.502	9.245	0	0	0	2,50	0,2346
00229	20.835	36,78	766.319	964.178	23.026	0	0	0	2,50	0,1810
00231	587	NS	766.461	290.056	916	0	0	0	2,50	0,2346
00646	7.421	NS	766.319	1.241.959	4.205	0	0	0	2,50	0,1005
00647	9.254	82,81	766.319	1.241.959	2.367	0	0	0	2,50	0,1005
00648	10.126	75,68	766.319	1.092.285	3.912	0	0	0	2,50	0,1005
00649	12.255	62,53	766.319	1.241.959	4.901	0	0	0	2,50	0,1005
00650	13.405	57,16	766.319	1.083.481	5.172	0	0	0	2,50	0,1005
00651	13.703	55,92	766.319	1.084.361	5.014	0	0	0	2,50	0,1005
00652	14.686	52,18	766.319	854.568	9.861	0	0	0	2,50	0,1005
00653	11.236	63,99	766.319	718.981	7.314	0	0	0	2,50	0,1005
00654	11.685	65,58	766.319	1.641.160	5.523	0	0	0	2,50	0,1005
00655	1.041	NS	766.319	2.305.372	6.641	0	0	0	2,50	0,2346
00656	1.884	NS	766.608	932.926	1.861	0	0	0	2,50	0,1005
00657	1.100	NS	766.499	1.220.828	1.158	0	0	0	2,50	0,1005
00658	361	NS	766.319	1.241.959	2.068	0	0	0	2,50	0,1005
00659	1.654	NS	766.319	1.241.959	519	0	0	0	2,50	0,1005
00660	1.869	NS	766.319	1.241.959	1.144	0	0	0	2,50	0,1005
00661	4.312	NS	766.319	1.241.959	2.074	0	0	0	2,50	0,1005
00662	5.263	NS	766.319	1.241.959	1.969	0	0	0	2,50	0,1005
00663	19.044	40,24	766.319	1.241.959	17.503	0	0	0	2,50	0,1005
01254	10.408	73,62	766.319	1.216.426	3.615	0	0	0	2,50	0,1005
01255	5.012	NS	766.319	2.740.306	10.262	0	0	0	2,50	0,2346
01256	270	NS	766.319	3.420.002	49	0	0	0	2,50	0,2346
01257	13.929	55,02	766.319	1.241.959	15.960	0	0	0	2,50	0,1005
01258	10.294	74,44	766.319	1.241.959	5.666	0	0	0	2,50	0,1005
01259	8.149	94,03	766.319	1.241.959	3.605	0	0	0	2,50	0,1005
01260	3.456	NS	766.319	1.241.959	2.636	0	0	0	2,50	0,1005
01261	1.275	NS	766.319	842.242	1.799	0	0	0	2,50	0,1005
01262	11.056	69,31	766.319	1.241.959	6.224	0	0	0	2,50	0,1005
01263	9.658	79,34	766.319	1.161.839	4.461	0	0	0	2,50	0,1005
01264	4.282	NS	766.319	849.285	6.472	0	0	0	2,50	0,1005
Piano terra			**ParetеP12-37-47**				**Parete 37-47**			

Id_{Nd}	$V_{Ed,2}$	CS	V_{Rcd}	$V_{Rsd,s}$	N_{Ed}	$V_{Rsd,p}$	V_{R1}	V_{fd}	CtgΘ	A_{sw}
	[N]		[N]	[N]	[N]	[N]	[N]	[N]		[cm²/cm]
00199	14.383	53,28	766.319	1.509.167	2.035	0	0	0	2,50	0,1810
00200	11.149	6,76	766.319	75.383	2.723	0	0	0	2,50	0,1005
00207	28.076	27,29	766.319	2.335.306	1.747	0	0	0	2,50	0,2346
00208	18.093	32,92	766.319	595.567	15.014	0	0	0	2,50	0,2346
00649	14.461	52,99	766.319	1.230.513	4.229	0	0	0	2,50	0,1005
00650	15.114	50,70	766.319	1.241.959	4.453	0	0	0	2,50	0,1005
00651	16.325	46,94	766.319	1.184.731	9.148	0	0	0	2,50	0,1005
00652	17.945	42,70	766.319	1.126.622	7.776	0	0	0	2,50	0,1005
00653	15.994	47,91	766.319	877.459	12.405	0	0	0	2,50	0,1005
00654	18.825	40,71	766.319	1.796.997	9.491	0	0	0	2,50	0,1005
00712	12.632	60,66	766.319	1.241.959	651	0	0	0	2,50	0,1005
00713	13.468	56,90	766.319	1.241.959	2.573	0	0	0	2,50	0,1005
00714	14.307	53,59	766.643	993.676	2.087	0	0	0	2,50	0,1005
00715	19.222	39,87	766.319	926.763	2.834	0	0	0	2,50	0,1005
00716	18.603	31,17	766.319	579.872	4.590	0	0	0	2,50	0,1005
00717	25.111	30,52	766.319	1.772.345	9.176	0	0	0	2,50	0,1005
00844	29.312	26,14	766.319	2.688.361	10.912	0	0	0	2,50	0,2346
00845	33.702	22,74	766.319	1.968.165	7.775	0	0	0	2,50	0,2346
00886	15.857	48,33	766.319	1.241.959	2.701	0	0	0	2,50	0,1005
00887	14.761	51,91	766.319	1.130.144	489	0	0	0	2,50	0,1005
01443	13.573	56,46	766.319	1.221.709	1.512	0	0	0	2,50	0,1005
01444	29.330	26,13	766.319	2.245.502	5.662	0	0	0	2,50	0,2346
01445	22.969	33,36	766.319	2.928.719	12.405	0	0	0	2,50	0,2346
01446	14.921	51,36	766.319	1.241.959	2.564	0	0	0	2,50	0,1005
01447	16.228	47,22	766.319	1.241.959	1.567	0	0	0	2,50	0,1005
01448	19.416	39,47	766.319	1.209.383	4.297	0	0	0	2,50	0,1005
01449	24.481	31,30	766.319	928.524	5.733	0	0	0	2,50	0,1005
01450	28.197	27,18	766.319	2.816.024	9.360	0	0	0	2,50	0,2346
Piano terra			**ParetеP13-43**				**Parete P13-43**			
00070	5.478	NS	766.319	637.871	1.286	0	0	0	2,50	0,0804
00118	791	NS	767.718	565.894	9.017	0	0	0	2,50	0,1608
00214	21.307	35,97	766.319	887.915	5.856	0	0	0	2,50	0,0804
00216	16.143	47,47	766.319	887.915	7.890	0	0	0	2,50	0,0804
00288	54.880	13,96	766.319	813.289	246.014	0	0	0	2,50	0,2815
00289	7.546	NS	766.319	938.311	114.614	0	0	0	2,50	0,2815
00325	8.703	88,05	766.319	887.915	39.698	0	0	0	2,50	0,0804
00748	5.184	NS	766.319	874.708	5.110	0	0	0	2,50	0,0804
00749	3.647	NS	766.319	823.643	5.980	0	0	0	2,50	0,0804
00750	1.470	NS	766.319	747.926	5.883	0	0	0	2,50	0,0804
00751	1.548	NS	766.319	682.774	6.712	0	0	0	2,50	0,0804
00752	4.531	NS	766.319	673.089	14.543	0	0	0	2,50	0,0804
00753	1.225	NS	766.319	576.241	11.716	0	0	0	2,50	0,0804
00854	7.829	97,88	766.319	813.078	93.165	0	0	0	2,50	0,0804
00855	1.055	NS	766.430	887.915	718	0	0	0	2,50	0,0804
00856	1.431	NS	766.674	887.915	2.287	0	0	0	2,50	0,0804
01053	10.813	70,87	766.319	887.915	4.825	0	0	0	2,50	0,0804
01054	13.563	56,50	766.319	887.915	15.899	0	0	0	2,50	0,0804
01055	21.842	34,00	766.319	742.643	56.954	0	0	0	2,50	0,0804
01056	10.659	71,90	766.319	887.915	76.425	0	0	0	2,50	0,0804
01081	3.942	NS	769.391	852.698	19.796	0	0	0	2,50	0,0804
01082	6.133	NS	767.334	887.915	6.540	0	0	0	2,50	0,0804
01083	7.810	98,23	767.152	887.915	5.369	0	0	0	2,50	0,0804
01084	5.896	NS	766.319	887.915	295	0	0	0	2,50	0,0804
01085	11.850	64,67	766.319	887.915	5.924	0	0	0	2,50	0,0804
01086	79.207	9,67	766.319	2.253.135	81.831	0	0	0	2,50	0,0804
01617	11.701	65,49	766.319	887.915	1.358	0	0	0	2,50	0,0804
01618	1.680	NS	766.319	848.295	2.145	0	0	0	2,50	0,0804
01619	6.901	NS	766.319	4.274.278	45.568	0	0	0	2,50	0,2815
01620	38.099	20,11	766.319	3.895.691	104.726	0	0	0	2,50	0,2815
01621	12.289	62,36	766.319	887.915	32.511	0	0	0	2,50	0,0804
01622	12.426	61,67	766.319	887.915	4.645	0	0	0	2,50	0,0804
01623	6.745	NS	766.319	887.915	1.013	0	0	0	2,50	0,0804
01624	5.508	NS	766.319	887.915	12.469	0	0	0	2,50	0,0804
01625	2.917	NS	766.319	887.915	7.159	0	0	0	2,50	0,0804
01626	5.751	NS	766.319	887.915	5.872	0	0	0	2,50	0,0804
01627	3.174	NS	766.319	887.915	5.880	0	0	0	2,50	0,0804
Piano terra			**Parete25-26**				**Parete 25-26**			
00028	53.838	11,73	766.319	631.265	224.731	0	0	0	2,50	0,1608
00036	42.035	7,44	766.319	312.602	193.542	0	0	0	2,50	0,1810
00089	26.312	29,02	773.976	763.657	49.347	0	0	0	2,50	0,2815
00102	16.917	14,94	788.970	252.732	145.972	0	0	0	2,50	0,1810
00514	86.694	8,84	766.319	887.915	67.492	0	0	0	2,50	0,0804
00515	17.984	42,61	766.319	887.915	22.139	0	0	0	2,50	0,0804
00516	8.588	89,23	766.319	887.915	4.017	0	0	0	2,50	0,0804
00517	7.285	NS	766.591	887.915	1.751	0	0	0	2,50	0,0804
00518	14.801	51,91	768.312	887.915	12.842	0	0	0	2,50	0,0804
00519	47.288	16,33	772.250	2.508.461	38.222	0	0	0	2,50	0,2815
00564	96.760	7,92	766.319	887.915	69.475	0	0	0	2,50	0,0804
00565	22.948	33,39	766.319	887.915	18.044	0	0	0	2,50	0,0804
00566	15.341	49,95	766.319	887.915	2.181	0	0	0	2,50	0,0804
00567	15.726	48,81	767.547	887.915	7.914	0	0	0	2,50	0,0804

Id_{Nd}	$V_{Ed,2}$	CS	V_{Rcd}	$V_{Rsd,s}$	N_{Ed}	$V_{Rsd,p}$	V_{R1}	V_{fd}	CtgΘ	A_{sw}
	[N]		[N]	[N]	[N]	[N]	[N]	[N]		[cm²/cm]
00568	26.738	28,81	770.297	887.915	25.637	0	0	0	2,50	0,0804
00569	97.677	7,97	778.553	887.915	78.844	0	0	0	2,50	0,0804
00616	47.643	16,08	766.319	887.915	21.511	0	0	0	2,50	0,0804
00617	22.895	33,57	768.578	887.915	14.556	0	0	0	2,50	0,0804
00618	4.361	NS	766.319	887.915	17.527	0	0	0	2,50	0,0804
00619	12.225	62,73	766.942	887.915	4.018	0	0	0	2,50	0,0804
00620	36.653	20,91	766.319	887.915	50.384	0	0	0	2,50	0,0804
00621	44.894	17,07	766.319	887.915	13.942	0	0	0	2,50	0,0804
00622	21.336	35,93	766.654	887.915	2.158	0	0	0	2,50	0,0804
00623	5.704	NS	770.264	887.915	25.425	0	0	0	2,50	0,0804
00624	1.098	NS	767.547	887.915	7.911	0	0	0	2,50	0,0804
00625	1.314	NS	766.319	887.915	5.258	0	0	0	2,50	0,0804
01228	42.781	17,91	766.319	1.596.003	113.670	0	0	0	2,50	0,1608
01229	38.714	20,05	776.154	2.481.113	63.382	0	0	0	2,50	0,1810
01230	27.082	28,45	770.448	2.543.678	26.607	0	0	0	2,50	0,2815
01231	30.174	25,40	766.319	2.454.700	95.744	0	0	0	2,50	0,1810
01232	11.291	67,87	766.319	887.915	26.070	0	0	0	2,50	0,0804
01233	9.876	77,60	766.319	887.915	9.899	0	0	0	2,50	0,0804
01234	8.777	87,42	767.328	887.915	6.500	0	0	0	2,50	0,0804
01235	18.319	42,04	770.058	887.915	24.097	0	0	0	2,50	0,0804
01236	8.789	87,19	766.319	887.915	25.374	0	0	0	2,50	0,0804
01237	9.056	84,62	766.319	887.915	579	0	0	0	2,50	0,0804
01238	5.401	NS	770.117	887.915	24.473	0	0	0	2,50	0,0804
01239	25.733	29,78	766.319	887.915	31.860	0	0	0	2,50	0,0804
01240	24.001	31,93	766.319	887.915	8.091	0	0	0	2,50	0,0804
01241	23.028	33,34	767.838	887.915	9.791	0	0	0	2,50	0,0804
01242	30.086	25,68	772.526	887.915	40.001	0	0	0	2,50	0,0804
Piano interrato			**Parete1-2**				**Parete 1-2**			
00001	33.142	23,40	775.667	915.427	60.245	0	0	0	2,50	0,1608
00002	15.698	48,92	767.954	971.993	10.535	0	0	0	2,50	0,1608
00003	66.151	11,99	793.030	1.467.678	172.140	0	0	0	2,50	0,1608
00004	55.208	8,46	777.376	467.285	71.255	0	0	0	2,50	0,1608
00588	5.578	NS	767.325	887.915	6.485	0	0	0	2,50	0,0804
00589	1.386	NS	767.756	887.915	9.262	0	0	0	2,50	0,0804
00590	2.979	NS	768.623	887.915	14.846	0	0	0	2,50	0,0804
00591	1.283	NS	767.629	887.915	8.445	0	0	0	2,50	0,0804
00592	5.270	NS	770.174	887.915	24.846	0	0	0	2,50	0,0804
00593	6.478	NS	767.473	887.915	7.439	0	0	0	2,50	0,0804
01104	17.802	43,37	772.013	887.915	36.692	0	0	0	2,50	0,0804
01105	9.781	78,75	770.221	887.915	25.145	0	0	0	2,50	0,0804
01106	6.768	NS	771.191	887.915	31.395	0	0	0	2,50	0,0804
01107	11.022	69,92	770.614	887.915	27.681	0	0	0	2,50	0,0804
01108	1.614	NS	774.391	887.915	52.021	0	0	0	2,50	0,0804
01109	6.418	NS	777.289	887.915	70.697	0	0	0	2,50	0,0804
01110	77.392	9,97	771.437	887.915	32.981	0	0	0	2,50	0,0804
01111	1.635	NS	767.577	887.915	8.105	0	0	0	2,50	0,0804
01112	8.974	85,54	767.691	887.915	8.840	0	0	0	2,50	0,0804
01113	66.319	11,63	771.211	887.915	31.523	0	0	0	2,50	0,0804
01114	11.849	64,70	766.693	887.915	2.409	0	0	0	2,50	0,0804
01115	2.144	NS	766.966	887.915	4.173	0	0	0	2,50	0,0804
01116	14.267	53,79	767.473	887.915	7.437	0	0	0	2,50	0,0804
01117	39.881	19,29	769.360	887.915	19.598	0	0	0	2,50	0,0804
01646	28.343	27,46	778.176	852.698	76.415	0	0	0	2,50	0,0804
01647	30.848	25,03	772.173	887.915	37.727	0	0	0	2,50	0,0804
01648	8.119	94,59	768.041	887.915	11.097	0	0	0	2,50	0,0804
01649	28.344	27,24	771.976	887.915	36.454	0	0	0	2,50	0,0804
01650	23.629	32,63	771.010	887.915	30.231	0	0	0	2,50	0,0804
01651	5.884	NS	767.941	887.915	10.453	0	0	0	2,50	0,0804
01652	10.076	76,50	770.795	887.915	28.846	0	0	0	2,50	0,0804
01653	11.259	68,60	772.376	887.915	39.037	0	0	0	2,50	0,0804
01654	2.231	NS	769.753	887.915	22.130	0	0	0	2,50	0,0804
01655	5.518	NS	772.273	887.915	38.371	0	0	0	2,50	0,0804
Piano interrato			**ParetеP1-3**				**Parete P1-3**			
00005	44.507	12,85	785.073	571.839	120.860	0	0	0	2,50	0,0804
00006	18.000	40,21	770.468	723.710	26.738	0	0	0	2,50	0,1608
00233	25.061	30,95	776.571	775.656	66.071	0	0	0	2,50	0,1608
00234	56.314	13,61	766.319	842.569	162.484	0	0	0	2,50	0,1608
00576	1.189	NS	768.599	887.915	14.694	0	0	0	2,50	0,0804
00577	14.124	54,43	768.767	887.915	15.776	0	0	0	2,50	0,0804
00578	2.050	NS	768.138	887.915	11.722	0	0	0	2,50	0,0804
01093	19.698	27,20	766.319	535.741	58.214	0	0	0	2,50	0,0804
01094	12.270	62,73	769.683	887.915	21.682	0	0	0	2,50	0,0804
01095	2.797	NS	774.456	887.915	52.441	0	0	0	2,50	0,0804
01096	55.990	13,78	771.432	887.915	32.953	0	0	0	2,50	0,0804
01097	1.468	NS	767.098	887.915	5.019	0	0	0	2,50	0,0804
01098	10.127	75,82	767.793	887.915	9.500	0	0	0	2,50	0,0804
01099	19.753	38,91	768.488	887.915	13.979	0	0	0	2,50	0,0804
01100	41.956	18,33	769.222	887.915	18.710	0	0	0	2,50	0,0804
01101	2.685	NS	766.319	887.915	20.278	0	0	0	2,50	0,0804
01102	11.988	63,92	766.319	887.915	17.886	0	0	0	2,50	0,0804
01103	45.062	17,01	766.319	817.480	39.344	0	0	0	2,50	0,0804

Id_{Nd}	$V_{Ed,2}$	CS	V_{Rcd}	$V_{Rsd,s}$	N_{Ed}	$V_{Rsd,p}$	V_{R1}	V_{fd}	CtgΘ	A_{sw}
	[N]		[N]	[N]	[N]	[N]	[N]	[N]		[cm²/cm]
01639	19.247	40,24	774.494	887.915	52.683	0	0	0	2,50	0,0804
01640	3.077	NS	767.781	887.915	9.422	0	0	0	2,50	0,0804
01641	27.159	28,46	772.867	887.915	42.196	0	0	0	2,50	0,0804
01642	26.568	28,84	766.319	1.767.026	81.545	0	0	0	2,50	0,1608
01643	8.131	94,24	766.319	887.915	8.280	0	0	0	2,50	0,0804
01644	31.509	24,38	768.164	887.915	11.893	0	0	0	2,50	0,0804
01645	11.534	66,69	769.160	887.915	18.310	0	0	0	2,50	0,0804
Piano interrato			**Parete13-P4**				**Parete 13-P4**			
00037	14.433	54,57	787.542	887.915	136.770	0	0	0	2,50	0,0804
00038	61.340	3,15	768.079	193.252	11.345	0	0	0	2,50	0,0804
00269	8.744	89,62	783.656	1.281.026	111.727	0	0	0	2,50	0,1608
00270	7.132	55,36	768.414	394.871	13.501	0	0	0	2,50	0,0804
01009	7.649	NS	770.978	887.915	30.024	0	0	0	2,50	0,0804
01010	20.920	36,67	767.193	887.915	5.631	0	0	0	2,50	0,0804
01011	5.759	NS	766.319	887.915	7.158	0	0	0	2,50	0,0804
01012	26.693	28,86	770.382	887.915	26.187	0	0	0	2,50	0,0804
01029	20.144	38,75	780.544	887.915	91.675	0	0	0	2,50	0,0804
01030	23.266	33,11	770.345	887.915	25.943	0	0	0	2,50	0,0804
01031	5.455	NS	768.397	887.915	13.389	0	0	0	2,50	0,0804
01032	3.768	NS	766.688	887.915	2.381	0	0	0	2,50	0,0804
01033	18.971	40,61	770.484	887.915	26.841	0	0	0	2,50	0,0804
01034	68.005	11,45	778.710	887.915	79.851	0	0	0	2,50	0,0804
01035	55.112	13,90	766.319	887.915	36.724	0	0	0	2,50	0,0804
01036	57.807	13,26	766.486	887.915	1.075	0	0	0	2,50	0,0804
01571	14.747	52,09	768.118	887.915	11.592	0	0	0	2,50	0,0804
01572	14.686	52,60	772.453	887.915	39.533	0	0	0	2,50	0,0804
01573	40.061	19,22	769.976	887.915	23.567	0	0	0	2,50	0,0804
01574	4.280	NS	778.996	887.915	81.695	0	0	0	2,50	0,0804
01575	12.046	63,89	769.620	887.915	21.274	0	0	0	2,50	0,0804
01576	5.152	NS	769.167	887.915	18.356	0	0	0	2,50	0,0804
Piano interrato			**ParoteP5-16-P6**				**Parete P5-16**			
00071	7.829	98,91	774.362	1.241.959	51.834	0	0	0	2,50	0,1005
00072	1.152	NS	767.164	264.676	5.446	0	0	0	2,50	0,1005
00263	13.489	17,47	772.470	235.622	39.639	0	0	0	2,50	0,1005
00264	9.306	82,35	766.319	1.073.352	32.386	0	0	0	2,50	0,1810
00730	17.043	44,96	766.319	1.241.959	18.693	0	0	0	2,50	0,1005
00731	2.622	NS	766.319	1.241.959	5.688	0	0	0	2,50	0,1005
00949	18.576	41,25	766.319	784.133	2.422	0	0	0	2,50	0,1005
00950	17.366	44,53	773.236	1.241.959	44.574	0	0	0	2,50	0,1005
00951	13.308	58,02	772.097	1.241.959	37.234	0	0	0	2,50	0,1005
00952	5.240	NS	770.379	1.241.959	26.163	0	0	0	2,50	0,1005
00953	3.429	NS	769.386	1.241.959	19.763	0	0	0	2,50	0,1005
00954	2.800	NS	768.063	1.040.339	11.236	0	0	0	2,50	0,1005
00955	50.285	15,35	772.102	1.241.959	37.270	0	0	0	2,50	0,1005
00956	12.224	62,74	766.914	1.241.959	3.834	0	0	0	2,50	0,1005
00957	1.538	NS	766.740	1.241.959	2.712	0	0	0	2,50	0,1005
00958	13.010	58,90	766.319	1.197.937	1.171	0	0	0	2,50	0,1005
01517	11.284	68,34	771.200	1.241.959	31.457	0	0	0	2,50	0,1005
01518	4.914	NS	767.434	1.241.959	7.184	0	0	0	2,50	0,1005
01519	13.548	56,81	769.607	1.241.959	21.192	0	0	0	2,50	0,1005
01520	3.453	NS	766.319	801.742	3.746	0	0	0	2,50	0,1005
01521	9.225	83,32	768.575	1.241.959	14.536	0	0	0	2,50	0,1005
01522	9.688	79,29	768.152	1.241.959	11.813	0	0	0	2,50	0,1005
Piano interrato			**ParoteP5-16-P6**				**Parete 16-P6**			
00071	5.116	NS	772.751	1.057.068	41.453	0	0	0	2,50	0,1005
00072	2.526	NS	766.685	881.861	2.357	0	0	0	2,50	0,1005
00251	8.632	88,86	767.087	1.241.959	4.947	0	0	0	2,50	0,1005
00252	30.640	25,14	770.418	1.192.655	26.417	0	0	0	2,50	0,1005
00272	41.665	18,39	766.319	1.121.187	104.411	0	0	0	2,50	0,2346
00273	13.748	55,95	769.156	1.102.406	18.285	0	0	0	2,50	0,1810
00792	6.703	74,96	767.155	502.394	5.389	0	0	0	2,50	0,1005
00793	7.092	NS	766.952	900.350	4.081	0	0	0	2,50	0,1005
00794	10.885	70,52	767.610	1.188.252	8.317	0	0	0	2,50	0,1005
00795	4.888	NS	767.107	1.241.959	5.079	0	0	0	2,50	0,1005
00951	8.107	95,27	772.377	1.232.274	39.038	0	0	0	2,50	0,1005
00952	2.054	NS	770.880	1.241.959	29.396	0	0	0	2,50	0,1005
00953	1.328	NS	768.997	1.214.665	17.262	0	0	0	2,50	0,1005
00954	1.779	NS	768.289	1.045.622	12.694	0	0	0	2,50	0,1005
00991	3.203	NS	771.647	1.241.959	34.335	0	0	0	2,50	0,1005
00992	9.960	77,43	771.164	1.241.959	31.223	0	0	0	2,50	0,1005
00993	9.887	77,89	770.104	1.241.959	24.394	0	0	0	2,50	0,1005
00994	22.120	34,64	766.319	2.757.035	33.923	0	0	0	2,50	0,2346
00995	43.488	17,62	766.319	3.320.513	9.399	0	0	0	2,50	0,2346
00996	2.366	NS	767.078	1.241.959	4.894	0	0	0	2,50	0,1005
00997	2.173	NS	766.722	1.241.959	2.599	0	0	0	2,50	0,1005
00998	13.305	57,67	767.293	1.171.524	6.277	0	0	0	2,50	0,1005
01541	11.076	69,19	766.319	2.701.567	49.824	0	0	0	2,50	0,2346
01542	4.260	NS	767.967	1.238.437	10.619	0	0	0	2,50	0,1005
01543	964	NS	767.602	599.242	8.269	0	0	0	2,50	0,1005
01544	2.052	NS	772.027	1.241.959	36.783	0	0	0	2,50	0,1005
01545	7.744	99,65	771.753	1.241.959	35.018	0	0	0	2,50	0,1005

Id_{Nd}	$V_{Ed,2}$	CS	V_{Rcd}	$V_{Rsd,s}$	N_{Ed}	$V_{Rsd,p}$	V_{R1}	V_{fd}	CtgΘ	A_{sw}
	[N]		[N]	[N]	[N]	[N]	[N]	[N]		[cm²/cm]
01546	6.285	NS	768.519	1.095.807	14.175	0	0	0	2,50	0,1005
01547	20.548	37,41	768.640	1.241.959	14.958	0	0	0	2,50	0,1005
01548	21.627	35,48	767.407	1.039.459	7.014	0	0	0	2,50	0,1005
01549	8.208	93,48	767.292	1.241.959	6.273	0	0	0	2,50	0,1005
Piano interrato			**ParetеP7-20**				**Parete P7-20**			
00017	13.692	41,35	774.274	566.222	51.265	0	0	0	2,50	0,1810
00196	13.942	54,96	766.319	1.123.482	940	0	0	0	2,50	0,1810
00257	9.999	76,71	767.009	1.064.937	4.444	0	0	0	2,50	0,1005
00258	23.119	33,35	771.141	814.893	31.075	0	0	0	2,50	0,1005
00275	33.225	23,06	766.319	820.023	113.102	0	0	0	2,50	0,2346
00276	16.066	28,28	768.562	454.352	14.453	0	0	0	2,50	0,1810
00682	4.878	NS	767.047	1.064.937	4.692	0	0	0	2,50	0,1005
00683	5.960	NS	766.885	1.064.937	3.646	0	0	0	2,50	0,1005
00684	11.346	67,60	766.918	1.064.937	3.862	0	0	0	2,50	0,1005
00685	13.657	56,19	767.407	1.064.937	7.012	0	0	0	2,50	0,1005
00686	15.235	50,33	766.755	1.064.937	2.812	0	0	0	2,50	0,1005
00687	17.598	43,57	766.818	1.064.937	3.214	0	0	0	2,50	0,1005
00921	14.197	53,98	766.319	2.596.741	20.224	0	0	0	2,50	0,2346
00922	9.366	52,22	766.319	489.133	9.039	0	0	0	2,50	0,1005
00923	5.645	NS	770.262	1.051.730	25.413	0	0	0	2,50	0,1005
00924	6.266	NS	770.604	1.064.937	27.616	0	0	0	2,50	0,1005
00925	573	NS	770.996	1.064.937	30.143	0	0	0	2,50	0,1005
00926	3.788	NS	771.536	728.611	33.622	0	0	0	2,50	0,1005
00927	16.751	45,96	769.839	1.029.720	22.687	0	0	0	2,50	0,1005
00928	974	NS	767.307	1.064.937	6.367	0	0	0	2,50	0,1005
00929	9.343	82,02	766.319	1.064.937	2.916	0	0	0	2,50	0,1005
00930	9.437	81,21	766.319	1.064.937	907	0	0	0	2,50	0,1005
00931	6.094	NS	768.554	1.064.937	14.401	0	0	0	2,50	0,1005
00932	3.693	NS	767.932	1.064.937	10.394	0	0	0	2,50	0,1005
00933	1.849	NS	766.705	1.057.893	2.485	0	0	0	2,50	0,1005
00934	24.750	30,96	766.319	2.844.143	14.578	0	0	0	2,50	0,2346
01499	9.104	84,75	771.567	2.156.287	33.819	0	0	0	2,50	0,1810
01500	15.727	48,76	766.914	1.773.025	3.836	0	0	0	2,50	0,1005
01501	4.280	NS	767.527	1.064.937	7.786	0	0	0	2,50	0,1005
01502	4.984	NS	766.319	2.535.991	38.757	0	0	0	2,50	0,2346
01503	19.588	39,19	767.559	922.307	7.993	0	0	0	2,50	0,1005
01504	7.270	NS	767.297	1.056.133	6.304	0	0	0	2,50	0,1005
01505	17.534	43,86	768.968	1.064.937	17.071	0	0	0	2,50	0,1005
01506	1.255	NS	770.689	1.064.937	28.165	0	0	0	2,50	0,1005
01507	13.167	58,28	767.331	1.064.937	6.523	0	0	0	2,50	0,1005
Piano interrato			**Parete22-P8**				**Parete 22-P8**			
00065	2.833	NS	775.248	887.915	57.546	0	0	0	2,50	0,0804
00066	21.757	22,76	768.516	495.241	14.161	0	0	0	2,50	0,0804
00245	7.856	98,20	771.481	898.036	33.263	0	0	0	2,50	0,1608
00246	44.253	14,66	766.319	648.873	131.365	0	0	0	2,50	0,1608
00762	17.602	43,55	766.599	887.915	1.804	0	0	0	2,50	0,0804
00763	8.518	89,96	766.319	887.915	11.278	0	0	0	2,50	0,0804
00764	22.039	34,77	766.319	887.915	14.180	0	0	0	2,50	0,0804
00969	17.637	43,75	771.635	887.915	34.259	0	0	0	2,50	0,0804
00970	19.239	39,94	768.361	887.915	13.163	0	0	0	2,50	0,0804
00971	17.429	22,66	766.319	394.871	40.487	0	0	0	2,50	0,0804
00972	58.398	13,12	766.319	2.092.786	21.895	0	0	0	2,50	0,1608
00973	6.831	NS	766.319	887.915	4.883	0	0	0	2,50	0,0804
00974	5.993	NS	766.319	887.915	2.579	0	0	0	2,50	0,0804
00975	43.075	17,92	771.996	887.915	36.588	0	0	0	2,50	0,0804
00976	18.849	40,90	770.823	887.915	29.025	0	0	0	2,50	0,0804
00977	13.115	58,47	766.819	887.915	3.220	0	0	0	2,50	0,0804
00978	9.725	78,88	767.133	887.915	5.245	0	0	0	2,50	0,0804
00979	1.289	NS	770.417	887.915	26.412	0	0	0	2,50	0,0804
01529	5.746	NS	766.319	1.951.917	48.259	0	0	0	2,50	0,1608
01530	8.314	92,40	768.213	887.915	12.203	0	0	0	2,50	0,0804
01531	10.552	72,84	768.613	887.915	14.783	0	0	0	2,50	0,0804
01532	13.723	56,17	770.871	887.915	29.332	0	0	0	2,50	0,0804
01533	14.721	52,06	766.319	887.915	3.989	0	0	0	2,50	0,0804
01534	1.373	NS	767.788	887.915	9.465	0	0	0	2,50	0,0804
Piano interrato			**Parete38-P14**				**Parete 38-P14**			
00061	26.782	29,24	783.209	883.513	108.846	0	0	0	2,50	0,0804
00062	42.706	14,67	769.269	626.644	19.011	0	0	0	2,50	0,0804
00242	9.463	81,57	771.919	1.163.047	36.090	0	0	0	2,50	0,1608
00243	10.195	40,46	769.247	412.480	18.873	0	0	0	2,50	0,0804
00774	29.045	26,42	767.307	887.915	6.365	0	0	0	2,50	0,0804
00775	13.068	58,64	766.319	887.915	7.498	0	0	0	2,50	0,0804
00776	19.989	38,34	766.319	887.915	14.919	0	0	0	2,50	0,0804
00980	9.753	79,46	775.013	887.915	56.030	0	0	0	2,50	0,0804
00981	15.803	48,90	772.695	887.915	41.087	0	0	0	2,50	0,0804
00982	17.291	44,53	770.030	887.915	23.915	0	0	0	2,50	0,0804
00983	10.765	71,40	768.601	887.915	14.710	0	0	0	2,50	0,0804
00984	6.437	NS	766.839	887.915	3.353	0	0	0	2,50	0,0804
00985	8.531	89,82	766.319	887.915	746	0	0	0	2,50	0,0804
00986	45.675	16,92	772.762	887.915	41.519	0	0	0	2,50	0,0804
00987	36.674	21,01	770.572	887.915	27.410	0	0	0	2,50	0,0804

Id_{Nd}	$V_{Ed,2}$	CS	V_{Rcd}	$V_{Rsd,s}$	N_{Ed}	$V_{Rsd,p}$	V_{R1}	V_{fd}	CtgΘ	A_{sw}
	[N]		[N]	[N]	[N]	[N]	[N]	[N]		[cm²/cm]
00988	23.650	32,43	766.924	887.915	3.898	0	0	0	2,50	0,0804
00989	6.949	NS	767.526	887.915	7.781	0	0	0	2,50	0,0804
00990	30.883	24,90	769.017	887.915	17.389	0	0	0	2,50	0,0804
01535	12.861	59,72	767.974	887.915	10.666	0	0	0	2,50	0,0804
01536	8.000	96,08	768.599	887.915	14.693	0	0	0	2,50	0,0804
01537	26.824	28,68	769.370	887.915	19.665	0	0	0	2,50	0,0804
01538	4.649	NS	773.682	887.915	47.449	0	0	0	2,50	0,0804
01539	19.140	40,22	769.813	887.915	22.517	0	0	0	2,50	0,0804
01540	7.227	NS	768.337	887.915	13.008	0	0	0	2,50	0,0804
Piano interrato			**Parete40-P15**				**Parete 40-P15**			
00009	36.327	21,73	789.288	887.915	148.024	0	0	0	2,50	0,0804
00010	83.148	1,76	777.890	146.589	74.566	0	0	0	2,50	0,0804
00266	22.181	35,16	779.797	1.198.265	86.856	0	0	0	2,50	0,1608
00267	40.363	13,71	783.192	553.350	108.735	0	0	0	2,50	0,0804
00911	31.804	24,10	766.319	887.915	12.091	0	0	0	2,50	0,0804
00912	26.581	28,83	766.319	887.915	25.952	0	0	0	2,50	0,0804
01019	17.634	44,34	781.909	887.915	100.468	0	0	0	2,50	0,0804
01020	31.374	24,84	779.262	887.915	83.409	0	0	0	2,50	0,0804
01021	40.181	19,20	771.578	887.915	33.893	0	0	0	2,50	0,0804
01022	6.972	NS	767.101	887.915	5.041	0	0	0	2,50	0,0804
01023	3.493	NS	766.503	887.915	1.186	0	0	0	2,50	0,0804
01024	55.369	14,00	774.942	887.915	55.573	0	0	0	2,50	0,0804
01025	75.695	10,28	778.087	887.915	75.841	0	0	0	2,50	0,0804
01026	47.275	16,35	772.978	887.915	42.911	0	0	0	2,50	0,0804
01027	19.066	40,24	767.231	887.915	5.875	0	0	0	2,50	0,0804
01028	10.498	73,41	770.657	887.915	27.956	0	0	0	2,50	0,0804
01565	43.668	17,75	775.086	887.915	56.499	0	0	0	2,50	0,0804
01566	18.641	41,44	772.429	887.915	39.376	0	0	0	2,50	0,0804
01567	59.141	13,07	772.895	887.915	42.382	0	0	0	2,50	0,0804
01568	4.763	NS	777.669	887.915	73.146	0	0	0	2,50	0,0804
01569	35.900	21,47	770.833	887.915	29.090	0	0	0	2,50	0,0804
01570	17.020	45,30	770.953	887.915	29.866	0	0	0	2,50	0,0804
Piano interrato			**ParetеP16-43-P17**				**Parete P16-43**			
00069	7.904	97,96	774.232	1.241.959	50.994	0	0	0	2,50	0,1005
00070	5.122	75,56	767.259	387.057	6.060	0	0	0	2,50	0,1005
00260	11.916	16,15	772.442	192.481	39.458	0	0	0	2,50	0,1005
00261	5.003	NS	766.680	1.231.830	2.326	0	0	0	2,50	0,1810
00746	18.168	42,18	766.319	1.241.959	14.012	0	0	0	2,50	0,1005
00747	7.682	99,75	766.319	1.241.959	1.699	0	0	0	2,50	0,1005
00959	19.033	40,32	767.310	819.350	6.387	0	0	0	2,50	0,1005
00960	18.740	41,25	773.064	1.241.959	43.470	0	0	0	2,50	0,1005
00961	14.950	51,63	771.950	1.202.339	36.287	0	0	0	2,50	0,1005
00962	9.417	81,84	770.694	1.241.959	28.196	0	0	0	2,50	0,1005
00963	2.132	NS	769.367	1.241.959	19.640	0	0	0	2,50	0,1005
00964	2.050	NS	768.098	999.839	11.468	0	0	0	2,50	0,1005
00965	45.063	17,12	771.275	1.241.959	31.936	0	0	0	2,50	0,1005
00966	9.543	80,37	766.890	1.241.959	3.679	0	0	0	2,50	0,1005
00967	2.954	NS	766.974	1.241.959	4.219	0	0	0	2,50	0,1005
00968	4.401	NS	767.490	1.189.133	7.546	0	0	0	2,50	0,1005
01523	14.447	53,39	771.364	1.241.959	32.510	0	0	0	2,50	0,1005
01524	1.445	NS	767.656	1.241.959	8.613	0	0	0	2,50	0,1005
01525	11.209	68,65	769.512	1.241.959	20.577	0	0	0	2,50	0,1005
01526	8.472	90,54	767.078	854.568	4.889	0	0	0	2,50	0,1005
01527	14.758	52,10	768.832	1.241.959	16.197	0	0	0	2,50	0,1005
01528	4.190	NS	768.140	1.241.959	11.738	0	0	0	2,50	0,1005
Piano interrato			**ParetеP16-43-P17**				**Parete 43-P17**			
00069	4.777	NS	771.966	1.072.035	36.395	0	0	0	2,50	0,1005
00070	4.692	NS	767.347	593.959	6.625	0	0	0	2,50	0,1005
00248	1.785	NS	766.934	1.217.307	3.962	0	0	0	2,50	0,1005
00249	25.052	30,71	769.375	1.015.687	19.692	0	0	0	2,50	0,1005
00281	53.573	14,30	766.319	1.531.833	129.930	0	0	0	2,50	0,3016
00282	15.196	50,61	769.054	1.079.515	17.628	0	0	0	2,50	0,1810
00807	4.215	NS	767.468	1.569.037	7.405	0	0	0	2,50	0,1810
00808	4.019	NS	767.010	746.274	4.452	0	0	0	2,50	0,1005
00809	2.077	NS	767.591	1.066.752	8.196	0	0	0	2,50	0,1005
00810	1.668	NS	766.983	1.241.959	4.277	0	0	0	2,50	0,1005
00961	8.766	88,11	772.332	1.203.220	38.748	0	0	0	2,50	0,1005
00962	5.861	NS	770.840	1.241.959	29.135	0	0	0	2,50	0,1005
00963	4.557	NS	769.425	1.212.024	20.014	0	0	0	2,50	0,1005
00964	5.843	NS	768.549	814.068	14.373	0	0	0	2,50	0,1005
00999	2.055	NS	771.092	1.241.959	30.761	0	0	0	2,50	0,1005
01000	7.053	NS	770.277	1.241.959	25.509	0	0	0	2,50	0,1005
01001	6.697	NS	769.117	1.206.742	18.033	0	0	0	2,50	0,1005
01002	17.226	44,49	766.319	3.591.170	45.332	0	0	0	2,50	0,3016
01003	57.544	13,32	766.319	4.289.355	17.813	0	0	0	2,50	0,3016
01004	5.291	NS	766.466	1.241.959	949	0	0	0	2,50	0,1005
01005	5.008	NS	766.607	1.241.959	1.855	0	0	0	2,50	0,1005
01006	14.564	52,71	767.617	1.119.578	8.366	0	0	0	2,50	0,1005
01550	20.107	38,11	766.319	3.535.703	62.068	0	0	0	2,50	0,3016
01551	6.925	NS	767.894	1.222.589	10.151	0	0	0	2,50	0,1005
01552	6.793	NS	767.900	1.549.667	10.192	0	0	0	2,50	0,1810

Id_{Nd}	$V_{Ed,2}$	CS	V_{Rcd}	$V_{Rsd,s}$	N_{Ed}	$V_{Rsd,p}$	V_{R1}	V_{fd}	CtgΘ	A_{sw}
	[N]		[N]	[N]	[N]	[N]	[N]	[N]		[cm²/cm]
01553	3.724	NS	771.698	1.241.959	34.668	0	0	0	2,50	0,1005
01554	3.038	NS	770.998	1.241.959	30.155	0	0	0	2,50	0,1005
01555	2.737	NS	768.465	886.263	13.828	0	0	0	2,50	0,1005
01556	11.763	65,31	768.219	1.116.057	12.242	0	0	0	2,50	0,1005
01557	12.192	62,87	766.501	844.883	1.172	0	0	0	2,50	0,1005
01558	2.455	NS	766.921	1.219.068	3.879	0	0	0	2,50	0,1005
Piano interrato			**ParetеP18-47**				**Parete P18-47**			
00015	13.727	42,85	774.243	588.233	51.069	0	0	0	2,50	0,2011
00200	14.116	54,29	766.319	1.190.395	1.029	0	0	0	2,50	0,1810
00254	10.358	74,05	767.035	1.064.937	4.612	0	0	0	2,50	0,1005
00255	23.098	26,93	771.200	622.078	31.454	0	0	0	2,50	0,1005
00278	32.338	23,70	766.319	1.589.887	110.063	0	0	0	2,50	0,3016
00279	16.025	28,52	768.566	456.993	14.479	0	0	0	2,50	0,1810
00706	4.777	NS	767.052	1.064.937	4.723	0	0	0	2,50	0,1005
00707	6.140	NS	766.882	1.064.937	3.628	0	0	0	2,50	0,1005
00708	11.917	64,35	766.921	1.064.937	3.877	0	0	0	2,50	0,1005
00709	14.096	54,44	767.432	1.064.937	7.173	0	0	0	2,50	0,1005
00710	15.571	49,24	766.748	1.064.937	2.766	0	0	0	2,50	0,1005
00711	17.883	42,88	766.831	1.056.133	3.299	0	0	0	2,50	0,1005
00935	14.499	52,85	766.319	3.555.018	18.672	0	0	0	2,50	0,3016
00936	9.463	80,98	766.319	2.086.787	7.881	0	0	0	2,50	0,1005
00937	5.652	NS	770.330	950.480	25.849	0	0	0	2,50	0,1005
00938	6.229	NS	770.606	1.064.937	27.627	0	0	0	2,50	0,1005
00939	569	NS	770.975	1.064.937	30.004	0	0	0	2,50	0,1005
00940	3.760	NS	771.508	663.459	33.442	0	0	0	2,50	0,1005
00941	16.790	45,85	769.784	1.029.720	22.330	0	0	0	2,50	0,1005
00942	991	NS	767.293	1.064.937	6.276	0	0	0	2,50	0,1005
00943	9.414	81,40	766.319	1.064.937	3.003	0	0	0	2,50	0,1005
00944	9.494	80,71	766.319	1.064.937	970	0	0	0	2,50	0,1005
00945	6.129	NS	768.564	1.064.937	14.465	0	0	0	2,50	0,1005
00946	3.660	NS	767.928	1.064.937	10.367	0	0	0	2,50	0,1005
00947	2.174	NS	766.756	1.021.796	2.820	0	0	0	2,50	0,1005
00948	23.773	32,24	766.319	3.865.811	13.265	0	0	0	2,50	0,3016
01508	9.192	83,94	771.551	2.065.602	33.715	0	0	0	2,50	0,2011
01509	15.959	48,05	766.915	1.773.025	3.840	0	0	0	2,50	0,1005
01510	4.176	NS	767.525	1.773.025	7.775	0	0	0	2,50	0,1005
01511	4.221	NS	766.319	3.487.224	36.407	0	0	0	2,50	0,3016
01512	20.259	37,89	767.658	2.556.939	8.630	0	0	0	2,50	0,1005
01513	7.665	NS	767.307	1.030.600	6.365	0	0	0	2,50	0,1005
01514	17.826	43,14	769.005	1.064.937	17.310	0	0	0	2,50	0,1005
01515	1.194	NS	770.680	1.064.937	28.108	0	0	0	2,50	0,1005
01516	13.469	56,97	767.341	1.064.937	6.587	0	0	0	2,50	0,1005
Piano interrato			**ParetеP2-4**				**Parete P2-4**			
00055	42.160	18,53	781.219	1.241.959	96.024	0	0	0	2,50	0,1005
00056	31.509	6,19	777.108	195.122	69.528	0	0	0	2,50	0,1005
00236	33.396	23,07	770.391	954.493	26.239	0	0	0	2,50	0,1810
00237	89.355	7,84	801.181	700.928	224.669	0	0	0	2,50	0,1810
00608	20.495	37,39	766.319	1.241.959	38.759	0	0	0	2,50	0,1005
01127	3.211	NS	781.099	1.241.959	95.250	0	0	0	2,50	0,1005
01128	7.640	NS	768.242	1.241.959	12.390	0	0	0	2,50	0,1005
01129	24.679	31,05	766.319	1.241.959	6.694	0	0	0	2,50	0,1005
01130	26.461	28,98	766.754	1.241.959	2.805	0	0	0	2,50	0,1005
01131	71.815	10,74	771.525	1.241.959	33.553	0	0	0	2,50	0,1005
01132	15.033	51,18	769.342	1.241.959	19.484	0	0	0	2,50	0,1005
01133	4.761	NS	769.132	1.241.959	18.128	0	0	0	2,50	0,1005
01134	12.330	62,40	769.418	1.241.959	19.971	0	0	0	2,50	0,1005
01135	67.632	11,43	772.914	1.950.047	42.502	0	0	0	2,50	0,1005
01662	10.614	73,32	778.203	1.241.959	76.585	0	0	0	2,50	0,1005
01663	33.793	22,86	772.464	1.241.959	39.602	0	0	0	2,50	0,1005
01664	6.141	NS	768.800	1.241.959	15.987	0	0	0	2,50	0,1005
01665	46.439	16,87	783.299	1.457.003	109.424	0	0	0	2,50	0,1005
01666	30.237	25,46	769.985	1.241.959	23.629	0	0	0	2,50	0,1005
01667	31.330	24,52	768.066	1.241.959	11.258	0	0	0	2,50	0,1005
Piano interrato			**ParetеP3-6**				**Parete P3-6**			
00059	60.676	12,97	786.835	1.241.959	132.212	0	0	0	2,50	0,1005
00060	50.107	5,02	782.468	251.470	104.069	0	0	0	2,50	0,1005
00239	53.065	14,56	772.809	1.263.526	41.824	0	0	0	2,50	0,1810
00240	134.185	6,10	819.129	1.302.265	340.330	0	0	0	2,50	0,1810
00600	30.869	24,83	766.319	1.241.959	63.499	0	0	0	2,50	0,1005
01118	2.291	NS	787.029	1.241.959	133.462	0	0	0	2,50	0,1005
01119	9.358	82,15	768.715	1.241.959	15.444	0	0	0	2,50	0,1005
01120	37.545	20,41	766.319	1.241.959	11.987	0	0	0	2,50	0,1005
01121	39.056	19,63	766.681	1.241.959	2.332	0	0	0	2,50	0,1005
01122	111.302	6,96	774.389	1.241.959	52.009	0	0	0	2,50	0,1005
01123	25.182	30,64	771.550	1.241.959	33.713	0	0	0	2,50	0,1005
01124	9.474	81,42	771.330	1.241.959	32.295	0	0	0	2,50	0,1005
01125	20.103	38,36	771.206	1.241.959	31.492	0	0	0	2,50	0,1005
01126	102.179	7,60	776.311	1.241.959	64.396	0	0	0	2,50	0,1005
01656	16.114	48,61	783.340	1.241.959	109.689	0	0	0	2,50	0,1005
01657	52.779	14,70	775.786	1.241.959	61.012	0	0	0	2,50	0,1005
01658	8.586	89,68	770.006	1.241.959	23.760	0	0	0	2,50	0,1005

Id_{Nd}	$V_{Ed,2}$	CS	V_{Rcd}	$V_{Rsd,s}$	N_{Ed}	$V_{Rsd,p}$	V_{R1}	V_{fd}	CtgΘ	A_{sw}
	[N]		[N]	[N]	[N]	[N]	[N]	[N]		[cm²/cm]
01659	69.071	11,46	791.735	995.437	163.793	0	0	0	2,50	0,1005
01660	45.644	16,91	771.650	1.241.959	34.356	0	0	0	2,50	0,1005
01661	47.631	16,15	769.170	1.241.959	18.375	0	0	0	2,50	0,1005
Piano interrato			**Parete16-P9**				**Parete 16-P9**			
00071	9.632	80,45	774.871	844.883	55.116	0	0	0	2,50	0,1005
00072	15.056	51,02	768.105	983.992	11.510	0	0	0	2,50	0,1005
00211	29.805	25,71	766.319	1.241.959	9.516	0	0	0	2,50	0,1005
00213	10.192	73,48	767.670	748.915	8.704	0	0	0	2,50	0,1005
00284	24.847	30,10	766.319	747.882	89.027	0	0	0	2,50	0,2346
00285	4.760	99,91	766.319	475.592	59.179	0	0	0	2,50	0,2011
00951	5.615	NS	769.260	956.698	18.951	0	0	0	2,50	0,1005
00952	12.239	62,70	767.376	1.241.959	6.811	0	0	0	2,50	0,1005
00953	18.677	41,03	766.319	1.231.394	7.556	0	0	0	2,50	0,1005
00954	19.259	39,85	767.396	1.241.959	6.941	0	0	0	2,50	0,1005
01061	10.253	75,39	773.046	1.241.959	43.355	0	0	0	2,50	0,1005
01062	19.650	39,23	770.888	1.241.959	29.443	0	0	0	2,50	0,1005
01063	14.577	52,71	768.329	2.642.578	12.953	0	0	0	2,50	0,2346
01064	18.178	42,16	766.319	2.316.817	26.637	0	0	0	2,50	0,2346
01065	1.408	NS	767.994	3.602.252	10.793	0	0	0	2,50	0,2346
01066	5.035	NS	767.854	1.241.959	9.893	0	0	0	2,50	0,1005
01067	23.583	32,76	772.610	1.241.959	40.540	0	0	0	2,50	0,1005
01068	41.088	18,65	766.319	858.970	85.635	0	0	0	2,50	0,1005
01069	26.199	29,25	766.319	1.241.959	19.605	0	0	0	2,50	0,1005
01070	27.187	28,19	766.443	1.241.959	802	0	0	0	2,50	0,1005
01596	25.814	29,74	767.686	1.241.959	8.808	0	0	0	2,50	0,1005
01597	2.877	NS	772.954	1.241.959	42.760	0	0	0	2,50	0,1005
01598	25.382	30,34	770.053	1.241.959	24.063	0	0	0	2,50	0,1005
01599	33.131	23,17	767.778	1.241.959	9.404	0	0	0	2,50	0,1005
01600	16.672	46,05	767.726	1.241.959	9.069	0	0	0	2,50	0,1005
Piano interrato			**Parete20-21-P10**				**Parete 20-21**			
00017	6.434	85,40	769.137	549.439	18.158	0	0	0	2,50	0,1810
00078	5.844	31,26	768.816	182.687	16.091	0	0	0	2,50	0,0804
00196	9.600	79,87	766.810	1.135.754	3.161	0	0	0	2,50	0,1608
00197	13.792	55,56	766.319	1.146.319	1.756	0	0	0	2,50	0,1608
00888	14.410	49,70	766.319	716.230	79	0	0	0	2,50	0,0804
00889	15.348	49,93	766.319	887.915	299	0	0	0	2,50	0,0804
00927	10.295	73,16	768.632	753.208	14.908	0	0	0	2,50	0,0804
00928	8.055	95,22	766.949	887.915	4.059	0	0	0	2,50	0,0804
00929	9.631	79,63	766.927	887.915	3.917	0	0	0	2,50	0,0804
00930	8.397	91,27	766.412	887.915	602	0	0	0	2,50	0,0804
01043	11.408	56,15	768.650	640.513	15.023	0	0	0	2,50	0,0804
01044	10.996	69,93	768.987	887.915	17.197	0	0	0	2,50	0,0804
01045	12.012	63,96	768.278	887.915	12.624	0	0	0	2,50	0,0804
01046	12.736	60,27	767.520	887.915	7.740	0	0	0	2,50	0,0804
01047	12.875	59,52	766.319	859.741	2.910	0	0	0	2,50	0,0804
01048	12.241	62,60	766.319	887.915	1.330	0	0	0	2,50	0,0804
01583	12.584	61,07	768.511	887.915	14.128	0	0	0	2,50	0,0804
01584	15.084	50,81	766.352	887.915	213	0	0	0	2,50	0,0804
01585	11.852	64,66	766.319	887.915	231	0	0	0	2,50	0,0804
01586	11.395	67,39	767.943	2.120.135	10.466	0	0	0	2,50	0,1810
01587	18.982	40,45	767.859	887.915	9.923	0	0	0	2,50	0,0804
01588	14.103	54,34	766.384	887.915	416	0	0	0	2,50	0,0804
Piano interrato			**Parete20-21-P10**				**Parete 21-P10**			
00078	4.103	59,12	769.432	242.556	20.064	0	0	0	2,50	0,0804
00197	10.535	72,74	766.319	1.859.471	398	0	0	0	2,50	0,1608
00225	24.043	29,95	770.248	720.189	25.324	0	0	0	2,50	0,1608
00226	30.243	25,34	766.319	969.126	69.539	0	0	0	2,50	0,2815
00664	11.361	59,09	766.319	671.328	2.108	0	0	0	2,50	0,0804
00665	11.565	66,28	766.607	884.393	1.854	0	0	0	2,50	0,0804
00666	8.462	90,56	766.319	887.915	1.464	0	0	0	2,50	0,0804
01045	9.030	85,14	768.828	887.915	16.170	0	0	0	2,50	0,0804
01046	10.584	72,50	767.339	887.915	6.573	0	0	0	2,50	0,0804
01047	11.587	66,15	766.532	887.915	1.371	0	0	0	2,50	0,0804
01048	10.760	71,22	766.319	887.915	1.571	0	0	0	2,50	0,0804
01164	396	NS	768.635	887.915	14.928	0	0	0	2,50	0,0804
01165	3.621	92,03	766.319	333.241	4.278	0	0	0	2,50	0,0804
01166	2.858	NS	766.319	3.449.311	9.186	0	0	0	2,50	0,2815
01167	34.766	22,04	766.319	4.252.268	14.715	0	0	0	2,50	0,2815
01168	6.779	NS	766.594	4.428.355	1.774	0	0	0	2,50	0,2815
01169	7.697	99,56	766.319	887.915	2.585	0	0	0	2,50	0,0804
01170	22.059	34,84	768.550	828.045	14.376	0	0	0	2,50	0,0804
01691	14.071	54,46	766.319	3.665.898	22.869	0	0	0	2,50	0,2815
01692	13.235	58,01	767.733	774.339	9.115	0	0	0	2,50	0,0804
01693	12.392	61,84	766.319	887.915	31	0	0	0	2,50	0,0804
01694	6.442	NS	768.250	887.915	12.442	0	0	0	2,50	0,0804
01695	7.470	NS	766.696	751.448	2.429	0	0	0	2,50	0,0804
01696	12.847	59,68	766.653	887.915	2.154	0	0	0	2,50	0,0804
01697	13.236	57,90	766.319	4.320.061	1.409	0	0	0	2,50	0,2815
Piano interrato			**Parete22-P11**				**Parete 22-P11**			
00065	25.888	30,04	777.704	887.915	73.372	0	0	0	2,50	0,0804
00066	6.027	NS	772.089	629.067	37.183	0	0	0	2,50	0,0804

Id_{Nd}	$V_{Ed,2}$	CS	V_{Rcd}	$V_{Rsd,s}$	N_{Ed}	$V_{Rsd,p}$	V_{R1}	V_{fd}	CtgΘ	A_{sw}
	[N]		[N]	[N]	[N]	[N]	[N]	[N]		[cm²/cm]
00218	19.589	39,44	772.552	809.993	40.170	0	0	0	2,50	0,1608
00221	41.245	18,92	780.415	959.078	90.842	0	0	0	2,50	0,2145
00626	24.583	31,17	766.319	887.915	8.815	0	0	0	2,50	0,0804
00627	8.238	93,02	766.319	887.915	8.922	0	0	0	2,50	0,0804
00628	3.420	NS	767.448	887.915	7.278	0	0	0	2,50	0,0804
00629	30.549	25,08	766.319	887.915	45.699	0	0	0	2,50	0,0804
00976	42.203	18,27	771.111	887.915	30.879	0	0	0	2,50	0,0804
00977	11.570	66,59	770.471	887.915	26.756	0	0	0	2,50	0,0804
00978	8.928	86,14	769.036	887.915	17.507	0	0	0	2,50	0,0804
00979	35.080	21,99	771.433	887.915	32.959	0	0	0	2,50	0,0804
01149	10.373	74,61	773.971	887.915	49.314	0	0	0	2,50	0,0804
01150	3.227	NS	772.496	887.915	39.804	0	0	0	2,50	0,0804
01151	6.415	NS	774.677	887.915	53.866	0	0	0	2,50	0,0804
01152	17.594	44,11	775.993	2.860.817	62.345	0	0	0	2,50	0,2145
01153	43.736	17,61	770.118	2.966.469	24.481	0	0	0	2,50	0,2145
01154	2.741	NS	767.035	3.248.208	4.617	0	0	0	2,50	0,2145
01155	6.504	NS	766.851	887.915	3.427	0	0	0	2,50	0,0804
01156	60.144	12,86	773.755	795.469	47.920	0	0	0	2,50	0,0804
01677	28.661	26,99	773.465	2.702.338	46.055	0	0	0	2,50	0,2145
01678	25.933	29,67	769.546	2.304.091	20.797	0	0	0	2,50	0,1608
01679	7.121	NS	770.742	887.915	28.502	0	0	0	2,50	0,0804
01680	23.958	32,35	774.945	887.915	55.590	0	0	0	2,50	0,0804
01681	9.016	85,77	773.303	887.915	45.009	0	0	0	2,50	0,0804
01682	8.870	86,86	770.511	887.915	27.012	0	0	0	2,50	0,0804
01683	1.896	NS	770.214	887.915	25.104	0	0	0	2,50	0,0804
Piano interrato			**ParetP12-37-47**				**Parete P12-37**			
00077	4.532	56,24	769.394	254.882	19.817	0	0	0	2,50	0,0804
00199	10.014	76,53	766.407	1.994.178	566	0	0	0	2,50	0,1608
00229	23.990	31,27	770.070	750.123	24.175	0	0	0	2,50	0,1608
00230	28.104	27,27	766.319	922.463	64.948	0	0	0	2,50	0,2815
00646	8.793	87,29	767.613	887.915	8.339	0	0	0	2,50	0,0804
00647	10.385	73,82	766.545	887.915	1.456	0	0	0	2,50	0,0804
00648	10.821	70,82	766.319	887.915	1.001	0	0	0	2,50	0,0804
01039	11.106	69,00	766.319	887.915	1.511	0	0	0	2,50	0,0804
01040	12.757	60,09	766.554	887.915	1.518	0	0	0	2,50	0,0804
01041	10.861	70,67	767.573	887.915	8.085	0	0	0	2,50	0,0804
01042	9.680	79,42	768.855	887.915	16.343	0	0	0	2,50	0,0804
01157	1.733	NS	766.319	3.195.746	26.233	0	0	0	2,50	0,2815
01158	280	NS	766.650	634.350	2.135	0	0	0	2,50	0,0804
01159	656	NS	768.249	887.915	12.436	0	0	0	2,50	0,0804
01160	22.642	33,95	768.749	821.882	15.659	0	0	0	2,50	0,0804
01161	9.252	82,83	766.319	887.915	712	0	0	0	2,50	0,0804
01162	9.962	76,92	766.319	4.428.355	2.987	0	0	0	2,50	0,2815
01163	33.911	22,60	766.319	4.241.702	16.767	0	0	0	2,50	0,2815
01684	4.413	NS	768.080	875.589	11.349	0	0	0	2,50	0,0804
01685	11.458	66,88	766.319	887.915	199	0	0	0	2,50	0,0804
01686	14.108	54,47	768.498	862.382	14.044	0	0	0	2,50	0,0804
01687	16.304	47,00	766.319	3.168.452	29.292	0	0	0	2,50	0,2815
01688	14.642	52,34	766.319	4.072.659	6.688	0	0	0	2,50	0,2815
01689	15.294	50,14	766.889	887.915	3.672	0	0	0	2,50	0,0804
01690	11.171	68,64	766.731	875.589	2.654	0	0	0	2,50	0,0804
Piano interrato			**ParetP12-37-47**				**Parete 37-47**			
00015	6.040	81,77	768.932	493.917	16.839	0	0	0	2,50	0,1608
00077	6.256	36,38	768.784	227.589	15.885	0	0	0	2,50	0,0804
00199	13.873	55,24	766.319	1.105.819	1.671	0	0	0	2,50	0,1608
00200	9.673	79,27	766.804	1.149.841	3.126	0	0	0	2,50	0,1608
00886	15.385	49,81	766.319	887.915	414	0	0	0	2,50	0,0804
00887	14.481	49,34	766.319	714.469	65	0	0	0	2,50	0,0804
00941	9.651	77,86	768.536	751.448	14.288	0	0	0	2,50	0,0804
00942	7.805	98,26	766.929	887.915	3.931	0	0	0	2,50	0,0804
00943	9.624	79,69	766.910	887.915	3.808	0	0	0	2,50	0,0804
00944	8.476	90,42	766.414	887.915	610	0	0	0	2,50	0,0804
01037	11.141	69,02	768.974	887.915	17.109	0	0	0	2,50	0,0804
01038	11.301	58,78	768.508	664.285	14.108	0	0	0	2,50	0,0804
01039	12.494	61,33	766.319	886.154	1.558	0	0	0	2,50	0,0804
01040	13.028	58,82	766.319	887.915	3.322	0	0	0	2,50	0,0804
01041	12.964	59,20	767.532	887.915	7.817	0	0	0	2,50	0,0804
01042	12.342	62,26	768.403	887.915	13.430	0	0	0	2,50	0,0804
01577	10.986	69,89	767.798	1.969.526	9.532	0	0	0	2,50	0,1608
01578	11.865	64,59	766.319	887.915	327	0	0	0	2,50	0,0804
01579	15.342	49,95	766.331	887.915	80	0	0	0	2,50	0,0804
01580	12.856	59,78	768.505	887.915	14.088	0	0	0	2,50	0,0804
01581	18.765	40,92	767.823	887.915	9.691	0	0	0	2,50	0,0804
01582	14.047	54,56	766.327	887.915	54	0	0	0	2,50	0,0804
Piano interrato			**Parete12-13**				**Parete 12-13**			
00037	90.342	8,48	766.319	1.359.384	89.790	0	0	0	2,50	0,1608
00038	748	NS	777.760	346.448	73.731	0	0	0	2,50	0,0804
00047	145.406	5,27	766.319	861.502	137.153	0	0	0	2,50	0,0804
00048	21.383	10,97	785.245	234.632	121.968	0	0	0	2,50	0,0804
01007	82.114	9,33	766.319	1.353.221	158.357	0	0	0	2,50	0,1608
01008	67.433	11,36	766.319	1.097.895	134.816	0	0	0	2,50	0,1608

Id_{Nd}	$V_{Ed,2}$	CS	V_{Rcd}	$V_{Rsd,s}$	N_{Ed}	$V_{Rsd,p}$	V_{R1}	V_{fd}	CtgΘ	A_{sw}
	[N]		[N]	[N]	[N]	[N]	[N]	[N]		[cm²/cm]
01009	59.893	12,91	772.932	887.915	42.619	0	0	0	2,50	0,0804
01010	49.496	15,59	771.736	887.915	34.911	0	0	0	2,50	0,0804
01011	4.580	NS	771.381	887.915	32.620	0	0	0	2,50	0,0804
01012	35.917	21,64	777.103	887.915	69.500	0	0	0	2,50	0,0804
01013	19.170	39,97	766.319	887.915	20.455	0	0	0	2,50	0,0804
01014	44.246	17,32	766.319	887.915	41.478	0	0	0	2,50	0,0804
01015	73.515	10,62	780.502	887.915	91.402	0	0	0	2,50	0,0804
01016	30.107	25,86	778.528	887.915	78.678	0	0	0	2,50	0,0804
01017	58.489	13,24	774.170	887.915	50.594	0	0	0	2,50	0,0804
01018	56.547	13,82	781.601	887.915	98.484	0	0	0	2,50	0,0804
01559	67.612	9,75	766.319	659.002	42.925	0	0	0	2,50	0,0804
01560	7.712	NS	775.289	887.915	57.807	0	0	0	2,50	0,0804
01561	24.416	31,80	776.549	887.915	65.929	0	0	0	2,50	0,0804
01562	78.203	9,80	766.319	887.915	54.026	0	0	0	2,50	0,0804
01563	10.529	72,90	767.573	887.915	8.080	0	0	0	2,50	0,0804
01564	2.834	NS	773.173	887.915	44.174	0	0	0	2,50	0,0804
Piano interrato			**ParetеP13-43**				**Parete P13-43**			
00069	9.969	36,87	772.365	367.578	38.964	0	0	0	2,50	0,0804
00070	10.455	66,23	767.901	692.458	10.196	0	0	0	2,50	0,0804
00214	25.546	26,45	766.319	675.730	17.874	0	0	0	2,50	0,0804
00215	23.176	33,31	771.954	887.915	36.314	0	0	0	2,50	0,0804
00287	22.505	34,05	766.319	1.530.844	69.886	0	0	0	2,50	0,2815
00288	3.213	NS	766.319	943.819	37.086	0	0	0	2,50	0,1608
00961	5.621	NS	768.530	570.078	14.250	0	0	0	2,50	0,0804
00962	8.040	95,47	767.645	887.915	8.546	0	0	0	2,50	0,0804
00963	16.979	45,13	766.319	885.274	2.788	0	0	0	2,50	0,0804
00964	13.770	55,68	766.654	886.154	2.160	0	0	0	2,50	0,0804
01049	15.669	48,91	766.319	3.248.572	1.056	0	0	0	2,50	0,2815
01050	9.391	81,67	766.946	3.653.572	4.044	0	0	0	2,50	0,2815
01051	6.125	NS	771.063	887.915	30.575	0	0	0	2,50	0,0804
01052	2.427	NS	771.085	887.915	30.716	0	0	0	2,50	0,0804
01053	13.544	56,58	766.319	887.915	2.610	0	0	0	2,50	0,0804
01054	22.335	34,31	766.319	887.915	4.828	0	0	0	2,50	0,0804
01055	22.601	33,91	766.319	887.915	36.431	0	0	0	2,50	0,0804
01056	23.701	24,24	766.319	574.480	77.581	0	0	0	2,50	0,0804
01057	30.901	21,78	774.471	673.089	52.537	0	0	0	2,50	0,0804
01058	11.266	68,19	768.152	887.915	11.815	0	0	0	2,50	0,0804
01059	2.650	NS	767.521	887.915	7.748	0	0	0	2,50	0,0804
01060	23.341	32,85	766.707	3.389.441	2.499	0	0	0	2,50	0,2815
01589	1.799	NS	771.196	887.915	31.431	0	0	0	2,50	0,0804
01590	21.051	36,45	767.363	887.915	6.729	0	0	0	2,50	0,0804
01591	2.004	NS	766.319	1.596.003	9.191	0	0	0	2,50	0,1608
01592	1.900	NS	766.319	3.539.115	12.034	0	0	0	2,50	0,2815
01593	27.635	22,57	768.701	623.785	15.348	0	0	0	2,50	0,0804
01594	18.748	40,89	766.661	887.915	2.204	0	0	0	2,50	0,0804
01595	27.082	28,37	768.221	887.915	12.260	0	0	0	2,50	0,0804
Piano interrato			**Parete25-26**				**Parete 25-26**			
00027	80.146	9,94	796.918	887.915	197.193	0	0	0	2,50	0,0804
00028	20.475	34,39	773.985	704.122	49.400	0	0	0	2,50	0,1608
00035	65.114	10,93	792.415	711.828	168.176	0	0	0	2,50	0,0804
00036	40.092	19,54	783.258	1.157.765	109.160	0	0	0	2,50	0,1608
00616	30.368	25,24	766.351	887.915	205	0	0	0	2,50	0,0804
00617	12.652	60,57	766.319	887.915	2.022	0	0	0	2,50	0,0804
00618	1.228	NS	768.393	887.915	13.366	0	0	0	2,50	0,0804
00619	13.868	55,26	766.319	887.915	8.517	0	0	0	2,50	0,0804
00620	31.416	24,39	766.319	887.915	32.672	0	0	0	2,50	0,0804
01136	1.177	NS	780.827	887.915	93.497	0	0	0	2,50	0,0804
01137	2.775	NS	775.647	887.915	60.116	0	0	0	2,50	0,0804
01138	2.439	NS	775.787	887.915	61.017	0	0	0	2,50	0,0804
01139	4.127	NS	776.097	887.915	63.015	0	0	0	2,50	0,0804
01140	8.752	89,51	783.447	887.915	110.380	0	0	0	2,50	0,0804
01141	95.213	8,11	772.371	887.915	39.001	0	0	0	2,50	0,0804
01142	17.266	44,54	769.078	887.915	17.780	0	0	0	2,50	0,0804
01143	18.665	41,23	769.595	887.915	21.109	0	0	0	2,50	0,0804
01144	81.347	9,49	771.720	887.915	34.804	0	0	0	2,50	0,0804
01145	111.863	6,92	773.742	887.915	47.839	0	0	0	2,50	0,0804
01146	30.739	25,04	769.666	887.915	21.570	0	0	0	2,50	0,0804
01147	6.413	NS	768.468	887.915	13.847	0	0	0	2,50	0,0804
01148	73.807	10,44	770.548	887.915	27.254	0	0	0	2,50	0,0804
01668	49.789	15,74	783.742	887.915	112.284	0	0	0	2,50	0,0804
01669	20.528	37,63	772.520	887.915	39.965	0	0	0	2,50	0,0804
01670	38.448	20,21	777.113	887.915	69.559	0	0	0	2,50	0,0804
01671	35.611	21,94	781.397	887.915	97.170	0	0	0	2,50	0,0804
01672	6.111	NS	774.635	887.915	53.595	0	0	0	2,50	0,0804
01673	17.909	43,11	772.095	887.915	37.225	0	0	0	2,50	0,0804
01674	7.133	NS	773.755	887.915	47.923	0	0	0	2,50	0,0804
01675	22.286	34,82	775.897	887.915	61.725	0	0	0	2,50	0,0804
01676	2.898	NS	769.333	887.915	19.423	0	0	0	2,50	0,0804

LEGENDA:

Id_{Nd} Identificativo del nodo.
$V_{Ed,2}$ Taglio di progetto in direzione 2.

Pareti - Verifiche a taglio per pressoflessione retta allo SLU

Id_{Nd}	$V_{Ed,2}$	CS	V_{Rcd}	$V_{Rsd,s}$	N_{Ed}	$V_{Rsd,p}$	V_{R1}	V_{fd}	CtgΘ	A_{sw}
	[N]		[N]	[N]	[N]	[N]	[N]	[N]		[cm²/cm]

CS Coefficienti di sicurezza relativi alle sollecitazioni "$V_{Ed,2}$" ([NS] = Non Significativo per valori di CS >= 100).
V_{Rcd} Resistenza a taglio compressione del calcestruzzo.
$V_{Rsd,s}$ Resistenza a taglio trazione delle staffe.
N_{Ed} Sforzo Normale utilizzato per il calcolo di α_C.
$V_{Rsd,p}$ Resistenza a taglio trazione dei ferri piegati.
V_{R1} Resistenza a taglio in assenza di armatura incrociata.
V_{fd} Resistenza a taglio dovuta al rinforzo FRP.
CtgΘ Cotangente dell'angolo Θ utilizzata nella verifica.
A_{sw} Area delle staffe per unità di lunghezza.

PIANI - VERIFICHE REGOLARITÀ (Elevazione)

REGOLARITÁ DELLA STRUTTURA IN PIANTA		
	La configurazione in pianta è compatta e approssimativamente simmetrica rispetto a due direzioni ortogonali, in relazione alla distribuzione di masse e rigidezze	NO
	Il rapporto tra i lati di un rettangolo in cui l'edificio risulta inscritto è inferiore a 4	SI
	Almeno una dimensione di eventuali rientri o sporgenze non supera il 25% della dimensione totale dell'edificio nella corrispondente direzione	SI
	I solai possono essere considerati infinitamente rigidi nel loro piano rispetto agli elementi verticali e sufficientemente resistenti	NO
	La struttura non è regolare in pianta.	
REGOLARITÁ DELLA STRUTTURA IN ALTEZZA		
	Tutti i sistemi resistenti verticali dell'edificio (quali telai e pareti) si estendono per tutta l'altezza dell'edificio	NO
	Massa e rigidezza rimangono costanti o variano gradualmente, senza bruschi cambiamenti, dalla base alla cima dell'edificio (le variazioni di massa da un piano all'altro non superano il 25%, la rigidezza non si abbassa da un piano al sovrastante più del 30% e non aumenta più del 10%); ai fini della rigidezza si possono considerare regolari in altezza strutture dotate di pareti o nuclei in c.a. di sezione costante sull'altezza o di telai controventati in acciaio, ai quali sia affidata almeno il 50% dell'azione sismica alla base	NO
	Il rapporto tra resistenza effettiva e resistenza richiesta dal calcolo nelle strutture intelaiate progettate in Classe di Duttilità Bassa non è significativamente diverso per piani diversi (il rapporto fra la resistenza effettiva e quella richiesta calcolata ad un generico piano non deve differire più del 20% dall'analogo rapporto determinato per un altro piano); può fare eccezione l'ultimo piano di strutture intelaiate di almeno tre piani	NO
	Eventuali restringimenti della sezione orizzontale dell'edificio avvengono in modo graduale da un piano al successivo, rispettando i seguenti limiti: ad ogni piano il rientro non supera il 30% della dimensione corrispondente al primo piano, né il 20% della dimensione corrispondente al piano immediatamente sottostante. Fa eccezione l'ultimo piano di edifici di almeno quattro piani per il quale non sono previste limitazioni di restringimento	NO
	La struttura non è regolare in altezza.	

Piani - Verifiche Regolarità

Id_{Piano}	Q_{Lv}	H_{Lv}	Rd_{Tmp}	Ir_{Tmp}	M_{SLU}	K_{SLU}		R_{eff}		R_{ric}	
						X	Y	X	Y	X	Y
	[m]	[m]			[N·s²/m]	[N/cm]	[N/cm]	[N]	[N]	[N]	[N]
Piano copertura	5,40	1,80	NO	SI	338.675	9.286.474	11.708.014	645.360	691.268	183.032	159.285
Piano terra	2,00	3,40	NO	SI	316.925	2.842.878	6.227.771	1.299.828	1.341.356	177.504	576.812
Piano interrato	0,00	2,00	NO	SI	571.469	5.527.392	5.461.656	4.256.841	5.467.841	579.915	1.647.079

LEGENDA:
Id_{Piano} Identificativo del livello o piano.
Q_{Lv} Quota del livello o piano.
H_{Lv} Altezza del livello o piano.
Rd_{Tmp} Per i piani con riduzione dei tamponamenti, sono state incrementate le azioni di calcolo per gli elementi verticali (pilastri e pareti) di un fattore 1,4: [SI] = Piano con riduzione dei tamponamenti - [NO] = Piano senza riduzione dei tamponamenti.
Ir_{Tmp} Per piani con distribuzione dei tamponamenti in pianta fortemente irregolare, l'eccentricità accidentale è stata incrementata di un fattore pari a 2: [SI] = Distribuzione tamponamenti irregolare fortemente - [NO] = Distribuzione tamponamenti regolare.
M_{SLU} Massa eccitabile della struttura allo S.L. Ultimo, nelle direzioni X, Y, Z.
K_{SLU} Valori delle Rigidezze di Piano, valutate allo SLU, riferite agli assi X ed Y del riferimento globale.
R_{eff} Valori delle Resistenze Effettive di Piano, valutate allo SLU, relative al sistema di riferimento globale X, Y, Z.
R_{ric} Valori delle Resistenze Richieste di Piano, valutate allo SLU, relative al sistema di riferimento globale X, Y, Z.

PIANI - VERIFICHE AGLI SPOSTAMENTI

Piani - Verifiche

Id_{Piano}	Q_{Lv}	H_{Lv}	$\delta_{d,X}$	$\delta_{d,Y}$	$C_{Ig}T_{mp}$	δ_{lim}	δ_{lim}- $\delta_{d,X}$	δ_{lim}- $\delta_{d,Y}$	Note
	[m]	[m]	[cm]	[cm]		[cm]	[cm]	[cm]	
Piano copertura	5,40	1,80	0,0431	0,0404	R	0,9000	0,8569	0,8596	Verificato
Piano terra	2,00	3,40	0,3753	0,4332	R	1,7000	1,3247	1,2668	Verificato
Piano interrato	0,00	2,00	0,2462	0,3258	R	1,0000	0,7538	0,6742	Verificato

LEGENDA:
Id_{Piano} Identificativo del livello o piano.
Q_{Lv} Quota del livello o piano.
H_{Lv} Altezza del livello o piano.
$C_{Ig}T_{mp}$ Tipo di collegamento delle tamponature alla struttura: [R] = Rigido - [E] = Elastico.
δ_{lim} Valore limite dello spostamento differenziale indicato dalla normativa.
$\delta_{d,X}$, $\delta_{d,Y}$ Componenti dello spostamento differenziale rispetto al piano inferiore.

PIANI - VERIFICHE ALLO SLO (Elevazione)

Piani - Verifiche allo SLO

Id_{Piano}	Q_{Lv}	H_{Lv}	$\delta_{amm,SLO}$	$\delta_{d,SLO}$		$\Delta\delta_{SLO}$		$C_{Ig}T_{mp}$	Note
				X	Y	X	Y		
	[m]	[m]	[cm]	[cm]	[cm]	[cm]	[cm]		
Piano copertura	5,40	1,80	0,6000	0,0919	0,0355	0,5081	0,5645	R	Verificato
Piano terra	2,00	3,40	1,1333	0,9281	0,2229	0,2052	0,9104	R	Verificato
Piano interrato	0,00	2,00	0,6667	0,7023	0,7821	-0,0357	-0,1155	R	Verificato

LEGENDA:
Id_{Piano} Identificativo del livello o piano.
Q_{Lv} Quota del livello o piano.
H_{Lv} Altezza del livello o piano.

Id_{Piano}	Q_{Lv}	H_{Lv}	$\delta_{amm,SLO}$	$\delta_{d,SLO}$		$\Delta\delta_{SLO}$		$C_{lg}T_{mp}$	Note
				X	Y	X	Y		
	[m]	[m]	[cm]	[cm]	[cm]	[cm]	[cm]		

$\delta_{amm,SLO}$ Spostamento Differenziale ammissibile per SLO.
$\delta_{d,SLO}$ Spostamento Differenziale di progetto allo SLO.
$\Delta\delta_{SLO}$ Differenza fra spostamento limite e quello di calcolo nelle direzioni X e Y.
$C_{lg}T_{mp}$ Tipo di Collegamento delle Tamponature alla struttura.

TRAVI (CA) - VERIFICHE PRESSOFLESSIONE RETTA ALLO SLU (Fondazione)

Travi (CA) - Verifiche pressoflessione retta allo SLU

Id_{Tr}	$\%L_{LI}$	$N_{Ed,s}$	$M_{Ed,3,s}$	$N_{Ed,i}$	$M_{Ed,3,i}$	$A_{s,s}$	$A_{s,i}$	CS_s	CS_i	R_f
	[%]	[N]	[N·m]	[N]	[N·m]	[cm²]	[cm²]			
Fondazione						**Travata: Trave3d-1-2-4d**				
Trave 3d-1	0%	-	-	-	-	10,05	10,05	-	-	NO
	25%	46	737	-44	2.418	10,05	10,05	NS	72,55	NO
	62,5%	46	2.955	-1.786	9.550	10,05	10,05	59,37	18,33	NO
	87,5%	46	6.596	-1.786	21.683	24,13	24,13	61,58	18,71	NO
	100%	1.820	11.894	-1.786	38.249	24,13	24,13	34,18	10,61	NO
Trave 1-2	0%	-	66.827	-	27.804	24,13	24,13	6,13	14,73	NO
	25%	-	81.835	-	14.889	14,07	14,07	2,99	16,43	NO
	50%	-	119.187	-	3.365	14,07	14,07	2,05	72,70	NO
	75%	-	104.712	-	2.078	14,07	14,07	2,34	NS	NO
	100%	-	111.453	-	125.614	28,15	28,15	4,27	3,78	NO
Trave 2-4d	0%	202.360	94.102	267.361	169.764	28,15	28,15	5,50	3,13	NO
	25%	202.360	81.890	267.361	141.123	28,15	28,15	6,32	3,76	NO
	62,5%	202.360	72.001	267.361	119.300	14,07	14,07	3,99	2,52	NO
	87,5%	202.360	64.419	267.361	104.557	14,07	14,07	4,46	2,88	NO
	87,5%	202.360	59.122	267.361	97.141	14,07	14,07	4,86	3,10	NO
Fondazione						**Travata: Trave5d-P1-3-6d**				
Trave 5d-P1	0%	264.298	79.722	184.346	64.333	14,07	14,07	3,77	4,41	NO
	25%	264.298	88.439	184.346	71.631	14,07	14,07	3,40	3,96	NO
	62,5%	264.298	98.975	184.346	86.265	14,07	14,07	3,04	3,29	NO
	75%	264.298	111.552	184.346	107.803	14,07	14,07	2,69	2,63	NO
	100%	264.298	126.360	184.346	135.802	28,15	28,15	4,20	3,78	NO
Trave P1-3	0%	-	130.314	-	83.067	28,15	28,15	3,65	5,72	NO
	25%	-	169.476	-	34.851	14,07	14,07	1,44	7,02	NO
	50%	-	165.923	-	7.802	14,07	14,07	1,47	31,35	NO
	75%	-	114.691	-	9.432	14,07	14,07	2,13	25,94	NO
	100%	-	56.336	-	16.393	28,15	28,15	8,44	29,00	NO
Trave 3-6d	0%	2.347	16.672	-2.392	23.539	28,15	28,15	28,55	20,18	NO
	25%	2.347	9.377	-2.392	13.385	28,15	28,15	50,75	35,48	NO
	62,5%	62	4.053	-65	5.902	14,07	14,07	60,36	41,45	NO
	87,5%	62	1.028	-65	1.505	14,07	14,07	NS	NS	NO
	100%	-	-	-	-	14,07	14,07	-	-	NO
Fondazione						**Travata: Trave10d-13-P4-11d**				
Trave 10d-13	0%	-	-	-	-	14,07	14,07	-	-	NO
	25%	83	252	-79	1.471	14,07	14,07	NS	NS	NO
	62,5%	2.335	1.292	-2.292	6.026	14,07	14,07	NS	40,51	NO
	87,5%	2.335	3.217	-2.292	13.888	28,15	28,15	NS	34,20	NO
	87,5%	2.335	5.428	-2.292	24.445	28,15	28,15	87,68	19,43	NO
Trave 13-P4	0%	-	45.892	-	30.562	28,15	28,15	10,36	15,56	NO
	25%	-	84.220	-	14.187	14,07	14,07	2,90	17,24	NO
	50%	-	106.959	-	24.956	14,07	14,07	2,29	9,80	NO
	75%	-	115.311	-	76.993	14,07	14,07	2,12	3,18	NO
	100%	-	99.040	-	66.912	28,15	28,15	4,80	7,11	NO
Trave P4-11d	0%	183.637	94.566	10.168	109.629	28,15	28,15	5,43	4,36	NO
	25%	183.637	82.909	10.168	75.614	14,07	14,07	3,42	3,26	NO
	37,5%	183.637	73.013	10.168	50.544	14,07	14,07	3,88	4,88	NO
	75%	183.637	65.234	10.168	35.082	14,07	14,07	4,34	7,03	NO
	100%	183.637	59.908	10.168	29.878	14,07	14,07	4,73	8,26	NO
Fondazione						**Travata: Trave12d-P5-16-1c**				
Trave 12d-P5	0%	173.312	34.769	21.379	113.011	14,07	14,07	8,09	2,20	NO
	25%	173.312	42.695	21.379	132.980	14,07	14,07	6,59	1,87	NO
	62,5%	173.312	54.742	21.379	166.108	14,07	14,07	5,14	1,50	NO
	75%	173.312	71.170	21.379	212.110	14,07	14,07	3,95	1,17	NO
	100%	173.312	92.218	21.379	270.650	32,17	32,17	6,26	2,02	NO
Trave P5-16	0%	-	107.472	-	188.512	32,17	32,17	5,04	2,87	NO
	25%	-	135.586	-	163.792	18,10	18,10	2,29	1,90	NO
	50%	-	119.441	-	31.991	18,10	18,10	2,60	9,71	NO
	75%	-593.872	103.884	44.853	5.673	18,10	18,10	1,78	56,44	NO
	100%	-593.872	78.952	44.853	14.975	18,10	18,10	2,34	21,38	NO
Trave 16-1c	0%	-	246.329	-	23.461	18,10	18,10	1,56	16,35	NO
	25%	-	164.226	-	6.968	18,10	18,10	2,34	55,06	NO
	50%	-	135.288	-	5.011	18,10	18,10	2,84	76,56	NO
	75%	-	124.530	-	13.459	18,10	18,10	3,08	28,50	NO
	100%	-	95.401	-	19.913	18,10	18,10	4,02	19,26	NO
Fondazione						**Travata: Trave1c-P6-13d**				
Trave 1c-P6	0%	-	136.529	-	118.815	10,05	10,05	1,31	1,50	NO
	25%	-	93.532	-	39.065	10,05	10,05	1,91	4,57	NO
	50%	-	86.741	-	36.990	10,05	10,05	2,06	4,83	NO
	75%	-	71.904	-	124.880	10,05	10,05	2,49	1,43	NO
	100%	-	58.286	-	136.198	10,05	10,05	3,07	1,31	NO
Trave P6-13d	0%	6.207	41.953	-27.299	235.485	10,05	10,05	4,30	0,73	NO
	25%	6.207	45.307	-27.299	145.463	10,05	10,05	3,98	1,18	NO
	62,5%	6.207	46.376	42.414	91.266	10,05	10,05	3,89	2,08	NO
	75%	6.207	45.201	42.414	51.248	10,05	10,05	3,99	3,71	NO
	100%	6.207	41.796	42.414	36.678	10,05	10,05	4,32	5,18	NO

Id_{Tr}	$\%L_{LI}$	$N_{Ed,s}$	$M_{Ed,3,s}$	$N_{Ed,i}$	$M_{Ed,3,i}$	$A_{s,s}$	$A_{s,i}$	CS_s	CS_i	R_f
	[%]	[N]	[N·m]	[N]	[N·m]	[cm²]	[cm²]			
Fondazione						**Travata: Trave14d-P7-3c**				
Trave 14d-P7	0%	5.922	39.546	36.662	29.860	10,05	10,05	4,56	6,31	NO
	25%	5.922	42.638	36.662	41.064	10,05	10,05	4,23	4,59	NO
	62,5%	5.922	43.280	36.662	70.536	10,05	10,05	4,17	2,67	NO
	75%	5.922	41.476	36.662	118.088	10,05	10,05	4,35	1,60	NO
	100%	45.937	50.311	-30.821	171.738	10,05	10,05	3,79	0,99	NO
Trave P7-3c	0%	-	53.931	-	107.684	10,05	10,05	3,31	1,66	NO
	25%	-	76.981	-	136.472	10,05	10,05	2,32	1,31	NO
	50%	-	83.041	-	75.414	10,05	10,05	2,15	2,37	NO
	75%	-	113.596	-	20.618	10,05	10,05	1,57	8,67	NO
	100%	-	145.400	-	12.397	10,05	10,05	1,23	14,42	NO
Fondazione						**Travata: Trave18d-22-P8-19d**				
Trave 18d-22	0%	-	-	-	-	10,05	10,05	-	-	NO
	25%	-	737	-68	1.566	10,05	10,05	NS	NS	NO
	62,5%	-	2.941	-1.786	6.157	10,05	10,05	59,65	28,43	NO
	87,5%	-	6.601	-1.786	13.990	24,13	24,13	61,53	29,01	NO
	100%	-	11.708	-1.786	24.470	24,13	24,13	34,69	16,58	NO
Trave 22-P8	0%	-	128.718	-	22.857	24,13	24,13	3,18	17,92	NO
	25%	-	153.661	-	12.117	14,07	14,07	1,59	20,19	NO
	50%	-	159.532	-	52.726	14,07	14,07	1,53	4,64	NO
	75%	-	159.053	-	98.859	14,07	14,07	1,54	2,47	NO
	100%	-	148.419	-	161.876	28,15	28,15	3,20	2,94	NO
Trave P8-19d	0%	232.619	141.978	41.694	242.651	28,15	28,15	3,69	2,00	NO
	25%	232.619	119.520	41.694	194.860	14,07	14,07	2,46	1,30	NO
	37,5%	232.619	99.500	41.694	155.252	14,07	14,07	2,95	1,63	NO
	75%	232.619	81.993	41.694	124.171	14,07	14,07	3,58	2,04	NO
	100%	232.619	67.051	41.694	101.923	14,07	14,07	4,38	2,49	NO
Fondazione						**Travata: Trave26d-38-P14-27d**				
Trave 26d-38	0%	-	-	-	-	14,07	14,07	-	-	NO
	25%	97	915	-93	3.180	14,07	14,07	NS	76,92	NO
	62,5%	97	3.642	-93	12.586	14,07	14,07	67,17	19,43	NO
	62,5%	2.278	8.233	-93	27.887	28,15	28,15	57,80	17,05	NO
	87,5%	2.278	14.687	-2.236	48.777	28,15	28,15	32,40	9,74	NO
Trave 38-P14	0%	-	26.895	-	48.917	28,15	28,15	17,68	9,72	NO
	25%	-	66.575	-	10.420	14,07	14,07	3,67	23,48	NO
	50%	-	125.737	-	7.824	14,07	14,07	1,95	31,27	NO
	75%	-	127.369	-	16.995	14,07	14,07	1,92	14,39	NO
	100%	-	116.565	-	56.063	28,15	28,15	4,08	8,48	NO
Trave P14-27d	0%	173.706	112.128	25.488	97.937	28,15	28,15	4,56	4,91	NO
	25%	173.706	96.824	25.488	76.370	14,07	14,07	2,91	3,27	NO
	37,5%	173.706	83.447	25.488	59.543	14,07	14,07	3,37	4,20	NO
	75%	173.706	72.611	25.488	47.963	14,07	14,07	3,87	5,21	NO
	100%	173.706	64.894	25.488	42.130	14,07	14,07	4,34	5,93	NO
Fondazione						**Travata: Trave28d-40-P15-29d**				
Trave 28d-40	0%	119.922	37.586	56.348	37.705	14,07	14,07	7,18	6,80	NO
	25%	119.922	40.397	56.348	40.719	14,07	14,07	6,68	6,30	NO
	62,5%	119.922	44.361	56.348	48.567	14,07	14,07	6,09	5,28	NO
	87,5%	119.922	49.320	56.348	60.971	28,15	28,15	10,15	7,99	NO
	87,5%	119.922	55.118	56.348	77.645	28,15	28,15	9,08	6,27	NO
Trave 40-P15	0%	-	55.350	-	44.835	28,15	28,15	8,59	10,60	NO
	25%	-	46.374	-	11.987	14,07	14,07	5,28	20,41	NO
	50%	-	86.132	-	4.938	14,07	14,07	2,84	49,54	NO
	75%	-	109.617	-	16.527	14,07	14,07	2,23	14,80	NO
	100%	-	102.941	-	36.200	28,15	28,15	4,62	13,13	NO
Trave P15-29d	0%	183.312	99.476	-208	65.039	28,15	28,15	5,16	7,31	NO
	25%	183.312	90.497	-208	45.428	14,07	14,07	3,13	5,38	NO
	37,5%	183.312	82.165	31.688	32.135	14,07	14,07	3,45	7,82	NO
	75%	183.312	75.045	31.688	24.004	14,07	14,07	3,78	10,47	NO
	100%	183.312	69.678	31.688	21.607	14,07	14,07	4,07	11,63	NO
Fondazione						**Travata: Trave30d-P16-43-9c**				
Trave 30d-P16	0%	77.663	21.736	24.882	91.432	14,07	14,07	12,01	2,73	NO
	25%	77.663	27.194	24.882	109.005	14,07	14,07	9,60	2,29	NO
	62,5%	77.663	36.102	24.882	140.330	14,07	14,07	7,23	1,78	NO
	75%	77.663	48.591	24.882	185.021	14,07	14,07	5,37	1,35	NO
	100%	77.663	64.779	24.882	242.646	32,17	32,17	8,60	2,25	NO
Trave P16-43	0%	-	78.533	-	165.201	32,17	32,17	6,89	3,28	NO
	25%	-	102.641	-	142.548	18,10	18,10	3,03	2,18	NO
	50%	-	98.040	-	26.183	18,10	18,10	3,17	11,87	NO
	75%	-584.216	98.202	110.154	26.129	18,10	18,10	1,91	12,78	NO
	100%	-584.216	93.450	110.154	59.089	18,10	18,10	2,00	5,65	NO
Trave 43-9c	0%	-	255.466	-	90.111	18,10	18,10	1,50	4,26	NO
	25%	-	141.801	-	22.699	18,10	18,10	2,71	16,90	NO
	50%	-	100.495	-	5.583	18,10	18,10	3,82	68,71	NO
	75%	-	103.375	-	8.367	18,10	18,10	3,71	45,85	NO
	100%	-	121.244	-	7.006	18,10	18,10	3,16	54,76	NO
Fondazione						**Travata: Trave9c-P17-31d**				
Trave 9c-P17	0%	-	159.590	-	120.222	10,05	10,05	1,12	1,49	NO
	25%	-	120.297	-	43.817	10,05	10,05	1,49	4,08	NO
	50%	-	124.987	-	53.423	10,05	10,05	1,43	3,35	NO
	75%	-	104.212	-	140.236	10,05	10,05	1,71	1,27	NO
	100%	-	87.833	-	156.152	10,05	10,05	2,03	1,14	NO
Trave P17-31d	0%	161.904	63.837	-26.706	253.700	10,05	10,05	3,47	0,68	NO
	25%	6.270	46.814	41.553	172.376	10,05	10,05	3,85	1,10	NO
	62,5%	6.270	47.039	41.553	98.384	10,05	10,05	3,83	1,93	NO
	75%	6.270	45.362	41.553	53.205	10,05	10,05	3,98	3,57	NO
	100%	6.270	41.768	41.553	36.922	10,05	10,05	4,32	5,14	NO

Id_{Tr}	$\%L_{LI}$	$N_{Ed,s}$	$M_{Ed,3,s}$	$N_{Ed,i}$	$M_{Ed,3,i}$	$A_{s,s}$	$A_{s,i}$	CS_s	CS_i	R_f
	[%]	[N]	[N·m]	[N]	[N·m]	[cm²]	[cm²]			
Fondazione						**Travata: Trave32d-P18-11c**				
Trave 32d-P18	0%	5.909	39.403	37.504	32.071	10,05	10,05	4,58	5,88	NO
	25%	5.909	42.473	37.504	45.005	10,05	10,05	4,24	4,19	NO
	62,5%	5.909	43.061	37.504	79.183	10,05	10,05	4,19	2,38	NO
	75%	5.909	41.183	37.504	134.513	10,05	10,05	4,38	1,40	NO
	100%	50.084	54.863	37.504	210.837	10,05	10,05	3,50	0,89	NO
Trave P18-11c	0%	-	60.794	-	121.426	10,05	10,05	2,94	1,47	NO
	25%	-	90.673	-	157.387	10,05	10,05	1,97	1,14	NO
	50%	-	94.049	-	91.769	10,05	10,05	1,90	1,95	NO
	75%	-	107.524	-	29.302	10,05	10,05	1,66	6,10	NO
	100%	-	132.343	-	19.853	10,05	10,05	1,35	9,00	NO
Fondazione						**Travata: Trave3c-20-15d**				
Trave 3c-20	0%	-	128.480	-	10.874	10,05	10,05	1,66	19,65	NO
	25%	-	165.079	-	1.108	10,05	10,05	1,29	NS	NO
	50%	-	156.211	-	4.066	10,05	10,05	1,37	52,54	NO
	75%	-	145.081	-	10.438	10,05	10,05	1,47	20,47	NO
	100%	-	123.084	-	59.299	10,05	10,05	1,74	3,60	NO
Trave 20-15d	0%	105	15.204	-110	35.612	10,05	10,05	14,05	6,00	NO
	25%	105	8.681	-110	20.438	10,05	10,05	24,61	10,45	NO
	62,5%	105	3.905	-110	9.253	10,05	10,05	54,72	23,09	NO
	87,5%	105	969	-110	2.338	10,05	10,05	NS	91,37	NO
	100%	-	-	-	-	10,05	10,05	-	-	NO
Fondazione						**Travata: Trave11c-47-33d**				
Trave 11c-47	0%	-	102.091	-	5.194	10,05	10,05	2,09	41,13	NO
	25%	-	145.414	-	2.917	10,05	10,05	1,47	73,24	NO
	50%	-	139.518	-	5.106	10,05	10,05	1,53	41,84	NO
	75%	-	148.844	-	24.225	10,05	10,05	1,44	8,82	NO
	100%	-	139.257	-	56.717	10,05	10,05	1,53	3,77	NO
Trave 47-33d	0%	127	14.652	-132	31.014	10,05	10,05	14,58	6,89	NO
	25%	127	8.389	-132	17.839	10,05	10,05	25,47	11,97	NO
	62,5%	127	3.780	-132	8.090	10,05	10,05	56,53	26,40	NO
	87,5%	127	935	-132	2.041	10,05	10,05	NS	NS	NO
	100%	-	-	-	-	10,05	10,05	-	-	NO
Fondazione						**Travata: Trave1d-1-P2-4-7d**				
Trave 1d-1	0%	-	-	-	-	14,07	14,07	-	-	NO
	25%	-2	1.018	2	2.915	14,07	14,07	NS	83,92	NO
	62,5%	-2	4.019	2	11.508	14,07	14,07	60,87	21,26	NO
	87,5%	-2	8.930	2	25.558	28,15	28,15	53,24	18,60	NO
	87,5%	-2	15.678	2	44.841	28,15	28,15	30,32	10,60	NO
Trave 1-P2	0%	-	88.056	-	149.297	28,15	28,15	5,40	3,18	NO
	25%	-	80.496	-	57.203	14,07	14,07	3,04	4,28	NO
	50%	-	112.007	-	32.332	14,07	14,07	2,18	7,57	NO
	75%	-	84.151	-	28.166	14,07	14,07	2,91	8,69	NO
	100%	-	75.503	-	45.340	14,07	14,07	3,24	5,40	NO
Trave P2-4	0%	-	169.729	-	89.928	14,07	14,07	1,44	2,72	NO
	25%	-	164.336	-	61.837	14,07	14,07	1,49	3,96	NO
	50%	-	152.550	-	38.561	14,07	14,07	1,60	6,34	NO
	75%	-	86.478	-	16.071	14,07	14,07	2,83	15,22	NO
	100%	-	22.258	-	8.382	28,15	28,15	21,36	56,72	NO
Trave 4-7d	0%	-	1.058	-2.267	30.946	28,15	28,15	NS	15,35	NO
	25%	-	639	-2.267	17.556	28,15	28,15	NS	27,05	NO
	62,5%	-	303	-2.267	7.665	14,07	14,07	NS	31,85	NO
	87,5%	-	81	-54	1.585	14,07	14,07	NS	NS	NO
	87,5%	4	-	4	-	14,07	14,07	-	-	NO
Fondazione						**Travata: Trave2d-3-P3-6-8d**				
Trave 2d-3	0%	-	-	-	-	10,05	10,05	-	-	NO
	25%	-	698	-	912	10,05	10,05	NS	NS	NO
	62,5%	-	2.755	-	3.604	10,05	10,05	63,68	48,68	NO
	87,5%	-	6.122	-	8.006	24,13	24,13	66,34	50,73	NO
	100%	-	10.743	-	14.052	24,13	24,13	37,81	28,90	NO
Trave 3-P3	0%	-	71.167	-	114.233	24,13	24,13	5,76	3,59	NO
	25%	-	60.180	-	46.225	14,07	14,07	4,06	5,29	NO
	50%	-	58.558	-	22.149	14,07	14,07	4,18	11,04	NO
	75%	-	60.136	-	22.303	14,07	14,07	4,07	10,97	NO
	100%	-	83.351	-	56.645	28,15	28,15	5,70	8,39	NO
Trave P3-6	0%	-	158.152	-	90.850	28,15	28,15	3,01	5,23	NO
	25%	-	155.176	-	64.535	14,07	14,07	1,58	3,79	NO
	50%	-	145.998	-	44.439	14,07	14,07	1,68	5,50	NO
	75%	-	87.196	-	19.167	14,07	14,07	2,81	12,76	NO
	100%	-	27.488	-	10.882	28,15	28,15	17,30	43,69	NO
Trave 6-8d	0%	-	-	-2.267	30.427	28,15	28,15	-	15,61	NO
	25%	-	-	-2.267	17.258	28,15	28,15	-	27,52	NO
	62,5%	-	-	-2.267	7.530	14,07	14,07	-	32,42	NO
	87,5%	-	-	-60	1.736	14,07	14,07	-	NS	NO
	100%	-	-	-	-	14,07	14,07	-	-	NO
Fondazione						**Travata: Trave16-5c-P9-20d**				
Trave 16-5c	0%	-	153.540	-	76.823	18,10	18,10	2,50	4,99	NO
	25%	-	104.956	-	13.943	18,10	18,10	3,66	27,51	NO
	50%	-	57.192	-	3.660	18,10	18,10	6,71	NS	NO
	75%	-	85.922	-	29.825	18,10	18,10	4,46	12,86	NO
	100%	-	73.297	-	28.211	18,10	18,10	5,23	13,60	NO
Trave 5c-P9	0%	-	88.366	-	152.968	18,10	18,10	4,34	2,51	NO
	37,5%	-	78.346	-	119.009	18,10	18,10	4,90	3,22	NO
	50%	-	70.726	-	118.230	18,10	18,10	5,42	3,24	NO
	87,5%	-	69.088	-	177.623	36,19	36,19	10,87	4,23	NO
	100%	-	61.281	-	155.306	36,19	36,19	12,25	4,83	NO

Id_{Tr}	$\%L_{LI}$	$N_{Ed,s}$	$M_{Ed,3,s}$	$N_{Ed,i}$	$M_{Ed,3,i}$	$A_{s,s}$	$A_{s,i}$	CS_s	CS_i	R_f
	[%]	[N]	[N·m]	[N]	[N·m]	[cm²]	[cm²]			
Trave P9-20d	0%	138.923	61.732	97.949	256.623	36,19	36,19	12,74	3,02	NO
	25%	302	48.001	97.949	187.731	36,19	36,19	15,64	4,13	NO
	50%	302	49.983	97.949	136.086	18,10	18,10	7,68	3,01	NO
	75%	302	49.555	97.949	102.515	18,10	18,10	7,74	3,99	NO
	100%	302	46.759	97.949	87.818	18,10	18,10	8,21	4,66	NO
Fondazione						**Travata: Trave9d-20-21-P10-21d**				
Trave 9d-20	0%	-	-	-	-	10,05	10,05	-	-	NO
	25%	69	919	-	1.320	10,05	10,05	NS	NS	NO
	62,5%	69	3.653	-	5.245	10,05	10,05	48,03	33,45	NO
	87,5%	69	8.067	-	11.725	28,15	10,05	58,26	14,97	NO
	100%	69	14.049	-	20.709	28,15	10,05	33,45	8,48	NO
Trave 20-21	0%	-	75.738	-	48.121	28,15	18,10	7,76	7,97	NO
	25%	-	72.221	-	17.959	18,10	18,10	5,31	21,36	NO
	50%	-	85.356	-	10.961	18,10	18,10	4,49	35,00	NO
	75%	-	117.472	-	11.682	18,10	18,10	3,27	32,84	NO
	100%	-	150.341	-	6.971	18,10	18,10	2,55	55,03	NO
Trave 21-P10	0%	-	124.664	-	17.684	18,10	18,10	3,08	21,69	NO
	25%	-	108.551	-	7.008	18,10	18,10	3,53	54,74	NO
	50%	-	40.589	-	165	18,10	18,10	9,45	NS	NO
	75%	-	44.530	-	127.790	18,10	18,10	8,61	3,00	NO
	100%	-	59.796	-	214.353	36,19	36,19	12,56	3,50	NO
Trave P10-21d	0%	58.897	47.595	145.768	259.000	36,19	36,19	16,10	3,04	NO
	25%	58.897	37.166	145.768	197.695	18,10	18,10	10,74	2,13	NO
	37,5%	58.897	28.896	145.768	150.801	18,10	18,10	13,81	2,80	NO
	75%	23.069	23.629	145.768	118.833	18,10	18,10	16,49	3,55	NO
	100%	23.069	20.752	145.768	102.280	18,10	18,10	18,78	4,12	NO
Fondazione						**Travata: Trave16d-22-P11-22d**				
Trave 16d-22	0%	-	-	-	-	14,07	14,07	-	-	NO
	37,5%	60	636	-	776	14,07	14,07	NS	NS	NO
	37,5%	1.984	3.214	-946	3.598	14,07	14,07	76,24	67,93	NO
	75%	1.984	7.673	-946	8.264	14,07	14,07	31,94	29,58	NO
	100%	1.984	13.714	-946	14.646	14,07	14,07	17,87	16,69	NO
Trave 22-P11	0%	-	55.981	-	14.704	14,07	14,07	4,37	16,64	NO
	25%	-	45.284	-	9.950	14,07	14,07	5,40	24,59	NO
	50%	-	54.864	-	1.100	14,07	14,07	4,46	NS	NO
	75%	-	55.451	-	23.829	14,07	14,07	4,41	10,27	NO
	100%	-	67.462	-	155.649	28,15	28,15	7,05	3,05	NO
Trave P11-22d	0%	95.622	60.910	73.386	249.371	28,15	28,15	8,13	1,97	NO
	25%	95.622	51.400	73.386	193.553	14,07	14,07	5,15	1,34	NO
	37,5%	95.622	43.516	73.386	150.487	14,07	14,07	6,09	1,73	NO
	75%	95.622	37.293	73.386	120.759	14,07	14,07	7,10	2,15	NO
	100%	95.622	32.752	73.386	104.910	14,07	14,07	8,09	2,48	NO
Fondazione						**Travata: Trave24d-P12-37-47-34d**				
Trave 24d-P12	0%	159.435	39.143	52.881	34.115	18,10	18,10	10,86	11,65	NO
	25%	159.435	48.495	52.881	39.832	18,10	18,10	8,77	9,98	NO
	62,5%	159.435	65.065	52.881	51.764	18,10	18,10	6,54	7,68	NO
	75%	159.435	88.946	52.881	69.757	18,10	18,10	4,78	5,70	NO
	100%	159.435	120.216	52.881	93.655	36,19	36,19	6,59	8,16	NO
Trave P12-37	0%	-	137.046	-	68.524	36,19	36,19	5,48	10,96	NO
	25%	-	208.137	-	77.880	18,10	18,10	1,84	4,93	NO
	50%	-	177.375	-	6.112	18,10	18,10	2,16	62,77	NO
	75%	-	168.328	-	2.907	18,10	18,10	2,28	NS	NO
	100%	-	173.209	-	8.436	18,10	18,10	2,21	45,47	NO
Trave 37-47	0%	-	140.827	-	5.541	18,10	18,10	2,72	69,23	NO
	25%	-	160.393	-	1.452	18,10	18,10	2,39	NS	NO
	50%	-	158.283	-	2.699	18,10	18,10	2,42	NS	NO
	75%	-	138.295	-	8.913	18,10	18,10	2,77	43,04	NO
	100%	-	137.272	-	23.774	28,15	18,10	4,28	16,14	NO
Trave 47-34d	0%	-	6.742	-67	25.018	28,15	10,05	69,71	7,02	NO
	25%	-	3.757	-67	14.421	28,15	10,05	NS	12,17	NO
	62,5%	-	1.655	-67	6.558	10,05	10,05	NS	26,75	NO
	87,5%	-	411	-67	1.668	10,05	10,05	NS	NS	NO
	87,5%	-	-	-	-	10,05	10,05	-	-	NO
Fondazione						**Travata: Trave25d-P13-7c-43**				
Trave 25d-P13	0%	6.290	48.526	17.546	33.765	18,10	18,10	7,94	11,50	NO
	25%	6.290	53.245	17.546	44.182	18,10	18,10	7,24	8,79	NO
	62,5%	246.054	67.209	17.546	66.581	18,10	18,10	6,66	5,83	NO
	75%	246.054	91.546	17.546	100.803	18,10	18,10	4,89	3,85	NO
	100%	331.246	129.578	17.546	146.654	36,19	36,19	6,45	5,15	NO
Trave P13-7c	0%	-	137.721	-	90.255	36,19	36,19	5,45	8,32	NO
	25%	-	183.679	-	120.895	18,10	18,10	2,09	3,17	NO
	50%	-	200.112	-	78.484	18,10	18,10	1,92	4,89	NO
	75%	-	229.811	-	29.673	18,10	18,10	1,67	12,93	NO
	100%	-	246.761	-	28.420	18,10	18,10	1,55	13,50	NO
Trave 7c-43	0%	-	204.884	-	9.167	18,10	18,10	1,87	41,85	NO
	25%	-	249.400	-	7.762	18,10	18,10	1,54	49,42	NO
	50%	-	184.036	-	2.639	18,10	18,10	2,08	NS	NO
	75%	-	116.672	-	8.561	18,10	18,10	3,29	44,81	NO
	100%	-	84.801	-	83.429	18,10	18,10	4,52	4,60	NO
Fondazione						**Travata: Trave17d-25-26-23d**				
Trave 17d-25	0%	-	-	-	-	14,07	14,07	-	-	NO
	25%	71	1.466	-1.081	2.357	14,07	14,07	NS	NS	NO
	62,5%	2.267	6.877	-1.081	10.123	14,07	14,07	35,64	24,14	NO
	87,5%	2.267	15.911	-1.081	22.860	28,15	28,15	29,91	20,79	NO
	87,5%	2.267	28.244	-1.081	40.397	28,15	28,15	16,85	11,76	NO
Trave 25-26	0%	-	49.584	-	36.521	28,15	28,15	9,59	13,02	NO

Id_{Tr}	$\%L_{LI}$	$N_{Ed,s}$	$M_{Ed,3,s}$	$N_{Ed,i}$	$M_{Ed,3,i}$	$A_{s,s}$	$A_{s,i}$	CS_s	CS_i	R_f
	[%]	[N]	[N·m]	[N]	[N·m]	[cm^2]	[cm^2]			
	25%	-	84.959	-	2.939	14,07	14,07	2,88	83,24	NO
	50%	-	156.469	-	8.273	14,07	14,07	1,56	29,57	NO
	75%	-	59.756	-	904	14,07	14,07	4,09	NS	NO
	100%	-	16.284	-	57.955	28,15	28,15	29,20	8,20	NO
Trave 26-23d	0%	1.081	10.888	-2.267	77.612	28,15	28,15	43,68	6,12	NO
	25%	1.081	6.165	-2.267	44.025	28,15	28,15	77,15	10,79	NO
	62,5%	1.081	2.661	-2.267	19.526	14,07	14,07	92,02	12,50	NO
	87,5%	1.081	481	-2.267	4.533	14,07	14,07	NS	53,86	NO
	100%	-	-	-	-	14,07	14,07	-	-	NO

LEGENDA:

Id_{Tr} Identificativo della trave. L'eventuale lettera tra parentesi distingue i diversi tratti della travata al livello considerato.
$\%L_{LI}$ Posizione della sezione per la quale vengono forniti i valori di verifica, valutata come % della lunghezza libera d'inflessione (L_{LI}), a partire dall'estremo iniziale.
R_f [SI] = nodo con presenza di rinforzo; [NO] = nodo senza rinforzo.
$N_{Ed,s}$, $M_{Ed,3,s}$ Sollecitazioni di progetto per armatura superiore.
$N_{Ed,i}$, $M_{Ed,3,i}$ Sollecitazioni di progetto per armatura inferiore.
$A_{s,s}$, $A_{s,i}$ Armatura a flessione superiore e inferiore.
CS_{sup}, CS_{inf} Coefficiente di sicurezza relativo alle sollecitazioni che tendono le fibre superiori e inferiori ([NS] = Non Significativo per valori di CS >= 100; [VNR]= Verifica Non Richiesta).

TRAVI (CA) - VERIFICHE A TAGLIO PER PRESSOFLESSIONE RETTA ALLO SLU (Fondazione)

Id_{Tr}	$\%L_{LI}$	+/-	$V_{Ed,2}$	CS	V_{Rcd}	$V_{Rsd,s}$	N_{Ed}	$V_{Rsd,p}$	V_{R1}	V_{fd}	Ctg Θ	A_{sw}	$A_{sw,p}$	$A_{s,Dg}$	R_f
	[%]		[N]		[N]	[N]	[N]	[N]	[N]	[N]		[cm^2/cm]	[cm^2]	[cm^2]	
Fondazione									**Travata: Trave3d-1-2-4d**						
Trave 3d-1	0%	+	-	-	1.004.973	902.803	0	0	0	0	2,50	0,2234	0,0000	0,0000	NO
		-	-	-	1.004.973	902.803	0	0	0	0	2,50	0,2234	0,0000	0,0000	NO
	25%	+	2.035	NS	1.004.973	902.803	0	0	0	0	2,50	0,2234	0,0000	0,0000	NO
		-	-	-	1.004.973	902.803	0	0	0	0	2,50	0,2234	0,0000	0,0000	NO
	62,5%	+	4.266	NS	1.004.973	902.803	0	0	0	0	2,50	0,2234	0,0000	0,0000	NO
		-	-	-	1.004.973	902.803	0	0	0	0	2,50	0,2234	0,0000	0,0000	NO
	87,5%	+	6.701	NS	1.004.973	902.803	0	0	0	0	2,50	0,2234	0,0000	0,0000	NO
		-	-	-	1.004.973	902.803	0	0	0	0	2,50	0,2234	0,0000	0,0000	NO
	100%	+	9.364	96,41	1.004.973	902.803	0	0	0	0	2,50	0,2234	0,0000	0,0000	NO
		-	-	-	1.004.973	902.803	0	0	0	0	2,50	0,2234	0,0000	0,0000	NO
Trave 1-2	0%	+	8.460	97,64	1.306.464	826.018	0	0	0	0	2,50	0,2234	0,0000	0,0000	NO
		-	-	-	1.306.464	826.018	0	0	0	0	2,50	0,2234	0,0000	0,0000	NO
	25%	+	14.129	59,66	1.306.464	842.877	0	0	0	0	2,50	0,2234	0,0000	0,0000	NO
		-	-	-	1.306.464	842.877	0	0	0	0	2,50	0,2234	0,0000	0,0000	NO
	50%	+	7.215	NS	1.306.464	866.541	0	0	0	0	2,50	0,2234	0,0000	0,0000	NO
		-	-	-	1.306.464	866.541	0	0	0	0	2,50	0,2234	0,0000	0,0000	NO
	75%	+	-	-	1.306.464	886.729	0	0	0	0	2,50	0,2234	0,0000	0,0000	NO
		-	-4.532	NS	1.306.464	886.729	0	0	0	0	2,50	0,2234	0,0000	0,0000	NO
	100%	+	58.472	15,28	1.306.464	893.169	0	0	0	0	2,50	0,2234	0,0000	0,0000	NO
		-	-	-	1.306.464	893.169	0	0	0	0	2,50	0,2234	0,0000	0,0000	NO
Trave 2-4d	0%	+	-	-	1.306.464	891.821	0	0	0	0	2,50	0,2234	0,0000	0,0000	NO
		-	-56.490	15,79	1.306.464	891.821	0	0	0	0	2,50	0,2234	0,0000	0,0000	NO
	25%	+	-	-	1.306.464	891.821	0	0	0	0	2,50	0,2234	0,0000	0,0000	NO
		-	-42.515	20,98	1.306.464	891.821	0	0	0	0	2,50	0,2234	0,0000	0,0000	NO
	62,5%	+	-	-	1.306.464	891.821	0	0	0	0	2,50	0,2234	0,0000	0,0000	NO
		-	-28.389	31,41	1.306.464	891.821	0	0	0	0	2,50	0,2234	0,0000	0,0000	NO
	87,5%	+	-	-	1.306.464	891.821	0	0	0	0	2,50	0,2234	0,0000	0,0000	NO
		-	-14.132	63,11	1.306.464	891.821	0	0	0	0	2,50	0,2234	0,0000	0,0000	NO

Id_{Tr}	$\%L_{LI}$	+/-	$V_{Ed,2}$	CS	V_{Rcd}	$V_{Rsd,s}$	N_{Ed}	$V_{Rsd,p}$	V_{R1}	V_{fd}	Ctg Θ	A_{sw}	$A_{sw,p}$	$A_{s,Dg}$	R_f
	[%]		[N]		[N]	[N]	[N]	[N]	[N]	[N]		[cm^2/cm]	[cm^2]	[cm^2]	
	87,5%	+	3.246	NS	1.306.464	891.821	0	0	0	0	2,50	0,2234	0,0000	0,0000	NO
		-	-505	NS	1.306.464	891.821	0	0	0	0	2,50	0,2234	0,0000	0,0000	NO
Fondazione									**Travata: Trave5d-P1-3-6d**						
Trave 5d-P1	0%	+	-	-	1.306.464	1.004.671	0	0	0	0	2,50	0,2513	0,0000	0,0000	NO
		-	-26.972	37,25	1.306.464	1.004.671	0	0	0	0	2,50	0,2513	0,0000	0,0000	NO
	25%	+	-	-	1.306.464	1.004.671	0	0	0	0	2,50	0,2513	0,0000	0,0000	NO
		-	-21.464	46,81	1.306.464	1.004.671	0	0	0	0	2,50	0,2513	0,0000	0,0000	NO
	62,5%	+	-	-	1.306.464	1.004.671	0	0	0	0	2,50	0,2513	0,0000	0,0000	NO
		-	-16.047	62,61	1.306.464	1.004.671	0	0	0	0	2,50	0,2513	0,0000	0,0000	NO
	75%	+	-	-	1.306.464	1.004.671	0	0	0	0	2,50	0,2513	0,0000	0,0000	NO
		-	-10.646	94,37	1.306.464	1.004.671	0	0	0	0	2,50	0,2513	0,0000	0,0000	NO
	100%	+	-	-	1.306.464	1.004.671	0	0	0	0	2,50	0,2513	0,0000	0,0000	NO
		-	-5.187	NS	1.306.464	1.004.671	0	0	0	0	2,50	0,2513	0,0000	0,0000	NO
Trave P1-3	0%	+	23.478	37,85	1.306.464	888.715	0	0	0	0	2,50	0,2234	0,0000	0,0000	NO
		-	-	-	1.306.464	888.715	0	0	0	0	2,50	0,2234	0,0000	0,0000	NO
	25%	+	45.388	19,58	1.306.464	888.715	0	0	0	0	2,50	0,2234	0,0000	0,0000	NO
		-	-	-	1.306.464	888.715	0	0	0	0	2,50	0,2234	0,0000	0,0000	NO
	50%	+	55.094	15,92	1.306.464	877.128	0	0	0	0	2,50	0,2234	0,0000	0,0000	NO
		-	-	-	1.306.464	877.128	0	0	0	0	2,50	0,2234	0,0000	0,0000	NO
	75%	+	38.168	22,58	1.306.464	861.758	0	0	0	0	2,50	0,2234	0,0000	0,0000	NO
		-	-	-	1.306.464	861.758	0	0	0	0	2,50	0,2234	0,0000	0,0000	NO
	100%	+	-	-	1.306.464	847.763	0	0	0	0	2,50	0,2234	0,0000	0,0000	NO
		-	-1.855	NS	1.306.464	847.763	0	0	0	0	2,50	0,2234	0,0000	0,0000	NO
Trave 3-6d	0%	+	-	-	1.306.464	902.803	0	0	0	0	2,50	0,2234	0,0000	0,0000	NO
		-	-28.480	31,70	1.306.464	902.803	0	0	0	0	2,50	0,2234	0,0000	0,0000	NO
	25%	+	-	-	1.306.464	902.803	0	0	0	0	2,50	0,2234	0,0000	0,0000	NO
		-	-21.516	41,96	1.306.464	902.803	0	0	0	0	2,50	0,2234	0,0000	0,0000	NO
	62,5%	+	-	-	1.306.464	902.803	0	0	0	0	2,50	0,2234	0,0000	0,0000	NO
		-	-14.447	62,49	1.306.464	902.803	0	0	0	0	2,50	0,2234	0,0000	0,0000	NO
	87,5%	+	-	-	1.306.464	902.803	0	0	0	0	2,50	0,2234	0,0000	0,0000	NO
		-	-7.276	NS	1.306.464	902.803	0	0	0	0	2,50	0,2234	0,0000	0,0000	NO
	100%	+	-	-	1.306.464	902.803	0	0	0	0	2,50	0,2234	0,0000	0,0000	NO
		-	-3	NS	1.306.464	902.803	0	0	0	0	2,50	0,2234	0,0000	0,0000	NO
Fondazione									**Travata: Trave10d-13-P4-11d**						
Trave 10d-13	0%	+	-	-	1.306.464	902.803	0	0	0	0	2,50	0,2234	0,0000	0,0000	NO
		-	-	-	1.306.464	902.803	0	0	0	0	2,50	0,2234	0,0000	0,0000	NO
	25%	+	22.897	39,43	1.306.464	902.803	0	0	0	0	2,50	0,2234	0,0000	0,0000	NO
		-	-	-	1.306.464	902.803	0	0	0	0	2,50	0,2234	0,0000	0,0000	NO
	62,5%	+	45.607	19,80	1.306.464	902.803	0	0	0	0	2,50	0,2234	0,0000	0,0000	NO
		-	-	-	1.306.464	902.803	0	0	0	0	2,50	0,2234	0,0000	0,0000	NO
	87,5%	+	68.117	13,25	1.306.464	902.803	0	0	0	0	2,50	0,2234	0,0000	0,0000	NO
		-	-	-	1.306.464	902.803	0	0	0	0	2,50	0,2234	0,0000	0,0000	NO
	87,5%	+	90.429	9,98	1.306.464	902.803	0	0	0	0	2,50	0,2234	0,0000	0,0000	NO

Id_{Tr}	$\%L_{LI}$	+/-	$V_{Ed,2}$	CS	V_{Rcd}	$V_{Rsd,s}$	N_{Ed}	$V_{Rsd,p}$	V_{R1}	V_{fd}	Ctg Θ	A_{sw}	$A_{sw,p}$	$A_{s,Dg}$	R_f
	[%]		[N]		[N]	[N]	[N]	[N]	[N]	[N]		[cm²/cm]	[cm²]	[cm²]	
		-	-	-	1.306.464	902.803	0	0	0	0	2,50	0,2234	0,0000	0,0000	NO
Trave 13-P4	0%	+	-	-	1.306.464	799.582	0	0	0	0	2,50	0,2011	0,0000	0,0000	NO
		-	-83.713	9,55	1.306.464	799.582	0	0	0	0	2,50	0,2011	0,0000	0,0000	NO
	25%	+	-	-	1.306.464	799.582	0	0	0	0	2,50	0,2011	0,0000	0,0000	NO
		-	-13.959	57,28	1.306.464	799.582	0	0	0	0	2,50	0,2011	0,0000	0,0000	NO
	50%	+	-	-	1.306.464	796.166	0	0	0	0	2,50	0,2011	0,0000	0,0000	NO
		-	-40.545	19,64	1.306.464	796.166	0	0	0	0	2,50	0,2011	0,0000	0,0000	NO
	75%	+	-	-	1.306.464	793.934	0	0	0	0	2,50	0,2011	0,0000	0,0000	NO
		-	-78.351	10,13	1.306.464	793.934	0	0	0	0	2,50	0,2011	0,0000	0,0000	NO
	100%	+	-	-	1.306.464	793.934	0	0	0	0	2,50	0,2011	0,0000	0,0000	NO
		-	-16.225	48,93	1.306.464	793.934	0	0	0	0	2,50	0,2011	0,0000	0,0000	NO
Trave P4-11d	0%	+	-	-	1.306.464	791.666	0	0	0	0	2,50	0,2011	0,0000	0,0000	NO
		-	-76.701	10,32	1.306.464	791.666	0	0	0	0	2,50	0,2011	0,0000	0,0000	NO
	25%	+	-	-	1.306.464	791.666	0	0	0	0	2,50	0,2011	0,0000	0,0000	NO
		-	-49.968	15,84	1.306.464	791.666	0	0	0	0	2,50	0,2011	0,0000	0,0000	NO
	37,5%	+	-	-	1.306.464	791.666	0	0	0	0	2,50	0,2011	0,0000	0,0000	NO
		-	-23.635	33,50	1.306.464	791.666	0	0	0	0	2,50	0,2011	0,0000	0,0000	NO
	75%	+	4.987	NS	1.306.464	791.666	0	0	0	0	2,50	0,2011	0,0000	0,0000	NO
		-	-	-	1.306.464	791.666	0	0	0	0	2,50	0,2011	0,0000	0,0000	NO
	100%	+	28.121	28,15	1.306.464	791.666	0	0	0	0	2,50	0,2011	0,0000	0,0000	NO
		-	-	-	1.306.464	791.666	0	0	0	0	2,50	0,2011	0,0000	0,0000	NO
Fondazione									**Travata: Trave12d-P5-16-1c**						
Trave 12d-P5	0%	+	-	-	1.306.928	1.002.819	3.258	0	0	0	2,50	0,2513	0,0000	0,0000	NO
		-	-29.089	34,47	1.306.928	1.002.819	3.258	0	0	0	2,50	0,2513	0,0000	0,0000	NO
	25%	+	-	-	1.306.928	1.002.819	3.258	0	0	0	2,50	0,2513	0,0000	0,0000	NO
		-	-11.433	87,71	1.306.928	1.002.819	3.258	0	0	0	2,50	0,2513	0,0000	0,0000	NO
	62,5%	+	6.302	NS	1.306.928	1.002.819	3.258	0	0	0	2,50	0,2513	0,0000	0,0000	NO
		-	-	-	1.306.928	1.002.819	3.258	0	0	0	2,50	0,2513	0,0000	0,0000	NO
	75%	+	22.618	44,34	1.306.928	1.002.819	3.258	0	0	0	2,50	0,2513	0,0000	0,0000	NO
		-	-	-	1.306.928	1.002.819	3.258	0	0	0	2,50	0,2513	0,0000	0,0000	NO
	100%	+	38.614	25,97	1.306.928	1.002.819	3.258	0	0	0	2,50	0,2513	0,0000	0,0000	NO
		-	-	-	1.306.928	1.002.819	3.258	0	0	0	2,50	0,2513	0,0000	0,0000	NO
Trave P5-16	0%	+	4.763	NS	1.306.464	1.007.388	0	0	0	0	2,50	0,2513	0,0000	0,0000	NO
		-	-	-	1.306.464	1.007.388	0	0	0	0	2,50	0,2513	0,0000	0,0000	NO
	25%	+	47.267	21,31	1.306.464	1.007.388	0	0	0	0	2,50	0,2513	0,0000	0,0000	NO
		-	-	-	1.306.464	1.007.388	0	0	0	0	2,50	0,2513	0,0000	0,0000	NO
	50%	+	19.445	51,91	1.306.464	1.009.354	0	0	0	0	2,50	0,2513	0,0000	0,0000	NO
		-	-	-	1.306.464	1.009.354	0	0	0	0	2,50	0,2513	0,0000	0,0000	NO
	75%	+	-	-	1.314.972	995.509	59.726	0	0	0	2,50	0,2513	0,0000	0,0000	NO
		-	-3.631	NS	1.314.972	995.509	59.726	0	0	0	2,50	0,2513	0,0000	0,0000	NO
	100%	+	31.984	31,13	1.314.972	995.509	59.726	0	0	0	2,50	0,2513	0,0000	0,0000	NO
		-	-	-	1.314.972	995.509	59.726	0	0	0	2,50	0,2513	0,0000	0,0000	NO
Trave 16-1c	0%	+	-	-	1.835.8	1.195.5	0	0	0	0	2,50	0,2513	0,0000	0,0000	NO

Id_{Tr}	$\%L_{LI}$	+/-	$V_{Ed,2}$	CS	V_{Rcd}	$V_{Rsd,s}$	N_{Ed}	$V_{Rsd,p}$	V_{R1}	V_{fd}	Ctg Θ	A_{sw}	$A_{sw,p}$	$A_{s,Dg}$	R_f
	[%]		[N]		[N]	[N]	[N]	[N]	[N]	[N]		[cm²/cm]	[cm²]	[cm²]	
		-	-27.866	42,90	81 1.835.881	81 1.195.581	0	0	0	0	2,50	0,2513	0,0000	0,0000	NO
	25%	+	19.470	61,41	1.835.881	1.195.581	0	0	0	0	2,50	0,2513	0,0000	0,0000	NO
		-	-	-	1.835.881	1.195.581	0	0	0	0	2,50	0,2513	0,0000	0,0000	NO
	50%	+	15.081	79,92	1.835.881	1.205.225	0	0	0	0	2,50	0,2513	0,0000	0,0000	NO
		-	-	-	1.835.881	1.205.225	0	0	0	0	2,50	0,2513	0,0000	0,0000	NO
	75%	+	-	-	1.835.881	1.214.194	0	0	0	0	2,50	0,2513	0,0000	0,0000	NO
		-	-2.738	NS	1.835.881	1.214.194	0	0	0	0	2,50	0,2513	0,0000	0,0000	NO
	100%	+	-	-	1.835.881	1.223.544	0	0	0	0	2,50	0,2513	0,0000	0,0000	NO
		-	-29.610	41,32	1.835.881	1.223.544	0	0	0	0	2,50	0,2513	0,0000	0,0000	NO
Fondazione									**Travata: Trave1c-P6-13d**						
Trave 1c-P6	0%	+	-	-	1.186.512	0	0	0	0	0	2,50	0,0000	0,0000	0,0000	NO
		-	-97.940	0,00	1.186.512	0	0	0	0	0	2,50	0,0000	0,0000	0,0000	NO
	25%	+	-	-	1.186.512	0	0	0	0	0	2,50	0,0000	0,0000	0,0000	NO
		-	-44.981	0,00	1.186.512	0	0	0	0	0	2,50	0,0000	0,0000	0,0000	NO
	50%	+	5.819	0,00	1.186.512	0	0	0	0	0	2,50	0,0000	0,0000	0,0000	NO
		-	-	-	1.186.512	0	0	0	0	0	2,50	0,0000	0,0000	0,0000	NO
	75%	+	-	-	1.186.512	0	0	0	0	0	2,50	0,0000	0,0000	0,0000	NO
		-	-44.172	0,00	1.186.512	0	0	0	0	0	2,50	0,0000	0,0000	0,0000	NO
	100%	+	-	-	1.186.512	0	0	0	0	0	2,50	0,0000	0,0000	0,0000	NO
		-	-4.264	0,00	1.186.512	0	0	0	0	0	2,50	0,0000	0,0000	0,0000	NO
Trave P6-13d	0%	+	-	-	1.186.927	230.893	4.313	0	0	0	2,50	0,0670	0,0000	0,0000	NO
		-	-37.887	6,09	1.186.927	230.893	4.313	0	0	0	2,50	0,0670	0,0000	0,0000	NO
	25%	+	-	-	1.186.927	230.893	4.313	0	0	0	2,50	0,0670	0,0000	0,0000	NO
		-	-19.759	11,69	1.186.927	230.893	4.313	0	0	0	2,50	0,0670	0,0000	0,0000	NO
	62,5%	+	1.147	NS	1.186.927	230.893	4.313	0	0	0	2,50	0,0670	0,0000	0,0000	NO
		-	-2.118	NS	1.186.927	230.893	4.313	0	0	0	2,50	0,0670	0,0000	0,0000	NO
	75%	+	18.312	12,61	1.186.927	230.893	4.313	0	0	0	2,50	0,0670	0,0000	0,0000	NO
		-	-	-	1.186.927	230.893	4.313	0	0	0	2,50	0,0670	0,0000	0,0000	NO
	100%	+	36.235	6,37	1.186.927	230.893	4.313	0	0	0	2,50	0,0670	0,0000	0,0000	NO
		-	-	-	1.186.927	230.893	4.313	0	0	0	2,50	0,0670	0,0000	0,0000	NO
Fondazione									**Travata: Trave14d-P7-3c**						
Trave 14d-P7	0%	+	-	-	1.186.914	0	4.175	0	0	0	2,50	0,0000	0,0000	0,0000	NO
		-	-34.623	0,00	1.186.914	0	4.175	0	0	0	2,50	0,0000	0,0000	0,0000	NO
	25%	+	-	-	1.186.914	0	4.175	0	0	0	2,50	0,0000	0,0000	0,0000	NO
		-	-14.907	0,00	1.186.914	0	4.175	0	0	0	2,50	0,0000	0,0000	0,0000	NO
	62,5%	+	5.776	0,00	1.186.914	0	4.175	0	0	0	2,50	0,0000	0,0000	0,0000	NO
		-	-	-	1.186.914	0	4.175	0	0	0	2,50	0,0000	0,0000	0,0000	NO
	75%	+	25.272	0,00	1.186.914	0	4.175	0	0	0	2,50	0,0000	0,0000	0,0000	NO
		-	-	-	1.186.914	0	4.175	0	0	0	2,50	0,0000	0,0000	0,0000	NO
	100%	+	45.148	5,11	1.186.914	230.893	4.175	0	0	0	2,50	0,0670	0,0000	0,0000	NO
		-	-	-	1.186.914	230.893	4.175	0	0	0	2,50	0,0670	0,0000	0,0000	NO
Trave P7-3c	0%	+	19.125	12,07	1.186.512	230.893	0	0	0	0	2,50	0,0670	0,0000	0,0000	NO
		-	-	-	1.186.5	230.893	0	0	0	0	2,50	0,0670	0,0000	0,0000	NO

Id_{Tr}	$\%L_{LI}$	+/-	$V_{Ed,2}$	CS	V_{Rcd}	$V_{Rsd,s}$	N_{Ed}	$V_{Rsd,p}$	V_{R1}	V_{fd}	Ctg Θ	A_{sw}	$A_{sw,p}$	$A_{s,Dg}$	R_f
	[%]		[N]		[N]	[N]	[N]	[N]	[N]	[N]		[cm²/cm]	[cm²]	[cm²]	
					12										
	25%	+	61.155	3,78	1.186.512	230.893	0	0	0	0	2,50	0,0670	0,0000	0,0000	NO
		-	-	-	1.186.512	230.893	0	0	0	0	2,50	0,0670	0,0000	0,0000	NO
	50%	+	36.113	6,39	1.186.512	230.893	0	0	0	0	2,50	0,0670	0,0000	0,0000	NO
		-	-	-	1.186.512	230.893	0	0	0	0	2,50	0,0670	0,0000	0,0000	NO
	75%	+	26.445	8,73	1.186.512	230.893	0	0	0	0	2,50	0,0670	0,0000	0,0000	NO
		-	-	-	1.186.512	230.893	0	0	0	0	2,50	0,0670	0,0000	0,0000	NO
	100%	+	80.835	2,86	1.186.512	230.893	0	0	0	0	2,50	0,0670	0,0000	0,0000	NO
		-	-	-	1.186.512	230.893	0	0	0	0	2,50	0,0670	0,0000	0,0000	NO
Fondazione									**Travata: Trave18d-22-P8-19d**						
Trave 18d-22	0%	+	-	-	1.004.973	902.803	0	0	0	0	2,50	0,2234	0,0000	0,0000	NO
		-	-	-	1.004.973	902.803	0	0	0	0	2,50	0,2234	0,0000	0,0000	NO
	25%	+	10.207	88,45	1.004.973	902.803	0	0	0	0	2,50	0,2234	0,0000	0,0000	NO
		-	-	-	1.004.973	902.803	0	0	0	0	2,50	0,2234	0,0000	0,0000	NO
	62,5%	+	20.367	44,33	1.004.973	902.803	0	0	0	0	2,50	0,2234	0,0000	0,0000	NO
		-	-	-	1.004.973	902.803	0	0	0	0	2,50	0,2234	0,0000	0,0000	NO
	87,5%	+	30.480	29,62	1.004.973	902.803	0	0	0	0	2,50	0,2234	0,0000	0,0000	NO
		-	-	-	1.004.973	902.803	0	0	0	0	2,50	0,2234	0,0000	0,0000	NO
	100%	+	40.545	22,27	1.004.973	902.803	0	0	0	0	2,50	0,2234	0,0000	0,0000	NO
		-	-	-	1.004.973	902.803	0	0	0	0	2,50	0,2234	0,0000	0,0000	NO
Trave 22-P8	0%	+	-	-	1.306.464	801.365	0	0	0	0	2,50	0,2011	0,0000	0,0000	NO
		-	-45.059	17,78	1.306.464	801.365	0	0	0	0	2,50	0,2011	0,0000	0,0000	NO
	25%	+	7.029	NS	1.306.464	801.365	0	0	0	0	2,50	0,2011	0,0000	0,0000	NO
		-	-	-	1.306.464	801.365	0	0	0	0	2,50	0,2011	0,0000	0,0000	NO
	50%	+	-	-	1.306.464	810.283	0	0	0	0	2,50	0,2011	0,0000	0,0000	NO
		-	-7.592	NS	1.306.464	810.283	0	0	0	0	2,50	0,2011	0,0000	0,0000	NO
	75%	+	-	-	1.306.464	808.290	0	0	0	0	2,50	0,2011	0,0000	0,0000	NO
		-	-13.547	59,67	1.306.464	808.290	0	0	0	0	2,50	0,2011	0,0000	0,0000	NO
	100%	+	-	-	1.306.464	804.217	0	0	0	0	2,50	0,2011	0,0000	0,0000	NO
		-	-16.801	47,87	1.306.464	804.217	0	0	0	0	2,50	0,2011	0,0000	0,0000	NO
Trave P8-19d	0%	+	-	-	1.308.548	801.023	14.630	0	0	0	2,50	0,2011	0,0000	0,0000	NO
		-	-21.675	36,96	1.308.548	801.023	14.630	0	0	0	2,50	0,2011	0,0000	0,0000	NO
	25%	+	-	-	1.308.548	801.023	14.630	0	0	0	2,50	0,2011	0,0000	0,0000	NO
		-	-7.428	NS	1.308.548	801.023	14.630	0	0	0	2,50	0,2011	0,0000	0,0000	NO
	37,5%	+	9.923	80,72	1.308.548	801.023	14.630	0	0	0	2,50	0,2011	0,0000	0,0000	NO
		-	-	-	1.308.548	801.023	14.630	0	0	0	2,50	0,2011	0,0000	0,0000	NO
	75%	+	25.791	31,06	1.308.548	801.023	14.630	0	0	0	2,50	0,2011	0,0000	0,0000	NO
		-	-	-	1.308.548	801.023	14.630	0	0	0	2,50	0,2011	0,0000	0,0000	NO
	100%	+	41.883	19,13	1.308.548	801.023	14.630	0	0	0	2,50	0,2011	0,0000	0,0000	NO
		-	-	-	1.308.548	801.023	14.630	0	0	0	2,50	0,2011	0,0000	0,0000	NO
Fondazione									**Travata: Trave26d-38-P14-27d**						
Trave 26d-38	0%	+	-	-	1.306.464	1.015.654	0	0	0	0	2,50	0,2513	0,0000	0,0000	NO
		-	-	-	1.306.464	1.015.654	0	0	0	0	2,50	0,2513	0,0000	0,0000	NO
	25%	+	15.366	66,10	1.306.4	1.015.6	0	0	0	0	2,50	0,2513	0,0000	0,0000	NO

Id_{Tr}	$\%L_{LI}$	+/-	$V_{Ed,2}$	CS	V_{Rcd}	$V_{Rsd,s}$	N_{Ed}	$V_{Rsd,p}$	V_{R1}	V_{fd}	Ctg Θ	A_{sw}	$A_{sw,p}$	$A_{s,Dg}$	R_f
	[%]		[N]		[N]	[N]	[N]	[N]	[N]	[N]		[cm^2/cm]	[cm^2]	[cm^2]	
		-	-	-	64 1.306.464	54 1.015.654	0	0	0	0	2,50	0,2513	0,0000	0,0000	NO
	62,5%	+	30.593	33,20	1.306.464	1.015.654	0	0	0	0	2,50	0,2513	0,0000	0,0000	NO
		-	-	-	1.306.464	1.015.654	0	0	0	0	2,50	0,2513	0,0000	0,0000	NO
	62,5%	+	45.702	22,22	1.306.464	1.015.654	0	0	0	0	2,50	0,2513	0,0000	0,0000	NO
		-	-	-	1.306.464	1.015.654	0	0	0	0	2,50	0,2513	0,0000	0,0000	NO
	87,5%	+	60.671	16,74	1.306.464	1.015.654	0	0	0	0	2,50	0,2513	0,0000	0,0000	NO
		-	-	-	1.306.464	1.015.654	0	0	0	0	2,50	0,2513	0,0000	0,0000	NO
Trave 38-P14	0%	+	-	-	1.306.464	792.832	0	0	0	0	2,50	0,2011	0,0000	0,0000	NO
		-	-53.386	14,85	1.306.464	792.832	0	0	0	0	2,50	0,2011	0,0000	0,0000	NO
	25%	+	11.626	68,19	1.306.464	792.832	0	0	0	0	2,50	0,2011	0,0000	0,0000	NO
		-	-	-	1.306.464	792.832	0	0	0	0	2,50	0,2011	0,0000	0,0000	NO
	50%	+	12.268	65,63	1.306.464	805.131	0	0	0	0	2,50	0,2011	0,0000	0,0000	NO
		-	-	-	1.306.464	805.131	0	0	0	0	2,50	0,2011	0,0000	0,0000	NO
	75%	+	5.485	NS	1.306.464	806.707	0	0	0	0	2,50	0,2011	0,0000	0,0000	NO
		-	-	-	1.306.464	806.707	0	0	0	0	2,50	0,2011	0,0000	0,0000	NO
	100%	+	-	-	1.306.464	799.995	0	0	0	0	2,50	0,2011	0,0000	0,0000	NO
		-	-8.894	89,95	1.306.464	799.995	0	0	0	0	2,50	0,2011	0,0000	0,0000	NO
Trave P14-27d	0%	+	-	-	1.307.135	794.724	4.711	0	0	0	2,50	0,2011	0,0000	0,0000	NO
		-	-49.073	16,19	1.307.135	794.724	4.711	0	0	0	2,50	0,2011	0,0000	0,0000	NO
	25%	+	-	-	1.307.135	794.724	4.711	0	0	0	2,50	0,2011	0,0000	0,0000	NO
		-	-31.527	25,21	1.307.135	794.724	4.711	0	0	0	2,50	0,2011	0,0000	0,0000	NO
	37,5%	+	-	-	1.307.135	794.724	4.711	0	0	0	2,50	0,2011	0,0000	0,0000	NO
		-	-14.311	55,53	1.307.135	794.724	4.711	0	0	0	2,50	0,2011	0,0000	0,0000	NO
	75%	+	2.655	NS	1.307.135	794.724	4.711	0	0	0	2,50	0,2011	0,0000	0,0000	NO
		-	-	-	1.307.135	794.724	4.711	0	0	0	2,50	0,2011	0,0000	0,0000	NO
	100%	+	19.314	41,15	1.307.135	794.724	4.711	0	0	0	2,50	0,2011	0,0000	0,0000	NO
		-	-	-	1.307.135	794.724	4.711	0	0	0	2,50	0,2011	0,0000	0,0000	NO
Fondazione									**Travata: Trave28d-40-P15-29d**						
Trave 28d-40	0%	+	-	-	1.306.464	888.174	0	0	0	0	2,50	0,2234	0,0000	0,0000	NO
		-	-15.509	57,27	1.306.464	888.174	0	0	0	0	2,50	0,2234	0,0000	0,0000	NO
	25%	+	10.262	86,55	1.306.464	888.174	0	0	0	0	2,50	0,2234	0,0000	0,0000	NO
		-	-	-	1.306.464	888.174	0	0	0	0	2,50	0,2234	0,0000	0,0000	NO
	62,5%	+	35.309	25,15	1.306.464	888.174	0	0	0	0	2,50	0,2234	0,0000	0,0000	NO
		-	-	-	1.306.464	888.174	0	0	0	0	2,50	0,2234	0,0000	0,0000	NO
	87,5%	+	60.201	14,75	1.306.464	888.174	0	0	0	0	2,50	0,2234	0,0000	0,0000	NO
		-	-	-	1.306.464	888.174	0	0	0	0	2,50	0,2234	0,0000	0,0000	NO
	87,5%	+	84.944	10,46	1.306.464	888.174	0	0	0	0	2,50	0,2234	0,0000	0,0000	NO
		-	-	-	1.306.464	888.174	0	0	0	0	2,50	0,2234	0,0000	0,0000	NO
Trave 40-P15	0%	+	-	-	1.306.464	810.536	0	0	0	0	2,50	0,2011	0,0000	0,0000	NO
		-	-58.329	13,90	1.306.464	810.536	0	0	0	0	2,50	0,2011	0,0000	0,0000	NO
	25%	+	20.083	40,36	1.306.464	810.536	0	0	0	0	2,50	0,2011	0,0000	0,0000	NO
		-	-	-	1.306.464	810.536	0	0	0	0	2,50	0,2011	0,0000	0,0000	NO

Id_{Tr}	$\%L_{LI}$	+/-	$V_{Ed,2}$	CS	V_{Rcd}	$V_{Rsd,s}$	N_{Ed}	$V_{Rsd,p}$	V_{R1}	V_{fd}	Ctg Θ	A_{sw}	$A_{sw,p}$	$A_{s,Dg}$	R_f
	[%]		[N]		[N]	[N]	[N]	[N]	[N]	[N]		[cm²/cm]	[cm²]	[cm²]	
	50%	+	-	-	1.306.464	805.430	0	0	0	0	2,50	0,2011	0,0000	0,0000	NO
		-	-30.011	26,84	1.306.464	805.430	0	0	0	0	2,50	0,2011	0,0000	0,0000	NO
	75%	+	-	-	1.306.464	797.503	0	0	0	0	2,50	0,2011	0,0000	0,0000	NO
		-	-85.113	9,37	1.306.464	797.503	0	0	0	0	2,50	0,2011	0,0000	0,0000	NO
	100%	+	-	-	1.306.464	797.503	0	0	0	0	2,50	0,2011	0,0000	0,0000	NO
		-	-12.689	62,85	1.306.464	797.503	0	0	0	0	2,50	0,2011	0,0000	0,0000	NO
Trave P15-29d	0%	+	-	-	1.306.464	793.327	0	0	0	0	2,50	0,2011	0,0000	0,0000	NO
		-	-98.180	8,08	1.306.464	793.327	0	0	0	0	2,50	0,2011	0,0000	0,0000	NO
	25%	+	-	-	1.306.464	793.327	0	0	0	0	2,50	0,2011	0,0000	0,0000	NO
		-	-66.799	11,88	1.306.464	793.327	0	0	0	0	2,50	0,2011	0,0000	0,0000	NO
	37,5%	+	-	-	1.306.464	793.327	0	0	0	0	2,50	0,2011	0,0000	0,0000	NO
		-	-35.790	22,17	1.306.464	793.327	0	0	0	0	2,50	0,2011	0,0000	0,0000	NO
	75%	+	-	-	1.306.464	793.327	0	0	0	0	2,50	0,2011	0,0000	0,0000	NO
		-	-5.104	NS	1.306.464	793.327	0	0	0	0	2,50	0,2011	0,0000	0,0000	NO
	100%	+	25.326	31,32	1.306.464	793.327	0	0	0	0	2,50	0,2011	0,0000	0,0000	NO
		-	-	-	1.306.464	793.327	0	0	0	0	2,50	0,2011	0,0000	0,0000	NO
Fondazione									**Travata: Trave30d-P16-43-9c**						
Trave 30d-P16	0%	+	-	-	1.307.000	1.002.702	3.763	0	0	0	2,50	0,2513	0,0000	0,0000	NO
		-	-23.167	43,28	1.307.000	1.002.702	3.763	0	0	0	2,50	0,2513	0,0000	0,0000	NO
	25%	+	-	-	1.307.000	1.002.702	3.763	0	0	0	2,50	0,2513	0,0000	0,0000	NO
		-	-7.396	NS	1.307.000	1.002.702	3.763	0	0	0	2,50	0,2513	0,0000	0,0000	NO
	62,5%	+	8.164	NS	1.307.000	1.002.702	3.763	0	0	0	2,50	0,2513	0,0000	0,0000	NO
		-	-	-	1.307.000	1.002.702	3.763	0	0	0	2,50	0,2513	0,0000	0,0000	NO
	75%	+	22.855	43,87	1.307.000	1.002.702	3.763	0	0	0	2,50	0,2513	0,0000	0,0000	NO
		-	-	-	1.307.000	1.002.702	3.763	0	0	0	2,50	0,2513	0,0000	0,0000	NO
	100%	+	37.231	26,93	1.307.000	1.002.702	3.763	0	0	0	2,50	0,2513	0,0000	0,0000	NO
		-	-	-	1.307.000	1.002.702	3.763	0	0	0	2,50	0,2513	0,0000	0,0000	NO
Trave P16-43	0%	+	2.733	NS	1.306.464	1.008.196	0	0	0	0	2,50	0,2513	0,0000	0,0000	NO
		-	-	-	1.306.464	1.008.196	0	0	0	0	2,50	0,2513	0,0000	0,0000	NO
	25%	+	40.871	24,67	1.306.464	1.008.196	0	0	0	0	2,50	0,2513	0,0000	0,0000	NO
		-	-	-	1.306.464	1.008.196	0	0	0	0	2,50	0,2513	0,0000	0,0000	NO
	50%	+	17.830	56,10	1.306.464	1.000.214	0	0	0	0	2,50	0,2513	0,0000	0,0000	NO
		-	-	-	1.306.464	1.000.214	0	0	0	0	2,50	0,2513	0,0000	0,0000	NO
	75%	+	1.617	NS	1.314.576	965.454	56.945	0	0	0	2,50	0,2513	0,0000	0,0000	NO
		-	-	-	1.314.576	965.454	56.945	0	0	0	2,50	0,2513	0,0000	0,0000	NO
	100%	+	32.311	29,88	1.314.576	965.454	56.945	0	0	0	2,50	0,2513	0,0000	0,0000	NO
		-	-	-	1.314.576	965.454	56.945	0	0	0	2,50	0,2513	0,0000	0,0000	NO
Trave 43-9c	0%	+	-	-	1.835.881	1.155.521	0	0	0	0	2,50	0,2513	0,0000	0,0000	NO
		-	-26.338	43,87	1.835.881	1.155.521	0	0	0	0	2,50	0,2513	0,0000	0,0000	NO
	25%	+	14.872	77,70	1.835.881	1.155.521	0	0	0	0	2,50	0,2513	0,0000	0,0000	NO
		-	-	-	1.835.881	1.155.521	0	0	0	0	2,50	0,2513	0,0000	0,0000	NO
	50%	+	12.876	91,76	1.835.881	1.181.461	0	0	0	0	2,50	0,2513	0,0000	0,0000	NO
		-	-	-	1.835.8	1.181.4	0	0	0	0	2,50	0,2513	0,0000	0,0000	NO

Id_{Tr}	$\%L_{LI}$	+/-	$V_{Ed,2}$	CS	V_{Rcd}	$V_{Rsd,s}$	N_{Ed}	$V_{Rsd,p}$	V_{R1}	V_{fd}	Ctg Θ	A_{sw}	$A_{sw,p}$	$A_{s,Dg}$	R_f
	[%]		[N]		[N]	[N]	[N]	[N]	[N]	[N]		[cm²/cm]	[cm²]	[cm²]	
					81	61									
	75%	+	-	-	1.835.881	1.194.697	0	0	0	0	2,50	0,2513	0,0000	0,0000	NO
		-	-1.062	NS	1.835.881	1.194.697	0	0	0	0	2,50	0,2513	0,0000	0,0000	NO
	100%	+	-	-	1.835.881	1.207.634	0	0	0	0	2,50	0,2513	0,0000	0,0000	NO
		-	-25.407	47,53	1.835.881	1.207.634	0	0	0	0	2,50	0,2513	0,0000	0,0000	NO
Fondazione									**Travata: Trave9c-P17-31d**						
Trave 9c-P17	0%	+	-	-	1.186.512	0	0	0	0	0	2,50	0,0000	0,0000	0,0000	NO
		-	-86.615	0,00	1.186.512	0	0	0	0	0	2,50	0,0000	0,0000	0,0000	NO
	25%	+	-	-	1.186.512	0	0	0	0	0	2,50	0,0000	0,0000	0,0000	NO
		-	-41.221	0,00	1.186.512	0	0	0	0	0	2,50	0,0000	0,0000	0,0000	NO
	50%	+	2.814	0,00	1.186.512	0	0	0	0	0	2,50	0,0000	0,0000	0,0000	NO
		-	-	-	1.186.512	0	0	0	0	0	2,50	0,0000	0,0000	0,0000	NO
	75%	+	-	-	1.186.512	0	0	0	0	0	2,50	0,0000	0,0000	0,0000	NO
		-	-40.960	0,00	1.186.512	0	0	0	0	0	2,50	0,0000	0,0000	0,0000	NO
	100%	+	-	-	1.186.512	0	0	0	0	0	2,50	0,0000	0,0000	0,0000	NO
		-	-7.491	0,00	1.186.512	0	0	0	0	0	2,50	0,0000	0,0000	0,0000	NO
Trave P17-31d	0%	+	-	-	1.186.931	230.893	4.352	0	0	0	2,50	0,0670	0,0000	0,0000	NO
		-	-28.792	8,02	1.186.931	230.893	4.352	0	0	0	2,50	0,0670	0,0000	0,0000	NO
	25%	+	-	-	1.186.931	230.893	4.352	0	0	0	2,50	0,0670	0,0000	0,0000	NO
		-	-13.120	17,60	1.186.931	230.893	4.352	0	0	0	2,50	0,0670	0,0000	0,0000	NO
	62,5%	+	6.135	37,64	1.186.931	230.893	4.352	0	0	0	2,50	0,0670	0,0000	0,0000	NO
		-	-	-	1.186.931	230.893	4.352	0	0	0	2,50	0,0670	0,0000	0,0000	NO
	75%	+	21.035	10,98	1.186.931	230.893	4.352	0	0	0	2,50	0,0670	0,0000	0,0000	NO
		-	-	-	1.186.931	230.893	4.352	0	0	0	2,50	0,0670	0,0000	0,0000	NO
	100%	+	36.489	6,33	1.186.931	230.893	4.352	0	0	0	2,50	0,0670	0,0000	0,0000	NO
		-	-	-	1.186.931	230.893	4.352	0	0	0	2,50	0,0670	0,0000	0,0000	NO
Fondazione									**Travata: Trave32d-P18-11c**						
Trave 32d-P18	0%	+	-	-	1.186.913	0	4.168	0	0	0	2,50	0,0000	0,0000	0,0000	NO
		-	-34.536	0,00	1.186.913	0	4.168	0	0	0	2,50	0,0000	0,0000	0,0000	NO
	25%	+	-	-	1.186.913	0	4.168	0	0	0	2,50	0,0000	0,0000	0,0000	NO
		-	-14.605	0,00	1.186.913	0	4.168	0	0	0	2,50	0,0000	0,0000	0,0000	NO
	62,5%	+	6.316	0,00	1.186.913	0	4.168	0	0	0	2,50	0,0000	0,0000	0,0000	NO
		-	-	-	1.186.913	0	4.168	0	0	0	2,50	0,0000	0,0000	0,0000	NO
	75%	+	26.033	0,00	1.186.913	0	4.168	0	0	0	2,50	0,0000	0,0000	0,0000	NO
		-	-	-	1.186.913	0	4.168	0	0	0	2,50	0,0000	0,0000	0,0000	NO
	100%	+	46.108	5,01	1.186.913	230.893	4.168	0	0	0	2,50	0,0670	0,0000	0,0000	NO
		-	-	-	1.186.913	230.893	4.168	0	0	0	2,50	0,0670	0,0000	0,0000	NO
Trave P18-11c	0%	+	19.129	12,07	1.186.512	230.893	0	0	0	0	2,50	0,0670	0,0000	0,0000	NO
		-	-	-	1.186.512	230.893	0	0	0	0	2,50	0,0670	0,0000	0,0000	NO
	25%	+	61.515	3,75	1.186.512	230.893	0	0	0	0	2,50	0,0670	0,0000	0,0000	NO
		-	-	-	1.186.512	230.893	0	0	0	0	2,50	0,0670	0,0000	0,0000	NO
	50%	+	36.078	6,40	1.186.512	230.893	0	0	0	0	2,50	0,0670	0,0000	0,0000	NO
		-	-	-	1.186.512	230.893	0	0	0	0	2,50	0,0670	0,0000	0,0000	NO
	75%	+	26.277	8,79	1.186.5	230.893	0	0	0	0	2,50	0,0670	0,0000	0,0000	NO

Id_{Tr}	$\%L_{LI}$	+/-	$V_{Ed,2}$	CS	V_{Rcd}	$V_{Rsd,s}$	N_{Ed}	$V_{Rsd,p}$	V_{R1}	V_{fd}	Ctg Θ	A_{sw}	$A_{sw,p}$	$A_{s,Dg}$	R_f
	[%]		[N]		[N]	[N]	[N]	[N]	[N]	[N]		[cm²/cm]	[cm²]	[cm²]	
		-	-	-	1.186.512	230.893	0	0	0	0	2,50	0,0670	0,0000	0,0000	NO
	100%	+	80.823	2,86	1.186.512	230.893	0	0	0	0	2,50	0,0670	0,0000	0,0000	NO
		-	-	-	1.186.512	230.893	0	0	0	0	2,50	0,0670	0,0000	0,0000	NO
Fondazione									**Travata: Trave3c-20-15d**						
Trave 3c-20	0%	+	30.432	0,00	1.529.901	0	0	0	0	0	2,50	0,0000	0,0000	0,0000	NO
		-	-	-	1.529.901	0	0	0	0	0	2,50	0,0000	0,0000	0,0000	NO
	25%	+	15.035	0,00	1.529.901	0	0	0	0	0	2,50	0,0000	0,0000	0,0000	NO
		-	-	-	1.529.901	0	0	0	0	0	2,50	0,0000	0,0000	0,0000	NO
	50%	+	3.604	0,00	1.529.901	0	0	0	0	0	2,50	0,0000	0,0000	0,0000	NO
		-	-	-	1.529.901	0	0	0	0	0	2,50	0,0000	0,0000	0,0000	NO
	75%	+	4.249	0,00	1.529.901	0	0	0	0	0	2,50	0,0000	0,0000	0,0000	NO
		-	-	-	1.529.901	0	0	0	0	0	2,50	0,0000	0,0000	0,0000	NO
	100%	+	12.324	0,00	1.529.901	0	0	0	0	0	2,50	0,0000	0,0000	0,0000	NO
		-	-	-	1.529.901	0	0	0	0	0	2,50	0,0000	0,0000	0,0000	NO
Trave 20-15d	0%	+	-	-	1.529.901	274.873	0	0	0	0	2,50	0,0670	0,0000	0,0000	NO
		-	-33.324	8,25	1.529.901	274.873	0	0	0	0	2,50	0,0670	0,0000	0,0000	NO
	25%	+	-	-	1.529.901	274.873	0	0	0	0	2,50	0,0670	0,0000	0,0000	NO
		-	-25.193	10,91	1.529.901	274.873	0	0	0	0	2,50	0,0670	0,0000	0,0000	NO
	62,5%	+	-	-	1.529.901	274.873	0	0	0	0	2,50	0,0670	0,0000	0,0000	NO
		-	-16.927	16,24	1.529.901	274.873	0	0	0	0	2,50	0,0670	0,0000	0,0000	NO
	87,5%	+	-	-	1.529.901	274.873	0	0	0	0	2,50	0,0670	0,0000	0,0000	NO
		-	-8.528	32,23	1.529.901	274.873	0	0	0	0	2,50	0,0670	0,0000	0,0000	NO
	100%	+	-	-	1.529.901	274.873	0	0	0	0	2,50	0,0670	0,0000	0,0000	NO
		-	-	-	1.529.901	274.873	0	0	0	0	2,50	0,0670	0,0000	0,0000	NO
Fondazione									**Travata: Trave11c-47-33d**						
Trave 11c-47	0%	+	30.271	0,00	1.529.901	0	0	0	0	0	2,50	0,0000	0,0000	0,0000	NO
		-	-	-	1.529.901	0	0	0	0	0	2,50	0,0000	0,0000	0,0000	NO
	25%	+	14.894	0,00	1.529.901	0	0	0	0	0	2,50	0,0000	0,0000	0,0000	NO
		-	-	-	1.529.901	0	0	0	0	0	2,50	0,0000	0,0000	0,0000	NO
	50%	+	3.474	0,00	1.529.901	0	0	0	0	0	2,50	0,0000	0,0000	0,0000	NO
		-	-	-	1.529.901	0	0	0	0	0	2,50	0,0000	0,0000	0,0000	NO
	75%	+	4.246	0,00	1.529.901	0	0	0	0	0	2,50	0,0000	0,0000	0,0000	NO
		-	-	-	1.529.901	0	0	0	0	0	2,50	0,0000	0,0000	0,0000	NO
	100%	+	12.582	0,00	1.529.901	0	0	0	0	0	2,50	0,0000	0,0000	0,0000	NO
		-	-	-	1.529.901	0	0	0	0	0	2,50	0,0000	0,0000	0,0000	NO
Trave 47-33d	0%	+	-	-	1.529.901	274.873	0	0	0	0	2,50	0,0670	0,0000	0,0000	NO
		-	-33.034	8,32	1.529.901	274.873	0	0	0	0	2,50	0,0670	0,0000	0,0000	NO
	25%	+	-	-	1.529.901	274.873	0	0	0	0	2,50	0,0670	0,0000	0,0000	NO
		-	-24.970	11,01	1.529.901	274.873	0	0	0	0	2,50	0,0670	0,0000	0,0000	NO
	62,5%	+	-	-	1.529.901	274.873	0	0	0	0	2,50	0,0670	0,0000	0,0000	NO
		-	-16.776	16,38	1.529.901	274.873	0	0	0	0	2,50	0,0670	0,0000	0,0000	NO
	87,5%	+	-	-	1.529.901	274.873	0	0	0	0	2,50	0,0670	0,0000	0,0000	NO
		-	-8.450	32,53	1.529.9	274.873	0	0	0	0	2,50	0,0670	0,0000	0,0000	NO

Id_{Tr}	$\%L_{LI}$	+/-	$V_{Ed,2}$	CS	V_{Rcd}	$V_{Rsd,s}$	N_{Ed}	$V_{Rsd,p}$	V_{R1}	V_{fd}	Ctg Θ	A_{sw}	$A_{sw,p}$	$A_{s,Dg}$	R_f
	[%]		[N]		[N]	[N]	[N]	[N]	[N]	[N]		[cm²/cm]	[cm²]	[cm²]	
					01										
	100%	+	1	NS	1.529.901	274.873	0	0	0	0	2,50	0,0670	0,0000	0,0000	NO
		-	-1	NS	1.529.901	274.873	0	0	0	0	2,50	0,0670	0,0000	0,0000	NO
Fondazione									**Travata: Trave1d-1-P2-4-7d**						
Trave 1d-1	0%	+	-	-	1.306.464	902.803	0	0	0	0	2,50	0,2234	0,0000	0,0000	NO
		-	-	-	1.306.464	902.803	0	0	0	0	2,50	0,2234	0,0000	0,0000	NO
	25%	+	4.009	NS	1.306.464	902.803	0	0	0	0	2,50	0,2234	0,0000	0,0000	NO
		-	-	-	1.306.464	902.803	0	0	0	0	2,50	0,2234	0,0000	0,0000	NO
	62,5%	+	7.988	NS	1.306.464	902.803	0	0	0	0	2,50	0,2234	0,0000	0,0000	NO
		-	-	-	1.306.464	902.803	0	0	0	0	2,50	0,2234	0,0000	0,0000	NO
	87,5%	+	11.936	75,64	1.306.464	902.803	0	0	0	0	2,50	0,2234	0,0000	0,0000	NO
		-	-	-	1.306.464	902.803	0	0	0	0	2,50	0,2234	0,0000	0,0000	NO
	87,5%	+	15.858	56,93	1.306.464	902.803	0	0	0	0	2,50	0,2234	0,0000	0,0000	NO
		-	-	-	1.306.464	902.803	0	0	0	0	2,50	0,2234	0,0000	0,0000	NO
Trave 1-P2	0%	+	-	-	1.306.464	873.992	0	0	0	0	2,50	0,2234	0,0000	0,0000	NO
		-	-52.376	16,69	1.306.464	873.992	0	0	0	0	2,50	0,2234	0,0000	0,0000	NO
	25%	+	-	-	1.306.464	873.992	0	0	0	0	2,50	0,2234	0,0000	0,0000	NO
		-	-25.756	33,93	1.306.464	873.992	0	0	0	0	2,50	0,2234	0,0000	0,0000	NO
	50%	+	2.594	NS	1.306.464	873.992	0	0	0	0	2,50	0,2234	0,0000	0,0000	NO
		-	-	-	1.306.464	873.992	0	0	0	0	2,50	0,2234	0,0000	0,0000	NO
	75%	+	39.660	22,04	1.306.464	873.992	0	0	0	0	2,50	0,2234	0,0000	0,0000	NO
		-	-	-	1.306.464	873.992	0	0	0	0	2,50	0,2234	0,0000	0,0000	NO
	100%	+	91.698	9,53	1.306.464	873.992	0	0	0	0	2,50	0,2234	0,0000	0,0000	NO
		-	-	-	1.306.464	873.992	0	0	0	0	2,50	0,2234	0,0000	0,0000	NO
Trave P2-4	0%	+	-	-	1.306.464	881.859	0	0	0	0	2,50	0,2234	0,0000	0,0000	NO
		-	-12.252	71,98	1.306.464	881.859	0	0	0	0	2,50	0,2234	0,0000	0,0000	NO
	25%	+	11.937	73,88	1.306.464	881.859	0	0	0	0	2,50	0,2234	0,0000	0,0000	NO
		-	-	-	1.306.464	881.859	0	0	0	0	2,50	0,2234	0,0000	0,0000	NO
	50%	+	39.296	22,44	1.306.464	881.859	0	0	0	0	2,50	0,2234	0,0000	0,0000	NO
		-	-	-	1.306.464	881.859	0	0	0	0	2,50	0,2234	0,0000	0,0000	NO
	75%	+	-	-	1.306.464	893.877	0	0	0	0	2,50	0,2234	0,0000	0,0000	NO
		-	-19.372	46,14	1.306.464	893.877	0	0	0	0	2,50	0,2234	0,0000	0,0000	NO
	100%	+	11.585	69,37	1.306.464	803.597	0	0	0	0	2,50	0,2011	0,0000	0,0000	NO
		-	-	-	1.306.464	803.597	0	0	0	0	2,50	0,2011	0,0000	0,0000	NO
Trave 4-7d	0%	+	-	-	1.306.464	902.803	0	0	0	0	2,50	0,2234	0,0000	0,0000	NO
		-	-47.243	19,11	1.306.464	902.803	0	0	0	0	2,50	0,2234	0,0000	0,0000	NO
	25%	+	-	-	1.306.464	902.803	0	0	0	0	2,50	0,2234	0,0000	0,0000	NO
		-	-35.705	25,29	1.306.464	902.803	0	0	0	0	2,50	0,2234	0,0000	0,0000	NO
	62,5%	+	-	-	1.306.464	902.803	0	0	0	0	2,50	0,2234	0,0000	0,0000	NO
		-	-23.980	37,65	1.306.464	902.803	0	0	0	0	2,50	0,2234	0,0000	0,0000	NO
	87,5%	+	-	-	1.306.464	902.803	0	0	0	0	2,50	0,2234	0,0000	0,0000	NO
		-	-12.085	74,70	1.306.464	902.803	0	0	0	0	2,50	0,2234	0,0000	0,0000	NO
	87,5%	+	3	NS	1.306.464	902.803	0	0	0	0	2,50	0,2234	0,0000	0,0000	NO

Id_{Tr}	$\%L_{LI}$	+/-	$V_{Ed,2}$	CS	V_{Rcd}	$V_{Rsd,s}$	N_{Ed}	$V_{Rsd,p}$	V_{R1}	V_{fd}	Ctg Θ	A_{sw}	$A_{sw,p}$	$A_{s,Dg}$	R_f
	[%]		[N]		[N]	[N]	[N]	[N]	[N]	[N]		[cm^2/cm]	[cm^2]	[cm^2]	
		-	-2	NS	1.306.464	902.803	0	0	0	0	2,50	0,2234	0,0000	0,0000	NO
Fondazione									**Travata: Trave2d-3-P3-6-8d**						
Trave 2d-3	0%	+	-	-	1.004.973	902.803	0	0	0	0	2,50	0,2234	0,0000	0,0000	NO
		-	-	-	1.004.973	902.803	0	0	0	0	2,50	0,2234	0,0000	0,0000	NO
	25%	+	5.820	NS	1.004.973	902.803	0	0	0	0	2,50	0,2234	0,0000	0,0000	NO
		-	-	-	1.004.973	902.803	0	0	0	0	2,50	0,2234	0,0000	0,0000	NO
	62,5%	+	11.575	78,00	1.004.973	902.803	0	0	0	0	2,50	0,2234	0,0000	0,0000	NO
		-	-	-	1.004.973	902.803	0	0	0	0	2,50	0,2234	0,0000	0,0000	NO
	87,5%	+	17.265	52,29	1.004.973	902.803	0	0	0	0	2,50	0,2234	0,0000	0,0000	NO
		-	-	-	1.004.973	902.803	0	0	0	0	2,50	0,2234	0,0000	0,0000	NO
	100%	+	22.881	39,46	1.004.973	902.803	0	0	0	0	2,50	0,2234	0,0000	0,0000	NO
		-	-	-	1.004.973	902.803	0	0	0	0	2,50	0,2234	0,0000	0,0000	NO
Trave 3-P3	0%	+	-	-	1.306.464	874.112	0	0	0	0	2,50	0,2234	0,0000	0,0000	NO
		-	-83.775	10,43	1.306.464	874.112	0	0	0	0	2,50	0,2234	0,0000	0,0000	NO
	25%	+	-	-	1.306.464	874.112	0	0	0	0	2,50	0,2234	0,0000	0,0000	NO
		-	-39.421	22,17	1.306.464	874.112	0	0	0	0	2,50	0,2234	0,0000	0,0000	NO
	50%	+	5.225	NS	1.306.464	874.112	0	0	0	0	2,50	0,2234	0,0000	0,0000	NO
		-	-	-	1.306.464	874.112	0	0	0	0	2,50	0,2234	0,0000	0,0000	NO
	75%	+	60.469	14,46	1.306.464	874.112	0	0	0	0	2,50	0,2234	0,0000	0,0000	NO
		-	-	-	1.306.464	874.112	0	0	0	0	2,50	0,2234	0,0000	0,0000	NO
	100%	+	135.404	6,46	1.306.464	874.112	0	0	0	0	2,50	0,2234	0,0000	0,0000	NO
		-	-	-	1.306.464	874.112	0	0	0	0	2,50	0,2234	0,0000	0,0000	NO
Trave P3-6	0%	+	-	-	1.306.464	791.776	0	0	0	0	2,50	0,2011	0,0000	0,0000	NO
		-	-19.781	40,03	1.306.464	791.776	0	0	0	0	2,50	0,2011	0,0000	0,0000	NO
	25%	+	14.471	54,71	1.306.464	791.776	0	0	0	0	2,50	0,2011	0,0000	0,0000	NO
		-	-	-	1.306.464	791.776	0	0	0	0	2,50	0,2011	0,0000	0,0000	NO
	50%	+	52.871	14,98	1.306.464	791.776	0	0	0	0	2,50	0,2011	0,0000	0,0000	NO
		-	-	-	1.306.464	791.776	0	0	0	0	2,50	0,2011	0,0000	0,0000	NO
	75%	+	-	-	1.306.464	803.816	0	0	0	0	2,50	0,2011	0,0000	0,0000	NO
		-	-31.733	25,33	1.306.464	803.816	0	0	0	0	2,50	0,2011	0,0000	0,0000	NO
	100%	+	11.012	72,99	1.306.464	803.816	0	0	0	0	2,50	0,2011	0,0000	0,0000	NO
		-	-	-	1.306.464	803.816	0	0	0	0	2,50	0,2011	0,0000	0,0000	NO
Trave 6-8d	0%	+	-	-	1.306.464	902.803	0	0	0	0	2,50	0,2234	0,0000	0,0000	NO
		-	-64.429	14,01	1.306.464	902.803	0	0	0	0	2,50	0,2234	0,0000	0,0000	NO
	25%	+	-	-	1.306.464	902.803	0	0	0	0	2,50	0,2234	0,0000	0,0000	NO
		-	-48.637	18,56	1.306.464	902.803	0	0	0	0	2,50	0,2234	0,0000	0,0000	NO
	62,5%	+	-	-	1.306.464	902.803	0	0	0	0	2,50	0,2234	0,0000	0,0000	NO
		-	-32.634	27,66	1.306.464	902.803	0	0	0	0	2,50	0,2234	0,0000	0,0000	NO
	87,5%	+	-	-	1.306.464	902.803	0	0	0	0	2,50	0,2234	0,0000	0,0000	NO
		-	-16.421	54,98	1.306.464	902.803	0	0	0	0	2,50	0,2234	0,0000	0,0000	NO
	100%	+	2	NS	1.306.464	902.803	0	0	0	0	2,50	0,2234	0,0000	0,0000	NO
		-	-	-	1.306.464	902.803	0	0	0	0	2,50	0,2234	0,0000	0,0000	NO
Fondazione									**Travata: Trave16-5c-P9-20d**						

Id_{Tr}	$\%L_{LI}$	+/-	$V_{Ed,2}$	CS	V_{Rcd}	$V_{Rsd,s}$	N_{Ed}	$V_{Rsd,p}$	V_{R1}	V_{fd}	Ctg Θ	A_{sw}	$A_{sw,p}$	$A_{s,Dg}$	R_f
	[%]		[N]		[N]	[N]	[N]	[N]	[N]	[N]		[cm²/cm]	[cm²]	[cm²]	
Trave 16-5c	0%	+	-	-	1.835.881	1.196.108	0	0	0	0	2,50	0,2513	0,0000	0,0000	NO
		-	-36.878	32,43	1.835.881	1.196.108	0	0	0	0	2,50	0,2513	0,0000	0,0000	NO
	25%	+	-	-	1.835.881	1.196.108	0	0	0	0	2,50	0,2513	0,0000	0,0000	NO
		-	-5.050	NS	1.835.881	1.196.108	0	0	0	0	2,50	0,2513	0,0000	0,0000	NO
	50%	+	-	-	1.835.881	1.210.027	0	0	0	0	2,50	0,2513	0,0000	0,0000	NO
		-	-22.501	53,78	1.835.881	1.210.027	0	0	0	0	2,50	0,2513	0,0000	0,0000	NO
	75%	+	-	-	1.835.881	1.220.266	0	0	0	0	2,50	0,2513	0,0000	0,0000	NO
		-	-65.216	18,71	1.835.881	1.220.266	0	0	0	0	2,50	0,2513	0,0000	0,0000	NO
	100%	+	-	-	1.835.881	1.220.266	0	0	0	0	2,50	0,2513	0,0000	0,0000	NO
		-	-39.621	30,80	1.835.881	1.220.266	0	0	0	0	2,50	0,2513	0,0000	0,0000	NO
Trave 5c-P9	0%	+	-	-	1.835.881	1.233.119	0	0	0	0	2,50	0,2513	0,0000	0,0000	NO
		-	-119.789	10,29	1.835.881	1.233.119	0	0	0	0	2,50	0,2513	0,0000	0,0000	NO
	37,5%	+	-	-	1.835.881	1.233.119	0	0	0	0	2,50	0,2513	0,0000	0,0000	NO
		-	-75.653	16,30	1.835.881	1.233.119	0	0	0	0	2,50	0,2513	0,0000	0,0000	NO
	50%	+	-	-	1.835.881	1.233.119	0	0	0	0	2,50	0,2513	0,0000	0,0000	NO
		-	-33.608	36,69	1.835.881	1.233.119	0	0	0	0	2,50	0,2513	0,0000	0,0000	NO
	87,5%	+	-	-	1.835.881	1.225.088	0	0	0	0	2,50	0,2513	0,0000	0,0000	NO
		-	-64.671	18,94	1.835.881	1.225.088	0	0	0	0	2,50	0,2513	0,0000	0,0000	NO
	100%	+	-	-	1.835.881	1.225.088	0	0	0	0	2,50	0,2513	0,0000	0,0000	NO
		-	-25.120	48,77	1.835.881	1.225.088	0	0	0	0	2,50	0,2513	0,0000	0,0000	NO
Trave P9-20d	0%	+	-	-	1.835.881	1.216.221	0	0	0	0	2,50	0,2513	0,0000	0,0000	NO
		-	-58.904	20,65	1.835.881	1.216.221	0	0	0	0	2,50	0,2513	0,0000	0,0000	NO
	25%	+	-	-	1.835.881	1.216.221	0	0	0	0	2,50	0,2513	0,0000	0,0000	NO
		-	-33.712	36,08	1.835.881	1.216.221	0	0	0	0	2,50	0,2513	0,0000	0,0000	NO
	50%	+	-	-	1.835.881	1.216.221	0	0	0	0	2,50	0,2513	0,0000	0,0000	NO
		-	-9.042	NS	1.835.881	1.216.221	0	0	0	0	2,50	0,2513	0,0000	0,0000	NO
	75%	+	16.374	74,28	1.835.881	1.216.221	0	0	0	0	2,50	0,2513	0,0000	0,0000	NO
		-	-	-	1.835.881	1.216.221	0	0	0	0	2,50	0,2513	0,0000	0,0000	NO
	100%	+	40.330	30,16	1.835.881	1.216.221	0	0	0	0	2,50	0,2513	0,0000	0,0000	NO
		-	-	-	1.835.881	1.216.221	0	0	0	0	2,50	0,2513	0,0000	0,0000	NO
Fondazione									**Travata: Trave9d-20-21-P10-21d**						
Trave 9d-20	0%	+	-	-	1.004.973	902.803	0	0	0	0	2,50	0,2234	0,0000	0,0000	NO
		-	-	-	1.004.973	902.803	0	0	0	0	2,50	0,2234	0,0000	0,0000	NO
	25%	+	6.409	NS	1.004.973	902.803	0	0	0	0	2,50	0,2234	0,0000	0,0000	NO
		-	-	-	1.004.973	902.803	0	0	0	0	2,50	0,2234	0,0000	0,0000	NO
	62,5%	+	12.762	70,74	1.004.973	902.803	0	0	0	0	2,50	0,2234	0,0000	0,0000	NO
		-	-	-	1.004.973	902.803	0	0	0	0	2,50	0,2234	0,0000	0,0000	NO
	87,5%	+	19.051	47,39	1.004.973	902.803	0	0	0	0	2,50	0,2234	0,0000	0,0000	NO
		-	-	-	1.004.973	902.803	0	0	0	0	2,50	0,2234	0,0000	0,0000	NO
	100%	+	25.285	39,75	1.004.973	1.015.654	0	0	0	0	2,50	0,2513	0,0000	0,0000	NO
		-	-	-	1.004.973	1.015.654	0	0	0	0	2,50	0,2513	0,0000	0,0000	NO
Trave 20-21	0%	+	-	-	1.835.881	1.175.366	0	0	0	0	2,50	0,2513	0,0000	0,0000	NO
		-	-3.679	NS	1.835.8	1.175.3	0	0	0	0	2,50	0,2513	0,0000	0,0000	NO

Id_{Tr}	$\%L_{LI}$	+/-	$V_{Ed,2}$	CS	V_{Rcd}	$V_{Rsd,s}$	N_{Ed}	$V_{Rsd,p}$	V_{R1}	V_{fd}	Ctg Θ	A_{sw}	$A_{sw,p}$	$A_{s,Dg}$	R_f
	[%]		[N]		[N]	[N]	[N]	[N]	[N]	[N]		[cm²/cm]	[cm²]	[cm²]	
					81	66									
	25%	+	26.372	44,57	1.835.881	1.175.366	0	0	0	0	2,50	0,2513	0,0000	0,0000	NO
		-	-	-	1.835.881	1.175.366	0	0	0	0	2,50	0,2513	0,0000	0,0000	NO
	50%	+	12.601	94,03	1.835.881	1.184.839	0	0	0	0	2,50	0,2513	0,0000	0,0000	NO
		-	-	-	1.835.881	1.184.839	0	0	0	0	2,50	0,2513	0,0000	0,0000	NO
	75%	+	1.617	NS	1.835.881	1.193.888	0	0	0	0	2,50	0,2513	0,0000	0,0000	NO
		-	-	-	1.835.881	1.193.888	0	0	0	0	2,50	0,2513	0,0000	0,0000	NO
	100%	+	27.997	42,64	1.835.881	1.193.888	0	0	0	0	2,50	0,2513	0,0000	0,0000	NO
		-	-	-	1.835.881	1.193.888	0	0	0	0	2,50	0,2513	0,0000	0,0000	NO
Trave 21-P10	0%	+	-	-	1.835.881	1.205.627	0	0	0	0	2,50	0,2513	0,0000	0,0000	NO
		-	-23.622	51,04	1.835.881	1.205.627	0	0	0	0	2,50	0,2513	0,0000	0,0000	NO
	25%	+	10.621	NS	1.835.881	1.205.627	0	0	0	0	2,50	0,2513	0,0000	0,0000	NO
		-	-	-	1.835.881	1.205.627	0	0	0	0	2,50	0,2513	0,0000	0,0000	NO
	50%	+	7.985	NS	1.835.881	1.213.395	0	0	0	0	2,50	0,2513	0,0000	0,0000	NO
		-	-	-	1.835.881	1.213.395	0	0	0	0	2,50	0,2513	0,0000	0,0000	NO
	75%	+	2.561	NS	1.835.881	1.225.053	0	0	0	0	2,50	0,2513	0,0000	0,0000	NO
		-	-	-	1.835.881	1.225.053	0	0	0	0	2,50	0,2513	0,0000	0,0000	NO
	100%	+	-	-	1.835.881	1.230.597	0	0	0	0	2,50	0,2513	0,0000	0,0000	NO
		-	-4.696	NS	1.835.881	1.230.597	0	0	0	0	2,50	0,2513	0,0000	0,0000	NO
Trave P10-21d	0%	+	-	-	1.835.931	1.400.036	343	0	0	0	2,50	0,2872	0,0000	0,0000	NO
		-	-6.555	NS	1.835.931	1.400.036	343	0	0	0	2,50	0,2872	0,0000	0,0000	NO
	25%	+	3.336	NS	1.835.931	1.400.036	343	0	0	0	2,50	0,2872	0,0000	0,0000	NO
		-	-	-	1.835.931	1.400.036	343	0	0	0	2,50	0,2872	0,0000	0,0000	NO
	37,5%	+	10.021	NS	1.835.931	1.400.036	343	0	0	0	2,50	0,2872	0,0000	0,0000	NO
		-	-	-	1.835.931	1.400.036	343	0	0	0	2,50	0,2872	0,0000	0,0000	NO
	75%	+	16.682	83,92	1.835.931	1.400.036	343	0	0	0	2,50	0,2872	0,0000	0,0000	NO
		-	-	-	1.835.931	1.400.036	343	0	0	0	2,50	0,2872	0,0000	0,0000	NO
	100%	+	23.353	59,95	1.835.931	1.400.036	343	0	0	0	2,50	0,2872	0,0000	0,0000	NO
		-	-	-	1.835.931	1.400.036	343	0	0	0	2,50	0,2872	0,0000	0,0000	NO
Fondazione									**Travata: Trave16d-22-P11-22d**						
Trave 16d-22	0%	+	-	-	1.306.464	902.803	0	0	0	0	2,50	0,2234	0,0000	0,0000	NO
		-	-	-	1.306.464	902.803	0	0	0	0	2,50	0,2234	0,0000	0,0000	NO
	37,5%	+	9.044	99,82	1.306.464	902.803	0	0	0	0	2,50	0,2234	0,0000	0,0000	NO
		-	-	-	1.306.464	902.803	0	0	0	0	2,50	0,2234	0,0000	0,0000	NO
	37,5%	+	18.165	49,70	1.306.464	902.803	0	0	0	0	2,50	0,2234	0,0000	0,0000	NO
		-	-	-	1.306.464	902.803	0	0	0	0	2,50	0,2234	0,0000	0,0000	NO
	75%	+	27.359	33,00	1.306.464	902.803	0	0	0	0	2,50	0,2234	0,0000	0,0000	NO
		-	-	-	1.306.464	902.803	0	0	0	0	2,50	0,2234	0,0000	0,0000	NO
	100%	+	36.624	24,65	1.306.464	902.803	0	0	0	0	2,50	0,2234	0,0000	0,0000	NO
		-	-	-	1.306.464	902.803	0	0	0	0	2,50	0,2234	0,0000	0,0000	NO
Trave 22-P11	0%	+	-	-	1.306.464	862.231	0	0	0	0	2,50	0,2234	0,0000	0,0000	NO
		-	-21.162	40,74	1.306.464	862.231	0	0	0	0	2,50	0,2234	0,0000	0,0000	NO
	25%	+	-	-	1.306.464	880.154	0	0	0	0	2,50	0,2234	0,0000	0,0000	NO

Id_{Tr}	$\%L_{LI}$	+/-	$V_{Ed,2}$	CS	V_{Rcd}	$V_{Rsd,s}$	N_{Ed}	$V_{Rsd,p}$	V_{R1}	V_{fd}	Ctg Θ	A_{sw}	$A_{sw,p}$	$A_{s,Dg}$	R_f
	[%]		[N]		[N]	[N]	[N]	[N]	[N]	[N]		[cm^2/cm]	[cm^2]	[cm^2]	
		-	-14.070	62,56	1.306.464	880.154	0	0	0	0	2,50	0,2234	0,0000	0,0000	NO
	50%	+	-	-	1.306.464	891.261	0	0	0	0	2,50	0,2234	0,0000	0,0000	NO
		-	-2.612	NS	1.306.464	891.261	0	0	0	0	2,50	0,2234	0,0000	0,0000	NO
	75%	+	6.642	NS	1.306.464	897.148	0	0	0	0	2,50	0,2234	0,0000	0,0000	NO
		-	-	-	1.306.464	897.148	0	0	0	0	2,50	0,2234	0,0000	0,0000	NO
	100%	+	9.959	89,26	1.306.464	888.953	0	0	0	0	2,50	0,2234	0,0000	0,0000	NO
		-	-	-	1.306.464	888.953	0	0	0	0	2,50	0,2234	0,0000	0,0000	NO
Trave P11-22d	0%	+	-	-	1.306.967	879.216	3.531	0	0	0	2,50	0,2234	0,0000	0,0000	NO
		-	-65.367	13,45	1.306.967	879.216	3.531	0	0	0	2,50	0,2234	0,0000	0,0000	NO
	25%	+	-	-	1.306.967	788.936	3.531	0	0	0	2,50	0,2011	0,0000	0,0000	NO
		-	-44.794	17,61	1.306.967	788.936	3.531	0	0	0	2,50	0,2011	0,0000	0,0000	NO
	37,5%	+	-	-	1.306.967	788.936	3.531	0	0	0	2,50	0,2011	0,0000	0,0000	NO
		-	-24.100	32,74	1.306.967	788.936	3.531	0	0	0	2,50	0,2011	0,0000	0,0000	NO
	75%	+	-	-	1.306.967	788.936	3.531	0	0	0	2,50	0,2011	0,0000	0,0000	NO
		-	-3.278	NS	1.306.967	788.936	3.531	0	0	0	2,50	0,2011	0,0000	0,0000	NO
	100%	+	17.708	44,55	1.306.967	788.936	3.531	0	0	0	2,50	0,2011	0,0000	0,0000	NO
		-	-	-	1.306.967	788.936	3.531	0	0	0	2,50	0,2011	0,0000	0,0000	NO
Fondazione									**Travata: Trave24d-P12-37-47-34d**						
Trave 24d-P12	0%	+	-	-	1.835.931	1.398.738	344	0	0	0	2,50	0,2872	0,0000	0,0000	NO
		-	-23.318	59,99	1.835.931	1.398.738	344	0	0	0	2,50	0,2872	0,0000	0,0000	NO
	25%	+	-	-	1.835.931	1.398.738	344	0	0	0	2,50	0,2872	0,0000	0,0000	NO
		-	-16.560	84,46	1.835.931	1.398.738	344	0	0	0	2,50	0,2872	0,0000	0,0000	NO
	62,5%	+	-	-	1.835.931	1.398.738	344	0	0	0	2,50	0,2872	0,0000	0,0000	NO
		-	-9.810	NS	1.835.931	1.398.738	344	0	0	0	2,50	0,2872	0,0000	0,0000	NO
	75%	+	-	-	1.835.931	1.398.738	344	0	0	0	2,50	0,2872	0,0000	0,0000	NO
		-	-3.050	NS	1.835.931	1.398.738	344	0	0	0	2,50	0,2872	0,0000	0,0000	NO
	100%	+	6.848	NS	1.835.931	1.398.738	344	0	0	0	2,50	0,2872	0,0000	0,0000	NO
		-	-	-	1.835.931	1.398.738	344	0	0	0	2,50	0,2872	0,0000	0,0000	NO
Trave P12-37	0%	+	3.886	NS	1.835.881	1.233.843	0	0	0	0	2,50	0,2513	0,0000	0,0000	NO
		-	-	-	1.835.881	1.233.843	0	0	0	0	2,50	0,2513	0,0000	0,0000	NO
	25%	+	30.748	40,13	1.835.881	1.233.843	0	0	0	0	2,50	0,2513	0,0000	0,0000	NO
		-	-	-	1.835.881	1.233.843	0	0	0	0	2,50	0,2513	0,0000	0,0000	NO
	50%	+	28.577	42,75	1.835.881	1.221.556	0	0	0	0	2,50	0,2513	0,0000	0,0000	NO
		-	-	-	1.835.881	1.221.556	0	0	0	0	2,50	0,2513	0,0000	0,0000	NO
	75%	+	21.641	55,89	1.835.881	1.209.470	0	0	0	0	2,50	0,2513	0,0000	0,0000	NO
		-	-	-	1.835.881	1.209.470	0	0	0	0	2,50	0,2513	0,0000	0,0000	NO
	100%	+	23.511	51,16	1.835.881	1.202.723	0	0	0	0	2,50	0,2513	0,0000	0,0000	NO
		-	-	-	1.835.881	1.202.723	0	0	0	0	2,50	0,2513	0,0000	0,0000	NO
Trave 37-47	0%	+	-	-	1.835.881	1.190.262	0	0	0	0	2,50	0,2513	0,0000	0,0000	NO
		-	-28.673	41,51	1.835.881	1.190.262	0	0	0	0	2,50	0,2513	0,0000	0,0000	NO
	25%	+	-	-	1.835.881	1.190.262	0	0	0	0	2,50	0,2513	0,0000	0,0000	NO
		-	-2.474	NS	1.835.881	1.190.262	0	0	0	0	2,50	0,2513	0,0000	0,0000	NO
	50%	+	-	-	1.835.8	1.181.3	0	0	0	0	2,50	0,2513	0,0000	0,0000	NO

Id_{Tr}	$\%L_{LI}$	+/-	$V_{Ed,2}$	CS	V_{Rcd}	$V_{Rsd,s}$	N_{Ed}	$V_{Rsd,p}$	V_{R1}	V_{fd}	Ctg Θ	A_{sw}	$A_{sw,p}$	$A_{s,Dg}$	R_f
	[%]		[N]		[N]	[N]	[N]	[N]	[N]	[N]		[cm²/cm]	[cm²]	[cm²]	
		-	-13.427	87,98	1.835.881	1.181.312	0	0	0	0	2,50	0,2513	0,0000	0,0000	NO
	75%	+	-	-	1.835.881	1.171.950	0	0	0	0	2,50	0,2513	0,0000	0,0000	NO
		-	-27.868	42,05	1.835.881	1.171.950	0	0	0	0	2,50	0,2513	0,0000	0,0000	NO
	100%	+	2.899	NS	1.835.881	1.171.950	0	0	0	0	2,50	0,2513	0,0000	0,0000	NO
		-	-	-	1.835.881	1.171.950	0	0	0	0	2,50	0,2513	0,0000	0,0000	NO
Trave 47-34d	0%	+	-	-	1.004.973	1.015.654	0	0	0	0	2,50	0,2513	0,0000	0,0000	NO
		-	-24.379	41,22	1.004.973	1.015.654	0	0	0	0	2,50	0,2513	0,0000	0,0000	NO
	25%	+	-	-	1.004.973	902.803	0	0	0	0	2,50	0,2234	0,0000	0,0000	NO
		-	-18.369	49,15	1.004.973	902.803	0	0	0	0	2,50	0,2234	0,0000	0,0000	NO
	62,5%	+	-	-	1.004.973	902.803	0	0	0	0	2,50	0,2234	0,0000	0,0000	NO
		-	-12.302	73,39	1.004.973	902.803	0	0	0	0	2,50	0,2234	0,0000	0,0000	NO
	87,5%	+	-	-	1.004.973	902.803	0	0	0	0	2,50	0,2234	0,0000	0,0000	NO
		-	-6.178	NS	1.004.973	902.803	0	0	0	0	2,50	0,2234	0,0000	0,0000	NO
	87,5%	+	-	-	1.004.973	902.803	0	0	0	0	2,50	0,2234	0,0000	0,0000	NO
		-	-4	NS	1.004.973	902.803	0	0	0	0	2,50	0,2234	0,0000	0,0000	NO
Fondazione									**Travata: Trave25d-P13-7c-43**						
Trave 25d-P13	0%	+	-	-	1.836.484	1.382.948	4.169	0	0	0	2,50	0,2872	0,0000	0,0000	NO
		-	-52.925	26,13	1.836.484	1.382.948	4.169	0	0	0	2,50	0,2872	0,0000	0,0000	NO
	25%	+	-	-	1.836.484	1.382.948	4.169	0	0	0	2,50	0,2872	0,0000	0,0000	NO
		-	-22.656	61,04	1.836.484	1.382.948	4.169	0	0	0	2,50	0,2872	0,0000	0,0000	NO
	62,5%	+	7.378	NS	1.836.484	1.382.948	4.169	0	0	0	2,50	0,2872	0,0000	0,0000	NO
		-	-	-	1.836.484	1.382.948	4.169	0	0	0	2,50	0,2872	0,0000	0,0000	NO
	75%	+	37.389	36,99	1.836.484	1.382.948	4.169	0	0	0	2,50	0,2872	0,0000	0,0000	NO
		-	-	-	1.836.484	1.382.948	4.169	0	0	0	2,50	0,2872	0,0000	0,0000	NO
	100%	+	67.598	20,46	1.836.484	1.382.948	4.169	0	0	0	2,50	0,2872	0,0000	0,0000	NO
		-	-	-	1.836.484	1.382.948	4.169	0	0	0	2,50	0,2872	0,0000	0,0000	NO
Trave P13-7c	0%	+	20.448	59,39	1.835.881	1.214.418	0	0	0	0	2,50	0,2513	0,0000	0,0000	NO
		-	-	-	1.835.881	1.214.418	0	0	0	0	2,50	0,2513	0,0000	0,0000	NO
	25%	+	82.189	14,78	1.835.881	1.214.418	0	0	0	0	2,50	0,2513	0,0000	0,0000	NO
		-	-	-	1.835.881	1.214.418	0	0	0	0	2,50	0,2513	0,0000	0,0000	NO
	50%	+	45.192	27,11	1.835.881	1.224.959	0	0	0	0	2,50	0,2513	0,0000	0,0000	NO
		-	-	-	1.835.881	1.224.959	0	0	0	0	2,50	0,2513	0,0000	0,0000	NO
	75%	+	29.581	41,66	1.835.881	1.232.248	0	0	0	0	2,50	0,2513	0,0000	0,0000	NO
		-	-	-	1.835.881	1.232.248	0	0	0	0	2,50	0,2513	0,0000	0,0000	NO
	100%	+	100.354	12,28	1.835.881	1.232.248	0	0	0	0	2,50	0,2513	0,0000	0,0000	NO
		-	-	-	1.835.881	1.232.248	0	0	0	0	2,50	0,2513	0,0000	0,0000	NO
Trave 7c-43	0%	+	23.383	52,18	1.835.881	1.220.188	0	0	0	0	2,50	0,2513	0,0000	0,0000	NO
		-	-	-	1.835.881	1.220.188	0	0	0	0	2,50	0,2513	0,0000	0,0000	NO
	25%	+	47.467	25,71	1.835.881	1.220.188	0	0	0	0	2,50	0,2513	0,0000	0,0000	NO
		-	-	-	1.835.881	1.220.188	0	0	0	0	2,50	0,2513	0,0000	0,0000	NO
	50%	+	10.909	NS	1.835.881	1.206.756	0	0	0	0	2,50	0,2513	0,0000	0,0000	NO
		-	-	-	1.835.881	1.206.756	0	0	0	0	2,50	0,2513	0,0000	0,0000	NO

Id_{Tr}	$\%L_{LI}$	+/-	$V_{Ed,2}$	CS	V_{Rcd}	$V_{Rsd,s}$	N_{Ed}	$V_{Rsd,p}$	V_{R1}	V_{fd}	Ctg Θ	A_{sw}	$A_{sw,p}$	$A_{s,Dg}$	R_f
	[%]		[N]		[N]	[N]	[N]	[N]	[N]	[N]		[cm²/cm]	[cm²]	[cm²]	
	75%	+	-	-	1.835.881	1.192.195	0	0	0	0	2,50	0,2513	0,0000	0,0000	NO
		-	-10.609	NS	1.835.881	1.192.195	0	0	0	0	2,50	0,2513	0,0000	0,0000	NO
	100%	+	20.213	58,98	1.835.881	1.192.195	0	0	0	0	2,50	0,2513	0,0000	0,0000	NO
		-	-	-	1.835.881	1.192.195	0	0	0	0	2,50	0,2513	0,0000	0,0000	NO
Fondazione									**Travata: Trave17d-25-26-23d**						
Trave 17d-25	0%	+	-	-	1.306.464	902.803	0	0	0	0	2,50	0,2234	0,0000	0,0000	NO
		-	-	-	1.306.464	902.803	0	0	0	0	2,50	0,2234	0,0000	0,0000	NO
	25%	+	24.359	37,06	1.306.464	902.803	0	0	0	0	2,50	0,2234	0,0000	0,0000	NO
		-	-	-	1.306.464	902.803	0	0	0	0	2,50	0,2234	0,0000	0,0000	NO
	62,5%	+	48.833	18,49	1.306.464	902.803	0	0	0	0	2,50	0,2234	0,0000	0,0000	NO
		-	-	-	1.306.464	902.803	0	0	0	0	2,50	0,2234	0,0000	0,0000	NO
	87,5%	+	73.419	12,30	1.306.464	902.803	0	0	0	0	2,50	0,2234	0,0000	0,0000	NO
		-	-	-	1.306.464	902.803	0	0	0	0	2,50	0,2234	0,0000	0,0000	NO
	87,5%	+	98.111	9,20	1.306.464	902.803	0	0	0	0	2,50	0,2234	0,0000	0,0000	NO
		-	-	-	1.306.464	902.803	0	0	0	0	2,50	0,2234	0,0000	0,0000	NO
Trave 25-26	0%	+	-	-	1.306.464	863.400	0	0	0	0	2,50	0,2234	0,0000	0,0000	NO
		-	-85.025	10,15	1.306.464	863.400	0	0	0	0	2,50	0,2234	0,0000	0,0000	NO
	25%	+	-	-	1.306.464	873.374	0	0	0	0	2,50	0,2234	0,0000	0,0000	NO
		-	-10.797	80,89	1.306.464	873.374	0	0	0	0	2,50	0,2234	0,0000	0,0000	NO
	50%	+	65.800	13,38	1.306.464	880.482	0	0	0	0	2,50	0,2234	0,0000	0,0000	NO
		-	-	-	1.306.464	880.482	0	0	0	0	2,50	0,2234	0,0000	0,0000	NO
	75%	+	7.427	NS	1.306.464	892.891	0	0	0	0	2,50	0,2234	0,0000	0,0000	NO
		-	-	-	1.306.464	892.891	0	0	0	0	2,50	0,2234	0,0000	0,0000	NO
	100%	+	81.042	11,08	1.306.464	898.230	0	0	0	0	2,50	0,2234	0,0000	0,0000	NO
		-	-	-	1.306.464	898.230	0	0	0	0	2,50	0,2234	0,0000	0,0000	NO
Trave 26-23d	0%	+	-	-	1.306.464	902.803	0	0	0	0	2,50	0,2234	0,0000	0,0000	NO
		-	-103.306	8,74	1.306.464	902.803	0	0	0	0	2,50	0,2234	0,0000	0,0000	NO
	25%	+	-	-	1.306.464	902.803	0	0	0	0	2,50	0,2234	0,0000	0,0000	NO
		-	-77.402	11,66	1.306.464	902.803	0	0	0	0	2,50	0,2234	0,0000	0,0000	NO
	62,5%	+	-	-	1.306.464	902.803	0	0	0	0	2,50	0,2234	0,0000	0,0000	NO
		-	-51.543	17,52	1.306.464	902.803	0	0	0	0	2,50	0,2234	0,0000	0,0000	NO
	87,5%	+	-	-	1.306.464	902.803	0	0	0	0	2,50	0,2234	0,0000	0,0000	NO
		-	-25.740	35,07	1.306.464	902.803	0	0	0	0	2,50	0,2234	0,0000	0,0000	NO
	100%	+	3	NS	1.306.464	902.803	0	0	0	0	2,50	0,2234	0,0000	0,0000	NO
		-	-	-	1.306.464	902.803	0	0	0	0	2,50	0,2234	0,0000	0,0000	NO

LEGENDA:

Id_{Tr} Identificativo della trave. L'eventuale lettera tra parentesi distingue i diversi tratti della travata al livello considerato.
$\%L_{LI}$ Posizione della sezione per la quale vengono forniti i valori di verifica, valutata come % della lunghezza libera d'inflessione (L_{LI}), a partire dall'estremo iniziale.
+/- [+] = sollecitazione massima; [-] = sollecitazione minima.
$V_{Ed,2}$ Taglio di progetto in direzione 2.
CS Coefficiente di sicurezza ([NS] = Non Significativo per valori di CS >= 100; [VNR]= Verifica Non Richiesta).
V_{Rcd} Resistenza a taglio compressione del calcestruzzo.
$V_{Rsd,s}$ Resistenza a taglio trazione delle staffe.
N_{Ed} Sforzo Normale medio nella sezione di verifica.
$V_{Rsd,p}$ Resistenza a taglio trazione dei ferri piegati.
V_{R1} Resistenza a taglio in assenza di armatura incrociata.
V_{fd} Resistenza a taglio dovuta al rinforzo FRP.
CtgΘ Cotangente dell'angolo Θ utilizzata nella verifica.
A_{sw} Area delle staffe per unità di lunghezza.

Travi (CA) - Verifiche a taglio per pressoflessione retta allo SLU

Id_{Tr}	$\%L_{LI}$	+/-	$V_{Ed,2}$	CS	V_{Rcd}	$V_{Rsd,s}$	N_{Ed}	$V_{Rsd,p}$	V_{R1}	V_{fd}	Ctg Θ	A_{sw}	$A_{sw,p}$	$A_{s,Dg}$	R_f
	[%]		[N]		[N]	[N]	[N]	[N]	[N]	[N]		[cm^2/cm]	[cm^2]	[cm^2]	

$A_{sw,p}$ Area dei ferri piegati.
$A_{s,Dg}$ Area di ferri incrociati nelle zone critiche.
R_f [SI] = nodo con presenza di rinforzo; [NO] = nodo senza rinforzo.

PLINTI - SOLLECITAZIONI E VERIFICHE ALLO SLD (Fondazione)

Plinti - Sollecitazioni e verifiche allo SLD

$Id_{Pil/Pln}$	Lv	N_{Ed}	$M_{Ed,X}$	$M_{Ed,Y}$	$V_{Ed,X}$	$V_{Ed,Y}$	$A_{s,s,A}$	$A_{s,s,B}$	$A_{s,i,A}$	$A_{s,i,B}$	$A_{s,pz,A}$	$A_{s,pz,B}$	$CS_{s,A}$	$CS_{sup,B}$	$CS_{inf,A}$	$CS_{inf,B}$	$CS_{pz,A}$	$CS_{pz,B}$
		[N]	[N·m]	[N·m]	[N]	[N]	[cm^2]	[cm^2]	[cm^2]	[cm^2]	[cm^2]	[cm^2]						
005	Fondazione	394.948	28.267	28.467	21.934	41.475	6,79	6,79	6,79	6,78582	4,52	4,52	5,09	5,05	5,09	5,05	1,26	1,26
007	Fondazione	159.765	9.192	7.003	15.676	29.006	4,71	4,71	4,71	4,7124	4,52	4,52	6,83	8,97	6,83	8,97	4,31	4,31
008	Fondazione	399.110	28.553	28.588	22.684	40.520	6,79	6,79	6,79	6,78582	4,52	4,52	5,04	5,03	5,04	5,03	1,24	1,24
009	Fondazione	251.159	18.208	18.058	20.815	35.179	6,79	6,79	6,79	6,78582	4,52	4,52	7,90	7,97	7,90	7,97	1,99	1,99
010	Fondazione	153.899	6.920	8.695	17.584	25.835	4,71	4,71	4,71	4,7124	4,52	4,52	9,07	7,22	9,07	7,22	4,35	4,35
011	Fondazione	382.742	27.532	27.371	23.077	39.297	6,79	6,79	6,79	6,78582	4,52	4,52	5,23	5,26	5,23	5,26	1,29	1,29
012	Fondazione	336.691	27.215	31.348	34.618	45.147	6,79	6,79	6,79	6,78582	4,52	4,52	7,65	6,64	7,65	6,64	10,60	10,60
014	Fondazione	464.643	56.118	51.016	46.874	38.564	10,18	10,18	10,18	10,17873	4,52	4,52	5,59	6,15	5,59	6,15	0,92	0,92
015	Fondazione	326.365	33.022	43.239	60.351	31.220	7,92	7,92	7,92	7,91679	4,52	4,52	6,96	5,32	6,96	5,32	1,70	1,70
017	Fondazione	400.966	147.338	37.328	28.888	79.923	7,92	15,83	7,92	15,83358	4,52	4,52	2,16	17,11	2,16	17,11	1,27	1,27
018	Fondazione	454.334	166.049	39.800	32.893	89.963	7,92	15,83	7,92	15,83358	4,52	4,52	1,92	16,05	1,92	16,05	1,05	1,05
019	Fondazione	402.435	148.202	37.330	28.586	80.792	7,92	15,83	7,92	15,83358	4,52	4,52	2,15	17,11	2,15	17,11	1,26	1,26
023	Fondazione	289.748	24.872	39.323	66.406	72.962	6,79	6,79	6,79	6,78582	4,52	4,52	9,97	6,33	9,97	6,33	NS	NS
024	Fondazione	308.730	32.902	29.813	46.343	35.917	6,79	6,79	6,79	6,78582	4,52	4,52	7,54	8,34	7,54	8,34	28,11	28,11
027	Fondazione	479.873	45.262	42.406	20.599	59.998	7,92	7,92	7,92	7,91679	4,52	4,52	4,26	4,54	4,26	4,54	0,92	0,92
028	Fondazione	374.483	28.533	26.776	19.346	54.218	6,79	6,79	6,79	6,78582	4,52	4,52	5,04	5,37	5,04	5,37	1,32	1,32
029	Fondazione	234.131	43.194	29.306	37.381	87.187	10,18	10,18	10,18	10,17873	4,52	4,52	7,27	10,71	7,27	10,71	1,94	1,94
030	Fondazione	360.667	50.980	44.734	24.999	27.626	10,18	10,18	10,18	10,17873	4,52	4,52	6,54	7,45	6,54	7,45	1,26	1,26
031	Fondazione	313.866	35.333	51.102	69.704	34.233	10,18	10,18	10,18	10,17873	4,52	4,52	8,88	6,14	8,88	6,14	1,41	1,41
032	Fondazione	627.616	69.349	68.678	28.517	64.994	10,18	10,18	10,18	10,17873	4,52	4,52	3,80	3,83	3,80	3,83	0,57	0,57
033	Fondazione	468.262	44.316	41.454	40.449	49.077	7,92	7,92	7,92	7,91679	4,52	4,52	4,35	4,65	4,35	4,65	0,94	0,94
034	Fondazione	472.277	43.455	41.733	34.243	55.125	7,92	7,92	7,92	7,91679	4,52	4,52	4,44	4,62	4,44	4,62	0,93	0,93
035	Fondazione	372.802	30.720	26.691	29.437	51.922	6,79	6,79	6,79	6,78582	4,52	4,52	4,68	5,39	4,68	5,39	1,33	1,33
036	Fondazione	206.828	24.688	30.803	42.358	71.163	10,18	10,18	10,18	10,17873	4,52	4,52	12,71	10,19	12,71	10,19	2,20	2,20
039	Fondazione	298.562	47.243	35.228	53.153	66.615	10,18	10,18	10,18	10,17873	4,52	4,52	6,64	8,91	6,64	8,91	1,52	1,52
041	Fondazione	381.052	50.603	41.733	46.146	63.967	10,18	10,18	10,18	10,17873	4,52	4,52	6,20	7,52	6,20	7,52	1,12	1,12
042	Fondazione	274.971	34.361	28.245	58.992	57.143	6,79	6,79	6,79	6,78582	4,52	4,52	5,75	6,98	5,75	6,98	2,77	2,77
044	Fondazione	403.365	147.401	37.542	29.494	79.875	7,92	15,83	7,92	15,83358	4,52	4,52	2,16	17,01	2,16	17,01	1,26	1,26
045	Fondazione	453.550	165.747	39.724	36.230	89.797	7,92	15,83	7,92	15,83358	4,52	4,52	1,92	16,08	1,92	16,08	1,05	1,05
046	Fondazione	402.443	148.205	37.325	28.164	80.777	7,92	15,83	7,92	15,83358	4,52	4,52	2,15	17,11	2,15	17,11	1,26	1,26

LEGENDA:

$Id_{Pil/Pln}$ Identificativo della pilastrata cui il plinto è collegato.
Lv Livello o piano di appartenenza dell'elemento strutturale.
N_{Ed}, $M_{Ed,x}$, $M_{Ed,y}$, $V_{Ed,x}$, $V_{Ed,y}$ Sollecitazioni di progetto.
$A_{s,s,A/B}$ Armatura superiore esecutiva nella direzione A/B.
$A_{s,i,A/B}$ Armatura inferiore esecutiva nella direzione A/B.
$A_{s,pz,A/B}$ Armatura a punzonamento esecutiva in direzione A/B.
$CS_{sup,A/B}$ Coefficiente di sicurezza relativo all'armatura superiore nella direzioni A/B ([NS] = Non Significativo - Per valori di CS >= 100).
$CS_{inf,A/B}$ Coefficiente di sicurezza relativo all'armatura inferiore nella direzione A/B ([NS] = Non Significativo per valori di CS >= 100).
$CS_{pz,A/B}$ Coefficiente di sicurezza relativo all'armatura a punzonamento nella direzione A/B ([NS] = Non Significativo per valori di CS >= 100).

VERIFICHE CARICO LIMITE FONDAZIONI DIRETTE (Fondazione)

Verifiche Carico Limite fondazioni dirette

Id_{Fnd}	CS	L_X	L_Y	Rtz	$Z_{P.cmp}$	Z_{Fld}	Cmp T	C. Terzaghi						Q_{Ed}	$Q_{d,Rd}$	R_f
								per N_q	per N_c	per N_γ	N_q	N_c	N_γ			
		[m]	[m]	[°]	[m]	[m]								[N/mm^2]	[N/mm^2]	
Plinto 7	2,69	1,20	1,20	0,00	2,00	-	NON Coesivo	0,89	0,00	0,25	23,18	35,49	30,21	0,127	0,340	NO
Plinto 10	0,82	1,20	1,20	0,00	2,00	-	NON Coesivo	0,39	0,00	0,09	23,18	35,49	30,21	0,177	0,145	NO
Plinto 5	4,74	1,60	1,60	0,00	2,00	-	NON Coesivo	1,31	0,00	0,36	23,18	35,49	30,21	0,111	0,529	NO
Plinto 35	3,88	1,60	1,60	0,00	2,00	-	NON Coesivo	1,33	0,00	0,37	23,18	35,49	30,21	0,139	0,539	NO
Plinto 28	3,88	1,60	1,60	0,00	2,00	-	NON Coesivo	1,05	0,00	0,27	23,18	35,49	30,21	0,107	0,416	NO
Plinto 8	4,92	1,60	1,60	0,00	2,00	-	NON Coesivo	1,25	0,00	0,35	23,18	35,49	30,21	0,103	0,505	NO
Plinto 9	5,48	1,60	1,60	0,00	2,00	-	NON Coesivo	1,00	0,00	0,26	23,18	35,49	30,21	0,072	0,394	NO
Plinto 11	5,17	1,60	1,60	0,00	2,00	-	NON Coesivo	1,17	0,00	0,32	23,18	35,49	30,21	0,090	0,467	NO
Plinto 32	5,15	2,05	2,05	0,00	2,00	-	NON Coesivo	1,40	0,00	0,39	23,18	35,49	30,21	0,114	0,588	NO
Plinto 33	4,42	1,80	1,80	0,00	2,00	-	NON Coesivo	1,48	0,00	0,42	23,18	35,49	30,21	0,139	0,616	NO
Plinto 34	4,39	1,80	1,80	0,00	2,00	-	NON Coesivo	1,42	0,00	0,40	23,18	35,49	30,21	0,133	0,586	NO
Plinto 27	4,73	1,80	1,80	0,00	2,00	-	NON Coesivo	1,17	0,00	0,31	23,18	35,49	30,21	0,100	0,474	NO
Plinto 12	2,86	1,70	1,65	0,00	2,00	-	NON Coesivo	1,49	0,00	0,38	23,18	35,49	30,21	0,215	0,613	NO
Plinto 44	8,91	1,80	3,50	0,00	2,00	-	NON Coesivo	1,41	0,00	0,64	23,18	35,49	30,21	0,072	0,642	NO
Plinto 45	9,16	1,80	3,50	0,00	2,00	-	NON Coesivo	1,33	0,00	0,61	23,18	35,49	30,21	0,064	0,588	NO
Plinto 17	9,77	1,80	3,50	0,00	2,00	-	NON Coesivo	1,21	0,00	0,51	23,18	35,49	30,21	0,054	0,532	NO
Plinto 18	9,70	1,80	3,50	0,00	2,00	-	NON Coesivo	1,37	0,00	0,63	23,18	35,49	30,21	0,063	0,611	NO
Plinto 46	10,23	1,80	3,50	0,00	2,00	-	NON Coesivo	1,95	0,00	0,62	23,18	35,49	30,21	0,081	0,830	NO
Plinto 19	10,12	1,80	3,50	0,00	2,00	-	NON Coesivo	1,12	0,00	0,44	23,18	35,49	30,21	0,048	0,487	NO
Plinto 14	6,04	2,05	2,05	0,00	2,00	-	NON Coesivo	1,58	0,00	0,47	23,18	35,49	30,21	0,112	0,674	NO
Plinto 39	4,39	2,05	2,05	0,00	2,00	-	NON Coesivo	1,37	0,00	0,45	23,18	35,49	30,21	0,130	0,570	NO
Plinto 41	4,74	2,05	2,05	0,00	2,00	-	NON Coesivo	1,38	0,00	0,41	23,18	35,49	30,21	0,122	0,577	NO
Plinto 31	6,47	2,05	2,05	0,00	2,00	-	NON Coesivo	1,74	0,00	0,65	23,18	35,49	30,21	0,115	0,742	NO
Plinto 36	8,15	2,05	2,05	0,00	2,00	-	NON Coesivo	1,76	0,00	0,72	23,18	35,49	30,21	0,091	0,744	NO
Plinto 29	8,77	2,05	2,05	0,00	2,00	-	NON Coesivo	1,79	0,00	0,67	23,18	35,49	30,21	0,087	0,766	NO
Plinto 15	4,42	1,80	1,80	0,00	2,00	-	NON Coesivo	1,79	0,00	0,54	23,18	35,49	30,21	0,171	0,754	NO
Plinto 23	3,83	1,60	1,80	0,00	2,00	-	NON Coesivo	1,43	0,00	0,79	23,18	35,49	30,21	0,174	0,666	NO
Plinto 24	6,03	1,60	1,80	0,00	2,00	-	NON Coesivo	1,71	0,00	0,55	23,18	35,49	30,21	0,119	0,717	NO
Plinto 42	3,65	1,70	1,65	0,00	2,00	-	NON Coesivo	1,49	0,00	0,46	23,18	35,49	30,21	0,167	0,612	NO
Plinto 30	5,90	2,15	2,15	0,00	2,00	-	NON Coesivo	1,71	0,00	0,62	23,18	35,49	30,21	0,125	0,736	NO
Trave 20-15d	3,40	0,50	1,80	0,00	-	-	-	-	-	-	-	-	-	0,147	0,500	NO
Trave P5-16	1,12	1,40	1,60	0,00	-	-	-	-	-	-	-	-	-	0,447	0,500	NO
Trave 16-1c	3,09	2,00	1,80	0,00	-	-	-	-	-	-	-	-	-	0,162	0,500	NO
Trave P4-11d	2,19	0,50	1,60	0,00	-	-	-	-	-	-	-	-	-	0,229	0,500	NO
Trave P12-37	3,13	1,94	1,80	0,00	-	-	-	-	-	-	-	-	-	0,160	0,500	NO
Trave 20-21	2,12	1,40	1,80	0,00	-	-	-	-	-	-	-	-	-	0,236	0,500	NO
Trave P10-21d	1,18	0,50	1,80	0,00	-	-	-	-	-	-	-	-	-	0,425	0,500	NO
Trave 47-33d	3,93	0,50	1,80	0,00	-	-	-	-	-	-	-	-	-	0,127	0,500	NO
Trave 43-9c	2,24	2,00	1,80	0,00	-	-	-	-	-	-	-	-	-	0,224	0,500	NO
Trave P16-43	1,16	1,40	1,60	0,00	-	-	-	-	-	-	-	-	-	0,431	0,500	NO
Trave P14-27d	2,56	0,50	1,60	0,00	-	-	-	-	-	-	-	-	-	0,195	0,500	NO
Trave P15-29d	2,64	0,50	1,60	0,00	-	-	-	-	-	-	-	-	-	0,189	0,500	NO
Trave P11-22d	1,08	0,50	1,60	0,00	-	-	-	-	-	-	-	-	-	0,464	0,500	NO
Trave P8-19d	1,56	0,50	1,60	0,00	-	-	-	-	-	-	-	-	-	0,321	0,500	NO
Trave 2-4d	1,11	0,50	1,60	0,00	-	-	-	-	-	-	-	-	-	0,450	0,500	NO
Trave 3-6d	3,07	0,50	1,60	0,00	-	-	-	-	-	-	-	-	-	0,163	0,500	NO
Trave 4-7d	1,65	0,50	1,60	0,00	-	-	-	-	-	-	-	-	-	0,303	0,500	NO
Trave 1-P2	7,21	2,65	1,60	0,00	-	-	-	-	-	-	-	-	-	0,069	0,500	NO
Trave 6-8d	1,73	0,50	1,60	0,00	-	-	-	-	-	-	-	-	-	0,290	0,500	NO
Trave 3-P3	9,71	2,65	1,60	0,00	-	-	-	-	-	-	-	-	-	0,052	0,500	NO
Trave 26-23d	1,13	0,50	1,60	0,00	-	-	-	-	-	-	-	-	-	0,441	0,500	NO
Trave 7c-43	24,19	1,40	1,80	0,00	-	-	-	-	-	-	-	-	-	0,021	0,500	NO
Trave 16-5c	3,82	1,40	1,80	0,00	-	-	-	-	-	-	-	-	-	0,131	0,500	NO

Verifiche Carico Limite fondazioni dirette

Id_{Fnd}	CS	L_X	L_Y	Rtz	$Z_{P.cmp}$	Z_{Fld}	Cmp T	C. Terzaghi						Q_{Ed}	$Q_{d,Rd}$	R_f
								per N_q	per N_c	per N_γ	N_q	N_c	N_γ			
		[m]	[m]	[°]	[m]	[m]								[N/mm²]	[N/mm²]	
Trave P9-20d	1,90	0,40	1,80	0,00	0,75	-	NON Coesivo	1,22	0,00	0,94	64,20	75,31	109,41	0,834	1,582	NO
Trave P2-4	5,11	1,00	1,60	0,00	-	-	-	-	-	-	-	-	-	0,098	0,500	NO
Trave 1d-1	1,92	0,50	1,60	0,00	-	-	-	-	-	-	-	-	-	0,261	0,500	NO
Trave 3d-1	1,57	0,50	1,30	0,00	-	-	-	-	-	-	-	-	-	0,319	0,500	NO
Trave P1-3	8,11	1,90	1,60	0,00	-	-	-	-	-	-	-	-	-	0,062	0,500	NO
Trave 2d-3	2,50	0,50	1,30	0,00	-	-	-	-	-	-	-	-	-	0,200	0,500	NO
Trave P3-6	4,23	1,00	1,60	0,00	-	-	-	-	-	-	-	-	-	0,118	0,500	NO
Trave 10d-13	2,49	0,50	1,60	0,00	-	-	-	-	-	-	-	-	-	0,201	0,500	NO
Trave 13-P4	1,71	1,13	1,60	0,00	-	-	-	-	-	-	-	-	-	0,293	0,500	NO
Trave 17d-25	2,13	0,50	1,60	0,00	-	-	-	-	-	-	-	-	-	0,235	0,500	NO
Trave 25-26	3,14	2,90	1,60	0,00	-	-	-	-	-	-	-	-	-	0,159	0,500	NO
Trave 12d-P5	1,11	0,50	1,60	0,00	-	-	-	-	-	-	-	-	-	0,451	0,500	NO
Trave 14d-P7	4,41	0,50	1,80	0,00	0,75	-	NON Coesivo	1,34	0,00	0,89	64,20	75,31	109,41	0,360	1,588	NO
Trave 3c-20	4,29	2,00	1,80	0,00	-	-	-	-	-	-	-	-	-	0,117	0,500	NO
Trave 9d-20	2,52	0,50	1,30	0,00	-	-	-	-	-	-	-	-	-	0,198	0,500	NO
Trave 21-P10	1,46	1,94	1,80	0,00	-	-	-	-	-	-	-	-	-	0,343	0,500	NO
Trave 24d-P12	3,03	0,50	1,80	0,00	-	-	-	-	-	-	-	-	-	0,165	0,500	NO
Trave 37-47	2,57	1,40	1,80	0,00	-	-	-	-	-	-	-	-	-	0,194	0,500	NO
Trave 47-34d	2,88	0,50	1,30	0,00	-	-	-	-	-	-	-	-	-	0,174	0,500	NO
Trave 11c-47	2,16	2,00	1,80	0,00	-	-	-	-	-	-	-	-	-	0,231	0,500	NO
Trave 32d-P18	3,91	0,50	1,80	0,00	0,75	-	NON Coesivo	1,34	0,00	0,89	64,20	75,31	109,41	0,406	1,588	NO
Trave 30d-P16	1,13	0,50	1,60	0,00	-	-	-	-	-	-	-	-	-	0,441	0,500	NO
Trave 40-P15	2,33	1,13	1,60	0,00	-	-	-	-	-	-	-	-	-	0,215	0,500	NO
Trave 28d-40	1,44	0,50	1,60	0,00	-	-	-	-	-	-	-	-	-	0,347	0,500	NO
Trave 38-P14	2,88	1,50	1,60	0,00	-	-	-	-	-	-	-	-	-	0,173	0,500	NO
Trave 26d-38	1,18	0,50	1,60	0,00	-	-	-	-	-	-	-	-	-	0,425	0,500	NO
Trave 22-P11	2,74	2,39	1,60	0,00	-	-	-	-	-	-	-	-	-	0,183	0,500	NO
Trave 16d-22	3,70	0,50	1,60	0,00	-	-	-	-	-	-	-	-	-	0,135	0,500	NO
Trave 18d-22	3,01	0,50	1,30	0,00	-	-	-	-	-	-	-	-	-	0,166	0,500	NO
Trave 22-P8	1,99	1,50	1,60	0,00	-	-	-	-	-	-	-	-	-	0,252	0,500	NO
Trave 1-2	5,93	3,42	1,60	0,00	-	-	-	-	-	-	-	-	-	0,084	0,500	NO
Trave 5d-P1	1,84	0,50	1,60	0,00	-	-	-	-	-	-	-	-	-	0,272	0,500	NO

LEGENDA:

Id_{Fnd} Descrizione dell'oggetto di fondazione al quale è riferita la verifica.
CS Coefficiente di sicurezza ([NS] = Non Significativo per valori di CS >= 100; [VNR]= Verifica Non Richiesta).
$L_{X/Y}$ Dimensioni dell'elemento di fondazione.
Rtz Angolo compreso tra l'asse X e il lato più lungo del minimo rettangolo che delimita il poligono della platea.
$Z_{P.cmp}$ Profondità di posa dell'elemento di fondazione dal piano campagna.
Z_{Fld} Profondità della falda dal piano campagna.
Cmp T Classificazione del comportamento del terreno ai fini del calcolo.
C. Terzaghi Coefficienti correttivi per la formula di Terzaghi.
Q_{Ed} Carico di progetto sul terreno.
$Q_{d,Rd}$ Resistenza di progetto del terreno.
R_f [SI] = nodo con presenza di rinforzo; [NO] = nodo senza rinforzo.

ACCELERAZIONI SISMICHE DI COLLASSO SU BEAM E SHELL

Accelerazioni Sismiche di Collasso su Beam e Shell

Id_{Elm}	FLESSIONE			TAGLIO		
	%LLI/Shell	$PGA_{PF/RC}$	PGA_C/PGA_D	%LLI/Shell	PGA_T	PGA_C/PGA_D
			[%]			[%]
Fondazione						
Trave 17-18	100.00 %	45,721	200	0.00 %	2,570	200
Trave 18-19	0.00 %	47,762	200	100.00 %	2,565	200
Trave 11d-14	0.00 %	17,970	200	100.00 %	1,781	200
Trave 14-15	100.00 %	37,248	200	100.00 %	3,869	200
Trave 13d-17	0.00 %	13,464	200	100.00 %	1,527	200
Trave 15-12d	100.00 %	11,503	200	0.00 %	0,521	194
Trave 21d-30	0.00 %	12,189	200	100.00 %	0,600	200
Trave 30-24d	100.00 %	24,997	200	100.00 %	1,119	200
Trave 45-46	0.00 %	46,842	200	100.00 %	2,569	200
Trave 44-45	100.00 %	44,507	200	0.00 %	2,565	200
Trave 31d-44	0.00 %	12,581	200	100.00 %	1,487	200
Trave 39-28d	100.00 %	10,637	200	0.00 %	1,572	200
Trave 41-42	100.00 %	37,901	200	100.00 %	4,019	200
Trave 42-30d	100.00 %	13,833	200	0.00 %	0,529	197
Trave 27d-39	0.00 %	8,400	200	0.00 %	1,036	200
Trave 29d-41	0.00 %	10,505	200	0.00 %	1,725	200
Trave 31-38	100.00 %	4,062	200	100.00 %	1,586	200
Trave 22d-31	0.00 %	13,029	200	100.00 %	0,679	200
Trave 19d-23	0.00 %	13,994	200	100.00 %	0,335	125
Trave 23-24	0.00 %	36,079	200	100.00 %	3,735	200
Trave 24-25	100.00 %	5,509	200	0.00 %	1,461	200
Trave 4d-5d	0.00 %	6,475	200	100.00 %	1,430	200
Trave 20d-29	0.00 %	11,833	200	100.00 %	1,522	200
Trave 29-36	100.00 %	114,879	200	100.00 %	4,483	200
Trave 19-14d	100.00 %	18,898	200	0.00 %	1,757	200
Trave 46-32d	100.00 %	18,642	200	0.00 %	1,654	200
Trave 36-25d	100.00 %	17,874	200	100.00 %	1,849	200
Piano interrato						

Id_{Elm}	FLESSIONE			TAGLIO		
	%LLI/Shell	$PGA_{PF/RC}$	PGA_C/PGA_D	%LLI/Shell	PGA_T	PGA_C/PGA_D
			[%]			[%]
Pilastro 1	-	-	-	0.00 %	0,207	77
Pilastro 2	-	-	-	0.00 %	0,242	90
Pilastro 3	-	-	-	0.00 %	0,428	159
Pilastro 39	0.00 %	0,858	200	0.00 %	0,262	98
Pilastro 40	-	-	-	0.00 %	0,290	108
Pilastro 41	0.00 %	0,899	200	0.00 %	0,273	102
Pilastro 42	0.00 %	1,061	200	0.00 %	0,296	110
Pilastro 32	0.00 %	0,726	200	0.00 %	0,269	100
Pilastro 33	0.00 %	0,804	200	0.00 %	0,356	133
Pilastro 34	0.00 %	0,843	200	0.00 %	0,317	118
Pilastro 35	0.00 %	1,061	200	0.00 %	0,336	125
Pilastro 26	-	-	-	0.00 %	0,239	89
Pilastro 27	0.00 %	1,135	200	0.00 %	0,291	108
Pilastro 28	0.00 %	1,332	200	0.00 %	0,322	120
Pilastro 24	0.00 %	1,217	200	0.00 %	0,386	144
Pilastro 25	-	-	-	100.00 %	0,197	73
Pilastro 14	0.00 %	0,939	200	0.00 %	0,372	139
Pilastro 15	0.00 %	0,922	200	0.00 %	0,289	108
Pilastro 10	0.00 %	2,028	200	0.00 %	0,676	200
Pilastro 11	0.00 %	1,447	200	0.00 %	0,444	166
Pilastro 12	-	-	-	100.00 %	0,368	137
Pilastro 7	0.00 %	1,825	200	0.00 %	0,602	200
Pilastro 8	0.00 %	1,336	200	0.00 %	0,431	161
Pilastro 9	0.00 %	1,657	200	0.00 %	0,496	185
Pilastro 4	-	-	-	0.00 %	0,379	141
Pilastro 5	0.00 %	1,275	200	0.00 %	0,421	157
Pilastro 6	-	-	-	0.00 %	0,365	136
Pilastro 38	-	-	-	0.00 %	0,275	103
Pilastro 31	0.00 %	0,892	200	0.00 %	0,250	93
Pilastro 22	-	-	-	100.00 %	0,314	117
Pilastro 23	0.00 %	1,289	200	0.00 %	0,263	98
Pilastro 43	-	-	-	100.00 %	0,220	82
Pilastro 16	-	-	-	100.00 %	0,230	86
Pilastro 36	0.00 %	1,512	200	0.00 %	0,289	108
Pilastro 29	0.00 %	1,107	200	0.00 %	0,236	88
Pilastro 17	0.00 %	0,938	200	0.00 %	0,604	200
Pilastro 18	0.00 %	0,997	200	0.00 %	0,531	198
Pilastro 19	0.00 %	1,017	200	0.00 %	0,611	200
Pilastro 20	-	-	-	0.00 %	0,931	200
Pilastro 21	-	-	-	100.00 %	0,731	200
Pilastro 30	0.00 %	0,825	200	0.00 %	0,698	200
Pilastro 37	-	-	-	100.00 %	0,568	200
Pilastro 47	-	-	-	0.00 %	0,666	200
Pilastro 46	0.00 %	0,737	200	0.00 %	0,617	200
Pilastro 45	0.00 %	0,664	200	0.00 %	0,482	180
Pilastro 44	0.00 %	0,726	200	0.00 %	0,592	200
Pilastro 13	-	-	-	0.00 %	0,370	138
Trave P16-43	-	-	-	0.00 %	0,000	0
Trave 39-40	100.00 %	1,213	200	0.00 %	0,516	192
Trave 41-42	0.00 %	1,130	200	0.00 %	0,533	198
Trave P14-39	100.00 %	2,240	200	0.00 %	0,380	142
Trave P15-41	0.00 %	2,520	200	0.00 %	0,504	188
Trave P5-16	-	-	-	0.00 %	0,000	0
Trave P4-14	100.00 %	1,863	200	0.00 %	0,428	159
Trave 14-15	0.00 %	1,211	200	0.00 %	0,462	172
Trave 8c-43	-	-	-	0.00 %	0,000	0
Trave P9-29	0.00 %	2,693	200	100.00 %	0,262	98
Trave 29-36	100.00 %	8,040	200	100.00 %	0,298	111
Trave 35-42	0.00 %	1,712	200	100.00 %	0,281	105
Trave 28-35	100.00 %	2,365	200	100.00 %	0,240	89
Trave 15-28	0.00 %	1,538	200	100.00 %	0,246	92
Trave 34-41	100.00 %	1,542	200	100.00 %	0,231	86
Trave 27-34	100.00 %	1,766	200	100.00 %	0,208	77
Trave 14-27	0.00 %	0,481	179	100.00 %	0,203	75
Trave 31-38	0.00 %	2,138	200	100.00 %	0,311	116
Trave P11-31	100.00 %	2,918	200	100.00 %	0,205	76
Trave 33-40	0.00 %	1,249	200	100.00 %	0,209	78
Trave 26-33	100.00 %	1,122	200	100.00 %	0,123	46
Trave 25-26	-	-	-	0.00 %	0,410	153
Trave 13-25	100.00 %	1,259	200	100.00 %	0,109	41
Trave 12-13	-	-	-	0.00 %	0,000	0
Trave 9-12	100.00 %	1,890	200	100.00 %	0,206	77
Trave 6-9	0.00 %	3,512	200	100.00 %	0,224	84
Trave P3-6	-	-	-	0.00 %	0,000	0
Trave 10-22	100.00 %	0,950	200	100.00 %	0,304	113
Trave 4-7	0.00 %	4,538	200	100.00 %	0,389	145
Trave 7-10	100.00 %	7,833	200	100.00 %	0,506	189
Trave P2-4	-	-	-	0.00 %	0,000	0
Trave 11-23	100.00 %	2,229	200	100.00 %	0,179	67
Trave 5-8	100.00 %	2,849	200	100.00 %	0,203	76
Trave 8-11	0.00 %	2,833	200	100.00 %	0,208	77
Trave 2-5	0.00 %	2,249	200	100.00 %	0,181	67
Trave P8-23	0.00 %	2,299	200	0.00 %	0,191	71
Trave 23-24	100.00 %	1,660	200	0.00 %	0,124	46
Trave 24-25	100.00 %	3,184	200	0.00 %	0,624	200

Id_{Elm}	FLESSIONE			TAGLIO		
	%LLI/Shell	$PGA_{PF/RC}$	PGA_C/PGA_D	%LLI/Shell	PGA_T	PGA_C/PGA_D
			[%]			[%]
Trave P1-3	-	-	-	0.00 %	0,000	0
Trave 1-2	-	-	-	0.00 %	0,457	170
Trave 32-39	0.00 %	1,547	200	100.00 %	0,256	96
Trave 24-32	0.00 %	0,787	200	100.00 %	0,213	79
Trave 16-6c	-	-	-	0.00 %	0,000	0
Trave P13-8c	-	-	-	0.00 %	0,000	0
Trave 22-P11	-	-	-	0.00 %	0,000	0
Trave 2-P1	0.00 %	3,720	200	100.00 %	1,384	200
Trave 1-P2	100.00 %	1,494	200	100.00 %	0,252	94
Trave 3-P3	100.00 %	2,711	200	100.00 %	0,173	64
Trave 38-P14	-	-	-	0.00 %	0,000	0
Trave 22-P8	-	-	-	0.00 %	0,000	0
Trave 42-P16	100.00 %	2,121	200	0.00 %	0,299	111
Trave 15-P5	0.00 %	1,951	200	0.00 %	0,287	107
Trave 40-P15	-	-	-	0.00 %	0,000	0
Trave 13-P4	-	-	-	0.00 %	0,000	0
Trave 6c-P9	-	-	-	0.00 %	0,000	0
Trave 36-P13	100.00 %	6,794	200	100.00 %	0,202	75
Parete 20-21	-	-	-	[01586-00928-00927]	0,502	187
Parete 37-47	-	-	-	[00942-01577-00941]	0,505	188
Parete 16-P9	-	-	-	[01069-01070-01599]	0,590	200
Parete P13-43	-	-	-	[01592-01059-01060]	0,344	128
Parete 22-P11	-	-	-	[01154-01677-01153]	0,358	134
Parete 25-26	-	-	-	[01671-01147-01148]	0,715	200
Parete 21-P10	-	-	-	[01168-01691-01167]	0,433	161
Parete P12-37	-	-	-	[01687-01162-01163]	0,429	160
Parete 1-2	-	-	-	[01111-01646-01110]	0,566	200
Parete P1-3	-	-	-	[01643-01102-01103]	0,779	200
Parete P2-4	-	-	-	[01665-01135-00237]	0,428	160
Parete P3-6	-	-	-	[01659-01126-00240]	0,517	193
Parete 38-P14	-	-	-	[00984-01535-00983]	1,023	200
Parete 22-P8	-	-	-	[00973-01529-00972]	0,501	187
Parete 43-P17	-	-	-	[01003-01550-00281]	0,337	126
Parete 16-P6	-	-	-	[00996-01541-00995]	0,375	140
Parete P18-47	-	-	-	[01512-00947-00948]	0,550	200
Parete P7-20	-	-	-	[00928-01499-00927]	0,571	200
Parete P16-43	-	-	-	[01526-00967-00968]	0,523	195
Parete P5-16	-	-	-	[01520-00957-00958]	0,531	198
Parete 40-P15	-	-	-	[01021-01565-00267]	1,199	200
Parete 12-13	-	-	-	[01007-01562-00047]	0,724	200
Parete 13-P4	-	-	-	[01031-01571-00270]	0,926	200
Piano terra						
Pilastro 1	-	-	-	100.00 %	0,200	75
Pilastro 2	-	-	-	100.00 %	0,182	68
Pilastro 3	-	-	-	100.00 %	1,385	200
Pilastro 39	0.00 %	1,939	200	0.00 %	0,977	200
Pilastro 40	-	-	-	0.00 %	0,526	196
Pilastro 41	0.00 %	1,655	200	0.00 %	0,817	200
Pilastro 42	0.00 %	1,654	200	0.00 %	0,899	200
Pilastro 32	0.00 %	1,342	200	0.00 %	1,212	200
Pilastro 33	0.00 %	1,471	200	0.00 %	1,287	200
Pilastro 34	0.00 %	1,526	200	0.00 %	1,181	200
Pilastro 35	0.00 %	1,776	200	0.00 %	1,204	200
Pilastro 26	-	-	-	0.00 %	0,318	118
Pilastro 27	0.00 %	1,538	200	0.00 %	1,197	200
Pilastro 28	0.00 %	1,756	200	0.00 %	1,202	200
Pilastro 24	0.00 %	1,893	200	0.00 %	1,546	200
Pilastro 25	-	-	-	100.00 %	0,162	60
Pilastro 13	-	-	-	0.00 %	0,541	200
Pilastro 14	0.00 %	1,339	200	0.00 %	1,248	200
Pilastro 15	0.00 %	1,819	200	0.00 %	0,989	200
Pilastro 10	0.00 %	2,711	200	0.00 %	2,235	200
Pilastro 11	0.00 %	1,625	200	0.00 %	2,588	200
Pilastro 12	-	-	-	100.00 %	0,383	143
Pilastro 7	0.00 %	2,046	200	0.00 %	2,229	200
Pilastro 8	0.00 %	2,519	200	0.00 %	2,459	200
Pilastro 9	0.00 %	2,471	200	0.00 %	2,395	200
Pilastro 4	-	-	-	0.00 %	0,761	200
Pilastro 5	0.00 %	2,409	200	0.00 %	2,188	200
Pilastro 6	-	-	-	0.00 %	0,753	200
Pilastro 38	-	-	-	0.00 %	0,345	128
Pilastro 31	0.00 %	1,632	200	0.00 %	1,260	200
Pilastro 22	-	-	-	100.00 %	0,232	86
Pilastro 23	0.00 %	2,313	200	0.00 %	0,975	200
Pilastro 43	-	-	-	100.00 %	0,188	70
Pilastro 16	-	-	-	100.00 %	0,201	75
Pilastro 36	0.00 %	1,545	200	0.00 %	0,860	200
Pilastro 29	0.00 %	1,600	200	0.00 %	0,757	200
Pilastro 21	-	-	-	0.00 %	0,597	200
Pilastro 20	-	-	-	100.00 %	1,137	200
Pilastro 37	-	-	-	0.00 %	0,343	128
Pilastro 47	-	-	-	100.00 %	0,958	200
Trave P16-43	-	-	-	0.00 %	0,000	0
Trave 39-40	100.00 %	11,642	200	100.00 %	1,232	200
Trave 41-42	0.00 %	8,656	200	0.00 %	1,296	200

Id_{Elm}	FLESSIONE			TAGLIO		
	%LLI/Shell	$PGA_{PF/RC}$	PGA_C/PGA_D	%LLI/Shell	PGA_T	PGA_C/PGA_D
			[%]			[%]
Trave P14-39	0.00 %	12,652	200	0.00 %	0,724	200
Trave P15-41	100.00 %	17,869	200	0.00 %	1,115	200
Trave P5-16	-	-	-	0.00 %	0,000	0
Trave P4-14	0.00 %	3,738	200	0.00 %	0,514	192
Trave 14-15	0.00 %	5,107	200	0.00 %	0,992	200
Trave 3b-43	-	-	-	0.00 %	0,605	200
Trave P9-29	0.00 %	6,123	200	100.00 %	0,430	160
Trave 29-36	100.00 %	17,436	200	100.00 %	0,731	200
Trave 35-42	100.00 %	2,538	200	0.00 %	0,622	200
Trave 28-35	100.00 %	5,639	200	100.00 %	0,947	200
Trave 15-28	0.00 %	1,671	200	100.00 %	0,475	177
Trave 34-41	100.00 %	1,809	200	0.00 %	0,499	186
Trave 27-34	100.00 %	5,917	200	0.00 %	0,783	200
Trave 14-27	0.00 %	1,300	200	100.00 %	0,409	152
Trave 31-38	100.00 %	4,144	200	0.00 %	0,746	200
Trave P11-31	100.00 %	10,811	200	100.00 %	0,531	198
Trave 33-40	100.00 %	1,841	200	0.00 %	0,493	184
Trave 26-33	100.00 %	9,463	200	100.00 %	0,455	170
Trave 25-26	-	-	-	0.00 %	0,496	185
Trave 13-25	100.00 %	3,989	200	100.00 %	0,176	65
Trave 12-13	-	-	-	0.00 %	0,000	0
Trave 9-12	100.00 %	3,148	200	100.00 %	0,301	112
Trave 6-9	0.00 %	5,559	200	100.00 %	0,380	142
Trave P3-6	-	-	-	0.00 %	0,000	0
Trave 10-22	100.00 %	2,147	200	100.00 %	0,419	156
Trave 4-7	0.00 %	12,341	200	100.00 %	0,761	200
Trave 7-10	100.00 %	22,405	200	100.00 %	0,846	200
Trave P2-4	-	-	-	0.00 %	0,000	0
Trave 11-23	100.00 %	8,287	200	100.00 %	0,470	175
Trave 5-8	0.00 %	8,378	200	100.00 %	0,523	195
Trave 8-11	0.00 %	9,626	200	100.00 %	0,543	200
Trave 2-5	0.00 %	2,680	200	100.00 %	0,456	170
Trave P8-23	0.00 %	1,657	200	0.00 %	0,409	152
Trave 23-24	100.00 %	6,251	200	0.00 %	1,010	200
Trave 24-25	100.00 %	5,019	200	100.00 %	2,895	200
Trave P1-3	-	-	-	0.00 %	0,000	0
Trave 1-2	-	-	-	100.00 %	0,252	94
Trave 32-39	100.00 %	1,640	200	0.00 %	0,575	200
Trave 24-32	0.00 %	1,917	200	100.00 %	0,505	188
Trave 16-1b	-	-	-	0.00 %	0,000	0
Trave P13-2b	-	-	-	0.00 %	0,000	0
Trave 22-P11	-	-	-	0.00 %	0,000	0
Trave 2-P1	100.00 %	3,306	200	0.00 %	1,749	200
Trave 1-P2	100.00 %	10,567	200	100.00 %	0,569	200
Trave 3-P3	100.00 %	7,400	200	100.00 %	0,301	112
Trave 38-P14	-	-	-	0.00 %	0,000	0
Trave 22-P8	-	-	-	0.00 %	0,000	0
Trave 42-P16	100.00 %	12,356	200	100.00 %	0,467	174
Trave 15-P5	100.00 %	2,945	200	100.00 %	0,194	72
Trave 40-P15	-	-	-	0.00 %	0,000	0
Trave 13-P4	-	-	-	0.00 %	0,000	0
Trave 1b-P9	-	-	-	0.00 %	0,000	0
Trave 36-P13	100.00 %	1,962	200	100.00 %	0,171	64
Parete 20-21	-	-	-	[01453-00204-00693]	0,874	200
Parete 37-47	-	-	-	[00716-00717-01450]	0,870	200
Parete 22-P11	-	-	-	[01246-00645-00066]	0,317	118
Parete 25-26	-	-	-	[01241-01238-01237]	0,538	200
Parete 21-P10	-	-	-	[01272-00676-00677]	0,838	200
Parete P12-37	-	-	-	[00649-01254-00199]	1,051	200
Parete 1-2	-	-	-	[01201-01196-00549]	0,512	191
Parete P1-3	-	-	-	[01185-00235-00582]	2,910	200
Parete P2-4	-	-	-	[01222-00238-00610]	1,022	200
Parete P3-6	-	-	-	[00098-01213-00531]	1,050	200
Parete 38-P14	-	-	-	[00778-01334-00777]	1,348	200
Parete 22-P8	-	-	-	[01325-00645-00066]	0,647	200
Parete 43-P17	-	-	-	[01361-01357-00808]	0,520	194
Parete 16-P6	-	-	-	[01342-01341-00792]	0,536	200
Parete P18-47	-	-	-	[00717-01292-01305]	0,906	200
Parete P7-20	-	-	-	[00204-01277-00693]	1,011	200
Parete P16-43	-	-	-	[00746-01317-00260]	0,464	173
Parete P5-16	-	-	-	[01308-00265-00740]	0,804	200
Parete 40-P15	-	-	-	[01494-00570-00010]	0,982	200
Parete 12-13	-	-	-	[01611-00100-00537]	0,820	200
Parete 13-P4	-	-	-	[01072-01605-01071]	1,805	200
Parete 16-P9	-	-	-	[01637-01634-01633]	0,939	200
Parete P13-43	-	-	-	[00749-00750-01625]	0,654	200
Piano copertura						
Pilastro 2	0.00 %	6,097	200	0.00 %	0,987	200
Pilastro 32	0.00 %	16,558	200	0.00 %	1,218	200
Pilastro 33	0.00 %	15,013	200	0.00 %	0,677	200
Pilastro 34	0.00 %	14,087	200	0.00 %	0,768	200
Pilastro 35	0.00 %	14,894	200	0.00 %	0,922	200
Pilastro 26	-	-	-	100.00 %	0,444	166
Pilastro 27	0.00 %	25,449	200	0.00 %	4,337	200
Pilastro 28	0.00 %	31,704	200	0.00 %	4,236	200

Id_{Elm}	FLESSIONE			TAGLIO		
	%LLI/Shell	$PGA_{PF/RC}$	PGA_C/PGA_D	%LLI/Shell	PGA_T	PGA_C/PGA_D
			[%]			[%]
Pilastro 24	0.00 %	5,050	200	0.00 %	0,482	179
Pilastro 13	0.00 %	4,286	200	0.00 %	0,331	123
Pilastro 14	0.00 %	1,855	200	0.00 %	0,481	179
Pilastro 15	0.00 %	1,608	200	0.00 %	0,424	158
Pilastro 11	0.00 %	23,706	200	0.00 %	5,857	200
Pilastro 8	0.00 %	29,134	200	0.00 %	5,048	200
Pilastro 5	0.00 %	40,440	200	0.00 %	3,596	200
Pilastro 31	0.00 %	16,868	200	0.00 %	1,158	200
Pilastro 22	-	-	-	100.00 %	0,364	136
Pilastro 36	0.00 %	9,452	200	0.00 %	1,012	200
Pilastro 29	0.00 %	37,141	200	0.00 %	1,520	200
Pilastro 24	0.00 %	106,734	200	0.00 %	1,031	200
Pilastro 23	0.00 %	33,557	200	0.00 %	1,238	200
Pilastro 25	-	-	-	100.00 %	0,981	200
Pilastro 21	0.00 %	0,454	169	0.00 %	0,435	162
Pilastro 37	0.00 %	0,781	200	0.00 %	0,287	107
Pilastro 30	0.00 %	2,040	200	0.00 %	6,208	200
Pilastro 29	0.00 %	2,223	200	0.00 %	0,533	199
Pilastro 36	0.00 %	1,479	200	0.00 %	0,316	118
Pilastro 17	0.00 %	0,659	200	0.00 %	1,175	200
Pilastro 18	0.00 %	0,705	200	0.00 %	1,501	200
Pilastro 19	0.00 %	0,673	200	0.00 %	1,344	200
Pilastro 20	-	-	-	100.00 %	0,611	200
Pilastro 47	-	-	-	100.00 %	0,357	133
Pilastro 46	0.00 %	0,528	197	0.00 %	0,841	200
Pilastro 45	0.00 %	0,513	191	0.00 %	0,805	200
Pilastro 44	0.00 %	0,544	200	0.00 %	0,816	200
Pilastro 21	-	-	-	0.00 %	1,205	200
Pilastro 37	-	-	-	0.00 %	0,709	200
Pilastro 22	-	-	-	0.00 %	0,459	171
Pilastro 25	-	-	-	0.00 %	0,650	200
Pilastro 26	-	-	-	0.00 %	4,593	200
Pilastro 43	-	-	-	100.00 %	0,255	95
Pilastro 16	-	-	-	0.00 %	0,165	62
Trave 11a-29	0.00 %	1,892	200	0.00 %	0,989	200
Trave 29-36	0.00 %	9,763	200	100.00 %	0,533	199
Trave 35-42	100.00 %	2,327	200	0.00 %	0,654	200
Trave 28-35	0.00 %	4,774	200	100.00 %	1,234	200
Trave 16a-28	0.00 %	2,962	200	0.00 %	0,497	185
Trave 34-41	100.00 %	1,610	200	0.00 %	0,521	194
Trave 27-34	0.00 %	4,094	200	100.00 %	1,067	200
Trave 15a-27	0.00 %	4,813	200	0.00 %	0,386	144
Trave 31-38	100.00 %	2,006	200	0.00 %	0,937	200
Trave P11-31	0.00 %	6,558	200	0.00 %	0,788	200
Trave 33-40	100.00 %	1,089	200	0.00 %	0,496	185
Trave 26-33	100.00 %	20,603	200	0.00 %	0,593	200
Trave 14a-26	0.00 %	8,247	200	100.00 %	0,833	200
Trave 11-23	100.00 %	4,464	200	0.00 %	0,481	179
Trave 5-8	0.00 %	9,556	200	100.00 %	0,493	184
Trave 8-11	100.00 %	10,872	200	0.00 %	0,498	186
Trave 2-5	0.00 %	1,689	200	100.00 %	0,392	146
Trave 22-23	0.00 %	2,443	200	0.00 %	0,939	200
Trave 23-24	100.00 %	10,128	200	0.00 %	0,688	200
Trave 24-25	100.00 %	3,309	200	100.00 %	0,631	200
Trave 2-3	100.00 %	1,997	200	0.00 %	1,716	200
Trave 1-2	0.00 %	1,823	200	100.00 %	2,480	200
Trave 32-39	100.00 %	1,402	200	0.00 %	0,557	200
Trave 13a-32	100.00 %	5,538	200	0.00 %	0,581	200
Trave 24-25	100.00 %	6,349	200	100.00 %	1,968	200
Trave 13-25	0.00 %	17,079	200	100.00 %	0,644	200
Trave 14-15a	100.00 %	6,468	200	100.00 %	0,411	153
Trave 15-16a	100.00 %	3,528	200	100.00 %	0,452	168
Trave 16a-11a	100.00 %	0,853	200	100.00 %	0,847	200
Trave 15a-16a	100.00 %	11,441	200	100.00 %	2,643	200
Trave 14a-15a	100.00 %	13,710	200	0.00 %	1,847	200
Trave 13a-14a	100.00 %	11,193	200	0.00 %	2,309	200
Trave 12a-13a	0.00 %	1,755	200	100.00 %	2,125	200
Trave 24-13a	0.00 %	11,324	200	100.00 %	0,360	134
Trave 22-12a	100.00 %	13,601	200	0.00 %	0,492	183
Trave 22-24	0.00 %	3,700	200	0.00 %	1,790	200
Trave 25-14a	100.00 %	9,948	200	0.00 %	0,518	193
Trave 13-14	0.00 %	10,043	200	100.00 %	1,677	200
Trave 14-15	100.00 %	7,139	200	100.00 %	1,108	200
Trave P7-20	-	-	-	0.00 %	0,000	0
Trave 17-18	0.00 %	9,588	200	100.00 %	0,940	200
Trave 18-19	100.00 %	6,762	200	100.00 %	0,962	200
Trave P6-17	0.00 %	6,224	200	0.00 %	0,334	125
Trave P18-47	-	-	-	100.00 %	0,237	88
Trave 44-45	100.00 %	17,385	200	100.00 %	0,964	200
Trave 45-46	0.00 %	18,499	200	100.00 %	0,975	200
Trave P17-44	0.00 %	5,036	200	0.00 %	0,319	119
Trave 6a-21	100.00 %	1,486	200	0.00 %	0,660	200
Trave 9a-10a	100.00 %	0,707	200	0.00 %	0,621	200
Trave 19a-20a	100.00 %	0,920	200	0.00 %	0,800	200
Trave 28a-29a	100.00 %	0,919	200	0.00 %	0,810	200

Id_{Elm}	FLESSIONE			TAGLIO		
	%LLI/Shell	$PGA_{PF/RC}$	PGA_C/PGA_D	%LLI/Shell	PGA_T	PGA_C/PGA_D
			[%]			[%]
Trave 33a-34a	100.00 %	0,941	200	0.00 %	0,667	200
Trave 38a-37	100.00 %	2,016	200	0.00 %	0,690	200
Trave 24a-30	100.00 %	1,278	200	0.00 %	0,849	200
Trave 21-10a	0.00 %	1,252	200	0.00 %	1,455	200
Trave 10a-20a	0.00 %	1,120	200	100.00 %	2,187	200
Trave 30-29a	100.00 %	1,587	200	0.00 %	1,010	200
Trave 29a-34a	0.00 %	1,573	200	100.00 %	1,083	200
Trave 37-47	100.00 %	0,833	200	100.00 %	1,268	200
Trave 5a-6a	100.00 %	14,235	200	0.00 %	0,713	200
Trave 6a-9a	0.00 %	2,484	200	0.00 %	0,610	200
Trave 8a-9a	100.00 %	12,769	200	0.00 %	0,741	200
Trave 9a-19a	100.00 %	8,884	200	100.00 %	1,114	200
Trave 18a-19a	0.00 %	20,849	200	0.00 %	0,907	200
Trave 23a-24a	0.00 %	22,943	200	0.00 %	0,950	200
Trave 24a-28a	0.00 %	7,807	200	0.00 %	0,679	200
Trave 27a-28a	0.00 %	35,056	200	0.00 %	0,915	200
Trave 28a-33a	0.00 %	6,675	200	100.00 %	0,774	200
Trave 32a-33a	100.00 %	8,362	200	100.00 %	0,751	200
Trave 37a-38a	100.00 %	10,030	200	100.00 %	0,714	200
Trave 38a-46	100.00 %	2,229	200	0.00 %	0,452	169
Trave 4a-5a	0.00 %	13,590	200	100.00 %	0,712	200
Trave 5a-8a	0.00 %	5,653	200	0.00 %	1,933	200
Trave 7a-8a	0.00 %	9,009	200	100.00 %	0,753	200
Trave 8a-18a	0.00 %	16,405	200	100.00 %	1,070	200
Trave 17a-18a	0.00 %	19,858	200	0.00 %	0,911	200
Trave 22a-23a	0.00 %	19,858	200	100.00 %	0,948	200
Trave 23a-27a	0.00 %	7,814	200	0.00 %	0,637	200
Trave 26a-27a	0.00 %	17,977	200	100.00 %	0,909	200
Trave 27a-32a	100.00 %	13,827	200	0.00 %	1,202	200
Trave 31a-32a	0.00 %	8,450	200	100.00 %	0,737	200
Trave 36a-37a	0.00 %	9,240	200	100.00 %	0,702	200
Trave 37a-45	100.00 %	2,822	200	100.00 %	1,594	200
Trave 3a-4a	0.00 %	7,916	200	100.00 %	0,720	200
Trave 4a-7a	0.00 %	5,874	200	0.00 %	0,868	200
Trave 11a-7a	0.00 %	0,812	200	100.00 %	0,635	200
Trave 7a-17a	100.00 %	25,039	200	100.00 %	1,625	200
Trave 29-17a	0.00 %	2,590	200	100.00 %	0,841	200
Trave 21a-22a	0.00 %	1,812	200	100.00 %	0,876	200
Trave 22a-26a	0.00 %	9,896	200	0.00 %	0,582	200
Trave 25a-26a	0.00 %	1,677	200	100.00 %	0,823	200
Trave 26a-31a	0.00 %	17,761	200	0.00 %	1,045	200
Trave 30a-31a	0.00 %	1,370	200	100.00 %	0,669	200
Trave 35a-36a	0.00 %	1,880	200	100.00 %	0,639	200
Trave 36a-44	100.00 %	5,069	200	0.00 %	1,874	200
Trave 3a-11a	100.00 %	1,004	200	100.00 %	0,331	123
Trave 11a-29	100.00 %	2,620	200	100.00 %	1,867	200
Trave 21a-25a	100.00 %	3,720	200	100.00 %	0,267	100
Trave 36-30a	0.00 %	8,658	200	0.00 %	1,349	200
Trave 30a-35a	100.00 %	15,676	200	100.00 %	3,422	200
Trave 29-21a	0.00 %	2,340	200	0.00 %	0,739	200
Trave 2a-11a	100.00 %	2,259	200	100.00 %	1,065	200
Trave 25a-36	100.00 %	3,396	200	100.00 %	0,242	90
Trave 19a-24a	100.00 %	5,662	200	100.00 %	0,539	200
Trave 20a-30	100.00 %	1,063	200	100.00 %	0,817	200
Trave 17a-22a	100.00 %	9,994	200	0.00 %	0,830	200
Trave 18a-23a	100.00 %	7,046	200	100.00 %	0,895	200
Trave 20-21	100.00 %	1,356	200	100.00 %	1,406	200
Trave 34a-37	100.00 %	1,041	200	100.00 %	0,689	200
Trave 1a-3a	0.00 %	6,005	200	0.00 %	0,598	200
Trave 1a-2a	100.00 %	3,726	200	100.00 %	1,954	200
Trave P13-2b	-	-	-	100.00 %	0,865	200
Trave 15-16	100.00 %	5,397	200	100.00 %	1,211	200
Trave 16-1a	0.00 %	4,582	200	0.00 %	0,946	200
Trave 2b-3b	100.00 %	0,936	200	100.00 %	0,336	125
Trave 19-6a	100.00 %	2,359	200	100.00 %	0,582	200
Trave 33a-38a	100.00 %	2,180	200	100.00 %	0,435	162
Trave 18-5a	100.00 %	3,499	200	100.00 %	2,239	200
Trave 32a-37a	100.00 %	2,914	200	100.00 %	0,653	200
Trave 17-4a	0.00 %	5,838	200	100.00 %	0,519	193
Trave 31a-36a	100.00 %	5,668	200	100.00 %	0,594	200
Trave 16-P6	-	-	-	0.00 %	0,000	0
Trave 19-P7	100.00 %	3,871	200	100.00 %	0,351	131
Trave 46-P18	100.00 %	3,863	200	100.00 %	0,335	125
Trave 43-P17	-	-	-	100.00 %	0,323	120
Trave 35a-43	100.00 %	5,463	200	100.00 %	0,712	200
Trave 36-P13	100.00 %	1,569	200	100.00 %	0,192	72
Trave 12a-P11	0.00 %	9,943	200	100.00 %	0,308	115
Parete 20-21	-	-	-	[01407-00850-01411]	0,966	200
Parete 37-47	-	-	-	[00846-00847-01405]	1,024	200
Parete 16-P9	-	-	-	[00224-00140-01420]	0,956	200
Parete P13-43	-	-	-	[01414-00326-01704]	0,479	179
Parete 22-P11	-	-	-	[00823-00822-01380]	0,618	200
Parete 22-P11	-	-	-	[01374-01372-00823]	0,569	200
Parete 25-26	-	-	-	[00556-01391-00102]	0,278	104
Parete 25-26	-	-	-	[01388-00835-00836]	0,553	200

Accelerazioni Sismiche di Collasso su Beam e Shell

Id_{Elm}	FLESSIONE			TAGLIO		
	%LLI/Shell	$PGA_{PF/RC}$	PGA_C/PGA_D	%LLI/Shell	PGA_T	PGA_C/PGA_D
			[%]			[%]
Parete 21-P10	-	-	-	[00899-00206-01468]	1,356	200
Parete P12-37	-	-	-	[00498-00209-01460]	1,284	200
Parete 43-P17	-	-	-	[00821-01485-00118]	0,849	200
Parete 16-P6	-	-	-	[01476-00902-00903]	0,691	200
Parete P18-47	-	-	-	[00016-00878-01435]	0,640	200
Parete P7-20	-	-	-	[00018-00870-01426]	0,620	200

LEGENDA:

Id_{Elm} Identificativo dell'elemento strutturale.

%LLI/Shell %LLI = Posizione della sezione per la quale si registra la minima PGA, valutata come % della lunghezza libera d'inflessione dell'elemento (LLI), a partire dal suo estremo iniziale (0% = estremo iniziale, 100% = estremo finale).
Shell = identificativo dei nodi strutturali (sub nodi) in cui è suddiviso l'elemento shell, individuato mediante i relativi vertici.

$PGA_{PF/RC}$ Accelerazione sismica di collasso per PRESSOFLESSIONE o FLESSIONE/ROTAZIONE ALLA CORDA. [0] = l'elemento risulta non verificato già per i carichi verticali presenti nella combinazione sismica $[G_k+\Sigma_i(\psi_{2,i}\cdot Q_{k,i})]$.
N.B.: per gli elementi beam (travi e pilastri), nel caso di calcolo Non Lineare, la PGA è quella relativa al meccanismo di collasso per verifica di rotazione alla corda.

PGA_T Accelerazione sismica di collasso per TAGLIO. [0] = l'elemento risulta non verificato già per i carichi verticali presenti nella combinazione sismica $[G_k+\Sigma_i(\psi_{2,i}\cdot Q_{k,i})]$.

PGA_C/PGA_D Rapporto tra la PGA di "capacita" (PGA_C) dell'elemento e quella di "domanda" ($PGA_D = S_S\cdot S_T\cdot a_g/g$). [200] = $PGA_C > 2\cdot PGA_D$.

ACCELERAZIONI SISMICHE DI COLLASSO SUI NODI

Accelerazioni Sismiche di Collasso sui Nodi

Id_{Nd}	PGA_{Conf}	PGA_C/PGA_D
		[%]
Nodo 8	0,000	0
Nodo 12	0,000	0
Nodo 14	0,000	0
Nodo 20	0,000	0
Nodo 22	0,000	0
Nodo 24	0,000	0
Nodo 26	0,000	0
Nodo 30	0,000	0
Nodo 32	0,000	0
Nodo 34	0,000	0
Nodo 40	0,000	0
Nodo 42	0,000	0
Nodo 44	0,000	0
Nodo 46	0,000	0
Nodo 50	0,000	0
Nodo 52	0,000	0
Nodo 54	0,000	0
Nodo 58	0,000	0
Nodo 64	0,000	0
Nodo 68	0,000	0
Nodo 74	0,000	0
Nodo 76	0,000	0
Nodo 79	0,000	0
Nodo 80	1,034	200
Nodo 81	0,000	0
Nodo 82	0,000	0
Nodo 83	1,019	200
Nodo 84	0,000	0
Nodo 88	1,343	200
Nodo 90	0,609	200
Nodo 92	0,575	200
Nodo 93	0,703	200
Nodo 94	0,840	200
Nodo 96	0,545	200
Nodo 97	0,000	0
Nodo 99	0,000	0
Nodo 103	0,000	0
Nodo 105	0,585	200
Nodo 107	0,000	0
Nodo 108	0,000	0
Nodo 109	0,666	200
Nodo 110	0,600	200
Nodo 111	0,000	0
Nodo 112	0,000	0
Nodo 113	0,749	200
Nodo 114	0,000	0
Nodo 115	0,554	200
Nodo 116	0,000	0
Nodo 119	0,000	0
Nodo 120	0,629	200
Nodo 121	0,000	0
Nodo 122	0,000	0
Nodo 123	0,830	200
Nodo 126	0,540	200
Nodo 127	0,779	200
Nodo 128	0,767	200
Nodo 130	0,000	0
Nodo 131	0,000	0
Nodo 132	0,000	0
Nodo 133	0,000	0

Accelerazioni Sismiche di Collasso sui Nodi

Id_{Nd}	PGA_{Conf}	PGA_C/PGA_D
		[%]
Nodo 134	0,000	0
Nodo 135	0,000	0
Nodo 136	0,591	200
Nodo 137	0,000	0
Nodo 138	1,862	200
Nodo 139	0,000	0
Nodo 141	2,076	200
Nodo 142	1,266	200
Nodo 146	0,000	0
Nodo 158	0,000	0
Nodo 159	0,000	0
Nodo 160	1,015	200
Nodo 162	0,688	200
Nodo 192	0,000	0

LEGENDA:

Id_{Nd} Identificativo del nodo strutturale su cui viene eseguita la verifica a confinamento.

PGA_{Conf} Accelerazione sismica di collasso per ROTTURA a confinamento del Nodo. [0] = l'elemento risulta non verificato già per i carichi verticali presenti nella combinazione sismica [$G_k+\Sigma_i(\psi_{2,i}\cdot Q_{k,i})$]

PGA_C/PGA_D Rapporto tra la PGA di "capacita" (PGA_C) dell'elemento e quella di "domanda" ($PGA_D = S_S\cdot S_T\cdot a_g/g$). [200] = $PGA_C > 2\cdot PGA_D$.

ACCELERAZIONI SISMICHE DI COLLASSO PER CARICO LIMITE

Accelerazioni Sismiche di Collasso per Carico Limite

Id_{Elm}	PGA_{OI}	PGA_C/PGA_D
		[%]
Fondazione		
Trave 20-15d	8,450	200
Trave P5-16	2,939	200
Trave P7-3c	6,419	200
Trave 16-1c	3,466	200
Trave P4-11d	5,130	200
Trave P12-37	5,036	200
Trave 20-21	4,042	200
Trave P10-21d	14,694	200
Trave 47-33d	8,537	200
Trave P18-11c	6,346	200
Trave 43-9c	3,953	200
Trave P16-43	3,322	200
Trave P14-27d	6,862	200
Trave P15-29d	3,932	200
Trave P11-22d	4,372	200
Trave P8-19d	14,360	200
Trave 2-4d	3,245	200
Trave 3-6d	5,300	200
Trave 4-7d	5,747	200
Trave 1-P2	9,327	200
Trave 6-8d	4,680	200
Trave 3-P3	6,951	200
Trave 26-23d	2,146	200
Trave 7c-43	3,087	200
Trave P13-7c	4,838	200
Trave 16-5c	2,851	200
Trave P6-13d	0,000	0
Trave P17-31d	0,000	0
Trave P9-20d	0,000	0
Trave P2-4	2,245	200
Trave 1d-1	8,707	200
Trave 3d-1	7,596	200
Trave P1-3	4,140	200
Trave 2d-3	4,461	200
Trave P3-6	1,633	200
Trave 10d-13	2,253	200
Trave 13-P4	1,430	200
Trave 17d-25	2,170	200
Trave 25-26	1,340	200
Trave 12d-P5	7,786	200
Trave 1c-P6	7,719	200
Trave 25d-P13	0,000	0
Trave 5c-P9	4,850	200
Trave 14d-P7	0,000	0
Trave 3c-20	3,734	200
Trave 9d-20	7,263	200
Trave 21-P10	5,026	200
Trave 24d-P12	14,427	200
Trave 37-47	4,063	200
Trave 47-34d	7,257	200
Trave 11c-47	3,751	200
Trave 32d-P18	0,000	0
Trave 9c-P17	8,455	200
Trave 30d-P16	7,728	200
Trave 40-P15	1,224	200
Trave 28d-40	2,693	200
Trave 38-P14	2,102	200
Trave 26d-38	3,360	200
Trave 22-P11	2,234	200

Accelerazioni Sismiche di Collasso per Carico Limite

Id_{Elm}	PGA_{Ql}	PGA_C/PGA_D
		[%]
Trave 16d-22	5,154	200
Trave 18d-22	4,200	200
Trave 22-P8	2,701	200
Trave 1-2	3,246	200
Plinto 7	2,762	200
Plinto 10	2,809	200
Plinto 5	1,994	200
Plinto 35	2,004	200
Plinto 28	1,941	200
Plinto 8	1,977	200
Plinto 9	2,936	200
Plinto 11	2,041	200
Plinto 32	2,034	200
Plinto 33	1,938	200
Plinto 34	1,964	200
Plinto 27	1,880	200
Plinto 12	2,832	200
Plinto 44	2,293	200
Plinto 45	2,201	200
Plinto 17	2,297	200
Plinto 18	2,198	200
Plinto 46	2,294	200
Plinto 19	2,293	200
Plinto 14	2,144	200
Plinto 39	2,965	200
Plinto 41	2,392	200
Plinto 31	3,234	200
Plinto 36	4,428	200
Plinto 29	4,065	200
Plinto 15	2,309	200
Plinto 23	2,706	200
Plinto 24	2,206	200
Plinto 42	2,424	200
Plinto 30	4,847	200

LEGENDA:

Id_{Elm} Identificativo dell'elemento strutturale.

PGA_{Ql} Accelerazione sismica di collasso per CAPACITA' LIMITE del TERRENO di FONDAZIONE. [0] = l'elemento risulta non verificato già per i carichi verticali presenti nella combinazione sismica $[G_k+\Sigma_i(\psi_{2,i}\cdot Q_{k,i})]$.

PGA_C/PGA_D Rapporto tra la PGA di "capacita" (PGA_C) dell'elemento e quella di "domanda" ($PGA_D = S_S\cdot S_T\cdot a_g/g$). [200] = $PGA_C > 2\cdot PGA_D$.

PILASTRI - VERIFICHE DI ROTAZIONE ALLA CORDA (Elevazione) ..... pag. 2
PILASTRI - VERIFICHE A TAGLIO PER ANALISI NON LINEARE (Elevazione) ..... pag. 26
Pareti - VERIFICHE PRESSOFLESSIONE RETTA ALLO SLU (Elevazione) ..... pag. 68
Pareti - VERIFICHE A TAGLIO PER PRESSOFLESSIONE RETTA ALLO SLU (Elevazione) ..... pag. 114
PIANI - VERIFICHE REGOLARITÀ (Elevazione) ..... pag. 136
PIANI - VERIFICHE AGLI SPOSTAMENTI ..... pag. 136
PIANI - VERIFICHE ALLO SLO (Elevazione) ..... pag. 137
TRAVI (CA) - VERIFICHE PRESSOFLESSIONE RETTA ALLO SLU (Fondazione) ..... pag. 137
TRAVI (CA) - VERIFICHE A TAGLIO PER PRESSOFLESSIONE RETTA ALLO SLU (Fondazione) ..... pag. 141
PLINTI - SOLLECITAZIONI E VERIFICHE ALLO SLD (Fondazione) ..... pag. 157
VERIFICHE CARICO LIMITE FONDAZIONI DIRETTE (Fondazione) ..... pag. 158
ACCELERAZIONI SISMICHE DI COLLASSO SU BEAM E SHELL ..... pag. 160
ACCELERAZIONI SISMICHE DI COLLASSO SUI NODI ..... pag. 166
ACCELERAZIONI SISMICHE DI COLLASSO PER CARICO LIMITE ..... pag. 167

FONDAZIONE - scala 1:50

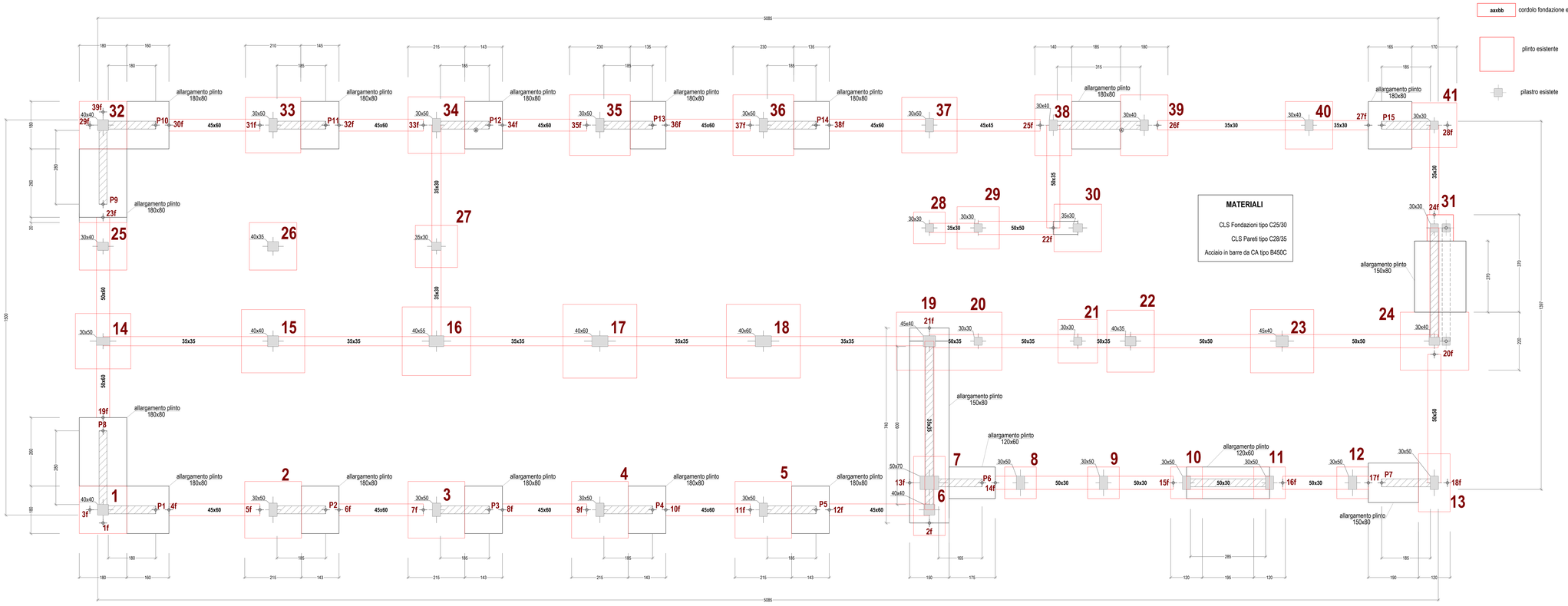

COMUNE DI TERNI
Direzione Lavori Pubblici e Manutenzioni - Patrimonio

Palazzo Spada - P.zza M. Ridolfi, 1
05100 Terni
Tel. +39 0744.549.501 Fax +39 0744.428708
renato.pierdonati@comune.terni.it

LAVORI DI RESTAURO, ADEGUAMENTO SISMICO, ADEGUAMENTO ALLE NORME DI PREVENZIONE INCENDI E ABBATTIMENTO BARRIERE ARCHITETTONICHE DELL'EDIFICIO SCOLASTICO "G. MATTEOTTI" VIA MARIE CURIE N. 4

DEFINITIVO

PROGETTO STRUTTURALE

Tav.		Scala
1ST	**EDIFICIO 1** **PIANO FONDAZIONI** **CARPENTERIA E ARMATURE TRAVI**	VARIE

Responsabile del Procedimento: Geom. S. Fredduzzi — Data: Marzo 2015

Progettisti:

Architettonico: Arch. M. Finotto
Strutture: Ing. M.Boccio; Ing. S. Marinezzi
Impianti: Per.Ind. T. Mococci; Per.Ind. G. Rubeca
Sicurezza: Geom. F. Formichetti

Collaboratori:

Geom. G. Peddi - Geom. M. D'Amato
Geom. F. Obsiani - Per.Ind. E. Lenicchia
Geom. F. Ribeca - Geom. M. Ciuffetti
Geom. R. Sabatini - Geom. G. Severoni

SEZIONE TIPO ALLARGAMENTO PLINTO 180x80 scala 1:20

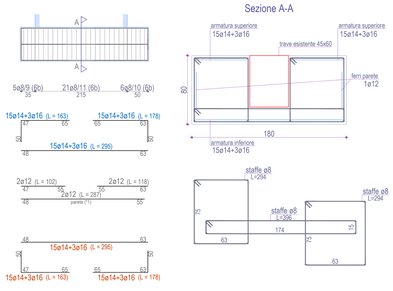

SEZIONE TIPO ALLARGAMENTO PLINTO 150x80 scala 1:20

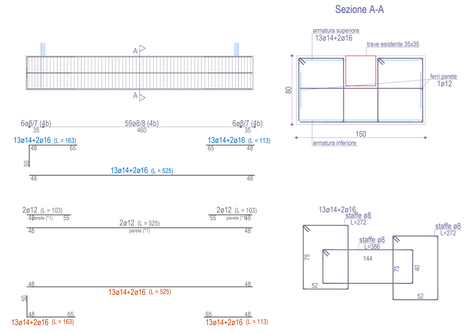

SEZIONE TIPO ALLARGAMENTO PLINTO 120x60 scala 1:20

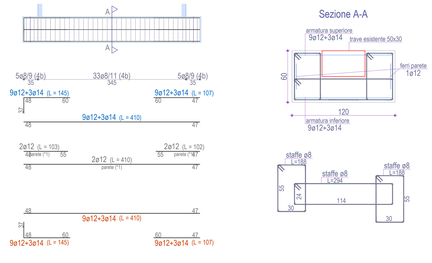

PIANO TERRA - SCALA 1:50

LEGENDA

- nuova parete s=30
- AAxBB — trave esistente
- pilastro esistete

MATERIALI

CLS Fondazioni tipo C25/30

CLS Pareti tipo C28/35

Acciaio in barre da CA tipo B450C

PER GLI ANCORAGGI DELLA NUOVA CALDANA IN CLS SPECIALE STRUTTURALE ALLEGGERITO VEDI PARTICOLARE TAVOLA 2S

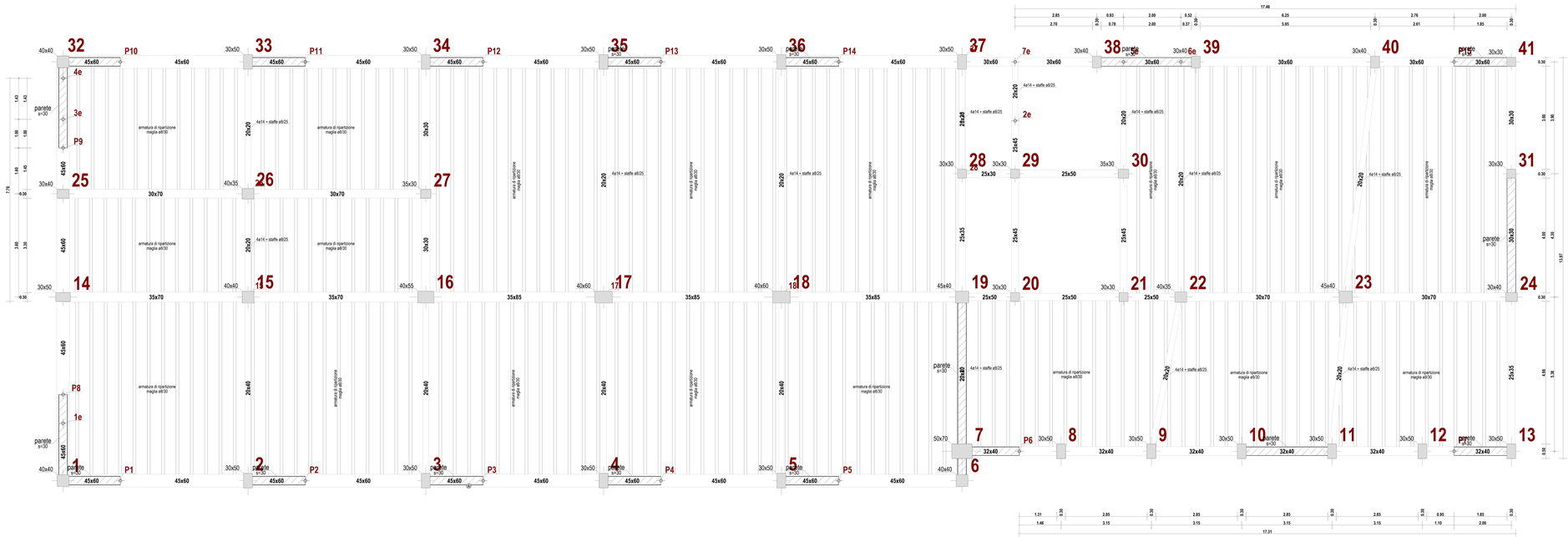

PIANO PRIMO - SCALA 1:50

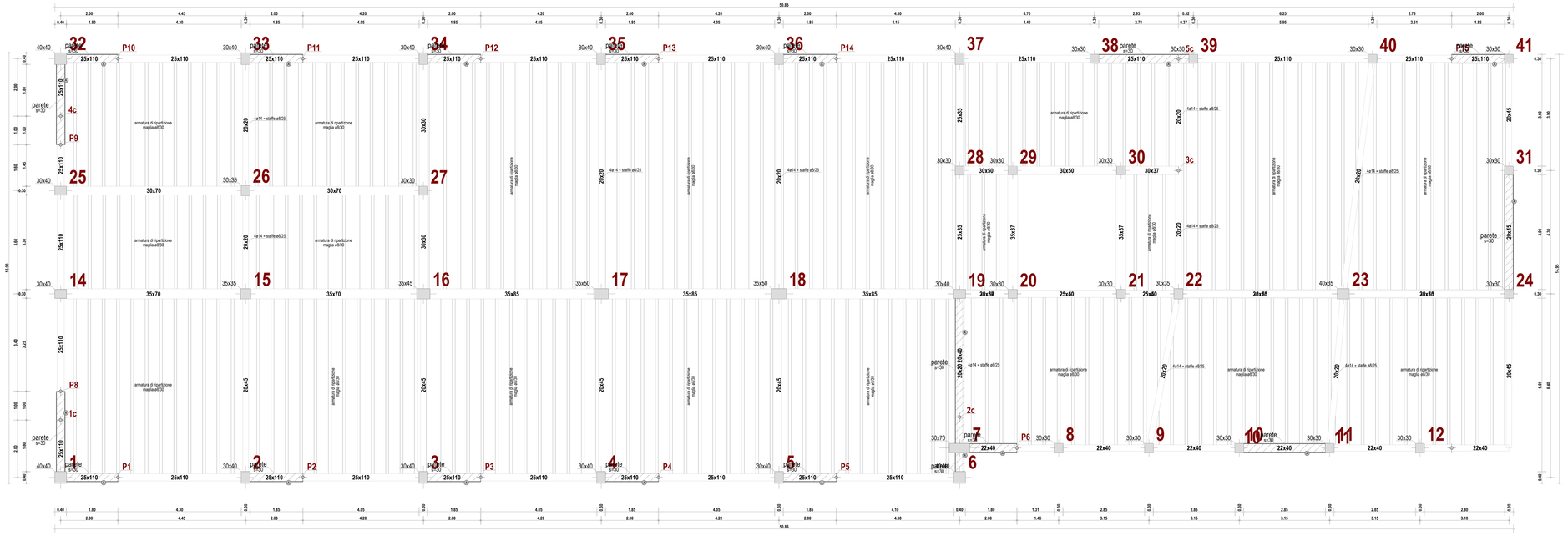

COMUNE DI TERNI
Direzione Lavori Pubblici e Manutenzioni - Patrimonio

Palazzo Spada - P.zza M. Ridolfi, 1
05100 Terni
Tel. +39 0744.549.501 Fax +39 0744.428708
renato.pierdonati@comune.terni.it

LAVORI DI RESTAURO, ADEGUAMENTO SISMICO, ADEGUAMENTO ALLE NORME DI PREVENZIONE INCENDI E ABBATTIMENTO BARRIERE ARCHITETTONICHE DELL'EDIFICIO SCOLASTICO "G. MATTEOTTI" VIA MARIE CURIE N. 4

DEFINITIVO

PROGETTO STRUTTURALE

Tav. 2ST

EDIFICIO 1
PIANO TERRA E PRIMO
CARPENTERIA

Scala VARIE

Responsabile del Procedimento: Geom. S. Fredduzzi — Data: Marzo 2015

Progettisti:

Architettonico: Arch. M. Finotto
Strutture: Ing. M.Boccio, Ing. S. Marinozzi
Impianti: Per.Ind. T. Mazocco, Per.Ind. G. Rubeca
Sicurezza: Geom. F. Formichetti

Collaboratori:

Geom. G. Proiddi - Geom. M. D'Amato
Geom. F. Ottaviani - Per.Ind. E. Lentocchia
Geom. F. Ribeca - Geom. M. Ciuffetti
Geom. R. Sabatini - Geom. G. Severoni

PIANO PLAFONE - SCALA 1:50

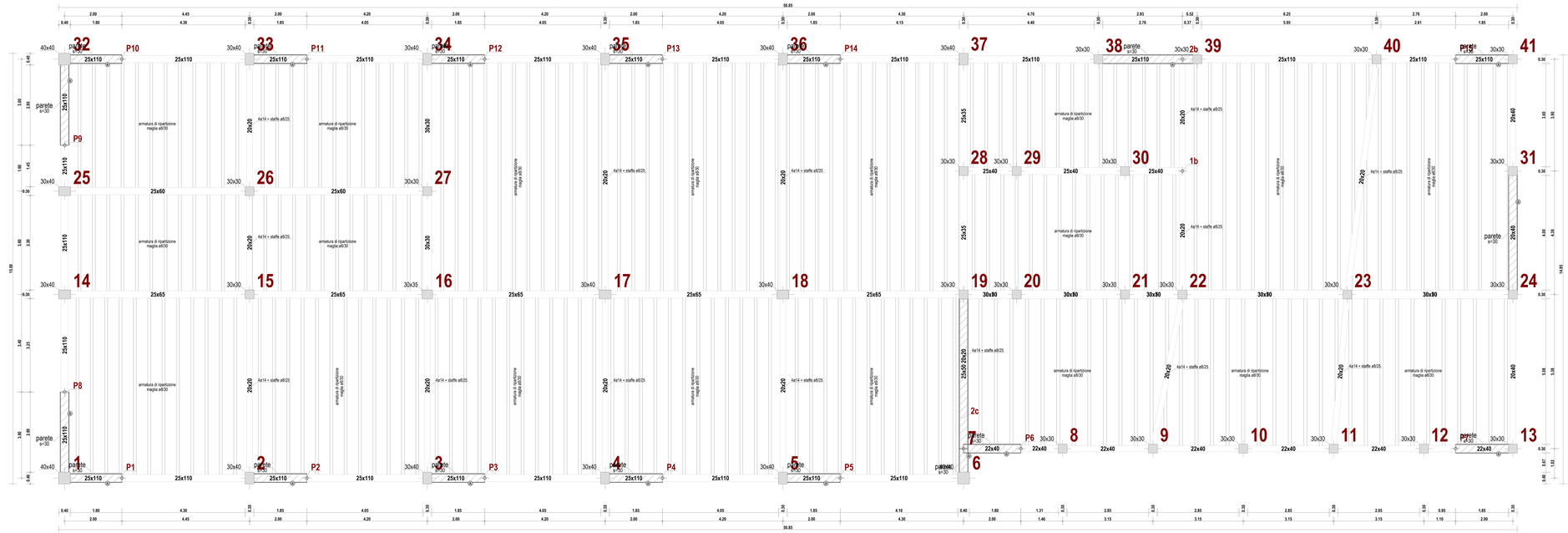

COPERTURA - SCALA 1:50

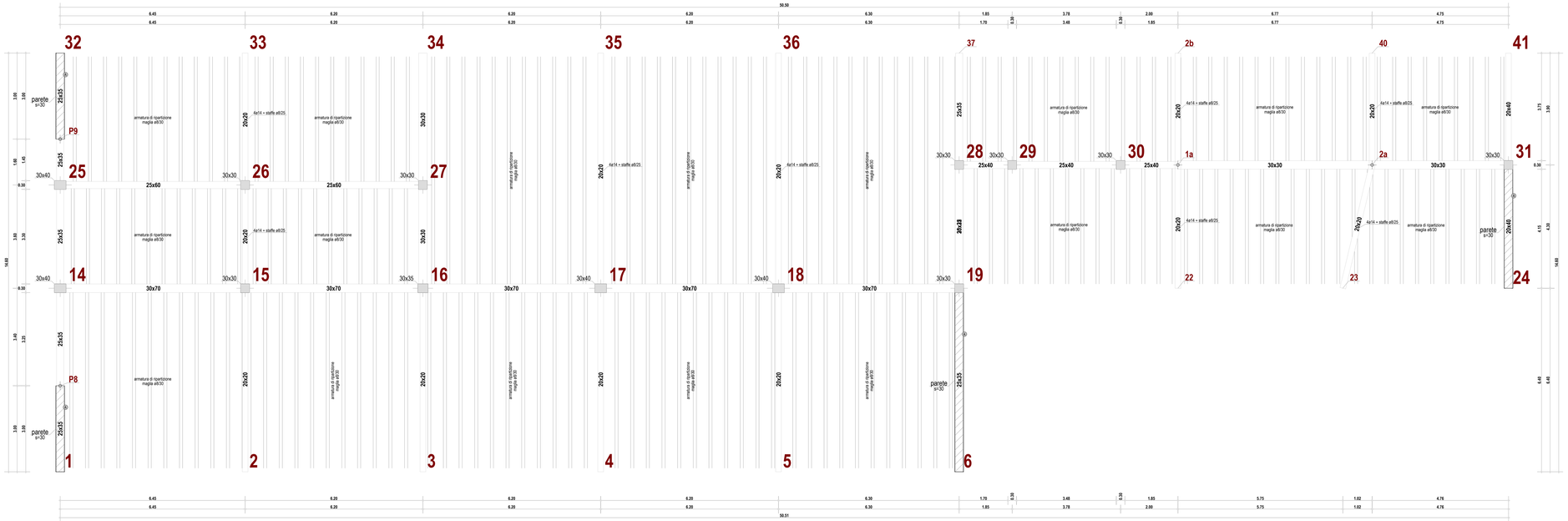

LEGENDA

- nuova parete s=30
- AAxBB — trave esistente
- pilastro esistete

MATERIALI

CLS Fondazioni tipo C25/30

CLS Pareti tipo C28/35

Acciaio in barre da CA tipo B450C

PER GLI ANCORAGGI DELLA NUOVA CALDANA IN CLS SPECIALE STRUTTURALE ALLEGGERITO VEDI PARTICOLARE TAVOLA 2S

COMUNE DI TERNI
Direzione Lavori Pubblici e Manutenzioni - Patrimonio

Palazzo Spada - P.zza M. Ridolfi, 1
05100 Terni
Tel. +39 0744.549.501 Fax +39 0744.428708
renato.pierdonati@comune.terni.it

LAVORI DI RESTAURO, ADEGUAMENTO SISMICO, ADEGUAMENTO ALLE NORME DI PREVENZIONE INCENDI E ABBATTIMENTO BARRIERE ARCHITETTONICHE DELL'EDIFICIO SCOLASTICO "G. MATTEOTTI" VIA MARIE CURIE N. 4

DEFINITIVO

PROGETTO STRUTTURALE

Tav.		Scala
3ST	**EDIFICIO 1** **PIANO PLAFONE E COPERTURA** **CARPENTERIA**	VARIE

Responsabile del Procedimento: Geom. S. Fredduzzi — Data: Marzo 2015

Progettisti:

Architettonico:	Arch. M. Finotto
Strutture:	Ing. M.Boccio
	Ing. S. Marinozzi
Impianti:	Per.ind. T. Mocicici
	Per.ind. G. Rubeca
Sicurezza:	Geom. F. Formichetti

Collaboratori:

Geom. G. Proiddi - Geom. M. D'Amato
Geom. F. Ottaviani - Per.Ind. E. Lenticchia
Geom. F. Ribeca - Geom. M. Ciuffetti
Geom. R. Sabatini - Geom. G. Severoni

SEZIONE TIPO SETTO - scala 1:20

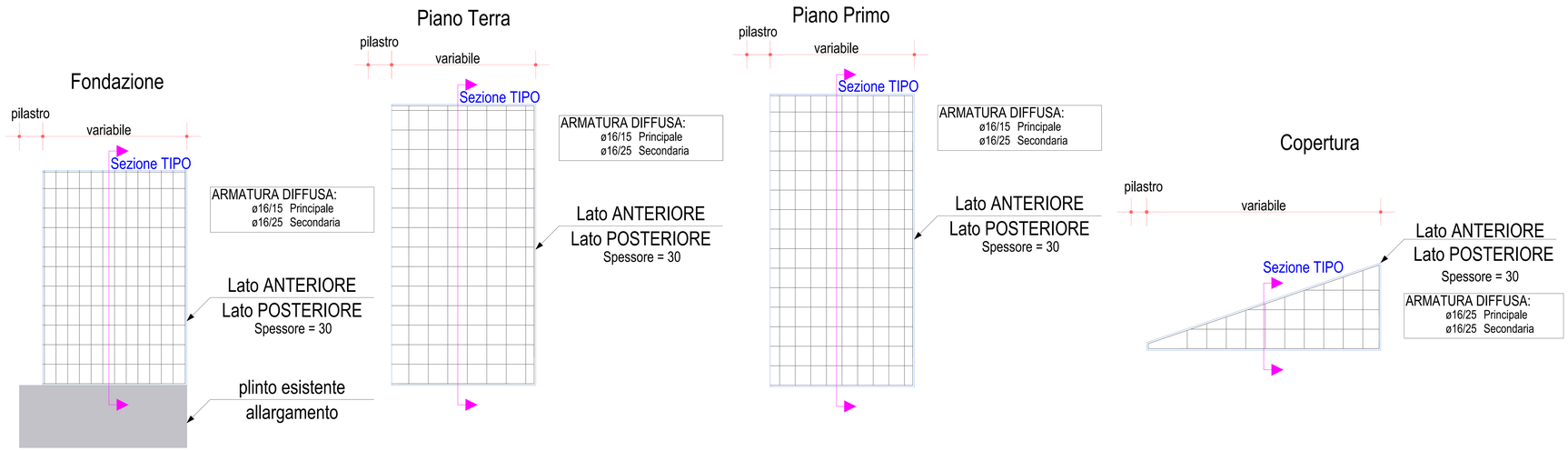

COMUNE DI TERNI
Direzione Lavori Pubblici e Manutenzioni - Patrimonio

Palazzo Spada - P.zza M. Ridolfi, 1
05100 Terni
Tel. +39 0744.549.501 Fax +39 0744.428708
renato.pierdonati@comune.terni.it

LAVORI DI RESTAURO, ADEGUAMENTO SISMICO, ADEGUAMENTO ALLE NORME DI PREVENZIONE INCENDI E ABBATTIMENTO BARRIERE ARCHITETTONICHE DELL'EDIFICIO SCOLASTICO "G. MATTEOTTI" VIA MARIE CURIE N. 4

DEFINITIVO

PROGETTO STRUTTURALE

Tav.	EDIFICIO 1 ARMATURE SETTI	Scala
4ST		1:20

Responsabile del Procedimento: Geom. S. Fredduzzi — Data: Marzo 2015

Progettisti:
Architettonico: Arch. M. Finotto
Strutture: Ing. M.Boccio, Ing. S. Marinozzi
Impianti: Per.Ind. T. Mocicoci, Per.Ind. G. Rubeca
Sicurezza: Geom. F. Formichetti

Collaboratori:
Geom. G. Proidi - Geom. M. D'Amato
Geom. F. Olivieri - Per.Ind. E. Lambicchia
Geom. F. Ribeca - Geom. M. Ciuffetti
Geom. R. Sabatini - Geom. G. Severoni

Sezione Tipo Setto Fondazioni scala 1:20

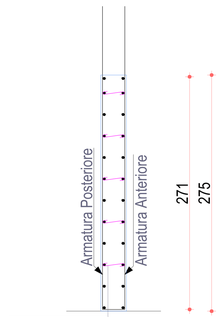

Sezione Tipo Setto Pianto Terra scala 1:20

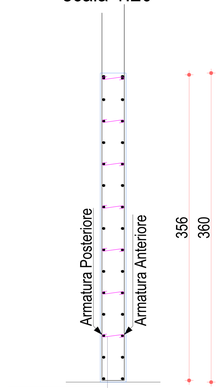

Sezione Tipo Setto Piano Primo scala 1:20

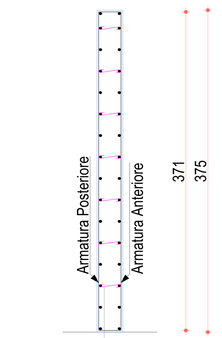

Sezione Tipo Setto Copertura scala 1:20

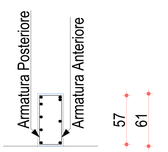

FONDAZIONE - scala 1:50

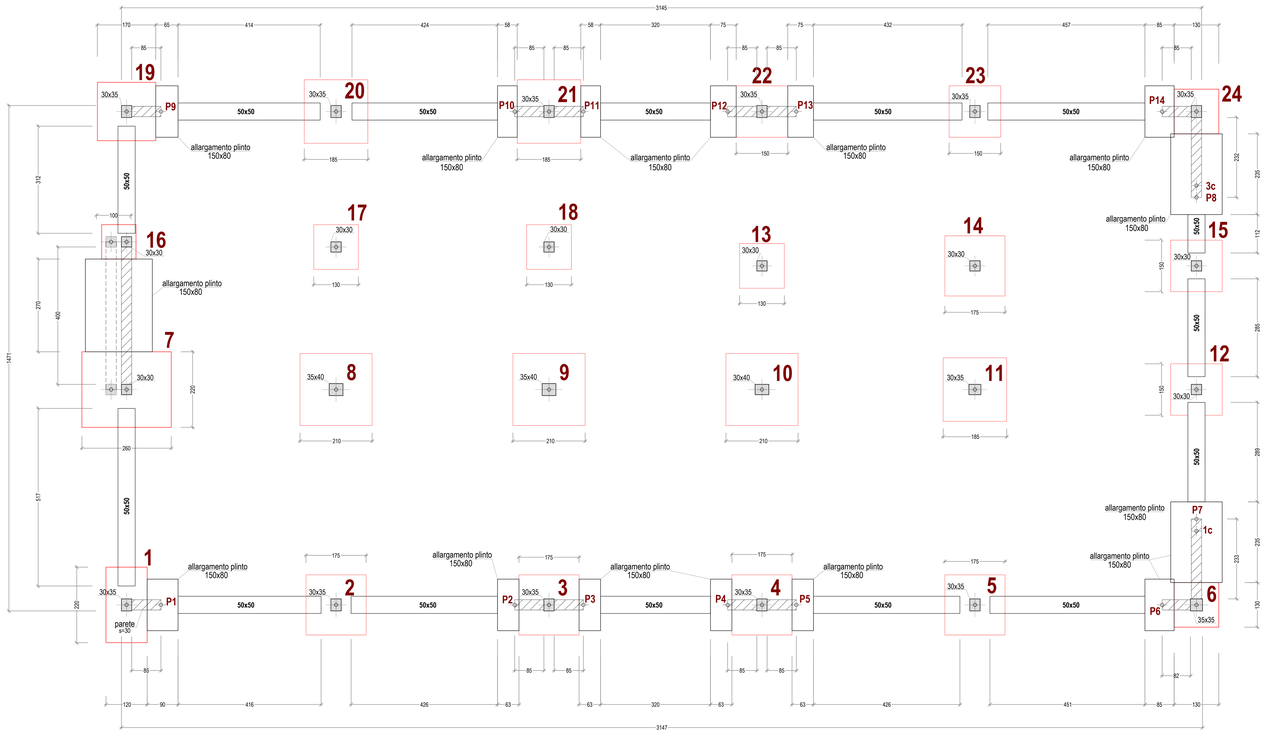

LEGENDA

- nuova parete s=30
- 50x50 — nuovo cordolo fondazione
- plinto esistente
- pilastro esistete

MATERIALI

CLS Fondazioni tipo C25/30

CLS Pareti tipo C28/35

Acciaio in barre da CA tipo B450C

SEZIONE TIPO TRAVE ALLARGAMENTO PLINTO 150X80
scala 1:20

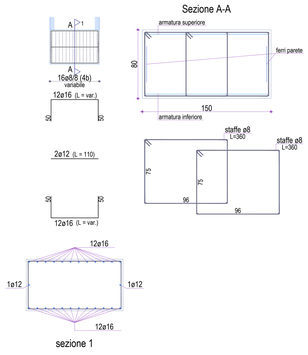

SEZIONE TIPO CORDOLO FONDAZIONE 50x50
scala 1:20

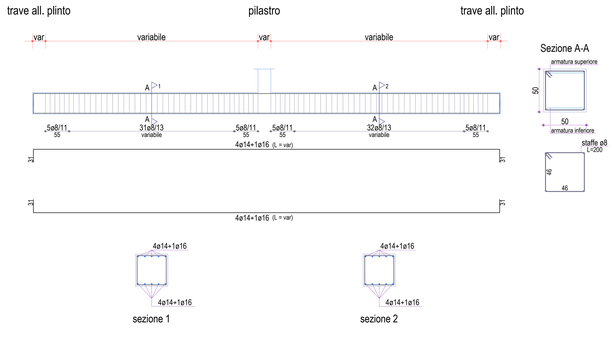

COMUNE DI TERNI
Direzione Lavori Pubblici e Manutenzioni - Patrimonio

Palazzo Spada - P.zza M. Ridolfi, 1
05100 Terni
Tel. +39 0744.549.501 Fax +39 0744.428708
renato.pierdonati@comune.terni.it

LAVORI DI RESTAURO, ADEGUAMENTO SISMICO, ADEGUAMENTO ALLE NORME DI PREVENZIONE INCENDI E ABBATTIMENTO BARRIERE ARCHITETTONICHE DELL'EDIFICIO SCOLASTICO "G. MATTEOTTI" VIA MARIE CURIE N. 4

DEFINITIVO

PROGETTO STRUTTURALE

Tav. 5ST

EDIFICIO 2
PIANO FONDAZIONI
CARPENTERIA E ARMATURE TRAVI

Scala VARIE

Responsabile del Procedimento: Geom. S. Fredduzzi — Data: Marzo 2015

Progettisti:

Architettonico:	Arch. M. Finotto	Collaboratori:
Strutture:	Ing. M.Bolcio	Geom. G. Poddi - Geom. M. D'Amato
	Ing. S. Marinozzi	Geom. F. Ottaviani - Per.Ind. E. Lentocchia
Impianti:	Per.Ind. T. Mocicci	Geom. F. Ribeca - Geom. M. Ciuffetti
	Per.Ind. G. Rubeca	Geom. R. Sabatini - Geom. G. Severoni
Sicurezza:	Geom. F. Formichetti	

SEZIONE SETTO 7-16
scala 1:20

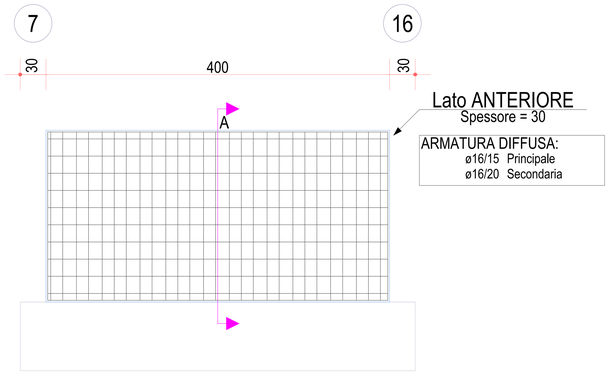

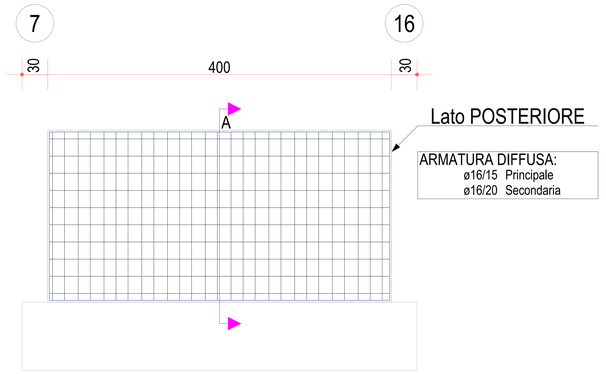

SEZIONE TIPO SETTO 85x30
scala 1:20

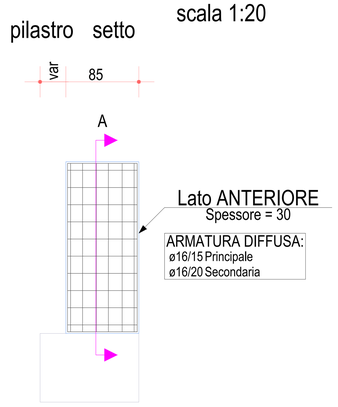

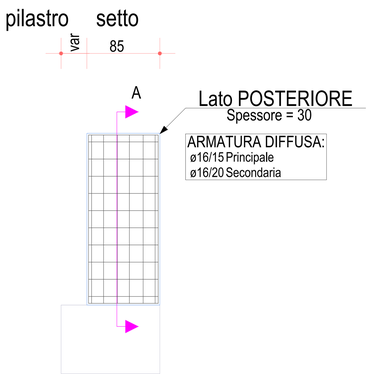

Sezione A-A
scala 1:20

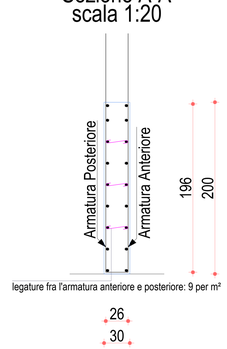

PARTICOLARE ANCORAGGI NUOVA CALDANA IN CLS SPECIALE STRUTTURALE ALLEGGERITO
SEZIONE TIPO - scala 1:10

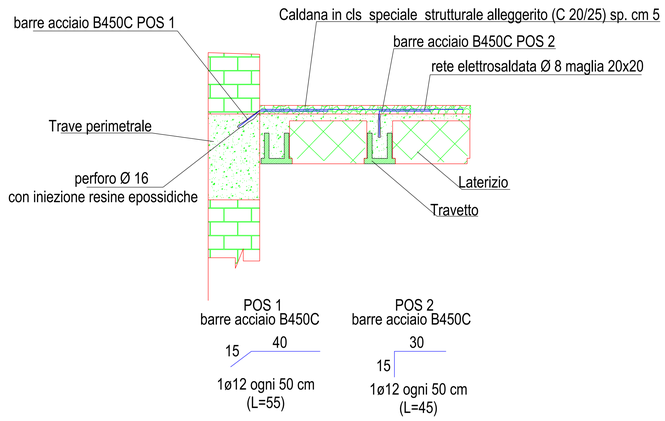

PIANTA TIPO - scala 1:10

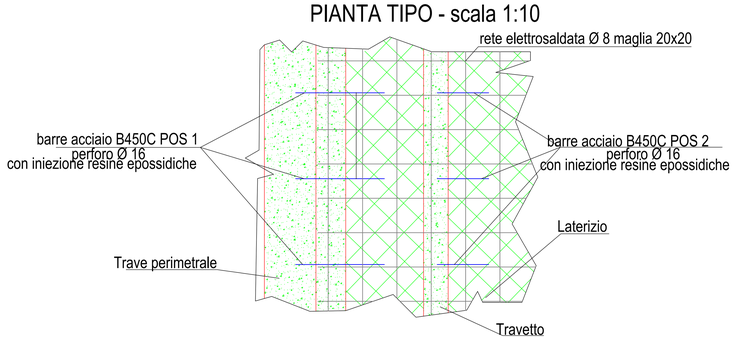

PARTICOLARE ANCORAGGIO SETTI
scala 1:20

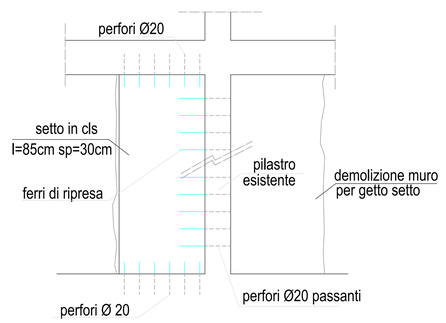

COMUNE DI TERNI
Direzione Lavori Pubblici e Manutenzioni - Patrimonio
Palazzo Spada - P.zza M. Ridolfi, 1
05100 Terni
Tel. +39 0744.549.501 Fax +39 0744.428708
renato.pierdonati@comune.terni.it

LAVORI DI RESTAURO, ADEGUAMENTO SISMICO, ADEGUAMENTO ALLE NORME DI PREVENZIONE INCENDI E ABBATTIMENTO BARRIERE ARCHITETTONICHE DELL'EDIFICIO SCOLASTICO "G. MATTEOTTI" VIA MARIE CURIE N. 4

DEFINITIVO

PROGETTO STRUTTURALE

Tav.		Scala
6ST	**EDIFICIO 2** **PIANO FONDAZIONI** **ARMATURE SETTI**	VARIE

Responsabile del Procedimento: Geom. S. Fredduzzi
Data: Marzo 2015
Progettisti:
Architettonico: Arch. M. Finotto
Strutture: Ing. M.Boccio
Ing. S. Marinozzi
Impianti: Per.Ind. T. Macocci
Per.Ind. G. Rubeca
Sicurezza: Geom. F. Formichetti
Collaboratori:
Geom. G. Poddi - Geom. M. D'Amato
Geom. F. Ottaviani - Per.Ind. E. Lentocchia
Geom. F. Ribeca - Geom. M. Ciuffetti
Geom. R. Sabatini - Geom. G. Severoni

PIANO TERRA - scala 1:50

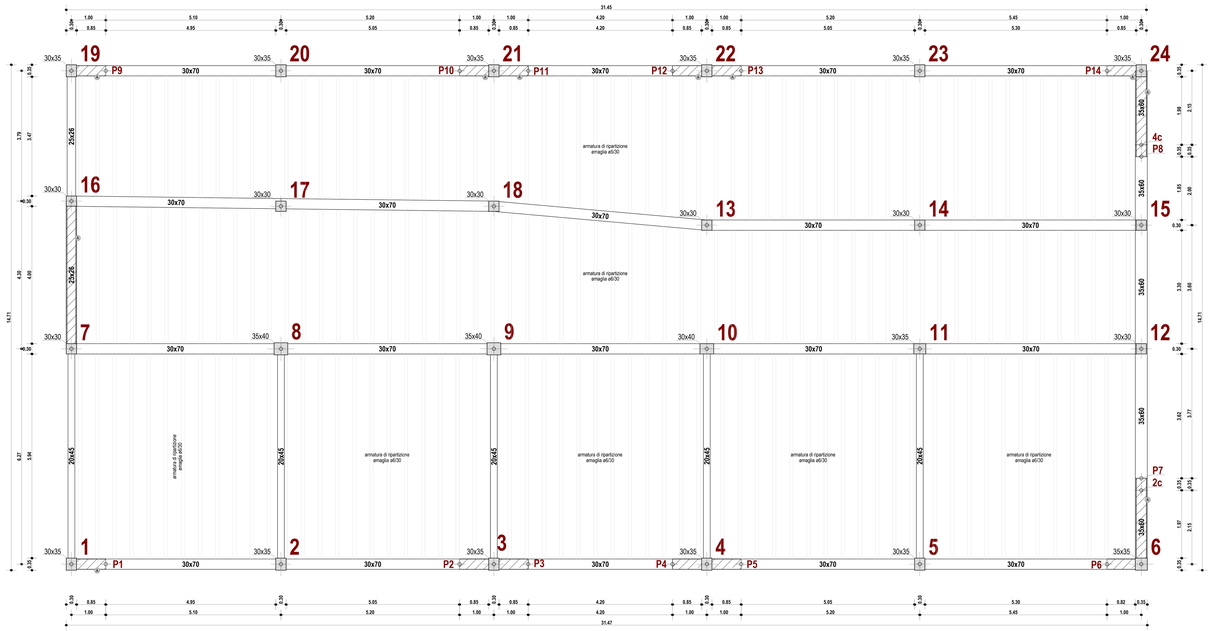

LEGENDA

- nuova parete s=30
- AAxBB — trave esistente
- pilastro esistete

MATERIALI

CLS Fondazioni tipo C25/30

CLS Pareti tipo C28/35

Acciaio in barre da CA tipo B450C

PER GLI ANCORAGGI DELLA NUOVA CALDANA IN CLS SPECIALE STRUTTURALE ALLEGGERITO VEDI PARTICOLARE TAVOLA 2S

PIANO PLAFONE - scala 1:50

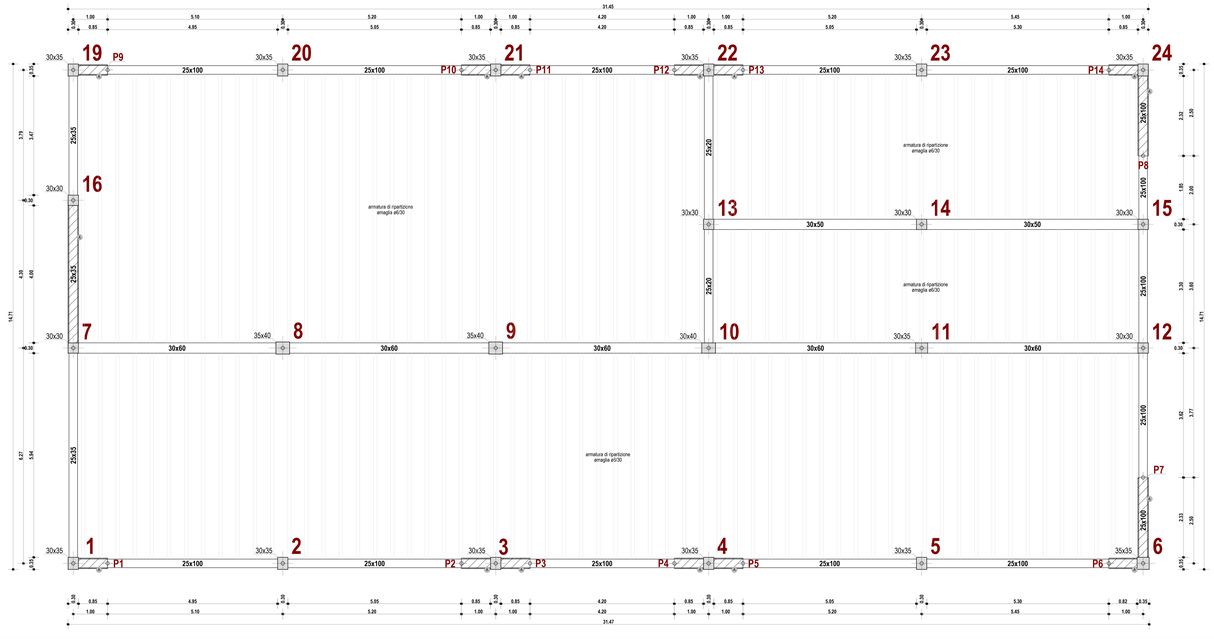

COMUNE DI TERNI
Direzione Lavori Pubblici e Manutenzioni - Patrimonio

Palazzo Spada - P.zza M. Ridolfi, 1
05100 Terni
Tel. +39 0744.549.501 Fax +39 0744.428708
renato.pierdonati@comune.terni.it

LAVORI DI RESTAURO, ADEGUAMENTO SISMICO, ADEGUAMENTO ALLE NORME DI PREVENZIONE INCENDI E ABBATTIMENTO BARRIERE ARCHITETTONICHE DELL'EDIFICIO SCOLASTICO "G. MATTEOTTI" VIA MARIE CURIE N. 4

DEFINITIVO

PROGETTO STRUTTURALE

Tav.	EDIFICIO 2 PIANO TERRA E PLAFONE CARPENTERIA	Scala
7ST		VARIE

Responsabile del Procedimento: Geom. S. Fredduzzi

Data: Marzo 2015

Progettisti:

Architettonico: Arch. M. Finotto

Strutture: Ing. M.Bocco
Ing. S. Marinozzi

Impianti: Per.Ind. T. Mococo
Per.Ind. G. Rubeca

Sicurezza: Geom. F. Fiorrichetti

Collaboratori:

Geom. G. Poddi - Geom. M. D'Amato
Geom. F. Ottaviani - Per.Ind. E. Lentocchia
Geom. F. Ritieca - Geom. M. Ciuffetti
Geom. R. Sabatini - Geom. G. Severoni

SEZIONE SETTO 7-16
scala 1:20

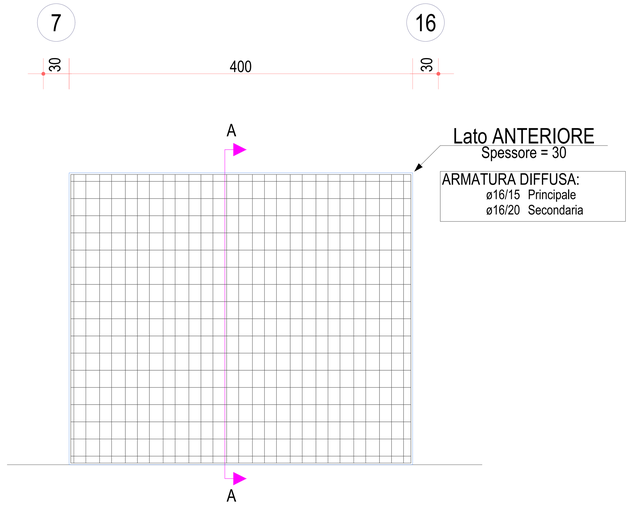

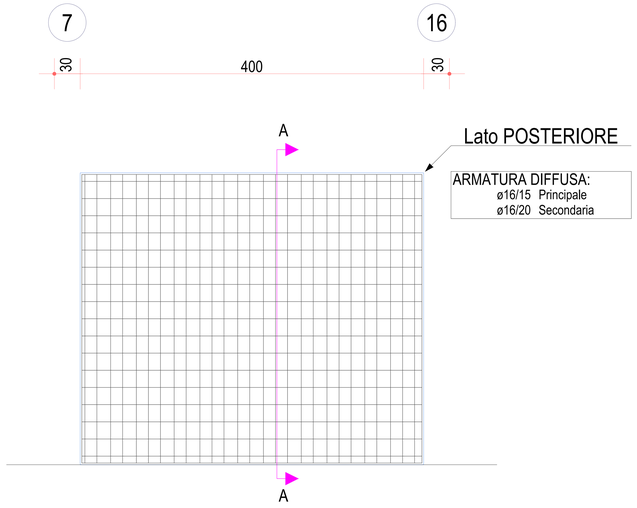

Sezione A-A
scala 1:20

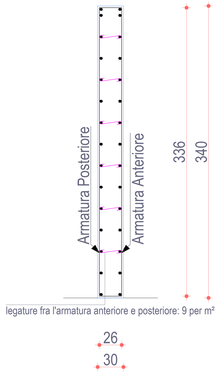

SEZIONE TIPO SETTO 85x30
scala 1:20

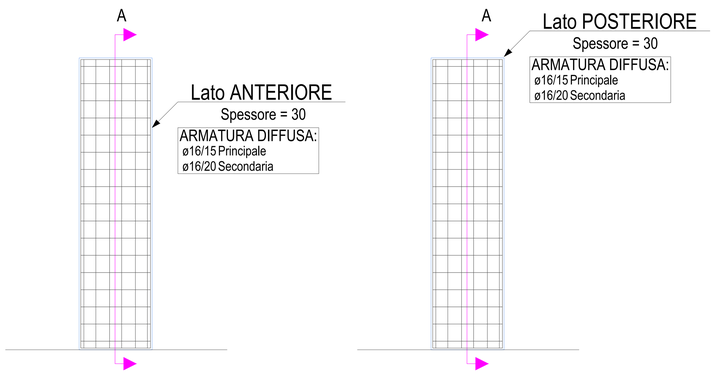

PARTICOLARE ANCORAGGIO SETTI
scala 1:20

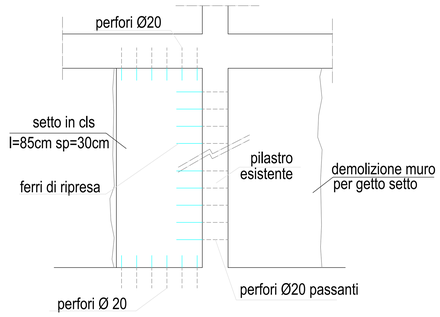

COMUNE DI TERNI
Direzione Lavori Pubblici e Manutenzioni - Patrimonio
Palazzo Spada - P.zza M. Ridolfi, 1
05100 Terni
Tel. +39 0744.549.501 Fax +39 0744.428708
renato.pierdonati@comune.terni.it

LAVORI DI RESTAURO, ADEGUAMENTO SISMICO, ADEGUAMENTO ALLE NORME DI PREVENZIONE INCENDI E ABBATTIMENTO BARRIERE ARCHITETTONICHE DELL'EDIFICIO SCOLASTICO "G. MATTEOTTI" VIA MARIE CURIE N. 4

DEFINITIVO

PROGETTO STRUTTURALE

Tav.		Scala
8ST	**EDIFICIO 2** **PIANO TERRA** **ARMATURE SETTI**	VARIE

Responsabile del Procedimento: Geom. S. Fredduzzi — Data: Marzo 2015

Progettisti:
Architettonico: Arch. M. Finotto
Strutture: Ing. M.Bolcio; Ing. S. Marinozzi
Impianti: Per.Ind. T. Mocicci; Per.Ind. G. Rubeca
Sicurezza: Geom. F. Formichetti

Collaboratori:
Geom. G. Poddi - Geom. M. D'Amato
Geom. F. Ottaviani - Per.Ind. E. Lentocchia
Geom. F. Ribeca - Geom. M. Ciuffetti
Geom. R. Sabatini - Geom. G. Severoni

FONDAZIONE - scala 1:50

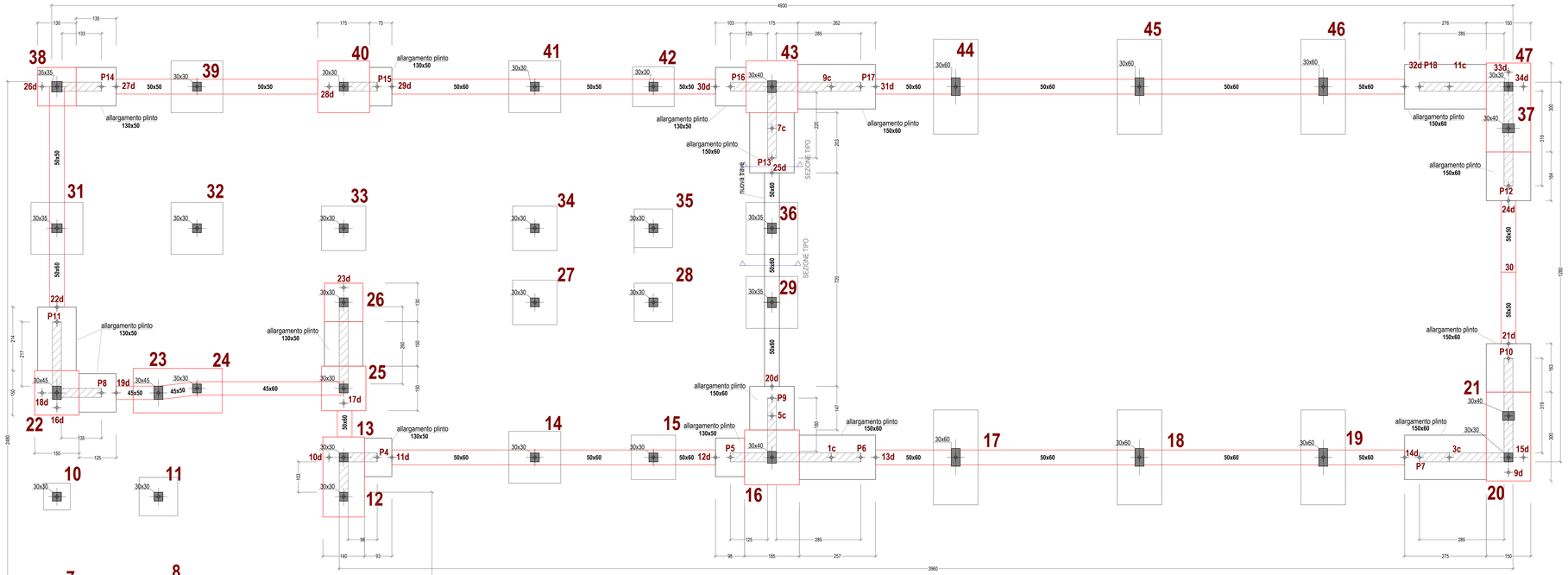

SEZIONE TIPO TRAVE 50X60
scala 1:20

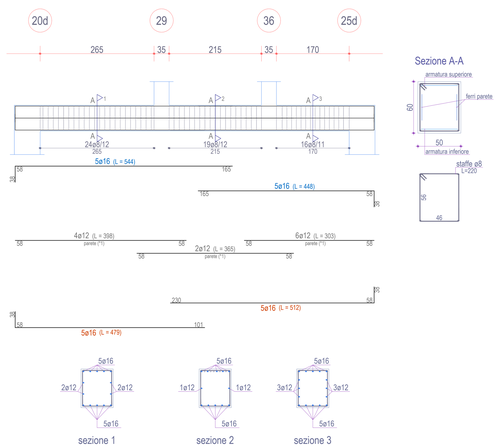

SEZIONE TIPO ALLARGAMENTO PLINTO 130x50
scala 1:20

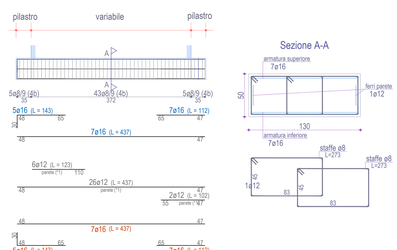

SEZIONE TIPO ALLARGAMENTO PLINTO 150x60
scala 1:20

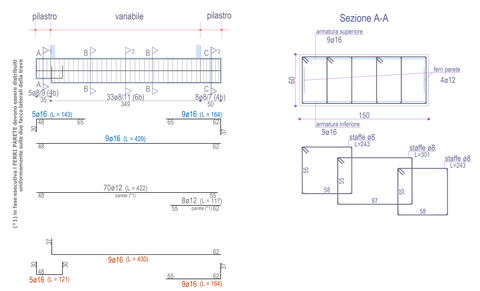

COMUNE DI TERNI
Direzione Lavori Pubblici e Manutenzioni - Patrimonio
Palazzo Spada - P.zza M. Ridolfi, 1
05100 Terni
Tel. +39 0744.549.501 Fax +39 0744.428708
renato.pierdonati@comune.terni.it

LAVORI DI RESTAURO, ADEGUAMENTO SISMICO, ADEGUAMENTO ALLE NORME DI PREVENZIONE INCENDI E ABBATTIMENTO BARRIERE ARCHITETTONICHE DELL'EDIFICIO SCOLASTICO "G. MATTEOTTI" VIA MARIE CURIE N. 4

DEFINITIVO

PROGETTO STRUTTURALE

Tav. 9ST

EDIFICIO 3
PIANO FONDAZIONI
CARPENTERIA E ARMATURE TRAVI

Scala VARIE

Responsabile del Procedimento: Geom. S. Fredduzzi
Data: Marzo 2015
Progettisti:
Architettonico: Arch. M. Finotto
Strutture: Ing. M.Bocciolini
Ing. S. Marinozzi
Impianti: Per.Ind. T. Mocicicci
Per.Ind. G. Rubeca
Sicurezza: Geom. F. Formichetti
Collaboratori:
Geom. G. Proietti - Geom. M. D'Amato
Geom. F. Ottaviani - Per.Ind. E. Lentocchia
Geom. F. Ribeca - Geom. M. Ciuffetti
Geom. R. Sabatini - Geom. G. Severoni

PIANO TERRA - SCALA 1:50

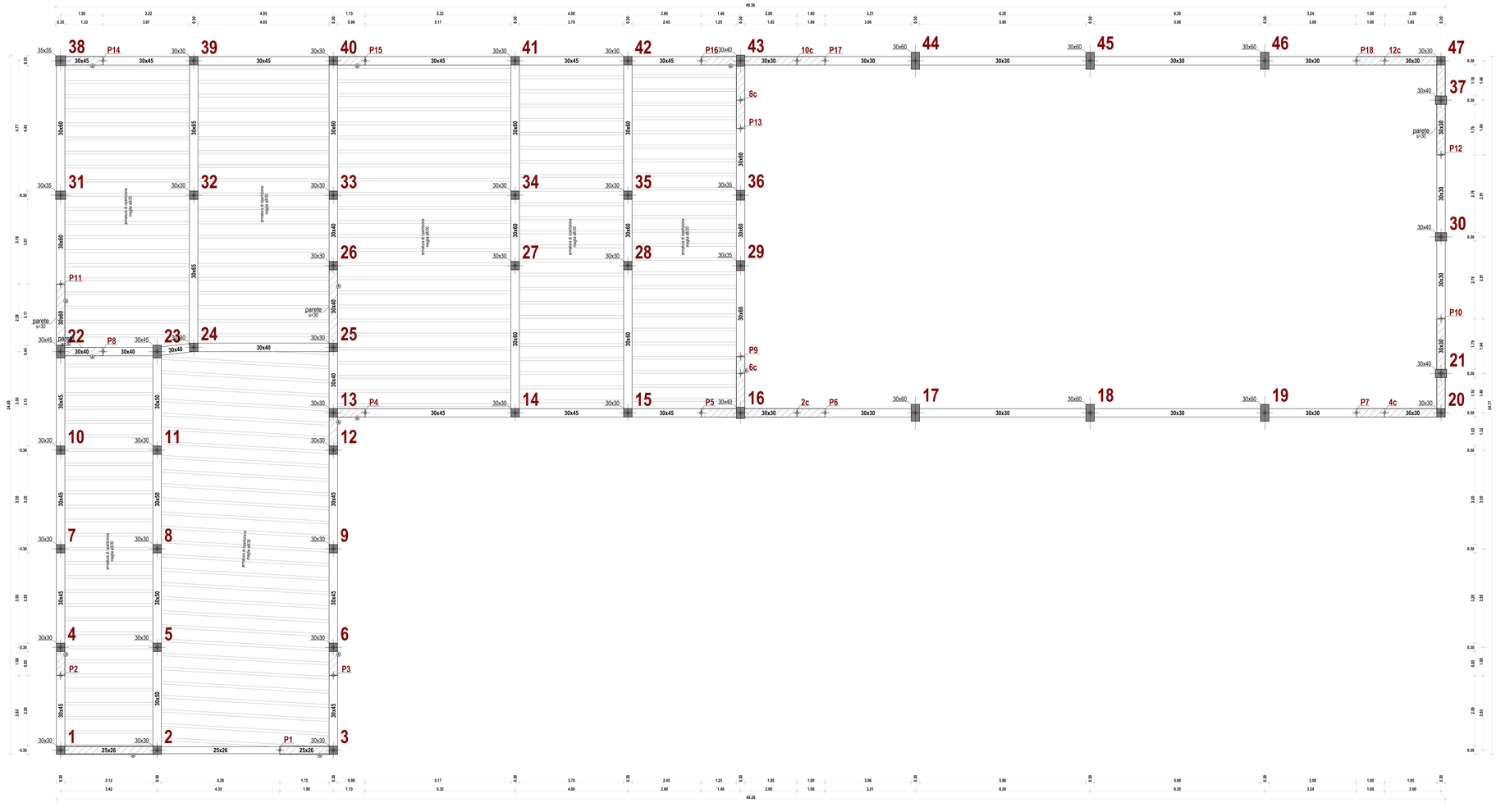

LEGENDA

- nuova parete s=30
- AAxBB — trave esistente
- pilastro esistete

MATERIALI

CLS Fondazioni tipo C25/30

CLS Pareti tipo C28/35

Acciaio in barre da CA tipo B450C

PER GLI ANCORAGGI DELLA NUOVA CALDANA IN CLS SPECIALE STRUTTURALE ALLEGGERITO VEDI PARTICOLARE TAVOLA 2S

COMUNE DI TERNI
Direzione Lavori Pubblici e Manutenzioni - Patrimonio

Palazzo Spada - P.zza M. Ridolfi, 1
05100 Terni
Tel. +39 0744.549.501 Fax +39 0744.428708
renato.pierdonati@comune.terni.it

LAVORI DI RESTAURO, ADEGUAMENTO SISMICO, ADEGUAMENTO ALLE NORME DI PREVENZIONE INCENDI E ABBATTIMENTO BARRIERE ARCHITETTONICHE DELL'EDIFICIO SCOLASTICO "G. MATTEOTTI" VIA MARIE CURIE N. 4

DEFINITIVO

PROGETTO STRUTTURALE

Tav. 10ST

EDIFICIO 3
PIANO TERRA
CARPENTERIA

Scala VARIE

Data: Marzo 2015

Responsabile del Procedimento: Geom. S. Fredduzzi

Progettisti:

Architettonico: Arch. M. Finotto
Strutture: Ing. M.Boccio; Ing. S. Marinozzi
Impianti: Per.Ind. T. Mocicco; Per.Ind. G. Rubeca
Sicurezza: Geom. F. Fornichetti

Collaboratori:

Geom. G. Piotti - Geom. M. D'Amato; Geom. F. Ottaviani - Per.Ind. E. Lentichia; Geom. F. Ribeca - Geom. M. Ciuffetti; Geom. R. Sabatini - Geom. G. Severoni

PIANO PLAFONE - SCALA 1:50

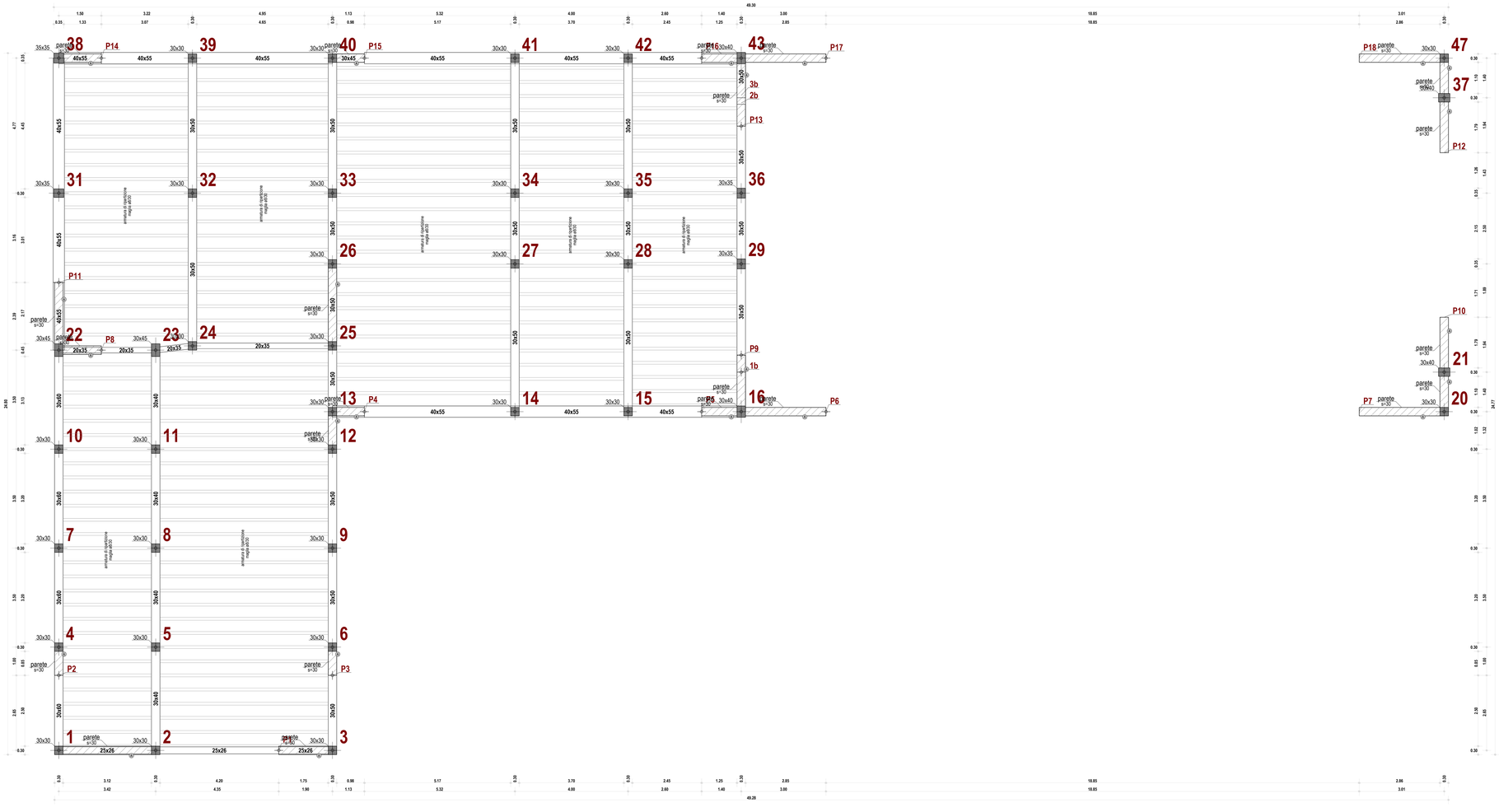

LEGENDA

- nuova parete s=30
- AAxBB — trave esistente
- pilastro esistete

MATERIALI

CLS Fondazioni tipo C25/30

CLS Pareti tipo C28/35

Acciaio in barre da CA tipo B450C

PER GLI ANCORAGGI DELLA NUOVA CALDANA IN CLS SPECIALE STRUTTURALE ALLEGGERITO VEDI PARTICOLARE TAVOLA 2S

COMUNE DI TERNI
Direzione Lavori Pubblici e Manutenzioni - Patrimonio

Palazzo Spada - P.zza M. Ridolfi, I
05100 Terni
Tel. +39 0744.549.501 Fax +39 0744.428708
renato.pierdonati@comune.terni.it

LAVORI DI RESTAURO, ADEGUAMENTO SISMICO, ADEGUAMENTO ALLE NORME DI PREVENZIONE INCENDI E ABBATTIMENTO BARRIERE ARCHITETTONICHE DELL'EDIFICIO SCOLASTICO "G. MATTEOTTI" VIA MARIE CURIE N. 4

DEFINITIVO

PROGETTO STRUTTURALE

Tav.		Scala
11ST	**EDIFICIO 3 PIANO PLAFONE CARPENTERIA**	VARIE

Responsabile del Procedimento: Geom. S. Freddzuzzi — Data: Marzo 2015

Progettisti:

Architettonico:	Arch. M. Finotto
Strutture:	Ing. M.Boccio
	Ing. S. Marinucci
Impianti:	Per.Ind. T. Mocicci
	Per.Ind. G. Rubeca
Sicurezza	Geom. F. Formichetti

Collaboratori:

Geom. G. Pistilli - Geom. M. D'Amato
Geom. F. Ottaviani - Per.Ind. E. Lentocchia
Geom. F. Ribeca - Geom. M. Ciuffetti
Geom. R. Sabatini - Geom. G. Severoni

COPERTURA - SCALA 1:50

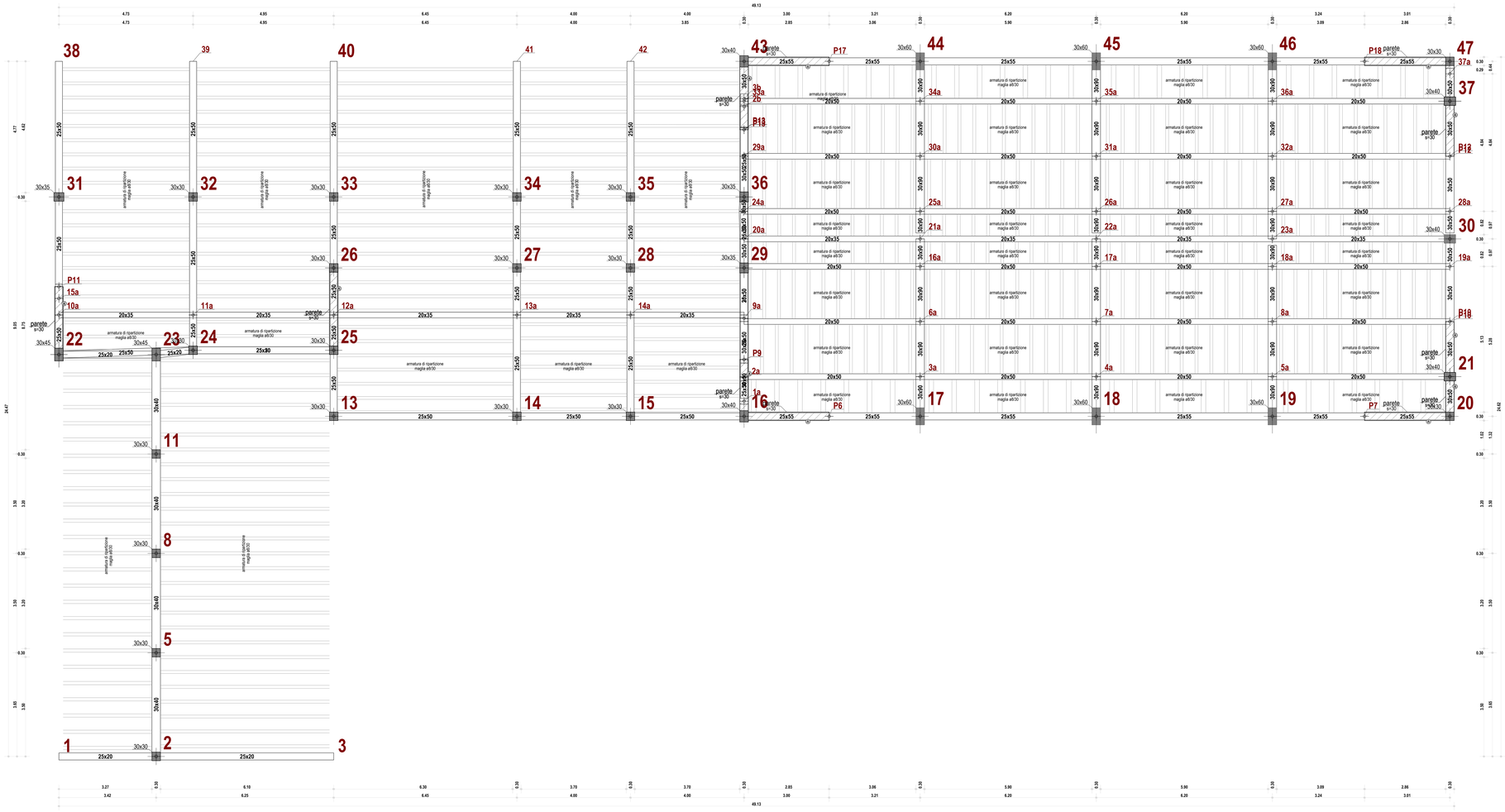

LEGENDA

- nuova parete s=30
- AAxBB — trave esistente
- pilastro esistete

MATERIALI

CLS Fondazioni tipo C25/30

CLS Pareti tipo C28/35

Acciaio in barre da CA tipo B450C

PER GLI ANCORAGGI DELLA NUOVA CALDANA IN CLS SPECIALE STRUTTURALE ALLEGGERITO VEDI PARTICOLARE TAVOLA 2S

COMUNE DI TERNI
Direzione Lavori Pubblici e Manutenzioni - Patrimonio

Palazzo Spada - P.zza M. Ridolfi, I
05100 Terni
Tel. +39 0744.549.501 Fax +39 0744.428708
renato.pierdonati@comune.terni.it

LAVORI DI RESTAURO, ADEGUAMENTO SISMICO, ADEGUAMENTO ALLE NORME DI PREVENZIONE INCENDI E ABBATTIMENTO BARRIERE ARCHITETTONICHE DELL'EDIFICIO SCOLASTICO "G. MATTEOTTI" VIA MARIE CURIE N. 4

DEFINITIVO

PROGETTO STRUTTURALE

Tav. 12ST

EDIFICIO 3
PIANO COPERTURA
CARPENTERIA

Scala VARIE

Responsabile del Procedimento: Geom. S. Fredduzzi

Data: Marzo 2015

Progettisti:

Architettonico: Arch. M. Finotto

Strutture: Ing. M.Boccio
Ing. S. Marinozzi

Impianti: Per.Ind. T. Mocicco
Per.Ind. G. Rubeca

Sicurezza: Geom. F. Formichetti

Collaboratori:

Geom. G. Fiddi - Geom. M. D'Amato
Geom. F. Ottaviani - Per.Ind. E. Lentichia
Geom. F. Ribeca - Geom. M. Ciuffetti
Geom. R. Sabatini - Geom. G. Severoni

SEZIONE TIPO SETTO - scala 1:20

Fondazione

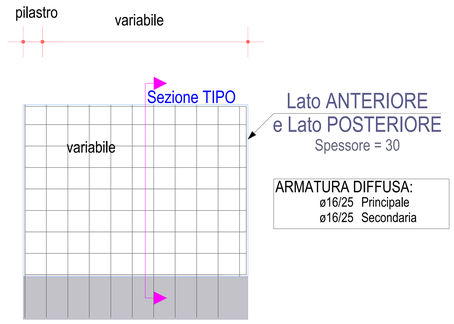

Piano Terra

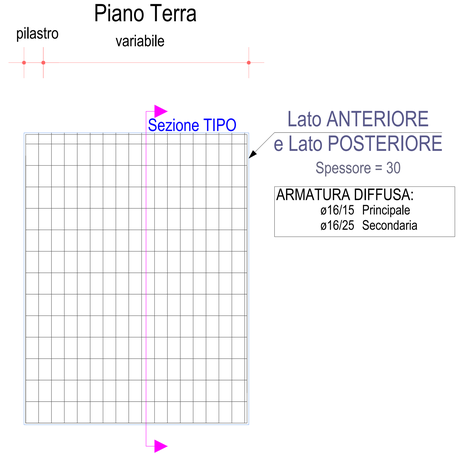

Copertura A

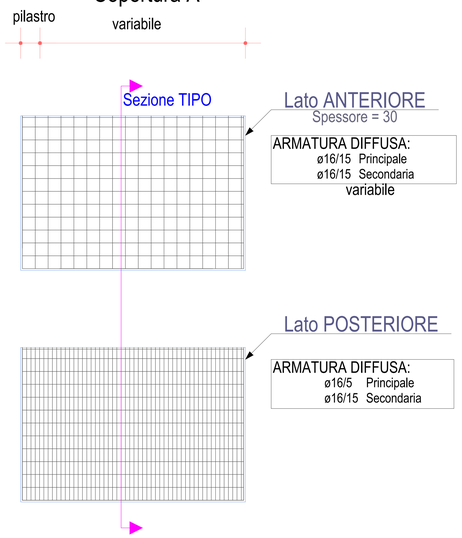

Copertura B

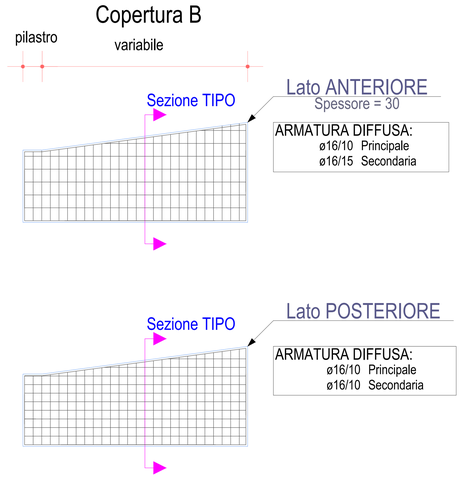

Sezione Tipo Setto Fondazioni scala 1:20

Sezione Tipo Setto Pianto Terra scala 1:20

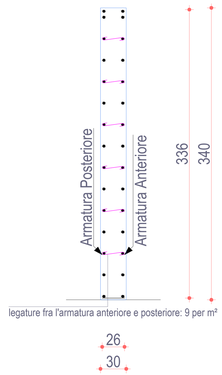

Sezione Tipo Setto Copertura A scala 1:20

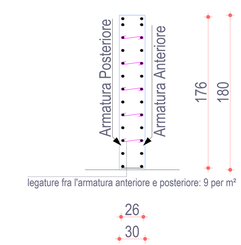

Sezione Tipo Setto Copertura B scala 1:20

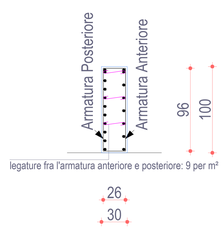

COMUNE DI TERNI
Direzione Lavori Pubblici e Manutenzioni - Patrimonio
Palazzo Spada - P.zza M. Ridolfi, 1
05100 Terni
Tel. +39 0744.549.501 Fax +39 0744.428708
renato.pierdonati@comune.terni.it

LAVORI DI RESTAURO, ADEGUAMENTO SISMICO, ADEGUAMENTO ALLE NORME DI PREVENZIONE INCENDI E ABBATTIMENTO BARRIERE ARCHITETTONICHE DELL'EDIFICIO SCOLASTICO "G. MATTEOTTI" VIA MARIE CURIE N. 4

DEFINITIVO

PROGETTO STRUTTURALE

Tav. 13ST

EDIFICIO 3
ARMATURA SETTI

Scala VARIE

Responsabile del Procedimento: Geom. S. Fredduzzi

Data: Marzo 2015

Progettisti:

Architettonico: Arch. M. Finotto
Strutture: Ing. M.Bocchi; Ing. S. Marinozzi
Impianti: Per.Ind. T. Mocicco; Per.Ind. G. Rubeca
Sicurezza: Geom. F. Formichetti

Collaboratori:

Geom. G. Poddi - Geom. M. D'Amato
Geom. F. Olbriani - Per.Ind. E. Lenticchia
Geom. F. Rifaca - Geom. M. Ciuffetti
Geom. R. Sabatini - Geom. G. Severoni

istituto sperimentale per l'edilizia s.p.a.

ISTEDIL

SEDE LEGALE - **UFFICI E LABORATORI: 00012 Guidonia M. (Roma) Loc. Setteville** - Via Tiburtina Km 18,300 - Tel. 0774/353580 r.a. - Fax 0774/353762
PERUGIA - 06132 S. Sisto Loc. S. Andrea delle Fratte - Via P. Soriano, 5/e - tel. 075/5271717 - Fax 075/5271705
LATINA SCALO - 04013 Loc. Tor Tre Ponti - Via Carrara, 12/a - Tel. 0773/630137 - Tel. 0773/630217 - Fax 0773/358870
SASSARI - 07100 Loc. Predda Niedda - Strada 18 - Tel. 079/262399 - Tel. e Fax 079/260581
www.istedil.it
e-mail: info@istedil.it

Rapporto di prova n° 564/15-7 **Perugia, 16/03/2015**

INDAGINI PACOMETRICHE

Committente:

COMUNE DI TERNI
Piazza M. Ridolfi, 1
05100 - Terni (TR)

Date escuzione indagine: **9-10 Marzo 2015**

VERIFICHE, INDAGINI E PROVE DI LABORATORIO SU PROVINI PRELEVATI IN SITU PER STUDIO VULNERABILTA' SISMICA - Scuola Primaria "MATTEOTTI" - Via M. Curie, 4 - Terni (TR)

Lo sperimentatore
Geom. Leonardo Lucarelli

Il Direttore del Laboratorio
Dott. Arch. Enrica Capponi

Capitale Sociale € 1.040.000,00 int. versato - Trib. di Roma n. 1256/72 - C.C.I.A.A. n. 358813 - Partita I.V.A. 00887271005 - Codice Fiscale 00422780585
Autorizzato all'esecuzione delle prove ai sensi e per gli effetti dell'Art. 20 della legge del 5-11-71 n. 1086 con Decreti Ministero LL.PP. Autorizzato alle certificazioni CE - Notificato CEE n. 0529

Rapporto di prova n° 564/15-7 **Perugia, 16/03/2015**

1.0 Premessa

Il presente rapporto di prova contiene i risultati delle indagini PACOMETRICHE eseguite "in situ" nei giorni **9-10 Marzo 2015** su elementi (travi e pilastri) facenti parte della struttura in C.A. della scuola Primaria "Matteotti" sita in Terni, Via Marie Curie, n° 4.

Scopo delle indagini PACOMETRICHE è quello di verificare posizione e numero delle barre di armatura all'interno degli elementi in C.A. e di stimarne il diametro, oltre ad essere preliminare all'esecuzione di successivi carotaggi (24) e prelievo di spezzoni di acciaio (12).

I risultati sono sintetizzati nelle pagine successive, con foto, schema e contrassegno di ogni singolo elemento indagato.

Le ubicazioni delle zone indagate, concordate con l'Ing. MARCELLO BOCCIO (Comune di Terni), sono riportate nell'allegato grafico comprendente le planimetrie dell'intera struttura.

2.0 Analisi dei risultati

I risultati ottenuti, riassunti qui di seguito, confermano quanto riportato nelle tavole di carpenteria dell'epoca del progetto. Le armature rilevate (tramite demolizione del CLS nelle zone del prelievo di acciaio e dove è stato possibile misurarne il diametro direttamente) sono tutte lisce.

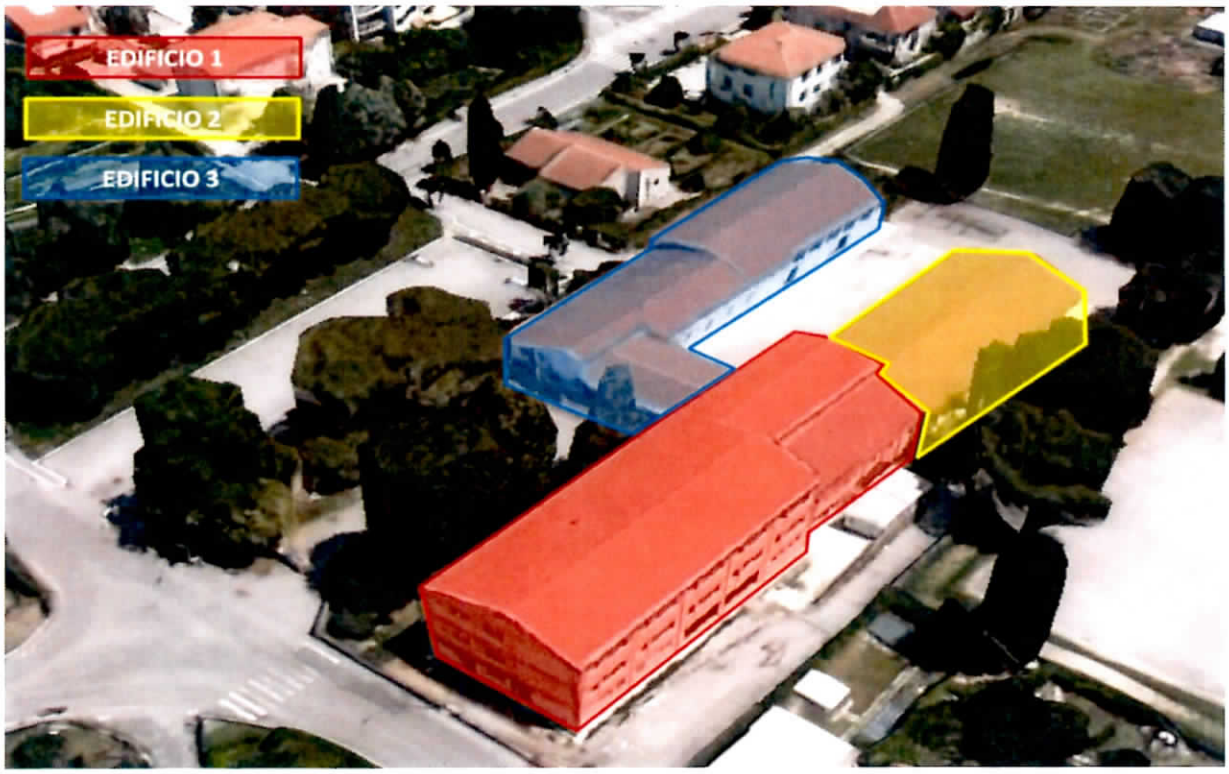

Suddivisione e nomenclatura dei Vari Edifici della Scuola Primaria "Matteotti"

Lo sperimentatore
Geom. Leonardo Lucarelli

Il Direttore del Laboratorio
Dott. Arch. Enrica Capponi

Capitale Sociale € 1.040.000,00 int. versato - Trib. di Roma n. 1256/72 - C.C.I.A.A. n. 358813 - Partita I.V.A. 00887271005 - Codice Fiscale 00422780585
Autorizzato all'esecuzione delle prove ai sensi e per gli effetti dell'Art. 20 della legge del 5-11-71 n. 1086 con Decreti Ministero LL.PP. Autorizzato alle certificazioni CE - Notificato CEE n. 0529

Rapporto di prova n° 564/15-7 **Perugia, 16/03/2015**

9 Edificio 1 - Pilastro n° 95 (cm 30x50) - Piano Seminterrato

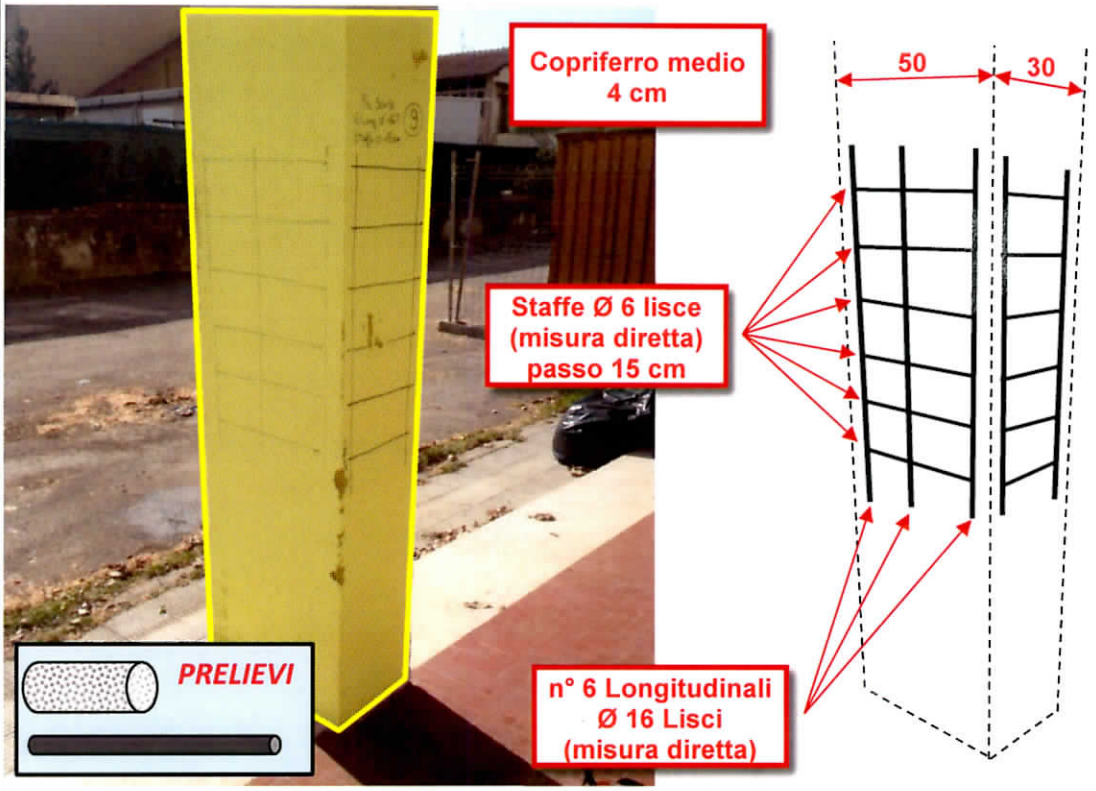

10 bis Edificio 1 - Trave tra pilastri 52-53 (cm 45x60) - Piano Seminterrato

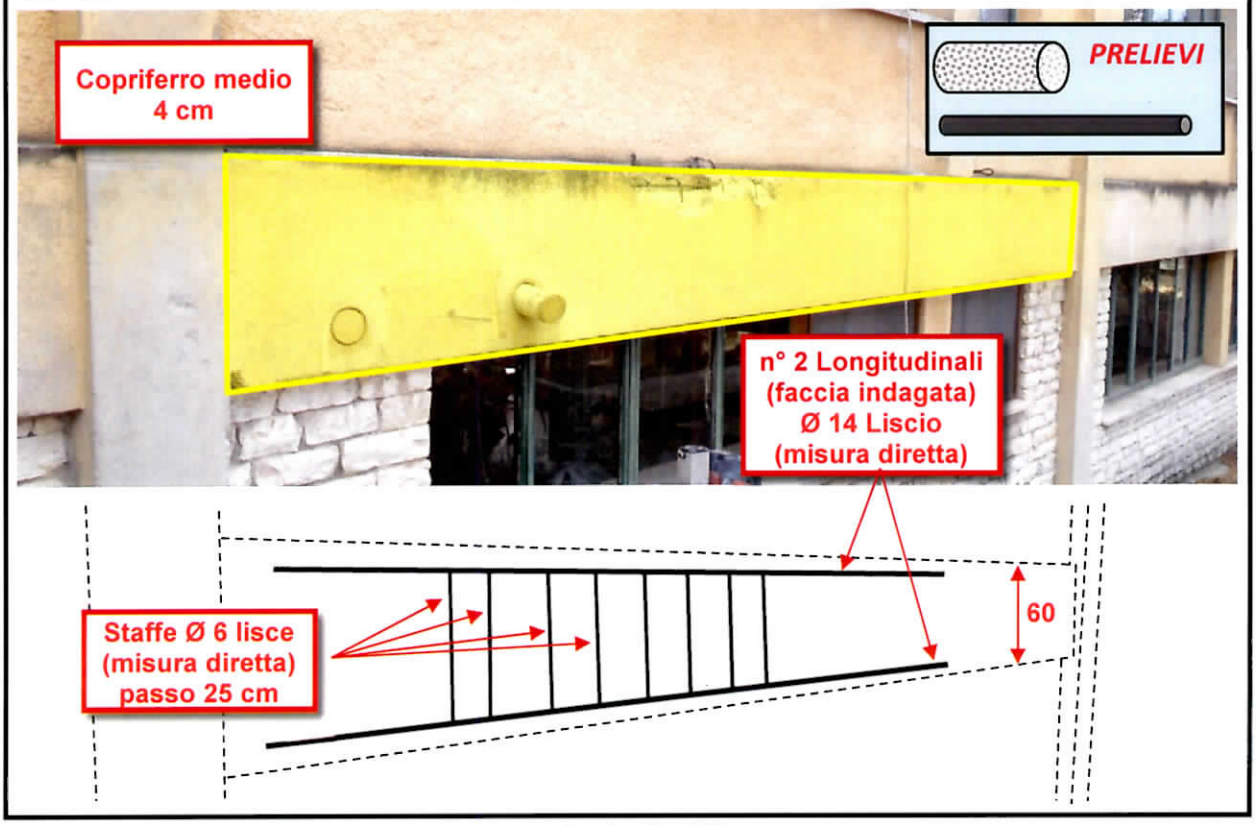

Capitale Sociale € 1.040.000,00 int. versato - Trib. di Roma n. 1256/72 - C.C.I.A.A. n. 358813 - Partita I.V.A. 00887271005 - Codice Fiscale 00422780585
Autorizzato all'esecuzione delle prove ai sensi e per gli effetti dell'Art. 20 della legge del 5-11-71 n. 1086 con Decreti Ministero LL.PP. Autorizzato alle certificazioni CE - Notificato CEE n. 0529

10 Edificio 1 - Trave tra pilastri 95-96 (cm 45x60) - Piano Seminterrato

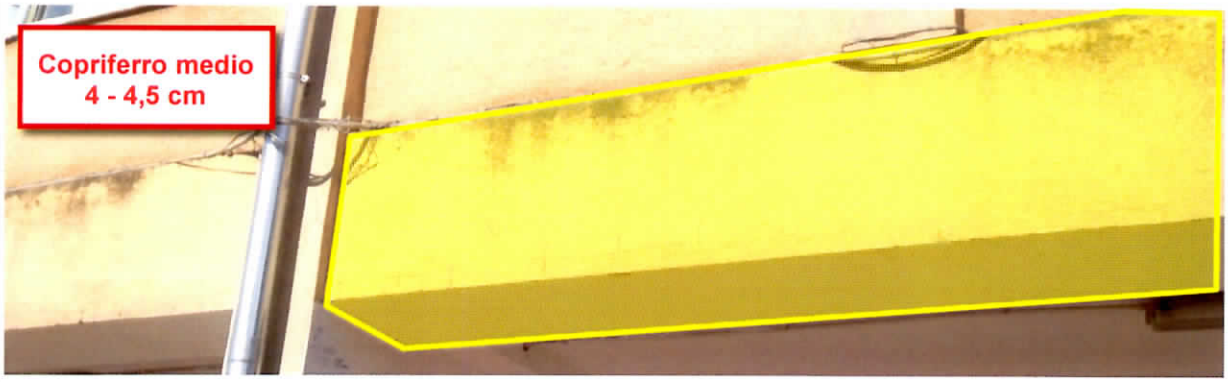

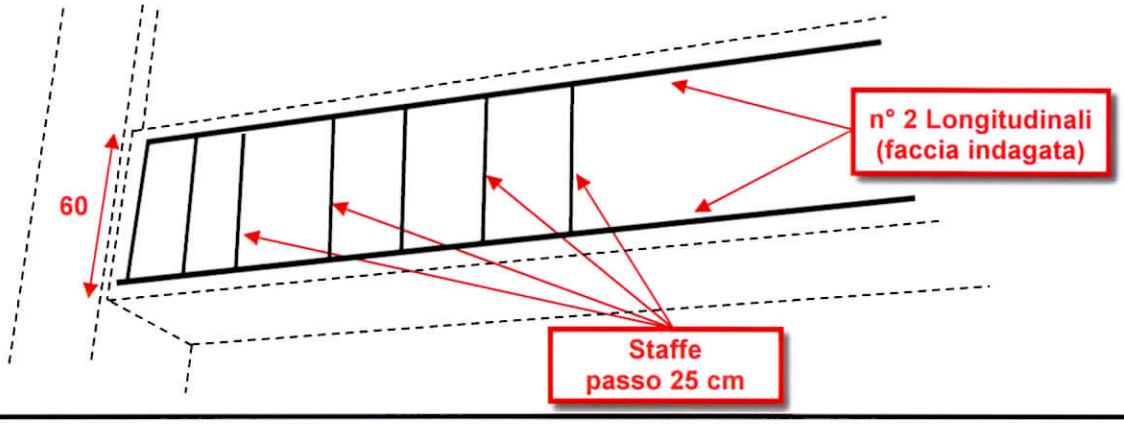

11 Edificio 1 - Trave tra pilastri 103-104 (H = 40 cm) - Piano Seminterrato

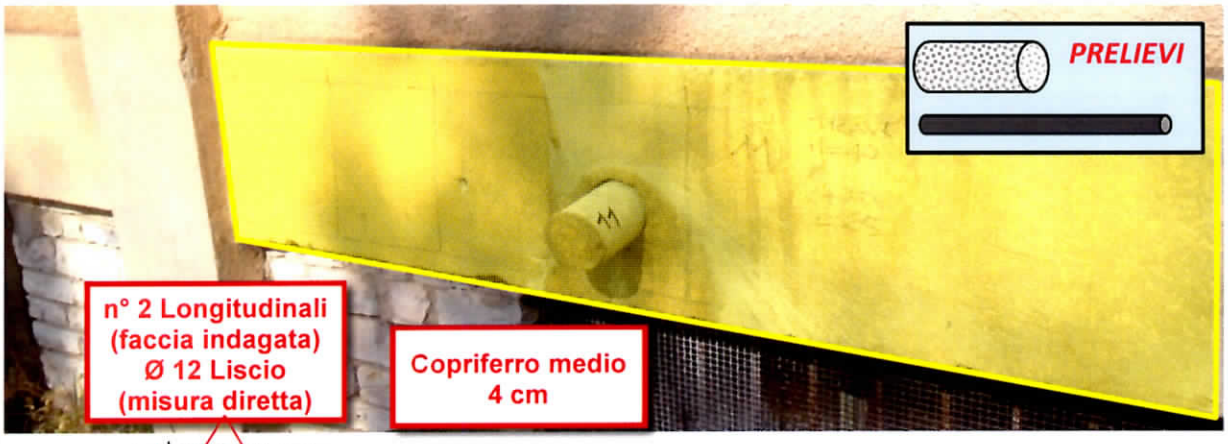

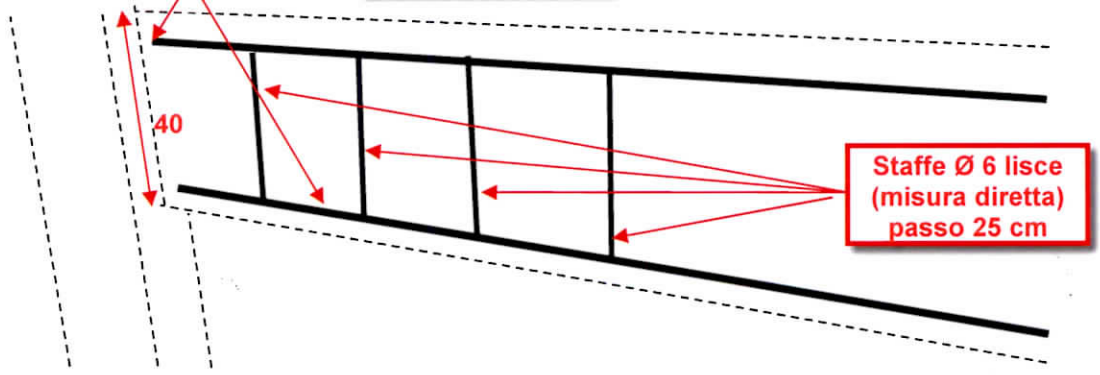

Capitale Sociale € 1.040.000,00 int. versato - Trib. di Roma n. 1256/72 - C.C.I.A.A. n. 358813 - Partita I.V.A. 00887271005 - Codice Fiscale 00422780585
Autorizzato all'esecuzione delle prove ai sensi e per gli effetti dell'Art. 20 della legge del 5-11-71 n. 1086 con Decreti Ministero LL.PP. Autorizzato alle certificazioni CE - Notificato CEE n. 0529

12 *Edificio 1 - Pilastro n° 65 (cm 30x35) - Piano Rialzato*

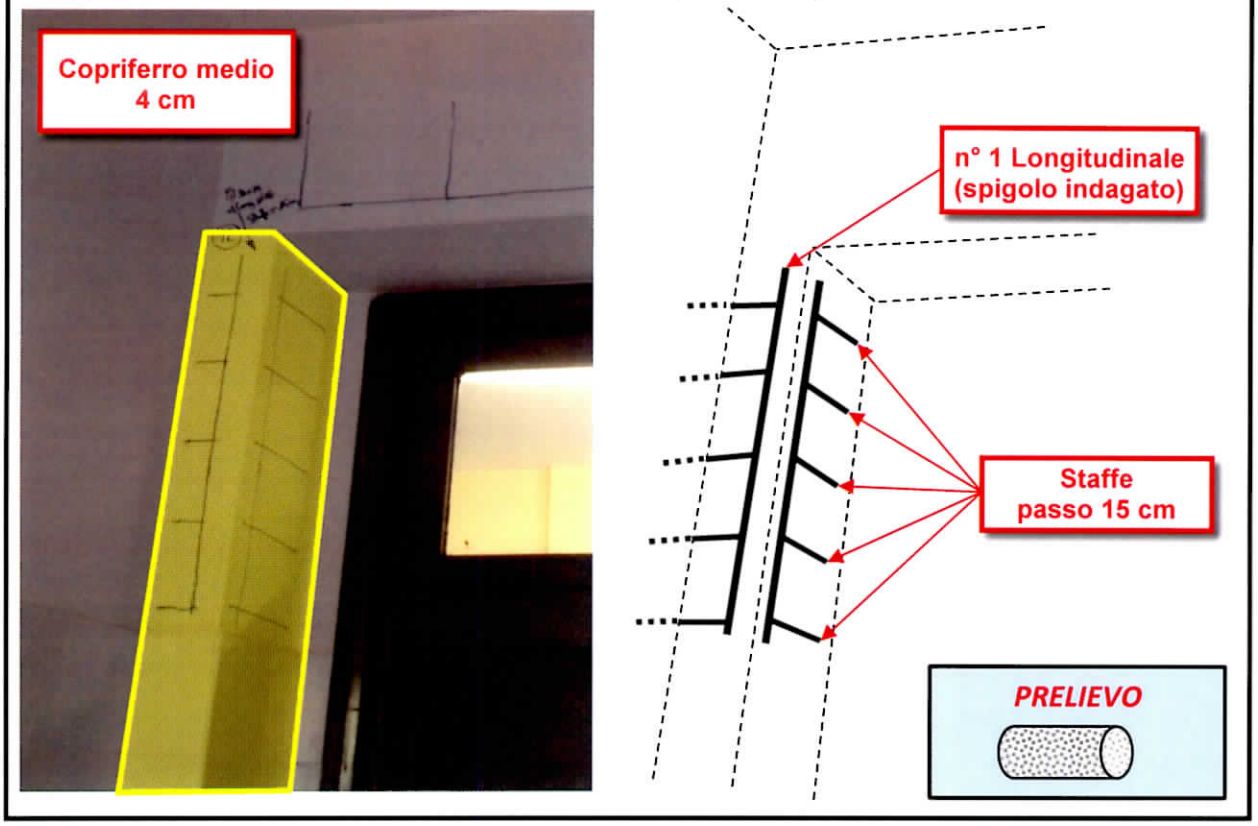

13 *Edificio 1 - Trave tra pilastri 64-65 - Piano Rialzato*

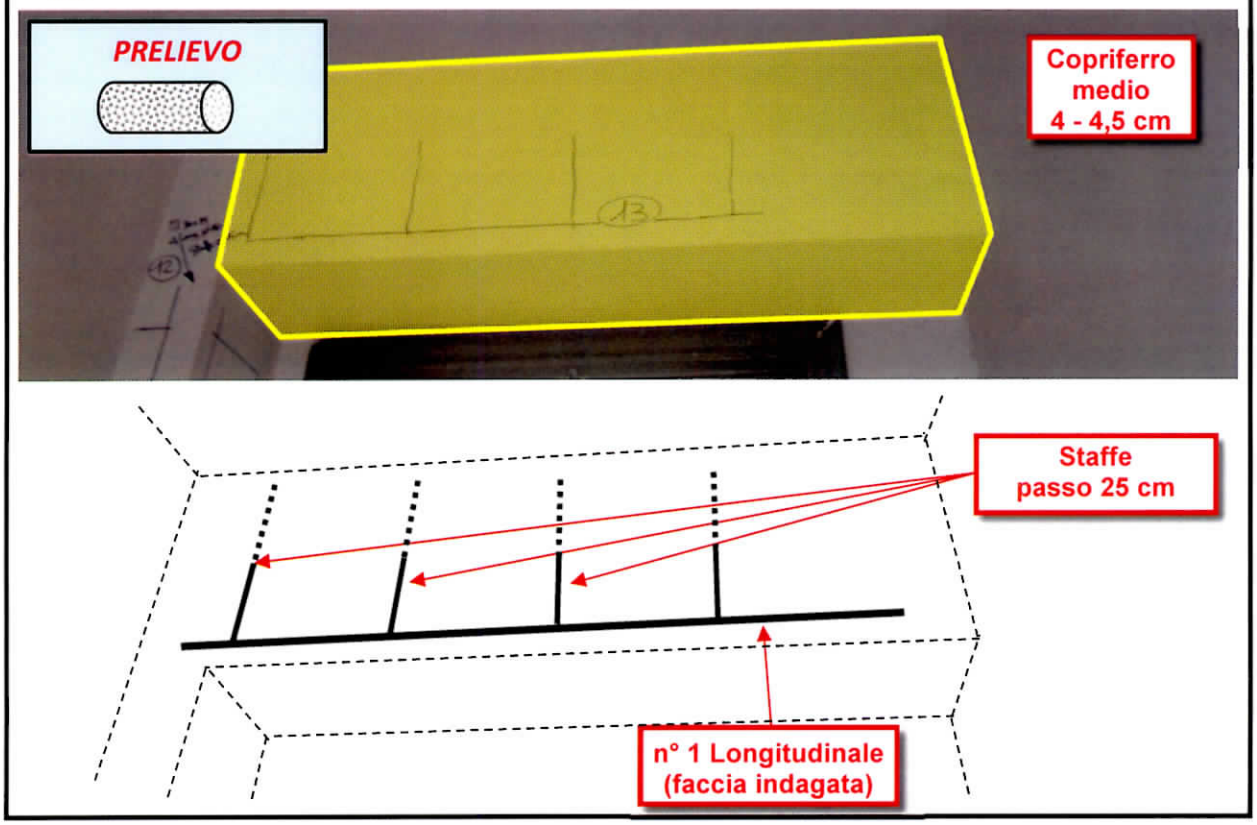

Capitale Sociale € 1.040.000,00 int. versato - Trib. di Roma n. 1256/72 - C.C.I.A.A. n. 358813 - Partita I.V.A. 00887271005 - Codice Fiscale 00422780585
Autorizzato all'esecuzione delle prove ai sensi e per gli effetti dell'Art. 20 della legge del 5-11-71 n. 1086 con Decreti Ministero LL.PP. Autorizzato alle certificazioni CE - Notificato CEE n. 0529

Rapporto di prova n° 564/15-7 **Perugia, 16/03/2015**

14 *Edificio 1 - Pilastro n° 67 (cm 30x30) - Piano Rialzato*

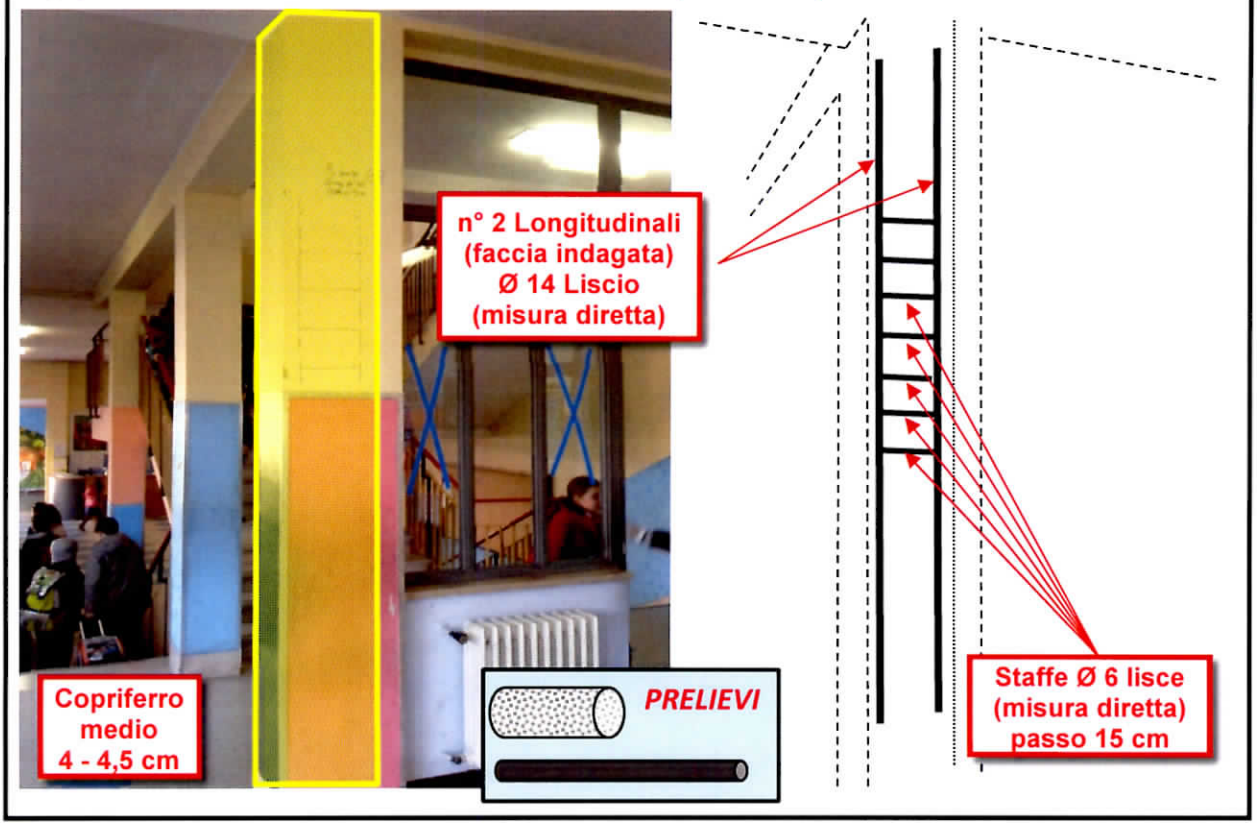

15 *Edificio 1 - Trave tra pilastri 78-79 - Piano Rialzato*

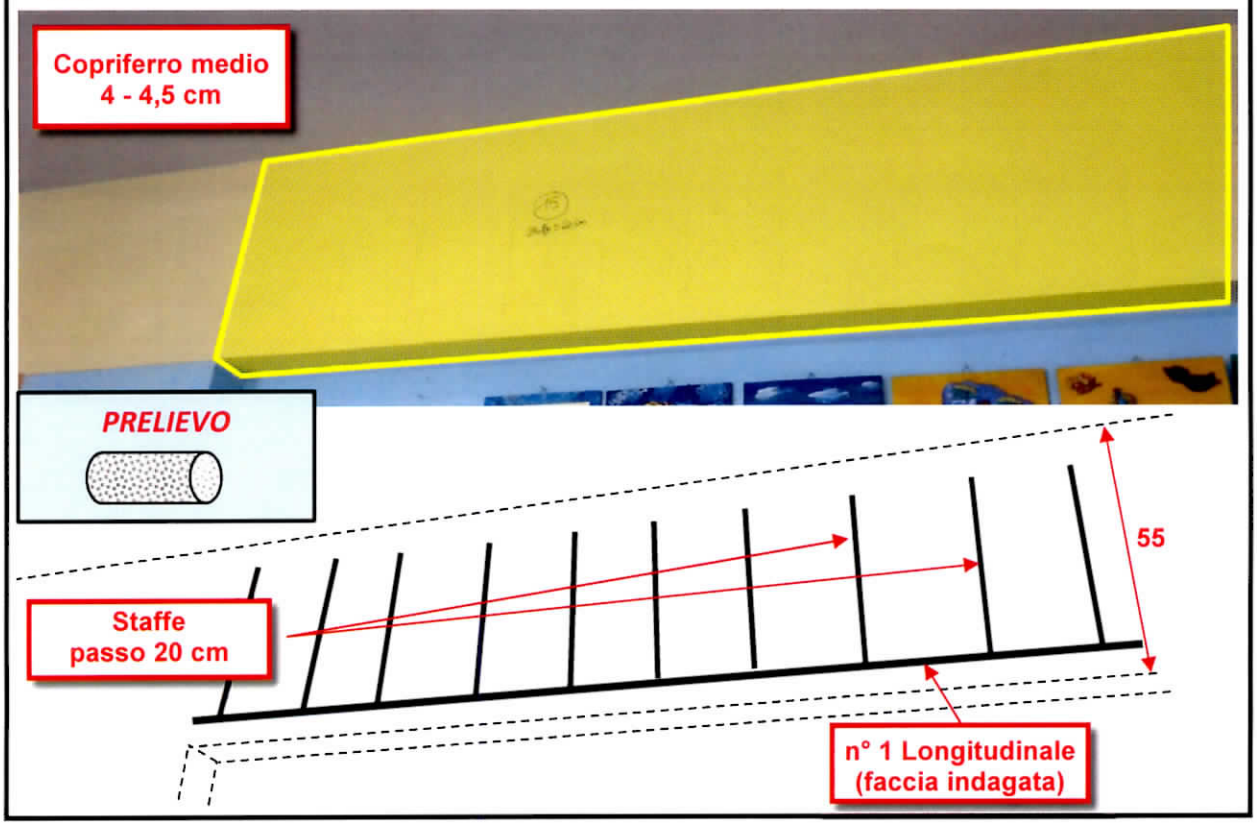

Capitale Sociale € 1.040.000,00 int. versato - Trib. di Roma n. 1256/72 - C.C.I.A.A. n. 358813 - Partita I.V.A. 00887271005 - Codice Fiscale 00422780585
Autorizzato all'esecuzione delle prove ai sensi e per gli effetti dell'Art. 20 della legge del 5-11-71 n. 1086 con Decreti Ministero LL.PP. Autorizzato alle certificazioni CE - Notificato CEE n. 0529

Rapporto di prova n° 564/15-7 **Perugia, 16/03/2015**

23 *Edificio 1 - Pilastro n° 83 (cm 30x35) - Piano Rialzato*

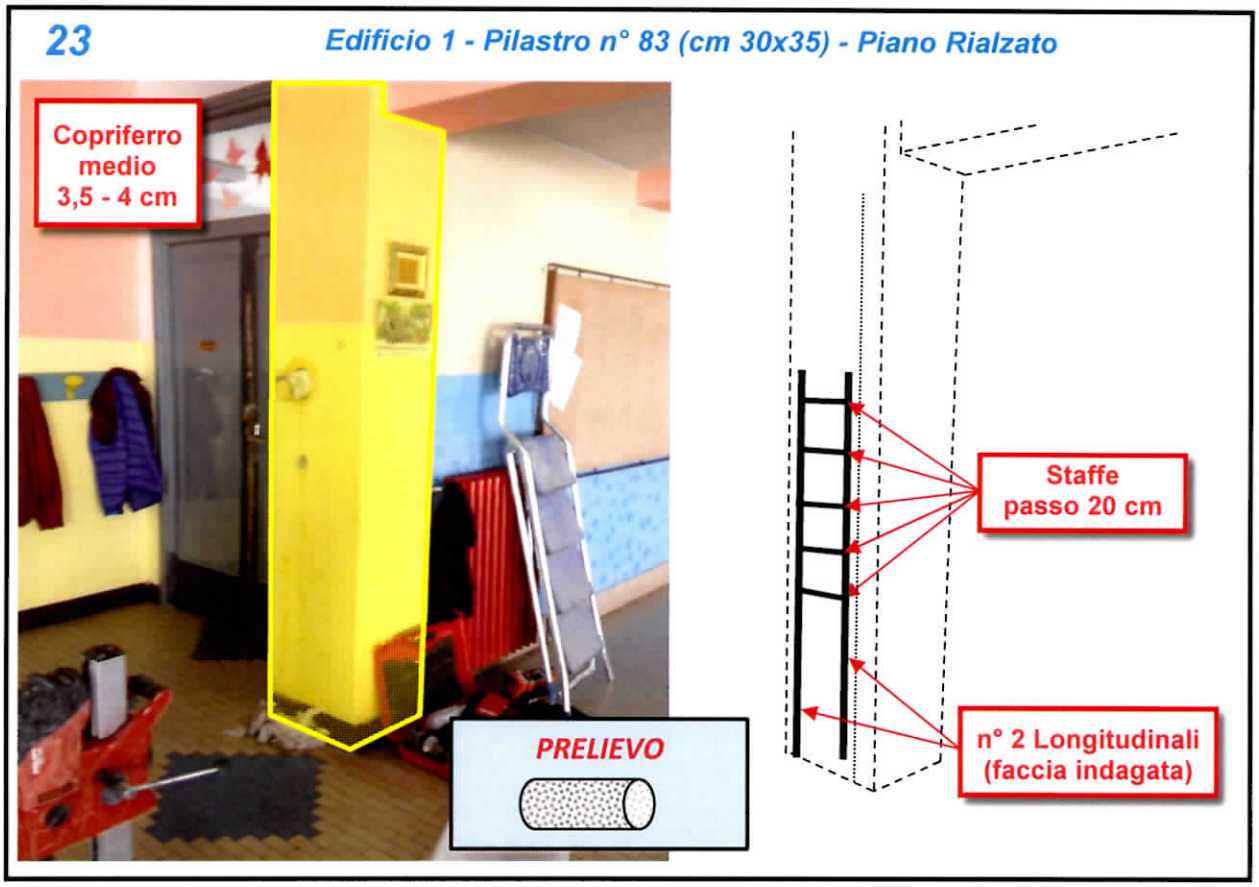

Capitale Sociale € 1.040.000,00 int. versato - Trib. di Roma n. 1256/72 - C.C.I.A.A. n. 358813 - Partita I.V.A. 00887271005 - Codice Fiscale 00422780585
Autorizzato all'esecuzione delle prove ai sensi e per gli effetti dell'Art. 20 della legge del 5-11-71 n. 1086 con Decreti Ministero LL.PP. Autorizzato alle certificazioni CE - Notificato CEE n. 0529

Rapporto di prova n° 564/15-7 **Perugia, 16/03/2015**

16 *Edificio 1 - Pilastro n° 65 (cm 30x30) - Piano Primo*

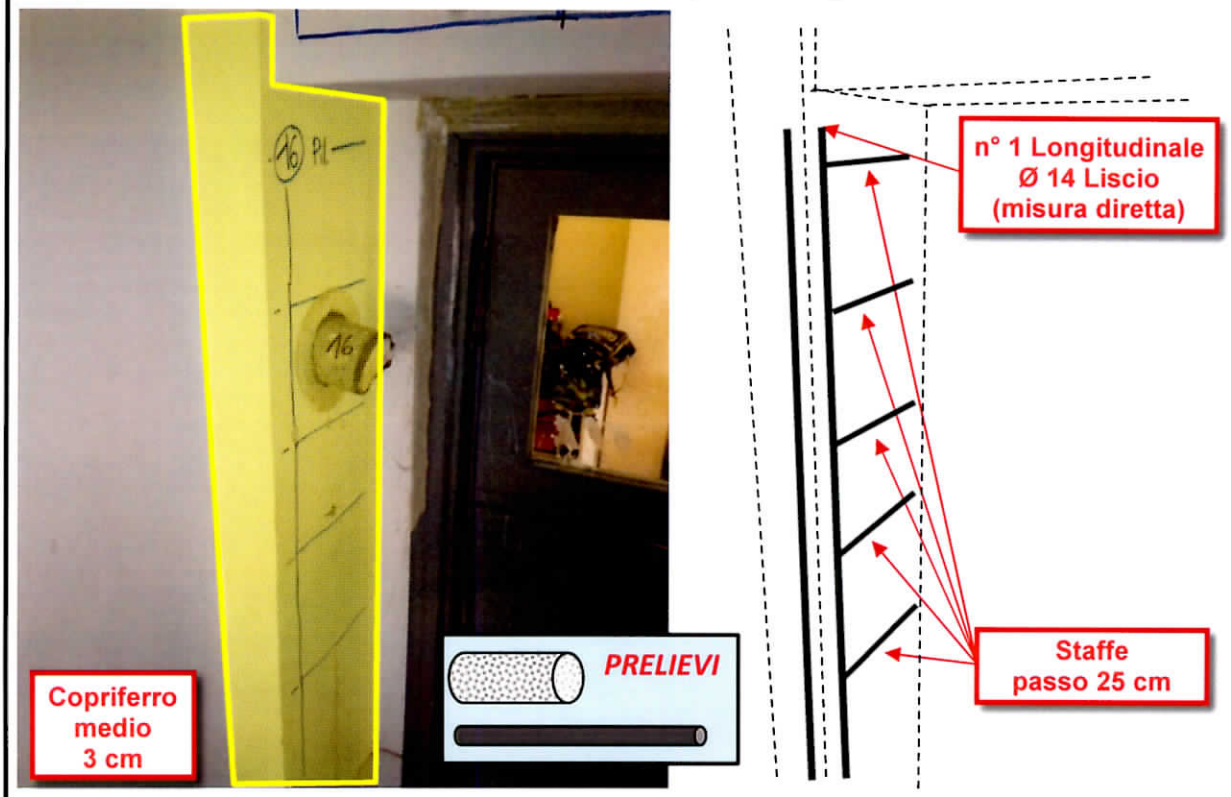

17 *Edificio 1 - Trave tra pilastri 64-65 - Piano Primo*

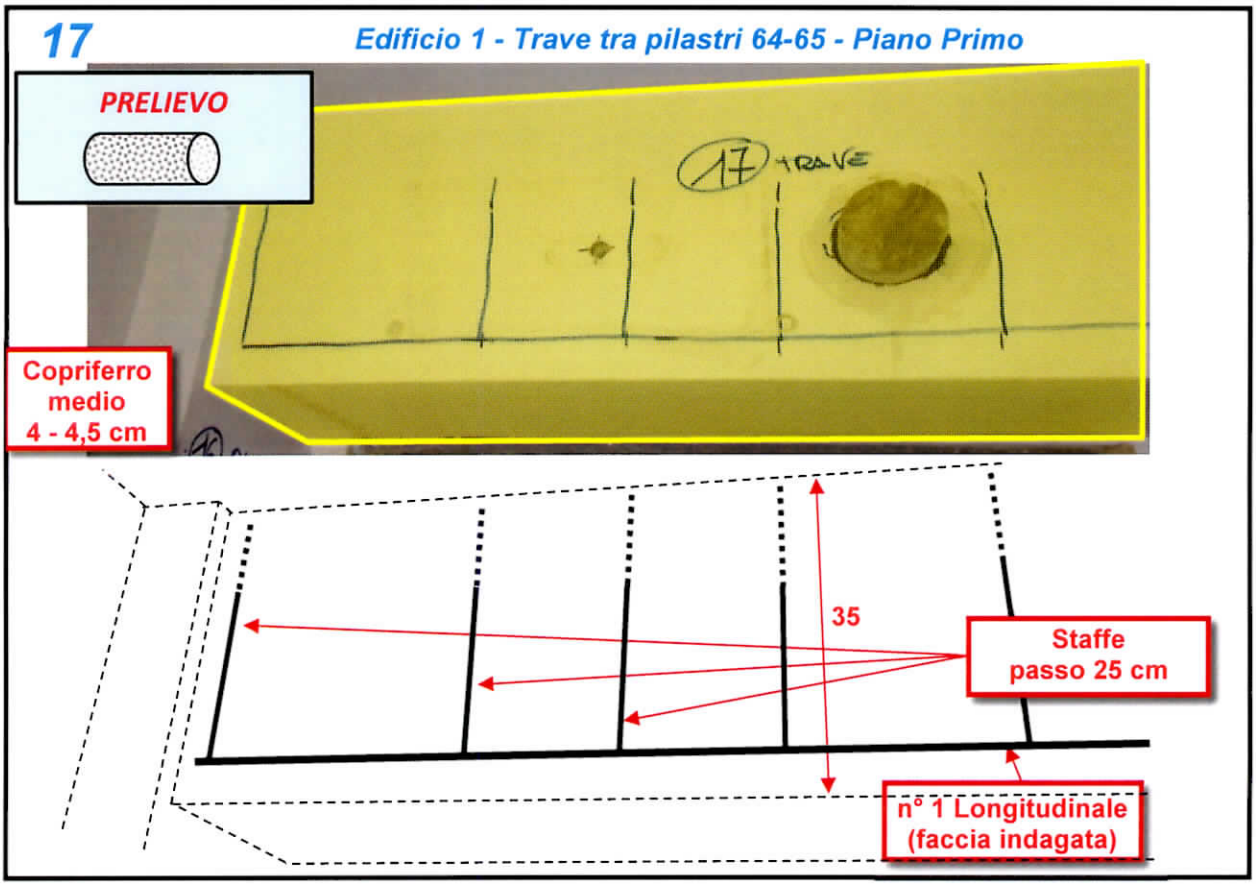

Capitale Sociale € 1.040.000,00 int. versato - Trib. di Roma n. 1256/72 - C.C.I.A.A. n. 358813 - Partita I.V.A. 00887271005 - Codice Fiscale 00422780585
Autorizzato all'esecuzione delle prove ai sensi e per gli effetti dell'Art. 20 della legge del 5-11-71 n. 1086 con Decreti Ministero LL.PP. Autorizzato alle certificazioni CE - Notificato CEE n. 0529

Rapporto di prova n° 564/15-7 **Perugia, 16/03/2015**

18 *Edificio 1 - Pilastro n° 79 (cm 30x40) - Piano Primo*

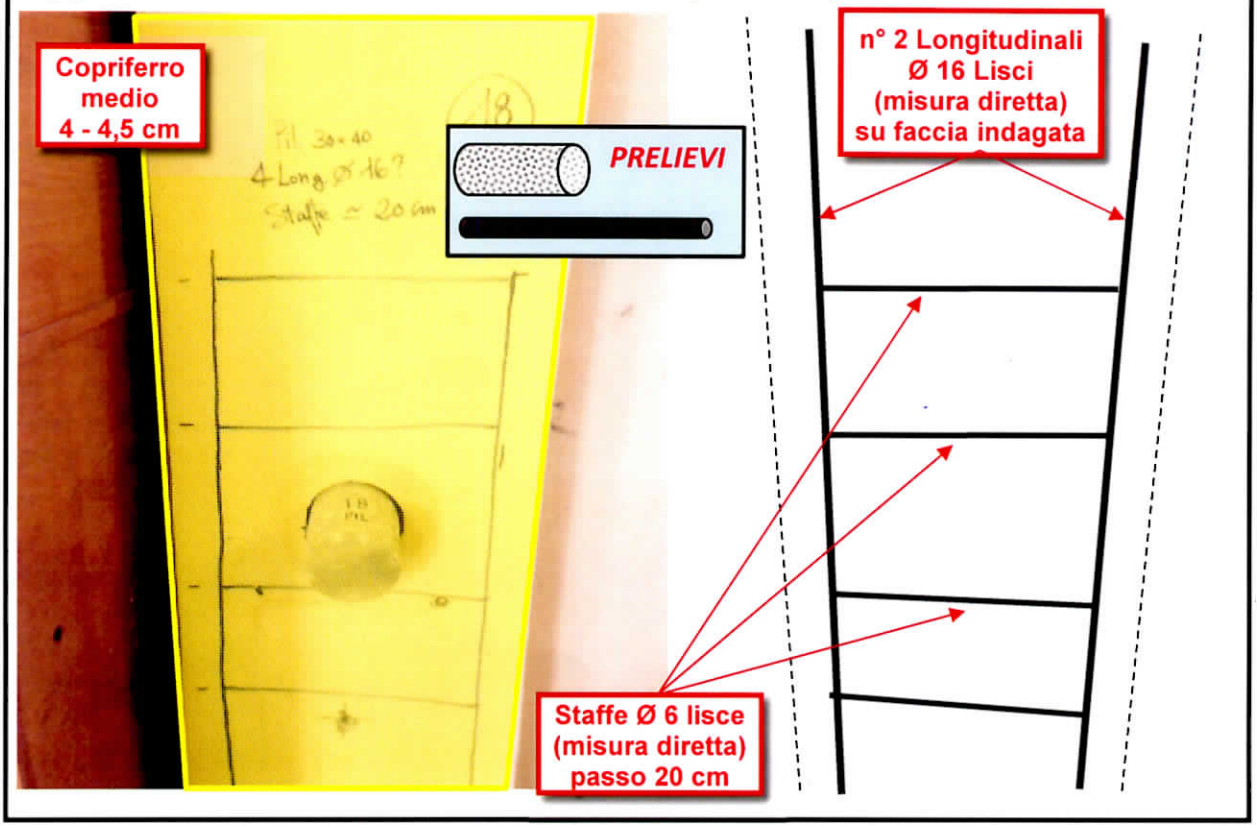

19 *Edificio 1 - Trave tra pilastri 78-79 - Piano Primo*

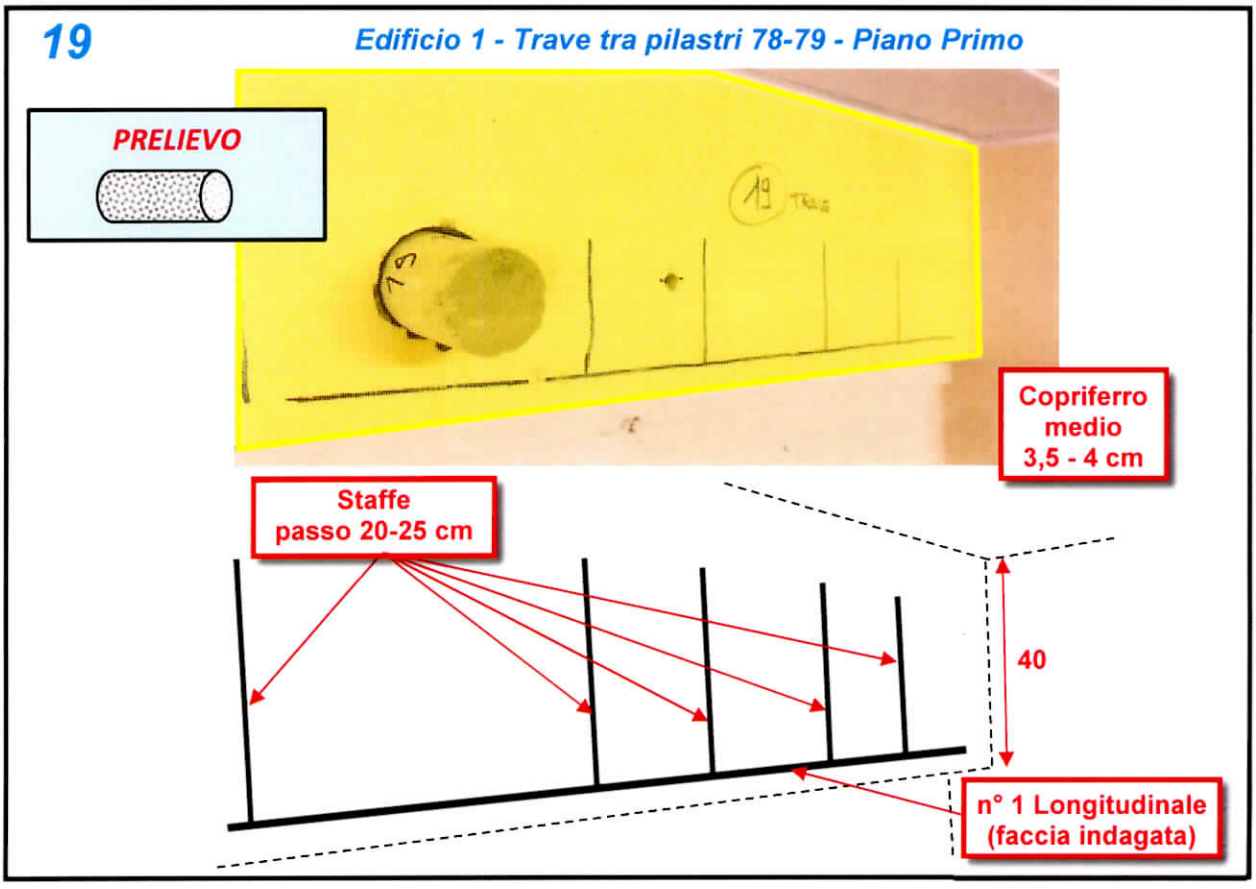

Capitale Sociale € 1.040.000,00 int. versato - Trib. di Roma n. 1256/72 - C.C.I.A.A. n. 358813 - Partita I.V.A. 00887271005 - Codice Fiscale 00422780585
Autorizzato all'esecuzione delle prove ai sensi e per gli effetti dell'Art. 20 della legge del 5-11-71 n. 1086 con Decreti Ministero LL.PP. Autorizzato alle certificazioni CE - Notificato CEE n. 0529

Rapporto di prova n° 564/15-7 **Perugia, 16/03/2015**

7 Edificio 2 - Pilastro n° 105 (cm 30x35) - Piano Rialzato

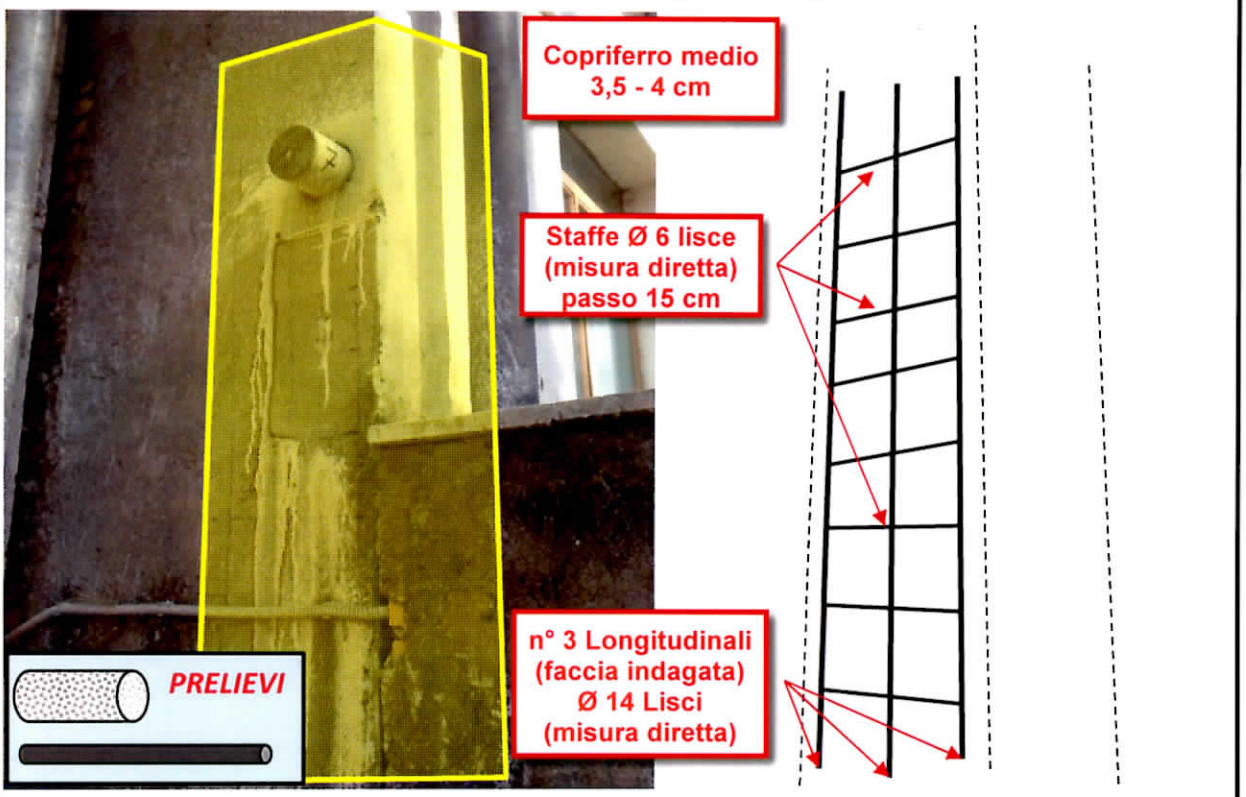

8 Edificio 2 - Pilastro n° 62 (cm 30x35) - Piano Rialzato

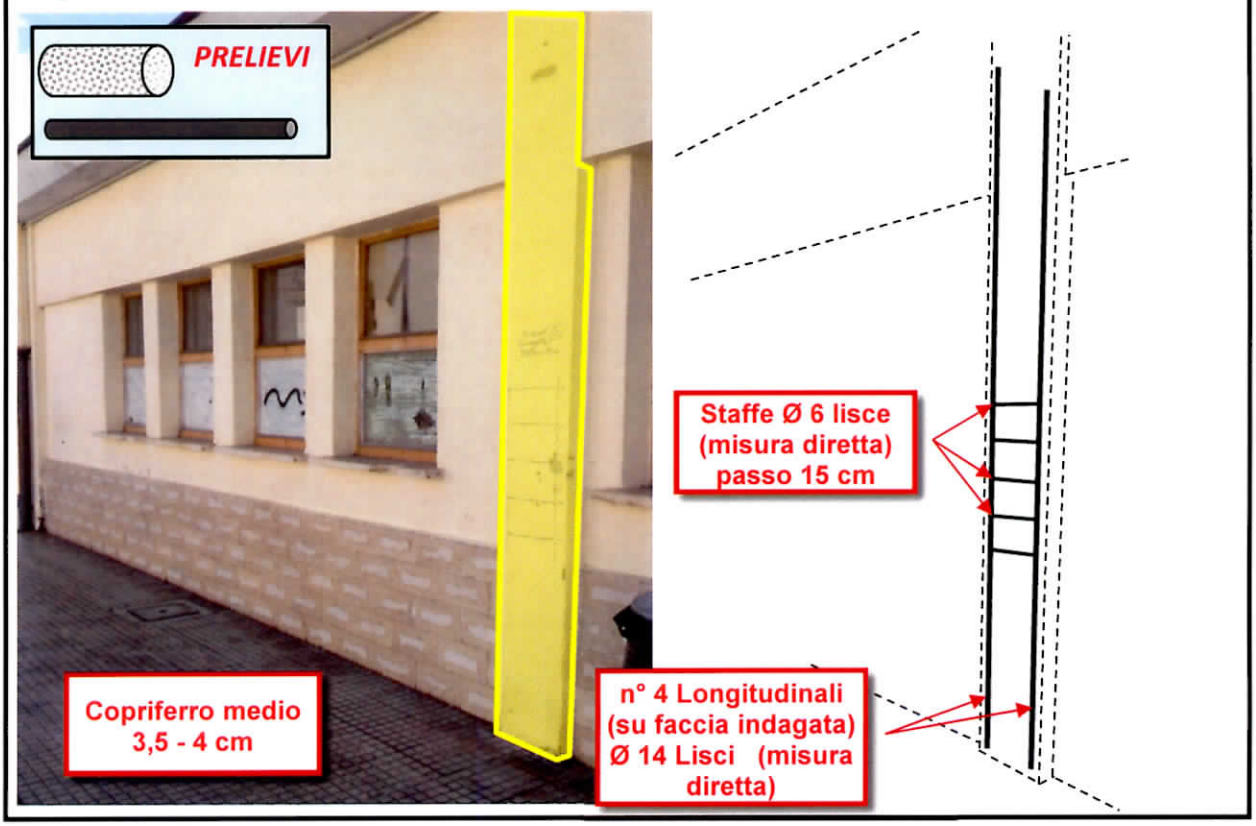

Capitale Sociale € 1.040.000,00 int. versato - Trib. di Roma n. 1256/72 - C.C.I.A.A. n. 358813 - Partita I.V.A. 00887271005 - Codice Fiscale 00422780585
Autorizzato all'esecuzione delle prove ai sensi e per gli effetti dell'Art. 20 della legge del 5-11-71 n. 1086 con Decreti Ministero LL.PP. Autorizzato alle certificazioni CE - Notificato CEE n. 0529

Rapporto di prova n° 564/15-7 **Perugia, 16/03/2015**

21 *Edificio 2 - Pilastro n° 59 (cm 30x35) - Piano Rialzato*

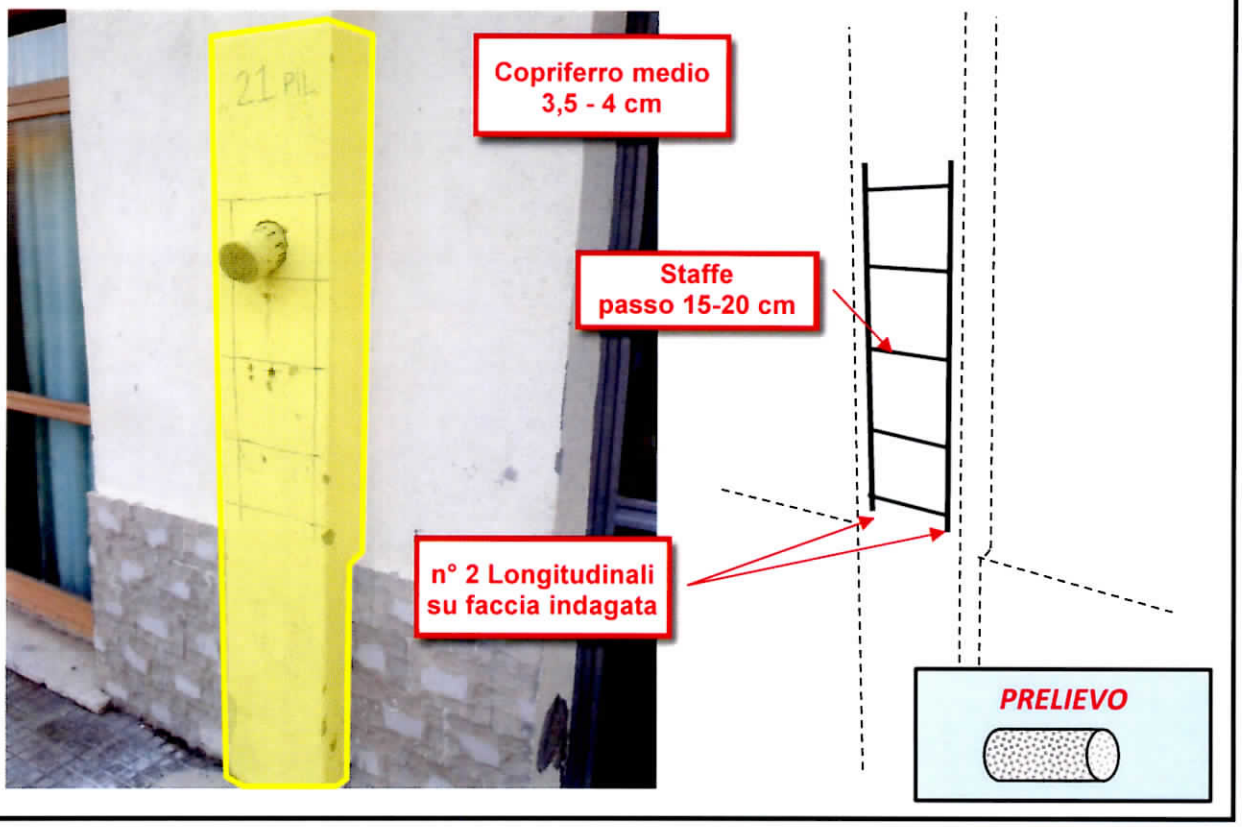

22 *Edificio 2 - Pilastro n° 107 (cm 30x35) - Piano Rialzato*

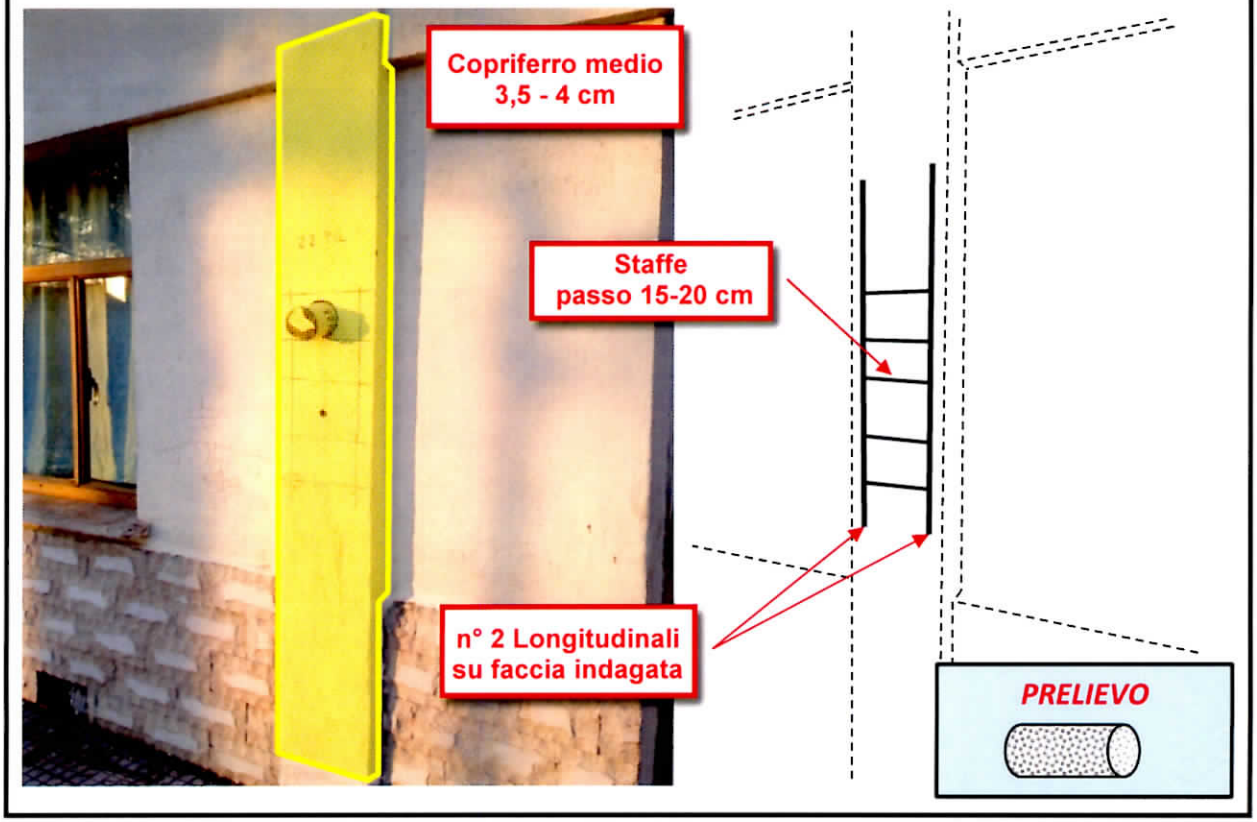

Capitale Sociale € 1.040.000,00 int. versato - Trib. di Roma n. 1256/72 - C.C.I.A.A. n. 358813 - Partita I.V.A. 00887271005 - Codice Fiscale 00422780585
Autorizzato all'esecuzione delle prove ai sensi e per gli effetti dell'Art. 20 della legge del 5-11-71 n. 1086 con Decreti Ministero LL.PP. Autorizzato alle certificazioni CE - Notificato CEE n. 0529

Rapporto di prova n° 564/15-7 **Perugia, 16/03/2015**

1 *Edificio 3 - Pilastro n° 13 (cm 30x30) - Piano Rialzato*

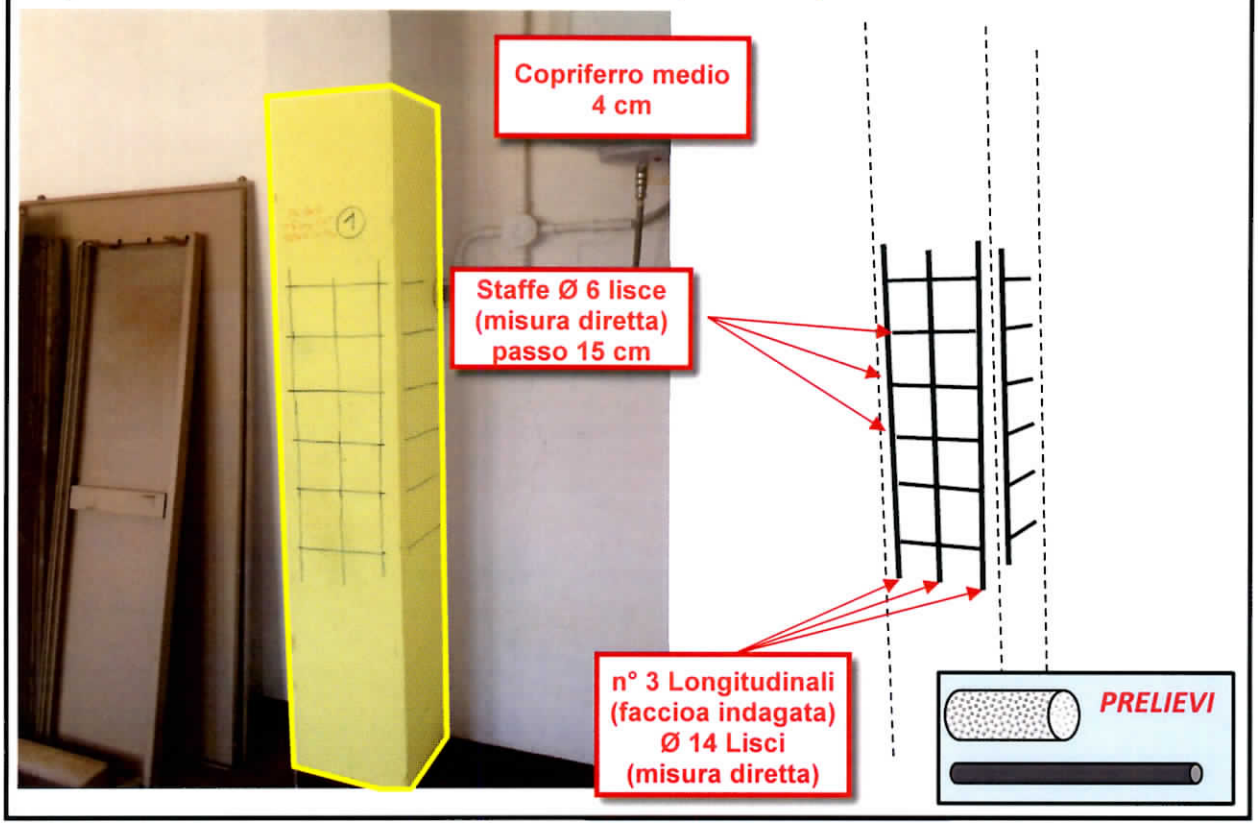

2 *Edificio 3 - Pilastro n° 36 (cm 30x30) - Piano Rialzato*

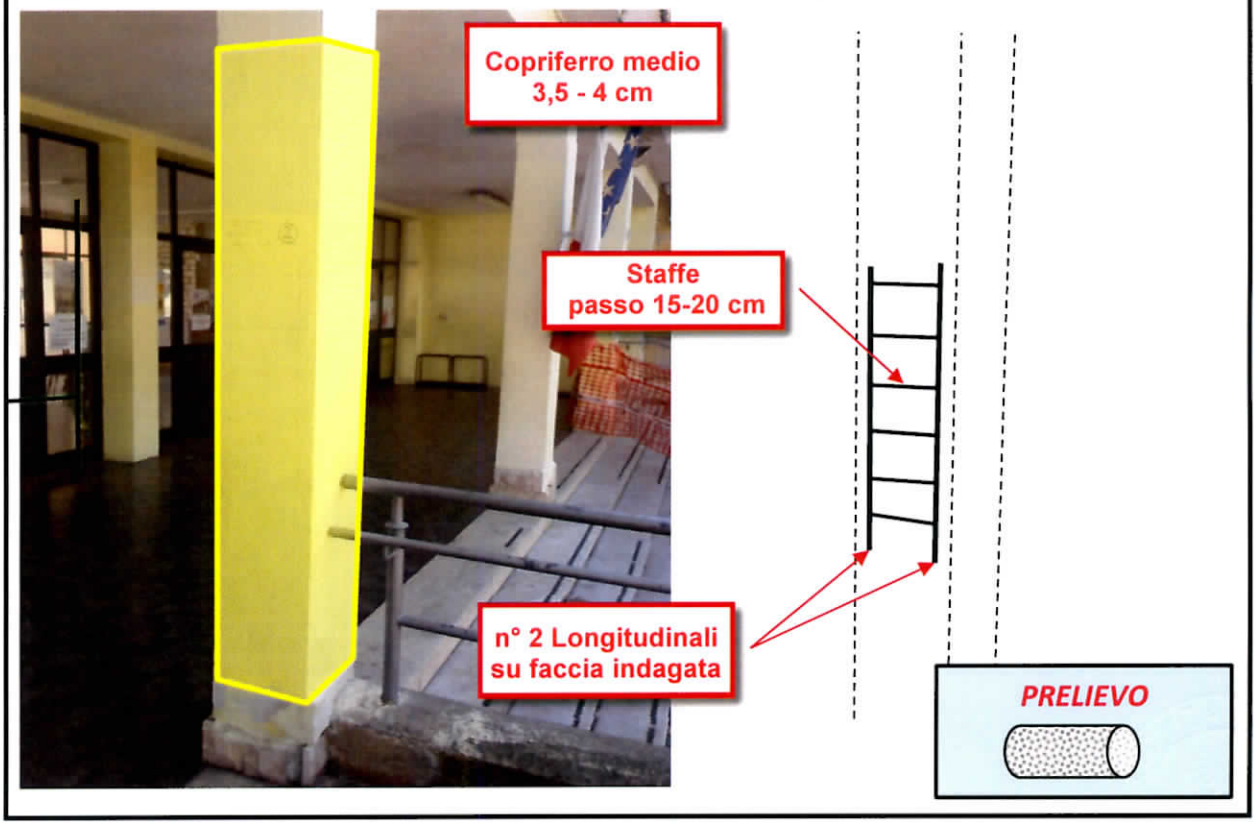

Capitale Sociale € 1.040.000,00 int. versato - Trib. di Roma n. 1256/72 - C.C.I.A.A. n. 358813 - Partita I.V.A. 00887271005 - Codice Fiscale 00422780585
Autorizzato all'esecuzione delle prove ai sensi e per gli effetti dell'Art. 20 della legge del 5-11-71 n. 1086 con Decreti Ministero LL.PP. Autorizzato alle certificazioni CE - Notificato CEE n. 0529

Rapporto di prova n° 564/15-7 **Perugia, 16/03/2015**

3 *Edificio 3 - Pilastro n° 18 (cm 30x40) - Piano Rialzato*

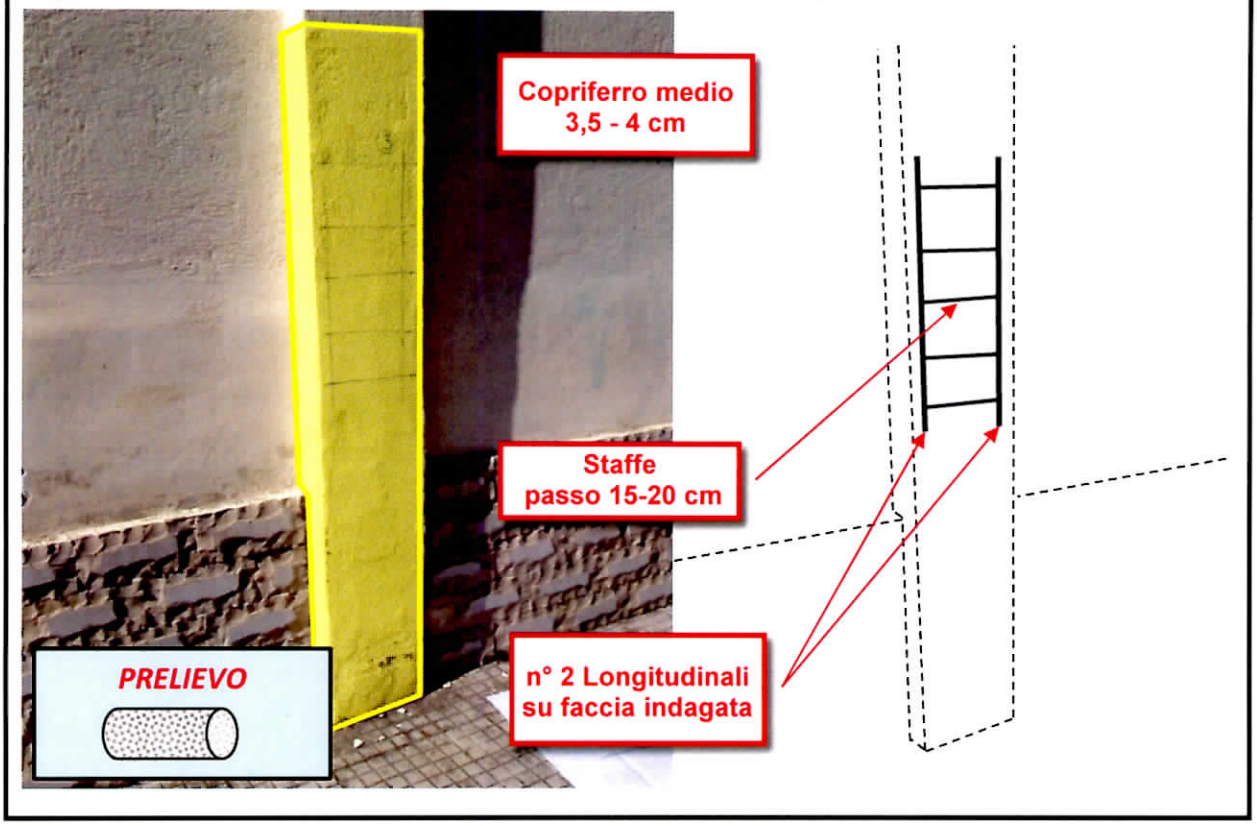

4 *Edificio 3 - Pilastro n° 27 (cm 30x40) - Piano Rialzato*

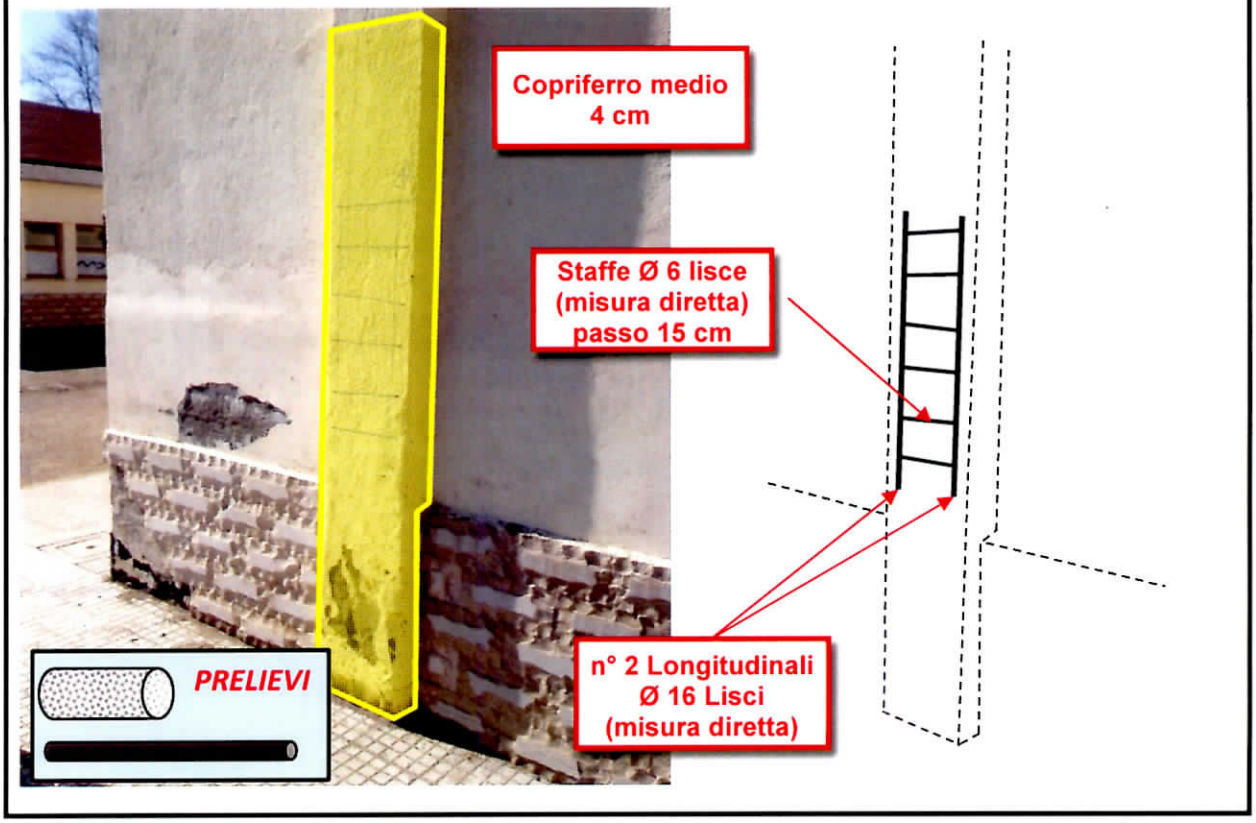

Capitale Sociale € 1.040.000,00 int. versato - Trib. di Roma n. 1256/72 - C.C.I.A.A. n. 358813 - Partita I.V.A. 00887271005 - Codice Fiscale 00422780585
Autorizzato all'esecuzione delle prove ai sensi e per gli effetti dell'Art. 20 della legge del 5-11-71 n. 1086 con Decreti Ministero LL.PP. Autorizzato alle certificazioni CE - Notificato CEE n. 0529

5 *Edificio 3 - Estradosso Trave tra pilastri 21-30 - Piano Sottotetto*

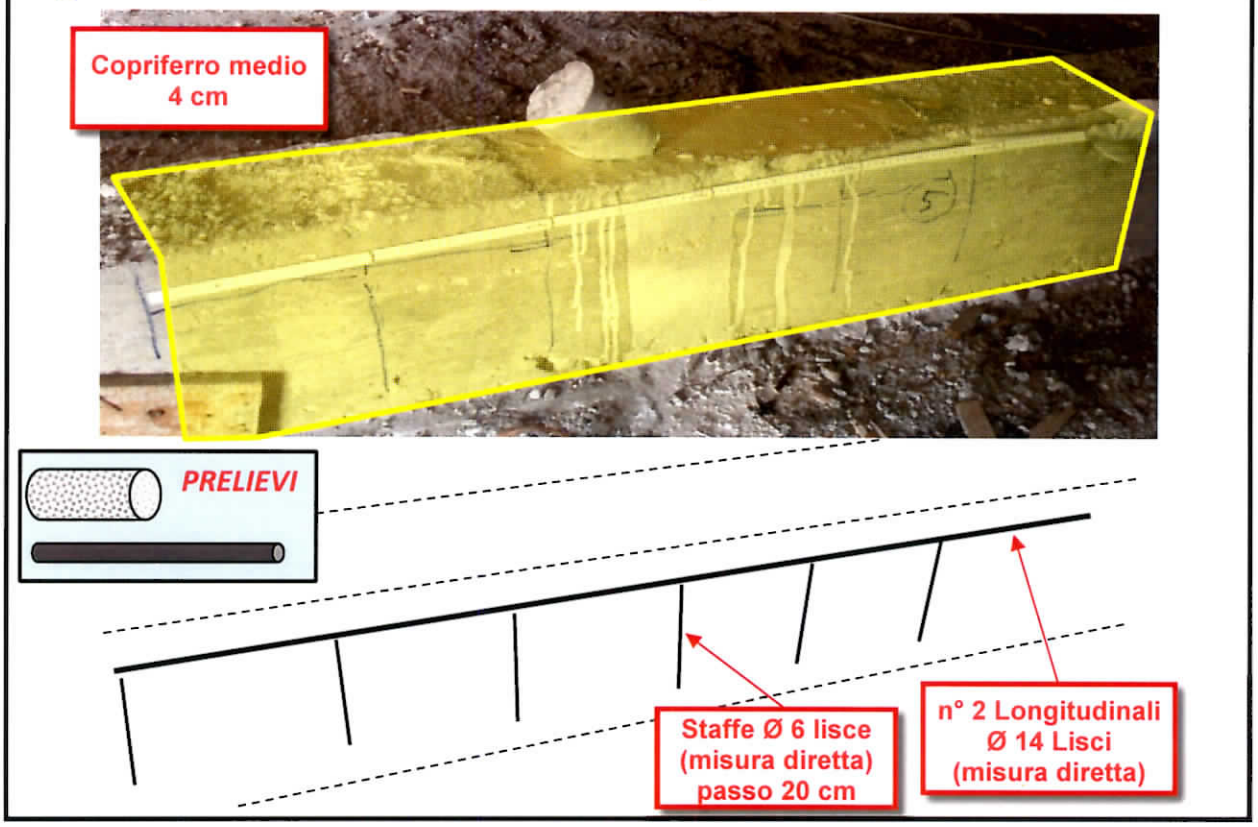

6 *Edificio 3 - Estradosso Trave tra pilastri 20-29 - Piano Sottotetto*

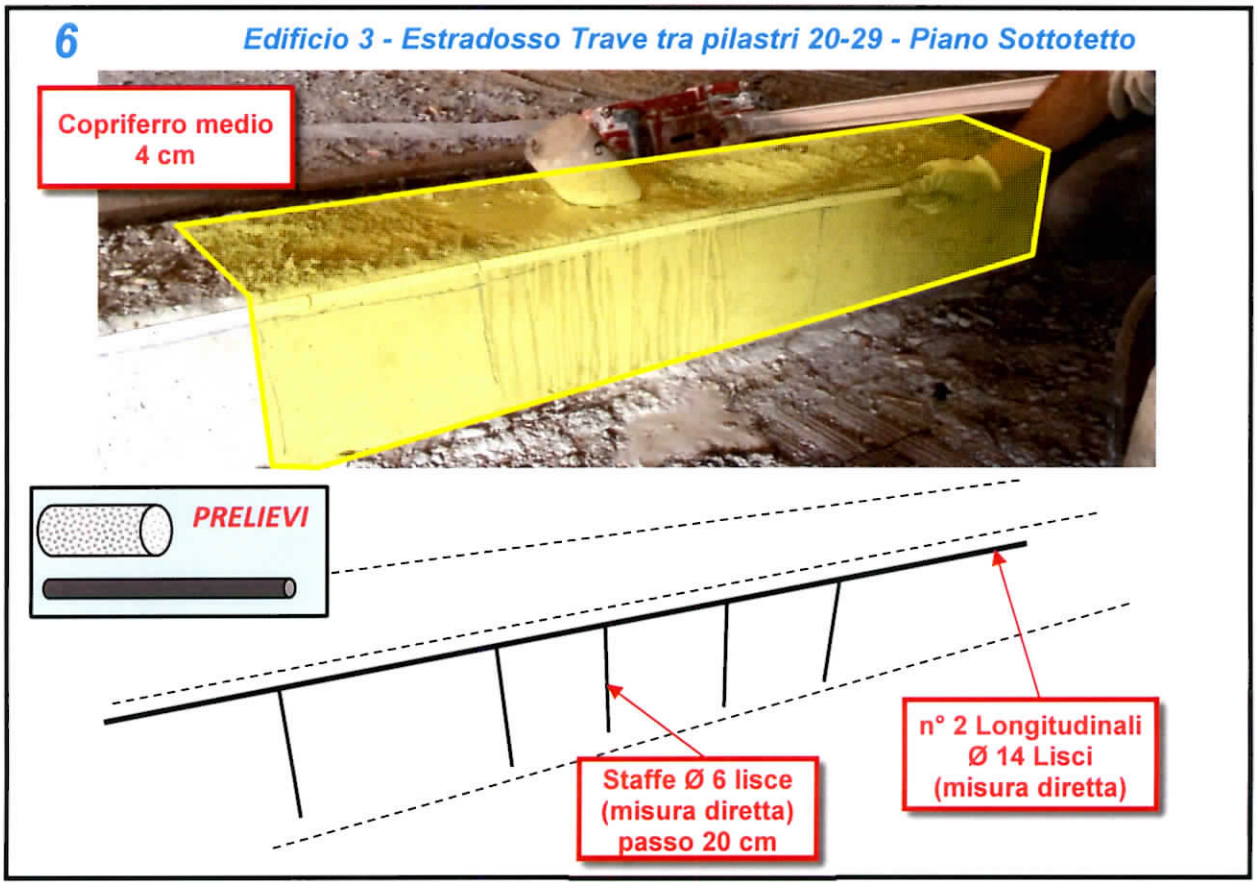

Capitale Sociale € 1.040.000,00 int. versato - Trib. di Roma n. 1256/72 - C.C.I.A.A. n. 358813 - Partita I.V.A. 00887271005 - Codice Fiscale 00422780585
Autorizzato all'esecuzione delle prove ai sensi e per gli effetti dell'Art. 20 della legge del 5-11-71 n. 1086 con Decreti Ministero LL.PP. Autorizzato alle certificazioni CE - Notificato CEE n. 0529

20 Edificio 3 - Pilastro n° 44 (cm 30x30) - Piano Rialzato

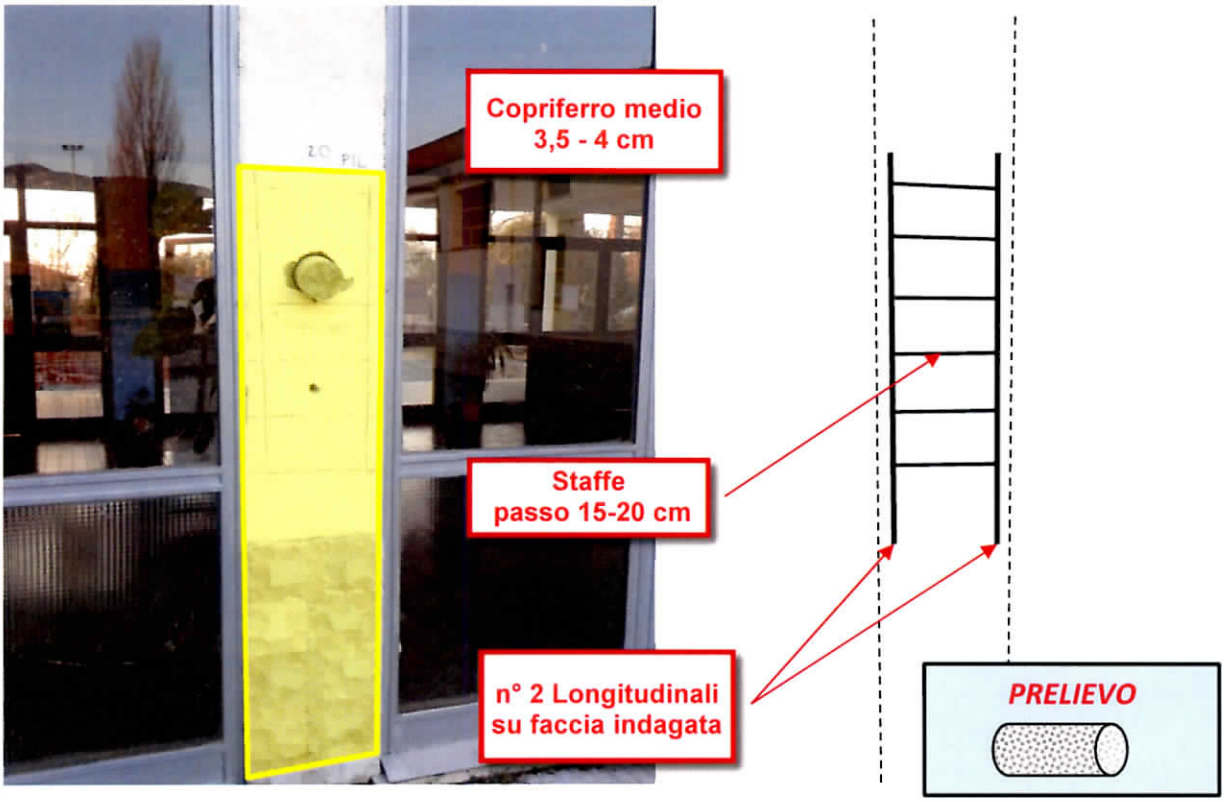

24 Edificio 3 - Pilastro n° 14 (cm 30x30) - Piano Rialzato

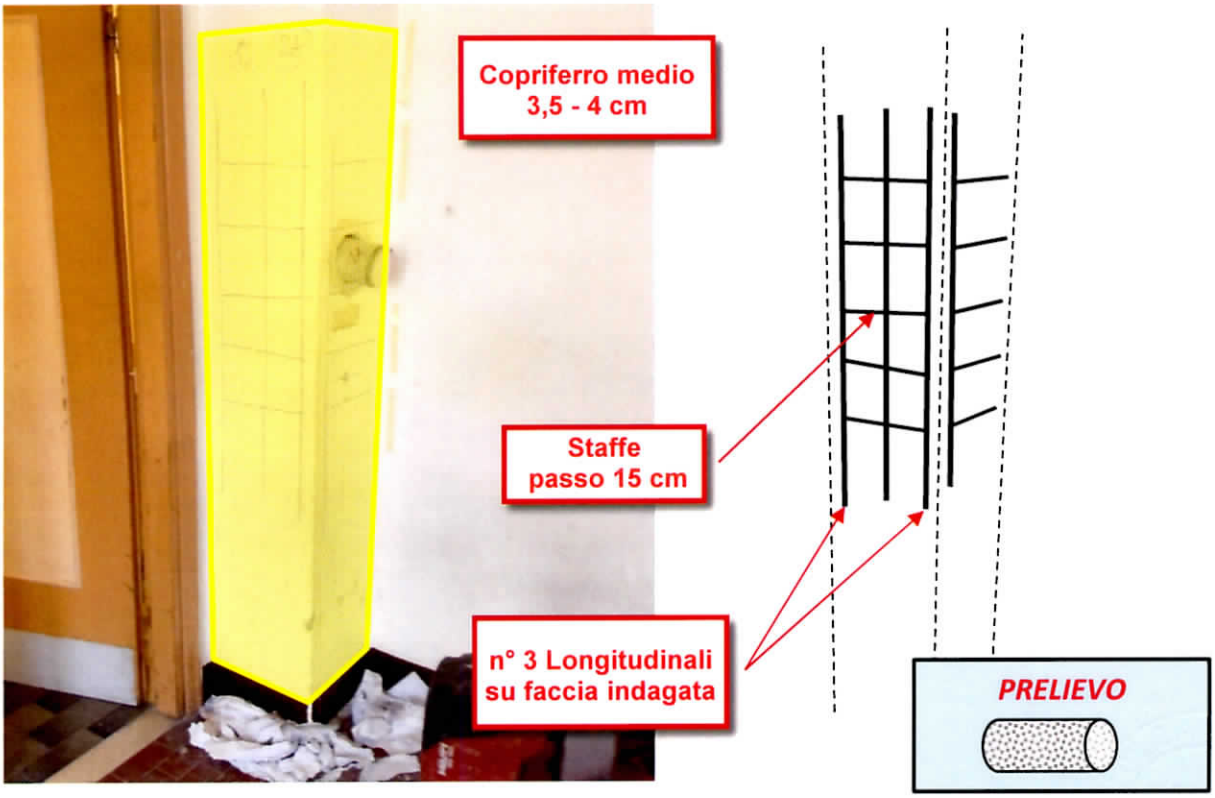

Capitale Sociale € 1.040.000,00 int. versato - Trib. di Roma n. 1256/72 - C.C.I.A.A. n. 358813 - Partita I.V.A. 00887271005 - Codice Fiscale 00422780585
Autorizzato all'esecuzione delle prove ai sensi e per gli effetti dell'Art. 20 della legge del 5-11-71 n. 1086 con Decreti Ministero LL.PP. Autorizzato alle certificazioni CE - Notificato CEE n. 0529

Allegato Grafico - Ubicazione zone di prova su planimetrie

EDIFICIO 1 - Piano Seminterrato

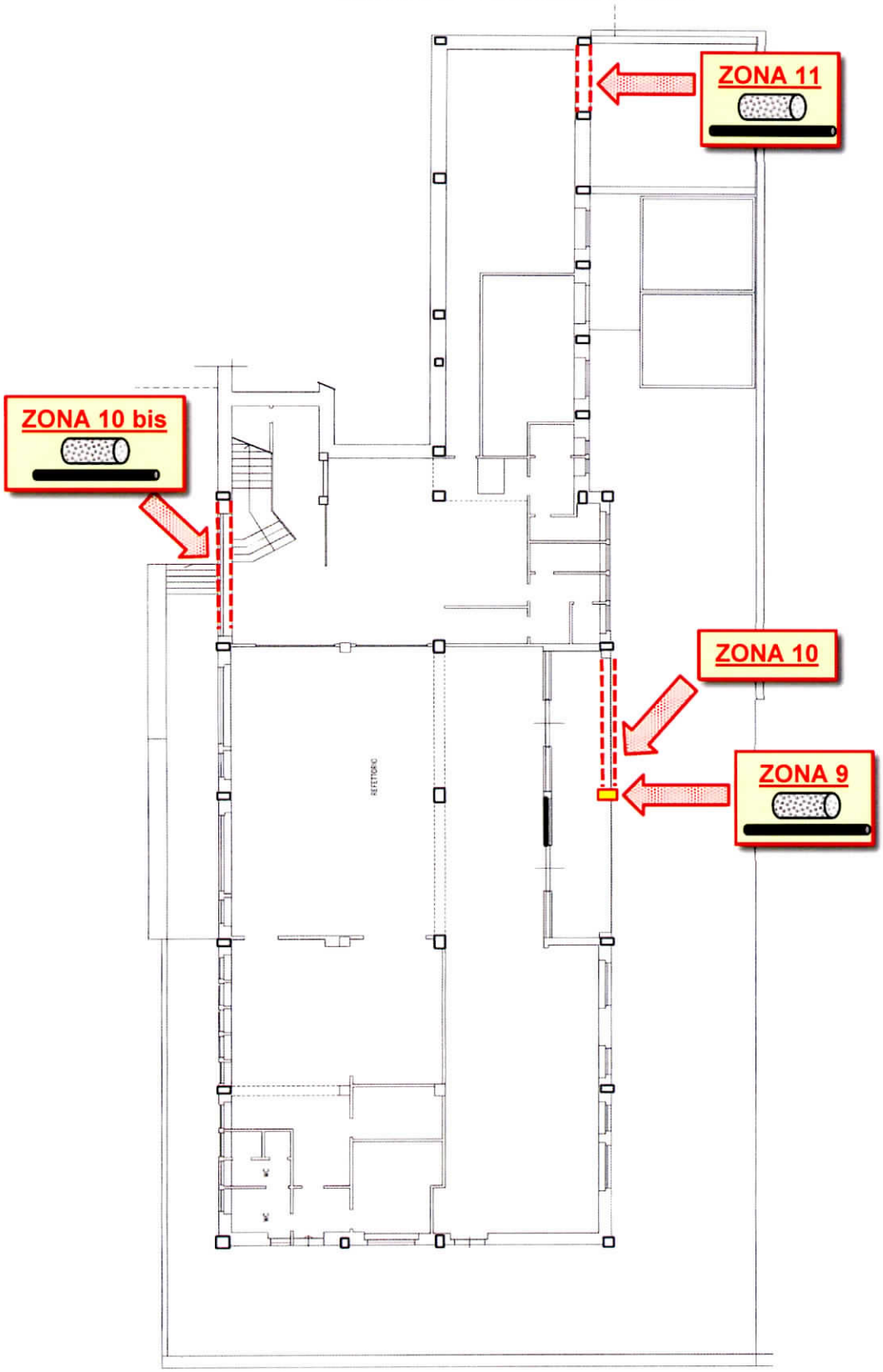

Capitale Sociale € 1.040.000,00 int. versato - Trib. di Roma n. 1256/72 - C.C.I.A.A. n. 358813 - Partita I.V.A. 00887271005 - Codice Fiscale 00422780585
Autorizzato all'esecuzione delle prove ai sensi e per gli effetti dell'Art. 20 della legge del 5-11-71 n. 1086 con Decreti Ministero LL.PP. Autorizzato alle certificazioni CE - Notificato CEE n. 0529

Rapporto di prova n° 564/15-7 **Perugia, 16/03/2015**

Allegato Grafico - Ubicazione zone di prova su planimetrie

EDIFICIO 1 - Piano Rialzato

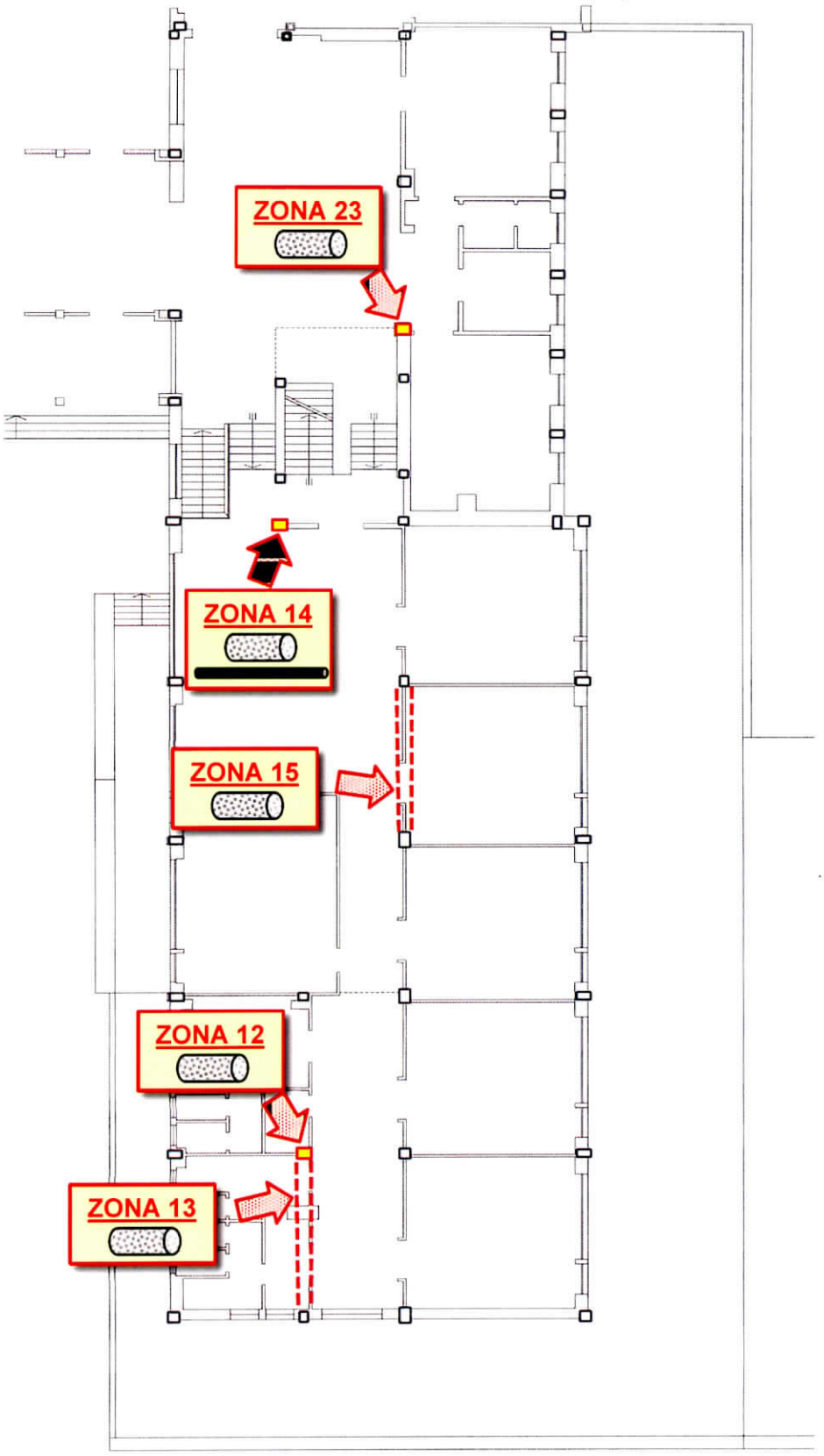

Capitale Sociale € 1.040.000,00 int. versato - Trib. di Roma n. 1256/72 - C.C.I.A.A. n. 358813 - Partita I.V.A. 00887271005 - Codice Fiscale 00422780585
Autorizzato all'esecuzione delle prove ai sensi e per gli effetti dell'Art. 20 della legge del 5-11-71 n. 1086 con Decreti Ministero LL.PP. Autorizzato alle certificazioni CE - Notificato CEE n. 0529

Rapporto di prova n° 564/15-7 **Perugia, 16/03/2015**

Allegato Grafico - Ubicazione zone di prova su planimetrie

EDIFICIO 1 - Piano Primo

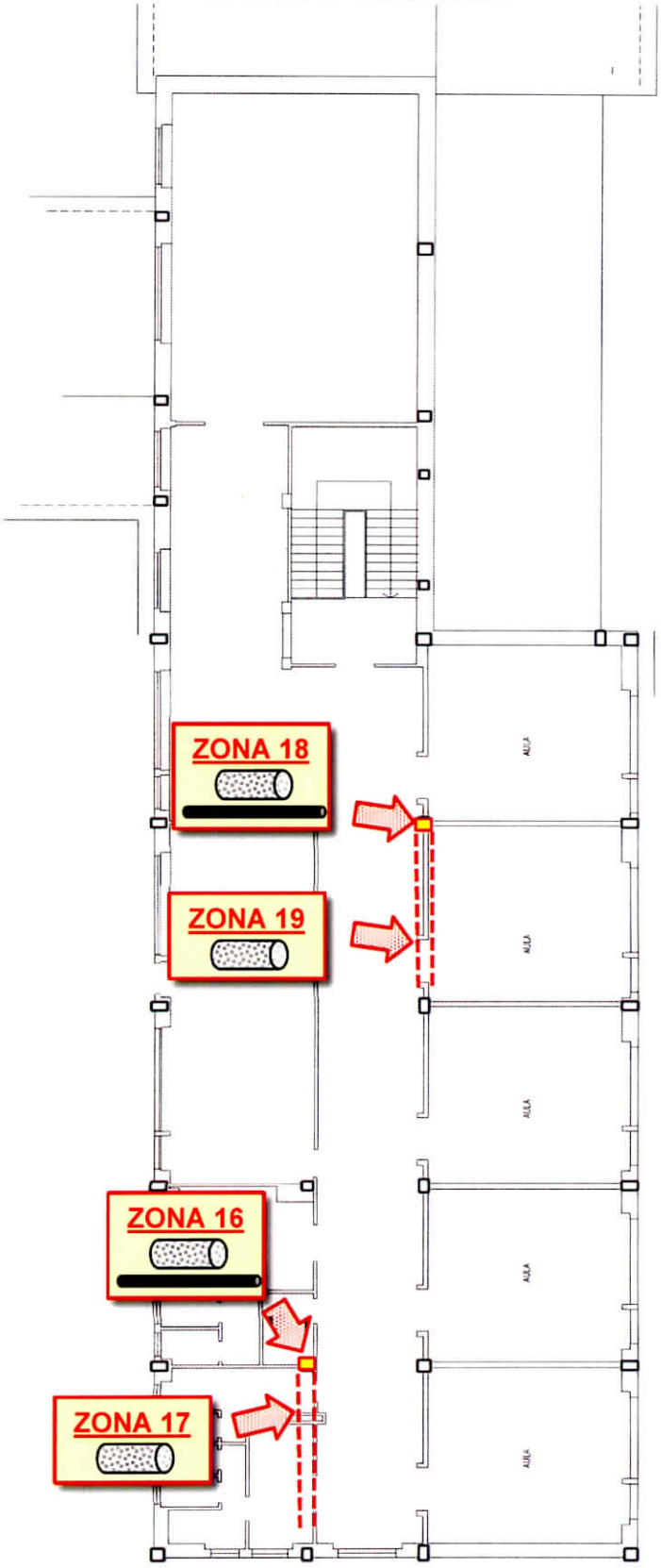

Capitale Sociale € 1.040.000,00 int. versato - Trib. di Roma n. 1256/72 - C.C.I.A.A. n. 358813 - Partita I.V.A. 00887271005 - Codice Fiscale 00422780585
Autorizzato all'esecuzione delle prove ai sensi e per gli effetti dell'Art. 20 della legge del 5-11-71 n. 1086 con Decreti Ministero LL.PP. Autorizzato alle certificazioni CE - Notificato CEE n. 0529

Rapporto di prova n° 564/15-7 **Perugia, 16/03/2015**

Allegato Grafico - Ubicazione zone di prova su planimetrie
EDIFICIO 2 - Piano Rialzato

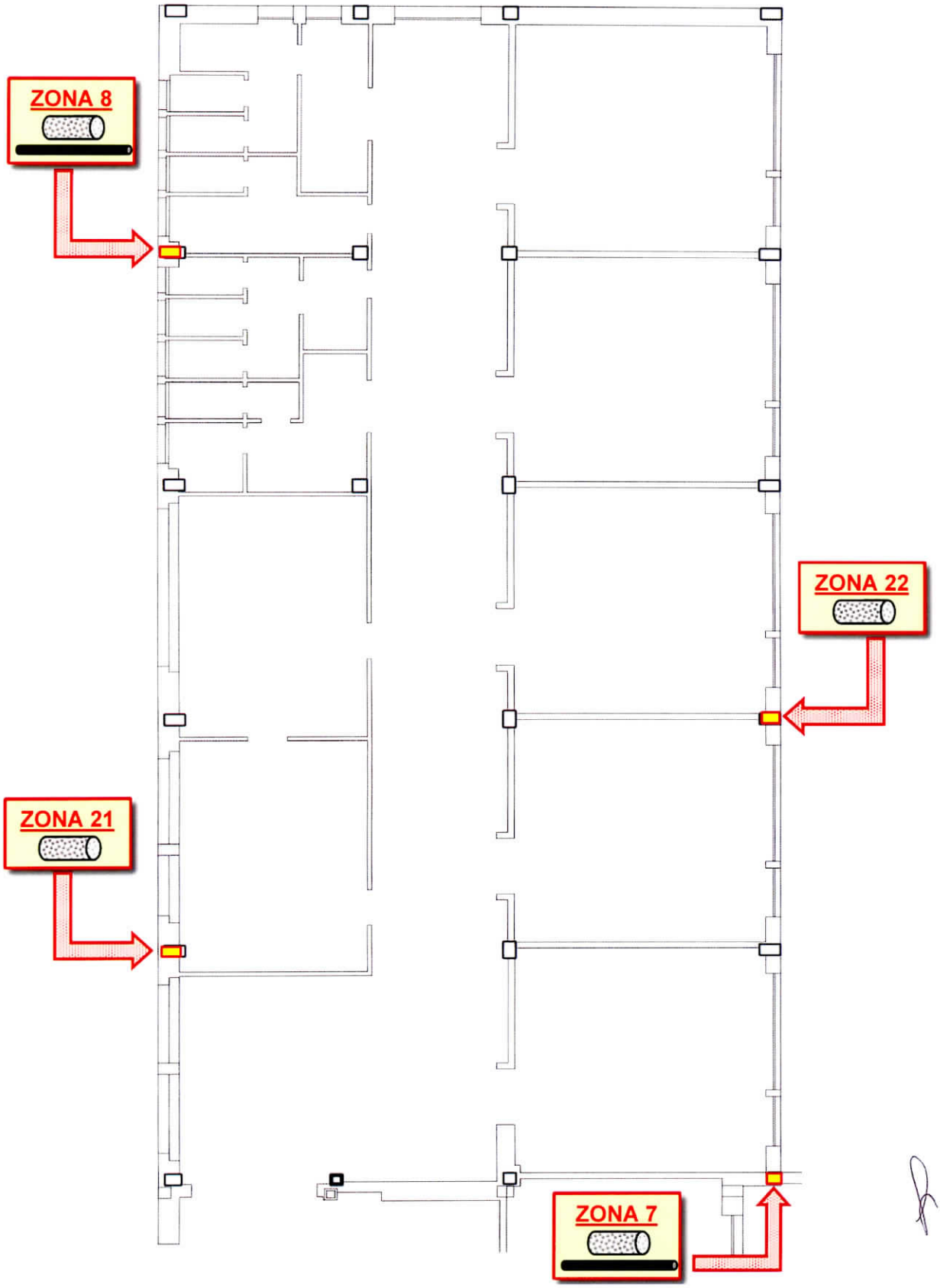

Capitale Sociale € 1.040.000,00 int. versato - Trib. di Roma n. 1256/72 - C.C.I.A.A. n. 358813 - Partita I.V.A. 00887271005 - Codice Fiscale 00422780585
Autorizzato all'esecuzione delle prove ai sensi e per gli effetti dell'Art. 20 della legge del 5-11-71 n. 1086 con Decreti Ministero LL.PP. Autorizzato alle certificazioni CE - Notificato CEE n. 0529

Rapporto di prova n° 564/15-7 **Perugia, 16/03/2015**

Allegato Grafico - Ubicazione zone di prova su planimetrie

EDIFICIO 3 - Piano Rialzato

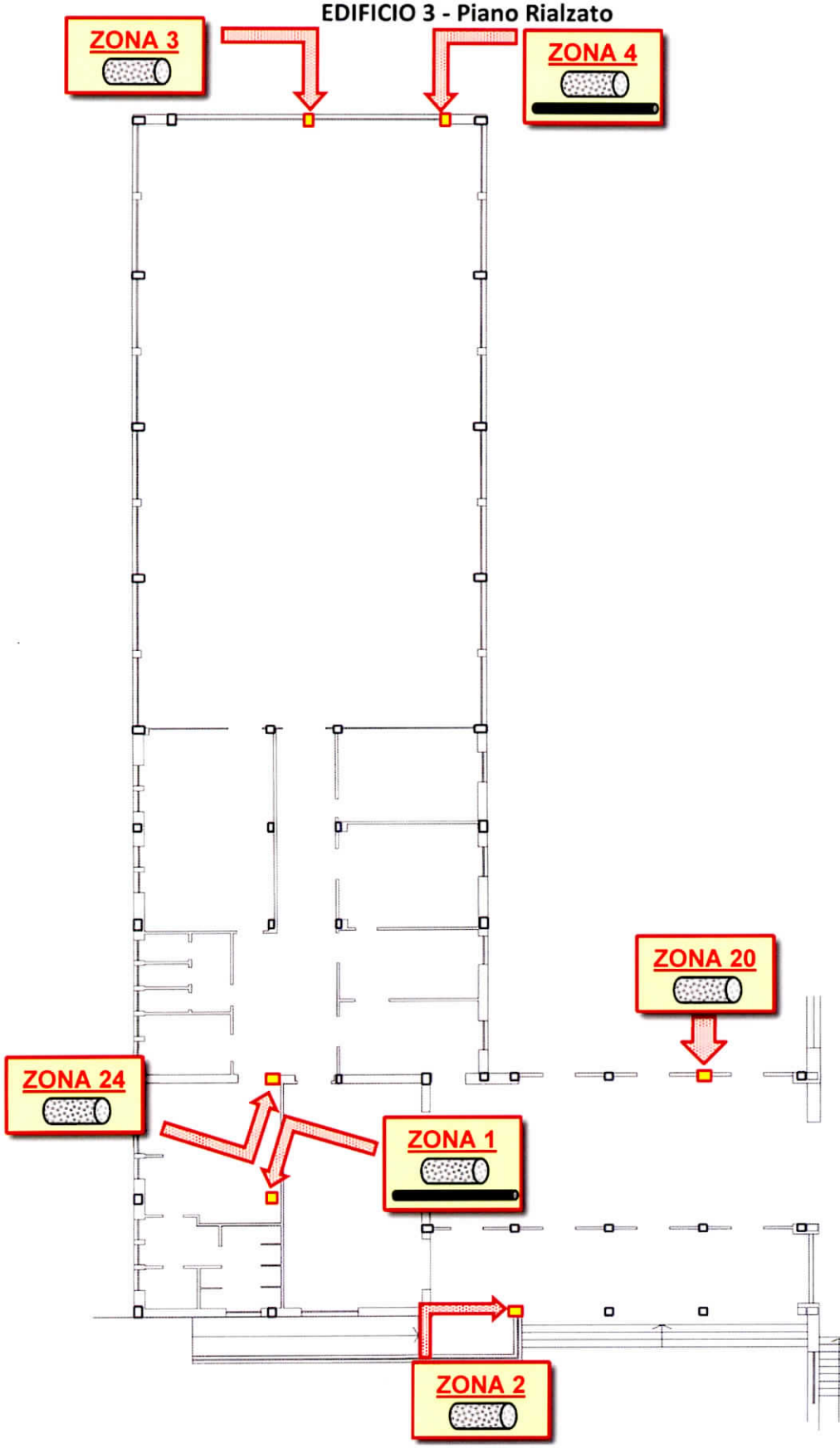

Capitale Sociale € 1.040.000,00 int. versato - Trib. di Roma n. 1256/72 - C.C.I.A.A. n. 358813 - Partita I.V.A. 00887271005 - Codice Fiscale 00422780585
Autorizzato all'esecuzione delle prove ai sensi e per gli effetti dell'Art. 20 della legge del 5-11-71 n. 1086 con Decreti Ministero LL.PP. Autorizzato alle certificazioni CE - Notificato CEE n. 0529

Rapporto di prova n° 564/15-7 **Perugia, 16/03/2015**

Allegato Grafico - Ubicazione zone di prova su planimetrie
EDIFICIO 3 - Piano Sottotetto

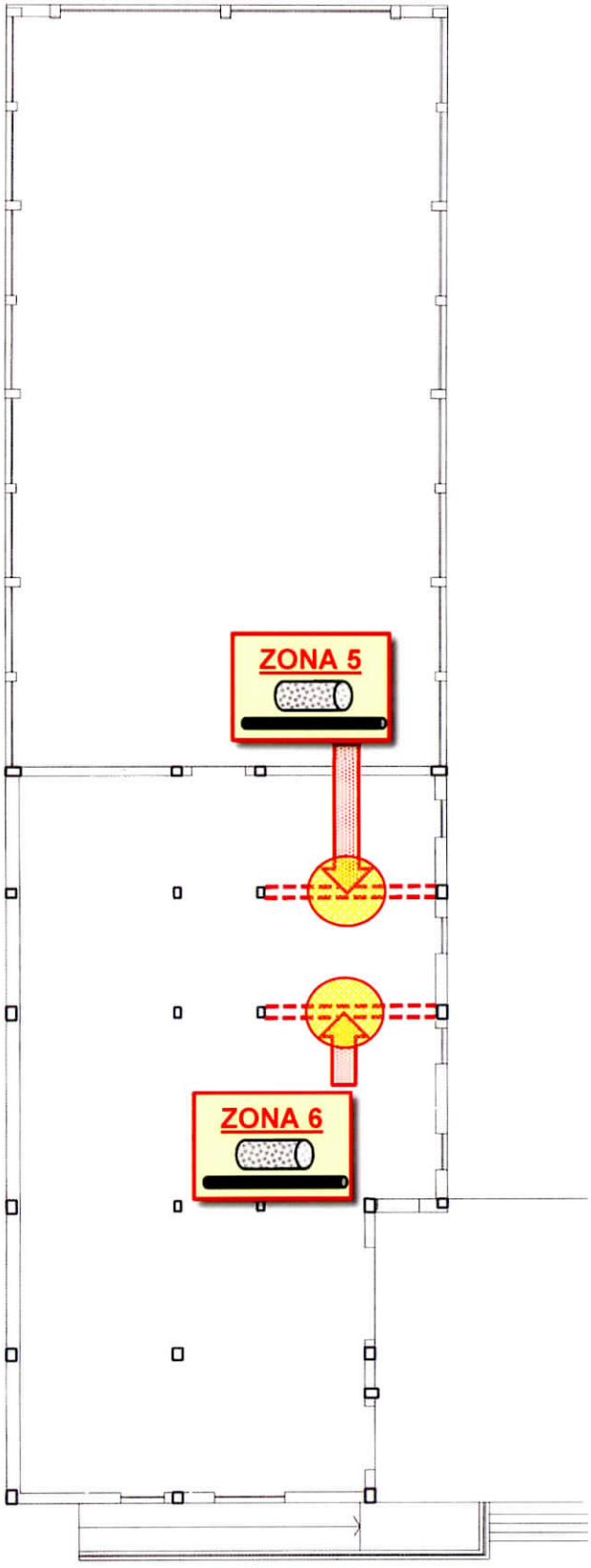

Capitale Sociale € 1.040.000,00 int. versato - Trib. di Roma n. 1256/72 - C.C.I.A.A. n. 358813 - Partita I.V.A. 00887271005 - Codice Fiscale 00422780585
Autorizzato all'esecuzione delle prove ai sensi e per gli effetti dell'Art. 20 della legge del 5-11-71 n. 1086 con Decreti Ministero LL.PP. Autorizzato alle certificazioni CE - Notificato CEE n. 0529

istituto sperimentale per l'edilizia s.p.a.

ISTEDIL

SEDE LEGALE - **UFFICI E LABORATORI: 00012 Guidonia M. (Roma) Loc. Setteville** - Via Tiburtina Km 18,300 - Tel. 0774/353580 r.a. - Fax 0774/353762
PERUGIA - 06132 S. Sisto Loc. S. Andrea delle Fratte - Via P. Soriano, 5/e - tel. 075/5271717 - Fax 075/5271705
LATINA SCALO - 04013 Loc. Tor Tre Ponti - Via Carrara, 12/a - Tel. 0773/630137 - Tel. 0773/630217 - Fax 0773/358870
SASSARI - 07100 Loc. Predda Niedda - Strada 18 - Tel. 079/262399 - Tel. e Fax 079/260581
www.istedil.it
e-mail: info@istedil.it

CERTIFICATO DI PROVA N° 564/2015-1 — PERUGIA 16/04/2015

Risultato delle prove di compressione eseguite sui provini cilindrici di conglomerato cementizio, ricavati da altrettante carote prelevate da tecnici di questo Istituto nei giorni 10-11-12/03/2015 (verbale di accettazione N. 00044 del 13/03/2015).

DATI DICHIARATI:

Committente dell'opera: COMUNE DI TERNI

Proprietà : COMUNE DI TERNI

Impresa : N.D.

Cantiere/Opera: INDAGINI E PROVE DI LABORATORIO PRESSO SCUOLA PRIMARIA "MATTEOTTI", VIA M. CURIE, 4 DI TERNI (TR)

Data prova: 13/03/2015

MODALITA' DI PROVA

Le prove di compressione sono state eseguite secondo quanto indicato dal D.M. 14 gennaio 2008; la resistenza a compressione dei provini e la massa volumica sono state determinate con riferimento rispettivamente alle UNI EN 12504-1:2009, UNI EN 12390-3:2009 e UNI EN 12390-7:2009. Prima delle prove, le facce dei provini sono state preparate mediante cappatura. Attrezzatura utilizzata: "CONTROLS Matr. n.05042420 - Classe 0,5"

RISULTATO DELLE PROVE

Provino n°	Contrassegno	Dimensioni provino diametro mm	Dimensioni provino altezza mm	Massa volumica Kg/m³	Resistenza a compressione N/mm²
1	1	104	105	2249	17.9
2	2	104	105	2248	23.6
3	3	104	105	2210	19.6
4	4	104	105	2237	22.0
5	5	104	105	2223	17.6
6	6	104	105	2182	16.4

Legenda:
N.D. = Non Dichiarato

Note:

LO SPERIMENTATORE
Dott. Luca Leopardi

IL DIRETTORE DEL LABORATORIO
Dott. Arch. Enrica Capponi

Capitale Sociale € 1.040.000,00 int. versato - Trib. di Roma n. 1256/72 - C.C.I.A.A. n. 358813 - Partita I.V.A. 00887271005 - Codice Fiscale 00422780585
Autorizzato all'esecuzione delle prove ai sensi e per gli effetti dell'Art. 20 della legge del 5-11-71 n. 1086 con Decreti Ministero LL.PP. Autorizzato alle certificazioni CE - Notificato CEE n. 0529

istituto sperimentale per l'edilizia s.p.a.

ISTEDIL

SEDE LEGALE - **UFFICI E LABORATORI: 00012 Guidonia M. (Roma) Loc. Setteville** - Via Tiburtina Km 18,300 - Tel. 0774/353580 r.a. - Fax 0774/353762
PERUGIA - 06132 S. Sisto Loc. S. Andrea delle Fratte - Via P. Soriano, 5/e - tel. 075/5271717 - Fax 075/5271705
LATINA SCALO - 04013 Loc. Tor Tre Ponti - Via Carrara, 12/a - Tel. 0773/630137 - Tel. 0773/630217 - Fax 0773/358870
SASSARI - 07100 Loc. Predda Niedda - Strada 18 - Tel. 079/262399 - Tel. e Fax 079/260581
www.istedil.it
e-mail: info@istedil.it

CERTIFICATO DI PROVA N° 564/2015-2 — PERUGIA 16/04/2015

Risultato delle prove di compressione eseguite sui provini cilindrici di conglomerato cementizio, ricavati da altrettante carote prelevate da tecnici di questo Istituto nei giorni 10-11-12/03/2015 (verbale di accettazione N. 00044 del 13/03/2015).

DATI DICHIARATI:

Committente dell'opera: COMUNE DI TERNI

Proprietà : COMUNE DI TERNI

Impresa : N.D.

Cantiere/Opera: INDAGINI E PROVE DI LABORATORIO PRESSO SCUOLA PRIMARIA "MATTEOTTI", VIA M. CURIE, 4 DI TERNI (TR)

Data prova: 13/03/2015

MODALITA' DI PROVA

Le prove di compressione sono state eseguite secondo quanto indicato dal D.M. 14 gennaio 2008; la resistenza a compressione dei provini e la massa volumica sono state determinate con riferimento rispettivamente alle UNI EN 12504-1:2009, UNI EN 12390-3:2009 e UNI EN 12390-7:2009. Prima delle prove, le facce dei provini sono state preparate mediante cappatura. Attrezzatura utilizzata: "CONTROLS Matr. n.05042420 - Classe 0,5"

RISULTATO DELLE PROVE

Provino n°	Contrassegno	Dimensioni provino diametro mm	Dimensioni provino altezza mm	Massa volumica Kg/m³	Resistenza a compressione N/mm²
7	7	104	106	2251	18.8
8	8	104	105	2261	21.8
9	9	104	105	2109	17.8
10	10 bis	104	105	2168	10.5
11	11	104	106	2280	20.6
12	12	104	105	2169	16.1

Legenda:
N.D. = Non Dichiarato

Note:

LO SPERIMENTATORE
Dott. Luca Leopardi

IL DIRETTORE DEL LABORATORIO
Dott. Arch. Enrica Capponi

Capitale Sociale € 1.040.000,00 int. versato - Trib. di Roma n. 1256/72 - C.C.I.A.A. n. 358813 - Partita I.V.A. 00887271005 - Codice Fiscale 00422780585
Autorizzato all'esecuzione delle prove ai sensi e per gli effetti dell'Art. 20 della legge del 5-11-71 n. 1086 con Decreti Ministero LL.PP. Autorizzato alle certificazioni CE - Notificato CEE n. 0529

istituto sperimentale per l'edilizia s.p.a.

ISTEDIL

SEDE LEGALE - **UFFICI E LABORATORI: 00012 Guidonia M. (Roma) Loc. Setteville** - Via Tiburtina Km 18,300 - Tel. 0774/353580 r.a. - Fax 0774/353762
PERUGIA - 06132 S. Sisto Loc. S. Andrea delle Fratte - Via P. Soriano, 5/e - tel. 075/5271717 - Fax 075/5271705
LATINA SCALO - 04013 Loc. Tor Tre Ponti - Via Carrara, 12/a - Tel. 0773/630137 - Tel. 0773/630217 - Fax 0773/358870
SASSARI - 07100 Loc. Predda Niedda - Strada 18 - Tel. 079/262399 - Tel. e Fax 079/260581
www.istedil.it
e-mail: info@istedil.it

CERTIFICATO DI PROVA N° 564/2015-3 — PERUGIA 16/04/2015

Risultato delle prove di compressione eseguite sui provini cilindrici di conglomerato cementizio, ricavati da altrettante carote prelevate da tecnici di questo Istituto nei giorni 10-11-12/03/2015 (verbale di accettazione N. 00044 del 13/03/2015).

DATI DICHIARATI:

Committente dell'opera: COMUNE DI TERNI

Proprietà : COMUNE DI TERNI

Impresa : N.D.

Cantiere/Opera: INDAGINI E PROVE DI LABORATORIO PRESSO SCUOLA PRIMARIA "MATTEOTTI", VIA M. CURIE, 4 DI TERNI (TR)

Data prova: 13/03/2015

MODALITA' DI PROVA

Le prove di compressione sono state eseguite secondo quanto indicato dal D.M. 14 gennaio 2008; la resistenza a compressione dei provini e la massa volumica sono state determinate con riferimento rispettivamente alle UNI EN 12504-1:2009, UNI EN 12390-3:2009 e UNI EN 12390-7:2009. Prima delle prove, le facce dei provini sono state preparate mediante cappatura. Attrezzatura utilizzata: "CONTROLS Matr. n.05042420 - Classe 0,5"

RISULTATO DELLE PROVE

Provino n°	Contrassegno	Dimensioni provino diametro mm	Dimensioni provino altezza mm	Massa volumica Kg/m³	Resistenza a compressione N/mm²
13	13	104	106	2254	23.9
14	14	104	105	2224	13.4
15	15	104	105	2275	20.7
16	16	104	104	2142	18.1
17	17	104	105	2223	20.6
18	18	104	105	2174	18.9

Legenda:
N.D. = Non Dichiarato

Note:

LO SPERIMENTATORE
Dott. Luca Leopardi

IL DIRETTORE DEL LABORATORIO
Dott. Arch. Enrica Capponi

Capitale Sociale € 1.040.000,00 int. versato - Trib. di Roma n. 1256/72 - C.C.I.A.A. n. 358813 - Partita I.V.A. 00887271005 - Codice Fiscale 00422780585
Autorizzato all'esecuzione delle prove ai sensi e per gli effetti dell'Art. 20 della legge del 5-11-71 n. 1086 con Decreti Ministero LL.PP. Autorizzato alle certificazioni CE - Notificato CEE n. 0529

istituto sperimentale per l'edilizia s.p.a.

ISTEDIL

SEDE LEGALE - **UFFICI E LABORATORI: 00012 Guidonia M. (Roma) Loc. Setteville** - Via Tiburtina Km 18,300 - Tel. 0774/353580 r.a. - Fax 0774/353762
PERUGIA - 06132 S. Sisto Loc. S. Andrea delle Fratte - Via P. Soriano, 5/e - tel. 075/5271717 - Fax 075/5271705
LATINA SCALO - 04013 Loc. Tor Tre Ponti - Via Carrara, 12/a - Tel. 0773/630137 - Tel. 0773/630217 - Fax 0773/358870
SASSARI - 07100 Loc. Predda Niedda - Strada 18 - Tel. 079/262399 - Tel. e Fax 079/260581
www.istedil.it
e-mail: info@istedil.it

CERTIFICATO DI PROVA N° 564/2015-4 — PERUGIA 16/04/2015

Risultato delle prove di compressione eseguite sui provini cilindrici di conglomerato cementizio, ricavati da altrettante carote prelevate da tecnici di questo Istituto nei giorni 10-11-12/03/2015 (verbale di accettazione N. 00044 del 13/03/2015).

DATI DICHIARATI:

Committente dell'opera: COMUNE DI TERNI

Proprietà : COMUNE DI TERNI

Impresa : N.D.

Cantiere/Opera: INDAGINI E PROVE DI LABORATORIO PRESSO SCUOLA PRIMARIA "MATTEOTTI", VIA M. CURIE, 4 DI TERNI (TR)

Data prova: 13/03/2015

MODALITA' DI PROVA

Le prove di compressione sono state eseguite secondo quanto indicato dal D.M. 14 gennaio 2008; la resistenza a compressione dei provini e la massa volumica sono state determinate con riferimento rispettivamente alle UNI EN 12504-1:2009, UNI EN 12390-3:2009 e UNI EN 12390-7:2009. Prima delle prove, le facce dei provini sono state preparate mediante cappatura. Attrezzatura utilizzata: "CONTROLS Matr. n.05042420 - Classe 0,5"

RISULTATO DELLE PROVE

Provino n°	Contrassegno	Dimensioni provino diametro mm	Dimensioni provino altezza mm	Massa volumica Kg/m³	Resistenza a compressione N/mm²
19	19	104	105	2211	19.6
20	20	104	94	2229	23.1
21	21	104	105	2240	17.9
22	22	104	102	2281	19.4
23	23	104	105	2294	20.5
24	24	104	105	2261	17.3

Legenda:
N.D. = Non Dichiarato

Note:

LO SPERIMENTATORE
Dott. Luca Leopardi

IL DIRETTORE DEL LABORATORIO
Dott. Arch. Enrica Capponi

Capitale Sociale € 1.040.000,00 int. versato - Trib. di Roma n. 1256/72 - C.C.I.A.A. n. 358813 - Partita I.V.A. 00887271005 - Codice Fiscale 00422780585
Autorizzato all'esecuzione delle prove ai sensi e per gli effetti dell'Art. 20 della legge del 5-11-71 n. 1086 con Decreti Ministero LL.PP. Autorizzato alle certificazioni CE - Notificato CEE n. 0529

istituto sperimentale per l'edilizia s.p.a.

ISTEDIL

SEDE LEGALE - **UFFICI E LABORATORI: 00012 Guidonia M. (Roma) Loc. Setteville** - Via Tiburtina Km 18,300 - Tel. 0774/353580 r.a. - Fax 0774/353762
PERUGIA - 06132 S. Sisto Loc. S. Andrea delle Fratte - Via P. Soriano, 5/e - tel. 075/5271717 - Fax 075/5271705
LATINA SCALO - 04013 Loc. Tor Tre Ponti - Via Carrara, 12/a - Tel. 0773/630137 - Tel. 0773/630217 - Fax 0773/358870
SASSARI - 07100 Loc. Predda Niedda - Strada 18 - Tel. 079/262399 - Tel. e Fax 079/260581
www.istedil.it
e-mail: info@istedil.it

CERTIFICATO DI PROVA N° 564-1-2015/F

PERUGIA 01/04/2015

Risultato delle prove di trazione e piegamento eseguite sulle barre di acciaio per c.a. consegnate in data 13/03/2015 (verbale di accettazione N. 00044 del 13/03/2015) da COMUNE DI TERNI

DATI DICHIARATI: Acciaio del tipo: N.D.

Committente dell'opera: COMUNE DI TERNI

Proprietà: COMUNE DI TERNI

Impresa: N.D.

Cantiere/Opera: INDAGINI E PROVE DI LABORATORIO PRESSO SCUOLA PRIMARIA "MATTEOTTI", VIA M. CURIE, 4 DI TERNI (TR)

MODALITA' DI PROVA

Le prove di trazione sono state eseguite secondo UNI EN ISO 15630-1 e D.M. del 09/01/96 Sez. I, par. 2.2.1e All.; le prove di piegamento secondo UNI EN ISO 7438 e D.M. del 09/01/96 Sez. I, par. 2.2.1

RISULTATO DELLE PROVE

Camp. n°	Diametro nominale mm	Data prova	Peso unitario g/m	Diametro effettivo mm	Tensione snerv.(fy) N/mm²	Tensione rott.(ft) N/mm²	ft/fy	fy / fyk	All. A5 %	E P	Diam. mandr. mm	Produttore (Attestato S.T.C. n.)
1***	12	13/03/2015	864	11,84	388	566	1,46	==	28,3	3	==	Non rilevabile
2***	12	13/03/2015	868	11,87	376	542	1,44	==	30,0	3	==	Non rilevabile
3***	12	13/03/2015	909	12,14	331	434	1,31	==	28,3	3	==	Non rilevabile
4***	14	13/03/2015	1196	13,93	349	492	1,41	==	27,1	3	==	Non rilevabile
5***	14	13/03/2015	1192	13,90	397	557	1,40	==	24,3	3	==	Non rilevabile
6***	14	13/03/2015	1186	13,87	458	560	1,22	==	25,7	3	==	Non rilevabile
7***	14	13/03/2015	1238	14,17	339	494	1,46	==	31,4	3	==	Non rilevabile
8***	14	13/03/2015	1241	14,19	382	486	1,27	==	27,1	3	==	Non rilevabile
9***	14	13/03/2015	1197	13,94	365	558	1,53	==	27,1	3	==	Non rilevabile

Legenda:

EP = Esito piegamento:(1 = Assenza di cricche; 2 = Presenza di cricche; 3 = Non richiesto) N.D. = Non Dichiarato

* = Barra ad aderenza migliorata *** = Barra tonda liscia N.R. = Non rilevato per rottura al di fuori del tratto utile

Note: RICHIESTA PROVE NON SOTTOSCRITTA DAL D.L. -

CONTRASSEGNO:

Prov. 1 (5) - Prov. 2 (6) - Pov. 3 (11) - Prov. 4 (1) - Prov. 5 (7) - Prov. 6 (8) - Prov. 7 (10bis) - Prov. 8 (14) - Prov. 9 (16)

LO SPERIMENTATORE
Dott. Luca Leopardi

IL DIRETTORE DEL LABORATORIO
Dott. Arch. Enrica Capponi

Capitale Sociale € 1.040.000,00 int. versato - Trib. di Roma n. 1256/72 - C.C.I.A.A. n. 358813 - Partita I.V.A. 00887271005 - Codice Fiscale 00422780585
Autorizzato all'esecuzione delle prove ai sensi e per gli effetti dell'Art. 20 della legge del 5-11-71 n. 1086 con Decreti Ministero LL.PP. Autorizzato alle certificazioni CE - Notificato CEE n. 0529

istituto sperimentale per l'edilizia s.p.a.

ISTEDIL

SEDE LEGALE - **UFFICI E LABORATORI: 00012 Guidonia M. (Roma) Loc. Setteville** - Via Tiburtina Km 18,300 - Tel. 0774/353580 r.a. - Fax 0774/353762
PERUGIA - 06132 S. Sisto Loc. S. Andrea delle Fratte - Via P. Soriano, 5/e - tel. 075/5271717 - Fax 075/5271705
LATINA SCALO - 04013 Loc. Tor Tre Ponti - Via Carrara, 12/a - Tel. 0773/630137 - Tel. 0773/630217 - Fax 0773/358870
SASSARI - 07100 Loc. Predda Niedda - Strada 18 - Tel. 079/262399 - Tel. e Fax 079/260581
www.istedil.it
e-mail: info@istedil.it

CERTIFICATO DI PROVA N° 564-2-2015/F — PERUGIA 01/04/2015

Risultato delle prove di trazione e piegamento eseguite sulle barre di acciaio per c.a. consegnate in data 13/03/2015 (verbale di accettazione N. 00044 del 13/03/2015) da COMUNE DI TERNI

DATI DICHIARATI: Acciaio del tipo: N.D.

Committente dell'opera: COMUNE DI TERNI

Proprietà: COMUNE DI TERNI

Impresa: N.D.

Cantiere/Opera: INDAGINI E PROVE DI LABORATORIO PRESSO SCUOLA PRIMARIA "MATTEOTTI", VIA M. CURIE, 4 DI TERNI (TR)

MODALITA' DI PROVA

Le prove di trazione sono state eseguite secondo UNI EN ISO 15630-1 e D.M. del 09/01/96 Sez. I, par. 2.2.1e All.; le prove di piegamento secondo UNI EN ISO 7438 e D.M. del 09/01/96 Sez. I, par. 2.2.1

RISULTATO DELLE PROVE

Camp. n°	Diametro nominale mm	Data prova	Peso unitario g/m	Diametro effettivo mm	Tensione snerv.(fy) N/mm²	Tensione rott.(ft) N/mm²	ft/fy	fy / fyk	All. A5 %	E P	Diam. mandr. mm	Produttore (Attestato S.T.C. n.)
1***	16	13/03/2015	1556	15,89	375	529	1,41	==	20,0	3	==	Non rilevabile
2***	16	13/03/2015	1538	15,80	305	446	1,46	==	28,8	3	==	Non rilevabile
3***	16	13/03/2015	1523	15,72	303	431	1,42	==	32,5	3	==	Non rilevabile

Legenda:
EP = Esito piegamento:(1 = Assenza di cricche; 2 = Presenza di cricche; 3 = Non richiesto) N.D. = Non Dichiarato
* = Barra ad aderenza migliorata *** = Barra tonda liscia N.R. = Non rilevato per rottura al di fuori del tratto utile

Note: RICHIESTA PROVE NON SOTTOSCRITTA DAL D.L. -

CONTRASSEGNO:
Prov. 1 (4)- Prov. 2 (9) - Prov. 3 (18)

LO SPERIMENTATORE
Dott. Luca Leopardi

IL DIRETTORE DEL LABORATORIO
Dott. Arch. Enrica Capponi

Capitale Sociale € 1.040.000,00 int. versato - Trib. di Roma n. 1256/72 - C.C.I.A.A. n. 358813 - Partita I.V.A. 00887271005 - Codice Fiscale 00422780585
Autorizzato all'esecuzione delle prove ai sensi e per gli effetti dell'Art. 20 della legge del 5-11-71 n. 1086 con Decreti Ministero LL.PP. Autorizzato alle certificazioni CE - Notificato CEE n. 0529